CITTÀ METROPOLITANA DI BOLOGNA

AREA SERVIZI TERRITORIALI METROPOLITANI

STRADA
SP610

LAVORO
LAVORI DI RIPRISTINO DEFINITIVO DELLA SEDE STRADALE E DELLE SCARPATE DI MONTE E DI VALLE DELLA SP610 SELICE O MONTANARA IMOLESE IN COMUNE DI CASTEL DEL RIO E DELLA SP 14 IN COMUNE DI IMOLA

CUP C27H24001080001 CIG B2D7BDC2BB

Settore
Strade e Sicurezza

ELABORATO
Parte Specialistica
Relazione di calcolo geotecnico strutturale

PROGETTO ESECUTIVO

PROGETTAZIONE GENERALE E SPECIALISTICA

SOIL ENGINEERING SRL

Dott. Ing. Massimo Maffeis

Dott. Ing. Luigi Albert

Dott. Ing. Lucio Garassino

Dott. Geol. Fabio Staffini (Integrazione attività specialistiche e coordinatore per la sicurezza)

RESPONSABILE UNICO DEL PROCEDIMENTO
Dott. Ing. Lucia Molica Franco

SUPPORTO AL RUP
Dott. Ing. Stefania Cintura

REV.	DATA	MODIFICA	SCALA	TAV./ELAB Nr.
B				
A	MAGGIO 2025	EMISSIONE		205-A

QUESTO DISEGNO E LA RELATIVA INVENZIONE SONO DI PROPRIETA' DELL'AMMINISTRAZIONE
NON NE E' CONSENTITO L'UTILIZZO SE NON SU ESPLICITA AUTORIZZAZIONE
OGNI DIRITTO A TALE RIGUARDO E' ESPRESSAMENTE RISERVATO ED ESCLUSIVO

INDICE

1 PREMESSA E SCOPO DEL LAVORO 4

2 NORME, RACCOMANDAZIONI E DOCUMENTI DI RIFERIMENTO 6
2.1 Norme e raccomandazioni di riferimento 6
2.2 Documenti di riferimento 6

3 UBICAZIONE DELL'OPERA E STATO DEI LUOGHI 8
3.1 Ubicazione dell'area di intervento 8
3.2 Stato dei luoghi 10

4 PRESTAZIONI RICHIESTE ALLE OPERE 11

5 DESCRIZIONE DELLE OPERE, CARATTERISTICHE DEI MATERIALI STRUTTURALI E FASI COSTRUTTIVE 12
5.1 Descrizione delle opere in progetto 12
5.2 Opere accessorie 19
5.3 Descrizione delle fasi costruttive 21
5.4 Caratteristiche dei materiali strutturali 23
5.4.1 Acciaio per micropali 23
5.4.2 Miscele cementizie per micropali 23
5.4.3 Acciaio strutturale per travi di ripartizione 23
5.4.4 Acciaio per micropali di ancoraggio (barre cave autoperforanti) 24
5.4.5 Miscele cementizie per cementazione micropali di ancoraggio 24
5.4.6 Acciaio per calcestruzzo armato 24
5.4.7 Calcestruzzo 25
5.5 Caratteristiche dei materiali strutturali – Paratia esistente 25
5.5.1 Calcestruzzo (paratia esistente) 25
5.5.2 Acciaio da calcestruzzo armato (paratia esistente) 26

6 MODELLO GEOTECNICO DI RIFERIMENTO 27
6.1 Schema stratigrafico di riferimento 27
6.2 Parametri geotecnici di riferimento 28

7 SICUREZZA E FUNZIONALITÀ DELL'OPERA 29
7.1 Quadro normativo 29
7.2 Verifiche agli stati limite ultimi (SLU e SLV) 29
7.3 Verifiche delle prestazioni (SLE e SLD) 31
7.3.1 Spostamenti limite allo SLE e allo SLD 31
7.4 Stati limite pertinenti per le opere 31
7.5 Azioni sulle opere 32
7.5.1 Sovraccarico stradale (q_{sk}) 32
7.5.2 Sovraccarico mezzi d'opera (q_{mok}) 32
7.5.3 Azioni sismiche (E) 33
7.5.4 Azioni dovute all'urto dei veicoli in svio (A) 36
7.5.5 Azioni dovute al costipamento dei materiali di riempimento 38
7.5.6 Combinazione delle azioni 41
7.6 Durabilità delle opere 42

7.6.1 Porzioni strutturali in calcestruzzo armato 42
7.6.2 Porzioni strutturali in acciaio (micropali) 43
7.6.3 Barre per micropali di ancoraggio 43

8 PROPRIETÀ DI RIFERIMENTO PER I MICROPALI 45
8.1 Proprietà di riferimento per i micropali della paratia provvisionale 45
8.2 Proprietà di riferimento per i micropali di fondazione 45
8.2.1 Capacità portante 46

9 PROPRIETÀ DI RIFERIMENTO PER I MICROPALI DI ANCORAGGIO 49
9.1 Resistenza strutturale 50
9.2 Resistenza a sfilamento 50

10 PROPRIETÀ DI RIFERIMENTO PER I PROFILATI METALLICI A SEZIONE APERTA 55

11 CARATTERISTICHE DI RIFERIMENTO PER IL RIEMPIMENTO IN MATERIALE GRANULARE 56

12 ANALISI E VERIFICHE GEOTECNICHE E STRUTTURALI 58
12.1 Analisi numeriche delle opere in progetto 58
12.1.1 Modelli geotecnici 58
12.1.2 Risultati delle analisi 69
12.1.2.1 Sollecitazioni sui micropali della paratia esistente (Tratto B) 69
12.1.2.2 Sollecitazioni sui micropali della nuova paratia provvisionale (tratto A e tratto C) 70
12.1.2.3 Sollecitazioni sui micropali di ancoraggio 72
12.1.2.4 Sollecitazioni sui micropali di fondazione (verticali) 74
12.1.2.5 Sollecitazioni sui micropali di fondazione (inclinati) 78
12.1.2.6 Sollecitazioni sul muro in calcestruzzo armato 79
12.1.2.7 Spostamenti in condizioni di esercizio 81
12.2 Verifiche geotecniche e strutturali 83
12.2.1 Verifiche strutturali dei pali della paratia esistente 83
12.2.1.1 Presso – flessione 84
12.2.1.2 Taglio 86
12.2.2 Verifiche strutturali della nuova paratia provvisionale (Tratti A e C) 88
12.2.2.1 Verifiche strutturali dei micropali 88
12.2.2.2 Taglio 88
12.2.2.3 Presso - flessione 89
12.2.2.4 Verifiche strutturali dei puntoni metallici di contrasto 90
12.2.3 Verifiche dei micropali di ancoraggio a barre autoperforanti 93
12.2.3.1 Verifica a sfilamento 93
12.2.3.2 Verifica strutturale della barra 95
12.2.3.3 Verifica della trave di ripartizione in acciaio 95
12.2.3.4 Taglio 96
12.2.3.5 Flessione 97
12.2.3.6 Verifica dell'ancoraggio al muro in calcestruzzo 97
12.2.4 Verifiche dei micropali di fondazione del muro (verticali) 100
12.2.4.1 Verifica a taglio 101
12.2.4.2 Verifica a presso – flessione 102
12.2.4.3 Verifica geotecnica (capacità portante) 105
12.2.4.4 Verifica dell'ancoraggio al cordolo in calcestruzzo 107
12.2.5 Verifiche dei micropali di fondazione (inclinati) 108
12.2.5.1 Verifica a sfilamento 108
12.2.5.2 Verifica strutturale 108

12.2.5.3 Verifica dell'ancoraggio al cordolo in calcestruzzo 109
12.2.6 Verifiche strutturali del muro in calcestruzzo armato 110
12.2.6.1 Verifica a presso – flessione 111
12.2.6.2 Verifica a taglio 112
12.2.6.3 Verifica allo SL di fessurazione 113
12.2.6.4 Verifica dell'ancoraggio delle barre al calcestruzzo 114
12.2.6.5 Verifica delle tensioni in esercizio 116
12.2.7 Verifiche di stabilità globale 117

13 CONCLUSIONI 120

14 ORIGINE E CARATTERISTICHE DEI CODICI DI CALCOLO UTILIZZATI 121

15 GIUDIZIO MOTIVATO DI ACCETTABILITÀ DEI RISULTATI 122
15.1 Analisi di interazione terreno – struttura (Plaxis 2D) 122
15.2 Analisi di interazione stabilità all'equilibrio limite (SLOPE/W) 128

1 PREMESSA E SCOPO DEL LAVORO

A seguito degli eventi meteorologici del maggio 2023 e del settembre 2024 che del hanno colpito una vasta porzione della Regione Emilia-Romagna, generando intensi ed estesi effetti al suolo, nelle aree collinari e appenniniche del bolognese, del ravennate e del forlivese, si sono verificate un totale di 65.598 frane, che coprono complessivamente un'area di 72,21 km^2.

All'interno del territorio comunale di Castel de Rio (BO) sono state censite numerose frane che hanno coinvolto anche la sede stradale della SP610, limitandone in alcuni casi la percorribilità. La presente relazione ha per oggetto il dissesto che ha interessato la sede stradale e la scarpata di valle al km 59+500 della SP610 "Montanara" poco a sud dell'attraversamento del fiume Santerno.

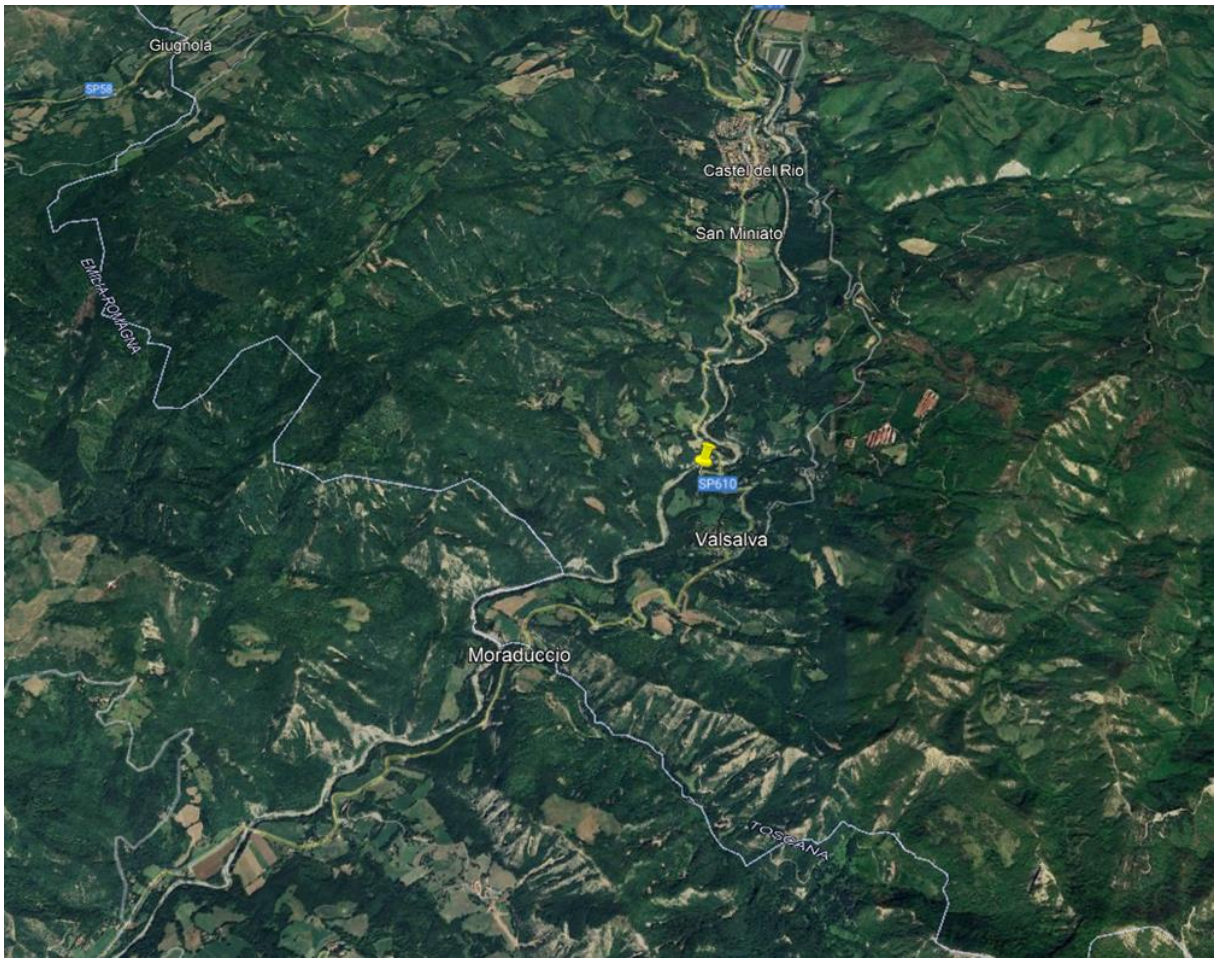

Figura 1 - Inquadramento dell'area d'intervento (da Google Earth)

Il dissesto, causato dal franamento del terreno di fondazione del muro di sottoscarpa e successivamente lo svuotamento di parte del rilevato, si è manifestato nella formazione di una cavità al di sotto della carreggiata esterna.

Attualmente, il traffico avviene a senso unico alternato lungo la corsia interna.

Il muro di contenimento adiacente al dissesto, anche se ancora in posto, è scalzato al piede, localmente lesionato e distaccato dal cordolo porta barriera di sommità.

Figura 2 - Tratto di dissesto della sede stradale

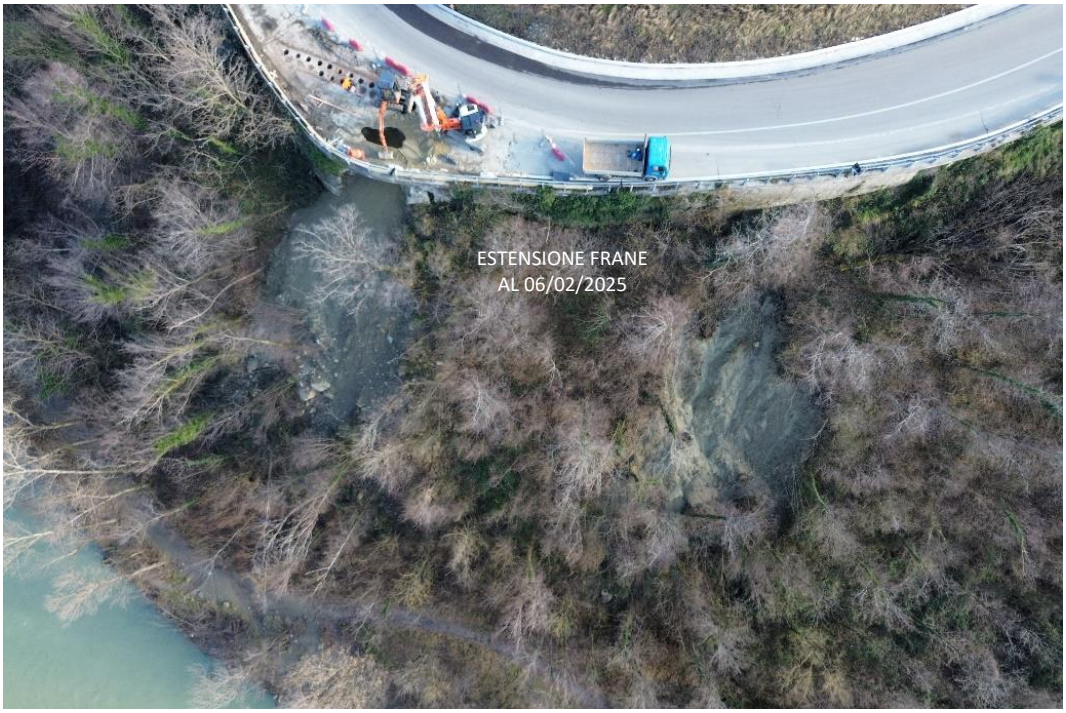

Figura 3 – Dissesto nell'area oggetto di intervento

La presente relazione tecnica presenta lo sviluppo progettuale degli aspetti di carattere geotecnico e strutturale del nuovo muro su micropali e delle propedeutiche opere provvisionali: coerentemente con i contenuti richiesti dal DLgs 31 marzo 2023 n.36 (Codice dei contratti pubblici 2023) e dal DM Infrastrutture 17 gennaio 2018 (i.e. NTC 2018) è sviluppata secondo la seguente struttura:

2 NORME, RACCOMANDAZIONI E DOCUMENTI DI RIFERIMENTO

2.1 NORME E RACCOMANDAZIONI DI RIFERIMENTO

2.1.1 D.M. 17 gennaio 2018 – pubblicato su GU Serie Generale n.42 del 20-02-2018 - Suppl. Ordinario n. 8 – "Aggiornamento delle «Norme tecniche per le costruzioni»";

2.1.2 Circolare 21 gennaio 2019 n.7 "Istruzioni per l'applicazione dell'«Aggiornamento delle "Norme tecniche per le costruzioni"» di cui al decreto ministeriale 17 gennaio 2018";

2.1.3 EN 1991-1-2 – Eurocodice 1 – Azioni sulle strutture – Parte 2: Azioni da traffico sui ponti

2.1.4 EN1992 – 1 – Eurocodice 2 - Progettazione delle strutture in calcestruzzo parte 1: regole generali per gli edifici;

2.1.5 EN 1993-1-1 - Eurocode 3 – Design of steel structures – Part 1: General rules and rules for buildings;

2.1.6 EN 1993 -5 – "Eurocode 3 – Design of steel structures – Part 5: Piling";

2.1.7 EN 1993-1-10 - Eurocode 3 – Design of steel structures – Part 10: Material toughness and through-thickness properties";

2.1.8 UNI EN 1997-1:2005: "Eurocodice 7 – Progettazione geotecnica – Parte 1: Regole generali";

2.1.9 EN 14199:2005 – "Execution of special geotechnical works – Micropiles"

2.1.10 British standard BS8002: Code of practice for earth retaining structures;

2.1.11 UNI EN 10025 – 2 – Prodotti e laminati a caldo di acciai per impieghi strutturali – Parte 2: condizioni tecniche di fornitura di acciai non legati per impieghi strutturali;

2.1.12 UNI EN 10365: 2017 – Profili a U di acciai laminati a caldo, travi I e H -Dimensioni e masse,

2.1.13 UNI EN 10219 -1 – Profilati cavi formati a freddo per impieghi strutturali di acciai non legati e a grano fine – Parte 1: Condizioni tecniche di fornitura;

2.1.14 FHWA NHI-05-039 (2005)- Micropile Design and Construction Reference manual;

2.1.15 Linee guida per la identificazione, la qualificazione e il controllo di accettazione di sistemi di ancoraggio di tipo passivo per uso geotecnico realizzati con barre piene e barre cave auto – perforanti d'acciaio (CSLLPP, 2020);

2.1.16 DM 2367 del 21.06.2004– "Aggiornamento delle istruzioni tecniche per la progettazione, l'omologazione e l'impiego di barriere stradali di sicurezza e le prescrizioni tecniche per le prove delle barriere di sicurezza stradale";

2.1.17 Direttiva Ministeriale n.3065 – 25.08.2004 – "Criteri di progettazione, installazione, verifica e manutenzione dei dispositivi di ritenuta nelle costruzioni stradali;

2.1.18 AICAP (2012) Ancoraggi nei terreni e nelle rocce – raccomandazioni.

2.2 DOCUMENTI DI RIFERIMENTO

2.2.1 "Interventi urgenti di ripristino dissesti SP610":

- CMDB-001-DD-REL-201-A - "Relazione geologica";
- CMDB-001-DD-REL-202-A - "Relazione sismica";
- CMDB-001-DD-REL-203-A - "Relazione geotecnica".

2.2.2 Lavori di Somma Urgenza per il ripristino della sede stradale e delle scarpate di monte e di valle colpiti dagli eventi metereologici di settembre 2024, lungo la SP 610, "Montanara" nei territori di Imola, Fontanelice, Casalfiumanese, Borgo Tossignano a Castel del Rio":

- E110 – Relazione generale tecnico illustrativa;

- E120 – Relazione geologica e sismica;
- E130 – Relazione geotecnica e strutturale;
- E233 – Intervento 4 – stato di fatto;
- E2410 – Intervento 4 – progetto tavola degli interventi

2.2.3 MICROZONAZIONE SISMICA Regione Emilia-Romagna - Comune di Castel del Rio 2017

- Relazione illustrativa;
- Carta delle frequenze;
- Carta delle microzone omogenee in prospettiva sismica;
- Carta delle indagini;
- Carta di microzonazione sismica FPGA;

Il set completo dei documenti vigenti, oltre a quelli elencati sono reperibili nel sito web:

- https://www.nuovocircondarioimolese.it/psc-rue/enti/castel-del-rio/psc-rue-ca-elaborati-vigenti/microzonazione-sismica-ii-livello;
- https://geo.regione.emilia-romagna.it/schede/pnsrs/index.jsp?id=37014

3 UBICAZIONE DELL'OPERA E STATO DEI LUOGHI

3.1 UBICAZIONE DELL'AREA DI INTERVENTO

L'intervento in oggetto è situato nel comune di Castel del Rio (BO), alla pk 59+500 della SP610 "Selice o Montanara Imolese".

Le coordinate indicative (ISTAT) del sito di costruzione sono (Figura 4):

Latitudine: 44,187021 N

Longitudine: 11,500301 E

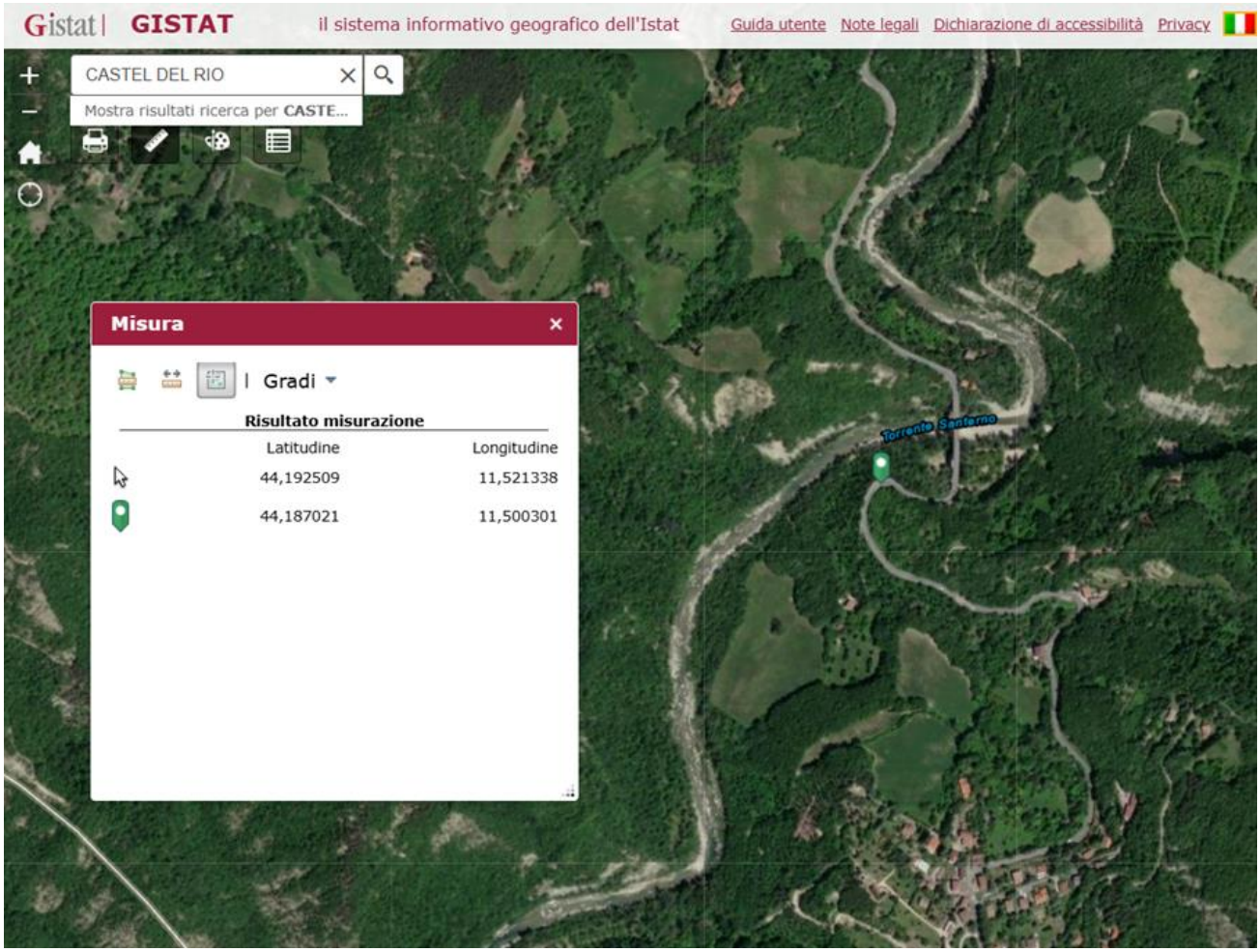

Figura 4 - Coordinate indicative del sito di costruzione (dal sistema informativo geografico ISTAT)

Dal punto di vista geografico, il sito è collocato nell'Alta Valle del Santerno, una regione contraddistinta da un paesaggio collinare e montuoso, con altitudini variabili tra i 200 e i 1000 metri sul livello del mare. Il territorio si estende lungo il confine tra le regioni Emilia-Romagna e Toscana, rappresentando una zona di transizione tra il versante adriatico e quello tirrenico dell'Appennino settentrionale. La morfologia del territorio è prevalentemente montuosa, con versanti ripidi e valli profondamente scolpite dall'azione erosiva del fiume Santerno e dei suoi affluenti.

Con riferimento alle zone altimetrico – climatiche ISTAT (Figura 5), il territorio comunale di Castel del Rio ricade all'interno della zona di "Collina Interna" ovvero caratterizzato da altitudine minore di 600 m dal l.m.m.

e con condizioni climatiche non moderate dal mare. In particolare, l'altitudine indicativa per il territorio comunale è pari a 215 m s.l.m.m.

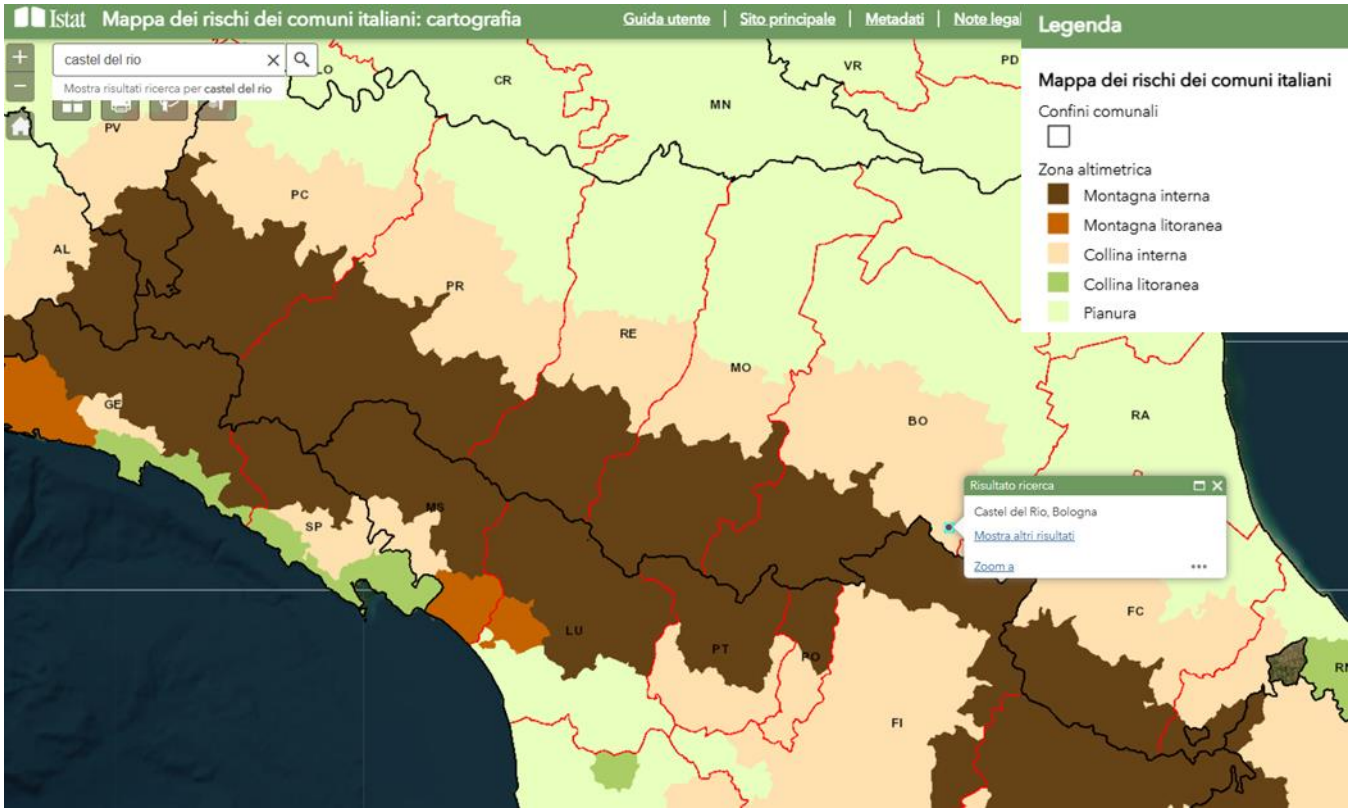

Figura 5 - Zona altimetrica di riferimento per il territorio comunale di Castel del Rio

3.2 STATO DEI LUOGHI

L'area di intervento è la porzione di tornante della SP610, lunga circa 70 m, oggi oggetto di un restringimento di carreggiata in seguito al crollo locale del muro di sottoscarpa con conseguente svuotamento del terreno sottostante la sede stradale nonché le porzioni limitrofe dove i sopralluoghi hanno messo in evidenza i segni di un cinematismo incipiente.

Figura 6 - Stato dei luoghi nell'area oggetto di intervento

La zona fa parte di un versante con esposizione verso NO, in una porzione di valle molto stretta, con il fiume Santerno che scorre 35 m più in basso e un pendio con inclinazione compresa fra i 30 e i 40 gradi dove la formazione, caratterizzata da un elevato grado di fratturazione e alterazione, è coperta da un'abbondante componente terrigena fine residua.

Tutta l'area risulta boscata tranne nelle due porzioni in cui si sono innescate delle frane superficiali con superficie di scorrimento probabilmente collocata fra coltre e formazione alterata più consistente sottostante.

Il muro esistente è della tipologia a gravità in pietrame, ed è stato presumibilmente oggetto di diversi interventi nel corso degli anni, quali la realizzazione di un cordolo porta barriera in calcestruzzo a sbalzo, ed il restauro del paramento esterno suggerito dalla variazione del tessuto murario lungo lo sviluppo.

4 PRESTAZIONI RICHIESTE ALLE OPERE

I manufatti a carattere permanente devono possedere caratteristiche tali da garantire prestazioni conformi a opere caratterizzate da:

- Vita nominale: VN = 50 anni (opere ordinarie);
- Classe d'uso: III (Reti viarie extraurbane non ricadenti in Classe d'uso IV).

Le **opere provvisionali** devono possedere caratteristiche tali da garantire la sicurezza della strada per tutta la durata delle lavorazioni necessarie alla costruzione del nuovo muro di sottoscarpa.

Si considera pertanto:

- vita nominale: V_N = 10 anni (opere temporanee e/o provvisorie);
- durata in progetto: ≤ 2 anni;
- profondità di scavo a ridosso dell'opera: 5m (paratia mono – ancorata);
- 8m (paratia multi – ancorata).

Poiché la durata per la realizzazione delle opere provvisionali è prevista inferiore a due anni, ai sensi del §2.4.1 delle NTC 2018 non è richiesta la loro verifica nei confronti delle azioni sismiche.

5 DESCRIZIONE DELLE OPERE, CARATTERISTICHE DEI MATERIALI STRUTTURALI E FASI COSTRUTTIVE

5.1 DESCRIZIONE DELLE OPERE IN PROGETTO

L'intervento in oggetto consiste nella realizzazione di opere di natura strutturale e di ordine accessorio funzionali al ripristino della normale viabilità della Sp610 al km 59+500.

In Figura 7 si riporta la sezione tipologica dell'intervento proposto, che si propone il soddisfacimento delle seguenti necessità individuate dall'Amministrazione:

- ripristino della funzionalità della sede stradale garantendo i margini di sicurezza attualmente previsti da normativa in condizioni sia statiche che sismiche;
- evitare modifiche al tracciato esistente;
- evitare o comunque limitare, durante le fasi realizzative, l'interferenza con il traffico, attualmente gestito a transito alternato, sulla carreggiata interna.

Le opere da realizzare sono un muro di sostegno in calcestruzzo armato di spessore 0,50m e fondato su micropali e ancorato su uno o più livelli, di altezza variabile fra 4,35 m e 8,3 m in funzione delle condizioni morfologiche locali e una paratia provvisionale in micropali funzionale alle operazioni di demolizione del muro esistente.

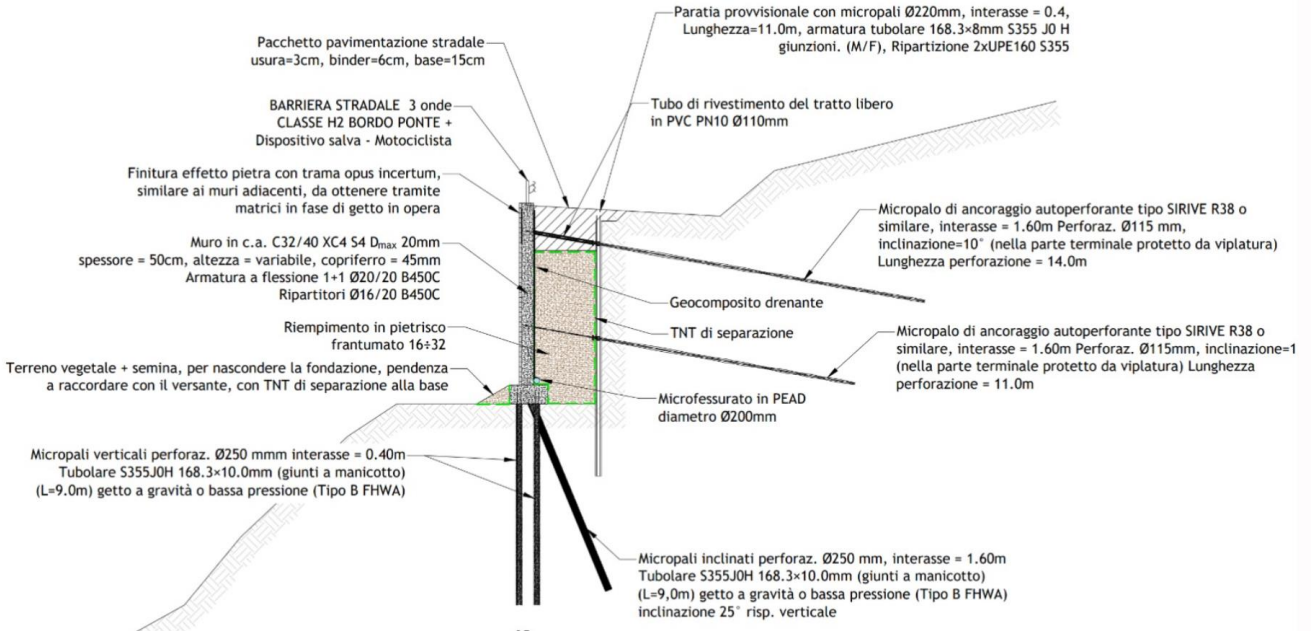

Figura 7 - Sezione tipologica del nuovo muro su micropali

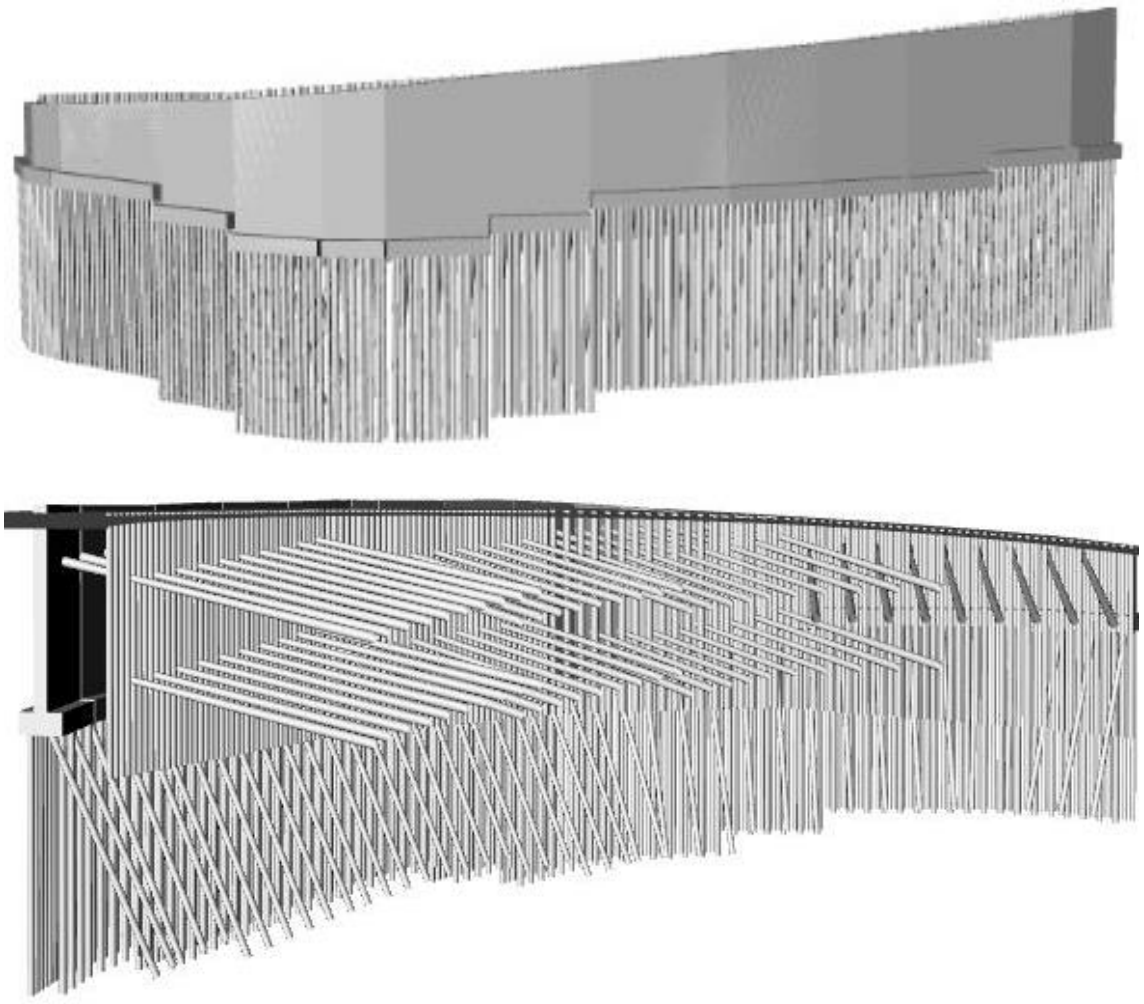

Figura 8 - geometria del muro in progetto: viste tri-dimensionali

In particolare, la fondazione del muro è sempre su micropali; a seconda delle altezze da contenere, il muro sarà vincolato mediante uno o due ordini di micropali di ancoraggio realizzati per mezzo di barre cave autoperforanti R38: tali ancoraggi saranno prima impiegati per garantire la stabilità delle opere provvisionali, poi prolungati verso il nuovo paramento murario al quale saranno collegati per mezzo di apposite piastre annegate nel getto di calcestruzzo.

Per quanto riguarda i **micropali di fondazione**, questi saranno realizzati mediante perforazione di diametro D = 250mm e armati con un tubolare in acciaio S355 JR H di diametro esterno ϕ=168,30 mm, spessore t=10,0mm e lunghezza L=9,0m, messo in opera in un unico pezzo oppure prevedendo l'assemblaggio di più spezzoni giuntati comunque per mezzo di apposite unioni filettate della tipologia M+M+manicotto filettato esterno. Per garantire la corretta circolazione della malta in fase di getto, i tubolari di armatura dovranno essere dotati di appositi fori di fondo. La loro disposizione è su tre file come illustrato in Figura 9:

- micropalo verticale esterno, ad interasse i=0,40m;
- micropalo verticale interno, ad interasse i=0,80m;
- micropalo inclinato a 25°, ad interasse 1,60m.

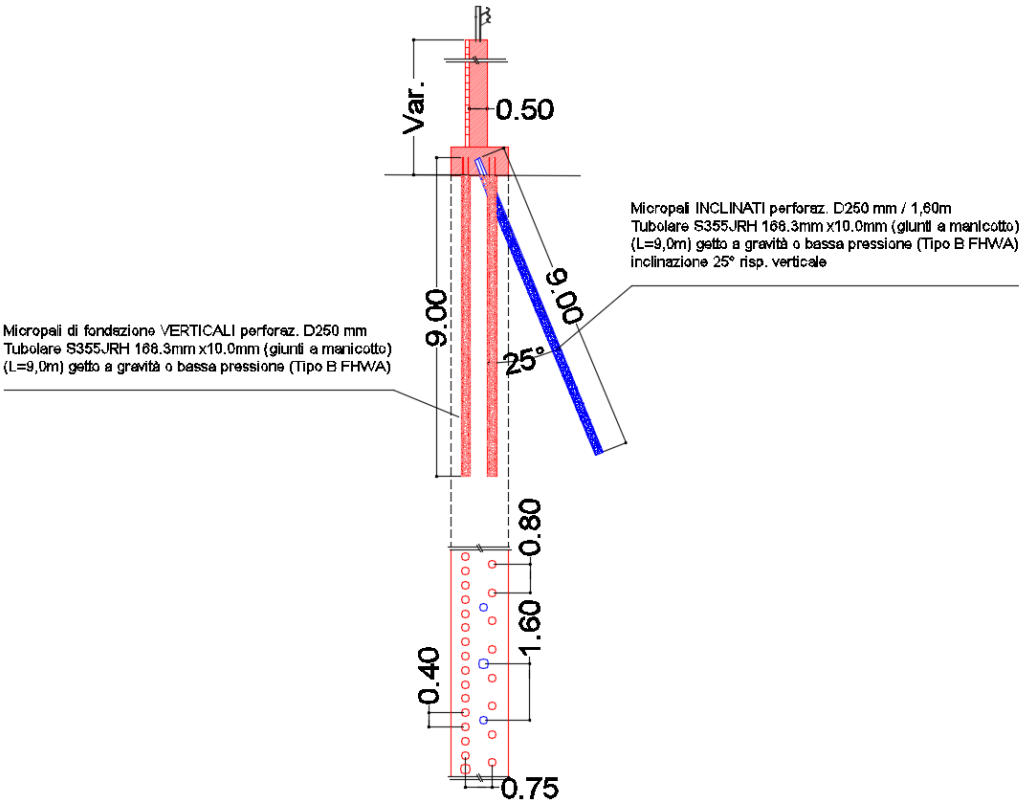

Figura 9 - Muro su micropali. Geometria e posizione dei pali di fondazione

Alla luce dell'entità delle azioni cui saranno sottoposti e tenuto conto degli spazi a disposizione nel cantiere, si prevede di gettare tutti i micropali di fondazione a gravità o bassa pressione attraverso l'utilizzo di un apposito rivestimento provvisorio con testa a tenuta (micropali Tipo B FHWA, v. Figura 10), in modo tale da produrre una superficie di interfaccia terreno-micropalo scabra. Il collegamento al cordolo di base (1,60m x 0,80m) avverrà sempre per mezzo di apposite maniglie saldate ai micropali stessi, annegando la testa del micropalo per almeno 0,50m all'interno del cordolo.

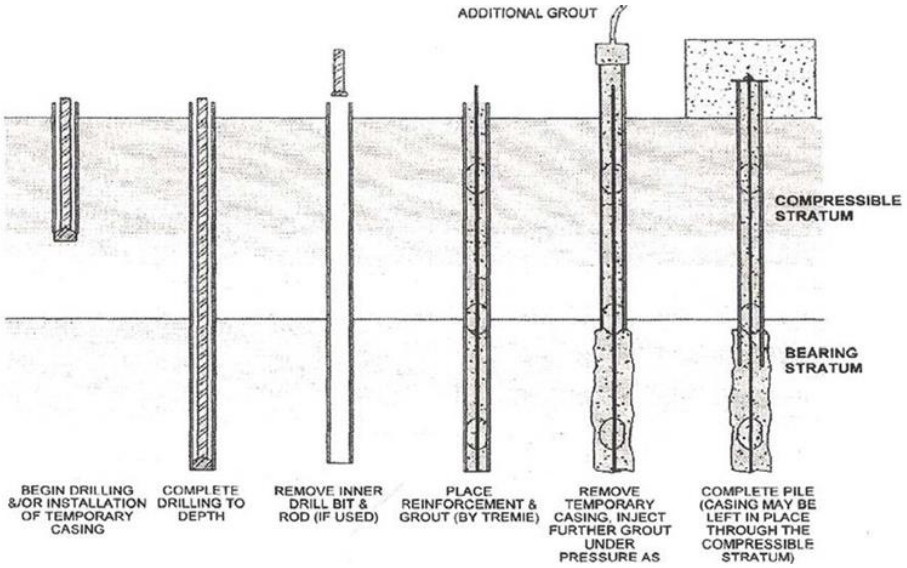

Figura 10 - Sequenza costruttiva micropali tipo B FHWA

I **micropali di ancoraggio,** passivi**,** saranno della tipologia autoperforante, caratterizzati da un diametro di perforazione di 115,0mm e armatura costituita da barra cava filettata in acciaio S460 R38. Per l'ordine più alto la lunghezza di progetto della perforazione è pari a 14,0m, per l'ordine più basso pari a 11,0m. L'inclinazione di progetto della perforazione è sempre pari a 10,0° rispetto l'orizzontale e l'interasse fra i micropali dello stesso ordine è pari a 1,60m. La tecnologia autoperforante è stata scelta in quanto fortemente adattabile ai contesti esecutivi più complessi, potendo operare anche con macchinari leggeri e con maggiore flessibilità rispetto alle tipologie più tradizionali. Inoltre, con tale tecnologia è agevole il prolungamento delle barre verso il paramento murario finale, attraverso giunzioni parte di sistemi certificati e la cui capacità è certificata dai produttori.

Figura 11 - Realizzazione di micropali autoperforanti

Coerentemente con le disposizioni della Normativa vigente, si prevede l'utilizzo di sistemi autoperforanti in possesso di Certificato di Valutazione Tecnica emesso dal Consiglio superiore dei lavori pubblici e/o in possesso di marchio CE sulla base di ETA (*European Technical assessment – valutazione tecnica europea*).

La realizzazione del micropalo autoperforante avviene, indicativamente, secondo due macro – fasi lavorative (Figura 12): una fase iniziale di *perforazione* con fluido di lavaggio (acqua, aria, sospensione di cemento) durante la quale si raggiunge progressivamente, ripassando più volte la perforazione e giuntando per mezzo di appositi manicotti (parte del sistema certificato) spezzoni successivi di barra cava, la lunghezza di perforazione di progetto.

Raggiunta la lunghezza di progetto si procede con la seconda e ultima fase, detta di *cementazione*, durante la quale si mantiene in rotazione la barra e si immette una boiacca di cemento con una pompa in grado di raggiungere pressioni di 20 – 60 bar, capace di sostituire il fluido di perforazione e garantire l'ottimale cementazione del micropalo. In ogni caso, la posa in opera del sistema dovrà avvenire secondo le istruzioni del Fabbricante.

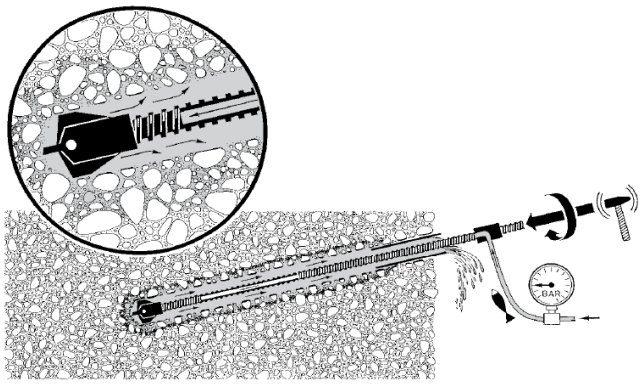

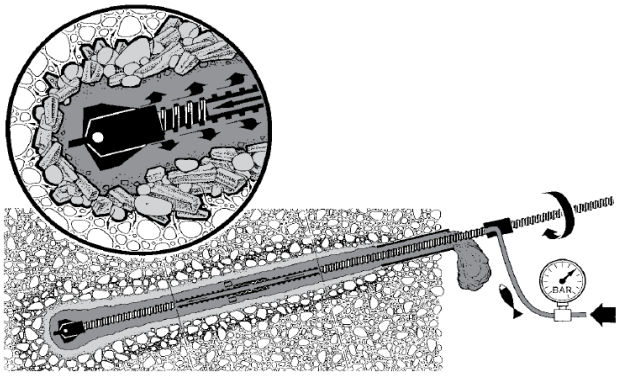

Figura 12 - Fasi realizzative micropali con barra cava autoperforante
a sx: fase 1/2 – perforazione diretta; a dx: fase 2/2: cementazione

I micropali di ancoraggio verranno realizzati per mezzo di moduli di lunghezza 3,0m, così che una volta realizzati si avrà circa 1,0m di barra sporgente dal filo della berlinese provvisionale e rendendo quindi possibili le operazioni di collaudo e prolungamento verso la parete del muro definitivo, mediante avvitamento degli spezzoni necessari.

Il collegamento dei micropali alle paratie provvisionali avverrà per mezzo di travi di ripartizione in acciaio strutturale S355 costituite da 2 profili europei ad ali parallele UPE160 e apposite piastre di capacità garantita dal fabbricante; il collegamento al paramento murario a carattere definitivo avverrà per mezzo di piastre quadrate in acciaio 200 x 200 annegate nel getto ad una distanza di almeno h=300mm dal paramento interno del muro, il cui spessore, dovrà essere definito dal fabbricante (in quanto parte del sistema certificato). La piastra sarà dotata di appositi alloggiamenti sferici che ne consentiranno la giunzione alla barra cava per mezzo di appositi dadi, anch'essi sferici.

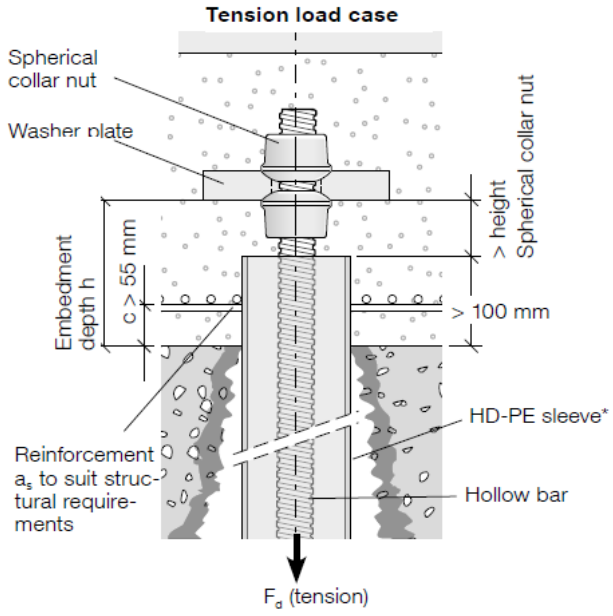

Figura 13 - Schema tipologico relativi al collegamento delle barre al muro in calcestruzzo

La parte di barra di prolunga fra la paratia provvisionale ed il muro sarà protetta dalla corrosione, oltre che dalla previsione dello spessore sacrificale, mediante apposito rivestimento (viplatura).

La **paratia provvisionale** sarà in parte costituita dall'opera realizzata ad inizio 2025 nella zona retrostrante la

voragine (potenziata per mezzo dei micropali di ancoraggio), in parte da una nuova berlinese di micropali D220mm di lunghezza massima 11,0m, allineati secondo un interasse reciproco di 0,40m e armati con tubolari in acciaio S355 JR H di diametro 168,3mm spessore 8,0mm, giuntati per mezzo di unioni filettate M/F. La berlinese è, come il muro finale, mono o multi – ancorata (per mezzo dei micropali di ancoraggio) in relazione alle altezze di scavo da affrontare.

L'intercapedine fra la paratia provvisionale ed il nuovo muro verrà riempita mediante materiale frantumato di cava di classe granulometrica 16/32, previa posa in opera dei teli tessuti non tessuti di separazione e di geocomposito drenante a tergo del paramento. Tale riempimento verrà posto in opera per strati successivi, costipandolo con piastra vibrante.

Nella parte sommitale (indicativamente gli ultimi 1,5m), al di sotto del pacchetto stradale sarà messo in opera del misto granulare che potrà essere costipato mediante rulli leggeri, in accordo alle limitazioni specificate al §7.5.5.

Sulla parte sommitale del muro è prevista l'installazione di una nuova barriera stradale di classe H2 bordo ponte dotata di dispositivo salva – motociclista.

Le opere sono completate dal rifacimento della pavimentazione stradale in conglomerato bituminoso, la cui stesa avverrà previa demolizione del cordolo della paratia esistente, così da prevenire la formazione di fessure come conseguenza dei contrasti di rigidezza nel sottofondo stradale.

Dal punto di vista delle configurazioni costruttive l'area di intervento può essere divisa in due settori:

- il settore NORD (conci da 0 a 3), con altezze di muro fino a 5,5m;
- il settore SUD (conci da 4 a 15), caratterizzato da altezze comprese fr 5,5m e gli 8,5m.

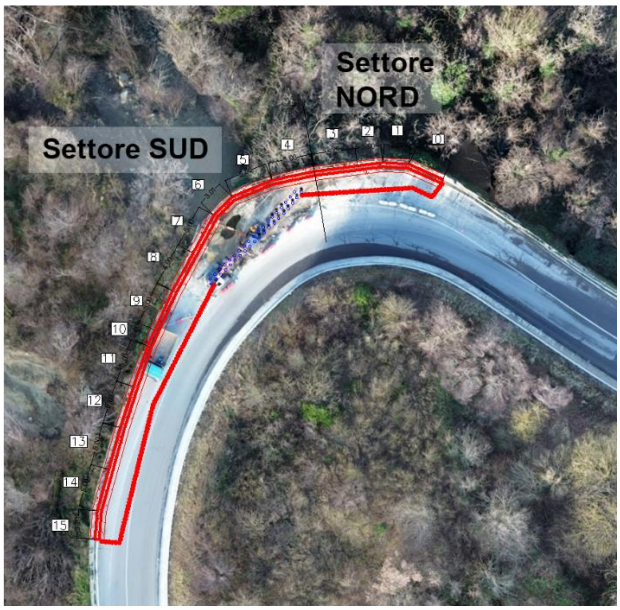

Figura 14 - Planimetria dell'opera con indicazione dei settori di intervento

Come detto in precedenza, la costruzione del muro richiede uno scavo provvisionale che sarà protetto da un'opera di sostegno che, in relazione alla tratta considerata, potrà essere di tre tipi (Figura 15):

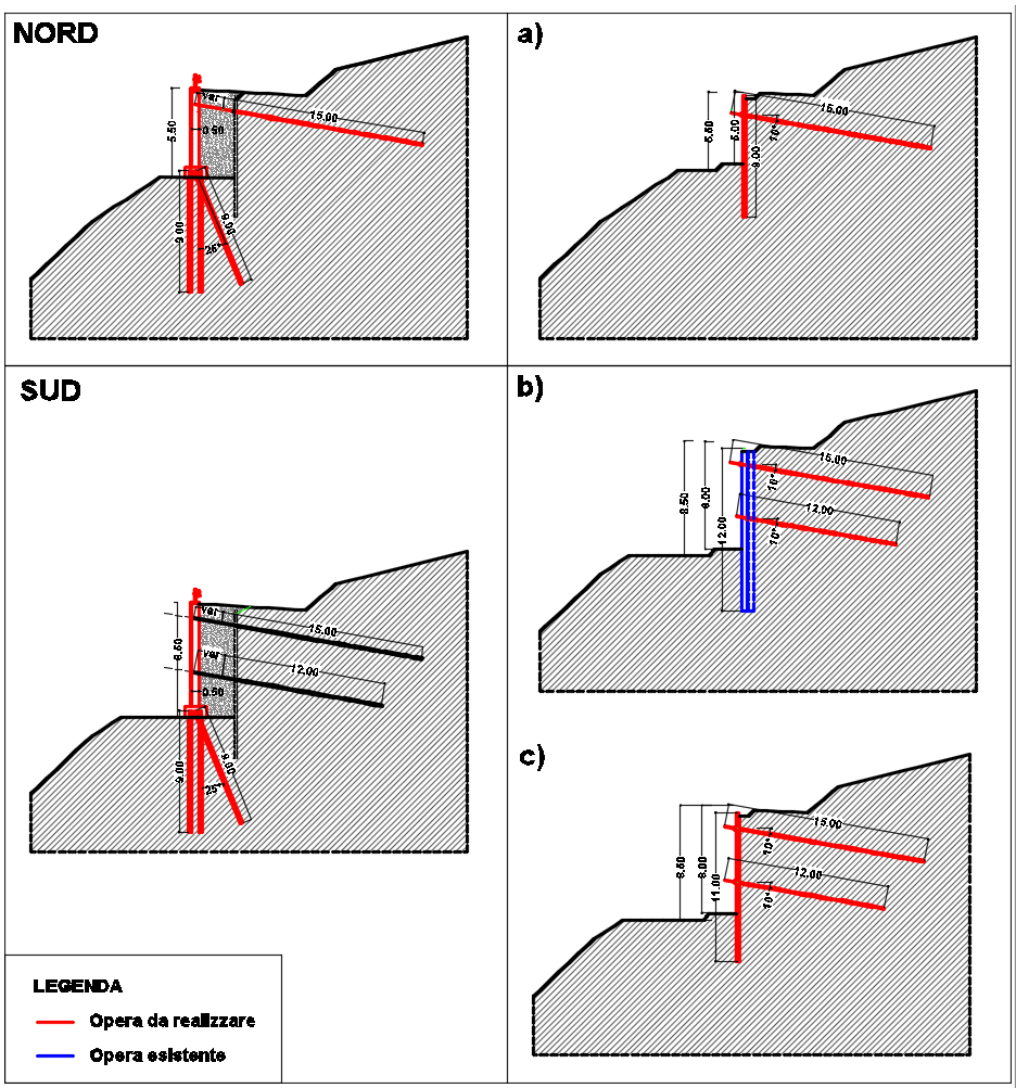

Figura 15 - Tipologie di opere definitive (sinistra) e provvisionali (destra) previste per ciascun settore

a) (NORD – tratto A) $H_{scavo} \leq 5{,}0$m (a ridosso della paratia provvisionale): Paratia in micropali mono-ancorata; i micropali, di lunghezza di progetto L=9,0m, interasse pari a 0,40m e iniezione a gravità, sono realizzati mediante perforazione di diametro D = 220mm e armati con un tubolare in acciaio S355 JR H di diametro esterno ϕ=168,30 mm e spessore t=8,0mm messo in opera in un unico pezzo oppure prevedendo l'assemblaggio di più spezzoni giuntati comunque per mezzo di apposite unioni filettate. L'ancoraggio è costituito da una barra cava auto-perforante di acciaio S460J0, disposta su 1 ordine, ad una profondità compresa fra 1.0÷2 m da testa trave ed avrà le seguenti caratteristiche:
   - Barra R38 (tipo Sirive R38);
   - inclinazione: 10° rispetto all'orizzontale;
   - diametro di perforazione: 115mm;
   - interasse orizzontale: 1.60m;
   - L=14+1m (perforazione L = 14,0m, armatura 15,0m)

Come trave di ripartizione dei tiranti sono in progetto N° 2 travi UPE 160.

b) (SUD – tratto B) 5,0 m < H_{scavo} ≤ 8,0m (a ridosso della paratia): Paratia in micropali multi-ancorata: in questo tratto i micropali sono quelli realizzati ad inizio 2025 nella zona retrostante la voragine e sono caratterizzati da una lunghezza di progetto L=12,0m, disposizione a quinconce secondo un interasse medio pari a 0,40m. I micropali sono di tipo trivellato D400mm, armati con 6Φ16mm longitudinalmente e staffe ϕ10/25cm. Per garantire la sicurezza dello scavo sono previsti due ordini di micropali di ancoraggio, il primo ad una profondità compresa fra 1.0÷2 m da testa trave ed il secondo a circa 1.5÷3 m da fondo scavo. L'ancoraggio è costituito da barre cava auto-perforante di acciaio S460J0 ed avrà le seguenti caratteristiche:
   - Barra R38 (tipo Sirive R38);
   - inclinazione: 10° rispetto all'orizzontale;
   - diametro di perforazione: 115mm;
   - interasse orizzontale: 1.60m;
   - I° Ordine (alto) L=14+1m (perforazione L = 14,0m, armatura 15,0m);
   - II° Ordine (basso) L=11+1m (perforazione L = 11,0m, armatura 12,0m).

Come trave di ripartizione dei tiranti sono in progetto N° 2 travi UPE 160.

c) (SUD – Tratto C) H_{scavo} ≤ 8,0m Paratia in micropali multi-ancorata; i micropali, di lunghezza di progetto L=11,0m, interasse pari a 0,40m e iniezione a gravità, sono realizzati mediante perforazione di diametro D = 220mm e armati con un tubolare in acciaio S355JR H di diametro esterno ϕ=168,30 mm e spessore t=8,0mm messo in opera in un unico pezzo oppure prevedendo l'assemblaggio di più spezzoni giuntati comunque per mezzo di apposite unioni filettate. Per eseguire lo scavo in sicurezza la paratia andrà ancorata su due ordini di micropali di ancoraggio, il primo ad una profondità compresa fra 1.0÷2 m da testa trave ed il secondo a circa 1.5÷3 m da fondo scavo. L'ancoraggio è costituito da una barra cava auto-perforante di acciaio S460J0 ed avrà le seguenti caratteristiche:
   - Barra R38 (tipo Sirive R38);
   - inclinazione: 10° rispetto all'orizzontale;
   - diametro di perforazione: 115mm;
   - interasse orizzontale: 1.60m;
   - I° Ordine (alto) L=14+1m (perforazione L = 14,0m, armatura 15,0m)
   - II° Ordine (basso) L=11+1m (perforazione L = 11,0m, armatura 12,0m)

Come trave di ripartizione dei tiranti sono in progetto N° 2 travi UPE 160.

Prima dell'inizio degli scavi, si procederà al consolidamento dei paramenti murari esistenti in corrispondenza delle parti terminali dell'intervento (prima dell'inizio e dopo della fine). Il rinforzo avverrà per mezzo di iniezioni e realizzazione (da piano strada) di chiodi autoperforanti R38 di lunghezza 6,0m e disposti secondo una maglia 3,0 x 3,0 m, i quali saranno ancorati al paramento murario per mezzo di apposite chiavi a stella o equivalenti.

5.2 OPERE ACCESSORIE

Per proteggere la scarpata sottostante il muro in progetto dai fenomeni di dissesto retrogressivo e scalzamento oggi osservabili nell'area, si prevede il rinforzo mediante chiodatura permanente di tipo passivo.

Per l'esecuzione dell'intervento è previsto l'utilizzo di barre di diametro Φ24mm in acciaio di tipo B450C (o superiore), inserite all'interno di perforazioni inclinate a 25° sull'orizzontale e caratterizzate da un diametro

70mm[1] con conseguente intasamento del foro mediante iniezione a gravità di boiacca cementizia antiritiro (getto da fondo foro). I saranno disposti secondo una maglia regolare 3,0 x 3,0 m. Le barre saranno filettate ad una delle estremità per permettere la giunzione con gli elementi accessori di testata.

Il dettaglio circa le verifiche di tale porzione di intervento è riportata nello specifico elaborato Relazione rafforzamento corticale (CMDB-001-DD-REL-204-A).

[1] In accordo alle indicazioni delle BS 14490, il diametro di perforazione è compatibile con l'utilizzo di un tubo di iniezione di diametro 15mm.

5.3 DESCRIZIONE DELLE FASI COSTRUTTIVE

Le principali fasi esecutive previste per la costruzione del muro sono illustrate in figura seguente:

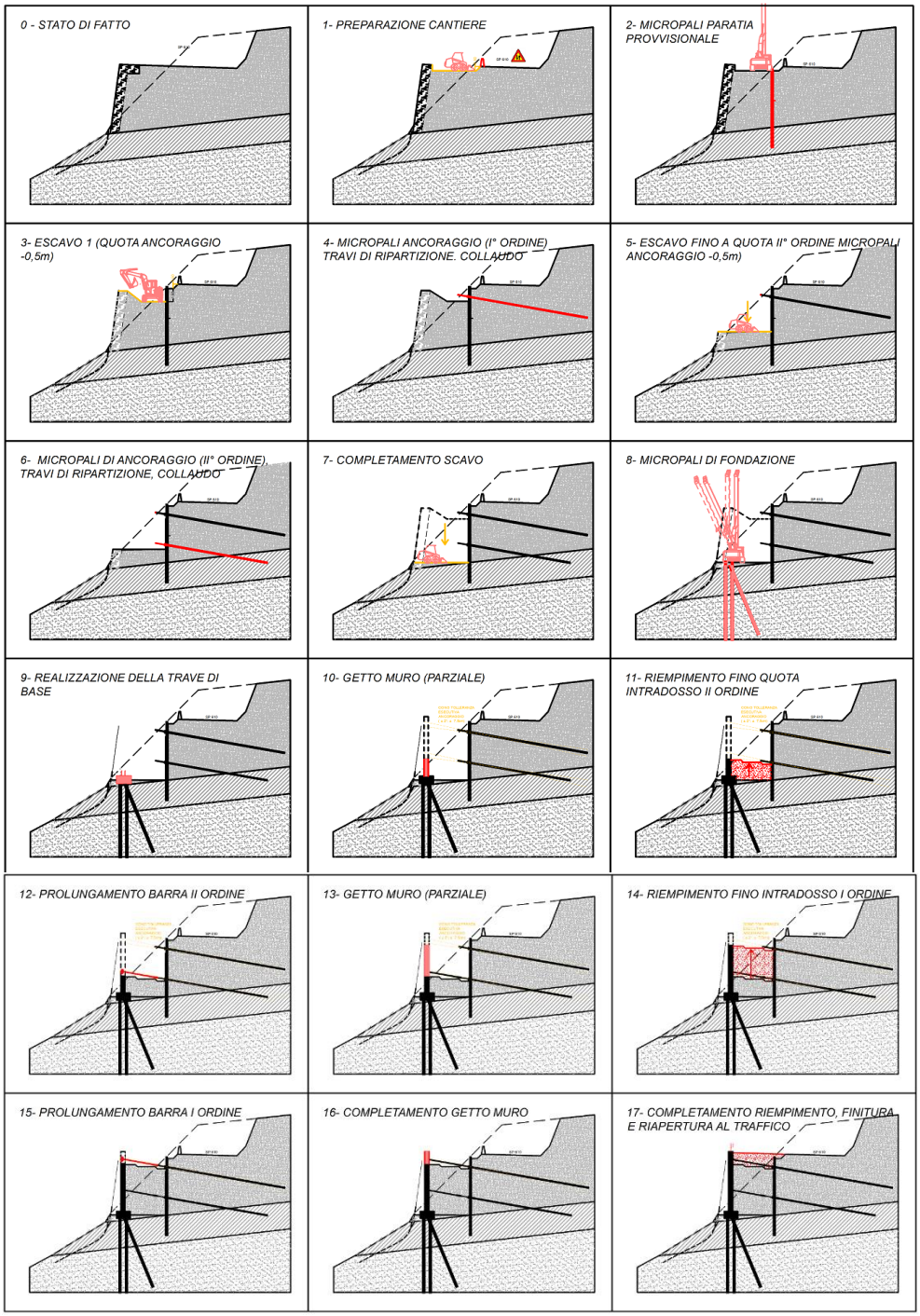

Figura 16 - schema delle fasi esecutive previste per le opere in progetto

Nello specifico, le fasi sono le seguenti:

1. preparazione cantiere – viene predisposto il cantiere e vengono realizzati gli scavi propedeutici all'accesso dei mezzi a partire dalla demolizione della pavimentazione stradale esistente. Realizzazione di un piano di lavoro a -0,50m da piano strada attuale;
2. realizzazione dei micropali dell'opera provvisionale – nel caso delle tratte ***a*** e ***c*** viene realizzata la paratia provvisionale in micropali, nel caso della tratta ***b*** i pali (in c.a. ϕ400mm) sono già esistenti (realizzati ad inizio 2025);
3. escavo a quota I° ordine di micropali di ancoraggio. Nella zona della voragine tali lavorazioni andranno svolte da sopra la paratia esistente mediante escavatori adatti;
4. realizzazione dell'ancoraggio autoperforante del I° ordine. Nel caso delle tratte ***a*** e ***c*** la perforazione avviene fra i micropali. Nel caso della tratta ***b*** (opera esistente) la perforazione viene realizzata attraverso un foro ϕ150mm predisposto sul palo esterno dell'opera esistente;
5. completamento dello scavo. Per le tratte ***b*** e ***c*** andrà realizzato il II° ordine di tiranti alla quota di progetto. In particolare, nella tratta ***b*** il tirante andrà realizzato sul palo interno e mandato a contrasto con la trave attraverso un getto di intasamento;

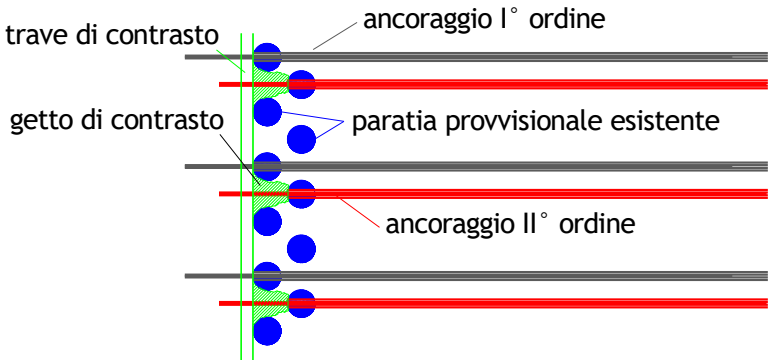

6. Realizzazione dei micropali di fondazione secondo la geometria di Figura 9;
7. getto della trave di fondazione;
8. elevazione parziale del muro fino alla quota di intradosso del II ordine di ancoraggio.
9. riempimento parziale a tergo del muro mediante frantumato di cava costipato con piastra vibrante fino a intradosso II ordine di ancoraggi, previa predisposizione dei tnt di separazione e dei dispositivi di drenaggio previsti in progetto;
10. per le tratte b e c la barra di ancoraggio del II°ordine viene prolungata in modo che la piastra di contrasto risulti interna alla gabbia di armatura;
11. elevazione parziale del muro fino alla quota di intradosso del I ordine di ancoraggio
12. riempimento parziale a tergo del muro mediante frantumato di cava costipato con piastra vibrante fino a intradosso I ordine di ancoraggi, previa predisposizione dei TNT di separazione e dei dispositivi di drenaggio previsti in progetto;
13. prolungamento della barra di ancoraggio del I° ordine verso il muro, in modo che la piastra di contrasto risulti interna alla gabbia di armatura;
14. completamento del getto del muro previa predisposizione tirafondi per installazione guard-rail;
15. completamento riempimento a tergo del muro. Realizzazione pavimentazione stradale ed installazione nuovo guard-rail. Nel caso del tratto b, prima di procedere al completamento si dovrà demolire il cordolo sommitale della paratia esistente, allo scopo di limitare le disomogeneità di rigidezza nel sottofondo stradale.

5.4 CARATTERISTICHE DEI MATERIALI STRUTTURALI

Nel presente capitolo si riportano le caratteristiche dei materiali strutturali previsti nel progetto. Per ogni specifica eventualmente mancante si rimanda a quanto prescritto dalle NTC 2018 e/o alle norme europee competenti.

5.4.1 Acciaio per micropali

Per la realizzazione di tutti i micropali armati con armatura tubolare (e relative piastre di ancoraggio al calcestruzzo) è previsto l'utilizzo di acciaio strutturale di classe **S355 JR H** avente le seguenti caratteristiche meccaniche minime:

- Tensione di snervamento, valore caratteristico: fyk,nom = 355,0 MPa (t ≤ 40,0mm)
  fyk,nom = 335,0 MPa (40,0< t ≤ 80,0mm)
- Tensione di rottura, valore caratteristico: ftk = 510,0 MPa (t < 40,0 mm)
  ftk = 490,0 MPa (40,0 < t ≤ 80 mm)
- Modulo di Young: E = 210.000 MPa
- Coefficiente di Poisson: v = 0,30- .

I tubolari di armatura potranno essere della tipologia formata a freddo (EN 10219-1) o della tipologia formata a caldo (EN10210-1), in ogni caso recanti la marcatura CE cui si applica il sistema di valutazione e verifica della prestazione 2+, e corredati della DoP prevista al capo II del regolamento UE 305/2011. Le lavorazioni accessorie quali, ad esempio, la filettatura, dovranno essere eseguite esclusivamente da ditte in possesso dell'attestato di denuncia attività di centro di trasformazione finalizzato al taglio e filettatura di tubi per micropali, rilasciato dal CSLLPP ed in corso di validità.

I valori di progetto delle resistenze sono determinati considerando un fattore parziale di sicurezza pari a γ_M = 1,05, in accordo alle disposizioni di cui alle NTC 2018.

5.4.2 Miscele cementizie per micropali

In accordo con le indicazioni di cui alla norma armonizzata EN 14199 (Esecuzione di lavori geotecnici speciali – micropali), per il getto di micropali a semplice cementazione armati mediante tubolari in acciaio è ammesso esclusivamente l'utilizzo di boiacche o malte a prestazione garantita, le quali potranno essere anche della tipologia pre-miscelata.

In ogni caso, le miscele dovranno essere conformi a quanto indicato dalla norma EN14199, e caratterizzate da una resistenza a compressione cilindrica a 28 giorni di maturazione almeno pari a 25,0 MPa (misurata su provini con h/d = 2,0).

5.4.3 Acciaio strutturale per travi di ripartizione

Per la realizzazione delle travi di ripartizione è previsto l'utilizzo di acciaio laminato a caldo per impieghi strutturali di classe minima **S355 JR** (UNI EN 10025-2) avente le seguenti proprietà meccaniche minime:

- Tensione di snervamento, valore caratteristico: $f_{yk,nom}$ = 355,0 MPa (t ≤ 40,0mm)
  $f_{yk,nom}$ = 335,0 MPa (40,0< t ≤ 80,0mm)
- Tensione di rottura, valore caratteristico: f_{tk} = 510,0 MPa (t < 40,0 mm)
  f_{tk} = 470,0 MPa (40,0 < t ≤ 80 mm)
- Modulo di Young: E = 210.000 MPa
- Coefficiente di Poisson: v = 0,30 - .

I valori di progetto delle resistenze sono determinati considerando un fattore parziale di sicurezza pari a γ_M = 1,05, in accordo alle disposizioni di cui alle NTC 2018.

5.4.4 Acciaio per micropali di ancoraggio (barre cave autoperforanti)

Per l'armatura dei micropali di ancoraggio è previsto l'utilizzo di barre cave auto-perforanti di acciaio, filettate su tutta la loro lunghezza, di classe minima **S460J0** (EN 10210) caratterizzata dalle seguenti caratteristiche minime:

- Tensione di scostamento dalla proporzionalità allo 0,2%: f(0,2),nom = 460,0 MPa
- Tensione al carico massimo: ft,nom = 560,0 MPa
- Area effettiva della sezione trasversale: Aeff ≥ 0,96 Anom
- Allungamento percentuale a carico massimo: Agt ≥ 5,0 %
- Area relativa di nervatura: fR ≥ 0,05
- I valori di progetto delle resistenze sono determinati considerando un fattore parziale di sicurezza pari a γs = 1,15, in accordo alle disposizioni di cui alle linee guida del CLSSPP.

Le barre dovranno essere in possesso del Certificato di valutazione tecnica in corso di validità rilasciato dal Servizio Tecnico Centrale del Consiglio superiore dei lavori pubblici, o di marcatura CE su base di ETA.

In ogni caso, le barre dovranno possedere caratteristiche meccaniche conformi a quanto considerato nelle verifiche di sicurezza.

5.4.5 Miscele cementizie per cementazione micropali di ancoraggio

Per la realizzazione dei micropali di ancoraggio autoperforanti si dovranno **utilizzare boiacche cementizie a prestazione garantita** adatte all'esecuzione della fase di perforazione a rotopercussione con mezzo di lavaggio e all'iniezione finale, generalmente eseguita mantenendo la rotazione. Fermo restando in rispetto delle indicazioni del Fabbricante, non è ammesso l'utilizzo di malte e le miscele impiegate dovranno essere rispondenti ai requisiti di cui alla EN 14199 (esecuzione di lavori geotecnici speciali – Micropali).

Le caratteristiche minine della boiacca sono le seguenti:

- Resistenza cilindrica a compressione monoassiale a 28 giorni di maturazione ≥ 25 MPa e comunque ≥ 25 MPa al momento del primo carico;
- Ritiro della miscela a 28 giorni inferiore a 2,8 mm per metro (da AICAP 2012);
- Rapporto acqua cemento ≤ 0,55 e comunque adeguato alle litologie presenti;
- Essudazione (Bleeding) a 2h ≤ 3,0 % del volume iniziale della miscela;
- Fluidità da cono di Marsh: tempo di percolamento inferiore a 25 sec (ugello 10mm).

Occorre prevedere un'efficace miscelazione dei componenti atta a ridurre la porosità dell'impasto e capace di garantire adeguata omogeneità e stabilità delle proprietà plastiche.

Prima dell'inizio delle lavorazioni l'impresa sottoporrà alla D.L. la scheda tecnica e la dichiarazione di prestazione (DoP) del premiscelato e le specifiche dell'attrezzatura che intende utilizzare per la miscelazione.

Le miscele saranno in ogni caso confezionate sotto la diretta responsabilità dell'Appaltatore.

5.4.6 Acciaio per calcestruzzo armato

Per l'armatura di tutte le componenti strutturali in calcestruzzo armato, è previsto l'utilizzo di barre ad aderenza migliorata (mediante nervatura, EN10080) in acciaio di classe **B450C**, caratterizzato dalle seguenti caratteristiche meccaniche, definite al §11.3.2.1 delle NTC 2018:

- Tensione di snervamento, valore nominale: fy,nom = 450,0 MPa
- Tensione di snervamento, valore caratteristico: fyk(5%) ≥ 450,0 MPa
- Tensione a carico massimo, valore nominale: ft,nom = 540,0 MPa
- Tensione a carico massimo, valore caratteristico: ftk(5%) ≥ 540,0 MPa

- Rapporti 1,15 ≤ (ft/fy)k(10%) < 1,35
- (fy/fynom)k(10%) ≤ 1,25
- Allungamento (Agt)k(10%) = 7,5 %
- Diametro del mandrino oer prove di piegamento a 90° e successivo raddrizzamento senza cricche: Tab. 11.3.Ib NTC2018

Nello svolgimento delle verifiche di sicurezza, la resistenza di progetto dell'acciaio è determinata a partire dal valore nominale della tensione di snervamento ($f_{yk} = f_{y,nom}$), tenendo conto del fattore parziale di sicurezza $\gamma_s = 1,15$.

- Tensione di snervamento, valore di progetto: fyd = fyk/ γs = 391,3 MPa

5.4.7 Calcestruzzo

Per la realizzazione delle strutture in calcestruzzo armato si prescrive l'utilizzo di calcestruzzo a prestazione garantita con designazione **C32/40 XC4 S4 D_{max} = 20 mm** Caratterizzato dalle seguenti caratteristiche prestazionali a 28 giorni di maturazione (NTC2018 §:11.2.10):

- Resistenza a compressione, caratteristica (cubica):	Rck	= 40,0	MPa
- Resistenza a compressione, caratteristica (cilindrica):	fck =	= 32,0	MPa
- Resistenza a compressione, valore di calcolo:	fcd = 0,85 fck / γc	= 18,1	MPa
- Resistenza a compressione, valore medio:	fcm= fck + 8,0 (MPa)	= 40,0	MPa
- Resistenza a trazione, valore medio:	fctm = 0,30 fck2/3	= 3,0	MPa
- Resistenza a trazione, valore caratteristico:	fctk = 0,70 fctm	= 2,1	MPa
- Resistenza a trazione, valore di calcolo:	fctd = fctk/ γc	=1,4	MPa
- Modulo di Young:	Ecm,28=22.000(fcm/10)0,3 =33345,7 MPa		

I valori di progetto della resistenza del calcestruzzo, a trazione e a compressione, si ottengono dai rispettivi valori caratteristici applicando il fattore di sicurezza parziale $\gamma_c = 1,50$. Inoltre, il valore di calcolo della resistenza a compressione è determinato applicando un ulteriore fattore di riduzione per effetti di lunga durata $\alpha_{cc} = 0,85$. Il coefficiente di Poisson (ν) è assunto pari a 0,20 (calcestruzzo non fessurato).

Compatibilmente con il copriferro di progetto (45mm) Il diametro massimo dell'aggregato è scelto pari a 20 mm.

5.5 CARATTERISTICHE DEI MATERIALI STRUTTURALI – PARATIA ESISTENTE

Le caratteristiche dei materiali strutturali impiegati per la realizzazione della paratia a presidio della strada a ridosso della zona dissestata sono state dedotte dagli elaborati di progetto della stessa forniti dall'Amministrazione. Dato che l'opera è stata realizzata a febbraio 2025, alla data di scrittura della presente relazione non sono ancora disponibili i certificati relativi alle prove di accettazione dei materiali strutturali ai sensi delle NTC 2018.

Tenuto conto della tipologia di informazioni disponibili, nella determinazione dei valori di progetto delle caratteristiche meccaniche da considerare nelle verifiche di sicurezza si terrà cautelativamente conto di un fattore di confidenza **FC = 1,35**, proprio di un livello di conoscenza LC1 (limitato) ai sensi del §C8.5.4.2 della Circolare 21 gennaio 2019, n.7/CSLLPP.

5.5.1 Calcestruzzo (paratia esistente)

Gli elaborati di progetto prescrivono, per la realizzazione di tutte le componenti (cordolo e micropali), l'utilizzo di calcestruzzo C32/40 XC4 S4 caratterizzato dalle seguenti caratteristiche prestazionali a 28 giorni di maturazione (NTC 2018 §11.2.10):

- Resistenza a compressione, caratteristica (cilindrica): fck = 32,0 MPa
- Resistenza a compressione, caratteristica (cubica): Rck = 40,0 MPa
- Resistenza a compressione, valore medio (cilindrica): fcm= fck + 8,0 = 40,0 MPa
- Resistenza a trazione, valore medio (cilindrica): fctm=0,30 fck2/3 = 3,02 MPa
- Resistenza a trazione, valore caratteristico (cilindrica) fctk = 0,70 fctm = 2,11 MPa
- Modulo di Young: Ecm,28=22000(fcm/10)0,3 = 33.345 MPa
- Coefficiente di Poisson (cls non fessurato): v = 0,2 -

La tavola di progetto non riporta specifiche circa il diametro massimo dell'aggregato.

Il valore di progetto della resistenza a compressione considerata nelle verifiche di sicurezza, determinata in via cautelativa considerando il fattore parziale sulla resistenza del calcestruzzo (γ_c = 1,50) ed il fattore di confidenza competente al livello conoscitivo raggiunto (FC = 1,35), è il seguente:

- Resistenza a compressione, valore di progetto: fcd = fck / (γc FC) = 15,80 MPa

5.5.2 Acciaio da calcestruzzo armato (paratia esistente)

Gli elaborati di progetto prescrivono, per l'armatura di tutte le componenti strutturali (micropali e cordolo), l'utilizzo di acciaio di classe B450C, caratterizzato dalle seguenti caratteristiche meccaniche nominali:

- Tensione di snervamento, valore caratteristico: fyk,nom = 450,0 MPa
- Tensione di rottura, valore caratteristico: ftk = 540,0 MPa
- Modulo di Young: E = 210.000 MPa

Il valore di progetto della tensione di snervamento considerato nelle verifiche di sicurezza, determinato considerando il fattore parziale sulla resistenza dell'acciaio d'armatura (γ_s = 1,15) ed il fattore di confidenza competente al livello conoscitivo raggiunto (FC = 1,35), è il seguente:

- Tensione di snervamento, valore di progetto: fyd = fyk / (γs FC) = 289,9 MPa

6 MODELLO GEOTECNICO DI RIFERIMENTO

Nel presente capitolo si definiscono modelli geotecnici di riferimento considerati per le analisi delle opere in progetto.

Rimandando per maggiori dettagli alla Relazione geotecnica (CMDB-001-DD-REL-203-A) redatta per il presente progetto, ai fini geotecnici sono state individuate tre unità geotecniche coincidenti con le prime tre unità geologiche definite all'interno della Relazione geologica (CMDB-001-DD-REL-201-A):

Ug1 - Coltre di copertura – terreno intercettato dal p.c. composto da limo sabbioso marrone grigio chiaro, a tratti debolmente cementato;

Ug2 – Detrito di versante – materiale caotico prodotto dalla disarticolazione, dall'alterazione e degradazione della Formazione Marnoso-Arenacea;

Ug3 - Formazione alterata – materiale caotico ma più compatto attribuibile a una coltre di alterazione e degradazione della Formazione Marnoso-Arenacea.

6.1 SCHEMA STRATIGRAFICO DI RIFERIMENTO

Lo schema stratigrafico di riferimento per il modello geotecnico è quello definito e viene illustrato in Figura 17.

Lungo il versante a valle dell'opera è osservabile la presenza di coltri detritiche per altezze <2m (spessore max 1.6m).

Poiché la sismica a rifrazione permette di escludere la falda all'interno dell'unità Ug2 (Vp<1500m/s nei primi 10m), questa viene trascurata nelle analisi del muro e considerata solo all'interno della Ug1 (condizione transitoria) per le verifiche di stabilità della coltre a seguito dell'intervento di rinforzo corticale.

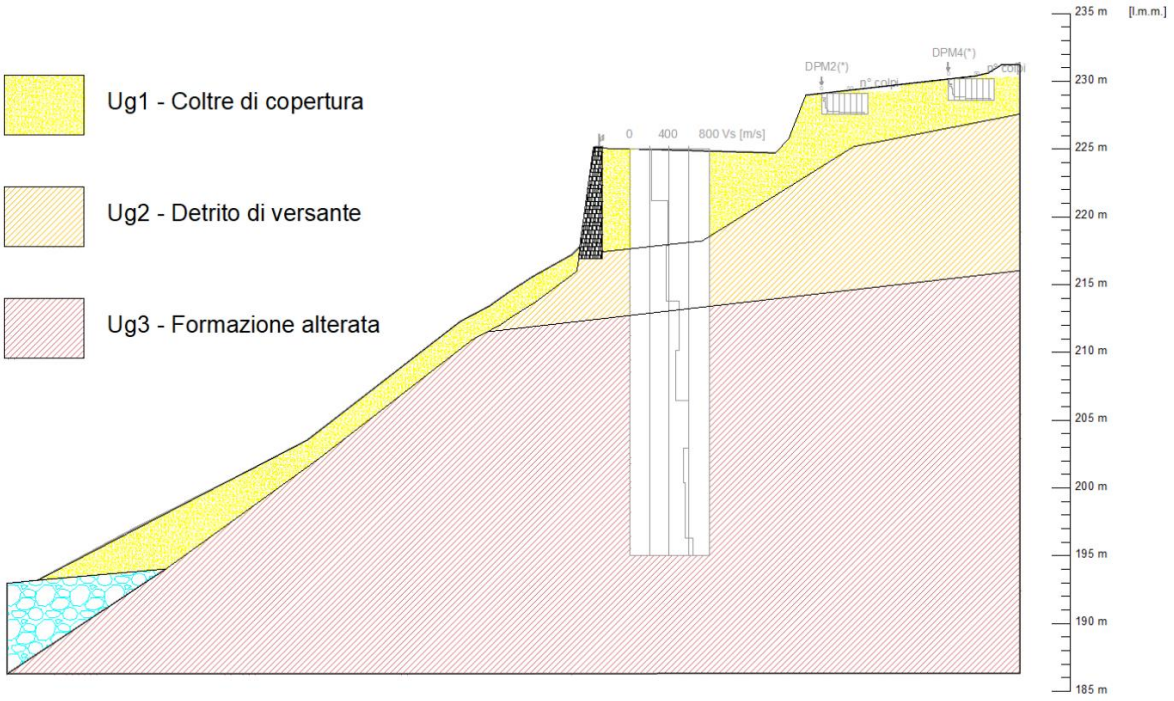

Figura 17 - Schema stratigrafico di riferimento

6.2 PARAMETRI GEOTECNICI DI RIFERIMENTO

Nella tabella seguente si sintetizzano i parametri geotecnici di riferimento per i terreni ricadenti all'interno del volume significativo dell'opera.

Unità geotecnica		γ_k	c'_k	φ'_k	E_k'
		[kN/m³]	[kPa]	[°]	[MPa]
UG1	Unità geotecnica 1 (Coltri eluvio-colluviali)	18,0	8,0	27,0	30,0
UG2	Unità geotecnica 2 (Detrito di versante caotico prodotto dalla disarticolazione, dall'alterazione e degradazione della Formazione Marnoso-Arenacea)	20,0	20,0	30,0	50,0
Ug3	Formazione alterata – materiale caotico attribuibile a una coltre di alterazione e degradazione della Formazione Marnoso-Arenacea	>20,0	50,0	30,0	85,0

γ_k valore caratteristico del peso dell'unità di volume;
c'_k valore caratteristico della coesione efficace;
φ'_k valore caratteristico dell'angolo di attrito
E'_k valore caratteristico del modulo di Young

Tabella 6.1 Parametri geotecnici di riferimento

In tutti i casi, per la definizione del modello geotecnico di sottosuolo finalizzato alle verifiche degli stati limite dell'opera in progetto, i valori indicati costituiscono una stima ragionata e cautelativa dei corrispondenti valori dei parametri geotecnici, e pertanto, ai sensi del DM 2018 (Norme Tecniche delle Costruzioni), saranno nel seguito considerati con il significato di parametri geotecnici caratteristici.

7 SICUREZZA E FUNZIONALITÀ DELL'OPERA

7.1 QUADRO NORMATIVO

Il progetto è redatto in conformità alle prescrizioni del Decreto Ministeriale Infrastrutture del 17 gennaio 2018 "Norme tecniche per le costruzioni" nel seguito indicato come NTC2018.

Le verifiche di sicurezza sono svolte secondo il metodo semi-probabilistico con l'applicazione di coefficienti di sicurezza parziali a ogni singola causa di incertezza (sollecitazioni, materiali, resistenze, schemi di calcolo etc.), proporzionati all'influenza e al grado di incertezza di norma attribuibili al parametro considerato.

I dimensionamenti delle opere tengono conto dei possibili Stati Limite Ultimi (SLU) e di esercizio (SLE) per le condizioni statiche e dello Stato Limite di Salvaguardia della Vita (SLV) e di danno (SLD) per le condizioni sismiche.

7.2 VERIFICHE AGLI STATI LIMITE ULTIMI (SLU E SLV)

Per ogni stato limite ultimo è stato verificato il rispetto della condizione:

$$\mathbf{E_d \leq R_d}$$

dove E_d è il valore della azione (o dell'effetto dell'azione) e R_d è il valore di progetto della resistenza del sistema geotecnico strutturale.

Gli effetti delle azioni di progetto possono essere calcolati applicando il coefficiente di sicurezza parziale direttamente sulle azioni o sull'effetto finale:

$$E_d = E(\gamma_F F_k, X_k/\gamma_M, a_d),$$

$$E_d = \gamma_E E(F_k, X_k/\gamma_M, a_d).$$

Nella quale le diverse notazioni indicano:

E_d effetti delle azioni di progetto, azioni di progetto

F_k azioni di progetto caratteristiche

X_k parametri caratteristici dei materiali

a_d geometria di progetto

γ_F coefficienti parziali per le azioni

γ_E coefficienti parziali per gli effetti delle azioni

γ_M coefficiente parziali per i materiali

Le NTC2018 forniscono un solo gruppo di valori numerici, valido sia per γ_F che per γ_E.

Le azioni di progetto, E_d, possono essere calcolate in modi distinti che si differenziano per come agisce il coefficiente di sicurezza parziale: sulle azioni, sull'effetto delle azioni o su entrambe.

L'entità delle azioni influenza anche i valori delle resistenze geotecniche di progetto, per le quali la fattorizzazione può avvenire, a sua volta, agendo sui parametri del terreno, sulle resistenze calcolate o su entrambe.

Le resistenze R_d possono essere calcolate in modi distinti che si differenziano per come agisce il coefficiente di sicurezza parziale: sulle azioni, sull'effetto delle azioni o su entrambe. L'entità delle azioni influenza, infatti, anche i valori delle resistenze geotecniche:

$$R_d = R(\gamma_F F_k, X_k/\gamma_M, a_d)/ \gamma_R$$

Nella quale le diverse notazioni indicano:

R_d resistenza di progetto

F_k azioni di progetto caratteristiche

X_k parametri caratteristici dei materiali

a_d geometria di progetto

γ_F coefficienti parziali per le azioni

γ_M coefficienti parziali per i materiali (parametri geotecnici dei terreni)

γ_R coefficienti parziali per le resistenze

Le NTC2018 individuano due diversi approcci progettuali alternativi (Approccio 1 e Approccio 2) che sono stati ripresi dall'Eurocodice 7. Nel primo approccio progettuale (Approccio 1, DA1) le verifiche si eseguono con due diverse combinazioni di gruppi di coefficienti, ognuna delle quali può essere critica per differenti aspetti dello stesso progetto. Nel secondo approccio progettuale (Approccio 2, DA2) le verifiche si eseguono con un'unica combinazione di gruppi di coefficienti. Con riferimento alle verifiche pertinenti per le opere in esame, per ciascuna combinazione prevista i coefficienti parziali definiti per le azioni (A1 e A2), per i parametri geotecnici (M1 e M2) e per le resistenze (R1, R2 e R3) sono quelli indicati nella Tabella 7.1. Le NTC2018 prevedono che le verifiche degli stati limite ultimi in presenza di azioni sismiche siano sempre eseguite ponendo pari a 1 i coefficienti parziali sulle azioni (γ_F) e impiegando le resistenze di progetto con i coefficienti parziali γ_R indicati nel Capitolo 6. Per i valori di ag, F0 e TC*, necessari per la determinazione delle azioni sismiche, si fa riferimento agli Allegati A e B alle NTC2018 (o, se del caso alle risultanze di analisi di RSL). Inoltre, i carichi variabili vengono combinati utilizzando i coefficienti di combinazione indicati al §2.5.2 delle NTC2018.

				Stati limite ultimi Approccio 1 (Combinazione 1)			**Stati limite ultimi Approccio 1 (Combinazione 2)**			**Stati limite ultimi Approccio 2**		
				A1	M1	R1	A2	M2	R1 o R2*	A1	M1	R3
Coefficienti parziali sulle Azioni (A)		Permanenti	Sfavorevoli	1,30			1,00			1,30		
			Favorevoli	1,00			1,00			1,00		
		Variabili	Sfavorevoli	1,50			1,30			1,50		
Coefficienti parziali sui parametri geotecnici (M)		tanϕ'			1,00			1,25			1,00	
		Coesione efficace			1,00			1,25			1,00	
		Resistenza non drenata			1,00			1,40			1,00	
		Peso dell'unità di volume			1,00			1,00			1,00	
Coefficienti parziali sulle resistenze (R)	Ancoraggi (sfilamento)	Temporanei										1,10
		Permanenti										1,20
	Paratie	Resistenza elementi strutturali				1,00						
		Atti di moto rigido intorno ad un punto dell'opera							1,00			
		Stabilità globale							1,10*			
	Fronti di scavo	Resistenza del terreno							1,10*			
	Pali Trivellati	Resistenza alla base										1,35
		Res. laterale in compressione										1,15
		Res. Laterale in trazione										1,25

Tabella 7.1 Coefficienti parziali previsti dalla NTC 2018 al capitolo 6.

In condizioni sismiche, il valore del coefficiente parziale sulla resistenza del terreno da considerare nelle verifiche di stabilità globale è pari a R2 = 1,20.

Le verifiche sismiche di opere provvisionali o in fase di costruzione possono essere omesse quando il progetto preveda che tale condizione permanga per meno di due anni.

Con riferimento alla capacità degli elementi strutturali (STR), il calcolo delle resistenze è stato condotto considerando il seguente set di fattori parziali sulla resistenza dei materiali:

γ_c (calcestruzzo)	γ_s (acciaio per c.a.)
1,50	1,15

Tabella 7.2 Fattori parziali sulle resistenze dei materiali strutturali per cemento armato.

	γ_{M0}
Resistenza sezioni di classe 1 – 2 -3 - 4	1,05

Tabella 7.3 Fattori parziali sulle resistenze delle sezioni in acciaio.

Nel caso delle verifiche nei confronti delle azioni di tipo eccezionale, le resistenze di progetto dei materiali si ottengono ponendo pari ad 1,0 i fattori parziali sulle resistenze γ_c, γ_s, γ_M (NTC2018 §4.1.4 e §4.2.6).

7.3 VERIFICHE DELLE PRESTAZIONI (SLE E SLD)

La verifica viene effettuata controllando che il valore di progetto dell'effetto delle azioni, E_d, risulti minore del valore di progetto limite dell'effetto delle azioni C_d. In particolare, occorre valutare gli spostamenti corrispondenti agli stati limite di servizio in condizioni statiche (SLE) e sismiche (SLD) per confrontarli con le prescrizioni relative agli spostamenti ammissibili in ciascuna condizione considerata.

In altri termini, per lo stato limite di esercizio in condizioni statiche e per lo stato limite di danno in condizioni sismiche deve essere sempre rispettata la condizione:

$$Ed \leq Cd$$

dove E_d è il valore di progetto dell'effetto delle azioni e C_d è il prescritto valore limite dell'effetto delle azioni.

7.3.1 Spostamenti limite allo SLE e allo SLD

Lo spostamento limite accettabile per le opere in esame è pari allo 0,5% dell'altezza di terreno ritenuta h (u_{max} = 0,005 h).

7.4 STATI LIMITE PERTINENTI PER LE OPERE

In accordo con le indicazioni dell'Eurocodice 7-1, recepite dalle NTC 2018, i principali stati limite da considerare nella progettazione di opere di sostegno come quelle in esame sono:

- Stato limite ultimo di instabilità globale del complesso opera – terreno (a);
- Stato limite ultimo per raggiungimento della capacità di uno o più elementi strutturali o dei reciproci dispositivi di collegamento (b), (d-1);
- Stato limite ultimo per rotazione intorno ad un punto dell'opera (c);
- Stato limite ultimo per sfilamento di uno o più ancoraggi (d-2; d-3);
- Stato limite ultimo per raggiungimento della capacità portante delle fondazioni profonde.

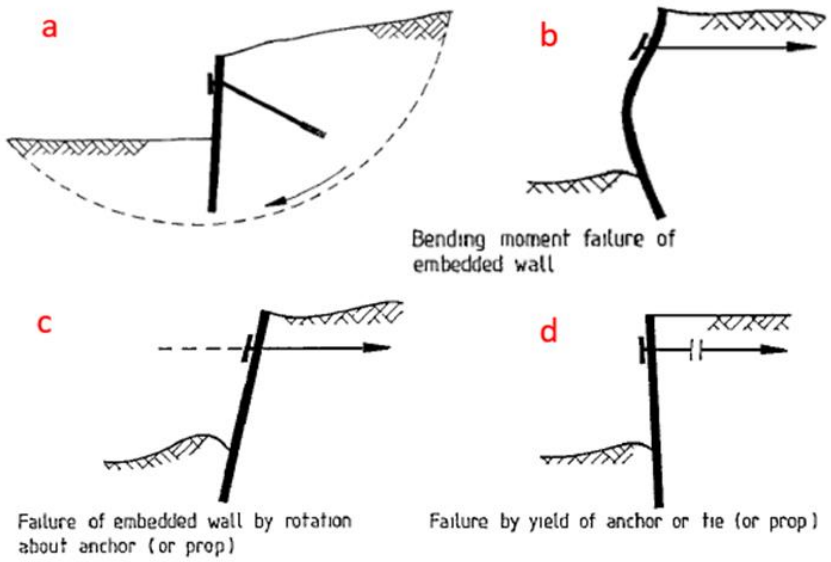

Figura 18 - Principali stati limite per paratie (da BS 8002)

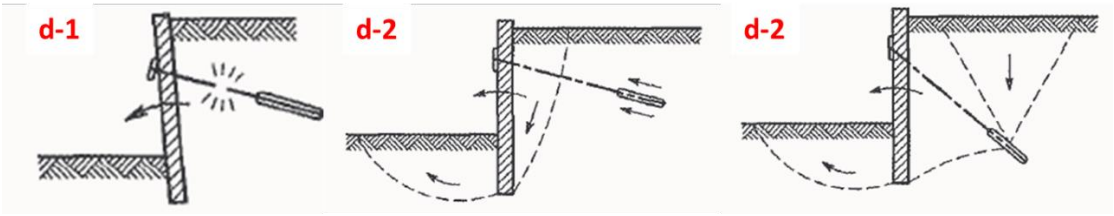

Figura 19 - Meccanismi di rottura per elementi di ancoraggio (da EC7-1)

7.5 AZIONI SULLE OPERE

Le azioni considerate nel progetto, oltre a quelle dovute al peso proprio (e alla spinta) del terreno, sono:

- il sovraccarico stradale (qsk);
- il sovraccarico associato alla presenza dei mezzi d'opera (qmok);
- le azioni sismiche (E);
- le azioni dovute all'urto dei veicoli in svio (A);
- le azioni connesse al costipamento dei materiali di riempimento.

7.5.1 Sovraccarico stradale (q_{sk})

Nel progetto è stato considerato un sovraccarico stradale applicato su tutta la piattaforma stradale ed avente valore caratteristico:

$$q_{sk} = 20{,}0 \text{ kPa}$$

Ai fini della combinazione con le altre azioni il sovraccarico stradale è classificato come una azione variabile di categoria G (aree per il traffico di veicoli di peso > 30,0 kN).

7.5.2 Sovraccarico mezzi d'opera (q_{mok})

Quando pertinente, è stato considerato un sovraccarico variabile associato alla presenza di mezzi d'opera leggeri avente valore caratteristico:

$$q_{mok} = 10{,}0 \text{ kPa}$$

Ai fini della combinazione con le altre azioni il sovraccarico stradale è classificato come una azione variabile di categoria G (aree per il traffico di veicoli di peso > 30,0 kN).

7.5.3 Azioni sismiche (E)

Le NTC prescrivono che sotto l'effetto delle azioni sismiche di progetto sia garantito il rispetto degli stati limite ultimi e degli stati limite di esercizio individuati con riferimento alle prestazioni richieste alla costruzione nel suo complesso che, oltre che agli elementi strutturali in elevazione e in fondazione, quelli non strutturali e gli impianti, include il volume significativo di terreno.

Le verifiche agli stati limite sismici di **opere e sistemi geotecnici** si riferiscono:

- al solo Stato Limite di Danno (**SLD**) per gli stati limite di esercizio;
- al solo Stato Limite di Salvaguardia della Vita (**SLV**) per gli stati limite ultimi.

Pertanto, con riferimento agli stati limite pertinenti, la Norma fornisce le seguenti definizioni:

- **Stato Limite di Danno (SLD*):*** a seguito del terremoto la costruzione nel suo complesso, includendo gli elementi strutturali, quelli non strutturali e le apparecchiature rilevanti alla sua funzione, subisce danni tali da non mettere a rischio gli utenti e da non compromettere significativamente la capacità di resistenza e di rigidezza nei confronti delle azioni verticali e orizzontali, mantenendosi immediatamente utilizzabile pur nell'interruzione d'uso di parte delle apparecchiature;
- **Stato Limite di salvaguardia della Vita (SLV):** a seguito del terremoto la costruzione subisce rotture e crolli dei componenti non strutturali ed impiantistici e significativi danni dei componenti strutturali cui si associa una perdita significativa di rigidezza nei confronti delle azioni orizzontali; la costruzione conserva invece una parte della resistenza e rigidezza per azioni verticali e un margine di sicurezza nei confronti del collasso per azioni sismiche orizzontali.

L'effetto del sisma sulle opere geotecniche si manifesta come sovrapposizione di più fenomeni non necessariamente concomitanti e generalmente schematizzabili come:

- azioni inerziali agenti sulle masse di terreno;
- se del caso, effetti indotti dalla liquefazione.

Nel caso delle opere in progetto, gli effetti del sisma (E) si manifestano esclusivamente sotto forma di azioni inerziali e sono modellati secondo l'approccio pseudo – statico, ovvero secondo forze statiche equivalenti applicate sia agli elementi strutturali (forze di inerzia), che ai volumi di terreno interagenti con l'opera, in linea di principio definite dal prodotto fra i pesi delle singole masse ed opportuni coefficienti sismici (orizzontali e verticali).

Tali forze pseudo statiche vanno a modificare l'entità della spinta delle terre ed in generale le azioni già presenti in campo statico.

Nel caso delle paratie, possono essere trascurati gli effetti inerziali sulle masse che le costituiscono (NTC 2018 §7.11.6.3.1).

La quantificazione degli effetti inerziali appena indicati implica la conoscenza delle accelerazioni sismiche per il sito di costruzione, accelerazioni che si ottengono a partire pericolosità sismica di base, tenendo conto delle caratteristiche morfologiche e stratigrafiche che condizionano la risposta sismica locale.

La pericolosità sismica di base è definita per ciascuno stato limite in relazione a prefissati periodi di ritorno del sisma (T_R), funzione della probabilità di superamento (P_{VR}) nel periodo di riferimento (V_R). A ciascuno stato limite la norma attribuisce uno specifico valore di $P_{VR.}$ Il periodo di riferimento V_R è invece definito in relazione alla Vita nominale e alla Classe d'Uso dell'opera

L'effetto della risposta sismica locale si valuta mediante specifiche analisi eseguite secondo le modalità descritte al §7.11.3 della Norma o in alternativa, qualora le condizioni stratigrafiche e topografiche siano chiaramente riconducibili alle categorie definite nella Tab. 3.2.II della Norma, si può fare riferimento a un

approccio semplificato che si basa sulla classificazione del sottosuolo in funzione dei valori della velocità di propagazione delle onde di taglio, V_{s30}. Per condizioni topografiche complesse la norma richiede la predisposizione di specifiche analisi di risposta sismica locale, analisi che possono essere utilizzate anche qualora si voglia aumentare il grado di accuratezza nella previsione dei fenomeni di amplificazione.

Nel caso delle opere in esame la risposta sismica locale è stata definita con riferimento all'approccio semplificato, tenendo conto anche di quanto indicato negli studi di microzonazione sismica vigenti per il territorio comunale di Castel del Rio (in termini di fattore di amplificazione stratigrafica).

Coerentemente con l'ubicazione geografica del sito (§3) con i livelli prestazionali richiesti sono state considerate:

- Vita nominale dell'opera: V_N = 50 anni;
- Classe d'uso dell'opera: III (Coefficiente d'uso C_u = 1,5)
- Periodo di riferimento per l'azione sismica: $V_R = V_N \times C_u$ = 75 anni;
- Categoria di sottosuolo: B
- Categoria topografica: T4 (h/H = 1,00).

In Tabella 7.4 si sintetizzano i valori delle accelerazioni massime attese allo SLD e allo SLV:

		SLV (T_R = 712 anni)				**SLD** (T_R = 75 anni)			
Categoria sottosuolo	Categoria Topografica	Accelerazione massima attesa dalla pericolosità sismica di base (**a_g/g**)	Coefficiente di amplificazione stratigrafica (**S_s**)	Coefficiente di amplificazione topografica (**S_T**)	**Accelerazione massima attesa a piano campagna ($a_{max}/g = S_S \times S_t \times a_g/g$)**	Accelerazione massima attesa dalla pericolosità sismica di base (**a_g/g**)	Coefficiente di amplificazione stratigrafica (**S_s**)	Coefficiente di amplificazione topografica (**S_T**)	**Accelerazione massima attesa a piano campagna ($a_{max}/g = S_S \times S_t \times a_g/g$)**
B	T4	0,233	1,20(*)	1,40	**0,391**	0,104	1,20	1,40	**0,175**

Tabella 7.4 Definizione delle accelerazioni massime attese per il sito di costruzione

Adottando il metodo pseudo – statico nello svolgimento delle analisi di interazione terreno-struttura e di stabilità, l'azione del sisma è rappresentata da una forza statica equivalente, di intensità costante nello spazio e nel tempo, proporzionale al peso W del volume di terreno potenzialmente instabile.

Le componenti orizzontale e verticale di tale forza possono esprimersi come $F_h = k_h W$ e $F_v = k_v W$, con k_h e k_v rispettivamente coefficienti sismici orizzontale e verticale. Nel caso delle paratie si può porre $k_v = 0$.

Quando l'azione sismica per la determinazione delle azioni sulle **paratie** viene valutata attraverso metodi pseudostatici, la Norma prevede di considerare la riduzione dell'accelerazione massima di riferimento (a_{max}) per tener conto della deformabilità dei terreni interagenti con l'opera (coefficiente α) e della capacità dell'opera di subire spostamenti senza cadute di resistenza (coefficiente β). Il coefficiente sismico orizzontale è pertanto così definito

$$k_h = \alpha \beta a_{max}/g$$

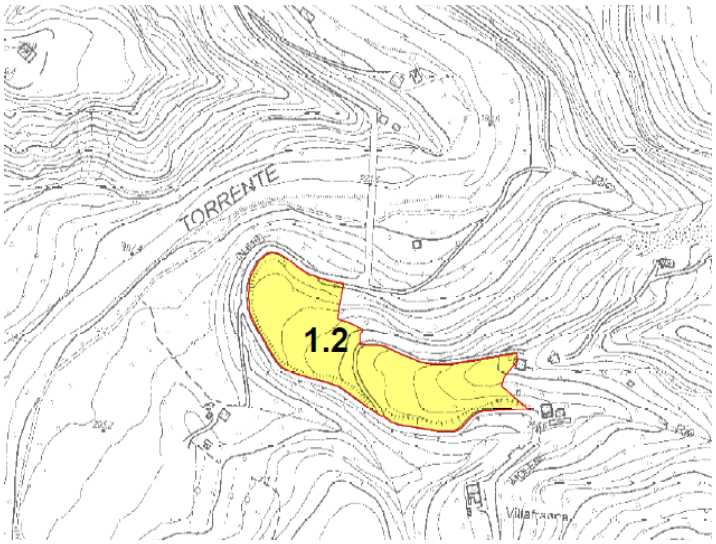

In Figura 20 sono rappresentati i diagrammi proposti nelle NTC2018 per la valutazione dei coefficienti di deformabilità, α, e di spostamento, β. Nella definizione del fattore di spostamento deve in ogni caso porre $u_s \leq 0{,}005\ H$, H altezza complessiva della paratia.

Per la determinazione della resistenza passiva deve porsi α = 1,00.

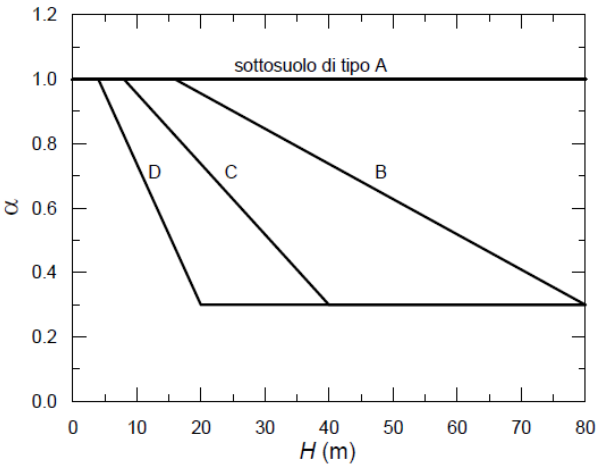

Fig. 7.11.2 – *Diagramma per la valutazione del coefficiente di deformabilità α*

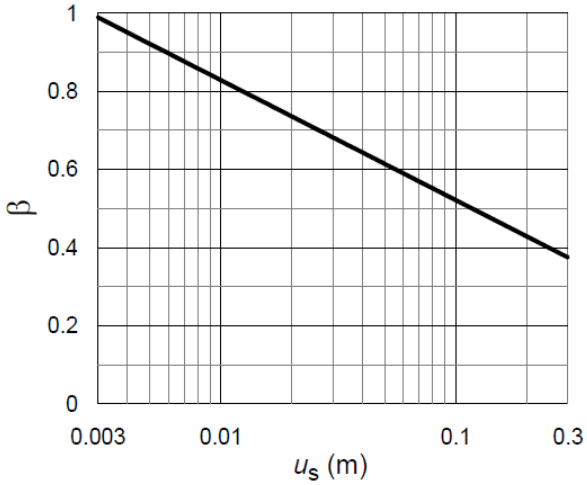

Fig. 7.11.3 – *Diagramma per la valutazione del coefficiente di spostamento β.*

Figura 20 - Diagrammi proposti dalle NTC2018 per la valutazione dei coefficienti di deformabilità e spostamento

Nel caso in esame, assumendo H = 10,0m, si sono considerati (Figura 21):

SLD: $k_h = \alpha\ \beta\ a_{max}/g = 1{,}00 \times 1{,}00 \times 0{,}175$ = **0,175** (u_s = 0,0 cm)

SLV: $k_h = \alpha\ \beta\ a_{max}/g = 1{,}00 \times 0{,}60 \times 0{,}391$ = **0,235** (u_s = 5,0 cm)

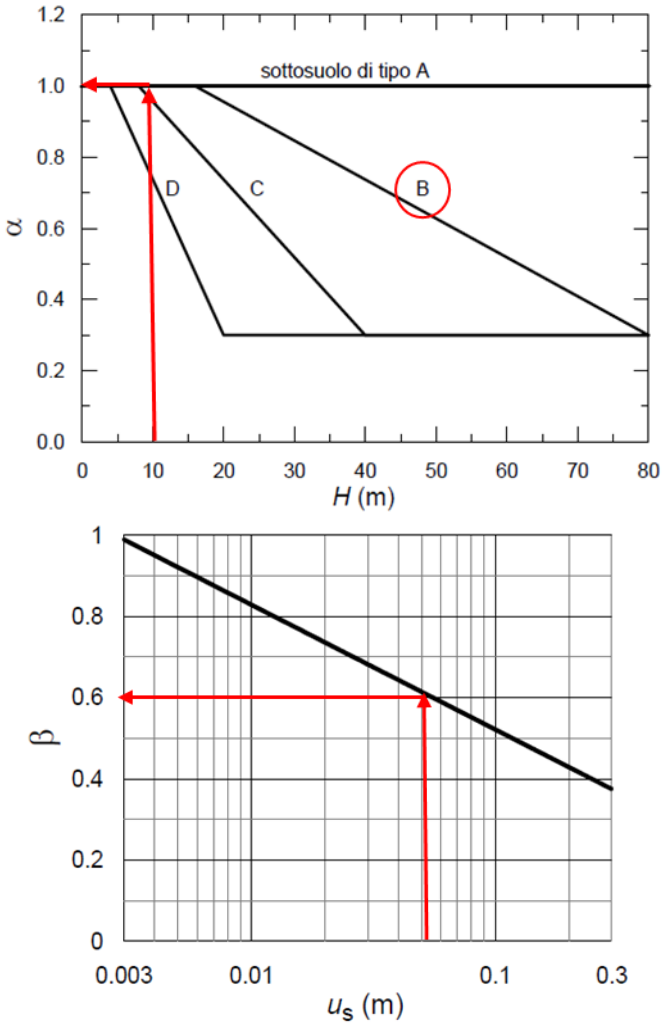

Figura 21 - Definizione dei coefficienti di deformabilità e spostamento

Per le **verifiche di stabilità globale del complesso opera – terreno** i coefficienti sismici sono definiti dalle relazioni:

$$k_h = \beta_s \, a_{max}/g$$

$$k_v = \pm 0{,}50 \, k_h$$

Nel caso in esame si sono considerati:

SLD: $k_h = \beta_s \, a_{max}/g = 0{,}47 \times 0{,}175$ = **0,082**

$k_v = \pm 0{,}50 \, k_h$ = **± 0,041**

SLV: $k_h = \beta_s \, a_{max}/g = 0{,}38 \times 0{,}391$ = **0,149**

$k_v = \pm 0{,}50 \, k_h$ = **± 0,075**

7.5.4 Azioni dovute all'urto dei veicoli in svio (A)

Le azioni connesse agli impatti possono essere determinate attraverso analisi di tipo dinamico o rappresentate da forze statiche equivalenti. Generalmente, la severità dell'azione può essere commisurata alla velocità e massa del veicolo, alla gravità delle conseguenze, alla deformabilità del sistema di ritenuta e del veicolo impattante. Nel caso dei dimensionamenti strutturali, gli Eurocodici riconoscono l'adeguatezza

dell'approccio semplificato basato sulla rappresentazione dell'urto attraverso forze statiche equivalenti.

In accordo al §3.6.3.3.2 delle NTC 18, in assenza di specifiche prescrizioni (i.e. ogni qual volta non sia noto con esattezza il modello della barriera che verrà effettivamente installata), nel progetto si può tener conto delle forze causate da collisioni accidentali sugli elementi di sicurezza attraverso una forza orizzontale equivalente di collisione F = 100 kN. Essa rappresenta l'effetto dell'impatto da trasmettere ai vincoli e deve essere considerata agente trasversalmente ed orizzontalmente 100 mm sotto la sommità dell'elemento o 1,0m sopra il livello del piano di marcia, a seconda di quale sia più piccolo. In accordo con le indicazioni riportate al §4.7.3 dell'EN 1991-2, la forza di impatto può essere applicata su una linea di lunghezza 0,5m.

Nel caso in esame, tenuto conto della tipologia e livello di traffico servito dalla strada è prevista l'installazione di una barriera in acciaio **bordo ponte a 3 onde** caratterizzata da una classe di contenimento minima **H2 (EN 1317) e dotata di dispositivo salva - motociclista**. In accordo a quanto indicato dai quaderni tecnici ANAS, si considera un interasse fra i montanti pari a 1,25m (in opera potranno adottarsi barriere con interassi maggiori.

In via cautelativa, ai fini del calcolo, il punto di applicazione della forza è posizionato ad un'altezza di Hurto = 1000 mm dal piano viabile. Al fine delle analisi tale forza può essere trasportata alla quota di incastro considerando un momento di trasporto M = F x $H_{impatto}$.

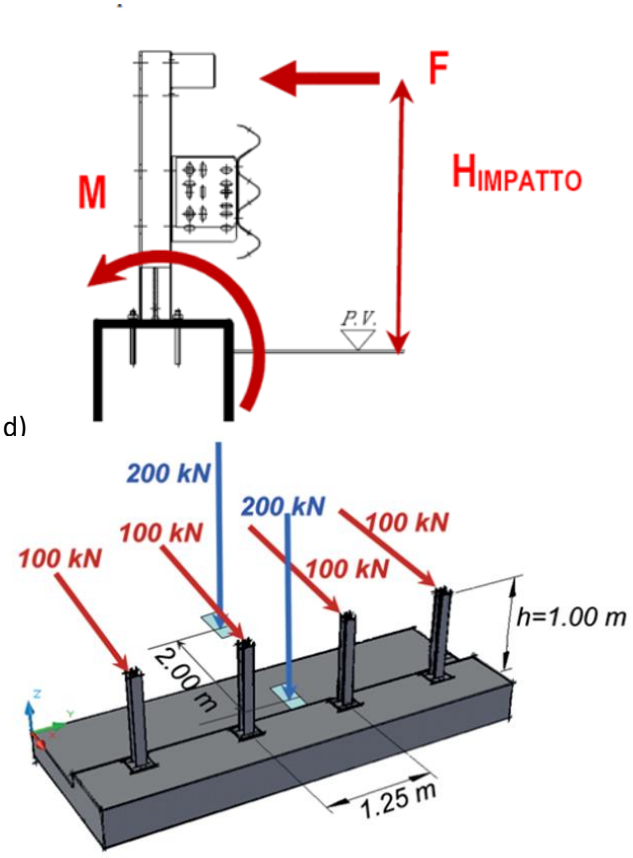

Ai fini delle delle verifiche e delle analisi delle strutture, le azioni concentrate (F; M=FxH_{urto}) sono stato state convertite in azioni equivalenti di linea (A; m) dividendole (cautelativamente) per l'interasse fra i montanti di 1,25m. Le azioni considerate nel progetto delle nuove opere a carattere definitivo, applicate in testa al nuovo muro sono:

- A = F/1,25m = 100 kN / 1,25 = 80,0 kN/m
- m = A x Hurto = 80,0 kN/m x 1,0 m = 80,0 kNm/m

Dagli elaborati di calcolo della paratia esistente, realizzata a presidio della strada in corrispondenza della zona

dissestata, risulta che ai fini della verifica della stessa è stata considerata un valore della forza di impatto sulla barriera pari a 29,0 kN/m. Pertanto, nella verifica di sicurezza della stessa, per coerenza con la progettazione precedente, è stata considerata tale valore della forza d'urto.

Ai fini della combinazione con le altre azioni, le azioni d'urto, coerentemente con quanto indicato dalle NTC 2018 al §3.6 sono classificate come **azioni eccezionali (A)**.

7.5.5 Azioni dovute al costipamento dei materiali di riempimento

Le fasi di realizzazione del riempimento possono influenzare in modo molto significativo l'entità delle spinte a tergo di un muro di contenimento che può essere dunque risultare sottoposto a sollecitazioni strutturali superiori rispetto a quelle imputabili all'applicazione di una spinta del terreno in condizioni litostatiche. In Figura 22 (a sinistra) è presentato il diagramma di spinta dedotto per un muro a seguito della realizzazione del costipamento del terrapieno con rullo statico da 10 t a strati di 50 cm di rinterro. Si osserva come la spinta causata dal passaggio del rullo determini stati di sollecitazione molto elevati e prossimi a quelli delle condizioni di stato limite passivo Kp in superficie per ridursi progressivamente con la profondità. Usualmente la profondità di influenza del rullo è limitata a 50-70 cm. Al progredire della costruzione gli strati che non risentono più dell'azione diretta del rullo tendono a tornare a stati tensionali prossimi allo stato di quiete (governato da K_0) o, in accordo a Ingold (1979) allo stato limite attivo (governato da Ka). La migrazione verso l'uno o l'altro stato dipende dalla possibilità che il muro manifesti qualche spostamento orizzontale al procedere del riempimento o se viceversa il muro risulti particolarmente vincolato. Nel caso in esame, dato che il muro è di tipo deformabile e dato che il costipamento verrà eseguito impiegando prevalentemente piastre vibranti, ci riferirà alla situazione in cui il terreno tenda a ritornare verso lo stato limite attivo. La distribuzione delle tensioni orizzontali considerata nel progetto segue pertanto lo schema di Figura 22.

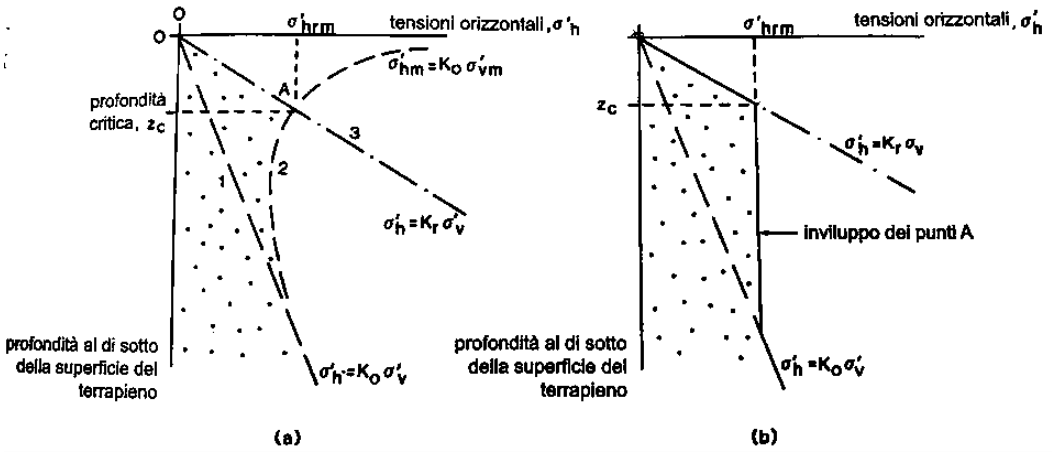

Figura 22 - a) distribuzione delle pressioni a monte di un'opera di sostegno causate dal costipamento del rinterro; b) diagramma semplificato delle pressioni orizzontali nell'ipotesi di muri che non si spostano (Broms; 1971)

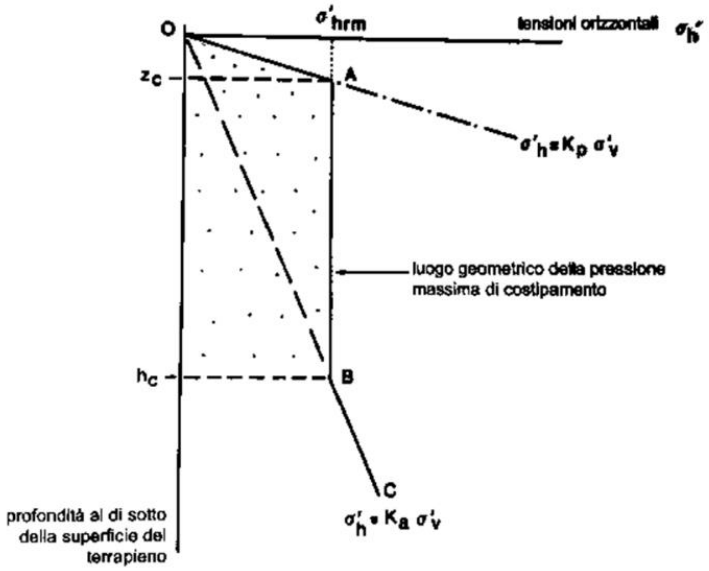

Figura 23 - Distribuzione delle pressioni a monte di un'opera di sostegno deformabile causate dal costipamento del terreno (da Ingold, 1979)

I termini di Figura 23 possono essere determinati come descritto nel seguito in funzione dell'angolo di attrito del terreno (ϕ') e delle caratteristiche tecniche del rullo:

Profondità critica (z_c): è la profondità alla quale viene mantenuta la pressione orizzontale residua massima

$$z_c = K_a \sqrt{\frac{2Q}{\pi\gamma}}$$

dove:

Q è il carico di linea trasmesso dal rullo. È dato dalla somma del carico statico (W/B) e, Se del caso, l'incremento dinamico dato dalla vibrazione (V/B), con B larghezza del tamburo. In assenza di informazioni, si può assumere V = W (Clayton).

Ka = (1 – sinϕ')/(1+ sinϕ') Coefficiente di spinta attiva del terreno di riempimento (Rankine)

Tensione orizzontale residua massima per effetto del costipamento (σ'_{hrm})

$$\sigma'_{hrm} = \sqrt{\frac{2Q\gamma}{\pi}}$$

Profondità di ritorno alle condizioni di equilibrio limite attivo (h_c)

$$h_c = \frac{1}{K_a}\sqrt{\frac{2Q}{\pi\gamma}}$$

Nel caso in esame, tenuto conto degli spazi a disposizione e della presenza dei micropali di ancoraggio, il costipamento di gran parte del riempimento dovrà essere necessariamente eseguito **mediante piastre vibranti**. Rulli leggeri potranno essere eventualmente utilizzati solo nelle fasi finali del riempimento, quando si procederà alla posa in opera della sovrastruttura stradale. In ogni caso, i mezzi impiegabili nel costipamento dovranno essere caratterizzati da un carico totale di linea (comprensivo degli effetti della vibrazione) al massimo pari a **Q_{max} = 26,5 kN/m.**

Nella tabella seguente si riportano alcuni esempi di mezzi presi a riferimento nella valutazione dei possibili

effetti del costipamento. In ogni caso, la scelta dei mezzi da impiegare per l'esecuzione a regola d'arte della costruzione sarà responsabilità dell'Esecutore, il quale sottoporrà le schede tecniche delle macchine che intenderà utilizzare alla D.L. per approvazione.

	HAMM 10C VV peso esercizio max 1780 kg			BOBCAT WR65 peso esercizio max 740 kg			CATERPILLAR CB1.7 peso esercizio max 1605 kg		
	Anteriore	Posteriore		Anteriore	Posteriore		Anteriore	Posteriore	
Carico statico di linea (W/B)	8,2	8,7	kg/cm	5,7	5,7	kg/cm	9,4	9,4	kg/cm
	8,2	8,7	kN/m	5,7	5,7	kN/m	9,4	9,4	kN/m
Forza centrifuga (V)	17	17	kN	11	11	kN	13,6	13,6	kN
Larghezza tamburo (B)	1	1	m	0,65	0,65	m	0,9	0,9	m
Forza centrifuga unitaria (V/B)	17	17	kN/m	16,92	16,92	kN/m	15,11	15,11	kN/m
Carico totale di linea (Q)	**25,2**	**25,7**	**kN/m**	**22,62**	**22,62**	**kN/m**	**24,51**	**24,51**	**kN/m**

Il diagramma delle tensioni residue post compattazione considerato ai fini delle verifiche strutturali del muro è riportato in Figura 24. Nella modellazione numerica, la presenza delle tensioni residue è stata simulata per mezzo di un carico distribuito il cui andamento è definito pari alla differenza fra il diagramma teorico delle tensioni residue (diagramma inviluppo) ed il diagramma di spinta attiva, già mobilitato per effetto delle fasi costruttive.

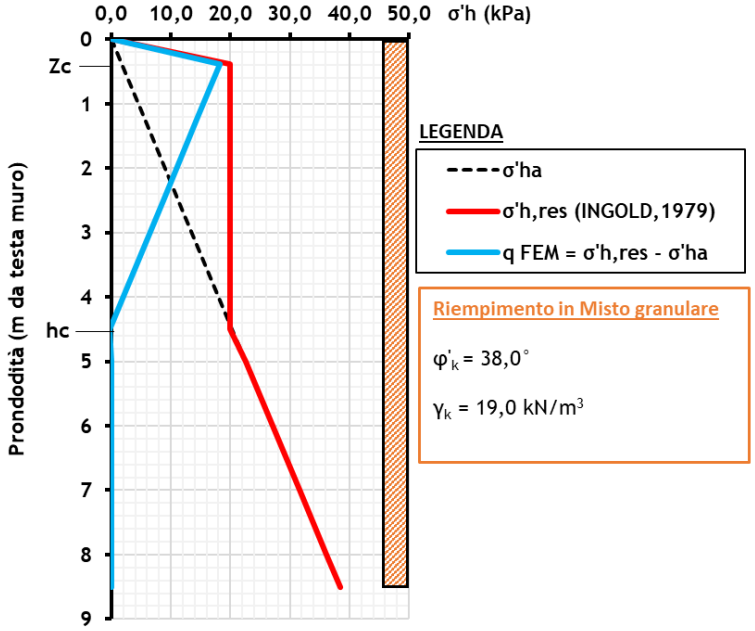

Figura 24 - Diagramma delle tensioni orizzontali residue post – compattazione teorico e diagramma considerato nelle analisi strutturali del fusto (per le verifiche SLU-costr amplificare di 1,3)

Ai fini della combinazione con le altre azioni, le azioni d'urto, coerentemente con quanto indicato dalle NTC 2018 al §3.6 sono classificate come **azioni permanenti (G1)**, in quanto l'azione è equiparata ad una spinta del terreno.

7.5.6 Combinazione delle azioni

Ai fini delle verifiche agli stati limite, sono state considerate le seguenti combinazioni delle azioni (§2.5.3 delle NTC 2018):

- Combinazione caratteristica, impiegata per gli stati limite di esercizio (SLE) irreversibili:

$$G_1 + G_2 + P + Q_{k1} + \psi_{02} \cdot Q_{k2} + \psi_{03} \cdot Q_{k3} + \cdots$$

- Combinazione fondamentale, impiegata per gli stati limite ultimi (SLU):

$$\gamma_{G1} \cdot G_1 + \gamma_{G2} \cdot G_2 + \gamma_P P + \gamma_{Qk1} \cdot Q_{k1} + \gamma_{Qk2} \cdot \psi_{02} \cdot Q_{k2} + \gamma_{Qk3} \cdot \psi_{03} \cdot Q_{k3} + \cdots$$

- Combinazione sismica, impiegata per gli stati limite ultimi e di esercizio connessi all'azione sismica E (SLD e SLV):

$$E + G_1 + G_2 + P + \psi_{21} Q_{k1} + \psi_{22} \cdot Q_{k2} + \cdots$$

- Combinazione Eccezionale, impiegata per gli stati limite ultimi e di esercizio connessi con le azioni eccezionali di progetto (Ad):

$$G_1 + G_2 + P + A_d + \psi_{21} Q_{k1} + \psi_{22} \cdot Q_{k2} + \cdots$$

Nelle formule sopra riportate il simbolo "+" vuol dire "combinato con".

In Tabella 7.5 e in Tabella 7.6 si riportano i valori dei coefficienti combinazione (Ψ) adottati per il progetto in esame, relativamente alle opere a carattere strutturale che alla configurazione definitiva.

	Sovraccarico stradale	**Azioni sismiche**	**Urto veicoli in svio**
	q_{sk}	E	A
SLE - provvisionale	1,0	-	-
SLU - provvisionale	1,0	-	-
Eccezionale	Ψ_{21} = 0,30	-	1,00

Tabella 7.5 Valori dei coefficienti di combinazione Ψ delle azioni variabili (verifica opere provvisionali)

	Sovraccarico stradale	**Azioni sismiche**	**Urto veicoli in svio**	**Azioni costipamento**
	q_{sk}	E	A	$q_{cost,k}$
SLE – costr.	-	-	-	1,0
SLU – costr.	-	-	-	1,0
SLE	1,0	-	-	-
SLU	1,0	-	-	-
SLD	Ψ_{21} = 0,30	1,00	-	-
SLV	Ψ_{21} = 0,30	1,00	-	-
Eccezionale	Ψ_{21} = 0,30	-	1,00	-

Tabella 7.6 Valori dei coefficienti di combinazione Ψ delle azioni variabili (verifica nuovo muro)

I valori dei coefficienti parziali sulle azioni (γ) sono definiti in relazione all'approccio progettuale considerato. Nelle combinazioni allo SLD – SLU ed SLV relative alla verifica del nuovo muro le azioni sono valutate cautelativamente considerando 2,0m di scalzamento a valle.

7.6 DURABILITÀ DELLE OPERE

Quanto riportato nel presente paragrafo è relativo alle coponenti strutturali aventi carattere definitivo. Nello specifico, si riportano le specifiche di progetto adottate allo scopo di garantire la durabilità delle diverse componti dell'opera per tutto l'arco della vita nominale di progetto.

7.6.1 Porzioni strutturali in calcestruzzo armato

In accordo con le disposizioni delle NTC 2018, per assicurare la funzionalità e durabilità delle componenti strutturali in calcestruzzo armato, oltre che una corretta definizione del contesto ambientale – climatico dove verrà inserita l'opera (ovvero la definizione di una o più classi di esposizione) è necessario:

- realizzare un sufficiente ricoprimento delle armature con calcestruzzo di buona qualità e compattezza, bassa porosità e bassa permeabilità;
- non superare uno stato limite di fessurazione adeguato alle condizioni ambientali, alle sollecitazioni ed alla sensibilità delle armature alla corrosione;
- tener conto delle esigenze estetiche.

Per l'opera in esame, tenuto conto delle prestazioni richieste alle opere e al contesto geografico di riferimento (§3) ci si riferirà a:

- Vita nominale 50 anni;
- Condizioni ambientali Aggressive (XC4 UNI 11104: Strutture esterne esposte direttamente alla pioggia in clima temperato)

I possibili meccanismi di degrado legati ai cicli gelo – disgelo sono da ritenersi poco significativi in quanto il sito di costruzione è collocato ad un'altitudine inferiore agli 800m sul l.m.m.. Inoltre, la classe di resistenza scelta è maggiore di quella richiesta da una classe di esposizione XF2 attribuibile a strutture verticali sopposte al degrado promosso dal gelo – disgelo e sottoposte a schizzi di soluzioni acquose contenenti sali disgelanti.

A – Dimensionamento del ricropimento delle armature (copriferro)

Il copriferro è dimensionato con riferimento alle prescrizioni di cui al §4.1.6.1.3 delle NTC 18. In particolare il dimensionamento deve essere eseguito in relazione alle esigenze di durabilità ($c_{min,dur}$) e con riferimento al necessario sviluppo delle tensioni di aderenza con il calcestruzzo ($c_{min,b}$).

Il **copriferro minimo garantire la durabilità ($c_{min,dur}$)** è dimensionato sulla base dei valori indicati tabella C4.1.IV della Circolare (validi per elementi gettati in opera con una vita nominale V_N=50 anni)

Tabella C4.1.IV - *Copriferri minimi in mm*

			barre da c.a. elementi a piastra		barre da c.a. altri elementi		cavi da c.a.p. elementi a piastra		cavi da c.a.p. altri elementi	
C_{min}	C_0	ambiente	$C \geq C_0$	$C_{min} \leq C < C_0$	$C \geq C_0$	$C_{min} \leq C < C_0$	$C \geq C_0$	$C_{min} \leq C < C_0$	$C \geq C_0$	$C_{min} \leq C < C_0$
C25/30	C35/45	ordinario	15	20	20	25	25	30	30	35
C30/37	C40/50	aggressivo	25	30	30	35	35	40	40	45
C35/45	C45/55	molto ag.	35	40	40	45	45	50	50	50

Figura 25 - Copriferri minimi per la durabilità (Tab. C.4.1.IV NTC 2018)

Per il muro in esame, essendo previsto l'utilizzo di armatura di tipo poco sensibile e classe di resistenza C32/40 tale per cui $C_{min} \leq C < C_0$ in ambiente aggressivo si adotta:

$$c_{min,dur} = 35 \text{ mm}$$

Il **copriferro minimo per l'aderenza acciaio – calcestruzzo ($c_{min,b}$),** in accordo alle indicazioni dell'Eurocodice 2 è pari al diametro delle armature longitudinali. Pertanto, prevedendo armature longitudinali F20mm: **$c_{min,b}$ = Ø = 20mm**.

Pertanto il copriferro minimo è pari a:

$$c_{min} = \max(c_{min,dur} ; c_{min,b}) = 35 \text{ mm}$$

Il **copriferro nominale (c_{nom})** è ottenuto aggiungendo al copriferro minimo le tolleranze di posa Dc_{mn}, pari generalmente a 10 mm:

$$\mathbf{c_{nom} = c_{min} + Dc_{mn} = 45mm}$$

B – Stato limite di fessurazione di riferimento per la struttura

In accordo alla Tabella 4.1.IV delle NTC 18, lo stato limite di fessurazione di riferimento per l'opera è lo stato limite di apertura delle fessure.

Riferendosi a condizioni ambientali aggressive (gruppo di esigenze b) ed armature poco sensibili deve risultare:

- $w_d \leq w_2$ = 0,3mm in combinazione frequente
- $w_d \leq w_1$ = 0,2mm in combinazione quasi permanente

7.6.2 Porzioni strutturali in acciaio (micropali)

Come indicato dalla norma EN 14199, Per garantire le prestazioni dell'opera durante tutto l'arco della sua vita nominale, nelle verifiche è stato considerato un degrado dello spessore resistente dei tubolari di armatura (δ) in accordo ai tassi di corrosione indicati al §4 dell'Eurocodice 3-5.

Table 4-1: Recommended value for the loss of thickness [mm] due to corrosion for piles and sheet piles in soils, with or without groundwater

Required design working life	5 years	25 years	50 years	75 years	100 years
Undisturbed natural soils (sand, silt, clay, schist, ...)	0,00	0,30	0,60	0,90	1,20
Polluted natural soils and industrial sites	0,15	0,75	1,50	2,25	3,00
Aggressive natural soils (swamp, marsh, peat, ...)	0,20	1,00	1,75	2,50	3,25
Non-compacted and non-aggressive fills (clay, schist, sand, silt, ...)	0,18	0,70	1,20	1,70	2,20
Non-compacted and aggressive fills (ashes, slag, ...)	0,50	2,00	3,25	4,50	5,75

Notes:

1) Corrosion rates in compacted fills are lower than those in non-compacted ones. In compacted fills the figures in the table should be divided by two.

2) The values given for 5 and 25 years are based on measurements, whereas the other values are extrapolated.

Figura 26 - Tassi di corrosione raccomandati da EC3-5

Nel caso di micropali tubolari riempiti di malta cementizia è possibile applicare i tassi di corrosione esclusivamente sul lato esterno dell'armatura.

Per l'opera in esame, riconducendosi al caso di un micropalo inserito all'interno di terreni per lo più naturali, la perdita di spessore nell'arco della vita nominale (V_N = 50 anni) raccomandata vale:

$$\mathbf{\delta = 0,60 \text{ mm}}$$

7.6.3 Barre per micropali di ancoraggio

Analogamente al caso dei micropali di fondazione, in accordo a quanto indicato dalla norma EN 14199, Per

garantire le prestazioni dell'opera durante tutto l'arco della sua vita nominale, nelle verifiche è stato considerato un degrado dello spessore resistente delle barre cave di armatura (δ) in accordo ai tassi di corrosione indicati al §4 dell'Eurocodice 3-5

Nel caso di micropali a barra cava riempiti di malta cementizia è possibile applicare i tassi di corrosione esclusivamente sul lato esterno dell'armatura.

Per gli elementi strutturali in esame, riconducendosi al caso di un micropalo inserito all'interno di terreni per lo più naturali o all'interno di terreni di riempimento compattati (misto granulare), la perdita di spessore nell'arco della vita nominale (V_N = 50 anni) raccomandata vale:

Terreni naturali: **δ = 0,60 mm**

Terreni di riempimento compattati: **δ = 1,20mm/2 = 0,60 mm**

8 PROPRIETÀ DI RIFERIMENTO PER I MICROPALI

Nel presente capitolo si riportano le principali proprietà dei micropali previsti in progetto, ovvero:

- I micropali della paratia provvisionale;
- I micropali di fondazione del nuovo muro in c.a.

8.1 PROPRIETÀ DI RIFERIMENTO PER I MICROPALI DELLA PARATIA PROVVISIONALE

Le principali caratteristiche dei micropali sono le seguenti:

Micropalo D220mm, armatura tubolare D168,3 x 8,0mm

Diametro della perforazione:	D_{perf}	= 220,0 mm
Lunghezza della perforazione:	L_{perf}	= 8,75 m
Lunghezza del micropalo (lunghezza armatura):	L	= 9,0 m
Diametro esterno del tubo di armatura:	D	= 168,3 mm
Spessore del tubo di armatura:	t	= 8,0 mm
Diametro interno del tubo di armatura:	d = D-2t	= 152,3 mm
Momento di inerzia:	$J = \pi (D^4 – d^4)/64$	= 1,3 x 10^7mm^4
Modulo di resistenza elastico:	$W_{el} = 2J/D$	= 154,2 cm^3
Classe di acciaio minima (v.§5.4.1):	S 355 JR H (EN 10219-1)	
Peso tubo di armatura:	w	= 31,6 kg/m
Tipologia giunzioni consentite:	**Giunti filettati M/F**	
Classe della sezione:	= 1	
Classe della sezione (in corrispondenza dei filetti M/F):	= 2	
Tipologia di getto/iniezione:	Getto a gravità (Tipo A FHWA)	

Per i micropali in esame potranno essere utilizzati anche tubolari non valvolati. L'armatura tubolare dovrà essere comunque dotata di fori di fondo per la circolazione della malta in fase di getto.

I tubolari potranno essere posti in opera in un unico pezzo oppure giuntando più spezzoni mediante giunzioni di tipo filettano (M/F).

8.2 PROPRIETÀ DI RIFERIMENTO PER I MICROPALI DI FONDAZIONE

Le principali caratteristiche dei micropali sono le seguenti:

Micropalo D250mm, armatura tubolare D168,3 x 10,0mm

Diametro della perforazione:	D_{perf}	= 250,0	mm
Lunghezza della perforazione	L_{perf}	= 8,50	m
Lunghezza del micropalo (lunghezza armatura):	L	= 9,0	m
Diametro esterno del tubo di armatura:	D	= 168,3	mm
Spessore del tubo di armatura:	t	= 10,0	mm
Diametro interno del tubo di armatura:	d = D-2t	= 148,3	mm
Momento di inerzia	$J = \pi (D^4 – d^4)/64$	= 1,56 x 10^7	mm^4
Modulo di resistenza elastico	$W_{el} = 2J/D$	= 185,6	cm^3
Classe di acciaio minima (v.§5.4.1):	S 355 JR H (EN 10219-1)		
Peso tubo di armatura	w	= 39,0	kg/m

Tipologia giunzioni consentite:	**M+M+Manicotto esterno**
Classe della sezione	= 1
Classe della sezione (in corrispondenza dei filetti M)=	= 1
Tipologia di getto/iniezione	Getto a bassa pressione (Tipo B FHWA)

Per i micropali in esame potranno essere utilizzati anche tubolari non valvolati. L'armatura tubolare dovrà essere comunque dotata di fori di fondo per la circolazione della malta in fase di getto.

I tubolari potranno essere posti in opera in un unico pezzo oppure giuntando più spezzoni mediante giunzioni di tipo filettano (M/M + Manicotto esterno). Non sono ammesse giunzioni filettate della tipologia maschio/femmina (M/F).

8.2.1 Capacità portante

Considerando efficaci i soli 4,5m più profondi di micropalo (L_{anc} = 4,5m), per la determinazione della resistenza unitaria di interfaccia fra il terreno di fondazione ed il bulbo di ancoraggio (q_s), si è fatto cautelativamente riferimento gli abachi di Bustamante & Doix di Figura 27 per sabbie e ghiaie (curva SG2, micropali a semplice cementazione con ancoraggio nei depositi consistenti costituiti da clasti lapidei in matrice sabbioso limosa).

La resistenza unitaria di interfaccia terreno/bulbo di ancoraggio adottata nelle successive calcolazioni, pari a qs = 150 kPa.

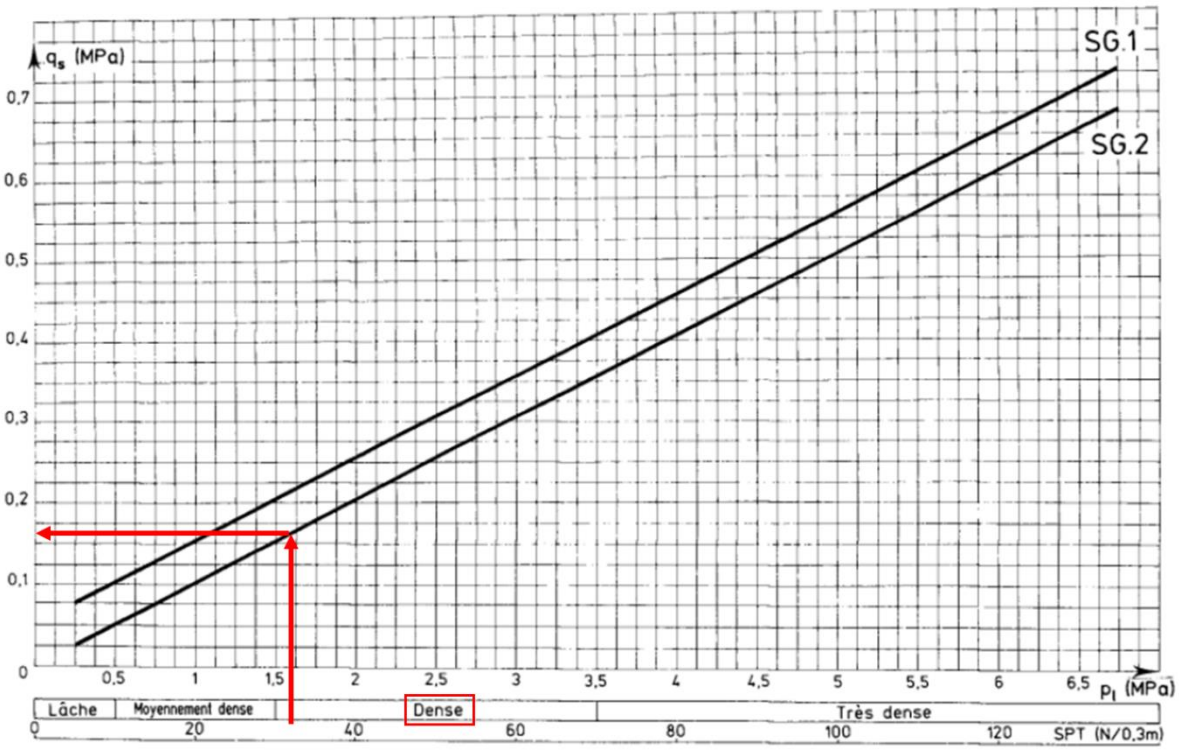

Figura 27 - Abachi di Bustamante e Doix (1985) per il calcolo della resistenza tangenziale di aderenza: sabbie e ghiaie.

Nota la resistenza unitaria di interfaccia (q_s), la resistenza R_{ac} allo sfilamento per metro di micropalo si ottiene in funzione della superficie laterale definita considerando un guadagno in diametro per effetto della tecnica esecutiva in relazione alla natura del terreno di fondazione e dalle modalità costruttive:

$$R_{ac} = \pi \alpha D_{perf} q_s L_{anc} = 583{,}1 \text{ kN}$$

con:

- D_{perf} è il diametro nominale della perforazione = 250 mm
- α è il coefficiente di guadagno in diametro (v. Figura 28) = 1,1 -
- q_s è la resistenza unitaria all'interfaccia bulbo di fondazione-terreno = 150 kPa
- L_{anc} è la lunghezza di micropalo considerata efficace a sfilamento = 4,5 m

Tab. 6.4 - Valori del coefficiente α per la stima del diametro reale della fondazione dell'ancoraggio

Terreno	Valori del coefficiente α_d		Quantità minima di miscela consigliata Vs	Rapporto A/C
	IRS ($p_i \geq p_l$)	IGU ($p_i < p_l$)		
Ghiaia	1,8	1,3 ÷ 1,4	1,5 Vs	1,7 ÷ 2,4
Ghiaia sabbiosa	1,6 ÷ 1,8	1,2 ÷ 1,4	1,5 Vs	
Sabbia ghiaiosa	1,5 ÷ 1,6	1,2 ÷ 1,3	1,5 Vs	
Sabbia grossa	1,4 ÷ 1,5	1,1 ÷ 1,2	1,5 Vs	
Sabbia media	1,4 ÷ 1,5	1,1 ÷1,2	1,5 Vs	
Sabbia fine	1,4 ÷ 1,5	1,1 ÷ 1,2	1,5 Vs	
Sabbia limosa	1,4 ÷ 1,5	1,5 ÷ 2,0	IRS: (1,5 ÷ 2) Vs; IGU: 1,5 Vs	
Limo	1,4 ÷ 1,6	1,1 ÷ 1,2	IRS: 2 Vs; IGU: 1,5 Vs	1,7 ÷ 2,4
Argilla	1,8 ÷ 2,0	1,2	IRS: (2,5 ÷ 3) Vs; IGU: (1,5 ÷ 2) Vs	
Marna	1,8	1,1 ÷ 1,2	(1,5 ÷ 2) Vs per strati compatti	1,7 ÷ 2,4
Calcari marnosi	1,8	1,1 ÷ 1,2	(2 ÷ 6) Vs o più per strati fratturati	
Calcari alterati o fratturati	1,8	1,1 ÷ 1,2		
Roccia alterata e/o fratturata	1,2	1,1	(2÷6) Vs o più per strati poco fratturati 2 Vs o più per strati fratturati	1,7 ÷ 2,4
IRS: *iniezione ad alta pressione a più stadi e ripetuta* IGU: *iniezione a bassa pressione in unica soluzione* p_l: *pressione limite dalla prova pressiometrica Menard* p_i: *pressione di iniezione*			$V_s = L_f D_s^2 / 4$ L_f: *lunghezza della fondazione* D_s: *diametro reale della fondazione*	
Nota: nella tabella sono riportati i valori teorici della quantità in volume della miscela di iniezione nelle diverse condizioni operative ed il rapporto acqua cemento ottimale (da Bustamante e Doix, 1985)				

Figura 28 - Coefficiente di guadagno in diametro (da AICAP,2012)

La resistenza caratteristica Rak a sfilamento del micropalo viene determinata assumendo un coefficiente di correlazione 3 = 1,5 (n=5 verticali di indagine lungo la strada, ovvero sondaggi S1 ed S2 campagna 2024, S1 S2 ed S3 campagna 2025) come:

$$R_{ak} = R_{ac} / \xi_3 = 388{,}7 \text{ kN}$$

Numero di verticali indagate	1	2	3	4	5	7	≥ 10
ξ_3	1,70	1,65	1,60	1,55	1,50	1,45	1,40
ξ_4	1,70	1,55	1,48	1,42	1,34	1,28	1,21

Figura 29 - Fattori di correlazione per derivare la resistenza caratteristica dalle prove geotecniche, in funzione del numero n di profili di indagine (Tab. 6.4.IV NTC 2018)

Nel caso di **micropali in trazione**, la **resistenza laterale unitaria di progetto** (R_{ad}) viene determinata dividendo la resistenza caratteristica per il coefficiente di sicurezza γ_R = 1,25 (resistenza laterale di pali trivellati in trazione, vedi Tabella 7.1):

$$\mathbf{R_{ad} = R_{ak} / \gamma_R = 310{,}9 \text{ kN}} \text{ (micropali in trazione)}$$

Nel caso di **micropali in compressione**, la **resistenza laterale unitaria di progetto** (R_{ad}) viene determinata

dividendo la resistenza caratteristica per il coefficiente di sicurezza γ_R = 1,15 (resistenza laterale di pali trivellati in compressione, vedi Tabella 7.1):

$$\mathbf{R_{ad} = R_{ak} / \gamma_R = 338{,}0\ kN}$$ (micropali in compressione)

Nel caso dei micropali in compressione, allo stato limite ultimo può essere considerato anche il contributo della resistenza alla punta (P), la quale può essere assunta pari al 15% della resistenza laterale (da Viggiani, Fondazioni). Nel caso in esame, il contributo della punta è, cautelativamente, trascurato.

9 PROPRIETÀ DI RIFERIMENTO PER I MICROPALI DI ANCORAGGIO

I micropali di ancoraggio previsti in progetto sono caratterizzati da un diametro della perforazione pari a d=115mm e dall'utilizzo di barre cave autoperforanti R38 in acciaio di classe minima S460 in possesso di certificato di valutazione tecnica in corso di validità (CVT) del CSLLPP o marcatura CE sulla base di ETA**,** in accordo alle NTC 2018. L'interasse fra i micropali di ancoraggio è pari a 1,60 m, mentre l'inclinazione rispetto l'orizzontale è pari a 10,0°. L'esecuzione dei micropali deve essere conforme alle indicazioni di cui alla norma armonizzata EN 14199 (Esecuzione di lavori geotecnici speciali – Micropali) e, in ogni caso, alle istruzioni del fabbricante del sistema.

La tipologia di puntale a perdere più adatta potrà essere scelta dall'Esecutore in relazione ai materiali attraversati, nel rispetto del diametro di perforazione di progetto.

Le principali proprietà di riferimento considerate nella progettazione sono le seguenti:

Micropalo D115mm, barra cava autoperforante R38 S460

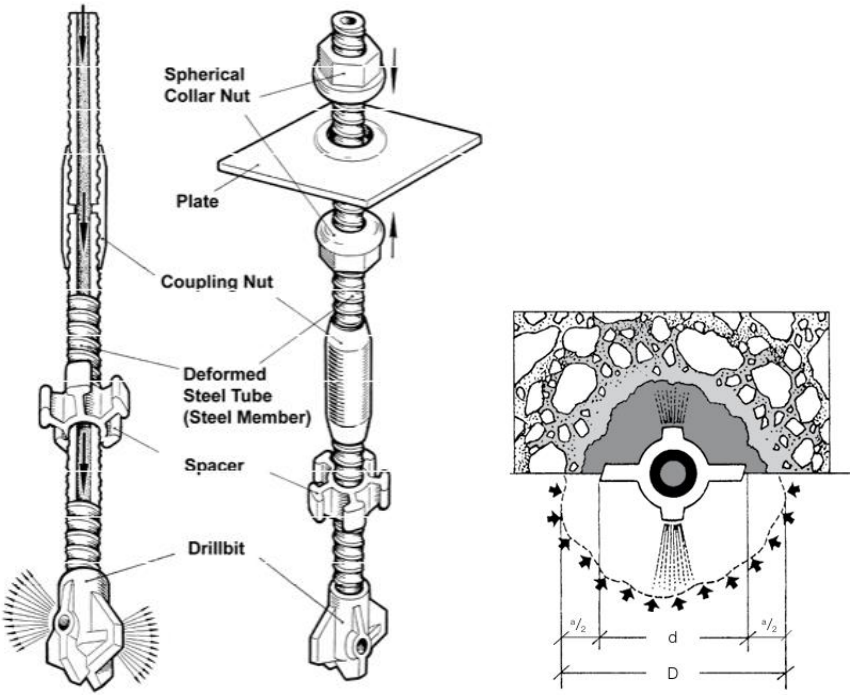

Figura 30 - Principali elementi costituenti i micropali autoperforanti

Diametro della perforazione (puntale a perdere):	d	= 115,0 mm
Lunghezza della perforazione (I° ordine):	L_{perf}	= 14,0 m
(II° ordine):	L_{perf}	= 11,0 m
Inclinazione della perforazione (rispetto orizzontale):	i	= 10,0 (cw)°
Tipologia di getto/iniezione:	Tipo E (AASHTO LRFD BDS 2012)	
Diametro nominale esterno della barra:	D_{ne}	= 38,0 mm
Diametro interno medio della barra:	D_{ni}	= 19,0 mm
Area nominale della sezione trasversale della barra:	A_n	= 800,0 mm^2
Massa nominale della barra:	W	= 6,28 kg/m
Classe acciaio (v.5.4.4)	S460 J0	

Valore nominale della della forza di snervamento	$F_{0,2nom}$	= 400,0 kN
Valore nominale della forza massima (rottura)	$F_{t,nom}$	= 470,0 kN
Allungamento totale a forza massima	A_{gt}	≥ 5,0 %

9.1 RESISTENZA STRUTTURALE

La resistenza strutturale di progetto della barra da considerare nelle verifiche di sicurezza, nel caso di sezione integra (non corrosa) è pari a:

- Fyd = F0,2,nom / γs = 400,0 kN / 1,15 = 347,8 kN (sezione integra)

In opera, si preferirà l'utilizzo di barre opportunamente protette dalla corrosione, mediante zincatura o rivestimenti protettivi di tipo polimerico. L'utilizzo degli opportuni centratori garantirà inoltre la presenza di un adeguato copriferro.

Nelle verifiche di sicurezza relative alla configurazione definitiva delle opere, la resistenza di progetto considerata è comunque, cautelativamente, quella relativa alla sezione resistente corrosa secondo i tassi di corrosione suggeriti in relazione alle condizioni ambientali di progetto dall'Eurocodice 3 parte 5, definiti al §7.6.3. Nello specifico, essendo:

- Perdita di spessore di progetto (V_N = 50,0 anni):	δ	= 0,60 mm
- Diametro esterno della barra (integra):	D_{ne}	= 38,0 mm
- Diametro esterno della barra (corroso):	$D^*_{ne} = D_{ne} - 2\,\delta$	= 36,8 mm
- Diametro interno della barra:	D_{ni}	= 19,0 mm
- Area della sezione resistente (corrosa)	A*	= 780,0 mm^2

Si ottiene la resistenza strutturale di progetto della sezione corrosa pari a:

$$F^*_{yd} = A^* f_{0,2nom} / \gamma_s = 358,8 \text{ kN} / 1,15 = 312,0 \text{ kN (sezione corrosa)}$$

La resistenza dei manicotti di giunzione, garantita dal produttore delle barre, sarà almeno pari a quella della barra corrente.

9.2 RESISTENZA A SFILAMENTO

La resistenza a sfilamento dei micropali di ancoraggio è stata determinata considerando le lunghezze efficaci a sfilamento sintetizzate in Tabella 9.1 e Tabella 9.2**,** determinate secondo le costruzioni grafiche riportate di Figura 31 e Figura 32 rispettivamente per le verifiche delle opere provvisionali e per le verifiche di sicurezza relative all'opera completa e relativamente ai due ordini di ancoraggi del Tratto A e dei Tratti B e C

La lunghezza efficace massima ($L_{anc,max}$) che può essere considerata nelle verifiche è data dalla lunghezza del micropalo esterna al volume di terreno potenzialmente instabile.

La definizione del volume di terreno potenzialmente instabile relativo alle fasi provvisionali è stata eseguita riferendosi al solo caso statico. Per quanto riguarda il caso dell'opera completa si è trascurata la presenza delle opere provvisionali e si è tenuto presente che, per effetto del sisma, la potenziale superficie di scivolamento dei cunei di spinta presenta un'inclinazione sull'orizzontale minore di quella del caso statico (definita cautelativamente considerando l'angolo di attito di 27° proprio del terreno meno consistente fra quelli in posto). In tal caso, detta L_s la lunghezza non efficace in condizioni statiche, la corrispondente lunghezza in condizioni sismiche può essere ottenuta mediante la relazione (NTC 2018 §7.11.6.4):

$$L_e = L_S (1 + 1,5\, a_{max}/g)$$

Nel caso in esame, considerato che a_{max} = 0,391g (v.§7.5.3), risulta L_e = 1,6 L_s.

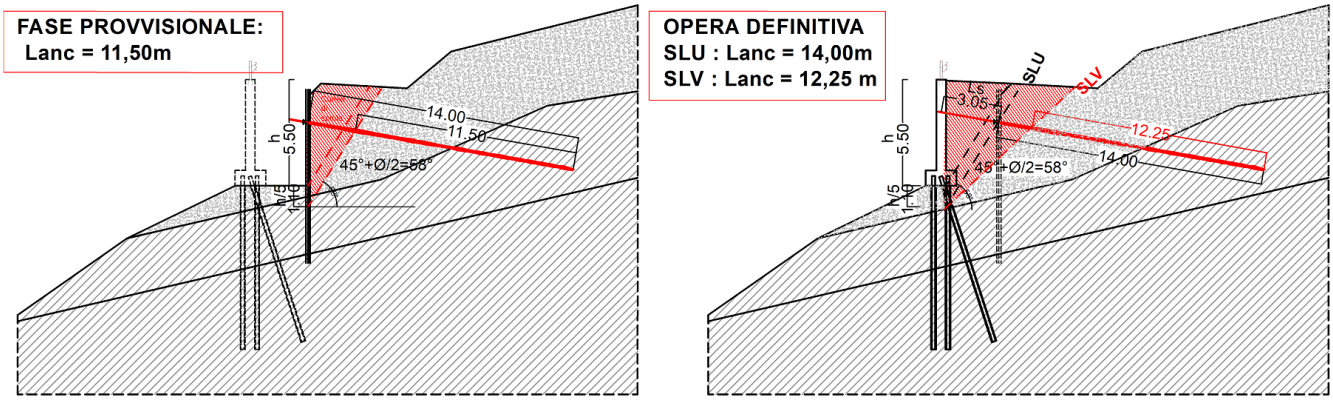

Figura 31 - Valutazione della lunghezza di micropalo efficace a sfilamento nel tratto A

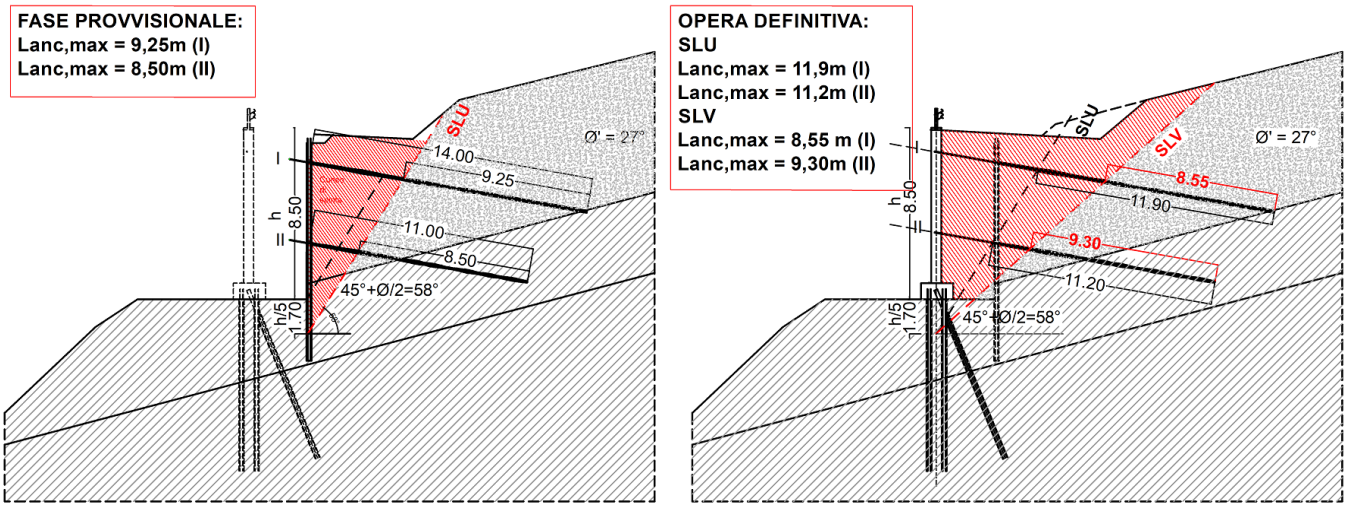

Figura 32 - Valutazione della lunghezza di micropalo efficace a sfilamento nei tratti B e C

	L_{anc} (ordine alto)	L_{anc} (ordine basso)
Opera provvisionale (SLE/SLU)	11,5 m	Non previsto
Opera Definitiva (SLE/SLU)	14,0 m	Non previsto
Opera Definitiva (SLD/SLV)	12,2 m	Non previsto

Tabella 9.1 Lunghezze di micropalo efficaci a sfilamento (Tratto A - altezza massima di scavo 6,5m)

	L_{anc} (ordine alto)	L_{anc} (ordine basso)
Opera provvisionale (SLE/SLU)	9,25 m	8,50m
Opera Definitiva (SLE/SLU)	11,90 m	11,20 m
Opera Definitiva (SLD/SLV)	8,55 m	9,30 m

Tabella 9.2 Lunghezze di micropalo efficaci a sfilamento (tratti B e C-altezza massima di scavo 8,5m)

Per la determinazione della resistenza unitaria di interfaccia fra il terreno di fondazione e il corpo iniettato (q_s), si è fatto riferimento agli abachi di Bustamante e Doix per sabbie e ghiaie (Curva SG2 v. Figura 33).

Riferendosi a condizioni di medio addensamento, la resistenza unitaria di interfaccia terreno / ancoraggio adottata nelle calcolazioni, è pari a **q_s = 110 kPa**.

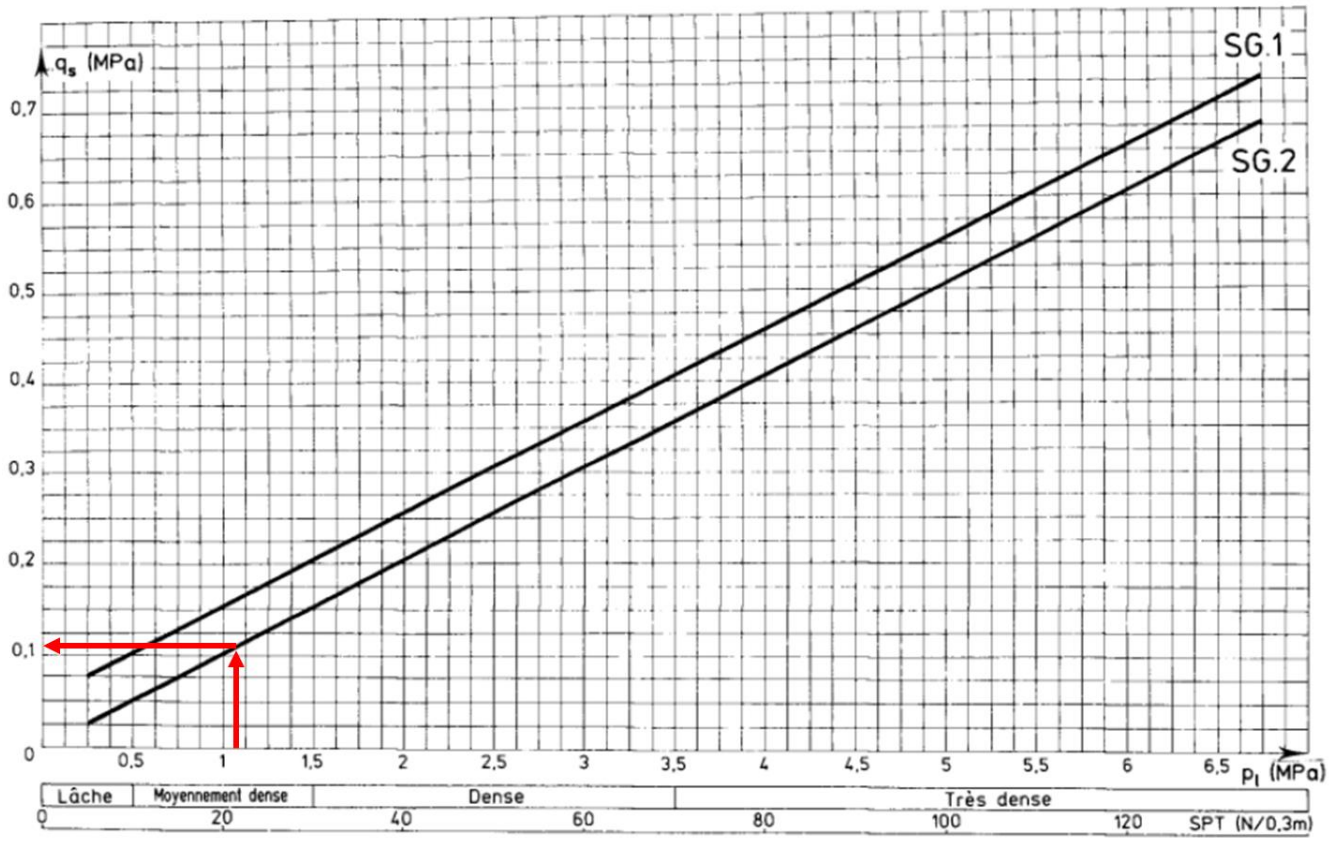

Figura 33 - Abachi di Bustamante e Doix (1985) per il calcolo della resistenza tangenziale di aderenza: sabbie e ghiaie.

Nota la resistenza unitaria di interfaccia (q_s), la resistenza R_{ac} allo sfilamento del micropalo (valore di calcolo) si ottiene in funzione della superficie laterale definita considerando un guadagno in diametro per effetto della tecnica esecutiva in relazione alla natura del terreno di fondazione e dalle modalità costruttive:

$$R_{ac} = \pi D\, q_s\, L_{anc}$$

con:

D è il diametro effettivo del corpo iniettato (D = d+a, Figura 34)	= 140	mm
d è il diametro nominale della perforazione	= 115	mm
a è il guadagno in diametro (da EA-Pfäle, Raccomandazioni Tedesche)	= 25	mm
q_s è la resistenza unitaria all'interfaccia bulbo di fondazione-terreno	= 110	kPa
L_{anc} è la lunghezza di micropalo considerata efficace a sfilamento	= Tabella 9.1 Tabella 9.2	

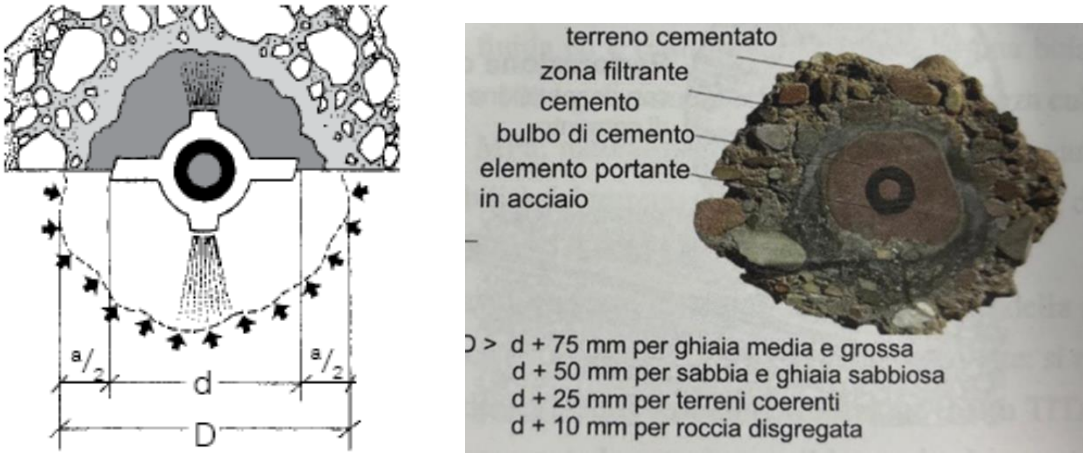

Figura 34 - Diametro effettivo (D) del micropalo realizzato con barra autoperforante

	R_{ac} (ordine alto)	R_{ac} (ordine basso)
Opera provvisionale (SLE/SLU)	556,4 kN	Non previsto
Opera Definitiva (SLE/SLU)	677,3 kN	Non previsto
Opera Definitiva (SLD/SLV)	590,2 kN	Non previsto

Tabella 9.3 Resistenza allo sfilamento dei micropali di ancoraggio (R_{ac}) – Tratto A

	R_{ac} (ordine alto)	R_{ac} (ordine basso)
Opera provvisionale (SLE/SLU)	447,5 kN	411,2 kN
Opera Definitiva (SLE/SLU)	575,7 kN	541,9 kN
Opera Definitiva (SLD/SLV)	413,7 kN	449,9 kN

Tabella 9.4 Resistenza allo sfilamento dei micropali di ancoraggio (R_{ac}) – Tratti B e C

La resistenza caratteristica R_{ak} a sfilamento del micropalo viene determinata assumendo un coefficiente di correlazione ξ_3 = 1,5 (Figura 35, n=5 verticali di indagine lungo la strada, ovvero sondaggi S1 ed S2 campagna 2024, S1 S2 ed S3 campagna 2025) come:

$$R_{ak} = R_{ac} / \xi_3$$

	R_{ak} (ordine alto)	R_{ak} (ordine basso)
Opera provvisionale (SLE/SLU)	370,9 kN	Non previsto
Opera Definitiva (SLE/SLU)	451,6 kN	Non previsto
Opera Definitiva (SLD/SLV)	393,5 kN	Non previsto

Tabella 9.5 Valori caratteristici della resistenza a sfilamento dei micropali di ancoraggio (R_{ak}) – Tratto A

	R_{ak} (ordine alto)	R_{ak} (ordine basso)
Opera provvisionale (SLE/SLU)	298,3 kN	274,2 kN
Opera Definitiva (SLE/SLU)	383,8 kN	361,2 kN
Opera Definitiva (SLD/SLV)	275,8 kN	300,0 kN

Tabella 9.6 Valori caratteristici della resistenza a sfilamento dei micropali di ancoraggio (R_{ak}) – Tratti B e C

Numero di verticali indagate	1	2	3	4	5	7	≥ 10
ξ_3	1,70	1,65	1,60	1,55	1,50	1,45	1,40
ξ_4	1,70	1,55	1,48	1,42	1,34	1,28	1,21

Figura 35 - Fattori di correlazione per derivare la resistenza caratteristica dalle prove geotecniche, in funzione del numero n di profili di indagine (Tab. 6.4.IV NTC 2018)

Nel caso di **micropali in trazione**, la **resistenza laterale unitaria di progetto** (R_{ad}) viene determinata dividendo la resistenza caratteristica per il coefficiente di sicurezza γ_R = 1,25 (resistenza laterale di pali trivellati in trazione, vedi Tabella 7.1):

$$R_{ad} = R_{ak} / \gamma_R$$

In definitiva, i valori di progetto della resistenza a sfilamento da considerare nelle verifiche di sicurezza sono quelli sintetizzati nelle tabelle seguenti

	R_{ad} (ordine alto)	**R_{ad} (ordine basso)**
Opera Provvisionale (SLE/SLU)	**296,7kN**	Non previsto
Opera Definitiva (SLE/SLU)	**361,2 kN**	Non previsto
Opera Definitiva (SLD/SLV)	**314,8 kN**	Non previsto

Tabella 9.7 Valori di progetto della resistenza a sfilamento dei micropali di ancoraggio (R_{ad}) – Tratto A (con 1 ordine di ancoraggio e altezza massima di scavo 5,5m)

	R_{ad} (ordine alto)	**R_{ad} (ordine basso)**
Opera Provvisionale (SLE/SLU)	**238,7 kN**	**219,3 kN**
Opera Definitiva (SLE/SLU)	**307,0 kN**	**288,9 kN**
Opera Definitiva (SLD/SLV)	**220,6 kN**	**239,9 kN**

Tabella 9.8 Valori di progetto della resistenza a sfilamento dei micropali di ancoraggio (R_{ad}) – Tratti B e C (con 2 ordini di ancoraggio e altezza massima di scavo 8,5m)

10 PROPRIETÀ DI RIFERIMENTO PER I PROFILATI METALLICI A SEZIONE APERTA

Per la realizzazione delle travi di ripartizione delle paratie provvisionali è previsto l'utilizzo di profilati in acciaio laminato a caldo a flange parallele 2 x UPE 160 (acciaio S355 JR), caratterizzati ciascuno dalle seguenti proprietà geometriche ed inerziali:

Designazione: UPE 160

Normative riferimento: UNI EN 10365:2017 (dimensioni)
EN 10279:2000 (tolleranze)

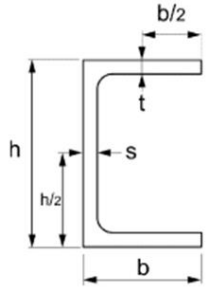

Designation	G	Dimensions				A
		h	b	s	t	
	kg/m	mm	mm	mm	mm	cm²
UPE 160	17,0	160,0	70,0	5,5	9,5	21,7

Momento di inerzia rispetto l'asse forte	J_1	= 911,0 cm^4
Momento di inerzia rispetto l'asse debole	J_2	= 107,0 cm^4
Modulo di resistenza elastico (asse forte)	W_{el}	= 114,0 cm^3
Modulo di resistenza plastico (asse forte)	W_{pl}	= 132,0 cm^3
Classificazione della sezione (S355)	1	(flessione e compressione)
Area resistente a taglio (sul piano dell'anima)	A_v	= 10,0 cm^2

11 CARATTERISTICHE DI RIFERIMENTO PER IL RIEMPIMENTO IN MATERIALE GRANULARE

Per la realizzazione del riempimento a tergo de nuovo muro in calcestruzzo armato è previsto l'utilizzo di pietrisco da frantumazione di classe granulometica 16/32. Gli aggregati dovranno essere del tutto esenti da frazioni o componenti vegetali, organiche e da elementi solubili, gelivi, frantumabili o comunque instabili nel tempo (es: rocce argilloso – scistose).

I parametri geotecnici di riferimento considerati nelle analisi sono i seguenti:

Coesione efficace	Angolo di attrito efficace	Peso di volume	Modulo di Poisson	Modulo elastico operativo
c'_k	ϕ_k'	γ_k	v	E'
0,0 kPa	38,0°	19,0 kN/m^3	0,3	50,0 MPa

Tabella 11.1 Parametri geotecnici assunti per il riempimento in Misto granulare

Il valore dell'angolo di attrito efficace considerato è stato determinato per mezzo della correlazione empirica proposta da Lundgren e Brinch – Hansen (1958):

$$\phi' = 36° + \phi_1 + \phi_2 + \phi_3 + \phi_4 \approx 38{,}0°$$

dove:

- ϕ_1 correzione per dimensione delle particelle: +2° (ghiaie); +1° (ghiaie più sabbie); 0°(sabbia). Nel caso in esame si è considerato **ϕ_1 = +2° (ghiaia);**
- ϕ_2 correzione per stato di addensamento: - 6° (terreni molto sciolti); -3° (terreni sciolti); 0° (terreni a medio addensamento); +3° (terreni densi); +6° (terreno molto addensati). Nel caso in esame viste le modalità di posa in opera si considera **ϕ_2 = +3° (denso)**;
- ϕ_3 correzione per distribuzione granulometrica: -3° (terreni uniformi); 0° (terreni mediamente assortiti); +3° (terreni ben assortiti). Nel caso in esame si considera **ϕ_3 = -3° (terreno uniforme)**
- ϕ_4 correzione per forma delle particelle: +1° (particelle angolose); 0° (semi – angolose); - 3° (semi – arrotondate); -5° (arrotondate). Nel caso in esame si considera cautelativamente **ϕ_4= 0° (particelle tendenzialente angolose).**

Il valore associato al peso di volume (γ_k) è un valore tipico per sabbie e ghiaie uniformi compattate (Figura 36)

Table 3.7 TYPICAL COMPACTED DENSITIES AND OPTIMUM MOISTURE CONTENTS FOR SOIL TYPES USING THE UNIFIED CLASSIFICATION SYSTEM

Soil description	*Class*	*MDD standard compaction* (kg/m^3)	*Optimum moisture content* (%)
Gravel/sand mixtures:			
well-graded, clean	GW	2000–2150	11–8
poorly-graded, clean	GP	1850–2000	14–11
well-graded, small silt content	GM	1900–2150	12–8
well-graded, small clay content	GC	1850–2000	14–9
Sands and sandy soils:			
well-graded, clean	SW	1750–2100	16–9
poorly-graded, small silt content	SP	1600–1900	21–12
well-graded, small silt content	SM	1750–2000	16–11
well-graded, small clay content	SC	1700–2000	19–11
Fine-grained soils of low plasticity:			
silts	ML	1500–1900	24–12
clays	CL	1500–1900	24–12
organic silts	OL	1300–1600	33–21
Fine-grained soils of high plasticity:			
silts	MH	1100–1500	40–24
clays	CH	1300–1700	36–19
organic clays	OH	1050–1600	45–21

Figura 36 - Valori tipici del peso di volume di terreni compattati (da Carter e Bentley -Correlations for soil properties)

Il modulo elastico è stato stimato cautelativamente per mezzo della seguente correlazione empirica, ipotizzando una densità relativa dell'85%:

$$E\ [MPa] = RD\ (\%) \times (60/100) = 51\ MPa \approx 50\ MPa$$

12 ANALISI E VERIFICHE GEOTECNICHE E STRUTTURALI

Nel presente capitolo si presentano le analisi e le verifiche delle strutture in progetto.

12.1 ANALISI NUMERICHE DELLE OPERE IN PROGETTO

Nel caso in esame, tutte le analisi di interazione terreno - struttura (analisi allo stato limite Ultimo e di esercizio) sono state condotte con l'impiego del software agli elementi finiti Plaxis 2D specificamente dedicato alla risoluzione di problemi di tipo geotecnico.

Il metodo degli elementi finiti (F.E.M.) si basa su una discretizzazione del volume di terreno in una serie di elementi poligonali che si scambino le azioni solo attraverso i punti nodali; in tali punti, nel rispetto delle condizioni di equilibrio e congruenza e delle leggi costitutive per i materiali, si ricava un sistema di equazioni la cui soluzione fornisce gli spostamenti nodali incogniti. Noti gli spostamenti ai nodi, attraverso funzioni di forma, si ottengono spostamenti e deformazioni negli elementi e la distribuzione delle tensioni in tutto il mezzo. Le principali caratteristiche del programma sono:

- *Automatic mesh generation*: il codice Plaxis utilizza elementi finiti triangolari che sono generati in maniera completamente automatica, con la possibilità di raffittire gli stessi in corrispondenza di punti di interesse;
- *Interfaces*: sono utilizzate per simulare l'interazione tra gli elementi strutturali e il terreno lungo la superficie di contatto; alla superficie di interfaccia è possibile assegnare coefficienti di attrito e adesione diversi da quelli del terreno circostante;
- *Advanced soil model*: è possibile utilizzare una varietà di modelli costitutivi, dal semplice modello elasto-perfettamente plastico ai modelli più avanzati che considerano elasticità non lineare e leggi di incrudimento plastico;
- *Staged construction*: è possibile simulare processi di costruzione e di scavo per fasi successive permettendo quindi una valutazione più realistica dello stato tensionale iniziale e della sua variazione al progredire dell'intervento;
- *Design Approaches*: è possibile implementare nelle analisi i fattori parziali sui parametri geotecnici e/o sulle azioni di progetto.

12.1.1 Modelli geotecnici

Le analisi numeriche sono state condotte con riferimento alle sezioni trasversali più significative per l'opera. In particolare, sono state considerate tre sezioni di calcolo, rispettivamente rappresentative di tratti di paratia provvisionale A, ricadente nel settore NORD e B e C ricadenti nel settore SUD secondo la schematizzazione indicata in Figura 15. In ogni caso, le principali assunzioni alla base della modellazione numerica sono:

- analisi di interazione condotte in condizioni piane e drenate;
- le paratie (opere provvisionali e nuovo muro) sono modellate attraverso elementi *plate* di adeguata rigidezza assiale e flessionale in relazione alle caratteristiche di progetto;
- le travi di ripartizione e le travi di coronamento non sono esplicitamente modellate;
- i micropali di ancoraggio ed i micropali di fondazione inclinati sono modellati per mezzo di due tipologie di elementi strutturali: il tratto non efficace a sfilamento è modellato per mezzo di elementi *node to node anchor*, mentre il tratto efficace a sfilamento per mezzo di elementi *embedded beam row* (grout body); trattandosi di elementi passivi non si è applicato alcun pre-tiro;
- attrito parete – terreno pari $\delta = k\phi_{cv}$. Nel caso delle interfacce fra il terreno ed i micropali delle paratie e di fondazione si è considerato k = 1,0 (in accordo a quanto indicato per pali trivellati dalla EN 1997-1 §9.5); nel caso dell'interfaccia al contatto fra il paramento del muro in calcestruzzo ed il riempimento retrostante si è considerato k = 0,5.

- il contributo dell'adesione parete – terreno è, cautelativamente, stato trascurato.
- le analisi funzionali alle verifiche di sicurezza del nuovo muro sono svolte trascurando la presenza delle retrostanti opere provvisionali;
- il paramento murario esistente, necessario alla ricostruzione dello stato attuale (in termini si stati tensionali), è stato modellato secondo elementi elastici;
- quando pertinente in ragione della prossimità al ciglio scarpata (tratto A), le sollecitazioni allo stato limite ultimo sono state determinate considerando uno scalzamento a valle di 2,0m misurato dalla testa dei micropali di fondazione.

Nelle seguenti schede si sintetizzano le caratteristiche salienti delle tre sezioni di calcolo.

TRATTO A

Fine scavo opera provvisionale:

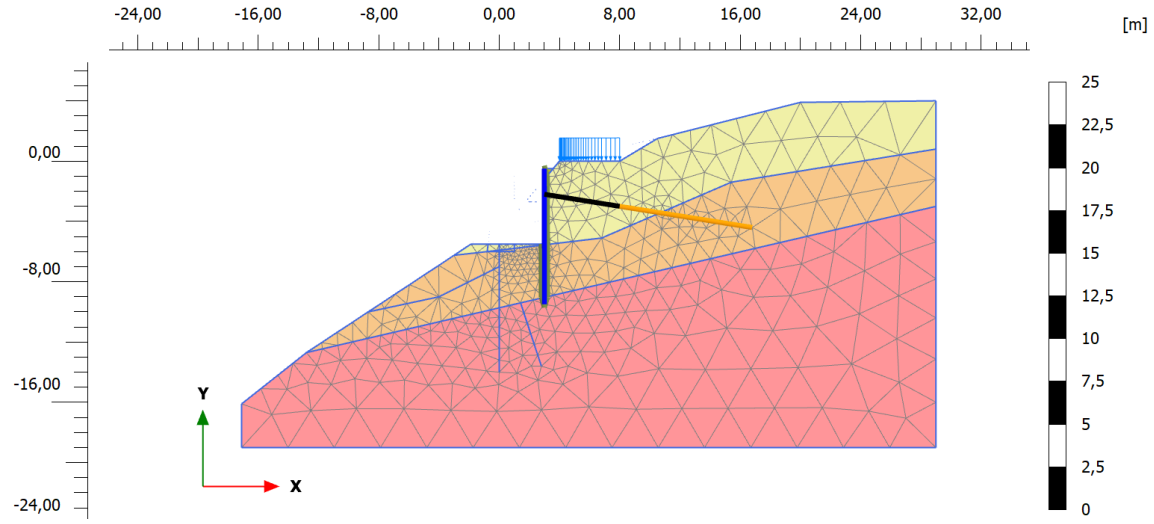

Verifiche di sicurezza e funzionalità nuovo muro su micropali

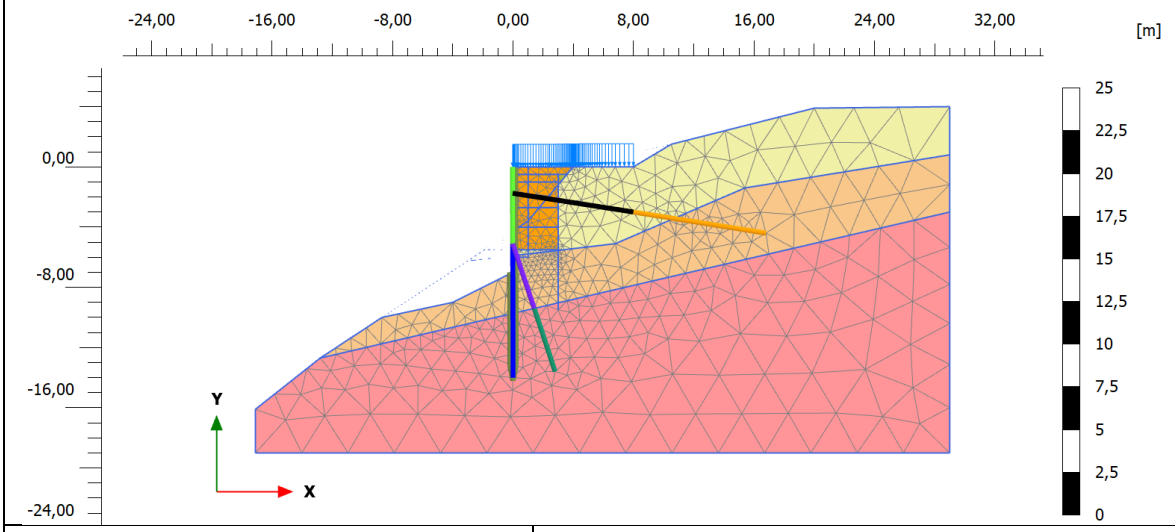

Lunghezza e quota testa micropali paratia provvisionale	L = 9,0 m (8,75m interrati) Trivellazione da – 0,5m da p.c.
Altezza di scavo nominale (SLE)	h = 5,00 m (da p.c.)
Scavo di calcolo (SLU)	h^{ULS} = h + (Δa=0,50m) = 5,50m
Micropali di ancoraggio	inclinazione 10° dall'orizzontale, quota -1,70 m da testa micropali op. provvisionale
Altezza nuovo paramento	5,1m (da baricentro trave fondazione)

TRATTO B

Fine scavo opera provvisionale:

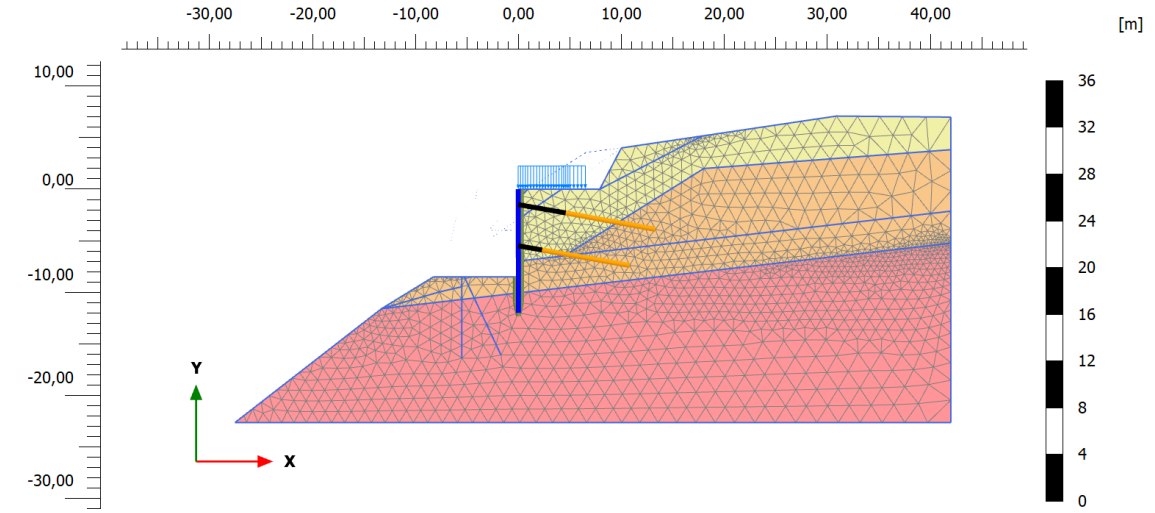

Verifiche di sicurezza e funzionalità nuovo muro su micropali

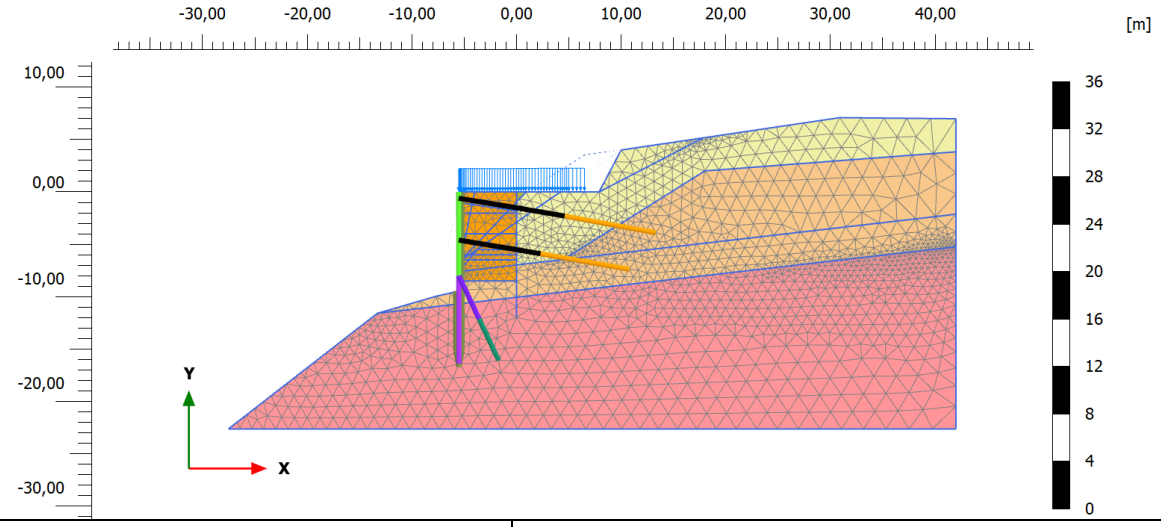

Lunghezza e quota testa micropali paratia esistente	L = 12,0 m Trivellazione da 0,0m da p.c.
Altezza di scavo nominale (SLE)	h = 8,00 m (da testa paratia)
Altezza di scavo di calcolo (SLU)	h^{ULS} = h + (Δa=0,50m) = 8,50m
Micropali di ancoraggio	inclinazione 10°dall'orizzontale I : -1,50m da testa paratia provvisionale II: -5,50m da testa paratia provvisionale
Altezza nuovo paramento	8,0m (da baricentro trave fondazione)

TRATTO C

Fine scavo opera provvisionale:

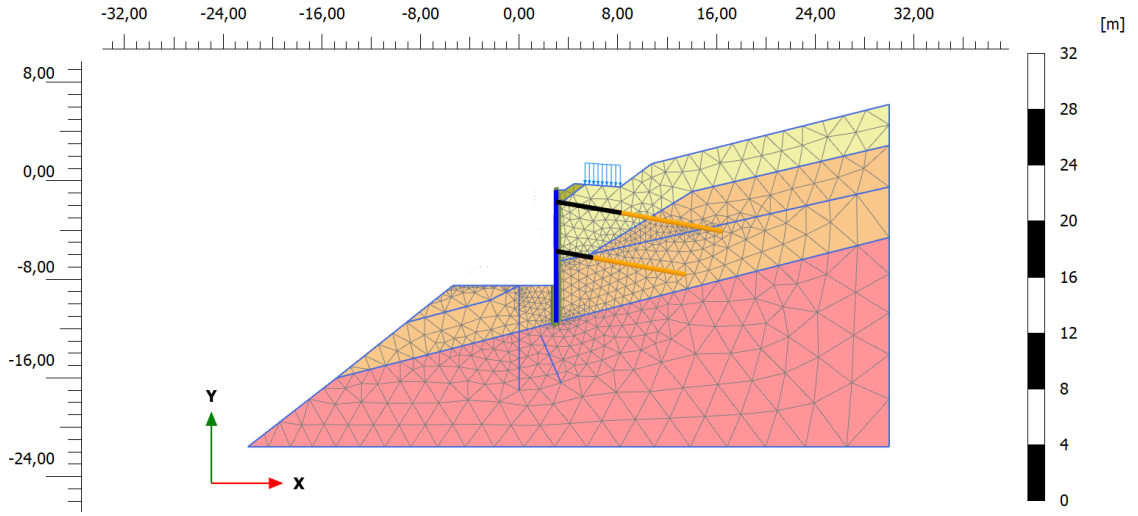

Verifiche di sicurezza e funzionalità nuovo muro su micropali

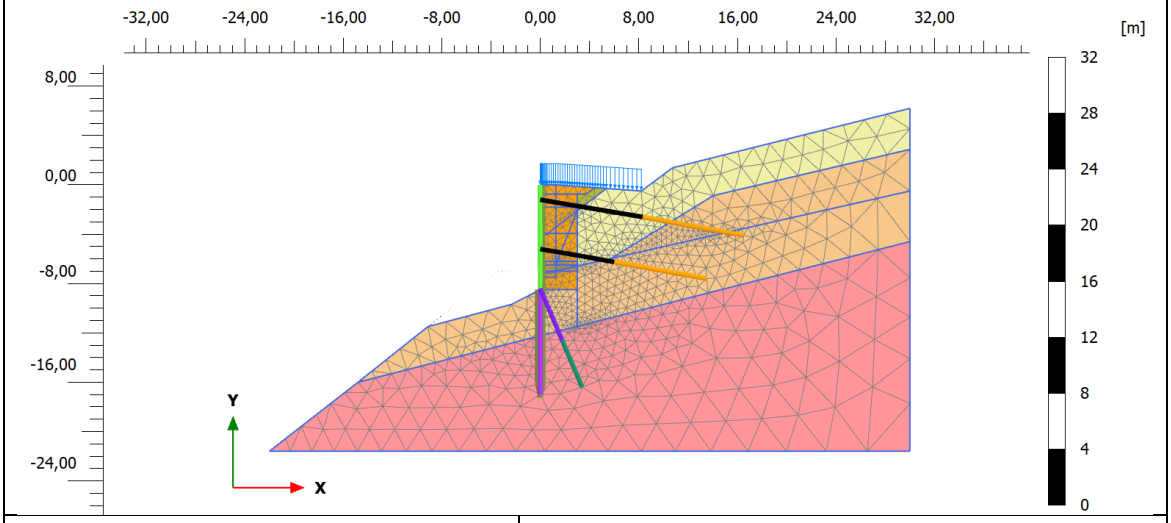

Lunghezza e quota testa micropali paratia provvisionale	L = 11,0 m (10,75m interrati) Trivellazione da – 0,5m da p.c.
Altezza di scavo nominale (SLE)	h = 8,00 m (da testa paratia)
Altezza di scavo di calcolo (SLU)	h^{ULS} = h + (Δa=0,50m) = 8,50m
Micropali di ancoraggio	inclinazione 10° dall'orizzontale I : -1,50m da testa paratia provvisionale II: -5,50m da testa paratia provvisionale
Altezza nuovo paramento	8,0m (da baricentro trave fondazione)

I parametri geotecnici considerati nella modellazione sono sintetizzati in Tabella 12.1, mentre in Tabella 12.2 si riportano i parametri di input per gli elementi strutturali.

		Ug1	Ug2	Ug3	R	Re	I
Modello costitutivo	-	MC	MC	MC	MC	MC	MC
Peso di volume	γ [kN/m³]	19,0	20,0	20,0	19,0	19,0	19,0
Caratteristiche di resistenza	c '[kPa]	8,0	20,0	50,0	0,0	0,0	0,0
	φ' [°]	27,0	30,0	30,0	38,0	30,0	30,0
Modulo di Poisson	v [-]	0,30	0,30	0,30	0,30	0,30	0,40
Modulo elastico operativo	E' [kPa]	30.000	50.000	85.000	50.000	30.000	15.000
Fattore riduzione resistenza e rigidezza all'interfaccia	R_{inter}	-	-	-	0,50	0,50	-
MC: Mohr – Coulomb R: Riempimento in misto granulare Re: Riempimenti esistenti I: Interfaccia micropali - terreno							

Tabella 12.1 Parametri geotecnici considerati nella modellazione agli elementi finiti

	Identification	Tipo	EA	EI	v	L spacing	T_{skin}
			-	-	[-]	[m]	[kN/m]
1	Micropali fondazione (verticali) Tubolare 168,3 sp.10,0 mm Riempito con malta Interasse medio i = 0,27 m	Plate	3.867.999 kN/m	14.803 kNm²/m	0,30	-	-
2	Micropali di fondazione (inclinati) – tubolare 168,3 sp.10,0 mm - tratto non efficace a sfilamento (i = 1,60m)	Node to node anchor	1.044.359 kN	-	-	1,60	-
3	Micropali di fondazione (inclinati) – tubolare 168,3 sp.10,0 mm- tratto efficace a sfilamento (i = 1,60m)	Embedded beam row (grout body)	1.044.359 kN	-	-	1,60	125,0
3	Micropali paratia provvisionale (Tratto A e Tratto C) Tubolare 168,3 sp.8,0mm Riempito con malta Interasse 0,40m	Plate	2.115.109 kN/m	8792 kN kNm²/m	0,30	-	-
3b	Micropali paratia esistente (Tratto B) D400mm c.a. i medio = 0,40m	Plate	9.425.000 kN/m	94.250 kNm²/m	0,20	-	-
4	Parete C32/40 sp.0,50m	Plate	16.672.882 kN/m	347.351 kNm²/m	0,20	-	
5	Micropalo ancoraggio autoperforante R38 /1,60m (tratto	Node to node	135.000 kN	-	-	1,60	-

	Identification	Tipo	EA	EI	v	L spacing	T_{skin}
			-	-	[-]	[m]	[kN/m]
	non efficace a sfilamento)	Anchor					
6	Micropalo ancoraggio autoperforante R38 /1,60m (tratto efficace a sfilamento)	Embedded beam row (grout body)	135.000 kN	-	-	1,60	30,0

Nel calcolo delle rigidezze sono state fatte le seguenti assunzioni:

la rigidezza assiale dei micropali è calcolata con riferimento alla sola sezione di armatura metallica

la rigidezza flessionale dei micropali è ottenuta sommando, la rigidezza dell'armatura a quella del riempimento interno, nell'ipotesi di aderenza nulla fra i due materiali

Tabella 12.2 Lista delle proprietà considerate per gli elementi strutturali

La sequenza delle fasi costruttive considerate nella modellazione è sintetizzata nelle tabelle seguenti, rispettivamente per le tre sezioni di calcolo considerate:

	Fase	**Fase di provenienza:**	**Descrizione**
Ricostruzione dello stato di fatto (costruzione muro a gravità esistente)	0	N/A	*STATO TENSIONALE INIZIALE*: Generazione dello stato tensionale iniziale con procedura *Gravity loading.*
	1-2	0	Costruzione per fasi successive del muro a gravità esistente fino a raggiungere lo STATO di FATTO
Costruzione delle opere in progetto	3	2	Preparazione del cantiere (realizzazione di un piano di lavoro a -0,5m dal piano strada esistente)
	4	3	Attivazione dei micropali della paratia provvisionale
	5	4	Reset degli spostamenti maturati nelle fasi precedenti, attivazione del sovraccarico stradale q = 20 kPa a tergo della paratia provvisionale ed escavo di 2,5m
	6	5	Attivazione del I ordine di micropali di ancoraggio
	7	6	Escavo fino al raggiungimento della profondità di scavo di progetto di 5,5m da p.c. a ridosso dell'opera provvisionale
	8	7	Reset degli spostamenti maturati nelle fasi precedenti, Attivazione del nuovo muro su micropali
	9-10	8	Riempimento per fasi del volume fra la paratia provvisionale ed il muro in ca, con materiale granulare, fino a quota intradosso ancoraggio
	11	10	Collegamento della barra di ancoraggio al nuovo muro in c.a.
	12-13	11	Completamento del riempimento mediante misto granulare stabilizzato.
Combinazioni di carico allo SL di esercizio e ultimo (Opera definitiva)	14	13	Disattivazione dei micropali della paratia provvisionale al fine delle verifiche di sicurezza e funzionalità dell'opera finale.
	15	13	**SLE/SLU11 – costr:** Attivazione del sovraccarico associato all'azione delle tensioni indotte dal costipamento del riempimento in materiale granulare (sollecitazioni allo SLU

	Fase	Fase di provenienza:	Descrizione
			ottenute moltiplicando x 1,30).
	16	14	**SLE:** Attivazione del sovraccarico stradale q = 20 kPa su tutta la sede stradale.
	17	16	**SLU11:** Attivazione del sovraccarico stradale q = 20 kPa amplificato del fattore 1,5/1,3 (risultati da moltiplicare x 1,3) scalzamento al piede dell'opera.
	18	16	**SLV:** Attivazione delle azioni pseudostatiche allo SLV (kh = 0,235; kv = 0,0); attivazione del valore di combinazione del sovraccarico stradale q = 0,3 x 20 = 6 kPa, scalzamento al piede dell'opera.
	19	16	**SLU12:** Riduzione dei parametri geotecnici del terreno dei fattori M2, attivazione del sovraccarico stradale q = 1,3 x 20kPa = 26 kPa, scalzamento al piede dell'opera.
	20	16	**SLD:** Attivazione delle azioni pseudostatiche allo SLD (kh = 0,175; kv = 0,0); attivazione del valore di combinazione del sovraccarico stradale q = 0,3 x 20 = 6 kPa, scalzamento al piede dell'opera.
	21	16	**ECCEZIONALE:** Attivazione delle azioni statiche equivalenti all'urto sulla barriera stradale; valore di combinazione del sovraccarico stradale q = 0,3 x 20 = 6 kPa
Combinazioni di carico allo SL di esercizio e ultimo (Opera provvisionale)	22	7	**SLU11-Provv.** Amplificazione del sovraccarico stradale a tergo dell'opera provvisionale del fattore 1,5/1,3 (risultati da amplificare di 1,3)
	23	7	**SLU12-Provv.** Amplificazione del sovraccarico stradale a tergo dell'opera provvisionale del fattore 1,3. Riduzione dei parametri geotecnici del terreno dei fattori M2

Tabella 12.3 Elenco delle fasi costruttive considerate nella modellazione (Tratto A)

	Fase	Fase di provenienza:	Descrizione
Ricostruzione dello stato di fatto (costruzione muro a gravità esistente)	0	N/A	*STATO TENSIONALE INIZIALE*: Generazione dello stato tensionale iniziale con procedura *Gravity loading.*
	1-3	0	Costruzione per fasi successive del muro a gravità esistente
Costruzione delle opere in progetto	3	2	Reset degli spostamenti maturati nelle fasi precedenti, Attivazione dei micropali della paratia provvisionale
	4-5	3	Simulazione della voragine prodotta dagli eventi meteorici (scavo di 3,0 a valle della paratia)
	6	5	Attivazione del sovraccarico q = 10 kPa a simulazione della presenza di mezzi leggeri di cantiere (per realizzazione micropali di ancoraggio)
	7	6	Attivazione del I ordine di micropali di ancoraggio
	5	4	Reset degli spostamenti maturati nelle fasi precedenti,

	Fase	Fase di provenienza:	Descrizione
			attivazione del sovraccarico stradale q = 20 kPa a tergo della paratia provvisionale ed escavo di 1,5m
	6	5	Attivazione del I ordine di micropali di ancoraggio
	7-8	6	Sovraccarico stradale a tergo della paratia provvisionale q = 20 kPa. Escavo progressivo fino al raggiungimento della profondità di intradosso II ordine micropali di ancoraggio (-6,0m da testa paratia).
	9	8	Attivazione del II ordine di micropali di ancoraggio
	10	9	Completamento dello scavo fino alla profondità di 8,5m (profondità scavo di calcolo)
	11	10	Reset degli spostamenti maturati nelle fasi precedenti, Attivazione del nuovo muro su micropali
	12	11	Riempimento del volume fra la paratia provvisionale ed il muro in ca, mediante materiale granulare, fino a quota intradosso II ordine ancoraggio (-6,0m da testa paratia)
	13	12	Collegamento della barra del II micropalo ancoraggio al nuovo muro in c.a.
	14	13	Riempimento del volume fra la paratia provvisionale ed il muro in ca, mediante materiale granulare, fino a quota intradosso I ordine ancoraggio (-2,5m da testa paratia)
	15	14	Collegamento della barra del I micropalo ancoraggio al nuovo muro in c.a.
	16-17	15	Completamento del riempimento mediante misto granulare stabilizzato.
Combinazioni di carico allo SL di esercizio e ultimo (Opera definitiva)	18	17	Disattivazione dei micropali della paratia provvisionale al fine delle verifiche di sicurezza e funzionalità dell'opera finale
	19	18	**SLE/SLU11 – costr:** Attivazione del sovraccarico associato all'azione delle tensioni indotte dal costipamento del riempimento in materiale granulare (sollecitazioni allo SLU ottenute moltiplicando x 1,30)
	19	18	**SLU11:** Scalzamento di 1,50m al piede della paratia. Attivazione del sovraccarico stradale q = 20 kPa amplificato del fattore 1,5/1,3 (risultati da moltiplicare x 1,3).
	20	18	**SLV:** Scalzamento di 1,50m al piede della paratia. Attivazione delle azioni pseudostatiche allo SLV (kh = 0,235; kv = 0,0); attivazione del valore di combinazione del sovraccarico stradale q = 0,3 x 20 = 6 kPa
	21	18	**SLU12:** Scalzamento di 1,50m al piede della paratia. Riduzione dei parametri geotecnici del terreno dei fattori M2, attivazione del sovraccarico stradale q = 1,3 x 20kPa = 26 kPa
	22	18	**SLD:** Scalzamento di 1,50m al piede della paratia. Attivazione delle azioni pseudostatiche allo SLD (kh = 0,175; kv = 0,0); attivazione del valore di combinazione del sovraccarico stradale q = 0,3 x 20 = 6 kPa
	23	17	**ECCEZIONALE:** Attivazione delle azioni statiche equivalenti

	Fase	Fase di provenienza:	Descrizione
			all'urto sulla barriera stradale; valore di combinazione del sovraccarico stradale q = 0,3 x 20 = 6 kPa
Combinazioni di carico allo SL di esercizio e ultimo (Opera provvisionale)	24	9	**SLU11-Provv.** Amplificazione del sovraccarico stradale a tergo dell'opera provvisionale del fattore 1,5/1,3 (risultati da amplificare di 1,3)
	25	9	**SLU12-Provv.** Amplificazione del sovraccarico stradale a tergo dell'opera provvisionale del fattore 1,3. Riduzione dei parametri geotecnici del terreno dei fattori M2

Tabella 12.4 Elenco delle fasi costruttive considerate nella modellazione (Tratto B)

	Fase	Fase di provenienza:	Descrizione
Ricostruzione dello stato di fatto (costruzione muro a gravità esistente)	0	N/A	*STATO TENSIONALE INIZIALE*: Generazione dello stato tensionale iniziale con procedura *Gravity loading.*
	1-2	0	Costruzione per fasi successive del muro a gravità esistente fino a raggiungere lo STATO di FATTO
Costruzione delle opere in progetto	3	2	Preparazione del cantiere (realizzazione di un piano di lavoro a -0,5m dal piano strada esistente)
	4	3	Attivazione dei micropali della paratia provvisionale
	5	4	Reset degli spostamenti maturati nelle fasi precedenti, attivazione del sovraccarico stradale q = 20 kPa a tergo della paratia provvisionale ed escavo di 1,5m
	6	5	Attivazione del I ordine di micropali di ancoraggio
	7-8	6	Escavo progressivo fino al raggiungimento della profondità di scavo di progetto di 6,0 m da p.c. a ridosso dell'opera provvisionale.
	9	8	Attivazione del II ordine di micropali di ancoraggio
	10-11	9	Scavo per fasi fino a raggiungere la profondità di scavo di calcolo a ridosso della paratia provvisionale di 8,5 m (da pc)
	12	11	Reset degli spostamenti maturati nelle fasi precedenti, Attivazione del nuovo muro su micropali
	13	12	Riempimento del volume fra la paratia provvisionale ed il muro in ca, mediante materiale granulare, fino a quota intradosso II micropalo ancoraggio (-6,0m circa dal p.c. iniziale)
	14	13	Collegamento della barra di ancoraggio (II ordine) al nuovo muro in c.a.
	15-16	14	Riempimento per fasi del volume fra la paratia provvisionale ed il muro in ca, mediante materiale granulare, fino a quota intradosso I micropalo ancoraggio (-2,0m circa dal p.c. iniziale)
	17	16	Collegamento della barra di ancoraggio (I ordine) al nuovo muro in c.a.

	Fase	Fase di provenienza:	Descrizione
	18-19	17	Completamento del riempimento mediante misto granulare stabilizzato.
Combinazioni di carico allo SL di esercizio e ultimo (Opera definitiva)	20	19	Disattivazione dei micropali della paratia provvisionale al fine delle verifiche di sicurezza e funzionalità dell'opera finale
	21	20	**SLE –** Attivazione del sovraccarico stradale q = 20,0 kPa
	22	19	**SLE/SLU11 – costr:** Attivazione del sovraccarico associato all'azione delle tensioni indotte dal costipamento del riempimento in materiale granulare (sollecitazioni allo SLU ottenute moltiplicando x 1,30)
	23	20	**SLU11:** Attivazione del sovraccarico stradale q = 20 kPa amplificato del fattore 1,5/1,3 (risultati da moltiplicare x 1,3)
	23	20	**SLV:** Attivazione delle azioni pseudostatiche allo SLV (kh = 0,235; kv = 0,0); attivazione del valore di combinazione del sovraccarico stradale q = 0,3 x 20 = 6 kPa
	24	20	**SLU12:** Riduzione dei parametri geotecnici del terreno dei fattori M2, attivazione del sovraccarico stradale q = 1,3 x 20kPa = 26 kPa
	25	20	**SLD:** Attivazione delle azioni pseudostatiche allo SLD (kh = 0,175; kv = 0,0); attivazione del valore di combinazione del sovraccarico stradale q = 0,3 x 20 = 6 kPa
	26	20	**ECCEZIONALE:** Attivazione delle azioni statiche equivalenti all'urto sulla barriera stradale; valore di combinazione del sovraccarico stradale q = 0,3 x 20 = 6 kPa
Combinazioni di carico allo SL di esercizio e ultimo (Opera provvisionale)	27	11	**SLU11-Provv.** Amplificazione del sovraccarico stradale a tergo dell'opera provvisionale del fattore 1,5/1,3 (risultati da amplificare di 1,3)
	25	11	**SLU12-Provv.** Amplificazione del sovraccarico stradale a tergo dell'opera provvisionale del fattore 1,3. Riduzione dei parametri geotecnici del terreno dei fattori M2

Tabella 12.5 Elenco delle fasi costruttive considerate nella modellazione (Tratto C)

12.1.2 Risultati delle analisi

Nel presente capitolo si riportano i risultati delle analisi di interazione eseguite, utili allo svolgimento delle necessarie verifiche di sicurezza e/o funzionalità delle diverse componenti strutturali. In particolare, si presentano:

- le sollecitazioni sui micropali della paratia esistente nel tratto B;
- le sollecitazioni sui micropali della paratia provvisionale del tratto A e C;
- le sollecitazioni sui micropali di ancoraggio;
- le sollecitazioni sui micropali di fondazione (verticali);
- le sollecitazioni sui micropali di fondazione (inclinati);
- le sollecitazioni sul muro in calcestruzzo armato;
- gli spostamenti in condizioni di esercizio

Nell'interpretazione dei risultati, i valori di forza normale negativa rappresentano sollecitazioni di compressione.

12.1.2.1 Sollecitazioni sui micropali della paratia esistente (Tratto B)

In Figura 37 si riportano i diagrammi delle caratteristiche della sollecitazione relativi alla paratia di micropali esistente, realizzata ad inizio 2025. Dato che si farà affidamento a tale struttura solo in fase provvisionale (con durata inferiore a 2,0 anni), i risultati si riferiscono alle sole combinazioni di carico statiche. I valori delle sollecitazioni riportati a grafico sono espressi a metro di paratia: pertanto, per ottenere i valori agenti sul singolo micropalo, occorre moltiplicare per l'interasse medio fra i micropali pari ad i = 0,40m.

La forza normale non include il peso proprio del palo, il quale dovrà essere aggiunto (quando pertinente) in fase di verifica (trattandosi di una sezione in calcestruzzo armato l'effetto del peso è favorevole alla resistenza).

La combinazione di carico più gravosa risulta essere, in definitiva, la SLU11 (A1+M1).

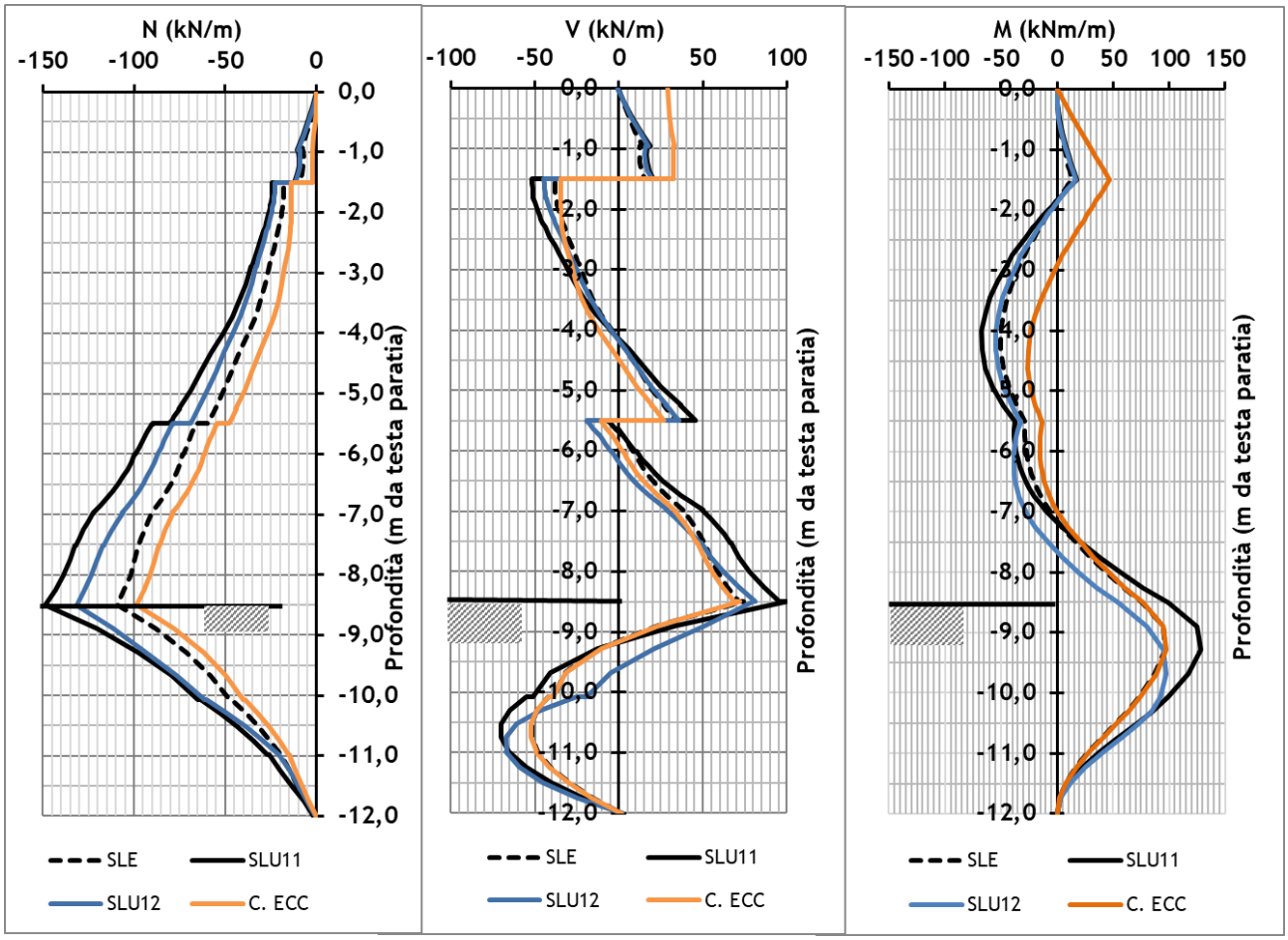

Figura 37 - Tratto B. Diagrammi delle caratteristiche della sollecitazione sulla paratia di micropali esistente

I valori massimi delle sollecitazioni sono i seguenti:

M_{max} = 128,6 kNm/m (SLU 11)

V_{max} = 100,0 kN/m (SLU 11)

N_{max} = 150,0 kN/m (SLU 11)

Sul singolo micropalo (i = 0,40m):

M_{max} = 128,6 kNm/m x 0,40m = 51,5 kNm (SLU 11)

V_{max} = 100,0 kN/m x 0,40m = 40,0 kN (SLU 11)

N_{max} = 150,0 kN/m x 0,40m = 60,0 kN (SLU 11)

12.1.2.2 Sollecitazioni sui micropali della nuova paratia provvisionale (tratto A e tratto C)

In Figura 38 e Figura 39 si riportano i diagrammi delle caratteristiche della sollecitazione relativi alla paratia di micropali provvisionale, rispettivamente per il tratto A (paratia mono – ancorata con altezza scavo di calcolo pari a 5,5m) e per il tratto C (paratia multi-ancorata con altezza scavo di calcolo pari a 8,5m). Dato che la durata di progetto di tale struttura è inferiore a 2,0 anni, le analisi sono state condotte riferendosi esclusivamente ai casi di carico statici. I valori delle sollecitazioni riportati a grafico sono espressi a metro di paratia: pertanto, per ottenere i valori agenti sul singolo micropalo, occorre moltiplicare per l'interasse i = 0,40m. Alla forza normale ottenuta dalle analisi è stato aggiunto il peso proprio della berlinese, pari a 1,98 kN/m/m (peso tubo in acciaio D168,3 sp 10 mm = 0,39 kN/m, peso riempimento tubo 0,40 kN/m, interasse

micropali 0,4m).

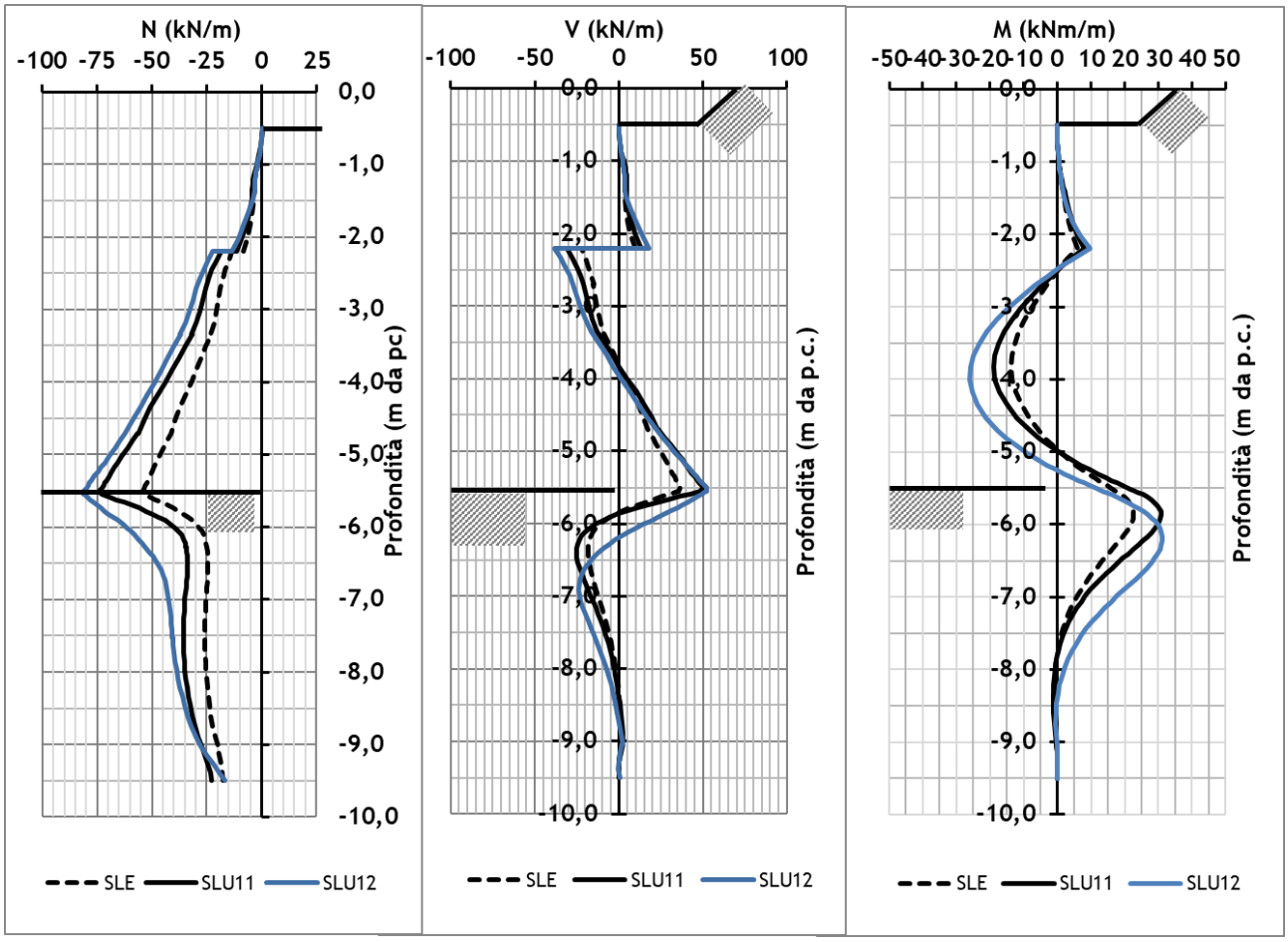

Figura 38 - Tratto A. Diagrammi delle caratteristiche della sollecitazione sulla paratia provvisionale di micropali

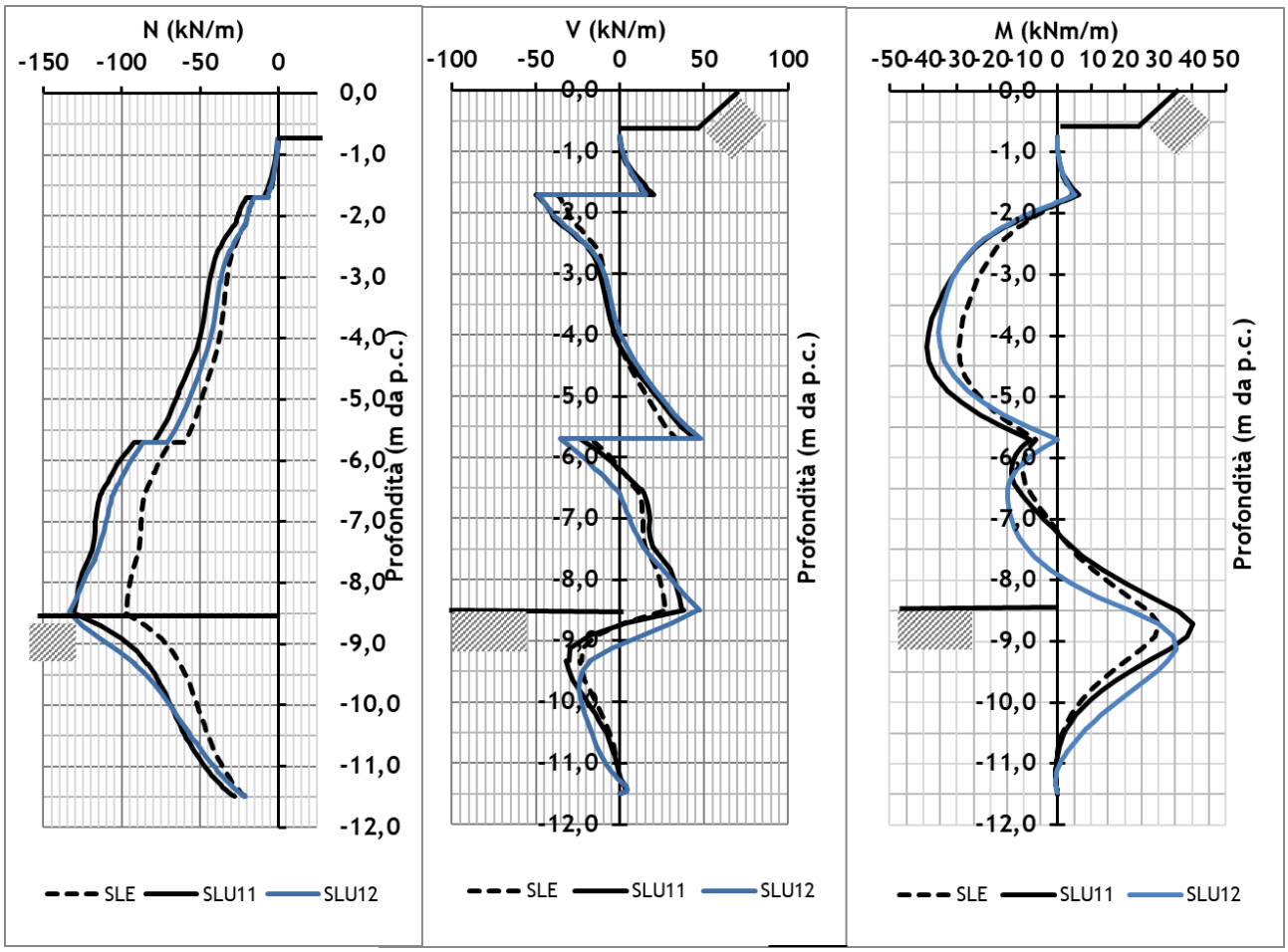

Figura 39 - Tratto C. Diagrammi delle caratteristiche della sollecitazione sulla paratia provvisionale di micropali

Si osserva che i micropali soggetti alle sollecitazioni più severe sono generalmente quelli della paratia provvisionale multi – ancorata (Tratto C).

12.1.2.3 Sollecitazioni sui micropali di ancoraggio

Nel presente paragrafo si riportano le sollecitazioni di trazione sui micropali di ancoraggio ottenute dalle analisi per i diversi casi di carico, per le diverse sezioni di analisi.

In Figura 40 sono presentati i risultati relativi al tratto A, caratterizzato da uno scavo di progetto di altezza 5,5m, dalla presenza del solo I ordine di ancoraggio e costruzione per mezzo della nuova opera provvisionale.

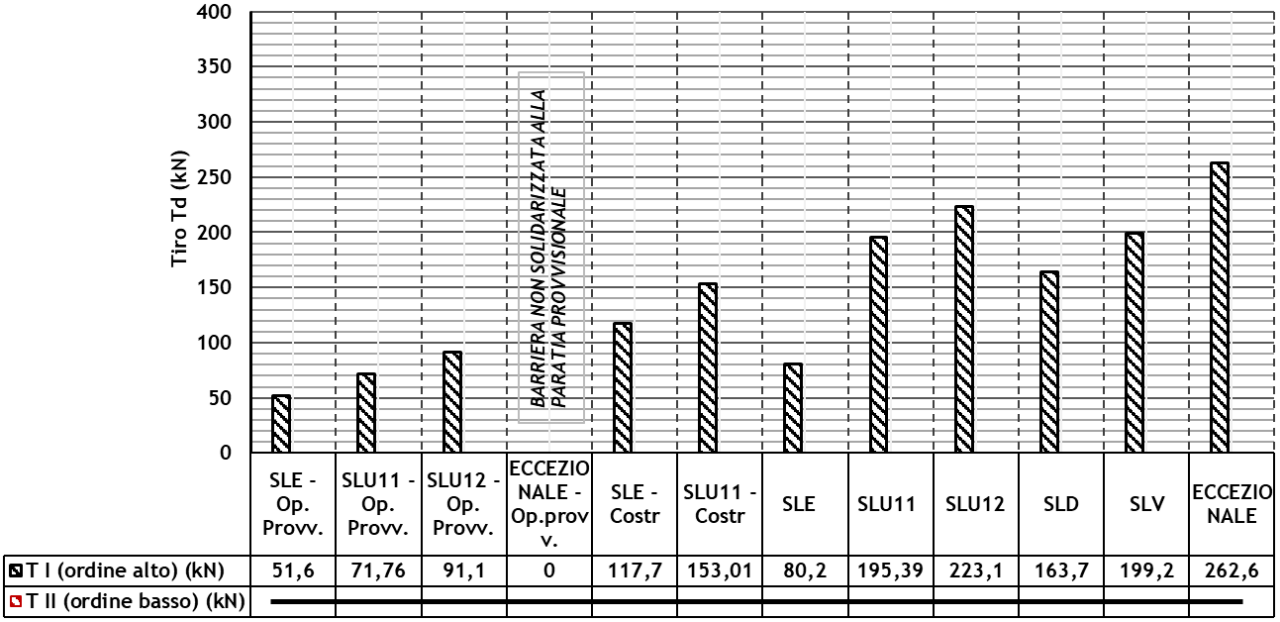

	SLE - Op. Provv.	SLU11 - Op. Provv.	SLU12 - Op. Provv.	ECCEZIONALE - Op.provv.	SLE - Costr	SLU11 - Costr	SLE	SLU11	SLU12	SLD	SLV	ECCEZIONALE
T I (ordine alto) (kN)	51,6	71,76	91,1	0	117,7	153,01	80,2	195,39	223,1	163,7	199,2	262,6
T II (ordine basso) (kN)												

Figura 40 - Tratto A. Tiri sui micropali di ancoraggio

In Figura 41 sono presentati i risultati relativi al tratto B, caratterizzato da uno scavo di progetto pari a 8,5 m, dalla presenza di entrambi gli ordini di ancoraggio e opera provvisionale a sostegno dello scavo costituita dalla paratia esistente, realizzata ad inizio 2025, potenziate per mezzo dei micropali in oggetto.

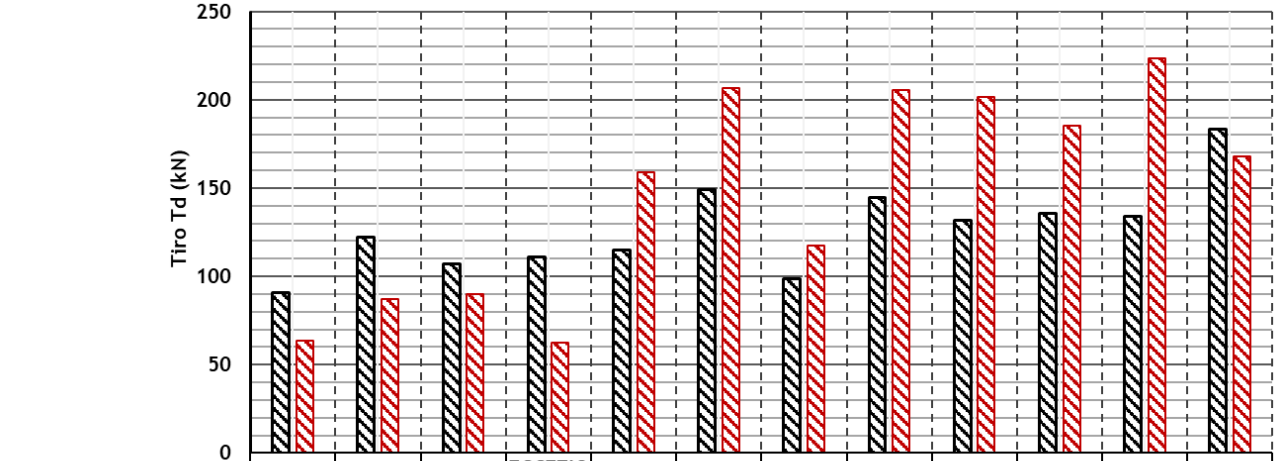

	SLE - Op. Provv.	SLU11 - Op. Provv.	SLU12 - Op. Provv.	ECCEZIONALE - Op.provv.	SLE - Costr	SLU11 - Costr	SLE	SLU11	SLU12	SLD	SLV	ECCEZIONALE
T I (ordine alto) (kN)	90,6	122,07	107,1	111,1	114,7	149,11	98,4	144,69	131,5	135,4	134,2	183,4
T II (ordine basso) (kN)	63,8	87,1	89,7	62,2	158,9	206,57	117,6	205,27	201,8	185,4	223,3	167,9

Figura 41 - Tratto B. Tiri sui micropali di ancoraggio

Infine, in Figura 41 si riportano i risultati relativi al tratto C, caratterizzato da uno scavo di progetto pari a 8,5 m, dalla presenza di entrambi gli ordini di ancoraggio e opera provvisionale costituita dalla nuova berlinese di micropali.

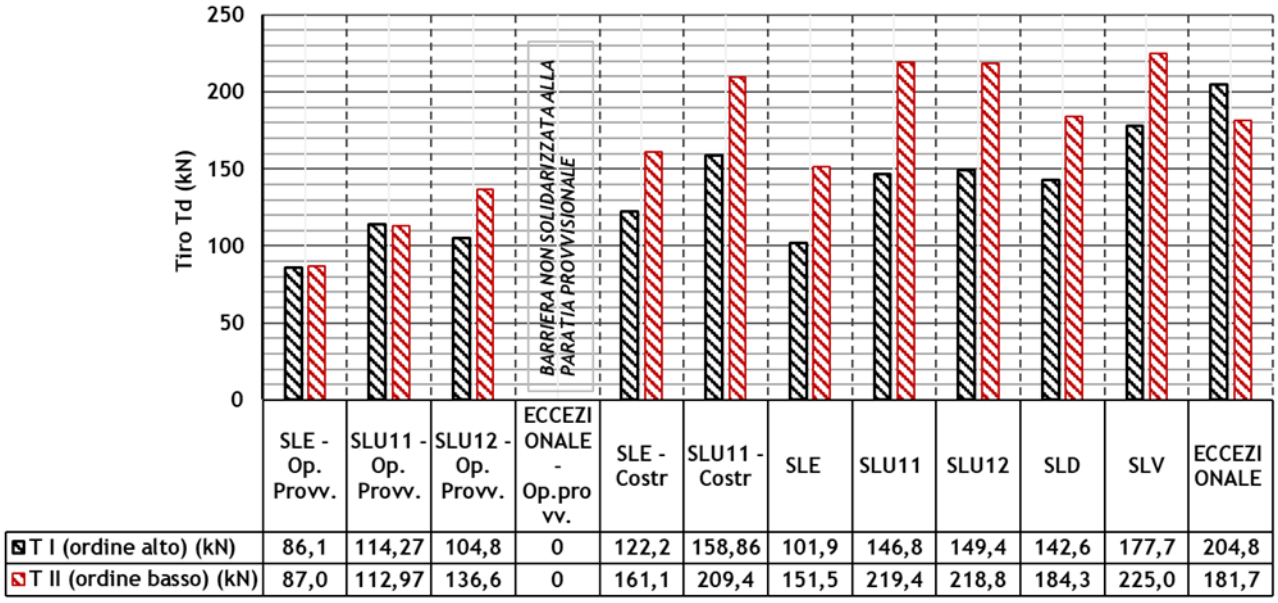

	SLE - Op. Provv.	SLU11 - Op. Provv.	SLU12 - Op. Provv.	ECCEZIONALE - Op.provv.	SLE - Costr	SLU11 - Costr	SLE	SLU11	SLU12	SLD	SLV	ECCEZIONALE
T I (ordine alto) (kN)	86,1	114,27	104,8	0	122,2	158,86	101,9	146,8	149,4	142,6	177,7	204,8
T II (ordine basso) (kN)	87,0	112,97	136,6	0	161,1	209,4	151,5	219,4	218,8	184,3	225,0	181,7

Figura 42 - Tratto C. Tiri sui micropali di ancoraggio

Con riferimento al **I ordine di ancoraggio** (il più alto), il valore massimo del tiro è quello ottenuto per il tratto A, in condizioni di carico eccezionale (associate all'urto dei veicoli in svio sulla barriera). Nei tratti B e C il I ordine di ancoraggio risulta soggette a condizioni meno gravose rispetto al tratto A in ragione della presenza del II ordine.

Per il **II ordine di ancoraggio** (il più basso), il valore massimo del tiro in è quello relativo alla combinazione sismica SLV per il tratto C.

12.1.2.4 Sollecitazioni sui micropali di fondazione (verticali)

Nel presente paragrafo si presentano i valori delle caratteristiche della sollecitazione sui micropali di fondazione verticali, disposti su due file. I valori riportati sono espressi a metro di opera: il valore della sollecitazione sul singolo micropalo si ottiene pertanto moltiplicando per l'interasse medio di 0,27m.

Alla forza normale ottenuta dalle analisi è stato aggiunto il peso proprio dei micropali, pari a 2,92 kN/m/m (peso tubo in acciaio D168,3 sp 10 mm = 0,39 kN/m, peso riempimento tubo 0,40 kN/m, interasse medio micropali 0,27m) ed il peso del sovrastante muro in calcestruzzo armato, pari a 12,5 kN/m/m (nel caso del tratto A il peso considerato è 12,5 x 5,1m = 63,8 kN/m; nel caso dei tratti B e C è 12,5 x 8,0 = 100,0 kN/m).

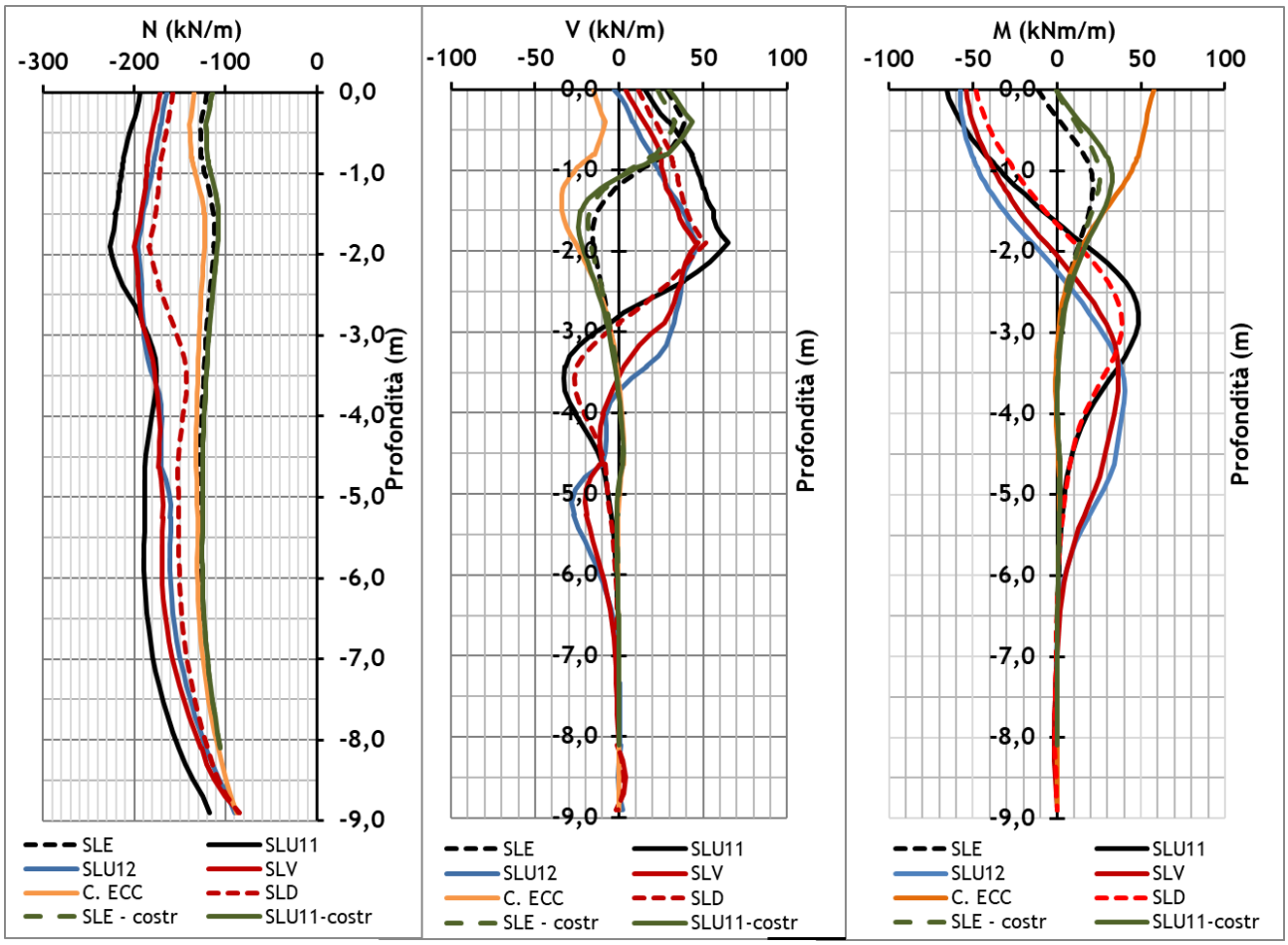

Figura 43 - Tratto A. Diagrammi delle caratteristiche della sollecitazione per i micropali di fondazione verticale (i valori sul singolo micropalo di ottengono moltiplicando per 0,27m)

In Figura 44 si riportano i diagrammi relativi ai micropali verticali di fondazione del tratto B. Si osserva che i valori massimi del taglio e del momento flettente sono ottenuti per la condizione di carico sismica allo SLV.

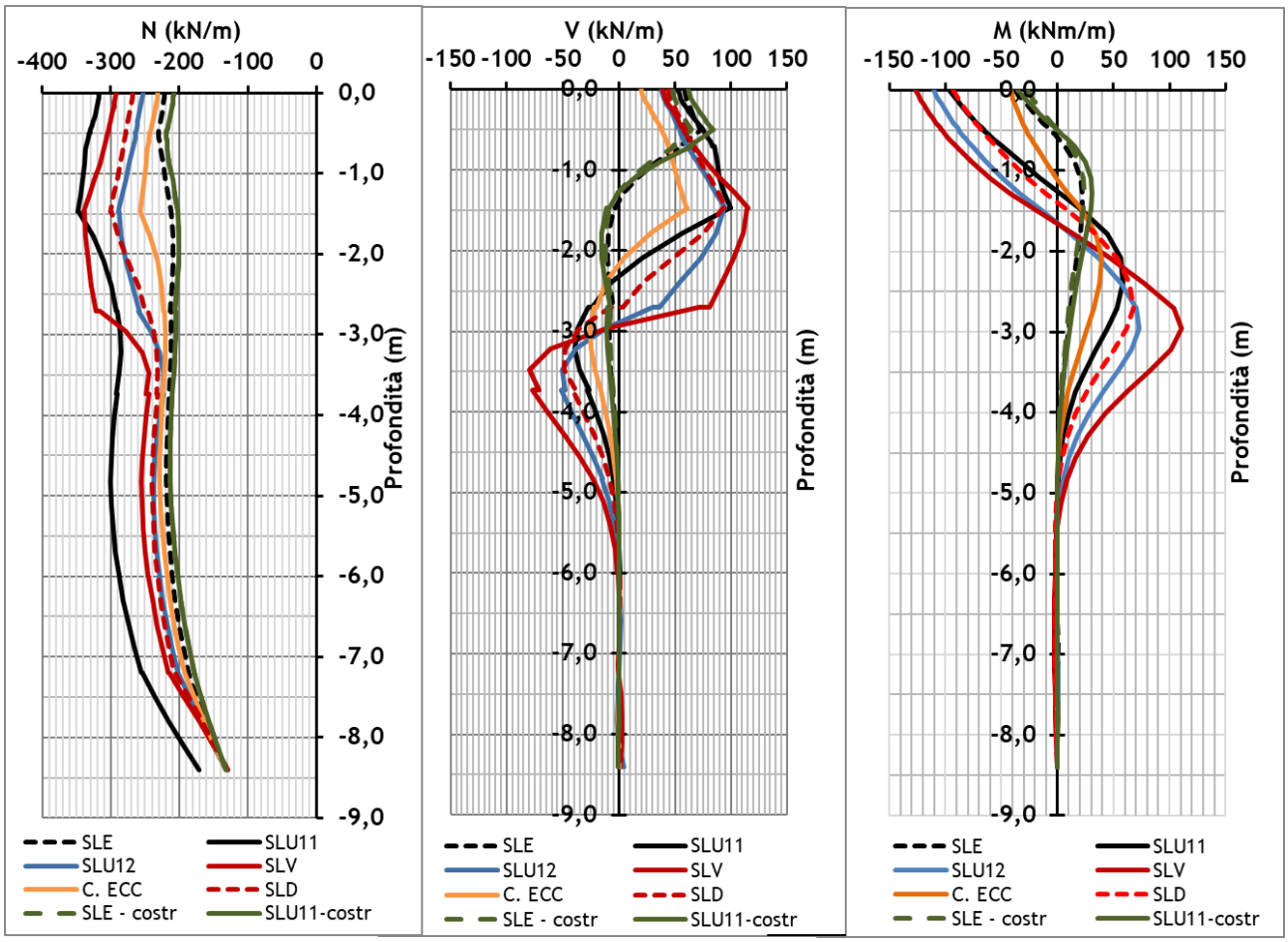

Figura 44 - Tratto B. Diagrammi delle caratteristiche della sollecitazione per i micropali di fondazione verticale (i valori sul singolo micropalo di ottengono moltiplicando per 0,27m)

In Figura 45 si riportano infine diagrammi relativi ai micropali verticali di fondazione del tratto C. Come nel caso del tratto B, si osserva che i valori massimi del taglio e del momento flettente sono ottenuti per la condizione di carico sismica allo SLV.

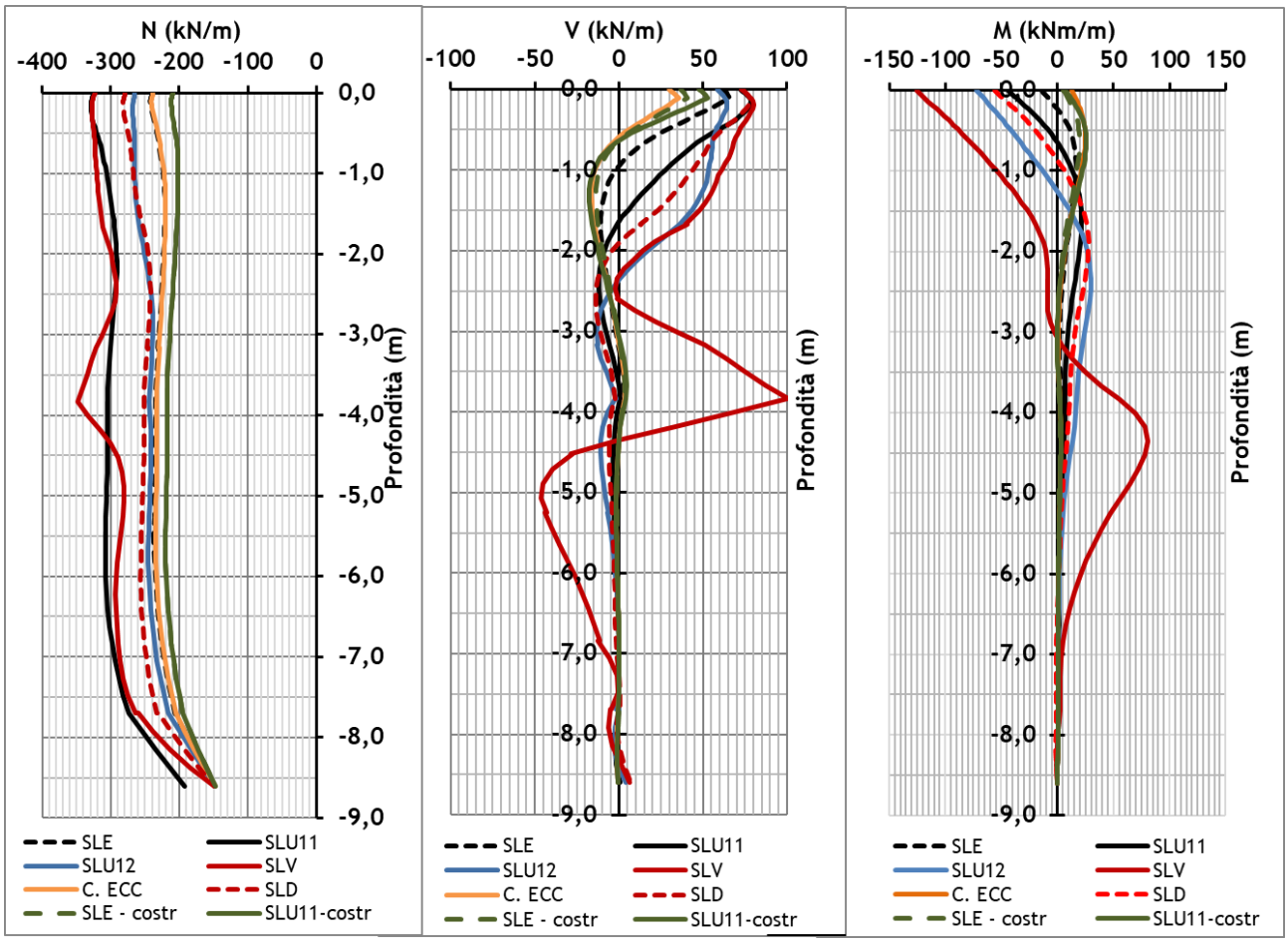

Figura 45 - Tratto C. Diagrammi delle caratteristiche della sollecitazione per i micropali di fondazione verticale (i valori sul singolo micropalo di ottengono moltiplicando per 0,27m)

12.1.2.5 Sollecitazioni sui micropali di fondazione (inclinati)

I micropali di fondazione inclinati sono considerati reagenti solamente a trazione. Dato che le caratteristiche del micropalo sono le stesse per tutto lo sviluppo dell'opera, le azioni agenti sono tutte sintetizzate nel grafico di Figura 46. Si osserva che i micropali sono generalmente maggiormente sollecitati nelle condizioni in cui sono presenti effetti connessi alle azioni sismiche e/o allo scalzamento di valle, per le quali ricoprono una funzione di presidio. I valori massimi della sollecitazione sono quelli relativi al Settore SUD-tratto B, dove risultano maggiori gli effetti inerziali agenti sul nuovo riempimento in misto granulare.

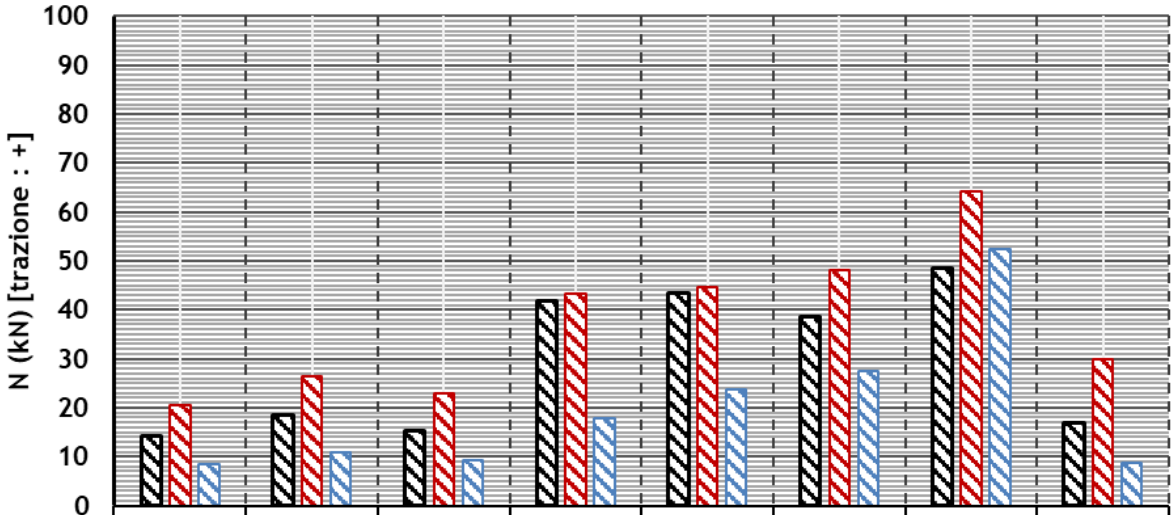

	SLE - Costr	SLU11 - Costr	SLE	SLU11	SLU12	SLD	SLV	ECCEZIONALE
Tratto A (kN)	14,2	18,46	15,2	41,73	43,4	38,7	48,5	16,9
Tratto B (kN)	20,4	26,52	23,0	43,29	44,5	48,1	64,3	29,9
Tratto C (kN)	8,4	10,92	9,3	17,8	23,8	27,6	52,4	8,7

Figura 46 - Valori di progetto della forza assiale sui micropali di fondazione inclinati

12.1.2.6 Sollecitazioni sul muro in calcestruzzo armato

Nel presente paragrafo si presentano i diagrammi delle caratteristiche della sollecitazione sul muro in calcestruzzo armato. I diagrammi della forza normale non includono il peso proprio del muro che, quando pertinente, andrà aggiunto in fase di verifica.

I risultati sono presentati con riferimento alle tre sezioni di calcolo impiegate nelle analisi.

In Figura 47 si riportano i diagrammi relativi al Settore NORD-tratto A, caratterizzato da un singolo ordine di micropali di ancoraggio. Si osserva che la combinazione di carico più gravosa in termini assoluti risulta essere generalmente quella eccezionale connessa all'urto dei veicoli in svio sulla barriera.

In relazione ai momenti negativi la condizione più gravosa è quella prodotta dalla combinazione statica SLU11.

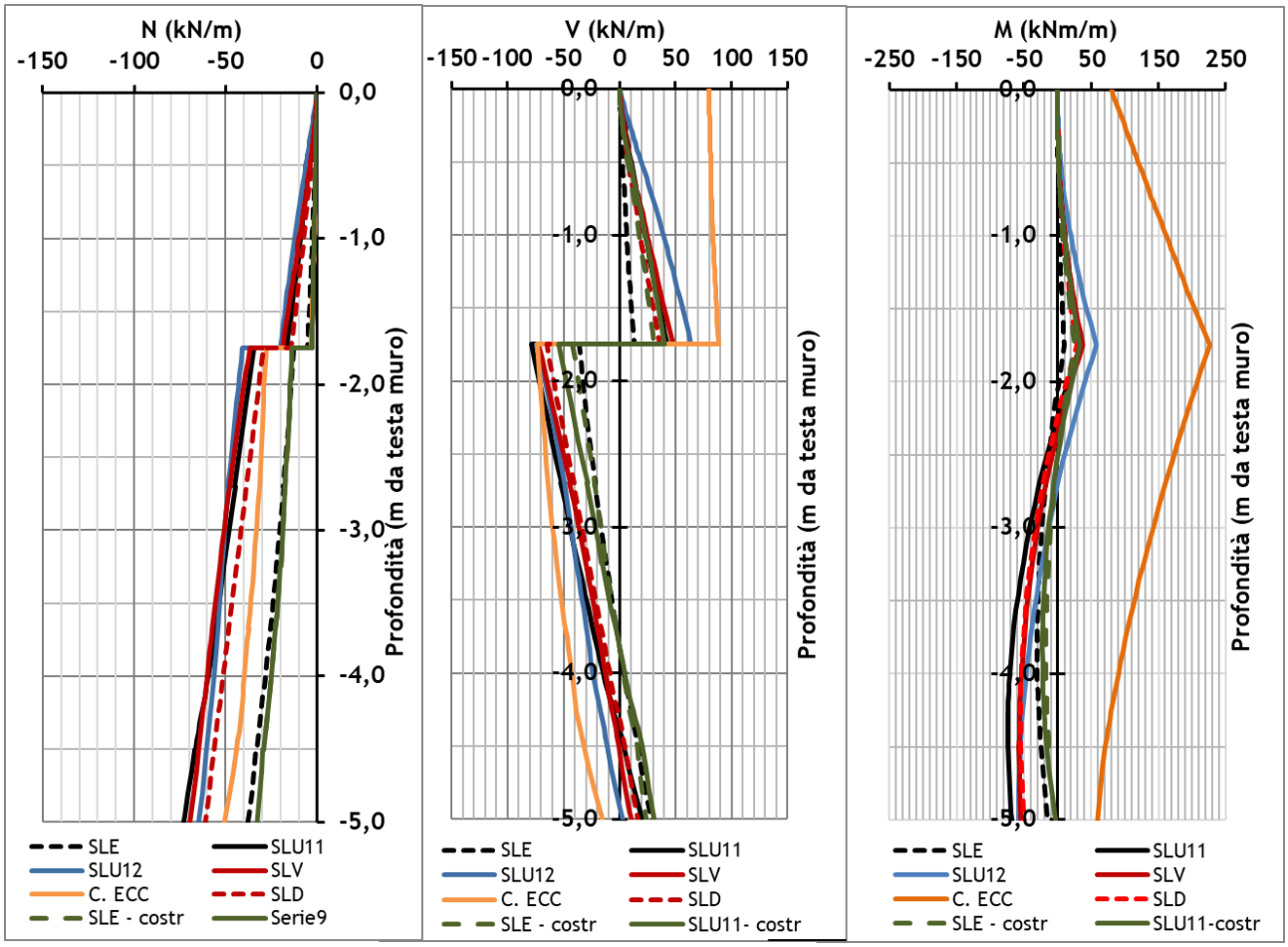

Figura 47 - Tratto A. Diagrammi delle caratteristiche della sollecitazione sul muro in c.a.

In Figura 48 si riportano i diagrammi relativi al Settore SUD-tratto B. Si osserva che, rispetto a quanto ottenuto per il tratto A, le sollecitazioni risultano di entità più contenuta in ragione del maggior grado di vincolo offerto dalla presenza di due ordini di ancoraggio.

Per quanto riguarda i momenti positivi la condizione più gravosa è prodotta dalle azioni eccezionali. Per i momenti negativi la condizione più gravosa è la sismica SLV.

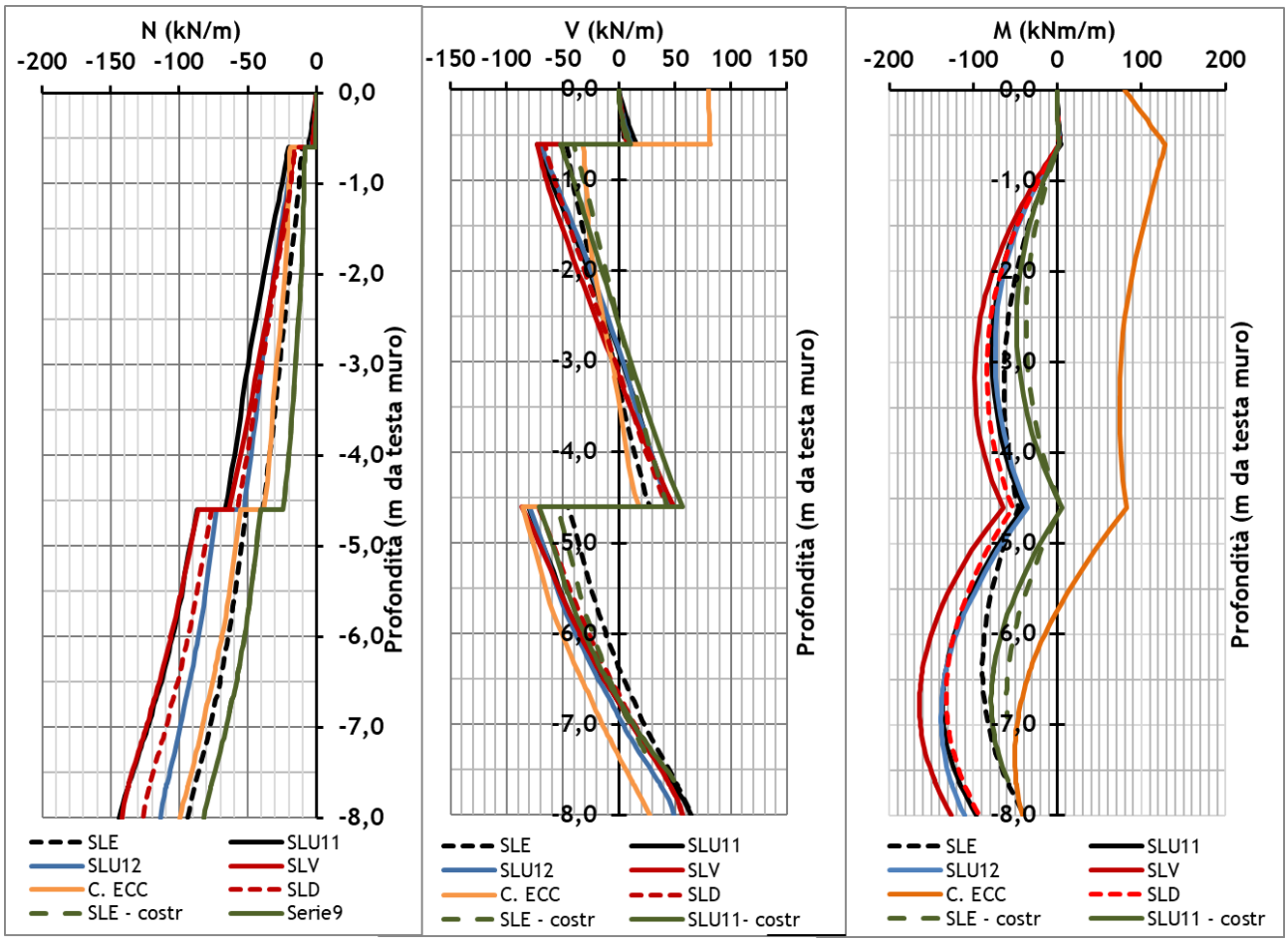

Figura 48 - Tratto B. Diagrammi delle caratteristiche della sollecitazione sul muro in c.a.

Infine, in Figura 49 si riportano i diagrammi delle sollecitazioni relativi al Settore SUD-tratto C.

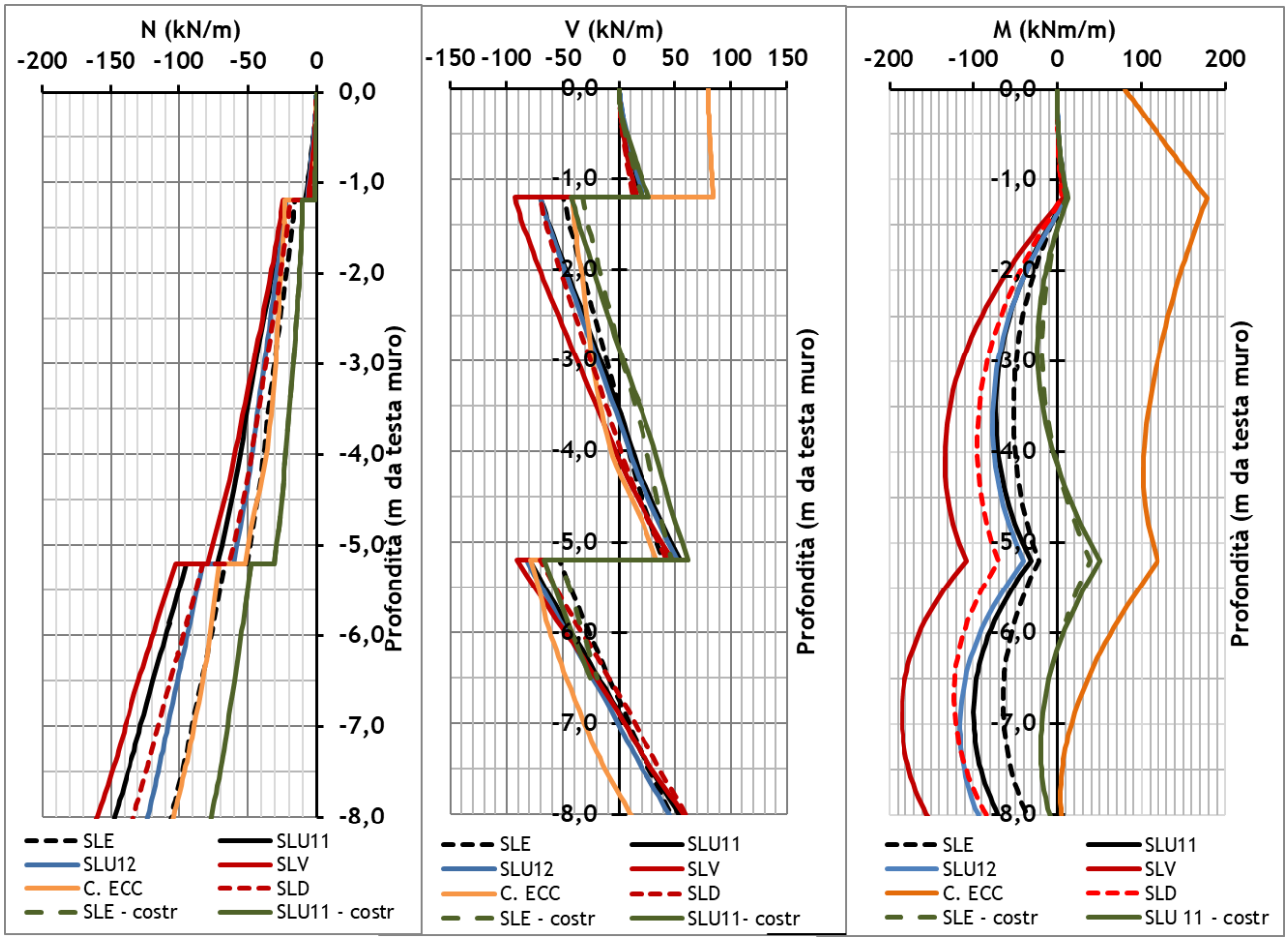

Figura 49 - Tratto C. Diagrammi delle caratteristiche della sollecitazione sul muro in c.a.

12.1.2.7 Spostamenti in condizioni di esercizio

Nel presente paragrafo si riportano i diagrammi degli spostamenti orizzontali relativi alle opere provvisionali e all'opera definitiva, per le condizioni di carico SLE.

In Figura 50 si riportano i diagrammi degli spostamenti orizzontali maturati nel corso delle fasi di scavo (con presenza del sovraccarico stradale a monte) dalle paratie a scopo provvisionale dei tratti A, B e C.

Il valore massimo dello spostamento ottenuto per le tre sezioni è nell'ordine dei 10mm nel caso del tratto A, nell'ordine dei 20mm nel caso dei tratti B e C: in accordo alle BS 8002 tale entità dello spostamento può essere considerata accettabile in quanto inferiore allo 0,5% dell'altezza di scavo ✓.

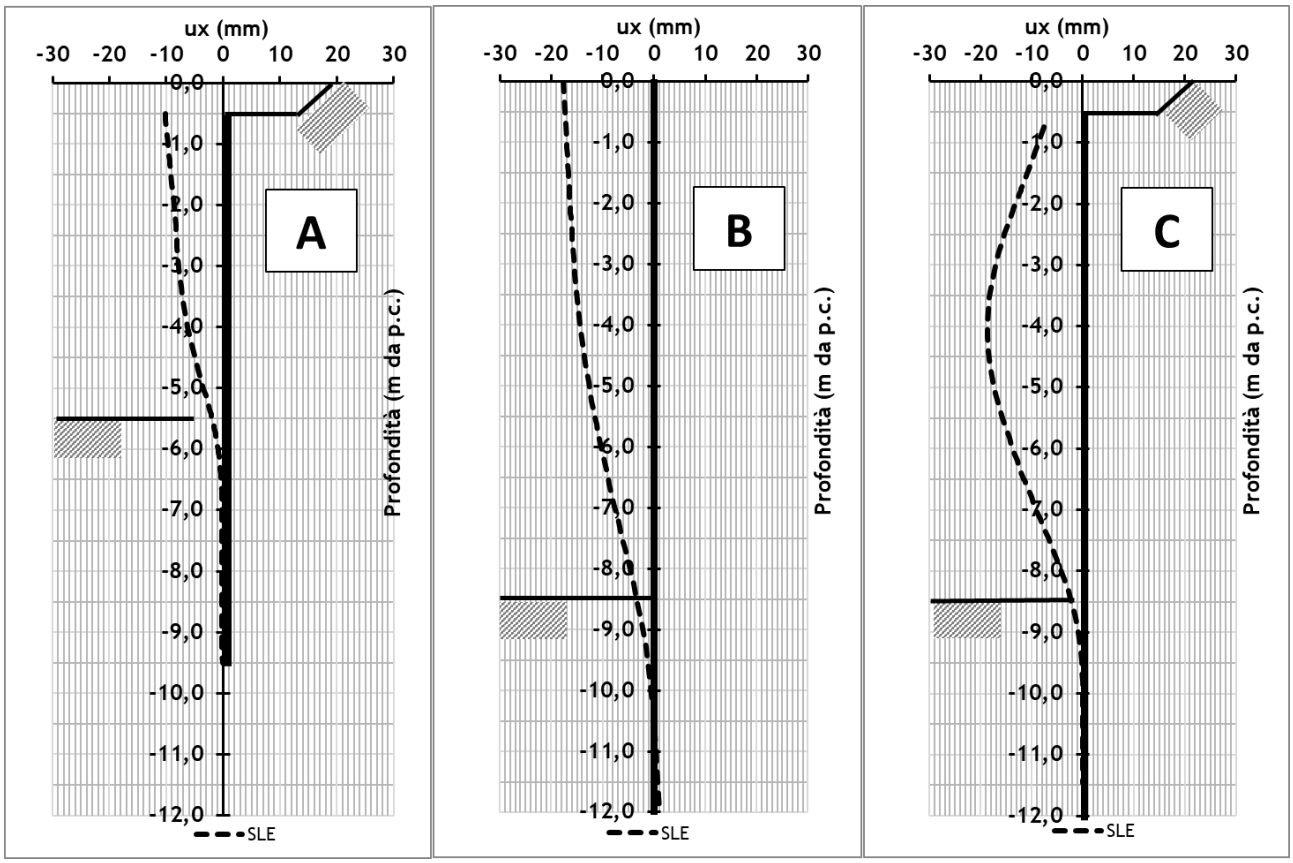

Figura 50 - Diagrammi degli spostamenti orizzontali (opere provvisionali)

In Figura 51 si riportano invece i diagrammi degli spostamenti del nuovo muro in calcestruzzo su micropali, maturati per effetto delle fasi di riempimento e della presenza del sovraccarico stradale, con riferimento alle tre sezioni di calcolo.

Nel Settore NORD-tratto A, dove è previsto un solo ordine di micropali di ancoraggio, si prevede uno spostamento massimo nell'ordine dei 2,5cm; per il Settore SUD nei tratti B e C si prevedono spostamenti massimi nell'ordine dei 2,0cm. Tali valori di spostamento risultano inferiori allo 0,5% dell'altezza di terreno contenuto e quindi possono essere ritenuti compatibili con l'estetica e la funzionalità dell'opera ✓.

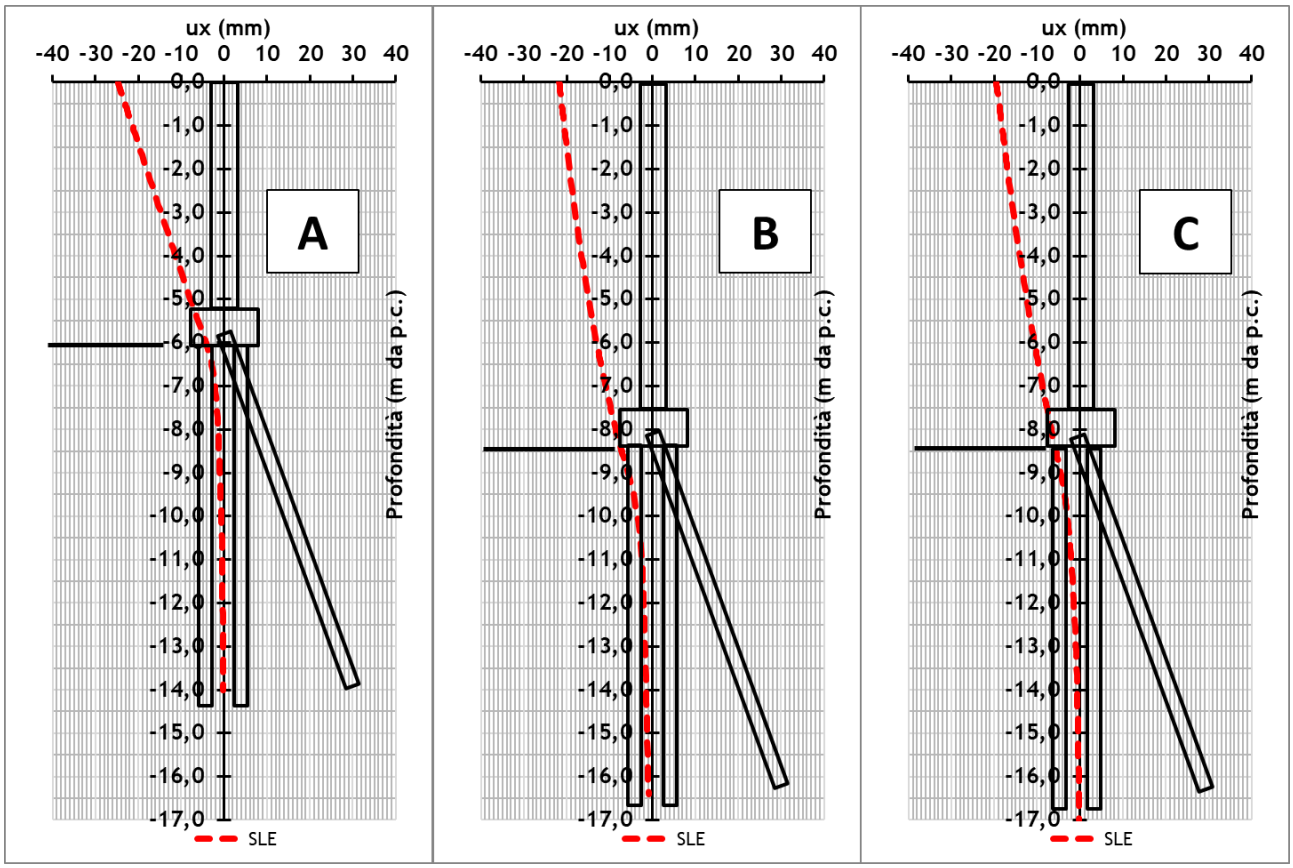

Figura 51 - Muri Settore NORD-Tratto A e Settore SUD-Tratti B e C Diagrammi degli spostamenti orizzontali

La verifica circa l'entità degli spostamenti allo SLD è implicitamente soddisfatta in ragione del valore (nullo) dello spostamento plastico considerato nella definizione delle azioni sismiche. Pertanto, allo SLD non sono attesi danneggiamenti della pavimentazione stradale per effetto degli spostamenti del muro.

12.2 VERIFICHE GEOTECNICHE E STRUTTURALI

Nel presente capitolo si riportano le verifiche geotecniche e strutturali per le diverse componenti dell'opera. Le verifiche di sicurezza sono eseguite nei confronti dei valori delle sollecitazioni ottenuti attraverso le analisi di interazione terreno – struttura e presentati al precedente §12.1.2.

12.2.1 Verifiche strutturali dei pali della paratia esistente

La paratia esistente, in accordo a quanto riportato negli elaborati di progetto disponibili, è costituita da micropali trivellati in calcestruzzo armato di diametro D = 400mm, disposti a quinconce secondo un interasse medio di 0,40m. L'armatura longitudinale è costituita da 6 Φ 16 mm. L'armatura trasversale è costituita da staffe Φ10mm con passo 250 mm. Il copriferro minimo dettato dalla classe di esposizione del calcestruzzo è pari a c_{min} = 35,0mm. Nelle verifiche di sicurezza, si è considerato un copriferro di progetto pari a quello minimo più la tolleranza di posa pari a 10,0mm ($c = c_{min} + \Delta$ = 35,0mm + 10,0mm = 45,0mm).

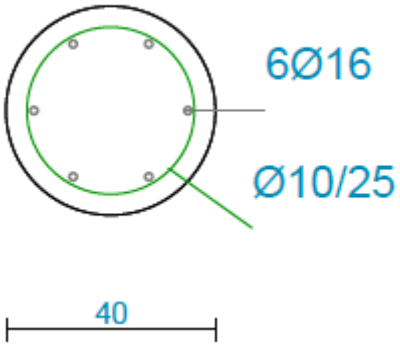

Figura 52 - Armatura micropali paratia esistente (E-2-4-10-B).

I valori di progetto delle caratteristiche dei materiali considerati sono quelli dichiarati al §5.5.

Dato che si farà affidamento alla paratia solamente in fase provvisionale, le verifiche in esercizio relative all'apertura delle fessure sono omesse (non essendovi necessità circa la durabilità).

Le verifiche del micropalo di ancoraggio e della trave di ripartizione in acciaio sono riportate all'interno di uno specifico paragrafo (§12.2.3).

12.2.1.1 Presso – flessione

Il valore massimo del momento flettente agente sul singolo palo è pari a (v.§12.1.2.1):

$$M_{Ed} = 51{,}5 \text{ kNm (SLU 11)}$$

Il valore di progetto della resistenza a flessione M_{Rd}, determinata trascurando l'effetto favorevole della forza normale N è pari a:

$$M_{Rd} (N = 0 \text{ kN}) = 53{,}3 \text{ kNm}$$

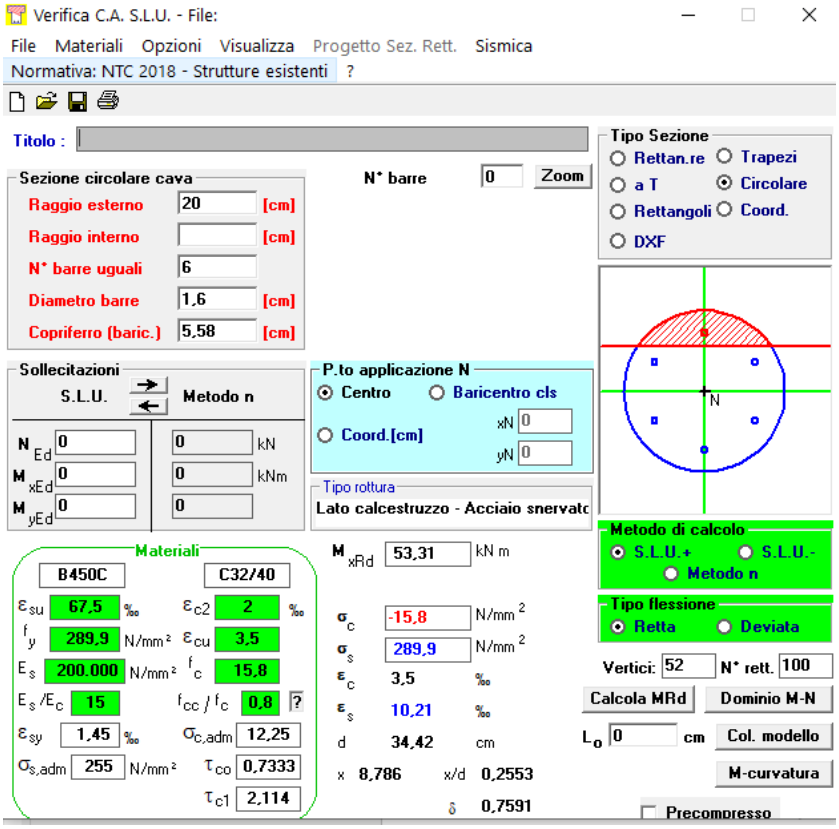

Figura 53 - Momento resistente a flessione semplice (N = 0) del micropalo D400 armato con 6Φ16mm (da VCA SLU del Prof. Gelfi).

La verifica è pertanto soddisfatta in quanto il valore di progetto della resistenza ($R_d = M_{Rd}$) è maggiore del valore di progetto dell'azione ($E_d = M_{Ed}$):

$R_d = M_{Rd}(N=0) = 53,3$ kNm > 51,5 kNm = $M_{Ed} = E_d$ ✓ (η = 96,6%)

in corrispondenza dei livelli di ancoraggio il valore massimo del momento flettente vale (v. .§12.1.2.1):

M_{Ed} = 20,0 kNm (C ecc.e comb. SLU 11)

In tali sezioni occorre tenere conto che, per la realizzazione dei micropali di ancoraggio è prevista la perforazione dei pali, secondo un diametro di 150mm: Tale operazione produrrà certamente una riduzione localizzata della sezione resistente, alla quale potrà essere associata, nel peggiore dei casi, l'interruzione di n.2 ferri longitudinali. In tale situazione, il valore di progetto del momento resistente, trascurando cautelativamente la forza normale vale:

M_{Rd} (N = 0 kN) = 28,0 kNm (in corrispondenza degli ancoraggi)

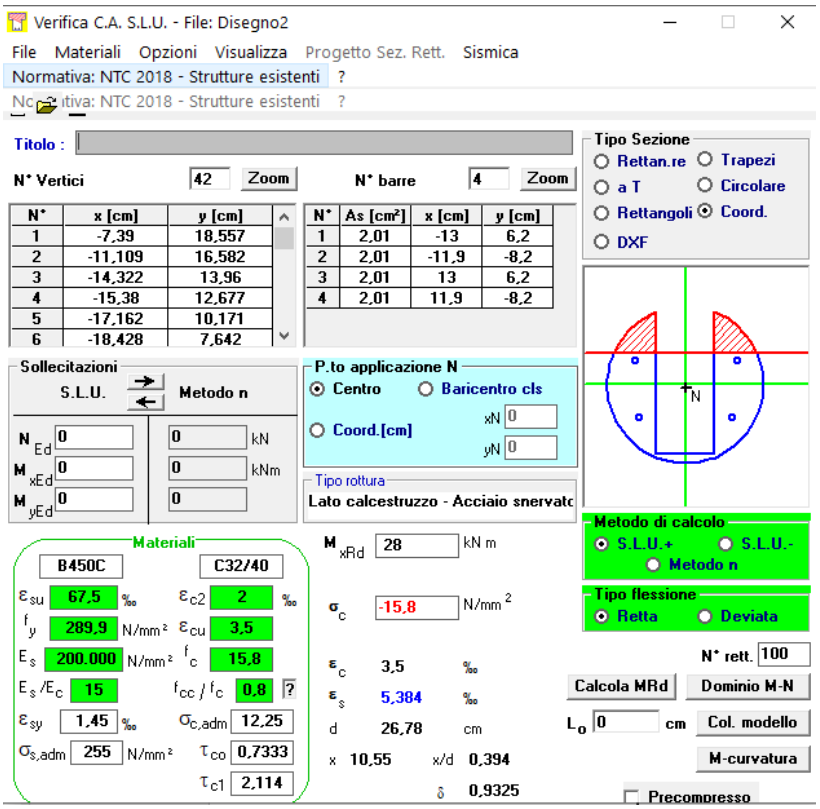

Figura 54 - Momento resistente a flessione semplice (N=0) del micropalo D400 perforato per l'esecuzione dei micropali di ancoraggio (da VCA SLU del Prof. Gelfi)

La verifica è pertanto soddisfatta in quanto il valore di progetto della resistenza ($R_d = M_{Rd}$) è maggiore del valore di progetto dell'azione ($E_d = M_{Ed}$):

$R_d = M_{Rd}(N=0) = 28{,}0$ kNm > 20,0 kNm = $M_{Ed} = E_d$ ✓ (η = 71,4%)

12.2.1.2 Taglio

Il valore massimo del taglio agente sul singolo palo (z=-8,5m) è pari a (v.§12.1.2.1):

VEd = 100kN/m x (i = 0,40m) = 40,0 kN (SLU 11)

In accordo a quanto previsto al §4.1.2.3.5.2 delle NTC 2018, la resistenza di progetto a taglio di un elemento strutturale dotato di specifica armatura deve essere valutata sulla base di una adeguata schematizzazione a traliccio. Gli elementi resistenti dell'ideale traliccio sono: le armature trasversali, le armature longitudinali, il corrente compresso di calcestruzzo e i puntoni d'anima inclinati rispetto l'asse della trave di un angolo Θ. La Norma limita la variabilità di Θ nel campo 21,8°≤ Θ ≤ 45°.

La resistenza a taglio dell'elemento strutturale (V_{rd}) è definita come il valore minino fra la forza di taglio che provoca lo schiacciamento delle bielle compresse in calcestruzzo (V_{Rcd}) e quello che comporta lo snervamento delle barre in acciaio (V_{Rsd}):

Vrd = min (VRcd; VRsd)

VRcd = 0,9 d bw αc ν fcd (cotα + cot Θ)/(1+ cot2 Θ)

VRsd = 0,9 d (Asw/s) fyd (cotα + cot Θ) senα

dove:

Θ è l'angolo di inclinazione delle bielle in calcestruzzo.

α è l'angolo di inclinazione dell'armatura trasversale

d è l'altezza utile della sezione. Per sezioni circolari d = 0,80D, D diametro del palo (ACI 318);

bw è la larghezza minima della sezione. Per sezioni circolari bw = D, D diametro del palo (ACI 318);

αc è un coefficiente maggiorativo (cautelativamente si pone = 1,0);

fcd è la resistenza a compressione cilindrica di progetto del calcestruzzo

ν = 0,50 è un fattore riduttivo della resistenza a compressione del calcestruzzo;

Asw è l'area delle armature trasversali;

s è il passo delle armature trasversali.

Note le caratteristiche della sezione trasversale, uguagliando le espressioni di V_{Rcd} e V_{Rsd} è possibile determinare l'inclinazione Θ delle bielle in calcestruzzo:

$$\sin 2\Theta = (A_s w f_{yd} \sin\alpha)/(s\, b_w\, \alpha_c\, \nu\, f_{cd})$$

se 21,8°≤ Θ ≤ 45° la rottura della sezione avviene per crisi contemporanea dell'acciaio e del calcestruzzo ($V_{Rd} = V_{Rcd} = V_{Rsd}$).

Se Θ > 45° la rottura avviene per schiacciamento del calcestruzzo ($V_{Rd} = V_{Rcd|45°}$, se Θ ≤ 21,8° la crisi avviene lato acciaio e deve essere calcolata ponendo Θ = 21,8° ($V_{Rd} = V_{Rsd|21,8°}$).

Nel caso in esame:

Θ = 15,0°

Pertanto, la crisi avviene lato acciaio e la resistenza della sezione è pari a quella lato acciaio calcolata ponendo Θ = 21,8°

$$V_{Rd} = V_{Rsd|21,8°} = 0,9\, d\, (A_{sw}/s)\, f_{yd}\, (\cot\alpha + \cot\Theta)\, \sin\alpha = 131,0\ kN$$

Nelle precedenti formule:

Θ = 21,8°;

α = 90°;

d = 0,80 D = 0,80 400 mm= 320 mm;

bw = D = 400 mm

αc è assunto cautelativamente pari a 1,0;

fcd è la resistenza a compressione cilindrica di progetto del calcestruzzo C32/40;

ν = 0,50;

Asw = 1,57 cm2 (staffa Φ10mm, 2 bracci);

s = 25 cm.

La verifica di resistenza al taglio è soddisfatta in quanto il valore di progetto della resistenza ($R_d = V_{Rd}$) è maggiore del valore di progetto dell'azione ($E_d = V_{Ed}$):

$R_d = V_{Rd}$ = 131,0 kN > 40,0 kN = $V_{Ed} = E_d$ ✓ (η = 30,5%)

in corrispondenza dei livelli di ancoraggio (z=-1,5m), il valore massimo del taglio unitario è pari a:

$$V_{Ed} = 52,0\ kN/m\ (SLU\ 11)$$

Considerato che la trave di ripartizione in acciaio è posta a diretto contatto con la sola fila esterna dei micropali a quinconce[2] (i = 0,80m), il valore del taglio sul singolo micropalo è cautelativamente pari a:

$$V_{Ed} = 52,0\ kN/m \times (i_{fila} = 0,80m) = 41,6\ kN\ (SLU\ 11)$$

[2] In opera, il contatto fra la trave ed i pali della fila di monte verrà comunque prodotto mediante spritz – beton, favorendo la distribuzione del taglio su entrambe le file

La verifica di resistenza al taglio è soddisfatta in quanto il valore di progetto della resistenza ($R_d = V_{Rd}$) è maggiore del valore di progetto dell'azione ($E_d = V_{Ed}$):

$$\mathbf{R_d = V_{Rd} = 131{,}0\ kN > 41{,}6\ kN = V_{Ed} = E_d}\ \checkmark\ \mathbf{(\eta = 31{,}7\%)}$$

12.2.2 Verifiche strutturali della nuova paratia provvisionale (Tratti A e C)

La paratia provvisionale è costituita da micropali caratterizzati da una perforazione D220mm e armati con un tubolare formato generalmente a freddo (EN 10219-1) in acciaio strutturale di classe S355 JR H caratterizzato da diametro esterno 168,3mm e spessore 8,0mm. La lunghezza complessiva del tubo di armatura è pari a 9,0m o 10,5m a seconda che si tratti della paratia monoancorata (Tratto A) o multi-ancorata (tratto C). L'interasse fra i micropali è in ogni caso pari a 0,40m. L'armatura tubolare potrà essere posta in opera secondo un pezzo unico o mediante assemblaggio di più pezzi consecutivi (di lunghezza generalmente pari a 3,0 – 4,0m o sottomultipli), giuntati per mezzo di giunzioni filettate tipo M/F o a manicotto. I micropali saranno del tipo a semplice cementazione e quindi gettati a gravità utilizzando una malta cementizia (d_{100}=8,0mm) o una boiacca (d_{100}=2,0mm) premiscelate con resistenza a compressione cilindrica pari ad almeno 25,0 MPa.

Le verifiche relative ai micropali di ancoraggio e delle travi di ripartizione in acciaio sono riportate al §12.2.3.

Oltre alle verifiche dei micropali, si riportano le verifiche strutturali dei puntoni tubolari previsti nella porzione iniziale e finale della berlinese (inizio tratto A e fine tratto C).

12.2.2.1 Verifiche strutturali dei micropali

Nel presente paragrafo si riportano le verifiche di sicurezza dei micropali costituenti la paratia provvisionale. Le verifiche sono eseguite nei confronti delle sollecitazioni presentate al §12.1.2.2.

La verifica strutturale del micropalo è eseguita, cautelativamente, riferendosi alla sola capacità resistente del tubo di armatura (trascurando la presenza del riempimento). Dato che la struttura è a carattere provvisionale, le perdite di spessore prodotte dalla corrosione saranno di entità trascurabile e pertanto le verifiche di sicurezza sono eseguite riferendosi alla sezione resistente integra.

Non essendo nota a priori la posizione delle eventuali giunzioni, le verifiche strutturali vengono eseguite riferendosi cautelativamente alla sezione resistente in corrispondenza del giunto filettato M/F (Maschio/Femmina). In tal caso, con riferimento ai meccanismi che comportano l'insorgenza di tensioni normali di trazione nella sezione (trazione semplice, flessione), la verifica è eseguita riferendosi ad una sezione resistente caratterizzata da uno spessore ridotto del 50% rispetto al valore nominale (Figura 55).

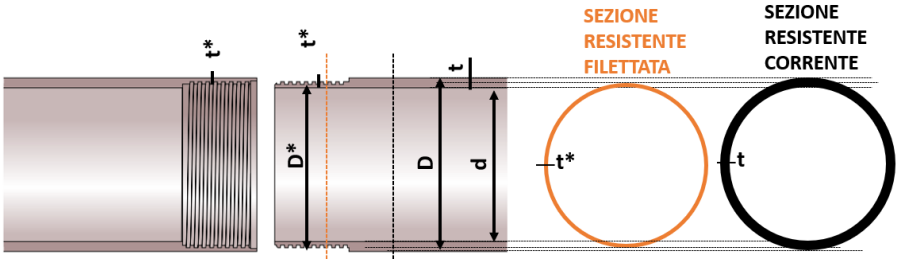

Figura 55 - Giunto filettato tipo M/F.

12.2.2.2 Taglio

Il taglio resistente della sezione strutturale in acciaio ($V_{c,Rd}$), vale:

$$Vc,Rd = Av\ fyk\ /\ (\sqrt{3}\ \gamma M0) = 500{,}6\ kN$$

Nella quale:

$A_v = 2A/\pi$ = 2.564,8 mm^2 Area resistente a taglio della sezione cava D = 168,3mm spessore 8,0 mm

$A = \pi(D^2-d^2)/4 = 4.026{,}7\ mm^2$ Area lorda della sezione cava D = 168,3 mm spessore 8,0 mm

D = 168,30 mm — Diametro esterno della sezione cava

t = 8,0 mm — Spessore del tubolare

d = D – 2t = 152,3 mm — Diametro interno della sezione cava

f_{yk} = 355,0 Mpa — Tensione caratteristica a snervamento dell'acciaio S355 H

γ_{M0} = 1,05 — Coefficiente di sicurezza per la resistenza delle sezioni di classe 1-2-3-4 (tab. 4.2.VII NTC 2018).

Il valore massimo del taglio agente sulla berlinese sul micropalo si ottiene moltiplicando il taglio unitario per l'interasse i = 0,40m e vale (v.§12.1.2.2):

$$V_{Ed} = 52{,}1\ kN/m \times (i = 0{,}40m) = 20{,}9\ kN$$

Pertanto, la verifica di sicurezza a taglio del micropalo è ampiamente soddisfatta in quanto la resistenza di progetto ($R_d = V_{c,Rd}$) è maggiore del valore di progetto dell'azione ($E_d = V_{Ed}$):

$$Rd = Vc,Rd = 500{,}6\ kN >> 20{,}9\ kN = VEd = Ed\ \ddot{u}\ (\eta = 4{,}1\%)$$

12.2.2.3 Presso - flessione

Essendo il $V_{Ed} < 0{,}50\ V_{c,Rd}$ è possibile trascurare l'influenza del taglio sulla resistenza a flessione (NTC 2018 §4.2.4.1.26). La resistenza a presso flessione della sezione (M_{Rd}), calcolata secondo il metodo elastico, è definita dalla seguente relazione:

$$MRd\ (N) = Wel\ (fyd - N/A)$$

Dove:

Wel — è il modulo di resistenza elastico della sezione resistente;

A — è l'area della sezione resistente;

fyd = fyk/ γM0 — è la resistenza a snervamento di progetto dell'acciaio;

La relazione appena riportata definisce il dominio N – M della sezione del micropalo, riportato nella figura seguente:

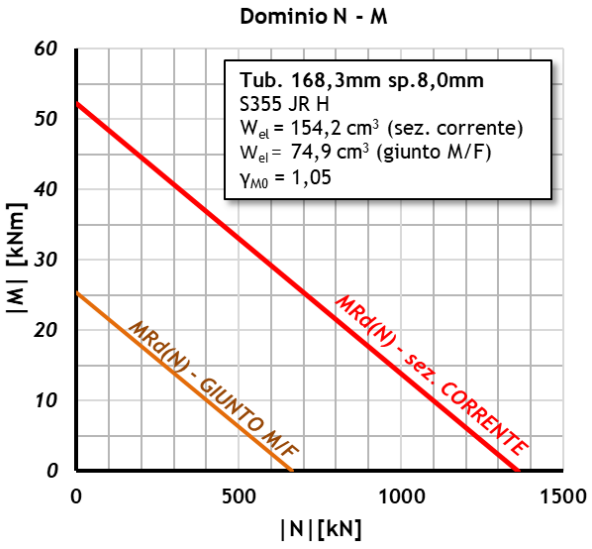

Figura 56 - Dominio elastico N – M del tubolare 168,3 x 8,0 mm in acciaio S355 JR H

In Figura 57 e Figura 58 si riportano rispettivamente le verifiche di sicurezza relative alla paratia provvisionale del tratto A e del tratto C, per entrambe le combinazioni allo stato limite ultimo, per tutte le coppie (N; M) di

progetto. **Tutte le coppie (N;M) risultano interne al dominio resistente dela sezione di giunto e pertanto la verifica è soddisfatta secondo i margini di Norma ü**.

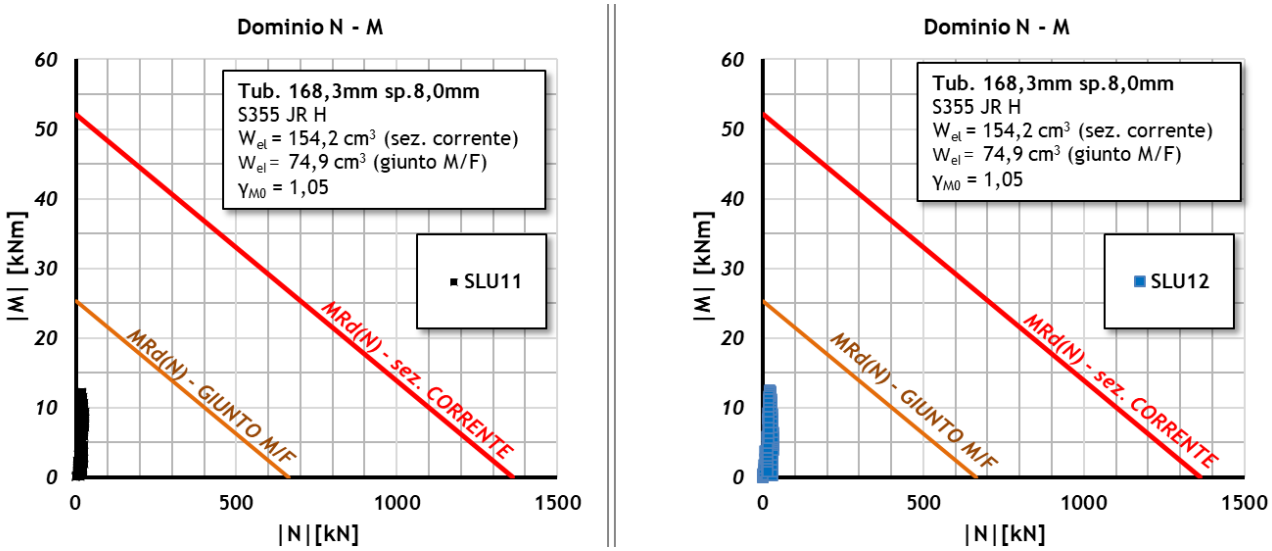

Figura 57 - Verifica a pressoflessione micropali paratia provvisionale (Tratto A)

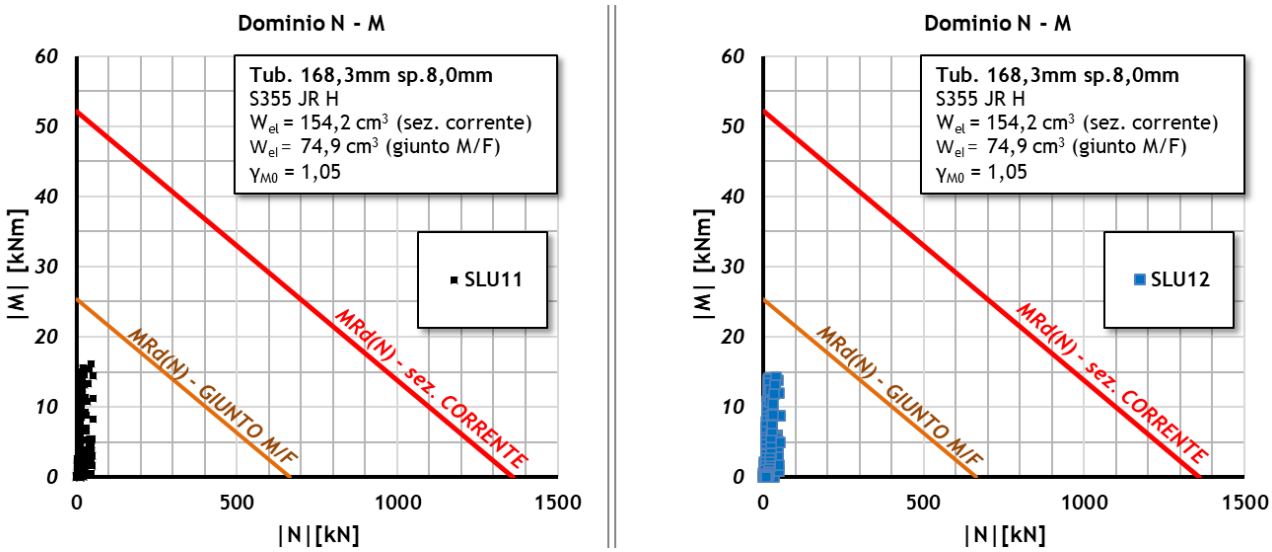

Figura 58 - Verifica a pressoflessione micropali paratia provvisionale (Tratto C)

12.2.2.4 Verifiche strutturali dei puntoni metallici di contrasto

I puntoni di contrasto sono costituiti da profili tubolari in acciaio S355H caratterizzati da un diametro nominale esterno ϕ=168,3mm e spessore pari a 8 mm. La lunghezza massima è pari a 1,50m.

Tali elementi strutturali vengono schematizzati come aste pendolari sollecitate a compressione semplice la cui entità è valutata in funzione delle azioni sui micropali di ancoraggio ottenute con le analisi numeriche per le diverse combinazioni di carico secondo lo schema strutturale riportato in Figura 59.

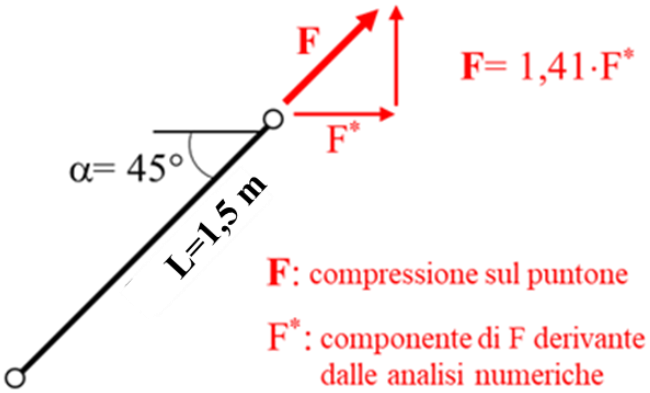

Figura 59 - Schema per il calcolo della forza di compressione sui puntoni di contrasto

Considerando la geometria della sezione e trascurando la riduzione di spessore per corrosione in virtù della natura provvisionale dell'opera, la sezione è in Classe 1 in accordo con i rapporti di snellezza indicati nella Normativa vigente.

La resistenza di progetto a compressione del puntone è valutata come:

$$N_{Rd} = A \times f_{yk} / \gamma_{M0} = 1.362{,}0 \text{ kN}$$

Dove:

A = 4029 mm^2 è l'area della sezione trasversale del tubolare 168,3mm sp.8mm;

f_{yk} = 355,0 N/mm^2 è la tensione caratteristica di snervamento dell'acciaio S355 H;

γ_{M0} = 1,05 è il coefficiente parziale sulla resistenza delle sezioni di classe 1-2-3-4.

Verifica a compressione della sezione strutturale

In Tabella 12.6 vengono riportate le sollecitazioni di compressione di progetto (F_{Ed}) sul puntone nelle due tratte per le varie combinazioni di carico considerate.

Il puntone copre un'area confrontabile con quella del singolo ancoraggio pertanto tali valori sono calcolati a partire dagli output delle analisi numeriche considerando un interasse pari a 1,6 m e quindi, moltiplicate per un fattore di 1,41 secondo lo schema strutturale di Figura 59:

		SLE	SLU11	SLU12
Tratto A	F_{Ed} [kN]	72,8	101,3	128,5
Tratto C	F_{Ed} [kN]	122,7	161,2	193,2

Tabella 12.6 Sollecitazioni di compressione di progetto sui puntoni metallici

Il massimo valore di calcolo di compressione sul puntone si ha per la combinazione SLU12 in corrispondenza del tratto C:

$$N_{Ed} = F = 193{,}2 \text{ kN}$$

La verifica a compressione dei puntoni risulta pertanto soddisfatta:

$$\eta = N_{Rd} / N_{Ed} = 7{,}0 \geq 1{,}00 \checkmark$$

Verifica di stabilità

Dato che i puntoni risultano essere elementi trave soggetti a compressione, risulta necessario effettuare la verifica di stabilità come prescritto dalla Normativa vigente (§4.2.4.1.3 delle NTC 2018).

La verifica è condotta nell'ipotesi che la sezione trasversale sia uniformemente compressa.

Nel caso di compressione semplice, la verifica consiste nel soddisfare la seguente disuguaglianza:

$$N_{Ed} / N_{b,Rd} \leq 1$$

dove

N_{Ed} è l'azione di compressione di progetto

$N_{b,Rd}$ è la resistenza di progetto all'instabilità dell'asta compressa.

Per le sezioni di classe 1,2 e 3, tale resistenza è data da (v.Tabella 12.7):

$$N_{b,Rd} = \chi A f_{yk} / \gamma_{M1} = 1261{,}0 \text{ kN}$$

dove

χ è il coefficiente di riduzione per la modalità di instabilità pertinente

A è l'area della sezione trasverslae

f_{yk} è la tensione caratteristica di snervamento dell'acciaio

$\gamma_{M1} = 1{,}05$ è il coefficiente di sicurezza sulla stabilità delle membrature

Caratteristiche della sezione			
Diametro esterno	D	168,3	[mm]
Spessore parete	t	8	[mm]
Area sezione	A	4029	[mm^2]
Momento di inerzia	J	12972712	[mm^4]
Raggio di inerzia	i	57	[mm]
Calcolo carico critico elastico (euleriano) N_{cr}			
Modulo elastico	E	210000	[N/mm^2]
Lunghezza trave	l	1500	[mm]
Condizione di vincolo	-	cerniera	-
Coefficiente di vincolo	β	1	[-]
Lunghezza libera di inflessione	l_0	1500	[mm]
Carico critico Euleriano	N_{cr}	11950	[kN]
Calcolo resistenza di progetto all'instabilità $N_{b,Rd}$			
Tensione di snervamento	f_{yk}	355	[N/mm^2]
Classe sezione	-	1	-
Snellezza normalizzata	$\bar{\lambda}$	0,35	[-]
Curva di instabilità (tab. 4.2.VIII NTC 2018 per sezione formata "a freddo")	-	c	-
Fattore di imperfezione	α	0,490	[-]
Coefficiente	Φ	0,596	[-]
Coefficiente di instabilità	χ	0,926	[-]
Coefficiente di sicurezza	γ_{M1}	1,05	[-]
Resistenza di progetto all'instabilità	$N_{b,Rd}$	**1261**	[kN]

Tabella 12.7 Determinazione della resistenza di progetto all'instabilità

Dato che la massima azione di progetto N_{Ed} è pari a 193,2 kN (v. Tabella 12.6), la verifica di sicurezza dei puntoni metallici nei confronti dell'instabilità risulta soddisfatta:

$N_{b,Rd}$ = 1261,0 kN > 193,2 kN = N_{Ed} ✓

12.2.3 Verifiche dei micropali di ancoraggio a barre autoperforanti

Nel presente paragrafo si riportano le verifiche di sicurezza relative ai micropali di ancoraggio. Le verifiche sono eseguite nei confronti delle azioni di progetto presentate al §12.1.2.3 e riferendosi alle proprietà di riferimento riportate al §9.

12.2.3.1 Verifica a sfilamento

In Figura 60, Figura 61 e Figura 62 si riportano i confronti fra i valori di progetto della forza di trazione agente sui micropali di ancoraggio rispettivamente per il settore NORD (tratto A) e per il settore SUD (tratto B e tratto C).

Le verifiche sono state eseguite riferendosi ai valori di progetto delle resistenze a sfilamento dei micropali

definite al §9.2.

Le verifiche di sicurezza sono soddisfatte in quanto, per ognuno dei casi di carico analizzati la capacità di progetto (R_{ad}) risulta maggiore del valore di progetto dell'azione ($T_i = E_d$) ✓.

In generale, si osservano i massimi tassi di sfruttamento sono quelli relativi alle condizioni di carico sismiche allo SLV.

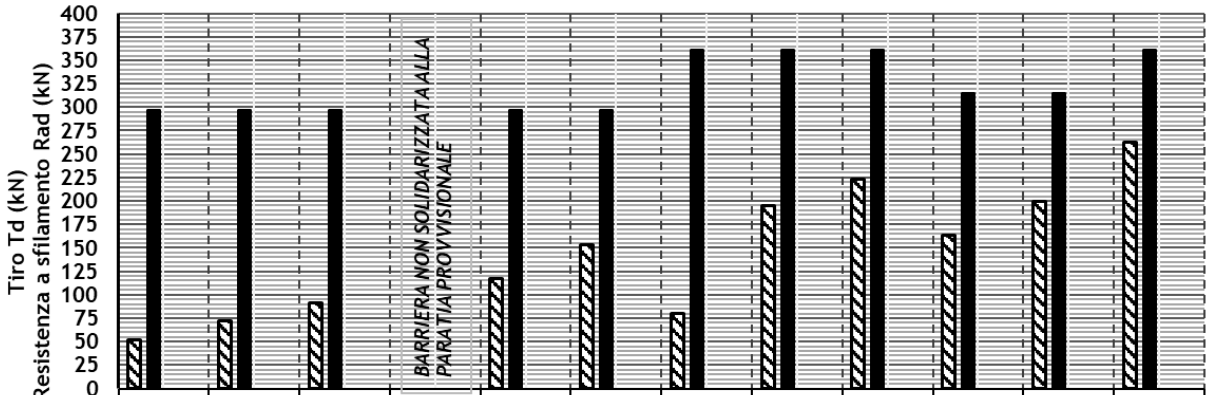

	SLE - Op. Provv.	SLU11 - Op. Provv.	SLU12 - Op. Provv.	ECCEZIONALE - Op.provv.	SLE - Costr	SLU11 - Costr	SLE	SLU11	SLU12	SLD	SLV	ECCEZIONALE
T I (ordine alto) (kN)	51,6	71,76	91,1	0	117,7	153,01	80,2	195,39	223,1	163,7	199,2	262,6
Rad I (kN)	296,7	296,7	296,7	0	296,7	296,7	361,2	361,2	361,2	314,8	314,8	361,2
T II (ordine basso) (kN)				0								
Rad II (kN)				0								

Figura 60 - Settore NORD-Tratto A: Verifica allo sfilamento dei micropali di ancoraggio

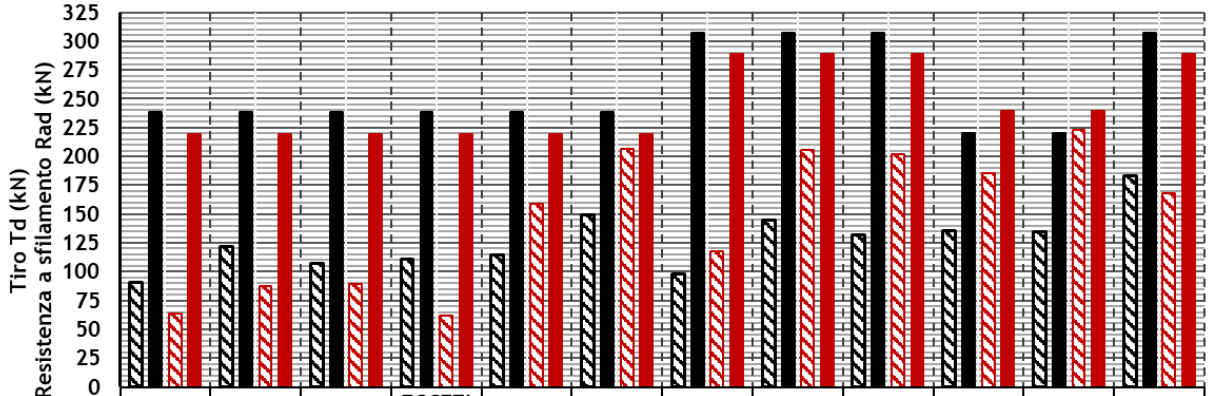

	SLE - Op. Provv.	SLU11 - Op. Provv.	SLU12 - Op. Provv.	ECCEZIONALE - Op.provv.	SLE - Costr	SLU11 - Costr	SLE	SLU11	SLU12	SLD	SLV	ECCEZIONALE
T I (ordine alto) (kN)	90,6	122,07	107,1	111,1	114,7	149,11	98,4	144,69	131,5	135,4	134,2	183,4
Rad I (kN)	238,7	238,7	238,7	238,7	238,7	238,7	307,0	307,0	307,0	220,6	220,6	307,0
T II (ordine basso) (kN)	63,8	87,1	89,7	62,2	158,9	206,57	117,6	205,27	201,8	185,4	223,3	167,9
Rad II (kN)	219,3	219,3	219,3	219,3	219,3	219,3	288,9	288,9	288,9	239,9	239,9	288,9

Figura 61 - Settore SUD-Tratto B: Verifica allo sfilamento dei micropali di ancoraggio

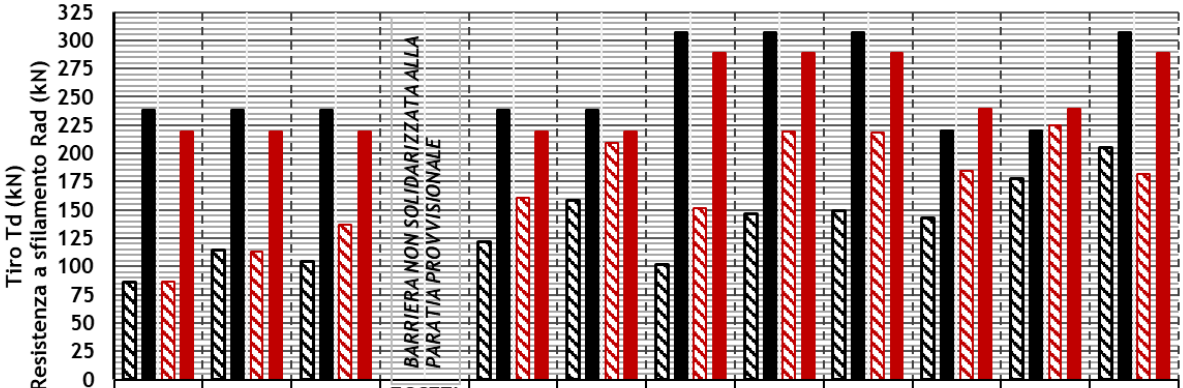

	SLE - Op. Provv.	SLU11 - Op. Provv.	SLU12 - Op. Provv.	ECCEZIONALE - Op.provv.	SLE - Costr	SLU11 - Costr	SLE	SLU11	SLU12	SLD	SLV	ECCEZIONALE
T I (ordine alto) (kN)	86,1	114,27	104,8	0	122,2	158,86	101,9	146,8	149,4	142,6	177,7	204,8
Rad I (kN)	238,7	238,7	238,7	0	238,7	238,7	307,0	307,0	307,0	220,6	220,6	307,0
T II (ordine basso) (kN)	87,0	112,97	136,6	0	161,1	209,4	151,5	219,4	218,8	184,3	225,0	181,7
Rad II (kN)	219,3	219,3	219,3	0	219,3	219,3	288,9	288,9	288,9	239,9	239,9	288,9

Figura 62 - Settore SUD-Tratto C: Verifica allo sfilamento dei micropali di ancoraggio

12.2.3.2 Verifica strutturale della barra

La resistenza di progetto dell'armatura del micropalo, costituita dalla barra cava autoperforante R38, in accordo a quanto definito al §9.1, vale:

$$Rd = F^*yd = 312,0 \text{ kN (sezione corrosa)}$$

Il valore massimo della forza di trazione agente sul micropalo, in accordo ai risultati presentati al §12.1.2.3 è pari a:

$$E_d = T_{max} = 262,6 \text{ kN (Combinazione eccezionale – Tratto A)}$$

La verifica di sicurezza nei confronti della rottura della barra di armatura è soddisfatta in quanto il valore di progetto della resistenza è maggiore del valore massimo dell'azione sollecitante:

R_d = 312,0 kN > 262,6 kN = Ed ✓ (η = 84,2%)

12.2.3.3 Verifica della trave di ripartizione in acciaio

La trave di ripartizione in acciaio prevista in corrispondenza delle paratie provvisionali è costituita da n.2 profili affiancati UPE 160 in acciaio laminato a caldo S355 JR, ciascuno avente le caratteristiche geometriche ed inerziali elencate al §10.

Le piastre di testa micropalo dovranno essere fornite dal fabbricante delle barre, in quanto parte del sistema certificato.

Per il calcolo delle sollecitazioni sulle travi ci si è riferiti ad uno schema statico semplificato di trave incastrata avente lunghezza pari all'interasse fra i micropali di ancoraggio (i = 1,60m) e caricata da un carico distribuito pari alla forza unitaria all'ancoraggio (q = F/i):

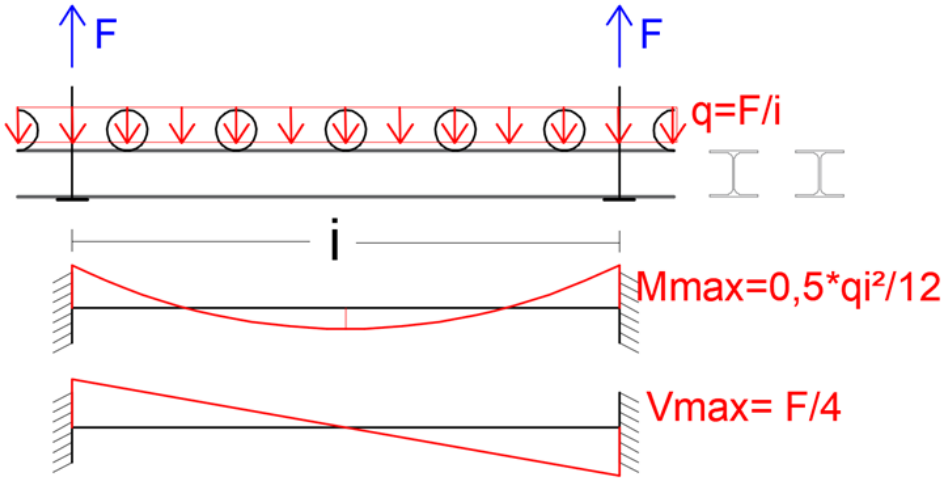

Figura 63 - Schema statico semplificato per la determinazione delle sollecitazioni sul singolo profilo

Nell'ottica di garantire la sovraresistenza della trave di ripartizione rispetto ai micropali di ancoraggio, la forza F è stata considerata (cautelativamente) pari al valore di progetto della resistenza a snervamento della barra cava autoperforante integra ($F = F_{yd} \approx 350{,}0$ kN). Tale azione può essere distribuita a sua volta sui due profilati, come mostrato nella Figura 64:

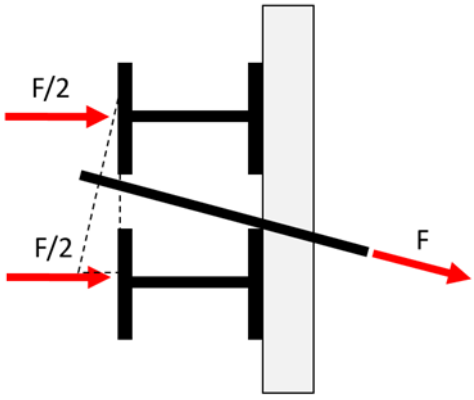

Figura 64 - Distribuzione del carico dall'ancoraggio sui 2 profilati

12.2.3.4 Taglio

In accordo allo schema statico di riferimento (Figura 63), il valore di progetto del taglio sollecitante il singolo profilato vale:

$$V_{Ed} = F/4 = 350{,}0 \text{ kN}/4 = 87{,}5 \text{ kN}$$

La resistenza a taglio del singolo UPE 160, nell'ipotesi di torsione trascurabile, vale:

$$V_{pl,Rd} = A_v f_{yk} / (\sqrt{3}\, \gamma_{M0}) = 195{,}2 \text{ kN}$$

Dove:

A_v	$= 10{,}0$ cm^2	Area resistente a taglio (v.§10)
f_{yk}	$= 355{,}0$ MPa	valore caratteristico della resistenza a snervamento dell'acciaio S355
γ_{M0}	$= 1{,}05$	fattore parziale sulla resistenza delle sezioni di classe (1-2-3-4)

La verifica di sicurezza è pertanto soddisfatta in quanto il valore di progetto della resistenza è maggiore del valore di progetto dell'azione:

$V_{pl,Rd}$ = 195,5 kN > 87,5 kN = V_{Ed} ✓ (η = 44,7%)

12.2.3.5 Flessione

In accordo allo schema statico di riferimento (Figura 63), il valore di progetto del momento flettente sollecitante il singolo profilato vale:

MEd = (F/2i) x i2/12 = 23,4 kNm

Essendo il V_{Ed} < 0,50 $V_{c,Rd}$ è possibile trascurare l'influenza del taglio sulla resistenza a flessione (NTC 2018 §4.2.4.1.26).

La resistenza a presso flessione della sezione (M_{Rd}), calcolata secondo il metodo elastico, è definita dalla seguente relazione:

MRd,el (N) = Wel (fyd – N/A)

Dove:

Wel è il modulo di resistenza elastico della sezione resistente;

A è l'area della sezione resistente;

fyd = fyk/ γM0 è la resistenza a snervamento di progetto dell'acciaio;

Nel caso della trave in esame, sollecitata a flessione semplice:

$MRd_{,el} = W_{el} f_{yd}$ = 38,5 kNm

La verifica di sicurezza è soddisfatta in quanto il valore di progetto del momento resistenza risulta maggiore del valore di progetto del momento flettente:

$M_{Rd,el}$ = 38,5 kNm > 23,4 kNm = M_{Ed} ✓ (η = 60,7%)

12.2.3.6 Verifica dell'ancoraggio al muro in calcestruzzo

L'ancoraggio della barra cava al muro in calcestruzzo avverrà per mezzo di una piastra quadrata in acciaio 200 x 200 annegata nel getto ad una distanza di almeno 300mm dal paramento interno del muro. Nel caso dei micropali realizzati con barre cave autoperforanti, la piastra è generalmente parte integrante di un sistema certificato, in possesso del CVT del CSLLPP e/o di marcatura CE sulla base di ETA: sarà pertanto cura del Fabbricante del sistema fornire una piastra di resistenza (spessore, classe di acciaio) adeguate.

Su indicazione del fabbricante del sistema autoperforante potranno essere adottate dimensioni diverse della piastra, a patto di garantire almeno l'equivalenza in prestazioni.

La capacità dell'ancoraggio alla trave deve essere verificata nei confronti dei seguenti meccanismi:

- Schiacciamento locale del calcestruzzo;
- Punzonamento attraverso il calcestruzzo;
- Rottura strutturale della piastra (flessione).

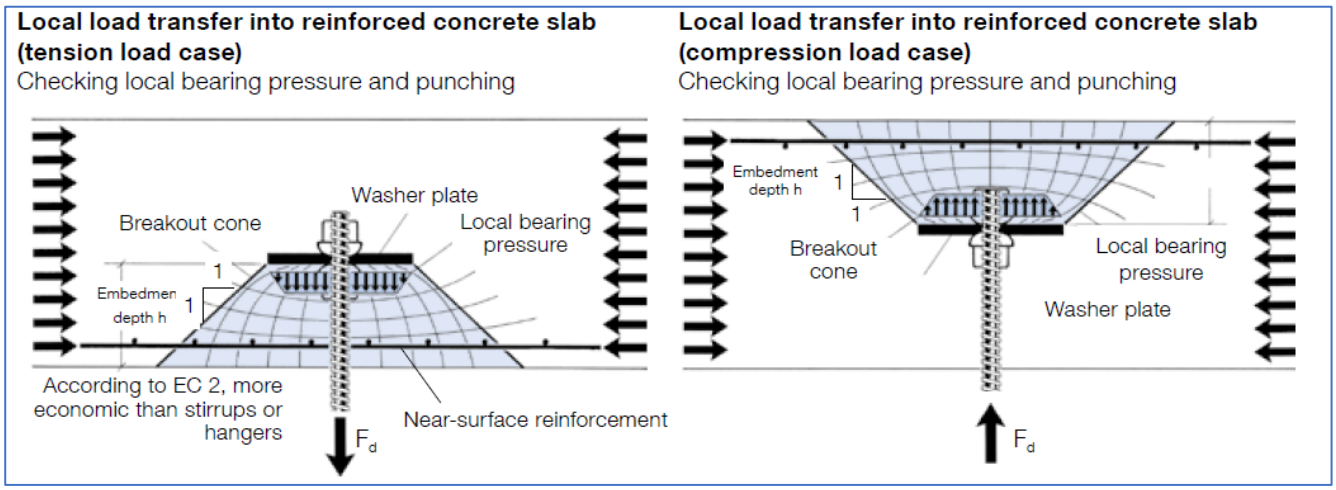

Le verifiche sono svolte cautelativamente considerando come azione (T_d) il valore di progetto della resistenza strutturale della barra integra, definita al §9.1:

$$T_d = F_{yd} = 347{,}8 \text{ kN} \approx 350{,}0 \text{ kN (barra integra)}$$

Schiacciamento locale del calcestruzzo

La verifica è svolta in accordo alle indicazioni riportata al §6.7 Della EN 1992-1-1. La verifica risulta soddisfatta se la pressione di contatto all'interfaccia piastra – calcestruzzo (σ_{Ed}) risulta inferiore alla resistenza a schiacciamento $\sigma_{Rd,max}$.

Nel caso in esame, il valore di progetto della pressione di contatto vale:

$$\sigma_{Ed} = T_d / A_c = 9{,}01 \text{ MPa}$$

con

$A_c = b^2 - A_{barra}$	$= 38.865{,}9$ mm^2	Area di contatto piastra – calcestruzzo;
$b = 200{,}0$ mm		lunghezza del lato della piastra;
$A_{barra} = 1.134{,}1$ mm^2		Area lorda della barra cava R38;

Il valore di progetto della resistenza a schiacciamento del calcestruzzo $\sigma_{Rd,max}$, nell'ipotesi di cls compresso in zona fessurata è definita come segue (EN 1992-1-1 §6.5.2):

$$\sigma_{Rd,max} = 0{,}60\ v'\ f_{cd} = 9{,}49 \text{ MPa}$$

dove:

$v' = 1 - f_{ck}/250$	$= 0{,}872$	-	
$f_{ck} = 32{,}0$		MPa	valore caratteristico della resistenza cilindrica a compressione del calcestruzzo C32/40
$f_{cd} = \alpha_{cc}\ f_{ck} / \gamma_c$	$= 18{,}13$	MPa	valore di calcolo della resistenza cilindrica a compressione del calcestruzzo C32/40
$\alpha_{cc} = 0{,}85$			Fattore per effetti di lunga durata (NTC 2018)
γ_c 1,50		-	Fattore parziale sulla resistenza del calcestruzzo.

La verifica di sicurezza nei confronti dello schiacciamento locale del calcestruzzo è pertanto soddisfatta in quanto:

$$\sigma_{Rd,max} = 9{,}49 \text{ MPa} > \sigma_{Ed} = 9{,}01 \text{ MPa} \ \checkmark\ (\eta = 94{,}9\%)$$

Punzonamento

La determinazione della capacità dell'ancoraggio nei confronti di rotture lato calcestruzzo (punzonamento)

è valutata, coerentemente con quanto prescritto dalle NTC 2018 (§4.1.2.3.5.4), in accordo alle indicazioni riportate al §6.4 della EN 1992 – 1- 1 (Eurocodice 2 parte 1-1). Nel seguito si riporta lo svolgimento della verifica, la quale è ad esito positivo secondo i margini richiesti dalla Norma ✓.

VERIFICA A PUNZONAMENTO (PUNCHING)					
Azione di progetto	F_d	350	kN		
Diametro esterno della barra cava	Φbarra	38	mm		
copriferro di progetto	c	45	mm		
diametro ferri ripartizione	Φrip	16	mm	ripartitori esterni	
passo ferri di ripartizione	s,rip	200	mm		
diametro ferri principali	Φl	20	mm		
passo ferri principali	s,l	200	mm		
ricoprimento piastra	r	300	mm		
dimensioni piastra (lati o diametro)	b1	200	mm		
	b2	200	mm	piastra quadrata	
Resistenza a compressione cilindrica cls	f_{ck}	32	MPa		
Fattore parziale sulla resistenza cls	γ_c	1,5	-		
Fattore per riduzione resistente a lungo termine	α_{cc}	0,85	-	NTC 2018	
VERIFICA A PUNZONAMENTO (PUNCHING)					
Determinazione altezza utile sezione					
altezza utile , long	dl	229	mm		
altezza utile , ripartitori	dr	247	mm		
altezza utile di calcolo	d = (dl + dr)/2	238	mm		
Determinazione perimetro di controllo di base	**Eurocodice**				
Forma piastra	quadrata				
lunghezza perimetro di controllo di base	u1	3790,80	mm		

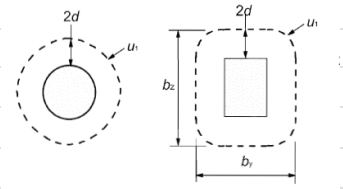

(continua)

Resistenza taglio - punzonamento	**in assenza di specifica armatura**				
$v_{Rd,c} = C_{Rd,c}\, k\, (100\rho_l\ f_{ck})^{1/3} + k_1\sigma_{cp} \geq (v_{min} + k_1\sigma_{cp})$			[MPa]		
$k = 1 + \sqrt{\frac{200}{d}} \leq 2{,}0$ d in mm		1,92	-		
Rapporti geometrici di armatura	ρ_1	0,0066	-		
$\rho_l = \sqrt{\rho_{ly} \cdot \rho_{lz}} \leq 0{,}02$	ρ_2	0,0042	-		
	ρ_l	0,00528	-		
Tensioni di compressione nel cls	σ_{cp}	Trascurate			
recommended value for $C_{Rd,c}$ is $0{,}18/\gamma_c$,	$C_{Rd,c}$	0,12	-		
Valore minimo della resistenza a taglio - punzon.	$v_{min} = 0{,}035\, k^{3/2}\, f_{ck}^{1/2}$	0,53	MPa		
Resistenza a taglio - punzonamento	**$v_{Rd,c}$**	**0,59**	**MPa**		
Resistenza taglio - punzonamento (adiacente alla piastra)					
Perimetro della piastra	u_0	800	mm		
Fattore di riduzione resistenza per cls fessirato a	$v = 0{,}6(1-f_{ck}/250)$	0,5232	MPa		
Resistenza a taglio - punzonamento	$V_{Rd,max}$ =	3,79	MPa		
VERIFICA				$v_{Ed} = \beta \frac{V_{Ed}}{u_i d}$	
Tensione di taglio sul perimetro di controllo u1 (β=1,0)	**v_{Ed}**	**0,388**	**MPa**		
Tensione di taglio sul perimetro piastra (u0)	**$v_{Ed,0}$**	**1,84**	**MPa**		
Resistenza a taglio - punzonamento (perimetro controllo)	**$v_{Rd,c}$**	**0,59**	**MPa**		
Resistenza a taglio - punzonamento (perimetro piastra)	**$v_{Rd,max}$**	**3,79**	**MPa**		
VERIFICA SU PERIMETRO EC2	**$v_{Rd,c}$ / v_{Ed}**	**1,52**	-	**Verifica soddisfatta**	
VERIFICA SU PERIMETRO ADIACENTE ALLA PIASTRA	**$v_{Rd,max}$ / $v_{Ed,0}$**	**2,06**	-	**Verifica soddisfatta**	

Resistenza della piastra

La verifica consiste nel verificare che i valori delle tensioni normali e tangenziali nella piastra metallica siano inferiori ai valori limite competenti alla classe di acciaio.

Nel caso in esame, essendo la piastra di testa parte integrante del sistema certificato (in possesso di CVT del CSLLPP e/o della marcatura CE sulla base di ETA), la sua capacità strutturale in relazione all'azione di progetto dovrà essere garantita dal fabbricante.

12.2.4 Verifiche dei micropali di fondazione del muro (verticali)

Nel presente paragrafo vengono presentate le verifiche geotecniche e strutturali dei micropali verticali di fondazione del muro, nei confronti dei valori di progetto delle sollecitazioni presentati al §12.1.2.4 e in riferimento alle proprietà di riferimento per il micropalo riportate al §8.2.

La verifica strutturale del micropalo è eseguita, cautelativamente, riferendosi alla sola capacità resistente del tubo di armatura (trascurando la presenza del riempimento) e tenendo conto della presenza di giunzioni filettate della tipologia M/M+manicotto filettato esterno. La presenza delle sezioni filettate comporta, una riduzione locale della sezione resistente agli stati normali di tensione (trazione semplice, flessione). Con riferimento ai meccanismi che comportano l'insorgenza di tensioni normali di trazione nella sezione, la

verifica va eseguita riferendosi ad una sezione resistente caratterizzata da uno spessore ridotto rispetto al valore nominale. Nel caso in esame la sezione resistente è caratterizzata da un diametro esterno delimitato dalla gola dei filetti ed un diametro interno pari a quello del tubo corrente (si considera f = 2,5mm, v.Figura 12.65).

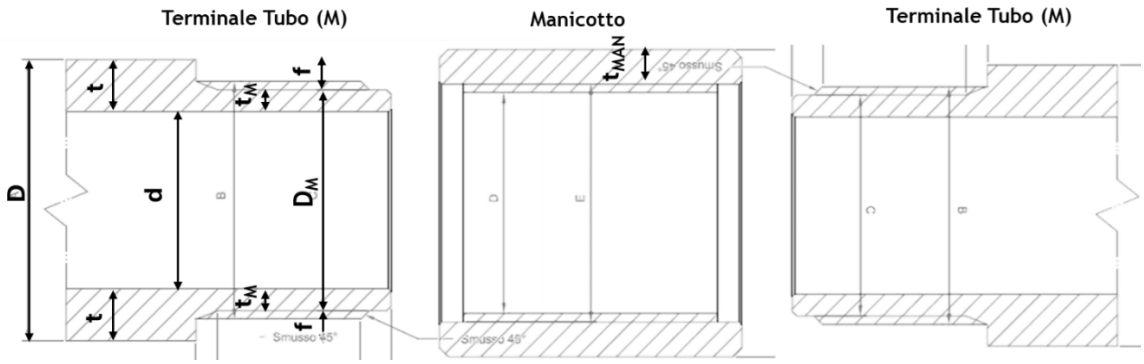

Figura 12.65 Giunzione M/M + Manicotto filettato esterno

La sezione resistente in corrispondenza del filetto non è ridotta per effetto della corrosione in quanto risulta protetta dal manicotto esterno. Nelle verifiche per le quali la sezione resistente di riferimento è la sezione lorda del tubolare (verifica a taglio) è stata considerata la perdita di spessore per corrosione secondo i tassi definiti al §7.6.

Il manicotto filettato dovrà avere caratteristiche (spessore, lunghezza) tali da garantire, anche da corroso, resistenza almeno pari a quella considerata nelle verifiche strutturali.

12.2.4.1 Verifica a taglio

Il taglio resistente della sezione strutturale in acciaio ($V_{c,Rd}$), vale:

$$Vc,Rd = Av\ fyk / (\sqrt{3}\ \gamma M0) = 578,7\ kN$$

- Nella quale:

$A^*v = 2A^*/\pi = 2964,7\ mm^2$	Area resistente a taglio della sezione cava D = 168,3mm spessore 10mm (corrosa a 50 anni)
$A = \pi(D^*2-d2)/4 = 4.654,6\ mm^2$	Area lorda della della sezione cava D = 168,3 mm spessore 10mm (corrosa a 50 anni)
D = 168,30 mm	Diametro esterno della sezione cava (integra)
T = 10,0 mm	Spessore del tubolare (integro)
Δ = 0,60 mm	Perdita di spessore per corrosione in 50 anni (v. §7.6)
t* = t – δ = 9,40 mm	Spessore del tubolare (corroso)
D* = D – 2δ = 167,1 mm	Diametro esterno della sezione cava (corrosa)
d = D – 2t = 148,30 mm	Diametro interno della sezione cava
fyk = 355,0 MPa	Tensione caratteristica a snervamento dell'acciaio S355 H
γM0 = 1,05	Coefficiente di sicurezza per la resistenza delle sezioni di classe 1-2-3-4 (tab. 4.2.VII NTC 2018).

Il valore massimo del taglio agente sul micropalo verticale della fondazione vale (v.12.1.2.4):

$$VEd = 115,2\ kN/m \times (imed,vert = 0,27m) = 31,1\ kN\ (Tratto\ B – SLV)$$

Pertanto, la verifica di sicurezza a taglio del micropalo è ampiamente soddisfatta in quanto la resistenza di progetto ($R_d = V_{c,Rd}$) è maggiore del valore di progetto dell'azione ($E_d = V_{Ed}$):

Rd = Vc,Rd = 578,7 kN >> 31,1 kN = VEd = Ed ✓ (η = 5,4%)

12.2.4.2 Verifica a presso – flessione

Essendo il V_{Ed} < 0,50 $V_{c,Rd}$ è possibile trascurare l'influenza del taglio sulla resistenza a flessione (NTC 2018 §4.2.4.1.26).

Dato che la sezione trasversale è una sezione di classe 1 (anche in corrispondenza delle filettature), allora la sua resistenza può essere calcolata sia con riferimento al metodo elastico, che con riferimento al metodo plastico. Nel caso in esame, la verifica è svolta considerando cautelativamente la resistenza definita dal metodo elastico.

La resistenza a presso flessione della sezione (M_{Rd}), calcolata secondo il metodo elastico, è definita dalla seguente relazione:

$$MRd,el\ (N) = Wel\ (fyd - N/A)$$

Dove:

Wel è il modulo di resistenza elastico della sezione resistente;

A è l'area della sezione resistente;

- fyd = fyk/ γM0 è la resistenza a snervamento di progetto dell'acciaio;

La relazioni appena riportata definisce il dominio di resistenza N – M elastico della sezione presentato in Figura 66. I domini sono riportati con riferimento alla sezione corrente (corrosa) e con riferimento alla sezione in corrispondenza del giunto M/M+Manicotto.

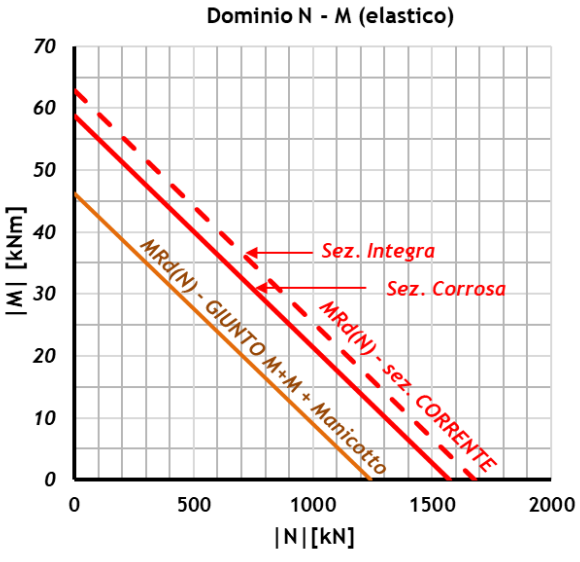

Tubolare D=168,3mm sp.10,0mm

S355 JR H - Giunzioni M+M+Man

W_{el} = 185,8 cm³ (sez. corrente integra)
W_{el} = 173,9 cm³ (sez. corrente corrosa)
W_{el} = 136,7 cm³ (giunto)
γ_{M0} = 1,05

Figura 66 - Domini N – M elastici della sezione circolare cava D168,3 x 10mm S355 H

Nelle figure seguenti si riportano le verifiche di sicurezza relative ai micropali verticali del Settore NORD-tratto A, del tratto B e del tratto C, per le diverse combinazioni allo stato limite ultimo, per tutte le coppie (N;M) di progetto.

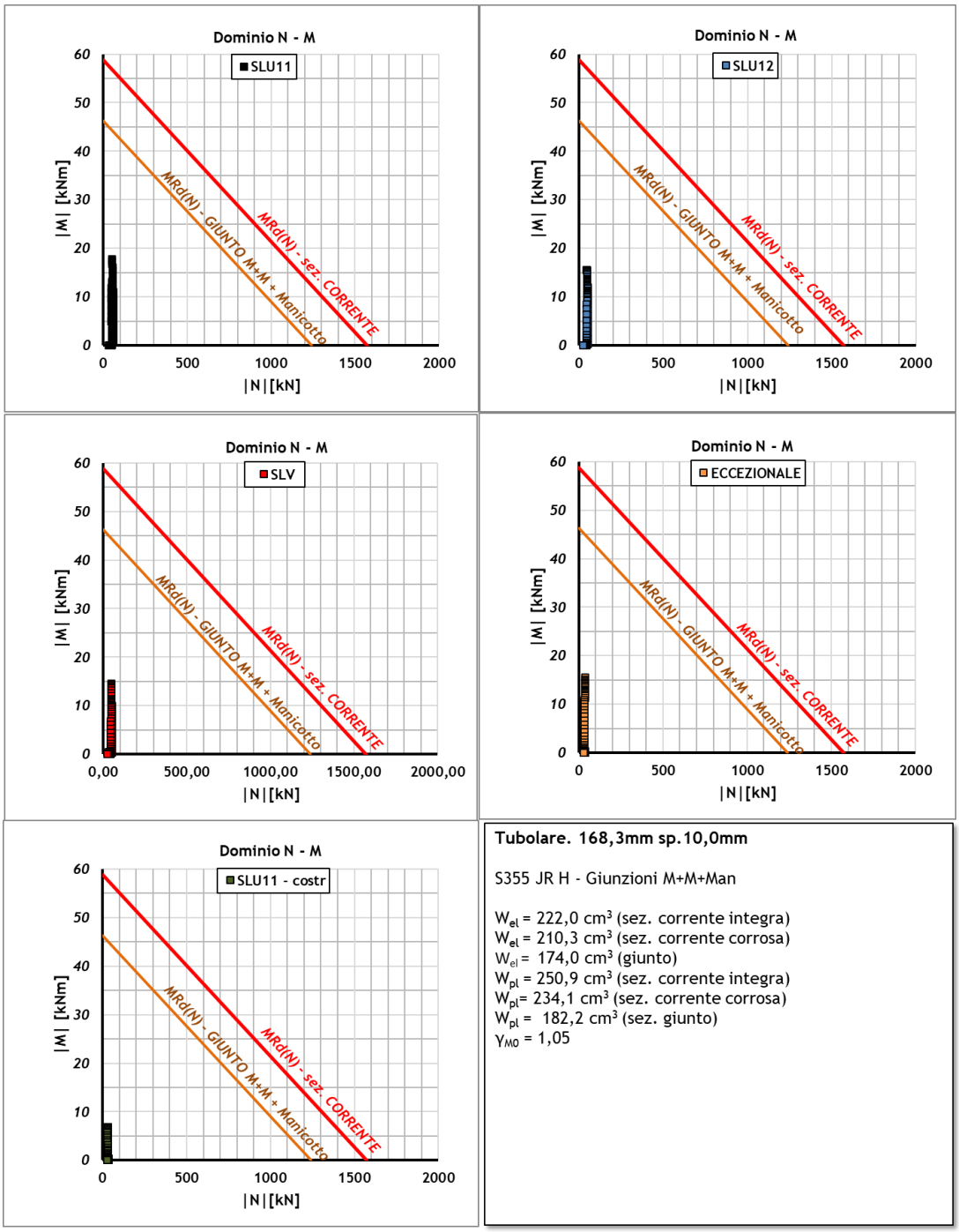

Figura 67 - Settore NORD-Tratto A. Verifiche a presso–flessione dei micropali di fondazione verticali

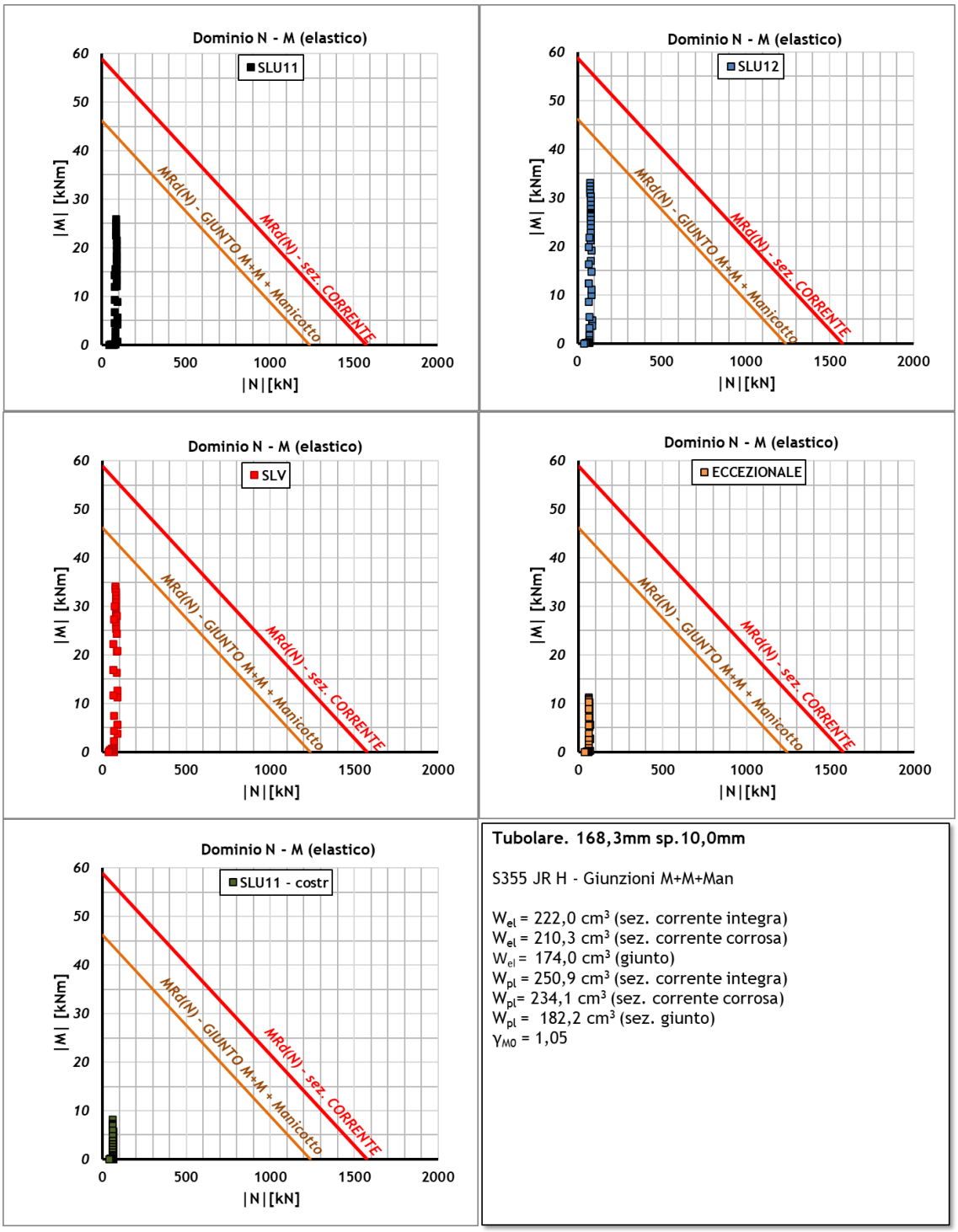

Figura 68 - Settore SUD-Tratto B. Verifiche a presso – flessione dei micropali di fondazione verticali

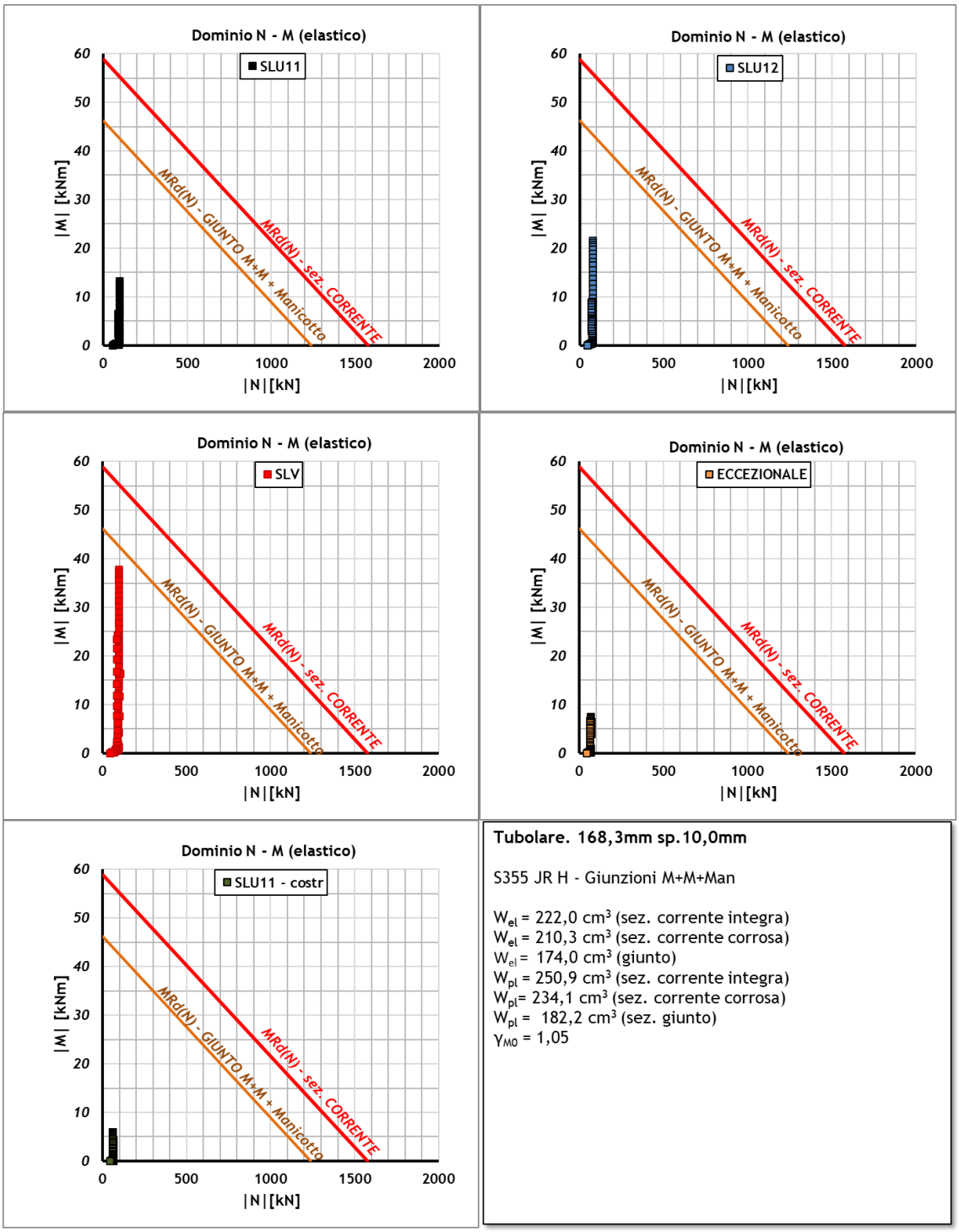

Figura 69 - Settore SUD-Tratto C. Verifiche a presso – flessione dei micropali di fondazione verticali

Tutte le coppie (N;M) risultano interne al dominio resistente dela sezione di giunto e pertanto la verifica è soddisfatta secondo i margini di Norma ü.

12.2.4.3 Verifica geotecnica (capacità portante)

I valori di progetto delle azioni assiali agenti in testa ai micropali di fondazione sono determinati sommando

a quanto ottenuto dalle analisi numeriche l'incremento prodotto dal momento in testa, non colto in ragione delle ipotesi di modellazione adottate. In Figura 70 lo schema cautelativamente considerato per la determinazione dei valori di progetto del carico in testa ai micropali della fila di valle e della fila di monte.

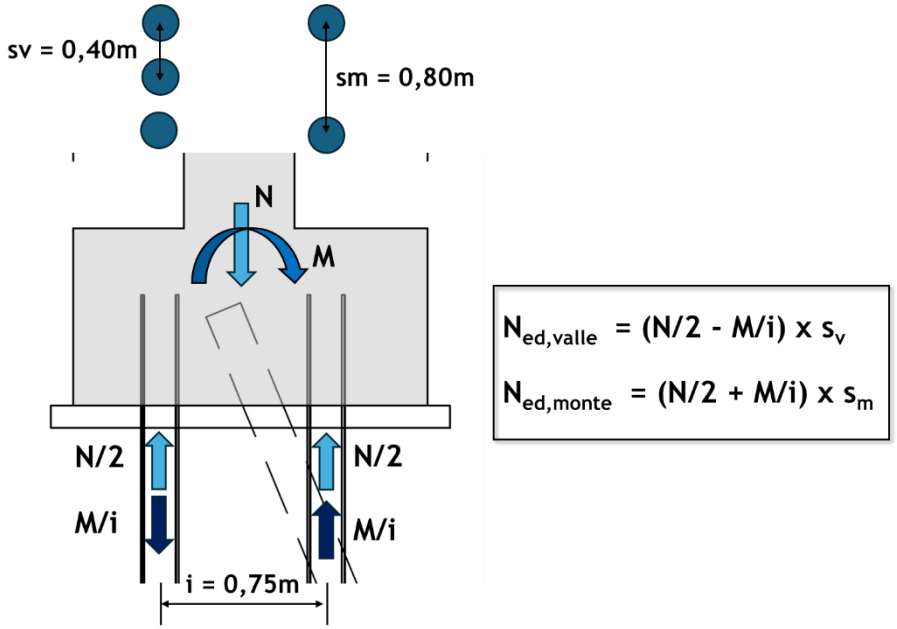

Figura 70 - Schema per la determinazione delle azioni per verifica geotecnica di capacità portante

Nel caso in esame, in accordo ai risultati presentati al §12.1.2.4, la condizione di carico più gravosa è quella ottenuta per il Settore SUD (tratti B e C), allo SLV. I valori della forza normale e del momento flettente in testa alla fondazione sono:

N_{Ed} = 300,0 kN/m

M_{Ed} = 127,0 kNm/m (orario)

Riferendosi allo schema di Figura 70 e aggiungendo il peso del micropalo, i valori del carico assiale agenti in testa al singolo micropalo della fila di monte e della fila di valle valgono:

- micropalo fila di monte: $N_{Ed,monte} = (N_{Ed}/2 + M_{Ed}/i) \times s_m$ = 255,5 kN (compressione)
- micropalo fila di valle: $N_{Ed,valle} = (N_{Ed}/2 - M_{Ed}/i) \times s_v$ = -7,8 kN (trazione)

Le azioni da considerare nella verifica si ottengono aggiungendo il peso del micropalo (w = 6,59 kN):

micropalo fila di monte: $N'_{Ed,monte} = N_{Ed,monte} + w$ = 262,1 kN (compressione)

micropalo fila di valle: $N'_{Ed,valle} = N_{Ed,valle} + w$ = - 1,2 kN (trazione)

Il valore di progetto della capacità portante dei micropali (R_{ad}) , definita al §8.2.1 sia per il caso di micropalo in trazione che di micropalo in compressione vale:

- $R_{ad,traz}$ = 310,0 kN (micropali in trazione)
- $R_{ad,comp}$ = 338,0 kN (micropali in compressione)

La verifica di sicurezza è soddisfatta in quanto le resistenze di progetto risultano maggiori dei valori di progetto delle azioni:

- micropalo fila di monte: Rad,comp = 338,0 kN > 262,1 kN = N'Ed,monte ✓ (η = 77,5%)
- micropalo fila di valle: Rad,traz = 310,0 kN >> 1,2 kN = N'Ed,valle ✓

Nel caso del tratto A, in condizioni di carico eccezionale risulta la seguente azione di trazione sui micropali

della fila di monte:

$N'_{Ed,\ monte}$ = -14,0 kN (trazione)

La verifica è anche in questo caso ampiamente soddisfatta:

micropalo fila di monte: $\mathbf{R_{ad,traz} = 310,0\ kN >> 14,0\ kN = N'_{Ed,monte}}$ ✓ **(η = 4,5%)**

12.2.4.4 Verifica dell'ancoraggio al cordolo in calcestruzzo

Per garantire un efficace ancoraggio dei micropali alla trave sono previste n.4 maniglie realizzate attraverso barre ad aderenza migliorate Φ12mm B450C saldate alla testa del micropalo. Il tubolare è ancorato all'interno della trave per una lunghezza di 0,50m.

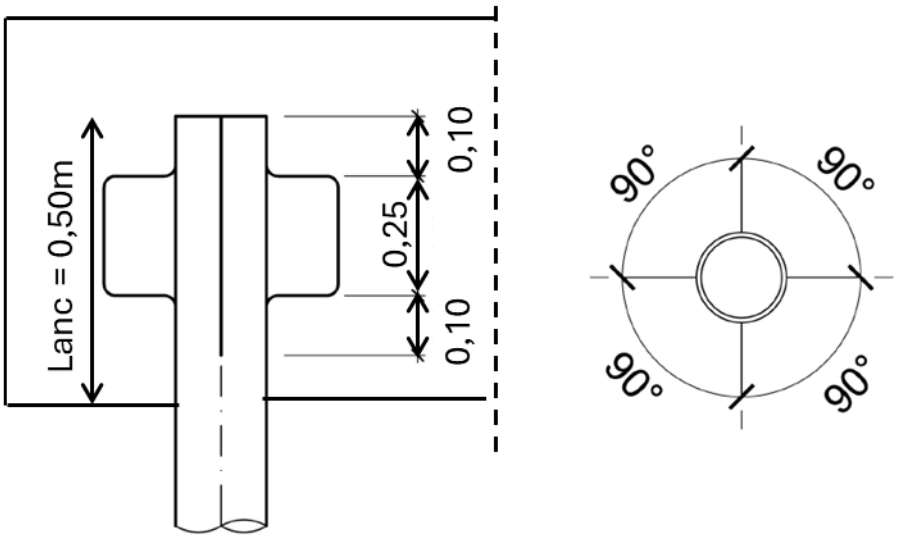

Figura 71 - Ancoraggio dei micropali nel cordolo in calcestruzzo

La resistenza allo sfilamento dell'ancoraggio è calcolata sommando l'aderenza disponibile all'interfaccia con il calcestruzzo in corrispondenza del perimetro esterno del tubo liscio e quella disponibile in corrispondenza delle barre ad aderenza migliorata disposte parallelamente all'asse del micropalo (cautelativamente trascurando i tratti di barra saldati al micropalo).

$$R_d = f_{bd,liscia}\ \pi\ D_{tubo}\ L_{anc} + n_{man}\ \Phi_{man}\ f_{bd}\ L_{anc,man} = 389,5\ kN$$

Dove:

$f_{bd,liscia} = 0,70 \times 0,39 \times \sqrt{(f_{ck}/\gamma_c)} = 1,16$		MPa	Valore di progetto della tensione di aderenza ultima per barre lisce (da Eurocodice 2 §5.2.2.2), condizioni di scarsa aderenza;
D_{tubo}	= 168,3	mm	diametro nominale del tubo di armatura;
L_{anc}	= 500,0	mm	lunghezza di ancoraggio nel cordolo;
n_{man}	= 4	-	numero di maniglie previste;
Φ_{man}	= 12	mm	diametro dei ferri costituenti le maniglie;
f_{bd}	$= 2,25\ \eta_1\ \eta_2\ f_{ctk}/\ \gamma_c = 2,20$	MPa	Valore di progetto della tensione di aderenza ultima per barre ad aderenza migliorata;
η_1	= 0,70	-	Condizioni di scarsa aderenza (cautelativo);
η_2	= 1,00	-	

f_{ck}	= 32,0	MPa	Resistenza cilindrica a compressione C32/40
f_{ctk}	= 2,10	MPa	Valore caratteristico della resistenza a trazione clacestruzzo C32/40
γ_c	= 1,50	-	Fattore parziale sulla resistenza del cls
$L_{anc,man}$	= 250,0	mm	lunghezza di ancoraggio delle maniglie;

il valore di progetto della resistenza a sfilamento del micropalo vale (§8.2.1):

R_{ad} = 338,0 kN (micropali in compressione)

Pertanto, la verifica è soddisfatta in quanto l'ancoraggio è capace di garantire il raggiungimento della resistenza di progetto del micropalo:

$R_{d,maniglie}$ = 389,5 kN > R_{ad} = 338,0 kN = E_d ✓ (η = 86,8%)

12.2.5 Verifiche dei micropali di fondazione (inclinati)

Nel presente paragrafo si presentano le verifiche geotecniche e strutturali dei micropali di fondazione inclinati. Le verifiche sono svolte nei confronti delle sollecitazioni riportate al §12.1.2.5, riferendosi alle proprietà di riferimento sintetizzate al §8.2.

12.2.5.1 Verifica a sfilamento

In accordo a quanto definito al §8.2.1, il valore di progetto della resistenza a sfilamento del micropalo in trazione, considerando come efficaci solamente i 4,5 m più profondi di micropalo è pari a:

Rad (trazione) =310,9 kN

Il valore massimo dell'azione di trazione agente sul micropalo vale:

N_{Ed} = 64,3 kN (SLV Tratto B)

La verifica di sicurezza allo SL di sfilamento è soddisfatta secondo i margini di Norma in quanto il valore massimo dell'azione risulta inferiore al valore di progetto della resistenza:

$E_d = N_{Ed}$ = 64,3 kN < 345,5 kN = R_{ad} ✓ (η = 18,6%)

12.2.5.2 Verifica strutturale

L'armatura del micropalo è realizzata attraverso una sezione cava in acciaio S355 J0 H di diametro 168,3 mm e spessore 10mm, la quale potrà essere posta in opera o secondo un singolo pezzo o mediante assemblaggio di porzioni di lunghezza 3 – 4 m collegate per mezzo di giunzioni filettate M/M+Manicotto filettato esterno (Figura 72).

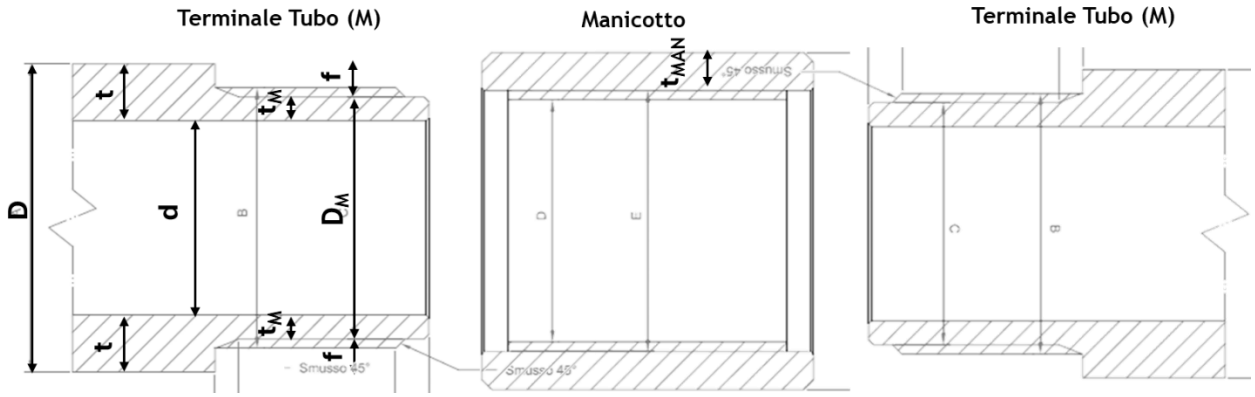

Figura 72 - Giunzione M/M+Manicotto esterno

La resistenza a trazione del micropalo **in corrispondenza della filettatura M** vale:

$$N_{Rd,M} = A_{res} f_{yk} / \gamma_{M0} = 1303{,}0 \text{ kN}$$

Dove:

$A_{Res} = \pi (DM2 - d2)/4 = 3670{,}9$		mm^2	Area resistente in corrispondenza delfiletto M
$DM = D - 2f$	= 163,3mm		Diametro esterno del tubo in corrispondenza della gola del filetto M
D	= 168,3	mm	Diametro nominale del tubo
t	= 10,0	mm	Spessore nominale del tubo
f	= 2,5	mm	Profondità punto di gola filetto rispetto la superficie esterna del tubo(cautelativamente)
$tM = t - 2f$	= 7,5	mm	Spessore della sezione in corrispondenza del filetto M
$d = D - 2t$	= 148,3	mm	Diametro interno del tubo
f_{yk}	= 355,0 MPa	è la tensione di snervamento (valore caratteristico) dell'acciaio S355 H	
γ_{M0}	= 1,05	-	Fattore parziale ulla resistenza delle sezioni di classe 1-2-3-4

Il valore massimo dell'azione di trazione agente sul micropalo vale:

$$E_d = 64{,}3 \text{ kN (SLV Tratto B)}$$

La verifica di sicurezza è pertanto ampiamente soddisfatta in quanto la resistenza di progetto risulta maggiore del valore di progetto dell'azione:

$$\mathbf{R_d = N_{Rd,M} = 1303{,}0 \text{ kN} >> 64{,}3 \text{ kN} = E_d} \checkmark \mathbf{(\eta = 4{,}9\%)}$$

12.2.5.3 Verifica dell'ancoraggio al cordolo in calcestruzzo

Per garantire un efficace ancoraggio dei micropali alla trave sono previste n.4 maniglie realizzate attraverso barre ad aderenza migliorate Φ12mm B450C saldate alla testa del micropalo. Il tubolare è ancorato all'interno della trave per una lunghezza di 0,50m.

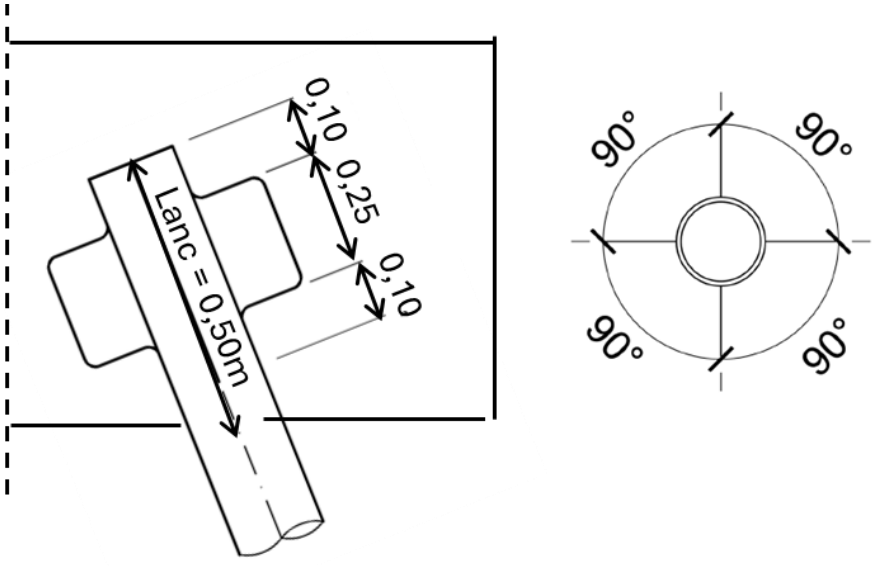

Figura 73 - Ancoraggio dei micropali nel cordolo in calcestruzzo

La resistenza allo sfilamento dell'ancoraggio è calcolata sommando l'aderenza disponibile all'interfaccia con il calcestruzzo in corrispondenza del perimetro esterno del tubo liscio e quella disponibile in nel tratto parallelo all'asse del micropalo delle barre ad aderenza migliorata (cautelativamente trascurando i tratti di barra saldati al micropalo).

$$R_d = f_{bd,liscia}\ \pi\ D_{tubo}\ L_{anc} + n_{man}\ \Phi_{man}\ f_{bd}\ L_{anc,man} = 389{,}5\ kN$$

Dove:

$f_{bd,liscia} = 0{,}70 \times 0{,}39 \times \sqrt{(f_{ck}/\gamma_c)} = 1{,}16$	MPa	Valore di progetto della tensione di aderenza ultima per barre lisce (da Eurocodice 2 §5.2.2.2), condizioni di scarsa aderenza;
D_{tubo} = 168,3	mm	diametro nominale del tubo di armatura;
L_{anc} = 500,0	mm	lunghezza di ancoraggio nel cordolo;
n_{man} = 4	-	numero di maniglie previste;
Φ_{man} = 12	mm	diametro dei ferri costituenti le maniglie;
$f_{bd} = 2{,}25\ \eta_1\ \eta_2\ f_{ctk}/\ \gamma_c = 2{,}20$	MPa	Valore di progetto della tensione di aderenza ultima per barre ad aderenza migliorata;
η_1 = 0,70	-	Condizioni di scarsa aderenza (cautelativo);
η_2 = 1,00	-	
f_{ck} = 32,0	MPa	Resistenza cilindrica a compressione C32/40
f_{ctk} = 2,10	MPa	Valore caratteristico della resistenza a trazione clacestruzzo C32/40
γ_c = 1,50	-	Fattore parziale sulla resistenza del cls
$L_{anc,man}$= 250,0	mm	lunghezza di ancoraggio delle maniglie;

il valore di progetto della resistenza a sfilamento del micropalo in trazione vale (§8.2.1):

R_{ad} = 310,9 kN (micropali in trazione)

Pertanto, la verifica è soddisfatta in quanto l'ancoraggio è capace di garantire il raggiungimento della resistenza di progetto del micropalo:

$R_{d,maniglie}$ = 389,5 kN > R_{ad} = 310,9 kN ✓ (η = 79,8%)

12.2.6 Verifiche strutturali del muro in calcestruzzo armato

Il muro in calcestruzzo armato C32/40 è caratterizzato da uno spessore di 0,50m ed è armato con armatura a flessione in acciaio B450C 1 + 1Φ20/20cm e ripartitori Φ16/20cm secondo lo schema di figura seguente:

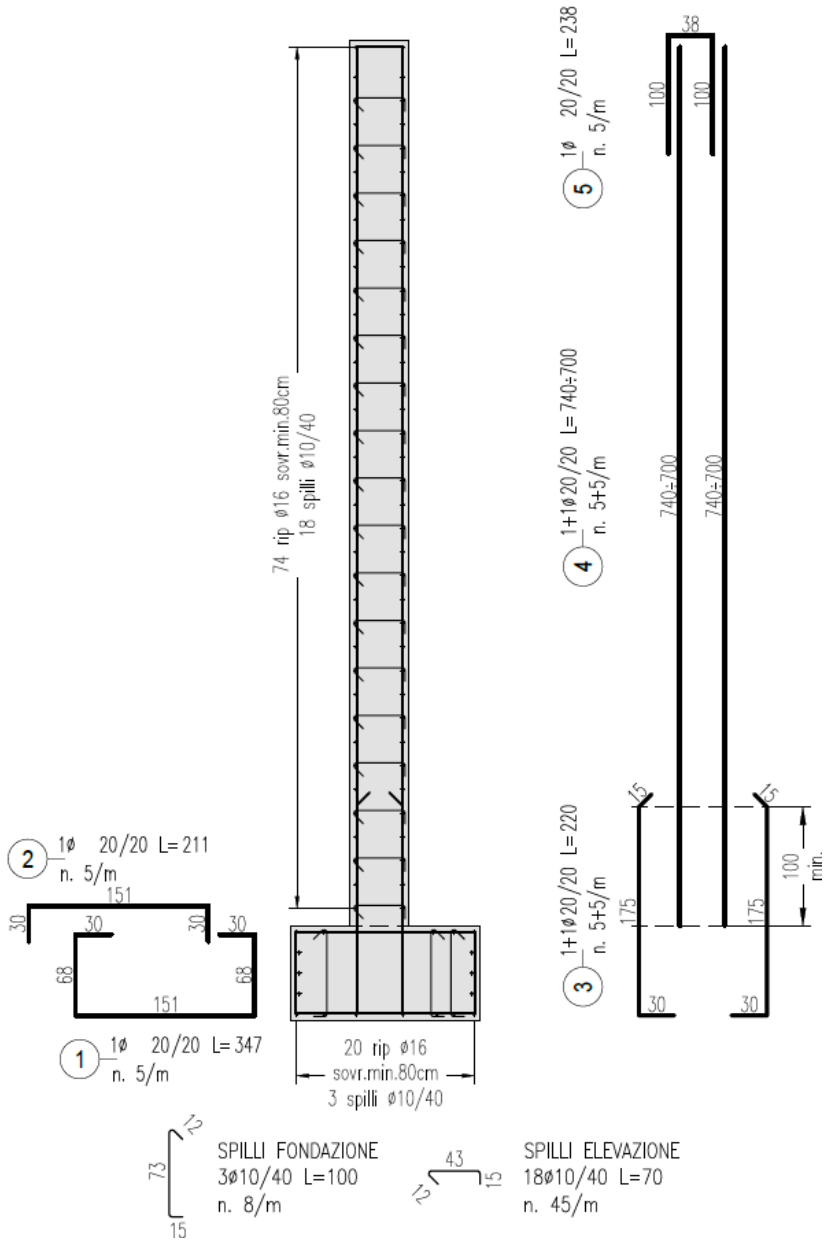

Figura 74 - Schema della disposizione delle armature del muro in c.a.

Nei paragrafi seguenti si riportano le verifiche di sicurezza e funzionalità nei confronti delle azioni presentate al §12.1.2.6.

12.2.6.1 Verifica a presso – flessione

Il valore massimo del momento flettente agente sul muro palo è pari a (v.§12.1.2.1):

$$M_{Ed} = 230{,}0 \text{ kNm/m (Eccezionale Settore NORD-Tratto A)}$$

Il valore di progetto della resistenza a flessione M_{Rd}, determinata trascurando l'effetto favorevole della forza normale N è pari a (Figura 75):

$$M_{Rd} (N = 0 \text{ kN}) = 260{,}0 \text{ kNm/m}$$

Si sottolinea che pur trattandosi di una verifica dei confronti di un'azione eccezionale, nella determinazione

del valore di progetto della resistenza sono comunque considerati i fattori parziali sui materiali.

La verifica è pertanto soddisfatta in quanto il valore di progetto della resistenza ($R_d = M_{Rd}$) è maggiore del valore di progetto dell'azione ($E_d = M_{Ed}$):

$R_d = M_{Rd}(N=0) = 260{,}0$ kNm > 230,0 kNm = $M_{Ed} = E_d$ ✓ (η = 88,5%)

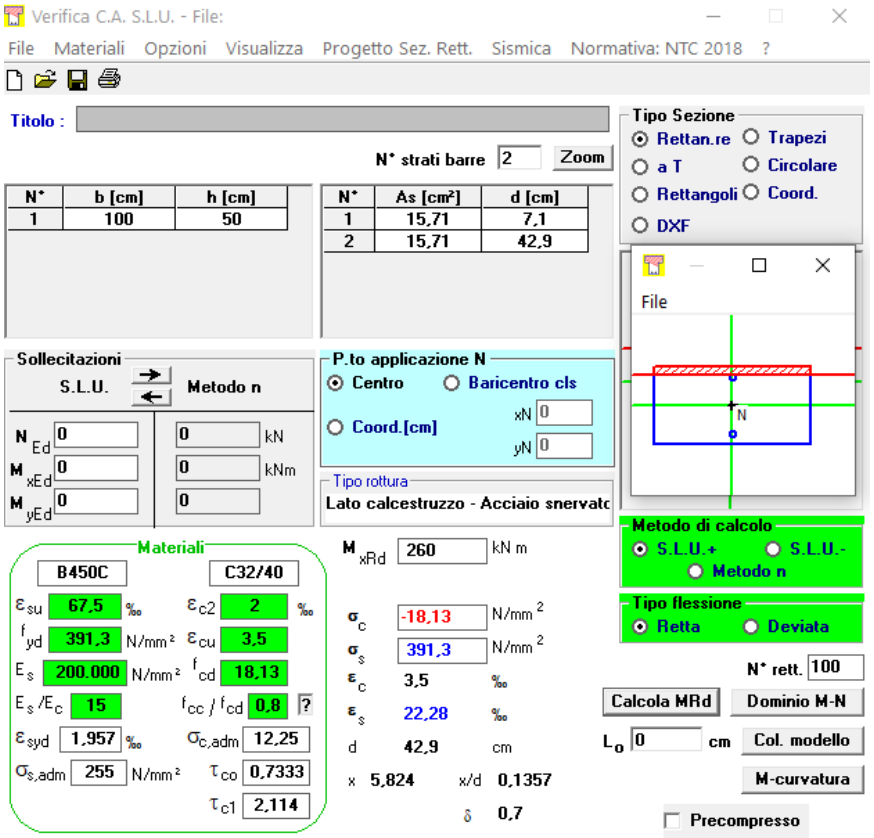

Figura 75 - Momento resistente a flessione semplice (N = 0) del muro C32/40 armato con 1+1Φ20/20cm (da VCA SLU del Prof. Gelfi).

12.2.6.2 Verifica a taglio

La sezione resistente non è dotata di specifiche armature a taglio. Pertanto, non essendo presenti significativi sforzi di trazione, la resistenza della sezione è valutabile secondo la relazione (NTC 2018 §4.1.2.3.5.1):

$$V_{Rd} = \left\{ 0{,}18 \cdot k \cdot \frac{(100 \cdot \rho_1 \cdot f_{ck})^{\frac{1}{3}}}{\gamma_c} + 0{,}15 \cdot \sigma_{cp} \right\} \cdot b_w \cdot d \geq (v_{min} + 0{,}15 \cdot \sigma_{cp}) \cdot b_w \cdot d$$

Con:

k = 1 + (200/d)1/2 ≤ 2,0

vmin = 0,035 k3/2 fck1/2

e dove:

d	è l'altezza utile della sezione
ρl = Asl/(bwd)	è il rapporto geometrico di armatura longitudinale tesa (≤ 0,02)
σcp = NEd/Ac	è la tensione media di compressione nella sezione (≤ 0,2 fcd)
bw	è la larghezza minima della sezione (in mm)

la resistenza a taglio della sezione è pari al valore determinato in Tabella 12.8:

h	d	b_w	A_{sl}	N_{Ed}	k	f_{ck}	v_{min}	ρl	γ_C	V_{Rd}
mm	mm	mm	cm^2	kN/m	-	MPa	MPa	-	-	**kN/m**
500	429	1000	15,71	0,0	1,68	32,0	0,43	0,0037	1,5	**196,8**

Tabella 12.8 Resistenza a taglio del muro in calcestruzzo

Il valore massimo del taglio ottenuto dalle analisi è quello ottenuto per il Settore SUD-tratto B in condizioni sismiche SLV e vale:

VEd = 93,0 kN/m (Settore SUD-SLV Tratto B)

La verifica di sicurezza è pertanto soddisfatta in quanto il valore di progetto della resistenza è maggiore del valore di progetto dell'azione:

$R_d = V_{Rd}$ = 196,8 kN/m > V_{Ed} = 93,0 kN/m ✓ (η = 47,3%)

12.2.6.3 Verifica allo SL di fessurazione

Come definito al §7.6.1 Lo stato limite di fessurazione di riferimento in relazione alle condizioni di aggressività ambientale è lo stato limite di apertura delle fessure.

Nel caso in esame il valore massimo del momento flettente agente sul muro allo SLE, pari a:

M_{Ed} = 89,1 kNm/m (SLE – Settore SUD-Tratto B)

Anche nell'ipotesi conservativa di trascurare gli effetti della forza normale (N =0) non comporta la formazione delle fessure, in quanto la tensione normale di trazione indotta nella fibra più sollecitata risulta (NTC 2018 §4.1.2.2.4):

σt = 1,87 MPa < fctm/1,20 = 2,50 MPa ✓

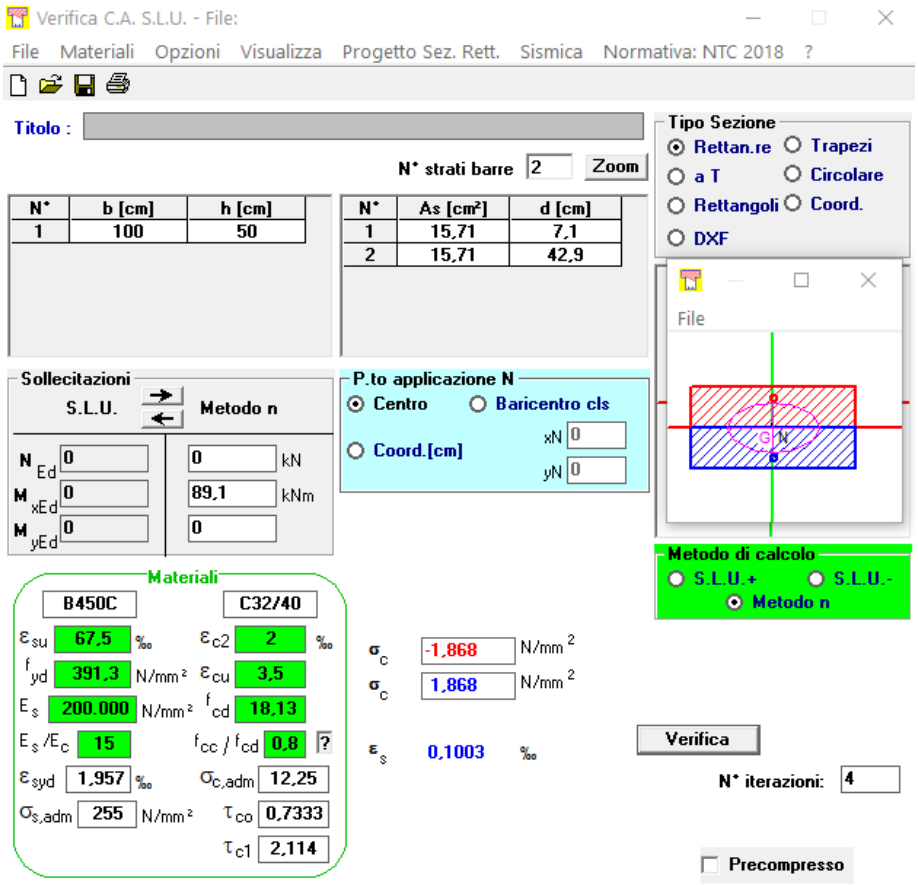

Figura 76 - Analisi delle tensioni prodotte dal momento SLE all'interno della sezione (da VCA SLU del prof. Gelfi)

La verifica allo Stato limite di fessurazione è pertanto soddisfatta.

12.2.6.4 Verifica dell'ancoraggio delle barre al calcestruzzo

Le barre di armatura devono essere ancorate in modo tale da consentire la completa trasmissione al calcestruzzo delle forze interne cui sono soggette ed evitare la fessurazione longitudinale ed il distacco di calcestruzzo. Il corretto ancoraggio delle barre è pertanto fondamentale per garantire le prestazioni delle strutture e, come richiesto al §4.1.2.1.8 delle NTC 2018, deve essere oggetto di specifica verifica/dimensionamento.

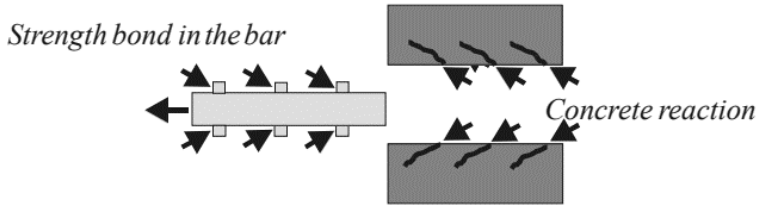

Figura 77 - Meccanismo resistente di aderenza per barre ad aderenza migliorata

La tensione di aderenza acciaio – calcestruzzo di progetto f_{bd} vale (NTC 2018 §4.1.2.1.1.4):

$$f_{bd} = 2{,}25 \cdot \eta_1 \cdot \eta_2 \cdot \frac{f_{ctk}}{\gamma_c} = 3{,}15 \ MPa$$

Dove:

η_1= 1,0 coefficiente funzione delle condizioni di aderenza

$\eta_1 = 0{,}7$ (se cattiva aderenza)

η_2= 1,0 per barre di diametro Φ ≤32 mm

f_{ctk}= 2,10 MPa tensione caratteristica a rottura per trazione del cls C32/40

γ_c = 1,50 fattore parziale sulla resistenza del calcestruzzo

Nel caso in esame essendo la direzione di getto parallela a quella delle barre ci si è riferiti alle condizioni di buona aderenza.

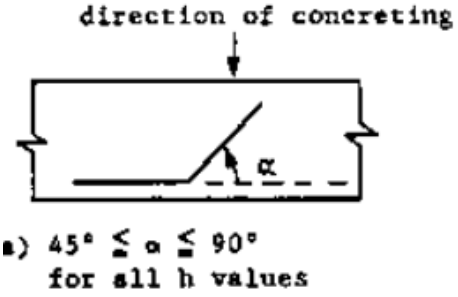

Per il calcolo della lunghezza di ancoraggio ci si è riferiti al §5.2.2 dell Eurocodice 2 il quale definisce come lunghezza di ancoraggio di base (l_b) la lunghezza rettilinea necessaria per ancorare una barra soggetta alla forza di snervamento ($A_s f_{yd}$), avendo assunto una tensione di aderenza costante pari a f_{bd}. Nel caso di ancoraggi a piega o nel caso in cui nella sezione siano presenti più armature longitudinali di quelle strettamente necessarie, la lunghezza di ancoraggio di progetto (l_d) può essere ottenuta riducendo opportunamente la lunghezza di ancoraggio di base, riferita al caso di ancoraggio dritto.

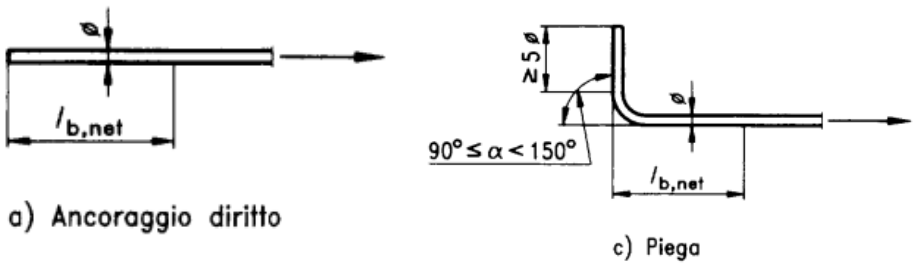

Figura 78 - Lunghezza di ancoraggio necessaria nel caso di ancoraggio dritto e piega (EC2)

Barre Φ20mm

la lunghezza di **ancoraggio** di progetto (l_d) da garantire alle barre vale:

$$\boldsymbol{l_d} = \alpha_a \cdot l_b \cdot \frac{A_{s,req}}{A_{s,prov}} = \alpha_a \cdot \frac{\phi \cdot f_{yd}}{4 \cdot f_{bd}} \cdot \frac{A_{s,req}}{A_{s,prov}} = \mathbf{62,1\ cm} \geq l_{b,min} = 40\ cm$$

Dove:

Φ = 20mm è il diametro della barra da ancorare;

$l_b = (\Phi\ f_{yd})/(4\ f_{bd})$ è la lunghezza di ancoraggio di base (ancoraggio rettilineo)

$A_{s,req}/A_{s,prov}$ è il rapporto fra l'area di armatura longitudinale strettamente necessaria e l'armatura effettivamente messa in opera, cautelativamente posto pari ad 1,0;

α_a = 1,0 per barre dritte;

f_{yd} = 391,3 MPa è il valore di progetto della tensione di snervamento dell'acciaio B450C.

La lunghezza minima delle **sovrapposizioni** (l_s) può essere calcolata a partire dalla lunghezza di ancoraggio di progetto e vale:

$$l_S = 1{,}50\ l_d = 1{,}50 \times 62{,}1 = 93{,}2 \text{ cm}$$

Pertanto, nei disegni esecutivi si adotteranno:

Lunghezza di ancoraggio: 65 cm

Lunghezza delle sovrapposizioni: 100 cm.

12.2.6.5 Verifica delle tensioni in esercizio

Nel presente paragrafo si riporta la verifica allo stato limite di limitazione delle tensioni in esercizio, richiesta dalle NTC 2018 al §4.1.2.5.

Il valore massimo del momento flettente agente sul muro sotto le condizioni di carico SLE è pari a:

$$M_{Ed} = 89{,}1 \text{ kNm/m (SLE – Settore SUD-Tratto B)}$$

A cui è associata una forza normale di compressione, comprensiva del peso del muro sovrastante la sezione pari a:

$$N_{Ed}\,(z = -6{,}5\text{m}) = 151{,}0 \text{ kN/m (SLE – Settore SUD-Tratto B)}$$

Le tensioni sulla sezione da considerare nella verifica, in accordo al §C4.1.2.2.5 della Circolare 21 gennaio 2019 n.7/CSLLPP, sono valutate trascurando la resistenza a trazione del calcestruzzo.

Le tensioni sono valutate secondo il metodo n, attraverso il software VCA SLU (Figura 79).

La tensione massima di compressione sul calcestruzzo (σ_c) indotta nella sezione da tale coppia (N; M) è pari a:

$$\sigma_{c,max} = 3{,}60 \text{ MPa}$$

La tensione massima di trazione sulle barre di armatura è pari a:

$$\sigma_{s,max} = 100{,}3 \text{ MPa}$$

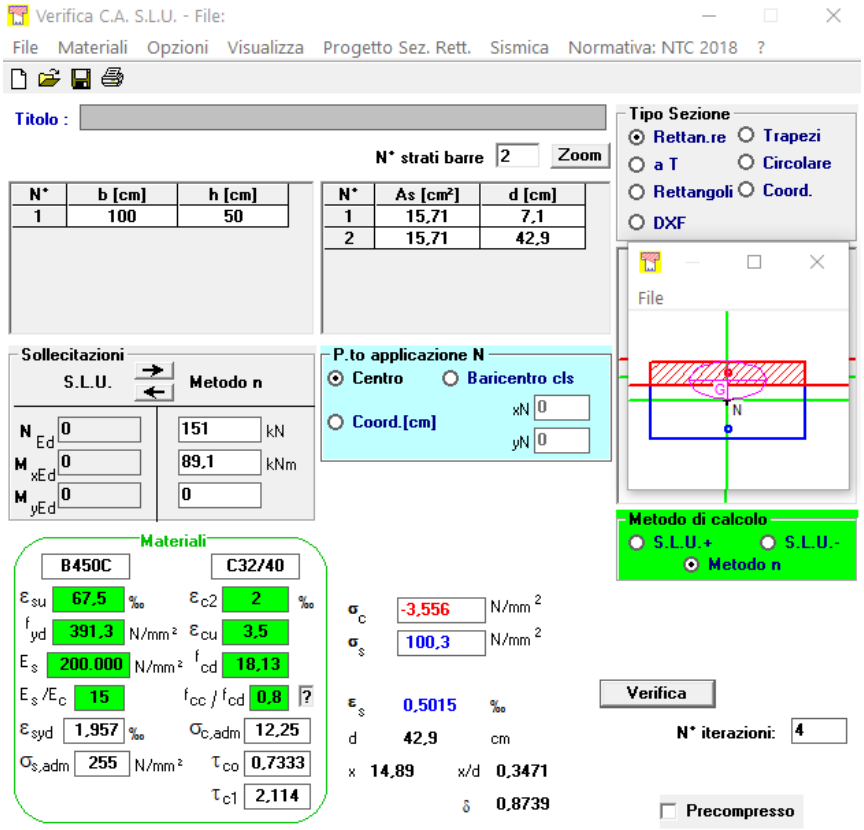

Figura 79 - Analisi tensionale allo stato limite di esercizio (da VCA SLU del Prof. Gelfi)

La verifica è soddisfatta in quanto i valori delle tensioni massime in esercizio sui materiali risultano inferiori ai valori limite prescritti dalla Norma:

$\sigma_{c,max}$ = 3,60 MPa < 0,45 f_{ck} = 0,45 x 32,0 MPa = 14,40 MPa ✓

$\sigma_{s,max}$ = 100,3 MPa < 0,80 f_{yk} = 0,80 x 450,0 MPa = 360 MPa ✓

12.2.7 Verifiche di stabilità globale

Nel presente paragrafo si illustrano i risultati delle verifiche di stabilità globale, eseguite con riferimento alle sezioni critiche per le opere provvisionali e per la configurazione strutturale definitiva. Le verifiche sono state eseguite attraverso il codice di calcolo SLOPE/W, secondo il metodo all'equilibrio limite e riferendosi alla formulazione di Morgerstern e Price.

Le verifiche sono condotte considerando i parametri geotecnici dichiarati al §6. Dato che le verifiche strutturali in combinazione SLU12 e SLV sono risultate tutte ad esito positivo, nell'analisi della stabilità globale si sono considerate solamente le superfici di scivolamento passanti per il piede dell'opera.

In Figura 80 si presenta il meccanismo critico (Settore SUD-altezza paramento=8,0m) per l'opera definitiva, relativamente alle condizioni statiche SLU. Il valore del fattore di sicurezza ottenuto è pari a **1,49 ≥ γ_R = 1,10** ✓ e pertanto la verifica di sicurezza è soddisfatta.

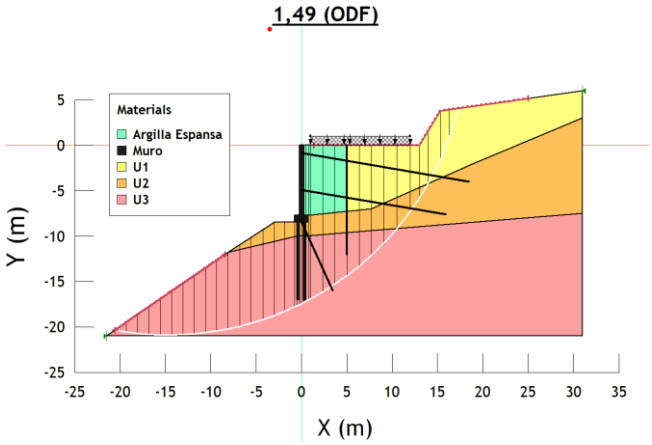

Figura 80 - Opera definitiva: sup. di scivolamento critica in condizioni SLU (SLU A2+M2- Settore SUD)

In Figura 81 si presentano invece le superfici di scivolamento critiche riferite al caso sismico SLV.

Sotto tali condizioni, il valore minimo del fattore di sicurezza ottenuto è pari a **1,50 ≥ γ_R = 1,20** ✓ e pertanto la verifica di sicurezza risulta soddisfatta.

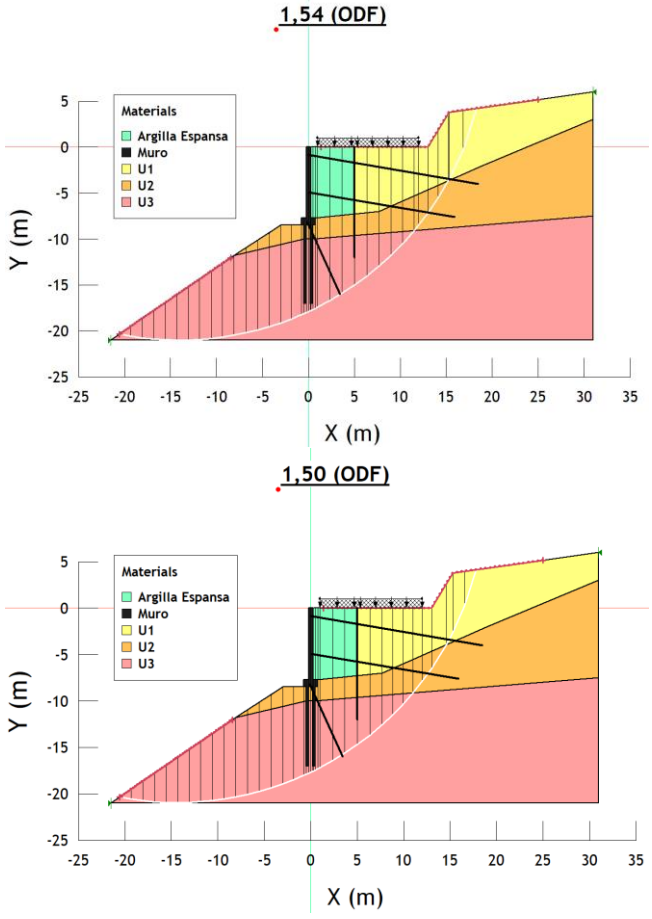

Figura 81 - Opera definitiva: sup. di scivolamento critiche in condizioni SLV: a sx kh = 0,149; kv = + 0,075; a dx kh = 0,149, kv = -0,075 (Settore SUD)

Con riferimento alle verifiche di stabilità globale delle opere provvisionali, in Figura 82 si riporta la superficie

critica per l'opera provvisionale del tratto A, mentre in figura la superficie critica per le opere provvisionali dei tratti B e C. la sezione maggiormente critica è quella rappresentativa del tratto A, per la quale si è ottenuto un fattore di sicurezza pari a **1,24 ≥ γ_R = 1,10** ✓ **:** la verifica di sicurezza è pertanto soddisfatta secondo i margini richiesti dalla Norma.

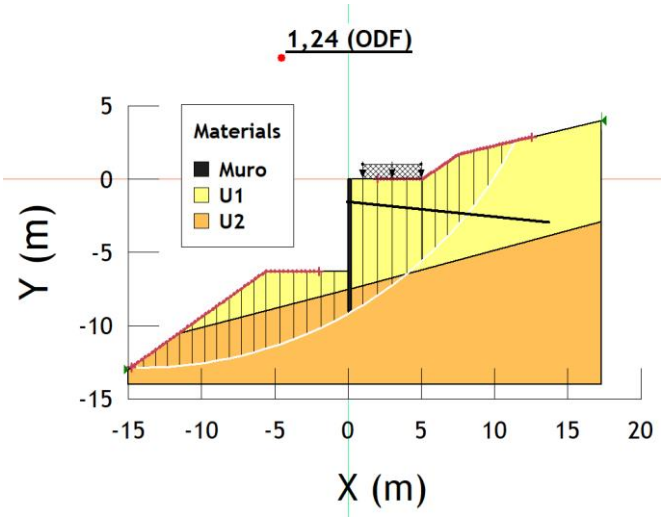

Figura 82 - Sup. di scivolamento critica per l'opera provvisionale del tratto A (SLU:A2+M2-Settore NORD)

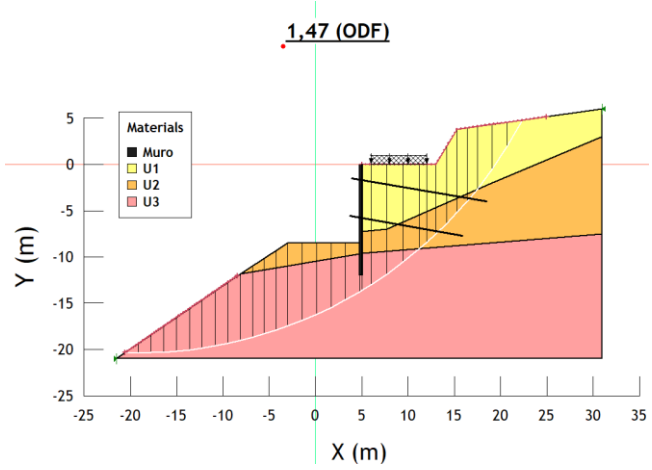

Figura 83 - Sup. di scivolamento critica per le opere provvisionali dei tratti B e C (SLU:A2+M2-Settore NORD)

13 CONCLUSIONI

Nella presente relazione sono state presentate le verifiche geotecniche e strutturali delle opere previste per il ripristino dei dissesti interessanti la strada provinciale 610 “Montanara” in corrispondenza del km 59+500 della SP 610, "Montanara”.

Le verifiche di sicurezza e funzionalità, svolte in accordo a quanto previsto dalla Norma, sono risultate tutte soddisfatte.

14 ORIGINE E CARATTERISTICHE DEI CODICI DI CALCOLO UTILIZZATI

Le analisi geotecniche sono state condotte con l'ausilio dei seguenti codici di calcolo:

Programma:	**PLAXIS 2D Advanced**
Versione:	2024.2.0.1144 (Build 1144)
Produttore:	Bentley Systems International Limited, Dublin2, Ireland
Tipologia software:	Software agli elementi finiti specifico per analisi geotecniche

Programma:	**GEOSTUDIO 2018**
Versione:	9.0.5.16316
Produttore:	GEO – SLOPE International, Ltd.
Tipologia software:	Software all'equilibrio limite specifico per analisi geotecniche di stabilità

15 GIUDIZIO MOTIVATO DI ACCETTABILITÀ DEI RISULTATI

15.1 ANALISI DI INTERAZIONE TERRENO – STRUTTURA (PLAXIS 2D)

Il giudizio circa l'affidabilità del codice di calcolo viene formulato mediante un confronto fra i risultati dell'analisi numerica di una paratia a sbalzo con i risultati del calcolo a mano della stessa, nei termini di:

- Lunghezza di incastro d necessaria all'equilibrio del sistema
- Massimo momento flettente lungo la paratia

Alla paratia è associato uno sbalzo di 5,00 m, Il terreno è assunto omogeneo, con γ=20 kN/m^3 ; φ'=30°; c'=0 kPa; E'=10 MPa, l'attrito muro – terreno è assunto pari a δ=15° e assenza di falda.

Nel seguito si riportano le calcolazioni eseguite mediante software, a mano ed il confronto fra le due.

CALCOLO PLAXIS

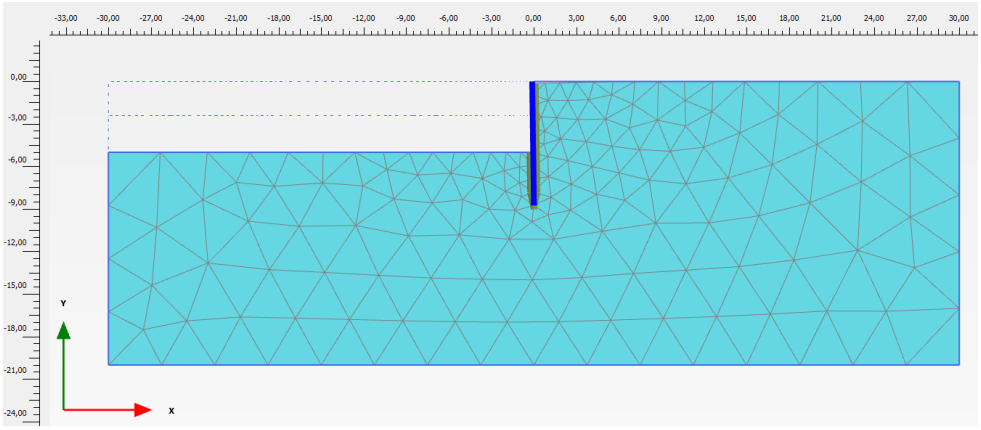

Figura 15.1 Modello della paratia

Tabella 15.1 Principali parametri in input nel modello numerico

	Modello costitutivo	**γ** [kN/m^3]	**E'** [kN/m^2]	**ν** [-]	**c'** [kPa]	**ϕ'** [°]	**R_{int}** [-]
Terreno in posto	MC	20	10'000	0,3	0	30	0,5

MC: Mohr-Coulomb
γ: Peso di volume
E': modulo elastico alla deformazione corrispondente al 50% del carico di rottura
ν: modulo di Poisson
c'; φ': parametri di resistenza
R_{int}: Fattore di resistenza all'interfaccia

FASI COSTRUTTIVE

- Determinazione dello stato tensionale iniziale
- Scavo fino alla profondità di 2,40m
- Scavo fino alla profondità di 5,00m
- Calcolo del fattore di sicurezza mediante c'-phi' reduction

La lunghezza di incastro d è stata ricercata mediante una c'-phi' reduction: in particolare tale lunghezza è identificata come quella lunghezza per la quale si ha un fattore di sicurezza uguale o al più prossimo all'unità (FS=1).

Nel caso in oggetto risulta FS=1 per una lunghezza d=3,75 m (altezza totale della paratia pari a 5+3,75=8,75m).

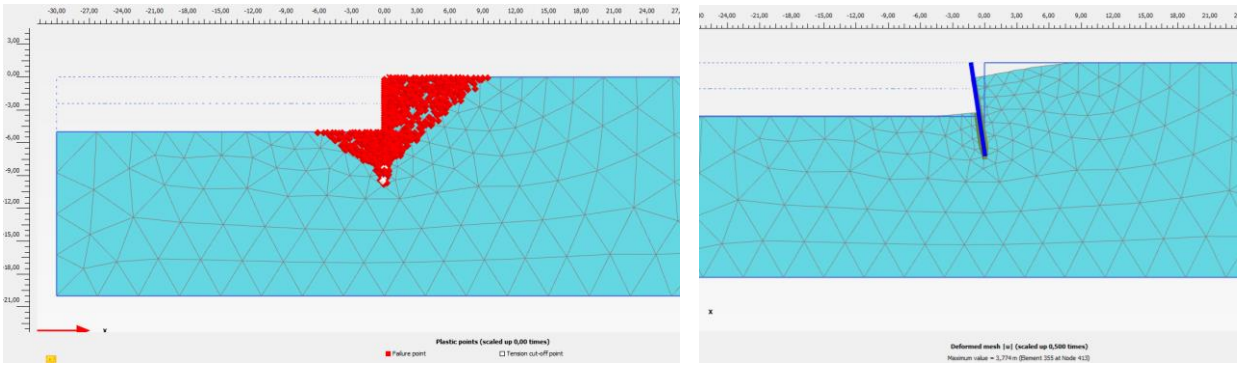

Figura 15.2 SX: punti plastici a dimostrazione del completo sviluppo della mobilitazione della spinta attiva e resistenza passiva; DX: deformata da cui si evince la rotazione al piede della paratia

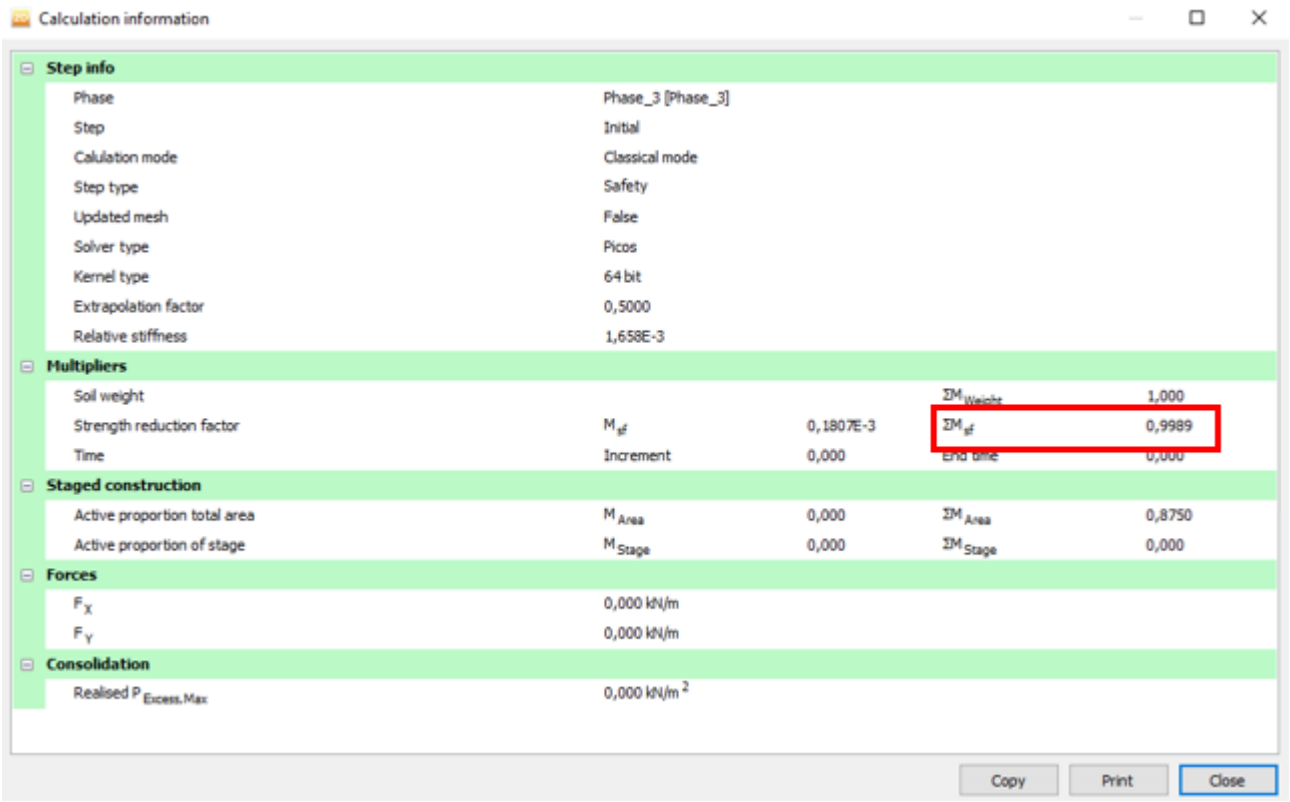

Figura 15.3 Risultato della analisi c' - phi' reduction (bordo rosso, FS)

Il massimo momento sollecitante la paratia è pari a **232 kN/m**, alla profondità di 6,70m dalla testa della

paratia.

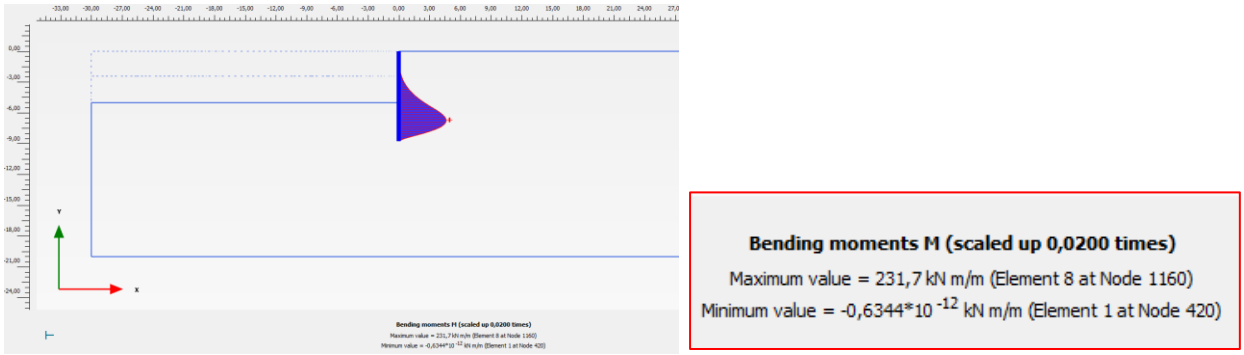

Figura 15.4 Momento flettente agente sulla paratia

CALCOLO A MANO

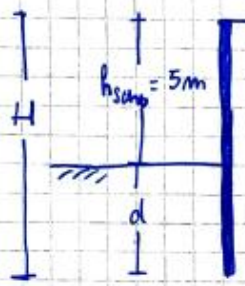

TERRENO IN POSTO

$\gamma = 20\ kN/m^3$

$\varphi' = 30°$

$\delta = \varphi'/2 = 15°$

COEFFICIENTI di SPINTA → COULOMB ($\psi = 90°$, $\beta = 0°$, $\delta = 15°$, $\varepsilon = 0°$)

$$K_A = \frac{\sin^2(\psi+\varphi')}{\sin^2\psi\,\sin(\psi-\delta)\left[1+\sqrt{\frac{\sin(\varphi'+\delta)\cdot\sin(\varphi'-\varepsilon)}{\sin(\psi-\delta)\,\sin(\psi+\varepsilon)}}\right]^2} = 0,3014$$

→ Componente orizzontale $K_{Ah} = K_A \cos\delta = 0,291$

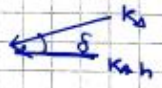

$$K_p = \frac{\sin^2(\psi-\varphi')}{\sin^2\psi\,\sin(\psi+\delta)\left[1-\sqrt{\frac{\sin(\varphi'+\delta)\,\sin(\varphi'+\varepsilon)}{\sin(\psi+\delta)\,\sin(\psi+\varepsilon)}}\right]^2} = 4,9\text{+}$$

→ componente orizzontale $K_{ph} = K_p \cos\delta = 4,807$

- SPINTE ATTIVA E PASSIVA, CALCOLO d DA EQUILIBRIO ALLA ROTAZ.

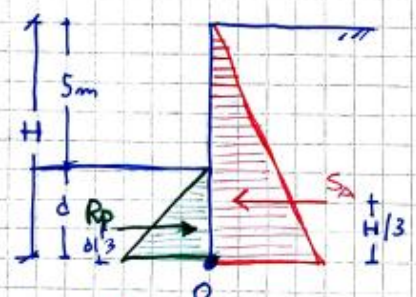

$S_A = \frac{1}{2}\gamma H^2 K_A$

$R_p = \frac{1}{2}\gamma d^2 K_p$

$$M^o_{SA} = \frac{1}{2}\gamma H^2 K_A \frac{(5+d)}{3} = \frac{1}{6}\gamma H^2 K_A (5+d) = \frac{1}{6}\gamma K_A (5+d)^3$$

$$M^o_{Rp} = \frac{1}{2}\gamma d^2 K_p \frac{d}{3} = \frac{1}{6}\gamma K_p d^3$$

$$\sum M^o = 0 \rightarrow M^o_{SA} - M^o_{Rp} = 0$$

$$\frac{1}{6}\gamma K_A (5+d)^3 - \frac{1}{6}\gamma K_p d^3 = 0$$

$$K_A (5+d)^3 - K_p d^3 = 0$$

$0,291(5+d)^3 - 4,807\,d^3 = 0$ se $d \tilde{=} 3,24$ m

CALCOLO DIAGRAMMA DEL MOMENTO FLETTENTE

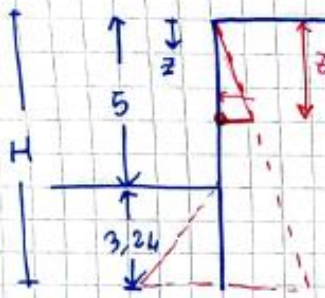

$$M(z) = M_{SA}(z) - M_{RP}(z)$$

$$M_{SA}(z) = \frac{1}{2}\gamma z^2 \cdot \frac{z}{3} K_A = \frac{1}{6}\gamma z^3 K_A$$

$$M_{RP}(z \le 5m) = 0$$

$$M_{RP}(z \ge 5m) = \frac{1}{6}\gamma K_p (z-5)^3$$

z (m)	$M_{SA}(z)$ (kNm)	$M_{RP}(z)$ (kNm)	$M(z) = M_{SA}(z) - M_{RP}(z)$
0	0		0
0,5	0,121		0,121
1	0,97		0,97
1,5	3,273		3,273
2,0	7,76		7,76
2,5	15,15		15,15
3,0	26,19		26,19
3,5	41,59		41,59
4,0	62,08		62,08
4,5	88,39		88,39
Fondo scavo 5,0	121,25	0	121,25
5,5	161,38	2	159,38
6,0	209,52	16	193,52
6,5	266,38	54	212,39 (M_{MAX})
7,0	332,71	128	204,71
7,5	409,22	250	159,22
8,0	496,64	432	64,64
8,24	543	544	1 ≈ 0 ✓

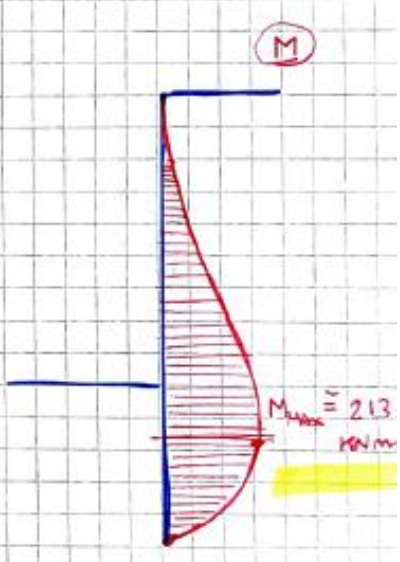

Dai due calcoli si evince che i risultati in termini di momento massimo sollecitante e lunghezza di incastro (d) risultano confrontabili e pertanto attendibili, come mostrato nella seguente tabella riassuntiva.

	Modello numerico Plaxis	**Calcolo a mano**
Lunghezza di incastro necessaria all'equilibrio (d)	3,75 m	3,24 m
Momento Massimo (M_{max})	232 kNm	213 kNm
Profondità Momento Massimo	6,70 m da testa paratia	6,50 m da testa paratia

In base a quando detto, si può asserire che la modellazione svolta per l'opera in oggeto può ritenersi corretta, pertanto i risultati di calcolo sono da ritenersi validi ed accettabili.

15.2 ANALISI DI INTERAZIONE STABILITÀ ALL'EQUILIBRIO LIMITE (SLOPE/W)

Il giudizio circa l'affidabilità del codice di calcolo SLOPE/W viene formulato mediante un confronto fra il fattore di sicurezza restituito dal codice di calcolo con quello ottenibile in via semplificata attraverso l'utilizzo delle carte di stabilità proposte da Hoek e Bray (1981). L'affidabilità del fattore di sicurezza è valutata confrontando i risultati delle due metodologie a parità di condizioni (geometria, parametri geotecnici, condizioni idrauliche, sovraccarichi). Nello specifico, ci si riferisce alla condizione di materiale omogeneo come mostrato nella figura seguente. Il modello di calcolo include la presenza di fratture per trazione nella parte più superficiale e la presenza di acqua.

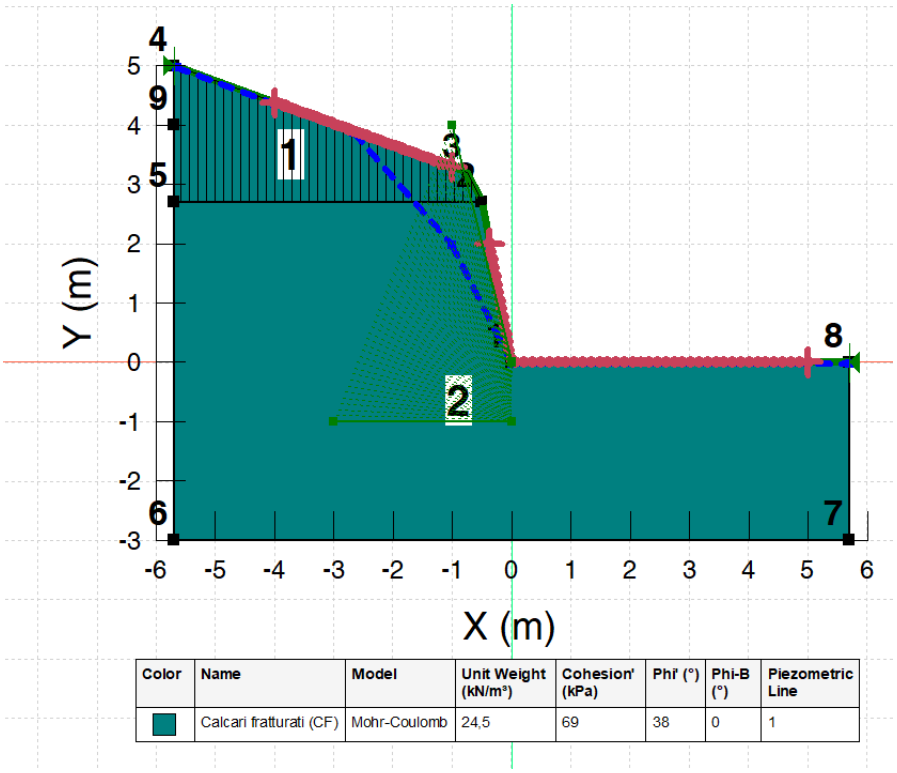

Color	Name	Model	Unit Weight (kN/m³)	Cohesion' (kPa)	Phi' (°)	Phi-B (°)	Piezometric Line
	Calcari fratturati (CF)	Mohr-Coulomb	24,5	69	38	0	1

CALCOLO SLOPE/W

Sotto le condizioni riportate in precedenza, il fattore di sicurezza restituito dal software in combinazione A2+M2 secondo la formulazione di Morgerstern e Price è pari a FS = 2,55.

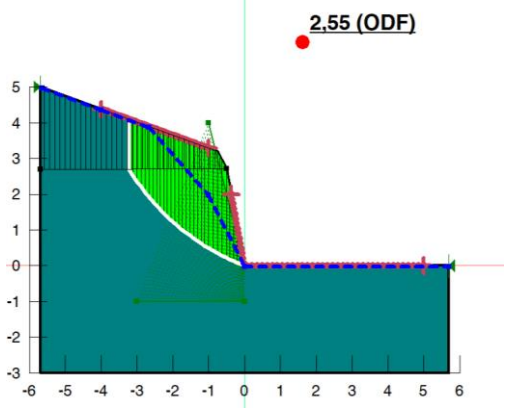

VALUTAZIONE DEL FATTORE DI SICUREZZA ATTRAVERSO LE CARTE DI STABILITÀ

Riferendosi alla carta di Hoek e Bray per il caso di scarpata omogenea, superficie di scivolamento con frattura

di trazione in ingresso e uscente al piede della scarpata in presenza di superficie piezometrica (condizione idraulica 4) si ottiene quanto segue.

γ	c'k	φ'k	c'd = c'k/1,25	φ'd=arctan[tan(φ'k)/1,25]	H	$\frac{c'_d}{\gamma H tan\varphi'_d}$	Pendenza scarpata
(kN/m^3)	(kPa)	(°)	(kPa)	(°)	m	(-)	(°)
24,5	69	38°	55,2	32,01	3,5	1,03	78,7° (5:1)

$$\rightarrow \frac{c'_d}{\gamma HFS} = 0,24 \rightarrow FS = 2,68$$

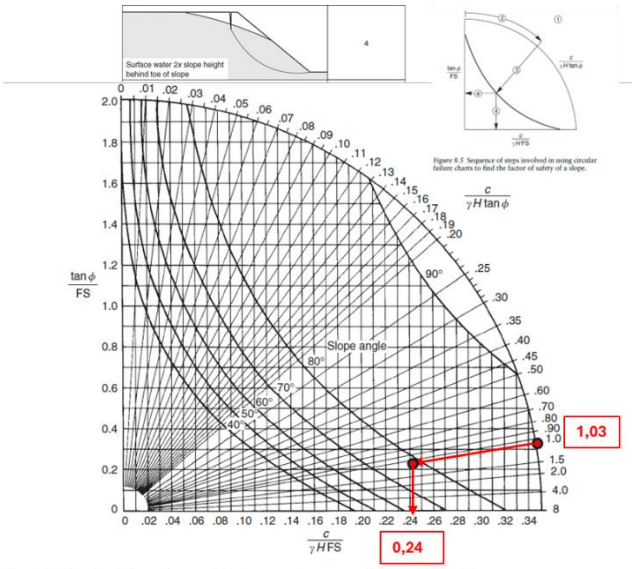

Figure 8.9 Circular failure chart number 4—ground water condition 4 (Figure 8.4).

I fattori di sicurezza ottenuti con i due diversi metodi sono comparabili (la differenza è circa del 5%) e pertanto è possibile confermare l'attendibilità dei risultati dal codice di calcolo.

ALLEGATO – Tabulati

- PLAXIS 2D Advanced
- GEOSTUDIO 2018

ALLEGATO A

Tabulati Plaxis 2D Advanced

PLAXIS Report

1.1.1.1 Calculation results, Initial phase [InitialPhase] (0/4), Active loads plot

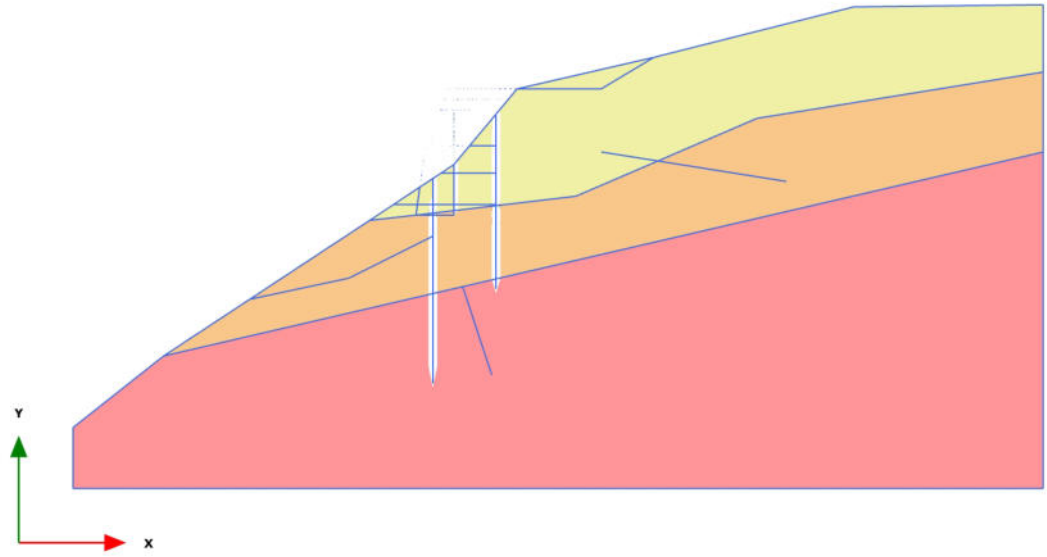

Active loads plot

1.1.1.2 Calculation results, Muro 1 [Phase_1] (1/15), Active loads plot

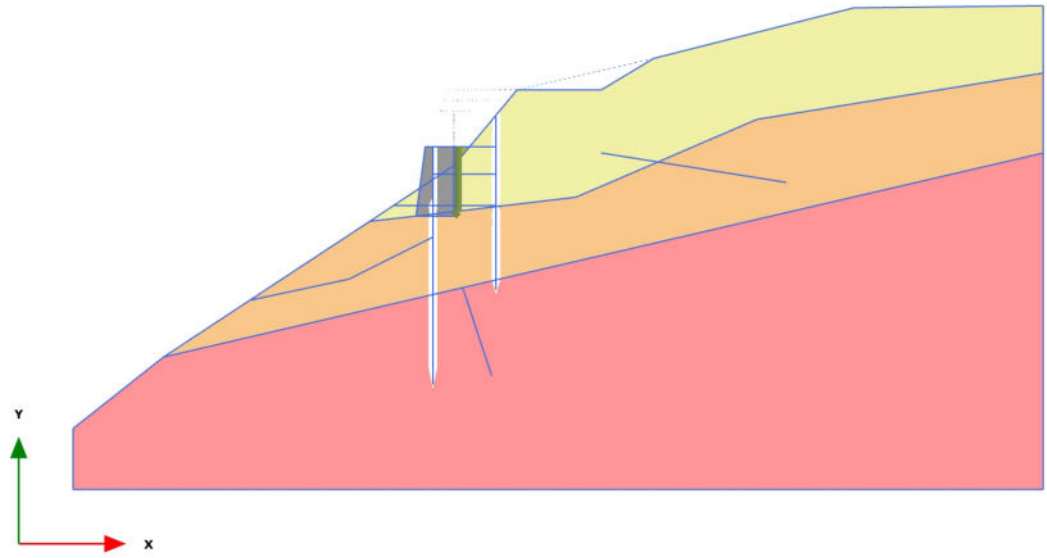

Active loads plot

1.1.1.3 Calculation results, Muro 2 (stato di fatto) [Phase_2] (2/59), Active loads plot

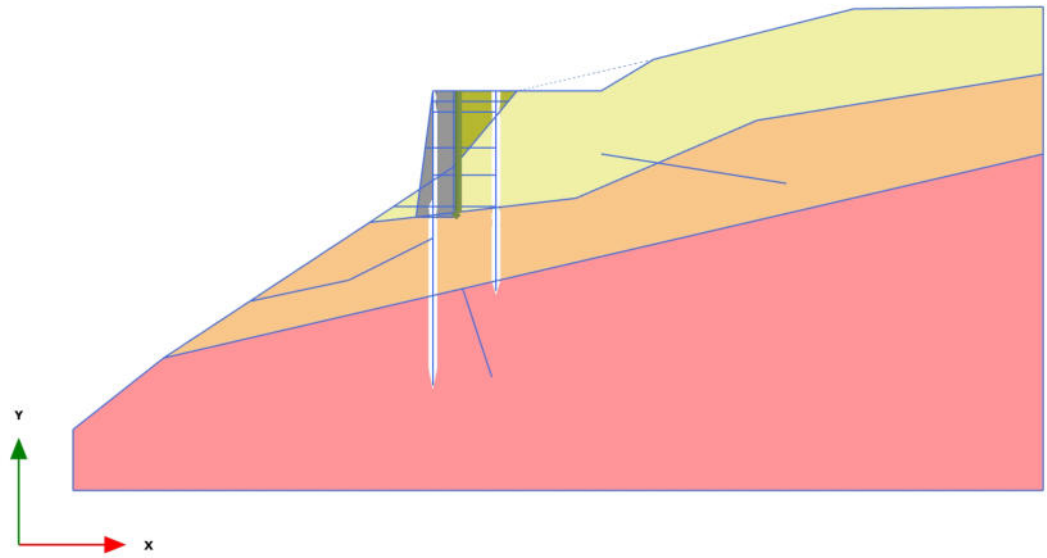

Active loads plot

1.1.1.4 Calculation results, (RD) Preparazione cantiere [Phase_3] (3/65), Active loads plot

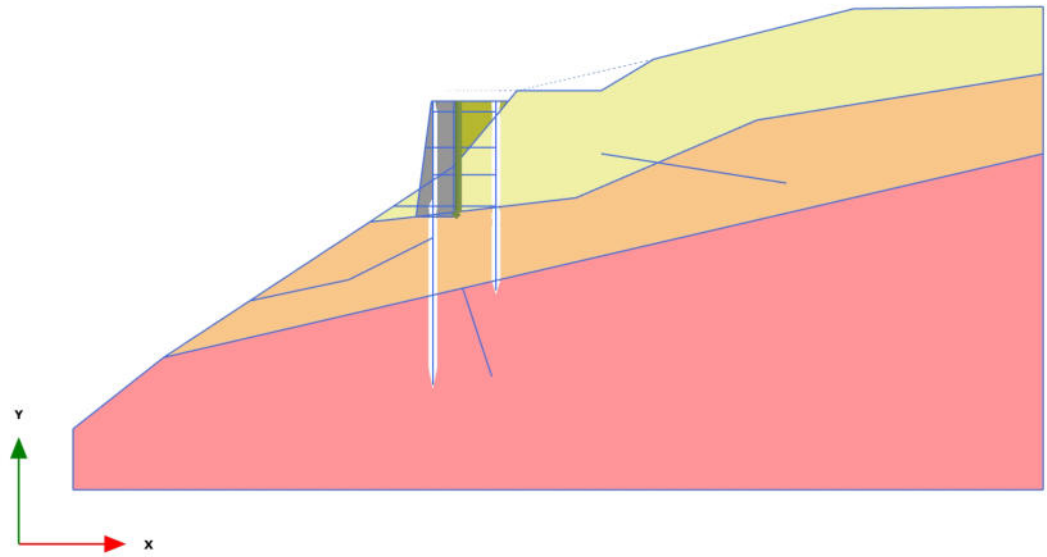

Active loads plot

1.1.1.5 Calculation results, Micropali paratia provvisionale [Phase_4] (4/68), Active loads plot

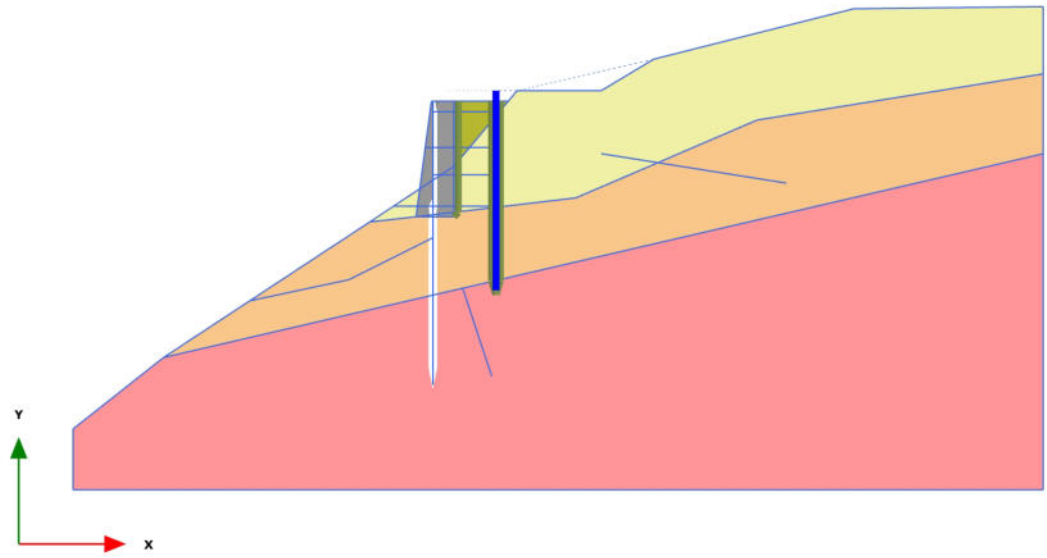

Active loads plot

1.1.1.6 Calculation results, (RD) Sovraccarico stradale [Phase_5] (5/84), Active loads plot

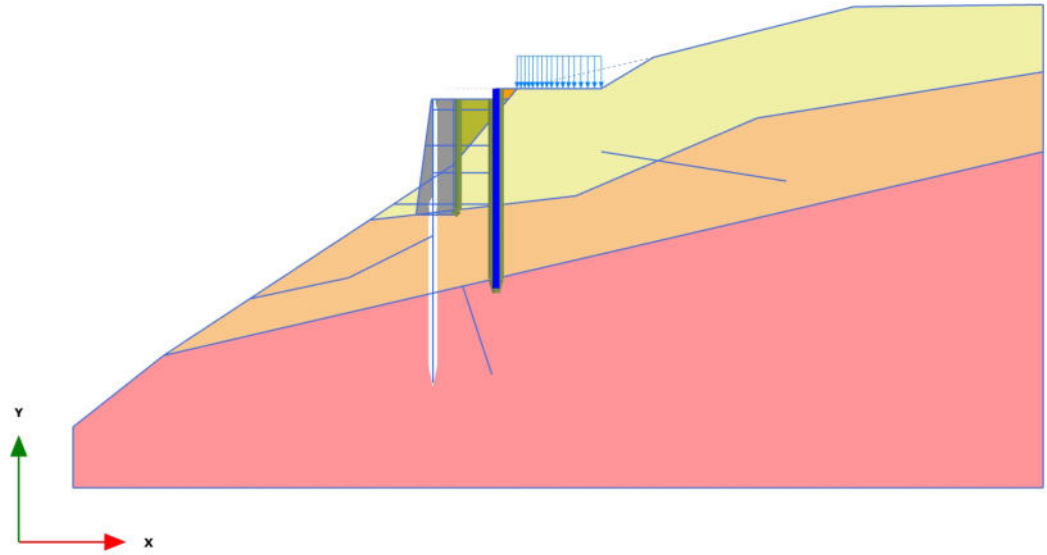

Active loads plot

1.1.1.7 Calculation results, Escavo 1 [Phase_6] (6/247), Active loads plot

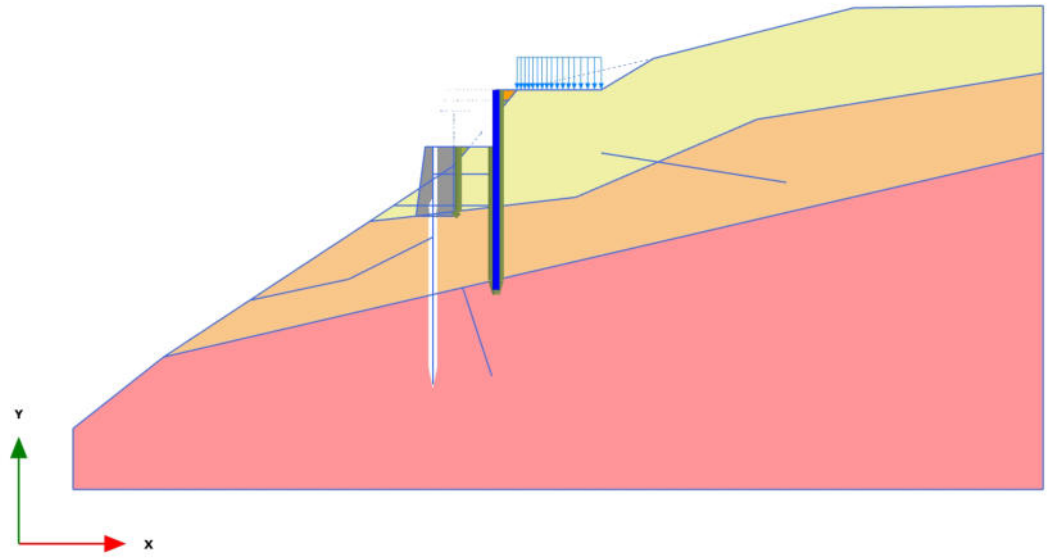

Active loads plot

1.1.1.8 Calculation results, Micropalo ancoraggio [Phase_7] (7/250), Active loads plot

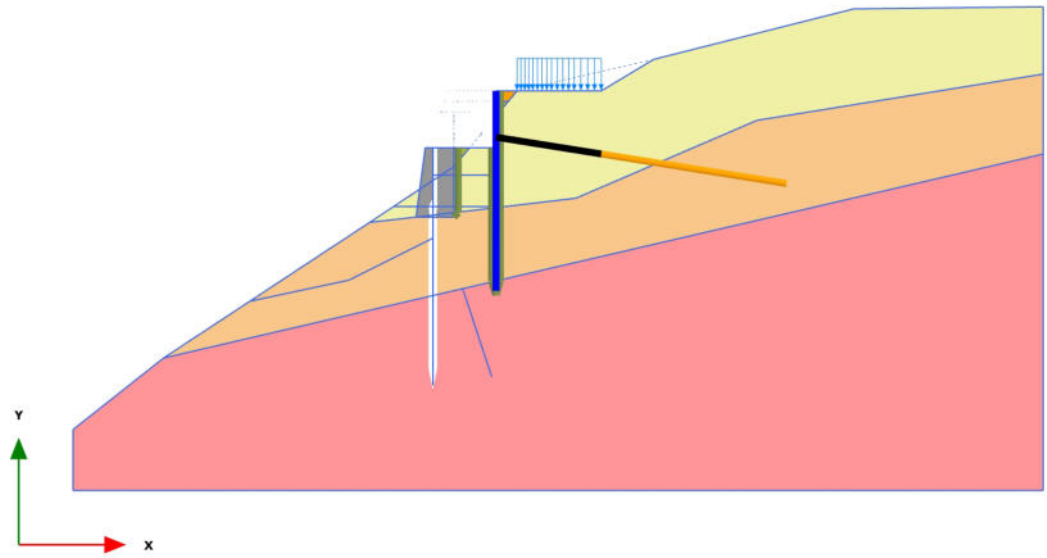

Active loads plot

1.1.1.9 Calculation results, Escavo (progetto) [Phase_8] (8/271), Active loads plot

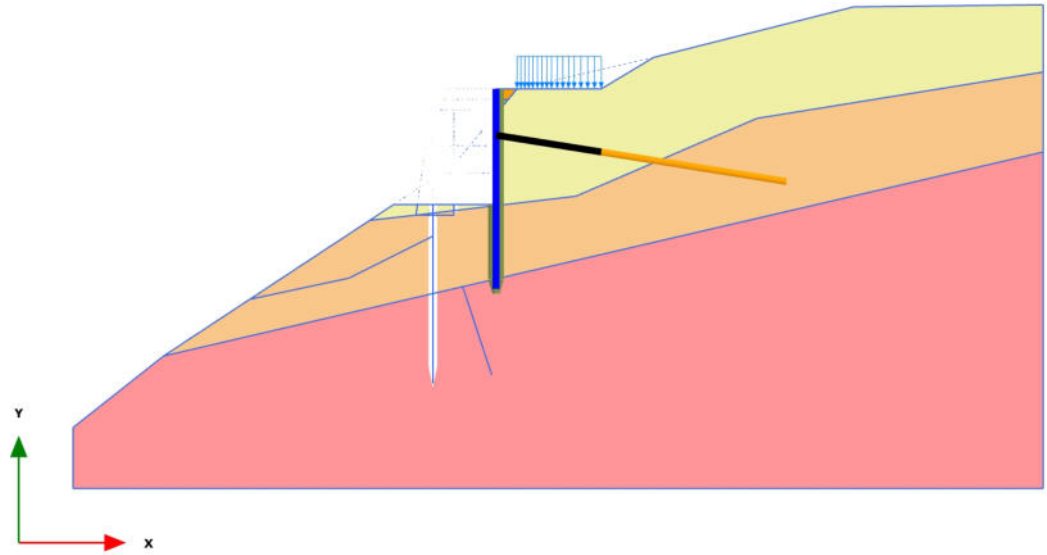

Active loads plot

1.1.1.10 Calculation results, (RD) Muro [Phase_9] (9/298), Active loads plot

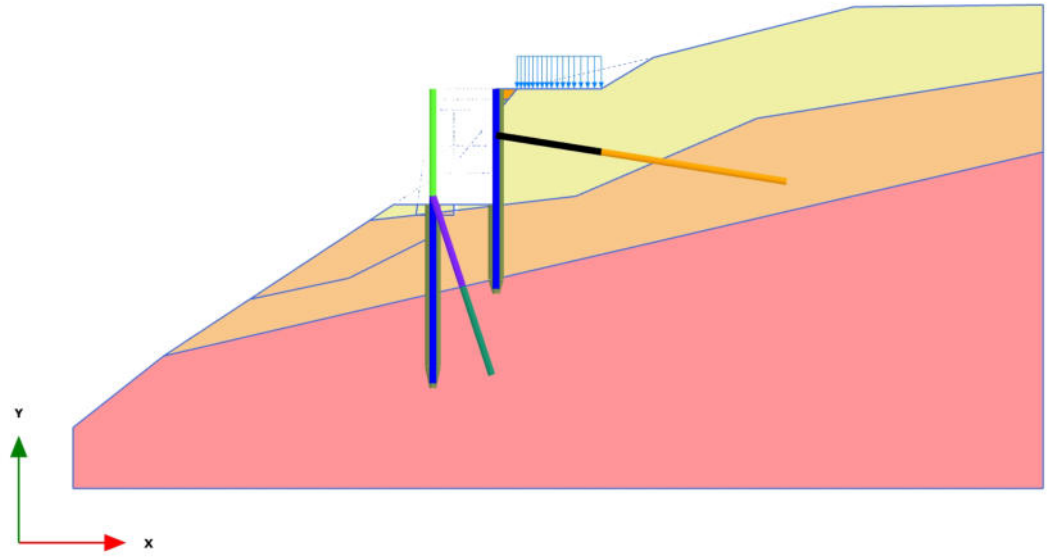

Active loads plot

1.1.1.11 Calculation results, Riempimento 1 [Phase_10] (10/374), Active loads plot

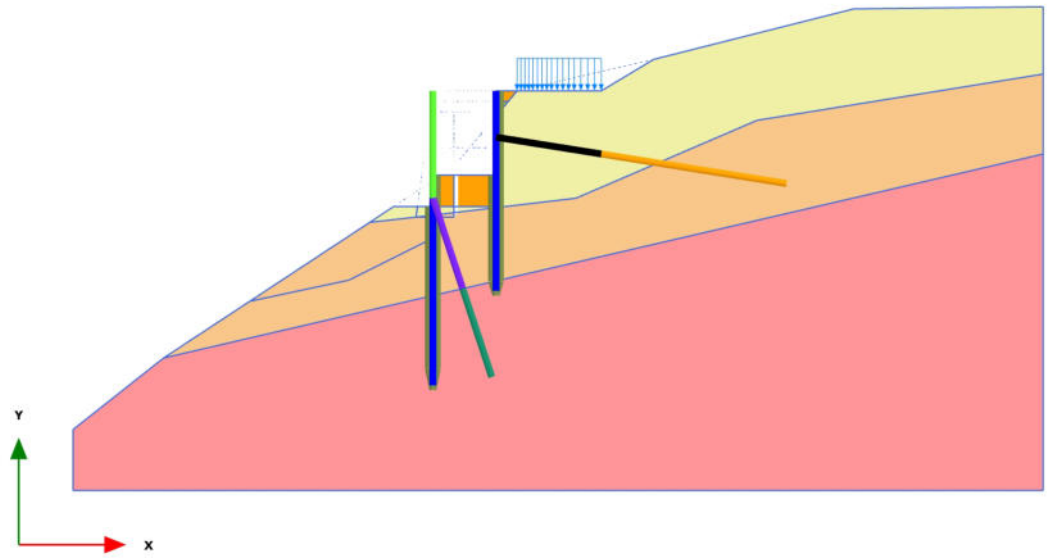

Active loads plot

1.1.1.12 Calculation results, Riempimento 2 [Phase_11] (11/647), Active loads plot

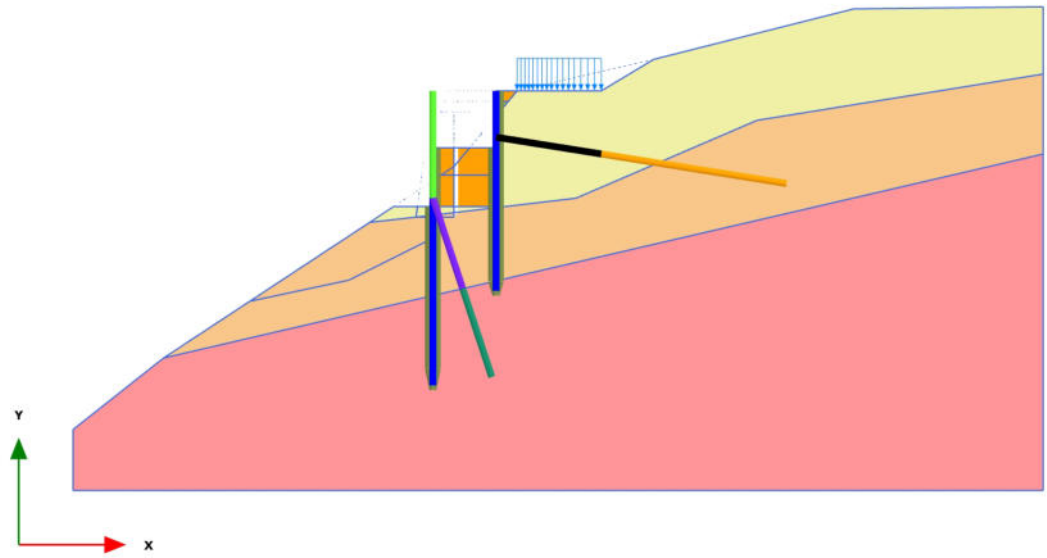

Active loads plot

1.1.1.13 Calculation results, Collegamento [Phase_12] (12/660), Active loads plot

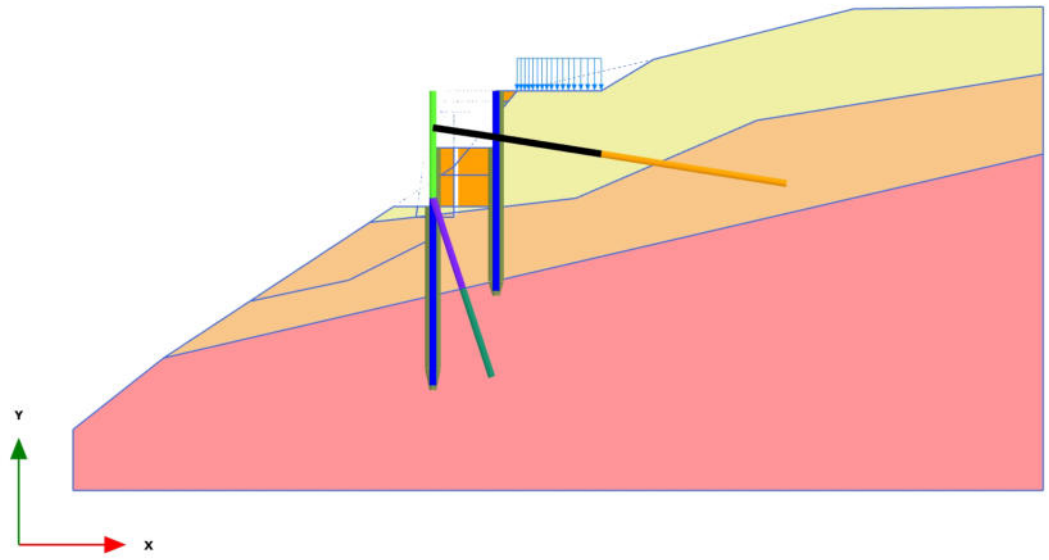

Active loads plot

1.1.1.14 Calculation results, Riempimento 3 [Phase_13] (13/678), Active loads plot

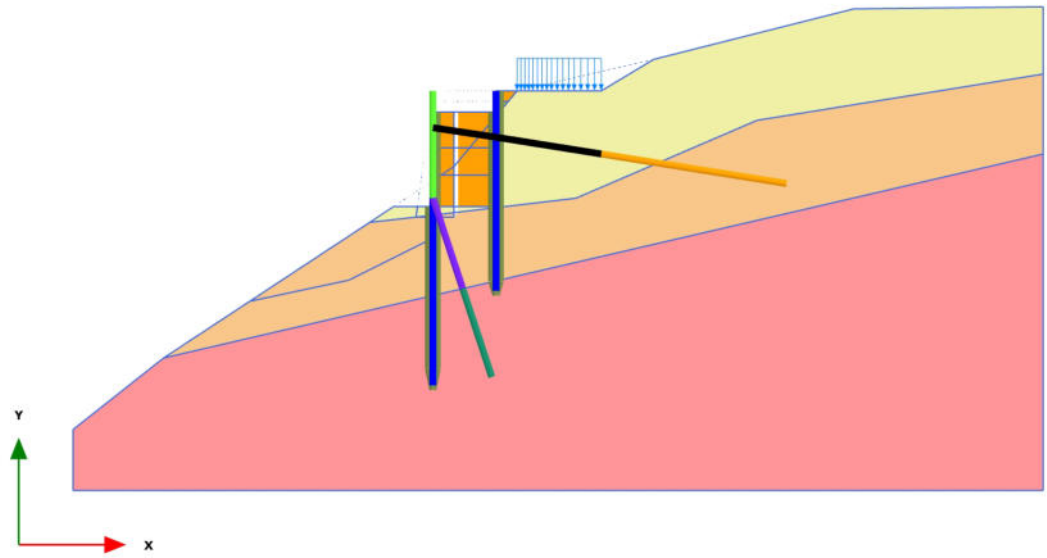

Active loads plot

1.1.1.15 Calculation results, Completamento riempimento [Phase_14] (14/695), Active loads plot

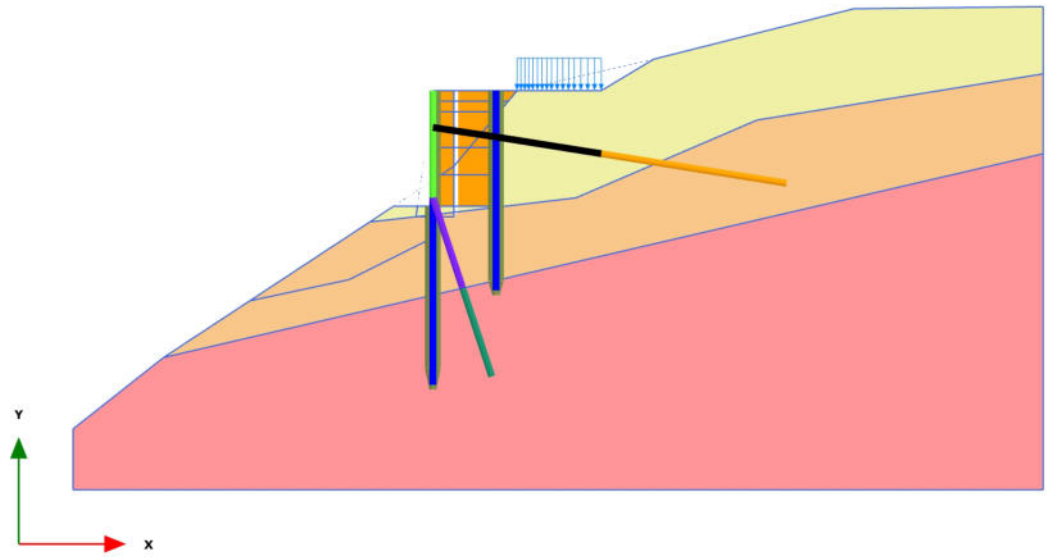

Active loads plot

1.1.1.16 Calculation results, SLE/SLU 11 Costr [Phase_17] (17/731), Active loads plot

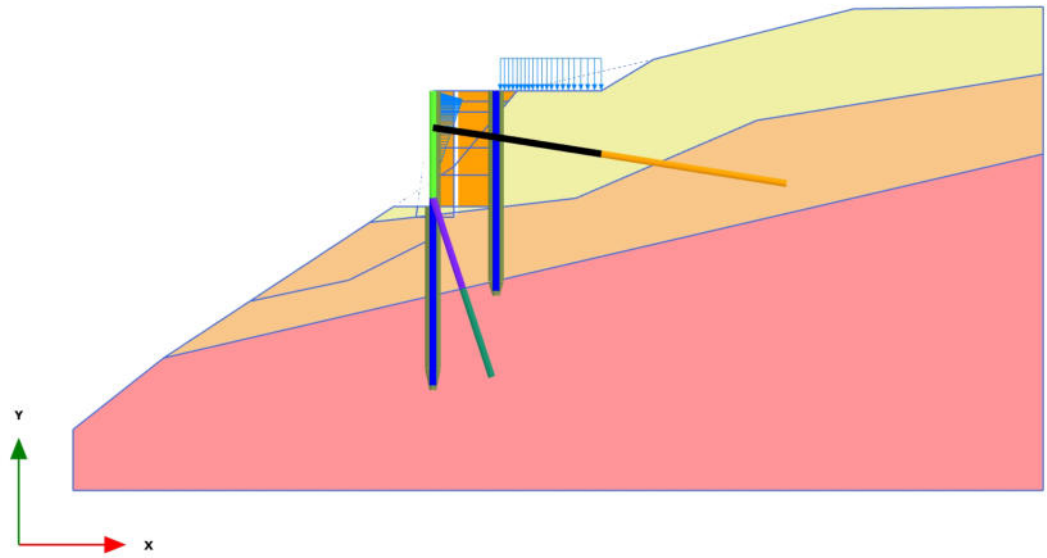

Active loads plot

1.1.1.17 Calculation results, Disattivazione paratia provvisionale [Phase_24] (24/741), Active loads plot

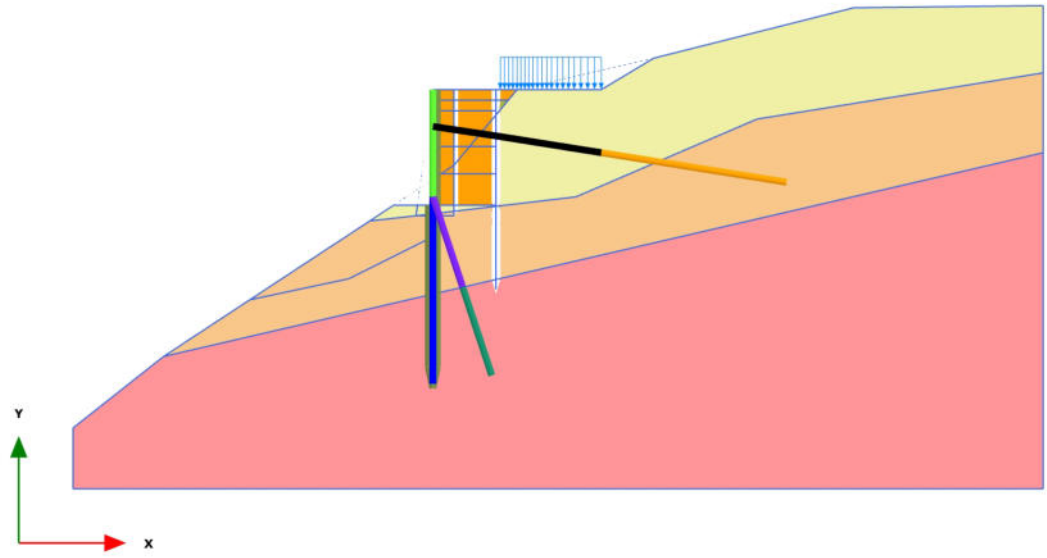

Active loads plot

1.1.1.18 Calculation results, SLE [Phase_18] (18/746), Active loads plot

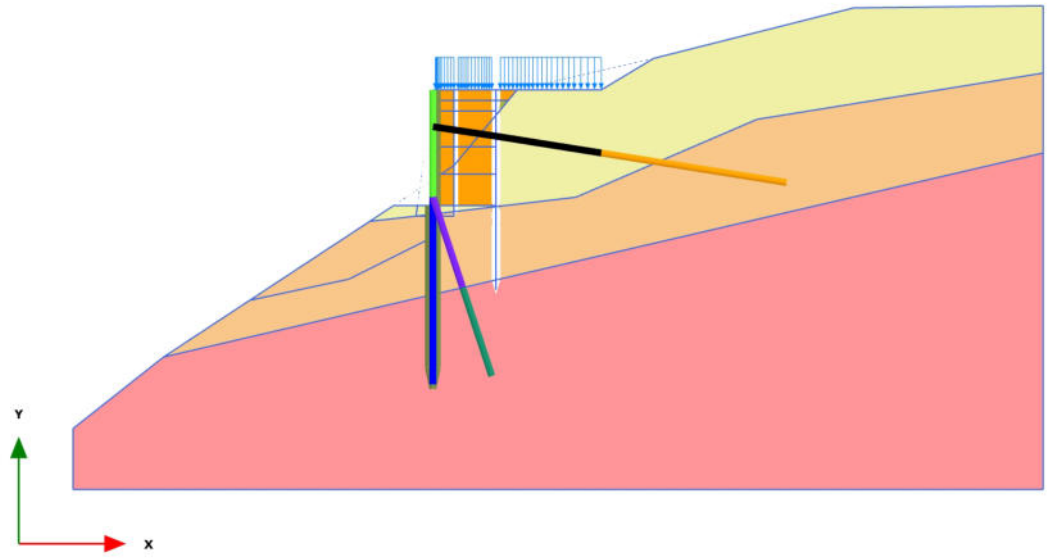

Active loads plot

1.1.1.19 Calculation results, SLU11 (scalz) [Phase_19] (19/779), Active loads plot

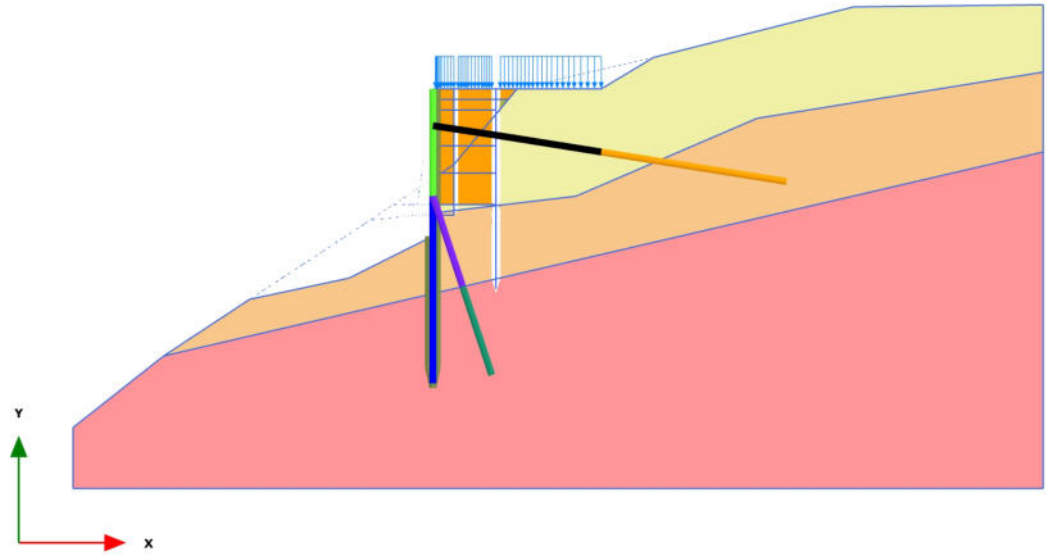

Active loads plot

1.1.1.20 Calculation results, SLU 12 [Phase_20] (20/799), Active loads plot

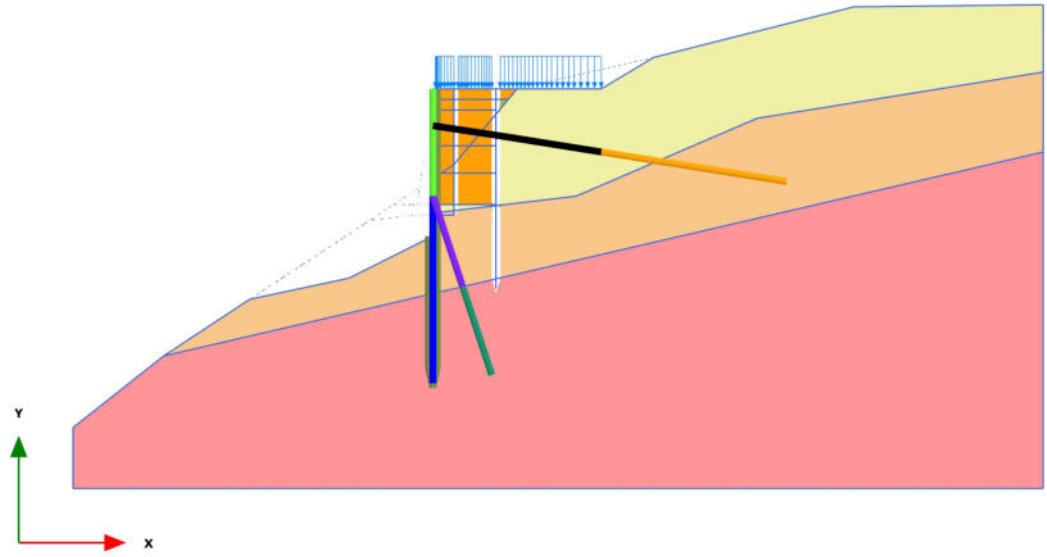

Active loads plot

1.1.1.21 Calculation results, Eccezionale [Phase_21] (21/917), Active loads plot

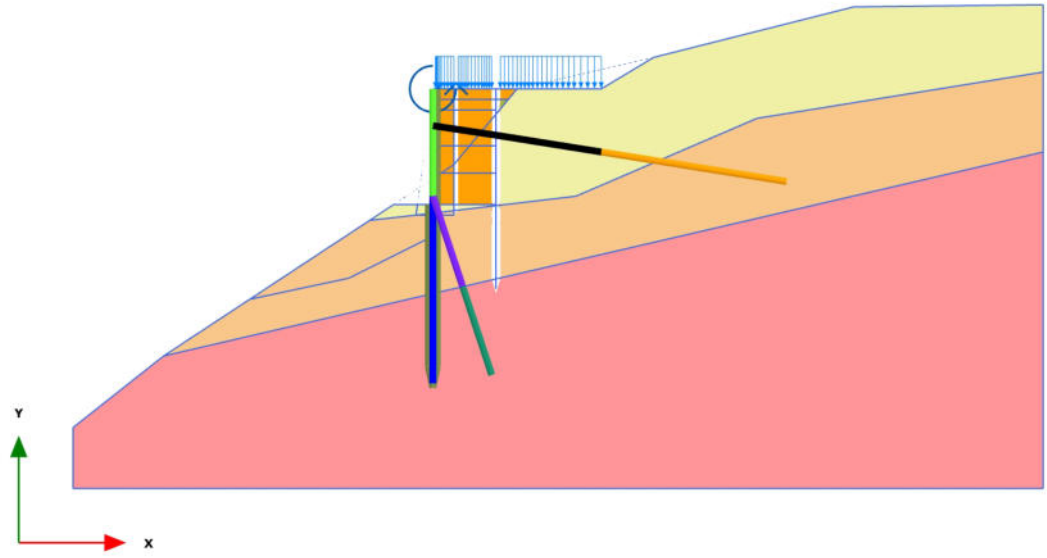

Active loads plot

1.1.1.22 Calculation results, SLV [Phase_22] (22/956), Active loads plot

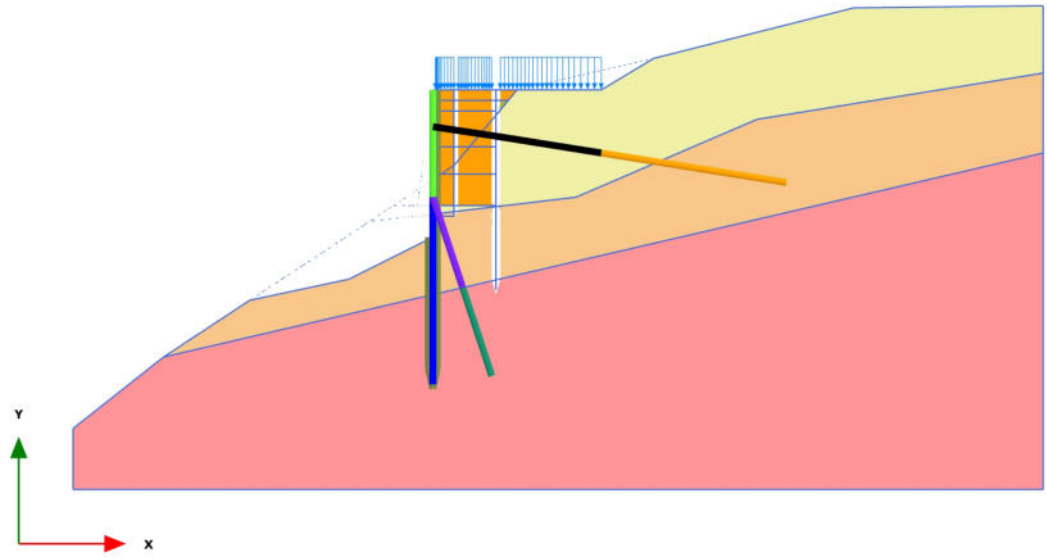

Active loads plot

1.1.1.23 Calculation results, SLD [Phase_23] (23/990), Active loads plot

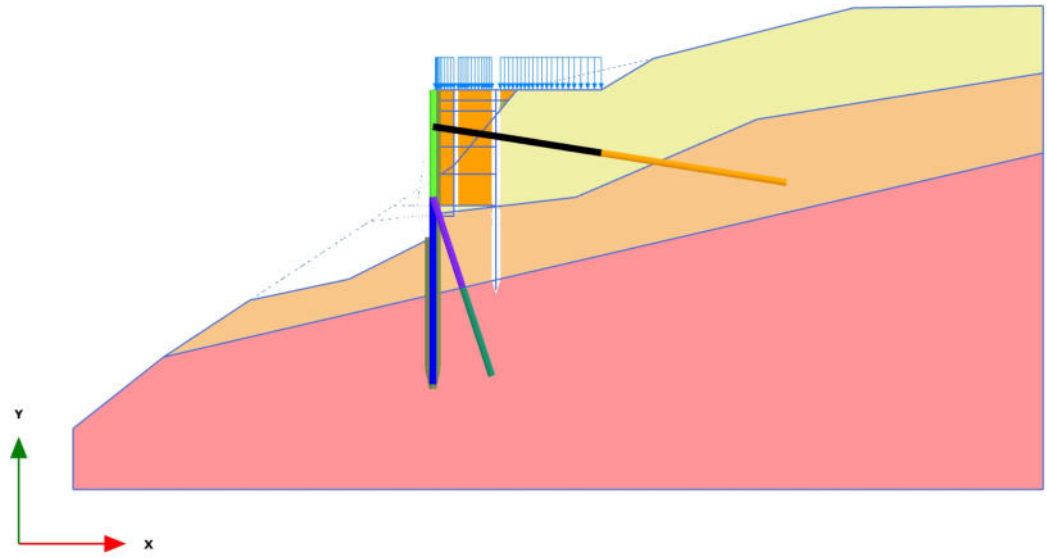

Active loads plot

1.1.1.24 Calculation results, SLU11 Opera provvisionale [Phase_15] (15/1001), Active loads plot

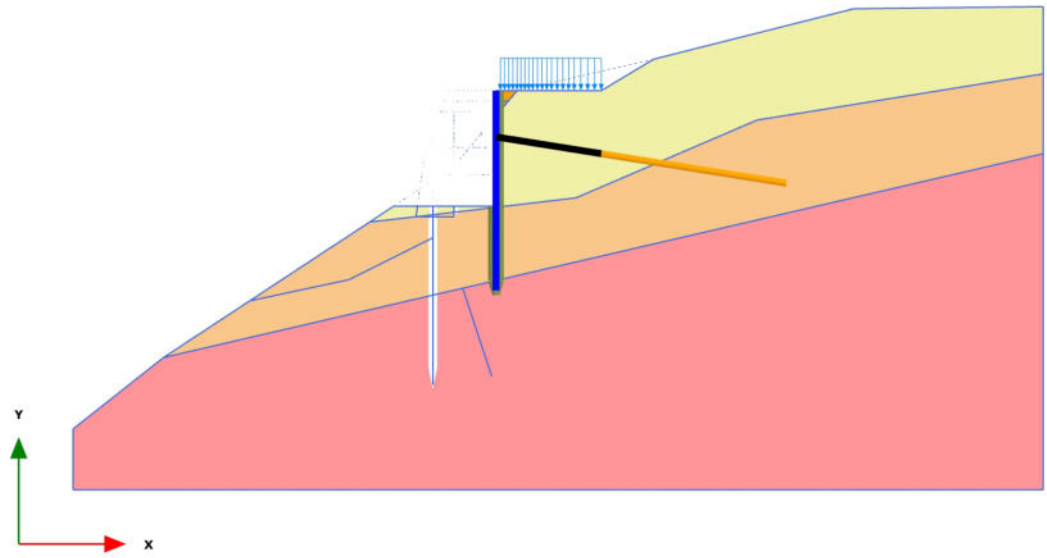

Active loads plot

1.1.1.25 Calculation results, SLU12 Opera provvisionale [Phase_16] (16/1014), Active loads plot

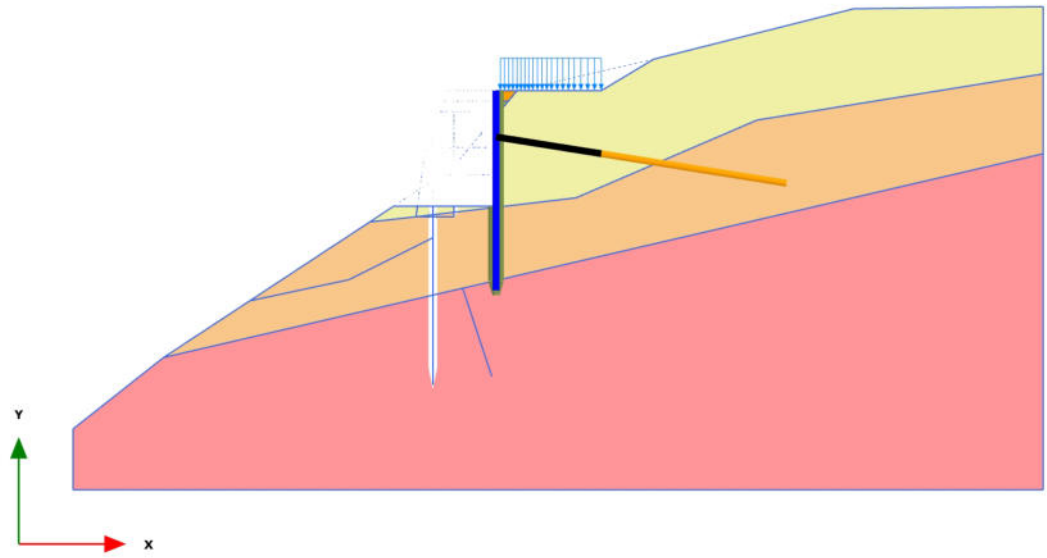

Active loads plot

1.1.1.26 Calculation results, Eccezionale Opera Provvisionale [Phase_25] (25/1495), Active loads plot

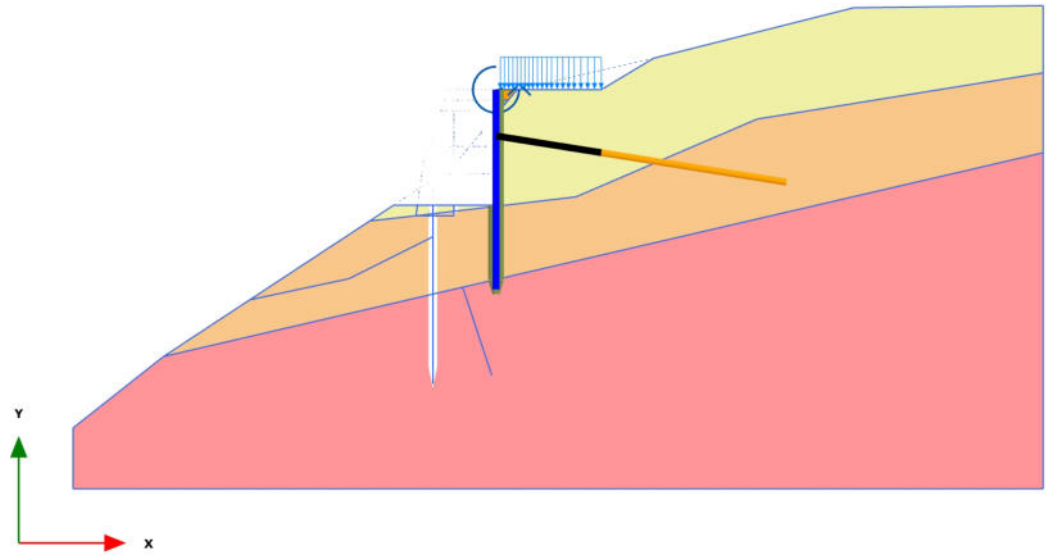

Active loads plot

1.1.2.1 Point load

ID	Node	X [m]	Y [m]	F_x [kN/m]	F_y [kN/m]	$F_{a,x}$ [kN/m]	$F_{a,y}$ [kN/m]	M [kN m/m]

1.1.2.2 Point load

ID	Node	X [m]	Y [m]	F_x [kN/m]	F_y [kN/m]	$F_{a,x}$ [kN/m]	$F_{a,y}$ [kN/m]	M [kN m/m]

1.1.2.3 Point load

ID	Node	X [m]	Y [m]	F_x [kN/m]	F_y [kN/m]	$F_{a,x}$ [kN/m]	$F_{a,y}$ [kN/m]	M [kN m/m]

1.1.2.4 Point load

ID	Node	X [m]	Y [m]	F_x [kN/m]	F_y [kN/m]	$F_{a,x}$ [kN/m]	$F_{a,y}$ [kN/m]	M [kN m/m]

1.1.2.5 Point load

ID	Node	X [m]	Y [m]	F_x [kN/m]	F_y [kN/m]	$F_{a,x}$ [kN/m]	$F_{a,y}$ [kN/m]	M [kN m/m]

1.1.2.6 Point load

ID	Node	X [m]	Y [m]	F_x [kN/m]	F_y [kN/m]	$F_{a,x}$ [kN/m]	$F_{a,y}$ [kN/m]	M [kN m/m]

1.1.2.7 Point load

ID	Node	X [m]	Y [m]	F_x [kN/m]	F_y [kN/m]	$F_{a,x}$ [kN/m]	$F_{a,y}$ [kN/m]	M [kN m/m]

1.1.2.8 Point load

ID	Node	X [m]	Y [m]	F_x [kN/m]	F_y [kN/m]	$F_{a,x}$ [kN/m]	$F_{a,y}$ [kN/m]	M [kN m/m]

1.1.2.9 Point load

ID	Node	X [m]	Y [m]	F_x [kN/m]	F_y [kN/m]	$F_{a,x}$ [kN/m]	$F_{a,y}$ [kN/m]	M [kN m/m]

1.1.2.10 Point load

ID	Node	X [m]	Y [m]	F_x [kN/m]	F_y [kN/m]	$F_{a,x}$ [kN/m]	$F_{a,y}$ [kN/m]	M [kN m/m]

1.1.2.11 Point load

ID	Node	X [m]	Y [m]	F_x [kN/m]	F_y [kN/m]	$F_{a,x}$ [kN/m]	$F_{a,y}$ [kN/m]	M [kN m/m]

1.1.2.12 Point load

ID	Node	X [m]	Y [m]	F_x [kN/m]	F_y [kN/m]	$F_{a,x}$ [kN/m]	$F_{a,y}$ [kN/m]	M [kN m/m]

1.1.2.13 Point load

ID	Node	X [m]	Y [m]	F_x [kN/m]	F_y [kN/m]	$F_{a,x}$ [kN/m]	$F_{a,y}$ [kN/m]	M [kN m/m]

1.1.2.14 Point load

ID	Node	X [m]	Y [m]	F_x [kN/m]	F_y [kN/m]	$F_{a,x}$ [kN/m]	$F_{a,y}$ [kN/m]	M [kN m/m]

1.1.2.15 Point load

ID	Node	X [m]	Y [m]	F_x [kN/m]	F_y [kN/m]	$F_{a,x}$ [kN/m]	$F_{a,y}$ [kN/m]	M [kN m/m]

1.1.2.16 Point load

ID	Node	X [m]	Y [m]	F_x [kN/m]	F_y [kN/m]	$F_{a,x}$ [kN/m]	$F_{a,y}$ [kN/m]	M [kN m/m]

1.1.2.17 Point load

ID	Node	X [m]	Y [m]	F_x [kN/m]	F_y [kN/m]	$F_{a,x}$ [kN/m]	$F_{a,y}$ [kN/m]	M [kN m/m]

1.1.2.18 Point load

ID	Node	X [m]	Y [m]	F_x [kN/m]	F_y [kN/m]	$F_{a,x}$ [kN/m]	$F_{a,y}$ [kN/m]	M [kN m/m]

1.1.2.19 Point load

ID	Node	X [m]	Y [m]	F_x [kN/m]	F_y [kN/m]	$F_{a,x}$ [kN/m]	$F_{a,y}$ [kN/m]	M [kN m/m]

1.1.2.20 Point load

ID	Node	X [m]	Y [m]	F_x [kN/m]	F_y [kN/m]	$F_{a,x}$ [kN/m]	$F_{a,y}$ [kN/m]	M [kN m/m]

1.1.2.21 Point load

ID	Node	X [m]	Y [m]	F_x [kN/m]	F_y [kN/m]	$F_{a,x}$ [kN/m]	$F_{a,y}$ [kN/m]	M [kN m/m]
1	9176	0,000	0,000	-80,000	0,000	-80,000	0,000	80,000

1.1.2.22 Point load

ID	Node	X [m]	Y [m]	F_x [kN/m]	F_y [kN/m]	$F_{a,x}$ [kN/m]	$F_{a,y}$ [kN/m]	M [kN m/m]

1.1.2.23 Point load

ID	Node	X [m]	Y [m]	F_x [kN/m]	F_y [kN/m]	$F_{a,x}$ [kN/m]	$F_{a,y}$ [kN/m]	M [kN m/m]

1.1.2.24 Point load

ID	Node	X [m]	Y [m]	F_x [kN/m]	F_y [kN/m]	$F_{a,x}$ [kN/m]	$F_{a,y}$ [kN/m]	M [kN m/m]

1.1.2.25 Point load

ID	Node	X [m]	Y [m]	F_x [kN/m]	F_y [kN/m]	$F_{a,x}$ [kN/m]	$F_{a,y}$ [kN/m]	M [kN m/m]

1.1.2.26 Point load

ID	Node	X [m]	Y [m]	F_x [kN/m]	F_y [kN/m]	$F_{a,x}$ [kN/m]	$F_{a,y}$ [kN/m]	M [kN m/m]
1	7845	3,000	0,000	-19,100	0,000	-19,100	0,000	19,100

1.1.3.1 Line load

ID	Node	Local node	X [m]	Y [m]	q_x [kN/m/m]	q_y [kN/m/m]	$q_{a,x}$ [kN/m/m]	$q_{a,y}$ [kN/m/m]

1.1.3.2 Line load

ID	Node	Local node	X [m]	Y [m]	q_x [kN/m/m]	q_y [kN/m/m]	$q_{a,x}$ [kN/m/m]	$q_{a,y}$ [kN/m/m]

1.1.3.3 Line load

ID	Node	Local node	X [m]	Y [m]	q_x [kN/m/m]	q_y [kN/m/m]	$q_{a,x}$ [kN/m/m]	$q_{a,y}$ [kN/m/m]

1.1.3.4 Line load

ID	Node	Local node	X [m]	Y [m]	q_x [kN/m/m]	q_y [kN/m/m]	$q_{a,x}$ [kN/m/m]	$q_{a,y}$ [kN/m/m]

1.1.3.5 Line load

ID	Node	Local node	X [m]	Y [m]	q_x [kN/m/m]	q_y [kN/m/m]	$q_{a,x}$ [kN/m/m]	$q_{a,y}$ [kN/m/m]

1.1.3.6 Line load

ID	Node	Local node	X [m]	Y [m]	q_x [kN/m/m]	q_y [kN/m/m]	$q_{a,x}$ [kN/m/m]	$q_{a,y}$ [kN/m/m]
1	7720	1	4,000	0,000	0,000	-20,000	0,000	-20,000
2	7320	2	4,186	0,000	0,000	-20,000	0,000	-20,000
3	7321	3	4,373	0,000	0,000	-20,000	0,000	-20,000
4	7322	4	4,559	0,000	0,000	-20,000	0,000	-20,000
5	7316	5	4,746	0,000	0,000	-20,000	0,000	-20,000
6	7316	1	4,746	0,000	0,000	-20,000	0,000	-20,000
7	7136	2	4,969	0,000	0,000	-20,000	0,000	-20,000
8	7137	3	5,193	0,000	0,000	-20,000	0,000	-20,000
9	7138	4	5,416	0,000	0,000	-20,000	0,000	-20,000
10	7132	5	5,640	0,000	0,000	-20,000	0,000	-20,000
11	7132	1	5,640	0,000	0,000	-20,000	0,000	-20,000
12	6533	2	5,908	0,000	0,000	-20,000	0,000	-20,000
13	6534	3	6,176	0,000	0,000	-20,000	0,000	-20,000
14	6535	4	6,445	0,000	0,000	-20,000	0,000	-20,000
15	6529	5	6,713	0,000	0,000	-20,000	0,000	-20,000
16	6529	1	6,713	0,000	0,000	-20,000	0,000	-20,000
17	6068	2	7,035	0,000	0,000	-20,000	0,000	-20,000
18	6069	3	7,356	0,000	0,000	-20,000	0,000	-20,000
19	6070	4	7,678	0,000	0,000	-20,000	0,000	-20,000
20	6067	5	8,000	0,000	0,000	-20,000	0,000	-20,000

1.1.3.7 Line load

ID	Node	Local node	X [m]	Y [m]	q_x [kN/m/m]	q_y [kN/m/m]	$q_{a,x}$ [kN/m/m]	$q_{a,y}$ [kN/m/m]
1	7720	1	4,000	0,000	0,000	-20,000	0,000	-20,000
2	7320	2	4,186	0,000	0,000	-20,000	0,000	-20,000
3	7321	3	4,373	0,000	0,000	-20,000	0,000	-20,000
4	7322	4	4,559	0,000	0,000	-20,000	0,000	-20,000
5	7316	5	4,746	0,000	0,000	-20,000	0,000	-20,000
6	7316	1	4,746	0,000	0,000	-20,000	0,000	-20,000
7	7136	2	4,969	0,000	0,000	-20,000	0,000	-20,000
8	7137	3	5,193	0,000	0,000	-20,000	0,000	-20,000
9	7138	4	5,416	0,000	0,000	-20,000	0,000	-20,000
10	7132	5	5,640	0,000	0,000	-20,000	0,000	-20,000
11	7132	1	5,640	0,000	0,000	-20,000	0,000	-20,000
12	6533	2	5,908	0,000	0,000	-20,000	0,000	-20,000
13	6534	3	6,176	0,000	0,000	-20,000	0,000	-20,000
14	6535	4	6,445	0,000	0,000	-20,000	0,000	-20,000
15	6529	5	6,713	0,000	0,000	-20,000	0,000	-20,000
16	6529	1	6,713	0,000	0,000	-20,000	0,000	-20,000
17	6068	2	7,035	0,000	0,000	-20,000	0,000	-20,000
18	6069	3	7,356	0,000	0,000	-20,000	0,000	-20,000
19	6070	4	7,678	0,000	0,000	-20,000	0,000	-20,000
20	6067	5	8,000	0,000	0,000	-20,000	0,000	-20,000

1.1.3.8 Line load

ID	Node	Local node	X [m]	Y [m]	q_x [kN/m/m]	q_y [kN/m/m]	$q_{a,x}$ [kN/m/m]	$q_{a,y}$ [kN/m/m]
1	7720	1	4,000	0,000	0,000	-20,000	0,000	-20,000
2	7320	2	4,186	0,000	0,000	-20,000	0,000	-20,000
3	7321	3	4,373	0,000	0,000	-20,000	0,000	-20,000
4	7322	4	4,559	0,000	0,000	-20,000	0,000	-20,000
5	7316	5	4,746	0,000	0,000	-20,000	0,000	-20,000
6	7316	1	4,746	0,000	0,000	-20,000	0,000	-20,000
7	7136	2	4,969	0,000	0,000	-20,000	0,000	-20,000
8	7137	3	5,193	0,000	0,000	-20,000	0,000	-20,000
9	7138	4	5,416	0,000	0,000	-20,000	0,000	-20,000
10	7132	5	5,640	0,000	0,000	-20,000	0,000	-20,000
11	7132	1	5,640	0,000	0,000	-20,000	0,000	-20,000
12	6533	2	5,908	0,000	0,000	-20,000	0,000	-20,000
13	6534	3	6,176	0,000	0,000	-20,000	0,000	-20,000
14	6535	4	6,445	0,000	0,000	-20,000	0,000	-20,000
15	6529	5	6,713	0,000	0,000	-20,000	0,000	-20,000
16	6529	1	6,713	0,000	0,000	-20,000	0,000	-20,000
17	6068	2	7,035	0,000	0,000	-20,000	0,000	-20,000
18	6069	3	7,356	0,000	0,000	-20,000	0,000	-20,000
19	6070	4	7,678	0,000	0,000	-20,000	0,000	-20,000
20	6067	5	8,000	0,000	0,000	-20,000	0,000	-20,000

1.1.3.9 Line load

ID	Node	Local node	X [m]	Y [m]	q_x [kN/m/m]	q_y [kN/m/m]	$q_{a,x}$ [kN/m/m]	$q_{a,y}$ [kN/m/m]
1	7720	1	4,000	0,000	0,000	-20,000	0,000	-20,000
2	7320	2	4,186	0,000	0,000	-20,000	0,000	-20,000
3	7321	3	4,373	0,000	0,000	-20,000	0,000	-20,000
4	7322	4	4,559	0,000	0,000	-20,000	0,000	-20,000
5	7316	5	4,746	0,000	0,000	-20,000	0,000	-20,000
6	7316	1	4,746	0,000	0,000	-20,000	0,000	-20,000
7	7136	2	4,969	0,000	0,000	-20,000	0,000	-20,000
8	7137	3	5,193	0,000	0,000	-20,000	0,000	-20,000
9	7138	4	5,416	0,000	0,000	-20,000	0,000	-20,000
10	7132	5	5,640	0,000	0,000	-20,000	0,000	-20,000
11	7132	1	5,640	0,000	0,000	-20,000	0,000	-20,000
12	6533	2	5,908	0,000	0,000	-20,000	0,000	-20,000
13	6534	3	6,176	0,000	0,000	-20,000	0,000	-20,000
14	6535	4	6,445	0,000	0,000	-20,000	0,000	-20,000
15	6529	5	6,713	0,000	0,000	-20,000	0,000	-20,000
16	6529	1	6,713	0,000	0,000	-20,000	0,000	-20,000
17	6068	2	7,035	0,000	0,000	-20,000	0,000	-20,000
18	6069	3	7,356	0,000	0,000	-20,000	0,000	-20,000
19	6070	4	7,678	0,000	0,000	-20,000	0,000	-20,000
20	6067	5	8,000	0,000	0,000	-20,000	0,000	-20,000

1.1.3.10 Line load

ID	Node	Local node	X [m]	Y [m]	q_x [kN/m/m]	q_y [kN/m/m]	$q_{a,x}$ [kN/m/m]	$q_{a,y}$ [kN/m/m]
1	7720	1	4,000	0,000	0,000	-20,000	0,000	-20,000
2	7320	2	4,186	0,000	0,000	-20,000	0,000	-20,000
3	7321	3	4,373	0,000	0,000	-20,000	0,000	-20,000
4	7322	4	4,559	0,000	0,000	-20,000	0,000	-20,000
5	7316	5	4,746	0,000	0,000	-20,000	0,000	-20,000
6	7316	1	4,746	0,000	0,000	-20,000	0,000	-20,000
7	7136	2	4,969	0,000	0,000	-20,000	0,000	-20,000
8	7137	3	5,193	0,000	0,000	-20,000	0,000	-20,000
9	7138	4	5,416	0,000	0,000	-20,000	0,000	-20,000
10	7132	5	5,640	0,000	0,000	-20,000	0,000	-20,000
11	7132	1	5,640	0,000	0,000	-20,000	0,000	-20,000
12	6533	2	5,908	0,000	0,000	-20,000	0,000	-20,000
13	6534	3	6,176	0,000	0,000	-20,000	0,000	-20,000
14	6535	4	6,445	0,000	0,000	-20,000	0,000	-20,000
15	6529	5	6,713	0,000	0,000	-20,000	0,000	-20,000
16	6529	1	6,713	0,000	0,000	-20,000	0,000	-20,000
17	6068	2	7,035	0,000	0,000	-20,000	0,000	-20,000
18	6069	3	7,356	0,000	0,000	-20,000	0,000	-20,000
19	6070	4	7,678	0,000	0,000	-20,000	0,000	-20,000
20	6067	5	8,000	0,000	0,000	-20,000	0,000	-20,000

1.1.3.11 Line load

ID	Node	Local node	X [m]	Y [m]	q_x [kN/m/m]	q_y [kN/m/m]	$q_{a,x}$ [kN/m/m]	$q_{a,y}$ [kN/m/m]
1	7720	1	4,000	0,000	0,000	-20,000	0,000	-20,000
2	7320	2	4,186	0,000	0,000	-20,000	0,000	-20,000
3	7321	3	4,373	0,000	0,000	-20,000	0,000	-20,000
4	7322	4	4,559	0,000	0,000	-20,000	0,000	-20,000
5	7316	5	4,746	0,000	0,000	-20,000	0,000	-20,000
6	7316	1	4,746	0,000	0,000	-20,000	0,000	-20,000
7	7136	2	4,969	0,000	0,000	-20,000	0,000	-20,000
8	7137	3	5,193	0,000	0,000	-20,000	0,000	-20,000
9	7138	4	5,416	0,000	0,000	-20,000	0,000	-20,000
10	7132	5	5,640	0,000	0,000	-20,000	0,000	-20,000
11	7132	1	5,640	0,000	0,000	-20,000	0,000	-20,000
12	6533	2	5,908	0,000	0,000	-20,000	0,000	-20,000
13	6534	3	6,176	0,000	0,000	-20,000	0,000	-20,000
14	6535	4	6,445	0,000	0,000	-20,000	0,000	-20,000
15	6529	5	6,713	0,000	0,000	-20,000	0,000	-20,000
16	6529	1	6,713	0,000	0,000	-20,000	0,000	-20,000
17	6068	2	7,035	0,000	0,000	-20,000	0,000	-20,000
18	6069	3	7,356	0,000	0,000	-20,000	0,000	-20,000
19	6070	4	7,678	0,000	0,000	-20,000	0,000	-20,000
20	6067	5	8,000	0,000	0,000	-20,000	0,000	-20,000

1.1.3.12 Line load

ID	Node	Local node	X [m]	Y [m]	q_x [kN/m/m]	q_y [kN/m/m]	$q_{a,x}$ [kN/m/m]	$q_{a,y}$ [kN/m/m]
1	7720	1	4,000	0,000	0,000	-20,000	0,000	-20,000
2	7320	2	4,186	0,000	0,000	-20,000	0,000	-20,000
3	7321	3	4,373	0,000	0,000	-20,000	0,000	-20,000
4	7322	4	4,559	0,000	0,000	-20,000	0,000	-20,000
5	7316	5	4,746	0,000	0,000	-20,000	0,000	-20,000
6	7316	1	4,746	0,000	0,000	-20,000	0,000	-20,000
7	7136	2	4,969	0,000	0,000	-20,000	0,000	-20,000
8	7137	3	5,193	0,000	0,000	-20,000	0,000	-20,000
9	7138	4	5,416	0,000	0,000	-20,000	0,000	-20,000
10	7132	5	5,640	0,000	0,000	-20,000	0,000	-20,000
11	7132	1	5,640	0,000	0,000	-20,000	0,000	-20,000
12	6533	2	5,908	0,000	0,000	-20,000	0,000	-20,000
13	6534	3	6,176	0,000	0,000	-20,000	0,000	-20,000
14	6535	4	6,445	0,000	0,000	-20,000	0,000	-20,000
15	6529	5	6,713	0,000	0,000	-20,000	0,000	-20,000
16	6529	1	6,713	0,000	0,000	-20,000	0,000	-20,000
17	6068	2	7,035	0,000	0,000	-20,000	0,000	-20,000
18	6069	3	7,356	0,000	0,000	-20,000	0,000	-20,000
19	6070	4	7,678	0,000	0,000	-20,000	0,000	-20,000
20	6067	5	8,000	0,000	0,000	-20,000	0,000	-20,000

1.1.3.13 Line load

ID	Node	Local node	X [m]	Y [m]	q_x [kN/m/m]	q_y [kN/m/m]	$q_{a,x}$ [kN/m/m]	$q_{a,y}$ [kN/m/m]
1	7720	1	4,000	0,000	0,000	-20,000	0,000	-20,000
2	7320	2	4,186	0,000	0,000	-20,000	0,000	-20,000
3	7321	3	4,373	0,000	0,000	-20,000	0,000	-20,000
4	7322	4	4,559	0,000	0,000	-20,000	0,000	-20,000
5	7316	5	4,746	0,000	0,000	-20,000	0,000	-20,000
6	7316	1	4,746	0,000	0,000	-20,000	0,000	-20,000
7	7136	2	4,969	0,000	0,000	-20,000	0,000	-20,000
8	7137	3	5,193	0,000	0,000	-20,000	0,000	-20,000
9	7138	4	5,416	0,000	0,000	-20,000	0,000	-20,000
10	7132	5	5,640	0,000	0,000	-20,000	0,000	-20,000
11	7132	1	5,640	0,000	0,000	-20,000	0,000	-20,000
12	6533	2	5,908	0,000	0,000	-20,000	0,000	-20,000
13	6534	3	6,176	0,000	0,000	-20,000	0,000	-20,000
14	6535	4	6,445	0,000	0,000	-20,000	0,000	-20,000
15	6529	5	6,713	0,000	0,000	-20,000	0,000	-20,000
16	6529	1	6,713	0,000	0,000	-20,000	0,000	-20,000
17	6068	2	7,035	0,000	0,000	-20,000	0,000	-20,000
18	6069	3	7,356	0,000	0,000	-20,000	0,000	-20,000
19	6070	4	7,678	0,000	0,000	-20,000	0,000	-20,000
20	6067	5	8,000	0,000	0,000	-20,000	0,000	-20,000

1.1.3.14 Line load

ID	Node	Local node	X [m]	Y [m]	q_x [kN/m/m]	q_y [kN/m/m]	$q_{a,x}$ [kN/m/m]	$q_{a,y}$ [kN/m/m]
1	7720	1	4,000	0,000	0,000	-20,000	0,000	-20,000
2	7320	2	4,186	0,000	0,000	-20,000	0,000	-20,000
3	7321	3	4,373	0,000	0,000	-20,000	0,000	-20,000
4	7322	4	4,559	0,000	0,000	-20,000	0,000	-20,000
5	7316	5	4,746	0,000	0,000	-20,000	0,000	-20,000
6	7316	1	4,746	0,000	0,000	-20,000	0,000	-20,000
7	7136	2	4,969	0,000	0,000	-20,000	0,000	-20,000
8	7137	3	5,193	0,000	0,000	-20,000	0,000	-20,000
9	7138	4	5,416	0,000	0,000	-20,000	0,000	-20,000
10	7132	5	5,640	0,000	0,000	-20,000	0,000	-20,000
11	7132	1	5,640	0,000	0,000	-20,000	0,000	-20,000
12	6533	2	5,908	0,000	0,000	-20,000	0,000	-20,000
13	6534	3	6,176	0,000	0,000	-20,000	0,000	-20,000
14	6535	4	6,445	0,000	0,000	-20,000	0,000	-20,000
15	6529	5	6,713	0,000	0,000	-20,000	0,000	-20,000
16	6529	1	6,713	0,000	0,000	-20,000	0,000	-20,000
17	6068	2	7,035	0,000	0,000	-20,000	0,000	-20,000
18	6069	3	7,356	0,000	0,000	-20,000	0,000	-20,000
19	6070	4	7,678	0,000	0,000	-20,000	0,000	-20,000
20	6067	5	8,000	0,000	0,000	-20,000	0,000	-20,000

1.1.3.15 Line load

ID	Node	Local node	X [m]	Y [m]	q_x [kN/m/m]	q_y [kN/m/m]	$q_{a,x}$ [kN/m/m]	$q_{a,y}$ [kN/m/m]
1	7720	1	4,000	0,000	0,000	-20,000	0,000	-20,000
2	7320	2	4,186	0,000	0,000	-20,000	0,000	-20,000
3	7321	3	4,373	0,000	0,000	-20,000	0,000	-20,000
4	7322	4	4,559	0,000	0,000	-20,000	0,000	-20,000
5	7316	5	4,746	0,000	0,000	-20,000	0,000	-20,000
6	7316	1	4,746	0,000	0,000	-20,000	0,000	-20,000
7	7136	2	4,969	0,000	0,000	-20,000	0,000	-20,000
8	7137	3	5,193	0,000	0,000	-20,000	0,000	-20,000
9	7138	4	5,416	0,000	0,000	-20,000	0,000	-20,000
10	7132	5	5,640	0,000	0,000	-20,000	0,000	-20,000
11	7132	1	5,640	0,000	0,000	-20,000	0,000	-20,000
12	6533	2	5,908	0,000	0,000	-20,000	0,000	-20,000
13	6534	3	6,176	0,000	0,000	-20,000	0,000	-20,000
14	6535	4	6,445	0,000	0,000	-20,000	0,000	-20,000
15	6529	5	6,713	0,000	0,000	-20,000	0,000	-20,000
16	6529	1	6,713	0,000	0,000	-20,000	0,000	-20,000
17	6068	2	7,035	0,000	0,000	-20,000	0,000	-20,000
18	6069	3	7,356	0,000	0,000	-20,000	0,000	-20,000
19	6070	4	7,678	0,000	0,000	-20,000	0,000	-20,000
20	6067	5	8,000	0,000	0,000	-20,000	0,000	-20,000

1.1.3.16 Line load

ID	Node	Local node	X [m]	Y [m]	q_x [kN/m/m]	q_y [kN/m/m]	$q_{a,x}$ [kN/m/m]	$q_{a,y}$ [kN/m/m]
1	7838	1	3,000	0,000	0,000	-20,000	0,000	-20,000
2	7726	2	3,250	0,000	0,000	-20,000	0,000	-20,000
3	7725	3	3,500	0,000	0,000	-20,000	0,000	-20,000
4	7724	4	3,750	0,000	0,000	-20,000	0,000	-20,000
5	7720	5	4,000	0,000	0,000	-20,000	0,000	-20,000
6	7720	1	4,000	0,000	0,000	-20,000	0,000	-20,000
7	7320	2	4,186	0,000	0,000	-20,000	0,000	-20,000
8	7321	3	4,373	0,000	0,000	-20,000	0,000	-20,000
9	7322	4	4,559	0,000	0,000	-20,000	0,000	-20,000
10	7316	5	4,746	0,000	0,000	-20,000	0,000	-20,000
11	7316	1	4,746	0,000	0,000	-20,000	0,000	-20,000
12	7136	2	4,969	0,000	0,000	-20,000	0,000	-20,000
13	7137	3	5,193	0,000	0,000	-20,000	0,000	-20,000
14	7138	4	5,416	0,000	0,000	-20,000	0,000	-20,000
15	7132	5	5,640	0,000	0,000	-20,000	0,000	-20,000
16	7132	1	5,640	0,000	0,000	-20,000	0,000	-20,000
17	6533	2	5,908	0,000	0,000	-20,000	0,000	-20,000
18	6534	3	6,176	0,000	0,000	-20,000	0,000	-20,000
19	6535	4	6,445	0,000	0,000	-20,000	0,000	-20,000
20	6529	5	6,713	0,000	0,000	-20,000	0,000	-20,000
21	6529	1	6,713	0,000	0,000	-20,000	0,000	-20,000
22	6068	2	7,035	0,000	0,000	-20,000	0,000	-20,000
23	6069	3	7,356	0,000	0,000	-20,000	0,000	-20,000
24	6070	4	7,678	0,000	0,000	-20,000	0,000	-20,000
25	6067	5	8,000	0,000	0,000	-20,000	0,000	-20,000
26	9176	1	0,000	0,000	0,000	0,000	0,000	0,000
27	9173	2	0,000	-0,034	-1,535	0,000	-1,535	0,000

ID	Node	Local node	X [m]	Y [m]	q_x [kN/m/m]	q_y [kN/m/m]	$q_{a,x}$ [kN/m/m]	$q_{a,y}$ [kN/m/m]
28	9174	3	0,000	-0,067	-3,069	0,000	-3,069	0,000
29	9175	4	0,000	-0,101	-4,604	0,000	-4,604	0,000
30	9165	5	0,000	-0,135	-6,139	0,000	-6,139	0,000
31	9165	1	0,000	-0,135	-6,139	0,000	-6,139	0,000
32	9164	2	0,000	-0,168	-7,655	0,000	-7,655	0,000
33	9163	3	0,000	-0,202	-9,172	0,000	-9,172	0,000
34	9162	4	0,000	-0,235	-10,689	0,000	-10,689	0,000
35	9166	5	0,000	-0,268	-12,205	0,000	-12,205	0,000
36	9166	1	0,000	-0,268	-12,205	0,000	-12,205	0,000
37	9161	2	0,000	-0,301	-13,704	0,000	-13,704	0,000
38	9160	3	0,000	-0,334	-15,203	0,000	-15,203	0,000
39	9159	4	0,000	-0,367	-16,701	0,000	-16,701	0,000
40	9158	5	0,000	-0,400	-18,200	0,000	-18,200	0,000
41	9158	1	0,000	-0,400	-18,200	0,000	-18,200	0,000
42	9131	2	0,000	-0,425	-18,089	0,000	-18,089	0,000
43	9130	3	0,000	-0,450	-17,978	0,000	-17,978	0,000
44	9129	4	0,000	-0,475	-17,867	0,000	-17,867	0,000
45	9125	5	0,000	-0,500	-17,756	0,000	-17,756	0,000
46	9125	1	0,000	-0,500	-17,756	0,000	-17,756	0,000
47	9121	2	0,000	-0,537	-17,594	0,000	-17,594	0,000
48	9120	3	0,000	-0,573	-17,431	0,000	-17,431	0,000
49	9119	4	0,000	-0,610	-17,269	0,000	-17,269	0,000
50	9115	5	0,000	-0,646	-17,106	0,000	-17,106	0,000
51	9115	1	0,000	-0,646	-17,106	0,000	-17,106	0,000
52	9025	2	0,000	-0,688	-16,922	0,000	-16,922	0,000
53	9024	3	0,000	-0,729	-16,738	0,000	-16,738	0,000
54	9023	4	0,000	-0,771	-16,554	0,000	-16,554	0,000
55	9019	5	0,000	-0,812	-16,370	0,000	-16,370	0,000
56	9019	1	0,000	-0,812	-16,370	0,000	-16,370	0,000
57	8963	2	0,000	-0,859	-16,162	0,000	-16,162	0,000

ID	Node	Local node	X [m]	Y [m]	q_x [kN/m/m]	q_y [kN/m/m]	$q_{a,x}$ [kN/m/m]	$q_{a,y}$ [kN/m/m]
58	8962	3	0,000	-0,906	-15,953	0,000	-15,953	0,000
59	8961	4	0,000	-0,953	-15,745	0,000	-15,745	0,000
60	8957	5	0,000	-1,000	-15,537	0,000	-15,537	0,000
61	8957	1	0,000	-1,000	-15,537	0,000	-15,537	0,000
62	8874	2	0,000	-1,046	-15,332	0,000	-15,332	0,000
63	8873	3	0,000	-1,092	-15,128	0,000	-15,128	0,000
64	8872	4	0,000	-1,138	-14,924	0,000	-14,924	0,000
65	8871	5	0,000	-1,184	-14,719	0,000	-14,719	0,000
66	8871	1	0,000	-1,184	-14,719	0,000	-14,719	0,000
67	8828	2	0,000	-1,245	-14,449	0,000	-14,449	0,000
68	8827	3	0,000	-1,306	-14,178	0,000	-14,178	0,000
69	8826	4	0,000	-1,367	-13,908	0,000	-13,908	0,000
70	8825	5	0,000	-1,428	-13,638	0,000	-13,638	0,000
71	8825	1	0,000	-1,428	-13,638	0,000	-13,638	0,000
72	8687	2	0,000	-1,508	-13,280	0,000	-13,280	0,000
73	8686	3	0,000	-1,589	-12,923	0,000	-12,923	0,000
74	8685	4	0,000	-1,669	-12,565	0,000	-12,565	0,000
75	8684	5	0,000	-1,750	-12,207	0,000	-12,207	0,000
76	8684	1	0,000	-1,750	-12,207	0,000	-12,207	0,000
77	8674	2	0,000	-1,843	-11,793	0,000	-11,793	0,000
78	8673	3	0,000	-1,937	-11,378	0,000	-11,378	0,000
79	8672	4	0,000	-2,030	-10,964	0,000	-10,964	0,000
80	8668	5	0,000	-2,124	-10,549	0,000	-10,549	0,000
81	8668	1	0,000	-2,124	-10,549	0,000	-10,549	0,000
82	8487	2	0,000	-2,268	-9,909	0,000	-9,909	0,000
83	8486	3	0,000	-2,412	-9,270	0,000	-9,270	0,000
84	8485	4	0,000	-2,556	-8,630	0,000	-8,630	0,000
85	8484	5	0,000	-2,700	-7,990	0,000	-7,990	0,000
86	8484	1	0,000	-2,700	-7,990	0,000	-7,990	0,000
87	8275	2	0,000	-2,836	-7,385	0,000	-7,385	0,000

ID	Node	Local node	X [m]	Y [m]	q_x [kN/m/m]	q_y [kN/m/m]	$q_{a,x}$ [kN/m/m]	$q_{a,y}$ [kN/m/m]
88	8274	3	0,000	-2,973	-6,780	0,000	-6,780	0,000
89	8273	4	0,000	-3,109	-6,174	0,000	-6,174	0,000
90	8272	5	0,000	-3,245	-5,569	0,000	-5,569	0,000
91	8272	1	0,000	-3,245	-5,569	0,000	-5,569	0,000
92	8129	2	0,000	-3,352	-5,098	0,000	-5,098	0,000
93	8128	3	0,000	-3,458	-4,627	0,000	-4,627	0,000
94	8127	4	0,000	-3,564	-4,156	0,000	-4,156	0,000
95	8126	5	0,000	-3,670	-3,685	0,000	-3,685	0,000
96	8126	1	0,000	-3,670	-3,685	0,000	-3,685	0,000
97	8029	2	0,000	-3,752	-3,319	0,000	-3,319	0,000
98	8028	3	0,000	-3,835	-2,952	0,000	-2,952	0,000
99	8027	4	0,000	-3,917	-2,586	0,000	-2,586	0,000
100	8026	5	0,000	-4,000	-2,220	0,000	-2,220	0,000
101	8026	1	0,000	-4,000	-2,220	0,000	-2,220	0,000
102	7907	2	0,000	-4,065	-1,932	0,000	-1,932	0,000
103	7906	3	0,000	-4,130	-1,644	0,000	-1,644	0,000
104	7905	4	0,000	-4,194	-1,356	0,000	-1,356	0,000
105	7904	5	0,000	-4,259	-1,069	0,000	-1,069	0,000
106	7904	1	0,000	-4,259	-1,069	0,000	-1,069	0,000
107	7591	2	0,000	-4,319	-0,802	0,000	-0,802	0,000
108	7590	3	0,000	-4,380	-0,534	0,000	-0,534	0,000
109	7589	4	0,000	-4,440	-0,267	0,000	-0,267	0,000
110	7588	5	0,000	-4,500	0,000	0,000	0,000	0,000

1.1.3.17 Line load

ID	Node	Local node	X [m]	Y [m]	q_x [kN/m/m]	q_y [kN/m/m]	$q_{a,x}$ [kN/m/m]	$q_{a,y}$ [kN/m/m]
1	7838	1	3,000	0,000	0,000	-20,000	0,000	-20,000
2	7726	2	3,250	0,000	0,000	-20,000	0,000	-20,000
3	7725	3	3,500	0,000	0,000	-20,000	0,000	-20,000
4	7724	4	3,750	0,000	0,000	-20,000	0,000	-20,000
5	7720	5	4,000	0,000	0,000	-20,000	0,000	-20,000
6	7720	1	4,000	0,000	0,000	-20,000	0,000	-20,000
7	7320	2	4,186	0,000	0,000	-20,000	0,000	-20,000
8	7321	3	4,373	0,000	0,000	-20,000	0,000	-20,000
9	7322	4	4,559	0,000	0,000	-20,000	0,000	-20,000
10	7316	5	4,746	0,000	0,000	-20,000	0,000	-20,000
11	7316	1	4,746	0,000	0,000	-20,000	0,000	-20,000
12	7136	2	4,969	0,000	0,000	-20,000	0,000	-20,000
13	7137	3	5,193	0,000	0,000	-20,000	0,000	-20,000
14	7138	4	5,416	0,000	0,000	-20,000	0,000	-20,000
15	7132	5	5,640	0,000	0,000	-20,000	0,000	-20,000
16	7132	1	5,640	0,000	0,000	-20,000	0,000	-20,000
17	6533	2	5,908	0,000	0,000	-20,000	0,000	-20,000
18	6534	3	6,176	0,000	0,000	-20,000	0,000	-20,000
19	6535	4	6,445	0,000	0,000	-20,000	0,000	-20,000
20	6529	5	6,713	0,000	0,000	-20,000	0,000	-20,000
21	6529	1	6,713	0,000	0,000	-20,000	0,000	-20,000
22	6068	2	7,035	0,000	0,000	-20,000	0,000	-20,000
23	6069	3	7,356	0,000	0,000	-20,000	0,000	-20,000
24	6070	4	7,678	0,000	0,000	-20,000	0,000	-20,000

ID	Node	Local node	X [m]	Y [m]	q_x [kN/m/m]	q_y [kN/m/m]	$q_{a,x}$ [kN/m/m]	$q_{a,y}$ [kN/m/m]
25	6067	5	8,000	0,000	0,000	-20,000	0,000	-20,000

1.1.3.18 Line load

ID	Node	Local node	X [m]	Y [m]	q_x [kN/m/m]	q_y [kN/m/m]	$q_{a,x}$ [kN/m/m]	$q_{a,y}$ [kN/m/m]
1	9152	1	0,000	0,000	0,000	-20,000	0,000	-20,000
2	9051	2	0,032	0,000	0,000	-20,000	0,000	-20,000
3	9050	3	0,063	0,000	0,000	-20,000	0,000	-20,000
4	9049	4	0,095	0,000	0,000	-20,000	0,000	-20,000
5	9045	5	0,126	0,000	0,000	-20,000	0,000	-20,000
6	9045	1	0,126	0,000	0,000	-20,000	0,000	-20,000
7	9038	2	0,195	0,000	0,000	-20,000	0,000	-20,000
8	9037	3	0,264	0,000	0,000	-20,000	0,000	-20,000
9	9036	4	0,333	0,000	0,000	-20,000	0,000	-20,000
10	9035	5	0,401	0,000	0,000	-20,000	0,000	-20,000
11	9035	1	0,401	0,000	0,000	-20,000	0,000	-20,000
12	8891	2	0,551	0,000	0,000	-20,000	0,000	-20,000
13	8890	3	0,701	0,000	0,000	-20,000	0,000	-20,000
14	8889	4	0,850	0,000	0,000	-20,000	0,000	-20,000
15	8888	5	1,000	0,000	0,000	-20,000	0,000	-20,000
16	8724	1	1,000	0,000	0,000	-20,000	0,000	-20,000
17	8720	2	1,167	0,000	0,000	-20,000	0,000	-20,000
18	8719	3	1,333	0,000	0,000	-20,000	0,000	-20,000
19	8718	4	1,500	0,000	0,000	-20,000	0,000	-20,000
20	8714	5	1,667	0,000	0,000	-20,000	0,000	-20,000
21	8714	1	1,667	0,000	0,000	-20,000	0,000	-20,000
22	8542	2	1,833	0,000	0,000	-20,000	0,000	-20,000
23	8541	3	2,000	0,000	0,000	-20,000	0,000	-20,000
24	8540	4	2,167	0,000	0,000	-20,000	0,000	-20,000

ID	Node	Local node	X [m]	Y [m]	q_x [kN/m/m]	q_y [kN/m/m]	$q_{a,x}$ [kN/m/m]	$q_{a,y}$ [kN/m/m]
25	8536	5	2,333	0,000	0,000	-20,000	0,000	-20,000
26	8536	1	2,333	0,000	0,000	-20,000	0,000	-20,000
27	8360	2	2,500	0,000	0,000	-20,000	0,000	-20,000
28	8359	3	2,667	0,000	0,000	-20,000	0,000	-20,000
29	8358	4	2,833	0,000	0,000	-20,000	0,000	-20,000
30	8354	5	3,000	0,000	0,000	-20,000	0,000	-20,000
31	7838	1	3,000	0,000	0,000	-20,000	0,000	-20,000
32	7726	2	3,250	0,000	0,000	-20,000	0,000	-20,000
33	7725	3	3,500	0,000	0,000	-20,000	0,000	-20,000
34	7724	4	3,750	0,000	0,000	-20,000	0,000	-20,000
35	7720	5	4,000	0,000	0,000	-20,000	0,000	-20,000
36	7720	1	4,000	0,000	0,000	-20,000	0,000	-20,000
37	7320	2	4,186	0,000	0,000	-20,000	0,000	-20,000
38	7321	3	4,373	0,000	0,000	-20,000	0,000	-20,000
39	7322	4	4,559	0,000	0,000	-20,000	0,000	-20,000
40	7316	5	4,746	0,000	0,000	-20,000	0,000	-20,000
41	7316	1	4,746	0,000	0,000	-20,000	0,000	-20,000
42	7136	2	4,969	0,000	0,000	-20,000	0,000	-20,000
43	7137	3	5,193	0,000	0,000	-20,000	0,000	-20,000
44	7138	4	5,416	0,000	0,000	-20,000	0,000	-20,000
45	7132	5	5,640	0,000	0,000	-20,000	0,000	-20,000
46	7132	1	5,640	0,000	0,000	-20,000	0,000	-20,000
47	6533	2	5,908	0,000	0,000	-20,000	0,000	-20,000
48	6534	3	6,176	0,000	0,000	-20,000	0,000	-20,000
49	6535	4	6,445	0,000	0,000	-20,000	0,000	-20,000
50	6529	5	6,713	0,000	0,000	-20,000	0,000	-20,000
51	6529	1	6,713	0,000	0,000	-20,000	0,000	-20,000
52	6068	2	7,035	0,000	0,000	-20,000	0,000	-20,000

ID	Node	Local node	X [m]	Y [m]	q_x [kN/m/m]	q_y [kN/m/m]	$q_{a,x}$ [kN/m/m]	$q_{a,y}$ [kN/m/m]
53	6069	3	7,356	0,000	0,000	-20,000	0,000	-20,000
54	6070	4	7,678	0,000	0,000	-20,000	0,000	-20,000
55	6067	5	8,000	0,000	0,000	-20,000	0,000	-20,000

1.1.3.19 Line load

ID	Node	Local node	X [m]	Y [m]	q_x [kN/m/m]	q_y [kN/m/m]	$q_{a,x}$ [kN/m/m]	$q_{a,y}$ [kN/m/m]
1	9152	1	0,000	0,000	0,000	-23,100	0,000	-23,100
2	9051	2	0,032	0,000	0,000	-23,100	0,000	-23,100
3	9050	3	0,063	0,000	0,000	-23,100	0,000	-23,100
4	9049	4	0,095	0,000	0,000	-23,100	0,000	-23,100
5	9045	5	0,126	0,000	0,000	-23,100	0,000	-23,100
6	9045	1	0,126	0,000	0,000	-23,100	0,000	-23,100
7	9038	2	0,195	0,000	0,000	-23,100	0,000	-23,100
8	9037	3	0,264	0,000	0,000	-23,100	0,000	-23,100
9	9036	4	0,333	0,000	0,000	-23,100	0,000	-23,100
10	9035	5	0,401	0,000	0,000	-23,100	0,000	-23,100
11	9035	1	0,401	0,000	0,000	-23,100	0,000	-23,100
12	8891	2	0,551	0,000	0,000	-23,100	0,000	-23,100
13	8890	3	0,701	0,000	0,000	-23,100	0,000	-23,100
14	8889	4	0,850	0,000	0,000	-23,100	0,000	-23,100
15	8888	5	1,000	0,000	0,000	-23,100	0,000	-23,100
16	8724	1	1,000	0,000	0,000	-23,100	0,000	-23,100
17	8720	2	1,167	0,000	0,000	-23,100	0,000	-23,100
18	8719	3	1,333	0,000	0,000	-23,100	0,000	-23,100
19	8718	4	1,500	0,000	0,000	-23,100	0,000	-23,100
20	8714	5	1,667	0,000	0,000	-23,100	0,000	-23,100
21	8714	1	1,667	0,000	0,000	-23,100	0,000	-23,100
22	8542	2	1,833	0,000	0,000	-23,100	0,000	-23,100
23	8541	3	2,000	0,000	0,000	-23,100	0,000	-23,100
24	8540	4	2,167	0,000	0,000	-23,100	0,000	-23,100

ID	Node	Local node	X [m]	Y [m]	q_x [kN/m/m]	q_y [kN/m/m]	$q_{a,x}$ [kN/m/m]	$q_{a,y}$ [kN/m/m]
25	8536	5	2,333	0,000	0,000	-23,100	0,000	-23,100
26	8536	1	2,333	0,000	0,000	-23,100	0,000	-23,100
27	8360	2	2,500	0,000	0,000	-23,100	0,000	-23,100
28	8359	3	2,667	0,000	0,000	-23,100	0,000	-23,100
29	8358	4	2,833	0,000	0,000	-23,100	0,000	-23,100
30	8354	5	3,000	0,000	0,000	-23,100	0,000	-23,100
31	7838	1	3,000	0,000	0,000	-23,100	0,000	-23,100
32	7726	2	3,250	0,000	0,000	-23,100	0,000	-23,100
33	7725	3	3,500	0,000	0,000	-23,100	0,000	-23,100
34	7724	4	3,750	0,000	0,000	-23,100	0,000	-23,100
35	7720	5	4,000	0,000	0,000	-23,100	0,000	-23,100
36	7720	1	4,000	0,000	0,000	-23,100	0,000	-23,100
37	7320	2	4,186	0,000	0,000	-23,100	0,000	-23,100
38	7321	3	4,373	0,000	0,000	-23,100	0,000	-23,100
39	7322	4	4,559	0,000	0,000	-23,100	0,000	-23,100
40	7316	5	4,746	0,000	0,000	-23,100	0,000	-23,100
41	7316	1	4,746	0,000	0,000	-23,100	0,000	-23,100
42	7136	2	4,969	0,000	0,000	-23,100	0,000	-23,100
43	7137	3	5,193	0,000	0,000	-23,100	0,000	-23,100
44	7138	4	5,416	0,000	0,000	-23,100	0,000	-23,100
45	7132	5	5,640	0,000	0,000	-23,100	0,000	-23,100
46	7132	1	5,640	0,000	0,000	-23,100	0,000	-23,100
47	6533	2	5,908	0,000	0,000	-23,100	0,000	-23,100
48	6534	3	6,176	0,000	0,000	-23,100	0,000	-23,100
49	6535	4	6,445	0,000	0,000	-23,100	0,000	-23,100
50	6529	5	6,713	0,000	0,000	-23,100	0,000	-23,100
51	6529	1	6,713	0,000	0,000	-23,100	0,000	-23,100
52	6068	2	7,035	0,000	0,000	-23,100	0,000	-23,100

ID	Node	Local node	X [m]	Y [m]	q_x [kN/m/m]	q_y [kN/m/m]	$q_{a,x}$ [kN/m/m]	$q_{a,y}$ [kN/m/m]
53	6069	3	7,356	0,000	0,000	-23,100	0,000	-23,100
54	6070	4	7,678	0,000	0,000	-23,100	0,000	-23,100
55	6067	5	8,000	0,000	0,000	-23,100	0,000	-23,100

1.1.3.20 Line load

ID	Node	Local node	X [m]	Y [m]	q_x [kN/m/m]	q_y [kN/m/m]	$q_{a,x}$ [kN/m/m]	$q_{a,y}$ [kN/m/m]
1	9152	1	0,000	0,000	0,000	-26,000	0,000	-26,000
2	9051	2	0,032	0,000	0,000	-26,000	0,000	-26,000
3	9050	3	0,063	0,000	0,000	-26,000	0,000	-26,000
4	9049	4	0,095	0,000	0,000	-26,000	0,000	-26,000
5	9045	5	0,126	0,000	0,000	-26,000	0,000	-26,000
6	9045	1	0,126	0,000	0,000	-26,000	0,000	-26,000
7	9038	2	0,195	0,000	0,000	-26,000	0,000	-26,000
8	9037	3	0,264	0,000	0,000	-26,000	0,000	-26,000
9	9036	4	0,333	0,000	0,000	-26,000	0,000	-26,000
10	9035	5	0,401	0,000	0,000	-26,000	0,000	-26,000
11	9035	1	0,401	0,000	0,000	-26,000	0,000	-26,000
12	8891	2	0,551	0,000	0,000	-26,000	0,000	-26,000
13	8890	3	0,701	0,000	0,000	-26,000	0,000	-26,000
14	8889	4	0,850	0,000	0,000	-26,000	0,000	-26,000
15	8888	5	1,000	0,000	0,000	-26,000	0,000	-26,000
16	8724	1	1,000	0,000	0,000	-26,000	0,000	-26,000
17	8720	2	1,167	0,000	0,000	-26,000	0,000	-26,000
18	8719	3	1,333	0,000	0,000	-26,000	0,000	-26,000
19	8718	4	1,500	0,000	0,000	-26,000	0,000	-26,000
20	8714	5	1,667	0,000	0,000	-26,000	0,000	-26,000
21	8714	1	1,667	0,000	0,000	-26,000	0,000	-26,000
22	8542	2	1,833	0,000	0,000	-26,000	0,000	-26,000
23	8541	3	2,000	0,000	0,000	-26,000	0,000	-26,000
24	8540	4	2,167	0,000	0,000	-26,000	0,000	-26,000

ID	Node	Local node	X [m]	Y [m]	q_x [kN/m/m]	q_y [kN/m/m]	$q_{a,x}$ [kN/m/m]	$q_{a,y}$ [kN/m/m]
25	8536	5	2,333	0,000	0,000	-26,000	0,000	-26,000
26	8536	1	2,333	0,000	0,000	-26,000	0,000	-26,000
27	8360	2	2,500	0,000	0,000	-26,000	0,000	-26,000
28	8359	3	2,667	0,000	0,000	-26,000	0,000	-26,000
29	8358	4	2,833	0,000	0,000	-26,000	0,000	-26,000
30	8354	5	3,000	0,000	0,000	-26,000	0,000	-26,000
31	7838	1	3,000	0,000	0,000	-26,000	0,000	-26,000
32	7726	2	3,250	0,000	0,000	-26,000	0,000	-26,000
33	7725	3	3,500	0,000	0,000	-26,000	0,000	-26,000
34	7724	4	3,750	0,000	0,000	-26,000	0,000	-26,000
35	7720	5	4,000	0,000	0,000	-26,000	0,000	-26,000
36	7720	1	4,000	0,000	0,000	-26,000	0,000	-26,000
37	7320	2	4,186	0,000	0,000	-26,000	0,000	-26,000
38	7321	3	4,373	0,000	0,000	-26,000	0,000	-26,000
39	7322	4	4,559	0,000	0,000	-26,000	0,000	-26,000
40	7316	5	4,746	0,000	0,000	-26,000	0,000	-26,000
41	7316	1	4,746	0,000	0,000	-26,000	0,000	-26,000
42	7136	2	4,969	0,000	0,000	-26,000	0,000	-26,000
43	7137	3	5,193	0,000	0,000	-26,000	0,000	-26,000
44	7138	4	5,416	0,000	0,000	-26,000	0,000	-26,000
45	7132	5	5,640	0,000	0,000	-26,000	0,000	-26,000
46	7132	1	5,640	0,000	0,000	-26,000	0,000	-26,000
47	6533	2	5,908	0,000	0,000	-26,000	0,000	-26,000
48	6534	3	6,176	0,000	0,000	-26,000	0,000	-26,000
49	6535	4	6,445	0,000	0,000	-26,000	0,000	-26,000
50	6529	5	6,713	0,000	0,000	-26,000	0,000	-26,000
51	6529	1	6,713	0,000	0,000	-26,000	0,000	-26,000
52	6068	2	7,035	0,000	0,000	-26,000	0,000	-26,000

ID	Node	Local node	X [m]	Y [m]	q_x [kN/m/m]	q_y [kN/m/m]	$q_{a,x}$ [kN/m/m]	$q_{a,y}$ [kN/m/m]
53	6069	3	7,356	0,000	0,000	-26,000	0,000	-26,000
54	6070	4	7,678	0,000	0,000	-26,000	0,000	-26,000
55	6067	5	8,000	0,000	0,000	-26,000	0,000	-26,000

1.1.3.21 Line load

ID	Node	Local node	X [m]	Y [m]	q_x [kN/m/m]	q_y [kN/m/m]	$q_{a,x}$ [kN/m/m]	$q_{a,y}$ [kN/m/m]
1	9152	1	0,000	0,000	0,000	-6,000	0,000	-6,000
2	9051	2	0,032	0,000	0,000	-6,000	0,000	-6,000
3	9050	3	0,063	0,000	0,000	-6,000	0,000	-6,000
4	9049	4	0,095	0,000	0,000	-6,000	0,000	-6,000
5	9045	5	0,126	0,000	0,000	-6,000	0,000	-6,000
6	9045	1	0,126	0,000	0,000	-6,000	0,000	-6,000
7	9038	2	0,195	0,000	0,000	-6,000	0,000	-6,000
8	9037	3	0,264	0,000	0,000	-6,000	0,000	-6,000
9	9036	4	0,333	0,000	0,000	-6,000	0,000	-6,000
10	9035	5	0,401	0,000	0,000	-6,000	0,000	-6,000
11	9035	1	0,401	0,000	0,000	-6,000	0,000	-6,000
12	8891	2	0,551	0,000	0,000	-6,000	0,000	-6,000
13	8890	3	0,701	0,000	0,000	-6,000	0,000	-6,000
14	8889	4	0,850	0,000	0,000	-6,000	0,000	-6,000
15	8888	5	1,000	0,000	0,000	-6,000	0,000	-6,000
16	8724	1	1,000	0,000	0,000	-6,000	0,000	-6,000
17	8720	2	1,167	0,000	0,000	-6,000	0,000	-6,000
18	8719	3	1,333	0,000	0,000	-6,000	0,000	-6,000
19	8718	4	1,500	0,000	0,000	-6,000	0,000	-6,000
20	8714	5	1,667	0,000	0,000	-6,000	0,000	-6,000
21	8714	1	1,667	0,000	0,000	-6,000	0,000	-6,000
22	8542	2	1,833	0,000	0,000	-6,000	0,000	-6,000
23	8541	3	2,000	0,000	0,000	-6,000	0,000	-6,000
24	8540	4	2,167	0,000	0,000	-6,000	0,000	-6,000

ID	Node	Local node	X [m]	Y [m]	q_x [kN/m/m]	q_y [kN/m/m]	$q_{a,x}$ [kN/m/m]	$q_{a,y}$ [kN/m/m]
25	8536	5	2,333	0,000	0,000	-6,000	0,000	-6,000
26	8536	1	2,333	0,000	0,000	-6,000	0,000	-6,000
27	8360	2	2,500	0,000	0,000	-6,000	0,000	-6,000
28	8359	3	2,667	0,000	0,000	-6,000	0,000	-6,000
29	8358	4	2,833	0,000	0,000	-6,000	0,000	-6,000
30	8354	5	3,000	0,000	0,000	-6,000	0,000	-6,000
31	7838	1	3,000	0,000	0,000	-6,000	0,000	-6,000
32	7726	2	3,250	0,000	0,000	-6,000	0,000	-6,000
33	7725	3	3,500	0,000	0,000	-6,000	0,000	-6,000
34	7724	4	3,750	0,000	0,000	-6,000	0,000	-6,000
35	7720	5	4,000	0,000	0,000	-6,000	0,000	-6,000
36	7720	1	4,000	0,000	0,000	-6,000	0,000	-6,000
37	7320	2	4,186	0,000	0,000	-6,000	0,000	-6,000
38	7321	3	4,373	0,000	0,000	-6,000	0,000	-6,000
39	7322	4	4,559	0,000	0,000	-6,000	0,000	-6,000
40	7316	5	4,746	0,000	0,000	-6,000	0,000	-6,000
41	7316	1	4,746	0,000	0,000	-6,000	0,000	-6,000
42	7136	2	4,969	0,000	0,000	-6,000	0,000	-6,000
43	7137	3	5,193	0,000	0,000	-6,000	0,000	-6,000
44	7138	4	5,416	0,000	0,000	-6,000	0,000	-6,000
45	7132	5	5,640	0,000	0,000	-6,000	0,000	-6,000
46	7132	1	5,640	0,000	0,000	-6,000	0,000	-6,000
47	6533	2	5,908	0,000	0,000	-6,000	0,000	-6,000
48	6534	3	6,176	0,000	0,000	-6,000	0,000	-6,000
49	6535	4	6,445	0,000	0,000	-6,000	0,000	-6,000
50	6529	5	6,713	0,000	0,000	-6,000	0,000	-6,000
51	6529	1	6,713	0,000	0,000	-6,000	0,000	-6,000
52	6068	2	7,035	0,000	0,000	-6,000	0,000	-6,000

ID	Node	Local node	X [m]	Y [m]	q_x [kN/m/m]	q_y [kN/m/m]	$q_{a,x}$ [kN/m/m]	$q_{a,y}$ [kN/m/m]
53	6069	3	7,356	0,000	0,000	-6,000	0,000	-6,000
54	6070	4	7,678	0,000	0,000	-6,000	0,000	-6,000
55	6067	5	8,000	0,000	0,000	-6,000	0,000	-6,000

1.1.3.22 Line load

ID	Node	Local node	X [m]	Y [m]	q_x [kN/m/m]	q_y [kN/m/m]	$q_{a,x}$ [kN/m/m]	$q_{a,y}$ [kN/m/m]
1	9152	1	0,000	0,000	0,000	-6,000	0,000	-6,000
2	9051	2	0,032	0,000	0,000	-6,000	0,000	-6,000
3	9050	3	0,063	0,000	0,000	-6,000	0,000	-6,000
4	9049	4	0,095	0,000	0,000	-6,000	0,000	-6,000
5	9045	5	0,126	0,000	0,000	-6,000	0,000	-6,000
6	9045	1	0,126	0,000	0,000	-6,000	0,000	-6,000
7	9038	2	0,195	0,000	0,000	-6,000	0,000	-6,000
8	9037	3	0,264	0,000	0,000	-6,000	0,000	-6,000
9	9036	4	0,333	0,000	0,000	-6,000	0,000	-6,000
10	9035	5	0,401	0,000	0,000	-6,000	0,000	-6,000
11	9035	1	0,401	0,000	0,000	-6,000	0,000	-6,000
12	8891	2	0,551	0,000	0,000	-6,000	0,000	-6,000
13	8890	3	0,701	0,000	0,000	-6,000	0,000	-6,000
14	8889	4	0,850	0,000	0,000	-6,000	0,000	-6,000
15	8888	5	1,000	0,000	0,000	-6,000	0,000	-6,000
16	8724	1	1,000	0,000	0,000	-6,000	0,000	-6,000
17	8720	2	1,167	0,000	0,000	-6,000	0,000	-6,000
18	8719	3	1,333	0,000	0,000	-6,000	0,000	-6,000
19	8718	4	1,500	0,000	0,000	-6,000	0,000	-6,000
20	8714	5	1,667	0,000	0,000	-6,000	0,000	-6,000
21	8714	1	1,667	0,000	0,000	-6,000	0,000	-6,000
22	8542	2	1,833	0,000	0,000	-6,000	0,000	-6,000
23	8541	3	2,000	0,000	0,000	-6,000	0,000	-6,000
24	8540	4	2,167	0,000	0,000	-6,000	0,000	-6,000

ID	Node	Local node	X [m]	Y [m]	q_x [kN/m/m]	q_y [kN/m/m]	$q_{a,x}$ [kN/m/m]	$q_{a,y}$ [kN/m/m]
25	8536	5	2,333	0,000	0,000	-6,000	0,000	-6,000
26	8536	1	2,333	0,000	0,000	-6,000	0,000	-6,000
27	8360	2	2,500	0,000	0,000	-6,000	0,000	-6,000
28	8359	3	2,667	0,000	0,000	-6,000	0,000	-6,000
29	8358	4	2,833	0,000	0,000	-6,000	0,000	-6,000
30	8354	5	3,000	0,000	0,000	-6,000	0,000	-6,000
31	7838	1	3,000	0,000	0,000	-6,000	0,000	-6,000
32	7726	2	3,250	0,000	0,000	-6,000	0,000	-6,000
33	7725	3	3,500	0,000	0,000	-6,000	0,000	-6,000
34	7724	4	3,750	0,000	0,000	-6,000	0,000	-6,000
35	7720	5	4,000	0,000	0,000	-6,000	0,000	-6,000
36	7720	1	4,000	0,000	0,000	-6,000	0,000	-6,000
37	7320	2	4,186	0,000	0,000	-6,000	0,000	-6,000
38	7321	3	4,373	0,000	0,000	-6,000	0,000	-6,000
39	7322	4	4,559	0,000	0,000	-6,000	0,000	-6,000
40	7316	5	4,746	0,000	0,000	-6,000	0,000	-6,000
41	7316	1	4,746	0,000	0,000	-6,000	0,000	-6,000
42	7136	2	4,969	0,000	0,000	-6,000	0,000	-6,000
43	7137	3	5,193	0,000	0,000	-6,000	0,000	-6,000
44	7138	4	5,416	0,000	0,000	-6,000	0,000	-6,000
45	7132	5	5,640	0,000	0,000	-6,000	0,000	-6,000
46	7132	1	5,640	0,000	0,000	-6,000	0,000	-6,000
47	6533	2	5,908	0,000	0,000	-6,000	0,000	-6,000
48	6534	3	6,176	0,000	0,000	-6,000	0,000	-6,000
49	6535	4	6,445	0,000	0,000	-6,000	0,000	-6,000
50	6529	5	6,713	0,000	0,000	-6,000	0,000	-6,000
51	6529	1	6,713	0,000	0,000	-6,000	0,000	-6,000
52	6068	2	7,035	0,000	0,000	-6,000	0,000	-6,000

ID	Node	Local node	X [m]	Y [m]	q_x [kN/m/m]	q_y [kN/m/m]	$q_{a,x}$ [kN/m/m]	$q_{a,y}$ [kN/m/m]
53	6069	3	7,356	0,000	0,000	-6,000	0,000	-6,000
54	6070	4	7,678	0,000	0,000	-6,000	0,000	-6,000
55	6067	5	8,000	0,000	0,000	-6,000	0,000	-6,000

1.1.3.23 Line load

ID	Node	Local node	X [m]	Y [m]	q_x [kN/m/m]	q_y [kN/m/m]	$q_{a,x}$ [kN/m/m]	$q_{a,y}$ [kN/m/m]
1	9152	1	0,000	0,000	0,000	-6,000	0,000	-6,000
2	9051	2	0,032	0,000	0,000	-6,000	0,000	-6,000
3	9050	3	0,063	0,000	0,000	-6,000	0,000	-6,000
4	9049	4	0,095	0,000	0,000	-6,000	0,000	-6,000
5	9045	5	0,126	0,000	0,000	-6,000	0,000	-6,000
6	9045	1	0,126	0,000	0,000	-6,000	0,000	-6,000
7	9038	2	0,195	0,000	0,000	-6,000	0,000	-6,000
8	9037	3	0,264	0,000	0,000	-6,000	0,000	-6,000
9	9036	4	0,333	0,000	0,000	-6,000	0,000	-6,000
10	9035	5	0,401	0,000	0,000	-6,000	0,000	-6,000
11	9035	1	0,401	0,000	0,000	-6,000	0,000	-6,000
12	8891	2	0,551	0,000	0,000	-6,000	0,000	-6,000
13	8890	3	0,701	0,000	0,000	-6,000	0,000	-6,000
14	8889	4	0,850	0,000	0,000	-6,000	0,000	-6,000
15	8888	5	1,000	0,000	0,000	-6,000	0,000	-6,000
16	8724	1	1,000	0,000	0,000	-6,000	0,000	-6,000
17	8720	2	1,167	0,000	0,000	-6,000	0,000	-6,000
18	8719	3	1,333	0,000	0,000	-6,000	0,000	-6,000
19	8718	4	1,500	0,000	0,000	-6,000	0,000	-6,000
20	8714	5	1,667	0,000	0,000	-6,000	0,000	-6,000
21	8714	1	1,667	0,000	0,000	-6,000	0,000	-6,000
22	8542	2	1,833	0,000	0,000	-6,000	0,000	-6,000
23	8541	3	2,000	0,000	0,000	-6,000	0,000	-6,000
24	8540	4	2,167	0,000	0,000	-6,000	0,000	-6,000

ID	Node	Local node	X [m]	Y [m]	q_x [kN/m/m]	q_y [kN/m/m]	$q_{a,x}$ [kN/m/m]	$q_{a,y}$ [kN/m/m]
25	8536	5	2,333	0,000	0,000	-6,000	0,000	-6,000
26	8536	1	2,333	0,000	0,000	-6,000	0,000	-6,000
27	8360	2	2,500	0,000	0,000	-6,000	0,000	-6,000
28	8359	3	2,667	0,000	0,000	-6,000	0,000	-6,000
29	8358	4	2,833	0,000	0,000	-6,000	0,000	-6,000
30	8354	5	3,000	0,000	0,000	-6,000	0,000	-6,000
31	7838	1	3,000	0,000	0,000	-6,000	0,000	-6,000
32	7726	2	3,250	0,000	0,000	-6,000	0,000	-6,000
33	7725	3	3,500	0,000	0,000	-6,000	0,000	-6,000
34	7724	4	3,750	0,000	0,000	-6,000	0,000	-6,000
35	7720	5	4,000	0,000	0,000	-6,000	0,000	-6,000
36	7720	1	4,000	0,000	0,000	-6,000	0,000	-6,000
37	7320	2	4,186	0,000	0,000	-6,000	0,000	-6,000
38	7321	3	4,373	0,000	0,000	-6,000	0,000	-6,000
39	7322	4	4,559	0,000	0,000	-6,000	0,000	-6,000
40	7316	5	4,746	0,000	0,000	-6,000	0,000	-6,000
41	7316	1	4,746	0,000	0,000	-6,000	0,000	-6,000
42	7136	2	4,969	0,000	0,000	-6,000	0,000	-6,000
43	7137	3	5,193	0,000	0,000	-6,000	0,000	-6,000
44	7138	4	5,416	0,000	0,000	-6,000	0,000	-6,000
45	7132	5	5,640	0,000	0,000	-6,000	0,000	-6,000
46	7132	1	5,640	0,000	0,000	-6,000	0,000	-6,000
47	6533	2	5,908	0,000	0,000	-6,000	0,000	-6,000
48	6534	3	6,176	0,000	0,000	-6,000	0,000	-6,000
49	6535	4	6,445	0,000	0,000	-6,000	0,000	-6,000
50	6529	5	6,713	0,000	0,000	-6,000	0,000	-6,000
51	6529	1	6,713	0,000	0,000	-6,000	0,000	-6,000
52	6068	2	7,035	0,000	0,000	-6,000	0,000	-6,000

ID	Node	Local node	X [m]	Y [m]	q_x [kN/m/m]	q_y [kN/m/m]	$q_{a,x}$ [kN/m/m]	$q_{a,y}$ [kN/m/m]
53	6069	3	7,356	0,000	0,000	-6,000	0,000	-6,000
54	6070	4	7,678	0,000	0,000	-6,000	0,000	-6,000
55	6067	5	8,000	0,000	0,000	-6,000	0,000	-6,000

1.1.3.24 Line load

ID	Node	Local node	X [m]	Y [m]	q_x [kN/m/m]	q_y [kN/m/m]	$q_{a,x}$ [kN/m/m]	$q_{a,y}$ [kN/m/m]
1	7838	1	3,000	0,000	0,000	-23,100	0,000	-23,100
2	7726	2	3,250	0,000	0,000	-23,100	0,000	-23,100
3	7725	3	3,500	0,000	0,000	-23,100	0,000	-23,100
4	7724	4	3,750	0,000	0,000	-23,100	0,000	-23,100
5	7720	5	4,000	0,000	0,000	-23,100	0,000	-23,100
6	7720	1	4,000	0,000	0,000	-23,100	0,000	-23,100
7	7320	2	4,186	0,000	0,000	-23,100	0,000	-23,100
8	7321	3	4,373	0,000	0,000	-23,100	0,000	-23,100
9	7322	4	4,559	0,000	0,000	-23,100	0,000	-23,100
10	7316	5	4,746	0,000	0,000	-23,100	0,000	-23,100
11	7316	1	4,746	0,000	0,000	-23,100	0,000	-23,100
12	7136	2	4,969	0,000	0,000	-23,100	0,000	-23,100
13	7137	3	5,193	0,000	0,000	-23,100	0,000	-23,100
14	7138	4	5,416	0,000	0,000	-23,100	0,000	-23,100
15	7132	5	5,640	0,000	0,000	-23,100	0,000	-23,100
16	7132	1	5,640	0,000	0,000	-23,100	0,000	-23,100
17	6533	2	5,908	0,000	0,000	-23,100	0,000	-23,100
18	6534	3	6,176	0,000	0,000	-23,100	0,000	-23,100
19	6535	4	6,445	0,000	0,000	-23,100	0,000	-23,100
20	6529	5	6,713	0,000	0,000	-23,100	0,000	-23,100
21	6529	1	6,713	0,000	0,000	-23,100	0,000	-23,100
22	6068	2	7,035	0,000	0,000	-23,100	0,000	-23,100
23	6069	3	7,356	0,000	0,000	-23,100	0,000	-23,100
24	6070	4	7,678	0,000	0,000	-23,100	0,000	-23,100

ID	Node	Local node	X [m]	Y [m]	q_x [kN/m/m]	q_y [kN/m/m]	$q_{a,x}$ [kN/m/m]	$q_{a,y}$ [kN/m/m]
25	6067	5	8,000	0,000	0,000	-23,100	0,000	-23,100

1.1.3.25 Line load

ID	Node	Local node	X [m]	Y [m]	q_x [kN/m/m]	q_y [kN/m/m]	$q_{a,x}$ [kN/m/m]	$q_{a,y}$ [kN/m/m]
1	7838	1	3,000	0,000	0,000	-26,000	0,000	-26,000
2	7726	2	3,250	0,000	0,000	-26,000	0,000	-26,000
3	7725	3	3,500	0,000	0,000	-26,000	0,000	-26,000
4	7724	4	3,750	0,000	0,000	-26,000	0,000	-26,000
5	7720	5	4,000	0,000	0,000	-26,000	0,000	-26,000
6	7720	1	4,000	0,000	0,000	-26,000	0,000	-26,000
7	7320	2	4,186	0,000	0,000	-26,000	0,000	-26,000
8	7321	3	4,373	0,000	0,000	-26,000	0,000	-26,000
9	7322	4	4,559	0,000	0,000	-26,000	0,000	-26,000
10	7316	5	4,746	0,000	0,000	-26,000	0,000	-26,000
11	7316	1	4,746	0,000	0,000	-26,000	0,000	-26,000
12	7136	2	4,969	0,000	0,000	-26,000	0,000	-26,000
13	7137	3	5,193	0,000	0,000	-26,000	0,000	-26,000
14	7138	4	5,416	0,000	0,000	-26,000	0,000	-26,000
15	7132	5	5,640	0,000	0,000	-26,000	0,000	-26,000
16	7132	1	5,640	0,000	0,000	-26,000	0,000	-26,000
17	6533	2	5,908	0,000	0,000	-26,000	0,000	-26,000
18	6534	3	6,176	0,000	0,000	-26,000	0,000	-26,000
19	6535	4	6,445	0,000	0,000	-26,000	0,000	-26,000
20	6529	5	6,713	0,000	0,000	-26,000	0,000	-26,000
21	6529	1	6,713	0,000	0,000	-26,000	0,000	-26,000
22	6068	2	7,035	0,000	0,000	-26,000	0,000	-26,000
23	6069	3	7,356	0,000	0,000	-26,000	0,000	-26,000
24	6070	4	7,678	0,000	0,000	-26,000	0,000	-26,000

ID	Node	Local node	X [m]	Y [m]	q_x [kN/m/m]	q_y [kN/m/m]	$q_{a,x}$ [kN/m/m]	$q_{a,y}$ [kN/m/m]
25	6067	5	8,000	0,000	0,000	-26,000	0,000	-26,000

1.1.3.26 Line load

ID	Node	Local node	X [m]	Y [m]	q_x [kN/m/m]	q_y [kN/m/m]	$q_{a,x}$ [kN/m/m]	$q_{a,y}$ [kN/m/m]
1	7838	1	3,000	0,000	0,000	-6,000	0,000	-6,000
2	7726	2	3,250	0,000	0,000	-6,000	0,000	-6,000
3	7725	3	3,500	0,000	0,000	-6,000	0,000	-6,000
4	7724	4	3,750	0,000	0,000	-6,000	0,000	-6,000
5	7720	5	4,000	0,000	0,000	-6,000	0,000	-6,000
6	7720	1	4,000	0,000	0,000	-6,000	0,000	-6,000
7	7320	2	4,186	0,000	0,000	-6,000	0,000	-6,000
8	7321	3	4,373	0,000	0,000	-6,000	0,000	-6,000
9	7322	4	4,559	0,000	0,000	-6,000	0,000	-6,000
10	7316	5	4,746	0,000	0,000	-6,000	0,000	-6,000
11	7316	1	4,746	0,000	0,000	-6,000	0,000	-6,000
12	7136	2	4,969	0,000	0,000	-6,000	0,000	-6,000
13	7137	3	5,193	0,000	0,000	-6,000	0,000	-6,000
14	7138	4	5,416	0,000	0,000	-6,000	0,000	-6,000
15	7132	5	5,640	0,000	0,000	-6,000	0,000	-6,000
16	7132	1	5,640	0,000	0,000	-6,000	0,000	-6,000
17	6533	2	5,908	0,000	0,000	-6,000	0,000	-6,000
18	6534	3	6,176	0,000	0,000	-6,000	0,000	-6,000
19	6535	4	6,445	0,000	0,000	-6,000	0,000	-6,000
20	6529	5	6,713	0,000	0,000	-6,000	0,000	-6,000
21	6529	1	6,713	0,000	0,000	-6,000	0,000	-6,000
22	6068	2	7,035	0,000	0,000	-6,000	0,000	-6,000
23	6069	3	7,356	0,000	0,000	-6,000	0,000	-6,000
24	6070	4	7,678	0,000	0,000	-6,000	0,000	-6,000

ID	Node	Local node	X [m]	Y [m]	q_x [kN/m/m]	q_y [kN/m/m]	$q_{a,x}$ [kN/m/m]	$q_{a,y}$ [kN/m/m]
25	6067	5	8,000	0,000	0,000	-6,000	0,000	-6,000

1.1.4.1 Calculation results, Initial phase [InitialPhase] (0/4), Materials plot

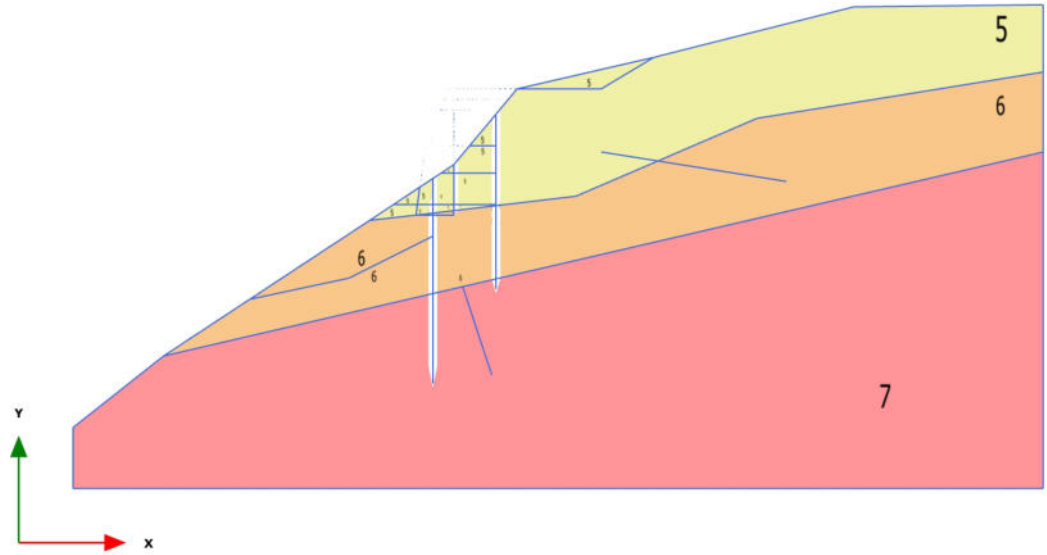

Materials plot

1.1.4.2 Calculation results, Muro 1 [Phase_1] (1/15), Materials plot

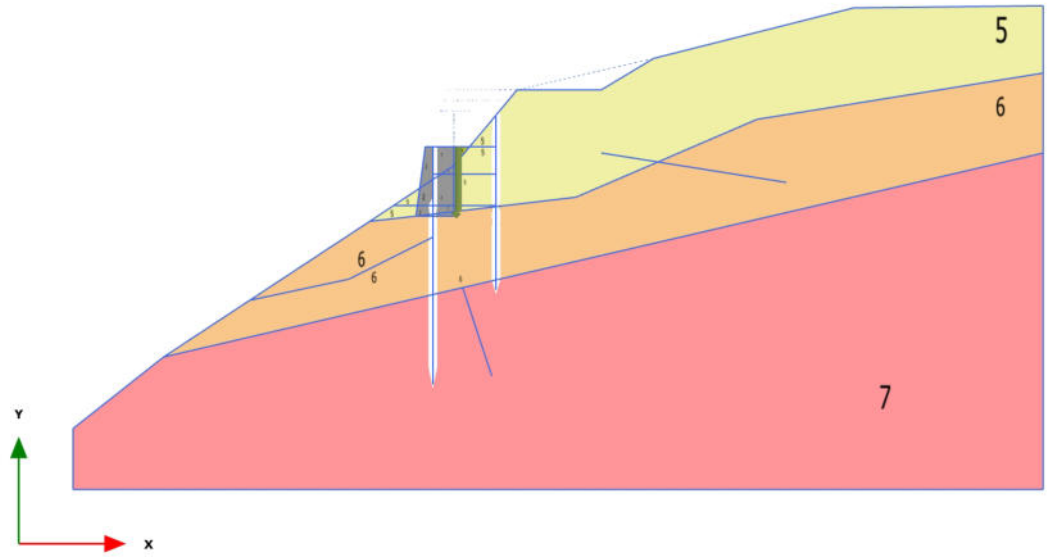

Materials plot

1.1.4.3 Calculation results, Muro 2 (stato di fatto) [Phase_2] (2/59), Materials plot

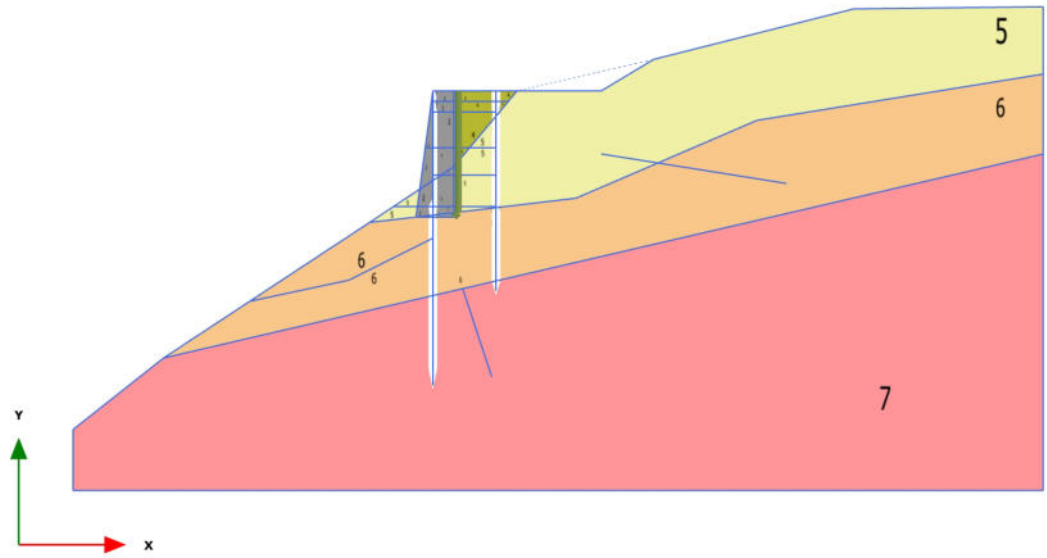

Materials plot

1.1.4.4 Calculation results, (RD) Preparazione cantiere [Phase_3] (3/65), Materials plot

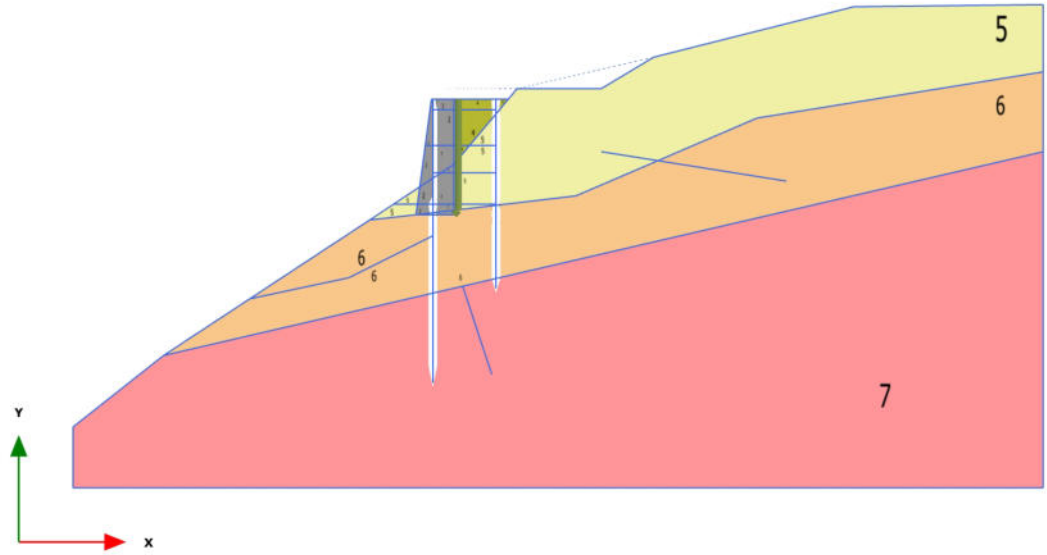

Materials plot

1.1.4.5 Calculation results, Micropali paratia provvisionale [Phase_4] (4/68), Materials plot

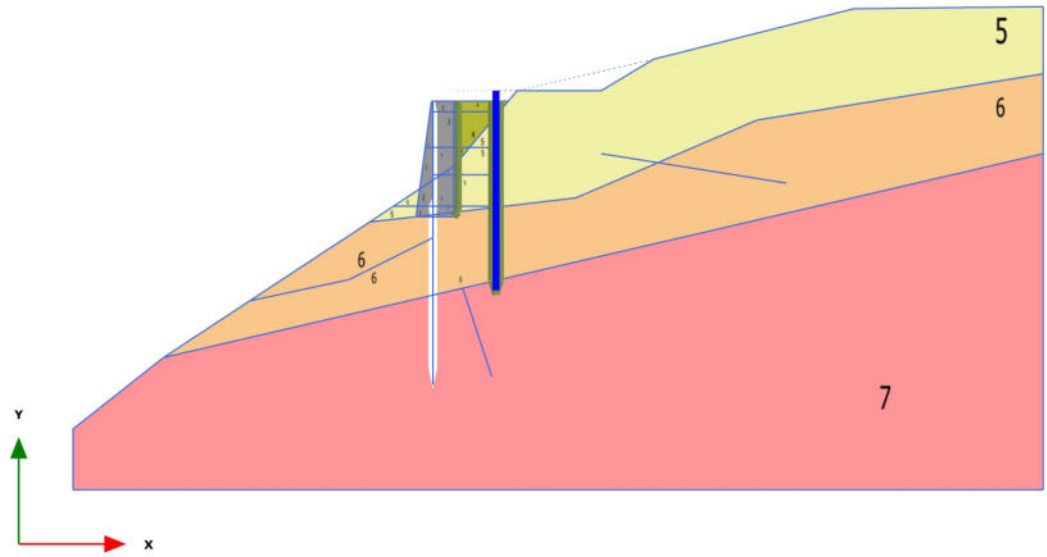

Materials plot

1.1.4.6 Calculation results, (RD) Sovraccarico stradale [Phase_5] (5/84), Materials plot

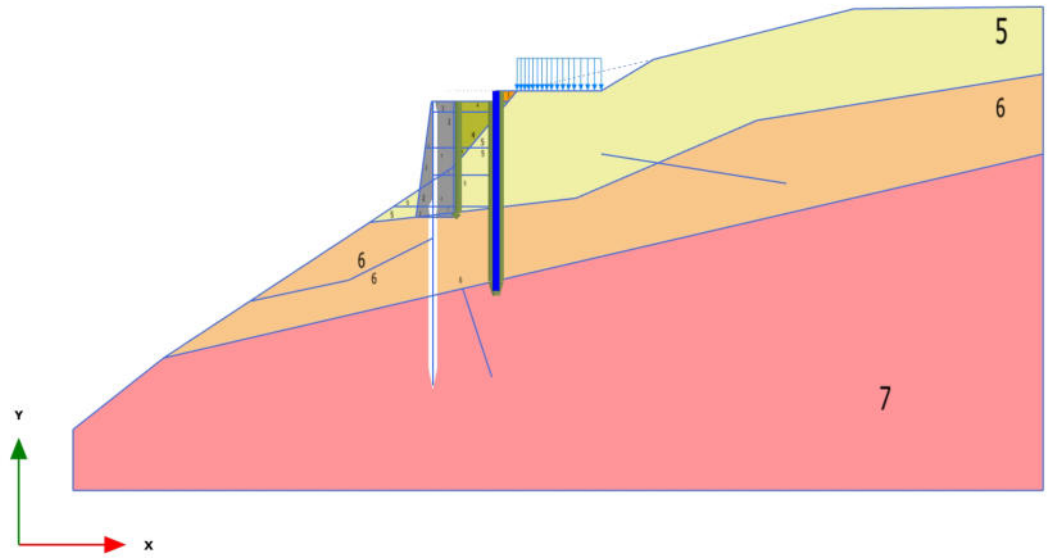

Materials plot

1.1.4.7 Calculation results, Escavo 1 [Phase_6] (6/247), Materials plot

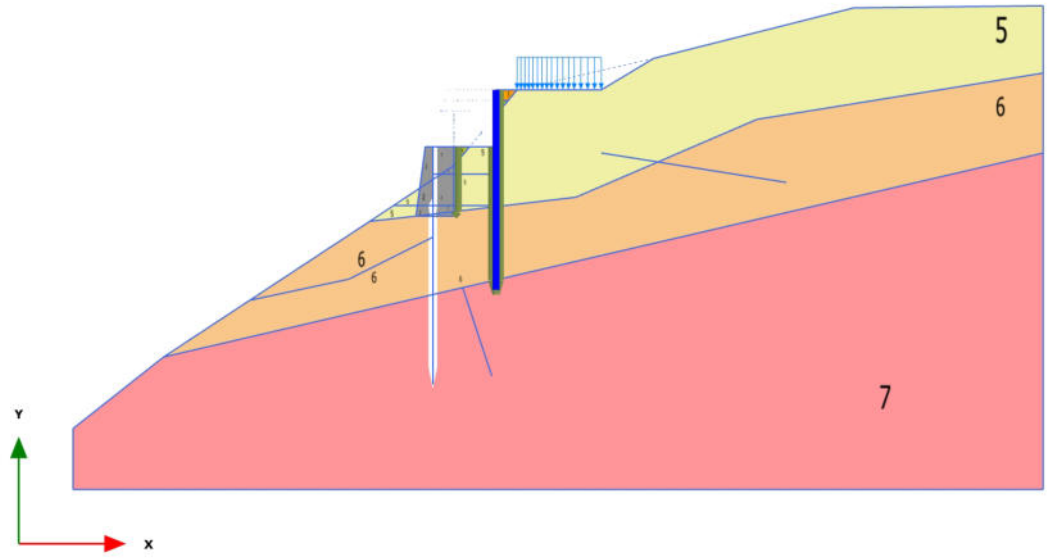

Materials plot

1.1.4.8 Calculation results, Micropalo ancoraggio [Phase_7] (7/250), Materials plot

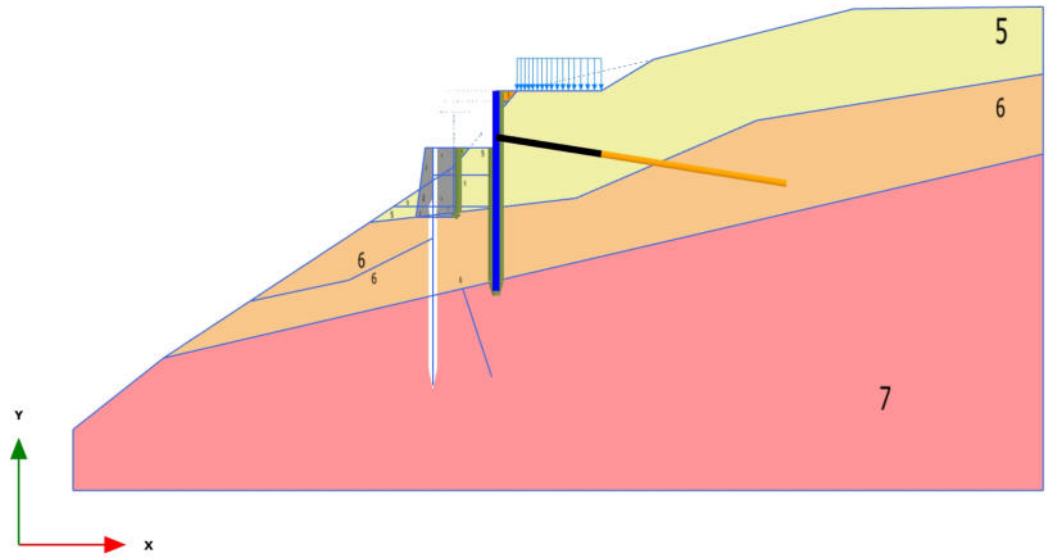

Materials plot

1.1.4.9 Calculation results, Escavo (progetto) [Phase_8] (8/271), Materials plot

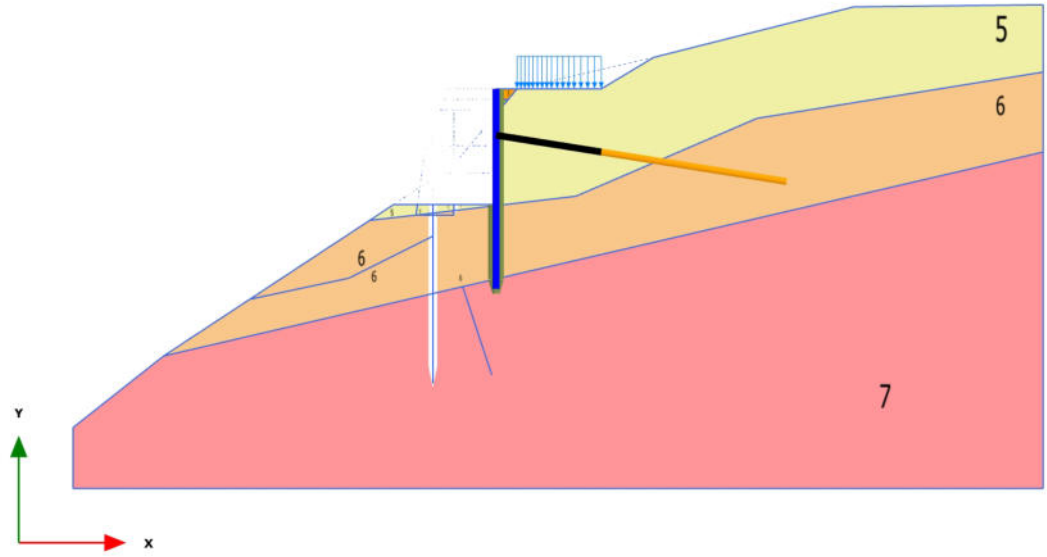

Materials plot

1.1.4.10 Calculation results, (RD) Muro [Phase_9] (9/298), Materials plot

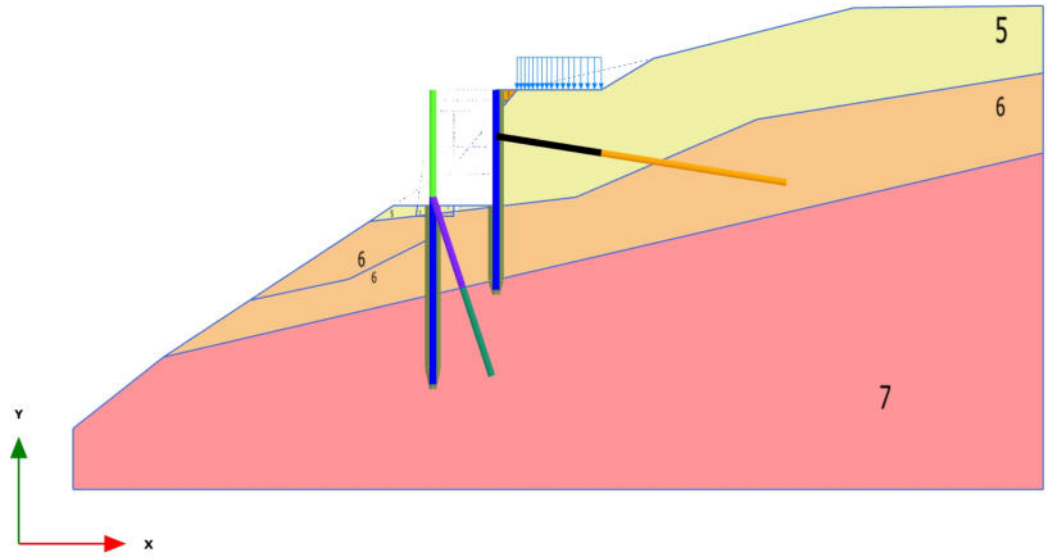

Materials plot

1.1.4.11 Calculation results, Riempimento 1 [Phase_10] (10/374), Materials plot

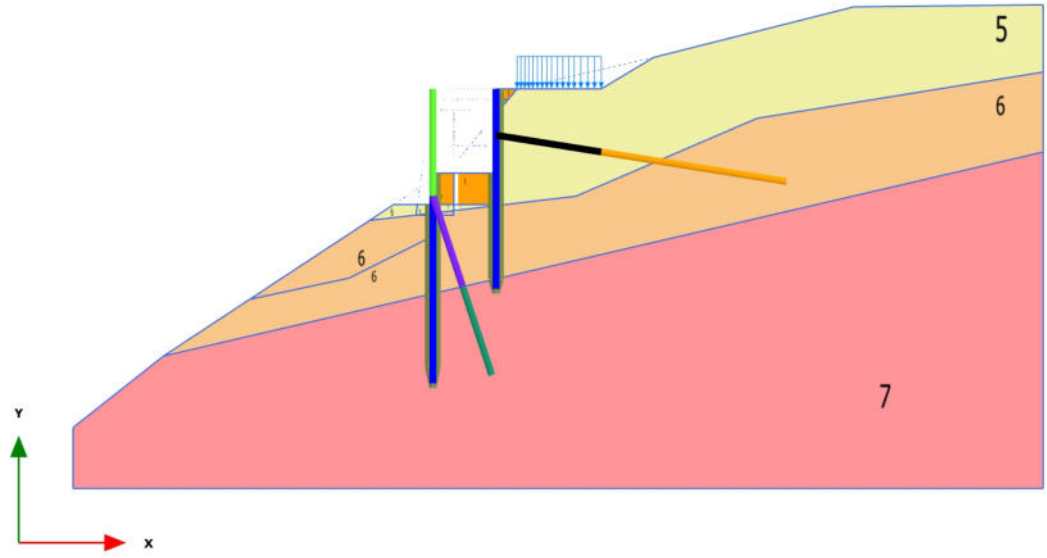

Materials plot

1.1.4.12 Calculation results, Riempimento 2 [Phase_11] (11/647), Materials plot

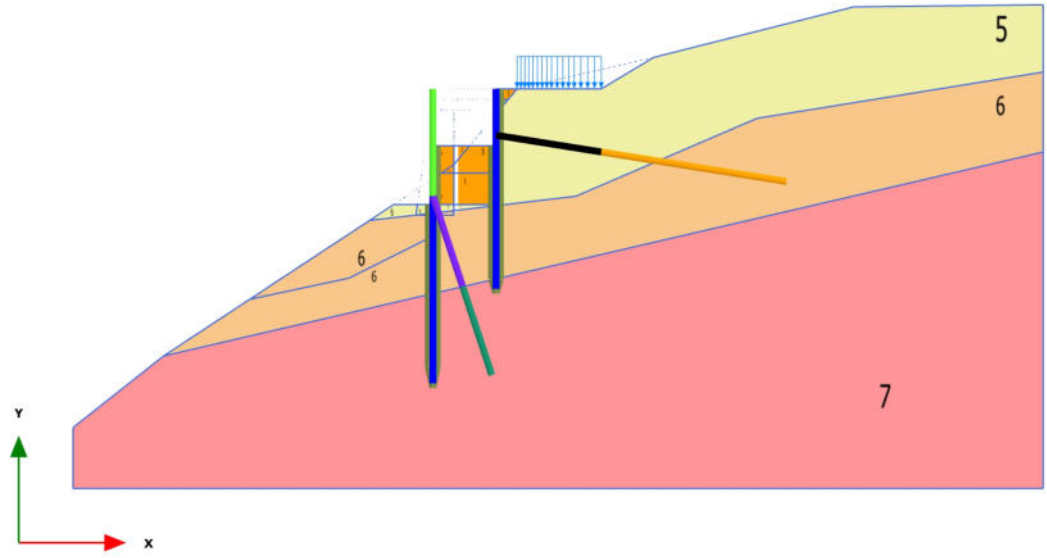

Materials plot

1.1.4.13 Calculation results, Collegamento [Phase_12] (12/660), Materials plot

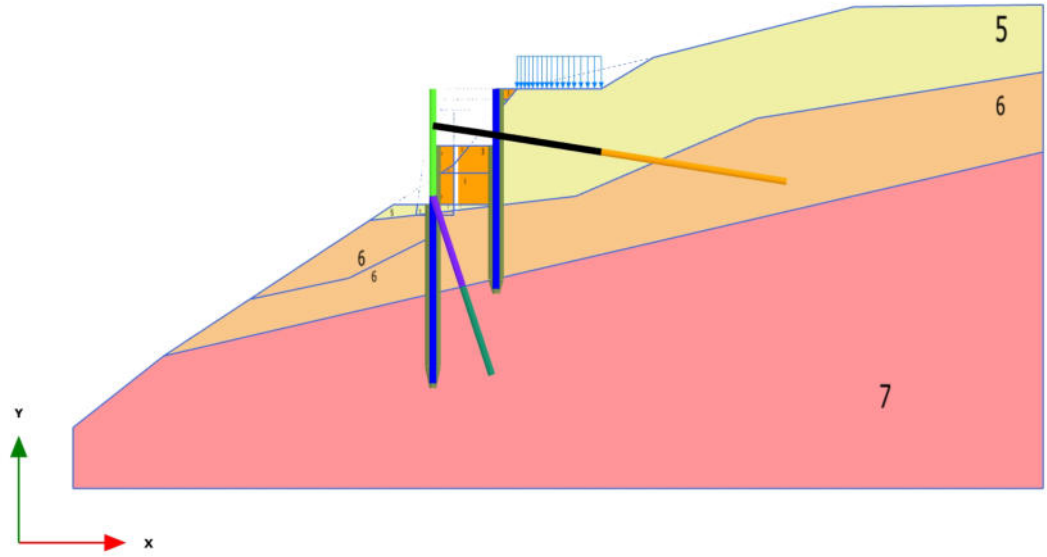

Materials plot

1.1.4.14 Calculation results, Riempimento 3 [Phase_13] (13/678), Materials plot

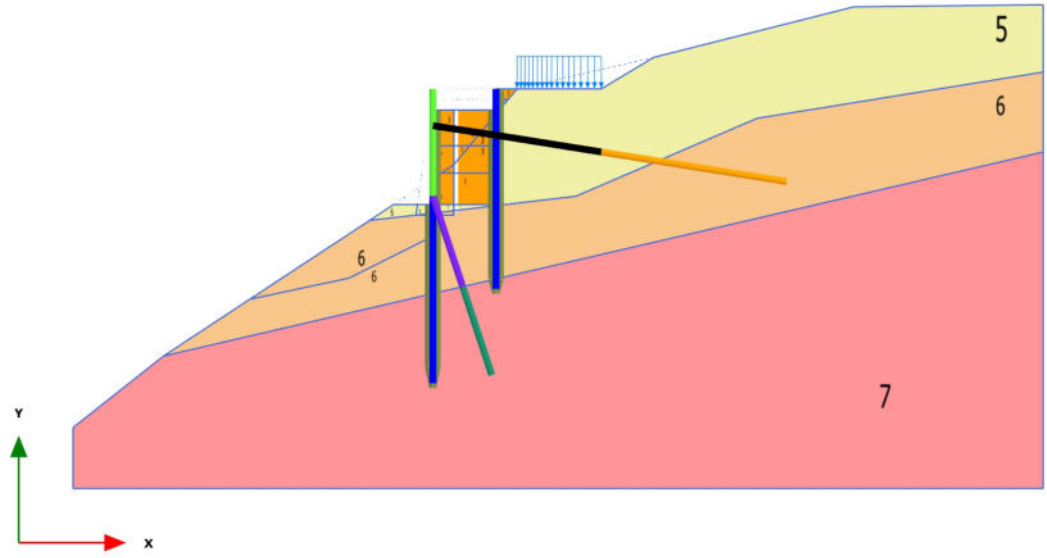

Materials plot

1.1.4.15 Calculation results, Completamento riempimento [Phase_14] (14/695), Materials plot

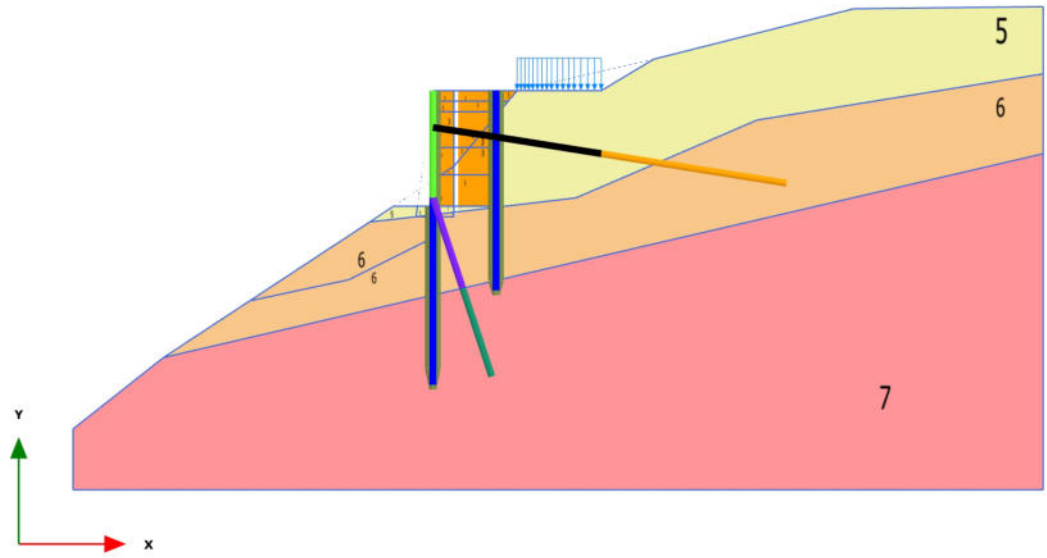

Materials plot

1.1.4.16 Calculation results, SLE/SLU 11 Costr [Phase_17] (17/731), Materials plot

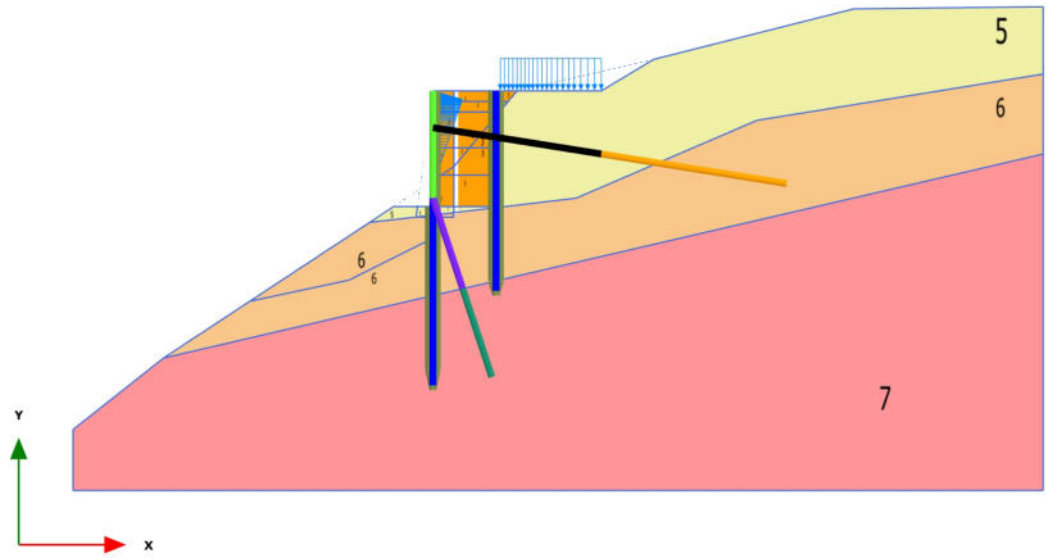

Materials plot

1.1.4.17 Calculation results, Disattivazione paratia provvisionale [Phase_24] (24/741), Materials plot

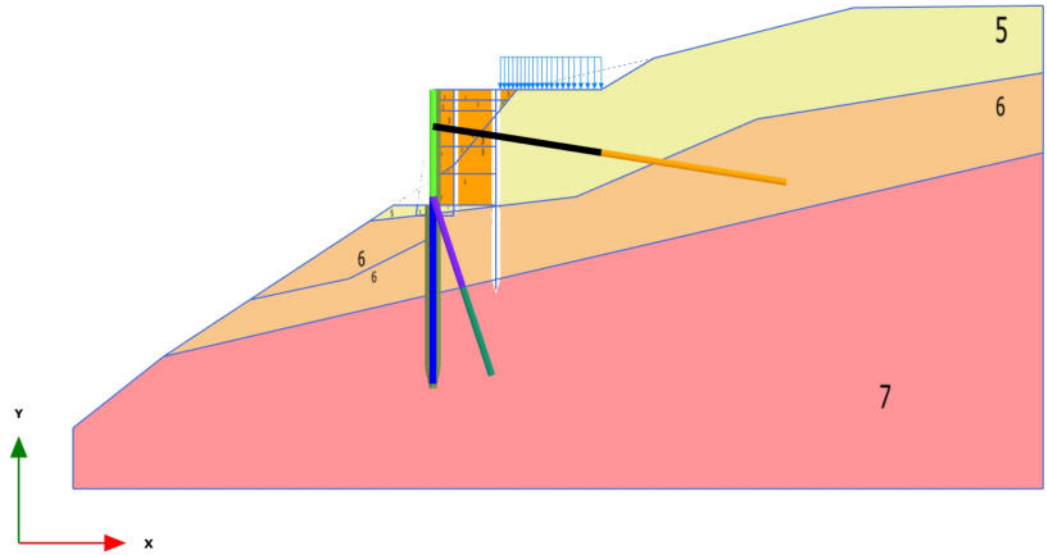

Materials plot

1.1.4.18 Calculation results, SLE [Phase_18] (18/746), Materials plot

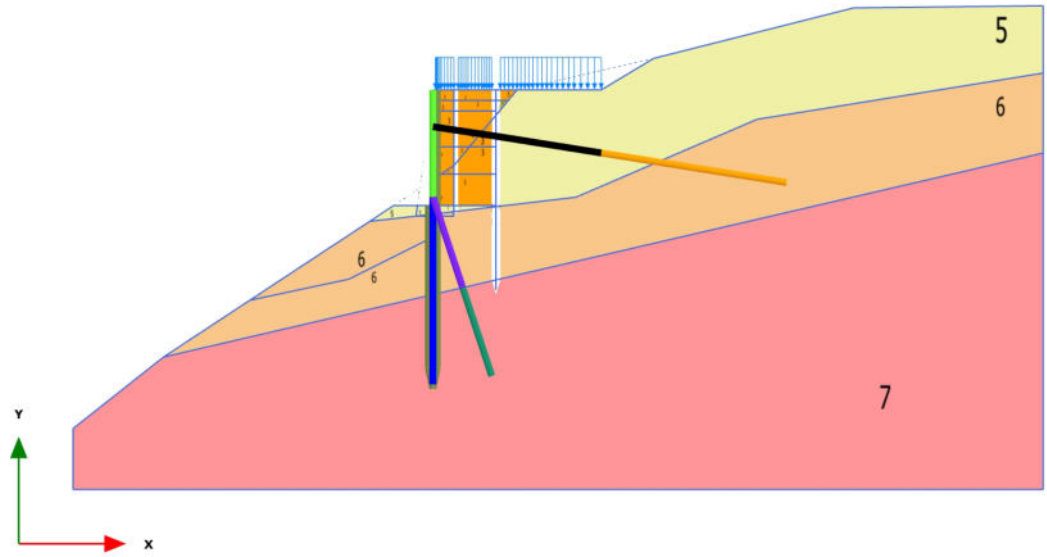

Materials plot

1.1.4.19 Calculation results, SLU11 (scalz) [Phase_19] (19/779), Materials plot

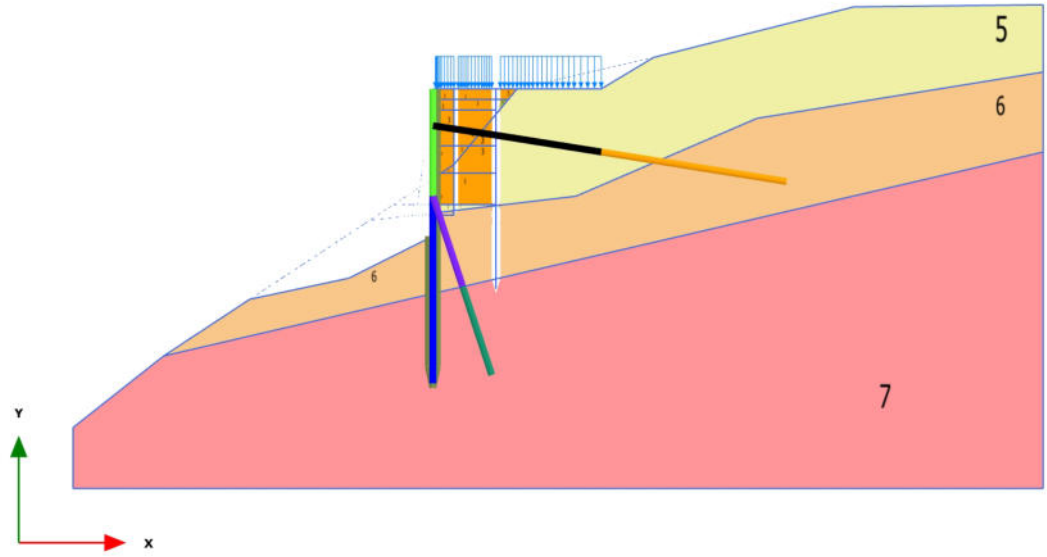

Materials plot

1.1.4.20 Calculation results, SLU 12 [Phase_20] (20/799), Materials plot

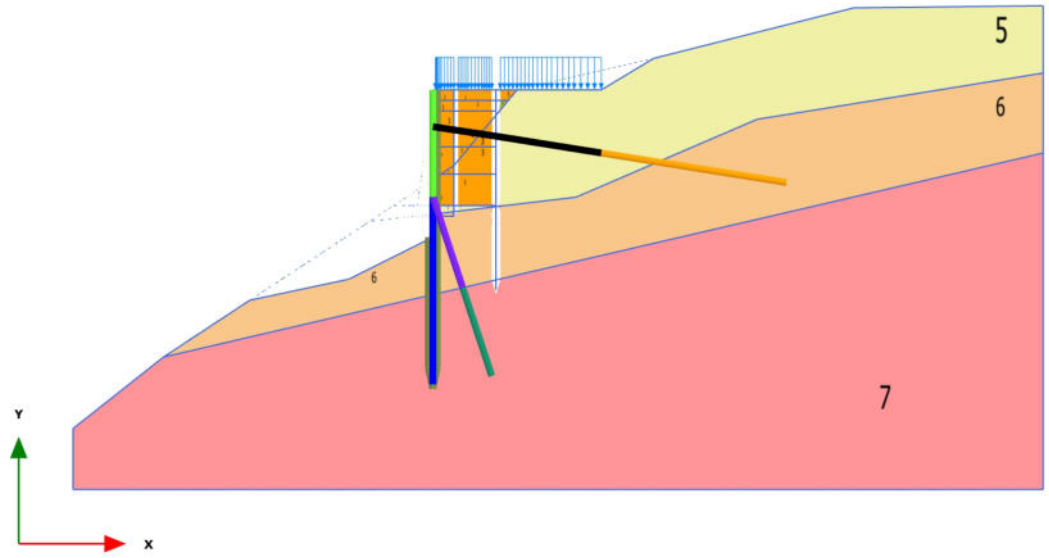

Materials plot

1.1.4.21 Calculation results, Eccezionale [Phase_21] (21/917), Materials plot

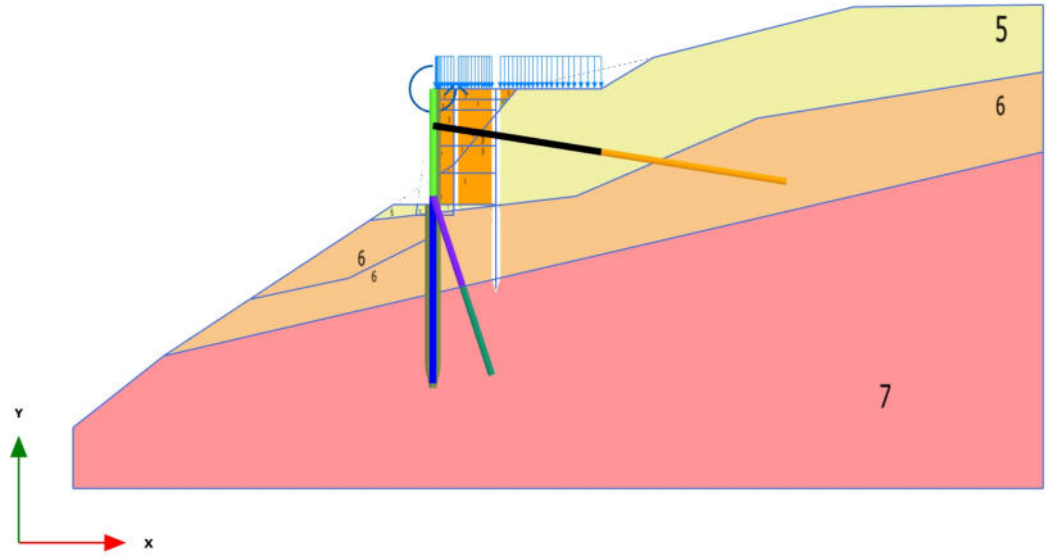

Materials plot

1.1.4.22 Calculation results, SLV [Phase_22] (22/956), Materials plot

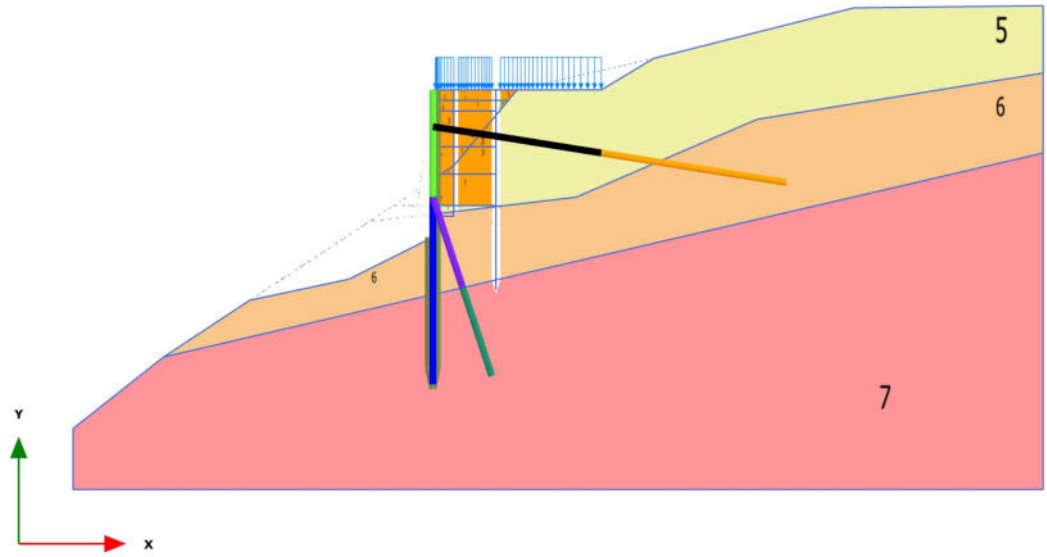

Materials plot

1.1.4.23 Calculation results, SLD [Phase_23] (23/990), Materials plot

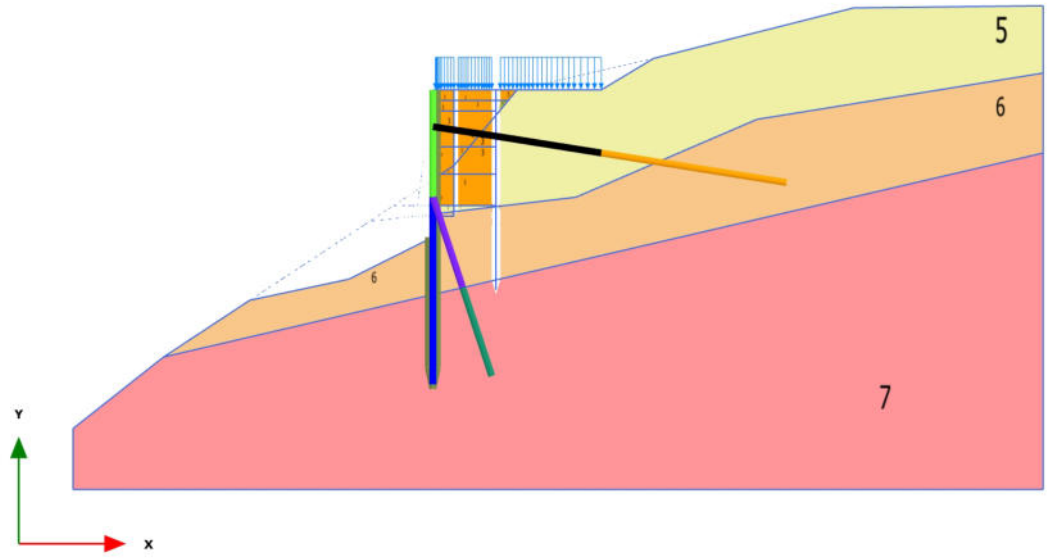

Materials plot

1.1.4.24 Calculation results, SLU11 Opera provvisionale [Phase_15] (15/1001), Materials plot

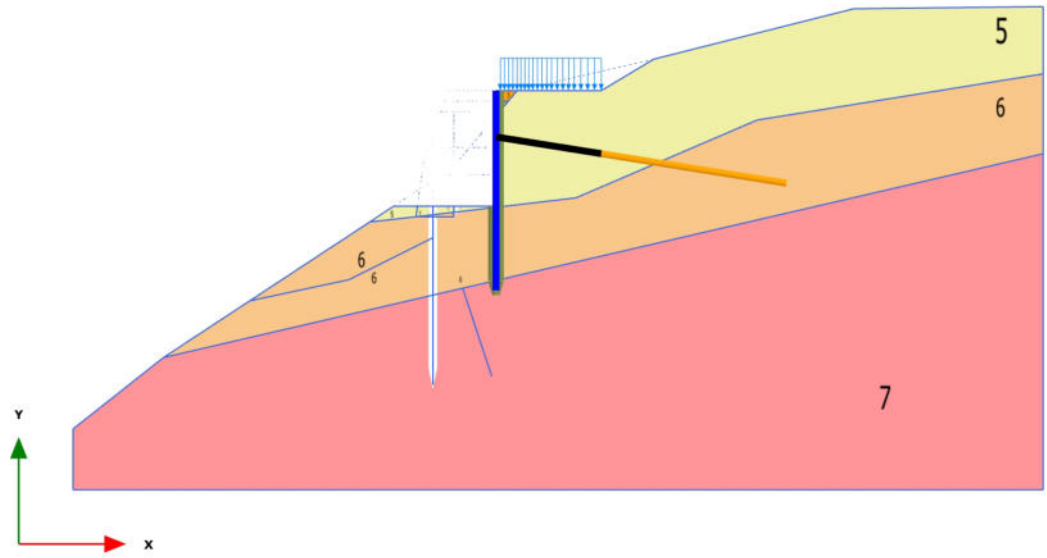

Materials plot

1.1.4.25 Calculation results, SLU12 Opera provvisionale [Phase_16] (16/1014), Materials plot

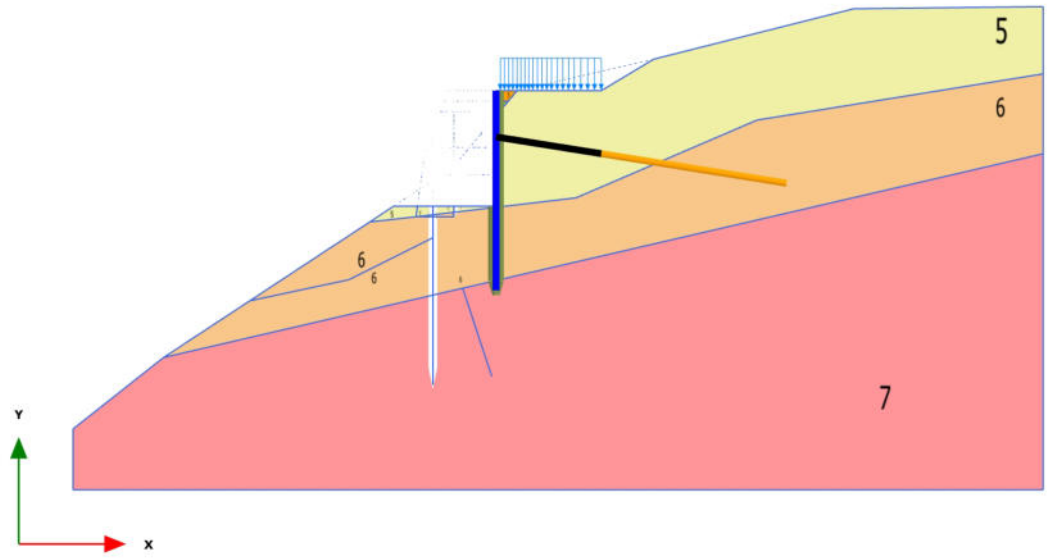

Materials plot

1.1.4.26 Calculation results, Eccezionale Opera Provvisionale [Phase_25] (25/1495), Materials plot

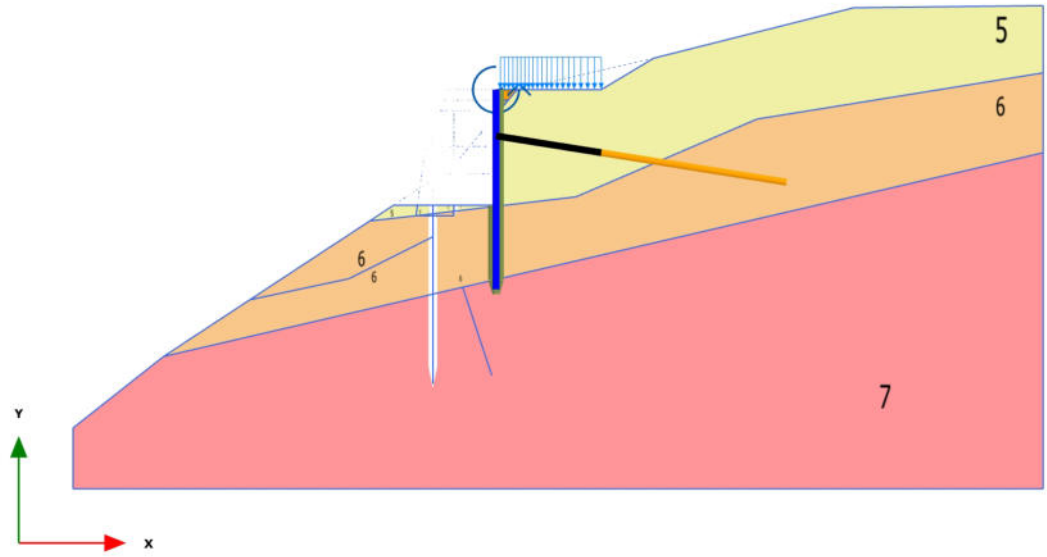

Materials plot

1.1.5.1.1.1 Materials - Soil and interfaces - Mohr-Coulomb (1/2)

Identification number	吝	1	3	4	5	6
Identification	吝	Interfaccia paratia	R	Riempimento	U1	U2
Soil model	吝	Mohr-Coulomb	Mohr-Coulomb	Mohr-Coulomb	Mohr-Coulomb	Mohr-Coulomb
Drainage type	吝	Drained	Drained	Drained	Drained	Drained
Colour	吝					
Comments	吝	吝	吝	吝	吝	
₡_unsat	kN/m³	19,00	19,00	19,00	19,00	20,00
₡_sat	kN/m³	19,00	19,00	19,00	19,00	20,00
e_init	吝	0,5000	0,5000	0,5000	0,5000	0,5000
n_init	吝	0,3333	0,3333	0,3333	0,3333	0,3333
E'_ref	kN/m²	15,00E3	50,00E3	30,00E3	30,00E3	50,00E3
™(nu)	吝	0,4000	0,3000	0,3000	0,3000	0,3000
G_ref	kN/m²	5357	19,23E3	11,54E3	11,54E3	19,23E3
E_oed	kN/m²	32,14E3	67,31E3	40,38E3	40,38E3	67,31E3
E'_inc	kN/m²/m	0,000	0,000	0,000	0,000	0,000
y_ref	m	0,000	0,000	0,000	0,000	0,000
V_s	m/s	52,59	99,65	77,18	77,18	97,12
V_p	m/s	128,8	186,4	144,4	144,4	181,7
c'_ref	kN/m²	0,000	0,000	0,000	8,000	20,00
⅛' (phi)	°	30,00	38,00	30,00	27,00	30,00
⅝ (psi)	°	0,000	0,000	0,000	0,000	0,000
c'_inc	kN/m²/m	0,000	0,000	0,000	0,000	0,000
y_ref	m	0,000	0,000	0,000	0,000	0,000
Tension cut-off	吝	True	True	True	True	True
Tensile strength	kN/m²	0,000	0,000	0,000	0,000	0,000
Determination	吝	™undrained definition	™undrained definition	™undrained definition	™undrained definition	™undrained definition
™u definition method	吝	Direct	Direct	Direct	Direct	Direct
™u,equivalent (nu)	吝	0,4950	0,4950	0,4950	0,4950	0,4950
Skempton B	吝	0,9532	0,9783	0,9783	0,9783	0,9783
K_w,ref/n	kN/m²	508,9E3	1,875E6	1,125E6	1,125E6	1,875E6
Classification type	吝	Standard	Standard	Standard	Standard	Standard
Soil class (Standard)	吝	Coarse	Coarse	Coarse	Coarse	Coarse
< 2 ı m	%	10,00	10,00	10,00	10,00	10,00
2 ı m - 50 ı m	%	13,00	13,00	13,00	13,00	13,00
50 ı m - 2 mm	%	77,00	77,00	77,00	77,00	77,00
Use defaults	吝	False	False	False	False	False
k_x	m/day	0,000	0,000	0,000	0,000	0,000
k_y	m/day	0,000	0,000	0,000	0,000	0,000

Identification number	**?**	**1**	**3**	**4**	**5**	**6**
Void ratio dependency	?	False	False	False	False	False
c_k	?	1000E12	1000E12	1000E12	1000E12	1000E12
n_init	?	0,3333	0,3333	0,3333	0,3333	0,3333
-%_unsat	m	10,00E3	10,00E3	10,00E3	10,00E3	10,00E3
c_s	kJ/t/K	0,000	0,000	0,000	0,000	0,000
?_s	kW/m/K	0,000	0,000	0,000	0,000	0,000
?_s	t/m³	2,600	2,600	2,600	2,600	2,600
Thermal expansion type	?	Isotropic	Isotropic	Isotropic	Isotropic	Isotropic
?_sv	1/K	0,000	0,000	0,000	0,000	0,000
Phase change	?	False	False	False	False	False
D_v	m²/day	0,000	0,000	0,000	0,000	0,000
f_Tv	?	0,000	0,000	0,000	0,000	0,000
Stiffness determination	?	Derived	Derived	Derived	Derived	Derived
Strength determination	?	Rigid	Manual	Manual	Rigid	Rigid
R_inter	?	1,000	0,5000	0,5000	1,000	1,000
Consider gap closure	?	True	True	True	True	True
Cross permeability	?	Impermeable	Impermeable	Impermeable	Impermeable	Impermeable
Drainage conductivity, dk	m³/day/m	0,000	0,000	0,000	0,000	0,000
R_thermal	m² K/kW	0,000	0,000	0,000	0,000	0,000
K_0 determination	?	Automatic	Automatic	Automatic	Automatic	Automatic
K_0,x	?	0,5000	0,3843	0,5000	0,5460	0,5000
K_0,z	?	0,5000	0,3843	0,5000	0,5460	0,5000

1.1.5.1.1.2 Materials - Soil and interfaces - Mohr-Coulomb (2/2)

Identification number	**잠**	**7**
Identification	잠	U3
Soil model	잠	Mohr-Coulomb
Drainage type	잠	Drained
Colour	잠	
Comments	잠	
₡_unsat	kN/m³	20,00
₡_sat	kN/m³	20,00
e_init	잠	0,5000
n_init	잠	0,3333
E'_ref	kN/m²	85,00E3
™(nu)	잠	0,3000
G_ref	kN/m²	32,69E3
E_oed	kN/m²	114,4E3
E'_inc	kN/m²/m	0,000
y_ref	m	0,000
V_s	m/s	126,6
V_p	m/s	236,9
c'_ref	kN/m²	50,00
⅛' (phi)	°	30,00
⅝ (psi)	°	0,000
c'_inc	kN/m²/m	0,000
y_ref	m	0,000
Tension cut-off	잠	True
Tensile strength	kN/m²	0,000

Identification number	**쟘**	**7**
Determination	쟘	ᵀᴱᴸundrained definition
ᵀᴱᴸ_u definition method	쟘	Direct
ᵀᴱᴸu,equivalent (nu)	쟘	0,4950
Skempton B	쟘	0,9783
K_w,ref/n	kN/m²	3,188E6
Classification type	쟘	Standard
Soil class (Standard)	쟘	Coarse
< 2 ı m	%	10,00
2 ı m - 50 ı m	%	13,00
50 ı m - 2 mm	%	77,00
Use defaults	쟘	False
k_x	m/day	0,000
k_y	m/day	0,000
Void ratio dependency	쟘	False
c_k	쟘	1000E12
n_init	쟘	0,3333
-⅝_unsat	m	10,00E3
c_s	kJ/t/K	0,000
ℵ_s	kW/m/K	0,000
Å_s	t/m³	2,600
Thermal expansion type	쟘	Isotropic
₳_sv	1/K	0,000
Phase change	쟘	False
D_v	m²/day	0,000
f_Tv	쟘	0,000
Stiffness determination	쟘	Derived
Strength determination	쟘	Rigid
R_inter	쟘	1,000

Identification number	**쟘**	**7**
Consider gap closure	쟘	True
Cross permeability	쟘	Impermeable
Drainage conductivity, dk	m^3/day/m	0,000
R_thermal	m^2 K/kW	0,000
K_0 determination	쟘	Automatic
K_0,x	쟘	0,5000
K_0,z	쟘	0,5000

1.1.5.1.2 Materials - Soil and interfaces - Linear Elastic

Identification number	**쟘**	**2**
Identification	쟘	Muro
Soil model	쟘	Linear Elastic
Drainage type	쟘	Drained
Colour	쟘	
Comments	쟘	
₡_unsat	kN/m³	22,00
₡_sat	kN/m³	22,00
e_init	쟘	0,5000
n_init	쟘	0,3333
E'_ref	kN/m²	1,000E6
ᵀᴱᴸ(nu)	쟘	0,2000
G_ref	kN/m²	416,7E3
E_oed	kN/m²	1,111E6
E'_inc	kN/m²/m	0,000
y_ref	m	0,000
V_s	m/s	431,0
V_p	m/s	703,9
Determination	쟘	ᵀᴱᴸundrained definition
ᵀᴱᴸ_u definition method	쟘	Direct
ᵀᴱᴸu,equivalent (nu)	쟘	0,4950
Skempton B	쟘	0,9866
K_w,ref/n	kN/m²	40,97E6
Classification type	쟘	Standard
Soil class (Standard)	쟘	Coarse

Identification number	**잠**	**2**
< 2 ı m	%	10,00
2 ı m - 50 ı m	%	13,00
50 ı m - 2 mm	%	77,00
Use defaults	잠	False
k_x	m/day	0,000
k_y	m/day	0,000
Void ratio dependency	잠	False
c_k	잠	1000E12
n_init	잠	0,3333
-⅝_unsat	m	10,00E3
c_s	kJ/t/K	0,000
ℜ_s	kW/m/K	0,000
Å_s	t/m³	2,600
Thermal expansion type	잠	Isotropic
₳_sv	1/K	0,000
Phase change	잠	False
D_v	m²/day	0,000
f_Tv	잠	0,000
Stiffness determination	잠	Derived
Strength determination	잠	Rigid
R_inter	잠	1,000
Consider gap closure	잠	True
Cross permeability	잠	Impermeable
Drainage conductivity, dk	m³/day/m	0,000
R_thermal	m² K/kW	0,000
K_0 determination	잠	Automatic
K_0,x	잠	0,5000
K_0,z	잠	0,5000

Identification number	咎	2

1.1.5.2 Materials - Plates

Identification number	**¾**	**1**	**2**
Identification	¾	Micropali D168.3x8,0mm/0,4	Parete c.a.C32/40 sp.0.50m
Material type	¾	Elastic	Elastic
Colour	¾		
Comments	¾	¾	
w	kN/m/m	0,000	0,000
Prevent punching	¾	False	False
Isotropic	¾	True	True
EA_1	kN/m	2,115E6	16,67E6
EA_2	kN/m	2,115E6	16,67E6
E_1	kN/m²	9,471E6	33,35E6
E_2	kN/m²	9,471E6	33,35E6
EI	kN m²/m	8791	347,4E3
™(nu)	¾	0,3000	0,2000
d	m	0,2233	0,5000
c	kJ/t/K	0,000	0,000
ℜ	kW/m/K	0,000	0,000
Å	t/m³	0,000	0,000
₳	1/K	0,000	0,000
A_eff,T	m²	0,000	0,000

1.1.5.3 Materials - Anchors

Identification number	**[illegible]**	**1**	**2**
Identification	[illegible]	Micropalo ancoraggio autoperforante R38 I=1,60m	Micropalo D168.3x10,0m/1,6m
Material type	[illegible]	Elastoplastic	Elastic
Colour	[illegible]		
Comments	[illegible]	[illegible]	
L_spacing	m	1,600	1,600
EA	kN	135,0E3	1,044E6
| F_max,tens |	kN	1,000E9	
| F_max,comp |	kN	0,000	
c	kJ/t/K	0,000	0,000
[illegible]	kW/m/K	0,000	0,000
[illegible]	t/m³	0,000	0,000
[illegible]	1/K	0,000	0,000
A_eff,T	m²	0,000	0,000

1.1.5.4 Materials - Embedded beams

Identification number	咨	1	2
Identification	咨	Micropalo D168.3 x12.5mm/1,6m	Micropalo ancoraggio autoperforante R38 l=1,60m
Material type	咨	Elastic	Elastic
Colour	咨		
Comments	咨	咨	
₡	kN/m³	0,000	0,000
L_spacing	m	1,600	1,600
Cross section type	咨	Predefined	Predefined
Predefined cross section type	咨	Circular tube	Circular tube
Diameter	m	0,1683	0,03490
Thickness	m	0,01250	0,01000
A	m²	6,118E-3	0,7823E-3
I	mジ	0,01868E-3	0,07040E-6
E	kN/m²	210,0E3	210,0E6
Axial skin resistance	咨	Linear	Linear
T_skin, start, max	kN/m	125,0	30,00
T_skin, end, max	kN/m	125,0	30,00
Lateral resistance	咨	Unlimited	Unlimited
F_max	kN	0,000	0,000
Default values	咨	True	True
Axial stiffness factor	咨	0,4618	0,1419
Lateral stiffness factor	咨	0,4618	0,1419
Base stiffness factor	咨	4,618	1,419

1.1.6 General information

General information	
Project	
Filename	Castel del Rio - A.p2dx
Directory	\\Pc-Server\Archivio-GES\LAVORI\Castel del Rio SOIL\2_Elaborazione\4_Modellazione Numerica\Plaxis\MODELLI FINALI\
Title	Castel del Rio - A
General	
Model	Plane strain
Elements	15-Noded
Acceleration	
Gravity angle	-90,00 °
x-acceleration	0,000 m/s²
y-acceleration	0,000 m/s²
Earth gravity	9,810 m/s²
Mesh	
Nr of soil elements	1074
Nr of nodes	9304
Average element size	1,054 m
Maximum element size	4,302 m
Minimum element size	0,04054 m
Comments	
沓	

1.1.7.1 Calculation information

Calculation information				
Step info				
Phase	Initial phase [InitialPhase]			
Step	Initial			
Calulation mode	Classical mode			
Step type	Gravity loading			
Solver type	Picos			
Kernel type	64 bit			
Extrapolation factor	0,6209			
Relative stiffness	0,9989			
Multipliers				
Soil weight	㱺	㱺	₡M $_{Weight}$	1,000
Strength reduction factor	M $_{sf}$	0,000	₡M $_{sf}$	1,000
Time	Increment	0,000	End time	0,000
Staged construction				
Active proportion total area	M $_{Area}$	0,1817	₡M $_{Area}$	0,9862
Active proportion of stage	M $_{Stage}$	0,1842	₡M $_{Stage}$	1,000
Forces				
F $_{X}$	0,000 kN/m			
F $_{Y}$	0,000 kN/m			
Consolidation				
Realised P $_{Excess,Max}$	0,000 kN/m^2			

1.1.7.2 Calculation information

Calculation information				
Step info				
Phase	Muro 1 [Phase_1]			
Step	Initial			
Calulation mode	Classical mode			
Step type	Plastic			
Updated mesh	False			
Solver type	Picos			
Kernel type	64 bit			
Extrapolation factor	0,2457			
Relative stiffness	0,8768			
Multipliers				
Soil weight	㱺	㱺	ℂM_{Weight}	1,000
Strength reduction factor	M_{sf}	0,000	ℂM_{sf}	1,000
Time	Increment	0,000	End time	0,000
Staged construction				
Active proportion total area	M_{Area}	-0,06204E-3	ℂM_{Area}	0,9854
Active proportion of stage	M_{Stage}	0,08035	ℂM_{Stage}	1,000
Forces				
F_X	0,000 kN/m			
F_Y	0,000 kN/m			
Consolidation				
Realised $P_{Excess,Max}$	0,000 kN/m²			

1.1.7.3 Calculation information

Calculation information				
Step info				
Phase	Muro 2 (stato di fatto) [Phase_2]			
Step	Initial			
Calulation mode	Classical mode			
Step type	Plastic			
Updated mesh	False			
Solver type	Picos			
Kernel type	64 bit			
Extrapolation factor	0,5002			
Relative stiffness	0,01420			
Multipliers				
Soil weight	㱺	㱺	₡M $_{Weight}$	1,000
Strength reduction factor	M $_{sf}$	0,000	₡M $_{sf}$	1,000
Time	Increment	0,000	End time	0,000
Staged construction				
Active proportion total area	M $_{Area}$	1,373E-3	₡M $_{Area}$	0,9961
Active proportion of stage	M $_{Stage}$	0,02181	₡M $_{Stage}$	1,000
Forces				
F $_{X}$	0,000 kN/m			
F $_{Y}$	0,000 kN/m			
Consolidation				
Realised P $_{Excess,Max}$	0,000 kN/m²			

1.1.7.4 Calculation information

Calculation information				
Step info				
Phase	(RD) Preparazione cantiere [Phase_3]			
Step	Initial			
Calulation mode	Classical mode			
Step type	Plastic			
Updated mesh	False			
Solver type	Picos			
Kernel type	64 bit			
Extrapolation factor	0,04859			
Relative stiffness	0,6687			
Multipliers				
Soil weight	⍺	⍺	ℳ $_{Weight}$	1,000
Strength reduction factor	M_{sf}	0,000	ℳ $_{sf}$	1,000
Time	Increment	0,000	End time	0,000
Staged construction				
Active proportion total area	M_{Area}	-0,02392E-3	ℳ $_{Area}$	0,9936
Active proportion of stage	M_{Stage}	9,486E-3	ℳ $_{Stage}$	1,000
Forces				
F_x	0,000 kN/m			
F_y	0,000 kN/m			
Consolidation				
Realised $P_{Excess,Max}$	0,000 kN/m²			

1.1.7.5 Calculation information

Calculation information				
Step info				
Phase	Micropali paratia provvisionale [Phase_4]			
Step	Initial			
Calulation mode	Classical mode			
Step type	Plastic			
Updated mesh	False			
Solver type	Picos			
Kernel type	64 bit			
Extrapolation factor	0,02478			
Relative stiffness	0,1843			
Multipliers				
Soil weight	⍰	⍰	⍰M Weight	1,000
Strength reduction factor	M sf	0,000	⍰M sf	1,000
Time	Increment	0,000	End time	0,000
Staged construction				
Active proportion total area	M Area	0,000	⍰M Area	0,9936
Active proportion of stage	M Stage	0,01218	⍰M Stage	1,000
Forces				
F x	0,000 kN/m			
F y	0,000 kN/m			
Consolidation				
Realised P Excess,Max	0,000 kN/m²			

1.1.7.6 Calculation information

Calculation information				
Step info				
Phase	(RD) Sovraccarico stradale [Phase_5]			
Step	Initial			
Calulation mode	Classical mode			
Step type	Plastic			
Updated mesh	False			
Solver type	Picos			
Kernel type	64 bit			
Extrapolation factor	0,7648			
Relative stiffness	0,7824			
Multipliers				
Soil weight	𝛾	𝛾	ℂM_{Weight}	1,000
Strength reduction factor	M_{sf}	0,000	ℂM_{sf}	1,000
Time	Increment	0,000	End time	0,000
Staged construction				
Active proportion total area	M_{Area}	0,03960E-3	ℂM_{Area}	0,9942
Active proportion of stage	M_{Stage}	0,07733	ℂM_{Stage}	1,000
Forces				
F_x	0,000 kN/m			
F_y	0,000 kN/m			
Consolidation				
Realised $P_{Excess,Max}$	0,000 kN/m²			

1.1.7.7 Calculation information

Calculation information				
Step info				
Phase	Escavo 1 [Phase_6]			
Step	Initial			
Calulation mode	Classical mode			
Step type	Plastic			
Updated mesh	False			
Solver type	Picos			
Kernel type	64 bit			
Extrapolation factor	2,000			
Relative stiffness	0,07185			
Multipliers				
Soil weight	㱺	㱺	₡M $_{Weight}$	1,000
Strength reduction factor	M $_{sf}$	0,000	₡M $_{sf}$	1,000
Time	Increment	0,000	End time	0,000
Staged construction				
Active proportion total area	M $_{Area}$	-0,05539E-3	₡M $_{Area}$	0,9850
Active proportion of stage	M $_{Stage}$	1,478E-3	₡M $_{Stage}$	0,9997
Forces				
F $_{X}$	0,000 kN/m			
F $_{Y}$	0,000 kN/m			
Consolidation				
Realised P $_{Excess,Max}$	0,000 kN/m²			

1.1.7.8 Calculation information

Calculation information				
Step info				
Phase	Micropalo ancoraggio [Phase_7]			
Step	Initial			
Calulation mode	Classical mode			
Step type	Plastic			
Updated mesh	False			
Solver type	Picos			
Kernel type	64 bit			
Extrapolation factor	1,065			
Relative stiffness	0,2265			
Multipliers				
Soil weight	𝛾	𝛾	ΣM_{Weight}	1,000
Strength reduction factor	M_{sf}	0,000	ΣM_{sf}	1,000
Time	Increment	0,000	End time	0,000
Staged construction				
Active proportion total area	M_{Area}	-1,291E-6	ΣM_{Area}	0,9850
Active proportion of stage	M_{Stage}	0,2967	ΣM_{Stage}	1,000
Forces				
F_X	0,000 kN/m			
F_Y	0,000 kN/m			
Consolidation				
Realised $P_{Excess,Max}$	0,000 kN/m²			

1.1.7.9 Calculation information

Calculation information				
Step info				
Phase	Escavo (progetto) [Phase_8]			
Step	Initial			
Calulation mode	Classical mode			
Step type	Plastic			
Updated mesh	False			
Solver type	Picos			
Kernel type	64 bit			
Extrapolation factor	0,9975			
Relative stiffness	0,6640			
Multipliers				
Soil weight	砕	砕	₡M $_{Weight}$	1,000
Strength reduction factor	M $_{sf}$	0,000	₡M $_{sf}$	1,000
Time	Increment	0,000	End time	0,000
Staged construction				
Active proportion total area	M $_{Area}$	-0,3248E-3	₡M $_{Area}$	0,9716
Active proportion of stage	M $_{Stage}$	0,02128	₡M $_{Stage}$	0,9993
Forces				
F $_{X}$	0,000 kN/m			
F $_{Y}$	0,000 kN/m			
Consolidation				
Realised P $_{Excess,Max}$	0,000 kN/m^2			

1.1.7.10 Calculation information

Calculation information				
Step info				
Phase	(RD) Muro [Phase_9]			
Step	Initial			
Calulation mode	Classical mode			
Step type	Plastic			
Updated mesh	False			
Solver type	Picos			
Kernel type	64 bit			
Extrapolation factor	0,2966			
Relative stiffness	0,4255			
Multipliers				
Soil weight	㱺	㱺	ℂM $_{Weight}$	1,000
Strength reduction factor	M $_{sf}$	0,000	ℂM $_{sf}$	1,000
Time	Increment	0,000	End time	0,000
Staged construction				
Active proportion total area	M $_{Area}$	-1,374E-6	ℂM $_{Area}$	0,9715
Active proportion of stage	M $_{Stage}$	0,01010	ℂM $_{Stage}$	1,000
Forces				
F $_{X}$	0,000 kN/m			
F $_{Y}$	0,000 kN/m			
Consolidation				
Realised P $_{Excess,Max}$	0,000 kN/m²			

1.1.7.11 Calculation information

Calculation information				
Step info				
Phase	Riempimento 1 [Phase_10]			
Step	Initial			
Calulation mode	Classical mode			
Step type	Plastic			
Updated mesh	False			
Solver type	Picos			
Kernel type	64 bit			
Extrapolation factor	0,7460			
Relative stiffness	0,5660			
Multipliers				
Soil weight	㱺	㱺	$\mathbb{M}_{Weight}$	1,000
Strength reduction factor	M_{sf}	0,000	$\mathbb{M}_{sf}$	1,000
Time	Increment	0,000	End time	0,000
Staged construction				
Active proportion total area	M_{Area}	0,1275E-3	$\mathbb{M}_{Area}$	0,9774
Active proportion of stage	M_{Stage}	0,02103	$\mathbb{M}_{Stage}$	1,000
Forces				
F_X	0,000 kN/m			
F_Y	0,000 kN/m			
Consolidation				
Realised $P_{Excess,Max}$	0,000 kN/m²			

1.1.7.12 Calculation information

Calculation information				
Step info				
Phase	Riempimento 2 [Phase_11]			
Step	Initial			
Calulation mode	Classical mode			
Step type	Plastic			
Updated mesh	False			
Solver type	Picos			
Kernel type	64 bit			
Extrapolation factor	1,092			
Relative stiffness	0,3058			
Multipliers				
Soil weight	𝛾	𝛾	∂M_{Weight}	1,000
Strength reduction factor	M_{sf}	0,000	∂M_{sf}	1,000
Time	Increment	0,000	End time	0,000
Staged construction				
Active proportion total area	M_{Area}	0,05064E-3	∂M_{Area}	0,9824
Active proportion of stage	M_{Stage}	6,488E-3	∂M_{Stage}	1,000
Forces				
F_X	0,000 kN/m			
F_Y	0,000 kN/m			
Consolidation				
Realised $P_{Excess,Max}$	0,000 kN/m²			

1.1.7.13 Calculation information

Calculation information				
Step info				
Phase	Collegamento [Phase_12]			
Step	Initial			
Calulation mode	Classical mode			
Step type	Plastic			
Updated mesh	False			
Solver type	Picos			
Kernel type	64 bit			
Extrapolation factor	0,5894			
Relative stiffness	0,3199			
Multipliers				
Soil weight	쟘	쟘	ℂM $_{Weight}$	1,000
Strength reduction factor	M $_{sf}$	0,000	ℂM $_{sf}$	1,000
Time	Increment	0,000	End time	0,000
Staged construction				
Active proportion total area	M $_{Area}$	0,000	ℂM $_{Area}$	0,9824
Active proportion of stage	M $_{Stage}$	0,04321	ℂM $_{Stage}$	1,000
Forces				
F $_{X}$	0,000 kN/m			
F $_{Y}$	0,000 kN/m			
Consolidation				
Realised P $_{Excess,Max}$	0,000 kN/m^2			

1.1.7.14 Calculation information

Calculation information				
Step info				
Phase	Riempimento 3 [Phase_13]			
Step	Initial			
Calulation mode	Classical mode			
Step type	Plastic			
Updated mesh	False			
Solver type	Picos			
Kernel type	64 bit			
Extrapolation factor	0,9353			
Relative stiffness	0,3747			
Multipliers				
Soil weight	㱺	㱺	₡M $_{Weight}$	1,000
Strength reduction factor	M $_{sf}$	0,000	₡M $_{sf}$	1,000
Time	Increment	0,000	End time	0,000
Staged construction				
Active proportion total area	M $_{Area}$	1,369E-3	₡M $_{Area}$	0,9890
Active proportion of stage	M $_{Stage}$	0,09821	₡M $_{Stage}$	1,000
Forces				
F $_{X}$	0,000 kN/m			
F $_{Y}$	0,000 kN/m			
Consolidation				
Realised P $_{Excess,Max}$	0,000 kN/m^2			

1.1.7.15 Calculation information

Calculation information				
Step info				
Phase	Completamento riempimento [Phase_14]			
Step	Initial			
Calulation mode	Classical mode			
Step type	Plastic			
Updated mesh	False			
Solver type	Picos			
Kernel type	64 bit			
Extrapolation factor	0,3306			
Relative stiffness	0,3012			
Multipliers				
Soil weight	쟘	쟘	₡M $_{Weight}$	1,000
Strength reduction factor	M $_{sf}$	0,000	₡M $_{sf}$	1,000
Time	Increment	0,000	End time	0,000
Staged construction				
Active proportion total area	M $_{Area}$	0,4592E-3	₡M $_{Area}$	0,9929
Active proportion of stage	M $_{Stage}$	0,05133	₡M $_{Stage}$	1,000
Forces				
F $_{x}$	0,000 kN/m			
F $_{y}$	0,000 kN/m			
Consolidation				
Realised P $_{Excess,Max}$	0,000 kN/m²			

1.1.7.16 Calculation information

Calculation information				
Step info				
Phase	SLE/SLU 11 Costr [Phase_17]			
Step	Initial			
Calulation mode	Classical mode			
Step type	Plastic			
Updated mesh	False			
Solver type	Picos			
Kernel type	64 bit			
Extrapolation factor	0,9873			
Relative stiffness	0,5489			
Multipliers				
Soil weight	㱺	㱺	ℂM $_{Weight}$	1,000
Strength reduction factor	M $_{sf}$	0,000	ℂM $_{sf}$	1,000
Time	Increment	0,000	End time	0,000
Staged construction				
Active proportion total area	M $_{Area}$	0,000	ℂM $_{Area}$	0,9929
Active proportion of stage	M $_{Stage}$	0,07422	ℂM $_{Stage}$	1,000
Forces				
F $_{X}$	0,000 kN/m			
F $_{Y}$	0,000 kN/m			
Consolidation				
Realised P $_{Excess,Max}$	0,000 kN/m^2			

1.1.7.17 Calculation information

Calculation information				
Step info				
Phase	Disattivazione paratia provvisionale [Phase_24]			
Step	Initial			
Calulation mode	Classical mode			
Step type	Plastic			
Updated mesh	False			
Solver type	Picos			
Kernel type	64 bit			
Extrapolation factor	0,1019			
Relative stiffness	0,1975			
Multipliers				
Soil weight	𝛾	𝛾	∑M $_{Weight}$	1,000
Strength reduction factor	M $_{sf}$	0,000	∑M $_{sf}$	1,000
Time	Increment	0,000	End time	0,000
Staged construction				
Active proportion total area	M $_{Area}$	0,000	∑M $_{Area}$	0,9929
Active proportion of stage	M $_{Stage}$	6,664E-3	∑M $_{Stage}$	1,000
Forces				
F $_{x}$	0,000 kN/m			
F $_{y}$	0,000 kN/m			
Consolidation				
Realised P $_{Excess,Max}$	0,000 kN/m²			

1.1.7.18 Calculation information

Calculation information				
Step info				
Phase	SLE [Phase_18]			
Step	Initial			
Calulation mode	Classical mode			
Step type	Plastic			
Updated mesh	False			
Solver type	Picos			
Kernel type	64 bit			
Extrapolation factor	0,5631			
Relative stiffness	0,4826			
Multipliers				
Soil weight	咨	咨	ΣM_{Weight}	1,000
Strength reduction factor	M_{sf}	0,000	ΣM_{sf}	1,000
Time	Increment	0,000	End time	0,000
Staged construction				
Active proportion total area	M_{Area}	0,000	ΣM_{Area}	0,9929
Active proportion of stage	M_{Stage}	0,1606	ΣM_{Stage}	1,000
Forces				
F_X	0,000 kN/m			
F_Y	0,000 kN/m			
Consolidation				
Realised $P_{Excess,Max}$	0,000 kN/m²			

1.1.7.19 Calculation information

Calculation information				
Step info				
Phase	SLU11 (scalz) [Phase_19]			
Step	Initial			
Calulation mode	Classical mode			
Step type	Plastic			
Updated mesh	False			
Solver type	Picos			
Kernel type	64 bit			
Extrapolation factor	1,909			
Relative stiffness	0,2777			
Multipliers				
Soil weight	㱺	㱺	₡M $_{Weight}$	1,000
Strength reduction factor	M $_{sf}$	0,000	₡M $_{sf}$	1,000
Time	Increment	0,000	End time	0,000
Staged construction				
Active proportion total area	M $_{Area}$	-2,821E-3	₡M $_{Area}$	0,9755
Active proportion of stage	M $_{Stage}$	0,06333	₡M $_{Stage}$	1,000
Forces				
F $_{X}$	0,000 kN/m			
F $_{Y}$	0,000 kN/m			
Consolidation				
Realised P $_{Excess,Max}$	0,000 kN/m²			

1.1.7.20 Calculation information

Calculation information				
Step info				
Phase	SLU 12 [Phase_20]			
Step	Initial			
Calulation mode	Classical mode			
Step type	Plastic			
Updated mesh	False			
Solver type	Picos			
Kernel type	64 bit			
Extrapolation factor	0,6439			
Relative stiffness	0,4252			
Design approach				
Index	1			
Name	M2			
Multipliers				
Soil weight	걊	걊	₡M $_{Weight}$	1,000
Strength reduction factor	M $_{sf}$	0,000	₡M $_{sf}$	1,000
Time	Increment	0,000	End time	0,000
Staged construction				
Active proportion total area	M $_{Area}$	-2,422E-3	₡M $_{Area}$	0,9755
Active proportion of stage	M $_{Stage}$	0,03588	₡M $_{Stage}$	1,000
Forces				
F $_{X}$	0,000 kN/m			
F $_{Y}$	0,000 kN/m			
Consolidation				

Calculation information				
Realised $P_{Excess,Max}$	0,000 kN/m²			

1.1.7.21 Calculation information

Calculation information				
Step info				
Phase	Eccezionale [Phase_21]			
Step	Initial			
Calulation mode	Classical mode			
Step type	Plastic			
Updated mesh	False			
Solver type	Picos			
Kernel type	64 bit			
Extrapolation factor	1,000			
Relative stiffness	0,5113			
Design approach				
Index	1			
Name	M2			
Multipliers				
Soil weight	㱺	㱺	₡M $_{Weight}$	1,000
Strength reduction factor	M $_{sf}$	0,000	₡M $_{sf}$	1,000
Time	Increment	0,000	End time	0,000
Staged construction				
Active proportion total area	M $_{Area}$	0,000	₡M $_{Area}$	0,9929
Active proportion of stage	M $_{Stage}$	6,491E-3	₡M $_{Stage}$	0,9993
Forces				
F $_{X}$	0,000 kN/m			
F $_{Y}$	0,000 kN/m			
Consolidation				

Calculation information				
Realised $P_{Excess,Max}$	0,000 kN/m²			

1.1.7.22 Calculation information

Calculation information				
Step info				
Phase	SLV [Phase_22]			
Step	Initial			
Calulation mode	Classical mode			
Step type	Plastic			
Updated mesh	False			
Solver type	Picos			
Kernel type	64 bit			
Extrapolation factor	0,3077			
Relative stiffness	0,1367			
Design approach				
Index	1			
Name	M2			
Multipliers				
Soil weight	㱺	㱺	ℂM $_{Weight}$	1,000
Strength reduction factor	M $_{sf}$	0,000	ℂM $_{sf}$	1,000
Time	Increment	0,000	End time	0,000
Staged construction				
Active proportion total area	M $_{Area}$	-0,5418E-3	ℂM $_{Area}$	0,9755
Active proportion of stage	M $_{Stage}$	3,019E-3	ℂM $_{Stage}$	1,000
Forces				
F $_{X}$	0,000 kN/m			
F $_{Y}$	0,000 kN/m			
Consolidation				

Calculation information				
Realised $P_{Excess,Max}$	0,000 kN/m²			
Pseudo-static acceleration				
X	0,2350 g			
Y	0,000 g			

1.1.7.23 Calculation information

Calculation information				
Step info				
Phase	SLD [Phase_23]			
Step	Initial			
Calulation mode	Classical mode			
Step type	Plastic			
Updated mesh	False			
Solver type	Picos			
Kernel type	64 bit			
Extrapolation factor	0,2668			
Relative stiffness	0,2409			
Design approach				
Index	1			
Name	M2			
Multipliers				
Soil weight	㱺	㱺	₡M $_{Weight}$	1,000
Strength reduction factor	M $_{sf}$	0,000	₡M $_{sf}$	1,000
Time	Increment	0,000	End time	0,000
Staged construction				
Active proportion total area	M $_{Area}$	-0,2969E-3	₡M $_{Area}$	0,9755
Active proportion of stage	M $_{Stage}$	4,049E-3	₡M $_{Stage}$	1,000
Forces				
F $_{X}$	0,000 kN/m			
F $_{Y}$	0,000 kN/m			
Consolidation				

Calculation information				
Realised $P_{Excess,Max}$	0,000 kN/m²			
Pseudo-static acceleration				
X	0,1750 g			
Y	0,000 g			

1.1.7.24 Calculation information

Calculation information				
Step info				
Phase	SLU11 Opera provvisionale [Phase_15]			
Step	Initial			
Calulation mode	Classical mode			
Step type	Plastic			
Updated mesh	False			
Solver type	Picos			
Kernel type	64 bit			
Extrapolation factor	0,9730			
Relative stiffness	0,2369			
Design approach				
Index	1			
Name	M2			
Multipliers				
Soil weight	㱺	㱺	₡M Weight	1,000
Strength reduction factor	M sf	0,000	₡M sf	1,000
Time	Increment	0,000	End time	0,000
Staged construction				
Active proportion total area	M Area	-4,507E-6	₡M Area	0,9715
Active proportion of stage	M Stage	0,05764	₡M Stage	0,9991
Forces				
F x	0,000 kN/m			
F y	0,000 kN/m			
Consolidation				

Calculation information				
Realised $P_{Excess,Max}$	0,000 kN/m²			

1.1.7.25 Calculation information

Calculation information				
Step info				
Phase	SLU12 Opera provvisionale [Phase_16]			
Step	Initial			
Calulation mode	Classical mode			
Step type	Plastic			
Updated mesh	False			
Solver type	Picos			
Kernel type	64 bit			
Extrapolation factor	0,2385			
Relative stiffness	0,4371			
Design approach				
Index	1			
Name	M2			
Multipliers				
Soil weight	㱺	㱺	₡M $_{Weight}$	1,000
Strength reduction factor	M $_{sf}$	0,000	₡M $_{sf}$	1,000
Time	Increment	0,000	End time	0,000
Staged construction				
Active proportion total area	M $_{Area}$	-1,105E-6	₡M $_{Area}$	0,9715
Active proportion of stage	M $_{Stage}$	0,01608	₡M $_{Stage}$	1,000
Forces				
F $_{x}$	0,000 kN/m			
F $_{y}$	0,000 kN/m			
Consolidation				

Calculation information				
Realised $P_{Excess,Max}$	0,000 kN/m²			

1.1.7.26 Calculation information

Calculation information				
Step info				
Phase	Eccezionale Opera Provvisionale [Phase_25]			
Step	Initial			
Calulation mode	Classical mode			
Step type	Plastic			
Updated mesh	False			
Solver type	Picos			
Kernel type	64 bit			
Extrapolation factor	0,7122			
Relative stiffness	0,2971			
Design approach				
Index	1			
Name	M2			
Multipliers				
Soil weight	갬	갬	∇M Weight	1,000
Strength reduction factor	M sf	0,000	∇M sf	1,000
Time	Increment	0,000	End time	0,000
Staged construction				
Active proportion total area	M Area	-0,2027E-6	∇M Area	0,9715
Active proportion of stage	M Stage	3,957E-3	∇M Stage	1,000
Forces				
F x	0,000 kN/m			
F y	0,000 kN/m			
Consolidation				

Calculation information				
Realised $P_{Excess,Max}$	0,000 kN/m²			

1.1.8 Calculation information per phase

Identification	Phase	Start from	Calculation type	Loading input	Pore pressure	Time step [day]	First step	Last step	Log
Initial phase [InitialPhase]	0	N/A	Gravity loading	N/A	Phreatic	0,000	0	4	
Muro 1 [Phase_1]	1	0	Plastic	Staged construction	Phreatic	0,000	5	15	
Muro 2 (stato di fatto) [Phase_2]	2	1	Plastic	Staged construction	Phreatic	0,000	16	59	
(RD) Preparazione cantiere [Phase_3]	3	2	Plastic	Staged construction	Phreatic	0,000	60	65	
Micropali paratia provvisionale [Phase_4]	4	3	Plastic	Staged construction	Phreatic	0,000	66	68	
(RD) Sovraccarico stradale [Phase_5]	5	4	Plastic	Staged construction	Phreatic	0,000	69	84	
Escavo 1 [Phase_6]	6	5	Plastic	Staged construction	Phreatic	0,000	85	247	
Micropalo ancoraggio [Phase_7]	7	6	Plastic	Staged construction	Phreatic	0,000	248	250	
Escavo (progetto) [Phase_8]	8	7	Plastic	Staged construction	Phreatic	0,000	251	271	
(RD) Muro [Phase_9]	9	8	Plastic	Staged construction	Phreatic	0,000	272	298	
Riempimento 1 [Phase_10]	10	9	Plastic	Staged construction	Phreatic	0,000	299	374	
Riempimento 2 [Phase_11]	11	10	Plastic	Staged construction	Phreatic	0,000	375	647	
Collegamento [Phase_12]	12	11	Plastic	Staged construction	Phreatic	0,000	648	660	
Riempimento 3 [Phase_13]	13	12	Plastic	Staged construction	Phreatic	0,000	661	678	
Completamento riempimento [Phase_14]	14	13	Plastic	Staged construction	Phreatic	0,000	679	695	
SLE/SLU 11 Costr [Phase_17]	17	14	Plastic	Staged construction	Phreatic	0,000	696	731	
Disattivazione paratia provvisionale [Phase_24]	24	14	Plastic	Staged construction	Phreatic	0,000	732	741	
SLE [Phase_18]	18	24	Plastic	Staged construction	Phreatic	0,000	742	746	
SLU11 (scalz) [Phase_19]	19	18	Plastic	Staged construction	Phreatic	0,000	747	779	
SLU 12 [Phase_20]	20	18	Plastic	Staged construction	Phreatic	0,000	780	799	
Eccezionale [Phase_21]	21	18	Plastic	Staged construction	Phreatic	0,000	800	917	
SLV [Phase_22]	22	18	Plastic	Staged construction	Phreatic	0,000	918	956	
SLD [Phase_23]	23	18	Plastic	Staged construction	Phreatic	0,000	957	990	
SLU11 Opera provvisionale [Phase_15]	15	8	Plastic	Staged construction	Phreatic	0,000	991	1001	
SLU12 Opera provvisionale [Phase_16]	16	8	Plastic	Staged construction	Phreatic	0,000	1002	1014	
Eccezionale Opera Provvisionale [Phase_25]	25	8	Plastic	Staged construction	Phreatic	0,000	1015	1495	

2.1.1.1.1 Calculation results, Initial phase [InitialPhase] (0/4), Total displacements u_x

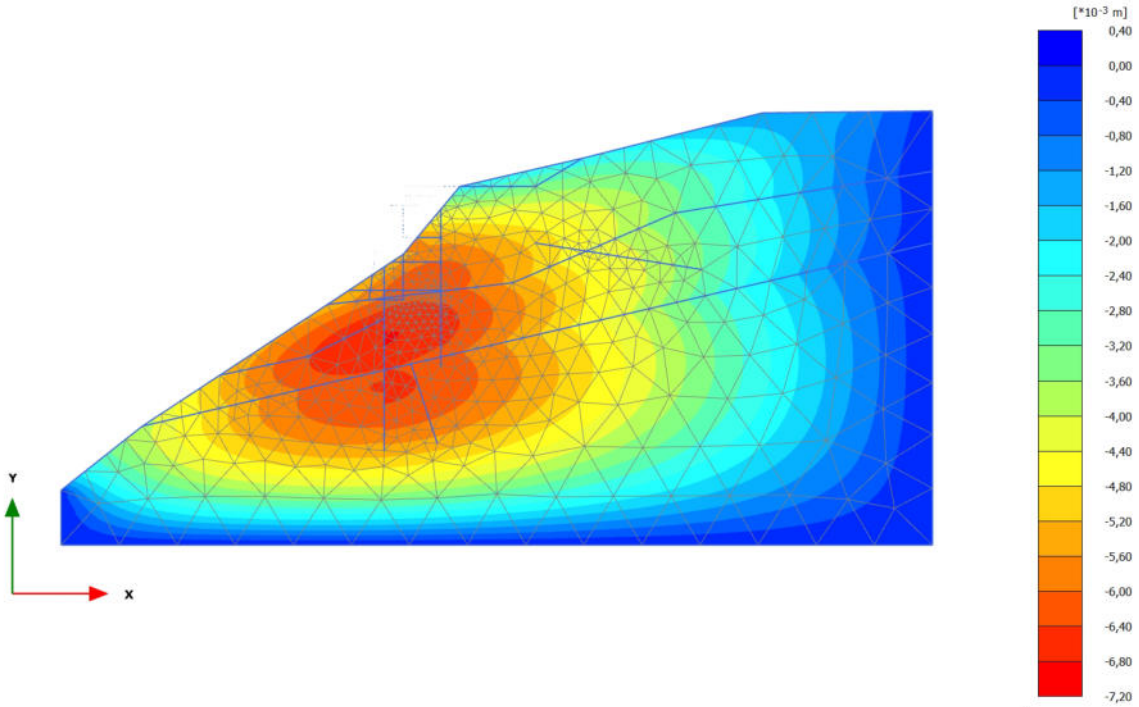

Total displacements u_x (scaled up 200 times)

Maximum value = 0,000 m (Element 12 at Node 325)

Minimum value = -6,820*10^{-3} m (Element 556 at Node 3394)

2.1.1.1.2 Calculation results, Muro 1 [Phase_1] (1/15), Total displacements u_x

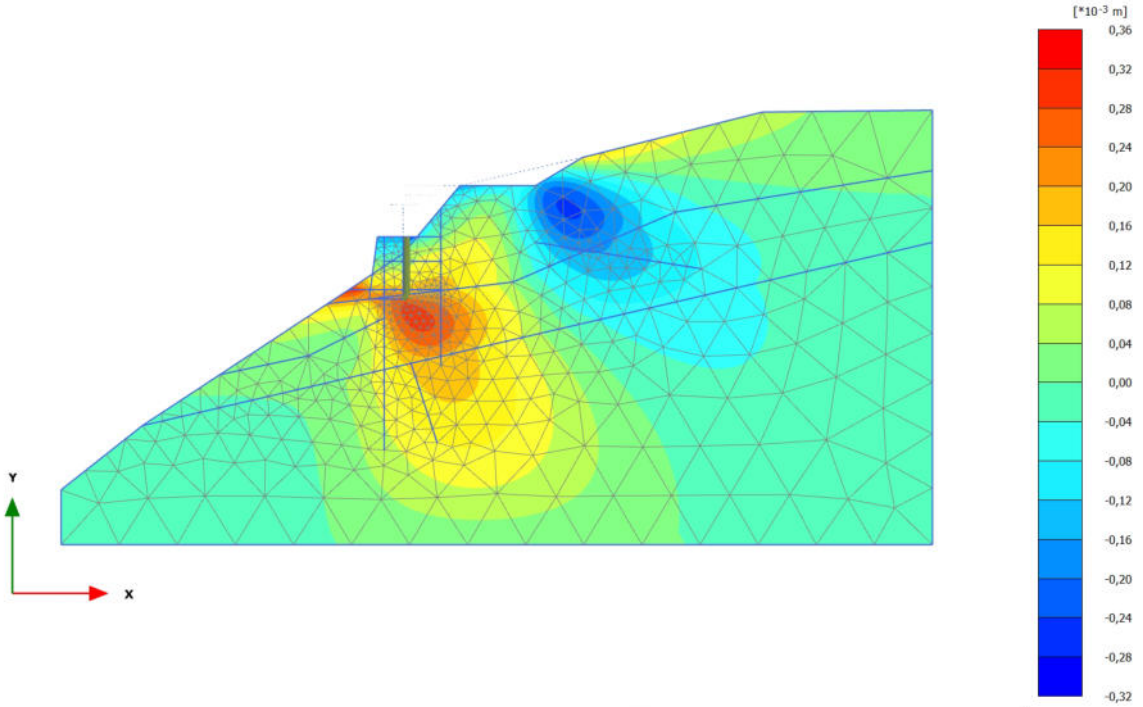

Total displacements u_x (scaled up 2,00*10³ times)

Maximum value = 0,3304*10^{-3} m (Element 497 at Node 7142)

Minimum value = -0,2884*10^{-3} m (Element 245 at Node 8558)

2.1.1.1.3 Calculation results, Muro 2 (stato di fatto) [Phase_2] (2/59), Total displacements u_x

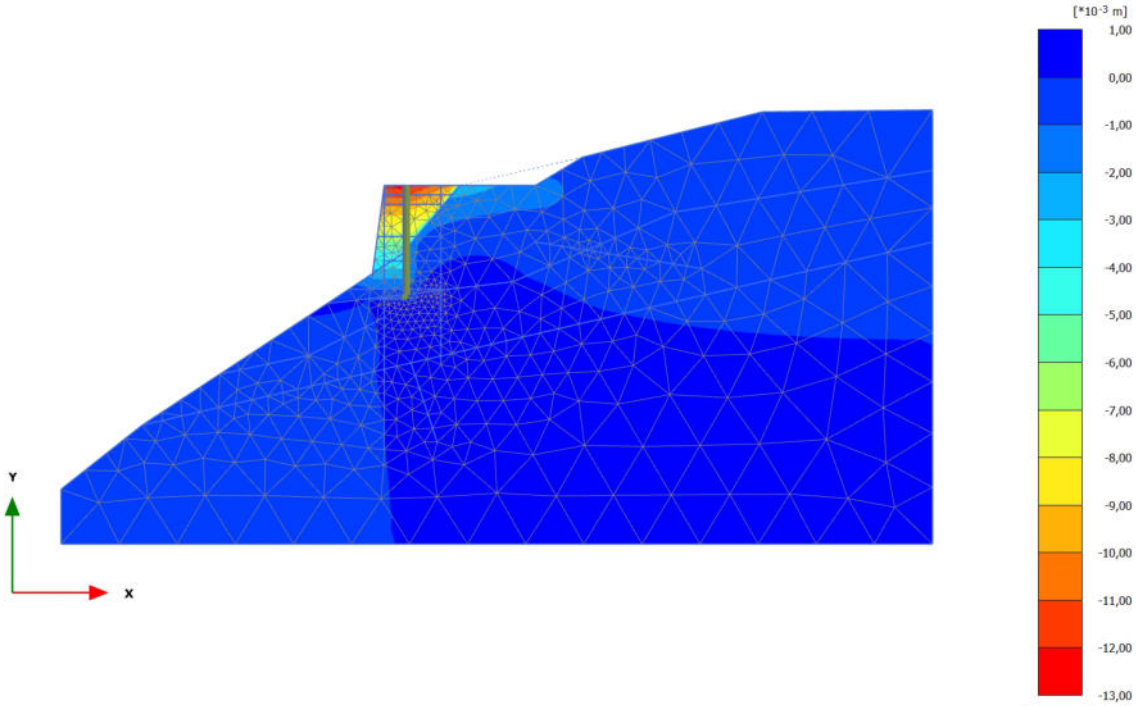

Total displacements u_x (scaled up 100 times)

Maximum value = $0{,}4167*10^{-3}$ m (Element 354 at Node 5873)

Minimum value = -0,01241 m (Element 149 at Node 8888)

2.1.1.1.4 Calculation results, (RD) Preparazione cantiere [Phase_3] (3/65), Total displacements u_x

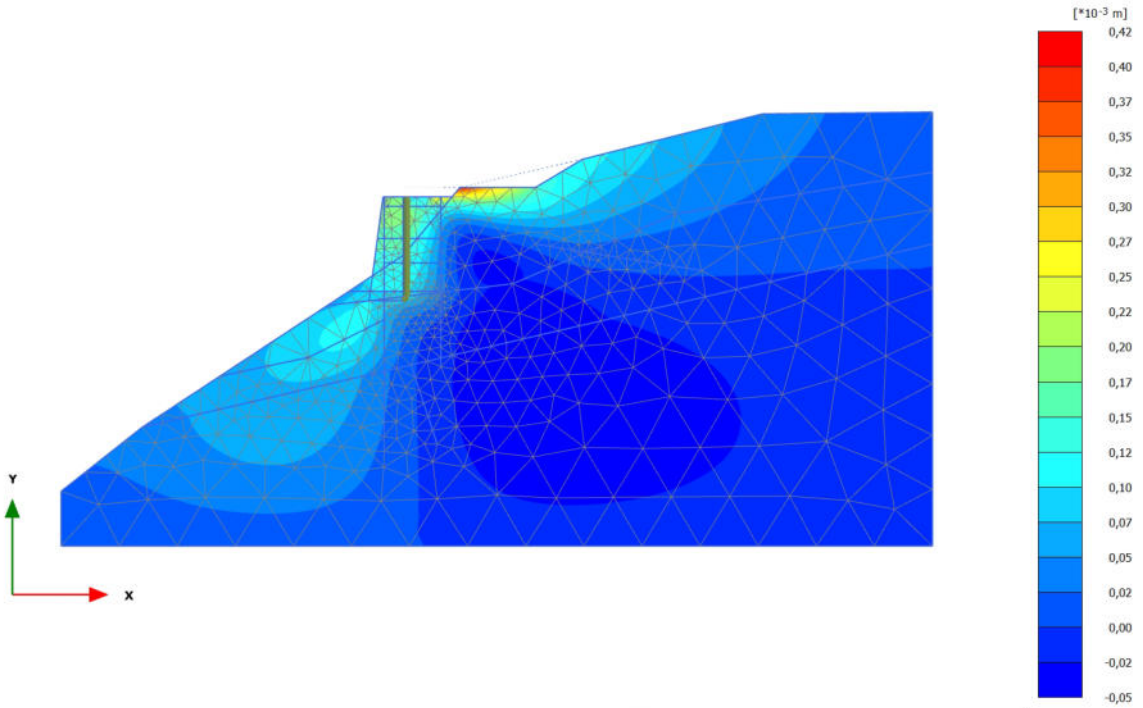

Total displacements u_x (scaled up 5,00*10³ times)

Maximum value = 0,4135*10^{-3} m (Element 105 at Node 7720)

Minimum value = -0,04943*10^{-3} m (Element 872 at Node 2171)

2.1.1.1.5 Calculation results, Micropali paratia provvisionale [Phase_4] (4/68), Total displacements u_x

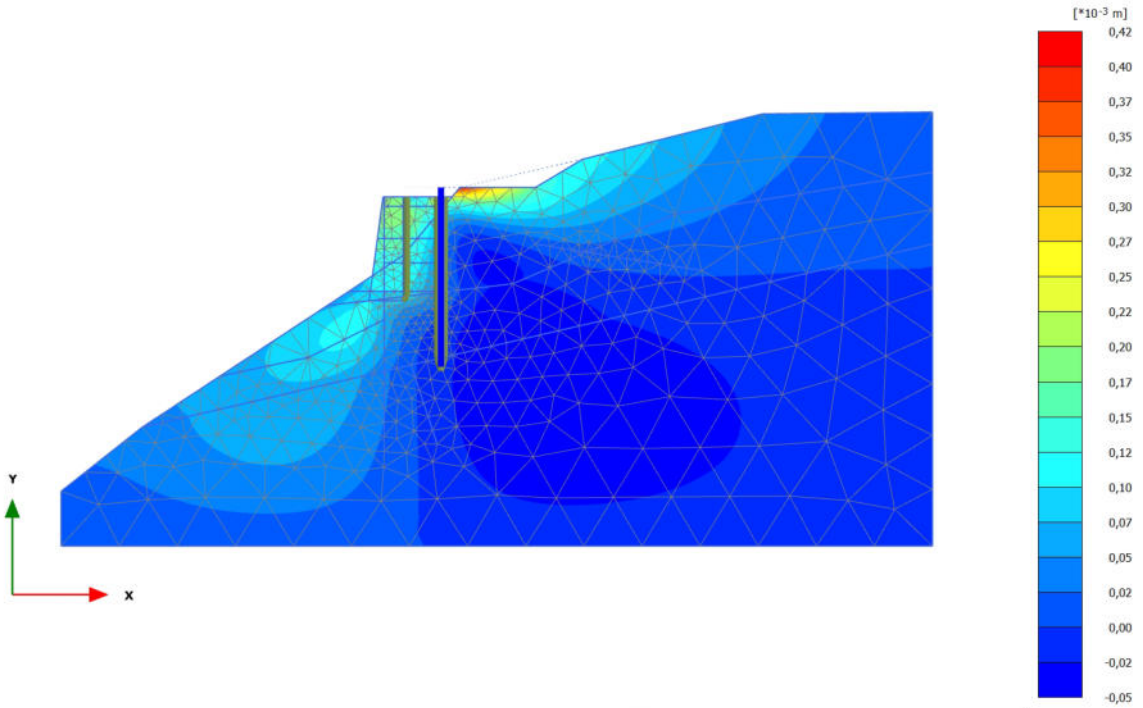

Total displacements u_x (scaled up 5,00*10³ times)

Maximum value = 0,4151*10^{-3} m (Element 105 at Node 7720)

Minimum value = -0,04945*10^{-3} m (Element 872 at Node 2171)

2.1.1.1.6 Calculation results, (RD) Sovraccarico stradale [Phase_5] (5/84), Total displacements u_x

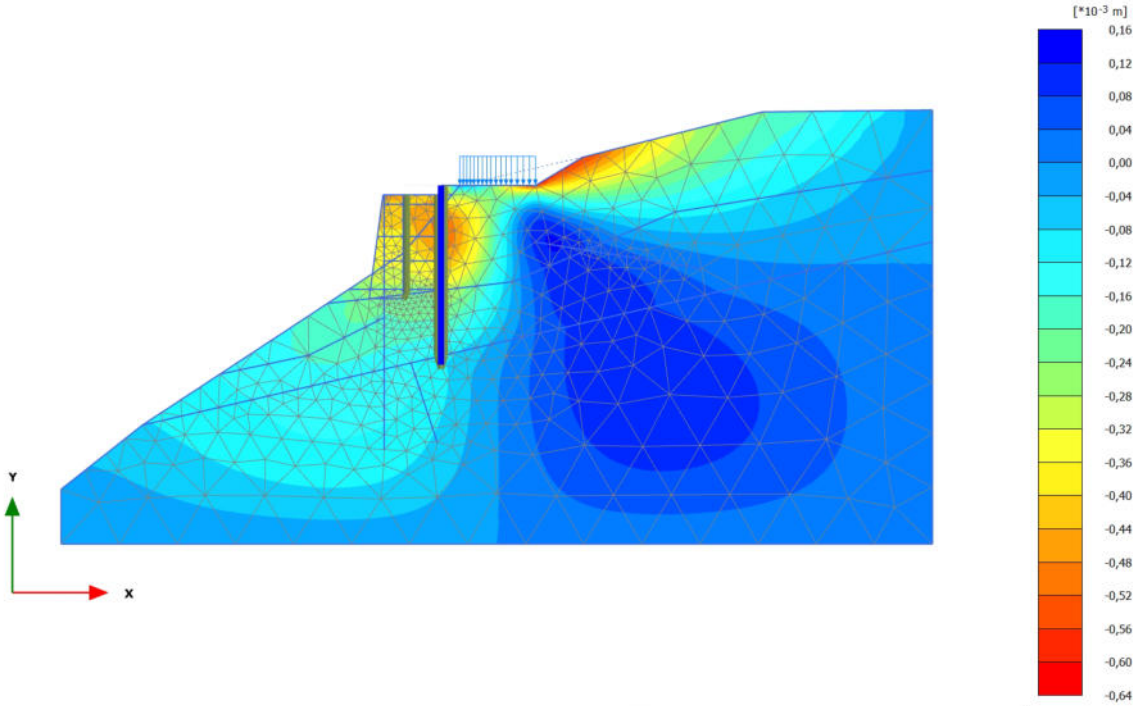

Total displacements u_x (scaled up 2,00*10³ times)

Maximum value = 0,1250*10^{-3} m (Element 108 at Node 5289)

Minimum value = -0,6284*10^{-3} m (Element 44 at Node 5164)

2.1.1.1.7 Calculation results, Escavo 1 [Phase_6] (6/247), Total displacements u_x

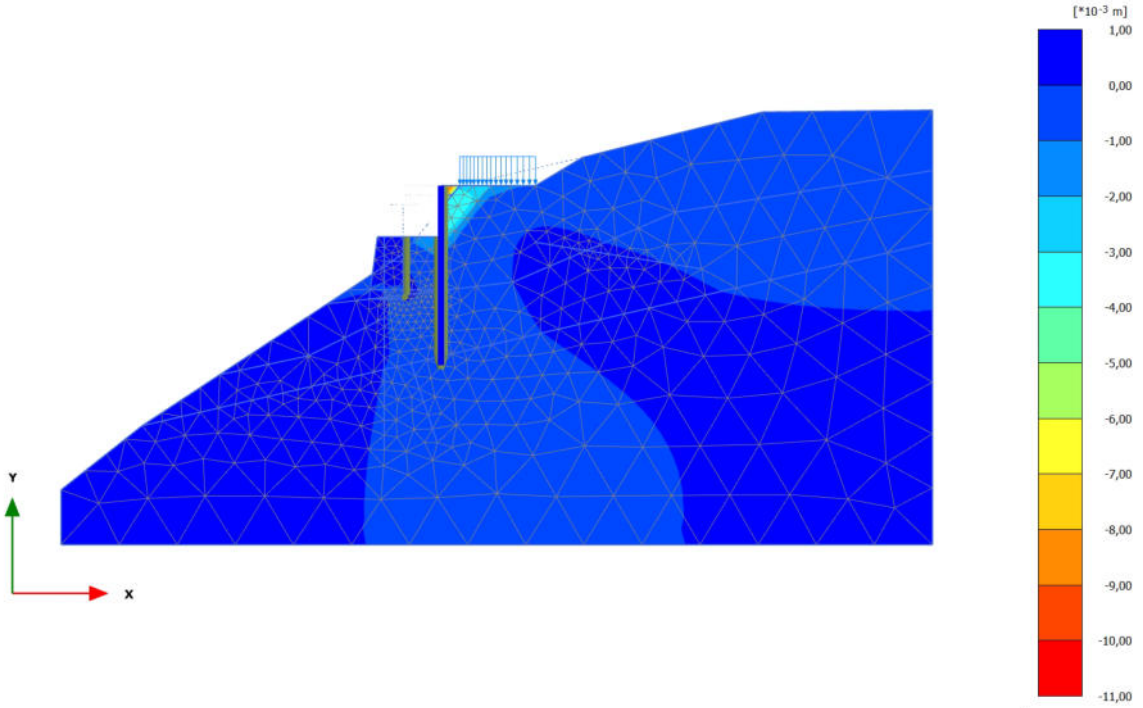

Total displacements u_x (scaled up 100 times)

Maximum value = $0{,}8698*10^{-3}$ m (Element 245 at Node 8694)

Minimum value = -0,01010 m (Element 148 at Node 7839)

2.1.1.1.8 Calculation results, Micropalo ancoraggio [Phase_7] (7/250), Total displacements u_x

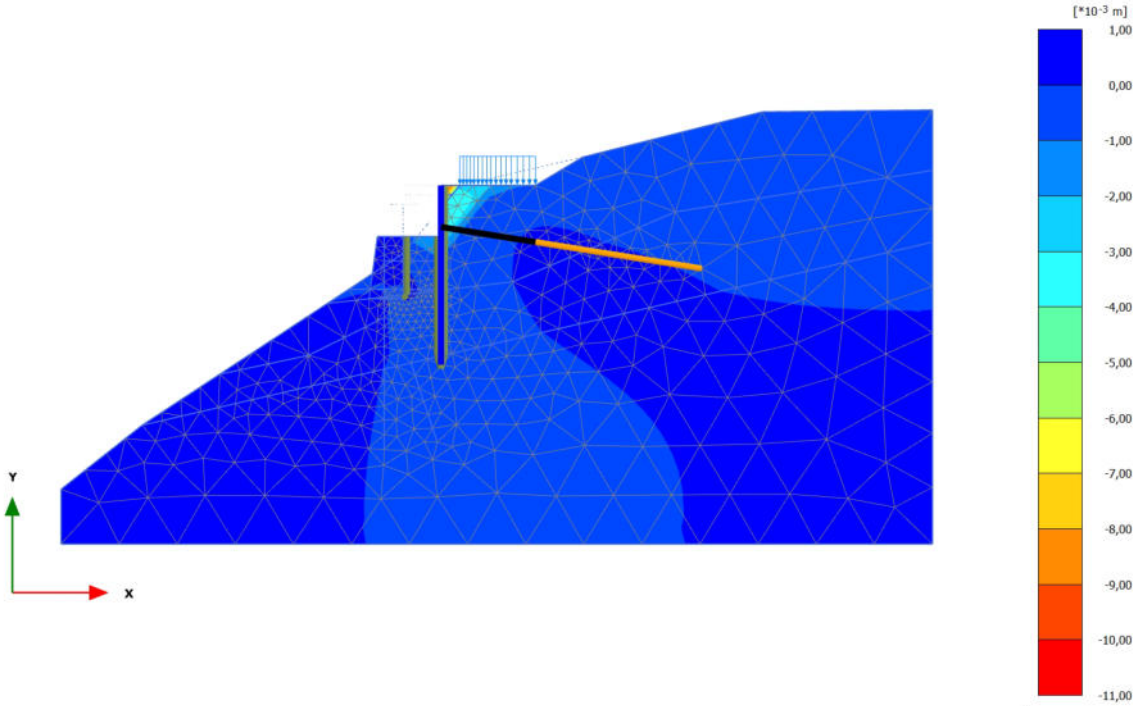

Total displacements u_x (scaled up 100 times)

Maximum value = $0{,}8708*10^{-3}$ m (Element 245 at Node 8694)

Minimum value = -0,01010 m (Element 148 at Node 7839)

2.1.1.1.9 Calculation results, Escavo (progetto) [Phase_8] (8/271), Total displacements u_x

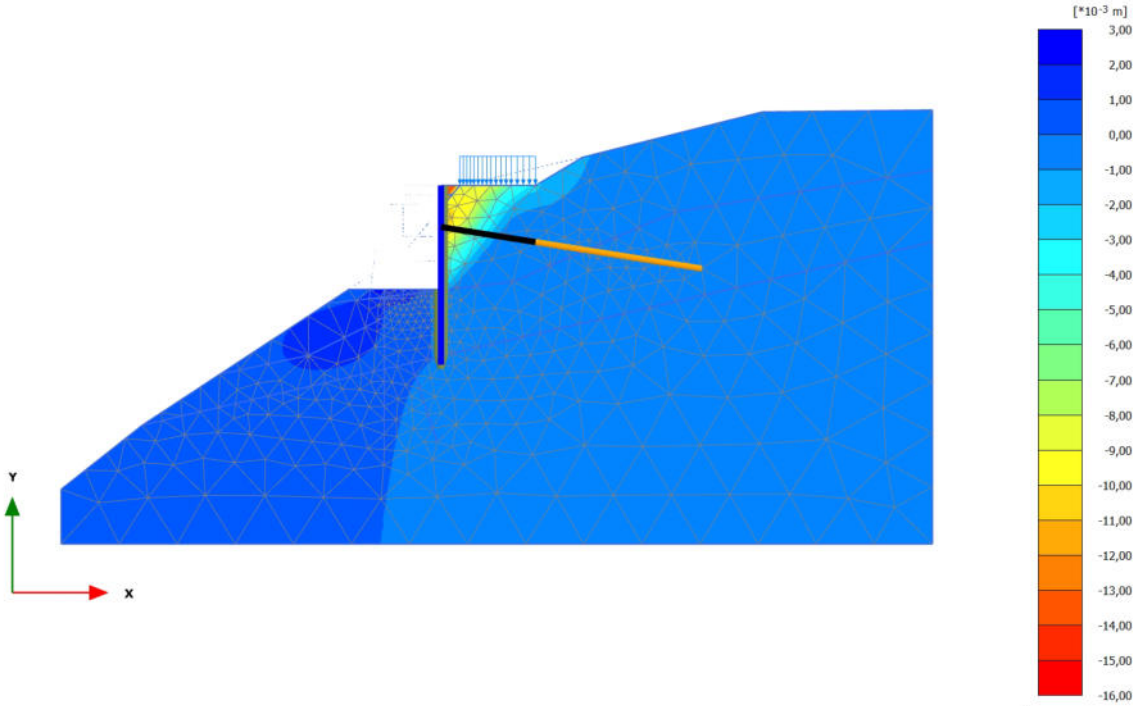

Total displacements u_x (scaled up 50,0 times)

Maximum value = $2{,}451*10^{-3}$ m (Element 524 at Node 7184)

Minimum value = -0,01574 m (Element 148 at Node 7839)

2.1.1.1.10 Calculation results, (RD) Muro [Phase_9] (9/298), Total displacements u_x

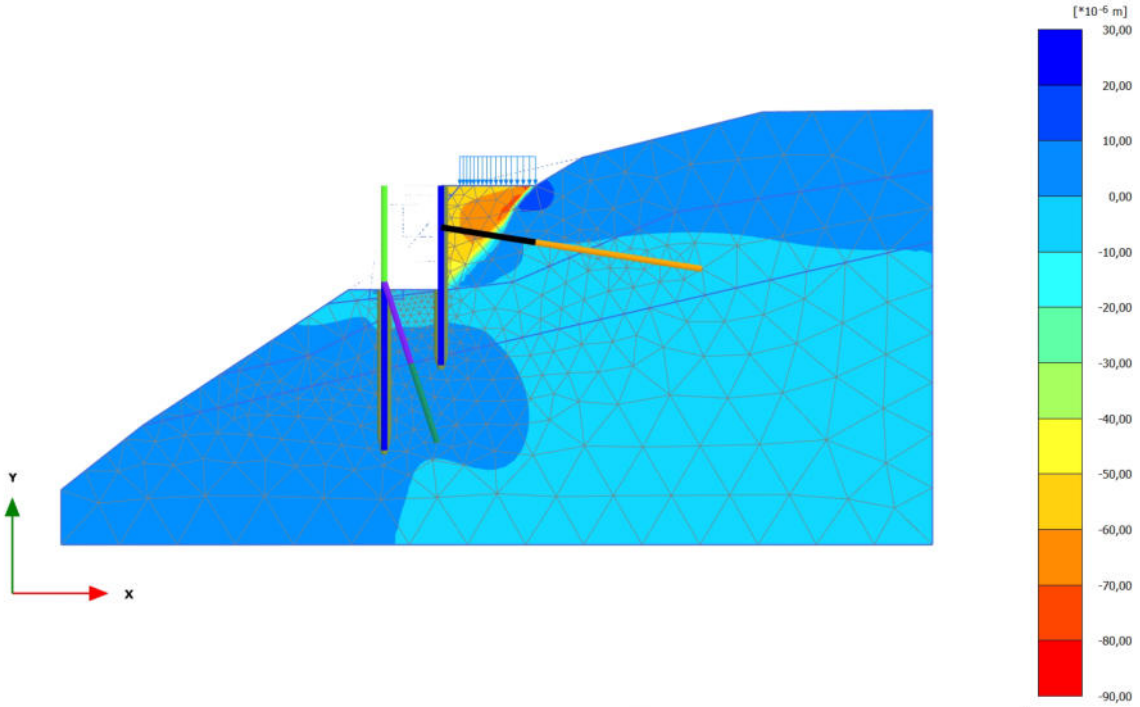

Total displacements u_x (scaled up $20{,}0*10^3$ times)

Maximum value = $0{,}02084*10^{-3}$ m (Element 53 at Node 6072)

Minimum value = $-0{,}08234*10^{-3}$ m (Element 54 at Node 6070)

2.1.1.1.11 Calculation results, Riempimento 1 [Phase_10] (10/374), Total displacements u_x

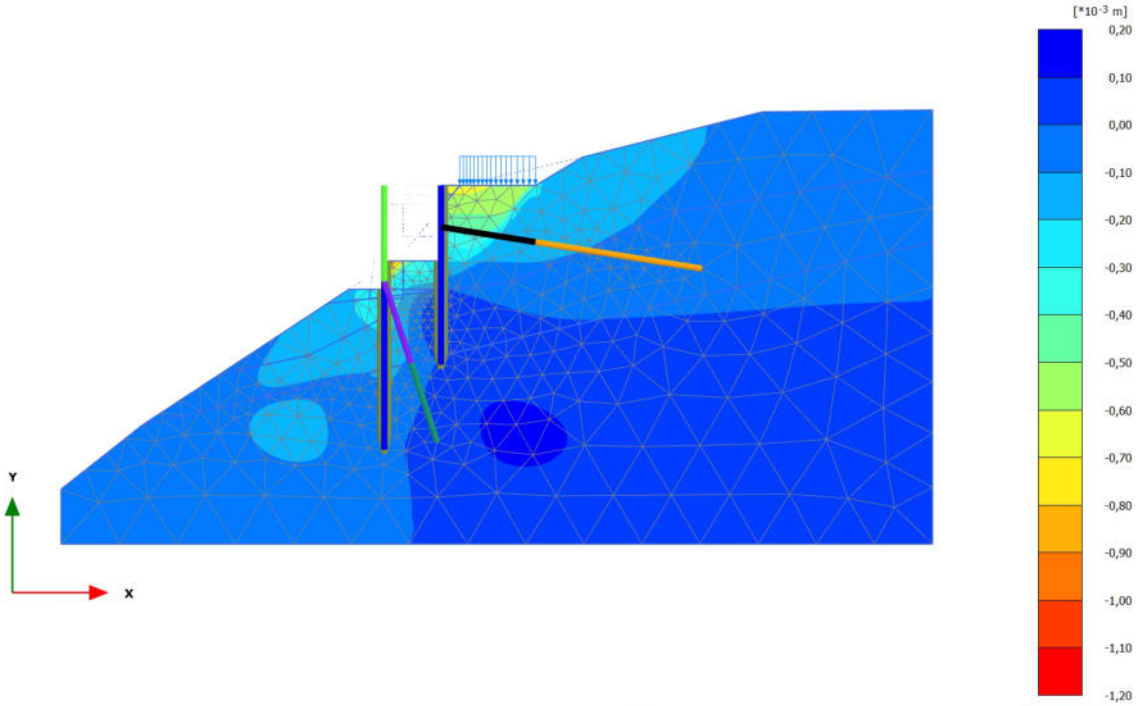

Total displacements u_x (scaled up 1,00*10³ times)

Maximum value = 0,1094*10^{-3} m (Element 860 at Node 1570)

Minimum value = -1,162*10^{-3} m (Element 444 at Node 8030)

2.1.1.1.12 Calculation results, Riempimento 2 [Phase_11] (11/647), Total displacements u_x

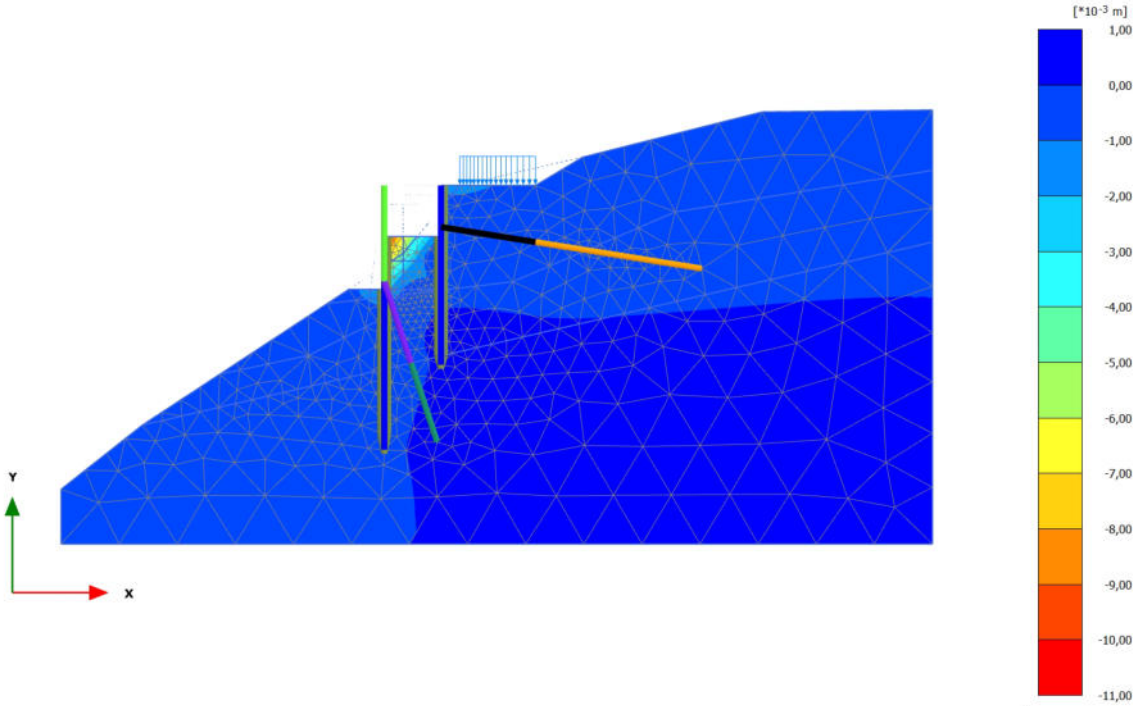

Total displacements u_x (scaled up 100 times)

Maximum value = 0,2085*10^{-3} m (Element 860 at Node 1570)

Minimum value = -0,01080 m (Element 251 at Node 8464)

2.1.1.1.13 Calculation results, Collegamento [Phase_12] (12/660), Total displacements u_x

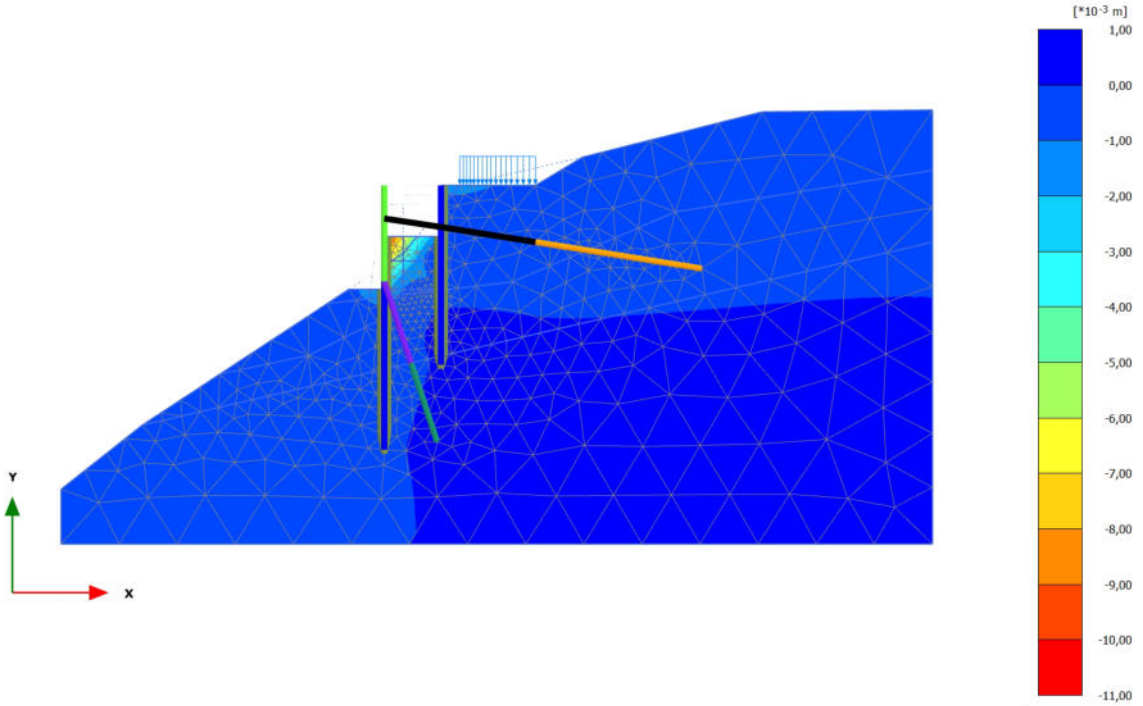

Total displacements u_x (scaled up 100 times)

Maximum value = 0,2085*10^{-3} m (Element 860 at Node 1570)

Minimum value = -0,01080 m (Element 251 at Node 8464)

2.1.1.1.14 Calculation results, Riempimento 3 [Phase_13] (13/678), Total displacements u_x

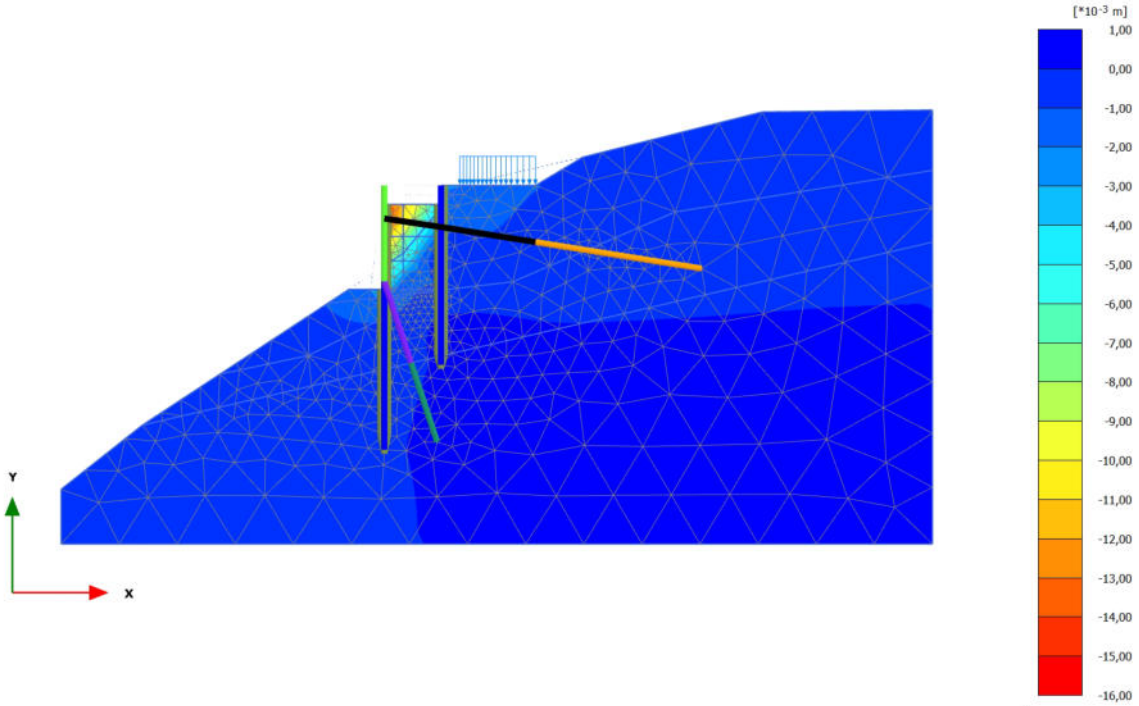

Total displacements u_x (scaled up 50,0 times)

Maximum value = 0,3481*10^{-3} m (Element 861 at Node 1583)

Minimum value = -0,01534 m (Element 219 at Node 8875)

2.1.1.1.15 Calculation results, Completamento riempimento [Phase_14] (14/695), Total displacements u_x

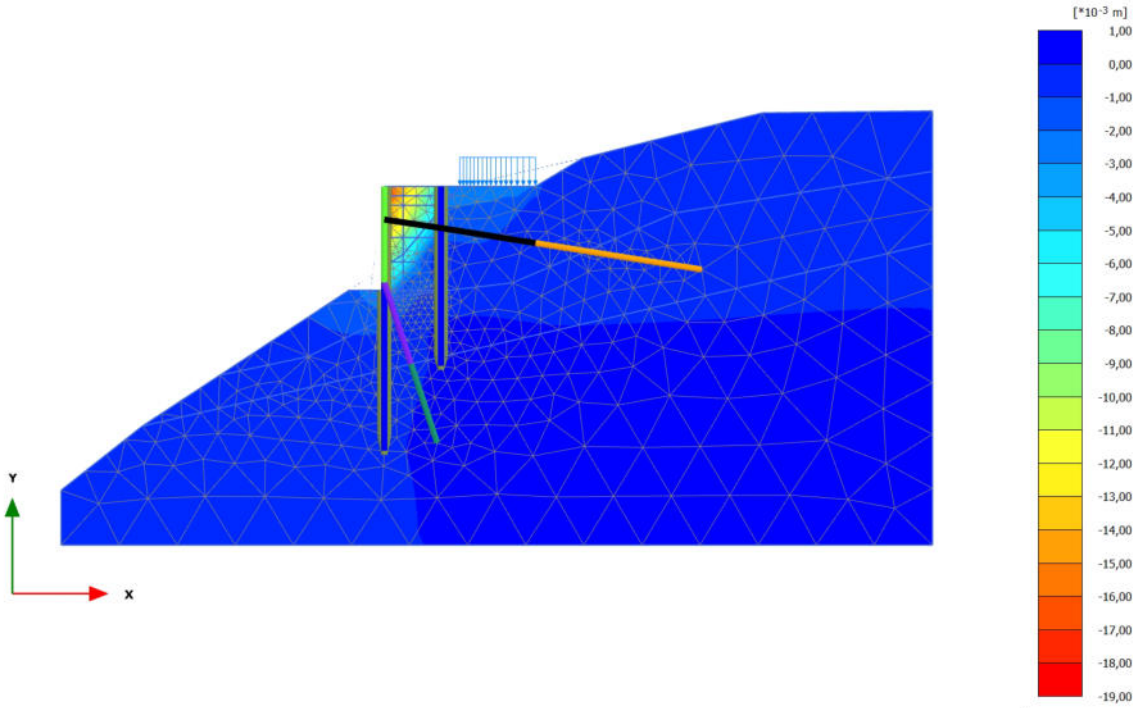

Total displacements u_x (scaled up 50,0 times)

Maximum value = 0,4269*10^{-3} m (Element 861 at Node 1583)

Minimum value = -0,01871 m (Element 158 at Node 9143)

2.1.1.1.16 Calculation results, SLE/SLU 11 Costr [Phase_17] (17/731), Total displacements u_x

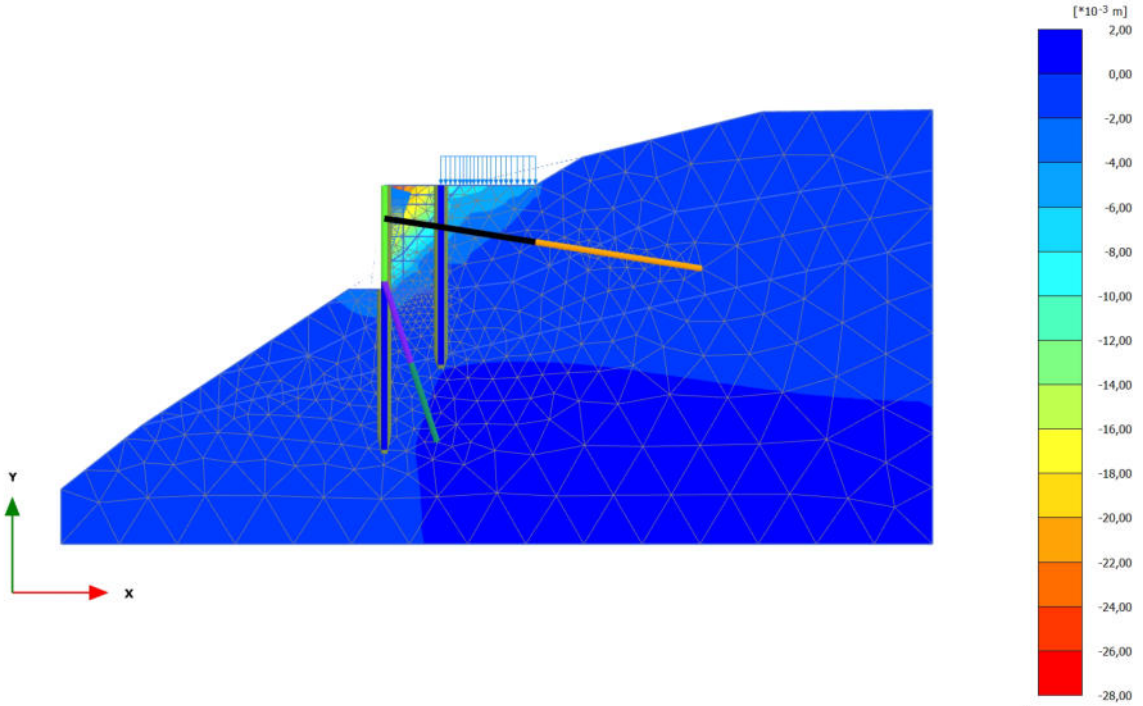

Total displacements u_x (scaled up 50,0 times)

Maximum value = 0,3646*10^{-3} m (Element 861 at Node 1564)

Minimum value = -0,02758 m (Element 158 at Node 9142)

2.1.1.1.17 Calculation results, Disattivazione paratia provvisionale [Phase_24] (24/741), Total displacements u_x

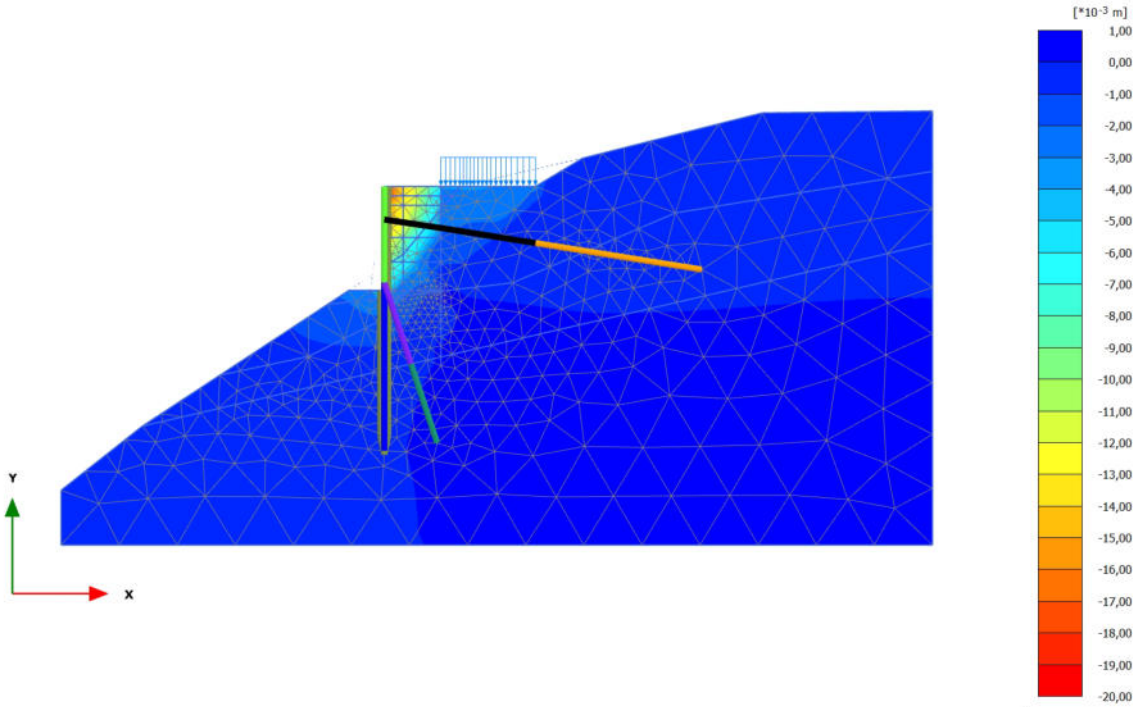

Total displacements u_x (scaled up 50,0 times)

Maximum value = 0,4234*10^{-3} m (Element 860 at Node 1570)

Minimum value = -0,01911 m (Element 158 at Node 9144)

2.1.1.1.18 Calculation results, SLE [Phase_18] (18/746), Total displacements u_x

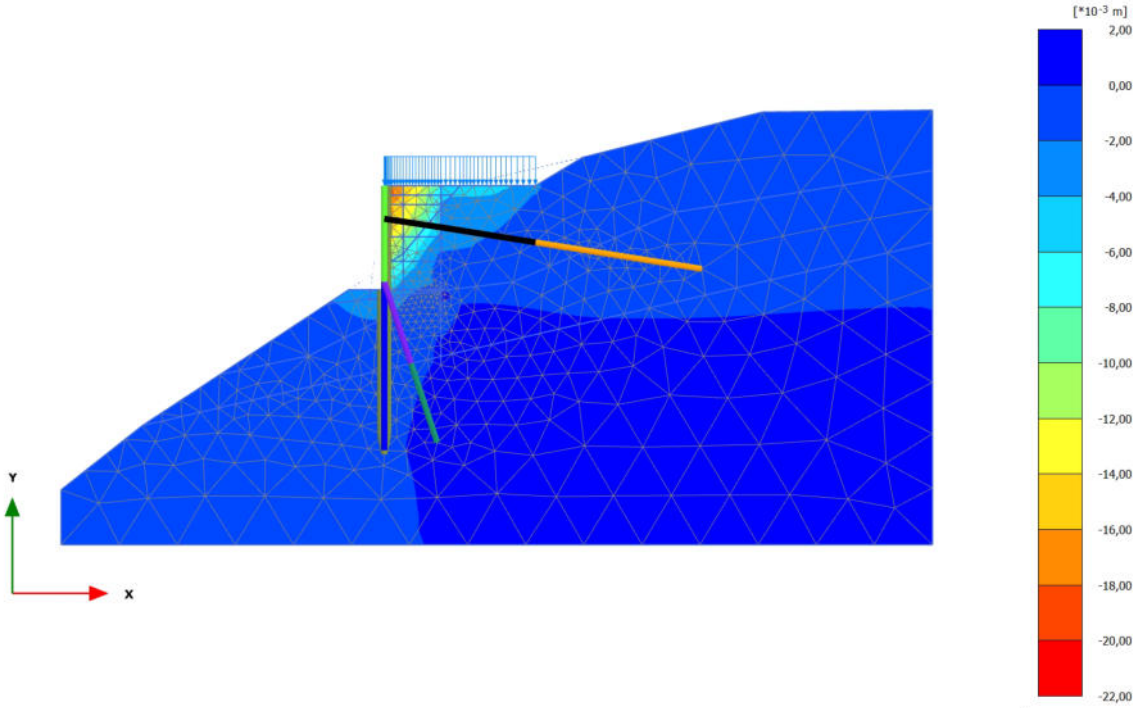

Total displacements u_x (scaled up 50,0 times)

Maximum value = $0{,}5171*10^{-3}$ m (Element 860 at Node 1575)

Minimum value = -0,02092 m (Element 158 at Node 9143)

2.1.1.1.19 Calculation results, SLU11 (scalz) [Phase_19] (19/779), Total displacements u_x

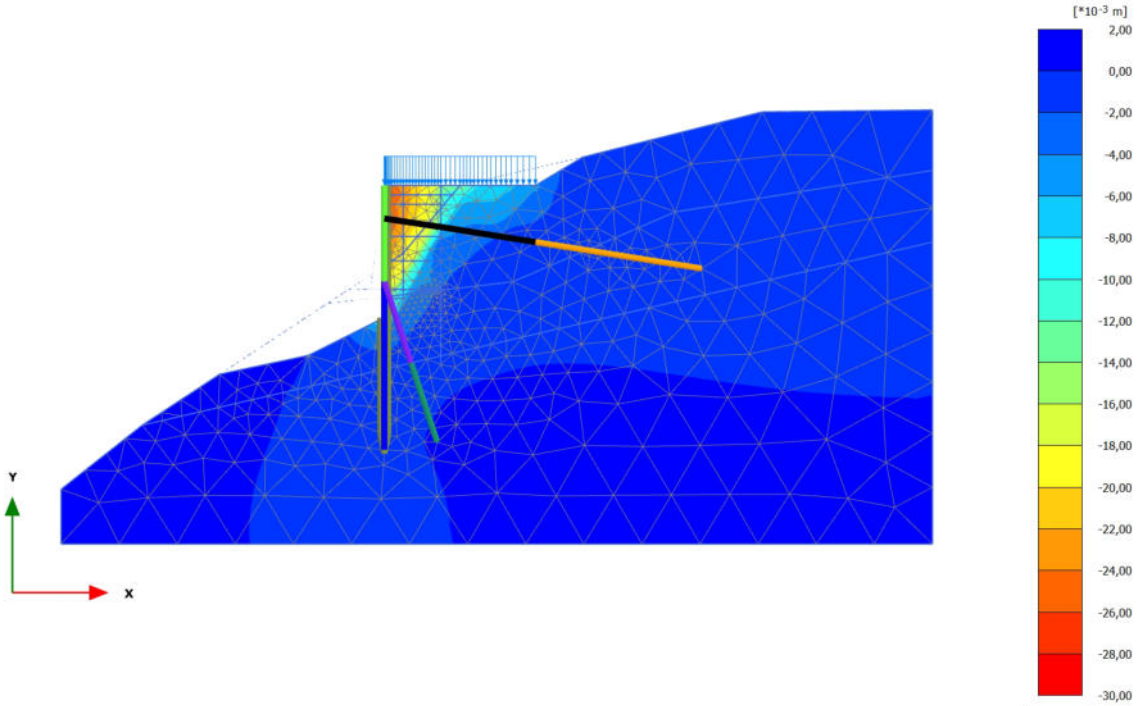

Total displacements u_x (scaled up 50,0 times)

Maximum value = 0,6518*10^{-3} m (Element 704 at Node 4572)

Minimum value = -0,02848 m (Element 152 at Node 9141)

2.1.1.1.20 Calculation results, SLU 12 [Phase_20] (20/799), Total displacements u_x

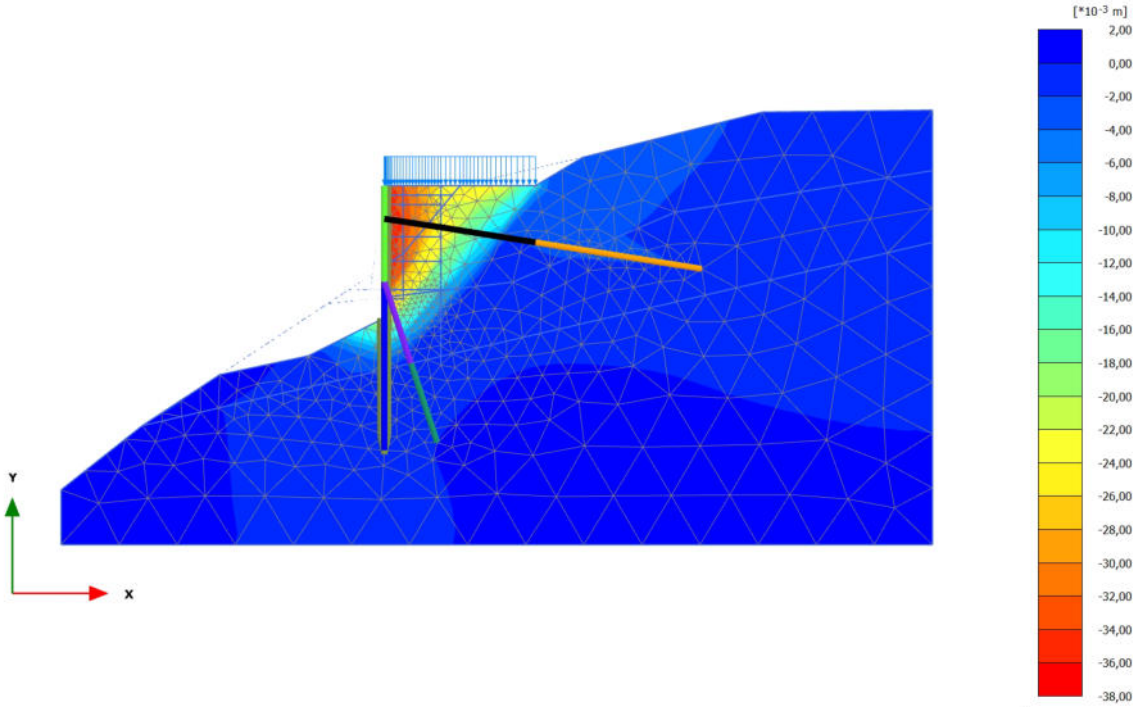

Total displacements u_x (scaled up 50,0 times)

Maximum value = 0,3802*10^{-3} m (Element 790 at Node 987)

Minimum value = -0,03728 m (Element 154 at Node 9110)

2.1.1.1.21 Calculation results, Eccezionale [Phase_21] (21/917), Total displacements u_x

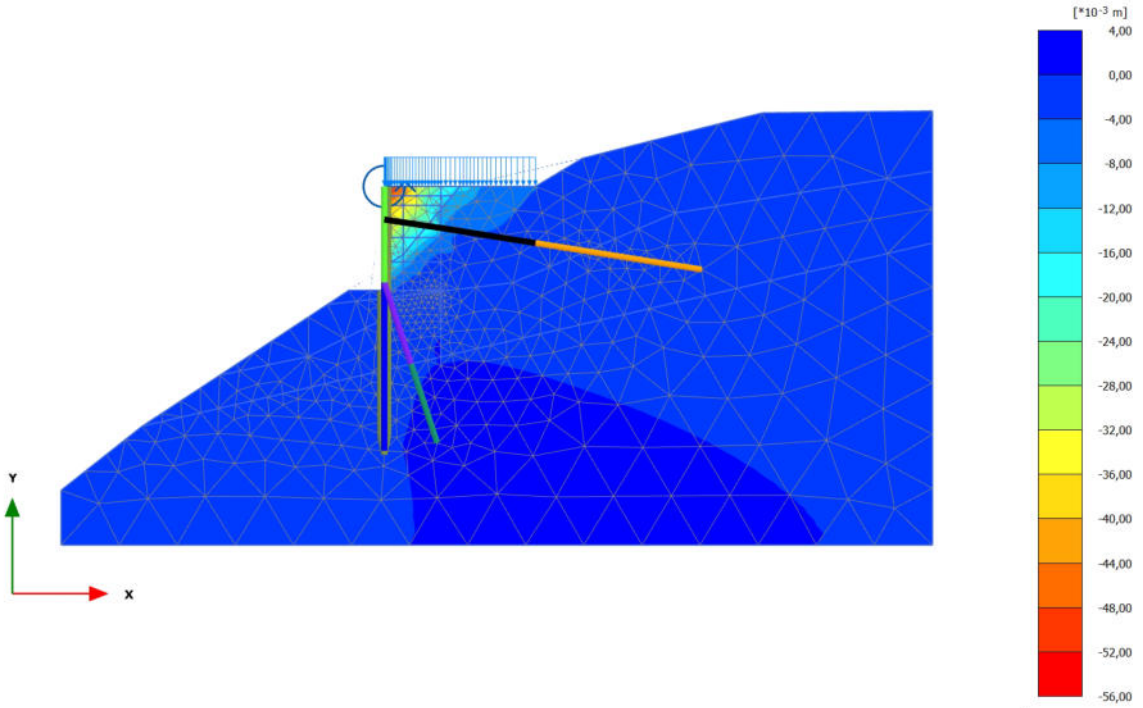

Total displacements u_x (scaled up 20,0 times)

Maximum value = 0,3906*10^{-3} m (Element 827 at Node 1562)

Minimum value = -0,05521 m (Element 161 at Node 9169)

2.1.1.1.22 Calculation results, SLV [Phase_22] (22/956), Total displacements u_x

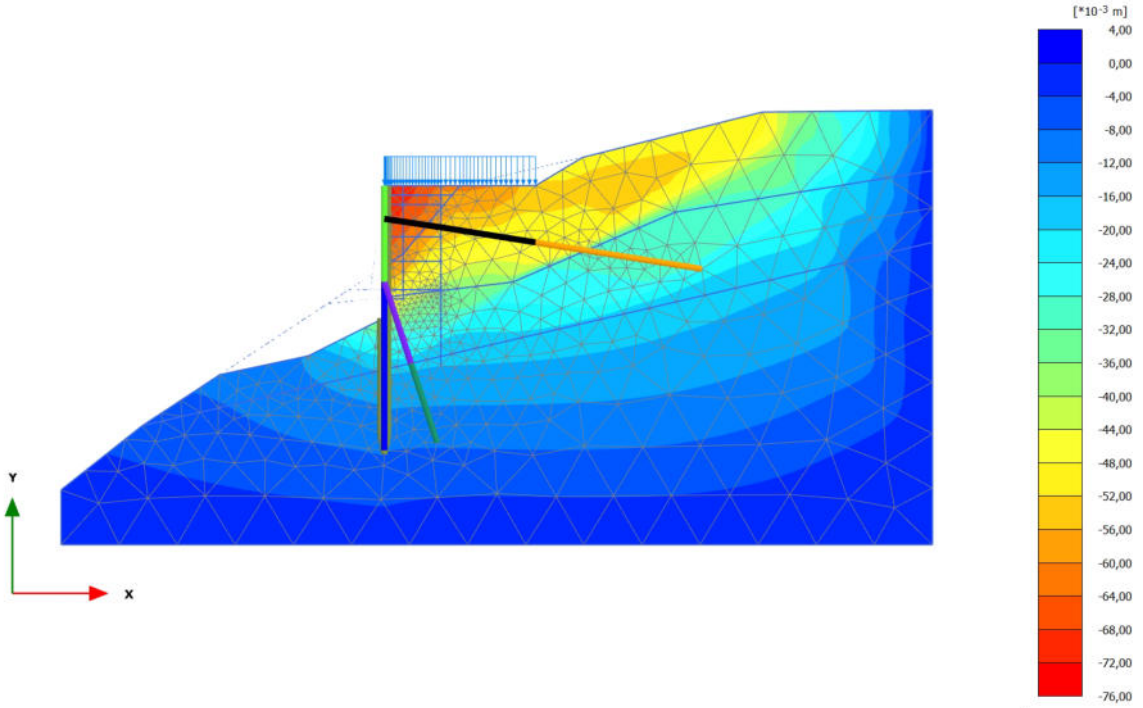

Total displacements u_x (scaled up 20,0 times)

Maximum value = 0,000 m (Element 12 at Node 325)

Minimum value = -0,07492 m (Element 158 at Node 9142)

2.1.1.1.23 Calculation results, SLD [Phase_23] (23/990), Total displacements u_x

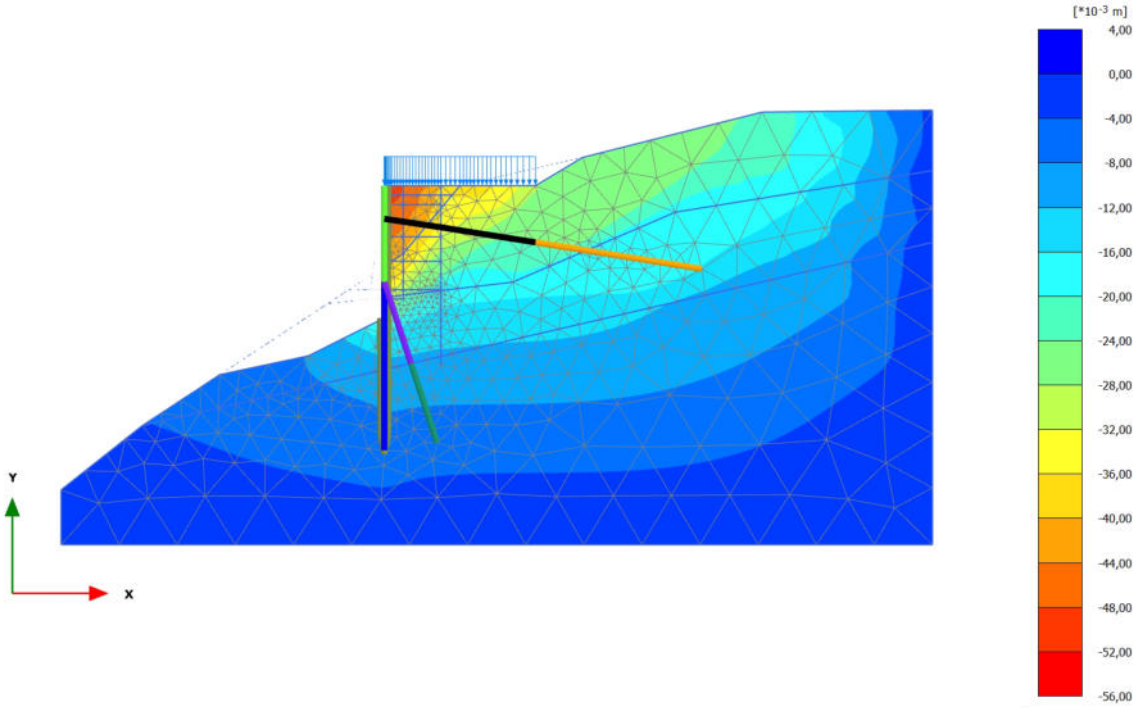

Total displacements u_x (scaled up 20,0 times)

Maximum value = 0,000 m (Element 12 at Node 325)

Minimum value = -0,05262 m (Element 158 at Node 9143)

2.1.1.1.24 Calculation results, SLU11 Opera provvisionale [Phase_15] (15/1001), Total displacements u_x

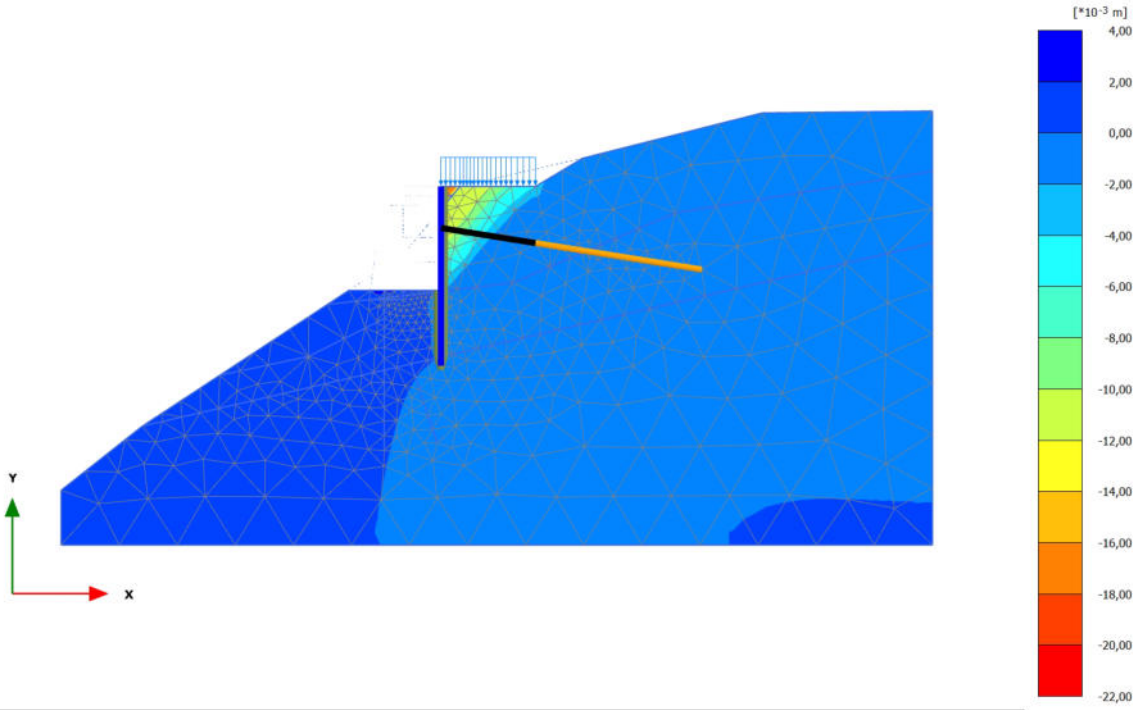

Total displacements u_x (scaled up 50,0 times)

Maximum value = 2,462*10^{-3} m (Element 524 at Node 7184)

Minimum value = -0,02058 m (Element 148 at Node 7839)

2.1.1.1.25 Calculation results, SLU12 Opera provvisionale [Phase_16] (16/1014), Total displacements u_x

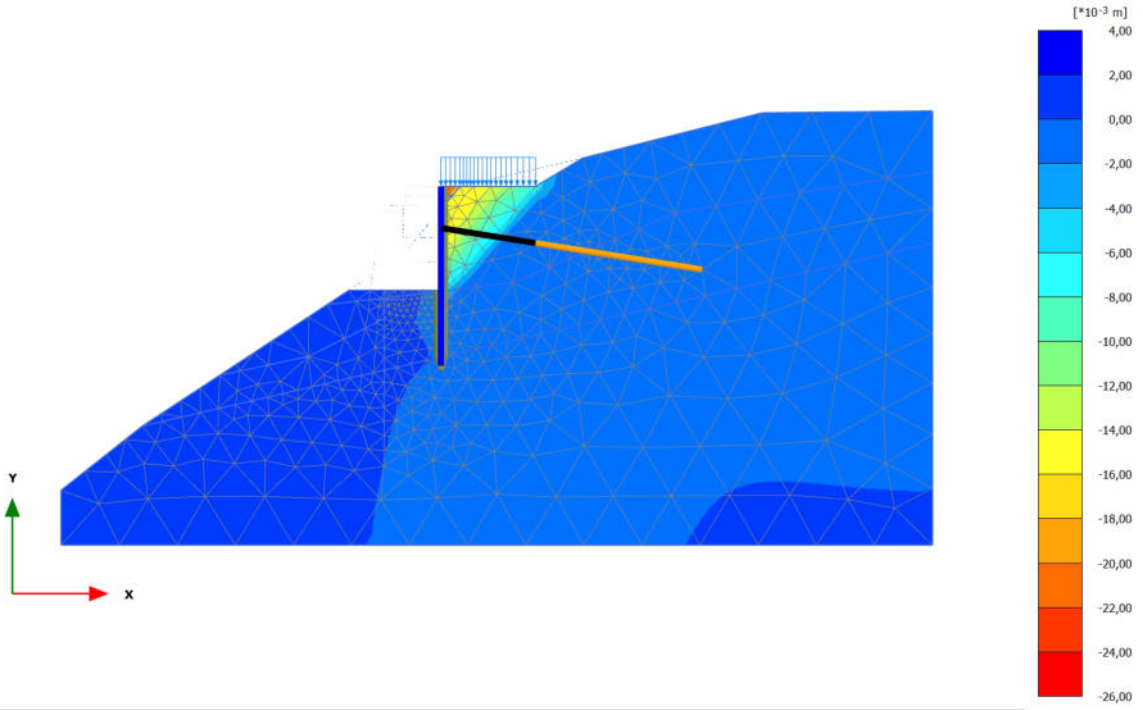

Total displacements u_x (scaled up 50,0 times)

Maximum value = 2,135*10^{-3} m (Element 524 at Node 7184)

Minimum value = -0,02455 m (Element 148 at Node 7839)

2.1.1.1.26 Calculation results, Eccezionale Opera Provvisionale [Phase_25] (25/1495), Total displacements u_x

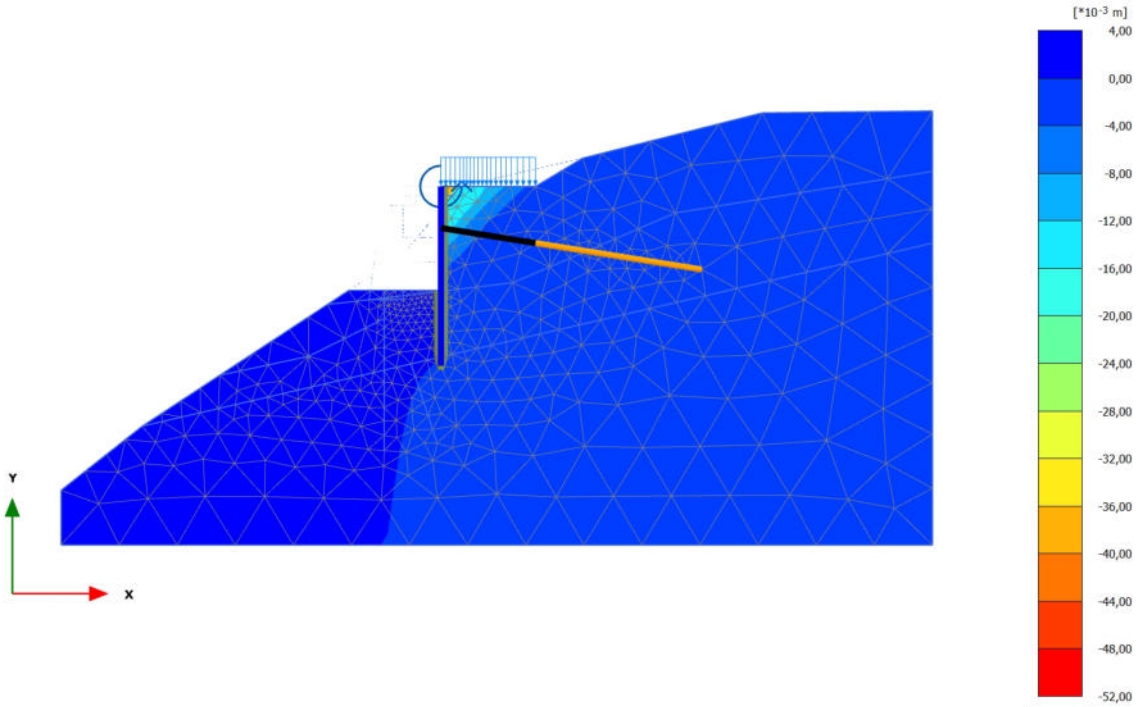

Total displacements u_x (scaled up 20,0 times)

Maximum value = 2,560*10^{-3} m (Element 524 at Node 7184)

Minimum value = -0,04896 m (Element 148 at Node 7839)

2.1.2.1 Calculation results, Initial phase [InitialPhase] (0/4), Deformed mesh |u|

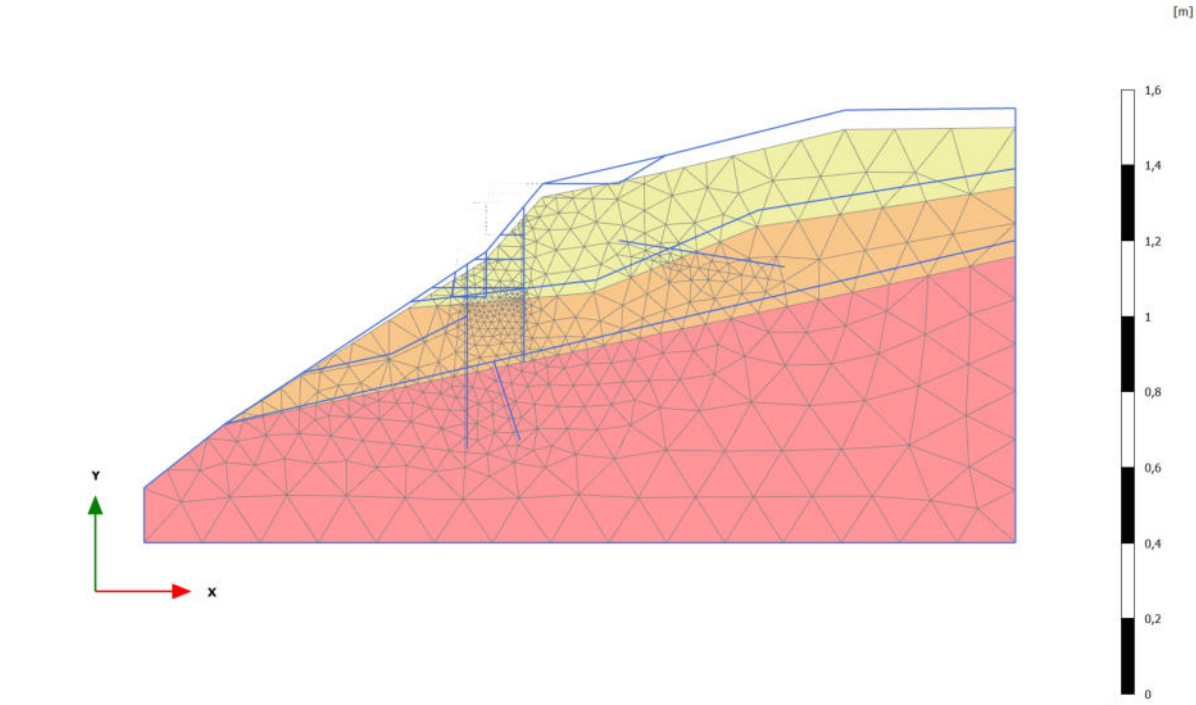

Deformed mesh |u| (scaled up 20,0 times)

Maximum value = 0,05182 m (Element 14 at Node 637)

2.1.2.2 Calculation results, Muro 1 [Phase_1] (1/15), Deformed mesh |u|

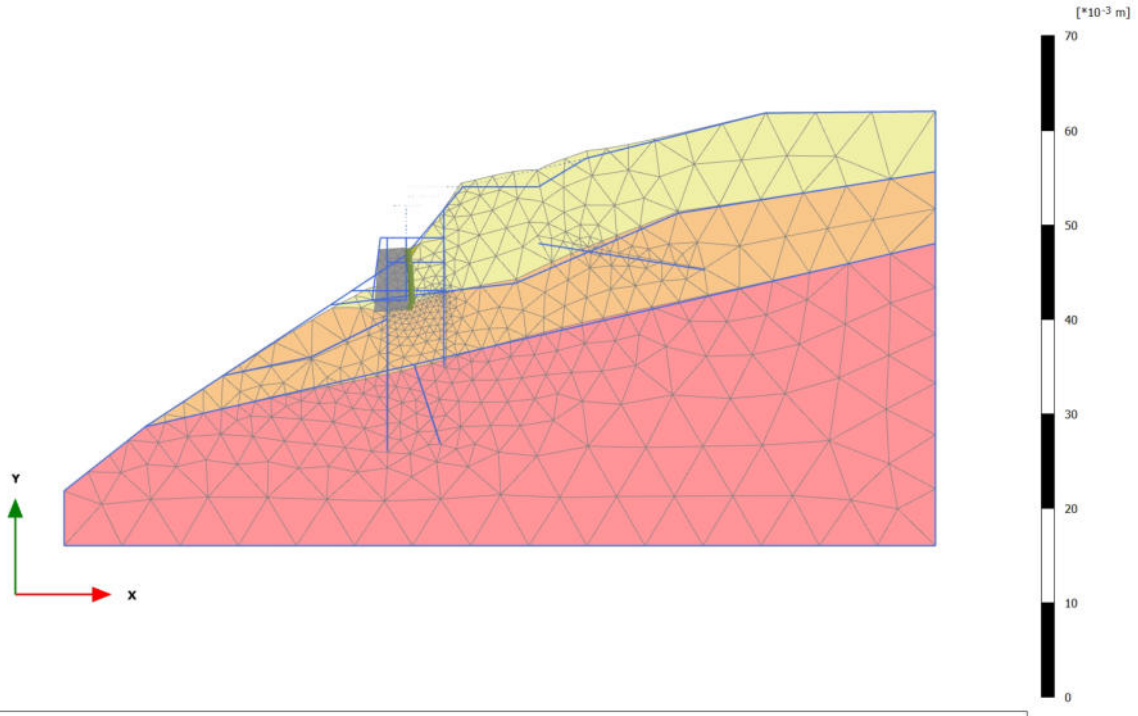

Deformed mesh |u| (scaled up 500 times)

Maximum value = 1,783*10-3 m (Element 54 at Node 6070)

2.1.2.3 Calculation results, Muro 2 (stato di fatto) [Phase_2] (2/59), Deformed mesh |u|

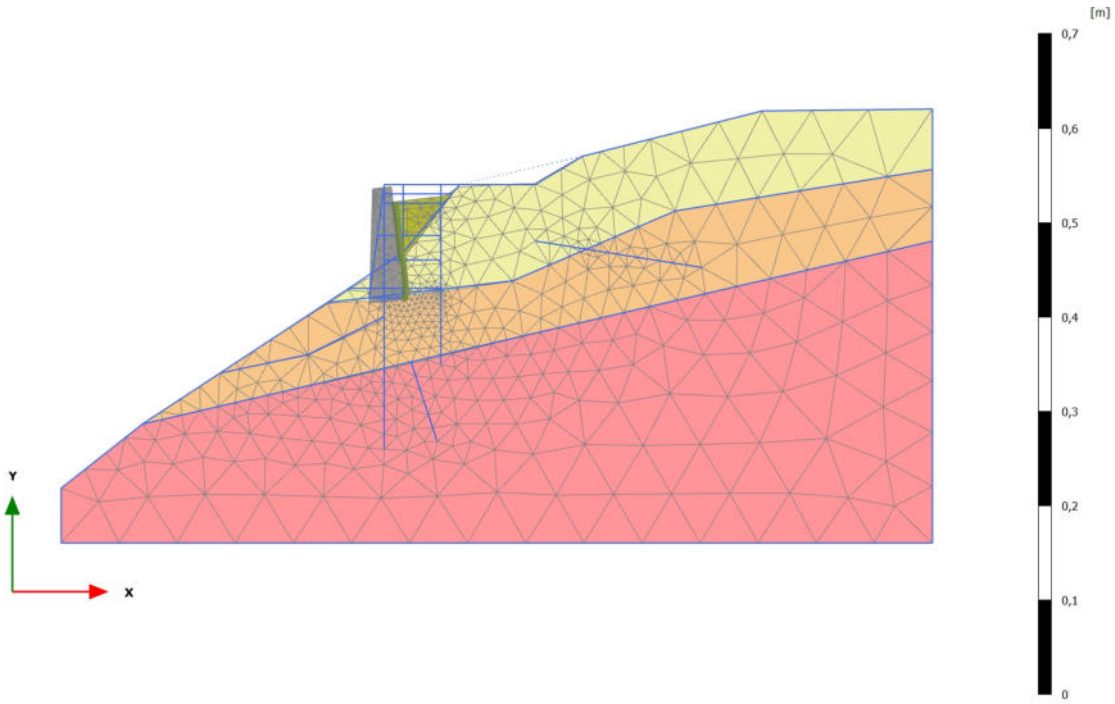

Deformed mesh |u| (scaled up 50,0 times)

Maximum value = 0,02239 m (Element 166 at Node 8724)

2.1.2.4 Calculation results, (RD) Preparazione cantiere [Phase_3] (3/65), Deformed mesh |u|

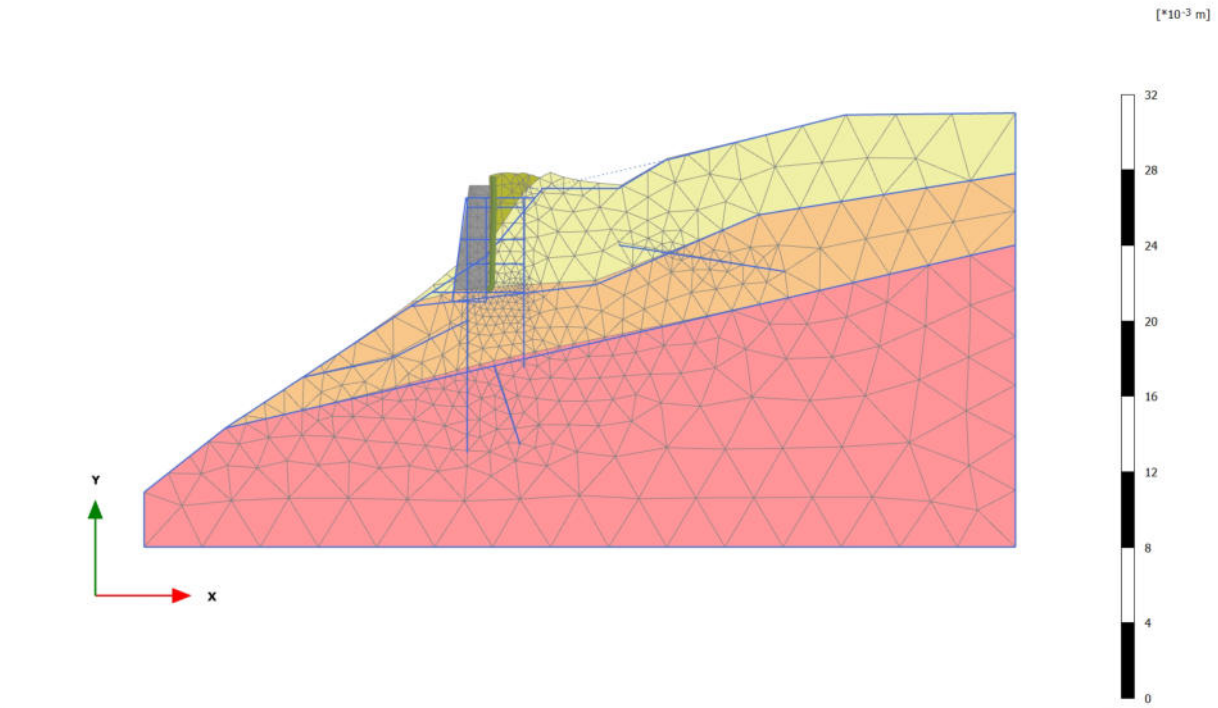

Deformed mesh |u| (scaled up 1,00*10³ times)

Maximum value = 1,341*10^{-3} m (Element 190 at Node 8336)

2.1.2.5 Calculation results, Micropali paratia provvisionale [Phase_4] (4/68), Deformed mesh |u|

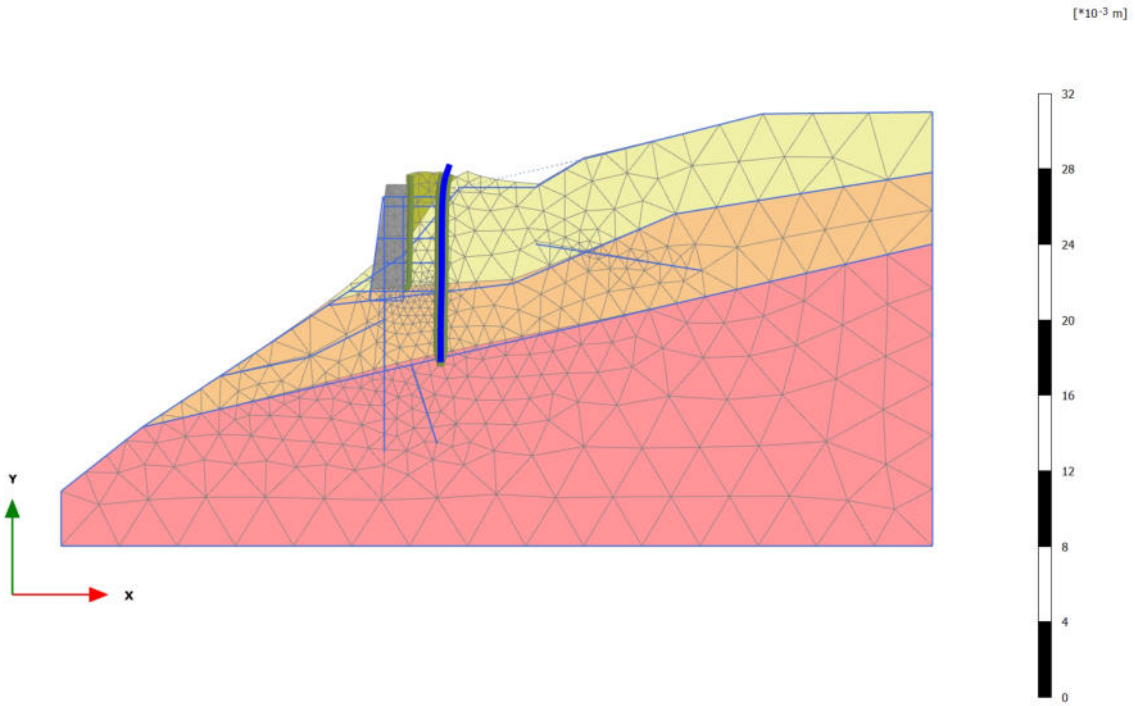

Deformed mesh |u| (scaled up 1,00*10³ times)

Maximum value = 1,339*10-3 m (Element 190 at Node 8336)

2.1.2.6 Calculation results, (RD) Sovraccarico stradale [Phase_5] (5/84), Deformed mesh |u|

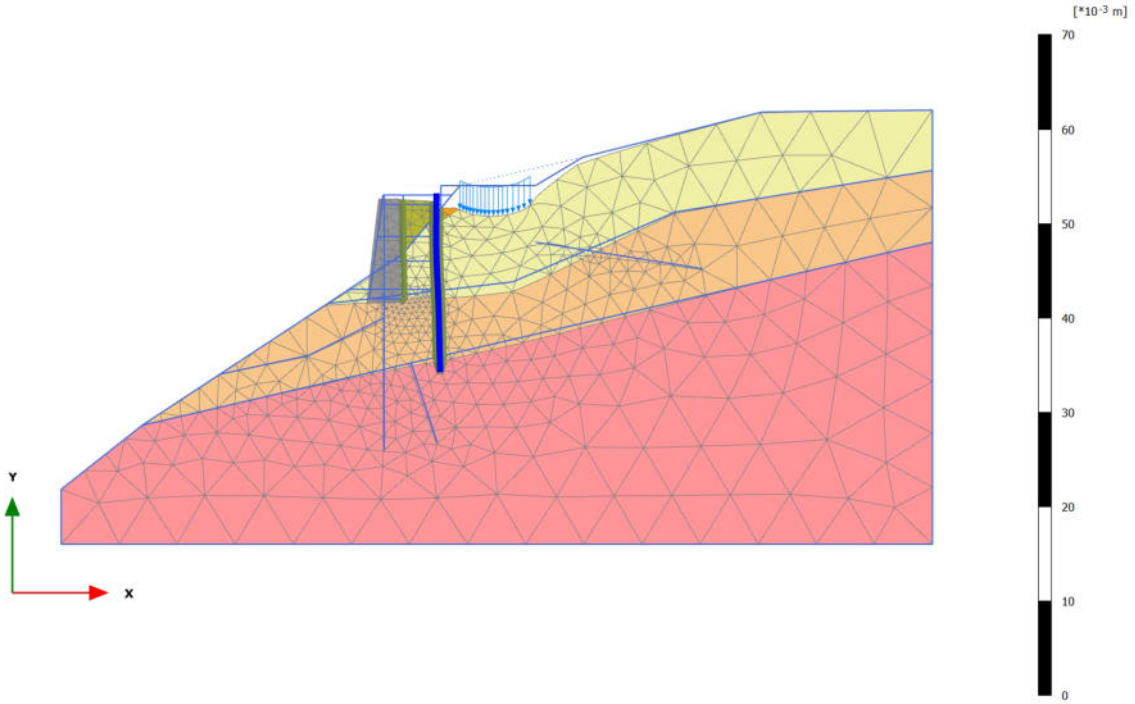

Deformed mesh |u| (scaled up 500 times)

Maximum value = 3,254*10-3 m (Element 77 at Node 6533)

2.1.2.7 Calculation results, Escavo 1 [Phase_6] (6/247), Deformed mesh |u|

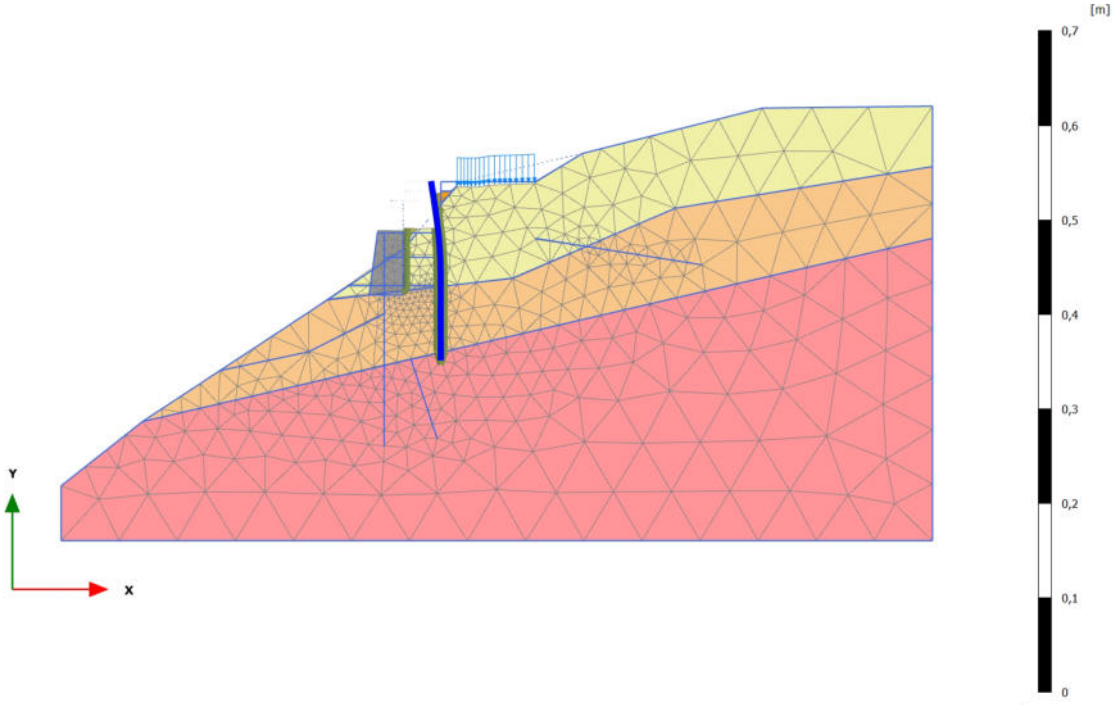

Deformed mesh |u| (scaled up 50,0 times)

Maximum value = 0,01641 m (Element 148 at Node 7839)

2.1.2.8 Calculation results, Micropalo ancoraggio [Phase_7] (7/250), Deformed mesh |u|

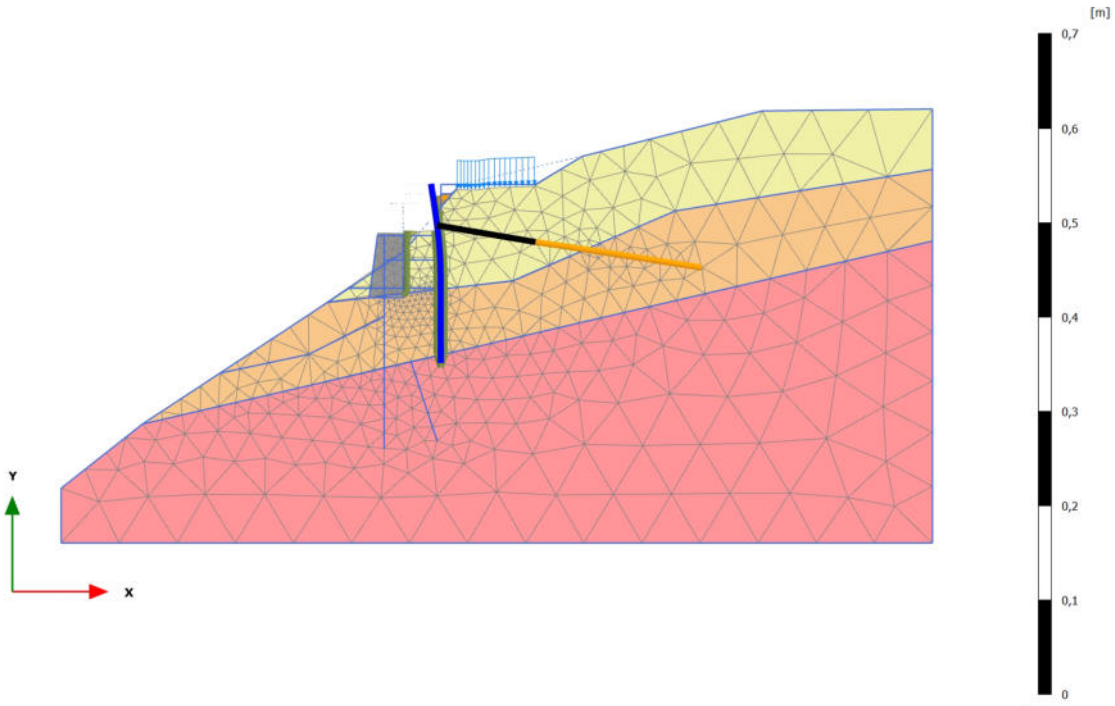

Deformed mesh |u| (scaled up 50,0 times)

Maximum value = 0,01641 m (Element 148 at Node 7839)

2.1.2.9 Calculation results, Escavo (progetto) [Phase_8] (8/271), Deformed mesh |u|

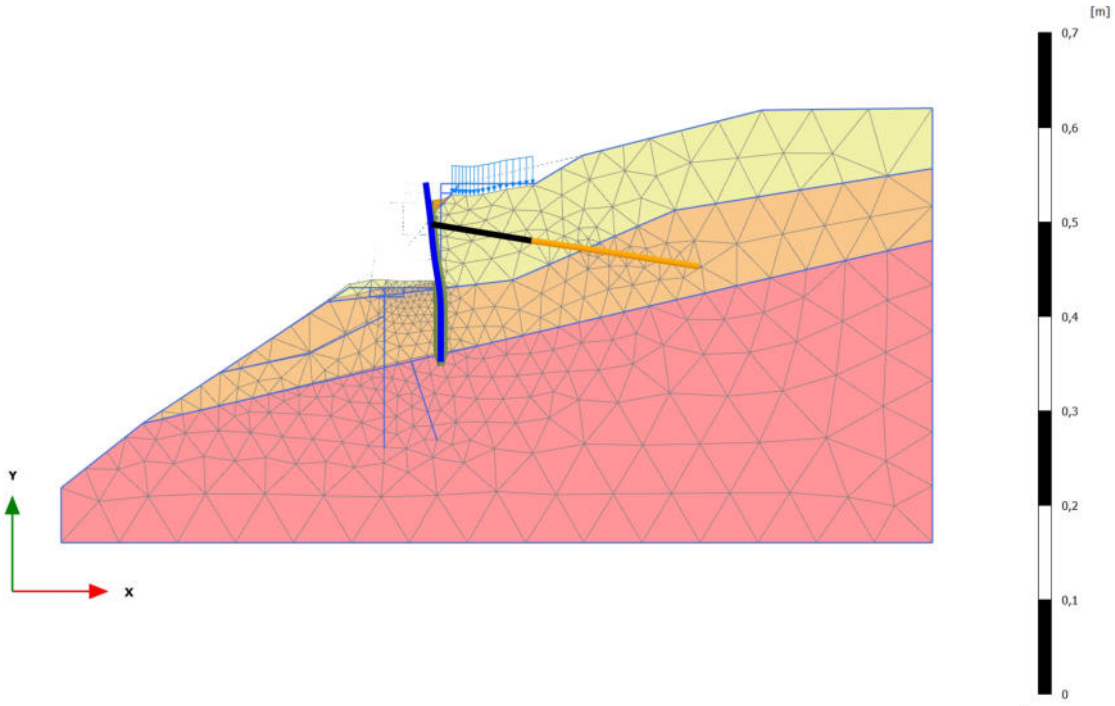

Deformed mesh |u| (scaled up 50,0 times)

Maximum value = 0,02422 m (Element 148 at Node 7839)

2.1.2.10 Calculation results, (RD) Muro [Phase_9] (9/298), Deformed mesh |u|

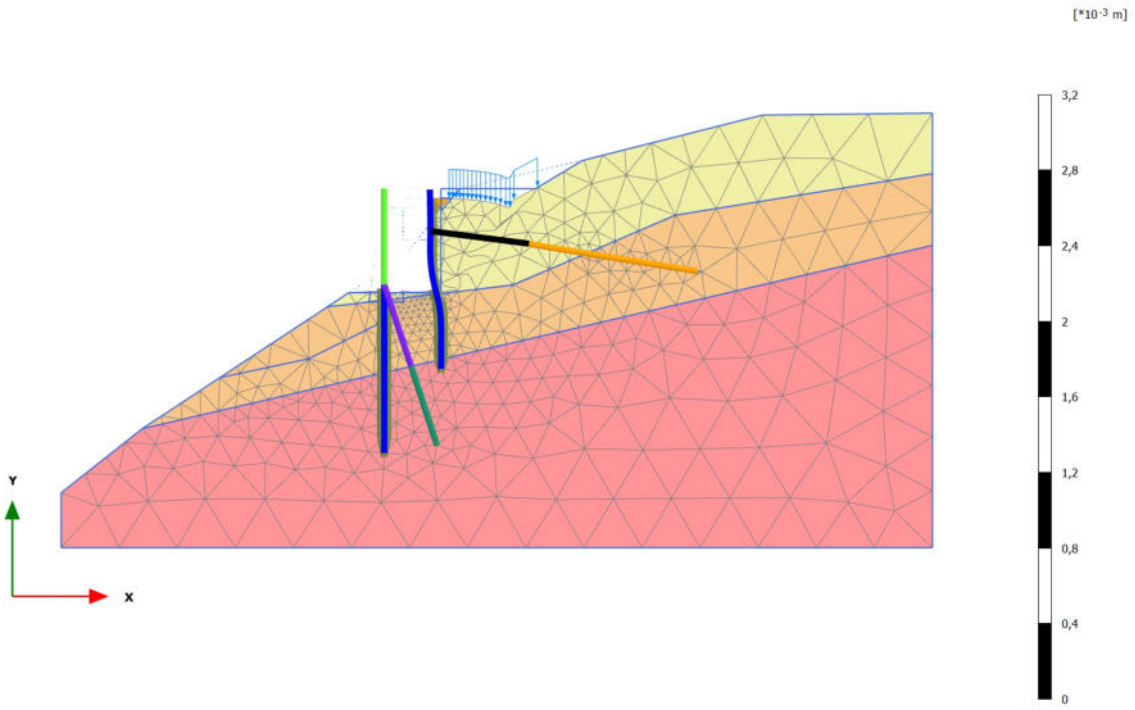

Deformed mesh |u| (scaled up 10,0*10³ times)

Maximum value = 0,1222*10-3 m (Element 54 at Node 6074)

2.1.2.11 Calculation results, Riempimento 1 [Phase_10] (10/374), Deformed mesh |u|

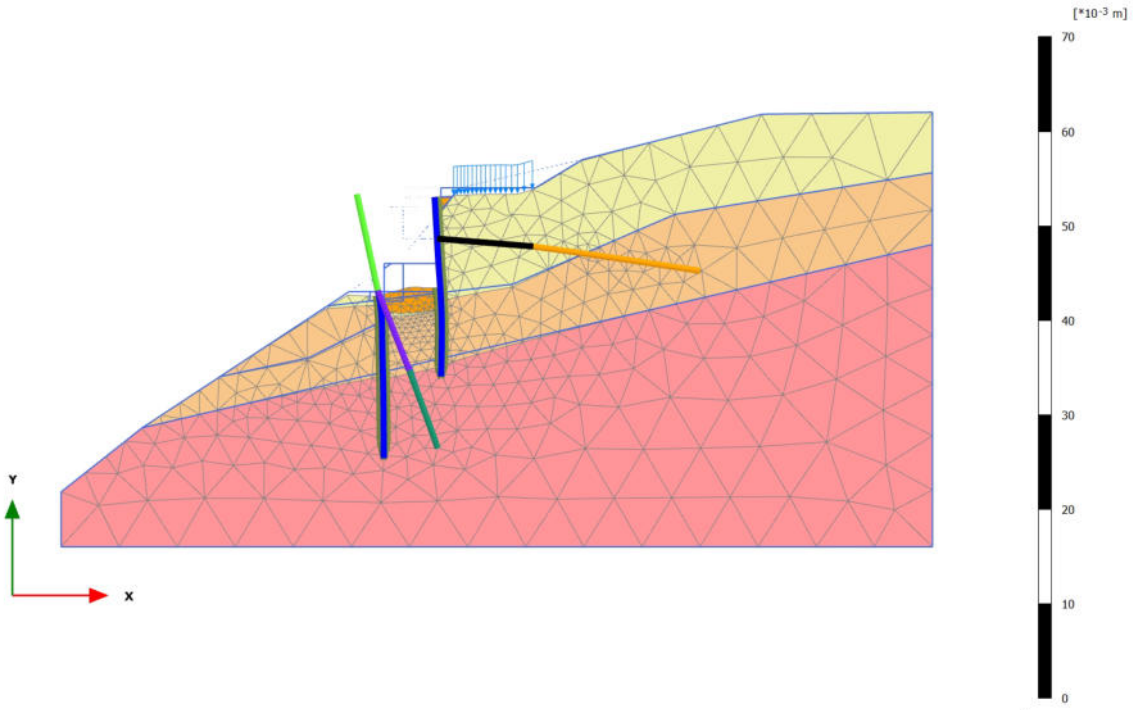

Deformed mesh |u| (scaled up 500 times)

Maximum value = 3,704*10^{-3} m (Element 444 at Node 8030)

2.1.2.12 Calculation results, Riempimento 2 [Phase_11] (11/647), Deformed mesh |u|

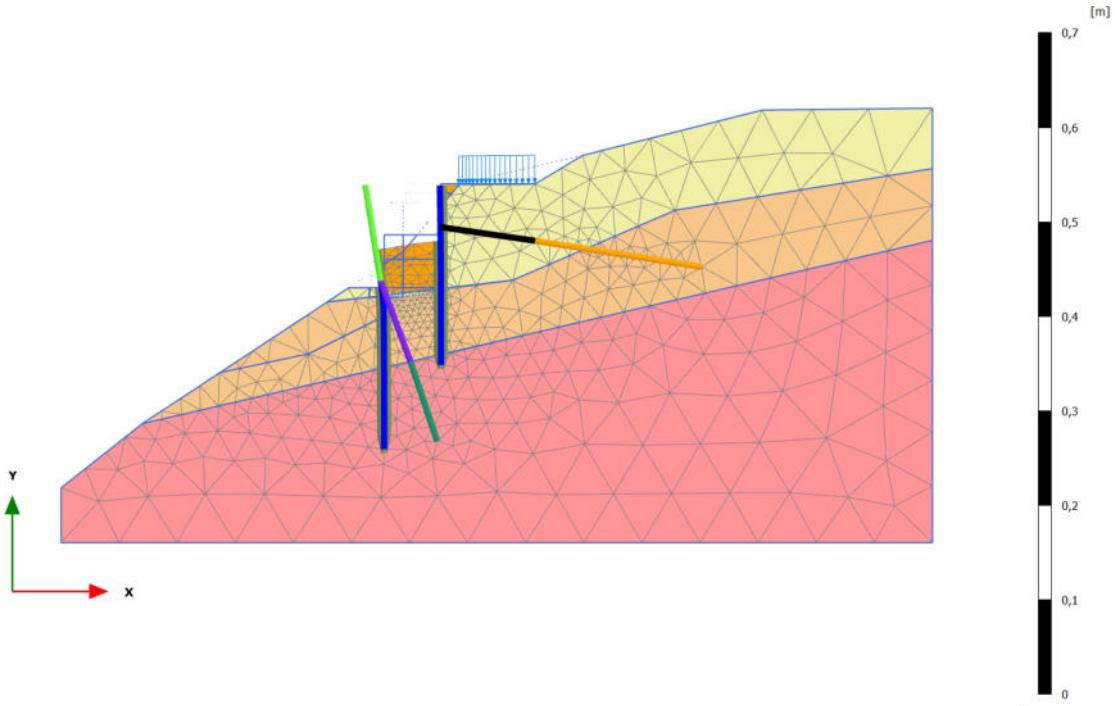

Deformed mesh |u| (scaled up 50,0 times)

Maximum value = 0,02011 m (Element 0 at Node 9176)

2.1.2.13 Calculation results, Collegamento [Phase_12] (12/660), Deformed mesh |u|

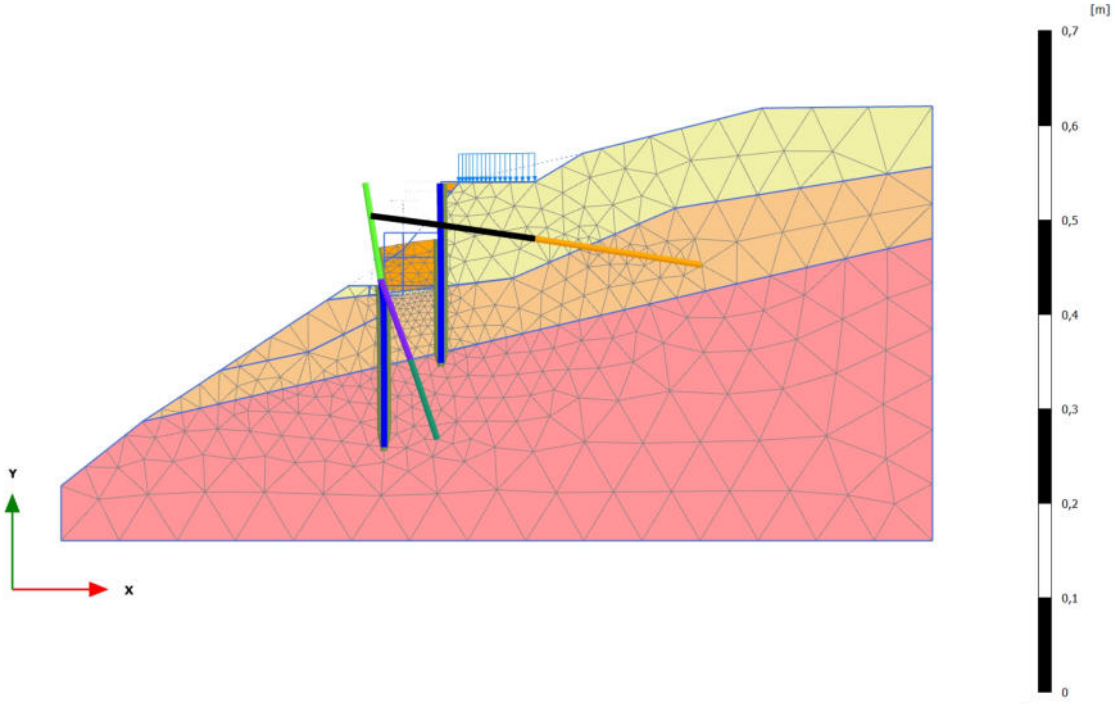

Deformed mesh |u| (scaled up 50,0 times)

Maximum value = 0,02011 m (Element 0 at Node 9176)

2.1.2.14 Calculation results, Riempimento 3 [Phase_13] (13/678), Deformed mesh |u|

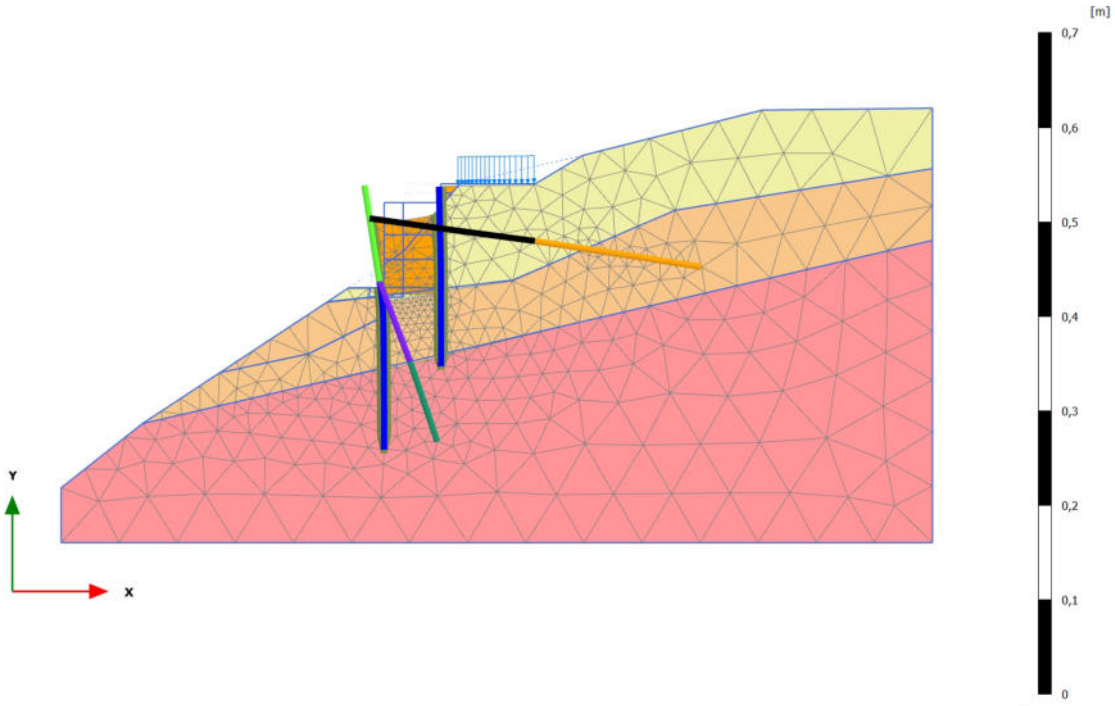

Deformed mesh |u| (scaled up 50,0 times)

Maximum value = 0,02369 m (Element 216 at Node 8598)

2.1.2.15 Calculation results, Completamento riempimento [Phase_14] (14/695), Deformed mesh |u|

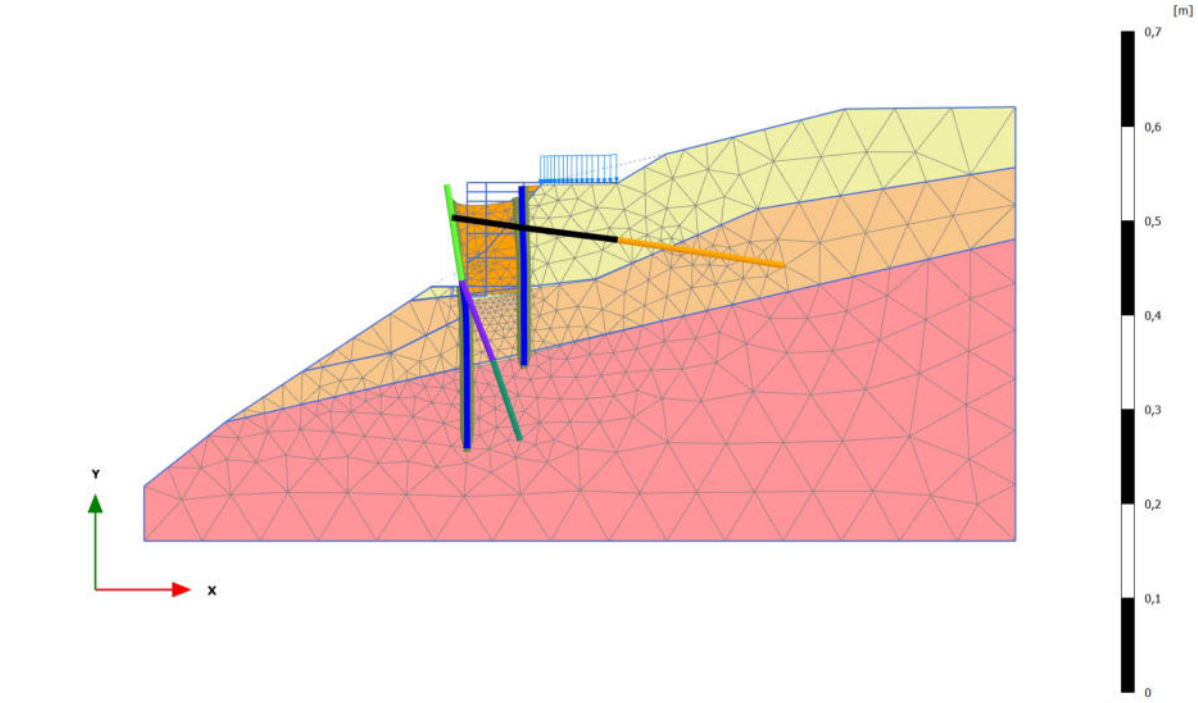

Deformed mesh |u| (scaled up 50,0 times)

Maximum value = 0,02801 m (Element 149 at Node 8890)

2.1.2.16 Calculation results, SLE/SLU 11 Costr [Phase_17] (17/731), Deformed mesh |u|

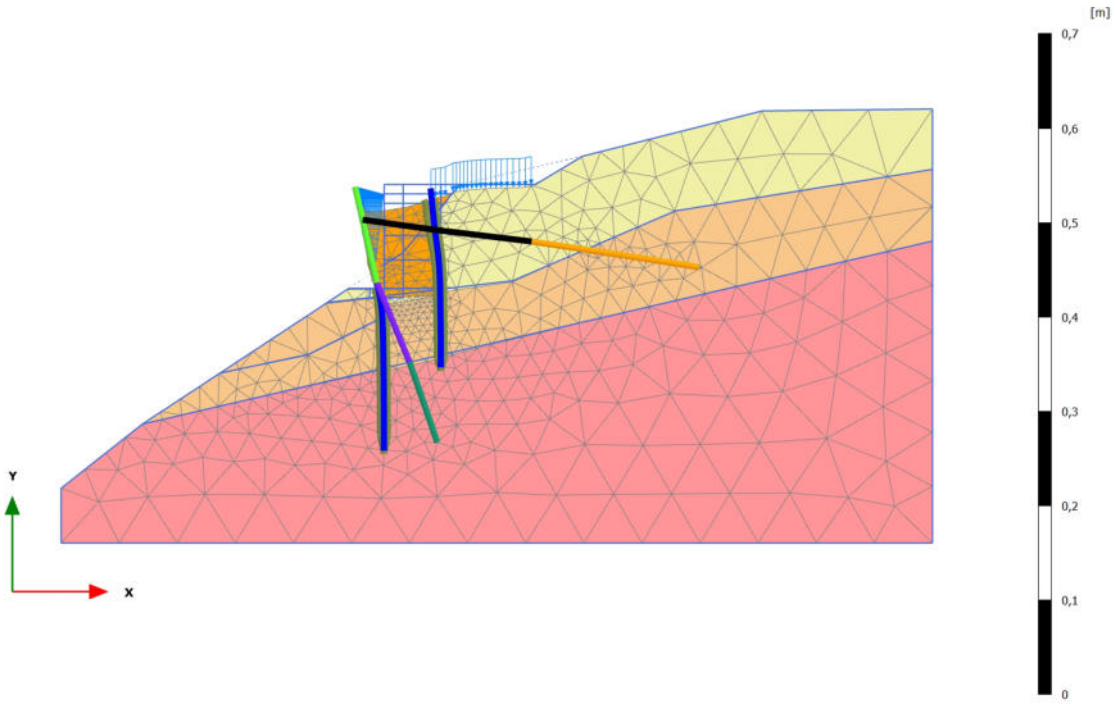

Deformed mesh |u| (scaled up 50,0 times)

Maximum value = 0,03741 m (Element 150 at Node 8967)

2.1.2.17 Calculation results, Disattivazione paratia provvisionale [Phase_24] (24/741), Deformed mesh |u|

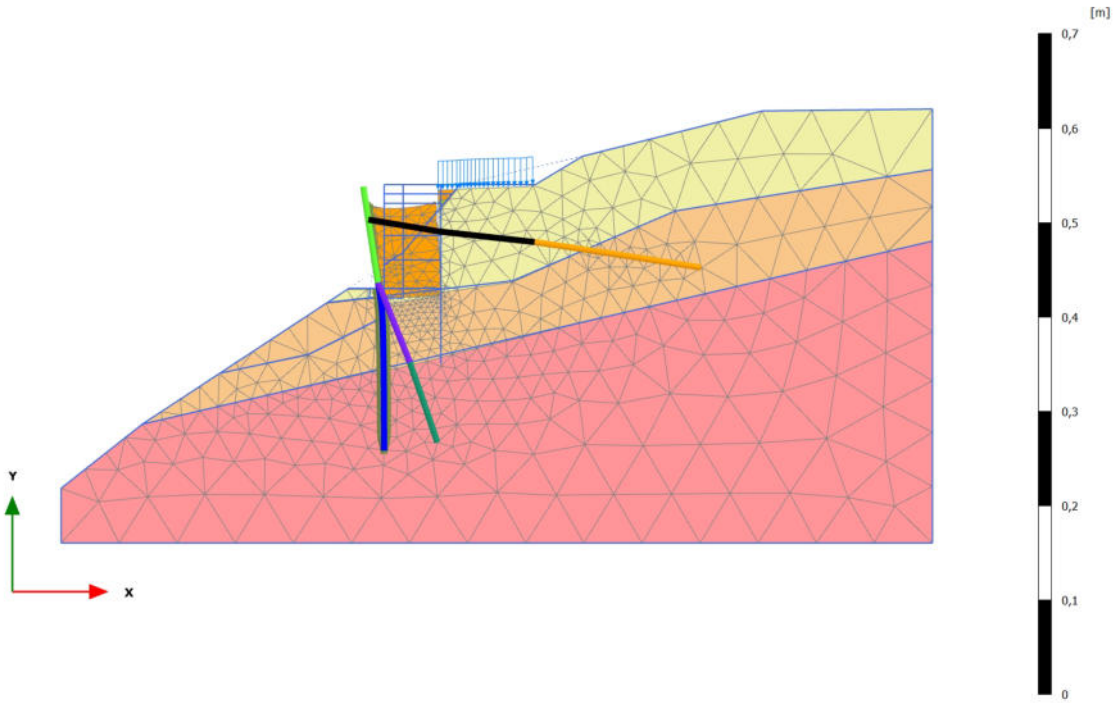

Deformed mesh |u| (scaled up 50,0 times)

Maximum value = 0,02912 m (Element 149 at Node 8890)

2.1.2.18 Calculation results, SLE [Phase_18] (18/746), Deformed mesh |u|

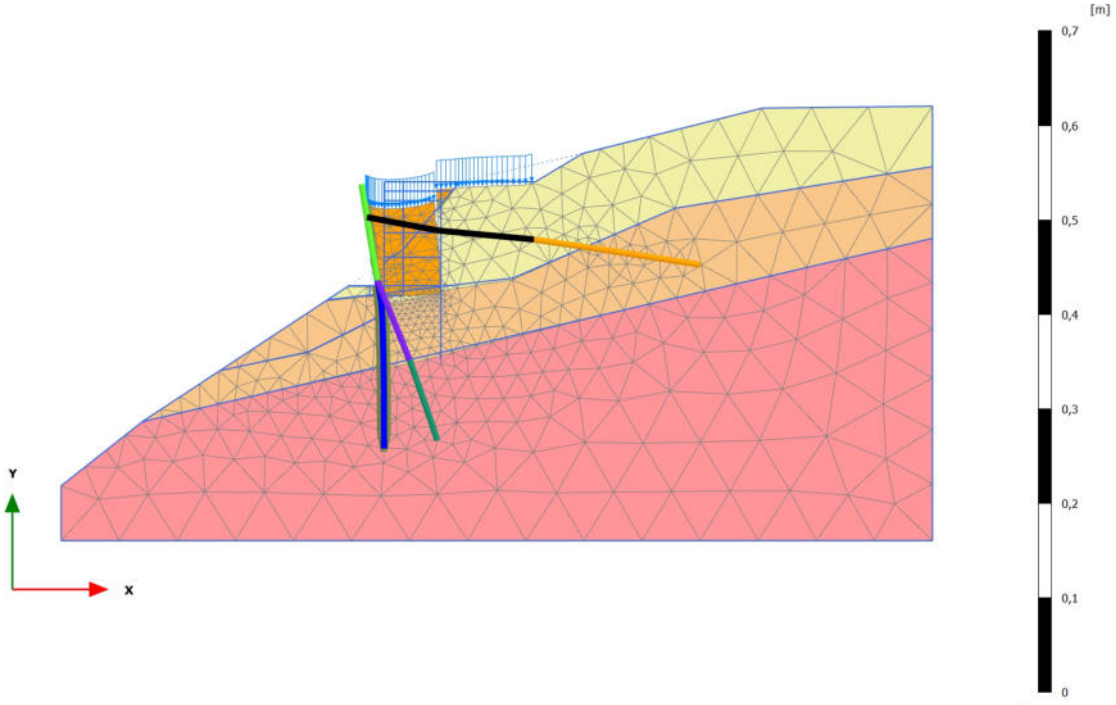

Deformed mesh |u| (scaled up 50,0 times)

Maximum value = 0,03294 m (Element 149 at Node 8890)

2.1.2.19 Calculation results, SLU11 (scalz) [Phase_19] (19/779), Deformed mesh |u|

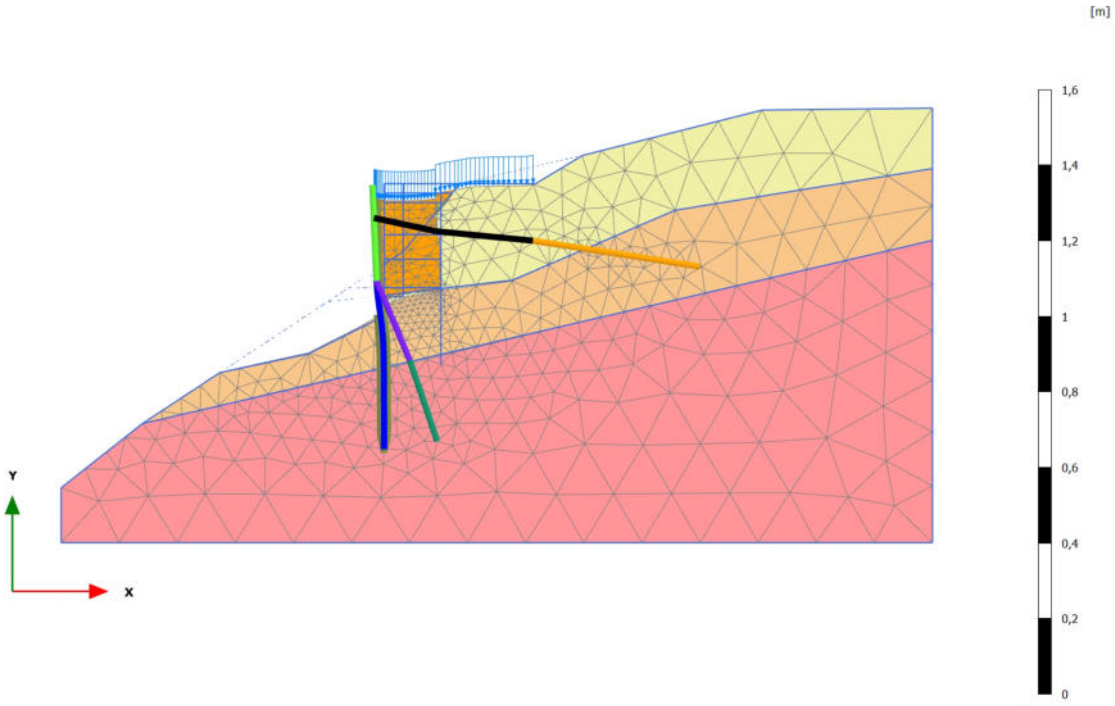

Deformed mesh |u| (scaled up 20,0 times)

Maximum value = 0,05086 m (Element 149 at Node 8888)

2.1.2.20 Calculation results, SLU 12 [Phase_20] (20/799), Deformed mesh |u|

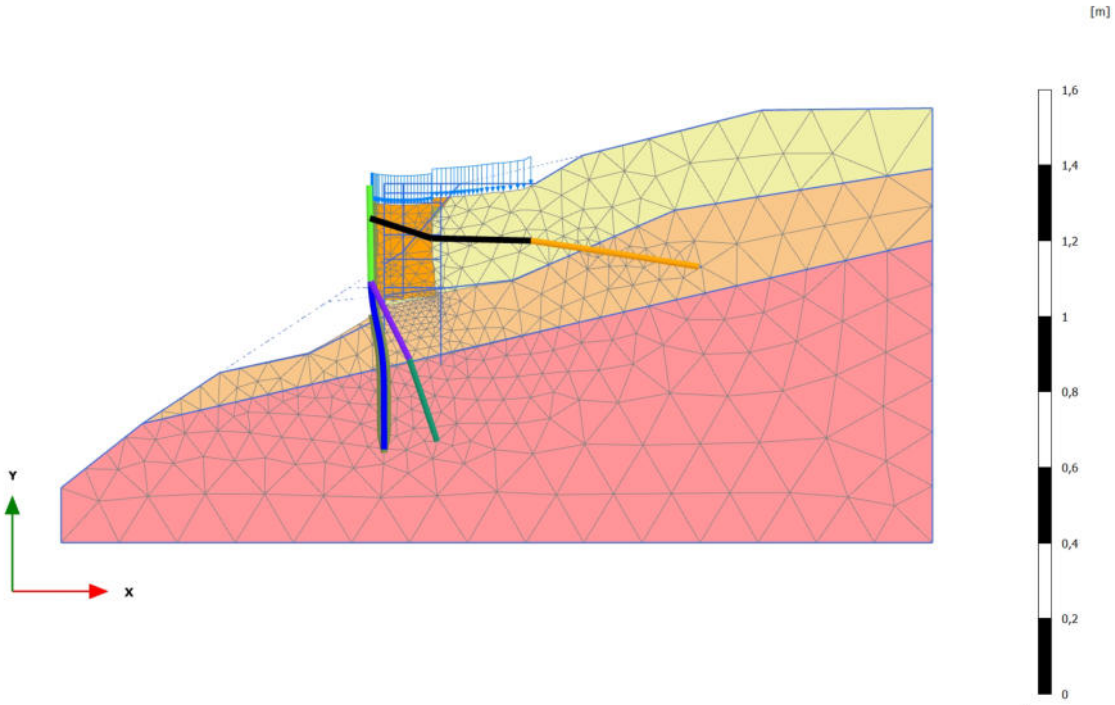

Deformed mesh |u| (scaled up 20,0 times)

Maximum value = 0,06402 m (Element 166 at Node 8720)

2.1.2.21 Calculation results, Eccezionale [Phase_21] (21/917), Deformed mesh |u|

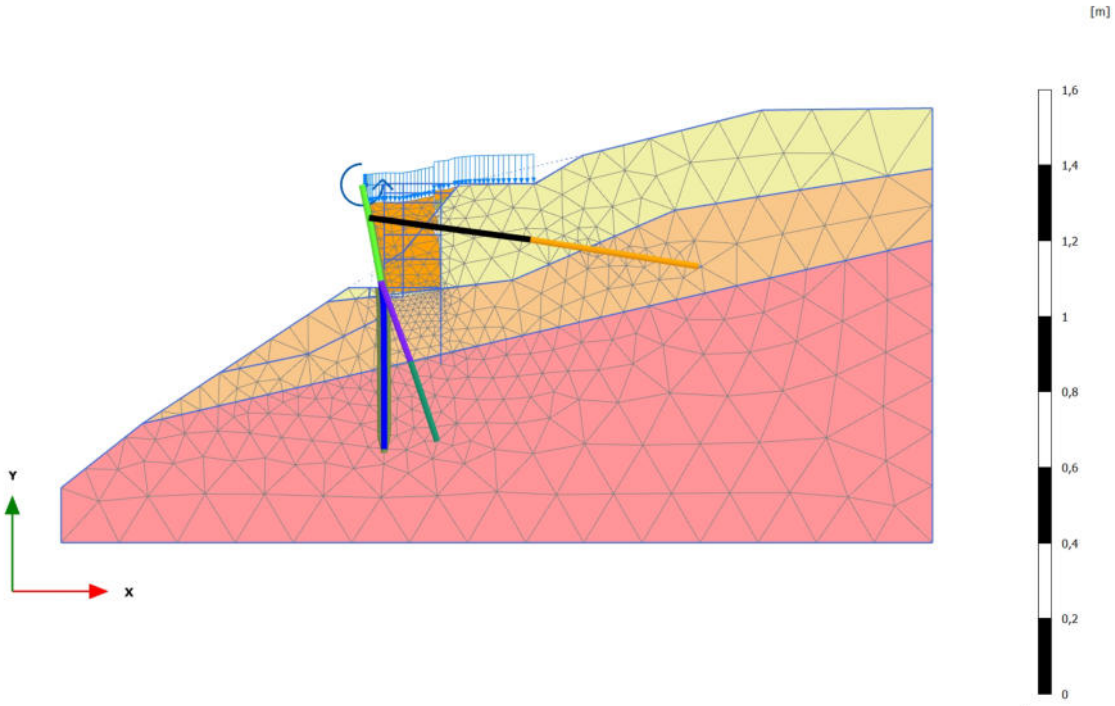

Deformed mesh |u| (scaled up 20,0 times)

Maximum value = 0,07526 m (Element 161 at Node 9170)

2.1.2.22 Calculation results, SLV [Phase_22] (22/956), Deformed mesh |u|

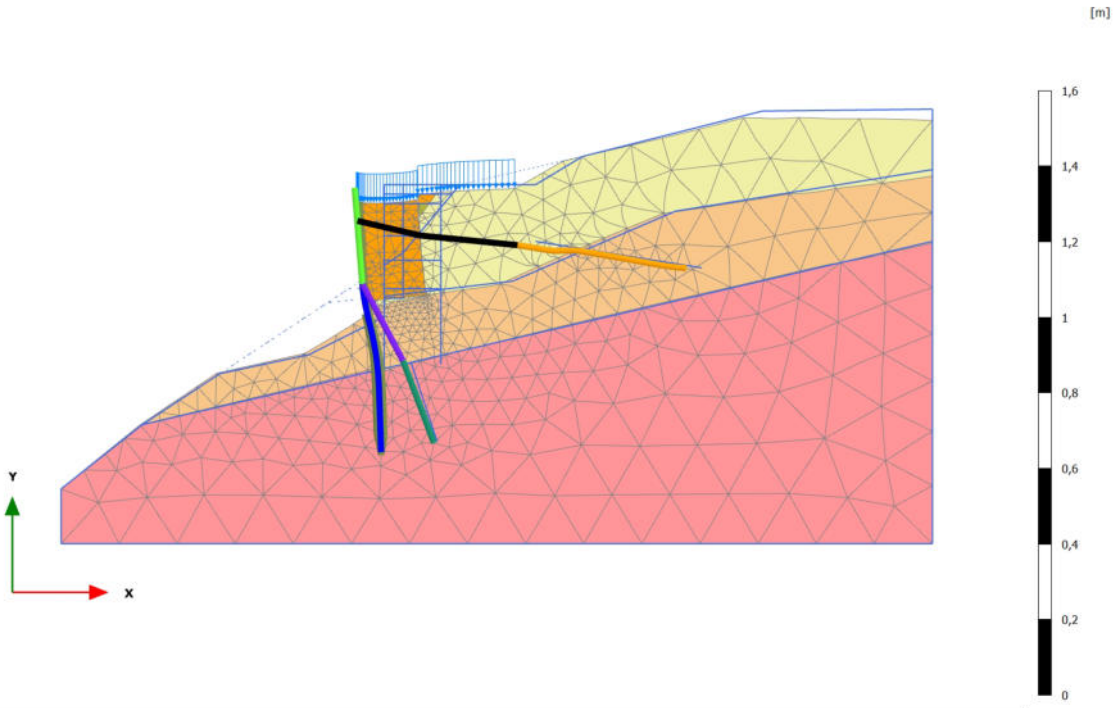

Deformed mesh |u| (scaled up 20,0 times)

Maximum value = 0,08695 m (Element 152 at Node 9056)

2.1.2.23 Calculation results, SLD [Phase_23] (23/990), Deformed mesh |u|

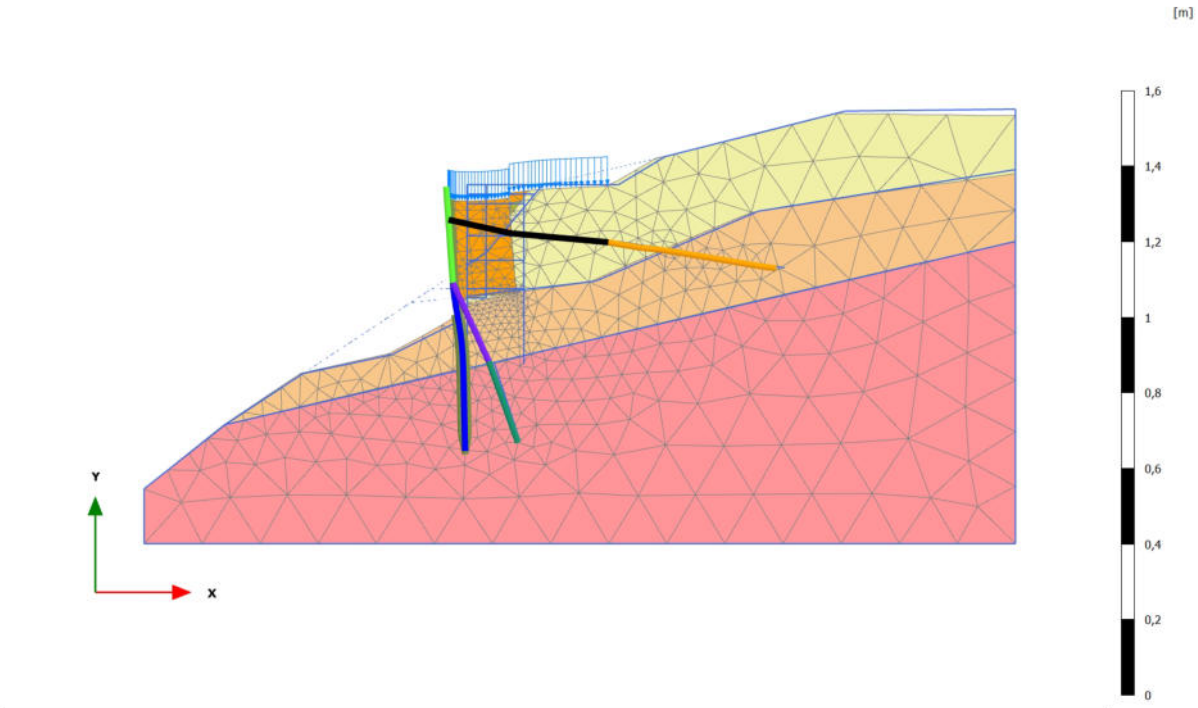

Deformed mesh |u| (scaled up 20,0 times)

Maximum value = 0,06521 m (Element 159 at Node 8972)

2.1.2.24 Calculation results, SLU11 Opera provvisionale [Phase_15] (15/1001), Deformed mesh |u|

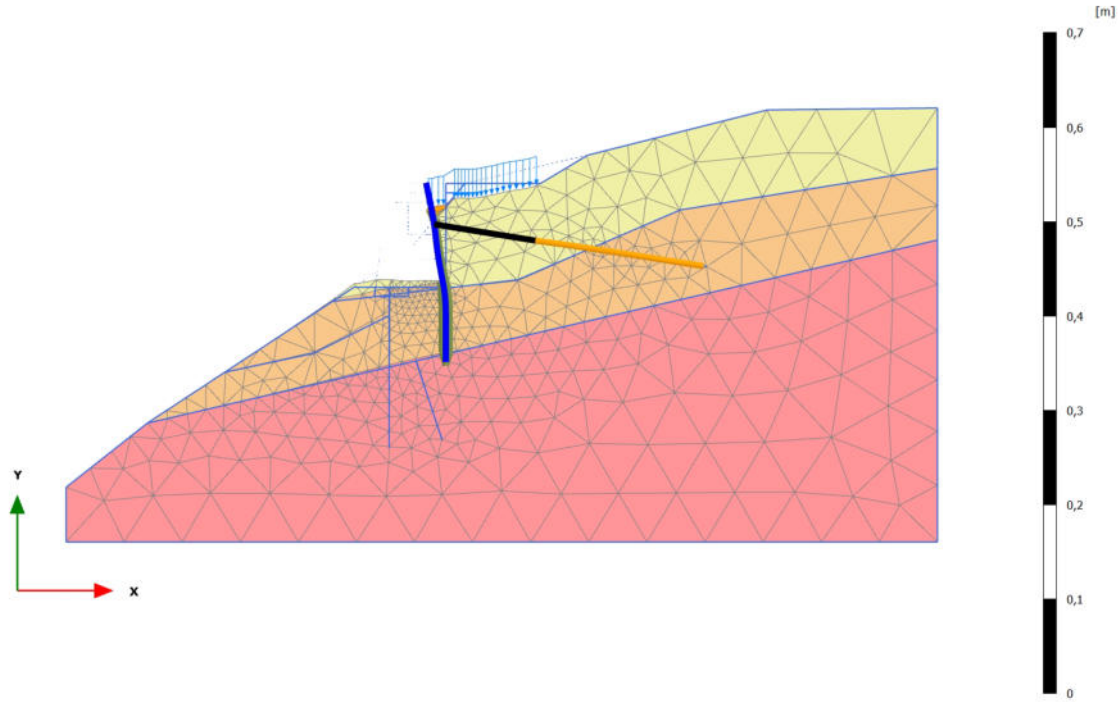

Deformed mesh |u| (scaled up 50,0 times)

Maximum value = 0,03327 m (Element 148 at Node 7839)

2.1.2.25 Calculation results, SLU12 Opera provvisionale [Phase_16] (16/1014), Deformed mesh |u|

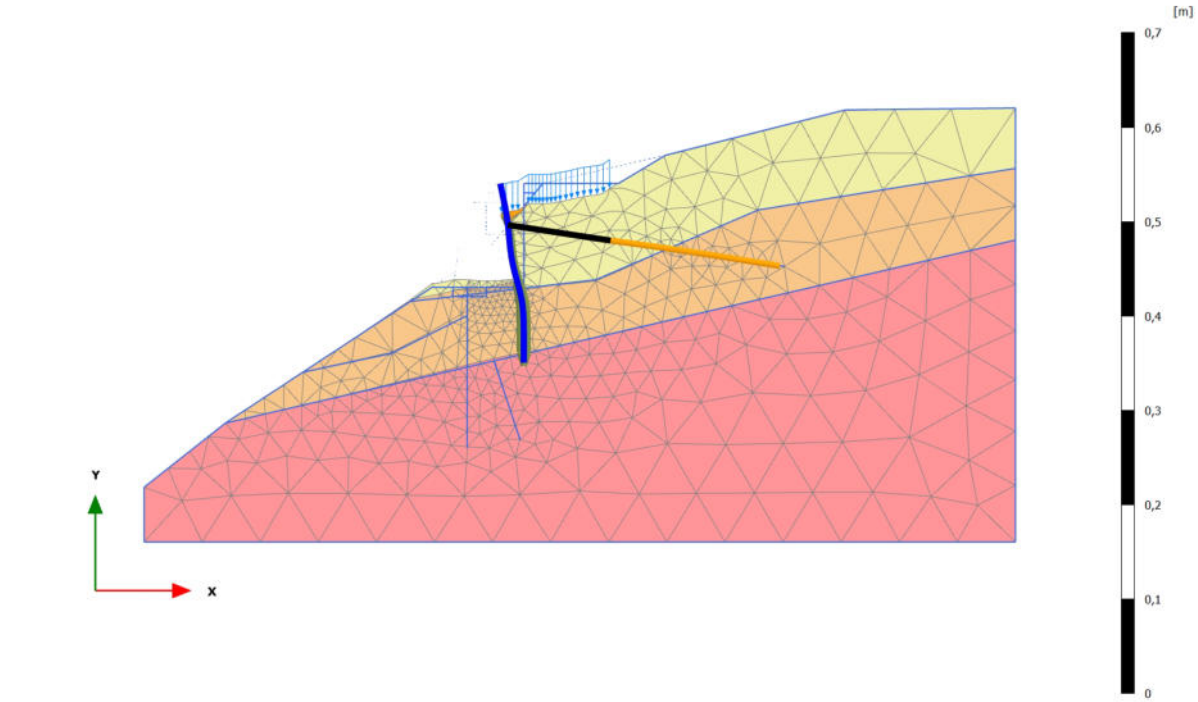

Deformed mesh |u| (scaled up 50,0 times)

Maximum value = 0,03993 m (Element 148 at Node 7839)

2.1.2.26 Calculation results, Eccezionale Opera Provvisionale [Phase_25] (25/1495), Deformed mesh |u|

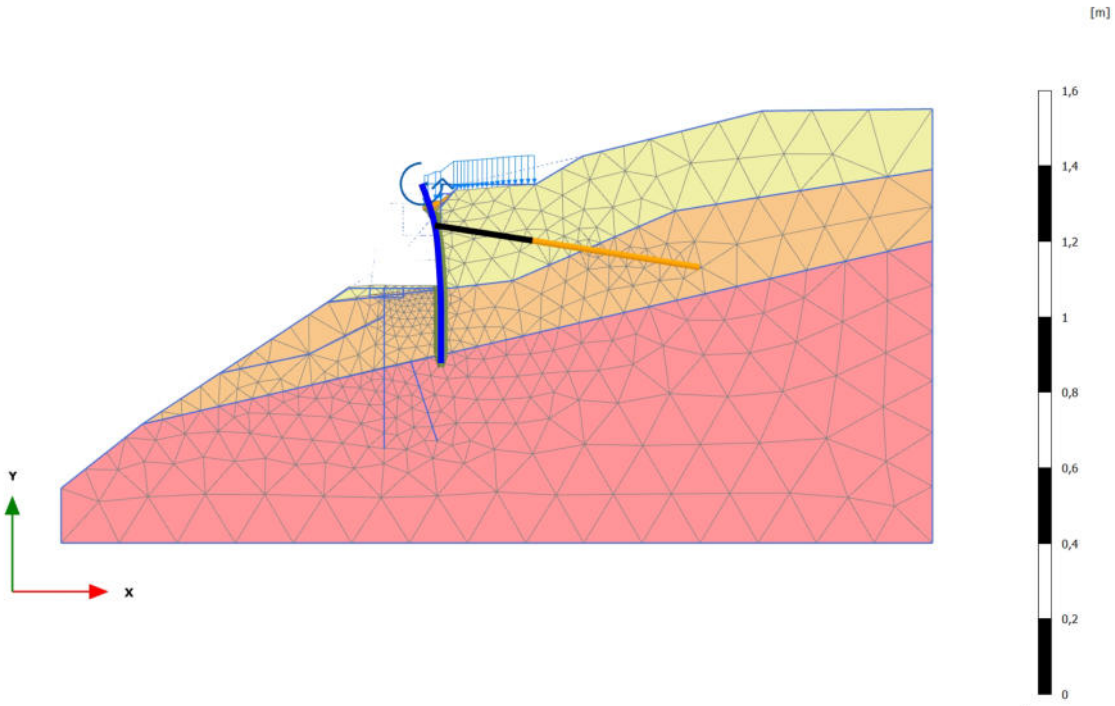

Deformed mesh |u| (scaled up 20,0 times)

Maximum value = 0,07441 m (Element 148 at Node 7839)

2.2.1.1 Calculation results, Initial phase [InitialPhase] (0/4), Plastic points

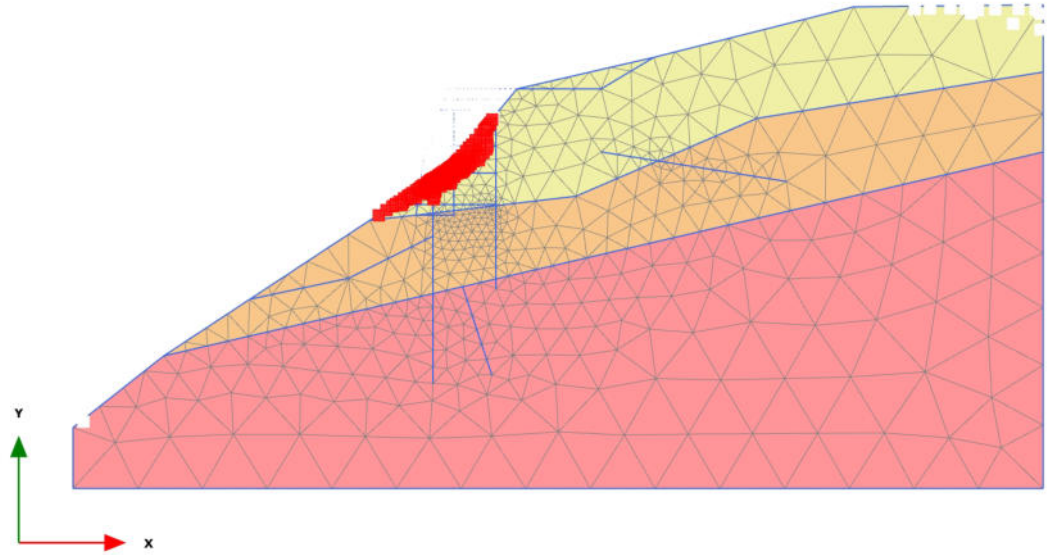

Plastic points (scaled up 0,206 times)

- Failure point
- Tension cut-off point
- Plasticity in local 2 direction only
- Plasticity in local 1 and 2 directions

2.2.1.2 Calculation results, Muro 1 [Phase_1] (1/15), Plastic points

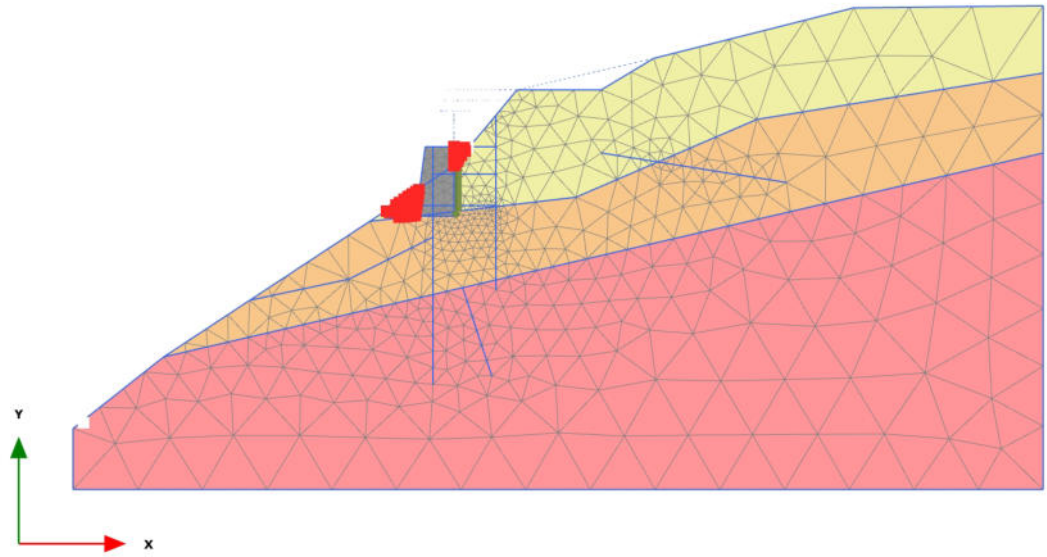

Plastic points (scaled up 0,206 times)

- Failure point
- Tension cut-off point
- Plasticity in local 2 direction only
- Plasticity in local 1 and 2 directions

2.2.1.3 Calculation results, Muro 2 (stato di fatto) [Phase_2] (2/59), Plastic points

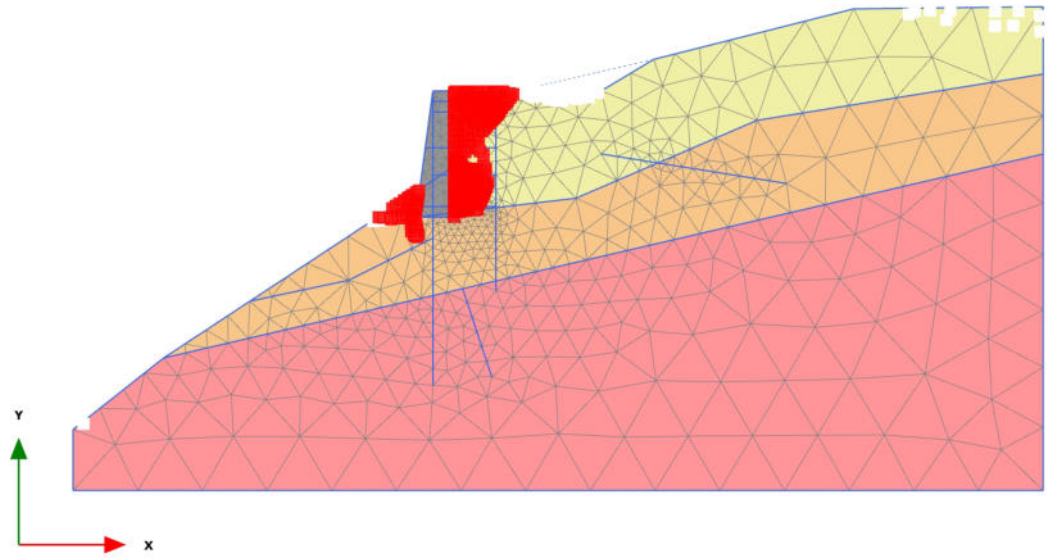

Plastic points (scaled up 0,206 times)

- Failure point
- Tension cut-off point
- Plasticity in local 2 direction only
- Plasticity in local 1 and 2 directions

2.2.1.4 Calculation results, (RD) Preparazione cantiere [Phase_3] (3/65), Plastic points

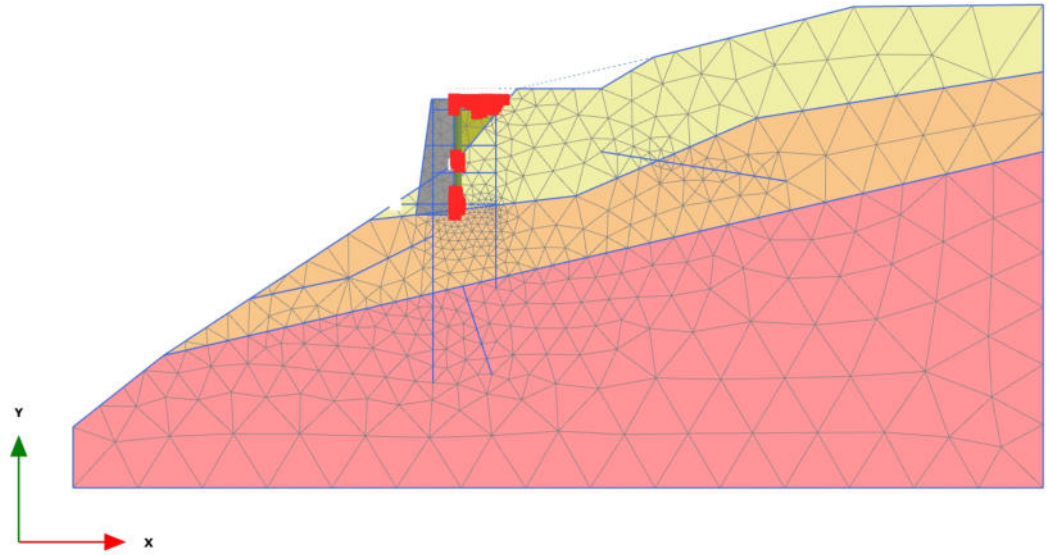

Plastic points (scaled up 0,206 times)

- Failure point
- Tension cut-off point
- Plasticity in local 2 direction only
- Plasticity in local 1 and 2 directions

2.2.1.5 Calculation results, Micropali paratia provvisionale [Phase_4] (4/68), Plastic points

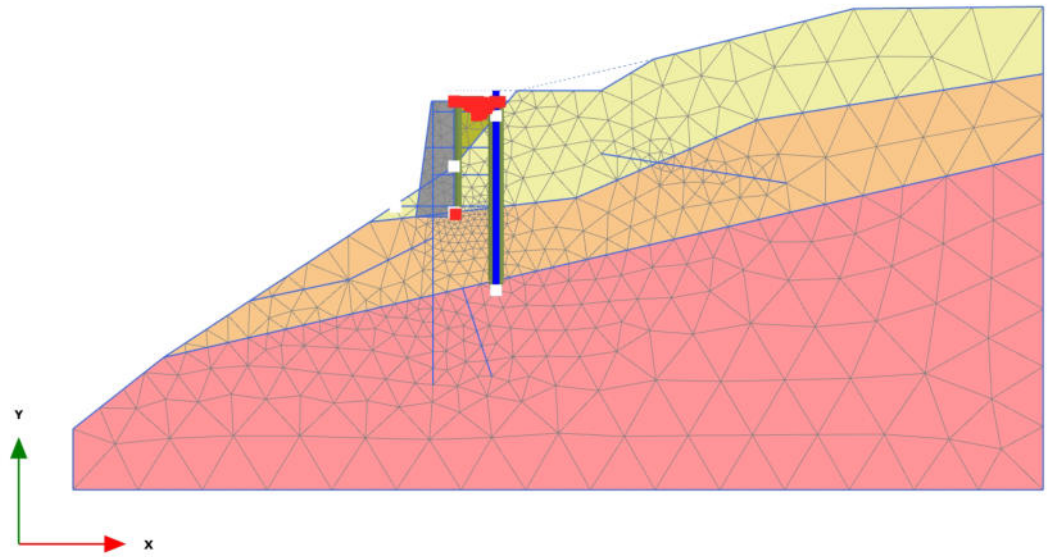

Plastic points (scaled up 0,206 times)

- Failure point
- Tension cut-off point
- Plasticity in local 2 direction only
- Plasticity in local 1 and 2 directions

2.2.1.6 Calculation results, (RD) Sovraccarico stradale [Phase_5] (5/84), Plastic points

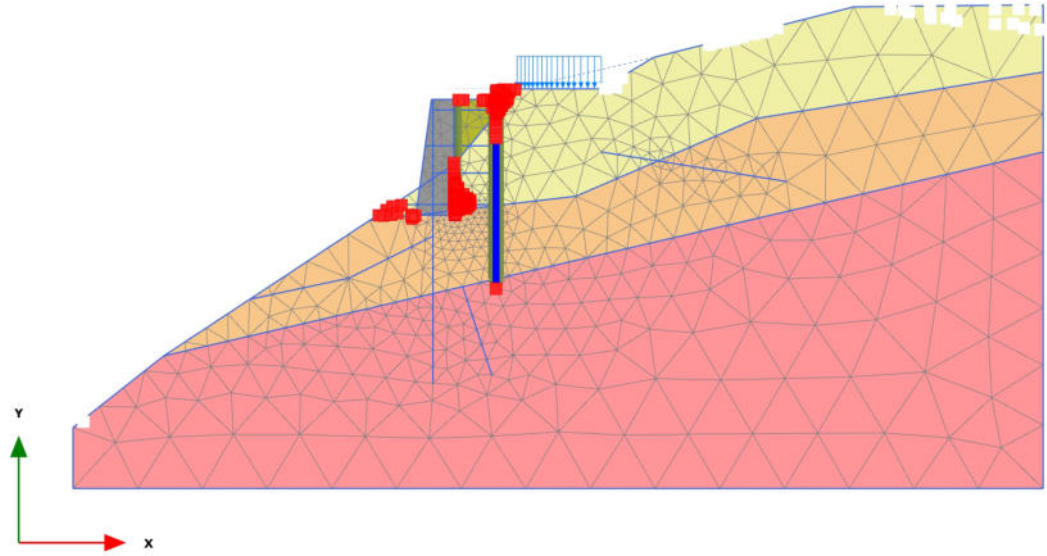

Plastic points (scaled up 0,206 times)

- Failure point
- Tension cut-off point
- Plasticity in local 2 direction only
- Plasticity in local 1 and 2 directions

2.2.1.7 Calculation results, Escavo 1 [Phase_6] (6/247), Plastic points

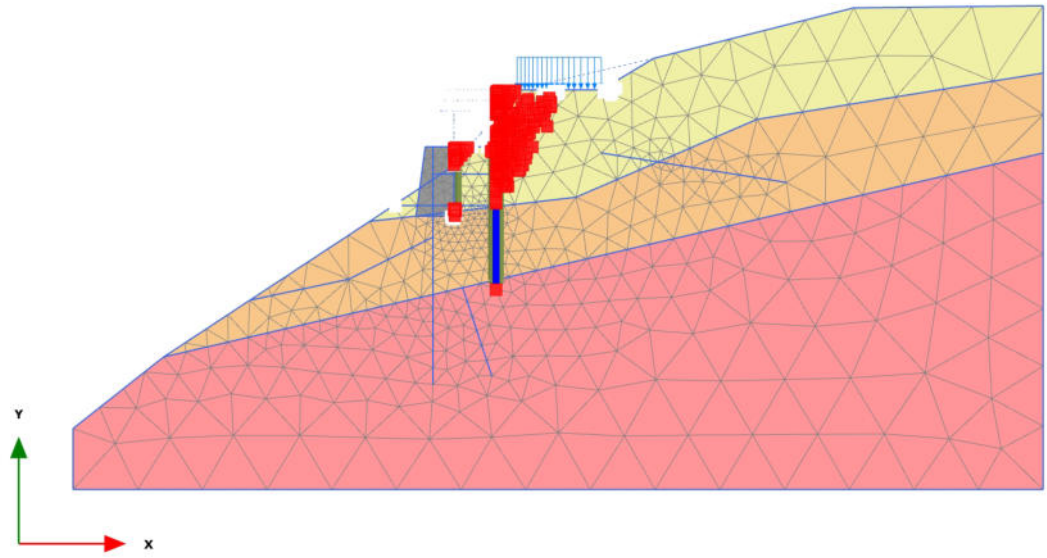

Plastic points (scaled up 0,206 times)

- Failure point
- Tension cut-off point
- Plasticity in local 2 direction only
- Plasticity in local 1 and 2 directions

2.2.1.8 Calculation results, Micropalo ancoraggio [Phase_7] (7/250), Plastic points

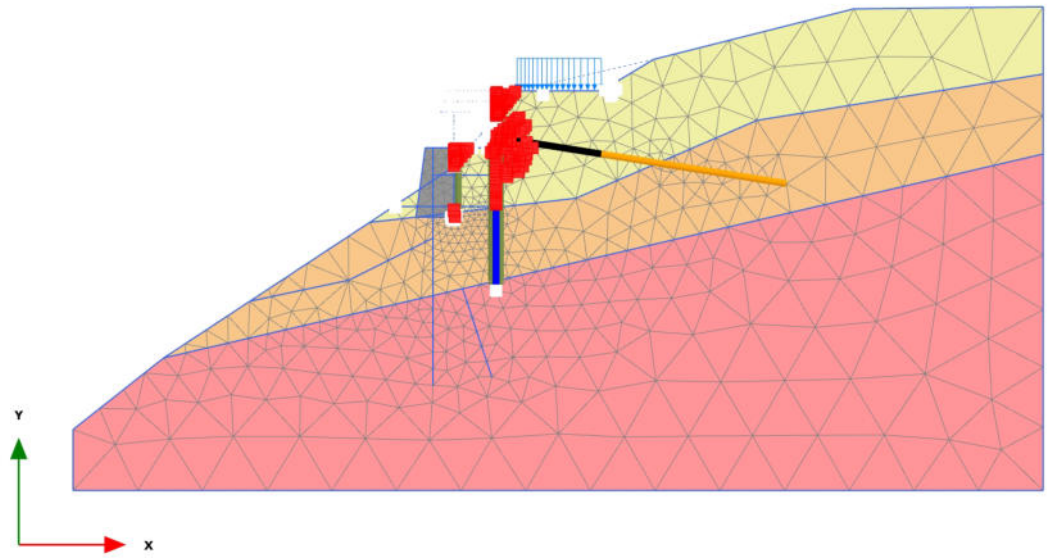

Plastic points (scaled up 0,206 times)

- Failure point
- Tension cut-off point
- Plasticity in local 2 direction only
- Plasticity in local 1 and 2 directions

2.2.1.9 Calculation results, Escavo (progetto) [Phase_8] (8/271), Plastic points

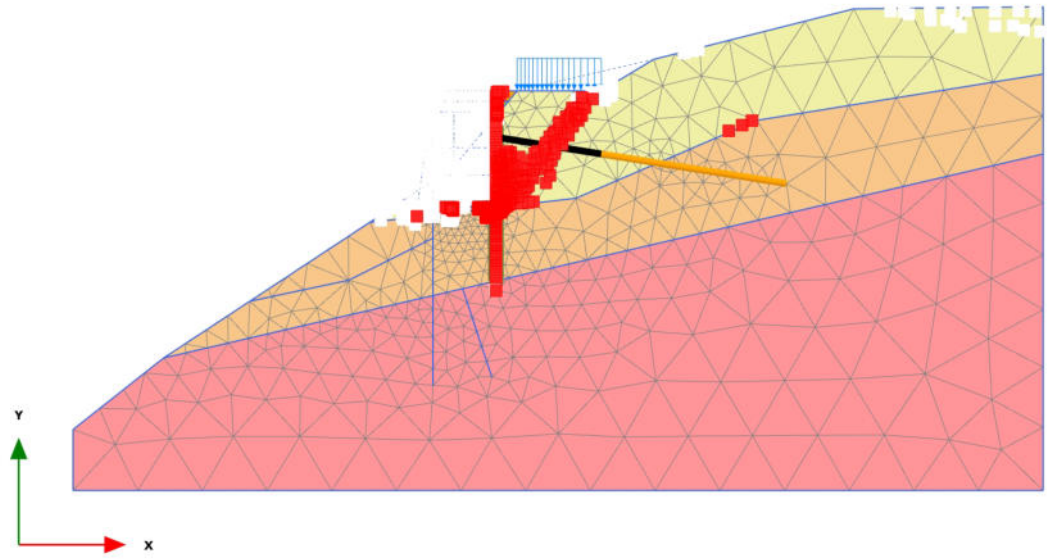

Plastic points (scaled up 0,206 times)

- Failure point
- Tension cut-off point
- Plasticity in local 2 direction only
- Plasticity in local 1 and 2 directions

2.2.1.10 Calculation results, (RD) Muro [Phase_9] (9/298), Plastic points

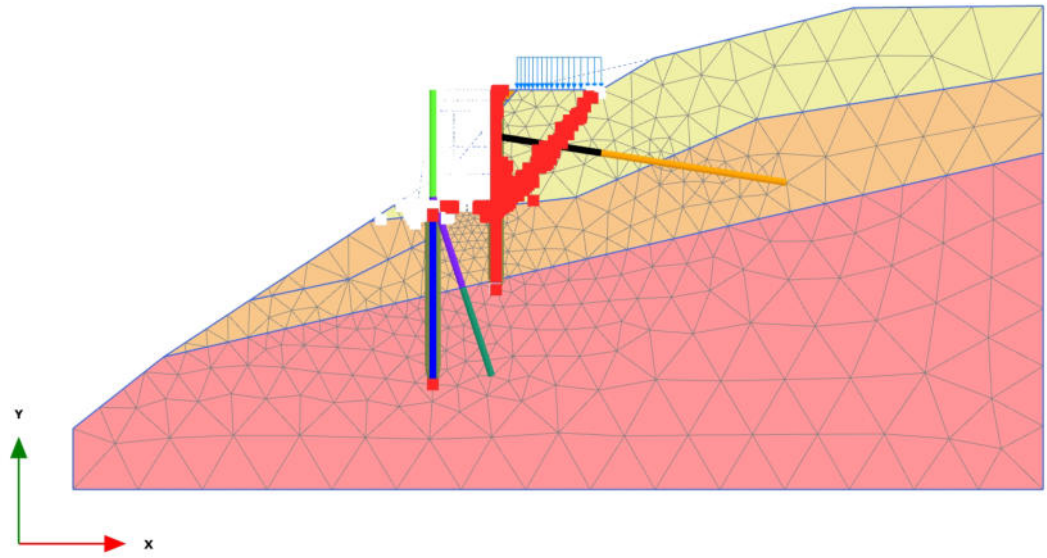

Plastic points (scaled up 0,206 times)

- Failure point
- Tension cut-off point
- Plasticity in local 2 direction only
- Plasticity in local 1 and 2 directions

2.2.1.11 Calculation results, Riempimento 1 [Phase_10] (10/374), Plastic points

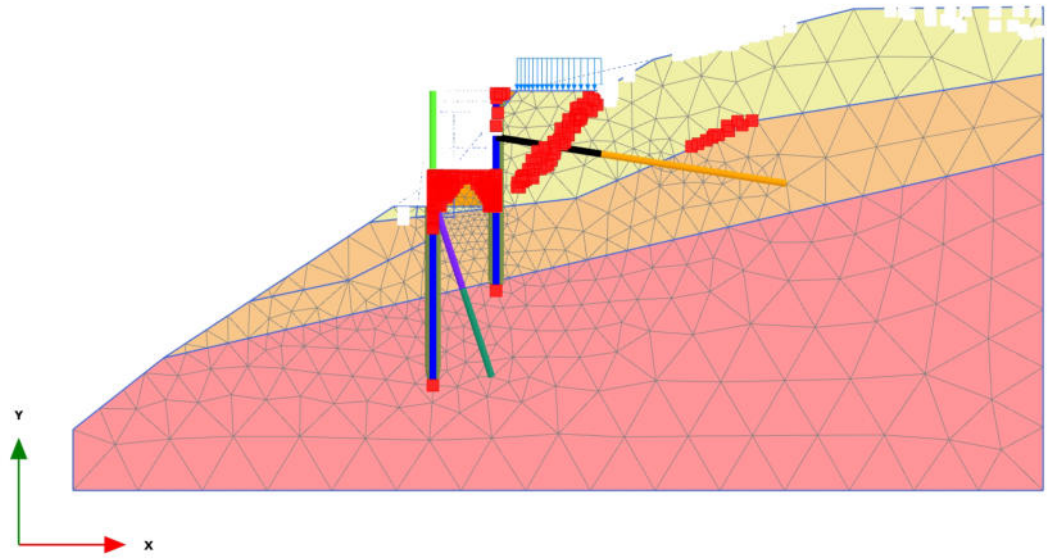

Plastic points (scaled up 0,206 times)

- Failure point
- Tension cut-off point
- Plasticity in local 2 direction only
- Plasticity in local 1 and 2 directions

2.2.1.12 Calculation results, Riempimento 2 [Phase_11] (11/647), Plastic points

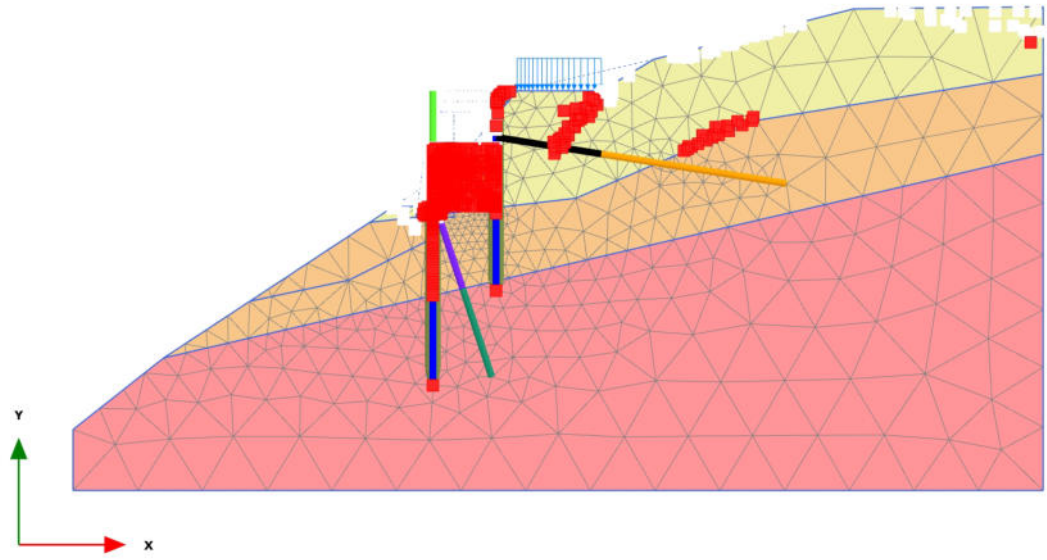

Plastic points (scaled up 0,206 times)

- Failure point
- Tension cut-off point
- Plasticity in local 2 direction only
- Plasticity in local 1 and 2 directions

2.2.1.13 Calculation results, Collegamento [Phase_12] (12/660), Plastic points

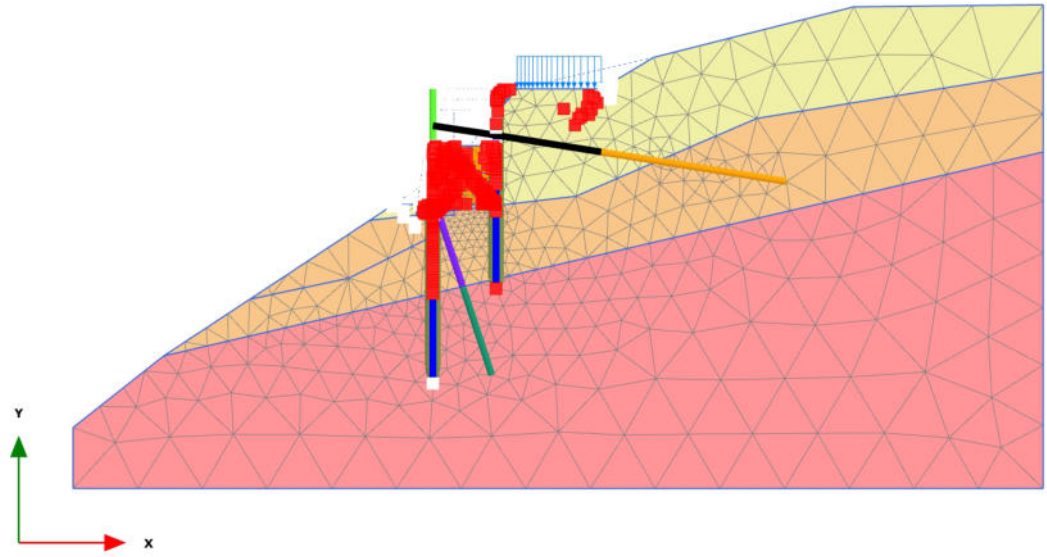

Plastic points (scaled up 0,206 times)

- Failure point
- Tension cut-off point
- Plasticity in local 2 direction only
- Plasticity in local 1 and 2 directions

2.2.1.14 Calculation results, Riempimento 3 [Phase_13] (13/678), Plastic points

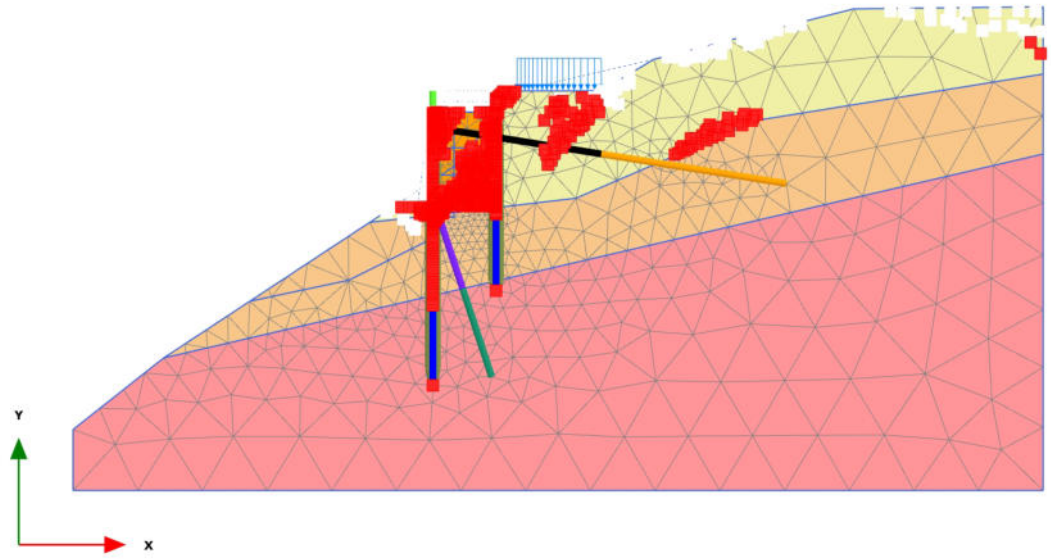

Plastic points (scaled up 0,206 times)

- Failure point
- Tension cut-off point
- Plasticity in local 2 direction only
- Plasticity in local 1 and 2 directions

2.2.1.15 Calculation results, Completamento riempimento [Phase_14] (14/695), Plastic points

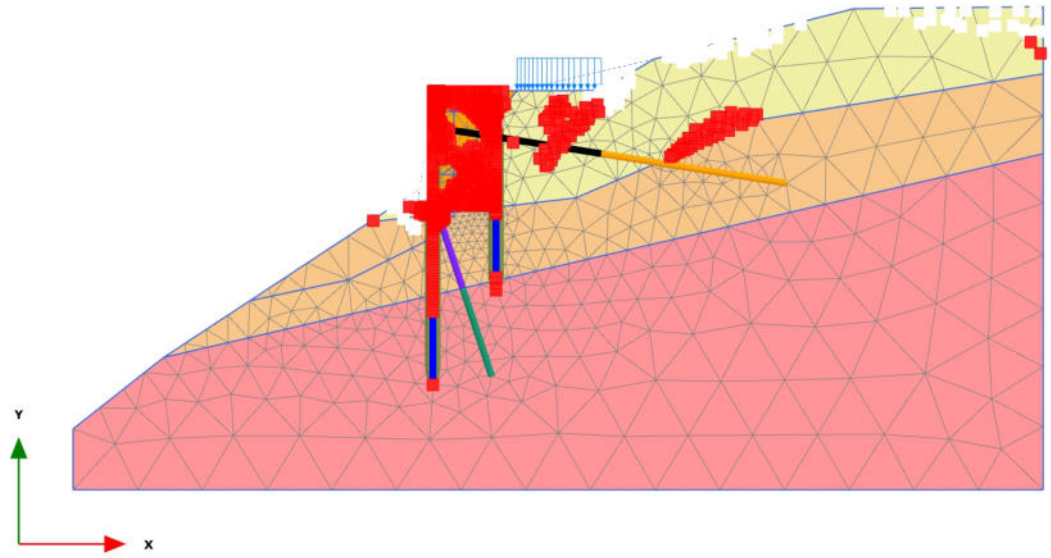

Plastic points (scaled up 0,206 times)

- Failure point
- Tension cut-off point
- Plasticity in local 2 direction only
- Plasticity in local 1 and 2 directions

2.2.1.16 Calculation results, SLE/SLU 11 Costr [Phase_17] (17/731), Plastic points

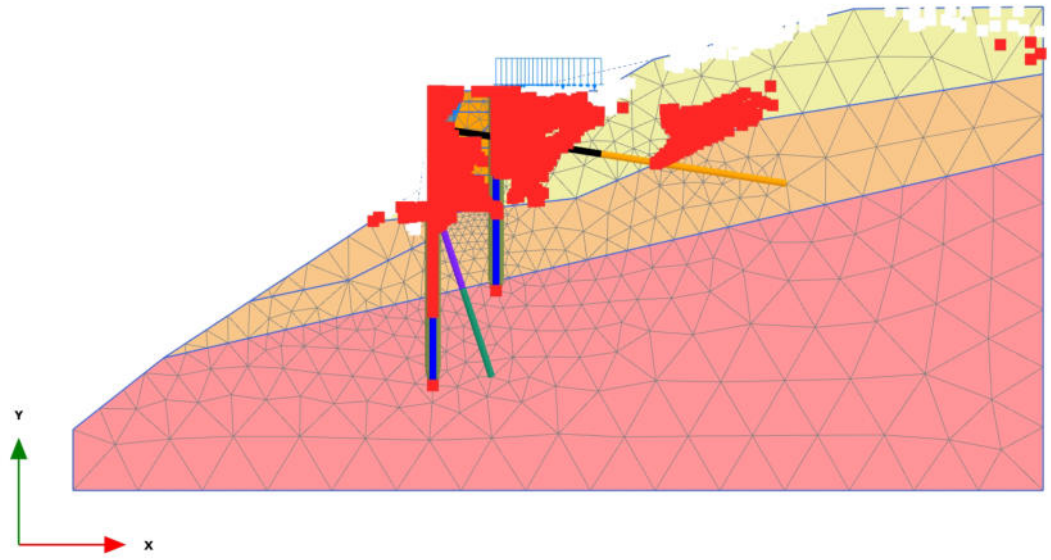

Plastic points (scaled up 0,206 times)

- Failure point
- Tension cut-off point
- Plasticity in local 2 direction only
- Plasticity in local 1 and 2 directions

2.2.1.17 Calculation results, Disattivazione paratia provvisionale [Phase_24] (24/741), Plastic points

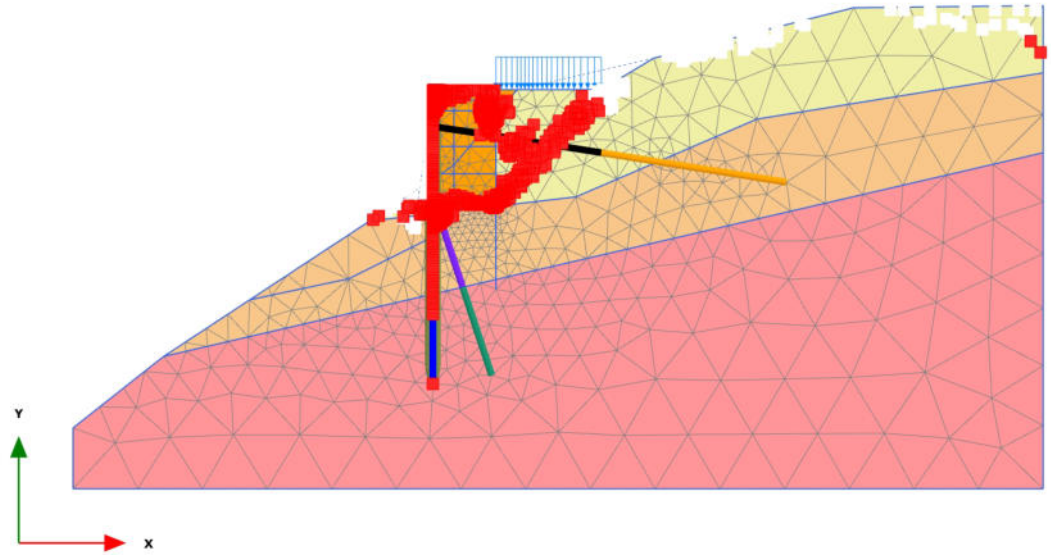

Plastic points (scaled up 0,206 times)

- Failure point
- Tension cut-off point
- Plasticity in local 2 direction only
- Plasticity in local 1 and 2 directions

2.2.1.18 Calculation results, SLE [Phase_18] (18/746), Plastic points

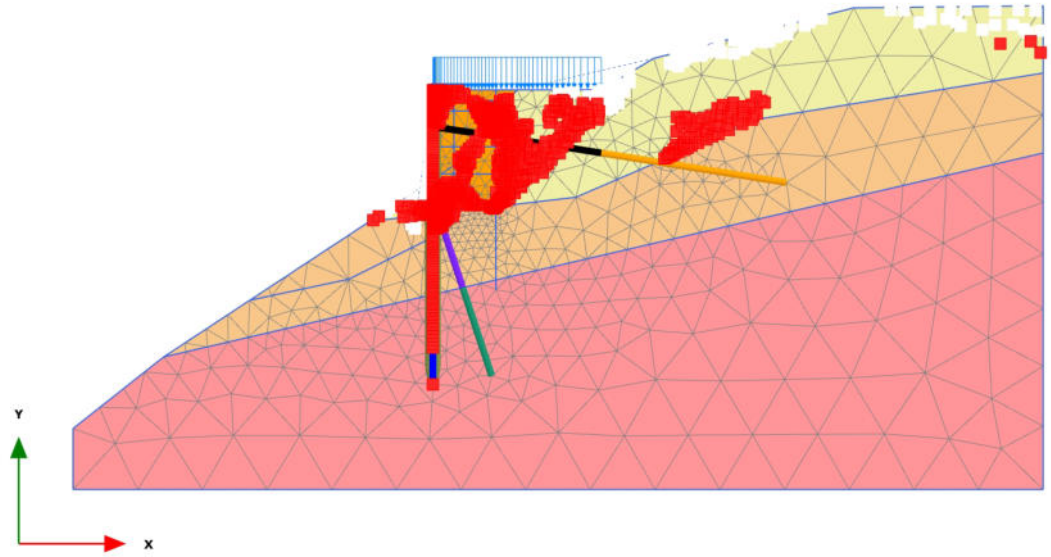

Plastic points (scaled up 0,206 times)

- Failure point
- Tension cut-off point
- Plasticity in local 2 direction only
- Plasticity in local 1 and 2 directions

2.2.1.19 Calculation results, SLU11 (scalz) [Phase_19] (19/779), Plastic points

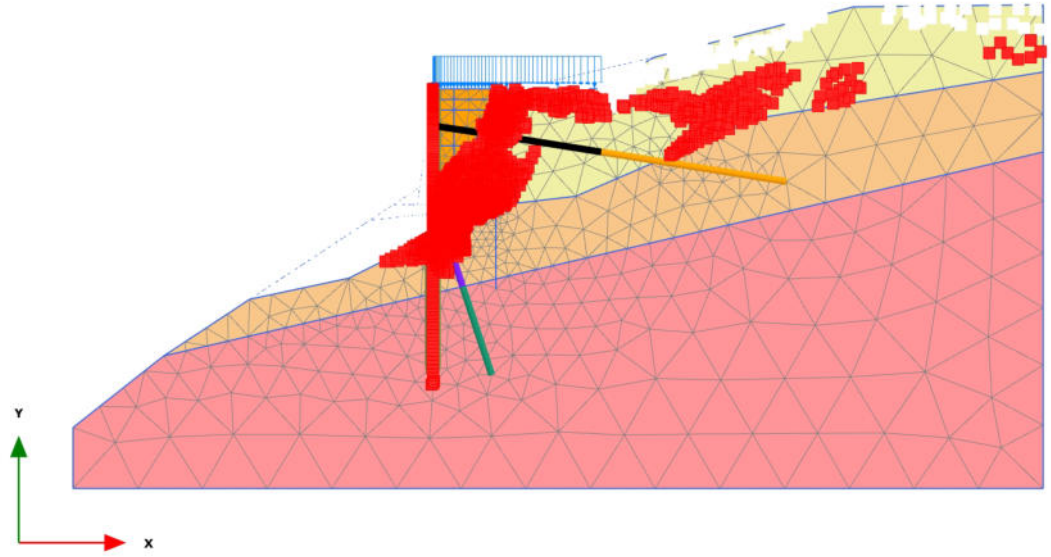

Plastic points (scaled up 0,206 times)

- Failure point
- Tension cut-off point
- Plasticity in local 2 direction only
- Plasticity in local 1 and 2 directions

2.2.1.20 Calculation results, SLU 12 [Phase_20] (20/799), Plastic points

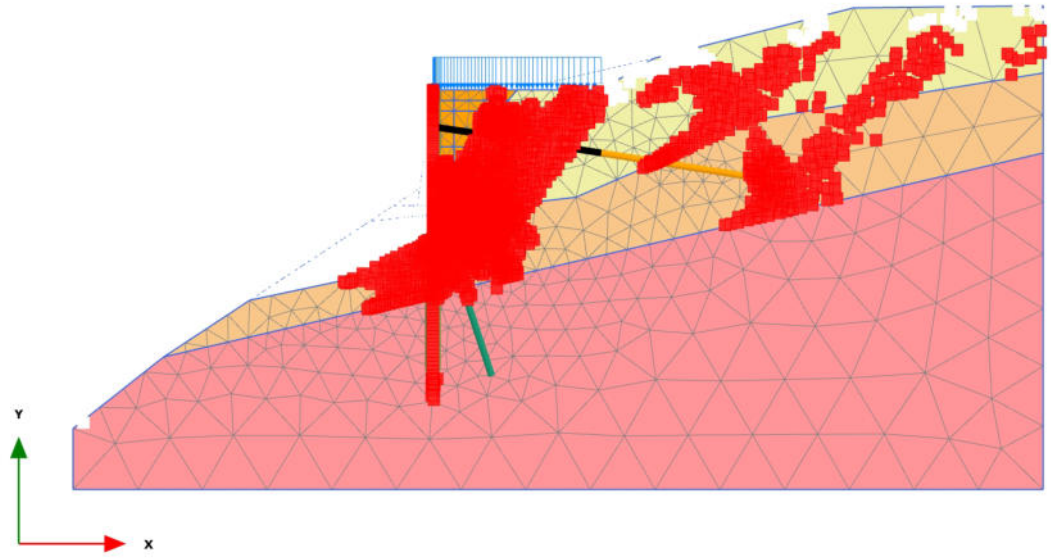

Plastic points (scaled up 0,206 times)

- Failure point
- Tension cut-off point
- Plasticity in local 2 direction only
- Plasticity in local 1 and 2 directions

2.2.1.21 Calculation results, Eccezionale [Phase_21] (21/917), Plastic points

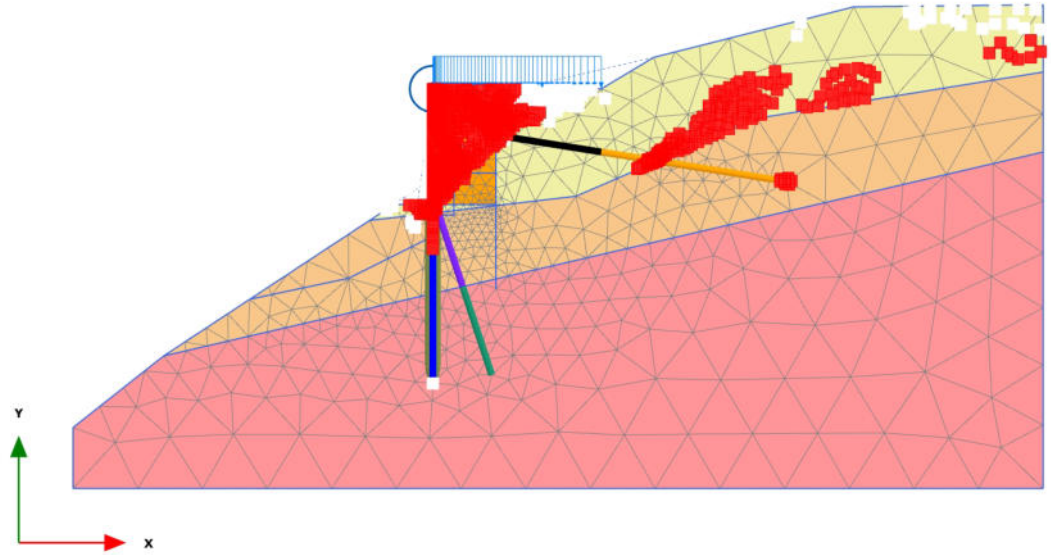

Plastic points (scaled up 0,206 times)

- Failure point
- Tension cut-off point
- Plasticity in local 2 direction only
- Plasticity in local 1 and 2 directions

2.2.1.22 Calculation results, SLV [Phase_22] (22/956), Plastic points

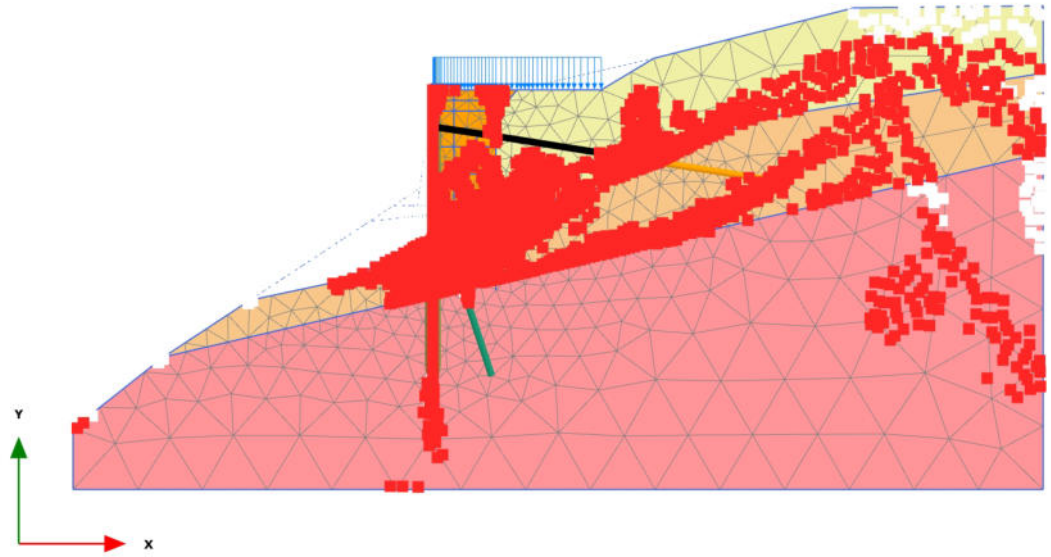

Plastic points (scaled up 0,206 times)

- Failure point
- Tension cut-off point
- Plasticity in local 2 direction only
- Plasticity in local 1 and 2 directions

2.2.1.23 Calculation results, SLD [Phase_23] (23/990), Plastic points

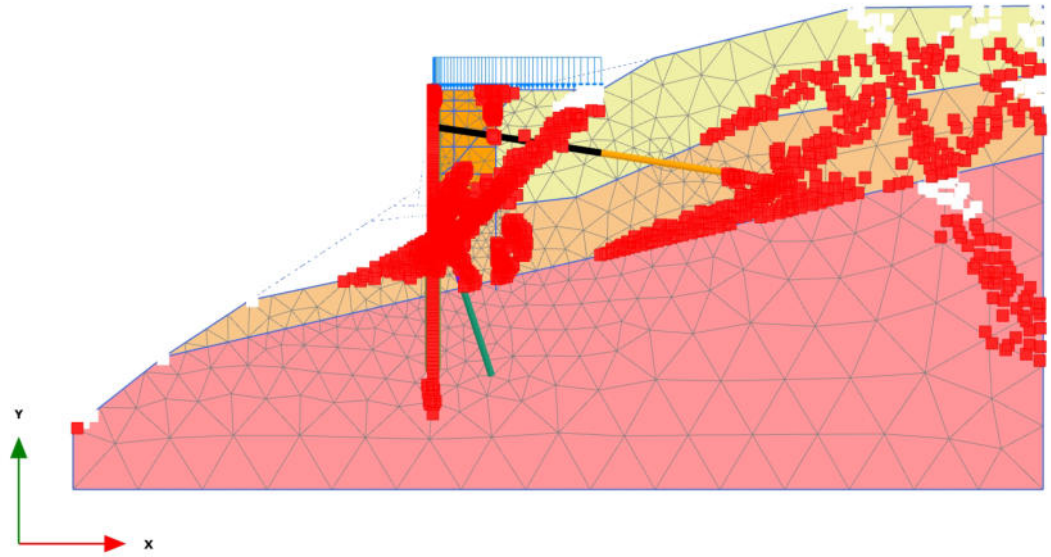

Plastic points (scaled up 0,206 times)

- Failure point
- Tension cut-off point
- Plasticity in local 2 direction only
- Plasticity in local 1 and 2 directions

2.2.1.24 Calculation results, SLU11 Opera provvisionale [Phase_15] (15/1001), Plastic points

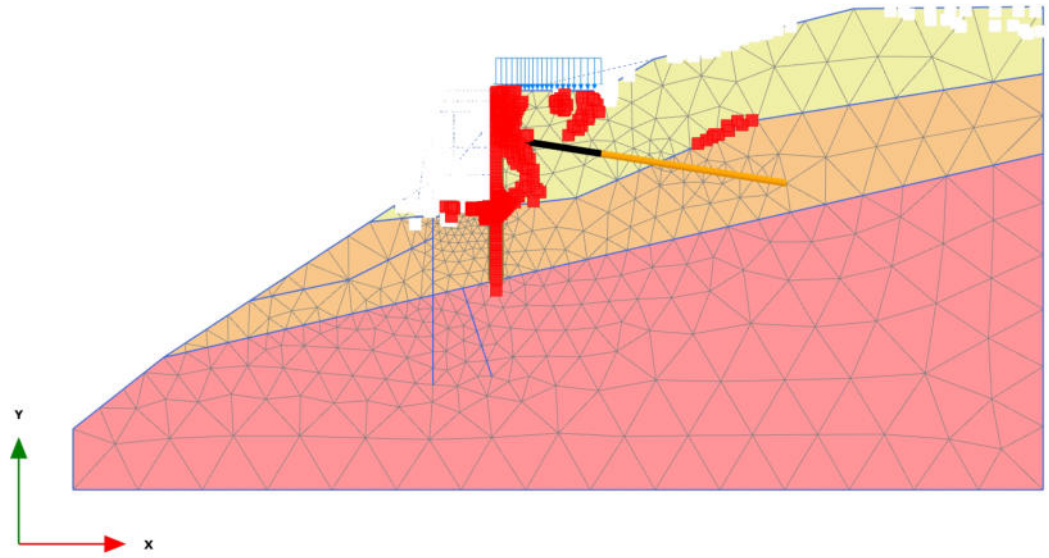

Plastic points (scaled up 0,206 times)

- Failure point
- Tension cut-off point
- Plasticity in local 2 direction only
- Plasticity in local 1 and 2 directions

2.2.1.25 Calculation results, SLU12 Opera provvisionale [Phase_16] (16/1014), Plastic points

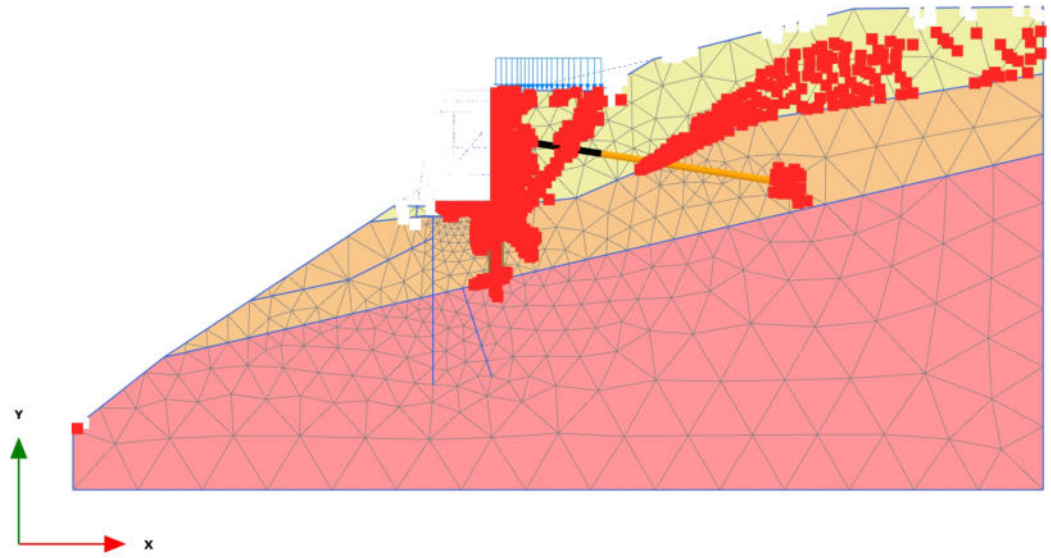

Plastic points (scaled up 0,206 times)

- Failure point
- Tension cut-off point
- Plasticity in local 2 direction only
- Plasticity in local 1 and 2 directions

2.2.1.26 Calculation results, Eccezionale Opera Provvisionale [Phase_25] (25/1495), Plastic points

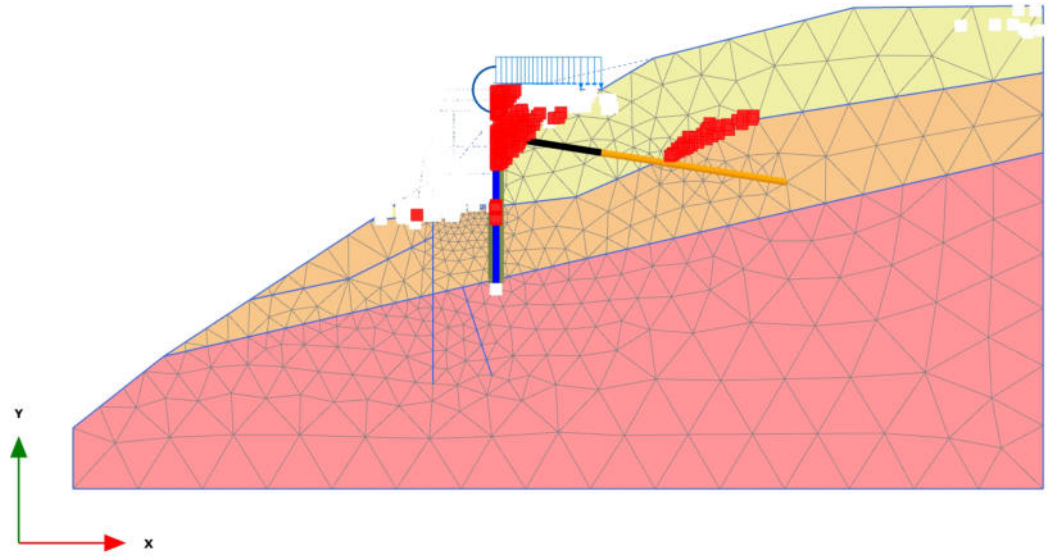

Plastic points (scaled up 0,206 times)

- Failure point
- Tension cut-off point
- Plasticity in local 2 direction only
- Plasticity in local 1 and 2 directions

3.1.1.1.1.1 Calculation results, Plate, Initial phase [InitialPhase] (0/4), Total displacements u_x

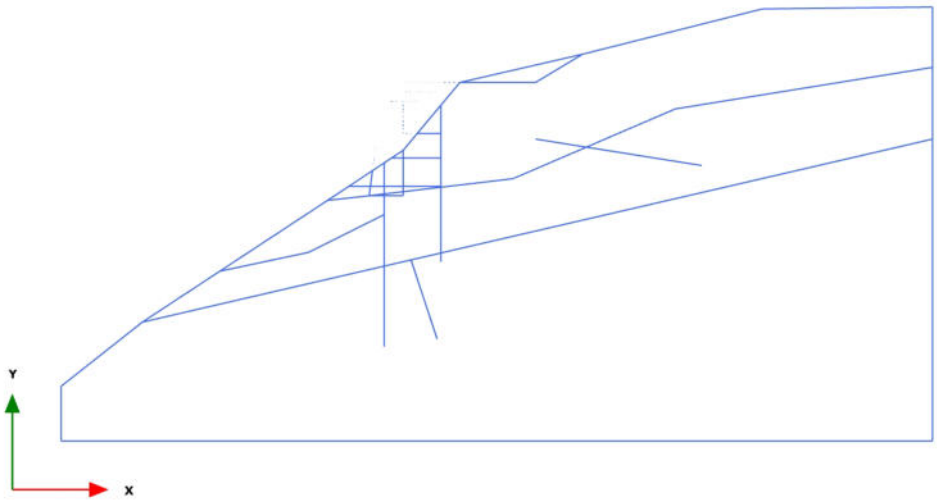

Total displacements u_x (at true scale)

No results

3.1.1.1.1.2 Calculation results, Plate, Muro 1 [Phase_1] (1/15), Total displacements u_x

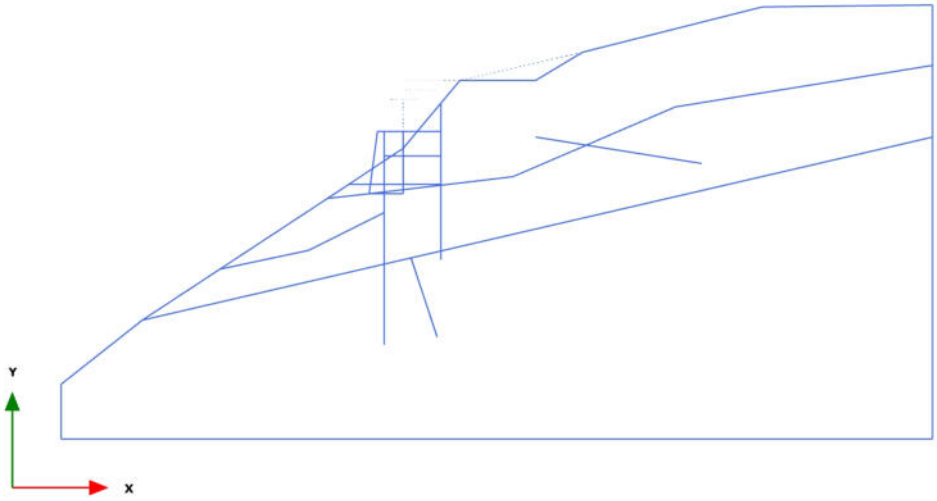

Total displacements u_x (at true scale)

No results

3.1.1.1.1.3 Calculation results, Plate, Muro 2 (stato di fatto) [Phase_2] (2/59), Total displacements u_x

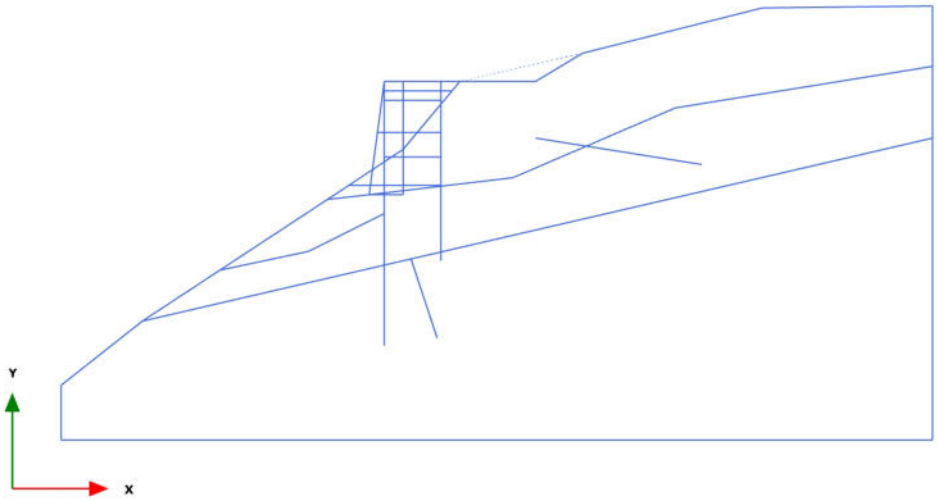

Total displacements u_x (at true scale)

No results

3.1.1.1.1.4 Calculation results, Plate, (RD) Preparazione cantiere [Phase_3] (3/65), Total displacements u_x

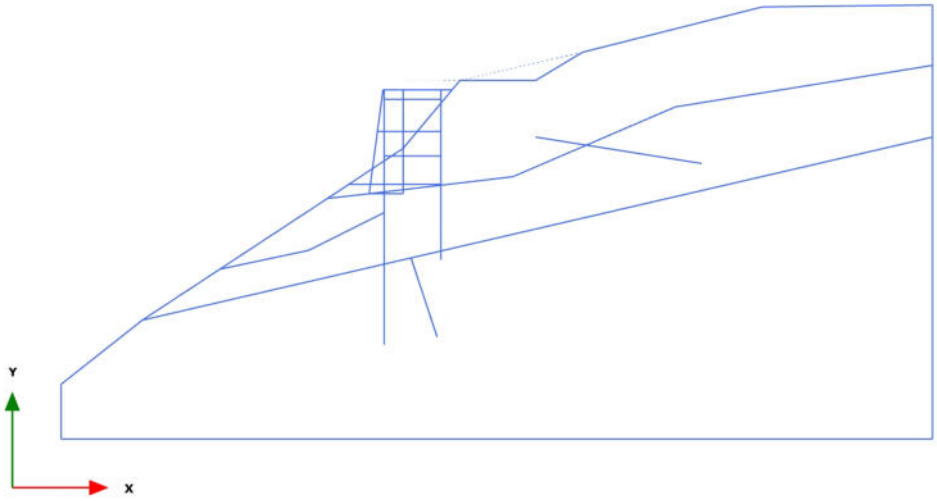

Total displacements u_x (at true scale)

No results

3.1.1.1.1.5 Calculation results, Plate, Micropali paratia provvisionale [Phase_4] (4/68), Total displacements u_x

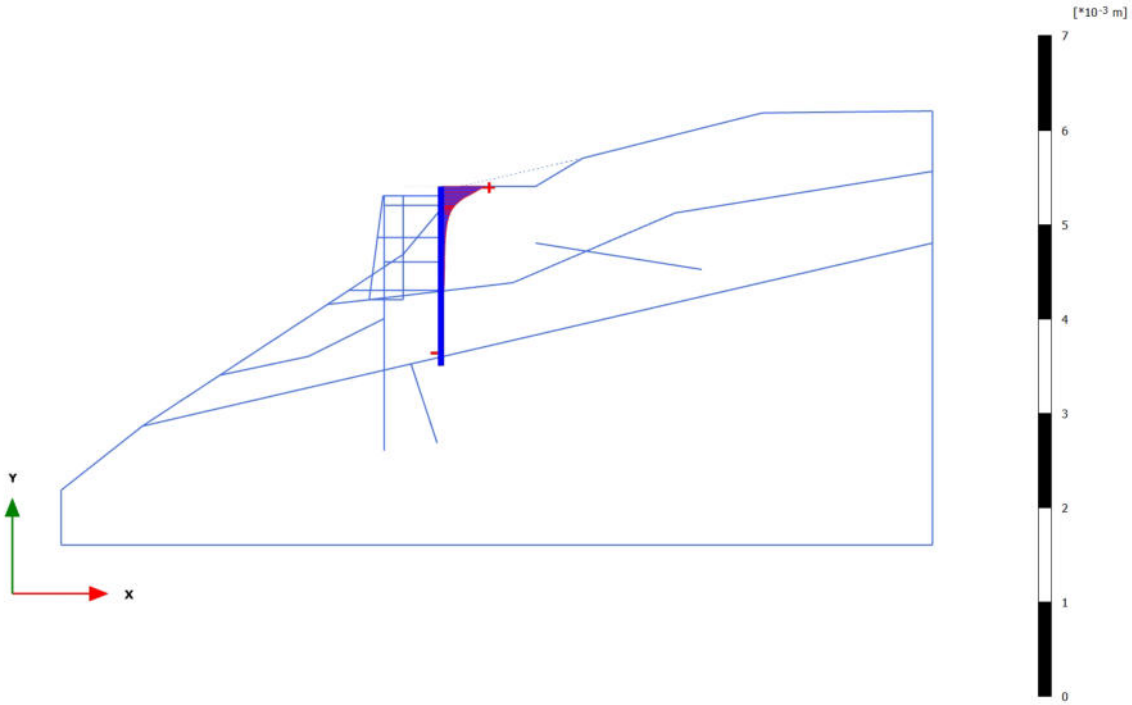

Total displacements u_x (scaled up 5,00*10³ times)

Maximum value = 0,4626*10^{-3} m (Element 4 at Node 7845)

Minimum value = -0,01776*10^{-3} m (Element 49 at Node 3375)

3.1.1.1.1.6 Calculation results, Plate, (RD) Sovraccarico stradale [Phase_5] (5/84), Total displacements u_x

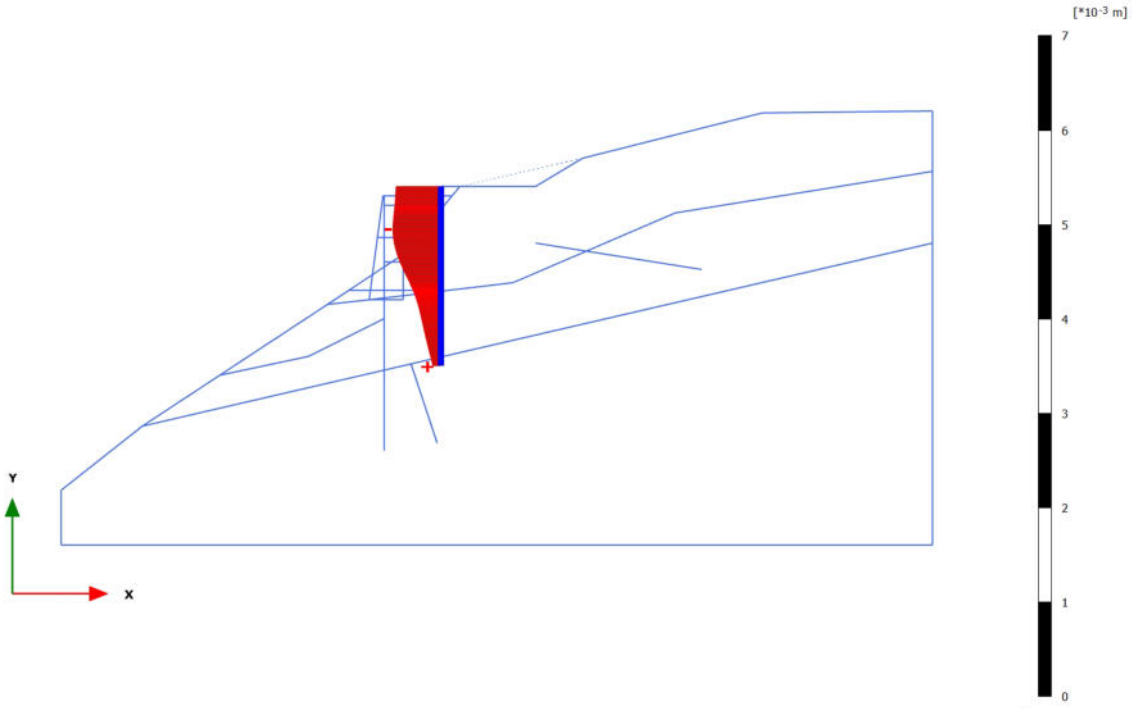

Total displacements u_x (scaled up 5,00*10³ times)

Maximum value = -0,08597*10^{-3} m (Element 55 at Node 3259)

Minimum value = -0,5083*10^{-3} m (Element 15 at Node 7866)

3.1.1.1.1.7 Calculation results, Plate, Escavo 1 [Phase_6] (6/247), Total displacements u_x

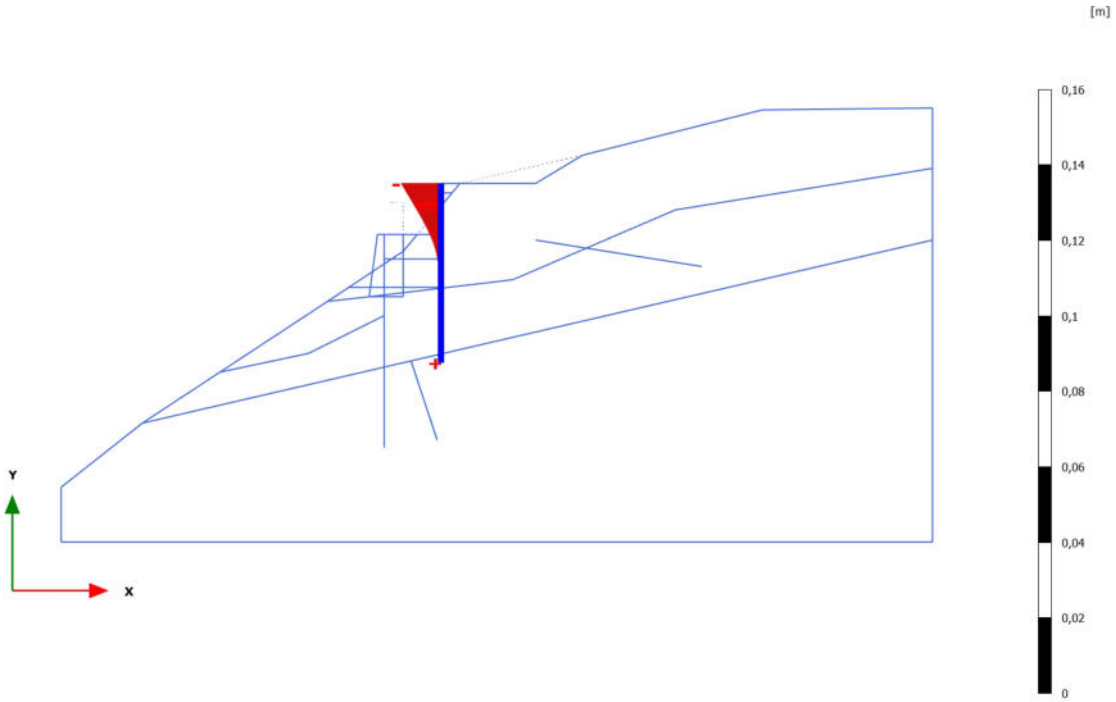

Total displacements u_x (scaled up 200 times)

Maximum value = -0,1665*10^{-3} m (Element 55 at Node 3259)

Minimum value = -0,01047 m (Element 4 at Node 7845)

3.1.1.1.1.8 Calculation results, Plate, Micropalo ancoraggio [Phase_7] (7/250), Total displacements u_x

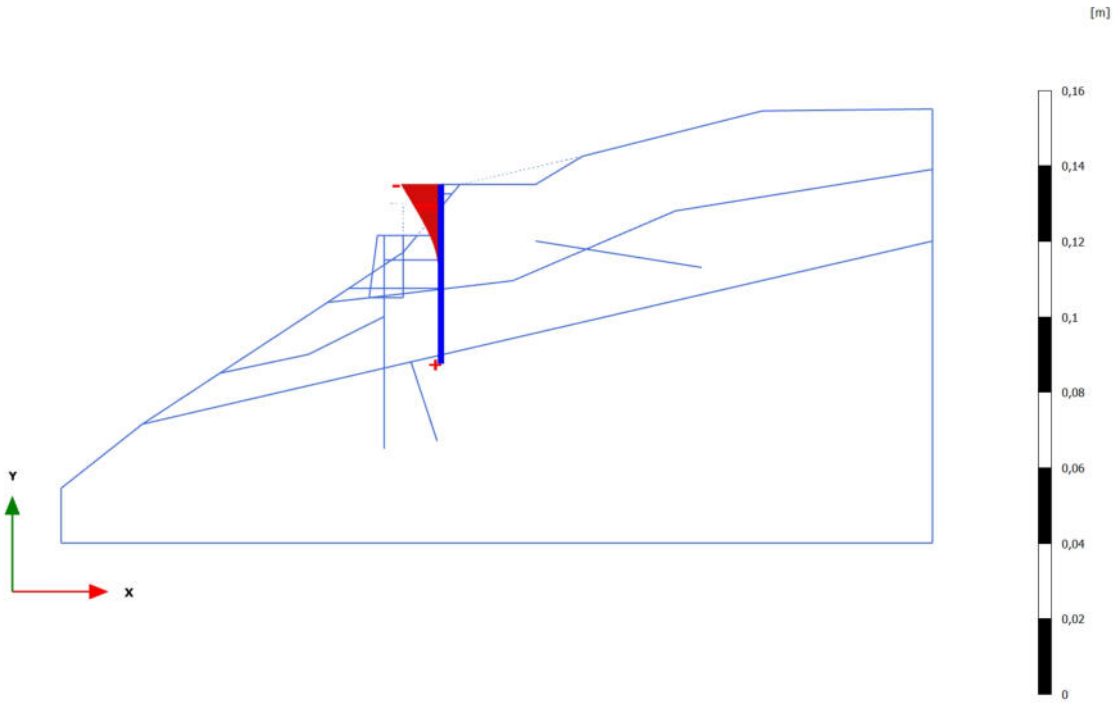

Total displacements u_x (scaled up 200 times)

Maximum value = -0,1665*10^{-3} m (Element 55 at Node 3259)

Minimum value = -0,01047 m (Element 4 at Node 7845)

3.1.1.1.1.9 Calculation results, Plate, Escavo (progetto) [Phase_8] (8/271), Total displacements u_x

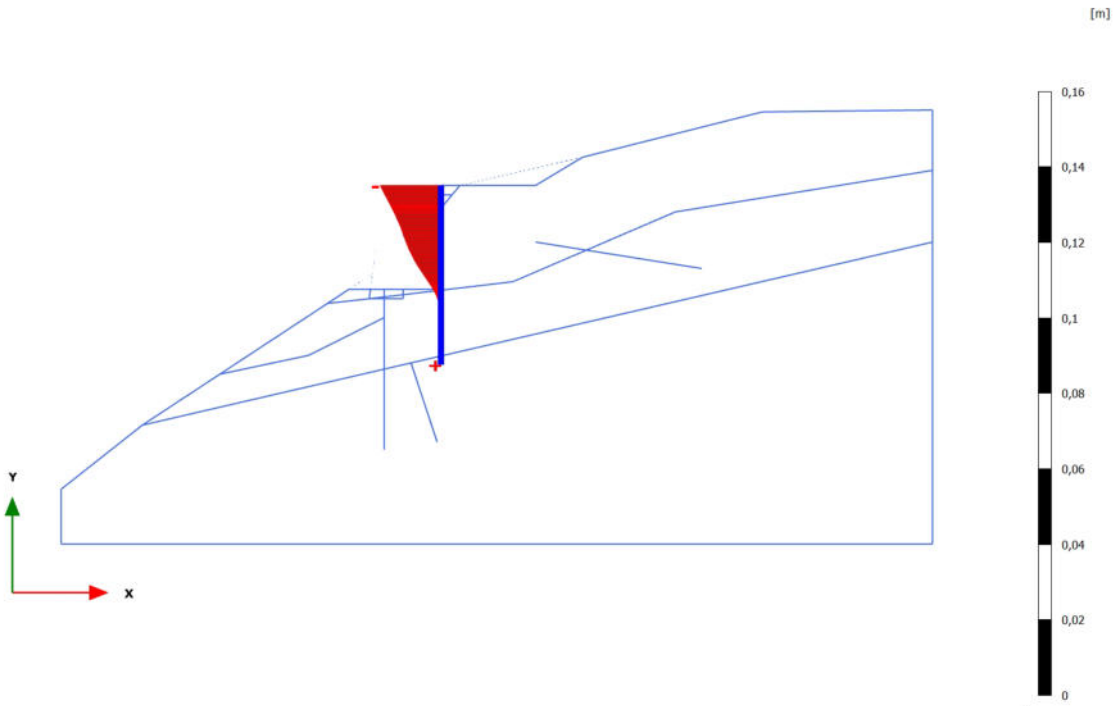

Total displacements u_x (scaled up 200 times)

Maximum value = $-0{,}1127*10^{-3}$ m (Element 55 at Node 3259)

Minimum value = -0,01607 m (Element 4 at Node 7845)

3.1.1.1.1.10 Calculation results, Plate, (RD) Muro [Phase_9] (9/298), Total displacements u_x

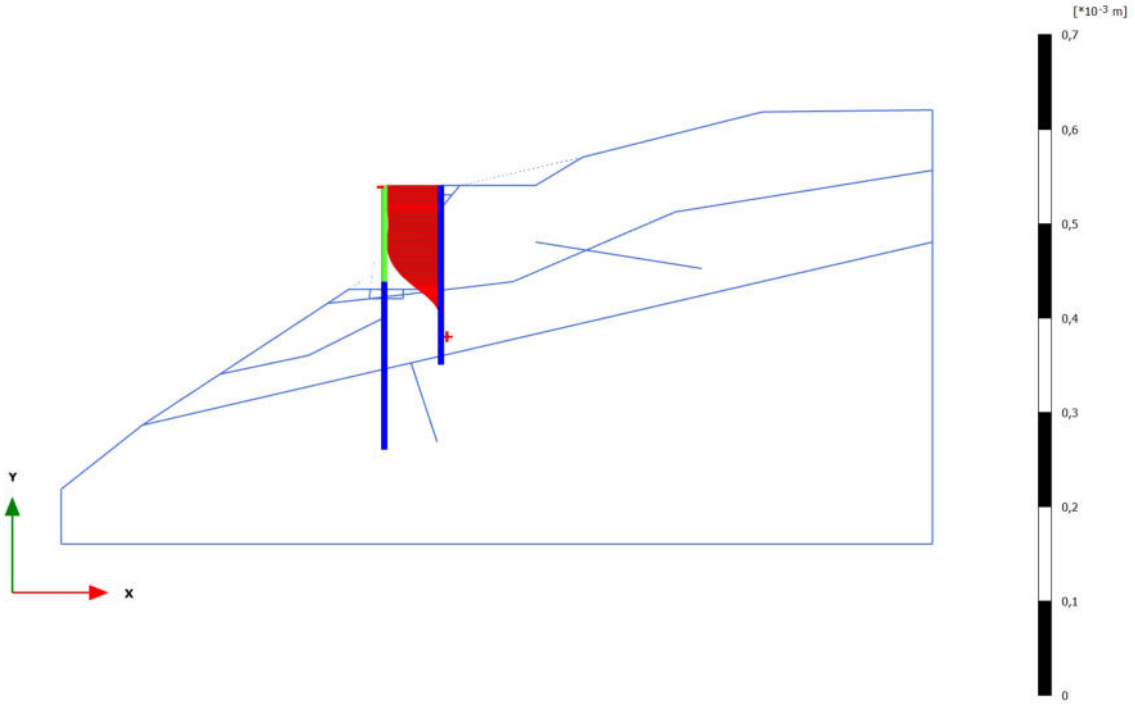

Total displacements u_x (scaled up 50,0*10³ times)

Maximum value = 1,089*10^{-6} m (Element 47 at Node 3553)

Minimum value = -0,05870*10^{-3} m (Element 4 at Node 7845)

3.1.1.1.1.11 Calculation results, Plate, Riempimento 1 [Phase_10] (10/374), Total displacements u_x

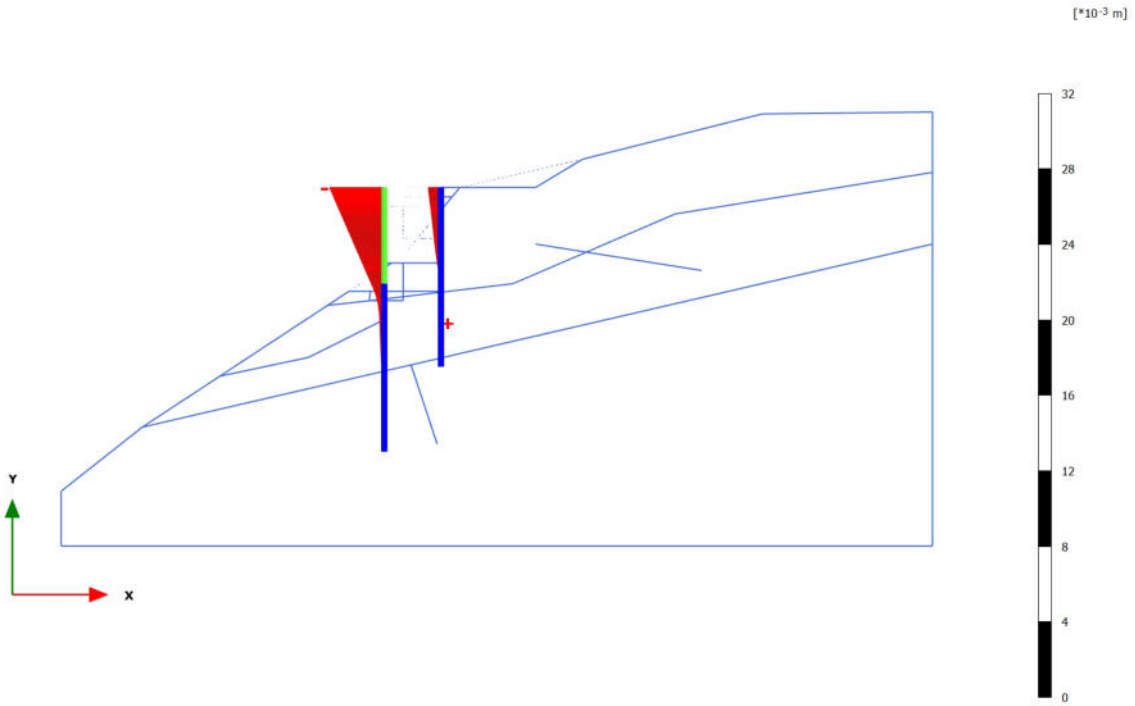

Total displacements u_x (scaled up 1,00*10³ times)

Maximum value = 0,08810*10^{-3} m (Element 45 at Node 4245)

Minimum value = -2,893*10^{-3} m (Element 1 at Node 9176)

3.1.1.1.1.12 Calculation results, Plate, Riempimento 2 [Phase_11] (11/647), Total displacements u_x

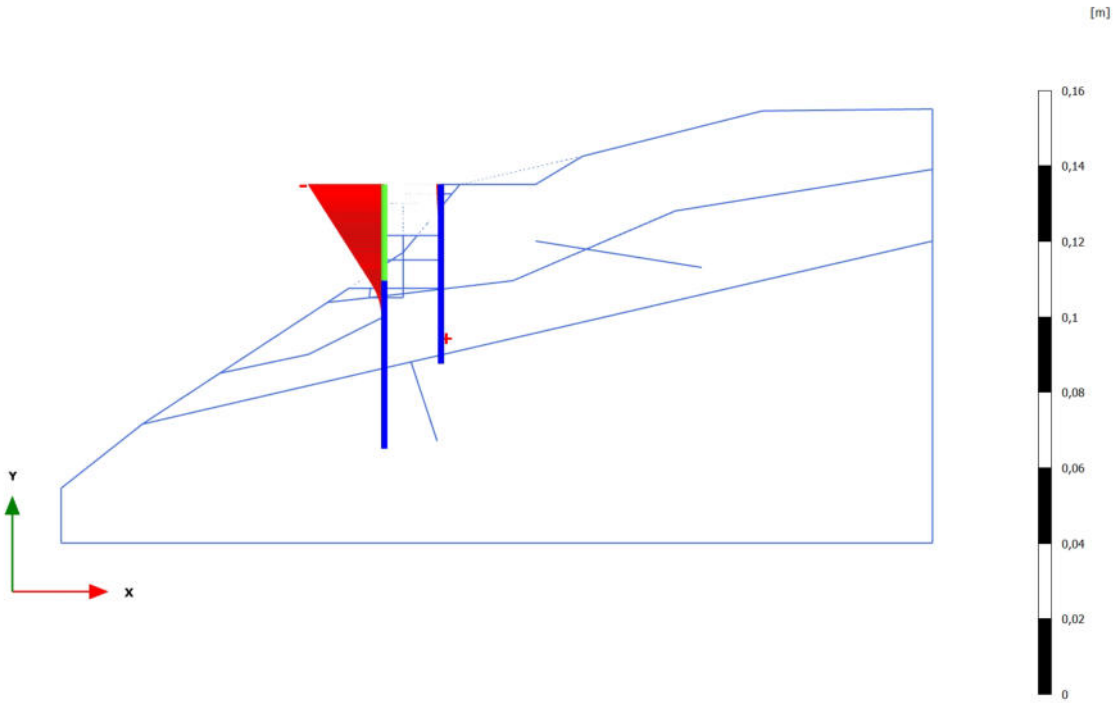

Total displacements u_x (scaled up 200 times)

Maximum value = $0{,}09775*10^{-3}$ m (Element 48 at Node 3470)

Minimum value = -0,02008 m (Element 1 at Node 9176)

3.1.1.1.1.13 Calculation results, Plate, Collegamento [Phase_12] (12/660), Total displacements u_x

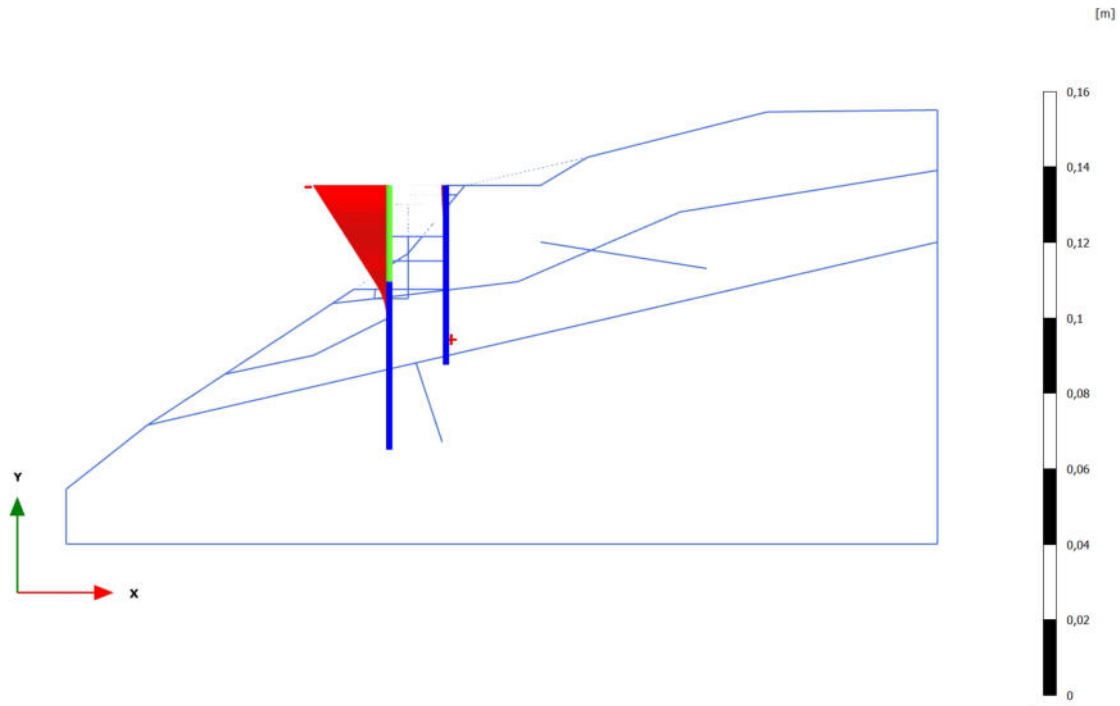

Total displacements u_x (scaled up 200 times)

Maximum value = $0{,}09759 \cdot 10^{-3}$ m (Element 48 at Node 3470)

Minimum value = -0,02008 m (Element 1 at Node 9176)

3.1.1.1.1.14 Calculation results, Plate, Riempimento 3 [Phase_13] (13/678), Total displacements u_x

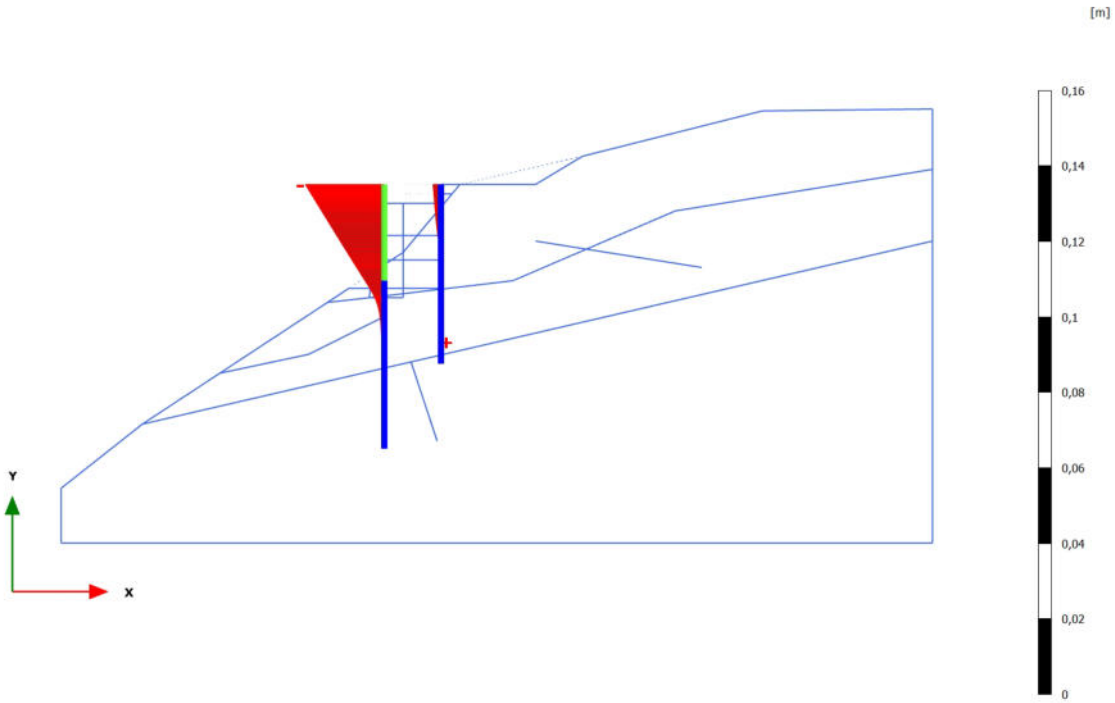

Total displacements u_x (scaled up 200 times)

Maximum value = 0,1292*10^{-3} m (Element 48 at Node 3472)

Minimum value = -0,02089 m (Element 1 at Node 9176)

3.1.1.1.1.15 Calculation results, Plate, Completamento riempimento [Phase_14] (14/695), Total displacements u_x

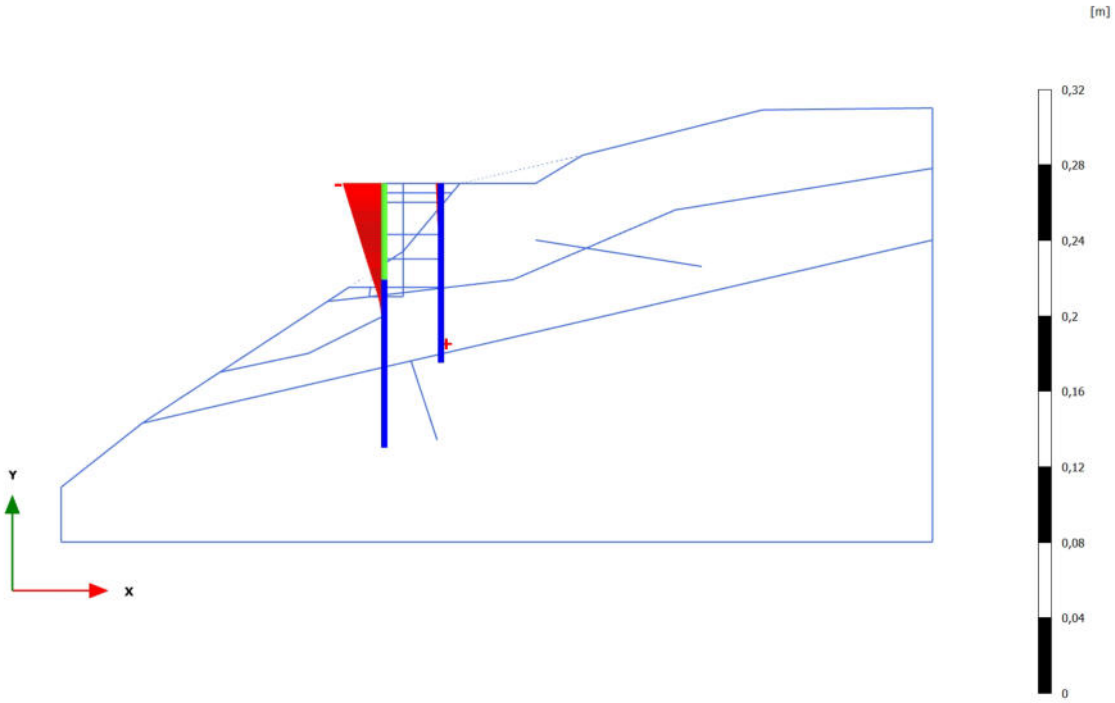

Total displacements u_x (scaled up 100 times)

Maximum value = $0{,}1396*10^{-3}$ m (Element 48 at Node 3469)

Minimum value = -0,02176 m (Element 1 at Node 9176)

3.1.1.1.1.16 Calculation results, Plate, SLE/SLU 11 Costr [Phase_17] (17/731), Total displacements u_x

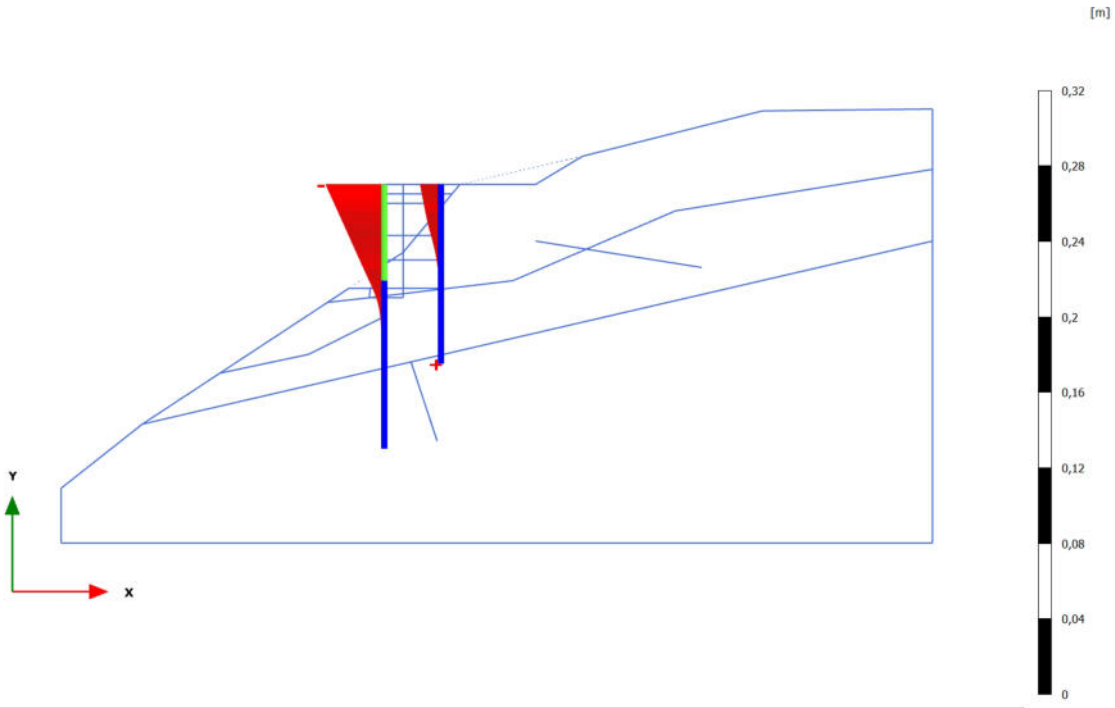

Total displacements u_x (scaled up 100 times)

Maximum value = -0,08267*10^{-3} m (Element 55 at Node 3259)

Minimum value = -0,03088 m (Element 1 at Node 9176)

3.1.1.1.1.17 Calculation results, Plate, Disattivazione paratia provvisionale [Phase_24] (24/741), Total displacements u_x

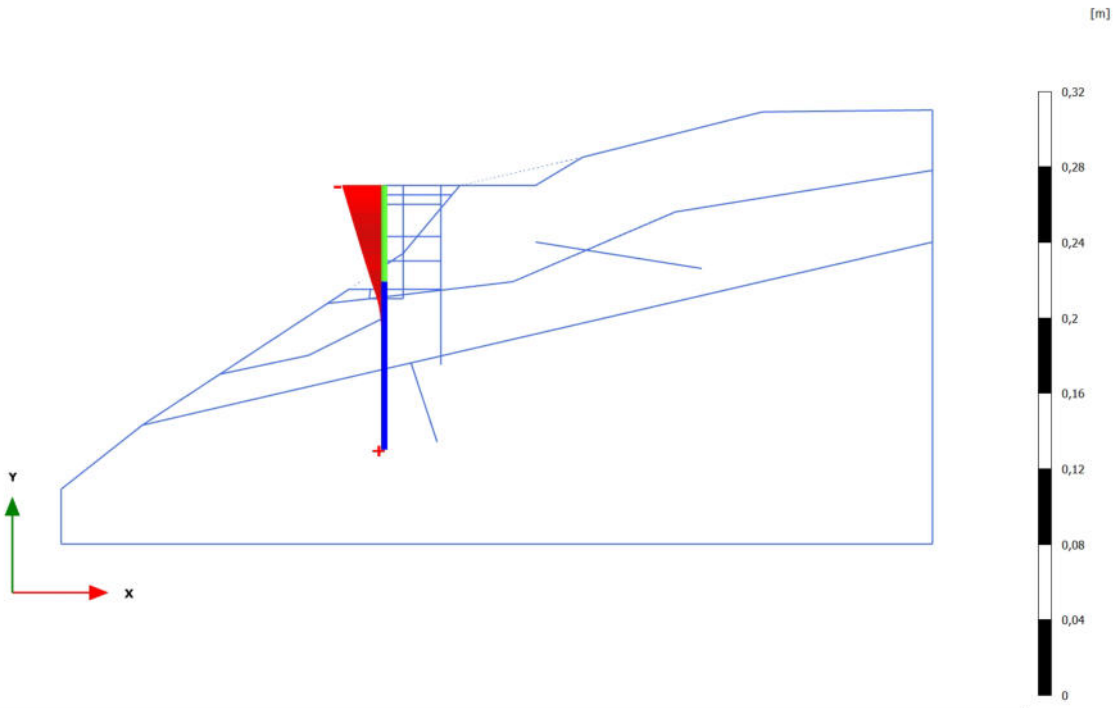

Total displacements u_x (scaled up 100 times)

Maximum value = $-0{,}1841*10^{-3}$ m (Element 61 at Node 1168)

Minimum value = -0,02215 m (Element 1 at Node 9176)

3.1.1.1.1.18 Calculation results, Plate, SLE [Phase_18] (18/746), Total displacements u_x

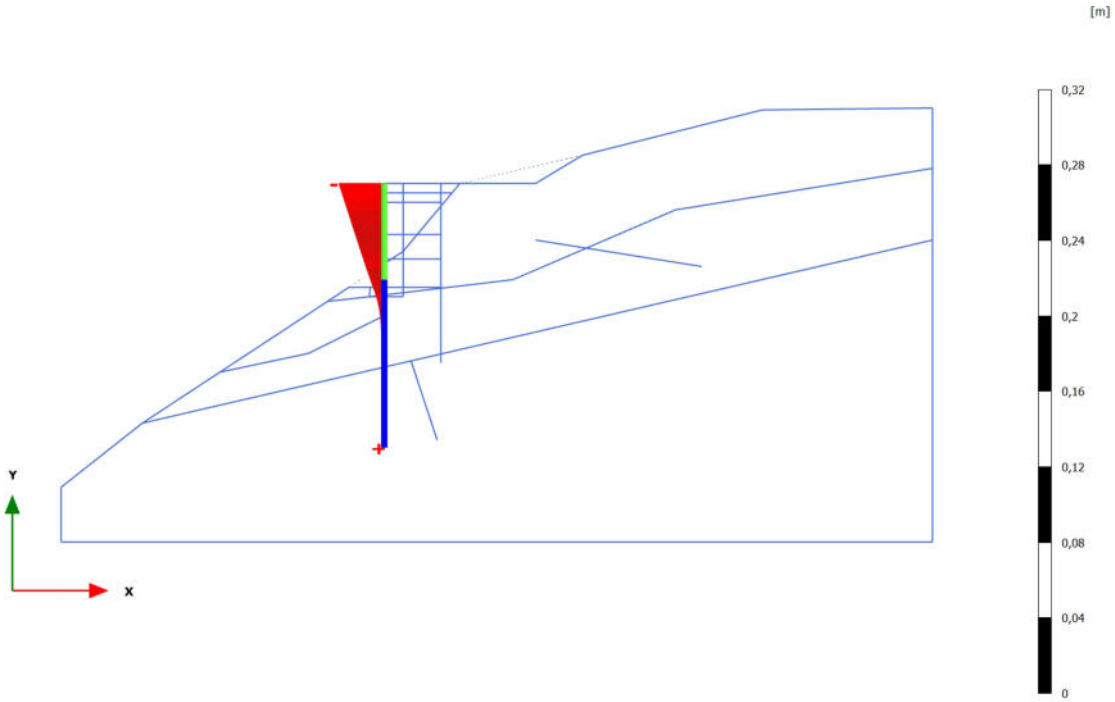

Total displacements u_x (scaled up 100 times)

Maximum value = $-0{,}2137*10^{-3}$ m (Element 61 at Node 1168)

Minimum value = -0,02399 m (Element 1 at Node 9176)

3.1.1.1.1.19 Calculation results, Plate, SLU11 (scalz) [Phase_19] (19/779), Total displacements u_x

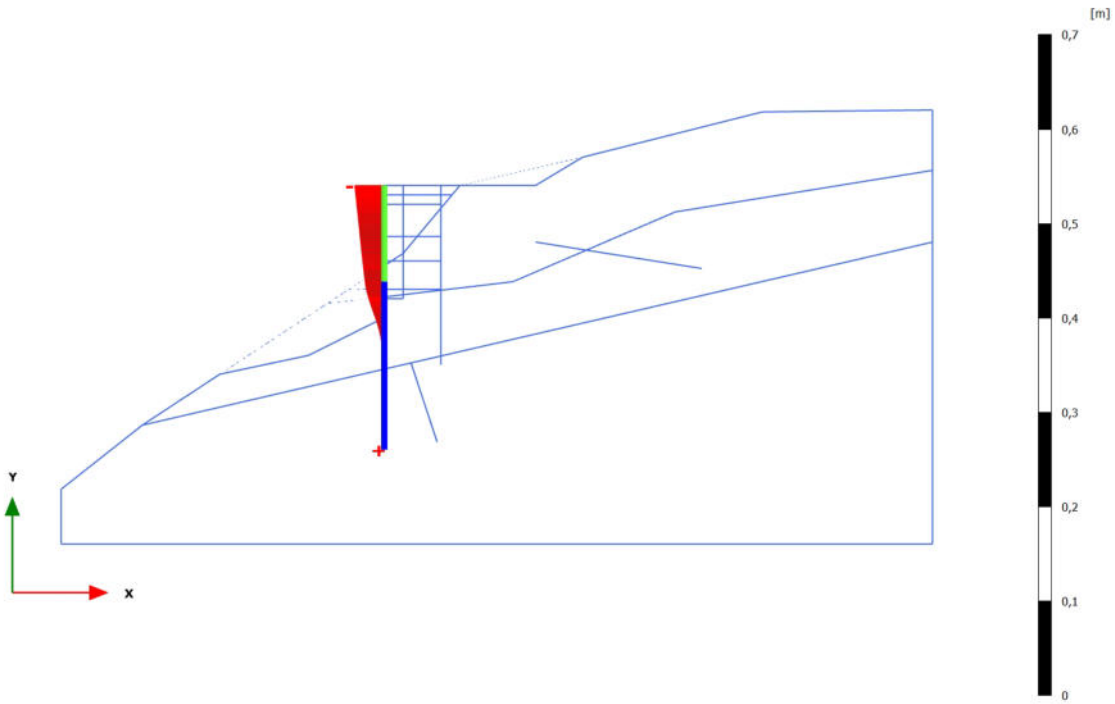

Total displacements u_x (scaled up 50,0 times)

Maximum value = -0,3510*10^{-3} m (Element 61 at Node 1168)

Minimum value = -0,03122 m (Element 1 at Node 9176)

3.1.1.1.1.20 Calculation results, Plate, SLU 12 [Phase_20] (20/799), Total displacements u_x

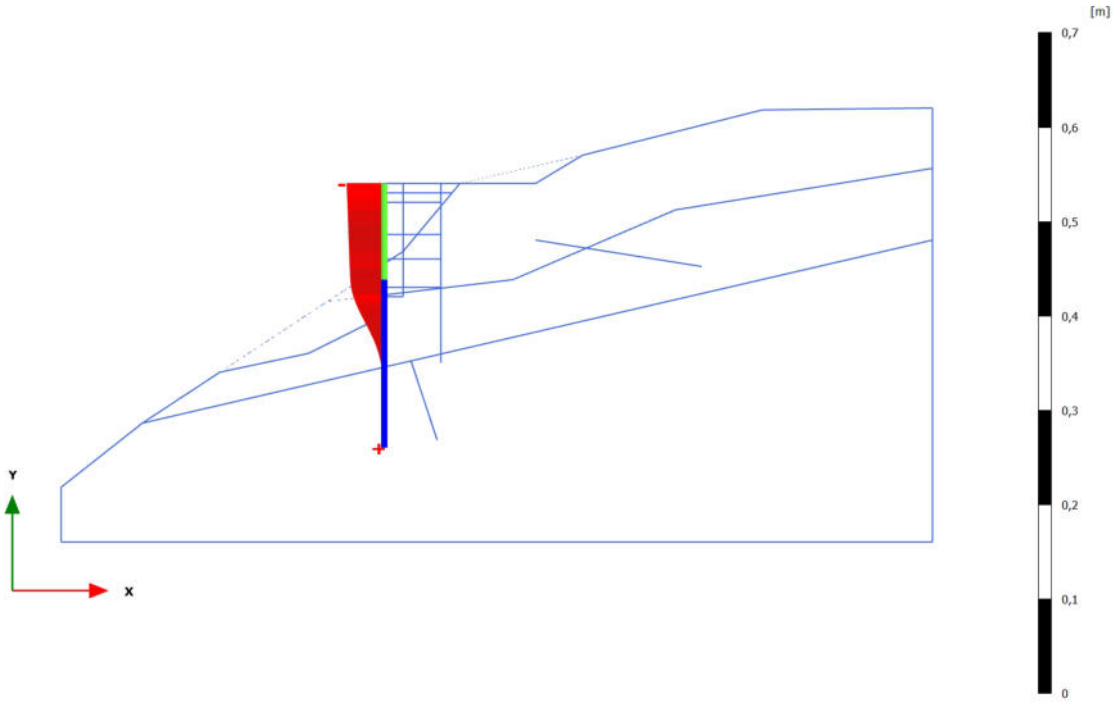

Total displacements u_x (scaled up 50,0 times)

Maximum value = -0,4692*10^{-3} m (Element 61 at Node 1168)

Minimum value = -0,03944 m (Element 1 at Node 9176)

3.1.1.1.1.21 Calculation results, Plate, Eccezionale [Phase_21] (21/917), Total displacements u_x

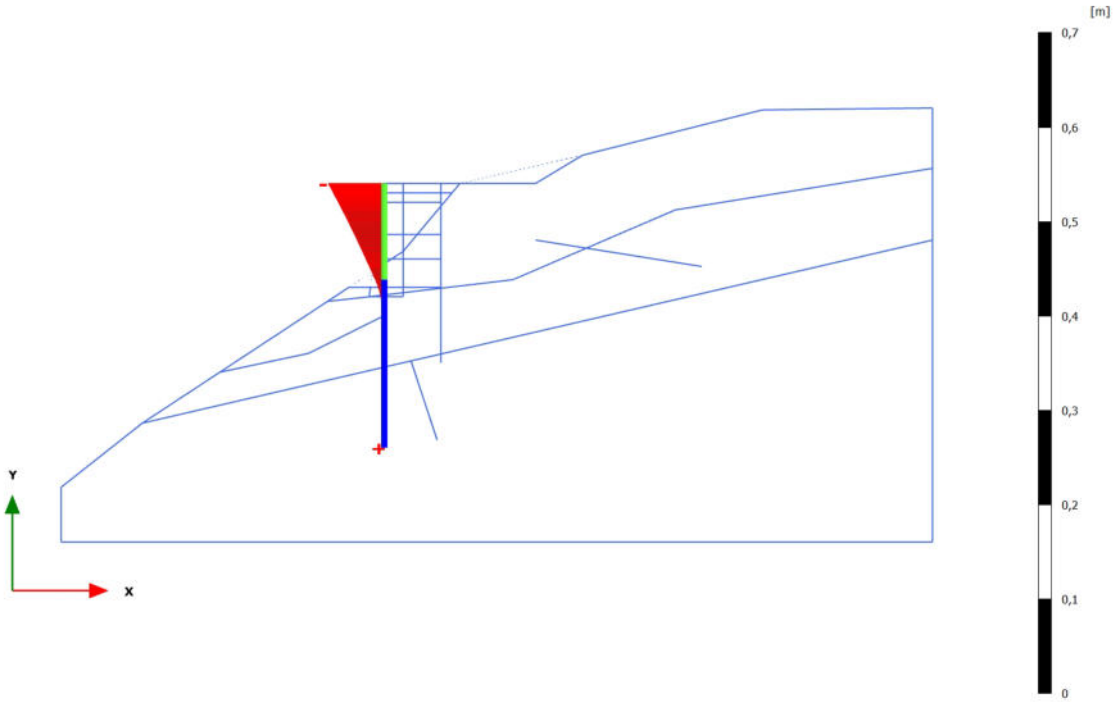

Total displacements u_x (scaled up 50,0 times)

Maximum value = -0,1761*10^{-3} m (Element 61 at Node 1168)

Minimum value = -0,05912 m (Element 1 at Node 9176)

3.1.1.1.1.22 Calculation results, Plate, SLV [Phase_22] (22/956), Total displacements u_x

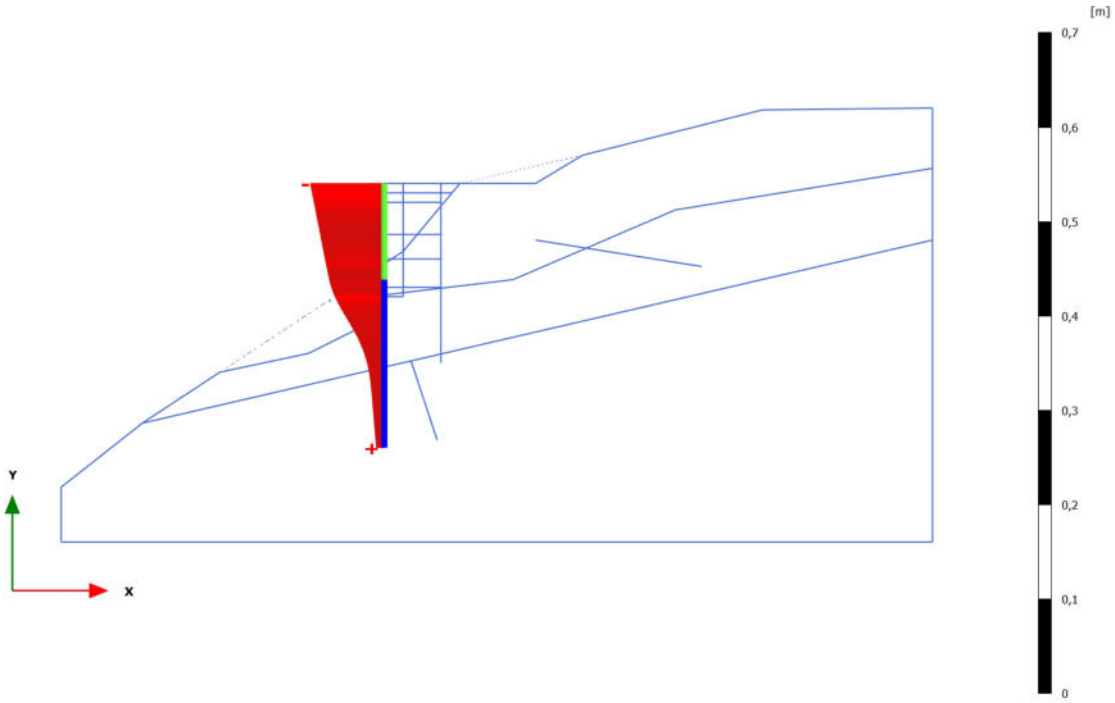

Total displacements u_x (scaled up 50,0 times)

Maximum value = $-8{,}186*10^{-3}$ m (Element 61 at Node 1168)

Minimum value = -0,07805 m (Element 1 at Node 9176)

3.1.1.1.1.23 Calculation results, Plate, SLD [Phase_23] (23/990), Total displacements u_x

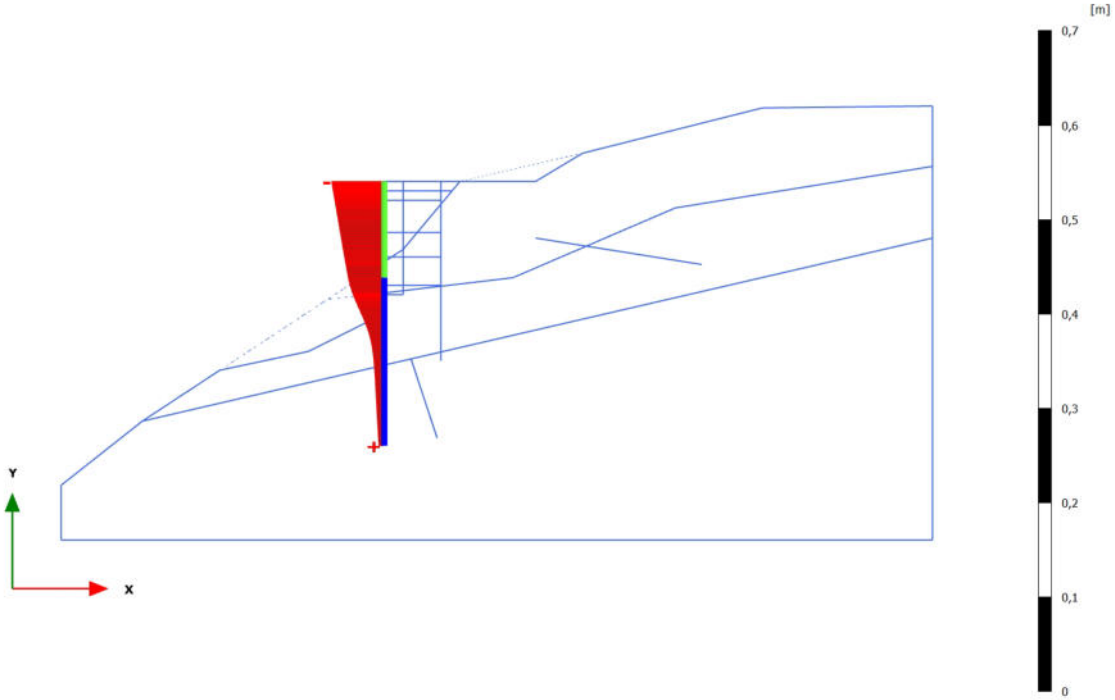

Total displacements u_x (scaled up 50,0 times)

Maximum value = $-5{,}596*10^{-3}$ m (Element 61 at Node 1168)

Minimum value = -0,05567 m (Element 1 at Node 9176)

3.1.1.1.1.24 Calculation results, Plate, SLU11 Opera provvisionale [Phase_15] (15/1001), Total displacements u_x

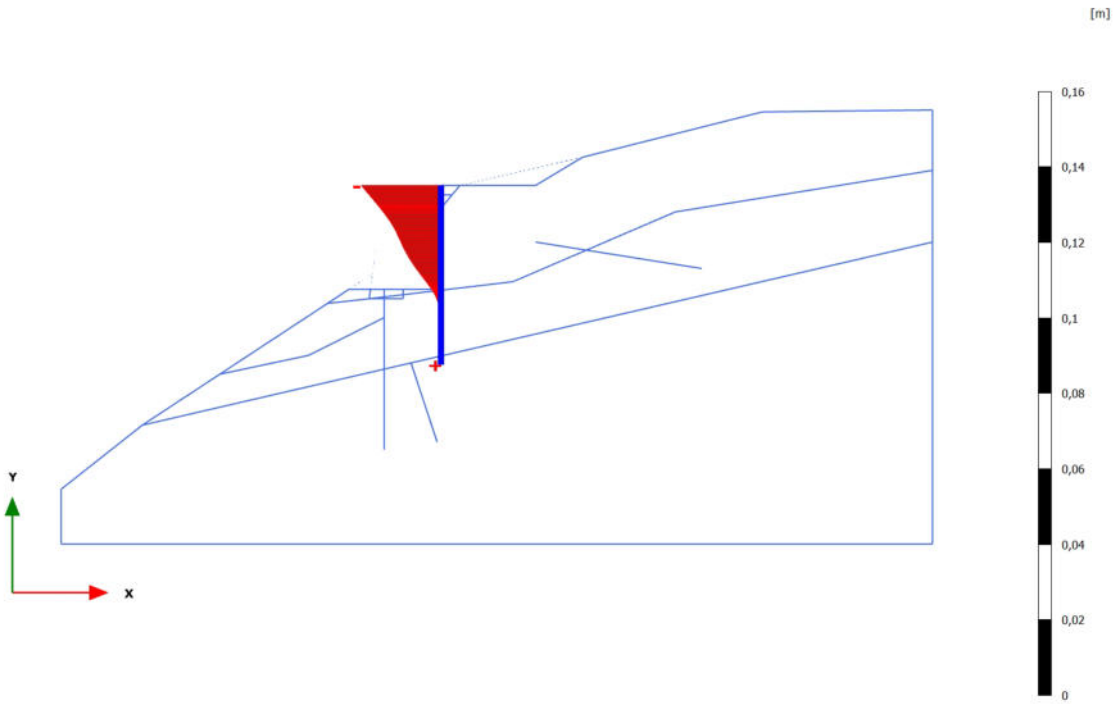

Total displacements u_x (scaled up 200 times)

Maximum value = $-0{,}09822 \cdot 10^{-3}$ m (Element 55 at Node 3259)

Minimum value = -0,02106 m (Element 4 at Node 7845)

3.1.1.1.1.25 Calculation results, Plate, SLU12 Opera provvisionale [Phase_16] (16/1014), Total displacements u_x

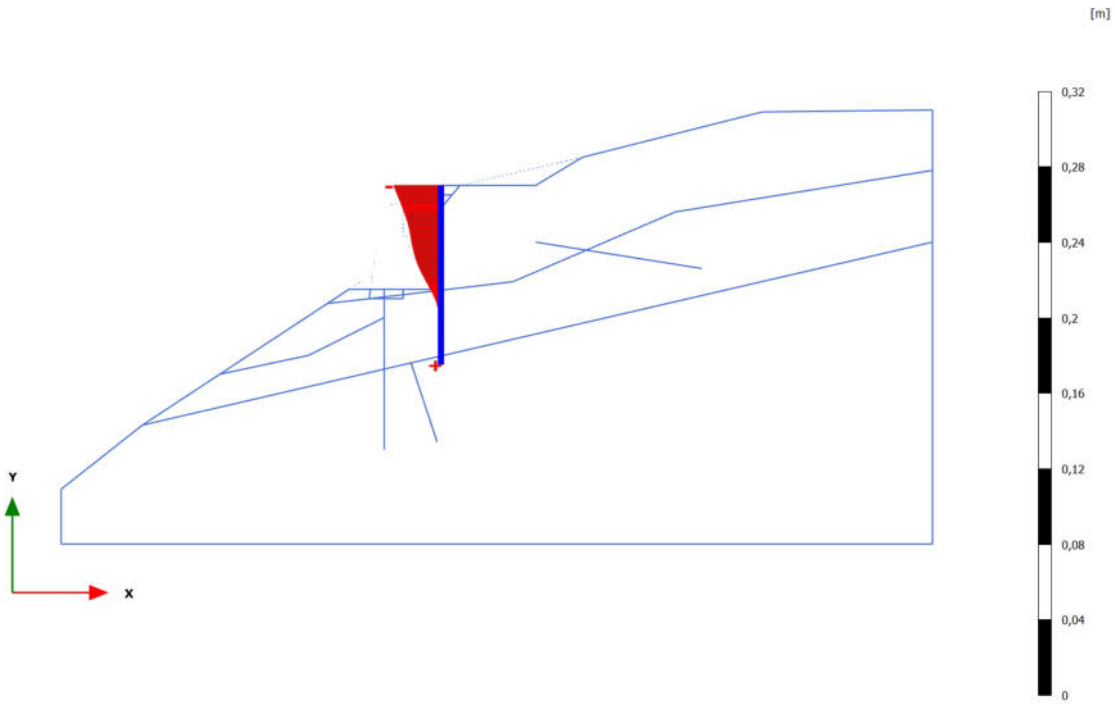

Total displacements u_x (scaled up 100 times)

Maximum value = -0,1233*10^{-3} m (Element 55 at Node 3259)

Minimum value = -0,02500 m (Element 4 at Node 7845)

3.1.1.1.1.26 Calculation results, Plate, Eccezionale Opera Provvisionale [Phase_25] (25/1495), Total displacements u_x

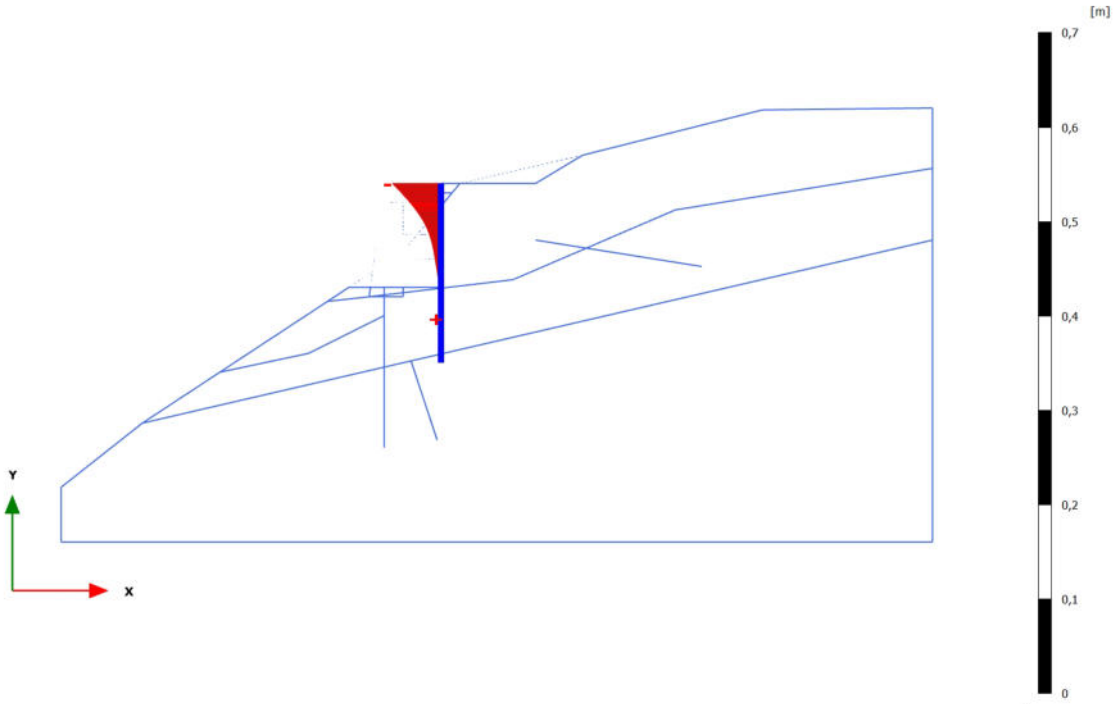

Total displacements u_x (scaled up 50,0 times)

Maximum value = $-0,03960*10^{-3}$ m (Element 45 at Node 4245)

Minimum value = -0,05139 m (Element 4 at Node 7845)

3.1.2.1.1 Calculation results, Plate, Initial phase [InitialPhase] (0/4), Shear forces Q

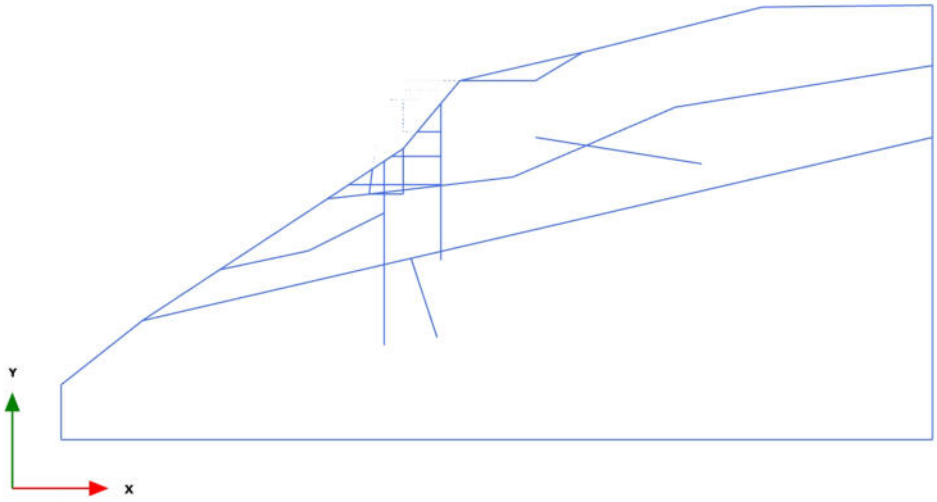

Shear forces Q (scaled up 1,00 times)

No results

3.1.2.1.2 Calculation results, Plate, Muro 1 [Phase_1] (1/15), Shear forces Q

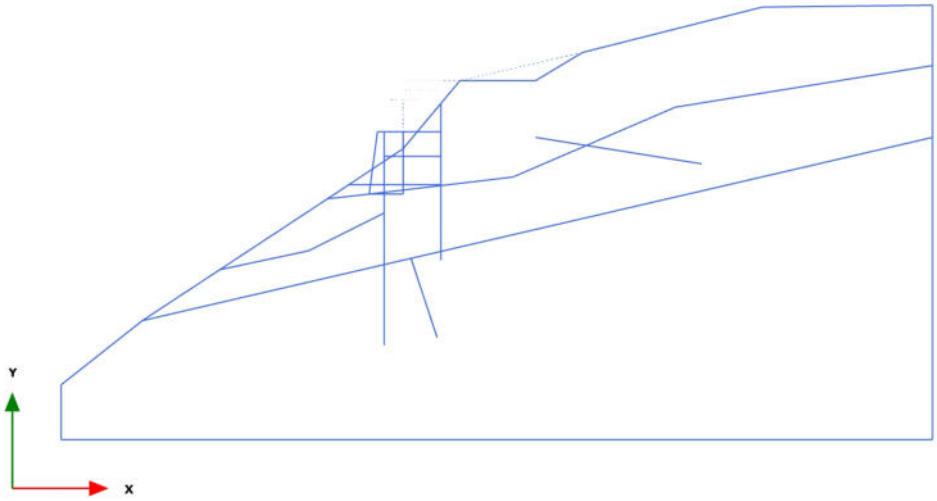

Shear forces Q (scaled up 1,00 times)

No results

3.1.2.1.3 Calculation results, Plate, Muro 2 (stato di fatto) [Phase_2] (2/59), Shear forces Q

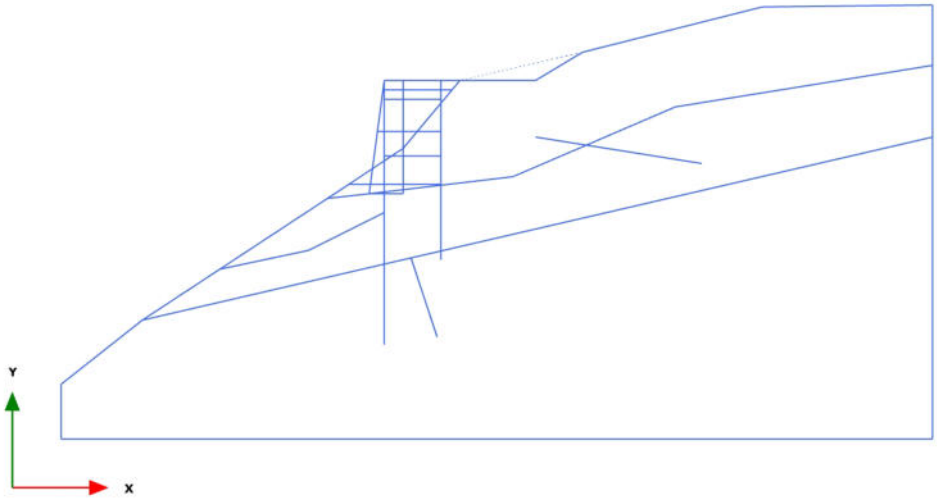

Shear forces Q (scaled up 1,00 times)

No results

3.1.2.1.4 Calculation results, Plate, (RD) Preparazione cantiere [Phase_3] (3/65), Shear forces Q

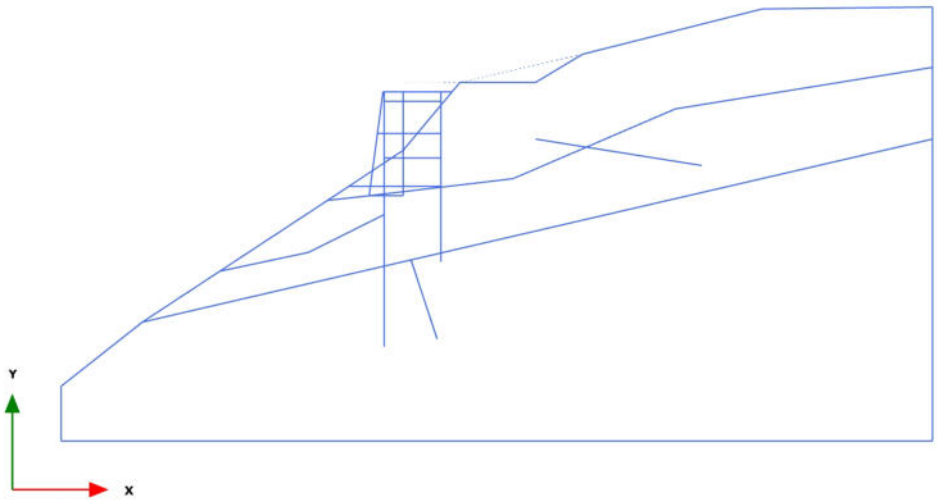

Shear forces Q (scaled up 1,00 times)

No results

3.1.2.1.5 Calculation results, Plate, Micropali paratia provvisionale [Phase_4] (4/68), Shear forces Q

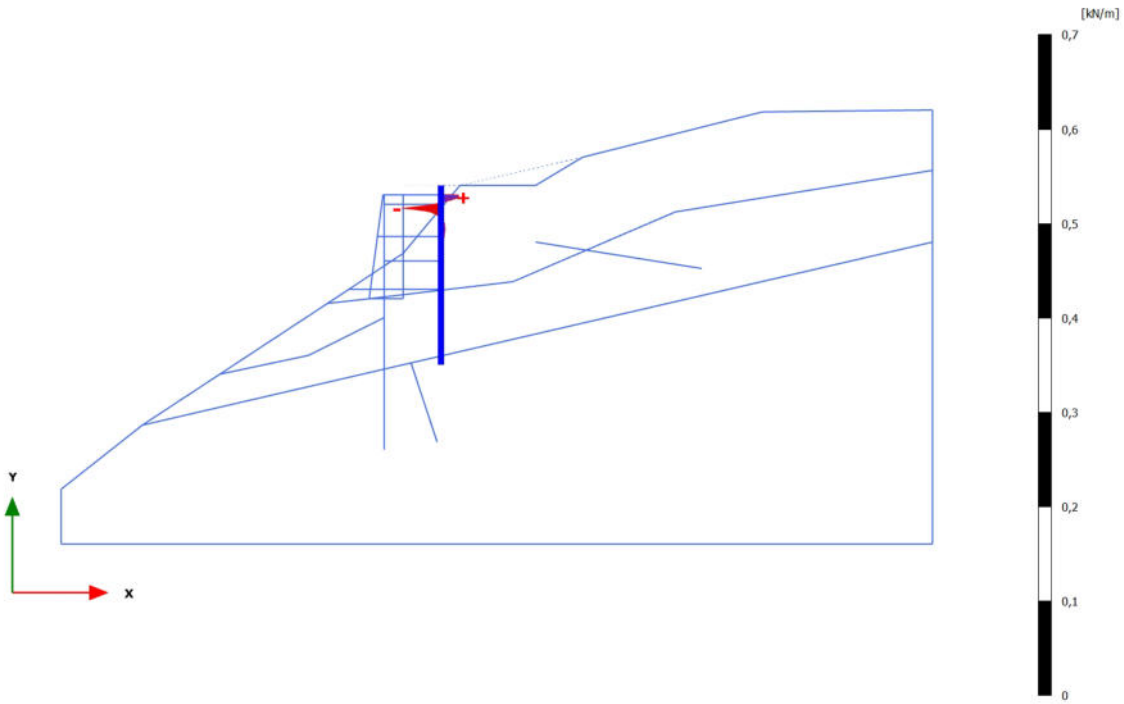

Shear forces Q (scaled up 50,0 times)

Maximum value = 0,01867 kN/m (Element 9 at Node 7921)

Minimum value = -0,04128 kN/m (Element 14 at Node 7937)

3.1.2.1.6 Calculation results, Plate, (RD) Sovraccarico stradale [Phase_5] (5/84), Shear forces Q

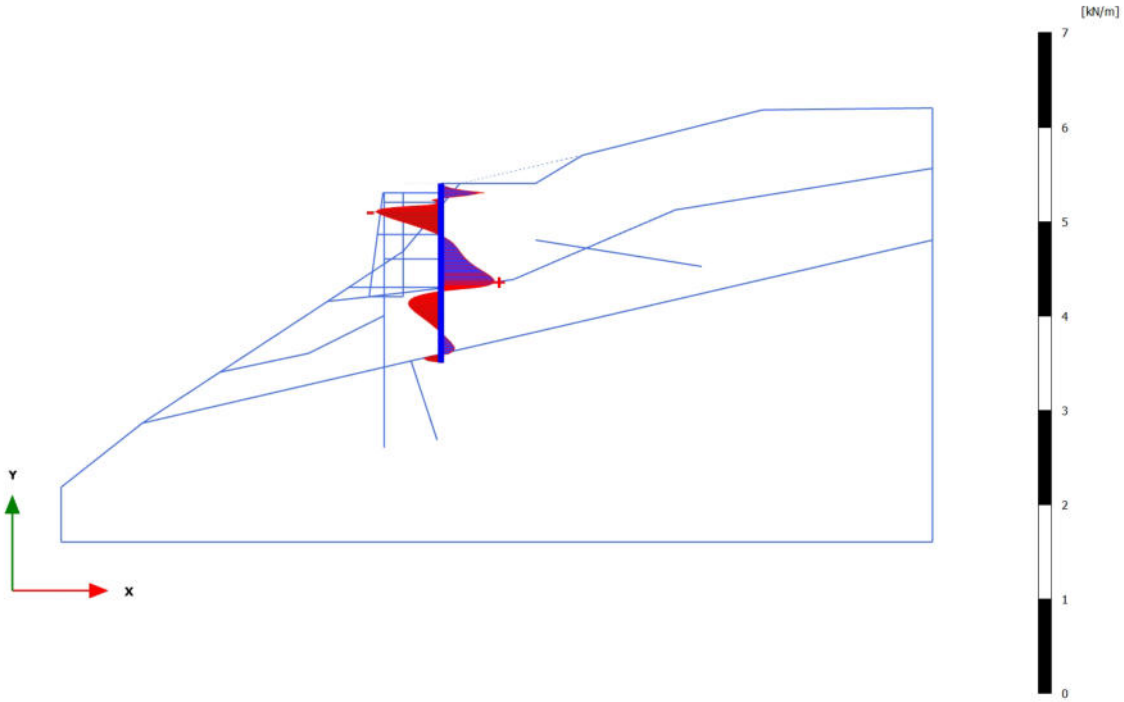

Shear forces Q (scaled up 5,00 times)

Maximum value = 0,5629 kN/m (Element 28 at Node 7235)

Minimum value = -0,6981 kN/m (Element 15 at Node 7887)

3.1.2.1.7 Calculation results, Plate, Escavo 1 [Phase_6] (6/247), Shear forces Q

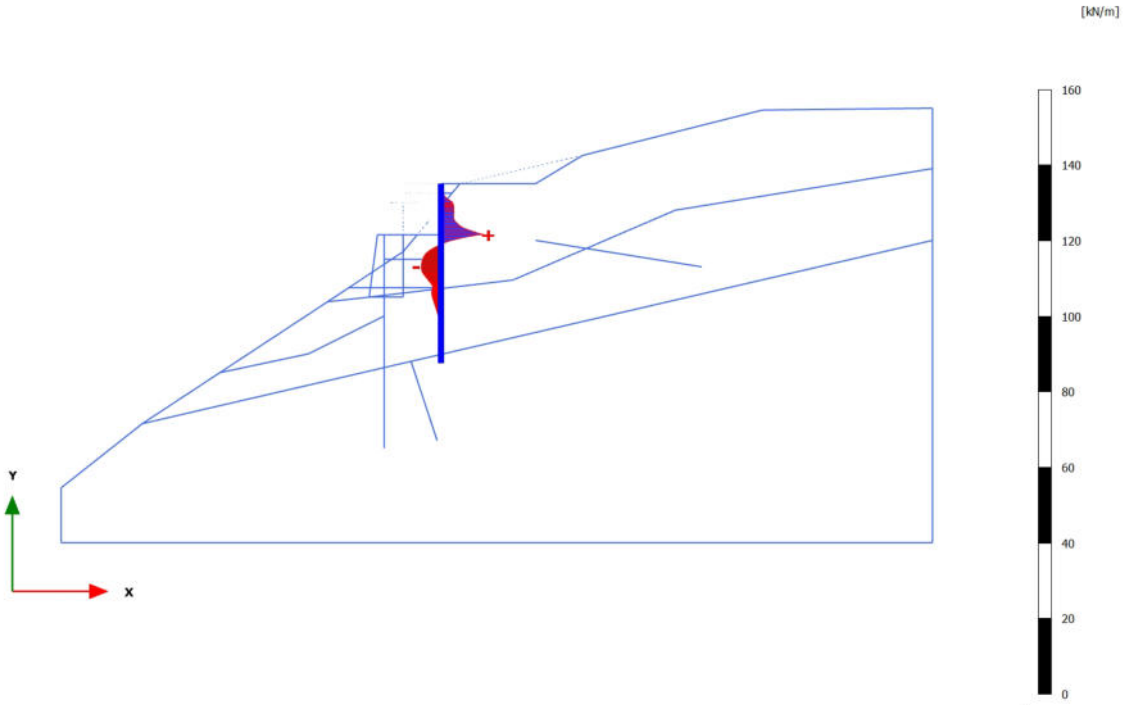

Shear forces Q (scaled up 0,200 times)

Maximum value = 11,35 kN/m (Element 18 at Node 7786)

Minimum value = -5,201 kN/m (Element 26 at Node 7642)

3.1.2.1.8 Calculation results, Plate, Micropalo ancoraggio [Phase_7] (7/250), Shear forces Q

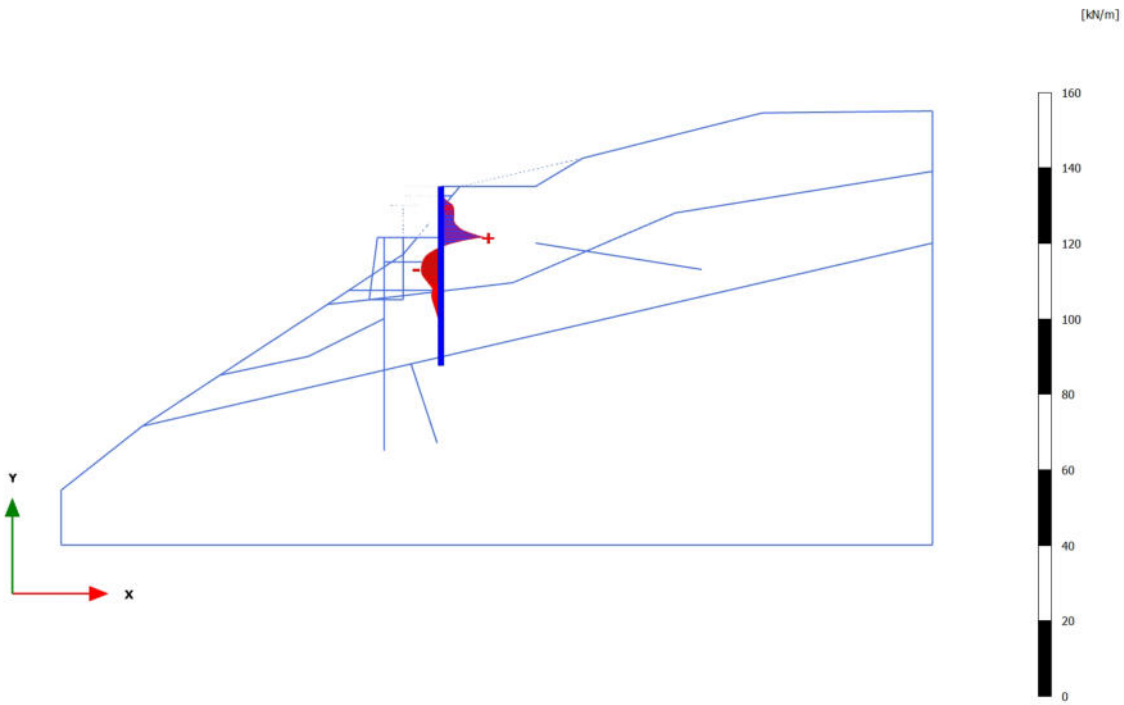

Shear forces Q (scaled up 0,200 times)

Maximum value = 11,35 kN/m (Element 18 at Node 7786)

Minimum value = -5,201 kN/m (Element 26 at Node 7642)

3.1.2.1.9 Calculation results, Plate, Escavo (progetto) [Phase_8] (8/271), Shear forces Q

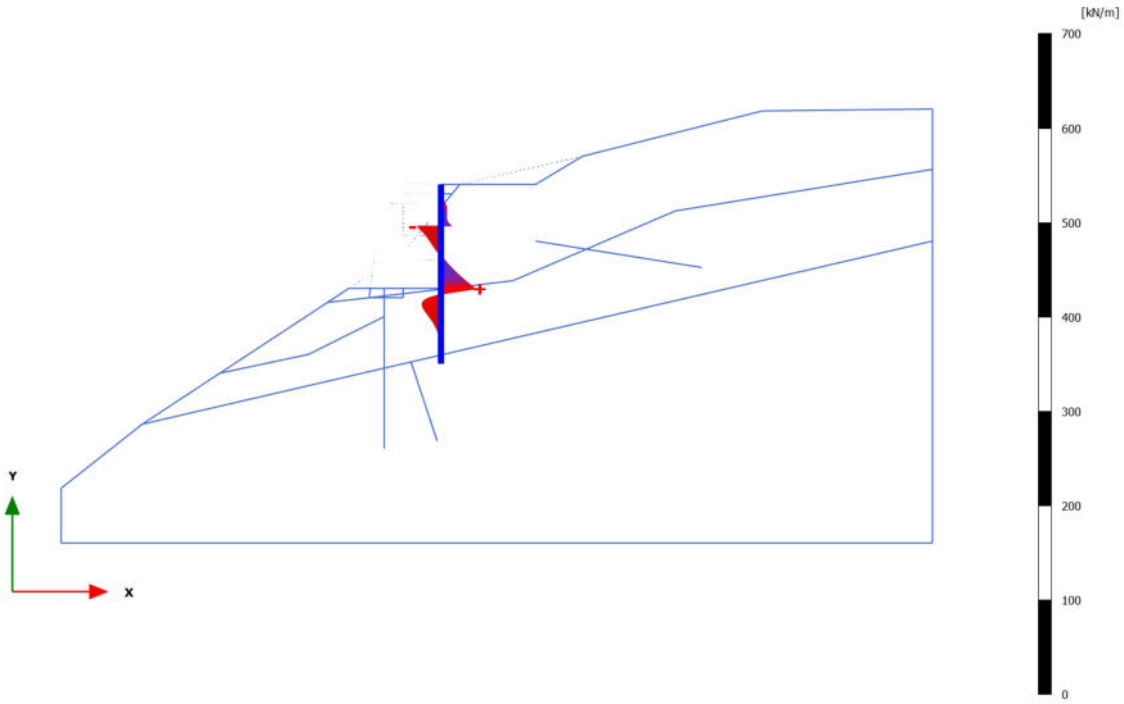

Shear forces Q (scaled up 0,0500 times)

Maximum value = 35,80 kN/m (Element 29 at Node 7076)

Minimum value = -25,10 kN/m (Element 18 at Node 7866)

3.1.2.1.10 Calculation results, Plate, (RD) Muro [Phase_9] (9/298), Shear forces Q

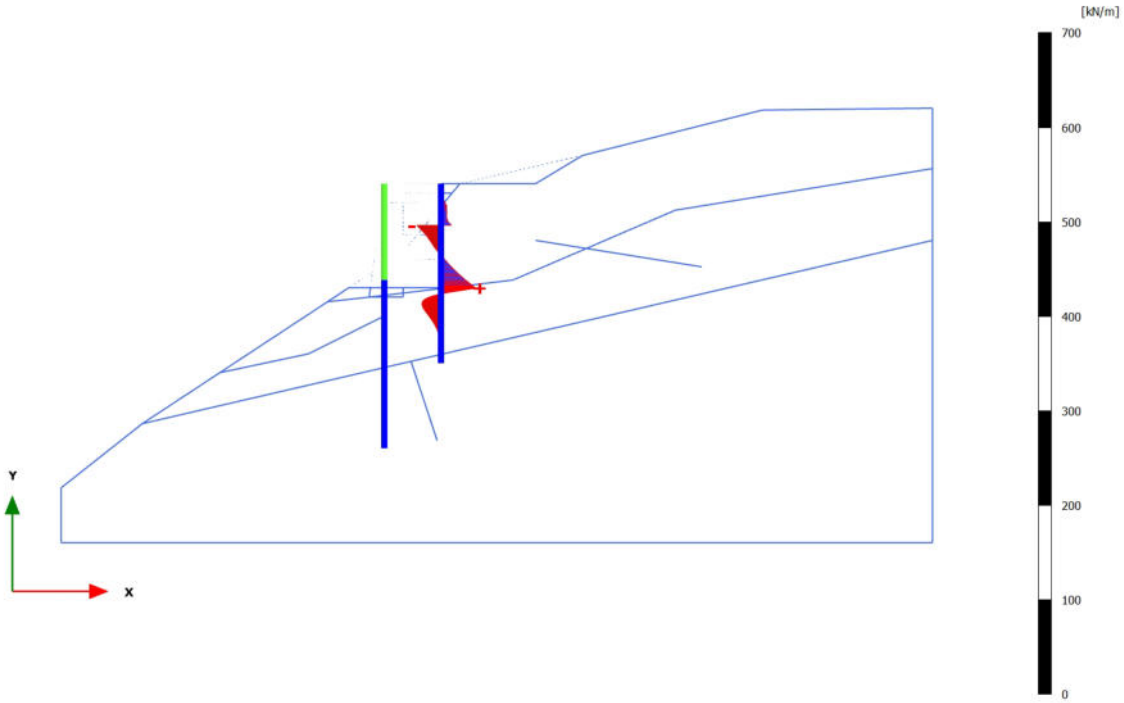

Shear forces Q (scaled up 0,0500 times)

Maximum value = 36,05 kN/m (Element 29 at Node 7076)

Minimum value = -25,29 kN/m (Element 18 at Node 7866)

3.1.2.1.11 Calculation results, Plate, Riempimento 1 [Phase_10] (10/374), Shear forces Q

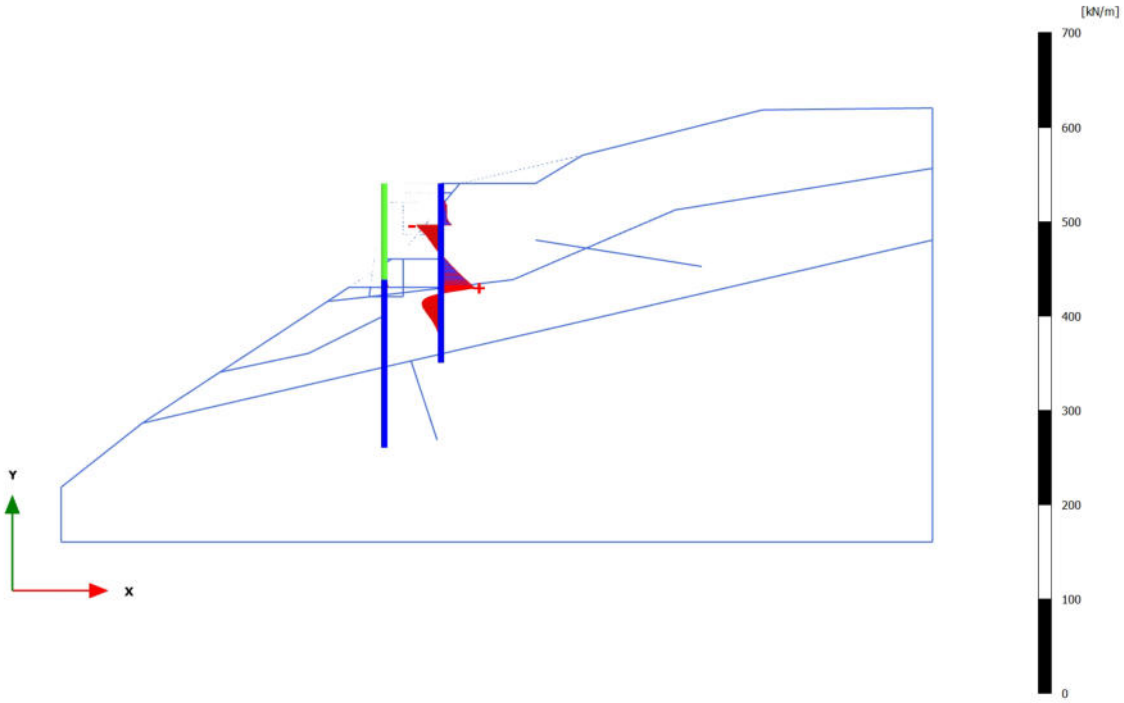

Shear forces Q (scaled up 0,0500 times)

Maximum value = 35,06 kN/m (Element 29 at Node 7076)

Minimum value = -25,89 kN/m (Element 18 at Node 7866)

3.1.2.1.12 Calculation results, Plate, Riempimento 2 [Phase_11] (11/647), Shear forces Q

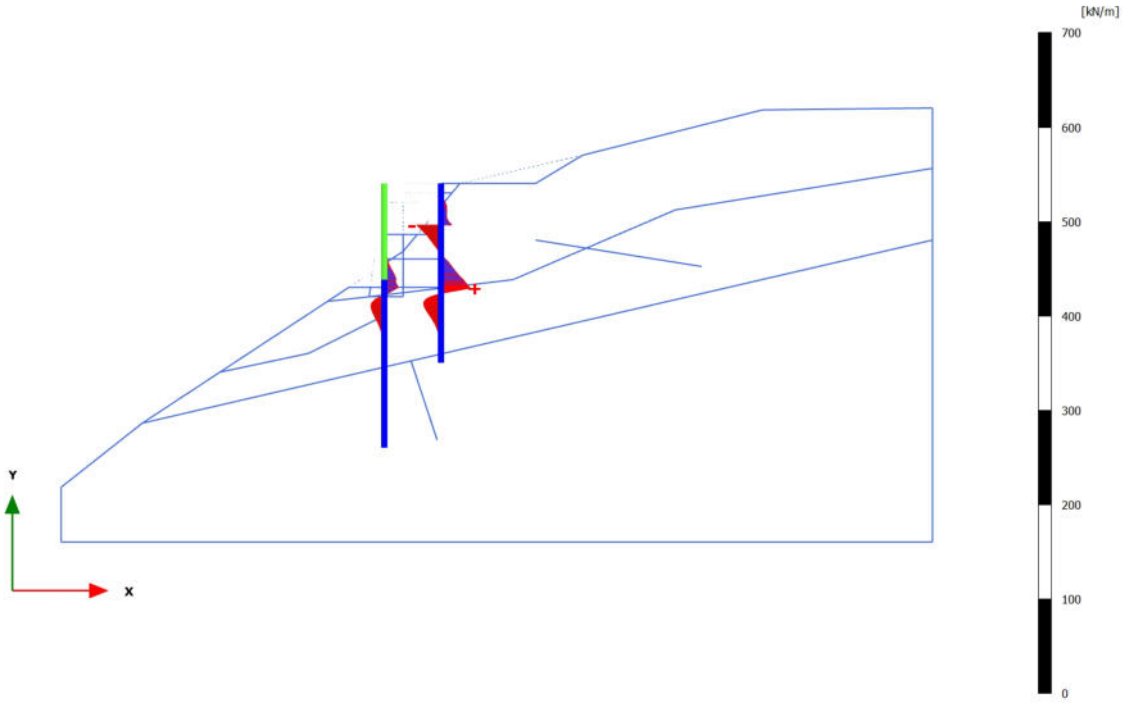

Shear forces Q (scaled up 0,0500 times)

Maximum value = 30,49 kN/m (Element 32 at Node 6661)

Minimum value = -25,58 kN/m (Element 18 at Node 7866)

3.1.2.1.13 Calculation results, Plate, Collegamento [Phase_12] (12/660), Shear forces Q

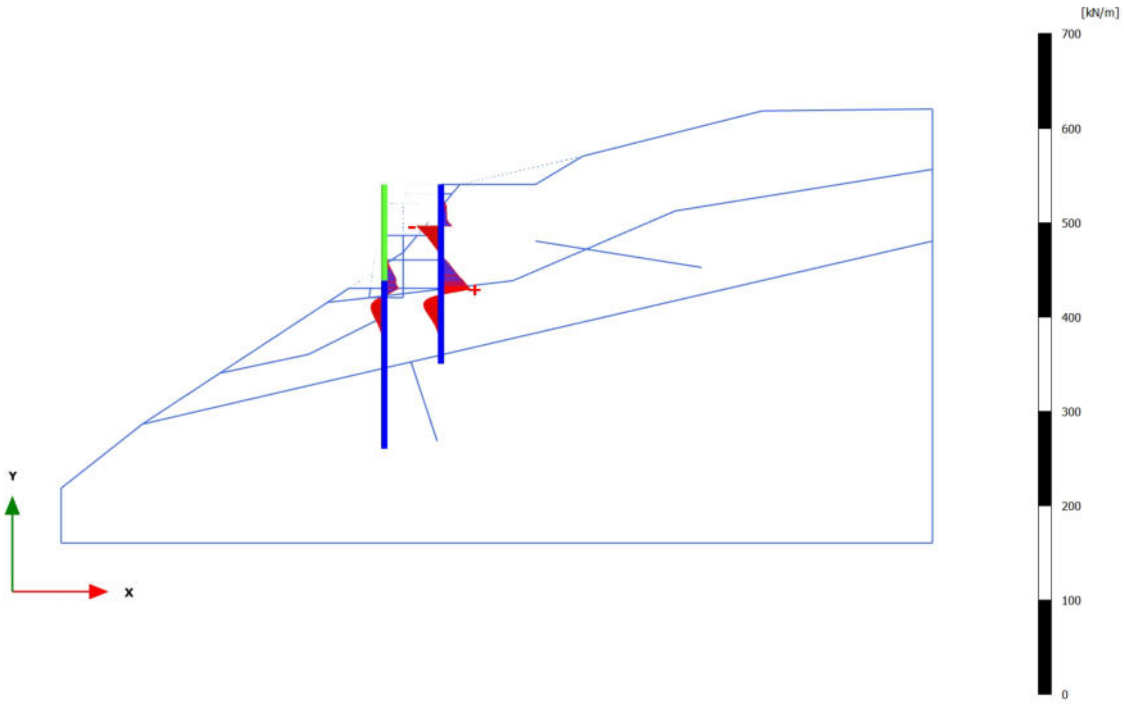

Shear forces Q (scaled up 0,0500 times)

Maximum value = 30,45 kN/m (Element 32 at Node 6661)

Minimum value = -25,56 kN/m (Element 18 at Node 7866)

3.1.2.1.14 Calculation results, Plate, Riempimento 3 [Phase_13] (13/678), Shear forces Q

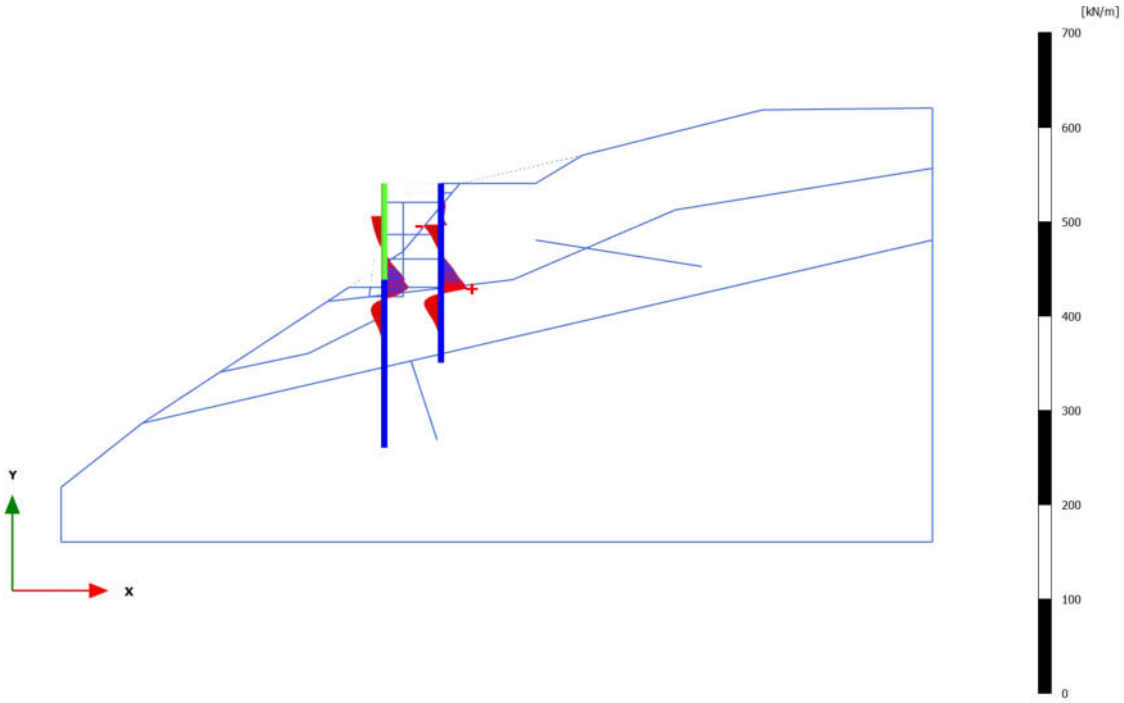

Shear forces Q (scaled up 0,0500 times)

Maximum value = 27,37 kN/m (Element 32 at Node 6659)

Minimum value = -17,72 kN/m (Element 18 at Node 7866)

3.1.2.1.15 Calculation results, Plate, Completamento riempimento [Phase_14] (14/695), Shear forces Q

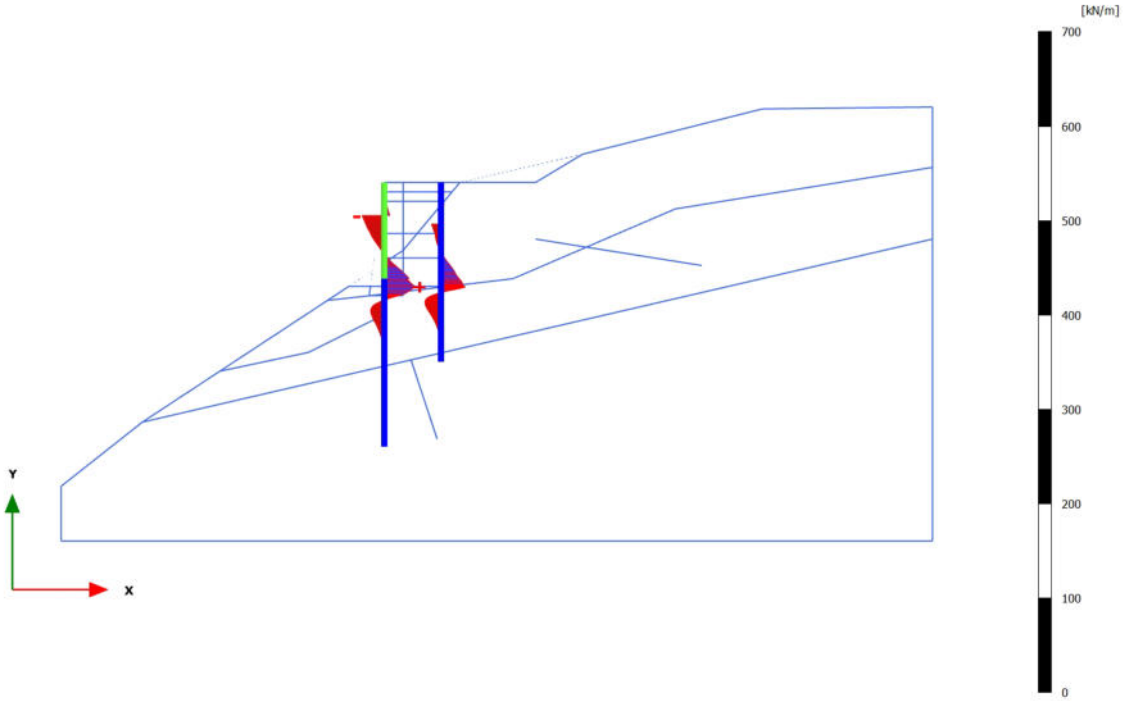

Shear forces Q (scaled up 0,0500 times)

Maximum value = 32,27 kN/m (Element 31 at Node 7194)

Minimum value = -23,54 kN/m (Element 16 at Node 8684)

3.1.2.1.16 Calculation results, Plate, SLE/SLU 11 Costr [Phase_17] (17/731), Shear forces Q

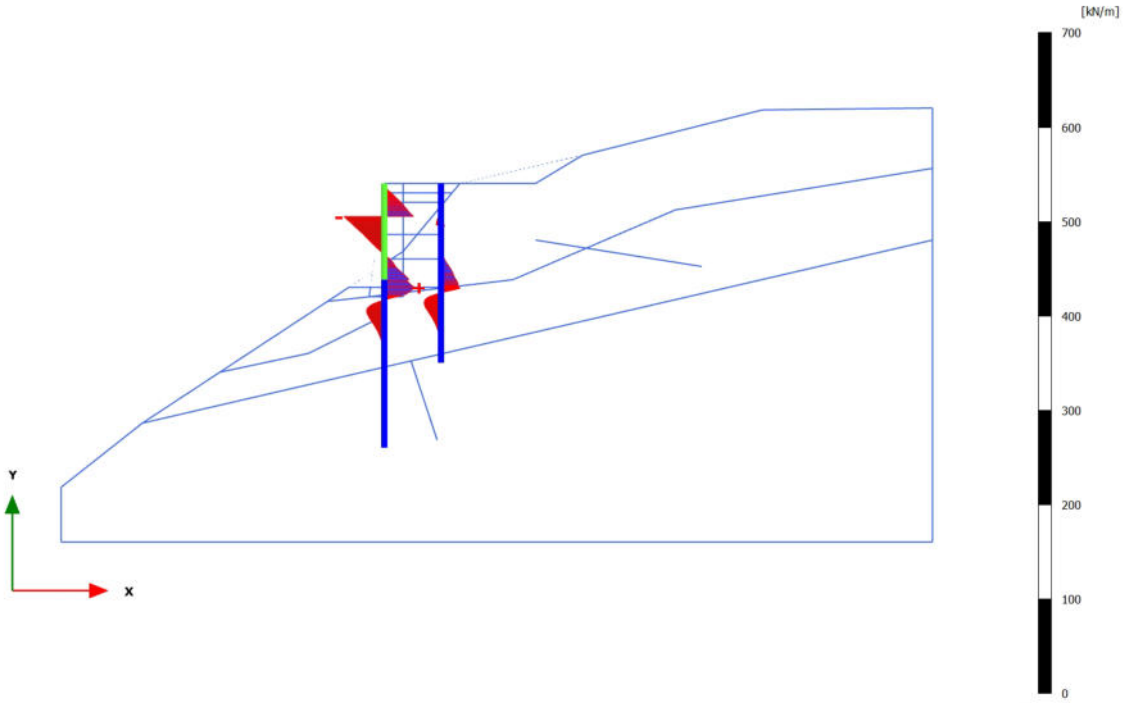

Shear forces Q (scaled up 0,0500 times)

Maximum value = 31,75 kN/m (Element 31 at Node 7194)

Minimum value = -42,86 kN/m (Element 16 at Node 8684)

3.1.2.1.17 Calculation results, Plate, Disattivazione paratia provvisionale [Phase_24] (24/741), Shear forces Q

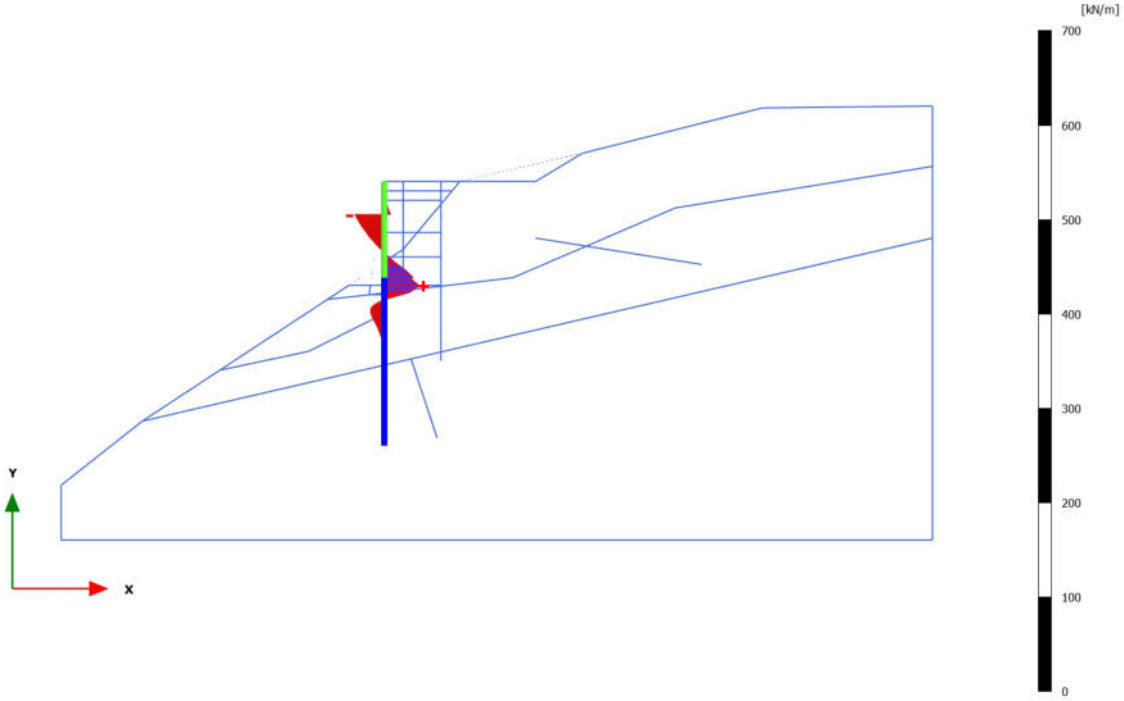

Shear forces Q (scaled up 0,0500 times)

Maximum value = 36,61 kN/m (Element 31 at Node 7194)

Minimum value = -31,23 kN/m (Element 16 at Node 8684)

3.1.2.1.18 Calculation results, Plate, SLE [Phase_18] (18/746), Shear forces Q

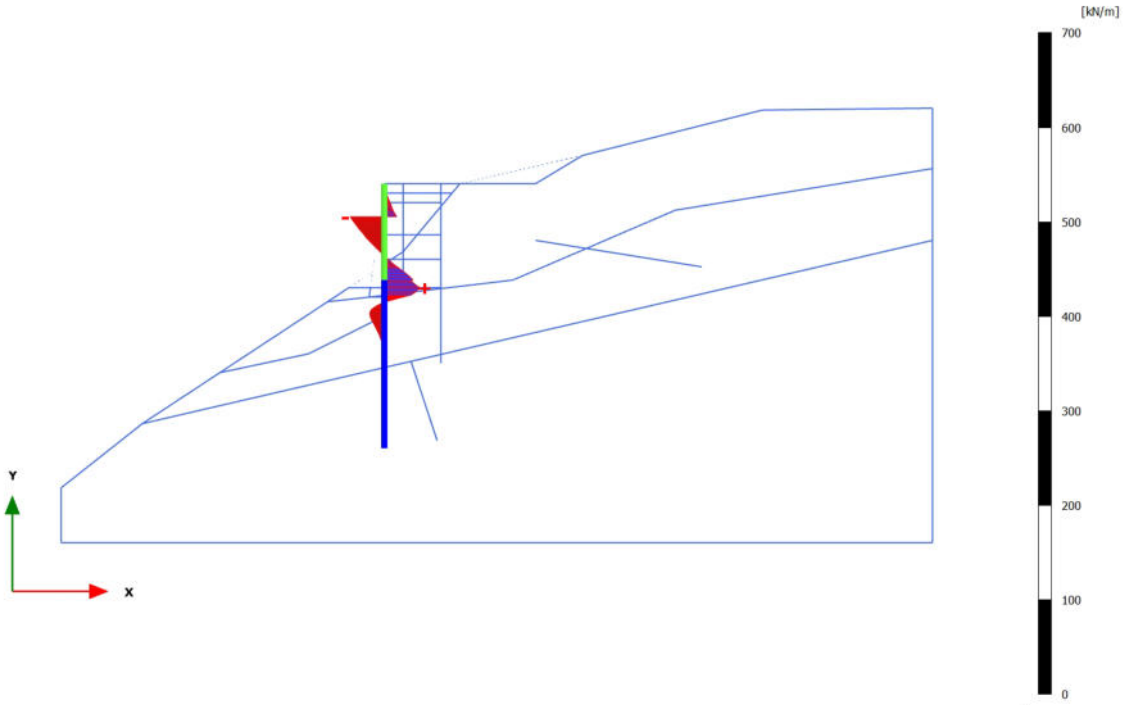

Shear forces Q (scaled up 0,0500 times)

Maximum value = 37,43 kN/m (Element 31 at Node 7194)

Minimum value = -36,10 kN/m (Element 16 at Node 8684)

3.1.2.1.19 Calculation results, Plate, SLU11 (scalz) [Phase_19] (19/779), Shear forces Q

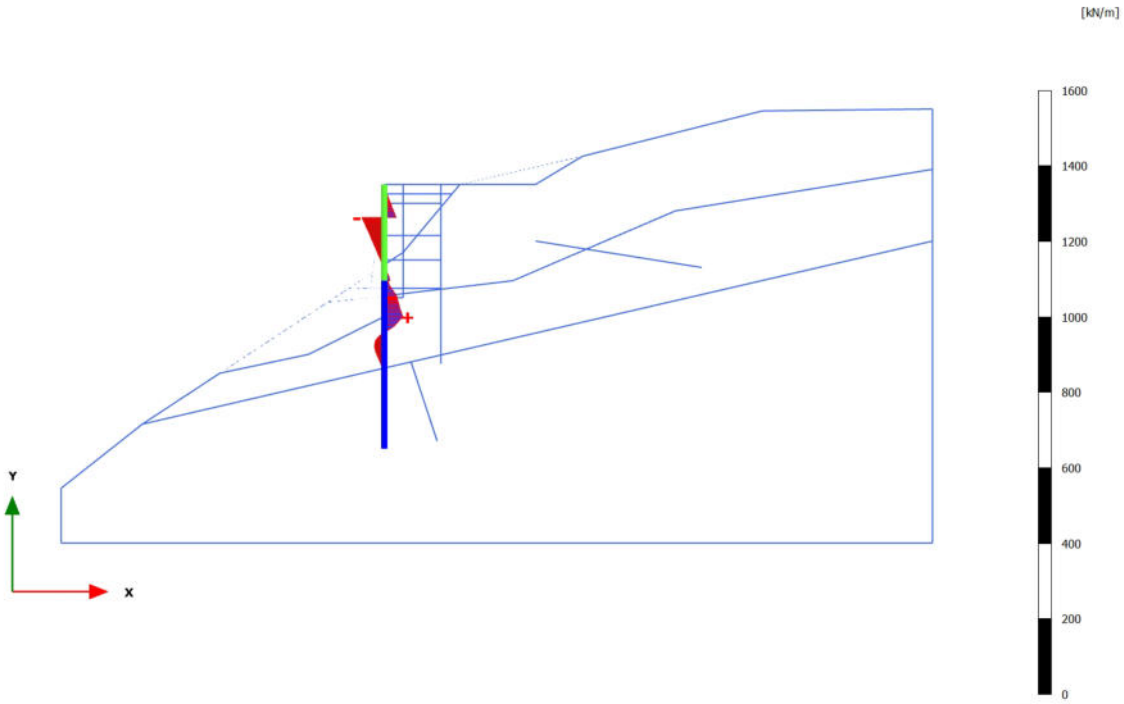

Shear forces Q (scaled up 0,0200 times)

Maximum value = 49,88 kN/m (Element 38 at Node 4823)

Minimum value = -59,39 kN/m (Element 16 at Node 8684)

3.1.2.1.20 Calculation results, Plate, SLU 12 [Phase_20] (20/799), Shear forces Q

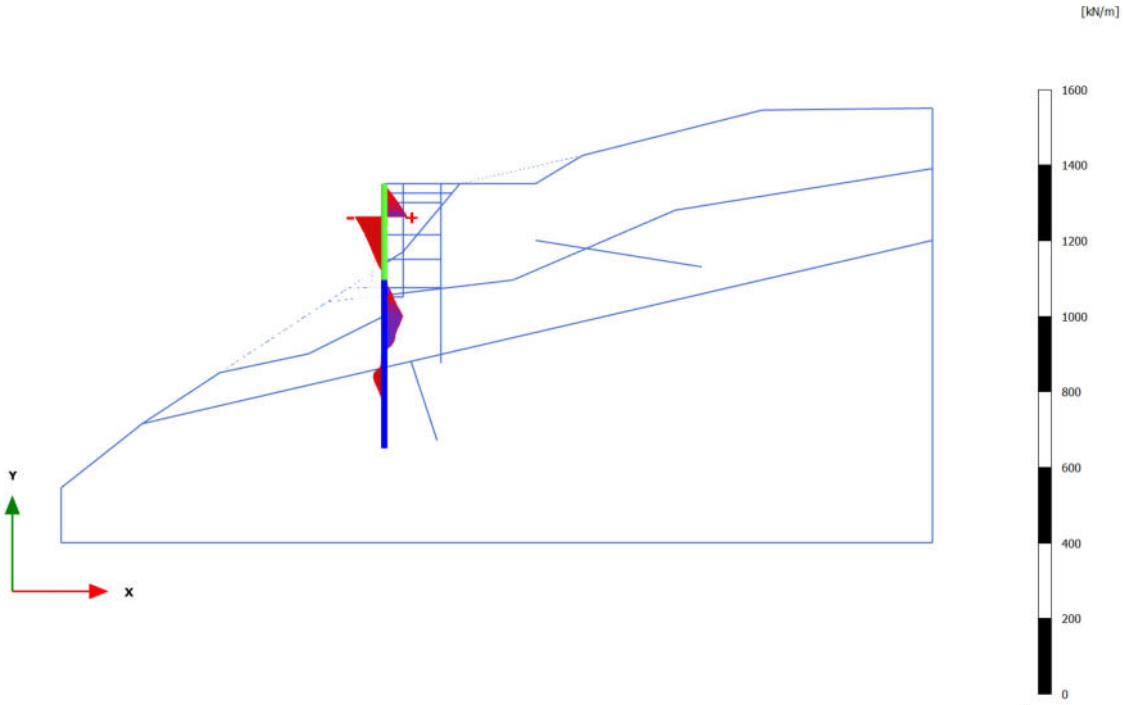

Shear forces Q (scaled up 0,0200 times)

Maximum value = 60,83 kN/m (Element 13 at Node 8684)

Minimum value = -77,31 kN/m (Element 16 at Node 8684)

3.1.2.1.21 Calculation results, Plate, Eccezionale [Phase_21] (21/917), Shear forces Q

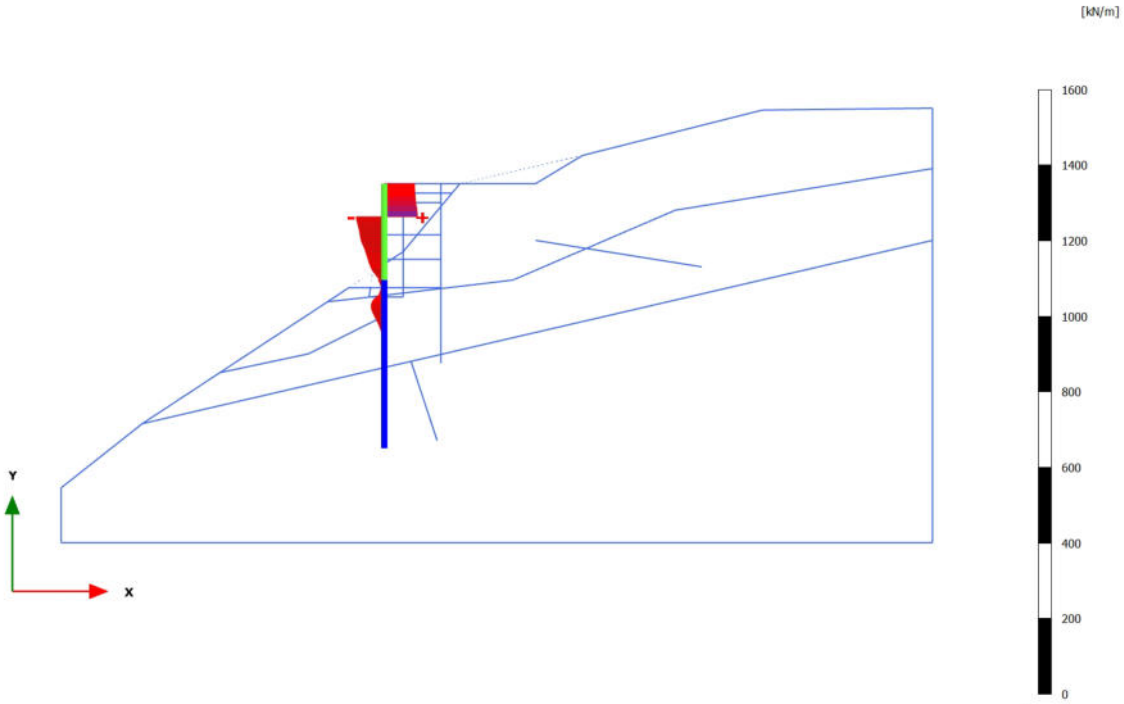

Shear forces Q (scaled up 0,0200 times)

Maximum value = 88,23 kN/m (Element 13 at Node 8684)

Minimum value = -74,51 kN/m (Element 16 at Node 8684)

3.1.2.1.22 Calculation results, Plate, SLV [Phase_22] (22/956), Shear forces Q

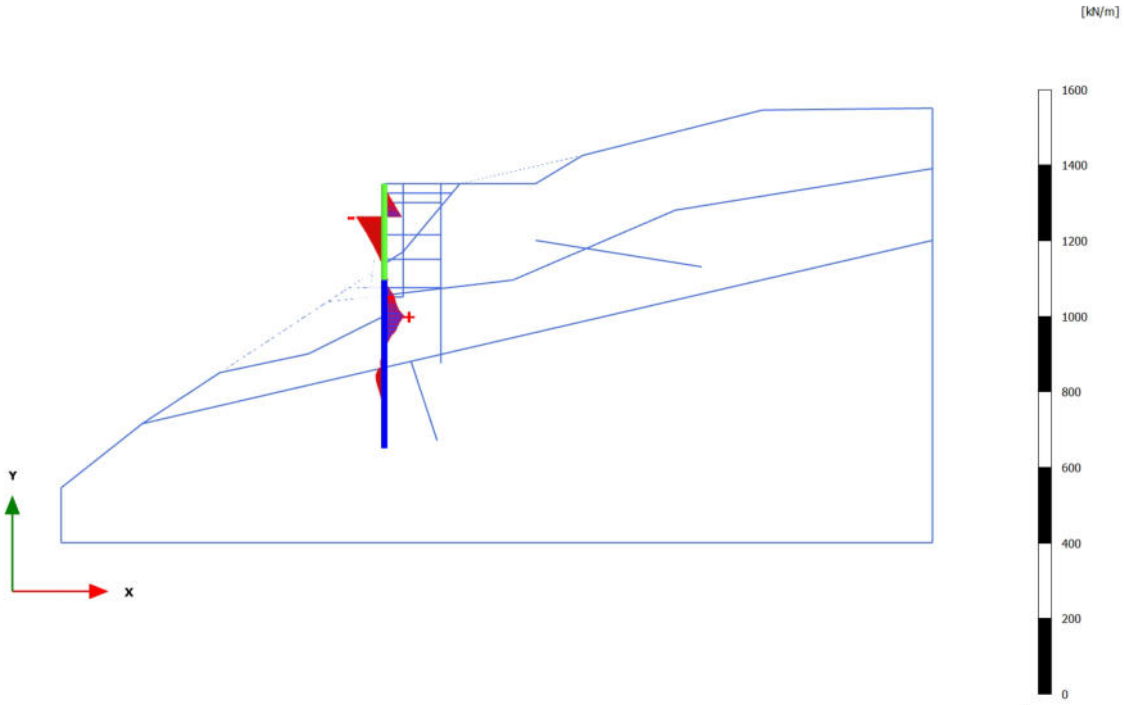

Shear forces Q (scaled up 0,0200 times)

Maximum value = 52,85 kN/m (Element 50 at Node 4823)

Minimum value = -73,86 kN/m (Element 16 at Node 8684)

3.1.2.1.23 Calculation results, Plate, SLD [Phase_23] (23/990), Shear forces Q

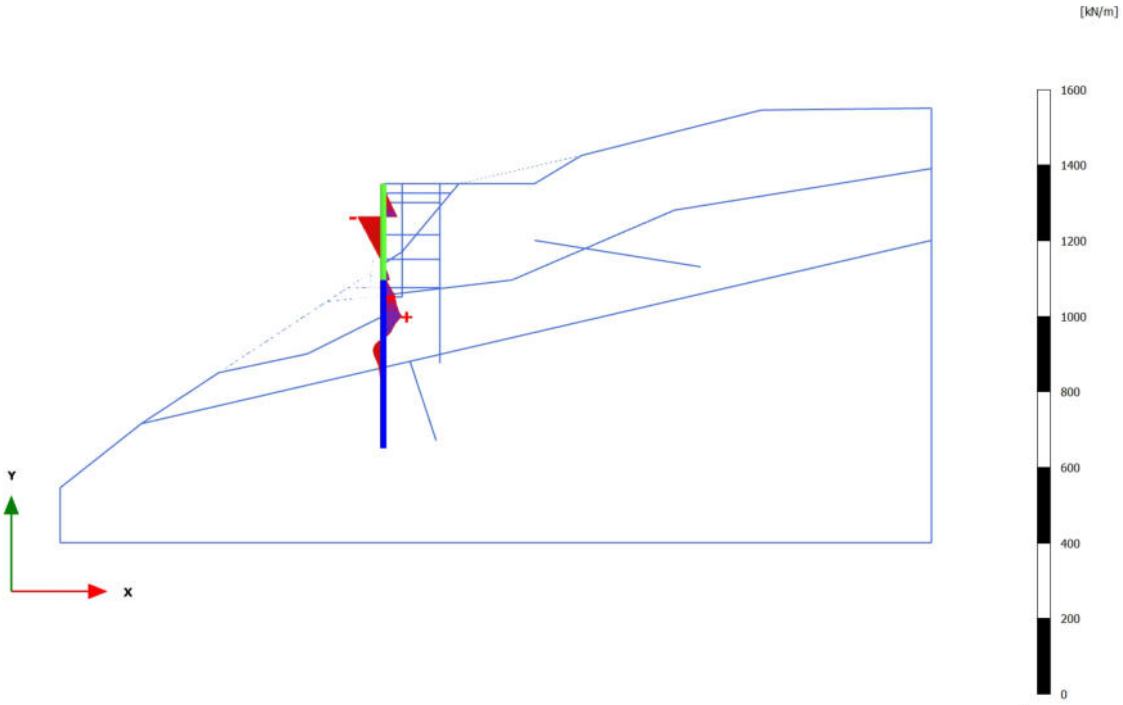

Shear forces Q (scaled up 0,0200 times)

Maximum value = 48,40 kN/m (Element 38 at Node 4823)

Minimum value = -67,52 kN/m (Element 16 at Node 8684)

3.1.2.1.24 Calculation results, Plate, SLU11 Opera provvisionale [Phase_15] (15/1001), Shear forces Q

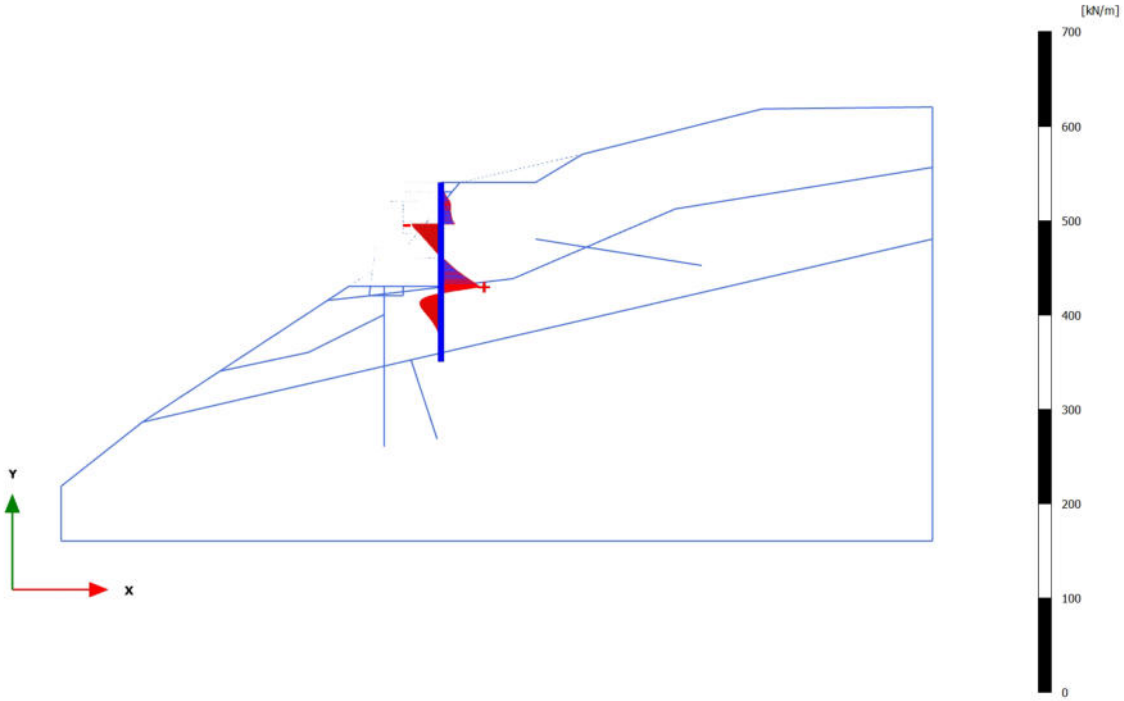

Shear forces Q (scaled up 0,0500 times)

Maximum value = 40,38 kN/m (Element 29 at Node 7076)

Minimum value = -31,10 kN/m (Element 18 at Node 7866)

3.1.2.1.25 Calculation results, Plate, SLU12 Opera provvisionale [Phase_16] (16/1014), Shear forces Q

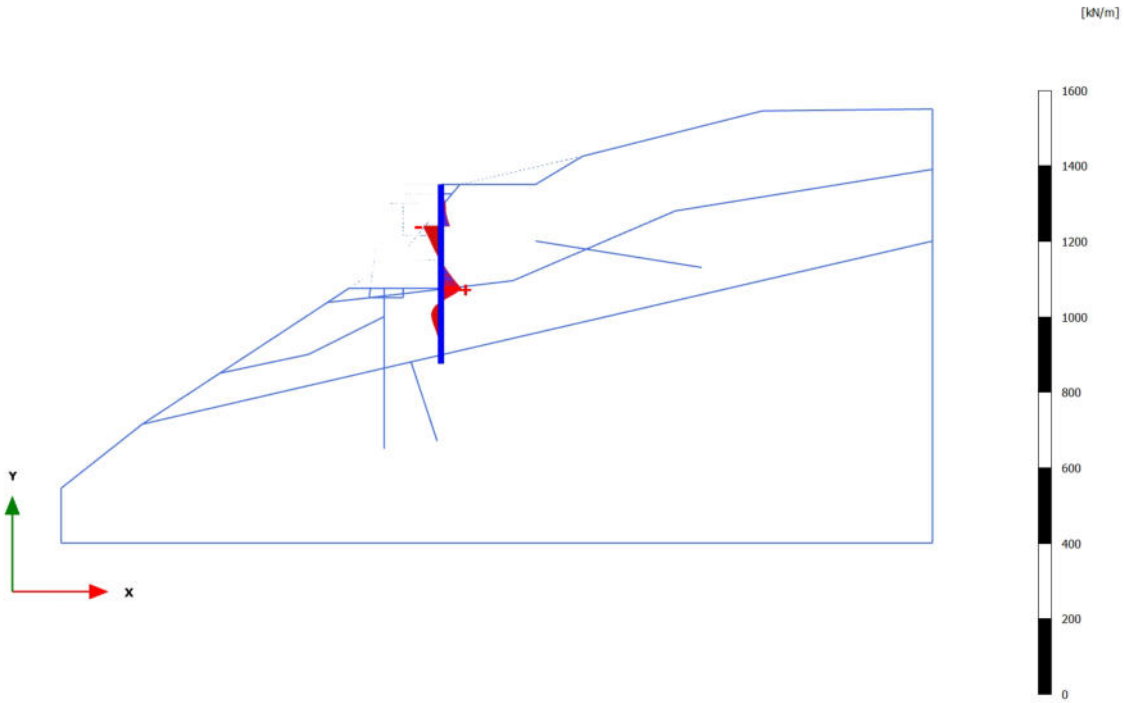

Shear forces Q (scaled up 0,0200 times)

Maximum value = 52,51 kN/m (Element 32 at Node 6659)

Minimum value = -46,07 kN/m (Element 18 at Node 7866)

3.1.2.1.26 Calculation results, Plate, Eccezionale Opera Provvisionale [Phase_25] (25/1495), Shear forces Q

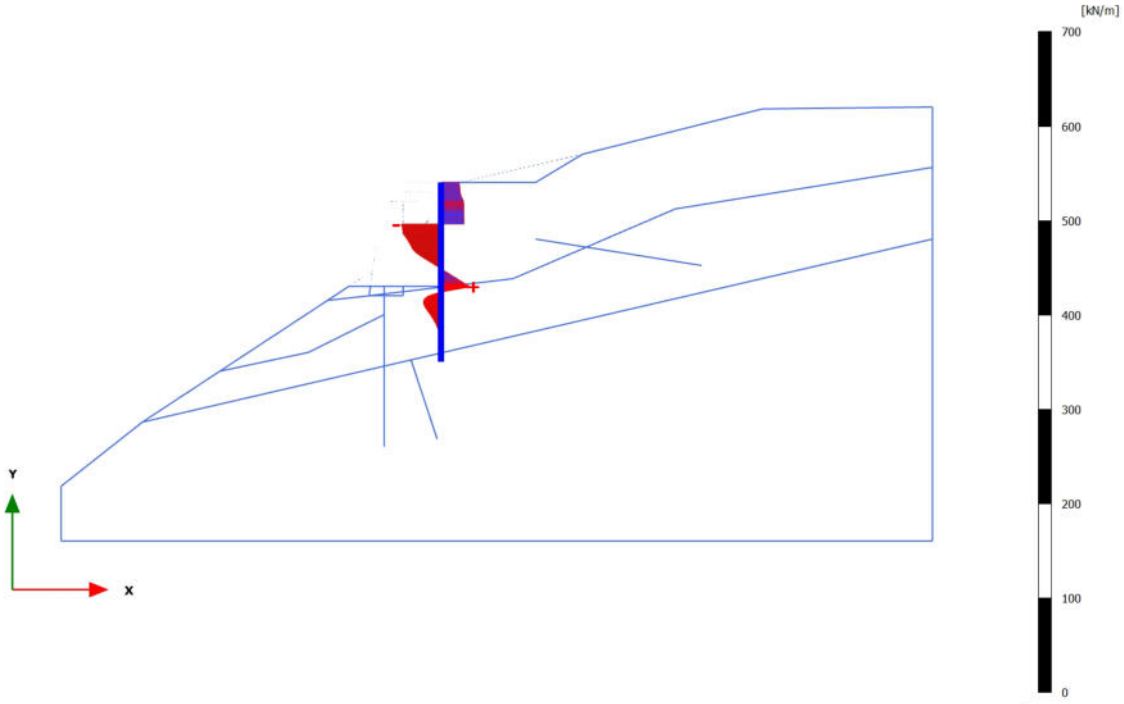

Shear forces Q (scaled up 0,0500 times)

Maximum value = 29,38 kN/m (Element 29 at Node 7076)

Minimum value = -42,09 kN/m (Element 18 at Node 7866)

3.1.2.2.1 Calculation results, Plate, Initial phase [InitialPhase] (0/4), Bending moments M

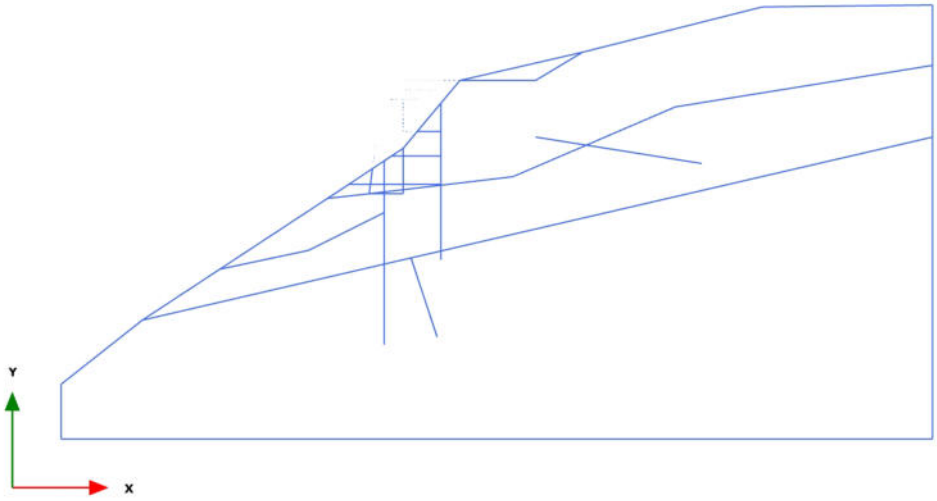

Bending moments M (scaled up 1,00 times)

No results

3.1.2.2.2 Calculation results, Plate, Muro 1 [Phase_1] (1/15), Bending moments M

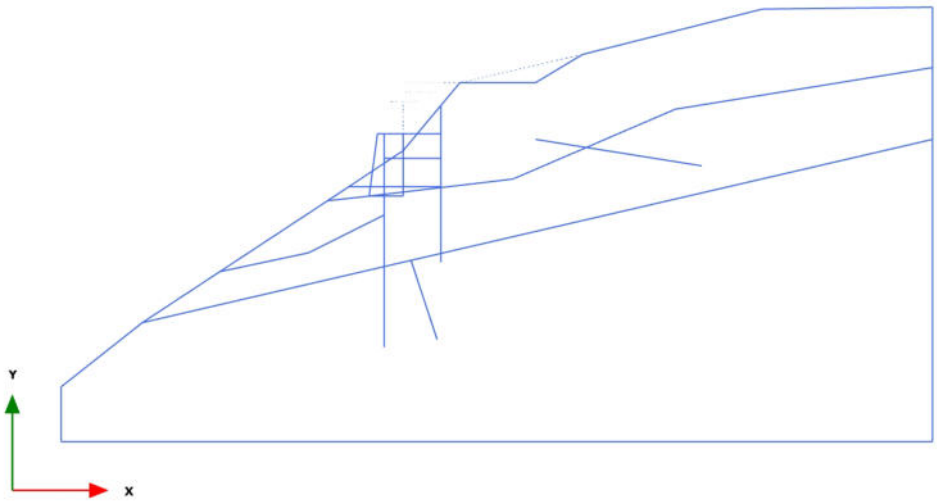

Bending moments M (scaled up 1,00 times)

No results

3.1.2.2.3 Calculation results, Plate, Muro 2 (stato di fatto) [Phase_2] (2/59), Bending moments M

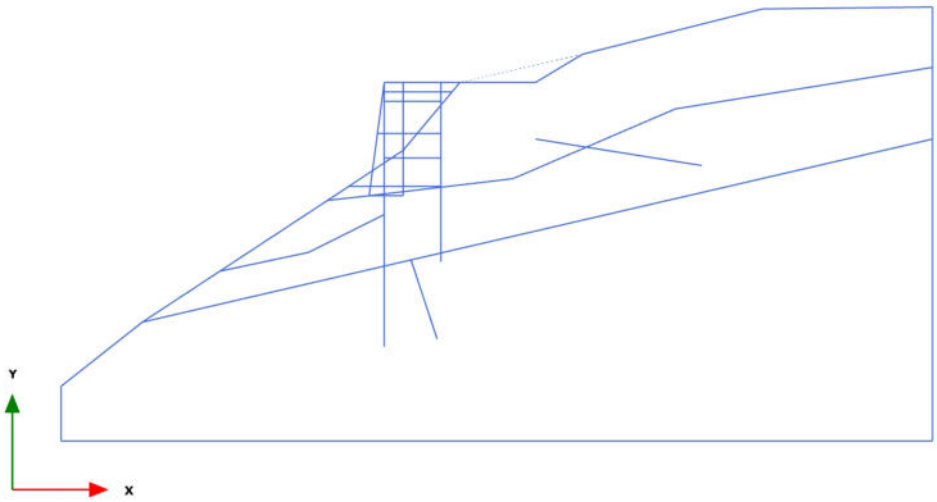

Bending moments M (scaled up 1,00 times)

No results

3.1.2.2.4 Calculation results, Plate, (RD) Preparazione cantiere [Phase_3] (3/65), Bending moments M

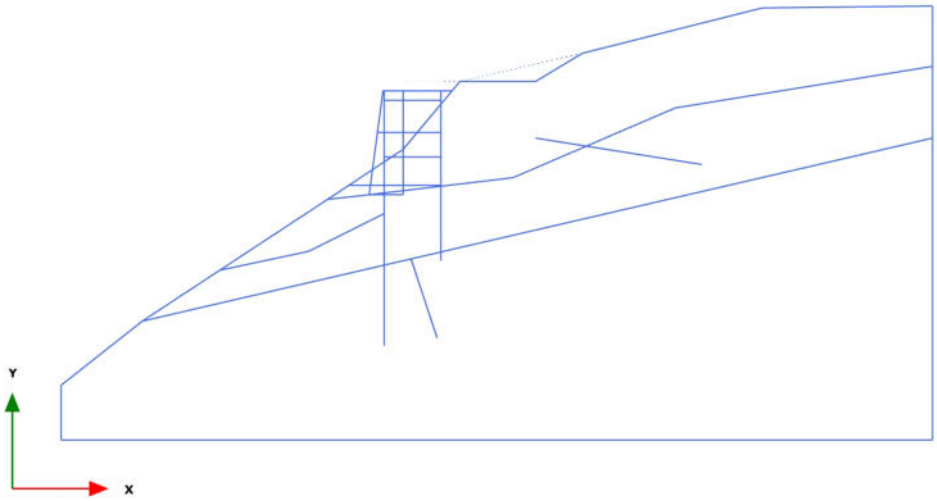

Bending moments M (scaled up 1,00 times)

No results

3.1.2.2.5 Calculation results, Plate, Micropali paratia provvisionale [Phase_4] (4/68), Bending moments M

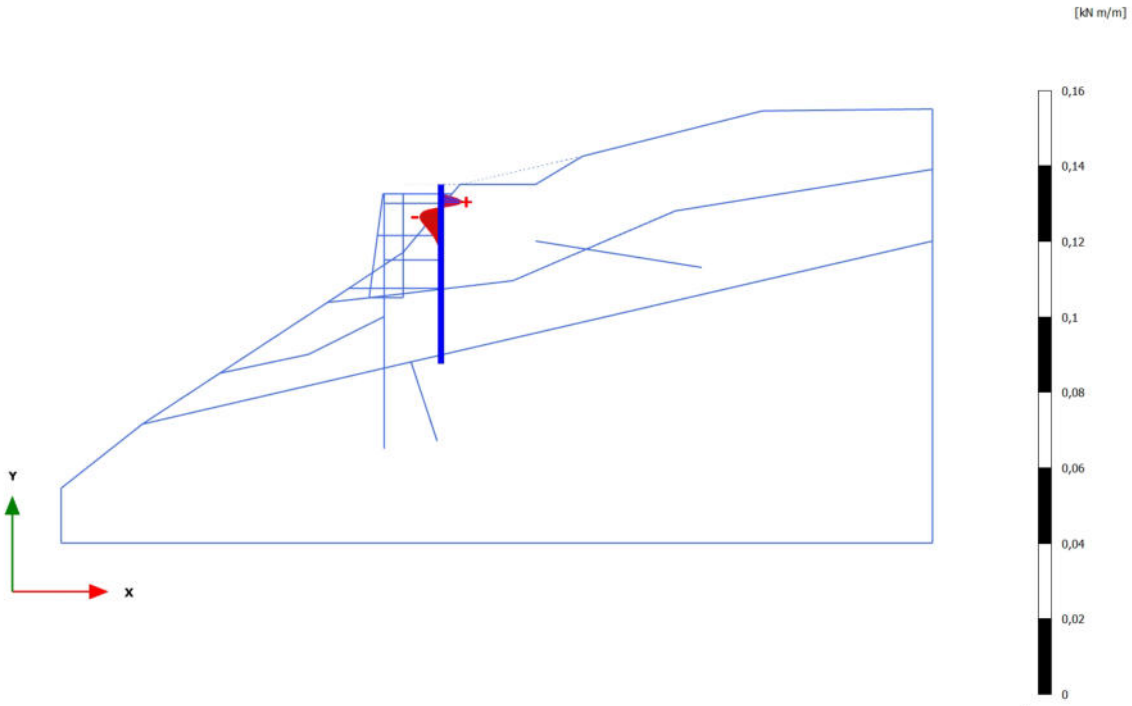

Bending moments M (scaled up 200 times)

Maximum value = 5,422*10^{-3} kN m/m (Element 9 at Node 7919)

Minimum value = -5,623*10^{-3} kN m/m (Element 15 at Node 7869)

3.1.2.2.6 Calculation results, Plate, (RD) Sovraccarico stradale [Phase_5] (5/84), Bending moments M

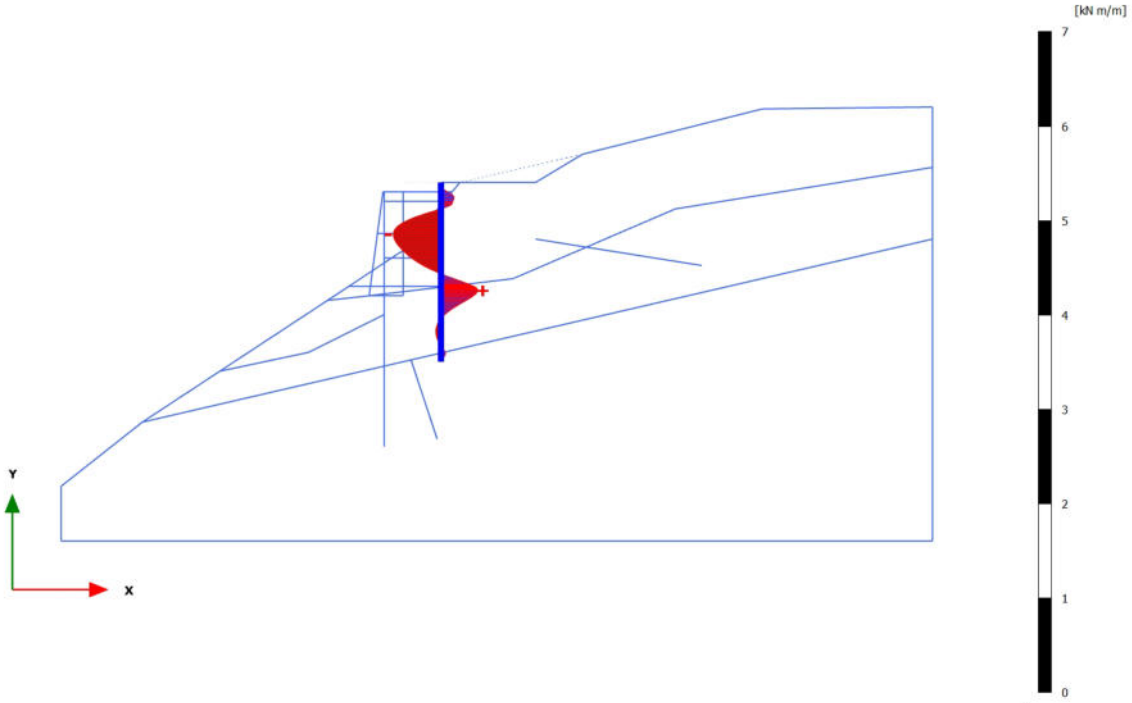

Bending moments M (scaled up 5,00 times)

Maximum value = 0,3892 kN m/m (Element 40 at Node 6271)

Minimum value = -0,5051 kN m/m (Element 18 at Node 7786)

3.1.2.2.7 Calculation results, Plate, Escavo 1 [Phase_6] (6/247), Bending moments M

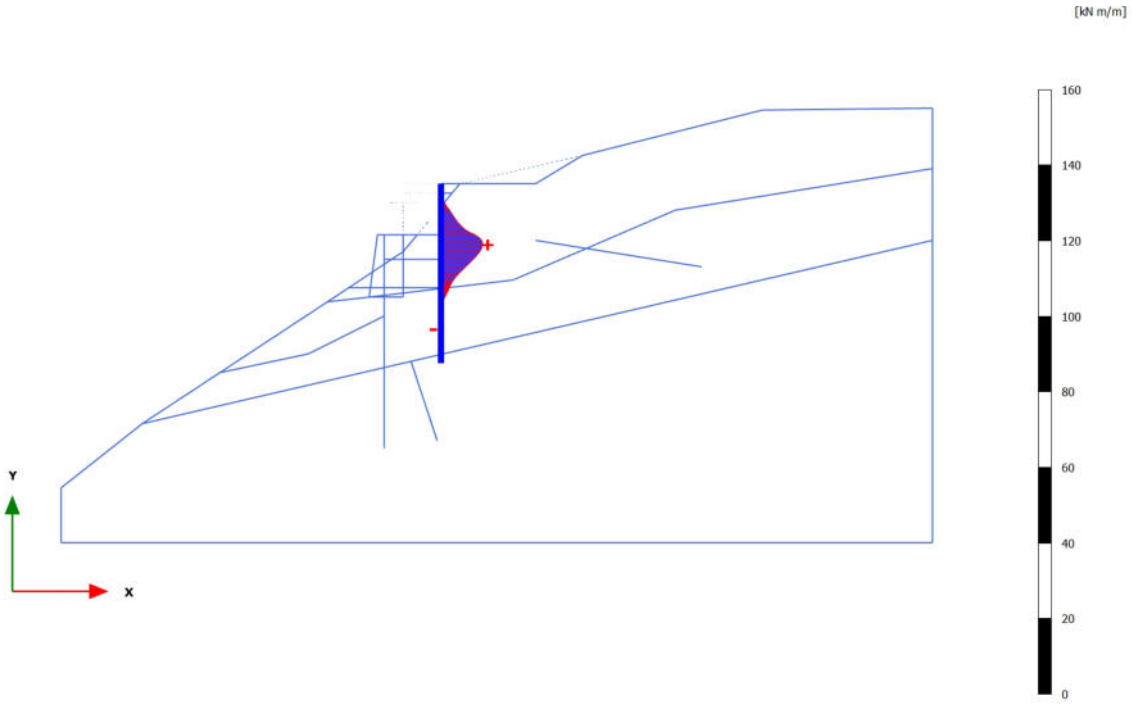

Bending moments M (scaled up 0,200 times)

Maximum value = 11,04 kN m/m (Element 22 at Node 7617)

Minimum value = -0,6275 kN m/m (Element 47 at Node 3554)

3.1.2.2.8 Calculation results, Plate, Micropalo ancoraggio [Phase_7] (7/250), Bending moments M

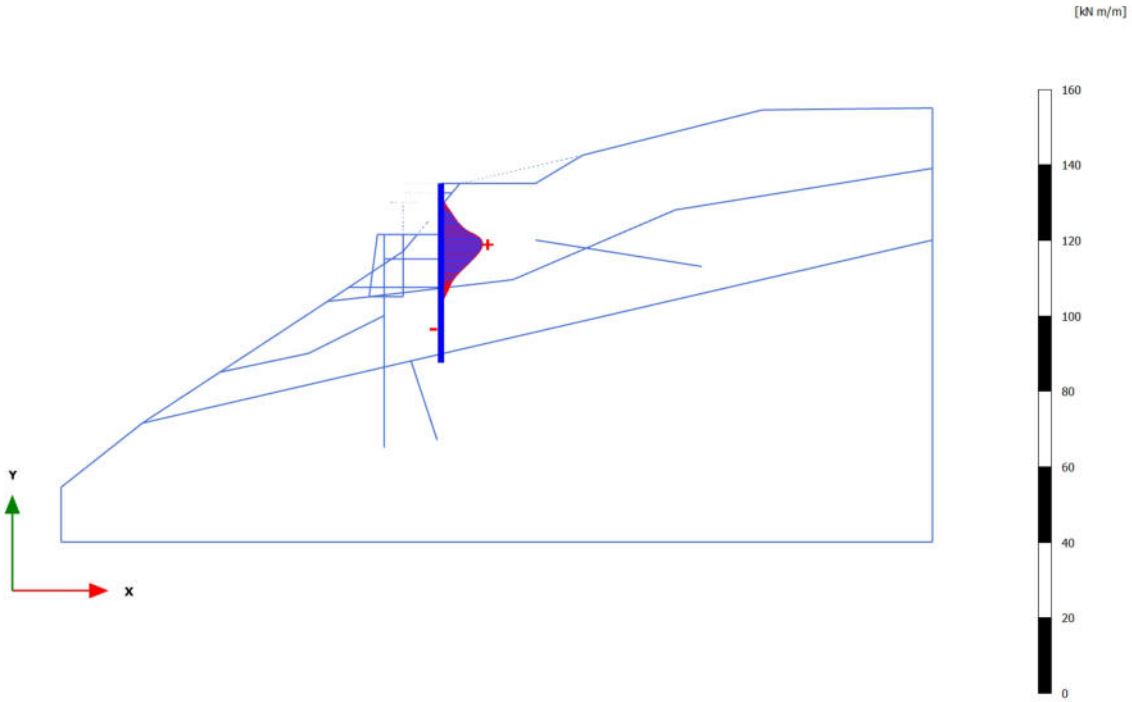

Bending moments M (scaled up 0,200 times)

Maximum value = 11,05 kN m/m (Element 22 at Node 7617)

Minimum value = -0,6277 kN m/m (Element 47 at Node 3554)

3.1.2.2.9 Calculation results, Plate, Escavo (progetto) [Phase_8] (8/271), Bending moments M

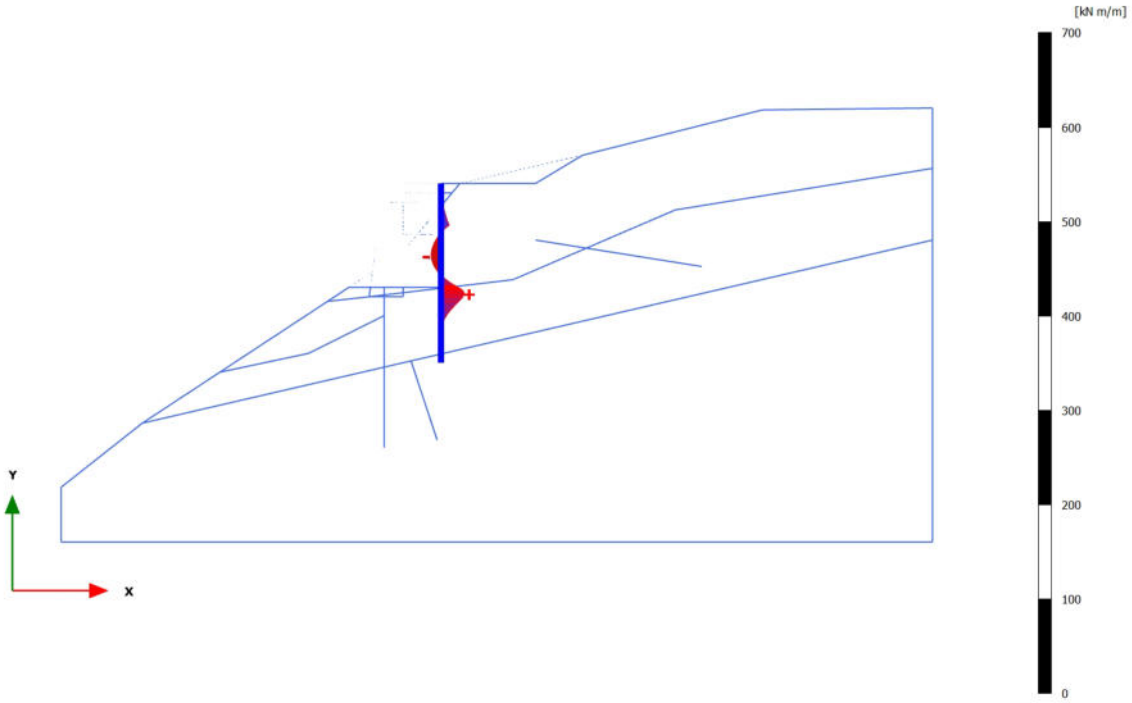

Bending moments M (scaled up 0,0500 times)

Maximum value = 24,49 kN m/m (Element 40 at Node 5652)

Minimum value = -10,42 kN m/m (Element 23 at Node 7660)

3.1.2.2.10 Calculation results, Plate, (RD) Muro [Phase_9] (9/298), Bending moments M

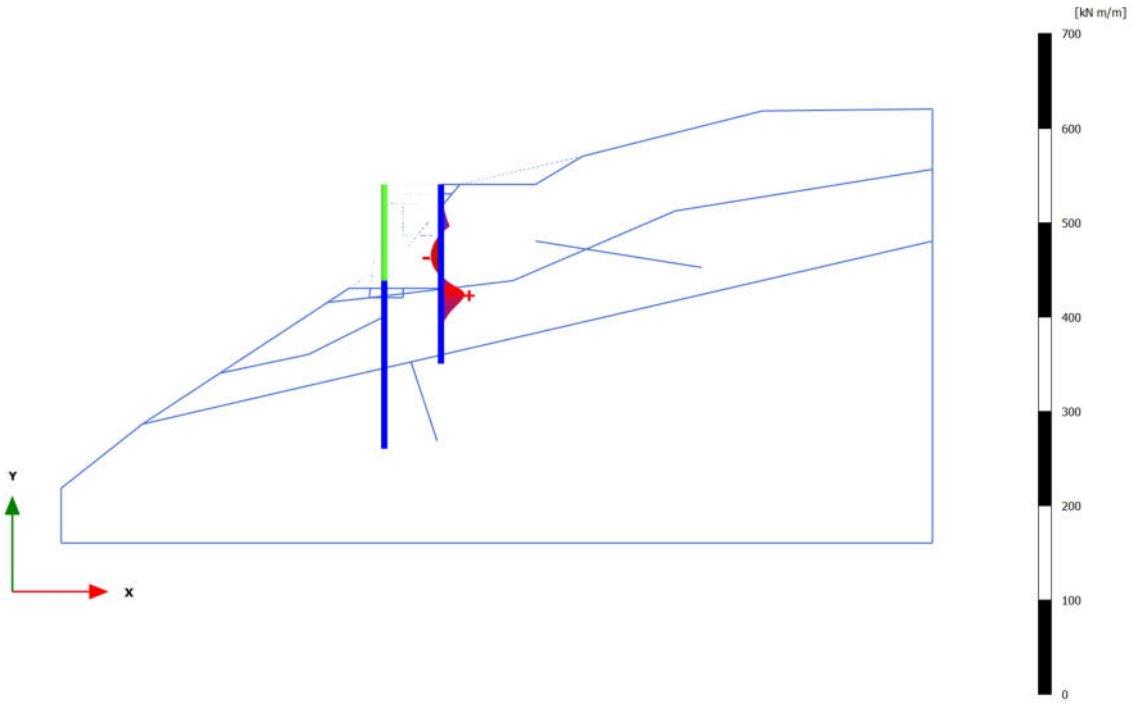

Bending moments M (scaled up 0,0500 times)

Maximum value = 24,61 kN m/m (Element 40 at Node 5652)

Minimum value = -10,54 kN m/m (Element 23 at Node 7660)

3.1.2.2.11 Calculation results, Plate, Riempimento 1 [Phase_10] (10/374), Bending moments M

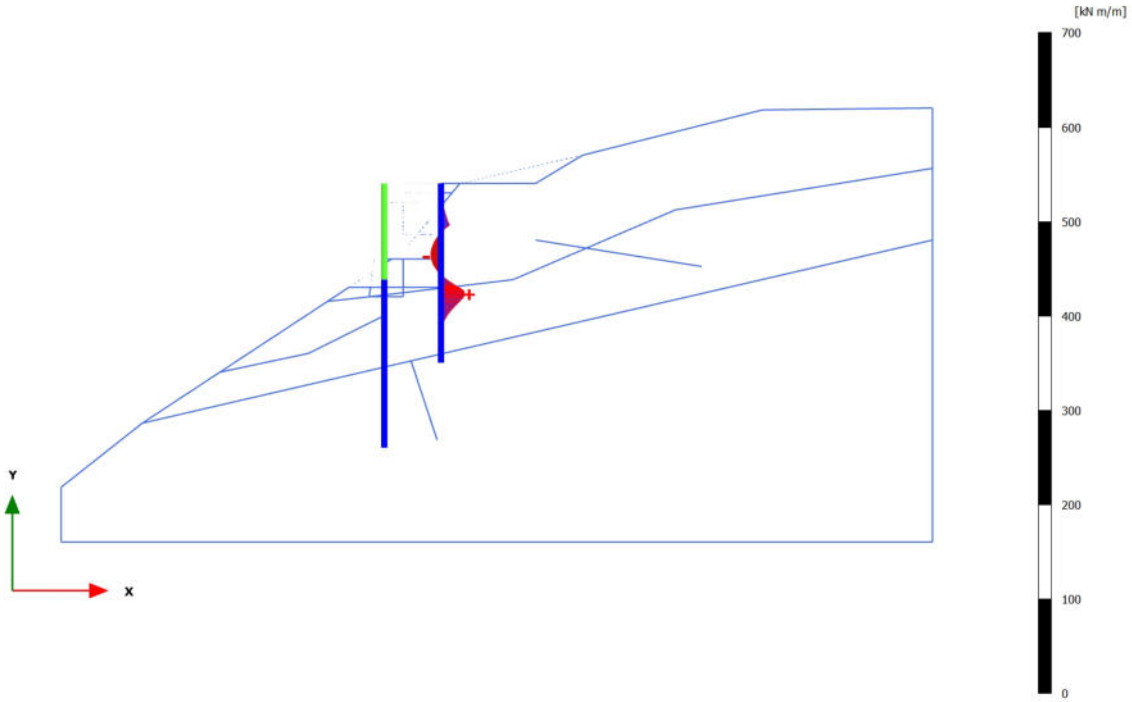

Bending moments M (scaled up 0,0500 times)

Maximum value = 24,97 kN m/m (Element 40 at Node 5652)

Minimum value = -10,64 kN m/m (Element 23 at Node 7660)

3.1.2.2.12 Calculation results, Plate, Riempimento 2 [Phase_11] (11/647), Bending moments M

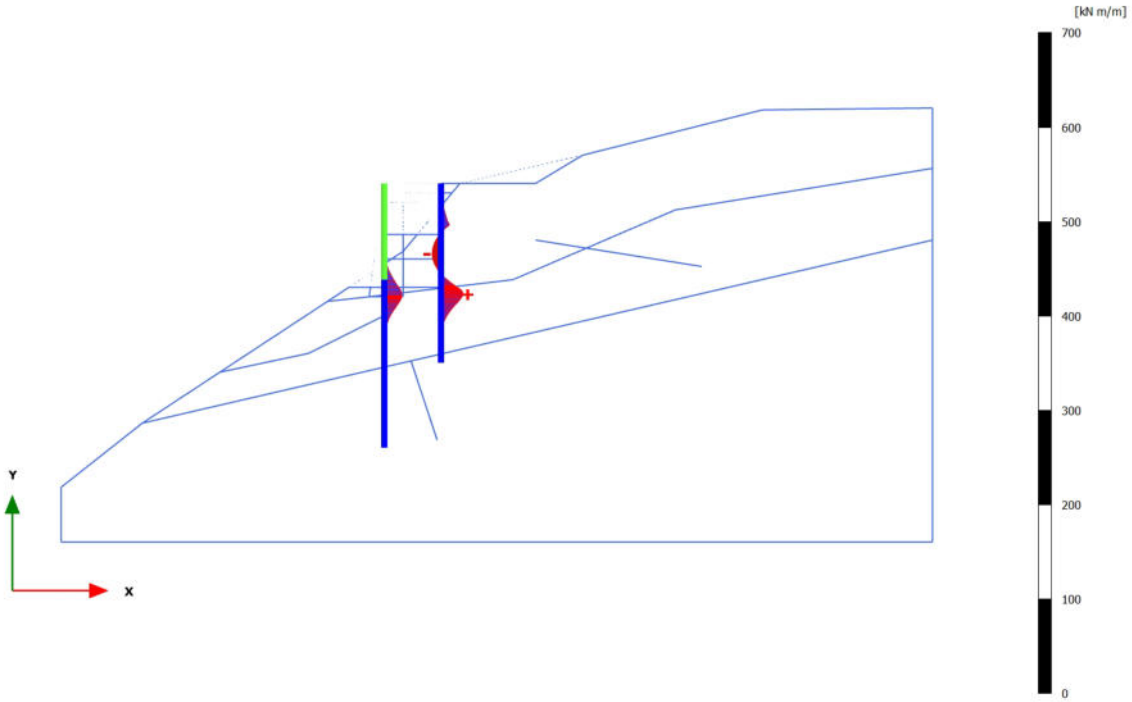

Bending moments M (scaled up 0,0500 times)

Maximum value = 23,28 kN m/m (Element 40 at Node 5652)

Minimum value = -9,334 kN m/m (Element 23 at Node 7661)

3.1.2.2.13 Calculation results, Plate, Collegamento [Phase_12] (12/660), Bending moments M

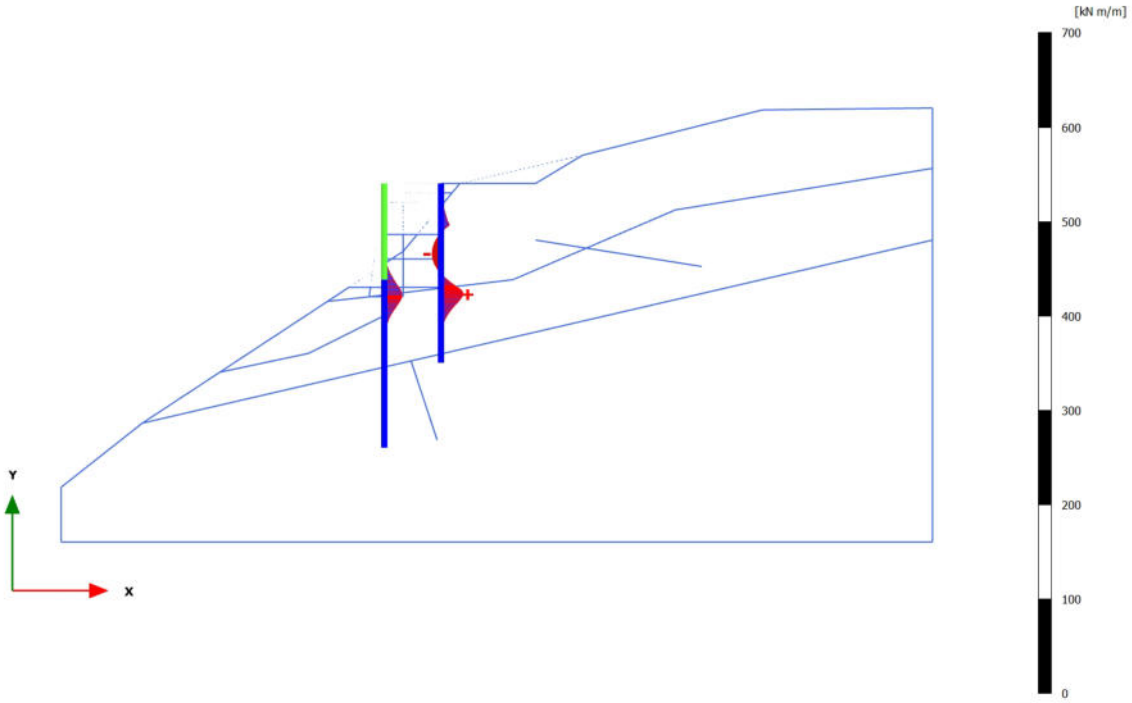

Bending moments M (scaled up 0,0500 times)

Maximum value = 23,27 kN m/m (Element 40 at Node 5652)

Minimum value = -9,327 kN m/m (Element 23 at Node 7661)

3.1.2.2.14 Calculation results, Plate, Riempimento 3 [Phase_13] (13/678), Bending moments M

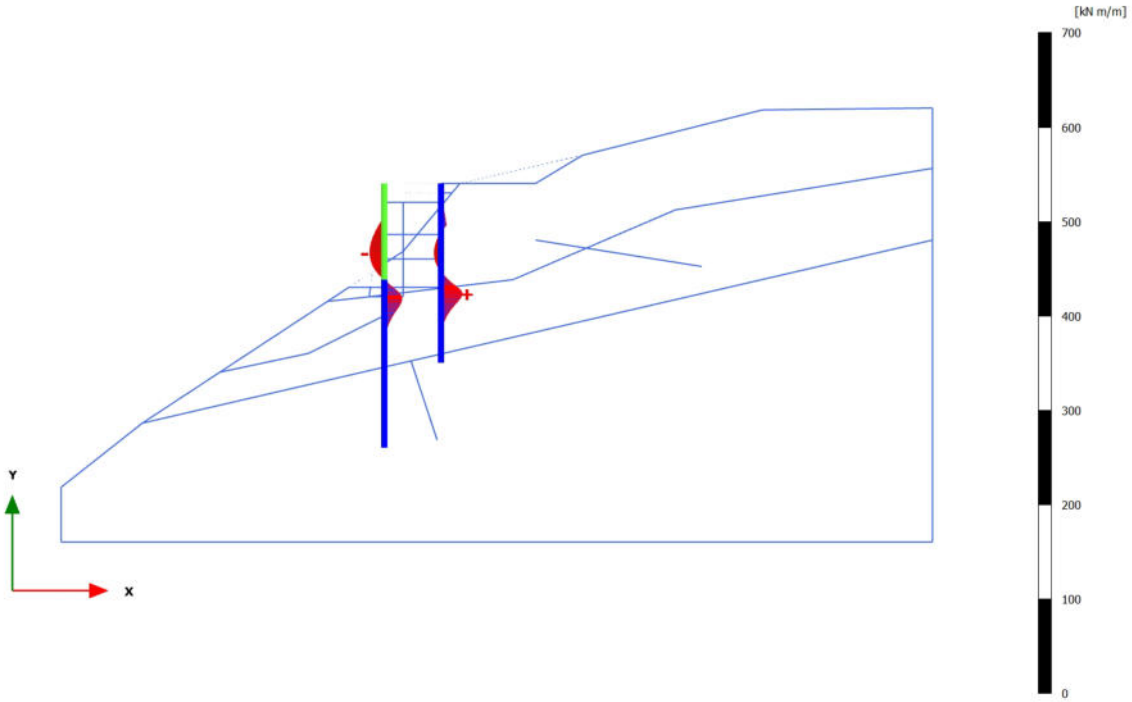

Bending moments M (scaled up 0,0500 times)

Maximum value = 22,32 kN m/m (Element 40 at Node 5652)

Minimum value = -15,20 kN m/m (Element 20 at Node 8126)

3.1.2.2.15 Calculation results, Plate, Completamento riempimento [Phase_14] (14/695), Bending moments M

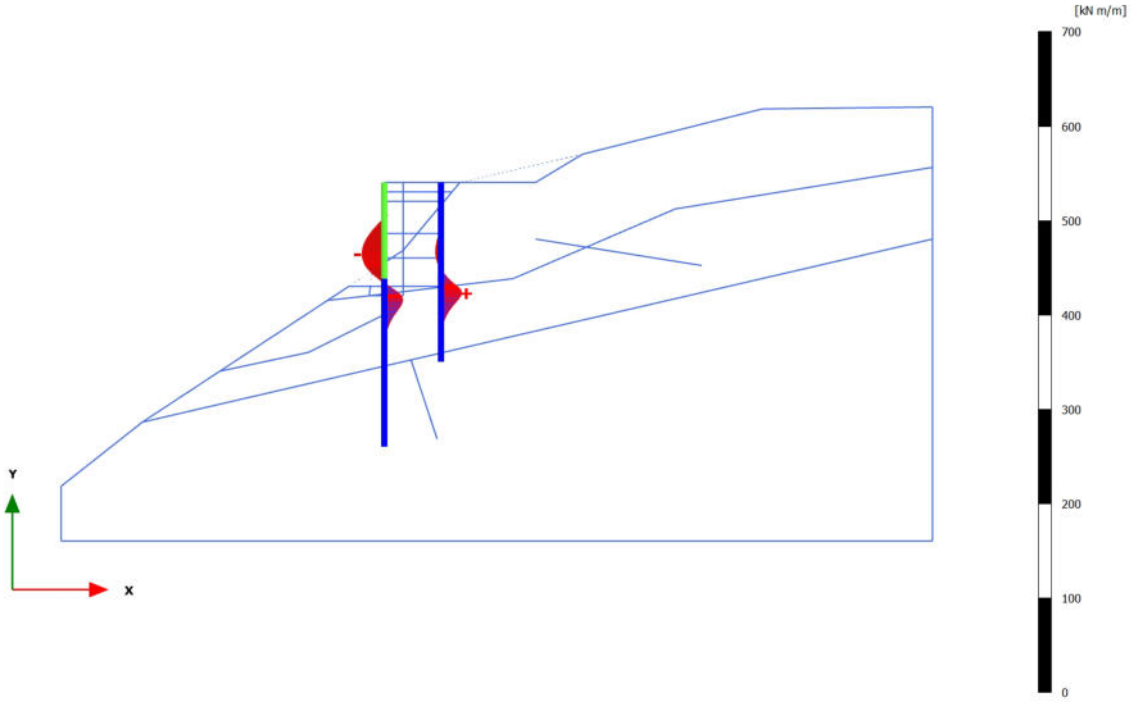

Bending moments M (scaled up 0,0500 times)

Maximum value = 21,88 kN m/m (Element 40 at Node 5652)

Minimum value = -23,46 kN m/m (Element 21 at Node 8029)

3.1.2.2.16 Calculation results, Plate, SLE/SLU 11 Costr [Phase_17] (17/731), Bending moments M

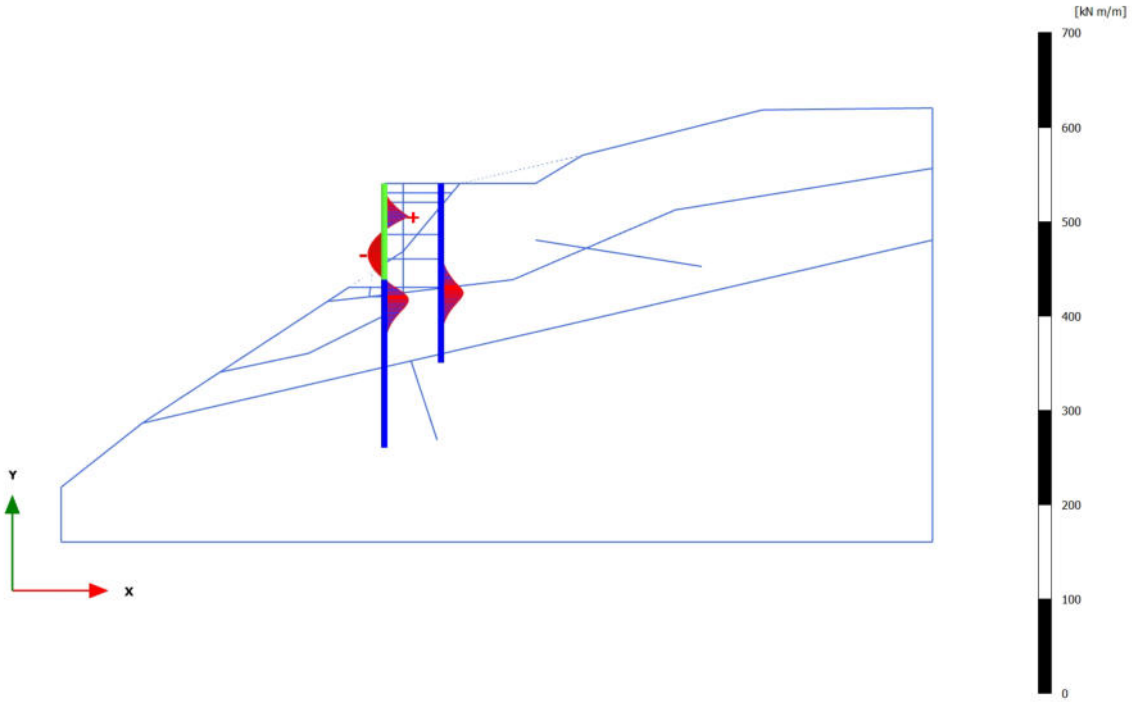

Bending moments M (scaled up 0,0500 times)

Maximum value = 25,69 kN m/m (Element 13 at Node 8684)

Minimum value = -17,23 kN m/m (Element 21 at Node 8029)

3.1.2.2.17 Calculation results, Plate, Disattivazione paratia provvisionale [Phase_24] (24/741), Bending moments M

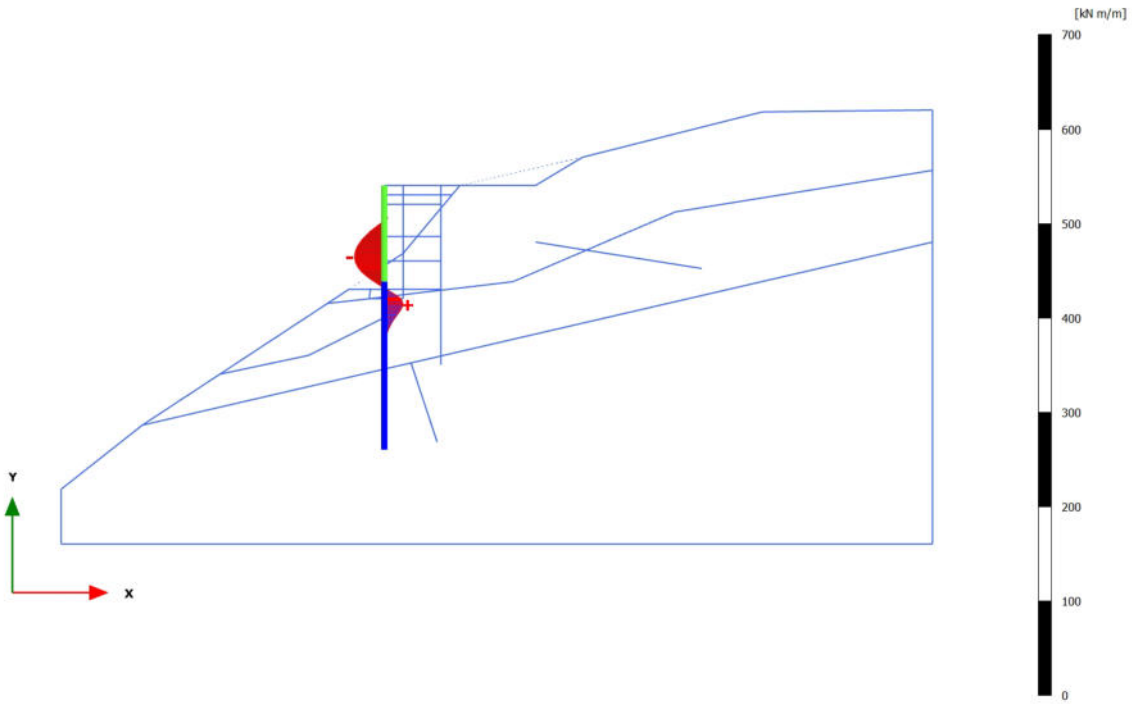

Bending moments M (scaled up 0,0500 times)

Maximum value = 19,73 kN m/m (Element 36 at Node 5614)

Minimum value = -31,42 kN m/m (Element 21 at Node 8029)

3.1.2.2.18 Calculation results, Plate, SLE [Phase_18] (18/746), Bending moments M

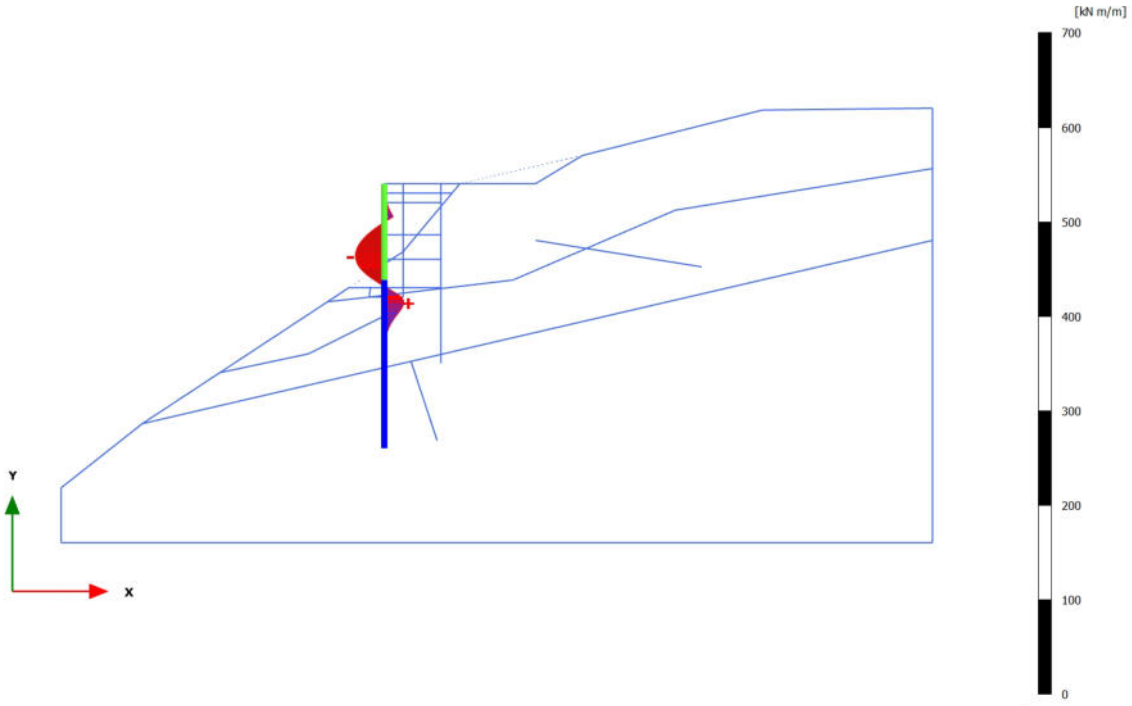

Bending moments M (scaled up 0,0500 times)

Maximum value = 20,70 kN m/m (Element 36 at Node 5614)

Minimum value = -30,50 kN m/m (Element 21 at Node 8028)

3.1.2.2.19 Calculation results, Plate, SLU11 (scalz) [Phase_19] (19/779), Bending moments M

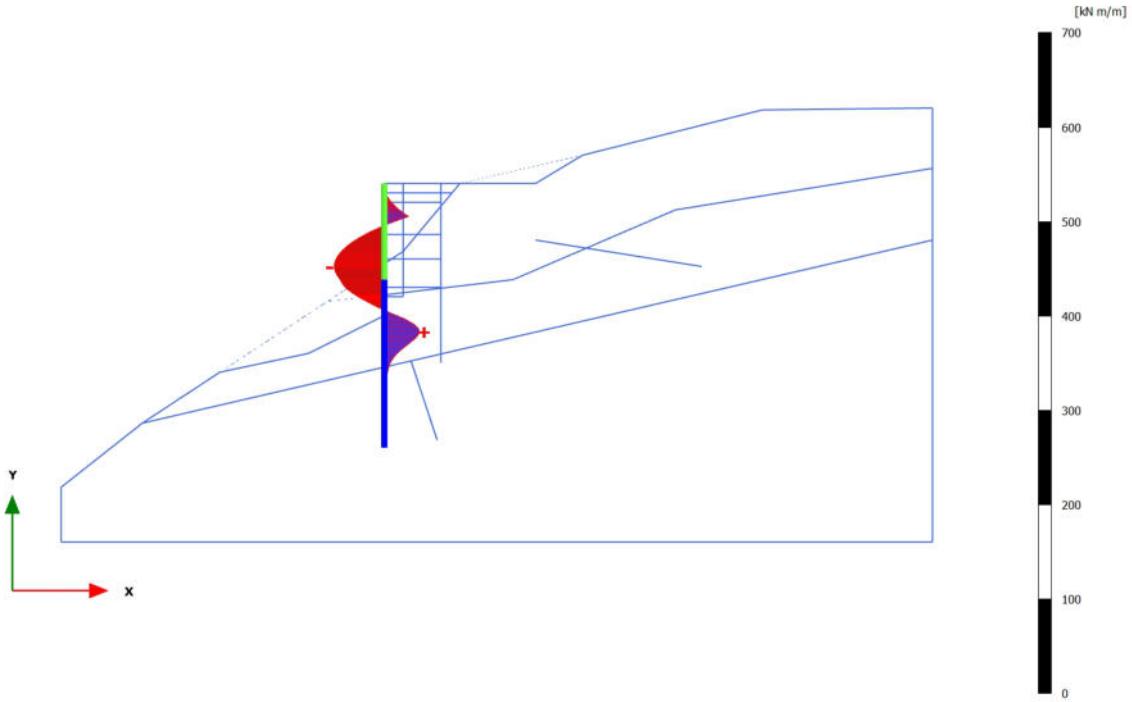

Bending moments M (scaled up 0,0500 times)

Maximum value = 37,17 kN m/m (Element 51 at Node 3946)

Minimum value = -52,96 kN m/m (Element 25 at Node 7590)

3.1.2.2.20 Calculation results, Plate, SLU 12 [Phase_20] (20/799), Bending moments M

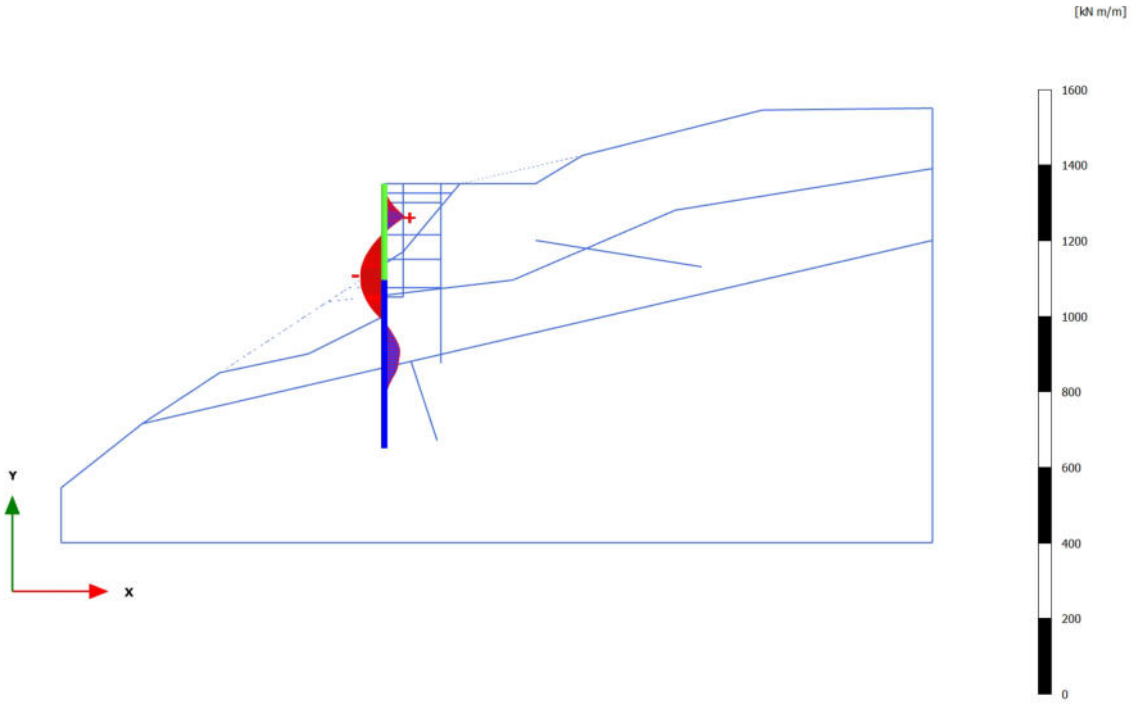

Bending moments M (scaled up 0,0200 times)

Maximum value = 54,50 kN m/m (Element 13 at Node 8684)

Minimum value = -62,60 kN m/m (Element 30 at Node 7539)

3.1.2.2.21 Calculation results, Plate, Eccezionale [Phase_21] (21/917), Bending moments M

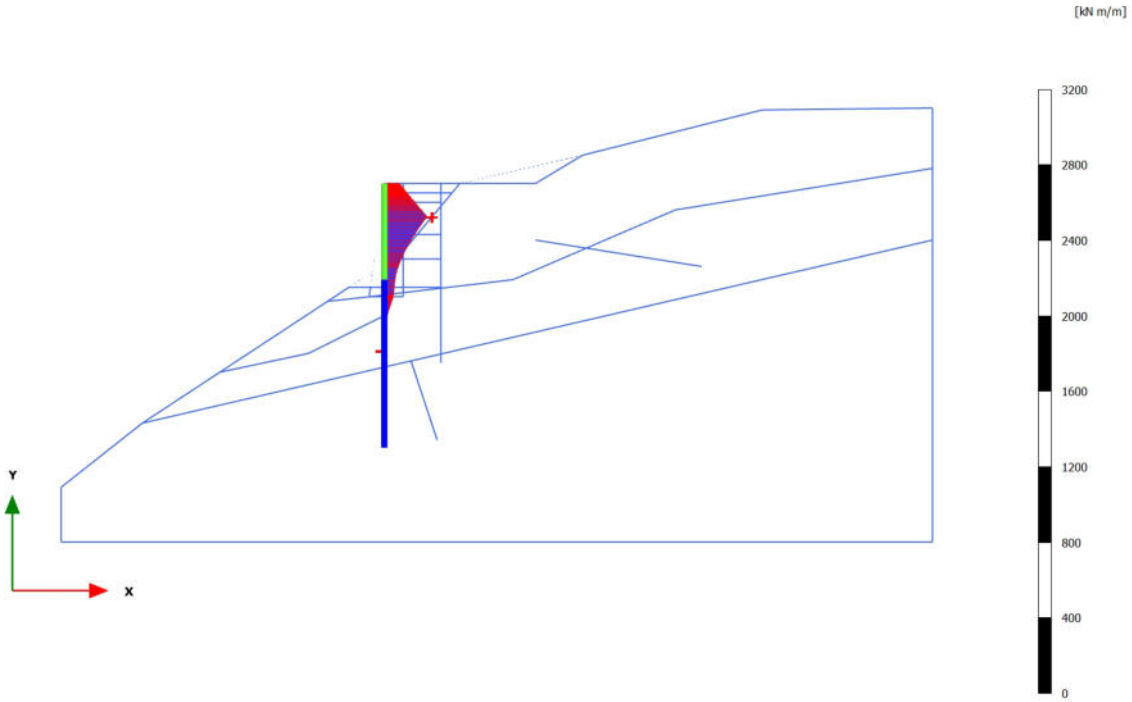

Bending moments M (scaled up 0,0100 times)

Maximum value = 225,9 kN m/m (Element 16 at Node 8684)

Minimum value = -0,8333 kN m/m (Element 53 at Node 3351)

3.1.2.2.22 Calculation results, Plate, SLV [Phase_22] (22/956), Bending moments M

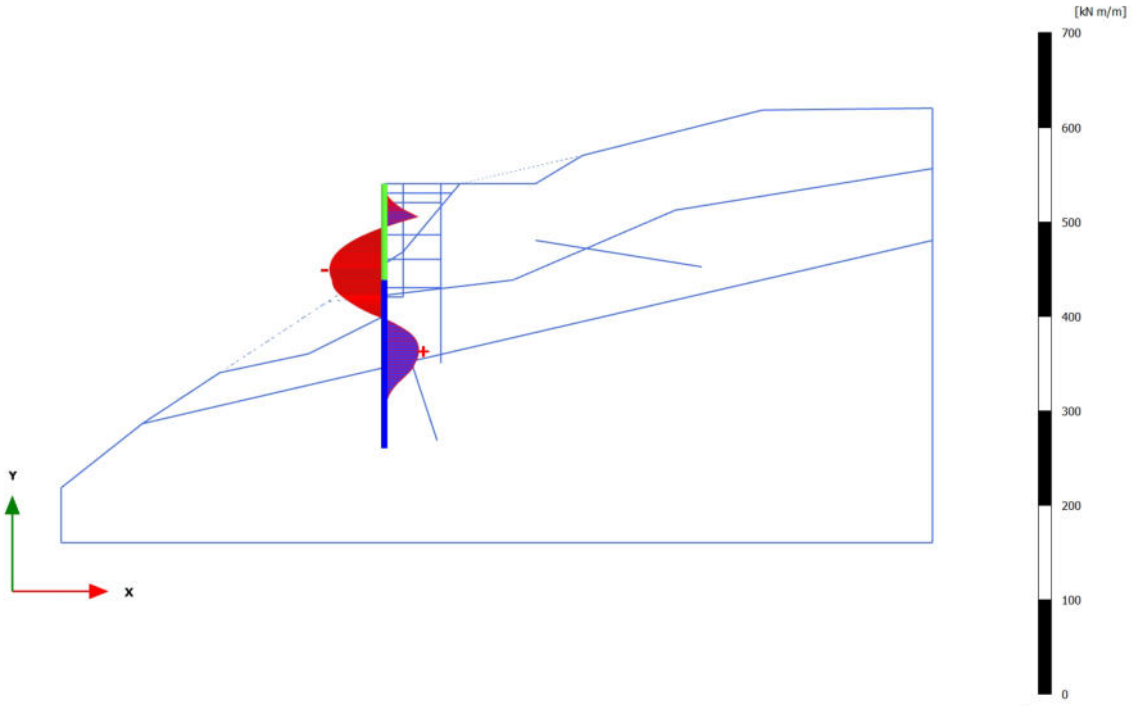

Bending moments M (scaled up 0,0500 times)

Maximum value = 36,40 kN m/m (Element 53 at Node 3351)

Minimum value = -57,60 kN m/m (Element 25 at Node 7588)

3.1.2.2.23 Calculation results, Plate, SLD [Phase_23] (23/990), Bending moments M

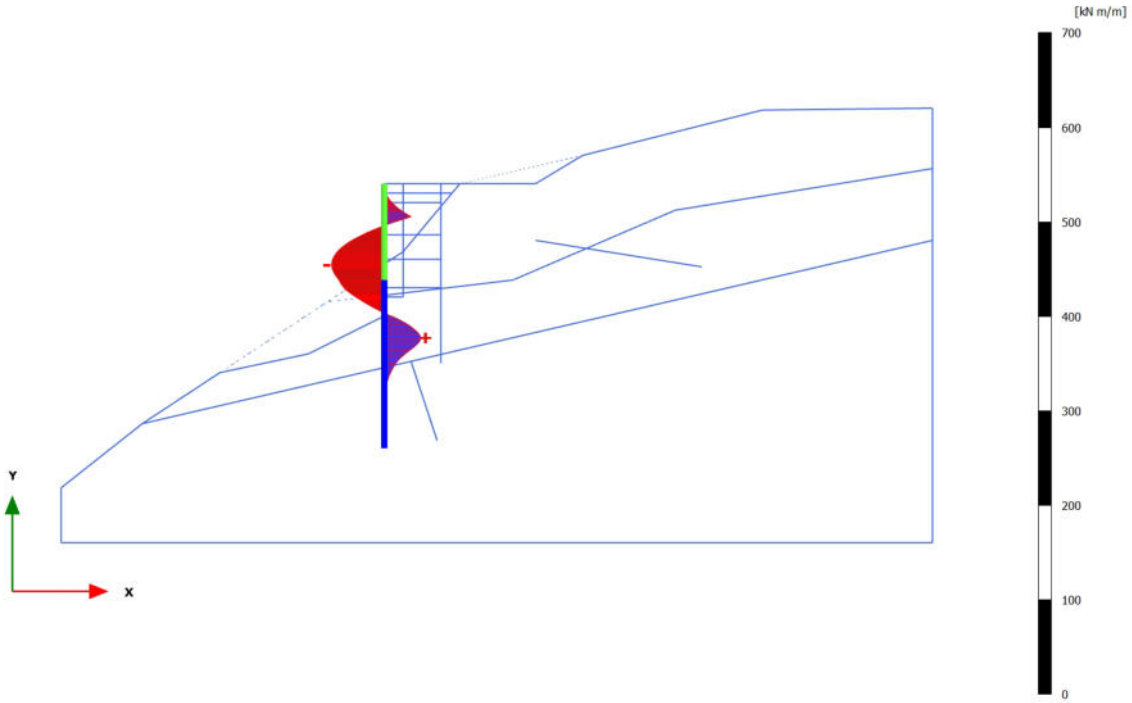

Bending moments M (scaled up 0,0500 times)

Maximum value = 38,47 kN m/m (Element 52 at Node 3400)

Minimum value = -55,68 kN m/m (Element 25 at Node 7904)

3.1.2.2.24 Calculation results, Plate, SLU11 Opera provvisionale [Phase_15] (15/1001), Bending moments M

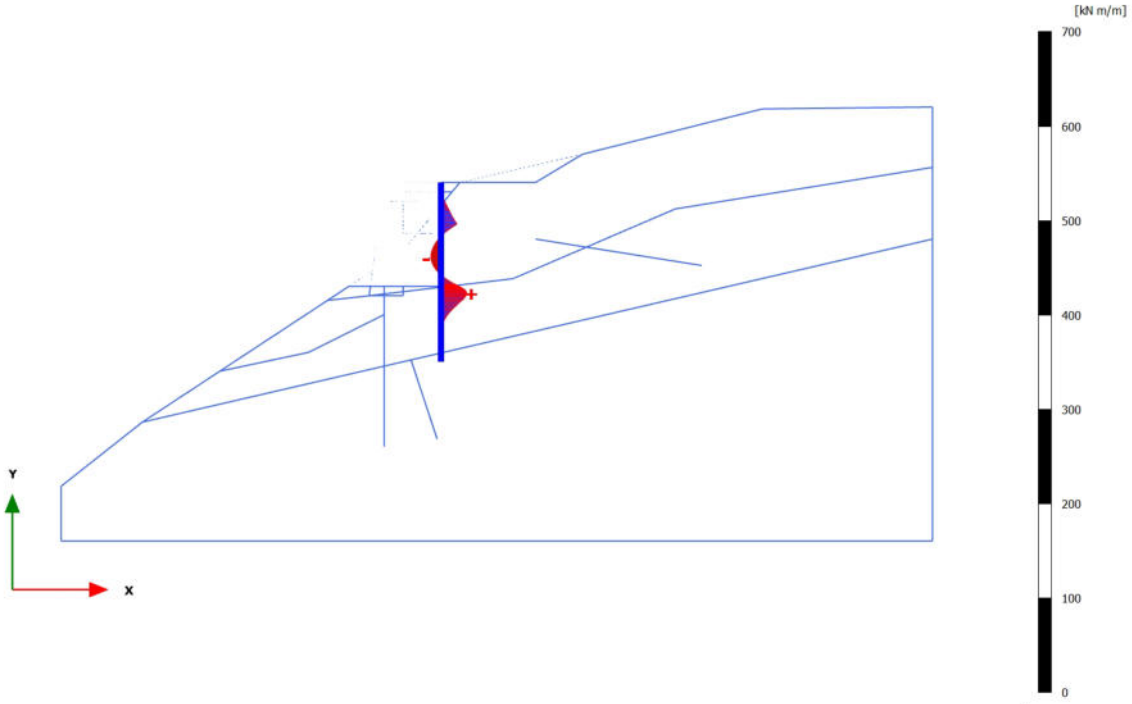

Bending moments M (scaled up 0,0500 times)

Maximum value = 27,18 kN m/m (Element 40 at Node 5649)

Minimum value = -10,69 kN m/m (Element 23 at Node 7659)

3.1.2.2.25 Calculation results, Plate, SLU12 Opera provvisionale [Phase_16] (16/1014), Bending moments M

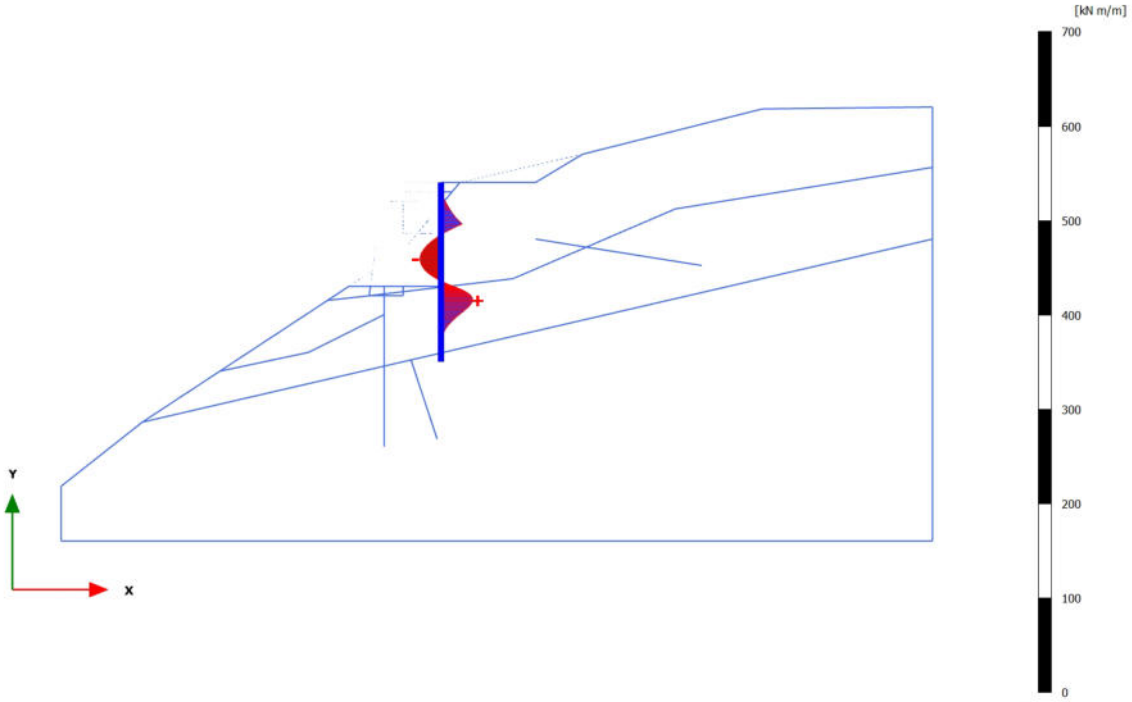

Bending moments M (scaled up 0,0500 times)

Maximum value = 33,46 kN m/m (Element 42 at Node 4914)

Minimum value = -22,14 kN m/m (Element 26 at Node 7659)

3.1.2.2.26 Calculation results, Plate, Eccezionale Opera Provvisionale [Phase_25] (25/1495), Bending moments M

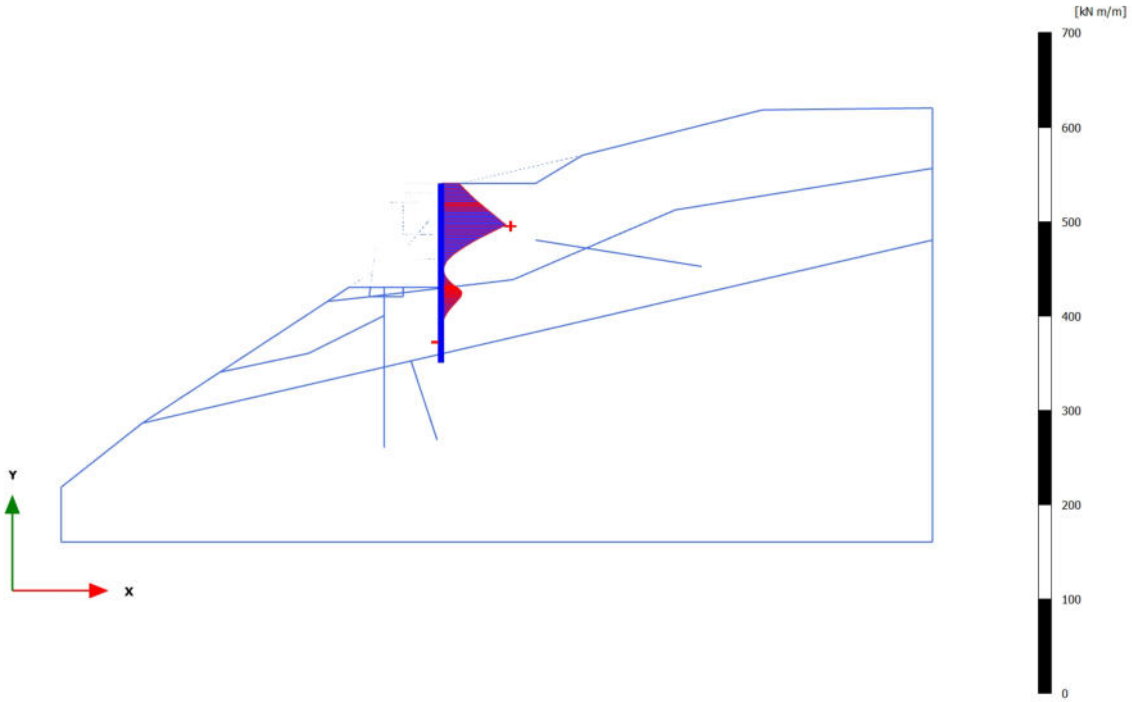

Bending moments M (scaled up 0,0500 times)

Maximum value = 68,99 kN m/m (Element 18 at Node 7866)

Minimum value = -1,127 kN m/m (Element 48 at Node 3472)

3.1.2.3.1 Calculation results, Plate, Initial phase [InitialPhase] (0/4), Axial forces N

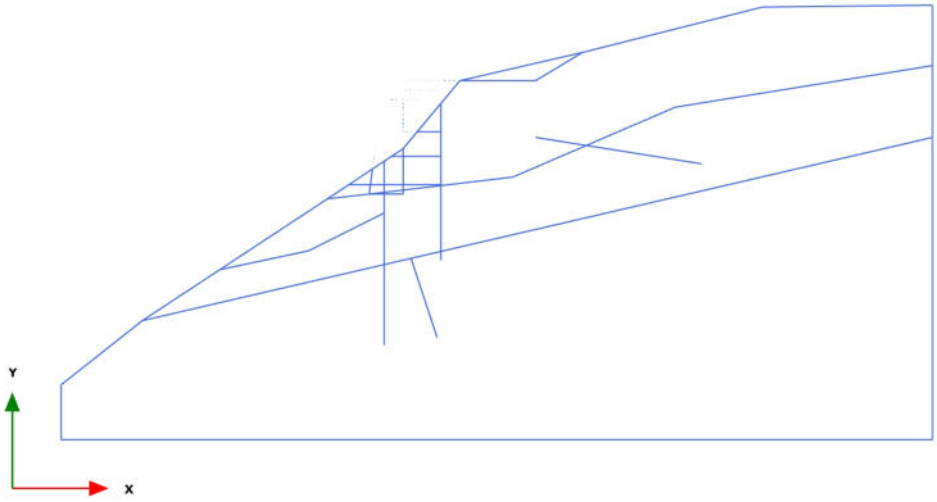

Axial forces N (scaled up 1,00 times)

No results

3.1.2.3.2 Calculation results, Plate, Muro 1 [Phase_1] (1/15), Axial forces N

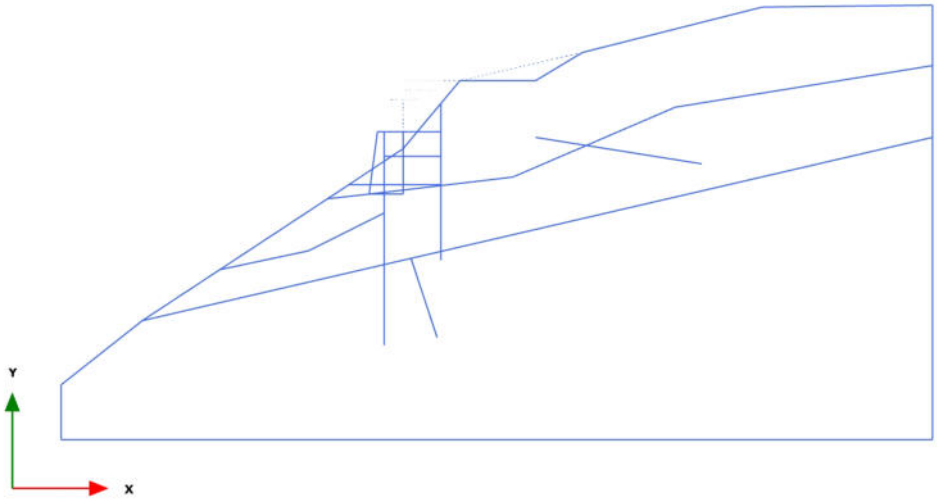

Axial forces N (scaled up 1,00 times)

No results

3.1.2.3.3 Calculation results, Plate, Muro 2 (stato di fatto) [Phase_2] (2/59), Axial forces N

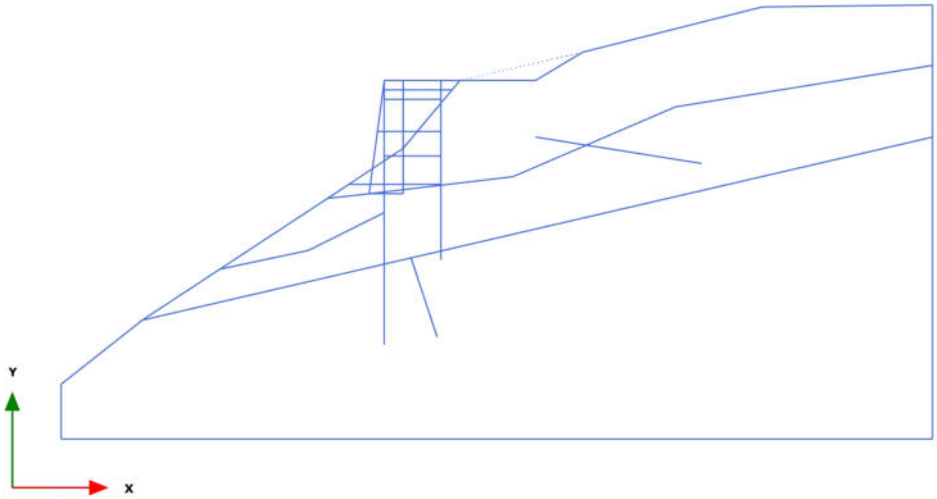

Axial forces N (scaled up 1,00 times)

No results

3.1.2.3.4 Calculation results, Plate, (RD) Preparazione cantiere [Phase_3] (3/65), Axial forces N

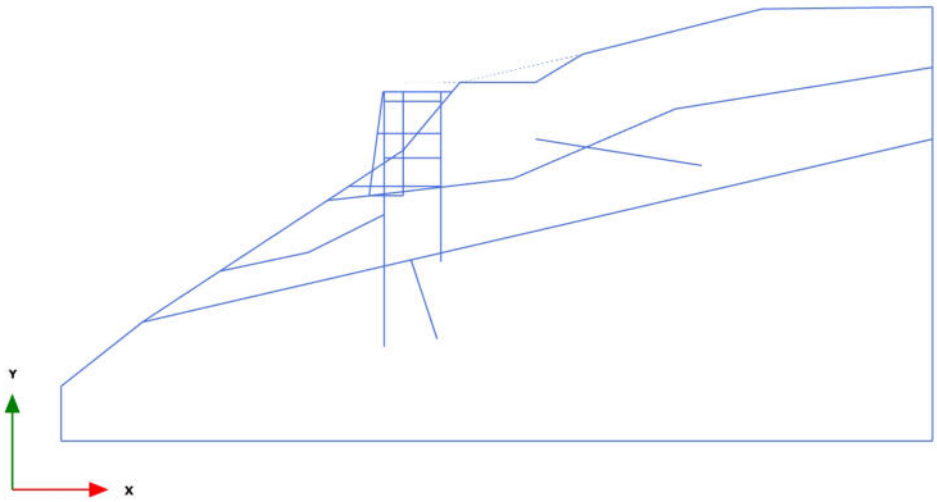

Axial forces N (scaled up 1,00 times)

No results

3.1.2.3.5 Calculation results, Plate, Micropali paratia provvisionale [Phase_4] (4/68), Axial forces N

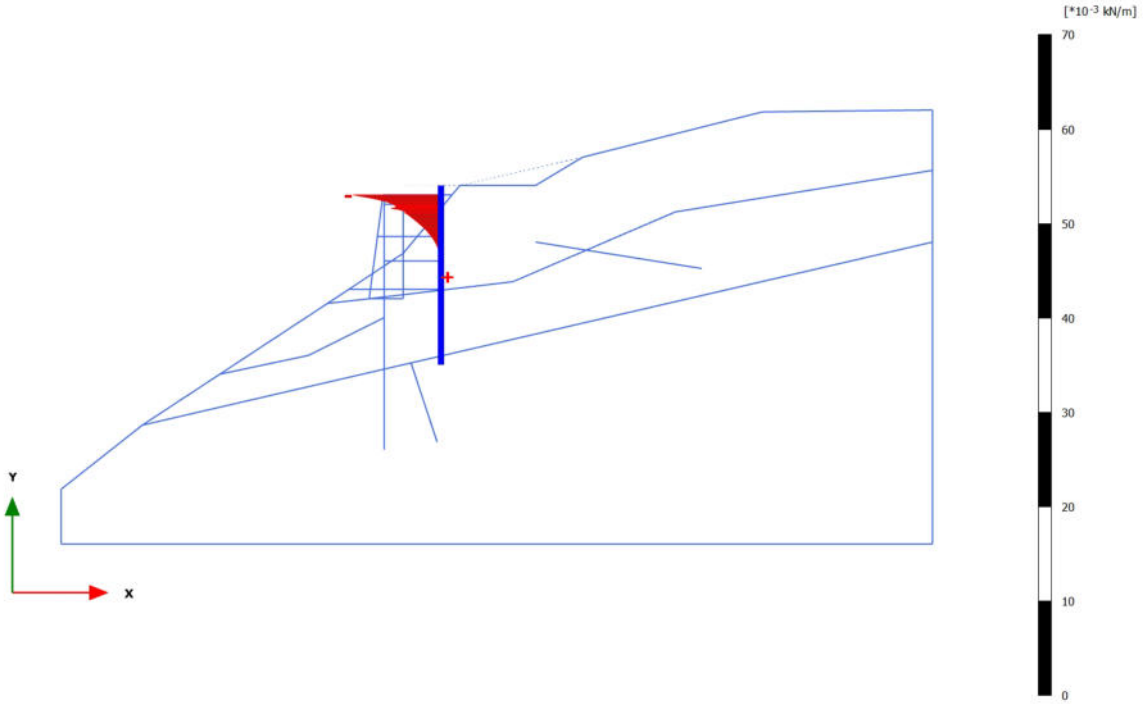

Axial forces N (scaled up 500 times)

Maximum value = 0,1741*10^{-3} kN/m (Element 27 at Node 7507)

Minimum value = -9,292*10^{-3} kN/m (Element 9 at Node 7918)

3.1.2.3.6 Calculation results, Plate, (RD) Sovraccarico stradale [Phase_5] (5/84), Axial forces N

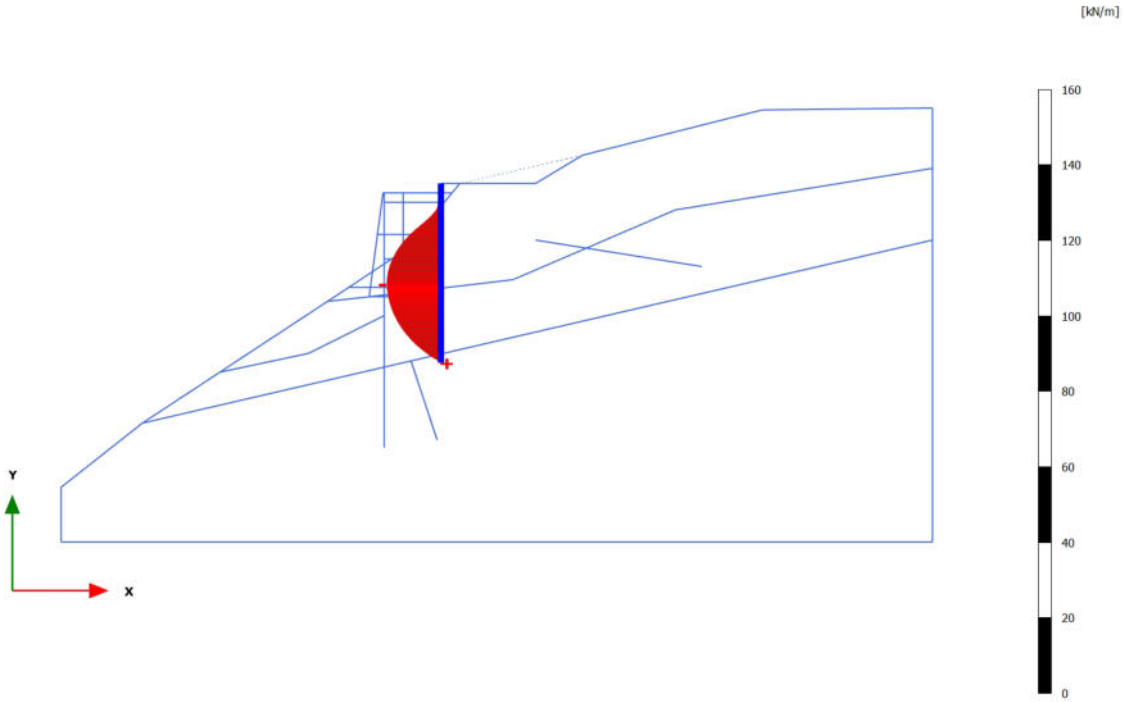

Axial forces N (scaled up 0,200 times)

Maximum value = 0,2921 kN/m (Element 55 at Node 3259)

Minimum value = -14,24 kN/m (Element 28 at Node 7237)

3.1.2.3.7 Calculation results, Plate, Escavo 1 [Phase_6] (6/247), Axial forces N

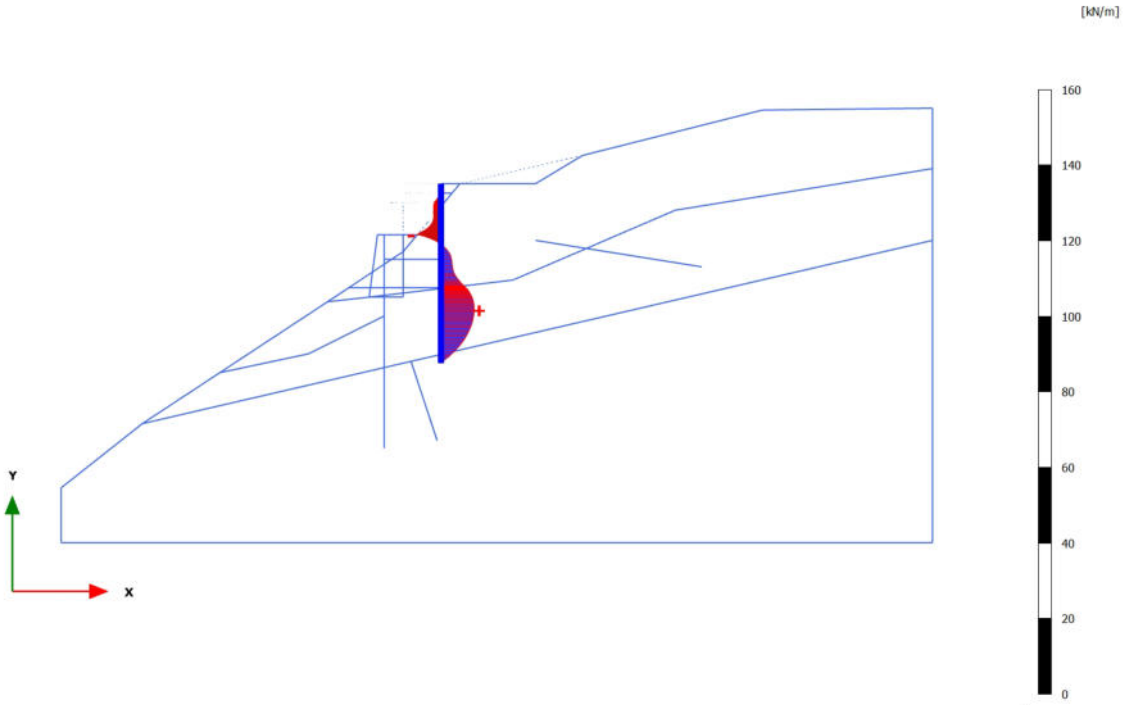

Axial forces N (scaled up 0,200 times)

Maximum value = 8,807 kN/m (Element 44 at Node 4261)

Minimum value = -6,549 kN/m (Element 18 at Node 7786)

3.1.2.3.8 Calculation results, Plate, Micropalo ancoraggio [Phase_7] (7/250), Axial forces N

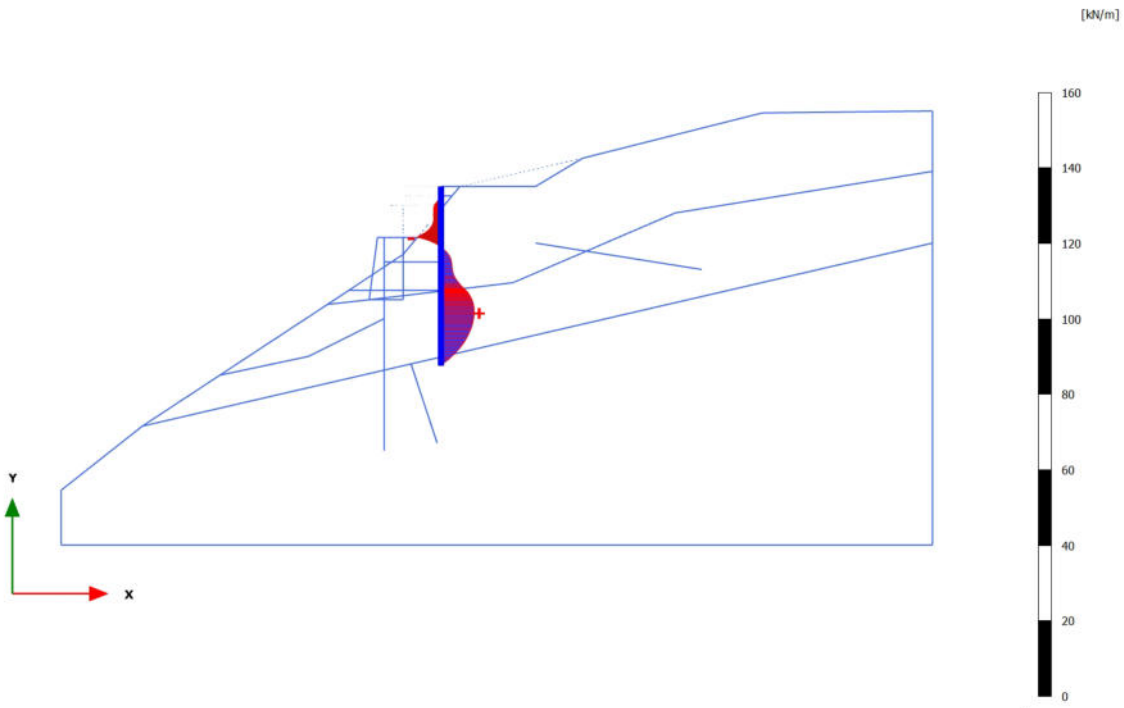

Axial forces N (scaled up 0,200 times)

Maximum value = 8,805 kN/m (Element 44 at Node 4261)

Minimum value = -6,555 kN/m (Element 18 at Node 7786)

3.1.2.3.9 Calculation results, Plate, Escavo (progetto) [Phase_8] (8/271), Axial forces N

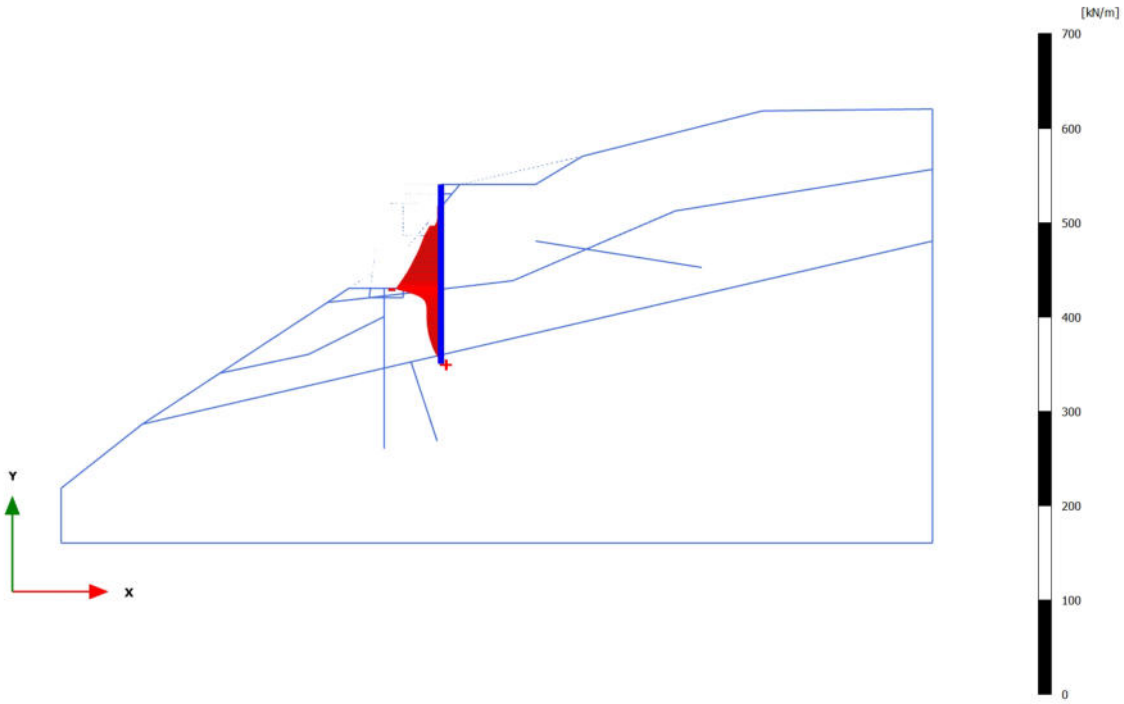

Axial forces N (scaled up 0,0500 times)

Maximum value = 0,3063 kN/m (Element 55 at Node 3259)

Minimum value = -47,04 kN/m (Element 29 at Node 7076)

3.1.2.3.10 Calculation results, Plate, (RD) Muro [Phase_9] (9/298), Axial forces N

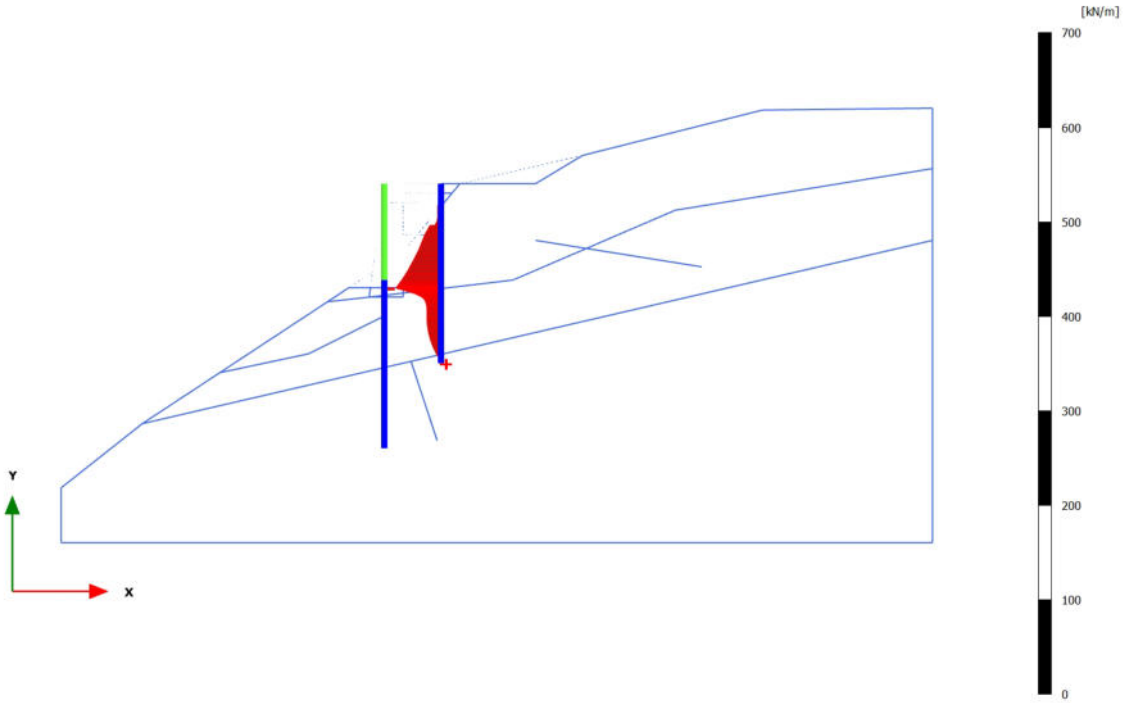

Axial forces N (scaled up 0,0500 times)

Maximum value = 0,3106 kN/m (Element 55 at Node 3259)

Minimum value = -47,29 kN/m (Element 29 at Node 7076)

3.1.2.3.11 Calculation results, Plate, Riempimento 1 [Phase_10] (10/374), Axial forces N

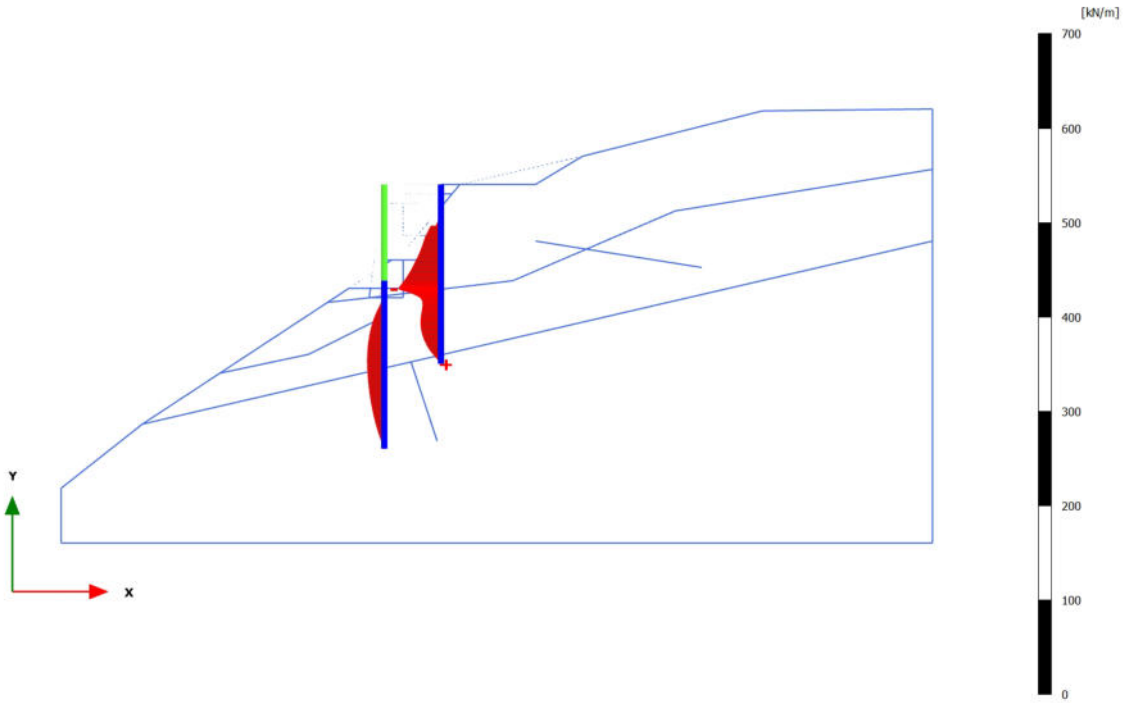

Axial forces N (scaled up 0,0500 times)

Maximum value = 0,5966 kN/m (Element 55 at Node 3259)

Minimum value = -44,63 kN/m (Element 29 at Node 7076)

3.1.2.3.12 Calculation results, Plate, Riempimento 2 [Phase_11] (11/647), Axial forces N

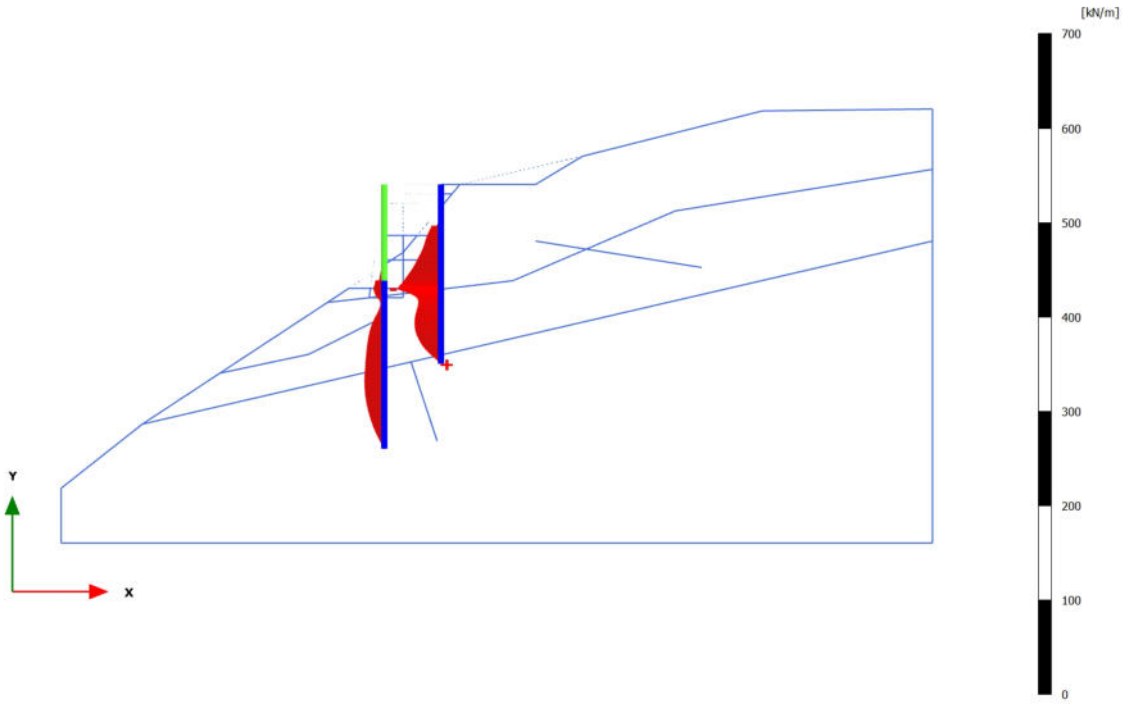

Axial forces N (scaled up 0,0500 times)

Maximum value = 0,8586 kN/m (Element 55 at Node 3259)

Minimum value = -45,35 kN/m (Element 29 at Node 7076)

3.1.2.3.13 Calculation results, Plate, Collegamento [Phase_12] (12/660), Axial forces N

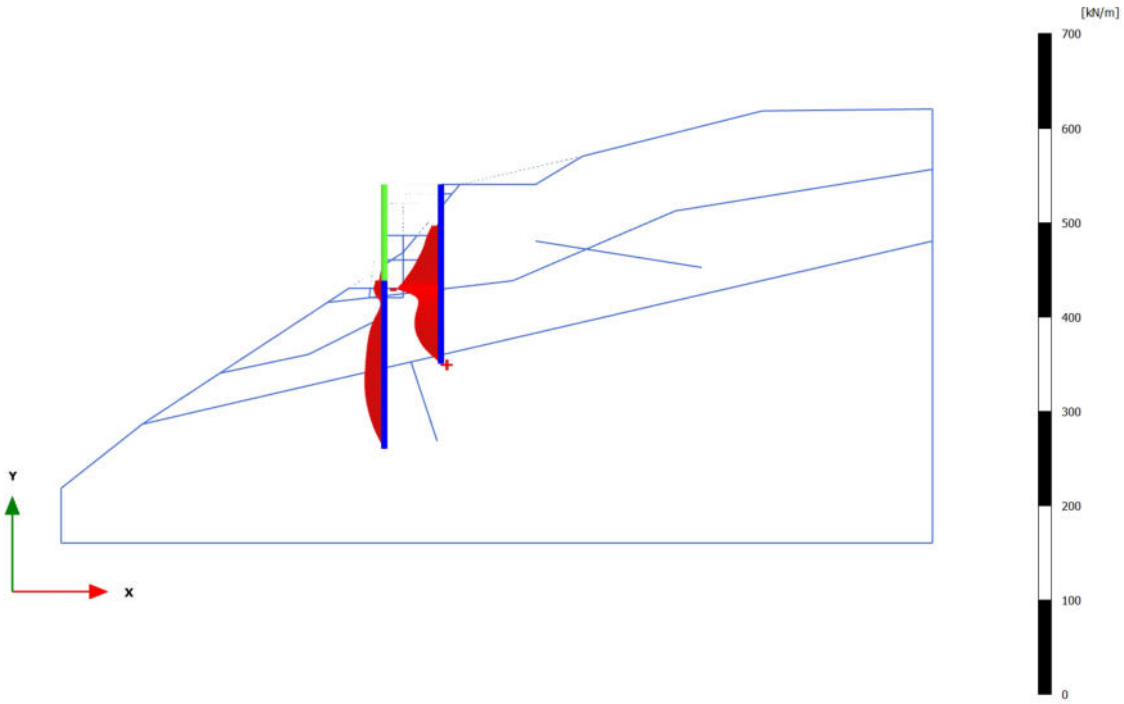

Axial forces N (scaled up 0,0500 times)

Maximum value = 0,8588 kN/m (Element 55 at Node 3259)

Minimum value = -45,37 kN/m (Element 29 at Node 7076)

3.1.2.3.14 Calculation results, Plate, Riempimento 3 [Phase_13] (13/678), Axial forces N

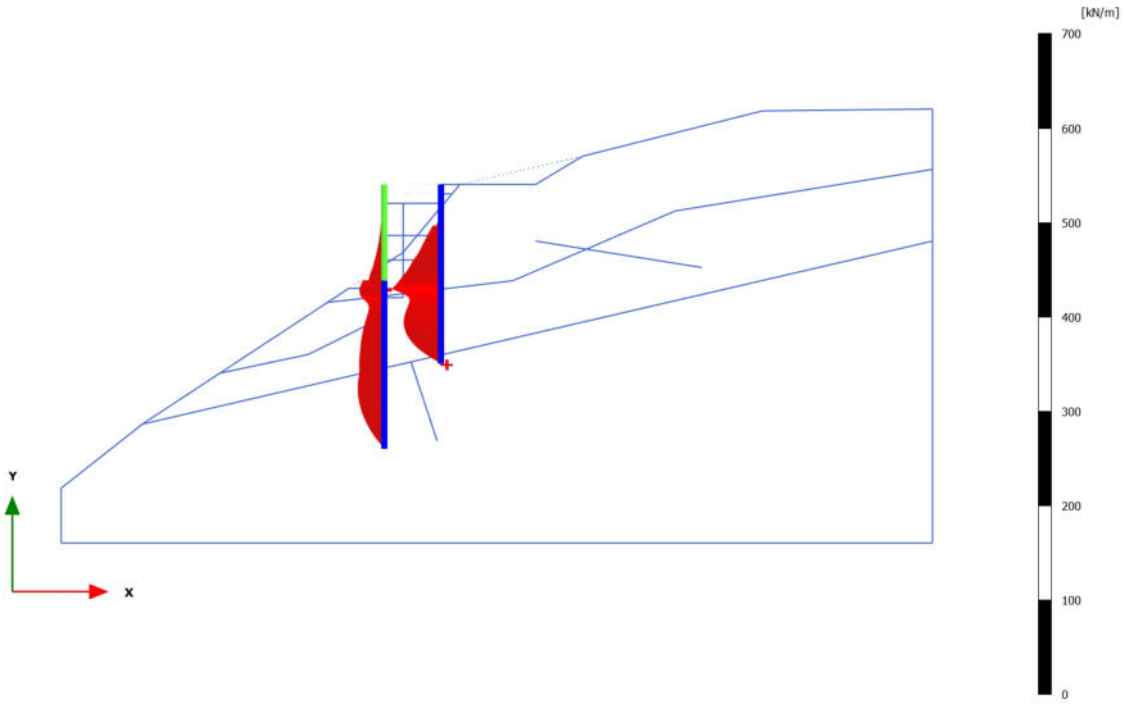

Axial forces N (scaled up 0,0500 times)

Maximum value = 1,263 kN/m (Element 55 at Node 3259)

Minimum value = -50,53 kN/m (Element 32 at Node 6659)

3.1.2.3.15 Calculation results, Plate, Completamento riempimento [Phase_14] (14/695), Axial forces N

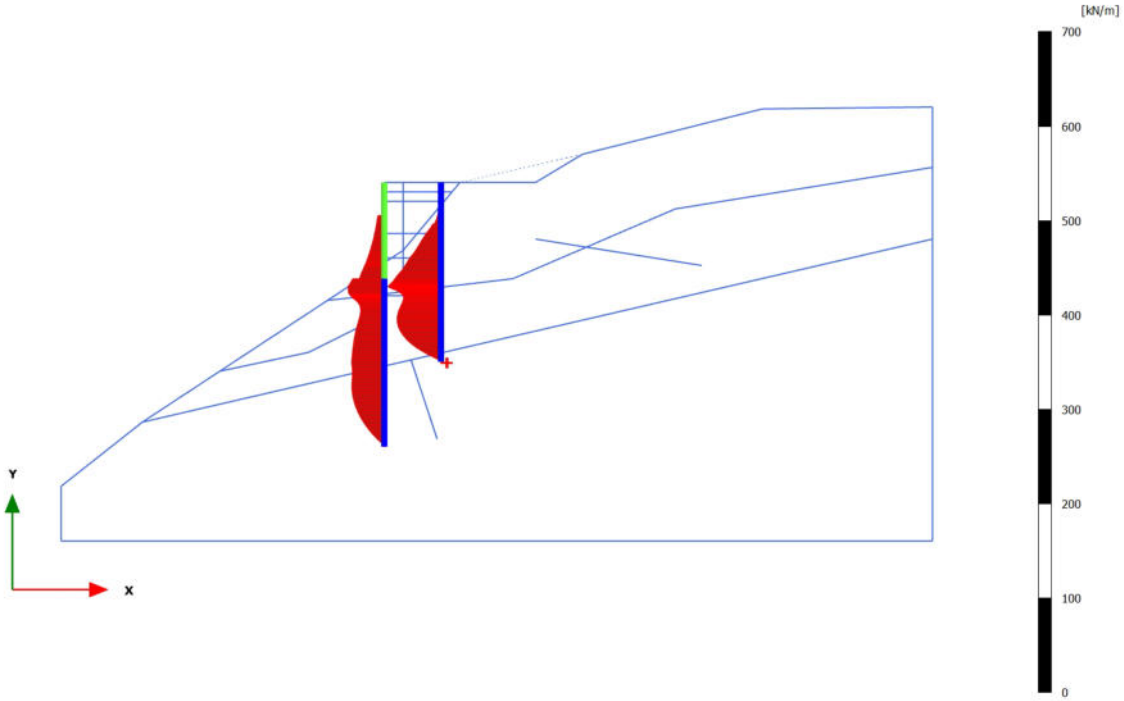

Axial forces N (scaled up 0,0500 times)

Maximum value = 1,510 kN/m (Element 55 at Node 3259)

Minimum value = -55,59 kN/m (Element 32 at Node 6659)

3.1.2.3.16 Calculation results, Plate, SLE/SLU 11 Costr [Phase_17] (17/731), Axial forces N

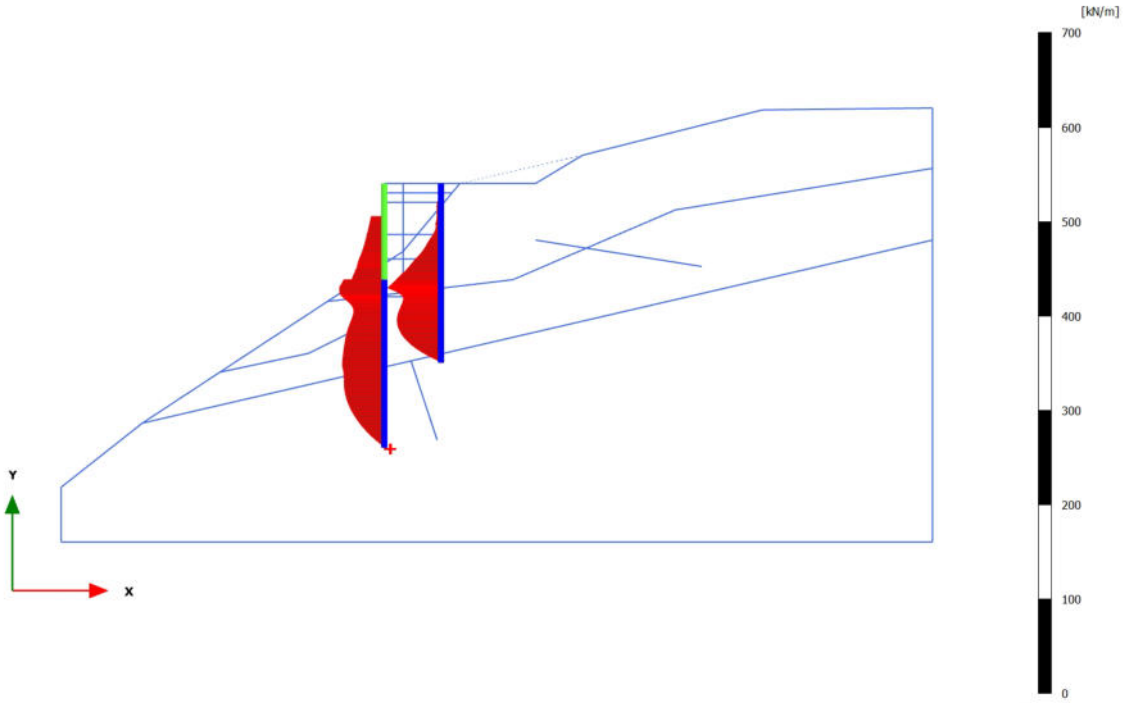

Axial forces N (scaled up 0,0500 times)

Maximum value = 1,712 kN/m (Element 61 at Node 1168)

Minimum value = -55,40 kN/m (Element 32 at Node 6659)

3.1.2.3.17 Calculation results, Plate, Disattivazione paratia provvisionale [Phase_24] (24/741), Axial forces N

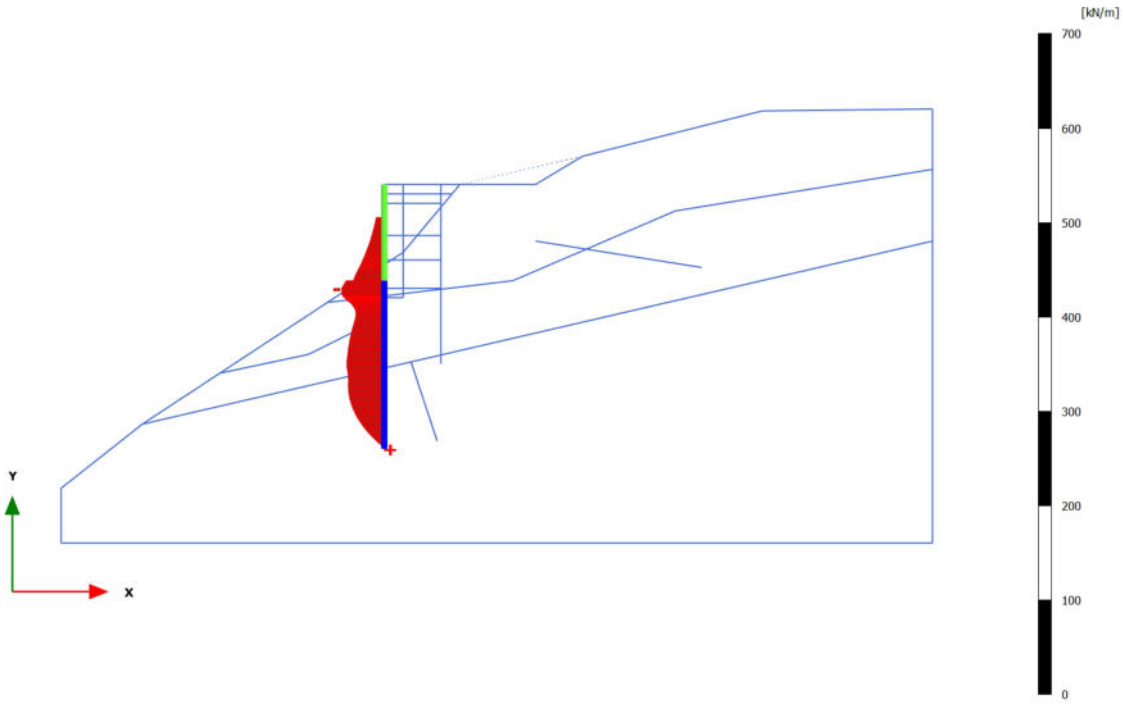

Axial forces N (scaled up 0,0500 times)

Maximum value = 1,592 kN/m (Element 61 at Node 1168)

Minimum value = -45,21 kN/m (Element 31 at Node 7194)

3.1.2.3.18 Calculation results, Plate, SLE [Phase_18] (18/746), Axial forces N

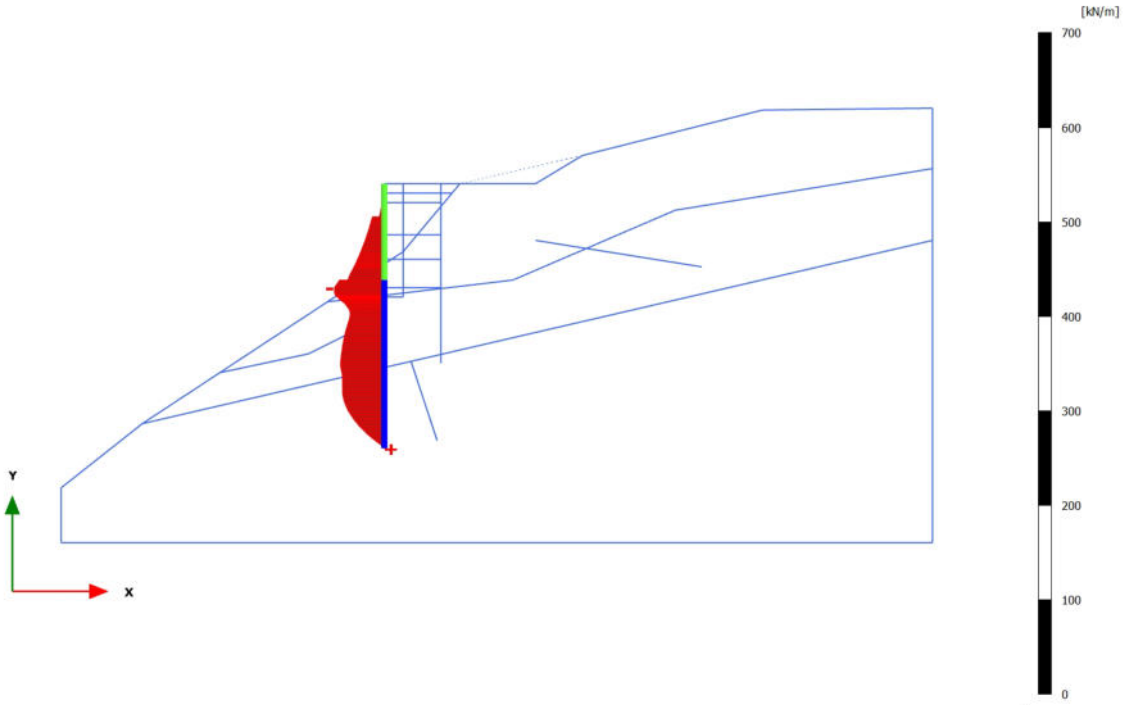

Axial forces N (scaled up 0,0500 times)

Maximum value = 1,889 kN/m (Element 61 at Node 1168)

Minimum value = -52,96 kN/m (Element 31 at Node 7194)

3.1.2.3.19 Calculation results, Plate, SLU11 (scalz) [Phase_19] (19/779), Axial forces N

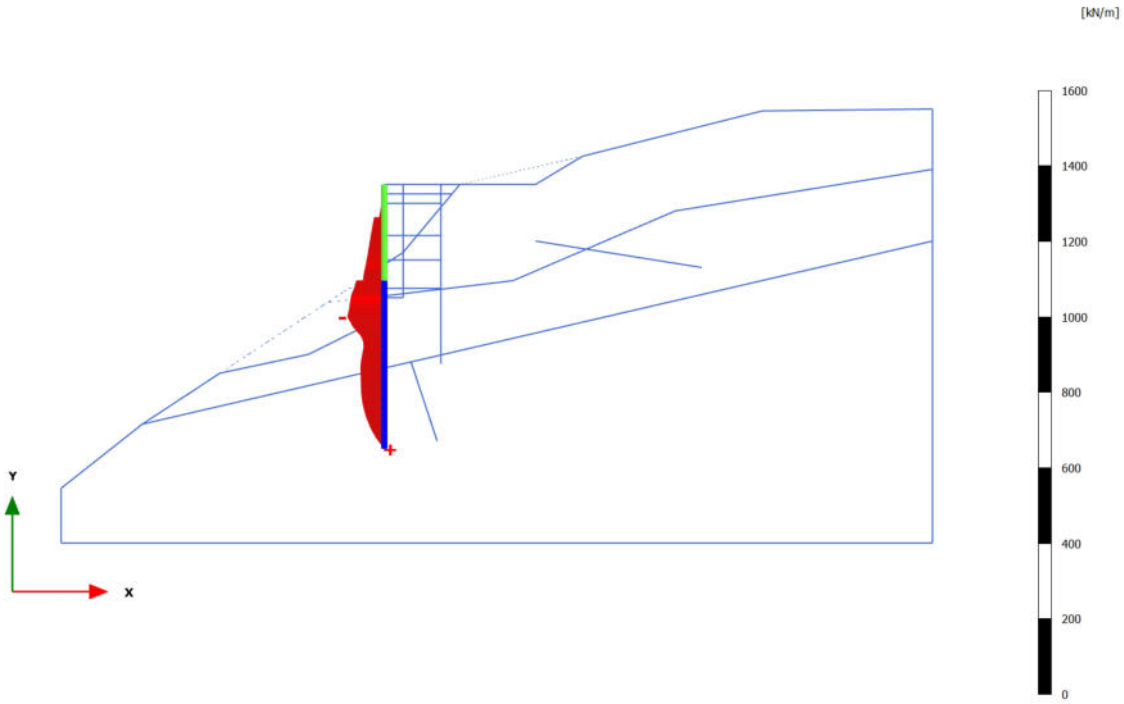

Axial forces N (scaled up 0,0200 times)

Maximum value = 3,156 kN/m (Element 61 at Node 1168)

Minimum value = -96,92 kN/m (Element 38 at Node 4823)

3.1.2.3.20 Calculation results, Plate, SLU 12 [Phase_20] (20/799), Axial forces N

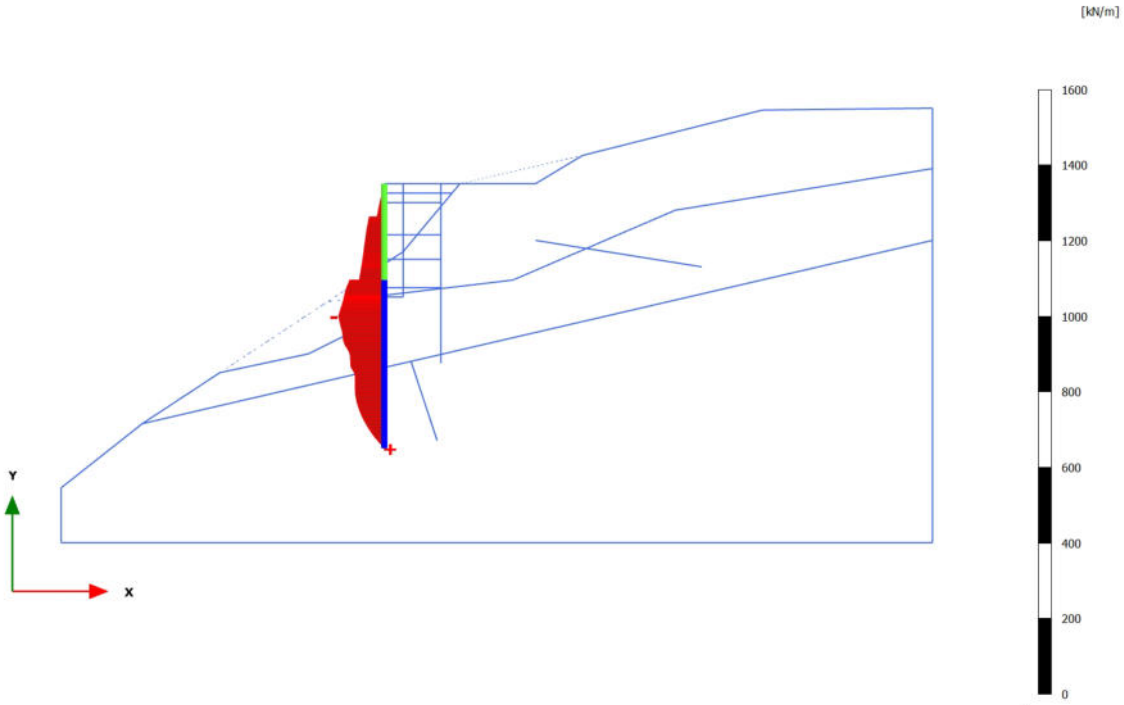

Axial forces N (scaled up 0,0200 times)

Maximum value = 2,910 kN/m (Element 61 at Node 1168)

Minimum value = -121,1 kN/m (Element 50 at Node 4823)

3.1.2.3.21 Calculation results, Plate, Eccezionale [Phase_21] (21/917), Axial forces N

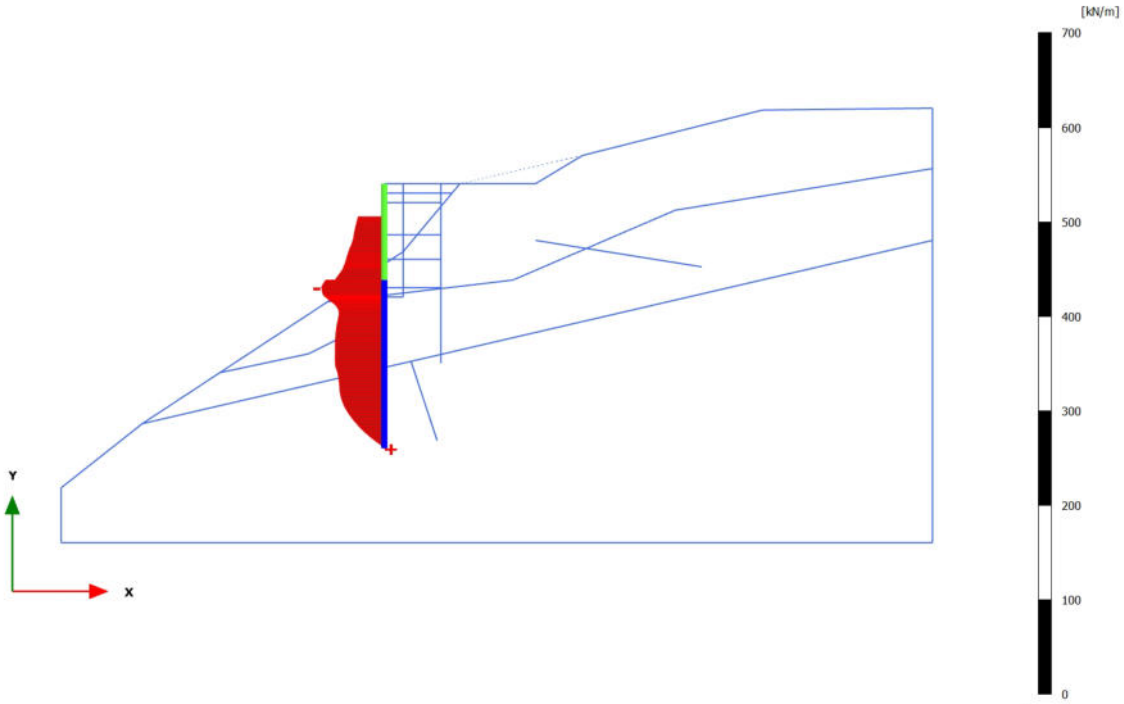

Axial forces N (scaled up 0,0500 times)

Maximum value = 1,928 kN/m (Element 61 at Node 1168)

Minimum value = -66,41 kN/m (Element 31 at Node 7194)

3.1.2.3.22 Calculation results, Plate, SLV [Phase_22] (22/956), Axial forces N

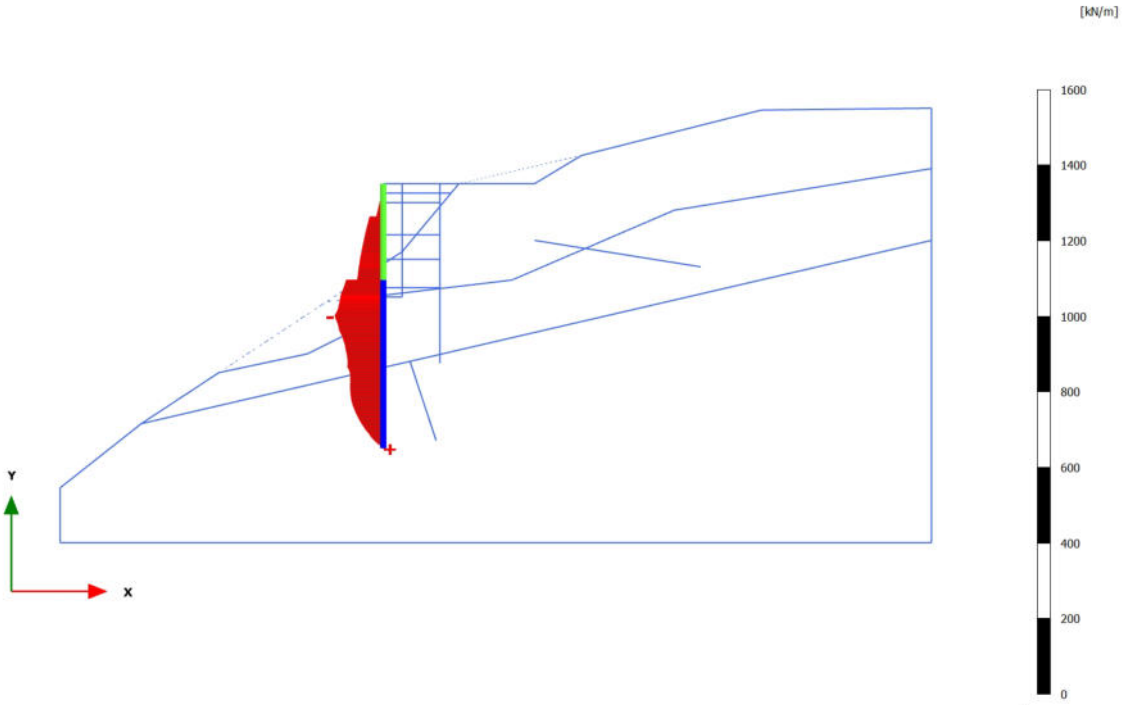

Axial forces N (scaled up 0,0200 times)

Maximum value = 5,458 kN/m (Element 61 at Node 1168)

Minimum value = -128,3 kN/m (Element 50 at Node 4823)

3.1.2.3.23 Calculation results, Plate, SLD [Phase_23] (23/990), Axial forces N

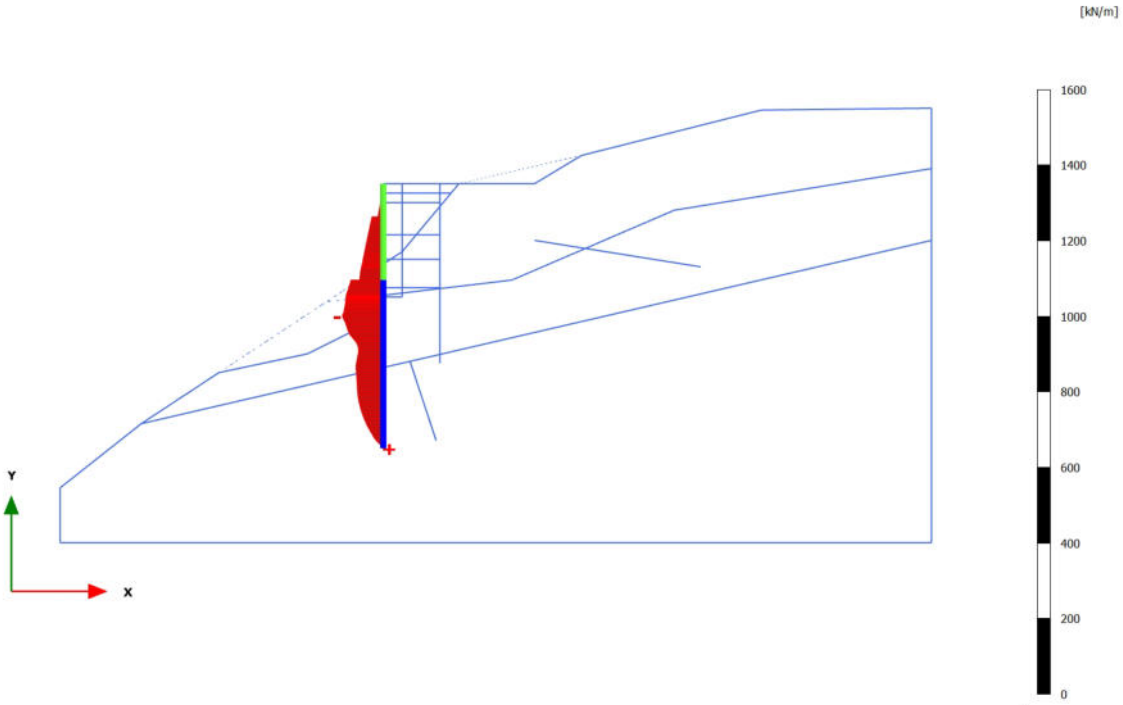

Axial forces N (scaled up 0,0200 times)

Maximum value = 4,241 kN/m (Element 61 at Node 1168)

Minimum value = -108,6 kN/m (Element 38 at Node 4823)

3.1.2.3.24 Calculation results, Plate, SLU11 Opera provvisionale [Phase_15] (15/1001), Axial forces N

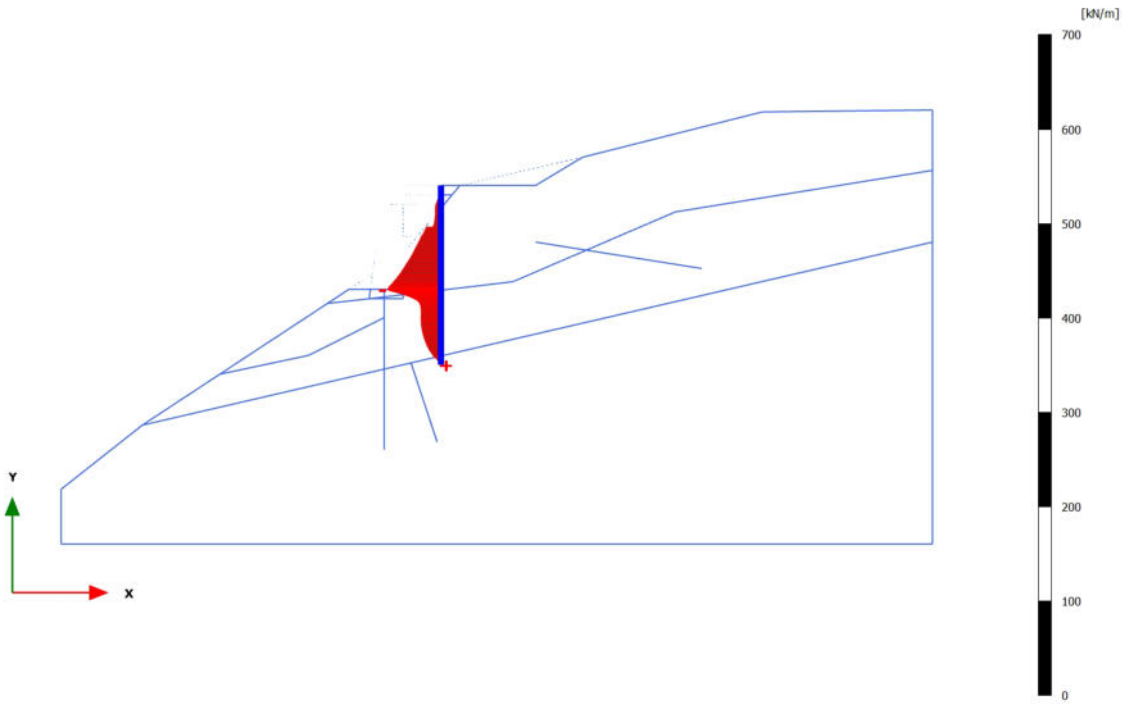

Axial forces N (scaled up 0,0500 times)

Maximum value = 0,6036 kN/m (Element 55 at Node 3259)

Minimum value = -56,76 kN/m (Element 29 at Node 7076)

3.1.2.3.25 Calculation results, Plate, SLU12 Opera provvisionale [Phase_16] (16/1014), Axial forces N

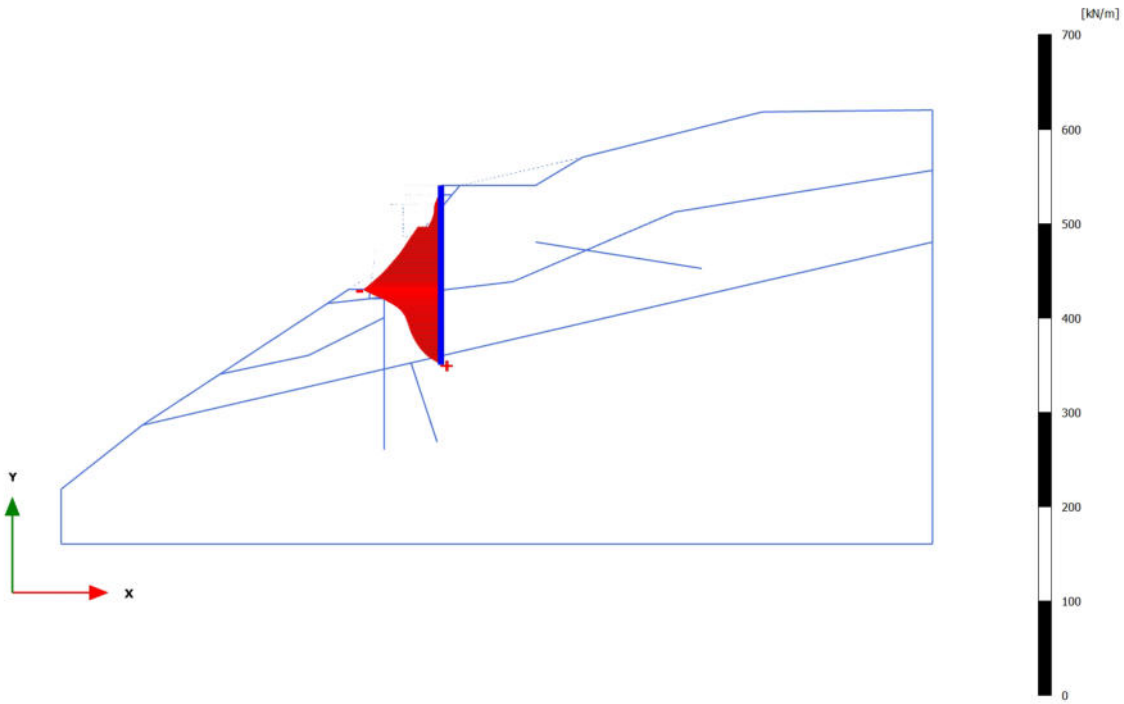

Axial forces N (scaled up 0,0500 times)

Maximum value = 1,245 kN/m (Element 55 at Node 3259)

Minimum value = -81,11 kN/m (Element 32 at Node 6662)

3.1.2.3.26 Calculation results, Plate, Eccezionale Opera Provvisionale [Phase_25] (25/1495), Axial forces N

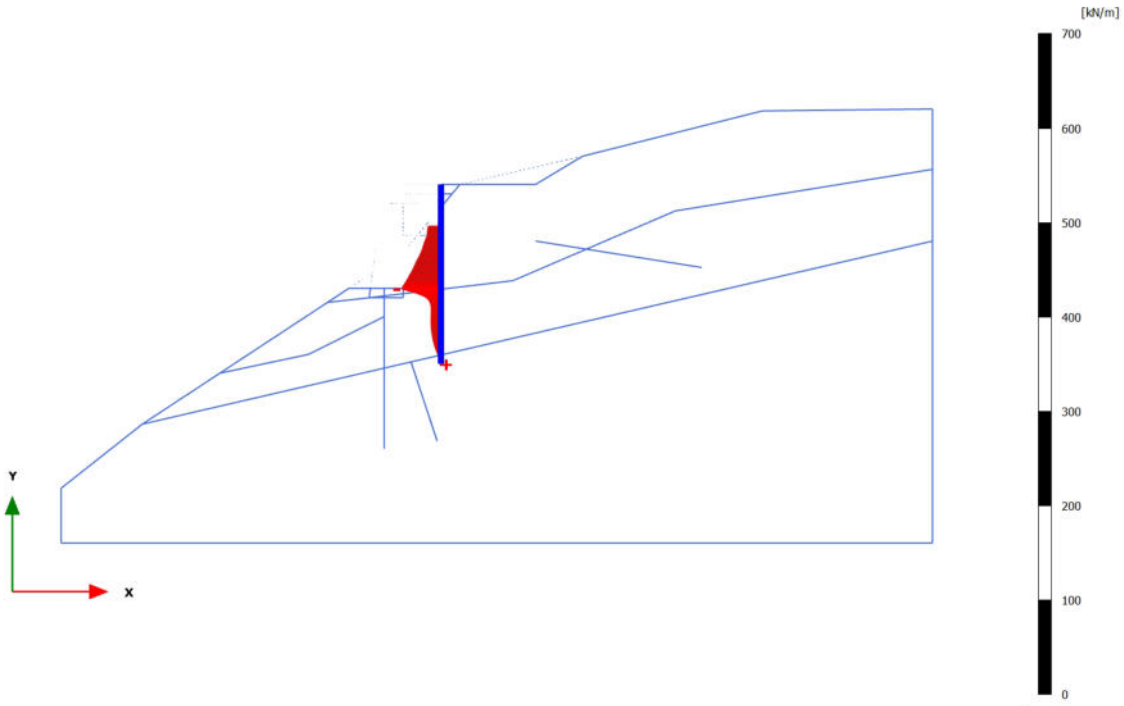

Axial forces N (scaled up 0,0500 times)

Maximum value = 0,2095 kN/m (Element 55 at Node 3259)

Minimum value = -41,44 kN/m (Element 29 at Node 7076)

3.1.2.4.5 Calculation results, Plate, Micropali paratia provvisionale [Phase_4] (4/68), Table of plate force envelopes

Structural element	Node	Local number	X [m]	Y [m]	N [10 ⁻³ kN/m]	N ₋₋₋ [10 ⁻³ kN/m]	N ₊₊₊ [10 ⁻³ kN/m]	Q [10 ⁻³ kN/m]	Q ₋₋₋ [10 ⁻³ kN/m]	Q ₊₊₊ [10 ⁻³ kN/m]	M [10 ⁻³ kN m/m]	M ₋₋₋ [10 ⁻³ kN m/m]	M ₊₊₊ [10 ⁻³ kN m/m]
Plate_4_1	7845	1	3,000	0,000	0,000	0,000	0,000	0,000	0,000	0,000	0,000	0,000	0,000
Element 2-4 (Plate)	7844	2	3,000	-0,125	0,000	0,000	0,000	0,000	0,000	0,000	0,000	0,000	0,000
(Micropali D168.3x8,0mm/0,4)	7843	3	3,000	-0,250	0,000	0,000	0,000	0,000	0,000	0,000	0,000	0,000	0,000
28	7842	4	3,000	-0,375	0,000	0,000	0,000	0,000	0,000	0,000	0,000	0,000	0,000
28	7918	5	3,000	-0,500	0,000	0,000	0,000	0,000	0,000	0,000	0,000	0,000	0,000
Plate_1_1	7918	1	3,000	-0,500	-9,292	-9,292	0,000	18,564	0,000	19,614	0,000	0,000	0,000
Element 5-9 (Plate)	7921	2	3,000	-0,625	-7,855	-7,855	0,000	18,666	0,000	18,666	2,419	0,000	2,446
(Micropali D168.3x8,0mm/0,4)	7920	3	3,000	-0,750	-6,620	-6,620	0,000	12,591	0,000	12,591	4,390	0,000	4,390
28	7919	4	3,000	-0,875	-5,656	-5,656	0,000	3,021	0,000	3,021	5,422	0,000	5,422
28	7941	5	3,000	-1,000	-5,031	-5,031	0,000	-7,361	-7,361	0,000	5,131	0,000	5,131
Plate_1_2	7941	1	3,000	-1,000	-5,097	-5,097	0,000	-7,798	-7,798	0,000	5,131	0,000	5,131
Element 6-10 (Plate)	7940	2	3,000	-1,050	-4,865	-4,865	0,000	-13,804	-13,804	0,000	4,607	0,000	4,607
(Micropali D168.3x8,0mm/0,4)	7939	3	3,000	-1,099	-4,750	-4,750	0,000	-21,684	-21,684	0,000	3,725	0,000	3,740
28	7938	4	3,000	-1,149	-4,774	-4,774	0,000	-30,249	-30,249	0,000	2,441	0,000	2,489
28	7937	5	3,000	-1,199	-4,961	-4,961	0,000	-38,311	-38,311	0,000	0,731	0,000	0,817
Plate_1_3	7937	1	3,000	-1,199	-5,332	-5,332	0,000	-41,280	-41,280	0,000	0,731	0,000	0,817
Element 8-14 (Plate)	7886	2	3,000	-1,270	-4,497	-4,497	0,000	-28,460	-28,460	0,000	-1,745	-1,745	0,000
(Micropali D168.3x8,0mm/0,4)	7885	3	3,000	-1,341	-3,975	-3,975	0,000	-17,812	-17,812	0,000	-3,368	-3,368	0,000
28	7884	4	3,000	-1,412	-3,751	-3,751	0,000	-10,511	-10,511	0,000	-4,361	-4,361	0,000
28	7887	5	3,000	-1,483	-3,808	-3,808	0,000	-7,734	-7,734	0,000	-4,976	-4,976	0,000
Plate_1_3	7887	1	3,000	-1,483	-3,661	-3,661	0,000	-6,728	-6,728	0,000	-4,976	-4,976	0,000
Element 8-15 (Plate)	7869	2	3,000	-1,663	-3,185	-3,185	0,000	-0,976	-0,976	0,000	-5,623	-5,623	0,000
(Micropali D168.3x8,0mm/0,4)	7868	3	3,000	-1,842	-2,733	-2,755	0,000	2,394	0,000	2,394	-5,473	-5,473	0,000
28	7867	4	3,000	-2,021	-2,305	-2,361	0,000	3,877	0,000	3,877	-4,878	-4,878	0,000
28	7866	5	3,000	-2,200	-1,898	-1,990	0,000	3,968	0,000	3,968	-4,162	-4,162	0,000
Plate_1_4	7866	1	3,000	-2,200	-1,905	-1,996	0,000	4,266	0,000	4,266	-4,162	-4,162	0,000
Element 10-18 (Plate)	7789	2	3,000	-2,325	-1,651	-1,764	0,000	4,240	0,000	4,240	-3,629	-3,629	0,000
(Micropali D168.3x8,0mm/0,4)	7788	3	3,000	-2,450	-1,417	-1,551	0,000	4,088	0,000	4,088	-3,108	-3,108	0,000
28	7787	4	3,000	-2,575	-1,203	-1,356	0,000	3,828	0,000	3,828	-2,612	-2,612	0,000
28	7786	5	3,000	-2,700	-1,009	-1,179	0,000	3,479	0,000	3,479	-2,154	-2,154	0,000
Plate_1_5	7786	1	3,000	-2,700	-1,006	-1,176	0,000	3,508	0,000	3,508	-2,154	-2,154	0,000
Element 12-22 (Plate)	7619	2	3,000	-2,860	-0,784	-0,972	0,000	3,020	0,000	3,020	-1,632	-1,632	0,000
(Micropali D168.3x8,0mm/0,4)	7618	3	3,000	-3,020	-0,590	-0,794	0,000	2,541	0,000	2,541	-1,187	-1,187	0,000
28	7617	4	3,000	-3,180	-0,423	-0,641	0,000	2,079	0,000	2,079	-0,817	-0,817	0,000
28	7663	5	3,000	-3,340	-0,284	-0,513	0,000	1,647	0,000	1,647	-0,520	-0,520	0,000
Plate_1_5	7663	1	3,000	-3,340	-0,282	-0,511	0,000	1,651	0,000	1,651	-0,520	-0,520	0,000
Element 12-23 (Plate)	7662	2	3,000	-3,505	-0,163	-0,401	0,000	1,262	0,000	1,262	-0,280	-0,280	0,000
(Micropali D168.3x8,0mm/0,4)	7661	3	3,000	-3,670	-0,065	-0,310	0,000	0,923	0,000	0,923	-0,101	-0,101	0,000
28	7660	4	3,000	-3,835	0,013	-0,238	12,534	0,633	0,000	0,633	0,027	0,000	0,039
28	7659	5	3,000	-4,000	0,070	-0,185	69,852	0,392	0,000	0,392	0,111	0,000	0,118
Plate_1_6	7659	1	3,000	-4,000	0,072	-0,183	72,067	0,388	0,000	0,388	0,111	0,000	0,118
Element 15-26 (Plate)	7643	2	3,000	-4,176	0,116	-0,141	115,664	0,179	0,000	0,179	0,160	0,000	0,163
(Micropali D168.3x8,0mm/0,4)	7642	3	3,000	-4,353	0,146	-0,112	146,324	0,004	-0,016	0,004	0,176	0,000	0,176
28	7641	4	3,000	-4,529	0,165	-0,094	164,693	-0,139	-0,146	0,000	0,164	0,000	0,164
28	7640	5	3,000	-4,705	0,171	-0,090	171,415	-0,251	-0,255	0,000	0,129	0,000	0,129
Plate_1_6	7640	1	3,000	-4,705	0,173	-0,090	172,758	-0,254	-0,257	0,000	0,129	0,000	0,129

Structural element	Node	Local number	X [m]	Y [m]	N [10 ˆ kN/m]	N --- [10 ˆ kN/m]	N --- [10 ˆ kN/m]	Q [10 ˆ kN/m]	Q --- [10 ˆ kN/m]	Q --- [10 ˆ kN/m]	M [10 ˆ kN m/m]	M --- [10 ˆ kN m/m]	M --- [10 ˆ kN m/m]
Element 15-27 (Plate)	7507	2	3,000	-4,808	0,174	-0,091	174,089	-0,312	-0,313	0,000	0,100	0,000	0,100
(Micropali D168.3x8,0mm/0,4)	7506	3	3,000	-4,912	0,174	-0,093	173,943	-0,363	-0,364	0,000	0,065	0,000	0,065
28	7505	4	3,000	-5,015	0,172	-0,094	172,415	-0,408	-0,408	0,000	0,025	0,000	0,025
29	7504	5	3,000	-5,118	0,170	-0,096	169,604	-0,447	-0,447	0,000	-0,019	-0,022	0,000
Plate_1_6	7504	1	3,000	-5,118	0,170	-0,096	169,763	-0,446	-0,446	0,000	-0,019	-0,022	0,000
Element 15-28 (Plate)	7235	2	3,000	-5,178	0,168	-0,097	167,894	-0,464	-0,464	0,000	-0,047	-0,050	0,000
(Micropali D168.3x8,0mm/0,4)	7236	3	3,000	-5,238	0,166	-0,098	165,851	-0,477	-0,477	0,000	-0,075	-0,078	0,000
25	7237	4	3,000	-5,299	0,164	-0,100	163,639	-0,484	-0,484	0,000	-0,104	-0,107	0,000
26	7234	5	3,000	-5,359	0,161	-0,101	161,260	-0,485	-0,485	0,000	-0,133	-0,136	0,000
Plate_1_6	7234	1	3,000	-5,359	0,161	-0,101	161,249	-0,484	-0,484	0,000	-0,133	-0,136	0,000
Element 15-29 (Plate)	7077	2	3,000	-5,394	0,160	-0,101	159,788	-0,480	-0,480	0,000	-0,150	-0,153	0,000
(Micropali D168.3x8,0mm/0,4)	7078	3	3,000	-5,429	0,158	-0,102	158,229	-0,470	-0,470	0,000	-0,167	-0,169	0,000
23	7079	4	3,000	-5,465	0,157	-0,102	156,567	-0,453	-0,453	0,000	-0,183	-0,185	0,000
24	7076	5	3,000	-5,500	0,155	-0,103	154,797	-0,431	-0,431	0,000	-0,199	-0,201	0,000
Plate_1_7	7076	1	3,000	-5,500	0,155	-0,103	154,783	-0,429	-0,429	0,000	-0,199	-0,201	0,000
Element 18-32 (Plate)	6660	2	3,000	-5,513	0,154	-0,103	154,104	-0,419	-0,419	0,000	-0,204	-0,206	0,000
(Micropali D168.3x8,0mm/0,4)	6661	3	3,000	-5,525	0,153	-0,103	153,400	-0,405	-0,405	0,000	-0,209	-0,211	0,000
20	6662	4	3,000	-5,537	0,153	-0,104	152,669	-0,390	-0,390	0,000	-0,214	-0,216	0,000
21	6659	5	3,000	-5,550	0,152	-0,104	151,914	-0,372	-0,372	0,000	-0,219	-0,221	0,000
Plate_1_8	6659	1	3,000	-5,550	0,152	-0,104	151,925	-0,372	-0,372	0,000	-0,219	-0,221	0,000
Element 22-39 (Plate)	6272	2	3,000	-5,587	0,150	-0,105	149,713	-0,314	-0,314	0,000	-0,232	-0,233	0,000
(Micropali D168.3x8,0mm/0,4)	6273	3	3,000	-5,623	0,148	-0,105	147,694	-0,261	-0,261	0,000	-0,242	-0,244	0,000
18	6274	4	3,000	-5,660	0,146	-0,106	145,870	-0,212	-0,212	0,000	-0,251	-0,252	0,000
19	6271	5	3,000	-5,696	0,144	-0,106	144,245	-0,168	-0,168	0,000	-0,258	-0,259	0,000
Plate_1_8	6271	1	3,000	-5,696	0,144	-0,106	144,238	-0,168	-0,168	0,000	-0,258	-0,259	0,000
Element 22-40 (Plate)	5650	2	3,000	-5,738	0,143	-0,106	142,591	-0,122	-0,122	0,000	-0,264	-0,265	0,000
(Micropali D168.3x8,0mm/0,4)	5651	3	3,000	-5,780	0,141	-0,106	141,163	-0,081	-0,081	0,000	-0,268	-0,269	0,000
16	5652	4	3,000	-5,822	0,140	-0,106	139,954	-0,043	-0,043	0,000	-0,271	-0,272	0,000
17	5649	5	3,000	-5,864	0,139	-0,106	138,963	-0,010	-0,010	0,000	-0,272	-0,273	0,000
Plate_1_8	5649	1	3,000	-5,864	0,139	-0,106	138,955	-0,010	-0,010	0,000	-0,272	-0,273	0,000
Element 22-41 (Plate)	4942	2	3,000	-5,912	0,138	-0,106	138,073	0,024	0,000	0,024	-0,271	-0,273	0,000
(Micropali D168.3x8,0mm/0,4)	4943	3	3,000	-5,960	0,137	-0,105	137,440	0,054	0,000	0,054	-0,270	-0,271	0,000
14	4944	4	3,000	-6,008	0,137	-0,105	137,053	0,081	0,000	0,081	-0,266	-0,268	0,000
15	4941	5	3,000	-6,056	0,137	-0,104	136,910	0,104	0,000	0,104	-0,262	-0,263	0,000
Plate_1_8	4941	1	3,000	-6,056	0,137	-0,104	136,896	0,104	0,000	0,104	-0,262	-0,263	0,000
Element 22-42 (Plate)	4912	2	3,000	-6,112	0,137	-0,103	137,006	0,127	0,000	0,127	-0,255	-0,257	0,000
(Micropali D168.3x8,0mm/0,4)	4913	3	3,000	-6,167	0,137	-0,101	137,366	0,147	0,000	0,147	-0,248	-0,250	0,000
12	4914	4	3,000	-6,222	0,138	-0,100	137,972	0,163	0,000	0,163	-0,239	-0,241	0,000
13	4911	5	3,000	-6,277	0,139	-0,098	138,816	0,177	0,000	0,177	-0,230	-0,232	0,000
Plate_1_8	4911	1	3,000	-6,277	0,139	-0,098	138,791	0,177	0,000	0,177	-0,230	-0,232	0,000
Element 22-43 (Plate)	4876	2	3,000	-6,340	0,140	-0,096	140,005	0,189	0,000	0,189	-0,218	-0,220	0,000
(Micropali D168.3x8,0mm/0,4)	4877	3	3,000	-6,403	0,141	-0,094	141,411	0,198	0,000	0,198	-0,206	-0,208	0,000
10	4878	4	3,000	-6,466	0,143	-0,091	143,000	0,205	0,000	0,205	-0,193	-0,196	0,000
11	4875	5	3,000	-6,529	0,145	-0,089	144,762	0,208	0,000	0,208	-0,180	-0,183	0,000
Plate_1_8	4875	1	3,000	-6,529	0,145	-0,089	144,725	0,209	0,000	0,209	-0,180	-0,183	0,000
Element 22-44 (Plate)	4260	2	3,000	-6,601	0,147	-0,086	146,879	0,210	0,000	0,210	-0,165	-0,168	0,000
(Micropali D168.3x8,0mm/0,4)	4261	3	3,000	-6,674	0,149	-0,083	149,080	0,210	0,000	0,210	-0,150	-0,153	0,000
8	4262	4	3,000	-6,746	0,151	-0,079	151,316	0,207	0,000	0,207	-0,135	-0,138	0,000
9	4259	5	3,000	-6,818	0,154	-0,076	153,573	0,203	0,000	0,203	-0,120	-0,123	0,000
Plate_1_8	4259	1	3,000	-6,818	0,154	-0,076	153,529	0,203	0,000	0,203	-0,120	-0,123	0,000
Element 22-45 (Plate)	4246	2	3,000	-6,901	0,156	-0,072	156,039	0,196	0,000	0,196	-0,104	-0,107	0,000
(Micropali D168.3x8,0mm/0,4)	4247	3	3,000	-6,984	0,158	-0,068	158,361	0,187	0,000	0,187	-0,088	-0,091	0,000
6	4248	4	3,000	-7,067	0,160	-0,064	160,481	0,178	0,000	0,178	-0,073	-0,076	0,000

Structural element	Node	Local number	X [m]	Y [m]	N [10 ˆ kN/m]	N --- [10 ˆ kN/m]	N +++ [10 ˆ kN/m]	Q [10 ˆ kN/m]	Q --- [10 ˆ kN/m]	Q +++ [10 ˆ kN/m]	M [10 ˆ kN m/m]	M --- [10 ˆ kN m/m]	M +++ [10 ˆ kN m/m]
28	4245	5	3,000	-7,150	0,162	-0,060	162,387	0,167	0,000	0,167	-0,058	-0,062	0,000
Plate_1_8	4245	1	3,000	-7,150	0,162	-0,060	162,345	0,167	0,000	0,167	-0,058	-0,062	0,000
Element 22-46 (Plate)	3594	2	3,000	-7,245	0,164	-0,055	164,155	0,154	0,000	0,154	-0,043	-0,047	0,000
(Micropali D168.3x8,0mm/0,4)	3595	3	3,000	-7,339	0,165	-0,050	165,476	0,140	0,000	0,140	-0,029	-0,033	0,000
28	3596	4	3,000	-7,434	0,166	-0,046	166,296	0,126	0,000	0,126	-0,017	-0,021	0,000
28	3593	5	3,000	-7,529	0,167	-0,042	166,605	0,111	0,000	0,111	-0,005	-0,010	0,000
Plate_1_8	3593	1	3,000	-7,529	0,167	-0,042	166,572	0,111	0,000	0,111	-0,005	-0,010	0,000
Element 22-47 (Plate)	3554	2	3,000	-7,638	0,166	-0,037	166,210	0,094	0,000	0,094	0,006	-0,002	0,006
(Micropali D168.3x8,0mm/0,4)	3555	3	3,000	-7,747	0,165	-0,033	165,011	0,077	0,000	0,078	0,015	0,000	0,015
28	3556	4	3,000	-7,855	0,163	-0,028	162,969	0,060	0,000	0,061	0,023	0,000	0,023
28	3553	5	3,000	-7,964	0,160	-0,024	160,077	0,043	0,000	0,045	0,028	0,000	0,028
Plate_1_8	3553	1	3,000	-7,964	0,160	-0,024	160,035	0,043	0,000	0,045	0,028	0,000	0,028
Element 22-48 (Plate)	3470	2	3,000	-8,089	0,156	-0,020	155,613	0,024	0,000	0,026	0,032	0,000	0,032
(Micropali D168.3x8,0mm/0,4)	3471	3	3,000	-8,213	0,150	-0,016	149,886	0,005	0,000	0,007	0,034	0,000	0,034
28	3472	4	3,000	-8,338	0,143	-0,012	142,842	-0,013	-0,013	0,000	0,034	0,000	0,034
28	3469	5	3,000	-8,463	0,134	-0,009	134,470	-0,031	-0,031	0,000	0,031	0,000	0,031
Plate_1_8	3469	1	3,000	-8,463	0,134	-0,009	134,283	-0,030	-0,030	0,000	0,031	0,000	0,031
Element 22-49 (Plate)	3374	2	3,000	-8,605	0,123	-0,006	123,026	-0,050	-0,050	0,000	0,025	0,000	0,025
(Micropali D168.3x8,0mm/0,4)	3375	3	3,000	-8,748	0,109	-0,004	109,291	-0,063	-0,063	0,000	0,017	0,000	0,017
28	3376	4	3,000	-8,891	0,093	-0,002	92,991	-0,066	-0,066	0,000	0,008	0,000	0,008
28	3373	5	3,000	-9,033	0,074	-0,001	74,040	-0,058	-0,058	0,000	-0,001	-0,002	0,000
Plate_1_9	3373	1	3,000	-9,033	0,074	-0,001	73,865	-0,056	-0,056	0,000	-0,001	-0,002	0,000
Element 24-55 (Plate)	3262	2	3,000	-9,150	0,056	-0,001	56,324	-0,009	-0,009	0,000	-0,005	-0,005	0,000
(Micropali D168.3x8,0mm/0,4)	3261	3	3,000	-9,267	0,038	-0,001	38,006	0,019	0,000	0,020	-0,004	-0,004	0,000
28	3260	4	3,000	-9,383	0,019	-0,001	18,861	0,023	0,000	0,023	-0,002	-0,002	0,000
28	3259	5	3,000	-9,500	-0,001	-0,001	0,302	-0,002	-0,002	0,000	0,000	0,000	0,000

3.1.2.4.6 Calculation results, Plate, (RD) Sovraccarico stradale [Phase_5] (5/84), Table of plate force envelopes

Structural element	Node	Local number	X [m]	Y [m]	N [kN/m]	N --- [kN/m]	N --- [10 ^ kN/m]	Q [10 ^ kN/m]	Q --- [10 ^ kN/m]	Q --- [10 ^ kN/m]	M [10 ^ kN m/m]	M --- [10 ^ kN m/m]	M --- [10 ^ kN m/m]
Plate_4_1	7845	1	3,000	0,000	0,000	-0,006	2,582	2,072	-6,371	11,890	0,000	0,000	0,000
Element 2-4 (Plate)	7844	2	3,000	-0,125	-0,018	-0,018	0,000	30,706	0,000	30,706	1,847	0,000	1,847
(Micropali D168.3x8,0mm/0,4)	7843	3	3,000	-0,250	-0,061	-0,061	0,000	101,681	0,000	101,681	9,284	0,000	9,284
28	7842	4	3,000	-0,375	-0,141	-0,141	0,000	237,367	0,000	237,367	29,967	0,000	29,967
28	7918	5	3,000	-0,500	-0,271	-0,271	0,000	460,137	0,000	460,137	72,408	0,000	72,408
Plate_1_1	7918	1	3,000	-0,500	-0,246	-0,246	0,000	414,805	0,000	414,805	72,408	0,000	72,408
Element 5-9 (Plate)	7921	2	3,000	-0,625	-0,283	-0,283	0,000	285,186	-3,617	285,186	118,891	0,000	118,891
(Micropali D168.3x8,0mm/0,4)	7920	3	3,000	-0,750	-0,305	-0,305	0,000	60,247	-92,961	60,247	138,558	0,000	138,558
28	7919	4	3,000	-0,875	-0,370	-0,370	0,000	-96,860	-174,189	3,021	136,781	-3,176	136,781
28	7941	5	3,000	-1,000	-0,535	-0,535	0,000	-22,985	-187,136	0,000	125,139	-16,747	125,139
Plate_1_2	7941	1	3,000	-1,000	-0,529	-0,529	0,000	-42,380	-196,251	0,000	125,139	-16,747	125,139
Element 6-10 (Plate)	7940	2	3,000	-1,050	-0,647	-0,647	0,000	-45,242	-203,571	0,000	122,901	-25,448	122,901
(Micropali D168.3x8,0mm/0,4)	7939	3	3,000	-1,099	-0,740	-0,740	0,000	-64,700	-215,631	0,000	120,456	-34,596	120,456
28	7938	4	3,000	-1,149	-0,810	-0,810	0,000	-131,525	-239,460	0,000	115,687	-44,220	115,687
28	7937	5	3,000	-1,199	-0,862	-0,862	0,000	-276,490	-337,468	0,000	106,009	-54,302	106,009
Plate_1_3	7937	1	3,000	-1,199	-0,818	-0,818	0,000	-296,166	-333,384	0,000	106,009	-54,302	106,009
Element 8-14 (Plate)	7886	2	3,000	-1,270	-0,888	-0,893	0,000	-495,460	-495,460	0,000	77,282	-70,883	77,282
(Micropali D168.3x8,0mm/0,4)	7885	3	3,000	-1,341	-1,035	-1,097	0,000	-615,267	-615,267	0,000	37,405	-87,006	37,405
28	7884	4	3,000	-1,412	-1,247	-1,318	0,000	-669,661	-669,661	0,000	-8,789	-106,513	0,000
28	7887	5	3,000	-1,483	-1,511	-1,604	0,000	-672,717	-672,717	0,000	-56,779	-127,466	0,000
Plate_1_3	7887	1	3,000	-1,483	-1,493	-1,602	0,000	-698,070	-698,070	0,000	-56,779	-127,466	0,000
Element 8-15 (Plate)	7869	2	3,000	-1,663	-2,278	-2,385	0,000	-624,222	-624,222	0,000	-175,684	-197,130	0,000
(Micropali D168.3x8,0mm/0,4)	7868	3	3,000	-1,842	-3,167	-3,251	0,000	-526,684	-526,684	2,394	-278,899	-278,899	0,000
28	7867	4	3,000	-2,021	-4,150	-4,187	0,000	-414,872	-414,872	7,858	-363,569	-363,569	0,000
28	7866	5	3,000	-2,200	-5,216	-5,260	0,000	-298,207	-298,207	18,867	-427,347	-427,347	0,000
Plate_1_4	7866	1	3,000	-2,200	-5,195	-5,241	0,000	-300,705	-300,705	19,224	-427,347	-427,347	0,000
Element 10-18 (Plate)	7789	2	3,000	-2,325	-5,965	-5,965	0,000	-224,262	-224,262	30,327	-460,113	-460,113	0,000
(Micropali D168.3x8,0mm/0,4)	7788	3	3,000	-2,450	-6,706	-6,706	0,000	-152,177	-152,177	41,775	-483,586	-483,586	0,000
28	7787	4	3,000	-2,575	-7,410	-7,410	0,000	-85,102	-85,102	55,200	-498,374	-498,374	0,000
28	7786	5	3,000	-2,700	-8,072	-8,072	0,000	-23,689	-23,689	71,447	-505,105	-505,105	0,000
Plate_1_5	7786	1	3,000	-2,700	-8,073	-8,073	0,000	-22,822	-22,822	72,323	-505,105	-505,105	0,000
Element 12-22 (Plate)	7619	2	3,000	-2,860	-8,852	-8,852	0,000	40,249	0,000	95,214	-503,537	-503,537	0,000
(Micropali D168.3x8,0mm/0,4)	7618	3	3,000	-3,020	-9,570	-9,570	0,000	91,017	0,000	118,791	-492,881	-492,881	0,000
28	7617	4	3,000	-3,180	-10,228	-10,228	0,000	130,258	0,000	140,894	-475,008	-475,008	0,000
28	7663	5	3,000	-3,340	-10,827	-10,827	0,000	158,752	0,000	160,995	-451,749	-451,749	0,000
Plate_1_5	7663	1	3,000	-3,340	-10,829	-10,829	0,000	161,000	0,000	163,269	-451,749	-451,749	0,000
Element 12-23 (Plate)	7662	2	3,000	-3,505	-11,390	-11,390	0,000	184,587	0,000	184,587	-423,249	-423,249	0,000
(Micropali D168.3x8,0mm/0,4)	7661	3	3,000	-3,670	-11,898	-11,898	0,000	208,678	0,000	208,678	-390,842	-390,842	0,000
28	7660	4	3,000	-3,835	-12,353	-12,353	0,013	234,346	0,000	234,346	-354,311	-354,311	0,039
28	7659	5	3,000	-4,000	-12,755	-12,755	0,070	262,662	0,000	262,662	-313,385	-313,385	0,118
Plate_1_6	7659	1	3,000	-4,000	-12,756	-12,756	0,072	263,407	0,000	263,407	-313,385	-313,385	0,118
Element 15-26 (Plate)	7643	2	3,000	-4,176	-13,131	-13,131	0,116	302,487	0,000	302,487	-263,634	-263,634	0,163
(Micropali D168.3x8,0mm/0,4)	7642	3	3,000	-4,353	-13,451	-13,451	0,146	349,220	-0,016	349,220	-206,254	-206,254	0,176
28	7641	4	3,000	-4,529	-13,716	-13,716	0,165	402,708	-0,146	402,708	-140,059	-140,059	0,164
28	7640	5	3,000	-4,705	-13,926	-13,926	0,171	462,054	-0,255	462,054	-63,910	-63,910	0,129
Plate_1_6	7640	1	3,000	-4,705	-13,927	-13,927	0,173	459,838	-0,257	459,838	-63,910	-63,910	0,129

Structural element	Node	Local number	X [m]	Y [m]	N [kN/m]	N,min [kN/m]	N,min [10 ^ kN/m]	Q [10 ^ kN/m]	Q,min [10 ^ kN/m]	Q,max [10 ^ kN/m]	M [10 ^ kN m/m]	M,min [10 ^ kN m/m]	M,max [10 ^ kN m/m]
Element 15-27 (Plate)	7507	2	3,000	-4,808	-14,025	-14,025	0,174	494,053	-0,313	494,053	-14,708	-14,708	0,100
(Micropali D168.3x8,0mm/0,4)	7506	3	3,000	-4,912	-14,105	-14,105	0,174	523,234	-0,364	523,234	37,811	0,000	37,811
28	7505	4	3,000	-5,015	-14,167	-14,167	0,172	546,376	-0,408	546,376	93,015	0,000	93,015
29	7504	5	3,000	-5,118	-14,211	-14,211	0,170	562,471	-0,447	562,471	150,239	-0,022	150,239
Plate_1_6	7504	1	3,000	-5,118	-14,211	-14,211	0,170	560,322	-0,446	560,322	150,239	-0,022	150,239
Element 15-28 (Plate)	7235	2	3,000	-5,178	-14,228	-14,228	0,168	562,945	-0,464	562,945	184,136	-0,050	184,136
(Micropali D168.3x8,0mm/0,4)	7236	3	3,000	-5,238	-14,238	-14,238	0,166	557,609	-0,477	557,609	217,974	-0,078	217,974
28	7237	4	3,000	-5,299	-14,242	-14,242	0,164	543,723	-0,484	543,723	251,228	-0,107	251,228
28	7234	5	3,000	-5,359	-14,240	-14,240	0,161	520,695	-0,485	520,695	283,362	-0,136	283,362
Plate_1_6	7234	1	3,000	-5,359	-14,240	-14,240	0,161	519,004	-0,484	519,004	283,362	-0,136	283,362
Element 15-29 (Plate)	7077	2	3,000	-5,394	-14,235	-14,235	0,160	498,917	-0,480	498,917	301,326	-0,153	301,326
(Micropali D168.3x8,0mm/0,4)	7078	3	3,000	-5,429	-14,228	-14,228	0,158	471,566	-0,470	471,566	318,465	-0,169	318,465
28	7079	4	3,000	-5,465	-14,219	-14,219	0,157	436,521	-0,453	436,521	334,503	-0,185	334,503
28	7076	5	3,000	-5,500	-14,207	-14,207	0,155	393,347	-0,431	393,347	349,157	-0,201	349,157
Plate_1_7	7076	1	3,000	-5,500	-14,207	-14,207	0,155	392,083	-0,429	392,083	349,157	-0,201	349,157
Element 18-32 (Plate)	6660	2	3,000	-5,513	-14,202	-14,202	0,154	373,477	-0,419	373,477	353,943	-0,206	353,943
(Micropali D168.3x8,0mm/0,4)	6661	3	3,000	-5,525	-14,197	-14,197	0,153	352,486	-0,405	352,486	358,484	-0,211	358,484
28	6662	4	3,000	-5,537	-14,191	-14,191	0,153	328,989	-0,390	328,989	362,746	-0,216	362,746
28	6659	5	3,000	-5,550	-14,185	-14,185	0,152	302,865	-0,372	302,865	366,697	-0,221	366,697
Plate_1_8	6659	1	3,000	-5,550	-14,185	-14,185	0,152	302,653	-0,372	302,653	366,697	-0,221	366,697
Element 22-39 (Plate)	6272	2	3,000	-5,587	-14,167	-14,167	0,150	221,796	-0,314	221,796	376,272	-0,233	376,272
(Micropali D168.3x8,0mm/0,4)	6273	3	3,000	-5,623	-14,147	-14,147	0,148	148,686	-0,261	148,686	383,031	-0,244	383,031
28	6274	4	3,000	-5,660	-14,126	-14,126	0,146	83,230	-0,212	83,230	387,255	-0,252	387,255
28	6271	5	3,000	-5,696	-14,103	-14,103	0,144	25,334	-0,216	25,334	389,219	-0,259	389,219
Plate_1_8	6271	1	3,000	-5,696	-14,103	-14,103	0,144	24,704	-0,231	24,704	389,219	-0,259	389,219
Element 22-40 (Plate)	5650	2	3,000	-5,738	-14,076	-14,076	0,143	-33,930	-33,930	0,000	389,001	-0,265	389,001
(Micropali D168.3x8,0mm/0,4)	5651	3	3,000	-5,780	-14,046	-14,046	0,141	-85,861	-85,861	0,000	386,465	-0,269	386,465
28	5652	4	3,000	-5,822	-14,014	-14,014	0,140	-131,231	-131,231	0,000	381,888	-0,272	381,888
28	5649	5	3,000	-5,864	-13,981	-13,981	0,139	-170,181	-170,181	0,000	375,546	-0,273	375,546
Plate_1_8	5649	1	3,000	-5,864	-13,981	-13,981	0,139	-170,734	-170,734	0,000	375,546	-0,273	375,546
Element 22-41 (Plate)	4942	2	3,000	-5,912	-13,940	-13,940	0,138	-208,937	-208,937	0,024	366,401	-0,273	366,401
(Micropali D168.3x8,0mm/0,4)	4943	3	3,000	-5,960	-13,896	-13,896	0,137	-241,466	-241,466	0,054	355,553	-0,271	355,553
28	4944	4	3,000	-6,008	-13,850	-13,850	0,137	-268,449	-268,449	0,081	343,274	-0,268	343,274
28	4941	5	3,000	-6,056	-13,800	-13,800	0,137	-290,013	-290,013	0,104	329,835	-0,263	329,835
Plate_1_8	4941	1	3,000	-6,056	-13,800	-13,800	0,137	-290,494	-290,494	0,104	329,835	-0,263	329,835
Element 22-42 (Plate)	4912	2	3,000	-6,112	-13,741	-13,741	0,137	-309,798	-309,798	0,127	313,289	-0,257	313,289
(Micropali D168.3x8,0mm/0,4)	4913	3	3,000	-6,167	-13,677	-13,677	0,137	-324,412	-324,412	0,147	295,802	-0,250	295,802
28	4914	4	3,000	-6,222	-13,609	-13,609	0,138	-334,472	-334,472	0,163	277,635	-0,241	277,635
28	4911	5	3,000	-6,277	-13,538	-13,538	0,139	-340,112	-340,112	0,177	259,046	-0,232	259,046
Plate_1_8	4911	1	3,000	-6,277	-13,538	-13,538	0,139	-340,562	-340,562	0,177	259,046	-0,232	259,046
Element 22-43 (Plate)	4876	2	3,000	-6,340	-13,451	-13,451	0,140	-342,750	-342,750	0,189	237,475	-0,220	237,475
(Micropali D168.3x8,0mm/0,4)	4877	3	3,000	-6,403	-13,359	-13,359	0,141	-341,428	-341,428	0,198	215,869	-0,208	215,869
28	4878	4	3,000	-6,466	-13,262	-13,262	0,143	-336,738	-336,738	0,205	194,451	-0,196	194,451
28	4875	5	3,000	-6,529	-13,159	-13,159	0,145	-328,821	-328,821	0,208	173,443	-0,183	173,443
Plate_1_8	4875	1	3,000	-6,529	-13,159	-13,159	0,145	-329,245	-329,245	0,209	173,443	-0,183	173,443
Element 22-44 (Plate)	4260	2	3,000	-6,601	-13,035	-13,035	0,147	-317,336	-317,336	0,210	150,064	-0,168	150,064
(Micropali D168.3x8,0mm/0,4)	4261	3	3,000	-6,674	-12,903	-12,903	0,149	-303,372	-303,372	0,210	127,612	-0,153	127,612
28	4262	4	3,000	-6,746	-12,763	-12,763	0,151	-287,497	-287,497	0,207	106,238	-0,138	106,238
28	4259	5	3,000	-6,818	-12,616	-12,616	0,154	-269,857	-269,856	0,203	86,087	-0,123	86,087
Plate_1_8	4259	1	3,000	-6,818	-12,616	-12,616	0,154	-270,202	-270,202	0,203	86,087	-0,123	86,087
Element 22-45 (Plate)	4246	2	3,000	-6,901	-12,438	-12,438	0,156	-248,846	-248,846	0,196	64,591	-0,107	64,591
(Micropali D168.3x8,0mm/0,4)	4247	3	3,000	-6,984	-12,250	-12,250	0,158	-226,998	-226,998	0,187	44,878	-0,091	44,878
28	4248	4	3,000	-7,067	-12,051	-12,051	0,160	-204,771	-204,771	0,178	26,989	-0,076	26,989

Structural element	Node	Local number	X [m]	Y [m]	N [kN/m]	N,min [kN/m]	N,max [10 ˆ kN/m]	Q [10 ˆ kN/m]	Q,min [10 ˆ kN/m]	Q,max [10 ˆ kN/m]	M [10 ˆ kN m/m]	M,min [10 ˆ kN m/m]	M,max [10 ˆ kN m/m]
2D	4245	5	3,000	-7,150	-11,842	-11,842	0,162	-182,278	-182,278	0,167	10,962	-0,312	10,962
Plate_1_8	4245	1	3,000	-7,150	-11,842	-11,842	0,162	-182,451	-182,451	0,167	10,962	-0,312	10,962
Element 22-46 (Plate)	3594	2	3,000	-7,245	-11,589	-11,589	0,164	-157,084	-157,084	0,154	-5,141	-5,417	0,000
(Micropali D168.3x8,0mm/0,4)	3595	3	3,000	-7,339	-11,321	-11,321	0,165	-132,349	-132,349	0,140	-18,872	-18,872	0,000
2D	3596	4	3,000	-7,434	-11,039	-11,039	0,166	-108,294	-108,294	0,126	-30,289	-30,289	0,000
2D	3593	5	3,000	-7,529	-10,741	-10,741	0,167	-84,969	-84,969	0,111	-39,451	-39,451	0,000
Plate_1_8	3593	1	3,000	-7,529	-10,740	-10,740	0,167	-84,915	-84,915	0,111	-39,451	-39,451	0,000
Element 22-47 (Plate)	3554	2	3,000	-7,638	-10,381	-10,381	0,166	-59,202	-59,202	0,094	-47,278	-47,278	0,006
(Micropali D168.3x8,0mm/0,4)	3555	3	3,000	-7,747	-9,999	-9,999	0,165	-34,238	-34,238	0,078	-52,352	-52,352	0,015
2D	3556	4	3,000	-7,855	-9,595	-9,595	0,163	-10,005	-10,005	0,083	-54,752	-54,752	0,023
2D	3553	5	3,000	-7,964	-9,169	-9,169	0,160	13,517	0,000	13,517	-54,554	-54,554	0,028
Plate_1_8	3553	1	3,000	-7,964	-9,167	-9,167	0,160	13,419	0,000	13,419	-54,554	-54,554	0,028
Element 22-48 (Plate)	3470	2	3,000	-8,089	-8,651	-8,651	0,156	40,109	0,000	40,109	-51,213	-51,213	0,032
(Micropali D168.3x8,0mm/0,4)	3471	3	3,000	-8,213	-8,099	-8,099	0,150	65,769	0,000	65,769	-44,601	-44,601	0,034
2D	3472	4	3,000	-8,338	-7,511	-7,511	0,143	90,212	-0,013	90,212	-34,871	-34,871	0,034
2D	3469	5	3,000	-8,463	-6,888	-6,888	0,134	113,250	-0,031	113,250	-22,183	-22,183	0,031
Plate_1_8	3469	1	3,000	-8,463	-6,883	-6,883	0,134	108,459	-0,030	108,459	-22,183	-22,183	0,031
Element 22-49 (Plate)	3374	2	3,000	-8,605	-6,122	-6,122	0,123	136,122	-0,050	136,122	-4,584	-4,584	0,025
(Micropali D168.3x8,0mm/0,4)	3375	3	3,000	-8,748	-5,293	-5,293	0,109	144,243	-0,063	144,243	15,806	0,000	15,806
2D	3376	4	3,000	-8,891	-4,396	-4,396	0,093	125,878	-0,066	125,878	35,346	0,000	35,346
2D	3373	5	3,000	-9,033	-3,428	-3,428	0,074	74,083	-0,058	74,083	50,096	-0,002	50,096
Plate_1_9	3373	1	3,000	-9,033	-3,419	-3,419	0,074	60,451	-0,056	60,451	50,096	-0,002	50,096
Element 24-55 (Plate)	3262	2	3,000	-9,150	-2,567	-2,567	0,056	-108,515	-108,515	0,000	46,502	-0,005	46,502
(Micropali D168.3x8,0mm/0,4)	3261	3	3,000	-9,267	-1,666	-1,666	0,038	-181,079	-181,079	0,020	28,435	-0,004	28,435
2D	3260	4	3,000	-9,383	-0,713	-0,713	0,019	-143,089	-143,089	0,023	8,550	-0,002	8,550
2D	3259	5	3,000	-9,500	0,292	0,000	292,088	19,604	-0,002	19,604	0,000	0,000	0,000

3.1.2.4.7 Calculation results, Plate, Escavo 1 [Phase_6] (6/247), Table of plate force envelopes

Structural element	Node	Local number	X [m]	Y [m]	N [kN/m]	N_{min} [kN/m]	N_{max} [kN/m]	Q [kN/m]	Q_{min} [kN/m]	Q_{max} [kN/m]	M [kN m/m]	M_{min} [10^{-3} kN m/m]	M_{max} [kN m/m]
Plate_4_1	7845	1	3,000	0,000	-0,018	-0,032	0,011	0,031	-0,021	0,057	0,000	0,000	0,000
Element 2-4 (Plate)	7844	2	3,000	-0,125	-0,016	-0,040	0,000	0,029	0,000	0,067	-0,001	-2,417	0,003
(Micropali D168.3x8,0mm/0,4)	7843	3	3,000	-0,250	-0,146	-0,166	0,000	0,255	0,000	0,290	0,018	0,000	0,022
2m	7842	4	3,000	-0,375	-0,277	-0,317	0,000	0,483	0,000	0,549	0,063	0,000	0,072
2m	7918	5	3,000	-0,500	-0,278	-0,315	0,000	0,486	0,000	0,542	0,128	0,000	0,144
Plate_1_1	7918	1	3,000	-0,500	-0,303	-0,339	0,000	0,530	0,000	0,592	0,128	0,000	0,144
Element 5-9 (Plate)	7921	2	3,000	-0,625	-0,487	-0,511	0,000	0,849	-0,004	0,888	0,210	0,000	0,227
(Micropali D168.3x8,0mm/0,4)	7920	3	3,000	-0,750	-0,847	-0,874	0,000	1,473	-0,093	1,513	0,354	0,000	0,373
2m	7919	4	3,000	-0,875	-1,321	-1,349	0,000	2,296	-0,174	2,331	0,587	-3,176	0,611
2m	7941	5	3,000	-1,000	-1,848	-1,870	0,000	3,208	-0,187	3,232	0,931	-16,747	0,958
Plate_1_2	7941	1	3,000	-1,000	-1,756	-1,780	0,000	3,049	-0,196	3,075	0,931	-16,747	0,958
Element 6-10 (Plate)	7940	2	3,000	-1,050	-1,817	-1,842	0,000	3,156	-0,204	3,178	1,085	-25,448	1,113
(Micropali D168.3x8,0mm/0,4)	7939	3	3,000	-1,099	-1,885	-1,911	0,000	3,273	-0,216	3,297	1,244	-34,596	1,274
2m	7938	4	3,000	-1,149	-1,939	-1,971	0,000	3,367	-0,239	3,399	1,409	-44,220	1,441
2m	7937	5	3,000	-1,199	-1,961	-2,014	0,000	3,407	-0,337	3,454	1,578	-54,302	1,611
Plate_1_3	7937	1	3,000	-1,199	-1,959	-2,003	0,000	3,402	-0,333	3,443	1,578	-54,302	1,611
Element 8-14 (Plate)	7886	2	3,000	-1,270	-1,958	-2,001	0,000	3,400	-0,502	3,440	1,820	-70,883	1,856
(Micropali D168.3x8,0mm/0,4)	7885	3	3,000	-1,341	-1,958	-2,000	0,000	3,398	-0,625	3,437	2,062	-87,006	2,100
2m	7884	4	3,000	-1,412	-1,957	-2,000	0,000	3,397	-0,683	3,433	2,304	-106,513	2,345
2m	7887	5	3,000	-1,483	-1,957	-2,000	0,000	3,395	-0,699	3,428	2,546	-127,466	2,589
Plate_1_3	7887	1	3,000	-1,483	-2,004	-2,049	0,000	3,477	-0,730	3,511	2,546	-127,466	2,589
Element 8-15 (Plate)	7869	2	3,000	-1,663	-1,921	-2,385	0,000	3,331	-0,774	3,353	3,155	-197,130	3,202
(Micropali D168.3x8,0mm/0,4)	7868	3	3,000	-1,842	-1,965	-3,251	0,000	3,404	-0,769	3,412	3,751	-285,099	3,801
2m	7867	4	3,000	-2,021	-2,231	-4,187	0,000	3,865	-0,574	3,865	4,398	-369,411	4,448
2m	7866	5	3,000	-2,200	-2,817	-5,260	0,000	4,883	-0,337	4,888	5,170	-430,783	5,218
Plate_1_4	7866	1	3,000	-2,200	-2,768	-5,241	0,000	4,797	-0,343	4,797	5,170	-430,783	5,218
Element 10-18 (Plate)	7789	2	3,000	-2,325	-3,366	-5,965	0,000	5,834	-0,224	5,834	5,828	-460,444	5,869
(Micropali D168.3x8,0mm/0,4)	7788	3	3,000	-2,450	-4,245	-6,706	0,000	7,357	-0,152	7,357	6,650	-483,586	6,681
2m	7787	4	3,000	-2,575	-5,330	-7,410	0,000	9,237	-0,085	9,237	7,683	-498,374	7,701
2m	7786	5	3,000	-2,700	-6,549	-8,072	0,000	11,347	-0,024	11,347	8,968	-505,105	8,970
Plate_1_5	7786	1	3,000	-2,700	-5,796	-8,073	0,000	10,043	-0,023	10,043	8,968	-505,105	8,970
Element 12-22 (Plate)	7619	2	3,000	-2,860	-3,277	-8,852	0,000	5,682	-0,182	5,682	10,209	-503,537	10,209
(Micropali D168.3x8,0mm/0,4)	7618	3	3,000	-3,020	-1,410	-9,570	0,000	2,451	-1,092	2,451	10,848	-492,881	10,848
2m	7617	4	3,000	-3,180	-0,100	-10,228	0,301	0,182	-2,136	0,182	11,045	-475,008	11,045
2m	7663	5	3,000	-3,340	0,750	-10,827	1,036	-1,289	-2,813	0,161	10,948	-451,749	10,948
Plate_1_5	7663	1	3,000	-3,340	0,813	-10,829	1,097	-1,397	-2,981	0,163	10,948	-451,749	10,948
Element 12-23 (Plate)	7662	2	3,000	-3,505	1,659	-11,390	1,760	-2,862	-3,631	0,185	10,590	-423,249	10,590
(Micropali D168.3x8,0mm/0,4)	7661	3	3,000	-3,670	2,255	-11,898	2,277	-3,892	-4,214	0,209	10,028	-390,842	10,028
2m	7660	4	3,000	-3,835	2,621	-12,353	2,621	-4,527	-4,601	0,234	9,328	-354,311	9,328
2m	7659	5	3,000	-4,000	2,780	-12,755	2,780	-4,803	-4,803	0,263	8,554	-313,385	8,554
Plate_1_6	7659	1	3,000	-4,000	2,845	-12,756	2,845	-4,860	-4,860	0,263	8,554	-313,385	8,554
Element 15-26 (Plate)	7643	2	3,000	-4,176	2,912	-13,131	2,912	-5,072	-5,072	0,302	7,679	-263,634	7,679
(Micropali D168.3x8,0mm/0,4)	7642	3	3,000	-4,353	3,016	-13,451	3,016	-5,201	-5,201	0,349	6,770	-206,254	6,770
2m	7641	4	3,000	-4,529	3,177	-13,716	3,177	-5,167	-5,167	0,403	5,854	-140,059	5,854

Structural element	Node	Local number	X [m]	Y [m]	N [kN/m]	N_{min} [kN/m]	N_{max} [kN/m]	Q [kN/m]	Q_{min} [kN/m]	Q_{max} [kN/m]	M [kN m/m]	M_{min} [10^{-2} kN m/m]	M_{max} [kN m/m]
좀	7640	5	3,000	-4,705	3,413	-13,926	3,413	-4,890	-4,890	0,462	4,963	-63,910	4,963
Plate_1_6	7640	1	3,000	-4,705	3,443	-13,927	3,443	-4,864	-4,864	0,460	4,963	-63,910	4,963
Element 15-27 (Plate)	7507	2	3,000	-4,808	3,692	-14,025	3,692	-4,520	-4,520	0,494	4,479	-14,708	4,479
(Micropali D168.3x8,0mm/0,4)	7506	3	3,000	-4,912	4,003	-14,105	4,003	-4,139	-4,139	0,524	4,032	0,000	4,032
좀	7505	4	3,000	-5,015	4,368	-14,167	4,368	-3,727	-3,727	0,560	3,626	0,000	3,626
좀	7504	5	3,000	-5,118	4,784	-14,211	4,784	-3,293	-3,293	0,601	3,264	-0,022	3,264
Plate_1_6	7504	1	3,000	-5,118	4,783	-14,211	4,783	-3,303	-3,303	0,599	3,264	-0,022	3,264
Element 15-28 (Plate)	7235	2	3,000	-5,178	5,044	-14,228	5,044	-3,058	-3,058	0,616	3,072	-0,050	3,072
(Micropali D168.3x8,0mm/0,4)	7236	3	3,000	-5,238	5,317	-14,238	5,317	-2,827	-2,827	0,623	2,895	-0,078	2,895
좀	7237	4	3,000	-5,299	5,603	-14,242	5,603	-2,613	-2,613	0,617	2,731	-0,107	2,731
좀	7234	5	3,000	-5,359	5,900	-14,240	5,900	-2,417	-2,417	0,599	2,580	-0,136	2,580
Plate_1_6	7234	1	3,000	-5,359	5,898	-14,240	5,898	-2,423	-2,423	0,596	2,580	-0,136	2,580
Element 15-29 (Plate)	7077	2	3,000	-5,394	6,083	-14,235	6,083	-2,324	-2,324	0,575	2,496	-0,153	2,496
(Micropali D168.3x8,0mm/0,4)	7078	3	3,000	-5,429	6,265	-14,228	6,265	-2,243	-2,243	0,543	2,415	-0,169	2,415
좀	7079	4	3,000	-5,465	6,442	-14,219	6,442	-2,185	-2,185	0,498	2,337	-0,185	2,337
좀	7076	5	3,000	-5,500	6,611	-14,207	6,611	-2,149	-2,149	0,440	2,261	-0,201	2,261
Plate_1_7	7076	1	3,000	-5,500	6,610	-14,207	6,610	-2,154	-2,154	0,437	2,261	-0,201	2,261
Element 18-32 (Plate)	6660	2	3,000	-5,513	6,666	-14,202	6,666	-2,152	-2,152	0,411	2,234	-0,206	2,234
(Micropali D168.3x8,0mm/0,4)	6661	3	3,000	-5,525	6,722	-14,197	6,722	-2,159	-2,159	0,381	2,207	-0,211	2,207
좀	6662	4	3,000	-5,537	6,777	-14,191	6,777	-2,175	-2,175	0,347	2,180	-0,216	2,180
좀	6659	5	3,000	-5,550	6,830	-14,185	6,830	-2,200	-2,200	0,310	2,153	-0,221	2,153
Plate_1_8	6659	1	3,000	-5,550	6,830	-14,185	6,830	-2,202	-2,202	0,309	2,153	-0,221	2,153
Element 22-39 (Plate)	6272	2	3,000	-5,587	6,981	-14,167	6,981	-2,296	-2,296	0,222	2,070	-0,233	2,070
(Micropali D168.3x8,0mm/0,4)	6273	3	3,000	-5,623	7,124	-14,147	7,124	-2,367	-2,367	0,149	1,985	-0,244	1,985
좀	6274	4	3,000	-5,660	7,260	-14,126	7,260	-2,416	-2,416	0,083	1,897	-0,252	1,897
좀	6271	5	3,000	-5,696	7,388	-14,103	7,388	-2,445	-2,445	0,025	1,808	-0,259	1,808
Plate_1_8	6271	1	3,000	-5,696	7,389	-14,103	7,389	-2,447	-2,447	0,025	1,808	-0,259	1,808
Element 22-40 (Plate)	5650	2	3,000	-5,738	7,527	-14,076	7,527	-2,461	-2,461	0,000	1,705	-0,265	1,705
(Micropali D168.3x8,0mm/0,4)	5651	3	3,000	-5,780	7,658	-14,046	7,658	-2,460	-2,460	0,000	1,602	-0,269	1,602
좀	5652	4	3,000	-5,822	7,780	-14,014	7,780	-2,445	-2,445	0,000	1,499	-0,272	1,499
좀	5649	5	3,000	-5,864	7,893	-13,981	7,893	-2,417	-2,417	0,000	1,397	-0,273	1,397
Plate_1_8	5649	1	3,000	-5,864	7,893	-13,981	7,893	-2,419	-2,419	0,000	1,397	-0,273	1,397
Element 22-41 (Plate)	4942	2	3,000	-5,912	8,014	-13,940	8,014	-2,376	-2,376	0,000	1,282	-0,273	1,282
(Micropali D168.3x8,0mm/0,4)	4943	3	3,000	-5,960	8,124	-13,896	8,124	-2,326	-2,326	0,000	1,169	-0,271	1,169
좀	4944	4	3,000	-6,008	8,225	-13,850	8,225	-2,267	-2,267	0,000	1,058	-0,268	1,058
좀	4941	5	3,000	-6,056	8,317	-13,800	8,317	-2,201	-2,201	0,000	0,951	-0,263	0,951
Plate_1_8	4941	1	3,000	-6,056	8,317	-13,800	8,317	-2,203	-2,203	0,000	0,951	-0,263	0,951
Element 22-42 (Plate)	4912	2	3,000	-6,112	8,411	-13,741	8,411	-2,122	-2,122	0,000	0,832	-0,257	0,832
(Micropali D168.3x8,0mm/0,4)	4913	3	3,000	-6,167	8,494	-13,677	8,494	-2,037	-2,037	0,000	0,717	-0,250	0,717
좀	4914	4	3,000	-6,222	8,566	-13,609	8,566	-1,949	-1,949	0,000	0,608	-0,241	0,608
좀	4911	5	3,000	-6,277	8,628	-13,538	8,628	-1,859	-1,859	0,000	0,503	-0,232	0,503
Plate_1_8	4911	1	3,000	-6,277	8,628	-13,538	8,628	-1,859	-1,859	0,000	0,503	-0,232	0,503
Element 22-43 (Plate)	4876	2	3,000	-6,340	8,687	-13,451	8,687	-1,754	-1,754	0,000	0,389	-0,220	0,389
(Micropali D168.3x8,0mm/0,4)	4877	3	3,000	-6,403	8,733	-13,359	8,733	-1,648	-1,648	0,000	0,281	-0,208	0,281
좀	4878	4	3,000	-6,466	8,768	-13,262	8,768	-1,542	-1,542	0,000	0,181	-0,196	0,194
좀	4875	5	3,000	-6,529	8,792	-13,159	8,792	-1,437	-1,437	0,000	0,087	-0,183	0,173
Plate_1_8	4875	1	3,000	-6,529	8,792	-13,159	8,792	-1,437	-1,437	0,000	0,087	-0,183	0,173
Element 22-44 (Plate)	4260	2	3,000	-6,601	8,806	-13,035	8,806	-1,318	-1,318	0,000	-0,013	-13,911	0,150
(Micropali D168.3x8,0mm/0,4)	4261	3	3,000	-6,674	8,807	-12,903	8,807	-1,202	-1,202	0,000	-0,104	-103,805	0,128

Structural element	Node	Local number	X [m]	Y [m]	N [kN/m]	N_{min} [kN/m]	N_{max} [kN/m]	Q [kN/m]	Q_{min} [kN/m]	Q_{max} [kN/m]	M [kN m/m]	M_{min} [10^{-2} kN m/m]	M_{max} [kN m/m]
2m	4262	4	3,000	-6,746	8,795	-12,763	8,795	-1,088	-1,088	0,000	-0,187	-186,582	0,106
2m	4259	5	3,000	-6,818	8,770	-12,616	8,770	-0,978	-0,978	0,000	-0,261	-261,217	0,086
Plate_1_8	4259	1	3,000	-6,818	8,771	-12,616	8,771	-0,978	-0,978	0,000	-0,261	-261,217	0,086
Element 22-45 (Plate)	4246	2	3,000	-6,901	8,729	-12,438	8,729	-0,856	-0,856	0,000	-0,337	-337,110	0,065
(Micropali D168.3x8,0mm/0,4)	4247	3	3,000	-6,984	8,672	-12,250	8,672	-0,739	-0,739	0,000	-0,403	-403,138	0,045
2m	4248	4	3,000	-7,067	8,601	-12,051	8,601	-0,627	-0,627	0,000	-0,460	-459,711	0,027
2m	4245	5	3,000	-7,150	8,517	-11,842	8,517	-0,521	-0,521	0,000	-0,507	-507,238	0,011
Plate_1_8	4245	1	3,000	-7,150	8,517	-11,842	8,517	-0,521	-0,521	0,000	-0,507	-507,238	0,011
Element 22-46 (Plate)	3594	2	3,000	-7,245	8,403	-11,589	8,403	-0,406	-0,407	0,000	-0,551	-551,194	0,000
(Micropali D168.3x8,0mm/0,4)	3595	3	3,000	-7,339	8,273	-11,321	8,273	-0,298	-0,299	0,000	-0,585	-584,587	0,000
2m	3596	4	3,000	-7,434	8,125	-11,039	8,125	-0,197	-0,205	0,000	-0,608	-608,027	0,000
2m	3593	5	3,000	-7,529	7,960	-10,741	7,960	-0,102	-0,127	0,000	-0,622	-622,121	0,000
Plate_1_8	3593	1	3,000	-7,529	7,960	-10,740	7,960	-0,101	-0,127	0,000	-0,622	-622,121	0,000
Element 22-47 (Plate)	3554	2	3,000	-7,638	7,751	-10,381	7,751	0,001	-0,060	0,001	-0,628	-627,507	0,000
(Micropali D168.3x8,0mm/0,4)	3555	3	3,000	-7,747	7,519	-9,999	7,519	0,097	-0,034	0,097	-0,622	-622,124	0,000
2m	3556	4	3,000	-7,855	7,263	-9,595	7,263	0,188	-0,010	0,188	-0,607	-606,594	0,000
2m	3553	5	3,000	-7,964	6,985	-9,169	6,985	0,273	0,000	0,273	-0,582	-581,530	0,000
Plate_1_8	3553	1	3,000	-7,964	6,984	-9,167	6,984	0,272	0,000	0,272	-0,582	-581,530	0,000
Element 22-48 (Plate)	3470	2	3,000	-8,089	6,636	-8,651	6,636	0,366	0,000	0,366	-0,542	-541,728	0,000
(Micropali D168.3x8,0mm/0,4)	3471	3	3,000	-8,213	6,253	-8,099	6,253	0,452	0,000	0,452	-0,491	-490,718	0,000
2m	3472	4	3,000	-8,338	5,836	-7,511	5,836	0,530	0,000	0,530	-0,429	-429,492	0,000
2m	3469	5	3,000	-8,463	5,383	-6,888	5,383	0,599	0,000	0,599	-0,359	-359,067	0,000
Plate_1_8	3469	1	3,000	-8,463	5,380	-6,883	5,380	0,588	0,000	0,588	-0,359	-359,067	0,000
Element 22-49 (Plate)	3374	2	3,000	-8,605	4,815	-6,122	4,815	0,660	0,000	0,660	-0,269	-269,440	0,000
(Micropali D168.3x8,0mm/0,4)	3375	3	3,000	-8,748	4,190	-5,293	4,190	0,674	0,000	0,674	-0,173	-173,231	0,016
2m	3376	4	3,000	-8,891	3,503	-4,396	3,503	0,614	0,000	0,614	-0,081	-80,533	0,035
2m	3373	5	3,000	-9,033	2,753	-3,428	2,753	0,470	0,000	0,470	-0,002	-2,013	0,050
Plate_1_9	3373	1	3,000	-9,033	2,745	-3,419	2,745	0,474	0,000	0,474	-0,002	-2,013	0,050
Element 24-55 (Plate)	3262	2	3,000	-9,150	2,080	-2,567	2,080	0,111	-0,109	0,111	0,031	-0,005	0,047
(Micropali D168.3x8,0mm/0,4)	3261	3	3,000	-9,267	1,365	-1,666	1,365	-0,114	-0,181	0,000	0,029	-0,004	0,029
2m	3260	4	3,000	-9,383	0,600	-0,713	0,600	-0,161	-0,162	0,000	0,011	-0,002	0,011
2m	3259	5	3,000	-9,500	-0,218	-0,218	0,292	0,008	0,000	0,020	0,000	0,000	0,000

3.1.2.4.8 Calculation results, Plate, Micropalo ancoraggio [Phase_7] (7/250), Table of plate force envelopes

Structural element	Node	Local number	X [m]	Y [m]	N [kN/m]	N_{min} [kN/m]	N_{max} [kN/m]	Q [kN/m]	Q_{min} [kN/m]	Q_{max} [kN/m]	M [kN m/m]	M_{min} [10^{-3} kN m/m]	M_{max} [kN m/m]
Plate_4_1	7845	1	3,000	0,000	-0,018	-0,032	0,011	0,030	-0,021	0,057	0,000	0,000	0,000
Element 2-4 (Plate)	7844	2	3,000	-0,125	-0,017	-0,040	0,000	0,029	0,000	0,067	-0,001	-2,417	0,003
(Micropali D168.3x8,0mm/0,4)	7843	3	3,000	-0,250	-0,148	-0,166	0,000	0,255	0,000	0,290	0,018	0,000	0,022
2	7842	4	3,000	-0,375	-0,279	-0,317	0,000	0,482	0,000	0,549	0,063	0,000	0,072
2	7918	5	3,000	-0,500	-0,281	-0,315	0,000	0,485	0,000	0,542	0,128	0,000	0,144
Plate_1_1	7918	1	3,000	-0,500	-0,307	-0,339	0,000	0,529	0,000	0,592	0,128	0,000	0,144
Element 5-9 (Plate)	7921	2	3,000	-0,625	-0,490	-0,511	0,000	0,847	-0,004	0,888	0,210	0,000	0,227
(Micropali D168.3x8,0mm/0,4)	7920	3	3,000	-0,750	-0,851	-0,874	0,000	1,471	-0,093	1,513	0,353	0,000	0,373
2	7919	4	3,000	-0,875	-1,325	-1,349	0,000	2,292	-0,174	2,331	0,586	-3,176	0,611
2	7941	5	3,000	-1,000	-1,851	-1,870	0,000	3,203	-0,187	3,232	0,929	-16,747	0,958
Plate_1_2	7941	1	3,000	-1,000	-1,760	-1,780	0,000	3,044	-0,196	3,075	0,929	-16,747	0,958
Element 6-10 (Plate)	7940	2	3,000	-1,050	-1,822	-1,842	0,000	3,151	-0,204	3,178	1,083	-25,448	1,113
(Micropali D168.3x8,0mm/0,4)	7939	3	3,000	-1,099	-1,889	-1,911	0,000	3,268	-0,216	3,297	1,242	-34,596	1,274
2	7938	4	3,000	-1,149	-1,943	-1,971	0,000	3,362	-0,239	3,399	1,407	-44,220	1,441
2	7937	5	3,000	-1,199	-1,967	-2,014	0,000	3,404	-0,337	3,454	1,576	-54,302	1,611
Plate_1_3	7937	1	3,000	-1,199	-1,964	-2,003	0,000	3,398	-0,333	3,443	1,576	-54,302	1,611
Element 8-14 (Plate)	7886	2	3,000	-1,270	-1,964	-2,001	0,000	3,397	-0,502	3,440	1,817	-70,883	1,856
(Micropali D168.3x8,0mm/0,4)	7885	3	3,000	-1,341	-1,964	-2,000	0,000	3,396	-0,625	3,437	2,059	-87,006	2,100
2	7884	4	3,000	-1,412	-1,964	-2,000	0,000	3,395	-0,683	3,433	2,301	-106,513	2,345
2	7887	5	3,000	-1,483	-1,964	-2,000	0,000	3,395	-0,699	3,428	2,543	-127,466	2,589
Plate_1_3	7887	1	3,000	-1,483	-2,011	-2,049	0,000	3,476	-0,730	3,511	2,543	-127,466	2,589
Element 8-15 (Plate)	7869	2	3,000	-1,663	-1,930	-2,385	0,000	3,334	-0,774	3,353	3,152	-197,130	3,202
(Micropali D168.3x8,0mm/0,4)	7868	3	3,000	-1,842	-1,974	-3,251	0,000	3,409	-0,769	3,412	3,748	-285,099	3,801
2	7867	4	3,000	-2,021	-2,240	-4,187	0,000	3,871	-0,574	3,871	4,396	-369,411	4,448
2	7866	5	3,000	-2,200	-2,826	-5,260	0,000	4,887	-0,337	4,888	5,170	-430,783	5,218
Plate_1_4	7866	1	3,000	-2,200	-2,777	-5,241	0,000	4,798	-0,343	4,798	5,170	-430,783	5,218
Element 10-18 (Plate)	7789	2	3,000	-2,325	-3,375	-5,965	0,000	5,837	-0,224	5,837	5,828	-460,444	5,869
(Micropali D168.3x8,0mm/0,4)	7788	3	3,000	-2,450	-4,253	-6,706	0,000	7,359	-0,152	7,359	6,650	-483,586	6,681
2	7787	4	3,000	-2,575	-5,337	-7,410	0,000	9,237	-0,085	9,237	7,683	-498,374	7,701
2	7786	5	3,000	-2,700	-6,555	-8,072	0,000	11,346	-0,024	11,347	8,968	-505,105	8,970
Plate_1_5	7786	1	3,000	-2,700	-5,804	-8,073	0,000	10,045	-0,023	10,045	8,968	-505,105	8,970
Element 12-22 (Plate)	7619	2	3,000	-2,860	-3,285	-8,852	0,000	5,684	-0,182	5,684	10,209	-503,537	10,209
(Micropali D168.3x8,0mm/0,4)	7618	3	3,000	-3,020	-1,418	-9,570	0,000	2,451	-1,092	2,451	10,849	-492,881	10,849
2	7617	4	3,000	-3,180	-0,107	-10,228	0,301	0,182	-2,136	0,182	11,046	-475,008	11,046
2	7663	5	3,000	-3,340	0,743	-10,827	1,036	-1,290	-2,813	0,161	10,949	-451,749	10,949
Plate_1_5	7663	1	3,000	-3,340	0,805	-10,829	1,097	-1,398	-2,981	0,163	10,949	-451,749	10,949
Element 12-23 (Plate)	7662	2	3,000	-3,505	1,652	-11,390	1,760	-2,862	-3,631	0,185	10,591	-423,249	10,591
(Micropali D168.3x8,0mm/0,4)	7661	3	3,000	-3,670	2,247	-11,898	2,277	-3,892	-4,214	0,209	10,029	-390,842	10,029
2	7660	4	3,000	-3,835	2,614	-12,353	2,621	-4,527	-4,601	0,234	9,328	-354,311	9,328
2	7659	5	3,000	-4,000	2,773	-12,755	2,780	-4,802	-4,803	0,263	8,555	-313,385	8,555
Plate_1_6	7659	1	3,000	-4,000	2,838	-12,756	2,845	-4,859	-4,860	0,263	8,555	-313,385	8,555
Element 15-26 (Plate)	7643	2	3,000	-4,176	2,905	-13,131	2,912	-5,071	-5,072	0,302	7,680	-263,634	7,680
(Micropali D168.3x8,0mm/0,4)	7642	3	3,000	-4,353	3,010	-13,451	3,016	-5,201	-5,201	0,349	6,771	-206,254	6,771

Structural element	Node	Local number	X [m]	Y [m]	N [kN/m]	N_{min} [kN/m]	N_{max} [kN/m]	Q [kN/m]	Q_{min} [kN/m]	Q_{max} [kN/m]	M [kN m/m]	M_{min} [10^{-2} kN m/m]	M_{max} [kN m/m]
좀	7641	4	3,000	-4,529	3,171	-13,716	3,177	-5,167	-5,167	0,403	5,855	-140,059	5,855
좀	7640	5	3,000	-4,705	3,407	-13,926	3,413	-4,890	-4,890	0,462	4,964	-63,910	4,964
Plate_1_6	7640	1	3,000	-4,705	3,437	-13,927	3,443	-4,864	-4,864	0,460	4,964	-63,910	4,964
Element 15-27 (Plate)	7507	2	3,000	-4,808	3,686	-14,025	3,692	-4,520	-4,520	0,494	4,480	-14,708	4,480
(Micropali D168.3x8,0mm/0,4)	7506	3	3,000	-4,912	3,996	-14,105	4,003	-4,139	-4,139	0,524	4,033	0,000	4,033
좀	7505	4	3,000	-5,015	4,362	-14,167	4,368	-3,728	-3,728	0,560	3,627	0,000	3,627
좀	7504	5	3,000	-5,118	4,778	-14,211	4,784	-3,293	-3,293	0,601	3,265	-0,022	3,265
Plate_1_6	7504	1	3,000	-5,118	4,777	-14,211	4,783	-3,303	-3,303	0,599	3,265	-0,022	3,265
Element 15-28 (Plate)	7235	2	3,000	-5,178	5,038	-14,228	5,044	-3,058	-3,058	0,616	3,073	-0,050	3,073
(Micropali D168.3x8,0mm/0,4)	7236	3	3,000	-5,238	5,312	-14,238	5,317	-2,828	-2,828	0,623	2,896	-0,078	2,896
좀	7237	4	3,000	-5,299	5,597	-14,242	5,603	-2,614	-2,614	0,617	2,732	-0,107	2,732
좀	7234	5	3,000	-5,359	5,894	-14,240	5,900	-2,418	-2,418	0,599	2,580	-0,136	2,580
Plate_1_6	7234	1	3,000	-5,359	5,892	-14,240	5,898	-2,423	-2,423	0,596	2,580	-0,136	2,580
Element 15-29 (Plate)	7077	2	3,000	-5,394	6,077	-14,235	6,083	-2,324	-2,324	0,575	2,496	-0,153	2,496
(Micropali D168.3x8,0mm/0,4)	7078	3	3,000	-5,429	6,259	-14,228	6,265	-2,244	-2,244	0,543	2,416	-0,169	2,416
좀	7079	4	3,000	-5,465	6,436	-14,219	6,442	-2,185	-2,185	0,498	2,338	-0,185	2,338
좀	7076	5	3,000	-5,500	6,605	-14,207	6,611	-2,149	-2,149	0,440	2,262	-0,201	2,262
Plate_1_7	7076	1	3,000	-5,500	6,604	-14,207	6,610	-2,154	-2,154	0,437	2,262	-0,201	2,262
Element 18-32 (Plate)	6660	2	3,000	-5,513	6,661	-14,202	6,666	-2,152	-2,152	0,411	2,235	-0,206	2,235
(Micropali D168.3x8,0mm/0,4)	6661	3	3,000	-5,525	6,717	-14,197	6,722	-2,159	-2,159	0,381	2,208	-0,211	2,208
좀	6662	4	3,000	-5,537	6,771	-14,191	6,777	-2,175	-2,175	0,347	2,181	-0,216	2,181
좀	6659	5	3,000	-5,550	6,825	-14,185	6,830	-2,201	-2,201	0,310	2,153	-0,221	2,153
Plate_1_8	6659	1	3,000	-5,550	6,825	-14,185	6,830	-2,202	-2,202	0,309	2,153	-0,221	2,153
Element 22-39 (Plate)	6272	2	3,000	-5,587	6,976	-14,167	6,981	-2,296	-2,296	0,222	2,071	-0,233	2,071
(Micropali D168.3x8,0mm/0,4)	6273	3	3,000	-5,623	7,119	-14,147	7,124	-2,367	-2,367	0,149	1,985	-0,244	1,985
좀	6274	4	3,000	-5,660	7,255	-14,126	7,260	-2,417	-2,417	0,083	1,898	-0,252	1,898
좀	6271	5	3,000	-5,696	7,384	-14,103	7,388	-2,445	-2,445	0,025	1,809	-0,259	1,809
Plate_1_8	6271	1	3,000	-5,696	7,384	-14,103	7,389	-2,448	-2,448	0,025	1,809	-0,259	1,809
Element 22-40 (Plate)	5650	2	3,000	-5,738	7,523	-14,076	7,527	-2,461	-2,461	0,000	1,706	-0,265	1,706
(Micropali D168.3x8,0mm/0,4)	5651	3	3,000	-5,780	7,654	-14,046	7,658	-2,460	-2,460	0,000	1,603	-0,269	1,603
좀	5652	4	3,000	-5,822	7,776	-14,014	7,780	-2,446	-2,446	0,000	1,500	-0,272	1,500
좀	5649	5	3,000	-5,864	7,889	-13,981	7,893	-2,418	-2,418	0,000	1,398	-0,273	1,398
Plate_1_8	5649	1	3,000	-5,864	7,890	-13,981	7,893	-2,420	-2,420	0,000	1,398	-0,273	1,398
Element 22-41 (Plate)	4942	2	3,000	-5,912	8,010	-13,940	8,014	-2,377	-2,377	0,000	1,282	-0,273	1,282
(Micropali D168.3x8,0mm/0,4)	4943	3	3,000	-5,960	8,121	-13,896	8,124	-2,326	-2,326	0,000	1,169	-0,271	1,169
좀	4944	4	3,000	-6,008	8,222	-13,850	8,225	-2,268	-2,268	0,000	1,059	-0,268	1,059
좀	4941	5	3,000	-6,056	8,313	-13,800	8,317	-2,202	-2,202	0,000	0,951	-0,263	0,951
Plate_1_8	4941	1	3,000	-6,056	8,314	-13,800	8,317	-2,203	-2,203	0,000	0,951	-0,263	0,951
Element 22-42 (Plate)	4912	2	3,000	-6,112	8,408	-13,741	8,411	-2,122	-2,122	0,000	0,832	-0,257	0,832
(Micropali D168.3x8,0mm/0,4)	4913	3	3,000	-6,167	8,491	-13,677	8,494	-2,038	-2,038	0,000	0,718	-0,250	0,718
좀	4914	4	3,000	-6,222	8,563	-13,609	8,566	-1,950	-1,950	0,000	0,608	-0,241	0,608
좀	4911	5	3,000	-6,277	8,625	-13,538	8,628	-1,859	-1,859	0,000	0,503	-0,232	0,503
Plate_1_8	4911	1	3,000	-6,277	8,626	-13,538	8,628	-1,860	-1,860	0,000	0,503	-0,232	0,503
Element 22-43 (Plate)	4876	2	3,000	-6,340	8,684	-13,451	8,687	-1,754	-1,754	0,000	0,389	-0,220	0,389
(Micropali D168.3x8,0mm/0,4)	4877	3	3,000	-6,403	8,731	-13,359	8,733	-1,648	-1,648	0,000	0,282	-0,208	0,282
좀	4878	4	3,000	-6,466	8,766	-13,262	8,768	-1,543	-1,543	0,000	0,181	-0,196	0,194
좀	4875	5	3,000	-6,529	8,790	-13,159	8,792	-1,437	-1,437	0,000	0,087	-0,183	0,173
Plate_1_8	4875	1	3,000	-6,529	8,790	-13,159	8,792	-1,438	-1,438	0,000	0,087	-0,183	0,173
Element 22-44 (Plate)	4260	2	3,000	-6,601	8,804	-13,035	8,806	-1,319	-1,319	0,000	-0,013	-13,911	0,150

Structural element	Node	Local number	X [m]	Y [m]	N [kN/m]	N_{min} [kN/m]	N_{max} [kN/m]	Q [kN/m]	Q_{min} [kN/m]	Q_{max} [kN/m]	M [kN m/m]	M_{min} [10^{-2} kN m/m]	M_{max} [kN m/m]
(Micropali D168.3x8,0mm/0,4)	4261	3	3,000	-6,674	8,805	-12,903	8,807	-1,202	-1,202	0,000	-0,104	-103,808	0,128
점	4262	4	3,000	-6,746	8,794	-12,763	8,795	-1,088	-1,088	0,000	-0,187	-186,604	0,106
점	4259	5	3,000	-6,818	8,769	-12,616	8,771	-0,978	-0,978	0,000	-0,261	-261,260	0,086
Plate_1_8	4259	1	3,000	-6,818	8,770	-12,616	8,771	-0,978	-0,978	0,000	-0,261	-261,260	0,086
Element 22-45 (Plate)	4246	2	3,000	-6,901	8,728	-12,438	8,729	-0,856	-0,856	0,000	-0,337	-337,174	0,065
(Micropali D168.3x8,0mm/0,4)	4247	3	3,000	-6,984	8,671	-12,250	8,672	-0,739	-0,739	0,000	-0,403	-403,221	0,045
점	4248	4	3,000	-7,067	8,601	-12,051	8,602	-0,628	-0,628	0,000	-0,460	-459,811	0,027
점	4245	5	3,000	-7,150	8,516	-11,842	8,517	-0,521	-0,521	0,000	-0,507	-507,353	0,011
Plate_1_8	4245	1	3,000	-7,150	8,516	-11,842	8,517	-0,521	-0,521	0,000	-0,507	-507,353	0,011
Element 22-46 (Plate)	3594	2	3,000	-7,245	8,403	-11,589	8,404	-0,407	-0,407	0,000	-0,551	-551,323	0,000
(Micropali D168.3x8,0mm/0,4)	3595	3	3,000	-7,339	8,272	-11,321	8,273	-0,298	-0,299	0,000	-0,585	-584,727	0,000
점	3596	4	3,000	-7,434	8,125	-11,039	8,125	-0,197	-0,205	0,000	-0,608	-608,176	0,000
점	3593	5	3,000	-7,529	7,960	-10,741	7,961	-0,102	-0,127	0,000	-0,622	-622,276	0,000
Plate_1_8	3593	1	3,000	-7,529	7,960	-10,740	7,961	-0,101	-0,127	0,000	-0,622	-622,276	0,000
Element 22-47 (Plate)	3554	2	3,000	-7,638	7,751	-10,381	7,751	0,001	-0,060	0,001	-0,628	-627,667	0,000
(Micropali D168.3x8,0mm/0,4)	3555	3	3,000	-7,747	7,519	-9,999	7,519	0,097	-0,034	0,097	-0,622	-622,286	0,000
점	3556	4	3,000	-7,855	7,264	-9,595	7,264	0,188	-0,010	0,188	-0,607	-606,756	0,000
점	3553	5	3,000	-7,964	6,985	-9,169	6,986	0,273	0,000	0,273	-0,582	-581,689	0,000
Plate_1_8	3553	1	3,000	-7,964	6,984	-9,167	6,985	0,272	0,000	0,272	-0,582	-581,689	0,000
Element 22-48 (Plate)	3470	2	3,000	-8,089	6,636	-8,651	6,637	0,366	0,000	0,366	-0,542	-541,883	0,000
(Micropali D168.3x8,0mm/0,4)	3471	3	3,000	-8,213	6,254	-8,099	6,254	0,452	0,000	0,452	-0,491	-490,864	0,000
점	3472	4	3,000	-8,338	5,836	-7,511	5,836	0,530	0,000	0,530	-0,430	-429,626	0,000
점	3469	5	3,000	-8,463	5,384	-6,888	5,384	0,600	0,000	0,600	-0,359	-359,186	0,000
Plate_1_8	3469	1	3,000	-8,463	5,380	-6,883	5,381	0,588	0,000	0,588	-0,359	-359,186	0,000
Element 22-49 (Plate)	3374	2	3,000	-8,605	4,816	-6,122	4,816	0,661	0,000	0,661	-0,270	-269,539	0,000
(Micropali D168.3x8,0mm/0,4)	3375	3	3,000	-8,748	4,190	-5,293	4,190	0,674	0,000	0,674	-0,173	-173,308	0,016
점	3376	4	3,000	-8,891	3,503	-4,396	3,503	0,615	0,000	0,615	-0,081	-80,585	0,035
점	3373	5	3,000	-9,033	2,753	-3,428	2,753	0,470	0,000	0,470	-0,002	-2,041	0,050
Plate_1_9	3373	1	3,000	-9,033	2,746	-3,419	2,746	0,474	0,000	0,474	-0,002	-2,041	0,050
Element 24-55 (Plate)	3262	2	3,000	-9,150	2,080	-2,567	2,080	0,111	-0,109	0,111	0,031	-0,005	0,047
(Micropali D168.3x8,0mm/0,4)	3261	3	3,000	-9,267	1,365	-1,666	1,365	-0,114	-0,181	0,000	0,029	-0,004	0,029
점	3260	4	3,000	-9,383	0,600	-0,713	0,600	-0,161	-0,162	0,000	0,011	-0,002	0,011
점	3259	5	3,000	-9,500	-0,218	-0,218	0,292	0,008	0,000	0,020	0,000	0,000	0,000

3.1.2.4.9 Calculation results, Plate, Escavo (progetto) [Phase_8] (8/271), Table of plate force envelopes

Structural element	Node	Local number	X [m]	Y [m]	N [kN/m]	N_{min} [kN/m]	N_{max} [kN/m]	Q [kN/m]	Q_{min} [kN/m]	Q_{max} [kN/m]	M [kN m/m]	M_{min} [kN m/m]	M_{max} [kN m/m]
Plate_4_1	7845	1	3,000	0,000	-0,035	-0,039	0,011	0,060	-0,021	0,068	0,000	0,000	0,000
Element 2-4 (Plate)	7844	2	3,000	-0,125	0,012	-0,040	0,019	-0,025	-0,032	0,067	-0,002	-0,003	0,003
(Micropali D168.3x8,0mm/0,4)	7843	3	3,000	-0,250	-0,080	-0,166	0,000	0,129	0,000	0,290	0,005	0,000	0,022
2	7842	4	3,000	-0,375	-0,210	-0,317	0,000	0,349	0,000	0,549	0,033	0,000	0,072
2	7918	5	3,000	-0,500	-0,278	-0,315	0,000	0,459	0,000	0,542	0,086	0,000	0,144
Plate_1_1	7918	1	3,000	-0,500	-0,315	-0,339	0,000	0,524	0,000	0,592	0,086	0,000	0,144
Element 5-9 (Plate)	7921	2	3,000	-0,625	-0,591	-0,591	0,000	0,996	-0,004	0,996	0,177	0,000	0,227
(Micropali D168.3x8,0mm/0,4)	7920	3	3,000	-0,750	-1,088	-1,088	0,000	1,851	-0,093	1,851	0,352	0,000	0,373
2	7919	4	3,000	-0,875	-1,769	-1,769	0,000	3,025	-0,174	3,025	0,653	-0,003	0,653
2	7941	5	3,000	-1,000	-2,598	-2,598	0,000	4,455	-0,187	4,455	1,118	-0,017	1,118
Plate_1_2	7941	1	3,000	-1,000	-2,524	-2,524	0,000	4,328	-0,196	4,328	1,118	-0,017	1,118
Element 6-10 (Plate)	7940	2	3,000	-1,050	-2,799	-2,799	0,000	4,802	-0,204	4,802	1,344	-0,025	1,344
(Micropali D168.3x8,0mm/0,4)	7939	3	3,000	-1,099	-3,100	-3,100	0,000	5,322	-0,216	5,322	1,596	-0,035	1,596
2	7938	4	3,000	-1,149	-3,378	-3,378	0,000	5,800	-0,239	5,800	1,873	-0,044	1,873
2	7937	5	3,000	-1,199	-3,582	-3,582	0,000	6,151	-0,337	6,151	2,170	-0,054	2,170
Plate_1_3	7937	1	3,000	-1,199	-3,529	-3,529	0,000	6,060	-0,333	6,060	2,170	-0,054	2,170
Element 8-14 (Plate)	7886	2	3,000	-1,270	-3,531	-3,531	0,000	6,060	-0,502	6,060	2,602	-0,071	2,602
(Micropali D168.3x8,0mm/0,4)	7885	3	3,000	-1,341	-3,533	-3,533	0,000	6,059	-0,625	6,059	3,033	-0,087	3,033
2	7884	4	3,000	-1,412	-3,535	-3,535	0,000	6,058	-0,683	6,058	3,464	-0,107	3,464
2	7887	5	3,000	-1,483	-3,537	-3,537	0,000	6,058	-0,699	6,058	3,896	-0,127	3,896
Plate_1_3	7887	1	3,000	-1,483	-3,673	-3,673	0,000	6,292	-0,730	6,292	3,896	-0,127	3,896
Element 8-15 (Plate)	7869	2	3,000	-1,663	-3,458	-3,458	0,000	5,912	-0,774	5,912	4,987	-0,197	4,987
(Micropali D168.3x8,0mm/0,4)	7868	3	3,000	-1,842	-3,627	-3,627	0,000	6,196	-0,769	6,196	6,048	-0,285	6,048
2	7867	4	3,000	-2,021	-4,504	-4,504	0,000	7,708	-0,574	7,708	7,281	-0,369	7,281
2	7866	5	3,000	-2,200	-6,415	-6,415	0,000	11,009	-0,337	11,009	8,922	-0,431	8,922
Plate_1_4	7866	1	3,000	-2,200	-11,813	-11,813	0,000	-25,098	-25,098	4,798	8,922	-0,431	8,922
Element 10-18 (Plate)	7789	2	3,000	-2,325	-12,989	-12,989	0,000	-23,067	-23,067	5,837	5,908	-0,460	5,908
(Micropali D168.3x8,0mm/0,4)	7788	3	3,000	-2,450	-14,324	-14,324	0,000	-20,759	-20,759	7,359	3,167	-0,484	6,681
2	7787	4	3,000	-2,575	-15,743	-15,743	0,000	-18,308	-18,308	9,237	0,723	-0,498	7,701
2	7786	5	3,000	-2,700	-17,167	-17,167	0,000	-15,847	-15,847	11,347	-1,410	-1,410	8,970
Plate_1_5	7786	1	3,000	-2,700	-17,141	-17,141	0,000	-15,891	-15,891	10,045	-1,410	-1,410	8,970
Element 12-22 (Plate)	7619	2	3,000	-2,860	-18,464	-18,464	0,000	-13,607	-13,607	5,684	-3,767	-3,767	10,209
(Micropali D168.3x8,0mm/0,4)	7618	3	3,000	-3,020	-19,703	-19,703	0,000	-11,468	-11,468	2,451	-5,775	-5,775	10,849
2	7617	4	3,000	-3,180	-20,929	-20,929	0,301	-9,349	-9,349	0,458	-7,440	-7,440	11,046
2	7663	5	3,000	-3,340	-22,215	-22,215	1,036	-7,127	-7,127	0,328	-8,761	-8,761	10,949
Plate_1_5	7663	1	3,000	-3,340	-22,206	-22,206	1,097	-7,142	-7,142	0,163	-8,761	-8,761	10,949
Element 12-23 (Plate)	7662	2	3,000	-3,505	-23,593	-23,593	1,760	-4,745	-4,745	0,214	-9,745	-9,745	10,591
(Micropali D168.3x8,0mm/0,4)	7661	3	3,000	-3,670	-25,131	-25,131	2,277	-2,086	-4,214	0,832	-10,312	-10,312	10,029
2	7660	4	3,000	-3,835	-26,815	-26,815	2,621	0,824	-4,601	2,320	-10,420	-10,420	9,328
2	7659	5	3,000	-4,000	-28,637	-28,637	2,780	3,973	-4,803	4,529	-10,027	-10,027	8,555
Plate_1_6	7659	1	3,000	-4,000	-28,578	-28,578	2,845	3,871	-4,860	4,465	-10,027	-10,027	8,555
Element 15-26 (Plate)	7643	2	3,000	-4,176	-30,438	-30,438	2,912	7,087	-5,072	7,270	-9,058	-9,058	7,680
(Micropali D168.3x8,0mm/0,4)	7642	3	3,000	-4,353	-32,268	-32,268	3,016	10,252	-5,201	10,252	-7,532	-7,532	6,771

Structural element	Node	Local number	X [m]	Y [m]	N [kN/m]	N_{min} [kN/m]	N_{max} [kN/m]	Q [kN/m]	Q_{min} [kN/m]	Q_{max} [kN/m]	M [kN m/m]	M_{min} [kN m/m]	M_{max} [kN m/m]
쯤	7641	4	3,000	-4,529	-34,166	-34,166	3,177	13,534	-5,167	13,534	-5,435	-5,435	5,855
쯤	7640	5	3,000	-4,705	-36,231	-36,231	3,413	17,105	-4,890	17,105	-2,741	-2,741	5,198
Plate_1_6	7640	1	3,000	-4,705	-36,327	-36,327	3,443	17,271	-4,864	17,271	-2,741	-2,741	5,198
Element 15-27 (Plate)	7507	2	3,000	-4,808	-37,613	-37,613	3,692	19,493	-4,520	19,493	-0,846	-0,846	5,066
(Micropali D168.3x8,0mm/0,4)	7506	3	3,000	-4,912	-38,916	-38,916	4,003	21,746	-4,139	21,746	1,280	0,000	5,416
쯤	7505	4	3,000	-5,015	-40,259	-40,259	4,368	24,068	-3,728	24,068	3,642	0,000	6,379
쯤	7504	5	3,000	-5,118	-41,664	-41,664	4,784	26,501	-3,293	26,501	6,247	0,000	7,941
Plate_1_6	7504	1	3,000	-5,118	-41,659	-41,659	4,783	26,491	-3,303	26,491	6,247	0,000	7,941
Element 15-28 (Plate)	7235	2	3,000	-5,178	-42,514	-42,514	5,044	27,972	-3,058	27,972	7,889	0,000	9,061
(Micropali D168.3x8,0mm/0,4)	7236	3	3,000	-5,238	-43,384	-43,384	5,317	29,478	-2,828	29,478	9,621	0,000	10,479
쯤	7237	4	3,000	-5,299	-44,261	-44,261	5,603	30,995	-2,614	30,995	11,445	0,000	12,004
쯤	7234	5	3,000	-5,359	-45,136	-45,136	5,900	32,509	-2,418	32,509	13,359	0,000	13,607
Plate_1_6	7234	1	3,000	-5,359	-45,126	-45,126	5,898	32,492	-2,423	32,492	13,359	0,000	13,607
Element 15-29 (Plate)	7077	2	3,000	-5,394	-45,596	-45,596	6,083	33,305	-2,324	33,305	14,519	0,000	14,657
(Micropali D168.3x8,0mm/0,4)	7078	3	3,000	-5,429	-46,073	-46,073	6,265	34,131	-2,244	34,131	15,708	0,000	15,765
쯤	7079	4	3,000	-5,465	-46,555	-46,555	6,442	34,965	-2,185	34,965	16,927	0,000	16,927
쯤	7076	5	3,000	-5,500	-47,038	-47,038	6,611	35,801	-2,149	35,801	18,174	0,000	18,174
Plate_1_7	7076	1	3,000	-5,500	-46,971	-46,971	6,610	35,685	-2,154	35,685	18,174	0,000	18,174
Element 18-32 (Plate)	6660	2	3,000	-5,513	-46,800	-46,800	6,666	35,389	-2,152	35,389	18,619	0,000	18,619
(Micropali D168.3x8,0mm/0,4)	6661	3	3,000	-5,525	-46,611	-46,611	6,722	35,060	-2,159	35,060	19,059	0,000	19,059
쯤	6662	4	3,000	-5,537	-46,390	-46,390	6,777	34,677	-2,175	34,677	19,495	0,000	19,495
쯤	6659	5	3,000	-5,550	-46,126	-46,126	6,830	34,220	-2,201	34,220	19,926	0,000	19,926
Plate_1_8	6659	1	3,000	-5,550	-45,940	-45,940	6,830	33,893	-2,202	33,893	19,926	0,000	19,926
Element 22-39 (Plate)	6272	2	3,000	-5,587	-43,264	-43,264	6,981	29,266	-2,296	29,266	21,081	0,000	21,081
(Micropali D168.3x8,0mm/0,4)	6273	3	3,000	-5,623	-40,596	-40,596	7,124	24,643	-2,367	24,643	22,069	0,000	22,069
쯤	6274	4	3,000	-5,660	-37,906	-37,906	7,260	19,962	-2,417	19,962	22,885	0,000	22,885
쯤	6271	5	3,000	-5,696	-35,164	-35,164	7,388	15,160	-2,445	15,160	23,529	0,000	23,529
Plate_1_8	6271	1	3,000	-5,696	-35,215	-35,215	7,389	15,169	-2,448	15,169	23,529	0,000	23,529
Element 22-40 (Plate)	5650	2	3,000	-5,738	-32,436	-32,436	7,527	9,965	-3,242	9,965	24,054	0,000	24,054
(Micropali D168.3x8,0mm/0,4)	5651	3	3,000	-5,780	-29,863	-29,863	7,658	5,164	-4,976	5,164	24,370	0,000	24,370
쯤	5652	4	3,000	-5,822	-27,498	-27,498	7,780	0,770	-6,841	0,770	24,493	0,000	24,493
쯤	5649	5	3,000	-5,864	-25,347	-25,347	7,893	-3,210	-8,638	0,000	24,441	0,000	24,441
Plate_1_8	5649	1	3,000	-5,864	-25,340	-25,340	7,893	-3,225	-8,693	0,000	24,441	0,000	24,441
Element 22-41 (Plate)	4942	2	3,000	-5,912	-23,232	-23,232	8,014	-7,153	-10,554	0,000	24,189	0,000	24,189
(Micropali D168.3x8,0mm/0,4)	4943	3	3,000	-5,960	-21,457	-21,457	8,124	-10,447	-12,595	0,000	23,763	0,000	23,763
쯤	4944	4	3,000	-6,008	-20,006	-20,006	8,225	-13,120	-14,229	0,000	23,194	0,000	23,194
쯤	4941	5	3,000	-6,056	-18,871	-18,871	8,317	-15,183	-15,589	0,000	22,512	0,000	22,512
Plate_1_8	4941	1	3,000	-6,056	-18,823	-18,823	8,317	-15,250	-15,650	0,000	22,512	0,000	22,512
Element 22-42 (Plate)	4912	2	3,000	-6,112	-17,825	-17,825	8,411	-17,045	-17,084	0,000	21,621	0,000	21,621
(Micropali D168.3x8,0mm/0,4)	4913	3	3,000	-6,167	-17,040	-17,040	8,494	-18,383	-18,383	0,000	20,643	0,000	20,643
쯤	4914	4	3,000	-6,222	-16,442	-16,442	8,566	-19,284	-19,284	0,000	19,604	0,000	19,604
쯤	4911	5	3,000	-6,277	-16,009	-16,009	8,628	-19,767	-19,767	0,000	18,527	0,000	18,527
Plate_1_8	4911	1	3,000	-6,277	-15,983	-15,983	8,628	-19,823	-19,823	0,000	18,527	0,000	18,527
Element 22-43 (Plate)	4876	2	3,000	-6,340	-15,595	-15,595	8,687	-20,022	-20,022	0,000	17,269	0,000	17,269
(Micropali D168.3x8,0mm/0,4)	4877	3	3,000	-6,403	-15,299	-15,299	8,733	-19,960	-19,960	0,000	16,006	0,000	16,006
쯤	4878	4	3,000	-6,466	-15,089	-15,089	8,768	-19,651	-19,651	0,000	14,755	0,000	14,755
쯤	4875	5	3,000	-6,529	-14,961	-14,961	8,792	-19,110	-19,110	0,000	13,531	0,000	13,531
Plate_1_8	4875	1	3,000	-6,529	-14,947	-14,947	8,792	-19,148	-19,148	0,000	13,531	0,000	13,531
Element 22-44 (Plate)	4260	2	3,000	-6,601	-14,858	-14,858	8,806	-18,362	-18,362	0,000	12,175	-0,014	12,175

Structural element	Node	Local number	X [m]	Y [m]	N [kN/m]	N_{min} [kN/m]	N_{max} [kN/m]	Q [kN/m]	Q_{min} [kN/m]	Q_{max} [kN/m]	M [kN m/m]	M_{min} [kN m/m]	M_{max} [kN m/m]
(Micropali D168.3x8,0mm/0,4)	4261	3	3,000	-6,674	-14,804	-14,804	8,807	-17,471	-17,471	0,000	10,879	-0,104	10,879
2ª	4262	4	3,000	-6,746	-14,780	-14,780	8,795	-16,487	-16,487	0,000	9,650	-0,187	9,650
2ª	4259	5	3,000	-6,818	-14,783	-14,783	8,771	-15,420	-15,420	0,000	8,497	-0,261	8,497
Plate_1_8	4259	1	3,000	-6,818	-14,775	-14,775	8,771	-15,443	-15,443	0,000	8,497	-0,261	8,497
Element 22-45 (Plate)	4246	2	3,000	-6,901	-14,784	-14,784	8,729	-14,194	-14,194	0,000	7,270	-0,337	7,270
(Micropali D168.3x8,0mm/0,4)	4247	3	3,000	-6,984	-14,782	-14,782	8,672	-12,958	-12,958	0,000	6,145	-0,403	6,145
2ª	4248	4	3,000	-7,067	-14,767	-14,767	8,602	-11,741	-11,741	0,000	5,122	-0,460	5,122
2ª	4245	5	3,000	-7,150	-14,736	-14,736	8,517	-10,549	-10,549	0,000	4,200	-0,507	4,200
Plate_1_8	4245	1	3,000	-7,150	-14,732	-14,732	8,517	-10,558	-10,558	0,000	4,200	-0,507	4,200
Element 22-46 (Plate)	3594	2	3,000	-7,245	-14,662	-14,662	8,404	-9,263	-9,263	0,000	3,260	-0,551	3,260
(Micropali D168.3x8,0mm/0,4)	3595	3	3,000	-7,339	-14,549	-14,549	8,273	-8,052	-8,052	0,000	2,439	-0,585	2,439
2ª	3596	4	3,000	-7,434	-14,392	-14,392	8,125	-6,927	-6,927	0,000	1,729	-0,608	1,729
2ª	3593	5	3,000	-7,529	-14,191	-14,191	7,961	-5,890	-5,890	0,000	1,121	-0,640	1,121
Plate_1_8	3593	1	3,000	-7,529	-14,190	-14,190	7,961	-5,887	-5,887	0,000	1,121	-0,640	1,121
Element 22-47 (Plate)	3554	2	3,000	-7,638	-13,900	-13,900	7,751	-4,814	-4,814	0,001	0,541	-0,689	0,541
(Micropali D168.3x8,0mm/0,4)	3555	3	3,000	-7,747	-13,548	-13,548	7,519	-3,845	-3,845	0,097	0,071	-0,735	0,071
2ª	3556	4	3,000	-7,855	-13,135	-13,135	7,264	-2,979	-2,979	0,188	-0,300	-0,780	0,000
2ª	3553	5	3,000	-7,964	-12,662	-12,662	6,986	-2,215	-2,215	0,273	-0,581	-0,828	0,000
Plate_1_8	3553	1	3,000	-7,964	-12,662	-12,662	6,985	-2,205	-2,205	0,272	-0,581	-0,828	0,000
Element 22-48 (Plate)	3470	2	3,000	-8,089	-12,049	-12,049	6,637	-1,431	-1,431	0,366	-0,807	-0,876	0,000
(Micropali D168.3x8,0mm/0,4)	3471	3	3,000	-8,213	-11,360	-11,360	6,254	-0,740	-0,740	0,454	-0,941	-0,957	0,000
2ª	3472	4	3,000	-8,338	-10,594	-10,594	5,836	-0,128	-0,128	0,587	-0,994	-0,994	0,000
2ª	3469	5	3,000	-8,463	-9,752	-9,752	5,384	0,408	0,000	0,752	-0,976	-0,976	0,000
Plate_1_8	3469	1	3,000	-8,463	-9,732	-9,732	5,381	0,397	0,000	0,736	-0,976	-0,976	0,000
Element 22-49 (Plate)	3374	2	3,000	-8,605	-8,683	-8,683	4,816	0,962	0,000	1,006	-0,878	-0,878	0,000
(Micropali D168.3x8,0mm/0,4)	3375	3	3,000	-8,748	-7,459	-7,459	4,190	1,406	0,000	1,406	-0,707	-0,707	0,016
2ª	3376	4	3,000	-8,891	-6,033	-6,033	3,503	1,695	0,000	1,695	-0,484	-0,484	0,035
2ª	3373	5	3,000	-9,033	-4,378	-4,378	2,753	1,795	0,000	1,795	-0,232	-0,232	0,050
Plate_1_9	3373	1	3,000	-9,033	-4,405	-4,405	2,746	1,746	0,000	1,746	-0,232	-0,232	0,050
Element 24-55 (Plate)	3262	2	3,000	-9,150	-3,104	-3,104	2,081	0,900	-0,109	0,900	-0,080	-0,080	0,047
(Micropali D168.3x8,0mm/0,4)	3261	3	3,000	-9,267	-1,885	-1,885	1,372	0,296	-0,181	0,296	-0,014	-0,014	0,029
2ª	3260	4	3,000	-9,383	-0,749	-0,749	0,605	-0,004	-0,162	0,000	0,001	0,000	0,011
2ª	3259	5	3,000	-9,500	0,306	-0,221	0,306	0,057	-0,014	0,057	0,000	0,000	0,000

3.1.2.4.10 Calculation results, Plate, (RD) Muro [Phase_9] (9/298), Table of plate force envelopes

Structural element	Node	Local number	X [m]	Y [m]	N [kN/m]	N_{min} [kN/m]	N_{max} [kN/m]	Q [kN/m]	Q_{min} [kN/m]	Q_{max} [kN/m]	M [kN m/m]	M_{min} [kN m/m]	M_{max} [kN m/m]
Plate_2_1	9176	1	0,000	0,000	0,000	0,000	0,000	0,000	0,000	0,000	0,000	0,000	0,000
Element 1-1 (Plate)	9173	2	0,000	-0,034	0,000	0,000	0,000	0,000	0,000	0,000	0,000	0,000	0,000
(Parete c.a.C32/40 sp.0.50m)	9174	3	0,000	-0,067	0,000	0,000	0,000	0,000	0,000	0,000	0,000	0,000	0,000
점	9175	4	0,000	-0,101	0,000	0,000	0,000	0,000	0,000	0,000	0,000	0,000	0,000
점	9165	5	0,000	-0,135	0,000	0,000	0,000	0,000	0,000	0,000	0,000	0,000	0,000
Plate_2_1	9165	1	0,000	-0,135	0,000	0,000	0,000	0,000	0,000	0,000	0,000	0,000	0,000
Element 1-2 (Plate)	9164	2	0,000	-0,168	0,000	0,000	0,000	0,000	0,000	0,000	0,000	0,000	0,000
(Parete c.a.C32/40 sp.0.50m)	9163	3	0,000	-0,202	0,000	0,000	0,000	0,000	0,000	0,000	0,000	0,000	0,000
점	9162	4	0,000	-0,235	0,000	0,000	0,000	0,000	0,000	0,000	0,000	0,000	0,000
점	9166	5	0,000	-0,268	0,000	0,000	0,000	0,000	0,000	0,000	0,000	0,000	0,000
Plate_2_1	9166	1	0,000	-0,268	0,000	0,000	0,000	0,000	0,000	0,000	0,000	0,000	0,000
Element 1-3 (Plate)	9161	2	0,000	-0,301	0,000	0,000	0,000	0,000	0,000	0,000	0,000	0,000	0,000
(Parete c.a.C32/40 sp.0.50m)	9160	3	0,000	-0,334	0,000	0,000	0,000	0,000	0,000	0,000	0,000	0,000	0,000
점	9159	4	0,000	-0,367	0,000	0,000	0,000	0,000	0,000	0,000	0,000	0,000	0,000
점	9158	5	0,000	-0,400	0,000	0,000	0,000	0,000	0,000	0,000	0,000	0,000	0,000
Plate_4_1	7845	1	3,000	0,000	-0,035	-0,039	0,011	0,060	-0,021	0,068	0,000	0,000	0,000
Element 2-4 (Plate)	7844	2	3,000	-0,125	0,015	-0,040	0,019	-0,026	-0,032	0,067	-0,002	-0,003	0,003
(Micropali D168.3x8,0mm/0,4)	7843	3	3,000	-0,250	-0,074	-0,166	0,000	0,129	0,000	0,290	0,005	0,000	0,022
점	7842	4	3,000	-0,375	-0,200	-0,317	0,000	0,346	0,000	0,549	0,033	0,000	0,072
점	7918	5	3,000	-0,500	-0,259	-0,315	0,000	0,448	0,000	0,542	0,085	0,000	0,144
Plate_2_2	9158	1	0,000	-0,400	0,000	0,000	0,000	0,000	0,000	0,000	0,000	0,000	0,000
Element 3-5 (Plate)	9131	2	0,000	-0,425	0,000	0,000	0,000	0,000	0,000	0,000	0,000	0,000	0,000
(Parete c.a.C32/40 sp.0.50m)	9130	3	0,000	-0,450	0,000	0,000	0,000	0,000	0,000	0,000	0,000	0,000	0,000
점	9129	4	0,000	-0,475	0,000	0,000	0,000	0,000	0,000	0,000	0,000	0,000	0,000
점	9125	5	0,000	-0,500	0,000	0,000	0,000	0,000	0,000	0,000	0,000	0,000	0,000
Plate_2_3	9125	1	0,000	-0,500	0,000	0,000	0,000	0,000	0,000	0,000	0,000	0,000	0,000
Element 4-6 (Plate)	9121	2	0,000	-0,537	0,000	0,000	0,000	0,000	0,000	0,000	0,000	0,000	0,000
(Parete c.a.C32/40 sp.0.50m)	9120	3	0,000	-0,573	0,000	0,000	0,000	0,000	0,000	0,000	0,000	0,000	0,000
점	9119	4	0,000	-0,610	0,000	0,000	0,000	0,000	0,000	0,000	0,000	0,000	0,000
점	9115	5	0,000	-0,646	0,000	0,000	0,000	0,000	0,000	0,000	0,000	0,000	0,000
Plate_2_3	9115	1	0,000	-0,646	0,000	0,000	0,000	0,000	0,000	0,000	0,000	0,000	0,000
Element 4-7 (Plate)	9025	2	0,000	-0,688	0,000	0,000	0,000	0,000	0,000	0,000	0,000	0,000	0,000
(Parete c.a.C32/40 sp.0.50m)	9024	3	0,000	-0,729	0,000	0,000	0,000	0,000	0,000	0,000	0,000	0,000	0,000
점	9023	4	0,000	-0,771	0,000	0,000	0,000	0,000	0,000	0,000	0,000	0,000	0,000
점	9019	5	0,000	-0,812	0,000	0,000	0,000	0,000	0,000	0,000	0,000	0,000	0,000
Plate_2_3	9019	1	0,000	-0,812	0,000	0,000	0,000	0,000	0,000	0,000	0,000	0,000	0,000
Element 4-8 (Plate)	8963	2	0,000	-0,859	0,000	0,000	0,000	0,000	0,000	0,000	0,000	0,000	0,000
(Parete c.a.C32/40 sp.0.50m)	8962	3	0,000	-0,906	0,000	0,000	0,000	0,000	0,000	0,000	0,000	0,000	0,000
점	8961	4	0,000	-0,953	0,000	0,000	0,000	0,000	0,000	0,000	0,000	0,000	0,000
점	8957	5	0,000	-1,000	0,000	0,000	0,000	0,000	0,000	0,000	0,000	0,000	0,000
Plate_1_1	7918	1	3,000	-0,500	-0,296	-0,339	0,000	0,512	0,000	0,592	0,085	0,000	0,144
Element 5-9 (Plate)	7921	2	3,000	-0,625	-0,570	-0,592	0,000	0,987	-0,004	0,997	0,174	0,000	0,227
(Micropali D168.3x8,0mm/0,4)	7920	3	3,000	-0,750	-1,067	-1,089	0,000	1,847	-0,093	1,852	0,349	0,000	0,373

Structural element	Node	Local number	X [m]	Y [m]	N [kN/m]	N_{min} [kN/m]	N_{max} [kN/m]	Q [kN/m]	Q_{min} [kN/m]	Q_{max} [kN/m]	M [kN m/m]	M_{min} [kN m/m]	M_{max} [kN m/m]
점	7919	4	3,000	-0,875	-1,750	-1,770	0,000	3,031	-0,174	3,031	0,650	-0,003	0,653
점	7941	5	3,000	-1,000	-2,588	-2,599	0,000	4,481	-0,187	4,481	1,117	-0,017	1,119
Plate_1_2	7941	1	3,000	-1,000	-2,516	-2,526	0,000	4,358	-0,196	4,358	1,117	-0,017	1,119
Element 6-10 (Plate)	7940	2	3,000	-1,050	-2,799	-2,801	0,000	4,851	-0,204	4,851	1,345	-0,025	1,345
(Micropali D168.3x8,0mm/0,4)	7939	3	3,000	-1,099	-3,102	-3,102	0,000	5,377	-0,216	5,377	1,600	-0,035	1,600
점	7938	4	3,000	-1,149	-3,371	-3,379	0,000	5,843	-0,239	5,843	1,878	-0,044	1,878
점	7937	5	3,000	-1,199	-3,551	-3,582	0,000	6,154	-0,337	6,157	2,177	-0,054	2,177
Plate_2_4	8957	1	0,000	-1,000	0,000	0,000	0,000	0,000	0,000	0,000	0,000	0,000	0,000
Element 7-11 (Plate)	8874	2	0,000	-1,046	0,000	0,000	0,000	0,000	0,000	0,000	0,000	0,000	0,000
(Parete c.a.C32/40 sp.0.50m)	8873	3	0,000	-1,092	0,000	0,000	0,000	0,000	0,000	0,000	0,000	0,000	0,000
점	8872	4	0,000	-1,138	0,000	0,000	0,000	0,000	0,000	0,000	0,000	0,000	0,000
점	8871	5	0,000	-1,184	0,000	0,000	0,000	0,000	0,000	0,000	0,000	0,000	0,000
Plate_2_4	8871	1	0,000	-1,184	0,000	0,000	0,000	0,000	0,000	0,000	0,000	0,000	0,000
Element 7-12 (Plate)	8828	2	0,000	-1,245	0,000	0,000	0,000	0,000	0,000	0,000	0,000	0,000	0,000
(Parete c.a.C32/40 sp.0.50m)	8827	3	0,000	-1,306	0,000	0,000	0,000	0,000	0,000	0,000	0,000	0,000	0,000
점	8826	4	0,000	-1,367	0,000	0,000	0,000	0,000	0,000	0,000	0,000	0,000	0,000
점	8825	5	0,000	-1,428	0,000	0,000	0,000	0,000	0,000	0,000	0,000	0,000	0,000
Plate_2_4	8825	1	0,000	-1,428	0,000	0,000	0,000	0,000	0,000	0,000	0,000	0,000	0,000
Element 7-13 (Plate)	8687	2	0,000	-1,508	0,000	0,000	0,000	0,000	0,000	0,000	0,000	0,000	0,000
(Parete c.a.C32/40 sp.0.50m)	8686	3	0,000	-1,589	0,000	0,000	0,000	0,000	0,000	0,000	0,000	0,000	0,000
점	8685	4	0,000	-1,669	0,000	0,000	0,000	0,000	0,000	0,000	0,000	0,000	0,000
점	8684	5	0,000	-1,750	0,000	0,000	0,000	0,000	0,000	0,000	0,000	0,000	0,000
Plate_1_3	7937	1	3,000	-1,199	-3,507	-3,530	0,000	6,079	-0,333	6,079	2,177	-0,054	2,177
Element 8-14 (Plate)	7886	2	3,000	-1,270	-3,507	-3,532	0,000	6,079	-0,502	6,079	2,610	-0,071	2,610
(Micropali D168.3x8,0mm/0,4)	7885	3	3,000	-1,341	-3,507	-3,534	0,000	6,079	-0,625	6,079	3,043	-0,087	3,043
점	7884	4	3,000	-1,412	-3,507	-3,536	0,000	6,079	-0,683	6,079	3,476	-0,107	3,476
점	7887	5	3,000	-1,483	-3,507	-3,538	0,000	6,079	-0,699	6,079	3,908	-0,127	3,908
Plate_1_3	7887	1	3,000	-1,483	-3,636	-3,674	0,000	6,301	-0,730	6,301	3,908	-0,127	3,908
Element 8-15 (Plate)	7869	2	3,000	-1,663	-3,436	-3,459	0,000	5,956	-0,774	5,956	5,005	-0,197	5,005
(Micropali D168.3x8,0mm/0,4)	7868	3	3,000	-1,842	-3,613	-3,628	0,000	6,262	-0,769	6,262	6,075	-0,285	6,075
점	7867	4	3,000	-2,021	-4,498	-4,506	0,000	7,794	-0,574	7,794	7,322	-0,369	7,322
점	7866	5	3,000	-2,200	-6,423	-6,423	0,000	11,129	-0,337	11,129	8,981	-0,431	8,981
Plate_2_5	8684	1	0,000	-1,750	0,000	0,000	0,000	0,000	0,000	0,000	0,000	0,000	0,000
Element 9-16 (Plate)	8674	2	0,000	-1,843	0,000	0,000	0,000	0,000	0,000	0,000	0,000	0,000	0,000
(Parete c.a.C32/40 sp.0.50m)	8673	3	0,000	-1,937	0,000	0,000	0,000	0,000	0,000	0,000	0,000	0,000	0,000
점	8672	4	0,000	-2,030	0,000	0,000	0,000	0,000	0,000	0,000	0,000	0,000	0,000
점	8668	5	0,000	-2,124	0,000	0,000	0,000	0,000	0,000	0,000	0,000	0,000	0,000
Plate_2_5	8668	1	0,000	-2,124	0,000	0,000	0,000	0,000	0,000	0,000	0,000	0,000	0,000
Element 9-17 (Plate)	8487	2	0,000	-2,268	0,000	0,000	0,000	0,000	0,000	0,000	0,000	0,000	0,000
(Parete c.a.C32/40 sp.0.50m)	8486	3	0,000	-2,412	0,000	0,000	0,000	0,000	0,000	0,000	0,000	0,000	0,000
점	8485	4	0,000	-2,556	0,000	0,000	0,000	0,000	0,000	0,000	0,000	0,000	0,000
점	8484	5	0,000	-2,700	0,000	0,000	0,000	0,000	0,000	0,000	0,000	0,000	0,000
Plate_1_4	7866	1	3,000	-2,200	-11,869	-11,869	0,000	-25,295	-25,295	4,798	8,981	-0,431	8,981
Element 10-18 (Plate)	7789	2	3,000	-2,325	-13,051	-13,051	0,000	-23,247	-23,247	5,837	5,944	-0,460	5,944
(Micropali D168.3x8,0mm/0,4)	7788	3	3,000	-2,450	-14,394	-14,394	0,000	-20,922	-20,922	7,359	3,182	-0,484	6,681
점	7787	4	3,000	-2,575	-15,818	-15,818	0,000	-18,455	-18,455	9,237	0,718	-0,498	7,701
점	7786	5	3,000	-2,700	-17,246	-17,246	0,000	-15,981	-15,981	11,347	-1,433	-1,433	8,970
Plate_2_6	8484	1	0,000	-2,700	0,000	0,000	0,000	0,000	0,000	0,000	0,000	0,000	0,000
Element 11-19 (Plate)	8275	2	0,000	-2,836	0,000	0,000	0,000	0,000	0,000	0,000	0,000	0,000	0,000

Structural element	Node	Local number	X [m]	Y [m]	N [kN/m]	N_{min} [kN/m]	N_{max} [kN/m]	Q [kN/m]	Q_{min} [kN/m]	Q_{max} [kN/m]	M [kN m/m]	M_{min} [kN m/m]	M_{max} [kN m/m]
(Parete c.a.C32/40 sp.0.50m)	8274	3	0,000	-2,973	0,000	0,000	0,000	0,000	0,000	0,000	0,000	0,000	0,000
2	8273	4	0,000	-3,109	0,000	0,000	0,000	0,000	0,000	0,000	0,000	0,000	0,000
2	8272	5	0,000	-3,245	0,000	0,000	0,000	0,000	0,000	0,000	0,000	0,000	0,000
Plate_2_6	8272	1	0,000	-3,245	0,000	0,000	0,000	0,000	0,000	0,000	0,000	0,000	0,000
Element 11-20 (Plate)	8129	2	0,000	-3,352	0,000	0,000	0,000	0,000	0,000	0,000	0,000	0,000	0,000
(Parete c.a.C32/40 sp.0.50m)	8128	3	0,000	-3,458	0,000	0,000	0,000	0,000	0,000	0,000	0,000	0,000	0,000
2	8127	4	0,000	-3,564	0,000	0,000	0,000	0,000	0,000	0,000	0,000	0,000	0,000
2	8126	5	0,000	-3,670	0,000	0,000	0,000	0,000	0,000	0,000	0,000	0,000	0,000
Plate_2_6	8126	1	0,000	-3,670	0,000	0,000	0,000	0,000	0,000	0,000	0,000	0,000	0,000
Element 11-21 (Plate)	8029	2	0,000	-3,752	0,000	0,000	0,000	0,000	0,000	0,000	0,000	0,000	0,000
(Parete c.a.C32/40 sp.0.50m)	8028	3	0,000	-3,835	0,000	0,000	0,000	0,000	0,000	0,000	0,000	0,000	0,000
2	8027	4	0,000	-3,917	0,000	0,000	0,000	0,000	0,000	0,000	0,000	0,000	0,000
2	8026	5	0,000	-4,000	0,000	0,000	0,000	0,000	0,000	0,000	0,000	0,000	0,000
Plate_1_5	7786	1	3,000	-2,700	-17,222	-17,222	0,000	-16,024	-16,024	10,045	-1,433	-1,433	8,970
Element 12-22 (Plate)	7619	2	3,000	-2,860	-18,551	-18,551	0,000	-13,722	-13,722	5,684	-3,809	-3,809	10,209
(Micropali D168.3x8,0mm/0,4)	7618	3	3,000	-3,020	-19,795	-19,795	0,000	-11,568	-11,568	2,451	-5,834	-5,834	10,849
2	7617	4	3,000	-3,180	-21,025	-21,025	0,301	-9,436	-9,436	0,458	-7,514	-7,514	11,046
2	7663	5	3,000	-3,340	-22,314	-22,314	1,036	-7,204	-7,204	0,328	-8,849	-8,849	10,949
Plate_1_5	7663	1	3,000	-3,340	-22,306	-22,306	1,097	-7,219	-7,219	0,163	-8,849	-8,849	10,949
Element 12-23 (Plate)	7662	2	3,000	-3,505	-23,698	-23,698	1,760	-4,808	-4,808	0,214	-9,844	-9,844	10,591
(Micropali D168.3x8,0mm/0,4)	7661	3	3,000	-3,670	-25,239	-25,239	2,277	-2,139	-4,214	0,832	-10,420	-10,420	10,029
2	7660	4	3,000	-3,835	-26,924	-26,924	2,621	0,779	-4,601	2,320	-10,536	-10,536	9,328
2	7659	5	3,000	-4,000	-28,747	-28,747	2,780	3,937	-4,803	4,529	-10,150	-10,150	8,555
Plate_2_7	8026	1	0,000	-4,000	0,000	0,000	0,000	0,000	0,000	0,000	0,000	0,000	0,000
Element 13-24 (Plate)	7907	2	0,000	-4,065	0,000	0,000	0,000	0,000	0,000	0,000	0,000	0,000	0,000
(Parete c.a.C32/40 sp.0.50m)	7906	3	0,000	-4,130	0,000	0,000	0,000	0,000	0,000	0,000	0,000	0,000	0,000
2	7905	4	0,000	-4,194	0,000	0,000	0,000	0,000	0,000	0,000	0,000	0,000	0,000
2	7904	5	0,000	-4,259	0,000	0,000	0,000	0,000	0,000	0,000	0,000	0,000	0,000
Plate_2_8	7904	1	0,000	-4,259	0,000	0,000	0,000	0,000	0,000	0,000	0,000	0,000	0,000
Element 14-25 (Plate)	7591	2	0,000	-4,319	0,000	0,000	0,000	0,000	0,000	0,000	0,000	0,000	0,000
(Parete c.a.C32/40 sp.0.50m)	7590	3	0,000	-4,380	0,000	0,000	0,000	0,000	0,000	0,000	0,000	0,000	0,000
2	7589	4	0,000	-4,440	0,000	0,000	0,000	0,000	0,000	0,000	0,000	0,000	0,000
2	7588	5	0,000	-4,500	0,000	0,000	0,000	0,000	0,000	0,000	0,000	0,000	0,000
Plate_1_6	7659	1	3,000	-4,000	-28,686	-28,686	2,845	3,831	-4,860	4,465	-10,150	-10,150	8,555
Element 15-26 (Plate)	7643	2	3,000	-4,176	-30,558	-30,558	2,912	7,074	-5,072	7,270	-9,186	-9,186	7,680
(Micropali D168.3x8,0mm/0,4)	7642	3	3,000	-4,353	-32,399	-32,399	3,016	10,262	-5,201	10,262	-7,661	-7,661	6,771
2	7641	4	3,000	-4,529	-34,304	-34,304	3,177	13,562	-5,167	13,562	-5,560	-5,560	5,855
2	7640	5	3,000	-4,705	-36,372	-36,372	3,413	17,144	-4,890	17,144	-2,860	-2,860	5,198
Plate_1_6	7640	1	3,000	-4,705	-36,469	-36,469	3,443	17,312	-4,864	17,312	-2,860	-2,860	5,198
Element 15-27 (Plate)	7507	2	3,000	-4,808	-37,762	-37,762	3,692	19,550	-4,520	19,550	-0,960	-0,960	5,066
(Micropali D168.3x8,0mm/0,4)	7506	3	3,000	-4,912	-39,075	-39,075	4,003	21,824	-4,139	21,824	1,173	0,000	5,416
2	7505	4	3,000	-5,015	-40,431	-40,431	4,368	24,174	-3,728	24,174	3,544	0,000	6,379
2	7504	5	3,000	-5,118	-41,854	-41,854	4,784	26,638	-3,293	26,638	6,162	0,000	7,941
Plate_1_6	7504	1	3,000	-5,118	-41,848	-41,848	4,783	26,628	-3,303	26,628	6,162	0,000	7,941
Element 15-28 (Plate)	7235	2	3,000	-5,178	-42,715	-42,715	5,044	28,129	-3,058	28,129	7,813	0,000	9,061
(Micropali D168.3x8,0mm/0,4)	7236	3	3,000	-5,238	-43,596	-43,596	5,317	29,656	-2,828	29,656	9,555	0,000	10,479
2	7237	4	3,000	-5,299	-44,483	-44,483	5,603	31,192	-2,614	31,192	11,390	0,000	12,004
2	7234	5	3,000	-5,359	-45,368	-45,368	5,900	32,725	-2,418	32,725	13,317	0,000	13,607
Plate_1_6	7234	1	3,000	-5,359	-45,360	-45,360	5,898	32,710	-2,423	32,710	13,317	0,000	13,607

Structural element	Node	Local number	X [m]	Y [m]	N [kN/m]	N_{min} [kN/m]	N_{max} [kN/m]	Q [kN/m]	Q_{min} [kN/m]	Q_{max} [kN/m]	M [kN m/m]	M_{min} [kN m/m]	M_{max} [kN m/m]
Element 15-29 (Plate)	7077	2	3,000	-5,394	-45,833	-45,833	6,083	33,529	-2,324	33,529	14,484	0,000	14,657
(Micropali D168.3x8,0mm/0,4)	7078	3	3,000	-5,429	-46,313	-46,313	6,265	34,362	-2,244	34,362	15,682	0,000	15,765
2m	7079	4	3,000	-5,465	-46,799	-46,799	6,442	35,204	-2,185	35,204	16,909	0,000	16,927
2m	7076	5	3,000	-5,500	-47,288	-47,288	6,611	36,050	-2,149	36,050	18,165	0,000	18,174
Plate_2_9	7588	1	0,000	-4,500	0,000	0,000	0,000	0,000	0,000	0,000	0,000	0,000	0,000
Element 16-30 (Plate)	7540	2	0,000	-4,650	0,000	0,000	0,000	0,000	0,000	0,000	0,000	0,000	0,000
(Parete c.a.C32/40 sp.0.50m)	7539	3	0,000	-4,800	0,000	0,000	0,000	0,000	0,000	0,000	0,000	0,000	0,000
2m	7538	4	0,000	-4,950	0,000	0,000	0,000	0,000	0,000	0,000	0,000	0,000	0,000
2m	7534	5	0,000	-5,100	0,000	0,000	0,000	0,000	0,000	0,000	0,000	0,000	0,000
Plate_3_1	7534	1	0,000	-5,100	-0,002	-0,002	0,000	-0,001	-0,001	0,000	0,000	0,000	0,000
Element 17-31 (Plate)	7197	2	0,000	-5,200	-0,002	-0,002	0,000	-0,001	-0,001	0,000	0,000	0,000	0,000
(Micropali D168.3x8,0mm/0,4)	7196	3	0,000	-5,300	-0,002	-0,002	0,000	-0,001	-0,001	0,000	0,000	0,000	0,000
2m	7195	4	0,000	-5,400	-0,002	-0,002	0,000	-0,001	-0,001	0,000	0,000	0,000	0,000
2m	7194	5	0,000	-5,500	-0,002	-0,002	0,000	-0,001	-0,001	0,000	0,000	0,000	0,000
Plate_1_7	7076	1	3,000	-5,500	-47,222	-47,222	6,610	35,936	-2,154	35,936	18,165	0,000	18,174
Element 18-32 (Plate)	6660	2	3,000	-5,513	-47,057	-47,057	6,666	35,650	-2,152	35,650	18,612	0,000	18,619
(Micropali D168.3x8,0mm/0,4)	6661	3	3,000	-5,525	-46,873	-46,873	6,722	35,330	-2,159	35,330	19,056	0,000	19,062
2m	6662	4	3,000	-5,537	-46,658	-46,658	6,777	34,958	-2,175	34,958	19,495	0,000	19,500
2m	6659	5	3,000	-5,550	-46,401	-46,401	6,830	34,513	-2,201	34,513	19,929	0,000	19,932
Plate_3_2	7194	1	0,000	-5,500	0,007	0,000	0,007	0,020	0,000	0,020	0,000	0,000	0,000
Element 19-33 (Plate)	6712	2	0,000	-5,601	0,012	0,000	0,012	-0,005	-0,005	0,000	0,000	0,000	0,000
(Micropali D168.3x8,0mm/0,4)	6711	3	0,000	-5,703	0,015	0,000	0,015	-0,015	-0,015	0,000	-0,001	-0,001	0,000
2m	6710	4	0,000	-5,804	0,016	0,000	0,016	-0,012	-0,012	0,002	-0,002	-0,002	0,000
2m	6709	5	0,000	-5,905	0,018	0,000	0,018	0,005	0,000	0,008	-0,003	-0,003	0,000
Plate_3_3	6709	1	0,000	-5,905	0,015	0,000	0,015	0,001	-0,001	0,007	-0,003	-0,003	0,000
Element 20-34 (Plate)	6250	2	0,000	-5,929	0,016	0,000	0,016	0,003	0,000	0,008	-0,003	-0,003	0,000
(Micropali D168.3x8,0mm/0,4)	6249	3	0,000	-5,953	0,016	0,000	0,016	0,004	0,000	0,008	-0,003	-0,003	0,001
2m	6248	4	0,000	-5,976	0,016	0,000	0,016	0,004	0,000	0,008	-0,002	-0,002	0,001
2m	6247	5	0,000	-6,000	0,016	0,000	0,016	0,003	-0,001	0,008	-0,002	-0,002	0,001
Plate_3_4	6247	1	0,000	-6,000	0,017	0,000	0,017	0,003	-0,001	0,008	-0,002	-0,002	0,001
Element 21-35 (Plate)	5672	2	0,000	-6,033	0,017	0,000	0,017	0,001	-0,002	0,007	-0,002	-0,002	0,001
(Micropali D168.3x8,0mm/0,4)	5671	3	0,000	-6,066	0,018	0,000	0,018	-0,001	-0,002	0,006	-0,002	-0,002	0,001
2m	5670	4	0,000	-6,100	0,018	0,000	0,018	-0,003	-0,003	0,005	-0,002	-0,002	0,002
2m	5669	5	0,000	-6,133	0,019	0,000	0,019	-0,003	-0,003	0,004	-0,002	-0,002	0,002
Plate_3_4	5669	1	0,000	-6,133	0,019	0,000	0,019	-0,003	-0,003	0,004	-0,002	-0,002	0,002
Element 21-36 (Plate)	5616	2	0,000	-6,181	0,020	0,000	0,020	-0,004	-0,004	0,003	-0,003	-0,003	0,002
(Micropali D168.3x8,0mm/0,4)	5615	3	0,000	-6,229	0,021	0,000	0,021	-0,004	-0,004	0,002	-0,003	-0,003	0,002
2m	5614	4	0,000	-6,277	0,021	0,000	0,021	-0,004	-0,004	0,001	-0,003	-0,003	0,002
2m	5613	5	0,000	-6,325	0,022	0,000	0,022	-0,003	-0,003	0,001	-0,003	-0,003	0,002
Plate_3_4	5613	1	0,000	-6,325	0,022	0,000	0,022	-0,003	-0,003	0,001	-0,003	-0,003	0,002
Element 21-37 (Plate)	5560	2	0,000	-6,394	0,023	0,000	0,023	-0,002	-0,002	0,000	-0,003	-0,003	0,002
(Micropali D168.3x8,0mm/0,4)	5559	3	0,000	-6,463	0,025	0,000	0,025	-0,001	-0,001	0,000	-0,003	-0,003	0,002
2m	5558	4	0,000	-6,532	0,026	0,000	0,026	0,000	-0,001	0,000	-0,004	-0,004	0,002
2m	5557	5	0,000	-6,601	0,027	0,000	0,027	0,001	-0,001	0,001	-0,004	-0,004	0,002
Plate_3_4	5557	1	0,000	-6,601	0,027	0,000	0,027	0,001	-0,001	0,001	-0,004	-0,004	0,002
Element 21-38 (Plate)	4826	2	0,000	-6,701	0,028	0,000	0,028	0,002	-0,001	0,002	-0,003	-0,003	0,002
(Micropali D168.3x8,0mm/0,4)	4825	3	0,000	-6,801	0,030	0,000	0,030	0,003	-0,001	0,003	-0,003	-0,003	0,002
2m	4824	4	0,000	-6,900	0,031	0,000	0,031	0,004	-0,002	0,004	-0,003	-0,003	0,002
2m	4823	5	0,000	-7,000	0,032	0,000	0,032	0,004	-0,002	0,004	-0,002	-0,002	0,001

Structural element	Node	Local number	X [m]	Y [m]	N [kN/m]	N_{min} [kN/m]	N_{max} [kN/m]	Q [kN/m]	Q_{min} [kN/m]	Q_{max} [kN/m]	M [kN m/m]	M_{min} [kN m/m]	M_{max} [kN m/m]
Plate_1_8	6659	1	3,000	-5,550	-46,207	-46,207	6,830	34,175	-2,202	34,175	19,929	0,000	19,932
Element 22-39 (Plate)	6272	2	3,000	-5,587	-43,569	-43,569	6,981	29,610	-2,296	29,610	21,097	0,000	21,097
(Micropali D168.3x8,0mm/0,4)	6273	3	3,000	-5,623	-40,932	-40,932	7,124	25,041	-2,367	25,041	22,098	0,000	22,098
2m	6274	4	3,000	-5,660	-38,259	-38,259	7,260	20,397	-2,417	20,397	22,930	0,000	22,930
2m	6271	5	3,000	-5,696	-35,512	-35,512	7,388	15,613	-2,445	15,613	23,589	0,000	23,589
Plate_1_8	6271	1	3,000	-5,696	-35,564	-35,564	7,389	15,614	-2,448	15,614	23,589	0,000	23,589
Element 22-40 (Plate)	5650	2	3,000	-5,738	-32,797	-32,797	7,527	10,441	-3,242	10,441	24,134	0,000	24,134
(Micropali D168.3x8,0mm/0,4)	5651	3	3,000	-5,780	-30,222	-30,222	7,658	5,642	-4,976	5,642	24,470	0,000	24,470
2m	5652	4	3,000	-5,822	-27,845	-27,845	7,780	1,223	-6,841	1,223	24,613	0,000	24,613
2m	5649	5	3,000	-5,864	-25,667	-25,667	7,893	-2,811	-8,638	0,000	24,579	0,000	24,579
Plate_1_8	5649	1	3,000	-5,864	-25,663	-25,663	7,893	-2,820	-8,693	0,000	24,579	0,000	24,579
Element 22-41 (Plate)	4942	2	3,000	-5,912	-23,514	-23,514	8,014	-6,831	-10,554	0,000	24,344	0,000	24,344
(Micropali D168.3x8,0mm/0,4)	4943	3	3,000	-5,960	-21,700	-21,700	8,124	-10,203	-12,595	0,000	23,932	0,000	23,932
2m	4944	4	3,000	-6,008	-20,214	-20,214	8,225	-12,946	-14,229	0,000	23,373	0,000	23,373
2m	4941	5	3,000	-6,056	-19,050	-19,050	8,317	-15,070	-15,589	0,000	22,698	0,000	22,698
Plate_1_8	4941	1	3,000	-6,056	-19,004	-19,004	8,317	-15,137	-15,650	0,000	22,698	0,000	22,698
Element 22-42 (Plate)	4912	2	3,000	-6,112	-17,975	-17,975	8,411	-16,987	-17,084	0,000	21,811	0,000	21,811
(Micropali D168.3x8,0mm/0,4)	4913	3	3,000	-6,167	-17,171	-17,171	8,494	-18,373	-18,383	0,000	20,835	0,000	20,835
2m	4914	4	3,000	-6,222	-16,565	-16,565	8,566	-19,314	-19,314	0,000	19,795	0,000	19,795
2m	4911	5	3,000	-6,277	-16,127	-16,127	8,628	-19,829	-19,829	0,000	18,716	0,000	18,716
Plate_1_8	4911	1	3,000	-6,277	-16,099	-16,099	8,628	-19,885	-19,885	0,000	18,716	0,000	18,716
Element 22-43 (Plate)	4876	2	3,000	-6,340	-15,703	-15,703	8,687	-20,112	-20,112	0,000	17,453	0,000	17,453
(Micropali D168.3x8,0mm/0,4)	4877	3	3,000	-6,403	-15,401	-15,401	8,733	-20,071	-20,071	0,000	16,184	0,000	16,184
2m	4878	4	3,000	-6,466	-15,187	-15,187	8,768	-19,778	-19,778	0,000	14,925	0,000	14,925
2m	4875	5	3,000	-6,529	-15,055	-15,055	8,792	-19,247	-19,247	0,000	13,693	0,000	13,693
Plate_1_8	4875	1	3,000	-6,529	-15,041	-15,041	8,792	-19,286	-19,286	0,000	13,693	0,000	13,693
Element 22-44 (Plate)	4260	2	3,000	-6,601	-14,950	-14,950	8,806	-18,507	-18,507	0,000	12,326	-0,014	12,326
(Micropali D168.3x8,0mm/0,4)	4261	3	3,000	-6,674	-14,894	-14,894	8,807	-17,619	-17,619	0,000	11,020	-0,104	11,020
2m	4262	4	3,000	-6,746	-14,870	-14,870	8,795	-16,635	-16,635	0,000	9,781	-0,187	9,781
2m	4259	5	3,000	-6,818	-14,873	-14,873	8,771	-15,565	-15,565	0,000	8,617	-0,261	8,617
Plate_1_8	4259	1	3,000	-6,818	-14,864	-14,864	8,771	-15,589	-15,589	0,000	8,617	-0,261	8,617
Element 22-45 (Plate)	4246	2	3,000	-6,901	-14,874	-14,874	8,729	-14,335	-14,335	0,000	7,378	-0,337	7,378
(Micropali D168.3x8,0mm/0,4)	4247	3	3,000	-6,984	-14,873	-14,873	8,672	-13,092	-13,092	0,000	6,242	-0,403	6,242
2m	4248	4	3,000	-7,067	-14,859	-14,859	8,602	-11,867	-11,867	0,000	5,208	-0,460	5,208
2m	4245	5	3,000	-7,150	-14,829	-14,829	8,517	-10,666	-10,666	0,000	4,275	-0,507	4,275
Plate_1_8	4245	1	3,000	-7,150	-14,825	-14,825	8,517	-10,675	-10,675	0,000	4,275	-0,507	4,275
Element 22-46 (Plate)	3594	2	3,000	-7,245	-14,756	-14,756	8,404	-9,369	-9,369	0,000	3,325	-0,551	3,325
(Micropali D168.3x8,0mm/0,4)	3595	3	3,000	-7,339	-14,644	-14,644	8,273	-8,148	-8,148	0,000	2,494	-0,585	2,494
2m	3596	4	3,000	-7,434	-14,488	-14,488	8,125	-7,012	-7,012	0,000	1,775	-0,608	1,775
2m	3593	5	3,000	-7,529	-14,287	-14,287	7,961	-5,965	-5,965	0,000	1,160	-0,640	1,160
Plate_1_8	3593	1	3,000	-7,529	-14,286	-14,286	7,961	-5,963	-5,963	0,000	1,160	-0,640	1,160
Element 22-47 (Plate)	3554	2	3,000	-7,638	-13,996	-13,996	7,751	-4,879	-4,879	0,001	0,572	-0,689	0,572
(Micropali D168.3x8,0mm/0,4)	3555	3	3,000	-7,747	-13,643	-13,643	7,519	-3,900	-3,900	0,097	0,096	-0,735	0,096
2m	3556	4	3,000	-7,855	-13,229	-13,229	7,264	-3,026	-3,026	0,188	-0,280	-0,780	0,000
2m	3553	5	3,000	-7,964	-12,754	-12,754	6,986	-2,253	-2,253	0,273	-0,566	-0,828	0,000
Plate_1_8	3553	1	3,000	-7,964	-12,754	-12,754	6,985	-2,244	-2,244	0,272	-0,566	-0,828	0,000
Element 22-48 (Plate)	3470	2	3,000	-8,089	-12,138	-12,138	6,637	-1,462	-1,462	0,366	-0,796	-0,876	0,000
(Micropali D168.3x8,0mm/0,4)	3471	3	3,000	-8,213	-11,446	-11,446	6,254	-0,764	-0,764	0,454	-0,934	-0,957	0,000
2m	3472	4	3,000	-8,338	-10,676	-10,676	5,836	-0,146	-0,146	0,587	-0,990	-0,994	0,000

Structural element	Node	Local number	X [m]	Y [m]	N [kN/m]	N_{min} [kN/m]	N_{max} [kN/m]	Q [kN/m]	Q_{min} [kN/m]	Q_{max} [kN/m]	M [kN m/m]	M_{min} [kN m/m]	M_{max} [kN m/m]
좀	3469	5	3,000	-8,463	-9,830	-9,830	5,384	0,395	0,000	0,752	-0,974	-0,976	0,000
Plate_1_8	3469	1	3,000	-8,463	-9,811	-9,811	5,381	0,384	0,000	0,736	-0,974	-0,976	0,000
Element 22-49 (Plate)	3374	2	3,000	-8,605	-8,756	-8,756	4,816	0,953	0,000	1,006	-0,877	-0,878	0,000
(Micropali D168.3x8,0mm/0,4)	3375	3	3,000	-8,748	-7,526	-7,526	4,190	1,401	0,000	1,406	-0,707	-0,707	0,016
좀	3376	4	3,000	-8,891	-6,093	-6,093	3,503	1,693	0,000	1,695	-0,484	-0,484	0,035
좀	3373	5	3,000	-9,033	-4,431	-4,431	2,753	1,796	0,000	1,796	-0,233	-0,233	0,050
Plate_3_5	4823	1	0,000	-7,000	0,032	0,000	0,032	0,004	-0,002	0,004	-0,002	-0,002	0,001
Element 23-50 (Plate)	4218	2	0,000	-7,119	0,034	0,000	0,034	0,005	-0,002	0,005	-0,002	-0,002	0,001
(Micropali D168.3x8,0mm/0,4)	4217	3	0,000	-7,238	0,035	0,000	0,035	0,005	-0,001	0,005	-0,001	-0,001	0,001
좀	4216	4	0,000	-7,358	0,036	0,000	0,036	0,005	-0,001	0,005	-0,001	-0,001	0,001
좀	4215	5	0,000	-7,477	0,036	0,000	0,036	0,005	-0,001	0,005	0,000	-0,001	0,001
Plate_3_5	4215	1	0,000	-7,477	0,036	0,000	0,036	0,005	-0,001	0,005	0,000	-0,001	0,001
Element 23-51 (Plate)	3948	2	0,000	-7,604	0,037	0,000	0,037	0,004	-0,001	0,004	0,001	-0,001	0,001
(Micropali D168.3x8,0mm/0,4)	3947	3	0,000	-7,731	0,038	0,000	0,038	0,004	-0,001	0,004	0,001	0,000	0,001
좀	3946	4	0,000	-7,859	0,038	0,000	0,038	0,003	-0,001	0,003	0,001	0,000	0,001
좀	3945	5	0,000	-7,986	0,039	0,000	0,039	0,003	-0,001	0,003	0,002	0,000	0,002
Plate_3_5	3945	1	0,000	-7,986	0,039	0,000	0,039	0,003	-0,001	0,003	0,002	0,000	0,002
Element 23-52 (Plate)	3400	2	0,000	-8,122	0,039	0,000	0,039	0,002	-0,001	0,002	0,002	0,000	0,002
(Micropali D168.3x8,0mm/0,4)	3399	3	0,000	-8,258	0,039	0,000	0,039	0,001	-0,001	0,001	0,002	0,000	0,002
좀	3398	4	0,000	-8,394	0,040	0,000	0,040	0,001	0,000	0,001	0,003	0,000	0,003
좀	3397	5	0,000	-8,530	0,040	0,000	0,040	0,000	0,000	0,000	0,003	0,000	0,003
Plate_3_5	3397	1	0,000	-8,530	0,040	0,000	0,040	0,000	0,000	0,000	0,003	0,000	0,003
Element 23-53 (Plate)	3352	2	0,000	-8,675	0,040	0,000	0,040	0,000	0,000	0,000	0,003	0,000	0,003
(Micropali D168.3x8,0mm/0,4)	3351	3	0,000	-8,820	0,040	0,000	0,040	-0,001	-0,001	0,000	0,003	0,000	0,003
좀	3350	4	0,000	-8,965	0,040	0,000	0,040	-0,001	-0,001	0,000	0,002	0,000	0,002
좀	3349	5	0,000	-9,110	0,040	0,000	0,040	-0,001	-0,001	0,000	0,002	0,000	0,002
Plate_3_5	3349	1	0,000	-9,110	0,040	0,000	0,040	-0,001	-0,001	0,000	0,002	0,000	0,002
Element 23-54 (Plate)	3286	2	0,000	-9,265	0,039	0,000	0,039	-0,001	-0,001	0,000	0,002	0,000	0,002
(Micropali D168.3x8,0mm/0,4)	3285	3	0,000	-9,420	0,039	0,000	0,039	-0,002	-0,002	0,000	0,002	0,000	0,002
좀	3284	4	0,000	-9,575	0,039	0,000	0,039	-0,002	-0,002	0,000	0,002	0,000	0,002
좀	3283	5	0,000	-9,730	0,038	0,000	0,038	-0,001	-0,001	0,000	0,001	0,000	0,001
Plate_1_9	3373	1	3,000	-9,033	-4,455	-4,455	2,746	1,747	0,000	1,747	-0,233	-0,233	0,050
Element 24-55 (Plate)	3262	2	3,000	-9,150	-3,141	-3,141	2,081	0,901	-0,109	0,901	-0,080	-0,080	0,047
(Micropali D168.3x8,0mm/0,4)	3261	3	3,000	-9,267	-1,909	-1,909	1,372	0,298	-0,181	0,298	-0,014	-0,014	0,029
좀	3260	4	3,000	-9,383	-0,759	-0,759	0,605	-0,003	-0,162	0,000	0,001	0,000	0,011
좀	3259	5	3,000	-9,500	0,311	-0,221	0,311	0,057	-0,014	0,057	0,000	0,000	0,000
Plate_3_6	3283	1	0,000	-9,730	0,038	0,000	0,038	-0,002	-0,002	0,000	0,001	0,000	0,001
Element 25-56 (Plate)	3117	2	0,000	-9,886	0,038	0,000	0,038	-0,002	-0,002	0,000	0,001	0,000	0,001
(Micropali D168.3x8,0mm/0,4)	3116	3	0,000	-10,043	0,037	0,000	0,037	-0,001	-0,001	0,000	0,001	0,000	0,001
좀	3115	4	0,000	-10,199	0,037	0,000	0,037	-0,001	-0,001	0,000	0,001	0,000	0,001
좀	3114	5	0,000	-10,356	0,036	0,000	0,036	-0,001	-0,001	0,000	0,001	0,000	0,001
Plate_3_6	3114	1	0,000	-10,356	0,036	0,000	0,036	-0,001	-0,001	0,000	0,001	0,000	0,001
Element 25-57 (Plate)	3035	2	0,000	-10,520	0,035	0,000	0,035	-0,001	-0,001	0,000	0,000	0,000	0,000
(Micropali D168.3x8,0mm/0,4)	3034	3	0,000	-10,685	0,035	0,000	0,035	-0,001	-0,001	0,000	0,000	0,000	0,000
좀	3033	4	0,000	-10,850	0,034	0,000	0,034	-0,001	-0,001	0,000	0,000	0,000	0,000
좀	3032	5	0,000	-11,014	0,033	0,000	0,033	-0,001	-0,001	0,000	0,000	0,000	0,000
Plate_3_6	3032	1	0,000	-11,014	0,033	0,000	0,033	-0,001	-0,001	0,000	0,000	0,000	0,000
Element 25-58 (Plate)	2481	2	0,000	-11,187	0,032	0,000	0,032	0,000	0,000	0,000	0,000	0,000	0,000
(Micropali D168.3x8,0mm/0,4)	2480	3	0,000	-11,360	0,030	0,000	0,030	0,000	0,000	0,000	0,000	0,000	0,000

Structural element	Node	Local number	X [m]	Y [m]	N [kN/m]	N_{min} [kN/m]	N_{max} [kN/m]	Q [kN/m]	Q_{min} [kN/m]	Q_{max} [kN/m]	M [kN m/m]	M_{min} [kN m/m]	M_{max} [kN m/m]
점	2479	4	0,000	-11,533	0,029	0,000	0,029	0,000	0,000	0,000	0,000	0,000	0,000
점	2478	5	0,000	-11,706	0,028	0,000	0,028	0,000	0,000	0,000	0,000	0,000	0,000
Plate_3_6	2478	1	0,000	-11,706	0,028	0,000	0,028	0,000	0,000	0,000	0,000	0,000	0,000
Element 25-59 (Plate)	2309	2	0,000	-11,888	0,026	0,000	0,026	0,000	0,000	0,000	0,000	0,000	0,000
(Micropali D168.3x8,0mm/0,4)	2308	3	0,000	-12,069	0,024	0,000	0,024	0,000	0,000	0,000	0,000	0,000	0,000
점	2307	4	0,000	-12,251	0,023	0,000	0,023	0,000	0,000	0,000	0,000	0,000	0,000
점	2306	5	0,000	-12,433	0,021	0,000	0,021	0,000	0,000	0,000	0,000	0,000	0,000
Plate_3_6	2306	1	0,000	-12,433	0,021	0,000	0,021	0,000	0,000	0,000	0,000	0,000	0,000
Element 25-60 (Plate)	1871	2	0,000	-12,624	0,019	0,000	0,019	0,000	0,000	0,000	0,000	0,000	0,000
(Micropali D168.3x8,0mm/0,4)	1870	3	0,000	-12,815	0,016	0,000	0,016	0,000	0,000	0,000	0,000	0,000	0,000
점	1869	4	0,000	-13,006	0,014	0,000	0,014	0,000	0,000	0,000	0,000	0,000	0,000
점	1868	5	0,000	-13,197	0,012	0,000	0,012	0,000	0,000	0,000	0,000	0,000	0,000
Plate_3_6	1868	1	0,000	-13,197	0,012	0,000	0,012	0,000	0,000	0,000	0,000	0,000	0,000
Element 25-61 (Plate)	1171	2	0,000	-13,398	0,009	0,000	0,009	0,000	0,000	0,000	0,000	0,000	0,000
(Micropali D168.3x8,0mm/0,4)	1170	3	0,000	-13,598	0,006	0,000	0,006	0,000	0,000	0,000	0,000	0,000	0,000
점	1169	4	0,000	-13,799	0,002	0,000	0,002	0,000	0,000	0,000	0,000	0,000	0,000
점	1168	5	0,000	-14,000	-0,001	-0,001	0,000	0,000	0,000	0,000	0,000	0,000	0,000

3.1.2.4.11 Calculation results, Plate, Riempimento 1 [Phase_10] (10/374), Table of plate force envelopes

Structural element	Node	Local number	X [m]	Y [m]	N [kN/m]	N_{min} [kN/m]	N_{max} [kN/m]	Q [kN/m]	Q_{min} [kN/m]	Q_{max} [kN/m]	M [kN m/m]	M_{min} [kN m/m]	M_{max} [kN m/m]
Plate_2_1	9176	1	0,000	0,000	0,000	0,000	0,000	0,000	0,000	0,000	0,000	0,000	0,000
Element 1-1 (Plate)	9173	2	0,000	-0,034	0,000	0,000	0,000	0,000	0,000	0,000	0,000	0,000	0,000
(Parete c.a.C32/40 sp.0.50m)	9174	3	0,000	-0,067	0,000	0,000	0,000	0,000	0,000	0,000	0,000	0,000	0,000
2m	9175	4	0,000	-0,101	0,000	0,000	0,000	0,000	0,000	0,000	0,000	0,000	0,000
2m	9165	5	0,000	-0,135	0,000	0,000	0,000	0,000	0,000	0,000	0,000	0,000	0,000
Plate_2_1	9165	1	0,000	-0,135	0,000	0,000	0,000	0,000	0,000	0,000	0,000	0,000	0,000
Element 1-2 (Plate)	9164	2	0,000	-0,168	0,000	0,000	0,000	0,000	0,000	0,000	0,000	0,000	0,000
(Parete c.a.C32/40 sp.0.50m)	9163	3	0,000	-0,202	0,000	0,000	0,000	0,000	0,000	0,000	0,000	0,000	0,000
2m	9162	4	0,000	-0,235	0,000	0,000	0,000	0,000	0,000	0,000	0,000	0,000	0,000
2m	9166	5	0,000	-0,268	0,000	0,000	0,000	0,000	0,000	0,000	0,000	0,000	0,000
Plate_2_1	9166	1	0,000	-0,268	0,000	0,000	0,000	0,000	0,000	0,000	0,000	0,000	0,000
Element 1-3 (Plate)	9161	2	0,000	-0,301	0,000	0,000	0,000	0,000	0,000	0,000	0,000	0,000	0,000
(Parete c.a.C32/40 sp.0.50m)	9160	3	0,000	-0,334	0,000	0,000	0,000	0,000	0,000	0,000	0,000	0,000	0,000
2m	9159	4	0,000	-0,367	0,000	0,000	0,000	0,000	0,000	0,000	0,000	0,000	0,000
2m	9158	5	0,000	-0,400	0,000	0,000	0,000	0,000	0,000	0,000	0,000	0,000	0,000
Plate_4_1	7845	1	3,000	0,000	-0,034	-0,039	0,011	0,039	-0,021	0,068	0,000	0,000	0,000
Element 2-4 (Plate)	7844	2	3,000	-0,125	0,030	-0,040	0,030	0,013	-0,032	0,067	-0,001	-0,003	0,003
(Micropali D168.3x8,0mm/0,4)	7843	3	3,000	-0,250	-0,011	-0,166	0,000	0,214	0,000	0,290	0,014	0,000	0,022
2m	7842	4	3,000	-0,375	-0,064	-0,317	0,000	0,447	0,000	0,549	0,054	0,000	0,072
2m	7918	5	3,000	-0,500	-0,033	-0,315	0,000	0,518	0,000	0,542	0,118	0,000	0,144
Plate_2_2	9158	1	0,000	-0,400	0,000	0,000	0,000	0,000	0,000	0,000	0,000	0,000	0,000
Element 3-5 (Plate)	9131	2	0,000	-0,425	0,000	0,000	0,000	0,000	0,000	0,000	0,000	0,000	0,000
(Parete c.a.C32/40 sp.0.50m)	9130	3	0,000	-0,450	0,000	0,000	0,000	0,000	0,000	0,000	0,000	0,000	0,000
2m	9129	4	0,000	-0,475	0,000	0,000	0,000	0,000	0,000	0,000	0,000	0,000	0,000
2m	9125	5	0,000	-0,500	0,000	0,000	0,000	0,000	0,000	0,000	0,000	0,000	0,000
Plate_2_3	9125	1	0,000	-0,500	0,000	0,000	0,000	0,000	0,000	0,000	0,000	0,000	0,000
Element 4-6 (Plate)	9121	2	0,000	-0,537	0,000	0,000	0,000	0,000	0,000	0,000	0,000	0,000	0,000
(Parete c.a.C32/40 sp.0.50m)	9120	3	0,000	-0,573	0,000	0,000	0,000	0,000	0,000	0,000	0,000	0,000	0,000
2m	9119	4	0,000	-0,610	0,000	0,000	0,000	0,000	0,000	0,000	0,000	0,000	0,000
2m	9115	5	0,000	-0,646	0,000	0,000	0,000	0,000	0,000	0,000	0,000	0,000	0,000
Plate_2_3	9115	1	0,000	-0,646	0,000	0,000	0,000	0,000	0,000	0,000	0,000	0,000	0,000
Element 4-7 (Plate)	9025	2	0,000	-0,688	0,000	0,000	0,000	0,000	0,000	0,000	0,000	0,000	0,000
(Parete c.a.C32/40 sp.0.50m)	9024	3	0,000	-0,729	0,000	0,000	0,000	0,000	0,000	0,000	0,000	0,000	0,000
2m	9023	4	0,000	-0,771	0,000	0,000	0,000	0,000	0,000	0,000	0,000	0,000	0,000
2m	9019	5	0,000	-0,812	0,000	0,000	0,000	0,000	0,000	0,000	0,000	0,000	0,000
Plate_2_3	9019	1	0,000	-0,812	0,000	0,000	0,000	0,000	0,000	0,000	0,000	0,000	0,000
Element 4-8 (Plate)	8963	2	0,000	-0,859	0,000	0,000	0,000	0,000	0,000	0,000	0,000	0,000	0,000
(Parete c.a.C32/40 sp.0.50m)	8962	3	0,000	-0,906	0,000	0,000	0,000	0,000	0,000	0,000	0,000	0,000	0,000
2m	8961	4	0,000	-0,953	0,000	0,000	0,000	0,000	0,000	0,000	0,000	0,000	0,000
2m	8957	5	0,000	-1,000	0,000	0,000	0,000	0,000	0,000	0,000	0,000	0,000	0,000
Plate_1_1	7918	1	3,000	-0,500	-0,074	-0,339	0,000	0,575	0,000	0,592	0,118	0,000	0,144
Element 5-9 (Plate)	7921	2	3,000	-0,625	-0,265	-0,592	0,000	1,019	-0,004	1,019	0,212	0,000	0,227
(Micropali D168.3x8,0mm/0,4)	7920	3	3,000	-0,750	-0,674	-1,089	0,000	1,856	-0,093	1,856	0,389	0,000	0,389

Structural element	Node	Local number	X [m]	Y [m]	N [kN/m]	N_{min} [kN/m]	N_{max} [kN/m]	Q [kN/m]	Q_{min} [kN/m]	Q_{max} [kN/m]	M [kN m/m]	M_{min} [kN m/m]	M_{max} [kN m/m]
점	7919	4	3,000	-0,875	-1,269	-1,770	0,000	3,024	-0,174	3,031	0,690	-0,003	0,690
점	7941	5	3,000	-1,000	-2,014	-2,599	0,000	4,463	-0,187	4,481	1,156	-0,017	1,156
Plate_1_2	7941	1	3,000	-1,000	-1,942	-2,526	0,000	4,340	-0,196	4,358	1,156	-0,017	1,156
Element 6-10 (Plate)	7940	2	3,000	-1,050	-2,187	-2,801	0,000	4,828	-0,204	4,851	1,383	-0,025	1,383
(Micropali D168.3x8,0mm/0,4)	7939	3	3,000	-1,099	-2,451	-3,102	0,000	5,352	-0,216	5,377	1,637	-0,035	1,637
점	7938	4	3,000	-1,149	-2,679	-3,379	0,000	5,815	-0,239	5,843	1,914	-0,044	1,914
점	7937	5	3,000	-1,199	-2,816	-3,582	0,000	6,124	-0,337	6,157	2,211	-0,054	2,211
Plate_2_4	8957	1	0,000	-1,000	0,000	0,000	0,000	0,000	0,000	0,000	0,000	0,000	0,000
Element 7-11 (Plate)	8874	2	0,000	-1,046	0,000	0,000	0,000	0,000	0,000	0,000	0,000	0,000	0,000
(Parete c.a.C32/40 sp.0.50m)	8873	3	0,000	-1,092	0,000	0,000	0,000	0,000	0,000	0,000	0,000	0,000	0,000
점	8872	4	0,000	-1,138	0,000	0,000	0,000	0,000	0,000	0,000	0,000	0,000	0,000
점	8871	5	0,000	-1,184	0,000	0,000	0,000	0,000	0,000	0,000	0,000	0,000	0,000
Plate_2_4	8871	1	0,000	-1,184	0,000	0,000	0,000	0,000	0,000	0,000	0,000	0,000	0,000
Element 7-12 (Plate)	8828	2	0,000	-1,245	0,000	0,000	0,000	0,000	0,000	0,000	0,000	0,000	0,000
(Parete c.a.C32/40 sp.0.50m)	8827	3	0,000	-1,306	0,000	0,000	0,000	0,000	0,000	0,000	0,000	0,000	0,000
점	8826	4	0,000	-1,367	0,000	0,000	0,000	0,000	0,000	0,000	0,000	0,000	0,000
점	8825	5	0,000	-1,428	0,000	0,000	0,000	0,000	0,000	0,000	0,000	0,000	0,000
Plate_2_4	8825	1	0,000	-1,428	0,000	0,000	0,000	0,000	0,000	0,000	0,000	0,000	0,000
Element 7-13 (Plate)	8687	2	0,000	-1,508	0,000	0,000	0,000	0,000	0,000	0,000	0,000	0,000	0,000
(Parete c.a.C32/40 sp.0.50m)	8686	3	0,000	-1,589	0,000	0,000	0,000	0,000	0,000	0,000	0,000	0,000	0,000
점	8685	4	0,000	-1,669	0,000	0,000	0,000	0,000	0,000	0,000	0,000	0,000	0,000
점	8684	5	0,000	-1,750	0,000	0,000	0,000	0,000	0,000	0,000	0,000	0,000	0,000
Plate_1_3	7937	1	3,000	-1,199	-2,786	-3,530	0,000	6,050	-0,333	6,079	2,211	-0,054	2,211
Element 8-14 (Plate)	7886	2	3,000	-1,270	-2,786	-3,532	0,000	6,050	-0,502	6,079	2,642	-0,071	2,642
(Micropali D168.3x8,0mm/0,4)	7885	3	3,000	-1,341	-2,786	-3,534	0,000	6,050	-0,625	6,079	3,073	-0,087	3,073
점	7884	4	3,000	-1,412	-2,786	-3,536	0,000	6,050	-0,683	6,079	3,504	-0,107	3,504
점	7887	5	3,000	-1,483	-2,786	-3,538	0,000	6,050	-0,699	6,079	3,934	-0,127	3,934
Plate_1_3	7887	1	3,000	-1,483	-2,974	-3,674	0,000	6,244	-0,730	6,301	3,934	-0,127	3,934
Element 8-15 (Plate)	7869	2	3,000	-1,663	-2,610	-3,459	0,000	5,978	-0,774	5,978	5,029	-0,197	5,029
(Micropali D168.3x8,0mm/0,4)	7868	3	3,000	-1,842	-2,684	-3,628	0,000	6,336	-0,769	6,336	6,107	-0,285	6,107
점	7867	4	3,000	-2,021	-3,462	-4,506	0,000	7,931	-0,574	7,931	7,373	-0,369	7,373
점	7866	5	3,000	-2,200	-5,211	-6,423	0,000	11,372	-0,337	11,372	9,064	-0,431	9,064
Plate_2_5	8684	1	0,000	-1,750	0,000	0,000	0,000	0,000	0,000	0,000	0,000	0,000	0,000
Element 9-16 (Plate)	8674	2	0,000	-1,843	0,000	0,000	0,000	0,000	0,000	0,000	0,000	0,000	0,000
(Parete c.a.C32/40 sp.0.50m)	8673	3	0,000	-1,937	0,000	0,000	0,000	0,000	0,000	0,000	0,000	0,000	0,000
점	8672	4	0,000	-2,030	0,000	0,000	0,000	0,000	0,000	0,000	0,000	0,000	0,000
점	8668	5	0,000	-2,124	0,000	0,000	0,000	0,000	0,000	0,000	0,000	0,000	0,000
Plate_2_5	8668	1	0,000	-2,124	0,000	0,000	0,000	0,000	0,000	0,000	0,000	0,000	0,000
Element 9-17 (Plate)	8487	2	0,000	-2,268	0,000	0,000	0,000	0,000	0,000	0,000	0,000	0,000	0,000
(Parete c.a.C32/40 sp.0.50m)	8486	3	0,000	-2,412	0,000	0,000	0,000	0,000	0,000	0,000	0,000	0,000	0,000
점	8485	4	0,000	-2,556	0,000	0,000	0,000	0,000	0,000	0,000	0,000	0,000	0,000
점	8484	5	0,000	-2,700	0,000	0,000	0,000	0,000	0,000	0,000	0,000	0,000	0,000
Plate_1_4	7866	1	3,000	-2,200	-10,805	-11,869	0,000	-25,886	-25,886	4,798	9,064	-0,431	9,064
Element 10-18 (Plate)	7789	2	3,000	-2,325	-11,882	-13,051	0,000	-23,774	-23,774	5,837	5,957	-0,460	5,957
(Micropali D168.3x8,0mm/0,4)	7788	3	3,000	-2,450	-13,118	-14,394	0,000	-21,384	-21,384	7,359	3,134	-0,484	6,681
점	7787	4	3,000	-2,575	-14,435	-15,818	0,000	-18,851	-18,851	9,237	0,616	-0,498	7,701
점	7786	5	3,000	-2,700	-15,756	-17,246	0,000	-16,309	-16,309	11,347	-1,580	-1,580	8,970
Plate_2_6	8484	1	0,000	-2,700	0,000	0,000	0,000	0,000	0,000	0,000	0,000	0,000	0,000
Element 11-19 (Plate)	8275	2	0,000	-2,836	0,000	0,000	0,000	0,000	0,000	0,000	0,000	0,000	0,000

Structural element	Node	Local number	X [m]	Y [m]	N [kN/m]	N_{min} [kN/m]	N_{max} [kN/m]	Q [kN/m]	Q_{min} [kN/m]	Q_{max} [kN/m]	M [kN m/m]	M_{min} [kN m/m]	M_{max} [kN m/m]
(Parete c.a.C32/40 sp.0.50m)	8274	3	0,000	-2,973	0,000	0,000	0,000	0,000	0,000	0,000	0,000	0,000	0,000
ção	8273	4	0,000	-3,109	0,000	0,000	0,000	0,000	0,000	0,000	0,000	0,000	0,000
ção	8272	5	0,000	-3,245	0,000	0,000	0,000	0,000	0,000	0,000	0,000	0,000	0,000
Plate_2_6	8272	1	0,000	-3,245	0,000	0,000	0,000	0,000	0,000	0,000	0,000	0,000	0,000
Element 11-20 (Plate)	8129	2	0,000	-3,352	0,000	0,000	0,000	0,000	0,000	0,000	0,000	0,000	0,000
(Parete c.a.C32/40 sp.0.50m)	8128	3	0,000	-3,458	0,000	0,000	0,000	0,000	0,000	0,000	0,000	0,000	0,000
ção	8127	4	0,000	-3,564	0,000	0,000	0,000	0,000	0,000	0,000	0,000	0,000	0,000
ção	8126	5	0,000	-3,670	0,000	0,000	0,000	0,000	0,000	0,000	0,000	0,000	0,000
Plate_2_6	8126	1	0,000	-3,670	0,000	0,000	0,000	0,000	0,000	0,000	0,000	0,000	0,000
Element 11-21 (Plate)	8029	2	0,000	-3,752	0,000	0,000	0,000	0,000	0,000	0,000	0,000	0,000	0,000
(Parete c.a.C32/40 sp.0.50m)	8028	3	0,000	-3,835	0,000	0,000	0,000	0,000	0,000	0,000	0,000	0,000	0,000
ção	8027	4	0,000	-3,917	0,000	0,000	0,000	0,000	0,000	0,000	0,000	0,000	0,000
ção	8026	5	0,000	-4,000	0,000	0,000	0,000	0,000	0,000	0,000	0,000	0,000	0,000
Plate_1_5	7786	1	3,000	-2,700	-15,731	-17,222	0,000	-16,351	-16,351	10,045	-1,580	-1,580	8,970
Element 12-22 (Plate)	7619	2	3,000	-2,860	-16,920	-18,551	0,000	-13,959	-13,959	5,684	-4,002	-4,002	10,209
(Micropali D168.3x8,0mm/0,4)	7618	3	3,000	-3,020	-18,021	-19,795	0,000	-11,708	-11,708	2,451	-6,057	-6,057	10,849
ção	7617	4	3,000	-3,180	-19,107	-21,025	0,301	-9,474	-9,474	0,458	-7,751	-7,751	11,046
ção	7663	5	3,000	-3,340	-20,248	-22,314	1,036	-7,133	-7,204	0,328	-9,083	-9,083	10,949
Plate_1_5	7663	1	3,000	-3,340	-20,238	-22,306	1,097	-7,146	-7,219	0,163	-9,083	-9,083	10,949
Element 12-23 (Plate)	7662	2	3,000	-3,505	-21,474	-23,698	1,760	-4,612	-4,808	0,214	-10,057	-10,057	10,591
(Micropali D168.3x8,0mm/0,4)	7661	3	3,000	-3,670	-22,852	-25,239	2,277	-1,807	-4,214	0,832	-10,589	-10,589	10,029
ção	7660	4	3,000	-3,835	-24,368	-26,924	2,621	1,262	-4,601	2,320	-10,638	-10,638	9,328
ção	7659	5	3,000	-4,000	-26,015	-28,747	2,780	4,584	-4,803	4,584	-10,159	-10,160	8,555
Plate_2_7	8026	1	0,000	-4,000	0,001	-0,001	0,001	-0,001	-0,003	0,004	0,000	0,000	0,000
Element 13-24 (Plate)	7907	2	0,000	-4,065	-0,003	-0,004	0,000	0,009	0,000	0,010	0,000	0,000	0,000
(Parete c.a.C32/40 sp.0.50m)	7906	3	0,000	-4,130	-0,011	-0,012	0,000	0,029	0,000	0,030	0,001	0,000	0,001
ção	7905	4	0,000	-4,194	-0,026	-0,029	0,000	0,068	0,000	0,076	0,004	0,000	0,005
ção	7904	5	0,000	-4,259	-0,051	-0,060	0,000	0,132	0,000	0,155	0,011	0,000	0,012
Plate_2_8	7904	1	0,000	-4,259	-0,053	-0,059	0,000	0,137	0,000	0,154	0,011	0,000	0,012
Element 14-25 (Plate)	7591	2	0,000	-4,319	-0,087	-0,093	0,000	0,224	0,000	0,238	0,022	0,000	0,023
(Parete c.a.C32/40 sp.0.50m)	7590	3	0,000	-4,380	-0,128	-0,131	0,000	0,329	0,000	0,337	0,038	0,000	0,040
ção	7589	4	0,000	-4,440	-0,175	-0,177	0,000	0,452	0,000	0,456	0,061	0,000	0,063
ção	7588	5	0,000	-4,500	-0,230	-0,230	0,000	0,593	0,000	0,593	0,093	0,000	0,094
Plate_1_6	7659	1	3,000	-4,000	-25,965	-28,686	2,845	4,457	-4,860	4,465	-10,159	-10,160	8,555
Element 15-26 (Plate)	7643	2	3,000	-4,176	-27,661	-30,558	2,912	7,858	-5,072	7,858	-9,069	-9,186	7,680
(Micropali D168.3x8,0mm/0,4)	7642	3	3,000	-4,353	-29,386	-32,399	3,016	11,096	-5,201	11,096	-7,399	-7,661	6,771
ção	7641	4	3,000	-4,529	-31,248	-34,304	3,177	14,314	-5,167	14,314	-5,157	-5,560	5,855
ção	7640	5	3,000	-4,705	-33,359	-36,372	3,413	17,659	-4,890	17,672	-2,343	-2,860	5,198
Plate_1_6	7640	1	3,000	-4,705	-33,433	-36,469	3,443	17,864	-4,864	17,864	-2,343	-2,860	5,198
Element 15-27 (Plate)	7507	2	3,000	-4,808	-34,739	-37,762	3,692	19,975	-4,520	20,001	-0,393	-0,960	5,066
(Micropali D168.3x8,0mm/0,4)	7506	3	3,000	-4,912	-36,041	-39,075	4,003	22,160	-4,139	22,184	1,779	0,000	5,416
ção	7505	4	3,000	-5,015	-37,393	-40,431	4,368	24,406	-3,728	24,411	4,180	0,000	6,379
ção	7504	5	3,000	-5,118	-38,846	-41,854	4,784	26,699	-3,293	26,699	6,814	0,000	7,941
Plate_1_6	7504	1	3,000	-5,118	-38,850	-41,848	4,783	26,673	-3,303	26,673	6,814	0,000	7,941
Element 15-28 (Plate)	7235	2	3,000	-5,178	-39,804	-42,715	5,044	27,953	-3,058	28,129	8,461	0,000	9,061
(Micropali D168.3x8,0mm/0,4)	7236	3	3,000	-5,238	-40,782	-43,596	5,317	29,239	-2,828	29,656	10,185	0,000	10,479
ção	7237	4	3,000	-5,299	-41,764	-44,483	5,603	30,540	-2,614	31,192	11,988	0,000	12,004
ção	7234	5	3,000	-5,359	-42,729	-45,368	5,900	31,862	-2,418	32,725	13,869	0,000	13,869
Plate_1_6	7234	1	3,000	-5,359	-42,717	-45,360	5,898	31,853	-2,423	32,710	13,869	0,000	13,869

Structural element	Node	Local number	X [m]	Y [m]	N [kN/m]	N_{min} [kN/m]	N_{max} [kN/m]	Q [kN/m]	Q_{min} [kN/m]	Q_{max} [kN/m]	M [kN m/m]	M_{min} [kN m/m]	M_{max} [kN m/m]
Element 15-29 (Plate)	7077	2	3,000	-5,394	-43,219	-45,833	6,083	32,580	-2,324	33,529	15,005	0,000	15,005
(Micropali D168.3x8,0mm/0,4)	7078	3	3,000	-5,429	-43,708	-46,313	6,265	33,358	-2,244	34,362	16,167	0,000	16,167
2m	7079	4	3,000	-5,465	-44,180	-46,799	6,442	34,186	-2,185	35,204	17,358	0,000	17,358
2m	7076	5	3,000	-5,500	-44,631	-47,288	6,611	35,059	-2,149	36,050	18,579	0,000	18,579
Plate_2_9	7588	1	0,000	-4,500	-0,220	-0,225	0,000	0,565	0,000	0,577	0,093	0,000	0,094
Element 16-30 (Plate)	7540	2	0,000	-4,650	-0,386	-0,386	0,000	0,992	0,000	0,992	0,211	0,000	0,211
(Parete c.a.C32/40 sp.0.50m)	7539	3	0,000	-4,800	-0,540	-0,540	0,000	1,387	0,000	1,387	0,388	0,000	0,388
2m	7538	4	0,000	-4,950	-0,702	-0,702	0,000	1,802	0,000	1,802	0,628	0,000	0,628
2m	7534	5	0,000	-5,100	-0,892	-0,892	0,000	2,286	0,000	2,286	0,933	0,000	0,933
Plate_3_1	7534	1	0,000	-5,100	-1,679	-1,679	0,000	1,987	-0,001	1,987	0,933	0,000	0,933
Element 17-31 (Plate)	7197	2	0,000	-5,200	-1,996	-1,996	0,000	2,534	-0,001	2,534	1,158	0,000	1,158
(Micropali D168.3x8,0mm/0,4)	7196	3	0,000	-5,300	-2,314	-2,314	0,000	3,085	-0,001	3,085	1,440	0,000	1,440
2m	7195	4	0,000	-5,400	-2,605	-2,605	0,000	3,589	-0,001	3,589	1,774	0,000	1,774
2m	7194	5	0,000	-5,500	-2,840	-2,840	0,000	3,996	-0,001	3,996	2,154	0,000	2,154
Plate_1_7	7076	1	3,000	-5,500	-44,557	-47,222	6,610	34,962	-2,154	35,936	18,579	0,000	18,579
Element 18-32 (Plate)	6660	2	3,000	-5,513	-44,510	-47,057	6,666	34,773	-2,152	35,650	19,015	0,000	19,015
(Micropali D168.3x8,0mm/0,4)	6661	3	3,000	-5,525	-44,444	-46,873	6,722	34,546	-2,159	35,330	19,448	0,000	19,448
2m	6662	4	3,000	-5,537	-44,345	-46,658	6,777	34,260	-2,175	34,958	19,878	0,000	19,878
2m	6659	5	3,000	-5,550	-44,203	-46,401	6,830	33,897	-2,201	34,513	20,304	0,000	20,304
Plate_3_2	7194	1	0,000	-5,500	-2,735	-2,735	0,007	3,770	0,000	3,770	2,154	0,000	2,154
Element 19-33 (Plate)	6712	2	0,000	-5,601	-3,001	-3,001	0,012	2,262	-0,005	2,262	2,455	0,000	2,455
(Micropali D168.3x8,0mm/0,4)	6711	3	0,000	-5,703	-3,215	-3,215	0,015	1,198	-0,015	1,198	2,628	-0,001	2,628
2m	6710	4	0,000	-5,804	-3,218	-3,218	0,016	0,483	-0,015	0,483	2,710	-0,002	2,710
2m	6709	5	0,000	-5,905	-2,846	-2,846	0,018	0,027	-0,095	0,036	2,734	-0,003	2,734
Plate_3_3	6709	1	0,000	-5,905	-2,917	-2,917	0,015	-0,097	-0,155	0,007	2,734	-0,003	2,734
Element 20-34 (Plate)	6250	2	0,000	-5,929	-2,836	-2,836	0,016	-0,286	-0,286	0,008	2,730	-0,003	2,730
(Micropali D168.3x8,0mm/0,4)	6249	3	0,000	-5,953	-2,755	-2,755	0,016	-0,470	-0,470	0,008	2,721	-0,003	2,721
2m	6248	4	0,000	-5,976	-2,672	-2,672	0,016	-0,649	-0,649	0,008	2,707	-0,002	2,707
2m	6247	5	0,000	-6,000	-2,591	-2,591	0,016	-0,822	-0,822	0,008	2,690	-0,002	2,690
Plate_3_4	6247	1	0,000	-6,000	-2,569	-2,569	0,017	-0,821	-0,821	0,008	2,690	-0,002	2,690
Element 21-35 (Plate)	5672	2	0,000	-6,033	-2,551	-2,551	0,017	-1,045	-1,045	0,007	2,659	-0,002	2,659
(Micropali D168.3x8,0mm/0,4)	5671	3	0,000	-6,066	-2,578	-2,578	0,018	-1,247	-1,247	0,006	2,621	-0,002	2,621
2m	5670	4	0,000	-6,100	-2,644	-2,644	0,018	-1,426	-1,426	0,005	2,576	-0,002	2,576
2m	5669	5	0,000	-6,133	-2,743	-2,743	0,019	-1,582	-1,582	0,004	2,526	-0,002	2,526
Plate_3_4	5669	1	0,000	-6,133	-2,740	-2,740	0,019	-1,584	-1,584	0,004	2,526	-0,002	2,526
Element 21-36 (Plate)	5616	2	0,000	-6,181	-2,923	-2,923	0,020	-1,774	-1,774	0,003	2,446	-0,003	2,446
(Micropali D168.3x8,0mm/0,4)	5615	3	0,000	-6,229	-3,155	-3,155	0,021	-1,929	-1,929	0,002	2,357	-0,003	2,357
2m	5614	4	0,000	-6,277	-3,435	-3,435	0,021	-2,051	-2,051	0,001	2,261	-0,003	2,261
2m	5613	5	0,000	-6,325	-3,762	-3,762	0,022	-2,141	-2,141	0,001	2,161	-0,003	2,161
Plate_3_4	5613	1	0,000	-6,325	-3,757	-3,757	0,022	-2,145	-2,145	0,001	2,161	-0,003	2,161
Element 21-37 (Plate)	5560	2	0,000	-6,394	-4,308	-4,308	0,023	-2,228	-2,228	0,000	2,009	-0,003	2,009
(Micropali D168.3x8,0mm/0,4)	5559	3	0,000	-6,463	-4,932	-4,932	0,025	-2,267	-2,267	0,000	1,854	-0,003	1,854
2m	5558	4	0,000	-6,532	-5,623	-5,623	0,026	-2,263	-2,263	0,000	1,697	-0,004	1,697
2m	5557	5	0,000	-6,601	-6,377	-6,377	0,027	-2,218	-2,218	0,001	1,542	-0,004	1,542
Plate_3_4	5557	1	0,000	-6,601	-6,352	-6,352	0,027	-2,226	-2,226	0,001	1,542	-0,004	1,542
Element 21-38 (Plate)	4826	2	0,000	-6,701	-7,320	-7,320	0,028	-2,105	-2,105	0,002	1,326	-0,003	1,326
(Micropali D168.3x8,0mm/0,4)	4825	3	0,000	-6,801	-8,229	-8,229	0,030	-1,960	-1,960	0,003	1,123	-0,003	1,123
2m	4824	4	0,000	-6,900	-9,080	-9,080	0,031	-1,795	-1,795	0,004	0,935	-0,003	0,935
2m	4823	5	0,000	-7,000	-9,872	-9,872	0,032	-1,613	-1,613	0,004	0,765	-0,002	0,765

Structural element	Node	Local number	X [m]	Y [m]	N [kN/m]	N_{min} [kN/m]	N_{max} [kN/m]	Q [kN/m]	Q_{min} [kN/m]	Q_{max} [kN/m]	M [kN m/m]	M_{min} [kN m/m]	M_{max} [kN m/m]
Plate_1_8	6659	1	3,000	-5,550	-44,009	-46,207	6,830	33,566	-2,202	34,175	20,304	0,000	20,304
Element 22-39 (Plate)	6272	2	3,000	-5,587	-41,704	-43,569	6,981	29,224	-2,296	29,610	21,453	0,000	21,453
(Micropali D168.3x8,0mm/0,4)	6273	3	3,000	-5,623	-39,393	-40,932	7,124	24,834	-2,367	25,041	22,444	0,000	22,444
점	6274	4	3,000	-5,660	-37,039	-38,259	7,260	20,328	-2,417	20,397	23,271	0,000	23,271
점	6271	5	3,000	-5,696	-34,604	-35,512	7,388	15,643	-2,445	15,643	23,930	0,000	23,930
Plate_1_8	6271	1	3,000	-5,696	-34,656	-35,564	7,389	15,650	-2,448	15,650	23,930	0,000	23,930
Element 22-40 (Plate)	5650	2	3,000	-5,738	-32,237	-32,797	7,527	10,563	-3,242	10,563	24,478	0,000	24,478
(Micropali D168.3x8,0mm/0,4)	5651	3	3,000	-5,780	-30,003	-30,222	7,658	5,830	-4,976	5,830	24,821	0,000	24,821
점	5652	4	3,000	-5,822	-27,956	-28,006	7,780	1,456	-6,841	1,456	24,973	0,000	24,973
점	5649	5	3,000	-5,864	-26,099	-26,099	7,893	-2,553	-8,638	0,000	24,948	0,000	24,948
Plate_1_8	5649	1	3,000	-5,864	-26,095	-26,095	7,893	-2,559	-8,693	0,000	24,948	0,000	24,948
Element 22-41 (Plate)	4942	2	3,000	-5,912	-24,302	-24,302	8,014	-6,555	-10,554	0,000	24,727	0,000	24,727
(Micropali D168.3x8,0mm/0,4)	4943	3	3,000	-5,960	-22,834	-22,834	8,124	-9,922	-12,595	0,000	24,328	0,000	24,328
점	4944	4	3,000	-6,008	-21,682	-21,682	8,225	-12,669	-14,229	0,000	23,783	0,000	23,783
점	4941	5	3,000	-6,056	-20,840	-20,840	8,317	-14,808	-15,589	0,000	23,120	0,000	23,120
Plate_1_8	4941	1	3,000	-6,056	-20,794	-20,794	8,317	-14,873	-15,650	0,000	23,120	0,000	23,120
Element 22-42 (Plate)	4912	2	3,000	-6,112	-20,121	-20,121	8,411	-16,745	-17,084	0,000	22,248	0,000	22,248
(Micropali D168.3x8,0mm/0,4)	4913	3	3,000	-6,167	-19,658	-19,658	8,494	-18,157	-18,383	0,000	21,284	0,000	21,284
점	4914	4	3,000	-6,222	-19,378	-19,378	8,566	-19,128	-19,327	0,000	20,256	0,000	20,256
점	4911	5	3,000	-6,277	-19,253	-19,253	8,628	-19,675	-19,850	0,000	19,186	0,000	19,186
Plate_1_8	4911	1	3,000	-6,277	-19,225	-19,225	8,628	-19,730	-19,906	0,000	19,186	0,000	19,186
Element 22-43 (Plate)	4876	2	3,000	-6,340	-19,170	-19,170	8,687	-19,996	-20,142	0,000	17,931	0,000	17,931
(Micropali D168.3x8,0mm/0,4)	4877	3	3,000	-6,403	-19,192	-19,192	8,733	-19,993	-20,111	0,000	16,668	0,000	16,668
점	4878	4	3,000	-6,466	-19,283	-19,283	8,768	-19,736	-19,827	0,000	15,413	0,000	15,413
점	4875	5	3,000	-6,529	-19,440	-19,440	8,792	-19,242	-19,306	0,000	14,182	0,000	14,182
Plate_1_8	4875	1	3,000	-6,529	-19,426	-19,426	8,792	-19,280	-19,345	0,000	14,182	0,000	14,182
Element 22-44 (Plate)	4260	2	3,000	-6,601	-19,644	-19,644	8,806	-18,539	-18,574	0,000	12,815	-0,014	12,815
(Micropali D168.3x8,0mm/0,4)	4261	3	3,000	-6,674	-19,875	-19,875	8,807	-17,687	-17,704	0,000	11,505	-0,104	11,505
점	4262	4	3,000	-6,746	-20,117	-20,117	8,795	-16,734	-16,736	0,000	10,260	-0,187	10,260
점	4259	5	3,000	-6,818	-20,364	-20,364	8,771	-15,692	-15,692	0,000	9,087	-0,261	9,087
Plate_1_8	4259	1	3,000	-6,818	-20,355	-20,355	8,771	-15,716	-15,716	0,000	9,087	-0,261	9,087
Element 22-45 (Plate)	4246	2	3,000	-6,901	-20,618	-20,618	8,729	-14,489	-14,489	0,000	7,837	-0,337	7,837
(Micropali D168.3x8,0mm/0,4)	4247	3	3,000	-6,984	-20,843	-20,843	8,672	-13,269	-13,269	0,000	6,687	-0,403	6,687
점	4248	4	3,000	-7,067	-21,027	-21,027	8,602	-12,063	-12,063	0,000	5,638	-0,460	5,638
점	4245	5	3,000	-7,150	-21,169	-21,169	8,517	-10,877	-10,877	0,000	4,688	-0,507	4,688
Plate_1_8	4245	1	3,000	-7,150	-21,165	-21,165	8,517	-10,887	-10,887	0,000	4,688	-0,507	4,688
Element 22-46 (Plate)	3594	2	3,000	-7,245	-21,260	-21,260	8,404	-9,594	-9,594	0,000	3,717	-0,551	3,717
(Micropali D168.3x8,0mm/0,4)	3595	3	3,000	-7,339	-21,277	-21,277	8,273	-8,381	-8,381	0,000	2,865	-0,585	2,865
점	3596	4	3,000	-7,434	-21,216	-21,216	8,125	-7,251	-7,251	0,000	2,123	-0,608	2,123
점	3593	5	3,000	-7,529	-21,075	-21,075	7,961	-6,207	-6,207	0,000	1,486	-0,640	1,486
Plate_1_8	3593	1	3,000	-7,529	-21,074	-21,074	7,961	-6,205	-6,205	0,000	1,486	-0,640	1,486
Element 22-47 (Plate)	3554	2	3,000	-7,638	-20,811	-20,811	7,751	-5,121	-5,121	0,001	0,871	-0,689	0,871
(Micropali D168.3x8,0mm/0,4)	3555	3	3,000	-7,747	-20,440	-20,440	7,519	-4,141	-4,141	0,097	0,368	-0,735	0,368
점	3556	4	3,000	-7,855	-19,963	-19,963	7,264	-3,265	-3,265	0,188	-0,034	-0,780	0,000
점	3553	5	3,000	-7,964	-19,380	-19,380	6,986	-2,490	-2,490	0,273	-0,345	-0,828	0,000
Plate_1_8	3553	1	3,000	-7,964	-19,379	-19,379	6,985	-2,481	-2,481	0,272	-0,345	-0,828	0,000
Element 22-48 (Plate)	3470	2	3,000	-8,089	-18,584	-18,584	6,637	-1,697	-1,697	0,366	-0,605	-0,876	0,000
(Micropali D168.3x8,0mm/0,4)	3471	3	3,000	-8,213	-17,651	-17,651	6,254	-0,998	-0,998	0,454	-0,772	-0,957	0,000
점	3472	4	3,000	-8,338	-16,579	-16,579	5,836	-0,380	-0,380	0,587	-0,857	-0,994	0,000

Structural element	Node	Local number	X [m]	Y [m]	N [kN/m]	N_{min} [kN/m]	N_{max} [kN/m]	Q [kN/m]	Q_{min} [kN/m]	Q_{max} [kN/m]	M [kN m/m]	M_{min} [kN m/m]	M_{max} [kN m/m]
쯤	3469	5	3,000	-8,463	-15,368	-15,368	5,384	0,160	0,000	0,752	-0,870	-0,976	0,000
Plate_1_8	3469	1	3,000	-8,463	-15,345	-15,345	5,381	0,152	0,000	0,736	-0,870	-0,976	0,000
Element 22-49 (Plate)	3374	2	3,000	-8,605	-13,794	-13,794	4,816	0,718	0,000	1,006	-0,807	-0,878	0,000
(Micropali D168.3x8,0mm/0,4)	3375	3	3,000	-8,748	-11,974	-11,974	4,190	1,175	0,000	1,406	-0,670	-0,707	0,016
쯤	3376	4	3,000	-8,891	-9,855	-9,855	3,503	1,496	0,000	1,695	-0,478	-0,490	0,035
쯤	3373	5	3,000	-9,033	-7,409	-7,409	2,753	1,650	0,000	1,796	-0,251	-0,251	0,050
Plate_3_5	4823	1	0,000	-7,000	-9,876	-9,876	0,032	-1,620	-1,620	0,004	0,765	-0,002	0,765
Element 23-50 (Plate)	4218	2	0,000	-7,119	-10,758	-10,758	0,034	-1,408	-1,408	0,005	0,585	-0,002	0,585
(Micropali D168.3x8,0mm/0,4)	4217	3	0,000	-7,238	-11,575	-11,575	0,035	-1,209	-1,209	0,005	0,429	-0,001	0,429
쯤	4216	4	0,000	-7,358	-12,329	-12,329	0,036	-1,025	-1,025	0,005	0,296	-0,001	0,296
쯤	4215	5	0,000	-7,477	-13,019	-13,019	0,036	-0,857	-0,857	0,005	0,184	-0,001	0,184
Plate_3_5	4215	1	0,000	-7,477	-13,022	-13,022	0,036	-0,857	-0,857	0,005	0,184	-0,001	0,184
Element 23-51 (Plate)	3948	2	0,000	-7,604	-13,697	-13,697	0,037	-0,700	-0,700	0,004	0,085	-0,001	0,085
(Micropali D168.3x8,0mm/0,4)	3947	3	0,000	-7,731	-14,313	-14,313	0,038	-0,562	-0,562	0,004	0,005	-0,022	0,005
쯤	3946	4	0,000	-7,859	-14,870	-14,870	0,038	-0,441	-0,441	0,003	-0,059	-0,059	0,001
쯤	3945	5	0,000	-7,986	-15,368	-15,368	0,039	-0,337	-0,337	0,003	-0,108	-0,108	0,002
Plate_3_5	3945	1	0,000	-7,986	-15,371	-15,371	0,039	-0,334	-0,334	0,003	-0,108	-0,108	0,002
Element 23-52 (Plate)	3400	2	0,000	-8,122	-15,845	-15,845	0,039	-0,237	-0,237	0,002	-0,147	-0,147	0,002
(Micropali D168.3x8,0mm/0,4)	3399	3	0,000	-8,258	-16,263	-16,263	0,039	-0,146	-0,146	0,001	-0,173	-0,173	0,002
쯤	3398	4	0,000	-8,394	-16,627	-16,627	0,040	-0,061	-0,061	0,001	-0,187	-0,187	0,003
쯤	3397	5	0,000	-8,530	-16,935	-16,935	0,040	0,019	0,000	0,024	-0,189	-0,189	0,003
Plate_3_5	3397	1	0,000	-8,530	-16,937	-16,937	0,040	0,020	0,000	0,024	-0,189	-0,189	0,003
Element 23-53 (Plate)	3352	2	0,000	-8,675	-17,211	-17,211	0,040	0,108	0,000	0,108	-0,180	-0,180	0,003
(Micropali D168.3x8,0mm/0,4)	3351	3	0,000	-8,820	-17,432	-17,432	0,040	0,196	-0,001	0,196	-0,158	-0,158	0,003
쯤	3350	4	0,000	-8,965	-17,599	-17,599	0,040	0,285	-0,001	0,285	-0,123	-0,123	0,002
쯤	3349	5	0,000	-9,110	-17,713	-17,713	0,040	0,374	-0,001	0,374	-0,075	-0,075	0,002
Plate_3_5	3349	1	0,000	-9,110	-17,714	-17,714	0,040	0,361	-0,001	0,361	-0,075	-0,075	0,002
Element 23-54 (Plate)	3286	2	0,000	-9,265	-17,781	-17,781	0,039	0,460	-0,001	0,460	-0,011	-0,011	0,002
(Micropali D168.3x8,0mm/0,4)	3285	3	0,000	-9,420	-17,792	-17,792	0,039	0,509	-0,002	0,509	0,065	0,000	0,065
쯤	3284	4	0,000	-9,575	-17,746	-17,746	0,039	0,492	-0,002	0,492	0,143	0,000	0,143
쯤	3283	5	0,000	-9,730	-17,642	-17,642	0,038	0,395	-0,001	0,395	0,213	0,000	0,213
Plate_1_9	3373	1	3,000	-9,033	-7,424	-7,424	2,746	1,588	0,000	1,747	-0,251	-0,251	0,050
Element 24-55 (Plate)	3262	2	3,000	-9,150	-5,394	-5,394	2,081	0,903	-0,109	0,917	-0,107	-0,107	0,047
(Micropali D168.3x8,0mm/0,4)	3261	3	3,000	-9,267	-3,382	-3,382	1,372	0,396	-0,181	0,396	-0,034	-0,034	0,029
쯤	3260	4	3,000	-9,383	-1,386	-1,386	0,605	0,102	-0,162	0,102	-0,006	-0,006	0,011
쯤	3259	5	3,000	-9,500	0,597	-0,221	0,597	0,054	-0,014	0,057	0,000	0,000	0,000
Plate_3_6	3283	1	0,000	-9,730	-17,641	-17,641	0,038	0,339	-0,002	0,339	0,213	0,000	0,213
Element 25-56 (Plate)	3117	2	0,000	-9,886	-17,486	-17,486	0,038	0,106	-0,002	0,106	0,247	0,000	0,247
(Micropali D168.3x8,0mm/0,4)	3116	3	0,000	-10,043	-17,298	-17,298	0,037	-0,052	-0,052	0,000	0,250	0,000	0,250
쯤	3115	4	0,000	-10,199	-17,077	-17,077	0,037	-0,142	-0,142	0,000	0,234	0,000	0,234
쯤	3114	5	0,000	-10,356	-16,822	-16,822	0,036	-0,170	-0,170	0,000	0,209	0,000	0,209
Plate_3_6	3114	1	0,000	-10,356	-16,821	-16,821	0,036	-0,182	-0,182	0,000	0,209	0,000	0,209
Element 25-57 (Plate)	3035	2	0,000	-10,520	-16,516	-16,516	0,035	-0,186	-0,186	0,000	0,178	0,000	0,178
(Micropali D168.3x8,0mm/0,4)	3034	3	0,000	-10,685	-16,171	-16,171	0,035	-0,178	-0,178	0,000	0,148	0,000	0,148
쯤	3033	4	0,000	-10,850	-15,788	-15,788	0,034	-0,159	-0,159	0,000	0,120	0,000	0,120
쯤	3032	5	0,000	-11,014	-15,366	-15,366	0,033	-0,131	-0,131	0,000	0,096	0,000	0,096
Plate_3_6	3032	1	0,000	-11,014	-15,366	-15,366	0,033	-0,134	-0,134	0,000	0,096	0,000	0,096
Element 25-58 (Plate)	2481	2	0,000	-11,187	-14,880	-14,880	0,032	-0,107	-0,107	0,000	0,076	0,000	0,076
(Micropali D168.3x8,0mm/0,4)	2480	3	0,000	-11,360	-14,349	-14,349	0,030	-0,084	-0,084	0,000	0,059	0,000	0,059

Structural element	Node	Local number	X [m]	Y [m]	N [kN/m]	N_{min} [kN/m]	N_{max} [kN/m]	Q [kN/m]	Q_{min} [kN/m]	Q_{max} [kN/m]	M [kN m/m]	M_{min} [kN m/m]	M_{max} [kN m/m]
점	2479	4	0,000	-11,533	-13,772	-13,772	0,029	-0,064	-0,064	0,000	0,046	0,000	0,046
점	2478	5	0,000	-11,706	-13,151	-13,151	0,028	-0,048	-0,048	0,000	0,037	0,000	0,037
Plate_3_6	2478	1	0,000	-11,706	-13,149	-13,149	0,028	-0,048	-0,048	0,000	0,037	0,000	0,037
Element 25-59 (Plate)	2309	2	0,000	-11,888	-12,446	-12,446	0,026	-0,035	-0,035	0,000	0,029	0,000	0,029
(Micropali D168.3x8,0mm/0,4)	2308	3	0,000	-12,069	-11,687	-11,687	0,024	-0,026	-0,026	0,000	0,024	0,000	0,024
점	2307	4	0,000	-12,251	-10,873	-10,873	0,023	-0,019	-0,019	0,000	0,020	0,000	0,020
점	2306	5	0,000	-12,433	-10,004	-10,004	0,021	-0,015	-0,015	0,000	0,017	0,000	0,017
Plate_3_6	2306	1	0,000	-12,433	-10,000	-10,000	0,021	-0,015	-0,015	0,000	0,017	0,000	0,017
Element 25-60 (Plate)	1871	2	0,000	-12,624	-9,023	-9,023	0,019	-0,012	-0,012	0,000	0,014	0,000	0,014
(Micropali D168.3x8,0mm/0,4)	1870	3	0,000	-12,815	-7,972	-7,972	0,016	-0,009	-0,009	0,000	0,012	0,000	0,012
점	1869	4	0,000	-13,006	-6,846	-6,846	0,014	-0,008	-0,008	0,000	0,010	0,000	0,010
점	1868	5	0,000	-13,197	-5,645	-5,645	0,012	-0,007	-0,007	0,000	0,009	0,000	0,009
Plate_3_6	1868	1	0,000	-13,197	-5,634	-5,634	0,012	-0,007	-0,007	0,000	0,009	0,000	0,009
Element 25-61 (Plate)	1171	2	0,000	-13,398	-4,284	-4,284	0,009	-0,002	-0,002	0,000	0,008	0,000	0,008
(Micropali D168.3x8,0mm/0,4)	1170	3	0,000	-13,598	-2,807	-2,807	0,006	-0,011	-0,011	0,000	0,007	0,000	0,007
점	1169	4	0,000	-13,799	-1,196	-1,196	0,002	-0,020	-0,020	0,000	0,004	0,000	0,004
점	1168	5	0,000	-14,000	0,556	-0,001	0,556	-0,017	-0,017	0,000	0,000	0,000	0,000

3.1.2.4.12 Calculation results, Plate, Riempimento 2 [Phase_11] (11/647), Table of plate force envelopes

Structural element	Node	Local number	X [m]	Y [m]	N [kN/m]	N_{min} [kN/m]	N_{max} [kN/m]	Q [kN/m]	Q_{min} [kN/m]	Q_{max} [kN/m]	M [kN m/m]	M_{min} [kN m/m]	M_{max} [kN m/m]
Plate_2_1	9176	1	0,000	0,000	0,000	0,000	0,000	0,000	0,000	0,000	0,000	0,000	0,000
Element 1-1 (Plate)	9173	2	0,000	-0,034	0,000	0,000	0,000	0,000	0,000	0,000	0,000	0,000	0,000
(Parete c.a.C32/40 sp.0.50m)	9174	3	0,000	-0,067	0,000	0,000	0,000	0,000	0,000	0,000	0,000	0,000	0,000
2m	9175	4	0,000	-0,101	0,000	0,000	0,000	0,000	0,000	0,000	0,000	0,000	0,000
2m	9165	5	0,000	-0,135	0,000	0,000	0,000	0,000	0,000	0,000	0,000	0,000	0,000
Plate_2_1	9165	1	0,000	-0,135	0,000	0,000	0,000	0,000	0,000	0,000	0,000	0,000	0,000
Element 1-2 (Plate)	9164	2	0,000	-0,168	0,000	0,000	0,000	0,000	0,000	0,000	0,000	0,000	0,000
(Parete c.a.C32/40 sp.0.50m)	9163	3	0,000	-0,202	0,000	0,000	0,000	0,000	0,000	0,000	0,000	0,000	0,000
2m	9162	4	0,000	-0,235	0,000	0,000	0,000	0,000	0,000	0,000	0,000	0,000	0,000
2m	9166	5	0,000	-0,268	0,000	0,000	0,000	0,000	0,000	0,000	0,000	0,000	0,000
Plate_2_1	9166	1	0,000	-0,268	0,000	0,000	0,000	0,000	0,000	0,000	0,000	0,000	0,000
Element 1-3 (Plate)	9161	2	0,000	-0,301	0,000	0,000	0,000	0,000	0,000	0,000	0,000	0,000	0,000
(Parete c.a.C32/40 sp.0.50m)	9160	3	0,000	-0,334	0,000	0,000	0,000	0,000	0,000	0,000	0,000	0,000	0,000
2m	9159	4	0,000	-0,367	0,000	0,000	0,000	0,000	0,000	0,000	0,000	0,000	0,000
2m	9158	5	0,000	-0,400	0,000	0,000	0,000	0,000	0,000	0,000	0,000	0,000	0,000
Plate_4_1	7845	1	3,000	0,000	-0,045	-0,045	0,011	-0,013	-0,021	0,068	0,000	0,000	0,000
Element 2-4 (Plate)	7844	2	3,000	-0,125	0,056	-0,040	0,056	0,090	-0,032	0,090	0,002	-0,003	0,003
(Micropali D168.3x8,0mm/0,4)	7843	3	3,000	-0,250	0,057	-0,166	0,057	0,339	0,000	0,339	0,030	0,000	0,030
2m	7842	4	3,000	-0,375	0,054	-0,317	0,054	0,573	0,000	0,573	0,086	0,000	0,086
2m	7918	5	3,000	-0,500	0,146	-0,315	0,146	0,628	0,000	0,628	0,164	0,000	0,164
Plate_2_2	9158	1	0,000	-0,400	0,000	0,000	0,000	0,000	0,000	0,000	0,000	0,000	0,000
Element 3-5 (Plate)	9131	2	0,000	-0,425	0,000	0,000	0,000	0,000	0,000	0,000	0,000	0,000	0,000
(Parete c.a.C32/40 sp.0.50m)	9130	3	0,000	-0,450	0,000	0,000	0,000	0,000	0,000	0,000	0,000	0,000	0,000
2m	9129	4	0,000	-0,475	0,000	0,000	0,000	0,000	0,000	0,000	0,000	0,000	0,000
2m	9125	5	0,000	-0,500	0,000	0,000	0,000	0,000	0,000	0,000	0,000	0,000	0,000
Plate_2_3	9125	1	0,000	-0,500	0,000	0,000	0,000	0,000	0,000	0,000	0,000	0,000	0,000
Element 4-6 (Plate)	9121	2	0,000	-0,537	0,000	0,000	0,000	0,000	0,000	0,000	0,000	0,000	0,000
(Parete c.a.C32/40 sp.0.50m)	9120	3	0,000	-0,573	0,000	0,000	0,000	0,000	0,000	0,000	0,000	0,000	0,000
2m	9119	4	0,000	-0,610	0,000	0,000	0,000	0,000	0,000	0,000	0,000	0,000	0,000
2m	9115	5	0,000	-0,646	0,000	0,000	0,000	0,000	0,000	0,000	0,000	0,000	0,000
Plate_2_3	9115	1	0,000	-0,646	0,000	0,000	0,000	0,000	0,000	0,000	0,000	0,000	0,000
Element 4-7 (Plate)	9025	2	0,000	-0,688	0,000	0,000	0,000	0,000	0,000	0,000	0,000	0,000	0,000
(Parete c.a.C32/40 sp.0.50m)	9024	3	0,000	-0,729	0,000	0,000	0,000	0,000	0,000	0,000	0,000	0,000	0,000
2m	9023	4	0,000	-0,771	0,000	0,000	0,000	0,000	0,000	0,000	0,000	0,000	0,000
2m	9019	5	0,000	-0,812	0,000	0,000	0,000	0,000	0,000	0,000	0,000	0,000	0,000
Plate_2_3	9019	1	0,000	-0,812	0,000	0,000	0,000	0,000	0,000	0,000	0,000	0,000	0,000
Element 4-8 (Plate)	8963	2	0,000	-0,859	0,000	0,000	0,000	0,000	0,000	0,000	0,000	0,000	0,000
(Parete c.a.C32/40 sp.0.50m)	8962	3	0,000	-0,906	0,000	0,000	0,000	0,000	0,000	0,000	0,000	0,000	0,000
2m	8961	4	0,000	-0,953	0,000	0,000	0,000	0,000	0,000	0,000	0,000	0,000	0,000
2m	8957	5	0,000	-1,000	0,000	0,000	0,000	0,000	0,000	0,000	0,000	0,000	0,000
Plate_1_1	7918	1	3,000	-0,500	0,108	-0,339	0,108	0,693	0,000	0,693	0,164	0,000	0,164
Element 5-9 (Plate)	7921	2	3,000	-0,625	0,007	-0,592	0,007	1,054	-0,004	1,054	0,269	0,000	0,269
(Micropali D168.3x8,0mm/0,4)	7920	3	3,000	-0,750	-0,311	-1,089	0,000	1,824	-0,093	1,856	0,445	0,000	0,445

Structural element	Node	Local number	X [m]	Y [m]	N [kN/m]	N_{min} [kN/m]	N_{max} [kN/m]	Q [kN/m]	Q_{min} [kN/m]	Q_{max} [kN/m]	M [kN m/m]	M_{min} [kN m/m]	M_{max} [kN m/m]
꼼	7919	4	3,000	-0,875	-0,814	-1,770	0,000	2,945	-0,174	3,031	0,739	-0,003	0,739
꼼	7941	5	3,000	-1,000	-1,467	-2,599	0,000	4,357	-0,187	4,481	1,193	-0,017	1,193
Plate_1_2	7941	1	3,000	-1,000	-1,394	-2,526	0,000	4,229	-0,196	4,358	1,193	-0,017	1,193
Element 6-10 (Plate)	7940	2	3,000	-1,050	-1,600	-2,801	0,000	4,706	-0,204	4,851	1,415	-0,025	1,415
(Micropali D168.3x8,0mm/0,4)	7939	3	3,000	-1,099	-1,825	-3,102	0,000	5,218	-0,216	5,377	1,662	-0,035	1,662
꼼	7938	4	3,000	-1,149	-2,012	-3,379	0,000	5,670	-0,239	5,843	1,932	-0,044	1,932
꼼	7937	5	3,000	-1,199	-2,107	-3,582	0,000	5,968	-0,337	6,157	2,222	-0,054	2,222
Plate_2_4	8957	1	0,000	-1,000	0,000	0,000	0,000	0,000	0,000	0,000	0,000	0,000	0,000
Element 7-11 (Plate)	8874	2	0,000	-1,046	0,000	0,000	0,000	0,000	0,000	0,000	0,000	0,000	0,000
(Parete c.a.C32/40 sp.0.50m)	8873	3	0,000	-1,092	0,000	0,000	0,000	0,000	0,000	0,000	0,000	0,000	0,000
꼼	8872	4	0,000	-1,138	0,000	0,000	0,000	0,000	0,000	0,000	0,000	0,000	0,000
꼼	8871	5	0,000	-1,184	0,000	0,000	0,000	0,000	0,000	0,000	0,000	0,000	0,000
Plate_2_4	8871	1	0,000	-1,184	0,000	0,000	0,000	0,000	0,000	0,000	0,000	0,000	0,000
Element 7-12 (Plate)	8828	2	0,000	-1,245	0,000	0,000	0,000	0,000	0,000	0,000	0,000	0,000	0,000
(Parete c.a.C32/40 sp.0.50m)	8827	3	0,000	-1,306	0,000	0,000	0,000	0,000	0,000	0,000	0,000	0,000	0,000
꼼	8826	4	0,000	-1,367	0,000	0,000	0,000	0,000	0,000	0,000	0,000	0,000	0,000
꼼	8825	5	0,000	-1,428	0,000	0,000	0,000	0,000	0,000	0,000	0,000	0,000	0,000
Plate_2_4	8825	1	0,000	-1,428	0,000	0,000	0,000	0,000	0,000	0,000	0,000	0,000	0,000
Element 7-13 (Plate)	8687	2	0,000	-1,508	0,000	0,000	0,000	0,000	0,000	0,000	0,000	0,000	0,000
(Parete c.a.C32/40 sp.0.50m)	8686	3	0,000	-1,589	0,000	0,000	0,000	0,000	0,000	0,000	0,000	0,000	0,000
꼼	8685	4	0,000	-1,669	0,000	0,000	0,000	0,000	0,000	0,000	0,000	0,000	0,000
꼼	8684	5	0,000	-1,750	0,000	0,000	0,000	0,000	0,000	0,000	0,000	0,000	0,000
Plate_1_3	7937	1	3,000	-1,199	-2,091	-3,530	0,000	5,897	-0,333	6,079	2,222	-0,054	2,222
Element 8-14 (Plate)	7886	2	3,000	-1,270	-2,091	-3,532	0,000	5,897	-0,502	6,079	2,642	-0,071	2,642
(Micropali D168.3x8,0mm/0,4)	7885	3	3,000	-1,341	-2,091	-3,534	0,000	5,897	-0,625	6,079	3,062	-0,087	3,073
꼼	7884	4	3,000	-1,412	-2,091	-3,536	0,000	5,897	-0,683	6,079	3,482	-0,107	3,504
꼼	7887	5	3,000	-1,483	-2,091	-3,538	0,000	5,897	-0,699	6,079	3,902	-0,127	3,934
Plate_1_3	7887	1	3,000	-1,483	-2,283	-3,674	0,000	6,068	-0,730	6,301	3,902	-0,127	3,934
Element 8-15 (Plate)	7869	2	3,000	-1,663	-1,894	-3,459	0,000	5,873	-0,774	5,978	4,972	-0,197	5,029
(Micropali D168.3x8,0mm/0,4)	7868	3	3,000	-1,842	-1,927	-3,628	0,000	6,286	-0,769	6,336	6,035	-0,285	6,107
꼼	7867	4	3,000	-2,021	-2,606	-4,506	0,000	7,963	-0,574	7,963	7,300	-0,369	7,373
꼼	7866	5	3,000	-2,200	-4,154	-6,423	0,000	11,557	-0,337	11,557	9,009	-0,431	9,064
Plate_2_5	8684	1	0,000	-1,750	0,000	0,000	0,000	0,000	0,000	0,000	0,000	0,000	0,000
Element 9-16 (Plate)	8674	2	0,000	-1,843	0,000	0,000	0,000	0,000	0,000	0,000	0,000	0,000	0,000
(Parete c.a.C32/40 sp.0.50m)	8673	3	0,000	-1,937	0,000	0,000	0,000	0,000	0,000	0,000	0,000	0,000	0,000
꼼	8672	4	0,000	-2,030	0,000	0,000	0,000	0,000	0,000	0,000	0,000	0,000	0,000
꼼	8668	5	0,000	-2,124	0,000	0,000	0,000	0,000	0,000	0,000	0,000	0,000	0,000
Plate_2_5	8668	1	0,000	-2,124	0,000	0,000	0,000	0,000	0,000	0,000	0,000	0,000	0,000
Element 9-17 (Plate)	8487	2	0,000	-2,268	0,000	0,000	0,000	0,000	0,000	0,000	0,000	0,000	0,000
(Parete c.a.C32/40 sp.0.50m)	8486	3	0,000	-2,412	0,000	0,000	0,000	0,000	0,000	0,000	0,000	0,000	0,000
꼼	8485	4	0,000	-2,556	0,000	0,000	0,000	0,000	0,000	0,000	0,000	0,000	0,000
꼼	8484	5	0,000	-2,700	0,000	0,000	0,000	0,000	0,000	0,000	0,000	0,000	0,000
Plate_1_4	7866	1	3,000	-2,200	-9,755	-11,869	0,000	-25,580	-25,886	4,798	9,009	-0,431	9,064
Element 10-18 (Plate)	7789	2	3,000	-2,325	-10,725	-13,051	0,000	-23,368	-23,774	5,837	5,946	-0,460	5,957
(Micropali D168.3x8,0mm/0,4)	7788	3	3,000	-2,450	-11,852	-14,394	0,000	-20,863	-21,384	7,359	3,180	-0,484	6,681
꼼	7787	4	3,000	-2,575	-13,057	-15,818	0,000	-18,196	-18,851	9,237	0,736	-0,498	7,701
꼼	7786	5	3,000	-2,700	-14,265	-17,246	0,000	-15,503	-16,309	11,347	-1,369	-1,580	8,970
Plate_2_6	8484	1	0,000	-2,700	0,002	-0,004	0,016	-0,007	-0,040	0,010	0,000	0,000	0,000
Element 11-19 (Plate)	8275	2	0,000	-2,836	-0,016	-0,030	0,000	0,040	0,000	0,085	0,003	0,000	0,004

Structural element	Node	Local number	X [m]	Y [m]	N [kN/m]	N_{min} [kN/m]	N_{max} [kN/m]	Q [kN/m]	Q_{min} [kN/m]	Q_{max} [kN/m]	M [kN m/m]	M_{min} [kN m/m]	M_{max} [kN m/m]
(Parete c.a.C32/40 sp.0.50m)	8274	3	0,000	-2,973	-0,051	-0,076	0,000	0,131	0,000	0,199	0,012	0,000	0,022
Con	8273	4	0,000	-3,109	-0,144	-0,158	0,000	0,369	0,000	0,404	0,045	0,000	0,059
Con	8272	5	0,000	-3,245	-0,335	-0,347	0,000	0,857	0,000	0,891	0,125	0,000	0,136
Plate_2_6	8272	1	0,000	-3,245	-0,308	-0,319	0,000	0,788	0,000	0,820	0,125	0,000	0,136
Element 11-20 (Plate)	8129	2	0,000	-3,352	-0,422	-0,422	0,000	1,084	0,000	1,084	0,225	0,000	0,233
(Parete c.a.C32/40 sp.0.50m)	8128	3	0,000	-3,458	-0,513	-0,513	0,000	1,317	0,000	1,317	0,352	0,000	0,352
Con	8127	4	0,000	-3,564	-0,600	-0,609	0,000	1,540	0,000	1,571	0,504	0,000	0,504
Con	8126	5	0,000	-3,670	-0,704	-0,814	0,000	1,803	0,000	2,096	0,681	0,000	0,681
Plate_2_6	8126	1	0,000	-3,670	-0,677	-0,789	0,000	1,737	0,000	2,031	0,681	0,000	0,681
Element 11-21 (Plate)	8029	2	0,000	-3,752	-0,874	-0,958	0,000	2,241	0,000	2,470	0,846	0,000	0,846
(Parete c.a.C32/40 sp.0.50m)	8028	3	0,000	-3,835	-1,051	-1,092	0,000	2,693	0,000	2,817	1,049	0,000	1,049
Con	8027	4	0,000	-3,917	-1,214	-1,222	0,000	3,111	0,000	3,119	1,289	0,000	1,289
Con	8026	5	0,000	-4,000	-1,370	-1,370	0,000	3,511	0,000	3,511	1,563	0,000	1,563
Plate_1_5	7786	1	3,000	-2,700	-14,201	-17,222	0,000	-15,474	-16,351	10,045	-1,369	-1,580	8,970
Element 12-22 (Plate)	7619	2	3,000	-2,860	-15,353	-18,551	0,000	-13,049	-13,959	5,684	-3,649	-4,002	10,209
(Micropali D168.3x8,0mm/0,4)	7618	3	3,000	-3,020	-16,383	-19,795	0,000	-10,686	-11,708	2,451	-5,550	-6,057	10,849
Con	7617	4	3,000	-3,180	-17,398	-21,025	0,301	-8,317	-9,474	0,458	-7,071	-7,751	11,046
Con	7663	5	3,000	-3,340	-18,502	-22,314	1,036	-5,879	-7,204	0,328	-8,208	-9,083	10,949
Plate_1_5	7663	1	3,000	-3,340	-18,487	-22,306	1,097	-5,888	-7,219	0,163	-8,208	-9,083	10,949
Element 12-23 (Plate)	7662	2	3,000	-3,505	-19,799	-23,698	1,760	-3,433	-4,808	0,214	-8,978	-10,057	10,591
(Micropali D168.3x8,0mm/0,4)	7661	3	3,000	-3,670	-21,343	-25,239	2,277	-0,859	-4,214	0,832	-9,334	-10,589	10,029
Con	7660	4	3,000	-3,835	-23,091	-26,924	2,621	1,861	-4,601	2,320	-9,254	-10,638	9,328
Con	7659	5	3,000	-4,000	-25,012	-28,747	2,780	4,758	-4,803	5,198	-8,711	-10,160	8,555
Plate_2_7	8026	1	0,000	-4,000	-1,364	-1,364	0,001	3,497	-0,003	3,497	1,563	0,000	1,563
Element 13-24 (Plate)	7907	2	0,000	-4,065	-1,474	-1,474	0,000	3,780	0,000	3,780	1,799	0,000	1,799
(Parete c.a.C32/40 sp.0.50m)	7906	3	0,000	-4,130	-1,583	-1,583	0,000	4,058	0,000	4,058	2,052	0,000	2,052
Con	7905	4	0,000	-4,194	-1,708	-1,708	0,000	4,379	0,000	4,379	2,326	0,000	2,326
Con	7904	5	0,000	-4,259	-1,869	-1,880	0,000	4,791	0,000	4,791	2,622	0,000	2,622
Plate_2_8	7904	1	0,000	-4,259	-1,864	-1,874	0,000	4,778	0,000	4,778	2,622	0,000	2,622
Element 14-25 (Plate)	7591	2	0,000	-4,319	-2,081	-2,107	0,000	5,334	0,000	5,377	2,926	0,000	2,926
(Parete c.a.C32/40 sp.0.50m)	7590	3	0,000	-4,380	-2,311	-2,331	0,000	5,921	0,000	5,963	3,265	0,000	3,265
Con	7589	4	0,000	-4,440	-2,553	-2,565	0,000	6,541	0,000	6,557	3,640	0,000	3,640
Con	7588	5	0,000	-4,500	-2,808	-2,813	0,000	7,194	0,000	7,198	4,053	0,000	4,053
Plate_1_6	7659	1	3,000	-4,000	-24,808	-28,686	2,845	4,890	-4,860	5,007	-8,711	-10,160	8,555
Element 15-26 (Plate)	7643	2	3,000	-4,176	-26,680	-30,558	2,912	8,016	-5,072	8,016	-7,567	-9,186	7,680
(Micropali D168.3x8,0mm/0,4)	7642	3	3,000	-4,353	-28,621	-32,399	3,016	10,862	-5,201	11,110	-5,901	-7,661	6,771
Con	7641	4	3,000	-4,529	-30,752	-34,304	3,177	13,547	-5,167	14,329	-3,745	-5,560	5,855
Con	7640	5	3,000	-4,705	-33,193	-36,372	3,413	16,194	-4,890	17,672	-1,125	-2,860	5,198
Plate_1_6	7640	1	3,000	-4,705	-33,243	-36,469	3,443	16,437	-4,864	17,870	-1,125	-2,860	5,198
Element 15-27 (Plate)	7507	2	3,000	-4,808	-34,762	-37,762	3,692	18,068	-4,520	20,001	0,651	-0,960	5,066
(Micropali D168.3x8,0mm/0,4)	7506	3	3,000	-4,912	-36,194	-39,075	4,003	19,885	-4,139	22,184	2,608	0,000	5,416
Con	7505	4	3,000	-5,015	-37,615	-40,431	4,368	21,840	-3,728	24,411	4,758	0,000	6,379
Con	7504	5	3,000	-5,118	-39,095	-41,854	4,784	23,884	-3,293	26,699	7,114	0,000	7,941
Plate_1_6	7504	1	3,000	-5,118	-39,103	-41,848	4,783	23,850	-3,303	26,673	7,114	0,000	7,941
Element 15-28 (Plate)	7235	2	3,000	-5,178	-40,094	-42,715	5,044	24,933	-3,058	28,129	8,585	0,000	9,061
(Micropali D168.3x8,0mm/0,4)	7236	3	3,000	-5,238	-41,126	-43,596	5,317	25,984	-2,828	29,656	10,121	0,000	10,479
Con	7237	4	3,000	-5,299	-42,191	-44,483	5,603	26,991	-2,614	31,192	11,719	0,000	12,004
Con	7234	5	3,000	-5,359	-43,278	-45,368	5,900	27,941	-2,418	32,725	13,375	0,000	13,869
Plate_1_6	7234	1	3,000	-5,359	-43,265	-45,360	5,898	27,935	-2,423	32,710	13,375	0,000	13,869

Structural element	Node	Local number	X [m]	Y [m]	N [kN/m]	N_{min} [kN/m]	N_{max} [kN/m]	Q [kN/m]	Q_{min} [kN/m]	Q_{max} [kN/m]	M [kN m/m]	M_{min} [kN m/m]	M_{max} [kN m/m]
Element 15-29 (Plate)	7077	2	3,000	-5,394	-43,936	-45,833	6,083	28,271	-2,324	33,529	14,365	0,000	15,005
(Micropali D168.3x8,0mm/0,4)	7078	3	3,000	-5,429	-44,499	-46,313	6,265	28,822	-2,244	34,362	15,371	0,000	16,167
2m	7079	4	3,000	-5,465	-44,965	-46,799	6,442	29,558	-2,185	35,204	16,400	0,000	17,358
2m	7076	5	3,000	-5,500	-45,345	-47,288	6,611	30,451	-2,149	36,050	17,458	0,000	18,579
Plate_2_9	7588	1	0,000	-4,500	-2,771	-2,773	0,000	7,099	0,000	7,100	4,053	0,000	4,053
Element 16-30 (Plate)	7540	2	0,000	-4,650	-3,470	-3,470	0,000	8,889	0,000	8,889	5,257	0,000	5,257
(Parete c.a.C32/40 sp.0.50m)	7539	3	0,000	-4,800	-4,053	-4,053	0,000	10,381	0,000	10,381	6,704	0,000	6,704
2m	7538	4	0,000	-4,950	-4,552	-4,552	0,000	11,660	0,000	11,660	8,361	0,000	8,361
2m	7534	5	0,000	-5,100	-5,001	-5,001	0,000	12,810	0,000	12,810	10,196	0,000	10,196
Plate_3_1	7534	1	0,000	-5,100	-9,169	-9,169	0,000	11,560	-0,001	11,560	10,196	0,000	10,196
Element 17-31 (Plate)	7197	2	0,000	-5,200	-9,436	-9,436	0,000	12,021	-0,001	12,021	11,373	0,000	11,373
(Micropali D168.3x8,0mm/0,4)	7196	3	0,000	-5,300	-9,868	-9,868	0,000	12,769	-0,001	12,769	12,610	0,000	12,610
2m	7195	4	0,000	-5,400	-10,468	-10,468	0,000	13,808	-0,001	13,808	13,937	0,000	13,937
2m	7194	5	0,000	-5,500	-11,239	-11,239	0,000	15,143	-0,001	15,143	15,382	0,000	15,382
Plate_1_7	7076	1	3,000	-5,500	-45,279	-47,222	6,610	30,340	-2,154	35,936	17,458	0,000	18,579
Element 18-32 (Plate)	6660	2	3,000	-5,513	-45,311	-47,057	6,666	30,436	-2,152	35,650	17,838	0,000	19,015
(Micropali D168.3x8,0mm/0,4)	6661	3	3,000	-5,525	-45,322	-46,873	6,722	30,485	-2,159	35,330	18,218	0,000	19,448
2m	6662	4	3,000	-5,537	-45,299	-46,658	6,777	30,469	-2,175	34,958	18,600	0,000	19,878
2m	6659	5	3,000	-5,550	-45,232	-46,401	6,830	30,367	-2,201	34,513	18,980	0,000	20,304
Plate_3_2	7194	1	0,000	-5,500	-11,144	-11,144	0,007	15,065	0,000	15,065	15,382	0,000	15,382
Element 19-33 (Plate)	6712	2	0,000	-5,601	-10,693	-10,693	0,012	11,722	-0,005	11,722	16,744	0,000	16,744
(Micropali D168.3x8,0mm/0,4)	6711	3	0,000	-5,703	-10,170	-10,170	0,015	8,022	-0,015	8,022	17,743	-0,001	17,743
2m	6710	4	0,000	-5,804	-9,449	-9,449	0,016	4,321	-0,053	4,321	18,370	-0,002	18,370
2m	6709	5	0,000	-5,905	-8,408	-8,408	0,018	0,975	-1,350	0,975	18,632	-0,003	18,632
Plate_3_3	6709	1	0,000	-5,905	-8,354	-8,354	0,015	0,727	-1,654	0,727	18,632	-0,003	18,632
Element 20-34 (Plate)	6250	2	0,000	-5,929	-7,981	-7,981	0,016	-0,345	-2,307	0,008	18,637	-0,003	18,637
(Micropali D168.3x8,0mm/0,4)	6249	3	0,000	-5,953	-7,592	-7,592	0,016	-1,421	-2,942	0,008	18,616	-0,003	18,616
2m	6248	4	0,000	-5,976	-7,191	-7,191	0,016	-2,493	-3,551	0,008	18,570	-0,002	18,570
2m	6247	5	0,000	-6,000	-6,782	-6,782	0,016	-3,550	-4,177	0,008	18,498	-0,002	18,498
Plate_3_4	6247	1	0,000	-6,000	-6,796	-6,796	0,017	-3,486	-4,169	0,008	18,498	-0,002	18,498
Element 21-35 (Plate)	5672	2	0,000	-6,033	-6,186	-6,186	0,017	-5,113	-5,113	0,007	18,355	-0,002	18,355
(Micropali D168.3x8,0mm/0,4)	5671	3	0,000	-6,066	-5,638	-5,638	0,018	-6,618	-6,618	0,006	18,159	-0,002	18,159
2m	5670	4	0,000	-6,100	-5,157	-5,157	0,018	-7,984	-7,984	0,005	17,916	-0,002	17,916
2m	5669	5	0,000	-6,133	-4,746	-4,780	0,019	-9,195	-9,195	0,004	17,631	-0,002	17,631
Plate_3_4	5669	1	0,000	-6,133	-4,743	-4,772	0,019	-9,204	-9,204	0,004	17,631	-0,002	17,631
Element 21-36 (Plate)	5616	2	0,000	-6,181	-4,315	-4,393	0,020	-10,594	-10,594	0,003	17,155	-0,003	17,155
(Micropali D168.3x8,0mm/0,4)	5615	3	0,000	-6,229	-4,016	-4,136	0,021	-11,715	-11,715	0,002	16,619	-0,003	16,619
2m	5614	4	0,000	-6,277	-3,843	-3,997	0,021	-12,576	-12,576	0,001	16,036	-0,003	16,036
2m	5613	5	0,000	-6,325	-3,792	-3,972	0,022	-13,186	-13,186	0,001	15,418	-0,003	15,418
Plate_3_4	5613	1	0,000	-6,325	-3,775	-3,957	0,022	-13,227	-13,227	0,001	15,418	-0,003	15,418
Element 21-37 (Plate)	5560	2	0,000	-6,394	-3,877	-4,313	0,023	-13,775	-13,775	0,000	14,483	-0,003	14,483
(Micropali D168.3x8,0mm/0,4)	5559	3	0,000	-6,463	-4,130	-4,936	0,025	-14,053	-14,053	0,000	13,519	-0,003	13,519
2m	5558	4	0,000	-6,532	-4,525	-5,627	0,026	-14,076	-14,076	0,000	12,545	-0,004	12,545
2m	5557	5	0,000	-6,601	-5,053	-6,380	0,027	-13,859	-13,859	0,001	11,579	-0,004	11,579
Plate_3_4	5557	1	0,000	-6,601	-5,022	-6,357	0,027	-13,912	-13,912	0,001	11,579	-0,004	11,579
Element 21-38 (Plate)	4826	2	0,000	-6,701	-5,935	-7,330	0,028	-13,323	-13,323	0,002	10,220	-0,003	10,220
(Micropali D168.3x8,0mm/0,4)	4825	3	0,000	-6,801	-6,916	-8,265	0,030	-12,567	-12,567	0,003	8,928	-0,003	8,928
2m	4824	4	0,000	-6,900	-7,947	-9,223	0,031	-11,663	-11,663	0,004	7,718	-0,003	7,718
2m	4823	5	0,000	-7,000	-9,013	-10,201	0,032	-10,633	-10,633	0,004	6,606	-0,002	6,606

Structural element	Node	Local number	X [m]	Y [m]	N [kN/m]	N_{min} [kN/m]	N_{max} [kN/m]	Q [kN/m]	Q_{min} [kN/m]	Q_{max} [kN/m]	M [kN m/m]	M_{min} [kN m/m]	M_{max} [kN m/m]
Plate_1_8	6659	1	3,000	-5,550	-45,038	-46,207	6,830	30,036	-2,202	34,175	18,980	0,000	20,304
Element 22-39 (Plate)	6272	2	3,000	-5,587	-42,947	-43,569	6,981	26,442	-2,296	29,610	20,014	0,000	21,453
(Micropali D168.3x8,0mm/0,4)	6273	3	3,000	-5,623	-40,843	-40,932	7,124	22,711	-2,367	25,041	20,914	0,000	22,444
점	6274	4	3,000	-5,660	-38,689	-38,689	7,260	18,779	-2,417	20,397	21,674	0,000	23,271
점	6271	5	3,000	-5,696	-36,450	-36,450	7,388	14,582	-2,445	15,645	22,286	0,000	23,930
Plate_1_8	6271	1	3,000	-5,696	-36,503	-36,503	7,389	14,598	-2,448	15,652	22,286	0,000	23,930
Element 22-40 (Plate)	5650	2	3,000	-5,738	-34,300	-34,300	7,527	9,990	-3,242	10,567	22,801	0,000	24,478
(Micropali D168.3x8,0mm/0,4)	5651	3	3,000	-5,780	-32,279	-32,279	7,658	5,669	-4,976	5,858	23,128	0,000	24,821
점	5652	4	3,000	-5,822	-30,446	-30,446	7,780	1,645	-6,841	1,725	23,281	0,000	24,973
점	5649	5	3,000	-5,864	-28,807	-28,807	7,893	-2,074	-8,638	0,000	23,270	0,000	24,948
Plate_1_8	5649	1	3,000	-5,864	-28,797	-28,797	7,893	-2,073	-8,693	0,000	23,270	0,000	24,948
Element 22-41 (Plate)	4942	2	3,000	-5,912	-27,228	-27,228	8,014	-5,792	-10,554	0,000	23,079	0,000	24,727
(Micropali D168.3x8,0mm/0,4)	4943	3	3,000	-5,960	-25,976	-25,976	8,124	-8,929	-12,595	0,000	22,723	0,000	24,328
점	4944	4	3,000	-6,008	-25,034	-25,034	8,225	-11,491	-14,229	0,000	22,230	0,000	23,783
점	4941	5	3,000	-6,056	-24,394	-24,394	8,317	-13,486	-15,589	0,000	21,628	0,000	23,120
Plate_1_8	4941	1	3,000	-6,056	-24,349	-24,349	8,317	-13,546	-15,650	0,000	21,628	0,000	23,120
Element 22-42 (Plate)	4912	2	3,000	-6,112	-23,899	-23,899	8,411	-15,293	-17,084	0,000	20,832	0,000	22,248
(Micropali D168.3x8,0mm/0,4)	4913	3	3,000	-6,167	-23,650	-23,650	8,494	-16,610	-18,383	0,000	19,951	0,000	21,284
점	4914	4	3,000	-6,222	-23,574	-23,574	8,566	-17,515	-19,327	0,000	19,009	0,000	20,256
점	4911	5	3,000	-6,277	-23,643	-23,643	8,628	-18,025	-19,850	0,000	18,029	0,000	19,186
Plate_1_8	4911	1	3,000	-6,277	-23,615	-23,615	8,628	-18,077	-19,906	0,000	18,029	0,000	19,186
Element 22-43 (Plate)	4876	2	3,000	-6,340	-23,772	-23,772	8,687	-18,325	-20,142	0,000	16,880	0,000	17,931
(Micropali D168.3x8,0mm/0,4)	4877	3	3,000	-6,403	-23,992	-23,992	8,733	-18,324	-20,111	0,000	15,722	0,000	16,668
점	4878	4	3,000	-6,466	-24,269	-24,269	8,768	-18,087	-19,827	0,000	14,572	0,000	15,413
점	4875	5	3,000	-6,529	-24,600	-24,600	8,792	-17,629	-19,306	0,000	13,444	0,000	14,183
Plate_1_8	4875	1	3,000	-6,529	-24,586	-24,586	8,792	-17,665	-19,345	0,000	13,444	0,000	14,183
Element 22-44 (Plate)	4260	2	3,000	-6,601	-24,987	-24,987	8,806	-16,979	-18,574	0,000	12,192	-0,014	12,815
(Micropali D168.3x8,0mm/0,4)	4261	3	3,000	-6,674	-25,387	-25,387	8,807	-16,192	-17,704	0,000	10,992	-0,104	11,505
점	4262	4	3,000	-6,746	-25,780	-25,780	8,795	-15,312	-16,736	0,000	9,852	-0,187	10,261
점	4259	5	3,000	-6,818	-26,163	-26,163	8,771	-14,351	-15,692	0,000	8,780	-0,261	9,089
Plate_1_8	4259	1	3,000	-6,818	-26,155	-26,155	8,771	-14,373	-15,716	0,000	8,780	-0,261	9,089
Element 22-45 (Plate)	4246	2	3,000	-6,901	-26,554	-26,554	8,729	-13,244	-14,489	0,000	7,637	-0,337	7,838
(Micropali D168.3x8,0mm/0,4)	4247	3	3,000	-6,984	-26,896	-26,896	8,672	-12,124	-13,269	0,000	6,586	-0,403	6,694
점	4248	4	3,000	-7,067	-27,177	-27,177	8,602	-11,018	-12,063	0,000	5,627	-0,460	5,668
점	4245	5	3,000	-7,150	-27,396	-27,396	8,517	-9,933	-10,877	0,000	4,760	-0,507	4,767
Plate_1_8	4245	1	3,000	-7,150	-27,392	-27,392	8,517	-9,942	-10,887	0,000	4,760	-0,507	4,767
Element 22-46 (Plate)	3594	2	3,000	-7,245	-27,551	-27,551	8,404	-8,762	-9,594	0,000	3,873	-0,551	3,876
(Micropali D168.3x8,0mm/0,4)	3595	3	3,000	-7,339	-27,606	-27,606	8,273	-7,661	-8,381	0,000	3,095	-0,585	3,095
점	3596	4	3,000	-7,434	-27,558	-27,558	8,125	-6,639	-7,251	0,000	2,416	-0,608	2,416
점	3593	5	3,000	-7,529	-27,405	-27,405	7,961	-5,699	-6,207	0,000	1,832	-0,640	1,832
Plate_1_8	3593	1	3,000	-7,529	-27,405	-27,405	7,961	-5,697	-6,205	0,000	1,832	-0,640	1,832
Element 22-47 (Plate)	3554	2	3,000	-7,638	-27,097	-27,097	7,751	-4,728	-5,121	0,001	1,266	-0,689	1,266
(Micropali D168.3x8,0mm/0,4)	3555	3	3,000	-7,747	-26,649	-26,649	7,519	-3,859	-4,142	0,097	0,800	-0,735	0,800
점	3556	4	3,000	-7,855	-26,061	-26,061	7,264	-3,089	-3,266	0,188	0,423	-0,780	0,423
점	3553	5	3,000	-7,964	-25,335	-25,335	6,986	-2,416	-2,503	0,273	0,125	-0,828	0,125
Plate_1_8	3553	1	3,000	-7,964	-25,333	-25,333	6,985	-2,406	-2,494	0,272	0,125	-0,828	0,125
Element 22-48 (Plate)	3470	2	3,000	-8,089	-24,334	-24,334	6,637	-1,736	-1,747	0,366	-0,132	-0,876	0,000
(Micropali D168.3x8,0mm/0,4)	3471	3	3,000	-8,213	-23,148	-23,148	6,254	-1,144	-1,144	0,454	-0,311	-0,957	0,000
점	3472	4	3,000	-8,338	-21,777	-21,777	5,836	-0,629	-0,629	0,587	-0,421	-0,994	0,000

Structural element	Node	Local number	X [m]	Y [m]	N [kN/m]	N_{min} [kN/m]	N_{max} [kN/m]	Q [kN/m]	Q_{min} [kN/m]	Q_{max} [kN/m]	M [kN m/m]	M_{min} [kN m/m]	M_{max} [kN m/m]
점	3469	5	3,000	-8,463	-20,221	-20,221	5,384	-0,186	-0,186	0,752	-0,471	-0,976	0,000
Plate_1_8	3469	1	3,000	-8,463	-20,195	-20,195	5,381	-0,187	-0,187	0,736	-0,471	-0,976	0,000
Element 22-49 (Plate)	3374	2	3,000	-8,605	-18,188	-18,188	4,816	0,271	0,000	1,006	-0,464	-0,878	0,000
(Micropali D168.3x8,0mm/0,4)	3375	3	3,000	-8,748	-15,836	-15,836	4,190	0,655	0,000	1,406	-0,397	-0,707	0,016
점	3376	4	3,000	-8,891	-13,108	-13,108	3,503	0,943	0,000	1,695	-0,282	-0,490	0,035
점	3373	5	3,000	-9,033	-9,975	-9,975	2,753	1,111	0,000	1,796	-0,133	-0,251	0,050
Plate_3_5	4823	1	0,000	-7,000	-8,987	-10,196	0,032	-10,672	-10,672	0,004	6,606	-0,002	6,606
Element 23-50 (Plate)	4218	2	0,000	-7,119	-10,200	-11,344	0,034	-9,416	-9,416	0,005	5,409	-0,002	5,409
(Micropali D168.3x8,0mm/0,4)	4217	3	0,000	-7,238	-11,315	-12,471	0,035	-8,204	-8,204	0,005	4,360	-0,001	4,360
점	4216	4	0,000	-7,358	-12,330	-13,493	0,036	-7,047	-7,047	0,005	3,451	-0,001	3,451
점	4215	5	0,000	-7,477	-13,244	-14,408	0,036	-5,956	-5,956	0,005	2,677	-0,001	2,677
Plate_3_5	4215	1	0,000	-7,477	-13,245	-14,412	0,036	-5,965	-5,965	0,005	2,677	-0,001	2,677
Element 23-51 (Plate)	3948	2	0,000	-7,604	-14,093	-15,268	0,037	-4,926	-4,926	0,004	1,985	-0,001	1,985
(Micropali D168.3x8,0mm/0,4)	3947	3	0,000	-7,731	-14,838	-16,031	0,038	-4,007	-4,007	0,004	1,418	-0,022	1,418
점	3946	4	0,000	-7,859	-15,484	-16,704	0,038	-3,207	-3,207	0,003	0,960	-0,059	0,960
점	3945	5	0,000	-7,986	-16,036	-17,292	0,039	-2,525	-2,525	0,003	0,596	-0,108	0,596
Plate_3_5	3945	1	0,000	-7,986	-16,045	-17,301	0,039	-2,515	-2,515	0,003	0,596	-0,108	0,596
Element 23-52 (Plate)	3400	2	0,000	-8,122	-16,553	-17,860	0,039	-1,904	-1,904	0,002	0,297	-0,147	0,297
(Micropali D168.3x8,0mm/0,4)	3399	3	0,000	-8,258	-17,002	-18,368	0,039	-1,379	-1,379	0,001	0,075	-0,179	0,075
점	3398	4	0,000	-8,394	-17,396	-18,832	0,040	-0,937	-0,937	0,001	-0,081	-0,212	0,003
점	3397	5	0,000	-8,530	-17,737	-19,254	0,040	-0,571	-0,571	0,024	-0,183	-0,230	0,003
Plate_3_5	3397	1	0,000	-8,530	-17,745	-19,257	0,040	-0,561	-0,561	0,024	-0,183	-0,230	0,003
Element 23-53 (Plate)	3352	2	0,000	-8,675	-18,076	-19,668	0,040	-0,222	-0,222	0,108	-0,239	-0,239	0,003
(Micropali D168.3x8,0mm/0,4)	3351	3	0,000	-8,820	-18,387	-20,018	0,040	0,084	-0,001	0,204	-0,249	-0,249	0,003
점	3350	4	0,000	-8,965	-18,678	-20,310	0,040	0,360	-0,001	0,360	-0,216	-0,216	0,002
점	3349	5	0,000	-9,110	-18,952	-20,551	0,040	0,607	-0,001	0,607	-0,146	-0,146	0,002
Plate_3_5	3349	1	0,000	-9,110	-18,937	-20,549	0,040	0,583	-0,001	0,583	-0,146	-0,146	0,002
Element 23-54 (Plate)	3286	2	0,000	-9,265	-19,239	-20,731	0,039	0,854	-0,001	0,854	-0,034	-0,038	0,002
(Micropali D168.3x8,0mm/0,4)	3285	3	0,000	-9,420	-19,477	-20,879	0,039	1,014	-0,002	1,014	0,113	0,000	0,116
점	3284	4	0,000	-9,575	-19,643	-20,975	0,039	1,028	-0,002	1,028	0,273	0,000	0,273
점	3283	5	0,000	-9,730	-19,729	-21,002	0,038	0,862	-0,001	0,862	0,422	0,000	0,422
Plate_1_9	3373	1	3,000	-9,033	-9,982	-9,982	2,746	1,049	0,000	1,747	-0,133	-0,251	0,050
Element 24-55 (Plate)	3262	2	3,000	-9,150	-7,329	-7,329	2,081	0,505	-0,109	0,917	-0,044	-0,107	0,047
(Micropali D168.3x8,0mm/0,4)	3261	3	3,000	-9,267	-4,640	-4,640	1,372	0,147	-0,181	0,396	-0,008	-0,034	0,029
점	3260	4	3,000	-9,383	-1,912	-1,912	0,605	-0,003	-0,162	0,102	-0,002	-0,006	0,011
점	3259	5	3,000	-9,500	0,859	-0,221	0,859	0,077	-0,014	0,077	0,000	0,000	0,000
Plate_3_6	3283	1	0,000	-9,730	-19,758	-21,003	0,038	0,724	-0,002	0,724	0,422	0,000	0,422
Element 25-56 (Plate)	3117	2	0,000	-9,886	-20,108	-21,001	0,038	0,236	-0,002	0,236	0,495	0,000	0,495
(Micropali D168.3x8,0mm/0,4)	3116	3	0,000	-10,043	-20,367	-20,946	0,037	-0,093	-0,094	0,000	0,504	0,000	0,504
점	3115	4	0,000	-10,199	-20,535	-20,872	0,037	-0,277	-0,277	0,000	0,473	0,000	0,473
점	3114	5	0,000	-10,356	-20,613	-20,781	0,036	-0,330	-0,330	0,000	0,424	0,000	0,424
Plate_3_6	3114	1	0,000	-10,356	-20,615	-20,782	0,036	-0,355	-0,355	0,000	0,424	0,000	0,424
Element 25-57 (Plate)	3035	2	0,000	-10,520	-20,608	-20,728	0,035	-0,365	-0,365	0,000	0,365	0,000	0,365
(Micropali D168.3x8,0mm/0,4)	3034	3	0,000	-10,685	-20,511	-20,605	0,035	-0,350	-0,350	0,000	0,306	0,000	0,306
점	3033	4	0,000	-10,850	-20,325	-20,396	0,034	-0,314	-0,314	0,000	0,251	0,000	0,251
점	3032	5	0,000	-11,014	-20,051	-20,101	0,033	-0,262	-0,262	0,000	0,203	0,000	0,203
Plate_3_6	3032	1	0,000	-11,014	-20,051	-20,102	0,033	-0,267	-0,267	0,000	0,203	0,000	0,203
Element 25-58 (Plate)	2481	2	0,000	-11,187	-19,671	-19,702	0,032	-0,216	-0,216	0,000	0,162	0,000	0,162
(Micropali D168.3x8,0mm/0,4)	2480	3	0,000	-11,360	-19,196	-19,214	0,030	-0,171	-0,171	0,000	0,128	0,000	0,128

Structural element	Node	Local number	X [m]	Y [m]	N [kN/m]	N_{min} [kN/m]	N_{max} [kN/m]	Q [kN/m]	Q_{min} [kN/m]	Q_{max} [kN/m]	M [kN m/m]	M_{min} [kN m/m]	M_{max} [kN m/m]
쯤	2479	4	0,000	-11,533	-18,628	-18,635	0,029	-0,133	-0,133	0,000	0,102	0,000	0,102
쯤	2478	5	0,000	-11,706	-17,967	-17,967	0,028	-0,101	-0,101	0,000	0,082	0,000	0,082
Plate_3_6	2478	1	0,000	-11,706	-17,966	-17,966	0,028	-0,101	-0,101	0,000	0,082	0,000	0,082
Element 25-59 (Plate)	2309	2	0,000	-11,888	-17,171	-17,171	0,026	-0,076	-0,076	0,000	0,066	0,000	0,066
(Micropali D168.3x8,0mm/0,4)	2308	3	0,000	-12,069	-16,270	-16,270	0,024	-0,057	-0,057	0,000	0,054	0,000	0,054
쯤	2307	4	0,000	-12,251	-15,264	-15,264	0,023	-0,044	-0,044	0,000	0,045	0,000	0,045
쯤	2306	5	0,000	-12,433	-14,152	-14,152	0,021	-0,035	-0,035	0,000	0,038	0,000	0,038
Plate_3_6	2306	1	0,000	-12,433	-14,148	-14,148	0,021	-0,034	-0,034	0,000	0,038	0,000	0,038
Element 25-60 (Plate)	1871	2	0,000	-12,624	-12,862	-12,862	0,019	-0,027	-0,027	0,000	0,032	0,000	0,032
(Micropali D168.3x8,0mm/0,4)	1870	3	0,000	-12,815	-11,443	-11,443	0,016	-0,022	-0,022	0,000	0,027	0,000	0,027
쯤	1869	4	0,000	-13,006	-9,892	-9,892	0,014	-0,019	-0,019	0,000	0,023	0,000	0,023
쯤	1868	5	0,000	-13,197	-8,206	-8,206	0,012	-0,018	-0,018	0,000	0,020	0,000	0,020
Plate_3_6	1868	1	0,000	-13,197	-8,190	-8,190	0,012	-0,017	-0,017	0,000	0,020	0,000	0,020
Element 25-61 (Plate)	1171	2	0,000	-13,398	-6,265	-6,265	0,009	-0,006	-0,006	0,000	0,018	0,000	0,018
(Micropali D168.3x8,0mm/0,4)	1170	3	0,000	-13,598	-4,128	-4,128	0,006	-0,023	-0,023	0,000	0,015	0,000	0,015
쯤	1169	4	0,000	-13,799	-1,771	-1,771	0,002	-0,042	-0,042	0,000	0,009	0,000	0,009
쯤	1168	5	0,000	-14,000	0,816	-0,001	0,816	-0,039	-0,039	0,000	0,000	0,000	0,000

3.1.2.4.13 Calculation results, Plate, Collegamento [Phase_12] (12/660), Table of plate force envelopes

Structural element	Node	Local number	X [m]	Y [m]	N [kN/m]	N_{min} [kN/m]	N_{max} [kN/m]	Q [kN/m]	Q_{min} [kN/m]	Q_{max} [kN/m]	M [kN m/m]	M_{min} [kN m/m]	M_{max} [kN m/m]
Plate_2_1	9176	1	0,000	0,000	0,000	0,000	0,000	0,000	0,000	0,000	0,000	0,000	0,000
Element 1-1 (Plate)	9173	2	0,000	-0,034	0,000	0,000	0,000	0,000	0,000	0,000	0,000	0,000	0,000
(Parete c.a.C32/40 sp.0.50m)	9174	3	0,000	-0,067	0,000	0,000	0,000	0,000	0,000	0,000	0,000	0,000	0,000
2	9175	4	0,000	-0,101	0,000	0,000	0,000	0,000	0,000	0,000	0,000	0,000	0,000
2	9165	5	0,000	-0,135	0,000	0,000	0,000	0,000	0,000	0,000	0,000	0,000	0,000
Plate_2_1	9165	1	0,000	-0,135	0,000	0,000	0,000	0,000	0,000	0,000	0,000	0,000	0,000
Element 1-2 (Plate)	9164	2	0,000	-0,168	0,000	0,000	0,000	0,000	0,000	0,000	0,000	0,000	0,000
(Parete c.a.C32/40 sp.0.50m)	9163	3	0,000	-0,202	0,000	0,000	0,000	0,000	0,000	0,000	0,000	0,000	0,000
2	9162	4	0,000	-0,235	0,000	0,000	0,000	0,000	0,000	0,000	0,000	0,000	0,000
2	9166	5	0,000	-0,268	0,000	0,000	0,000	0,000	0,000	0,000	0,000	0,000	0,000
Plate_2_1	9166	1	0,000	-0,268	0,000	0,000	0,000	0,000	0,000	0,000	0,000	0,000	0,000
Element 1-3 (Plate)	9161	2	0,000	-0,301	0,000	0,000	0,000	0,000	0,000	0,000	0,000	0,000	0,000
(Parete c.a.C32/40 sp.0.50m)	9160	3	0,000	-0,334	0,000	0,000	0,000	0,000	0,000	0,000	0,000	0,000	0,000
2	9159	4	0,000	-0,367	0,000	0,000	0,000	0,000	0,000	0,000	0,000	0,000	0,000
2	9158	5	0,000	-0,400	0,000	0,000	0,000	0,000	0,000	0,000	0,000	0,000	0,000
Plate_4_1	7845	1	3,000	0,000	-0,045	-0,045	0,011	-0,013	-0,021	0,068	0,000	0,000	0,000
Element 2-4 (Plate)	7844	2	3,000	-0,125	0,056	-0,040	0,056	0,090	-0,032	0,090	0,002	-0,003	0,003
(Micropali D168.3x8,0mm/0,4)	7843	3	3,000	-0,250	0,057	-0,166	0,057	0,339	0,000	0,339	0,030	0,000	0,030
2	7842	4	3,000	-0,375	0,054	-0,317	0,054	0,573	0,000	0,573	0,086	0,000	0,086
2	7918	5	3,000	-0,500	0,145	-0,315	0,146	0,627	0,000	0,628	0,164	0,000	0,164
Plate_2_2	9158	1	0,000	-0,400	0,000	0,000	0,000	0,000	0,000	0,000	0,000	0,000	0,000
Element 3-5 (Plate)	9131	2	0,000	-0,425	0,000	0,000	0,000	0,000	0,000	0,000	0,000	0,000	0,000
(Parete c.a.C32/40 sp.0.50m)	9130	3	0,000	-0,450	0,000	0,000	0,000	0,000	0,000	0,000	0,000	0,000	0,000
2	9129	4	0,000	-0,475	0,000	0,000	0,000	0,000	0,000	0,000	0,000	0,000	0,000
2	9125	5	0,000	-0,500	0,000	0,000	0,000	0,000	0,000	0,000	0,000	0,000	0,000
Plate_2_3	9125	1	0,000	-0,500	0,000	0,000	0,000	0,000	0,000	0,000	0,000	0,000	0,000
Element 4-6 (Plate)	9121	2	0,000	-0,537	0,000	0,000	0,000	0,000	0,000	0,000	0,000	0,000	0,000
(Parete c.a.C32/40 sp.0.50m)	9120	3	0,000	-0,573	0,000	0,000	0,000	0,000	0,000	0,000	0,000	0,000	0,000
2	9119	4	0,000	-0,610	0,000	0,000	0,000	0,000	0,000	0,000	0,000	0,000	0,000
2	9115	5	0,000	-0,646	0,000	0,000	0,000	0,000	0,000	0,000	0,000	0,000	0,000
Plate_2_3	9115	1	0,000	-0,646	0,000	0,000	0,000	0,000	0,000	0,000	0,000	0,000	0,000
Element 4-7 (Plate)	9025	2	0,000	-0,688	0,000	0,000	0,000	0,000	0,000	0,000	0,000	0,000	0,000
(Parete c.a.C32/40 sp.0.50m)	9024	3	0,000	-0,729	0,000	0,000	0,000	0,000	0,000	0,000	0,000	0,000	0,000
2	9023	4	0,000	-0,771	0,000	0,000	0,000	0,000	0,000	0,000	0,000	0,000	0,000
2	9019	5	0,000	-0,812	0,000	0,000	0,000	0,000	0,000	0,000	0,000	0,000	0,000
Plate_2_3	9019	1	0,000	-0,812	0,000	0,000	0,000	0,000	0,000	0,000	0,000	0,000	0,000
Element 4-8 (Plate)	8963	2	0,000	-0,859	0,000	0,000	0,000	0,000	0,000	0,000	0,000	0,000	0,000
(Parete c.a.C32/40 sp.0.50m)	8962	3	0,000	-0,906	0,000	0,000	0,000	0,000	0,000	0,000	0,000	0,000	0,000
2	8961	4	0,000	-0,953	0,000	0,000	0,000	0,000	0,000	0,000	0,000	0,000	0,000
2	8957	5	0,000	-1,000	0,000	0,000	0,000	0,000	0,000	0,000	0,000	0,000	0,000
Plate_1_1	7918	1	3,000	-0,500	0,107	-0,339	0,108	0,692	0,000	0,693	0,164	0,000	0,164
Element 5-9 (Plate)	7921	2	3,000	-0,625	0,007	-0,592	0,007	1,052	-0,004	1,054	0,268	0,000	0,269
(Micropali D168.3x8,0mm/0,4)	7920	3	3,000	-0,750	-0,312	-1,089	0,000	1,822	-0,093	1,856	0,445	0,000	0,445

Structural element	Node	Local number	X [m]	Y [m]	N [kN/m]	N_{min} [kN/m]	N_{max} [kN/m]	Q [kN/m]	Q_{min} [kN/m]	Q_{max} [kN/m]	M [kN m/m]	M_{min} [kN m/m]	M_{max} [kN m/m]
점	7919	4	3,000	-0,875	-0,815	-1,770	0,000	2,942	-0,174	3,031	0,739	-0,003	0,739
점	7941	5	3,000	-1,000	-1,467	-2,599	0,000	4,353	-0,187	4,481	1,192	-0,017	1,193
Plate_1_2	7941	1	3,000	-1,000	-1,394	-2,526	0,000	4,224	-0,196	4,358	1,192	-0,017	1,193
Element 6-10 (Plate)	7940	2	3,000	-1,050	-1,601	-2,801	0,000	4,701	-0,204	4,851	1,413	-0,025	1,415
(Micropali D168.3x8,0mm/0,4)	7939	3	3,000	-1,099	-1,825	-3,102	0,000	5,212	-0,216	5,377	1,660	-0,035	1,662
점	7938	4	3,000	-1,149	-2,012	-3,379	0,000	5,664	-0,239	5,843	1,930	-0,044	1,932
점	7937	5	3,000	-1,199	-2,108	-3,582	0,000	5,961	-0,337	6,157	2,220	-0,054	2,222
Plate_2_4	8957	1	0,000	-1,000	0,000	0,000	0,000	0,000	0,000	0,000	0,000	0,000	0,000
Element 7-11 (Plate)	8874	2	0,000	-1,046	0,000	0,000	0,000	0,000	0,000	0,000	0,000	0,000	0,000
(Parete c.a.C32/40 sp.0.50m)	8873	3	0,000	-1,092	0,000	0,000	0,000	0,000	0,000	0,000	0,000	0,000	0,000
점	8872	4	0,000	-1,138	0,000	0,000	0,000	0,000	0,000	0,000	0,000	0,000	0,000
점	8871	5	0,000	-1,184	0,000	0,000	0,000	0,000	0,000	0,000	0,000	0,000	0,000
Plate_2_4	8871	1	0,000	-1,184	0,000	0,000	0,000	0,000	0,000	0,000	0,000	0,000	0,000
Element 7-12 (Plate)	8828	2	0,000	-1,245	0,000	0,000	0,000	0,000	0,000	0,000	0,000	0,000	0,000
(Parete c.a.C32/40 sp.0.50m)	8827	3	0,000	-1,306	0,000	0,000	0,000	0,000	0,000	0,000	0,000	0,000	0,000
점	8826	4	0,000	-1,367	0,000	0,000	0,000	0,000	0,000	0,000	0,000	0,000	0,000
점	8825	5	0,000	-1,428	0,000	0,000	0,000	0,000	0,000	0,000	0,000	0,000	0,000
Plate_2_4	8825	1	0,000	-1,428	0,000	0,000	0,000	0,000	0,000	0,000	0,000	0,000	0,000
Element 7-13 (Plate)	8687	2	0,000	-1,508	0,000	0,000	0,000	0,000	0,000	0,000	0,000	0,000	0,000
(Parete c.a.C32/40 sp.0.50m)	8686	3	0,000	-1,589	0,000	0,000	0,000	0,000	0,000	0,000	0,000	0,000	0,000
점	8685	4	0,000	-1,669	0,000	0,000	0,000	0,000	0,000	0,000	0,000	0,000	0,000
점	8684	5	0,000	-1,750	0,000	0,000	0,000	0,000	0,000	0,000	0,000	0,000	0,000
Plate_1_3	7937	1	3,000	-1,199	-2,091	-3,530	0,000	5,890	-0,333	6,079	2,220	-0,054	2,222
Element 8-14 (Plate)	7886	2	3,000	-1,270	-2,091	-3,532	0,000	5,890	-0,502	6,079	2,639	-0,071	2,642
(Micropali D168.3x8,0mm/0,4)	7885	3	3,000	-1,341	-2,091	-3,534	0,000	5,890	-0,625	6,079	3,058	-0,087	3,073
점	7884	4	3,000	-1,412	-2,091	-3,536	0,000	5,890	-0,683	6,079	3,478	-0,107	3,504
점	7887	5	3,000	-1,483	-2,091	-3,538	0,000	5,890	-0,699	6,079	3,897	-0,127	3,934
Plate_1_3	7887	1	3,000	-1,483	-2,282	-3,674	0,000	6,062	-0,730	6,301	3,897	-0,127	3,934
Element 8-15 (Plate)	7869	2	3,000	-1,663	-1,895	-3,459	0,000	5,864	-0,774	5,978	4,966	-0,197	5,029
(Micropali D168.3x8,0mm/0,4)	7868	3	3,000	-1,842	-1,930	-3,628	0,000	6,276	-0,769	6,336	6,028	-0,285	6,107
점	7867	4	3,000	-2,021	-2,609	-4,506	0,000	7,952	-0,574	7,963	7,290	-0,369	7,373
점	7866	5	3,000	-2,200	-4,156	-6,423	0,000	11,543	-0,337	11,557	8,998	-0,431	9,064
Plate_2_5	8684	1	0,000	-1,750	-0,005	-0,005	0,000	-0,037	-0,037	0,000	0,000	0,000	0,000
Element 9-16 (Plate)	8674	2	0,000	-1,843	-0,005	-0,005	0,000	-0,037	-0,037	0,000	-0,003	-0,003	0,000
(Parete c.a.C32/40 sp.0.50m)	8673	3	0,000	-1,937	-0,005	-0,005	0,000	-0,037	-0,037	0,000	-0,007	-0,007	0,000
점	8672	4	0,000	-2,030	-0,005	-0,005	0,000	-0,037	-0,037	0,000	-0,010	-0,010	0,000
점	8668	5	0,000	-2,124	-0,005	-0,005	0,000	-0,037	-0,037	0,000	-0,014	-0,014	0,000
Plate_2_5	8668	1	0,000	-2,124	-0,005	-0,005	0,000	-0,037	-0,037	0,000	-0,014	-0,014	0,000
Element 9-17 (Plate)	8487	2	0,000	-2,268	-0,005	-0,005	0,000	-0,037	-0,037	0,000	-0,019	-0,019	0,000
(Parete c.a.C32/40 sp.0.50m)	8486	3	0,000	-2,412	-0,005	-0,005	0,000	-0,037	-0,037	0,000	-0,024	-0,024	0,000
점	8485	4	0,000	-2,556	-0,005	-0,005	0,000	-0,037	-0,037	0,000	-0,029	-0,029	0,000
점	8484	5	0,000	-2,700	-0,005	-0,005	0,000	-0,037	-0,037	0,000	-0,035	-0,035	0,000
Plate_1_4	7866	1	3,000	-2,200	-9,752	-11,869	0,000	-25,558	-25,886	4,798	8,998	-0,431	9,064
Element 10-18 (Plate)	7789	2	3,000	-2,325	-10,722	-13,051	0,000	-23,348	-23,774	5,837	5,937	-0,460	5,957
(Micropali D168.3x8,0mm/0,4)	7788	3	3,000	-2,450	-11,849	-14,394	0,000	-20,843	-21,384	7,359	3,174	-0,484	6,681
점	7787	4	3,000	-2,575	-13,055	-15,818	0,000	-18,177	-18,851	9,237	0,732	-0,498	7,701
점	7786	5	3,000	-2,700	-14,263	-17,246	0,000	-15,483	-16,309	11,347	-1,370	-1,580	8,970
Plate_2_6	8484	1	0,000	-2,700	0,000	-0,004	0,016	-0,050	-0,050	0,010	-0,035	-0,035	0,000
Element 11-19 (Plate)	8275	2	0,000	-2,836	-0,027	-0,030	0,000	0,018	0,000	0,085	-0,036	-0,036	0,004

Structural element	Node	Local number	X [m]	Y [m]	N [kN/m]	N_{min} [kN/m]	N_{max} [kN/m]	Q [kN/m]	Q_{min} [kN/m]	Q_{max} [kN/m]	M [kN m/m]	M_{min} [kN m/m]	M_{max} [kN m/m]
(Parete c.a.C32/40 sp.0.50m)	8274	3	0,000	-2,973	-0,065	-0,076	0,000	0,117	0,000	0,199	-0,029	-0,029	0,022
2	8273	4	0,000	-3,109	-0,157	-0,158	0,000	0,352	0,000	0,404	0,002	0,000	0,059
2	8272	5	0,000	-3,245	-0,343	-0,347	0,000	0,827	0,000	0,891	0,078	0,000	0,136
Plate_2_6	8272	1	0,000	-3,245	-0,318	-0,319	0,000	0,763	0,000	0,820	0,078	0,000	0,136
Element 11-20 (Plate)	8129	2	0,000	-3,352	-0,435	-0,435	0,000	1,067	0,000	1,084	0,177	0,000	0,233
(Parete c.a.C32/40 sp.0.50m)	8128	3	0,000	-3,458	-0,528	-0,528	0,000	1,307	0,000	1,318	0,302	0,000	0,352
2	8127	4	0,000	-3,564	-0,616	-0,616	0,000	1,534	0,000	1,571	0,453	0,000	0,504
2	8126	5	0,000	-3,670	-0,721	-0,814	0,000	1,802	0,000	2,096	0,630	0,000	0,681
Plate_2_6	8126	1	0,000	-3,670	-0,695	-0,789	0,000	1,737	0,000	2,031	0,630	0,000	0,681
Element 11-21 (Plate)	8029	2	0,000	-3,752	-0,893	-0,958	0,000	2,245	0,000	2,470	0,794	0,000	0,846
(Parete c.a.C32/40 sp.0.50m)	8028	3	0,000	-3,835	-1,070	-1,092	0,000	2,701	0,000	2,817	0,999	0,000	1,049
2	8027	4	0,000	-3,917	-1,233	-1,233	0,000	3,124	0,000	3,124	1,239	0,000	1,289
2	8026	5	0,000	-4,000	-1,389	-1,389	0,000	3,530	0,000	3,530	1,514	0,000	1,563
Plate_1_5	7786	1	3,000	-2,700	-14,199	-17,222	0,000	-15,460	-16,351	10,045	-1,370	-1,580	8,970
Element 12-22 (Plate)	7619	2	3,000	-2,860	-15,350	-18,551	0,000	-13,035	-13,959	5,684	-3,648	-4,002	10,209
(Micropali D168.3x8,0mm/0,4)	7618	3	3,000	-3,020	-16,382	-19,795	0,000	-10,674	-11,708	2,451	-5,547	-6,057	10,849
2	7617	4	3,000	-3,180	-17,399	-21,025	0,301	-8,310	-9,474	0,458	-7,066	-7,751	11,046
2	7663	5	3,000	-3,340	-18,504	-22,314	1,036	-5,874	-7,204	0,328	-8,203	-9,083	10,949
Plate_1_5	7663	1	3,000	-3,340	-18,490	-22,306	1,097	-5,883	-7,219	0,163	-8,203	-9,083	10,949
Element 12-23 (Plate)	7662	2	3,000	-3,505	-19,801	-23,698	1,760	-3,426	-4,808	0,214	-8,972	-10,057	10,591
(Micropali D168.3x8,0mm/0,4)	7661	3	3,000	-3,670	-21,346	-25,239	2,277	-0,852	-4,214	0,832	-9,327	-10,589	10,029
2	7660	4	3,000	-3,835	-23,095	-26,924	2,621	1,868	-4,601	2,320	-9,245	-10,638	9,328
2	7659	5	3,000	-4,000	-25,019	-28,747	2,780	4,763	-4,803	5,198	-8,701	-10,160	8,555
Plate_2_7	8026	1	0,000	-4,000	-1,384	-1,384	0,001	3,515	-0,003	3,515	1,514	0,000	1,563
Element 13-24 (Plate)	7907	2	0,000	-4,065	-1,495	-1,495	0,000	3,803	0,000	3,803	1,751	0,000	1,799
(Parete c.a.C32/40 sp.0.50m)	7906	3	0,000	-4,130	-1,604	-1,604	0,000	4,084	0,000	4,084	2,007	0,000	2,052
2	7905	4	0,000	-4,194	-1,729	-1,729	0,000	4,405	0,000	4,405	2,282	0,000	2,326
2	7904	5	0,000	-4,259	-1,889	-1,889	0,000	4,815	0,000	4,815	2,580	0,000	2,622
Plate_2_8	7904	1	0,000	-4,259	-1,884	-1,884	0,000	4,803	0,000	4,803	2,580	0,000	2,622
Element 14-25 (Plate)	7591	2	0,000	-4,319	-2,101	-2,107	0,000	5,359	0,000	5,377	2,885	0,000	2,926
(Parete c.a.C32/40 sp.0.50m)	7590	3	0,000	-4,380	-2,330	-2,331	0,000	5,945	0,000	5,963	3,225	0,000	3,265
2	7589	4	0,000	-4,440	-2,572	-2,572	0,000	6,564	0,000	6,564	3,602	0,000	3,640
2	7588	5	0,000	-4,500	-2,827	-2,827	0,000	7,216	0,000	7,216	4,016	0,000	4,053
Plate_1_6	7659	1	3,000	-4,000	-24,817	-28,686	2,845	4,892	-4,860	5,007	-8,701	-10,160	8,555
Element 15-26 (Plate)	7643	2	3,000	-4,176	-26,689	-30,558	2,912	8,021	-5,072	8,021	-7,557	-9,186	7,680
(Micropali D168.3x8,0mm/0,4)	7642	3	3,000	-4,353	-28,631	-32,399	3,016	10,867	-5,201	11,110	-5,890	-7,661	6,771
2	7641	4	3,000	-4,529	-30,764	-34,304	3,177	13,551	-5,167	14,329	-3,733	-5,560	5,855
2	7640	5	3,000	-4,705	-33,209	-36,372	3,413	16,194	-4,890	17,672	-1,113	-2,860	5,198
Plate_1_6	7640	1	3,000	-4,705	-33,259	-36,469	3,443	16,437	-4,864	17,870	-1,113	-2,860	5,198
Element 15-27 (Plate)	7507	2	3,000	-4,808	-34,779	-37,762	3,692	18,066	-4,520	20,001	0,664	-0,960	5,066
(Micropali D168.3x8,0mm/0,4)	7506	3	3,000	-4,912	-36,214	-39,075	4,003	19,880	-4,139	22,184	2,620	0,000	5,416
2	7505	4	3,000	-5,015	-37,636	-40,431	4,368	21,830	-3,728	24,411	4,769	0,000	6,379
2	7504	5	3,000	-5,118	-39,119	-41,854	4,784	23,870	-3,293	26,699	7,124	0,000	7,941
Plate_1_6	7504	1	3,000	-5,118	-39,127	-41,848	4,783	23,836	-3,303	26,673	7,124	0,000	7,941
Element 15-28 (Plate)	7235	2	3,000	-5,178	-40,119	-42,715	5,044	24,916	-3,058	28,129	8,594	0,000	9,061
(Micropali D168.3x8,0mm/0,4)	7236	3	3,000	-5,238	-41,153	-43,596	5,317	25,963	-2,828	29,656	10,129	0,000	10,479
2	7237	4	3,000	-5,299	-42,218	-44,483	5,603	26,965	-2,614	31,192	11,725	0,000	12,004
2	7234	5	3,000	-5,359	-43,306	-45,368	5,900	27,910	-2,418	32,725	13,379	0,000	13,869
Plate_1_6	7234	1	3,000	-5,359	-43,293	-45,360	5,898	27,905	-2,423	32,710	13,379	0,000	13,869

Structural element	Node	Local number	X [m]	Y [m]	N [kN/m]	N_{min} [kN/m]	N_{max} [kN/m]	Q [kN/m]	Q_{min} [kN/m]	Q_{max} [kN/m]	M [kN m/m]	M_{min} [kN m/m]	M_{max} [kN m/m]
Element 15-29 (Plate)	7077	2	3,000	-5,394	-43,965	-45,833	6,083	28,237	-2,324	33,529	14,368	0,000	15,005
(Micropali D168.3x8,0mm/0,4)	7078	3	3,000	-5,429	-44,529	-46,313	6,265	28,786	-2,244	34,362	15,374	0,000	16,167
2m	7079	4	3,000	-5,465	-44,995	-46,799	6,442	29,520	-2,185	35,204	16,401	0,000	17,358
2m	7076	5	3,000	-5,500	-45,375	-47,288	6,611	30,411	-2,149	36,050	17,457	0,000	18,579
Plate_2_9	7588	1	0,000	-4,500	-2,790	-2,790	0,000	7,121	0,000	7,121	4,016	0,000	4,053
Element 16-30 (Plate)	7540	2	0,000	-4,650	-3,488	-3,488	0,000	8,910	0,000	8,910	5,223	0,000	5,257
(Parete c.a.C32/40 sp.0.50m)	7539	3	0,000	-4,800	-4,072	-4,072	0,000	10,403	0,000	10,403	6,674	0,000	6,704
2m	7538	4	0,000	-4,950	-4,572	-4,572	0,000	11,683	0,000	11,683	8,334	0,000	8,361
2m	7534	5	0,000	-5,100	-5,022	-5,022	0,000	12,835	0,000	12,835	10,173	0,000	10,196
Plate_3_1	7534	1	0,000	-5,100	-9,191	-9,191	0,000	11,584	-0,001	11,584	10,173	0,000	10,196
Element 17-31 (Plate)	7197	2	0,000	-5,200	-9,458	-9,458	0,000	12,046	-0,001	12,046	11,352	0,000	11,373
(Micropali D168.3x8,0mm/0,4)	7196	3	0,000	-5,300	-9,890	-9,890	0,000	12,794	-0,001	12,794	12,592	0,000	12,610
2m	7195	4	0,000	-5,400	-10,490	-10,490	0,000	13,833	-0,001	13,833	13,921	0,000	13,937
2m	7194	5	0,000	-5,500	-11,261	-11,261	0,000	15,169	-0,001	15,169	15,368	0,000	15,382
Plate_1_7	7076	1	3,000	-5,500	-45,308	-47,222	6,610	30,300	-2,154	35,936	17,457	0,000	18,579
Element 18-32 (Plate)	6660	2	3,000	-5,513	-45,340	-47,057	6,666	30,398	-2,152	35,650	17,837	0,000	19,015
(Micropali D168.3x8,0mm/0,4)	6661	3	3,000	-5,525	-45,351	-46,873	6,722	30,449	-2,159	35,330	18,217	0,000	19,448
2m	6662	4	3,000	-5,537	-45,328	-46,658	6,777	30,433	-2,175	34,958	18,598	0,000	19,878
2m	6659	5	3,000	-5,550	-45,261	-46,401	6,830	30,333	-2,201	34,513	18,978	0,000	20,304
Plate_3_2	7194	1	0,000	-5,500	-11,167	-11,167	0,007	15,091	0,000	15,091	15,368	0,000	15,382
Element 19-33 (Plate)	6712	2	0,000	-5,601	-10,716	-10,716	0,012	11,751	-0,005	11,751	16,734	0,000	16,744
(Micropali D168.3x8,0mm/0,4)	6711	3	0,000	-5,703	-10,192	-10,192	0,015	8,051	-0,015	8,051	17,735	-0,001	17,743
2m	6710	4	0,000	-5,804	-9,472	-9,472	0,016	4,348	-0,053	4,348	18,365	-0,002	18,370
2m	6709	5	0,000	-5,905	-8,428	-8,428	0,018	0,997	-1,350	0,997	18,630	-0,003	18,632
Plate_3_3	6709	1	0,000	-5,905	-8,375	-8,375	0,015	0,749	-1,654	0,749	18,630	-0,003	18,632
Element 20-34 (Plate)	6250	2	0,000	-5,929	-8,002	-8,002	0,016	-0,321	-2,307	0,008	18,635	-0,003	18,637
(Micropali D168.3x8,0mm/0,4)	6249	3	0,000	-5,953	-7,612	-7,612	0,016	-1,397	-2,942	0,008	18,615	-0,003	18,616
2m	6248	4	0,000	-5,976	-7,212	-7,212	0,016	-2,469	-3,551	0,008	18,569	-0,002	18,570
2m	6247	5	0,000	-6,000	-6,803	-6,803	0,016	-3,527	-4,177	0,008	18,498	-0,002	18,498
Plate_3_4	6247	1	0,000	-6,000	-6,816	-6,816	0,017	-3,464	-4,169	0,008	18,498	-0,002	18,498
Element 21-35 (Plate)	5672	2	0,000	-6,033	-6,207	-6,207	0,017	-5,090	-5,113	0,007	18,355	-0,002	18,356
(Micropali D168.3x8,0mm/0,4)	5671	3	0,000	-6,066	-5,658	-5,658	0,018	-6,595	-6,618	0,006	18,161	-0,002	18,161
2m	5670	4	0,000	-6,100	-5,176	-5,176	0,018	-7,963	-7,984	0,005	17,919	-0,002	17,919
2m	5669	5	0,000	-6,133	-4,764	-4,780	0,019	-9,177	-9,195	0,004	17,633	-0,002	17,633
Plate_3_4	5669	1	0,000	-6,133	-4,761	-4,772	0,019	-9,186	-9,204	0,004	17,633	-0,002	17,633
Element 21-36 (Plate)	5616	2	0,000	-6,181	-4,331	-4,393	0,020	-10,579	-10,594	0,003	17,159	-0,003	17,159
(Micropali D168.3x8,0mm/0,4)	5615	3	0,000	-6,229	-4,031	-4,136	0,021	-11,702	-11,715	0,002	16,623	-0,003	16,623
2m	5614	4	0,000	-6,277	-3,857	-3,997	0,021	-12,565	-12,576	0,001	16,041	-0,003	16,041
2m	5613	5	0,000	-6,325	-3,805	-3,972	0,022	-13,178	-13,186	0,001	15,423	-0,003	15,423
Plate_3_4	5613	1	0,000	-6,325	-3,788	-3,957	0,022	-13,218	-13,227	0,001	15,423	-0,003	15,423
Element 21-37 (Plate)	5560	2	0,000	-6,394	-3,889	-4,313	0,023	-13,768	-13,775	0,000	14,489	-0,003	14,489
(Micropali D168.3x8,0mm/0,4)	5559	3	0,000	-6,463	-4,141	-4,936	0,025	-14,049	-14,053	0,000	13,526	-0,003	13,526
2m	5558	4	0,000	-6,532	-4,534	-5,627	0,026	-14,074	-14,076	0,000	12,552	-0,004	12,552
2m	5557	5	0,000	-6,601	-5,060	-6,380	0,027	-13,858	-13,859	0,001	11,585	-0,004	11,585
Plate_3_4	5557	1	0,000	-6,601	-5,029	-6,357	0,027	-13,911	-13,912	0,001	11,585	-0,004	11,585
Element 21-38 (Plate)	4826	2	0,000	-6,701	-5,942	-7,330	0,028	-13,323	-13,323	0,002	10,226	-0,003	10,226
(Micropali D168.3x8,0mm/0,4)	4825	3	0,000	-6,801	-6,921	-8,265	0,030	-12,568	-12,568	0,003	8,934	-0,003	8,934
2m	4824	4	0,000	-6,900	-7,951	-9,223	0,031	-11,666	-11,666	0,004	7,724	-0,003	7,724
2m	4823	5	0,000	-7,000	-9,016	-10,201	0,032	-10,636	-10,636	0,004	6,612	-0,002	6,612

Structural element	Node	Local number	X [m]	Y [m]	N [kN/m]	N_{min} [kN/m]	N_{max} [kN/m]	Q [kN/m]	Q_{min} [kN/m]	Q_{max} [kN/m]	M [kN m/m]	M_{min} [kN m/m]	M_{max} [kN m/m]
Plate_1_8	6659	1	3,000	-5,550	-45,068	-46,207	6,830	30,002	-2,202	34,175	18,978	0,000	20,304
Element 22-39 (Plate)	6272	2	3,000	-5,587	-42,975	-43,569	6,981	26,412	-2,296	29,610	20,010	0,000	21,453
(Micropali D168.3x8,0mm/0,4)	6273	3	3,000	-5,623	-40,871	-40,932	7,124	22,685	-2,367	25,041	20,910	0,000	22,444
점	6274	4	3,000	-5,660	-38,717	-38,717	7,260	18,757	-2,417	20,397	21,669	0,000	23,271
점	6271	5	3,000	-5,696	-36,477	-36,477	7,388	14,563	-2,445	15,645	22,280	0,000	23,930
Plate_1_8	6271	1	3,000	-5,696	-36,531	-36,531	7,389	14,579	-2,448	15,652	22,280	0,000	23,930
Element 22-40 (Plate)	5650	2	3,000	-5,738	-34,327	-34,327	7,527	9,974	-3,242	10,567	22,794	0,000	24,478
(Micropali D168.3x8,0mm/0,4)	5651	3	3,000	-5,780	-32,306	-32,306	7,658	5,657	-4,976	5,858	23,121	0,000	24,821
점	5652	4	3,000	-5,822	-30,472	-30,472	7,780	1,636	-6,841	1,725	23,273	0,000	24,973
점	5649	5	3,000	-5,864	-28,832	-28,832	7,893	-2,081	-8,638	0,000	23,262	0,000	24,948
Plate_1_8	5649	1	3,000	-5,864	-28,823	-28,823	7,893	-2,080	-8,693	0,000	23,262	0,000	24,948
Element 22-41 (Plate)	4942	2	3,000	-5,912	-27,253	-27,253	8,014	-5,798	-10,554	0,000	23,071	0,000	24,727
(Micropali D168.3x8,0mm/0,4)	4943	3	3,000	-5,960	-26,000	-26,000	8,124	-8,932	-12,595	0,000	22,714	0,000	24,328
점	4944	4	3,000	-6,008	-25,058	-25,058	8,225	-11,492	-14,229	0,000	22,221	0,000	23,783
점	4941	5	3,000	-6,056	-24,417	-24,417	8,317	-13,486	-15,589	0,000	21,619	0,000	23,120
Plate_1_8	4941	1	3,000	-6,056	-24,371	-24,371	8,317	-13,546	-15,650	0,000	21,619	0,000	23,120
Element 22-42 (Plate)	4912	2	3,000	-6,112	-23,921	-23,921	8,411	-15,291	-17,084	0,000	20,823	0,000	22,248
(Micropali D168.3x8,0mm/0,4)	4913	3	3,000	-6,167	-23,671	-23,671	8,494	-16,607	-18,383	0,000	19,943	0,000	21,284
점	4914	4	3,000	-6,222	-23,595	-23,595	8,566	-17,511	-19,327	0,000	19,001	0,000	20,256
점	4911	5	3,000	-6,277	-23,663	-23,663	8,628	-18,021	-19,850	0,000	18,021	0,000	19,186
Plate_1_8	4911	1	3,000	-6,277	-23,635	-23,635	8,628	-18,073	-19,906	0,000	18,021	0,000	19,186
Element 22-43 (Plate)	4876	2	3,000	-6,340	-23,791	-23,791	8,687	-18,320	-20,142	0,000	16,872	0,000	17,931
(Micropali D168.3x8,0mm/0,4)	4877	3	3,000	-6,403	-24,011	-24,011	8,733	-18,318	-20,111	0,000	15,715	0,000	16,668
점	4878	4	3,000	-6,466	-24,288	-24,288	8,768	-18,081	-19,827	0,000	14,565	0,000	15,413
점	4875	5	3,000	-6,529	-24,617	-24,617	8,792	-17,623	-19,306	0,000	13,438	0,000	14,183
Plate_1_8	4875	1	3,000	-6,529	-24,604	-24,604	8,792	-17,659	-19,345	0,000	13,438	0,000	14,183
Element 22-44 (Plate)	4260	2	3,000	-6,601	-25,004	-25,004	8,806	-16,973	-18,574	0,000	12,185	-0,014	12,815
(Micropali D168.3x8,0mm/0,4)	4261	3	3,000	-6,674	-25,403	-25,403	8,807	-16,185	-17,704	0,000	10,986	-0,104	11,505
점	4262	4	3,000	-6,746	-25,796	-25,796	8,795	-15,306	-16,736	0,000	9,847	-0,187	10,261
점	4259	5	3,000	-6,818	-26,178	-26,178	8,771	-14,345	-15,692	0,000	8,775	-0,261	9,089
Plate_1_8	4259	1	3,000	-6,818	-26,170	-26,170	8,771	-14,367	-15,716	0,000	8,775	-0,261	9,089
Element 22-45 (Plate)	4246	2	3,000	-6,901	-26,569	-26,569	8,729	-13,238	-14,489	0,000	7,632	-0,337	7,838
(Micropali D168.3x8,0mm/0,4)	4247	3	3,000	-6,984	-26,910	-26,910	8,672	-12,118	-13,269	0,000	6,582	-0,403	6,694
점	4248	4	3,000	-7,067	-27,190	-27,190	8,602	-11,012	-12,063	0,000	5,624	-0,460	5,668
점	4245	5	3,000	-7,150	-27,408	-27,408	8,517	-9,928	-10,877	0,000	4,757	-0,507	4,767
Plate_1_8	4245	1	3,000	-7,150	-27,404	-27,404	8,517	-9,937	-10,887	0,000	4,757	-0,507	4,767
Element 22-46 (Plate)	3594	2	3,000	-7,245	-27,563	-27,563	8,404	-8,758	-9,594	0,000	3,871	-0,551	3,876
(Micropali D168.3x8,0mm/0,4)	3595	3	3,000	-7,339	-27,617	-27,617	8,273	-7,657	-8,381	0,000	3,092	-0,585	3,095
점	3596	4	3,000	-7,434	-27,569	-27,569	8,125	-6,635	-7,251	0,000	2,414	-0,608	2,416
점	3593	5	3,000	-7,529	-27,415	-27,415	7,961	-5,696	-6,207	0,000	1,830	-0,640	1,832
Plate_1_8	3593	1	3,000	-7,529	-27,414	-27,414	7,961	-5,694	-6,205	0,000	1,830	-0,640	1,832
Element 22-47 (Plate)	3554	2	3,000	-7,638	-27,106	-27,106	7,751	-4,725	-5,121	0,001	1,265	-0,689	1,266
(Micropali D168.3x8,0mm/0,4)	3555	3	3,000	-7,747	-26,657	-26,657	7,519	-3,856	-4,142	0,097	0,799	-0,735	0,800
점	3556	4	3,000	-7,855	-26,069	-26,069	7,264	-3,087	-3,266	0,188	0,422	-0,780	0,423
점	3553	5	3,000	-7,964	-25,342	-25,342	6,986	-2,414	-2,503	0,273	0,124	-0,828	0,125
Plate_1_8	3553	1	3,000	-7,964	-25,341	-25,341	6,985	-2,405	-2,494	0,272	0,124	-0,828	0,125
Element 22-48 (Plate)	3470	2	3,000	-8,089	-24,340	-24,340	6,637	-1,734	-1,747	0,366	-0,133	-0,876	0,000
(Micropali D168.3x8,0mm/0,4)	3471	3	3,000	-8,213	-23,154	-23,154	6,254	-1,143	-1,144	0,454	-0,311	-0,957	0,000
점	3472	4	3,000	-8,338	-21,782	-21,782	5,836	-0,628	-0,629	0,587	-0,421	-0,994	0,000

Structural element	Node	Local number	X [m]	Y [m]	N [kN/m]	N_{min} [kN/m]	N_{max} [kN/m]	Q [kN/m]	Q_{min} [kN/m]	Q_{max} [kN/m]	M [kN m/m]	M_{min} [kN m/m]	M_{max} [kN m/m]
쫌	3469	5	3,000	-8,463	-20,225	-20,225	5,384	-0,185	-0,186	0,752	-0,471	-0,976	0,000
Plate_1_8	3469	1	3,000	-8,463	-20,199	-20,199	5,381	-0,187	-0,187	0,736	-0,471	-0,976	0,000
Element 22-49 (Plate)	3374	2	3,000	-8,605	-18,192	-18,192	4,816	0,271	0,000	1,006	-0,464	-0,878	0,000
(Micropali D168.3x8,0mm/0,4)	3375	3	3,000	-8,748	-15,839	-15,839	4,190	0,655	0,000	1,406	-0,397	-0,707	0,016
쫌	3376	4	3,000	-8,891	-13,110	-13,110	3,503	0,943	0,000	1,695	-0,282	-0,490	0,035
쫌	3373	5	3,000	-9,033	-9,976	-9,976	2,753	1,111	0,000	1,796	-0,133	-0,251	0,050
Plate_3_5	4823	1	0,000	-7,000	-8,991	-10,196	0,032	-10,675	-10,675	0,004	6,612	-0,002	6,612
Element 23-50 (Plate)	4218	2	0,000	-7,119	-10,203	-11,344	0,034	-9,420	-9,420	0,005	5,415	-0,002	5,415
(Micropali D168.3x8,0mm/0,4)	4217	3	0,000	-7,238	-11,317	-12,471	0,035	-8,208	-8,208	0,005	4,365	-0,001	4,365
쫌	4216	4	0,000	-7,358	-12,331	-13,493	0,036	-7,051	-7,051	0,005	3,455	-0,001	3,455
쫌	4215	5	0,000	-7,477	-13,244	-14,408	0,036	-5,960	-5,960	0,005	2,681	-0,001	2,681
Plate_3_5	4215	1	0,000	-7,477	-13,245	-14,412	0,036	-5,969	-5,969	0,005	2,681	-0,001	2,681
Element 23-51 (Plate)	3948	2	0,000	-7,604	-14,092	-15,268	0,037	-4,930	-4,930	0,004	1,989	-0,001	1,989
(Micropali D168.3x8,0mm/0,4)	3947	3	0,000	-7,731	-14,836	-16,031	0,038	-4,010	-4,010	0,004	1,421	-0,022	1,421
쫌	3946	4	0,000	-7,859	-15,482	-16,704	0,038	-3,210	-3,210	0,003	0,962	-0,059	0,962
쫌	3945	5	0,000	-7,986	-16,033	-17,292	0,039	-2,527	-2,527	0,003	0,599	-0,108	0,599
Plate_3_5	3945	1	0,000	-7,986	-16,042	-17,301	0,039	-2,518	-2,518	0,003	0,599	-0,108	0,599
Element 23-52 (Plate)	3400	2	0,000	-8,122	-16,550	-17,860	0,039	-1,906	-1,906	0,002	0,299	-0,147	0,299
(Micropali D168.3x8,0mm/0,4)	3399	3	0,000	-8,258	-16,999	-18,368	0,039	-1,381	-1,381	0,001	0,077	-0,179	0,077
쫌	3398	4	0,000	-8,394	-17,392	-18,832	0,040	-0,938	-0,938	0,001	-0,080	-0,212	0,003
쫌	3397	5	0,000	-8,530	-17,733	-19,254	0,040	-0,573	-0,573	0,024	-0,182	-0,230	0,003
Plate_3_5	3397	1	0,000	-8,530	-17,740	-19,257	0,040	-0,562	-0,562	0,024	-0,182	-0,230	0,003
Element 23-53 (Plate)	3352	2	0,000	-8,675	-18,072	-19,668	0,040	-0,223	-0,223	0,108	-0,239	-0,239	0,003
(Micropali D168.3x8,0mm/0,4)	3351	3	0,000	-8,820	-18,382	-20,018	0,040	0,083	-0,001	0,204	-0,248	-0,249	0,003
쫌	3350	4	0,000	-8,965	-18,673	-20,310	0,040	0,359	-0,001	0,360	-0,216	-0,216	0,002
쫌	3349	5	0,000	-9,110	-18,947	-20,551	0,040	0,606	-0,001	0,607	-0,146	-0,146	0,002
Plate_3_5	3349	1	0,000	-9,110	-18,932	-20,549	0,040	0,583	-0,001	0,583	-0,146	-0,146	0,002
Element 23-54 (Plate)	3286	2	0,000	-9,265	-19,234	-20,731	0,039	0,854	-0,001	0,854	-0,033	-0,038	0,002
(Micropali D168.3x8,0mm/0,4)	3285	3	0,000	-9,420	-19,472	-20,879	0,039	1,013	-0,002	1,014	0,114	0,000	0,116
쫌	3284	4	0,000	-9,575	-19,637	-20,975	0,039	1,027	-0,002	1,028	0,273	0,000	0,273
쫌	3283	5	0,000	-9,730	-19,723	-21,002	0,038	0,861	-0,001	0,862	0,422	0,000	0,422
Plate_1_9	3373	1	3,000	-9,033	-9,984	-9,984	2,746	1,049	0,000	1,747	-0,133	-0,251	0,050
Element 24-55 (Plate)	3262	2	3,000	-9,150	-7,330	-7,330	2,081	0,505	-0,109	0,917	-0,044	-0,107	0,047
(Micropali D168.3x8,0mm/0,4)	3261	3	3,000	-9,267	-4,641	-4,641	1,372	0,147	-0,181	0,396	-0,008	-0,034	0,029
쫌	3260	4	3,000	-9,383	-1,912	-1,912	0,605	-0,003	-0,162	0,102	-0,002	-0,006	0,011
쫌	3259	5	3,000	-9,500	0,859	-0,221	0,859	0,077	-0,014	0,077	0,000	0,000	0,000
Plate_3_6	3283	1	0,000	-9,730	-19,752	-21,003	0,038	0,723	-0,002	0,724	0,422	0,000	0,422
Element 25-56 (Plate)	3117	2	0,000	-9,886	-20,102	-21,001	0,038	0,235	-0,002	0,236	0,495	0,000	0,495
(Micropali D168.3x8,0mm/0,4)	3116	3	0,000	-10,043	-20,361	-20,946	0,037	-0,093	-0,094	0,000	0,504	0,000	0,504
쫌	3115	4	0,000	-10,199	-20,529	-20,872	0,037	-0,277	-0,277	0,000	0,473	0,000	0,473
쫌	3114	5	0,000	-10,356	-20,608	-20,781	0,036	-0,330	-0,330	0,000	0,424	0,000	0,424
Plate_3_6	3114	1	0,000	-10,356	-20,610	-20,782	0,036	-0,355	-0,355	0,000	0,424	0,000	0,424
Element 25-57 (Plate)	3035	2	0,000	-10,520	-20,603	-20,728	0,035	-0,365	-0,365	0,000	0,365	0,000	0,365
(Micropali D168.3x8,0mm/0,4)	3034	3	0,000	-10,685	-20,506	-20,605	0,035	-0,350	-0,350	0,000	0,306	0,000	0,306
쫌	3033	4	0,000	-10,850	-20,320	-20,396	0,034	-0,314	-0,314	0,000	0,251	0,000	0,251
쫌	3032	5	0,000	-11,014	-20,046	-20,101	0,033	-0,262	-0,262	0,000	0,203	0,000	0,203
Plate_3_6	3032	1	0,000	-11,014	-20,047	-20,102	0,033	-0,267	-0,267	0,000	0,203	0,000	0,203
Element 25-58 (Plate)	2481	2	0,000	-11,187	-19,667	-19,702	0,032	-0,216	-0,216	0,000	0,162	0,000	0,162
(Micropali D168.3x8,0mm/0,4)	2480	3	0,000	-11,360	-19,192	-19,214	0,030	-0,171	-0,171	0,000	0,128	0,000	0,128

Structural element	Node	Local number	X [m]	Y [m]	N [kN/m]	N_{min} [kN/m]	N_{max} [kN/m]	Q [kN/m]	Q_{min} [kN/m]	Q_{max} [kN/m]	M [kN m/m]	M_{min} [kN m/m]	M_{max} [kN m/m]
점	2479	4	0,000	-11,533	-18,624	-18,635	0,029	-0,133	-0,133	0,000	0,102	0,000	0,102
점	2478	5	0,000	-11,706	-17,963	-17,967	0,028	-0,101	-0,101	0,000	0,082	0,000	0,082
Plate_3_6	2478	1	0,000	-11,706	-17,962	-17,966	0,028	-0,101	-0,101	0,000	0,082	0,000	0,082
Element 25-59 (Plate)	2309	2	0,000	-11,888	-17,168	-17,171	0,026	-0,076	-0,076	0,000	0,066	0,000	0,066
(Micropali D168.3x8,0mm/0,4)	2308	3	0,000	-12,069	-16,267	-16,270	0,024	-0,057	-0,057	0,000	0,054	0,000	0,054
점	2307	4	0,000	-12,251	-15,261	-15,264	0,023	-0,044	-0,044	0,000	0,045	0,000	0,045
점	2306	5	0,000	-12,433	-14,149	-14,152	0,021	-0,035	-0,035	0,000	0,038	0,000	0,038
Plate_3_6	2306	1	0,000	-12,433	-14,145	-14,148	0,021	-0,034	-0,034	0,000	0,038	0,000	0,038
Element 25-60 (Plate)	1871	2	0,000	-12,624	-12,860	-12,862	0,019	-0,027	-0,027	0,000	0,032	0,000	0,032
(Micropali D168.3x8,0mm/0,4)	1870	3	0,000	-12,815	-11,441	-11,443	0,016	-0,022	-0,022	0,000	0,027	0,000	0,027
점	1869	4	0,000	-13,006	-9,890	-9,892	0,014	-0,019	-0,019	0,000	0,023	0,000	0,023
점	1868	5	0,000	-13,197	-8,204	-8,206	0,012	-0,018	-0,018	0,000	0,020	0,000	0,020
Plate_3_6	1868	1	0,000	-13,197	-8,188	-8,190	0,012	-0,017	-0,017	0,000	0,020	0,000	0,020
Element 25-61 (Plate)	1171	2	0,000	-13,398	-6,264	-6,265	0,009	-0,006	-0,006	0,000	0,018	0,000	0,018
(Micropali D168.3x8,0mm/0,4)	1170	3	0,000	-13,598	-4,128	-4,128	0,006	-0,023	-0,023	0,000	0,015	0,000	0,015
점	1169	4	0,000	-13,799	-1,771	-1,771	0,002	-0,042	-0,042	0,000	0,009	0,000	0,009
점	1168	5	0,000	-14,000	0,816	-0,001	0,816	-0,039	-0,039	0,000	0,000	0,000	0,000

3.1.2.4.14 Calculation results, Plate, Riempimento 3 [Phase_13] (13/678), Table of plate force envelopes

Structural element	Node	Local number	X [m]	Y [m]	N [kN/m]	N_{min} [kN/m]	N_{max} [kN/m]	Q [kN/m]	Q_{min} [kN/m]	Q_{max} [kN/m]	M [kN m/m]	M_{min} [kN m/m]	M_{max} [kN m/m]
Plate_2_1	9176	1	0,000	0,000	0,000	0,000	0,000	0,000	0,000	0,000	0,000	0,000	0,000
Element 1-1 (Plate)	9173	2	0,000	-0,034	0,000	0,000	0,000	0,000	0,000	0,000	0,000	0,000	0,000
(Parete c.a.C32/40 sp.0.50m)	9174	3	0,000	-0,067	0,000	0,000	0,000	0,000	0,000	0,000	0,000	0,000	0,000
2m	9175	4	0,000	-0,101	0,000	0,000	0,000	0,000	0,000	0,000	0,000	0,000	0,000
2m	9165	5	0,000	-0,135	0,000	0,000	0,000	0,000	0,000	0,000	0,000	0,000	0,000
Plate_2_1	9165	1	0,000	-0,135	0,000	0,000	0,000	0,000	0,000	0,000	0,000	0,000	0,000
Element 1-2 (Plate)	9164	2	0,000	-0,168	0,000	0,000	0,000	0,000	0,000	0,000	0,000	0,000	0,000
(Parete c.a.C32/40 sp.0.50m)	9163	3	0,000	-0,202	0,000	0,000	0,000	0,000	0,000	0,000	0,000	0,000	0,000
2m	9162	4	0,000	-0,235	0,000	0,000	0,000	0,000	0,000	0,000	0,000	0,000	0,000
2m	9166	5	0,000	-0,268	0,000	0,000	0,000	0,000	0,000	0,000	0,000	0,000	0,000
Plate_2_1	9166	1	0,000	-0,268	0,000	0,000	0,000	0,000	0,000	0,000	0,000	0,000	0,000
Element 1-3 (Plate)	9161	2	0,000	-0,301	0,000	0,000	0,000	0,000	0,000	0,000	0,000	0,000	0,000
(Parete c.a.C32/40 sp.0.50m)	9160	3	0,000	-0,334	0,000	0,000	0,000	0,000	0,000	0,000	0,000	0,000	0,000
2m	9159	4	0,000	-0,367	0,000	0,000	0,000	0,000	0,000	0,000	0,000	0,000	0,000
2m	9158	5	0,000	-0,400	0,000	0,000	0,000	0,000	0,000	0,000	0,000	0,000	0,000
Plate_4_1	7845	1	3,000	0,000	-0,058	-0,058	0,011	-0,092	-0,092	0,068	0,000	0,000	0,000
Element 2-4 (Plate)	7844	2	3,000	-0,125	0,084	-0,040	0,084	0,202	-0,032	0,202	0,006	-0,003	0,006
(Micropali D168.3x8,0mm/0,4)	7843	3	3,000	-0,250	0,123	-0,166	0,123	0,508	0,000	0,508	0,052	0,000	0,052
2m	7842	4	3,000	-0,375	0,156	-0,317	0,156	0,754	0,000	0,754	0,131	0,000	0,131
2m	7918	5	3,000	-0,500	0,282	-0,315	0,282	0,874	0,000	0,874	0,234	0,000	0,234
Plate_2_2	9158	1	0,000	-0,400	0,000	0,000	0,000	0,000	0,000	0,000	0,000	0,000	0,000
Element 3-5 (Plate)	9131	2	0,000	-0,425	0,000	0,000	0,000	0,000	0,000	0,000	0,000	0,000	0,000
(Parete c.a.C32/40 sp.0.50m)	9130	3	0,000	-0,450	0,000	0,000	0,000	0,000	0,000	0,000	0,000	0,000	0,000
2m	9129	4	0,000	-0,475	0,000	0,000	0,000	0,000	0,000	0,000	0,000	0,000	0,000
2m	9125	5	0,000	-0,500	0,000	0,000	0,000	0,000	0,000	0,000	0,000	0,000	0,000
Plate_2_3	9125	1	0,000	-0,500	0,000	0,000	0,000	0,000	0,000	0,000	0,000	0,000	0,000
Element 4-6 (Plate)	9121	2	0,000	-0,537	0,000	0,000	0,000	0,000	0,000	0,000	0,000	0,000	0,000
(Parete c.a.C32/40 sp.0.50m)	9120	3	0,000	-0,573	0,000	0,000	0,000	0,000	0,000	0,000	0,000	0,000	0,000
2m	9119	4	0,000	-0,610	0,000	0,000	0,000	0,000	0,000	0,000	0,000	0,000	0,000
2m	9115	5	0,000	-0,646	0,000	0,000	0,000	0,000	0,000	0,000	0,000	0,000	0,000
Plate_2_3	9115	1	0,000	-0,646	0,000	0,000	0,000	0,000	0,000	0,000	0,000	0,000	0,000
Element 4-7 (Plate)	9025	2	0,000	-0,688	0,000	0,000	0,000	0,000	0,000	0,000	0,000	0,000	0,000
(Parete c.a.C32/40 sp.0.50m)	9024	3	0,000	-0,729	0,000	0,000	0,000	0,000	0,000	0,000	0,000	0,000	0,000
2m	9023	4	0,000	-0,771	0,000	0,000	0,000	0,000	0,000	0,000	0,000	0,000	0,000
2m	9019	5	0,000	-0,812	0,000	0,000	0,000	0,000	0,000	0,000	0,000	0,000	0,000
Plate_2_3	9019	1	0,000	-0,812	0,000	0,000	0,000	0,000	0,000	0,000	0,000	0,000	0,000
Element 4-8 (Plate)	8963	2	0,000	-0,859	0,000	0,000	0,000	0,000	0,000	0,000	0,000	0,000	0,000
(Parete c.a.C32/40 sp.0.50m)	8962	3	0,000	-0,906	0,000	0,000	0,000	0,000	0,000	0,000	0,000	0,000	0,000
2m	8961	4	0,000	-0,953	0,000	0,000	0,000	0,000	0,000	0,000	0,000	0,000	0,000
2m	8957	5	0,000	-1,000	0,000	0,000	0,000	0,000	0,000	0,000	0,000	0,000	0,000
Plate_1_1	7918	1	3,000	-0,500	0,241	-0,339	0,241	0,943	0,000	0,943	0,234	0,000	0,234
Element 5-9 (Plate)	7921	2	3,000	-0,625	0,266	-0,592	0,266	1,181	-0,004	1,181	0,363	0,000	0,363
(Micropali D168.3x8,0mm/0,4)	7920	3	3,000	-0,750	0,078	-1,089	0,078	1,763	-0,093	1,856	0,544	0,000	0,544

Structural element	Node	Local number	X [m]	Y [m]	N [kN/m]	N_{min} [kN/m]	N_{max} [kN/m]	Q [kN/m]	Q_{min} [kN/m]	Q_{max} [kN/m]	M [kN m/m]	M_{min} [kN m/m]	M_{max} [kN m/m]
점	7919	4	3,000	-0,875	-0,287	-1,770	0,000	2,652	-0,174	3,031	0,817	-0,003	0,817
점	7941	5	3,000	-1,000	-0,799	-2,599	0,000	3,808	-0,187	4,481	1,218	-0,017	1,219
Plate_1_2	7941	1	3,000	-1,000	-0,722	-2,526	0,000	3,686	-0,196	4,358	1,218	-0,017	1,219
Element 6-10 (Plate)	7940	2	3,000	-1,050	-0,897	-2,801	0,000	4,008	-0,204	4,851	1,409	-0,025	1,415
(Micropali D168.3x8,0mm/0,4)	7939	3	3,000	-1,099	-1,109	-3,102	0,000	4,319	-0,216	5,377	1,616	-0,035	1,662
점	7938	4	3,000	-1,149	-1,299	-3,379	0,000	4,532	-0,239	5,843	1,836	-0,044	1,932
점	7937	5	3,000	-1,199	-1,409	-3,582	0,000	4,558	-0,337	6,157	2,063	-0,054	2,222
Plate_2_4	8957	1	0,000	-1,000	0,002	-0,001	0,002	-0,006	-0,006	0,002	0,000	0,000	0,000
Element 7-11 (Plate)	8874	2	0,000	-1,046	-0,006	-0,006	0,000	0,014	0,000	0,014	0,000	0,000	0,000
(Parete c.a.C32/40 sp.0.50m)	8873	3	0,000	-1,092	-0,013	-0,013	0,000	0,033	0,000	0,033	0,001	0,000	0,001
점	8872	4	0,000	-1,138	-0,021	-0,021	0,000	0,052	0,000	0,052	0,003	0,000	0,003
점	8871	5	0,000	-1,184	-0,030	-0,030	0,000	0,074	0,000	0,074	0,006	0,000	0,006
Plate_2_4	8871	1	0,000	-1,184	-0,026	-0,026	0,000	0,064	0,000	0,064	0,006	0,000	0,006
Element 7-12 (Plate)	8828	2	0,000	-1,245	-0,050	-0,050	0,000	0,126	0,000	0,126	0,012	0,000	0,012
(Parete c.a.C32/40 sp.0.50m)	8827	3	0,000	-1,306	-0,079	-0,079	0,000	0,199	0,000	0,199	0,022	0,000	0,022
점	8826	4	0,000	-1,367	-0,112	-0,112	0,000	0,281	0,000	0,281	0,036	0,000	0,036
점	8825	5	0,000	-1,428	-0,147	-0,147	0,000	0,370	0,000	0,370	0,056	0,000	0,056
Plate_2_4	8825	1	0,000	-1,428	-0,148	-0,148	0,000	0,373	0,000	0,373	0,056	0,000	0,056
Element 7-13 (Plate)	8687	2	0,000	-1,508	-0,196	-0,196	0,000	0,495	0,000	0,495	0,091	0,000	0,091
(Parete c.a.C32/40 sp.0.50m)	8686	3	0,000	-1,589	-0,256	-0,256	0,000	0,648	0,000	0,648	0,137	0,000	0,137
점	8685	4	0,000	-1,669	-0,331	-0,331	0,000	0,838	0,000	0,838	0,196	0,000	0,196
점	8684	5	0,000	-1,750	-0,422	-0,422	0,000	1,072	0,000	1,072	0,273	0,000	0,273
Plate_1_3	7937	1	3,000	-1,199	-1,411	-3,530	0,000	4,534	-0,333	6,079	2,063	-0,054	2,222
Element 8-14 (Plate)	7886	2	3,000	-1,270	-1,524	-3,532	0,000	4,339	-0,502	6,079	2,379	-0,071	2,642
(Micropali D168.3x8,0mm/0,4)	7885	3	3,000	-1,341	-1,637	-3,534	0,000	4,142	-0,625	6,079	2,681	-0,087	3,073
점	7884	4	3,000	-1,412	-1,752	-3,536	0,000	3,945	-0,683	6,079	2,969	-0,107	3,504
점	7887	5	3,000	-1,483	-1,867	-3,538	0,000	3,746	-0,699	6,079	3,243	-0,127	3,934
Plate_1_3	7887	1	3,000	-1,483	-1,978	-3,674	0,000	3,976	-0,730	6,301	3,243	-0,127	3,934
Element 8-15 (Plate)	7869	2	3,000	-1,663	-2,061	-3,459	0,000	3,103	-0,774	5,978	3,874	-0,197	5,029
(Micropali D168.3x8,0mm/0,4)	7868	3	3,000	-1,842	-2,430	-3,628	0,000	2,861	-0,769	6,336	4,387	-0,285	6,107
점	7867	4	3,000	-2,021	-3,311	-4,506	0,000	3,731	-0,574	7,963	4,966	-0,369	7,373
점	7866	5	3,000	-2,200	-4,930	-6,423	0,000	6,194	-0,337	11,557	5,824	-0,431	9,064
Plate_2_5	8684	1	0,000	-1,750	-2,606	-2,606	0,000	-13,553	-13,553	0,000	0,273	0,000	0,273
Element 9-16 (Plate)	8674	2	0,000	-1,843	-2,762	-2,762	0,000	-13,154	-13,154	0,000	-0,974	-0,974	0,000
(Parete c.a.C32/40 sp.0.50m)	8673	3	0,000	-1,937	-2,912	-2,912	0,000	-12,771	-12,771	0,000	-2,185	-2,185	0,000
점	8672	4	0,000	-2,030	-3,059	-3,059	0,000	-12,394	-12,394	0,000	-3,360	-3,360	0,000
점	8668	5	0,000	-2,124	-3,207	-3,207	0,000	-12,016	-12,016	0,000	-4,500	-4,500	0,000
Plate_2_5	8668	1	0,000	-2,124	-3,217	-3,217	0,000	-11,990	-11,990	0,000	-4,500	-4,500	0,000
Element 9-17 (Plate)	8487	2	0,000	-2,268	-3,440	-3,440	0,000	-11,421	-11,421	0,000	-6,187	-6,187	0,000
(Parete c.a.C32/40 sp.0.50m)	8486	3	0,000	-2,412	-3,706	-3,706	0,000	-10,741	-10,741	0,000	-7,787	-7,787	0,000
점	8485	4	0,000	-2,556	-4,052	-4,052	0,000	-9,855	-9,855	0,000	-9,273	-9,273	0,000
점	8484	5	0,000	-2,700	-4,517	-4,517	0,000	-8,666	-8,666	0,000	-10,612	-10,612	0,000
Plate_1_4	7866	1	3,000	-2,200	-8,609	-11,869	0,000	-17,721	-25,886	4,798	5,824	-0,431	9,064
Element 10-18 (Plate)	7789	2	3,000	-2,325	-9,856	-13,051	0,000	-16,392	-23,774	5,837	3,687	-0,460	5,957
(Micropali D168.3x8,0mm/0,4)	7788	3	3,000	-2,450	-11,251	-14,394	0,000	-14,671	-21,384	7,359	1,743	-0,484	6,681
점	7787	4	3,000	-2,575	-12,711	-15,818	0,000	-12,682	-18,851	9,237	0,029	-0,498	7,701
점	7786	5	3,000	-2,700	-14,150	-17,246	0,000	-10,549	-16,309	11,347	-1,423	-1,580	8,970
Plate_2_6	8484	1	0,000	-2,700	-4,471	-4,471	0,016	-8,786	-8,786	0,010	-10,612	-10,612	0,000
Element 11-19 (Plate)	8275	2	0,000	-2,836	-4,801	-4,801	0,000	-7,940	-7,940	0,085	-11,753	-11,753	0,004

Structural element	Node	Local number	X [m]	Y [m]	N [kN/m]	N_{min} [kN/m]	N_{max} [kN/m]	Q [kN/m]	Q_{min} [kN/m]	Q_{max} [kN/m]	M [kN m/m]	M_{min} [kN m/m]	M_{max} [kN m/m]
(Parete c.a.C32/40 sp.0.50m)	8274	3	0,000	-2,973	-5,192	-5,192	0,000	-6,941	-6,941	0,199	-12,771	-12,771	0,022
2	8273	4	0,000	-3,109	-5,671	-5,671	0,000	-5,718	-5,718	0,404	-13,636	-13,636	0,059
2	8272	5	0,000	-3,245	-6,264	-6,264	0,000	-4,198	-4,198	0,891	-14,316	-14,316	0,136
Plate_2_6	8272	1	0,000	-3,245	-6,234	-6,234	0,000	-4,276	-4,276	0,820	-14,316	-14,316	0,136
Element 11-20 (Plate)	8129	2	0,000	-3,352	-6,673	-6,673	0,000	-3,153	-3,153	1,084	-14,709	-14,709	0,233
(Parete c.a.C32/40 sp.0.50m)	8128	3	0,000	-3,458	-7,092	-7,092	0,000	-2,082	-2,082	1,318	-14,987	-14,987	0,352
2	8127	4	0,000	-3,564	-7,511	-7,511	0,000	-1,009	-1,009	1,571	-15,151	-15,151	0,504
2	8126	5	0,000	-3,670	-7,950	-7,950	0,000	0,116	0,000	2,096	-15,199	-15,199	0,681
Plate_2_6	8126	1	0,000	-3,670	-7,925	-7,925	0,000	0,050	0,000	2,031	-15,199	-15,199	0,681
Element 11-21 (Plate)	8029	2	0,000	-3,752	-8,385	-8,385	0,000	1,227	0,000	2,470	-15,146	-15,146	0,846
(Parete c.a.C32/40 sp.0.50m)	8028	3	0,000	-3,835	-8,826	-8,826	0,000	2,356	0,000	2,817	-14,998	-14,998	1,049
2	8027	4	0,000	-3,917	-9,254	-9,254	0,000	3,452	0,000	3,452	-14,758	-14,758	1,289
2	8026	5	0,000	-4,000	-9,676	-9,676	0,000	4,532	0,000	4,532	-14,429	-14,429	1,563
Plate_1_5	7786	1	3,000	-2,700	-14,144	-17,222	0,000	-10,629	-16,351	10,045	-1,423	-1,580	8,970
Element 12-22 (Plate)	7619	2	3,000	-2,860	-15,802	-18,551	0,000	-9,155	-13,959	5,684	-3,005	-4,002	10,209
(Micropali D168.3x8,0mm/0,4)	7618	3	3,000	-3,020	-17,349	-19,795	0,000	-7,669	-11,708	2,451	-4,353	-6,057	10,849
2	7617	4	3,000	-3,180	-18,880	-21,025	0,301	-6,091	-9,474	0,458	-5,455	-7,751	11,046
2	7663	5	3,000	-3,340	-20,488	-22,314	1,036	-4,342	-7,204	0,328	-6,293	-9,083	10,949
Plate_1_5	7663	1	3,000	-3,340	-20,488	-22,306	1,097	-4,391	-7,219	0,163	-6,293	-9,083	10,949
Element 12-23 (Plate)	7662	2	3,000	-3,505	-22,155	-23,698	1,760	-2,322	-4,808	0,214	-6,850	-10,057	10,591
(Micropali D168.3x8,0mm/0,4)	7661	3	3,000	-3,670	-24,070	-25,239	2,277	-0,153	-4,214	0,832	-7,053	-10,589	10,029
2	7660	4	3,000	-3,835	-26,282	-26,924	2,621	2,004	-4,601	2,320	-6,901	-10,638	9,328
2	7659	5	3,000	-4,000	-28,839	-28,839	2,780	4,033	-4,803	5,198	-6,400	-10,160	8,555
Plate_2_7	8026	1	0,000	-4,000	-9,670	-9,670	0,001	4,517	-0,003	4,517	-14,429	-14,429	1,563
Element 13-24 (Plate)	7907	2	0,000	-4,065	-9,989	-9,989	0,000	5,333	0,000	5,333	-14,109	-14,109	1,799
(Parete c.a.C32/40 sp.0.50m)	7906	3	0,000	-4,130	-10,305	-10,305	0,000	6,140	0,000	6,140	-13,738	-13,738	2,052
2	7905	4	0,000	-4,194	-10,634	-10,634	0,000	6,984	0,000	6,984	-13,312	-13,312	2,326
2	7904	5	0,000	-4,259	-10,996	-10,996	0,000	7,910	0,000	7,910	-12,831	-12,831	2,622
Plate_2_8	7904	1	0,000	-4,259	-10,991	-10,991	0,000	7,897	0,000	7,897	-12,831	-12,831	2,622
Element 14-25 (Plate)	7591	2	0,000	-4,319	-11,395	-11,395	0,000	8,930	0,000	8,930	-12,325	-12,325	2,926
(Parete c.a.C32/40 sp.0.50m)	7590	3	0,000	-4,380	-11,808	-11,808	0,000	9,987	0,000	9,987	-11,755	-11,755	3,265
2	7589	4	0,000	-4,440	-12,231	-12,231	0,000	11,070	0,000	11,070	-11,121	-11,121	3,640
2	7588	5	0,000	-4,500	-12,665	-12,665	0,000	12,181	0,000	12,181	-10,422	-10,422	4,053
Plate_1_6	7659	1	3,000	-4,000	-28,721	-28,721	2,845	4,006	-4,860	5,007	-6,400	-10,160	8,555
Element 15-26 (Plate)	7643	2	3,000	-4,176	-30,728	-30,728	2,912	7,095	-5,072	8,021	-5,421	-9,186	7,680
(Micropali D168.3x8,0mm/0,4)	7642	3	3,000	-4,353	-32,685	-32,685	3,016	10,041	-5,201	11,110	-3,905	-7,661	6,771
2	7641	4	3,000	-4,529	-34,859	-34,859	3,177	12,705	-5,167	14,329	-1,896	-5,560	5,855
2	7640	5	3,000	-4,705	-37,518	-37,518	3,413	14,951	-4,890	17,672	0,550	-2,860	5,198
Plate_1_6	7640	1	3,000	-4,705	-37,598	-37,598	3,443	15,139	-4,864	17,870	0,550	-2,860	5,198
Element 15-27 (Plate)	7507	2	3,000	-4,808	-39,352	-39,352	3,692	16,305	-4,520	20,001	2,168	-0,960	5,066
(Micropali D168.3x8,0mm/0,4)	7506	3	3,000	-4,912	-40,979	-40,979	4,003	17,694	-4,139	22,184	3,920	0,000	5,416
2	7505	4	3,000	-5,015	-42,536	-42,536	4,368	19,284	-3,728	24,411	5,825	0,000	6,379
2	7504	5	3,000	-5,118	-44,081	-44,081	4,784	21,054	-3,293	26,699	7,903	0,000	7,941
Plate_1_6	7504	1	3,000	-5,118	-44,096	-44,096	4,783	21,009	-3,303	26,673	7,903	0,000	7,941
Element 15-28 (Plate)	7235	2	3,000	-5,178	-44,989	-44,989	5,044	22,150	-3,058	28,129	9,204	0,000	9,204
(Micropali D168.3x8,0mm/0,4)	7236	3	3,000	-5,238	-45,966	-45,966	5,317	23,174	-2,828	29,656	10,572	0,000	10,572
2	7237	4	3,000	-5,299	-47,029	-47,029	5,603	24,049	-2,614	31,192	11,997	0,000	12,004
2	7234	5	3,000	-5,359	-48,181	-48,181	5,900	24,744	-2,418	32,725	13,469	0,000	13,869
Plate_1_6	7234	1	3,000	-5,359	-48,154	-48,154	5,898	24,763	-2,423	32,710	13,469	0,000	13,869

Structural element	Node	Local number	X [m]	Y [m]	N [kN/m]	N_{min} [kN/m]	N_{max} [kN/m]	Q [kN/m]	Q_{min} [kN/m]	Q_{max} [kN/m]	M [kN m/m]	M_{min} [kN m/m]	M_{max} [kN m/m]
Element 15-29 (Plate)	7077	2	3,000	-5,394	-48,905	-48,905	6,083	24,875	-2,324	33,529	14,342	0,000	15,005
(Micropali D168.3x8,0mm/0,4)	7078	3	3,000	-5,429	-49,489	-49,489	6,265	25,301	-2,244	34,362	15,227	0,000	16,167
26	7079	4	3,000	-5,465	-49,935	-49,935	6,442	25,981	-2,185	35,204	16,130	0,000	17,358
26	7076	5	3,000	-5,500	-50,275	-50,275	6,611	26,852	-2,149	36,050	17,061	0,000	18,579
Plate_2_9	7588	1	0,000	-4,500	-12,622	-12,622	0,000	12,071	0,000	12,071	-10,422	-10,422	4,053
Element 16-30 (Plate)	7540	2	0,000	-4,650	-13,764	-13,764	0,000	14,993	0,000	14,993	-8,387	-8,387	5,257
(Parete c.a.C32/40 sp.0.50m)	7539	3	0,000	-4,800	-14,754	-14,754	0,000	17,526	0,000	17,526	-5,944	-5,944	6,704
26	7538	4	0,000	-4,950	-15,620	-15,620	0,000	19,743	0,000	19,743	-3,143	-3,143	8,361
26	7534	5	0,000	-5,100	-16,391	-16,391	0,000	21,716	0,000	21,716	-0,033	-0,033	10,196
Plate_3_1	7534	1	0,000	-5,100	-22,548	-22,548	0,000	19,716	-0,001	19,716	-0,033	-0,033	10,196
Element 17-31 (Plate)	7197	2	0,000	-5,200	-23,247	-23,247	0,000	20,925	-0,001	20,925	1,997	0,000	11,373
(Micropali D168.3x8,0mm/0,4)	7196	3	0,000	-5,300	-24,077	-24,077	0,000	22,363	-0,001	22,363	4,160	0,000	12,610
26	7195	4	0,000	-5,400	-25,061	-25,061	0,000	24,066	-0,001	24,066	6,480	0,000	13,937
26	7194	5	0,000	-5,500	-26,218	-26,218	0,000	26,069	-0,001	26,069	8,983	0,000	15,382
Plate_1_7	7076	1	3,000	-5,500	-50,190	-50,190	6,610	26,772	-2,154	35,936	17,061	0,000	18,579
Element 18-32 (Plate)	6660	2	3,000	-5,513	-50,323	-50,323	6,666	26,975	-2,152	35,650	17,397	0,000	19,015
(Micropali D168.3x8,0mm/0,4)	6661	3	3,000	-5,525	-50,431	-50,431	6,722	27,156	-2,159	35,330	17,736	0,000	19,448
26	6662	4	3,000	-5,537	-50,504	-50,504	6,777	27,296	-2,175	34,958	18,076	0,000	19,878
26	6659	5	3,000	-5,550	-50,529	-50,529	6,830	27,374	-2,201	34,513	18,418	0,000	20,304
Plate_3_2	7194	1	0,000	-5,500	-26,159	-26,159	0,007	25,909	0,000	25,909	8,983	0,000	15,382
Element 19-33 (Plate)	6712	2	0,000	-5,601	-25,910	-25,910	0,012	23,485	-0,005	23,485	11,494	0,000	16,744
(Micropali D168.3x8,0mm/0,4)	6711	3	0,000	-5,703	-25,656	-25,656	0,015	20,370	-0,015	20,370	13,716	-0,001	17,743
26	6710	4	0,000	-5,804	-25,284	-25,284	0,016	16,987	-0,053	16,987	15,614	-0,002	18,370
26	6709	5	0,000	-5,905	-24,680	-24,680	0,018	13,762	-1,350	13,762	17,166	-0,003	18,632
Plate_3_3	6709	1	0,000	-5,905	-24,518	-24,518	0,015	13,275	-1,654	13,275	17,166	-0,003	18,632
Element 20-34 (Plate)	6250	2	0,000	-5,929	-24,138	-24,138	0,016	11,929	-2,307	11,929	17,465	-0,003	18,637
(Micropali D168.3x8,0mm/0,4)	6249	3	0,000	-5,953	-23,721	-23,721	0,016	10,537	-2,942	10,537	17,731	-0,003	18,616
26	6248	4	0,000	-5,976	-23,269	-23,269	0,016	9,112	-3,551	9,112	17,964	-0,002	18,572
26	6247	5	0,000	-6,000	-22,788	-22,788	0,016	7,667	-4,177	7,667	18,162	-0,002	18,511
Plate_3_4	6247	1	0,000	-6,000	-22,769	-22,769	0,017	7,677	-4,169	7,677	18,162	-0,002	18,511
Element 21-35 (Plate)	5672	2	0,000	-6,033	-22,105	-22,105	0,017	5,611	-5,113	5,611	18,383	-0,002	18,458
(Micropali D168.3x8,0mm/0,4)	5671	3	0,000	-6,066	-21,436	-21,436	0,018	3,581	-6,618	3,581	18,536	-0,002	18,536
26	5670	4	0,000	-6,100	-20,753	-20,753	0,018	1,581	-7,984	1,581	18,621	-0,002	18,621
26	5669	5	0,000	-6,133	-20,048	-20,048	0,019	-0,395	-9,195	0,004	18,641	-0,002	18,641
Plate_3_4	5669	1	0,000	-6,133	-20,092	-20,092	0,019	-0,324	-9,204	0,004	18,641	-0,002	18,641
Element 21-36 (Plate)	5616	2	0,000	-6,181	-19,060	-19,060	0,020	-3,074	-10,594	0,003	18,558	-0,003	18,558
(Micropali D168.3x8,0mm/0,4)	5615	3	0,000	-6,229	-18,178	-18,178	0,021	-5,463	-11,715	0,002	18,352	-0,003	18,352
26	5614	4	0,000	-6,277	-17,450	-17,450	0,021	-7,487	-12,576	0,001	18,040	-0,003	18,040
26	5613	5	0,000	-6,325	-16,879	-16,879	0,022	-9,143	-13,186	0,001	17,640	-0,003	17,640
Plate_3_4	5613	1	0,000	-6,325	-16,863	-16,863	0,022	-9,189	-13,227	0,001	17,640	-0,003	17,640
Element 21-37 (Plate)	5560	2	0,000	-6,394	-16,346	-16,346	0,023	-10,934	-13,775	0,000	16,942	-0,003	16,942
(Micropali D168.3x8,0mm/0,4)	5559	3	0,000	-6,463	-16,044	-16,044	0,025	-12,221	-14,053	0,000	16,139	-0,003	16,139
26	5558	4	0,000	-6,532	-15,944	-15,944	0,026	-13,072	-14,076	0,000	15,262	-0,004	15,262
26	5557	5	0,000	-6,601	-16,034	-16,034	0,027	-13,512	-13,861	0,001	14,341	-0,004	14,341
Plate_3_4	5557	1	0,000	-6,601	-15,993	-15,993	0,027	-13,593	-13,914	0,001	14,341	-0,004	14,341
Element 21-38 (Plate)	4826	2	0,000	-6,701	-16,342	-16,342	0,028	-13,737	-13,737	0,002	12,976	-0,003	12,976
(Micropali D168.3x8,0mm/0,4)	4825	3	0,000	-6,801	-16,811	-16,811	0,030	-13,543	-13,543	0,003	11,613	-0,003	11,613
26	4824	4	0,000	-6,900	-17,380	-17,380	0,031	-13,038	-13,038	0,004	10,285	-0,003	10,285
26	4823	5	0,000	-7,000	-18,029	-18,029	0,032	-12,253	-12,253	0,004	9,022	-0,002	9,022

Structural element	Node	Local number	X [m]	Y [m]	N [kN/m]	N_{min} [kN/m]	N_{max} [kN/m]	Q [kN/m]	Q_{min} [kN/m]	Q_{max} [kN/m]	M [kN m/m]	M_{min} [kN m/m]	M_{max} [kN m/m]
Plate_1_8	6659	1	3,000	-5,550	-50,336	-50,336	6,830	27,042	-2,202	34,175	18,418	0,000	20,304
Element 22-39 (Plate)	6272	2	3,000	-5,587	-48,512	-48,512	6,981	23,979	-2,296	29,610	19,352	0,000	21,453
(Micropali D168.3x8,0mm/0,4)	6273	3	3,000	-5,623	-46,670	-46,670	7,124	20,707	-2,367	25,041	20,171	0,000	22,444
점	6274	4	3,000	-5,660	-44,771	-44,771	7,260	17,167	-2,417	20,397	20,865	0,000	23,271
점	6271	5	3,000	-5,696	-42,779	-42,779	7,388	13,298	-2,445	15,645	21,424	0,000	23,930
Plate_1_8	6271	1	3,000	-5,696	-42,874	-42,874	7,389	13,323	-2,448	15,652	21,424	0,000	23,930
Element 22-40 (Plate)	5650	2	3,000	-5,738	-40,960	-40,960	7,527	9,042	-3,242	10,567	21,892	0,000	24,478
(Micropali D168.3x8,0mm/0,4)	5651	3	3,000	-5,780	-39,268	-39,268	7,658	5,010	-4,976	5,858	22,186	0,000	24,821
점	5652	4	3,000	-5,822	-37,790	-37,790	7,780	1,239	-6,841	1,725	22,316	0,000	24,973
점	5649	5	3,000	-5,864	-36,520	-36,520	7,893	-2,263	-8,638	0,000	22,294	0,000	24,948
Plate_1_8	5649	1	3,000	-5,864	-36,508	-36,508	7,893	-2,256	-8,693	0,000	22,294	0,000	24,948
Element 22-41 (Plate)	4942	2	3,000	-5,912	-35,213	-35,213	8,014	-5,759	-10,554	0,000	22,099	0,000	24,727
(Micropali D168.3x8,0mm/0,4)	4943	3	3,000	-5,960	-34,225	-34,225	8,124	-8,708	-12,595	0,000	21,749	0,000	24,328
점	4944	4	3,000	-6,008	-33,536	-33,536	8,225	-11,113	-14,229	0,000	21,270	0,000	23,783
점	4941	5	3,000	-6,056	-33,138	-33,138	8,317	-12,980	-15,589	0,000	20,689	0,000	23,120
Plate_1_8	4941	1	3,000	-6,056	-33,093	-33,093	8,317	-13,037	-15,650	0,000	20,689	0,000	23,120
Element 22-42 (Plate)	4912	2	3,000	-6,112	-32,907	-32,907	8,411	-14,665	-17,084	0,000	19,925	0,000	22,248
(Micropali D168.3x8,0mm/0,4)	4913	3	3,000	-6,167	-32,908	-32,908	8,494	-15,886	-18,383	0,000	19,082	0,000	21,284
점	4914	4	3,000	-6,222	-33,068	-33,068	8,566	-16,716	-19,327	0,000	18,182	0,000	20,256
점	4911	5	3,000	-6,277	-33,360	-33,360	8,628	-17,173	-19,850	0,000	17,248	0,000	19,186
Plate_1_8	4911	1	3,000	-6,277	-33,332	-33,332	8,628	-17,222	-19,906	0,000	17,248	0,000	19,186
Element 22-43 (Plate)	4876	2	3,000	-6,340	-33,726	-33,726	8,687	-17,427	-20,142	0,000	16,153	0,000	17,931
(Micropali D168.3x8,0mm/0,4)	4877	3	3,000	-6,403	-34,166	-34,166	8,733	-17,398	-20,111	0,000	15,053	0,000	16,668
점	4878	4	3,000	-6,466	-34,646	-34,646	8,768	-17,148	-19,827	0,000	13,962	0,000	15,413
점	4875	5	3,000	-6,529	-35,160	-35,160	8,792	-16,690	-19,306	0,000	12,894	0,000	14,183
Plate_1_8	4875	1	3,000	-6,529	-35,146	-35,146	8,792	-16,724	-19,345	0,000	12,894	0,000	14,183
Element 22-44 (Plate)	4260	2	3,000	-6,601	-35,737	-35,737	8,806	-16,050	-18,574	0,000	11,709	-0,014	12,815
(Micropali D168.3x8,0mm/0,4)	4261	3	3,000	-6,674	-36,303	-36,303	8,807	-15,281	-17,704	0,000	10,576	-0,104	11,505
점	4262	4	3,000	-6,746	-36,841	-36,841	8,795	-14,429	-16,736	0,000	9,501	-0,187	10,261
점	4259	5	3,000	-6,818	-37,346	-37,346	8,771	-13,503	-15,692	0,000	8,491	-0,261	9,089
Plate_1_8	4259	1	3,000	-6,818	-37,338	-37,338	8,771	-13,524	-15,716	0,000	8,491	-0,261	9,089
Element 22-45 (Plate)	4246	2	3,000	-6,901	-37,849	-37,849	8,729	-12,439	-14,489	0,000	7,416	-0,337	7,838
(Micropali D168.3x8,0mm/0,4)	4247	3	3,000	-6,984	-38,274	-38,274	8,672	-11,366	-13,269	0,000	6,430	-0,403	6,694
점	4248	4	3,000	-7,067	-38,611	-38,611	8,602	-10,311	-12,063	0,000	5,532	-0,460	5,668
점	4245	5	3,000	-7,150	-38,856	-38,856	8,517	-9,279	-10,877	0,000	4,722	-0,507	4,767
Plate_1_8	4245	1	3,000	-7,150	-38,852	-38,852	8,517	-9,287	-10,887	0,000	4,722	-0,507	4,767
Element 22-46 (Plate)	3594	2	3,000	-7,245	-39,007	-39,007	8,404	-8,169	-9,594	0,000	3,894	-0,551	3,899
(Micropali D168.3x8,0mm/0,4)	3595	3	3,000	-7,339	-39,022	-39,022	8,273	-7,129	-8,381	0,000	3,169	-0,585	3,169
점	3596	4	3,000	-7,434	-38,897	-38,897	8,125	-6,169	-7,251	0,000	2,538	-0,608	2,538
점	3593	5	3,000	-7,529	-38,630	-38,630	7,961	-5,291	-6,207	0,000	1,995	-0,640	1,995
Plate_1_8	3593	1	3,000	-7,529	-38,629	-38,629	7,961	-5,289	-6,205	0,000	1,995	-0,640	1,995
Element 22-47 (Plate)	3554	2	3,000	-7,638	-38,147	-38,147	7,751	-4,390	-5,121	0,001	1,470	-0,689	1,470
(Micropali D168.3x8,0mm/0,4)	3555	3	3,000	-7,747	-37,476	-37,476	7,519	-3,592	-4,142	0,097	1,037	-0,735	1,037
점	3556	4	3,000	-7,855	-36,617	-36,617	7,264	-2,893	-3,266	0,188	0,685	-0,780	0,685
점	3553	5	3,000	-7,964	-35,572	-35,572	6,986	-2,291	-2,503	0,273	0,404	-0,828	0,404
Plate_1_8	3553	1	3,000	-7,964	-35,569	-35,569	6,985	-2,281	-2,494	0,272	0,404	-0,828	0,404
Element 22-48 (Plate)	3470	2	3,000	-8,089	-34,143	-34,143	6,637	-1,694	-1,747	0,366	0,157	-0,876	0,157
(Micropali D168.3x8,0mm/0,4)	3471	3	3,000	-8,213	-32,464	-32,464	6,254	-1,185	-1,185	0,454	-0,021	-0,957	0,000
점	3472	4	3,000	-8,338	-30,531	-30,531	5,836	-0,753	-0,753	0,587	-0,141	-0,994	0,000

Structural element	Node	Local number	X [m]	Y [m]	N [kN/m]	N_{min} [kN/m]	N_{max} [kN/m]	Q [kN/m]	Q_{min} [kN/m]	Q_{max} [kN/m]	M [kN m/m]	M_{min} [kN m/m]	M_{max} [kN m/m]
점	3469	5	3,000	-8,463	-28,345	-28,345	5,384	-0,391	-0,391	0,752	-0,212	-0,976	0,000
Plate_1_8	3469	1	3,000	-8,463	-28,314	-28,314	5,381	-0,386	-0,386	0,736	-0,212	-0,976	0,000
Element 22-49 (Plate)	3374	2	3,000	-8,605	-25,498	-25,498	4,816	-0,021	-0,021	1,006	-0,240	-0,878	0,000
(Micropali D168.3x8,0mm/0,4)	3375	3	3,000	-8,748	-22,225	-22,225	4,190	0,298	0,000	1,406	-0,220	-0,707	0,016
점	3376	4	3,000	-8,891	-18,464	-18,464	3,503	0,555	0,000	1,695	-0,158	-0,490	0,035
점	3373	5	3,000	-9,033	-14,183	-14,183	2,753	0,735	0,000	1,796	-0,065	-0,251	0,050
Plate_3_5	4823	1	0,000	-7,000	-18,013	-18,013	0,032	-12,315	-12,315	0,004	9,022	-0,002	9,022
Element 23-50 (Plate)	4218	2	0,000	-7,119	-18,739	-18,739	0,034	-11,223	-11,223	0,005	7,619	-0,002	7,619
(Micropali D168.3x8,0mm/0,4)	4217	3	0,000	-7,238	-19,441	-19,441	0,035	-10,082	-10,082	0,005	6,349	-0,001	6,349
점	4216	4	0,000	-7,358	-20,123	-20,123	0,036	-8,911	-8,911	0,005	5,216	-0,001	5,216
점	4215	5	0,000	-7,477	-20,791	-20,791	0,036	-7,731	-7,731	0,005	4,225	-0,001	4,225
Plate_3_5	4215	1	0,000	-7,477	-20,786	-20,786	0,036	-7,753	-7,753	0,005	4,225	-0,001	4,225
Element 23-51 (Plate)	3948	2	0,000	-7,604	-21,458	-21,458	0,037	-6,589	-6,589	0,004	3,313	-0,001	3,313
(Micropali D168.3x8,0mm/0,4)	3947	3	0,000	-7,731	-22,069	-22,069	0,038	-5,530	-5,530	0,004	2,543	-0,022	2,543
점	3946	4	0,000	-7,859	-22,619	-22,619	0,038	-4,577	-4,577	0,003	1,901	-0,059	1,901
점	3945	5	0,000	-7,986	-23,106	-23,106	0,039	-3,734	-3,734	0,003	1,373	-0,108	1,373
Plate_3_5	3945	1	0,000	-7,986	-23,110	-23,110	0,039	-3,727	-3,727	0,003	1,373	-0,108	1,373
Element 23-52 (Plate)	3400	2	0,000	-8,122	-23,559	-23,559	0,039	-2,948	-2,948	0,002	0,921	-0,147	0,921
(Micropali D168.3x8,0mm/0,4)	3399	3	0,000	-8,258	-23,958	-23,958	0,039	-2,257	-2,257	0,001	0,568	-0,179	0,568
점	3398	4	0,000	-8,394	-24,308	-24,308	0,040	-1,651	-1,651	0,001	0,303	-0,212	0,303
점	3397	5	0,000	-8,530	-24,612	-24,612	0,040	-1,124	-1,124	0,024	0,115	-0,230	0,115
Plate_3_5	3397	1	0,000	-8,530	-24,619	-24,619	0,040	-1,112	-1,112	0,024	0,115	-0,230	0,115
Element 23-53 (Plate)	3352	2	0,000	-8,675	-24,914	-24,914	0,040	-0,601	-0,601	0,108	-0,008	-0,239	0,003
(Micropali D168.3x8,0mm/0,4)	3351	3	0,000	-8,820	-25,191	-25,191	0,040	-0,120	-0,120	0,204	-0,060	-0,249	0,003
점	3350	4	0,000	-8,965	-25,452	-25,452	0,040	0,333	-0,001	0,360	-0,045	-0,216	0,002
점	3349	5	0,000	-9,110	-25,698	-25,698	0,040	0,759	-0,001	0,759	0,035	-0,146	0,035
Plate_3_5	3349	1	0,000	-9,110	-25,675	-25,675	0,040	0,718	-0,001	0,718	0,035	-0,146	0,035
Element 23-54 (Plate)	3286	2	0,000	-9,265	-25,951	-25,951	0,039	1,197	-0,001	1,197	0,185	-0,038	0,185
(Micropali D168.3x8,0mm/0,4)	3285	3	0,000	-9,420	-26,129	-26,129	0,039	1,504	-0,002	1,504	0,398	0,000	0,398
점	3284	4	0,000	-9,575	-26,174	-26,174	0,039	1,584	-0,002	1,584	0,639	0,000	0,639
점	3283	5	0,000	-9,730	-26,056	-26,056	0,038	1,379	-0,001	1,379	0,873	0,000	0,873
Plate_1_9	3373	1	3,000	-9,033	-14,179	-14,179	2,746	0,665	0,000	1,747	-0,065	-0,251	0,050
Element 24-55 (Plate)	3262	2	3,000	-9,150	-10,495	-10,495	2,081	0,255	-0,109	0,917	-0,013	-0,107	0,047
(Micropali D168.3x8,0mm/0,4)	3261	3	3,000	-9,267	-6,698	-6,698	1,372	0,021	-0,181	0,396	0,001	-0,034	0,029
점	3260	4	3,000	-9,383	-2,781	-2,781	0,605	-0,034	-0,162	0,102	-0,002	-0,006	0,011
점	3259	5	3,000	-9,500	1,263	-0,221	1,263	0,093	-0,014	0,093	0,000	0,000	0,000
Plate_3_6	3283	1	0,000	-9,730	-25,909	-25,909	0,038	1,181	-0,002	1,181	0,873	0,000	0,873
Element 25-56 (Plate)	3117	2	0,000	-9,886	-26,002	-26,002	0,038	0,325	-0,002	0,325	0,987	0,000	0,987
(Micropali D168.3x8,0mm/0,4)	3116	3	0,000	-10,043	-26,246	-26,246	0,037	-0,265	-0,265	0,000	0,989	0,000	0,989
점	3115	4	0,000	-10,199	-26,625	-26,625	0,037	-0,605	-0,605	0,000	0,917	0,000	0,917
점	3114	5	0,000	-10,356	-27,126	-27,126	0,036	-0,714	-0,714	0,000	0,811	0,000	0,811
Plate_3_6	3114	1	0,000	-10,356	-27,088	-27,088	0,036	-0,757	-0,757	0,000	0,811	0,000	0,811
Element 25-57 (Plate)	3035	2	0,000	-10,520	-27,445	-27,445	0,035	-0,763	-0,763	0,000	0,686	0,000	0,686
(Micropali D168.3x8,0mm/0,4)	3034	3	0,000	-10,685	-27,638	-27,638	0,035	-0,720	-0,720	0,000	0,563	0,000	0,563
점	3033	4	0,000	-10,850	-27,669	-27,669	0,034	-0,636	-0,636	0,000	0,451	0,000	0,451
점	3032	5	0,000	-11,014	-27,539	-27,539	0,033	-0,521	-0,521	0,000	0,355	0,000	0,355
Plate_3_6	3032	1	0,000	-11,014	-27,543	-27,543	0,033	-0,532	-0,532	0,000	0,355	0,000	0,355
Element 25-58 (Plate)	2481	2	0,000	-11,187	-27,246	-27,246	0,032	-0,423	-0,423	0,000	0,273	0,000	0,273
(Micropali D168.3x8,0mm/0,4)	2480	3	0,000	-11,360	-26,788	-26,788	0,030	-0,328	-0,328	0,000	0,208	0,000	0,208

Structural element	Node	Local number	X [m]	Y [m]	N [kN/m]	N_{min} [kN/m]	N_{max} [kN/m]	Q [kN/m]	Q_{min} [kN/m]	Q_{max} [kN/m]	M [kN m/m]	M_{min} [kN m/m]	M_{max} [kN m/m]
꼼	2479	4	0,000	-11,533	-26,169	-26,169	0,029	-0,248	-0,248	0,000	0,159	0,000	0,159
꼼	2478	5	0,000	-11,706	-25,391	-25,391	0,028	-0,182	-0,182	0,000	0,122	0,000	0,122
Plate_3_6	2478	1	0,000	-11,706	-25,391	-25,391	0,028	-0,182	-0,182	0,000	0,122	0,000	0,122
Element 25-59 (Plate)	2309	2	0,000	-11,888	-24,405	-24,405	0,026	-0,132	-0,132	0,000	0,093	0,000	0,093
(Micropali D168.3x8,0mm/0,4)	2308	3	0,000	-12,069	-23,245	-23,245	0,024	-0,093	-0,093	0,000	0,073	0,000	0,073
꼼	2307	4	0,000	-12,251	-21,909	-21,909	0,023	-0,066	-0,066	0,000	0,059	0,000	0,059
꼼	2306	5	0,000	-12,433	-20,400	-20,400	0,021	-0,050	-0,050	0,000	0,048	0,000	0,048
Plate_3_6	2306	1	0,000	-12,433	-20,394	-20,394	0,021	-0,049	-0,049	0,000	0,048	0,000	0,048
Element 25-60 (Plate)	1871	2	0,000	-12,624	-18,617	-18,617	0,019	-0,035	-0,035	0,000	0,040	0,000	0,040
(Micropali D168.3x8,0mm/0,4)	1870	3	0,000	-12,815	-16,626	-16,626	0,016	-0,026	-0,026	0,000	0,035	0,000	0,035
꼼	1869	4	0,000	-13,006	-14,421	-14,421	0,014	-0,020	-0,020	0,000	0,030	0,000	0,030
꼼	1868	5	0,000	-13,197	-12,002	-12,002	0,012	-0,018	-0,018	0,000	0,027	0,000	0,027
Plate_3_6	1868	1	0,000	-13,197	-11,979	-11,979	0,012	-0,017	-0,017	0,000	0,027	0,000	0,027
Element 25-61 (Plate)	1171	2	0,000	-13,398	-9,191	-9,191	0,009	0,003	-0,006	0,003	0,027	0,000	0,027
(Micropali D168.3x8,0mm/0,4)	1170	3	0,000	-13,598	-6,075	-6,075	0,006	-0,028	-0,028	0,000	0,024	0,000	0,024
꼼	1169	4	0,000	-13,799	-2,616	-2,616	0,002	-0,067	-0,067	0,000	0,015	0,000	0,015
꼼	1168	5	0,000	-14,000	1,198	-0,001	1,198	-0,073	-0,073	0,000	0,000	0,000	0,000

3.1.2.4.15 Calculation results, Plate, Completamento riempimento [Phase_14] (14/695), Table of plate force envelopes

Structural element	Node	Local number	X [m]	Y [m]	N [kN/m]	N_{min} [kN/m]	N_{max} [kN/m]	Q [kN/m]	Q_{min} [kN/m]	Q_{max} [kN/m]	M [kN m/m]	M_{min} [kN m/m]	M_{max} [kN m/m]
Plate_2_1	9176	1	0,000	0,000	0,000	0,000	0,000	0,001	0,000	0,001	0,000	0,000	0,000
Element 1-1 (Plate)	9173	2	0,000	-0,034	-0,001	-0,001	0,000	0,001	0,000	0,003	0,000	0,000	0,000
(Parete c.a.C32/40 sp.0.50m)	9174	3	0,000	-0,067	-0,003	-0,004	0,000	0,007	0,000	0,010	0,000	0,000	0,000
2m	9175	4	0,000	-0,101	-0,009	-0,009	0,000	0,021	0,000	0,022	0,001	0,000	0,001
2m	9165	5	0,000	-0,135	-0,018	-0,018	0,000	0,045	0,000	0,045	0,002	0,000	0,002
Plate_2_1	9165	1	0,000	-0,135	-0,018	-0,018	0,000	0,044	0,000	0,044	0,002	0,000	0,002
Element 1-2 (Plate)	9164	2	0,000	-0,168	-0,032	-0,032	0,000	0,080	0,000	0,080	0,004	0,000	0,004
(Parete c.a.C32/40 sp.0.50m)	9163	3	0,000	-0,202	-0,048	-0,048	0,000	0,119	0,000	0,119	0,007	0,000	0,007
2m	9162	4	0,000	-0,235	-0,065	-0,065	0,000	0,162	0,000	0,162	0,012	0,000	0,012
2m	9166	5	0,000	-0,268	-0,083	-0,083	0,000	0,208	0,000	0,208	0,018	0,000	0,018
Plate_2_1	9166	1	0,000	-0,268	-0,082	-0,082	0,000	0,204	0,000	0,204	0,018	0,000	0,018
Element 1-3 (Plate)	9161	2	0,000	-0,301	-0,097	-0,097	0,000	0,244	0,000	0,244	0,025	0,000	0,025
(Parete c.a.C32/40 sp.0.50m)	9160	3	0,000	-0,334	-0,112	-0,112	0,000	0,281	0,000	0,281	0,034	0,000	0,034
2m	9159	4	0,000	-0,367	-0,126	-0,126	0,000	0,315	0,000	0,315	0,044	0,000	0,044
2m	9158	5	0,000	-0,400	-0,139	-0,139	0,000	0,348	0,000	0,348	0,055	0,000	0,055
Plate_4_1	7845	1	3,000	0,000	-0,098	-0,098	0,011	-0,267	-0,267	0,068	0,000	0,000	0,000
Element 2-4 (Plate)	7844	2	3,000	-0,125	0,147	-0,040	0,147	0,474	-0,032	0,474	0,015	-0,003	0,015
(Micropali D168.3x8,0mm/0,4)	7843	3	3,000	-0,250	0,237	-0,166	0,237	1,011	0,000	1,011	0,110	0,000	0,110
2m	7842	4	3,000	-0,375	0,273	-0,317	0,273	1,298	0,000	1,298	0,257	0,000	0,257
2m	7918	5	3,000	-0,500	0,350	-0,315	0,350	1,289	0,000	1,289	0,422	0,000	0,422
Plate_2_2	9158	1	0,000	-0,400	-0,140	-0,140	0,000	0,350	0,000	0,350	0,055	0,000	0,055
Element 3-5 (Plate)	9131	2	0,000	-0,425	-0,150	-0,150	0,000	0,377	0,000	0,377	0,064	0,000	0,064
(Parete c.a.C32/40 sp.0.50m)	9130	3	0,000	-0,450	-0,164	-0,164	0,000	0,410	0,000	0,410	0,073	0,000	0,073
2m	9129	4	0,000	-0,475	-0,179	-0,179	0,000	0,449	0,000	0,449	0,084	0,000	0,084
2m	9125	5	0,000	-0,500	-0,197	-0,197	0,000	0,495	0,000	0,495	0,096	0,000	0,096
Plate_2_3	9125	1	0,000	-0,500	-0,197	-0,197	0,000	0,494	0,000	0,494	0,096	0,000	0,096
Element 4-6 (Plate)	9121	2	0,000	-0,537	-0,227	-0,227	0,000	0,571	0,000	0,571	0,115	0,000	0,115
(Parete c.a.C32/40 sp.0.50m)	9120	3	0,000	-0,573	-0,261	-0,261	0,000	0,657	0,000	0,657	0,138	0,000	0,138
2m	9119	4	0,000	-0,610	-0,297	-0,297	0,000	0,750	0,000	0,750	0,164	0,000	0,164
2m	9115	5	0,000	-0,646	-0,337	-0,337	0,000	0,849	0,000	0,849	0,193	0,000	0,193
Plate_2_3	9115	1	0,000	-0,646	-0,336	-0,336	0,000	0,847	0,000	0,847	0,193	0,000	0,193
Element 4-7 (Plate)	9025	2	0,000	-0,688	-0,385	-0,385	0,000	0,972	0,000	0,972	0,231	0,000	0,231
(Parete c.a.C32/40 sp.0.50m)	9024	3	0,000	-0,729	-0,437	-0,437	0,000	1,103	0,000	1,103	0,274	0,000	0,274
2m	9023	4	0,000	-0,771	-0,490	-0,490	0,000	1,239	0,000	1,239	0,322	0,000	0,322
2m	9019	5	0,000	-0,812	-0,543	-0,543	0,000	1,376	0,000	1,376	0,376	0,000	0,376
Plate_2_3	9019	1	0,000	-0,812	-0,544	-0,544	0,000	1,376	0,000	1,376	0,376	0,000	0,376
Element 4-8 (Plate)	8963	2	0,000	-0,859	-0,596	-0,596	0,000	1,510	0,000	1,510	0,444	0,000	0,444
(Parete c.a.C32/40 sp.0.50m)	8962	3	0,000	-0,906	-0,651	-0,651	0,000	1,650	0,000	1,650	0,518	0,000	0,518
2m	8961	4	0,000	-0,953	-0,709	-0,709	0,000	1,797	0,000	1,797	0,599	0,000	0,599
2m	8957	5	0,000	-1,000	-0,771	-0,771	0,000	1,954	0,000	1,954	0,687	0,000	0,687
Plate_1_1	7918	1	3,000	-0,500	0,291	-0,339	0,291	1,367	0,000	1,367	0,422	0,000	0,422
Element 5-9 (Plate)	7921	2	3,000	-0,625	0,264	-0,592	0,285	1,389	-0,004	1,389	0,591	0,000	0,591
(Micropali D168.3x8,0mm/0,4)	7920	3	3,000	-0,750	0,000	-1,089	0,078	1,678	-0,093	1,856	0,781	0,000	0,781

Structural element	Node	Local number	X [m]	Y [m]	N [kN/m]	N_{min} [kN/m]	N_{max} [kN/m]	Q [kN/m]	Q_{min} [kN/m]	Q_{max} [kN/m]	M [kN m/m]	M_{min} [kN m/m]	M_{max} [kN m/m]
꼼	7919	4	3,000	-0,875	-0,461	-1,770	0,000	2,207	-0,174	3,031	1,021	-0,003	1,021
꼼	7941	5	3,000	-1,000	-1,080	-2,599	0,000	2,945	-0,187	4,481	1,341	-0,017	1,341
Plate_1_2	7941	1	3,000	-1,000	-1,010	-2,526	0,000	2,801	-0,196	4,358	1,341	-0,017	1,341
Element 6-10 (Plate)	7940	2	3,000	-1,050	-1,182	-2,801	0,000	3,015	-0,204	4,851	1,485	-0,025	1,485
(Micropali D168.3x8,0mm/0,4)	7939	3	3,000	-1,099	-1,402	-3,102	0,000	3,186	-0,216	5,377	1,640	-0,035	1,662
꼼	7938	4	3,000	-1,149	-1,608	-3,379	0,000	3,231	-0,239	5,843	1,800	-0,044	1,932
꼼	7937	5	3,000	-1,199	-1,739	-3,582	0,000	3,066	-0,337	6,157	1,957	-0,054	2,222
Plate_2_4	8957	1	0,000	-1,000	-0,767	-0,767	0,002	1,944	-0,006	1,944	0,687	0,000	0,687
Element 7-11 (Plate)	8874	2	0,000	-1,046	-0,836	-0,836	0,000	2,120	0,000	2,120	0,781	0,000	0,781
(Parete c.a.C32/40 sp.0.50m)	8873	3	0,000	-1,092	-0,908	-0,908	0,000	2,303	0,000	2,303	0,882	0,000	0,882
꼼	8872	4	0,000	-1,138	-0,982	-0,982	0,000	2,492	0,000	2,492	0,993	0,000	0,993
꼼	8871	5	0,000	-1,184	-1,058	-1,058	0,000	2,686	0,000	2,686	1,112	0,000	1,112
Plate_2_4	8871	1	0,000	-1,184	-1,055	-1,055	0,000	2,678	0,000	2,678	1,112	0,000	1,112
Element 7-12 (Plate)	8828	2	0,000	-1,245	-1,172	-1,172	0,000	2,977	0,000	2,977	1,284	0,000	1,284
(Parete c.a.C32/40 sp.0.50m)	8827	3	0,000	-1,306	-1,295	-1,295	0,000	3,290	0,000	3,290	1,475	0,000	1,475
꼼	8826	4	0,000	-1,367	-1,422	-1,422	0,000	3,617	0,000	3,617	1,685	0,000	1,685
꼼	8825	5	0,000	-1,428	-1,555	-1,555	0,000	3,955	0,000	3,955	1,915	0,000	1,915
Plate_2_4	8825	1	0,000	-1,428	-1,555	-1,555	0,000	3,956	0,000	3,956	1,915	0,000	1,915
Element 7-13 (Plate)	8687	2	0,000	-1,508	-1,735	-1,735	0,000	4,417	0,000	4,417	2,253	0,000	2,253
(Parete c.a.C32/40 sp.0.50m)	8686	3	0,000	-1,589	-1,927	-1,927	0,000	4,908	0,000	4,908	2,628	0,000	2,628
꼼	8685	4	0,000	-1,669	-2,133	-2,133	0,000	5,434	0,000	5,434	3,044	0,000	3,044
꼼	8684	5	0,000	-1,750	-2,355	-2,355	0,000	6,002	0,000	6,002	3,505	0,000	3,505
Plate_1_3	7937	1	3,000	-1,199	-1,755	-3,530	0,000	3,067	-0,333	6,079	1,957	-0,054	2,222
Element 8-14 (Plate)	7886	2	3,000	-1,270	-1,987	-3,532	0,000	2,665	-0,502	6,079	2,162	-0,071	2,642
(Micropali D168.3x8,0mm/0,4)	7885	3	3,000	-1,341	-2,231	-3,534	0,000	2,241	-0,625	6,079	2,336	-0,087	3,073
꼼	7884	4	3,000	-1,412	-2,485	-3,536	0,000	1,801	-0,683	6,079	2,480	-0,107	3,504
꼼	7887	5	3,000	-1,483	-2,746	-3,538	0,000	1,347	-0,699	6,079	2,592	-0,127	3,934
Plate_1_3	7887	1	3,000	-1,483	-2,823	-3,674	0,000	1,558	-0,730	6,301	2,592	-0,127	3,934
Element 8-15 (Plate)	7869	2	3,000	-1,663	-3,309	-3,459	0,000	0,121	-0,774	5,978	2,744	-0,197	5,029
(Micropali D168.3x8,0mm/0,4)	7868	3	3,000	-1,842	-4,101	-4,101	0,000	-0,930	-0,930	6,336	2,654	-0,285	6,107
꼼	7867	4	3,000	-2,021	-5,337	-5,337	0,000	-1,117	-1,117	7,963	2,463	-0,369	7,373
꼼	7866	5	3,000	-2,200	-7,151	-7,151	0,000	0,037	-0,337	11,557	2,339	-0,431	9,064
Plate_2_5	8684	1	0,000	-1,750	-6,775	-6,775	0,000	-23,538	-23,538	0,000	3,505	0,000	3,505
Element 9-16 (Plate)	8674	2	0,000	-1,843	-7,091	-7,091	0,000	-22,731	-22,731	0,000	1,345	-0,974	1,345
(Parete c.a.C32/40 sp.0.50m)	8673	3	0,000	-1,937	-7,402	-7,402	0,000	-21,935	-21,935	0,000	-0,742	-2,185	0,000
꼼	8672	4	0,000	-2,030	-7,712	-7,712	0,000	-21,142	-21,142	0,000	-2,754	-3,360	0,000
꼼	8668	5	0,000	-2,124	-8,024	-8,024	0,000	-20,345	-20,345	0,000	-4,691	-4,691	0,000
Plate_2_5	8668	1	0,000	-2,124	-8,034	-8,034	0,000	-20,318	-20,318	0,000	-4,691	-4,691	0,000
Element 9-17 (Plate)	8487	2	0,000	-2,268	-8,501	-8,501	0,000	-19,123	-19,123	0,000	-7,532	-7,532	0,000
(Parete c.a.C32/40 sp.0.50m)	8486	3	0,000	-2,412	-9,004	-9,004	0,000	-17,838	-17,838	0,000	-10,199	-10,199	0,000
꼼	8485	4	0,000	-2,556	-9,592	-9,592	0,000	-16,332	-16,332	0,000	-12,663	-12,663	0,000
꼼	8484	5	0,000	-2,700	-10,317	-10,317	0,000	-14,476	-14,476	0,000	-14,888	-14,888	0,000
Plate_1_4	7866	1	3,000	-2,200	-8,865	-11,869	0,000	-10,095	-25,886	4,798	2,339	-0,431	9,064
Element 10-18 (Plate)	7789	2	3,000	-2,325	-10,190	-13,051	0,000	-9,309	-23,774	5,837	1,123	-0,460	5,957
(Micropali D168.3x8,0mm/0,4)	7788	3	3,000	-2,450	-11,837	-14,394	0,000	-8,358	-21,384	7,359	0,020	-0,484	6,681
꼼	7787	4	3,000	-2,575	-13,737	-15,818	0,000	-7,392	-18,851	9,237	-0,966	-0,966	7,701
꼼	7786	5	3,000	-2,700	-15,823	-17,246	0,000	-6,562	-16,309	11,347	-1,835	-1,835	8,970
Plate_2_6	8484	1	0,000	-2,700	-10,259	-10,259	0,016	-14,624	-14,624	0,010	-14,888	-14,888	0,000
Element 11-19 (Plate)	8275	2	0,000	-2,836	-10,763	-10,763	0,000	-13,334	-13,334	0,085	-16,796	-16,796	0,004

Structural element	Node	Local number	X [m]	Y [m]	N [kN/m]	N_{min} [kN/m]	N_{max} [kN/m]	Q [kN/m]	Q_{min} [kN/m]	Q_{max} [kN/m]	M [kN m/m]	M_{min} [kN m/m]	M_{max} [kN m/m]
(Parete c.a.C32/40 sp.0.50m)	8274	3	0,000	-2,973	-11,359	-11,359	0,000	-11,811	-11,811	0,199	-18,514	-18,514	0,022
26	8273	4	0,000	-3,109	-12,051	-12,051	0,000	-10,040	-10,040	0,404	-20,006	-20,006	0,059
26	8272	5	0,000	-3,245	-12,844	-12,844	0,000	-8,009	-8,009	0,891	-21,240	-21,240	0,136
Plate_2_6	8272	1	0,000	-3,245	-12,819	-12,819	0,000	-8,074	-8,074	0,820	-21,240	-21,240	0,136
Element 11-20 (Plate)	8129	2	0,000	-3,352	-13,425	-13,425	0,000	-6,524	-6,524	1,084	-22,013	-22,013	0,233
(Parete c.a.C32/40 sp.0.50m)	8128	3	0,000	-3,458	-14,017	-14,017	0,000	-5,008	-5,008	1,318	-22,625	-22,625	0,352
26	8127	4	0,000	-3,564	-14,616	-14,616	0,000	-3,476	-3,476	1,571	-23,076	-23,076	0,504
26	8126	5	0,000	-3,670	-15,241	-15,241	0,000	-1,877	-1,877	2,096	-23,360	-23,360	0,681
Plate_2_6	8126	1	0,000	-3,670	-15,215	-15,215	0,000	-1,943	-1,943	2,031	-23,360	-23,360	0,681
Element 11-21 (Plate)	8029	2	0,000	-3,752	-15,823	-15,823	0,000	-0,387	-0,387	2,470	-23,456	-23,456	0,846
(Parete c.a.C32/40 sp.0.50m)	8028	3	0,000	-3,835	-16,415	-16,415	0,000	1,128	0,000	2,817	-23,425	-23,425	1,049
26	8027	4	0,000	-3,917	-16,997	-16,997	0,000	2,618	0,000	3,452	-23,271	-23,271	1,289
26	8026	5	0,000	-4,000	-17,575	-17,575	0,000	4,099	0,000	4,532	-22,993	-22,993	1,563
Plate_1_5	7786	1	3,000	-2,700	-15,633	-17,222	0,000	-6,336	-16,351	10,045	-1,835	-1,835	8,970
Element 12-22 (Plate)	7619	2	3,000	-2,860	-17,841	-18,551	0,000	-5,964	-13,959	5,684	-2,821	-4,002	10,209
(Micropali D168.3x8,0mm/0,4)	7618	3	3,000	-3,020	-19,862	-19,862	0,000	-5,371	-11,708	2,451	-3,733	-6,057	10,849
26	7617	4	3,000	-3,180	-21,793	-21,793	0,301	-4,487	-9,474	0,458	-4,526	-7,751	11,046
26	7663	5	3,000	-3,340	-23,730	-23,730	1,036	-3,244	-7,204	0,328	-5,150	-9,083	10,949
Plate_1_5	7663	1	3,000	-3,340	-23,742	-23,742	1,097	-3,324	-7,219	0,163	-5,150	-9,083	10,949
Element 12-23 (Plate)	7662	2	3,000	-3,505	-25,703	-25,703	1,760	-1,659	-4,808	0,214	-5,565	-10,057	10,591
(Micropali D168.3x8,0mm/0,4)	7661	3	3,000	-3,670	-27,869	-27,869	2,277	0,196	-4,214	0,832	-5,685	-10,589	10,029
26	7660	4	3,000	-3,835	-30,301	-30,301	2,621	2,098	-4,601	2,320	-5,498	-10,638	9,328
26	7659	5	3,000	-4,000	-33,065	-33,065	2,780	3,900	-4,803	5,198	-5,000	-10,160	8,555
Plate_2_7	8026	1	0,000	-4,000	-17,569	-17,569	0,001	4,083	-0,003	4,517	-22,993	-22,993	1,563
Element 13-24 (Plate)	7907	2	0,000	-4,065	-18,013	-18,013	0,000	5,218	0,000	5,333	-22,692	-22,692	1,799
(Parete c.a.C32/40 sp.0.50m)	7906	3	0,000	-4,130	-18,454	-18,454	0,000	6,346	0,000	6,346	-22,317	-22,317	2,052
26	7905	4	0,000	-4,194	-18,910	-18,910	0,000	7,513	0,000	7,513	-21,868	-21,868	2,326
26	7904	5	0,000	-4,259	-19,399	-19,399	0,000	8,765	0,000	8,765	-21,342	-21,342	2,622
Plate_2_8	7904	1	0,000	-4,259	-19,394	-19,394	0,000	8,752	0,000	8,752	-21,342	-21,342	2,622
Element 14-25 (Plate)	7591	2	0,000	-4,319	-19,916	-19,916	0,000	10,088	0,000	10,088	-20,775	-20,775	2,926
(Parete c.a.C32/40 sp.0.50m)	7590	3	0,000	-4,380	-20,448	-20,448	0,000	11,449	0,000	11,449	-20,127	-20,127	3,265
26	7589	4	0,000	-4,440	-20,989	-20,989	0,000	12,835	0,000	12,835	-19,396	-19,396	3,640
26	7588	5	0,000	-4,500	-21,541	-21,541	0,000	14,248	0,000	14,248	-18,581	-18,581	4,053
Plate_1_6	7659	1	3,000	-4,000	-32,904	-32,904	2,845	3,938	-4,860	5,007	-5,000	-10,160	8,555
Element 15-26 (Plate)	7643	2	3,000	-4,176	-35,276	-35,276	2,912	6,516	-5,072	8,021	-4,086	-9,186	7,680
(Micropali D168.3x8,0mm/0,4)	7642	3	3,000	-4,353	-37,377	-37,377	3,016	9,290	-5,201	11,110	-2,688	-7,661	6,771
26	7641	4	3,000	-4,529	-39,555	-39,555	3,177	11,982	-5,167	14,329	-0,814	-5,560	5,855
26	7640	5	3,000	-4,705	-42,160	-42,160	3,413	14,312	-4,890	17,672	1,513	-2,860	5,198
Plate_1_6	7640	1	3,000	-4,705	-42,279	-42,279	3,443	14,429	-4,864	17,870	1,513	-2,860	5,198
Element 15-27 (Plate)	7507	2	3,000	-4,808	-44,199	-44,199	3,692	15,275	-4,520	20,001	3,041	-0,960	5,066
(Micropali D168.3x8,0mm/0,4)	7506	3	3,000	-4,912	-45,913	-45,913	4,003	16,461	-4,139	22,184	4,675	0,000	5,416
26	7505	4	3,000	-5,015	-47,479	-47,479	4,368	17,963	-3,728	24,411	6,447	0,000	6,447
26	7504	5	3,000	-5,118	-48,956	-48,956	4,784	19,760	-3,293	26,699	8,390	0,000	8,390
Plate_1_6	7504	1	3,000	-5,118	-48,991	-48,991	4,783	19,680	-3,303	26,673	8,390	0,000	8,390
Element 15-28 (Plate)	7235	2	3,000	-5,178	-49,873	-49,873	5,044	20,780	-3,058	28,129	9,610	0,000	9,610
(Micropali D168.3x8,0mm/0,4)	7236	3	3,000	-5,238	-50,855	-50,855	5,317	21,727	-2,828	29,656	10,893	0,000	10,893
26	7237	4	3,000	-5,299	-51,945	-51,945	5,603	22,482	-2,614	31,192	12,227	0,000	12,227
26	7234	5	3,000	-5,359	-53,153	-53,153	5,900	23,003	-2,418	32,725	13,599	0,000	13,869
Plate_1_6	7234	1	3,000	-5,359	-53,121	-53,121	5,898	23,029	-2,423	32,710	13,599	0,000	13,869

Structural element	Node	Local number	X [m]	Y [m]	N [kN/m]	N_{min} [kN/m]	N_{max} [kN/m]	Q [kN/m]	Q_{min} [kN/m]	Q_{max} [kN/m]	M [kN m/m]	M_{min} [kN m/m]	M_{max} [kN m/m]
Element 15-29 (Plate)	7077	2	3,000	-5,394	-53,926	-53,926	6,083	22,999	-2,324	33,529	14,409	0,000	15,005
(Micropali D168.3x8,0mm/0,4)	7078	3	3,000	-5,429	-54,523	-54,523	6,265	23,352	-2,244	34,362	15,226	0,000	16,167
2m	7079	4	3,000	-5,465	-54,956	-54,956	6,442	24,005	-2,185	35,204	16,060	0,000	17,358
2m	7076	5	3,000	-5,500	-55,268	-55,268	6,611	24,874	-2,149	36,050	16,921	0,000	18,579
Plate_2_9	7588	1	0,000	-4,500	-21,493	-21,493	0,000	14,124	0,000	14,124	-18,581	-18,581	4,053
Element 16-30 (Plate)	7540	2	0,000	-4,650	-22,933	-22,933	0,000	17,810	0,000	17,810	-16,180	-16,180	5,257
(Parete c.a.C32/40 sp.0.50m)	7539	3	0,000	-4,800	-24,197	-24,197	0,000	21,046	0,000	21,046	-13,261	-13,261	6,704
2m	7538	4	0,000	-4,950	-25,309	-25,309	0,000	23,891	0,000	23,891	-9,884	-9,884	8,361
2m	7534	5	0,000	-5,100	-26,293	-26,293	0,000	26,408	0,000	26,408	-6,109	-6,109	10,196
Plate_3_1	7534	1	0,000	-5,100	-33,497	-33,497	0,000	23,920	-0,001	23,920	-6,109	-6,109	10,196
Element 17-31 (Plate)	7197	2	0,000	-5,200	-34,528	-34,528	0,000	25,706	-0,001	25,706	-3,630	-3,630	11,373
(Micropali D168.3x8,0mm/0,4)	7196	3	0,000	-5,300	-35,658	-35,658	0,000	27,662	-0,001	27,662	-0,963	-0,963	12,610
2m	7195	4	0,000	-5,400	-36,914	-36,914	0,000	29,836	-0,001	29,836	1,911	0,000	13,937
2m	7194	5	0,000	-5,500	-38,322	-38,322	0,000	32,274	-0,001	32,274	5,013	0,000	15,382
Plate_1_7	7076	1	3,000	-5,500	-55,188	-55,188	6,610	24,812	-2,154	35,936	16,921	0,000	18,579
Element 18-32 (Plate)	6660	2	3,000	-5,513	-55,323	-55,323	6,666	25,049	-2,152	35,650	17,233	0,000	19,015
(Micropali D168.3x8,0mm/0,4)	6661	3	3,000	-5,525	-55,432	-55,432	6,722	25,288	-2,159	35,330	17,548	0,000	19,448
2m	6662	4	3,000	-5,537	-55,520	-55,520	6,777	25,510	-2,175	34,958	17,865	0,000	19,878
2m	6659	5	3,000	-5,550	-55,592	-55,592	6,830	25,697	-2,201	34,513	18,185	0,000	20,304
Plate_3_2	7194	1	0,000	-5,500	-38,168	-38,168	0,007	31,894	0,000	31,894	5,013	0,000	15,382
Element 19-33 (Plate)	6712	2	0,000	-5,601	-38,203	-38,203	0,012	30,352	-0,005	30,352	8,177	0,000	16,744
(Micropali D168.3x8,0mm/0,4)	6711	3	0,000	-5,703	-38,155	-38,155	0,015	27,866	-0,015	27,866	11,129	-0,001	17,743
2m	6710	4	0,000	-5,804	-37,926	-37,926	0,016	24,848	-0,053	24,848	13,807	-0,002	18,370
2m	6709	5	0,000	-5,905	-37,419	-37,419	0,018	21,710	-1,350	21,710	16,163	-0,003	18,632
Plate_3_3	6709	1	0,000	-5,905	-37,260	-37,260	0,015	21,099	-1,654	21,099	16,163	-0,003	18,632
Element 20-34 (Plate)	6250	2	0,000	-5,929	-36,899	-36,899	0,016	19,599	-2,307	19,599	16,645	-0,003	18,637
(Micropali D168.3x8,0mm/0,4)	6249	3	0,000	-5,953	-36,497	-36,497	0,016	18,052	-2,942	18,052	17,091	-0,003	18,616
2m	6248	4	0,000	-5,976	-36,060	-36,060	0,016	16,470	-3,551	16,470	17,500	-0,002	18,572
2m	6247	5	0,000	-6,000	-35,590	-35,590	0,016	14,869	-4,177	14,869	17,871	-0,002	18,511
Plate_3_4	6247	1	0,000	-6,000	-35,573	-35,573	0,017	14,883	-4,169	14,883	17,871	-0,002	18,511
Element 21-35 (Plate)	5672	2	0,000	-6,033	-34,915	-34,915	0,017	12,601	-5,113	12,601	18,327	-0,002	18,458
(Micropali D168.3x8,0mm/0,4)	5671	3	0,000	-6,066	-34,254	-34,254	0,018	10,380	-6,618	10,380	18,709	-0,002	18,709
2m	5670	4	0,000	-6,100	-33,581	-33,581	0,018	8,212	-7,984	8,212	19,018	-0,002	19,018
2m	5669	5	0,000	-6,133	-32,885	-32,885	0,019	6,092	-9,195	6,092	19,255	-0,002	19,255
Plate_3_4	5669	1	0,000	-6,133	-32,889	-32,889	0,019	6,092	-9,204	6,092	19,255	-0,002	19,255
Element 21-36 (Plate)	5616	2	0,000	-6,181	-31,760	-31,760	0,020	2,986	-10,594	2,986	19,472	-0,003	19,472
(Micropali D168.3x8,0mm/0,4)	5615	3	0,000	-6,229	-30,656	-30,656	0,021	0,072	-11,715	0,072	19,545	-0,003	19,545
2m	5614	4	0,000	-6,277	-29,587	-29,587	0,021	-2,642	-12,576	0,001	19,482	-0,003	19,482
2m	5613	5	0,000	-6,325	-28,558	-28,558	0,022	-5,146	-13,186	0,001	19,295	-0,003	19,295
Plate_3_4	5613	1	0,000	-6,325	-28,596	-28,596	0,022	-5,102	-13,227	0,001	19,295	-0,003	19,295
Element 21-37 (Plate)	5560	2	0,000	-6,394	-27,461	-27,461	0,023	-7,930	-13,775	0,000	18,842	-0,003	18,842
(Micropali D168.3x8,0mm/0,4)	5559	3	0,000	-6,463	-26,539	-26,539	0,025	-10,237	-14,053	0,000	18,210	-0,003	18,210
2m	5558	4	0,000	-6,532	-25,845	-25,845	0,026	-12,003	-14,076	0,000	17,438	-0,004	17,438
2m	5557	5	0,000	-6,601	-25,393	-25,393	0,027	-13,207	-13,861	0,001	16,564	-0,004	16,564
Plate_3_4	5557	1	0,000	-6,601	-25,360	-25,360	0,027	-13,296	-13,914	0,001	16,564	-0,004	16,564
Element 21-38 (Plate)	4826	2	0,000	-6,701	-25,092	-25,092	0,028	-14,151	-14,151	0,002	15,191	-0,003	15,191
(Micropali D168.3x8,0mm/0,4)	4825	3	0,000	-6,801	-25,030	-25,030	0,030	-14,470	-14,470	0,003	13,760	-0,003	13,760
2m	4824	4	0,000	-6,900	-25,164	-25,164	0,031	-14,297	-14,297	0,004	12,321	-0,003	12,321
2m	4823	5	0,000	-7,000	-25,483	-25,483	0,032	-13,676	-13,676	0,004	10,924	-0,002	10,924

Structural element	Node	Local number	X [m]	Y [m]	N [kN/m]	N_{min} [kN/m]	N_{max} [kN/m]	Q [kN/m]	Q_{min} [kN/m]	Q_{max} [kN/m]	M [kN m/m]	M_{min} [kN m/m]	M_{max} [kN m/m]
Plate_1_8	6659	1	3,000	-5,550	-55,391	-55,391	6,830	25,367	-2,202	34,175	18,185	0,000	20,304
Element 22-39 (Plate)	6272	2	3,000	-5,587	-53,675	-53,675	6,981	22,640	-2,296	29,610	19,064	0,000	21,453
(Micropali D168.3x8,0mm/0,4)	6273	3	3,000	-5,623	-51,937	-51,937	7,124	19,651	-2,367	25,041	19,840	0,000	22,444
점	6274	4	3,000	-5,660	-50,142	-50,142	7,260	16,342	-2,417	20,397	20,500	0,000	23,271
점	6271	5	3,000	-5,696	-48,250	-48,250	7,388	12,656	-2,445	15,645	21,032	0,000	23,930
Plate_1_8	6271	1	3,000	-5,696	-48,359	-48,359	7,389	12,689	-2,448	15,652	21,032	0,000	23,930
Element 22-40 (Plate)	5650	2	3,000	-5,738	-46,612	-46,612	7,527	8,586	-3,242	10,567	21,477	0,000	24,478
(Micropali D168.3x8,0mm/0,4)	5651	3	3,000	-5,780	-45,085	-45,085	7,658	4,709	-4,976	5,858	21,755	0,000	24,821
점	5652	4	3,000	-5,822	-43,771	-43,771	7,780	1,070	-6,841	1,725	21,876	0,000	24,973
점	5649	5	3,000	-5,864	-42,662	-42,662	7,893	-2,322	-8,638	0,000	21,848	0,000	24,948
Plate_1_8	5649	1	3,000	-5,864	-42,672	-42,672	7,893	-2,312	-8,693	0,000	21,848	0,000	24,948
Element 22-41 (Plate)	4942	2	3,000	-5,912	-41,488	-41,488	8,014	-5,707	-10,554	0,000	21,654	0,000	24,727
(Micropali D168.3x8,0mm/0,4)	4943	3	3,000	-5,960	-40,607	-40,607	8,124	-8,567	-12,595	0,000	21,308	0,000	24,328
점	4944	4	3,000	-6,008	-40,021	-40,021	8,225	-10,898	-14,229	0,000	20,838	0,000	23,783
점	4941	5	3,000	-6,056	-39,722	-39,722	8,317	-12,708	-15,589	0,000	20,269	0,000	23,120
Plate_1_8	4941	1	3,000	-6,056	-39,676	-39,676	8,317	-12,763	-15,650	0,000	20,269	0,000	23,120
Element 22-42 (Plate)	4912	2	3,000	-6,112	-39,597	-39,597	8,411	-14,340	-17,084	0,000	19,521	0,000	22,248
(Micropali D168.3x8,0mm/0,4)	4913	3	3,000	-6,167	-39,698	-39,698	8,494	-15,520	-18,383	0,000	18,697	0,000	21,284
점	4914	4	3,000	-6,222	-39,952	-39,952	8,566	-16,321	-19,327	0,000	17,819	0,000	20,256
점	4911	5	3,000	-6,277	-40,331	-40,331	8,628	-16,759	-19,850	0,000	16,906	0,000	19,186
Plate_1_8	4911	1	3,000	-6,277	-40,303	-40,303	8,628	-16,806	-19,906	0,000	16,906	0,000	19,186
Element 22-43 (Plate)	4876	2	3,000	-6,340	-40,788	-40,788	8,687	-16,999	-20,142	0,000	15,839	0,000	17,931
(Micropali D168.3x8,0mm/0,4)	4877	3	3,000	-6,403	-41,310	-41,310	8,733	-16,963	-20,111	0,000	14,766	0,000	16,668
점	4878	4	3,000	-6,466	-41,863	-41,863	8,768	-16,712	-19,827	0,000	13,702	0,000	15,413
점	4875	5	3,000	-6,529	-42,442	-42,442	8,792	-16,259	-19,306	0,000	12,662	0,000	14,183
Plate_1_8	4875	1	3,000	-6,529	-42,429	-42,429	8,792	-16,293	-19,345	0,000	12,662	0,000	14,183
Element 22-44 (Plate)	4260	2	3,000	-6,601	-43,082	-43,082	8,806	-15,629	-18,574	0,000	11,507	-0,014	12,815
(Micropali D168.3x8,0mm/0,4)	4261	3	3,000	-6,674	-43,700	-43,700	8,807	-14,874	-17,704	0,000	10,404	-0,104	11,505
점	4262	4	3,000	-6,746	-44,277	-44,277	8,795	-14,039	-16,736	0,000	9,358	-0,187	10,261
점	4259	5	3,000	-6,818	-44,810	-44,810	8,771	-13,132	-15,692	0,000	8,376	-0,261	9,089
Plate_1_8	4259	1	3,000	-6,818	-44,802	-44,802	8,771	-13,152	-15,716	0,000	8,376	-0,261	9,089
Element 22-45 (Plate)	4246	2	3,000	-6,901	-45,332	-45,332	8,729	-12,091	-14,489	0,000	7,331	-0,337	7,838
(Micropali D168.3x8,0mm/0,4)	4247	3	3,000	-6,984	-45,760	-45,760	8,672	-11,042	-13,269	0,000	6,373	-0,403	6,694
점	4248	4	3,000	-7,067	-46,084	-46,084	8,602	-10,011	-12,063	0,000	5,501	-0,460	5,668
점	4245	5	3,000	-7,150	-46,302	-46,302	8,517	-9,004	-10,877	0,000	4,714	-0,507	4,767
Plate_1_8	4245	1	3,000	-7,150	-46,298	-46,298	8,517	-9,012	-10,887	0,000	4,714	-0,507	4,767
Element 22-46 (Plate)	3594	2	3,000	-7,245	-46,404	-46,404	8,404	-7,922	-9,594	0,000	3,911	-0,551	3,911
(Micropali D168.3x8,0mm/0,4)	3595	3	3,000	-7,339	-46,349	-46,349	8,273	-6,910	-8,381	0,000	3,208	-0,585	3,208
점	3596	4	3,000	-7,434	-46,134	-46,134	8,125	-5,977	-7,251	0,000	2,596	-0,608	2,596
점	3593	5	3,000	-7,529	-45,759	-45,759	7,961	-5,126	-6,207	0,000	2,070	-0,640	2,070
Plate_1_8	3593	1	3,000	-7,529	-45,758	-45,758	7,961	-5,125	-6,205	0,000	2,070	-0,640	2,070
Element 22-47 (Plate)	3554	2	3,000	-7,638	-45,126	-45,126	7,751	-4,256	-5,121	0,001	1,561	-0,689	1,561
(Micropali D168.3x8,0mm/0,4)	3555	3	3,000	-7,747	-44,279	-44,279	7,519	-3,488	-4,142	0,097	1,141	-0,735	1,141
점	3556	4	3,000	-7,855	-43,217	-43,217	7,264	-2,820	-3,266	0,188	0,799	-0,780	0,799
점	3553	5	3,000	-7,964	-41,941	-41,941	6,986	-2,248	-2,503	0,273	0,524	-0,828	0,524
Plate_1_8	3553	1	3,000	-7,964	-41,938	-41,938	6,985	-2,239	-2,494	0,272	0,524	-0,828	0,524
Element 22-48 (Plate)	3470	2	3,000	-8,089	-40,215	-40,215	6,637	-1,687	-1,747	0,366	0,281	-0,876	0,281
(Micropali D168.3x8,0mm/0,4)	3471	3	3,000	-8,213	-38,201	-38,201	6,254	-1,214	-1,214	0,454	0,101	-0,957	0,101
점	3472	4	3,000	-8,338	-35,893	-35,893	5,836	-0,817	-0,817	0,587	-0,025	-0,994	0,000

Structural element	Node	Local number	X [m]	Y [m]	N [kN/m]	N_{min} [kN/m]	N_{max} [kN/m]	Q [kN/m]	Q_{min} [kN/m]	Q_{max} [kN/m]	M [kN m/m]	M_{min} [kN m/m]	M_{max} [kN m/m]
쫌	3469	5	3,000	-8,463	-33,294	-33,294	5,384	-0,490	-0,490	0,752	-0,106	-0,976	0,000
Plate_1_8	3469	1	3,000	-8,463	-33,268	-33,268	5,381	-0,483	-0,483	0,736	-0,106	-0,976	0,000
Element 22-49 (Plate)	3374	2	3,000	-8,605	-29,913	-29,913	4,816	-0,154	-0,154	1,006	-0,151	-0,878	0,000
(Micropali D168.3x8,0mm/0,4)	3375	3	3,000	-8,748	-26,060	-26,060	4,190	0,143	0,000	1,406	-0,151	-0,707	0,016
쫌	3376	4	3,000	-8,891	-21,692	-21,692	3,503	0,394	0,000	1,695	-0,112	-0,490	0,035
쫌	3373	5	3,000	-9,033	-16,797	-16,797	2,753	0,586	0,000	1,796	-0,042	-0,251	0,050
Plate_3_5	4823	1	0,000	-7,000	-25,454	-25,454	0,032	-13,768	-13,768	0,004	10,924	-0,002	10,924
Element 23-50 (Plate)	4218	2	0,000	-7,119	-26,036	-26,036	0,034	-12,760	-12,760	0,005	9,342	-0,002	9,342
(Micropali D168.3x8,0mm/0,4)	4217	3	0,000	-7,238	-26,684	-26,684	0,035	-11,637	-11,637	0,005	7,886	-0,001	7,886
쫌	4216	4	0,000	-7,358	-27,382	-27,382	0,036	-10,428	-10,428	0,005	6,570	-0,001	6,570
쫌	4215	5	0,000	-7,477	-28,115	-28,115	0,036	-9,159	-9,159	0,005	5,402	-0,001	5,402
Plate_3_5	4215	1	0,000	-7,477	-28,097	-28,097	0,036	-9,191	-9,191	0,005	5,402	-0,001	5,402
Element 23-51 (Plate)	3948	2	0,000	-7,604	-28,835	-28,835	0,037	-7,913	-7,913	0,004	4,315	-0,001	4,315
(Micropali D168.3x8,0mm/0,4)	3947	3	0,000	-7,731	-29,517	-29,517	0,038	-6,731	-6,731	0,004	3,384	-0,022	3,384
쫌	3946	4	0,000	-7,859	-30,142	-30,142	0,038	-5,649	-5,649	0,003	2,597	-0,059	2,597
쫌	3945	5	0,000	-7,986	-30,707	-30,707	0,039	-4,671	-4,671	0,003	1,942	-0,108	1,942
Plate_3_5	3945	1	0,000	-7,986	-30,709	-30,709	0,039	-4,667	-4,667	0,003	1,942	-0,108	1,942
Element 23-52 (Plate)	3400	2	0,000	-8,122	-31,239	-31,239	0,039	-3,750	-3,750	0,002	1,371	-0,147	1,371
(Micropali D168.3x8,0mm/0,4)	3399	3	0,000	-8,258	-31,713	-31,713	0,039	-2,929	-2,929	0,001	0,918	-0,179	0,918
쫌	3398	4	0,000	-8,394	-32,135	-32,135	0,040	-2,198	-2,198	0,001	0,571	-0,212	0,571
쫌	3397	5	0,000	-8,530	-32,508	-32,508	0,040	-1,553	-1,553	0,024	0,317	-0,230	0,317
Plate_3_5	3397	1	0,000	-8,530	-32,514	-32,514	0,040	-1,541	-1,541	0,024	0,317	-0,230	0,317
Element 23-53 (Plate)	3352	2	0,000	-8,675	-32,879	-32,879	0,040	-0,910	-0,910	0,108	0,139	-0,239	0,139
(Micropali D168.3x8,0mm/0,4)	3351	3	0,000	-8,820	-33,225	-33,225	0,040	-0,312	-0,312	0,204	0,051	-0,249	0,051
쫌	3350	4	0,000	-8,965	-33,551	-33,551	0,040	0,253	-0,001	0,360	0,047	-0,216	0,047
쫌	3349	5	0,000	-9,110	-33,861	-33,861	0,040	0,789	-0,001	0,789	0,123	-0,146	0,123
Plate_3_5	3349	1	0,000	-9,110	-33,833	-33,833	0,040	0,741	-0,001	0,741	0,123	-0,146	0,123
Element 23-54 (Plate)	3286	2	0,000	-9,265	-34,180	-34,180	0,039	1,341	-0,001	1,341	0,286	-0,038	0,286
(Micropali D168.3x8,0mm/0,4)	3285	3	0,000	-9,420	-34,410	-34,410	0,039	1,739	-0,002	1,739	0,529	0,000	0,529
쫌	3284	4	0,000	-9,575	-34,484	-34,484	0,039	1,867	-0,002	1,867	0,811	0,000	0,811
쫌	3283	5	0,000	-9,730	-34,363	-34,363	0,038	1,657	-0,001	1,657	1,089	0,000	1,089
Plate_1_9	3373	1	3,000	-9,033	-16,731	-16,731	2,746	0,508	0,000	1,747	-0,042	-0,251	0,050
Element 24-55 (Plate)	3262	2	3,000	-9,150	-12,436	-12,436	2,081	0,161	-0,109	0,917	-0,004	-0,107	0,047
(Micropali D168.3x8,0mm/0,4)	3261	3	3,000	-9,267	-7,965	-7,965	1,372	-0,018	-0,181	0,396	0,003	-0,034	0,029
쫌	3260	4	3,000	-9,383	-3,316	-3,316	0,605	-0,037	-0,162	0,102	-0,002	-0,006	0,011
쫌	3259	5	3,000	-9,500	1,510	-0,221	1,510	0,100	-0,014	0,100	0,000	0,000	0,000
Plate_3_6	3283	1	0,000	-9,730	-34,141	-34,141	0,038	1,434	-0,002	1,434	1,089	0,000	1,089
Element 25-56 (Plate)	3117	2	0,000	-9,886	-33,845	-33,845	0,038	0,416	-0,002	0,416	1,230	0,000	1,230
(Micropali D168.3x8,0mm/0,4)	3116	3	0,000	-10,043	-33,713	-33,713	0,037	-0,292	-0,292	0,000	1,236	0,000	1,236
쫌	3115	4	0,000	-10,199	-33,730	-33,730	0,037	-0,712	-0,712	0,000	1,153	0,000	1,153
쫌	3114	5	0,000	-10,356	-33,877	-33,877	0,036	-0,866	-0,866	0,000	1,026	0,000	1,026
Plate_3_6	3114	1	0,000	-10,356	-33,783	-33,783	0,036	-0,914	-0,914	0,000	1,026	0,000	1,026
Element 25-57 (Plate)	3035	2	0,000	-10,520	-34,164	-34,164	0,035	-0,954	-0,954	0,000	0,871	0,000	0,871
(Micropali D168.3x8,0mm/0,4)	3034	3	0,000	-10,685	-34,363	-34,363	0,035	-0,919	-0,919	0,000	0,717	0,000	0,717
쫌	3033	4	0,000	-10,850	-34,373	-34,373	0,034	-0,821	-0,821	0,000	0,572	0,000	0,572
쫌	3032	5	0,000	-11,014	-34,191	-34,191	0,033	-0,672	-0,672	0,000	0,449	0,000	0,449
Plate_3_6	3032	1	0,000	-11,014	-34,193	-34,193	0,033	-0,689	-0,689	0,000	0,449	0,000	0,449
Element 25-58 (Plate)	2481	2	0,000	-11,187	-33,799	-33,799	0,032	-0,550	-0,550	0,000	0,342	0,000	0,342
(Micropali D168.3x8,0mm/0,4)	2480	3	0,000	-11,360	-33,207	-33,207	0,030	-0,427	-0,427	0,000	0,258	0,000	0,258

Structural element	Node	Local number	X [m]	Y [m]	N [kN/m]	N_{min} [kN/m]	N_{max} [kN/m]	Q [kN/m]	Q_{min} [kN/m]	Q_{max} [kN/m]	M [kN m/m]	M_{min} [kN m/m]	M_{max} [kN m/m]
점	2479	4	0,000	-11,533	-32,418	-32,418	0,029	-0,322	-0,322	0,000	0,193	0,000	0,193
점	2478	5	0,000	-11,706	-31,435	-31,435	0,028	-0,236	-0,236	0,000	0,145	0,000	0,145
Plate_3_6	2478	1	0,000	-11,706	-31,435	-31,435	0,028	-0,235	-0,235	0,000	0,145	0,000	0,145
Element 25-59 (Plate)	2309	2	0,000	-11,888	-30,197	-30,197	0,026	-0,169	-0,169	0,000	0,109	0,000	0,109
(Micropali D168.3x8,0mm/0,4)	2308	3	0,000	-12,069	-28,745	-28,745	0,024	-0,118	-0,118	0,000	0,083	0,000	0,083
점	2307	4	0,000	-12,251	-27,080	-27,080	0,023	-0,082	-0,082	0,000	0,065	0,000	0,065
점	2306	5	0,000	-12,433	-25,202	-25,202	0,021	-0,059	-0,059	0,000	0,052	0,000	0,052
Plate_3_6	2306	1	0,000	-12,433	-25,196	-25,196	0,021	-0,058	-0,058	0,000	0,052	0,000	0,052
Element 25-60 (Plate)	1871	2	0,000	-12,624	-22,990	-22,990	0,019	-0,039	-0,039	0,000	0,043	0,000	0,043
(Micropali D168.3x8,0mm/0,4)	1870	3	0,000	-12,815	-20,523	-20,523	0,016	-0,027	-0,027	0,000	0,037	0,000	0,037
점	1869	4	0,000	-13,006	-17,794	-17,794	0,014	-0,019	-0,020	0,000	0,033	0,000	0,033
점	1868	5	0,000	-13,197	-14,803	-14,803	0,012	-0,016	-0,018	0,000	0,029	0,000	0,029
Plate_3_6	1868	1	0,000	-13,197	-14,775	-14,775	0,012	-0,015	-0,017	0,000	0,029	0,000	0,029
Element 25-61 (Plate)	1171	2	0,000	-13,398	-11,333	-11,333	0,009	0,011	-0,006	0,011	0,031	0,000	0,031
(Micropali D168.3x8,0mm/0,4)	1170	3	0,000	-13,598	-7,488	-7,488	0,006	-0,029	-0,029	0,000	0,029	0,000	0,029
점	1169	4	0,000	-13,799	-3,224	-3,224	0,002	-0,080	-0,080	0,000	0,019	0,000	0,019
점	1168	5	0,000	-14,000	1,476	-0,001	1,476	-0,091	-0,091	0,000	0,000	0,000	0,000

3.1.2.4.16 Calculation results, Plate, SLE/SLU 11 Costr [Phase_17] (17/731), Table of plate force envelopes

Structural element	Node	Local number	X [m]	Y [m]	N [kN/m]	N_{min} [kN/m]	N_{max} [kN/m]	Q [kN/m]	Q_{min} [kN/m]	Q_{max} [kN/m]	M [kN m/m]	M_{min} [kN m/m]	M_{max} [kN m/m]
Plate_2_1	9176	1	0,000	0,000	-0,002	-0,002	0,003	0,005	-0,008	0,005	0,000	0,000	0,000
Element 1-1 (Plate)	9173	2	0,000	-0,034	-0,005	-0,012	0,000	0,040	0,000	0,047	0,000	0,000	0,000
(Parete c.a.C32/40 sp.0.50m)	9174	3	0,000	-0,067	-0,029	-0,037	0,000	0,178	0,000	0,180	0,004	0,000	0,004
2m	9175	4	0,000	-0,101	-0,072	-0,078	0,000	0,416	0,000	0,416	0,014	0,000	0,014
2m	9165	5	0,000	-0,135	-0,130	-0,133	0,000	0,747	0,000	0,747	0,033	0,000	0,033
Plate_2_1	9165	1	0,000	-0,135	-0,128	-0,130	0,000	0,740	0,000	0,740	0,033	0,000	0,033
Element 1-2 (Plate)	9164	2	0,000	-0,168	-0,194	-0,195	0,000	1,139	0,000	1,139	0,064	0,000	0,064
(Parete c.a.C32/40 sp.0.50m)	9163	3	0,000	-0,202	-0,262	-0,262	0,000	1,594	0,000	1,594	0,110	0,000	0,110
2m	9162	4	0,000	-0,235	-0,330	-0,330	0,000	2,100	0,000	2,100	0,171	0,000	0,171
2m	9166	5	0,000	-0,268	-0,398	-0,398	0,000	2,656	0,000	2,656	0,250	0,000	0,250
Plate_2_1	9166	1	0,000	-0,268	-0,396	-0,396	0,000	2,650	0,000	2,650	0,250	0,000	0,250
Element 1-3 (Plate)	9161	2	0,000	-0,301	-0,455	-0,455	0,000	3,228	0,000	3,228	0,347	0,000	0,347
(Parete c.a.C32/40 sp.0.50m)	9160	3	0,000	-0,334	-0,508	-0,508	0,000	3,840	0,000	3,840	0,463	0,000	0,463
2m	9159	4	0,000	-0,367	-0,556	-0,556	0,000	4,488	0,000	4,488	0,600	0,000	0,600
2m	9158	5	0,000	-0,400	-0,599	-0,599	0,000	5,173	0,000	5,173	0,759	0,000	0,759
Plate_4_1	7845	1	3,000	0,000	0,340	-0,098	0,340	-0,462	-0,462	0,068	0,000	0,000	0,000
Element 2-4 (Plate)	7844	2	3,000	-0,125	-0,335	-0,335	0,147	0,113	-0,032	0,474	-0,014	-0,014	0,015
(Micropali D168.3x8,0mm/0,4)	7843	3	3,000	-0,250	-0,676	-0,676	0,237	0,170	0,000	1,011	0,005	0,000	0,110
2m	7842	4	3,000	-0,375	-0,791	-0,837	0,273	-0,057	-0,057	1,298	0,017	0,000	0,257
2m	7918	5	3,000	-0,500	-0,787	-0,953	0,350	-0,336	-0,336	1,289	-0,010	-0,010	0,422
Plate_2_2	9158	1	0,000	-0,400	-0,600	-0,600	0,000	5,176	0,000	5,176	0,759	0,000	0,759
Element 3-5 (Plate)	9131	2	0,000	-0,425	-0,631	-0,631	0,000	5,708	0,000	5,708	0,895	0,000	0,895
(Parete c.a.C32/40 sp.0.50m)	9130	3	0,000	-0,450	-0,662	-0,662	0,000	6,240	0,000	6,240	1,045	0,000	1,045
2m	9129	4	0,000	-0,475	-0,694	-0,694	0,000	6,770	0,000	6,770	1,207	0,000	1,207
2m	9125	5	0,000	-0,500	-0,727	-0,727	0,000	7,299	0,000	7,299	1,383	0,000	1,383
Plate_2_3	9125	1	0,000	-0,500	-0,727	-0,727	0,000	7,299	0,000	7,299	1,383	0,000	1,383
Element 4-6 (Plate)	9121	2	0,000	-0,537	-0,776	-0,776	0,000	8,071	0,000	8,071	1,664	0,000	1,664
(Parete c.a.C32/40 sp.0.50m)	9120	3	0,000	-0,573	-0,826	-0,826	0,000	8,840	0,000	8,840	1,974	0,000	1,974
2m	9119	4	0,000	-0,610	-0,877	-0,877	0,000	9,605	0,000	9,605	2,311	0,000	2,311
2m	9115	5	0,000	-0,646	-0,928	-0,928	0,000	10,364	0,000	10,364	2,677	0,000	2,677
Plate_2_3	9115	1	0,000	-0,646	-0,927	-0,927	0,000	10,362	0,000	10,362	2,677	0,000	2,677
Element 4-7 (Plate)	9025	2	0,000	-0,688	-0,989	-0,989	0,000	11,226	0,000	11,226	3,124	0,000	3,124
(Parete c.a.C32/40 sp.0.50m)	9024	3	0,000	-0,729	-1,052	-1,052	0,000	12,085	0,000	12,085	3,607	0,000	3,607
2m	9023	4	0,000	-0,771	-1,115	-1,115	0,000	12,936	0,000	12,936	4,126	0,000	4,126
2m	9019	5	0,000	-0,812	-1,176	-1,176	0,000	13,776	0,000	13,776	4,680	0,000	4,680
Plate_2_3	9019	1	0,000	-0,812	-1,175	-1,175	0,000	13,773	0,000	13,773	4,680	0,000	4,680
Element 4-8 (Plate)	8963	2	0,000	-0,859	-1,236	-1,236	0,000	14,691	0,000	14,691	5,348	0,000	5,348
(Parete c.a.C32/40 sp.0.50m)	8962	3	0,000	-0,906	-1,295	-1,295	0,000	15,598	0,000	15,598	6,059	0,000	6,059
2m	8961	4	0,000	-0,953	-1,356	-1,356	0,000	16,497	0,000	16,497	6,812	0,000	6,812
2m	8957	5	0,000	-1,000	-1,419	-1,419	0,000	17,392	0,000	17,392	7,608	0,000	7,608
Plate_1_1	7918	1	3,000	-0,500	-0,787	-0,924	0,291	-0,385	-0,385	1,367	-0,010	-0,010	0,422
Element 5-9 (Plate)	7921	2	3,000	-0,625	-1,111	-1,465	0,285	-0,264	-0,264	1,389	-0,059	-0,059	0,591
(Micropali D168.3x8,0mm/0,4)	7920	3	3,000	-0,750	-1,799	-2,134	0,078	0,356	-0,093	1,856	-0,053	-0,053	0,781

Structural element	Node	Local number	X [m]	Y [m]	N [kN/m]	N_{min} [kN/m]	N_{max} [kN/m]	Q [kN/m]	Q_{min} [kN/m]	Q_{max} [kN/m]	M [kN m/m]	M_{min} [kN m/m]	M_{max} [kN m/m]
쯤	7919	4	3,000	-0,875	-2,713	-2,961	0,000	1,178	-0,174	3,031	0,039	-0,003	1,021
쯤	7941	5	3,000	-1,000	-3,716	-3,890	0,000	1,907	-0,187	4,481	0,236	-0,017	1,341
Plate_1_2	7941	1	3,000	-1,000	-3,592	-3,839	0,000	1,685	-0,196	4,358	0,236	-0,017	1,341
Element 6-10 (Plate)	7940	2	3,000	-1,050	-3,725	-4,037	0,000	1,469	-0,204	4,851	0,313	-0,025	1,485
(Micropali D168.3x8,0mm/0,4)	7939	3	3,000	-1,099	-3,942	-4,256	0,000	1,440	-0,216	5,377	0,385	-0,035	1,662
쯤	7938	4	3,000	-1,149	-4,154	-4,439	0,000	1,488	-0,239	5,843	0,457	-0,044	1,932
쯤	7937	5	3,000	-1,199	-4,274	-4,532	0,000	1,504	-0,337	6,157	0,532	-0,054	2,222
Plate_2_4	8957	1	0,000	-1,000	-1,418	-1,418	0,002	17,389	-0,006	17,389	7,608	0,000	7,608
Element 7-11 (Plate)	8874	2	0,000	-1,046	-1,486	-1,486	0,000	18,274	0,000	18,274	8,429	0,000	8,429
(Parete c.a.C32/40 sp.0.50m)	8873	3	0,000	-1,092	-1,557	-1,557	0,000	19,156	0,000	19,156	9,290	0,000	9,290
쯤	8872	4	0,000	-1,138	-1,630	-1,630	0,000	20,035	0,000	20,035	10,193	0,000	10,193
쯤	8871	5	0,000	-1,184	-1,707	-1,708	0,000	20,913	0,000	20,913	11,135	0,000	11,135
Plate_2_4	8871	1	0,000	-1,184	-1,721	-1,721	0,000	20,948	0,000	20,948	11,135	0,000	11,135
Element 7-12 (Plate)	8828	2	0,000	-1,245	-1,770	-1,812	0,000	21,963	0,000	21,963	12,442	0,000	12,442
(Parete c.a.C32/40 sp.0.50m)	8827	3	0,000	-1,306	-1,813	-1,913	0,000	22,945	0,000	22,945	13,809	0,000	13,809
쯤	8826	4	0,000	-1,367	-1,865	-1,994	0,000	23,934	0,000	23,934	15,237	0,000	15,237
쯤	8825	5	0,000	-1,428	-1,943	-2,061	0,000	24,972	0,000	24,972	16,725	0,000	16,725
Plate_2_4	8825	1	0,000	-1,428	-1,932	-2,058	0,000	24,943	0,000	24,943	16,725	0,000	16,725
Element 7-13 (Plate)	8687	2	0,000	-1,508	-2,040	-2,159	0,000	26,304	0,000	26,304	18,789	0,000	18,789
(Parete c.a.C32/40 sp.0.50m)	8686	3	0,000	-1,589	-2,182	-2,258	0,000	27,724	0,000	27,724	20,965	0,000	20,965
쯤	8685	4	0,000	-1,669	-2,383	-2,383	0,000	29,264	0,000	29,264	23,261	0,000	23,261
쯤	8684	5	0,000	-1,750	-2,666	-2,666	0,000	30,984	0,000	30,984	25,685	0,000	25,685
Plate_1_3	7937	1	3,000	-1,199	-4,208	-4,510	0,000	1,442	-0,333	6,079	0,532	-0,054	2,222
Element 8-14 (Plate)	7886	2	3,000	-1,270	-4,094	-4,559	0,000	1,061	-0,502	6,079	0,621	-0,071	2,642
(Micropali D168.3x8,0mm/0,4)	7885	3	3,000	-1,341	-4,015	-4,645	0,000	0,621	-0,625	6,079	0,682	-0,087	3,073
쯤	7884	4	3,000	-1,412	-3,972	-4,807	0,000	0,110	-0,683	6,079	0,708	-0,107	3,504
쯤	7887	5	3,000	-1,483	-3,967	-5,026	0,000	-0,482	-0,699	6,079	0,695	-0,127	3,934
Plate_1_3	7887	1	3,000	-1,483	-3,929	-5,064	0,000	-0,499	-0,730	6,301	0,695	-0,127	3,934
Element 8-15 (Plate)	7869	2	3,000	-1,663	-4,012	-5,549	0,000	-1,907	-1,907	5,978	0,488	-0,197	5,029
(Micropali D168.3x8,0mm/0,4)	7868	3	3,000	-1,842	-4,261	-6,333	0,000	-3,427	-3,427	6,336	0,001	-0,285	6,107
쯤	7867	4	3,000	-2,021	-4,816	-7,511	0,000	-4,658	-4,658	7,963	-0,723	-0,723	7,373
쯤	7866	5	3,000	-2,200	-5,816	-9,181	0,000	-5,204	-5,204	11,557	-1,623	-1,623	9,064
Plate_2_5	8684	1	0,000	-1,750	-13,685	-13,685	0,000	-42,856	-42,856	0,000	25,685	0,000	25,685
Element 9-16 (Plate)	8674	2	0,000	-1,843	-14,052	-14,052	0,000	-40,796	-40,796	0,000	21,780	-0,974	21,780
(Parete c.a.C32/40 sp.0.50m)	8673	3	0,000	-1,937	-14,433	-14,433	0,000	-38,740	-38,740	0,000	18,065	-2,185	18,065
쯤	8672	4	0,000	-2,030	-14,835	-14,835	0,000	-36,668	-36,668	0,000	14,542	-3,360	14,542
쯤	8668	5	0,000	-2,124	-15,266	-15,266	0,000	-34,562	-34,562	0,000	11,216	-4,691	11,216
Plate_2_5	8668	1	0,000	-2,124	-15,287	-15,287	0,000	-34,507	-34,507	0,000	11,216	-4,691	11,216
Element 9-17 (Plate)	8487	2	0,000	-2,268	-15,919	-15,919	0,000	-31,418	-31,418	0,000	6,472	-7,532	6,472
(Parete c.a.C32/40 sp.0.50m)	8486	3	0,000	-2,412	-16,546	-16,546	0,000	-28,431	-28,431	0,000	2,155	-10,199	2,155
쯤	8485	4	0,000	-2,556	-17,266	-17,266	0,000	-25,300	-25,300	0,000	-1,717	-12,663	0,000
쯤	8484	5	0,000	-2,700	-18,174	-18,174	0,000	-21,779	-21,779	0,000	-5,116	-14,888	0,000
Plate_1_4	7866	1	3,000	-2,200	-4,919	-11,869	0,000	4,031	-25,886	4,798	-1,623	-1,623	9,064
Element 10-18 (Plate)	7789	2	3,000	-2,325	-5,101	-13,051	0,000	2,892	-23,774	5,837	-1,192	-1,192	5,957
(Micropali D168.3x8,0mm/0,4)	7788	3	3,000	-2,450	-5,688	-14,394	0,000	1,981	-21,384	7,359	-0,890	-1,210	6,681
쯤	7787	4	3,000	-2,575	-6,730	-15,818	0,000	1,348	-18,851	9,237	-0,685	-1,787	7,701
쯤	7786	5	3,000	-2,700	-8,275	-17,368	0,000	1,040	-16,309	11,347	-0,540	-2,333	8,970
Plate_2_6	8484	1	0,000	-2,700	-18,101	-18,101	0,016	-21,965	-21,965	0,010	-5,116	-14,888	0,000
Element 11-19 (Plate)	8275	2	0,000	-2,836	-18,666	-18,666	0,000	-19,471	-19,471	0,085	-7,944	-16,796	0,004

Structural element	Node	Local number	X [m]	Y [m]	N [kN/m]	N_{min} [kN/m]	N_{max} [kN/m]	Q [kN/m]	Q_{min} [kN/m]	Q_{max} [kN/m]	M [kN m/m]	M_{min} [kN m/m]	M_{max} [kN m/m]
(Parete c.a.C32/40 sp.0.50m)	8274	3	0,000	-2,973	-19,338	-19,338	0,000	-16,785	-16,785	0,199	-10,416	-18,514	0,022
2	8273	4	0,000	-3,109	-20,074	-20,074	0,000	-14,018	-14,018	0,404	-12,519	-20,006	0,059
2	8272	5	0,000	-3,245	-20,830	-20,830	0,000	-11,283	-11,283	0,891	-14,241	-21,240	0,136
Plate_2_6	8272	1	0,000	-3,245	-20,847	-20,847	0,000	-11,239	-11,239	0,820	-14,241	-21,240	0,136
Element 11-20 (Plate)	8129	2	0,000	-3,352	-21,505	-21,505	0,000	-8,990	-8,990	1,084	-15,313	-22,013	0,233
(Parete c.a.C32/40 sp.0.50m)	8128	3	0,000	-3,458	-22,157	-22,157	0,000	-6,805	-6,805	1,318	-16,152	-22,625	0,352
2	8127	4	0,000	-3,564	-22,832	-22,832	0,000	-4,610	-4,610	1,571	-16,757	-23,076	0,504
2	8126	5	0,000	-3,670	-23,561	-23,561	0,000	-2,329	-2,329	2,096	-17,126	-23,360	0,681
Plate_2_6	8126	1	0,000	-3,670	-23,613	-23,613	0,000	-2,196	-2,196	2,031	-17,126	-23,360	0,681
Element 11-21 (Plate)	8029	2	0,000	-3,752	-24,247	-24,247	0,000	-0,283	-0,584	2,470	-17,230	-23,456	0,846
(Parete c.a.C32/40 sp.0.50m)	8028	3	0,000	-3,835	-24,943	-24,943	0,000	1,759	0,000	2,817	-17,169	-23,425	1,049
2	8027	4	0,000	-3,917	-25,684	-25,684	0,000	3,885	0,000	3,885	-16,937	-23,271	1,289
2	8026	5	0,000	-4,000	-26,452	-26,452	0,000	6,048	0,000	6,048	-16,527	-22,993	1,563
Plate_1_5	7786	1	3,000	-2,700	-7,979	-17,222	0,000	1,055	-16,351	10,045	-0,540	-2,333	8,970
Element 12-22 (Plate)	7619	2	3,000	-2,860	-10,318	-19,545	0,000	1,249	-13,959	5,684	-0,352	-4,002	10,209
(Micropali D168.3x8,0mm/0,4)	7618	3	3,000	-3,020	-12,377	-21,726	0,000	1,283	-11,708	2,451	-0,149	-6,057	10,849
2	7617	4	3,000	-3,180	-14,259	-23,809	0,301	1,228	-9,474	1,228	0,054	-7,751	11,046
2	7663	5	3,000	-3,340	-16,065	-25,919	1,036	1,155	-7,204	1,155	0,244	-9,083	10,949
Plate_1_5	7663	1	3,000	-3,340	-16,157	-25,933	1,097	1,212	-7,219	1,212	0,244	-9,083	10,949
Element 12-23 (Plate)	7662	2	3,000	-3,505	-18,203	-28,070	1,760	1,560	-4,808	1,560	0,469	-10,057	10,591
(Micropali D168.3x8,0mm/0,4)	7661	3	3,000	-3,670	-20,624	-30,407	2,277	2,099	-4,214	2,099	0,770	-10,589	10,029
2	7660	4	3,000	-3,835	-23,506	-33,007	2,621	2,769	-4,601	2,769	1,169	-10,638	9,328
2	7659	5	3,000	-4,000	-26,935	-35,933	2,780	3,512	-4,803	5,198	1,687	-10,160	8,555
Plate_2_7	8026	1	0,000	-4,000	-26,408	-26,408	0,001	5,936	-0,003	5,936	-16,527	-22,993	1,563
Element 13-24 (Plate)	7907	2	0,000	-4,065	-26,901	-26,901	0,000	7,332	0,000	7,332	-16,096	-22,692	1,799
(Parete c.a.C32/40 sp.0.50m)	7906	3	0,000	-4,130	-27,317	-27,317	0,000	8,513	0,000	8,513	-15,582	-22,317	2,052
2	7905	4	0,000	-4,194	-27,664	-27,664	0,000	9,499	0,000	9,499	-14,997	-21,868	2,326
2	7904	5	0,000	-4,259	-27,952	-27,952	0,000	10,311	0,000	10,311	-14,354	-21,342	2,622
Plate_2_8	7904	1	0,000	-4,259	-27,967	-27,967	0,000	10,351	0,000	10,351	-14,354	-21,342	2,622
Element 14-25 (Plate)	7591	2	0,000	-4,319	-28,192	-28,192	0,000	10,981	0,000	10,981	-13,713	-20,775	2,926
(Parete c.a.C32/40 sp.0.50m)	7590	3	0,000	-4,380	-28,486	-28,486	0,000	11,768	0,000	11,768	-13,029	-20,127	3,265
2	7589	4	0,000	-4,440	-28,855	-28,855	0,000	12,734	0,000	12,891	-12,292	-19,396	3,640
2	7588	5	0,000	-4,500	-29,307	-29,307	0,000	13,897	0,000	14,289	-11,492	-18,581	4,053
Plate_1_6	7659	1	3,000	-4,000	-26,717	-35,771	2,845	3,554	-4,860	5,007	1,687	-10,160	8,555
Element 15-26 (Plate)	7643	2	3,000	-4,176	-29,777	-38,328	2,912	5,652	-5,072	8,021	2,488	-9,186	7,680
(Micropali D168.3x8,0mm/0,4)	7642	3	3,000	-4,353	-32,598	-40,611	3,016	8,070	-5,201	11,110	3,702	-7,661	6,771
2	7641	4	3,000	-4,529	-35,524	-42,980	3,177	10,462	-5,167	14,329	5,333	-5,560	5,855
2	7640	5	3,000	-4,705	-38,900	-45,764	3,413	12,483	-4,890	17,672	7,366	-2,860	7,366
Plate_1_6	7640	1	3,000	-4,705	-39,011	-45,882	3,443	12,559	-4,864	17,870	7,366	-2,860	7,366
Element 15-27 (Plate)	7507	2	3,000	-4,808	-41,378	-47,906	3,692	13,111	-4,520	20,001	8,687	-0,960	8,687
(Micropali D168.3x8,0mm/0,4)	7506	3	3,000	-4,912	-43,530	-49,735	4,003	13,935	-4,139	22,184	10,080	0,000	10,080
2	7505	4	3,000	-5,015	-45,523	-51,422	4,368	15,011	-3,728	24,411	11,570	0,000	11,570
2	7504	5	3,000	-5,118	-47,415	-53,014	4,784	16,320	-3,293	26,699	13,183	0,000	13,183
Plate_1_6	7504	1	3,000	-5,118	-47,446	-53,046	4,783	16,253	-3,303	26,673	13,183	0,000	13,183
Element 15-28 (Plate)	7235	2	3,000	-5,178	-48,561	-53,988	5,044	17,031	-3,058	28,129	14,187	0,000	14,187
(Micropali D168.3x8,0mm/0,4)	7236	3	3,000	-5,238	-49,768	-55,023	5,317	17,657	-2,828	29,656	15,234	0,000	15,234
2	7237	4	3,000	-5,299	-51,074	-56,159	5,603	18,085	-2,614	31,192	16,313	0,000	16,313
2	7234	5	3,000	-5,359	-52,488	-57,404	5,900	18,270	-2,418	32,725	17,410	0,000	17,410
Plate_1_6	7234	1	3,000	-5,359	-52,456	-57,371	5,898	18,284	-2,423	32,710	17,410	0,000	17,410

Structural element	Node	Local number	X [m]	Y [m]	N [kN/m]	N_{min} [kN/m]	N_{max} [kN/m]	Q [kN/m]	Q_{min} [kN/m]	Q_{max} [kN/m]	M [kN m/m]	M_{min} [kN m/m]	M_{max} [kN m/m]
Element 15-29 (Plate)	7077	2	3,000	-5,394	-53,380	-58,198	6,083	18,081	-2,324	33,529	18,050	0,000	18,050
(Micropali D168.3x8,0mm/0,4)	7078	3	3,000	-5,429	-54,089	-58,812	6,265	18,266	-2,244	34,362	18,690	0,000	18,690
2	7079	4	3,000	-5,465	-54,624	-59,253	6,442	18,749	-2,185	35,204	19,342	0,000	19,342
2	7076	5	3,000	-5,500	-55,026	-59,562	6,611	19,439	-2,149	36,050	20,015	0,000	20,015
Plate_2_9	7588	1	0,000	-4,500	-29,208	-29,208	0,000	13,642	0,000	14,167	-11,492	-18,581	4,053
Element 16-30 (Plate)	7540	2	0,000	-4,650	-30,633	-30,633	0,000	17,286	0,000	17,814	-9,171	-16,180	5,257
(Parete c.a.C32/40 sp.0.50m)	7539	3	0,000	-4,800	-31,955	-31,955	0,000	20,666	0,000	21,046	-6,319	-13,261	6,704
2	7538	4	0,000	-4,950	-33,143	-33,143	0,000	23,703	0,000	23,891	-2,987	-9,884	8,361
2	7534	5	0,000	-5,100	-34,166	-34,166	0,000	26,319	0,000	26,408	0,770	-6,109	10,196
Plate_3_1	7534	1	0,000	-5,100	-42,800	-42,800	0,000	23,597	-0,001	23,920	0,770	-6,109	10,196
Element 17-31 (Plate)	7197	2	0,000	-5,200	-43,729	-43,729	0,000	25,205	-0,001	25,706	3,209	-3,630	11,373
(Micropali D168.3x8,0mm/0,4)	7196	3	0,000	-5,300	-44,794	-44,794	0,000	27,047	-0,001	27,662	5,819	-0,963	12,610
2	7195	4	0,000	-5,400	-46,038	-46,038	0,000	29,203	-0,001	29,836	8,630	0,000	13,937
2	7194	5	0,000	-5,500	-47,510	-47,510	0,000	31,752	-0,001	32,275	11,673	0,000	15,382
Plate_1_7	7076	1	3,000	-5,500	-54,948	-59,492	6,610	19,423	-2,154	35,936	20,015	0,000	20,015
Element 18-32 (Plate)	6660	2	3,000	-5,513	-55,111	-59,622	6,666	19,625	-2,152	35,650	20,259	0,000	20,259
(Micropali D168.3x8,0mm/0,4)	6661	3	3,000	-5,525	-55,240	-59,720	6,722	19,855	-2,159	35,330	20,505	0,000	20,505
2	6662	4	3,000	-5,537	-55,336	-59,789	6,777	20,096	-2,175	34,958	20,755	0,000	20,755
2	6659	5	3,000	-5,550	-55,403	-59,832	6,830	20,333	-2,201	34,513	21,008	0,000	21,008
Plate_3_2	7194	1	0,000	-5,500	-47,111	-47,111	0,007	30,975	0,000	31,894	11,673	0,000	15,382
Element 19-33 (Plate)	6712	2	0,000	-5,601	-47,238	-47,238	0,012	30,008	-0,005	30,365	14,773	0,000	16,744
(Micropali D168.3x8,0mm/0,4)	6711	3	0,000	-5,703	-47,174	-47,174	0,015	27,949	-0,015	27,949	17,715	-0,001	17,743
2	6710	4	0,000	-5,804	-46,828	-46,828	0,016	25,080	-0,053	25,080	20,410	-0,002	20,410
2	6709	5	0,000	-5,905	-46,107	-46,107	0,018	21,685	-1,350	21,719	22,781	-0,003	22,781
Plate_3_3	6709	1	0,000	-5,905	-45,967	-45,967	0,015	20,852	-1,654	21,099	22,781	-0,003	22,781
Element 20-34 (Plate)	6250	2	0,000	-5,929	-45,545	-45,545	0,016	18,969	-2,307	19,599	23,253	-0,003	23,253
(Micropali D168.3x8,0mm/0,4)	6249	3	0,000	-5,953	-45,086	-45,086	0,016	17,040	-2,942	18,052	23,679	-0,003	23,679
2	6248	4	0,000	-5,976	-44,597	-44,597	0,016	15,087	-3,551	16,470	24,060	-0,002	24,060
2	6247	5	0,000	-6,000	-44,082	-44,082	0,016	13,132	-4,177	14,869	24,394	-0,002	24,394
Plate_3_4	6247	1	0,000	-6,000	-44,064	-44,064	0,017	13,150	-4,169	14,883	24,394	-0,002	24,394
Element 21-35 (Plate)	5672	2	0,000	-6,033	-43,359	-43,359	0,017	10,454	-5,113	12,601	24,786	-0,002	24,786
(Micropali D168.3x8,0mm/0,4)	5671	3	0,000	-6,066	-42,659	-42,659	0,018	7,877	-6,618	10,380	25,090	-0,002	25,090
2	5670	4	0,000	-6,100	-41,955	-41,955	0,018	5,412	-7,984	8,212	25,310	-0,002	25,310
2	5669	5	0,000	-6,133	-41,235	-41,235	0,019	3,050	-9,195	6,092	25,451	-0,002	25,451
Plate_3_4	5669	1	0,000	-6,133	-41,286	-41,286	0,019	3,128	-9,204	6,092	25,451	-0,002	25,451
Element 21-36 (Plate)	5616	2	0,000	-6,181	-39,985	-39,985	0,020	-0,493	-10,594	2,986	25,513	-0,003	25,513
(Micropali D168.3x8,0mm/0,4)	5615	3	0,000	-6,229	-38,756	-38,756	0,021	-3,776	-11,715	0,072	25,409	-0,003	25,409
2	5614	4	0,000	-6,277	-37,619	-37,619	0,021	-6,690	-12,576	0,001	25,157	-0,003	25,157
2	5613	5	0,000	-6,325	-36,597	-36,597	0,022	-9,203	-13,186	0,001	24,774	-0,003	24,774
Plate_3_4	5613	1	0,000	-6,325	-36,598	-36,598	0,022	-9,233	-13,227	0,001	24,774	-0,003	24,774
Element 21-37 (Plate)	5560	2	0,000	-6,394	-35,364	-35,364	0,023	-12,167	-13,775	0,000	24,032	-0,003	24,032
(Micropali D168.3x8,0mm/0,4)	5559	3	0,000	-6,463	-34,292	-34,292	0,025	-14,585	-14,585	0,000	23,103	-0,003	23,103
2	5558	4	0,000	-6,532	-33,403	-33,403	0,026	-16,459	-16,459	0,000	22,027	-0,004	22,027
2	5557	5	0,000	-6,601	-32,716	-32,716	0,027	-17,758	-17,758	0,001	20,841	-0,004	20,841
Plate_3_4	5557	1	0,000	-6,601	-32,684	-32,684	0,027	-17,844	-17,844	0,001	20,841	-0,004	20,841
Element 21-38 (Plate)	4826	2	0,000	-6,701	-32,264	-32,264	0,028	-18,571	-18,571	0,002	19,021	-0,003	19,021
(Micropali D168.3x8,0mm/0,4)	4825	3	0,000	-6,801	-32,204	-32,204	0,030	-18,676	-18,676	0,003	17,159	-0,003	17,159
2	4824	4	0,000	-6,900	-32,471	-32,471	0,031	-18,214	-18,214	0,004	15,315	-0,003	15,315
2	4823	5	0,000	-7,000	-33,033	-33,033	0,032	-17,242	-17,242	0,004	13,544	-0,002	13,544

Structural element	Node	Local number	X [m]	Y [m]	N [kN/m]	N_{min} [kN/m]	N_{max} [kN/m]	Q [kN/m]	Q_{min} [kN/m]	Q_{max} [kN/m]	M [kN m/m]	M_{min} [kN m/m]	M_{max} [kN m/m]
Plate_1_8	6659	1	3,000	-5,550	-55,212	-59,638	6,830	19,989	-2,202	34,175	21,008	0,000	21,008
Element 22-39 (Plate)	6272	2	3,000	-5,587	-53,534	-57,875	6,981	17,558	-2,296	29,610	21,696	0,000	21,696
(Micropali D168.3x8,0mm/0,4)	6273	3	3,000	-5,623	-51,831	-56,090	7,124	14,868	-2,367	25,041	22,290	0,000	22,444
2m	6274	4	3,000	-5,660	-50,065	-54,245	7,260	11,862	-2,417	20,397	22,781	0,000	23,271
2m	6271	5	3,000	-5,696	-48,201	-52,304	7,388	8,481	-2,445	15,645	23,154	0,000	23,930
Plate_1_8	6271	1	3,000	-5,696	-48,310	-52,414	7,389	8,500	-2,448	15,652	23,154	0,000	23,930
Element 22-40 (Plate)	5650	2	3,000	-5,738	-46,590	-50,613	7,527	4,731	-3,242	10,567	23,431	0,000	24,478
(Micropali D168.3x8,0mm/0,4)	5651	3	3,000	-5,780	-45,085	-49,034	7,658	1,177	-4,976	5,858	23,554	0,000	24,821
2m	5652	4	3,000	-5,822	-43,789	-47,668	7,780	-2,154	-6,841	1,725	23,533	0,000	24,973
2m	5649	5	3,000	-5,864	-42,694	-46,509	7,893	-5,254	-8,638	0,000	23,377	0,000	24,948
Plate_1_8	5649	1	3,000	-5,864	-42,706	-46,521	7,893	-5,245	-8,693	0,000	23,377	0,000	24,948
Element 22-41 (Plate)	4942	2	3,000	-5,912	-41,528	-45,273	8,014	-8,335	-10,554	0,000	23,048	0,000	24,727
(Micropali D168.3x8,0mm/0,4)	4943	3	3,000	-5,960	-40,649	-44,328	8,124	-10,909	-12,595	0,000	22,584	0,000	24,328
2m	4944	4	3,000	-6,008	-40,062	-43,679	8,225	-12,976	-14,229	0,000	22,008	0,000	23,783
2m	4941	5	3,000	-6,056	-39,759	-43,317	8,317	-14,542	-15,589	0,000	21,344	0,000	23,120
Plate_1_8	4941	1	3,000	-6,056	-39,714	-43,271	8,317	-14,597	-15,650	0,000	21,344	0,000	23,120
Element 22-42 (Plate)	4912	2	3,000	-6,112	-39,628	-43,121	8,411	-15,921	-17,084	0,000	20,503	0,000	22,248
(Micropali D168.3x8,0mm/0,4)	4913	3	3,000	-6,167	-39,720	-43,152	8,494	-16,874	-18,383	0,000	19,598	0,000	21,284
2m	4914	4	3,000	-6,222	-39,964	-43,336	8,566	-17,471	-19,327	0,000	18,650	0,000	20,256
2m	4911	5	3,000	-6,277	-40,330	-43,646	8,628	-17,731	-19,850	0,000	17,680	0,000	19,186
Plate_1_8	4911	1	3,000	-6,277	-40,302	-43,618	8,628	-17,777	-19,906	0,000	17,680	0,000	19,186
Element 22-43 (Plate)	4876	2	3,000	-6,340	-40,772	-44,026	8,687	-17,791	-20,142	0,000	16,557	0,000	17,931
(Micropali D168.3x8,0mm/0,4)	4877	3	3,000	-6,403	-41,278	-44,472	8,733	-17,601	-20,111	0,000	15,439	0,000	16,668
2m	4878	4	3,000	-6,466	-41,815	-44,949	8,768	-17,219	-19,827	0,000	14,339	0,000	15,413
2m	4875	5	3,000	-6,529	-42,377	-45,454	8,792	-16,658	-19,306	0,000	13,270	0,000	14,183
Plate_1_8	4875	1	3,000	-6,529	-42,364	-45,441	8,792	-16,689	-19,345	0,000	13,270	0,000	14,183
Element 22-44 (Plate)	4260	2	3,000	-6,601	-43,000	-46,010	8,806	-15,924	-18,574	0,000	12,091	-0,014	12,815
(Micropali D168.3x8,0mm/0,4)	4261	3	3,000	-6,674	-43,600	-46,545	8,807	-15,086	-17,704	0,000	10,970	-0,104	11,505
2m	4262	4	3,000	-6,746	-44,161	-47,041	8,795	-14,185	-16,736	0,000	9,911	-0,187	10,261
2m	4259	5	3,000	-6,818	-44,678	-47,494	8,771	-13,230	-15,692	0,000	8,920	-0,261	9,089
Plate_1_8	4259	1	3,000	-6,818	-44,670	-47,486	8,771	-13,248	-15,716	0,000	8,920	-0,261	9,089
Element 22-45 (Plate)	4246	2	3,000	-6,901	-45,183	-47,925	8,729	-12,147	-14,489	0,000	7,869	-0,337	7,869
(Micropali D168.3x8,0mm/0,4)	4247	3	3,000	-6,984	-45,597	-48,263	8,672	-11,070	-13,269	0,000	6,907	-0,403	6,907
2m	4248	4	3,000	-7,067	-45,908	-48,499	8,602	-10,023	-12,063	0,000	6,033	-0,460	6,033
2m	4245	5	3,000	-7,150	-46,115	-48,630	8,517	-9,010	-10,877	0,000	5,246	-0,507	5,246
Plate_1_8	4245	1	3,000	-7,150	-46,111	-48,626	8,517	-9,017	-10,887	0,000	5,246	-0,507	5,246
Element 22-46 (Plate)	3594	2	3,000	-7,245	-46,206	-48,632	8,404	-7,930	-9,594	0,000	4,442	-0,551	4,442
(Micropali D168.3x8,0mm/0,4)	3595	3	3,000	-7,339	-46,143	-48,479	8,273	-6,926	-8,381	0,000	3,738	-0,585	3,738
2m	3596	4	3,000	-7,434	-45,921	-48,166	8,125	-6,008	-7,251	0,000	3,125	-0,608	3,125
2m	3593	5	3,000	-7,529	-45,541	-47,693	7,961	-5,176	-6,207	0,000	2,595	-0,640	2,595
Plate_1_8	3593	1	3,000	-7,529	-45,539	-47,692	7,961	-5,174	-6,205	0,000	2,595	-0,640	2,595
Element 22-47 (Plate)	3554	2	3,000	-7,638	-44,904	-46,949	7,751	-4,332	-5,121	0,001	2,079	-0,689	2,079
(Micropali D168.3x8,0mm/0,4)	3555	3	3,000	-7,747	-44,053	-45,990	7,519	-3,593	-4,142	0,097	1,649	-0,735	1,649
2m	3556	4	3,000	-7,855	-42,989	-44,815	7,264	-2,955	-3,266	0,188	1,294	-0,780	1,294
2m	3553	5	3,000	-7,964	-41,712	-43,426	6,986	-2,417	-2,503	0,273	1,003	-0,828	1,003
Plate_1_8	3553	1	3,000	-7,964	-41,708	-43,422	6,985	-2,407	-2,494	0,272	1,003	-0,828	1,003
Element 22-48 (Plate)	3470	2	3,000	-8,089	-39,984	-41,568	6,637	-1,895	-1,895	0,366	0,736	-0,876	0,736
(Micropali D168.3x8,0mm/0,4)	3471	3	3,000	-8,213	-37,965	-39,418	6,254	-1,463	-1,463	0,454	0,527	-0,957	0,527
2m	3472	4	3,000	-8,338	-35,652	-36,972	5,836	-1,106	-1,106	0,587	0,368	-0,994	0,368

Structural element	Node	Local number	X [m]	Y [m]	N [kN/m]	N_{min} [kN/m]	N_{max} [kN/m]	Q [kN/m]	Q_{min} [kN/m]	Q_{max} [kN/m]	M [kN m/m]	M_{min} [kN m/m]	M_{max} [kN m/m]
좀	3469	5	3,000	-8,463	-33,044	-34,230	5,384	-0,820	-0,820	0,752	0,249	-0,976	0,249
Plate_1_8	3469	1	3,000	-8,463	-33,028	-34,214	5,381	-0,811	-0,811	0,736	0,249	-0,976	0,249
Element 22-49 (Plate)	3374	2	3,000	-8,605	-29,640	-30,669	4,816	-0,524	-0,524	1,006	0,153	-0,878	0,153
(Micropali D168.3x8,0mm/0,4)	3375	3	3,000	-8,748	-25,773	-26,643	4,190	-0,257	-0,257	1,406	0,098	-0,707	0,098
좀	3376	4	3,000	-8,891	-21,436	-22,145	3,503	-0,022	-0,022	1,695	0,079	-0,490	0,079
좀	3373	5	3,000	-9,033	-16,639	-17,184	2,753	0,170	0,000	1,796	0,090	-0,251	0,090
Plate_3_5	4823	1	0,000	-7,000	-32,970	-32,970	0,032	-17,351	-17,351	0,004	13,544	-0,002	13,544
Element 23-50 (Plate)	4218	2	0,000	-7,119	-33,794	-33,794	0,034	-15,923	-15,923	0,005	11,560	-0,002	11,560
(Micropali D168.3x8,0mm/0,4)	4217	3	0,000	-7,238	-34,675	-34,675	0,035	-14,399	-14,399	0,005	9,752	-0,001	9,752
좀	4216	4	0,000	-7,358	-35,593	-35,593	0,036	-12,808	-12,808	0,005	8,129	-0,001	8,129
좀	4215	5	0,000	-7,477	-36,532	-36,532	0,036	-11,181	-11,181	0,005	6,699	-0,001	6,699
Plate_3_5	4215	1	0,000	-7,477	-36,512	-36,512	0,036	-11,216	-11,216	0,005	6,699	-0,001	6,699
Element 23-51 (Plate)	3948	2	0,000	-7,604	-37,445	-37,445	0,037	-9,600	-9,600	0,004	5,376	-0,001	5,376
(Micropali D168.3x8,0mm/0,4)	3947	3	0,000	-7,731	-38,299	-38,299	0,038	-8,121	-8,121	0,004	4,250	-0,022	4,250
좀	3946	4	0,000	-7,859	-39,072	-39,072	0,038	-6,783	-6,783	0,003	3,302	-0,059	3,302
좀	3945	5	0,000	-7,986	-39,761	-39,761	0,039	-5,589	-5,589	0,003	2,517	-0,108	2,517
Plate_3_5	3945	1	0,000	-7,986	-39,766	-39,766	0,039	-5,581	-5,581	0,003	2,517	-0,108	2,517
Element 23-52 (Plate)	3400	2	0,000	-8,122	-40,405	-40,405	0,039	-4,473	-4,473	0,002	1,835	-0,147	1,835
(Micropali D168.3x8,0mm/0,4)	3399	3	0,000	-8,258	-40,973	-40,973	0,039	-3,490	-3,490	0,001	1,295	-0,179	1,295
좀	3398	4	0,000	-8,394	-41,472	-41,472	0,040	-2,625	-2,625	0,001	0,881	-0,212	0,881
좀	3397	5	0,000	-8,530	-41,907	-41,907	0,040	-1,873	-1,873	0,024	0,577	-0,230	0,577
Plate_3_5	3397	1	0,000	-8,530	-41,916	-41,916	0,040	-1,857	-1,857	0,024	0,577	-0,230	0,577
Element 23-53 (Plate)	3352	2	0,000	-8,675	-42,336	-42,336	0,040	-1,130	-1,130	0,108	0,361	-0,239	0,361
(Micropali D168.3x8,0mm/0,4)	3351	3	0,000	-8,820	-42,729	-42,729	0,040	-0,448	-0,448	0,204	0,247	-0,249	0,247
좀	3350	4	0,000	-8,965	-43,098	-43,098	0,040	0,191	-0,001	0,360	0,229	-0,216	0,229
좀	3349	5	0,000	-9,110	-43,444	-43,444	0,040	0,790	-0,001	0,811	0,300	-0,146	0,300
Plate_3_5	3349	1	0,000	-9,110	-43,415	-43,415	0,040	0,739	-0,001	0,760	0,300	-0,146	0,300
Element 23-54 (Plate)	3286	2	0,000	-9,265	-43,803	-43,803	0,039	1,411	-0,001	1,412	0,469	-0,038	0,469
(Micropali D168.3x8,0mm/0,4)	3285	3	0,000	-9,420	-44,064	-44,064	0,039	1,863	-0,002	1,863	0,727	0,000	0,727
좀	3284	4	0,000	-9,575	-44,154	-44,154	0,039	2,019	-0,002	2,019	1,031	0,000	1,031
좀	3283	5	0,000	-9,730	-44,031	-44,031	0,038	1,807	-0,001	1,807	1,333	0,000	1,333
Plate_1_9	3373	1	3,000	-9,033	-16,530	-17,074	2,746	0,103	0,000	1,747	0,090	-0,251	0,090
Element 24-55 (Plate)	3262	2	3,000	-9,150	-12,294	-12,700	2,081	-0,235	-0,235	0,917	0,080	-0,107	0,080
(Micropali D168.3x8,0mm/0,4)	3261	3	3,000	-9,267	-7,847	-8,112	1,372	-0,345	-0,345	0,396	0,044	-0,034	0,044
좀	3260	4	3,000	-9,383	-3,233	-3,354	0,605	-0,226	-0,226	0,102	0,008	-0,006	0,011
좀	3259	5	3,000	-9,500	1,507	-0,221	1,538	0,124	-0,014	0,124	0,000	0,000	0,000
Plate_3_6	3283	1	0,000	-9,730	-43,895	-43,895	0,038	1,570	-0,002	1,570	1,333	0,000	1,333
Element 25-56 (Plate)	3117	2	0,000	-9,886	-43,235	-43,235	0,038	0,427	-0,002	0,427	1,484	0,000	1,484
(Micropali D168.3x8,0mm/0,4)	3116	3	0,000	-10,043	-42,777	-42,777	0,037	-0,367	-0,368	0,000	1,485	0,000	1,485
좀	3115	4	0,000	-10,199	-42,507	-42,507	0,037	-0,836	-0,836	0,000	1,386	0,000	1,386
좀	3114	5	0,000	-10,356	-42,409	-42,409	0,036	-1,005	-1,005	0,000	1,239	0,000	1,239
Plate_3_6	3114	1	0,000	-10,356	-42,313	-42,313	0,036	-1,060	-1,060	0,000	1,239	0,000	1,239
Element 25-57 (Plate)	3035	2	0,000	-10,520	-42,388	-42,388	0,035	-1,111	-1,111	0,000	1,059	0,000	1,059
(Micropali D168.3x8,0mm/0,4)	3034	3	0,000	-10,685	-42,308	-42,308	0,035	-1,077	-1,077	0,000	0,878	0,000	0,878
좀	3033	4	0,000	-10,850	-42,055	-42,055	0,034	-0,971	-0,971	0,000	0,708	0,000	0,708
좀	3032	5	0,000	-11,014	-41,613	-41,613	0,033	-0,805	-0,805	0,000	0,562	0,000	0,562
Plate_3_6	3032	1	0,000	-11,014	-41,609	-41,609	0,033	-0,823	-0,823	0,000	0,562	0,000	0,562
Element 25-58 (Plate)	2481	2	0,000	-11,187	-40,917	-40,917	0,032	-0,663	-0,663	0,000	0,433	0,000	0,433
(Micropali D168.3x8,0mm/0,4)	2480	3	0,000	-11,360	-40,013	-40,013	0,030	-0,520	-0,520	0,000	0,331	0,000	0,331

Structural element	Node	Local number	X [m]	Y [m]	N [kN/m]	N_{min} [kN/m]	N_{max} [kN/m]	Q [kN/m]	Q_{min} [kN/m]	Q_{max} [kN/m]	M [kN m/m]	M_{min} [kN m/m]	M_{max} [kN m/m]
꼼	2479	4	0,000	-11,533	-38,899	-38,899	0,029	-0,397	-0,397	0,000	0,252	0,000	0,252
꼼	2478	5	0,000	-11,706	-37,576	-37,576	0,028	-0,295	-0,295	0,000	0,193	0,000	0,193
Plate_3_6	2478	1	0,000	-11,706	-37,575	-37,575	0,028	-0,294	-0,294	0,000	0,193	0,000	0,193
Element 25-59 (Plate)	2309	2	0,000	-11,888	-35,964	-35,964	0,026	-0,214	-0,214	0,000	0,147	0,000	0,147
(Micropali D168.3x8,0mm/0,4)	2308	3	0,000	-12,069	-34,121	-34,121	0,024	-0,152	-0,152	0,000	0,114	0,000	0,114
꼼	2307	4	0,000	-12,251	-32,046	-32,046	0,023	-0,108	-0,108	0,000	0,090	0,000	0,090
꼼	2306	5	0,000	-12,433	-29,742	-29,742	0,021	-0,080	-0,080	0,000	0,074	0,000	0,074
Plate_3_6	2306	1	0,000	-12,433	-29,734	-29,734	0,021	-0,078	-0,078	0,000	0,074	0,000	0,074
Element 25-60 (Plate)	1871	2	0,000	-12,624	-27,058	-27,058	0,019	-0,055	-0,055	0,000	0,061	0,000	0,061
(Micropali D168.3x8,0mm/0,4)	1870	3	0,000	-12,815	-24,096	-24,096	0,016	-0,040	-0,040	0,000	0,052	0,000	0,052
꼼	1869	4	0,000	-13,006	-20,845	-20,845	0,014	-0,031	-0,031	0,000	0,045	0,000	0,045
꼼	1868	5	0,000	-13,197	-17,306	-17,306	0,012	-0,027	-0,027	0,000	0,040	0,000	0,040
Plate_3_6	1868	1	0,000	-13,197	-17,273	-17,273	0,012	-0,025	-0,025	0,000	0,040	0,000	0,040
Element 25-61 (Plate)	1171	2	0,000	-13,398	-13,222	-13,222	0,009	0,003	-0,006	0,011	0,040	0,000	0,040
(Micropali D168.3x8,0mm/0,4)	1170	3	0,000	-13,598	-8,721	-8,721	0,006	-0,042	-0,042	0,000	0,035	0,000	0,035
꼼	1169	4	0,000	-13,799	-3,749	-3,749	0,002	-0,098	-0,098	0,000	0,022	0,000	0,022
꼼	1168	5	0,000	-14,000	1,712	-0,001	1,712	-0,105	-0,105	0,000	0,000	0,000	0,000

3.1.2.4.17 Calculation results, Plate, Disattivazione paratia provvisionale [Phase_24] (24/741), Table of plate force envelopes

Structural element	Node	Local number	X [m]	Y [m]	N [kN/m]	N_{min} [kN/m]	N_{max} [kN/m]	Q [kN/m]	Q_{min} [kN/m]	Q_{max} [kN/m]	M [kN m/m]	M_{min} [kN m/m]	M_{max} [kN m/m]
Plate_2_1	9176	1	0,000	0,000	0,000	0,000	0,000	0,001	-0,001	0,001	0,000	0,000	0,000
Element 1-1 (Plate)	9173	2	0,000	-0,034	0,000	-0,002	0,000	0,001	0,000	0,004	0,000	0,000	0,000
(Parete c.a.C32/40 sp.0.50m)	9174	3	0,000	-0,067	-0,004	-0,005	0,000	0,010	0,000	0,013	0,000	0,000	0,000
26	9175	4	0,000	-0,101	-0,010	-0,010	0,000	0,027	0,000	0,027	0,001	0,000	0,001
26	9165	5	0,000	-0,135	-0,018	-0,018	0,000	0,050	0,000	0,050	0,002	0,000	0,002
Plate_2_1	9165	1	0,000	-0,135	-0,018	-0,018	0,000	0,049	0,000	0,049	0,002	0,000	0,002
Element 1-2 (Plate)	9164	2	0,000	-0,168	-0,025	-0,032	0,000	0,066	0,000	0,080	0,004	0,000	0,004
(Parete c.a.C32/40 sp.0.50m)	9163	3	0,000	-0,202	-0,032	-0,048	0,000	0,084	0,000	0,119	0,006	0,000	0,007
26	9162	4	0,000	-0,235	-0,040	-0,065	0,000	0,108	0,000	0,162	0,010	0,000	0,012
26	9166	5	0,000	-0,268	-0,053	-0,083	0,000	0,141	0,000	0,208	0,014	0,000	0,018
Plate_2_1	9166	1	0,000	-0,268	-0,052	-0,082	0,000	0,138	0,000	0,204	0,014	0,000	0,018
Element 1-3 (Plate)	9161	2	0,000	-0,301	-0,071	-0,097	0,000	0,187	0,000	0,244	0,019	0,000	0,025
(Parete c.a.C32/40 sp.0.50m)	9160	3	0,000	-0,334	-0,092	-0,113	0,000	0,242	0,000	0,281	0,026	0,000	0,034
26	9159	4	0,000	-0,367	-0,117	-0,128	0,000	0,304	0,000	0,319	0,035	0,000	0,044
26	9158	5	0,000	-0,400	-0,143	-0,148	0,000	0,374	0,000	0,380	0,046	0,000	0,055
Plate_2_2	9158	1	0,000	-0,400	-0,144	-0,147	0,000	0,374	0,000	0,378	0,046	0,000	0,055
Element 3-5 (Plate)	9131	2	0,000	-0,425	-0,166	-0,170	0,000	0,432	0,000	0,436	0,056	0,000	0,064
(Parete c.a.C32/40 sp.0.50m)	9130	3	0,000	-0,450	-0,188	-0,190	0,000	0,489	0,000	0,490	0,068	0,000	0,073
26	9129	4	0,000	-0,475	-0,209	-0,210	0,000	0,543	0,000	0,543	0,081	0,000	0,084
26	9125	5	0,000	-0,500	-0,229	-0,229	0,000	0,595	0,000	0,595	0,095	0,000	0,096
Plate_2_3	9125	1	0,000	-0,500	-0,230	-0,230	0,000	0,598	0,000	0,598	0,095	0,000	0,096
Element 4-6 (Plate)	9121	2	0,000	-0,537	-0,255	-0,255	0,000	0,661	0,000	0,661	0,118	0,000	0,118
(Parete c.a.C32/40 sp.0.50m)	9120	3	0,000	-0,573	-0,280	-0,280	0,000	0,727	0,000	0,727	0,143	0,000	0,144
26	9119	4	0,000	-0,610	-0,309	-0,309	0,000	0,801	0,000	0,801	0,171	0,000	0,171
26	9115	5	0,000	-0,646	-0,343	-0,343	0,000	0,889	0,000	0,889	0,202	0,000	0,202
Plate_2_3	9115	1	0,000	-0,646	-0,340	-0,340	0,000	0,880	0,000	0,880	0,202	0,000	0,202
Element 4-7 (Plate)	9025	2	0,000	-0,688	-0,388	-0,388	0,000	1,004	0,000	1,004	0,241	0,000	0,241
(Parete c.a.C32/40 sp.0.50m)	9024	3	0,000	-0,729	-0,442	-0,442	0,000	1,142	0,000	1,142	0,286	0,000	0,286
26	9023	4	0,000	-0,771	-0,500	-0,500	0,000	1,293	0,000	1,293	0,336	0,000	0,336
26	9019	5	0,000	-0,812	-0,563	-0,563	0,000	1,454	0,000	1,454	0,393	0,000	0,393
Plate_2_3	9019	1	0,000	-0,812	-0,560	-0,560	0,000	1,447	0,000	1,447	0,393	0,000	0,393
Element 4-8 (Plate)	8963	2	0,000	-0,859	-0,635	-0,635	0,000	1,639	0,000	1,639	0,465	0,000	0,465
(Parete c.a.C32/40 sp.0.50m)	8962	3	0,000	-0,906	-0,706	-0,706	0,000	1,821	0,000	1,821	0,547	0,000	0,547
26	8961	4	0,000	-0,953	-0,773	-0,773	0,000	1,993	0,000	1,993	0,636	0,000	0,636
26	8957	5	0,000	-1,000	-0,836	-0,836	0,000	2,155	0,000	2,155	0,734	0,000	0,734
Plate_2_4	8957	1	0,000	-1,000	-0,834	-0,834	0,002	2,150	-0,006	2,150	0,734	0,000	0,734
Element 7-11 (Plate)	8874	2	0,000	-1,046	-0,895	-0,895	0,000	2,307	0,000	2,307	0,836	0,000	0,836
(Parete c.a.C32/40 sp.0.50m)	8873	3	0,000	-1,092	-0,957	-0,957	0,000	2,468	0,000	2,468	0,946	0,000	0,946
26	8872	4	0,000	-1,138	-1,022	-1,022	0,000	2,635	0,000	2,635	1,064	0,000	1,064
26	8871	5	0,000	-1,184	-1,091	-1,091	0,000	2,810	0,000	2,810	1,189	0,000	1,189
Plate_2_4	8871	1	0,000	-1,184	-1,087	-1,087	0,000	2,801	0,000	2,801	1,189	0,000	1,189
Element 7-12 (Plate)	8828	2	0,000	-1,245	-1,202	-1,202	0,000	3,097	0,000	3,097	1,368	0,000	1,368
(Parete c.a.C32/40 sp.0.50m)	8827	3	0,000	-1,306	-1,334	-1,334	0,000	3,434	0,000	3,434	1,567	0,000	1,567

Structural element	Node	Local number	X [m]	Y [m]	N [kN/m]	N_{min} [kN/m]	N_{max} [kN/m]	Q [kN/m]	Q_{min} [kN/m]	Q_{max} [kN/m]	M [kN m/m]	M_{min} [kN m/m]	M_{max} [kN m/m]
꼼	8826	4	0,000	-1,367	-1,480	-1,480	0,000	3,809	0,000	3,809	1,787	0,000	1,787
꼼	8825	5	0,000	-1,428	-1,640	-1,640	0,000	4,219	0,000	4,219	2,032	0,000	2,032
Plate_2_4	8825	1	0,000	-1,428	-1,639	-1,639	0,000	4,217	0,000	4,217	2,032	0,000	2,032
Element 7-13 (Plate)	8687	2	0,000	-1,508	-1,866	-1,866	0,000	4,800	0,000	4,800	2,394	0,000	2,394
(Parete c.a.C32/40 sp.0.50m)	8686	3	0,000	-1,589	-2,115	-2,115	0,000	5,437	0,000	5,437	2,806	0,000	2,806
꼼	8685	4	0,000	-1,669	-2,387	-2,387	0,000	6,135	0,000	6,135	3,272	0,000	3,272
꼼	8684	5	0,000	-1,750	-2,684	-2,684	0,000	6,896	0,000	6,896	3,797	0,000	3,797
Plate_2_5	8684	1	0,000	-1,750	-8,392	-8,392	0,000	-31,232	-31,232	0,000	3,797	0,000	3,797
Element 9-16 (Plate)	8674	2	0,000	-1,843	-8,803	-8,803	0,000	-30,179	-30,179	0,000	0,929	-0,974	1,345
(Parete c.a.C32/40 sp.0.50m)	8673	3	0,000	-1,937	-9,217	-9,217	0,000	-29,116	-29,116	0,000	-1,840	-2,185	0,000
꼼	8672	4	0,000	-2,030	-9,638	-9,638	0,000	-28,038	-28,038	0,000	-4,510	-4,510	0,000
꼼	8668	5	0,000	-2,124	-10,067	-10,067	0,000	-26,939	-26,939	0,000	-7,077	-7,077	0,000
Plate_2_5	8668	1	0,000	-2,124	-10,077	-10,077	0,000	-26,913	-26,913	0,000	-7,077	-7,077	0,000
Element 9-17 (Plate)	8487	2	0,000	-2,268	-10,736	-10,736	0,000	-25,224	-25,224	0,000	-10,833	-10,833	0,000
(Parete c.a.C32/40 sp.0.50m)	8486	3	0,000	-2,412	-11,444	-11,444	0,000	-23,411	-23,411	0,000	-14,342	-14,342	0,000
꼼	8485	4	0,000	-2,556	-12,252	-12,252	0,000	-21,342	-21,342	0,000	-17,569	-17,569	0,000
꼼	8484	5	0,000	-2,700	-13,211	-13,211	0,000	-18,886	-18,886	0,000	-20,473	-20,473	0,000
Plate_2_6	8484	1	0,000	-2,700	-13,094	-13,094	0,016	-19,184	-19,184	0,010	-20,473	-20,473	0,000
Element 11-19 (Plate)	8275	2	0,000	-2,836	-13,825	-13,825	0,000	-17,312	-17,312	0,085	-22,963	-22,963	0,004
(Parete c.a.C32/40 sp.0.50m)	8274	3	0,000	-2,973	-14,650	-14,650	0,000	-15,200	-15,200	0,199	-25,183	-25,183	0,022
꼼	8273	4	0,000	-3,109	-15,573	-15,573	0,000	-12,833	-12,833	0,404	-27,098	-27,098	0,059
꼼	8272	5	0,000	-3,245	-16,602	-16,602	0,000	-10,198	-10,198	0,891	-28,671	-28,671	0,136
Plate_2_6	8272	1	0,000	-3,245	-16,577	-16,577	0,000	-10,264	-10,264	0,820	-28,671	-28,671	0,136
Element 11-20 (Plate)	8129	2	0,000	-3,352	-17,367	-17,367	0,000	-8,238	-8,238	1,084	-29,651	-29,651	0,233
(Parete c.a.C32/40 sp.0.50m)	8128	3	0,000	-3,458	-18,145	-18,145	0,000	-6,245	-6,245	1,318	-30,420	-30,420	0,352
꼼	8127	4	0,000	-3,564	-18,930	-18,930	0,000	-4,236	-4,236	1,571	-30,976	-30,976	0,504
꼼	8126	5	0,000	-3,670	-19,741	-19,741	0,000	-2,159	-2,159	2,096	-31,316	-31,316	0,681
Plate_2_6	8126	1	0,000	-3,670	-19,714	-19,714	0,000	-2,227	-2,227	2,031	-31,316	-31,316	0,681
Element 11-21 (Plate)	8029	2	0,000	-3,752	-20,466	-20,466	0,000	-0,302	-0,387	2,470	-31,420	-31,420	0,846
(Parete c.a.C32/40 sp.0.50m)	8028	3	0,000	-3,835	-21,199	-21,199	0,000	1,577	0,000	2,817	-31,367	-31,367	1,049
꼼	8027	4	0,000	-3,917	-21,921	-21,921	0,000	3,425	0,000	3,452	-31,161	-31,161	1,289
꼼	8026	5	0,000	-4,000	-22,637	-22,637	0,000	5,258	0,000	5,258	-30,802	-30,802	1,563
Plate_2_7	8026	1	0,000	-4,000	-22,631	-22,631	0,001	5,242	-0,003	5,242	-30,802	-30,802	1,563
Element 13-24 (Plate)	7907	2	0,000	-4,065	-23,179	-23,179	0,000	6,648	0,000	6,648	-30,417	-30,417	1,799
(Parete c.a.C32/40 sp.0.50m)	7906	3	0,000	-4,130	-23,723	-23,723	0,000	8,041	0,000	8,041	-29,941	-29,941	2,052
꼼	7905	4	0,000	-4,194	-24,280	-24,280	0,000	9,466	0,000	9,466	-29,374	-29,374	2,326
꼼	7904	5	0,000	-4,259	-24,867	-24,867	0,000	10,970	0,000	10,970	-28,712	-28,712	2,622
Plate_2_8	7904	1	0,000	-4,259	-24,862	-24,862	0,000	10,956	0,000	10,956	-28,712	-28,712	2,622
Element 14-25 (Plate)	7591	2	0,000	-4,319	-25,472	-25,472	0,000	12,519	0,000	12,519	-28,006	-28,006	2,926
(Parete c.a.C32/40 sp.0.50m)	7590	3	0,000	-4,380	-26,089	-26,089	0,000	14,099	0,000	14,099	-27,205	-27,205	3,265
꼼	7589	4	0,000	-4,440	-26,712	-26,712	0,000	15,696	0,000	15,696	-26,308	-26,308	3,640
꼼	7588	5	0,000	-4,500	-27,343	-27,343	0,000	17,311	0,000	17,311	-25,315	-25,315	4,053
Plate_2_9	7588	1	0,000	-4,500	-27,292	-27,292	0,000	17,179	0,000	17,179	-25,315	-25,315	4,053
Element 16-30 (Plate)	7540	2	0,000	-4,650	-28,916	-28,916	0,000	21,339	0,000	21,339	-22,419	-22,419	5,257
(Parete c.a.C32/40 sp.0.50m)	7539	3	0,000	-4,800	-30,328	-30,328	0,000	24,956	0,000	24,956	-18,941	-18,941	6,704
꼼	7538	4	0,000	-4,950	-31,549	-31,549	0,000	28,083	0,000	28,083	-14,955	-14,955	8,361
꼼	7534	5	0,000	-5,100	-32,598	-32,598	0,000	30,772	0,000	30,772	-10,537	-10,537	10,196
Plate_3_1	7534	1	0,000	-5,100	-40,304	-40,304	0,000	28,105	-0,001	28,105	-10,537	-10,537	10,196
Element 17-31 (Plate)	7197	2	0,000	-5,200	-41,385	-41,385	0,000	29,978	-0,001	29,978	-7,635	-7,635	11,373

Structural element	Node	Local number	X [m]	Y [m]	N [kN/m]	N_{min} [kN/m]	N_{max} [kN/m]	Q [kN/m]	Q_{min} [kN/m]	Q_{max} [kN/m]	M [kN m/m]	M_{min} [kN m/m]	M_{max} [kN m/m]
(Micropali D168.3x8,0mm/0,4)	7196	3	0,000	-5,300	-42,549	-42,549	0,000	31,996	-0,001	31,996	-4,537	-4,537	12,610
점	7195	4	0,000	-5,400	-43,818	-43,818	0,000	34,196	-0,001	34,196	-1,228	-1,228	13,937
점	7194	5	0,000	-5,500	-45,213	-45,213	0,000	36,613	-0,001	36,613	2,309	0,000	15,382
Plate_3_2	7194	1	0,000	-5,500	-44,889	-44,889	0,007	35,940	0,000	35,940	2,309	0,000	15,382
Element 19-33 (Plate)	6712	2	0,000	-5,601	-44,995	-44,995	0,012	34,711	-0,005	34,711	5,900	0,000	16,744
(Micropali D168.3x8,0mm/0,4)	6711	3	0,000	-5,703	-44,937	-44,937	0,015	32,398	-0,015	32,398	9,304	-0,001	17,743
점	6710	4	0,000	-5,804	-44,626	-44,626	0,016	29,373	-0,053	29,373	12,442	-0,002	18,370
점	6709	5	0,000	-5,905	-43,974	-43,974	0,018	26,007	-1,350	26,007	15,247	-0,003	18,632
Plate_3_3	6709	1	0,000	-5,905	-43,832	-43,832	0,015	25,333	-1,654	25,333	15,247	-0,003	18,632
Element 20-34 (Plate)	6250	2	0,000	-5,929	-43,435	-43,435	0,016	23,656	-2,307	23,656	15,827	-0,003	18,637
(Micropali D168.3x8,0mm/0,4)	6249	3	0,000	-5,953	-43,001	-43,001	0,016	21,935	-2,942	21,935	16,367	-0,003	18,616
점	6248	4	0,000	-5,976	-42,536	-42,536	0,016	20,187	-3,551	20,187	16,866	-0,002	18,572
점	6247	5	0,000	-6,000	-42,044	-42,044	0,016	18,431	-4,177	18,431	17,323	-0,002	18,511
Plate_3_4	6247	1	0,000	-6,000	-42,025	-42,025	0,017	18,444	-4,169	18,444	17,323	-0,002	18,511
Element 21-35 (Plate)	5672	2	0,000	-6,033	-41,349	-41,349	0,017	15,978	-5,113	15,978	17,895	-0,002	18,458
(Micropali D168.3x8,0mm/0,4)	5671	3	0,000	-6,066	-40,674	-40,674	0,018	13,591	-6,618	13,591	18,386	-0,002	18,709
점	5670	4	0,000	-6,100	-39,990	-39,990	0,018	11,276	-7,984	11,276	18,799	-0,002	19,018
점	5669	5	0,000	-6,133	-39,285	-39,285	0,019	9,023	-9,195	9,023	19,136	-0,002	19,255
Plate_3_4	5669	1	0,000	-6,133	-39,319	-39,319	0,019	9,075	-9,204	9,075	19,136	-0,002	19,255
Element 21-36 (Plate)	5616	2	0,000	-6,181	-38,092	-38,092	0,020	5,653	-10,594	5,653	19,488	-0,003	19,493
(Micropali D168.3x8,0mm/0,4)	5615	3	0,000	-6,229	-36,908	-36,908	0,021	2,475	-11,715	2,475	19,682	-0,003	19,682
점	5614	4	0,000	-6,277	-35,788	-35,788	0,021	-0,426	-12,576	0,001	19,730	-0,003	19,730
점	5613	5	0,000	-6,325	-34,754	-34,754	0,022	-3,017	-13,186	0,001	19,646	-0,003	19,646
Plate_3_4	5613	1	0,000	-6,325	-34,757	-34,757	0,022	-3,036	-13,227	0,001	19,646	-0,003	19,646
Element 21-37 (Plate)	5560	2	0,000	-6,394	-33,595	-33,595	0,023	-5,988	-13,775	0,000	19,332	-0,003	19,332
(Micropali D168.3x8,0mm/0,4)	5559	3	0,000	-6,463	-32,547	-32,547	0,025	-8,555	-14,053	0,000	18,827	-0,003	18,827
점	5558	4	0,000	-6,532	-31,627	-31,627	0,026	-10,721	-14,076	0,000	18,158	-0,004	18,158
점	5557	5	0,000	-6,601	-30,845	-30,845	0,027	-12,468	-13,861	0,001	17,354	-0,004	17,354
Plate_3_4	5557	1	0,000	-6,601	-30,861	-30,861	0,027	-12,508	-13,914	0,001	17,354	-0,004	17,354
Element 21-38 (Plate)	4826	2	0,000	-6,701	-30,239	-30,239	0,028	-13,831	-14,151	0,002	16,036	-0,003	16,036
(Micropali D168.3x8,0mm/0,4)	4825	3	0,000	-6,801	-29,916	-29,916	0,030	-14,502	-14,543	0,003	14,618	-0,003	14,618
점	4824	4	0,000	-6,900	-29,885	-29,885	0,031	-14,575	-14,575	0,004	13,163	-0,003	13,163
점	4823	5	0,000	-7,000	-30,138	-30,138	0,032	-14,102	-14,102	0,004	11,730	-0,002	11,730
Plate_3_5	4823	1	0,000	-7,000	-30,087	-30,087	0,032	-14,210	-14,210	0,004	11,730	-0,002	11,730
Element 23-50 (Plate)	4218	2	0,000	-7,119	-30,605	-30,605	0,034	-13,312	-13,312	0,005	10,088	-0,002	10,088
(Micropali D168.3x8,0mm/0,4)	4217	3	0,000	-7,238	-31,215	-31,215	0,035	-12,254	-12,254	0,005	8,563	-0,001	8,563
점	4216	4	0,000	-7,358	-31,901	-31,901	0,036	-11,067	-11,067	0,005	7,171	-0,001	7,171
점	4215	5	0,000	-7,477	-32,644	-32,644	0,036	-9,779	-9,779	0,005	5,928	-0,001	5,928
Plate_3_5	4215	1	0,000	-7,477	-32,622	-32,622	0,036	-9,818	-9,818	0,005	5,928	-0,001	5,928
Element 23-51 (Plate)	3948	2	0,000	-7,604	-33,383	-33,383	0,037	-8,499	-8,499	0,004	4,763	-0,001	4,763
(Micropali D168.3x8,0mm/0,4)	3947	3	0,000	-7,731	-34,096	-34,096	0,038	-7,263	-7,263	0,004	3,761	-0,022	3,761
점	3946	4	0,000	-7,859	-34,757	-34,757	0,038	-6,117	-6,117	0,003	2,910	-0,059	2,910
점	3945	5	0,000	-7,986	-35,364	-35,364	0,039	-5,066	-5,066	0,003	2,200	-0,108	2,200
Plate_3_5	3945	1	0,000	-7,986	-35,365	-35,365	0,039	-5,064	-5,064	0,003	2,200	-0,108	2,200
Element 23-52 (Plate)	3400	2	0,000	-8,122	-35,940	-35,940	0,039	-4,068	-4,068	0,002	1,580	-0,147	1,580
(Micropali D168.3x8,0mm/0,4)	3399	3	0,000	-8,258	-36,459	-36,459	0,039	-3,169	-3,169	0,001	1,090	-0,179	1,090
점	3398	4	0,000	-8,394	-36,924	-36,924	0,040	-2,362	-2,362	0,001	0,715	-0,212	0,715
점	3397	5	0,000	-8,530	-37,339	-37,339	0,040	-1,643	-1,643	0,024	0,444	-0,230	0,444
Plate_3_5	3397	1	0,000	-8,530	-37,346	-37,346	0,040	-1,631	-1,631	0,024	0,444	-0,230	0,444

Structural element	Node	Local number	X [m]	Y [m]	N [kN/m]	N_{min} [kN/m]	N_{max} [kN/m]	Q [kN/m]	Q_{min} [kN/m]	Q_{max} [kN/m]	M [kN m/m]	M_{min} [kN m/m]	M_{max} [kN m/m]
Element 23-53 (Plate)	3352	2	0,000	-8,675	-37,753	-37,753	0,040	-0,925	-0,925	0,108	0,259	-0,239	0,259
(Micropali D168.3x8,0mm/0,4)	3351	3	0,000	-8,820	-38,138	-38,138	0,040	-0,259	-0,312	0,204	0,173	-0,249	0,173
2	3350	4	0,000	-8,965	-38,501	-38,501	0,040	0,371	-0,001	0,371	0,182	-0,216	0,182
2	3349	5	0,000	-9,110	-38,845	-38,845	0,040	0,967	-0,001	0,967	0,279	-0,146	0,279
Plate_3_5	3349	1	0,000	-9,110	-38,814	-38,814	0,040	0,914	-0,001	0,914	0,279	-0,146	0,279
Element 23-54 (Plate)	3286	2	0,000	-9,265	-39,198	-39,198	0,039	1,579	-0,001	1,579	0,474	-0,038	0,474
(Micropali D168.3x8,0mm/0,4)	3285	3	0,000	-9,420	-39,452	-39,452	0,039	2,019	-0,002	2,019	0,758	0,000	0,758
2	3284	4	0,000	-9,575	-39,535	-39,535	0,039	2,163	-0,002	2,163	1,085	0,000	1,085
2	3283	5	0,000	-9,730	-39,404	-39,404	0,038	1,937	-0,001	1,937	1,408	0,000	1,408
Plate_3_6	3283	1	0,000	-9,730	-39,241	-39,241	0,038	1,704	-0,002	1,704	1,408	0,000	1,408
Element 25-56 (Plate)	3117	2	0,000	-9,886	-38,652	-38,652	0,038	0,547	-0,002	0,547	1,580	0,000	1,580
(Micropali D168.3x8,0mm/0,4)	3116	3	0,000	-10,043	-38,235	-38,235	0,037	-0,267	-0,292	0,000	1,598	0,000	1,598
2	3115	4	0,000	-10,199	-37,975	-37,975	0,037	-0,762	-0,762	0,000	1,513	0,000	1,513
2	3114	5	0,000	-10,356	-37,853	-37,853	0,036	-0,959	-0,959	0,000	1,374	0,000	1,374
Plate_3_6	3114	1	0,000	-10,356	-37,808	-37,808	0,036	-1,011	-1,011	0,000	1,374	0,000	1,374
Element 25-57 (Plate)	3035	2	0,000	-10,520	-37,830	-37,830	0,035	-1,094	-1,094	0,000	1,200	0,000	1,200
(Micropali D168.3x8,0mm/0,4)	3034	3	0,000	-10,685	-37,852	-37,852	0,035	-1,091	-1,091	0,000	1,019	0,000	1,019
2	3033	4	0,000	-10,850	-37,804	-37,804	0,034	-1,011	-1,011	0,000	0,845	0,000	0,845
2	3032	5	0,000	-11,014	-37,621	-37,621	0,033	-0,866	-0,866	0,000	0,690	0,000	0,690
Plate_3_6	3032	1	0,000	-11,014	-37,594	-37,594	0,033	-0,882	-0,882	0,000	0,690	0,000	0,690
Element 25-58 (Plate)	2481	2	0,000	-11,187	-37,119	-37,119	0,032	-0,730	-0,730	0,000	0,551	0,000	0,551
(Micropali D168.3x8,0mm/0,4)	2480	3	0,000	-11,360	-36,428	-36,428	0,030	-0,591	-0,591	0,000	0,437	0,000	0,437
2	2479	4	0,000	-11,533	-35,521	-35,521	0,029	-0,469	-0,469	0,000	0,345	0,000	0,345
2	2478	5	0,000	-11,706	-34,401	-34,401	0,028	-0,363	-0,363	0,000	0,274	0,000	0,274
Plate_3_6	2478	1	0,000	-11,706	-34,403	-34,403	0,028	-0,363	-0,363	0,000	0,274	0,000	0,274
Element 25-59 (Plate)	2309	2	0,000	-11,888	-33,005	-33,005	0,026	-0,278	-0,278	0,000	0,216	0,000	0,216
(Micropali D168.3x8,0mm/0,4)	2308	3	0,000	-12,069	-31,378	-31,378	0,024	-0,212	-0,212	0,000	0,171	0,000	0,171
2	2307	4	0,000	-12,251	-29,523	-29,523	0,023	-0,161	-0,161	0,000	0,138	0,000	0,138
2	2306	5	0,000	-12,433	-27,442	-27,442	0,021	-0,127	-0,127	0,000	0,112	0,000	0,112
Plate_3_6	2306	1	0,000	-12,433	-27,435	-27,435	0,021	-0,125	-0,125	0,000	0,112	0,000	0,112
Element 25-60 (Plate)	1871	2	0,000	-12,624	-25,001	-25,001	0,019	-0,097	-0,097	0,000	0,091	0,000	0,091
(Micropali D168.3x8,0mm/0,4)	1870	3	0,000	-12,815	-22,291	-22,291	0,016	-0,076	-0,076	0,000	0,074	0,000	0,074
2	1869	4	0,000	-13,006	-19,305	-19,305	0,014	-0,063	-0,063	0,000	0,061	0,000	0,061
2	1868	5	0,000	-13,197	-16,041	-16,041	0,012	-0,054	-0,054	0,000	0,050	0,000	0,050
Plate_3_6	1868	1	0,000	-13,197	-16,011	-16,011	0,012	-0,052	-0,052	0,000	0,050	0,000	0,050
Element 25-61 (Plate)	1171	2	0,000	-13,398	-12,267	-12,267	0,009	-0,022	-0,022	0,011	0,044	0,000	0,044
(Micropali D168.3x8,0mm/0,4)	1170	3	0,000	-13,598	-8,097	-8,097	0,006	-0,057	-0,057	0,000	0,036	0,000	0,036
2	1169	4	0,000	-13,799	-3,484	-3,484	0,002	-0,099	-0,099	0,000	0,021	0,000	0,021
2	1168	5	0,000	-14,000	1,592	-0,001	1,592	-0,094	-0,094	0,000	0,000	0,000	0,000

3.1.2.4.18 Calculation results, Plate, SLE [Phase_18] (18/746), Table of plate force envelopes

Structural element	Node	Local number	X [m]	Y [m]	N [kN/m]	N_{min} [kN/m]	N_{max} [kN/m]	Q [kN/m]	Q_{min} [kN/m]	Q_{max} [kN/m]	M [kN m/m]	M_{min} [kN m/m]	M_{max} [kN m/m]
Plate_2_1	9176	1	0,000	0,000	-0,003	-0,003	0,001	0,008	-0,003	0,008	0,000	0,000	0,000
Element 1-1 (Plate)	9173	2	0,000	-0,034	-0,058	-0,058	0,000	0,146	0,000	0,146	0,003	0,000	0,003
(Parete c.a.C32/40 sp.0.50m)	9174	3	0,000	-0,067	-0,113	-0,113	0,000	0,288	0,000	0,288	0,010	0,000	0,010
2	9175	4	0,000	-0,101	-0,171	-0,171	0,000	0,435	0,000	0,435	0,022	0,000	0,022
2	9165	5	0,000	-0,135	-0,233	-0,233	0,000	0,592	0,000	0,592	0,039	0,000	0,039
Plate_2_1	9165	1	0,000	-0,135	-0,233	-0,233	0,000	0,591	0,000	0,591	0,039	0,000	0,039
Element 1-2 (Plate)	9164	2	0,000	-0,168	-0,292	-0,292	0,000	0,742	0,000	0,742	0,062	0,000	0,062
(Parete c.a.C32/40 sp.0.50m)	9163	3	0,000	-0,202	-0,350	-0,350	0,000	0,890	0,000	0,890	0,089	0,000	0,089
2	9162	4	0,000	-0,235	-0,409	-0,409	0,000	1,041	0,000	1,041	0,121	0,000	0,121
2	9166	5	0,000	-0,268	-0,473	-0,473	0,000	1,203	0,000	1,203	0,158	0,000	0,158
Plate_2_1	9166	1	0,000	-0,268	-0,471	-0,471	0,000	1,199	0,000	1,199	0,158	0,000	0,158
Element 1-3 (Plate)	9161	2	0,000	-0,301	-0,539	-0,539	0,000	1,373	0,000	1,373	0,201	0,000	0,201
(Parete c.a.C32/40 sp.0.50m)	9160	3	0,000	-0,334	-0,610	-0,610	0,000	1,555	0,000	1,555	0,249	0,000	0,249
2	9159	4	0,000	-0,367	-0,685	-0,685	0,000	1,747	0,000	1,747	0,303	0,000	0,303
2	9158	5	0,000	-0,400	-0,764	-0,764	0,000	1,949	0,000	1,949	0,364	0,000	0,364
Plate_2_2	9158	1	0,000	-0,400	-0,764	-0,764	0,000	1,950	0,000	1,950	0,364	0,000	0,364
Element 3-5 (Plate)	9131	2	0,000	-0,425	-0,825	-0,825	0,000	2,106	0,000	2,106	0,415	0,000	0,415
(Parete c.a.C32/40 sp.0.50m)	9130	3	0,000	-0,450	-0,887	-0,887	0,000	2,265	0,000	2,265	0,469	0,000	0,469
2	9129	4	0,000	-0,475	-0,949	-0,949	0,000	2,425	0,000	2,425	0,528	0,000	0,528
2	9125	5	0,000	-0,500	-1,012	-1,012	0,000	2,585	0,000	2,585	0,591	0,000	0,591
Plate_2_3	9125	1	0,000	-0,500	-1,012	-1,012	0,000	2,585	0,000	2,585	0,591	0,000	0,591
Element 4-6 (Plate)	9121	2	0,000	-0,537	-1,098	-1,098	0,000	2,806	0,000	2,806	0,689	0,000	0,689
(Parete c.a.C32/40 sp.0.50m)	9120	3	0,000	-0,573	-1,180	-1,180	0,000	3,017	0,000	3,017	0,796	0,000	0,796
2	9119	4	0,000	-0,610	-1,260	-1,260	0,000	3,222	0,000	3,222	0,910	0,000	0,910
2	9115	5	0,000	-0,646	-1,340	-1,340	0,000	3,426	0,000	3,426	1,032	0,000	1,032
Plate_2_3	9115	1	0,000	-0,646	-1,338	-1,338	0,000	3,422	0,000	3,422	1,032	0,000	1,032
Element 4-7 (Plate)	9025	2	0,000	-0,688	-1,453	-1,453	0,000	3,716	0,000	3,716	1,180	0,000	1,180
(Parete c.a.C32/40 sp.0.50m)	9024	3	0,000	-0,729	-1,572	-1,572	0,000	4,023	0,000	4,023	1,340	0,000	1,340
2	9023	4	0,000	-0,771	-1,697	-1,697	0,000	4,343	0,000	4,343	1,513	0,000	1,513
2	9019	5	0,000	-0,812	-1,826	-1,826	0,000	4,673	0,000	4,673	1,700	0,000	1,700
Plate_2_3	9019	1	0,000	-0,812	-1,826	-1,826	0,000	4,672	0,000	4,672	1,700	0,000	1,700
Element 4-8 (Plate)	8963	2	0,000	-0,859	-1,976	-1,976	0,000	5,057	0,000	5,057	1,929	0,000	1,929
(Parete c.a.C32/40 sp.0.50m)	8962	3	0,000	-0,906	-2,126	-2,126	0,000	5,443	0,000	5,443	2,175	0,000	2,175
2	8961	4	0,000	-0,953	-2,276	-2,276	0,000	5,827	0,000	5,827	2,440	0,000	2,440
2	8957	5	0,000	-1,000	-2,425	-2,425	0,000	6,207	0,000	6,207	2,722	0,000	2,722
Plate_2_4	8957	1	0,000	-1,000	-2,420	-2,420	0,002	6,195	-0,006	6,195	2,722	0,000	2,722
Element 7-11 (Plate)	8874	2	0,000	-1,046	-2,561	-2,561	0,000	6,554	0,000	6,554	3,016	0,000	3,016
(Parete c.a.C32/40 sp.0.50m)	8873	3	0,000	-1,092	-2,693	-2,693	0,000	6,892	0,000	6,892	3,325	0,000	3,325
2	8872	4	0,000	-1,138	-2,816	-2,816	0,000	7,209	0,000	7,209	3,650	0,000	3,650
2	8871	5	0,000	-1,184	-2,931	-2,931	0,000	7,502	0,000	7,502	3,989	0,000	3,989
Plate_2_4	8871	1	0,000	-1,184	-2,926	-2,926	0,000	7,491	0,000	7,491	3,989	0,000	3,989
Element 7-12 (Plate)	8828	2	0,000	-1,245	-3,117	-3,117	0,000	7,979	0,000	7,979	4,459	0,000	4,459
(Parete c.a.C32/40 sp.0.50m)	8827	3	0,000	-1,306	-3,323	-3,323	0,000	8,508	0,000	8,508	4,961	0,000	4,961
2	8826	4	0,000	-1,367	-3,543	-3,543	0,000	9,072	0,000	9,072	5,497	0,000	5,497

Structural element	Node	Local number	X [m]	Y [m]	N [kN/m]	N_{min} [kN/m]	N_{max} [kN/m]	Q [kN/m]	Q_{min} [kN/m]	Q_{max} [kN/m]	M [kN m/m]	M_{min} [kN m/m]	M_{max} [kN m/m]
2_3	8825	5	0,000	-1,428	-3,774	-3,774	0,000	9,665	0,000	9,665	6,067	0,000	6,067
Plate_2_4	8825	1	0,000	-1,428	-3,774	-3,774	0,000	9,664	0,000	9,664	6,067	0,000	6,067
Element 7-13 (Plate)	8687	2	0,000	-1,508	-4,090	-4,090	0,000	10,472	0,000	10,472	6,877	0,000	6,877
(Parete c.a.C32/40 sp.0.50m)	8686	3	0,000	-1,589	-4,426	-4,426	0,000	11,334	0,000	11,334	7,756	0,000	7,756
2_3	8685	4	0,000	-1,669	-4,785	-4,785	0,000	12,254	0,000	12,254	8,706	0,000	8,706
2_3	8684	5	0,000	-1,750	-5,170	-5,170	0,000	13,240	0,000	13,240	9,732	0,000	9,732
Plate_2_5	8684	1	0,000	-1,750	-12,561	-12,561	0,000	-36,105	-36,105	0,000	9,732	0,000	9,732
Element 9-16 (Plate)	8674	2	0,000	-1,843	-13,077	-13,077	0,000	-34,781	-34,781	0,000	6,422	-0,974	6,422
(Parete c.a.C32/40 sp.0.50m)	8673	3	0,000	-1,937	-13,597	-13,597	0,000	-33,449	-33,449	0,000	3,235	-2,185	3,235
2_3	8672	4	0,000	-2,030	-14,123	-14,123	0,000	-32,102	-32,102	0,000	0,173	-4,510	0,173
2_3	8668	5	0,000	-2,124	-14,656	-14,656	0,000	-30,736	-30,736	0,000	-2,761	-7,077	0,000
Plate_2_5	8668	1	0,000	-2,124	-14,666	-14,666	0,000	-30,712	-30,712	0,000	-2,761	-7,077	0,000
Element 9-17 (Plate)	8487	2	0,000	-2,268	-15,481	-15,481	0,000	-28,625	-28,625	0,000	-7,035	-10,833	0,000
(Parete c.a.C32/40 sp.0.50m)	8486	3	0,000	-2,412	-16,337	-16,337	0,000	-26,431	-26,431	0,000	-11,006	-14,342	0,000
2_3	8485	4	0,000	-2,556	-17,286	-17,286	0,000	-24,001	-24,001	0,000	-14,643	-17,569	0,000
2_3	8484	5	0,000	-2,700	-18,379	-18,379	0,000	-21,204	-21,204	0,000	-17,905	-20,473	0,000
Plate_2_6	8484	1	0,000	-2,700	-18,231	-18,231	0,016	-21,584	-21,584	0,010	-17,905	-20,473	0,000
Element 11-19 (Plate)	8275	2	0,000	-2,836	-19,077	-19,077	0,000	-19,417	-19,417	0,085	-20,702	-22,963	0,004
(Parete c.a.C32/40 sp.0.50m)	8274	3	0,000	-2,973	-20,003	-20,003	0,000	-17,046	-17,046	0,199	-23,191	-25,183	0,022
2_3	8273	4	0,000	-3,109	-21,016	-21,016	0,000	-14,456	-14,456	0,404	-25,342	-27,098	0,059
2_3	8272	5	0,000	-3,245	-22,119	-22,119	0,000	-11,632	-11,632	0,891	-27,123	-28,671	0,136
Plate_2_6	8272	1	0,000	-3,245	-22,094	-22,094	0,000	-11,697	-11,697	0,820	-27,123	-28,671	0,136
Element 11-20 (Plate)	8129	2	0,000	-3,352	-22,934	-22,934	0,000	-9,547	-9,547	1,084	-28,248	-29,651	0,233
(Parete c.a.C32/40 sp.0.50m)	8128	3	0,000	-3,458	-23,755	-23,755	0,000	-7,449	-7,449	1,318	-29,150	-30,420	0,352
2_3	8127	4	0,000	-3,564	-24,574	-24,574	0,000	-5,354	-5,354	1,571	-29,830	-30,976	0,504
2_3	8126	5	0,000	-3,670	-25,412	-25,412	0,000	-3,211	-3,211	2,096	-30,285	-31,316	0,681
Plate_2_6	8126	1	0,000	-3,670	-25,386	-25,386	0,000	-3,277	-3,277	2,031	-30,285	-31,316	0,681
Element 11-21 (Plate)	8029	2	0,000	-3,752	-26,154	-26,154	0,000	-1,313	-1,313	2,470	-30,474	-31,420	0,846
(Parete c.a.C32/40 sp.0.50m)	8028	3	0,000	-3,835	-26,901	-26,901	0,000	0,598	0,000	2,817	-30,503	-31,367	1,049
2_3	8027	4	0,000	-3,917	-27,633	-27,633	0,000	2,471	0,000	3,452	-30,376	-31,161	1,289
2_3	8026	5	0,000	-4,000	-28,357	-28,357	0,000	4,321	0,000	5,258	-30,096	-30,802	1,563
Plate_2_7	8026	1	0,000	-4,000	-28,351	-28,351	0,001	4,306	-0,003	5,242	-30,096	-30,802	1,563
Element 13-24 (Plate)	7907	2	0,000	-4,065	-28,904	-28,904	0,000	5,722	0,000	6,648	-29,770	-30,417	1,799
(Parete c.a.C32/40 sp.0.50m)	7906	3	0,000	-4,130	-29,453	-29,453	0,000	7,123	0,000	8,041	-29,354	-29,941	2,052
2_3	7905	4	0,000	-4,194	-30,013	-30,013	0,000	8,557	0,000	9,466	-28,846	-29,374	2,326
2_3	7904	5	0,000	-4,259	-30,604	-30,604	0,000	10,068	0,000	10,970	-28,244	-28,712	2,622
Plate_2_8	7904	1	0,000	-4,259	-30,599	-30,599	0,000	10,055	0,000	10,956	-28,244	-28,712	2,622
Element 14-25 (Plate)	7591	2	0,000	-4,319	-31,213	-31,213	0,000	11,627	0,000	12,519	-27,591	-28,006	2,926
(Parete c.a.C32/40 sp.0.50m)	7590	3	0,000	-4,380	-31,835	-31,835	0,000	13,218	0,000	14,099	-26,843	-27,205	3,265
2_3	7589	4	0,000	-4,440	-32,466	-32,466	0,000	14,831	0,000	15,696	-25,999	-26,308	3,640
2_3	7588	5	0,000	-4,500	-33,105	-33,105	0,000	16,466	0,000	17,311	-25,057	-25,315	4,053
Plate_2_9	7588	1	0,000	-4,500	-33,054	-33,054	0,000	16,335	0,000	17,179	-25,057	-25,315	4,053
Element 16-30 (Plate)	7540	2	0,000	-4,650	-34,715	-34,715	0,000	20,589	0,000	21,339	-22,282	-22,419	5,257
(Parete c.a.C32/40 sp.0.50m)	7539	3	0,000	-4,800	-36,192	-36,192	0,000	24,369	0,000	24,956	-18,905	-18,941	6,704
2_3	7538	4	0,000	-4,950	-37,504	-37,504	0,000	27,727	0,000	28,083	-14,991	-14,991	8,361
2_3	7534	5	0,000	-5,100	-38,670	-38,670	0,000	30,712	0,000	30,772	-10,605	-10,605	10,196
Plate_3_1	7534	1	0,000	-5,100	-47,411	-47,411	0,000	27,795	-0,001	28,105	-10,605	-10,605	10,196
Element 17-31 (Plate)	7197	2	0,000	-5,200	-48,631	-48,631	0,000	29,910	-0,001	29,978	-7,721	-7,721	11,373
(Micropali D168.3x8,0mm/0,4)	7196	3	0,000	-5,300	-49,946	-49,946	0,000	32,193	-0,001	32,193	-4,617	-4,617	12,610

Structural element	Node	Local number	X [m]	Y [m]	N [kN/m]	N_{min} [kN/m]	N_{max} [kN/m]	Q [kN/m]	Q_{min} [kN/m]	Q_{max} [kN/m]	M [kN m/m]	M_{min} [kN m/m]	M_{max} [kN m/m]
쯤	7195	4	0,000	-5,400	-51,383	-51,383	0,000	34,686	-0,001	34,686	-1,274	-1,274	13,937
쯤	7194	5	0,000	-5,500	-52,964	-52,964	0,000	37,431	-0,001	37,431	2,328	0,000	15,382
Plate_3_2	7194	1	0,000	-5,500	-52,556	-52,556	0,007	36,601	0,000	36,601	2,328	0,000	15,382
Element 19-33 (Plate)	6712	2	0,000	-5,601	-52,759	-52,759	0,012	35,793	-0,005	35,793	6,007	0,000	16,744
(Micropali D168.3x8,0mm/0,4)	6711	3	0,000	-5,703	-52,771	-52,771	0,015	33,861	-0,015	33,861	9,541	-0,001	17,743
쯤	6710	4	0,000	-5,804	-52,486	-52,486	0,016	31,130	-0,053	31,130	12,843	-0,002	18,370
쯤	6709	5	0,000	-5,905	-51,800	-51,800	0,018	27,922	-1,350	27,922	15,835	-0,003	18,632
Plate_3_3	6709	1	0,000	-5,905	-51,660	-51,660	0,015	27,143	-1,654	27,143	15,835	-0,003	18,632
Element 20-34 (Plate)	6250	2	0,000	-5,929	-51,242	-51,242	0,016	25,347	-2,307	25,347	16,457	-0,003	18,637
(Micropali D168.3x8,0mm/0,4)	6249	3	0,000	-5,953	-50,786	-50,786	0,016	23,497	-2,942	23,497	17,035	-0,003	18,616
쯤	6248	4	0,000	-5,976	-50,298	-50,298	0,016	21,615	-3,551	21,615	17,570	-0,002	18,572
쯤	6247	5	0,000	-6,000	-49,783	-49,783	0,016	19,721	-4,177	19,721	18,059	-0,002	18,511
Plate_3_4	6247	1	0,000	-6,000	-49,765	-49,765	0,017	19,740	-4,169	19,740	18,059	-0,002	18,511
Element 21-35 (Plate)	5672	2	0,000	-6,033	-49,066	-49,066	0,017	17,119	-5,113	17,119	18,671	-0,002	18,671
(Micropali D168.3x8,0mm/0,4)	5671	3	0,000	-6,066	-48,375	-48,375	0,018	14,607	-6,618	14,607	19,198	-0,002	19,198
쯤	5670	4	0,000	-6,100	-47,681	-47,681	0,018	12,196	-7,984	12,196	19,643	-0,002	19,643
쯤	5669	5	0,000	-6,133	-46,973	-46,973	0,019	9,876	-9,195	9,876	20,010	-0,002	20,010
Plate_3_4	5669	1	0,000	-6,133	-47,014	-47,014	0,019	9,939	-9,204	9,939	20,010	-0,002	20,010
Element 21-36 (Plate)	5616	2	0,000	-6,181	-45,747	-45,747	0,020	6,390	-10,594	6,390	20,400	-0,003	20,400
(Micropali D168.3x8,0mm/0,4)	5615	3	0,000	-6,229	-44,522	-44,522	0,021	3,109	-11,715	3,109	20,626	-0,003	20,626
쯤	5614	4	0,000	-6,277	-43,358	-43,358	0,021	0,128	-12,576	0,128	20,703	-0,003	20,703
쯤	5613	5	0,000	-6,325	-42,277	-42,277	0,022	-2,519	-13,186	0,001	20,644	-0,003	20,644
Plate_3_4	5613	1	0,000	-6,325	-42,245	-42,245	0,022	-2,601	-13,227	0,001	20,644	-0,003	20,644
Element 21-37 (Plate)	5560	2	0,000	-6,394	-41,016	-41,016	0,023	-5,589	-13,775	0,000	20,358	-0,003	20,358
(Micropali D168.3x8,0mm/0,4)	5559	3	0,000	-6,463	-39,891	-39,891	0,025	-8,165	-14,053	0,000	19,881	-0,003	19,881
쯤	5558	4	0,000	-6,532	-38,824	-38,824	0,026	-10,413	-14,076	0,000	19,237	-0,004	19,237
쯤	5557	5	0,000	-6,601	-37,770	-37,770	0,027	-12,417	-13,861	0,001	18,447	-0,004	18,447
Plate_3_4	5557	1	0,000	-6,601	-37,771	-37,771	0,027	-12,477	-13,914	0,001	18,447	-0,004	18,447
Element 21-38 (Plate)	4826	2	0,000	-6,701	-36,769	-36,769	0,028	-14,209	-14,209	0,002	17,110	-0,003	17,110
(Micropali D168.3x8,0mm/0,4)	4825	3	0,000	-6,801	-36,221	-36,221	0,030	-15,154	-15,154	0,003	15,640	-0,003	15,640
쯤	4824	4	0,000	-6,900	-36,088	-36,088	0,031	-15,379	-15,379	0,004	14,111	-0,003	14,111
쯤	4823	5	0,000	-7,000	-36,333	-36,333	0,032	-14,949	-14,949	0,004	12,595	-0,002	12,595
Plate_3_5	4823	1	0,000	-7,000	-36,259	-36,259	0,032	-15,078	-15,078	0,004	12,595	-0,002	12,595
Element 23-50 (Plate)	4218	2	0,000	-7,119	-36,771	-36,771	0,034	-14,184	-14,184	0,005	10,849	-0,002	10,849
(Micropali D168.3x8,0mm/0,4)	4217	3	0,000	-7,238	-37,394	-37,394	0,035	-13,098	-13,098	0,005	9,221	-0,001	9,221
쯤	4216	4	0,000	-7,358	-38,107	-38,107	0,036	-11,856	-11,856	0,005	7,732	-0,001	7,732
쯤	4215	5	0,000	-7,477	-38,890	-38,890	0,036	-10,492	-10,492	0,005	6,399	-0,001	6,399
Plate_3_5	4215	1	0,000	-7,477	-38,865	-38,865	0,036	-10,536	-10,536	0,005	6,399	-0,001	6,399
Element 23-51 (Plate)	3948	2	0,000	-7,604	-39,669	-39,669	0,037	-9,135	-9,135	0,004	5,148	-0,001	5,148
(Micropali D168.3x8,0mm/0,4)	3947	3	0,000	-7,731	-40,424	-40,424	0,038	-7,820	-7,820	0,004	4,070	-0,022	4,070
쯤	3946	4	0,000	-7,859	-41,126	-41,126	0,038	-6,597	-6,597	0,003	3,153	-0,059	3,153
쯤	3945	5	0,000	-7,986	-41,771	-41,771	0,039	-5,472	-5,472	0,003	2,387	-0,108	2,387
Plate_3_5	3945	1	0,000	-7,986	-41,772	-41,772	0,039	-5,470	-5,470	0,003	2,387	-0,108	2,387
Element 23-52 (Plate)	3400	2	0,000	-8,122	-42,384	-42,384	0,039	-4,403	-4,403	0,002	1,717	-0,147	1,717
(Micropali D168.3x8,0mm/0,4)	3399	3	0,000	-8,258	-42,938	-42,938	0,039	-3,437	-3,437	0,001	1,185	-0,179	1,185
쯤	3398	4	0,000	-8,394	-43,437	-43,437	0,040	-2,566	-2,566	0,001	0,778	-0,212	0,778
쯤	3397	5	0,000	-8,530	-43,882	-43,882	0,040	-1,788	-1,788	0,024	0,484	-0,230	0,484
Plate_3_5	3397	1	0,000	-8,530	-43,890	-43,890	0,040	-1,775	-1,775	0,024	0,484	-0,230	0,484
Element 23-53 (Plate)	3352	2	0,000	-8,675	-44,329	-44,329	0,040	-1,006	-1,006	0,108	0,282	-0,239	0,282

Structural element	Node	Local number	X [m]	Y [m]	N [kN/m]	N_{min} [kN/m]	N_{max} [kN/m]	Q [kN/m]	Q_{min} [kN/m]	Q_{max} [kN/m]	M [kN m/m]	M_{min} [kN m/m]	M_{max} [kN m/m]
(Micropali D168.3x8,0mm/0,4)	3351	3	0,000	-8,820	-44,748	-44,748	0,040	-0,275	-0,312	0,204	0,190	-0,249	0,190
점	3350	4	0,000	-8,965	-45,147	-45,147	0,040	0,423	-0,001	0,423	0,201	-0,216	0,201
점	3349	5	0,000	-9,110	-45,528	-45,528	0,040	1,088	-0,001	1,088	0,311	-0,146	0,311
Plate_3_5	3349	1	0,000	-9,110	-45,494	-45,494	0,040	1,030	-0,001	1,030	0,311	-0,146	0,311
Element 23-54 (Plate)	3286	2	0,000	-9,265	-45,923	-45,923	0,039	1,779	-0,001	1,779	0,531	-0,038	0,531
(Micropali D168.3x8,0mm/0,4)	3285	3	0,000	-9,420	-46,213	-46,213	0,039	2,288	-0,002	2,288	0,851	0,000	0,851
점	3284	4	0,000	-9,575	-46,318	-46,318	0,039	2,475	-0,002	2,475	1,223	0,000	1,223
점	3283	5	0,000	-9,730	-46,189	-46,189	0,038	2,257	-0,001	2,257	1,596	0,000	1,596
Plate_3_6	3283	1	0,000	-9,730	-46,042	-46,042	0,038	2,003	-0,002	2,003	1,596	0,000	1,596
Element 25-56 (Plate)	3117	2	0,000	-9,886	-45,293	-45,293	0,038	0,710	-0,002	0,710	1,803	0,000	1,803
(Micropali D168.3x8,0mm/0,4)	3116	3	0,000	-10,043	-44,761	-44,761	0,037	-0,204	-0,292	0,000	1,838	0,000	1,838
점	3115	4	0,000	-10,199	-44,434	-44,434	0,037	-0,766	-0,771	0,000	1,757	0,000	1,757
점	3114	5	0,000	-10,356	-44,297	-44,297	0,036	-1,000	-1,000	0,000	1,615	0,000	1,615
Plate_3_6	3114	1	0,000	-10,356	-44,264	-44,264	0,036	-1,056	-1,056	0,000	1,615	0,000	1,615
Element 25-57 (Plate)	3035	2	0,000	-10,520	-44,193	-44,193	0,035	-1,175	-1,175	0,000	1,430	0,000	1,430
(Micropali D168.3x8,0mm/0,4)	3034	3	0,000	-10,685	-44,173	-44,173	0,035	-1,204	-1,204	0,000	1,234	0,000	1,234
점	3033	4	0,000	-10,850	-44,200	-44,200	0,034	-1,152	-1,152	0,000	1,039	0,000	1,039
점	3032	5	0,000	-11,014	-44,269	-44,269	0,033	-1,028	-1,028	0,000	0,858	0,000	0,858
Plate_3_6	3032	1	0,000	-11,014	-44,196	-44,196	0,033	-1,040	-1,040	0,000	0,858	0,000	0,858
Element 25-58 (Plate)	2481	2	0,000	-11,187	-43,862	-43,862	0,032	-0,882	-0,882	0,000	0,692	0,000	0,692
(Micropali D168.3x8,0mm/0,4)	2480	3	0,000	-11,360	-43,222	-43,222	0,030	-0,732	-0,732	0,000	0,553	0,000	0,553
점	2479	4	0,000	-11,533	-42,281	-42,281	0,029	-0,594	-0,594	0,000	0,438	0,000	0,438
점	2478	5	0,000	-11,706	-41,041	-41,041	0,028	-0,469	-0,469	0,000	0,347	0,000	0,347
Plate_3_6	2478	1	0,000	-11,706	-41,045	-41,045	0,028	-0,470	-0,470	0,000	0,347	0,000	0,347
Element 25-59 (Plate)	2309	2	0,000	-11,888	-39,439	-39,439	0,026	-0,370	-0,370	0,000	0,271	0,000	0,271
(Micropali D168.3x8,0mm/0,4)	2308	3	0,000	-12,069	-37,523	-37,523	0,024	-0,289	-0,289	0,000	0,211	0,000	0,211
점	2307	4	0,000	-12,251	-35,299	-35,299	0,023	-0,226	-0,226	0,000	0,164	0,000	0,164
점	2306	5	0,000	-12,433	-32,768	-32,768	0,021	-0,179	-0,179	0,000	0,128	0,000	0,128
Plate_3_6	2306	1	0,000	-12,433	-32,768	-32,768	0,021	-0,177	-0,177	0,000	0,128	0,000	0,128
Element 25-60 (Plate)	1871	2	0,000	-12,624	-29,827	-29,827	0,019	-0,133	-0,133	0,000	0,098	0,000	0,098
(Micropali D168.3x8,0mm/0,4)	1870	3	0,000	-12,815	-26,568	-26,568	0,016	-0,098	-0,098	0,000	0,076	0,000	0,076
점	1869	4	0,000	-13,006	-22,989	-22,989	0,014	-0,072	-0,072	0,000	0,060	0,000	0,061
점	1868	5	0,000	-13,197	-19,089	-19,089	0,012	-0,053	-0,054	0,000	0,049	0,000	0,050
Plate_3_6	1868	1	0,000	-13,197	-19,053	-19,053	0,012	-0,052	-0,052	0,000	0,049	0,000	0,050
Element 25-61 (Plate)	1171	2	0,000	-13,398	-14,587	-14,587	0,009	-0,008	-0,022	0,011	0,045	0,000	0,045
(Micropali D168.3x8,0mm/0,4)	1170	3	0,000	-13,598	-9,623	-9,623	0,006	-0,049	-0,057	0,000	0,039	0,000	0,039
점	1169	4	0,000	-13,799	-4,138	-4,138	0,002	-0,107	-0,107	0,000	0,024	0,000	0,024
점	1168	5	0,000	-14,000	1,889	-0,001	1,889	-0,116	-0,116	0,000	0,000	0,000	0,000

3.1.2.4.19 Calculation results, Plate, SLU11 (scalz) [Phase_19] (19/779), Table of plate force envelopes

Structural element	Node	Local number	X [m]	Y [m]	N [kN/m]	N_{min} [kN/m]	N_{max} [kN/m]	Q [kN/m]	Q_{min} [kN/m]	Q_{max} [kN/m]	M [kN m/m]	M_{min} [kN m/m]	M_{max} [kN m/m]
Plate_2_1	9176	1	0,000	0,000	-0,001	-0,003	0,001	0,001	-0,003	0,008	0,000	0,000	0,000
Element 1-1 (Plate)	9173	2	0,000	-0,034	-0,135	-0,135	0,000	0,345	0,000	0,345	0,006	0,000	0,006
(Parete c.a.C32/40 sp.0.50m)	9174	3	0,000	-0,067	-0,285	-0,285	0,000	0,725	0,000	0,725	0,024	0,000	0,024
점	9175	4	0,000	-0,101	-0,448	-0,448	0,000	1,142	0,000	1,142	0,055	0,000	0,055
점	9165	5	0,000	-0,135	-0,626	-0,626	0,000	1,595	0,000	1,595	0,101	0,000	0,101
Plate_2_1	9165	1	0,000	-0,135	-0,624	-0,624	0,000	1,591	0,000	1,591	0,101	0,000	0,101
Element 1-2 (Plate)	9164	2	0,000	-0,168	-0,804	-0,804	0,000	2,051	0,000	2,051	0,162	0,000	0,162
(Parete c.a.C32/40 sp.0.50m)	9163	3	0,000	-0,202	-0,988	-0,988	0,000	2,520	0,000	2,520	0,238	0,000	0,238
점	9162	4	0,000	-0,235	-1,178	-1,178	0,000	3,005	0,000	3,005	0,330	0,000	0,330
점	9166	5	0,000	-0,268	-1,377	-1,377	0,000	3,511	0,000	3,511	0,438	0,000	0,438
Plate_2_1	9166	1	0,000	-0,268	-1,375	-1,375	0,000	3,507	0,000	3,507	0,438	0,000	0,438
Element 1-3 (Plate)	9161	2	0,000	-0,301	-1,580	-1,580	0,000	4,029	0,000	4,029	0,563	0,000	0,563
(Parete c.a.C32/40 sp.0.50m)	9160	3	0,000	-0,334	-1,790	-1,790	0,000	4,566	0,000	4,566	0,704	0,000	0,704
점	9159	4	0,000	-0,367	-2,007	-2,007	0,000	5,119	0,000	5,119	0,864	0,000	0,864
점	9158	5	0,000	-0,400	-2,229	-2,229	0,000	5,687	0,000	5,687	1,041	0,000	1,041
Plate_2_2	9158	1	0,000	-0,400	-2,229	-2,229	0,000	5,687	0,000	5,687	1,041	0,000	1,041
Element 3-5 (Plate)	9131	2	0,000	-0,425	-2,400	-2,400	0,000	6,123	0,000	6,123	1,189	0,000	1,189
(Parete c.a.C32/40 sp.0.50m)	9130	3	0,000	-0,450	-2,573	-2,573	0,000	6,564	0,000	6,564	1,348	0,000	1,348
점	9129	4	0,000	-0,475	-2,747	-2,747	0,000	7,008	0,000	7,008	1,517	0,000	1,517
점	9125	5	0,000	-0,500	-2,921	-2,921	0,000	7,454	0,000	7,454	1,698	0,000	1,698
Plate_2_3	9125	1	0,000	-0,500	-2,921	-2,921	0,000	7,453	0,000	7,453	1,698	0,000	1,698
Element 4-6 (Plate)	9121	2	0,000	-0,537	-3,172	-3,172	0,000	8,094	0,000	8,094	1,983	0,000	1,983
(Parete c.a.C32/40 sp.0.50m)	9120	3	0,000	-0,573	-3,420	-3,420	0,000	8,727	0,000	8,727	2,290	0,000	2,290
점	9119	4	0,000	-0,610	-3,666	-3,666	0,000	9,355	0,000	9,355	2,621	0,000	2,621
점	9115	5	0,000	-0,646	-3,912	-3,912	0,000	9,983	0,000	9,983	2,975	0,000	2,975
Plate_2_3	9115	1	0,000	-0,646	-3,911	-3,911	0,000	9,979	0,000	9,979	2,975	0,000	2,975
Element 4-7 (Plate)	9025	2	0,000	-0,688	-4,214	-4,214	0,000	10,754	0,000	10,754	3,405	0,000	3,405
(Parete c.a.C32/40 sp.0.50m)	9024	3	0,000	-0,729	-4,523	-4,523	0,000	11,543	0,000	11,543	3,867	0,000	3,867
점	9023	4	0,000	-0,771	-4,837	-4,837	0,000	12,344	0,000	12,344	4,362	0,000	4,362
점	9019	5	0,000	-0,812	-5,154	-5,154	0,000	13,155	0,000	13,155	4,890	0,000	4,890
Plate_2_3	9019	1	0,000	-0,812	-5,154	-5,154	0,000	13,154	0,000	13,154	4,890	0,000	4,890
Element 4-8 (Plate)	8963	2	0,000	-0,859	-5,517	-5,517	0,000	14,081	0,000	14,081	5,530	0,000	5,530
(Parete c.a.C32/40 sp.0.50m)	8962	3	0,000	-0,906	-5,880	-5,880	0,000	15,007	0,000	15,007	6,213	0,000	6,213
점	8961	4	0,000	-0,953	-6,241	-6,241	0,000	15,929	0,000	15,929	6,939	0,000	6,939
점	8957	5	0,000	-1,000	-6,600	-6,600	0,000	16,845	0,000	16,845	7,708	0,000	7,708
Plate_2_4	8957	1	0,000	-1,000	-6,595	-6,595	0,002	16,833	-0,006	16,833	7,708	0,000	7,708
Element 7-11 (Plate)	8874	2	0,000	-1,046	-6,941	-6,941	0,000	17,714	0,000	17,714	8,503	0,000	8,503
(Parete c.a.C32/40 sp.0.50m)	8873	3	0,000	-1,092	-7,276	-7,276	0,000	18,572	0,000	18,572	9,339	0,000	9,339
점	8872	4	0,000	-1,138	-7,602	-7,602	0,000	19,404	0,000	19,404	10,213	0,000	10,213
점	8871	5	0,000	-1,184	-7,918	-7,918	0,000	20,209	0,000	20,209	11,125	0,000	11,125
Plate_2_4	8871	1	0,000	-1,184	-7,914	-7,914	0,000	20,198	0,000	20,198	11,125	0,000	11,125
Element 7-12 (Plate)	8828	2	0,000	-1,245	-8,368	-8,368	0,000	21,357	0,000	21,357	12,390	0,000	12,390
(Parete c.a.C32/40 sp.0.50m)	8827	3	0,000	-1,306	-8,836	-8,836	0,000	22,551	0,000	22,551	13,727	0,000	13,727

Structural element	Node	Local number	X [m]	Y [m]	N [kN/m]	N_{min} [kN/m]	N_{max} [kN/m]	Q [kN/m]	Q_{min} [kN/m]	Q_{max} [kN/m]	M [kN m/m]	M_{min} [kN m/m]	M_{max} [kN m/m]
점	8826	4	0,000	-1,367	-9,314	-9,314	0,000	23,771	0,000	23,771	15,138	0,000	15,138
점	8825	5	0,000	-1,428	-9,800	-9,800	0,000	25,012	0,000	25,012	16,623	0,000	16,623
Plate_2_4	8825	1	0,000	-1,428	-9,800	-9,800	0,000	25,011	0,000	25,011	16,623	0,000	16,623
Element 7-13 (Plate)	8687	2	0,000	-1,508	-10,447	-10,447	0,000	26,664	0,000	26,664	18,703	0,000	18,703
(Parete c.a.C32/40 sp.0.50m)	8686	3	0,000	-1,589	-11,109	-11,109	0,000	28,353	0,000	28,353	20,920	0,000	20,920
점	8685	4	0,000	-1,669	-11,788	-11,788	0,000	30,085	0,000	30,085	23,274	0,000	23,274
점	8684	5	0,000	-1,750	-12,485	-12,485	0,000	31,865	0,000	31,865	25,769	0,000	25,769
Plate_2_5	8684	1	0,000	-1,750	-26,163	-26,163	0,000	-59,393	-59,393	0,000	25,769	0,000	25,769
Element 9-16 (Plate)	8674	2	0,000	-1,843	-27,031	-27,031	0,000	-57,176	-57,176	0,000	20,326	-0,974	20,326
(Parete c.a.C32/40 sp.0.50m)	8673	3	0,000	-1,937	-27,890	-27,890	0,000	-54,985	-54,985	0,000	15,088	-2,185	15,088
점	8672	4	0,000	-2,030	-28,740	-28,740	0,000	-52,815	-52,815	0,000	10,052	-4,510	10,052
점	8668	5	0,000	-2,124	-29,583	-29,583	0,000	-50,663	-50,663	0,000	5,221	-7,077	5,221
Plate_2_5	8668	1	0,000	-2,124	-29,593	-29,593	0,000	-50,639	-50,639	0,000	5,221	-7,077	5,221
Element 9-17 (Plate)	8487	2	0,000	-2,268	-30,856	-30,856	0,000	-47,414	-47,414	0,000	-1,840	-10,833	0,000
(Parete c.a.C32/40 sp.0.50m)	8486	3	0,000	-2,412	-32,125	-32,125	0,000	-44,177	-44,177	0,000	-8,444	-14,342	0,000
점	8485	4	0,000	-2,556	-33,449	-33,449	0,000	-40,798	-40,798	0,000	-14,568	-18,598	0,000
점	8484	5	0,000	-2,700	-34,881	-34,881	0,000	-37,143	-37,143	0,000	-20,188	-23,728	0,000
Plate_2_6	8484	1	0,000	-2,700	-34,655	-34,655	0,016	-37,723	-37,723	0,010	-20,188	-23,728	0,000
Element 11-19 (Plate)	8275	2	0,000	-2,836	-35,778	-35,778	0,000	-34,857	-34,857	0,085	-25,136	-28,210	0,004
(Parete c.a.C32/40 sp.0.50m)	8274	3	0,000	-2,973	-36,931	-36,931	0,000	-31,914	-31,914	0,199	-29,690	-32,334	0,022
점	8273	4	0,000	-3,109	-38,122	-38,122	0,000	-28,878	-28,878	0,404	-33,836	-36,038	0,059
점	8272	5	0,000	-3,245	-39,355	-39,355	0,000	-25,730	-25,730	0,891	-37,560	-39,289	0,136
Plate_2_6	8272	1	0,000	-3,245	-39,331	-39,331	0,000	-25,792	-25,792	0,820	-37,560	-39,289	0,136
Element 11-20 (Plate)	8129	2	0,000	-3,352	-40,238	-40,238	0,000	-23,477	-23,477	1,084	-40,172	-41,507	0,233
(Parete c.a.C32/40 sp.0.50m)	8128	3	0,000	-3,458	-41,101	-41,101	0,000	-21,275	-21,275	1,318	-42,546	-43,473	0,352
점	8127	4	0,000	-3,564	-41,940	-41,940	0,000	-19,135	-19,135	1,571	-44,689	-45,201	0,504
점	8126	5	0,000	-3,670	-42,776	-42,776	0,000	-17,002	-17,002	2,096	-46,606	-46,672	0,681
Plate_2_6	8126	1	0,000	-3,670	-42,754	-42,754	0,000	-17,059	-17,059	2,031	-46,606	-46,672	0,681
Element 11-21 (Plate)	8029	2	0,000	-3,752	-43,511	-43,511	0,000	-15,126	-15,126	2,470	-47,934	-47,934	0,846
(Parete c.a.C32/40 sp.0.50m)	8028	3	0,000	-3,835	-44,248	-44,248	0,000	-13,246	-13,246	2,817	-49,105	-49,105	1,049
점	8027	4	0,000	-3,917	-44,971	-44,971	0,000	-11,401	-11,401	3,452	-50,122	-50,122	1,289
점	8026	5	0,000	-4,000	-45,688	-45,688	0,000	-9,573	-9,573	5,258	-50,988	-50,988	1,563
Plate_2_7	8026	1	0,000	-4,000	-45,684	-45,685	0,001	-9,581	-9,581	5,242	-50,988	-50,988	1,563
Element 13-24 (Plate)	7907	2	0,000	-4,065	-46,241	-46,241	0,000	-8,161	-8,161	6,648	-51,562	-51,562	1,799
(Parete c.a.C32/40 sp.0.50m)	7906	3	0,000	-4,130	-46,802	-46,802	0,000	-6,730	-6,730	8,041	-52,045	-52,045	2,052
점	7905	4	0,000	-4,194	-47,386	-47,386	0,000	-5,241	-5,241	9,466	-52,434	-52,434	2,326
점	7904	5	0,000	-4,259	-48,011	-48,011	0,000	-3,648	-3,648	10,970	-52,722	-52,722	2,622
Plate_2_8	7904	1	0,000	-4,259	-48,005	-48,005	0,000	-3,663	-3,663	10,956	-52,722	-52,722	2,622
Element 14-25 (Plate)	7591	2	0,000	-4,319	-48,668	-48,668	0,000	-1,972	-1,972	12,519	-52,892	-52,892	2,926
(Parete c.a.C32/40 sp.0.50m)	7590	3	0,000	-4,380	-49,345	-49,345	0,000	-0,244	-0,244	14,099	-52,959	-52,959	3,265
점	7589	4	0,000	-4,440	-50,036	-50,036	0,000	1,519	0,000	15,696	-52,921	-52,921	3,640
점	7588	5	0,000	-4,500	-50,740	-50,740	0,000	3,316	0,000	17,311	-52,775	-52,775	4,053
Plate_2_9	7588	1	0,000	-4,500	-50,754	-50,754	0,000	3,351	0,000	17,179	-52,775	-52,775	4,053
Element 16-30 (Plate)	7540	2	0,000	-4,650	-52,353	-52,353	0,000	7,434	0,000	21,339	-51,958	-51,958	5,257
(Parete c.a.C32/40 sp.0.50m)	7539	3	0,000	-4,800	-53,680	-53,680	0,000	10,820	0,000	24,956	-50,580	-50,580	6,704
점	7538	4	0,000	-4,950	-54,732	-54,732	0,000	13,501	0,000	28,083	-48,747	-48,747	8,361
점	7534	5	0,000	-5,100	-55,507	-55,507	0,000	15,471	0,000	30,772	-46,565	-46,565	10,196
Plate_3_1	7534	1	0,000	-5,100	-73,643	-73,643	0,000	9,559	-0,001	28,105	-46,565	-46,565	10,196
Element 17-31 (Plate)	7197	2	0,000	-5,200	-74,511	-74,511	0,000	11,066	-0,001	29,978	-45,537	-45,537	11,373

Structural element	Node	Local number	X [m]	Y [m]	N [kN/m]	N_{min} [kN/m]	N_{max} [kN/m]	Q [kN/m]	Q_{min} [kN/m]	Q_{max} [kN/m]	M [kN m/m]	M_{min} [kN m/m]	M_{max} [kN m/m]
(Micropali D168.3x8,0mm/0,4)	7196	3	0,000	-5,300	-75,645	-75,645	0,000	13,033	-0,001	32,193	-44,338	-44,338	12,610
쯤	7195	4	0,000	-5,400	-77,156	-77,156	0,000	15,652	-0,001	34,686	-42,908	-42,908	13,937
쯤	7194	5	0,000	-5,500	-79,153	-79,153	0,000	19,111	-0,001	37,431	-41,179	-41,179	15,382
Plate_3_2	7194	1	0,000	-5,500	-78,985	-78,985	0,007	18,815	0,000	36,601	-41,179	-41,179	15,382
Element 19-33 (Plate)	6712	2	0,000	-5,601	-81,096	-81,096	0,012	22,474	-0,005	35,830	-39,088	-39,088	16,744
(Micropali D168.3x8,0mm/0,4)	6711	3	0,000	-5,703	-83,181	-83,181	0,015	26,085	-0,015	36,546	-36,625	-36,625	17,743
쯤	6710	4	0,000	-5,804	-85,155	-85,155	0,016	29,504	-0,053	36,818	-33,808	-33,808	18,370
쯤	6709	5	0,000	-5,905	-86,936	-86,936	0,018	32,585	-1,350	37,141	-30,659	-30,659	18,632
Plate_3_3	6709	1	0,000	-5,905	-86,805	-86,805	0,015	32,358	-1,654	36,736	-30,659	-30,659	18,632
Element 20-34 (Plate)	6250	2	0,000	-5,929	-87,048	-87,048	0,016	32,778	-2,307	36,642	-29,888	-29,888	18,637
(Micropali D168.3x8,0mm/0,4)	6249	3	0,000	-5,953	-87,248	-87,248	0,016	33,123	-2,942	36,469	-29,107	-29,107	18,616
쯤	6248	4	0,000	-5,976	-87,410	-87,410	0,016	33,403	-3,551	36,232	-28,319	-28,319	18,572
쯤	6247	5	0,000	-6,000	-87,539	-87,539	0,016	33,625	-4,177	35,944	-27,525	-27,525	18,511
Plate_3_4	6247	1	0,000	-6,000	-87,542	-87,542	0,017	33,630	-4,169	35,948	-27,525	-27,525	18,511
Element 21-35 (Plate)	5672	2	0,000	-6,033	-87,742	-87,742	0,017	33,975	-5,113	35,635	-26,403	-26,403	18,671
(Micropali D168.3x8,0mm/0,4)	5671	3	0,000	-6,066	-87,992	-87,992	0,018	34,406	-6,618	35,426	-25,266	-25,266	19,198
쯤	5670	4	0,000	-6,100	-88,288	-88,288	0,018	34,915	-7,984	35,309	-24,114	-24,114	19,643
쯤	5669	5	0,000	-6,133	-88,626	-88,626	0,019	35,497	-9,195	35,621	-22,945	-22,945	20,010
Plate_3_4	5669	1	0,000	-6,133	-88,603	-88,603	0,019	35,459	-9,204	35,564	-22,945	-22,945	20,010
Element 21-36 (Plate)	5616	2	0,000	-6,181	-89,089	-89,089	0,020	36,297	-10,594	36,297	-21,224	-21,224	20,400
(Micropali D168.3x8,0mm/0,4)	5615	3	0,000	-6,229	-89,495	-89,495	0,021	36,997	-11,715	36,997	-19,468	-19,468	20,626
쯤	5614	4	0,000	-6,277	-89,903	-89,903	0,021	37,699	-12,576	37,699	-17,677	-17,677	20,703
쯤	5613	5	0,000	-6,325	-90,394	-90,394	0,022	38,546	-13,186	38,546	-15,851	-15,851	20,644
Plate_3_4	5613	1	0,000	-6,325	-90,462	-90,462	0,022	38,666	-13,227	38,666	-15,851	-15,851	20,644
Element 21-37 (Plate)	5560	2	0,000	-6,394	-90,903	-90,903	0,023	39,424	-13,775	39,424	-13,149	-13,149	20,358
(Micropali D168.3x8,0mm/0,4)	5559	3	0,000	-6,463	-91,197	-91,197	0,025	39,934	-14,053	39,934	-10,407	-10,407	19,881
쯤	5558	4	0,000	-6,532	-91,546	-91,546	0,026	40,543	-14,076	40,543	-7,624	-7,624	19,237
쯤	5557	5	0,000	-6,601	-92,149	-92,148	0,027	41,596	-13,861	41,596	-4,790	-4,790	18,447
Plate_3_4	5557	1	0,000	-6,601	-92,049	-92,049	0,027	41,424	-13,914	41,424	-4,790	-4,790	18,447
Element 21-38 (Plate)	4826	2	0,000	-6,701	-93,468	-93,468	0,028	43,893	-14,209	43,893	-0,522	-0,522	18,250
(Micropali D168.3x8,0mm/0,4)	4825	3	0,000	-6,801	-94,366	-94,366	0,030	45,453	-15,154	45,453	3,927	-0,003	18,816
쯤	4824	4	0,000	-6,900	-95,323	-95,323	0,031	47,112	-15,379	47,112	8,547	-0,003	20,076
쯤	4823	5	0,000	-7,000	-96,919	-96,919	0,032	49,878	-14,949	49,878	13,364	-0,002	22,059
Plate_3_5	4823	1	0,000	-7,000	-96,455	-96,455	0,032	49,076	-15,078	49,076	13,364	-0,002	22,059
Element 23-50 (Plate)	4218	2	0,000	-7,119	-93,771	-93,771	0,034	44,405	-14,184	44,405	18,958	-0,002	25,311
(Micropali D168.3x8,0mm/0,4)	4217	3	0,000	-7,238	-90,407	-90,407	0,035	38,552	-13,098	38,552	23,895	-0,001	27,822
쯤	4216	4	0,000	-7,358	-87,058	-87,058	0,036	32,722	-12,183	32,722	28,152	-0,001	29,910
쯤	4215	5	0,000	-7,477	-84,414	-84,414	0,036	28,120	-12,365	28,120	31,753	-0,001	32,212
Plate_3_5	4215	1	0,000	-7,477	-84,185	-84,185	0,036	27,612	-12,533	27,612	31,753	-0,001	32,212
Element 23-51 (Plate)	3948	2	0,000	-7,604	-79,297	-79,297	0,037	19,334	-13,839	19,334	34,766	-0,001	34,766
(Micropali D168.3x8,0mm/0,4)	3947	3	0,000	-7,731	-73,770	-73,770	0,038	9,539	-15,236	9,539	36,604	-0,022	36,604
쯤	3946	4	0,000	-7,859	-68,078	-68,078	0,038	-0,864	-17,170	0,003	37,169	-0,059	37,169
쯤	3945	5	0,000	-7,986	-62,693	-62,693	0,039	-10,964	-18,872	0,003	36,404	-0,108	36,404
Plate_3_5	3945	1	0,000	-7,986	-62,658	-62,658	0,039	-10,932	-19,208	0,003	36,404	-0,108	36,404
Element 23-52 (Plate)	3400	2	0,000	-8,122	-58,677	-58,677	0,039	-17,833	-20,877	0,002	34,421	-0,147	34,421
(Micropali D168.3x8,0mm/0,4)	3399	3	0,000	-8,258	-56,030	-56,030	0,039	-22,422	-22,845	0,001	31,663	-0,179	31,663
쯤	3398	4	0,000	-8,394	-54,594	-54,594	0,040	-24,915	-24,915	0,001	28,420	-0,212	28,420
쯤	3397	5	0,000	-8,530	-54,243	-54,243	0,040	-25,526	-25,526	0,024	24,975	-0,230	24,975
Plate_3_5	3397	1	0,000	-8,530	-53,990	-53,990	0,040	-25,909	-25,909	0,024	24,975	-0,230	24,975

Structural element	Node	Local number	X [m]	Y [m]	N [kN/m]	N_{min} [kN/m]	N_{max} [kN/m]	Q [kN/m]	Q_{min} [kN/m]	Q_{max} [kN/m]	M [kN m/m]	M_{min} [kN m/m]	M_{max} [kN m/m]
Element 23-53 (Plate)	3352	2	0,000	-8,675	-54,507	-54,507	0,040	-25,117	-25,117	0,108	21,260	-0,239	21,260
(Micropali D168.3x8,0mm/0,4)	3351	3	0,000	-8,820	-55,498	-55,498	0,040	-23,360	-23,360	0,204	17,733	-0,249	17,733
2	3350	4	0,000	-8,965	-56,826	-56,826	0,040	-20,760	-20,760	0,423	14,520	-0,216	14,520
2	3349	5	0,000	-9,110	-58,354	-58,354	0,040	-17,440	-17,440	1,088	11,742	-0,146	11,742
Plate_3_5	3349	1	0,000	-9,110	-58,224	-58,224	0,040	-17,672	-17,672	1,030	11,742	-0,146	11,742
Element 23-54 (Plate)	3286	2	0,000	-9,265	-59,665	-59,665	0,039	-14,061	-14,061	1,779	9,288	-0,038	9,288
(Micropali D168.3x8,0mm/0,4)	3285	3	0,000	-9,420	-60,865	-60,865	0,039	-10,798	-10,798	2,288	7,369	0,000	7,369
2	3284	4	0,000	-9,575	-61,780	-61,780	0,039	-7,980	-7,980	2,475	5,918	0,000	5,918
2	3283	5	0,000	-9,730	-62,361	-62,361	0,038	-5,700	-5,700	2,257	4,867	0,000	4,867
Plate_3_6	3283	1	0,000	-9,730	-62,270	-62,270	0,038	-5,861	-5,861	2,003	4,867	0,000	4,867
Element 25-56 (Plate)	3117	2	0,000	-9,886	-61,930	-61,930	0,038	-5,070	-5,070	0,710	4,012	0,000	4,012
(Micropali D168.3x8,0mm/0,4)	3116	3	0,000	-10,043	-61,634	-61,634	0,037	-4,318	-4,318	0,000	3,278	0,000	3,278
2	3115	4	0,000	-10,199	-61,379	-61,379	0,037	-3,608	-3,608	0,000	2,658	0,000	2,658
2	3114	5	0,000	-10,356	-61,168	-61,168	0,036	-2,942	-2,942	0,000	2,146	0,000	2,146
Plate_3_6	3114	1	0,000	-10,356	-61,156	-61,156	0,036	-2,951	-2,951	0,000	2,146	0,000	2,146
Element 25-57 (Plate)	3035	2	0,000	-10,520	-60,919	-60,919	0,035	-2,386	-2,386	0,000	1,708	0,000	1,708
(Micropali D168.3x8,0mm/0,4)	3034	3	0,000	-10,685	-60,667	-60,667	0,035	-1,913	-1,913	0,000	1,355	0,000	1,384
2	3033	4	0,000	-10,850	-60,400	-60,400	0,034	-1,528	-1,528	0,000	1,073	0,000	1,164
2	3032	5	0,000	-11,014	-60,116	-60,116	0,033	-1,226	-1,226	0,000	0,848	0,000	0,967
Plate_3_6	3032	1	0,000	-11,014	-60,077	-60,077	0,033	-1,213	-1,213	0,000	0,848	0,000	0,967
Element 25-58 (Plate)	2481	2	0,000	-11,187	-59,422	-59,422	0,032	-0,944	-0,956	0,000	0,662	0,000	0,787
(Micropali D168.3x8,0mm/0,4)	2480	3	0,000	-11,360	-58,426	-58,426	0,030	-0,727	-0,796	0,000	0,519	0,000	0,636
2	2479	4	0,000	-11,533	-57,095	-57,095	0,029	-0,559	-0,650	0,000	0,408	0,000	0,511
2	2478	5	0,000	-11,706	-55,433	-55,433	0,028	-0,439	-0,521	0,000	0,323	0,000	0,410
Plate_3_6	2478	1	0,000	-11,706	-55,435	-55,435	0,028	-0,433	-0,522	0,000	0,323	0,000	0,410
Element 25-59 (Plate)	2309	2	0,000	-11,888	-53,356	-53,356	0,026	-0,344	-0,415	0,000	0,252	0,000	0,325
(Micropali D168.3x8,0mm/0,4)	2308	3	0,000	-12,069	-50,929	-50,929	0,024	-0,277	-0,328	0,000	0,196	0,000	0,258
2	2307	4	0,000	-12,251	-48,156	-48,156	0,023	-0,229	-0,259	0,000	0,150	0,000	0,209
2	2306	5	0,000	-12,433	-45,037	-45,037	0,021	-0,199	-0,209	0,000	0,112	0,000	0,174
Plate_3_6	2306	1	0,000	-12,433	-45,017	-45,017	0,021	-0,196	-0,208	0,000	0,112	0,000	0,174
Element 25-60 (Plate)	1871	2	0,000	-12,624	-41,367	-41,367	0,019	-0,161	-0,163	0,000	0,078	0,000	0,147
(Micropali D168.3x8,0mm/0,4)	1870	3	0,000	-12,815	-37,257	-37,257	0,016	-0,133	-0,133	0,000	0,050	0,000	0,129
2	1869	4	0,000	-13,006	-32,680	-32,680	0,014	-0,110	-0,110	0,000	0,027	0,000	0,116
2	1868	5	0,000	-13,197	-27,629	-27,629	0,012	-0,090	-0,092	0,000	0,008	0,000	0,106
Plate_3_6	1868	1	0,000	-13,197	-27,419	-27,419	0,012	-0,027	-0,088	0,000	0,008	0,000	0,106
Element 25-61 (Plate)	1171	2	0,000	-13,398	-21,731	-21,731	0,009	-0,048	-0,048	0,011	0,003	0,000	0,103
(Micropali D168.3x8,0mm/0,4)	1170	3	0,000	-13,598	-14,840	-14,840	0,006	-0,092	-0,138	0,000	-0,015	-0,015	0,085
2	1169	4	0,000	-13,799	-6,596	-6,596	0,002	-0,013	-0,237	0,000	-0,025	-0,025	0,048
2	1168	5	0,000	-14,000	3,156	-0,001	3,179	0,334	-0,202	0,334	0,000	0,000	0,000

3.1.2.4.20 Calculation results, Plate, SLU 12 [Phase_20] (20/799), Table of plate force envelopes

Structural element	Node	Local number	X [m]	Y [m]	N [kN/m]	N_{min} [kN/m]	N_{max} [kN/m]	Q [kN/m]	Q_{min} [kN/m]	Q_{max} [kN/m]	M [kN m/m]	M_{min} [kN m/m]	M_{max} [kN m/m]
Plate_2_1	9176	1	0,000	0,000	0,004	-0,003	0,004	-0,012	-0,012	0,008	0,000	0,000	0,000
Element 1-1 (Plate)	9173	2	0,000	-0,034	-0,289	-0,289	0,000	0,928	0,000	0,928	0,015	0,000	0,015
(Parete c.a.C32/40 sp.0.50m)	9174	3	0,000	-0,067	-0,605	-0,605	0,000	1,944	0,000	1,944	0,063	0,000	0,063
2	9175	4	0,000	-0,101	-0,944	-0,944	0,000	3,032	0,000	3,032	0,147	0,000	0,147
2	9165	5	0,000	-0,135	-1,304	-1,304	0,000	4,188	0,000	4,188	0,269	0,000	0,269
Plate_2_1	9165	1	0,000	-0,135	-1,301	-1,301	0,000	4,179	0,000	4,179	0,269	0,000	0,269
Element 1-2 (Plate)	9164	2	0,000	-0,168	-1,665	-1,665	0,000	5,345	0,000	5,345	0,427	0,000	0,427
(Parete c.a.C32/40 sp.0.50m)	9163	3	0,000	-0,202	-2,033	-2,033	0,000	6,528	0,000	6,528	0,625	0,000	0,625
2	9162	4	0,000	-0,235	-2,409	-2,409	0,000	7,734	0,000	7,734	0,863	0,000	0,863
2	9166	5	0,000	-0,268	-2,793	-2,793	0,000	8,966	0,000	8,966	1,141	0,000	1,141
Plate_2_1	9166	1	0,000	-0,268	-2,790	-2,790	0,000	8,959	0,000	8,959	1,141	0,000	1,141
Element 1-3 (Plate)	9161	2	0,000	-0,301	-3,177	-3,177	0,000	10,197	0,000	10,197	1,456	0,000	1,456
(Parete c.a.C32/40 sp.0.50m)	9160	3	0,000	-0,334	-3,567	-3,567	0,000	11,449	0,000	11,449	1,813	0,000	1,813
2	9159	4	0,000	-0,367	-3,961	-3,961	0,000	12,714	0,000	12,714	2,211	0,000	2,211
2	9158	5	0,000	-0,400	-4,359	-4,359	0,000	13,991	0,000	13,991	2,651	0,000	2,651
Plate_2_2	9158	1	0,000	-0,400	-4,359	-4,359	0,000	13,990	0,000	13,990	2,651	0,000	2,651
Element 3-5 (Plate)	9131	2	0,000	-0,425	-4,661	-4,661	0,000	14,961	0,000	14,961	3,012	0,000	3,012
(Parete c.a.C32/40 sp.0.50m)	9130	3	0,000	-0,450	-4,964	-4,964	0,000	15,932	0,000	15,932	3,399	0,000	3,399
2	9129	4	0,000	-0,475	-5,267	-5,267	0,000	16,902	0,000	16,902	3,809	0,000	3,809
2	9125	5	0,000	-0,500	-5,568	-5,568	0,000	17,871	0,000	17,871	4,244	0,000	4,244
Plate_2_3	9125	1	0,000	-0,500	-5,568	-5,568	0,000	17,870	0,000	17,870	4,244	0,000	4,244
Element 4-6 (Plate)	9121	2	0,000	-0,537	-6,004	-6,004	0,000	19,267	0,000	19,267	4,923	0,000	4,923
(Parete c.a.C32/40 sp.0.50m)	9120	3	0,000	-0,573	-6,433	-6,433	0,000	20,645	0,000	20,645	5,654	0,000	5,654
2	9119	4	0,000	-0,610	-6,858	-6,858	0,000	22,008	0,000	22,008	6,435	0,000	6,435
2	9115	5	0,000	-0,646	-7,279	-7,279	0,000	23,360	0,000	23,360	7,265	0,000	7,265
Plate_2_3	9115	1	0,000	-0,646	-7,278	-7,278	0,000	23,356	0,000	23,356	7,265	0,000	7,265
Element 4-7 (Plate)	9025	2	0,000	-0,688	-7,770	-7,770	0,000	24,934	0,000	24,934	8,266	0,000	8,266
(Parete c.a.C32/40 sp.0.50m)	9024	3	0,000	-0,729	-8,261	-8,261	0,000	26,509	0,000	26,509	9,332	0,000	9,332
2	9023	4	0,000	-0,771	-8,750	-8,750	0,000	28,079	0,000	28,079	10,464	0,000	10,464
2	9019	5	0,000	-0,812	-9,236	-9,236	0,000	29,641	0,000	29,641	11,660	0,000	11,660
Plate_2_3	9019	1	0,000	-0,812	-9,236	-9,236	0,000	29,641	0,000	29,641	11,660	0,000	11,660
Element 4-8 (Plate)	8963	2	0,000	-0,859	-9,783	-9,783	0,000	31,395	0,000	31,395	13,092	0,000	13,092
(Parete c.a.C32/40 sp.0.50m)	8962	3	0,000	-0,906	-10,322	-10,322	0,000	33,126	0,000	33,126	14,607	0,000	14,607
2	8961	4	0,000	-0,953	-10,854	-10,854	0,000	34,832	0,000	34,832	16,203	0,000	16,203
2	8957	5	0,000	-1,000	-11,376	-11,376	0,000	36,509	0,000	36,509	17,877	0,000	17,877
Plate_2_4	8957	1	0,000	-1,000	-11,373	-11,373	0,002	36,497	-0,006	36,497	17,877	0,000	17,877
Element 7-11 (Plate)	8874	2	0,000	-1,046	-11,873	-11,873	0,000	38,103	0,000	38,103	19,594	0,000	19,594
(Parete c.a.C32/40 sp.0.50m)	8873	3	0,000	-1,092	-12,359	-12,359	0,000	39,665	0,000	39,665	21,385	0,000	21,385
2	8872	4	0,000	-1,138	-12,831	-12,831	0,000	41,180	0,000	41,180	23,246	0,000	23,246
2	8871	5	0,000	-1,184	-13,289	-13,289	0,000	42,649	0,000	42,649	25,176	0,000	25,176
Plate_2_4	8871	1	0,000	-1,184	-13,286	-13,286	0,000	42,639	0,000	42,639	25,176	0,000	25,176
Element 7-12 (Plate)	8828	2	0,000	-1,245	-13,909	-13,909	0,000	44,641	0,000	44,641	27,833	0,000	27,833
(Parete c.a.C32/40 sp.0.50m)	8827	3	0,000	-1,306	-14,532	-14,532	0,000	46,642	0,000	46,642	30,613	0,000	30,613

Structural element	Node	Local number	X [m]	Y [m]	N [kN/m]	N_{min} [kN/m]	N_{max} [kN/m]	Q [kN/m]	Q_{min} [kN/m]	Q_{max} [kN/m]	M [kN m/m]	M_{min} [kN m/m]	M_{max} [kN m/m]
꼄	8826	4	0,000	-1,367	-15,153	-15,153	0,000	48,636	0,000	48,636	33,515	0,000	33,515
꼄	8825	5	0,000	-1,428	-15,770	-15,770	0,000	50,615	0,000	50,615	36,537	0,000	36,537
Plate_2_4	8825	1	0,000	-1,428	-15,770	-15,770	0,000	50,616	0,000	50,616	36,537	0,000	36,537
Element 7-13 (Plate)	8687	2	0,000	-1,508	-16,573	-16,573	0,000	53,196	0,000	53,196	40,717	0,000	40,717
(Parete c.a.C32/40 sp.0.50m)	8686	3	0,000	-1,589	-17,371	-17,371	0,000	55,757	0,000	55,757	45,107	0,000	45,107
꼄	8685	4	0,000	-1,669	-18,163	-18,163	0,000	58,301	0,000	58,301	49,703	0,000	49,703
꼄	8684	5	0,000	-1,750	-18,951	-18,951	0,000	60,835	0,000	60,835	54,501	0,000	54,501
Plate_2_5	8684	1	0,000	-1,750	-39,666	-39,666	0,000	-77,313	-77,313	0,000	54,501	0,000	54,501
Element 9-16 (Plate)	8674	2	0,000	-1,843	-40,602	-40,602	0,000	-74,307	-74,307	0,000	47,423	-0,974	47,423
(Parete c.a.C32/40 sp.0.50m)	8673	3	0,000	-1,937	-41,507	-41,507	0,000	-71,401	-71,401	0,000	40,618	-2,185	40,618
꼄	8672	4	0,000	-2,030	-42,382	-42,382	0,000	-68,589	-68,589	0,000	34,079	-4,510	34,079
꼄	8668	5	0,000	-2,124	-43,229	-43,229	0,000	-65,867	-65,867	0,000	27,802	-7,077	27,802
Plate_2_5	8668	1	0,000	-2,124	-43,237	-43,237	0,000	-65,841	-65,841	0,000	27,802	-7,077	27,802
Element 9-17 (Plate)	8487	2	0,000	-2,268	-44,477	-44,477	0,000	-61,855	-61,855	0,000	18,607	-10,833	18,607
(Parete c.a.C32/40 sp.0.50m)	8486	3	0,000	-2,412	-45,676	-45,676	0,000	-58,000	-58,000	0,000	9,969	-14,342	9,969
꼄	8485	4	0,000	-2,556	-46,877	-46,877	0,000	-54,139	-54,139	0,000	1,888	-17,569	1,888
꼄	8484	5	0,000	-2,700	-48,123	-48,123	0,000	-50,136	-50,136	0,000	-5,627	-21,302	0,000
Plate_2_6	8484	1	0,000	-2,700	-47,929	-47,929	0,016	-50,758	-50,758	0,010	-5,627	-21,302	0,000
Element 11-19 (Plate)	8275	2	0,000	-2,836	-48,906	-48,906	0,000	-47,614	-47,614	0,085	-12,332	-25,180	0,004
(Parete c.a.C32/40 sp.0.50m)	8274	3	0,000	-2,973	-49,885	-49,885	0,000	-44,466	-44,466	0,199	-18,611	-28,887	0,022
꼄	8273	4	0,000	-3,109	-50,867	-50,867	0,000	-41,307	-41,307	0,404	-24,460	-32,359	0,059
꼄	8272	5	0,000	-3,245	-51,856	-51,856	0,000	-38,129	-38,129	0,891	-29,875	-35,506	0,136
Plate_2_6	8272	1	0,000	-3,245	-51,845	-51,845	0,000	-38,164	-38,164	0,820	-29,875	-35,506	0,136
Element 11-20 (Plate)	8129	2	0,000	-3,352	-52,573	-52,573	0,000	-35,826	-35,826	1,084	-33,797	-37,764	0,233
(Parete c.a.C32/40 sp.0.50m)	8128	3	0,000	-3,458	-53,255	-53,255	0,000	-33,633	-33,633	1,318	-37,482	-39,986	0,352
꼄	8127	4	0,000	-3,564	-53,909	-53,909	0,000	-31,532	-31,532	1,571	-40,939	-42,216	0,504
꼄	8126	5	0,000	-3,670	-54,551	-54,551	0,000	-29,471	-29,471	2,096	-44,174	-44,359	0,681
Plate_2_6	8126	1	0,000	-3,670	-54,533	-54,533	0,000	-29,530	-29,530	2,031	-44,174	-44,359	0,681
Element 11-21 (Plate)	8029	2	0,000	-3,752	-55,116	-55,116	0,000	-27,659	-27,659	2,470	-46,534	-46,534	0,846
(Parete c.a.C32/40 sp.0.50m)	8028	3	0,000	-3,835	-55,684	-55,684	0,000	-25,836	-25,836	2,817	-48,742	-48,742	1,049
꼄	8027	4	0,000	-3,917	-56,243	-56,243	0,000	-24,042	-24,042	3,452	-50,801	-50,801	1,289
꼄	8026	5	0,000	-4,000	-56,801	-56,801	0,000	-22,254	-22,254	5,258	-52,712	-52,712	1,563
Plate_2_7	8026	1	0,000	-4,000	-56,796	-56,796	0,001	-22,267	-22,267	5,242	-52,712	-52,712	1,563
Element 13-24 (Plate)	7907	2	0,000	-4,065	-57,238	-57,238	0,000	-20,852	-20,852	6,648	-54,108	-54,108	1,799
(Parete c.a.C32/40 sp.0.50m)	7906	3	0,000	-4,130	-57,681	-57,681	0,000	-19,430	-19,430	8,041	-55,414	-55,414	2,052
꼄	7905	4	0,000	-4,194	-58,136	-58,136	0,000	-17,967	-17,967	9,466	-56,626	-56,626	2,326
꼄	7904	5	0,000	-4,259	-58,615	-58,615	0,000	-16,431	-16,431	10,970	-57,741	-57,741	2,622
Plate_2_8	7904	1	0,000	-4,259	-58,608	-58,608	0,000	-16,454	-16,454	10,956	-57,741	-57,741	2,622
Element 14-25 (Plate)	7591	2	0,000	-4,319	-59,117	-59,117	0,000	-14,822	-14,822	12,519	-58,682	-58,682	2,926
(Parete c.a.C32/40 sp.0.50m)	7590	3	0,000	-4,380	-59,632	-59,632	0,000	-13,169	-13,169	14,099	-59,525	-59,525	3,265
꼄	7589	4	0,000	-4,440	-60,154	-60,154	0,000	-11,497	-11,497	15,696	-60,268	-60,268	3,640
꼄	7588	5	0,000	-4,500	-60,682	-60,682	0,000	-9,804	-9,804	17,311	-60,909	-60,909	4,053
Plate_2_9	7588	1	0,000	-4,500	-60,647	-60,647	0,000	-9,919	-9,919	17,179	-60,909	-60,909	4,053
Element 16-30 (Plate)	7540	2	0,000	-4,650	-61,992	-61,992	0,000	-5,601	-5,601	21,339	-62,070	-62,070	5,257
(Parete c.a.C32/40 sp.0.50m)	7539	3	0,000	-4,800	-63,298	-63,298	0,000	-1,401	-1,401	24,956	-62,595	-62,595	6,704
꼄	7538	4	0,000	-4,950	-64,584	-64,584	0,000	2,741	0,000	28,083	-62,494	-62,494	8,361
꼄	7534	5	0,000	-5,100	-65,870	-65,870	0,000	6,888	0,000	30,772	-61,773	-61,773	10,196
Plate_3_1	7534	1	0,000	-5,100	-91,906	-91,906	0,000	-1,190	-1,190	28,105	-61,773	-61,773	10,196
Element 17-31 (Plate)	7197	2	0,000	-5,200	-93,124	-93,124	0,000	0,935	-0,001	29,978	-61,798	-61,798	11,373

Structural element	Node	Local number	X [m]	Y [m]	N [kN/m]	N_{min} [kN/m]	N_{max} [kN/m]	Q [kN/m]	Q_{min} [kN/m]	Q_{max} [kN/m]	M [kN m/m]	M_{min} [kN m/m]	M_{max} [kN m/m]
(Micropali D168.3x8,0mm/0,4)	7196	3	0,000	-5,300	-94,971	-94,971	0,000	4,145	-0,001	32,193	-61,547	-61,547	12,610
점	7195	4	0,000	-5,400	-97,193	-97,193	0,000	8,001	-0,001	34,686	-60,947	-60,947	13,937
점	7194	5	0,000	-5,500	-99,535	-99,535	0,000	12,064	-0,001	37,431	-59,942	-59,942	15,382
Plate_3_2	7194	1	0,000	-5,500	-99,654	-99,654	0,007	12,267	0,000	36,601	-59,942	-59,942	15,382
Element 19-33 (Plate)	6712	2	0,000	-5,601	-101,035	-101,035	0,012	14,665	-0,005	35,793	-58,576	-58,576	16,744
(Micropali D168.3x8,0mm/0,4)	6711	3	0,000	-5,703	-102,372	-102,372	0,015	16,986	-0,015	34,137	-56,974	-56,974	17,743
점	6710	4	0,000	-5,804	-103,774	-103,774	0,016	19,415	-0,053	32,682	-55,130	-55,130	18,370
점	6709	5	0,000	-5,905	-105,348	-105,348	0,018	22,138	-1,350	31,053	-53,029	-53,029	18,632
Plate_3_3	6709	1	0,000	-5,905	-105,183	-105,183	0,015	21,851	-1,654	30,459	-53,029	-53,029	18,632
Element 20-34 (Plate)	6250	2	0,000	-5,929	-105,298	-105,298	0,016	22,049	-2,307	29,346	-52,510	-52,510	18,637
(Micropali D168.3x8,0mm/0,4)	6249	3	0,000	-5,953	-105,455	-105,455	0,016	22,320	-2,942	28,205	-51,984	-51,984	18,616
점	6248	4	0,000	-5,976	-105,658	-105,658	0,016	22,669	-3,551	27,169	-51,452	-51,452	18,572
점	6247	5	0,000	-6,000	-105,906	-105,906	0,016	23,098	-4,177	26,147	-50,910	-50,910	18,511
Plate_3_4	6247	1	0,000	-6,000	-105,883	-105,883	0,017	23,059	-4,169	26,150	-50,910	-50,910	18,511
Element 21-35 (Plate)	5672	2	0,000	-6,033	-106,274	-106,274	0,017	23,733	-5,113	25,280	-50,133	-50,133	18,671
(Micropali D168.3x8,0mm/0,4)	5671	3	0,000	-6,066	-106,710	-106,710	0,018	24,485	-6,618	25,200	-49,331	-49,331	19,198
점	5670	4	0,000	-6,100	-107,163	-107,163	0,018	25,265	-7,984	25,457	-48,505	-48,505	19,643
점	5669	5	0,000	-6,133	-107,606	-107,606	0,019	26,028	-9,195	26,028	-47,652	-47,652	20,010
Plate_3_4	5669	1	0,000	-6,133	-107,628	-107,628	0,019	26,068	-9,204	26,068	-47,652	-47,652	20,010
Element 21-36 (Plate)	5616	2	0,000	-6,181	-108,228	-108,228	0,020	27,101	-10,594	27,101	-46,379	-46,379	20,400
(Micropali D168.3x8,0mm/0,4)	5615	3	0,000	-6,229	-108,868	-108,868	0,021	28,204	-11,715	28,204	-45,053	-45,053	20,626
점	5614	4	0,000	-6,277	-109,537	-109,537	0,021	29,358	-12,576	29,358	-43,674	-43,674	20,703
점	5613	5	0,000	-6,325	-110,225	-110,225	0,022	30,544	-13,186	30,544	-42,238	-42,238	20,644
Plate_3_4	5613	1	0,000	-6,325	-110,237	-110,237	0,022	30,564	-13,227	30,564	-42,238	-42,238	20,644
Element 21-37 (Plate)	5560	2	0,000	-6,394	-111,156	-111,156	0,023	32,147	-13,775	32,147	-40,073	-40,073	20,358
(Micropali D168.3x8,0mm/0,4)	5559	3	0,000	-6,463	-112,247	-112,247	0,025	34,028	-14,053	34,028	-37,787	-37,787	19,881
점	5558	4	0,000	-6,532	-113,476	-113,476	0,026	36,144	-14,076	36,144	-35,362	-35,362	19,237
점	5557	5	0,000	-6,601	-114,805	-114,805	0,027	38,434	-13,861	38,434	-32,786	-32,786	18,447
Plate_3_4	5557	1	0,000	-6,601	-114,775	-114,775	0,027	38,383	-13,914	38,383	-32,786	-32,786	18,447
Element 21-38 (Plate)	4826	2	0,000	-6,701	-116,254	-116,254	0,028	40,928	-14,209	40,928	-28,831	-28,831	17,110
(Micropali D168.3x8,0mm/0,4)	4825	3	0,000	-6,801	-117,731	-117,731	0,030	43,473	-15,154	43,473	-24,625	-24,625	15,640
점	4824	4	0,000	-6,900	-119,297	-119,297	0,031	46,178	-15,379	46,178	-20,155	-20,155	14,951
점	4823	5	0,000	-7,000	-121,044	-121,044	0,032	49,203	-14,949	49,203	-15,405	-15,405	15,446
Plate_3_5	4823	1	0,000	-7,000	-121,147	-121,147	0,032	49,368	-15,078	49,368	-15,405	-15,405	15,446
Element 23-50 (Plate)	4218	2	0,000	-7,119	-119,686	-119,686	0,034	46,869	-14,184	46,869	-9,671	-9,671	16,581
(Micropali D168.3x8,0mm/0,4)	4217	3	0,000	-7,238	-118,286	-118,286	0,035	44,460	-13,098	44,460	-4,228	-4,228	18,185
점	4216	4	0,000	-7,358	-116,959	-116,959	0,036	42,169	-11,856	42,169	0,936	-0,001	20,041
점	4215	5	0,000	-7,477	-115,716	-115,716	0,036	40,025	-10,492	40,025	5,832	-0,001	21,961
Plate_3_5	4215	1	0,000	-7,477	-115,800	-115,800	0,036	40,176	-10,536	40,176	5,832	-0,001	21,961
Element 23-51 (Plate)	3948	2	0,000	-7,604	-113,734	-113,734	0,037	36,602	-9,138	36,602	10,711	-0,001	23,942
(Micropali D168.3x8,0mm/0,4)	3947	3	0,000	-7,731	-112,018	-112,018	0,038	33,632	-8,762	33,632	15,175	-0,022	25,634
점	3946	4	0,000	-7,859	-110,666	-110,666	0,038	31,295	-9,051	31,295	19,301	-0,059	27,016
점	3945	5	0,000	-7,986	-109,691	-109,691	0,039	29,619	-9,593	29,619	23,169	-0,108	28,240
Plate_3_5	3945	1	0,000	-7,986	-109,319	-109,319	0,039	28,982	-9,587	28,982	23,169	-0,108	28,240
Element 23-52 (Plate)	3400	2	0,000	-8,122	-108,918	-108,918	0,039	28,280	-10,783	28,280	27,053	-0,147	29,656
(Micropali D168.3x8,0mm/0,4)	3399	3	0,000	-8,258	-108,232	-108,232	0,039	27,081	-11,972	27,081	30,841	-0,179	31,375
점	3398	4	0,000	-8,394	-106,672	-106,672	0,040	24,379	-13,007	24,379	34,347	-0,212	34,347
점	3397	5	0,000	-8,530	-103,651	-103,651	0,040	19,166	-13,819	19,166	37,346	-0,230	37,346
Plate_3_5	3397	1	0,000	-8,530	-104,396	-104,396	0,040	20,226	-13,724	20,226	37,346	-0,230	37,346

Structural element	Node	Local number	X [m]	Y [m]	N [kN/m]	N_{min} [kN/m]	N_{max} [kN/m]	Q [kN/m]	Q_{min} [kN/m]	Q_{max} [kN/m]	M [kN m/m]	M_{min} [kN m/m]	M_{max} [kN m/m]
Element 23-53 (Plate)	3352	2	0,000	-8,675	-99,240	-99,240	0,040	11,684	-14,076	11,684	39,659	-0,239	39,659
(Micropali D168.3x8,0mm/0,4)	3351	3	0,000	-8,820	-94,922	-94,922	0,040	3,842	-14,223	3,842	40,765	-0,249	40,765
점	3350	4	0,000	-8,965	-91,677	-91,677	0,040	-2,698	-14,036	0,423	40,838	-0,216	40,838
점	3349	5	0,000	-9,110	-89,740	-89,740	0,040	-7,332	-13,126	1,088	40,079	-0,146	40,079
Plate_3_5	3349	1	0,000	-9,110	-89,438	-89,438	0,040	-7,757	-13,385	1,030	40,079	-0,146	40,079
Element 23-54 (Plate)	3286	2	0,000	-9,265	-89,394	-89,394	0,039	-7,894	-11,980	1,779	38,859	-0,038	38,859
(Micropali D168.3x8,0mm/0,4)	3285	3	0,000	-9,420	-89,331	-89,331	0,039	-8,041	-10,685	2,288	37,638	0,000	37,638
점	3284	4	0,000	-9,575	-88,888	-88,888	0,039	-8,818	-10,057	2,475	36,334	0,000	36,334
점	3283	5	0,000	-9,730	-87,706	-87,706	0,038	-10,847	-10,979	2,266	34,836	0,000	34,836
Plate_3_6	3283	1	0,000	-9,730	-87,538	-87,538	0,038	-11,061	-11,263	2,003	34,836	0,000	34,836
Element 25-56 (Plate)	3117	2	0,000	-9,886	-81,926	-81,926	0,038	-21,009	-21,009	0,710	32,275	0,000	32,275
(Micropali D168.3x8,0mm/0,4)	3116	3	0,000	-10,043	-78,409	-78,409	0,037	-27,003	-27,003	0,000	28,464	0,000	28,464
점	3115	4	0,000	-10,199	-76,847	-76,847	0,037	-29,054	-29,054	0,000	24,023	0,000	24,023
점	3114	5	0,000	-10,356	-77,099	-77,099	0,036	-27,175	-27,175	0,000	19,572	0,000	19,572
Plate_3_6	3114	1	0,000	-10,356	-76,613	-76,613	0,036	-27,926	-27,926	0,000	19,572	0,000	19,572
Element 25-57 (Plate)	3035	2	0,000	-10,520	-76,639	-76,639	0,035	-24,611	-24,611	0,000	15,244	0,000	15,244
(Micropali D168.3x8,0mm/0,4)	3034	3	0,000	-10,685	-76,654	-76,654	0,035	-20,991	-20,991	0,000	11,491	0,000	11,491
점	3033	4	0,000	-10,850	-76,623	-76,623	0,034	-17,198	-17,198	0,000	8,344	0,000	8,344
점	3032	5	0,000	-11,014	-76,511	-76,511	0,033	-13,362	-13,362	0,000	5,832	0,000	5,832
Plate_3_6	3032	1	0,000	-11,014	-76,427	-76,427	0,033	-13,486	-13,486	0,000	5,832	0,000	5,832
Element 25-58 (Plate)	2481	2	0,000	-11,187	-75,646	-75,646	0,032	-10,098	-10,098	0,000	3,801	0,000	3,801
(Micropali D168.3x8,0mm/0,4)	2480	3	0,000	-11,360	-74,326	-74,326	0,030	-7,273	-7,273	0,000	2,307	0,000	2,307
점	2479	4	0,000	-11,533	-72,477	-72,477	0,029	-5,004	-5,004	0,000	1,253	0,000	1,253
점	2478	5	0,000	-11,706	-70,110	-70,110	0,028	-3,286	-3,286	0,000	0,544	0,000	0,544
Plate_3_6	2478	1	0,000	-11,706	-70,134	-70,134	0,028	-3,230	-3,230	0,000	0,544	0,000	0,544
Element 25-59 (Plate)	2309	2	0,000	-11,888	-67,159	-67,159	0,026	-1,923	-1,923	0,000	0,081	0,000	0,381
(Micropali D168.3x8,0mm/0,4)	2308	3	0,000	-12,069	-63,735	-63,735	0,024	-0,942	-0,942	0,000	-0,175	-0,175	0,295
점	2307	4	0,000	-12,251	-59,872	-59,872	0,023	-0,266	-0,266	0,000	-0,280	-0,280	0,241
점	2306	5	0,000	-12,433	-55,580	-55,580	0,021	0,128	-0,183	0,135	-0,288	-0,288	0,215
Plate_3_6	2306	1	0,000	-12,433	-55,574	-55,574	0,021	0,167	-0,181	0,168	-0,288	-0,288	0,215
Element 25-60 (Plate)	1871	2	0,000	-12,624	-50,648	-50,648	0,019	0,440	-0,140	0,440	-0,228	-0,228	0,217
(Micropali D168.3x8,0mm/0,4)	1870	3	0,000	-12,815	-45,236	-45,236	0,016	0,591	-0,107	0,591	-0,128	-0,128	0,244
점	1869	4	0,000	-13,006	-39,331	-39,331	0,014	0,618	-0,082	0,618	-0,010	-0,010	0,283
점	1868	5	0,000	-13,197	-32,931	-32,931	0,012	0,521	-0,069	0,521	0,100	0,000	0,326
Plate_3_6	1868	1	0,000	-13,197	-32,814	-32,814	0,012	0,938	-0,061	0,938	0,100	0,000	0,326
Element 25-61 (Plate)	1171	2	0,000	-13,398	-25,528	-25,528	0,009	-0,330	-0,394	0,011	0,161	0,000	0,348
(Micropali D168.3x8,0mm/0,4)	1170	3	0,000	-13,598	-17,266	-17,266	0,006	-0,964	-1,125	0,000	0,003	0,000	0,177
점	1169	4	0,000	-13,799	-7,846	-7,846	0,002	-0,339	-0,761	0,000	-0,141	-0,141	0,026
점	1168	5	0,000	-14,000	2,910	-0,001	2,910	2,169	-0,116	2,169	0,000	0,000	0,000

3.1.2.4.21 Calculation results, Plate, Eccezionale [Phase_21] (21/917), Table of plate force envelopes

Structural element	Node	Local number	X [m]	Y [m]	N [kN/m]	N_{min} [kN/m]	N_{max} [kN/m]	Q [kN/m]	Q_{min} [kN/m]	Q_{max} [kN/m]	M [kN m/m]	M_{min} [kN m/m]	M_{max} [kN m/m]
Plate_2_1	9176	1	0,000	0,000	0,007	-0,003	0,013	79,925	-0,003	79,925	79,942	0,000	79,942
Element 1-1 (Plate)	9173	2	0,000	-0,034	-0,019	-0,110	0,000	79,991	0,000	79,991	82,639	0,000	82,639
(Parete c.a.C32/40 sp.0.50m)	9174	3	0,000	-0,067	-0,040	-0,198	0,000	80,046	0,000	80,046	85,338	0,000	85,338
2m	9175	4	0,000	-0,101	-0,059	-0,265	0,000	80,094	0,000	80,094	88,040	0,000	88,040
2m	9165	5	0,000	-0,135	-0,077	-0,320	0,000	80,142	0,000	80,142	90,741	0,000	90,741
Plate_2_1	9165	1	0,000	-0,135	-0,077	-0,321	0,000	80,141	0,000	80,141	90,741	0,000	90,741
Element 1-2 (Plate)	9164	2	0,000	-0,168	-0,094	-0,383	0,000	80,187	0,000	80,187	93,413	0,000	93,413
(Parete c.a.C32/40 sp.0.50m)	9163	3	0,000	-0,202	-0,121	-0,447	0,000	80,256	0,000	80,256	96,087	0,000	96,087
2m	9162	4	0,000	-0,235	-0,156	-0,512	0,000	80,346	0,000	80,346	98,764	0,000	98,764
2m	9166	5	0,000	-0,268	-0,198	-0,581	0,000	80,454	0,000	80,454	101,444	0,000	101,444
Plate_2_1	9166	1	0,000	-0,268	-0,181	-0,590	0,000	80,410	0,000	80,410	101,444	0,000	101,444
Element 1-3 (Plate)	9161	2	0,000	-0,301	-0,232	-0,630	0,000	80,540	0,000	80,540	104,094	0,000	104,094
(Parete c.a.C32/40 sp.0.50m)	9160	3	0,000	-0,334	-0,277	-0,668	0,000	80,656	0,000	80,656	106,749	0,000	106,749
2m	9159	4	0,000	-0,367	-0,325	-0,750	0,000	80,779	0,000	80,779	109,409	0,000	109,409
2m	9158	5	0,000	-0,400	-0,382	-0,839	0,000	80,927	0,000	80,927	112,071	0,000	112,071
Plate_2_2	9158	1	0,000	-0,400	-0,372	-0,838	0,000	80,902	0,000	80,902	112,071	0,000	112,071
Element 3-5 (Plate)	9131	2	0,000	-0,425	-0,397	-0,909	0,000	80,966	0,000	80,966	114,094	0,000	114,094
(Parete c.a.C32/40 sp.0.50m)	9130	3	0,000	-0,450	-0,426	-0,980	0,000	81,041	0,000	81,041	116,119	0,000	116,119
2m	9129	4	0,000	-0,475	-0,458	-1,051	0,000	81,125	0,000	81,125	118,147	0,000	118,147
2m	9125	5	0,000	-0,500	-0,492	-1,122	0,000	81,212	0,000	81,212	120,176	0,000	120,176
Plate_2_3	9125	1	0,000	-0,500	-0,493	-1,123	0,000	81,213	0,000	81,213	120,176	0,000	120,176
Element 4-6 (Plate)	9121	2	0,000	-0,537	-0,537	-1,217	0,000	81,326	0,000	81,326	123,150	0,000	123,150
(Parete c.a.C32/40 sp.0.50m)	9120	3	0,000	-0,573	-0,576	-1,306	0,000	81,427	0,000	81,427	126,129	0,000	126,129
2m	9119	4	0,000	-0,610	-0,619	-1,391	0,000	81,538	0,000	81,538	129,112	0,000	129,112
2m	9115	5	0,000	-0,646	-0,675	-1,477	0,000	81,681	0,000	81,681	132,098	0,000	132,098
Plate_2_3	9115	1	0,000	-0,646	-0,679	-1,476	0,000	81,692	0,000	81,692	132,098	0,000	132,098
Element 4-7 (Plate)	9025	2	0,000	-0,688	-0,744	-1,604	0,000	81,857	0,000	81,857	135,487	0,000	135,487
(Parete c.a.C32/40 sp.0.50m)	9024	3	0,000	-0,729	-0,818	-1,742	0,000	82,049	0,000	82,049	138,885	0,000	138,885
2m	9023	4	0,000	-0,771	-0,902	-1,890	0,000	82,263	0,000	82,263	142,291	0,000	142,291
2m	9019	5	0,000	-0,812	-0,993	-2,047	0,000	82,497	0,000	82,497	145,705	0,000	145,705
Plate_2_3	9019	1	0,000	-0,812	-0,989	-2,044	0,000	82,486	0,000	82,486	145,705	0,000	145,705
Element 4-8 (Plate)	8963	2	0,000	-0,859	-1,062	-2,230	0,000	82,674	0,000	82,674	149,581	0,000	149,581
(Parete c.a.C32/40 sp.0.50m)	8962	3	0,000	-0,906	-1,139	-2,415	0,000	82,871	0,000	82,871	153,468	0,000	153,468
2m	8961	4	0,000	-0,953	-1,223	-2,609	0,000	83,087	0,000	83,087	157,364	0,000	157,364
2m	8957	5	0,000	-1,000	-1,319	-2,804	0,000	83,332	0,000	83,332	161,269	0,000	161,269
Plate_2_4	8957	1	0,000	-1,000	-1,323	-2,803	0,002	83,343	-0,006	83,343	161,269	0,000	161,269
Element 7-11 (Plate)	8874	2	0,000	-1,046	-1,453	-2,984	0,000	83,677	0,000	83,677	165,113	0,000	165,113
(Parete c.a.C32/40 sp.0.50m)	8873	3	0,000	-1,092	-1,600	-3,186	0,000	84,051	0,000	84,051	168,974	0,000	168,974
2m	8872	4	0,000	-1,138	-1,768	-3,401	0,000	84,483	0,000	84,483	172,854	0,000	172,854
2m	8871	5	0,000	-1,184	-1,966	-3,622	0,000	84,990	0,000	84,990	176,754	0,000	176,754
Plate_2_4	8871	1	0,000	-1,184	-1,926	-3,593	0,000	84,886	0,000	84,886	176,754	0,000	176,754
Element 7-12 (Plate)	8828	2	0,000	-1,245	-2,207	-3,881	0,000	85,606	0,000	85,606	181,946	0,000	181,946
(Parete c.a.C32/40 sp.0.50m)	8827	3	0,000	-1,306	-2,393	-4,104	0,000	86,082	0,000	86,082	187,176	0,000	187,176

Structural element	Node	Local number	X [m]	Y [m]	N [kN/m]	N_{min} [kN/m]	N_{max} [kN/m]	Q [kN/m]	Q_{min} [kN/m]	Q_{max} [kN/m]	M [kN m/m]	M_{min} [kN m/m]	M_{max} [kN m/m]
쯤	8826	4	0,000	-1,367	-2,522	-4,284	0,000	86,415	0,000	86,415	192,430	0,000	192,430
쯤	8825	5	0,000	-1,428	-2,634	-4,448	0,000	86,701	0,000	86,701	197,700	0,000	197,700
Plate_2_4	8825	1	0,000	-1,428	-2,606	-4,444	0,000	86,629	0,000	86,629	197,700	0,000	197,700
Element 7-13 (Plate)	8687	2	0,000	-1,508	-2,762	-4,644	0,000	87,027	0,000	87,027	204,696	0,000	204,696
(Parete c.a.C32/40 sp.0.50m)	8686	3	0,000	-1,589	-2,879	-4,826	0,000	87,328	0,000	87,328	211,719	0,000	211,719
쯤	8685	4	0,000	-1,669	-3,016	-4,993	0,000	87,678	0,000	87,678	218,771	0,000	218,771
쯤	8684	5	0,000	-1,750	-3,230	-5,201	0,000	88,226	0,000	88,226	225,853	0,000	225,853
Plate_2_5	8684	1	0,000	-1,750	-27,746	-27,746	0,000	-74,513	-74,513	0,000	225,853	0,000	225,853
Element 9-16 (Plate)	8674	2	0,000	-1,843	-28,052	-28,052	0,000	-73,731	-73,731	0,000	218,930	-0,974	218,930
(Parete c.a.C32/40 sp.0.50m)	8673	3	0,000	-1,937	-28,441	-28,441	0,000	-72,734	-72,734	0,000	212,087	-2,185	212,087
쯤	8672	4	0,000	-2,030	-28,908	-28,908	0,000	-71,541	-71,541	0,000	205,346	-4,510	205,346
쯤	8668	5	0,000	-2,124	-29,442	-29,442	0,000	-70,173	-70,173	0,000	198,728	-7,077	198,728
Plate_2_5	8668	1	0,000	-2,124	-29,355	-29,355	0,000	-70,396	-70,396	0,000	198,728	-7,077	198,728
Element 9-17 (Plate)	8487	2	0,000	-2,268	-30,163	-30,163	0,000	-68,329	-68,329	0,000	188,740	-10,833	188,740
(Parete c.a.C32/40 sp.0.50m)	8486	3	0,000	-2,412	-30,841	-30,841	0,000	-66,592	-66,592	0,000	179,020	-14,342	179,020
쯤	8485	4	0,000	-2,556	-31,409	-31,409	0,000	-65,139	-65,139	0,000	169,530	-17,569	169,530
쯤	8484	5	0,000	-2,700	-31,884	-31,884	0,000	-63,922	-63,922	0,000	160,235	-20,473	160,235
Plate_2_6	8484	1	0,000	-2,700	-31,852	-31,852	0,016	-64,003	-64,003	0,010	160,235	-20,473	160,235
Element 11-19 (Plate)	8275	2	0,000	-2,836	-32,305	-32,305	0,000	-62,842	-62,842	0,085	151,589	-22,963	151,589
(Parete c.a.C32/40 sp.0.50m)	8274	3	0,000	-2,973	-32,904	-32,904	0,000	-61,306	-61,306	0,199	143,113	-25,183	143,113
쯤	8273	4	0,000	-3,109	-33,754	-33,754	0,000	-59,129	-59,129	0,404	134,895	-27,098	134,895
쯤	8272	5	0,000	-3,245	-34,959	-34,959	0,000	-56,041	-56,041	0,891	127,032	-28,671	127,032
Plate_2_6	8272	1	0,000	-3,245	-34,721	-34,721	0,000	-56,651	-56,651	0,820	127,032	-28,671	127,032
Element 11-20 (Plate)	8129	2	0,000	-3,352	-35,813	-35,813	0,000	-53,854	-53,854	1,084	121,178	-29,651	121,178
(Parete c.a.C32/40 sp.0.50m)	8128	3	0,000	-3,458	-36,679	-36,679	0,000	-51,635	-51,635	1,318	115,583	-30,420	115,583
쯤	8127	4	0,000	-3,564	-37,412	-37,412	0,000	-49,759	-49,759	1,571	110,207	-30,976	110,207
쯤	8126	5	0,000	-3,670	-38,101	-38,101	0,000	-47,992	-47,992	2,096	105,022	-31,316	105,022
Plate_2_6	8126	1	0,000	-3,670	-38,096	-38,096	0,000	-48,005	-48,005	2,031	105,022	-31,316	105,022
Element 11-21 (Plate)	8029	2	0,000	-3,752	-38,644	-38,644	0,000	-46,599	-46,599	2,470	101,119	-31,420	101,119
(Parete c.a.C32/40 sp.0.50m)	8028	3	0,000	-3,835	-39,152	-39,152	0,000	-45,298	-45,298	2,817	97,325	-31,367	97,325
쯤	8027	4	0,000	-3,917	-39,632	-39,632	0,000	-44,067	-44,067	3,452	93,636	-31,161	93,636
쯤	8026	5	0,000	-4,000	-40,099	-40,099	0,000	-42,872	-42,872	5,258	90,049	-30,802	90,049
Plate_2_7	8026	1	0,000	-4,000	-40,111	-40,111	0,001	-42,842	-42,842	5,242	90,049	-30,802	90,049
Element 13-24 (Plate)	7907	2	0,000	-4,065	-40,473	-40,473	0,000	-41,915	-41,915	6,648	87,303	-30,417	87,303
(Parete c.a.C32/40 sp.0.50m)	7906	3	0,000	-4,130	-40,860	-40,860	0,000	-40,925	-40,925	8,041	84,617	-29,941	84,617
쯤	7905	4	0,000	-4,194	-41,295	-41,295	0,000	-39,810	-39,810	9,466	82,000	-29,374	82,000
쯤	7904	5	0,000	-4,259	-41,803	-41,803	0,000	-38,510	-38,510	10,970	79,461	-28,712	79,461
Plate_2_8	7904	1	0,000	-4,259	-41,833	-41,833	0,000	-38,433	-38,433	10,956	79,461	-28,712	79,461
Element 14-25 (Plate)	7591	2	0,000	-4,319	-42,302	-42,302	0,000	-37,232	-37,232	12,519	77,185	-28,006	77,185
(Parete c.a.C32/40 sp.0.50m)	7590	3	0,000	-4,380	-42,762	-42,762	0,000	-36,053	-36,053	14,099	74,978	-27,205	74,978
쯤	7589	4	0,000	-4,440	-43,230	-43,230	0,000	-34,854	-34,854	15,696	72,844	-26,308	72,844
쯤	7588	5	0,000	-4,500	-43,722	-43,722	0,000	-33,593	-33,593	17,311	70,784	-25,315	70,784
Plate_2_9	7588	1	0,000	-4,500	-43,598	-43,598	0,000	-33,912	-33,912	17,179	70,784	-25,315	70,784
Element 16-30 (Plate)	7540	2	0,000	-4,650	-45,505	-45,505	0,000	-29,028	-29,028	21,339	66,046	-22,419	66,046
(Parete c.a.C32/40 sp.0.50m)	7539	3	0,000	-4,800	-47,719	-47,719	0,000	-23,359	-23,359	24,956	62,120	-18,941	62,120
쯤	7538	4	0,000	-4,950	-49,989	-49,989	0,000	-17,546	-17,546	28,083	59,044	-14,991	59,044
쯤	7534	5	0,000	-5,100	-52,066	-52,066	0,000	-12,228	-12,228	30,772	56,826	-10,605	56,826
Plate_3_1	7534	1	0,000	-5,100	-61,836	-61,836	0,000	-15,462	-15,462	28,105	56,826	-10,605	56,826
Element 17-31 (Plate)	7197	2	0,000	-5,200	-63,273	-63,273	0,000	-12,972	-12,972	29,978	55,411	-7,721	55,411

Structural element	Node	Local number	X [m]	Y [m]	N [kN/m]	N_{min} [kN/m]	N_{max} [kN/m]	Q [kN/m]	Q_{min} [kN/m]	Q_{max} [kN/m]	M [kN m/m]	M_{min} [kN m/m]	M_{max} [kN m/m]
(Micropali D168.3x8,0mm/0,4)	7196	3	0,000	-5,300	-64,429	-64,429	0,000	-10,970	-10,970	32,193	54,214	-4,617	54,214
쫌	7195	4	0,000	-5,400	-65,431	-65,431	0,000	-9,234	-9,234	34,686	53,207	-1,274	53,207
쫌	7194	5	0,000	-5,500	-66,407	-66,407	0,000	-7,543	-7,543	37,431	52,367	0,000	52,367
Plate_3_2	7194	1	0,000	-5,500	-66,113	-66,113	0,007	-7,977	-7,977	36,601	52,367	0,000	52,367
Element 19-33 (Plate)	6712	2	0,000	-5,601	-65,915	-65,915	0,012	-9,210	-9,210	35,793	51,503	0,000	51,503
(Micropali D168.3x8,0mm/0,4)	6711	3	0,000	-5,703	-65,587	-65,587	0,015	-10,863	-10,863	33,861	50,485	-0,001	50,485
쫌	6710	4	0,000	-5,804	-65,025	-65,025	0,016	-12,661	-12,661	31,130	49,296	-0,002	49,296
쫌	6709	5	0,000	-5,905	-64,128	-64,128	0,018	-14,328	-14,328	27,922	47,926	-0,003	47,926
Plate_3_3	6709	1	0,000	-5,905	-63,973	-63,973	0,015	-15,271	-15,271	27,143	47,926	-0,003	47,926
Element 20-34 (Plate)	6250	2	0,000	-5,929	-63,504	-63,504	0,016	-16,731	-16,731	25,347	47,547	-0,003	47,547
(Micropali D168.3x8,0mm/0,4)	6249	3	0,000	-5,953	-62,998	-62,998	0,016	-18,223	-18,223	23,497	47,133	-0,003	47,133
쫌	6248	4	0,000	-5,976	-62,462	-62,462	0,016	-19,717	-19,717	21,615	46,683	-0,002	46,683
쫌	6247	5	0,000	-6,000	-61,900	-61,900	0,016	-21,181	-21,181	19,721	46,199	-0,002	46,199
Plate_3_4	6247	1	0,000	-6,000	-61,881	-61,881	0,017	-21,160	-21,160	19,740	46,199	-0,002	46,199
Element 21-35 (Plate)	5672	2	0,000	-6,033	-61,114	-61,114	0,017	-23,041	-23,041	17,119	45,464	-0,002	45,464
(Micropali D168.3x8,0mm/0,4)	5671	3	0,000	-6,066	-60,352	-60,352	0,018	-24,725	-24,725	14,607	44,670	-0,002	44,670
쫌	5670	4	0,000	-6,100	-59,585	-59,585	0,018	-26,227	-26,227	12,196	43,822	-0,002	43,822
쫌	5669	5	0,000	-6,133	-58,803	-58,803	0,019	-27,558	-27,558	9,876	42,928	-0,002	42,928
Plate_3_4	5669	1	0,000	-6,133	-58,843	-58,843	0,019	-27,513	-27,513	9,939	42,928	-0,002	42,928
Element 21-36 (Plate)	5616	2	0,000	-6,181	-57,465	-57,465	0,020	-29,539	-29,539	6,390	41,560	-0,003	41,560
(Micropali D168.3x8,0mm/0,4)	5615	3	0,000	-6,229	-56,121	-56,121	0,021	-31,236	-31,236	3,109	40,102	-0,003	40,102
쫌	5614	4	0,000	-6,277	-54,832	-54,832	0,021	-32,577	-32,577	0,128	38,571	-0,003	38,571
쫌	5613	5	0,000	-6,325	-53,620	-53,620	0,022	-33,536	-33,536	0,001	36,985	-0,003	36,985
Plate_3_4	5613	1	0,000	-6,325	-53,626	-53,626	0,022	-33,640	-33,640	0,001	36,985	-0,003	36,985
Element 21-37 (Plate)	5560	2	0,000	-6,394	-52,148	-52,148	0,023	-34,167	-34,167	0,000	34,639	-0,003	34,639
(Micropali D168.3x8,0mm/0,4)	5559	3	0,000	-6,463	-50,909	-50,909	0,025	-34,326	-34,326	0,000	32,270	-0,003	32,270
쫌	5558	4	0,000	-6,532	-49,855	-49,855	0,026	-34,211	-34,211	0,000	29,898	-0,004	29,898
쫌	5557	5	0,000	-6,601	-48,933	-48,933	0,027	-33,918	-33,918	0,001	27,544	-0,004	27,544
Plate_3_4	5557	1	0,000	-6,601	-48,892	-48,892	0,027	-33,995	-33,995	0,001	27,544	-0,004	27,544
Element 21-38 (Plate)	4826	2	0,000	-6,701	-48,166	-48,166	0,028	-32,649	-32,649	0,002	24,217	-0,003	24,217
(Micropali D168.3x8,0mm/0,4)	4825	3	0,000	-6,801	-47,817	-47,817	0,030	-30,793	-30,793	0,003	21,051	-0,003	21,051
쫌	4824	4	0,000	-6,900	-47,806	-47,806	0,031	-28,496	-28,496	0,004	18,090	-0,003	18,090
쫌	4823	5	0,000	-7,000	-48,096	-48,096	0,032	-25,828	-25,828	0,004	15,380	-0,002	15,380
Plate_3_5	4823	1	0,000	-7,000	-48,026	-48,026	0,032	-25,943	-25,943	0,004	15,380	-0,002	15,380
Element 23-50 (Plate)	4218	2	0,000	-7,119	-48,490	-48,490	0,034	-22,744	-22,744	0,005	12,480	-0,002	12,480
(Micropali D168.3x8,0mm/0,4)	4217	3	0,000	-7,238	-48,977	-48,977	0,035	-19,688	-19,688	0,005	9,952	-0,001	9,952
쫌	4216	4	0,000	-7,358	-49,471	-49,471	0,036	-16,802	-16,802	0,005	7,778	-0,001	7,781
쫌	4215	5	0,000	-7,477	-49,954	-49,954	0,036	-14,114	-14,114	0,005	5,938	-0,001	6,399
Plate_3_5	4215	1	0,000	-7,477	-49,950	-49,950	0,036	-14,131	-14,131	0,005	5,938	-0,001	6,399
Element 23-51 (Plate)	3948	2	0,000	-7,604	-50,349	-50,349	0,037	-11,595	-11,595	0,004	4,305	-0,001	5,148
(Micropali D168.3x8,0mm/0,4)	3947	3	0,000	-7,731	-50,693	-50,693	0,038	-9,366	-9,366	0,004	2,974	-0,022	4,070
쫌	3946	4	0,000	-7,859	-50,984	-50,984	0,038	-7,440	-7,440	0,003	1,907	-0,059	3,153
쫌	3945	5	0,000	-7,986	-51,222	-51,222	0,039	-5,814	-5,814	0,003	1,067	-0,108	2,387
Plate_3_5	3945	1	0,000	-7,986	-51,225	-51,225	0,039	-5,789	-5,789	0,003	1,067	-0,108	2,387
Element 23-52 (Plate)	3400	2	0,000	-8,122	-51,419	-51,419	0,039	-4,345	-4,403	0,002	0,381	-0,147	1,717
(Micropali D168.3x8,0mm/0,4)	3399	3	0,000	-8,258	-51,565	-51,565	0,039	-3,116	-3,437	0,001	-0,124	-0,179	1,185
쫌	3398	4	0,000	-8,394	-51,666	-51,666	0,040	-2,088	-2,566	0,001	-0,475	-0,475	0,778
쫌	3397	5	0,000	-8,530	-51,726	-51,726	0,040	-1,250	-1,788	0,024	-0,700	-0,700	0,484
Plate_3_5	3397	1	0,000	-8,530	-51,733	-51,733	0,040	-1,221	-1,775	0,024	-0,700	-0,700	0,484

Structural element	Node	Local number	X [m]	Y [m]	N [kN/m]	N_{min} [kN/m]	N_{max} [kN/m]	Q [kN/m]	Q_{min} [kN/m]	Q_{max} [kN/m]	M [kN m/m]	M_{min} [kN m/m]	M_{max} [kN m/m]
Element 23-53 (Plate)	3352	2	0,000	-8,675	-51,773	-51,773	0,040	-0,449	-1,006	0,108	-0,820	-0,820	0,282
(Micropali D168.3x8,0mm/0,4)	3351	3	0,000	-8,820	-51,804	-51,804	0,040	0,255	-0,312	0,255	-0,833	-0,833	0,190
2m	3350	4	0,000	-8,965	-51,828	-51,828	0,040	0,898	-0,001	0,898	-0,749	-0,749	0,201
2m	3349	5	0,000	-9,110	-51,846	-51,846	0,040	1,488	-0,001	1,488	-0,575	-0,575	0,311
Plate_3_5	3349	1	0,000	-9,110	-51,812	-51,812	0,040	1,444	-0,001	1,444	-0,575	-0,575	0,311
Element 23-54 (Plate)	3286	2	0,000	-9,265	-51,868	-51,868	0,039	2,117	-0,001	2,117	-0,298	-0,298	0,531
(Micropali D168.3x8,0mm/0,4)	3285	3	0,000	-9,420	-51,799	-51,799	0,039	2,590	-0,002	2,590	0,071	0,000	0,851
2m	3284	4	0,000	-9,575	-51,559	-51,559	0,039	2,791	-0,002	2,791	0,491	0,000	1,223
2m	3283	5	0,000	-9,730	-51,100	-51,100	0,038	2,646	-0,001	2,646	0,917	0,000	1,596
Plate_3_6	3283	1	0,000	-9,730	-50,953	-50,953	0,038	2,433	-0,002	2,433	0,917	0,000	1,596
Element 25-56 (Plate)	3117	2	0,000	-9,886	-49,881	-49,881	0,038	1,229	-0,002	1,229	1,199	0,000	1,803
(Micropali D168.3x8,0mm/0,4)	3116	3	0,000	-10,043	-49,038	-49,038	0,037	0,343	-0,292	0,343	1,319	0,000	1,838
2m	3115	4	0,000	-10,199	-48,410	-48,410	0,037	-0,242	-0,771	0,000	1,322	0,000	1,757
2m	3114	5	0,000	-10,356	-47,982	-47,982	0,036	-0,543	-1,000	0,000	1,258	0,000	1,615
Plate_3_6	3114	1	0,000	-10,356	-47,949	-47,949	0,036	-0,588	-1,056	0,000	1,258	0,000	1,615
Element 25-57 (Plate)	3035	2	0,000	-10,520	-47,585	-47,585	0,035	-0,779	-1,175	0,000	1,144	0,000	1,430
(Micropali D168.3x8,0mm/0,4)	3034	3	0,000	-10,685	-47,284	-47,292	0,035	-0,877	-1,204	0,000	1,006	0,000	1,234
2m	3033	4	0,000	-10,850	-47,043	-47,057	0,034	-0,889	-1,152	0,000	0,860	0,000	1,039
2m	3032	5	0,000	-11,014	-46,855	-46,920	0,033	-0,824	-1,028	0,000	0,718	0,000	0,859
Plate_3_6	3032	1	0,000	-11,014	-46,781	-46,847	0,033	-0,835	-1,040	0,000	0,718	0,000	0,859
Element 25-58 (Plate)	2481	2	0,000	-11,187	-46,189	-46,305	0,032	-0,726	-0,882	0,000	0,583	0,000	0,693
(Micropali D168.3x8,0mm/0,4)	2480	3	0,000	-11,360	-45,306	-45,466	0,030	-0,615	-0,732	0,000	0,467	0,000	0,553
2m	2479	4	0,000	-11,533	-44,136	-44,334	0,029	-0,506	-0,594	0,000	0,370	0,000	0,439
2m	2478	5	0,000	-11,706	-42,683	-42,913	0,028	-0,403	-0,469	0,000	0,291	0,000	0,348
Plate_3_6	2478	1	0,000	-11,706	-42,686	-42,916	0,028	-0,405	-0,470	0,000	0,291	0,000	0,348
Element 25-59 (Plate)	2309	2	0,000	-11,888	-40,872	-41,136	0,026	-0,321	-0,370	0,000	0,226	0,000	0,272
(Micropali D168.3x8,0mm/0,4)	2308	3	0,000	-12,069	-38,763	-39,053	0,024	-0,251	-0,289	0,000	0,174	0,000	0,212
2m	2307	4	0,000	-12,251	-36,362	-36,669	0,023	-0,196	-0,226	0,000	0,134	0,000	0,166
2m	2306	5	0,000	-12,433	-33,671	-33,986	0,021	-0,154	-0,179	0,000	0,102	0,000	0,130
Plate_3_6	2306	1	0,000	-12,433	-33,666	-33,981	0,021	-0,152	-0,177	0,000	0,102	0,000	0,130
Element 25-60 (Plate)	1871	2	0,000	-12,624	-30,558	-30,872	0,019	-0,112	-0,133	0,000	0,077	0,000	0,101
(Micropali D168.3x8,0mm/0,4)	1870	3	0,000	-12,815	-27,147	-27,450	0,016	-0,080	-0,099	0,000	0,059	0,000	0,079
2m	1869	4	0,000	-13,006	-23,432	-23,713	0,014	-0,055	-0,074	0,000	0,046	0,000	0,062
2m	1868	5	0,000	-13,197	-19,410	-19,659	0,012	-0,037	-0,056	0,000	0,037	0,000	0,050
Plate_3_6	1868	1	0,000	-13,197	-19,373	-19,622	0,012	-0,036	-0,054	0,000	0,037	0,000	0,050
Element 25-61 (Plate)	1171	2	0,000	-13,398	-14,796	-15,000	0,009	0,002	-0,022	0,011	0,036	0,000	0,046
(Micropali D168.3x8,0mm/0,4)	1170	3	0,000	-13,598	-9,735	-9,880	0,006	-0,036	-0,057	0,000	0,032	0,000	0,039
2m	1169	4	0,000	-13,799	-4,168	-4,240	0,002	-0,090	-0,108	0,000	0,021	0,000	0,024
2m	1168	5	0,000	-14,000	1,928	-0,001	1,941	-0,100	-0,116	0,000	0,000	0,000	0,000

3.1.2.4.22 Calculation results, Plate, SLV [Phase_22] (22/956), Table of plate force envelopes

Structural element	Node	Local number	X [m]	Y [m]	N [kN/m]	N_{min} [kN/m]	N_{max} [kN/m]	Q [kN/m]	Q_{min} [kN/m]	Q_{max} [kN/m]	M [kN m/m]	M_{min} [kN m/m]	M_{max} [kN m/m]
Plate_2_1	9176	1	0,000	0,000	0,021	-0,003	0,021	-0,053	-0,053	0,008	0,000	0,000	0,000
Element 1-1 (Plate)	9173	2	0,000	-0,034	-0,128	-0,128	0,000	0,328	0,000	0,329	0,004	0,000	0,005
(Parete c.a.C32/40 sp.0.50m)	9174	3	0,000	-0,067	-0,302	-0,304	0,000	0,775	0,000	0,777	0,023	0,000	0,023
2	9175	4	0,000	-0,101	-0,493	-0,498	0,000	1,264	0,000	1,273	0,057	0,000	0,057
2	9165	5	0,000	-0,135	-0,691	-0,704	0,000	1,772	0,000	1,793	0,108	0,000	0,109
Plate_2_1	9165	1	0,000	-0,135	-0,694	-0,704	0,000	1,780	0,000	1,798	0,108	0,000	0,109
Element 1-2 (Plate)	9164	2	0,000	-0,168	-0,907	-0,926	0,000	2,328	0,000	2,356	0,177	0,000	0,178
(Parete c.a.C32/40 sp.0.50m)	9163	3	0,000	-0,202	-1,130	-1,157	0,000	2,897	0,000	2,934	0,264	0,000	0,266
2	9162	4	0,000	-0,235	-1,362	-1,397	0,000	3,493	0,000	3,539	0,370	0,000	0,374
2	9166	5	0,000	-0,268	-1,606	-1,645	0,000	4,118	0,000	4,168	0,497	0,000	0,502
Plate_2_1	9166	1	0,000	-0,268	-1,604	-1,641	0,000	4,112	0,000	4,157	0,497	0,000	0,502
Element 1-3 (Plate)	9161	2	0,000	-0,301	-1,851	-1,888	0,000	4,747	0,000	4,790	0,643	0,000	0,650
(Parete c.a.C32/40 sp.0.50m)	9160	3	0,000	-0,334	-2,109	-2,144	0,000	5,407	0,000	5,450	0,810	0,000	0,818
2	9159	4	0,000	-0,367	-2,379	-2,410	0,000	6,100	0,000	6,142	0,999	0,000	1,009
2	9158	5	0,000	-0,400	-2,665	-2,689	0,000	6,832	0,000	6,872	1,212	0,000	1,223
Plate_2_2	9158	1	0,000	-0,400	-2,641	-2,679	0,000	6,770	0,000	6,818	1,212	0,000	1,223
Element 3-5 (Plate)	9131	2	0,000	-0,425	-2,860	-2,894	0,000	7,332	0,000	7,376	1,388	0,000	1,401
(Parete c.a.C32/40 sp.0.50m)	9130	3	0,000	-0,450	-3,089	-3,115	0,000	7,920	0,000	7,957	1,579	0,000	1,592
2	9129	4	0,000	-0,475	-3,330	-3,350	0,000	8,535	0,000	8,563	1,785	0,000	1,799
2	9125	5	0,000	-0,500	-3,582	-3,599	0,000	9,181	0,000	9,198	2,006	0,000	2,021
Plate_2_3	9125	1	0,000	-0,500	-3,569	-3,588	0,000	9,148	0,000	9,169	2,006	0,000	2,021
Element 4-6 (Plate)	9121	2	0,000	-0,537	-3,924	-3,940	0,000	10,059	0,000	10,071	2,358	0,000	2,373
(Parete c.a.C32/40 sp.0.50m)	9120	3	0,000	-0,573	-4,275	-4,288	0,000	10,957	0,000	10,960	2,742	0,000	2,758
2	9119	4	0,000	-0,610	-4,622	-4,633	0,000	11,846	0,000	11,846	3,160	0,000	3,175
2	9115	5	0,000	-0,646	-4,968	-4,978	0,000	12,732	0,000	12,732	3,609	0,000	3,624
Plate_2_3	9115	1	0,000	-0,646	-4,957	-4,968	0,000	12,704	0,000	12,704	3,609	0,000	3,624
Element 4-7 (Plate)	9025	2	0,000	-0,688	-5,384	-5,392	0,000	13,799	0,000	13,799	4,158	0,000	4,173
(Parete c.a.C32/40 sp.0.50m)	9024	3	0,000	-0,729	-5,832	-5,836	0,000	14,946	0,000	14,946	4,754	0,000	4,768
2	9023	4	0,000	-0,771	-6,298	-6,298	0,000	16,140	0,000	16,140	5,398	0,000	5,410
2	9019	5	0,000	-0,812	-6,779	-6,779	0,000	17,372	0,000	17,372	6,093	0,000	6,103
Plate_2_3	9019	1	0,000	-0,812	-6,785	-6,785	0,000	17,388	0,000	17,388	6,093	0,000	6,103
Element 4-8 (Plate)	8963	2	0,000	-0,859	-7,356	-7,356	0,000	18,850	0,000	18,850	6,943	0,000	6,950
(Parete c.a.C32/40 sp.0.50m)	8962	3	0,000	-0,906	-7,923	-7,923	0,000	20,303	0,000	20,303	7,862	0,000	7,864
2	8961	4	0,000	-0,953	-8,485	-8,485	0,000	21,742	0,000	21,742	8,850	0,000	8,850
2	8957	5	0,000	-1,000	-9,041	-9,041	0,000	23,165	0,000	23,165	9,904	0,000	9,904
Plate_2_4	8957	1	0,000	-1,000	-9,037	-9,037	0,002	23,154	-0,006	23,154	9,904	0,000	9,904
Element 7-11 (Plate)	8874	2	0,000	-1,046	-9,575	-9,575	0,000	24,533	0,000	24,533	11,001	0,000	11,001
(Parete c.a.C32/40 sp.0.50m)	8873	3	0,000	-1,092	-10,103	-10,103	0,000	25,886	0,000	25,886	12,162	0,000	12,162
2	8872	4	0,000	-1,138	-10,620	-10,620	0,000	27,209	0,000	27,209	13,385	0,000	13,385
2	8871	5	0,000	-1,184	-11,123	-11,123	0,000	28,500	0,000	28,500	14,667	0,000	14,667
Plate_2_4	8871	1	0,000	-1,184	-11,124	-11,124	0,000	28,501	0,000	28,501	14,667	0,000	14,667
Element 7-12 (Plate)	8828	2	0,000	-1,245	-11,809	-11,809	0,000	30,255	0,000	30,255	16,455	0,000	16,455
(Parete c.a.C32/40 sp.0.50m)	8827	3	0,000	-1,306	-12,508	-12,508	0,000	32,047	0,000	32,047	18,353	0,000	18,353
2	8826	4	0,000	-1,367	-13,220	-13,220	0,000	33,871	0,000	33,871	20,360	0,000	20,360

Structural element	Node	Local number	X [m]	Y [m]	N [kN/m]	N_{min} [kN/m]	N_{max} [kN/m]	Q [kN/m]	Q_{min} [kN/m]	Q_{max} [kN/m]	M [kN m/m]	M_{min} [kN m/m]	M_{max} [kN m/m]
2	8825	5	0,000	-1,428	-13,944	-13,944	0,000	35,725	0,000	35,725	22,479	0,000	22,479
Plate_2_4	8825	1	0,000	-1,428	-13,943	-13,943	0,000	35,724	0,000	35,724	22,479	0,000	22,479
Element 7-13 (Plate)	8687	2	0,000	-1,508	-14,900	-14,900	0,000	38,176	0,000	38,176	25,455	0,000	25,455
(Parete c.a.C32/40 sp.0.50m)	8686	3	0,000	-1,589	-15,868	-15,868	0,000	40,655	0,000	40,655	28,631	0,000	28,631
2	8685	4	0,000	-1,669	-16,848	-16,848	0,000	43,166	0,000	43,166	32,008	0,000	32,008
2	8684	5	0,000	-1,750	-17,842	-17,842	0,000	45,715	0,000	45,715	35,587	0,000	35,587
Plate_2_5	8684	1	0,000	-1,750	-35,768	-35,768	0,000	-73,857	-73,857	0,000	35,587	0,000	35,587
Element 9-16 (Plate)	8674	2	0,000	-1,843	-36,976	-36,976	0,000	-70,761	-70,761	0,000	28,835	-0,974	28,835
(Parete c.a.C32/40 sp.0.50m)	8673	3	0,000	-1,937	-38,167	-38,167	0,000	-67,707	-67,707	0,000	22,368	-2,185	22,368
2	8672	4	0,000	-2,030	-39,343	-39,343	0,000	-64,693	-64,693	0,000	16,183	-4,510	16,183
2	8668	5	0,000	-2,124	-40,506	-40,506	0,000	-61,715	-61,715	0,000	10,282	-7,077	10,282
Plate_2_5	8668	1	0,000	-2,124	-40,515	-40,515	0,000	-61,690	-61,690	0,000	10,282	-7,077	10,282
Element 9-17 (Plate)	8487	2	0,000	-2,268	-42,256	-42,256	0,000	-57,228	-57,228	0,000	1,718	-10,833	1,718
(Parete c.a.C32/40 sp.0.50m)	8486	3	0,000	-2,412	-43,985	-43,985	0,000	-52,796	-52,796	0,000	-6,214	-16,023	0,000
2	8485	4	0,000	-2,556	-45,754	-45,754	0,000	-48,262	-48,262	0,000	-13,497	-21,868	0,000
2	8484	5	0,000	-2,700	-47,615	-47,615	0,000	-43,492	-43,492	0,000	-20,111	-27,241	0,000
Plate_2_6	8484	1	0,000	-2,700	-47,284	-47,284	0,016	-44,339	-44,339	0,010	-20,111	-27,241	0,000
Element 11-19 (Plate)	8275	2	0,000	-2,836	-48,787	-48,787	0,000	-40,485	-40,485	0,085	-25,892	-31,946	0,004
(Parete c.a.C32/40 sp.0.50m)	8274	3	0,000	-2,973	-50,286	-50,286	0,000	-36,641	-36,641	0,199	-31,152	-36,387	0,022
2	8273	4	0,000	-3,109	-51,789	-51,789	0,000	-32,786	-32,786	0,404	-35,886	-40,725	0,059
2	8272	5	0,000	-3,245	-53,305	-53,305	0,000	-28,900	-28,900	0,891	-40,091	-44,500	0,136
Plate_2_6	8272	1	0,000	-3,245	-53,280	-53,280	0,000	-28,963	-28,963	0,820	-40,091	-44,500	0,136
Element 11-20 (Plate)	8129	2	0,000	-3,352	-54,387	-54,387	0,000	-26,125	-26,125	1,084	-43,011	-47,053	0,233
(Parete c.a.C32/40 sp.0.50m)	8128	3	0,000	-3,458	-55,427	-55,427	0,000	-23,455	-23,455	1,318	-45,641	-49,283	0,352
2	8127	4	0,000	-3,564	-56,422	-56,422	0,000	-20,904	-20,904	1,571	-47,993	-51,199	0,504
2	8126	5	0,000	-3,670	-57,391	-57,391	0,000	-18,419	-18,419	2,096	-50,078	-52,807	0,681
Plate_2_6	8126	1	0,000	-3,670	-57,365	-57,365	0,000	-18,486	-18,486	2,031	-50,078	-52,807	0,681
Element 11-21 (Plate)	8029	2	0,000	-3,752	-58,205	-58,205	0,000	-16,332	-16,332	2,470	-51,514	-53,842	0,846
(Parete c.a.C32/40 sp.0.50m)	8028	3	0,000	-3,835	-58,997	-58,997	0,000	-14,300	-14,300	2,817	-52,778	-54,677	1,049
2	8027	4	0,000	-3,917	-59,748	-59,748	0,000	-12,376	-12,376	3,452	-53,879	-55,320	1,289
2	8026	5	0,000	-4,000	-60,462	-60,462	0,000	-10,545	-10,545	5,258	-54,824	-55,779	1,563
Plate_2_7	8026	1	0,000	-4,000	-60,454	-60,454	0,001	-10,564	-10,564	5,242	-54,824	-55,779	1,563
Element 13-24 (Plate)	7907	2	0,000	-4,065	-60,981	-60,981	0,000	-9,214	-9,214	6,648	-55,464	-56,028	1,799
(Parete c.a.C32/40 sp.0.50m)	7906	3	0,000	-4,130	-61,480	-61,480	0,000	-7,935	-7,935	8,041	-56,020	-56,194	2,052
2	7905	4	0,000	-4,194	-61,969	-61,969	0,000	-6,683	-6,683	9,466	-56,494	-56,494	2,326
2	7904	5	0,000	-4,259	-62,464	-62,464	0,000	-5,414	-5,414	10,970	-56,886	-56,886	2,622
Plate_2_8	7904	1	0,000	-4,259	-62,457	-62,457	0,000	-5,432	-5,432	10,956	-56,886	-56,886	2,622
Element 14-25 (Plate)	7591	2	0,000	-4,319	-62,957	-62,957	0,000	-4,154	-4,154	12,519	-57,174	-57,174	2,926
(Parete c.a.C32/40 sp.0.50m)	7590	3	0,000	-4,380	-63,432	-63,432	0,000	-2,939	-2,939	14,099	-57,387	-57,387	3,265
2	7589	4	0,000	-4,440	-63,883	-63,883	0,000	-1,786	-1,786	15,696	-57,529	-57,529	3,640
2	7588	5	0,000	-4,500	-64,310	-64,310	0,000	-0,694	-0,694	17,311	-57,603	-57,603	4,053
Plate_2_9	7588	1	0,000	-4,500	-64,307	-64,307	0,000	-0,703	-0,703	17,179	-57,603	-57,603	4,053
Element 16-30 (Plate)	7540	2	0,000	-4,650	-65,314	-65,314	0,000	1,874	0,000	21,339	-57,510	-57,510	5,257
(Parete c.a.C32/40 sp.0.50m)	7539	3	0,000	-4,800	-66,257	-66,257	0,000	4,295	0,000	24,956	-57,051	-57,051	6,704
2	7538	4	0,000	-4,950	-67,245	-67,245	0,000	6,834	0,000	28,083	-56,215	-56,215	8,361
2	7534	5	0,000	-5,100	-68,385	-68,385	0,000	9,766	0,000	30,772	-54,979	-54,979	10,196
Plate_3_1	7534	1	0,000	-5,100	-97,509	-97,509	0,000	-0,340	-0,340	28,105	-54,979	-54,979	10,196
Element 17-31 (Plate)	7197	2	0,000	-5,200	-99,025	-99,025	0,000	2,293	-0,001	29,978	-54,881	-54,881	11,373
(Micropali D168.3x8,0mm/0,4)	7196	3	0,000	-5,300	-100,589	-100,589	0,000	5,005	-0,001	32,193	-54,518	-54,518	12,610

Structural element	Node	Local number	X [m]	Y [m]	N [kN/m]	N_{min} [kN/m]	N_{max} [kN/m]	Q [kN/m]	Q_{min} [kN/m]	Q_{max} [kN/m]	M [kN m/m]	M_{min} [kN m/m]	M_{max} [kN m/m]
좀	7195	4	0,000	-5,400	-102,267	-102,267	0,000	7,910	-0,001	34,686	-53,874	-53,874	13,937
좀	7194	5	0,000	-5,500	-104,124	-104,124	0,000	11,123	-0,001	37,431	-52,926	-52,926	15,382
Plate_3_2	7194	1	0,000	-5,500	-103,986	-103,986	0,007	10,886	0,000	36,601	-52,926	-52,926	15,382
Element 19-33 (Plate)	6712	2	0,000	-5,601	-105,862	-105,862	0,012	14,134	-0,005	36,919	-51,663	-51,663	16,744
(Micropali D168.3x8,0mm/0,4)	6711	3	0,000	-5,703	-107,911	-107,911	0,015	17,679	-0,015	36,721	-50,050	-50,050	17,743
좀	6710	4	0,000	-5,804	-109,990	-109,990	0,016	21,278	-0,053	37,181	-48,078	-48,078	18,370
좀	6709	5	0,000	-5,905	-111,959	-111,959	0,018	24,684	-1,350	37,433	-45,747	-45,747	18,632
Plate_3_3	6709	1	0,000	-5,905	-111,798	-111,798	0,015	24,405	-1,654	36,953	-45,747	-45,747	18,632
Element 20-34 (Plate)	6250	2	0,000	-5,929	-112,067	-112,067	0,016	24,869	-2,307	36,480	-45,163	-45,163	18,637
(Micropali D168.3x8,0mm/0,4)	6249	3	0,000	-5,953	-112,303	-112,303	0,016	25,277	-2,942	35,944	-44,569	-44,569	18,616
좀	6248	4	0,000	-5,976	-112,510	-112,510	0,016	25,635	-3,551	35,419	-43,966	-43,966	18,572
좀	6247	5	0,000	-6,000	-112,694	-112,694	0,016	25,952	-4,177	34,897	-43,355	-43,355	18,511
Plate_3_4	6247	1	0,000	-6,000	-112,689	-112,689	0,017	25,943	-4,169	34,905	-43,355	-43,355	18,511
Element 21-35 (Plate)	5672	2	0,000	-6,033	-112,962	-112,962	0,017	26,415	-5,113	34,224	-42,485	-42,485	18,671
(Micropali D168.3x8,0mm/0,4)	5671	3	0,000	-6,066	-113,254	-113,254	0,018	26,920	-6,618	33,714	-41,599	-41,599	19,198
좀	5670	4	0,000	-6,100	-113,565	-113,565	0,018	27,457	-7,984	33,449	-40,695	-40,695	19,643
좀	5669	5	0,000	-6,133	-113,894	-113,894	0,019	28,025	-9,195	33,404	-39,774	-39,774	20,010
Plate_3_4	5669	1	0,000	-6,133	-113,906	-113,906	0,019	28,046	-9,204	33,437	-39,774	-39,774	20,010
Element 21-36 (Plate)	5616	2	0,000	-6,181	-114,442	-114,442	0,020	28,973	-10,594	33,625	-38,405	-38,405	20,400
(Micropali D168.3x8,0mm/0,4)	5615	3	0,000	-6,229	-114,762	-114,762	0,021	29,525	-11,715	33,513	-37,003	-37,003	20,626
좀	5614	4	0,000	-6,277	-115,025	-115,025	0,021	29,979	-12,576	33,319	-35,575	-35,575	20,703
좀	5613	5	0,000	-6,325	-115,392	-115,392	0,022	30,612	-13,186	33,278	-34,125	-34,125	20,644
Plate_3_4	5613	1	0,000	-6,325	-115,533	-115,533	0,022	30,857	-13,227	33,563	-34,125	-34,125	20,644
Element 21-37 (Plate)	5560	2	0,000	-6,394	-116,333	-116,333	0,023	32,238	-13,775	34,059	-31,940	-31,940	20,358
(Micropali D168.3x8,0mm/0,4)	5559	3	0,000	-6,463	-116,997	-116,997	0,025	33,384	-14,053	34,493	-29,676	-29,676	19,881
좀	5558	4	0,000	-6,532	-117,859	-117,859	0,026	34,873	-14,076	35,519	-27,316	-27,316	19,237
좀	5557	5	0,000	-6,601	-119,255	-119,255	0,027	37,285	-13,861	37,621	-24,831	-24,831	18,566
Plate_3_4	5557	1	0,000	-6,601	-118,347	-118,347	0,027	35,712	-13,914	36,038	-24,831	-24,831	18,566
Element 21-38 (Plate)	4826	2	0,000	-6,701	-120,259	-120,259	0,028	39,016	-14,209	39,016	-21,117	-21,117	18,101
(Micropali D168.3x8,0mm/0,4)	4825	3	0,000	-6,801	-122,683	-122,683	0,030	43,205	-15,154	43,205	-17,019	-17,019	18,246
좀	4824	4	0,000	-6,900	-125,391	-125,391	0,031	47,887	-15,379	47,887	-12,483	-12,483	19,505
좀	4823	5	0,000	-7,000	-128,159	-128,159	0,032	52,671	-14,949	52,671	-7,469	-7,469	21,461
Plate_3_5	4823	1	0,000	-7,000	-128,262	-128,262	0,032	52,849	-15,078	52,849	-7,469	-7,469	21,461
Element 23-50 (Plate)	4218	2	0,000	-7,119	-125,525	-125,525	0,034	48,084	-14,184	48,084	-1,453	-1,453	24,178
(Micropali D168.3x8,0mm/0,4)	4217	3	0,000	-7,238	-122,924	-122,924	0,035	43,555	-13,098	43,555	4,002	-0,001	26,716
좀	4216	4	0,000	-7,358	-120,639	-120,639	0,036	39,573	-12,178	39,573	8,955	-0,001	29,221
좀	4215	5	0,000	-7,477	-118,850	-118,850	0,036	36,448	-12,094	36,448	13,473	-0,001	31,529
Plate_3_5	4215	1	0,000	-7,477	-118,743	-118,743	0,036	36,274	-12,266	36,274	13,473	-0,001	31,529
Element 23-51 (Plate)	3948	2	0,000	-7,604	-117,370	-117,370	0,037	33,838	-13,283	33,838	17,923	-0,001	33,608
(Micropali D168.3x8,0mm/0,4)	3947	3	0,000	-7,731	-115,896	-115,896	0,038	31,238	-15,309	31,238	22,088	-0,022	34,801
좀	3946	4	0,000	-7,859	-113,627	-113,627	0,038	27,287	-17,248	27,287	25,819	-0,059	35,234
좀	3945	5	0,000	-7,986	-109,867	-109,867	0,039	20,793	-19,279	20,793	28,918	-0,108	35,388
Plate_3_5	3945	1	0,000	-7,986	-109,626	-109,626	0,039	20,347	-19,365	20,347	28,918	-0,108	35,388
Element 23-52 (Plate)	3400	2	0,000	-8,122	-107,199	-107,199	0,039	16,144	-20,751	16,144	31,386	-0,147	35,412
(Micropali D168.3x8,0mm/0,4)	3399	3	0,000	-8,258	-105,062	-105,062	0,039	12,426	-22,372	12,426	33,331	-0,179	35,188
좀	3398	4	0,000	-8,394	-102,936	-102,936	0,040	8,713	-23,599	8,713	34,764	-0,212	34,764
좀	3397	5	0,000	-8,530	-100,541	-100,541	0,040	4,526	-23,806	4,526	35,675	-0,230	35,675
Plate_3_5	3397	1	0,000	-8,530	-100,874	-100,874	0,040	5,102	-24,069	5,102	35,675	-0,230	35,675
Element 23-53 (Plate)	3352	2	0,000	-8,675	-99,371	-99,371	0,040	2,449	-22,841	2,449	36,212	-0,239	36,212

Structural element	Node	Local number	X [m]	Y [m]	N [kN/m]	N_{min} [kN/m]	N_{max} [kN/m]	Q [kN/m]	Q_{min} [kN/m]	Q_{max} [kN/m]	M [kN m/m]	M_{min} [kN m/m]	M_{max} [kN m/m]
(Micropali D168.3x8,0mm/0,4)	3351	3	0,000	-8,820	-98,053	-98,053	0,040	0,112	-21,605	0,204	36,404	-0,249	36,404
점	3350	4	0,000	-8,965	-96,642	-96,642	0,040	-2,395	-20,044	0,423	36,237	-0,216	36,237
점	3349	5	0,000	-9,110	-94,865	-94,865	0,040	-5,560	-17,722	1,088	35,674	-0,146	35,674
Plate_3_5	3349	1	0,000	-9,110	-95,187	-95,187	0,040	-4,513	-18,145	1,030	35,674	-0,146	35,674
Element 23-54 (Plate)	3286	2	0,000	-9,265	-93,994	-93,994	0,039	-8,113	-15,246	1,779	34,671	-0,038	34,671
(Micropali D168.3x8,0mm/0,4)	3285	3	0,000	-9,420	-93,383	-93,383	0,039	-9,864	-13,135	2,288	33,256	0,000	33,256
점	3284	4	0,000	-9,575	-93,462	-93,462	0,039	-9,834	-11,884	2,475	31,706	0,000	31,706
점	3283	5	0,000	-9,730	-94,342	-94,342	0,038	-8,089	-11,227	2,257	30,297	0,000	30,297
Plate_3_6	3283	1	0,000	-9,730	-93,042	-93,042	0,038	-10,600	-12,170	2,003	30,297	0,000	30,297
Element 25-56 (Plate)	3117	2	0,000	-9,886	-89,333	-89,333	0,038	-17,065	-17,065	0,710	28,095	0,000	28,095
(Micropali D168.3x8,0mm/0,4)	3116	3	0,000	-10,043	-87,132	-87,132	0,037	-20,860	-20,860	0,000	25,094	0,000	25,094
점	3115	4	0,000	-10,199	-86,307	-86,307	0,037	-22,168	-22,168	0,000	21,691	0,000	21,691
점	3114	5	0,000	-10,356	-86,727	-86,727	0,036	-21,170	-21,170	0,000	18,272	0,000	18,272
Plate_3_6	3114	1	0,000	-10,356	-86,371	-86,371	0,036	-21,631	-21,631	0,000	18,272	0,000	18,272
Element 25-57 (Plate)	3035	2	0,000	-10,520	-86,549	-86,549	0,035	-19,693	-19,693	0,000	14,867	0,000	14,867
(Micropali D168.3x8,0mm/0,4)	3034	3	0,000	-10,685	-86,634	-86,634	0,035	-17,435	-17,435	0,000	11,810	0,000	11,810
점	3033	4	0,000	-10,850	-86,599	-86,599	0,034	-14,944	-14,944	0,000	9,141	0,000	9,141
점	3032	5	0,000	-11,014	-86,414	-86,414	0,033	-12,309	-12,309	0,000	6,899	0,000	6,899
Plate_3_6	3032	1	0,000	-11,014	-86,390	-86,390	0,033	-12,413	-12,413	0,000	6,899	0,000	6,899
Element 25-58 (Plate)	2481	2	0,000	-11,187	-85,673	-85,673	0,032	-9,964	-9,964	0,000	4,969	0,000	4,969
(Micropali D168.3x8,0mm/0,4)	2480	3	0,000	-11,360	-84,365	-84,365	0,030	-7,859	-7,859	0,000	3,433	0,000	3,433
점	2479	4	0,000	-11,533	-82,476	-82,476	0,029	-6,105	-6,105	0,000	2,230	0,000	2,230
점	2478	5	0,000	-11,706	-80,012	-80,012	0,028	-4,709	-4,709	0,000	1,301	-0,047	1,301
Plate_3_6	2478	1	0,000	-11,706	-80,032	-80,032	0,028	-4,683	-4,683	0,000	1,301	-0,047	1,301
Element 25-59 (Plate)	2309	2	0,000	-11,888	-76,881	-76,881	0,026	-3,604	-3,604	0,000	0,552	-0,273	0,552
(Micropali D168.3x8,0mm/0,4)	2308	3	0,000	-12,069	-73,194	-73,194	0,024	-2,788	-2,788	0,000	-0,025	-0,484	0,211
점	2307	4	0,000	-12,251	-68,978	-68,978	0,023	-2,217	-2,217	0,000	-0,476	-0,684	0,164
점	2306	5	0,000	-12,433	-64,243	-64,243	0,021	-1,875	-1,875	0,000	-0,845	-0,886	0,128
Plate_3_6	2306	1	0,000	-12,433	-64,248	-64,248	0,021	-1,797	-1,797	0,000	-0,845	-0,886	0,128
Element 25-60 (Plate)	1871	2	0,000	-12,624	-58,752	-58,752	0,019	-1,558	-1,558	0,000	-1,166	-1,166	0,098
(Micropali D168.3x8,0mm/0,4)	1870	3	0,000	-12,815	-52,707	-52,707	0,016	-1,236	-1,238	0,000	-1,435	-1,435	0,076
점	1869	4	0,000	-13,006	-46,121	-46,121	0,014	-0,794	-0,803	0,061	-1,631	-1,631	0,061
점	1868	5	0,000	-13,197	-39,004	-39,004	0,012	-0,192	-0,206	0,166	-1,728	-1,728	0,050
Plate_3_6	1868	1	0,000	-13,197	-38,121	-38,121	0,012	-1,262	-1,262	0,243	-1,728	-1,728	0,050
Element 25-61 (Plate)	1171	2	0,000	-13,398	-31,821	-31,821	0,009	2,392	-0,022	2,392	-1,590	-1,590	0,045
(Micropali D168.3x8,0mm/0,4)	1170	3	0,000	-13,598	-22,880	-22,880	0,006	3,945	-0,057	3,945	-0,902	-0,902	0,048
점	1169	4	0,000	-13,799	-10,666	-10,666	0,002	2,808	-0,134	2,808	-0,186	-0,196	0,039
점	1168	5	0,000	-14,000	5,458	-0,001	5,458	-1,606	-1,606	0,820	0,000	0,000	0,000

3.1.2.4.23 Calculation results, Plate, SLD [Phase_23] (23/990), Table of plate force envelopes

Structural element	Node	Local number	X [m]	Y [m]	N [kN/m]	N_{min} [kN/m]	N_{max} [kN/m]	Q [kN/m]	Q_{min} [kN/m]	Q_{max} [kN/m]	M [kN m/m]	M_{min} [kN m/m]	M_{max} [kN m/m]
Plate_2_1	9176	1	0,000	0,000	0,004	-0,003	0,004	-0,010	-0,010	0,008	0,000	0,000	0,000
Element 1-1 (Plate)	9173	2	0,000	-0,034	-0,111	-0,111	0,000	0,287	0,000	0,287	0,004	0,000	0,004
(Parete c.a.C32/40 sp.0.50m)	9174	3	0,000	-0,067	-0,250	-0,250	0,000	0,645	0,000	0,645	0,020	0,000	0,020
2m	9175	4	0,000	-0,101	-0,411	-0,411	0,000	1,059	0,000	1,059	0,049	0,000	0,049
2m	9165	5	0,000	-0,135	-0,592	-0,592	0,000	1,526	0,000	1,526	0,092	0,000	0,092
Plate_2_1	9165	1	0,000	-0,135	-0,589	-0,589	0,000	1,518	0,000	1,518	0,092	0,000	0,092
Element 1-2 (Plate)	9164	2	0,000	-0,168	-0,775	-0,775	0,000	1,995	0,000	1,995	0,151	0,000	0,151
(Parete c.a.C32/40 sp.0.50m)	9163	3	0,000	-0,202	-0,965	-0,965	0,000	2,486	0,000	2,486	0,225	0,000	0,225
2m	9162	4	0,000	-0,235	-1,163	-1,163	0,000	2,993	0,000	2,993	0,317	0,000	0,317
2m	9166	5	0,000	-0,268	-1,368	-1,368	0,000	3,522	0,000	3,522	0,425	0,000	0,425
Plate_2_1	9166	1	0,000	-0,268	-1,362	-1,362	0,000	3,506	0,000	3,506	0,425	0,000	0,425
Element 1-3 (Plate)	9161	2	0,000	-0,301	-1,575	-1,575	0,000	4,054	0,000	4,054	0,549	0,000	0,549
(Parete c.a.C32/40 sp.0.50m)	9160	3	0,000	-0,334	-1,793	-1,793	0,000	4,615	0,000	4,615	0,692	0,000	0,692
2m	9159	4	0,000	-0,367	-2,018	-2,018	0,000	5,194	0,000	5,194	0,854	0,000	0,854
2m	9158	5	0,000	-0,400	-2,252	-2,252	0,000	5,796	0,000	5,796	1,035	0,000	1,035
Plate_2_2	9158	1	0,000	-0,400	-2,251	-2,251	0,000	5,793	0,000	5,793	1,035	0,000	1,035
Element 3-5 (Plate)	9131	2	0,000	-0,425	-2,435	-2,435	0,000	6,265	0,000	6,265	1,185	0,000	1,185
(Parete c.a.C32/40 sp.0.50m)	9130	3	0,000	-0,450	-2,623	-2,623	0,000	6,749	0,000	6,749	1,348	0,000	1,348
2m	9129	4	0,000	-0,475	-2,816	-2,816	0,000	7,243	0,000	7,243	1,523	0,000	1,523
2m	9125	5	0,000	-0,500	-3,011	-3,011	0,000	7,746	0,000	7,746	1,710	0,000	1,710
Plate_2_3	9125	1	0,000	-0,500	-3,009	-3,009	0,000	7,741	0,000	7,741	1,710	0,000	1,710
Element 4-6 (Plate)	9121	2	0,000	-0,537	-3,298	-3,298	0,000	8,483	0,000	8,483	2,007	0,000	2,007
(Parete c.a.C32/40 sp.0.50m)	9120	3	0,000	-0,573	-3,582	-3,582	0,000	9,212	0,000	9,212	2,331	0,000	2,331
2m	9119	4	0,000	-0,610	-3,861	-3,861	0,000	9,931	0,000	9,931	2,682	0,000	2,682
2m	9115	5	0,000	-0,646	-4,137	-4,137	0,000	10,639	0,000	10,639	3,058	0,000	3,058
Plate_2_3	9115	1	0,000	-0,646	-4,138	-4,138	0,000	10,641	0,000	10,641	3,058	0,000	3,058
Element 4-7 (Plate)	9025	2	0,000	-0,688	-4,481	-4,481	0,000	11,523	0,000	11,523	3,517	0,000	3,517
(Parete c.a.C32/40 sp.0.50m)	9024	3	0,000	-0,729	-4,834	-4,834	0,000	12,430	0,000	12,430	4,014	0,000	4,014
2m	9023	4	0,000	-0,771	-5,196	-5,196	0,000	13,358	0,000	13,358	4,548	0,000	4,548
2m	9019	5	0,000	-0,812	-5,564	-5,564	0,000	14,303	0,000	14,303	5,121	0,000	5,121
Plate_2_3	9019	1	0,000	-0,812	-5,563	-5,563	0,000	14,300	0,000	14,300	5,121	0,000	5,121
Element 4-8 (Plate)	8963	2	0,000	-0,859	-5,982	-5,982	0,000	15,379	0,000	15,379	5,818	0,000	5,818
(Parete c.a.C32/40 sp.0.50m)	8962	3	0,000	-0,906	-6,403	-6,403	0,000	16,459	0,000	16,459	6,565	0,000	6,565
2m	8961	4	0,000	-0,953	-6,823	-6,823	0,000	17,539	0,000	17,539	7,363	0,000	7,363
2m	8957	5	0,000	-1,000	-7,242	-7,242	0,000	18,615	0,000	18,615	8,212	0,000	8,212
Plate_2_4	8957	1	0,000	-1,000	-7,238	-7,238	0,002	18,602	-0,006	18,602	8,212	0,000	8,212
Element 7-11 (Plate)	8874	2	0,000	-1,046	-7,643	-7,643	0,000	19,644	0,000	19,644	9,092	0,000	9,092
(Parete c.a.C32/40 sp.0.50m)	8873	3	0,000	-1,092	-8,040	-8,040	0,000	20,664	0,000	20,664	10,020	0,000	10,020
2m	8872	4	0,000	-1,138	-8,428	-8,428	0,000	21,662	0,000	21,662	10,995	0,000	10,995
2m	8871	5	0,000	-1,184	-8,807	-8,807	0,000	22,635	0,000	22,635	12,014	0,000	12,014
Plate_2_4	8871	1	0,000	-1,184	-8,803	-8,803	0,000	22,623	0,000	22,623	12,014	0,000	12,014
Element 7-12 (Plate)	8828	2	0,000	-1,245	-9,342	-9,342	0,000	24,008	0,000	24,008	13,434	0,000	13,434
(Parete c.a.C32/40 sp.0.50m)	8827	3	0,000	-1,306	-9,896	-9,896	0,000	25,431	0,000	25,431	14,939	0,000	14,939
2m	8826	4	0,000	-1,367	-10,462	-10,462	0,000	26,884	0,000	26,884	16,533	0,000	16,533

Structural element	Node	Local number	X [m]	Y [m]	N [kN/m]	N_{min} [kN/m]	N_{max} [kN/m]	Q [kN/m]	Q_{min} [kN/m]	Q_{max} [kN/m]	M [kN m/m]	M_{min} [kN m/m]	M_{max} [kN m/m]
2	8825	5	0,000	-1,428	-11,037	-11,037	0,000	28,362	0,000	28,362	18,214	0,000	18,214
Plate_2_4	8825	1	0,000	-1,428	-11,037	-11,037	0,000	28,361	0,000	28,361	18,214	0,000	18,214
Element 7-13 (Plate)	8687	2	0,000	-1,508	-11,805	-11,805	0,000	30,332	0,000	30,332	20,578	0,000	20,578
(Parete c.a.C32/40 sp.0.50m)	8686	3	0,000	-1,589	-12,589	-12,589	0,000	32,346	0,000	32,346	23,103	0,000	23,103
2	8685	4	0,000	-1,669	-13,392	-13,392	0,000	34,409	0,000	34,409	25,792	0,000	25,792
2	8684	5	0,000	-1,750	-14,217	-14,217	0,000	36,525	0,000	36,525	28,648	0,000	28,648
Plate_2_5	8684	1	0,000	-1,750	-29,813	-29,813	0,000	-67,524	-67,524	0,000	28,648	0,000	28,648
Element 9-16 (Plate)	8674	2	0,000	-1,843	-30,832	-30,832	0,000	-64,910	-64,910	0,000	22,465	-0,974	22,465
(Parete c.a.C32/40 sp.0.50m)	8673	3	0,000	-1,937	-31,843	-31,843	0,000	-62,315	-62,315	0,000	16,523	-2,185	16,523
2	8672	4	0,000	-2,030	-32,848	-32,848	0,000	-59,734	-59,734	0,000	10,822	-4,510	10,822
2	8668	5	0,000	-2,124	-33,849	-33,849	0,000	-57,165	-57,165	0,000	5,364	-7,077	5,364
Plate_2_5	8668	1	0,000	-2,124	-33,859	-33,859	0,000	-57,139	-57,139	0,000	5,364	-7,077	5,364
Element 9-17 (Plate)	8487	2	0,000	-2,268	-35,371	-35,371	0,000	-53,256	-53,256	0,000	-2,587	-10,833	0,000
(Parete c.a.C32/40 sp.0.50m)	8486	3	0,000	-2,412	-36,898	-36,898	0,000	-49,337	-49,337	0,000	-9,983	-14,896	0,000
2	8485	4	0,000	-2,556	-38,491	-38,491	0,000	-45,247	-45,247	0,000	-16,801	-20,447	0,000
2	8484	5	0,000	-2,700	-40,203	-40,203	0,000	-40,854	-40,854	0,000	-23,008	-25,542	0,000
Plate_2_6	8484	1	0,000	-2,700	-39,905	-39,905	0,016	-41,617	-41,617	0,010	-23,008	-25,542	0,000
Element 11-19 (Plate)	8275	2	0,000	-2,836	-41,298	-41,298	0,000	-38,041	-38,041	0,085	-28,438	-30,042	0,004
(Parete c.a.C32/40 sp.0.50m)	8274	3	0,000	-2,973	-42,719	-42,719	0,000	-34,392	-34,392	0,199	-33,379	-34,169	0,022
2	8273	4	0,000	-3,109	-44,175	-44,175	0,000	-30,653	-30,653	0,404	-37,815	-37,880	0,059
2	8272	5	0,000	-3,245	-45,674	-45,674	0,000	-26,804	-26,804	0,891	-41,733	-41,733	0,136
Plate_2_6	8272	1	0,000	-3,245	-45,649	-45,649	0,000	-26,868	-26,868	0,820	-41,733	-41,733	0,136
Element 11-20 (Plate)	8129	2	0,000	-3,352	-46,762	-46,762	0,000	-24,011	-24,011	1,084	-44,430	-44,430	0,233
(Parete c.a.C32/40 sp.0.50m)	8128	3	0,000	-3,458	-47,825	-47,825	0,000	-21,281	-21,281	1,318	-46,833	-46,833	0,352
2	8127	4	0,000	-3,564	-48,858	-48,858	0,000	-18,628	-18,628	1,571	-48,949	-48,949	0,504
2	8126	5	0,000	-3,670	-49,881	-49,881	0,000	-16,001	-16,001	2,096	-50,786	-50,786	0,681
Plate_2_6	8126	1	0,000	-3,670	-49,857	-49,857	0,000	-16,063	-16,063	2,031	-50,786	-50,786	0,681
Element 11-21 (Plate)	8029	2	0,000	-3,752	-50,751	-50,751	0,000	-13,766	-13,766	2,470	-52,016	-52,016	0,846
(Parete c.a.C32/40 sp.0.50m)	8028	3	0,000	-3,835	-51,614	-51,614	0,000	-11,550	-11,550	2,817	-53,061	-53,061	1,049
2	8027	4	0,000	-3,917	-52,452	-52,452	0,000	-9,399	-9,399	3,452	-53,926	-53,926	1,289
2	8026	5	0,000	-4,000	-53,270	-53,270	0,000	-7,296	-7,296	5,258	-54,614	-54,614	1,563
Plate_2_7	8026	1	0,000	-4,000	-53,265	-53,265	0,001	-7,309	-7,309	5,242	-54,614	-54,614	1,563
Element 13-24 (Plate)	7907	2	0,000	-4,065	-53,891	-53,891	0,000	-5,702	-5,702	6,648	-55,035	-55,035	1,799
(Parete c.a.C32/40 sp.0.50m)	7906	3	0,000	-4,130	-54,507	-54,507	0,000	-4,118	-4,118	8,041	-55,354	-55,354	2,052
2	7905	4	0,000	-4,194	-55,132	-55,132	0,000	-2,512	-2,512	9,466	-55,569	-55,569	2,326
2	7904	5	0,000	-4,259	-55,784	-55,784	0,000	-0,838	-0,838	10,970	-55,678	-55,678	2,622
Plate_2_8	7904	1	0,000	-4,259	-55,778	-55,778	0,000	-0,855	-0,855	10,956	-55,678	-55,678	2,622
Element 14-25 (Plate)	7591	2	0,000	-4,319	-56,445	-56,445	0,000	0,859	0,000	12,519	-55,678	-55,678	2,926
(Parete c.a.C32/40 sp.0.50m)	7590	3	0,000	-4,380	-57,110	-57,110	0,000	2,566	0,000	14,099	-55,575	-55,575	3,265
2	7589	4	0,000	-4,440	-57,771	-57,771	0,000	4,264	0,000	15,696	-55,369	-55,369	3,640
2	7588	5	0,000	-4,500	-58,427	-58,427	0,000	5,950	0,000	17,311	-55,062	-55,062	4,053
Plate_2_9	7588	1	0,000	-4,500	-58,399	-58,399	0,000	5,878	0,000	17,179	-55,062	-55,062	4,053
Element 16-30 (Plate)	7540	2	0,000	-4,650	-59,892	-59,892	0,000	9,712	0,000	21,339	-53,877	-53,877	5,257
(Parete c.a.C32/40 sp.0.50m)	7539	3	0,000	-4,800	-60,998	-60,998	0,000	12,560	0,000	24,956	-52,199	-52,199	6,704
2	7538	4	0,000	-4,950	-61,806	-61,806	0,000	14,642	0,000	28,083	-50,147	-50,147	8,361
2	7534	5	0,000	-5,100	-62,402	-62,402	0,000	16,182	0,000	30,772	-47,832	-47,832	10,196
Plate_3_1	7534	1	0,000	-5,100	-85,600	-85,600	0,000	8,493	-0,001	28,105	-47,832	-47,832	10,196
Element 17-31 (Plate)	7197	2	0,000	-5,200	-86,721	-86,721	0,000	10,441	-0,001	29,978	-46,888	-46,888	11,373
(Micropali D168.3x8,0mm/0,4)	7196	3	0,000	-5,300	-88,077	-88,077	0,000	12,795	-0,001	32,193	-45,730	-45,730	12,610

Structural element	Node	Local number	X [m]	Y [m]	N [kN/m]	N_{min} [kN/m]	N_{max} [kN/m]	Q [kN/m]	Q_{min} [kN/m]	Q_{max} [kN/m]	M [kN m/m]	M_{min} [kN m/m]	M_{max} [kN m/m]
쯤	7195	4	0,000	-5,400	-89,680	-89,680	0,000	15,577	-0,001	34,686	-44,315	-44,314	13,937
쯤	7194	5	0,000	-5,500	-91,541	-91,541	0,000	18,805	-0,001	37,431	-42,600	-42,600	15,382
Plate_3_2	7194	1	0,000	-5,500	-91,026	-91,026	0,007	17,914	0,000	36,601	-42,600	-42,600	15,382
Element 19-33 (Plate)	6712	2	0,000	-5,601	-92,869	-92,869	0,012	21,112	-0,005	36,523	-40,624	-40,624	16,744
(Micropali D168.3x8,0mm/0,4)	6711	3	0,000	-5,703	-94,683	-94,683	0,015	24,259	-0,015	35,750	-38,323	-38,323	17,743
쯤	6710	4	0,000	-5,804	-96,391	-96,391	0,016	27,223	-0,053	36,237	-35,713	-35,713	18,370
쯤	6709	5	0,000	-5,905	-97,918	-97,918	0,018	29,872	-1,350	36,800	-32,818	-32,818	18,632
Plate_3_3	6709	1	0,000	-5,905	-97,812	-97,812	0,015	29,688	-1,654	36,385	-32,818	-32,818	18,632
Element 20-34 (Plate)	6250	2	0,000	-5,929	-98,006	-98,006	0,016	30,027	-2,307	35,961	-32,111	-32,111	18,637
(Micropali D168.3x8,0mm/0,4)	6249	3	0,000	-5,953	-98,159	-98,159	0,016	30,292	-2,942	35,540	-31,396	-31,396	18,616
쯤	6248	4	0,000	-5,976	-98,274	-98,274	0,016	30,493	-3,551	35,128	-30,676	-30,676	18,572
쯤	6247	5	0,000	-6,000	-98,357	-98,357	0,016	30,638	-4,177	34,762	-29,952	-29,952	18,511
Plate_3_4	6247	1	0,000	-6,000	-98,362	-98,362	0,017	30,646	-4,169	34,766	-29,952	-29,952	18,511
Element 21-35 (Plate)	5672	2	0,000	-6,033	-98,473	-98,473	0,017	30,840	-5,113	34,410	-28,931	-28,931	18,671
(Micropali D168.3x8,0mm/0,4)	5671	3	0,000	-6,066	-98,619	-98,619	0,018	31,096	-6,618	34,240	-27,902	-27,902	19,198
쯤	5670	4	0,000	-6,100	-98,809	-98,809	0,018	31,427	-7,984	34,199	-26,863	-26,863	19,643
쯤	5669	5	0,000	-6,133	-99,049	-99,049	0,019	31,845	-9,195	34,457	-25,812	-25,812	20,010
Plate_3_4	5669	1	0,000	-6,133	-99,044	-99,044	0,019	31,835	-9,204	34,448	-25,812	-25,812	20,010
Element 21-36 (Plate)	5616	2	0,000	-6,181	-99,511	-99,511	0,020	32,646	-10,594	35,033	-24,264	-24,264	20,400
(Micropali D168.3x8,0mm/0,4)	5615	3	0,000	-6,229	-99,768	-99,768	0,021	33,093	-11,715	35,281	-22,689	-22,689	20,626
쯤	5614	4	0,000	-6,277	-99,953	-99,953	0,021	33,417	-12,576	35,395	-21,093	-21,093	20,703
쯤	5613	5	0,000	-6,325	-100,208	-100,208	0,022	33,859	-13,186	35,642	-19,483	-19,483	20,644
Plate_3_4	5613	1	0,000	-6,325	-100,342	-100,342	0,022	34,092	-13,227	35,923	-19,483	-19,483	20,644
Element 21-37 (Plate)	5560	2	0,000	-6,394	-100,807	-100,807	0,023	34,899	-13,775	36,301	-17,094	-17,094	20,358
(Micropali D168.3x8,0mm/0,4)	5559	3	0,000	-6,463	-101,192	-101,192	0,025	35,567	-14,053	36,630	-14,663	-14,663	19,881
쯤	5558	4	0,000	-6,532	-101,813	-101,813	0,026	36,643	-14,076	37,392	-12,166	-12,166	19,237
쯤	5557	5	0,000	-6,601	-102,985	-102,985	0,027	38,675	-13,861	38,934	-9,572	-9,572	18,573
Plate_3_4	5557	1	0,000	-6,601	-102,784	-102,784	0,027	38,324	-13,914	38,358	-9,572	-9,572	18,573
Element 21-38 (Plate)	4826	2	0,000	-6,701	-103,293	-103,293	0,028	39,211	-14,209	39,468	-5,725	-5,725	18,035
(Micropali D168.3x8,0mm/0,4)	4825	3	0,000	-6,801	-104,644	-104,644	0,030	41,556	-15,154	41,829	-1,702	-1,702	17,974
쯤	4824	4	0,000	-6,900	-106,517	-106,517	0,031	44,805	-15,379	44,805	2,594	-0,003	19,319
쯤	4823	5	0,000	-7,000	-108,593	-108,593	0,032	48,404	-14,949	48,404	7,241	-0,002	21,526
Plate_3_5	4823	1	0,000	-7,000	-108,559	-108,559	0,032	48,344	-15,078	48,344	7,241	-0,002	21,526
Element 23-50 (Plate)	4218	2	0,000	-7,119	-105,884	-105,884	0,034	43,716	-14,184	43,716	12,741	-0,002	24,389
(Micropali D168.3x8,0mm/0,4)	4217	3	0,000	-7,238	-102,903	-102,903	0,035	38,555	-13,098	38,555	17,636	-0,001	27,094
쯤	4216	4	0,000	-7,358	-100,105	-100,105	0,036	33,711	-12,194	33,711	21,948	-0,001	29,441
쯤	4215	5	0,000	-7,477	-97,981	-97,981	0,036	30,032	-12,006	30,032	25,726	-0,001	31,380
Plate_3_5	4215	1	0,000	-7,477	-97,837	-97,837	0,036	29,786	-12,187	29,786	25,726	-0,001	31,380
Element 23-51 (Plate)	3948	2	0,000	-7,604	-95,824	-95,824	0,037	26,294	-13,388	26,294	29,278	-0,001	33,201
(Micropali D168.3x8,0mm/0,4)	3947	3	0,000	-7,731	-94,022	-94,022	0,038	23,170	-15,696	23,170	32,443	-0,022	34,755
쯤	3946	4	0,000	-7,859	-91,776	-91,776	0,038	19,278	-17,775	19,278	35,145	-0,059	35,785
쯤	3945	5	0,000	-7,986	-88,432	-88,432	0,039	13,480	-19,797	13,480	37,261	-0,108	37,261
Plate_3_5	3945	1	0,000	-7,986	-88,961	-88,961	0,039	14,401	-19,850	14,401	37,261	-0,108	37,261
Element 23-52 (Plate)	3400	2	0,000	-8,122	-82,633	-82,633	0,039	3,464	-21,163	3,464	38,471	-0,147	38,471
(Micropali D168.3x8,0mm/0,4)	3399	3	0,000	-8,258	-76,859	-76,859	0,039	-6,541	-22,621	0,001	38,240	-0,179	38,240
쯤	3398	4	0,000	-8,394	-71,954	-71,954	0,040	-15,084	-24,134	0,001	36,759	-0,212	36,759
쯤	3397	5	0,000	-8,530	-68,230	-68,230	0,040	-21,636	-24,858	0,024	34,235	-0,230	34,235
Plate_3_5	3397	1	0,000	-8,530	-68,148	-68,148	0,040	-21,775	-25,147	0,024	34,235	-0,230	34,235
Element 23-53 (Plate)	3352	2	0,000	-8,675	-66,138	-66,138	0,040	-25,259	-25,534	0,108	30,793	-0,239	30,793

Structural element	Node	Local number	X [m]	Y [m]	N [kN/m]	N_{min} [kN/m]	N_{max} [kN/m]	Q [kN/m]	Q_{min} [kN/m]	Q_{max} [kN/m]	M [kN m/m]	M_{min} [kN m/m]	M_{max} [kN m/m]
(Micropali D168.3x8,0mm/0,4)	3351	3	0,000	-8,820	-65,456	-65,456	0,040	-26,444	-26,444	0,204	27,018	-0,249	27,018
점	3350	4	0,000	-8,965	-65,973	-65,973	0,040	-25,553	-25,553	0,423	23,217	-0,216	23,217
점	3349	5	0,000	-9,110	-67,560	-67,560	0,040	-22,809	-22,809	1,088	19,690	-0,146	19,690
Plate_3_5	3349	1	0,000	-9,110	-67,312	-67,312	0,040	-23,291	-23,291	1,030	19,690	-0,146	19,690
Element 23-54 (Plate)	3286	2	0,000	-9,265	-69,089	-69,089	0,039	-19,685	-19,685	1,779	16,361	-0,038	16,361
(Micropali D168.3x8,0mm/0,4)	3285	3	0,000	-9,420	-70,575	-70,575	0,039	-16,247	-16,247	2,288	13,584	0,000	13,584
점	3284	4	0,000	-9,575	-71,687	-71,687	0,039	-13,154	-13,154	2,475	11,308	0,000	11,308
점	3283	5	0,000	-9,730	-72,341	-72,341	0,038	-10,583	-10,583	2,257	9,479	0,000	9,479
Plate_3_6	3283	1	0,000	-9,730	-72,164	-72,164	0,038	-10,963	-10,963	2,003	9,479	0,000	9,479
Element 25-56 (Plate)	3117	2	0,000	-9,886	-71,499	-71,499	0,038	-10,060	-10,060	0,710	7,831	0,000	7,831
(Micropali D168.3x8,0mm/0,4)	3116	3	0,000	-10,043	-70,927	-70,927	0,037	-8,976	-8,976	0,000	6,339	0,000	6,339
점	3115	4	0,000	-10,199	-70,442	-70,442	0,037	-7,755	-7,755	0,000	5,027	0,000	5,027
점	3114	5	0,000	-10,356	-70,038	-70,038	0,036	-6,437	-6,437	0,000	3,915	0,000	3,915
Plate_3_6	3114	1	0,000	-10,356	-70,013	-70,013	0,036	-6,496	-6,496	0,000	3,915	0,000	3,915
Element 25-57 (Plate)	3035	2	0,000	-10,520	-69,563	-69,563	0,035	-5,305	-5,305	0,000	2,947	0,000	2,947
(Micropali D168.3x8,0mm/0,4)	3034	3	0,000	-10,685	-69,083	-69,083	0,035	-4,281	-4,281	0,000	2,161	0,000	2,161
점	3033	4	0,000	-10,850	-68,573	-68,573	0,034	-3,423	-3,423	0,000	1,529	0,000	1,529
점	3032	5	0,000	-11,014	-68,030	-68,030	0,033	-2,732	-2,732	0,000	1,025	0,000	1,068
Plate_3_6	3032	1	0,000	-11,014	-68,016	-68,016	0,033	-2,717	-2,717	0,000	1,025	0,000	1,068
Element 25-58 (Plate)	2481	2	0,000	-11,187	-67,149	-67,149	0,032	-2,138	-2,138	0,000	0,607	0,000	0,796
(Micropali D168.3x8,0mm/0,4)	2480	3	0,000	-11,360	-65,918	-65,918	0,030	-1,687	-1,687	0,000	0,278	0,000	0,571
점	2479	4	0,000	-11,533	-64,332	-64,332	0,029	-1,360	-1,360	0,000	0,016	0,000	0,442
점	2478	5	0,000	-11,706	-62,394	-62,394	0,028	-1,152	-1,152	0,000	-0,199	-0,199	0,347
Plate_3_6	2478	1	0,000	-11,706	-62,396	-62,396	0,028	-1,135	-1,135	0,000	-0,199	-0,199	0,347
Element 25-59 (Plate)	2309	2	0,000	-11,888	-60,008	-60,008	0,026	-1,013	-1,013	0,000	-0,394	-0,394	0,271
(Micropali D168.3x8,0mm/0,4)	2308	3	0,000	-12,069	-57,250	-57,250	0,024	-0,939	-0,954	0,000	-0,571	-0,571	0,211
점	2307	4	0,000	-12,251	-54,124	-54,124	0,023	-0,906	-0,925	0,000	-0,738	-0,738	0,164
점	2306	5	0,000	-12,433	-50,633	-50,633	0,021	-0,906	-0,919	0,000	-0,902	-0,902	0,128
Plate_3_6	2306	1	0,000	-12,433	-50,619	-50,619	0,021	-0,866	-0,883	0,000	-0,902	-0,902	0,128
Element 25-60 (Plate)	1871	2	0,000	-12,624	-46,555	-46,555	0,019	-0,847	-0,857	0,000	-1,067	-1,067	0,098
(Micropali D168.3x8,0mm/0,4)	1870	3	0,000	-12,815	-42,032	-42,032	0,016	-0,692	-0,700	0,000	-1,217	-1,217	0,076
점	1869	4	0,000	-13,006	-37,050	-37,050	0,014	-0,380	-0,392	0,037	-1,322	-1,322	0,061
점	1868	5	0,000	-13,197	-31,608	-31,608	0,012	0,112	-0,054	0,137	-1,350	-1,350	0,050
Plate_3_6	1868	1	0,000	-13,197	-30,978	-30,978	0,012	-0,540	-0,540	0,214	-1,350	-1,350	0,050
Element 25-61 (Plate)	1171	2	0,000	-13,398	-25,825	-25,825	0,009	1,816	-0,022	1,816	-1,207	-1,207	0,045
(Micropali D168.3x8,0mm/0,4)	1170	3	0,000	-13,598	-18,587	-18,587	0,006	2,844	-0,057	2,844	-0,705	-0,705	0,049
점	1169	4	0,000	-13,799	-8,740	-8,740	0,002	2,128	-0,136	2,128	-0,182	-0,192	0,038
점	1168	5	0,000	-14,000	4,241	-0,001	4,241	-0,747	-0,747	0,835	0,000	0,000	0,000

3.1.2.4.24 Calculation results, Plate, SLU11 Opera provvisionale [Phase_15] (15/1001), Table of plate force envelopes

Structural element	Node	Local number	X [m]	Y [m]	N [kN/m]	N_{min} [kN/m]	N_{max} [kN/m]	Q [kN/m]	Q_{min} [kN/m]	Q_{max} [kN/m]	M [kN m/m]	M_{min} [kN m/m]	M_{max} [kN m/m]
Plate_4_1	7845	1	3,000	0,000	0,279	-0,039	0,279	-0,469	-0,469	0,068	0,000	0,000	0,000
Element 2-4 (Plate)	7844	2	3,000	-0,125	-0,539	-0,539	0,019	0,940	-0,032	0,940	0,031	-0,003	0,031
(Micropali D168.3x8,0mm/0,4)	7843	3	3,000	-0,250	-1,204	-1,204	0,000	2,087	0,000	2,087	0,225	0,000	0,225
2m	7842	4	3,000	-0,375	-1,646	-1,646	0,000	2,852	0,000	2,852	0,537	0,000	0,537
2m	7918	5	3,000	-0,500	-1,793	-1,793	0,000	3,116	0,000	3,116	0,916	0,000	0,916
Plate_1_1	7918	1	3,000	-0,500	-1,761	-1,761	0,000	3,057	0,000	3,057	0,916	0,000	0,916
Element 5-9 (Plate)	7921	2	3,000	-0,625	-2,465	-2,465	0,000	4,279	-0,004	4,279	1,370	0,000	1,370
(Micropali D168.3x8,0mm/0,4)	7920	3	3,000	-0,750	-3,349	-3,349	0,000	5,809	-0,093	5,809	2,000	0,000	2,000
2m	7919	4	3,000	-0,875	-4,351	-4,351	0,000	7,544	-0,174	7,544	2,832	-0,003	2,832
2m	7941	5	3,000	-1,000	-5,411	-5,411	0,000	9,382	-0,187	9,382	3,889	-0,017	3,889
Plate_1_2	7941	1	3,000	-1,000	-5,298	-5,298	0,000	9,186	-0,196	9,186	3,889	-0,017	3,889
Element 6-10 (Plate)	7940	2	3,000	-1,050	-5,506	-5,506	0,000	9,544	-0,204	9,544	4,354	-0,025	4,354
(Micropali D168.3x8,0mm/0,4)	7939	3	3,000	-1,099	-5,707	-5,707	0,000	9,889	-0,216	9,889	4,837	-0,035	4,837
2m	7938	4	3,000	-1,149	-5,841	-5,841	0,000	10,117	-0,239	10,117	5,335	-0,044	5,335
2m	7937	5	3,000	-1,199	-5,847	-5,847	0,000	10,125	-0,337	10,125	5,839	-0,054	5,839
Plate_1_3	7937	1	3,000	-1,199	-5,864	-5,864	0,000	10,150	-0,333	10,150	5,839	-0,054	5,839
Element 8-14 (Plate)	7886	2	3,000	-1,270	-5,867	-5,867	0,000	10,138	-0,502	10,138	6,561	-0,071	6,561
(Micropali D168.3x8,0mm/0,4)	7885	3	3,000	-1,341	-5,870	-5,870	0,000	10,124	-0,625	10,124	7,282	-0,087	7,282
2m	7884	4	3,000	-1,412	-5,873	-5,873	0,000	10,111	-0,683	10,111	8,003	-0,107	8,003
2m	7887	5	3,000	-1,483	-5,877	-5,877	0,000	10,098	-0,699	10,098	8,722	-0,127	8,722
Plate_1_3	7887	1	3,000	-1,483	-5,752	-5,752	0,000	9,871	-0,730	9,871	8,722	-0,127	8,722
Element 8-15 (Plate)	7869	2	3,000	-1,663	-6,162	-6,162	0,000	10,567	-0,774	10,567	10,561	-0,197	10,561
(Micropali D168.3x8,0mm/0,4)	7868	3	3,000	-1,842	-6,529	-6,529	0,000	11,194	-0,769	11,194	12,498	-0,285	12,498
2m	7867	4	3,000	-2,021	-7,168	-7,168	0,000	12,296	-0,574	12,296	14,601	-0,369	14,601
2m	7866	5	3,000	-2,200	-8,391	-8,391	0,000	14,419	-0,337	14,419	16,970	-0,431	16,970
Plate_1_4	7866	1	3,000	-2,200	-15,518	-15,518	0,000	-31,098	-31,098	4,798	16,970	-0,431	16,970
Element 10-18 (Plate)	7789	2	3,000	-2,325	-16,410	-16,410	0,000	-29,551	-29,551	5,837	13,173	-0,460	13,173
(Micropali D168.3x8,0mm/0,4)	7788	3	3,000	-2,450	-17,605	-17,605	0,000	-27,479	-27,479	7,359	9,605	-0,484	9,605
2m	7787	4	3,000	-2,575	-19,015	-19,015	0,000	-25,037	-25,037	9,237	6,317	-0,498	7,701
2m	7786	5	3,000	-2,700	-20,552	-20,552	0,000	-22,374	-22,374	11,347	3,354	-1,410	8,970
Plate_1_5	7786	1	3,000	-2,700	-20,510	-20,510	0,000	-22,446	-22,446	10,045	3,354	-1,410	8,970
Element 12-22 (Plate)	7619	2	3,000	-2,860	-22,127	-22,127	0,000	-19,643	-19,643	5,684	-0,013	-3,767	10,209
(Micropali D168.3x8,0mm/0,4)	7618	3	3,000	-3,020	-23,750	-23,750	0,000	-16,830	-16,830	2,451	-2,934	-5,775	10,849
2m	7617	4	3,000	-3,180	-25,407	-25,407	0,301	-13,958	-13,958	0,458	-5,400	-7,669	11,046
2m	7663	5	3,000	-3,340	-27,128	-27,128	1,036	-10,976	-10,976	0,328	-7,397	-9,263	10,949
Plate_1_5	7663	1	3,000	-3,340	-27,115	-27,115	1,097	-11,000	-11,000	0,163	-7,397	-9,263	10,949
Element 12-23 (Plate)	7662	2	3,000	-3,505	-28,729	-28,729	1,760	-8,203	-8,203	0,214	-8,981	-10,506	10,591
(Micropali D168.3x8,0mm/0,4)	7661	3	3,000	-3,670	-30,461	-30,461	2,277	-5,202	-5,202	0,832	-10,092	-11,376	10,029
2m	7660	4	3,000	-3,835	-32,376	-32,376	2,621	-1,885	-4,601	2,320	-10,680	-11,750	9,328
2m	7659	5	3,000	-4,000	-34,540	-34,540	2,780	1,864	-4,803	4,529	-10,689	-11,570	8,555
Plate_1_6	7659	1	3,000	-4,000	-34,424	-34,424	2,845	1,664	-4,860	4,465	-10,689	-11,570	8,555
Element 15-26 (Plate)	7643	2	3,000	-4,176	-36,750	-36,750	2,912	5,693	-5,072	7,270	-10,037	-10,751	7,680
(Micropali D168.3x8,0mm/0,4)	7642	3	3,000	-4,353	-39,003	-39,003	3,016	9,596	-5,201	10,483	-8,690	-9,276	6,771

Structural element	Node	Local number	X [m]	Y [m]	N [kN/m]	N_{min} [kN/m]	N_{max} [kN/m]	Q [kN/m]	Q_{min} [kN/m]	Q_{max} [kN/m]	M [kN m/m]	M_{min} [kN m/m]	M_{max} [kN m/m]
좀	7641	4	3,000	-4,529	-41,274	-41,274	3,177	13,530	-5,167	14,134	-6,650	-7,130	5,855
좀	7640	5	3,000	-4,705	-43,655	-43,655	3,413	17,654	-4,890	18,097	-3,907	-4,301	5,198
Plate_1_6	7640	1	3,000	-4,705	-43,820	-43,820	3,443	17,939	-4,864	18,381	-3,907	-4,301	5,198
Element 15-27 (Plate)	7507	2	3,000	-4,808	-45,349	-45,349	3,692	20,588	-4,520	20,959	-1,922	-2,274	5,066
(Micropali D168.3x8,0mm/0,4)	7506	3	3,000	-4,912	-46,938	-46,938	4,003	23,340	-4,139	23,653	0,342	0,000	5,416
좀	7505	4	3,000	-5,015	-48,602	-48,602	4,368	26,222	-3,728	26,478	2,897	0,000	6,379
좀	7504	5	3,000	-5,118	-50,355	-50,355	4,784	29,259	-3,293	29,460	5,755	0,000	7,941
Plate_1_6	7504	1	3,000	-5,118	-50,341	-50,341	4,783	29,235	-3,303	29,436	5,755	0,000	7,941
Element 15-28 (Plate)	7235	2	3,000	-5,178	-51,391	-51,391	5,044	31,053	-3,058	31,221	7,573	0,000	9,061
(Micropali D168.3x8,0mm/0,4)	7236	3	3,000	-5,238	-52,446	-52,446	5,317	32,882	-2,828	33,019	9,501	0,000	10,479
좀	7237	4	3,000	-5,299	-53,498	-53,498	5,603	34,708	-2,614	34,816	11,539	0,000	12,004
좀	7234	5	3,000	-5,359	-54,538	-54,538	5,900	36,515	-2,418	36,596	13,686	0,000	13,686
Plate_1_6	7234	1	3,000	-5,359	-54,531	-54,531	5,898	36,506	-2,423	36,583	13,686	0,000	13,686
Element 15-29 (Plate)	7077	2	3,000	-5,394	-55,081	-55,081	6,083	37,462	-2,324	37,523	14,990	0,000	14,990
(Micropali D168.3x8,0mm/0,4)	7078	3	3,000	-5,429	-55,637	-55,637	6,265	38,428	-2,244	38,473	16,328	0,000	16,328
좀	7079	4	3,000	-5,465	-56,196	-56,196	6,442	39,402	-2,185	39,431	17,701	0,000	17,701
좀	7076	5	3,000	-5,500	-56,756	-56,756	6,611	40,378	-2,149	40,394	19,107	0,000	19,107
Plate_1_7	7076	1	3,000	-5,500	-56,698	-56,698	6,610	40,278	-2,154	40,288	19,107	0,000	19,107
Element 18-32 (Plate)	6660	2	3,000	-5,513	-56,561	-56,561	6,666	40,042	-2,152	40,042	19,609	0,000	19,609
(Micropali D168.3x8,0mm/0,4)	6661	3	3,000	-5,525	-56,397	-56,397	6,722	39,759	-2,159	39,759	20,108	0,000	20,108
좀	6662	4	3,000	-5,537	-56,197	-56,197	6,777	39,415	-2,175	39,415	20,603	0,000	20,603
좀	6659	5	3,000	-5,550	-55,953	-55,953	6,830	38,994	-2,201	38,994	21,093	0,000	21,093
Plate_1_8	6659	1	3,000	-5,550	-55,735	-55,735	6,830	38,618	-2,202	38,619	21,093	0,000	21,093
Element 22-39 (Plate)	6272	2	3,000	-5,587	-53,210	-53,210	6,981	34,247	-2,296	34,247	22,427	0,000	22,427
(Micropali D168.3x8,0mm/0,4)	6273	3	3,000	-5,623	-50,650	-50,650	7,124	29,816	-2,367	29,818	23,600	0,000	23,600
좀	6274	4	3,000	-5,660	-48,008	-48,008	7,260	25,244	-2,417	25,246	24,609	0,000	24,609
좀	6271	5	3,000	-5,696	-45,238	-45,238	7,388	20,451	-2,445	20,451	25,446	0,000	25,446
Plate_1_8	6271	1	3,000	-5,696	-45,261	-45,261	7,389	20,469	-2,448	20,469	25,446	0,000	25,446
Element 22-40 (Plate)	5650	2	3,000	-5,738	-42,376	-42,376	7,527	15,142	-3,242	15,153	26,192	0,000	26,192
(Micropali D168.3x8,0mm/0,4)	5651	3	3,000	-5,780	-39,686	-39,686	7,658	10,136	-4,976	10,158	26,721	0,000	26,721
좀	5652	4	3,000	-5,822	-37,182	-37,182	7,780	5,448	-6,841	5,479	27,047	0,000	27,047
좀	5649	5	3,000	-5,864	-34,855	-34,855	7,893	1,074	-8,638	1,127	27,182	0,000	27,182
Plate_1_8	5649	1	3,000	-5,864	-34,849	-34,849	7,893	1,080	-8,693	1,132	27,182	0,000	27,182
Element 22-41 (Plate)	4942	2	3,000	-5,912	-32,298	-32,298	8,014	-3,656	-10,554	0,000	27,118	0,000	27,118
(Micropali D168.3x8,0mm/0,4)	4943	3	3,000	-5,960	-30,010	-30,010	8,124	-7,832	-12,595	0,000	26,840	0,000	26,840
좀	4944	4	3,000	-6,008	-27,990	-27,990	8,225	-11,434	-14,229	0,000	26,374	0,000	26,374
좀	4941	5	3,000	-6,056	-26,245	-26,245	8,317	-14,448	-15,589	0,000	25,750	0,000	25,750
Plate_1_8	4941	1	3,000	-6,056	-26,233	-26,233	8,317	-14,484	-15,650	0,000	25,750	0,000	25,750
Element 22-42 (Plate)	4912	2	3,000	-6,112	-24,713	-24,713	8,411	-17,103	-17,268	0,000	24,878	0,000	24,878
(Micropali D168.3x8,0mm/0,4)	4913	3	3,000	-6,167	-23,538	-23,538	8,494	-19,121	-19,121	0,000	23,877	0,000	23,877
좀	4914	4	3,000	-6,222	-22,694	-22,694	8,566	-20,565	-20,565	0,000	22,782	0,000	22,782
좀	4911	5	3,000	-6,277	-22,167	-22,167	8,628	-21,459	-21,459	0,000	21,623	0,000	21,623
Plate_1_8	4911	1	3,000	-6,277	-22,132	-22,132	8,628	-21,530	-21,530	0,000	21,623	0,000	21,623
Element 22-43 (Plate)	4876	2	3,000	-6,340	-21,706	-21,706	8,687	-22,081	-22,081	0,000	20,245	0,000	20,245
(Micropali D168.3x8,0mm/0,4)	4877	3	3,000	-6,403	-21,388	-21,388	8,733	-22,279	-22,279	0,000	18,844	0,000	18,844
좀	4878	4	3,000	-6,466	-21,171	-21,171	8,768	-22,144	-22,144	0,000	17,440	0,000	17,440
좀	4875	5	3,000	-6,529	-21,048	-21,048	8,792	-21,696	-21,696	0,000	16,056	0,000	16,056
Plate_1_8	4875	1	3,000	-6,529	-21,032	-21,032	8,792	-21,746	-21,746	0,000	16,056	0,000	16,056
Element 22-44 (Plate)	4260	2	3,000	-6,601	-20,959	-20,959	8,806	-21,001	-21,001	0,000	14,510	-0,014	14,510

Structural element	Node	Local number	X [m]	Y [m]	N [kN/m]	N_{min} [kN/m]	N_{max} [kN/m]	Q [kN/m]	Q_{min} [kN/m]	Q_{max} [kN/m]	M [kN m/m]	M_{min} [kN m/m]	M_{max} [kN m/m]
(Micropali D168.3x8,0mm/0,4)	4261	3	3,000	-6,674	-20,925	-20,925	8,807	-20,105	-20,105	0,000	13,023	-0,104	13,023
zm	4262	4	3,000	-6,746	-20,926	-20,926	8,795	-19,071	-19,071	0,000	11,606	-0,187	11,606
zm	4259	5	3,000	-6,818	-20,956	-20,956	8,771	-17,914	-17,914	0,000	10,269	-0,261	10,269
Plate_1_8	4259	1	3,000	-6,818	-20,946	-20,946	8,771	-17,944	-17,944	0,000	10,269	-0,261	10,269
Element 22-45 (Plate)	4246	2	3,000	-6,901	-20,983	-20,983	8,729	-16,566	-16,566	0,000	8,840	-0,337	8,840
(Micropali D168.3x8,0mm/0,4)	4247	3	3,000	-6,984	-21,004	-21,004	8,672	-15,185	-15,185	0,000	7,525	-0,403	7,525
zm	4248	4	3,000	-7,067	-21,006	-21,006	8,602	-13,810	-13,810	0,000	6,323	-0,460	6,323
zm	4245	5	3,000	-7,150	-20,986	-20,986	8,517	-12,449	-12,449	0,000	5,236	-0,507	5,236
Plate_1_8	4245	1	3,000	-7,150	-20,981	-20,981	8,517	-12,462	-12,462	0,000	5,236	-0,507	5,236
Element 22-46 (Plate)	3594	2	3,000	-7,245	-20,911	-20,911	8,404	-10,973	-10,973	0,000	4,125	-0,551	4,125
(Micropali D168.3x8,0mm/0,4)	3595	3	3,000	-7,339	-20,785	-20,785	8,273	-9,573	-9,573	0,000	3,151	-0,585	3,151
zm	3596	4	3,000	-7,434	-20,602	-20,602	8,125	-8,266	-8,266	0,000	2,305	-0,608	2,305
zm	3593	5	3,000	-7,529	-20,361	-20,361	7,961	-7,055	-7,055	0,000	1,579	-0,640	1,584
Plate_1_8	3593	1	3,000	-7,529	-20,360	-20,360	7,961	-7,054	-7,054	0,000	1,579	-0,640	1,584
Element 22-47 (Plate)	3554	2	3,000	-7,638	-20,007	-20,007	7,751	-5,796	-5,796	0,001	0,882	-0,689	0,892
(Micropali D168.3x8,0mm/0,4)	3555	3	3,000	-7,747	-19,573	-19,573	7,519	-4,658	-4,658	0,097	0,314	-0,735	0,328
zm	3556	4	3,000	-7,855	-19,060	-19,060	7,264	-3,638	-3,638	0,188	-0,136	-0,780	0,000
zm	3553	5	3,000	-7,964	-18,468	-18,468	6,986	-2,736	-2,736	0,273	-0,481	-0,828	0,000
Plate_1_8	3553	1	3,000	-7,964	-18,467	-18,467	6,985	-2,726	-2,726	0,272	-0,481	-0,828	0,000
Element 22-48 (Plate)	3470	2	3,000	-8,089	-17,696	-17,696	6,637	-1,812	-1,812	0,366	-0,763	-0,876	0,000
(Micropali D168.3x8,0mm/0,4)	3471	3	3,000	-8,213	-16,823	-16,823	6,254	-0,997	-1,003	0,454	-0,937	-0,957	0,000
zm	3472	4	3,000	-8,338	-15,849	-15,849	5,836	-0,278	-0,292	0,587	-1,015	-1,015	0,000
zm	3469	5	3,000	-8,463	-14,774	-14,774	5,384	0,349	0,000	0,752	-1,010	-1,010	0,000
Plate_1_8	3469	1	3,000	-8,463	-14,751	-14,751	5,381	0,337	0,000	0,736	-1,010	-1,010	0,000
Element 22-49 (Plate)	3374	2	3,000	-8,605	-13,404	-13,404	4,816	0,993	0,000	1,006	-0,914	-0,914	0,000
(Micropali D168.3x8,0mm/0,4)	3375	3	3,000	-8,748	-11,834	-11,834	4,190	1,499	0,000	1,499	-0,733	-0,733	0,016
zm	3376	4	3,000	-8,891	-10,012	-10,012	3,503	1,818	0,000	1,818	-0,495	-0,495	0,035
zm	3373	5	3,000	-9,033	-7,908	-7,908	2,753	1,917	0,000	1,917	-0,225	-0,232	0,050
Plate_1_9	3373	1	3,000	-9,033	-7,752	-7,752	2,746	1,857	0,000	1,857	-0,225	-0,232	0,050
Element 24-55 (Plate)	3262	2	3,000	-9,150	-5,584	-5,584	2,081	0,897	-0,109	0,900	-0,067	-0,080	0,047
(Micropali D168.3x8,0mm/0,4)	3261	3	3,000	-9,267	-3,471	-3,471	1,372	0,239	-0,181	0,296	-0,005	-0,014	0,029
zm	3260	4	3,000	-9,383	-1,409	-1,409	0,605	-0,054	-0,162	0,000	0,003	0,000	0,011
zm	3259	5	3,000	-9,500	0,604	-0,221	0,604	0,082	-0,014	0,082	0,000	0,000	0,000

3.1.2.4.25 Calculation results, Plate, SLU12 Opera provvisionale [Phase_16] (16/1014), Table of plate force envelopes

Structural element	Node	Local number	X [m]	Y [m]	N [kN/m]	N_{min} [kN/m]	N_{max} [kN/m]	Q [kN/m]	Q_{min} [kN/m]	Q_{max} [kN/m]	M [kN m/m]	M_{min} [kN m/m]	M_{max} [kN m/m]
Plate_4_1	7845	1	3,000	0,000	0,368	-0,039	0,368	-0,664	-0,664	0,068	0,000	0,000	0,000
Element 2-4 (Plate)	7844	2	3,000	-0,125	-0,630	-0,630	0,019	1,039	-0,032	1,039	0,037	-0,003	0,037
(Micropali D168.3x8,0mm/0,4)	7843	3	3,000	-0,250	-1,190	-1,190	0,000	1,989	0,000	1,989	0,225	0,000	0,225
2m	7842	4	3,000	-0,375	-1,609	-1,609	0,000	2,696	0,000	2,696	0,524	0,000	0,524
2m	7918	5	3,000	-0,500	-2,187	-2,187	0,000	3,671	0,000	3,671	0,913	0,000	0,913
Plate_1_1	7918	1	3,000	-0,500	-2,129	-2,129	0,000	3,566	0,000	3,589	0,913	0,000	0,913
Element 5-9 (Plate)	7921	2	3,000	-0,625	-3,264	-3,264	0,000	5,519	-0,004	5,519	1,482	0,000	1,482
(Micropali D168.3x8,0mm/0,4)	7920	3	3,000	-0,750	-4,341	-4,341	0,000	7,373	-0,093	7,373	2,289	0,000	2,289
2m	7919	4	3,000	-0,875	-5,344	-5,344	0,000	9,107	-0,174	9,107	3,321	-0,003	3,321
2m	7941	5	3,000	-1,000	-6,261	-6,261	0,000	10,696	-0,187	10,696	4,560	-0,017	4,560
Plate_1_2	7941	1	3,000	-1,000	-6,198	-6,198	0,000	10,585	-0,196	10,585	4,560	-0,017	4,560
Element 6-10 (Plate)	7940	2	3,000	-1,050	-6,513	-6,513	0,000	11,129	-0,204	11,129	5,100	-0,025	5,100
(Micropali D168.3x8,0mm/0,4)	7939	3	3,000	-1,099	-6,707	-6,707	0,000	11,465	-0,216	11,465	5,662	-0,035	5,662
2m	7938	4	3,000	-1,149	-6,853	-6,853	0,000	11,718	-0,239	11,718	6,238	-0,044	6,238
2m	7937	5	3,000	-1,199	-7,026	-7,026	0,000	12,015	-0,337	12,015	6,827	-0,054	6,827
Plate_1_3	7937	1	3,000	-1,199	-7,000	-7,000	0,000	11,967	-0,333	11,967	6,827	-0,054	6,827
Element 8-14 (Plate)	7886	2	3,000	-1,270	-6,948	-6,948	0,000	11,885	-0,502	11,885	7,676	-0,071	7,676
(Micropali D168.3x8,0mm/0,4)	7885	3	3,000	-1,341	-6,976	-6,976	0,000	11,932	-0,625	11,932	8,522	-0,087	8,522
2m	7884	4	3,000	-1,412	-7,145	-7,145	0,000	12,220	-0,683	12,220	9,381	-0,107	9,381
2m	7887	5	3,000	-1,483	-7,516	-7,516	0,000	12,861	-0,699	12,861	10,271	-0,127	10,271
Plate_1_3	7887	1	3,000	-1,483	-7,300	-7,300	0,000	12,491	-0,730	12,491	10,271	-0,127	10,271
Element 8-15 (Plate)	7869	2	3,000	-1,663	-8,444	-8,444	0,000	14,479	-0,774	14,479	12,683	-0,197	12,683
(Micropali D168.3x8,0mm/0,4)	7868	3	3,000	-1,842	-9,779	-9,779	0,000	16,798	-0,769	16,798	15,476	-0,285	15,476
2m	7867	4	3,000	-2,021	-11,383	-11,383	0,000	19,584	-0,574	19,584	18,730	-0,369	18,730
2m	7866	5	3,000	-2,200	-13,334	-13,334	0,000	22,976	-0,337	22,976	22,530	-0,431	22,530
Plate_1_4	7866	1	3,000	-2,200	-24,410	-24,410	0,000	-46,069	-46,069	4,798	22,530	-0,431	22,530
Element 10-18 (Plate)	7789	2	3,000	-2,325	-25,902	-25,902	0,000	-43,480	-43,480	5,837	16,930	-0,460	16,930
(Micropali D168.3x8,0mm/0,4)	7788	3	3,000	-2,450	-27,584	-27,584	0,000	-40,561	-40,561	7,359	11,675	-0,484	11,675
2m	7787	4	3,000	-2,575	-29,391	-29,391	0,000	-37,424	-37,424	9,237	6,796	-0,498	7,701
2m	7786	5	3,000	-2,700	-31,260	-31,260	0,000	-34,182	-34,182	11,347	2,322	-1,410	8,970
Plate_1_5	7786	1	3,000	-2,700	-31,268	-31,268	0,000	-34,167	-34,167	10,045	2,322	-1,410	8,970
Element 12-22 (Plate)	7619	2	3,000	-2,860	-33,407	-33,407	0,000	-30,454	-30,454	5,684	-2,847	-4,187	10,209
(Micropali D168.3x8,0mm/0,4)	7618	3	3,000	-3,020	-35,491	-35,491	0,000	-26,834	-26,834	2,451	-7,433	-7,596	10,849
2m	7617	4	3,000	-3,180	-37,557	-37,557	0,301	-23,247	-23,247	0,458	-11,441	-11,531	11,046
2m	7663	5	3,000	-3,340	-39,640	-39,640	1,036	-19,631	-19,631	0,328	-14,873	-14,924	10,949
Plate_1_5	7663	1	3,000	-3,340	-39,676	-39,676	1,097	-19,569	-19,569	0,163	-14,873	-14,924	10,949
Element 12-23 (Plate)	7662	2	3,000	-3,505	-41,936	-41,936	1,760	-15,656	-15,656	0,214	-17,784	-17,800	10,591
(Micropali D168.3x8,0mm/0,4)	7661	3	3,000	-3,670	-44,461	-44,461	2,277	-11,287	-11,287	0,832	-20,012	-20,012	10,029
2m	7660	4	3,000	-3,835	-47,223	-47,223	2,621	-6,507	-6,507	2,320	-21,486	-21,486	9,328
2m	7659	5	3,000	-4,000	-50,197	-50,197	2,780	-1,361	-4,803	4,529	-22,139	-22,139	8,555
Plate_1_6	7659	1	3,000	-4,000	-50,148	-50,148	2,845	-1,447	-4,860	4,465	-22,139	-22,139	8,555
Element 15-26 (Plate)	7643	2	3,000	-4,176	-53,123	-53,123	2,912	3,701	-5,072	7,270	-21,937	-21,937	7,680
(Micropali D168.3x8,0mm/0,4)	7642	3	3,000	-4,353	-56,129	-56,129	3,016	8,908	-5,201	10,607	-20,832	-20,832	6,771

Structural element	Node	Local number	X [m]	Y [m]	N [kN/m]	N_{min} [kN/m]	N_{max} [kN/m]	Q [kN/m]	Q_{min} [kN/m]	Q_{max} [kN/m]	M [kN m/m]	M_{min} [kN m/m]	M_{max} [kN m/m]
좀	7641	4	3,000	-4,529	-59,323	-59,323	3,177	14,447	-5,167	14,789	-18,775	-18,775	5,855
좀	7640	5	3,000	-4,705	-62,865	-62,865	3,413	20,592	-4,890	20,671	-15,700	-15,700	5,198
Plate_1_6	7640	1	3,000	-4,705	-62,913	-62,913	3,443	20,675	-4,864	20,762	-15,700	-15,700	5,198
Element 15-27 (Plate)	7507	2	3,000	-4,808	-65,150	-65,150	3,692	24,548	-4,520	24,636	-13,369	-13,369	5,066
(Micropali D168.3x8,0mm/0,4)	7506	3	3,000	-4,912	-67,406	-67,406	4,003	28,459	-4,139	28,541	-10,636	-10,636	5,416
좀	7505	4	3,000	-5,015	-69,684	-69,684	4,368	32,421	-3,728	32,487	-7,497	-7,497	6,379
좀	7504	5	3,000	-5,118	-71,991	-71,991	4,784	36,447	-3,293	36,484	-3,948	-3,948	7,941
Plate_1_6	7504	1	3,000	-5,118	-71,991	-71,991	4,783	36,449	-3,303	36,490	-3,948	-3,948	7,941
Element 15-28 (Plate)	7235	2	3,000	-5,178	-73,386	-73,386	5,044	38,896	-3,058	38,923	-1,677	-1,677	9,061
(Micropali D168.3x8,0mm/0,4)	7236	3	3,000	-5,238	-74,807	-74,807	5,317	41,388	-2,828	41,405	0,744	0,000	10,479
좀	7237	4	3,000	-5,299	-76,243	-76,243	5,603	43,909	-2,614	43,922	3,316	0,000	12,004
좀	7234	5	3,000	-5,359	-77,687	-77,687	5,900	46,443	-2,418	46,456	6,040	0,000	13,607
Plate_1_6	7234	1	3,000	-5,359	-77,695	-77,695	5,898	46,463	-2,423	46,471	6,040	0,000	13,607
Element 15-29 (Plate)	7077	2	3,000	-5,394	-78,505	-78,505	6,083	47,897	-2,324	47,897	7,703	0,000	14,657
(Micropali D168.3x8,0mm/0,4)	7078	3	3,000	-5,429	-79,330	-79,330	6,265	49,355	-2,244	49,355	9,418	0,000	15,765
좀	7079	4	3,000	-5,465	-80,170	-80,170	6,442	50,834	-2,185	50,834	11,185	0,000	16,927
좀	7076	5	3,000	-5,500	-81,020	-81,020	6,611	52,328	-2,149	52,328	13,004	0,000	18,174
Plate_1_7	7076	1	3,000	-5,500	-80,979	-80,979	6,610	52,252	-2,154	52,252	13,004	0,000	18,174
Element 18-32 (Plate)	6660	2	3,000	-5,513	-81,046	-81,046	6,666	52,375	-2,152	52,375	13,658	0,000	18,621
(Micropali D168.3x8,0mm/0,4)	6661	3	3,000	-5,525	-81,089	-81,089	6,722	52,457	-2,159	52,457	14,313	0,000	19,071
좀	6662	4	3,000	-5,537	-81,111	-81,111	6,777	52,500	-2,175	52,500	14,969	0,000	19,518
좀	6659	5	3,000	-5,550	-81,110	-81,110	6,830	52,507	-2,201	52,507	15,625	0,000	19,969
Plate_1_8	6659	1	3,000	-5,550	-80,885	-80,885	6,830	52,115	-2,202	52,115	15,625	0,000	19,969
Element 22-39 (Plate)	6272	2	3,000	-5,587	-79,496	-79,496	6,981	49,726	-2,296	49,726	17,489	0,000	21,222
(Micropali D168.3x8,0mm/0,4)	6273	3	3,000	-5,623	-78,126	-78,126	7,124	47,371	-2,367	47,371	19,267	0,000	22,398
좀	6274	4	3,000	-5,660	-76,703	-76,703	7,260	44,923	-2,417	44,923	20,957	0,000	23,439
좀	6271	5	3,000	-5,696	-75,154	-75,154	7,388	42,256	-2,445	42,256	22,554	0,000	24,421
Plate_1_8	6271	1	3,000	-5,696	-75,182	-75,182	7,389	42,306	-2,448	42,306	22,554	0,000	24,421
Element 22-40 (Plate)	5650	2	3,000	-5,738	-73,396	-73,396	7,527	39,225	-3,242	39,225	24,264	0,000	25,468
(Micropali D168.3x8,0mm/0,4)	5651	3	3,000	-5,780	-71,524	-71,524	7,658	35,996	-4,976	35,996	25,842	0,000	26,504
좀	5652	4	3,000	-5,822	-69,564	-69,564	7,780	32,616	-6,841	32,616	27,282	0,000	27,538
좀	5649	5	3,000	-5,864	-67,514	-67,514	7,893	29,083	-8,638	29,083	28,576	0,000	28,737
Plate_1_8	5649	1	3,000	-5,864	-67,568	-67,568	7,893	29,174	-8,693	29,174	28,576	0,000	28,737
Element 22-41 (Plate)	4942	2	3,000	-5,912	-65,097	-65,097	8,014	24,756	-10,554	24,756	29,872	0,000	30,020
(Micropali D168.3x8,0mm/0,4)	4943	3	3,000	-5,960	-62,880	-62,880	8,124	20,432	-12,595	20,432	30,957	0,000	31,090
좀	4944	4	3,000	-6,008	-60,897	-60,897	8,225	16,234	-14,229	16,234	31,838	0,000	31,953
좀	4941	5	3,000	-6,056	-59,127	-59,127	8,317	12,193	-15,589	12,193	32,521	0,000	32,614
Plate_1_8	4941	1	3,000	-6,056	-59,073	-59,073	8,317	12,187	-15,650	12,187	32,521	0,000	32,614
Element 22-42 (Plate)	4912	2	3,000	-6,112	-57,095	-57,095	8,411	7,789	-17,084	7,789	33,070	0,000	33,137
(Micropali D168.3x8,0mm/0,4)	4913	3	3,000	-6,167	-55,120	-55,120	8,494	3,502	-18,383	3,502	33,380	0,000	33,421
좀	4914	4	3,000	-6,222	-53,149	-53,149	8,566	-0,663	-19,284	0,000	33,458	0,000	33,471
좀	4911	5	3,000	-6,277	-51,181	-51,181	8,628	-4,696	-19,767	0,000	33,310	0,000	33,310
Plate_1_8	4911	1	3,000	-6,277	-51,229	-51,229	8,628	-4,613	-19,823	0,000	33,310	0,000	33,310
Element 22-43 (Plate)	4876	2	3,000	-6,340	-49,164	-49,164	8,687	-8,651	-20,116	0,000	32,889	0,000	32,889
(Micropali D168.3x8,0mm/0,4)	4877	3	3,000	-6,403	-47,259	-47,259	8,733	-12,204	-20,656	0,000	32,228	0,000	32,228
좀	4878	4	3,000	-6,466	-45,523	-45,523	8,768	-15,282	-21,129	0,000	31,358	0,000	31,358
좀	4875	5	3,000	-6,529	-43,969	-43,969	8,792	-17,894	-21,669	0,000	30,310	0,000	30,310
Plate_1_8	4875	1	3,000	-6,529	-43,973	-43,973	8,792	-17,908	-21,703	0,000	30,310	0,000	30,310
Element 22-44 (Plate)	4260	2	3,000	-6,601	-42,470	-42,470	8,806	-20,385	-22,408	0,000	28,922	-0,014	28,922

Structural element	Node	Local number	X [m]	Y [m]	N [kN/m]	N_{min} [kN/m]	N_{max} [kN/m]	Q [kN/m]	Q_{min} [kN/m]	Q_{max} [kN/m]	M [kN m/m]	M_{min} [kN m/m]	M_{max} [kN m/m]
(Micropali D168.3x8,0mm/0,4)	4261	3	3,000	-6,674	-41,161	-41,161	8,807	-22,303	-23,108	0,000	27,376	-0,104	27,376
zm	4262	4	3,000	-6,746	-40,039	-40,039	8,795	-23,662	-23,949	0,000	25,711	-0,187	25,711
zm	4259	5	3,000	-6,818	-39,096	-39,096	8,771	-24,461	-24,659	0,000	23,968	-0,261	23,968
Plate_1_8	4259	1	3,000	-6,818	-39,071	-39,071	8,771	-24,508	-24,714	0,000	23,968	-0,261	23,968
Element 22-45 (Plate)	4246	2	3,000	-6,901	-38,141	-38,141	8,729	-24,799	-24,925	0,000	21,923	-0,337	21,923
(Micropali D168.3x8,0mm/0,4)	4247	3	3,000	-6,984	-37,315	-37,315	8,672	-24,634	-24,690	0,000	19,873	-0,403	19,873
zm	4248	4	3,000	-7,067	-36,589	-36,589	8,602	-24,034	-24,034	0,000	17,853	-0,460	17,853
zm	4245	5	3,000	-7,150	-35,954	-35,954	8,517	-23,020	-23,020	0,000	15,902	-0,507	15,902
Plate_1_8	4245	1	3,000	-7,150	-35,935	-35,935	8,517	-23,101	-23,101	0,000	15,902	-0,507	15,902
Element 22-46 (Plate)	3594	2	3,000	-7,245	-35,264	-35,264	8,404	-21,679	-21,679	0,000	13,777	-0,551	13,777
(Micropali D168.3x8,0mm/0,4)	3595	3	3,000	-7,339	-34,611	-34,611	8,273	-20,111	-20,111	0,000	11,792	-0,585	11,792
zm	3596	4	3,000	-7,434	-33,970	-33,970	8,125	-18,421	-18,421	0,000	9,963	-0,608	9,963
zm	3593	5	3,000	-7,529	-33,335	-33,335	7,961	-16,629	-16,629	0,000	8,299	-0,640	8,299
Plate_1_8	3593	1	3,000	-7,529	-33,321	-33,321	7,961	-16,669	-16,669	0,000	8,299	-0,640	8,299
Element 22-47 (Plate)	3554	2	3,000	-7,638	-32,558	-32,558	7,751	-14,635	-14,635	0,001	6,598	-0,689	6,598
(Micropali D168.3x8,0mm/0,4)	3555	3	3,000	-7,747	-31,729	-31,729	7,519	-12,688	-12,688	0,097	5,113	-0,735	5,113
zm	3556	4	3,000	-7,855	-30,832	-30,832	7,264	-10,838	-10,838	0,188	3,835	-0,780	3,835
zm	3553	5	3,000	-7,964	-29,863	-29,863	6,986	-9,097	-9,097	0,273	2,752	-0,828	2,752
Plate_1_8	3553	1	3,000	-7,964	-29,855	-29,855	6,985	-9,099	-9,099	0,272	2,752	-0,828	2,752
Element 22-48 (Plate)	3470	2	3,000	-8,089	-28,630	-28,630	6,637	-7,303	-7,303	0,366	1,733	-0,876	1,733
(Micropali D168.3x8,0mm/0,4)	3471	3	3,000	-8,213	-27,270	-27,270	6,254	-5,678	-5,678	0,454	0,925	-0,957	0,925
zm	3472	4	3,000	-8,338	-25,775	-25,775	5,836	-4,214	-4,214	0,587	0,311	-0,994	0,311
zm	3469	5	3,000	-8,463	-24,143	-24,143	5,384	-2,904	-2,904	0,752	-0,131	-0,976	0,000
Plate_1_8	3469	1	3,000	-8,463	-24,115	-24,115	5,381	-2,899	-2,899	0,736	-0,131	-0,976	0,000
Element 22-49 (Plate)	3374	2	3,000	-8,605	-22,093	-22,093	4,816	-1,414	-1,414	1,006	-0,440	-0,880	0,000
(Micropali D168.3x8,0mm/0,4)	3375	3	3,000	-8,748	-19,780	-19,780	4,190	0,037	0,000	1,406	-0,535	-0,731	0,016
zm	3376	4	3,000	-8,891	-17,137	-17,137	3,503	1,350	0,000	1,769	-0,436	-0,515	0,035
zm	3373	5	3,000	-9,033	-14,123	-14,123	2,753	2,423	0,000	2,444	-0,162	-0,236	0,050
Plate_1_9	3373	1	3,000	-9,033	-13,959	-13,959	2,746	2,351	0,000	2,376	-0,162	-0,236	0,050
Element 24-55 (Plate)	3262	2	3,000	-9,150	-10,579	-10,579	2,081	0,727	-0,109	0,926	0,012	-0,080	0,047
(Micropali D168.3x8,0mm/0,4)	3261	3	3,000	-9,267	-6,893	-6,893	1,372	-0,215	-0,215	0,296	0,033	-0,014	0,033
zm	3260	4	3,000	-9,383	-2,939	-2,939	0,605	-0,313	-0,314	0,000	-0,005	-0,005	0,011
zm	3259	5	3,000	-9,500	1,245	-0,221	1,245	0,597	-0,014	0,597	0,000	0,000	0,000

3.1.2.4.26 Calculation results, Plate, Eccezionale Opera Provvisionale [Phase_25] (25/1495), Table of plate force envelopes

Structural element	Node	Local number	X [m]	Y [m]	N [kN/m]	N_{min} [kN/m]	N_{max} [kN/m]	Q [kN/m]	Q_{min} [kN/m]	Q_{max} [kN/m]	M [kN m/m]	M_{min} [kN m/m]	M_{max} [kN m/m]
Plate_4_1	7845	1	3,000	0,000	0,140	-0,039	0,140	18,859	-0,021	18,859	19,100	0,000	19,100
Element 2-4 (Plate)	7844	2	3,000	-0,125	-0,246	-0,246	0,019	19,527	-0,032	19,527	21,501	-0,003	21,501
(Micropali D168.3x8,0mm/0,4)	7843	3	3,000	-0,250	-0,499	-0,499	0,000	19,964	0,000	19,964	23,972	0,000	23,972
2	7842	4	3,000	-0,375	-0,639	-0,645	0,000	20,207	0,000	20,207	26,486	0,000	26,486
2	7918	5	3,000	-0,500	-0,687	-0,691	0,000	20,293	0,000	20,293	29,017	0,000	29,017
Plate_1_1	7918	1	3,000	-0,500	-0,702	-0,702	0,000	20,317	0,000	20,317	29,017	0,000	29,017
Element 5-9 (Plate)	7921	2	3,000	-0,625	-0,969	-0,983	0,000	20,781	-0,004	20,781	31,579	0,000	31,579
(Micropali D168.3x8,0mm/0,4)	7920	3	3,000	-0,750	-1,486	-1,503	0,000	21,676	-0,093	21,676	34,232	0,000	34,232
2	7919	4	3,000	-0,875	-2,132	-2,148	0,000	22,797	-0,174	22,797	37,008	-0,003	37,008
2	7941	5	3,000	-1,000	-2,791	-2,807	0,000	23,937	-0,187	23,937	39,931	-0,017	39,931
Plate_1_2	7941	1	3,000	-1,000	-2,681	-2,697	0,000	23,747	-0,196	23,747	39,931	-0,017	39,931
Element 6-10 (Plate)	7940	2	3,000	-1,050	-2,773	-2,799	0,000	23,907	-0,204	23,907	41,114	-0,025	41,114
(Micropali D168.3x8,0mm/0,4)	7939	3	3,000	-1,099	-2,860	-3,100	0,000	24,059	-0,216	24,059	42,306	-0,035	42,306
2	7938	4	3,000	-1,149	-2,929	-3,378	0,000	24,178	-0,239	24,178	43,504	-0,044	43,504
2	7937	5	3,000	-1,199	-2,964	-3,582	0,000	24,239	-0,337	24,239	44,707	-0,054	44,707
Plate_1_3	7937	1	3,000	-1,199	-2,958	-3,529	0,000	24,229	-0,333	24,229	44,707	-0,054	44,707
Element 8-14 (Plate)	7886	2	3,000	-1,270	-2,958	-3,531	0,000	24,229	-0,502	24,229	46,431	-0,071	46,431
(Micropali D168.3x8,0mm/0,4)	7885	3	3,000	-1,341	-2,958	-3,533	0,000	24,229	-0,625	24,229	48,157	-0,087	48,157
2	7884	4	3,000	-1,412	-2,958	-3,535	0,000	24,229	-0,683	24,229	49,882	-0,107	49,882
2	7887	5	3,000	-1,483	-2,957	-3,537	0,000	24,229	-0,699	24,229	51,606	-0,127	51,606
Plate_1_3	7887	1	3,000	-1,483	-2,964	-3,673	0,000	24,241	-0,730	24,241	51,606	-0,127	51,606
Element 8-15 (Plate)	7869	2	3,000	-1,663	-2,952	-3,458	0,000	24,218	-0,774	24,218	55,946	-0,197	55,946
(Micropali D168.3x8,0mm/0,4)	7868	3	3,000	-1,842	-2,958	-3,627	0,000	24,227	-0,769	24,227	60,285	-0,285	60,285
2	7867	4	3,000	-2,021	-2,995	-4,504	0,000	24,290	-0,574	24,290	64,630	-0,369	64,630
2	7866	5	3,000	-2,200	-3,076	-6,415	0,000	24,432	-0,337	24,432	68,992	-0,431	68,992
Plate_1_4	7866	1	3,000	-2,200	-13,461	-13,461	0,000	-42,094	-42,094	4,798	68,992	-0,431	68,992
Element 10-18 (Plate)	7789	2	3,000	-2,325	-13,959	-13,959	0,000	-41,230	-41,230	5,837	63,791	-0,460	63,791
(Micropali D168.3x8,0mm/0,4)	7788	3	3,000	-2,450	-14,262	-14,324	0,000	-40,706	-40,706	7,359	58,669	-0,484	58,669
2	7787	4	3,000	-2,575	-14,473	-15,743	0,000	-40,340	-40,340	9,237	53,605	-0,498	53,605
2	7786	5	3,000	-2,700	-14,698	-17,167	0,000	-39,952	-39,952	11,347	48,586	-1,410	48,586
Plate_1_5	7786	1	3,000	-2,700	-14,428	-17,141	0,000	-40,419	-40,419	10,045	48,586	-1,410	48,586
Element 12-22 (Plate)	7619	2	3,000	-2,860	-15,933	-18,464	0,000	-37,813	-37,813	5,684	42,332	-3,767	42,332
(Micropali D168.3x8,0mm/0,4)	7618	3	3,000	-3,020	-17,214	-19,703	0,000	-35,594	-35,594	2,451	36,460	-5,775	36,460
2	7617	4	3,000	-3,180	-18,307	-20,929	0,301	-33,700	-33,700	0,458	30,917	-7,440	30,917
2	7663	5	3,000	-3,340	-19,246	-22,215	1,036	-32,073	-32,073	0,328	25,657	-8,761	25,657
Plate_1_5	7663	1	3,000	-3,340	-19,261	-22,206	1,097	-31,778	-31,778	0,163	25,657	-8,761	25,657
Element 12-23 (Plate)	7662	2	3,000	-3,505	-20,356	-23,593	1,760	-30,317	-30,317	0,214	20,518	-9,745	20,518
(Micropali D168.3x8,0mm/0,4)	7661	3	3,000	-3,670	-21,742	-25,131	2,277	-27,500	-27,500	0,832	15,732	-10,312	15,732
2	7660	4	3,000	-3,835	-23,369	-26,815	2,621	-23,360	-23,360	2,320	11,518	-10,420	11,518
2	7659	5	3,000	-4,000	-25,184	-28,637	2,780	-17,933	-17,933	4,529	8,096	-10,027	8,555
Plate_1_6	7659	1	3,000	-4,000	-25,091	-28,578	2,845	-18,269	-18,269	4,465	8,096	-10,027	8,555
Element 15-26 (Plate)	7643	2	3,000	-4,176	-26,849	-30,438	2,912	-12,503	-12,503	7,270	5,388	-9,058	7,680
(Micropali D168.3x8,0mm/0,4)	7642	3	3,000	-4,353	-28,528	-32,268	3,016	-6,879	-6,879	10,252	3,678	-7,532	6,771

Structural element	Node	Local number	X [m]	Y [m]	N [kN/m]	N_{min} [kN/m]	N_{max} [kN/m]	Q [kN/m]	Q_{min} [kN/m]	Q_{max} [kN/m]	M [kN m/m]	M_{min} [kN m/m]	M_{max} [kN m/m]
쯤	7641	4	3,000	-4,529	-30,224	-34,166	3,177	-1,279	-5,167	13,534	2,960	-5,435	5,855
쯤	7640	5	3,000	-4,705	-32,033	-36,231	3,413	4,417	-4,890	17,105	3,233	-2,741	5,198
Plate_1_6	7640	1	3,000	-4,705	-32,137	-36,327	3,443	4,569	-4,864	17,271	3,233	-2,741	5,198
Element 15-27 (Plate)	7507	2	3,000	-4,808	-33,259	-37,613	3,692	7,893	-4,520	19,493	3,876	-0,846	5,066
(Micropali D168.3x8,0mm/0,4)	7506	3	3,000	-4,912	-34,391	-38,916	4,003	11,154	-4,139	21,746	4,859	0,000	5,416
쯤	7505	4	3,000	-5,015	-35,555	-40,259	4,368	14,393	-3,728	24,068	6,177	0,000	6,379
쯤	7504	5	3,000	-5,118	-36,774	-41,664	4,784	17,649	-3,293	26,501	7,828	0,000	7,941
Plate_1_6	7504	1	3,000	-5,118	-36,770	-41,659	4,783	17,643	-3,303	26,491	7,828	0,000	7,941
Element 15-28 (Plate)	7235	2	3,000	-5,178	-37,515	-42,514	5,044	19,567	-3,058	27,972	8,949	0,000	9,061
(Micropali D168.3x8,0mm/0,4)	7236	3	3,000	-5,238	-38,274	-43,384	5,317	21,491	-2,828	29,478	10,188	0,000	10,479
쯤	7237	4	3,000	-5,299	-39,039	-44,261	5,603	23,402	-2,614	30,995	11,542	0,000	12,004
쯤	7234	5	3,000	-5,359	-39,802	-45,136	5,900	25,286	-2,418	32,509	13,009	0,000	13,607
Plate_1_6	7234	1	3,000	-5,359	-39,792	-45,126	5,898	25,271	-2,423	32,492	13,009	0,000	13,607
Element 15-29 (Plate)	7077	2	3,000	-5,394	-40,196	-45,596	6,083	26,290	-2,324	33,305	13,918	0,000	14,657
(Micropali D168.3x8,0mm/0,4)	7078	3	3,000	-5,429	-40,607	-46,073	6,265	27,319	-2,244	34,131	14,864	0,000	15,765
쯤	7079	4	3,000	-5,465	-41,023	-46,555	6,442	28,352	-2,185	34,965	15,846	0,000	16,927
쯤	7076	5	3,000	-5,500	-41,441	-47,038	6,611	29,384	-2,149	35,801	16,863	0,000	18,174
Plate_1_7	7076	1	3,000	-5,500	-41,377	-46,971	6,610	29,275	-2,154	35,685	16,863	0,000	18,174
Element 18-32 (Plate)	6660	2	3,000	-5,513	-41,326	-46,800	6,666	29,296	-2,152	35,389	17,229	0,000	18,619
(Micropali D168.3x8,0mm/0,4)	6661	3	3,000	-5,525	-41,245	-46,611	6,722	29,265	-2,159	35,061	17,595	0,000	19,059
쯤	6662	4	3,000	-5,537	-41,123	-46,390	6,777	29,165	-2,175	34,679	17,961	0,000	19,495
쯤	6659	5	3,000	-5,550	-40,949	-46,126	6,830	28,976	-2,201	34,224	18,324	0,000	19,926
Plate_1_8	6659	1	3,000	-5,550	-40,764	-45,940	6,830	28,655	-2,202	33,897	18,324	0,000	19,926
Element 22-39 (Plate)	6272	2	3,000	-5,587	-38,343	-43,264	6,981	24,793	-2,296	29,277	19,302	0,000	21,081
(Micropali D168.3x8,0mm/0,4)	6273	3	3,000	-5,623	-35,892	-40,596	7,124	20,861	-2,367	24,663	20,139	0,000	22,069
쯤	6274	4	3,000	-5,660	-33,374	-37,906	7,260	16,795	-2,417	19,990	20,829	0,000	22,885
쯤	6271	5	3,000	-5,696	-30,752	-35,164	7,388	12,533	-2,445	15,196	21,366	0,000	23,529
Plate_1_8	6271	1	3,000	-5,696	-30,766	-35,215	7,389	12,540	-2,448	15,204	21,366	0,000	23,529
Element 22-40 (Plate)	5650	2	3,000	-5,738	-27,971	-32,436	7,527	7,900	-3,242	10,014	21,794	0,000	24,054
(Micropali D168.3x8,0mm/0,4)	5651	3	3,000	-5,780	-25,382	-29,863	7,658	3,607	-4,976	5,233	22,034	0,000	24,370
쯤	5652	4	3,000	-5,822	-23,003	-27,498	7,780	-0,334	-6,841	0,876	22,101	0,000	24,493
쯤	5649	5	3,000	-5,864	-20,837	-25,347	7,893	-3,918	-8,638	0,000	22,011	0,000	24,441
Plate_1_8	5649	1	3,000	-5,864	-20,831	-25,340	7,893	-3,928	-8,693	0,000	22,011	0,000	24,441
Element 22-41 (Plate)	4942	2	3,000	-5,912	-18,705	-23,232	8,014	-7,464	-10,554	0,000	21,735	0,000	24,189
(Micropali D168.3x8,0mm/0,4)	4943	3	3,000	-5,960	-16,914	-21,457	8,124	-10,413	-12,595	0,000	21,303	0,000	23,765
쯤	4944	4	3,000	-6,008	-15,450	-20,006	8,225	-12,786	-14,229	0,000	20,743	0,000	23,197
쯤	4941	5	3,000	-6,056	-14,305	-18,871	8,317	-14,594	-15,589	0,000	20,083	0,000	22,515
Plate_1_8	4941	1	3,000	-6,056	-14,256	-18,823	8,317	-14,656	-15,650	0,000	20,083	0,000	22,515
Element 22-42 (Plate)	4912	2	3,000	-6,112	-13,267	-17,825	8,411	-16,203	-17,084	0,000	19,231	0,000	21,625
(Micropali D168.3x8,0mm/0,4)	4913	3	3,000	-6,167	-12,495	-17,040	8,494	-17,334	-18,383	0,000	18,306	0,000	20,648
쯤	4914	4	3,000	-6,222	-11,911	-16,442	8,566	-18,067	-19,284	0,000	17,329	0,000	19,609
쯤	4911	5	3,000	-6,277	-11,488	-16,009	8,628	-18,419	-19,767	0,000	16,323	0,000	18,533
Plate_1_8	4911	1	3,000	-6,277	-11,462	-15,983	8,628	-18,471	-19,823	0,000	16,323	0,000	18,533
Element 22-43 (Plate)	4876	2	3,000	-6,340	-11,091	-15,595	8,687	-18,556	-20,022	0,000	15,154	0,000	17,275
(Micropali D168.3x8,0mm/0,4)	4877	3	3,000	-6,403	-10,814	-15,299	8,733	-18,410	-19,960	0,000	13,986	0,000	16,012
쯤	4878	4	3,000	-6,466	-10,626	-15,089	8,768	-18,046	-19,651	0,000	12,835	0,000	14,761
쯤	4875	5	3,000	-6,529	-10,522	-14,961	8,792	-17,479	-19,111	0,000	11,713	0,000	13,537
Plate_1_8	4875	1	3,000	-6,529	-10,508	-14,947	8,792	-17,514	-19,149	0,000	11,713	0,000	13,537
Element 22-44 (Plate)	4260	2	3,000	-6,601	-10,450	-14,858	8,806	-16,723	-18,363	0,000	10,476	-0,014	12,181

Structural element	Node	Local number	X [m]	Y [m]	N [kN/m]	N_{min} [kN/m]	N_{max} [kN/m]	Q [kN/m]	Q_{min} [kN/m]	Q_{max} [kN/m]	M [kN m/m]	M_{min} [kN m/m]	M_{max} [kN m/m]
(Micropali D168.3x8,0mm/0,4)	4261	3	3,000	-6,674	-10,429	-14,804	8,807	-15,848	-17,473	0,000	9,298	-0,104	10,885
2m	4262	4	3,000	-6,746	-10,443	-14,780	8,795	-14,897	-16,489	0,000	8,185	-0,187	9,657
2m	4259	5	3,000	-6,818	-10,487	-14,783	8,771	-13,881	-15,422	0,000	7,145	-0,261	8,503
Plate_1_8	4259	1	3,000	-6,818	-10,478	-14,775	8,771	-13,901	-15,445	0,000	7,145	-0,261	8,503
Element 22-45 (Plate)	4246	2	3,000	-6,901	-10,537	-14,784	8,729	-12,723	-14,197	0,000	6,043	-0,337	7,276
(Micropali D168.3x8,0mm/0,4)	4247	3	3,000	-6,984	-10,589	-14,782	8,672	-11,567	-12,961	0,000	5,037	-0,403	6,152
2m	4248	4	3,000	-7,067	-10,632	-14,767	8,602	-10,436	-11,744	0,000	4,126	-0,460	5,128
2m	4245	5	3,000	-7,150	-10,664	-14,736	8,517	-9,336	-10,552	0,000	3,307	-0,507	4,205
Plate_1_8	4245	1	3,000	-7,150	-10,660	-14,732	8,517	-9,344	-10,561	0,000	3,307	-0,507	4,205
Element 22-46 (Plate)	3594	2	3,000	-7,245	-10,667	-14,662	8,404	-8,156	-9,266	0,000	2,478	-0,551	3,266
(Micropali D168.3x8,0mm/0,4)	3595	3	3,000	-7,339	-10,637	-14,549	8,273	-7,050	-8,055	0,000	1,757	-0,585	2,444
2m	3596	4	3,000	-7,434	-10,568	-14,392	8,125	-6,027	-6,930	0,000	1,137	-0,608	1,734
2m	3593	5	3,000	-7,529	-10,461	-14,191	7,961	-5,090	-5,893	0,000	0,610	-0,640	1,126
Plate_1_8	3593	1	3,000	-7,529	-10,460	-14,190	7,961	-5,086	-5,890	0,000	0,610	-0,640	1,126
Element 22-47 (Plate)	3554	2	3,000	-7,638	-10,285	-13,900	7,751	-4,119	-4,817	0,001	0,110	-0,689	0,545
(Micropali D168.3x8,0mm/0,4)	3555	3	3,000	-7,747	-10,057	-13,548	7,519	-3,248	-3,848	0,097	-0,289	-0,735	0,075
2m	3556	4	3,000	-7,855	-9,776	-13,135	7,264	-2,472	-2,982	0,188	-0,599	-0,780	0,000
2m	3553	5	3,000	-7,964	-9,444	-12,662	6,986	-1,788	-2,218	0,273	-0,830	-0,830	0,000
Plate_1_8	3553	1	3,000	-7,964	-9,444	-12,662	6,985	-1,779	-2,209	0,272	-0,830	-0,830	0,000
Element 22-48 (Plate)	3470	2	3,000	-8,089	-9,004	-12,049	6,637	-1,086	-1,435	0,366	-1,008	-1,008	0,000
(Micropali D168.3x8,0mm/0,4)	3471	3	3,000	-8,213	-8,500	-11,360	6,254	-0,466	-0,744	0,454	-1,104	-1,104	0,000
2m	3472	4	3,000	-8,338	-7,934	-10,594	5,836	0,086	-0,132	0,587	-1,127	-1,127	0,000
2m	3469	5	3,000	-8,463	-7,306	-9,752	5,384	0,573	0,000	0,752	-1,085	-1,085	0,000
Plate_1_8	3469	1	3,000	-8,463	-7,288	-9,732	5,381	0,563	0,000	0,736	-1,085	-1,085	0,000
Element 22-49 (Plate)	3374	2	3,000	-8,605	-6,502	-8,683	4,816	1,080	0,000	1,080	-0,967	-0,967	0,000
(Micropali D168.3x8,0mm/0,4)	3375	3	3,000	-8,748	-5,567	-7,459	4,190	1,493	0,000	1,493	-0,781	-0,781	0,016
2m	3376	4	3,000	-8,891	-4,457	-6,033	3,503	1,768	0,000	1,768	-0,547	-0,547	0,035
2m	3373	5	3,000	-9,033	-3,145	-4,378	2,753	1,876	0,000	1,876	-0,285	-0,285	0,050
Plate_1_9	3373	1	3,000	-9,033	-3,175	-4,405	2,746	1,829	0,000	1,829	-0,285	-0,285	0,050
Element 24-55 (Plate)	3262	2	3,000	-9,150	-2,177	-3,104	2,081	1,042	-0,109	1,042	-0,119	-0,119	0,047
(Micropali D168.3x8,0mm/0,4)	3261	3	3,000	-9,267	-1,280	-1,885	1,372	0,448	-0,181	0,448	-0,035	-0,035	0,029
2m	3260	4	3,000	-9,383	-0,485	-0,749	0,605	0,098	-0,162	0,098	-0,005	-0,005	0,011
2m	3259	5	3,000	-9,500	0,210	-0,221	0,306	0,044	-0,014	0,057	0,000	0,000	0,000

3.2.1.1.8 Calculation results, Node-to-node anchor, Micropalo ancoraggio [Phase_7] (7/250), Table of node-to-node anchors

Structural element	Node	Local number	X [m]	Y [m]	N [10 ^{3} kN]	N_{min} [kN]	N_{max} [10 ^{3} kN]
NodeToNodeAnchor_3_1	7866	1	3,000	-2,200	3,090	0,000	3,090
Element 2-2 (Node-to-node anchor)	9215	2	8,000	-2,997	3,090	0,000	3,090

3.2.1.1.9 Calculation results, Node-to-node anchor, Escavo (progetto) [Phase_8] (8/271), Table of node-to-node anchors

Structural element	Node	Local number	X [m]	Y [m]	N [kN]	N_{min} [kN]	N_{max} [kN]
NodeToNodeAnchor_3_1	7866	1	3,000	-2,200	57,713	0,000	57,713
Element 2-2 (Node-to-node anchor)	9215	2	8,000	-2,997	57,713	0,000	57,713

3.2.1.1.10 Calculation results, Node-to-node anchor, (RD) Muro [Phase_9] (9/298), Table of node-to-node anchors

Structural element	Node	Local number	X [m]	Y [m]	N [kN]	N_{min} [10^{-6} kN]	N_{max} [kN]
NodeToNodeAnchor_3_1	7866	1	3,000	-2,200	58,219	0,000	58,219
Element 2-2 (Node-to-node anchor)	9215	2	8,000	-2,997	58,219	0,000	58,219
NodeToNodeAnchor_1_1	7534	1	0,000	-5,100	0,003	-139,038	0,003
Element 3-3 (Node-to-node anchor)	9280	2	1,417	-9,401	0,003	-139,038	0,003

3.2.1.1.11 Calculation results, Node-to-node anchor, Riempimento 1 [Phase_10] (10/374), Table of node-to-node anchors

Structural element	Node	Local number	X [m]	Y [m]	N [kN]	N_{min} [10^{4} kN]	N_{max} [kN]
NodeToNodeAnchor_3_1	7866	1	3,000	-2,200	59,554	0,000	59,554
Element 2-2 (Node-to-node anchor)	9215	2	8,000	-2,997	59,554	0,000	59,554
NodeToNodeAnchor_1_1	7534	1	0,000	-5,100	1,364	-139,038	1,364
Element 3-3 (Node-to-node anchor)	9280	2	1,417	-9,401	1,364	-139,038	1,364

3.2.1.1.12 Calculation results, Node-to-node anchor, Riempimento 2 [Phase_11] (11/647), Table of node-to-node anchors

Structural element	Node	Local number	X [m]	Y [m]	N [kN]	N_{min} [10^{4} kN]	N_{max} [kN]
NodeToNodeAnchor_3_1	7866	1	3,000	-2,200	59,331	0,000	59,555
Element 2-2 (Node-to-node anchor)	9215	2	8,000	-2,997	59,331	0,000	59,555
NodeToNodeAnchor_1_1	7534	1	0,000	-5,100	6,917	-139,038	6,917
Element 3-3 (Node-to-node anchor)	9280	2	1,417	-9,401	6,917	-139,038	6,917

3.2.1.1.13 Calculation results, Node-to-node anchor, Collegamento [Phase_12] (12/660), Table of node-to-node anchors

Structural element	Node	Local number	X [m]	Y [m]	N [kN]	N_{min} [10^{4} kN]	N_{max} [kN]
NodeToNodeAnchor_2_1	8684	1	0,000	-1,750	0,059	0,000	0,059
Element 1-1 (Node-to-node anchor)	7866	2	3,000	-2,200	0,059	0,000	0,059
NodeToNodeAnchor_3_1	7866	1	3,000	-2,200	59,333	0,000	59,555
Element 2-2 (Node-to-node anchor)	9215	2	8,000	-2,997	59,333	0,000	59,555
NodeToNodeAnchor_1_1	7534	1	0,000	-5,100	6,920	-139,038	6,920
Element 3-3 (Node-to-node anchor)	9280	2	1,417	-9,401	6,920	-139,038	6,920

3.2.1.1.14 Calculation results, Node-to-node anchor, Riempimento 3 [Phase_13] (13/678), Table of node-to-node anchors

Structural element	Node	Local number	X [m]	Y [m]	N [kN]	N_{min} [10^{4} kN]	N_{max} [kN]
NodeToNodeAnchor_2_1	8684	1	0,000	-1,750	23,630	0,000	23,630
Element 1-1 (Node-to-node anchor)	7866	2	3,000	-2,200	23,630	0,000	23,630
NodeToNodeAnchor_3_1	7866	1	3,000	-2,200	61,810	0,000	61,810
Element 2-2 (Node-to-node anchor)	9215	2	8,000	-2,997	61,810	0,000	61,810
NodeToNodeAnchor_1_1	7534	1	0,000	-5,100	10,346	-139,038	10,346
Element 3-3 (Node-to-node anchor)	9280	2	1,417	-9,401	10,346	-139,038	10,346

3.2.1.1.15 Calculation results, Node-to-node anchor, Completamento riempimento [Phase_14] (14/695), Table of node-to-node anchors

Structural element	Node	Local number	X [m]	Y [m]	N [kN]	N_{min} [10^{-5} kN]	N_{max} [kN]
NodeToNodeAnchor_2_1	8684	1	0,000	-1,750	47,762	0,000	47,762
Element 1-1 (Node-to-node anchor)	7866	2	3,000	-2,200	47,762	0,000	47,762
NodeToNodeAnchor_3_1	7866	1	3,000	-2,200	63,683	0,000	63,683
Element 2-2 (Node-to-node anchor)	9215	2	8,000	-2,997	63,683	0,000	63,683
NodeToNodeAnchor_1_1	7534	1	0,000	-5,100	12,221	-139,038	12,221
Element 3-3 (Node-to-node anchor)	9280	2	1,417	-9,401	12,221	-139,038	12,221

3.2.1.1.16 Calculation results, Node-to-node anchor, SLE/SLU 11 Costr [Phase_17] (17/731), Table of node-to-node anchors

Structural element	Node	Local number	X [m]	Y [m]	N [kN]	N_{min} [10^{6} kN]	N_{max} [kN]
NodeToNodeAnchor_2_1	8684	1	0,000	-1,750	119,297	0,000	119,297
Element 1-1 (Node-to-node anchor)	7866	2	3,000	-2,200	119,297	0,000	119,297
NodeToNodeAnchor_3_1	7866	1	3,000	-2,200	104,228	0,000	104,228
Element 2-2 (Node-to-node anchor)	9215	2	8,000	-2,997	104,228	0,000	104,228
NodeToNodeAnchor_1_1	7534	1	0,000	-5,100	14,454	-139,038	14,454
Element 3-3 (Node-to-node anchor)	9280	2	1,417	-9,401	14,454	-139,038	14,454

3.2.1.1.17 Calculation results, Node-to-node anchor, Disattivazione paratia provvisionale [Phase_24] (24/741), Table of node-to-node anchors

Structural element	Node	Local number	X [m]	Y [m]	N [kN]	N_{min} [10^{4} kN]	N_{max} [kN]
NodeToNodeAnchor_2_1	8684	1	0,000	-1,750	61,653	0,000	61,653
Element 1-1 (Node-to-node anchor)	7866	2	3,000	-2,200	61,653	0,000	61,653
NodeToNodeAnchor_3_1	7866	1	3,000	-2,200	65,741	0,000	65,741
Element 2-2 (Node-to-node anchor)	9215	2	8,000	-2,997	65,741	0,000	65,741
NodeToNodeAnchor_1_1	7534	1	0,000	-5,100	13,075	-139,038	13,075
Element 3-3 (Node-to-node anchor)	9280	2	1,417	-9,401	13,075	-139,038	13,075

3.2.1.1.18 Calculation results, Node-to-node anchor, SLE [Phase_18] (18/746), Table of node-to-node anchors

Structural element	Node	Local number	X [m]	Y [m]	N [kN]	N_{min} [10^{4} kN]	N_{max} [kN]
NodeToNodeAnchor_2_1	8684	1	0,000	-1,750	79,802	0,000	79,802
Element 1-1 (Node-to-node anchor)	7866	2	3,000	-2,200	79,802	0,000	79,802
NodeToNodeAnchor_3_1	7866	1	3,000	-2,200	72,985	0,000	72,985
Element 2-2 (Node-to-node anchor)	9215	2	8,000	-2,997	72,985	0,000	72,985
NodeToNodeAnchor_1_1	7534	1	0,000	-5,100	14,759	-139,038	14,759
Element 3-3 (Node-to-node anchor)	9280	2	1,417	-9,401	14,759	-139,038	14,759

3.2.1.1.19 Calculation results, Node-to-node anchor, SLU11 (scalz) [Phase_19] (19/779), Table of node-to-node anchors

Structural element	Node	Local number	X [m]	Y [m]	N [kN]	N_{min} [10^{4} kN]	N_{max} [kN]
NodeToNodeAnchor_2_1	8684	1	0,000	-1,750	147,614	0,000	147,614
Element 1-1 (Node-to-node anchor)	7866	2	3,000	-2,200	147,614	0,000	147,614
NodeToNodeAnchor_3_1	7866	1	3,000	-2,200	136,662	0,000	136,662
Element 2-2 (Node-to-node anchor)	9215	2	8,000	-2,997	136,662	0,000	136,662
NodeToNodeAnchor_1_1	7534	1	0,000	-5,100	30,515	-139,038	30,515
Element 3-3 (Node-to-node anchor)	9280	2	1,417	-9,401	30,515	-139,038	30,515

3.2.1.1.20 Calculation results, Node-to-node anchor, SLU 12 [Phase_20] (20/799), Table of node-to-node anchors

Structural element	Node	Local number	X [m]	Y [m]	N [kN]	N_{min} [10^{6} kN]	N_{max} [kN]
NodeToNodeAnchor_2_1	8684	1	0,000	-1,750	223,483	0,000	223,483
Element 1-1 (Node-to-node anchor)	7866	2	3,000	-2,200	223,483	0,000	223,483
NodeToNodeAnchor_3_1	7866	1	3,000	-2,200	208,568	0,000	208,568
Element 2-2 (Node-to-node anchor)	9215	2	8,000	-2,997	208,568	0,000	208,568
NodeToNodeAnchor_1_1	7534	1	0,000	-5,100	43,465	-139,038	43,465
Element 3-3 (Node-to-node anchor)	9280	2	1,417	-9,401	43,465	-139,038	43,465

3.2.1.1.21 Calculation results, Node-to-node anchor, Eccezionale [Phase_21] (21/917), Table of node-to-node anchors

Structural element	Node	Local number	X [m]	Y [m]	N [kN]	N_{min} [10^{6} kN]	N_{max} [kN]
NodeToNodeAnchor_2_1	8684	1	0,000	-1,750	263,611	0,000	263,611
Element 1-1 (Node-to-node anchor)	7866	2	3,000	-2,200	263,611	0,000	263,611
NodeToNodeAnchor_3_1	7866	1	3,000	-2,200	228,889	0,000	228,889
Element 2-2 (Node-to-node anchor)	9215	2	8,000	-2,997	228,889	0,000	228,889
NodeToNodeAnchor_1_1	7534	1	0,000	-5,100	16,433	-139,038	16,433
Element 3-3 (Node-to-node anchor)	9280	2	1,417	-9,401	16,433	-139,038	16,433

3.2.1.1.22 Calculation results, Node-to-node anchor, SLV [Phase_22] (22/956), Table of node-to-node anchors

Structural element	Node	Local number	X [m]	Y [m]	N [kN]	N_{min} [10^{6} kN]	N_{max} [kN]
NodeToNodeAnchor_2_1	8684	1	0,000	-1,750	193,423	0,000	193,423
Element 1-1 (Node-to-node anchor)	7866	2	3,000	-2,200	193,423	0,000	193,423
NodeToNodeAnchor_3_1	7866	1	3,000	-2,200	198,151	0,000	198,151
Element 2-2 (Node-to-node anchor)	9215	2	8,000	-2,997	198,151	0,000	198,151
NodeToNodeAnchor_1_1	7534	1	0,000	-5,100	49,432	-139,038	49,432
Element 3-3 (Node-to-node anchor)	9280	2	1,417	-9,401	49,432	-139,038	49,432

3.2.1.1.23 Calculation results, Node-to-node anchor, SLD [Phase_23] (23/990), Table of node-to-node anchors

Structural element	Node	Local number	X [m]	Y [m]	N [kN]	N_{min} [10^{6} kN]	N_{max} [kN]
NodeToNodeAnchor_2_1	8684	1	0,000	-1,750	168,309	0,000	168,309
Element 1-1 (Node-to-node anchor)	7866	2	3,000	-2,200	168,309	0,000	168,309
NodeToNodeAnchor_3_1	7866	1	3,000	-2,200	168,466	0,000	168,466
Element 2-2 (Node-to-node anchor)	9215	2	8,000	-2,997	168,466	0,000	168,466
NodeToNodeAnchor_1_1	7534	1	0,000	-5,100	39,157	-139,038	39,157
Element 3-3 (Node-to-node anchor)	9280	2	1,417	-9,401	39,157	-139,038	39,157

3.2.1.1.24 Calculation results, Node-to-node anchor, SLU11 Opera provvisionale [Phase_15] (15/1001), Table of node-to-node anchors

Structural element	Node	Local number	X [m]	Y [m]	N [kN]	N_{min} [kN]	N_{max} [kN]
NodeToNodeAnchor_3_1	7866	1	3,000	-2,200	73,465	0,000	73,465
Element 2-2 (Node-to-node anchor)	9215	2	8,000	-2,997	73,465	0,000	73,465

3.2.1.1.25 Calculation results, Node-to-node anchor, SLU12 Opera provvisionale [Phase_16] (16/1014), Table of node-to-node anchors

Structural element	Node	Local number	X [m]	Y [m]	N [kN]	N_{min} [kN]	N_{max} [kN]
NodeToNodeAnchor_3_1	7866	1	3,000	-2,200	112,017	0,000	112,017
Element 2-2 (Node-to-node anchor)	9215	2	8,000	-2,997	112,017	0,000	112,017

3.2.1.1.26 Calculation results, Node-to-node anchor, Eccezionale Opera Provvisionale [Phase_25] (25/1495), Table of node-to-node anchors

Structural element	Node	Local number	X [m]	Y [m]	N [kN]	N_{min} [kN]	N_{max} [kN]
NodeToNodeAnchor_3_1	7866	1	3,000	-2,200	107,299	0,000	107,299
Element 2-2 (Node-to-node anchor)	9215	2	8,000	-2,997	107,299	0,000	107,299

3.3.1.1.8 Calculation results, Embedded beam, Micropalo ancoraggio [Phase_7] (7/250), Table of embedded beam force envelopes

Structural element	Node	Local number	X [m]	Y [m]	N [10 ^ kN]	Q [10 ^ kN]	M [10 ^ kN m]	T_{max} [10 ^ kN/m]	T_{min} [10 ^ kN/m]	$T_{max,adm}$ [kN/m]	$T_{min,adm}$ [10 ^]	N_{min} [kN]	N_{max} [10 ^ kN]	Q_{min} [10 ^ kN]	Q_{max} [10 ^ kN]	M_{min} [10 ^ kN m]
EmbeddedBeam_21_1	9215	1	8,000	-2,997	3,090	16,409	0,000	300,070	291,182	30,000	10,002	0,000	3,090	0,116	16,409	0,000
Element 1-1 (Embedded beam)	9216	2	8,191	-3,028	3,033	30,067	4,860	295,149	25,493	30,000	9,838	0,000	3,033	-7,477	30,067	-0,790
(Micropalo ancoraggio autoperforante R38 l=1,60m)	9217	3	8,382	-3,058	2,976	24,754	10,354	290,856	-98,964	30,000	9,695	0,000	2,976	-11,714	24,754	-2,685
38	9218	4	8,572	-3,088	2,920	4,435	13,463	286,956	-129,836	30,000	9,565	0,000	2,920	-17,341	4,435	-5,141
38	9219	5	8,763	-3,119	2,865	26,925	11,402	283,301	-125,478	30,000	9,443	0,000	2,865	-26,925	0,000	-8,362
EmbeddedBeam_21_1	9219	1	8,763	-3,119	2,865	22,627	11,402	283,301	-125,478	30,000	9,443	0,000	2,865	-22,627	0,000	-8,362
Element 1-2 (Embedded beam)	9220	2	8,921	-3,144	2,820	40,599	6,290	280,432	-94,732	30,000	9,348	0,000	2,820	-40,599	0,000	-12,143
(Micropalo ancoraggio autoperforante R38 l=1,60m)	9221	3	9,078	-3,169	2,776	52,767	-1,223	277,690	-57,525	30,000	9,256	0,000	2,776	-52,767	0,000	-16,289
38	9222	4	9,235	-3,194	2,732	59,211	-10,219	275,070	-22,866	30,000	9,169	0,000	2,732	-59,211	0,000	-20,556
38	9223	5	9,392	-3,219	2,688	60,016	-19,785	272,565	6,636	30,000	9,086	0,000	2,688	-60,016	0,000	-24,704
EmbeddedBeam_21_1	9223	1	9,392	-3,219	2,688	60,369	-19,785	272,565	6,636	30,000	9,086	0,000	2,688	-60,369	0,000	-24,704
Element 1-3 (Embedded beam)	9224	2	9,522	-3,240	2,653	58,029	-27,583	270,583	27,731	30,000	9,019	0,000	2,653	-58,029	0,000	-27,875
(Micropalo ancoraggio autoperforante R38 l=1,60m)	9225	3	9,652	-3,260	2,617	53,092	-34,907	268,671	47,383	30,000	8,956	0,000	2,617	-53,092	0,000	-34,907
38	9226	4	9,781	-3,281	2,582	45,555	-41,413	266,825	67,367	30,000	8,894	0,000	2,582	-45,555	0,000	-41,413
38	9227	5	9,911	-3,302	2,547	35,410	-46,755	265,042	88,994	30,000	8,835	0,000	2,547	-35,410	0,000	-46,755
EmbeddedBeam_21_1	9227	1	9,911	-3,302	2,547	35,327	-46,755	265,042	88,994	30,000	8,835	0,000	2,547	-35,327	0,000	-46,755
Element 1-4 (Embedded beam)	9228	2	10,018	-3,319	2,519	24,662	-50,019	263,615	108,399	30,000	8,787	0,000	2,519	-24,662	0,238	-50,019
(Micropalo ancoraggio autoperforante R38 l=1,60m)	9229	3	10,125	-3,336	2,490	11,860	-52,014	262,224	128,418	30,000	8,741	0,000	2,490	-11,860	2,985	-52,014
38	9230	4	10,232	-3,353	2,462	3,040	-52,511	260,866	147,163	30,000	8,696	0,000	2,462	0,000	9,028	-52,511
38	9231	5	10,338	-3,370	2,434	19,996	-51,283	259,535	160,722	30,000	8,651	0,000	2,434	0,000	19,996	-51,283
EmbeddedBeam_21_1	9231	1	10,338	-3,370	2,434	19,188	-51,283	259,535	160,722	30,000	8,651	0,000	2,434	0,000	19,188	-51,283
Element 1-5 (Embedded beam)	9232	2	10,427	-3,384	2,410	34,592	-48,876	258,456	161,558	30,000	8,615	0,000	2,410	0,000	34,592	-48,876
(Micropalo ancoraggio autoperforante R38 l=1,60m)	9233	3	10,515	-3,398	2,387	48,221	-45,162	257,390	149,814	30,000	8,580	0,000	2,387	0,000	48,221	-45,162
38	9234	4	10,603	-3,412	2,365	59,493	-40,343	256,321	108,696	30,000	8,544	0,000	2,365	0,000	59,493	-40,343
38	9235	5	10,691	-3,426	2,342	67,826	-34,640	255,212	-6,242	30,000	8,507	0,000	2,342	0,000	67,826	-34,640
EmbeddedBeam_21_1	9235	1	10,691	-3,426	2,342	69,236	-34,640	425,353	-10,403	30,000	14,178	0,000	2,342	0,000	69,236	-34,640
Element 1-6 (Embedded beam)	9236	2	10,782	-3,441	2,302	55,728	-28,832	422,528	-150,561	30,000	14,084	0,000	2,302	0,000	55,728	-28,832
(Micropalo ancoraggio autoperforante R38 l=1,60m)	9237	3	10,874	-3,455	2,263	41,000	-24,348	419,853	-175,178	30,000	13,995	0,000	2,263	0,000	41,000	-24,348
38	9238	4	10,965	-3,470	2,225	25,897	-21,238	417,278	-158,658	30,000	13,909	0,000	2,225	0,000	25,897	-21,238
38	9239	5	11,057	-3,484	2,186	11,263	-19,526	414,779	-128,019	30,000	13,826	0,000	2,186	0,000	11,263	-19,526
EmbeddedBeam_21_1	9239	1	11,057	-3,484	2,186	11,922	-19,526	414,779	-128,019	30,000	13,826	0,000	2,186	0,000	11,922	-19,526
Element 1-7 (Embedded beam)	9240	2	11,156	-3,500	2,145	1,207	-18,897	412,163	-90,800	30,000	13,739	0,000	2,145	1,815	1,207	-18,897
(Micropalo ancoraggio autoperforante R38 l=1,60m)	9241	3	11,255	-3,516	2,103	6,218	-19,174	409,628	-56,230	30,000	13,654	0,000	2,103	6,218	0,000	-19,174
38	9242	4	11,354	-3,532	2,063	10,482	-20,038	407,169	-27,678	30,000	13,572	0,000	2,063	10,482	0,000	-20,038
38	9243	5	11,453	-3,548	2,022	11,713	-21,173	404,784	-6,421	30,000	13,493	0,000	2,022	11,713	0,000	-21,173
EmbeddedBeam_21_1	9243	1	11,453	-3,548	2,022	12,282	-21,173	404,784	-6,421	30,000	13,493	0,000	2,022	12,282	0,000	-21,173
Element 1-8 (Embedded beam)	9244	2	11,560	-3,565	1,978	11,700	-22,479	402,288	8,814	30,000	13,410	0,000	1,978	11,700	0,000	-22,479
(Micropalo ancoraggio autoperforante R38 l=1,60m)	9245	3	11,667	-3,582	1,935	10,329	-23,677	399,874	17,505	30,000	13,329	0,000	1,935	10,329	0,000	-23,677
38	9246	4	11,773	-3,599	1,892	8,291	-24,691	397,539	21,155	30,000	13,251	0,000	1,892	8,291	0,000	-24,691
38	9247	5	11,880	-3,616	1,849	5,705	-25,452	395,282	21,099	30,000	13,176	0,000	1,849	5,705	0,396	-25,452
EmbeddedBeam_21_1	9247	1	11,880	-3,616	1,849	5,931	-25,452	395,282	21,099	30,000	13,176	0,000	1,849	5,931	0,374	-25,452
Element 1-9 (Embedded beam)	9248	2	11,996	-3,634	1,803	3,523	-26,001	392,931	18,875	30,000	13,098	0,000	1,803	3,523	0,861	-26,001
(Micropalo ancoraggio autoperforante R38 l=1,60m)	9249	3	12,111	-3,653	1,757	1,515	-26,292	390,669	15,509	30,000	13,022	0,000	1,757	1,515	1,422	-26,292
38	9250	4	12,227	-3,671	1,711	0,083	-26,371	388,494	11,877	30,000	12,950	0,000	1,711	0,000	2,098	-26,371
38	9251	5	12,342	-3,689	1,666	1,265	-26,289	386,407	8,585	30,000	12,880	0,000	1,666	0,000	2,536	-26,289
EmbeddedBeam_21_1	9251	1	12,342	-3,689	1,666	1,315	-26,289	386,407	8,585	30,000	12,880	0,000	1,666	0,000	2,573	-26,289
Element 1-10 (Embedded beam)	9252	2	12,467	-3,709	1,617	2,139	-26,067	384,249	5,524	30,000	12,808	0,000	1,617	0,000	2,842	-26,067
(Micropalo ancoraggio autoperforante R38 l=1,60m)	9253	3	12,592	-3,729	1,569	2,703	-25,759	382,191	3,252	30,000	12,740	0,000	1,569	0,000	3,002	-25,759
38	9254	4	12,716	-3,749	1,521	3,025	-25,395	380,233	1,705	30,000	12,674	0,000	1,521	0,000	3,062	-25,395

Structural element	Node	Local number	X [m]	Y [m]	N [10 $^{-1}$ kN]	Q [10 $^{-1}$ kN]	M [10 $^{-1}$ kN m]	T_{xx} [10 $^{-1}$ kN/m]	T_{yy} [10 $^{-1}$ kN/m]	$T_{xx,yy}$ [kN/m]	$T_{xx,zz}$ [10 $^{-1}$]	$N_{x,x}$ [kN]	$N_{y,y}$ [10 $^{-1}$ kN]	$Q_{x,y}$ [10 $^{-1}$ kN]	$Q_{y,y}$ [10 $^{-1}$ kN]	$M_{y,y}$ [10 $^{-1}$ kN m]
圆	9255	5	12,841	-3,769	1,473	3,126	-25,004	378,376	0,730	30,000	12,613	0,000	1,473	0,000	3,126	-25,004
EmbeddedBeam_2_1	9255	1	12,841	-3,769	1,473	3,175	-25,004	378,376	0,730	30,000	12,613	0,000	1,473	0,000	3,175	-25,004
Element 1-11 (Embedded beam)	9256	2	12,976	-3,790	1,421	3,207	-24,568	376,481	0,135	30,000	12,549	0,000	1,421	0,000	3,207	-24,568
(Micropalo ancoraggio autoperforante R38 l=1,60m)	9257	3	13,111	-3,812	1,370	3,210	-24,130	374,702	-0,123	30,000	12,490	0,000	1,370	0,000	3,210	-24,130
圆	9258	4	13,246	-3,833	1,319	3,192	-23,693	373,040	-0,185	30,000	12,435	0,000	1,319	0,000	3,192	-23,693
圆	9259	5	13,380	-3,855	1,268	3,157	-23,259	371,495	-0,155	30,000	12,383	0,000	1,268	0,000	3,157	-23,259
EmbeddedBeam_2_1	9259	1	13,380	-3,855	1,268	3,164	-23,259	371,495	-0,155	30,000	12,383	0,000	1,268	0,000	3,164	-23,259
Element 1-12 (Embedded beam)	9260	2	13,526	-3,878	1,214	3,147	-22,794	369,957	-0,085	30,000	12,332	0,000	1,214	0,000	3,147	-22,794
(Micropalo ancoraggio autoperforante R38 l=1,60m)	9261	3	13,672	-3,901	1,159	3,139	-22,331	368,557	-0,010	30,000	12,285	0,000	1,159	0,000	3,139	-22,331
圆	9262	4	13,817	-3,924	1,105	3,141	-21,868	367,295	0,040	30,000	12,243	0,000	1,105	0,000	3,141	-21,868
圆	9263	5	13,963	-3,948	1,051	3,151	-21,404	366,173	0,037	30,000	12,206	0,000	1,051	0,000	3,151	-21,404
EmbeddedBeam_2_1	9263	1	13,963	-3,948	1,051	3,142	-21,404	366,173	0,037	30,000	12,206	0,000	1,051	0,000	3,142	-21,404
Element 1-13 (Embedded beam)	9264	2	14,120	-3,973	0,993	3,154	-20,903	365,119	-0,018	30,000	12,171	0,000	0,993	0,000	3,154	-20,903
(Micropalo ancoraggio autoperforante R38 l=1,60m)	9265	3	14,277	-3,998	0,934	3,138	-20,401	364,231	-0,161	30,000	12,141	0,000	0,934	0,000	3,138	-20,401
圆	9266	4	14,435	-4,023	0,876	3,091	-19,904	363,511	-0,408	30,000	12,117	0,000	0,876	0,000	3,091	-19,904
圆	9267	5	14,592	-4,048	0,819	3,009	-19,418	362,962	-0,756	30,000	12,099	0,000	0,819	0,000	3,009	-19,418
EmbeddedBeam_2_1	9267	1	14,592	-4,048	0,819	3,012	-19,418	362,962	-0,756	30,000	12,099	0,000	0,819	0,000	3,012	-19,418
Element 1-14 (Embedded beam)	9268	2	14,762	-4,075	0,756	2,826	-18,915	362,563	-1,217	30,000	12,085	0,000	0,756	0,000	2,826	-18,915
(Micropalo ancoraggio autoperforante R38 l=1,60m)	9269	3	14,932	-4,102	0,694	2,588	-18,448	362,371	-1,618	30,000	12,079	0,000	0,694	0,000	2,588	-18,448
圆	9270	4	15,102	-4,129	0,631	2,311	-18,026	362,391	-1,669	30,000	12,080	0,000	0,631	0,000	2,311	-18,026
圆	9271	5	15,272	-4,156	0,569	2,009	-17,654	362,628	-0,952	30,000	12,088	0,000	0,569	0,000	2,009	-17,654
EmbeddedBeam_2_1	9271	1	15,272	-4,156	0,569	2,274	-17,654	362,628	-0,952	30,000	12,088	0,000	0,569	0,000	2,274	-17,654
Element 1-15 (Embedded beam)	9272	2	15,456	-4,186	0,502	2,025	-17,271	363,137	2,142	30,000	12,105	0,000	0,502	0,000	2,025	-17,271
(Micropalo ancoraggio autoperforante R38 l=1,60m)	9273	3	15,639	-4,215	0,434	3,006	-16,826	363,921	7,590	30,000	12,131	0,000	0,434	0,000	3,006	-16,826
圆	9274	4	15,823	-4,244	0,366	5,384	-16,066	364,993	17,168	30,000	12,166	0,000	0,366	0,000	5,384	-16,066
圆	9275	5	16,006	-4,273	0,298	9,326	-14,725	366,372	30,601	30,000	12,212	0,000	0,298	0,000	9,326	-14,725
EmbeddedBeam_2_1	9275	1	16,006	-4,273	0,298	6,066	-14,725	366,372	30,601	30,000	12,212	0,000	0,298	0,000	6,066	-14,725
Element 1-16 (Embedded beam)	9276	2	16,205	-4,305	0,224	19,550	-12,061	368,232	45,269	30,000	12,274	0,000	0,224	0,000	19,550	-12,061
(Micropalo ancoraggio autoperforante R38 l=1,60m)	9277	3	16,403	-4,337	0,150	25,142	-7,371	370,592	20,924	30,000	12,353	0,000	0,150	0,000	25,142	-7,371
圆	9278	4	16,602	-4,368	0,075	20,506	-2,642	373,678	-56,566	30,000	12,456	0,000	0,075	0,000	20,506	-2,642
圆	9279	5	16,800	-4,400	0,000	3,307	0,000	377,804	-168,922	30,000	12,593	0,000	0,000	0,000	3,307	0,000

3.3.1.1.9 Calculation results, Embedded beam, Escavo (progetto) [Phase_8] (8/271), Table of embedded beam force envelopes

Structural element	Node	Local number	X [m]	Y [m]	N [kN]	Q [10 ^ kN]	M [10 ^ kN m]	$T_{,,,}$ [kN/m]	$T_{,,,}$ [10 ^ kN/m]	$T_{,,,,,,,}$ [kN/m]	$T_{,,,,,,}$ [10 ^]	$N_{,,,}$ [kN]	$N_{,,,}$ [kN]	$Q_{,,,}$ [10 ^ kN]	$Q_{,,,}$ [10 ^ kN]	$M_{,,,}$ [10 ^ kN m]
EmbeddedBeam_21_1	9215	1	8,000	-2,997	57,712	0,455	0,000	6,347	15,094	30,000	211,574	0,000	57,712	0,000	0,472	0,000
Element 1-1 (Embedded beam)	9216	2	8,191	-3,028	56,502	1,513	0,305	6,200	3,512	30,000	206,653	0,000	56,502	0,000	1,558	-0,001
(Micropalo ancoraggio autoperforante R38 l=1,60m)	9217	3	8,382	-3,058	55,316	1,761	0,531	6,066	-1,590	30,000	202,200	0,000	55,316	0,000	1,799	-0,003
88	9218	4	8,572	-3,088	54,155	1,332	0,843	5,942	3,480	30,000	198,053	0,000	54,155	0,000	1,340	-0,005
89	9219	5	8,763	-3,119	53,020	0,364	1,013	5,823	3,811	30,000	194,108	0,000	53,020	0,000	0,364	-0,008
EmbeddedBeam_21_1	9219	1	8,763	-3,119	53,019	0,536	1,013	5,823	3,811	30,000	194,108	0,000	53,019	0,000	0,536	-0,008
Element 1-2 (Embedded beam)	9220	2	8,921	-3,144	52,100	0,042	1,050	5,729	3,188	30,000	190,979	0,000	52,100	-0,099	0,000	-0,012
(Micropalo ancoraggio autoperforante R38 l=1,60m)	9221	3	9,078	-3,169	51,194	-0,479	1,007	5,639	2,300	30,000	187,957	0,000	51,194	-0,523	0,000	-0,016
90	9222	4	9,235	-3,194	50,303	-0,778	0,905	5,551	-1,447	30,000	185,036	0,000	50,303	-0,809	0,000	-0,021
91	9223	5	9,392	-3,219	49,426	0,940	0,766	5,466	0,741	30,000	182,213	0,000	49,426	-0,957	0,000	-0,025
EmbeddedBeam_21_1	9223	1	9,392	-3,219	49,425	0,951	0,766	5,466	0,741	30,000	182,213	0,000	49,425	-0,970	0,000	-0,025
Element 1-3 (Embedded beam)	9224	2	9,522	-3,240	48,713	-1,012	0,637	5,399	0,268	30,000	179,955	0,000	48,713	-1,019	0,000	-0,028
(Micropalo ancoraggio autoperforante R38 l=1,60m)	9225	3	9,652	-3,260	48,008	-1,021	0,503	5,333	0,129	30,000	177,757	0,000	48,008	-1,021	0,000	-0,035
92	9226	4	9,781	-3,281	47,312	-0,980	0,371	5,268	0,498	30,000	175,617	0,000	47,312	-0,980	0,000	-0,041
93	9227	5	9,911	-3,302	46,625	-0,890	0,348	5,206	0,884	30,000	173,531	0,000	46,625	-0,890	0,000	-0,047
EmbeddedBeam_21_1	9227	1	9,911	-3,302	46,625	-0,888	0,348	5,206	0,884	30,000	173,531	0,000	46,625	-0,888	0,000	-0,047
Element 1-4 (Embedded beam)	9228	2	10,018	-3,319	46,064	-0,776	0,157	5,156	1,242	30,000	171,851	0,000	46,064	-0,776	0,000	-0,050
(Micropalo ancoraggio autoperforante R38 l=1,60m)	9229	3	10,125	-3,336	45,509	-0,619	0,081	5,106	1,642	30,000	170,204	0,000	45,509	-0,619	0,000	-0,688
94	9230	4	10,232	-3,353	44,959	-0,418	0,025	5,058	2,076	30,000	168,590	0,000	44,959	-0,418	0,000	-5,909
95	9231	5	10,338	-3,370	44,415	-0,171	-0,007	5,010	2,502	30,000	167,005	0,000	44,415	-0,171	0,000	-11,779
EmbeddedBeam_21_1	9231	1	10,338	-3,370	44,414	-0,178	-0,007	5,010	2,502	30,000	167,005	0,000	44,414	-0,178	0,000	-11,779
Element 1-5 (Embedded beam)	9232	2	10,427	-3,384	43,969	0,069	-0,012	4,972	2,750	30,000	165,718	0,000	43,969	0,000	0,069	-12,286
(Micropalo ancoraggio autoperforante R38 l=1,60m)	9233	3	10,515	-3,398	43,528	0,316	0,005	4,933	2,869	30,000	164,448	0,000	43,528	0,000	0,316	-5,614
96	9234	4	10,603	-3,412	43,089	0,554	0,044	4,896	2,563	30,000	163,184	0,000	43,089	0,000	0,554	-0,674
97	9235	5	10,691	-3,426	42,654	0,776	0,103	4,857	1,008	30,000	161,904	0,000	42,654	0,000	0,776	-0,035
EmbeddedBeam_21_1	9235	1	10,691	-3,426	42,654	0,810	0,103	8,095	1,680	30,000	269,839	0,000	42,654	0,000	0,810	-0,035
Element 1-6 (Embedded beam)	9236	2	10,782	-3,441	41,907	0,706	0,174	8,028	-1,401	30,000	267,589	0,000	41,907	0,000	0,706	-0,029
(Micropalo ancoraggio autoperforante R38 l=1,60m)	9237	3	10,874	-3,455	41,165	0,543	0,232	7,963	-2,260	30,000	265,444	0,000	41,165	0,000	0,543	-0,024
98	9238	4	10,965	-3,470	40,430	0,340	0,274	7,901	-2,288	30,000	263,372	0,000	40,430	0,000	0,340	-0,021
99	9239	5	11,057	-3,484	39,700	0,113	0,295	7,841	-1,985	30,000	261,358	0,000	39,700	0,000	0,113	-0,020
EmbeddedBeam_21_1	9239	1	11,057	-3,484	39,700	0,130	0,295	7,841	-1,985	30,000	261,358	0,000	39,700	0,000	0,130	-0,020
Element 1-7 (Embedded beam)	9240	2	11,156	-3,500	38,918	-0,044	0,299	7,777	-1,508	30,000	259,247	0,000	38,918	-0,052	0,000	-0,019
(Micropalo ancoraggio autoperforante R38 l=1,60m)	9241	3	11,255	-3,516	38,142	-0,171	0,287	7,716	-1,011	30,000	257,197	0,000	38,142	-0,171	0,000	-0,019
100	9242	4	11,354	-3,532	37,372	-0,251	0,266	7,656	0,569	30,000	255,208	0,000	37,372	-0,251	0,000	-0,020
101	9243	5	11,453	-3,548	36,608	-0,285	0,239	7,598	0,218	30,000	253,276	0,000	36,608	-0,285	0,000	-0,021
EmbeddedBeam_21_1	9243	1	11,453	-3,548	36,608	-0,292	0,239	7,598	0,218	30,000	253,276	0,000	36,608	-0,292	0,000	-0,021
Element 1-8 (Embedded beam)	9244	2	11,560	-3,565	35,789	-0,294	0,207	7,538	0,052	30,000	251,251	0,000	35,789	-0,294	0,000	-0,022
(Micropalo ancoraggio autoperforante R38 l=1,60m)	9245	3	11,667	-3,582	34,976	-0,280	0,176	7,479	0,224	30,000	249,290	0,000	34,976	-0,280	0,000	-0,024
102	9246	4	11,773	-3,599	34,170	-0,252	0,147	7,422	0,316	30,000	247,391	0,000	34,170	-0,252	0,000	-0,025
103	9247	5	11,880	-3,616	33,370	-0,211	0,121	7,367	0,343	30,000	245,553	0,000	33,370	-0,211	0,000	-0,025
EmbeddedBeam_21_1	9247	1	11,880	-3,616	33,369	-0,216	0,121	7,367	0,343	30,000	245,553	0,000	33,369	-0,216	0,000	-0,025
Element 1-9 (Embedded beam)	9248	2	11,996	-3,634	32,512	-0,174	0,099	7,309	0,332	30,000	243,635	0,000	32,512	-0,174	0,000	-0,026
(Micropalo ancoraggio autoperforante R38 l=1,60m)	9249	3	12,111	-3,653	31,660	-0,138	0,080	7,254	0,293	30,000	241,784	0,000	31,660	-0,138	0,000	-0,128
104	9250	4	12,227	-3,671	30,815	-0,107	0,066	7,200	0,241	30,000	240,001	0,000	30,815	-0,107	0,000	-0,353
105	9251	5	12,342	-3,689	29,977	-0,081	0,055	7,149	0,187	30,000	238,284	0,000	29,977	-0,081	0,000	-0,699
EmbeddedBeam_21_1	9251	1	12,342	-3,689	29,976	-0,081	0,055	7,149	0,187	30,000	238,284	0,000	29,976	-0,081	0,000	-0,699
Element 1-10 (Embedded beam)	9252	2	12,467	-3,709	29,077	-0,062	0,046	7,095	0,129	30,000	236,502	0,000	29,077	-0,062	0,000	-1,364
(Micropalo ancoraggio autoperforante R38 l=1,60m)	9253	3	12,592	-3,729	28,184	-0,049	0,039	7,044	0,081	30,000	234,795	0,000	28,184	-0,049	0,000	-2,063
106	9254	4	12,716	-3,749	27,297	-0,041	0,034	6,995	0,043	30,000	233,162	0,000	27,297	-0,041	0,000	-2,937

Structural element	Node	Local number	X [m]	Y [m]	N [kN]	Q [10 ⁻¹ kN]	M [10 ⁻¹ kN m]	$T_{,xx}$ [kN/m]	$T_{,yy}$ [10 ⁻¹ kN/m]	$T_{,xx,xx}$ [kN/m]	$T_{,xx,yy}$ [10 ⁻¹]	$N_{,xx}$ [kN]	$N_{,yy}$ [kN]	$Q_{,xx}$ [10 ⁻¹ kN]	$Q_{,yy}$ [10 ⁻¹ kN]	$M_{,xx}$ [10 ⁻¹ kN m]
臣	9255	5	12,841	-3,769	26,417	0,038	0,029	6,948	0,015	30,000	231,602	0,000	26,417	-0,038	0,000	-3,848
EmbeddedBeam_2_1	9255	1	12,841	-3,769	26,416	0,037	0,029	6,948	0,015	30,000	231,602	0,000	26,416	-0,037	0,000	-3,848
Element 1-11 (Embedded beam)	9256	2	12,976	-3,790	25,472	0,037	0,024	6,900	0,004	30,000	229,999	0,000	25,472	-0,037	0,000	-5,016
(Micropalo ancoraggio autoperforante R38 l=1,60m)	9257	3	13,111	-3,812	24,533	0,038	0,019	6,854	0,013	30,000	228,479	0,000	24,533	-0,038	0,000	-6,422
臣	9258	4	13,246	-3,833	23,600	0,040	0,014	6,811	0,015	30,000	227,044	0,000	23,600	-0,040	0,000	-8,373
臣	9259	5	13,380	-3,855	22,674	0,042	0,008	6,771	0,012	30,000	225,692	0,000	22,674	-0,042	0,000	-10,692
EmbeddedBeam_2_1	9259	1	13,380	-3,855	22,673	0,042	0,008	6,771	0,012	30,000	225,692	0,000	22,673	-0,042	0,000	-10,692
Element 1-12 (Embedded beam)	9260	2	13,526	-3,878	21,678	0,043	0,002	6,730	0,007	30,000	224,324	0,000	21,678	-0,043	0,000	-13,399
(Micropalo ancoraggio autoperforante R38 l=1,60m)	9261	3	13,672	-3,901	20,688	0,044	-0,005	6,692	0,000	30,000	223,054	0,000	20,688	-0,044	0,000	-16,355
臣	9262	4	13,817	-3,924	19,704	0,043	-0,011	6,656	0,006	30,000	221,880	0,000	19,704	-0,043	0,000	-19,288
臣	9263	5	13,963	-3,948	18,726	0,042	-0,017	6,624	0,012	30,000	220,803	0,000	18,726	-0,042	0,000	-21,965
EmbeddedBeam_2_1	9263	1	13,963	-3,948	18,725	0,042	-0,017	6,624	0,012	30,000	220,803	0,000	18,725	-0,042	0,000	-21,965
Element 1-13 (Embedded beam)	9264	2	14,120	-3,973	17,673	0,040	-0,024	6,592	0,016	30,000	219,748	0,000	17,673	-0,040	0,000	-24,573
(Micropalo ancoraggio autoperforante R38 l=1,60m)	9265	3	14,277	-3,998	16,625	0,037	-0,030	6,564	0,020	30,000	218,806	0,000	16,625	-0,037	0,000	-30,013
臣	9266	4	14,435	-4,023	15,581	0,033	-0,036	6,539	0,022	30,000	217,978	0,000	15,581	-0,033	0,000	-35,608
臣	9267	5	14,592	-4,048	14,541	0,030	-0,041	6,518	0,023	30,000	217,265	0,000	14,541	-0,030	0,000	-40,644
EmbeddedBeam_2_1	9267	1	14,592	-4,048	14,540	0,030	-0,041	6,518	0,023	30,000	217,265	0,000	14,540	-0,030	0,000	-40,644
Element 1-14 (Embedded beam)	9268	2	14,762	-4,075	13,421	0,026	-0,045	6,499	0,022	30,000	216,623	0,000	13,421	-0,026	0,000	-45,442
(Micropalo ancoraggio autoperforante R38 l=1,60m)	9269	3	14,932	-4,102	12,304	0,022	-0,050	6,484	0,020	30,000	216,118	0,000	12,304	-0,022	0,000	-49,582
臣	9270	4	15,102	-4,129	11,188	0,019	-0,053	6,473	0,017	30,000	215,750	0,000	11,188	-0,019	0,000	-53,138
臣	9271	5	15,272	-4,156	10,076	0,016	-0,056	6,466	0,013	30,000	215,524	0,000	10,076	-0,016	0,000	-56,181
EmbeddedBeam_2_1	9271	1	15,272	-4,156	10,075	0,016	-0,056	6,466	0,013	30,000	215,524	0,000	10,075	-0,016	0,000	-56,181
Element 1-15 (Embedded beam)	9272	2	15,456	-4,186	8,874	0,014	-0,059	6,463	0,022	30,000	215,441	0,000	8,874	-0,014	0,000	-58,954
(Micropalo ancoraggio autoperforante R38 l=1,60m)	9273	3	15,639	-4,215	7,671	0,008	-0,061	6,466	0,029	30,000	215,533	0,000	7,671	-0,008	0,000	-61,068
臣	9274	4	15,823	-4,244	6,468	0,001	-0,062	6,474	0,064	30,000	215,806	0,000	6,468	0,000	0,002	-61,829
臣	9275	5	16,006	-4,273	5,264	0,015	-0,060	6,488	0,149	30,000	216,270	0,000	5,264	0,000	0,015	-60,476
EmbeddedBeam_2_1	9275	1	16,006	-4,273	5,262	0,011	-0,060	6,488	0,149	30,000	216,270	0,000	5,262	-0,011	0,000	-60,476
Element 1-16 (Embedded beam)	9276	2	16,205	-4,305	3,959	0,084	-0,052	6,510	0,318	30,000	217,000	0,000	3,959	0,000	0,084	-52,408
(Micropalo ancoraggio autoperforante R38 l=1,60m)	9277	3	16,403	-4,337	2,647	0,121	-0,031	6,541	0,106	30,000	218,035	0,000	2,647	0,000	0,121	-30,538
臣	9278	4	16,602	-4,368	1,328	0,090	-0,008	6,585	0,367	30,000	219,506	0,000	1,328	0,000	0,090	-8,343
臣	9279	5	16,800	-4,400	0,002	-0,022	0,000	6,648	0,400	30,000	221,595	0,000	0,002	-0,022	0,000	0,000

3.3.1.1.10 Calculation results, Embedded beam, (RD) Muro [Phase_9] (9/298), Table of embedded beam force envelopes

Structural element	Node	Local number	X [m]	Y [m]	N [kN]	Q [10⁻³ kN]	M [10⁻³ kN m]	$T_{,,,}$ [kN/m]	$T_{,,,}$ [10⁻³ kN/m]	$T_{,,,,,,,}$ [kN/m]	$T_{,,,,,,,}$ [10⁻³]	$N_{,,,}$ [10⁻³ kN]	$N_{,,,}$ [kN]	$Q_{,,,}$ [10⁻³ kN]	$Q_{,,,}$ [10⁻³ kN]	$M_{,,,}$ [10⁻³ kN m]
EmbeddedBeam_21_1	9215	1	8,000	-2,997	58,218	0,446	0,000	-6,403	14,743	30,000	213,447	0,000	58,218	0,000	0,472	0,000
Element 1-1 (Embedded beam)	9216	2	8,191	-3,028	56,997	1,477	0,201	-6,255	3,428	30,000	208,492	0,000	56,997	0,000	1,558	-0,001
(Ricopolo ancoraggio autoperforante R38 l=1,60m)	9217	3	8,382	-3,058	55,801	1,720	0,519	-6,120	-1,533	30,000	204,009	0,000	55,801	0,000	1,799	-0,003
89	9218	4	8,572	-3,088	54,630	1,305	0,823	-5,995	-3,382	30,000	199,833	0,000	54,630	0,000	1,340	-0,005
89	9219	5	8,763	-3,119	53,485	0,363	0,990	-5,876	-3,727	30,000	195,861	0,000	53,485	0,000	0,364	-0,008
EmbeddedBeam_21_1	9219	1	8,763	-3,119	53,484	0,529	0,990	-5,876	-3,727	30,000	195,861	0,000	53,484	0,000	0,536	-0,008
Element 1-2 (Embedded beam)	9220	2	8,921	-3,144	52,556	-0,036	1,028	-5,781	-3,127	30,000	192,708	0,000	52,556	-0,099	0,000	-0,012
(Ricopolo ancoraggio autoperforante R38 l=1,60m)	9221	3	9,078	-3,169	51,642	-0,466	0,986	-5,690	-2,264	30,000	189,662	0,000	51,642	-0,523	0,000	-0,016
89	9222	4	9,235	-3,194	50,743	-0,761	0,886	-5,602	-1,433	30,000	186,718	0,000	50,743	-0,809	0,000	-0,021
89	9223	5	9,392	-3,219	49,858	-0,922	0,751	-5,516	-0,743	30,000	183,871	0,000	49,858	-0,957	0,000	-0,025
EmbeddedBeam_21_1	9223	1	9,392	-3,219	49,857	-0,933	0,751	-5,516	-0,743	30,000	183,871	0,000	49,857	-0,970	0,000	-0,025
Element 1-3 (Embedded beam)	9224	2	9,522	-3,240	49,138	-0,995	0,624	-5,448	-0,279	30,000	181,593	0,000	49,138	-1,019	0,000	-0,028
(Ricopolo ancoraggio autoperforante R38 l=1,60m)	9225	3	9,652	-3,260	48,427	-1,006	0,492	-5,381	0,113	30,000	179,375	0,000	48,427	-1,021	0,000	-0,035
89	9226	4	9,781	-3,281	47,725	-0,968	0,362	-5,316	0,480	30,000	177,215	0,000	47,725	-0,980	0,000	-0,041
89	9227	5	9,911	-3,302	47,031	-0,880	0,240	-5,253	0,867	30,000	175,109	0,000	47,031	-0,890	0,000	-0,047
EmbeddedBeam_21_1	9227	1	9,911	-3,302	47,031	-0,877	0,240	-5,253	0,867	30,000	175,109	0,000	47,031	-0,888	0,000	-0,047
Element 1-4 (Embedded beam)	9228	2	10,018	-3,319	46,466	-0,767	0,150	-5,202	1,227	30,000	173,413	0,000	46,466	-0,776	0,000	-0,050
(Ricopolo ancoraggio autoperforante R38 l=1,60m)	9229	3	10,125	-3,336	45,905	-0,612	0,075	-5,152	1,631	30,000	171,750	0,000	45,905	-0,619	0,000	-0,688
89	9230	4	10,232	-3,353	45,350	-0,412	0,020	-5,104	2,070	30,000	170,119	0,000	45,350	-0,418	0,000	-5,909
89	9231	5	10,338	-3,370	44,801	-0,165	-0,012	-5,056	2,501	30,000	168,517	0,000	44,801	-0,171	0,000	-12,092
EmbeddedBeam_21_1	9231	1	10,338	-3,370	44,801	-0,172	-0,012	-5,056	2,501	30,000	168,517	0,000	44,801	-0,178	0,000	-12,092
Element 1-5 (Embedded beam)	9232	2	10,427	-3,384	44,352	0,075	-0,016	-5,017	2,755	30,000	167,217	0,000	44,352	0,000	0,075	-16,493
(Ricopolo ancoraggio autoperforante R38 l=1,60m)	9233	3	10,515	-3,398	43,906	0,322	0,001	-4,978	2,879	30,000	165,933	0,000	43,906	0,000	0,322	-5,614
89	9234	4	10,603	-3,412	43,464	0,562	0,041	-4,940	2,575	30,000	164,655	0,000	43,464	0,000	0,562	-0,674
89	9235	5	10,691	-3,426	43,025	0,785	0,101	-4,901	1,014	30,000	163,361	0,000	43,025	0,000	0,785	-0,035
EmbeddedBeam_21_1	9235	1	10,691	-3,426	43,025	0,819	0,101	-8,168	1,690	30,000	272,268	0,000	43,025	0,000	0,819	-0,035
Element 1-6 (Embedded beam)	9236	2	10,782	-3,441	42,271	0,714	0,173	-8,100	-1,416	30,000	269,996	0,000	42,271	0,000	0,714	-0,029
(Ricopolo ancoraggio autoperforante R38 l=1,60m)	9237	3	10,874	-3,455	41,523	0,550	0,231	-8,035	-2,281	30,000	267,830	0,000	41,523	0,000	0,550	-0,024
89	9238	4	10,965	-3,470	40,780	0,345	0,273	-7,972	-2,308	30,000	265,737	0,000	40,780	0,000	0,345	-0,021
89	9239	5	11,057	-3,484	40,044	0,115	0,295	-7,911	-2,002	30,000	263,704	0,000	40,044	0,000	0,115	-0,020
EmbeddedBeam_21_1	9239	1	11,057	-3,484	40,044	0,133	0,295	-7,911	-2,002	30,000	263,704	0,000	40,044	0,000	0,133	-0,020
Element 1-7 (Embedded beam)	9240	2	11,156	-3,500	39,255	-0,043	0,299	-7,847	-1,520	30,000	261,571	0,000	39,255	-0,052	0,000	-0,019
(Ricopolo ancoraggio autoperforante R38 l=1,60m)	9241	3	11,255	-3,516	38,472	-0,171	0,288	-7,785	-1,019	30,000	259,501	0,000	38,472	-0,171	0,000	-0,019
89	9242	4	11,354	-3,532	37,695	-0,251	0,266	-7,725	-0,574	30,000	257,492	0,000	37,695	-0,251	0,000	-0,020
89	9243	5	11,453	-3,548	36,924	-0,286	0,239	-7,666	-0,221	30,000	255,540	0,000	36,924	-0,286	0,000	-0,021
EmbeddedBeam_21_1	9243	1	11,453	-3,548	36,924	-0,293	0,239	-7,666	-0,221	30,000	255,540	0,000	36,924	-0,293	0,000	-0,021
Element 1-8 (Embedded beam)	9244	2	11,560	-3,565	36,098	-0,295	0,207	-7,605	0,052	30,000	253,495	0,000	36,098	-0,295	0,000	-0,022
(Ricopolo ancoraggio autoperforante R38 l=1,60m)	9245	3	11,667	-3,582	35,278	-0,281	0,175	-7,545	0,225	30,000	251,514	0,000	35,278	-0,281	0,000	-0,024
89	9246	4	11,773	-3,599	34,464	-0,253	0,146	-7,488	0,317	30,000	249,595	0,000	34,464	-0,253	0,000	-0,025
89	9247	5	11,880	-3,616	33,657	-0,212	0,121	-7,432	0,345	30,000	247,738	0,000	33,657	-0,212	0,000	-0,025
EmbeddedBeam_21_1	9247	1	11,880	-3,616	33,657	-0,216	0,121	-7,432	0,345	30,000	247,738	0,000	33,657	-0,216	0,000	-0,025
Element 1-9 (Embedded beam)	9248	2	11,996	-3,634	32,792	-0,175	0,098	-7,374	0,334	30,000	245,800	0,000	32,792	-0,175	0,000	-0,026
(Ricopolo ancoraggio autoperforante R38 l=1,60m)	9249	3	12,111	-3,653	31,932	-0,138	0,080	-7,318	0,295	30,000	243,930	0,000	31,932	-0,138	0,000	-0,128
89	9250	4	12,227	-3,671	31,080	-0,107	0,066	-7,264	0,242	30,000	242,128	0,000	31,080	-0,107	0,000	-0,353
89	9251	5	12,342	-3,689	30,234	-0,081	0,055	-7,212	0,187	30,000	240,392	0,000	30,234	-0,081	0,000	-0,699
EmbeddedBeam_21_1	9251	1	12,342	-3,689	30,233	-0,081	0,055	-7,212	0,187	30,000	240,392	0,000	30,233	-0,081	0,000	-0,699
Element 1-10 (Embedded beam)	9252	2	12,467	-3,709	29,326	-0,062	0,046	-7,158	0,129	30,000	238,591	0,000	29,326	-0,062	0,000	-1,364
(Ricopolo ancoraggio autoperforante R38 l=1,60m)	9253	3	12,592	-3,729	28,425	-0,048	0,039	-7,106	0,081	30,000	236,866	0,000	28,425	-0,049	0,000	-2,063
89	9254	4	12,716	-3,749	27,530	-0,041	0,034	-7,056	0,043	30,000	235,215	0,000	27,530	-0,041	0,000	-2,937
89	9255	5	12,841	-3,769	26,642	-0,038	0,029	-7,009	0,015	30,000	233,638	0,000	26,642	-0,038	0,000	-3,848

Structural element	Node	Local number	X [m]	Y [m]	N [kN]	Q [10 ^ kN]	M [10 ^ kN m]	T_{xx} [kN/m]	T_{yy} [10 ^ kN/m]	$T_{xx,xx}$ [kN/m]	$T_{yy,yy}$ [10 ^]	$N_{x,x}$ [10 ^ kN]	$N_{y,y}$ [kN]	$Q_{x,x}$ [10 ^ kN]	$Q_{y,y}$ [10 ^ kN]	$M_{x,x}$ [10 ^ kN m]
EmbeddedBeam_2_1	9255	1	12,841	-3,769	26,642	-0,037	0,029	-7,009	0,015	30,000	233,638	0,000	26,642	-0,037	0,000	-3,848
Element 1-11 (Embedded beam)	9256	2	12,976	-3,790	25,689	-0,037	0,024	-6,960	-0,004	30,000	232,016	0,000	25,689	-0,037	0,000	-5,016
(Micropalo ancoraggio autoperforante R38 l=1,60m)	9257	3	13,111	-3,812	24,742	-0,038	0,019	-6,914	-0,013	30,000	230,480	0,000	24,742	-0,038	0,000	-6,422
3	9258	4	13,246	-3,833	23,801	-0,040	0,013	-6,871	-0,015	30,000	229,028	0,000	23,801	-0,040	0,000	-8,373
3	9259	5	13,380	-3,855	22,867	-0,042	0,008	-6,830	-0,012	30,000	227,661	0,000	22,867	-0,042	0,000	-10,692
EmbeddedBeam_2_1	9259	1	13,380	-3,855	22,866	-0,042	0,008	-6,830	-0,012	30,000	227,661	0,000	22,866	-0,042	0,000	-10,692
Element 1-12 (Embedded beam)	9260	2	13,526	-3,878	21,863	-0,043	0,001	-6,788	-0,007	30,000	226,278	0,000	21,863	-0,043	0,000	-13,399
(Micropalo ancoraggio autoperforante R38 l=1,60m)	9261	3	13,672	-3,901	20,864	-0,044	0,005	-6,750	0,000	30,000	224,992	0,000	20,864	-0,044	0,000	-16,355
3	9262	4	13,817	-3,924	19,871	-0,043	0,011	-6,714	0,006	30,000	223,804	0,000	19,871	-0,043	0,000	-19,288
3	9263	5	13,963	-3,948	18,885	-0,042	0,018	-6,681	0,012	30,000	222,714	0,000	18,885	-0,042	0,000	-21,965
EmbeddedBeam_2_1	9263	1	13,963	-3,948	18,884	-0,042	0,018	-6,681	0,012	30,000	222,714	0,000	18,884	-0,042	0,000	-21,965
Element 1-13 (Embedded beam)	9264	2	14,120	-3,973	17,823	-0,040	0,024	-6,649	0,016	30,000	221,445	0,000	17,823	-0,040	0,000	-24,573
(Micropalo ancoraggio autoperforante R38 l=1,60m)	9265	3	14,277	-3,998	16,765	-0,037	0,030	-6,621	0,020	30,000	220,691	0,000	16,765	-0,037	0,000	-30,289
3	9266	4	14,435	-4,023	15,712	-0,033	0,036	-6,596	0,022	30,000	219,852	0,000	15,712	-0,033	0,000	-35,894
3	9267	5	14,592	-4,048	14,664	-0,030	0,041	-6,574	0,023	30,000	219,128	0,000	14,664	-0,030	0,000	-40,943
EmbeddedBeam_2_1	9267	1	14,592	-4,048	14,663	-0,030	0,041	-6,574	0,023	30,000	219,128	0,000	14,663	-0,030	0,000	-40,943
Element 1-14 (Embedded beam)	9268	2	14,762	-4,075	13,534	-0,026	0,046	-6,554	0,022	30,000	218,477	0,000	13,534	-0,026	0,000	-45,754
(Micropalo ancoraggio autoperforante R38 l=1,60m)	9269	3	14,932	-4,102	12,407	-0,022	0,050	-6,539	0,020	30,000	217,962	0,000	12,407	-0,022	0,000	-49,909
3	9270	4	15,102	-4,129	11,283	-0,019	0,053	-6,528	0,017	30,000	217,587	0,000	11,283	-0,019	0,000	-53,479
3	9271	5	15,272	-4,156	10,161	-0,016	0,057	-6,521	0,013	30,000	217,354	0,000	10,161	-0,016	0,000	-56,536
EmbeddedBeam_2_1	9271	1	15,272	-4,156	10,159	-0,016	0,057	-6,521	0,013	30,000	217,354	0,000	10,159	-0,016	0,000	-56,536
Element 1-15 (Embedded beam)	9272	2	15,456	-4,186	8,948	-0,014	0,059	-6,518	0,022	30,000	217,246	0,000	8,948	-0,014	0,000	-59,326
(Micropalo ancoraggio autoperforante R38 l=1,60m)	9273	3	15,639	-4,215	7,736	-0,008	0,061	-6,521	0,029	30,000	217,354	0,000	7,736	-0,008	0,000	-61,455
3	9274	4	15,823	-4,244	6,522	0,001	0,062	-6,529	0,044	30,000	217,625	0,000	6,522	0,000	0,002	-62,224
3	9275	5	16,006	-4,273	5,308	0,015	0,061	-6,543	0,150	30,000	218,088	0,000	5,308	0,000	0,015	-60,869
EmbeddedBeam_2_1	9275	1	16,006	-4,273	5,306	-0,011	0,061	-6,543	0,150	30,000	218,088	0,000	5,306	-0,011	0,000	-60,869
Element 1-16 (Embedded beam)	9276	2	16,205	-4,305	3,992	0,084	0,053	-6,565	0,320	30,000	218,819	0,000	3,992	0,000	0,084	-52,753
(Micropalo ancoraggio autoperforante R38 l=1,60m)	9277	3	16,403	-4,337	2,669	0,122	0,031	-6,596	0,106	30,000	219,858	0,000	2,669	0,000	0,122	-30,735
3	9278	4	16,602	-4,368	1,339	0,090	0,008	-6,640	-0,370	30,000	221,337	0,000	1,339	0,000	0,090	-8,390
3	9279	5	16,800	-4,400	0,002	-0,022	0,000	-6,703	-0,402	30,000	223,439	0,000	0,002	-0,022	0,000	0,000
EmbeddedBeam_1_1	9280	1	1,417	-0,401	0,003	0,004	0,000	-0,011	0,051	125,000	0,087	131,819	0,003	0,000	0,004	0,000
Element 2-17 (Embedded beam)	9281	2	1,472	-0,568	0,002	0,001	0,000	-0,006	-0,012	125,000	0,047	68,226	0,002	0,000	0,001	-0,026
(Micropalo D168.3 s12.5mm/1,6m)	9282	3	1,527	-0,735	0,001	-0,001	0,000	-0,003	-0,012	125,000	0,025	25,730	0,001	-0,001	0,000	-0,047
3	9283	4	1,582	-0,901	0,001	-0,002	0,000	-0,002	-0,002	125,000	0,013	1,792	0,001	-0,002	0,000	-0,060
3	9284	5	1,637	-1,068	0,001	-0,002	0,000	-0,001	0,003	125,000	0,007	0,000	0,001	-0,002	0,000	-0,153
EmbeddedBeam_1_1	9284	1	1,637	-1,068	0,000	-0,002	0,000	-0,001	0,003	125,000	0,007	0,000	0,000	-0,002	0,000	-0,153
Element 2-18 (Embedded beam)	9285	2	1,693	-1,238	0,000	-0,001	0,000	0,000	0,003	125,000	0,004	0,000	0,000	-0,001	0,000	-0,415
(Micropalo D168.3 s12.5mm/1,6m)	9286	3	1,749	-1,408	0,000	-0,001	0,001	0,000	0,003	125,000	0,002	0,000	0,000	-0,001	0,000	-0,567
3	9287	4	1,805	-1,578	0,000	0,000	0,001	0,000	0,002	125,000	0,001	0,000	0,000	0,000	0,000	-0,627
3	9288	5	1,861	-1,748	0,000	0,000	0,001	0,000	0,001	125,000	0,001	0,000	0,000	0,000	0,000	-0,619
EmbeddedBeam_1_1	9288	1	1,861	-1,748	0,000	0,000	0,001	0,000	0,001	125,000	0,001	0,000	0,000	0,000	0,000	-0,619
Element 2-19 (Embedded beam)	9289	2	1,918	-1,922	0,000	0,000	0,001	0,000	0,000	125,000	0,001	0,000	0,000	0,000	0,000	-0,565
(Micropalo D168.3 s12.5mm/1,6m)	9290	3	1,975	-11,095	0,000	0,000	0,000	0,000	0,000	125,000	0,001	0,000	0,000	0,000	0,000	-0,496
3	9291	4	2,032	-11,268	0,000	0,000	0,000	0,000	0,000	125,000	0,001	0,000	0,000	0,000	0,000	-0,420
3	9292	5	2,089	-11,441	0,000	0,000	0,000	0,000	0,000	125,000	0,001	0,000	0,000	0,000	0,000	-0,349
EmbeddedBeam_1_1	9292	1	2,089	-11,441	0,000	0,000	0,000	0,000	0,000	125,000	0,001	0,000	0,000	0,000	0,000	-0,349
Element 2-20 (Embedded beam)	9293	2	2,147	-11,618	0,000	0,000	0,000	0,000	0,000	125,000	0,001	0,000	0,000	0,000	0,000	-0,286
(Micropalo D168.3 s12.5mm/1,6m)	9294	3	2,205	-11,794	0,000	0,000	0,000	0,000	0,000	125,000	0,000	0,000	0,000	0,000	0,000	-0,235
3	9295	4	2,263	-11,971	0,000	0,000	0,000	0,000	0,000	125,000	0,000	0,000	0,000	0,000	0,000	-0,194
3	9296	5	2,321	-12,147	0,000	0,000	0,000	0,000	0,000	125,000	0,000	0,000	0,000	0,000	0,000	-0,162
EmbeddedBeam_1_1	9296	1	2,321	-12,147	0,000	0,000	0,000	0,000	0,000	125,000	0,000	0,000	0,000	0,000	0,000	-0,162
Element 2-21 (Embedded beam)	9297	2	2,381	-12,327	0,000	0,000	0,000	0,000	0,000	125,000	0,000	0,000	0,000	0,000	0,000	-0,138
(Micropalo D168.3 s12.5mm/1,6m)	9298	3	2,440	-12,507	0,000	0,000	0,000	0,000	0,000	125,000	0,000	0,000	0,000	0,000	0,000	-0,120
3	9299	4	2,499	-12,687	0,000	0,000	0,000	0,000	0,000	125,000	0,000	0,000	0,000	0,000	0,000	-0,107
3	9300	5	2,558	-12,867	0,000	0,000	0,000	0,000	0,000	125,000	0,000	0,000	0,000	0,000	0,000	-0,098
EmbeddedBeam_1_1	9300	1	2,558	-12,867	0,000	0,000	0,000	0,000	0,000	125,000	0,000	0,000	0,000	0,000	0,000	-0,098
Element 2-22 (Embedded beam)	9301	2	2,619	-13,050	0,000	0,000	0,000	0,000	0,000	125,000	0,000	0,000	0,000	0,000	0,000	-0,091

Structural element	Node	Local number	X [m]	Y [m]	N [kN]	Q [10 ⁻¹ kN]	M [10 ⁻¹ kN m]	$T_{xx,a}$ [kN/m]	$T_{xx,b}$ [10 ⁻¹ kN/m]	$T_{xx,a,eq}$ [kN/m]	$T_{xx,a,eq}$ [10 ⁻¹]	$N_{xx,a}$ [10 ⁻¹ kN]	$N_{xx,b}$ [kN]	$Q_{xx,a}$ [10 ⁻¹ kN]	$Q_{xx,b}$ [10 ⁻¹ kN]	$M_{xx,a}$ [10 ⁻¹ kN m]
(Micropalo D168.3 x12.5mm/1.6m)	9302	3	2.679	-13.233	0.000	0.000	0.000	0.000	0.001	125.000	0.001	0.000	0.000	0.000	0.000	0.075
"	9303	4	2.740	-13.417	0.000	0.000	0.000	0.000	0.000	125.000	0.001	0.000	0.000	0.000	0.000	0.046
"	9304	5	2.800	-13.600	0.000	0.000	0.000	0.000	0.004	125.000	0.002	0.000	0.000	0.000	0.000	0.000

3.3.1.1.11 Calculation results, Embedded beam, Riempimento 1 [Phase_10] (10/374), Table of embedded beam force envelopes

Structural element	Node	Local number	X [m]	Y [m]	N [kN]	Q [10 ⁻¹ kN]	M [10 ⁻¹ kN m]	$T_{,xx}$ [kN/m]	$T_{,xx}$ [10 ⁻¹ kN/m]	$T_{,xxxx,max}$ [kN/m]	$T_{,xxxx,min}$ [10 ⁻¹]	$N_{,x,x}$ [10 ⁻¹ kN]	$N_{,x,x}$ [kN]	$Q_{,x,x}$ [10 ⁻¹ kN]	$Q_{,x,x}$ [10 ⁻¹ kN]	$M_{,x,x}$ [10 ⁻¹ kN m]
EmbeddedBeam_21_1	9215	1	8,000	-2,997	59,553	0,481	0,000	-6,488	16,067	10,000	216,275	0,000	59,553	0,000	0,481	0,000
Element 1-1 (Embedded beam)	9216	2	8,191	-3,028	58,316	1,617	0,219	-6,339	3,783	10,000	211,303	0,000	58,316	0,000	1,617	-0,001
(Micropalo ancoraggio autoperforante R38 l=1,60m)	9217	3	8,382	-3,058	57,103	1,888	0,568	-6,204	-1,662	10,000	206,812	0,000	57,103	0,000	1,888	-0,003
嵌	9218	4	8,572	-3,088	55,916	1,437	0,902	-6,079	-3,681	10,000	202,636	0,000	55,916	0,000	1,437	-0,005
嵌	9219	5	8,763	-3,119	54,754	0,410	1,088	-5,960	-4,025	10,000	198,668	0,000	54,754	0,000	0,410	-0,008
EmbeddedBeam_21_1	9219	1	8,763	-3,119	54,753	0,594	1,088	-5,960	-4,025	10,000	198,668	0,000	54,753	0,000	0,594	-0,008
Element 1-2 (Embedded beam)	9220	2	8,921	-3,144	53,812	-0,015	1,132	-5,866	-3,362	10,000	195,523	0,000	53,812	-0,099	0,000	-0,012
(Micropalo ancoraggio autoperforante R38 l=1,60m)	9221	3	9,078	-3,169	52,885	-0,477	1,091	-5,775	-2,421	10,000	192,487	0,000	52,885	-0,523	0,000	-0,016
嵌	9222	4	9,235	-3,194	51,972	-0,791	0,988	-5,687	-1,516	10,000	189,556	0,000	51,972	-0,809	0,000	-0,021
嵌	9223	5	9,392	-3,219	51,074	-0,959	0,847	-5,602	-0,764	10,000	186,724	0,000	51,074	-0,959	0,000	-0,025
EmbeddedBeam_21_1	9223	1	9,392	-3,219	51,073	-0,971	0,847	-5,602	-0,764	10,000	186,724	0,000	51,073	-0,971	0,000	-0,025
Element 1-3 (Embedded beam)	9224	2	9,522	-3,240	50,342	-1,032	0,714	-5,534	-0,259	10,000	184,460	0,000	50,342	-1,032	0,000	-0,028
(Micropalo ancoraggio autoperforante R38 l=1,60m)	9225	3	9,652	-3,260	49,620	-1,038	0,578	-5,468	0,167	10,000	182,258	0,000	49,620	-1,038	0,000	-0,035
嵌	9226	4	9,781	-3,281	48,906	-0,991	0,444	-5,403	0,561	10,000	180,115	0,000	48,906	-0,991	0,000	-0,041
嵌	9227	5	9,911	-3,302	48,202	-0,891	0,320	-5,341	0,969	10,000	178,028	0,000	48,202	-0,891	0,000	-0,047
EmbeddedBeam_21_1	9227	1	9,911	-3,302	48,201	-0,889	0,320	-5,341	0,969	10,000	178,028	0,000	48,201	-0,889	0,000	-0,047
Element 1-4 (Embedded beam)	9228	2	10,018	-3,319	47,626	-0,767	0,230	-5,290	1,341	10,000	176,348	0,000	47,626	-0,776	0,000	-0,050
(Micropalo ancoraggio autoperforante R38 l=1,60m)	9229	3	10,125	-3,336	47,056	-0,599	0,156	-5,241	1,748	10,000	174,703	0,000	47,056	-0,619	0,000	-0,688
嵌	9230	4	10,232	-3,353	46,492	-0,387	0,102	-5,193	2,178	10,000	173,090	0,000	46,492	-0,418	0,000	-5,909
嵌	9231	5	10,338	-3,370	45,933	-0,128	0,074	-5,145	2,583	10,000	171,507	0,000	45,933	-0,171	0,000	-12,092
EmbeddedBeam_21_1	9231	1	10,338	-3,370	45,932	-0,137	0,074	-5,145	2,583	10,000	171,507	0,000	45,932	-0,178	0,000	-12,092
Element 1-5 (Embedded beam)	9232	2	10,427	-3,384	45,475	0,117	0,073	-5,107	2,794	10,000	170,222	0,000	45,475	0,000	0,117	-16,493
(Micropalo ancoraggio autoperforante R38 l=1,60m)	9233	3	10,515	-3,398	45,022	0,365	0,094	-5,069	2,853	10,000	168,955	0,000	45,022	0,000	0,365	-5,614
嵌	9234	4	10,603	-3,412	44,571	0,597	0,137	-5,031	2,453	10,000	167,694	0,000	44,571	0,000	0,597	-0,674
嵌	9235	5	10,691	-3,426	44,124	0,806	0,200	-4,992	0,744	10,000	166,415	0,000	44,124	0,000	0,806	-0,035
EmbeddedBeam_21_1	9235	1	10,691	-3,426	44,124	0,838	0,200	-8,321	1,239	10,000	277,359	0,000	44,124	0,000	0,838	-0,035
Element 1-6 (Embedded beam)	9236	2	10,782	-3,441	43,356	0,696	0,272	-8,253	-1,751	10,000	275,100	0,000	43,356	0,000	0,714	-0,029
(Micropalo ancoraggio autoperforante R38 l=1,60m)	9237	3	10,874	-3,455	42,594	0,507	0,328	-8,188	-2,496	10,000	272,949	0,000	42,594	0,000	0,550	-0,024
嵌	9238	4	10,965	-3,470	41,837	0,286	0,365	-8,126	-2,422	10,000	270,873	0,000	41,837	0,000	0,345	-0,021
嵌	9239	5	11,057	-3,484	41,087	0,051	0,381	-8,066	-2,037	10,000	268,856	0,000	41,087	0,000	0,115	-0,020
EmbeddedBeam_21_1	9239	1	11,057	-3,484	41,086	0,068	0,381	-8,066	-2,037	10,000	268,856	0,000	41,086	0,000	0,133	-0,020
Element 1-7 (Embedded beam)	9240	2	11,156	-3,500	40,282	-0,108	0,378	-8,002	-1,492	10,000	266,742	0,000	40,282	-0,108	0,000	-0,019
(Micropalo ancoraggio autoperforante R38 l=1,60m)	9241	3	11,255	-3,516	39,483	-0,231	0,361	-7,941	-0,947	10,000	264,692	0,000	39,483	-0,231	0,000	-0,019
嵌	9242	4	11,354	-3,532	38,691	-0,303	0,334	-7,881	-0,472	10,000	262,704	0,000	38,691	-0,303	0,000	-0,020
嵌	9243	5	11,453	-3,548	37,904	-0,325	0,302	-7,823	-0,100	10,000	260,774	0,000	37,904	-0,325	0,000	-0,021
EmbeddedBeam_21_1	9243	1	11,453	-3,548	37,904	-0,333	0,302	-7,823	-0,100	10,000	260,774	0,000	37,904	-0,333	0,000	-0,021
Element 1-8 (Embedded beam)	9244	2	11,560	-3,565	37,061	-0,321	0,266	-7,763	0,184	10,000	258,753	0,000	37,061	-0,321	0,000	-0,022
(Micropalo ancoraggio autoperforante R38 l=1,60m)	9245	3	11,667	-3,582	36,224	-0,293	0,233	-7,704	0,358	10,000	256,797	0,000	36,224	-0,293	0,000	-0,024
嵌	9246	4	11,773	-3,599	35,393	-0,250	0,203	-7,647	0,442	10,000	254,904	0,000	35,393	-0,257	0,000	-0,025
嵌	9247	5	11,880	-3,616	34,569	-0,196	0,179	-7,592	0,450	10,000	253,073	0,000	34,569	-0,215	0,000	-0,025
EmbeddedBeam_21_1	9247	1	11,880	-3,616	34,568	-0,201	0,179	-7,592	0,450	10,000	253,073	0,000	34,568	-0,219	0,000	-0,025
Element 1-9 (Embedded beam)	9248	2	11,996	-3,634	33,684	-0,149	0,159	-7,535	0,410	10,000	251,163	0,000	33,684	-0,176	0,000	-0,026
(Micropalo ancoraggio autoperforante R38 l=1,60m)	9249	3	12,111	-3,653	32,806	-0,105	0,144	-7,480	0,334	10,000	249,321	0,000	32,806	-0,139	0,000	-0,128
嵌	9250	4	12,227	-3,671	31,935	-0,072	0,134	-7,426	0,242	10,000	247,547	0,000	31,935	-0,108	0,000	-0,353
嵌	9251	5	12,342	-3,689	31,070	-0,049	0,127	-7,375	0,152	10,000	245,839	0,000	31,070	-0,082	0,000	-0,699
EmbeddedBeam_21_1	9251	1	12,342	-3,689	31,069	-0,047	0,127	-7,375	0,152	10,000	245,839	0,000	31,069	-0,082	0,000	-0,699
Element 1-10 (Embedded beam)	9252	2	12,467	-3,709	30,141	-0,036	0,121	-7,322	0,063	10,000	244,067	0,000	30,141	-0,063	0,000	-1,364
(Micropalo ancoraggio autoperforante R38 l=1,60m)	9253	3	12,592	-3,729	29,219	-0,032	0,117	-7,271	-0,003	10,000	242,370	0,000	29,219	-0,049	0,000	-2,063
嵌	9254	4	12,716	-3,749	28,304	-0,034	0,113	-7,222	-0,044	10,000	240,749	0,000	28,304	-0,041	0,000	-2,937

Structural element	Node	Local number	X [m]	Y [m]	N [kN]	Q [10 ⁻¹ kN]	M [10 ⁻¹ kN m]	$T_{xx,sup}$ [kN/m]	T_{xx} [10 ⁻¹ kN/m]	$T_{xx,inf}$ [kN/m]	$T_{xx,inf}$ [10 ⁻¹]	N_{xx} [10 ⁻¹ kN]	N_{xx} [kN]	Q_{xz} [10 ⁻¹ kN]	Q_{xy} [10 ⁻¹ kN]	M_{xx} [10 ⁻¹ kN m]
晋	9255	5	12,841	-3,769	27,395	-0,043	0,108	-7,176	-0,063	30,000	239,202	0,000	27,395	-0,043	0,000	-3,848
EmbeddedBeam_2_1	9255	1	12,841	-3,769	27,394	-0,041	0,108	-7,176	-0,063	30,000	239,202	0,000	27,394	-0,041	0,000	-3,848
Element 1-11 (Embedded beam)	9256	2	12,976	-3,790	26,419	-0,051	0,102	-7,128	-0,065	30,000	237,613	0,000	26,419	-0,051	0,000	-5,016
(#)Ircropalo ancoraggio autoperforante R38 l=1,60m)	9257	3	13,111	-3,812	25,449	-0,059	0,094	-7,083	-0,054	30,000	236,111	0,000	25,449	-0,059	0,000	-6,422
晋	9258	4	13,246	-3,833	24,484	-0,065	0,086	-7,041	-0,038	30,000	234,695	0,000	24,484	-0,065	0,000	-8,373
晋	9259	5	13,380	-3,855	23,527	-0,070	0,077	-7,001	-0,021	30,000	233,363	0,000	23,527	-0,070	0,000	-10,692
EmbeddedBeam_2_1	9259	1	13,380	-3,855	23,526	-0,070	0,077	-7,001	-0,021	30,000	233,363	0,000	23,526	-0,070	0,000	-10,692
Element 1-12 (Embedded beam)	9260	2	13,526	-3,878	22,497	-0,071	0,066	-6,961	-0,003	30,000	232,021	0,000	22,497	-0,071	0,000	-13,399
(#)Ircropalo ancoraggio autoperforante R38 l=1,60m)	9261	3	13,672	-3,901	21,474	-0,071	0,056	-6,923	0,010	30,000	230,779	0,000	21,474	-0,071	0,000	-16,355
晋	9262	4	13,817	-3,924	20,455	-0,068	0,046	-6,889	0,020	30,000	229,635	0,000	20,455	-0,068	0,000	-19,288
晋	9263	5	13,963	-3,948	19,442	-0,065	0,036	-6,858	0,027	30,000	228,591	0,000	19,442	-0,065	0,000	-21,965
EmbeddedBeam_2_1	9263	1	13,963	-3,948	19,441	-0,065	0,036	-6,858	0,027	30,000	228,591	0,000	19,441	-0,065	0,000	-21,965
Element 1-13 (Embedded beam)	9264	2	14,120	-3,973	18,352	-0,060	0,026	-6,827	0,031	30,000	227,575	0,000	18,352	-0,060	0,000	-24,573
(#)Ircropalo ancoraggio autoperforante R38 l=1,60m)	9265	3	14,277	-3,998	17,266	-0,055	0,017	-6,800	0,034	30,000	226,676	0,000	17,266	-0,055	0,000	-30,289
晋	9266	4	14,435	-4,023	16,185	-0,050	0,008	-6,777	0,035	30,000	225,893	0,000	16,185	-0,050	0,000	-35,894
晋	9267	5	14,592	-4,048	15,107	-0,044	0,001	-6,757	0,036	30,000	225,228	0,000	15,107	-0,044	0,000	-40,943
EmbeddedBeam_2_1	9267	1	14,592	-4,048	15,106	-0,044	0,001	-6,757	0,036	30,000	225,228	0,000	15,106	-0,044	0,000	-40,943
Element 1-14 (Embedded beam)	9268	2	14,762	-4,075	13,946	-0,038	0,006	-6,739	0,035	30,000	224,643	0,000	13,946	-0,038	0,000	-45,754
(#)Ircropalo ancoraggio autoperforante R38 l=1,60m)	9269	3	14,932	-4,102	12,787	-0,032	0,012	-6,726	0,033	30,000	224,197	0,000	12,787	-0,032	0,000	-49,909
晋	9270	4	15,102	-4,129	11,630	-0,027	0,017	-6,717	0,029	30,000	223,894	0,000	11,630	-0,027	0,000	-53,479
晋	9271	5	15,272	-4,156	10,475	-0,022	0,021	-6,712	0,021	30,000	223,736	0,000	10,475	-0,022	0,000	-56,536
EmbeddedBeam_2_1	9271	1	15,272	-4,156	10,474	-0,022	0,021	-6,712	0,021	30,000	223,736	0,000	10,474	-0,022	0,000	-56,536
Element 1-15 (Embedded beam)	9272	2	15,456	-4,186	9,227	-0,018	0,025	-6,712	0,022	30,000	223,732	0,000	9,227	-0,018	0,000	-59,326
(#)Ircropalo ancoraggio autoperforante R38 l=1,60m)	9273	3	15,639	-4,215	7,978	-0,015	0,028	-6,717	0,014	30,000	223,907	0,000	7,978	-0,015	0,000	-61,455
晋	9274	4	15,823	-4,244	6,728	-0,010	0,031	-6,728	0,027	30,000	224,269	0,000	6,728	-0,010	0,002	-62,224
晋	9275	5	16,006	-4,273	5,476	-0,005	0,032	-6,745	0,090	30,000	224,829	0,000	5,476	-0,005	0,015	-60,869
EmbeddedBeam_2_1	9275	1	16,006	-4,273	5,474	-0,027	0,032	-6,745	0,090	30,000	224,829	0,000	5,474	-0,027	0,000	-60,869
Element 1-16 (Embedded beam)	9276	2	16,205	-4,305	4,119	0,048	0,029	-6,770	0,248	30,000	225,669	0,000	4,119	0,000	0,084	-52,753
(#)Ircropalo ancoraggio autoperforante R38 l=1,60m)	9277	3	16,403	-4,337	2,755	0,076	0,016	-6,805	0,060	30,000	226,824	0,000	2,755	0,000	0,122	-30,735
晋	9278	4	16,602	-4,368	1,382	0,050	0,003	-6,853	-0,285	30,000	228,432	0,000	1,382	0,000	0,090	-8,390
晋	9279	5	16,800	-4,400	0,002	-0,036	0,000	-6,920	0,003	30,000	230,681	0,000	0,002	-0,036	0,000	0,000
EmbeddedBeam_11_1	9280	1	1,417	-0,401	1,295	-0,214	0,000	-5,158	-3,849	125,000	41,262	0,132	1,295	-0,214	0,004	0,000
Element 2-17 (Embedded beam)	9281	2	1,472	-0,568	0,706	-0,175	0,036	-2,817	0,346	125,000	22,533	0,068	0,706	-0,175	0,001	-35,753
(#)Ircropalo D168.3 x12.5mm/1,6m)	9282	3	1,527	-0,735	0,315	-0,075	0,057	-1,512	1,031	125,000	12,095	0,026	0,315	-0,075	0,000	-57,468
晋	9283	4	1,582	-0,901	0,097	0,042	0,061	-0,843	0,529	125,000	6,743	0,002	0,097	-0,002	0,042	-61,103
晋	9284	5	1,637	-1,068	0,028	0,128	0,045	-0,464	0,313	125,000	3,712	0,000	0,028	-0,002	0,128	-45,054
EmbeddedBeam_11_1	9284	1	1,637	-1,068	-0,006	0,134	0,045	-0,464	0,313	125,000	3,712	8,338	0,000	-0,002	0,134	-45,054
Element 2-18 (Embedded beam)	9285	2	1,693	-1,238	-0,060	0,142	0,020	-0,254	-0,005	125,000	2,029	59,814	0,000	-0,001	0,142	-19,980
(#)Ircropalo D168.3 x12.5mm/1,6m)	9286	3	1,749	-1,408	-0,096	0,130	0,005	-0,135	-0,154	125,000	1,082	95,621	0,000	-0,001	0,130	-0,567
晋	9287	4	1,805	-1,578	-0,115	0,102	0,026	-0,073	-0,186	125,000	0,585	115,276	0,000	0,000	0,102	-0,627
晋	9288	5	1,861	-1,748	-0,121	0,062	0,040	-0,037	-0,163	125,000	0,294	120,969	0,000	0,000	0,062	-0,619
EmbeddedBeam_11_1	9288	1	1,861	-1,748	-0,124	0,068	0,040	-0,037	-0,163	125,000	0,294	124,048	0,000	0,000	0,068	-0,619
Element 2-19 (Embedded beam)	9289	2	1,918	-1,922	-0,128	0,039	0,050	-0,016	-0,142	125,000	0,125	127,889	0,000	0,000	0,039	-0,565
(#)Ircropalo D168.3 x12.5mm/1,6m)	9290	3	1,975	-11,095	-0,130	0,017	0,055	-0,003	-0,100	125,000	0,023	129,679	0,000	0,000	0,017	-0,496
晋	9291	4	2,032	-11,268	-0,130	0,003	0,057	0,004	-0,053	125,000	0,036	129,635	0,000	0,000	0,003	-0,420
晋	9292	5	2,089	-11,441	-0,128	-0,003	0,057	0,009	-0,017	125,000	0,073	127,975	0,000	-0,003	0,000	-0,349
EmbeddedBeam_11_1	9292	1	2,089	-11,441	-0,128	-0,004	0,057	0,009	-0,017	125,000	0,073	128,301	0,000	-0,004	0,000	-0,349
Element 2-20 (Embedded beam)	9293	2	2,147	-11,618	-0,126	-0,004	0,056	0,012	0,000	125,000	0,096	126,230	0,000	-0,004	0,000	-0,286
(#)Ircropalo D168.3 x12.5mm/1,6m)	9294	3	2,205	-11,794	-0,124	-0,004	0,055	0,014	0,011	125,000	0,112	123,827	0,000	-0,004	0,000	-0,235
晋	9295	4	2,263	-11,971	-0,121	-0,001	0,055	0,015	0,013	125,000	0,122	121,118	0,000	-0,001	0,000	-0,194
晋	9296	5	2,321	-12,147	-0,118	0,001	0,055	0,017	0,010	125,000	0,132	118,130	0,000	0,000	0,001	-0,162
EmbeddedBeam_11_1	9296	1	2,321	-12,147	-0,118	0,001	0,055	0,017	0,010	125,000	0,132	118,025	0,000	0,000	0,001	-0,162
Element 2-21 (Embedded beam)	9297	2	2,381	-12,327	-0,115	0,002	0,055	0,018	0,005	125,000	0,146	114,942	0,000	0,000	0,002	-0,138
(#)Ircropalo D168.3 x12.5mm/1,6m)	9298	3	2,440	-12,507	-0,111	0,003	0,055	0,021	0,000	125,000	0,167	111,182	0,000	0,000	0,003	-0,120
晋	9299	4	2,499	-12,687	-0,107	0,002	0,056	0,027	-0,005	125,000	0,213	106,629	0,000	0,000	0,002	-0,107
晋	9300	5	2,558	-12,867	-0,101	0,001	0,056	0,037	0,009	125,000	0,298	101,165	0,000	0,000	0,001	-0,098
EmbeddedBeam_11_1	9300	1	2,558	-12,867	-0,099	0,002	0,056	0,037	0,009	125,000	0,298	98,726	0,000	0,000	0,002	-0,098

Structural element	Node	Local number	X [m]	Y [m]	N [kN]	Q [10 ⁻¹ kN]	M [10 ⁻¹ kN m]	T_{xx} [kN/m]	T_{yy} [10 ⁻¹ kN/m]	$T_{xx,sup}$ [kN/m]	$T_{xx,inf}$ [10 ⁻¹]	M_{xx} [10 ⁻¹ kN]	N_{xx} [kN]	Q_{xz} [10 ⁻¹ kN]	Q_{yz} [10 ⁻¹ kN]	M_{xx} [10 ⁻¹ kN m]
Element 2-32 (Embedded beam)	9301	2	2,619	-13,050	0,093	0,013	0,056	0,059	0,148	125,000	0,471	-92,905	0,000	-0,013	0,000	0,091
(Micropalo D168.3 x12.5mm/1.6m)	9302	3	2,679	-13,233	0,077	0,065	0,049	0,100	0,507	125,000	0,797	-76,727	0,000	-0,065	0,000	0,075
扉	9303	4	2,740	-13,417	0,048	0,129	0,030	0,186	0,276	125,000	1,490	-48,267	0,000	-0,129	0,000	0,046
扉	9304	5	2,800	-13,600	0,006	0,181	0,000	0,350	2,765	125,000	2,804	-5,600	0,000	-0,181	0,000	0,000

3.3.1.1.12 Calculation results, Embedded beam, Riempimento 2 [Phase_11] (11/647), Table of embedded beam force envelopes

Structural element	Node	Local number	X [m]	Y [m]	N [kN]	Q [10 ⁻¹ kN]	M [10 ⁻¹ kN m]	$T_{,xx}$ [kN/m]	$T_{,xx}$ [10 ⁻¹ kN/m]	$T_{,xxxx,max}$ [kN/m]	$T_{,xxxx,min}$ [10 ⁻¹]	$N_{,x,x}$ [10 ⁻¹ kN]	$N_{,x,x}$ [kN]	$Q_{,x,x}$ [10 ⁻¹ kN]	$Q_{,x,x}$ [10 ⁻¹ kN]	$M_{,x,x}$ [10 ⁻¹ kN m]
EmbeddedBeam_21_1	9215	1	8,000	-2,997	59,330	0,537	0,000	-6,419	17,961	10,000	213,967	0,000	59,553	0,000	0,537	0,000
Element 1-1 (Embedded beam)	9216	2	8,191	-3,028	58,106	1,807	0,245	-6,271	4,212	10,000	209,031	0,000	58,316	0,000	1,807	-0,001
(Micropalo ancoraggio autoperforante R38 l=1,60m)	9217	3	8,382	-3,058	56,906	2,101	0,634	-6,137	-1,936	10,000	204,583	0,000	57,104	0,000	2,101	-0,003
嵌	9218	4	8,572	-3,088	55,732	1,588	1,005	-6,014	-4,153	10,000	200,455	0,000	55,917	0,000	1,588	-0,005
嵌	9219	5	8,763	-3,119	54,583	0,433	1,208	-5,896	-4,438	10,000	196,542	0,000	54,755	0,000	0,433	-0,008
EmbeddedBeam_21_1	9219	1	8,763	-3,119	54,581	0,643	1,208	-5,896	-4,438	10,000	196,542	0,000	54,754	0,000	0,643	-0,008
Element 1-2 (Embedded beam)	9220	2	8,921	-3,144	53,650	-0,023	1,255	-5,803	-3,657	10,000	193,447	0,000	53,813	-0,099	0,000	-0,012
(Micropalo ancoraggio autoperforante R38 l=1,60m)	9221	3	9,078	-3,169	52,733	-0,521	1,210	-5,714	-2,590	10,000	190,465	0,000	52,886	-0,523	0,000	-0,016
嵌	9222	4	9,235	-3,194	51,830	-0,854	1,098	-5,628	-1,578	10,000	187,592	0,000	51,973	-0,854	0,000	-0,021
嵌	9223	5	9,392	-3,219	50,941	-1,023	0,946	-5,545	-0,747	10,000	184,821	0,000	51,074	-1,023	0,000	-0,025
EmbeddedBeam_21_1	9223	1	9,392	-3,219	50,940	-1,038	0,946	-5,545	-0,747	10,000	184,821	0,000	51,074	-1,038	0,000	-0,025
Element 1-3 (Embedded beam)	9224	2	9,522	-3,240	50,217	-1,092	0,806	-5,478	-0,196	10,000	182,610	0,000	50,343	-1,092	0,000	-0,028
(Micropalo ancoraggio autoperforante R38 l=1,60m)	9225	3	9,652	-3,260	49,502	-1,089	0,662	-5,414	0,260	10,000	180,463	0,000	49,621	-1,089	0,000	-0,035
嵌	9226	4	9,781	-3,281	48,795	-1,028	0,522	-5,351	0,673	10,000	178,376	0,000	48,907	-1,028	0,000	-0,041
嵌	9227	5	9,911	-3,302	48,097	-0,912	0,394	-5,290	1,088	10,000	176,347	0,000	48,202	-0,912	0,000	-0,047
EmbeddedBeam_21_1	9227	1	9,911	-3,302	48,096	-0,911	0,394	-5,290	1,088	10,000	176,347	0,000	48,202	-0,911	0,000	-0,047
Element 1-4 (Embedded beam)	9228	2	10,018	-3,319	47,527	-0,775	0,303	-5,241	1,458	10,000	174,716	0,000	47,627	-0,776	0,000	-0,050
(Micropalo ancoraggio autoperforante R38 l=1,60m)	9229	3	10,125	-3,336	46,962	-0,596	0,228	-5,194	1,854	10,000	173,120	0,000	47,057	-0,619	0,000	-0,688
嵌	9230	4	10,232	-3,353	46,403	-0,373	0,175	-5,147	2,261	10,000	171,558	0,000	46,493	-0,418	0,000	-5,909
嵌	9231	5	10,338	-3,370	45,849	-0,107	0,149	-5,101	2,626	10,000	170,027	0,000	45,934	-0,171	0,000	-12,092
EmbeddedBeam_21_1	9231	1	10,338	-3,370	45,848	-0,117	0,149	-5,101	2,626	10,000	170,027	0,000	45,933	-0,178	0,000	-12,092
Element 1-5 (Embedded beam)	9232	2	10,427	-3,384	45,395	0,140	0,150	-5,064	2,789	10,000	168,787	0,000	45,476	0,000	0,140	-16,493
(Micropalo ancoraggio autoperforante R38 l=1,60m)	9233	3	10,515	-3,398	44,945	0,384	0,174	-5,027	2,783	10,000	167,563	0,000	45,022	0,000	0,384	-5,614
嵌	9234	4	10,603	-3,412	44,498	0,606	0,218	-4,990	2,299	10,000	166,347	0,000	44,572	0,000	0,607	-0,674
嵌	9235	5	10,691	-3,426	44,055	0,798	0,281	-4,953	0,490	10,000	165,114	0,000	44,125	0,000	0,806	-0,035
EmbeddedBeam_21_1	9235	1	10,691	-3,426	44,055	0,828	0,281	-8,256	0,817	10,000	275,190	0,000	44,125	0,000	0,838	-0,035
Element 1-6 (Embedded beam)	9236	2	10,782	-3,441	43,293	0,657	0,350	-8,190	-2,007	10,000	272,999	0,000	43,357	0,000	0,714	-0,029
(Micropalo ancoraggio autoperforante R38 l=1,60m)	9237	3	10,874	-3,455	42,536	0,450	0,401	-8,127	-2,624	10,000	270,914	0,000	42,595	0,000	0,550	-0,024
嵌	9238	4	10,965	-3,470	41,785	0,222	0,433	-8,067	-2,448	10,000	268,904	0,000	41,838	0,000	0,345	-0,021
嵌	9239	5	11,057	-3,484	41,040	-0,011	0,443	-8,009	-1,984	10,000	266,954	0,000	41,088	-0,011	0,115	-0,020
EmbeddedBeam_21_1	9239	1	11,057	-3,484	41,040	0,004	0,443	-8,009	-1,984	10,000	266,954	0,000	41,087	0,000	0,133	-0,020
Element 1-7 (Embedded beam)	9240	2	11,156	-3,500	40,241	-0,162	0,434	-7,947	-1,372	10,000	264,912	0,000	40,283	-0,162	0,000	-0,019
(Micropalo ancoraggio autoperforante R38 l=1,60m)	9241	3	11,255	-3,516	39,448	-0,270	0,412	-7,888	-0,780	10,000	262,933	0,000	39,484	-0,270	0,000	-0,019
嵌	9242	4	11,354	-3,532	38,660	-0,324	0,382	-7,830	-0,276	10,000	261,015	0,000	38,691	-0,326	0,000	-0,020
嵌	9243	5	11,453	-3,548	37,879	-0,325	0,349	-7,775	0,104	10,000	259,156	0,000	37,905	-0,332	0,000	-0,021
EmbeddedBeam_21_1	9243	1	11,453	-3,548	37,878	-0,335	0,349	-7,775	0,104	10,000	259,156	0,000	37,905	-0,342	0,000	-0,021
Element 1-8 (Embedded beam)	9244	2	11,560	-3,565	37,041	-0,300	0,314	-7,716	0,370	10,000	257,211	0,000	37,062	-0,321	0,000	-0,022
(Micropalo ancoraggio autoperforante R38 l=1,60m)	9245	3	11,667	-3,582	36,208	-0,254	0,284	-7,660	0,506	10,000	255,330	0,000	36,225	-0,293	0,000	-0,024
嵌	9246	4	11,773	-3,599	35,382	-0,199	0,260	-7,605	0,533	10,000	253,510	0,000	35,394	-0,257	0,000	-0,025
嵌	9247	5	11,880	-3,616	34,562	-0,138	0,241	-7,553	0,474	10,000	251,750	0,000	34,570	-0,215	0,000	-0,025
EmbeddedBeam_21_1	9247	1	11,880	-3,616	34,562	-0,142	0,241	-7,553	0,474	10,000	251,750	0,000	34,569	-0,219	0,000	-0,025
Element 1-9 (Embedded beam)	9248	2	11,996	-3,634	33,682	-0,093	0,228	-7,497	0,364	10,000	249,914	0,000	33,685	-0,176	0,000	-0,026
(Micropalo ancoraggio autoperforante R38 l=1,60m)	9249	3	12,111	-3,653	32,809	-0,057	0,219	-7,444	0,238	10,000	248,144	0,000	32,809	-0,139	0,000	-0,128
嵌	9250	4	12,227	-3,671	31,941	-0,036	0,214	-7,393	0,121	10,000	246,440	0,000	31,941	-0,108	0,000	-0,353
嵌	9251	5	12,342	-3,689	31,080	-0,029	0,210	-7,344	0,028	10,000	244,801	0,000	31,080	-0,082	0,000	-0,699
EmbeddedBeam_21_1	9251	1	12,342	-3,689	31,079	-0,027	0,210	-7,344	0,028	10,000	244,801	0,000	31,079	-0,082	0,000	-0,699
Element 1-10 (Embedded beam)	9252	2	12,467	-3,709	30,155	-0,030	0,207	-7,293	-0,042	10,000	243,101	0,000	30,155	-0,063	0,000	-1,364
(Micropalo ancoraggio autoperforante R38 l=1,60m)	9253	3	12,592	-3,729	29,237	-0,038	0,202	-7,244	-0,082	10,000	241,475	0,000	29,237	-0,049	0,000	-2,063
嵌	9254	4	12,716	-3,749	28,324	0,049	0,197	-7,198	-0,098	10,000	239,923	0,000	28,324	-0,049	0,000	-2,937

Structural element	Node	Local number	X [m]	Y [m]	N [kN]	Q [10⁻¹ kN]	M [10⁻¹ kN m]	$T_{xx,sup}$ [kN/m]	T_{xx} [10⁻¹ kN/m]	$T_{xx,sup}$ [kN/m]	$T_{xx,inf}$ [10⁻¹]	N_{xx} [10⁻¹ kN]	N_{xx} [kN]	Q_{xx} [10⁻¹ kN]	Q_{xx} [10⁻¹ kN]	M_{xx} [10⁻¹ kN m]
臂	9255	5	12,841	-3,769	27,418	-0,062	0,190	-7,153	-0,095	30,000	238,444	0,000	27,418	-0,062	0,000	-3,848
EmbeddedBeam_2_1	9255	1	12,841	-3,769	27,418	-0,061	0,190	-7,153	-0,095	30,000	238,444	0,000	27,418	-0,061	0,000	-3,848
Element 1-11 (Embedded beam)	9256	2	12,976	-3,790	26,445	-0,074	0,181	-7,108	-0,082	30,000	236,927	0,000	26,445	-0,074	0,000	-5,016
(Micropalo ancoraggio autoperforante R38 l=1,60m)	9257	3	13,111	-3,812	25,478	-0,083	0,170	-7,065	-0,063	30,000	235,496	0,000	25,478	-0,083	0,000	-6,422
臂	9258	4	13,246	-3,833	24,516	-0,091	0,158	-7,024	-0,043	30,000	234,149	0,000	24,516	-0,091	0,000	-8,373
臂	9259	5	13,380	-3,855	23,561	-0,095	0,145	-6,987	-0,025	30,000	232,886	0,000	23,561	-0,095	0,000	-10,692
EmbeddedBeam_2_1	9259	1	13,380	-3,855	23,560	-0,096	0,145	-6,987	-0,025	30,000	232,886	0,000	23,560	-0,096	0,000	-10,692
Element 1-12 (Embedded beam)	9260	2	13,526	-3,878	22,533	-0,098	0,131	-6,949	-0,007	30,000	231,617	0,000	22,533	-0,098	0,000	-13,399
(Micropalo ancoraggio autoperforante R38 l=1,60m)	9261	3	13,672	-3,901	21,511	-0,097	0,117	-6,913	0,009	30,000	230,446	0,000	21,511	-0,097	0,000	-16,355
臂	9262	4	13,817	-3,924	20,494	-0,095	0,103	-6,881	0,022	30,000	229,374	0,000	20,494	-0,095	0,000	-19,288
臂	9263	5	13,963	-3,948	19,482	-0,091	0,089	-6,852	0,032	30,000	228,400	0,000	19,482	-0,091	0,000	-21,965
EmbeddedBeam_2_1	9263	1	13,963	-3,948	19,481	-0,091	0,089	-6,852	0,032	30,000	228,400	0,000	19,481	-0,091	0,000	-21,965
Element 1-13 (Embedded beam)	9264	2	14,120	-3,973	18,392	-0,085	0,075	-6,824	0,041	30,000	227,460	0,000	18,392	-0,085	0,000	-24,573
(Micropalo ancoraggio autoperforante R38 l=1,60m)	9265	3	14,277	-3,998	17,307	-0,078	0,062	-6,799	0,047	30,000	226,635	0,000	17,307	-0,078	0,000	-30,289
臂	9266	4	14,435	-4,023	16,225	-0,071	0,050	-6,778	0,051	30,000	225,927	0,000	16,225	-0,071	0,000	-35,894
臂	9267	5	14,592	-4,048	15,148	-0,062	0,039	-6,760	0,054	30,000	225,336	0,000	15,148	-0,062	0,000	-40,943
EmbeddedBeam_2_1	9267	1	14,592	-4,048	15,147	-0,062	0,039	-6,760	0,054	30,000	225,336	0,000	15,147	-0,062	0,000	-40,943
Element 1-14 (Embedded beam)	9268	2	14,762	-4,075	13,986	-0,053	0,029	-6,745	0,054	30,000	224,830	0,000	13,986	-0,053	0,000	-45,754
(Micropalo ancoraggio autoperforante R38 l=1,60m)	9269	3	14,932	-4,102	12,825	-0,044	0,021	-6,734	0,052	30,000	224,463	0,000	12,825	-0,044	0,000	-49,909
臂	9270	4	15,102	-4,129	11,667	-0,035	0,014	-6,727	0,046	30,000	224,237	0,000	11,667	-0,035	0,000	-53,479
臂	9271	5	15,272	-4,156	10,510	-0,028	0,009	-6,725	0,034	30,000	224,156	0,000	10,510	-0,028	0,000	-56,536
EmbeddedBeam_2_1	9271	1	15,272	-4,156	10,509	-0,029	0,009	-6,725	0,034	30,000	224,156	0,000	10,509	-0,029	0,000	-56,536
Element 1-15 (Embedded beam)	9272	2	15,456	-4,186	9,259	-0,022	0,004	-6,727	0,026	30,000	224,234	0,000	9,259	-0,022	0,000	-59,326
(Micropalo ancoraggio autoperforante R38 l=1,60m)	9273	3	15,639	-4,215	8,007	-0,019	0,000	-6,735	0,004	30,000	224,490	0,000	8,007	-0,019	0,000	-61,455
臂	9274	4	15,823	-4,244	6,753	-0,019	0,003	-6,748	-0,004	30,000	224,932	0,000	6,753	-0,019	0,002	-62,224
臂	9275	5	16,006	-4,273	5,498	-0,021	0,007	-6,767	0,035	30,000	225,571	0,000	5,498	-0,021	0,015	-60,869
EmbeddedBeam_2_1	9275	1	16,006	-4,273	5,496	-0,038	0,007	-6,767	0,035	30,000	225,571	0,000	5,496	-0,038	0,000	-60,869
Element 1-16 (Embedded beam)	9276	2	16,205	-4,305	4,136	0,016	0,009	-6,795	0,179	30,000	226,495	0,000	4,136	0,000	0,084	-52,753
(Micropalo ancoraggio autoperforante R38 l=1,60m)	9277	3	16,403	-4,337	2,767	0,034	0,003	-6,832	0,017	30,000	227,734	0,000	2,767	0,000	0,122	-30,735
臂	9278	4	16,602	-4,368	1,388	0,014	0,003	-6,883	-0,207	30,000	229,425	0,000	1,388	0,000	0,090	-8,390
臂	9279	5	16,800	-4,400	0,002	-0,048	0,000	-6,953	0,355	30,000	231,760	0,000	0,002	-0,048	0,000	0,000
EmbeddedBeam_1_1	9280	1	1,417	-0,401	6,589	-0,095	0,000	-24,721	-2,590	125,000	197,767	0,132	6,589	-0,243	0,004	0,000
Element 2-17 (Embedded beam)	9281	2	1,472	-0,568	3,766	-0,181	0,027	-13,506	-0,164	125,000	108,046	0,068	3,766	-0,220	0,001	-42,393
(Micropalo D168.3 x12.5mm/1,6m)	9282	3	1,527	-0,735	1,889	-0,129	0,055	-7,252	1,062	125,000	58,013	0,026	1,889	-0,129	0,000	-70,974
臂	9283	4	1,582	-0,901	0,844	-0,002	0,068	-4,041	0,699	125,000	32,326	0,002	0,844	-0,002	0,044	-79,190
臂	9284	5	1,637	-1,068	0,515	0,140	0,055	-2,220	1,053	125,000	17,760	0,000	0,515	-0,002	0,155	-62,181
EmbeddedBeam_1_1	9284	1	1,637	-1,068	0,352	0,194	0,055	-2,220	1,053	125,000	17,760	8,338	0,352	-0,002	0,194	-62,181
Element 2-18 (Embedded beam)	9285	2	1,693	-1,238	0,094	0,221	0,018	-1,211	0,055	125,000	9,685	59,895	0,094	-0,001	0,221	-27,136
(Micropalo D168.3 x12.5mm/1,6m)	9286	3	1,749	-1,408	-0,077	0,210	0,021	-0,644	-0,211	125,000	5,153	98,115	0,000	-0,001	0,210	-0,567
臂	9287	4	1,805	-1,578	-0,171	0,169	0,056	-0,351	-0,285	125,000	2,810	171,215	0,000	0,000	0,169	-0,627
臂	9288	5	1,861	-1,748	-0,199	0,105	0,081	-0,183	-0,276	125,000	1,464	198,885	0,000	0,000	0,105	-0,619
EmbeddedBeam_1_1	9288	1	1,861	-1,748	-0,214	0,116	0,081	-0,183	-0,276	125,000	1,464	213,781	0,000	0,000	0,116	-0,619
Element 2-19 (Embedded beam)	9289	2	1,918	-1,922	-0,234	0,065	0,097	-0,089	-0,241	125,000	0,710	234,081	0,000	0,000	0,065	-0,565
(Micropalo D168.3 x12.5mm/1,6m)	9290	3	1,975	-11,095	-0,246	0,028	0,105	-0,034	-0,167	125,000	0,274	245,760	0,000	0,000	0,028	-0,496
臂	9291	4	2,032	-11,268	-0,250	0,004	0,108	-0,005	-0,095	125,000	0,042	249,824	0,000	0,000	0,006	-0,420
臂	9292	5	2,089	-11,441	-0,247	-0,007	0,108	0,012	-0,030	125,000	0,096	247,275	0,000	-0,007	0,000	-0,349
EmbeddedBeam_1_1	9292	1	2,089	-11,441	-0,249	-0,008	0,108	0,012	-0,030	125,000	0,096	248,717	0,000	-0,008	0,000	-0,349
Element 2-20 (Embedded beam)	9293	2	2,147	-11,618	-0,245	-0,010	0,106	0,022	-0,002	125,000	0,176	245,104	0,000	-0,010	0,000	-0,286
(Micropalo D168.3 x12.5mm/1,6m)	9294	3	2,205	-11,794	-0,241	-0,009	0,104	0,028	0,016	125,000	0,224	240,504	0,000	-0,009	0,000	-0,235
臂	9295	4	2,263	-11,971	-0,235	-0,006	0,103	0,032	0,021	125,000	0,252	235,019	0,000	-0,006	0,000	-0,194
臂	9296	5	2,321	-12,147	-0,229	-0,001	0,102	0,034	0,015	125,000	0,274	228,752	0,000	-0,001	0,002	-0,162
EmbeddedBeam_1_1	9296	1	2,321	-12,147	-0,229	-0,002	0,102	0,034	0,015	125,000	0,274	228,622	0,000	-0,002	0,001	-0,162
Element 2-21 (Embedded beam)	9297	2	2,381	-12,327	-0,222	0,000	0,102	0,037	0,006	125,000	0,300	222,203	0,000	0,000	0,003	-0,138
(Micropalo D168.3 x12.5mm/1,6m)	9298	3	2,440	-12,507	-0,215	0,001	0,102	0,043	-0,001	125,000	0,341	214,518	0,000	0,000	0,003	-0,120
臂	9299	4	2,499	-12,687	-0,205	0,000	0,102	0,053	-0,010	125,000	0,425	205,345	0,000	0,000	0,003	-0,107
臂	9300	5	2,558	-12,867	-0,194	-0,003	0,102	0,073	0,020	125,000	0,587	194,465	0,000	-0,003	0,001	-0,098
EmbeddedBeam_1_1	9300	1	2,558	-12,867	-0,190	0,000	0,102	0,073	0,020	125,000	0,587	189,815	0,000	0,000	0,002	-0,098

Structural element	Node	Local number	X [m]	Y [m]	N [kN]	Q [10 ⁻¹ kN]	M [10 ⁻¹ kN m]	T_{xx} [kN/m]	T_{yy} [10 ⁻¹ kN/m]	$T_{xx,sup}$ [kN/m]	$T_{xx,inf}$ [10 ⁻¹]	N_{xx} [10 ⁻¹ kN]	N_{yy} [kN]	Q_{xz} [10 ⁻¹ kN]	Q_{yz} [10 ⁻¹ kN]	M_{xx} [10 ⁻¹ kN m]
Element 2-32 (Embedded beam)	9301	2	2,619	-13,050	0,178	0,027	0,101	0,115	0,263	125,000	0,916	-178,288	0,000	-0,027	0,000	0,091
(Micropalo D168.3 x12.5mm/1.6m)	9302	3	2,679	-13,233	0,147	0,119	0,087	0,192	0,894	125,000	1,535	-147,038	0,000	-0,119	0,000	0,075
圧	9303	4	2,740	-13,417	0,092	0,231	0,054	0,357	0,475	125,000	2,856	-92,394	0,000	-0,231	0,000	0,046
圧	9304	5	2,800	-13,600	0,011	0,319	0,000	0,670	4,897	125,000	5,361	-10,682	0,000	-0,319	0,000	0,000

3.3.1.1.13 Calculation results, Embedded beam, Collegamento [Phase_12] (12/660), Table of embedded beam force envelopes

Structural element	Node	Local number	X [m]	Y [m]	N [kN]	Q [10 ^ kN]	M [10 ^ kN m]	$T_{,min}$ [kN/m]	$T_{,max}$ [10 ^ kN/m]	$T_{,min,min}$ [kN/m]	$T_{,max,max}$ [10 ^]	$N_{,min}$ [10 ^ kN]	$N_{,max}$ [kN]	$Q_{,min}$ [10 ^ kN]	$Q_{,max}$ [10 ^ kN]	$M_{,min}$ [10 ^ kN m]
EmbeddedBeam_21_1	9215	1	8,000	-2,997	59,332	0,537	0,000	-6,419	17,959	30,000	213,978	0,000	59,553	0,000	0,537	0,000
Element 1-1 (Embedded beam)	9216	2	8,191	-3,028	58,108	1,806	0,245	-6,271	4,211	30,000	209,042	0,000	58,316	0,000	1,807	-0,001
(Micropalo ancoraggio autoperforante R38 l=1,60m)	9217	3	8,382	-3,058	56,908	2,101	0,634	-6,138	-1,936	30,000	204,593	0,000	57,104	0,000	2,101	-0,003
图	9218	4	8,572	-3,088	55,734	1,588	1,005	-6,014	-4,153	30,000	200,465	0,000	55,917	0,000	1,588	-0,005
图	9219	5	8,763	-3,119	54,585	0,433	1,208	-5,897	-4,437	30,000	196,552	0,000	54,755	0,000	0,433	-0,008
EmbeddedBeam_21_1	9219	1	8,763	-3,119	54,583	0,642	1,208	-5,897	-4,437	30,000	196,552	0,000	54,754	0,000	0,643	-0,008
Element 1-2 (Embedded beam)	9220	2	8,921	-3,144	53,652	-0,023	1,255	-5,804	-3,656	30,000	193,456	0,000	53,813	-0,099	0,000	-0,012
(Micropalo ancoraggio autoperforante R38 l=1,60m)	9221	3	9,078	-3,169	52,735	-0,521	1,209	-5,714	-2,590	30,000	190,474	0,000	52,886	-0,523	0,000	-0,016
图	9222	4	9,235	-3,194	51,831	-0,854	1,098	-5,628	-1,578	30,000	187,600	0,000	51,973	-0,854	0,000	-0,021
图	9223	5	9,392	-3,219	50,942	-1,023	0,946	-5,545	-0,747	30,000	184,829	0,000	51,074	-1,023	0,000	-0,025
EmbeddedBeam_21_1	9223	1	9,392	-3,219	50,941	-1,038	0,946	-5,545	-0,747	30,000	184,829	0,000	51,074	-1,038	0,000	-0,025
Element 1-3 (Embedded beam)	9224	2	9,522	-3,240	50,218	-1,092	0,805	-5,479	-0,196	30,000	182,618	0,000	50,343	-1,092	0,000	-0,028
(Micropalo ancoraggio autoperforante R38 l=1,60m)	9225	3	9,652	-3,260	49,503	-1,089	0,662	-5,414	0,260	30,000	180,471	0,000	49,621	-1,089	0,000	-0,035
图	9226	4	9,781	-3,281	48,796	-1,028	0,522	-5,352	0,673	30,000	178,384	0,000	48,907	-1,028	0,000	-0,041
图	9227	5	9,911	-3,302	48,098	-0,912	0,394	-5,291	1,088	30,000	176,355	0,000	48,202	-0,912	0,000	-0,047
EmbeddedBeam_21_1	9227	1	9,911	-3,302	48,098	-0,911	0,394	-5,291	1,088	30,000	176,355	0,000	48,202	-0,911	0,000	-0,047
Element 1-4 (Embedded beam)	9228	2	10,018	-3,319	47,528	-0,775	0,303	-5,242	1,457	30,000	174,723	0,000	47,627	-0,776	0,000	-0,050
(Micropalo ancoraggio autoperforante R38 l=1,60m)	9229	3	10,125	-3,336	46,964	-0,596	0,228	-5,194	1,854	30,000	173,128	0,000	47,057	-0,619	0,000	-0,688
图	9230	4	10,232	-3,353	46,404	-0,373	0,175	-5,147	2,261	30,000	171,565	0,000	46,493	-0,418	0,000	-5,909
图	9231	5	10,338	-3,370	45,850	-0,107	0,149	-5,101	2,626	30,000	170,034	0,000	45,934	-0,171	0,000	-12,092
EmbeddedBeam_21_1	9231	1	10,338	-3,370	45,850	-0,117	0,149	-5,101	2,626	30,000	170,034	0,000	45,933	-0,178	0,000	-12,092
Element 1-5 (Embedded beam)	9232	2	10,427	-3,384	45,397	0,140	0,150	-5,064	2,790	30,000	168,793	0,000	45,476	0,000	0,140	-16,493
(Micropalo ancoraggio autoperforante R38 l=1,60m)	9233	3	10,515	-3,398	44,946	0,384	0,173	-5,027	2,784	30,000	167,570	0,000	45,022	0,000	0,384	-5,614
图	9234	4	10,603	-3,412	44,500	0,607	0,218	-4,991	2,300	30,000	166,353	0,000	44,572	0,000	0,607	-0,674
图	9235	5	10,691	-3,426	44,056	0,798	0,281	-4,954	0,491	30,000	165,121	0,000	44,125	0,000	0,806	-0,035
EmbeddedBeam_21_1	9235	1	10,691	-3,426	44,056	0,828	0,281	-8,256	0,818	30,000	275,201	0,000	44,125	0,000	0,838	-0,035
Element 1-6 (Embedded beam)	9236	2	10,782	-3,441	43,294	0,657	0,350	-8,190	-2,006	30,000	273,010	0,000	43,357	0,000	0,714	-0,029
(Micropalo ancoraggio autoperforante R38 l=1,60m)	9237	3	10,874	-3,455	42,537	0,450	0,401	-8,128	-2,624	30,000	270,925	0,000	42,595	0,000	0,550	-0,024
图	9238	4	10,965	-3,470	41,786	0,222	0,433	-8,067	-2,449	30,000	268,915	0,000	41,838	0,000	0,345	-0,021
图	9239	5	11,057	-3,484	41,041	-0,010	0,442	-8,009	-1,984	30,000	266,964	0,000	41,088	-0,011	0,115	-0,020
EmbeddedBeam_21_1	9239	1	11,057	-3,484	41,041	0,004	0,442	-8,009	-1,984	30,000	266,964	0,000	41,087	0,000	0,133	-0,020
Element 1-7 (Embedded beam)	9240	2	11,156	-3,500	40,242	-0,161	0,434	-7,948	-1,373	30,000	264,922	0,000	40,283	-0,162	0,000	-0,019
(Micropalo ancoraggio autoperforante R38 l=1,60m)	9241	3	11,255	-3,516	39,449	-0,270	0,412	-7,888	-0,780	30,000	262,943	0,000	39,484	-0,270	0,000	-0,019
图	9242	4	11,354	-3,532	38,661	-0,324	0,382	-7,831	-0,276	30,000	261,025	0,000	38,691	-0,326	0,000	-0,020
图	9243	5	11,453	-3,548	37,880	-0,325	0,349	-7,775	0,104	30,000	259,166	0,000	37,905	-0,332	0,000	-0,021
EmbeddedBeam_21_1	9243	1	11,453	-3,548	37,879	-0,335	0,349	-7,775	0,104	30,000	259,166	0,000	37,905	-0,342	0,000	-0,021
Element 1-8 (Embedded beam)	9244	2	11,560	-3,565	37,042	-0,300	0,314	-7,717	0,370	30,000	257,220	0,000	37,062	-0,321	0,000	-0,022
(Micropalo ancoraggio autoperforante R38 l=1,60m)	9245	3	11,667	-3,582	36,209	-0,254	0,284	-7,660	0,506	30,000	255,339	0,000	36,225	-0,293	0,000	-0,024
图	9246	4	11,773	-3,599	35,383	-0,199	0,260	-7,606	0,533	30,000	253,519	0,000	35,394	-0,257	0,000	-0,025
图	9247	5	11,880	-3,616	34,563	-0,138	0,241	-7,553	0,474	30,000	251,759	0,000	34,570	-0,215	0,000	-0,025
EmbeddedBeam_21_1	9247	1	11,880	-3,616	34,563	-0,142	0,241	-7,553	0,474	30,000	251,759	0,000	34,569	-0,219	0,000	-0,025
Element 1-9 (Embedded beam)	9248	2	11,996	-3,634	33,683	-0,093	0,228	-7,498	0,364	30,000	249,923	0,000	33,685	-0,176	0,000	-0,026
(Micropalo ancoraggio autoperforante R38 l=1,60m)	9249	3	12,111	-3,653	32,809	-0,057	0,219	-7,445	0,238	30,000	248,153	0,000	32,809	-0,139	0,000	-0,128
图	9250	4	12,227	-3,671	31,942	-0,036	0,214	-7,393	0,121	30,000	246,449	0,000	31,942	-0,108	0,000	-0,353
图	9251	5	12,342	-3,689	31,081	-0,029	0,210	-7,344	0,028	30,000	244,809	0,000	31,081	-0,082	0,000	-0,699
EmbeddedBeam_21_1	9251	1	12,342	-3,689	31,080	-0,027	0,210	-7,344	0,028	30,000	244,809	0,000	31,080	-0,082	0,000	-0,699
Element 1-10 (Embedded beam)	9252	2	12,467	-3,709	30,156	-0,030	0,207	-7,293	-0,042	30,000	243,109	0,000	30,156	-0,063	0,000	-1,364
(Micropalo ancoraggio autoperforante R38 l=1,60m)	9253	3	12,592	-3,729	29,238	-0,038	0,202	-7,244	-0,082	30,000	241,483	0,000	29,238	-0,049	0,000	-2,063
图	9254	4	12,716	-3,749	28,325	-0,049	0,197	-7,198	-0,097	30,000	239,931	0,000	28,325	-0,049	0,000	-2,937

Structural element	Node	Local number	X [m]	Y [m]	N [kN]	Q [10 ⁻¹ kN]	M [10 ⁻¹ kN m]	$T_{xx,sup}$ [kN/m]	$T_{yy,sup}$ [10 ⁻¹ kN/m]	$T_{xx,inf}$ [kN/m]	$T_{yy,inf}$ [10 ⁻¹]	N_{xx} [10 ⁻¹ kN]	N_{yy} [kN]	Q_{xz} [10 ⁻¹ kN]	Q_{yz} [10 ⁻¹ kN]	M_{xx} [10 ⁻¹ kN m]
臂	9255	5	12,841	-3,769	27,419	-0,062	0,190	-7,154	-0,095	30,000	238,451	0,000	27,419	-0,062	0,000	-3,848
EmbeddedBeam_2_1	9255	1	12,841	-3,769	27,418	-0,061	0,190	-7,154	-0,095	30,000	238,451	0,000	27,418	-0,061	0,000	-3,848
Element 1-11 (Embedded beam)	9256	2	12,976	-3,790	26,446	-0,074	0,181	-7,108	-0,082	30,000	236,935	0,000	26,446	-0,074	0,000	-5,016
/Ricropalo ancoraggio autoperforante R38 l=1,60m)	9257	3	13,111	-3,812	25,478	-0,083	0,170	-7,065	-0,063	30,000	235,503	0,000	25,478	-0,083	0,000	-6,422
臂	9258	4	13,246	-3,833	24,517	-0,091	0,158	-7,025	-0,043	30,000	234,156	0,000	24,517	-0,091	0,000	-8,373
臂	9259	5	13,380	-3,855	23,561	-0,095	0,145	-6,987	-0,025	30,000	232,893	0,000	23,561	-0,095	0,000	-10,692
EmbeddedBeam_2_1	9259	1	13,380	-3,855	23,560	-0,096	0,145	-6,987	-0,025	30,000	232,893	0,000	23,560	-0,096	0,000	-10,692
Element 1-12 (Embedded beam)	9260	2	13,526	-3,878	22,534	-0,098	0,131	-6,949	-0,007	30,000	231,624	0,000	22,534	-0,098	0,000	-13,399
/Ricropalo ancoraggio autoperforante R38 l=1,60m)	9261	3	13,672	-3,901	21,511	-0,097	0,117	-6,914	0,009	30,000	230,453	0,000	21,511	-0,097	0,000	-16,355
臂	9262	4	13,817	-3,924	20,494	-0,095	0,103	-6,881	0,022	30,000	229,380	0,000	20,494	-0,095	0,000	-19,288
臂	9263	5	13,963	-3,948	19,482	-0,091	0,089	-6,852	0,032	30,000	228,407	0,000	19,482	-0,091	0,000	-21,965
EmbeddedBeam_2_1	9263	1	13,963	-3,948	19,481	-0,091	0,089	-6,852	0,032	30,000	228,407	0,000	19,481	-0,091	0,000	-21,965
Element 1-13 (Embedded beam)	9264	2	14,120	-3,973	18,393	-0,085	0,075	-6,824	0,041	30,000	227,466	0,000	18,393	-0,085	0,000	-24,573
/Ricropalo ancoraggio autoperforante R38 l=1,60m)	9265	3	14,277	-3,998	17,307	-0,078	0,062	-6,799	0,047	30,000	226,641	0,000	17,307	-0,078	0,000	-30,289
臂	9266	4	14,435	-4,023	16,226	-0,071	0,050	-6,778	0,051	30,000	225,933	0,000	16,226	-0,071	0,000	-35,894
臂	9267	5	14,592	-4,048	15,148	-0,062	0,039	-6,760	0,054	30,000	225,342	0,000	15,148	-0,062	0,000	-40,943
EmbeddedBeam_2_1	9267	1	14,592	-4,048	15,147	-0,062	0,039	-6,760	0,054	30,000	225,342	0,000	15,147	-0,062	0,000	-40,943
Element 1-14 (Embedded beam)	9268	2	14,762	-4,075	13,986	-0,053	0,029	-6,745	0,054	30,000	224,835	0,000	13,986	-0,053	0,000	-45,754
/Ricropalo ancoraggio autoperforante R38 l=1,60m)	9269	3	14,932	-4,102	12,826	-0,044	0,021	-6,734	0,052	30,000	224,468	0,000	12,826	-0,044	0,000	-49,909
臂	9270	4	15,102	-4,129	11,667	-0,035	0,014	-6,727	0,046	30,000	224,243	0,000	11,667	-0,035	0,000	-53,479
臂	9271	5	15,272	-4,156	10,510	-0,028	0,009	-6,725	0,034	30,000	224,161	0,000	10,510	-0,028	0,000	-56,536
EmbeddedBeam_2_1	9271	1	15,272	-4,156	10,509	-0,029	0,009	-6,725	0,034	30,000	224,161	0,000	10,509	-0,029	0,000	-56,536
Element 1-15 (Embedded beam)	9272	2	15,456	-4,186	9,260	-0,022	0,004	-6,727	0,026	30,000	224,239	0,000	9,260	-0,022	0,000	-59,326
/Ricropalo ancoraggio autoperforante R38 l=1,60m)	9273	3	15,639	-4,215	8,008	-0,019	0,000	-6,735	0,004	30,000	224,495	0,000	8,008	-0,019	0,000	-61,455
臂	9274	4	15,823	-4,244	6,754	-0,019	0,003	-6,748	-0,004	30,000	224,937	0,000	6,754	-0,019	0,002	-62,224
臂	9275	5	16,006	-4,273	5,498	-0,021	0,007	-6,767	0,035	30,000	225,576	0,000	5,498	-0,021	0,015	-60,869
EmbeddedBeam_2_1	9275	1	16,006	-4,273	5,496	-0,038	0,007	-6,767	0,035	30,000	225,576	0,000	5,496	-0,038	0,000	-60,869
Element 1-16 (Embedded beam)	9276	2	16,205	-4,305	4,136	0,016	0,009	-6,795	0,179	30,000	226,500	0,000	4,136	0,000	0,084	-52,753
/Ricropalo ancoraggio autoperforante R38 l=1,60m)	9277	3	16,403	-4,337	2,767	0,034	0,003	-6,832	0,017	30,000	227,739	0,000	2,767	0,000	0,122	-30,735
臂	9278	4	16,602	-4,368	1,389	0,014	0,003	-6,883	-0,207	30,000	229,430	0,000	1,389	0,000	0,090	-8,390
臂	9279	5	16,800	-4,400	0,002	-0,048	0,000	-6,953	0,355	30,000	231,764	0,000	0,002	-0,048	0,000	0,000
EmbeddedBeam_1_1	9280	1	1,417	-0,401	6,592	-0,095	0,000	-24,730	-2,584	125,000	197,841	0,132	6,592	-0,243	0,004	0,000
Element 2-17 (Embedded beam)	9281	2	1,472	-0,568	3,767	-0,180	0,027	-13,511	-0,165	125,000	108,087	0,068	3,767	-0,220	0,001	-42,393
/Ricropalo D168.3 s12.5mm/1,6m)	9282	3	1,527	-0,735	1,890	-0,129	0,055	-7,254	1,061	125,000	58,035	0,026	1,890	-0,129	0,000	-70,974
臂	9283	4	1,582	-0,901	0,845	-0,002	0,068	-4,042	0,699	125,000	32,339	0,002	0,845	-0,002	0,044	-79,190
臂	9284	5	1,637	-1,068	0,515	0,139	0,055	-2,221	1,053	125,000	17,767	0,000	0,515	-0,002	0,155	-62,181
EmbeddedBeam_1_1	9284	1	1,637	-1,068	0,352	0,194	0,055	-2,221	1,053	125,000	17,767	8,338	0,352	-0,002	0,194	-62,181
Element 2-18 (Embedded beam)	9285	2	1,693	-1,238	0,094	0,221	0,018	-1,211	0,055	125,000	5,688	59,895	0,094	-0,001	0,221	-27,136
/Ricropalo D168.3 s12.5mm/1,6m)	9286	3	1,749	-1,408	-0,077	0,210	0,021	-0,644	-0,211	125,000	5,155	98,115	0,000	-0,001	0,210	-0,567
臂	9287	4	1,805	-1,578	-0,171	0,169	0,056	-0,351	-0,285	125,000	2,811	171,215	0,000	0,000	0,169	-0,627
臂	9288	5	1,861	-1,748	-0,199	0,105	0,081	-0,183	-0,276	125,000	1,465	198,885	0,000	0,000	0,105	-0,619
EmbeddedBeam_1_1	9288	1	1,861	-1,748	-0,214	0,116	0,081	-0,183	-0,276	125,000	1,465	213,781	0,000	0,000	0,116	-0,619
Element 2-19 (Embedded beam)	9289	2	1,918	-1,922	-0,234	0,065	0,097	-0,089	-0,241	125,000	0,710	234,081	0,000	0,000	0,065	-0,565
/Ricropalo D168.3 s12.5mm/1,6m)	9290	3	1,975	-11,095	-0,246	0,028	0,105	-0,034	-0,167	125,000	0,275	245,760	0,000	0,000	0,028	-0,496
臂	9291	4	2,032	-11,268	-0,250	0,004	0,108	-0,005	-0,095	125,000	0,042	249,824	0,000	0,000	0,006	-0,420
臂	9292	5	2,089	-11,441	-0,247	-0,007	0,108	0,012	-0,030	125,000	0,096	247,275	0,000	-0,007	0,000	-0,349
EmbeddedBeam_1_1	9292	1	2,089	-11,441	-0,249	-0,008	0,108	0,012	-0,030	125,000	0,096	248,717	0,000	-0,008	0,000	-0,349
Element 2-20 (Embedded beam)	9293	2	2,147	-11,618	-0,245	-0,010	0,106	0,022	-0,002	125,000	0,176	245,104	0,000	-0,010	0,000	-0,286
/Ricropalo D168.3 s12.5mm/1,6m)	9294	3	2,205	-11,794	-0,240	-0,009	0,104	0,028	0,016	125,000	0,224	240,504	0,000	-0,009	0,000	-0,235
臂	9295	4	2,263	-11,971	-0,235	-0,006	0,103	0,032	0,021	125,000	0,252	235,019	0,000	-0,006	0,000	-0,194
臂	9296	5	2,321	-12,147	-0,229	-0,001	0,102	0,034	0,015	125,000	0,274	228,752	0,000	-0,001	0,002	-0,162
EmbeddedBeam_1_1	9296	1	2,321	-12,147	-0,229	-0,002	0,102	0,034	0,015	125,000	0,274	228,622	0,000	-0,002	0,001	-0,162
Element 2-21 (Embedded beam)	9297	2	2,381	-12,327	-0,222	0,000	0,102	0,037	0,006	125,000	0,300	222,203	0,000	0,000	0,003	-0,138
/Ricropalo D168.3 s12.5mm/1,6m)	9298	3	2,440	-12,507	-0,215	0,001	0,102	0,043	-0,001	125,000	0,341	214,518	0,000	0,000	0,003	-0,120
臂	9299	4	2,499	-12,687	-0,205	0,000	0,102	0,053	-0,010	125,000	0,425	205,345	0,000	0,000	0,003	-0,107
臂	9300	5	2,558	-12,867	-0,194	-0,003	0,102	0,073	0,020	125,000	0,587	194,465	0,000	-0,003	0,001	-0,098
EmbeddedBeam_1_1	9300	1	2,558	-12,867	-0,190	0,000	0,102	0,073	0,020	125,000	0,587	189,815	0,000	0,000	0,002	-0,098

Structural element	Node	Local number	X [m]	Y [m]	N [kN]	Q [10 ⁻¹ kN]	M [10 ⁻¹ kN m]	T_{xx} [kN/m]	T_{yy} [10 ⁻¹ kN/m]	$T_{xx,sup}$ [kN/m]	$T_{xx,inf}$ [10 ⁻¹]	N_{xx} [10 ⁻¹ kN]	N_{yy} [kN]	Q_{xz} [10 ⁻¹ kN]	Q_{yz} [10 ⁻¹ kN]	M_{xx} [10 ⁻¹ kN m]
Element 2-32 (Embedded beam)	9301	2	2,619	-13,050	0,178	0,027	0,101	0,114	0,263	125,000	0,916	-178,288	0,000	-0,027	0,000	0,091
(Micropalo D168.3 x12.5mm/1.6m)	9302	3	2,679	-13,233	0,147	0,119	0,087	0,192	0,894	125,000	1,535	-147,038	0,000	-0,119	0,000	0,075
圧	9303	4	2,740	-13,417	0,092	0,231	0,054	0,357	0,475	125,000	2,856	-92,394	0,000	-0,231	0,000	0,046
圧	9304	5	2,800	-13,600	0,011	0,319	0,000	0,670	4,896	125,000	5,360	-10,682	0,000	-0,319	0,000	0,000

3.3.1.1.14 Calculation results, Embedded beam, Riempimento 3 [Phase_13] (13/678), Table of embedded beam force envelopes

Structural element	Node	Local number	X [m]	Y [m]	N [kN]	Q [10 ⁻¹ kN]	M [10 ⁻¹ kN m]	$T_{,xx}$ [kN/m]	$T_{,xx}$ [10 ⁻¹ kN/m]	$T_{,xx,max}$ [kN/m]	$T_{,xx,min}$ [10 ⁻¹]	$N_{,x,x}$ [10 ⁻¹ kN]	$N_{,x,x}$ [kN]	$Q_{,x,x}$ [10 ⁻¹ kN]	$Q_{,x,x}$ [10 ⁻¹ kN]	$M_{,x,x}$ [10 ⁻¹ kN m]
EmbeddedBeam_21_1	9215	1	8,000	-2,997	61,809	0,605	0,000	-6,574	20,008	30,000	219,120	0,000	61,809	0,000	0,605	0,000
Element 1-1 (Embedded beam)	9216	2	8,191	-3,028	60,556	1,999	0,272	-6,425	4,597	30,000	214,150	0,000	60,556	0,000	1,999	-0,001
(Micropalo ancoraggio autoperforante R38 l=1,60m)	9217	3	8,382	-3,058	59,327	2,310	0,701	-6,291	-2,264	30,000	209,691	0,000	59,327	0,000	2,310	-0,003
88	9218	4	8,572	-3,088	58,122	1,727	1,107	-6,167	-4,451	30,000	205,570	0,000	58,122	0,000	1,727	-0,005
88	9219	5	8,763	-3,119	56,944	0,440	1,325	-6,050	-4,859	30,000	201,676	0,000	56,944	0,000	0,440	-0,008
EmbeddedBeam_21_1	9219	1	8,763	-3,119	56,942	0,675	1,325	-6,050	-4,859	30,000	201,676	0,000	56,942	0,000	0,675	-0,008
Element 1-2 (Embedded beam)	9220	2	8,921	-3,144	55,987	-0,046	1,372	-5,958	-3,946	30,000	198,605	0,000	55,987	-0,099	0,000	-0,012
(Micropalo ancoraggio autoperforante R38 l=1,60m)	9221	3	9,078	-3,169	55,045	-0,581	1,320	-5,870	-2,747	30,000	195,652	0,000	55,045	-0,581	0,000	-0,016
88	9222	4	9,235	-3,194	54,116	-0,931	1,197	-5,784	-1,629	30,000	192,813	0,000	54,116	-0,931	0,000	-0,021
88	9223	5	9,392	-3,219	53,202	-1,099	1,033	-5,702	-0,725	30,000	190,082	0,000	53,202	-1,099	0,000	-0,025
EmbeddedBeam_21_1	9223	1	9,392	-3,219	53,202	-1,116	1,033	-5,702	-0,725	30,000	190,082	0,000	53,202	-1,116	0,000	-0,025
Element 1-3 (Embedded beam)	9224	2	9,522	-3,240	52,458	-1,164	0,883	-5,637	-0,133	30,000	187,907	0,000	52,458	-1,164	0,000	-0,028
(Micropalo ancoraggio autoperforante R38 l=1,60m)	9225	3	9,652	-3,260	51,722	-1,150	0,730	-5,574	0,351	30,000	185,797	0,000	51,722	-1,150	0,000	-0,035
88	9226	4	9,781	-3,281	50,994	-1,076	0,584	-5,513	0,784	30,000	183,751	0,000	50,994	-1,076	0,000	-0,041
88	9227	5	9,911	-3,302	50,274	-0,944	0,450	-5,453	1,213	30,000	181,765	0,000	50,274	-0,944	0,000	-0,047
EmbeddedBeam_21_1	9227	1	9,911	-3,302	50,274	-0,944	0,450	-5,453	1,213	30,000	181,765	0,000	50,274	-0,944	0,000	-0,047
Element 1-4 (Embedded beam)	9228	2	10,018	-3,319	49,687	-0,793	0,356	-5,405	1,588	30,000	180,172	0,000	49,687	-0,793	0,000	-0,050
(Micropalo ancoraggio autoperforante R38 l=1,60m)	9229	3	10,125	-3,336	49,104	-0,600	0,280	-5,358	1,983	30,000	178,615	0,000	49,104	-0,619	0,000	-0,688
88	9230	4	10,232	-3,353	48,527	-0,364	0,228	-5,313	2,374	30,000	177,094	0,000	48,527	-0,418	0,000	-5,909
88	9231	5	10,338	-3,370	47,955	-0,086	0,203	-5,268	2,701	30,000	175,606	0,000	47,955	-0,171	0,000	-12,092
EmbeddedBeam_21_1	9231	1	10,338	-3,370	47,954	-0,099	0,203	-5,268	2,701	30,000	175,606	0,000	47,954	-0,178	0,000	-12,092
Element 1-5 (Embedded beam)	9232	2	10,427	-3,384	47,486	0,164	0,206	-5,232	2,805	30,000	174,402	0,000	47,486	0,000	0,166	-16,493
(Micropalo ancoraggio autoperforante R38 l=1,60m)	9233	3	10,515	-3,398	47,021	0,405	0,232	-5,196	2,704	30,000	173,217	0,000	47,021	0,000	0,407	5,614
88	9234	4	10,603	-3,412	46,559	0,613	0,277	-5,161	2,071	30,000	172,039	0,000	46,559	0,000	0,618	0,674
88	9235	5	10,691	-3,426	46,101	0,778	0,340	-5,125	0,019	30,000	170,847	0,000	46,101	0,000	0,806	-0,035
EmbeddedBeam_21_1	9235	1	10,691	-3,426	46,100	0,806	0,340	-8,542	0,032	30,000	284,745	0,000	46,100	0,000	0,838	-0,035
Element 1-6 (Embedded beam)	9236	2	10,782	-3,441	45,312	0,578	0,404	-8,477	-2,447	30,000	282,581	0,000	45,312	0,000	0,714	-0,029
(Micropalo ancoraggio autoperforante R38 l=1,60m)	9237	3	10,874	-3,455	44,528	0,346	0,447	-8,416	-2,691	30,000	280,528	0,000	44,528	0,000	0,550	-0,024
88	9238	4	10,965	-3,470	43,751	0,128	0,469	-8,357	-2,175	30,000	278,554	0,000	43,751	0,000	0,345	-0,021
88	9239	5	11,057	-3,484	42,979	-0,063	0,471	-8,299	-1,437	30,000	276,644	0,000	42,979	-0,074	0,115	-0,020
EmbeddedBeam_21_1	9239	1	11,057	-3,484	42,978	-0,057	0,471	-8,299	-1,437	30,000	276,644	0,000	42,978	-0,065	0,133	-0,020
Element 1-7 (Embedded beam)	9240	2	11,156	-3,500	42,150	-0,149	0,460	-8,239	-0,646	30,000	274,649	0,000	42,150	-0,187	0,000	-0,019
(Micropalo ancoraggio autoperforante R38 l=1,60m)	9241	3	11,255	-3,516	41,328	-0,184	0,443	-8,182	-0,020	30,000	272,720	0,000	41,328	-0,275	0,000	-0,019
88	9242	4	11,354	-3,532	40,511	-0,169	0,425	-8,126	0,369	30,000	270,853	0,000	40,511	-0,326	0,000	-0,020
88	9243	5	11,453	-3,548	39,700	-0,108	0,411	-8,071	0,526	30,000	269,044	0,000	39,700	-0,332	0,000	-0,021
EmbeddedBeam_21_1	9243	1	11,453	-3,548	39,699	-0,122	0,411	-8,071	0,526	30,000	269,044	0,000	39,699	-0,342	0,000	-0,021
Element 1-8 (Embedded beam)	9244	2	11,560	-3,565	38,829	-0,060	0,401	-8,014	0,502	30,000	267,149	0,000	38,829	-0,321	0,000	-0,022
(Micropalo ancoraggio autoperforante R38 l=1,60m)	9245	3	11,667	-3,582	37,965	-0,013	0,397	-7,959	0,364	30,000	265,315	0,000	37,965	-0,293	0,000	-0,024
88	9246	4	11,773	-3,599	37,106	0,016	0,398	-7,906	0,180	30,000	263,539	0,000	37,106	-0,257	0,016	-0,025
88	9247	5	11,880	-3,616	36,254	0,026	0,400	-7,855	0,007	30,000	261,821	0,000	36,254	-0,215	0,026	-0,025
EmbeddedBeam_21_1	9247	1	11,880	-3,616	36,253	0,029	0,400	-7,855	0,007	30,000	261,821	0,000	36,253	-0,219	0,029	-0,025
Element 1-9 (Embedded beam)	9248	2	11,996	-3,634	35,338	0,016	0,403	-7,801	-0,150	30,000	260,027	0,000	35,338	-0,176	0,016	-0,026
(Micropalo ancoraggio autoperforante R38 l=1,60m)	9249	3	12,111	-3,653	34,429	-0,007	0,403	-7,749	-0,249	30,000	258,298	0,000	34,429	-0,139	0,000	-0,128
88	9250	4	12,227	-3,671	33,526	-0,038	0,401	-7,699	-0,294	30,000	256,635	0,000	33,526	-0,108	0,000	-0,353
88	9251	5	12,342	-3,689	32,629	-0,076	0,394	-7,651	-0,295	30,000	255,035	0,000	32,629	-0,082	0,000	-0,699
EmbeddedBeam_21_1	9251	1	12,342	-3,689	32,628	-0,073	0,394	-7,651	-0,295	30,000	255,035	0,000	32,628	-0,082	0,000	-0,699
Element 1-10 (Embedded beam)	9252	2	12,467	-3,709	31,665	-0,109	0,383	-7,601	-0,253	30,000	253,379	0,000	31,665	-0,109	0,000	-1,364
(Micropalo ancoraggio autoperforante R38 l=1,60m)	9253	3	12,592	-3,729	30,708	-0,137	0,367	-7,554	-0,195	30,000	251,799	0,000	30,708	-0,137	0,000	-2,063
88	9254	4	12,716	-3,749	29,756	-0,158	0,348	-7,509	-0,132	30,000	250,293	0,000	29,756	-0,158	0,000	-2,937

Structural element	Node	Local number	X [m]	Y [m]	N [kN]	Q [10 ^-3 kN]	M [10 ^-3 kN m]	T_xx [kN/m]	T_yy [10 ^-3 kN/m]	T_xx,xx [kN/m]	T_xx,yy [10 ^-3]	N_xx [10 ^-3 kN]	N_yy [kN]	Q_xx [10 ^-3 kN]	Q_yy [10 ^-3 kN]	M_xx [10 ^-3 kN m]
폴	9255	5	12,841	-3,769	28,811	-0,171	0,328	-7,466	-0,074	30,000	248,862	0,000	28,811	-0,171	0,000	-3,848
EmbeddedBeam)_2)_1	9255	1	12,841	-3,769	28,810	-0,172	0,328	-7,466	-0,074	30,000	248,862	0,000	28,810	-0,172	0,000	-3,848
Element 1-11 (Embedded beam)	9256	2	12,976	-3,790	27,795	-0,177	0,304	-7,422	-0,023	30,000	247,400	0,000	27,795	-0,177	0,000	-5,016
(Micropalo ancoraggio autoperforante R38 l=1,60m)	9257	3	13,111	-3,812	26,784	-0,178	0,280	-7,381	0,016	30,000	246,025	0,000	26,784	-0,178	0,000	-6,422
폴	9258	4	13,246	-3,833	25,779	-0,174	0,255	-7,342	0,043	30,000	244,738	0,000	25,779	-0,174	0,000	-8,373
폴	9259	5	13,380	-3,855	24,781	-0,166	0,232	-7,306	0,059	30,000	243,537	0,000	24,781	-0,166	0,000	-10,692
EmbeddedBeam)_2)_1	9259	1	13,380	-3,855	24,780	-0,167	0,232	-7,306	0,059	30,000	243,537	0,000	24,780	-0,167	0,000	-10,692
Element 1-12 (Embedded beam)	9260	2	13,526	-3,878	23,706	-0,157	0,208	-7,270	0,068	30,000	242,337	0,000	23,706	-0,157	0,000	-13,399
(Micropalo ancoraggio autoperforante R38 l=1,60m)	9261	3	13,672	-3,901	22,636	-0,147	0,186	-7,237	0,072	30,000	241,238	0,000	22,636	-0,147	0,000	-16,355
폴	9262	4	13,817	-3,924	21,571	-0,136	0,165	-7,207	0,072	30,000	240,241	0,000	21,571	-0,136	0,000	-19,288
폴	9263	5	13,963	-3,948	20,511	-0,125	0,146	-7,180	0,072	30,000	239,345	0,000	20,511	-0,125	0,000	-21,965
EmbeddedBeam)_2)_1	9263	1	13,963	-3,948	20,510	-0,125	0,146	-7,180	0,072	30,000	239,345	0,000	20,510	-0,125	0,000	-21,965
Element 1-13 (Embedded beam)	9264	2	14,120	-3,973	19,369	-0,114	0,127	-7,155	0,071	30,000	238,493	0,000	19,369	-0,114	0,000	-24,573
(Micropalo ancoraggio autoperforante R38 l=1,60m)	9265	3	14,277	-3,998	18,231	-0,103	0,110	-7,133	0,070	30,000	237,759	0,000	18,231	-0,103	0,000	-30,289
폴	9266	4	14,435	-4,023	17,095	-0,092	0,094	-7,114	0,070	30,000	237,145	0,000	17,095	-0,092	0,000	-35,894
폴	9267	5	14,592	-4,048	15,964	-0,080	0,080	-7,100	0,071	30,000	236,652	0,000	15,964	-0,080	0,000	-40,943
EmbeddedBeam)_2)_1	9267	1	14,592	-4,048	15,963	-0,081	0,080	-7,100	0,071	30,000	236,652	0,000	15,963	-0,081	0,000	-40,943
Element 1-14 (Embedded beam)	9268	2	14,762	-4,075	14,743	-0,068	0,068	-7,088	0,070	30,000	236,257	0,000	14,743	-0,068	0,000	-45,754
(Micropalo ancoraggio autoperforante R38 l=1,60m)	9269	3	14,932	-4,102	13,524	-0,056	0,057	-7,080	0,068	30,000	236,004	0,000	13,524	-0,056	0,000	-49,909
폴	9270	4	15,102	-4,129	12,305	-0,045	0,048	-7,077	0,062	30,000	235,899	0,000	12,305	-0,045	0,000	-53,479
폴	9271	5	15,272	-4,156	11,088	-0,035	0,041	-7,078	0,047	30,000	235,942	0,000	11,088	-0,035	0,000	-56,536
EmbeddedBeam)_2)_1	9271	1	15,272	-4,156	11,086	-0,037	0,041	-7,078	0,047	30,000	235,942	0,000	11,086	-0,037	0,000	-56,536
Element 1-15 (Embedded beam)	9272	2	15,456	-4,186	9,771	-0,028	0,035	-7,085	0,032	30,000	236,160	0,000	9,771	-0,028	0,000	-59,326
(Micropalo ancoraggio autoperforante R38 l=1,60m)	9273	3	15,639	-4,215	8,452	-0,025	0,031	-7,097	-0,006	30,000	236,564	0,000	8,452	-0,025	0,000	-61,455
폴	9274	4	15,823	-4,244	7,130	-0,029	0,026	-7,115	-0,036	30,000	237,160	0,000	7,130	-0,029	0,002	-62,224
폴	9275	5	16,006	-4,273	5,807	-0,039	0,020	-7,139	-0,021	30,000	237,961	0,000	5,807	-0,039	0,015	-60,869
EmbeddedBeam)_2)_1	9275	1	16,006	-4,273	5,804	-0,052	0,020	-7,139	-0,021	30,000	237,961	0,000	5,804	-0,052	0,000	-60,869
Element 1-16 (Embedded beam)	9276	2	16,205	-4,305	4,369	-0,017	0,013	-7,172	0,113	30,000	239,070	0,000	4,369	-0,017	0,084	-52,753
(Micropalo ancoraggio autoperforante R38 l=1,60m)	9277	3	16,403	-4,337	2,923	-0,008	0,011	-7,215	-0,031	30,000	240,507	0,000	2,923	-0,008	0,122	-30,735
폴	9278	4	16,602	-4,368	1,467	-0,024	0,008	-7,273	-0,137	30,000	242,419	0,000	1,467	-0,024	0,090	-8,390
폴	9279	5	16,800	-4,400	0,002	-0,063	0,000	-7,350	0,756	30,000	245,007	0,000	0,002	-0,063	0,000	0,000
EmbeddedBeam)_1)_1	9280	1	1,417	-0,401	9,853	0,071	0,000	-37,150	-0,312	125,000	297,201	0,132	9,853	-0,243	0,071	0,000
Element 2-17 (Embedded beam)	9281	2	1,472	-0,568	5,611	-0,123	0,008	-20,294	-0,443	125,000	162,354	0,068	5,611	-0,220	0,001	-42,393
(Micropalo D168,3 s12,5mm/1,6m)	9282	3	1,527	-0,735	2,791	-0,133	0,032	-10,895	0,842	125,000	87,160	0,026	2,791	-0,145	0,000	-70,974
폴	9283	4	1,582	-0,901	1,221	-0,017	0,048	-6,070	0,783	125,000	48,562	0,002	1,221	-0,022	0,044	-79,190
폴	9284	5	1,637	-1,068	0,726	0,165	0,035	-3,335	1,593	125,000	26,678	0,000	0,726	-0,002	0,165	-62,181
EmbeddedBeam)_1)_1	9284	1	1,637	-1,068	0,481	0,248	0,035	-3,335	1,593	125,000	26,678	8,338	0,481	-0,002	0,248	-62,181
Element 2-18 (Embedded beam)	9285	2	1,693	-1,238	0,093	0,298	0,015	-1,818	0,127	125,000	14,545	59,895	0,094	-0,001	0,298	-27,136
(Micropalo D168,3 s12,5mm/1,6m)	9286	3	1,749	-1,408	-0,163	0,289	0,069	-0,967	-0,282	125,000	7,735	163,281	0,000	-0,001	0,289	-0,567
폴	9287	4	1,805	-1,578	-0,304	0,233	0,116	-0,526	-0,406	125,000	4,210	304,247	0,000	0,000	0,233	-0,627
폴	9288	5	1,861	-1,748	-0,346	0,140	0,150	-0,273	-0,394	125,000	2,183	345,543	0,000	0,000	0,140	-0,619
EmbeddedBeam)_1)_1	9288	1	1,861	-1,748	-0,368	0,156	0,150	-0,273	-0,394	125,000	2,183	367,905	0,000	0,000	0,156	-0,619
Element 2-19 (Embedded beam)	9289	2	1,918	-1,922	-0,398	0,083	0,171	-0,130	-0,350	125,000	1,043	397,945	0,000	0,000	0,083	-0,565
(Micropalo D168,3 s12,5mm/1,6m)	9290	3	1,975	-11,095	-0,415	0,029	0,181	-0,048	-0,241	125,000	0,382	414,875	0,000	0,000	0,032	-0,496
폴	9291	4	2,032	-11,268	-0,420	-0,005	0,183	-0,003	-0,130	125,000	0,025	420,206	0,000	-0,005	0,006	-0,420
폴	9292	5	2,089	-11,441	-0,415	-0,019	0,180	0,023	-0,034	125,000	0,187	415,453	0,000	-0,019	0,000	-0,349
EmbeddedBeam)_1)_1	9292	1	2,089	-11,441	-0,418	-0,021	0,180	0,023	-0,034	125,000	0,187	417,636	0,000	-0,021	0,000	-0,349
Element 2-20 (Embedded beam)	9293	2	2,147	-11,618	-0,411	-0,022	0,176	0,039	0,006	125,000	0,312	411,150	0,000	-0,022	0,000	-0,286
(Micropalo D168,3 s12,5mm/1,6m)	9294	3	2,205	-11,794	-0,403	-0,018	0,173	0,048	0,031	125,000	0,387	403,105	0,000	-0,018	0,000	-0,235
폴	9295	4	2,263	-11,971	-0,394	-0,012	0,170	0,054	0,039	125,000	0,432	393,661	0,000	-0,012	0,000	-0,194
폴	9296	5	2,321	-12,147	-0,383	-0,004	0,168	0,058	0,024	125,000	0,467	382,979	0,000	-0,004	0,002	-0,162
EmbeddedBeam)_1)_1	9296	1	2,321	-12,147	-0,383	-0,005	0,168	0,058	0,024	125,000	0,467	382,747	0,000	-0,005	0,001	-0,162
Element 2-21 (Embedded beam)	9297	2	2,381	-12,327	-0,372	-0,002	0,168	0,064	0,010	125,000	0,509	371,811	0,000	-0,002	0,003	-0,138
(Micropalo D168,3 s12,5mm/1,6m)	9298	3	2,440	-12,507	-0,359	-0,002	0,167	0,072	-0,003	125,000	0,577	358,775	0,000	-0,002	0,003	-0,120
폴	9299	4	2,499	-12,687	-0,343	-0,004	0,167	0,090	-0,017	125,000	0,718	343,272	0,000	-0,004	0,003	-0,107
폴	9300	5	2,558	-12,867	-0,325	-0,008	0,166	0,123	0,034	125,000	0,987	324,935	0,000	-0,008	0,001	-0,098
EmbeddedBeam)_1)_1	9300	1	2,558	-12,867	-0,317	-0,003	0,166	0,123	0,034	125,000	0,987	317,180	0,000	-0,003	0,002	-0,098

Structural element	Node	Local number	X [m]	Y [m]	N [kN]	Q [10 ⁻¹ kN]	M [10 ⁻¹ kN m]	$T_{xx,sup}$ [kN/m]	$T_{xx,inf}$ [kN/m]	$T_{xx,max}$ [kN/m]	$T_{xx,min}$ [10 ⁻¹]	$M_{xx,sup}$ [10 ⁻¹ kN]	$N_{xx,sup}$ [kN]	$Q_{xz,sup}$ [10 ⁻¹ kN]	$Q_{xz,inf}$ [10 ⁻¹ kN]	$M_{xx,inf}$ [10 ⁻¹ kN m]
Element 2-32 (Embedded beam)	9301	2	2,619	-13,050	0,298	0,047	0,164	0,192	0,424	125,000	1,535	297,773	0,000	-0,047	0,000	0,091
(Micropalo D168.3 x12.5mm/1.6m)	9302	3	2,679	-13,233	0,245	0,194	0,140	0,321	1,433	125,000	2,567	245,490	0,000	-0,194	0,000	0,075
圧	9303	4	2,740	-13,417	0,154	0,372	0,087	0,596	0,748	125,000	4,769	154,210	0,000	-0,372	0,000	0,046
圧	9304	5	2,800	-13,600	0,018	0,510	0,000	1,118	7,851	125,000	8,944	17,811	0,000	-0,510	0,000	0,000

3.3.1.1.15 Calculation results, Embedded beam, Completamento riempimento [Phase_14] (14/695), Table of embedded beam force envelopes

Structural element	Node	Local number	X [m]	Y [m]	N [kN]	Q [10 ⁻¹ kN]	M [10 ⁻¹ kN m]	T_{xxx} [kN/m]	T_{yyy} [10 ⁻¹ kN/m]	$T_{xxx,min}$ [kN/m]	$T_{yyy,min}$ [10 ⁻¹]	N_{xxx} [10 ⁻¹ kN]	N_{yyy} [kN]	Q_{zzz} [10 ⁻¹ kN]	Q_{yyy} [10 ⁻¹ kN]	M_{yyy} [10 ⁻¹ kN m]
EmbeddedBeam_21_1	9215	1	8,000	-2,997	63,681	0,641	0,000	-6,718	21,171	10,000	233,934	0,000	63,681	0,000	0,641	0,000
Element 1-1 (Embedded beam)	9216	2	8,191	-3,028	62,400	2,115	0,288	-6,567	4,865	10,000	218,895	0,000	62,400	0,000	2,115	-0,001
(Micropalo ancoraggio autoperforante R38 l=1,60m)	9217	3	8,382	-3,058	61,144	2,444	0,741	-6,431	-2,400	10,000	214,383	0,000	61,144	0,000	2,444	-0,003
88	9218	4	8,572	-3,088	59,913	1,828	1,172	-6,307	-4,911	10,000	210,219	0,000	59,913	0,000	1,828	-0,005
89	9219	5	8,763	-3,119	58,707	0,470	1,402	-6,189	-5,109	10,000	206,290	0,000	58,707	0,000	0,470	-0,008
EmbeddedBeam_21_1	9219	1	8,763	-3,119	58,706	0,718	1,402	-6,189	-5,109	10,000	206,290	0,000	58,706	0,000	0,718	-0,008
Element 1-2 (Embedded beam)	9220	2	8,921	-3,144	57,728	-0,039	1,454	-6,096	-4,143	10,000	203,193	0,000	57,728	-0,099	0,000	-0,012
(Micropalo ancoraggio autoperforante R38 l=1,60m)	9221	3	9,078	-3,169	56,764	-0,600	1,400	-6,007	-2,886	10,000	200,220	0,000	56,764	-0,600	0,000	-0,016
90	9222	4	9,235	-3,194	55,814	-0,969	1,273	-5,921	-1,720	10,000	197,362	0,000	55,814	-0,969	0,000	-0,021
91	9223	5	9,392	-3,219	54,878	-1,147	1,102	-5,838	-0,784	10,000	194,615	0,000	54,878	-1,147	0,000	-0,025
EmbeddedBeam_21_1	9223	1	9,392	-3,219	54,878	-1,165	1,102	-5,838	-0,784	10,000	194,615	0,000	54,878	-1,165	0,000	-0,025
Element 1-3 (Embedded beam)	9224	2	9,522	-3,240	54,116	-1,220	0,945	-5,773	-0,176	10,000	192,430	0,000	54,116	-1,220	0,000	-0,028
(Micropalo ancoraggio autoperforante R38 l=1,60m)	9225	3	9,652	-3,260	53,362	-1,211	0,785	-5,709	0,319	10,000	190,313	0,000	53,362	-1,211	0,000	-0,035
92	9226	4	9,781	-3,281	52,616	-1,141	0,629	-5,648	0,762	10,000	188,261	0,000	52,616	-1,141	0,000	-0,041
93	9227	5	9,911	-3,302	51,879	-1,010	0,488	-5,588	1,204	10,000	186,271	0,000	51,879	-1,010	0,000	-0,047
EmbeddedBeam_21_1	9227	1	9,911	-3,302	51,879	-1,010	0,488	-5,588	1,204	10,000	186,271	0,000	51,879	-1,010	0,000	-0,047
Element 1-4 (Embedded beam)	9228	2	10,018	-3,319	51,277	-0,860	0,386	-5,540	1,596	10,000	184,676	0,000	51,277	-0,860	0,000	-0,050
(Micropalo ancoraggio autoperforante R38 l=1,60m)	9229	3	10,125	-3,336	50,680	-0,665	0,303	-5,494	2,014	10,000	183,121	0,000	50,680	-0,665	0,000	-0,688
94	9230	4	10,232	-3,353	50,088	-0,424	0,244	-5,448	2,434	10,000	181,602	0,000	50,088	-0,424	0,000	-5,909
95	9231	5	10,338	-3,370	49,501	-0,138	0,213	-5,404	2,790	10,000	180,119	0,000	49,501	-0,171	0,000	-12,092
EmbeddedBeam_21_1	9231	1	10,338	-3,370	49,501	-0,151	0,213	-5,404	2,790	10,000	180,119	0,000	49,501	-0,178	0,000	-12,092
Element 1-5 (Embedded beam)	9232	2	10,427	-3,384	49,021	0,121	0,212	-5,368	2,910	10,000	178,920	0,000	49,021	0,000	0,166	-16,493
(Micropalo ancoraggio autoperforante R38 l=1,60m)	9233	3	10,515	-3,398	48,544	0,372	0,234	-5,332	2,813	10,000	177,743	0,000	48,544	0,000	0,407	-5,614
96	9234	4	10,603	-3,412	48,069	0,588	0,277	-5,297	2,152	10,000	176,575	0,000	48,069	0,000	0,618	-0,674
97	9235	5	10,691	-3,426	47,599	0,760	0,338	-5,262	-0,004	10,000	175,394	0,000	47,599	0,000	0,806	-0,035
EmbeddedBeam_21_1	9235	1	10,691	-3,426	47,598	0,783	0,338	-8,770	-0,006	10,000	292,323	0,000	47,598	0,000	0,838	-0,035
Element 1-6 (Embedded beam)	9236	2	10,782	-3,441	46,789	0,569	0,400	-8,705	-2,175	10,000	290,158	0,000	46,789	0,000	0,714	-0,029
(Micropalo ancoraggio autoperforante R38 l=1,60m)	9237	3	10,874	-3,455	45,984	0,375	0,444	-8,643	-2,122	10,000	288,111	0,000	45,984	0,000	0,550	-0,024
98	9238	4	10,965	-3,470	45,185	0,217	0,471	-8,584	-1,425	10,000	286,147	0,000	45,185	0,000	0,345	-0,021
99	9239	5	11,057	-3,484	44,392	0,106	0,485	-8,528	-0,707	10,000	284,250	0,000	44,392	-0,074	0,115	-0,020
EmbeddedBeam_21_1	9239	1	11,057	-3,484	44,392	0,102	0,485	-8,528	-0,707	10,000	284,250	0,000	44,392	-0,065	0,133	-0,020
Element 1-7 (Embedded beam)	9240	2	11,156	-3,500	43,541	0,076	0,494	-8,468	-0,171	10,000	282,272	0,000	43,541	-0,187	0,076	-0,019
(Micropalo ancoraggio autoperforante R38 l=1,60m)	9241	3	11,255	-3,516	42,695	0,069	0,501	-8,411	0,079	10,000	280,357	0,000	42,695	-0,275	0,069	-0,019
100	9242	4	11,354	-3,532	41,855	0,078	0,508	-8,355	0,128	10,000	278,500	0,000	41,855	-0,326	0,078	-0,020
101	9243	5	11,453	-3,548	41,022	0,097	0,517	-8,301	0,062	10,000	276,699	0,000	41,022	-0,332	0,097	-0,021
EmbeddedBeam_21_1	9243	1	11,453	-3,548	41,021	0,091	0,517	-8,301	0,062	10,000	276,699	0,000	41,021	-0,342	0,091	-0,021
Element 1-8 (Embedded beam)	9244	2	11,560	-3,565	40,126	0,091	0,527	-8,244	-0,059	10,000	274,812	0,000	40,126	-0,321	0,091	-0,022
(Micropalo ancoraggio autoperforante R38 l=1,60m)	9245	3	11,667	-3,582	39,237	0,078	0,536	-8,190	-0,188	10,000	272,984	0,000	39,237	-0,293	0,078	-0,024
102	9246	4	11,773	-3,599	38,353	0,052	0,543	-8,136	-0,298	10,000	271,215	0,000	38,353	-0,257	0,054	-0,025
103	9247	5	11,880	-3,616	37,476	0,013	0,547	-8,085	-0,373	10,000	269,502	0,000	37,476	-0,215	0,040	-0,025
EmbeddedBeam_21_1	9247	1	11,880	-3,616	37,475	0,017	0,547	-8,085	-0,373	10,000	269,502	0,000	37,475	-0,219	0,044	-0,025
Element 1-9 (Embedded beam)	9248	2	11,996	-3,634	36,534	-0,033	0,546	-8,031	-0,412	10,000	267,715	0,000	36,534	-0,176	0,016	-0,026
(Micropalo ancoraggio autoperforante R38 l=1,60m)	9249	3	12,111	-3,653	35,597	-0,080	0,540	-7,980	-0,406	10,000	265,993	0,000	35,597	-0,139	0,000	-0,128
104	9250	4	12,227	-3,671	34,667	-0,125	0,528	-7,930	-0,368	10,000	264,337	0,000	34,667	-0,125	0,000	-0,353
105	9251	5	12,342	-3,689	33,743	-0,166	0,510	-7,882	-0,305	10,000	262,746	0,000	33,743	-0,166	0,000	-0,699
EmbeddedBeam_21_1	9251	1	12,342	-3,689	33,742	-0,165	0,510	-7,882	-0,305	10,000	262,746	0,000	33,742	-0,165	0,000	-0,699
Element 1-10 (Embedded beam)	9252	2	12,467	-3,709	32,750	-0,198	0,487	-7,833	-0,221	10,000	261,099	0,000	32,750	-0,198	0,000	-1,364
(Micropalo ancoraggio autoperforante R38 l=1,60m)	9253	3	12,592	-3,729	31,763	-0,221	0,461	-7,786	-0,139	10,000	259,529	0,000	31,763	-0,221	0,000	-2,063
106	9254	4	12,716	-3,749	30,782	-0,234	0,432	-7,741	-0,066	10,000	258,036	0,000	30,782	-0,234	0,000	-2,937

Structural element	Node	Local number	X [m]	Y [m]	N [kN]	Q [10 ^ kN]	M [10 ^ kN m]	T_xx,sup [kN/m]	T_xx,inf [10 ^ kN/m]	T_xx,sup [kN/m]	T_xx,inf [10 ^]	N_xx [10 ^ kN]	N_xx [kN]	Q_xx [10 ^ kN]	Q_xx [10 ^ kN]	M_xx [10 ^ kN m]
3D	9255	5	12,841	-3,769	29,808	-0,238	0,402	-7,699	-0,005	30,000	256,619	0,000	29,808	-0,238	0,000	-3,848
EmbeddedBeam_2_1	9255	1	12,841	-3,769	29,807	-0,239	0,402	-7,699	-0,005	30,000	256,619	0,000	29,807	-0,239	0,000	-3,848
Element 1-11 (Embedded beam)	9256	2	12,976	-3,790	28,760	-0,235	0,370	-7,655	0,043	30,000	255,173	0,000	28,760	-0,235	0,000	-5,016
(#)Ircropalo ancoraggio autoperforante R38 l=1,60m)	9257	3	13,111	-3,812	27,718	-0,227	0,338	-7,615	0,075	30,000	253,817	0,000	27,718	-0,227	0,000	-6,422
3D	9258	4	13,246	-3,833	26,681	-0,216	0,308	-7,576	0,093	30,000	252,549	0,000	26,681	-0,216	0,000	-8,373
3D	9259	5	13,380	-3,855	25,650	-0,202	0,279	-7,541	0,101	30,000	251,370	0,000	25,650	-0,202	0,000	-10,692
EmbeddedBeam_2_1	9259	1	13,380	-3,855	25,649	-0,203	0,279	-7,541	0,101	30,000	251,370	0,000	25,649	-0,203	0,000	-10,692
Element 1-12 (Embedded beam)	9260	2	13,526	-3,878	24,541	-0,187	0,250	-7,506	0,102	30,000	250,197	0,000	24,541	-0,187	0,000	-13,399
(#)Ircropalo ancoraggio autoperforante R38 l=1,60m)	9261	3	13,672	-3,901	23,436	-0,173	0,224	-7,474	0,099	30,000	249,127	0,000	23,436	-0,173	0,000	-16,355
3D	9262	4	13,817	-3,924	22,336	-0,158	0,200	-7,445	0,094	30,000	248,161	0,000	22,336	-0,158	0,000	-19,288
3D	9263	5	13,963	-3,948	21,241	-0,145	0,177	-7,419	0,089	30,000	247,299	0,000	21,241	-0,145	0,000	-21,965
EmbeddedBeam_2_1	9263	1	13,963	-3,948	21,240	-0,145	0,177	-7,419	0,089	30,000	247,299	0,000	21,240	-0,145	0,000	-21,965
Element 1-13 (Embedded beam)	9264	2	14,120	-3,973	20,061	-0,131	0,155	-7,395	0,085	30,000	246,484	0,000	20,061	-0,131	0,000	-24,573
(#)Ircropalo ancoraggio autoperforante R38 l=1,60m)	9265	3	14,277	-3,998	18,884	-0,118	0,135	-7,374	0,083	30,000	245,792	0,000	18,884	-0,118	0,000	-30,289
3D	9266	4	14,435	-4,023	17,710	-0,104	0,118	-7,357	0,082	30,000	245,224	0,000	17,710	-0,104	0,000	-35,894
3D	9267	5	14,592	-4,048	16,540	-0,091	0,102	-7,343	0,082	30,000	244,778	0,000	16,540	-0,091	0,000	-40,943
EmbeddedBeam_2_1	9267	1	14,592	-4,048	16,539	-0,092	0,102	-7,343	0,082	30,000	244,778	0,000	16,539	-0,092	0,000	-40,943
Element 1-14 (Embedded beam)	9268	2	14,762	-4,075	15,277	-0,077	0,088	-7,333	0,082	30,000	244,438	0,000	15,277	-0,077	0,000	-45,754
(#)Ircropalo ancoraggio autoperforante R38 l=1,60m)	9269	3	14,932	-4,102	14,015	-0,063	0,076	-7,327	0,080	30,000	244,245	0,000	14,015	-0,063	0,000	-49,909
3D	9270	4	15,102	-4,129	12,754	-0,050	0,066	-7,326	0,073	30,000	244,201	0,000	12,754	-0,050	0,000	-53,479
3D	9271	5	15,272	-4,156	11,494	-0,038	0,058	-7,329	0,056	30,000	244,311	0,000	11,494	-0,038	0,000	-56,536
EmbeddedBeam_2_1	9271	1	15,272	-4,156	11,492	-0,040	0,058	-7,329	0,056	30,000	244,311	0,000	11,492	-0,040	0,000	-56,536
Element 1-15 (Embedded beam)	9272	2	15,456	-4,186	10,130	-0,029	0,052	-7,338	0,036	30,000	244,606	0,000	10,130	-0,029	0,000	-59,326
(#)Ircropalo ancoraggio autoperforante R38 l=1,60m)	9273	3	15,639	-4,215	8,764	-0,027	0,047	-7,353	-0,011	30,000	245,091	0,000	8,764	-0,027	0,000	-61,455
3D	9274	4	15,823	-4,244	7,394	-0,033	0,041	-7,373	-0,055	30,000	245,774	0,000	7,394	-0,033	0,002	-62,224
3D	9275	5	16,006	-4,273	6,022	-0,047	0,034	-7,400	-0,054	30,000	246,667	0,000	6,022	-0,047	0,015	-60,869
EmbeddedBeam_2_1	9275	1	16,006	-4,273	6,020	-0,059	0,034	-7,400	-0,054	30,000	246,667	0,000	6,020	-0,059	0,000	-60,869
Element 1-16 (Embedded beam)	9276	2	16,205	-4,305	4,532	-0,034	0,025	-7,436	0,074	30,000	247,882	0,000	4,532	-0,034	0,084	-52,753
(#)Ircropalo ancoraggio autoperforante R38 l=1,60m)	9277	3	16,403	-4,337	3,033	-0,031	0,019	-7,483	-0,060	30,000	249,437	0,000	3,033	-0,031	0,122	-30,735
3D	9278	4	16,602	-4,368	1,523	-0,045	0,012	-7,544	-0,100	30,000	251,482	0,000	1,523	-0,045	0,090	-8,390
3D	9279	5	16,800	-4,400	0,002	-0,072	0,000	-7,627	0,988	30,000	254,226	0,000	0,002	-0,072	0,000	0,000
EmbeddedBeam_1_1	9280	1	1,417	-0,401	11,638	0,096	0,000	-43,932	-0,039	125,000	251,460	0,132	11,638	-0,243	0,096	0,000
Element 2-17 (Embedded beam)	9281	2	1,472	-0,568	6,620	-0,121	0,006	-23,999	-0,722	125,000	191,995	0,068	6,620	-0,220	0,001	-42,393
(#)Ircropalo D168.3 x12.5mm/1,6m)	9282	3	1,527	-0,735	3,286	-0,132	0,030	-12,884	0,942	125,000	103,074	0,026	3,286	-0,145	0,000	-70,974
3D	9283	4	1,582	-0,901	1,429	-0,002	0,044	-7,179	0,884	125,000	57,434	0,002	1,429	-0,022	0,044	-79,190
3D	9284	5	1,637	-1,068	0,844	0,203	-0,027	-3,945	1,851	125,000	31,560	0,000	0,844	-0,002	0,203	-62,181
EmbeddedBeam_1_1	9284	1	1,637	-1,068	0,555	0,304	-0,027	-3,945	1,851	125,000	31,560	8,338	0,555	-0,002	0,304	-62,181
Element 2-18 (Embedded beam)	9285	2	1,693	-1,238	0,095	0,357	0,034	-2,152	0,117	125,000	17,215	59,895	0,095	-0,001	0,357	-27,136
(#)Ircropalo D168.3 x12.5mm/1,6m)	9286	3	1,749	-1,408	-0,208	0,341	0,097	-1,146	-0,361	125,000	9,165	208,465	0,000	-0,001	0,341	-0,567
3D	9287	4	1,805	-1,578	-0,376	0,270	0,152	-0,625	-0,497	125,000	4,997	375,565	0,000	0,000	0,270	-0,627
3D	9288	5	1,861	-1,748	-0,425	0,158	0,191	-0,325	-0,471	125,000	2,599	424,824	0,000	0,000	0,158	-0,619
EmbeddedBeam_1_1	9288	1	1,861	-1,748	-0,451	0,178	0,191	-0,325	-0,471	125,000	2,599	451,243	0,000	0,000	0,178	-0,619
Element 2-19 (Embedded beam)	9289	2	1,918	-1,922	-0,487	0,090	0,215	-0,156	-0,415	125,000	1,248	487,137	0,000	0,000	0,090	-0,565
(#)Ircropalo D168.3 x12.5mm/1,6m)	9290	3	1,975	-11,095	-0,507	0,026	0,225	-0,058	-0,281	125,000	0,462	507,439	0,000	0,000	0,032	-0,496
3D	9291	4	2,032	-11,268	-0,514	-0,012	0,226	-0,005	-0,146	125,000	0,036	513,936	0,000	-0,012	0,006	-0,420
3D	9292	5	2,089	-11,441	-0,508	-0,027	0,222	0,027	-0,032	125,000	0,219	508,414	0,000	-0,027	0,000	-0,349
EmbeddedBeam_1_1	9292	1	2,089	-11,441	-0,511	-0,029	0,222	0,027	-0,032	125,000	0,219	510,998	0,000	-0,029	0,000	-0,349
Element 2-20 (Embedded beam)	9293	2	2,147	-11,618	-0,503	-0,029	0,217	0,046	0,014	125,000	0,370	503,328	0,000	-0,029	0,000	-0,286
(#)Ircropalo D168.3 x12.5mm/1,6m)	9294	3	2,205	-11,794	-0,494	-0,024	0,212	0,058	0,042	125,000	0,463	493,734	0,000	-0,024	0,000	-0,235
3D	9295	4	2,263	-11,971	-0,482	-0,016	0,208	0,065	0,051	125,000	0,519	482,407	0,000	-0,016	0,000	-0,194
3D	9296	5	2,321	-12,147	-0,470	-0,005	0,206	0,071	0,031	125,000	0,564	469,539	0,000	-0,005	0,002	-0,162
EmbeddedBeam_1_1	9296	1	2,321	-12,147	-0,469	-0,007	0,206	0,071	0,031	125,000	0,564	469,250	0,000	-0,007	0,001	-0,162
Element 2-21 (Embedded beam)	9297	2	2,381	-12,327	-0,456	-0,003	0,205	0,077	0,013	125,000	0,617	456,031	0,000	-0,003	0,003	-0,138
(#)Ircropalo D168.3 x12.5mm/1,6m)	9298	3	2,440	-12,507	-0,440	-0,002	0,205	0,088	-0,003	125,000	0,702	440,201	0,000	-0,002	0,003	-0,120
3D	9299	4	2,499	-12,687	-0,421	-0,004	0,204	0,109	-0,021	125,000	0,876	421,310	0,000	-0,004	0,003	-0,107
3D	9300	5	2,558	-12,867	-0,399	-0,010	0,203	0,151	0,041	125,000	1,207	398,908	0,000	-0,010	0,001	-0,098
EmbeddedBeam_1_1	9300	1	2,558	-12,867	-0,389	-0,003	0,203	0,151	0,041	125,000	1,207	389,383	0,000	-0,003	0,002	-0,098

Structural element	Node	Local number	X [m]	Y [m]	N [kN]	Q [10 ⁻¹ kN]	M [10 ⁻¹ kN m]	$T_{xx,sup}$ [kN/m]	$T_{xx,inf}$ [kN/m]	$T_{xx,max}$ [kN/m]	$T_{xx,min}$ [10 ⁻¹]	$M_{xx,sup}$ [10 ⁻¹ kN]	$N_{xx,sup}$ [kN]	$Q_{xz,sup}$ [10 ⁻¹ kN]	$Q_{xz,inf}$ [10 ⁻¹ kN]	$M_{xx,sup}$ [10 ⁻¹ kN m]
Element 2-32 (Embedded beam)	9301	2	2,619	-13,050	0,366	0,058	0,201	0,235	0,521	125,000	1,882	365,649	0,000	-0,058	0,000	0,091
(Micropalo D168.3 x12.5mm/1.6m)	9302	3	2,679	-13,233	0,302	0,238	0,172	0,394	1,757	125,000	3,150	301,503	0,000	-0,238	0,000	0,075
圧	9303	4	2,740	-13,417	0,189	0,456	0,107	0,732	0,915	125,000	5,856	189,422	0,000	-0,456	0,000	0,046
圧	9304	5	2,800	-13,600	0,022	0,625	0,000	1,373	9,625	125,000	10,988	21,886	0,000	-0,625	0,000	0,000

3.3.1.1.16 Calculation results, Embedded beam, SLE/SLU 11 Costr [Phase_17] (17/731), Table of embedded beam force envelopes

Structural element	Node	Local number	X [m]	Y [m]	N [kN]	Q [10 ^ kN]	M [10 ^ kN m]	T_{xxx} [kN/m]	T_{zzz} [10 ^ kN/m]	$T_{xxx,max}$ [kN/m]	$T_{xxx,ver}$ [10 ^]	N_{xxx} [10 ^ kN]	N_{xxx} [kN]	Q_{xxx} [10 ^ kN]	Q_{xxx} [10 ^ kN]	M_{xxx} [10 ^ kN m]
EmbeddedBeam_21_1	9215	1	8,000	-2,997	104,225	0,878	0,000	-0,948	26,546	30,000	364,924	0,000	104,225	0,000	0,878	0,000
Element 1-1 (Embedded beam)	9216	2	8,191	-3,028	102,138	2,526	0,355	-0,699	5,265	30,000	356,634	0,000	102,138	0,000	2,526	-0,001
(Micropalo ancoraggio autoperforante R38 l=1,60m)	9217	3	8,382	-3,058	100,091	2,817	0,886	-0,478	-3,420	30,000	349,255	0,000	100,091	0,000	2,817	-0,003
28	9218	4	8,572	-3,088	98,085	2,003	1,373	-0,274	-6,181	30,000	342,476	0,000	98,085	0,000	2,003	-0,005
29	9219	5	8,763	-3,119	96,121	0,334	1,608	-0,083	-6,370	30,000	336,096	0,000	96,121	0,000	0,473	-0,008
EmbeddedBeam_21_1	9219	1	8,763	-3,119	96,119	0,619	1,608	-0,083	-6,370	30,000	336,096	0,000	96,119	0,000	0,721	-0,008
Element 1-2 (Embedded beam)	9220	2	8,921	-3,144	94,526	-0,316	1,629	-0,932	-5,177	30,000	331,076	0,000	94,526	-0,316	0,000	-0,012
(Micropalo ancoraggio autoperforante R38 l=1,60m)	9221	3	9,078	-3,169	92,955	-1,028	1,519	-0,788	-3,711	30,000	326,256	0,000	92,955	-1,028	0,000	-0,016
30	9222	4	9,235	-3,194	91,407	-1,522	1,313	-0,649	-2,451	30,000	321,627	0,000	91,407	-1,522	0,000	-0,021
31	9223	5	9,392	-3,219	89,882	-1,805	1,045	-0,515	-1,527	30,000	317,176	0,000	89,882	-1,805	0,000	-0,025
EmbeddedBeam_21_1	9223	1	9,392	-3,219	89,881	-1,826	1,045	-0,515	-1,527	30,000	317,176	0,000	89,881	-1,826	0,000	-0,025
Element 1-3 (Embedded beam)	9224	2	9,522	-3,240	88,640	-1,988	0,794	-0,409	-0,946	30,000	313,634	0,000	88,640	-1,988	0,000	-0,028
(Micropalo ancoraggio autoperforante R38 l=1,60m)	9225	3	9,652	-3,260	87,411	-2,076	0,527	-0,306	-0,419	30,000	310,203	0,000	87,411	-2,076	0,000	-0,035
32	9226	4	9,781	-3,281	86,195	-2,088	0,253	-0,206	0,216	30,000	306,880	0,000	86,195	-2,088	0,000	-0,041
33	9227	5	9,911	-3,302	84,994	-2,021	-0,018	-0,110	1,125	30,000	303,660	0,000	84,994	-2,021	0,000	-17,983
EmbeddedBeam_21_1	9227	1	9,911	-3,302	84,993	-1,992	-0,018	-0,110	1,125	30,000	303,660	0,000	84,993	-1,992	0,000	-17,983
Element 1-4 (Embedded beam)	9228	2	10,018	-3,319	84,012	-1,838	-0,227	-0,032	2,193	30,000	301,082	0,000	84,012	-1,838	0,000	-226,591
(Micropalo ancoraggio autoperforante R38 l=1,60m)	9229	3	10,125	-3,336	83,039	-1,521	-0,410	-0,957	3,606	30,000	298,572	0,000	83,039	-1,521	0,000	-409,964
34	9230	4	10,232	-3,353	82,073	-1,032	-0,550	-0,884	5,362	30,000	296,128	0,000	82,073	-1,032	0,000	-549,614
35	9231	5	10,338	-3,370	81,116	-0,364	-0,627	-0,812	7,339	30,000	293,749	0,000	81,116	-0,377	0,000	-626,783
EmbeddedBeam_21_1	9231	1	10,338	-3,370	81,116	-0,373	-0,627	-0,812	7,339	30,000	293,749	0,000	81,116	-0,388	0,000	-626,783
Element 1-5 (Embedded beam)	9232	2	10,427	-3,384	80,333	0,387	-0,627	-0,755	8,917	30,000	291,837	0,000	80,333	0,000	0,387	-627,012
(Micropalo ancoraggio autoperforante R38 l=1,60m)	9233	3	10,515	-3,398	79,554	1,229	-0,555	-0,699	10,266	30,000	289,976	0,000	79,554	0,000	1,229	-555,137
36	9234	4	10,603	-3,412	78,780	2,123	-0,406	-0,645	10,072	30,000	288,164	0,000	78,780	0,000	2,123	-406,211
37	9235	5	10,691	-3,426	78,012	3,037	-0,176	-0,592	5,529	30,000	286,392	0,000	78,012	0,000	3,037	-176,094
EmbeddedBeam_21_1	9235	1	10,691	-3,426	78,012	3,052	-0,176	-14,320	9,216	30,000	477,320	0,000	78,012	0,000	3,052	-176,094
Element 1-6 (Embedded beam)	9236	2	10,782	-3,441	76,689	3,265	0,120	-14,220	0,627	30,000	474,006	0,000	76,689	0,000	3,265	-0,029
(Micropalo ancoraggio autoperforante R38 l=1,60m)	9237	3	10,874	-3,455	75,375	3,151	0,419	-14,126	-3,531	30,000	470,870	0,000	75,375	0,000	3,151	-0,024
38	9238	4	10,965	-3,470	74,069	2,756	0,695	-14,035	-5,427	30,000	467,837	0,000	74,069	0,000	2,756	-0,021
39	9239	5	11,057	-3,484	72,772	2,127	0,923	-13,946	-6,098	30,000	464,878	0,000	72,772	-0,074	2,127	-0,020
EmbeddedBeam_21_1	9239	1	11,057	-3,484	72,771	2,203	0,923	-13,946	-6,098	30,000	464,878	0,000	72,771	-0,065	2,203	-0,020
Element 1-7 (Embedded beam)	9240	2	11,156	-3,500	71,380	1,565	1,111	-13,853	-6,026	30,000	461,765	0,000	71,380	-0,187	1,565	-0,019
(Micropalo ancoraggio autoperforante R38 l=1,60m)	9241	3	11,255	-3,516	69,996	0,993	1,239	-13,762	-5,457	30,000	458,729	0,000	69,996	-0,275	0,993	-0,019
40	9242	4	11,354	-3,532	68,622	0,494	1,313	-13,673	-4,572	30,000	455,769	0,000	68,622	-0,326	0,564	-0,020
41	9243	5	11,453	-3,548	67,257	0,075	1,340	-13,587	-3,588	30,000	452,886	0,000	67,257	-0,332	0,313	-0,021
EmbeddedBeam_21_1	9243	1	11,453	-3,548	67,256	0,074	1,340	-13,587	-3,588	30,000	452,886	0,000	67,256	-0,342	0,319	-0,021
Element 1-8 (Embedded beam)	9244	2	11,560	-3,565	65,792	-0,250	1,330	-13,496	-2,599	30,000	449,855	0,000	65,792	-0,321	0,193	-0,022
(Micropalo ancoraggio autoperforante R38 l=1,60m)	9245	3	11,667	-3,582	64,335	-0,487	1,290	-13,407	-1,751	30,000	446,912	0,000	64,335	-0,487	0,105	-0,024
42	9246	4	11,773	-3,599	62,889	-0,641	1,228	-13,322	-1,072	30,000	444,057	0,000	62,889	-0,641	0,054	-0,025
43	9247	5	11,880	-3,616	61,452	-0,717	1,154	-13,239	-0,566	30,000	441,291	0,000	61,452	-0,717	0,040	-0,025
EmbeddedBeam_21_1	9247	1	11,880	-3,616	61,451	-0,731	1,154	-13,239	-0,566	30,000	441,291	0,000	61,451	-0,731	0,044	-0,025
Element 1-9 (Embedded beam)	9248	2	11,996	-3,634	59,909	-0,764	1,066	-13,152	-0,165	30,000	438,402	0,000	59,909	-0,764	0,016	-0,026
(Micropalo ancoraggio autoperforante R38 l=1,60m)	9249	3	12,111	-3,653	58,376	-0,769	0,976	-13,069	0,109	30,000	435,619	0,000	58,376	-0,769	0,000	-0,128
44	9250	4	12,227	-3,671	56,852	-0,746	0,887	-12,988	0,291	30,000	432,942	0,000	56,852	-0,746	0,000	-0,353
45	9251	5	12,342	-3,689	55,339	-0,700	0,802	-12,911	0,402	30,000	430,372	0,000	55,339	-0,700	0,000	-0,699
EmbeddedBeam_21_1	9251	1	12,342	-3,689	55,338	-0,705	0,802	-12,911	0,402	30,000	430,372	0,000	55,338	-0,705	0,000	-0,699
Element 1-10 (Embedded beam)	9252	2	12,467	-3,709	53,713	-0,648	0,717	-12,831	0,456	30,000	427,716	0,000	53,713	-0,648	0,000	-1,364
(Micropalo ancoraggio autoperforante R38 l=1,60m)	9253	3	12,592	-3,729	52,096	-0,590	0,639	-12,756	0,471	30,000	425,184	0,000	52,096	-0,590	0,000	-2,063
46	9254	4	12,716	-3,749	50,489	-0,531	0,568	-12,683	0,457	30,000	422,777	0,000	50,489	-0,531	0,000	-2,937

Structural element	Node	Local number	X [m]	Y [m]	N [kN]	Q [10 ^ kN]	M [10 ^ kN m]	T_xx [kN/m]	T_yy [10 ^ kN/m]	T_xx,xx,xx [kN/m]	T_xx,yy,xx [10 ^]	N_x,x [10 ^ kN]	M_xx [kN]	Q_xx [10 ^ kN]	Q_yy [10 ^ kN]	M_yy [10 ^ kN m]
폴	9255	5	12,841	-3,769	48,892	-0,474	0,504	-12,615	0,426	30,000	420,494	0,000	48,892	-0,474	0,000	3,848
EmbeddedBeam_2_1	9255	1	12,841	-3,769	48,891	-0,475	0,504	-12,615	0,426	30,000	420,494	0,000	48,891	-0,475	0,000	3,848
Element 1-11 (Embedded beam)	9256	2	12,976	-3,790	47,175	-0,420	0,443	-12,545	0,382	30,000	418,167	0,000	47,175	-0,420	0,000	5,016
(Micropalo ancoraggio autoperforante R38 l=1,60m)	9257	3	13,111	-3,812	45,467	-0,371	0,390	-12,480	0,334	30,000	415,985	0,000	45,467	-0,371	0,000	6,422
폴	9258	4	13,246	-3,833	43,767	-0,329	0,342	-12,418	0,286	30,000	413,946	0,000	43,767	-0,329	0,000	8,373
폴	9259	5	13,380	-3,855	42,077	-0,293	0,299	-12,362	0,241	30,000	412,050	0,000	42,077	-0,293	0,000	10,692
EmbeddedBeam_2_1	9259	1	13,380	-3,855	42,076	-0,292	0,299	-12,362	0,241	30,000	412,050	0,000	42,076	-0,292	0,000	10,692
Element 1-12 (Embedded beam)	9260	2	13,526	-3,878	40,259	-0,261	0,259	-12,305	0,198	30,000	410,164	0,000	40,259	-0,261	0,000	13,399
(Micropalo ancoraggio autoperforante R38 l=1,60m)	9261	3	13,672	-3,901	38,448	-0,234	0,222	-12,253	0,162	30,000	408,444	0,000	38,448	-0,234	0,000	16,355
폴	9262	4	13,817	-3,924	36,644	-0,212	0,190	-12,207	0,133	30,000	406,892	0,000	36,644	-0,212	0,000	19,288
폴	9263	5	13,963	-3,948	34,848	-0,195	0,160	-12,165	0,112	30,000	405,508	0,000	34,848	-0,195	0,000	21,965
EmbeddedBeam_2_1	9263	1	13,963	-3,948	34,847	-0,194	0,160	-12,165	0,112	30,000	405,508	0,000	34,847	-0,194	0,000	21,965
Element 1-13 (Embedded beam)	9264	2	14,120	-3,973	32,913	-0,178	0,130	-12,126	0,099	30,000	404,203	0,000	32,913	-0,178	0,000	24,573
(Micropalo ancoraggio autoperforante R38 l=1,60m)	9265	3	14,277	-3,998	30,984	-0,162	0,103	-12,093	0,094	30,000	403,096	0,000	30,984	-0,162	0,000	30,289
폴	9266	4	14,435	-4,023	29,059	-0,147	0,078	-12,066	0,095	30,000	402,189	0,000	29,059	-0,147	0,000	35,894
폴	9267	5	14,592	-4,048	27,140	-0,132	0,056	-12,045	0,099	30,000	401,484	0,000	27,140	-0,132	0,000	40,943
EmbeddedBeam_2_1	9267	1	14,592	-4,048	27,138	-0,132	0,056	-12,045	0,099	30,000	401,484	0,000	27,138	-0,132	0,000	40,943
Element 1-14 (Embedded beam)	9268	2	14,762	-4,075	25,068	-0,114	0,035	-12,029	0,104	30,000	400,951	0,000	25,068	-0,114	0,000	45,754
(Micropalo ancoraggio autoperforante R38 l=1,60m)	9269	3	14,932	-4,102	22,998	-0,096	0,017	-12,020	0,107	30,000	400,659	0,000	22,998	-0,096	0,000	49,909
폴	9270	4	15,102	-4,129	20,929	-0,078	0,002	-12,018	0,105	30,000	400,613	0,000	20,929	-0,078	0,000	53,479
폴	9271	5	15,272	-4,156	18,862	-0,060	-0,010	-12,025	0,091	30,000	400,818	0,000	18,862	-0,060	0,000	56,536
EmbeddedBeam_2_1	9271	1	15,272	-4,156	18,859	-0,062	-0,010	-12,025	0,091	30,000	400,818	0,000	18,859	-0,062	0,000	56,536
Element 1-15 (Embedded beam)	9272	2	15,456	-4,186	16,624	-0,044	-0,020	-12,040	0,085	30,000	401,328	0,000	16,624	-0,044	0,000	59,326
(Micropalo ancoraggio autoperforante R38 l=1,60m)	9273	3	15,639	-4,215	14,383	-0,031	-0,027	-12,064	0,052	30,000	402,149	0,000	14,383	-0,031	0,000	61,455
폴	9274	4	15,823	-4,244	12,135	-0,021	-0,032	-12,099	0,042	30,000	403,297	0,000	12,135	-0,033	0,002	62,224
폴	9275	5	16,006	-4,273	9,884	-0,015	-0,035	-12,144	0,114	30,000	404,787	0,000	9,884	-0,047	0,015	60,869
EmbeddedBeam_2_1	9275	1	16,006	-4,273	9,880	-0,049	-0,035	-12,144	0,114	30,000	404,787	0,000	9,880	-0,059	0,000	60,869
Element 1-16 (Embedded beam)	9276	2	16,205	-4,305	7,438	0,062	-0,033	-12,204	0,361	30,000	406,809	0,000	7,438	-0,034	0,084	52,753
(Micropalo ancoraggio autoperforante R38 l=1,60m)	9277	3	16,403	-4,337	4,978	0,098	-0,015	-12,282	0,032	30,000	409,386	0,000	4,978	-0,031	0,122	30,735
폴	9278	4	16,602	-4,368	2,499	0,053	0,001	-12,383	-0,455	30,000	412,767	0,000	2,499	-0,045	0,090	8,390
폴	9279	5	16,800	-4,400	0,003	-0,082	0,000	-12,519	0,422	30,000	417,294	0,000	0,003	-0,082	0,000	0,000
EmbeddedBeam_11_1	9280	1	1,417	-0,401	13,768	0,400	0,000	51,738	4,923	125,000	413,902	-0,132	13,768	-0,243	0,400	0,000
Element 2-17 (Embedded beam)	9281	2	1,472	-0,568	7,859	0,072	0,038	28,263	1,357	125,000	226,103	-0,068	7,859	-0,220	0,072	42,393
(Micropalo D168.3 x12.5mm/1,6m)	9282	3	1,527	-0,735	3,933	-0,065	0,037	15,172	-0,058	125,000	121,378	-0,026	3,933	-0,145	0,000	70,974
폴	9283	4	1,582	-0,901	1,746	-0,039	0,025	8,453	0,502	125,000	67,622	-0,002	1,746	-0,039	0,044	79,190
폴	9284	5	1,637	-1,068	1,056	0,122	0,030	4,643	2,037	125,000	37,144	0,000	1,056	-0,002	0,203	62,181
EmbeddedBeam_11_1	9284	1	1,637	-1,068	0,716	0,248	0,030	4,643	2,037	125,000	37,144	-8,338	0,716	-0,002	0,304	62,181
Element 2-18 (Embedded beam)	9285	2	1,693	-1,238	0,176	0,303	0,081	2,532	0,145	125,000	20,252	-59,895	0,176	-0,001	0,357	27,136
(Micropalo D168.3 x12.5mm/1,6m)	9286	3	1,749	-1,408	-0,181	0,295	0,135	-1,147	-0,301	125,000	10,779	-208,465	0,000	-0,001	0,341	-0,567
폴	9287	4	1,805	-1,578	-0,378	0,234	0,183	-0,735	-0,438	125,000	5,884	-379,279	0,000	0,000	0,270	-0,427
폴	9288	5	1,861	-1,748	-0,436	0,134	0,217	-0,384	-0,427	125,000	3,074	-436,201	0,000	0,000	0,158	-0,619
EmbeddedBeam_11_1	9288	1	1,861	-1,748	-0,467	0,152	0,217	-0,384	-0,427	125,000	3,074	-467,328	0,000	0,000	0,178	-0,619
Element 2-19 (Embedded beam)	9289	2	1,918	-1,922	-0,510	0,072	0,237	-0,187	-0,374	125,000	1,498	-510,116	0,000	0,000	0,091	-0,565
(Micropalo D168.3 x12.5mm/1,6m)	9290	3	1,975	-2,095	-0,535	0,016	0,244	-0,073	-0,242	125,000	0,587	-534,844	0,000	0,000	0,032	-0,496
폴	9291	4	2,032	-2,268	-0,544	-0,017	0,244	-0,012	-0,119	125,000	0,097	-543,400	0,000	-0,017	0,006	-0,420
폴	9292	5	2,089	-2,441	-0,538	-0,028	0,239	0,024	-0,011	125,000	0,196	-538,473	0,000	-0,028	0,000	-0,349
EmbeddedBeam_11_1	9292	1	2,089	-2,441	-0,541	-0,030	0,239	0,024	-0,011	125,000	0,196	-541,471	0,000	-0,030	0,000	-0,349
Element 2-20 (Embedded beam)	9293	2	2,147	-2,618	-0,534	-0,026	0,234	0,046	0,030	125,000	0,368	-533,979	0,000	-0,029	0,000	-0,286
(Micropalo D168.3 x12.5mm/1,6m)	9294	3	2,205	-2,794	-0,524	-0,019	0,230	0,059	0,053	125,000	0,474	-524,296	0,000	-0,024	0,000	-0,235
폴	9295	4	2,263	-2,971	-0,513	-0,008	0,227	0,067	0,059	125,000	0,538	-512,639	0,000	-0,016	0,000	-0,194
폴	9296	5	2,321	-3,147	-0,499	0,004	0,227	0,074	0,034	125,000	0,589	-499,226	0,000	-0,005	0,004	-0,162
EmbeddedBeam_11_1	9296	1	2,321	-3,147	-0,499	0,002	0,227	0,074	0,034	125,000	0,589	-498,940	0,000	-0,007	0,002	-0,162
Element 2-21 (Embedded beam)	9297	2	2,381	-3,327	-0,485	0,006	0,228	0,081	0,011	125,000	0,647	-485,118	0,000	-0,003	0,006	-0,138
(Micropalo D168.3 x12.5mm/1,6m)	9298	3	2,440	-3,507	-0,468	0,006	0,229	0,092	-0,008	125,000	0,739	-468,482	0,000	-0,002	0,006	-0,120
폴	9299	4	2,499	-3,687	-0,449	0,003	0,230	0,116	-0,027	125,000	0,926	-448,555	0,000	-0,004	0,003	-0,107
폴	9300	5	2,558	-3,867	-0,425	-0,004	0,230	0,160	0,033	125,000	1,280	-424,857	0,000	-0,010	0,001	-0,098
EmbeddedBeam_11_1	9300	1	2,558	-3,867	-0,415	0,002	0,230	0,160	0,033	125,000	1,280	-414,497	0,000	-0,003	0,002	-0,098

Structural element	Node	Local number	X [m]	Y [m]	N [kN]	Q [10 ^ kN]	M [10 ^ kN m]	T_{xx} [kN/m]	T_{yy} [10 ^ kN/m]	$T_{xx,yy}$ [kN/m]	$T_{xx,yy}$ [10 ^]	$N_{x,y}$ [10 ^ kN]	N_{xx} [kN]	$Q_{x,y}$ [10 ^ kN]	Q_{xx} [10 ^ kN]	$M_{x,y}$ [10 ^ kN m]
Element 2-32 (Embedded beam)	9301	2	2,619	-13,050	0,390	-0,061	0,228	0,250	-0,600	125,000	1,999	-389,580	0,000	-0,061	0,000	-0,091
(Micropalo D168.3 x12.5mm/1.6m)	9302	3	2,679	-13,233	0,321	-0,268	0,196	0,419	-2,014	125,000	3,353	-321,335	0,000	-0,268	0,000	-0,075
圧	9303	4	2,740	-13,417	0,202	-0,520	0,122	0,780	-1,065	125,000	6,241	-201,936	0,000	-0,520	0,000	-0,046
圧	9304	5	2,800	-13,600	0,023	-0,717	0,000	1,465	-11,020	125,000	11,717	-23,356	0,000	-0,717	0,000	0,000

3.3.1.1.17 Calculation results, Embedded beam, Disattivazione paratia provvisionale [Phase_24] (24/741), Table of embedded beam force envelopes

Structural element	Node	Local number	X [m]	Y [m]	N [kN]	Q [10 ^ kN]	M [10 ^ kN m]	T_{sup} [kN/m]	T_{inf} [10 ^ kN/m]	$T_{sup,sup}$ [kN/m]	$T_{inf,inf}$ [10 ^]	N_{sx} [10 ^ kN]	N_{dx} [kN]	Q_{sx} [10 ^ kN]	Q_{dx} [10 ^ kN]	M_{sx} [10 ^ kN m]
EmbeddedBeam_21_1	9215	1	8,000	-2,997	65,740	0,860	0,000	-7,063	28,598	30,000	235,428	0,000	65,740	0,000	0,860	0,000
Element 1-1 (Embedded beam)	9216	2	8,191	-3,028	64,394	2,857	0,389	-6,895	6,548	30,000	229,824	0,000	64,394	0,000	2,857	-0,001
(Micropalo ancoraggio autoperforante R38 l=1,60m)	9217	3	8,382	-3,058	63,075	3,283	1,000	-6,744	-3,457	30,000	224,794	0,000	63,075	0,000	3,283	-0,003
28	9218	4	8,572	-3,088	61,785	2,420	1,575	-6,605	-6,792	30,000	220,151	0,000	61,785	0,000	2,420	-0,005
29	9219	5	8,763	-3,119	60,524	0,551	1,874	-6,473	-6,830	30,000	215,775	0,000	60,524	0,000	0,551	-0,008
EmbeddedBeam_21_1	9219	1	8,763	-3,119	60,522	0,899	1,874	-6,473	-6,830	30,000	215,775	0,000	60,522	0,000	0,899	-0,008
Element 1-2 (Embedded beam)	9220	2	8,921	-3,144	59,500	-0,099	1,934	-6,370	-5,425	30,000	212,332	0,000	59,500	-0,099	0,000	-0,012
(Micropalo ancoraggio autoperforante R38 l=1,60m)	9221	3	9,078	-3,169	58,493	-0,827	1,857	-6,271	-3,684	30,000	209,030	0,000	58,493	-0,827	0,000	-0,016
30	9222	4	9,235	-3,194	57,502	-1,290	1,684	-6,176	-2,104	30,000	205,862	0,000	57,502	-1,290	0,000	-0,021
31	9223	5	9,392	-3,219	56,526	-1,495	1,459	-6,085	-0,863	30,000	202,820	0,000	56,526	-1,495	0,000	-0,025
EmbeddedBeam_21_1	9223	1	9,392	-3,219	56,525	-1,523	1,459	-6,085	-0,863	30,000	202,820	0,000	56,525	-1,523	0,000	-0,025
Element 1-3 (Embedded beam)	9224	2	9,522	-3,240	55,732	-1,572	1,255	-6,012	-0,088	30,000	200,404	0,000	55,732	-1,572	0,000	-0,028
(Micropalo ancoraggio autoperforante R38 l=1,60m)	9225	3	9,652	-3,260	54,947	-1,545	1,050	-5,942	0,512	30,000	198,066	0,000	54,947	-1,545	0,000	-0,035
32	9226	4	9,781	-3,281	54,171	-1,446	0,853	-5,874	1,011	30,000	195,803	0,000	54,171	-1,446	0,000	-0,041
33	9227	5	9,911	-3,302	53,405	-1,279	0,673	-5,808	1,480	30,000	193,612	0,000	53,405	-1,279	0,000	-0,047
EmbeddedBeam_21_1	9227	1	9,911	-3,302	53,404	-1,280	0,673	-5,808	1,480	30,000	193,612	0,000	53,404	-1,280	0,000	-0,047
Element 1-4 (Embedded beam)	9228	2	10,018	-3,319	52,779	-1,100	0,544	-5,756	1,883	30,000	191,857	0,000	52,779	-1,100	0,000	-0,050
(Micropalo ancoraggio autoperforante R38 l=1,60m)	9229	3	10,125	-3,336	52,159	-0,873	0,437	-5,704	2,307	30,000	190,148	0,000	52,159	-0,873	0,000	-0,688
34	9230	4	10,232	-3,353	51,544	-0,600	0,357	-5,654	2,737	30,000	188,481	0,000	51,544	-0,600	0,000	-5,909
35	9231	5	10,338	-3,370	50,935	-0,281	0,309	-5,606	3,108	30,000	186,854	0,000	50,935	-0,281	0,000	-12,092
EmbeddedBeam_21_1	9231	1	10,338	-3,370	50,935	-0,294	0,309	-5,606	3,108	30,000	186,854	0,000	50,935	-0,294	0,000	-12,092
Element 1-5 (Embedded beam)	9232	2	10,427	-3,384	50,437	0,008	0,296	-5,566	3,244	30,000	185,542	0,000	50,437	0,000	0,166	-16,493
(Micropalo ancoraggio autoperforante R38 l=1,60m)	9233	3	10,515	-3,398	49,942	0,289	0,309	-5,528	3,166	30,000	184,254	0,000	49,942	0,000	0,407	-5,614
36	9234	4	10,603	-3,412	49,451	0,537	0,347	-5,489	2,514	30,000	182,979	0,000	49,451	0,000	0,618	-0,674
37	9235	5	10,691	-3,426	48,963	0,742	0,404	-5,451	0,326	30,000	181,692	0,000	48,963	0,000	0,806	-0,035
EmbeddedBeam_21_1	9235	1	10,691	-3,426	48,963	0,769	0,404	-9,085	0,544	30,000	302,820	0,000	48,963	0,000	0,838	-0,035
Element 1-6 (Embedded beam)	9236	2	10,782	-3,441	48,124	0,583	0,467	-9,015	-1,925	30,000	300,505	0,000	48,124	0,000	0,714	-0,029
(Micropalo ancoraggio autoperforante R38 l=1,60m)	9237	3	10,874	-3,455	47,291	0,406	0,512	-8,949	-2,032	30,000	298,313	0,000	47,291	0,000	0,550	-0,024
38	9238	4	10,965	-3,470	46,464	0,253	0,543	-8,886	-1,420	30,000	296,210	0,000	46,464	0,000	0,345	-0,021
39	9239	5	11,057	-3,484	45,643	0,138	0,560	-8,825	-0,748	30,000	294,177	0,000	45,643	-0,074	0,138	-0,020
EmbeddedBeam_21_1	9239	1	11,057	-3,484	45,643	0,136	0,560	-8,825	-0,748	30,000	294,177	0,000	45,643	-0,065	0,136	-0,020
Element 1-7 (Embedded beam)	9240	2	11,156	-3,500	44,762	0,103	0,572	-8,762	-0,240	30,000	292,056	0,000	44,762	-0,187	0,103	-0,019
(Micropalo ancoraggio autoperforante R38 l=1,60m)	9241	3	11,255	-3,516	43,888	0,089	0,582	-8,700	-0,002	30,000	290,002	0,000	43,888	-0,275	0,089	-0,019
40	9242	4	11,354	-3,532	43,019	0,090	0,591	-8,640	0,046	30,000	288,009	0,000	43,019	-0,326	0,092	-0,020
41	9243	5	11,453	-3,548	42,157	0,100	0,600	-8,582	-0,014	30,000	286,075	0,000	42,157	-0,332	0,111	-0,021
EmbeddedBeam_21_1	9243	1	11,453	-3,548	42,156	0,095	0,600	-8,582	-0,014	30,000	286,075	0,000	42,156	-0,342	0,105	-0,021
Element 1-8 (Embedded beam)	9244	2	11,560	-3,565	41,231	0,087	0,610	-8,521	-0,125	30,000	284,048	0,000	41,231	-0,321	0,103	-0,022
(Micropalo ancoraggio autoperforante R38 l=1,60m)	9245	3	11,667	-3,582	40,312	0,068	0,619	-8,463	-0,241	30,000	282,084	0,000	40,312	-0,293	0,087	-0,024
42	9246	4	11,773	-3,599	39,399	0,036	0,624	-8,405	-0,340	30,000	280,180	0,000	39,399	-0,257	0,057	-0,025
43	9247	5	11,880	-3,616	38,493	-0,006	0,626	-8,350	-0,406	30,000	278,337	0,000	38,493	-0,215	0,040	-0,025
EmbeddedBeam_21_1	9247	1	11,880	-3,616	38,492	-0,003	0,626	-8,350	-0,406	30,000	278,337	0,000	38,492	-0,219	0,044	-0,025
Element 1-9 (Embedded beam)	9248	2	11,996	-3,634	37,520	-0,055	0,623	-8,292	-0,437	30,000	276,412	0,000	37,520	-0,176	0,016	-0,026
(Micropalo ancoraggio autoperforante R38 l=1,60m)	9249	3	12,111	-3,653	36,553	-0,105	0,613	-8,237	-0,425	30,000	274,556	0,000	36,553	-0,139	0,000	-0,128
44	9250	4	12,227	-3,671	35,593	-0,152	0,598	-8,183	-0,382	30,000	272,768	0,000	35,593	-0,152	0,000	-0,353
45	9251	5	12,342	-3,689	34,640	-0,195	0,578	-8,131	-0,314	30,000	271,049	0,000	34,640	-0,195	0,000	-0,699
EmbeddedBeam_21_1	9251	1	12,342	-3,689	34,639	-0,194	0,578	-8,131	-0,314	30,000	271,049	0,000	34,639	-0,194	0,000	-0,699
Element 1-10 (Embedded beam)	9252	2	12,467	-3,709	33,616	-0,228	0,551	-8,078	-0,225	30,000	269,268	0,000	33,616	-0,228	0,000	-1,364
(Micropalo ancoraggio autoperforante R38 l=1,60m)	9253	3	12,592	-3,729	32,598	-0,251	0,521	-8,027	-0,138	30,000	267,568	0,000	32,598	-0,251	0,000	-2,063
46	9254	4	12,716	-3,749	31,587	-0,263	0,488	-7,978	-0,060	30,000	265,948	0,000	31,587	-0,263	0,000	-2,937

Structural element	Node	Local number	X [m]	Y [m]	N [kN]	Q [10 ⁻¹ kN]	M [10 ⁻¹ kN m]	T_{xx} [kN/m]	T_{yy} [10 ⁻¹ kN/m]	$T_{xx,sup}$ [kN/m]	$T_{xx,inf}$ [10 ⁻¹]	N_{xx} [10 ⁻¹ kN]	N_{yy} [kN]	Q_{xz} [10 ⁻¹ kN]	Q_{yz} [10 ⁻¹ kN]	M_{xx} [10 ⁻¹ kN m]
晋	9255	5	12,841	-3,769	30,583	-0,266	0,455	-7,932	0,004	30,000	264,408	0,000	30,583	-0,266	0,000	-3,848
EmbeddedBeam_2_1	9255	1	12,841	-3,769	30,582	-0,267	0,455	-7,932	0,004	30,000	264,408	0,000	30,582	-0,267	0,000	-3,848
Element 1-11 (Embedded beam)	9256	2	12,976	-3,790	29,503	-0,262	0,418	-7,885	0,054	30,000	262,833	0,000	29,503	-0,262	0,000	-5,016
(Micropalo ancoraggio autoperforante R38 l=1,60m)	9257	3	13,111	-3,812	28,430	-0,252	0,383	-7,841	0,087	30,000	261,352	0,000	28,430	-0,252	0,000	-6,422
晋	9258	4	13,246	-3,833	27,362	-0,239	0,350	-7,799	0,106	30,000	259,965	0,000	27,362	-0,239	0,000	-8,373
晋	9259	5	13,380	-3,855	26,301	-0,223	0,318	-7,760	0,113	30,000	258,670	0,000	26,301	-0,223	0,000	-10,692
EmbeddedBeam_2_1	9259	1	13,380	-3,855	26,300	-0,224	0,318	-7,760	0,113	30,000	258,670	0,000	26,300	-0,224	0,000	-10,692
Element 1-12 (Embedded beam)	9260	2	13,526	-3,878	25,160	-0,207	0,286	-7,721	0,114	30,000	257,376	0,000	25,160	-0,207	0,000	-13,399
(Micropalo ancoraggio autoperforante R38 l=1,60m)	9261	3	13,672	-3,901	24,023	-0,191	0,257	-7,686	0,110	30,000	256,190	0,000	24,023	-0,191	0,000	-16,355
晋	9262	4	13,817	-3,924	22,892	-0,175	0,230	-7,653	0,104	30,000	255,112	0,000	22,892	-0,175	0,000	-19,288
晋	9263	5	13,963	-3,948	21,767	-0,160	0,205	-7,624	0,098	30,000	254,143	0,000	21,767	-0,160	0,000	-21,965
EmbeddedBeam_2_1	9263	1	13,963	-3,948	21,766	-0,160	0,205	-7,624	0,098	30,000	254,143	0,000	21,766	-0,160	0,000	-21,965
Element 1-13 (Embedded beam)	9264	2	14,120	-3,973	20,554	-0,145	0,181	-7,597	0,094	30,000	253,219	0,000	20,554	-0,145	0,000	-24,573
(Micropalo ancoraggio autoperforante R38 l=1,60m)	9265	3	14,277	-3,998	19,346	-0,130	0,159	-7,573	0,091	30,000	252,422	0,000	19,346	-0,130	0,000	-30,289
晋	9266	4	14,435	-4,023	18,141	-0,115	0,140	-7,553	0,090	30,000	251,753	0,000	18,141	-0,115	0,000	-35,894
晋	9267	5	14,592	-4,048	16,940	-0,101	0,122	-7,536	0,090	30,000	251,214	0,000	16,940	-0,101	0,000	-40,943
EmbeddedBeam_2_1	9267	1	14,592	-4,048	16,938	-0,101	0,122	-7,536	0,090	30,000	251,214	0,000	16,938	-0,101	0,000	-40,943
Element 1-14 (Embedded beam)	9268	2	14,762	-4,075	15,644	-0,086	0,106	-7,523	0,090	30,000	250,776	0,000	15,644	-0,086	0,000	-45,754
(Micropalo ancoraggio autoperforante R38 l=1,60m)	9269	3	14,932	-4,102	14,349	-0,070	0,093	-7,515	0,087	30,000	250,492	0,000	14,349	-0,070	0,000	-49,909
晋	9270	4	15,102	-4,129	13,056	-0,056	0,082	-7,511	0,080	30,000	250,364	0,000	13,056	-0,056	0,000	-53,479
晋	9271	5	15,272	-4,156	11,764	-0,043	0,074	-7,512	0,061	30,000	250,394	0,000	11,764	-0,043	0,000	-56,536
EmbeddedBeam_2_1	9271	1	15,272	-4,156	11,763	-0,045	0,074	-7,512	0,061	30,000	250,394	0,000	11,763	-0,045	0,000	-56,536
Element 1-15 (Embedded beam)	9272	2	15,456	-4,186	10,367	-0,033	0,066	-7,518	0,038	30,000	250,610	0,000	10,367	-0,033	0,000	-59,326
(Micropalo ancoraggio autoperforante R38 l=1,60m)	9273	3	15,639	-4,215	8,967	-0,031	0,061	-7,531	-0,016	30,000	251,022	0,000	8,967	-0,031	0,000	-61,455
晋	9274	4	15,823	-4,244	7,564	-0,039	0,054	-7,549	-0,068	30,000	251,640	0,000	7,564	-0,039	0,002	-62,224
晋	9275	5	16,006	-4,273	6,160	-0,057	0,045	-7,574	-0,074	30,000	252,474	0,000	6,160	-0,057	0,015	-60,869
EmbeddedBeam_2_1	9275	1	16,006	-4,273	6,158	-0,067	0,045	-7,574	-0,074	30,000	252,474	0,000	6,158	-0,067	0,000	-60,869
Element 1-16 (Embedded beam)	9276	2	16,205	-4,305	4,635	-0,049	0,034	-7,609	0,051	30,000	253,634	0,000	4,635	-0,049	0,084	-52,753
(Micropalo ancoraggio autoperforante R38 l=1,60m)	9277	3	16,403	-4,337	3,101	-0,049	0,025	-7,654	-0,075	30,000	255,143	0,000	3,101	-0,049	0,122	-30,735
晋	9278	4	16,602	-4,368	1,557	-0,060	0,014	-7,715	-0,069	30,000	257,155	0,000	1,557	-0,060	0,090	-8,390
晋	9279	5	16,800	-4,400	0,002	-0,078	0,000	-7,797	1,146	30,000	259,885	0,000	0,002	-0,078	0,000	0,000
EmbeddedBeam_11_1	9280	1	1,417	-0,401	12,450	0,801	0,000	-47,112	13,845	125,000	176,898	0,132	12,450	-0,243	0,801	0,000
Element 2-17 (Embedded beam)	9281	2	1,472	-0,568	7,070	0,633	0,128	-25,732	-1,043	125,000	205,852	0,068	7,070	-0,220	0,633	-42,393
(Micropalo D168.3 x12.5mm/1,6m)	9282	3	1,527	-0,735	3,496	0,403	0,218	-13,805	-2,017	125,000	110,441	0,026	3,496	-0,145	0,403	-70,974
晋	9283	4	1,582	-0,901	1,507	0,194	0,271	-7,679	-0,797	125,000	61,433	0,002	1,507	-0,022	0,194	-79,190
晋	9284	5	1,637	-1,068	0,883	0,091	0,293	-4,203	1,063	125,000	33,624	0,000	0,883	-0,002	0,203	-62,181
EmbeddedBeam_11_1	9284	1	1,637	-1,068	0,573	0,244	0,293	-4,203	1,063	125,000	33,624	8,338	0,573	-0,002	0,304	-62,181
Element 2-18 (Embedded beam)	9285	2	1,693	-1,238	0,087	0,178	0,331	-2,275	-0,398	125,000	18,199	59,895	0,095	-0,001	0,357	-27,136
(Micropalo D168.3 x12.5mm/1,6m)	9286	3	1,749	-1,408	-0,233	0,098	0,356	-1,193	-0,532	125,000	9,543	233,112	0,000	-0,001	0,341	-0,567
晋	9287	4	1,805	-1,578	-0,406	0,011	0,366	-0,634	-0,478	125,000	5,075	405,982	0,000	0,000	0,270	-0,627
晋	9288	5	1,861	-1,748	-0,452	-0,076	0,360	-0,315	-0,379	125,000	2,521	452,363	0,000	-0,076	0,158	-0,619
EmbeddedBeam_11_1	9288	1	1,861	-1,748	-0,481	-0,074	0,360	-0,315	-0,379	125,000	2,521	480,915	0,000	-0,074	0,178	-0,619
Element 2-19 (Embedded beam)	9289	2	1,918	-1,922	-0,514	-0,118	0,342	-0,138	-0,184	125,000	1,101	513,619	0,000	-0,118	0,090	-0,565
(Micropalo D168.3 x12.5mm/1,6m)	9290	3	1,975	-11,095	-0,530	-0,140	0,318	-0,037	-0,043	125,000	0,298	530,459	0,000	-0,140	0,032	-0,496
晋	9291	4	2,032	-11,268	-0,533	-0,141	0,292	0,015	0,045	125,000	0,120	533,361	0,000	-0,141	0,006	-0,420
晋	9292	5	2,089	-11,441	-0,524	-0,123	0,268	0,045	0,134	125,000	0,357	524,251	0,000	-0,123	0,000	-0,349
EmbeddedBeam_11_1	9292	1	2,089	-11,441	-0,527	-0,125	0,268	0,045	0,134	125,000	0,357	526,963	0,000	-0,125	0,000	-0,349
Element 2-20 (Embedded beam)	9293	2	2,147	-11,618	-0,516	-0,097	0,248	0,061	0,144	125,000	0,486	516,348	0,000	-0,097	0,000	-0,286
(Micropalo D168.3 x12.5mm/1,6m)	9294	3	2,205	-11,794	-0,504	-0,071	0,232	0,070	0,135	125,000	0,557	504,299	0,000	-0,071	0,000	-0,235
晋	9295	4	2,263	-11,971	-0,491	-0,048	0,221	0,074	0,117	125,000	0,594	490,995	0,000	-0,048	0,000	-0,194
晋	9296	5	2,321	-12,147	-0,477	-0,027	0,214	0,078	0,088	125,000	0,623	476,618	0,000	-0,027	0,002	-0,162
EmbeddedBeam_11_1	9296	1	2,321	-12,147	-0,476	-0,027	0,214	0,078	0,088	125,000	0,623	476,273	0,000	-0,027	0,001	-0,162
Element 2-21 (Embedded beam)	9297	2	2,381	-12,327	-0,462	-0,016	0,210	0,083	0,046	125,000	0,662	461,877	0,000	-0,016	0,003	-0,138
(Micropalo D168.3 x12.5mm/1,6m)	9298	3	2,440	-12,507	-0,445	-0,010	0,208	0,092	0,018	125,000	0,736	445,103	0,000	-0,010	0,003	-0,120
晋	9299	4	2,499	-12,687	-0,425	-0,009	0,206	0,113	-0,007	125,000	0,903	425,487	0,000	-0,009	0,003	-0,107
晋	9300	5	2,558	-12,867	-0,403	-0,013	0,204	0,154	0,046	125,000	1,229	402,560	0,000	-0,013	0,001	-0,098
EmbeddedBeam_11_1	9300	1	2,558	-12,867	-0,393	-0,006	0,204	0,154	0,046	125,000	1,229	392,922	0,000	-0,006	0,002	-0,098

Structural element	Node	Local number	X [m]	Y [m]	N [kN]	Q [10 ⁻¹ kN]	M [10 ⁻¹ kN m]	T_{xx} [kN/m]	T_{yy} [10 ⁻¹ kN/m]	$T_{xx,eq}$ [kN/m]	$T_{yy,eq}$ [10 ⁻¹]	$N_{x,x}$ [10 ⁻¹ kN]	$N_{y,y}$ [kN]	$Q_{x,z}$ [10 ⁻¹ kN]	$Q_{y,z}$ [10 ⁻¹ kN]	$M_{x,x}$ [10 ⁻¹ kN m]
Element 2-32 (Embedded beam)	9301	2	2,619	-13,050	0,369	0,060	0,201	0,238	0,517	125,000	1,904	368,788	0,000	-0,060	0,000	0,091
(Micropalo D168.3 x12.5mm/1.6m)	9302	3	2,679	-13,233	0,304	0,239	0,172	0,397	1,754	125,000	3,179	303,997	0,000	-0,239	0,000	0,075
圧	9303	4	2,740	-13,417	0,191	0,456	0,106	0,738	0,909	125,000	5,905	190,958	0,000	-0,456	0,000	0,046
圧	9304	5	2,800	-13,600	0,022	0,623	0,000	1,385	9,612	125,000	11,077	22,080	0,000	-0,625	0,000	0,000

3.3.1.1.18 Calculation results, Embedded beam, SLE [Phase_18] (18/746), Table of embedded beam force envelopes

Structural element	Node	Local number	X [m]	Y [m]	N [kN]	Q [10 ^ kN]	M [10 ^ kN m]	$T_{,xx}$ [kN/m]	$T_{,yy}$ [10 ^ kN/m]	$T_{,xx,xx}$ [kN/m]	$T_{,xx,yy}$ [10 ^]	$N_{,xx}$ [10 ^ kN]	$N_{,yy}$ [kN]	$Q_{,xx}$ [10 ^ kN]	$Q_{,yy}$ [10 ^ kN]	$M_{,yy}$ [10 ^ kN m]
EmbeddedBeam_21_1	9215	1	8,000	-2,997	72,983	0,973	0,000	-7,740	11,977	30,000	257,996	0,000	72,983	0,000	0,973	0,000
Element 1-1 (Embedded beam)	9216	2	8,191	-3,028	71,508	3,173	0,434	-7,558	7,172	30,000	251,945	0,000	71,508	0,000	3,173	0,001
(Ricropalo ancoraggio autoperforante R38 l=1,60m)	9217	3	8,382	-3,058	70,062	3,623	1,110	-7,396	4,001	30,000	246,534	0,000	70,062	0,000	3,623	0,003
66	9218	4	8,572	-3,088	68,647	2,642	1,742	-7,247	7,648	30,000	241,554	0,000	68,647	0,000	2,642	0,005
66	9219	5	8,763	-3,119	67,262	0,547	2,063	-7,106	7,608	30,000	236,870	0,000	67,262	0,000	0,551	0,008
EmbeddedBeam_21_1	9219	1	8,763	-3,119	67,260	0,935	2,063	-7,106	7,608	30,000	236,870	0,000	67,260	0,000	0,935	0,008
Element 1-2 (Embedded beam)	9220	2	8,921	-3,144	66,138	-0,170	2,120	-6,996	6,007	30,000	233,190	0,000	66,138	-0,170	0,000	0,012
(Ricropalo ancoraggio autoperforante R38 l=1,60m)	9221	3	9,078	-3,169	65,032	-0,975	2,025	-6,890	4,062	30,000	229,667	0,000	65,032	-0,975	0,000	0,016
66	9222	4	9,235	-3,194	63,943	-1,487	1,825	-6,789	2,323	30,000	226,292	0,000	63,943	-1,487	0,000	0,021
66	9223	5	9,392	-3,219	62,870	-1,713	1,566	-6,692	0,983	30,000	223,057	0,000	62,870	-1,713	0,000	0,025
EmbeddedBeam_21_1	9223	1	9,392	-3,219	62,869	-1,745	1,566	-6,692	0,983	30,000	223,057	0,000	62,869	-1,745	0,000	0,025
Element 1-3 (Embedded beam)	9224	2	9,522	-3,240	61,996	-1,805	1,332	-6,615	0,160	30,000	220,490	0,000	61,996	-1,805	0,000	0,028
(Ricropalo ancoraggio autoperforante R38 l=1,60m)	9225	3	9,652	-3,260	61,133	-1,786	1,096	-6,540	0,470	30,000	218,010	0,000	61,133	-1,786	0,000	0,035
66	9226	4	9,781	-3,281	60,279	-1,691	0,866	-6,468	1,004	30,000	215,613	0,000	60,279	-1,691	0,000	0,041
66	9227	5	9,911	-3,302	59,435	-1,522	0,655	-6,399	1,531	30,000	213,296	0,000	59,435	-1,522	0,000	0,047
EmbeddedBeam_21_1	9227	1	9,911	-3,302	59,434	-1,521	0,655	-6,399	1,531	30,000	213,296	0,000	59,434	-1,521	0,000	0,047
Element 1-4 (Embedded beam)	9228	2	10,018	-3,319	58,745	-1,333	0,500	-6,343	2,014	30,000	211,445	0,000	58,745	-1,333	0,000	0,050
(Ricropalo ancoraggio autoperforante R38 l=1,60m)	9229	3	10,125	-3,336	58,061	-1,085	0,368	-6,289	2,557	30,000	209,644	0,000	58,061	-1,085	0,000	0,688
66	9230	4	10,232	-3,353	57,383	-0,776	0,267	-6,237	3,142	30,000	207,892	0,000	57,383	-0,776	0,000	5,909
66	9231	5	10,338	-3,370	56,712	-0,406	0,203	-6,186	3,696	30,000	206,188	0,000	56,712	-0,406	0,000	12,092
EmbeddedBeam_21_1	9231	1	10,338	-3,370	56,711	-0,419	0,203	-6,186	3,696	30,000	206,188	0,000	56,711	-0,419	0,000	12,092
Element 1-5 (Embedded beam)	9232	2	10,427	-3,384	56,162	-0,055	0,181	-6,145	3,979	30,000	204,817	0,000	56,162	-0,055	0,166	16,493
(Ricropalo ancoraggio autoperforante R38 l=1,60m)	9233	3	10,515	-3,398	55,615	0,295	0,192	-6,104	4,016	30,000	203,476	0,000	55,615	0,000	0,407	5,614
66	9234	4	10,603	-3,412	55,073	0,619	0,233	-6,065	3,372	30,000	202,153	0,000	55,073	0,000	0,619	0,674
66	9235	5	10,691	-3,426	54,534	0,902	0,302	-6,025	0,918	30,000	200,824	0,000	54,534	0,000	0,902	0,035
EmbeddedBeam_21_1	9235	1	10,691	-3,426	54,533	0,909	0,302	-10,041	1,530	30,000	334,706	0,000	54,533	0,000	0,909	0,035
Element 1-6 (Embedded beam)	9236	2	10,782	-3,441	53,606	0,854	0,383	-9,968	-0,518	30,000	332,256	0,000	53,606	0,000	0,854	0,029
(Ricropalo ancoraggio autoperforante R38 l=1,60m)	9237	3	10,874	-3,455	52,685	0,812	0,460	-9,899	-0,417	30,000	329,952	0,000	52,685	0,000	0,812	0,024
66	9238	4	10,965	-3,470	51,770	0,786	0,534	-9,832	-0,166	30,000	327,749	0,000	51,770	0,000	0,786	0,021
66	9239	5	11,057	-3,484	50,862	0,780	0,607	-9,769	0,249	30,000	325,619	0,000	50,862	-0,074	0,780	0,020
EmbeddedBeam_21_1	9239	1	11,057	-3,484	50,861	0,770	0,607	-9,769	0,249	30,000	325,619	0,000	50,861	-0,065	0,770	0,020
Element 1-7 (Embedded beam)	9240	2	11,156	-3,500	49,887	0,733	0,682	-9,702	0,533	30,000	323,391	0,000	49,887	-0,187	0,733	0,019
(Ricropalo ancoraggio autoperforante R38 l=1,60m)	9241	3	11,255	-3,516	48,918	0,663	0,752	-9,637	0,878	30,000	321,229	0,000	48,918	-0,275	0,663	0,019
66	9242	4	11,354	-3,532	47,955	0,560	0,814	-9,574	1,183	30,000	319,126	0,000	47,955	-0,326	0,560	0,020
66	9243	5	11,453	-3,548	47,000	0,426	0,864	-9,512	1,382	30,000	317,080	0,000	47,000	-0,332	0,426	0,021
EmbeddedBeam_21_1	9243	1	11,453	-3,548	46,999	0,434	0,864	-9,512	1,382	30,000	317,080	0,000	46,999	-0,342	0,434	0,021
Element 1-8 (Embedded beam)	9244	2	11,560	-3,565	45,974	0,273	0,902	-9,448	1,450	30,000	314,932	0,000	45,974	-0,321	0,273	0,022
(Ricropalo ancoraggio autoperforante R38 l=1,60m)	9245	3	11,667	-3,582	44,954	0,120	0,923	-9,385	1,391	30,000	312,847	0,000	44,954	-0,293	0,145	0,024
66	9246	4	11,773	-3,599	43,942	-0,022	0,928	-9,325	1,246	30,000	310,825	0,000	43,942	-0,257	0,082	0,025
66	9247	5	11,880	-3,616	42,936	-0,151	0,919	-9,266	1,051	30,000	308,865	0,000	42,936	-0,215	0,040	0,025
EmbeddedBeam_21_1	9247	1	11,880	-3,616	42,935	-0,149	0,919	-9,266	1,051	30,000	308,865	0,000	42,935	-0,219	0,044	0,025
Element 1-9 (Embedded beam)	9248	2	11,996	-3,634	41,856	-0,256	0,895	-9,205	0,803	30,000	306,819	0,000	41,856	-0,256	0,016	0,026
(Ricropalo ancoraggio autoperforante R38 l=1,60m)	9249	3	12,111	-3,653	40,783	-0,336	0,860	-9,145	0,562	30,000	304,846	0,000	40,783	-0,336	0,000	0,128
66	9250	4	12,227	-3,671	39,717	-0,390	0,817	-9,088	0,346	30,000	302,947	0,000	39,717	-0,390	0,000	0,353
66	9251	5	12,342	-3,689	38,658	-0,417	0,770	-9,034	0,165	30,000	301,122	0,000	38,658	-0,417	0,000	0,699
EmbeddedBeam_21_1	9251	1	12,342	-3,689	38,657	-0,421	0,770	-9,034	0,165	30,000	301,122	0,000	38,657	-0,421	0,000	0,699
Element 1-10 (Embedded beam)	9252	2	12,467	-3,709	37,520	-0,428	0,716	-8,977	0,016	30,000	299,234	0,000	37,520	-0,428	0,000	1,364
(Ricropalo ancoraggio autoperforante R38 l=1,60m)	9253	3	12,592	-3,729	36,389	-0,424	0,662	-8,923	0,089	30,000	297,432	0,000	36,389	-0,424	0,000	2,063
66	9254	4	12,716	-3,749	35,265	-0,409	0,609	-8,872	0,156	30,000	295,718	0,000	35,265	-0,409	0,000	2,937
66	9255	5	12,841	-3,769	34,148	-0,384	0,559	-8,823	0,193	30,000	294,091	0,000	34,148	-0,384	0,000	3,848

Structural element	Node	Local number	X [m]	Y [m]	N [kN]	Q [10 ^ kN]	M [10 ^ kN m]	T_{xx} [kN/m]	T_{yy} [10 ^ kN/m]	$T_{xx,xx}$ [kN/m]	$T_{yy,yy}$ [10 ^]	N_{xx} [10 ^ kN]	N_{yy} [kN]	Q_{xx} [10 ^ kN]	Q_{yy} [10 ^ kN]	M_{xx} [10 ^ kN m]
EmbeddedBeam_21_1	9255	1	12,841	-3,769	14,147	-0,387	0,559	-8,823	0,193	30,000	294,091	0,000	14,147	-0,387	0,000	-3,848
Element 1-11 (Embedded beam)	9256	2	12,976	-3,790	12,948	-0,358	0,508	-8,773	0,209	30,000	292,430	0,000	12,948	-0,358	0,000	-5,016
(#)Ircopalo ancoraggio autoperforante R38 l=1,60m)	9257	3	13,111	-3,812	11,753	-0,330	0,461	-8,726	0,208	30,000	290,871	0,000	11,753	-0,330	0,000	-6,422
(#)	9258	4	13,246	-3,833	10,565	-0,302	0,418	-8,682	0,198	30,000	289,414	0,000	10,565	-0,302	0,000	-8,373
(#)	9259	5	13,380	-3,855	29,383	-0,276	0,379	-8,642	0,182	30,000	288,057	0,000	29,383	-0,276	0,000	-10,692
EmbeddedBeam_21_1	9259	1	13,380	-3,855	29,382	-0,276	0,379	-8,642	0,182	30,000	288,057	0,000	29,382	-0,276	0,000	-10,692
Element 1-12 (Embedded beam)	9260	2	13,526	-3,878	28,112	-0,251	0,340	-8,601	0,163	30,000	286,706	0,000	28,112	-0,251	0,000	-13,399
(#)Ircopalo ancoraggio autoperforante R38 l=1,60m)	9261	3	13,672	-3,901	26,846	-0,228	0,305	-8,564	0,145	30,000	285,473	0,000	26,846	-0,228	0,000	-16,355
(#)	9262	4	13,817	-3,924	25,585	-0,208	0,273	-8,531	0,129	30,000	284,358	0,000	25,585	-0,208	0,000	-19,288
(#)	9263	5	13,963	-3,948	24,331	-0,190	0,243	-8,501	0,117	30,000	283,362	0,000	24,331	-0,190	0,000	-21,965
EmbeddedBeam_21_1	9263	1	13,963	-3,948	24,330	-0,189	0,243	-8,501	0,117	30,000	283,362	0,000	24,330	-0,189	0,000	-21,965
Element 1-13 (Embedded beam)	9264	2	14,120	-3,973	22,979	-0,172	0,215	-8,473	0,108	30,000	282,420	0,000	22,979	-0,172	0,000	-24,573
(#)Ircopalo ancoraggio autoperforante R38 l=1,60m)	9265	3	14,277	-3,998	21,630	-0,155	0,188	-8,449	0,103	30,000	281,618	0,000	21,630	-0,155	0,000	-30,289
(#)	9266	4	14,435	-4,023	20,286	-0,139	0,165	-8,429	0,101	30,000	280,957	0,000	20,286	-0,139	0,000	-35,894
(#)	9267	5	14,592	-4,048	18,945	-0,123	0,144	-8,413	0,102	30,000	280,437	0,000	18,945	-0,123	0,000	-40,943
EmbeddedBeam_21_1	9267	1	14,592	-4,048	18,944	-0,123	0,144	-8,413	0,102	30,000	280,437	0,000	18,944	-0,123	0,000	-40,943
Element 1-14 (Embedded beam)	9268	2	14,762	-4,075	17,498	-0,105	0,125	-8,401	0,104	30,000	280,036	0,000	17,498	-0,105	0,000	-45,754
(#)Ircopalo ancoraggio autoperforante R38 l=1,60m)	9269	3	14,932	-4,102	16,053	-0,087	0,108	-8,394	0,103	30,000	279,804	0,000	16,053	-0,087	0,000	-49,909
(#)	9270	4	15,102	-4,129	14,608	-0,070	0,095	-8,392	0,096	30,000	279,745	0,000	14,608	-0,070	0,000	-53,479
(#)	9271	5	15,272	-4,156	13,164	-0,054	0,084	-8,396	0,077	30,000	279,860	0,000	13,164	-0,054	0,000	-56,536
EmbeddedBeam_21_1	9271	1	15,272	-4,156	13,162	-0,057	0,084	-8,396	0,077	30,000	279,860	0,000	13,162	-0,057	0,000	-56,536
Element 1-15 (Embedded beam)	9272	2	15,456	-4,186	11,602	-0,041	0,075	-8,406	0,052	30,000	280,187	0,000	11,602	-0,041	0,000	-59,326
(#)Ircopalo ancoraggio autoperforante R38 l=1,60m)	9273	3	15,639	-4,215	10,037	-0,037	0,068	-8,422	-0,008	30,000	280,732	0,000	10,037	-0,037	0,000	-61,455
(#)	9274	4	15,823	-4,244	8,468	-0,044	0,061	-8,445	-0,069	30,000	281,504	0,000	8,468	-0,044	0,002	-62,224
(#)	9275	5	16,006	-4,273	6,897	-0,063	0,051	-8,475	-0,079	30,000	282,516	0,000	6,897	-0,063	0,015	-60,869
EmbeddedBeam_21_1	9275	1	16,006	-4,273	6,894	-0,074	0,051	-8,475	-0,079	30,000	282,516	0,000	6,894	-0,074	0,000	-60,869
Element 1-16 (Embedded beam)	9276	2	16,205	-4,305	5,190	-0,054	0,038	-8,517	0,057	30,000	283,896	0,000	5,190	-0,054	0,084	-52,753
(#)Ircopalo ancoraggio autoperforante R38 l=1,60m)	9277	3	16,403	-4,337	3,473	-0,054	0,028	-8,570	-0,089	30,000	285,664	0,000	3,473	-0,054	0,122	-30,735
(#)	9278	4	16,602	-4,368	1,744	-0,068	0,016	-8,640	-0,080	30,000	287,993	0,000	1,744	-0,068	0,090	-8,390
(#)	9279	5	16,800	-4,400	0,002	-0,089	0,000	-8,734	1,295	30,000	291,122	0,000	0,002	-0,089	0,000	0,000
EmbeddedBeam_11_1	9280	1	1,417	-0,401	14,052	0,937	0,000	-53,270	16,325	125,000	426,162	0,132	14,052	-0,243	0,937	0,000
Element 2-17 (Embedded beam)	9281	2	1,472	-0,568	7,969	0,756	0,152	-29,093	-1,170	125,000	232,742	0,068	7,969	-0,220	0,756	-42,393
(#)Ircopalo D168.3 s12.5mm/1,6m)	9282	3	1,527	-0,735	3,928	0,487	0,259	-15,606	-2,431	125,000	124,852	0,026	3,928	-0,145	0,487	-70,974
(#)	9283	4	1,582	-0,901	1,680	0,231	0,323	-8,680	-1,006	125,000	69,437	0,002	1,680	-0,022	0,231	-79,190
(#)	9284	5	1,637	-1,068	0,975	0,094	0,349	-4,749	1,154	125,000	37,996	0,000	0,975	-0,002	0,203	-62,181
EmbeddedBeam_11_1	9284	1	1,637	-1,068	0,624	0,272	0,349	-4,749	1,154	125,000	37,996	8,338	0,624	-0,002	0,304	-62,181
Element 2-18 (Embedded beam)	9285	2	1,693	-1,238	0,074	0,190	0,390	-2,570	-0,481	125,000	20,560	59,895	0,095	-0,001	0,357	-27,136
(#)Ircopalo D168.3 s12.5mm/1,6m)	9286	3	1,749	-1,408	-0,287	0,097	0,416	-1,348	-0,604	125,000	10,781	286,909	0,000	-0,001	0,341	-0,567
(#)	9287	4	1,805	-1,578	-0,482	-0,002	0,425	-0,717	-0,531	125,000	5,737	482,262	0,000	-0,002	0,270	-0,627
(#)	9288	5	1,861	-1,748	-0,535	-0,097	0,416	-0,357	-0,415	125,000	2,856	534,773	0,000	-0,097	0,158	-0,619
EmbeddedBeam_11_1	9288	1	1,861	-1,748	-0,567	-0,095	0,416	-0,357	-0,415	125,000	2,856	567,030	0,000	-0,095	0,178	-0,619
Element 2-19 (Embedded beam)	9289	2	1,918	-1,922	-0,604	-0,143	0,393	-0,157	-0,193	125,000	1,258	604,242	0,000	-0,143	0,090	-0,565
(#)Ircopalo D168.3 s12.5mm/1,6m)	9290	3	1,975	-11,095	-0,624	-0,164	0,365	-0,044	-0,031	125,000	0,351	623,572	0,000	-0,164	0,032	-0,496
(#)	9291	4	2,032	-11,268	-0,627	-0,162	0,335	0,015	0,066	125,000	0,121	627,185	0,000	-0,162	0,006	-0,420
(#)	9292	5	2,089	-11,441	-0,617	-0,139	0,307	0,049	0,162	125,000	0,390	617,245	0,000	-0,139	0,000	-0,349
EmbeddedBeam_11_1	9292	1	2,089	-11,441	-0,620	-0,142	0,307	0,049	0,162	125,000	0,390	620,286	0,000	-0,142	0,000	-0,349
Element 2-20 (Embedded beam)	9293	2	2,147	-11,618	-0,609	-0,109	0,284	0,067	0,172	125,000	0,538	608,595	0,000	-0,109	0,000	-0,286
(#)Ircopalo D168.3 s12.5mm/1,6m)	9294	3	2,205	-11,794	-0,595	-0,078	0,267	0,078	0,158	125,000	0,622	595,202	0,000	-0,078	0,000	-0,235
(#)	9295	4	2,263	-11,971	-0,580	-0,051	0,255	0,083	0,137	125,000	0,668	580,306	0,000	-0,051	0,000	-0,194
(#)	9296	5	2,321	-12,147	-0,564	-0,027	0,248	0,088	0,100	125,000	0,704	564,109	0,000	-0,027	0,002	-0,162
EmbeddedBeam_11_1	9296	1	2,321	-12,147	-0,564	-0,027	0,248	0,088	0,100	125,000	0,704	563,681	0,000	-0,027	0,001	-0,162
Element 2-21 (Embedded beam)	9297	2	2,381	-12,327	-0,547	-0,014	0,244	0,094	0,051	125,000	0,755	547,379	0,000	-0,016	0,003	-0,138
(#)Ircopalo D168.3 s12.5mm/1,6m)	9298	3	2,440	-12,507	-0,528	-0,008	0,242	0,106	0,016	125,000	0,847	528,158	0,000	-0,010	0,003	-0,120
(#)	9299	4	2,499	-12,687	-0,505	-0,008	0,240	0,121	-0,013	125,000	1,049	505,461	0,000	-0,009	0,003	-0,107
(#)	9300	5	2,558	-12,867	-0,479	-0,013	0,238	0,180	0,052	125,000	1,442	478,730	0,000	-0,013	0,001	-0,098
EmbeddedBeam_11_1	9300	1	2,558	-12,867	-0,467	-0,005	0,238	0,180	0,052	125,000	1,442	467,225	0,000	-0,006	0,002	-0,098
Element 2-22 (Embedded beam)	9301	2	2,619	-13,050	-0,439	-0,069	0,235	0,281	-0,611	125,000	2,250	438,992	0,000	-0,069	0,000	-0,091

Structural element	Node	Local number	X [m]	Y [m]	N [kN]	Q [10 ^ kN]	M [10 ^ kN m]	$T_{xx,sup}$ [kN/m]	$T_{xx,inf}$ [kN/m]	$T_{xxa,sup}$ [kN/m]	$T_{xxa,inf}$ [10 ^]	$M_{xx,sup}$ [10 ^ kN]	$N_{xx,sup}$ [kN]	$Q_{xz,sup}$ [10 ^ kN]	$Q_{xz,inf}$ [10 ^ kN]	$M_{xx,inf}$ [10 ^ kN m]
(Micropalo D168.3 x12.5mm/1.6m)	9302	3	2,679	-13,233	0,362	0,280	0,201	0,472	2,058	125,000	3,776	362,148	0,000	0,280	0,000	0,075
圈	9303	4	2,740	-13,417	0,228	0,535	0,125	0,879	1,063	125,000	7,033	227,627	0,000	0,535	0,000	0,046
圈	9304	5	2,800	-13,600	0,026	0,730	0,000	1,652	11,255	125,000	13,212	26,366	0,000	0,730	0,000	0,000

3.3.1.1.19 Calculation results, Embedded beam, SLU11 (scalz) [Phase_19] (19/779), Table of embedded beam force envelopes

Structural element	Node	Local number	X [m]	Y [m]	N [kN]	Q [10 ^ kN]	M [10 ^ kN m]	T,,,, [kN/m]	T,,, [10 ^ kN/m]	T,,,,,,, [kN/m]	T,,,,,, [10 ^]	N,,, [10 ^ kN]	N,,, [kN]	Q,,, [10 ^ kN]	Q,,, [10 ^ kN]	M,,, [10 ^ kN m]
EmbeddedBeam_21_1	9215	1	8,000	-2,997	136,659	1,282	0,000	14,676	29,644	30,000	489,192	0,000	136,659	0,000	1,282	0,000
Element 1-1 (Embedded beam)	9216	2	8,191	-3,028	133,863	3,826	0,533	14,324	8,238	30,000	477,474	0,000	133,863	0,000	3,826	-0,001
(Micropalo ancoraggio autoperforante R38 l=1,60m)	9217	3	8,382	-3,058	131,124	4,323	1,343	14,010	-6,858	30,000	467,007	0,000	131,124	0,000	4,323	-0,003
图	9218	4	8,572	-3,088	128,443	3,148	2,096	13,721	-9,056	30,000	457,371	0,000	128,443	0,000	3,148	-0,005
图	9219	5	8,763	-3,119	125,822	0,680	2,480	13,449	-9,302	30,000	448,292	0,000	125,822	0,000	0,680	-0,008
EmbeddedBeam_21_1	9219	1	8,763	-3,119	125,819	1,114	2,480	13,449	-9,302	30,000	448,292	0,000	125,819	0,000	1,114	-0,008
Element 1-2 (Embedded beam)	9220	2	8,921	-3,144	123,696	-0,251	2,544	13,234	-7,544	30,000	441,142	0,000	123,696	-0,251	0,000	-0,012
(Micropalo ancoraggio autoperforante R38 l=1,60m)	9221	3	9,078	-3,169	121,604	-1,285	2,418	13,028	-5,381	30,000	434,273	0,000	121,604	-1,285	0,000	-0,016
图	9222	4	9,235	-3,194	119,544	-1,999	2,152	12,830	-3,514	30,000	427,669	0,000	119,544	-1,999	0,000	-0,021
图	9223	5	9,392	-3,219	117,517	-2,401	1,798	12,639	-2,141	30,000	421,314	0,000	117,517	-2,401	0,000	-0,025
EmbeddedBeam_21_1	9223	1	9,392	-3,219	117,516	-2,434	1,798	12,639	-2,141	30,000	421,314	0,000	117,516	-2,434	0,000	-0,025
Element 1-3 (Embedded beam)	9224	2	9,522	-3,240	115,868	-2,654	1,463	12,488	-1,295	30,000	416,254	0,000	115,868	-2,654	0,000	-0,028
(Micropalo ancoraggio autoperforante R38 l=1,60m)	9225	3	9,652	-3,260	114,237	-2,775	1,105	12,340	-0,564	30,000	411,350	0,000	114,237	-2,775	0,000	-0,035
图	9226	4	9,781	-3,281	112,626	-2,794	0,738	12,198	0,259	30,000	406,596	0,000	112,626	-2,794	0,000	-0,041
图	9227	5	9,911	-3,302	111,035	-2,708	0,376	12,060	1,393	30,000	401,987	0,000	111,035	-2,708	0,000	-0,047
EmbeddedBeam_21_1	9227	1	9,911	-3,302	111,034	-2,675	0,376	12,060	1,393	30,000	401,987	0,000	111,034	-2,675	0,000	-0,047
Element 1-4 (Embedded beam)	9228	2	10,018	-3,319	109,736	-2,484	0,095	11,949	2,708	30,000	398,296	0,000	109,736	-2,484	0,000	-0,050
(Micropalo ancoraggio autoperforante R38 l=1,60m)	9229	3	10,125	-3,336	108,449	-2,092	-0,154	11,841	4,444	30,000	394,700	0,000	108,449	-2,092	0,000	-157,463
图	9230	4	10,232	-3,353	107,173	-1,490	-0,350	11,736	6,603	30,000	391,198	0,000	107,173	-1,490	0,000	-349,874
图	9231	5	10,338	-3,370	105,909	-0,668	-0,469	11,634	9,044	30,000	387,787	0,000	105,909	-0,668	0,000	-468,653
EmbeddedBeam_21_1	9231	1	10,338	-3,370	105,908	-0,680	-0,469	11,634	9,044	30,000	387,787	0,000	105,908	-0,680	0,000	-468,653
Element 1-5 (Embedded beam)	9232	2	10,427	-3,384	104,875	0,259	-0,488	11,551	10,996	30,000	385,045	0,000	104,875	-0,066	0,274	-488,434
(Micropalo ancoraggio autoperforante R38 l=1,60m)	9233	3	10,515	-3,398	103,848	1,295	-0,419	11,471	12,587	30,000	382,371	0,000	103,848	0,000	1,295	-419,398
图	9234	4	10,603	-3,412	102,828	2,393	-0,256	11,393	12,395	30,000	379,758	0,000	102,828	0,000	2,393	-255,566
图	9235	5	10,691	-3,426	101,816	3,519	0,008	11,315	7,210	30,000	377,182	0,000	101,816	0,000	3,519	-0,035
EmbeddedBeam_21_1	9235	1	10,691	-3,426	101,815	3,547	0,008	18,859	12,017	30,000	628,637	0,000	101,815	0,000	3,547	-0,035
Element 1-6 (Embedded beam)	9236	2	10,782	-3,441	100,074	3,875	0,356	18,721	1,485	30,000	624,032	0,000	100,074	0,000	3,875	-0,029
(Micropalo ancoraggio autoperforante R38 l=1,60m)	9237	3	10,874	-3,455	98,344	3,801	0,714	18,590	-3,631	30,000	619,671	0,000	98,344	0,000	3,801	-0,024
图	9238	4	10,965	-3,470	96,625	3,379	1,050	18,464	-6,017	30,000	615,458	0,000	96,625	0,000	3,379	-0,021
图	9239	5	11,057	-3,484	94,920	2,664	1,332	18,341	-6,923	30,000	611,352	0,000	94,920	-0,074	2,664	-0,020
EmbeddedBeam_21_1	9239	1	11,057	-3,484	94,919	2,754	1,332	18,341	-6,923	30,000	611,352	0,000	94,919	-0,065	2,754	-0,020
Element 1-7 (Embedded beam)	9240	2	11,156	-3,500	93,089	2,024	1,571	18,211	-6,972	30,000	607,036	0,000	93,089	-0,187	2,024	-0,019
(Micropalo ancoraggio autoperforante R38 l=1,60m)	9241	3	11,255	-3,516	91,271	1,355	1,739	18,085	-6,462	30,000	602,831	0,000	91,271	-0,275	1,355	-0,019
图	9242	4	11,354	-3,532	89,465	0,754	1,845	17,962	-5,605	30,000	598,734	0,000	89,465	-0,326	0,754	-0,020
图	9243	5	11,453	-3,548	87,673	0,229	1,893	17,842	-4,627	30,000	594,743	0,000	87,673	-0,332	0,436	-0,021
EmbeddedBeam_21_1	9243	1	11,453	-3,548	87,671	0,232	1,893	17,842	-4,627	30,000	594,743	0,000	87,671	-0,342	0,446	-0,021
Element 1-8 (Embedded beam)	9244	2	11,560	-3,565	85,748	-0,207	1,893	17,716	-3,610	30,000	590,549	0,000	85,748	-0,321	0,273	-0,022
(Micropalo ancoraggio autoperforante R38 l=1,60m)	9245	3	11,667	-3,582	83,837	-0,548	1,852	17,594	-2,684	30,000	586,476	0,000	83,837	-0,662	0,145	-0,024
图	9246	4	11,773	-3,599	81,939	-0,796	1,778	17,476	-1,863	30,000	582,525	0,000	81,939	-0,905	0,082	-0,025
图	9247	5	11,880	-3,616	80,055	-0,951	1,683	17,361	-1,149	30,000	578,698	0,000	80,055	-1,053	0,040	-0,025
EmbeddedBeam_21_1	9247	1	11,880	-3,616	80,053	-0,962	1,683	17,361	-1,149	30,000	578,698	0,000	80,053	-1,065	0,044	-0,025
Element 1-9 (Embedded beam)	9248	2	11,996	-3,634	78,032	-1,048	1,565	17,241	-0,500	30,000	574,703	0,000	78,032	-1,137	0,016	-0,026
(Micropalo ancoraggio autoperforante R38 l=1,60m)	9249	3	12,111	-3,653	76,022	-1,077	1,440	17,126	0,021	30,000	570,855	0,000	76,022	-1,150	0,000	-0,128
图	9250	4	12,227	-3,671	74,025	-1,054	1,315	17,015	0,412	30,000	567,153	0,000	74,025	-1,111	0,000	-0,353
图	9251	5	12,342	-3,689	72,043	-0,980	1,196	16,908	0,665	30,000	563,598	0,000	72,043	-1,020	0,000	-0,699
EmbeddedBeam_21_1	9251	1	12,342	-3,689	72,042	-0,992	1,196	16,908	0,665	30,000	563,598	0,000	72,042	-1,032	0,000	-0,699
Element 1-10 (Embedded beam)	9252	2	12,467	-3,709	69,914	-0,891	1,077	16,798	0,799	30,000	559,919	0,000	69,914	-0,914	0,000	-1,164
(Micropalo ancoraggio autoperforante R38 l=1,60m)	9253	3	12,592	-3,729	67,798	-0,789	0,971	16,692	0,829	30,000	556,408	0,000	67,798	-0,796	0,000	-2,063
图	9254	4	12,716	-3,749	65,695	-0,688	0,877	16,592	0,777	30,000	553,063	0,000	65,695	-0,688	0,000	-2,937

Structural element	Node	Local number	X [m]	Y [m]	N [kN]	Q [10 $^{-1}$ kN]	M [10 $^{-1}$ kN m]	T_{xxx} [kN/m]	T_{yyy} [10 $^{-1}$ kN/m]	$T_{xxx,xxx}$ [kN/m]	$T_{yyy,yyy}$ [10 $^{-1}$]	N_{xxx} [10 $^{-1}$ kN]	M_{xxx} [kN]	Q_{xxx} [10 $^{-1}$ kN]	Q_{yyy} [10 $^{-1}$ kN]	M_{xxx} [10 $^{-1}$ kN m]
昔	9255	5	12,841	-3,769	63,607	-0,592	0,796	16,496	0,676	30,000	549,882	0,000	63,607	-0,592	0,000	3,848
EmbeddedBeam_2_1	9255	1	12,841	-3,769	63,605	-0,594	0,796	16,496	0,676	30,000	549,882	0,000	63,605	-0,594	0,000	3,848
Element 1-11 (Embedded beam)	9256	2	12,976	-3,790	61,362	-0,511	0,721	16,399	0,548	30,000	546,628	0,000	61,362	-0,511	0,000	5,016
/Micropalo ancoraggio autoperforante R38 l=1,60m)	9257	3	13,111	-3,812	59,129	-0,445	0,656	16,307	0,423	30,000	543,564	0,000	59,129	-0,445	0,000	6,422
昔	9258	4	13,246	-3,833	56,909	-0,394	0,599	16,221	0,314	30,000	540,689	0,000	56,909	-0,394	0,000	8,373
昔	9259	5	13,380	-3,855	54,702	-0,360	0,548	16,140	0,226	30,000	538,003	0,000	54,702	-0,360	0,000	10,692
EmbeddedBeam_2_1	9259	1	13,380	-3,855	54,700	-0,357	0,548	16,140	0,226	30,000	538,003	0,000	54,700	-0,357	0,000	10,692
Element 1-12 (Embedded beam)	9260	2	13,526	-3,878	52,328	-0,331	0,497	16,059	0,156	30,000	535,313	0,000	52,328	-0,331	0,000	13,399
/Micropalo ancoraggio autoperforante R38 l=1,60m)	9261	3	13,672	-3,901	49,965	-0,311	0,450	15,985	0,109	30,000	532,845	0,000	49,965	-0,311	0,000	16,355
昔	9262	4	13,817	-3,924	47,612	-0,297	0,405	15,918	0,081	30,000	530,598	0,000	47,612	-0,297	0,000	19,288
昔	9263	5	13,963	-3,948	45,271	-0,288	0,362	15,857	0,068	30,000	528,574	0,000	45,271	-0,288	0,000	21,965
EmbeddedBeam_2_1	9263	1	13,963	-3,948	45,269	-0,286	0,362	15,857	0,068	30,000	528,574	0,000	45,269	-0,286	0,000	21,965
Element 1-13 (Embedded beam)	9264	2	14,120	-3,973	42,750	-0,276	0,317	15,799	0,067	30,000	526,640	0,000	42,750	-0,276	0,000	24,573
/Micropalo ancoraggio autoperforante R38 l=1,60m)	9265	3	14,277	-3,998	40,236	-0,265	0,274	15,749	0,076	30,000	524,970	0,000	40,236	-0,265	0,000	28,289
昔	9266	4	14,435	-4,023	37,730	-0,252	0,233	15,707	0,090	30,000	523,568	0,000	37,730	-0,252	0,000	25,894
昔	9267	5	14,592	-4,048	35,232	-0,236	0,194	15,673	0,107	30,000	522,434	0,000	35,232	-0,236	0,000	40,943
EmbeddedBeam_2_1	9267	1	14,592	-4,048	35,230	-0,237	0,194	15,673	0,107	30,000	522,434	0,000	35,230	-0,237	0,000	40,943
Element 1-14 (Embedded beam)	9268	2	14,762	-4,075	32,537	-0,216	0,155	15,645	0,125	30,000	521,516	0,000	32,537	-0,216	0,000	45,754
/Micropalo ancoraggio autoperforante R38 l=1,60m)	9269	3	14,932	-4,102	29,845	-0,193	0,120	15,628	0,138	30,000	520,921	0,000	29,845	-0,193	0,000	49,909
昔	9270	4	15,102	-4,129	27,155	-0,169	0,088	15,620	0,143	30,000	520,654	0,000	27,155	-0,169	0,000	53,479
昔	9271	5	15,272	-4,156	24,469	-0,144	0,061	15,622	0,132	30,000	520,722	0,000	24,469	-0,144	0,000	56,536
EmbeddedBeam_2_1	9271	1	15,272	-4,156	24,466	-0,147	0,061	15,622	0,132	30,000	520,722	0,000	24,466	-0,147	0,000	56,536
Element 1-15 (Embedded beam)	9272	2	15,456	-4,186	21,563	-0,120	0,037	15,635	0,129	30,000	521,182	0,000	21,563	-0,120	0,000	59,326
/Micropalo ancoraggio autoperforante R38 l=1,60m)	9273	3	15,639	-4,215	18,652	-0,099	0,016	15,662	0,087	30,000	522,057	0,000	18,652	-0,099	0,000	61,455
昔	9274	4	15,823	-4,244	15,735	-0,084	-0,001	15,701	0,074	30,000	523,365	0,000	15,735	-0,084	0,002	62,224
昔	9275	5	16,006	-4,273	12,814	-0,072	-0,015	15,754	0,165	30,000	525,128	0,000	12,814	-0,073	0,015	60,869
EmbeddedBeam_2_1	9275	1	16,006	-4,273	12,809	-0,115	-0,015	15,754	0,165	30,000	525,128	0,000	12,809	-0,115	0,000	60,869
Element 1-16 (Embedded beam)	9276	2	16,205	-4,305	9,642	0,030	-0,022	15,827	0,488	30,000	527,576	0,000	9,642	-0,054	0,084	52,753
/Micropalo ancoraggio autoperforante R38 l=1,60m)	9277	3	16,403	-4,337	6,451	0,084	-0,009	15,923	0,084	30,000	530,754	0,000	6,451	-0,054	0,122	30,735
昔	9278	4	16,602	-4,368	3,239	0,040	0,005	16,049	-0,490	30,000	534,981	0,000	3,239	-0,068	0,090	8,390
昔	9279	5	16,800	-4,400	0,004	-0,110	0,000	16,221	0,753	30,000	540,703	0,000	0,004	-0,110	0,000	0,000
EmbeddedBeam_11_1	9280	1	1,417	-0,401	29,096	2,351	0,000	107,117	19,368	125,000	856,936	-0,132	29,096	-0,243	2,351	0,000
Element 2-17 (Embedded beam)	9281	2	1,472	-0,568	16,856	1,650	0,358	58,551	-4,155	125,000	468,409	-0,068	16,856	-0,220	1,650	-42,393
/Micropalo D168,3 s12.5mm/1,6m)	9282	3	1,527	-0,735	8,720	0,789	0,567	31,462	-7,035	125,000	251,697	-0,026	8,720	-0,145	0,789	-70,974
昔	9283	4	1,582	-0,901	4,185	0,040	0,642	17,547	-2,879	125,000	140,379	-0,002	4,185	-0,022	0,231	-79,190
昔	9284	5	1,637	-1,068	2,749	-0,325	0,607	9,650	2,638	125,000	77,204	0,000	2,749	-0,325	0,203	-62,181
EmbeddedBeam_11_1	9284	1	1,637	-1,068	2,045	0,050	0,607	9,650	2,638	125,000	77,204	-8,338	2,045	-0,002	0,304	-62,181
Element 2-18 (Embedded beam)	9285	2	1,693	-1,238	0,920	-0,023	0,609	5,271	-0,382	125,000	42,168	-59,895	0,920	-0,023	0,357	-27,136
/Micropalo D168,3 s12.5mm/1,6m)	9286	3	1,749	-1,408	0,176	-0,088	0,599	2,814	-0,358	125,000	22,515	-286,909	0,176	-0,088	0,341	-0,567
昔	9287	4	1,805	-1,578	-0,236	-0,143	0,578	1,547	-0,273	125,000	12,377	-482,262	0,000	-0,143	0,270	-0,427
昔	9288	5	1,861	-1,748	-0,360	-0,186	0,549	0,823	-0,241	125,000	6,588	-534,773	0,000	-0,186	0,158	-0,619
EmbeddedBeam_11_1	9288	1	1,861	-1,748	-0,425	-0,196	0,549	0,823	-0,241	125,000	6,588	-567,030	0,000	-0,196	0,178	-0,619
Element 2-19 (Embedded beam)	9289	2	1,918	-1,922	-0,519	-0,204	0,512	0,421	0,014	125,000	3,369	-604,769	0,000	-0,204	0,090	-0,565
/Micropalo D168,3 s12.5mm/1,6m)	9290	3	1,975	-2,095	-0,577	-0,189	0,476	0,192	0,173	125,000	1,534	-625,398	0,000	-0,189	0,032	-0,496
昔	9291	4	2,032	-2,268	-0,603	-0,156	0,444	0,071	0,213	125,000	0,567	-630,139	0,000	-0,167	0,006	-0,420
昔	9292	5	2,089	-2,441	-0,601	-0,110	0,419	0,000	0,294	125,000	0,001	-620,895	0,000	-0,142	0,000	-0,349
EmbeddedBeam_11_1	9292	1	2,089	-2,441	-0,607	-0,111	0,419	0,000	0,294	125,000	0,001	-624,629	0,000	-0,145	0,000	-0,349
Element 2-20 (Embedded beam)	9293	2	2,147	-2,618	-0,602	-0,056	0,404	0,040	0,268	125,000	0,323	-613,957	0,000	-0,110	0,000	-0,286
/Micropalo D168,3 s12.5mm/1,6m)	9294	3	2,205	-2,794	-0,592	-0,012	0,398	0,064	0,209	125,000	0,514	-601,078	0,000	-0,079	0,000	-0,235
昔	9295	4	2,263	-2,971	-0,579	0,022	0,399	0,078	0,158	125,000	0,621	-586,255	0,000	-0,051	0,022	-0,194
昔	9296	5	2,321	-3,147	-0,563	0,047	0,406	0,087	0,072	125,000	0,693	-569,744	0,000	-0,027	0,047	-0,162
EmbeddedBeam_11_1	9296	1	2,321	-3,147	-0,563	0,047	0,406	0,087	0,072	125,000	0,693	-569,413	0,000	-0,027	0,047	-0,162
Element 2-21 (Embedded beam)	9297	2	2,381	-3,327	-0,547	0,047	0,415	0,095	-0,030	125,000	0,759	-552,769	0,000	-0,016	0,047	-0,138
/Micropalo D168,3 s12.5mm/1,6m)	9298	3	2,440	-3,507	-0,528	0,035	0,423	0,107	-0,107	125,000	0,854	-533,222	0,000	-0,010	0,035	-0,120
昔	9299	4	2,499	-3,687	-0,505	0,011	0,427	0,131	-0,151	125,000	1,048	-510,221	0,000	-0,012	0,011	-0,107
昔	9300	5	2,558	-3,867	-0,478	-0,023	0,426	0,179	-0,141	125,000	1,430	-483,215	0,000	-0,032	0,001	-0,098
EmbeddedBeam_11_1	9300	1	2,558	-3,867	-0,467	-0,015	0,426	0,179	-0,141	125,000	1,430	-471,570	0,000	-0,023	0,002	-0,098

Structural element	Node	Local number	X [m]	Y [m]	N [kN]	Q [10 ^ kN]	M [10 ^ kN m]	T_{xxx} [kN/m]	T_{xx} [10 ^ kN/m]	$T_{xxx,xx}$ [kN/m]	$T_{xxx,xx}$ [10 ^]	$N_{x,x}$ [10 ^ kN]	N_{xxx} [kN]	$Q_{x,x}$ [10 ^ kN]	Q_{xxx} [10 ^ kN]	$M_{x,x}$ [10 ^ kN m]
Element 2-32 (Embedded beam)	9301	2	2,619	-13,050	0,439	-0,155	0,417	0,278	-1,135	125,000	2,228	-443,234	0,000	-0,155	0,000	-0,091
(Micropalo D168.3 x12.5mm/1.6m)	9302	3	2,679	-13,233	0,363	-0,520	0,350	0,469	-3,471	125,000	3,753	-365,777	0,000	-0,520	0,000	-0,075
圧	9303	4	2,740	-13,417	0,228	-0,934	0,213	0,880	-1,645	125,000	7,036	-230,008	0,000	-0,934	0,000	-0,046
圧	9304	5	2,800	-13,600	0,027	-1,221	0,000	1,661	-19,113	125,000	13,287	-26,823	0,000	-1,221	0,000	0,000

3.3.1.1.20 Calculation results, Embedded beam, SLU 12 [Phase_20] (20/799), Table of embedded beam force envelopes

Structural element	Node	Local number	X [m]	Y [m]	N [kN]	Q [10 ⁻¹ kN]	M [10 ⁻¹ kN m]	T_{xxx} [kN/m]	T_{xx} [10 ⁻¹ kN/m]	$T_{xxx,max}$ [kN/m]	$T_{xxx,cr}$	N_{xxx} [10 ⁻¹ kN]	N_{xxx} [kN]	Q_{xxx} [10 ⁻¹ kN]	Q_{xxx} [10 ⁻¹ kN]	M_{xxx} [10 ⁻¹ kN m]
EmbeddedBeam_21_1	9215	1	8,000	-2,997	208,563	1,740	0,000	-23,154	53,859	30,000	0,772	0,000	208,563	0,000	1,740	0,000
Element 1-1 (Embedded beam)	9216	2	8,191	-3,028	204,156	5,188	0,723	-22,551	11,071	30,000	0,752	0,000	204,156	0,000	5,188	0,000
(Ricopolo ancoraggio autoperforante R38 l=1,60m)	9217	3	8,382	-3,058	199,849	5,829	1,819	-22,005	-6,769	30,000	0,734	0,000	199,849	0,000	5,829	0,000
20	9218	4	8,572	-3,088	195,644	4,161	2,827	-21,498	-12,823	30,000	0,717	0,000	195,644	0,000	4,161	0,000
20	9219	5	8,763	-3,119	191,542	0,684	3,316	-21,017	-13,882	30,000	0,701	0,000	191,542	0,000	0,692	0,000
EmbeddedBeam_21_1	9219	1	8,763	-3,119	191,537	1,202	3,316	-21,017	-13,882	30,000	0,701	0,000	191,537	0,000	1,202	0,000
Element 1-2 (Embedded beam)	9220	2	8,921	-3,144	188,223	-0,852	3,341	-20,635	-12,395	30,000	0,688	0,000	188,223	-0,852	0,000	0,000
(Ricopolo ancoraggio autoperforante R38 l=1,60m)	9221	3	9,078	-3,169	184,965	-2,731	3,054	-20,266	-10,957	30,000	0,676	0,000	184,965	-2,731	0,000	0,000
20	9222	4	9,235	-3,194	181,764	-4,472	2,478	-19,913	-10,672	30,000	0,664	0,000	181,764	-4,472	0,000	0,000
20	9223	5	9,392	-3,219	178,623	-6,114	1,635	-19,575	-11,257	30,000	0,652	0,000	178,623	-6,114	0,000	0,000
EmbeddedBeam_21_1	9223	1	9,392	-3,219	178,620	-6,087	1,635	-19,575	-11,257	30,000	0,652	0,000	178,620	-6,087	0,000	0,000
Element 1-3 (Embedded beam)	9224	2	9,522	-3,240	176,070	-7,644	0,731	-19,307	-10,141	30,000	0,644	0,000	176,070	-7,644	0,000	0,000
(Ricopolo ancoraggio autoperforante R38 l=1,60m)	9225	3	9,652	-3,260	173,551	-8,801	-0,356	-19,050	-8,401	30,000	0,635	0,000	173,551	-8,801	0,000	-0,356
20	9226	4	9,781	-3,281	171,066	-9,419	-1,557	-18,803	-1,953	30,000	0,627	0,000	171,066	-9,419	0,000	-1,557
20	9227	5	9,911	-3,302	168,615	-9,365	-2,799	-18,565	10,326	30,000	0,619	0,000	168,615	-9,365	0,000	-2,799
EmbeddedBeam_21_1	9227	1	9,911	-3,302	168,613	-9,071	-2,799	-18,565	10,326	30,000	0,619	0,000	168,613	-9,071	0,000	-2,799
Element 1-4 (Embedded beam)	9228	2	10,018	-3,319	166,616	-6,999	-3,685	-18,376	27,656	30,000	0,613	0,000	166,616	-6,999	0,000	-3,685
(Ricopolo ancoraggio autoperforante R38 l=1,60m)	9229	3	10,125	-3,336	164,637	-3,075	-4,246	-18,199	45,103	30,000	0,607	0,000	164,637	-3,075	0,403	-4,246
20	9230	4	10,232	-3,353	162,676	2,666	-4,285	-18,035	61,249	30,000	0,601	0,000	162,676	-0,776	3,902	-4,285
20	9231	5	10,338	-3,370	160,734	10,190	-3,605	-17,889	70,677	30,000	0,596	0,000	160,734	-0,406	10,190	-3,605
EmbeddedBeam_21_1	9231	1	10,338	-3,370	160,732	9,290	-3,605	-17,889	70,677	30,000	0,596	0,000	160,732	-0,419	9,294	-3,605
Element 1-5 (Embedded beam)	9232	2	10,427	-3,384	159,143	16,554	-2,440	-17,787	67,881	30,000	0,593	0,000	159,143	-0,055	16,554	-2,440
(Ricopolo ancoraggio autoperforante R38 l=1,60m)	9233	3	10,515	-3,398	157,560	21,557	-0,717	-17,706	48,536	30,000	0,590	0,000	157,560	0,000	21,557	-0,717
20	9234	4	10,603	-3,412	155,982	23,878	1,327	-17,651	7,731	30,000	0,588	0,000	155,982	0,000	23,878	-0,001
20	9235	5	10,691	-3,426	154,412	23,095	3,447	-17,618	-61,063	30,000	0,587	0,000	154,412	0,000	23,095	0,000
EmbeddedBeam_21_1	9235	1	10,691	-3,426	154,410	22,279	3,447	-29,364	-101,772	30,000	0,979	0,000	154,410	0,000	22,279	0,000
Element 1-6 (Embedded beam)	9236	2	10,782	-3,441	151,699	13,256	5,080	-29,133	-87,235	30,000	0,971	0,000	151,699	0,000	13,256	0,000
(Ricopolo ancoraggio autoperforante R38 l=1,60m)	9237	3	10,874	-3,455	149,008	6,103	5,963	-28,913	-67,069	30,000	0,964	0,000	149,008	0,000	6,103	0,000
20	9238	4	10,965	-3,470	146,336	0,825	6,270	-28,702	-46,755	30,000	0,957	0,000	146,336	-0,988	0,825	0,000
20	9239	5	11,057	-3,484	143,686	-2,568	6,175	-28,495	-29,522	30,000	0,950	0,000	143,686	-2,667	0,780	0,000
EmbeddedBeam_21_1	9239	1	11,057	-3,484	143,684	-2,822	6,175	-28,495	-29,522	30,000	0,950	0,000	143,684	-2,913	0,770	0,000
Element 1-7 (Embedded beam)	9240	2	11,156	-3,500	140,842	-4,785	5,785	-28,277	-15,067	30,000	0,943	0,000	140,842	-4,785	0,733	0,000
(Ricopolo ancoraggio autoperforante R38 l=1,60m)	9241	3	11,255	-3,516	138,019	-5,811	5,248	-28,064	-4,712	30,000	0,935	0,000	138,019	-5,811	0,663	0,000
20	9242	4	11,354	-3,532	135,218	-5,976	4,649	-27,856	2,123	30,000	0,929	0,000	135,218	-5,976	0,560	0,000
20	9243	5	11,453	-3,548	132,439	-5,356	4,076	-27,653	6,119	30,000	0,922	0,000	132,439	-5,356	0,426	0,000
EmbeddedBeam_21_1	9243	1	11,453	-3,548	132,437	-5,549	4,076	-27,653	6,119	30,000	0,922	0,000	132,437	-5,549	0,414	0,000
Element 1-8 (Embedded beam)	9244	2	11,560	-3,565	129,458	-4,673	3,523	-27,439	8,058	30,000	0,915	0,000	129,458	-4,673	0,273	0,000
(Ricopolo ancoraggio autoperforante R38 l=1,60m)	9245	3	11,667	-3,582	126,498	-3,796	3,065	-27,231	8,338	30,000	0,908	0,000	126,498	-3,796	0,145	0,000
20	9246	4	11,773	-3,599	123,561	-2,944	2,700	-27,028	7,610	30,000	0,901	0,000	123,561	-2,944	0,082	0,000
20	9247	5	11,880	-3,616	120,649	-2,140	2,426	-26,830	6,342	30,000	0,894	0,000	120,649	-2,140	0,040	0,000
EmbeddedBeam_21_1	9247	1	11,880	-3,616	120,647	-2,163	2,426	-26,830	6,342	30,000	0,894	0,000	120,647	-2,163	0,044	0,000
Element 1-9 (Embedded beam)	9248	2	11,996	-3,634	117,524	-1,521	2,212	-26,622	4,830	30,000	0,887	0,000	117,524	-1,521	0,016	0,000
(Ricopolo ancoraggio autoperforante R38 l=1,60m)	9249	3	12,111	-3,653	114,422	-1,035	2,064	-26,419	3,428	30,000	0,881	0,000	114,422	-1,035	0,000	0,000
20	9250	4	12,227	-3,671	111,343	-0,700	1,964	-26,223	2,264	30,000	0,874	0,000	111,343	-0,701	0,000	0,000
20	9251	5	12,342	-3,689	108,290	-0,508	1,894	-26,033	1,376	30,000	0,868	0,000	108,290	-0,548	0,000	-0,001
EmbeddedBeam_21_1	9251	1	12,342	-3,689	108,288	-0,483	1,894	-26,033	1,376	30,000	0,868	0,000	108,288	-0,532	0,000	-0,001
Element 1-10 (Embedded beam)	9252	2	12,467	-3,709	105,014	-0,372	1,841	-25,834	0,692	30,000	0,861	0,000	105,014	-0,479	0,000	-0,001
(Ricopolo ancoraggio autoperforante R38 l=1,60m)	9253	3	12,592	-3,729	101,762	-0,310	1,798	-25,641	0,254	30,000	0,855	0,000	101,762	-0,446	0,000	-0,002
20	9254	4	12,716	-3,749	98,533	-0,293	1,761	-25,456	-0,010	30,000	0,849	0,000	98,533	-0,430	0,000	-0,003
20	9255	5	12,841	-3,769	95,331	-0,315	1,723	-25,277	-0,167	30,000	0,843	0,000	95,331	-0,432	0,000	-0,004

Structural element	Node	Local number	X [m]	Y [m]	N [kN]	Q [10 ^ kN]	M [10 ^ kN m]	T_{xx} [kN/m]	T_{yy} [10 ^ kN/m]	$T_{xx,xx}$ [kN/m]	$T_{yy,yy}$	$N_{x,x}$ [10 ^ kN]	$N_{x,x}$ [kN]	$Q_{x,x}$ [10 ^ kN]	$Q_{y,y}$ [10 ^ kN]	$M_{x,x}$ [10 ^ kN m]
EmbeddedBeam_2_1	9255	1	12,841	-7,769	95,328	-0,307	1,723	-25,277	-0,167	30,000	0,843	0,000	95,328	-0,427	0,000	-0,004
Element 1-11 (Embedded beam)	9256	2	12,976	-7,790	91,893	-0,339	1,679	-25,092	-0,273	30,000	0,836	0,000	91,893	-0,426	0,000	-0,005
(Ricropalo ancoraggio autoperforante R38 l=1,60m)	9257	3	13,111	-7,812	88,480	-0,382	1,630	-24,914	-0,354	30,000	0,830	0,000	88,480	-0,427	0,000	-0,006
89	9258	4	13,246	-7,833	85,090	-0,436	1,574	-24,745	-0,435	30,000	0,825	0,000	85,090	-0,436	0,000	-0,008
89	9259	5	13,380	-7,855	81,726	-0,500	1,510	-24,584	-0,525	30,000	0,819	0,000	81,726	-0,500	0,000	-0,011
EmbeddedBeam_2_1	9259	1	13,380	-7,855	81,724	-0,499	1,510	-24,584	-0,525	30,000	0,819	0,000	81,724	-0,499	0,000	-0,011
Element 1-12 (Embedded beam)	9260	2	13,526	-7,878	78,114	-0,587	1,430	-24,419	-0,625	30,000	0,814	0,000	78,114	-0,587	0,000	-0,013
(Ricropalo ancoraggio autoperforante R38 l=1,60m)	9261	3	13,672	-7,901	74,523	-0,684	1,337	-24,264	-0,705	30,000	0,809	0,000	74,523	-0,684	0,000	-0,016
89	9262	4	13,817	-7,924	70,955	-0,788	1,228	-24,119	-0,722	30,000	0,804	0,000	70,955	-0,788	0,000	-0,019
89	9263	5	13,963	-7,948	67,411	-0,897	1,104	-23,985	-0,615	30,000	0,800	0,000	67,411	-0,897	0,000	-0,022
EmbeddedBeam_2_1	9263	1	13,963	-7,948	67,408	-0,869	1,104	-23,985	-0,615	30,000	0,800	0,000	67,408	-0,869	0,000	-0,022
Element 1-13 (Embedded beam)	9264	2	14,120	-7,973	63,601	-0,976	0,956	-23,852	-0,272	30,000	0,795	0,000	63,601	-0,976	0,000	-0,025
(Ricropalo ancoraggio autoperforante R38 l=1,60m)	9265	3	14,277	-7,998	59,810	-0,960	0,800	-23,731	0,397	30,000	0,791	0,000	59,810	-0,960	0,000	-0,030
89	9266	4	14,435	-8,023	56,037	-0,809	0,657	-23,623	1,424	30,000	0,787	0,000	56,037	-0,855	0,000	-0,036
89	9267	5	14,592	-8,048	52,284	-0,511	0,550	-23,527	2,695	30,000	0,784	0,000	52,284	-0,818	0,000	-0,041
EmbeddedBeam_2_1	9267	1	14,592	-8,048	52,280	-0,640	0,550	-23,527	2,695	30,000	0,784	0,000	52,280	-0,793	0,000	-0,041
Element 1-14 (Embedded beam)	9268	2	14,762	-8,075	48,242	0,171	0,511	-23,437	3,894	30,000	0,781	0,000	48,242	-0,839	0,171	-0,046
(Ricropalo ancoraggio autoperforante R38 l=1,60m)	9269	3	14,932	-8,102	44,214	0,753	0,597	-23,362	3,590	30,000	0,779	0,000	44,214	-0,744	0,753	-0,090
89	9270	4	15,102	-8,129	40,197	0,966	0,749	-23,303	-0,386	30,000	0,777	0,000	40,197	-0,603	0,966	-0,198
89	9271	5	15,272	-8,156	36,194	0,673	0,899	-23,259	-10,271	30,000	0,775	0,000	36,194	-0,531	1,119	-0,243
EmbeddedBeam_2_1	9271	1	15,272	-8,156	36,188	0,807	0,899	-23,259	-10,271	30,000	0,775	0,000	36,188	-0,631	1,208	-0,243
Element 1-15 (Embedded beam)	9272	2	15,456	-8,186	31,873	-2,228	0,751	-23,221	-13,419	30,000	0,774	0,000	31,873	-2,228	1,076	-0,261
(Ricropalo ancoraggio autoperforante R38 l=1,60m)	9273	3	15,639	-8,215	27,553	-4,191	0,137	-23,227	-7,792	30,000	0,774	0,000	27,553	-4,191	1,575	-0,152
89	9274	4	15,823	-8,244	23,232	-5,062	-0,741	-23,239	-1,673	30,000	0,775	0,000	23,232	-5,062	1,753	-0,741
89	9275	5	16,006	-8,273	18,912	-4,821	-1,677	-23,249	0,335	30,000	0,775	0,000	18,912	-4,980	2,081	-1,677
EmbeddedBeam_2_1	9275	1	16,006	-8,273	18,898	-6,224	-1,677	-23,249	0,335	30,000	0,775	0,000	18,898	-6,224	2,294	-1,677
Element 1-16 (Embedded beam)	9276	2	16,205	-8,305	14,250	-2,038	-2,575	-23,245	20,888	30,000	0,775	0,000	14,250	-2,590	0,227	-2,575
(Ricropalo ancoraggio autoperforante R38 l=1,60m)	9277	3	16,403	-8,337	9,565	1,264	-2,388	-23,322	44,859	30,000	0,777	0,000	9,565	-1,775	3,264	-2,388
89	9278	4	16,602	-8,368	4,832	6,800	-1,382	-23,716	3,305	30,000	0,791	0,000	4,832	-1,291	6,800	-1,382
89	9279	5	16,800	-8,400	0,042	5,688	0,000	-24,662	-107,041	30,000	0,822	0,000	0,042	-0,362	5,714	0,000
EmbeddedBeam_11_1	9280	1	1,417	-0,401	43,051	12,095	0,000	-125,000	197,280	125,000	1,000	-0,132	43,051	-0,243	21,127	0,000
Element 2-17 (Embedded beam)	9281	2	1,472	-0,568	25,331	7,307	1,714	-84,825	-30,738	125,000	0,679	-0,068	25,331	-1,190	7,307	-0,044
(Ricropalo D168.3 s12.5mm/1,6m)	9282	3	1,527	-0,735	13,535	1,439	2,507	-45,633	-34,128	125,000	0,365	-0,026	13,535	-7,779	1,439	-0,182
89	9283	4	1,582	-0,901	6,928	-5,877	2,135	-25,746	-47,227	125,000	0,206	-0,002	6,928	-7,420	0,271	-0,744
89	9284	5	1,637	-1,068	4,774	-15,009	0,333	-14,521	55,721	125,000	0,116	0,000	4,774	-15,009	5,852	-0,652
EmbeddedBeam_11_1	9284	1	1,637	-1,068	3,755	-9,060	0,333	-14,521	55,721	125,000	0,116	-8,338	3,755	-9,060	3,065	-0,652
Element 2-18 (Embedded beam)	9285	2	1,693	-1,238	2,031	-0,783	-0,454	-8,118	33,800	125,000	0,065	-59,895	2,031	-0,783	2,075	-0,454
(Ricropalo D168.3 s12.5mm/1,6m)	9286	3	1,749	-1,408	0,875	2,546	-0,256	-4,453	-3,142	125,000	0,036	-286,909	0,875	-0,001	2,546	-0,256
89	9287	4	1,805	-1,578	0,220	2,221	0,239	-2,523	-7,038	125,000	0,020	-482,262	0,220	-0,002	2,221	-0,001
89	9288	5	1,861	-1,748	-0,002	-0,466	0,411	-1,412	-4,218	125,000	0,011	-534,773	0,000	-0,466	0,312	-0,001
EmbeddedBeam_11_1	9288	1	1,861	-1,748	-0,099	0,413	0,411	-1,412	-4,218	125,000	0,011	-567,030	0,000	-0,095	0,413	-0,001
Element 2-19 (Embedded beam)	9289	2	1,918	-1,922	-0,270	0,095	0,455	-0,791	-1,385	125,000	0,006	-604,242	0,000	-0,143	0,095	-0,001
(Ricropalo D168.3 s12.5mm/1,6m)	9290	3	1,975	-11,095	-0,385	-0,081	0,455	-0,432	-0,398	125,000	0,003	-623,572	0,000	-0,164	0,032	0,000
89	9291	4	2,032	-11,268	-0,449	-0,143	0,433	-0,240	-0,144	125,000	0,002	-627,185	0,000	-0,162	0,006	0,000
89	9292	5	2,089	-11,441	-0,470	-0,122	0,408	-0,124	0,184	125,000	0,001	-617,245	0,000	-0,139	0,000	0,000
EmbeddedBeam_11_1	9292	1	2,089	-11,441	-0,479	-0,140	0,408	-0,124	0,184	125,000	0,001	-620,286	0,000	-0,142	0,000	0,000
Element 2-20 (Embedded beam)	9293	2	2,147	-11,618	-0,493	-0,082	0,387	-0,054	0,308	125,000	0,000	-608,595	0,000	-0,109	0,000	0,000
(Ricropalo D168.3 s12.5mm/1,6m)	9294	3	2,205	-11,794	-0,499	-0,026	0,377	-0,010	0,294	125,000	0,000	-595,202	0,000	-0,078	0,015	0,000
89	9295	4	2,263	-11,971	-0,499	0,029	0,377	0,018	0,289	125,000	0,000	-580,312	0,000	-0,051	0,050	0,000
89	9296	5	2,321	-12,147	-0,492	0,082	0,388	0,038	0,218	125,000	0,000	-564,203	0,000	-0,027	0,087	0,000
EmbeddedBeam_11_1	9296	1	2,321	-12,147	-0,493	0,078	0,388	0,038	0,218	125,000	0,000	-563,787	0,000	-0,027	0,084	0,000
Element 2-21 (Embedded beam)	9297	2	2,381	-12,327	-0,485	0,109	0,406	0,055	0,110	125,000	0,000	-547,556	0,000	-0,016	0,109	0,000
(Ricropalo D168.3 s12.5mm/1,6m)	9298	3	2,440	-12,507	-0,472	0,120	0,428	0,073	0,001	125,000	0,001	-528,391	0,000	-0,010	0,120	0,000
89	9299	4	2,499	-12,687	-0,455	0,111	0,450	0,101	-0,094	125,000	0,001	-505,734	0,000	-0,009	0,111	0,000
89	9300	5	2,558	-12,867	-0,434	0,084	0,469	0,149	-0,151	125,000	0,001	-479,064	0,000	-0,015	0,084	0,000
EmbeddedBeam_11_1	9300	1	2,558	-12,867	-0,423	0,084	0,469	0,149	-0,151	125,000	0,001	-467,543	0,000	-0,007	0,084	0,000
Element 2-22 (Embedded beam)	9301	2	2,619	-13,050	-0,401	-0,076	0,478	0,244	-1,418	125,000	0,002	-439,409	0,000	-0,103	0,000	0,000

Structural element	Node	Local number	X [m]	Y [m]	N [kN]	Q [10 ^ kN]	M [10 ^ kN m]	T_{xx} [kN/m]	T_{yy} [10 ^ kN/m]	$T_{xx,yy}$ [kN/m]	$T_{xx,zz}$	$N_{x,x}$ [10 ^ kN]	$N_{y,y}$ [kN]	$Q_{x,x}$ [10 ^ kN]	$Q_{y,y}$ [10 ^ kN]	$M_{x,x}$ [10 ^ kN m]
(Ricrogalo D168.3 x12.5mm/1.6m)	9302	3	2,679	-13,233	0,332	-0,544	0,417	0,423	-4,431	125,000	0,003	-362,636	0,000	0,544	0,000	0,000
"	9303	4	2,740	-13,417	0,210	-1,106	0,262	0,805	-2,395	125,000	0,006	-228,014	0,000	1,106	0,000	0,000
"	9304	5	2,800	-13,600	0,025	-1,550	0,000	1,533	23,741	125,000	0,012	-26,448	0,000	1,550	0,000	0,000

3.3.1.1.21 Calculation results, Embedded beam, Eccezionale [Phase_21] (21/917), Table of embedded beam force envelopes

Structural element	Node	Local number	X [m]	Y [m]	N [kN]	Q [10 ^ kN]	M [10 ^ kN m]	T_{sup} [kN/m]	T_{inf} [10 ^ kN/m]	$T_{sup,max}$ [kN/m]	$T_{sup,ver}$	N_{sup} [10 ^ kN]	N_{sup} [kN]	Q_{sup} [10 ^ kN]	Q_{sup} [10 ^ kN]	M_{sup} [10 ^ kN m]
EmbeddedBeam_21_1	9215	1	8,000	-2,997	228,883	0,981	0,000	-24,391	21,944	30,000	0,813	0,000	228,883	0,000	0,981	0,000
Element 1-1 (Embedded beam)	9216	2	8,191	-3,028	224,233	1,696	0,274	-23,830	1,872	30,000	0,794	0,000	224,233	0,000	3,173	0,000
(Micropalo ancoraggio autoperforante R38 l=1,60m)	9217	3	8,382	-3,058	219,675	1,640	0,604	-23,330	-3,241	30,000	0,778	0,000	219,675	0,000	3,623	0,000
88	9218	4	8,572	-3,088	215,210	0,983	0,869	-22,870	-4,352	30,000	0,762	0,000	215,210	0,000	2,642	0,000
88	9219	5	8,763	-3,119	210,838	-0,106	0,958	-22,438	-5,056	30,000	0,748	0,000	210,838	-0,160	0,551	0,000
EmbeddedBeam_21_1	9219	1	8,763	-3,119	210,833	-0,033	0,958	-22,438	-5,056	30,000	0,748	0,000	210,833	-0,049	0,935	0,000
Element 1-2 (Embedded beam)	9220	2	8,921	-3,144	207,289	-0,753	0,895	-22,097	-4,667	30,000	0,737	0,000	207,289	-0,826	0,000	0,000
(Micropalo ancoraggio autoperforante R38 l=1,60m)	9221	3	9,078	-3,169	203,795	-1,507	0,716	-21,769	-4,625	30,000	0,726	0,000	203,795	-1,548	0,000	0,000
88	9222	4	9,235	-3,194	200,352	-2,328	0,411	-21,453	-5,502	30,000	0,715	0,000	200,352	-2,328	0,000	0,000
88	9223	5	9,392	-3,219	196,962	-3,247	-0,031	-21,148	-7,150	30,000	0,705	0,000	196,962	-3,247	0,000	-0,031
EmbeddedBeam_21_1	9223	1	9,392	-3,219	196,959	-3,249	-0,031	-21,148	-7,150	30,000	0,705	0,000	196,959	-3,249	0,000	-0,031
Element 1-3 (Embedded beam)	9224	2	9,522	-3,240	194,201	-4,383	-0,530	-20,904	-8,787	30,000	0,697	0,000	194,201	-4,383	0,000	-0,530
(Micropalo ancoraggio autoperforante R38 l=1,60m)	9225	3	9,652	-3,260	191,472	-5,583	-1,185	-20,667	-9,971	30,000	0,689	0,000	191,472	-5,583	0,000	-1,185
88	9226	4	9,781	-3,281	188,773	-6,777	-1,996	-20,436	-8,708	30,000	0,681	0,000	188,773	-6,777	0,000	-1,996
88	9227	5	9,911	-3,302	186,107	-7,896	-2,961	-20,211	-3,142	30,000	0,674	0,000	186,107	-7,896	0,000	-2,961
EmbeddedBeam_21_1	9227	1	9,911	-3,302	186,105	-7,359	-2,961	-20,211	-3,142	30,000	0,674	0,000	186,105	-7,359	0,000	-2,961
Element 1-4 (Embedded beam)	9228	2	10,018	-3,319	183,929	-7,741	-3,794	-20,029	5,939	30,000	0,668	0,000	183,929	-7,741	0,000	-3,794
(Micropalo ancoraggio autoperforante R38 l=1,60m)	9229	3	10,125	-3,336	181,771	-6,124	-4,565	-19,850	22,825	30,000	0,662	0,000	181,771	-6,124	0,000	-4,565
88	9230	4	10,232	-3,353	179,632	-2,377	-5,043	-19,674	45,321	30,000	0,656	0,000	179,632	-2,460	0,000	-5,043
88	9231	5	10,338	-3,370	177,514	3,632	-4,997	-19,508	67,742	30,000	0,650	0,000	177,514	-0,427	3,632	-4,997
EmbeddedBeam_21_1	9231	1	10,338	-3,370	177,512	3,022	-4,997	-19,508	67,742	30,000	0,650	0,000	177,512	-0,439	3,022	-4,997
Element 1-5 (Embedded beam)	9232	2	10,427	-3,384	175,779	10,290	-4,392	-19,388	70,590	30,000	0,646	0,000	175,779	-0,055	10,290	-4,392
(Micropalo ancoraggio autoperforante R38 l=1,60m)	9233	3	10,515	-3,398	174,054	15,740	-3,213	-19,292	54,976	30,000	0,643	0,000	174,054	0,000	15,740	-3,213
88	9234	4	10,603	-3,412	172,336	19,033	-1,648	-19,222	22,239	30,000	0,641	0,000	172,336	0,000	19,033	-1,674
88	9235	5	10,691	-3,426	170,626	19,833	0,106	-19,166	35,072	30,000	0,639	0,000	170,626	0,000	19,833	-0,330
EmbeddedBeam_21_1	9235	1	10,691	-3,426	170,624	19,187	0,106	30,000	58,453	30,000	1,000	0,000	170,624	0,000	19,187	-0,330
Element 1-6 (Embedded beam)	9236	2	10,782	-3,441	167,843	13,522	1,617	30,000	56,879	30,000	1,000	0,000	167,843	0,000	13,522	0,000
(Micropalo ancoraggio autoperforante R38 l=1,60m)	9237	3	10,874	-3,455	165,061	8,618	2,636	30,000	49,438	30,000	1,000	0,000	165,061	0,000	8,643	0,000
88	9238	4	10,965	-3,470	162,279	4,537	3,241	30,000	39,127	30,000	1,000	0,000	162,279	0,000	4,890	0,000
88	9239	5	11,057	-3,484	159,498	1,341	3,506	30,000	28,765	30,000	1,000	0,000	159,498	-0,074	2,662	0,000
EmbeddedBeam_21_1	9239	1	11,057	-3,484	159,497	1,287	3,506	30,000	28,765	30,000	1,000	0,000	159,497	-0,065	2,763	0,000
Element 1-7 (Embedded beam)	9240	2	11,156	-3,500	156,493	-0,966	3,515	30,000	18,901	30,000	1,000	0,000	156,493	-0,966	1,725	0,000
(Micropalo ancoraggio autoperforante R38 l=1,60m)	9241	3	11,255	-3,516	153,487	-2,482	3,337	30,000	10,972	30,000	1,000	0,000	153,487	-2,482	1,050	0,000
88	9242	4	11,354	-3,532	150,481	-3,307	3,041	30,000	5,077	30,000	1,000	0,000	150,481	-3,307	0,675	0,000
88	9243	5	11,453	-3,548	147,477	-3,482	2,696	30,000	1,013	30,000	1,000	0,000	147,477	-3,482	0,428	0,000
EmbeddedBeam_21_1	9243	1	11,453	-3,548	147,481	-3,613	2,696	30,000	1,013	30,000	1,000	0,000	147,481	-3,613	0,438	0,000
Element 1-8 (Embedded beam)	9244	2	11,560	-3,565	144,230	-3,488	2,310	29,953	1,751	30,000	0,998	0,000	144,230	-3,488	0,273	0,000
(Micropalo ancoraggio autoperforante R38 l=1,60m)	9245	3	11,667	-3,582	140,999	-3,226	1,946	29,741	3,270	30,000	0,991	0,000	140,999	-3,226	0,145	0,000
88	9246	4	11,773	-3,599	137,790	-2,847	1,616	29,535	3,904	30,000	0,985	0,000	137,790	-2,852	0,082	0,000
88	9247	5	11,880	-3,616	134,606	-2,373	1,333	29,336	3,942	30,000	0,978	0,000	134,606	-2,382	0,040	0,000
EmbeddedBeam_21_1	9247	1	11,880	-3,616	134,604	-2,411	1,333	29,336	3,942	30,000	0,978	0,000	134,604	-2,421	0,044	0,000
Element 1-9 (Embedded beam)	9248	2	11,996	-3,634	131,188	-1,955	1,078	29,128	3,629	30,000	0,971	0,000	131,188	-1,968	0,016	0,000
(Micropalo ancoraggio autoperforante R38 l=1,60m)	9249	3	12,111	-3,653	127,793	-1,562	0,873	28,928	3,111	30,000	0,964	0,000	127,793	-1,577	0,000	0,000
88	9250	4	12,227	-3,671	124,421	-1,233	0,710	28,736	2,528	30,000	0,958	0,000	124,421	-1,256	0,000	0,000
88	9251	5	12,342	-3,689	121,074	-0,970	0,582	28,550	1,980	30,000	0,952	0,000	121,074	-0,996	0,000	-0,001
EmbeddedBeam_21_1	9251	1	12,342	-3,689	121,071	-0,964	0,582	28,550	1,980	30,000	0,952	0,000	121,071	-0,993	0,000	-0,001
Element 1-10 (Embedded beam)	9252	2	12,467	-3,709	117,479	-0,757	0,474	28,358	1,450	30,000	0,945	0,000	117,479	-0,785	0,000	-0,001
(Micropalo ancoraggio autoperforante R38 l=1,60m)	9253	3	12,592	-3,729	113,907	-0,599	0,389	28,175	1,031	30,000	0,939	0,000	113,907	-0,649	0,000	-0,002
88	9254	4	12,716	-3,749	110,358	-0,487	0,321	28,000	0,717	30,000	0,933	0,000	110,358	-0,536	0,000	-0,003

Structural element	Node	Local number	X [m]	Y [m]	N [kN]	Q [10 ⁻¹ kN]	M [10 ⁻¹ kN m]	T_{xx} [kN/m]	T_{yy} [10 ⁻¹ kN/m]	$T_{xx,yy}$ [kN/m]	$T_{xx,zz}$	$N_{x,x}$ [10 ⁻¹ kN]	$N_{x,x}$ [kN]	$Q_{x,x}$ [10 ⁻¹ kN]	$Q_{x,x}$ [10 ⁻¹ kN]	$M_{x,x}$ [10 ⁻¹ kN m]
闩	9255	5	12,841	-7,769	106,834	-0,419	0,264	27,833	0,490	30,000	0,928	0,000	106,834	-0,450	0,000	-0,004
EmbeddedBeam_2_1	9255	1	12,841	-7,769	106,831	-0,411	0,264	27,833	0,490	30,000	0,928	0,000	106,831	-0,452	0,000	-0,004
Element 1-11 (Embedded beam)	9256	2	12,976	-7,790	103,047	-0,360	0,212	27,662	0,323	30,000	0,922	0,000	103,047	-0,396	0,000	-0,005
/Ricropalo ancoraggio autoperforante R38 l=1,60m)	9257	3	13,111	-7,812	99,281	-0,323	0,165	27,500	0,216	30,000	0,917	0,000	99,281	-0,347	0,000	-0,006
闩	9258	4	13,246	-7,833	95,537	-0,297	0,123	27,348	0,151	30,000	0,912	0,000	95,537	-0,306	0,000	-0,008
闩	9259	5	13,380	-7,855	91,817	-0,282	0,083	27,206	0,113	30,000	0,907	0,000	91,817	-0,282	0,000	-0,011
EmbeddedBeam_2_1	9259	1	13,380	-7,855	91,814	-0,280	0,083	27,206	0,113	30,000	0,907	0,000	91,814	-0,280	0,000	-0,011
Element 1-12 (Embedded beam)	9260	2	13,526	-7,878	87,816	-0,266	0,043	27,063	0,092	30,000	0,902	0,000	87,816	-0,266	0,000	-0,013
/Ricropalo ancoraggio autoperforante R38 l=1,60m)	9261	3	13,672	-7,901	83,834	-0,253	0,005	26,931	0,084	30,000	0,898	0,000	83,834	-0,253	0,000	-0,016
闩	9262	4	13,817	-7,924	79,871	-0,240	-0,031	26,809	0,085	30,000	0,894	0,000	79,871	-0,240	0,000	-0,031
闩	9263	5	13,963	-7,948	75,929	-0,228	-0,066	26,700	0,093	30,000	0,890	0,000	75,929	-0,228	0,000	-0,066
EmbeddedBeam_2_1	9263	1	13,963	-7,948	75,925	-0,227	-0,066	26,700	0,093	30,000	0,890	0,000	75,925	-0,227	0,000	-0,066
Element 1-13 (Embedded beam)	9264	2	14,120	-7,973	71,684	-0,212	-0,101	26,593	0,109	30,000	0,886	0,000	71,684	-0,212	0,000	-0,101
/Ricropalo ancoraggio autoperforante R38 l=1,60m)	9265	3	14,277	-7,998	67,453	-0,193	-0,133	26,500	0,129	30,000	0,883	0,000	67,453	-0,193	0,000	-0,133
闩	9266	4	14,435	-8,023	63,237	-0,171	-0,162	26,421	0,147	30,000	0,881	0,000	63,237	-0,171	0,000	-0,162
闩	9267	5	14,592	-8,048	59,037	-0,146	-0,187	26,354	0,156	30,000	0,878	0,000	59,037	-0,146	0,000	-0,187
EmbeddedBeam_2_1	9267	1	14,592	-8,048	59,032	-0,150	-0,187	26,354	0,156	30,000	0,878	0,000	59,032	-0,150	0,000	-0,187
Element 1-14 (Embedded beam)	9268	2	14,762	-8,075	54,505	-0,118	-0,210	26,297	0,142	30,000	0,877	0,000	54,505	-0,119	0,000	-0,210
/Ricropalo ancoraggio autoperforante R38 l=1,60m)	9269	3	14,932	-8,102	49,982	-0,100	-0,229	26,256	0,085	30,000	0,875	0,000	49,982	-0,102	0,000	-0,229
闩	9270	4	15,102	-8,129	45,463	-0,096	-0,246	26,231	-0,030	30,000	0,874	0,000	45,463	-0,096	0,000	-0,246
闩	9271	5	15,272	-8,156	40,954	-0,109	-0,263	26,222	-0,193	30,000	0,874	0,000	40,954	-0,109	0,000	-0,263
EmbeddedBeam_2_1	9271	1	15,272	-8,156	40,949	-0,094	-0,263	26,222	-0,193	30,000	0,874	0,000	40,949	-0,094	0,000	-0,263
Element 1-15 (Embedded beam)	9272	2	15,456	-8,186	36,077	-0,178	-0,288	26,230	-0,371	30,000	0,874	0,000	36,077	-0,178	0,000	-0,288
/Ricropalo ancoraggio autoperforante R38 l=1,60m)	9273	3	15,639	-8,215	31,195	-0,240	-0,328	26,259	-0,396	30,000	0,875	0,000	31,195	-0,240	0,000	-0,328
闩	9274	4	15,823	-8,244	26,306	-0,256	-0,375	26,307	0,115	30,000	0,877	0,000	26,306	-0,256	0,017	-0,375
闩	9275	5	16,006	-8,273	21,413	-0,205	-0,419	26,376	1,402	30,000	0,879	0,000	21,413	-0,205	0,054	-0,419
EmbeddedBeam_2_1	9275	1	16,006	-8,273	21,406	-0,567	-0,419	26,376	1,402	30,000	0,879	0,000	21,406	-0,567	0,000	-0,419
Element 1-16 (Embedded beam)	9276	2	16,205	-8,305	16,106	0,648	-0,397	26,469	4,041	30,000	0,882	0,000	16,106	-0,054	0,648	-0,397
/Ricropalo ancoraggio autoperforante R38 l=1,60m)	9277	3	16,403	-8,337	10,774	1,045	-0,214	26,588	-0,222	30,000	0,886	0,000	10,774	-0,054	1,045	-0,214
闩	9278	4	16,602	-8,368	5,410	0,657	-0,029	26,784	-3,786	30,000	0,893	0,000	5,410	-0,068	0,657	-0,065
闩	9279	5	16,800	-8,400	0,015	-0,487	0,000	27,169	0,213	30,000	0,906	0,000	0,015	-0,511	0,058	0,000
EmbeddedBeam_11_1	9280	1	1,417	-8,401	15,651	0,747	0,000	58,909	12,989	125,000	0,471	-0,132	15,651	-0,243	0,945	0,000
Element 2-17 (Embedded beam)	9281	2	1,472	-8,568	8,924	0,604	0,121	32,171	-0,903	125,000	0,257	-0,068	8,924	-0,220	0,758	-0,042
/Ricropalo D168.3 x12.5mm/1,6m)	9282	3	1,527	-8,735	4,456	0,403	0,208	17,257	-1,739	125,000	0,138	-0,026	4,456	-0,145	0,487	-0,071
闩	9283	4	1,582	-8,901	1,970	0,213	0,263	5,598	-0,780	125,000	0,077	-0,002	1,970	-0,022	0,232	-0,079
闩	9284	5	1,637	-10,068	1,191	0,103	0,288	5,252	1,346	125,000	0,042	0,000	1,191	-0,002	0,203	-0,062
EmbeddedBeam_11_1	9284	1	1,637	-10,068	0,803	0,299	0,288	5,252	1,346	125,000	0,042	-8,338	0,803	-0,002	0,304	-0,062
Element 2-18 (Embedded beam)	9285	2	1,693	-10,238	0,195	0,216	0,335	2,843	-0,492	125,000	0,023	-59,895	0,195	-0,001	0,357	-0,027
/Ricropalo D168.3 x12.5mm/1,6m)	9286	3	1,749	-10,408	-0,205	0,120	0,365	-1,492	-0,612	125,000	0,012	-287,074	0,000	-0,001	0,341	-0,001
闩	9287	4	1,805	-10,578	-0,421	0,021	0,377	-0,796	-0,538	125,000	0,006	-482,347	0,000	-0,002	0,270	-0,001
闩	9288	5	1,861	-10,748	-0,480	-0,075	0,372	-0,399	-0,429	125,000	0,003	-534,813	0,000	-0,097	0,158	-0,001
EmbeddedBeam_11_1	9288	1	1,861	-10,748	-0,516	-0,074	0,372	-0,399	-0,429	125,000	0,003	-567,074	0,000	-0,095	0,178	-0,001
Element 2-19 (Embedded beam)	9289	2	1,918	-10,922	-0,558	-0,125	0,354	-0,179	-0,207	125,000	0,001	-604,242	0,000	-0,143	0,090	-0,001
/Ricropalo D168.3 x12.5mm/1,6m)	9290	3	1,975	-11,095	-0,580	-0,149	0,329	-0,054	-0,043	125,000	0,000	-623,572	0,000	-0,164	0,032	0,000
闩	9291	4	2,032	-11,268	-0,585	-0,149	0,301	0,010	0,052	125,000	0,000	-627,185	0,000	-0,163	0,006	0,000
闩	9292	5	2,089	-11,441	-0,575	-0,129	0,275	0,047	0,151	125,000	0,000	-617,245	0,000	-0,139	0,000	0,000
EmbeddedBeam_11_1	9292	1	2,089	-11,441	-0,578	-0,131	0,275	0,047	0,151	125,000	0,000	-620,286	0,000	-0,142	0,000	0,000
Element 2-20 (Embedded beam)	9293	2	2,147	-11,618	-0,567	-0,100	0,254	0,067	0,163	125,000	0,001	-608,595	0,000	-0,109	0,000	0,000
/Ricropalo D168.3 x12.5mm/1,6m)	9294	3	2,205	-11,794	-0,553	-0,071	0,238	0,078	0,151	125,000	0,001	-595,202	0,000	-0,078	0,000	0,000
闩	9295	4	2,263	-11,971	-0,538	-0,044	0,228	0,084	0,133	125,000	0,001	-580,306	0,000	-0,051	0,000	0,000
闩	9296	5	2,321	-12,147	-0,522	-0,021	0,221	0,088	0,098	125,000	0,001	-564,109	0,000	-0,027	0,002	0,000
EmbeddedBeam_11_1	9296	1	2,321	-12,147	-0,522	-0,021	0,221	0,088	0,098	125,000	0,001	-563,681	0,000	-0,027	0,001	0,000
Element 2-21 (Embedded beam)	9297	2	2,381	-12,327	-0,506	-0,009	0,219	0,094	0,051	125,000	0,001	-547,379	0,000	-0,016	0,003	0,000
/Ricropalo D168.3 x12.5mm/1,6m)	9298	3	2,440	-12,507	-0,487	-0,002	0,218	0,104	0,019	125,000	0,001	-528,158	0,000	-0,010	0,003	0,000
闩	9299	4	2,499	-12,687	-0,465	0,001	0,218	0,126	-0,009	125,000	0,001	-505,461	0,000	-0,009	0,003	0,000
闩	9300	5	2,558	-12,867	-0,439	0,005	0,217	0,170	0,047	125,000	0,001	-478,730	0,000	-0,013	0,001	0,000
EmbeddedBeam_11_1	9300	1	2,558	-12,867	-0,429	0,002	0,217	0,170	0,047	125,000	0,001	-467,225	0,000	-0,006	0,002	0,000

Structural element	Node	Local number	X [m]	Y [m]	N [kN]	Q [10 ⁻¹ kN]	M [10 ⁻¹ kN m]	$T_{xx,+}$ [kN/m]	$T_{xx,-}$ [10 ⁻¹ kN/m]	$T_{xx,max}$ [kN/m]	$T_{xx,min}$	$N_{x,+}$ [10 ⁻¹ kN]	$N_{x,-}$ [kN]	$Q_{z,+}$ [10 ⁻¹ kN]	$Q_{z,-}$ [10 ⁻¹ kN]	$M_{y,+}$ [10 ⁻¹ kN m]
Element 2-32 (Embedded beam)	9301	2	2,619	-13,050	0,402	-0,057	0,216	0,262	-0,566	125,000	0,002	-438,992	0,000	0,069	0,000	0,000
(Micropalo D168.3 x12.5mm/1.6m)	9302	3	2,679	-13,233	0,331	-0,253	0,185	0,434	-1,912	125,000	0,003	-362,148	0,000	0,280	0,000	0,000
〃	9303	4	2,740	-13,417	0,208	-0,492	0,115	0,803	-1,006	125,000	0,006	-227,627	0,000	0,536	0,000	0,000
〃	9304	5	2,800	-13,600	0,024	-0,678	0,000	1,504	10,422	125,000	0,012	-26,366	0,000	0,732	0,000	0,000

3.3.1.1.22 Calculation results, Embedded beam, SLV [Phase_22] (22/956), Table of embedded beam force envelopes

Structural element	Node	Local number	X [m]	Y [m]	N [kN]	Q [10 ^ kN]	M [10 ^ kN m]	$T_{xx,sup}$ [kN/m]	$T_{xx,inf}$ [kN/m]	$T_{xx,sup,sup}$ [kN/m]	$T_{xx,inf,inf}$	N_{xx} [10 ^ kN]	N_{xx} [kN]	Q_{zz} [10 ^ kN]	Q_{zz} [10 ^ kN]	M_{yy} [10 ^ kN m]	M_{yy} [10 ^ kN m]
EmbeddedBeam_21_1	9215	1	8,000	-2,997	198,127	-15,034	0,000	-4,451	0,091	30,000	0,148	0,000	198,127	-15,034	0,973	0,000	0,000
Element 1-1 (Embedded beam)	9216	2	8,191	-3,028	197,373	34,489	2,412	-3,751	0,171	30,000	0,125	0,000	197,373	0,000	34,489	0,000	2,462
(Micropalo ancoraggio autoperforante R38 l=1,60m)	9217	3	8,382	-3,058	196,680	51,127	11,209	-3,393	-0,001	30,000	0,113	0,000	196,680	0,000	51,127	0,000	11,209
88	9218	4	8,572	-3,088	196,041	35,146	20,076	-3,189	-0,166	30,000	0,106	0,000	196,041	0,000	35,146	0,000	20,076
89	9219	5	8,763	-3,119	195,450	-13,187	22,712	-3,015	-0,268	30,000	0,100	0,000	195,450	-20,126	1,764	0,000	22,712
EmbeddedBeam_21_1	9219	1	8,763	-3,119	195,447	-6,000	22,712	-3,015	-0,268	30,000	0,100	0,000	195,447	-17,118	1,887	0,000	22,712
Element 1-2 (Embedded beam)	9220	2	8,921	-3,144	194,985	-64,833	17,252	-2,752	-0,405	30,000	0,092	0,000	194,985	-64,833	0,000	0,000	17,252
(Micropalo ancoraggio autoperforante R38 l=1,60m)	9221	3	9,078	-3,169	194,569	-135,622	1,408	-2,472	-0,491	30,000	0,082	0,000	194,569	-135,622	0,000	-7,163	2,606
90	9222	4	9,235	-3,194	194,202	-216,944	-26,519	-2,145	-0,538	30,000	0,072	0,000	194,202	-216,944	0,000	-27,749	1,825
91	9223	5	9,392	-3,219	193,885	-307,376	-68,165	-1,775	-0,484	30,000	0,059	0,000	193,885	-307,376	0,000	-68,165	1,566
EmbeddedBeam_21_1	9223	1	9,392	-3,219	193,883	-291,529	-68,165	-1,775	-0,484	30,000	0,059	0,000	193,883	-291,529	0,000	-68,165	1,566
Element 1-3 (Embedded beam)	9224	2	9,522	-3,240	193,677	-355,045	-111,250	-1,494	-0,228	30,000	0,050	0,000	193,677	-355,045	0,000	-111,250	1,332
(Micropalo ancoraggio autoperforante R38 l=1,60m)	9225	3	9,652	-3,260	193,492	-353,350	-158,572	-1,295	0,217	30,000	0,043	0,000	193,492	-353,350	0,000	-158,572	1,096
92	9226	4	9,781	-3,281	193,323	-281,200	-200,966	-1,252	0,846	30,000	0,042	0,000	193,323	-281,200	0,000	-200,966	0,879
93	9227	5	9,911	-3,302	193,165	-133,352	-229,055	-1,485	1,583	30,000	0,049	0,000	193,165	-133,352	80,258	-229,055	0,688
EmbeddedBeam_21_1	9227	1	9,911	-3,302	193,122	-139,392	-229,055	-1,485	1,583	30,000	0,049	0,000	193,122	-139,392	65,222	-229,055	0,688
Element 1-4 (Embedded beam)	9228	2	10,018	-3,319	192,970	76,262	-232,548	-2,228	2,012	30,000	0,074	0,000	192,970	-10,366	188,566	-232,548	0,555
(Micropalo ancoraggio autoperforante R38 l=1,60m)	9229	3	10,125	-3,336	192,645	297,130	-212,336	-3,659	2,093	30,000	0,122	0,000	192,645	-5,208	297,130	-212,336	0,447
94	9230	4	10,232	-3,353	192,135	520,228	-168,149	-5,651	2,054	30,000	0,188	0,000	192,135	-1,678	520,228	-168,149	0,367
95	9231	5	10,338	-3,370	191,427	742,574	-99,806	-8,323	1,934	30,000	0,277	0,000	191,427	-0,551	742,574	-99,806	12,973
EmbeddedBeam_21_1	9231	1	10,338	-3,370	191,356	718,134	-99,806	-8,323	1,934	30,000	0,277	0,000	191,356	-0,621	718,134	-99,806	12,973
Element 1-5 (Embedded beam)	9232	2	10,427	-3,384	190,556	905,700	-26,804	-11,153	1,514	30,000	0,372	0,000	190,556	-0,055	905,700	-26,804	30,440
(Micropalo ancoraggio autoperforante R38 l=1,60m)	9233	3	10,515	-3,398	189,379	994,526	58,904	-14,948	0,647	30,000	0,498	0,000	189,379	0,000	994,526	-1,352	60,062
96	9234	4	10,603	-3,412	187,793	967,921	147,209	-20,287	-1,075	30,000	0,676	0,000	187,793	0,000	967,921	-0,520	147,209
97	9235	5	10,691	-3,426	185,772	809,194	227,548	-27,813	-4,201	30,000	0,927	0,000	185,781	0,000	809,194	-0,001	227,548
EmbeddedBeam_21_1	9235	1	10,691	-3,426	185,696	745,756	227,548	-30,000	-7,002	30,000	1,000	0,000	185,710	0,000	745,756	-0,001	227,548
Element 1-6 (Embedded beam)	9236	2	10,782	-3,441	182,913	227,090	271,366	-30,000	-4,765	30,000	1,000	0,000	182,928	-18,426	227,090	0,000	271,366
(Micropalo ancoraggio autoperforante R38 l=1,60m)	9237	3	10,874	-3,455	180,129	-134,537	274,548	-30,000	-2,949	30,000	1,000	0,000	180,144	-134,537	5,374	0,000	274,548
98	9238	4	10,965	-3,470	177,345	-347,622	250,999	-30,000	-1,561	30,000	1,000	0,000	177,360	-347,622	3,519	0,000	250,999
99	9239	5	11,057	-3,484	174,563	-420,659	214,373	-30,000	-0,564	30,000	1,000	0,000	174,578	-420,659	2,331	0,000	214,373
EmbeddedBeam_21_1	9239	1	11,057	-3,484	174,562	-447,920	214,373	-30,000	-0,564	30,000	1,000	0,000	174,576	-447,920	2,400	0,000	214,373
Element 1-7 (Embedded beam)	9240	2	11,156	-3,500	171,556	-449,963	169,081	-30,000	0,141	30,000	1,000	0,000	171,570	-449,963	1,473	0,000	169,081
(Micropalo ancoraggio autoperforante R38 l=1,60m)	9241	3	11,255	-3,516	168,548	-417,786	125,392	-30,000	0,545	30,000	1,000	0,000	168,562	-417,786	0,991	0,000	125,392
100	9242	4	11,354	-3,532	165,540	-356,282	86,335	-30,000	0,727	30,000	1,000	0,000	165,555	-356,282	0,669	0,000	86,335
101	9243	5	11,453	-3,548	162,535	-270,345	54,795	-30,000	0,759	30,000	1,000	0,000	162,549	-270,345	0,426	0,000	54,795
EmbeddedBeam_21_1	9243	1	11,453	-3,548	162,533	-279,307	54,795	-30,000	0,759	30,000	1,000	0,000	162,547	-279,307	0,434	0,000	54,795
Element 1-8 (Embedded beam)	9244	2	11,560	-3,565	159,286	-197,637	29,107	-30,000	0,692	30,000	1,000	0,000	159,300	-197,637	0,273	0,000	29,107
(Micropalo ancoraggio autoperforante R38 l=1,60m)	9245	3	11,667	-3,582	156,036	-129,444	11,533	-30,000	0,571	30,000	1,000	0,000	156,050	-129,444	0,145	0,000	11,533
102	9246	4	11,773	-3,599	152,787	-75,152	0,580	-30,000	0,435	30,000	1,000	0,000	152,800	-75,152	0,082	-0,285	1,640
103	9247	5	11,880	-3,616	149,539	-35,184	-5,256	-30,000	0,305	30,000	1,000	0,000	149,553	-35,184	0,040	-5,256	1,446
EmbeddedBeam_21_1	9247	1	11,880	-3,616	149,538	-33,730	-5,256	-30,000	0,305	30,000	1,000	0,000	149,551	-33,730	0,044	-5,256	1,446
Element 1-9 (Embedded beam)	9248	2	11,996	-3,634	146,029	-7,356	-7,557	-30,000	0,186	30,000	1,000	0,000	146,043	-7,356	0,970	-7,557	1,291
(Micropalo ancoraggio autoperforante R38 l=1,60m)	9249	3	12,111	-3,653	142,518	9,467	-7,352	-30,000	0,096	30,000	1,000	0,000	142,532	-1,340	9,467	-7,352	1,143
104	9250	4	12,227	-3,671	139,008	17,462	-5,687	-30,000	0,035	30,000	1,000	0,000	139,021	-1,124	17,462	-5,687	1,005
105	9251	5	12,342	-3,689	135,499	17,348	-3,580	-30,000	-0,003	30,000	1,000	0,000	135,513	-0,987	17,348	-3,580	0,881
EmbeddedBeam_21_1	9251	1	12,342	-3,689	135,498	19,220	-3,580	-30,000	-0,003	30,000	1,000	0,000	135,511	-0,996	19,220	-3,580	0,881
Element 1-10 (Embedded beam)	9252	2	12,467	-3,709	131,707	16,479	-1,317	-30,000	-0,024	30,000	1,000	0,000	131,720	-0,847	16,479	-1,317	0,775
(Micropalo ancoraggio autoperforante R38 l=1,60m)	9253	3	12,592	-3,729	127,914	13,171	0,558	-30,000	-0,030	30,000	1,000	0,000	127,927	-0,709	13,171	-0,002	1,230
106	9254	4	12,716	-3,749	124,121	9,523	1,997	-30,000	-0,029	30,000	1,000	0,000	124,134	-0,585	9,523	-0,003	2,001
107	9255	5	12,841	-3,769	120,331	5,764	2,961	-30,000	-0,024	30,000	1,000	0,000	120,343	-0,477	5,764	-0,004	2,961

Structural element	Node	Local number	X [m]	Y [m]	N [kN]	Q [10 ^ kN]	M [10 ^ kN m]	T_xx [kN/m]	T_yy [kN/m]	T_xx,xx [kN/m]	T_yy,yy	M_xx [10 ^ kN]	N_xx [kN]	Q_xx [10 ^ kN]	Q_yy [10 ^ kN]	M_yy [10 ^ kN m]	M_xx [10 ^ kN m]
EmbeddedBeam_2_1	9255	1	12,841	-3,769	120,329	5,951	2,961	30,000	-0,024	30,000	1,000	0,000	120,342	-0,477	5,951	0,004	2,961
Element 1-11 (Embedded beam)	9256	2	12,976	-3,790	116,234	3,304	3,584	30,000	-0,017	30,000	1,000	0,000	116,246	-0,407	3,304	0,005	3,584
(Ricropalo ancoraggio autoperforante R38 l=1,60m)	9257	3	13,111	-3,812	112,136	1,368	3,896	30,000	-0,011	30,000	1,000	0,000	112,148	-0,351	1,368	0,006	3,896
25	9258	4	13,246	-3,833	108,038	0,087	3,987	30,000	-0,007	30,000	1,000	0,000	108,050	-0,311	0,504	0,008	3,987
26	9259	5	13,380	-3,855	103,943	-0,600	3,946	30,000	-0,005	30,000	1,000	0,000	103,955	-0,600	0,430	0,011	3,946
EmbeddedBeam_2_1	9259	1	13,380	-3,855	103,941	-0,457	3,946	30,000	-0,005	30,000	1,000	0,000	103,953	-0,657	0,362	0,011	3,946
Element 1-12 (Embedded beam)	9260	2	13,526	-3,878	99,516	-1,210	3,800	30,000	-0,002	30,000	1,000	0,000	99,528	-1,210	0,672	0,013	3,800
(Ricropalo ancoraggio autoperforante R38 l=1,60m)	9261	3	13,672	-3,901	95,089	-1,144	3,620	30,000	0,003	30,000	1,000	0,000	95,101	-1,144	0,933	0,016	3,620
27	9262	4	13,817	-3,924	90,662	-0,501	3,491	30,000	0,006	30,000	1,000	0,000	90,673	-0,692	1,117	0,019	3,491
28	9263	5	13,963	-3,948	86,237	0,680	3,498	30,000	0,006	30,000	1,000	0,000	86,249	-0,670	1,192	0,022	3,498
EmbeddedBeam_2_1	9263	1	13,963	-3,948	86,235	0,129	3,498	30,000	0,006	30,000	1,000	0,000	86,247	-0,904	1,115	0,022	3,498
Element 1-13 (Embedded beam)	9264	2	14,120	-3,973	81,455	0,921	3,613	30,000	0,003	30,000	1,000	0,000	81,466	-1,267	0,921	0,025	3,613
(Ricropalo ancoraggio autoperforante R38 l=1,60m)	9265	3	14,277	-3,998	76,672	-0,754	3,661	30,000	-0,018	30,000	1,000	0,000	76,683	-2,893	0,574	0,030	3,661
29	9266	4	14,435	-4,023	71,889	-4,975	3,238	30,000	-0,035	30,000	1,000	0,000	71,899	-6,013	0,489	0,036	3,238
30	9267	5	14,592	-4,048	67,109	-11,823	1,936	30,000	-0,047	30,000	1,000	0,000	67,119	-12,308	0,419	0,041	1,936
EmbeddedBeam_2_1	9267	1	14,592	-4,048	67,106	-11,930	1,936	30,000	-0,047	30,000	1,000	0,000	67,117	-12,133	0,301	0,041	1,936
Element 1-14 (Embedded beam)	9268	2	14,762	-4,075	61,942	-21,144	-0,841	30,000	-0,066	30,000	1,000	0,000	61,953	-21,144	0,346	1,856	1,693
(Ricropalo ancoraggio autoperforante R38 l=1,60m)	9269	3	14,932	-4,102	56,774	-34,705	-5,596	30,000	-0,094	30,000	1,000	0,000	56,784	-34,705	0,000	5,711	1,545
31	9270	4	15,102	-4,129	51,607	-52,244	-13,019	30,000	-0,112	30,000	1,000	0,000	51,616	-52,244	0,000	13,019	1,295
32	9271	5	15,272	-4,156	46,442	-73,395	-23,782	30,000	-0,062	30,000	1,000	0,000	46,452	-73,395	0,000	23,782	0,936
EmbeddedBeam_2_1	9271	1	15,272	-4,156	46,440	-67,163	-23,782	30,000	-0,062	30,000	1,000	0,000	46,449	-67,163	0,000	23,782	0,936
Element 1-15 (Embedded beam)	9272	2	15,456	-4,186	40,860	-76,226	-37,438	30,000	0,007	30,000	1,000	0,000	40,870	-76,226	0,000	37,438	0,243
(Ricropalo ancoraggio autoperforante R38 l=1,60m)	9273	3	15,639	-4,215	35,277	-64,574	-50,842	30,000	0,120	30,000	1,000	0,000	35,286	-64,574	0,000	50,842	0,068
33	9274	4	15,823	-4,244	29,694	-32,593	-60,199	30,000	0,225	30,000	1,000	0,000	29,703	-41,609	0,002	60,199	0,061
34	9275	5	16,006	-4,273	24,115	19,334	-61,733	30,000	0,525	30,000	1,000	0,000	24,124	-54,719	20,006	61,733	0,051
EmbeddedBeam_2_1	9275	1	16,006	-4,273	24,112	5,323	-61,733	30,000	0,525	30,000	1,000	0,000	24,120	-64,539	0,000	61,733	0,051
Element 1-16 (Embedded beam)	9276	2	16,205	-4,305	18,086	151,957	-44,848	30,000	0,449	30,000	1,000	0,000	18,094	-3,730	151,957	44,848	0,038
(Ricropalo ancoraggio autoperforante R38 l=1,60m)	9277	3	16,403	-4,337	12,056	168,205	-10,480	30,000	-0,323	30,000	1,000	0,000	12,063	-0,054	168,205	20,033	0,028
35	9278	4	16,602	-4,368	6,027	47,360	13,575	30,000	-0,916	30,000	1,000	0,000	6,052	-0,068	61,085	7,838	15,362
36	9279	5	16,800	-4,400	0,002	-202,639	0,000	30,000	1,673	30,000	1,000	-27,973	0,140	-205,770	23,781	0,000	0,000
EmbeddedBeam_11_1	9280	1	1,417	-0,401	49,955	5,515	0,000	-125,000	0,275	125,000	1,000	-0,132	49,955	-0,243	31,068	0,000	0,000
Element 2-17 (Embedded beam)	9281	2	1,472	-0,568	29,632	18,963	2,860	-97,153	0,012	125,000	0,779	-0,068	29,632	-0,220	18,963	0,042	3,404
(Ricropalo D168.3 x12.5mm/1,6m)	9282	3	1,527	-0,735	16,079	10,945	5,570	-52,560	-0,138	125,000	0,420	-0,026	16,079	-7,510	10,945	0,071	5,570
37	9283	4	1,582	-0,901	8,453	-7,462	6,086	-29,856	-0,109	125,000	0,239	-0,002	8,453	-11,554	0,231	0,079	6,086
38	9284	5	1,637	-1,068	5,914	-29,983	2,731	-17,086	0,078	125,000	0,137	0,000	5,914	-29,983	5,392	0,062	2,731
EmbeddedBeam_11_1	9284	1	1,637	-1,068	4,747	-19,181	2,731	-17,086	0,078	125,000	0,137	-8,338	4,747	-19,181	1,706	0,062	2,731
Element 2-18 (Embedded beam)	9285	2	1,693	-1,238	2,698	-5,206	0,675	-9,477	0,059	125,000	0,077	-59,895	2,698	-5,206	0,988	0,027	0,860
(Ricropalo D168.3 x12.5mm/1,6m)	9286	3	1,749	-1,408	1,313	-1,545	0,424	-5,394	0,010	125,000	0,043	-286,909	1,313	-0,350	1,918	0,001	0,910
39	9287	4	1,805	-1,578	0,517	2,293	0,870	-2,102	-0,008	125,000	0,025	-482,262	0,517	-0,558	2,293	0,001	0,948
40	9288	5	1,861	-1,748	0,233	-1,740	0,972	-1,771	-0,007	125,000	0,014	-534,773	0,233	-1,935	0,158	0,001	0,972
EmbeddedBeam_11_1	9288	1	1,861	-1,748	0,120	-0,372	0,972	-1,771	-0,007	125,000	0,014	-567,030	0,120	-0,790	0,178	0,001	0,972
Element 2-19 (Embedded beam)	9289	2	1,918	-1,922	-0,100	-0,706	0,869	-1,027	-0,001	125,000	0,008	-604,242	0,000	-0,770	0,090	0,001	0,869
(Ricropalo D168.3 x12.5mm/1,6m)	9290	3	1,975	-2,095	-0,252	-0,773	0,732	-0,592	0,001	125,000	0,005	-623,572	0,000	-0,773	0,032	0,000	0,732
41	9291	4	2,032	-2,268	-0,341	-0,660	0,597	-0,353	0,001	125,000	0,003	-627,185	0,000	-0,660	0,006	0,000	0,597
42	9292	5	2,089	-2,441	-0,377	-0,451	0,496	-0,204	0,001	125,000	0,002	-617,245	0,000	-0,451	0,000	0,000	0,496
EmbeddedBeam_11_1	9292	1	2,089	-2,441	-0,388	-0,493	0,496	-0,204	0,001	125,000	0,002	-620,286	0,000	-0,493	0,000	0,000	0,496
Element 2-20 (Embedded beam)	9293	2	2,147	-2,618	-0,414	-0,314	0,421	-0,109	0,001	125,000	0,001	-608,595	0,000	-0,314	0,061	0,000	0,421
(Ricropalo D168.3 x12.5mm/1,6m)	9294	3	2,205	-2,794	-0,428	-0,155	0,378	-0,043	0,001	125,000	0,000	-595,202	0,000	-0,155	0,143	0,000	0,378
43	9295	4	2,263	-2,971	-0,433	-0,012	0,363	0,001	0,001	125,000	0,000	-580,306	0,000	-0,051	0,219	0,000	0,363
44	9296	5	2,321	-3,147	-0,428	0,119	0,373	0,036	0,001	125,000	0,000	-564,109	0,000	-0,027	0,284	0,000	0,373
EmbeddedBeam_11_1	9296	1	2,321	-3,147	-0,429	0,115	0,373	0,036	0,001	125,000	0,000	-563,681	0,000	-0,027	0,283	0,000	0,373
Element 2-21 (Embedded beam)	9297	2	2,381	-3,327	-0,419	0,210	0,404	0,065	0,000	125,000	0,001	-547,379	0,000	-0,016	0,322	0,000	0,404
(Ricropalo D168.3 x12.5mm/1,6m)	9298	3	2,440	-3,507	-0,404	0,278	0,451	0,092	0,000	125,000	0,001	-528,158	0,000	-0,010	0,338	0,000	0,451
45	9299	4	2,499	-3,687	-0,384	0,320	0,508	0,122	0,000	125,000	0,001	-505,461	0,000	-0,009	0,341	0,000	0,508
46	9300	5	2,558	-3,867	-0,358	0,335	0,570	0,163	0,000	125,000	0,001	-478,730	0,000	-0,017	0,339	0,000	0,570
EmbeddedBeam_11_1	9300	1	2,558	-3,867	-0,351	0,297	0,570	0,163	0,000	125,000	0,001	-467,225	0,000	-0,007	0,303	0,000	0,570
Element 2-22 (Embedded beam)	9301	2	2,619	-3,050	-0,323	0,137	0,626	0,236	-0,002	125,000	0,002	-438,992	0,000	-0,117	0,137	0,000	0,626

Structural element	Node	Local number	X [m]	Y [m]	N [kN]	Q [10 ^ kN]	M [10 ^ kN m]	$T_{xx,+}$ [kN/m]	$T_{xx,-}$ [kN/m]	$T_{xx,max}$ [kN/m]	$T_{xx,min}$	$N_{x,+}$ [10 ^ kN]	$N_{x,-}$ [kN]	$Q_{x,+}$ [10 ^ kN]	$Q_{x,-}$ [10 ^ kN]	$M_{x,+}$ [10 ^ kN m]	$M_{x,-}$ [10 ^ kN m]
(Micropalo D168.3 x12.5mm/1.6m)	9302	3	2.679	-13.233	0.262	-0.573	0.584	0.366	-0.007	125.000	0.003	-362.148	0.000	-0.582	0.000	0.000	0.584
"	9303	4	2.740	-13.417	0.163	-1.531	0.389	0.640	-0.005	125.000	0.005	-227.627	0.000	-1.531	0.000	0.000	0.389
"	9304	5	2.800	-13.600	0.018	-2.438	0.000	1.161	-0.036	125.000	0.009	-26.366	0.000	-2.438	0.000	0.000	0.000

3.3.1.1.23 Calculation results, Embedded beam, SLD [Phase_23] (23/990), Table of embedded beam force envelopes

Structural element	Node	Local number	X [m]	Y [m]	N [kN]	Q [10 ^ kN]	M [10 ^ kN m]	$T_{,max}$ [kN/m]	$T_{,min}$ [kN/m]	$T_{,max,sup}$ [kN/m]	$T_{,min,sup}$	$N_{,sup}$ [10 ^ kN]	$M_{,sup}$ [kN]	$Q_{,sup}$ [10 ^ kN]	$Q_{,sup}$ [10 ^ kN]	$M_{,sup}$ [10 ^ kN m]	$M_{,sup}$ [10 ^ kN m]
EmbeddedBeam_21_1	9215	1	8,000	-2,997	168,461	0,042	0,000	-11,208	0,124	30,000	0,374	0,000	168,461	-0,007	0,973	0,000	0,000
Element 1-1 (Embedded beam)	9216	2	8,191	-3,028	166,345	16,750	1,870	-10,787	0,050	30,000	0,360	0,000	166,345	0,000	16,750	0,000	1,870
(Micropalo ancoraggio autoperforante R38 l=1,60m)	9217	3	8,382	-3,058	164,293	19,052	5,535	-10,438	-0,031	30,000	0,348	0,000	164,293	0,000	19,052	0,000	5,535
88	9218	4	8,572	-3,088	162,306	7,913	8,369	-10,119	-0,089	30,000	0,337	0,000	162,306	0,000	7,913	0,000	8,369
88	9219	5	8,763	-3,119	160,383	-15,704	7,801	-9,791	-0,147	30,000	0,326	0,000	160,383	-16,415	1,721	0,000	7,801
EmbeddedBeam_21_1	9219	1	8,763	-3,119	160,382	-14,303	7,801	-9,791	-0,147	30,000	0,326	0,000	160,382	-15,076	1,837	0,000	7,801
Element 1-2 (Embedded beam)	9220	2	8,921	-3,144	158,846	-42,014	3,378	-9,507	-0,181	30,000	0,317	0,000	158,846	-42,399	0,000	0,000	3,420
(Micropalo ancoraggio autoperforante R38 l=1,60m)	9221	3	9,078	-3,169	157,354	-72,607	-5,752	-9,224	-0,212	30,000	0,307	0,000	157,354	-72,655	0,000	-6,501	2,581
88	9222	4	9,235	-3,194	155,907	-104,493	-19,825	-8,941	-0,197	30,000	0,298	0,000	155,907	-104,498	0,000	-20,471	1,825
88	9223	5	9,392	-3,219	154,506	-136,082	-39,006	-8,673	-0,073	30,000	0,289	0,000	154,506	-136,086	0,000	-39,425	1,566
EmbeddedBeam_21_1	9223	1	9,392	-3,219	154,505	-123,694	-39,006	-8,673	-0,073	30,000	0,289	0,000	154,505	-123,720	0,000	-39,425	1,566
Element 1-3 (Embedded beam)	9224	2	9,522	-3,240	153,380	-132,308	-56,267	-8,481	0,092	30,000	0,283	0,000	153,380	-132,317	0,000	-56,420	1,332
(Micropalo ancoraggio autoperforante R38 l=1,60m)	9225	3	9,652	-3,260	152,280	-99,383	-71,921	-8,251	0,413	30,000	0,275	0,000	152,280	-99,383	0,000	-71,985	1,096
88	9226	4	9,781	-3,281	151,201	-25,516	-80,576	-8,148	0,716	30,000	0,272	0,000	151,201	-37,327	0,000	-80,639	0,879
88	9227	5	9,911	-3,302	150,142	88,694	-76,863	-8,337	0,933	30,000	0,278	0,000	150,142	-25,494	98,787	-76,923	0,688
EmbeddedBeam_21_1	9227	1	9,911	-3,302	150,110	70,601	-76,863	-8,337	0,933	30,000	0,278	0,000	150,110	-25,811	79,995	-76,923	0,688
Element 1-4 (Embedded beam)	9228	2	10,018	-3,319	149,202	190,122	-62,255	-8,990	0,849	30,000	0,300	0,000	149,202	-11,127	199,225	-62,306	0,555
(Micropalo ancoraggio autoperforante R38 l=1,60m)	9229	3	10,125	-3,336	148,165	254,094	-37,723	-10,163	0,328	30,000	0,339	0,000	148,165	-4,969	260,016	-37,757	0,447
88	9230	4	10,232	-3,353	146,998	263,139	-9,233	-11,390	-0,166	30,000	0,380	0,000	146,998	-2,183	265,940	-16,374	0,367
88	9231	5	10,338	-3,370	145,701	217,879	17,269	-12,448	-0,395	30,000	0,415	0,000	145,701	-0,505	218,353	8,424	23,521
EmbeddedBeam_21_1	9231	1	10,338	-3,370	145,708	229,219	17,269	-12,448	-0,395	30,000	0,415	0,000	145,708	-0,529	229,736	8,424	23,521
Element 1-5 (Embedded beam)	9232	2	10,427	-3,384	144,565	188,289	35,852	-13,096	-0,451	30,000	0,437	0,000	144,565	-0,055	188,674	3,615	40,127
(Micropalo ancoraggio autoperforante R38 l=1,60m)	9233	3	10,515	-3,398	143,372	149,569	50,930	-13,637	-0,397	30,000	0,455	0,000	143,372	0,000	149,814	-1,496	53,101
88	9234	4	10,603	-3,412	142,130	111,092	62,546	-14,209	-0,445	30,000	0,474	0,000	142,130	0,000	111,397	-0,541	63,079
88	9235	5	10,691	-3,426	140,838	70,892	70,687	-15,081	-0,750	30,000	0,503	0,000	140,838	0,000	71,286	-0,018	70,754
EmbeddedBeam_21_1	9235	1	10,691	-3,426	140,828	58,519	70,687	-25,135	-1,250	30,000	0,838	0,000	140,828	0,000	58,868	-0,018	70,754
Element 1-6 (Embedded beam)	9236	2	10,782	-3,441	138,507	-28,471	71,830	-24,956	-0,778	30,000	0,832	0,000	138,507	-42,759	13,965	0,000	71,841
(Micropalo ancoraggio autoperforante R38 l=1,60m)	9237	3	10,874	-3,455	136,201	-85,061	66,354	-24,779	-0,423	30,000	0,826	0,000	136,201	-87,385	5,875	0,000	66,378
88	9238	4	10,965	-3,470	133,911	-113,142	56,933	-24,608	-0,163	30,000	0,820	0,000	133,911	-113,458	3,200	0,000	56,961
88	9239	5	11,057	-3,484	131,638	-114,606	46,186	-24,444	0,014	30,000	0,815	0,000	131,638	-114,679	2,173	0,000	46,213
EmbeddedBeam_21_1	9239	1	11,057	-3,484	131,636	-120,209	46,186	-24,444	0,014	30,000	0,815	0,000	131,636	-120,309	2,245	0,000	46,213
Element 1-7 (Embedded beam)	9240	2	11,156	-3,500	129,198	-109,355	34,646	-24,277	0,128	30,000	0,809	0,000	129,198	-109,407	1,471	0,000	34,669
(Micropalo ancoraggio autoperforante R38 l=1,60m)	9241	3	11,255	-3,516	126,773	-94,200	24,425	-24,115	0,182	30,000	0,804	0,000	126,773	-94,258	0,993	0,000	24,442
88	9242	4	11,354	-3,532	124,364	-75,649	15,882	-23,961	0,196	30,000	0,799	0,000	124,364	-75,706	0,671	0,000	15,893
88	9243	5	11,453	-3,548	121,973	-54,609	9,346	-23,813	0,184	30,000	0,794	0,000	121,973	-54,657	0,426	0,000	9,352
EmbeddedBeam_21_1	9243	1	11,453	-3,548	121,971	-56,024	9,346	-23,813	0,184	30,000	0,794	0,000	121,971	-56,074	0,434	0,000	9,352
Element 1-8 (Embedded beam)	9244	2	11,560	-3,565	119,404	-37,381	4,326	-23,660	0,155	30,000	0,789	0,000	119,404	-37,421	0,273	0,000	4,327
(Micropalo ancoraggio autoperforante R38 l=1,60m)	9245	3	11,667	-3,582	116,850	-22,461	1,121	-23,514	0,120	30,000	0,784	0,000	116,850	-22,491	0,145	0,000	2,007
88	9246	4	11,773	-3,599	114,312	-11,253	-0,671	-23,374	0,086	30,000	0,779	0,000	114,312	-11,275	0,082	-0,791	1,656
88	9247	5	11,880	-3,616	111,792	-3,750	-1,449	-23,240	0,057	30,000	0,775	0,000	111,792	-3,765	0,040	-1,486	1,424
EmbeddedBeam_21_1	9247	1	11,880	-3,616	111,790	-3,256	-1,449	-23,240	0,057	30,000	0,775	0,000	111,790	-3,271	0,044	-1,486	1,424
Element 1-9 (Embedded beam)	9248	2	11,996	-3,634	109,082	1,383	-1,539	-23,103	0,032	30,000	0,770	0,000	109,082	-1,905	1,487	-1,578	1,212
(Micropalo ancoraggio autoperforante R38 l=1,60m)	9249	3	12,111	-3,653	106,388	4,125	-1,201	-22,972	0,014	30,000	0,766	0,000	106,388	-1,441	4,125	-1,245	1,084
88	9250	4	12,227	-3,671	103,708	5,131	-0,641	-22,847	0,002	30,000	0,762	0,000	103,708	-1,175	5,131	-0,692	0,969
88	9251	5	12,342	-3,689	101,045	4,565	-0,061	-22,729	-0,004	30,000	0,758	0,000	101,045	-0,933	4,565	-0,126	0,862
EmbeddedBeam_21_1	9251	1	12,342	-3,689	101,043	4,954	-0,061	-22,729	-0,004	30,000	0,758	0,000	101,043	-0,935	4,954	-0,126	0,862
Element 1-10 (Embedded beam)	9252	2	12,467	-3,709	98,181	4,005	0,505	-22,608	-0,007	30,000	0,754	0,000	98,181	-0,762	4,005	-0,001	0,769
(Micropalo ancoraggio autoperforante R38 l=1,60m)	9253	3	12,592	-3,729	95,332	3,049	0,950	-22,495	-0,008	30,000	0,750	0,000	95,332	-0,657	3,049	-0,002	0,950
88	9254	4	12,716	-3,749	92,496	2,126	1,277	-22,388	-0,007	30,000	0,746	0,000	92,496	-0,559	2,126	-0,003	1,277
88	9255	5	12,841	-3,769	89,676	1,277	1,491	-22,288	-0,005	30,000	0,743	0,000	89,676	-0,471	1,277	-0,004	1,491

Structural element	Node	Local number	X [m]	Y [m]	N [kN]	Q [10 ^ kN]	M [10 ^ kN m]	T_xx [kN/m]	T_yy [kN/m]	T_xx,yy [kN/m]	T_xx,zz	M_yy [10 ^ kN m]	N_yy [kN]	Q_yy [10 ^ kN]	Q_zz [10 ^ kN]	M_zz [10 ^ kN m]	M_zz [10 ^ kN m]
EmbeddedBeam_2_1	9255	1	12,841	-3,769	89,674	1,307	1,491	-22,288	-0,005	30,000	0,743	0,000	89,674	-0,473	1,307	0,004	1,491
Element 1-11 (Embedded beam)	9256	2	12,976	-3,790	86,641	0,725	1,627	-22,188	-0,004	30,000	0,740	0,000	86,641	-0,406	0,751	0,005	1,627
(Ri)ncopalo ancoraggio autoperforante R38 l=1,60m)	9257	3	13,111	-3,812	83,618	0,355	1,698	-22,095	-0,002	30,000	0,737	0,000	83,618	-0,350	0,500	0,006	1,698
25	9258	4	13,246	-3,833	80,607	0,188	1,733	-22,010	-0,001	30,000	0,734	0,000	80,607	-0,321	0,368	0,008	1,733
25	9259	5	13,380	-3,855	77,611	0,215	1,758	-21,934	0,000	30,000	0,731	0,000	77,611	-0,346	0,348	0,011	1,758
EmbeddedBeam_2_1	9259	1	13,380	-3,855	77,608	0,158	1,758	-21,934	0,000	30,000	0,731	0,000	77,608	-0,353	0,319	0,011	1,758
Element 1-12 (Embedded beam)	9260	2	13,526	-3,878	74,382	0,338	1,795	-21,859	0,001	30,000	0,729	0,000	74,382	-0,359	0,409	0,013	1,795
(Ri)ncopalo ancoraggio autoperforante R38 l=1,60m)	9261	3	13,672	-3,901	71,163	0,500	1,858	-21,794	0,001	30,000	0,726	0,000	71,163	-0,360	0,548	0,016	1,858
25	9262	4	13,817	-3,924	67,952	0,615	1,940	-21,738	0,001	30,000	0,725	0,000	67,952	-0,351	0,681	0,019	1,940
25	9263	5	13,963	-3,948	64,753	0,657	2,035	-21,691	0,001	30,000	0,723	0,000	64,753	-0,334	0,765	0,022	2,035
EmbeddedBeam_2_1	9263	1	13,963	-3,948	64,750	0,596	2,035	-21,691	0,001	30,000	0,723	0,000	64,750	-0,335	0,690	0,022	2,035
Element 1-13 (Embedded beam)	9264	2	14,120	-3,973	61,300	0,242	2,106	-21,651	0,003	30,000	0,722	0,000	61,300	-0,318	0,452	0,025	2,106
(Ri)ncopalo ancoraggio autoperforante R38 l=1,60m)	9265	3	14,277	-3,998	57,853	-0,424	2,096	-21,622	0,005	30,000	0,721	0,000	57,853	-0,663	0,453	0,030	2,096
25	9266	4	14,435	-4,023	54,408	-1,412	1,954	-21,607	0,007	30,000	0,720	0,000	54,408	-1,747	0,443	0,036	1,954
25	9267	5	14,592	-4,048	50,969	-2,731	1,628	-21,606	0,010	30,000	0,720	0,000	50,969	-3,238	0,461	0,078	1,628
EmbeddedBeam_2_1	9267	1	14,592	-4,048	50,966	-3,080	1,628	-21,606	0,010	30,000	0,720	0,000	50,966	-3,389	0,333	0,078	1,628
Element 1-14 (Embedded beam)	9268	2	14,762	-4,075	47,249	-4,577	0,994	-21,617	0,014	30,000	0,721	0,000	47,249	-5,031	0,321	0,119	1,580
(Ri)ncopalo ancoraggio autoperforante R38 l=1,60m)	9269	3	14,932	-4,102	43,526	-7,933	-0,053	-21,642	0,024	30,000	0,721	0,000	43,526	-8,270	0,124	0,374	1,483
25	9270	4	15,102	-4,129	39,796	-13,294	-1,852	-21,683	0,038	30,000	0,723	0,000	39,796	-13,399	0,000	2,156	1,269
25	9271	5	15,272	-4,156	36,063	-20,806	-4,751	-21,746	0,043	30,000	0,725	0,000	36,063	-20,806	0,000	4,977	0,976
EmbeddedBeam_2_1	9271	1	15,272	-4,156	36,060	-16,703	-4,751	-21,746	0,043	30,000	0,725	0,000	36,060	-16,703	0,000	4,977	0,976
Element 1-15 (Embedded beam)	9272	2	15,456	-4,186	32,004	-33,381	-9,468	-21,890	0,070	30,000	0,730	0,000	32,004	-33,381	0,000	9,502	0,623
(Ri)ncopalo ancoraggio autoperforante R38 l=1,60m)	9273	3	15,639	-4,215	27,921	-43,705	-16,800	-21,997	0,053	30,000	0,733	0,000	27,921	-43,705	0,000	-16,800	0,068
25	9274	4	15,823	-4,244	23,811	-45,224	-25,180	-22,191	0,025	30,000	0,740	0,000	23,811	-45,224	0,002	-25,180	0,061
25	9275	5	16,006	-4,273	19,671	-35,489	-32,895	-22,575	0,201	30,000	0,752	0,000	19,671	-35,489	0,059	-32,895	0,051
EmbeddedBeam_2_1	9275	1	16,006	-4,273	19,623	-46,378	-32,895	-22,575	0,201	30,000	0,752	0,000	19,623	-46,378	0,001	-32,895	0,051
Element 1-16 (Embedded beam)	9276	2	16,205	-4,305	15,090	31,900	-33,941	-23,121	0,287	30,000	0,771	0,000	15,090	-2,984	33,785	-33,941	0,038
(Ri)ncopalo ancoraggio autoperforante R38 l=1,60m)	9277	3	16,403	-4,337	10,347	73,404	-22,401	-23,939	0,180	30,000	0,798	0,000	10,347	-0,054	73,404	-22,401	0,028
25	9278	4	16,602	-4,368	5,363	66,199	-7,702	-25,516	-0,198	30,000	0,851	0,000	5,363	-0,068	66,199	-7,702	0,016
25	9279	5	16,800	-4,400	0,109	-1,647	0,000	-28,559	-0,458	30,000	0,952	0,000	0,109	-10,070	13,391	0,000	0,000
EmbeddedBeam_1_1	9280	1	1,417	-0,401	38,060	5,150	0,000	-125,000	0,074	125,000	1,000	-0,132	38,060	-0,243	5,150	0,000	0,000
Element 2-17 (Embedded beam)	9281	2	1,472	-0,568	22,229	2,114	0,623	-75,750	-0,014	125,000	0,606	-0,068	22,229	-0,220	2,114	0,042	0,623
(Ri)ncopalo D168.3 x12.5mm/1,6m)	9282	3	1,527	-0,735	11,699	0,136	0,804	-40,749	-0,009	125,000	0,326	-0,026	11,699	-0,145	0,650	0,071	0,804
25	9283	4	1,582	-0,901	5,822	-0,725	0,736	-22,773	-0,001	125,000	0,182	-0,002	5,822	-0,725	0,231	0,079	0,736
25	9284	5	1,637	-1,068	1,949	-0,409	0,619	-12,563	0,005	125,000	0,101	0,000	1,949	-0,649	0,203	0,062	0,619
EmbeddedBeam_1_1	9284	1	1,637	-1,068	1,039	-0,137	0,619	-12,563	0,005	125,000	0,101	-8,338	1,039	-0,238	0,304	0,062	0,619
Element 2-18 (Embedded beam)	9285	2	1,693	-1,238	1,570	-0,273	0,581	-6,898	-0,001	125,000	0,055	-59,895	1,570	-0,302	0,357	0,027	0,581
(Ri)ncopalo D168.3 x12.5mm/1,6m)	9286	3	1,749	-1,408	0,593	-0,353	0,524	-3,717	0,000	125,000	0,030	-286,909	0,593	-0,353	0,341	0,001	0,524
25	9287	4	1,805	-1,578	0,047	-0,380	0,458	-2,073	0,000	125,000	0,017	-482,262	0,047	-0,380	0,270	0,001	0,458
25	9288	5	1,861	-1,748	-0,126	-0,353	0,392	-1,132	0,000	125,000	0,009	-534,773	0,000	-0,353	0,158	0,001	0,427
EmbeddedBeam_1_1	9288	1	1,861	-1,748	-0,210	-0,382	0,392	-1,132	0,000	125,000	0,009	-567,030	0,000	-0,382	0,178	0,001	0,427
Element 2-19 (Embedded beam)	9289	2	1,918	-1,922	-0,344	-0,328	0,326	-0,607	0,000	125,000	0,005	-604,242	0,000	-0,328	0,090	0,001	0,403
(Ri)ncopalo D168.3 x12.5mm/1,6m)	9290	3	1,975	-2,095	-0,429	-0,254	0,273	-0,305	0,000	125,000	0,002	-623,572	0,000	-0,254	0,032	0,000	0,373
25	9291	4	2,032	-2,268	-0,472	-0,167	0,235	-0,142	0,000	125,000	0,001	-627,185	0,000	-0,167	0,006	0,000	0,342
25	9292	5	2,089	-2,441	-0,479	-0,072	0,213	-0,043	0,001	125,000	0,000	-617,245	0,000	-0,139	0,000	0,000	0,315
EmbeddedBeam_1_1	9292	1	2,089	-2,441	-0,487	-0,072	0,213	-0,043	0,001	125,000	0,000	-620,286	0,000	-0,142	0,000	0,000	0,315
Element 2-20 (Embedded beam)	9293	2	2,147	-2,618	-0,487	0,031	0,209	0,018	0,001	125,000	0,000	-608,595	0,000	-0,109	0,052	0,000	0,303
(Ri)ncopalo D168.3 x12.5mm/1,6m)	9294	3	2,205	-2,794	-0,480	0,122	0,224	0,057	0,000	125,000	0,000	-595,202	0,000	-0,078	0,130	0,000	0,303
25	9295	4	2,263	-2,971	-0,467	0,199	0,254	0,081	0,000	125,000	0,001	-580,306	0,000	-0,051	0,202	0,000	0,315
25	9296	5	2,321	-3,147	-0,449	0,266	0,297	0,099	0,000	125,000	0,001	-564,109	0,000	-0,027	0,266	0,000	0,339
EmbeddedBeam_1_1	9296	1	2,321	-3,147	-0,450	0,264	0,297	0,099	0,000	125,000	0,001	-563,681	0,000	-0,027	0,264	0,000	0,339
Element 2-21 (Embedded beam)	9297	2	2,381	-3,327	-0,430	0,296	0,350	0,113	0,000	125,000	0,001	-547,379	0,000	-0,016	0,296	0,000	0,375
(Ri)ncopalo D168.3 x12.5mm/1,6m)	9298	3	2,440	-3,507	-0,407	0,305	0,408	0,126	0,000	125,000	0,001	-528,158	0,000	-0,010	0,305	0,000	0,418
25	9299	4	2,499	-3,687	-0,382	0,291	0,465	0,144	0,000	125,000	0,001	-505,461	0,000	-0,009	0,291	0,000	0,466
25	9300	5	2,558	-3,867	-0,353	0,255	0,517	0,175	0,000	125,000	0,001	-478,730	0,000	-0,018	0,255	0,000	0,517
EmbeddedBeam_1_1	9300	1	2,558	-3,867	-0,345	0,238	0,517	0,175	0,000	125,000	0,001	-467,225	0,000	-0,009	0,238	0,000	0,517
Element 2-22 (Embedded beam)	9301	2	2,619	-3,050	-0,316	0,037	0,554	0,237	-0,002	125,000	0,002	-438,992	0,000	-0,121	0,037	0,000	0,554

Structural element	Node	Local number	X [m]	Y [m]	N [kN]	Q [10 ^ kN]	M [10 ^ kN m]	$T_{xx,+}$ [kN/m]	$T_{xx,-}$ [kN/m]	$T_{xx,max,min}$ [kN/m]	$T_{xx,c,max}$	$N_{x,c}$ [10 ^ kN]	$M_{x,c}$ [kN]	$Q_{x,c}$ [10 ^ kN]	$Q_{x,c}$ [10 ^ kN]	$M_{x,c}$ [10 ^ kN m]	$M_{x,c}$ [10 ^ kN m]
(Micropalo D168.3 x12.5mm/1.6m)	9302	3	2.679	-13.233	0.256	-0.571	0.502	0.358	-0.006	125.000	0.003	-362.148	0.000	-0.580	0.000	0.000	0.502
圧	9303	4	2.740	-13.417	0.159	-1.327	0.324	0.624	-0.003	125.000	0.005	-227.627	0.000	-1.327	0.000	0.000	0.324
圧	9304	5	2.800	-13.600	0.018	-1.969	0.000	1.135	0.030	125.000	0.009	-26.366	0.000	-1.969	0.000	0.000	0.000

3.3.1.1.24 Calculation results, Embedded beam, SLU11 Opera provvisionale [Phase_15] (15/1001), Table of embedded beam force envelopes

Structural element	Node	Local number	X [m]	Y [m]	N [kN]	Q [10 ^ kN]	M [10 ^ kN m]	T_{max} [kN/m]	T_{min} [10 ^ kN/m]	$T_{min,max}$ [kN/m]	$T_{min,min}$ [10 ^]	$N_{x,r}$ [kN]	N_{max} [kN]	$Q_{z,r}$ [10 ^ kN]	Q_{max} [10 ^ kN]	$M_{y,r}$ [10 ^ kN m]
EmbeddedBeam_21_1	9215	1	8,000	-2,997	73,464	0,713	0,000	8,195	22,823	30,000	273,159	0,000	73,464	0,000	0,713	0,000
Element 1-1 (Embedded beam)	9216	2	8,191	-3,028	71,902	2,243	0,309	7,995	5,002	30,000	266,499	0,000	71,902	0,000	2,243	-0,001
(Micropalo ancoraggio autoperforante R38 l=1,60m)	9217	3	8,382	-3,058	70,374	2,564	0,787	7,815	2,684	30,000	260,491	0,000	70,374	0,000	2,564	-0,003
88	9218	4	8,572	-3,088	68,880	1,893	1,236	7,647	5,273	30,000	254,911	0,000	68,880	0,000	1,893	-0,005
89	9219	5	8,763	-3,119	67,419	0,445	1,471	7,489	5,471	30,000	249,617	0,000	67,419	0,000	0,463	-0,008
EmbeddedBeam_21_1	9219	1	8,763	-3,119	67,418	0,705	1,471	7,489	5,471	30,000	249,617	0,000	67,418	0,000	0,705	-0,008
Element 1-2 (Embedded beam)	9220	2	8,921	-3,144	66,236	0,103	1,516	7,363	4,417	30,000	245,425	0,000	66,236	-0,103	0,000	-0,012
(Micropalo ancoraggio autoperforante R38 l=1,60m)	9221	3	9,078	-3,169	65,073	0,700	1,449	7,241	3,058	30,000	241,381	0,000	65,073	-0,700	0,000	-0,016
90	9222	4	9,235	-3,194	63,928	1,090	1,304	7,124	1,814	30,000	237,476	0,000	63,928	-1,090	0,000	-0,021
91	9223	5	9,392	-3,219	62,804	1,276	1,113	7,011	0,829	30,000	233,702	0,000	62,804	-1,276	0,000	-0,025
EmbeddedBeam_21_1	9223	1	9,392	-3,219	62,803	1,297	1,113	7,011	0,829	30,000	233,702	0,000	62,803	-1,297	0,000	-0,025
Element 1-3 (Embedded beam)	9224	2	9,522	-3,240	61,889	1,355	0,938	6,921	0,201	30,000	230,685	0,000	61,889	-1,355	0,000	-0,028
(Micropalo ancoraggio autoperforante R38 l=1,60m)	9225	3	9,652	-3,260	60,986	1,349	0,760	6,832	0,304	30,000	227,750	0,000	60,986	-1,349	0,000	-0,035
92	9226	4	9,781	-3,281	60,094	1,280	0,586	6,747	0,756	30,000	224,892	0,000	60,094	-1,280	0,000	-0,041
93	9227	5	9,911	-3,302	59,215	1,150	0,426	6,663	1,221	30,000	222,109	0,000	59,215	-1,150	0,000	-0,047
EmbeddedBeam_21_1	9227	1	9,911	-3,302	59,214	1,148	0,426	6,663	1,221	30,000	222,109	0,000	59,214	-1,148	0,000	-0,047
Element 1-4 (Embedded beam)	9228	2	10,018	-3,319	58,497	0,997	0,310	6,596	1,653	30,000	219,868	0,000	58,497	-0,997	0,000	-0,050
(Micropalo ancoraggio autoperforante R38 l=1,60m)	9229	3	10,125	-3,336	57,787	0,791	0,212	6,530	2,142	30,000	217,672	0,000	57,787	-0,791	0,000	-0,688
94	9230	4	10,232	-3,353	57,084	0,529	0,140	6,466	2,680	30,000	215,521	0,000	57,084	-0,529	0,000	-5,909
95	9231	5	10,338	-3,370	56,388	0,211	0,100	6,402	3,213	30,000	213,409	0,000	56,388	-0,211	0,000	-11,779
EmbeddedBeam_21_1	9231	1	10,338	-3,370	56,387	0,220	0,100	6,402	3,213	30,000	213,409	0,000	56,387	-0,220	0,000	-11,779
Element 1-5 (Embedded beam)	9232	2	10,427	-3,384	55,819	0,096	0,094	6,351	3,528	30,000	211,697	0,000	55,819	0,000	0,096	-12,286
(Micropalo ancoraggio autoperforante R38 l=1,60m)	9233	3	10,515	-3,398	55,255	0,413	0,117	6,300	3,685	30,000	210,007	0,000	55,255	0,000	0,413	-5,614
96	9234	4	10,603	-3,412	54,695	0,720	0,168	6,250	3,306	30,000	208,326	0,000	54,695	0,000	0,720	-0,674
97	9235	5	10,691	-3,426	54,140	1,007	0,245	6,199	1,342	30,000	206,627	0,000	54,140	0,000	1,007	-0,035
EmbeddedBeam_21_1	9235	1	10,691	-3,426	54,139	1,051	0,245	10,331	2,236	30,000	344,378	0,000	54,139	0,000	1,051	-0,035
Element 1-6 (Embedded beam)	9236	2	10,782	-3,441	53,186	0,920	0,337	10,243	1,790	30,000	341,446	0,000	53,186	0,000	0,920	-0,029
(Micropalo ancoraggio autoperforante R38 l=1,60m)	9237	3	10,874	-3,455	52,240	0,711	0,413	10,159	2,944	30,000	338,648	0,000	52,240	0,000	0,711	-0,024
98	9238	4	10,965	-3,470	51,302	0,445	0,467	10,078	3,008	30,000	335,945	0,000	51,302	0,000	0,445	-0,021
99	9239	5	11,057	-3,484	50,371	0,145	0,495	10,000	2,629	30,000	333,317	0,000	50,371	0,000	0,145	-0,020
EmbeddedBeam_21_1	9239	1	11,057	-3,484	50,371	0,169	0,495	10,000	2,629	30,000	333,317	0,000	50,371	0,000	0,169	-0,020
Element 1-7 (Embedded beam)	9240	2	11,156	-3,500	49,374	0,064	0,499	9,917	2,010	30,000	330,560	0,000	49,374	-0,077	0,000	-0,019
(Micropalo ancoraggio autoperforante R38 l=1,60m)	9241	3	11,255	-3,516	48,384	0,234	0,484	9,837	1,357	30,000	327,884	0,000	48,384	-0,234	0,000	-0,019
100	9242	4	11,354	-3,532	47,402	0,341	0,455	9,759	0,769	30,000	325,285	0,000	47,402	-0,341	0,000	-0,020
101	9243	5	11,453	-3,548	46,429	0,387	0,418	9,683	0,296	30,000	322,761	0,000	46,429	-0,387	0,000	-0,021
EmbeddedBeam_21_1	9243	1	11,453	-3,548	46,428	0,397	0,418	9,683	0,296	30,000	322,761	0,000	46,428	-0,397	0,000	-0,021
Element 1-8 (Embedded beam)	9244	2	11,560	-3,565	45,385	0,400	0,374	9,603	0,075	30,000	320,115	0,000	45,385	-0,400	0,000	-0,022
(Micropalo ancoraggio autoperforante R38 l=1,60m)	9245	3	11,667	-3,582	44,350	0,380	0,332	9,527	0,316	30,000	317,551	0,000	44,350	-0,380	0,000	-0,024
102	9246	4	11,773	-3,599	43,323	0,340	0,293	9,452	0,446	30,000	315,068	0,000	43,323	-0,340	0,000	-0,025
103	9247	5	11,880	-3,616	42,304	0,282	0,259	9,380	0,487	30,000	312,663	0,000	42,304	-0,282	0,000	-0,025
EmbeddedBeam_21_1	9247	1	11,880	-3,616	42,303	0,289	0,259	9,380	0,487	30,000	312,663	0,000	42,303	-0,289	0,000	-0,025
Element 1-9 (Embedded beam)	9248	2	11,996	-3,634	41,212	0,230	0,229	9,305	0,470	30,000	310,151	0,000	41,212	-0,230	0,000	-0,026
(Micropalo ancoraggio autoperforante R38 l=1,60m)	9249	3	12,111	-3,653	40,128	0,178	0,205	9,232	0,410	30,000	307,727	0,000	40,128	-0,178	0,000	-0,128
104	9250	4	12,227	-3,671	39,052	0,135	0,187	9,162	0,327	30,000	305,389	0,000	39,052	-0,135	0,000	-0,353
105	9251	5	12,342	-3,689	37,986	0,102	0,173	9,094	0,240	30,000	303,136	0,000	37,986	-0,102	0,000	-0,699
EmbeddedBeam_21_1	9251	1	12,342	-3,689	37,985	0,101	0,173	9,094	0,240	30,000	303,136	0,000	37,985	-0,101	0,000	-0,699
Element 1-10 (Embedded beam)	9252	2	12,467	-3,709	36,841	0,078	0,162	9,024	0,147	30,000	300,796	0,000	36,841	-0,078	0,000	-1,364
(Micropalo ancoraggio autoperforante R38 l=1,60m)	9253	3	12,592	-3,729	35,705	0,064	0,153	8,957	0,072	30,000	298,551	0,000	35,705	-0,064	0,000	-2,063
106	9254	4	12,716	-3,749	34,577	0,058	0,145	8,892	0,017	30,000	296,402	0,000	34,577	-0,058	0,000	-2,937

Structural element	Node	Local number	X [m]	Y [m]	N [kN]	Q [10 ⁻¹ kN]	M [10 ⁻¹ kN m]	$T_{1,1}$ [kN/m]	$T_{2,2}$ [10 ⁻¹ kN/m]	$T_{max,max}$ [kN/m]	$T_{min,min}$ [10 ⁻¹]	$N_{x,x}$ [kN]	$N_{y,y}$ [kN]	$Q_{x,x}$ [10 ⁻¹ kN]	$Q_{y,y}$ [10 ⁻¹ kN]	$M_{x,x}$ [10 ⁻¹ kN m]
폴	9255	5	12,841	-3,769	23,459	0,060	0,138	8,830	0,019	30,000	294,346	0,000	23,459	-0,060	0,000	-3,848
EmbeddedBeam_2_1	9255	1	12,841	-3,769	23,458	0,058	0,138	8,830	0,019	30,000	294,346	0,000	23,458	-0,058	0,000	-3,848
Element 1-11 (Embedded beam)	9256	2	12,976	-3,790	22,258	0,063	0,129	8,767	0,039	30,000	292,231	0,000	22,258	-0,063	0,000	-5,016
(Micropalo ancoraggio autoperforante R38 l=1,60m)	9257	3	13,111	-3,812	21,065	0,069	0,120	8,707	0,043	30,000	290,224	0,000	21,065	-0,069	0,000	-6,422
폴	9258	4	13,246	-3,833	29,880	0,074	0,111	8,650	0,038	30,000	288,325	0,000	29,880	-0,074	0,000	-8,373
폴	9259	5	13,380	-3,855	28,704	0,079	0,100	8,596	0,027	30,000	286,533	0,000	28,704	-0,079	0,000	-10,692
EmbeddedBeam_2_1	9259	1	13,380	-3,855	28,703	0,079	0,100	8,596	0,027	30,000	286,533	0,000	28,703	-0,079	0,000	-10,692
Element 1-12 (Embedded beam)	9260	2	13,526	-3,878	27,441	0,082	0,088	8,542	0,013	30,000	284,718	0,000	27,441	-0,082	0,000	-13,399
(Micropalo ancoraggio autoperforante R38 l=1,60m)	9261	3	13,672	-3,901	26,185	0,083	0,076	8,491	0,001	30,000	283,028	0,000	26,185	-0,083	0,000	-16,355
폴	9262	4	13,817	-3,924	24,936	0,082	0,064	8,444	0,013	30,000	281,463	0,000	24,936	-0,082	0,000	-19,288
폴	9263	5	13,963	-3,948	23,695	0,079	0,052	8,401	0,022	30,000	280,022	0,000	23,695	-0,079	0,000	-21,965
EmbeddedBeam_2_1	9263	1	13,963	-3,948	23,694	0,079	0,052	8,401	0,022	30,000	280,022	0,000	23,694	-0,079	0,000	-21,965
Element 1-13 (Embedded beam)	9264	2	14,120	-3,973	22,360	0,075	0,040	8,358	0,029	30,000	278,606	0,000	22,360	-0,075	0,000	-24,573
(Micropalo ancoraggio autoperforante R38 l=1,60m)	9265	3	14,277	-3,998	21,031	0,070	0,028	8,320	0,034	30,000	277,336	0,000	21,031	-0,070	0,000	-30,013
폴	9266	4	14,435	-4,023	19,708	0,064	0,018	8,286	0,038	30,000	276,212	0,000	19,708	-0,064	0,000	-35,608
폴	9267	5	14,592	-4,048	18,391	0,058	0,008	8,257	0,041	30,000	275,235	0,000	18,391	-0,058	0,000	-40,644
EmbeddedBeam_2_1	9267	1	14,592	-4,048	18,390	0,058	0,008	8,257	0,041	30,000	275,235	0,000	18,390	-0,058	0,000	-40,644
Element 1-14 (Embedded beam)	9268	2	14,762	-4,075	16,972	0,051	-0,001	8,230	0,041	30,000	274,346	0,000	16,972	-0,051	0,000	-45,442
(Micropalo ancoraggio autoperforante R38 l=1,60m)	9269	3	14,932	-4,102	15,557	0,044	-0,010	8,209	0,040	30,000	273,631	0,000	15,557	-0,044	0,000	-49,582
폴	9270	4	15,102	-4,129	14,145	0,037	-0,017	8,193	0,035	30,000	273,094	0,000	14,145	-0,037	0,000	-53,138
폴	9271	5	15,272	-4,156	12,737	0,032	-0,022	8,182	0,027	30,000	272,737	0,000	12,737	-0,032	0,000	-56,181
EmbeddedBeam_2_1	9271	1	15,272	-4,156	12,736	0,032	-0,022	8,182	0,027	30,000	272,737	0,000	12,736	-0,032	0,000	-56,181
Element 1-15 (Embedded beam)	9272	2	15,456	-4,186	11,216	0,027	-0,028	8,177	0,028	30,000	272,559	0,000	11,216	-0,027	0,000	-58,954
(Micropalo ancoraggio autoperforante R38 l=1,60m)	9273	3	15,639	-4,215	9,695	0,022	-0,032	8,178	0,020	30,000	272,604	0,000	9,695	-0,022	0,000	-61,068
폴	9274	4	15,823	-4,244	8,173	0,016	-0,036	8,186	0,036	30,000	272,880	0,000	8,173	-0,016	0,002	-61,829
폴	9275	5	16,006	-4,273	6,651	0,009	-0,038	8,202	0,114	30,000	273,400	0,000	6,651	-0,009	0,015	-60,476
EmbeddedBeam_2_1	9275	1	16,006	-4,273	6,649	0,035	-0,038	8,202	0,114	30,000	273,400	0,000	6,649	-0,035	0,000	-60,476
Element 1-16 (Embedded beam)	9276	2	16,205	-4,305	5,001	0,056	-0,035	8,228	0,307	30,000	274,253	0,000	5,001	0,000	0,084	-52,408
(Micropalo ancoraggio autoperforante R38 l=1,60m)	9277	3	16,403	-4,337	3,344	0,091	-0,019	8,265	0,079	30,000	275,492	0,000	3,344	0,000	0,121	-30,538
폴	9278	4	16,602	-4,368	1,677	0,061	-0,003	8,319	0,344	30,000	277,285	0,000	1,677	0,000	0,090	-8,343
폴	9279	5	16,800	-4,400	0,002	0,044	0,000	8,396	0,003	30,000	279,859	0,000	0,002	-0,044	0,000	0,000

3.3.1.1.25 Calculation results, Embedded beam, SLU12 Opera provvisionale [Phase_16] (16/1014), Table of embedded beam force envelopes

Structural element	Node	Local number	X [m]	Y [m]	N [kN]	Q [10 $^{-1}$ kN]	M [10 $^{-1}$ kN m]	T_{xxx} [kN/m]	T_{yyy} [10 $^{-1}$ kN/m]	$T_{xxx,max}$ [kN/m]	$T_{xxx,min}$ [10 $^{-1}$]	N_{xxx} [kN]	N_{yyy} [kN]	Q_{xxx} [10 $^{-1}$ kN]	Q_{yyy} [10 $^{-1}$ kN]	M_{xxx} [10 $^{-1}$ kN m]
EmbeddedBeam_21_1	9215	1	8,000	-2,997	112,014	0,785	0,000	-12,587	26,434	30,000	419,574	0,000	112,014	0,000	0,785	0,000
Element 1-1 (Embedded beam)	9216	2	8,191	-3,028	109,618	2,651	0,359	-12,261	6,075	30,000	408,697	0,000	109,618	0,000	2,651	0,000
(Micropalo ancoraggio autoperforante R38 l=1,60m)	9217	3	8,382	-3,058	107,276	3,048	0,928	-11,964	-3,006	30,000	398,804	0,000	107,276	0,000	3,048	0,000
圆	9218	4	8,572	-3,088	104,990	2,199	1,457	-11,686	-6,824	30,000	389,545	0,000	104,990	0,000	2,199	0,000
圆	9219	5	8,763	-3,119	102,761	0,327	1,714	-11,421	-8,413	30,000	380,684	0,000	102,761	0,000	0,446	0,000
EmbeddedBeam_21_1	9219	1	8,763	-3,119	102,758	0,616	1,714	-11,421	-8,413	30,000	380,684	0,000	102,758	0,000	0,643	0,000
Element 1-2 (Embedded beam)	9220	2	8,921	-3,144	100,958	-0,772	1,699	-11,209	-8,019	30,000	373,623	0,000	100,958	-0,772	0,000	0,000
(Micropalo ancoraggio autoperforante R38 l=1,60m)	9221	3	9,078	-3,169	99,188	-1,951	1,479	-11,003	-6,975	30,000	366,764	0,000	99,188	-1,951	0,000	0,000
圆	9222	4	9,235	-3,194	97,451	-2,888	1,091	-10,803	-4,976	30,000	360,090	0,000	97,451	-2,888	0,000	0,000
圆	9223	5	9,392	-3,219	95,747	-3,549	0,574	-10,610	-3,429	30,000	353,652	0,000	95,747	-3,549	0,000	0,000
EmbeddedBeam_21_1	9223	1	9,392	-3,219	95,746	-3,560	0,574	-10,610	-3,429	30,000	353,652	0,000	95,746	-3,560	0,000	0,000
Element 1-3 (Embedded beam)	9224	2	9,522	-3,240	94,364	-3,952	0,081	-10,457	-2,432	30,000	348,564	0,000	94,364	-3,952	0,000	0,000
(Micropalo ancoraggio autoperforante R38 l=1,60m)	9225	3	9,652	-3,260	93,001	-4,264	-0,460	-10,311	-2,353	30,000	343,692	0,000	93,001	-4,264	0,000	-0,460
圆	9226	4	9,781	-3,281	91,656	-4,462	-1,034	-10,171	-0,901	30,000	339,024	0,000	91,656	-4,462	0,000	-1,034
圆	9227	5	9,911	-3,302	90,331	-4,513	-1,625	-10,036	2,567	30,000	334,542	0,000	90,331	-4,513	0,000	-1,625
EmbeddedBeam_21_1	9227	1	9,911	-3,302	90,330	-4,292	-1,625	-10,036	2,567	30,000	334,542	0,000	90,330	-4,292	0,000	-1,625
Element 1-4 (Embedded beam)	9228	2	10,018	-3,319	89,250	-3,881	-2,076	-9,930	8,770	30,000	330,989	0,000	89,250	-3,881	0,000	-2,076
(Micropalo ancoraggio autoperforante R38 l=1,60m)	9229	3	10,125	-3,336	88,181	-2,431	-2,428	-9,827	17,238	30,000	327,583	0,000	88,181	-2,431	0,000	-2,428
圆	9230	4	10,232	-3,353	87,123	0,153	-2,561	-9,729	29,722	30,000	324,292	0,000	87,123	-0,418	0,254	-2,561
圆	9231	5	10,338	-3,370	86,076	3,965	-2,350	-9,637	43,193	30,000	321,219	0,000	86,076	-0,171	3,965	-2,350
EmbeddedBeam_21_1	9231	1	10,338	-3,370	86,074	3,536	-2,350	-9,637	43,193	30,000	321,219	0,000	86,074	-0,178	3,536	-2,350
Element 1-5 (Embedded beam)	9232	2	10,427	-3,384	85,219	8,430	-1,811	-9,571	47,804	30,000	319,025	0,000	85,219	0,000	8,430	-1,811
(Micropalo ancoraggio autoperforante R38 l=1,60m)	9233	3	10,515	-3,398	84,368	12,190	-0,878	-9,521	39,918	30,000	317,357	0,000	84,368	0,000	12,190	-0,878
圆	9234	4	10,603	-3,412	83,519	14,480	0,320	-9,491	14,813	30,000	316,366	0,000	83,519	0,000	14,480	0,001
圆	9235	5	10,691	-3,426	82,675	14,960	1,649	-9,483	-35,524	30,000	316,105	0,000	82,675	0,000	14,960	0,000
EmbeddedBeam_21_1	9235	1	10,691	-3,426	82,673	14,206	1,649	-15,805	-59,206	30,000	526,841	0,000	82,673	0,000	14,206	0,000
Element 1-6 (Embedded beam)	9236	2	10,782	-3,441	81,215	8,880	2,711	-15,678	-51,949	30,000	522,614	0,000	81,215	0,000	8,880	0,000
(Micropalo ancoraggio autoperforante R38 l=1,60m)	9237	3	10,874	-3,455	79,766	4,570	3,327	-15,557	-41,088	30,000	518,581	0,000	79,766	0,000	4,570	0,000
圆	9238	4	10,965	-3,470	78,329	1,288	3,591	-15,440	-29,767	30,000	514,665	0,000	78,329	0,000	1,288	0,000
圆	9239	5	11,057	-3,484	76,903	-0,953	3,598	-15,325	-19,834	30,000	510,828	0,000	76,903	-0,953	0,113	0,000
EmbeddedBeam_21_1	9239	1	11,057	-3,484	76,902	-1,080	3,598	-15,325	-19,834	30,000	510,828	0,000	76,902	-1,080	0,130	0,000
Element 1-7 (Embedded beam)	9240	2	11,156	-3,500	75,374	-2,487	3,414	-15,203	-11,209	30,000	506,774	0,000	75,374	-2,487	0,000	0,000
(Micropalo ancoraggio autoperforante R38 l=1,60m)	9241	3	11,255	-3,516	73,857	-3,308	3,119	-15,084	-4,782	30,000	502,809	0,000	73,857	-3,308	0,000	0,000
圆	9242	4	11,354	-3,532	72,351	-3,586	2,769	-14,968	-0,358	30,000	498,933	0,000	72,351	-3,586	0,000	0,000
圆	9243	5	11,453	-3,548	70,858	-3,363	2,417	-14,854	2,398	30,000	495,144	0,000	70,858	-3,363	0,000	0,000
EmbeddedBeam_21_1	9243	1	11,453	-3,548	70,857	-3,479	2,417	-14,854	2,398	30,000	495,144	0,000	70,857	-3,479	0,000	0,000
Element 1-8 (Embedded beam)	9244	2	11,560	-3,565	69,257	-3,067	2,063	-14,734	3,941	30,000	491,148	0,000	69,257	-3,067	0,000	0,000
(Micropalo ancoraggio autoperforante R38 l=1,60m)	9245	3	11,667	-3,582	67,668	-2,620	1,755	-14,618	4,438	30,000	487,255	0,000	67,668	-2,620	0,000	0,000
圆	9246	4	11,773	-3,599	66,092	-2,157	1,496	-14,504	4,265	30,000	483,463	0,000	66,092	-2,157	0,000	0,000
圆	9247	5	11,880	-3,616	64,529	-1,691	1,288	-14,393	3,702	30,000	479,773	0,000	64,529	-1,691	0,000	0,000
EmbeddedBeam_21_1	9247	1	11,880	-3,616	64,528	-1,710	1,288	-14,393	3,702	30,000	479,773	0,000	64,528	-1,710	0,000	0,000
Element 1-9 (Embedded beam)	9248	2	11,996	-3,634	62,853	-1,325	1,112	-14,277	2,939	30,000	475,899	0,000	62,853	-1,325	0,000	0,000
(Micropalo ancoraggio autoperforante R38 l=1,60m)	9249	3	12,111	-3,653	61,190	-1,024	0,975	-14,164	2,195	30,000	472,144	0,000	61,190	-1,024	0,000	0,000
圆	9250	4	12,227	-3,671	59,539	-0,803	0,869	-14,055	1,558	30,000	468,507	0,000	59,539	-0,803	0,000	0,000
圆	9251	5	12,342	-3,689	57,903	-0,661	0,784	-13,950	1,055	30,000	464,988	0,000	57,903	-0,661	0,000	0,001
EmbeddedBeam_21_1	9251	1	12,342	-3,689	57,902	-0,647	0,784	-13,950	1,055	30,000	464,988	0,000	57,902	-0,647	0,000	0,001
Element 1-10 (Embedded beam)	9252	2	12,467	-3,709	56,148	-0,550	0,709	-13,840	0,661	30,000	461,319	0,000	56,148	-0,550	0,000	0,001
(Micropalo ancoraggio autoperforante R38 l=1,60m)	9253	3	12,592	-3,729	54,406	-0,482	0,644	-13,734	0,406	30,000	457,787	0,000	54,406	-0,482	0,000	0,002
圆	9254	4	12,716	-3,749	52,677	-0,439	0,586	-13,632	0,253	30,000	454,392	0,000	52,677	-0,439	0,000	0,003

Structural element	Node	Local number	X [m]	Y [m]	N [kN]	Q [10 ^ kN]	M [10 ^ kN m]	T $_{xx}$ [kN/m]	T $_{yy}$ [10 ^ kN/m]	T $_{xx,yy}$ [kN/m]	T $_{xx,yy}$ [10 ^]	N $_{xx}$ [kN]	N $_{yy}$ [kN]	Q $_{xx}$ [10 ^ kN]	Q $_{yy}$ [10 ^ kN]	M $_{xx}$ [10 ^ kN m]
臣	9255	5	12,841	-3,769	50,962	-0,419	0,532	-13,534	0,169	30,000	451,134	0,000	50,962	-0,419	0,000	-0,004
EmbeddedBeam_2_1	9255	1	12,841	-3,769	50,961	-0,413	0,532	-13,534	0,169	30,000	451,134	0,000	50,961	-0,413	0,000	-0,004
Element 1-11 (Embedded beam)	9256	2	12,976	-3,790	49,122	-0,395	0,477	-13,433	0,126	30,000	447,766	0,000	49,122	-0,395	0,000	-0,005
(Micropalo ancoraggio autoperforante R38 l=1,60m)	9257	3	13,111	-3,812	47,294	-0,379	0,424	-13,337	0,111	30,000	444,558	0,000	47,294	-0,379	0,000	-0,006
臣	9258	4	13,246	-3,833	45,480	-0,364	0,373	-13,245	0,108	30,000	441,508	0,000	45,480	-0,364	0,000	-0,008
臣	9259	5	13,380	-3,855	43,679	-0,350	0,325	-13,158	0,109	30,000	438,617	0,000	43,679	-0,350	0,000	-0,011
EmbeddedBeam_2_1	9259	1	13,380	-3,855	43,678	-0,349	0,325	-13,158	0,109	30,000	438,617	0,000	43,678	-0,349	0,000	-0,011
Element 1-12 (Embedded beam)	9260	2	13,526	-3,878	41,746	-0,333	0,274	-13,070	0,111	30,000	435,672	0,000	41,746	-0,333	0,000	-0,013
(Micropalo ancoraggio autoperforante R38 l=1,60m)	9261	3	13,672	-3,901	39,824	-0,317	0,226	-12,987	0,112	30,000	432,913	0,000	39,824	-0,317	0,000	-0,016
臣	9262	4	13,817	-3,924	37,914	-0,300	0,181	-12,910	0,115	30,000	430,340	0,000	37,914	-0,300	0,000	-0,019
臣	9263	5	13,963	-3,948	36,017	-0,283	0,138	-12,839	0,119	30,000	427,955	0,000	36,017	-0,283	0,000	-0,022
EmbeddedBeam_2_1	9263	1	13,963	-3,948	36,015	-0,284	0,138	-12,839	0,119	30,000	427,955	0,000	36,015	-0,284	0,000	-0,022
Element 1-13 (Embedded beam)	9264	2	14,120	-3,973	33,977	-0,263	0,094	-12,768	0,125	30,000	425,588	0,000	33,977	-0,263	0,000	-0,025
(Micropalo ancoraggio autoperforante R38 l=1,60m)	9265	3	14,277	-3,998	31,948	-0,243	0,054	-12,703	0,123	30,000	423,440	0,000	31,948	-0,243	0,000	-0,030
臣	9266	4	14,435	-4,023	29,928	-0,226	0,017	-12,645	0,101	30,000	421,513	0,000	29,928	-0,226	0,000	-0,037
臣	9267	5	14,592	-4,048	27,919	-0,211	-0,018	-12,594	0,044	30,000	419,806	0,000	27,919	-0,211	0,000	-0,050
EmbeddedBeam_2_1	9267	1	14,592	-4,048	27,917	-0,216	-0,018	-12,594	0,044	30,000	419,806	0,000	27,917	-0,216	0,000	-0,050
Element 1-14 (Embedded beam)	9268	2	14,762	-4,075	25,756	-0,213	-0,055	-12,546	-0,067	30,000	418,210	0,000	25,756	-0,213	0,000	-0,065
(Micropalo ancoraggio autoperforante R38 l=1,60m)	9269	3	14,932	-4,102	23,599	-0,239	-0,093	-12,506	-0,233	30,000	416,871	0,000	23,599	-0,239	0,000	-0,093
臣	9270	4	15,102	-4,129	21,449	-0,295	-0,139	-12,474	-0,418	30,000	415,788	0,000	21,449	-0,295	0,000	-0,139
臣	9271	5	15,272	-4,156	19,306	-0,383	-0,197	-12,449	-0,518	30,000	414,959	0,000	19,306	-0,383	0,000	-0,197
EmbeddedBeam_2_1	9271	1	15,272	-4,156	19,304	-0,316	-0,197	-12,449	-0,518	30,000	414,959	0,000	19,304	-0,316	0,000	-0,197
Element 1-15 (Embedded beam)	9272	2	15,456	-4,186	16,993	-0,497	-0,275	-12,431	-0,316	30,000	414,351	0,000	16,993	-0,497	0,000	-0,275
(Micropalo ancoraggio autoperforante R38 l=1,60m)	9273	3	15,639	-4,215	14,682	-0,449	-0,368	-12,421	0,639	30,000	414,038	0,000	14,682	-0,449	0,000	-0,368
臣	9274	4	15,823	-4,244	12,371	-0,132	-0,425	-12,421	2,568	30,000	414,037	0,000	12,371	-0,227	0,002	-0,425
臣	9275	5	16,006	-4,273	10,063	0,491	-0,397	-12,431	4,506	30,000	414,368	0,000	10,063	-0,073	0,491	-0,405
EmbeddedBeam_2_1	9275	1	16,006	-4,273	10,059	0,382	-0,397	-12,431	4,506	30,000	414,368	0,000	10,059	-0,273	0,382	-0,405
Element 1-16 (Embedded beam)	9276	2	16,205	-4,305	7,565	1,200	-0,214	-12,448	1,781	30,000	414,929	0,000	7,565	0,000	1,200	-0,267
(Micropalo ancoraggio autoperforante R38 l=1,60m)	9277	3	16,403	-4,337	5,059	0,959	0,010	-12,483	-5,810	30,000	416,084	0,000	5,059	0,000	1,030	-0,096
臣	9278	4	16,602	-4,368	2,541	0,021	0,124	-12,572	-5,160	30,000	419,081	0,000	2,541	0,000	0,335	-0,022
臣	9279	5	16,800	-4,400	0,009	-1,252	0,000	-12,778	12,726	30,000	425,919	0,000	0,009	-1,252	0,012	0,000

3.3.1.1.26 Calculation results, Embedded beam, Eccezionale Opera Provvisionale [Phase_25] (25/1495), Table of embedded beam force envelopes

Structural element	Node	Local number	X [m]	Y [m]	N [kN]	Q [10 ^ kN]	M [10 ^ kN m]	T_{sup} [kN/m]	T_{inf} [10 ^ kN/m]	$T_{sup,max}$ [kN/m]	$T_{inf,min}$ [10 ^]	N_{sup} [kN]	N_{inf} [kN]	Q_{sup} [10 ^ kN]	Q_{inf} [10 ^ kN]	M_{inf} [10 ^ kN m]
EmbeddedBeam_21_1	9215	1	8,000	-2,997	107,296	0,467	0,000	-11,545	8,612	30,000	384,829	0,000	107,296	0,000	0,472	0,000
Element 1-1 (Embedded beam)	9216	2	8,191	-3,028	105,096	0,504	0,099	-11,274	-0,410	30,000	375,799	0,000	105,096	0,000	1,558	0,000
(Micropalo ancoraggio autoperforante R38 l=1,60m)	9217	3	8,382	-3,058	102,940	0,279	0,177	-11,034	-2,284	30,000	367,798	0,000	102,940	0,000	1,799	0,000
圈	9218	4	8,572	-3,088	100,828	-0,131	0,195	-10,815	-2,319	30,000	360,488	0,000	100,828	-0,131	1,340	0,000
圈	9219	5	8,763	-3,119	98,761	-0,647	0,121	-10,609	-2,171	30,000	353,642	0,000	98,761	-0,647	0,364	0,000
EmbeddedBeam_21_1	9219	1	8,763	-3,119	98,759	-0,599	0,121	-10,609	-2,171	30,000	353,642	0,000	98,759	-0,599	0,536	0,000
Element 1-2 (Embedded beam)	9220	2	8,921	-3,144	97,083	-0,889	0,001	-10,448	-1,491	30,000	348,273	0,000	97,083	-0,889	0,000	0,000
(Micropalo ancoraggio autoperforante R38 l=1,60m)	9221	3	9,078	-3,169	95,431	-1,071	-0,157	-10,294	-0,761	30,000	343,130	0,000	95,431	-1,071	0,000	-0,157
圈	9222	4	9,235	-3,194	93,803	-1,150	-0,335	-10,146	-0,198	30,000	338,194	0,000	93,803	-1,150	0,000	-0,335
圈	9223	5	9,392	-3,219	92,199	-1,132	-0,518	-10,003	0,182	30,000	333,446	0,000	92,199	-1,132	0,000	-0,518
EmbeddedBeam_21_1	9223	1	9,392	-3,219	92,198	-1,143	-0,518	-10,003	0,182	30,000	333,446	0,000	92,198	-1,143	0,000	-0,518
Element 1-3 (Embedded beam)	9224	2	9,522	-3,240	90,893	-1,105	-0,666	-9,890	0,420	30,000	329,664	0,000	90,893	-1,105	0,000	-0,666
(Micropalo ancoraggio autoperforante R38 l=1,60m)	9225	3	9,652	-3,260	89,602	-1,034	-0,807	-9,780	0,649	30,000	325,993	0,000	89,602	-1,034	0,000	-0,807
圈	9226	4	9,781	-3,281	88,325	-0,928	-0,936	-9,673	0,954	30,000	322,427	0,000	88,325	-0,980	0,000	-0,936
圈	9227	5	9,911	-3,302	87,062	-0,784	-1,049	-9,569	1,406	30,000	318,958	0,000	87,062	-0,890	0,000	-1,049
EmbeddedBeam_21_1	9227	1	9,911	-3,302	87,062	-0,771	-1,049	-9,569	1,406	30,000	318,958	0,000	87,062	-0,888	0,000	-1,049
Element 1-4 (Embedded beam)	9228	2	10,018	-3,319	86,031	-0,601	-1,124	-9,485	1,932	30,000	316,168	0,000	86,031	-0,776	0,000	-1,124
(Micropalo ancoraggio autoperforante R38 l=1,60m)	9229	3	10,125	-3,336	85,009	-0,354	-1,176	-9,403	2,604	30,000	313,437	0,000	85,009	-0,619	0,000	-1,176
圈	9230	4	10,232	-3,353	83,996	-0,028	-1,197	-9,323	3,405	30,000	310,761	0,000	83,996	-0,418	0,000	-1,197
圈	9231	5	10,338	-3,370	82,992	0,382	-1,179	-9,244	4,253	30,000	308,135	0,000	82,992	-0,171	0,382	-1,179
EmbeddedBeam_21_1	9231	1	10,338	-3,370	82,991	0,372	-1,179	-9,244	4,253	30,000	308,135	0,000	82,991	-0,178	0,372	-1,179
Element 1-5 (Embedded beam)	9232	2	10,427	-3,384	82,170	0,797	-1,127	-9,180	4,806	30,000	306,004	0,000	82,170	0,000	0,797	-1,127
(Micropalo ancoraggio autoperforante R38 l=1,60m)	9233	3	10,515	-3,398	81,354	1,235	-1,036	-9,117	5,155	30,000	303,901	0,000	81,354	0,000	1,235	-1,036
圈	9234	4	10,603	-3,412	80,543	1,670	-0,907	-9,054	4,741	30,000	301,806	0,000	80,543	0,000	1,670	-0,907
圈	9235	5	10,691	-3,426	79,739	2,086	-0,739	-8,990	2,016	30,000	299,678	0,000	79,739	0,000	2,086	-0,739
EmbeddedBeam_21_1	9235	1	10,691	-3,426	79,738	2,156	-0,739	-14,984	3,360	30,000	499,464	0,000	79,738	0,000	2,156	-0,739
Element 1-6 (Embedded beam)	9236	2	10,782	-3,441	78,355	1,965	-0,547	-14,865	-2,545	30,000	495,515	0,000	78,355	0,000	1,965	-0,547
(Micropalo ancoraggio autoperforante R38 l=1,60m)	9237	3	10,874	-3,455	76,982	1,672	-0,378	-14,753	-4,109	30,000	491,759	0,000	76,982	0,000	1,672	-0,378
圈	9238	4	10,965	-3,470	75,619	1,308	-0,239	-14,644	-4,052	30,000	488,137	0,000	75,619	0,000	1,308	-0,239
圈	9239	5	11,057	-3,484	74,267	0,908	-0,137	-14,539	-3,460	30,000	484,623	0,000	74,267	0,000	0,908	-0,137
EmbeddedBeam_21_1	9239	1	11,057	-3,484	74,266	0,935	-0,137	-14,539	-3,460	30,000	484,623	0,000	74,266	0,000	0,935	-0,137
Element 1-7 (Embedded beam)	9240	2	11,156	-3,500	72,816	0,632	-0,059	-14,428	-2,713	30,000	480,939	0,000	72,816	-0,052	0,632	-0,059
(Micropalo ancoraggio autoperforante R38 l=1,60m)	9241	3	11,255	-3,516	71,375	0,392	-0,008	-14,321	-2,059	30,000	477,363	0,000	71,375	-0,171	0,392	-0,008
圈	9242	4	11,354	-3,532	69,946	0,212	0,022	-14,217	-1,518	30,000	473,886	0,000	69,946	-0,251	0,212	0,000
圈	9243	5	11,453	-3,548	68,527	0,089	0,037	-14,115	-1,088	30,000	470,506	0,000	68,527	-0,285	0,089	0,000
EmbeddedBeam_21_1	9243	1	11,453	-3,548	68,526	0,080	0,037	-14,115	-1,088	30,000	470,506	0,000	68,526	-0,292	0,080	0,000
Element 1-8 (Embedded beam)	9244	2	11,560	-3,565	67,005	-0,011	0,040	-14,009	-0,730	30,000	466,959	0,000	67,005	-0,294	0,000	0,000
(Micropalo ancoraggio autoperforante R38 l=1,60m)	9245	3	11,667	-3,582	65,494	-0,077	0,035	-13,906	-0,466	30,000	463,519	0,000	65,494	-0,280	0,000	0,000
圈	9246	4	11,773	-3,599	63,994	-0,118	0,024	-13,806	-0,282	30,000	460,184	0,000	63,994	-0,252	0,000	0,000
圈	9247	5	11,880	-3,616	62,506	-0,137	0,010	-13,709	-0,164	30,000	456,951	0,000	62,506	-0,211	0,000	0,000
EmbeddedBeam_21_1	9247	1	11,880	-3,616	62,505	-0,142	0,010	-13,709	-0,164	30,000	456,951	0,000	62,505	-0,216	0,000	0,000
Element 1-9 (Embedded beam)	9248	2	11,996	-3,634	60,909	-0,154	-0,007	-13,607	-0,079	30,000	453,573	0,000	60,909	-0,174	0,000	-0,007
(Micropalo ancoraggio autoperforante R38 l=1,60m)	9249	3	12,111	-3,653	59,324	-0,160	-0,026	-13,509	-0,026	30,000	450,313	0,000	59,324	-0,160	0,000	-0,026
圈	9250	4	12,227	-3,671	57,749	-0,162	-0,044	-13,415	0,006	30,000	447,169	0,000	57,749	-0,162	0,000	-0,044
圈	9251	5	12,342	-3,689	56,187	-0,159	-0,063	-13,324	0,031	30,000	444,140	0,000	56,187	-0,159	0,000	-0,063
EmbeddedBeam_21_1	9251	1	12,342	-3,689	56,186	-0,159	-0,063	-13,324	0,031	30,000	444,140	0,000	56,186	-0,159	0,000	-0,063
Element 1-10 (Embedded beam)	9252	2	12,467	-3,709	54,509	-0,154	-0,083	-13,230	0,049	30,000	440,997	0,000	54,509	-0,154	0,000	-0,083
(Micropalo ancoraggio autoperforante R38 l=1,60m)	9253	3	12,592	-3,729	52,843	-0,147	-0,102	-13,140	0,063	30,000	437,987	0,000	52,843	-0,147	0,000	-0,102
圈	9254	4	12,716	-3,749	51,189	-0,138	-0,120	-13,053	0,075	30,000	435,109	0,000	51,189	-0,138	0,000	-0,120

Structural element	Node	Local number	X [m]	Y [m]	N [kN]	Q [10 ^ kN]	M [10 ^ kN m]	T $_{xx}$ [kN/m]	T $_{yy}$ [10 ^ kN/m]	T $_{xx,yy}$ [kN/m]	T $_{xx,zz}$ [10 ^]	N $_{xx}$ [kN]	N $_{yy}$ [kN]	Q $_{xx}$ [10 ^ kN]	Q $_{yy}$ [10 ^ kN]	M $_{yy}$ [10 ^ kN m]
臣	9255	5	12,841	-3,769	49,546	-0,128	-0,137	-12,971	0,083	30,000	432,363	0,000	49,546	-0,128	0,000	-0,137
EmbeddedBeam_2_1	9255	1	12,841	-3,769	49,545	-0,128	-0,137	-12,971	0,083	30,000	432,363	0,000	49,545	-0,128	0,000	-0,137
Element 1-11 (Embedded beam)	9256	2	12,976	-3,790	47,781	-0,116	-0,153	-12,886	0,089	30,000	429,543	0,000	47,781	-0,116	0,000	-0,153
(Micropalo ancoraggio autoperforante R38 l=1,60m)	9257	3	13,111	-3,812	46,027	-0,104	-0,168	-12,806	0,091	30,000	426,876	0,000	46,027	-0,104	0,000	-0,168
臣	9258	4	13,246	-3,833	44,284	-0,092	-0,182	-12,731	0,090	30,000	424,359	0,000	44,284	-0,092	0,000	-0,182
臣	9259	5	13,380	-3,855	42,553	-0,079	-0,193	-12,660	0,086	30,000	421,993	0,000	42,553	-0,081	0,000	-0,193
EmbeddedBeam_2_1	9259	1	13,380	-3,855	42,551	-0,080	-0,193	-12,660	0,086	30,000	421,993	0,000	42,551	-0,081	0,000	-0,193
Element 1-12 (Embedded beam)	9260	2	13,526	-3,878	40,691	-0,067	-0,204	-12,588	0,081	30,000	419,607	0,000	40,691	-0,070	0,000	-0,204
(Micropalo ancoraggio autoperforante R38 l=1,60m)	9261	3	13,672	-3,901	38,840	-0,056	-0,213	-12,522	0,075	30,000	417,395	0,000	38,840	-0,060	0,000	-0,213
臣	9262	4	13,817	-3,924	36,997	-0,045	-0,221	-12,461	0,070	30,000	415,358	0,000	36,997	-0,050	0,000	-0,221
臣	9263	5	13,963	-3,948	35,165	-0,035	-0,227	-12,405	0,065	30,000	413,496	0,000	35,165	-0,043	0,000	-0,227
EmbeddedBeam_2_1	9263	1	13,963	-3,948	35,164	-0,035	-0,227	-12,405	0,065	30,000	413,496	0,000	35,164	-0,044	0,000	-0,227
Element 1-13 (Embedded beam)	9264	2	14,120	-3,973	33,193	-0,025	-0,231	-12,350	0,060	30,000	411,682	0,000	33,193	-0,040	0,000	-0,231
(Micropalo ancoraggio autoperforante R38 l=1,60m)	9265	3	14,277	-3,998	31,229	-0,016	-0,235	-12,302	0,055	30,000	410,072	0,000	31,229	-0,037	0,000	-0,235
臣	9266	4	14,435	-4,023	29,272	-0,008	-0,237	-12,260	0,050	30,000	408,669	0,000	29,272	-0,033	0,000	-0,237
臣	9267	5	14,592	-4,048	27,323	0,000	-0,237	-12,224	0,043	30,000	407,474	0,000	27,323	-0,030	0,000	-0,237
EmbeddedBeam_2_1	9267	1	14,592	-4,048	27,321	0,000	-0,237	-12,224	0,043	30,000	407,474	0,000	27,321	-0,030	0,000	-0,237
Element 1-14 (Embedded beam)	9268	2	14,762	-4,075	25,222	0,007	-0,237	-12,193	0,035	30,000	406,417	0,000	25,222	-0,026	0,007	-0,237
(Micropalo ancoraggio autoperforante R38 l=1,60m)	9269	3	14,932	-4,102	23,125	0,012	-0,235	-12,168	0,025	30,000	405,607	0,000	23,125	-0,022	0,012	-0,235
臣	9270	4	15,102	-4,129	21,032	0,015	-0,233	-12,151	0,017	30,000	405,048	0,000	21,032	-0,019	0,015	-0,233
臣	9271	5	15,272	-4,156	18,943	0,017	-0,230	-12,142	0,012	30,000	404,746	0,000	18,943	-0,016	0,017	-0,230
EmbeddedBeam_2_1	9271	1	15,272	-4,156	18,941	0,020	-0,230	-12,142	0,012	30,000	404,746	0,000	18,941	-0,016	0,020	-0,230
Element 1-15 (Embedded beam)	9272	2	15,456	-4,186	16,685	0,021	-0,226	-12,141	0,042	30,000	404,716	0,000	16,685	-0,014	0,021	-0,226
(Micropalo ancoraggio autoperforante R38 l=1,60m)	9273	3	15,639	-4,215	14,426	0,034	-0,221	-12,150	0,086	30,000	405,004	0,000	14,426	-0,008	0,034	-0,221
臣	9274	4	15,823	-4,244	12,164	0,062	-0,212	-12,169	0,196	30,000	405,625	0,000	12,164	0,000	0,062	-0,212
臣	9275	5	16,006	-4,273	9,901	0,106	-0,197	-12,198	0,408	30,000	406,596	0,000	9,901	0,000	0,106	-0,197
EmbeddedBeam_2_1	9275	1	16,006	-4,273	9,898	0,046	-0,197	-12,198	0,408	30,000	406,596	0,000	9,898	-0,011	0,046	-0,197
Element 1-16 (Embedded beam)	9276	2	16,205	-4,305	7,446	0,273	-0,163	-12,242	0,750	30,000	408,066	0,000	7,446	0,000	0,273	-0,163
(Micropalo ancoraggio autoperforante R38 l=1,60m)	9277	3	16,403	-4,337	4,980	0,360	-0,097	-12,303	0,262	30,000	410,100	0,000	4,980	0,000	0,360	-0,097
臣	9278	4	16,602	-4,368	2,499	0,275	-0,030	-12,388	-0,958	30,000	412,946	0,000	2,499	0,000	0,275	-0,030
臣	9279	5	16,800	-4,400	0,003	-0,013	0,000	-12,508	-1,722	30,000	416,946	0,000	0,003	-0,022	0,000	0,000

PLAXIS Report

1.1.1.1 Calculation results, Initial phase [InitialPhase] (0/11), Active loads plot

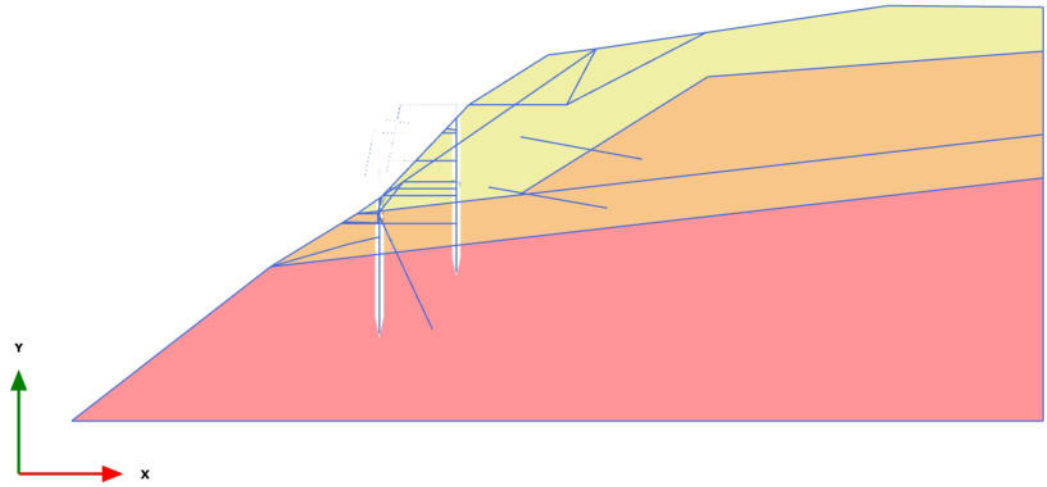

Active loads plot

1.1.1.2 Calculation results, Phase_1 [Phase_1] (1/14), Active loads plot

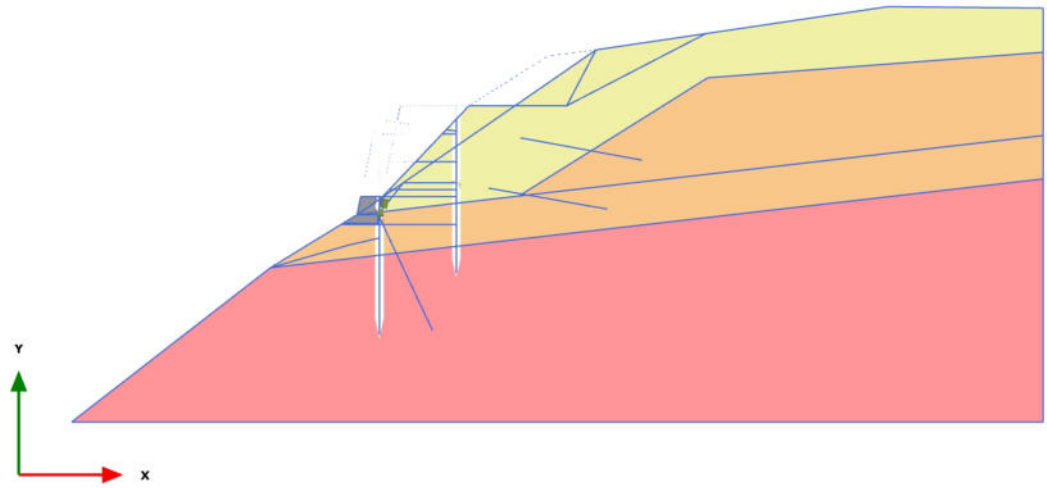

Active loads plot

1.1.1.3 Calculation results, Phase_2 [Phase_2] (2/26), Active loads plot

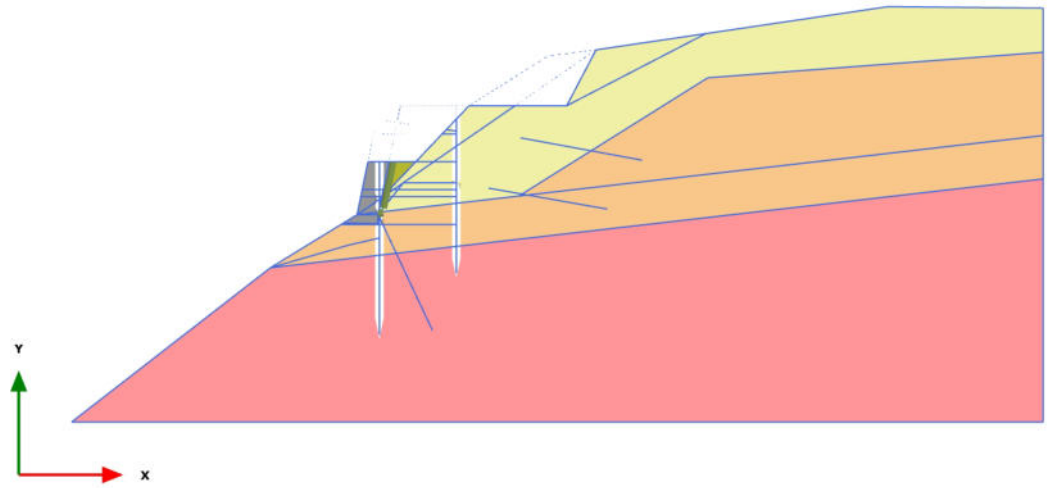

Active loads plot

1.1.1.4 Calculation results, Fine costruzione muro [Phase_3] (3/89), Active loads plot

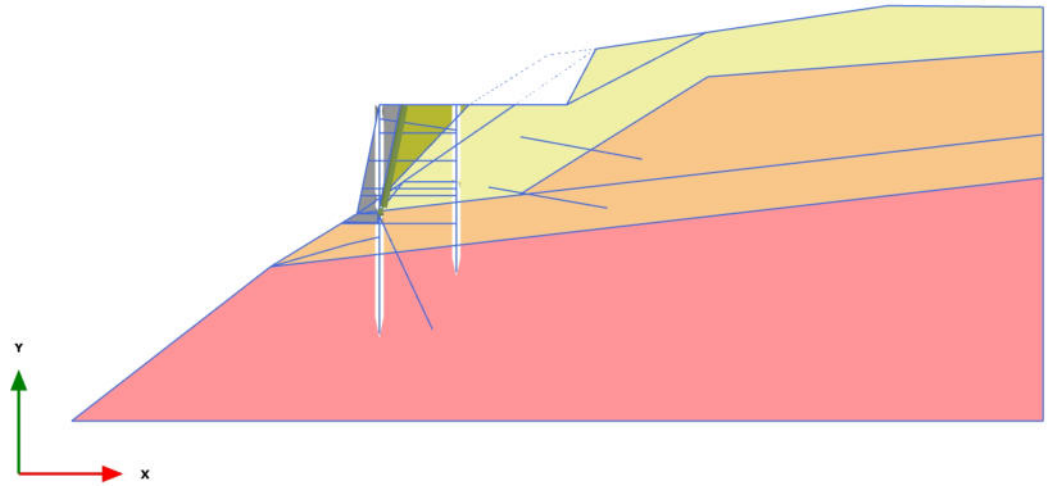

Active loads plot

1.1.1.5 Calculation results, (RD) Paratia [Phase_4] (4/92), Active loads plot

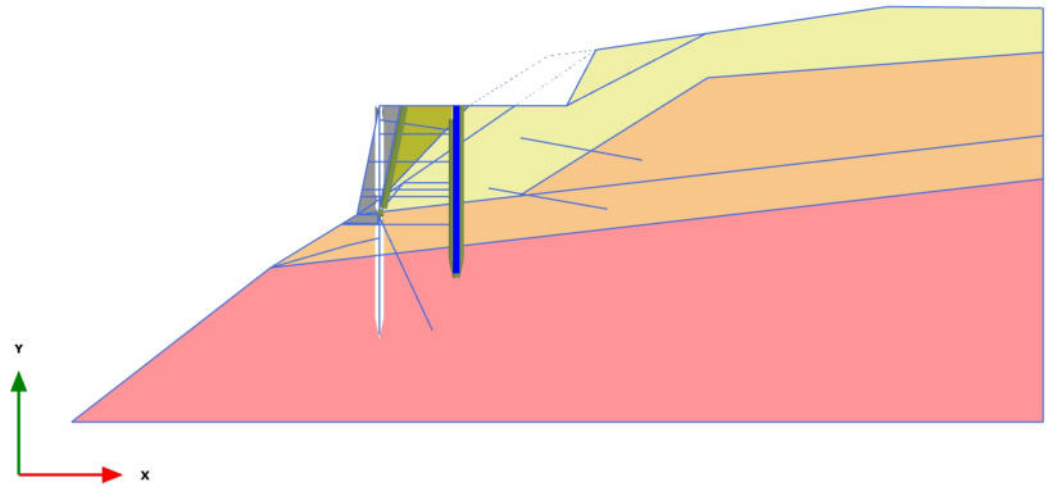

Active loads plot

1.1.1.6 Calculation results, Voragine 1 [Phase_5] (5/110), Active loads plot

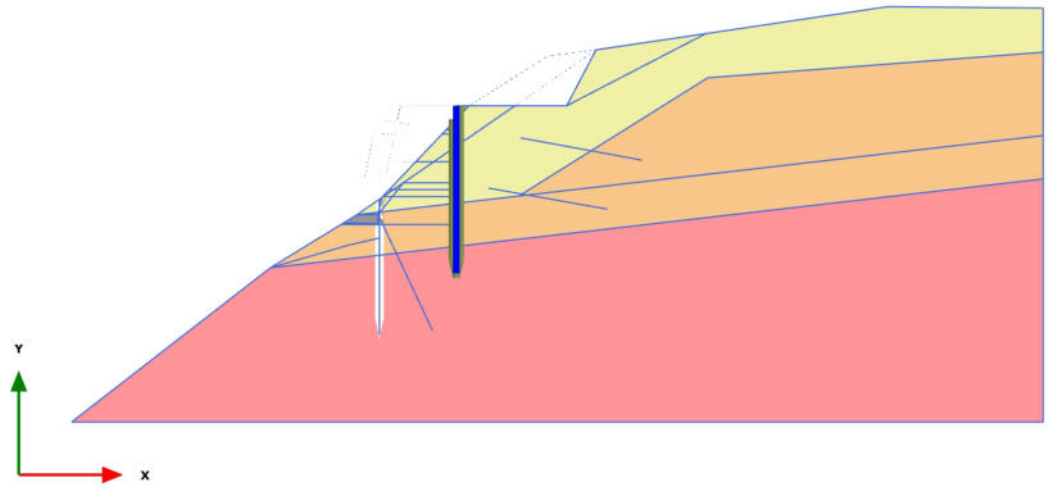

Active loads plot

1.1.1.7 Calculation results, Voragine 2 [Phase_6] (6/134), Active loads plot

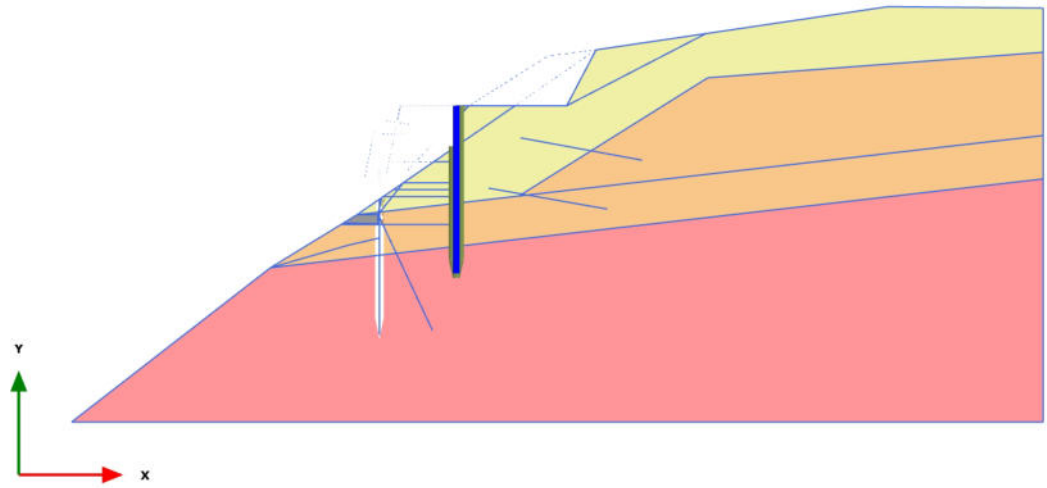

Active loads plot

1.1.1.8 Calculation results, Mezzi (10 kPa) [Phase_7] (7/155), Active loads plot

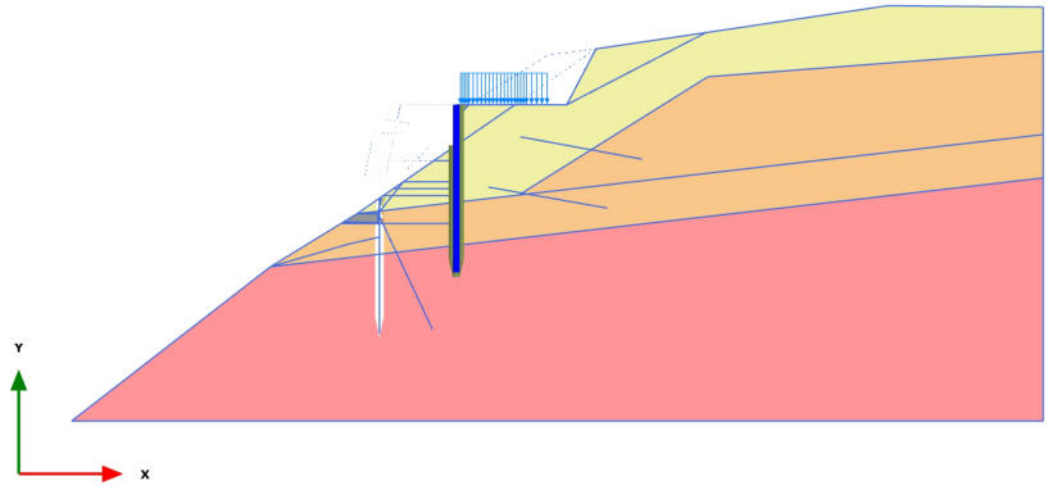

Active loads plot

1.1.1.9 Calculation results, Micropalo ancoraggio 1 [Phase_8] (8/221), Active loads plot

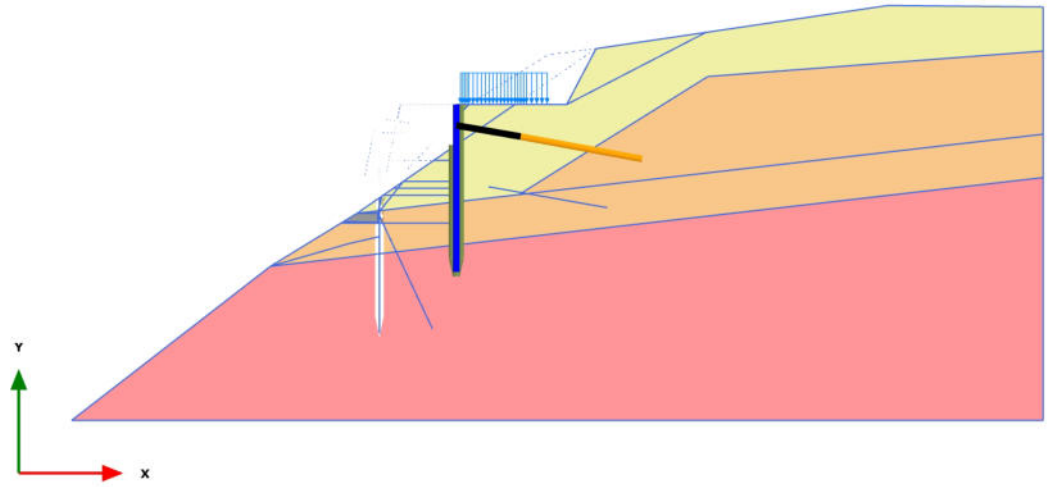

Active loads plot

1.1.1.10 Calculation results, Escavo 1 [Phase_9] (9/235), Active loads plot

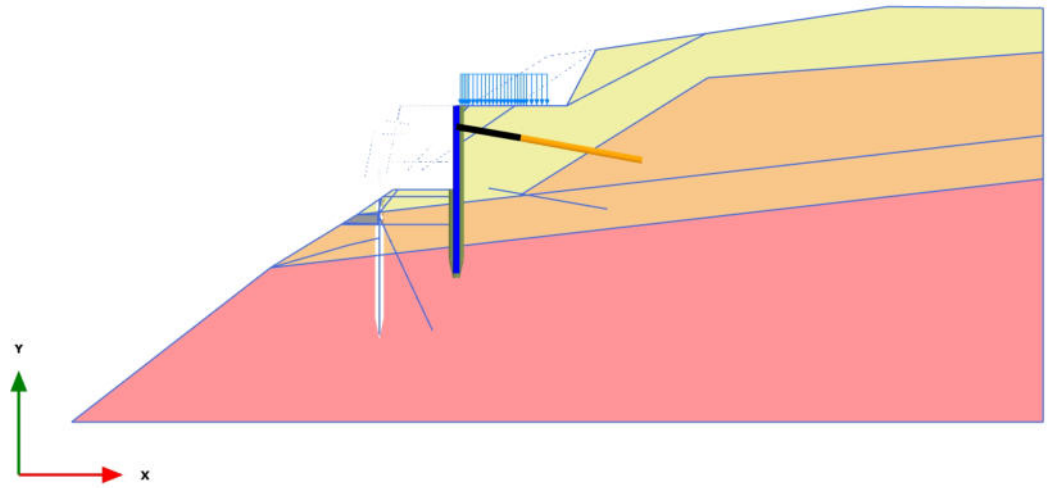

Active loads plot

1.1.1.11 Calculation results, Micropalo ancoraggio 2 [Phase_35] (35/309), Active loads plot

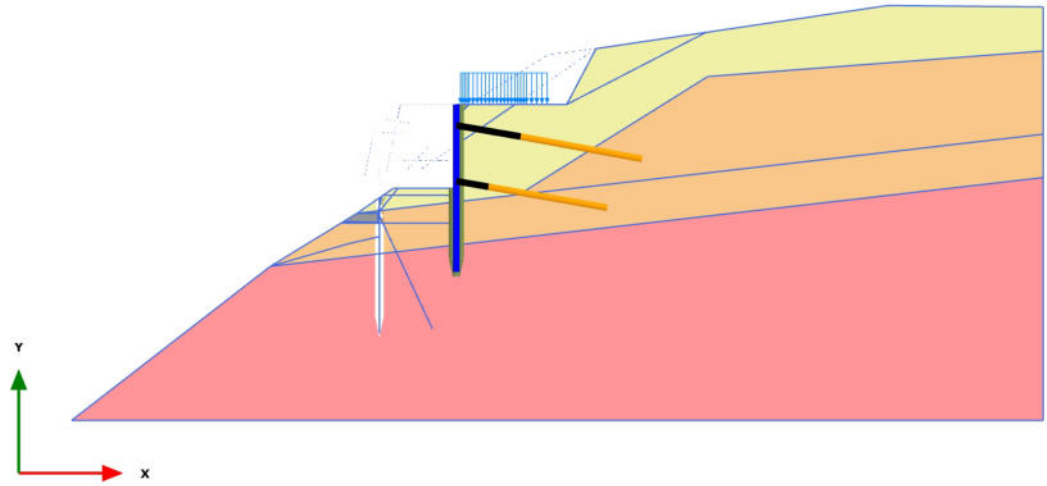

Active loads plot

1.1.1.12 Calculation results, Escavo 2 [Phase_10] (10/318), Active loads plot

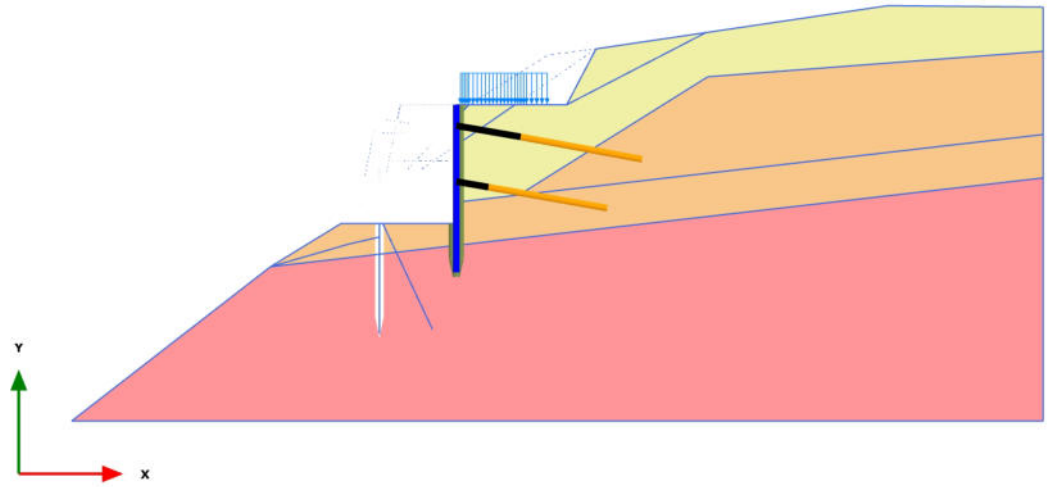

Active loads plot

1.1.1.13 Calculation results, (RIEMP A SBALZO) Micropali e parete [Phase_14] (14/320), Active loads plot

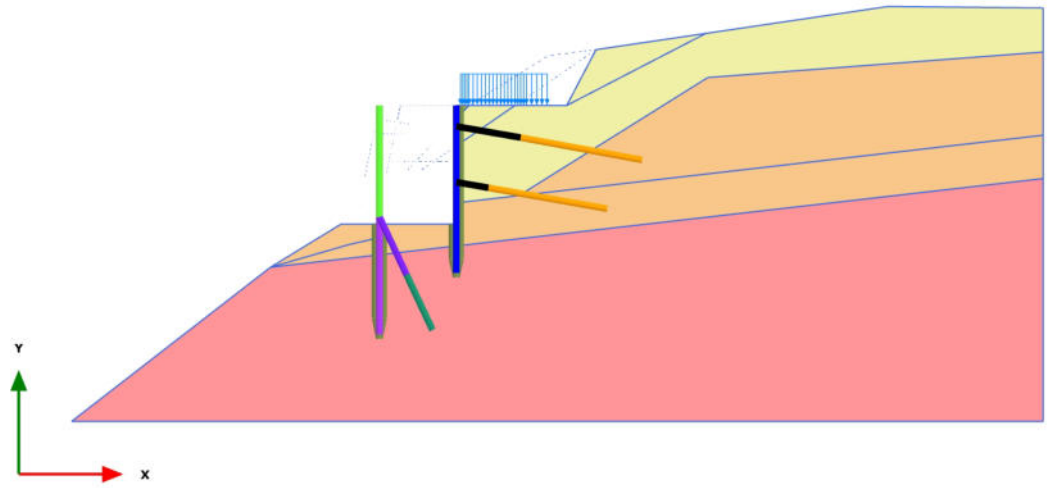

Active loads plot

1.1.1.14 Calculation results, Riempimento 1 [Phase_15] (15/506), Active loads plot

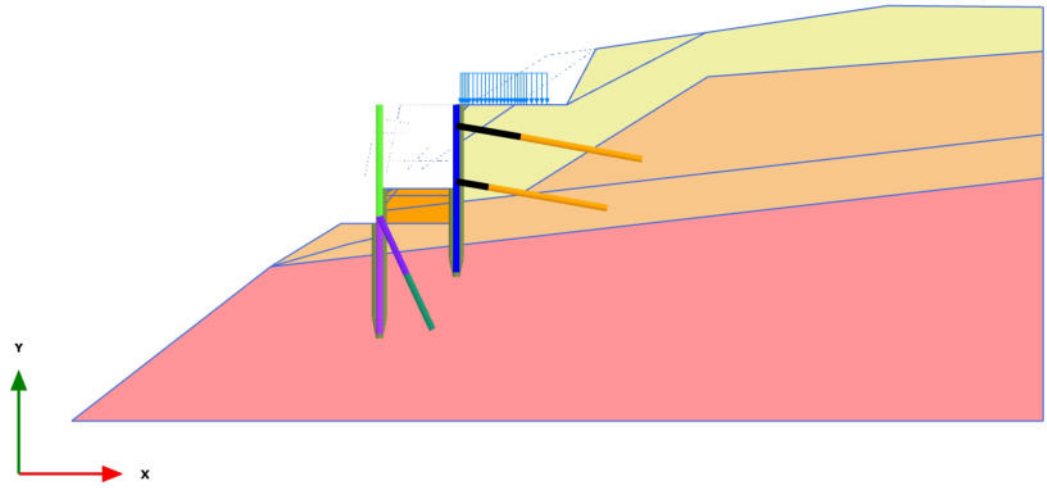

Active loads plot

1.1.1.15 Calculation results, Collegamento ancoraggio 1 [Phase_36] (36/614), Active loads plot

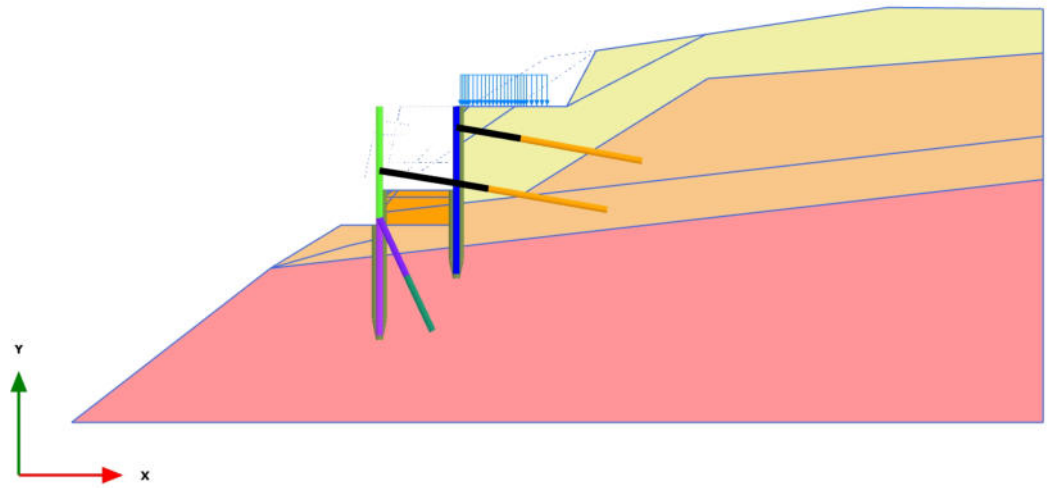

Active loads plot

1.1.1.16 Calculation results, Riempimento 2 [Phase_16] (16/640), Active loads plot

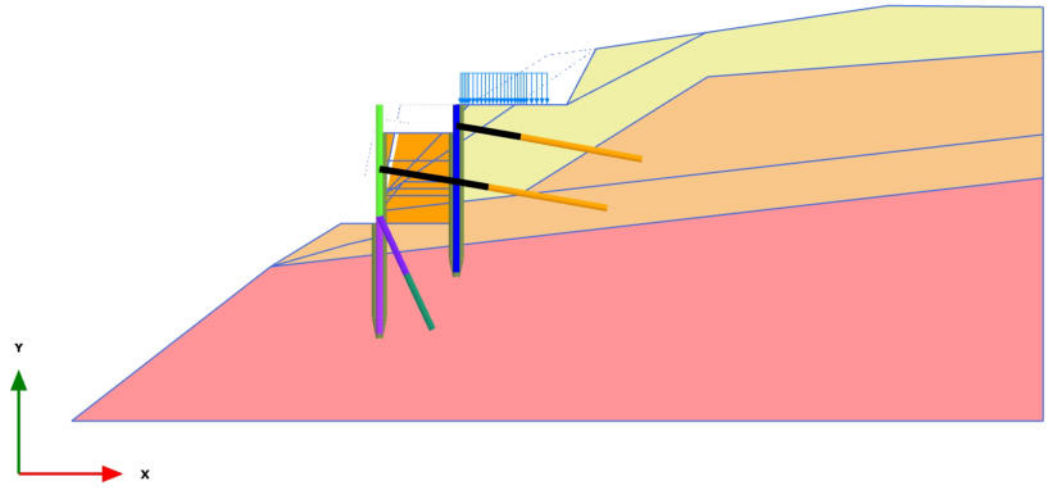

Active loads plot

1.1.1.17 Calculation results, Riempimento 3 ed estensione tirante [Phase_17] (17/646), Active loads plot

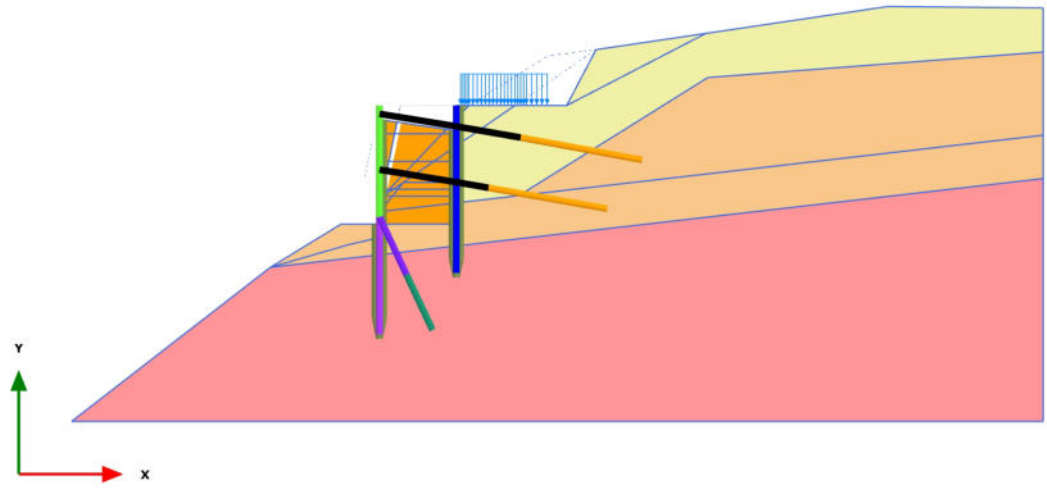

Active loads plot

1.1.1.18 Calculation results, Riempimento 4 [Phase_25] (25/655), Active loads plot

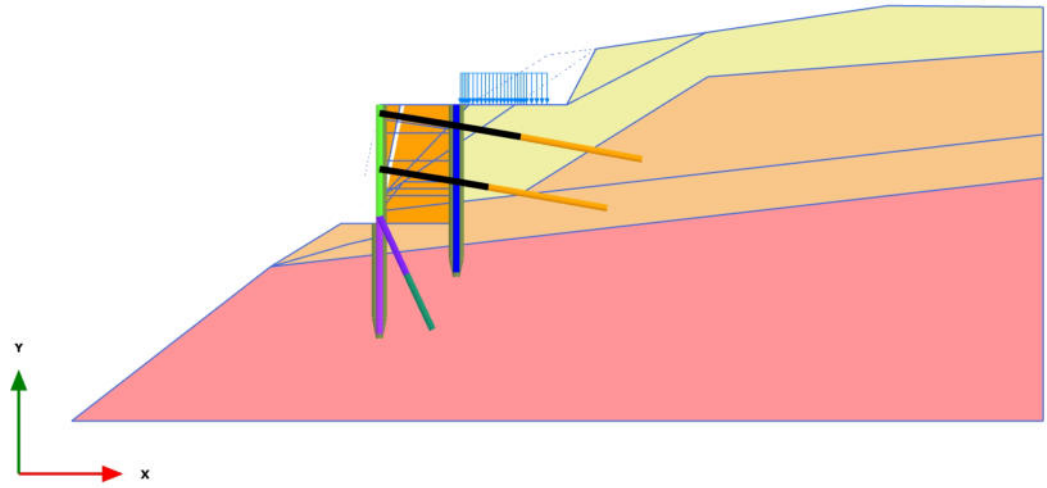

Active loads plot

1.1.1.19 Calculation results, Disattivazione paratia esistente [Phase_26] (26/660), Active loads plot

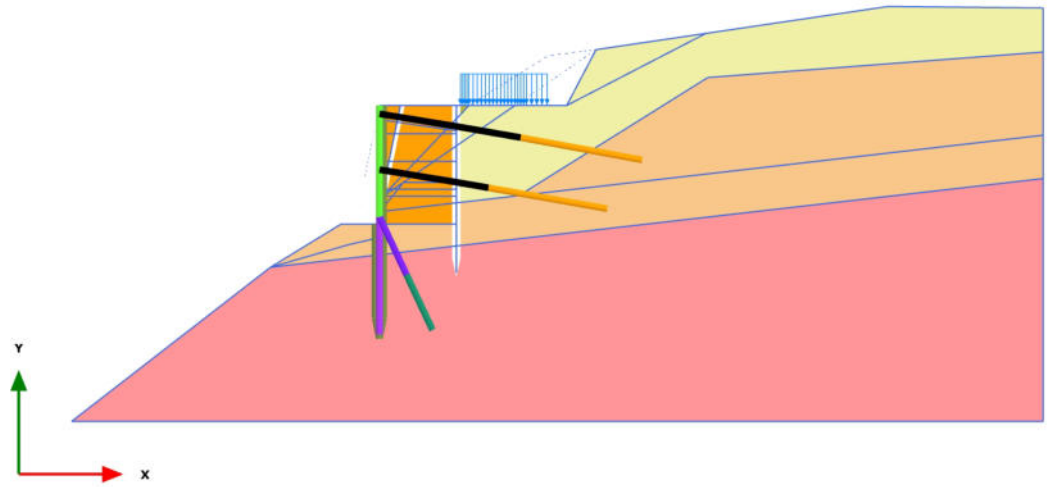

Active loads plot

1.1.1.20 Calculation results, Eccezionale paratia esistente [Phase_34] (34/668), Active loads plot

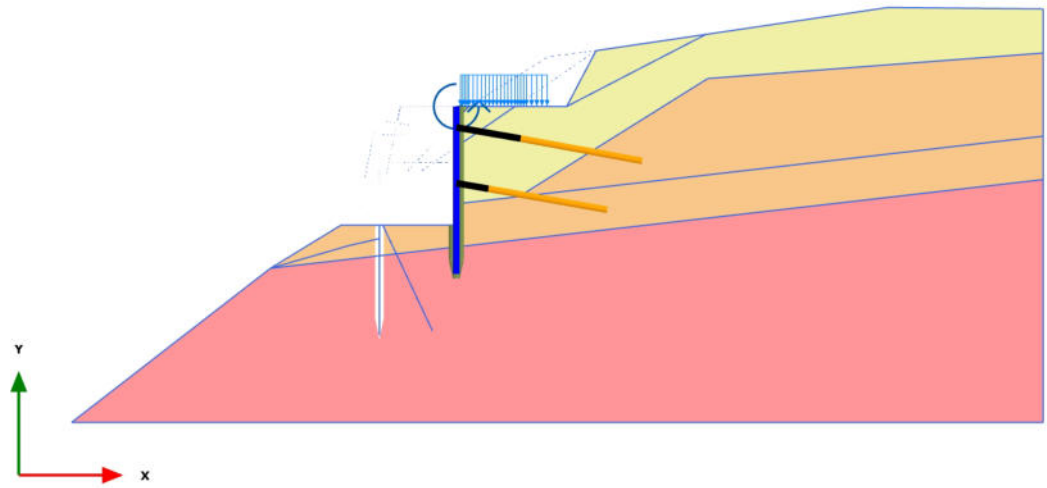

Active loads plot

1.1.1.21 Calculation results, Eccezionale [Phase_24] (24/712), Active loads plot

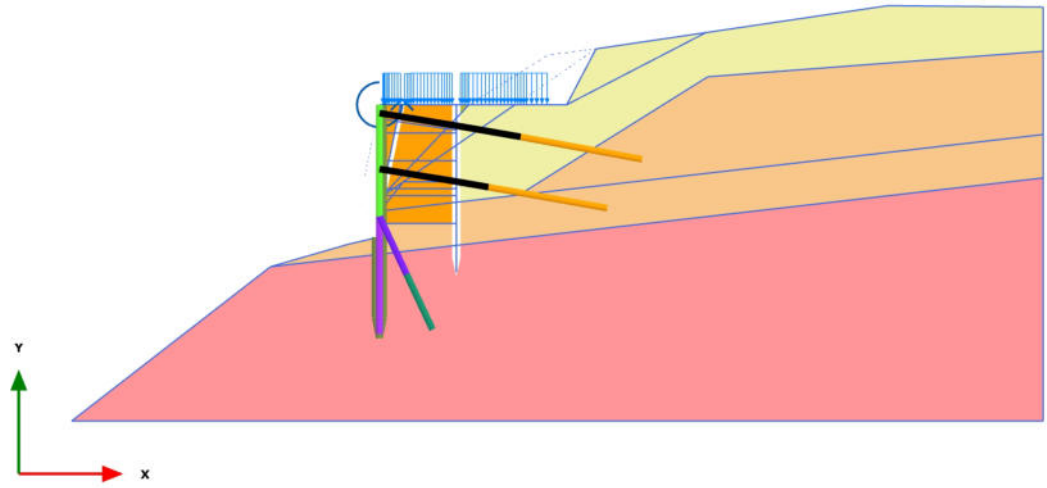

Active loads plot

1.1.1.22 Calculation results, SLU11 [Phase_29] (29/723), Active loads plot

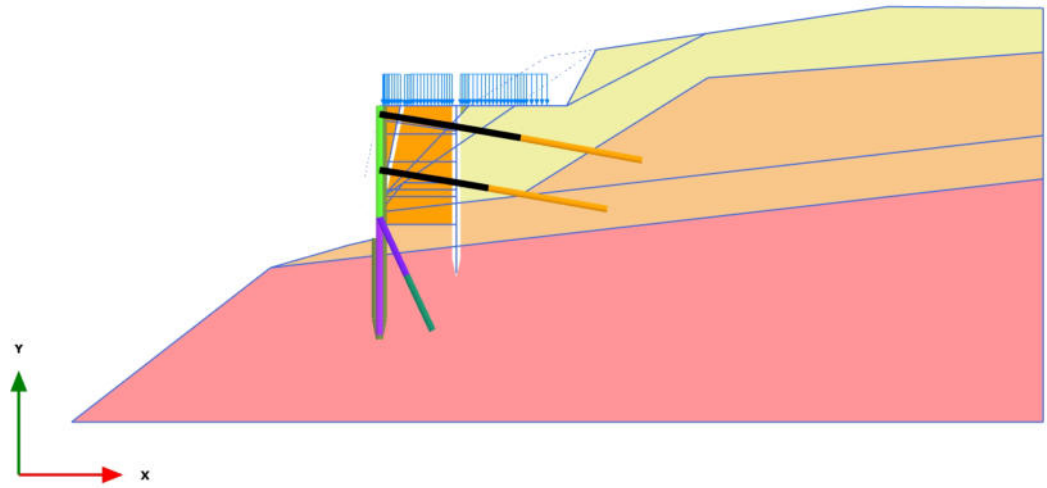

Active loads plot

1.1.1.23 Calculation results, M2 [Phase_30] (30/770), Active loads plot

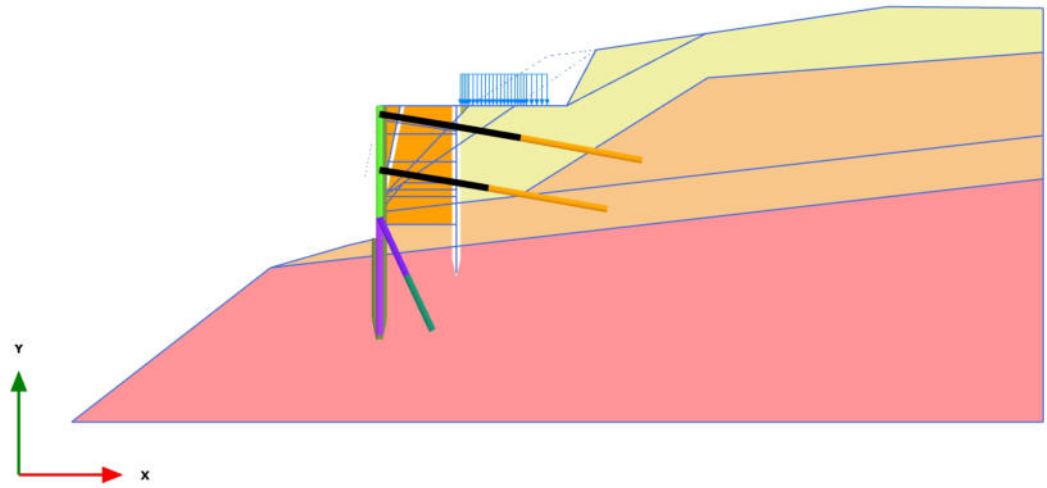

Active loads plot

1.1.1.24 Calculation results, SLU12 [Phase_31] (31/776), Active loads plot

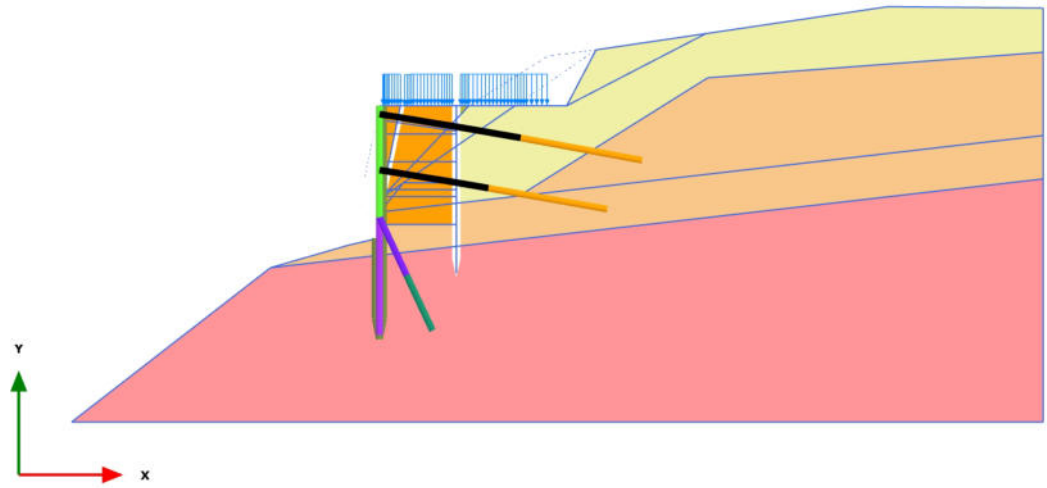

Active loads plot

1.1.1.25 Calculation results, SLU12 SG [Phase_21] (21/779), Active loads plot

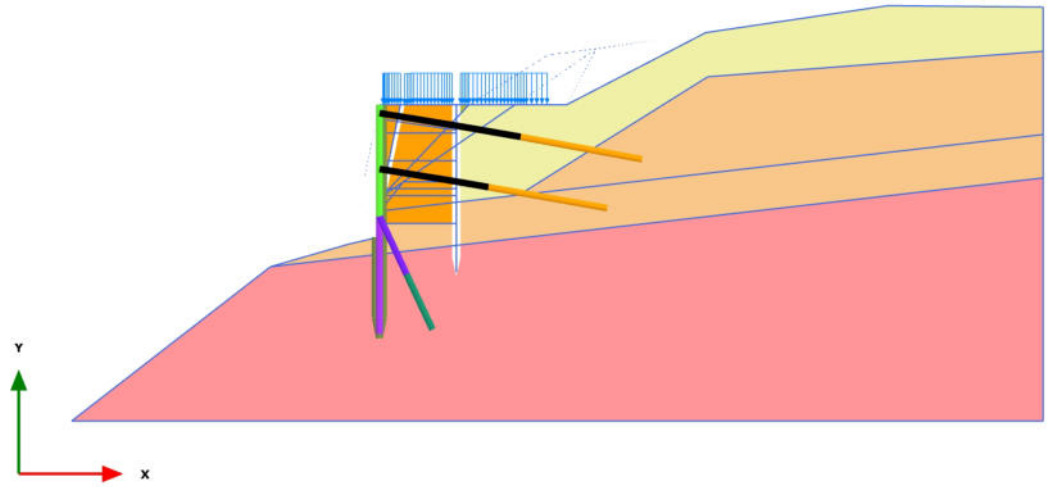

Active loads plot

1.1.1.26 Calculation results, FS SLU12 [Phase_20] (20/879), Active loads plot

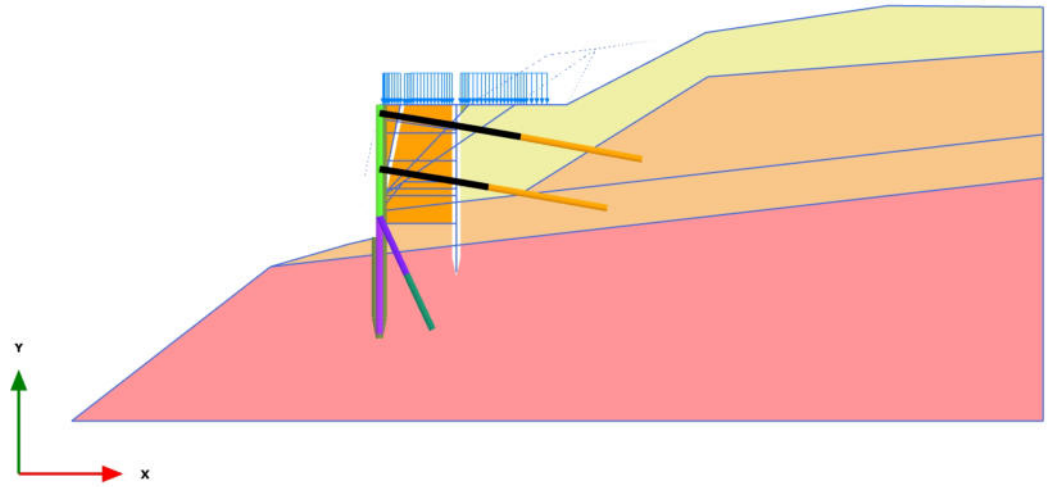

Active loads plot

1.1.1.27 Calculation results, SLE [Phase_11] (11/883), Active loads plot

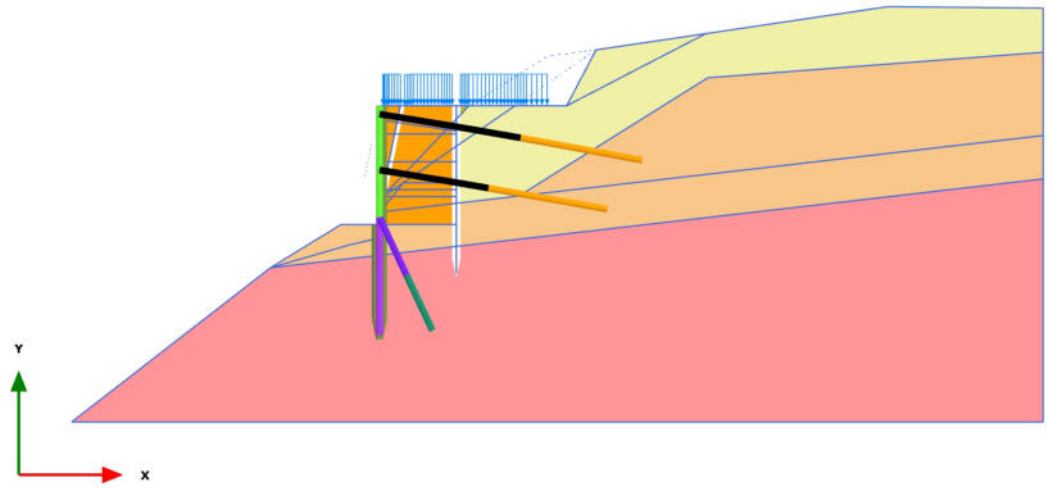

Active loads plot

1.1.1.28 Calculation results, SLV + stab globale [Phase_22] (22/896), Active loads plot

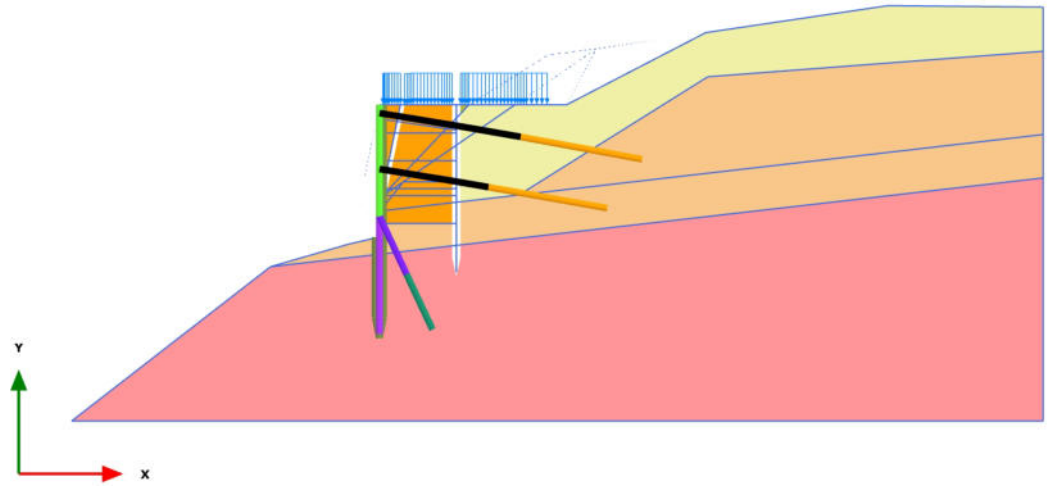

Active loads plot

1.1.1.29 Calculation results, FS SLV+ [Phase_28] (28/1046), Active loads plot

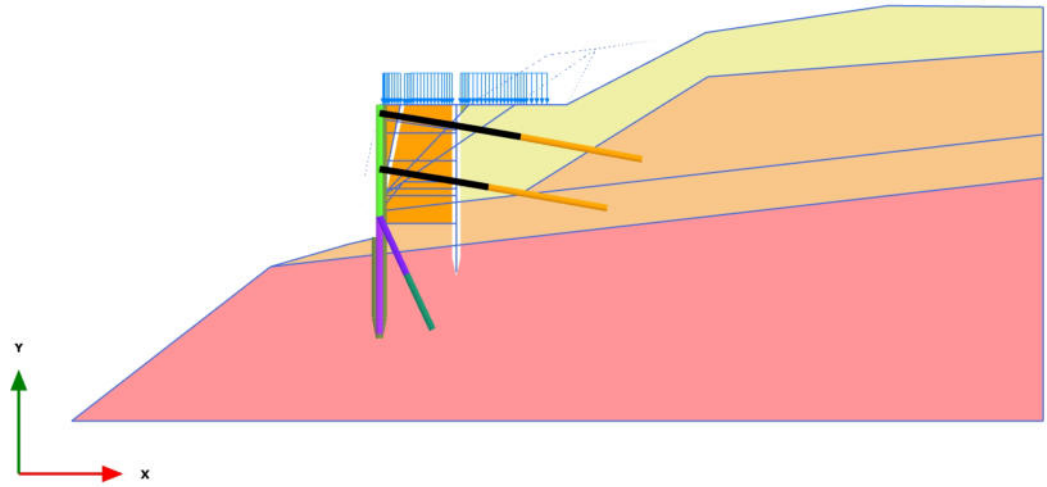

Active loads plot

1.1.1.30 Calculation results, SLV - stab globale [Phase_32] (32/1056), Active loads plot

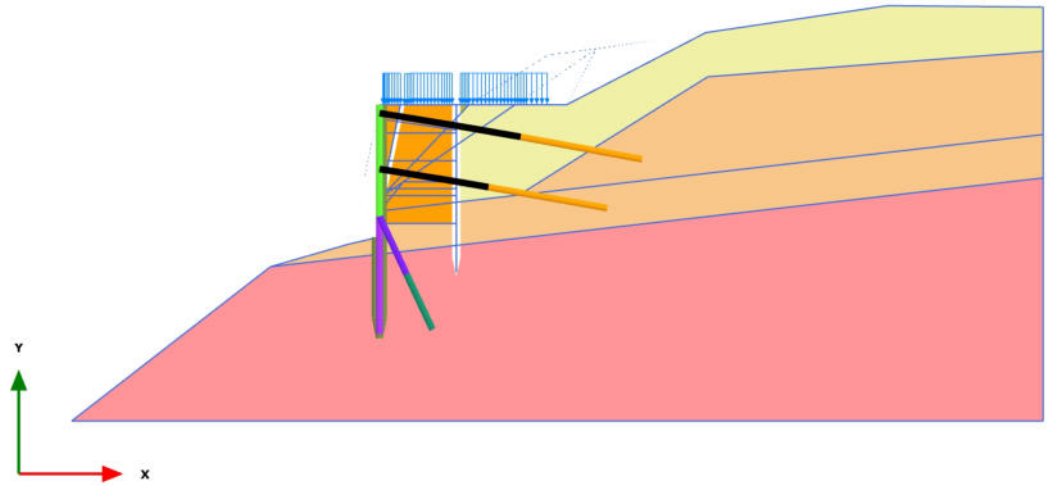

Active loads plot

1.1.1.31 Calculation results, FS SLV - [Phase_33] (33/1156), Active loads plot

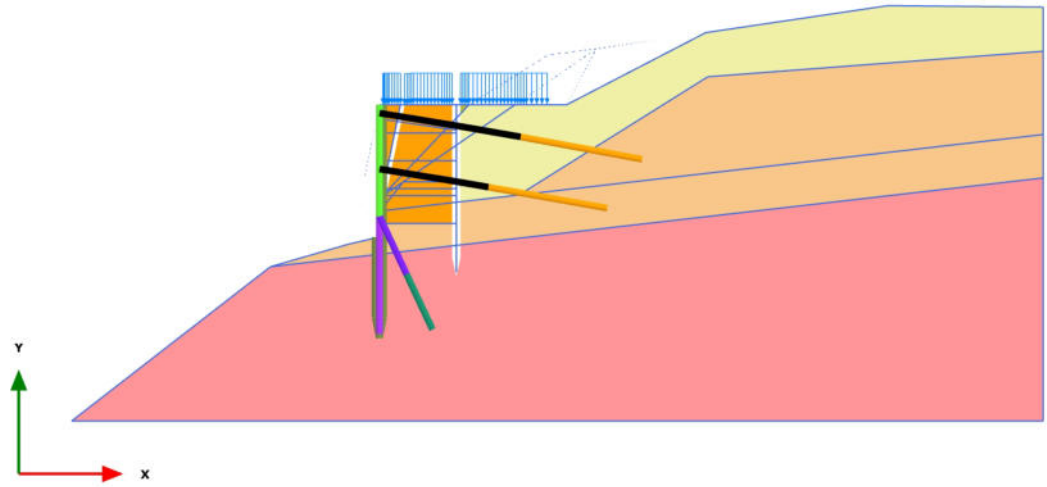

Active loads plot

1.1.1.32 Calculation results, SLD [Phase_38] (38/1178), Active loads plot

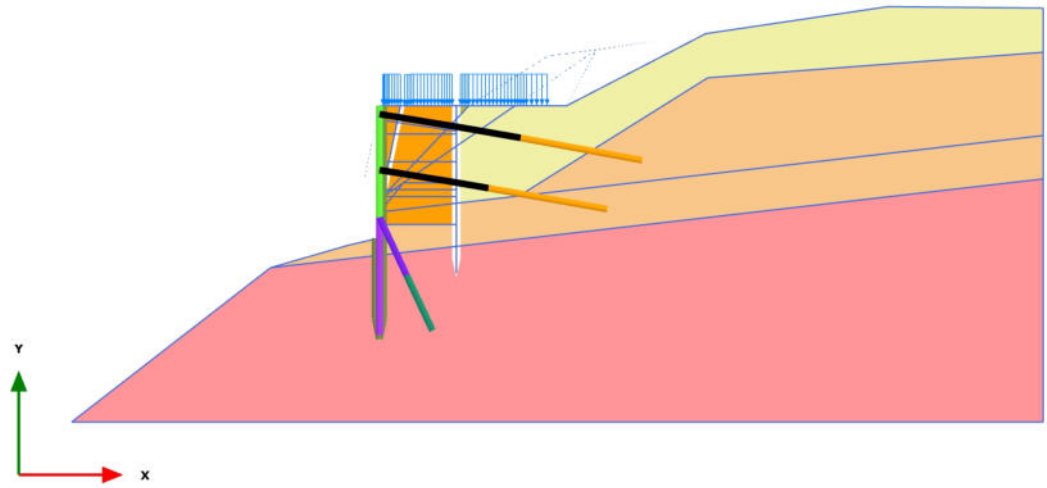

Active loads plot

1.1.1.33 Calculation results, q rullo [Phase_37] (37/1187), Active loads plot

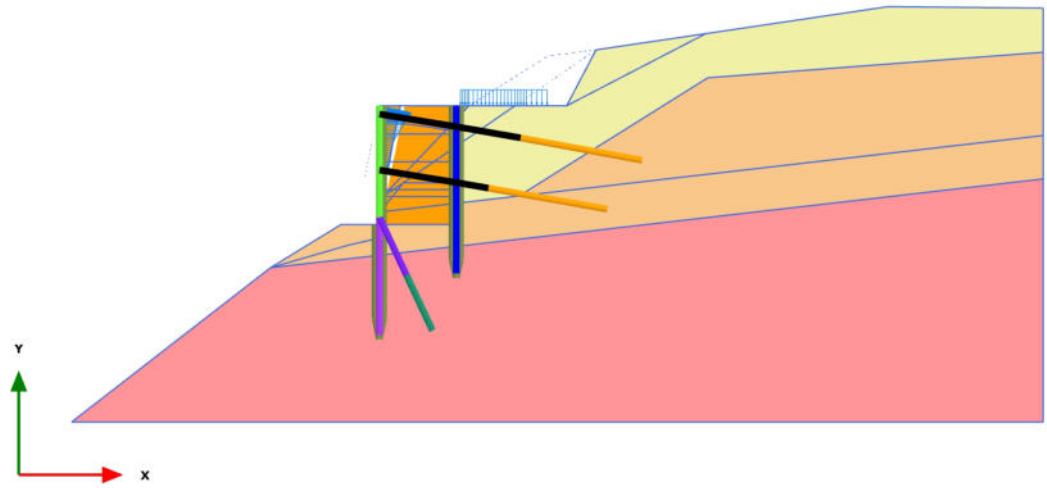

Active loads plot

1.1.1.34 Calculation results, SLE Paratia esistente [Phase_12] (12/1232), Active loads plot

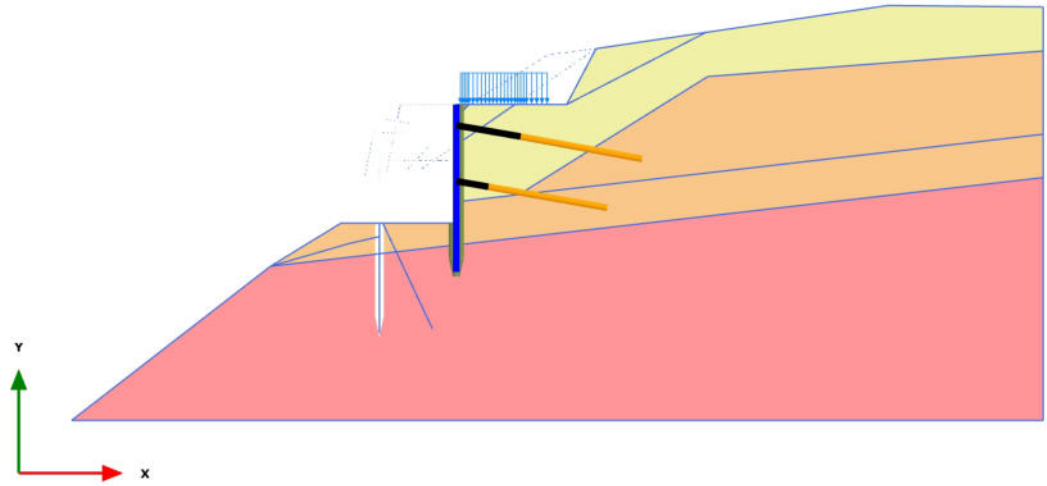

Active loads plot

1.1.1.35 Calculation results, SLU11 Paratia esistente [Phase_13] (13/1235), Active loads plot

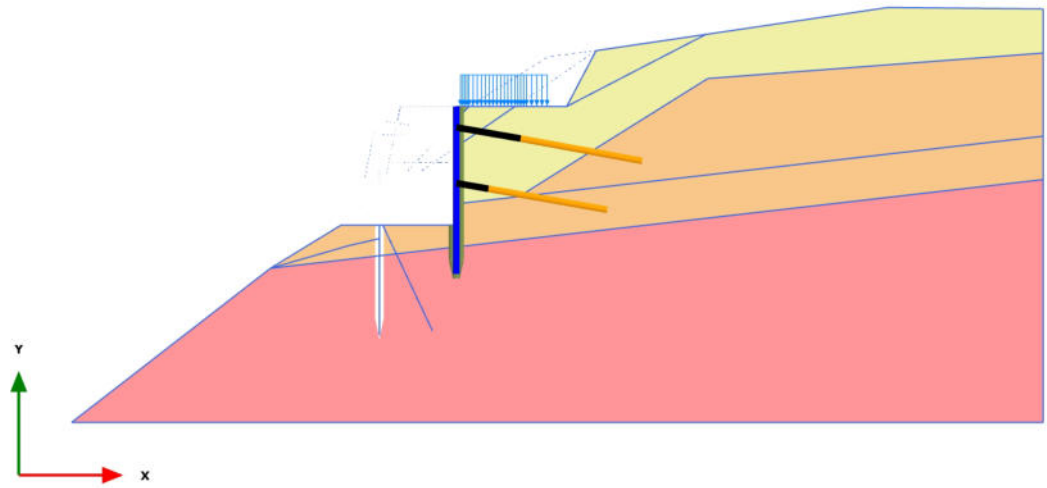

Active loads plot

1.1.1.36 Calculation results, SLU12 Paratia esistente [Phase_18] (18/1240), Active loads plot

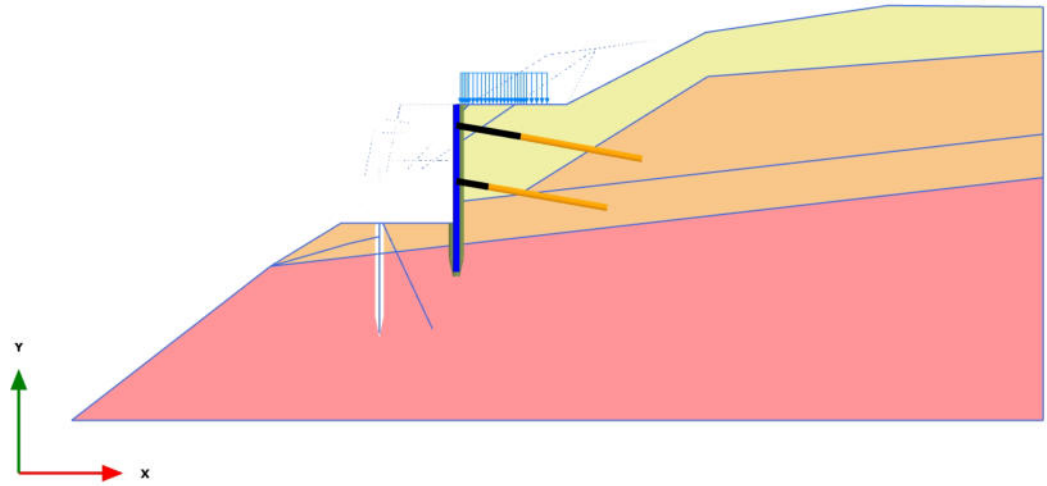

Active loads plot

1.1.1.37 Calculation results, FS Paratia esistente [Phase_19] (19/1390), Active loads plot

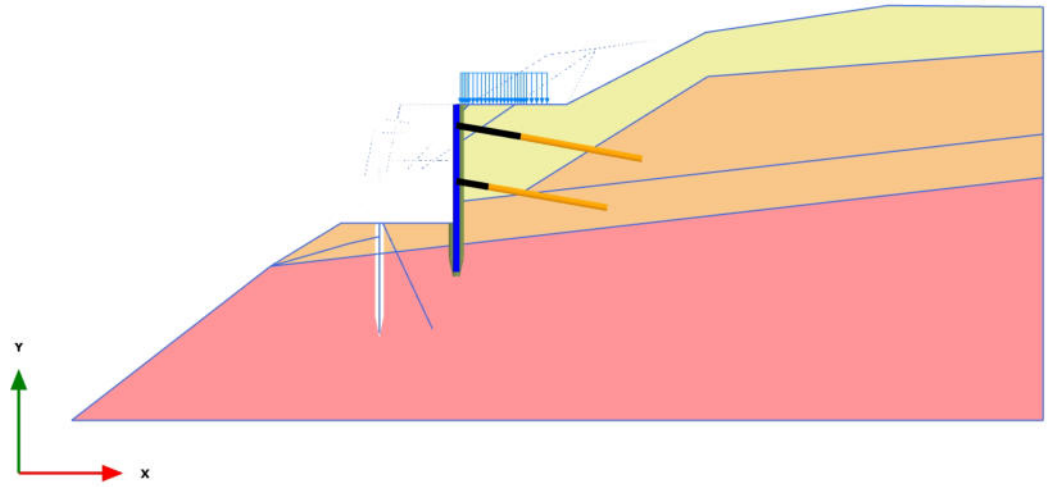

Active loads plot

1.1.1.38 Calculation results, FS [Phase_23] (23/1510), Active loads plot

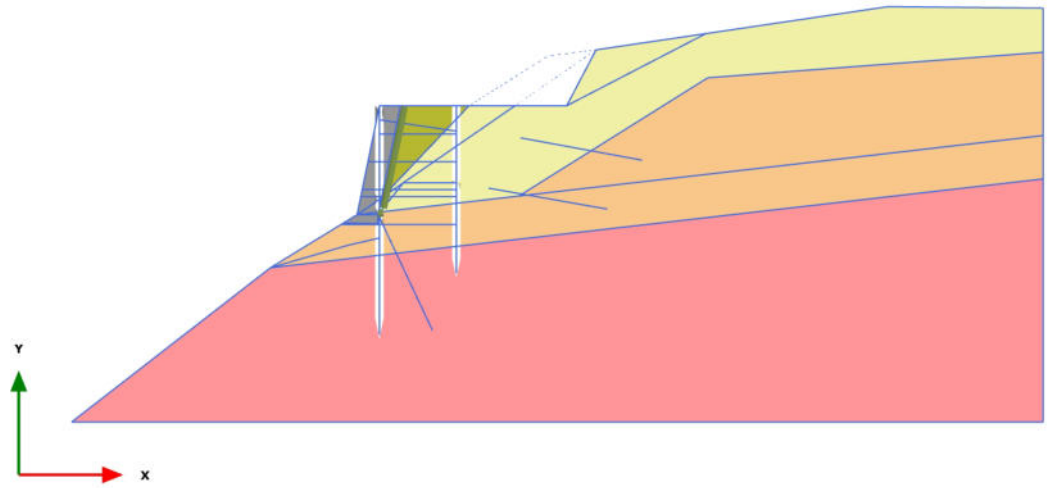

Active loads plot

1.1.1.39 Calculation results, SLV [Phase_27] (27/1545), Active loads plot

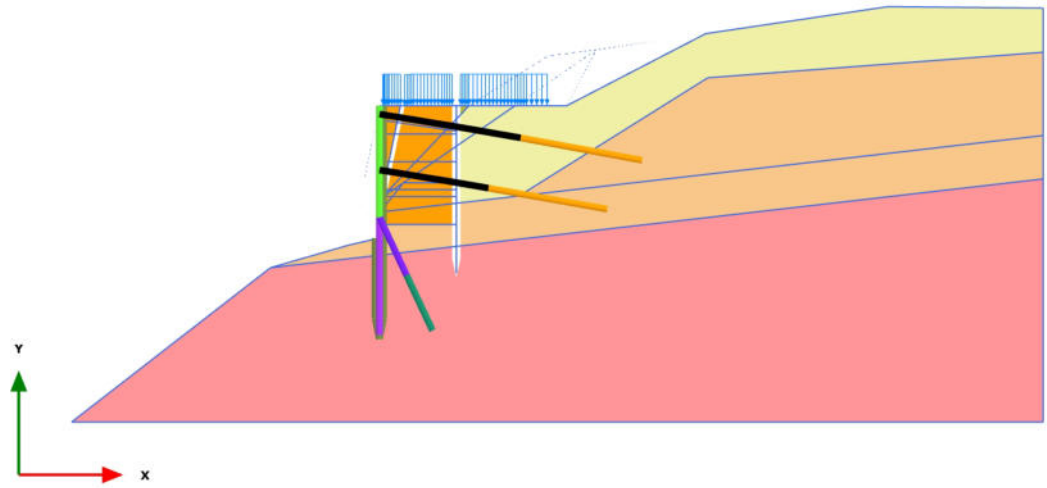

Active loads plot

1.1.2.1 Point load

ID	Node	X [m]	Y [m]	F_x [kN/m]	F_y [kN/m]	$F_{a,x}$ [kN/m]	$F_{a,y}$ [kN/m]	M [kN m/m]

1.1.2.2 Point load

ID	Node	X [m]	Y [m]	F_x [kN/m]	F_y [kN/m]	$F_{a,x}$ [kN/m]	$F_{a,y}$ [kN/m]	M [kN m/m]

1.1.2.3 Point load

ID	Node	X [m]	Y [m]	F_x [kN/m]	F_y [kN/m]	$F_{a,x}$ [kN/m]	$F_{a,y}$ [kN/m]	M [kN m/m]

1.1.2.4 Point load

ID	Node	X [m]	Y [m]	F_x [kN/m]	F_y [kN/m]	$F_{a,x}$ [kN/m]	$F_{a,y}$ [kN/m]	M [kN m/m]

1.1.2.5 Point load

ID	Node	X [m]	Y [m]	F_x [kN/m]	F_y [kN/m]	$F_{a,x}$ [kN/m]	$F_{a,y}$ [kN/m]	M [kN m/m]

1.1.2.6 Point load

ID	Node	X [m]	Y [m]	F_x [kN/m]	F_y [kN/m]	$F_{a,x}$ [kN/m]	$F_{a,y}$ [kN/m]	M [kN m/m]

1.1.2.7 Point load

ID	Node	X [m]	Y [m]	F_x [kN/m]	F_y [kN/m]	$F_{a,x}$ [kN/m]	$F_{a,y}$ [kN/m]	M [kN m/m]

1.1.2.8 Point load

ID	Node	X [m]	Y [m]	F_x [kN/m]	F_y [kN/m]	$F_{a,x}$ [kN/m]	$F_{a,y}$ [kN/m]	M [kN m/m]

1.1.2.9 Point load

ID	Node	X [m]	Y [m]	F_x [kN/m]	F_y [kN/m]	$F_{a,x}$ [kN/m]	$F_{a,y}$ [kN/m]	M [kN m/m]

1.1.2.10 Point load

ID	Node	X [m]	Y [m]	F_x [kN/m]	F_y [kN/m]	$F_{a,x}$ [kN/m]	$F_{a,y}$ [kN/m]	M [kN m/m]

1.1.2.11 Point load

ID	Node	X [m]	Y [m]	F_x [kN/m]	F_y [kN/m]	$F_{a,x}$ [kN/m]	$F_{a,y}$ [kN/m]	M [kN m/m]

1.1.2.12 Point load

ID	Node	X [m]	Y [m]	F_x [kN/m]	F_y [kN/m]	$F_{a,x}$ [kN/m]	$F_{a,y}$ [kN/m]	M [kN m/m]

1.1.2.13 Point load

ID	Node	X [m]	Y [m]	F_x [kN/m]	F_y [kN/m]	$F_{a,x}$ [kN/m]	$F_{a,y}$ [kN/m]	M [kN m/m]

1.1.2.14 Point load

ID	Node	X [m]	Y [m]	F_x [kN/m]	F_y [kN/m]	$F_{a,x}$ [kN/m]	$F_{a,y}$ [kN/m]	M [kN m/m]

1.1.2.15 Point load

ID	Node	X [m]	Y [m]	F_x [kN/m]	F_y [kN/m]	$F_{a,x}$ [kN/m]	$F_{a,y}$ [kN/m]	M [kN m/m]

1.1.2.16 Point load

ID	Node	X [m]	Y [m]	F_x [kN/m]	F_y [kN/m]	$F_{a,x}$ [kN/m]	$F_{a,y}$ [kN/m]	M [kN m/m]

1.1.2.17 Point load

ID	Node	X [m]	Y [m]	F_x [kN/m]	F_y [kN/m]	$F_{a,x}$ [kN/m]	$F_{a,y}$ [kN/m]	M [kN m/m]

1.1.2.18 Point load

ID	Node	X [m]	Y [m]	F_x [kN/m]	F_y [kN/m]	$F_{a,x}$ [kN/m]	$F_{a,y}$ [kN/m]	M [kN m/m]

1.1.2.19 Point load

ID	Node	X [m]	Y [m]	F_x [kN/m]	F_y [kN/m]	$F_{a,x}$ [kN/m]	$F_{a,y}$ [kN/m]	M [kN m/m]

1.1.2.20 Point load

ID	Node [10 ^{3}]	X [m]	Y [m]	F $_{x}$ [kN/m]	F $_{y}$ [kN/m]	F $_{a,x}$ [kN/m]	F $_{a,y}$ [kN/m]	M [kN m/m]
1	13320	0,000	0,000	-19,100	0,000	-19,100	0,000	19,100

1.1.2.21 Point load

ID	Node [10^3]	X [m]	Y [m]	F_x [kN/m]	F_y [kN/m]	$F_{a,x}$ [kN/m]	$F_{a,y}$ [kN/m]	M [kN m/m]
1	15336	-5,500	0,000	-80,000	0,000	-80,000	0,000	80,000

1.1.2.22 Point load

ID	Node	X [m]	Y [m]	F_x [kN/m]	F_y [kN/m]	$F_{a,x}$ [kN/m]	$F_{a,y}$ [kN/m]	M [kN m/m]

1.1.2.23 Point load

ID	Node	X [m]	Y [m]	F_x [kN/m]	F_y [kN/m]	$F_{a,x}$ [kN/m]	$F_{a,y}$ [kN/m]	M [kN m/m]

1.1.2.24 Point load

ID	Node	X [m]	Y [m]	F_x [kN/m]	F_y [kN/m]	$F_{a,x}$ [kN/m]	$F_{a,y}$ [kN/m]	M [kN m/m]

1.1.2.25 Point load

ID	Node	X [m]	Y [m]	F_x [kN/m]	F_y [kN/m]	$F_{a,x}$ [kN/m]	$F_{a,y}$ [kN/m]	M [kN m/m]

1.1.2.26 Point load

ID	Node	X [m]	Y [m]	F_x [kN/m]	F_y [kN/m]	$F_{a,x}$ [kN/m]	$F_{a,y}$ [kN/m]	M [kN m/m]

1.1.2.27 Point load

ID	Node	X [m]	Y [m]	F_x [kN/m]	F_y [kN/m]	$F_{a,x}$ [kN/m]	$F_{a,y}$ [kN/m]	M [kN m/m]

1.1.2.28 Point load

ID	Node	X [m]	Y [m]	F_x [kN/m]	F_y [kN/m]	$F_{a,x}$ [kN/m]	$F_{a,y}$ [kN/m]	M [kN m/m]

1.1.2.29 Point load

ID	Node	X [m]	Y [m]	F_x [kN/m]	F_y [kN/m]	$F_{a,x}$ [kN/m]	$F_{a,y}$ [kN/m]	M [kN m/m]

1.1.2.30 Point load

ID	Node	X [m]	Y [m]	F_x [kN/m]	F_y [kN/m]	$F_{a,x}$ [kN/m]	$F_{a,y}$ [kN/m]	M [kN m/m]

1.1.2.31 Point load

ID	Node	X [m]	Y [m]	F_x [kN/m]	F_y [kN/m]	$F_{a,x}$ [kN/m]	$F_{a,y}$ [kN/m]	M [kN m/m]

1.1.2.32 Point load

ID	Node	X [m]	Y [m]	F_x [kN/m]	F_y [kN/m]	$F_{a,x}$ [kN/m]	$F_{a,y}$ [kN/m]	M [kN m/m]

1.1.2.33 Point load

ID	Node	X [m]	Y [m]	F_x [kN/m]	F_y [kN/m]	$F_{a,x}$ [kN/m]	$F_{a,y}$ [kN/m]	M [kN m/m]

1.1.2.34 Point load

ID	Node	X [m]	Y [m]	F_x [kN/m]	F_y [kN/m]	$F_{a,x}$ [kN/m]	$F_{a,y}$ [kN/m]	M [kN m/m]

1.1.2.35 Point load

ID	Node	X [m]	Y [m]	F_x [kN/m]	F_y [kN/m]	$F_{a,x}$ [kN/m]	$F_{a,y}$ [kN/m]	M [kN m/m]

1.1.2.36 Point load

ID	Node	X [m]	Y [m]	F_x [kN/m]	F_y [kN/m]	$F_{a,x}$ [kN/m]	$F_{a,y}$ [kN/m]	M [kN m/m]

1.1.2.37 Point load

ID	Node	X [m]	Y [m]	F_x [kN/m]	F_y [kN/m]	$F_{a,x}$ [kN/m]	$F_{a,y}$ [kN/m]	M [kN m/m]

1.1.2.38 Point load

ID	Node	X [m]	Y [m]	F_x [kN/m]	F_y [kN/m]	$F_{a,x}$ [kN/m]	$F_{a,y}$ [kN/m]	M [kN m/m]

1.1.2.39 Point load

ID	Node	X [m]	Y [m]	F_x [kN/m]	F_y [kN/m]	$F_{a,x}$ [kN/m]	$F_{a,y}$ [kN/m]	M [kN m/m]

1.1.3.1 Line load

ID	Node	Local node	X [m]	Y [m]	q_x [kN/m/m]	q_y [kN/m/m]	$q_{a,x}$ [kN/m/m]	$q_{a,y}$ [kN/m/m]

1.1.3.2 Line load

ID	Node	Local node	X [m]	Y [m]	q_x [kN/m/m]	q_y [kN/m/m]	$q_{a,x}$ [kN/m/m]	$q_{a,y}$ [kN/m/m]

1.1.3.3 Line load

ID	Node	Local node	X [m]	Y [m]	q_x [kN/m/m]	q_y [kN/m/m]	$q_{a,x}$ [kN/m/m]	$q_{a,y}$ [kN/m/m]

1.1.3.4 Line load

ID	Node	Local node	X [m]	Y [m]	q_x [kN/m/m]	q_y [kN/m/m]	$q_{a,x}$ [kN/m/m]	$q_{a,y}$ [kN/m/m]

1.1.3.5 Line load

ID	Node	Local node	X [m]	Y [m]	q_x [kN/m/m]	q_y [kN/m/m]	$q_{a,x}$ [kN/m/m]	$q_{a,y}$ [kN/m/m]

1.1.3.6 Line load

ID	Node	Local node	X [m]	Y [m]	q_x [kN/m/m]	q_y [kN/m/m]	$q_{a,x}$ [kN/m/m]	$q_{a,y}$ [kN/m/m]

1.1.3.7 Line load

ID	Node	Local node	X [m]	Y [m]	q_x [kN/m/m]	q_y [kN/m/m]	$q_{a,x}$ [kN/m/m]	$q_{a,y}$ [kN/m/m]

1.1.3.8 Line load

ID	Node [10^3]	Local node	X [m]	Y [m]	q_x [kN/m/m]	q_y [kN/m/m]	$q_{a,x}$ [kN/m/m]	$q_{a,y}$ [kN/m/m]
1	13313	1	0,000	0,000	0,000	-10,000	0,000	-10,000
2	13300	2	0,228	0,000	0,000	-10,000	0,000	-10,000
3	13299	3	0,456	0,000	0,000	-10,000	0,000	-10,000
4	13298	4	0,684	0,000	0,000	-10,000	0,000	-10,000
5	13297	5	0,912	0,000	0,000	-10,000	0,000	-10,000
6	13297	1	0,912	0,000	0,000	-10,000	0,000	-10,000
7	13179	2	1,205	0,000	0,000	-10,000	0,000	-10,000
8	13180	3	1,498	0,000	0,000	-10,000	0,000	-10,000
9	13181	4	1,791	0,000	0,000	-10,000	0,000	-10,000
10	13185	5	2,084	0,000	0,000	-10,000	0,000	-10,000
11	13185	1	2,084	0,000	0,000	-10,000	0,000	-10,000
12	12199	2	2,358	0,000	0,000	-10,000	0,000	-10,000
13	12200	3	2,632	0,000	0,000	-10,000	0,000	-10,000
14	12201	4	2,906	0,000	0,000	-10,000	0,000	-10,000
15	12195	5	3,179	0,000	0,000	-10,000	0,000	-10,000
16	12195	1	3,179	0,000	0,000	-10,000	0,000	-10,000
17	12179	2	3,435	0,000	0,000	-10,000	0,000	-10,000
18	12180	3	3,691	0,000	0,000	-10,000	0,000	-10,000
19	12181	4	3,947	0,000	0,000	-10,000	0,000	-10,000
20	12185	5	4,203	0,000	0,000	-10,000	0,000	-10,000
21	12185	1	4,203	0,000	0,000	-10,000	0,000	-10,000
22	12154	2	4,407	0,000	0,000	-10,000	0,000	-10,000
23	12155	3	4,611	0,000	0,000	-10,000	0,000	-10,000
24	12156	4	4,814	0,000	0,000	-10,000	0,000	-10,000
25	12153	5	5,018	0,000	0,000	-10,000	0,000	-10,000
26	12153	1	5,018	0,000	0,000	-10,000	0,000	-10,000
27	11546	2	5,388	0,000	0,000	-10,000	0,000	-10,000

ID	Node [10^3]	Local node	X [m]	Y [m]	q_x [kN/m/m]	q_y [kN/m/m]	$q_{a,x}$ [kN/m/m]	$q_{a,y}$ [kN/m/m]
28	11545	3	5,759	0,000	0,000	-10,000	0,000	-10,000
29	11544	4	6,129	0,000	0,000	-10,000	0,000	-10,000
30	11543	5	6,500	0,000	0,000	-10,000	0,000	-10,000

1.1.3.9 Line load

ID	Node [10^3]	Local node	X [m]	Y [m]	q_x [kN/m/m]	q_y [kN/m/m]	$q_{a,x}$ [kN/m/m]	$q_{a,y}$ [kN/m/m]
1	13313	1	0,000	0,000	0,000	-10,000	0,000	-10,000
2	13300	2	0,228	0,000	0,000	-10,000	0,000	-10,000
3	13299	3	0,456	0,000	0,000	-10,000	0,000	-10,000
4	13298	4	0,684	0,000	0,000	-10,000	0,000	-10,000
5	13297	5	0,912	0,000	0,000	-10,000	0,000	-10,000
6	13297	1	0,912	0,000	0,000	-10,000	0,000	-10,000
7	13179	2	1,205	0,000	0,000	-10,000	0,000	-10,000
8	13180	3	1,498	0,000	0,000	-10,000	0,000	-10,000
9	13181	4	1,791	0,000	0,000	-10,000	0,000	-10,000
10	13185	5	2,084	0,000	0,000	-10,000	0,000	-10,000
11	13185	1	2,084	0,000	0,000	-10,000	0,000	-10,000
12	12199	2	2,358	0,000	0,000	-10,000	0,000	-10,000
13	12200	3	2,632	0,000	0,000	-10,000	0,000	-10,000
14	12201	4	2,906	0,000	0,000	-10,000	0,000	-10,000
15	12195	5	3,179	0,000	0,000	-10,000	0,000	-10,000
16	12195	1	3,179	0,000	0,000	-10,000	0,000	-10,000
17	12179	2	3,435	0,000	0,000	-10,000	0,000	-10,000
18	12180	3	3,691	0,000	0,000	-10,000	0,000	-10,000
19	12181	4	3,947	0,000	0,000	-10,000	0,000	-10,000
20	12185	5	4,203	0,000	0,000	-10,000	0,000	-10,000
21	12185	1	4,203	0,000	0,000	-10,000	0,000	-10,000
22	12154	2	4,407	0,000	0,000	-10,000	0,000	-10,000
23	12155	3	4,611	0,000	0,000	-10,000	0,000	-10,000
24	12156	4	4,814	0,000	0,000	-10,000	0,000	-10,000
25	12153	5	5,018	0,000	0,000	-10,000	0,000	-10,000
26	12153	1	5,018	0,000	0,000	-10,000	0,000	-10,000
27	11546	2	5,388	0,000	0,000	-10,000	0,000	-10,000

ID	Node [10^3]	Local node	X [m]	Y [m]	q_x [kN/m/m]	q_y [kN/m/m]	$q_{a,x}$ [kN/m/m]	$q_{a,y}$ [kN/m/m]
28	11545	3	5,759	0,000	0,000	-10,000	0,000	-10,000
29	11544	4	6,129	0,000	0,000	-10,000	0,000	-10,000
30	11543	5	6,500	0,000	0,000	-10,000	0,000	-10,000

1.1.3.10 Line load

ID	Node [10^3]	Local node	X [m]	Y [m]	q_x [kN/m/m]	q_y [kN/m/m]	$q_{a,x}$ [kN/m/m]	$q_{a,y}$ [kN/m/m]
1	13313	1	0,000	0,000	0,000	-20,000	0,000	-20,000
2	13300	2	0,228	0,000	0,000	-20,000	0,000	-20,000
3	13299	3	0,456	0,000	0,000	-20,000	0,000	-20,000
4	13298	4	0,684	0,000	0,000	-20,000	0,000	-20,000
5	13297	5	0,912	0,000	0,000	-20,000	0,000	-20,000
6	13297	1	0,912	0,000	0,000	-20,000	0,000	-20,000
7	13179	2	1,205	0,000	0,000	-20,000	0,000	-20,000
8	13180	3	1,498	0,000	0,000	-20,000	0,000	-20,000
9	13181	4	1,791	0,000	0,000	-20,000	0,000	-20,000
10	13185	5	2,084	0,000	0,000	-20,000	0,000	-20,000
11	13185	1	2,084	0,000	0,000	-20,000	0,000	-20,000
12	12199	2	2,358	0,000	0,000	-20,000	0,000	-20,000
13	12200	3	2,632	0,000	0,000	-20,000	0,000	-20,000
14	12201	4	2,906	0,000	0,000	-20,000	0,000	-20,000
15	12195	5	3,179	0,000	0,000	-20,000	0,000	-20,000
16	12195	1	3,179	0,000	0,000	-20,000	0,000	-20,000
17	12179	2	3,435	0,000	0,000	-20,000	0,000	-20,000
18	12180	3	3,691	0,000	0,000	-20,000	0,000	-20,000
19	12181	4	3,947	0,000	0,000	-20,000	0,000	-20,000
20	12185	5	4,203	0,000	0,000	-20,000	0,000	-20,000
21	12185	1	4,203	0,000	0,000	-20,000	0,000	-20,000
22	12154	2	4,407	0,000	0,000	-20,000	0,000	-20,000
23	12155	3	4,611	0,000	0,000	-20,000	0,000	-20,000
24	12156	4	4,814	0,000	0,000	-20,000	0,000	-20,000
25	12153	5	5,018	0,000	0,000	-20,000	0,000	-20,000
26	12153	1	5,018	0,000	0,000	-20,000	0,000	-20,000
27	11546	2	5,388	0,000	0,000	-20,000	0,000	-20,000

ID	Node [10^3]	Local node	X [m]	Y [m]	q_x [kN/m/m]	q_y [kN/m/m]	$q_{a,x}$ [kN/m/m]	$q_{a,y}$ [kN/m/m]
28	11545	3	5,759	0,000	0,000	-20,000	0,000	-20,000
29	11544	4	6,129	0,000	0,000	-20,000	0,000	-20,000
30	11543	5	6,500	0,000	0,000	-20,000	0,000	-20,000

1.1.3.11 Line load

ID	Node [10^3]	Local node	X [m]	Y [m]	q_x [kN/m/m]	q_y [kN/m/m]	$q_{a,x}$ [kN/m/m]	$q_{a,y}$ [kN/m/m]
1	13313	1	0,000	0,000	0,000	-20,000	0,000	-20,000
2	13300	2	0,228	0,000	0,000	-20,000	0,000	-20,000
3	13299	3	0,456	0,000	0,000	-20,000	0,000	-20,000
4	13298	4	0,684	0,000	0,000	-20,000	0,000	-20,000
5	13297	5	0,912	0,000	0,000	-20,000	0,000	-20,000
6	13297	1	0,912	0,000	0,000	-20,000	0,000	-20,000
7	13179	2	1,205	0,000	0,000	-20,000	0,000	-20,000
8	13180	3	1,498	0,000	0,000	-20,000	0,000	-20,000
9	13181	4	1,791	0,000	0,000	-20,000	0,000	-20,000
10	13185	5	2,084	0,000	0,000	-20,000	0,000	-20,000
11	13185	1	2,084	0,000	0,000	-20,000	0,000	-20,000
12	12199	2	2,358	0,000	0,000	-20,000	0,000	-20,000
13	12200	3	2,632	0,000	0,000	-20,000	0,000	-20,000
14	12201	4	2,906	0,000	0,000	-20,000	0,000	-20,000
15	12195	5	3,179	0,000	0,000	-20,000	0,000	-20,000
16	12195	1	3,179	0,000	0,000	-20,000	0,000	-20,000
17	12179	2	3,435	0,000	0,000	-20,000	0,000	-20,000
18	12180	3	3,691	0,000	0,000	-20,000	0,000	-20,000
19	12181	4	3,947	0,000	0,000	-20,000	0,000	-20,000
20	12185	5	4,203	0,000	0,000	-20,000	0,000	-20,000
21	12185	1	4,203	0,000	0,000	-20,000	0,000	-20,000
22	12154	2	4,407	0,000	0,000	-20,000	0,000	-20,000
23	12155	3	4,611	0,000	0,000	-20,000	0,000	-20,000
24	12156	4	4,814	0,000	0,000	-20,000	0,000	-20,000
25	12153	5	5,018	0,000	0,000	-20,000	0,000	-20,000
26	12153	1	5,018	0,000	0,000	-20,000	0,000	-20,000
27	11546	2	5,388	0,000	0,000	-20,000	0,000	-20,000

ID	Node [10^3]	Local node	X [m]	Y [m]	q_x [kN/m/m]	q_y [kN/m/m]	$q_{a,x}$ [kN/m/m]	$q_{a,y}$ [kN/m/m]
28	11545	3	5,759	0,000	0,000	-20,000	0,000	-20,000
29	11544	4	6,129	0,000	0,000	-20,000	0,000	-20,000
30	11543	5	6,500	0,000	0,000	-20,000	0,000	-20,000

1.1.3.12 Line load

ID	Node [10^3]	Local node	X [m]	Y [m]	q_x [kN/m/m]	q_y [kN/m/m]	$q_{a,x}$ [kN/m/m]	$q_{a,y}$ [kN/m/m]
1	13313	1	0,000	0,000	0,000	-20,000	0,000	-20,000
2	13300	2	0,228	0,000	0,000	-20,000	0,000	-20,000
3	13299	3	0,456	0,000	0,000	-20,000	0,000	-20,000
4	13298	4	0,684	0,000	0,000	-20,000	0,000	-20,000
5	13297	5	0,912	0,000	0,000	-20,000	0,000	-20,000
6	13297	1	0,912	0,000	0,000	-20,000	0,000	-20,000
7	13179	2	1,205	0,000	0,000	-20,000	0,000	-20,000
8	13180	3	1,498	0,000	0,000	-20,000	0,000	-20,000
9	13181	4	1,791	0,000	0,000	-20,000	0,000	-20,000
10	13185	5	2,084	0,000	0,000	-20,000	0,000	-20,000
11	13185	1	2,084	0,000	0,000	-20,000	0,000	-20,000
12	12199	2	2,358	0,000	0,000	-20,000	0,000	-20,000
13	12200	3	2,632	0,000	0,000	-20,000	0,000	-20,000
14	12201	4	2,906	0,000	0,000	-20,000	0,000	-20,000
15	12195	5	3,179	0,000	0,000	-20,000	0,000	-20,000
16	12195	1	3,179	0,000	0,000	-20,000	0,000	-20,000
17	12179	2	3,435	0,000	0,000	-20,000	0,000	-20,000
18	12180	3	3,691	0,000	0,000	-20,000	0,000	-20,000
19	12181	4	3,947	0,000	0,000	-20,000	0,000	-20,000
20	12185	5	4,203	0,000	0,000	-20,000	0,000	-20,000
21	12185	1	4,203	0,000	0,000	-20,000	0,000	-20,000
22	12154	2	4,407	0,000	0,000	-20,000	0,000	-20,000
23	12155	3	4,611	0,000	0,000	-20,000	0,000	-20,000
24	12156	4	4,814	0,000	0,000	-20,000	0,000	-20,000
25	12153	5	5,018	0,000	0,000	-20,000	0,000	-20,000
26	12153	1	5,018	0,000	0,000	-20,000	0,000	-20,000
27	11546	2	5,388	0,000	0,000	-20,000	0,000	-20,000

ID	Node [10^3]	Local node	X [m]	Y [m]	q_x [kN/m/m]	q_y [kN/m/m]	$q_{a,x}$ [kN/m/m]	$q_{a,y}$ [kN/m/m]
28	11545	3	5,759	0,000	0,000	-20,000	0,000	-20,000
29	11544	4	6,129	0,000	0,000	-20,000	0,000	-20,000
30	11543	5	6,500	0,000	0,000	-20,000	0,000	-20,000

1.1.3.13 Line load

ID	Node [10^3]	Local node	X [m]	Y [m]	q_x [kN/m/m]	q_y [kN/m/m]	$q_{a,x}$ [kN/m/m]	$q_{a,y}$ [kN/m/m]
1	13313	1	0,000	0,000	0,000	-10,000	0,000	-10,000
2	13300	2	0,228	0,000	0,000	-10,000	0,000	-10,000
3	13299	3	0,456	0,000	0,000	-10,000	0,000	-10,000
4	13298	4	0,684	0,000	0,000	-10,000	0,000	-10,000
5	13297	5	0,912	0,000	0,000	-10,000	0,000	-10,000
6	13297	1	0,912	0,000	0,000	-10,000	0,000	-10,000
7	13179	2	1,205	0,000	0,000	-10,000	0,000	-10,000
8	13180	3	1,498	0,000	0,000	-10,000	0,000	-10,000
9	13181	4	1,791	0,000	0,000	-10,000	0,000	-10,000
10	13185	5	2,084	0,000	0,000	-10,000	0,000	-10,000
11	13185	1	2,084	0,000	0,000	-10,000	0,000	-10,000
12	12199	2	2,358	0,000	0,000	-10,000	0,000	-10,000
13	12200	3	2,632	0,000	0,000	-10,000	0,000	-10,000
14	12201	4	2,906	0,000	0,000	-10,000	0,000	-10,000
15	12195	5	3,179	0,000	0,000	-10,000	0,000	-10,000
16	12195	1	3,179	0,000	0,000	-10,000	0,000	-10,000
17	12179	2	3,435	0,000	0,000	-10,000	0,000	-10,000
18	12180	3	3,691	0,000	0,000	-10,000	0,000	-10,000
19	12181	4	3,947	0,000	0,000	-10,000	0,000	-10,000
20	12185	5	4,203	0,000	0,000	-10,000	0,000	-10,000
21	12185	1	4,203	0,000	0,000	-10,000	0,000	-10,000
22	12154	2	4,407	0,000	0,000	-10,000	0,000	-10,000
23	12155	3	4,611	0,000	0,000	-10,000	0,000	-10,000
24	12156	4	4,814	0,000	0,000	-10,000	0,000	-10,000
25	12153	5	5,018	0,000	0,000	-10,000	0,000	-10,000
26	12153	1	5,018	0,000	0,000	-10,000	0,000	-10,000
27	11546	2	5,388	0,000	0,000	-10,000	0,000	-10,000

ID	Node [10^3]	Local node	X [m]	Y [m]	q_x [kN/m/m]	q_y [kN/m/m]	$q_{a,x}$ [kN/m/m]	$q_{a,y}$ [kN/m/m]
28	11545	3	5,759	0,000	0,000	-10,000	0,000	-10,000
29	11544	4	6,129	0,000	0,000	-10,000	0,000	-10,000
30	11543	5	6,500	0,000	0,000	-10,000	0,000	-10,000

1.1.3.14 Line load

ID	Node [10^3]	Local node	X [m]	Y [m]	q_x [kN/m/m]	q_y [kN/m/m]	$q_{a,x}$ [kN/m/m]	$q_{a,y}$ [kN/m/m]
1	13313	1	0,000	0,000	0,000	-10,000	0,000	-10,000
2	13300	2	0,228	0,000	0,000	-10,000	0,000	-10,000
3	13299	3	0,456	0,000	0,000	-10,000	0,000	-10,000
4	13298	4	0,684	0,000	0,000	-10,000	0,000	-10,000
5	13297	5	0,912	0,000	0,000	-10,000	0,000	-10,000
6	13297	1	0,912	0,000	0,000	-10,000	0,000	-10,000
7	13179	2	1,205	0,000	0,000	-10,000	0,000	-10,000
8	13180	3	1,498	0,000	0,000	-10,000	0,000	-10,000
9	13181	4	1,791	0,000	0,000	-10,000	0,000	-10,000
10	13185	5	2,084	0,000	0,000	-10,000	0,000	-10,000
11	13185	1	2,084	0,000	0,000	-10,000	0,000	-10,000
12	12199	2	2,358	0,000	0,000	-10,000	0,000	-10,000
13	12200	3	2,632	0,000	0,000	-10,000	0,000	-10,000
14	12201	4	2,906	0,000	0,000	-10,000	0,000	-10,000
15	12195	5	3,179	0,000	0,000	-10,000	0,000	-10,000
16	12195	1	3,179	0,000	0,000	-10,000	0,000	-10,000
17	12179	2	3,435	0,000	0,000	-10,000	0,000	-10,000
18	12180	3	3,691	0,000	0,000	-10,000	0,000	-10,000
19	12181	4	3,947	0,000	0,000	-10,000	0,000	-10,000
20	12185	5	4,203	0,000	0,000	-10,000	0,000	-10,000
21	12185	1	4,203	0,000	0,000	-10,000	0,000	-10,000
22	12154	2	4,407	0,000	0,000	-10,000	0,000	-10,000
23	12155	3	4,611	0,000	0,000	-10,000	0,000	-10,000
24	12156	4	4,814	0,000	0,000	-10,000	0,000	-10,000
25	12153	5	5,018	0,000	0,000	-10,000	0,000	-10,000
26	12153	1	5,018	0,000	0,000	-10,000	0,000	-10,000
27	11546	2	5,388	0,000	0,000	-10,000	0,000	-10,000

ID	Node [10^3]	Local node	X [m]	Y [m]	q_x [kN/m/m]	q_y [kN/m/m]	$q_{a,x}$ [kN/m/m]	$q_{a,y}$ [kN/m/m]
28	11545	3	5,759	0,000	0,000	-10,000	0,000	-10,000
29	11544	4	6,129	0,000	0,000	-10,000	0,000	-10,000
30	11543	5	6,500	0,000	0,000	-10,000	0,000	-10,000

1.1.3.15 Line load

ID	Node [10^3]	Local node	X [m]	Y [m]	q_x [kN/m/m]	q_y [kN/m/m]	$q_{a,x}$ [kN/m/m]	$q_{a,y}$ [kN/m/m]
1	13313	1	0,000	0,000	0,000	-10,000	0,000	-10,000
2	13300	2	0,228	0,000	0,000	-10,000	0,000	-10,000
3	13299	3	0,456	0,000	0,000	-10,000	0,000	-10,000
4	13298	4	0,684	0,000	0,000	-10,000	0,000	-10,000
5	13297	5	0,912	0,000	0,000	-10,000	0,000	-10,000
6	13297	1	0,912	0,000	0,000	-10,000	0,000	-10,000
7	13179	2	1,205	0,000	0,000	-10,000	0,000	-10,000
8	13180	3	1,498	0,000	0,000	-10,000	0,000	-10,000
9	13181	4	1,791	0,000	0,000	-10,000	0,000	-10,000
10	13185	5	2,084	0,000	0,000	-10,000	0,000	-10,000
11	13185	1	2,084	0,000	0,000	-10,000	0,000	-10,000
12	12199	2	2,358	0,000	0,000	-10,000	0,000	-10,000
13	12200	3	2,632	0,000	0,000	-10,000	0,000	-10,000
14	12201	4	2,906	0,000	0,000	-10,000	0,000	-10,000
15	12195	5	3,179	0,000	0,000	-10,000	0,000	-10,000
16	12195	1	3,179	0,000	0,000	-10,000	0,000	-10,000
17	12179	2	3,435	0,000	0,000	-10,000	0,000	-10,000
18	12180	3	3,691	0,000	0,000	-10,000	0,000	-10,000
19	12181	4	3,947	0,000	0,000	-10,000	0,000	-10,000
20	12185	5	4,203	0,000	0,000	-10,000	0,000	-10,000
21	12185	1	4,203	0,000	0,000	-10,000	0,000	-10,000
22	12154	2	4,407	0,000	0,000	-10,000	0,000	-10,000
23	12155	3	4,611	0,000	0,000	-10,000	0,000	-10,000
24	12156	4	4,814	0,000	0,000	-10,000	0,000	-10,000
25	12153	5	5,018	0,000	0,000	-10,000	0,000	-10,000
26	12153	1	5,018	0,000	0,000	-10,000	0,000	-10,000
27	11546	2	5,388	0,000	0,000	-10,000	0,000	-10,000

ID	Node [10^3]	Local node	X [m]	Y [m]	q_x [kN/m/m]	q_y [kN/m/m]	$q_{a,x}$ [kN/m/m]	$q_{a,y}$ [kN/m/m]
28	11545	3	5,759	0,000	0,000	-10,000	0,000	-10,000
29	11544	4	6,129	0,000	0,000	-10,000	0,000	-10,000
30	11543	5	6,500	0,000	0,000	-10,000	0,000	-10,000

1.1.3.16 Line load

ID	Node [10^3]	Local node	X [m]	Y [m]	q_x [kN/m/m]	q_y [kN/m/m]	$q_{a,x}$ [kN/m/m]	$q_{a,y}$ [kN/m/m]
1	13313	1	0,000	0,000	0,000	-10,000	0,000	-10,000
2	13300	2	0,228	0,000	0,000	-10,000	0,000	-10,000
3	13299	3	0,456	0,000	0,000	-10,000	0,000	-10,000
4	13298	4	0,684	0,000	0,000	-10,000	0,000	-10,000
5	13297	5	0,912	0,000	0,000	-10,000	0,000	-10,000
6	13297	1	0,912	0,000	0,000	-10,000	0,000	-10,000
7	13179	2	1,205	0,000	0,000	-10,000	0,000	-10,000
8	13180	3	1,498	0,000	0,000	-10,000	0,000	-10,000
9	13181	4	1,791	0,000	0,000	-10,000	0,000	-10,000
10	13185	5	2,084	0,000	0,000	-10,000	0,000	-10,000
11	13185	1	2,084	0,000	0,000	-10,000	0,000	-10,000
12	12199	2	2,358	0,000	0,000	-10,000	0,000	-10,000
13	12200	3	2,632	0,000	0,000	-10,000	0,000	-10,000
14	12201	4	2,906	0,000	0,000	-10,000	0,000	-10,000
15	12195	5	3,179	0,000	0,000	-10,000	0,000	-10,000
16	12195	1	3,179	0,000	0,000	-10,000	0,000	-10,000
17	12179	2	3,435	0,000	0,000	-10,000	0,000	-10,000
18	12180	3	3,691	0,000	0,000	-10,000	0,000	-10,000
19	12181	4	3,947	0,000	0,000	-10,000	0,000	-10,000
20	12185	5	4,203	0,000	0,000	-10,000	0,000	-10,000
21	12185	1	4,203	0,000	0,000	-10,000	0,000	-10,000
22	12154	2	4,407	0,000	0,000	-10,000	0,000	-10,000
23	12155	3	4,611	0,000	0,000	-10,000	0,000	-10,000
24	12156	4	4,814	0,000	0,000	-10,000	0,000	-10,000
25	12153	5	5,018	0,000	0,000	-10,000	0,000	-10,000
26	12153	1	5,018	0,000	0,000	-10,000	0,000	-10,000
27	11546	2	5,388	0,000	0,000	-10,000	0,000	-10,000

ID	Node [10^3]	Local node	X [m]	Y [m]	q_x [kN/m/m]	q_y [kN/m/m]	$q_{a,x}$ [kN/m/m]	$q_{a,y}$ [kN/m/m]
28	11545	3	5,759	0,000	0,000	-10,000	0,000	-10,000
29	11544	4	6,129	0,000	0,000	-10,000	0,000	-10,000
30	11543	5	6,500	0,000	0,000	-10,000	0,000	-10,000

1.1.3.17 Line load

ID	Node [10^3]	Local node	X [m]	Y [m]	q_x [kN/m/m]	q_y [kN/m/m]	$q_{a,x}$ [kN/m/m]	$q_{a,y}$ [kN/m/m]
1	13313	1	0,000	0,000	0,000	-10,000	0,000	-10,000
2	13300	2	0,228	0,000	0,000	-10,000	0,000	-10,000
3	13299	3	0,456	0,000	0,000	-10,000	0,000	-10,000
4	13298	4	0,684	0,000	0,000	-10,000	0,000	-10,000
5	13297	5	0,912	0,000	0,000	-10,000	0,000	-10,000
6	13297	1	0,912	0,000	0,000	-10,000	0,000	-10,000
7	13179	2	1,205	0,000	0,000	-10,000	0,000	-10,000
8	13180	3	1,498	0,000	0,000	-10,000	0,000	-10,000
9	13181	4	1,791	0,000	0,000	-10,000	0,000	-10,000
10	13185	5	2,084	0,000	0,000	-10,000	0,000	-10,000
11	13185	1	2,084	0,000	0,000	-10,000	0,000	-10,000
12	12199	2	2,358	0,000	0,000	-10,000	0,000	-10,000
13	12200	3	2,632	0,000	0,000	-10,000	0,000	-10,000
14	12201	4	2,906	0,000	0,000	-10,000	0,000	-10,000
15	12195	5	3,179	0,000	0,000	-10,000	0,000	-10,000
16	12195	1	3,179	0,000	0,000	-10,000	0,000	-10,000
17	12179	2	3,435	0,000	0,000	-10,000	0,000	-10,000
18	12180	3	3,691	0,000	0,000	-10,000	0,000	-10,000
19	12181	4	3,947	0,000	0,000	-10,000	0,000	-10,000
20	12185	5	4,203	0,000	0,000	-10,000	0,000	-10,000
21	12185	1	4,203	0,000	0,000	-10,000	0,000	-10,000
22	12154	2	4,407	0,000	0,000	-10,000	0,000	-10,000
23	12155	3	4,611	0,000	0,000	-10,000	0,000	-10,000
24	12156	4	4,814	0,000	0,000	-10,000	0,000	-10,000
25	12153	5	5,018	0,000	0,000	-10,000	0,000	-10,000
26	12153	1	5,018	0,000	0,000	-10,000	0,000	-10,000
27	11546	2	5,388	0,000	0,000	-10,000	0,000	-10,000

ID	Node [10^3]	Local node	X [m]	Y [m]	q_x [kN/m/m]	q_y [kN/m/m]	$q_{a,x}$ [kN/m/m]	$q_{a,y}$ [kN/m/m]
28	11545	3	5,759	0,000	0,000	-10,000	0,000	-10,000
29	11544	4	6,129	0,000	0,000	-10,000	0,000	-10,000
30	11543	5	6,500	0,000	0,000	-10,000	0,000	-10,000

1.1.3.18 Line load

ID	Node [10^3]	Local node	X [m]	Y [m]	q_x [kN/m/m]	q_y [kN/m/m]	$q_{a,x}$ [kN/m/m]	$q_{a,y}$ [kN/m/m]
1	13313	1	0,000	0,000	0,000	-10,000	0,000	-10,000
2	13300	2	0,228	0,000	0,000	-10,000	0,000	-10,000
3	13299	3	0,456	0,000	0,000	-10,000	0,000	-10,000
4	13298	4	0,684	0,000	0,000	-10,000	0,000	-10,000
5	13297	5	0,912	0,000	0,000	-10,000	0,000	-10,000
6	13297	1	0,912	0,000	0,000	-10,000	0,000	-10,000
7	13179	2	1,205	0,000	0,000	-10,000	0,000	-10,000
8	13180	3	1,498	0,000	0,000	-10,000	0,000	-10,000
9	13181	4	1,791	0,000	0,000	-10,000	0,000	-10,000
10	13185	5	2,084	0,000	0,000	-10,000	0,000	-10,000
11	13185	1	2,084	0,000	0,000	-10,000	0,000	-10,000
12	12199	2	2,358	0,000	0,000	-10,000	0,000	-10,000
13	12200	3	2,632	0,000	0,000	-10,000	0,000	-10,000
14	12201	4	2,906	0,000	0,000	-10,000	0,000	-10,000
15	12195	5	3,179	0,000	0,000	-10,000	0,000	-10,000
16	12195	1	3,179	0,000	0,000	-10,000	0,000	-10,000
17	12179	2	3,435	0,000	0,000	-10,000	0,000	-10,000
18	12180	3	3,691	0,000	0,000	-10,000	0,000	-10,000
19	12181	4	3,947	0,000	0,000	-10,000	0,000	-10,000
20	12185	5	4,203	0,000	0,000	-10,000	0,000	-10,000
21	12185	1	4,203	0,000	0,000	-10,000	0,000	-10,000
22	12154	2	4,407	0,000	0,000	-10,000	0,000	-10,000
23	12155	3	4,611	0,000	0,000	-10,000	0,000	-10,000
24	12156	4	4,814	0,000	0,000	-10,000	0,000	-10,000
25	12153	5	5,018	0,000	0,000	-10,000	0,000	-10,000
26	12153	1	5,018	0,000	0,000	-10,000	0,000	-10,000
27	11546	2	5,388	0,000	0,000	-10,000	0,000	-10,000

ID	Node [10^3]	Local node	X [m]	Y [m]	q_x [kN/m/m]	q_y [kN/m/m]	$q_{a,x}$ [kN/m/m]	$q_{a,y}$ [kN/m/m]
28	11545	3	5,759	0,000	0,000	-10,000	0,000	-10,000
29	11544	4	6,129	0,000	0,000	-10,000	0,000	-10,000
30	11543	5	6,500	0,000	0,000	-10,000	0,000	-10,000

1.1.3.19 Line load

ID	Node [10^3]	Local node	X [m]	Y [m]	q_x [kN/m/m]	q_y [kN/m/m]	$q_{a,x}$ [kN/m/m]	$q_{a,y}$ [kN/m/m]
1	13313	1	0,000	0,000	0,000	-10,000	0,000	-10,000
2	13300	2	0,228	0,000	0,000	-10,000	0,000	-10,000
3	13299	3	0,456	0,000	0,000	-10,000	0,000	-10,000
4	13298	4	0,684	0,000	0,000	-10,000	0,000	-10,000
5	13297	5	0,912	0,000	0,000	-10,000	0,000	-10,000
6	13297	1	0,912	0,000	0,000	-10,000	0,000	-10,000
7	13179	2	1,205	0,000	0,000	-10,000	0,000	-10,000
8	13180	3	1,498	0,000	0,000	-10,000	0,000	-10,000
9	13181	4	1,791	0,000	0,000	-10,000	0,000	-10,000
10	13185	5	2,084	0,000	0,000	-10,000	0,000	-10,000
11	13185	1	2,084	0,000	0,000	-10,000	0,000	-10,000
12	12199	2	2,358	0,000	0,000	-10,000	0,000	-10,000
13	12200	3	2,632	0,000	0,000	-10,000	0,000	-10,000
14	12201	4	2,906	0,000	0,000	-10,000	0,000	-10,000
15	12195	5	3,179	0,000	0,000	-10,000	0,000	-10,000
16	12195	1	3,179	0,000	0,000	-10,000	0,000	-10,000
17	12179	2	3,435	0,000	0,000	-10,000	0,000	-10,000
18	12180	3	3,691	0,000	0,000	-10,000	0,000	-10,000
19	12181	4	3,947	0,000	0,000	-10,000	0,000	-10,000
20	12185	5	4,203	0,000	0,000	-10,000	0,000	-10,000
21	12185	1	4,203	0,000	0,000	-10,000	0,000	-10,000
22	12154	2	4,407	0,000	0,000	-10,000	0,000	-10,000
23	12155	3	4,611	0,000	0,000	-10,000	0,000	-10,000
24	12156	4	4,814	0,000	0,000	-10,000	0,000	-10,000
25	12153	5	5,018	0,000	0,000	-10,000	0,000	-10,000
26	12153	1	5,018	0,000	0,000	-10,000	0,000	-10,000
27	11546	2	5,388	0,000	0,000	-10,000	0,000	-10,000

ID	Node [10^3]	Local node	X [m]	Y [m]	q_x [kN/m/m]	q_y [kN/m/m]	$q_{a,x}$ [kN/m/m]	$q_{a,y}$ [kN/m/m]
28	11545	3	5,759	0,000	0,000	-10,000	0,000	-10,000
29	11544	4	6,129	0,000	0,000	-10,000	0,000	-10,000
30	11543	5	6,500	0,000	0,000	-10,000	0,000	-10,000

1.1.3.20 Line load

ID	Node [10^3]	Local node	X [m]	Y [m]	q_x [kN/m/m]	q_y [kN/m/m]	$q_{a,x}$ [kN/m/m]	$q_{a,y}$ [kN/m/m]
1	13313	1	0,000	0,000	0,000	-6,000	0,000	-6,000
2	13300	2	0,228	0,000	0,000	-6,000	0,000	-6,000
3	13299	3	0,456	0,000	0,000	-6,000	0,000	-6,000
4	13298	4	0,684	0,000	0,000	-6,000	0,000	-6,000
5	13297	5	0,912	0,000	0,000	-6,000	0,000	-6,000
6	13297	1	0,912	0,000	0,000	-6,000	0,000	-6,000
7	13179	2	1,205	0,000	0,000	-6,000	0,000	-6,000
8	13180	3	1,498	0,000	0,000	-6,000	0,000	-6,000
9	13181	4	1,791	0,000	0,000	-6,000	0,000	-6,000
10	13185	5	2,084	0,000	0,000	-6,000	0,000	-6,000
11	13185	1	2,084	0,000	0,000	-6,000	0,000	-6,000
12	12199	2	2,358	0,000	0,000	-6,000	0,000	-6,000
13	12200	3	2,632	0,000	0,000	-6,000	0,000	-6,000
14	12201	4	2,906	0,000	0,000	-6,000	0,000	-6,000
15	12195	5	3,179	0,000	0,000	-6,000	0,000	-6,000
16	12195	1	3,179	0,000	0,000	-6,000	0,000	-6,000
17	12179	2	3,435	0,000	0,000	-6,000	0,000	-6,000
18	12180	3	3,691	0,000	0,000	-6,000	0,000	-6,000
19	12181	4	3,947	0,000	0,000	-6,000	0,000	-6,000
20	12185	5	4,203	0,000	0,000	-6,000	0,000	-6,000
21	12185	1	4,203	0,000	0,000	-6,000	0,000	-6,000
22	12154	2	4,407	0,000	0,000	-6,000	0,000	-6,000
23	12155	3	4,611	0,000	0,000	-6,000	0,000	-6,000
24	12156	4	4,814	0,000	0,000	-6,000	0,000	-6,000
25	12153	5	5,018	0,000	0,000	-6,000	0,000	-6,000
26	12153	1	5,018	0,000	0,000	-6,000	0,000	-6,000
27	11546	2	5,388	0,000	0,000	-6,000	0,000	-6,000

ID	Node [10^3]	Local node	X [m]	Y [m]	q_x [kN/m/m]	q_y [kN/m/m]	$q_{a,x}$ [kN/m/m]	$q_{a,y}$ [kN/m/m]
28	11545	3	5,759	0,000	0,000	-6,000	0,000	-6,000
29	11544	4	6,129	0,000	0,000	-6,000	0,000	-6,000
30	11543	5	6,500	0,000	0,000	-6,000	0,000	-6,000

1.1.3.21 Line load

ID	Node [10^3]	Local node	X [m]	Y [m]	q_x [kN/m/m]	q_y [kN/m/m]	$q_{a,x}$ [kN/m/m]	$q_{a,y}$ [kN/m/m]
1	15329	1	-5,500	0,000	0,000	-6,000	0,000	-6,000
2	15321	2	-5,436	0,000	0,000	-6,000	0,000	-6,000
3	15320	3	-5,373	0,000	0,000	-6,000	0,000	-6,000
4	15319	4	-5,309	0,000	0,000	-6,000	0,000	-6,000
5	15325	5	-5,245	0,000	0,000	-6,000	0,000	-6,000
6	15325	1	-5,245	0,000	0,000	-6,000	0,000	-6,000
7	15305	2	-5,133	0,000	0,000	-6,000	0,000	-6,000
8	15304	3	-5,020	0,000	0,000	-6,000	0,000	-6,000
9	15303	4	-4,908	0,000	0,000	-6,000	0,000	-6,000
10	15309	5	-4,795	0,000	0,000	-6,000	0,000	-6,000
11	15309	1	-4,795	0,000	0,000	-6,000	0,000	-6,000
12	15283	2	-4,596	0,000	0,000	-6,000	0,000	-6,000
13	15282	3	-4,398	0,000	0,000	-6,000	0,000	-6,000
14	15281	4	-4,199	0,000	0,000	-6,000	0,000	-6,000
15	15290	5	-4,000	0,000	0,000	-6,000	0,000	-6,000
16	15277	1	-4,000	0,000	0,000	-6,000	0,000	-6,000
17	14403	2	-3,761	0,000	0,000	-6,000	0,000	-6,000
18	14402	3	-3,521	0,000	0,000	-6,000	0,000	-6,000
19	14401	4	-3,282	0,000	0,000	-6,000	0,000	-6,000
20	14397	5	-3,042	0,000	0,000	-6,000	0,000	-6,000
21	14397	1	-3,042	0,000	0,000	-6,000	0,000	-6,000
22	14371	2	-2,796	0,000	0,000	-6,000	0,000	-6,000
23	14370	3	-2,550	0,000	0,000	-6,000	0,000	-6,000
24	14369	4	-2,303	0,000	0,000	-6,000	0,000	-6,000
25	14365	5	-2,057	0,000	0,000	-6,000	0,000	-6,000
26	14365	1	-2,057	0,000	0,000	-6,000	0,000	-6,000
27	14257	2	-1,803	0,000	0,000	-6,000	0,000	-6,000

ID	Node [10^3]	Local node	X [m]	Y [m]	q_x [kN/m/m]	q_y [kN/m/m]	$q_{a,x}$ [kN/m/m]	$q_{a,y}$ [kN/m/m]
28	14256	3	-1,550	0,000	0,000	-6,000	0,000	-6,000
29	14255	4	-1,296	0,000	0,000	-6,000	0,000	-6,000
30	14251	5	-1,043	0,000	0,000	-6,000	0,000	-6,000
31	14251	1	-1,043	0,000	0,000	-6,000	0,000	-6,000
32	13498	2	-0,782	0,000	0,000	-6,000	0,000	-6,000
33	13497	3	-0,522	0,000	0,000	-6,000	0,000	-6,000
34	13496	4	-0,261	0,000	0,000	-6,000	0,000	-6,000
35	13495	5	0,000	0,000	0,000	-6,000	0,000	-6,000
36	13313	1	0,000	0,000	0,000	-6,000	0,000	-6,000
37	13300	2	0,228	0,000	0,000	-6,000	0,000	-6,000
38	13299	3	0,456	0,000	0,000	-6,000	0,000	-6,000
39	13298	4	0,684	0,000	0,000	-6,000	0,000	-6,000
40	13297	5	0,912	0,000	0,000	-6,000	0,000	-6,000
41	13297	1	0,912	0,000	0,000	-6,000	0,000	-6,000
42	13179	2	1,205	0,000	0,000	-6,000	0,000	-6,000
43	13180	3	1,498	0,000	0,000	-6,000	0,000	-6,000
44	13181	4	1,791	0,000	0,000	-6,000	0,000	-6,000
45	13185	5	2,084	0,000	0,000	-6,000	0,000	-6,000
46	13185	1	2,084	0,000	0,000	-6,000	0,000	-6,000
47	12199	2	2,358	0,000	0,000	-6,000	0,000	-6,000
48	12200	3	2,632	0,000	0,000	-6,000	0,000	-6,000
49	12201	4	2,906	0,000	0,000	-6,000	0,000	-6,000
50	12195	5	3,179	0,000	0,000	-6,000	0,000	-6,000
51	12195	1	3,179	0,000	0,000	-6,000	0,000	-6,000
52	12179	2	3,435	0,000	0,000	-6,000	0,000	-6,000
53	12180	3	3,691	0,000	0,000	-6,000	0,000	-6,000
54	12181	4	3,947	0,000	0,000	-6,000	0,000	-6,000
55	12185	5	4,203	0,000	0,000	-6,000	0,000	-6,000
56	12185	1	4,203	0,000	0,000	-6,000	0,000	-6,000
57	12154	2	4,407	0,000	0,000	-6,000	0,000	-6,000

ID	Node [10^3]	Local node	X [m]	Y [m]	q_x [kN/m/m]	q_y [kN/m/m]	$q_{a,x}$ [kN/m/m]	$q_{a,y}$ [kN/m/m]
58	12155	3	4,611	0,000	0,000	-6,000	0,000	-6,000
59	12156	4	4,814	0,000	0,000	-6,000	0,000	-6,000
60	12153	5	5,018	0,000	0,000	-6,000	0,000	-6,000
61	12153	1	5,018	0,000	0,000	-6,000	0,000	-6,000
62	11546	2	5,388	0,000	0,000	-6,000	0,000	-6,000
63	11545	3	5,759	0,000	0,000	-6,000	0,000	-6,000
64	11544	4	6,129	0,000	0,000	-6,000	0,000	-6,000
65	11543	5	6,500	0,000	0,000	-6,000	0,000	-6,000

1.1.3.22 Line load

ID	Node [10^3]	Local node	X [m]	Y [m]	q_x [kN/m/m]	q_y [kN/m/m]	$q_{a,x}$ [kN/m/m]	$q_{a,y}$ [kN/m/m]
1	15329	1	-5,500	0,000	0,000	-23,100	0,000	-23,100
2	15321	2	-5,436	0,000	0,000	-23,100	0,000	-23,100
3	15320	3	-5,373	0,000	0,000	-23,100	0,000	-23,100
4	15319	4	-5,309	0,000	0,000	-23,100	0,000	-23,100
5	15325	5	-5,245	0,000	0,000	-23,100	0,000	-23,100
6	15325	1	-5,245	0,000	0,000	-23,100	0,000	-23,100
7	15305	2	-5,133	0,000	0,000	-23,100	0,000	-23,100
8	15304	3	-5,020	0,000	0,000	-23,100	0,000	-23,100
9	15303	4	-4,908	0,000	0,000	-23,100	0,000	-23,100
10	15309	5	-4,795	0,000	0,000	-23,100	0,000	-23,100
11	15309	1	-4,795	0,000	0,000	-23,100	0,000	-23,100
12	15283	2	-4,596	0,000	0,000	-23,100	0,000	-23,100
13	15282	3	-4,398	0,000	0,000	-23,100	0,000	-23,100
14	15281	4	-4,199	0,000	0,000	-23,100	0,000	-23,100
15	15290	5	-4,000	0,000	0,000	-23,100	0,000	-23,100
16	15277	1	-4,000	0,000	0,000	-23,100	0,000	-23,100
17	14403	2	-3,761	0,000	0,000	-23,100	0,000	-23,100
18	14402	3	-3,521	0,000	0,000	-23,100	0,000	-23,100
19	14401	4	-3,282	0,000	0,000	-23,100	0,000	-23,100
20	14397	5	-3,042	0,000	0,000	-23,100	0,000	-23,100
21	14397	1	-3,042	0,000	0,000	-23,100	0,000	-23,100
22	14371	2	-2,796	0,000	0,000	-23,100	0,000	-23,100
23	14370	3	-2,550	0,000	0,000	-23,100	0,000	-23,100
24	14369	4	-2,303	0,000	0,000	-23,100	0,000	-23,100
25	14365	5	-2,057	0,000	0,000	-23,100	0,000	-23,100
26	14365	1	-2,057	0,000	0,000	-23,100	0,000	-23,100
27	14257	2	-1,803	0,000	0,000	-23,100	0,000	-23,100

ID	Node [10^3]	Local node	X [m]	Y [m]	q_x [kN/m/m]	q_y [kN/m/m]	$q_{a,x}$ [kN/m/m]	$q_{a,y}$ [kN/m/m]
28	14256	3	-1,550	0,000	0,000	-23,100	0,000	-23,100
29	14255	4	-1,296	0,000	0,000	-23,100	0,000	-23,100
30	14251	5	-1,043	0,000	0,000	-23,100	0,000	-23,100
31	14251	1	-1,043	0,000	0,000	-23,100	0,000	-23,100
32	13498	2	-0,782	0,000	0,000	-23,100	0,000	-23,100
33	13497	3	-0,522	0,000	0,000	-23,100	0,000	-23,100
34	13496	4	-0,261	0,000	0,000	-23,100	0,000	-23,100
35	13495	5	0,000	0,000	0,000	-23,100	0,000	-23,100
36	13313	1	0,000	0,000	0,000	-23,100	0,000	-23,100
37	13300	2	0,228	0,000	0,000	-23,100	0,000	-23,100
38	13299	3	0,456	0,000	0,000	-23,100	0,000	-23,100
39	13298	4	0,684	0,000	0,000	-23,100	0,000	-23,100
40	13297	5	0,912	0,000	0,000	-23,100	0,000	-23,100
41	13297	1	0,912	0,000	0,000	-23,100	0,000	-23,100
42	13179	2	1,205	0,000	0,000	-23,100	0,000	-23,100
43	13180	3	1,498	0,000	0,000	-23,100	0,000	-23,100
44	13181	4	1,791	0,000	0,000	-23,100	0,000	-23,100
45	13185	5	2,084	0,000	0,000	-23,100	0,000	-23,100
46	13185	1	2,084	0,000	0,000	-23,100	0,000	-23,100
47	12199	2	2,358	0,000	0,000	-23,100	0,000	-23,100
48	12200	3	2,632	0,000	0,000	-23,100	0,000	-23,100
49	12201	4	2,906	0,000	0,000	-23,100	0,000	-23,100
50	12195	5	3,179	0,000	0,000	-23,100	0,000	-23,100
51	12195	1	3,179	0,000	0,000	-23,100	0,000	-23,100
52	12179	2	3,435	0,000	0,000	-23,100	0,000	-23,100
53	12180	3	3,691	0,000	0,000	-23,100	0,000	-23,100
54	12181	4	3,947	0,000	0,000	-23,100	0,000	-23,100
55	12185	5	4,203	0,000	0,000	-23,100	0,000	-23,100
56	12185	1	4,203	0,000	0,000	-23,100	0,000	-23,100
57	12154	2	4,407	0,000	0,000	-23,100	0,000	-23,100

ID	Node [10^3]	Local node	X [m]	Y [m]	q_x [kN/m/m]	q_y [kN/m/m]	$q_{a,x}$ [kN/m/m]	$q_{a,y}$ [kN/m/m]
58	12155	3	4,611	0,000	0,000	-23,100	0,000	-23,100
59	12156	4	4,814	0,000	0,000	-23,100	0,000	-23,100
60	12153	5	5,018	0,000	0,000	-23,100	0,000	-23,100
61	12153	1	5,018	0,000	0,000	-23,100	0,000	-23,100
62	11546	2	5,388	0,000	0,000	-23,100	0,000	-23,100
63	11545	3	5,759	0,000	0,000	-23,100	0,000	-23,100
64	11544	4	6,129	0,000	0,000	-23,100	0,000	-23,100
65	11543	5	6,500	0,000	0,000	-23,100	0,000	-23,100

1.1.3.23 Line load

ID	Node [10^3]	Local node	X [m]	Y [m]	q_x [kN/m/m]	q_y [kN/m/m]	$q_{a,x}$ [kN/m/m]	$q_{a,y}$ [kN/m/m]
1	13313	1	0,000	0,000	0,000	-10,000	0,000	-10,000
2	13300	2	0,228	0,000	0,000	-10,000	0,000	-10,000
3	13299	3	0,456	0,000	0,000	-10,000	0,000	-10,000
4	13298	4	0,684	0,000	0,000	-10,000	0,000	-10,000
5	13297	5	0,912	0,000	0,000	-10,000	0,000	-10,000
6	13297	1	0,912	0,000	0,000	-10,000	0,000	-10,000
7	13179	2	1,205	0,000	0,000	-10,000	0,000	-10,000
8	13180	3	1,498	0,000	0,000	-10,000	0,000	-10,000
9	13181	4	1,791	0,000	0,000	-10,000	0,000	-10,000
10	13185	5	2,084	0,000	0,000	-10,000	0,000	-10,000
11	13185	1	2,084	0,000	0,000	-10,000	0,000	-10,000
12	12199	2	2,358	0,000	0,000	-10,000	0,000	-10,000
13	12200	3	2,632	0,000	0,000	-10,000	0,000	-10,000
14	12201	4	2,906	0,000	0,000	-10,000	0,000	-10,000
15	12195	5	3,179	0,000	0,000	-10,000	0,000	-10,000
16	12195	1	3,179	0,000	0,000	-10,000	0,000	-10,000
17	12179	2	3,435	0,000	0,000	-10,000	0,000	-10,000
18	12180	3	3,691	0,000	0,000	-10,000	0,000	-10,000
19	12181	4	3,947	0,000	0,000	-10,000	0,000	-10,000
20	12185	5	4,203	0,000	0,000	-10,000	0,000	-10,000
21	12185	1	4,203	0,000	0,000	-10,000	0,000	-10,000
22	12154	2	4,407	0,000	0,000	-10,000	0,000	-10,000
23	12155	3	4,611	0,000	0,000	-10,000	0,000	-10,000
24	12156	4	4,814	0,000	0,000	-10,000	0,000	-10,000
25	12153	5	5,018	0,000	0,000	-10,000	0,000	-10,000
26	12153	1	5,018	0,000	0,000	-10,000	0,000	-10,000
27	11546	2	5,388	0,000	0,000	-10,000	0,000	-10,000

ID	Node [10^3]	Local node	X [m]	Y [m]	q_x [kN/m/m]	q_y [kN/m/m]	$q_{a,x}$ [kN/m/m]	$q_{a,y}$ [kN/m/m]
28	11545	3	5,759	0,000	0,000	-10,000	0,000	-10,000
29	11544	4	6,129	0,000	0,000	-10,000	0,000	-10,000
30	11543	5	6,500	0,000	0,000	-10,000	0,000	-10,000

1.1.3.24 Line load

ID	Node [10^3]	Local node	X [m]	Y [m]	q_x [kN/m/m]	q_y [kN/m/m]	$q_{a,x}$ [kN/m/m]	$q_{a,y}$ [kN/m/m]
1	15329	1	-5,500	0,000	0,000	-26,000	0,000	-26,000
2	15321	2	-5,436	0,000	0,000	-26,000	0,000	-26,000
3	15320	3	-5,373	0,000	0,000	-26,000	0,000	-26,000
4	15319	4	-5,309	0,000	0,000	-26,000	0,000	-26,000
5	15325	5	-5,245	0,000	0,000	-26,000	0,000	-26,000
6	15325	1	-5,245	0,000	0,000	-26,000	0,000	-26,000
7	15305	2	-5,133	0,000	0,000	-26,000	0,000	-26,000
8	15304	3	-5,020	0,000	0,000	-26,000	0,000	-26,000
9	15303	4	-4,908	0,000	0,000	-26,000	0,000	-26,000
10	15309	5	-4,795	0,000	0,000	-26,000	0,000	-26,000
11	15309	1	-4,795	0,000	0,000	-26,000	0,000	-26,000
12	15283	2	-4,596	0,000	0,000	-26,000	0,000	-26,000
13	15282	3	-4,398	0,000	0,000	-26,000	0,000	-26,000
14	15281	4	-4,199	0,000	0,000	-26,000	0,000	-26,000
15	15290	5	-4,000	0,000	0,000	-26,000	0,000	-26,000
16	15277	1	-4,000	0,000	0,000	-26,000	0,000	-26,000
17	14403	2	-3,761	0,000	0,000	-26,000	0,000	-26,000
18	14402	3	-3,521	0,000	0,000	-26,000	0,000	-26,000
19	14401	4	-3,282	0,000	0,000	-26,000	0,000	-26,000
20	14397	5	-3,042	0,000	0,000	-26,000	0,000	-26,000
21	14397	1	-3,042	0,000	0,000	-26,000	0,000	-26,000
22	14371	2	-2,796	0,000	0,000	-26,000	0,000	-26,000
23	14370	3	-2,550	0,000	0,000	-26,000	0,000	-26,000
24	14369	4	-2,303	0,000	0,000	-26,000	0,000	-26,000
25	14365	5	-2,057	0,000	0,000	-26,000	0,000	-26,000
26	14365	1	-2,057	0,000	0,000	-26,000	0,000	-26,000
27	14257	2	-1,803	0,000	0,000	-26,000	0,000	-26,000

ID	Node [10^3]	Local node	X [m]	Y [m]	q_x [kN/m/m]	q_y [kN/m/m]	$q_{a,x}$ [kN/m/m]	$q_{a,y}$ [kN/m/m]
28	14256	3	-1,550	0,000	0,000	-26,000	0,000	-26,000
29	14255	4	-1,296	0,000	0,000	-26,000	0,000	-26,000
30	14251	5	-1,043	0,000	0,000	-26,000	0,000	-26,000
31	14251	1	-1,043	0,000	0,000	-26,000	0,000	-26,000
32	13498	2	-0,782	0,000	0,000	-26,000	0,000	-26,000
33	13497	3	-0,522	0,000	0,000	-26,000	0,000	-26,000
34	13496	4	-0,261	0,000	0,000	-26,000	0,000	-26,000
35	13495	5	0,000	0,000	0,000	-26,000	0,000	-26,000
36	13313	1	0,000	0,000	0,000	-26,000	0,000	-26,000
37	13300	2	0,228	0,000	0,000	-26,000	0,000	-26,000
38	13299	3	0,456	0,000	0,000	-26,000	0,000	-26,000
39	13298	4	0,684	0,000	0,000	-26,000	0,000	-26,000
40	13297	5	0,912	0,000	0,000	-26,000	0,000	-26,000
41	13297	1	0,912	0,000	0,000	-26,000	0,000	-26,000
42	13179	2	1,205	0,000	0,000	-26,000	0,000	-26,000
43	13180	3	1,498	0,000	0,000	-26,000	0,000	-26,000
44	13181	4	1,791	0,000	0,000	-26,000	0,000	-26,000
45	13185	5	2,084	0,000	0,000	-26,000	0,000	-26,000
46	13185	1	2,084	0,000	0,000	-26,000	0,000	-26,000
47	12199	2	2,358	0,000	0,000	-26,000	0,000	-26,000
48	12200	3	2,632	0,000	0,000	-26,000	0,000	-26,000
49	12201	4	2,906	0,000	0,000	-26,000	0,000	-26,000
50	12195	5	3,179	0,000	0,000	-26,000	0,000	-26,000
51	12195	1	3,179	0,000	0,000	-26,000	0,000	-26,000
52	12179	2	3,435	0,000	0,000	-26,000	0,000	-26,000
53	12180	3	3,691	0,000	0,000	-26,000	0,000	-26,000
54	12181	4	3,947	0,000	0,000	-26,000	0,000	-26,000
55	12185	5	4,203	0,000	0,000	-26,000	0,000	-26,000
56	12185	1	4,203	0,000	0,000	-26,000	0,000	-26,000
57	12154	2	4,407	0,000	0,000	-26,000	0,000	-26,000

ID	Node [10^3]	Local node	X [m]	Y [m]	q_x [kN/m/m]	q_y [kN/m/m]	$q_{a,x}$ [kN/m/m]	$q_{a,y}$ [kN/m/m]
58	12155	3	4,611	0,000	0,000	-26,000	0,000	-26,000
59	12156	4	4,814	0,000	0,000	-26,000	0,000	-26,000
60	12153	5	5,018	0,000	0,000	-26,000	0,000	-26,000
61	12153	1	5,018	0,000	0,000	-26,000	0,000	-26,000
62	11546	2	5,388	0,000	0,000	-26,000	0,000	-26,000
63	11545	3	5,759	0,000	0,000	-26,000	0,000	-26,000
64	11544	4	6,129	0,000	0,000	-26,000	0,000	-26,000
65	11543	5	6,500	0,000	0,000	-26,000	0,000	-26,000

1.1.3.25 Line load

ID	Node [10^3]	Local node	X [m]	Y [m]	q_x [kN/m/m]	q_y [kN/m/m]	$q_{a,x}$ [kN/m/m]	$q_{a,y}$ [kN/m/m]
1	15329	1	-5,500	0,000	0,000	-26,000	0,000	-26,000
2	15321	2	-5,436	0,000	0,000	-26,000	0,000	-26,000
3	15320	3	-5,373	0,000	0,000	-26,000	0,000	-26,000
4	15319	4	-5,309	0,000	0,000	-26,000	0,000	-26,000
5	15325	5	-5,245	0,000	0,000	-26,000	0,000	-26,000
6	15325	1	-5,245	0,000	0,000	-26,000	0,000	-26,000
7	15305	2	-5,133	0,000	0,000	-26,000	0,000	-26,000
8	15304	3	-5,020	0,000	0,000	-26,000	0,000	-26,000
9	15303	4	-4,908	0,000	0,000	-26,000	0,000	-26,000
10	15309	5	-4,795	0,000	0,000	-26,000	0,000	-26,000
11	15309	1	-4,795	0,000	0,000	-26,000	0,000	-26,000
12	15283	2	-4,596	0,000	0,000	-26,000	0,000	-26,000
13	15282	3	-4,398	0,000	0,000	-26,000	0,000	-26,000
14	15281	4	-4,199	0,000	0,000	-26,000	0,000	-26,000
15	15290	5	-4,000	0,000	0,000	-26,000	0,000	-26,000
16	15277	1	-4,000	0,000	0,000	-26,000	0,000	-26,000
17	14403	2	-3,761	0,000	0,000	-26,000	0,000	-26,000
18	14402	3	-3,521	0,000	0,000	-26,000	0,000	-26,000
19	14401	4	-3,282	0,000	0,000	-26,000	0,000	-26,000
20	14397	5	-3,042	0,000	0,000	-26,000	0,000	-26,000
21	14397	1	-3,042	0,000	0,000	-26,000	0,000	-26,000
22	14371	2	-2,796	0,000	0,000	-26,000	0,000	-26,000
23	14370	3	-2,550	0,000	0,000	-26,000	0,000	-26,000
24	14369	4	-2,303	0,000	0,000	-26,000	0,000	-26,000
25	14365	5	-2,057	0,000	0,000	-26,000	0,000	-26,000
26	14365	1	-2,057	0,000	0,000	-26,000	0,000	-26,000
27	14257	2	-1,803	0,000	0,000	-26,000	0,000	-26,000

ID	Node [10^3]	Local node	X [m]	Y [m]	q_x [kN/m/m]	q_y [kN/m/m]	$q_{a,x}$ [kN/m/m]	$q_{a,y}$ [kN/m/m]
28	14256	3	-1,550	0,000	0,000	-26,000	0,000	-26,000
29	14255	4	-1,296	0,000	0,000	-26,000	0,000	-26,000
30	14251	5	-1,043	0,000	0,000	-26,000	0,000	-26,000
31	14251	1	-1,043	0,000	0,000	-26,000	0,000	-26,000
32	13498	2	-0,782	0,000	0,000	-26,000	0,000	-26,000
33	13497	3	-0,522	0,000	0,000	-26,000	0,000	-26,000
34	13496	4	-0,261	0,000	0,000	-26,000	0,000	-26,000
35	13495	5	0,000	0,000	0,000	-26,000	0,000	-26,000
36	13313	1	0,000	0,000	0,000	-26,000	0,000	-26,000
37	13300	2	0,228	0,000	0,000	-26,000	0,000	-26,000
38	13299	3	0,456	0,000	0,000	-26,000	0,000	-26,000
39	13298	4	0,684	0,000	0,000	-26,000	0,000	-26,000
40	13297	5	0,912	0,000	0,000	-26,000	0,000	-26,000
41	13297	1	0,912	0,000	0,000	-26,000	0,000	-26,000
42	13179	2	1,205	0,000	0,000	-26,000	0,000	-26,000
43	13180	3	1,498	0,000	0,000	-26,000	0,000	-26,000
44	13181	4	1,791	0,000	0,000	-26,000	0,000	-26,000
45	13185	5	2,084	0,000	0,000	-26,000	0,000	-26,000
46	13185	1	2,084	0,000	0,000	-26,000	0,000	-26,000
47	12199	2	2,358	0,000	0,000	-26,000	0,000	-26,000
48	12200	3	2,632	0,000	0,000	-26,000	0,000	-26,000
49	12201	4	2,906	0,000	0,000	-26,000	0,000	-26,000
50	12195	5	3,179	0,000	0,000	-26,000	0,000	-26,000
51	12195	1	3,179	0,000	0,000	-26,000	0,000	-26,000
52	12179	2	3,435	0,000	0,000	-26,000	0,000	-26,000
53	12180	3	3,691	0,000	0,000	-26,000	0,000	-26,000
54	12181	4	3,947	0,000	0,000	-26,000	0,000	-26,000
55	12185	5	4,203	0,000	0,000	-26,000	0,000	-26,000
56	12185	1	4,203	0,000	0,000	-26,000	0,000	-26,000
57	12154	2	4,407	0,000	0,000	-26,000	0,000	-26,000

ID	Node [10^3]	Local node	X [m]	Y [m]	q_x [kN/m/m]	q_y [kN/m/m]	$q_{a,x}$ [kN/m/m]	$q_{a,y}$ [kN/m/m]
58	12155	3	4,611	0,000	0,000	-26,000	0,000	-26,000
59	12156	4	4,814	0,000	0,000	-26,000	0,000	-26,000
60	12153	5	5,018	0,000	0,000	-26,000	0,000	-26,000
61	12153	1	5,018	0,000	0,000	-26,000	0,000	-26,000
62	11546	2	5,388	0,000	0,000	-26,000	0,000	-26,000
63	11545	3	5,759	0,000	0,000	-26,000	0,000	-26,000
64	11544	4	6,129	0,000	0,000	-26,000	0,000	-26,000
65	11543	5	6,500	0,000	0,000	-26,000	0,000	-26,000

1.1.3.26 Line load

ID	Node [10 ^{3}]	Local node	X [m]	Y [m]	q $_{x}$ [kN/m/m]	q $_{y}$ [kN/m/m]	q $_{a,x}$ [kN/m/m]	q $_{a,y}$ [kN/m/m]
1	15329	1	-5,500	0,000	0,000	-26,000	0,000	-26,000
2	15321	2	-5,436	0,000	0,000	-26,000	0,000	-26,000
3	15320	3	-5,373	0,000	0,000	-26,000	0,000	-26,000
4	15319	4	-5,309	0,000	0,000	-26,000	0,000	-26,000
5	15325	5	-5,245	0,000	0,000	-26,000	0,000	-26,000
6	15325	1	-5,245	0,000	0,000	-26,000	0,000	-26,000
7	15305	2	-5,133	0,000	0,000	-26,000	0,000	-26,000
8	15304	3	-5,020	0,000	0,000	-26,000	0,000	-26,000
9	15303	4	-4,908	0,000	0,000	-26,000	0,000	-26,000
10	15309	5	-4,795	0,000	0,000	-26,000	0,000	-26,000
11	15309	1	-4,795	0,000	0,000	-26,000	0,000	-26,000
12	15283	2	-4,596	0,000	0,000	-26,000	0,000	-26,000
13	15282	3	-4,398	0,000	0,000	-26,000	0,000	-26,000
14	15281	4	-4,199	0,000	0,000	-26,000	0,000	-26,000
15	15290	5	-4,000	0,000	0,000	-26,000	0,000	-26,000
16	15277	1	-4,000	0,000	0,000	-26,000	0,000	-26,000
17	14403	2	-3,761	0,000	0,000	-26,000	0,000	-26,000
18	14402	3	-3,521	0,000	0,000	-26,000	0,000	-26,000
19	14401	4	-3,282	0,000	0,000	-26,000	0,000	-26,000
20	14397	5	-3,042	0,000	0,000	-26,000	0,000	-26,000
21	14397	1	-3,042	0,000	0,000	-26,000	0,000	-26,000
22	14371	2	-2,796	0,000	0,000	-26,000	0,000	-26,000
23	14370	3	-2,550	0,000	0,000	-26,000	0,000	-26,000
24	14369	4	-2,303	0,000	0,000	-26,000	0,000	-26,000
25	14365	5	-2,057	0,000	0,000	-26,000	0,000	-26,000
26	14365	1	-2,057	0,000	0,000	-26,000	0,000	-26,000
27	14257	2	-1,803	0,000	0,000	-26,000	0,000	-26,000

ID	Node [10^3]	Local node	X [m]	Y [m]	q_x [kN/m/m]	q_y [kN/m/m]	$q_{a,x}$ [kN/m/m]	$q_{a,y}$ [kN/m/m]
28	14256	3	-1,550	0,000	0,000	-26,000	0,000	-26,000
29	14255	4	-1,296	0,000	0,000	-26,000	0,000	-26,000
30	14251	5	-1,043	0,000	0,000	-26,000	0,000	-26,000
31	14251	1	-1,043	0,000	0,000	-26,000	0,000	-26,000
32	13498	2	-0,782	0,000	0,000	-26,000	0,000	-26,000
33	13497	3	-0,522	0,000	0,000	-26,000	0,000	-26,000
34	13496	4	-0,261	0,000	0,000	-26,000	0,000	-26,000
35	13495	5	0,000	0,000	0,000	-26,000	0,000	-26,000
36	13313	1	0,000	0,000	0,000	-26,000	0,000	-26,000
37	13300	2	0,228	0,000	0,000	-26,000	0,000	-26,000
38	13299	3	0,456	0,000	0,000	-26,000	0,000	-26,000
39	13298	4	0,684	0,000	0,000	-26,000	0,000	-26,000
40	13297	5	0,912	0,000	0,000	-26,000	0,000	-26,000
41	13297	1	0,912	0,000	0,000	-26,000	0,000	-26,000
42	13179	2	1,205	0,000	0,000	-26,000	0,000	-26,000
43	13180	3	1,498	0,000	0,000	-26,000	0,000	-26,000
44	13181	4	1,791	0,000	0,000	-26,000	0,000	-26,000
45	13185	5	2,084	0,000	0,000	-26,000	0,000	-26,000
46	13185	1	2,084	0,000	0,000	-26,000	0,000	-26,000
47	12199	2	2,358	0,000	0,000	-26,000	0,000	-26,000
48	12200	3	2,632	0,000	0,000	-26,000	0,000	-26,000
49	12201	4	2,906	0,000	0,000	-26,000	0,000	-26,000
50	12195	5	3,179	0,000	0,000	-26,000	0,000	-26,000
51	12195	1	3,179	0,000	0,000	-26,000	0,000	-26,000
52	12179	2	3,435	0,000	0,000	-26,000	0,000	-26,000
53	12180	3	3,691	0,000	0,000	-26,000	0,000	-26,000
54	12181	4	3,947	0,000	0,000	-26,000	0,000	-26,000
55	12185	5	4,203	0,000	0,000	-26,000	0,000	-26,000
56	12185	1	4,203	0,000	0,000	-26,000	0,000	-26,000
57	12154	2	4,407	0,000	0,000	-26,000	0,000	-26,000

ID	Node [10^3]	Local node	X [m]	Y [m]	q_x [kN/m/m]	q_y [kN/m/m]	$q_{a,x}$ [kN/m/m]	$q_{a,y}$ [kN/m/m]
58	12155	3	4,611	0,000	0,000	-26,000	0,000	-26,000
59	12156	4	4,814	0,000	0,000	-26,000	0,000	-26,000
60	12153	5	5,018	0,000	0,000	-26,000	0,000	-26,000
61	12153	1	5,018	0,000	0,000	-26,000	0,000	-26,000
62	11546	2	5,388	0,000	0,000	-26,000	0,000	-26,000
63	11545	3	5,759	0,000	0,000	-26,000	0,000	-26,000
64	11544	4	6,129	0,000	0,000	-26,000	0,000	-26,000
65	11543	5	6,500	0,000	0,000	-26,000	0,000	-26,000

1.1.3.27 Line load

ID	Node [10 ^{3}]	Local node	X [m]	Y [m]	q $_{x}$ [kN/m/m]	q $_{y}$ [kN/m/m]	q $_{a,x}$ [kN/m/m]	q $_{a,y}$ [kN/m/m]
1	15329	1	-5,500	0,000	0,000	-20,000	0,000	-20,000
2	15321	2	-5,436	0,000	0,000	-20,000	0,000	-20,000
3	15320	3	-5,373	0,000	0,000	-20,000	0,000	-20,000
4	15319	4	-5,309	0,000	0,000	-20,000	0,000	-20,000
5	15325	5	-5,245	0,000	0,000	-20,000	0,000	-20,000
6	15325	1	-5,245	0,000	0,000	-20,000	0,000	-20,000
7	15305	2	-5,133	0,000	0,000	-20,000	0,000	-20,000
8	15304	3	-5,020	0,000	0,000	-20,000	0,000	-20,000
9	15303	4	-4,908	0,000	0,000	-20,000	0,000	-20,000
10	15309	5	-4,795	0,000	0,000	-20,000	0,000	-20,000
11	15309	1	-4,795	0,000	0,000	-20,000	0,000	-20,000
12	15283	2	-4,596	0,000	0,000	-20,000	0,000	-20,000
13	15282	3	-4,398	0,000	0,000	-20,000	0,000	-20,000
14	15281	4	-4,199	0,000	0,000	-20,000	0,000	-20,000
15	15290	5	-4,000	0,000	0,000	-20,000	0,000	-20,000
16	15277	1	-4,000	0,000	0,000	-20,000	0,000	-20,000
17	14403	2	-3,761	0,000	0,000	-20,000	0,000	-20,000
18	14402	3	-3,521	0,000	0,000	-20,000	0,000	-20,000
19	14401	4	-3,282	0,000	0,000	-20,000	0,000	-20,000
20	14397	5	-3,042	0,000	0,000	-20,000	0,000	-20,000
21	14397	1	-3,042	0,000	0,000	-20,000	0,000	-20,000
22	14371	2	-2,796	0,000	0,000	-20,000	0,000	-20,000
23	14370	3	-2,550	0,000	0,000	-20,000	0,000	-20,000
24	14369	4	-2,303	0,000	0,000	-20,000	0,000	-20,000
25	14365	5	-2,057	0,000	0,000	-20,000	0,000	-20,000
26	14365	1	-2,057	0,000	0,000	-20,000	0,000	-20,000
27	14257	2	-1,803	0,000	0,000	-20,000	0,000	-20,000

ID	Node [10^3]	Local node	X [m]	Y [m]	q_x [kN/m/m]	q_y [kN/m/m]	$q_{a,x}$ [kN/m/m]	$q_{a,y}$ [kN/m/m]
28	14256	3	-1,550	0,000	0,000	-20,000	0,000	-20,000
29	14255	4	-1,296	0,000	0,000	-20,000	0,000	-20,000
30	14251	5	-1,043	0,000	0,000	-20,000	0,000	-20,000
31	14251	1	-1,043	0,000	0,000	-20,000	0,000	-20,000
32	13498	2	-0,782	0,000	0,000	-20,000	0,000	-20,000
33	13497	3	-0,522	0,000	0,000	-20,000	0,000	-20,000
34	13496	4	-0,261	0,000	0,000	-20,000	0,000	-20,000
35	13495	5	0,000	0,000	0,000	-20,000	0,000	-20,000
36	13313	1	0,000	0,000	0,000	-20,000	0,000	-20,000
37	13300	2	0,228	0,000	0,000	-20,000	0,000	-20,000
38	13299	3	0,456	0,000	0,000	-20,000	0,000	-20,000
39	13298	4	0,684	0,000	0,000	-20,000	0,000	-20,000
40	13297	5	0,912	0,000	0,000	-20,000	0,000	-20,000
41	13297	1	0,912	0,000	0,000	-20,000	0,000	-20,000
42	13179	2	1,205	0,000	0,000	-20,000	0,000	-20,000
43	13180	3	1,498	0,000	0,000	-20,000	0,000	-20,000
44	13181	4	1,791	0,000	0,000	-20,000	0,000	-20,000
45	13185	5	2,084	0,000	0,000	-20,000	0,000	-20,000
46	13185	1	2,084	0,000	0,000	-20,000	0,000	-20,000
47	12199	2	2,358	0,000	0,000	-20,000	0,000	-20,000
48	12200	3	2,632	0,000	0,000	-20,000	0,000	-20,000
49	12201	4	2,906	0,000	0,000	-20,000	0,000	-20,000
50	12195	5	3,179	0,000	0,000	-20,000	0,000	-20,000
51	12195	1	3,179	0,000	0,000	-20,000	0,000	-20,000
52	12179	2	3,435	0,000	0,000	-20,000	0,000	-20,000
53	12180	3	3,691	0,000	0,000	-20,000	0,000	-20,000
54	12181	4	3,947	0,000	0,000	-20,000	0,000	-20,000
55	12185	5	4,203	0,000	0,000	-20,000	0,000	-20,000
56	12185	1	4,203	0,000	0,000	-20,000	0,000	-20,000
57	12154	2	4,407	0,000	0,000	-20,000	0,000	-20,000

ID	Node [10^3]	Local node	X [m]	Y [m]	q_x [kN/m/m]	q_y [kN/m/m]	$q_{a,x}$ [kN/m/m]	$q_{a,y}$ [kN/m/m]
58	12155	3	4,611	0,000	0,000	-20,000	0,000	-20,000
59	12156	4	4,814	0,000	0,000	-20,000	0,000	-20,000
60	12153	5	5,018	0,000	0,000	-20,000	0,000	-20,000
61	12153	1	5,018	0,000	0,000	-20,000	0,000	-20,000
62	11546	2	5,388	0,000	0,000	-20,000	0,000	-20,000
63	11545	3	5,759	0,000	0,000	-20,000	0,000	-20,000
64	11544	4	6,129	0,000	0,000	-20,000	0,000	-20,000
65	11543	5	6,500	0,000	0,000	-20,000	0,000	-20,000

1.1.3.28 Line load

ID	Node [10^3]	Local node	X [m]	Y [m]	q_x [kN/m/m]	q_y [kN/m/m]	$q_{a,x}$ [kN/m/m]	$q_{a,y}$ [kN/m/m]
1	15329	1	-5,500	0,000	0,000	-6,000	0,000	-6,000
2	15321	2	-5,436	0,000	0,000	-6,000	0,000	-6,000
3	15320	3	-5,373	0,000	0,000	-6,000	0,000	-6,000
4	15319	4	-5,309	0,000	0,000	-6,000	0,000	-6,000
5	15325	5	-5,245	0,000	0,000	-6,000	0,000	-6,000
6	15325	1	-5,245	0,000	0,000	-6,000	0,000	-6,000
7	15305	2	-5,133	0,000	0,000	-6,000	0,000	-6,000
8	15304	3	-5,020	0,000	0,000	-6,000	0,000	-6,000
9	15303	4	-4,908	0,000	0,000	-6,000	0,000	-6,000
10	15309	5	-4,795	0,000	0,000	-6,000	0,000	-6,000
11	15309	1	-4,795	0,000	0,000	-6,000	0,000	-6,000
12	15283	2	-4,596	0,000	0,000	-6,000	0,000	-6,000
13	15282	3	-4,398	0,000	0,000	-6,000	0,000	-6,000
14	15281	4	-4,199	0,000	0,000	-6,000	0,000	-6,000
15	15290	5	-4,000	0,000	0,000	-6,000	0,000	-6,000
16	15277	1	-4,000	0,000	0,000	-6,000	0,000	-6,000
17	14403	2	-3,761	0,000	0,000	-6,000	0,000	-6,000
18	14402	3	-3,521	0,000	0,000	-6,000	0,000	-6,000
19	14401	4	-3,282	0,000	0,000	-6,000	0,000	-6,000
20	14397	5	-3,042	0,000	0,000	-6,000	0,000	-6,000
21	14397	1	-3,042	0,000	0,000	-6,000	0,000	-6,000
22	14371	2	-2,796	0,000	0,000	-6,000	0,000	-6,000
23	14370	3	-2,550	0,000	0,000	-6,000	0,000	-6,000
24	14369	4	-2,303	0,000	0,000	-6,000	0,000	-6,000
25	14365	5	-2,057	0,000	0,000	-6,000	0,000	-6,000
26	14365	1	-2,057	0,000	0,000	-6,000	0,000	-6,000
27	14257	2	-1,803	0,000	0,000	-6,000	0,000	-6,000

ID	Node [10^3]	Local node	X [m]	Y [m]	q_x [kN/m/m]	q_y [kN/m/m]	$q_{a,x}$ [kN/m/m]	$q_{a,y}$ [kN/m/m]
28	14256	3	-1,550	0,000	0,000	-6,000	0,000	-6,000
29	14255	4	-1,296	0,000	0,000	-6,000	0,000	-6,000
30	14251	5	-1,043	0,000	0,000	-6,000	0,000	-6,000
31	14251	1	-1,043	0,000	0,000	-6,000	0,000	-6,000
32	13498	2	-0,782	0,000	0,000	-6,000	0,000	-6,000
33	13497	3	-0,522	0,000	0,000	-6,000	0,000	-6,000
34	13496	4	-0,261	0,000	0,000	-6,000	0,000	-6,000
35	13495	5	0,000	0,000	0,000	-6,000	0,000	-6,000
36	13313	1	0,000	0,000	0,000	-6,000	0,000	-6,000
37	13300	2	0,228	0,000	0,000	-6,000	0,000	-6,000
38	13299	3	0,456	0,000	0,000	-6,000	0,000	-6,000
39	13298	4	0,684	0,000	0,000	-6,000	0,000	-6,000
40	13297	5	0,912	0,000	0,000	-6,000	0,000	-6,000
41	13297	1	0,912	0,000	0,000	-6,000	0,000	-6,000
42	13179	2	1,205	0,000	0,000	-6,000	0,000	-6,000
43	13180	3	1,498	0,000	0,000	-6,000	0,000	-6,000
44	13181	4	1,791	0,000	0,000	-6,000	0,000	-6,000
45	13185	5	2,084	0,000	0,000	-6,000	0,000	-6,000
46	13185	1	2,084	0,000	0,000	-6,000	0,000	-6,000
47	12199	2	2,358	0,000	0,000	-6,000	0,000	-6,000
48	12200	3	2,632	0,000	0,000	-6,000	0,000	-6,000
49	12201	4	2,906	0,000	0,000	-6,000	0,000	-6,000
50	12195	5	3,179	0,000	0,000	-6,000	0,000	-6,000
51	12195	1	3,179	0,000	0,000	-6,000	0,000	-6,000
52	12179	2	3,435	0,000	0,000	-6,000	0,000	-6,000
53	12180	3	3,691	0,000	0,000	-6,000	0,000	-6,000
54	12181	4	3,947	0,000	0,000	-6,000	0,000	-6,000
55	12185	5	4,203	0,000	0,000	-6,000	0,000	-6,000
56	12185	1	4,203	0,000	0,000	-6,000	0,000	-6,000
57	12154	2	4,407	0,000	0,000	-6,000	0,000	-6,000

ID	Node [10^3]	Local node	X [m]	Y [m]	q_x [kN/m/m]	q_y [kN/m/m]	$q_{a,x}$ [kN/m/m]	$q_{a,y}$ [kN/m/m]
58	12155	3	4,611	0,000	0,000	-6,000	0,000	-6,000
59	12156	4	4,814	0,000	0,000	-6,000	0,000	-6,000
60	12153	5	5,018	0,000	0,000	-6,000	0,000	-6,000
61	12153	1	5,018	0,000	0,000	-6,000	0,000	-6,000
62	11546	2	5,388	0,000	0,000	-6,000	0,000	-6,000
63	11545	3	5,759	0,000	0,000	-6,000	0,000	-6,000
64	11544	4	6,129	0,000	0,000	-6,000	0,000	-6,000
65	11543	5	6,500	0,000	0,000	-6,000	0,000	-6,000

1.1.3.29 Line load

ID	Node [10 ^{3}]	Local node	X [m]	Y [m]	q $_{x}$ [kN/m/m]	q $_{y}$ [kN/m/m]	q $_{a,x}$ [kN/m/m]	q $_{a,y}$ [kN/m/m]
1	15329	1	-5,500	0,000	0,000	-6,000	0,000	-6,000
2	15321	2	-5,436	0,000	0,000	-6,000	0,000	-6,000
3	15320	3	-5,373	0,000	0,000	-6,000	0,000	-6,000
4	15319	4	-5,309	0,000	0,000	-6,000	0,000	-6,000
5	15325	5	-5,245	0,000	0,000	-6,000	0,000	-6,000
6	15325	1	-5,245	0,000	0,000	-6,000	0,000	-6,000
7	15305	2	-5,133	0,000	0,000	-6,000	0,000	-6,000
8	15304	3	-5,020	0,000	0,000	-6,000	0,000	-6,000
9	15303	4	-4,908	0,000	0,000	-6,000	0,000	-6,000
10	15309	5	-4,795	0,000	0,000	-6,000	0,000	-6,000
11	15309	1	-4,795	0,000	0,000	-6,000	0,000	-6,000
12	15283	2	-4,596	0,000	0,000	-6,000	0,000	-6,000
13	15282	3	-4,398	0,000	0,000	-6,000	0,000	-6,000
14	15281	4	-4,199	0,000	0,000	-6,000	0,000	-6,000
15	15290	5	-4,000	0,000	0,000	-6,000	0,000	-6,000
16	15277	1	-4,000	0,000	0,000	-6,000	0,000	-6,000
17	14403	2	-3,761	0,000	0,000	-6,000	0,000	-6,000
18	14402	3	-3,521	0,000	0,000	-6,000	0,000	-6,000
19	14401	4	-3,282	0,000	0,000	-6,000	0,000	-6,000
20	14397	5	-3,042	0,000	0,000	-6,000	0,000	-6,000
21	14397	1	-3,042	0,000	0,000	-6,000	0,000	-6,000
22	14371	2	-2,796	0,000	0,000	-6,000	0,000	-6,000
23	14370	3	-2,550	0,000	0,000	-6,000	0,000	-6,000
24	14369	4	-2,303	0,000	0,000	-6,000	0,000	-6,000
25	14365	5	-2,057	0,000	0,000	-6,000	0,000	-6,000
26	14365	1	-2,057	0,000	0,000	-6,000	0,000	-6,000
27	14257	2	-1,803	0,000	0,000	-6,000	0,000	-6,000

ID	Node [10^3]	Local node	X [m]	Y [m]	q_x [kN/m/m]	q_y [kN/m/m]	$q_{a,x}$ [kN/m/m]	$q_{a,y}$ [kN/m/m]
28	14256	3	-1,550	0,000	0,000	-6,000	0,000	-6,000
29	14255	4	-1,296	0,000	0,000	-6,000	0,000	-6,000
30	14251	5	-1,043	0,000	0,000	-6,000	0,000	-6,000
31	14251	1	-1,043	0,000	0,000	-6,000	0,000	-6,000
32	13498	2	-0,782	0,000	0,000	-6,000	0,000	-6,000
33	13497	3	-0,522	0,000	0,000	-6,000	0,000	-6,000
34	13496	4	-0,261	0,000	0,000	-6,000	0,000	-6,000
35	13495	5	0,000	0,000	0,000	-6,000	0,000	-6,000
36	13313	1	0,000	0,000	0,000	-6,000	0,000	-6,000
37	13300	2	0,228	0,000	0,000	-6,000	0,000	-6,000
38	13299	3	0,456	0,000	0,000	-6,000	0,000	-6,000
39	13298	4	0,684	0,000	0,000	-6,000	0,000	-6,000
40	13297	5	0,912	0,000	0,000	-6,000	0,000	-6,000
41	13297	1	0,912	0,000	0,000	-6,000	0,000	-6,000
42	13179	2	1,205	0,000	0,000	-6,000	0,000	-6,000
43	13180	3	1,498	0,000	0,000	-6,000	0,000	-6,000
44	13181	4	1,791	0,000	0,000	-6,000	0,000	-6,000
45	13185	5	2,084	0,000	0,000	-6,000	0,000	-6,000
46	13185	1	2,084	0,000	0,000	-6,000	0,000	-6,000
47	12199	2	2,358	0,000	0,000	-6,000	0,000	-6,000
48	12200	3	2,632	0,000	0,000	-6,000	0,000	-6,000
49	12201	4	2,906	0,000	0,000	-6,000	0,000	-6,000
50	12195	5	3,179	0,000	0,000	-6,000	0,000	-6,000
51	12195	1	3,179	0,000	0,000	-6,000	0,000	-6,000
52	12179	2	3,435	0,000	0,000	-6,000	0,000	-6,000
53	12180	3	3,691	0,000	0,000	-6,000	0,000	-6,000
54	12181	4	3,947	0,000	0,000	-6,000	0,000	-6,000
55	12185	5	4,203	0,000	0,000	-6,000	0,000	-6,000
56	12185	1	4,203	0,000	0,000	-6,000	0,000	-6,000
57	12154	2	4,407	0,000	0,000	-6,000	0,000	-6,000

ID	Node [10^3]	Local node	X [m]	Y [m]	q_x [kN/m/m]	q_y [kN/m/m]	$q_{a,x}$ [kN/m/m]	$q_{a,y}$ [kN/m/m]
58	12155	3	4,611	0,000	0,000	-6,000	0,000	-6,000
59	12156	4	4,814	0,000	0,000	-6,000	0,000	-6,000
60	12153	5	5,018	0,000	0,000	-6,000	0,000	-6,000
61	12153	1	5,018	0,000	0,000	-6,000	0,000	-6,000
62	11546	2	5,388	0,000	0,000	-6,000	0,000	-6,000
63	11545	3	5,759	0,000	0,000	-6,000	0,000	-6,000
64	11544	4	6,129	0,000	0,000	-6,000	0,000	-6,000
65	11543	5	6,500	0,000	0,000	-6,000	0,000	-6,000

1.1.3.30 Line load

ID	Node [10 ^{3}]	Local node	X [m]	Y [m]	q $_{x}$ [kN/m/m]	q $_{y}$ [kN/m/m]	q $_{a,x}$ [kN/m/m]	q $_{a,y}$ [kN/m/m]
1	15329	1	-5,500	0,000	0,000	-6,000	0,000	-6,000
2	15321	2	-5,436	0,000	0,000	-6,000	0,000	-6,000
3	15320	3	-5,373	0,000	0,000	-6,000	0,000	-6,000
4	15319	4	-5,309	0,000	0,000	-6,000	0,000	-6,000
5	15325	5	-5,245	0,000	0,000	-6,000	0,000	-6,000
6	15325	1	-5,245	0,000	0,000	-6,000	0,000	-6,000
7	15305	2	-5,133	0,000	0,000	-6,000	0,000	-6,000
8	15304	3	-5,020	0,000	0,000	-6,000	0,000	-6,000
9	15303	4	-4,908	0,000	0,000	-6,000	0,000	-6,000
10	15309	5	-4,795	0,000	0,000	-6,000	0,000	-6,000
11	15309	1	-4,795	0,000	0,000	-6,000	0,000	-6,000
12	15283	2	-4,596	0,000	0,000	-6,000	0,000	-6,000
13	15282	3	-4,398	0,000	0,000	-6,000	0,000	-6,000
14	15281	4	-4,199	0,000	0,000	-6,000	0,000	-6,000
15	15290	5	-4,000	0,000	0,000	-6,000	0,000	-6,000
16	15277	1	-4,000	0,000	0,000	-6,000	0,000	-6,000
17	14403	2	-3,761	0,000	0,000	-6,000	0,000	-6,000
18	14402	3	-3,521	0,000	0,000	-6,000	0,000	-6,000
19	14401	4	-3,282	0,000	0,000	-6,000	0,000	-6,000
20	14397	5	-3,042	0,000	0,000	-6,000	0,000	-6,000
21	14397	1	-3,042	0,000	0,000	-6,000	0,000	-6,000
22	14371	2	-2,796	0,000	0,000	-6,000	0,000	-6,000
23	14370	3	-2,550	0,000	0,000	-6,000	0,000	-6,000
24	14369	4	-2,303	0,000	0,000	-6,000	0,000	-6,000
25	14365	5	-2,057	0,000	0,000	-6,000	0,000	-6,000
26	14365	1	-2,057	0,000	0,000	-6,000	0,000	-6,000
27	14257	2	-1,803	0,000	0,000	-6,000	0,000	-6,000

ID	Node [10^3]	Local node	X [m]	Y [m]	q_x [kN/m/m]	q_y [kN/m/m]	$q_{a,x}$ [kN/m/m]	$q_{a,y}$ [kN/m/m]
28	14256	3	-1,550	0,000	0,000	-6,000	0,000	-6,000
29	14255	4	-1,296	0,000	0,000	-6,000	0,000	-6,000
30	14251	5	-1,043	0,000	0,000	-6,000	0,000	-6,000
31	14251	1	-1,043	0,000	0,000	-6,000	0,000	-6,000
32	13498	2	-0,782	0,000	0,000	-6,000	0,000	-6,000
33	13497	3	-0,522	0,000	0,000	-6,000	0,000	-6,000
34	13496	4	-0,261	0,000	0,000	-6,000	0,000	-6,000
35	13495	5	0,000	0,000	0,000	-6,000	0,000	-6,000
36	13313	1	0,000	0,000	0,000	-6,000	0,000	-6,000
37	13300	2	0,228	0,000	0,000	-6,000	0,000	-6,000
38	13299	3	0,456	0,000	0,000	-6,000	0,000	-6,000
39	13298	4	0,684	0,000	0,000	-6,000	0,000	-6,000
40	13297	5	0,912	0,000	0,000	-6,000	0,000	-6,000
41	13297	1	0,912	0,000	0,000	-6,000	0,000	-6,000
42	13179	2	1,205	0,000	0,000	-6,000	0,000	-6,000
43	13180	3	1,498	0,000	0,000	-6,000	0,000	-6,000
44	13181	4	1,791	0,000	0,000	-6,000	0,000	-6,000
45	13185	5	2,084	0,000	0,000	-6,000	0,000	-6,000
46	13185	1	2,084	0,000	0,000	-6,000	0,000	-6,000
47	12199	2	2,358	0,000	0,000	-6,000	0,000	-6,000
48	12200	3	2,632	0,000	0,000	-6,000	0,000	-6,000
49	12201	4	2,906	0,000	0,000	-6,000	0,000	-6,000
50	12195	5	3,179	0,000	0,000	-6,000	0,000	-6,000
51	12195	1	3,179	0,000	0,000	-6,000	0,000	-6,000
52	12179	2	3,435	0,000	0,000	-6,000	0,000	-6,000
53	12180	3	3,691	0,000	0,000	-6,000	0,000	-6,000
54	12181	4	3,947	0,000	0,000	-6,000	0,000	-6,000
55	12185	5	4,203	0,000	0,000	-6,000	0,000	-6,000
56	12185	1	4,203	0,000	0,000	-6,000	0,000	-6,000
57	12154	2	4,407	0,000	0,000	-6,000	0,000	-6,000

ID	Node [10^3]	Local node	X [m]	Y [m]	q_x [kN/m/m]	q_y [kN/m/m]	$q_{a,x}$ [kN/m/m]	$q_{a,y}$ [kN/m/m]
58	12155	3	4,611	0,000	0,000	-6,000	0,000	-6,000
59	12156	4	4,814	0,000	0,000	-6,000	0,000	-6,000
60	12153	5	5,018	0,000	0,000	-6,000	0,000	-6,000
61	12153	1	5,018	0,000	0,000	-6,000	0,000	-6,000
62	11546	2	5,388	0,000	0,000	-6,000	0,000	-6,000
63	11545	3	5,759	0,000	0,000	-6,000	0,000	-6,000
64	11544	4	6,129	0,000	0,000	-6,000	0,000	-6,000
65	11543	5	6,500	0,000	0,000	-6,000	0,000	-6,000

1.1.3.31 Line load

ID	Node [10 ^{3}]	Local node	X [m]	Y [m]	q $_{x}$ [kN/m/m]	q $_{y}$ [kN/m/m]	q $_{a,x}$ [kN/m/m]	q $_{a,y}$ [kN/m/m]
1	15329	1	-5,500	0,000	0,000	-6,000	0,000	-6,000
2	15321	2	-5,436	0,000	0,000	-6,000	0,000	-6,000
3	15320	3	-5,373	0,000	0,000	-6,000	0,000	-6,000
4	15319	4	-5,309	0,000	0,000	-6,000	0,000	-6,000
5	15325	5	-5,245	0,000	0,000	-6,000	0,000	-6,000
6	15325	1	-5,245	0,000	0,000	-6,000	0,000	-6,000
7	15305	2	-5,133	0,000	0,000	-6,000	0,000	-6,000
8	15304	3	-5,020	0,000	0,000	-6,000	0,000	-6,000
9	15303	4	-4,908	0,000	0,000	-6,000	0,000	-6,000
10	15309	5	-4,795	0,000	0,000	-6,000	0,000	-6,000
11	15309	1	-4,795	0,000	0,000	-6,000	0,000	-6,000
12	15283	2	-4,596	0,000	0,000	-6,000	0,000	-6,000
13	15282	3	-4,398	0,000	0,000	-6,000	0,000	-6,000
14	15281	4	-4,199	0,000	0,000	-6,000	0,000	-6,000
15	15290	5	-4,000	0,000	0,000	-6,000	0,000	-6,000
16	15277	1	-4,000	0,000	0,000	-6,000	0,000	-6,000
17	14403	2	-3,761	0,000	0,000	-6,000	0,000	-6,000
18	14402	3	-3,521	0,000	0,000	-6,000	0,000	-6,000
19	14401	4	-3,282	0,000	0,000	-6,000	0,000	-6,000
20	14397	5	-3,042	0,000	0,000	-6,000	0,000	-6,000
21	14397	1	-3,042	0,000	0,000	-6,000	0,000	-6,000
22	14371	2	-2,796	0,000	0,000	-6,000	0,000	-6,000
23	14370	3	-2,550	0,000	0,000	-6,000	0,000	-6,000
24	14369	4	-2,303	0,000	0,000	-6,000	0,000	-6,000
25	14365	5	-2,057	0,000	0,000	-6,000	0,000	-6,000
26	14365	1	-2,057	0,000	0,000	-6,000	0,000	-6,000
27	14257	2	-1,803	0,000	0,000	-6,000	0,000	-6,000

ID	Node [10^3]	Local node	X [m]	Y [m]	q_x [kN/m/m]	q_y [kN/m/m]	$q_{a,x}$ [kN/m/m]	$q_{a,y}$ [kN/m/m]
28	14256	3	-1,550	0,000	0,000	-6,000	0,000	-6,000
29	14255	4	-1,296	0,000	0,000	-6,000	0,000	-6,000
30	14251	5	-1,043	0,000	0,000	-6,000	0,000	-6,000
31	14251	1	-1,043	0,000	0,000	-6,000	0,000	-6,000
32	13498	2	-0,782	0,000	0,000	-6,000	0,000	-6,000
33	13497	3	-0,522	0,000	0,000	-6,000	0,000	-6,000
34	13496	4	-0,261	0,000	0,000	-6,000	0,000	-6,000
35	13495	5	0,000	0,000	0,000	-6,000	0,000	-6,000
36	13313	1	0,000	0,000	0,000	-6,000	0,000	-6,000
37	13300	2	0,228	0,000	0,000	-6,000	0,000	-6,000
38	13299	3	0,456	0,000	0,000	-6,000	0,000	-6,000
39	13298	4	0,684	0,000	0,000	-6,000	0,000	-6,000
40	13297	5	0,912	0,000	0,000	-6,000	0,000	-6,000
41	13297	1	0,912	0,000	0,000	-6,000	0,000	-6,000
42	13179	2	1,205	0,000	0,000	-6,000	0,000	-6,000
43	13180	3	1,498	0,000	0,000	-6,000	0,000	-6,000
44	13181	4	1,791	0,000	0,000	-6,000	0,000	-6,000
45	13185	5	2,084	0,000	0,000	-6,000	0,000	-6,000
46	13185	1	2,084	0,000	0,000	-6,000	0,000	-6,000
47	12199	2	2,358	0,000	0,000	-6,000	0,000	-6,000
48	12200	3	2,632	0,000	0,000	-6,000	0,000	-6,000
49	12201	4	2,906	0,000	0,000	-6,000	0,000	-6,000
50	12195	5	3,179	0,000	0,000	-6,000	0,000	-6,000
51	12195	1	3,179	0,000	0,000	-6,000	0,000	-6,000
52	12179	2	3,435	0,000	0,000	-6,000	0,000	-6,000
53	12180	3	3,691	0,000	0,000	-6,000	0,000	-6,000
54	12181	4	3,947	0,000	0,000	-6,000	0,000	-6,000
55	12185	5	4,203	0,000	0,000	-6,000	0,000	-6,000
56	12185	1	4,203	0,000	0,000	-6,000	0,000	-6,000
57	12154	2	4,407	0,000	0,000	-6,000	0,000	-6,000

ID	Node [10^3]	Local node	X [m]	Y [m]	q_x [kN/m/m]	q_y [kN/m/m]	$q_{a,x}$ [kN/m/m]	$q_{a,y}$ [kN/m/m]
58	12155	3	4,611	0,000	0,000	-6,000	0,000	-6,000
59	12156	4	4,814	0,000	0,000	-6,000	0,000	-6,000
60	12153	5	5,018	0,000	0,000	-6,000	0,000	-6,000
61	12153	1	5,018	0,000	0,000	-6,000	0,000	-6,000
62	11546	2	5,388	0,000	0,000	-6,000	0,000	-6,000
63	11545	3	5,759	0,000	0,000	-6,000	0,000	-6,000
64	11544	4	6,129	0,000	0,000	-6,000	0,000	-6,000
65	11543	5	6,500	0,000	0,000	-6,000	0,000	-6,000

1.1.3.32 Line load

ID	Node [10^3]	Local node	X [m]	Y [m]	q_x [kN/m/m]	q_y [kN/m/m]	$q_{a,x}$ [kN/m/m]	$q_{a,y}$ [kN/m/m]
1	15329	1	-5,500	0,000	0,000	-6,000	0,000	-6,000
2	15321	2	-5,436	0,000	0,000	-6,000	0,000	-6,000
3	15320	3	-5,373	0,000	0,000	-6,000	0,000	-6,000
4	15319	4	-5,309	0,000	0,000	-6,000	0,000	-6,000
5	15325	5	-5,245	0,000	0,000	-6,000	0,000	-6,000
6	15325	1	-5,245	0,000	0,000	-6,000	0,000	-6,000
7	15305	2	-5,133	0,000	0,000	-6,000	0,000	-6,000
8	15304	3	-5,020	0,000	0,000	-6,000	0,000	-6,000
9	15303	4	-4,908	0,000	0,000	-6,000	0,000	-6,000
10	15309	5	-4,795	0,000	0,000	-6,000	0,000	-6,000
11	15309	1	-4,795	0,000	0,000	-6,000	0,000	-6,000
12	15283	2	-4,596	0,000	0,000	-6,000	0,000	-6,000
13	15282	3	-4,398	0,000	0,000	-6,000	0,000	-6,000
14	15281	4	-4,199	0,000	0,000	-6,000	0,000	-6,000
15	15290	5	-4,000	0,000	0,000	-6,000	0,000	-6,000
16	15277	1	-4,000	0,000	0,000	-6,000	0,000	-6,000
17	14403	2	-3,761	0,000	0,000	-6,000	0,000	-6,000
18	14402	3	-3,521	0,000	0,000	-6,000	0,000	-6,000
19	14401	4	-3,282	0,000	0,000	-6,000	0,000	-6,000
20	14397	5	-3,042	0,000	0,000	-6,000	0,000	-6,000
21	14397	1	-3,042	0,000	0,000	-6,000	0,000	-6,000
22	14371	2	-2,796	0,000	0,000	-6,000	0,000	-6,000
23	14370	3	-2,550	0,000	0,000	-6,000	0,000	-6,000
24	14369	4	-2,303	0,000	0,000	-6,000	0,000	-6,000
25	14365	5	-2,057	0,000	0,000	-6,000	0,000	-6,000
26	14365	1	-2,057	0,000	0,000	-6,000	0,000	-6,000
27	14257	2	-1,803	0,000	0,000	-6,000	0,000	-6,000

ID	Node [10^3]	Local node	X [m]	Y [m]	q_x [kN/m/m]	q_y [kN/m/m]	$q_{a,x}$ [kN/m/m]	$q_{a,y}$ [kN/m/m]
28	14256	3	-1,550	0,000	0,000	-6,000	0,000	-6,000
29	14255	4	-1,296	0,000	0,000	-6,000	0,000	-6,000
30	14251	5	-1,043	0,000	0,000	-6,000	0,000	-6,000
31	14251	1	-1,043	0,000	0,000	-6,000	0,000	-6,000
32	13498	2	-0,782	0,000	0,000	-6,000	0,000	-6,000
33	13497	3	-0,522	0,000	0,000	-6,000	0,000	-6,000
34	13496	4	-0,261	0,000	0,000	-6,000	0,000	-6,000
35	13495	5	0,000	0,000	0,000	-6,000	0,000	-6,000
36	13313	1	0,000	0,000	0,000	-6,000	0,000	-6,000
37	13300	2	0,228	0,000	0,000	-6,000	0,000	-6,000
38	13299	3	0,456	0,000	0,000	-6,000	0,000	-6,000
39	13298	4	0,684	0,000	0,000	-6,000	0,000	-6,000
40	13297	5	0,912	0,000	0,000	-6,000	0,000	-6,000
41	13297	1	0,912	0,000	0,000	-6,000	0,000	-6,000
42	13179	2	1,205	0,000	0,000	-6,000	0,000	-6,000
43	13180	3	1,498	0,000	0,000	-6,000	0,000	-6,000
44	13181	4	1,791	0,000	0,000	-6,000	0,000	-6,000
45	13185	5	2,084	0,000	0,000	-6,000	0,000	-6,000
46	13185	1	2,084	0,000	0,000	-6,000	0,000	-6,000
47	12199	2	2,358	0,000	0,000	-6,000	0,000	-6,000
48	12200	3	2,632	0,000	0,000	-6,000	0,000	-6,000
49	12201	4	2,906	0,000	0,000	-6,000	0,000	-6,000
50	12195	5	3,179	0,000	0,000	-6,000	0,000	-6,000
51	12195	1	3,179	0,000	0,000	-6,000	0,000	-6,000
52	12179	2	3,435	0,000	0,000	-6,000	0,000	-6,000
53	12180	3	3,691	0,000	0,000	-6,000	0,000	-6,000
54	12181	4	3,947	0,000	0,000	-6,000	0,000	-6,000
55	12185	5	4,203	0,000	0,000	-6,000	0,000	-6,000
56	12185	1	4,203	0,000	0,000	-6,000	0,000	-6,000
57	12154	2	4,407	0,000	0,000	-6,000	0,000	-6,000

ID	Node [10 ^{3}]	Local node	X [m]	Y [m]	q $_{x}$ [kN/m/m]	q $_{y}$ [kN/m/m]	q $_{a,x}$ [kN/m/m]	q $_{a,y}$ [kN/m/m]
58	12155	3	4,611	0,000	0,000	-6,000	0,000	-6,000
59	12156	4	4,814	0,000	0,000	-6,000	0,000	-6,000
60	12153	5	5,018	0,000	0,000	-6,000	0,000	-6,000
61	12153	1	5,018	0,000	0,000	-6,000	0,000	-6,000
62	11546	2	5,388	0,000	0,000	-6,000	0,000	-6,000
63	11545	3	5,759	0,000	0,000	-6,000	0,000	-6,000
64	11544	4	6,129	0,000	0,000	-6,000	0,000	-6,000
65	11543	5	6,500	0,000	0,000	-6,000	0,000	-6,000

1.1.3.33 Line load

ID	Node [10^3]	Local node	X [m]	Y [m]	q_x [kN/m/m]	q_y [kN/m/m]	$q_{a,x}$ [kN/m/m]	$q_{a,y}$ [kN/m/m]
1	13313	1	0,000	0,000	0,000	-10,000	0,000	-10,000
2	13300	2	0,228	0,000	0,000	-10,000	0,000	-10,000
3	13299	3	0,456	0,000	0,000	-10,000	0,000	-10,000
4	13298	4	0,684	0,000	0,000	-10,000	0,000	-10,000
5	13297	5	0,912	0,000	0,000	-10,000	0,000	-10,000
6	13297	1	0,912	0,000	0,000	-10,000	0,000	-10,000
7	13179	2	1,205	0,000	0,000	-10,000	0,000	-10,000
8	13180	3	1,498	0,000	0,000	-10,000	0,000	-10,000
9	13181	4	1,791	0,000	0,000	-10,000	0,000	-10,000
10	13185	5	2,084	0,000	0,000	-10,000	0,000	-10,000
11	13185	1	2,084	0,000	0,000	-10,000	0,000	-10,000
12	12199	2	2,358	0,000	0,000	-10,000	0,000	-10,000
13	12200	3	2,632	0,000	0,000	-10,000	0,000	-10,000
14	12201	4	2,906	0,000	0,000	-10,000	0,000	-10,000
15	12195	5	3,179	0,000	0,000	-10,000	0,000	-10,000
16	12195	1	3,179	0,000	0,000	-10,000	0,000	-10,000
17	12179	2	3,435	0,000	0,000	-10,000	0,000	-10,000
18	12180	3	3,691	0,000	0,000	-10,000	0,000	-10,000
19	12181	4	3,947	0,000	0,000	-10,000	0,000	-10,000
20	12185	5	4,203	0,000	0,000	-10,000	0,000	-10,000
21	12185	1	4,203	0,000	0,000	-10,000	0,000	-10,000
22	12154	2	4,407	0,000	0,000	-10,000	0,000	-10,000
23	12155	3	4,611	0,000	0,000	-10,000	0,000	-10,000
24	12156	4	4,814	0,000	0,000	-10,000	0,000	-10,000
25	12153	5	5,018	0,000	0,000	-10,000	0,000	-10,000
26	12153	1	5,018	0,000	0,000	-10,000	0,000	-10,000
27	11546	2	5,388	0,000	0,000	-10,000	0,000	-10,000

ID	Node [10^3]	Local node	X [m]	Y [m]	q_x [kN/m/m]	q_y [kN/m/m]	$q_{a,x}$ [kN/m/m]	$q_{a,y}$ [kN/m/m]
28	11545	3	5,759	0,000	0,000	-10,000	0,000	-10,000
29	11544	4	6,129	0,000	0,000	-10,000	0,000	-10,000
30	11543	5	6,500	0,000	0,000	-10,000	0,000	-10,000
31	15336	1	-5,500	0,000	0,000	0,000	0,000	0,000
32	15335	2	-5,500	-0,070	-2,814	0,000	-2,814	0,000
33	15334	3	-5,500	-0,141	-5,628	0,000	-5,628	0,000
34	15333	4	-5,500	-0,211	-8,442	0,000	-8,442	0,000
35	15350	5	-5,500	-0,281	-11,256	0,000	-11,256	0,000
36	15350	1	-5,500	-0,281	-11,256	0,000	-11,256	0,000
37	15349	2	-5,500	-0,336	-13,442	0,000	-13,442	0,000
38	15348	3	-5,500	-0,391	-15,628	0,000	-15,628	0,000
39	15347	4	-5,500	-0,445	-17,814	0,000	-17,814	0,000
40	15361	5	-5,500	-0,500	-20,000	0,000	-20,000	0,000
41	15361	1	-5,500	-0,500	-20,000	0,000	-20,000	0,000
42	15364	2	-5,500	-0,525	-19,863	0,000	-19,863	0,000
43	15363	3	-5,500	-0,550	-19,725	0,000	-19,725	0,000
44	15362	4	-5,500	-0,575	-19,588	0,000	-19,588	0,000
45	15405	5	-5,500	-0,600	-19,450	0,000	-19,450	0,000
46	15405	1	-5,500	-0,600	-19,450	0,000	-19,450	0,000
47	15408	2	-5,500	-0,644	-19,209	0,000	-19,209	0,000
48	15407	3	-5,500	-0,688	-18,968	0,000	-18,968	0,000
49	15406	4	-5,500	-0,732	-18,726	0,000	-18,726	0,000
50	15419	5	-5,500	-0,775	-18,485	0,000	-18,485	0,000
51	15419	1	-5,500	-0,775	-18,485	0,000	-18,485	0,000
52	15422	2	-5,500	-0,834	-18,161	0,000	-18,161	0,000
53	15421	3	-5,500	-0,893	-17,837	0,000	-17,837	0,000
54	15420	4	-5,500	-0,952	-17,513	0,000	-17,513	0,000
55	15479	5	-5,500	-1,011	-17,189	0,000	-17,189	0,000
56	15479	1	-5,500	-1,011	-17,189	0,000	-17,189	0,000
57	15482	2	-5,500	-1,096	-16,724	0,000	-16,724	0,000

ID	Node [10^3]	Local node	X [m]	Y [m]	q_x [kN/m/m]	q_y [kN/m/m]	$q_{a,x}$ [kN/m/m]	$q_{a,y}$ [kN/m/m]
58	15481	3	-5,500	-1,180	-16,258	0,000	-16,258	0,000
59	15480	4	-5,500	-1,265	-15,793	0,000	-15,793	0,000
60	16393	5	-5,500	-1,350	-15,327	0,000	-15,327	0,000
61	16393	1	-5,500	-1,350	-15,327	0,000	-15,327	0,000
62	16396	2	-5,500	-1,519	-14,393	0,000	-14,393	0,000
63	16395	3	-5,500	-1,689	-13,459	0,000	-13,459	0,000
64	16394	4	-5,500	-1,859	-12,526	0,000	-12,526	0,000
65	16427	5	-5,500	-2,029	-11,592	0,000	-11,592	0,000
66	16427	1	-5,500	-2,029	-11,592	0,000	-11,592	0,000
67	16430	2	-5,500	-2,147	-10,944	0,000	-10,944	0,000
68	16429	3	-5,500	-2,264	-10,296	0,000	-10,296	0,000
69	16428	4	-5,500	-2,382	-9,648	0,000	-9,648	0,000
70	17049	5	-5,500	-2,500	-9,000	0,000	-9,000	0,000
71	17049	1	-5,500	-2,500	-9,000	0,000	-9,000	0,000
72	17052	2	-5,500	-2,666	-8,728	0,000	-8,728	0,000
73	17051	3	-5,500	-2,832	-8,456	0,000	-8,456	0,000
74	17050	4	-5,500	-2,999	-8,184	0,000	-8,184	0,000
75	17279	5	-5,500	-3,165	-7,912	0,000	-7,912	0,000
76	17279	1	-5,500	-3,165	-7,912	0,000	-7,912	0,000
77	17282	2	-5,500	-3,375	-7,569	0,000	-7,569	0,000
78	17281	3	-5,500	-3,585	-7,225	0,000	-7,225	0,000
79	17280	4	-5,500	-3,795	-6,881	0,000	-6,881	0,000
80	17305	5	-5,500	-4,005	-6,538	0,000	-6,538	0,000
81	17305	1	-5,500	-4,005	-6,538	0,000	-6,538	0,000
82	17308	2	-5,500	-4,154	-6,294	0,000	-6,294	0,000
83	17307	3	-5,500	-4,302	-6,051	0,000	-6,051	0,000
84	17306	4	-5,500	-4,451	-5,807	0,000	-5,807	0,000
85	18049	5	-5,500	-4,600	-5,564	0,000	-5,564	0,000

1.1.3.34 Line load

ID	Node [10^3]	Local node	X [m]	Y [m]	q_x [kN/m/m]	q_y [kN/m/m]	$q_{a,x}$ [kN/m/m]	$q_{a,y}$ [kN/m/m]
1	13313	1	0,000	0,000	0,000	-20,000	0,000	-20,000
2	13300	2	0,228	0,000	0,000	-20,000	0,000	-20,000
3	13299	3	0,456	0,000	0,000	-20,000	0,000	-20,000
4	13298	4	0,684	0,000	0,000	-20,000	0,000	-20,000
5	13297	5	0,912	0,000	0,000	-20,000	0,000	-20,000
6	13297	1	0,912	0,000	0,000	-20,000	0,000	-20,000
7	13179	2	1,205	0,000	0,000	-20,000	0,000	-20,000
8	13180	3	1,498	0,000	0,000	-20,000	0,000	-20,000
9	13181	4	1,791	0,000	0,000	-20,000	0,000	-20,000
10	13185	5	2,084	0,000	0,000	-20,000	0,000	-20,000
11	13185	1	2,084	0,000	0,000	-20,000	0,000	-20,000
12	12199	2	2,358	0,000	0,000	-20,000	0,000	-20,000
13	12200	3	2,632	0,000	0,000	-20,000	0,000	-20,000
14	12201	4	2,906	0,000	0,000	-20,000	0,000	-20,000
15	12195	5	3,179	0,000	0,000	-20,000	0,000	-20,000
16	12195	1	3,179	0,000	0,000	-20,000	0,000	-20,000
17	12179	2	3,435	0,000	0,000	-20,000	0,000	-20,000
18	12180	3	3,691	0,000	0,000	-20,000	0,000	-20,000
19	12181	4	3,947	0,000	0,000	-20,000	0,000	-20,000
20	12185	5	4,203	0,000	0,000	-20,000	0,000	-20,000
21	12185	1	4,203	0,000	0,000	-20,000	0,000	-20,000
22	12154	2	4,407	0,000	0,000	-20,000	0,000	-20,000
23	12155	3	4,611	0,000	0,000	-20,000	0,000	-20,000
24	12156	4	4,814	0,000	0,000	-20,000	0,000	-20,000
25	12153	5	5,018	0,000	0,000	-20,000	0,000	-20,000
26	12153	1	5,018	0,000	0,000	-20,000	0,000	-20,000
27	11546	2	5,388	0,000	0,000	-20,000	0,000	-20,000

ID	Node [10^3]	Local node	X [m]	Y [m]	q_x [kN/m/m]	q_y [kN/m/m]	$q_{a,x}$ [kN/m/m]	$q_{a,y}$ [kN/m/m]
28	11545	3	5,759	0,000	0,000	-20,000	0,000	-20,000
29	11544	4	6,129	0,000	0,000	-20,000	0,000	-20,000
30	11543	5	6,500	0,000	0,000	-20,000	0,000	-20,000

1.1.3.35 Line load

ID	Node [10^3]	Local node	X [m]	Y [m]	q_x [kN/m/m]	q_y [kN/m/m]	$q_{a,x}$ [kN/m/m]	$q_{a,y}$ [kN/m/m]
1	13313	1	0,000	0,000	0,000	-23,070	0,000	-23,070
2	13300	2	0,228	0,000	0,000	-23,070	0,000	-23,070
3	13299	3	0,456	0,000	0,000	-23,070	0,000	-23,070
4	13298	4	0,684	0,000	0,000	-23,070	0,000	-23,070
5	13297	5	0,912	0,000	0,000	-23,070	0,000	-23,070
6	13297	1	0,912	0,000	0,000	-23,070	0,000	-23,070
7	13179	2	1,205	0,000	0,000	-23,070	0,000	-23,070
8	13180	3	1,498	0,000	0,000	-23,070	0,000	-23,070
9	13181	4	1,791	0,000	0,000	-23,070	0,000	-23,070
10	13185	5	2,084	0,000	0,000	-23,070	0,000	-23,070
11	13185	1	2,084	0,000	0,000	-23,070	0,000	-23,070
12	12199	2	2,358	0,000	0,000	-23,070	0,000	-23,070
13	12200	3	2,632	0,000	0,000	-23,070	0,000	-23,070
14	12201	4	2,906	0,000	0,000	-23,070	0,000	-23,070
15	12195	5	3,179	0,000	0,000	-23,070	0,000	-23,070
16	12195	1	3,179	0,000	0,000	-23,070	0,000	-23,070
17	12179	2	3,435	0,000	0,000	-23,070	0,000	-23,070
18	12180	3	3,691	0,000	0,000	-23,070	0,000	-23,070
19	12181	4	3,947	0,000	0,000	-23,070	0,000	-23,070
20	12185	5	4,203	0,000	0,000	-23,070	0,000	-23,070
21	12185	1	4,203	0,000	0,000	-23,070	0,000	-23,070
22	12154	2	4,407	0,000	0,000	-23,070	0,000	-23,070
23	12155	3	4,611	0,000	0,000	-23,070	0,000	-23,070
24	12156	4	4,814	0,000	0,000	-23,070	0,000	-23,070
25	12153	5	5,018	0,000	0,000	-23,070	0,000	-23,070
26	12153	1	5,018	0,000	0,000	-23,070	0,000	-23,070
27	11546	2	5,388	0,000	0,000	-23,070	0,000	-23,070

ID	Node [10^3]	Local node	X [m]	Y [m]	q_x [kN/m/m]	q_y [kN/m/m]	$q_{a,x}$ [kN/m/m]	$q_{a,y}$ [kN/m/m]
28	11545	3	5,759	0,000	0,000	-23,070	0,000	-23,070
29	11544	4	6,129	0,000	0,000	-23,070	0,000	-23,070
30	11543	5	6,500	0,000	0,000	-23,070	0,000	-23,070

1.1.3.36 Line load

ID	Node [10^3]	Local node	X [m]	Y [m]	q_x [kN/m/m]	q_y [kN/m/m]	$q_{a,x}$ [kN/m/m]	$q_{a,y}$ [kN/m/m]
1	13313	1	0,000	0,000	0,000	-26,000	0,000	-26,000
2	13300	2	0,228	0,000	0,000	-26,000	0,000	-26,000
3	13299	3	0,456	0,000	0,000	-26,000	0,000	-26,000
4	13298	4	0,684	0,000	0,000	-26,000	0,000	-26,000
5	13297	5	0,912	0,000	0,000	-26,000	0,000	-26,000
6	13297	1	0,912	0,000	0,000	-26,000	0,000	-26,000
7	13179	2	1,205	0,000	0,000	-26,000	0,000	-26,000
8	13180	3	1,498	0,000	0,000	-26,000	0,000	-26,000
9	13181	4	1,791	0,000	0,000	-26,000	0,000	-26,000
10	13185	5	2,084	0,000	0,000	-26,000	0,000	-26,000
11	13185	1	2,084	0,000	0,000	-26,000	0,000	-26,000
12	12199	2	2,358	0,000	0,000	-26,000	0,000	-26,000
13	12200	3	2,632	0,000	0,000	-26,000	0,000	-26,000
14	12201	4	2,906	0,000	0,000	-26,000	0,000	-26,000
15	12195	5	3,179	0,000	0,000	-26,000	0,000	-26,000
16	12195	1	3,179	0,000	0,000	-26,000	0,000	-26,000
17	12179	2	3,435	0,000	0,000	-26,000	0,000	-26,000
18	12180	3	3,691	0,000	0,000	-26,000	0,000	-26,000
19	12181	4	3,947	0,000	0,000	-26,000	0,000	-26,000
20	12185	5	4,203	0,000	0,000	-26,000	0,000	-26,000
21	12185	1	4,203	0,000	0,000	-26,000	0,000	-26,000
22	12154	2	4,407	0,000	0,000	-26,000	0,000	-26,000
23	12155	3	4,611	0,000	0,000	-26,000	0,000	-26,000
24	12156	4	4,814	0,000	0,000	-26,000	0,000	-26,000
25	12153	5	5,018	0,000	0,000	-26,000	0,000	-26,000
26	12153	1	5,018	0,000	0,000	-26,000	0,000	-26,000
27	11546	2	5,388	0,000	0,000	-26,000	0,000	-26,000

ID	Node [10^3]	Local node	X [m]	Y [m]	q_x [kN/m/m]	q_y [kN/m/m]	$q_{a,x}$ [kN/m/m]	$q_{a,y}$ [kN/m/m]
28	11545	3	5,759	0,000	0,000	-26,000	0,000	-26,000
29	11544	4	6,129	0,000	0,000	-26,000	0,000	-26,000
30	11543	5	6,500	0,000	0,000	-26,000	0,000	-26,000

1.1.3.37 Line load

ID	Node [10^3]	Local node	X [m]	Y [m]	q_x [kN/m/m]	q_y [kN/m/m]	$q_{a,x}$ [kN/m/m]	$q_{a,y}$ [kN/m/m]
1	13313	1	0,000	0,000	0,000	-26,000	0,000	-26,000
2	13300	2	0,228	0,000	0,000	-26,000	0,000	-26,000
3	13299	3	0,456	0,000	0,000	-26,000	0,000	-26,000
4	13298	4	0,684	0,000	0,000	-26,000	0,000	-26,000
5	13297	5	0,912	0,000	0,000	-26,000	0,000	-26,000
6	13297	1	0,912	0,000	0,000	-26,000	0,000	-26,000
7	13179	2	1,205	0,000	0,000	-26,000	0,000	-26,000
8	13180	3	1,498	0,000	0,000	-26,000	0,000	-26,000
9	13181	4	1,791	0,000	0,000	-26,000	0,000	-26,000
10	13185	5	2,084	0,000	0,000	-26,000	0,000	-26,000
11	13185	1	2,084	0,000	0,000	-26,000	0,000	-26,000
12	12199	2	2,358	0,000	0,000	-26,000	0,000	-26,000
13	12200	3	2,632	0,000	0,000	-26,000	0,000	-26,000
14	12201	4	2,906	0,000	0,000	-26,000	0,000	-26,000
15	12195	5	3,179	0,000	0,000	-26,000	0,000	-26,000
16	12195	1	3,179	0,000	0,000	-26,000	0,000	-26,000
17	12179	2	3,435	0,000	0,000	-26,000	0,000	-26,000
18	12180	3	3,691	0,000	0,000	-26,000	0,000	-26,000
19	12181	4	3,947	0,000	0,000	-26,000	0,000	-26,000
20	12185	5	4,203	0,000	0,000	-26,000	0,000	-26,000
21	12185	1	4,203	0,000	0,000	-26,000	0,000	-26,000
22	12154	2	4,407	0,000	0,000	-26,000	0,000	-26,000
23	12155	3	4,611	0,000	0,000	-26,000	0,000	-26,000
24	12156	4	4,814	0,000	0,000	-26,000	0,000	-26,000
25	12153	5	5,018	0,000	0,000	-26,000	0,000	-26,000
26	12153	1	5,018	0,000	0,000	-26,000	0,000	-26,000
27	11546	2	5,388	0,000	0,000	-26,000	0,000	-26,000

ID	Node [10^3]	Local node	X [m]	Y [m]	q_x [kN/m/m]	q_y [kN/m/m]	$q_{a,x}$ [kN/m/m]	$q_{a,y}$ [kN/m/m]
28	11545	3	5,759	0,000	0,000	-26,000	0,000	-26,000
29	11544	4	6,129	0,000	0,000	-26,000	0,000	-26,000
30	11543	5	6,500	0,000	0,000	-26,000	0,000	-26,000

1.1.3.38 Line load

ID	Node	Local node	X [m]	Y [m]	q_x [kN/m/m]	q_y [kN/m/m]	$q_{a,x}$ [kN/m/m]	$q_{a,y}$ [kN/m/m]

1.1.3.39 Line load

ID	Node [10^3]	Local node	X [m]	Y [m]	q_x [kN/m/m]	q_y [kN/m/m]	$q_{a,x}$ [kN/m/m]	$q_{a,y}$ [kN/m/m]
1	15329	1	-5,500	0,000	0,000	-6,000	0,000	-6,000
2	15321	2	-5,436	0,000	0,000	-6,000	0,000	-6,000
3	15320	3	-5,373	0,000	0,000	-6,000	0,000	-6,000
4	15319	4	-5,309	0,000	0,000	-6,000	0,000	-6,000
5	15325	5	-5,245	0,000	0,000	-6,000	0,000	-6,000
6	15325	1	-5,245	0,000	0,000	-6,000	0,000	-6,000
7	15305	2	-5,133	0,000	0,000	-6,000	0,000	-6,000
8	15304	3	-5,020	0,000	0,000	-6,000	0,000	-6,000
9	15303	4	-4,908	0,000	0,000	-6,000	0,000	-6,000
10	15309	5	-4,795	0,000	0,000	-6,000	0,000	-6,000
11	15309	1	-4,795	0,000	0,000	-6,000	0,000	-6,000
12	15283	2	-4,596	0,000	0,000	-6,000	0,000	-6,000
13	15282	3	-4,398	0,000	0,000	-6,000	0,000	-6,000
14	15281	4	-4,199	0,000	0,000	-6,000	0,000	-6,000
15	15290	5	-4,000	0,000	0,000	-6,000	0,000	-6,000
16	15277	1	-4,000	0,000	0,000	-6,000	0,000	-6,000
17	14403	2	-3,761	0,000	0,000	-6,000	0,000	-6,000
18	14402	3	-3,521	0,000	0,000	-6,000	0,000	-6,000
19	14401	4	-3,282	0,000	0,000	-6,000	0,000	-6,000
20	14397	5	-3,042	0,000	0,000	-6,000	0,000	-6,000
21	14397	1	-3,042	0,000	0,000	-6,000	0,000	-6,000
22	14371	2	-2,796	0,000	0,000	-6,000	0,000	-6,000
23	14370	3	-2,550	0,000	0,000	-6,000	0,000	-6,000
24	14369	4	-2,303	0,000	0,000	-6,000	0,000	-6,000
25	14365	5	-2,057	0,000	0,000	-6,000	0,000	-6,000
26	14365	1	-2,057	0,000	0,000	-6,000	0,000	-6,000
27	14257	2	-1,803	0,000	0,000	-6,000	0,000	-6,000

ID	Node [10^3]	Local node	X [m]	Y [m]	q_x [kN/m/m]	q_y [kN/m/m]	$q_{a,x}$ [kN/m/m]	$q_{a,y}$ [kN/m/m]
28	14256	3	-1,550	0,000	0,000	-6,000	0,000	-6,000
29	14255	4	-1,296	0,000	0,000	-6,000	0,000	-6,000
30	14251	5	-1,043	0,000	0,000	-6,000	0,000	-6,000
31	14251	1	-1,043	0,000	0,000	-6,000	0,000	-6,000
32	13498	2	-0,782	0,000	0,000	-6,000	0,000	-6,000
33	13497	3	-0,522	0,000	0,000	-6,000	0,000	-6,000
34	13496	4	-0,261	0,000	0,000	-6,000	0,000	-6,000
35	13495	5	0,000	0,000	0,000	-6,000	0,000	-6,000
36	13313	1	0,000	0,000	0,000	-6,000	0,000	-6,000
37	13300	2	0,228	0,000	0,000	-6,000	0,000	-6,000
38	13299	3	0,456	0,000	0,000	-6,000	0,000	-6,000
39	13298	4	0,684	0,000	0,000	-6,000	0,000	-6,000
40	13297	5	0,912	0,000	0,000	-6,000	0,000	-6,000
41	13297	1	0,912	0,000	0,000	-6,000	0,000	-6,000
42	13179	2	1,205	0,000	0,000	-6,000	0,000	-6,000
43	13180	3	1,498	0,000	0,000	-6,000	0,000	-6,000
44	13181	4	1,791	0,000	0,000	-6,000	0,000	-6,000
45	13185	5	2,084	0,000	0,000	-6,000	0,000	-6,000
46	13185	1	2,084	0,000	0,000	-6,000	0,000	-6,000
47	12199	2	2,358	0,000	0,000	-6,000	0,000	-6,000
48	12200	3	2,632	0,000	0,000	-6,000	0,000	-6,000
49	12201	4	2,906	0,000	0,000	-6,000	0,000	-6,000
50	12195	5	3,179	0,000	0,000	-6,000	0,000	-6,000
51	12195	1	3,179	0,000	0,000	-6,000	0,000	-6,000
52	12179	2	3,435	0,000	0,000	-6,000	0,000	-6,000
53	12180	3	3,691	0,000	0,000	-6,000	0,000	-6,000
54	12181	4	3,947	0,000	0,000	-6,000	0,000	-6,000
55	12185	5	4,203	0,000	0,000	-6,000	0,000	-6,000
56	12185	1	4,203	0,000	0,000	-6,000	0,000	-6,000
57	12154	2	4,407	0,000	0,000	-6,000	0,000	-6,000

ID	Node [10^3]	Local node	X [m]	Y [m]	q_x [kN/m/m]	q_y [kN/m/m]	$q_{a,x}$ [kN/m/m]	$q_{a,y}$ [kN/m/m]
58	12155	3	4,611	0,000	0,000	-6,000	0,000	-6,000
59	12156	4	4,814	0,000	0,000	-6,000	0,000	-6,000
60	12153	5	5,018	0,000	0,000	-6,000	0,000	-6,000
61	12153	1	5,018	0,000	0,000	-6,000	0,000	-6,000
62	11546	2	5,388	0,000	0,000	-6,000	0,000	-6,000
63	11545	3	5,759	0,000	0,000	-6,000	0,000	-6,000
64	11544	4	6,129	0,000	0,000	-6,000	0,000	-6,000
65	11543	5	6,500	0,000	0,000	-6,000	0,000	-6,000

1.1.4.1 Calculation results, Initial phase [InitialPhase] (0/11), Materials plot

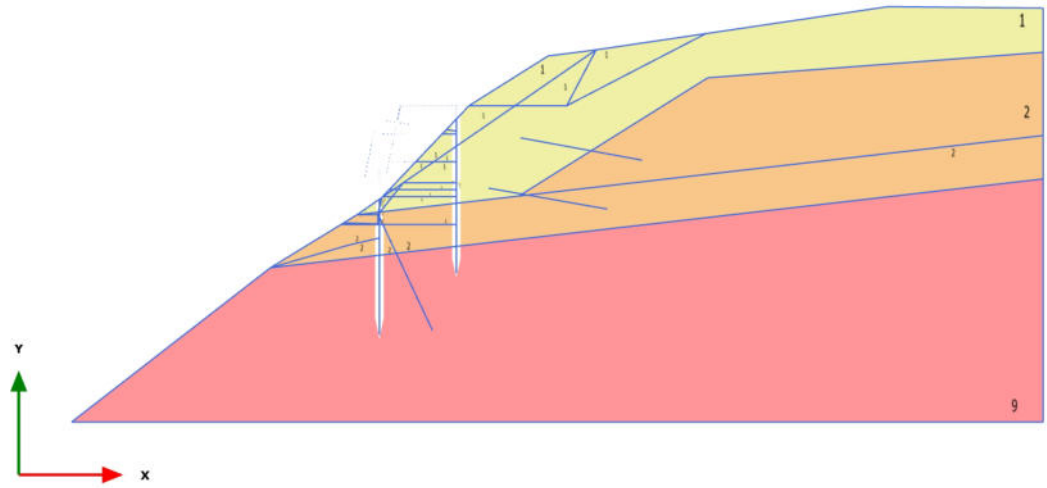

Materials plot

1.1.4.2 Calculation results, Phase_1 [Phase_1] (1/14), Materials plot

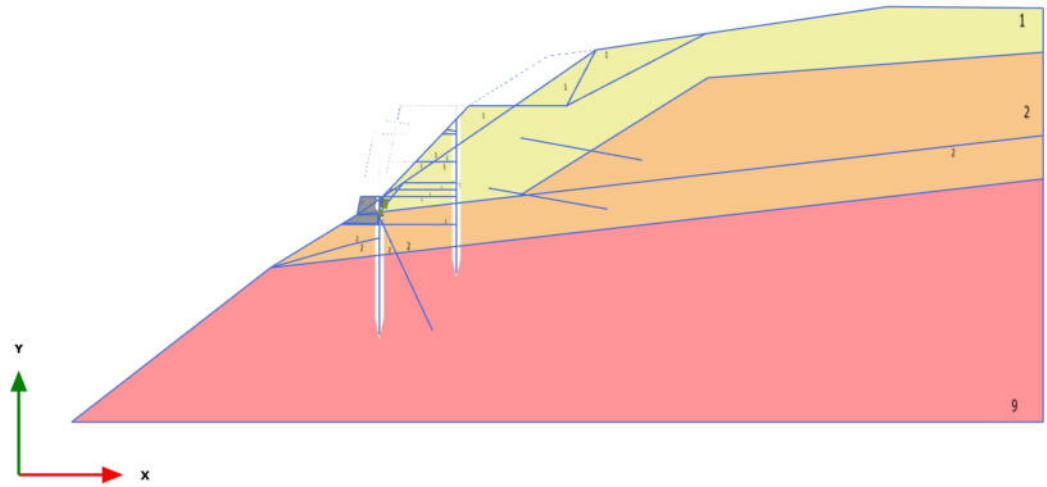

Materials plot

1.1.4.3 Calculation results, Phase_2 [Phase_2] (2/26), Materials plot

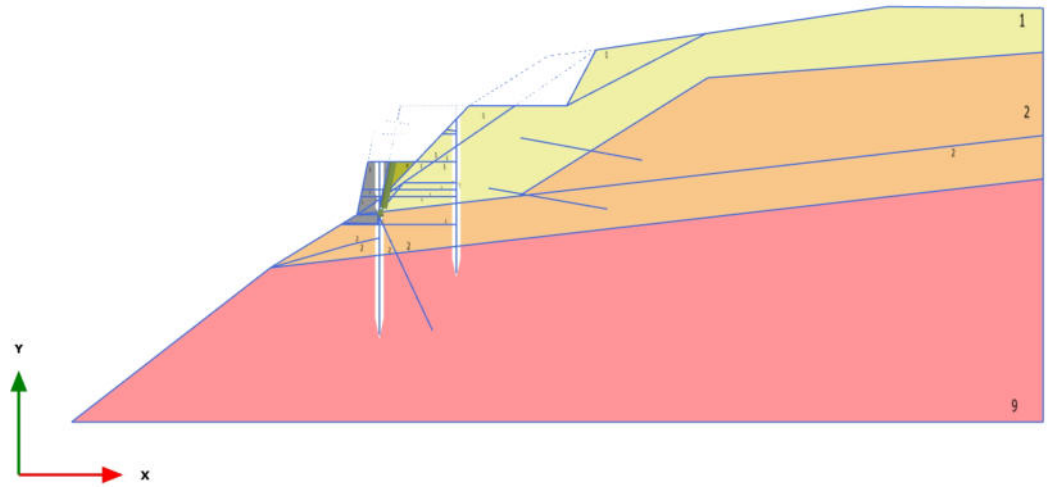

Materials plot

1.1.4.4 Calculation results, Fine costruzione muro [Phase_3] (3/89), Materials plot

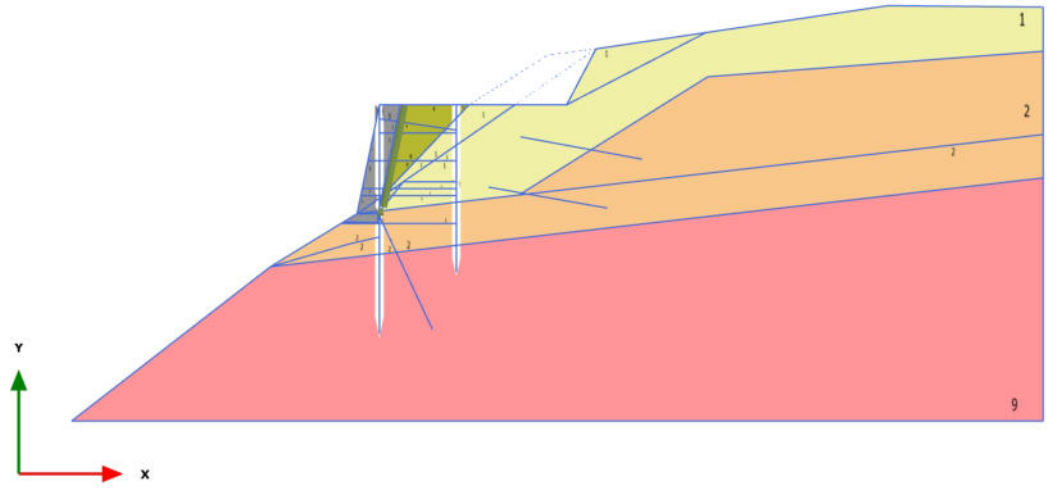

Materials plot

1.1.4.5 Calculation results, (RD) Paratia [Phase_4] (4/92), Materials plot

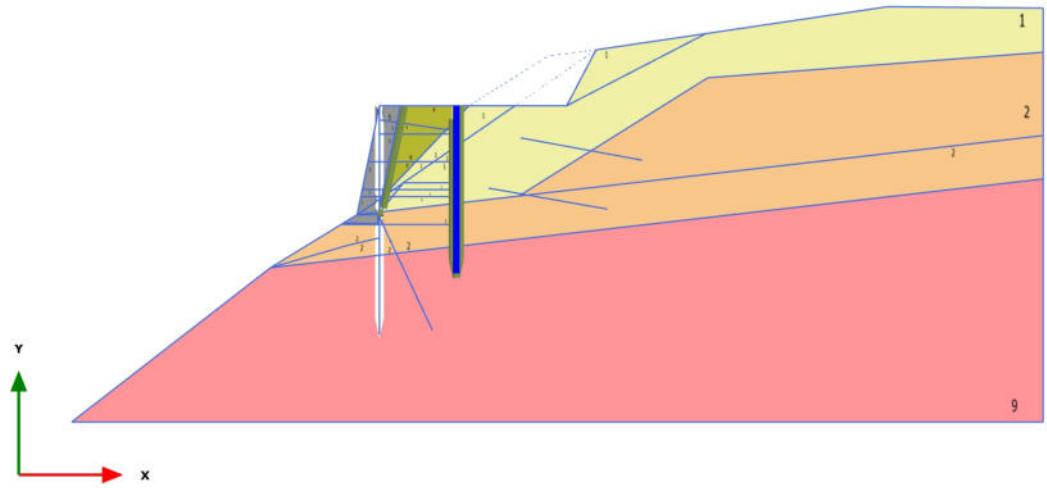

Materials plot

1.1.4.6 Calculation results, Voragine 1 [Phase_5] (5/110), Materials plot

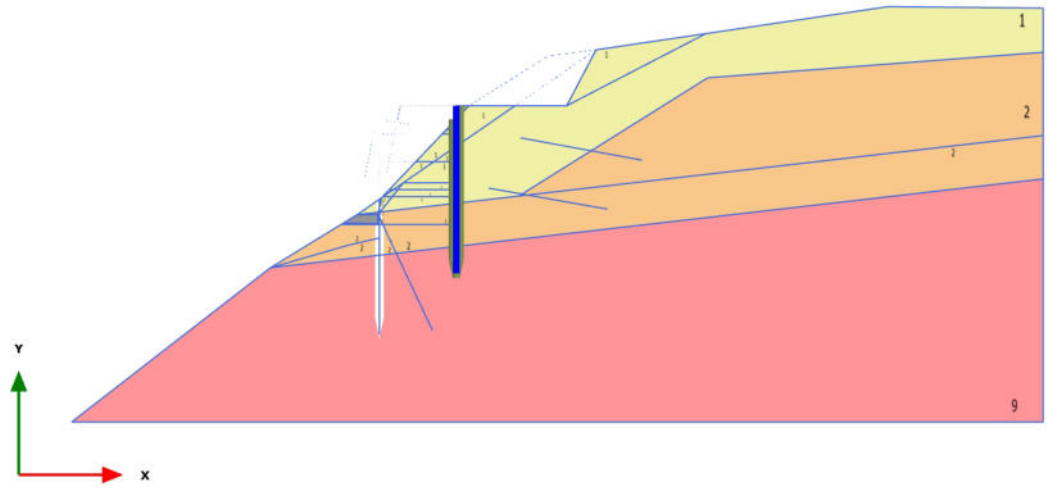

Materials plot

1.1.4.7 Calculation results, Voragine 2 [Phase_6] (6/134), Materials plot

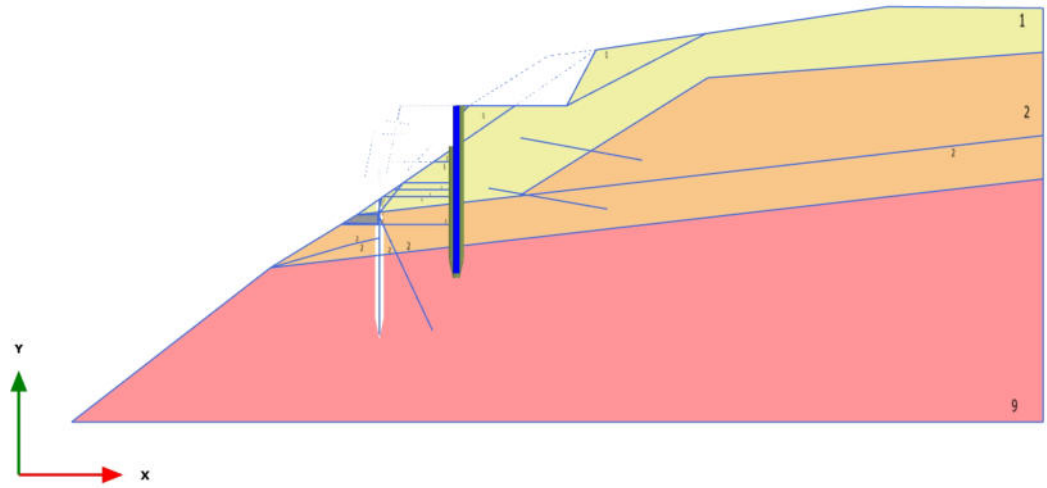

Materials plot

1.1.4.8 Calculation results, Mezzi (10 kPa) [Phase_7] (7/155), Materials plot

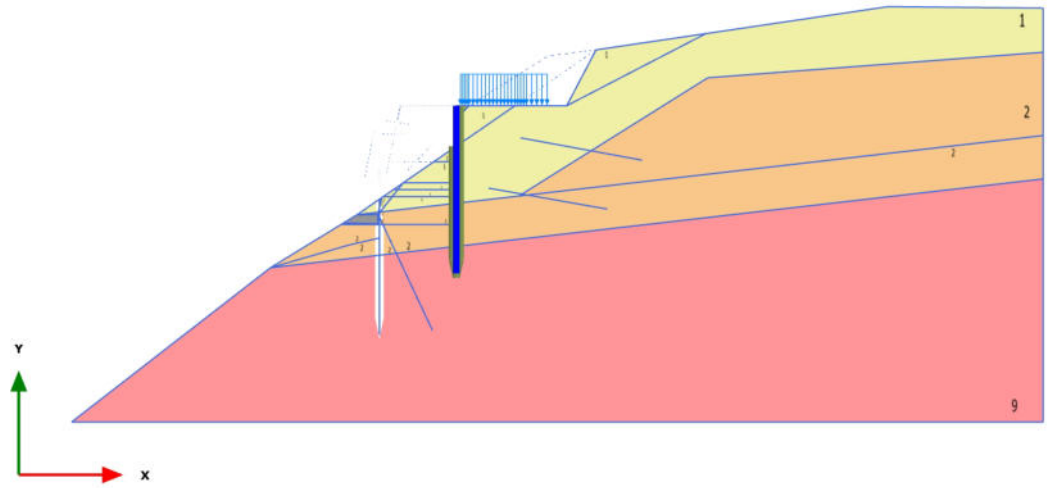

Materials plot

1.1.4.9 Calculation results, Micropalo ancoraggio 1 [Phase_8] (8/221), Materials plot

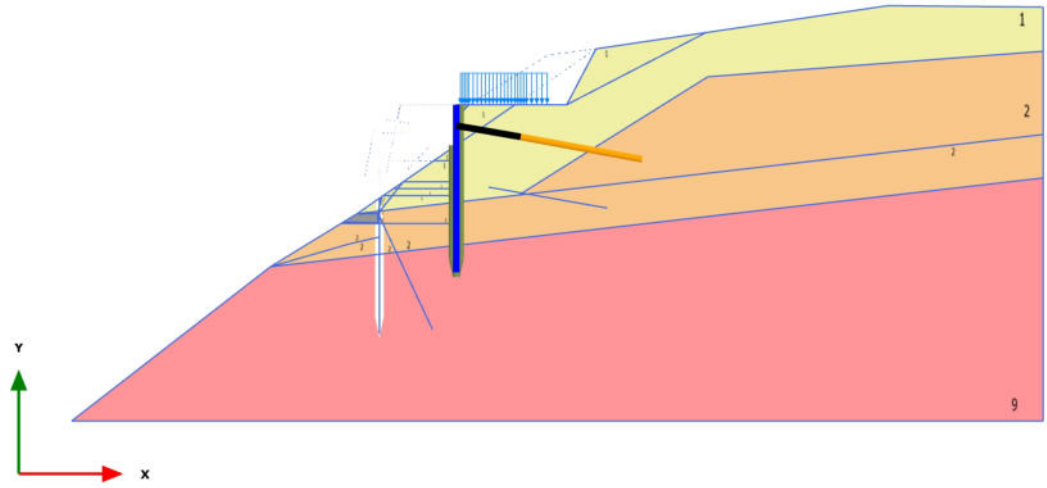

Materials plot

1.1.4.10 Calculation results, Escavo 1 [Phase_9] (9/235), Materials plot

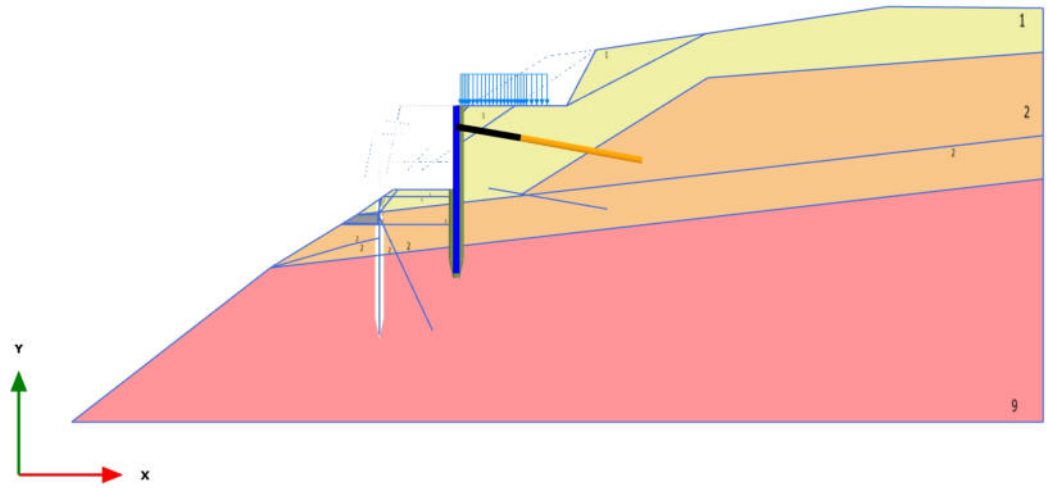

Materials plot

1.1.4.11 Calculation results, Micropalo ancoraggio 2 [Phase_35] (35/309), Materials plot

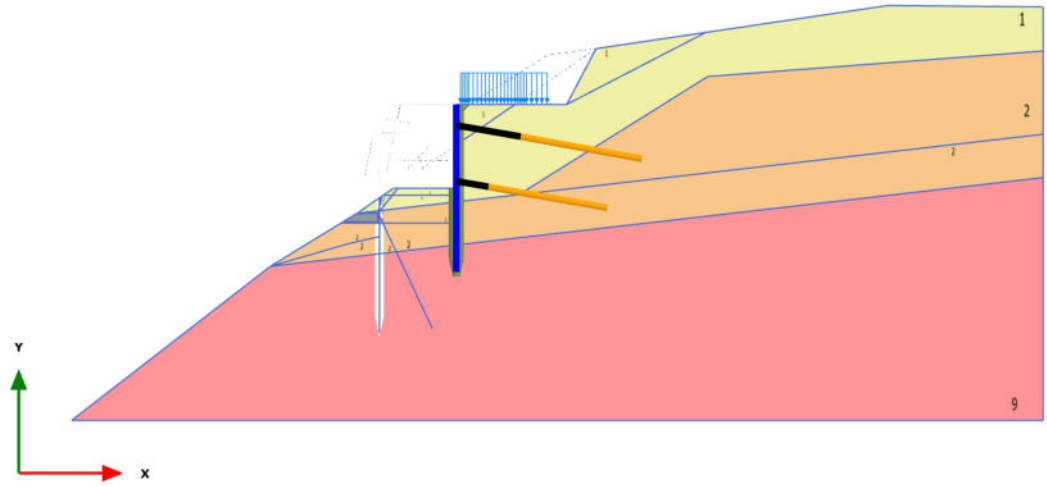

Materials plot

1.1.4.12 Calculation results, Escavo 2 [Phase_10] (10/318), Materials plot

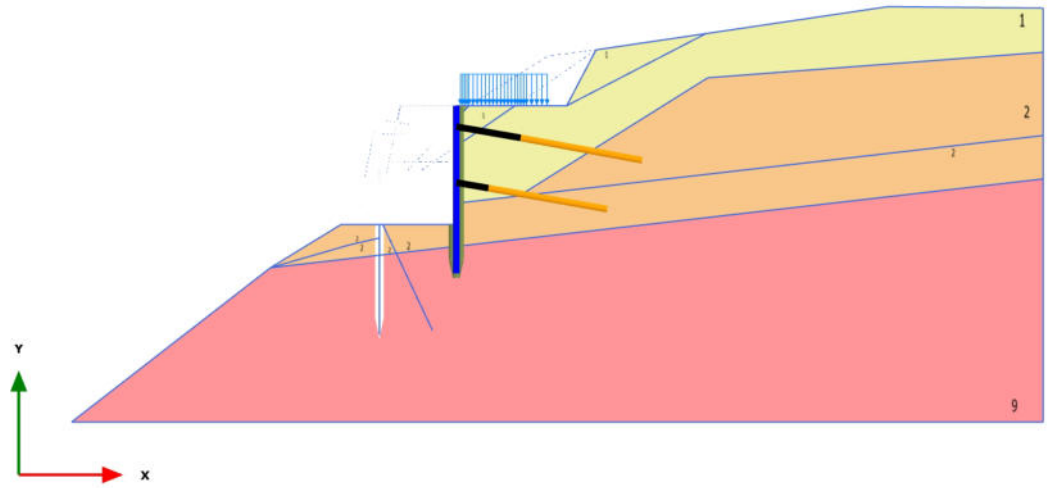

Materials plot

1.1.4.13 Calculation results, (RIEMP A SBALZO) Micropali e parete [Phase_14] (14/320), Materials plot

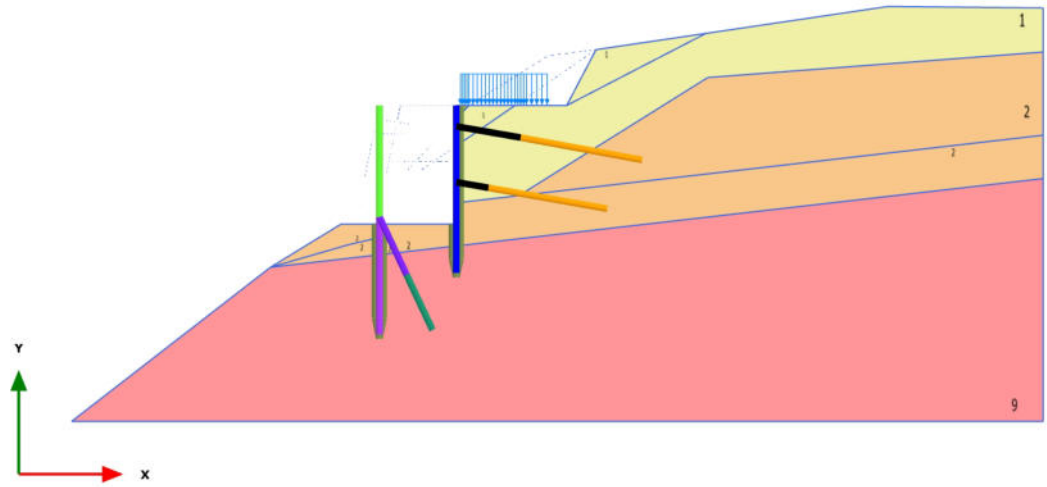

Materials plot

1.1.4.14 Calculation results, Riempimento 1 [Phase_15] (15/506), Materials plot

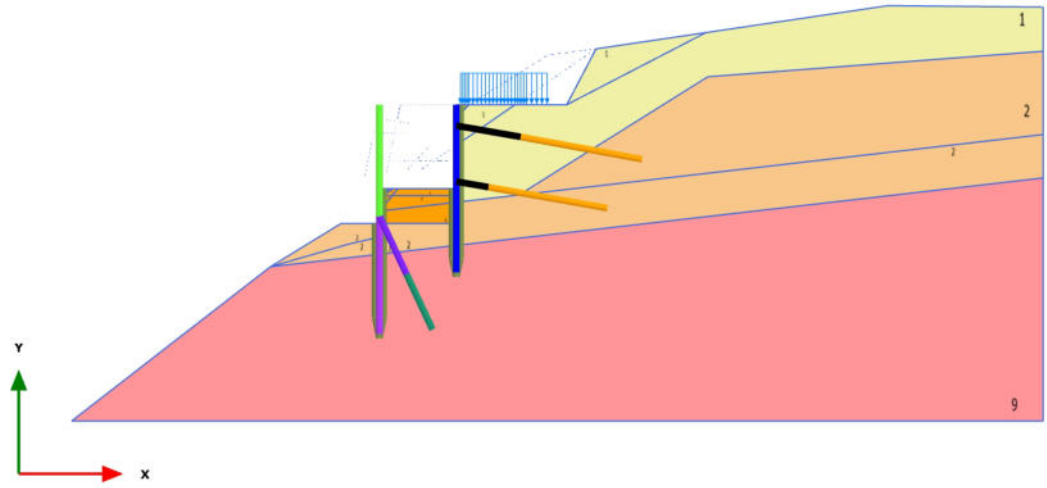

Materials plot

1.1.4.15 Calculation results, Collegamento ancoraggio 1 [Phase_36] (36/614), Materials plot

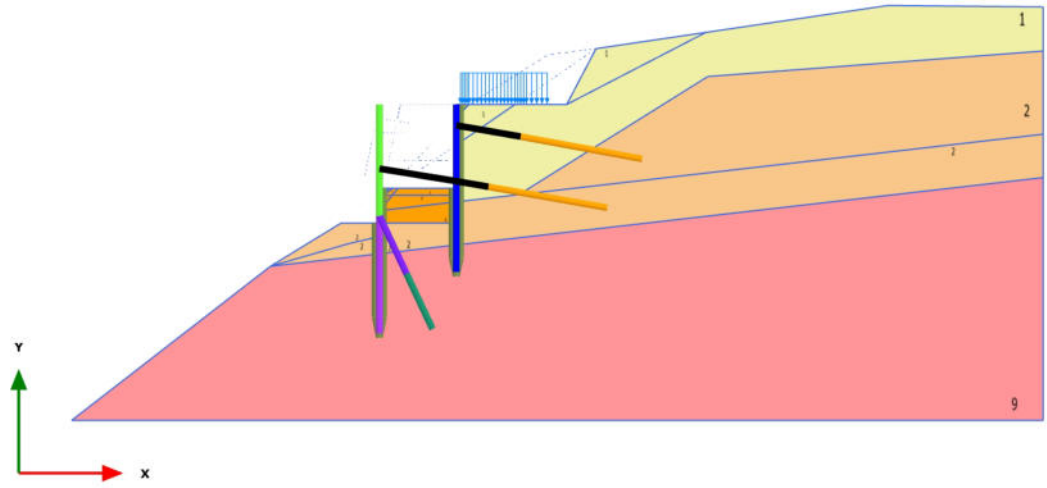

Materials plot

1.1.4.16 Calculation results, Riempimento 2 [Phase_16] (16/640), Materials plot

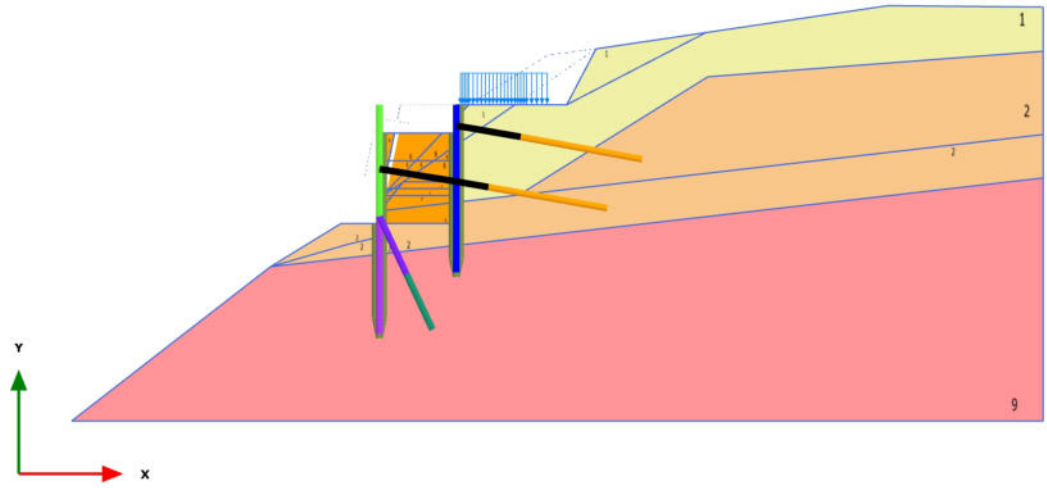

Materials plot

1.1.4.17 Calculation results, Riempimento 3 ed estensione tirante [Phase_17] (17/646), Materials plot

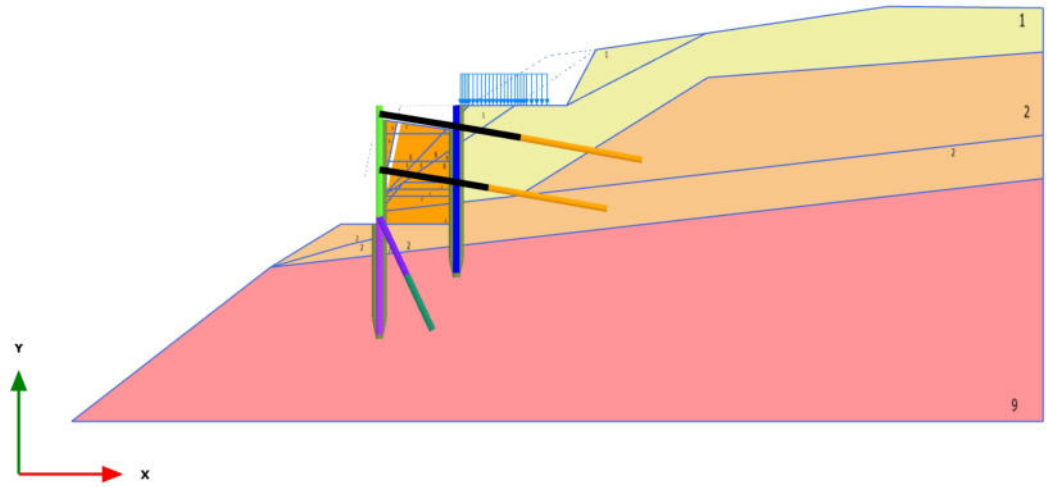

Materials plot

1.1.4.18 Calculation results, Riempimento 4 [Phase_25] (25/655), Materials plot

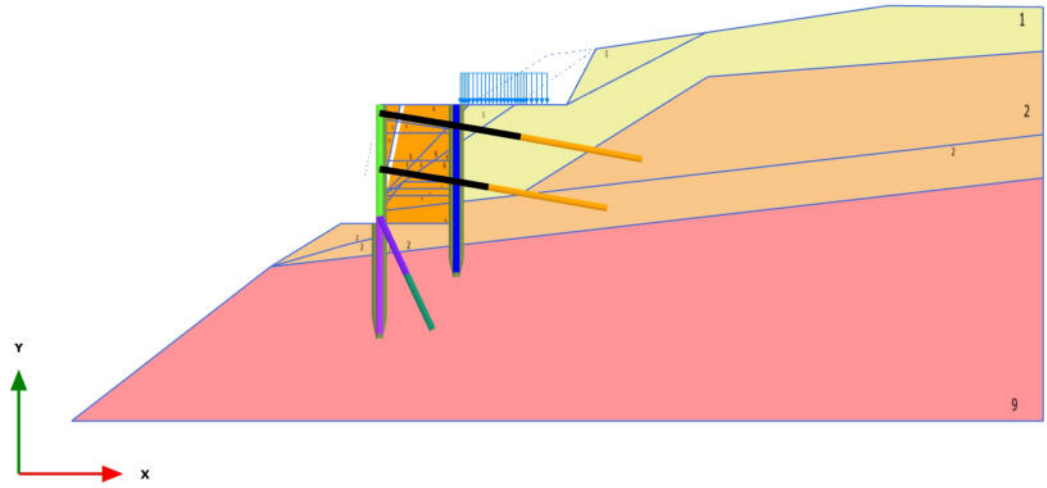

Materials plot

1.1.4.19 Calculation results, Disattivazione paratia esistente [Phase_26] (26/660), Materials plot

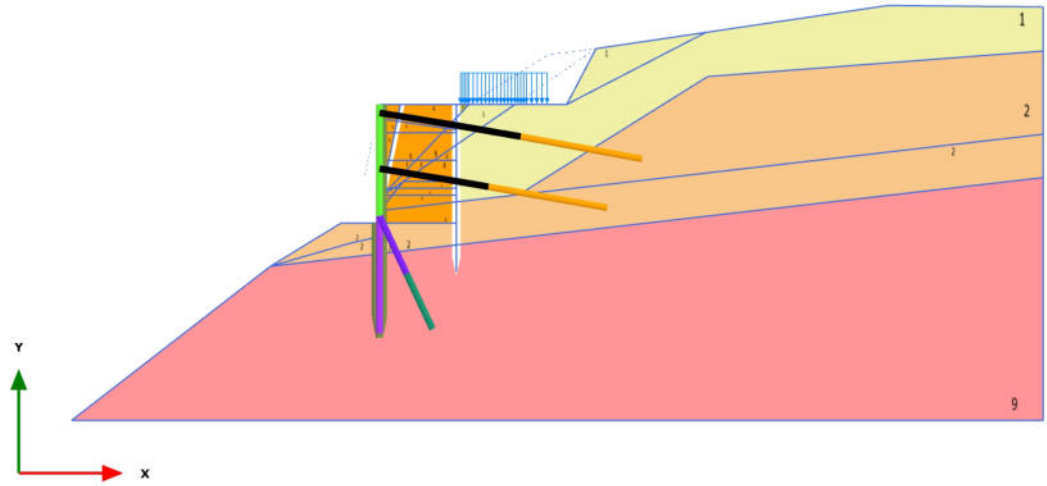

Materials plot

1.1.4.20 Calculation results, Eccezionale paratia esistente [Phase_34] (34/668), Materials plot

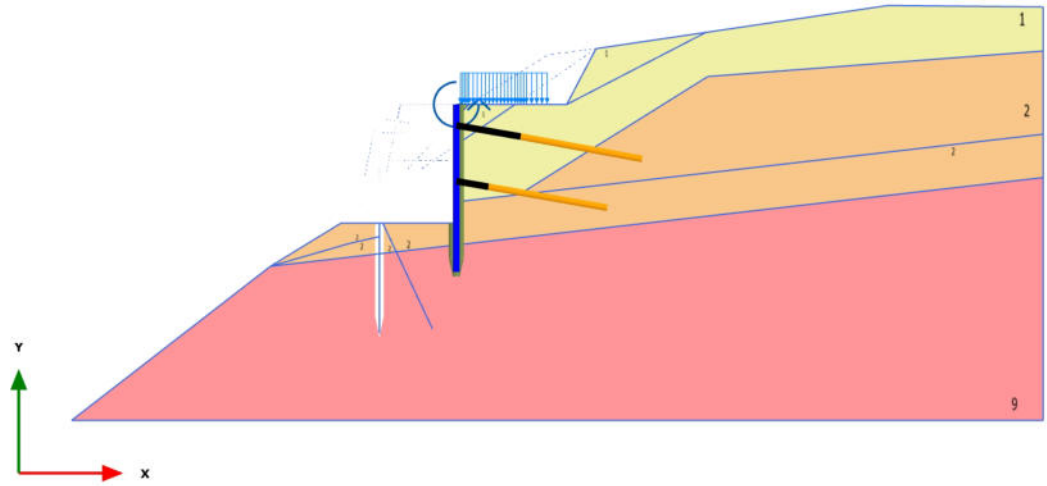

Materials plot

1.1.4.21 Calculation results, Eccezionale [Phase_24] (24/712), Materials plot

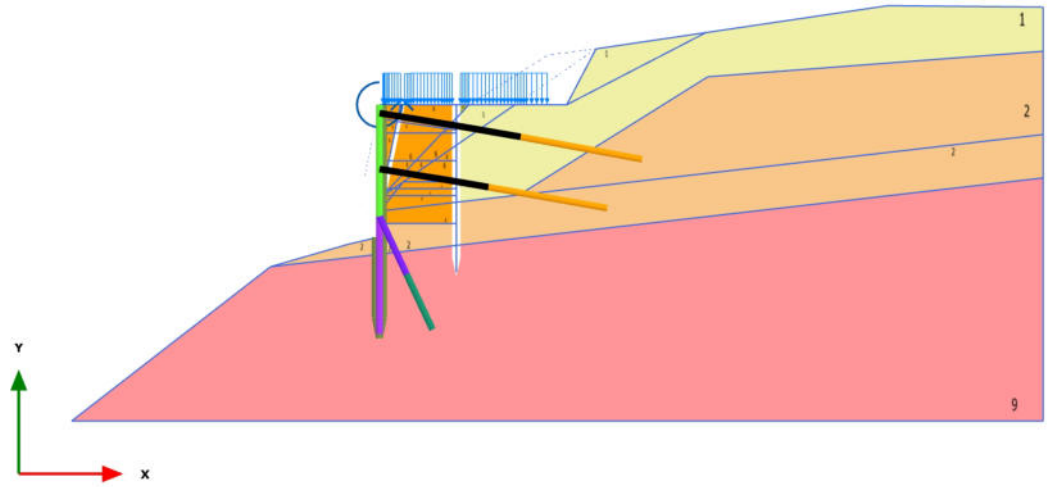

Materials plot

1.1.4.22 Calculation results, SLU11 [Phase_29] (29/723), Materials plot

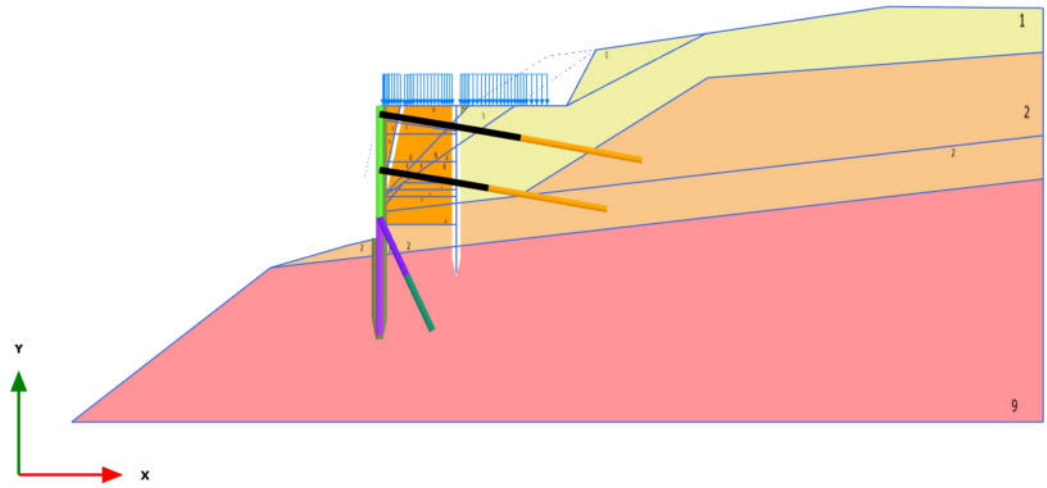

Materials plot

1.1.4.23 Calculation results, M2 [Phase_30] (30/770), Materials plot

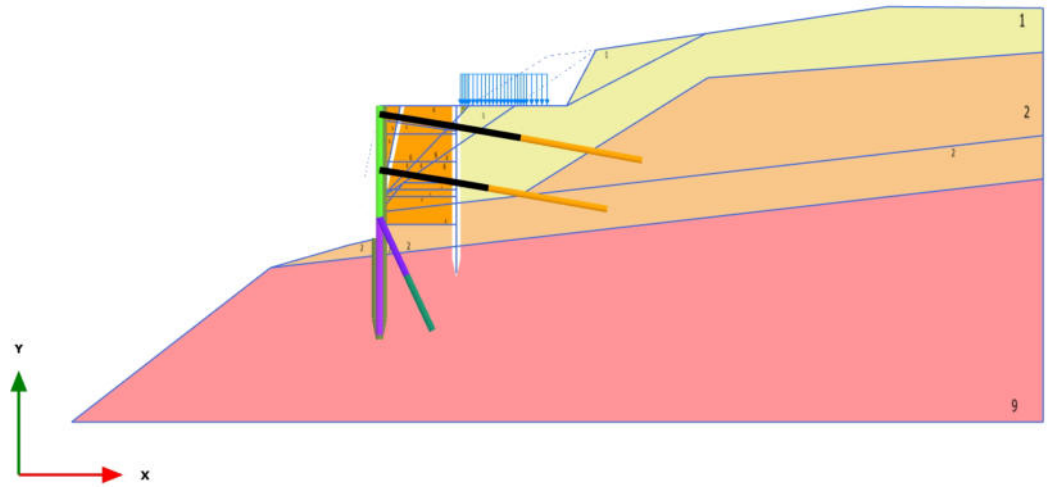

Materials plot

1.1.4.24 Calculation results, SLU12 [Phase_31] (31/776), Materials plot

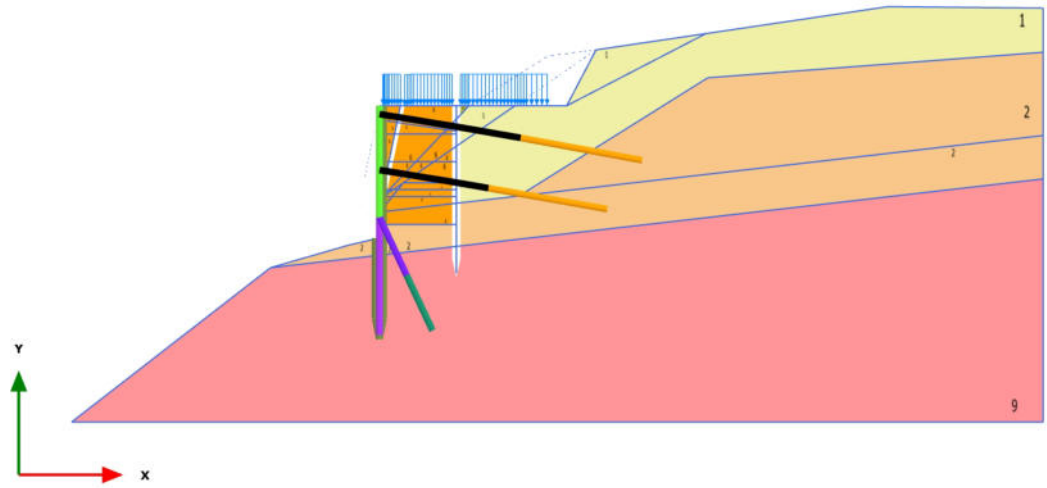

Materials plot

1.1.4.25 Calculation results, SLU12 SG [Phase_21] (21/779), Materials plot

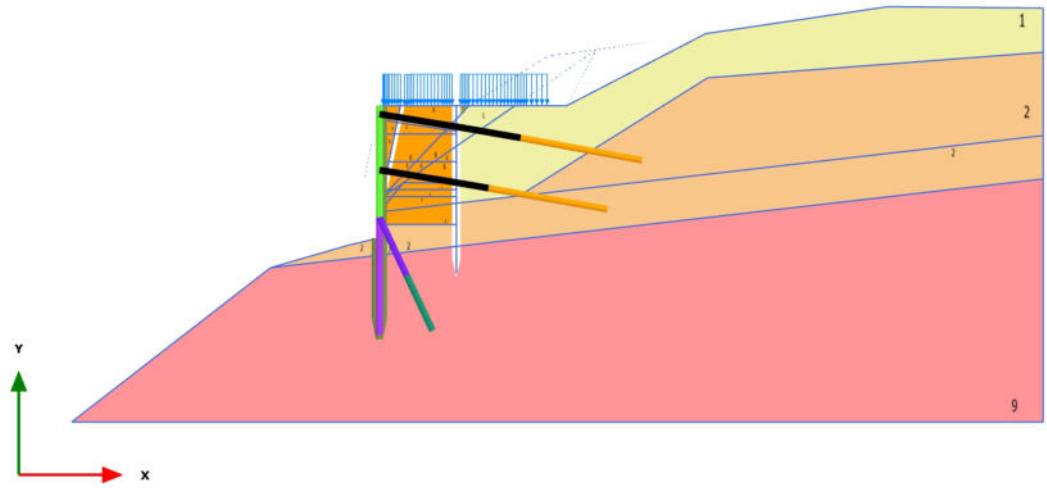

Materials plot

1.1.4.26 Calculation results, FS SLU12 [Phase_20] (20/879), Materials plot

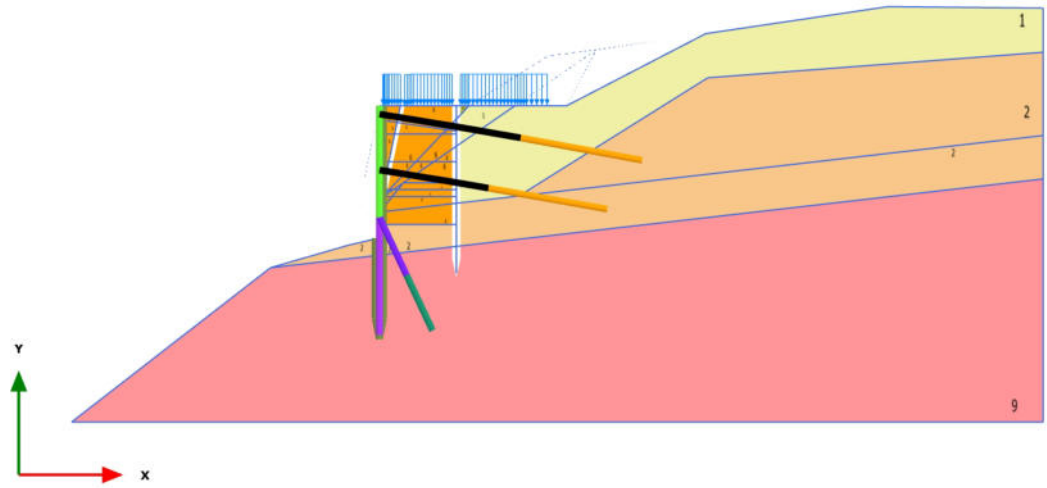

Materials plot

1.1.4.27 Calculation results, SLE [Phase_11] (11/883), Materials plot

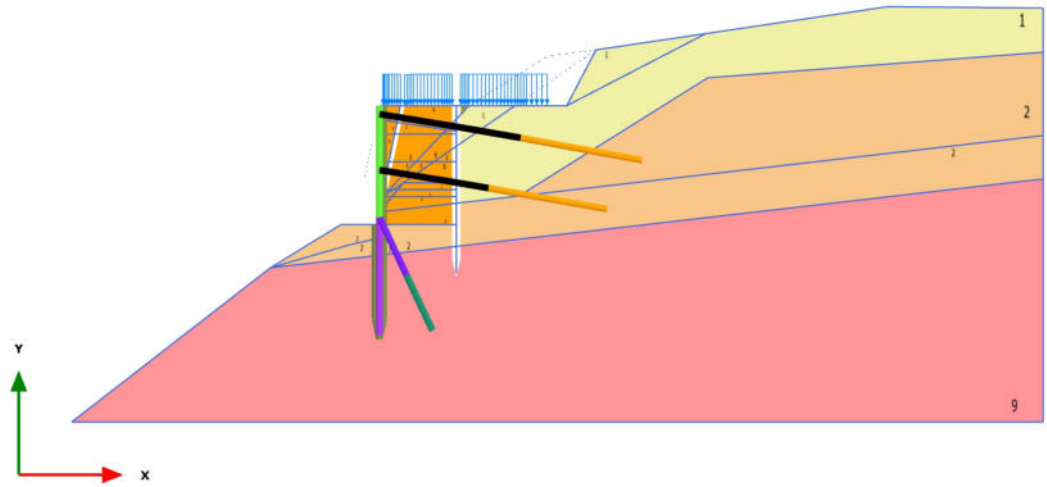

Materials plot

1.1.4.28 Calculation results, SLV + stab globale [Phase_22] (22/896), Materials plot

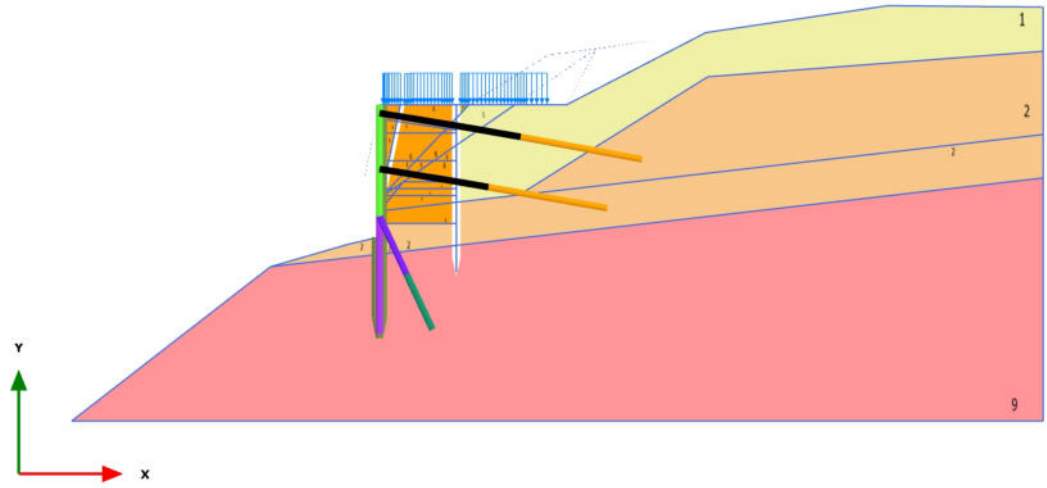

Materials plot

1.1.4.29 Calculation results, FS SLV+ [Phase_28] (28/1046), Materials plot

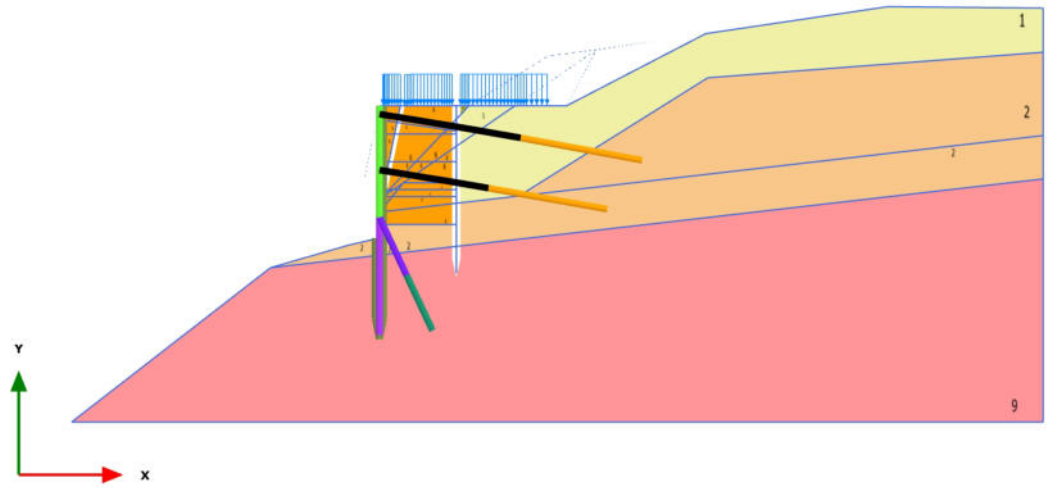

Materials plot

1.1.4.30 Calculation results, SLV - stab globale [Phase_32] (32/1056), Materials plot

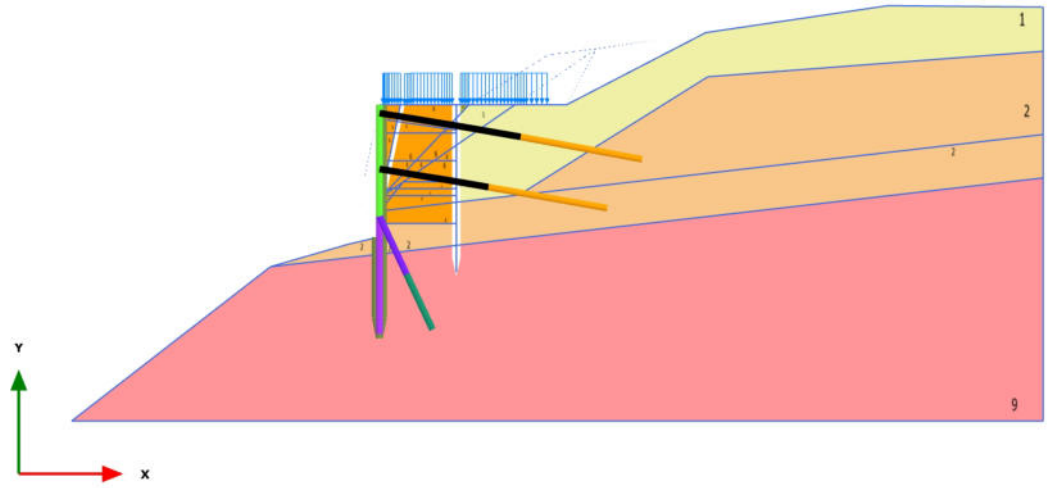

Materials plot

1.1.4.31 Calculation results, FS SLV - [Phase_33] (33/1156), Materials plot

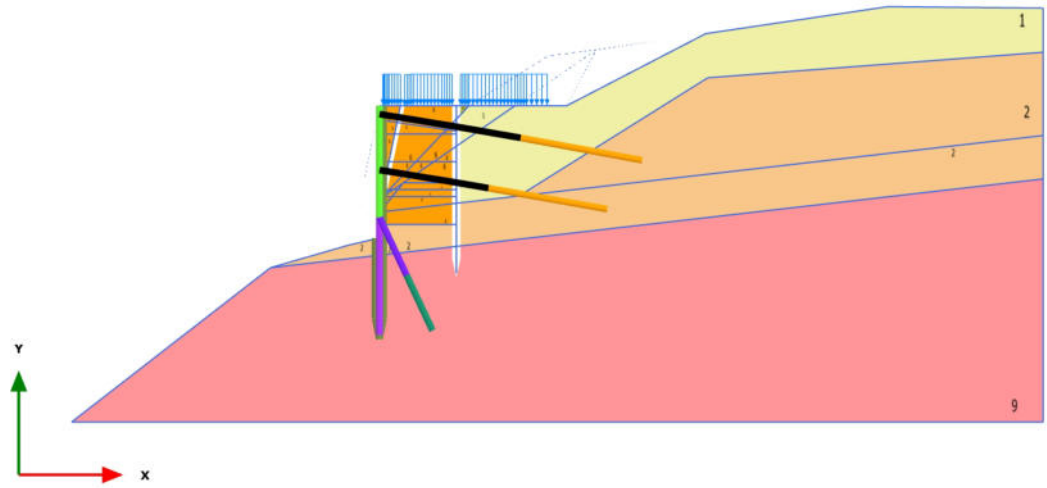

Materials plot

1.1.4.32 Calculation results, SLD [Phase_38] (38/1178), Materials plot

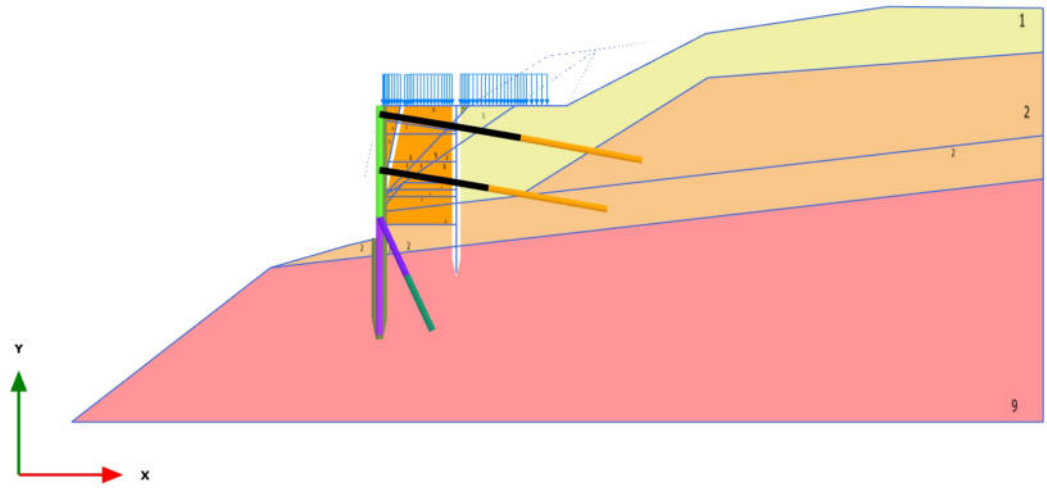

Materials plot

1.1.4.33 Calculation results, q rullo [Phase_37] (37/1187), Materials plot

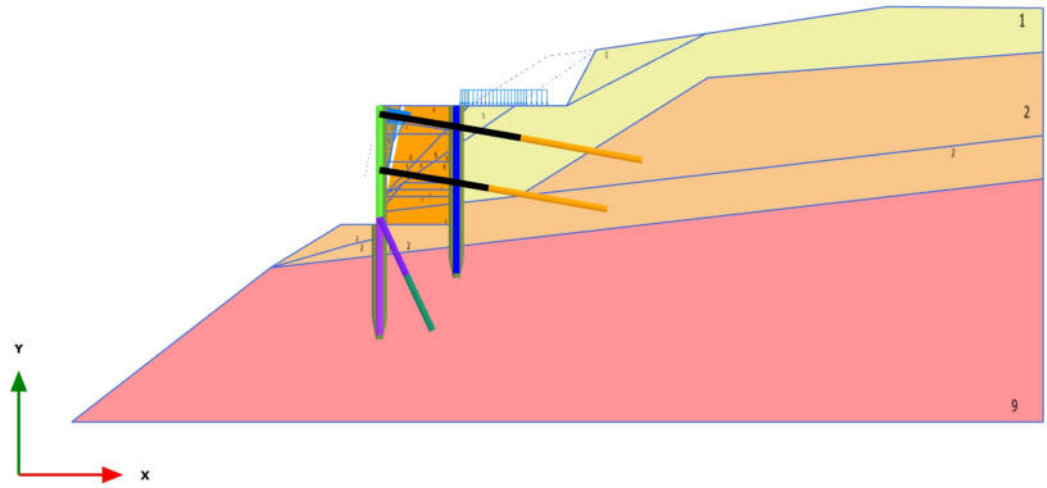

Materials plot

1.1.4.34 Calculation results, SLE Paratia esistente [Phase_12] (12/1232), Materials plot

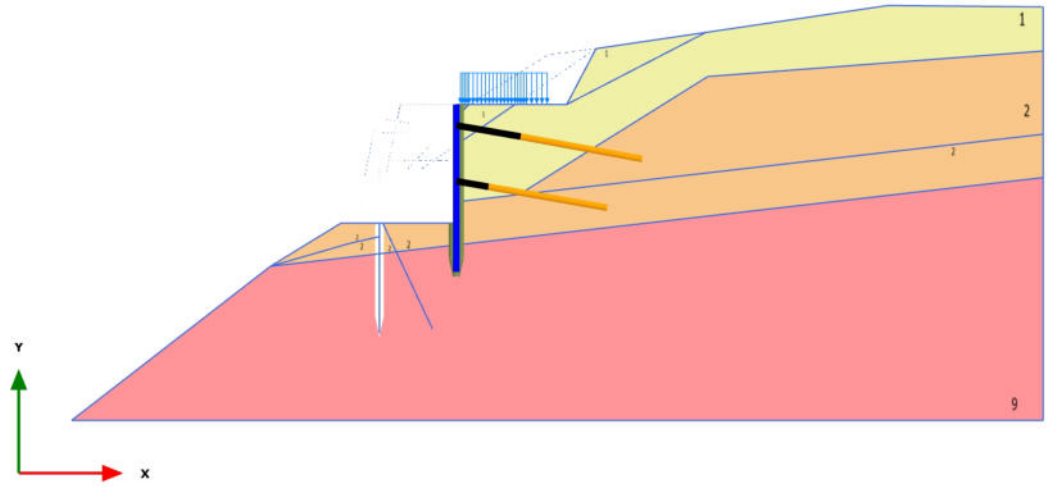

Materials plot

1.1.4.35 Calculation results, SLU11 Paratia esistente [Phase_13] (13/1235), Materials plot

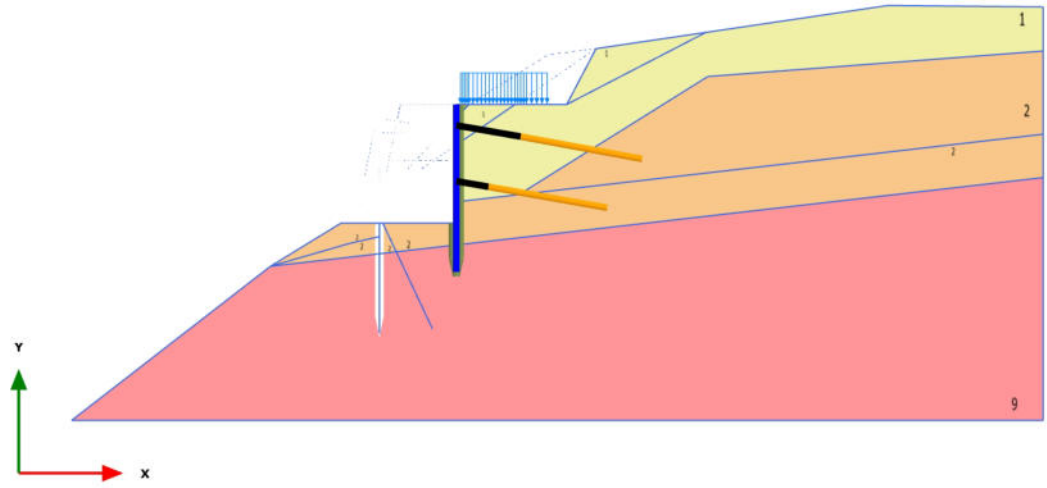

Materials plot

1.1.4.36 Calculation results, SLU12 Paratia esistente [Phase_18] (18/1240), Materials plot

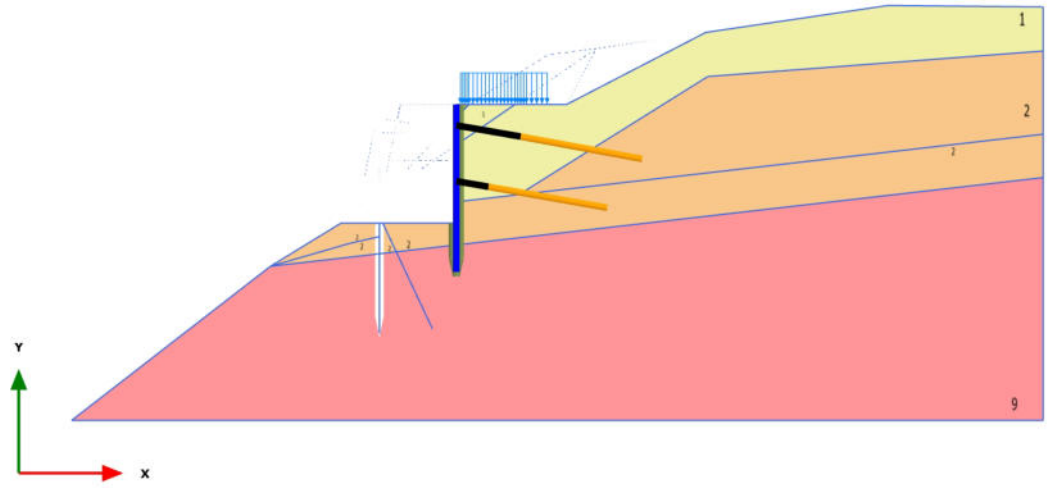

Materials plot

1.1.4.37 Calculation results, FS Paratia esistente [Phase_19] (19/1390), Materials plot

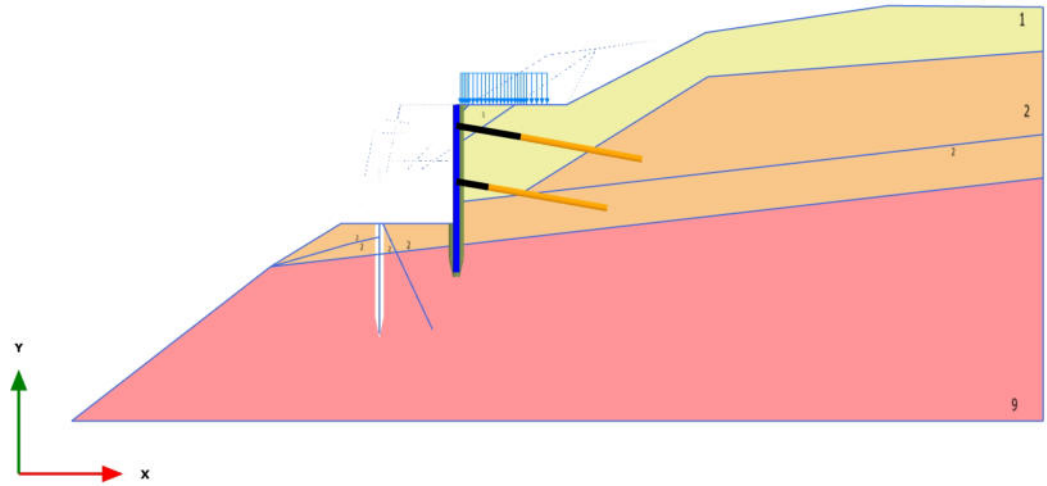

Materials plot

1.1.4.38 Calculation results, FS [Phase_23] (23/1510), Materials plot

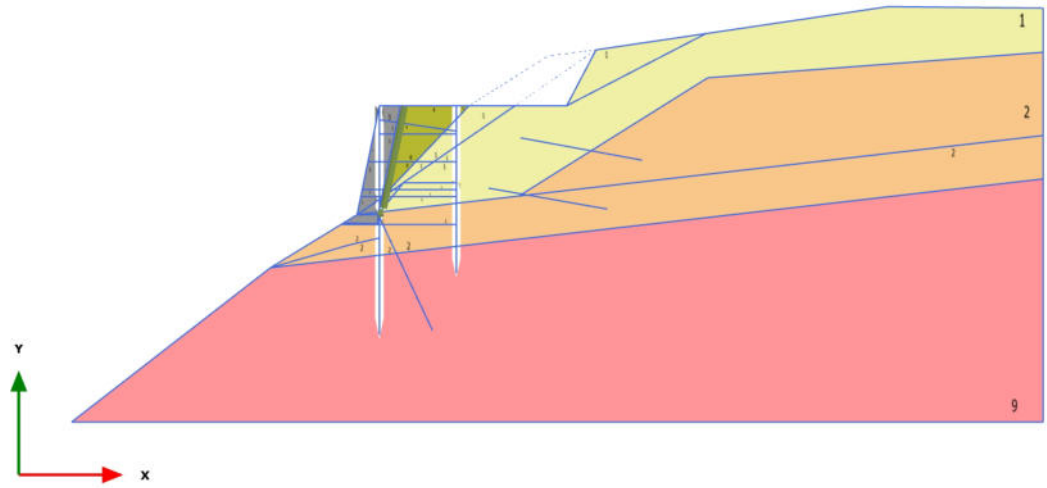

Materials plot

1.1.4.39 Calculation results, SLV [Phase_27] (27/1545), Materials plot

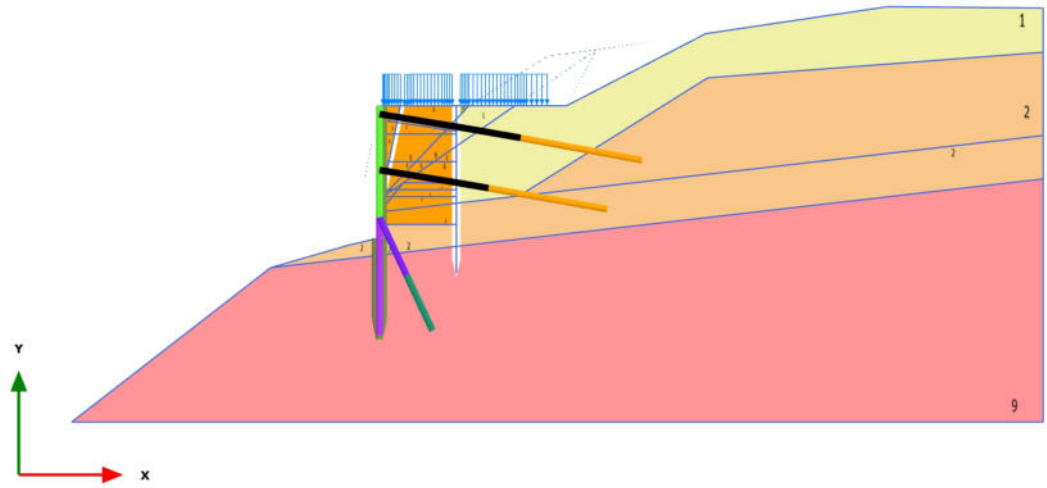

Materials plot

1.1.5.1.1.1 Materials - Soil and interfaces - Mohr-Coulomb (1/2)

Identification number	吝	1	2	4	5	6
Identification	吝	U1	U2	Riempimento	Interfaccia paratia	R
Soil model	吝	Mohr-Coulomb	Mohr-Coulomb	Mohr-Coulomb	Mohr-Coulomb	Mohr-Coulomb
Drainage type	吝	Drained	Drained	Drained	Drained	Drained
Colour	吝					
Comments	吝	吝	吝	吝	吝	
₡_unsat	kN/m³	19,00	20,00	19,00	19,00	19,00
₡_sat	kN/m³	19,00	20,00	19,00	19,00	19,00
e_init	吝	0,5000	0,5000	0,5000	0,5000	0,5000
n_init	吝	0,3333	0,3333	0,3333	0,3333	0,3333
E'_ref	kN/m²	30,00E3	50,00E3	30,00E3	15,00E3	50,00E3
™(nu)	吝	0,3000	0,3000	0,3000	0,4000	0,3000
G_ref	kN/m²	11,54E3	19,23E3	11,54E3	5357	19,23E3
E_oed	kN/m²	40,38E3	67,31E3	40,38E3	32,14E3	67,31E3
E'_inc	kN/m²/m	0,000	0,000	0,000	0,000	0,000
y_ref	m	0,000	0,000	0,000	0,000	0,000
V_s	m/s	77,18	97,12	77,18	52,59	99,65
V_p	m/s	144,4	181,7	144,4	128,8	186,4
c'_ref	kN/m²	8,000	20,00	0,000	0,000	0,000
⅛' (phi)	°	27,00	30,00	30,00	30,00	38,00
⅝ (psi)	°	0,000	0,000	0,000	0,000	0,000
c'_inc	kN/m²/m	0,000	0,000	0,000	0,000	0,000
y_ref	m	0,000	0,000	0,000	0,000	0,000
Tension cut-off	吝	True	True	True	True	True
Tensile strength	kN/m²	0,000	0,000	0,000	0,000	0,000
Determination	吝	™undrained definition	™undrained definition	™undrained definition	™undrained definition	™undrained definition
™u definition method	吝	Direct	Direct	Direct	Direct	Direct
™u,equivalent (nu)	吝	0,4950	0,4950	0,4950	0,4950	0,4950
Skempton B	吝	0,9783	0,9783	0,9783	0,9532	0,9783
K_w,ref/n	kN/m²	1,125E6	1,875E6	1,125E6	508,9E3	1,875E6
Classification type	吝	Standard	Standard	Standard	Standard	Standard
Soil class (Standard)	吝	Coarse	Coarse	Coarse	Coarse	Coarse
< 2 ı m	%	10,00	10,00	10,00	10,00	10,00
2 ı m - 50 ı m	%	13,00	13,00	13,00	13,00	13,00
50 ı m - 2 mm	%	77,00	77,00	77,00	77,00	77,00
Use defaults	吝	False	False	False	False	False
k_x	m/day	0,000	0,000	0,000	0,000	0,000
k_y	m/day	0,000	0,000	0,000	0,000	0,000

Identification number	**¤**	**1**	**2**	**4**	**5**	**6**
Void ratio dependency	¤	False	False	False	False	False
c_k	¤	1000E12	1000E12	1000E12	1000E12	1000E12
n_init	¤	0,3333	0,3333	0,3333	0,3333	0,3333
-%_unsat	m	10,00E3	10,00E3	10,00E3	10,00E3	10,00E3
c_s	kJ/t/K	0,000	0,000	0,000	0,000	0,000
?_s	kW/m/K	0,000	0,000	0,000	0,000	0,000
Å_s	t/m³	2,600	2,600	2,600	2,600	2,600
Thermal expansion type	¤	Isotropic	Isotropic	Isotropic	Isotropic	Isotropic
Å_sv	1/K	0,000	0,000	0,000	0,000	0,000
Phase change	¤	False	False	False	False	False
D_v	m²/day	0,000	0,000	0,000	0,000	0,000
f_Tv	¤	0,000	0,000	0,000	0,000	0,000
Stiffness determination	¤	Derived	Derived	Derived	Derived	Derived
Strength determination	¤	Rigid	Rigid	Manual	Rigid	Manual
R_inter	¤	1,000	1,000	0,5000	1,000	0,5000
Consider gap closure	¤	True	True	True	True	True
Cross permeability	¤	Impermeable	Impermeable	Impermeable	Impermeable	Impermeable
Drainage conductivity, dk	m³/day/m	0,000	0,000	0,000	0,000	0,000
R_thermal	m² K/kW	0,000	0,000	0,000	0,000	0,000
K_0 determination	¤	Automatic	Automatic	Automatic	Automatic	Automatic
K_0,x	¤	0,5460	0,5000	0,5000	0,5000	0,3843
K_0,z	¤	0,5460	0,5000	0,5000	0,5000	0,3843

1.1.5.1.1.2 Materials - Soil and interfaces - Mohr-Coulomb (2/2)

Identification number	啓	7	8	9
Identification	啓	Argilla espansa	EPS	U3
Soil model	啓	Mohr-Coulomb	Mohr-Coulomb	Mohr-Coulomb
Drainage type	啓	Drained	Drained	Drained
Colour	啓			
Comments	啓	啓	啓	
₡_unsat	kN/m³	6,000	0,2500	20,00
₡_sat	kN/m³	6,000	0,2500	20,00
e_init	啓	0,5000	0,5000	0,5000
n_init	啓	0,3333	0,3333	0,3333
E'_ref	kN/m²	35,00E3	4000	85,00E3
™(nu)	啓	0,3000	0,02000	0,3000
G_ref	kN/m²	13,46E3	1961	32,69E3
E_oed	kN/m²	47,12E3	4003	114,4E3
E'_inc	kN/m²/m	0,000	0,000	0,000
y_ref	m	0,000	0,000	0,000
V_s	m/s	148,4	277,4	126,6
V_p	m/s	277,5	396,3	236,9
c'_ref	kN/m²	0,000	90,00	50,00
⅛' (phi)	°	40,00	0,000	30,00
⅝ (psi)	°	0,000	0,000	0,000
c'_inc	kN/m²/m	0,000	0,000	0,000
y_ref	m	0,000	0,000	0,000
Tension cut-off	啓	True	True	True
Tensile strength	kN/m²	0,000	0,000	0,000
Determination	啓	™undrained definition	™undrained definition	™undrained definition
™_u definition method	啓	Direct	Direct	Direct

Identification number	**[illegible]**	**7**	**8**	**9**
[illegible]u,equivalent (nu)	[illegible]	0,4950	0,4950	0,4950
Skempton B	[illegible]	0,9783	0,9929	0,9783
K_w,ref/n	kN/m²	1,312E6	194,0E3	3,188E6
Classification type	[illegible]	Standard	Standard	Standard
Soil class (Standard)	[illegible]	Coarse	Coarse	Coarse
< 2 ı m	%	10,00	10,00	10,00
2 ı m - 50 ı m	%	13,00	13,00	13,00
50 ı m - 2 mm	%	77,00	77,00	77,00
Use defaults	[illegible]	False	False	False
k_x	m/day	0,000	0,000	0,000
k_y	m/day	0,000	0,000	0,000
Void ratio dependency	[illegible]	False	False	False
c_k	[illegible]	1000E12	1000E12	1000E12
n_init	[illegible]	0,3333	0,3333	0,3333
-[illegible]_unsat	m	10,00E3	10,00E3	10,00E3
c_s	kJ/t/K	0,000	0,000	0,000
[illegible]_s	kW/m/K	0,000	0,000	0,000
[illegible]_s	t/m³	2,600	2,600	2,600
Thermal expansion type	[illegible]	Isotropic	Isotropic	Isotropic
[illegible]_sv	1/K	0,000	0,000	0,000
Phase change	[illegible]	False	False	False
D_v	m²/day	0,000	0,000	0,000
f_Tv	[illegible]	0,000	0,000	0,000
Stiffness determination	[illegible]	Derived	Derived	Derived
Strength determination	[illegible]	Manual	Manual	Rigid
R_inter	[illegible]	0,5000	0,01000	1,000
Consider gap closure	[illegible]	True	True	True
Cross permeability	[illegible]	Impermeable	Impermeable	Impermeable
Drainage conductivity, dk	m³/day/m	0,000	0,000	0,000
R_thermal	m² K/kW	0,000	0,000	0,000

Identification number	**咨**	**7**	**8**	**9**
K_0 determination	咨	Automatic	Automatic	Automatic
K_0,x	咨	0,3572	0,5000	0,5000
K_0,z	咨	0,3572	0,5000	0,5000

1.1.5.1.2 Materials - Soil and interfaces - Linear Elastic

Identification number	**쟘**	**3**
Identification	쟘	Muro
Soil model	쟘	Linear Elastic
Drainage type	쟘	Drained
Colour	쟘	
Comments	쟘	
₡_unsat	kN/m³	22,00
₡_sat	kN/m³	22,00
e_init	쟘	0,5000
n_init	쟘	0,3333
E'_ref	kN/m²	1,000E6
ᵀᴱᴸ(nu)	쟘	0,2000
G_ref	kN/m²	416,7E3
E_oed	kN/m²	1,111E6
E'_inc	kN/m²/m	0,000
y_ref	m	0,000
V_s	m/s	431,0
V_p	m/s	703,9
Determination	쟘	ᵀᴱᴸundrained definition
ᵀᴱᴸ_u definition method	쟘	Direct
ᵀᴱᴸu,equivalent (nu)	쟘	0,4950
Skempton B	쟘	0,9866
K_w,ref/n	kN/m²	40,97E6
Classification type	쟘	Standard
Soil class (Standard)	쟘	Coarse

Identification number	**잠**	**3**
< 2 ı m	%	10,00
2 ı m - 50 ı m	%	13,00
50 ı m - 2 mm	%	77,00
Use defaults	잠	False
k_x	m/day	0,000
k_y	m/day	0,000
Void ratio dependency	잠	False
c_k	잠	1000E12
n_init	잠	0,3333
-⅝_unsat	m	10,00E3
c_s	kJ/t/K	0,000
ℜ_s	kW/m/K	0,000
Å_s	t/m³	2,600
Thermal expansion type	잠	Isotropic
₳_sv	1/K	0,000
Phase change	잠	False
D_v	m²/day	0,000
f_Tv	잠	0,000
Stiffness determination	잠	Derived
Strength determination	잠	Rigid
R_inter	잠	1,000
Consider gap closure	잠	True
Cross permeability	잠	Impermeable
Drainage conductivity, dk	m³/day/m	0,000
R_thermal	m² K/kW	0,000
K_0 determination	잠	Automatic
K_0,x	잠	0,5000
K_0,z	잠	0,5000

Identification number	咎	3

1.1.5.2 Materials - Plates

Identification number	㽗	1	2	3
Identification	㽗	Pali 400/0,4m	Micropali D168.3x10.0/0,27m	Parete c.a.C32/40 sp.0.50m
Material type	㽗	Elastic	Elastic	Elastic
Colour	㽗			
Comments	㽗	㽗	㽗	
w	kN/m/m	0,000	0,000	0,000
Prevent punching	㽗	False	True	False
Isotropic	㽗	True	True	True
EA_1	kN/m	9,425E6	3,868E6	16,67E6
EA_2	kN/m	9,425E6	3,868E6	16,67E6
E_1	kN/m²	27,21E6	18,05E6	33,35E6
E_2	kN/m²	27,21E6	18,05E6	33,35E6
EI	kN m²/m	94,25E3	14,80E3	347,4E3
ᵀᴱᵁ(nu)	㽗	0,2000	0,3000	0,2000
d	m	0,3464	0,2143	0,5000
c	kJ/t/K	0,000	0,000	0,000
ℵ	kW/m/K	0,000	0,000	0,000
Å	t/m³	0,000	0,000	0,000
₳	1/K	0,000	0,000	0,000
A_eff,T	m²	0,000	0,000	0,000

1.1.5.3 Materials - Anchors

Identification number	**?**	**1**	**2**
Identification	?	Micropalo ancoraggio autoperforante R38 I=1,60m	Micropalo D168.3x10,0m/1,6m
Material type	?	Elastoplastic	Elastic
Colour	?		
Comments	?	?	
L_spacing	m	1,600	1,600
EA	kN	135,0E3	1,044E6
| F_max,tens |	kN	1,000E9	
| F_max,comp |	kN	0,000	
c	kJ/t/K	0,000	0,000
?	kW/m/K	0,000	0,000
?	t/m³	0,000	0,000
?	1/K	0,000	0,000
A_eff,T	m²	0,000	0,000

1.1.5.4 Materials - Embedded beams

Identification number	咨	1	2
Identification	咨	Micropalo ancoraggio autoperforante R38l=1,60m	Micropalo D168.3 x12.5mm/1,6m
Material type	咨	Elastic	Elastic
Colour	咨		
Comments	咨	咨	
₡	kN/m³	0,000	0,000
L_spacing	m	1,600	1,600
Cross section type	咨	Predefined	Predefined
Predefined cross section type	咨	Circular tube	Circular tube
Diameter	m	0,03490	0,1683
Thickness	m	0,01000	0,01250
A	m²	0,7823E-3	6,118E-3
I	mジ	0,07040E-6	0,01868E-3
E	kN/m²	210,0E6	210,0E3
Axial skin resistance	咨	Linear	Linear
T_skin, start, max	kN/m	30,00	125,0
T_skin, end, max	kN/m	30,00	125,0
Lateral resistance	咨	Unlimited	Unlimited
F_max	kN	0,000	0,000
Default values	咨	True	True
Axial stiffness factor	咨	0,1419	0,4618
Lateral stiffness factor	咨	0,1419	0,4618
Base stiffness factor	咨	1,419	4,618

1.1.6 General information

General information	
Project	
Filename	Castel del Rio - B.p2dx
Directory	\\Pc-Server\Archivio-GES\LAVORI\Castel del Rio SOIL\2_Elaborazione\4_Modellazione Numerica\Plaxis\MODELLI FINALI\
Title	SP610 intervento B
General	
Model	Plane strain
Elements	15-Noded
Acceleration	
Gravity angle	-90,00 °
x-acceleration	0,000 m/s²
y-acceleration	0,000 m/s²
Earth gravity	9,810 m/s²
Mesh	
Nr of soil elements	3350
Nr of nodes	27755
Average element size	0,9106 m
Maximum element size	3,947 m
Minimum element size	0,01364 m
Comments	
沓	

1.1.7.1 Calculation information

Calculation information				
Step info				
Phase	Initial phase [InitialPhase]			
Step	Initial			
Calulation mode	Classical mode			
Step type	Gravity loading			
Solver type	Picos			
Kernel type	64 bit			
Extrapolation factor	2,000			
Relative stiffness	0,7311			
Multipliers				
Soil weight	𝛾	𝛾	∇M $_{Weight}$	1,000
Strength reduction factor	M $_{sf}$	0,000	∇M $_{sf}$	1,000
Time	Increment	0,000	End time	0,000
Staged construction				
Active proportion total area	M $_{Area}$	0,08351	∇M $_{Area}$	0,9812
Active proportion of stage	M $_{Stage}$	0,08506	∇M $_{Stage}$	0,9994
Forces				
F $_{X}$	0,000 kN/m			
F $_{Y}$	0,000 kN/m			
Consolidation				
Realised P $_{Excess,Max}$	0,000 kN/m²			

1.1.7.2 Calculation information

Calculation information				
Step info				
Phase	Phase_1 [Phase_1]			
Step	Initial			
Calulation mode	Classical mode			
Step type	Plastic			
Updated mesh	False			
Solver type	Picos			
Kernel type	64 bit			
Extrapolation factor	0,04101			
Relative stiffness	0,3583			
Multipliers				
Soil weight	𝛾	𝛾	ΣM_{Weight}	1,000
Strength reduction factor	M_{sf}	0,000	ΣM_{sf}	1,000
Time	Increment	0,000	End time	0,000
Staged construction				
Active proportion total area	M_{Area}	-0,1322E-3	ΣM_{Area}	0,9748
Active proportion of stage	M_{Stage}	0,01801	ΣM_{Stage}	1,000
Forces				
F_X	0,000 kN/m			
F_Y	0,000 kN/m			
Consolidation				
Realised $P_{Excess,Max}$	0,000 kN/m²			

1.1.7.3 Calculation information

Calculation information				
Step info				
Phase	Phase_2 [Phase_2]			
Step	Initial			
Calulation mode	Classical mode			
Step type	Plastic			
Updated mesh	False			
Solver type	Picos			
Kernel type	64 bit			
Extrapolation factor	0,3971			
Relative stiffness	0,3203			
Multipliers				
Soil weight	걊	걊	₡M $_{Weight}$	1,000
Strength reduction factor	M $_{sf}$	0,000	₡M $_{sf}$	1,000
Time	Increment	0,000	End time	0,000
Staged construction				
Active proportion total area	M $_{Area}$	-0,06147E-3	₡M $_{Area}$	0,9740
Active proportion of stage	M $_{Stage}$	0,07339	₡M $_{Stage}$	1,000
Forces				
F $_{X}$	0,000 kN/m			
F $_{Y}$	0,000 kN/m			
Consolidation				
Realised P $_{Excess,Max}$	0,000 kN/m^2			

1.1.7.4 Calculation information

Calculation information				
Step info				
Phase	Fine costruzione muro [Phase_3]			
Step	Initial			
Calulation mode	Classical mode			
Step type	Plastic			
Updated mesh	False			
Solver type	Picos			
Kernel type	64 bit			
Extrapolation factor	0,8933			
Relative stiffness	7,238E-3			
Multipliers				
Soil weight	㱺	㱺	ℳ $_{Weight}$	1,000
Strength reduction factor	M $_{sf}$	0,000	ℳ $_{sf}$	1,000
Time	Increment	0,000	End time	0,000
Staged construction				
Active proportion total area	M $_{Area}$	2,129E-3	ℳ $_{Area}$	0,9873
Active proportion of stage	M $_{Stage}$	0,01433	ℳ $_{Stage}$	1,000
Forces				
F $_{X}$	0,000 kN/m			
F $_{Y}$	0,000 kN/m			
Consolidation				
Realised P $_{Excess,Max}$	0,000 kN/m^2			

1.1.7.5 Calculation information

Calculation information				
Step info				
Phase	(RD) Paratia [Phase_4]			
Step	Initial			
Calulation mode	Classical mode			
Step type	Plastic			
Updated mesh	False			
Solver type	Picos			
Kernel type	64 bit			
Extrapolation factor	0,4115			
Relative stiffness	0,08376			
Multipliers				
Soil weight	㱺	㱺	ℳ $_{Weight}$	1,000
Strength reduction factor	M $_{sf}$	0,000	ℳ $_{sf}$	1,000
Time	Increment	0,000	End time	0,000
Staged construction				
Active proportion total area	M $_{Area}$	0,000	ℳ $_{Area}$	0,9873
Active proportion of stage	M $_{Stage}$	0,1527	ℳ $_{Stage}$	1,000
Forces				
F $_{X}$	0,000 kN/m			
F $_{Y}$	0,000 kN/m			
Consolidation				
Realised P $_{Excess,Max}$	0,000 kN/m²			

1.1.7.6 Calculation information

Calculation information				
Step info				
Phase	Voragine 1 [Phase_5]			
Step	Initial			
Calulation mode	Classical mode			
Step type	Plastic			
Updated mesh	False			
Solver type	Picos			
Kernel type	64 bit			
Extrapolation factor	0,7243			
Relative stiffness	0,2073			
Multipliers				
Soil weight	㱺	㱺	₡M $_{Weight}$	1,000
Strength reduction factor	M $_{sf}$	0,000	₡M $_{sf}$	1,000
Time	Increment	0,000	End time	0,000
Staged construction				
Active proportion total area	M $_{Area}$	-0,2670E-3	₡M $_{Area}$	0,9694
Active proportion of stage	M $_{Stage}$	0,01371	₡M $_{Stage}$	1,000
Forces				
F $_{X}$	0,000 kN/m			
F $_{Y}$	0,000 kN/m			
Consolidation				
Realised P $_{Excess,Max}$	0,000 kN/m²			

1.1.7.7 Calculation information

Calculation information				
Step info				
Phase	Voragine 2 [Phase_6]			
Step	Initial			
Calulation mode	Classical mode			
Step type	Plastic			
Updated mesh	False			
Solver type	Picos			
Kernel type	64 bit			
Extrapolation factor	1,523			
Relative stiffness	0,2454			
Multipliers				
Soil weight	咨	咨	₡M $_{Weight}$	1,000
Strength reduction factor	M $_{sf}$	0,000	₡M $_{sf}$	1,000
Time	Increment	0,000	End time	0,000
Staged construction				
Active proportion total area	M $_{Area}$	-0,1798E-3	₡M $_{Area}$	0,9659
Active proportion of stage	M $_{Stage}$	0,03976	₡M $_{Stage}$	1,000
Forces				
F $_{X}$	0,000 kN/m			
F $_{Y}$	0,000 kN/m			
Consolidation				
Realised P $_{Excess,Max}$	0,000 kN/m²			

1.1.7.8 Calculation information

Calculation information				
Step info				
Phase	Mezzi (10 kPa) [Phase_7]			
Step	Initial			
Calulation mode	Classical mode			
Step type	Plastic			
Updated mesh	False			
Solver type	Picos			
Kernel type	64 bit			
Extrapolation factor	0,09216			
Relative stiffness	0,1777			
Multipliers				
Soil weight	쟘	쟘	$\mathbb{M}_{Weight}$	1,000
Strength reduction factor	M_{sf}	0,000	$\mathbb{M}_{sf}$	1,000
Time	Increment	0,000	End time	0,000
Staged construction				
Active proportion total area	M_{Area}	0,000	$\mathbb{M}_{Area}$	0,9659
Active proportion of stage	M_{Stage}	0,01261	$\mathbb{M}_{Stage}$	1,000
Forces				
F_X	0,000 kN/m			
F_Y	0,000 kN/m			
Consolidation				
Realised $P_{Excess,Max}$	0,000 kN/m²			

1.1.7.9 Calculation information

Calculation information				
Step info				
Phase	Micropalo ancoraggio 1 [Phase_8]			
Step	Initial			
Calulation mode	Classical mode			
Step type	Plastic			
Updated mesh	False			
Solver type	Picos			
Kernel type	64 bit			
Extrapolation factor	0,6586			
Relative stiffness	0,1238			
Multipliers				
Soil weight	咨	咨	₡M $_{Weight}$	1,000
Strength reduction factor	M $_{sf}$	0,000	₡M $_{sf}$	1,000
Time	Increment	0,000	End time	0,000
Staged construction				
Active proportion total area	M $_{Area}$	0,000	₡M $_{Area}$	0,9659
Active proportion of stage	M $_{Stage}$	9,760E-3	₡M $_{Stage}$	1,000
Forces				
F $_{X}$	0,000 kN/m			
F $_{Y}$	0,000 kN/m			
Consolidation				
Realised P $_{Excess,Max}$	0,000 kN/m^2			

1.1.7.10 Calculation information

Calculation information				
Step info				
Phase	Escavo 1 [Phase_9]			
Step	Initial			
Calulation mode	Classical mode			
Step type	Plastic			
Updated mesh	False			
Solver type	Picos			
Kernel type	64 bit			
Extrapolation factor	1,468			
Relative stiffness	0,5272			
Multipliers				
Soil weight	咨	咨	₡M $_{Weight}$	1,000
Strength reduction factor	M $_{sf}$	0,000	₡M $_{sf}$	1,000
Time	Increment	0,000	End time	0,000
Staged construction				
Active proportion total area	M $_{Area}$	-0,4227E-3	₡M $_{Area}$	0,9611
Active proportion of stage	M $_{Stage}$	0,05235	₡M $_{Stage}$	1,000
Forces				
F $_{X}$	0,000 kN/m			
F $_{Y}$	0,000 kN/m			
Consolidation				
Realised P $_{Excess,Max}$	0,000 kN/m^2			

1.1.7.11 Calculation information

Calculation information				
Step info				
Phase	Micropalo ancoraggio 2 [Phase_35]			
Step	Initial			
Calulation mode	Classical mode			
Step type	Plastic			
Updated mesh	False			
Solver type	Picos			
Kernel type	64 bit			
Extrapolation factor	0,3425			
Relative stiffness	0,07687			
Multipliers				
Soil weight	砕	砕	₡M $_{Weight}$	1,000
Strength reduction factor	M $_{sf}$	0,000	₡M $_{sf}$	1,000
Time	Increment	0,000	End time	0,000
Staged construction				
Active proportion total area	M $_{Area}$	0,000	₡M $_{Area}$	0,9611
Active proportion of stage	M $_{Stage}$	4,580E-3	₡M $_{Stage}$	1,000
Forces				
F $_{X}$	0,000 kN/m			
F $_{Y}$	0,000 kN/m			
Consolidation				
Realised P $_{Excess,Max}$	0,000 kN/m²			

1.1.7.12 Calculation information

Calculation information				
Step info				
Phase	Escavo 2 [Phase_10]			
Step	Initial			
Calulation mode	Classical mode			
Step type	Plastic			
Updated mesh	False			
Solver type	Picos			
Kernel type	64 bit			
Extrapolation factor	1,171			
Relative stiffness	0,6913			
Multipliers				
Soil weight	㱺	㱺	₡M $_{Weight}$	1,000
Strength reduction factor	M $_{sf}$	0,000	₡M $_{sf}$	1,000
Time	Increment	0,000	End time	0,000
Staged construction				
Active proportion total area	M $_{Area}$	-1,168E-3	₡M $_{Area}$	0,9505
Active proportion of stage	M $_{Stage}$	0,1098	₡M $_{Stage}$	1,000
Forces				
F $_{X}$	0,000 kN/m			
F $_{Y}$	0,000 kN/m			
Consolidation				
Realised P $_{Excess,Max}$	0,000 kN/m^2			

1.1.7.13 Calculation information

Calculation information				
Step info				
Phase	(RIEMP A SBALZO) Micropali e parete [Phase_14]			
Step	Initial			
Calulation mode	Classical mode			
Step type	Plastic			
Updated mesh	False			
Solver type	Picos			
Kernel type	64 bit			
Extrapolation factor	1,000			
Relative stiffness	0,8292			
Multipliers				
Soil weight	咨	咨	ℳ $_{Weight}$	1,000
Strength reduction factor	M $_{sf}$	0,000	ℳ $_{sf}$	1,000
Time	Increment	0,000	End time	0,000
Staged construction				
Active proportion total area	M $_{Area}$	0,000	ℳ $_{Area}$	0,9505
Active proportion of stage	M $_{Stage}$	0,5000	ℳ $_{Stage}$	1,000
Forces				
F $_{X}$	0,000 kN/m			
F $_{Y}$	0,000 kN/m			
Consolidation				
Realised P $_{Excess,Max}$	0,000 kN/m^2			

1.1.7.14 Calculation information

Calculation information				
Step info				
Phase	Riempimento 1 [Phase_15]			
Step	Initial			
Calulation mode	Classical mode			
Step type	Plastic			
Updated mesh	False			
Solver type	Picos			
Kernel type	64 bit			
Extrapolation factor	0,1154			
Relative stiffness	0,3675			
Multipliers				
Soil weight	㱺	㱺	ℂM_{Weight}	1,000
Strength reduction factor	M_{sf}	0,000	ℂM_{sf}	1,000
Time	Increment	0,000	End time	0,000
Staged construction				
Active proportion total area	M_{Area}	0,02130E-3	ℂM_{Area}	0,9597
Active proportion of stage	M_{Stage}	2,263E-3	ℂM_{Stage}	1,000
Forces				
F_X	0,000 kN/m			
F_Y	0,000 kN/m			
Consolidation				
Realised $P_{Excess,Max}$	0,000 kN/m²			

1.1.7.15 Calculation information

Calculation information				
Step info				
Phase	Collegamento ancoraggio 1 [Phase_36]			
Step	Initial			
Calulation mode	Classical mode			
Step type	Plastic			
Updated mesh	False			
Solver type	Picos			
Kernel type	64 bit			
Extrapolation factor	0,4601			
Relative stiffness	0,1010			
Multipliers				
Soil weight	⍰	⍰	⍁M $_{Weight}$	1,000
Strength reduction factor	M $_{sf}$	0,000	⍁M $_{sf}$	1,000
Time	Increment	0,000	End time	0,000
Staged construction				
Active proportion total area	M $_{Area}$	0,000	⍁M $_{Area}$	0,9597
Active proportion of stage	M $_{Stage}$	5,622E-3	⍁M $_{Stage}$	1,000
Forces				
F $_{x}$	0,000 kN/m			
F $_{y}$	0,000 kN/m			
Consolidation				
Realised P $_{Excess,Max}$	0,000 kN/m²			

1.1.7.16 Calculation information

Calculation information				
Step info				
Phase	Riempimento 2 [Phase_16]			
Step	Initial			
Calulation mode	Classical mode			
Step type	Plastic			
Updated mesh	False			
Solver type	Picos			
Kernel type	64 bit			
Extrapolation factor	0,9134			
Relative stiffness	0,3506			
Multipliers				
Soil weight	㱺	㱺	₡M $_{Weight}$	1,000
Strength reduction factor	M $_{sf}$	0,000	₡M $_{sf}$	1,000
Time	Increment	0,000	End time	0,000
Staged construction				
Active proportion total area	M $_{Area}$	4,474E-3	₡M $_{Area}$	0,9745
Active proportion of stage	M $_{Stage}$	0,1902	₡M $_{Stage}$	1,000
Forces				
F $_{X}$	0,000 kN/m			
F $_{Y}$	0,000 kN/m			
Consolidation				
Realised P $_{Excess,Max}$	0,000 kN/m^2			

1.1.7.17 Calculation information

Calculation information				
Step info				
Phase	Riempimento 3 ed estensione tirante [Phase_17]			
Step	Initial			
Calulation mode	Classical mode			
Step type	Plastic			
Updated mesh	False			
Solver type	Picos			
Kernel type	64 bit			
Extrapolation factor	0,4018			
Relative stiffness	0,3272			
Multipliers				
Soil weight	咨	咨	₡M $_{Weight}$	1,000
Strength reduction factor	M $_{sf}$	0,000	₡M $_{sf}$	1,000
Time	Increment	0,000	End time	0,000
Staged construction				
Active proportion total area	M $_{Area}$	0,4547E-3	₡M $_{Area}$	0,9768
Active proportion of stage	M $_{Stage}$	0,1065	₡M $_{Stage}$	1,000
Forces				
F $_{X}$	0,000 kN/m			
F $_{Y}$	0,000 kN/m			
Consolidation				
Realised P $_{Excess,Max}$	0,000 kN/m²			

1.1.7.18 Calculation information

Calculation information				
Step info				
Phase	Riempimento 4 [Phase_25]			
Step	Initial			
Calulation mode	Classical mode			
Step type	Plastic			
Updated mesh	False			
Solver type	Picos			
Kernel type	64 bit			
Extrapolation factor	0,4092			
Relative stiffness	0,2801			
Multipliers				
Soil weight	㱺	㱺	₡M $_{Weight}$	1,000
Strength reduction factor	M $_{sf}$	0,000	₡M $_{sf}$	1,000
Time	Increment	0,000	End time	0,000
Staged construction				
Active proportion total area	M $_{Area}$	1,074E-3	₡M $_{Area}$	0,9820
Active proportion of stage	M $_{Stage}$	0,1126	₡M $_{Stage}$	1,000
Forces				
F $_{X}$	0,000 kN/m			
F $_{Y}$	0,000 kN/m			
Consolidation				
Realised P $_{Excess,Max}$	0,000 kN/m^2			

1.1.7.19 Calculation information

Calculation information				
Step info				
Phase	Disattivazione paratia esistente [Phase_26]			
Step	Initial			
Calulation mode	Classical mode			
Step type	Plastic			
Updated mesh	False			
Solver type	Picos			
Kernel type	64 bit			
Extrapolation factor	0,9505			
Relative stiffness	0,7828			
Multipliers				
Soil weight	𝛾	𝛾	ΣM_{Weight}	1,000
Strength reduction factor	M_{sf}	0,000	ΣM_{sf}	1,000
Time	Increment	0,000	End time	0,000
Staged construction				
Active proportion total area	M_{Area}	0,000	ΣM_{Area}	0,9820
Active proportion of stage	M_{Stage}	0,2106	ΣM_{Stage}	1,000
Forces				
F_x	0,000 kN/m			
F_y	0,000 kN/m			
Consolidation				
Realised $P_{Excess,Max}$	0,000 kN/m²			

1.1.7.20 Calculation information

Calculation information				
Step info				
Phase	Eccezionale paratia esistente [Phase_34]			
Step	Initial			
Calulation mode	Classical mode			
Step type	Plastic			
Updated mesh	False			
Solver type	Picos			
Kernel type	64 bit			
Extrapolation factor	0,9645			
Relative stiffness	0,5662			
Multipliers				
Soil weight	⍰	⍰	ΣM_{Weight}	1,000
Strength reduction factor	M_{sf}	0,000	ΣM_{sf}	1,000
Time	Increment	0,000	End time	0,000
Staged construction				
Active proportion total area	M_{Area}	0,000	ΣM_{Area}	0,9505
Active proportion of stage	M_{Stage}	0,04879	ΣM_{Stage}	0,9997
Forces				
F_x	0,000 kN/m			
F_y	0,000 kN/m			
Consolidation				
Realised $P_{Excess,Max}$	0,000 kN/m²			

1.1.7.21 Calculation information

Calculation information				
Step info				
Phase	Eccezionale [Phase_24]			
Step	Initial			
Calulation mode	Classical mode			
Step type	Plastic			
Updated mesh	False			
Solver type	Picos			
Kernel type	64 bit			
Extrapolation factor	0,2437			
Relative stiffness	0,3006			
Multipliers				
Soil weight	咨	咨	ℂM $_{Weight}$	1,000
Strength reduction factor	M $_{sf}$	0,000	ℂM $_{sf}$	1,000
Time	Increment	0,000	End time	0,000
Staged construction				
Active proportion total area	M $_{Area}$	-0,1849E-3	ℂM $_{Area}$	0,9769
Active proportion of stage	M $_{Stage}$	9,583E-3	ℂM $_{Stage}$	1,000
Forces				
F $_{X}$	0,000 kN/m			
F $_{Y}$	0,000 kN/m			
Consolidation				
Realised P $_{Excess,Max}$	0,000 kN/m^2			

1.1.7.22 Calculation information

Calculation information				
Step info				
Phase	SLU11 [Phase_29]			
Step	Initial			
Calulation mode	Classical mode			
Step type	Plastic			
Updated mesh	False			
Solver type	Picos			
Kernel type	64 bit			
Extrapolation factor	0,1968			
Relative stiffness	0,5100			
Multipliers				
Soil weight	걂	걂	ℂM $_{Weight}$	1,000
Strength reduction factor	M $_{sf}$	0,000	ℂM $_{sf}$	1,000
Time	Increment	0,000	End time	0,000
Staged construction				
Active proportion total area	M $_{Area}$	-0,4779E-3	ℂM $_{Area}$	0,9769
Active proportion of stage	M $_{Stage}$	0,02770	ℂM $_{Stage}$	1,000
Forces				
F $_{X}$	0,000 kN/m			
F $_{Y}$	0,000 kN/m			
Consolidation				
Realised P $_{Excess,Max}$	0,000 kN/m^2			

1.1.7.23 Calculation information

Calculation information				
Step info				
Phase	M2 [Phase_30]			
Step	Initial			
Calulation mode	Classical mode			
Step type	Plastic			
Updated mesh	False			
Solver type	Picos			
Kernel type	64 bit			
Extrapolation factor	0,8621			
Relative stiffness	0,3785			
Design approach				
Index	1			
Name	M2			
Multipliers				
Soil weight	㱺	㱺	ℳ $_{Weight}$	1,000
Strength reduction factor	M $_{sf}$	0,000	ℳ $_{sf}$	1,000
Time	Increment	0,000	End time	0,000
Staged construction				
Active proportion total area	M $_{Area}$	-0,6286E-3	ℳ $_{Area}$	0,9769
Active proportion of stage	M $_{Stage}$	0,04281	ℳ $_{Stage}$	1,000
Forces				
F $_{X}$	0,000 kN/m			
F $_{Y}$	0,000 kN/m			
Consolidation				

Calculation information				
Realised $P_{Excess,Max}$	0,000 kN/m²			

1.1.7.24 Calculation information

Calculation information				
Step info				
Phase	SLU12 [Phase_31]			
Step	Initial			
Calulation mode	Classical mode			
Step type	Plastic			
Updated mesh	False			
Solver type	Picos			
Kernel type	64 bit			
Extrapolation factor	0,4275			
Relative stiffness	0,4503			
Design approach				
Index	1			
Name	M2			
Multipliers				
Soil weight	쟘	쟘	ℂM $_{Weight}$	1,000
Strength reduction factor	M $_{sf}$	0,000	ℂM $_{sf}$	1,000
Time	Increment	0,000	End time	0,000
Staged construction				
Active proportion total area	M $_{Area}$	0,000	ℂM $_{Area}$	0,9769
Active proportion of stage	M $_{Stage}$	0,08493	ℂM $_{Stage}$	1,000
Forces				
F $_{X}$	0,000 kN/m			
F $_{Y}$	0,000 kN/m			
Consolidation				

Calculation information				
Realised $P_{Excess,Max}$	0,000 kN/m²			

1.1.7.25 Calculation information

Calculation information				
Step info				
Phase	SLU12 SG [Phase_21]			
Step	Initial			
Calulation mode	Classical mode			
Step type	Plastic			
Updated mesh	False			
Solver type	Picos			
Kernel type	64 bit			
Extrapolation factor	1,000			
Relative stiffness	0,4499			
Design approach				
Index	1			
Name	M2			
Multipliers				
Soil weight	㱺	㱺	₡M $_{Weight}$	1,000
Strength reduction factor	M $_{sf}$	0,000	₡M $_{sf}$	1,000
Time	Increment	0,000	End time	0,000
Staged construction				
Active proportion total area	M $_{Area}$	-2,444E-3	₡M $_{Area}$	0,9671
Active proportion of stage	M $_{Stage}$	0,2500	₡M $_{Stage}$	1,000
Forces				
F $_{X}$	0,000 kN/m			
F $_{Y}$	0,000 kN/m			
Consolidation				

Calculation information				
Realised $P_{Excess,Max}$	0,000 kN/m²			

1.1.7.26 Calculation information

Calculation information				
Step info				
Phase	FS SLU12 [Phase_20]			
Step	Initial			
Calulation mode	Classical mode			
Step type	Safety			
Updated mesh	False			
Solver type	Picos			
Kernel type	64 bit			
Extrapolation factor	1,000			
Relative stiffness	0,4347E-3			
Design approach				
Index	1			
Name	M2			
Multipliers				
Soil weight	咨	咨	ℭM $_{Weight}$	1,000
Strength reduction factor	M $_{sf}$	-0,09633E-3	ℭM $_{sf}$	1,300
Time	Increment	0,000	End time	0,000
Staged construction				
Active proportion total area	M $_{Area}$	0,000	ℭM $_{Area}$	0,9671
Active proportion of stage	M $_{Stage}$	0,000	ℭM $_{Stage}$	0,000
Forces				
F $_{X}$	0,000 kN/m			
F $_{Y}$	0,000 kN/m			
Consolidation				

Calculation information				
Realised $P_{Excess,Max}$	0,000 kN/m²			

1.1.7.27 Calculation information

Calculation information				
Step info				
Phase	SLE [Phase_11]			
Step	Initial			
Calulation mode	Classical mode			
Step type	Plastic			
Updated mesh	False			
Solver type	Picos			
Kernel type	64 bit			
Extrapolation factor	0,3925			
Relative stiffness	0,5877			
Design approach				
Index	1			
Name	M2			
Multipliers				
Soil weight	㱺	㱺	₡M $_{Weight}$	1,000
Strength reduction factor	M $_{sf}$	0,000	₡M $_{sf}$	1,000
Time	Increment	0,000	End time	0,000
Staged construction				
Active proportion total area	M $_{Area}$	0,000	₡M $_{Area}$	0,9820
Active proportion of stage	M $_{Stage}$	0,1429	₡M $_{Stage}$	1,000
Forces				
F $_{X}$	0,000 kN/m			
F $_{Y}$	0,000 kN/m			
Consolidation				

Calculation information				
Realised $P_{Excess,Max}$	0,000 kN/m²			

1.1.7.28 Calculation information

Calculation information				
Step info				
Phase	SLV + stab globale [Phase_22]			
Step	Initial			
Calulation mode	Classical mode			
Step type	Plastic			
Updated mesh	False			
Solver type	Picos			
Kernel type	64 bit			
Extrapolation factor	0,08651			
Relative stiffness	0,3930			
Design approach				
Index	1			
Name	M2			
Multipliers				
Soil weight	쟘	쟘	₡M $_{Weight}$	1,000
Strength reduction factor	M $_{sf}$	0,000	₡M $_{sf}$	1,000
Time	Increment	0,000	End time	0,000
Staged construction				
Active proportion total area	M $_{Area}$	-0,3504E-3	₡M $_{Area}$	0,9671
Active proportion of stage	M $_{Stage}$	0,01014	₡M $_{Stage}$	1,000
Forces				
F $_{X}$	0,000 kN/m			
F $_{Y}$	0,000 kN/m			
Consolidation				

Calculation information				
Realised $P_{Excess,Max}$	0,000 kN/m²			
Pseudo-static acceleration				
X	0,1100 g			
Y	0,1000 g			

1.1.7.29 Calculation information

Calculation information				
Step info				
Phase	FS SLV+ [Phase_28]			
Step	Initial			
Calulation mode	Classical mode			
Step type	Safety			
Updated mesh	False			
Solver type	Picos			
Kernel type	64 bit			
Extrapolation factor	1,000			
Relative stiffness	0,05050E-3			
Design approach				
Index	1			
Name	M2			
Multipliers				
Soil weight	쟘	쟘	ℳ $_{Weight}$	1,000
Strength reduction factor	M $_{sf}$	-0,1347E-3	ℳ $_{sf}$	1,277
Time	Increment	0,000	End time	0,000
Staged construction				
Active proportion total area	M $_{Area}$	0,000	ℳ $_{Area}$	0,9671
Active proportion of stage	M $_{Stage}$	0,000	ℳ $_{Stage}$	0,000
Forces				
F $_{X}$	0,000 kN/m			
F $_{Y}$	0,000 kN/m			
Consolidation				

Calculation information				
Realised $P_{Excess,Max}$	0,000 kN/m²			
Pseudo-static acceleration				
X	0,1100 g			
Y	0,1000 g			

1.1.7.30 Calculation information

Calculation information				
Step info				
Phase	SLV - stab globale [Phase_32]			
Step	Initial			
Calulation mode	Classical mode			
Step type	Plastic			
Updated mesh	False			
Solver type	Picos			
Kernel type	64 bit			
Extrapolation factor	0,7176			
Relative stiffness	0,3888			
Design approach				
Index	1			
Name	M2			
Multipliers				
Soil weight	㱺	㱺	₡M $_{Weight}$	1,000
Strength reduction factor	M $_{sf}$	0,000	₡M $_{sf}$	1,000
Time	Increment	0,000	End time	0,000
Staged construction				
Active proportion total area	M $_{Area}$	-3,186E-3	₡M $_{Area}$	0,9671
Active proportion of stage	M $_{Stage}$	0,1220	₡M $_{Stage}$	0,9991
Forces				
F $_{X}$	0,000 kN/m			
F $_{Y}$	0,000 kN/m			
Consolidation				

Calculation information				
Realised $P_{Excess,Max}$	0,000 kN/m²			
Pseudo-static acceleration				
X	0,1100 g			
Y	-0,05500 g			

1.1.7.31 Calculation information

Calculation information				
Step info				
Phase	FS SLV - [Phase_33]			
Step	Initial			
Calulation mode	Classical mode			
Step type	Safety			
Updated mesh	False			
Solver type	Picos			
Kernel type	64 bit			
Extrapolation factor	1,000			
Relative stiffness	0,09601E-3			
Design approach				
Index	1			
Name	M2			
Multipliers				
Soil weight	㱺	㱺	ℳ $_{Weight}$	1,000
Strength reduction factor	M $_{sf}$	0,1096E-3	ℳ $_{sf}$	1,305
Time	Increment	0,000	End time	0,000
Staged construction				
Active proportion total area	M $_{Area}$	0,000	ℳ $_{Area}$	0,9671
Active proportion of stage	M $_{Stage}$	0,000	ℳ $_{Stage}$	0,000
Forces				
F $_{X}$	0,000 kN/m			
F $_{Y}$	0,000 kN/m			
Consolidation				

Calculation information				
Realised $P_{Excess,Max}$	0,000 kN/m²			
Pseudo-static acceleration				
X	0,1100 g			
Y	-0,05500 g			

1.1.7.32 Calculation information

Calculation information				
Step info				
Phase	SLD [Phase_38]			
Step	Initial			
Calulation mode	Classical mode			
Step type	Plastic			
Updated mesh	False			
Solver type	Picos			
Kernel type	64 bit			
Extrapolation factor	1,824			
Relative stiffness	0,09652			
Design approach				
Index	1			
Name	M2			
Multipliers				
Soil weight	㱺	㱺	₡M $_{Weight}$	1,000
Strength reduction factor	M $_{sf}$	0,000	₡M $_{sf}$	1,000
Time	Increment	0,000	End time	0,000
Staged construction				
Active proportion total area	M $_{Area}$	-1,639E-3	₡M $_{Area}$	0,9671
Active proportion of stage	M $_{Stage}$	0,03638	₡M $_{Stage}$	1,000
Forces				
F $_{X}$	0,000 kN/m			
F $_{Y}$	0,000 kN/m			
Consolidation				

Calculation information				
Realised $P_{Excess,Max}$	0,000 kN/m²			
Pseudo-static acceleration				
X	0,1750 g			
Y	0,000 g			

1.1.7.33 Calculation information

Calculation information				
Step info				
Phase	q rullo [Phase_37]			
Step	Initial			
Calulation mode	Classical mode			
Step type	Plastic			
Updated mesh	False			
Solver type	Picos			
Kernel type	64 bit			
Extrapolation factor	0,9051			
Relative stiffness	0,3884			
Design approach				
Index	1			
Name	M2			
Multipliers				
Soil weight	㱺	㱺	₡M $_{Weight}$	1,000
Strength reduction factor	M $_{sf}$	0,000	₡M $_{sf}$	1,000
Time	Increment	0,000	End time	0,000
Staged construction				
Active proportion total area	M $_{Area}$	0,000	₡M $_{Area}$	0,9820
Active proportion of stage	M $_{Stage}$	0,1056	₡M $_{Stage}$	1,000
Forces				
F $_{X}$	0,000 kN/m			
F $_{Y}$	0,000 kN/m			
Consolidation				

Calculation information				
Realised $P_{Excess,Max}$	0,000 kN/m²			

1.1.7.34 Calculation information

Calculation information				
Step info				
Phase	SLE Paratia esistente [Phase_12]			
Step	Initial			
Calulation mode	Classical mode			
Step type	Plastic			
Updated mesh	False			
Solver type	Picos			
Kernel type	64 bit			
Extrapolation factor	0,1996			
Relative stiffness	0,3281			
Design approach				
Index	1			
Name	M2			
Multipliers				
Soil weight	𝛾	𝛾	ℳ $_{Weight}$	1,000
Strength reduction factor	M $_{sf}$	0,000	ℳ $_{sf}$	1,000
Time	Increment	0,000	End time	0,000
Staged construction				
Active proportion total area	M $_{Area}$	0,000	ℳ $_{Area}$	0,9505
Active proportion of stage	M $_{Stage}$	4,563E-3	ℳ $_{Stage}$	1,000
Forces				
F $_{X}$	0,000 kN/m			
F $_{Y}$	0,000 kN/m			
Consolidation				

Calculation information				
Realised $P_{Excess,Max}$	0,000 kN/m²			

1.1.7.35 Calculation information

Calculation information				
Step info				
Phase	SLU11 Paratia esistente [Phase_13]			
Step	Initial			
Calulation mode	Classical mode			
Step type	Plastic			
Updated mesh	False			
Solver type	Picos			
Kernel type	64 bit			
Extrapolation factor	0,9857			
Relative stiffness	0,6694			
Design approach				
Index	1			
Name	M2			
Multipliers				
Soil weight	㱺	㱺	₡M $_{Weight}$	1,000
Strength reduction factor	M $_{sf}$	0,000	₡M $_{sf}$	1,000
Time	Increment	0,000	End time	0,000
Staged construction				
Active proportion total area	M $_{Area}$	0,000	₡M $_{Area}$	0,9505
Active proportion of stage	M $_{Stage}$	0,2998	₡M $_{Stage}$	1,000
Forces				
F $_{X}$	0,000 kN/m			
F $_{Y}$	0,000 kN/m			
Consolidation				

Calculation information				
Realised $P_{Excess,Max}$	0,000 kN/m²			

1.1.7.36 Calculation information

Calculation information				
Step info				
Phase	SLU12 Paratia esistente [Phase_18]			
Step	Initial			
Calulation mode	Classical mode			
Step type	Plastic			
Updated mesh	False			
Solver type	Picos			
Kernel type	64 bit			
Extrapolation factor	0,3372			
Relative stiffness	0,6451			
Design approach				
Index	1			
Name	M2			
Multipliers				
Soil weight	㱺	㱺	ℳ $_{Weight}$	1,000
Strength reduction factor	M_{sf}	0,000	ℳ $_{sf}$	1,000
Time	Increment	0,000	End time	0,000
Staged construction				
Active proportion total area	M_{Area}	-1,278E-3	ℳ $_{Area}$	0,9407
Active proportion of stage	M_{Stage}	0,1276	ℳ $_{Stage}$	1,000
Forces				
F_X	0,000 kN/m			
F_Y	0,000 kN/m			
Consolidation				

Calculation information				
Realised $P_{Excess,Max}$	0,000 kN/m²			

1.1.7.37 Calculation information

Calculation information				
Step info				
Phase	FS Paratia esistente [Phase_19]			
Step	Initial			
Calulation mode	Classical mode			
Step type	Safety			
Updated mesh	False			
Solver type	Picos			
Kernel type	64 bit			
Extrapolation factor	1,000			
Relative stiffness	4,439E-6			
Design approach				
Index	1			
Name	M2			
Multipliers				
Soil weight	㱺	㱺	₡M $_{Weight}$	1,000
Strength reduction factor	M $_{sf}$	0,05223E-3	₡M $_{sf}$	1,366
Time	Increment	0,000	End time	0,000
Staged construction				
Active proportion total area	M $_{Area}$	0,000	₡M $_{Area}$	0,9407
Active proportion of stage	M $_{Stage}$	0,000	₡M $_{Stage}$	0,000
Forces				
F $_{X}$	0,000 kN/m			
F $_{Y}$	0,000 kN/m			
Consolidation				

Calculation information				
Realised $P_{Excess,Max}$	0,000 kN/m²			

1.1.7.38 Calculation information

Calculation information				
Step info				
Phase	FS [Phase_23]			
Step	Initial			
Calulation mode	Classical mode			
Step type	Safety			
Updated mesh	False			
Solver type	Picos			
Kernel type	64 bit			
Extrapolation factor	1,000			
Relative stiffness	-0,1972E-3			
Design approach				
Index	1			
Name	M2			
Multipliers				
Soil weight	㱺	㱺	ℳ $_{Weight}$	1,000
Strength reduction factor	M $_{sf}$	-0,3452E-3	ℳ $_{sf}$	1,039
Time	Increment	0,000	End time	0,000
Staged construction				
Active proportion total area	M $_{Area}$	0,000	ℳ $_{Area}$	0,9873
Active proportion of stage	M $_{Stage}$	0,000	ℳ $_{Stage}$	0,000
Forces				
F $_{X}$	0,000 kN/m			
F $_{Y}$	0,000 kN/m			
Consolidation				

Calculation information				
Realised $P_{Excess,Max}$	0,000 kN/m²			

1.1.7.39 Calculation information

Calculation information				
Step info				
Phase	SLV [Phase_27]			
Step	Initial			
Calulation mode	Classical mode			
Step type	Plastic			
Updated mesh	False			
Solver type	Picos			
Kernel type	64 bit			
Extrapolation factor	0,5328			
Relative stiffness	0,06571			
Design approach				
Index	1			
Name	M2			
Multipliers				
Soil weight	㱺	㱺	ℳ $_{Weight}$	1,000
Strength reduction factor	M $_{sf}$	0,000	ℳ $_{sf}$	1,000
Time	Increment	0,000	End time	0,000
Staged construction				
Active proportion total area	M $_{Area}$	-0,8146E-3	ℳ $_{Area}$	0,9671
Active proportion of stage	M $_{Stage}$	6,342E-3	ℳ $_{Stage}$	1,000
Forces				
F $_{X}$	0,000 kN/m			
F $_{Y}$	0,000 kN/m			
Consolidation				

Calculation information				
Realised $P_{Excess,Max}$	0,000 kN/m²			
Pseudo-static acceleration				
X	0,2350 g			
Y	0,000 g			

1.1.8 Calculation information per phase

Identification	Phase	Start from	Calculation type	Loading input	Pore pressure	Time step [day]	First step	Last step	Log
Initial phase [InitialPhase]	0	N/A	Gravity loading	N/A	Phreatic	0,000	0	11	ok
Phase_1 [Phase_1]	1	0	Plastic	Staged construction	Phreatic	0,000	12	14	ok
Phase_2 [Phase_2]	2	1	Plastic	Staged construction	Phreatic	0,000	15	26	ok
Fine costruzione muro [Phase_3]	3	2	Plastic	Staged construction	Phreatic	0,000	27	89	ok
(RD) Paratia [Phase_4]	4	3	Plastic	Staged construction	Phreatic	0,000	90	92	ok
Voragine 1 [Phase_5]	5	4	Plastic	Staged construction	Phreatic	0,000	93	110	ok
Voragine 2 [Phase_6]	6	5	Plastic	Staged construction	Phreatic	0,000	111	134	ok
Mezzi (10 kPa) [Phase_7]	7	6	Plastic	Staged construction	Phreatic	0,000	135	155	ok
Micropalo ancoraggio 1 [Phase_8]	8	7	Plastic	Staged construction	Phreatic	0,000	156	221	ok
Escavo 1 [Phase_9]	9	8	Plastic	Staged construction	Phreatic	0,000	222	235	ok
Micropalo ancoraggio 2 [Phase_35]	35	9	Plastic	Staged construction	Phreatic	0,000	236	309	ok
Escavo 2 [Phase_10]	10	35	Plastic	Staged construction	Phreatic	0,000	310	318	ok
(RIEMP A SBALZO) Micropali e parete [Phase_14]	14	10	Plastic	Staged construction	Phreatic	0,000	319	320	ok
Riempimento 1 [Phase_15]	15	14	Plastic	Staged construction	Phreatic	0,000	321	506	ok
Collegamento ancoraggio 1 [Phase_36]	36	15	Plastic	Staged construction	Phreatic	0,000	507	614	ok
Riempimento 2 [Phase_16]	16	36	Plastic	Staged construction	Phreatic	0,000	615	640	ok
Riempimento 3 ed estensione tirante [Phase_17]	17	16	Plastic	Staged construction	Phreatic	0,000	641	646	ok
Riempimento 4 [Phase_25]	25	17	Plastic	Staged construction	Phreatic	0,000	647	655	ok
Disattivazione paratia esistente [Phase_26]	26	25	Plastic	Staged construction	Phreatic	0,000	656	660	ok
SLV [Phase_27]	27	26	Plastic	Staged construction	Phreatic	0,000	1511	1545	ok
Eccezionale [Phase_24]	24	26	Plastic	Staged construction	Phreatic	0,000	680	712	ok
SLU11 [Phase_29]	29	26	Plastic	Staged construction	Phreatic	0,000	713	723	ok
M2 [Phase_30]	30	26	Plastic	Staged construction	Phreatic	0,000	724	770	ok
SLU12 [Phase_31]	31	30	Plastic	Staged construction	Phreatic	0,000	771	776	ok
SLU12 SG [Phase_21]	21	31	Plastic	Staged construction	Phreatic	0,000	777	779	ok
FS SLU12 [Phase_20]	20	21	Safety	Incremental multipliers	Use pressures from previous phase	0,000	780	879	ok
SLE [Phase_11]	11	26	Plastic	Staged construction	Phreatic	0,000	880	883	ok
SLV + stab globale [Phase_22]	22	26	Plastic	Staged construction	Phreatic	0,000	884	896	ok
FS SLV+ [Phase_28]	28	22	Safety	Incremental multipliers	Use pressures from previous phase	0,000	897	1046	ok
SLV - stab globale [Phase_32]	32	26	Plastic	Staged construction	Phreatic	0,000	1047	1056	ok
FS SLV - [Phase_33]	33	32	Safety	Incremental multipliers	Use pressures from previous phase	0,000	1057	1156	ok
SLD [Phase_38]	38	26	Plastic	Staged construction	Phreatic	0,000	1157	1178	ok
q rullo [Phase_37]	37	25	Plastic	Staged construction	Phreatic	0,000	1179	1187	ok
SLE Paratia esistente [Phase_12]	12	10	Plastic	Staged construction	Phreatic	0,000	1188	1232	ok
SLU11 Paratia esistente [Phase_13]	13	12	Plastic	Staged construction	Phreatic	0,000	1233	1235	ok
SLU12 Paratia esistente [Phase_18]	18	12	Plastic	Staged construction	Phreatic	0,000	1236	1240	ok
FS Paratia esistente [Phase_19]	19	18	Safety	Incremental multipliers	Use pressures from previous phase	0,000	1241	1390	ok
Eccezionale paratia esistente [Phase_34]	34	12	Plastic	Staged construction	Phreatic	0,000	661	668	ok
FS [Phase_23]	23	3	Safety	Incremental multipliers	Use pressures from previous phase	0,000	1411	1510	ok

2.1.1.1.1 Calculation results, Initial phase [InitialPhase] (0/11), Total displacements u_x

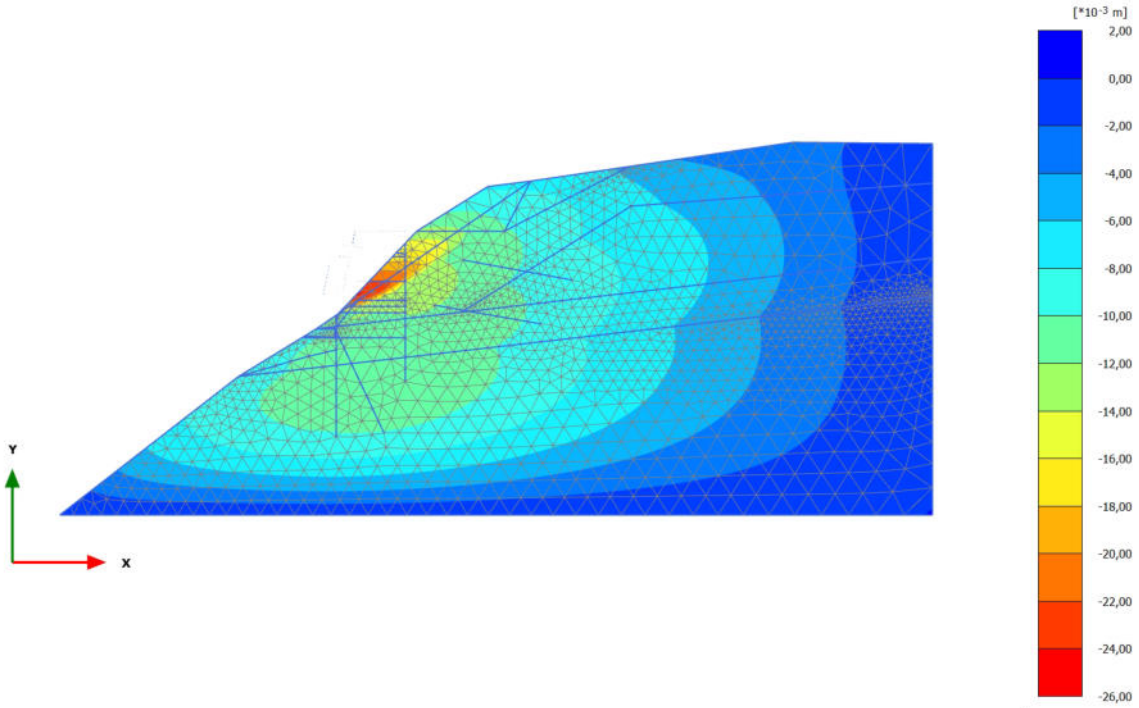

Total displacements u_x (scaled up 50,0 times)

Maximum value = 0,000 m (Element 65 at Node 688)

Minimum value = -0,02410 m (Element 912 at Node 18751)

2.1.1.1.2 Calculation results, Phase_1 [Phase_1] (1/14), Total displacements u_x

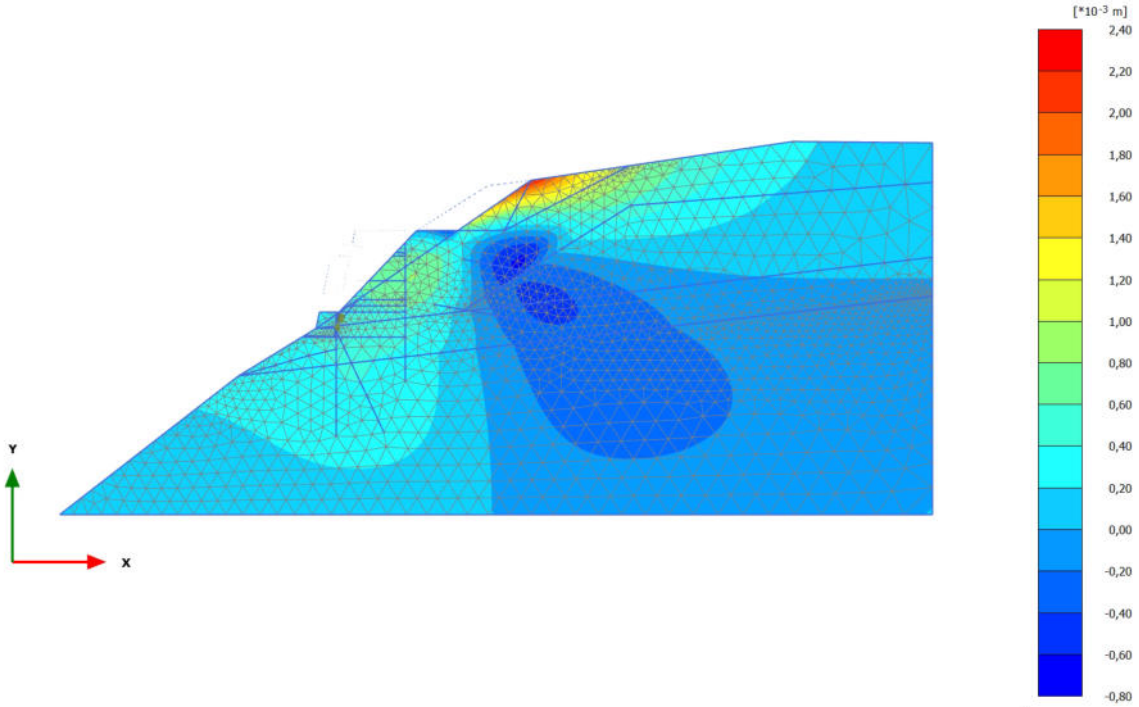

Total displacements u_x (scaled up 500 times)

Maximum value = 2,293*10^{-3} m (Element 1 at Node 8651)

Minimum value = -0,6361*10^{-3} m (Element 316 at Node 11005)

2.1.1.1.3 Calculation results, Phase_2 [Phase_2] (2/26), Total displacements u_x

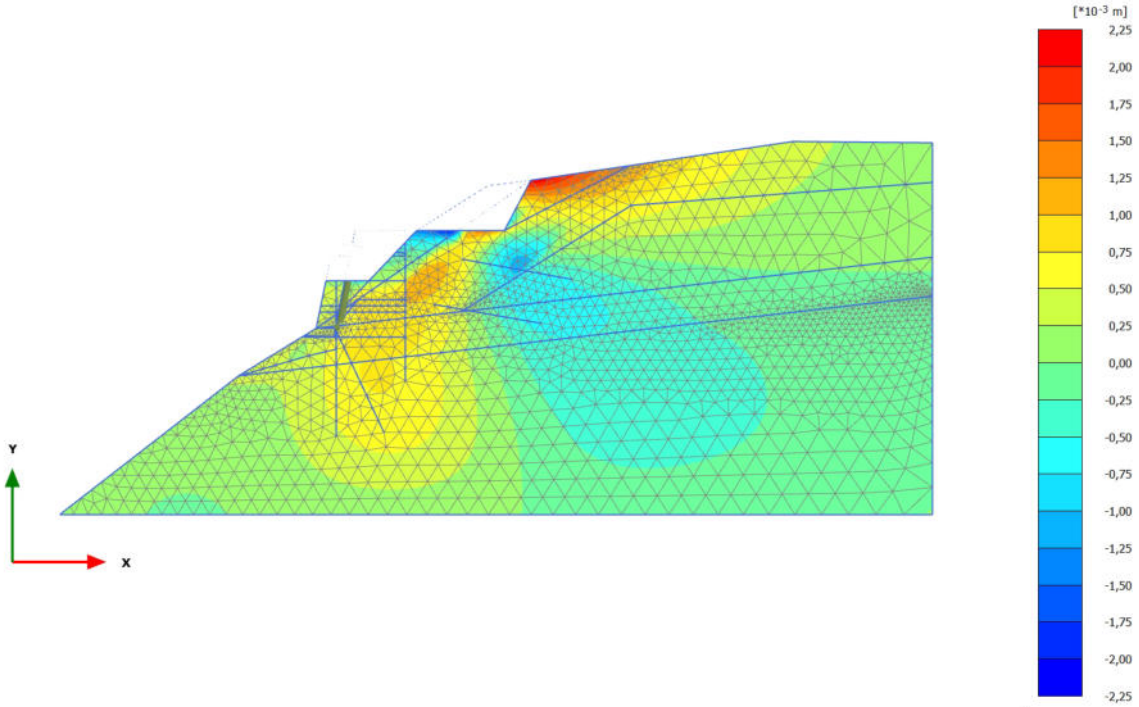

Total displacements u_x (scaled up 500 times)

Maximum value = 2,228*10^{-3} m (Element 1 at Node 7857)

Minimum value = -2,176*10^{-3} m (Element 807 at Node 12179)

2.1.1.1.4 Calculation results, Fine costruzione muro [Phase_3] (3/89), Total displacements u_x

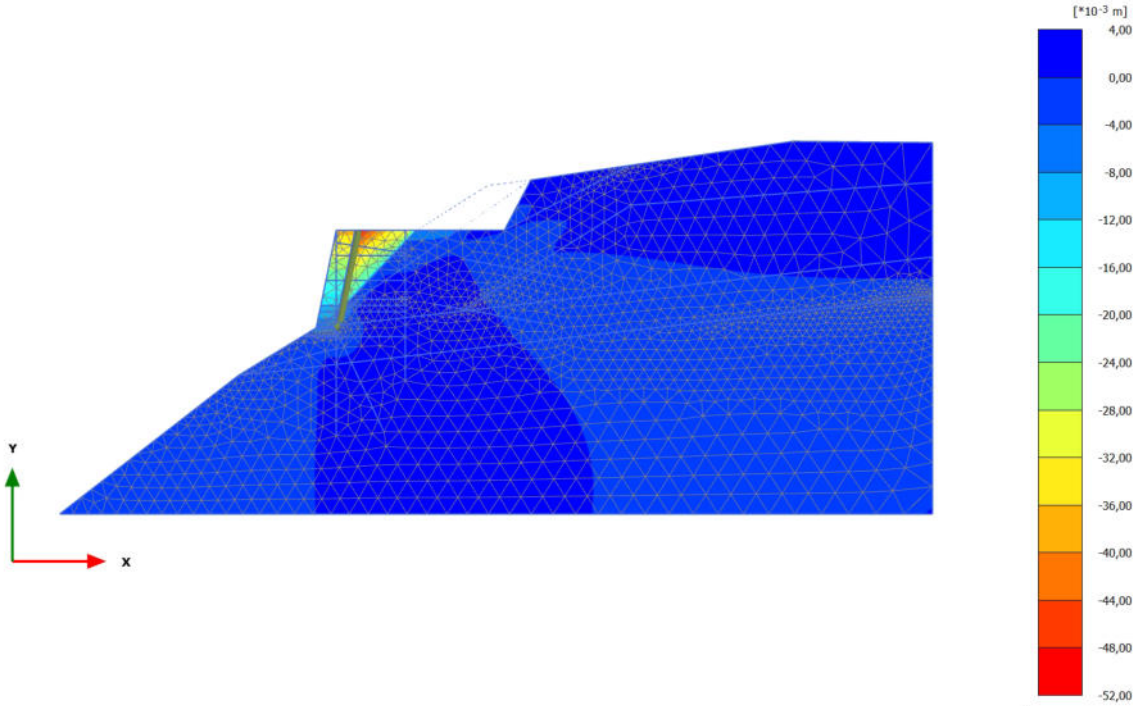

Total displacements u_x (scaled up 50,0 times)

Maximum value = 1,737*10^{-3} m (Element 326 at Node 18653)

Minimum value = -0,05158 m (Element 488 at Node 15277)

2.1.1.1.5 Calculation results, (RD) Paratia [Phase_4] (4/92), Total displacements u_x

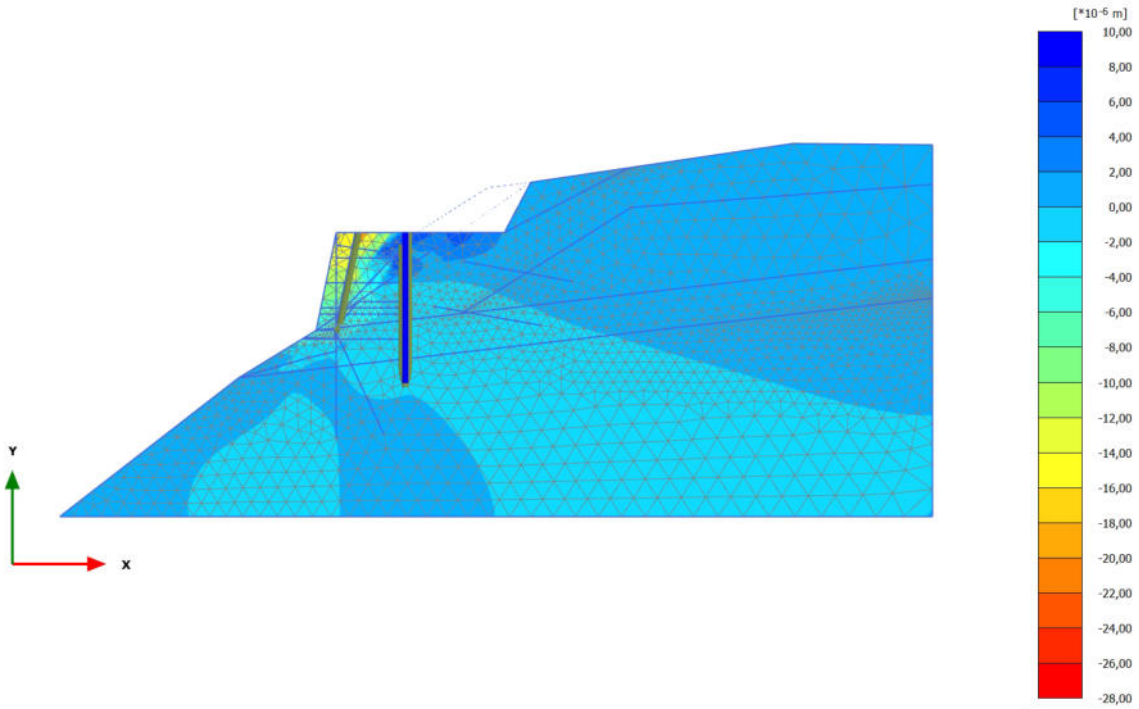

Total displacements u_x (scaled up 50,0*10³ times)

Maximum value = 8,676*10^{-6} m (Element 476 at Node 13637)

Minimum value = -0,02780*10^{-3} m (Element 488 at Node 15277)

2.1.1.1.6 Calculation results, Voragine 1 [Phase_5] (5/110), Total displacements u_x

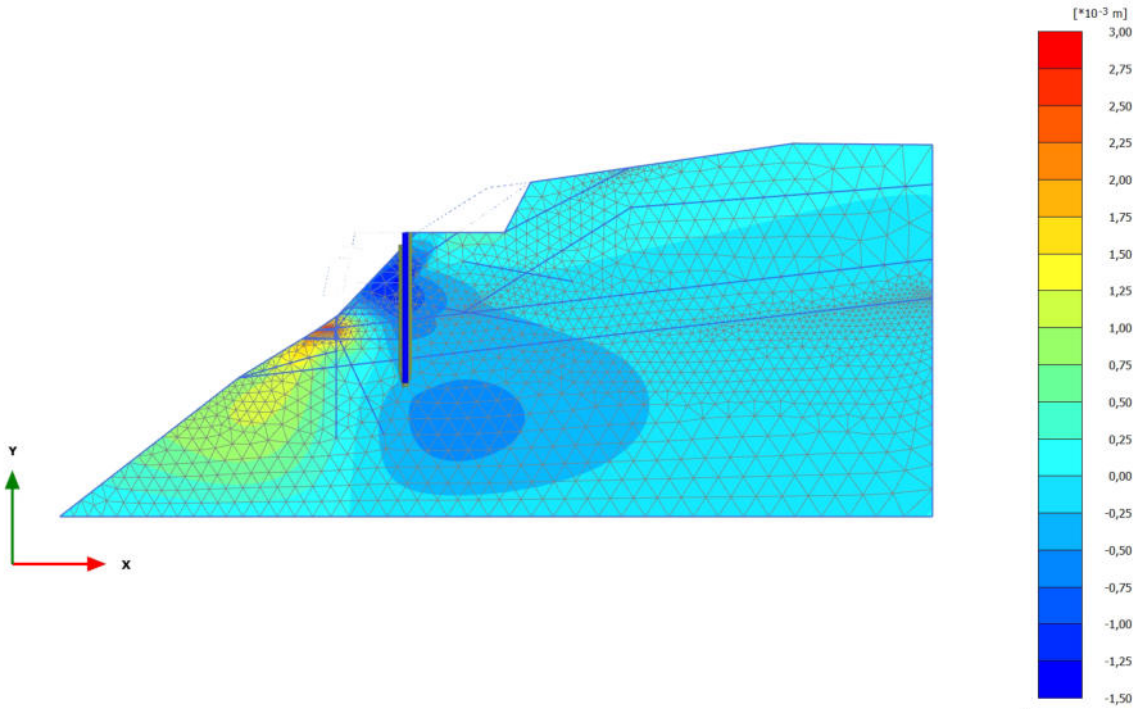

Total displacements u_x (scaled up 500 times)

Maximum value = 2,864*10^{-3} m (Element 1618 at Node 21058)

Minimum value = -1,271*10^{-3} m (Element 896 at Node 18159)

2.1.1.1.7 Calculation results, Voragine 2 [Phase_6] (6/134), Total displacements u_x

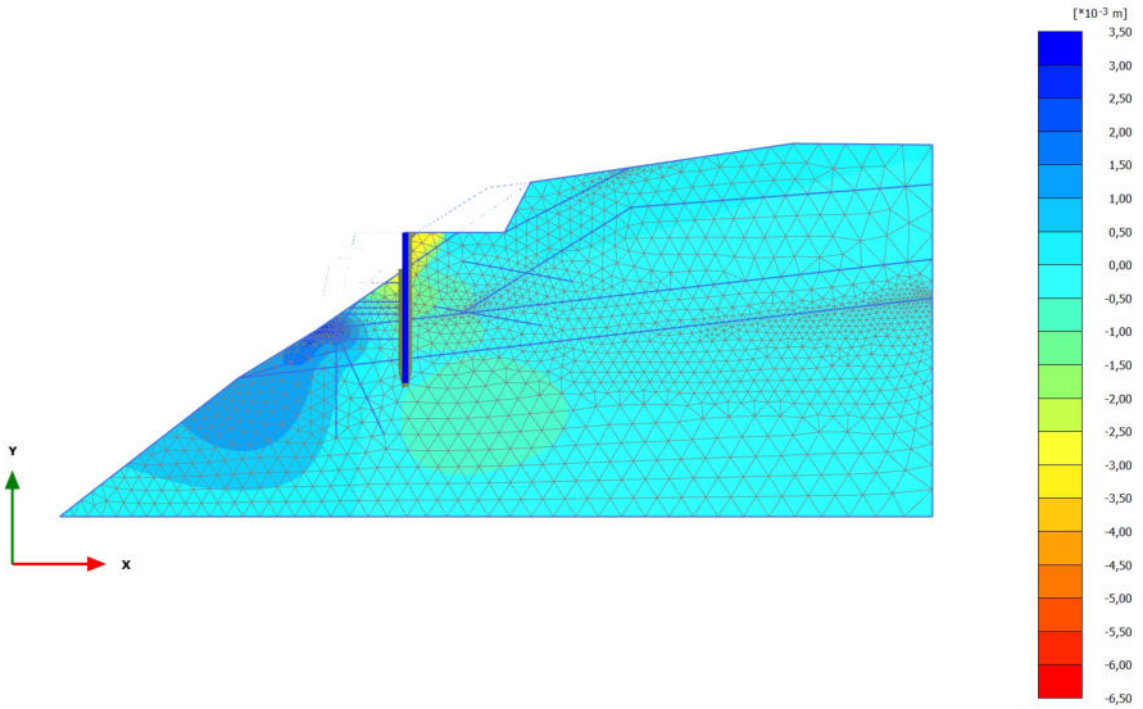

Total displacements u_x (scaled up 200 times)

Maximum value = 3,046*10^{-3} m (Element 1618 at Node 21058)

Minimum value = -6,081*10^{-3} m (Element 475 at Node 13313)

2.1.1.1.8 Calculation results, Mezzi (10 kPa) [Phase_7] (7/155), Total displacements u_x

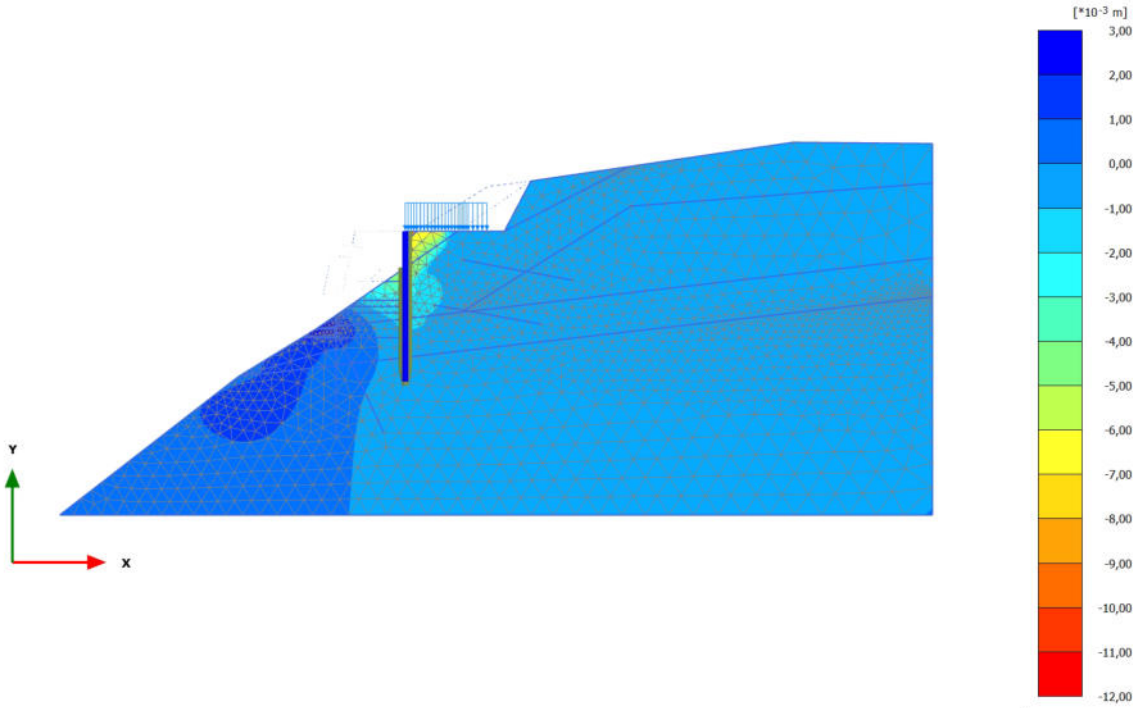

Total displacements u_x (scaled up 200 times)

Maximum value = 2,857*10^{-3} m (Element 1618 at Node 21058)

Minimum value = -0,01167 m (Element 475 at Node 13313)

2.1.1.1.9 Calculation results, Micropalo ancoraggio 1 [Phase_8] (8/221), Total displacements u_x

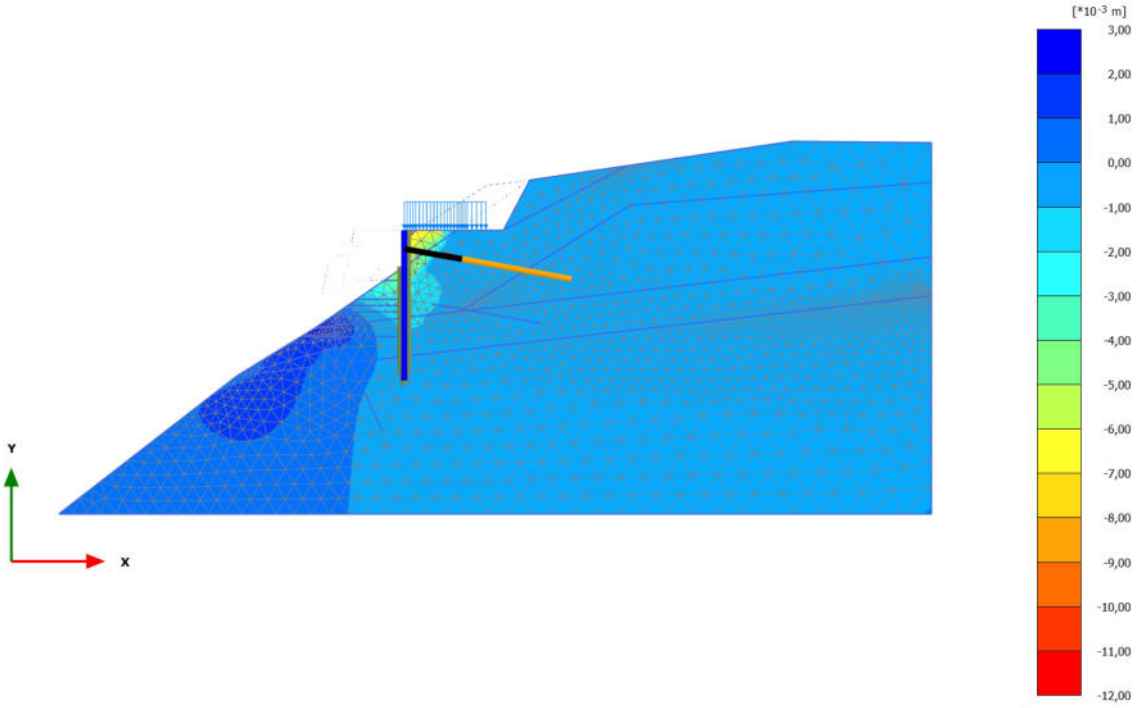

Total displacements u_x (scaled up 200 times)

Maximum value = 2,855*10^{-3} m (Element 1618 at Node 21058)

Minimum value = -0,01171 m (Element 475 at Node 13313)

2.1.1.1.10 Calculation results, Escavo 1 [Phase_9] (9/235), Total displacements u_x

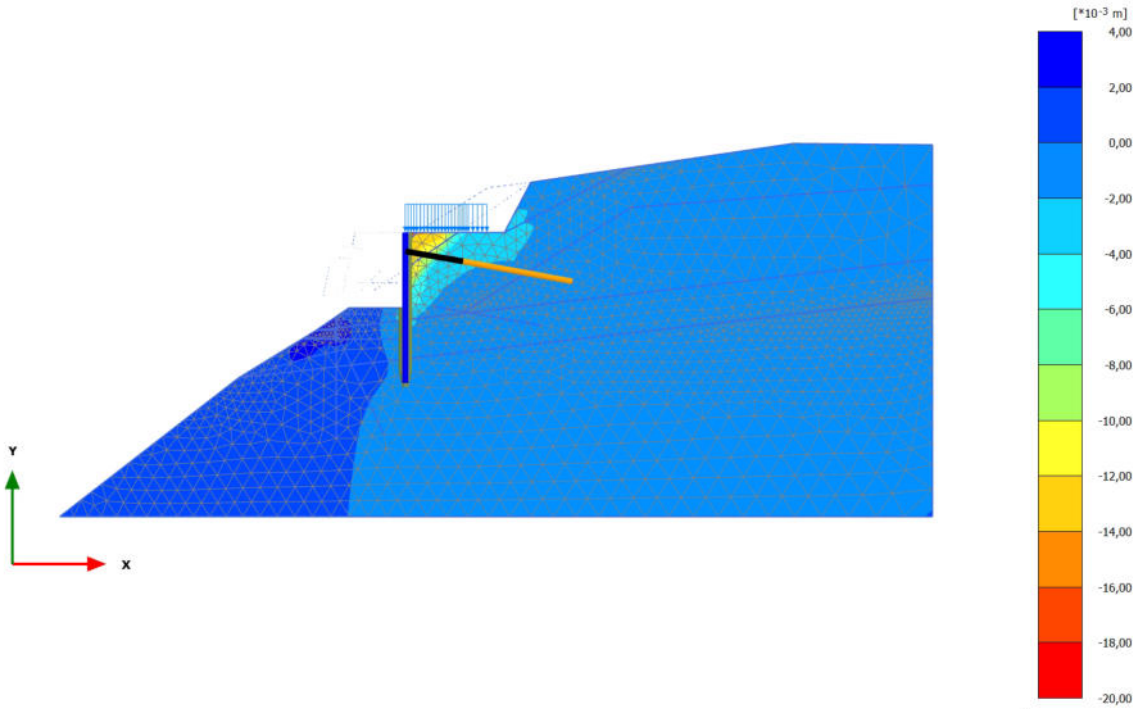

Total displacements u_x (scaled up 50,0 times)

Maximum value = 3,476*10^{-3} m (Element 1615 at Node 21156)

Minimum value = -0,01945 m (Element 475 at Node 13313)

2.1.1.1.11 Calculation results, Micropalo ancoraggio 2 [Phase_35] (35/309), Total displacements u_x

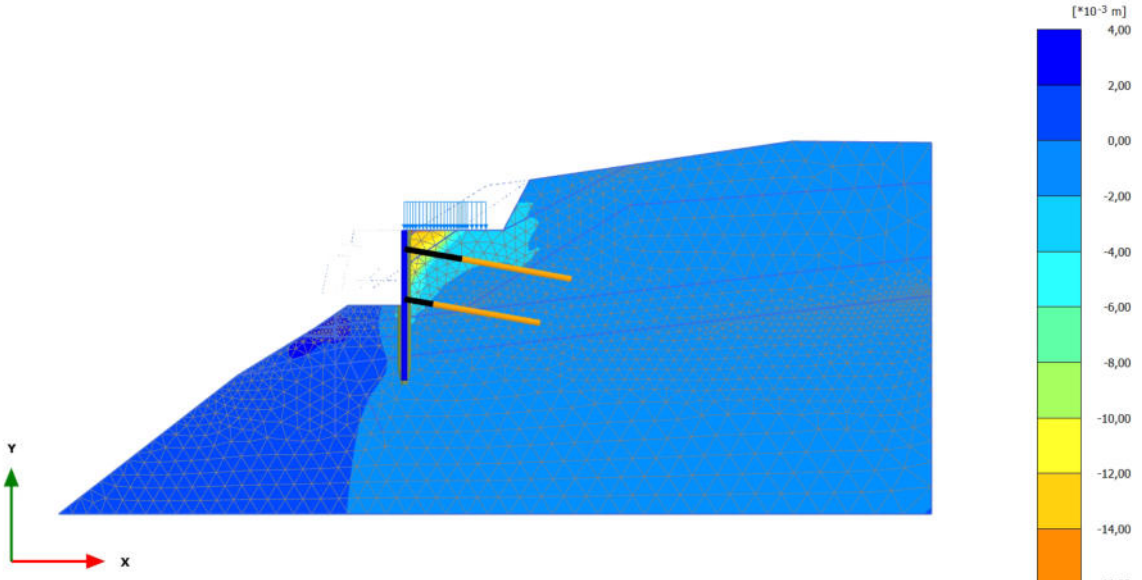

Total displacements u_x (scaled up 50,0 times)

Maximum value = 3,469*10^{-3} m (Element 1615 at Node 21156)

Minimum value = -0,01953 m (Element 475 at Node 13313)

2.1.1.1.12 Calculation results, Escavo 2 [Phase_10] (10/318), Total displacements u_x

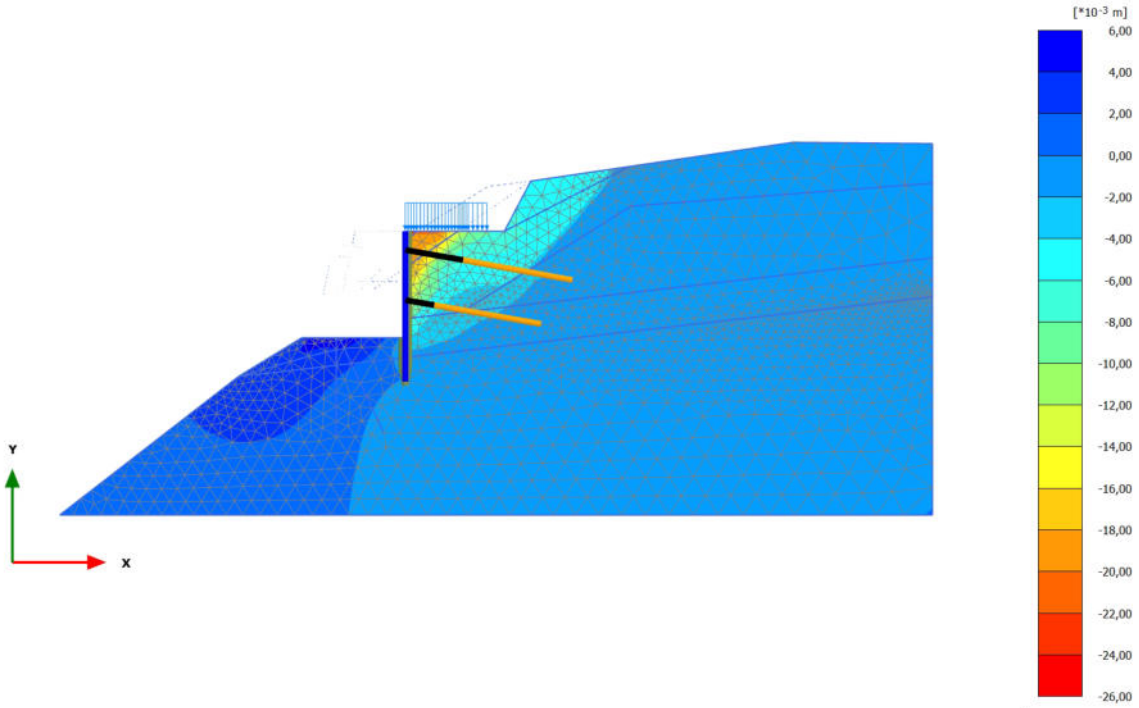

Total displacements u_x (scaled up 50,0 times)

Maximum value = $5{,}622*10^{-3}$ m (Element 1823 at Node 23713)

Minimum value = -0,02515 m (Element 475 at Node 13313)

2.1.1.1.13 Calculation results, (RIEMP A SBALZO) Micropali e parete [Phase_14] (14/320), Total displacements u_x

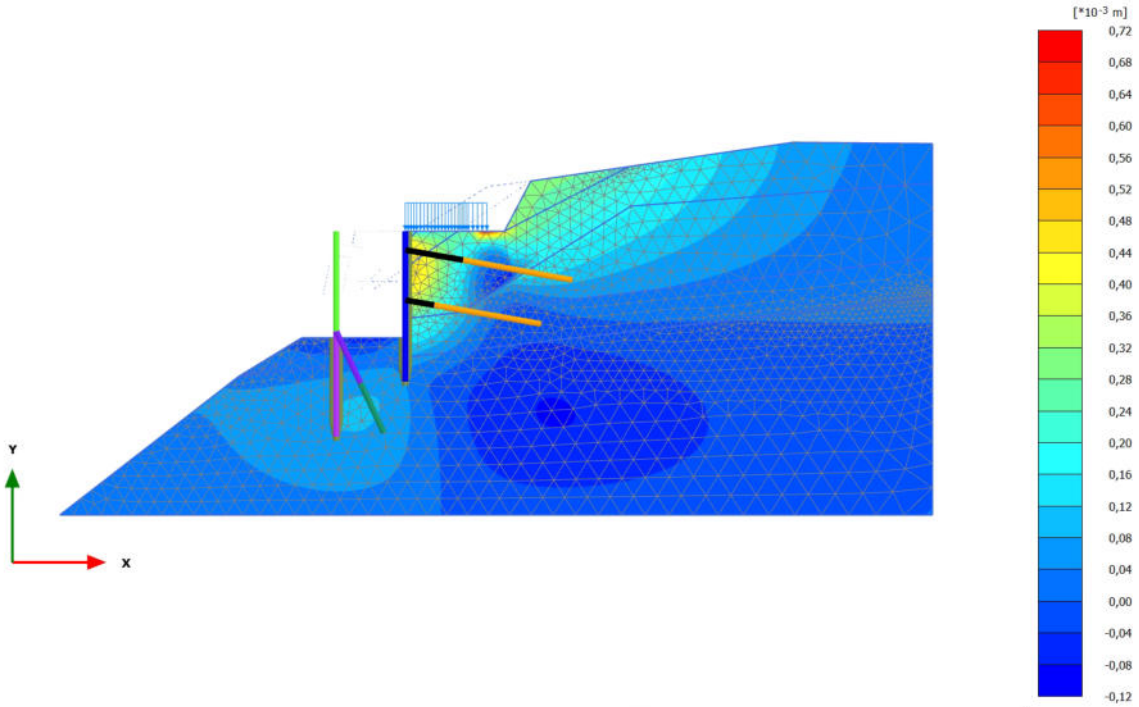

Total displacements u_x (scaled up 2,00*10³ times)

Maximum value = 0,7076*10^{-3} m (Element 114 at Node 11543)

Minimum value = -0,08172*10^{-3} m (Element 2173 at Node 19980)

2.1.1.1.14 Calculation results, Riempimento 1 [Phase_15] (15/506), Total displacements u_x

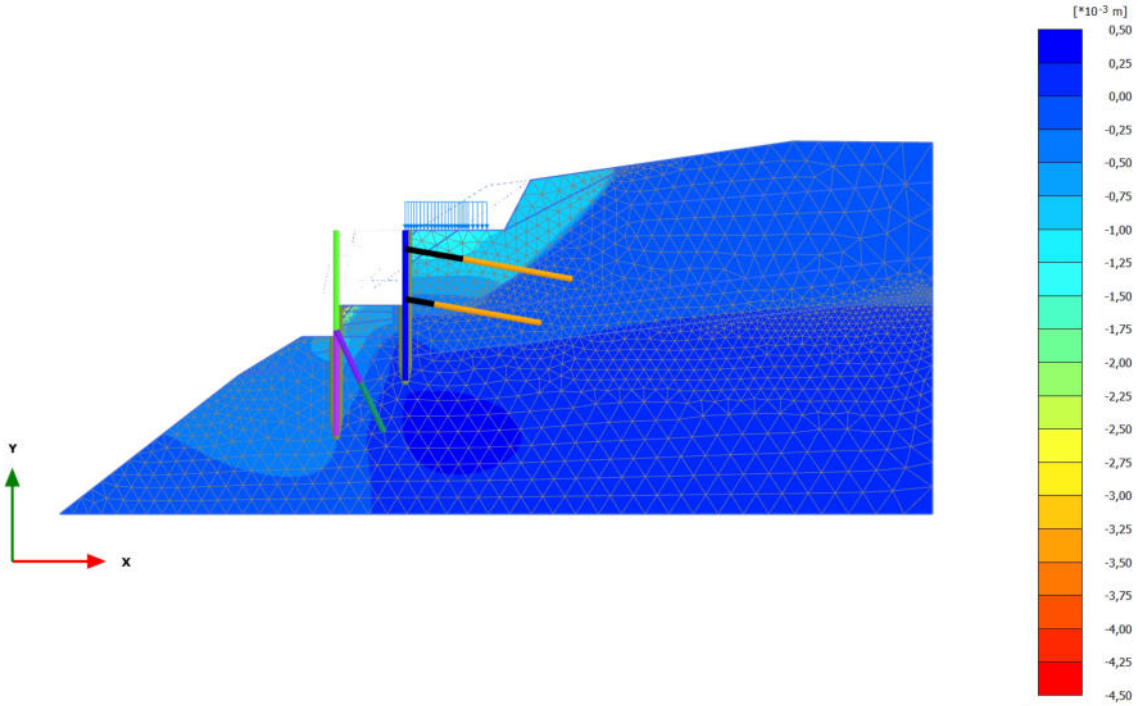

Total displacements u_x (scaled up 500 times)

Maximum value = 0,3424*10^{-3} m (Element 2190 at Node 22978)

Minimum value = -4,354*10^{-3} m (Element 1504 at Node 18143)

2.1.1.1.15 Calculation results, Collegamento ancoraggio 1 [Phase_36] (36/614), Total displacements u_x

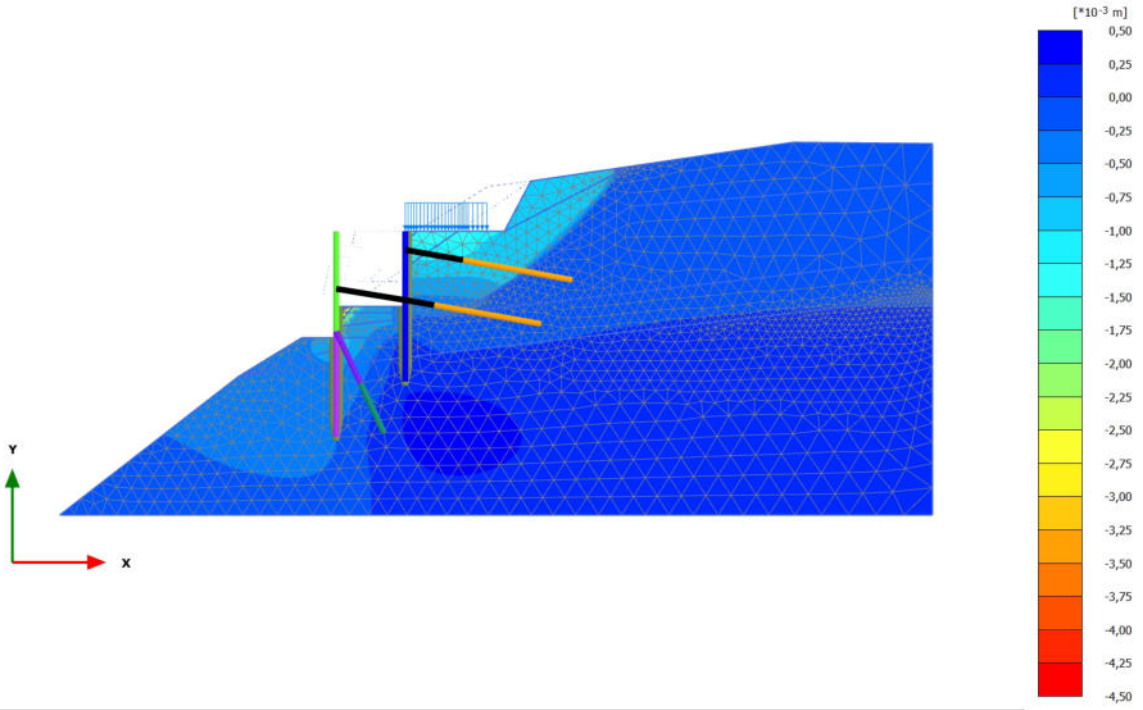

Total displacements u_x (scaled up 500 times)

Maximum value = 0,3425*10^{-3} m (Element 2190 at Node 22978)

Minimum value = -4,365*10^{-3} m (Element 1504 at Node 18143)

2.1.1.1.16 Calculation results, Riempimento 2 [Phase_16] (16/640), Total displacements u_x

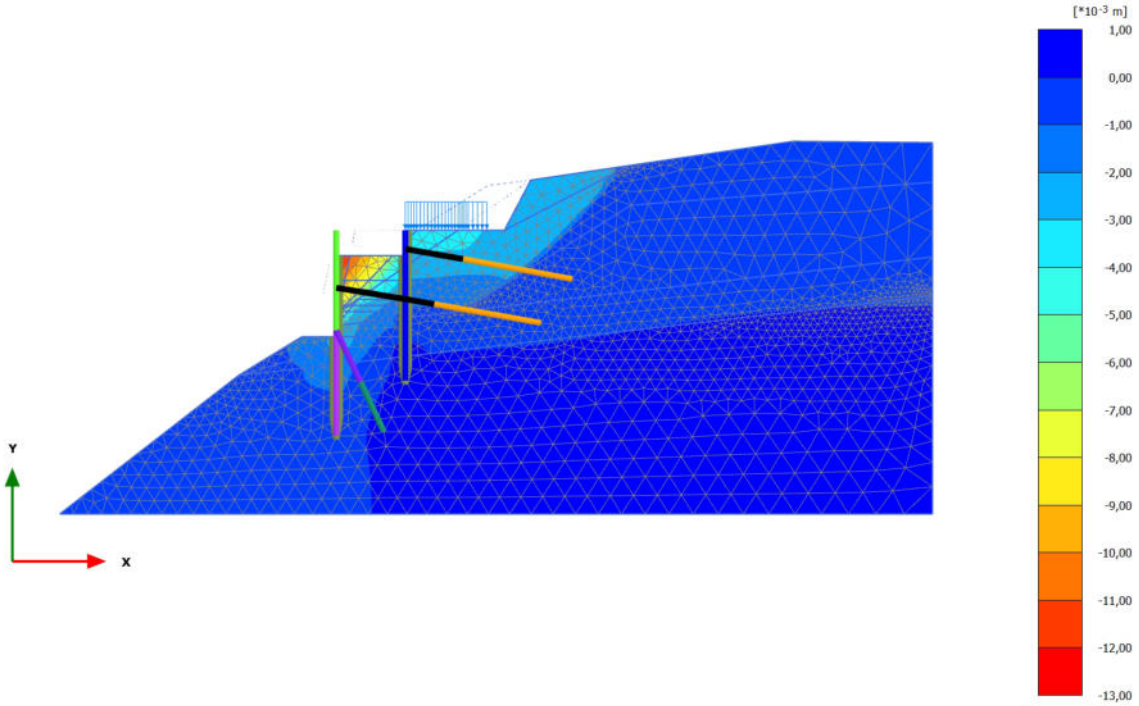

Total displacements u_x (scaled up 200 times)

Maximum value = 0,8861*10^{-3} m (Element 2190 at Node 22978)

Minimum value = -0,01271 m (Element 883 at Node 16425)

2.1.1.1.17 Calculation results, Riempimento 3 ed estensione tirante [Phase_17] (17/646), Total displacements u_x

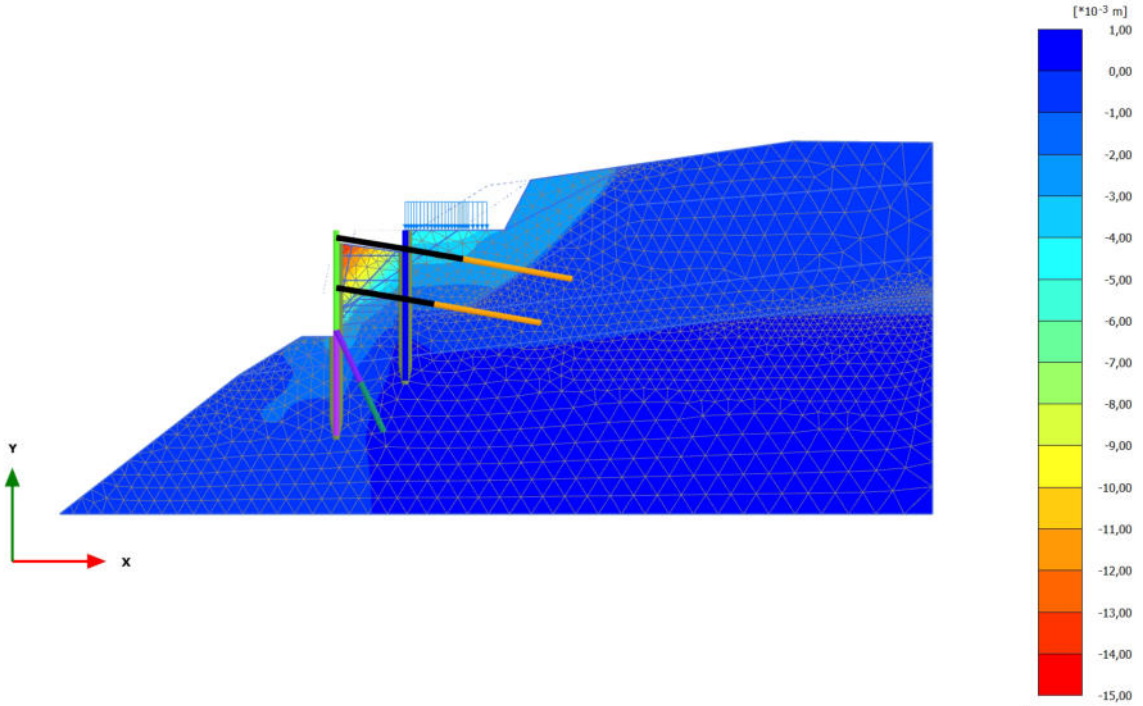

Total displacements u_x (scaled up 200 times)

Maximum value = $0{,}9789*10^{-3}$ m (Element 2190 at Node 22978)

Minimum value = -0,01490 m (Element 832 at Node 16389)

2.1.1.1.18 Calculation results, Riempimento 4 [Phase_25] (25/655), Total displacements u_x

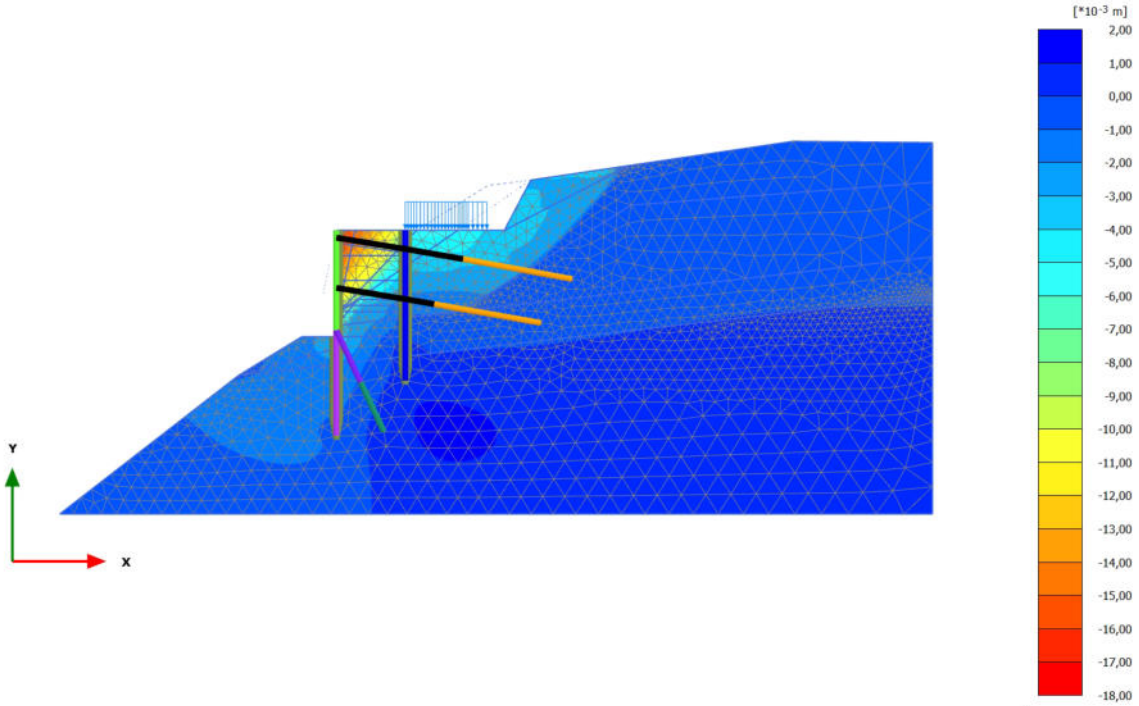

Total displacements u_x (scaled up 100 times)

Maximum value = 1,156*10^{-3} m (Element 2157 at Node 22986)

Minimum value = -0,01757 m (Element 485 at Node 15344)

2.1.1.1.19 Calculation results, Disattivazione paratia esistente [Phase_26] (26/660), Total displacements u_x

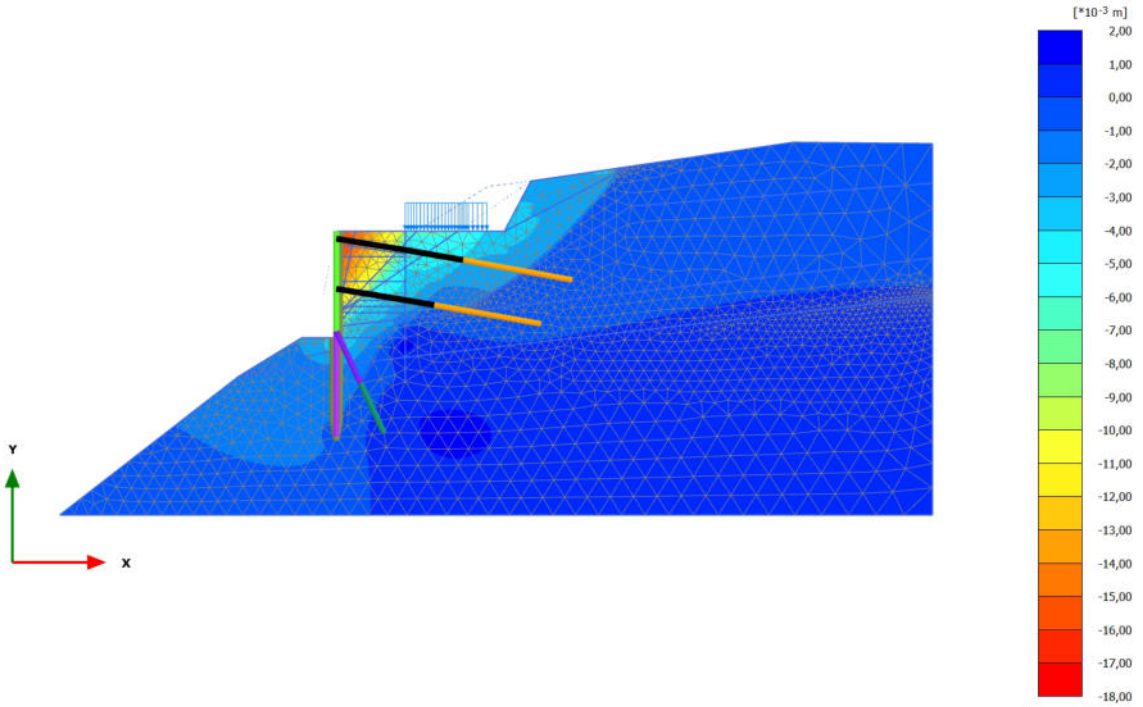

Total displacements u_x (scaled up 100 times)

Maximum value = 1,628*10^{-3} m (Element 1762 at Node 22158)

Minimum value = -0,01749 m (Element 485 at Node 15345)

2.1.1.1.20 Calculation results, Eccezionale paratia esistente [Phase_34] (34/668), Total displacements u_x

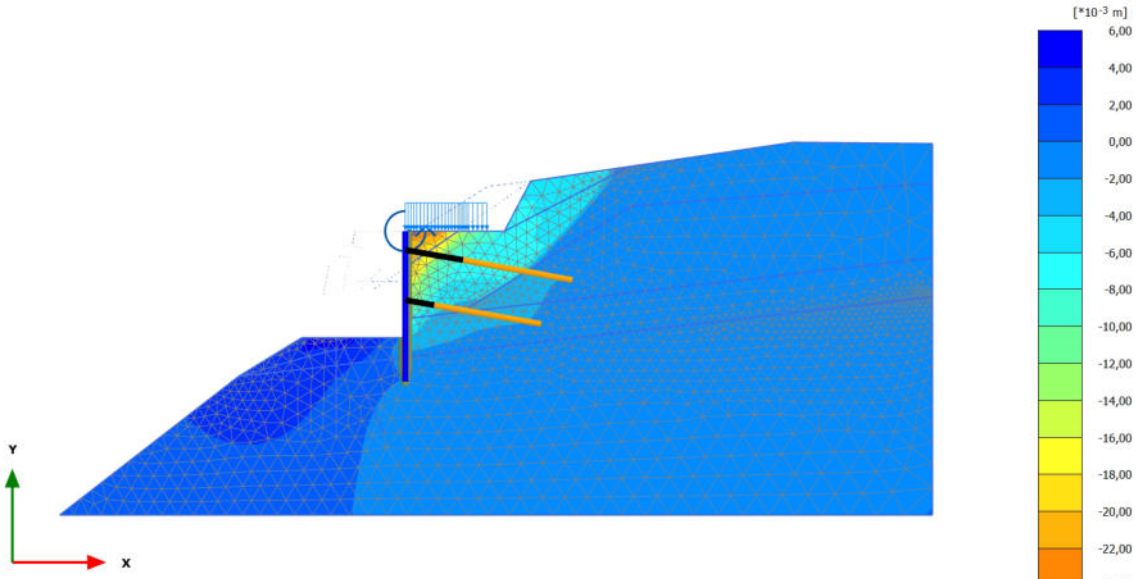

Total displacements u_x (scaled up 50,0 times)

Maximum value = 5,549*10^{-3} m (Element 1823 at Node 23713)

Minimum value = -0,02943 m (Element 475 at Node 13313)

2.1.1.1.21 Calculation results, Eccezionale [Phase_24] (24/712), Total displacements u_x

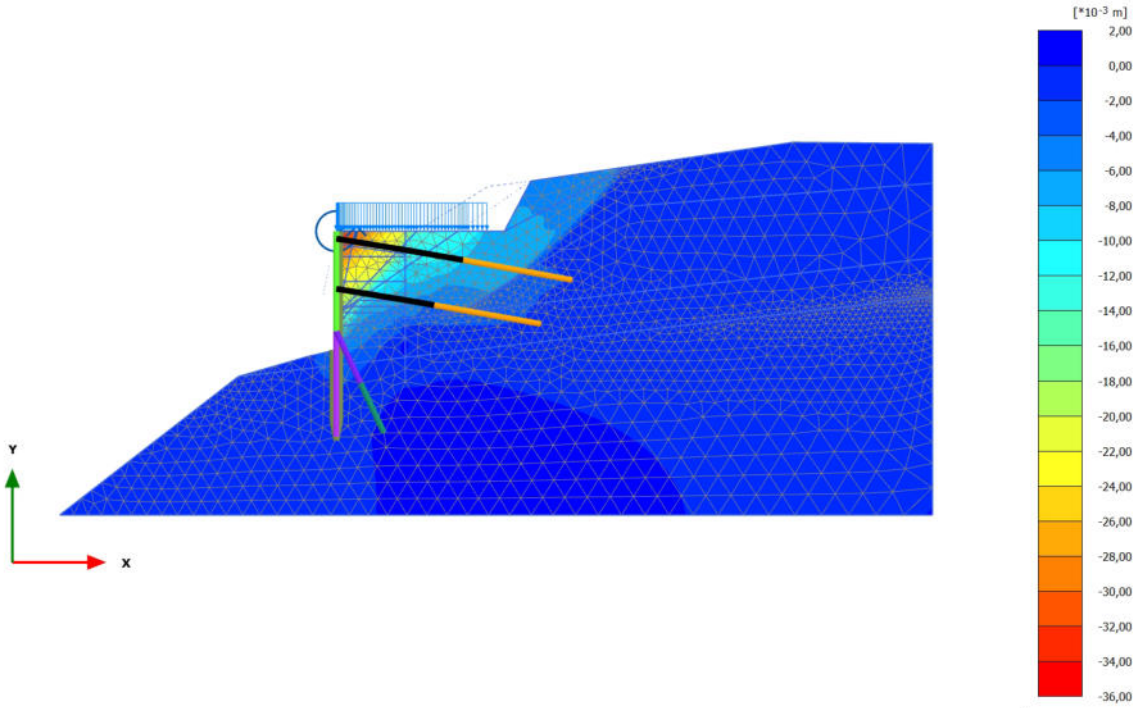

Total displacements u_x (scaled up 50,0 times)

Maximum value = 0,9373*10^{-3} m (Element 2139 at Node 23549)

Minimum value = -0,03593 m (Element 484 at Node 15332)

2.1.1.1.22 Calculation results, SLU11 [Phase_29] (29/723), Total displacements u_x

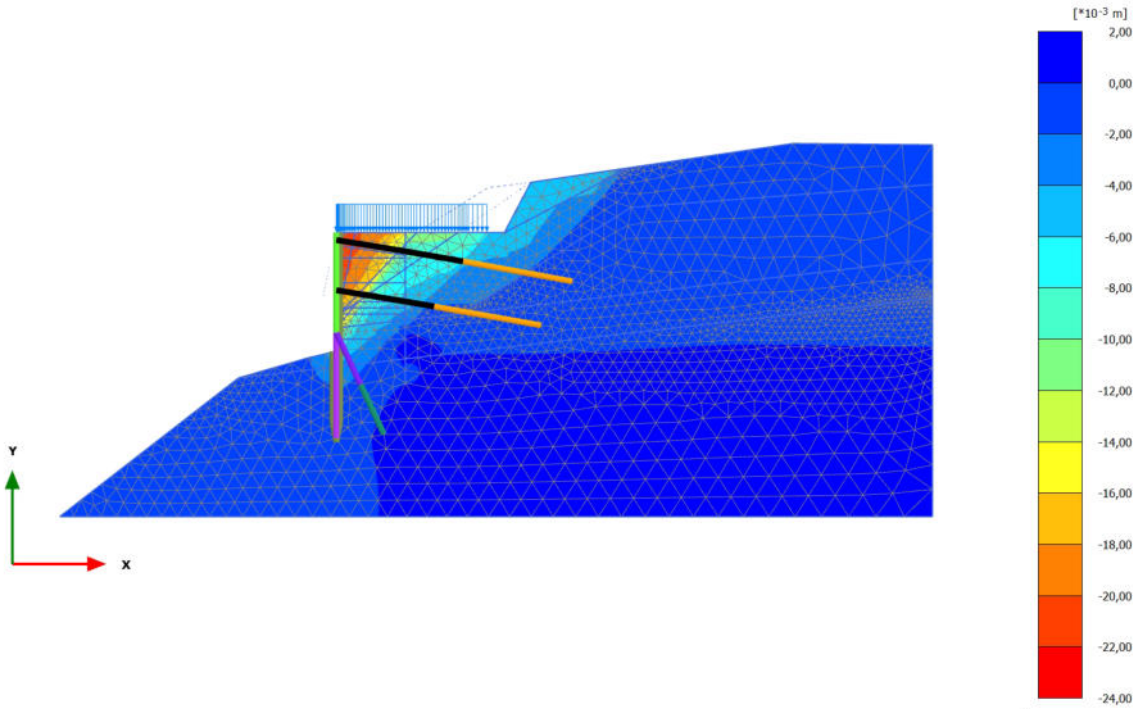

Total displacements u_x (scaled up 50,0 times)

Maximum value = $1{,}166*10^{-3}$ m (Element 2125 at Node 22953)

Minimum value = -0,02291 m (Element 485 at Node 15346)

2.1.1.1.23 Calculation results, M2 [Phase_30] (30/770), Total displacements u_x

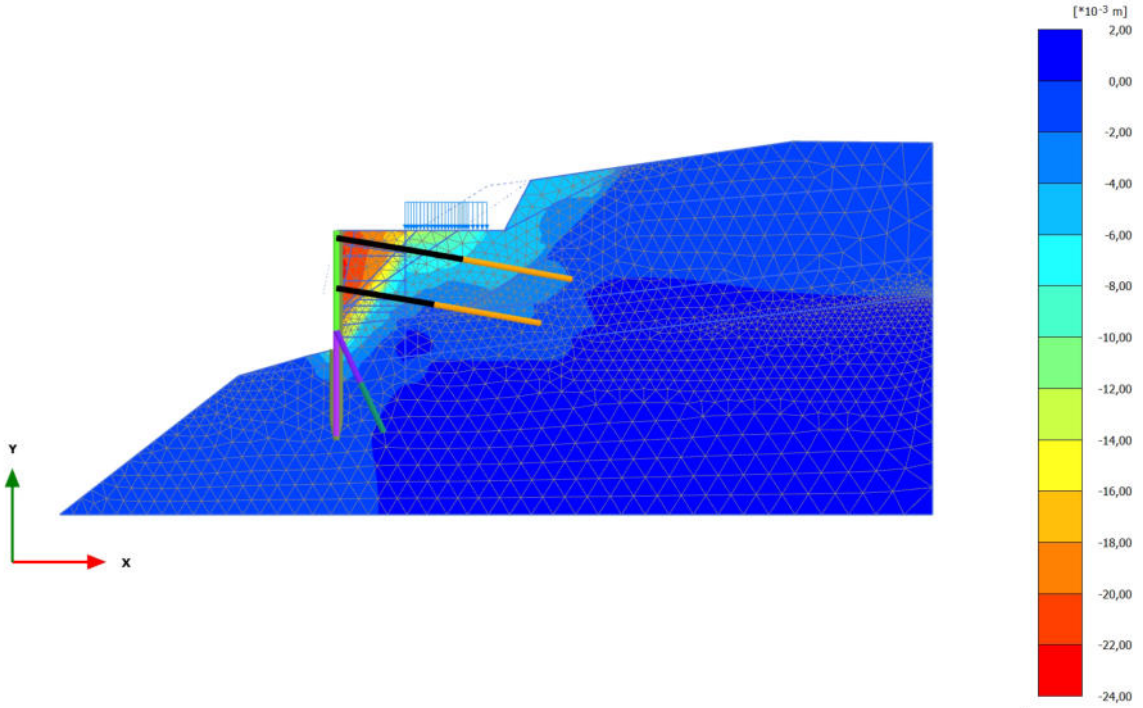

Total displacements u_x (scaled up 50,0 times)

Maximum value = 1,024*10^{-3} m (Element 1762 at Node 22158)

Minimum value = -0,02316 m (Element 884 at Node 17046)

2.1.1.1.24 Calculation results, SLU12 [Phase_31] (31/776), Total displacements u_x

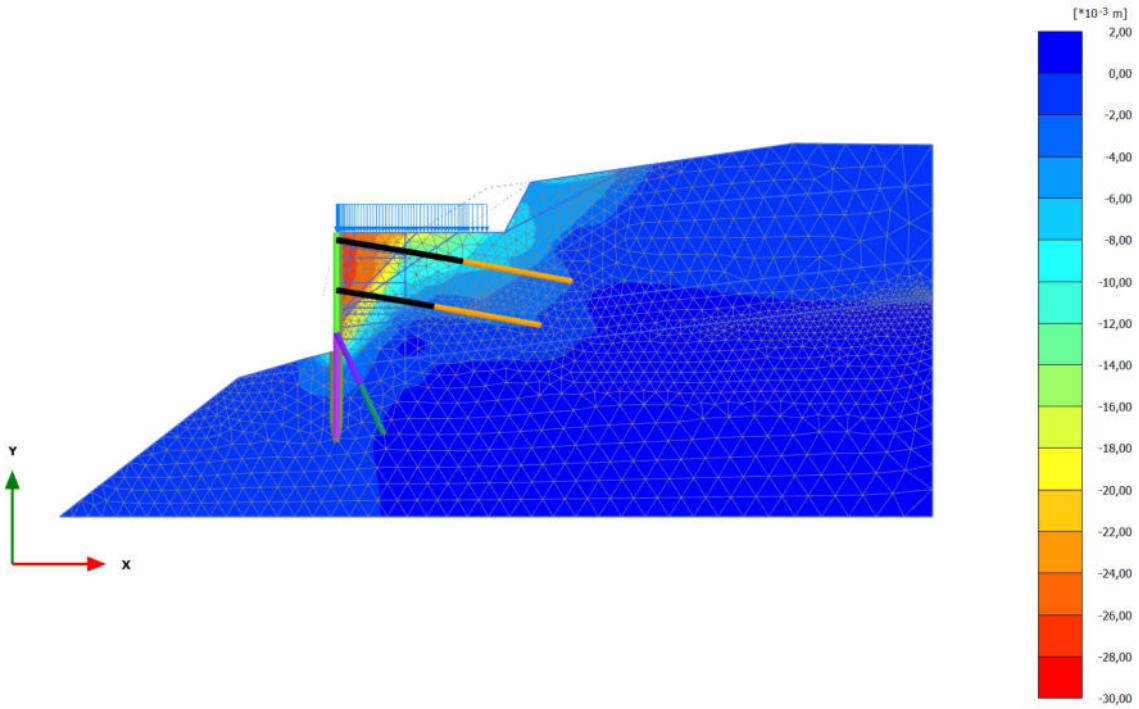

Total displacements u_x (scaled up 50,0 times)

Maximum value = $1{,}234*10^{-3}$ m (Element 2118 at Node 22573)

Minimum value = -0,02842 m (Element 884 at Node 17046)

2.1.1.1.25 Calculation results, SLU12 SG [Phase_21] (21/779), Total displacements u_x

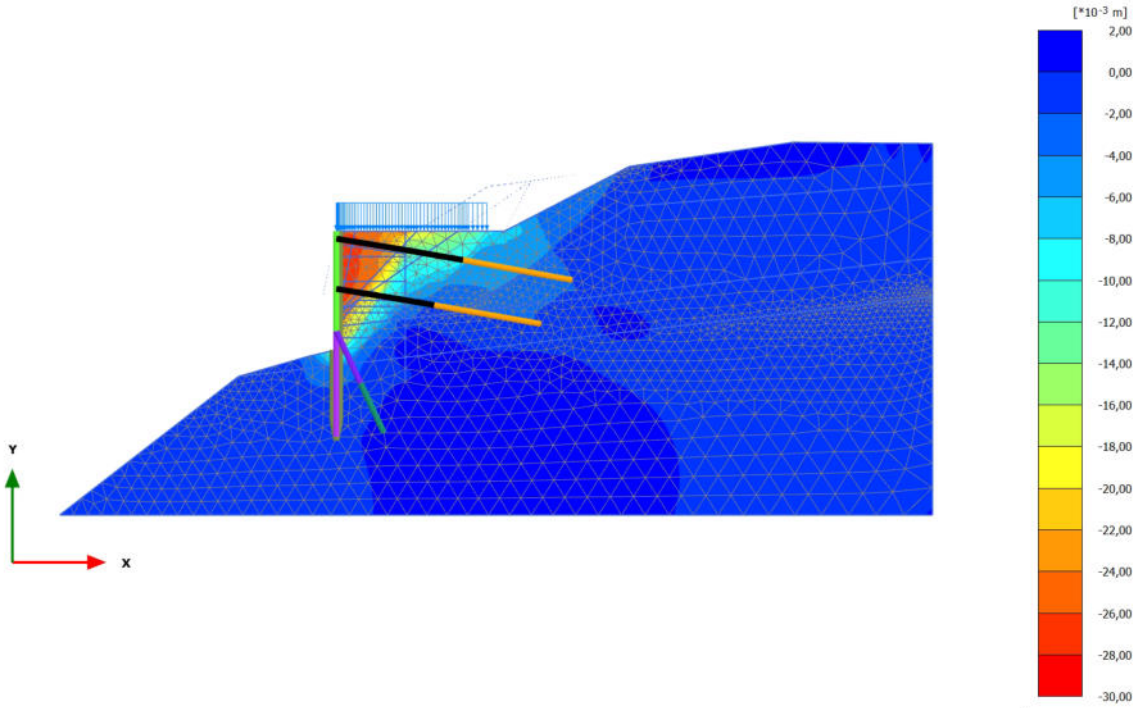

Total displacements u_x (scaled up 50,0 times)

Maximum value = 1,526*10^{-3} m (Element 2151 at Node 22577)

Minimum value = -0,02878 m (Element 884 at Node 17046)

2.1.1.1.26 Calculation results, FS SLU12 [Phase_20] (20/879), Total displacements u_x

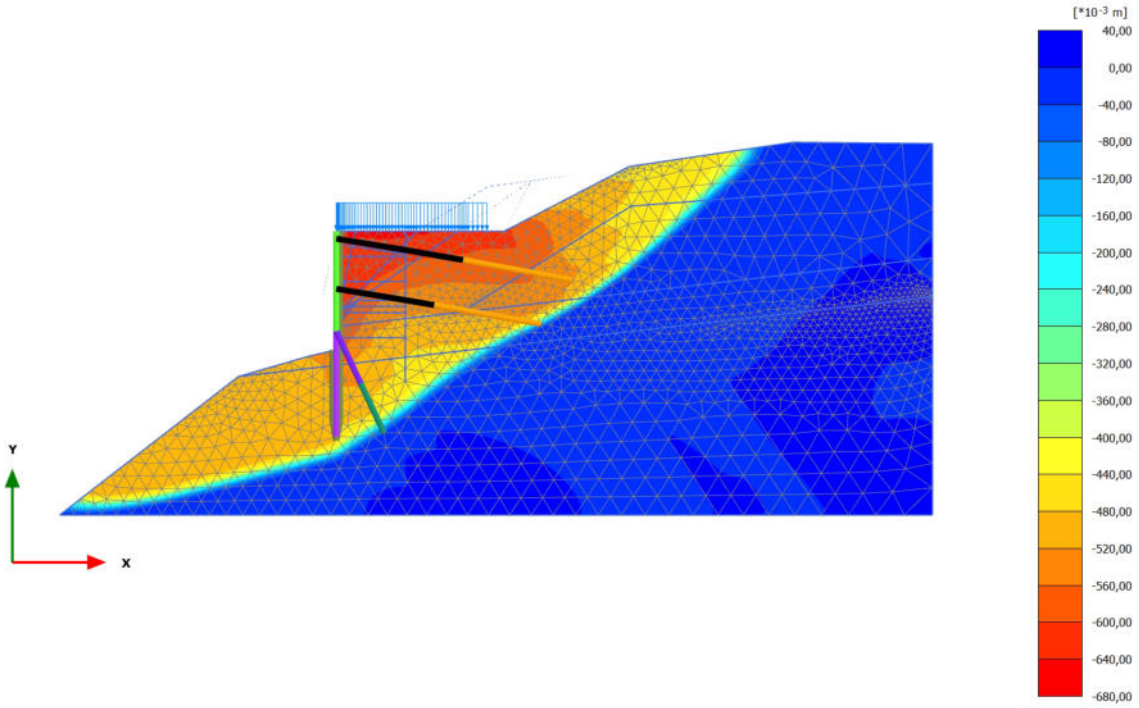

Total displacements u_x (scaled up 5,00 times)

Maximum value = 1,424*10^{-3} m (Element 2021 at Node 23495)

Minimum value = -0,6533 m (Element 491 at Node 13495)

2.1.1.1.27 Calculation results, SLE [Phase_11] (11/883), Total displacements u_x

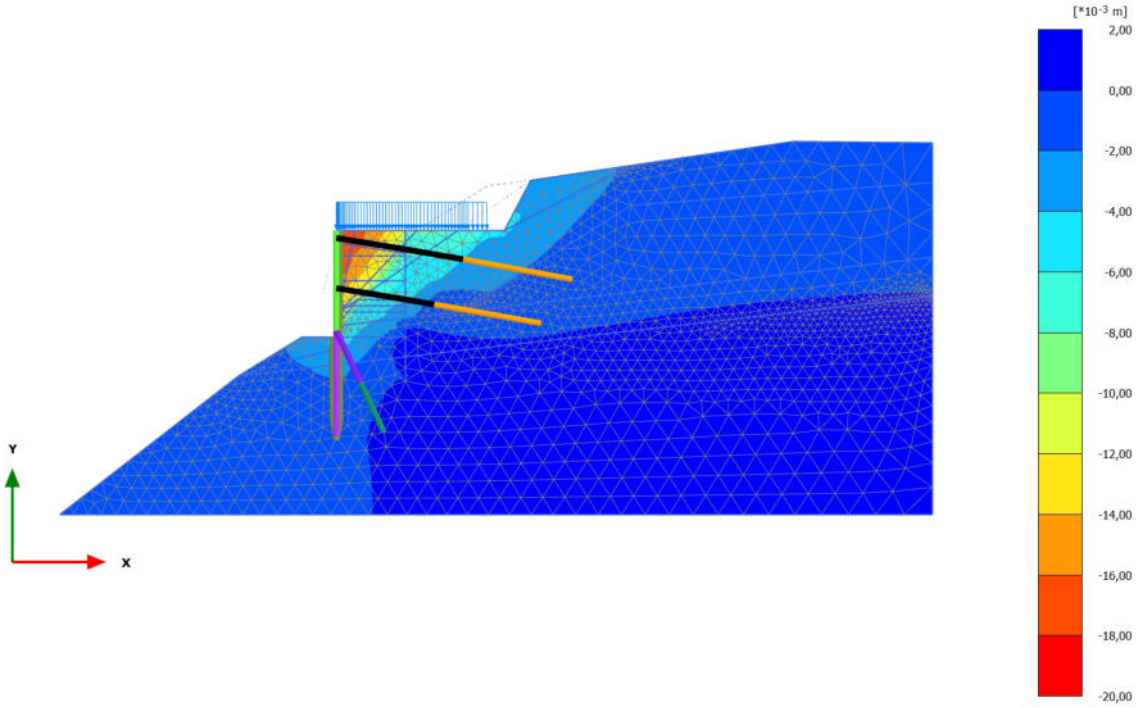

Total displacements u_x (scaled up 100 times)

Maximum value = 1,398*10^{-3} m (Element 1762 at Node 22158)

Minimum value = -0,01969 m (Element 485 at Node 15345)

2.1.1.1.28 Calculation results, SLV + stab globale [Phase_22] (22/896), Total displacements u_x

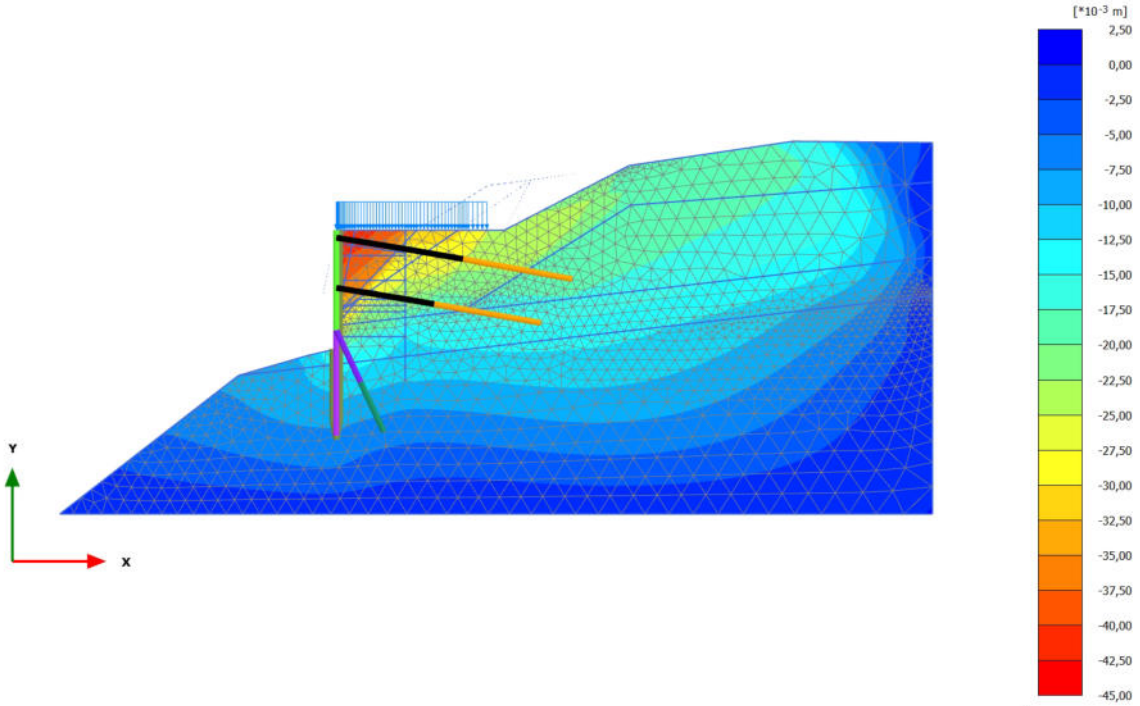

Total displacements u_x (scaled up 50,0 times)

Maximum value = 0,000 m (Element 65 at Node 688)

Minimum value = -0,04365 m (Element 485 at Node 15344)

2.1.1.1.29 Calculation results, FS SLV+ [Phase_28] (28/1046), Total displacements u_x

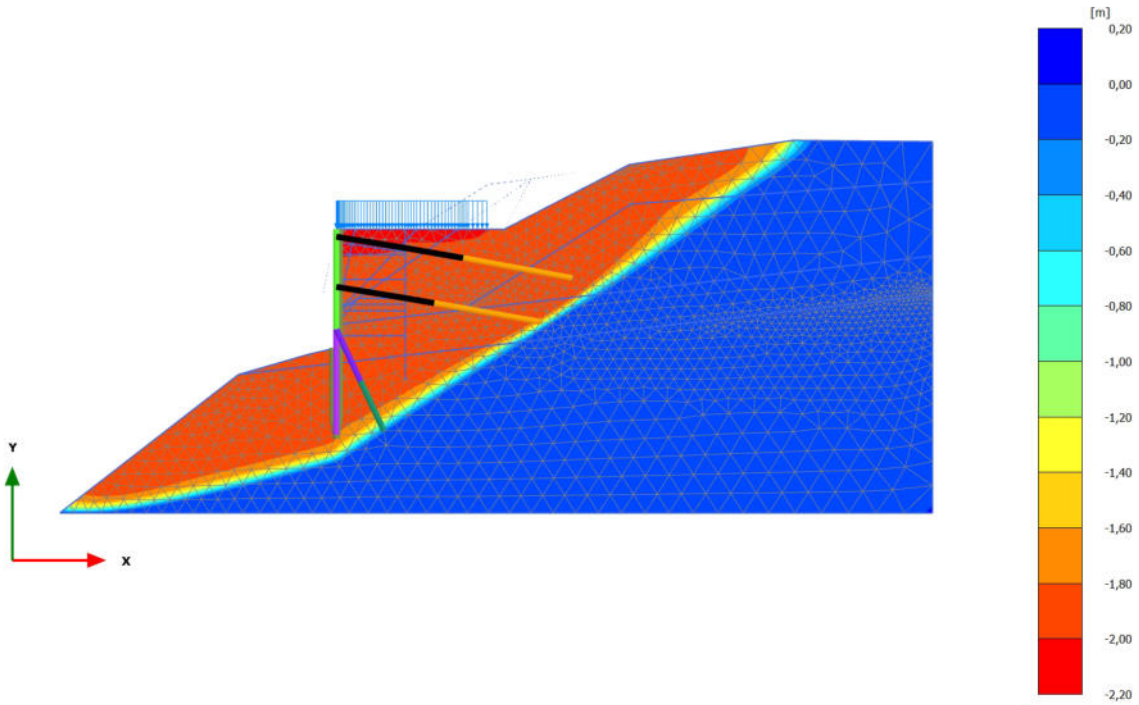

Total displacements u_x (scaled up 5,00 times)

Maximum value = 0,000 m (Element 65 at Node 688)

Minimum value = -2,020 m (Element 484 at Node 15330)

2.1.1.1.30 Calculation results, SLV - stab globale [Phase_32] (32/1056), Total displacements u_x

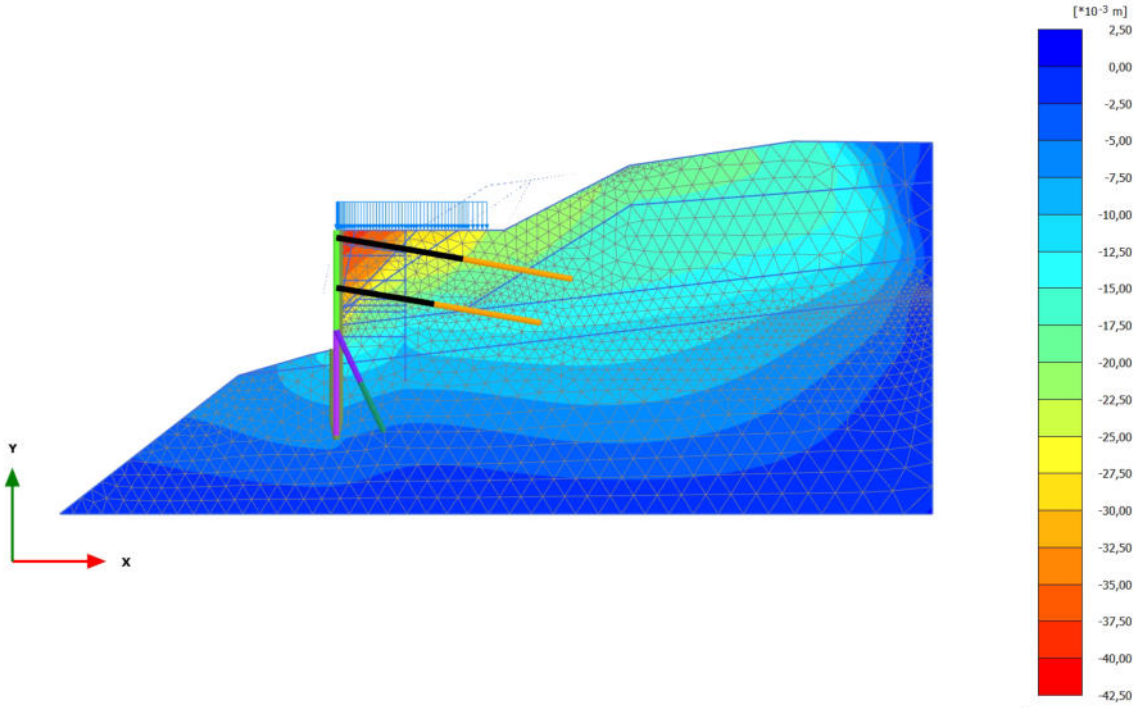

Total displacements u_x (scaled up 50,0 times)

Maximum value = 0,000 m (Element 65 at Node 688)

Minimum value = -0,04077 m (Element 485 at Node 15344)

2.1.1.1.31 Calculation results, FS SLV - [Phase_33] (33/1156), Total displacements u_x

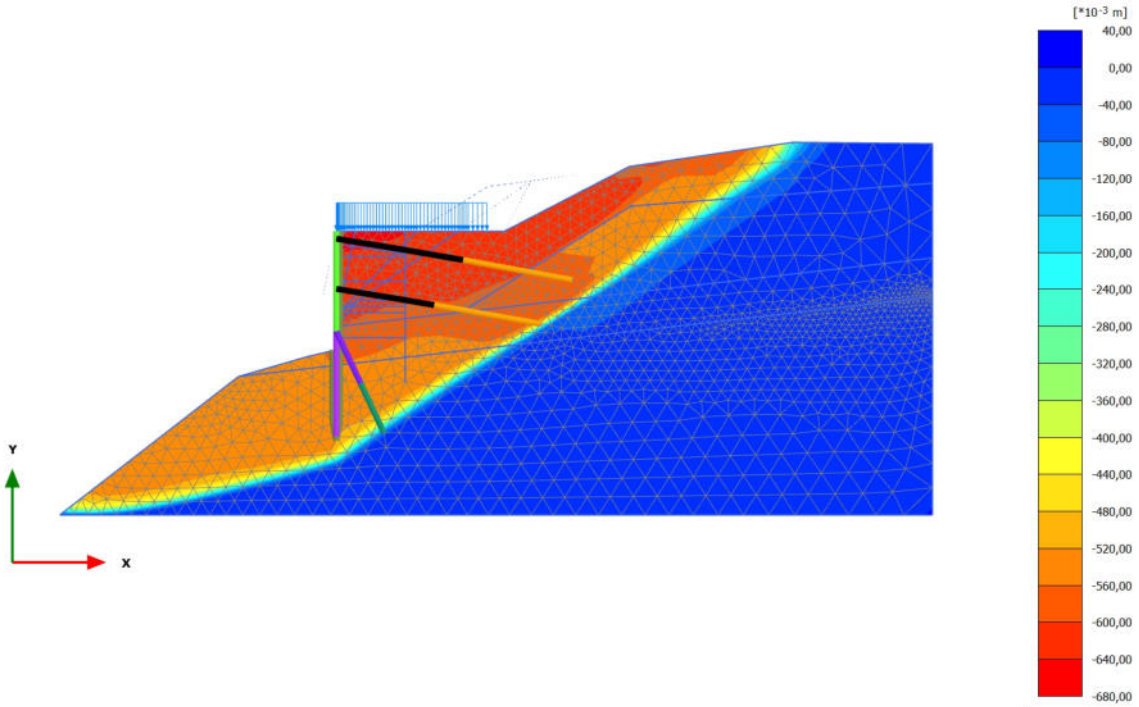

Total displacements u_x (scaled up 5,00 times)

Maximum value = 0,000 m (Element 65 at Node 688)

Minimum value = -0,6481 m (Element 484 at Node 15331)

2.1.1.1.32 Calculation results, SLD [Phase_38] (38/1178), Total displacements u_x

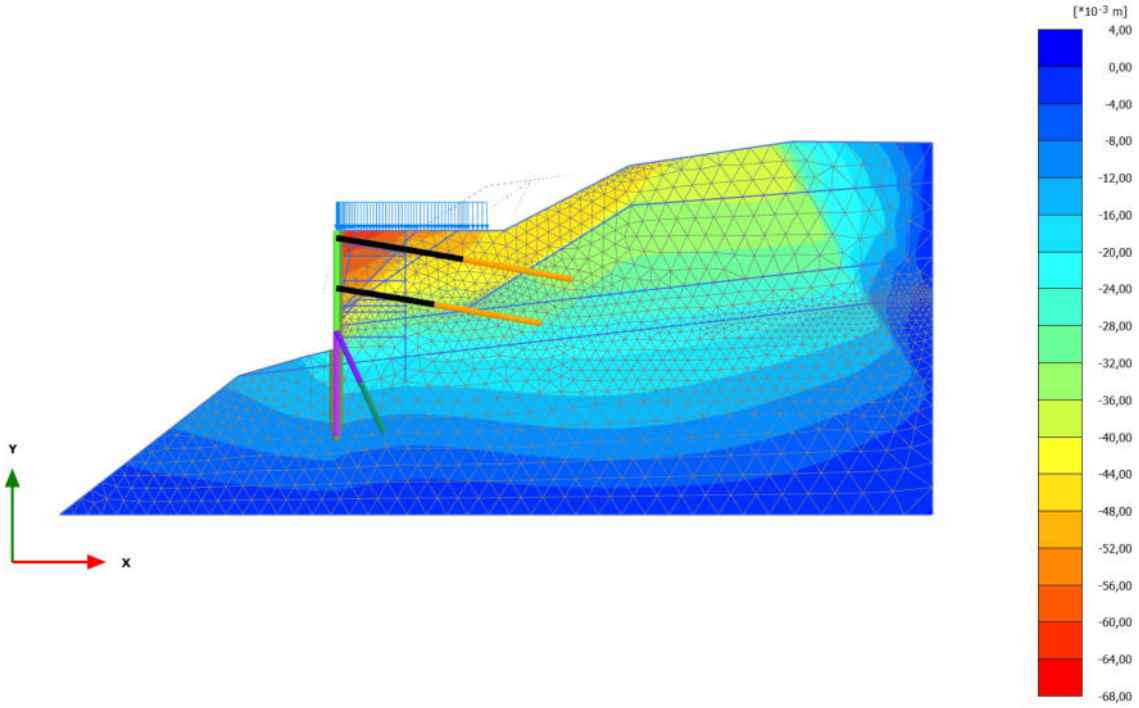

Total displacements u_x (scaled up 50,0 times)

Maximum value = 0,000 m (Element 65 at Node 688)

Minimum value = -0,06466 m (Element 483 at Node 15343)

2.1.1.1.33 Calculation results, q rullo [Phase_37] (37/1187), Total displacements u_x

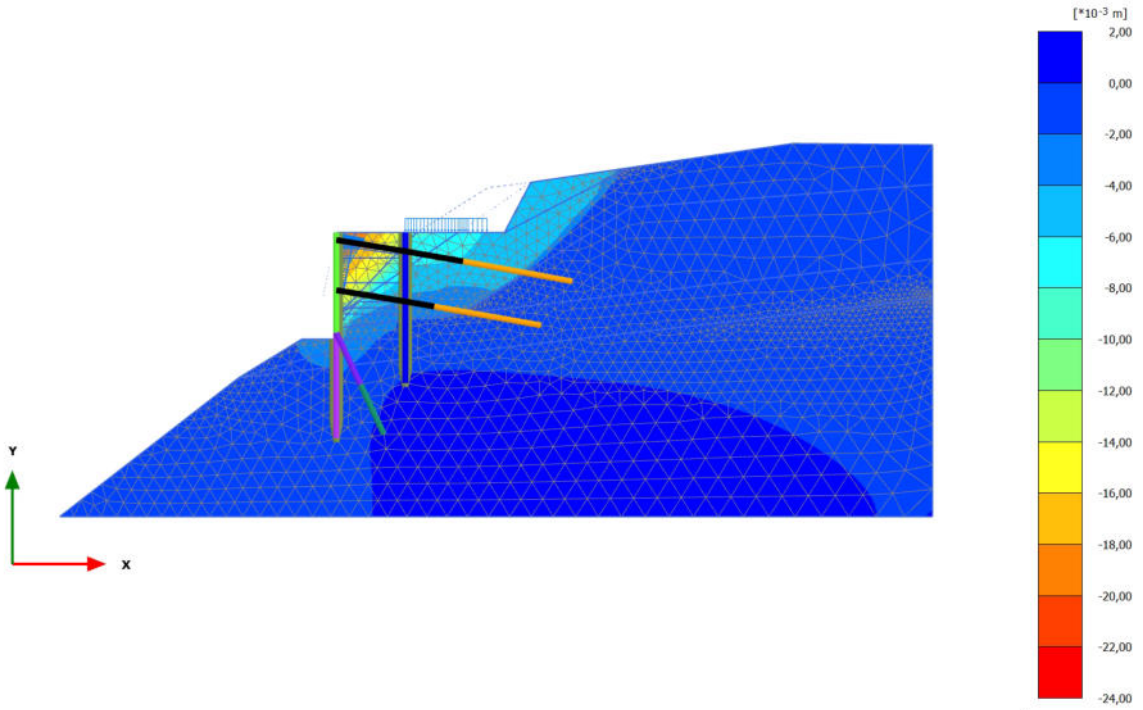

Total displacements u_x (scaled up 50,0 times)

Maximum value = $1{,}045*10^{-3}$ m (Element 2157 at Node 22990)

Minimum value = -0,02234 m (Element 485 at Node 15344)

2.1.1.1.34 Calculation results, SLE Paratia esistente [Phase_12] (12/1232), Total displacements u_x

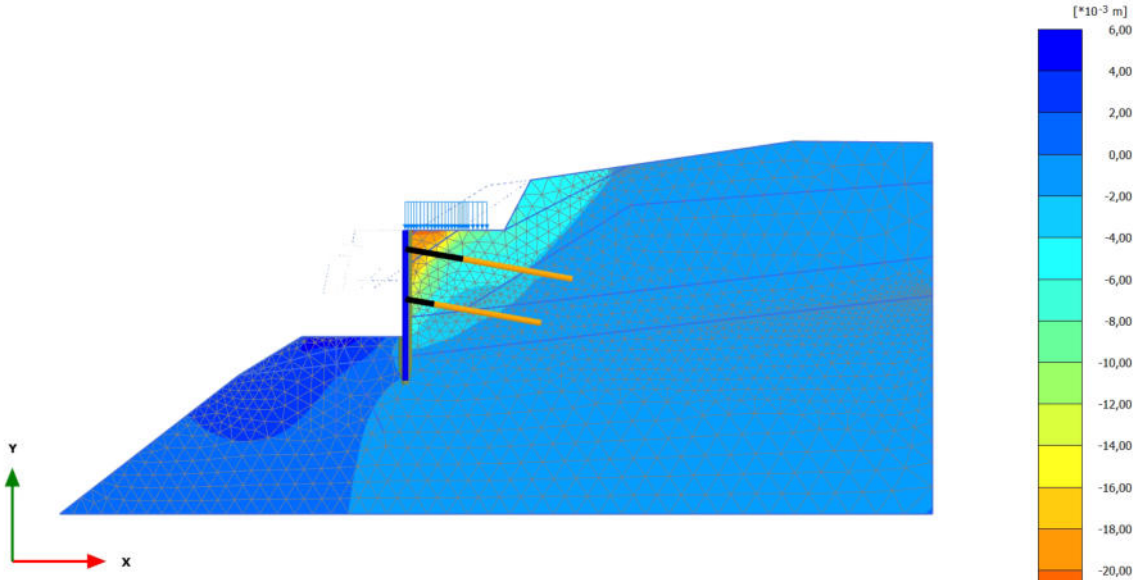

Total displacements u_x (scaled up 50,0 times)

Maximum value = 5,639*10^{-3} m (Element 1823 at Node 23713)

Minimum value = -0,02532 m (Element 475 at Node 13313)

2.1.1.1.35 Calculation results, SLU11 Paratia esistente [Phase_13] (13/1235), Total displacements u_x

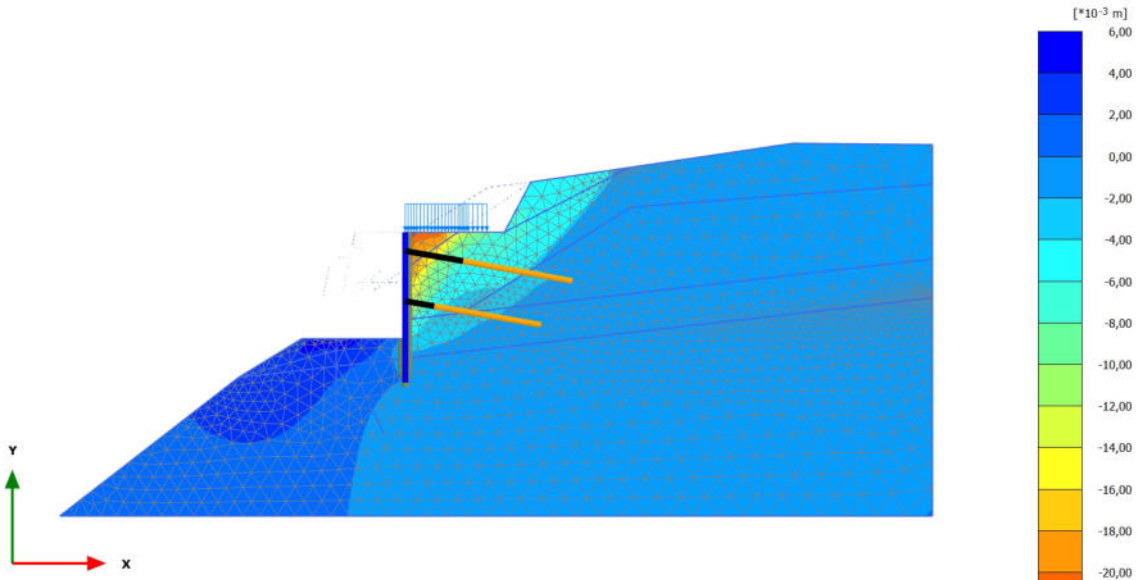

Total displacements u_x (scaled up 50,0 times)

Maximum value = 5,646*10^{-3} m (Element 1823 at Node 23713)

Minimum value = -0,02581 m (Element 475 at Node 13313)

2.1.1.1.36 Calculation results, SLU12 Paratia esistente [Phase_18] (18/1240), Total displacements u_x

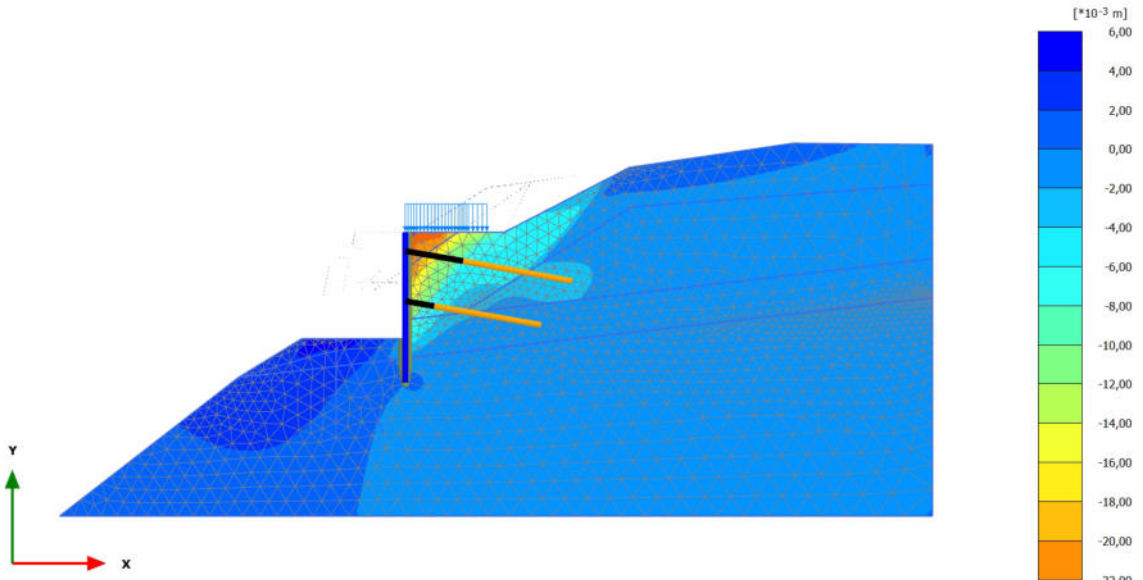

Total displacements u_x (scaled up 50,0 times)

Maximum value = 5,737*10^{-3} m (Element 1823 at Node 23713)

Minimum value = -0,02795 m (Element 475 at Node 13313)

2.1.1.1.37 Calculation results, FS Paratia esistente [Phase_19] (19/1390), Total displacements u_x

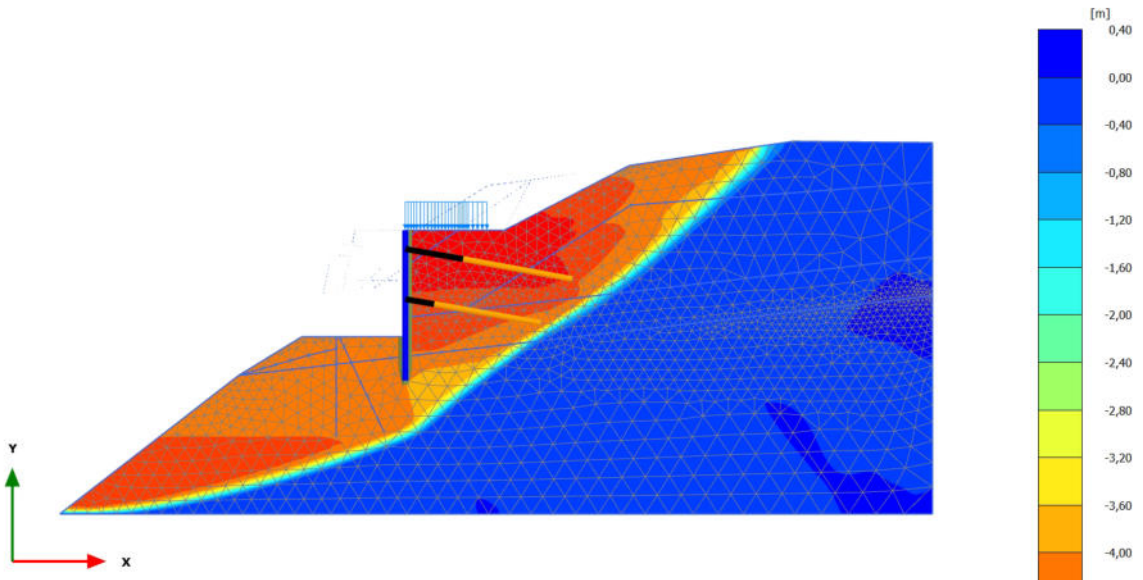

Total displacements u_x (scaled up 0,500 times)

Maximum value = $0{,}3546*10^{-3}$ m (Element 1438 at Node 1899)

Minimum value = -5,189 m (Element 475 at Node 13300)

2.1.1.1.38 Calculation results, FS [Phase_23] (23/1510), Total displacements u_x

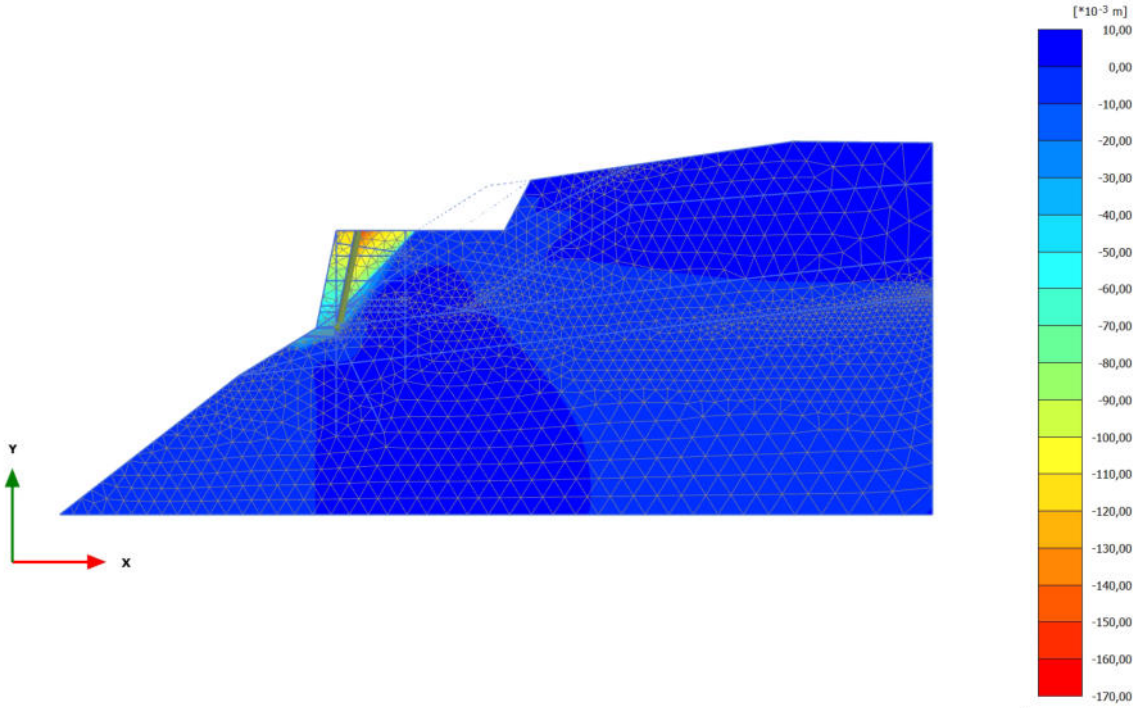

Total displacements u_x (scaled up 10,0 times)

Maximum value = 1,568*10^{-3} m (Element 326 at Node 18647)

Minimum value = -0,1661 m (Element 488 at Node 15277)

2.1.1.1.39 Calculation results, SLV [Phase_27] (27/1545), Total displacements u_x

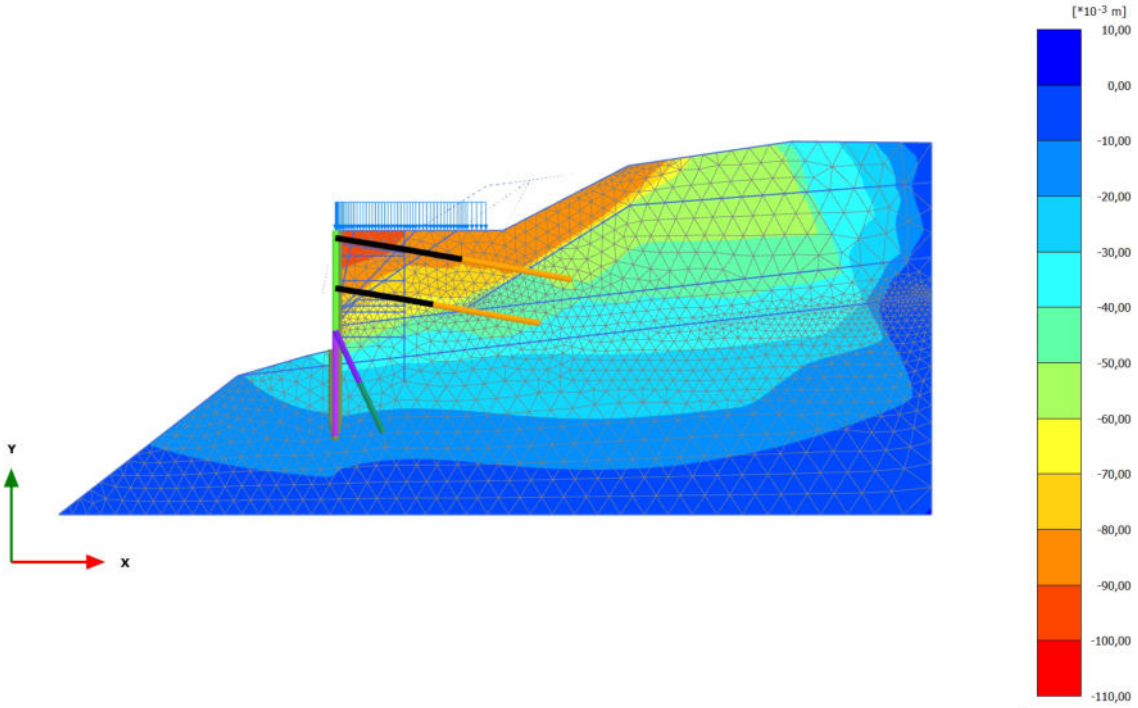

Total displacements u_x (scaled up 20,0 times)

Maximum value = 0,000 m (Element 65 at Node 688)

Minimum value = -0,1004 m (Element 484 at Node 15332)

2.1.2.1 Calculation results, Initial phase [InitialPhase] (0/11), Deformed mesh |u|

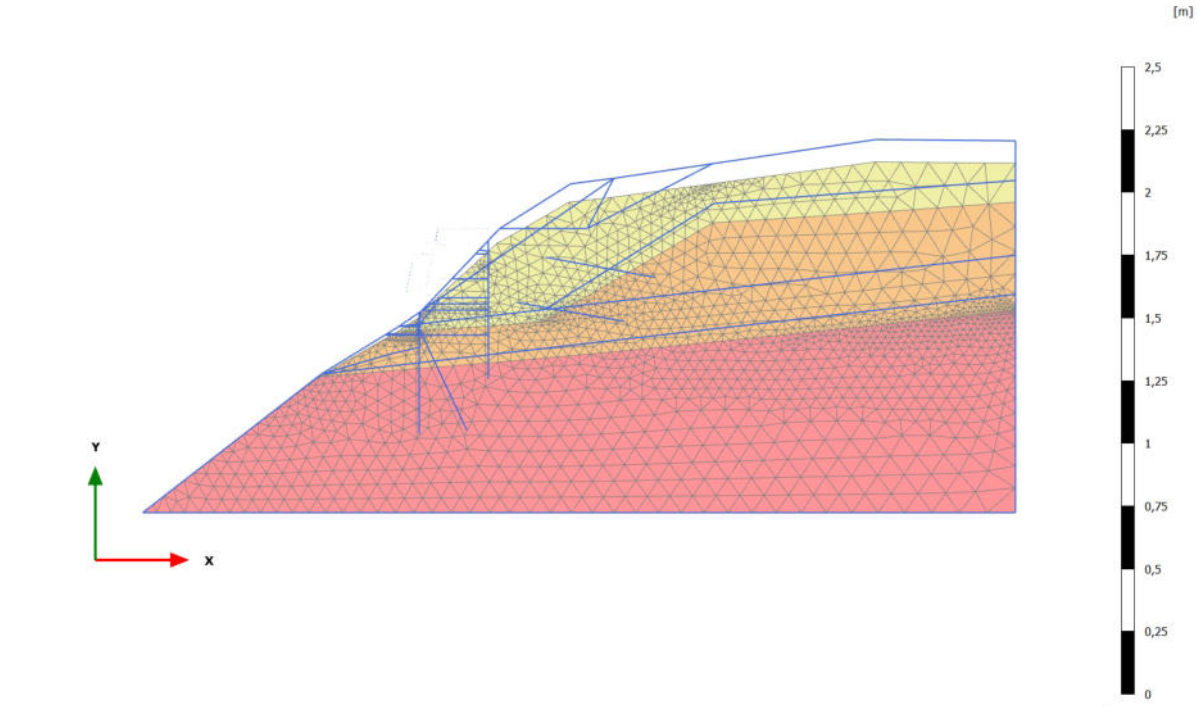

Deformed mesh |u| (scaled up 20,0 times)

Maximum value = 0,08948 m (Element 71 at Node 1127)

2.1.2.2 Calculation results, Phase_1 [Phase_1] (1/14), Deformed mesh |u|

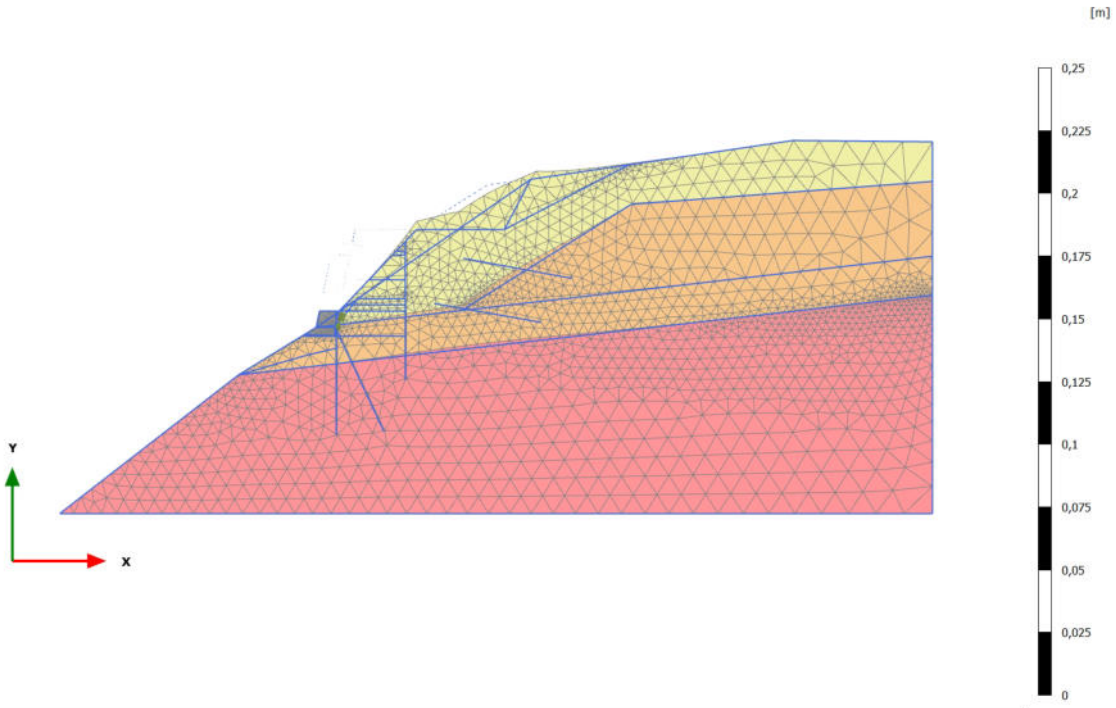

Deformed mesh |u| (scaled up 200 times)

Maximum value = 7,545*10^{-3} m (Element 464 at Node 10936)

2.1.2.3 Calculation results, Phase_2 [Phase_2] (2/26), Deformed mesh |u|

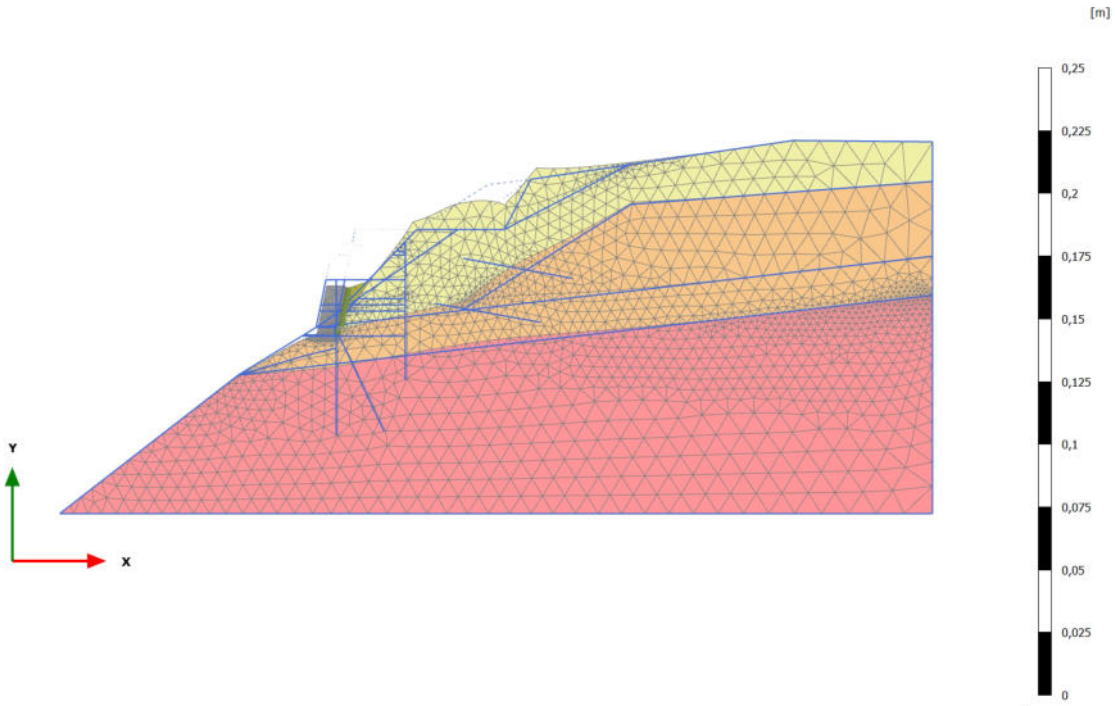

Deformed mesh |u| (scaled up 200 times)

Maximum value = 0,01161 m (Element 118 at Node 11545)

2.1.2.4 Calculation results, Fine costruzione muro [Phase_3] (3/89), Deformed mesh |u|

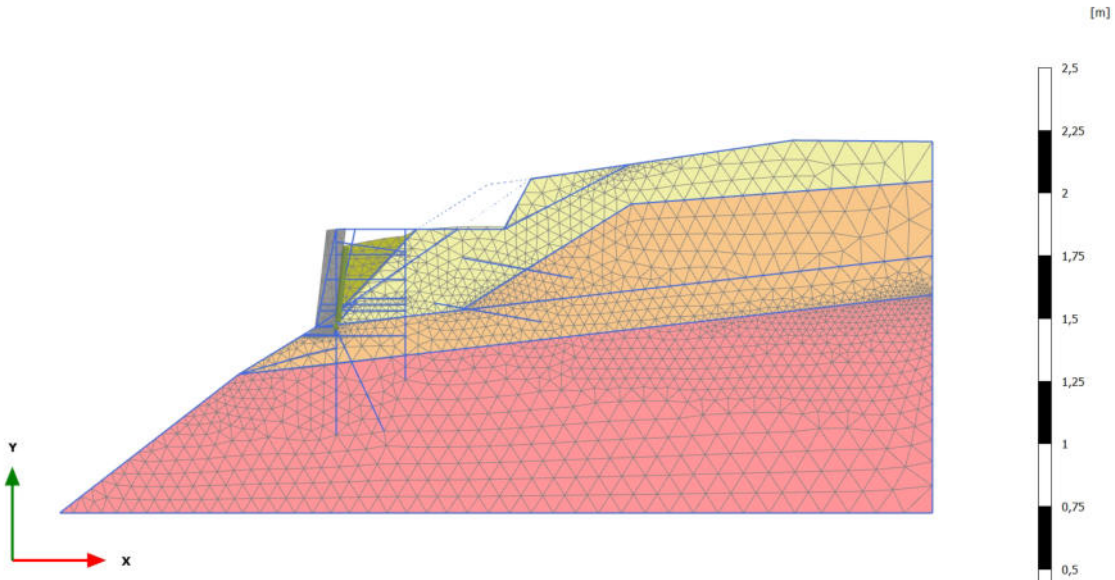

Deformed mesh |u| (scaled up 20,0 times)

Maximum value = 0,08532 m (Element 488 at Node 15277)

2.1.2.5 Calculation results, (RD) Paratia [Phase_4] (4/92), Deformed mesh |u|

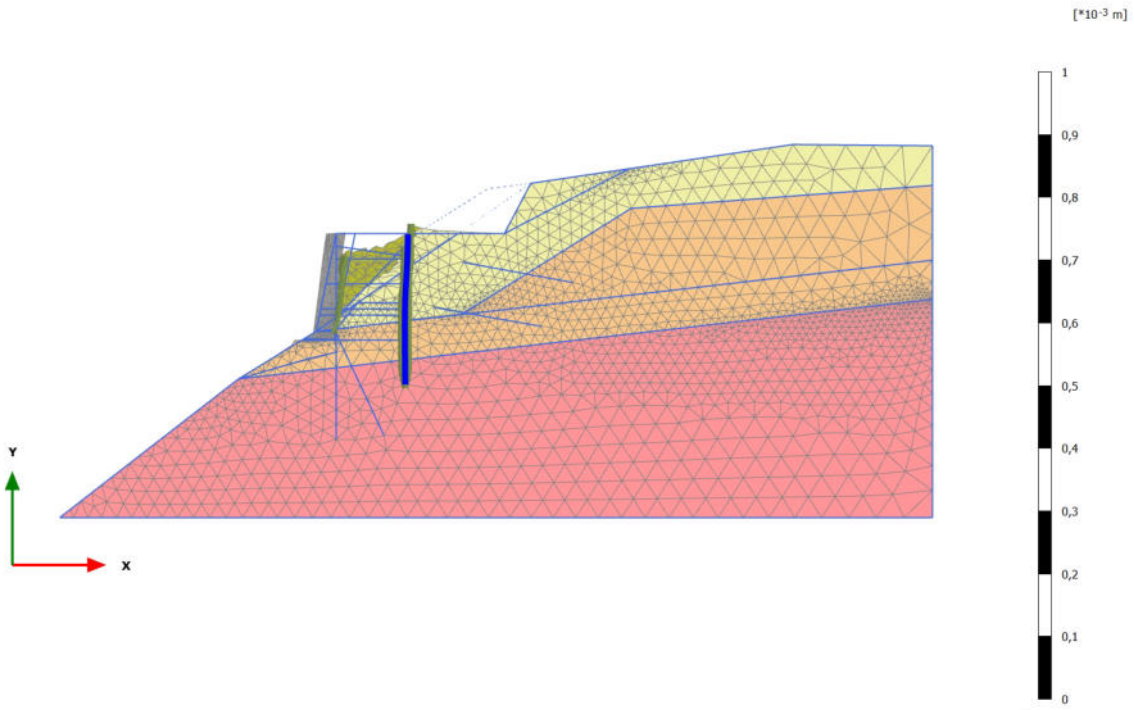

Deformed mesh |u| (scaled up 50,0*10³ times)

Maximum value = 0,05169*10-3 m (Element 488 at Node 15277)

2.1.2.6 Calculation results, Voragine 1 [Phase_5] (5/110), Deformed mesh |u|

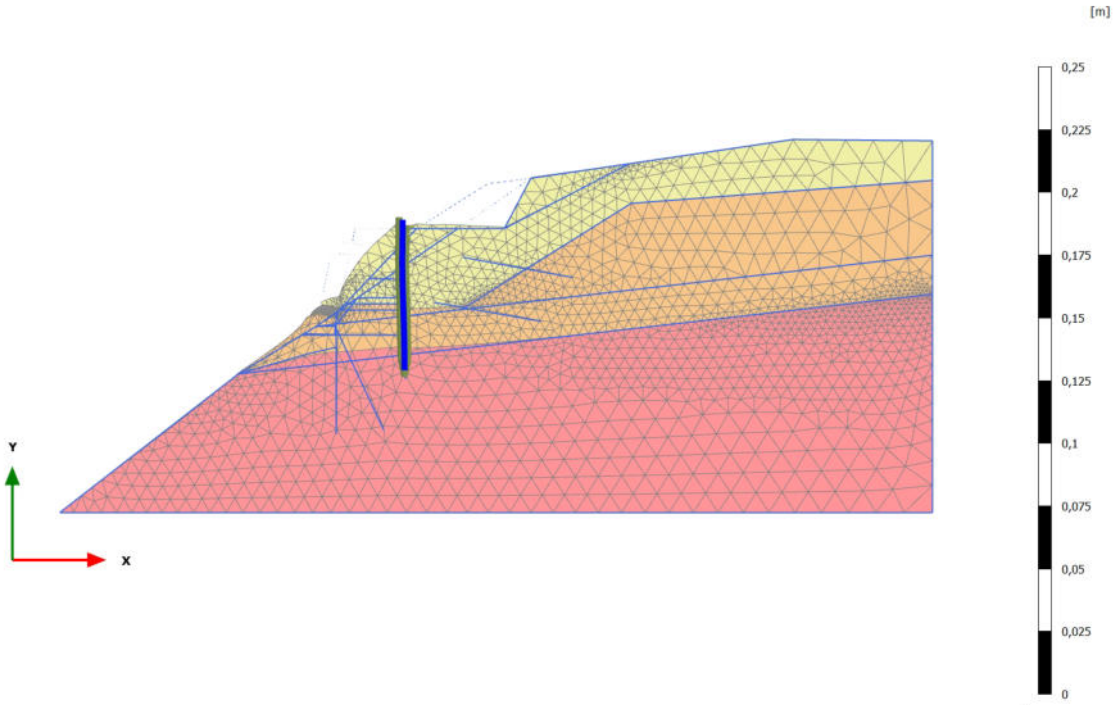

Deformed mesh |u| (scaled up 200 times)

Maximum value = 0,01080 m (Element 910 at Node 18428)

2.1.2.7 Calculation results, Voragine 2 [Phase_6] (6/134), Deformed mesh |u|

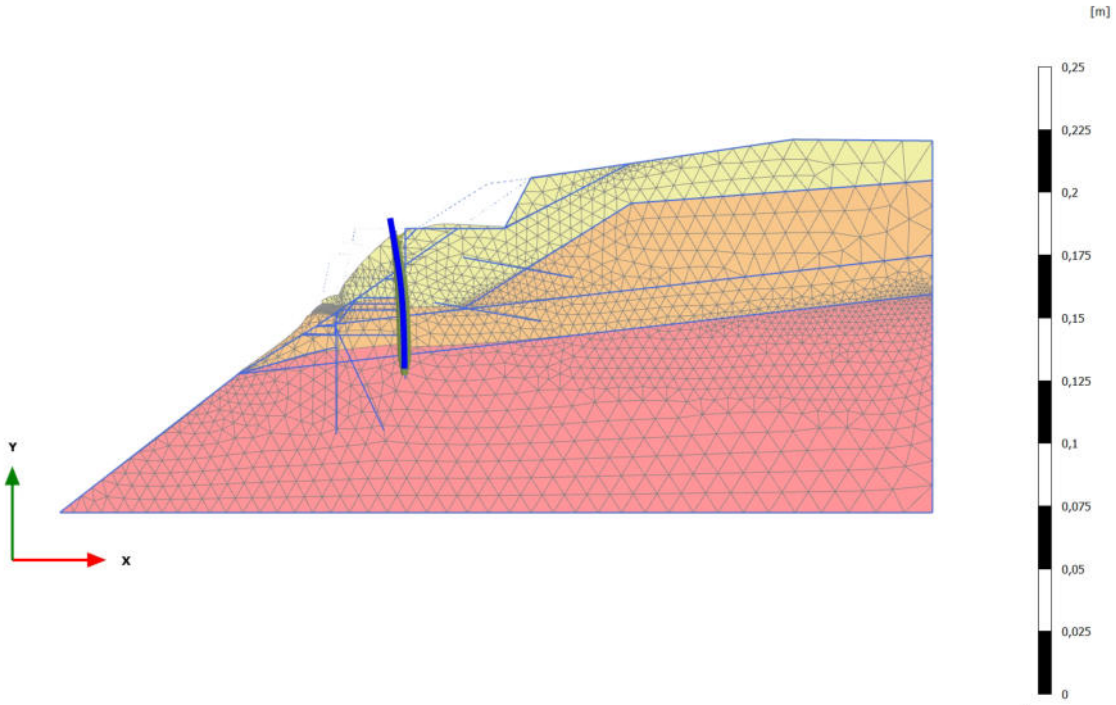

Deformed mesh |u| (scaled up 200 times)

Maximum value = 0,01409 m (Element 897 at Node 16759)

2.1.2.8 Calculation results, Mezzi (10 kPa) [Phase_7] (7/155), Deformed mesh |u|

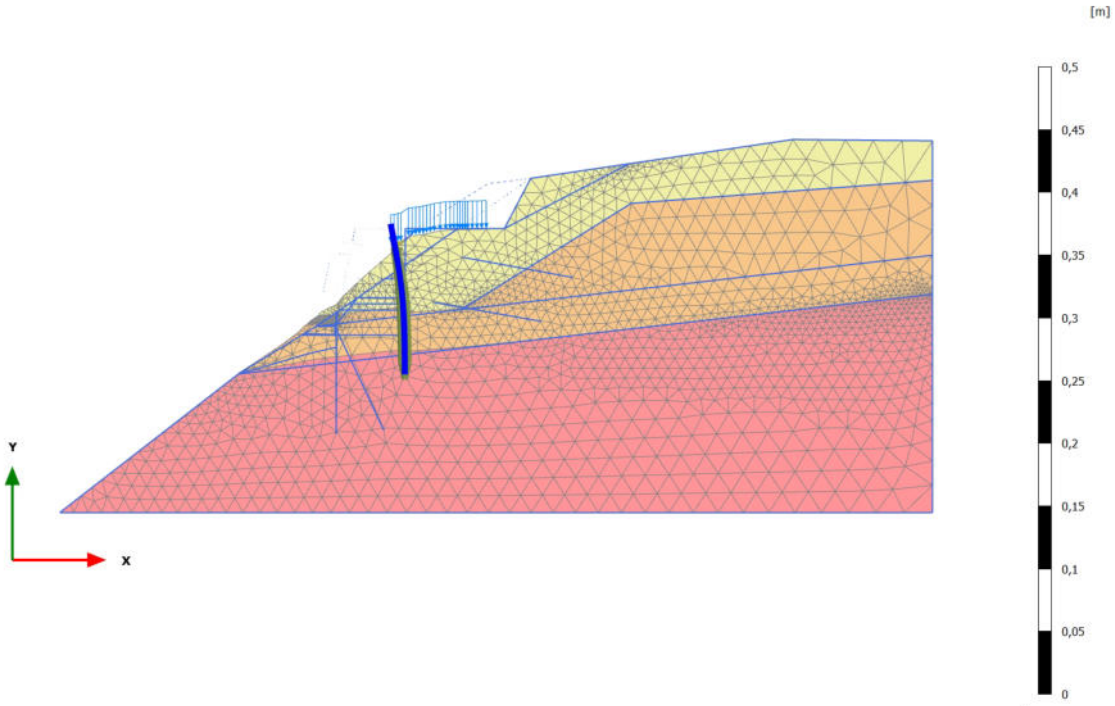

Deformed mesh |u| (scaled up 100 times)

Maximum value = 0,01642 m (Element 475 at Node 13313)

2.1.2.9 Calculation results, Micropalo ancoraggio 1 [Phase_8] (8/221), Deformed mesh |u|

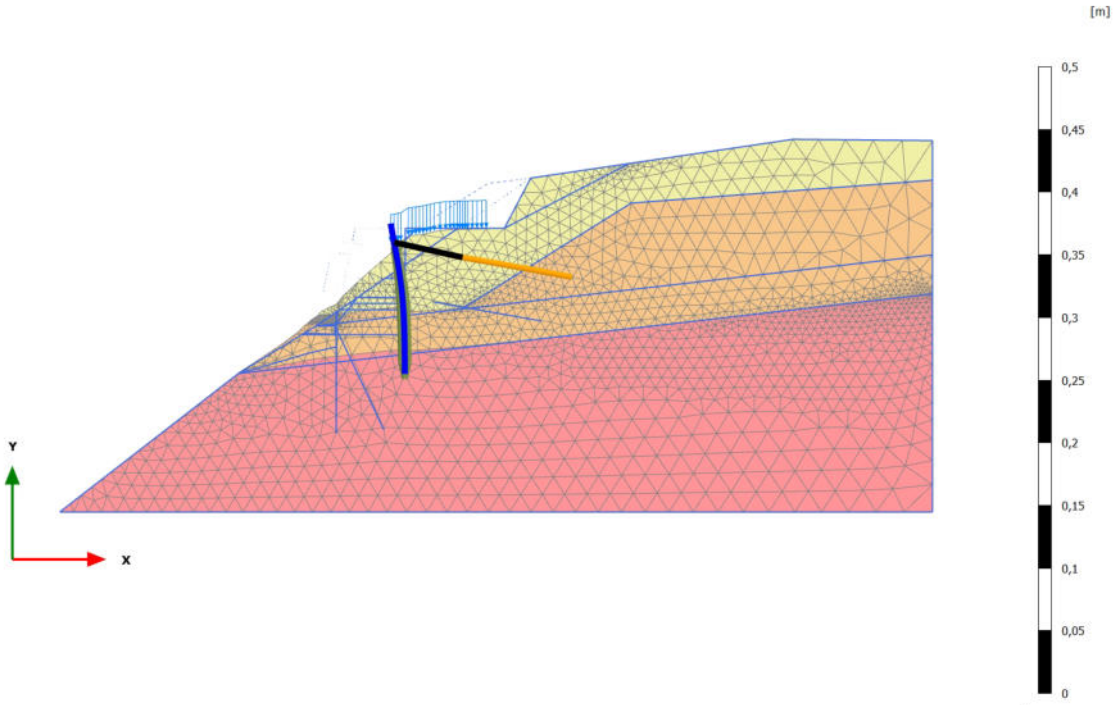

Deformed mesh |u| (scaled up 100 times)

Maximum value = 0,01650 m (Element 475 at Node 13313)

2.1.2.10 Calculation results, Escavo 1 [Phase_9] (9/235), Deformed mesh |u|

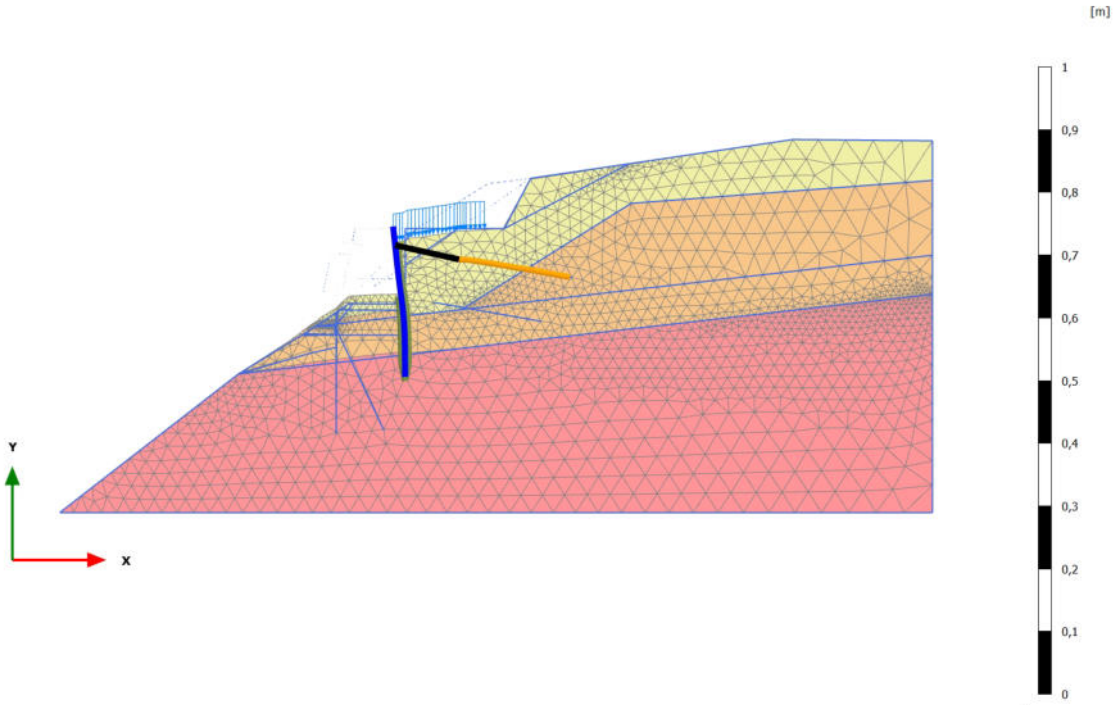

Deformed mesh |u| (scaled up 50,0 times)

Maximum value = 0,02936 m (Element 475 at Node 13313)

2.1.2.11 Calculation results, Micropalo ancoraggio 2 [Phase_35] (35/309), Deformed mesh |u|

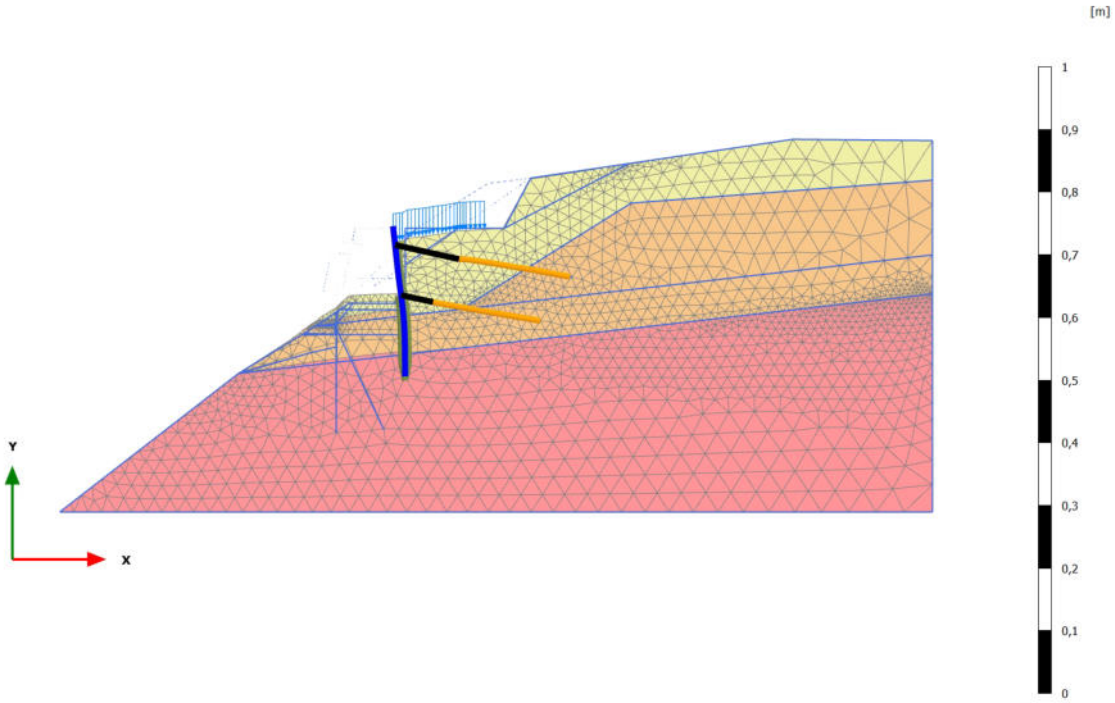

Deformed mesh |u| (scaled up 50,0 times)

Maximum value = 0,02945 m (Element 475 at Node 13313)

2.1.2.12 Calculation results, Escavo 2 [Phase_10] (10/318), Deformed mesh |u|

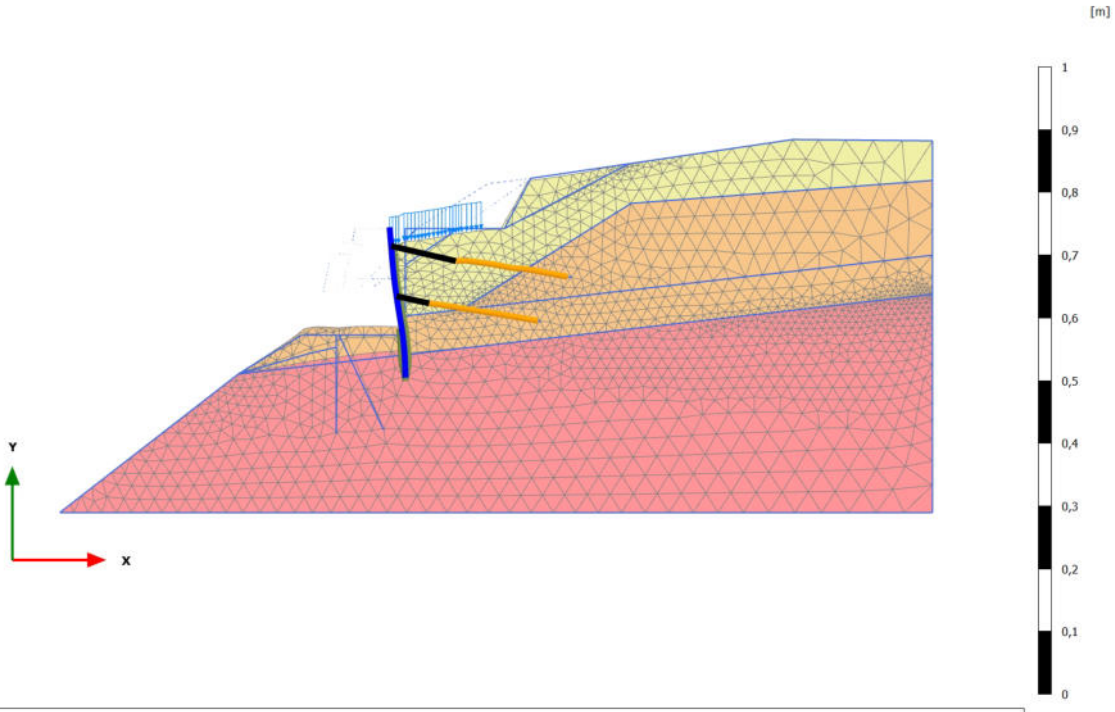

Deformed mesh |u| (scaled up 50,0 times)

Maximum value = 0,03678 m (Element 475 at Node 13313)

2.1.2.13 Calculation results, (RIEMP A SBALZO) Micropali e parete [Phase_14] (14/320), Deformed mesh |u|

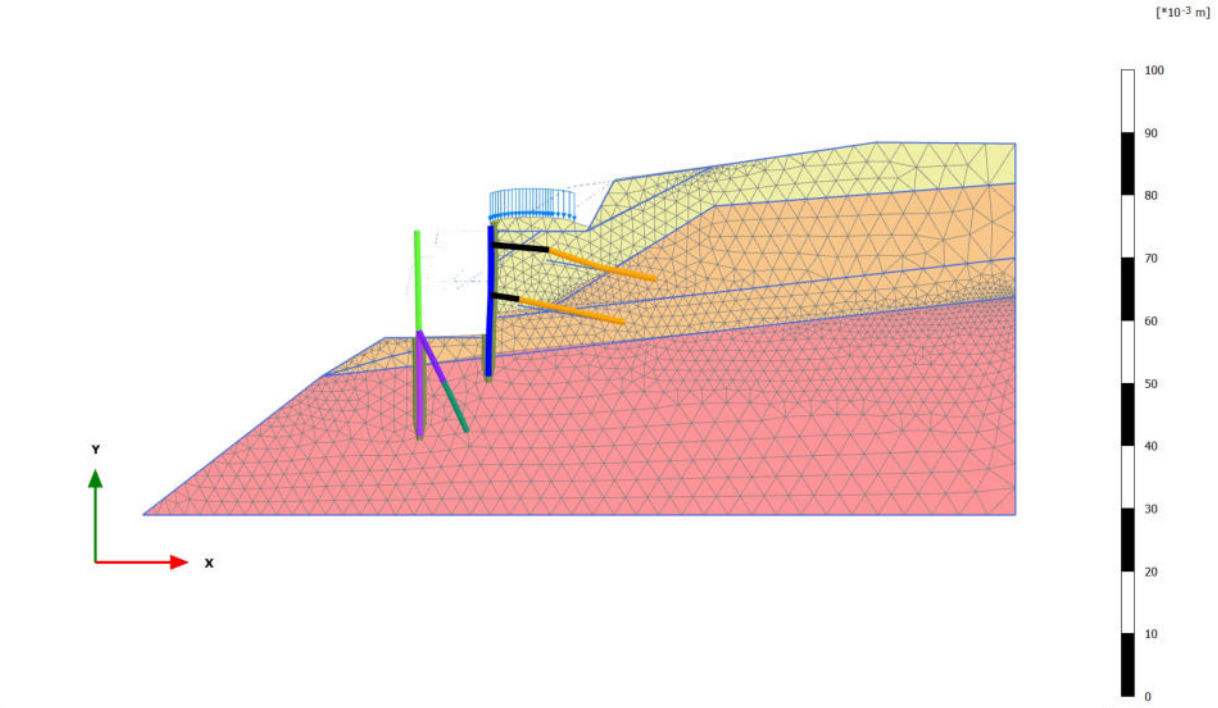

Deformed mesh |u| (scaled up 500 times)

Maximum value = 2,272*10^{-3} m (Element 807 at Node 12195)

2.1.2.14 Calculation results, Riempimento 1 [Phase_15] (15/506), Deformed mesh |u|

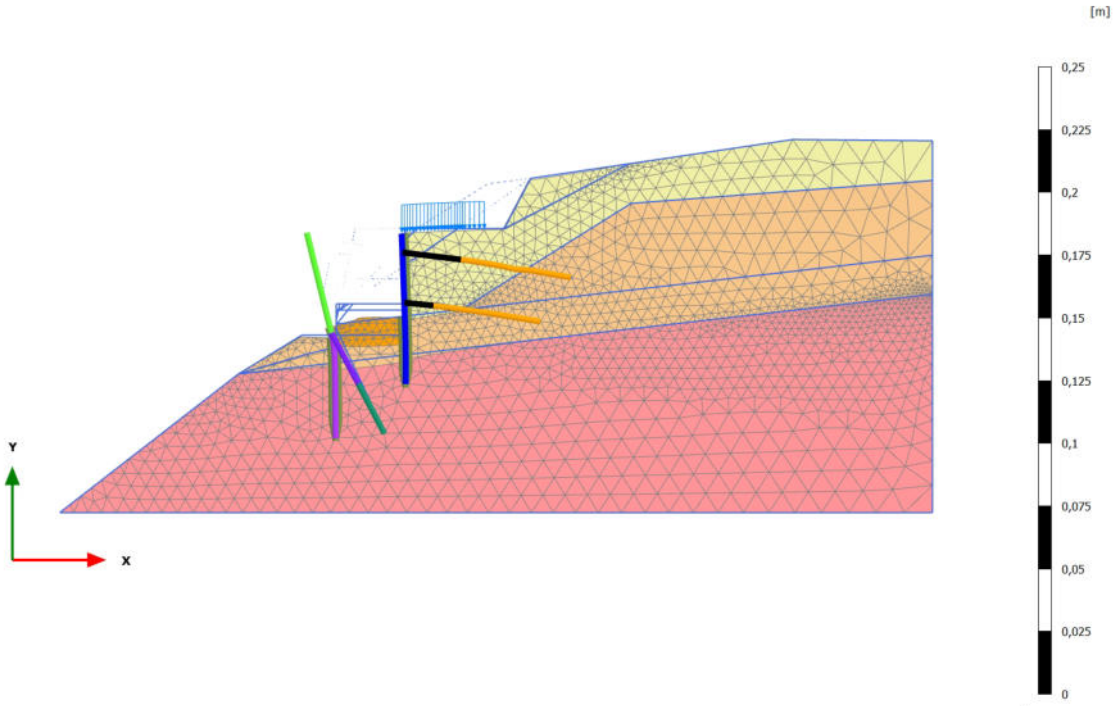

Deformed mesh |u| (scaled up 200 times)

Maximum value = 0,01185 m (Element 0 at Node 15336)

2.1.2.15 Calculation results, Collegamento ancoraggio 1 [Phase_36] (36/614), Deformed mesh |u|

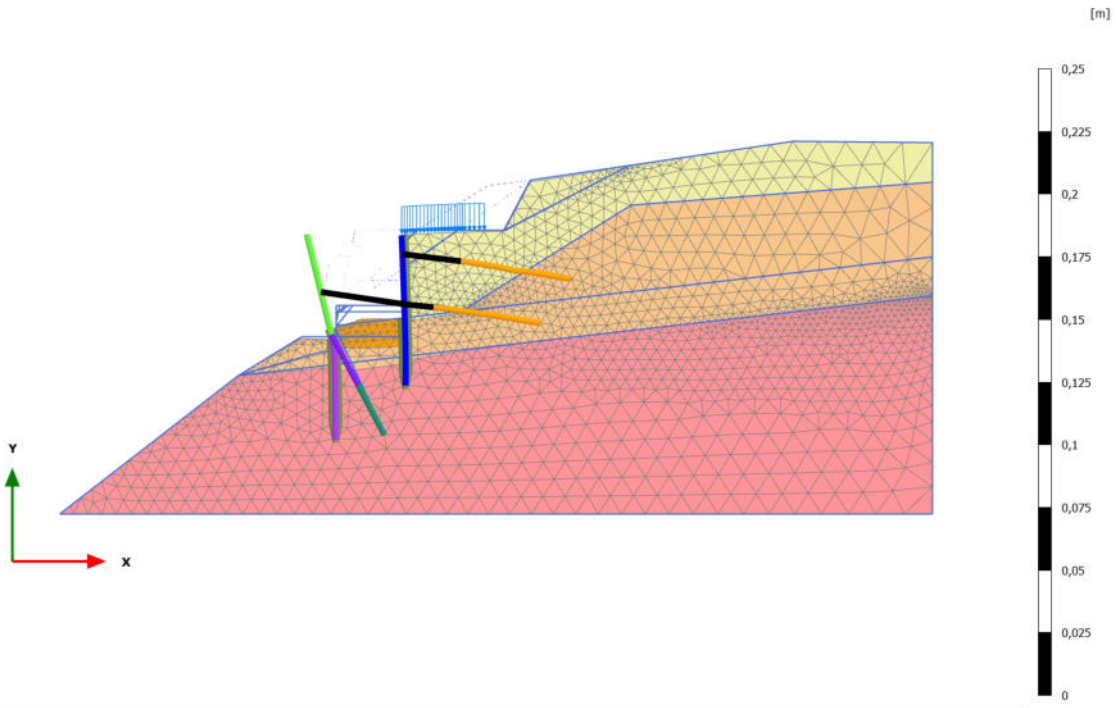

Deformed mesh |u| (scaled up 200 times)

Maximum value = 0,01186 m (Element 0 at Node 15336)

2.1.2.16 Calculation results, Riempimento 2 [Phase_16] (16/640), Deformed mesh |u|

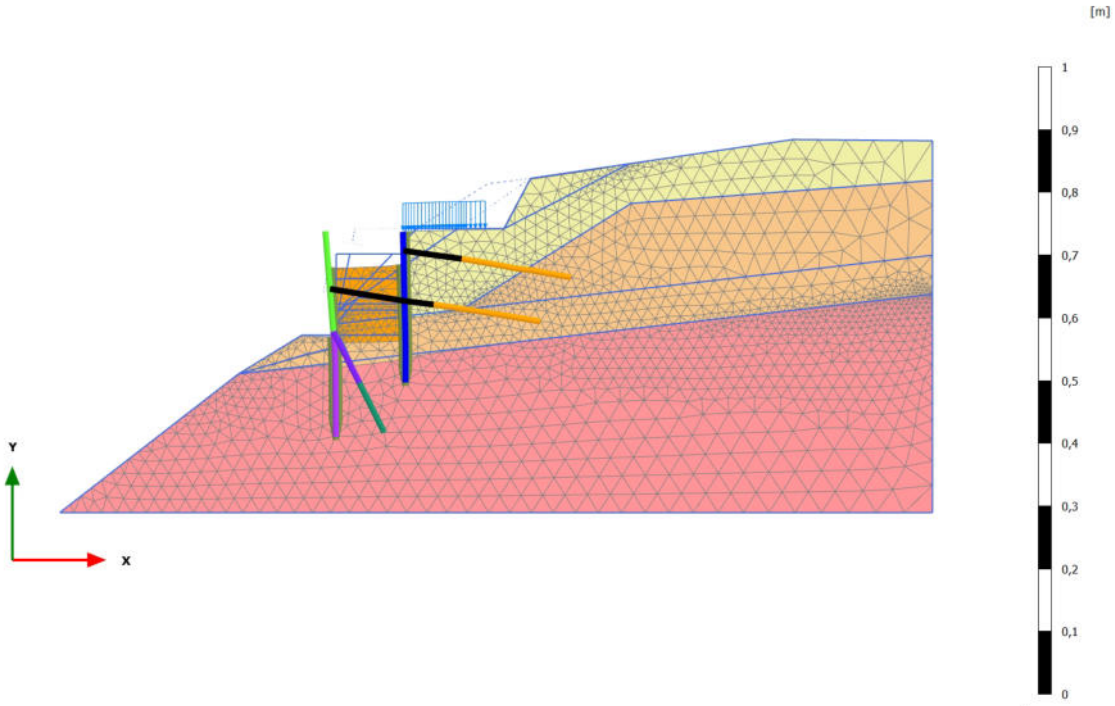

Deformed mesh |u| (scaled up 50,0 times)

Maximum value = 0,02489 m (Element 883 at Node 16418)

2.1.2.17 Calculation results, Riempimento 3 ed estensione tirante [Phase_17] (17/646), Deformed mesh |u|

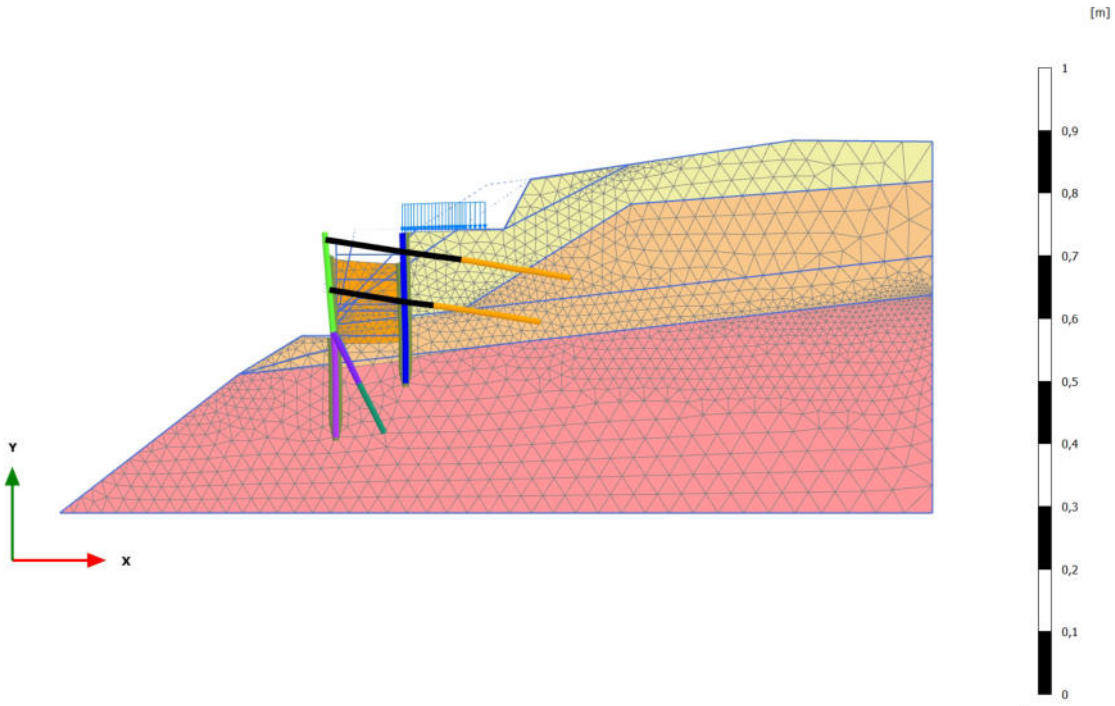

Deformed mesh |u| (scaled up 50,0 times)

Maximum value = 0,02909 m (Element 831 at Node 15445)

2.1.2.18 Calculation results, Riempimento 4 [Phase_25] (25/655), Deformed mesh |u|

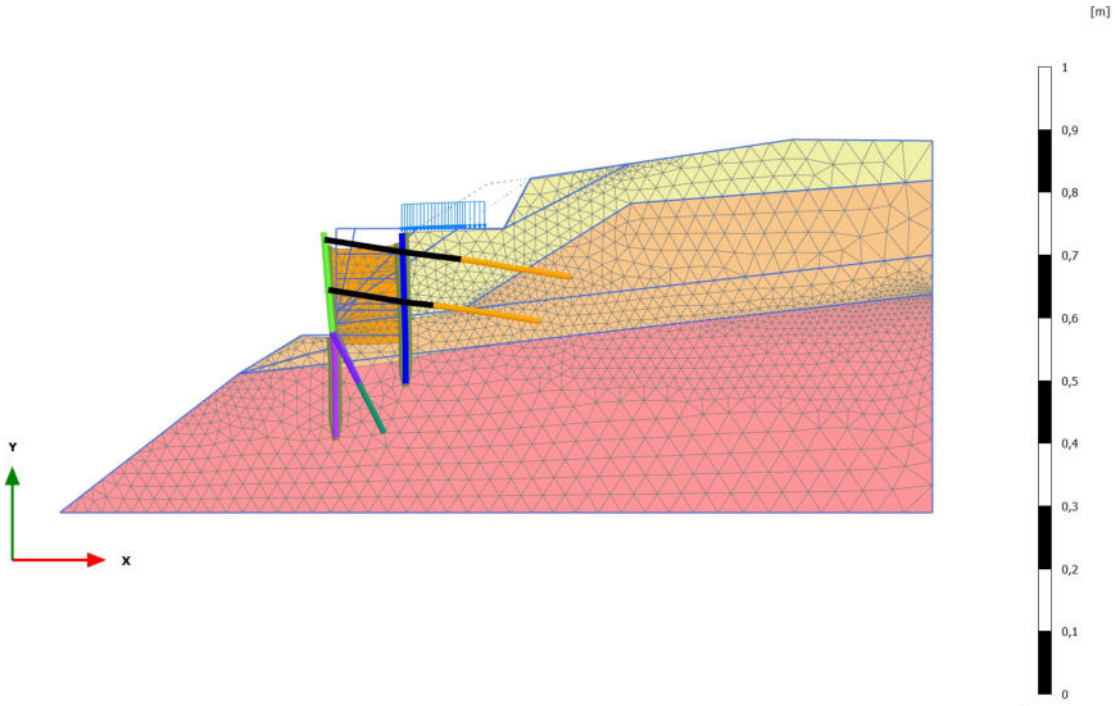

Deformed mesh |u| (scaled up 50,0 times)

Maximum value = 0,03577 m (Element 477 at Node 15281)

2.1.2.19 Calculation results, Disattivazione paratia esistente [Phase_26] (26/660), Deformed mesh |u|

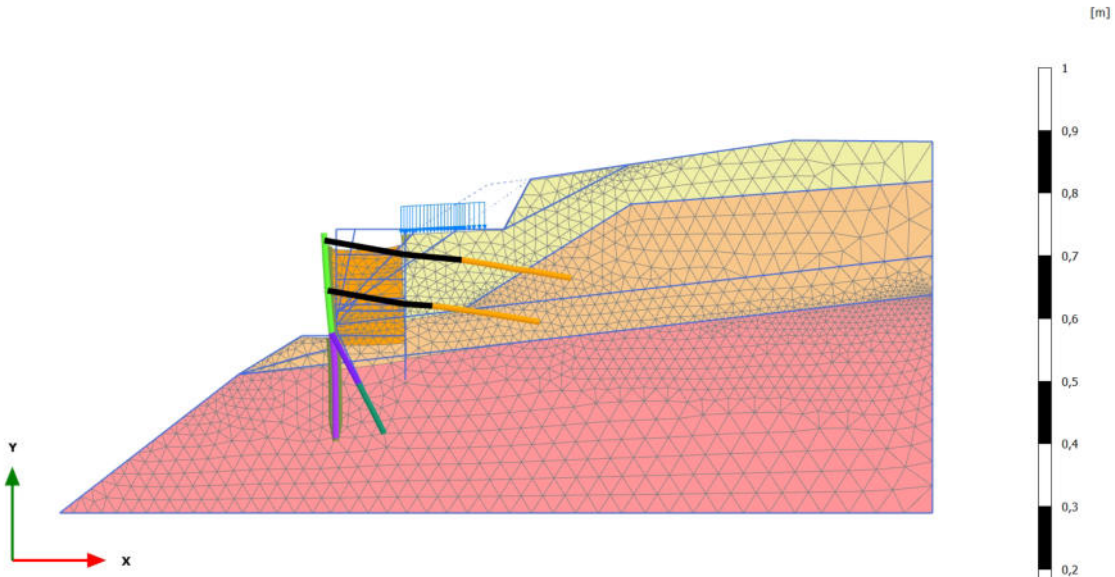

Deformed mesh |u| (scaled up 50,0 times)

Maximum value = 0,03654 m (Element 477 at Node 15290)

2.1.2.20 Calculation results, Eccezionale paratia esistente [Phase_34] (34/668), Deformed mesh |u|

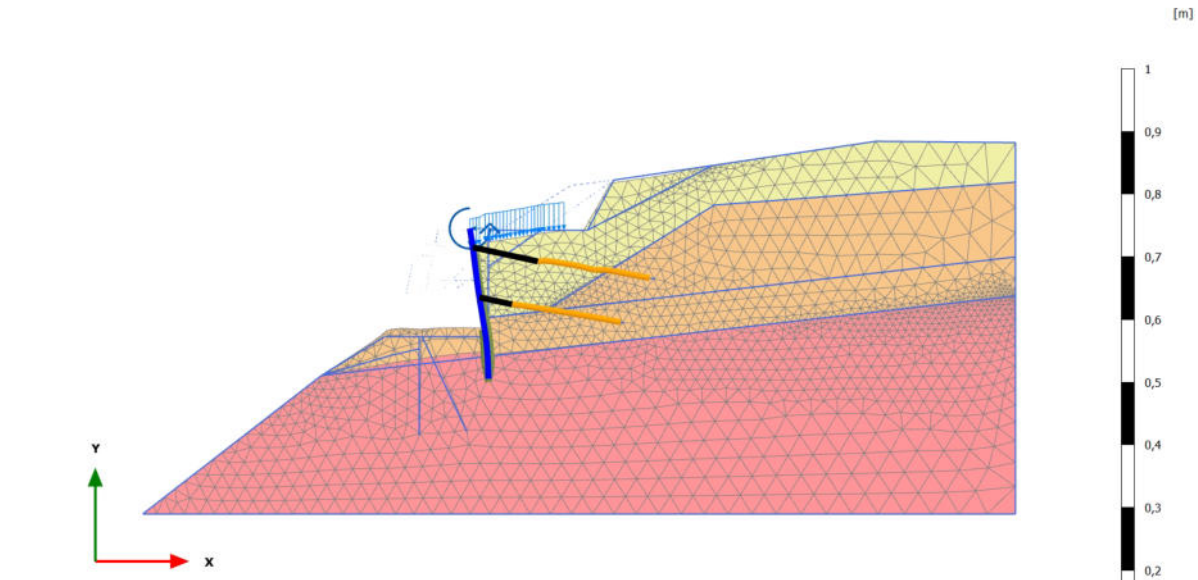

Deformed mesh |u| (scaled up 50,0 times)

Maximum value = 0,03999 m (Element 475 at Node 13313)

2.1.2.21 Calculation results, Eccezionale [Phase_24] (24/712), Deformed mesh |u|

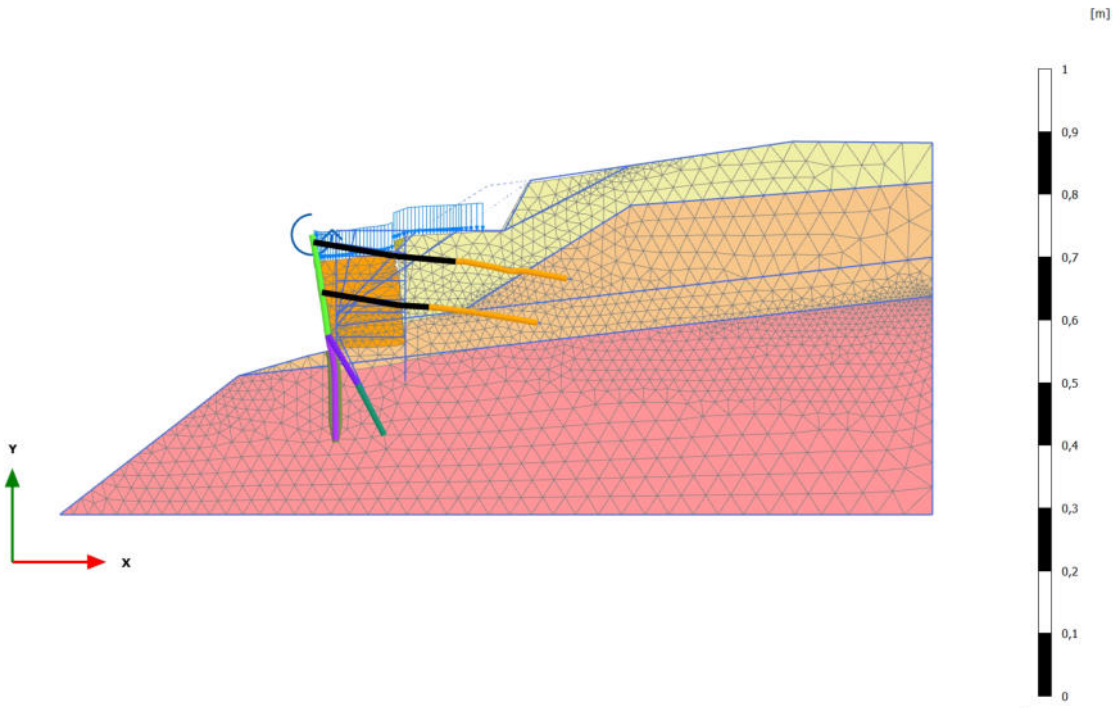

Deformed mesh |u| (scaled up 50,0 times)

Maximum value = 0,05835 m (Element 481 at Node 15304)

2.1.2.22 Calculation results, SLU11 [Phase_29] (29/723), Deformed mesh |u|

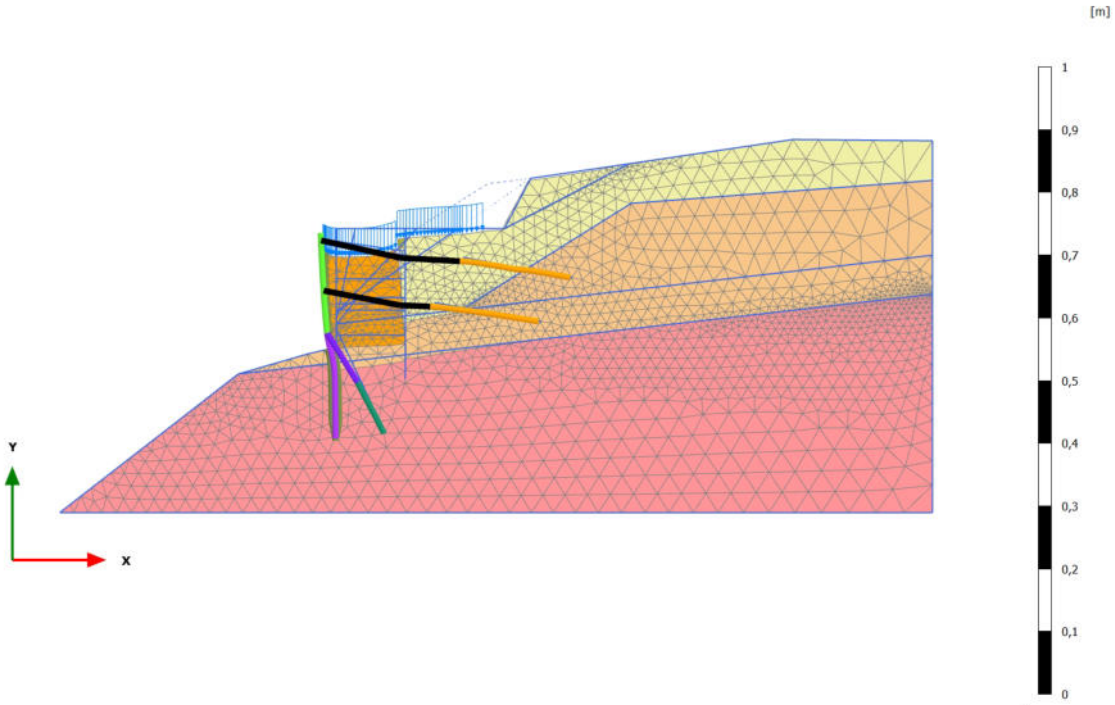

Deformed mesh |u| (scaled up 50,0 times)

Maximum value = 0,04985 m (Element 477 at Node 15290)

2.1.2.23 Calculation results, M2 [Phase_30] (30/770), Deformed mesh |u|

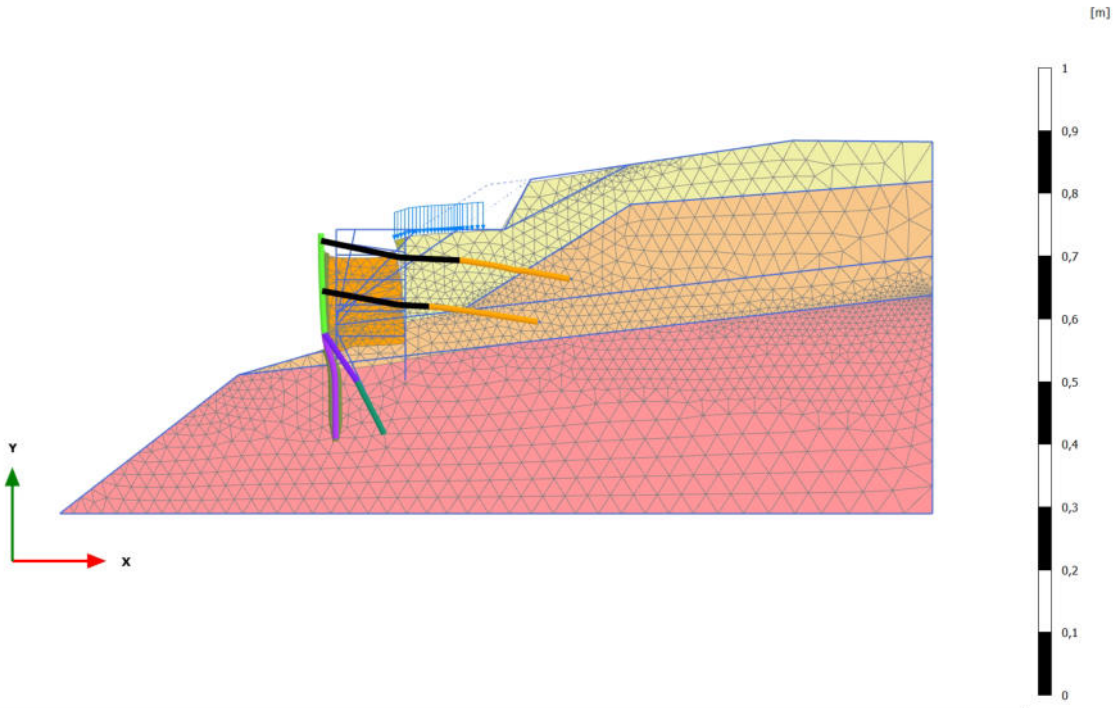

Deformed mesh |u| (scaled up 50,0 times)

Maximum value = 0,04963 m (Element 490 at Node 14404)

2.1.2.24 Calculation results, SLU12 [Phase_31] (31/776), Deformed mesh |u|

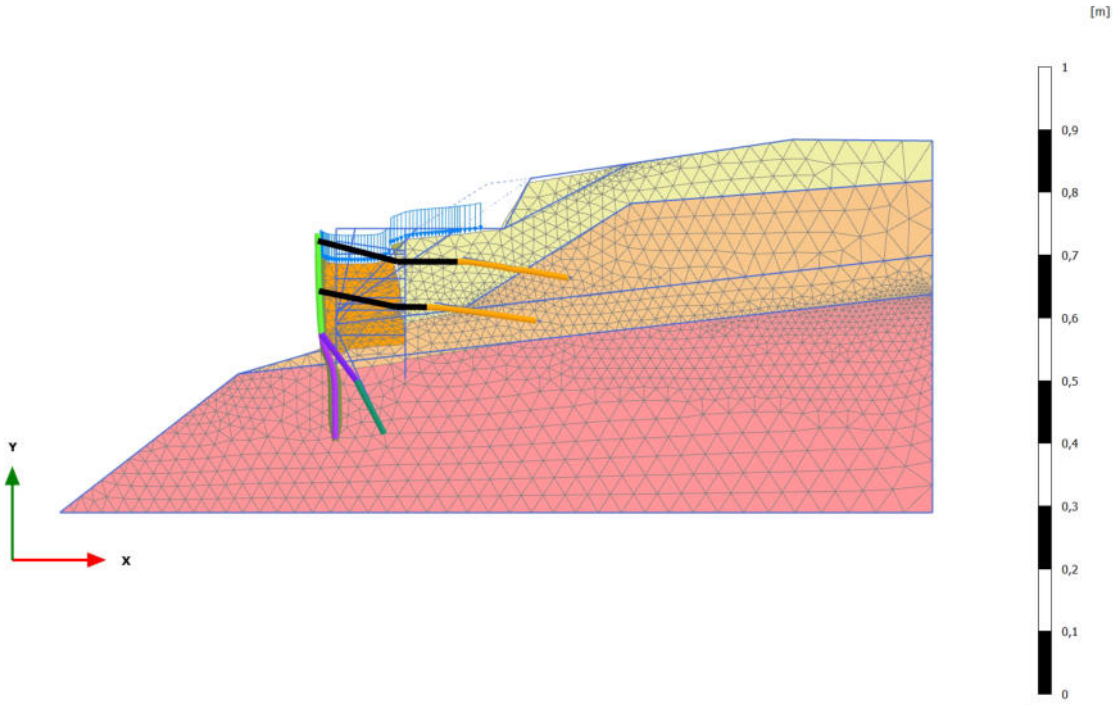

Deformed mesh |u| (scaled up 50,0 times)

Maximum value = 0,06164 m (Element 490 at Node 14401)

2.1.2.25 Calculation results, SLU12 SG [Phase_21] (21/779), Deformed mesh |u|

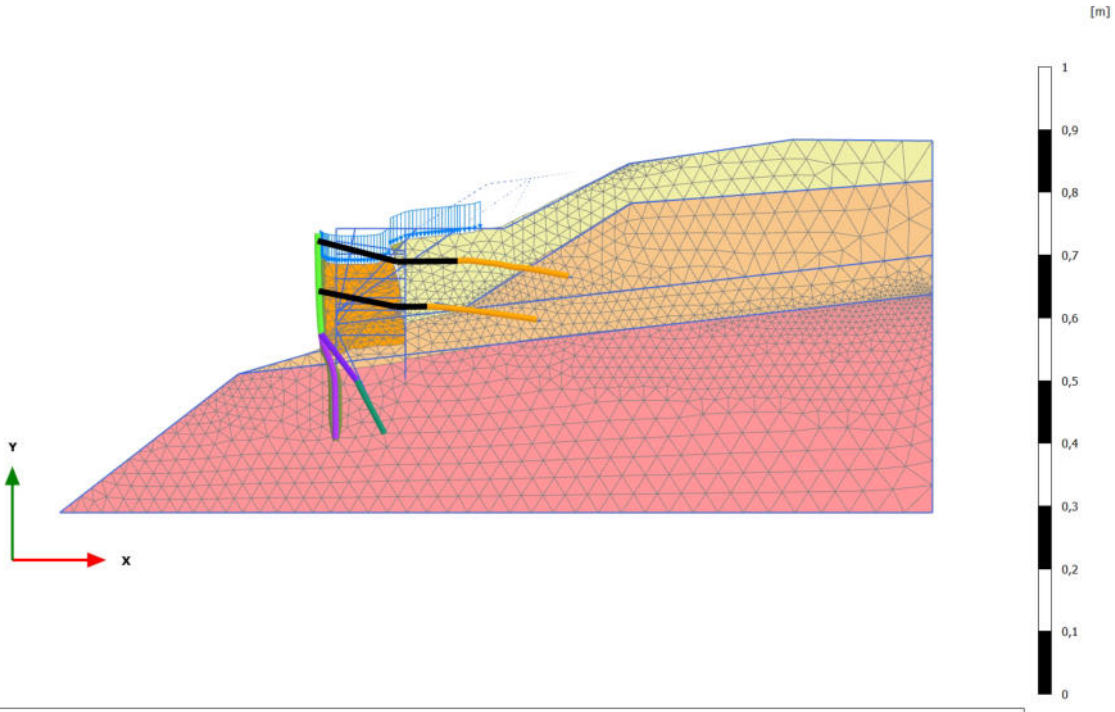

Deformed mesh |u| (scaled up 50,0 times)

Maximum value = 0,06239 m (Element 490 at Node 14401)

2.1.2.26 Calculation results, FS SLU12 [Phase_20] (20/879), Deformed mesh |u|

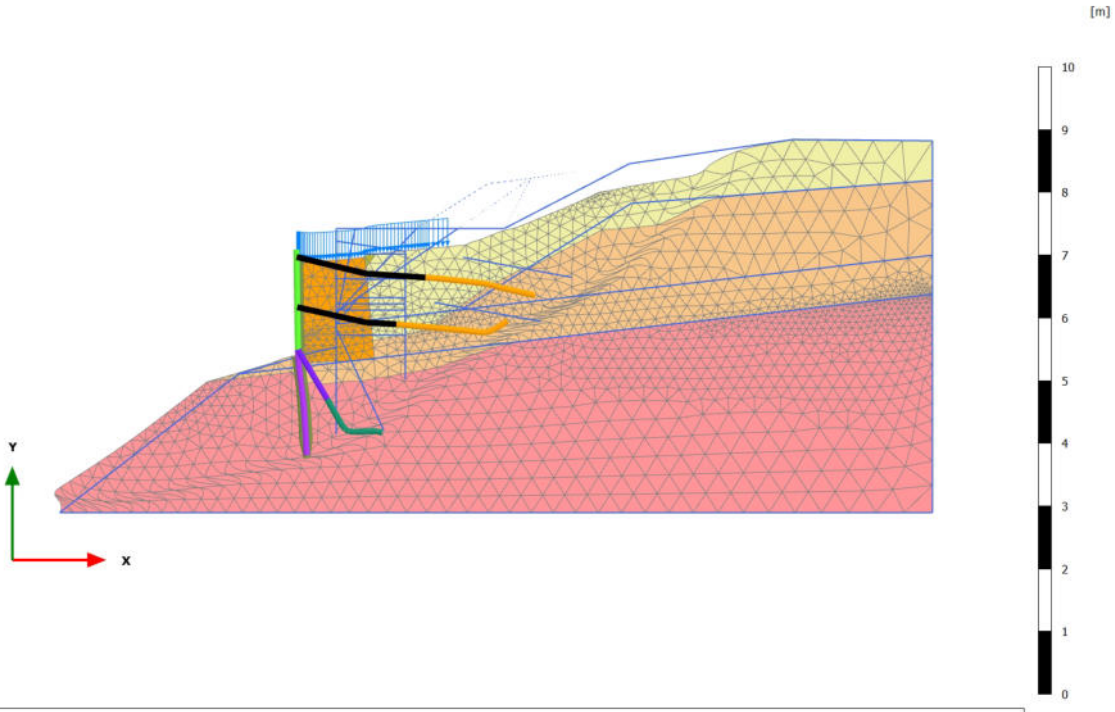

Deformed mesh |u| (scaled up 5,00 times)

Maximum value = 0,8283 m (Element 477 at Node 15281)

2.1.2.27 Calculation results, SLE [Phase_11] (11/883), Deformed mesh |u|

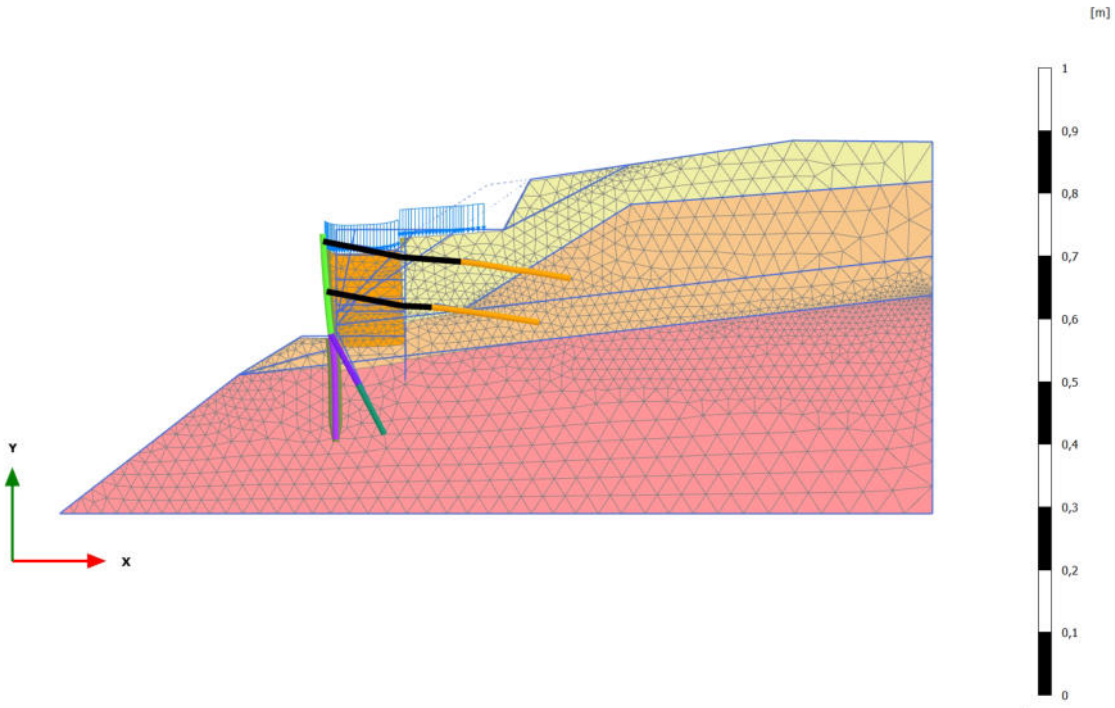

Deformed mesh |u| (scaled up 50,0 times)

Maximum value = 0,04213 m (Element 477 at Node 15290)

2.1.2.28 Calculation results, SLV + stab globale [Phase_22] (22/896), Deformed mesh |u|

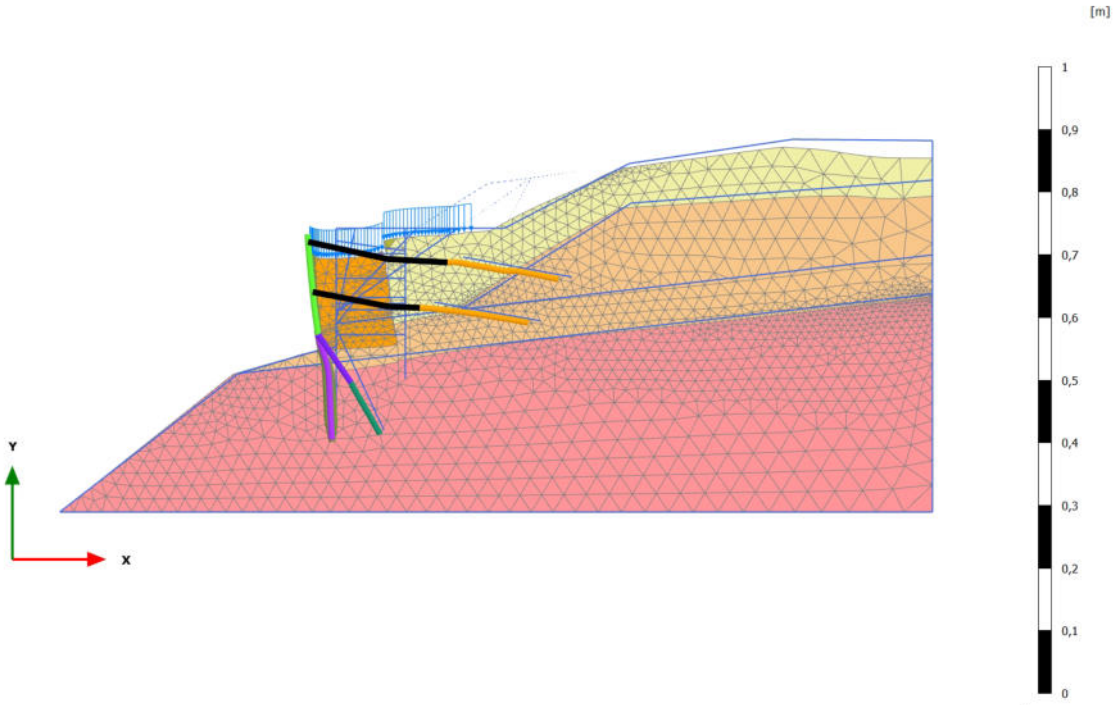

Deformed mesh |u| (scaled up 50,0 times)

Maximum value = 0,06384 m (Element 477 at Node 15285)

2.1.2.29 Calculation results, FS SLV+ [Phase_28] (28/1046), Deformed mesh |u|

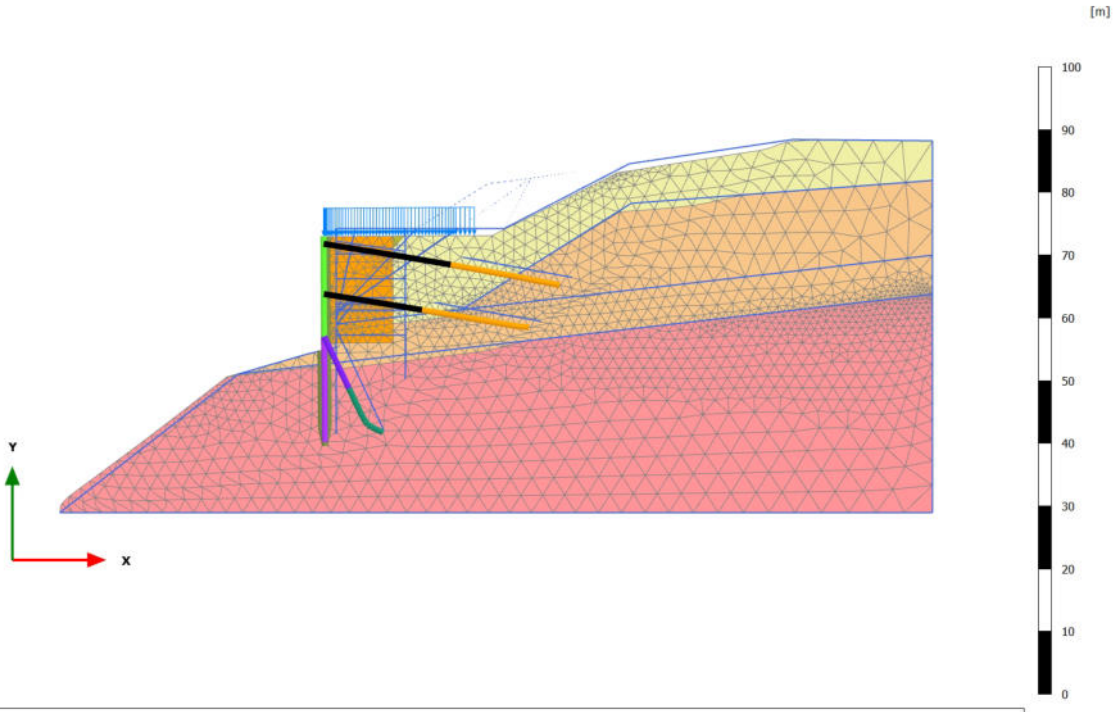

Deformed mesh |u| (scaled up 0,500 times)

Maximum value = 2,399 m (Element 483 at Node 15326)

2.1.2.30 Calculation results, SLV - stab globale [Phase_32] (32/1056), Deformed mesh |u|

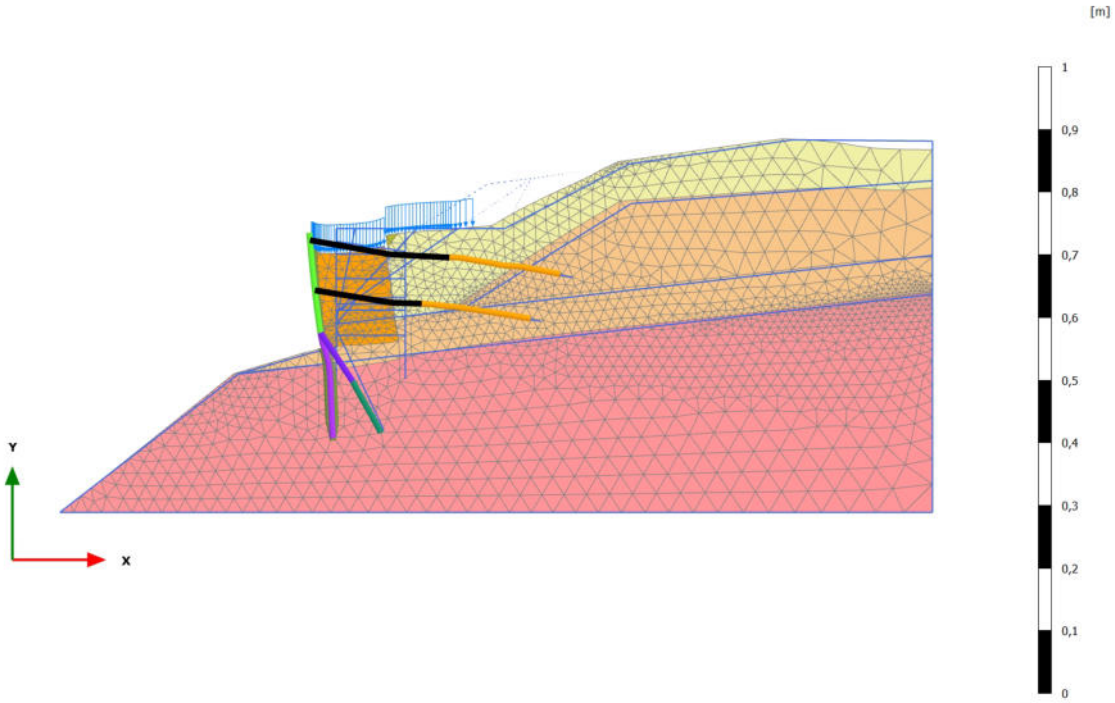

Deformed mesh |u| (scaled up 50,0 times)

Maximum value = 0,05521 m (Element 477 at Node 15286)

2.1.2.31 Calculation results, FS SLV - [Phase_33] (33/1156), Deformed mesh |u|

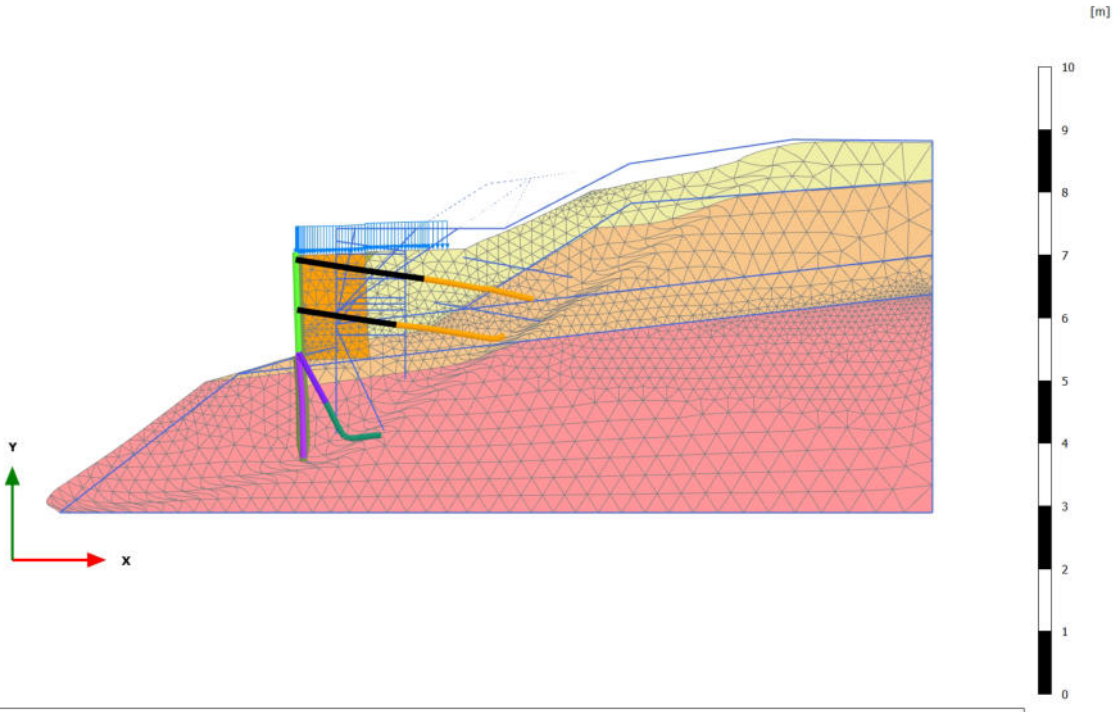

Deformed mesh |u| (scaled up 5,00 times)

Maximum value = 0,7725 m (Element 481 at Node 15308)

2.1.2.32 Calculation results, SLD [Phase_38] (38/1178), Deformed mesh |u|

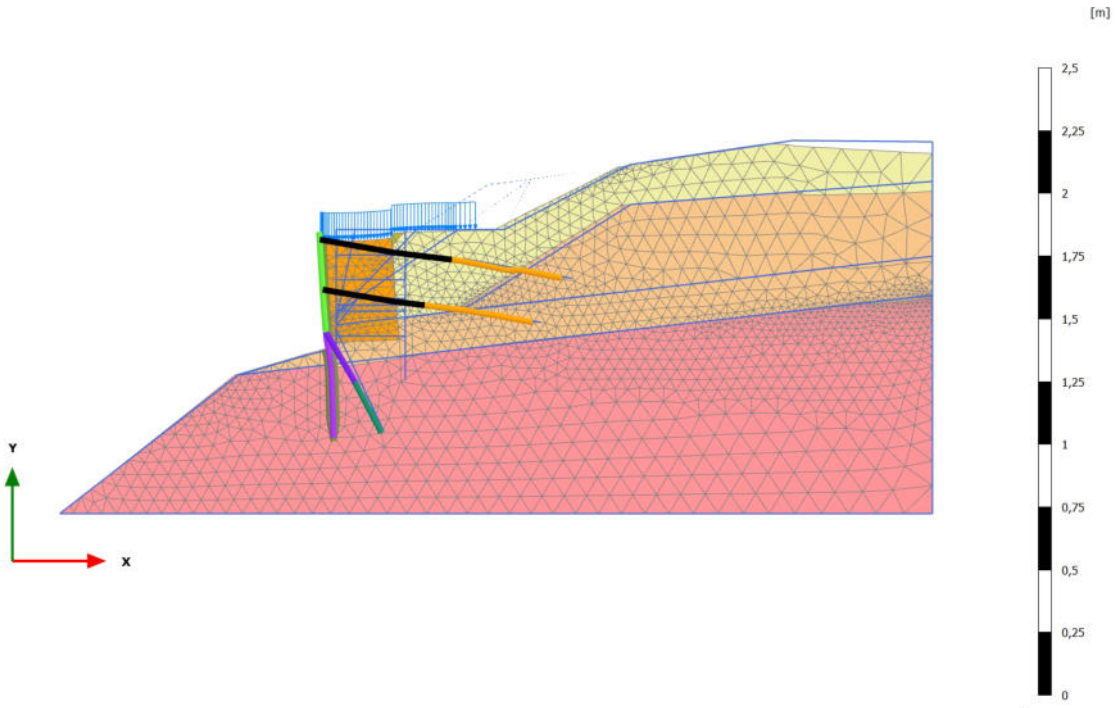

Deformed mesh |u| (scaled up 20,0 times)

Maximum value = 0,07898 m (Element 477 at Node 15291)

2.1.2.33 Calculation results, q rullo [Phase_37] (37/1187), Deformed mesh |u|

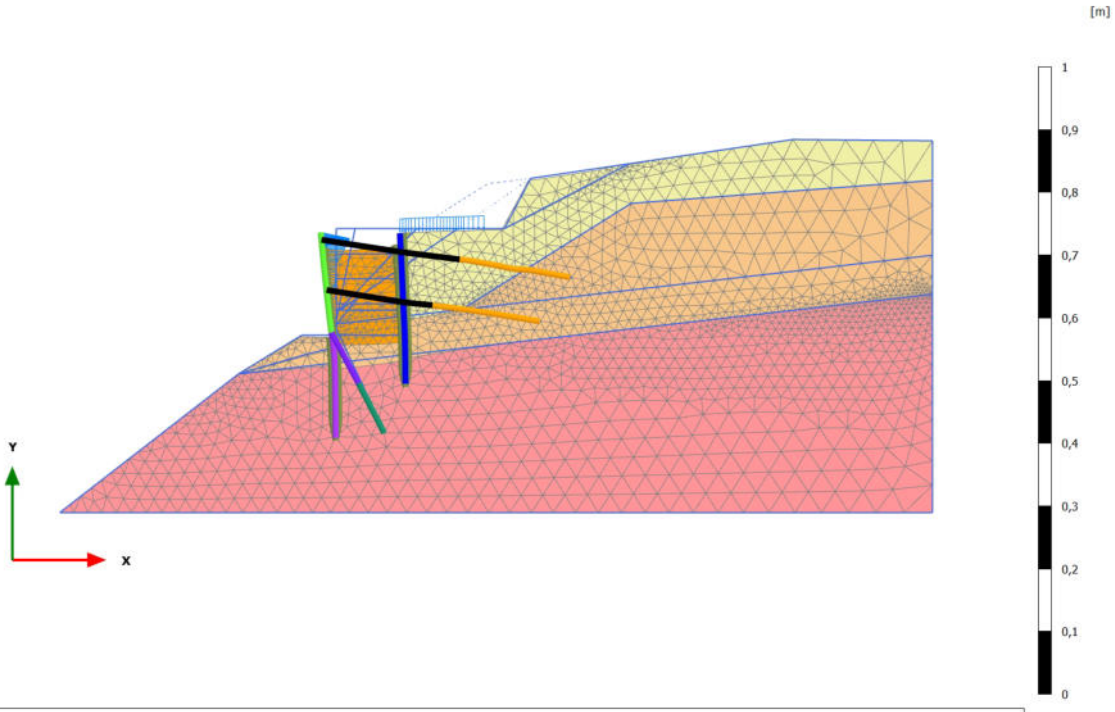

Deformed mesh |u| (scaled up 50,0 times)

Maximum value = 0,03996 m (Element 477 at Node 15282)

2.1.2.34 Calculation results, SLE Paratia esistente [Phase_12] (12/1232), Deformed mesh |u|

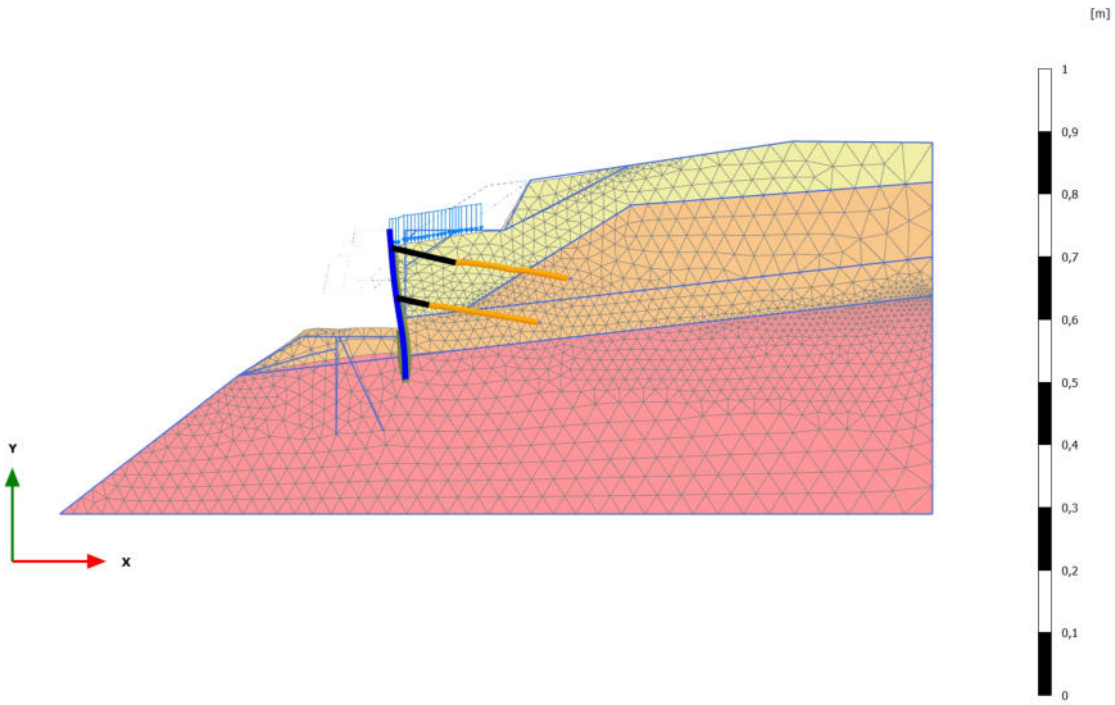

Deformed mesh |u| (scaled up 50,0 times)

Maximum value = 0,03698 m (Element 475 at Node 13313)

2.1.2.35 Calculation results, SLU11 Paratia esistente [Phase_13] (13/1235), Deformed mesh |u|

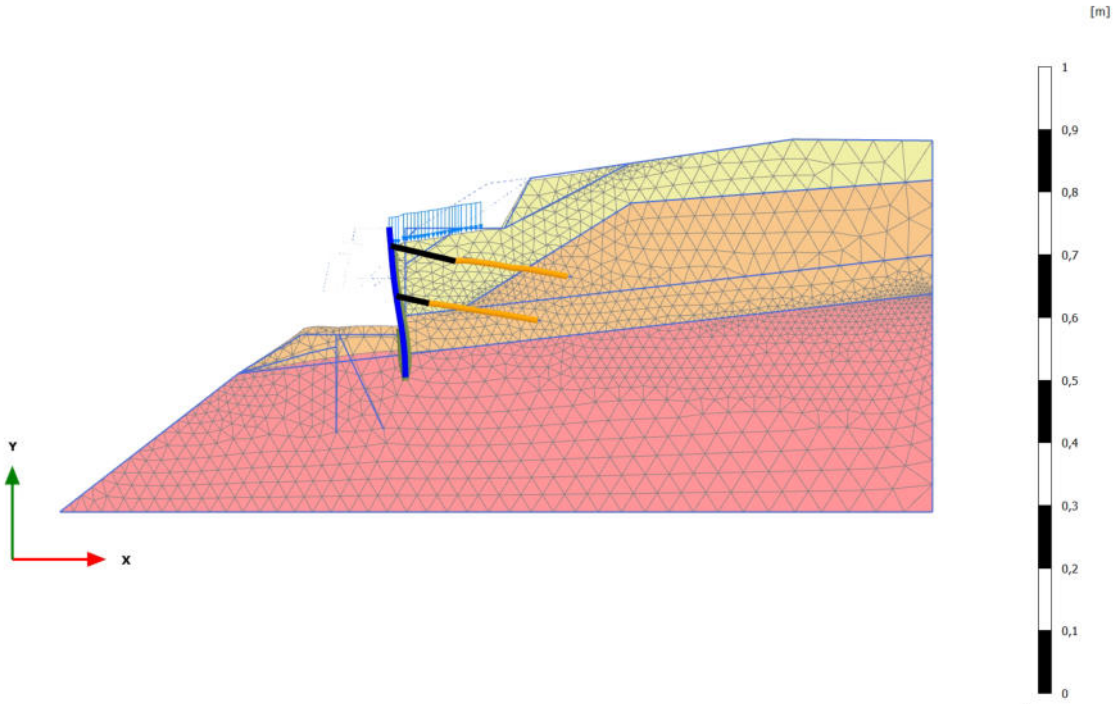

Deformed mesh |u| (scaled up 50,0 times)

Maximum value = 0,03808 m (Element 475 at Node 13313)

2.1.2.36 Calculation results, SLU12 Paratia esistente [Phase_18] (18/1240), Deformed mesh |u|

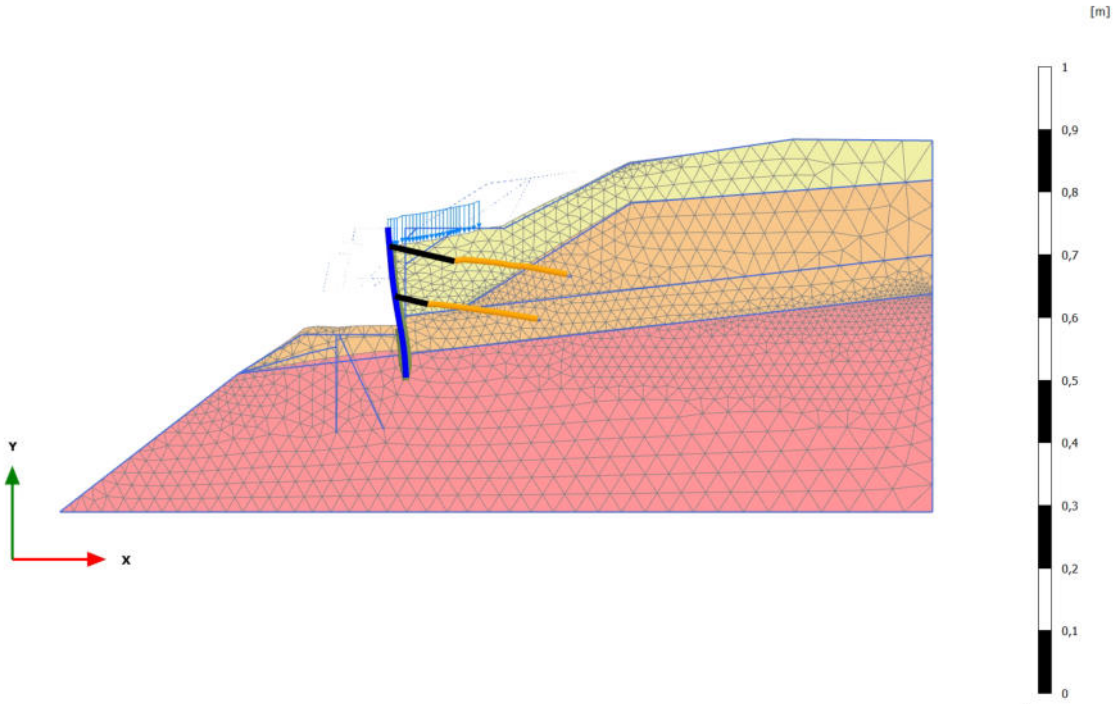

Deformed mesh |u| (scaled up 50,0 times)

Maximum value = 0,04146 m (Element 475 at Node 13313)

2.1.2.37 Calculation results, FS Paratia esistente [Phase_19] (19/1390), Deformed mesh |u|

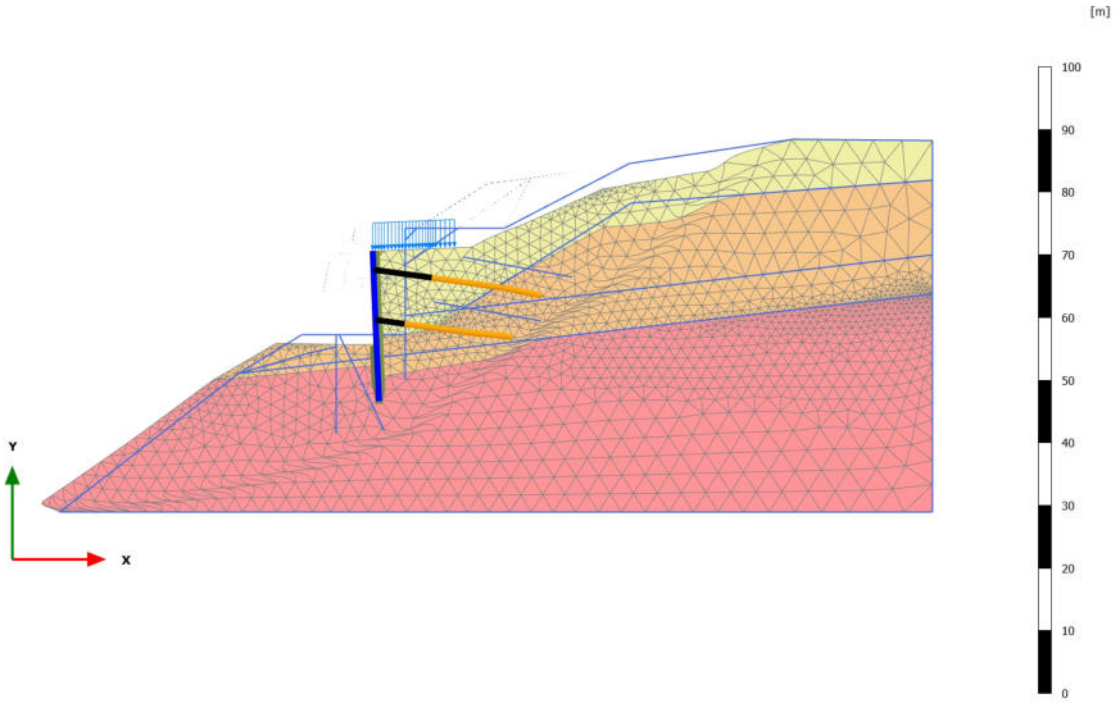

Deformed mesh |u| (scaled up 0,500 times)

Maximum value = 6,355 m (Element 475 at Node 13313)

2.1.2.38 Calculation results, FS [Phase_23] (23/1510), Deformed mesh |u|

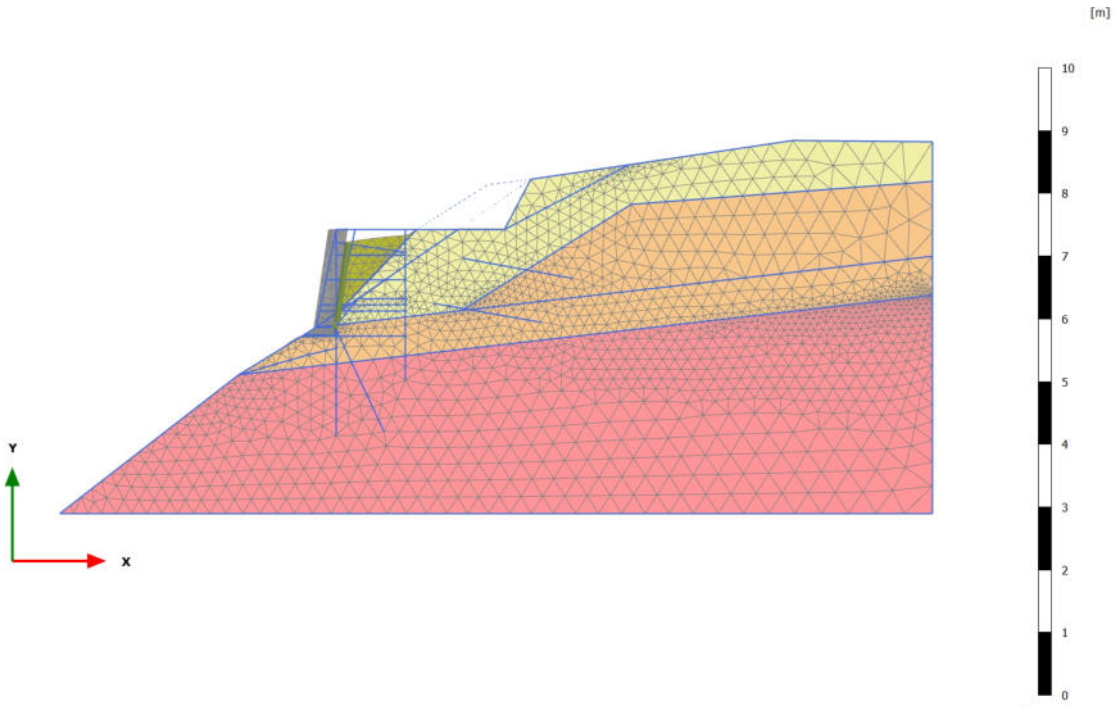

Deformed mesh |u| (scaled up 5,00 times)

Maximum value = 0,2638 m (Element 488 at Node 15277)

2.1.2.39 Calculation results, SLV [Phase_27] (27/1545), Deformed mesh |u|

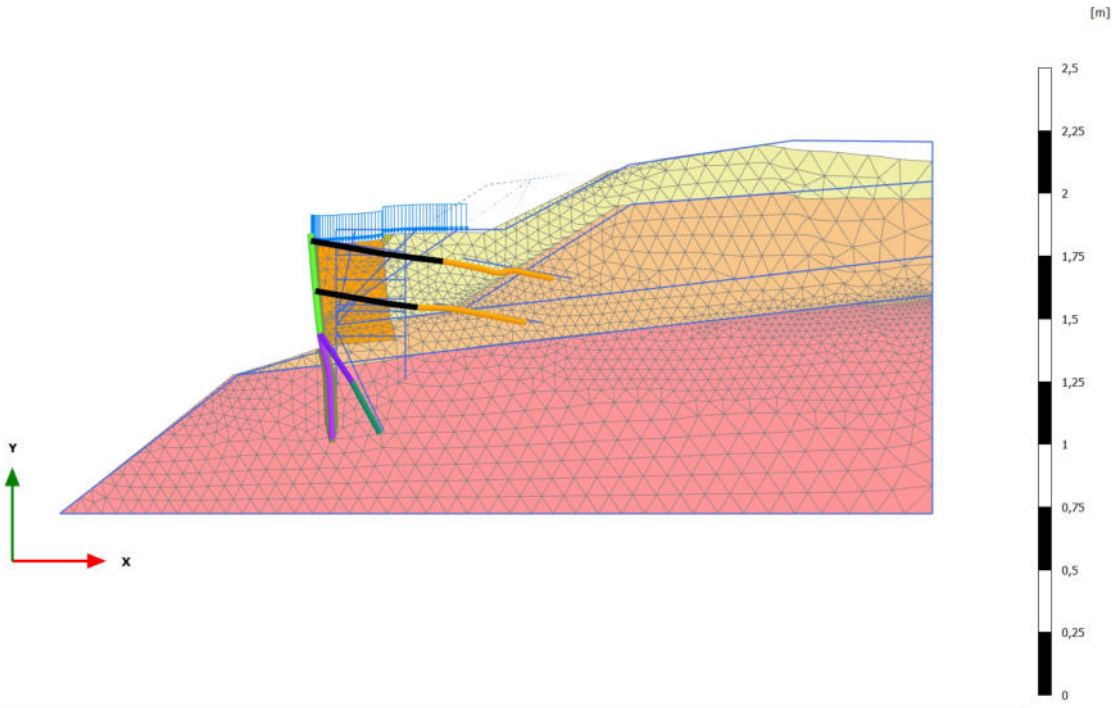

Deformed mesh |u| (scaled up 20,0 times)

Maximum value = 0,1145 m (Element 481 at Node 15306)

2.2.1.1 Calculation results, Initial phase [InitialPhase] (0/11), Plastic points

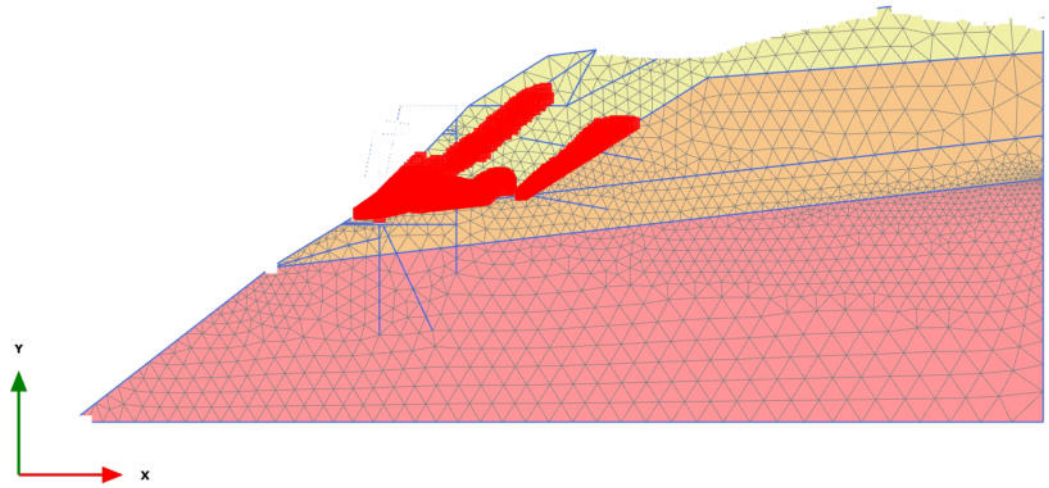

Plastic points (scaled up 0,302 times)

- Failure point
- Tension cut-off point
- Plasticity in local 2 direction only
- Plasticity in local 1 and 2 directions

2.2.1.2 Calculation results, Phase_1 [Phase_1] (1/14), Plastic points

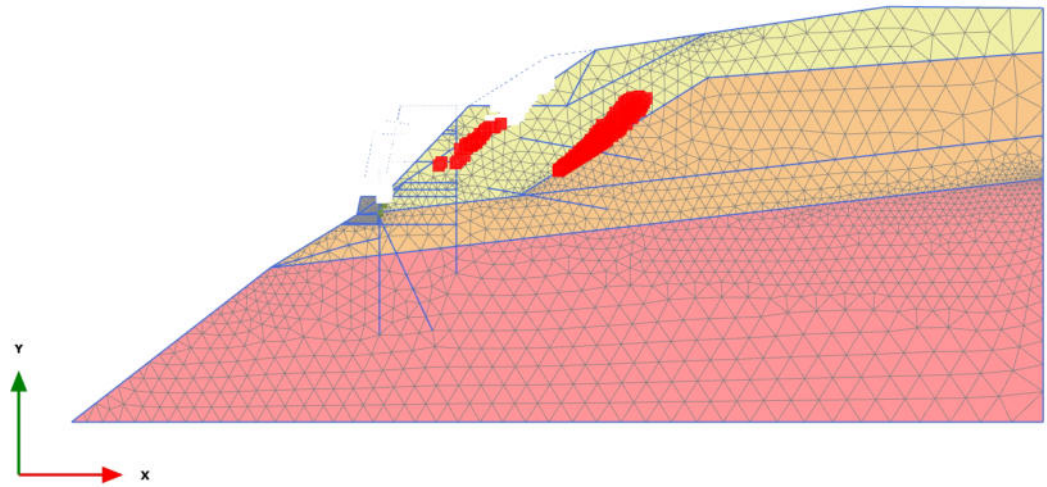

Plastic points (scaled up 0,302 times)

- Failure point
- Tension cut-off point
- Plasticity in local 2 direction only
- Plasticity in local 1 and 2 directions

2.2.1.3 Calculation results, Phase_2 [Phase_2] (2/26), Plastic points

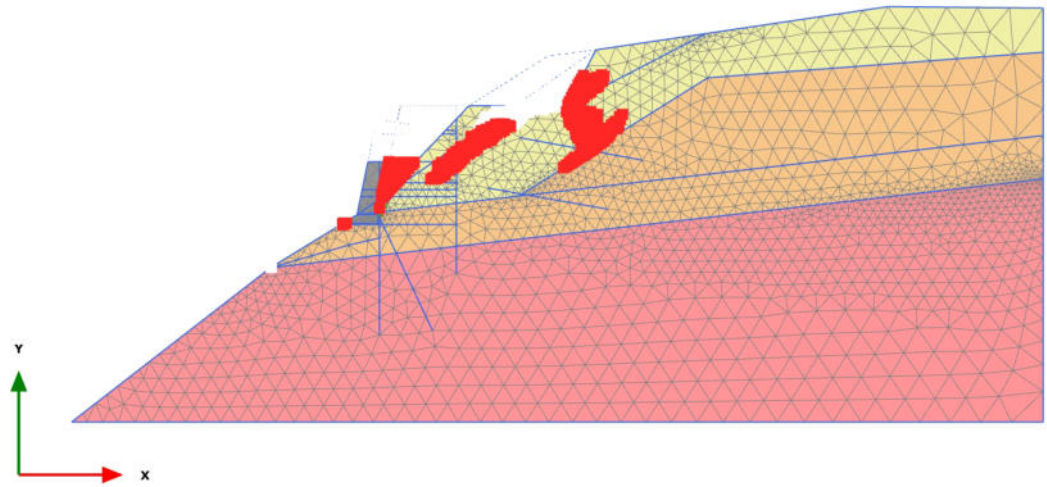

Plastic points (scaled up 0,302 times)

- Failure point
- Tension cut-off point
- Plasticity in local 2 direction only
- Plasticity in local 1 and 2 directions

2.2.1.4 Calculation results, Fine costruzione muro [Phase_3] (3/89), Plastic points

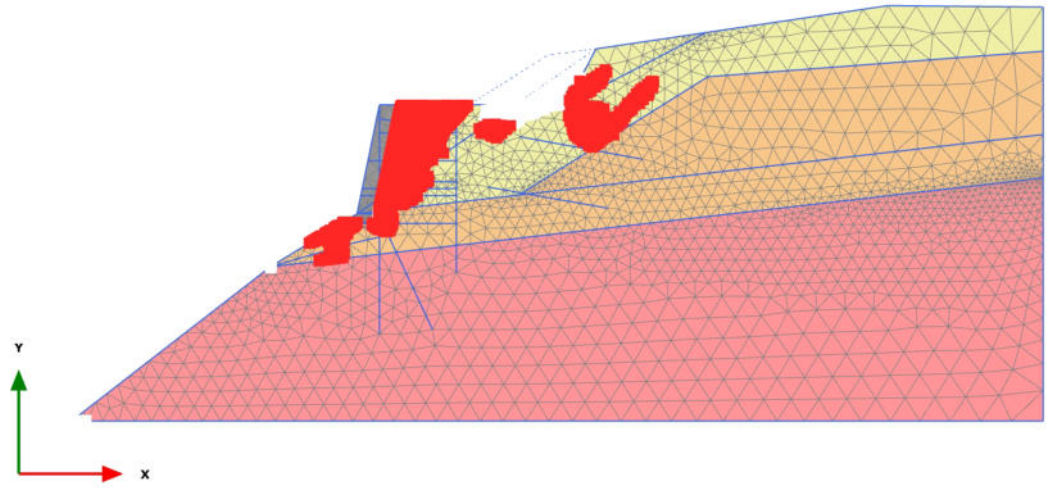

Plastic points (scaled up 0,302 times)

- Failure point
- Tension cut-off point
- Plasticity in local 2 direction only
- Plasticity in local 1 and 2 directions

2.2.1.5 Calculation results, (RD) Paratia [Phase_4] (4/92), Plastic points

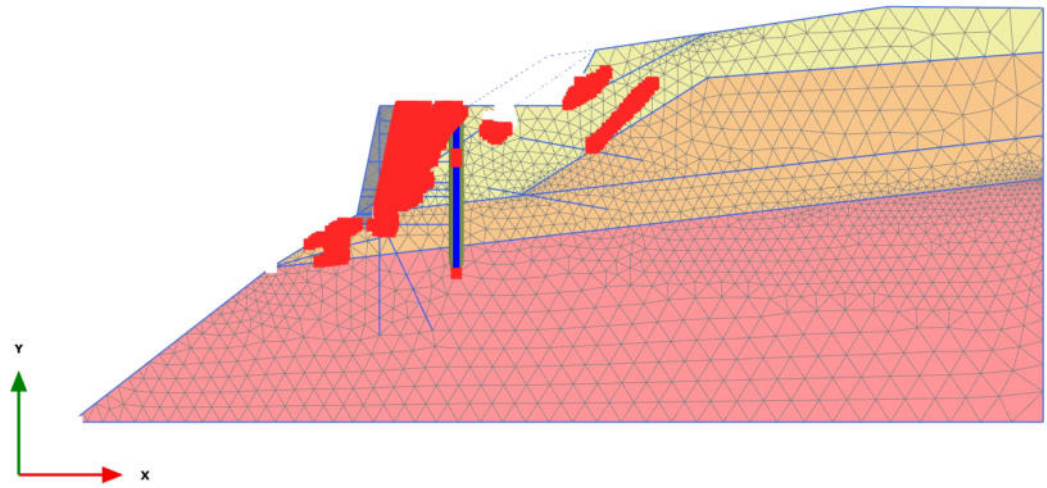

Plastic points (scaled up 0,302 times)

- Failure point
- Tension cut-off point
- Plasticity in local 2 direction only
- Plasticity in local 1 and 2 directions

2.2.1.6 Calculation results, Voragine 1 [Phase_5] (5/110), Plastic points

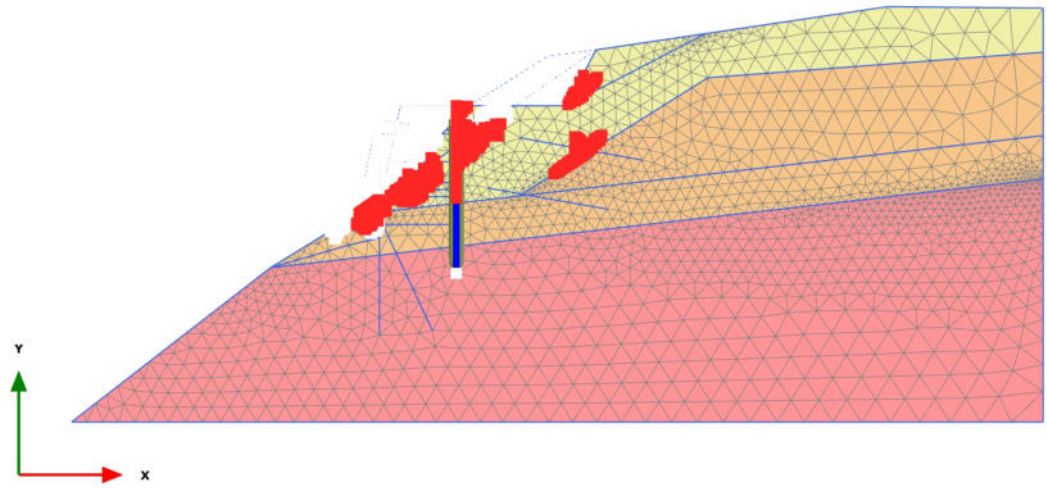

Plastic points (scaled up 0,302 times)

- Failure point
- Tension cut-off point
- Plasticity in local 2 direction only
- Plasticity in local 1 and 2 directions

2.2.1.7 Calculation results, Voragine 2 [Phase_6] (6/134), Plastic points

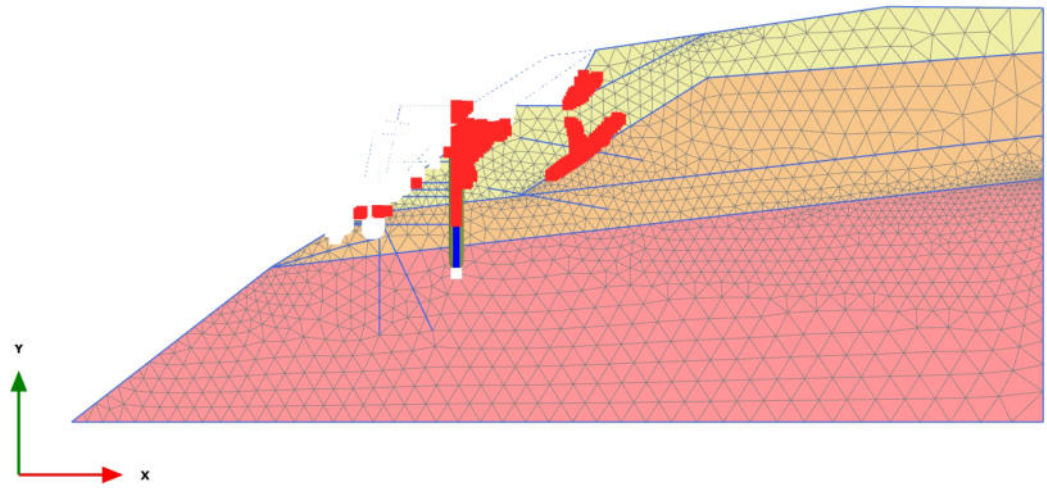

Plastic points (scaled up 0,302 times)

- Failure point
- Tension cut-off point
- Plasticity in local 2 direction only
- Plasticity in local 1 and 2 directions

2.2.1.8 Calculation results, Mezzi (10 kPa) [Phase_7] (7/155), Plastic points

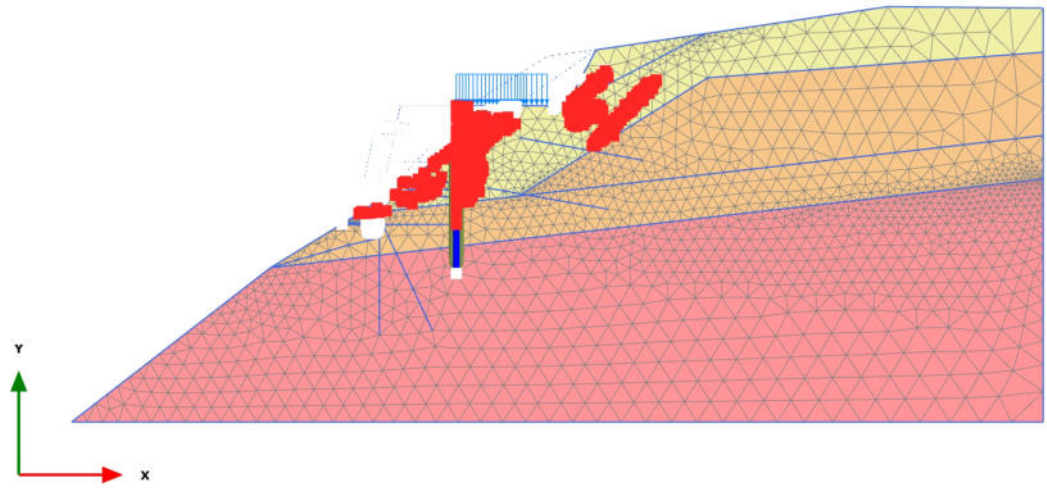

Plastic points (scaled up 0,302 times)

- Failure point
- Tension cut-off point
- Plasticity in local 2 direction only
- Plasticity in local 1 and 2 directions

2.2.1.9 Calculation results, Micropalo ancoraggio 1 [Phase_8] (8/221), Plastic points

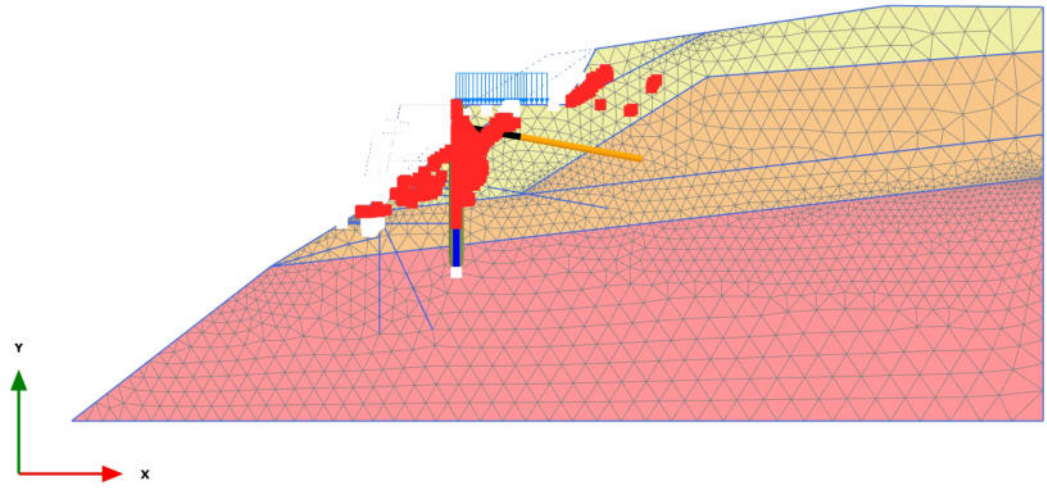

Plastic points (scaled up 0,302 times)

- Failure point
- Tension cut-off point
- Plasticity in local 2 direction only
- Plasticity in local 1 and 2 directions

2.2.1.10 Calculation results, Escavo 1 [Phase_9] (9/235), Plastic points

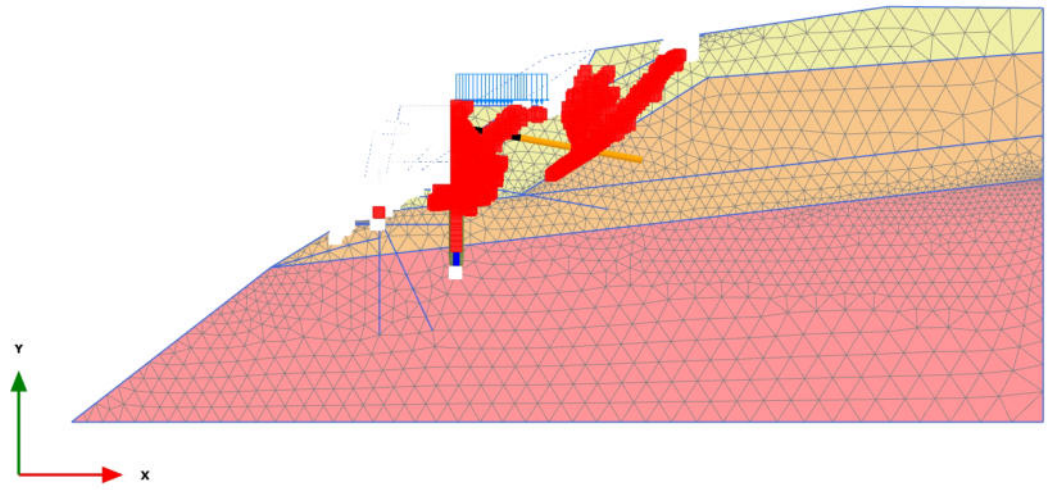

Plastic points (scaled up 0,302 times)

- Failure point
- Tension cut-off point
- Plasticity in local 2 direction only
- Plasticity in local 1 and 2 directions

2.2.1.11 Calculation results, Micropalo ancoraggio 2 [Phase_35] (35/309), Plastic points

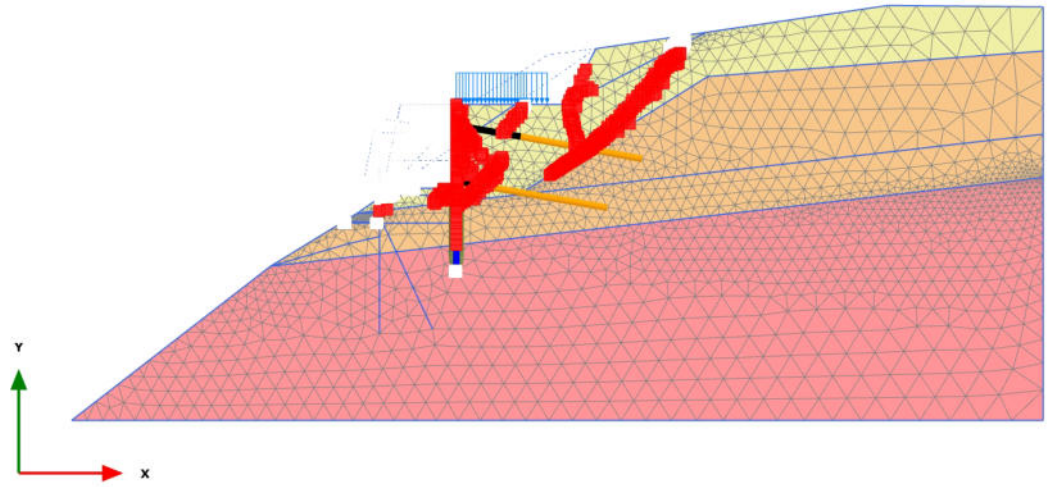

Plastic points (scaled up 0,302 times)

- Failure point
- Tension cut-off point
- Plasticity in local 2 direction only
- Plasticity in local 1 and 2 directions

2.2.1.12 Calculation results, Escavo 2 [Phase_10] (10/318), Plastic points

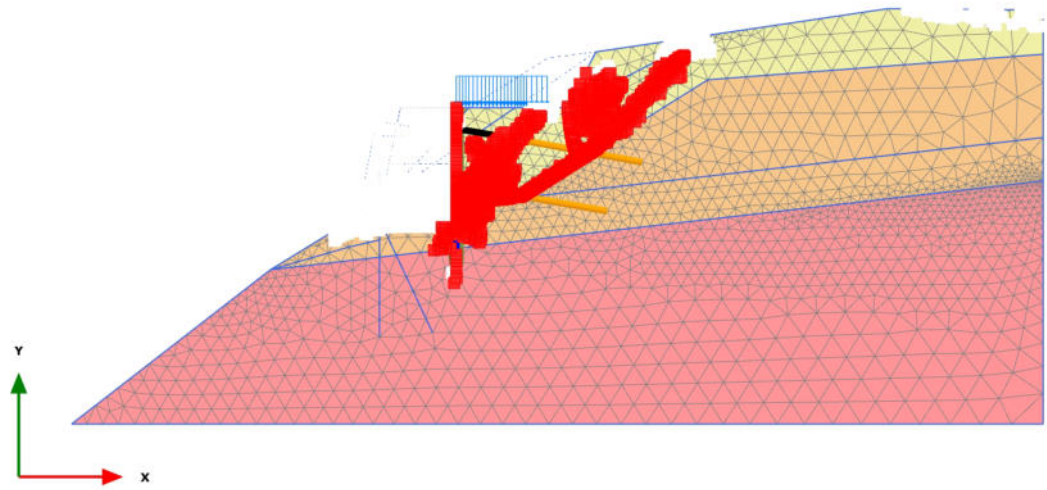

Plastic points (scaled up 0,302 times)

- Failure point
- Tension cut-off point
- Plasticity in local 2 direction only
- Plasticity in local 1 and 2 directions

2.2.1.13 Calculation results, (RIEMP A SBALZO) Micropali e parete [Phase_14] (14/320), Plastic points

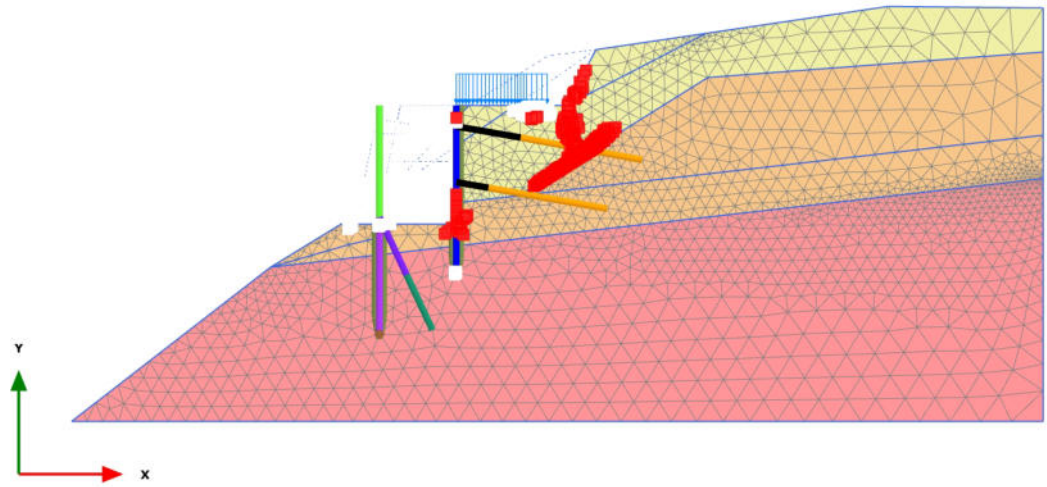

Plastic points (scaled up 0,302 times)

- Failure point
- Tension cut-off point
- Plasticity in local 2 direction only
- Plasticity in local 1 and 2 directions

2.2.1.14 Calculation results, Riempimento 1 [Phase_15] (15/506), Plastic points

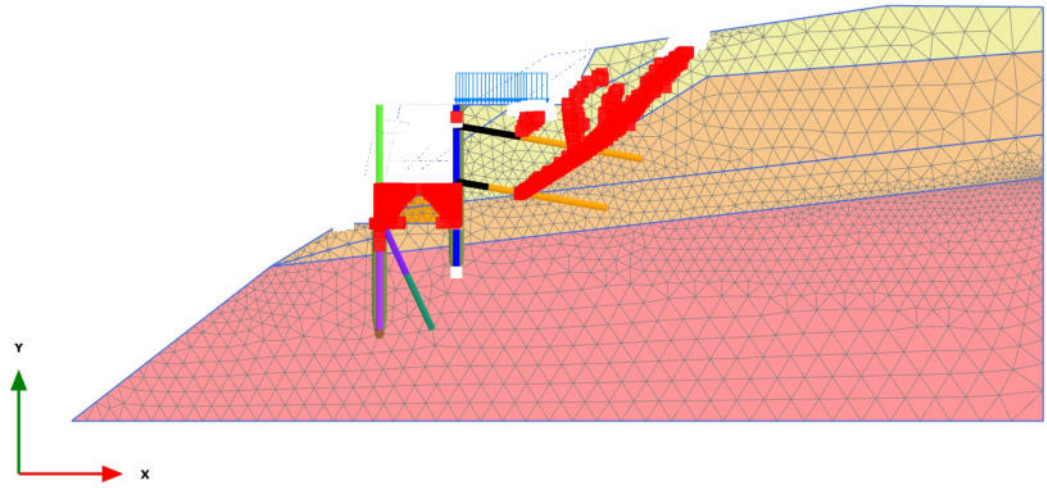

Plastic points (scaled up 0,302 times)

- Failure point
- Tension cut-off point
- Plasticity in local 2 direction only
- Plasticity in local 1 and 2 directions

2.2.1.15 Calculation results, Collegamento ancoraggio 1 [Phase_36] (36/614), Plastic points

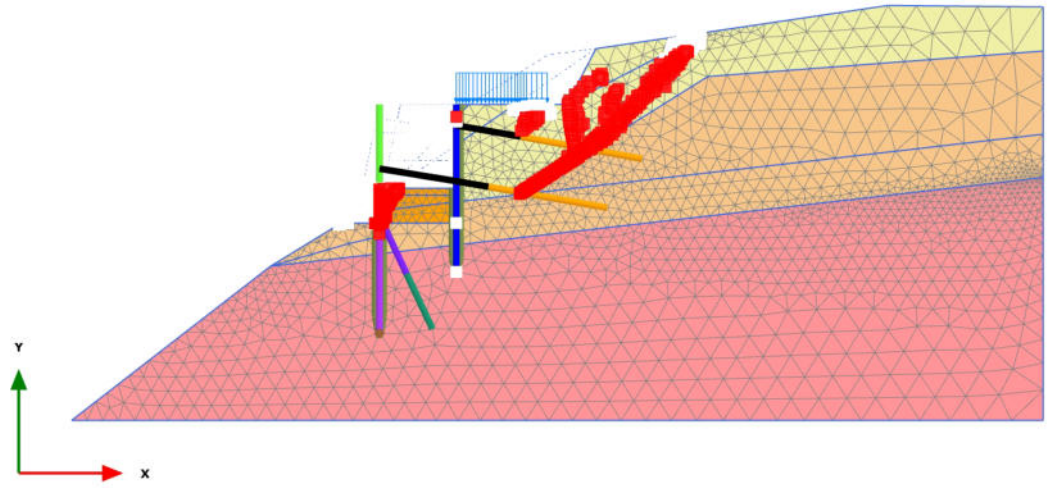

Plastic points (scaled up 0,302 times)

- Failure point
- Tension cut-off point
- Plasticity in local 2 direction only
- Plasticity in local 1 and 2 directions

2.2.1.16 Calculation results, Riempimento 2 [Phase_16] (16/640), Plastic points

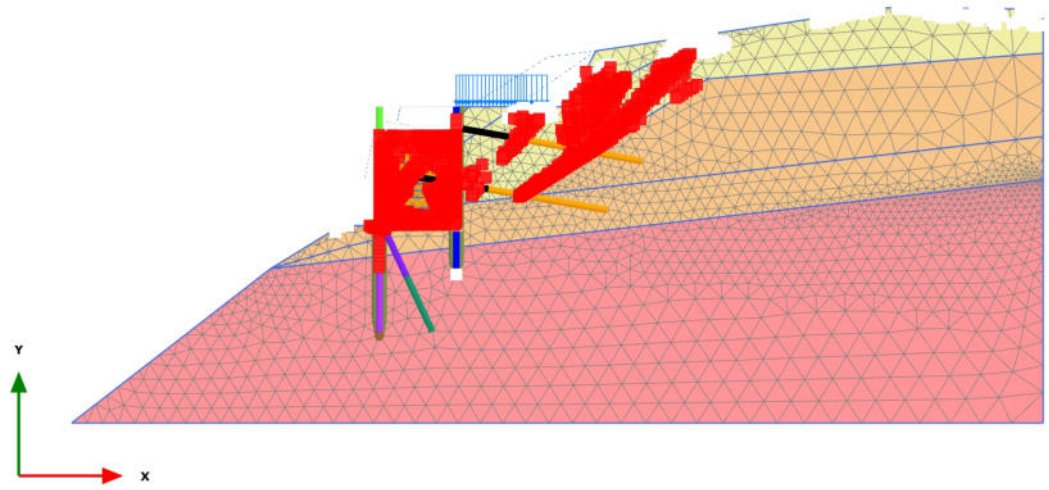

Plastic points (scaled up 0,302 times)

- Failure point
- Tension cut-off point
- Plasticity in local 2 direction only
- Plasticity in local 1 and 2 directions

2.2.1.17 Calculation results, Riempimento 3 ed estensione tirante [Phase_17] (17/646), Plastic points

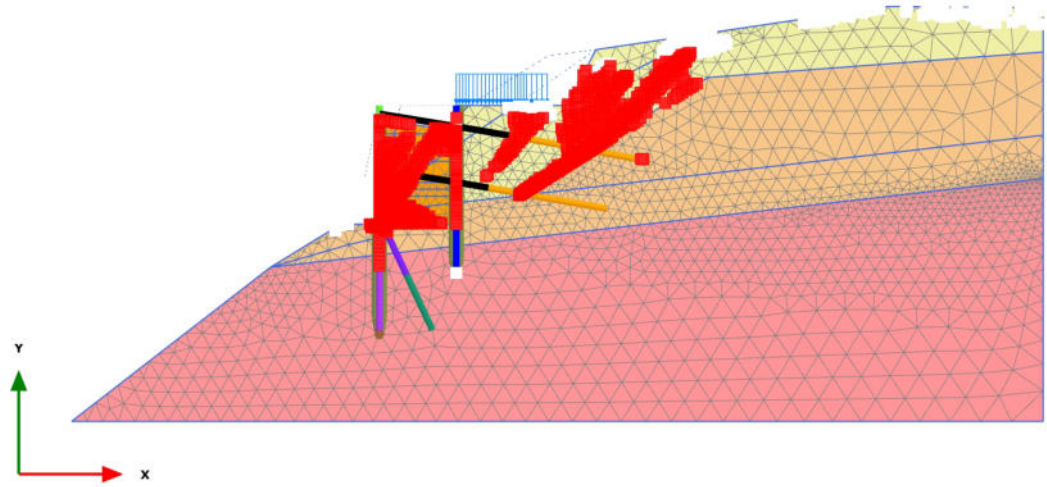

Plastic points (scaled up 0,302 times)

- Failure point
- Tension cut-off point
- Plasticity in local 2 direction only
- Plasticity in local 1 and 2 directions

2.2.1.18 Calculation results, Riempimento 4 [Phase_25] (25/655), Plastic points

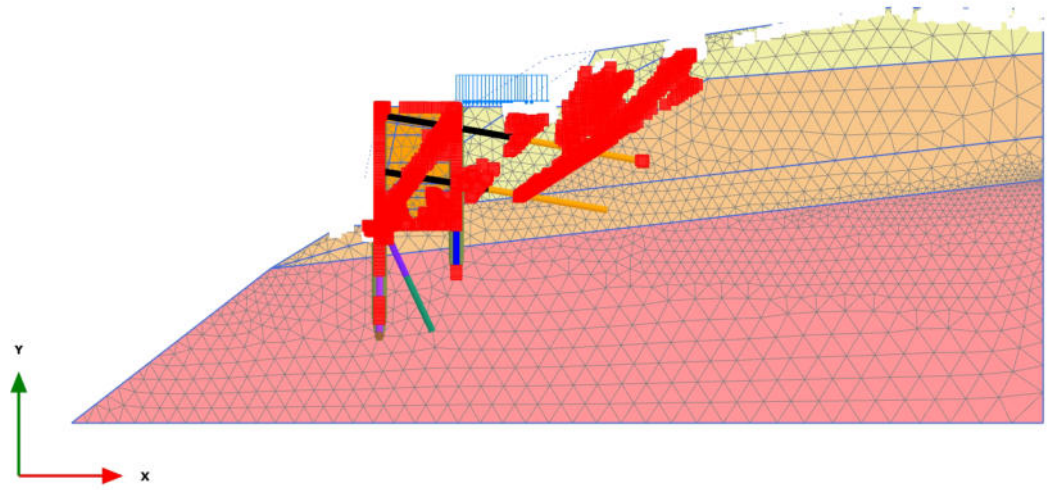

Plastic points (scaled up 0,302 times)

- Failure point
- Tension cut-off point
- Plasticity in local 2 direction only
- Plasticity in local 1 and 2 directions

2.2.1.19 Calculation results, Disattivazione paratia esistente [Phase_26] (26/660), Plastic points

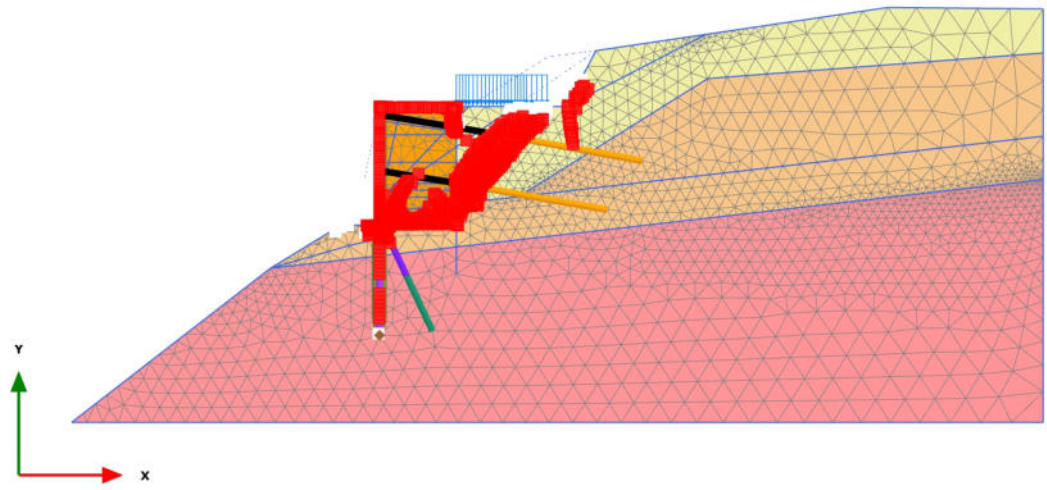

Plastic points (scaled up 0,302 times)

- Failure point
- Tension cut-off point
- Plasticity in local 2 direction only
- Plasticity in local 1 and 2 directions

2.2.1.20 Calculation results, Eccezionale paratia esistente [Phase_34] (34/668), Plastic points

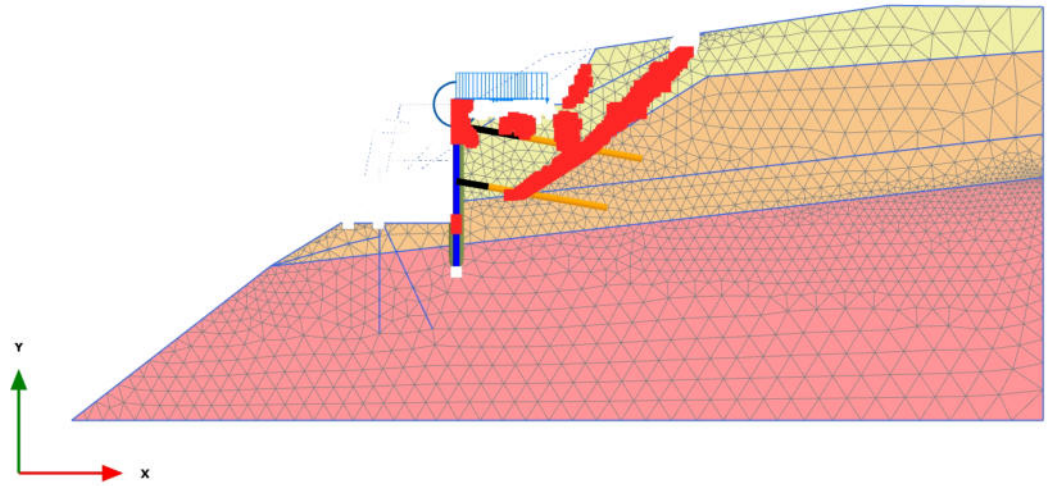

Plastic points (scaled up 0,302 times)

- Failure point
- Tension cut-off point
- Plasticity in local 2 direction only
- Plasticity in local 1 and 2 directions

2.2.1.21 Calculation results, Eccezionale [Phase_24] (24/712), Plastic points

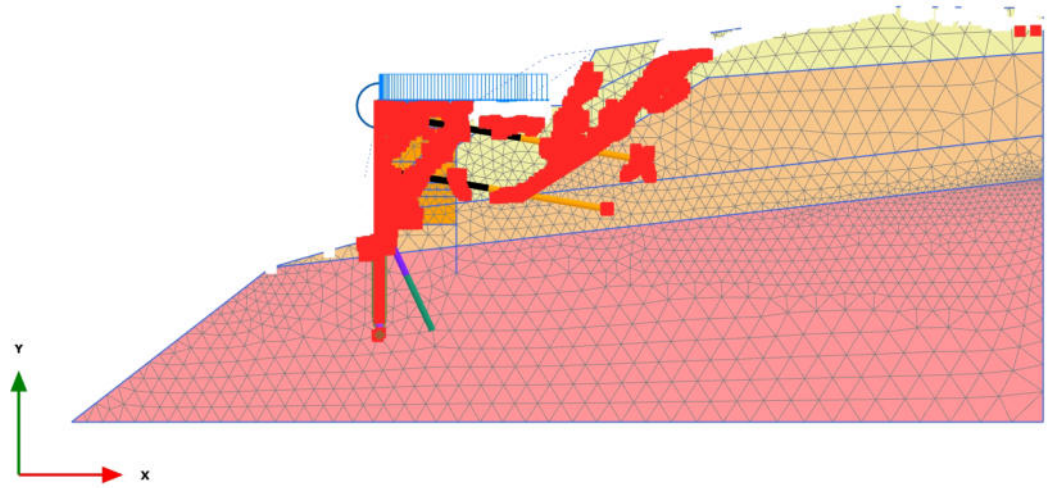

Plastic points (scaled up 0,302 times)

- Failure point
- Tension cut-off point
- Plasticity in local 2 direction only
- Plasticity in local 1 and 2 directions

2.2.1.22 Calculation results, SLU11 [Phase_29] (29/723), Plastic points

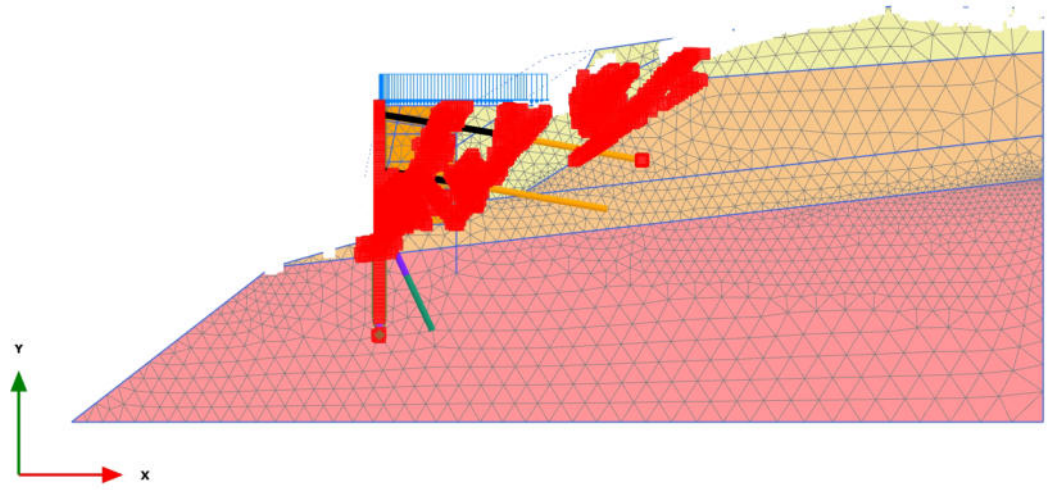

Plastic points (scaled up 0,302 times)

- Failure point
- Tension cut-off point
- Plasticity in local 2 direction only
- Plasticity in local 1 and 2 directions

2.2.1.23 Calculation results, M2 [Phase_30] (30/770), Plastic points

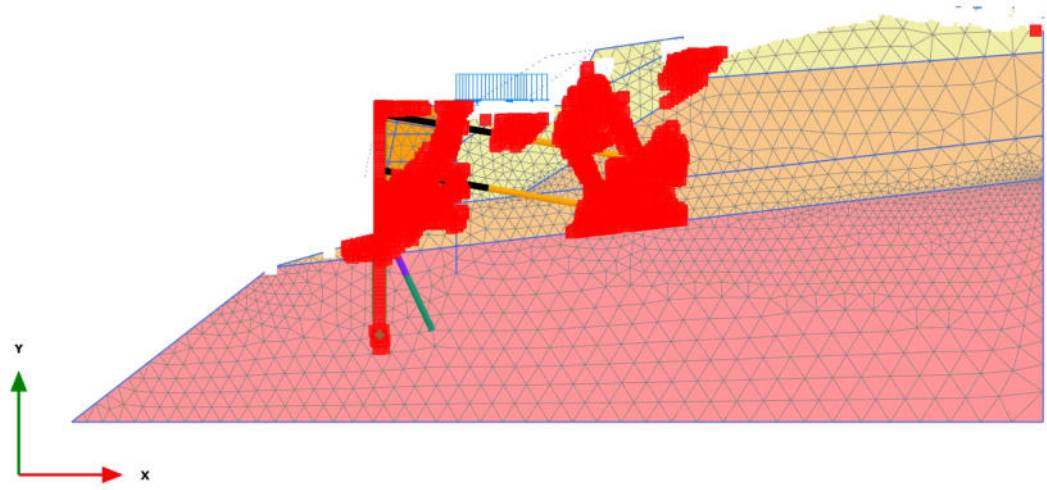

Plastic points (scaled up 0,302 times)

- Failure point
- Tension cut-off point
- Plasticity in local 2 direction only
- Plasticity in local 1 and 2 directions

2.2.1.24 Calculation results, SLU12 [Phase_31] (31/776), Plastic points

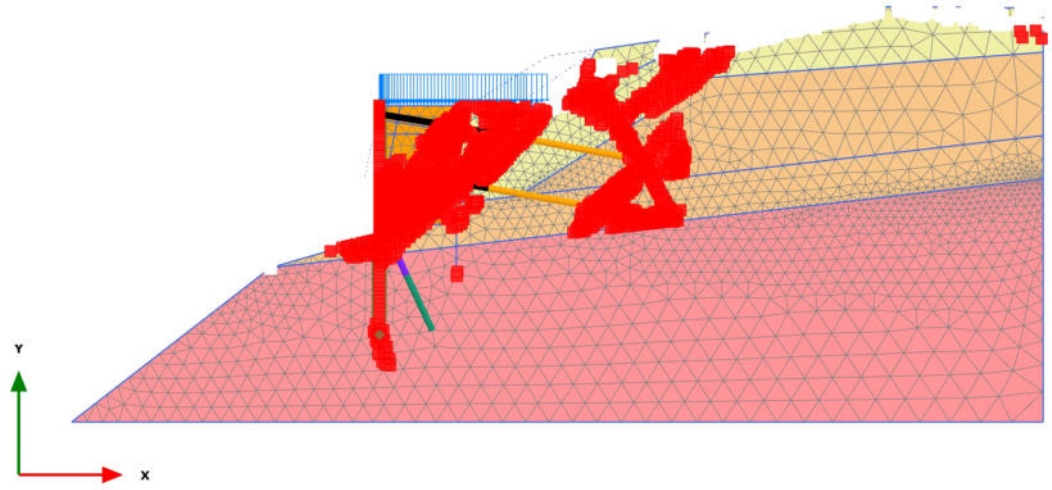

Plastic points (scaled up 0,302 times)

- Failure point
- Tension cut-off point
- Plasticity in local 2 direction only
- Plasticity in local 1 and 2 directions

2.2.1.25 Calculation results, SLU12 SG [Phase_21] (21/779), Plastic points

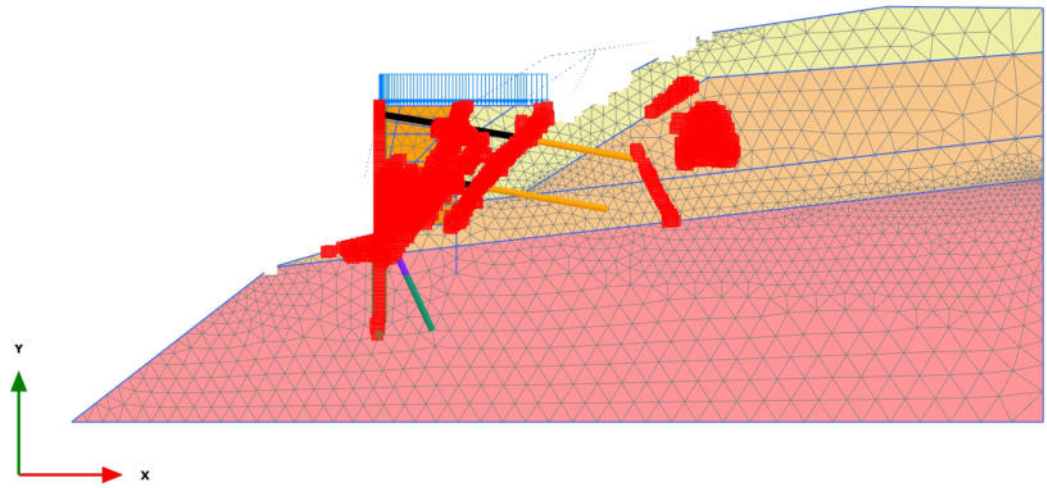

Plastic points (scaled up 0,302 times)

- Failure point
- Tension cut-off point
- Plasticity in local 2 direction only
- Plasticity in local 1 and 2 directions

2.2.1.26 Calculation results, FS SLU12 [Phase_20] (20/879), Plastic points

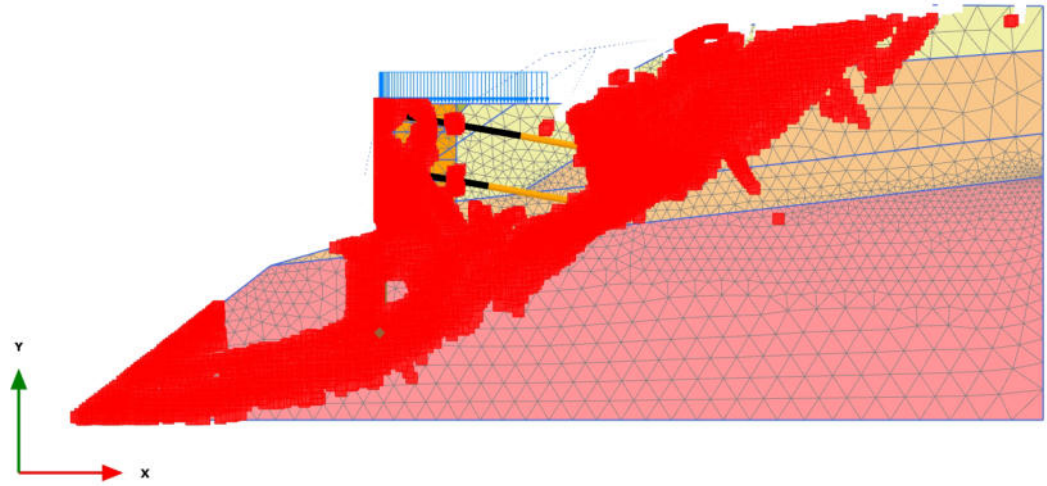

Plastic points (scaled up 0,302 times)

- Failure point
- Tension cut-off point
- Plasticity in local 2 direction only
- Plasticity in local 1 and 2 directions

2.2.1.27 Calculation results, SLE [Phase_11] (11/883), Plastic points

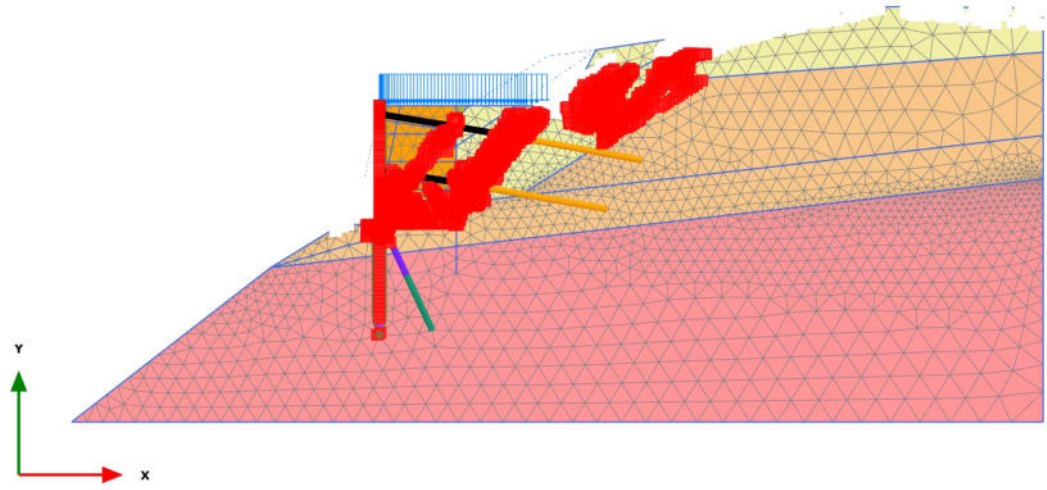

Plastic points (scaled up 0,302 times)

- Failure point
- Tension cut-off point
- Plasticity in local 2 direction only
- Plasticity in local 1 and 2 directions

2.2.1.28 Calculation results, SLV + stab globale [Phase_22] (22/896), Plastic points

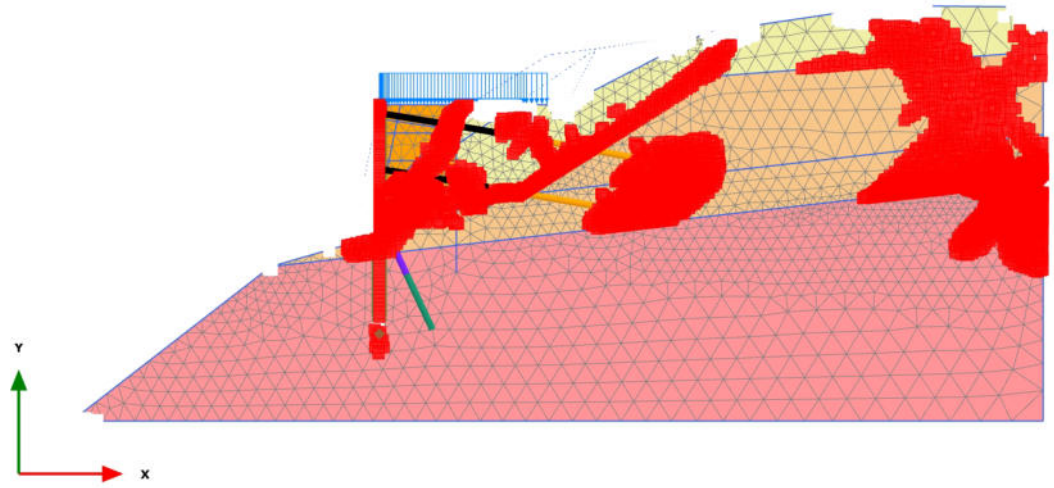

Plastic points (scaled up 0,302 times)

- Failure point
- Tension cut-off point
- Plasticity in local 2 direction only
- Plasticity in local 1 and 2 directions

2.2.1.29 Calculation results, FS SLV+ [Phase_28] (28/1046), Plastic points

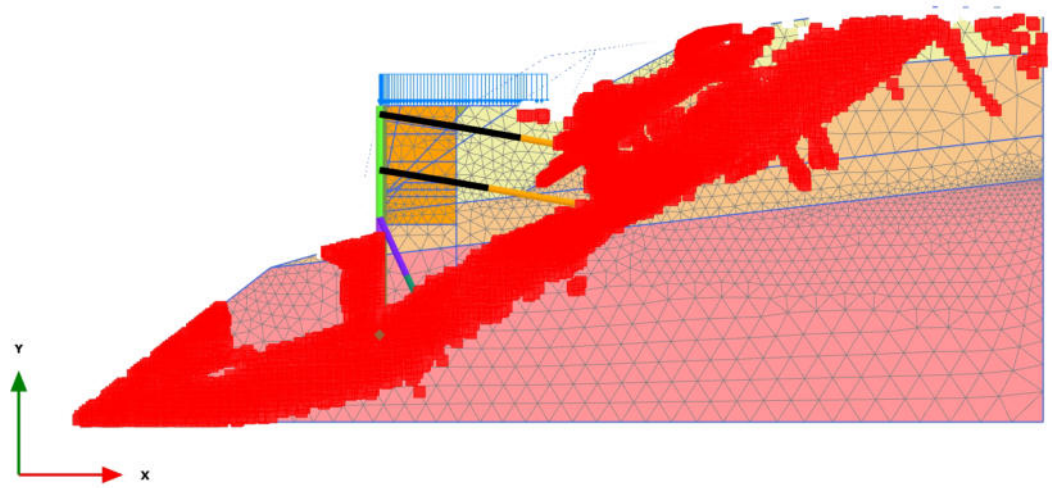

Plastic points (scaled up 0,302 times)

- Failure point
- Tension cut-off point
- Plasticity in local 2 direction only
- Plasticity in local 1 and 2 directions

2.2.1.30 Calculation results, SLV - stab globale [Phase_32] (32/1056), Plastic points

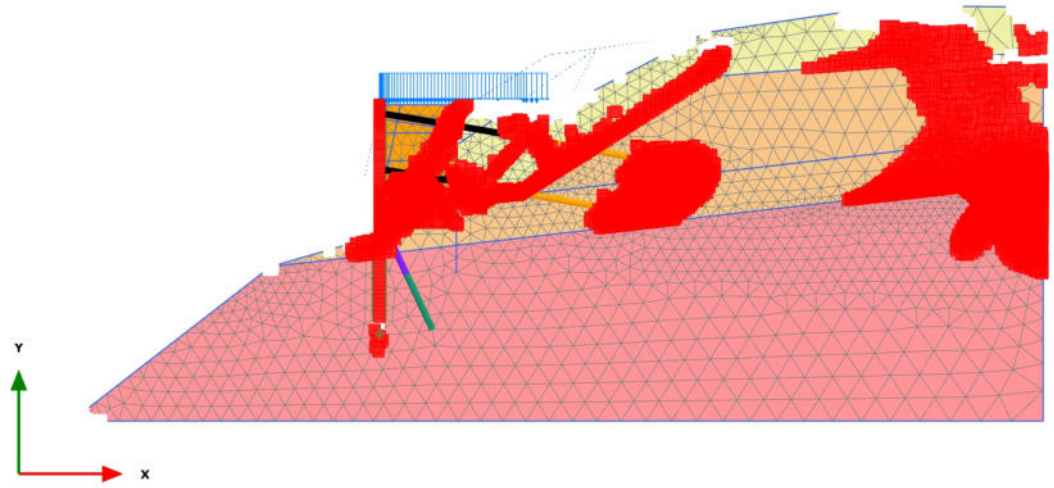

Plastic points (scaled up 0,302 times)

- Failure point
- Tension cut-off point
- Plasticity in local 2 direction only
- Plasticity in local 1 and 2 directions

2.2.1.31 Calculation results, FS SLV - [Phase_33] (33/1156), Plastic points

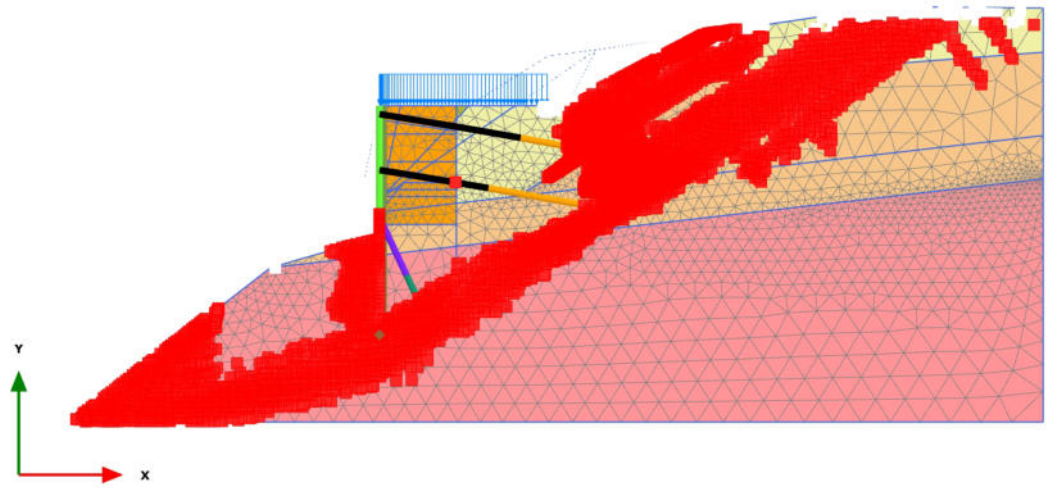

Plastic points (scaled up 0,302 times)

- Failure point
- Tension cut-off point
- Plasticity in local 2 direction only
- Plasticity in local 1 and 2 directions

2.2.1.32 Calculation results, SLD [Phase_38] (38/1178), Plastic points

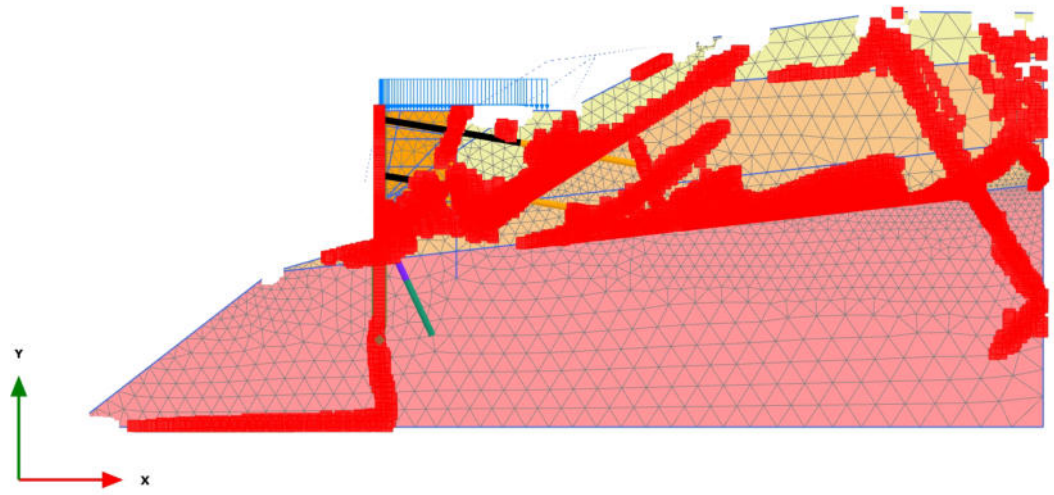

Plastic points (scaled up 0,302 times)

- Failure point
- Tension cut-off point
- Plasticity in local 2 direction only
- Plasticity in local 1 and 2 directions

2.2.1.33 Calculation results, q rullo [Phase_37] (37/1187), Plastic points

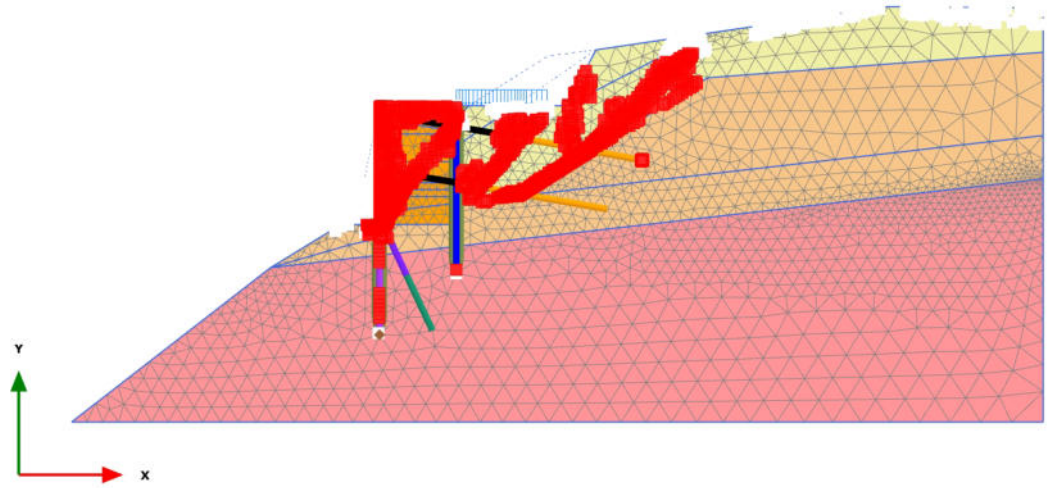

Plastic points (scaled up 0,302 times)

- Failure point
- Tension cut-off point
- Plasticity in local 2 direction only
- Plasticity in local 1 and 2 directions

2.2.1.34 Calculation results, SLE Paratia esistente [Phase_12] (12/1232), Plastic points

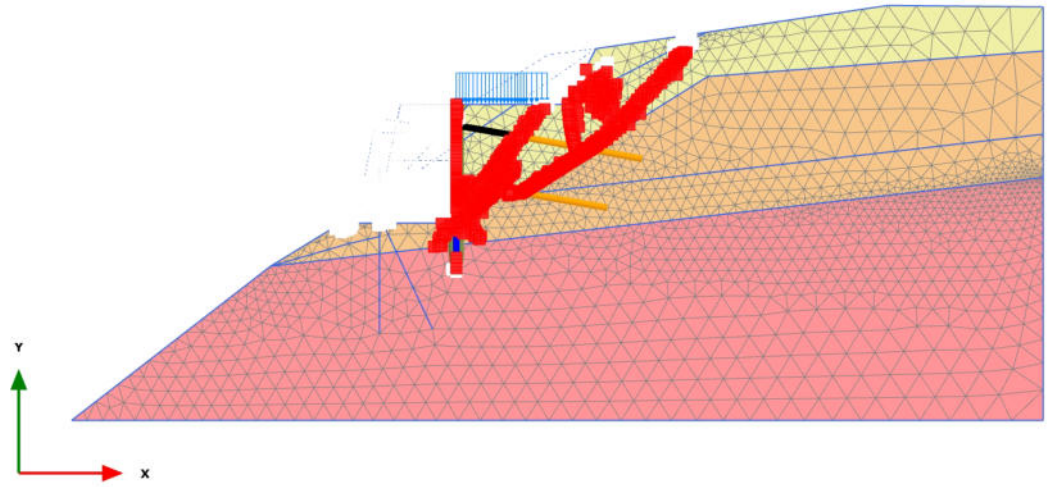

Plastic points (scaled up 0,302 times)

- Failure point
- Tension cut-off point
- Plasticity in local 2 direction only
- Plasticity in local 1 and 2 directions

2.2.1.35 Calculation results, SLU11 Paratia esistente [Phase_13] (13/1235), Plastic points

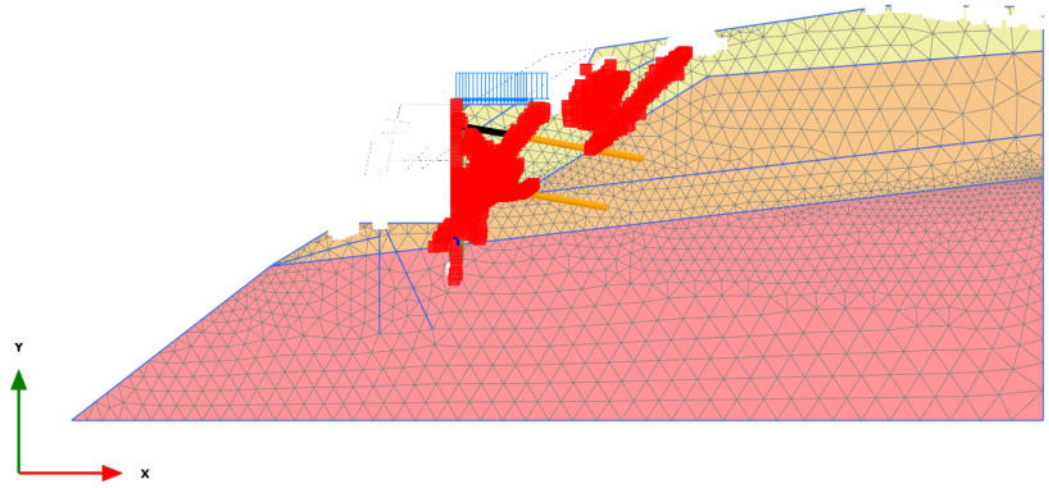

Plastic points (scaled up 0,302 times)

- Failure point
- Tension cut-off point
- Plasticity in local 2 direction only
- Plasticity in local 1 and 2 directions

2.2.1.36 Calculation results, SLU12 Paratia esistente [Phase_18] (18/1240), Plastic points

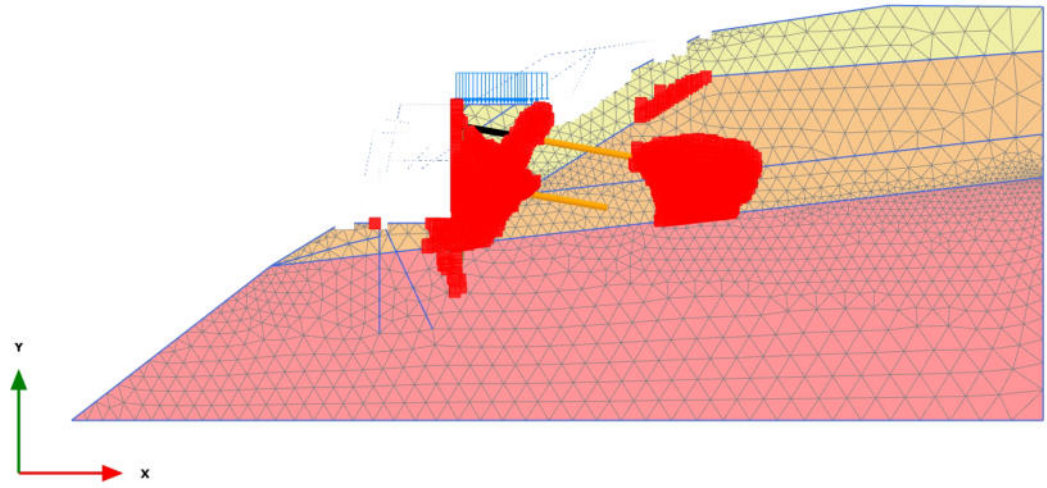

Plastic points (scaled up 0,302 times)

- Failure point
- Tension cut-off point
- Plasticity in local 2 direction only
- Plasticity in local 1 and 2 directions

2.2.1.37 Calculation results, FS Paratia esistente [Phase_19] (19/1390), Plastic points

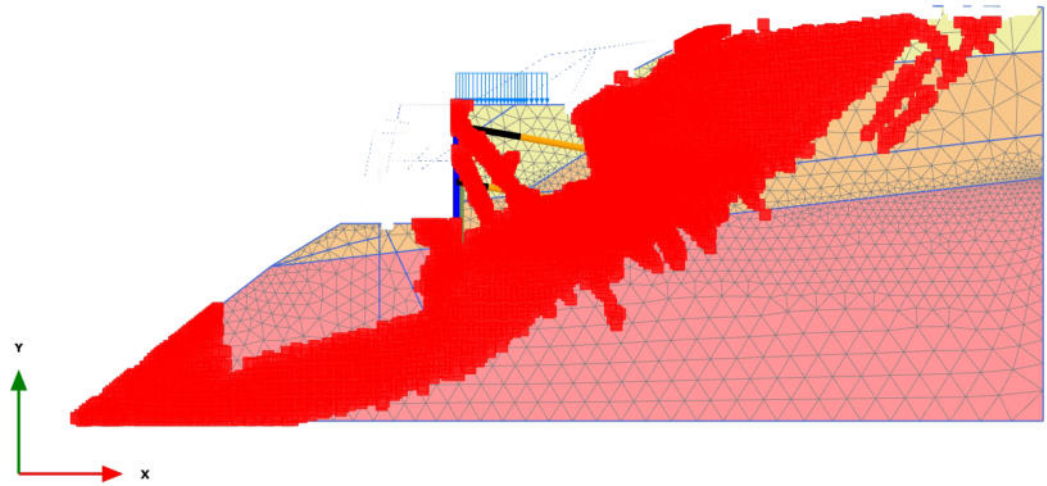

Plastic points (scaled up 0,302 times)

- Failure point
- Tension cut-off point
- Plasticity in local 2 direction only
- Plasticity in local 1 and 2 directions

2.2.1.38 Calculation results, FS [Phase_23] (23/1510), Plastic points

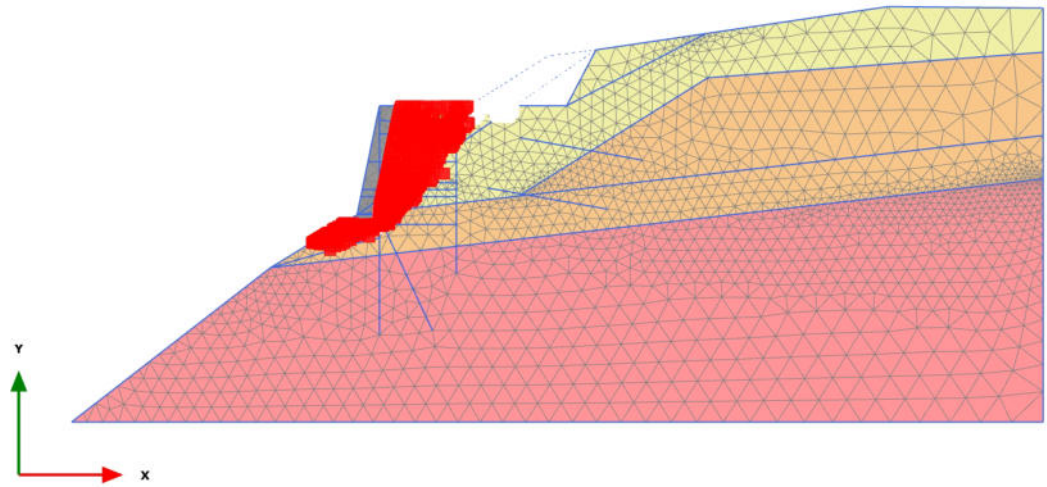

Plastic points (scaled up 0,302 times)

- Failure point
- Tension cut-off point
- Plasticity in local 2 direction only
- Plasticity in local 1 and 2 directions

2.2.1.39 Calculation results, SLV [Phase_27] (27/1545), Plastic points

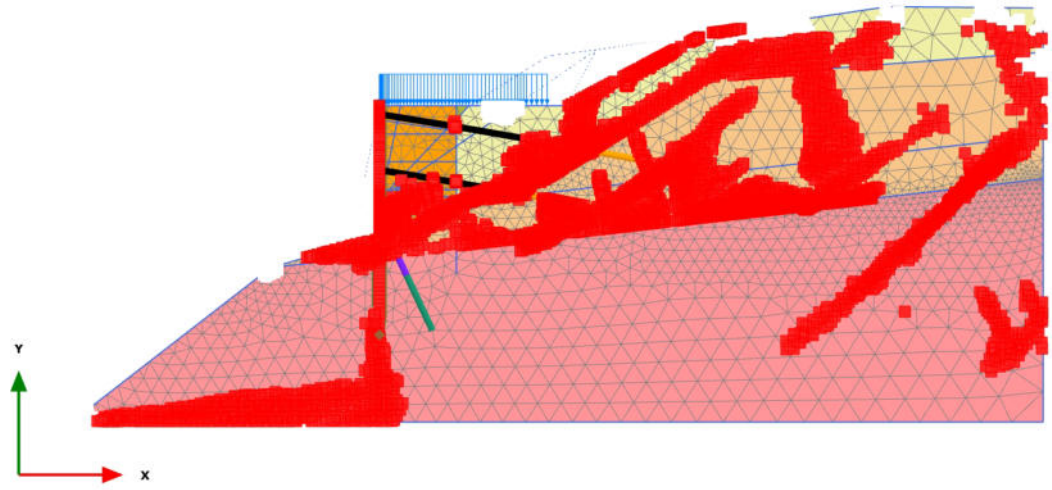

Plastic points (scaled up 0,302 times)

- Failure point
- Tension cut-off point
- Plasticity in local 2 direction only
- Plasticity in local 1 and 2 directions

3.1.1.1.1.1 Calculation results, Plate, Initial phase [InitialPhase] (0/11), Total displacements u_x

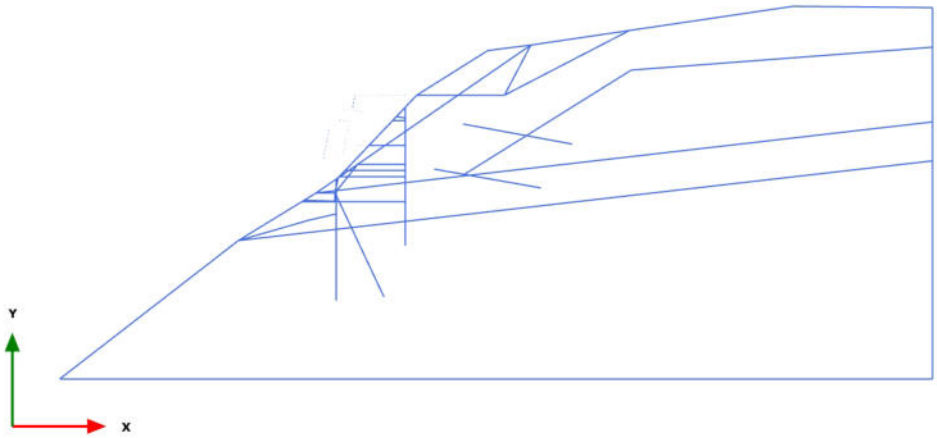

Total displacements u_x (at true scale)

No results

3.1.1.1.1.2 Calculation results, Plate, Phase_1 [Phase_1] (1/14), Total displacements u_x

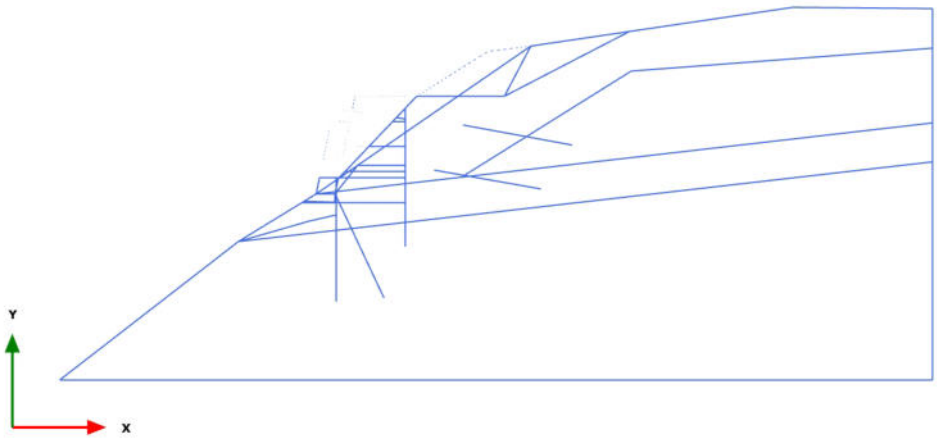

Total displacements u_x (at true scale)

No results

3.1.1.1.1.3 Calculation results, Plate, Phase_2 [Phase_2] (2/26), Total displacements u_x

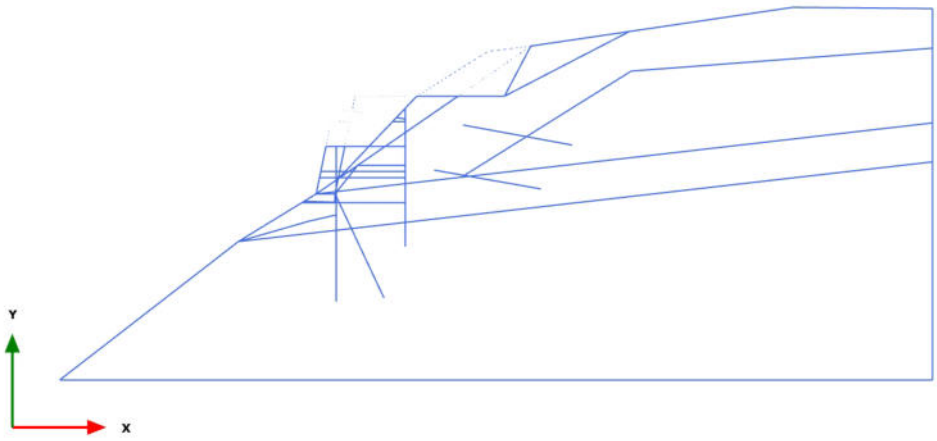

Total displacements u_x (at true scale)

No results

3.1.1.1.1.4 Calculation results, Plate, Fine costruzione muro [Phase_3] (3/89), Total displacements u_x

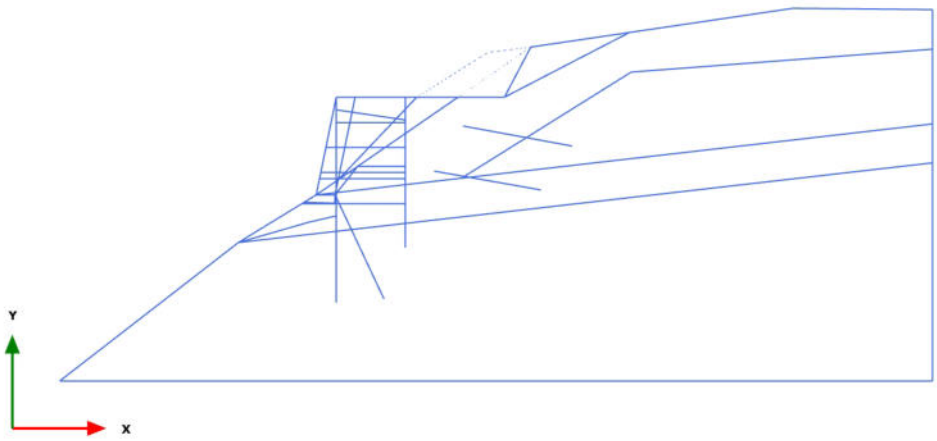

Total displacements u_x (at true scale)

No results

3.1.1.1.1.5 Calculation results, Plate, (RD) Paratia [Phase_4] (4/92), Total displacements u_x

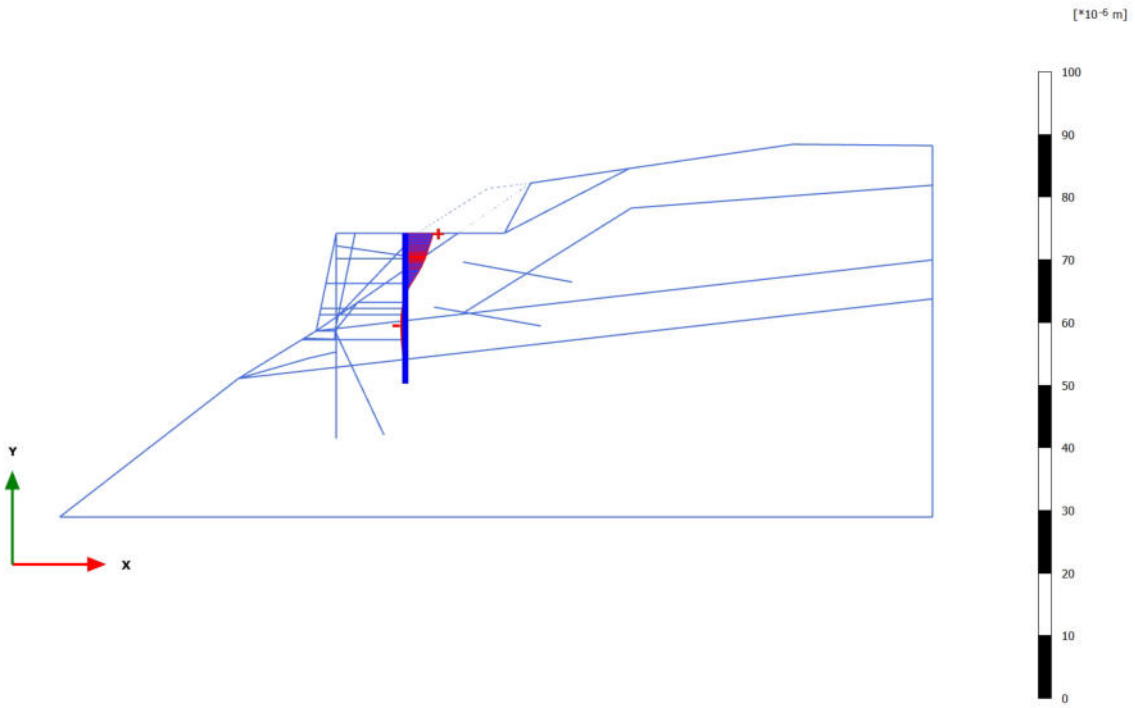

Total displacements u_x (scaled up 500*10³ times)

Maximum value = 4,488*10⁻⁶ m (Element 3 at Node 13320)

Minimum value = -0,7398*10⁻⁶ m (Element 36 at Node 20732)

3.1.1.1.1.6 Calculation results, Plate, Voragine 1 [Phase_5] (5/110), Total displacements u_x

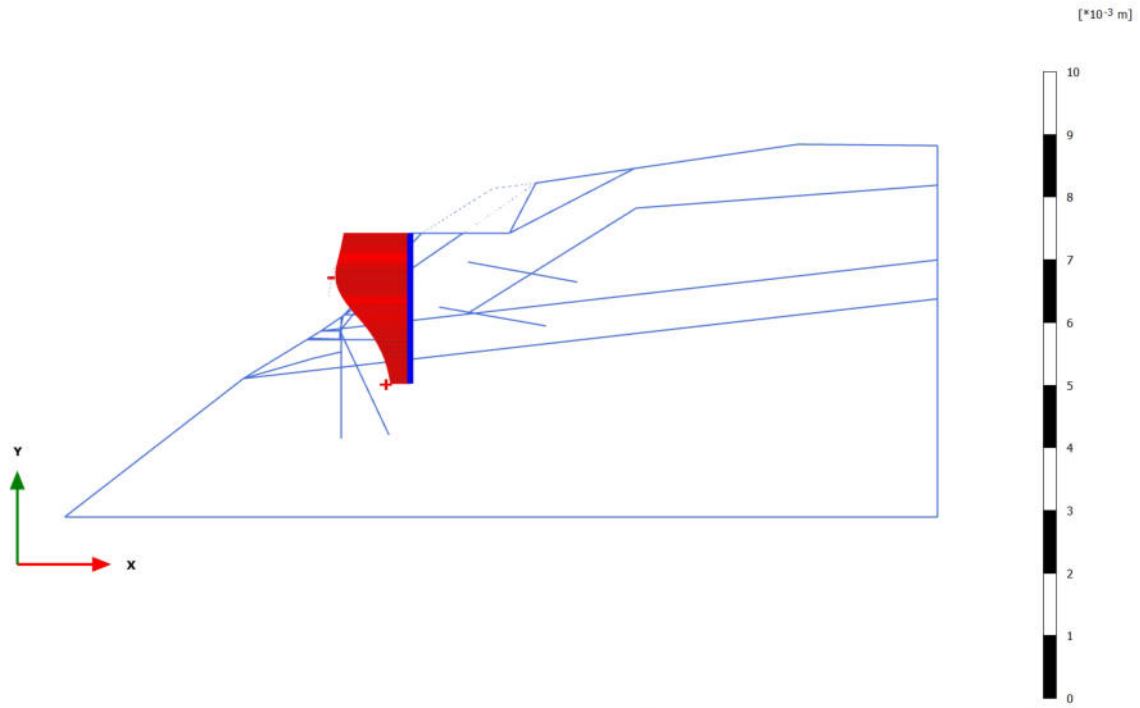

Total displacements u_x (scaled up 5,00*10³ times)

Maximum value = -0,3117*10-3 m (Element 47 at Node 22535)

Minimum value = -1,191*10-3 m (Element 17 at Node 16327)

3.1.1.1.1.7 Calculation results, Plate, Voragine 2 [Phase_6] (6/134), Total displacements u_x

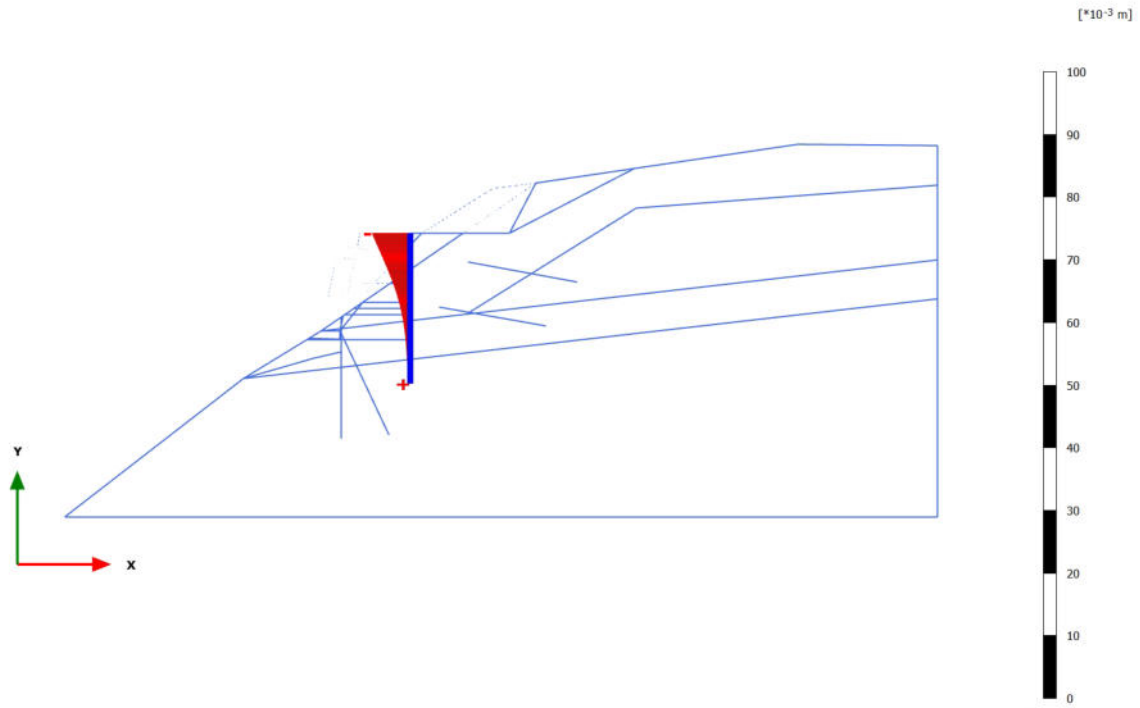

Total displacements u_x (scaled up 500 times)

Maximum value = -0,3310*10-3 m (Element 47 at Node 22535)

Minimum value = -6,081*10-3 m (Element 3 at Node 13320)

3.1.1.1.1.8 Calculation results, Plate, Mezzi (10 kPa) [Phase_7] (7/155), Total displacements u_x

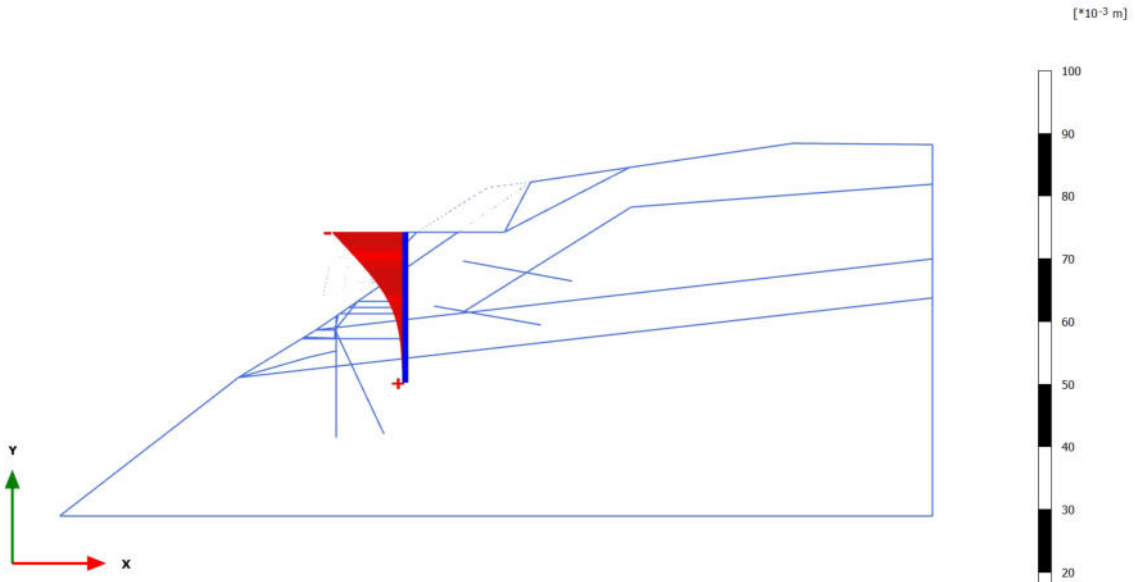

Total displacements u_x (scaled up 500 times)

Maximum value = -0,3776*10^{-3} m (Element 47 at Node 22535)

Minimum value = -0,01165 m (Element 3 at Node 13320)

3.1.1.1.1.9 Calculation results, Plate, Micropalo ancoraggio 1 [Phase_8] (8/221), Total displacements u_x

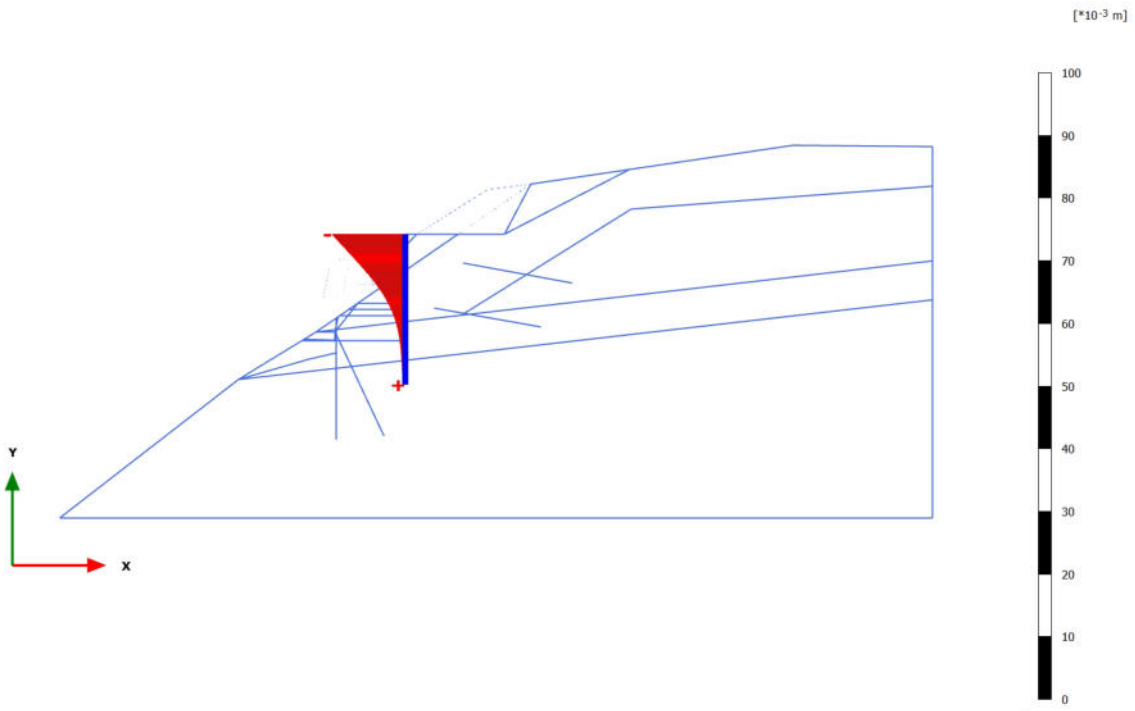

Total displacements u_x (scaled up 500 times)

Maximum value = -0,3776*10-3 m (Element 47 at Node 22535)

Minimum value = -0,01169 m (Element 3 at Node 13320)

3.1.1.1.1.10 Calculation results, Plate, Escavo 1 [Phase_9] (9/235), Total displacements u_x

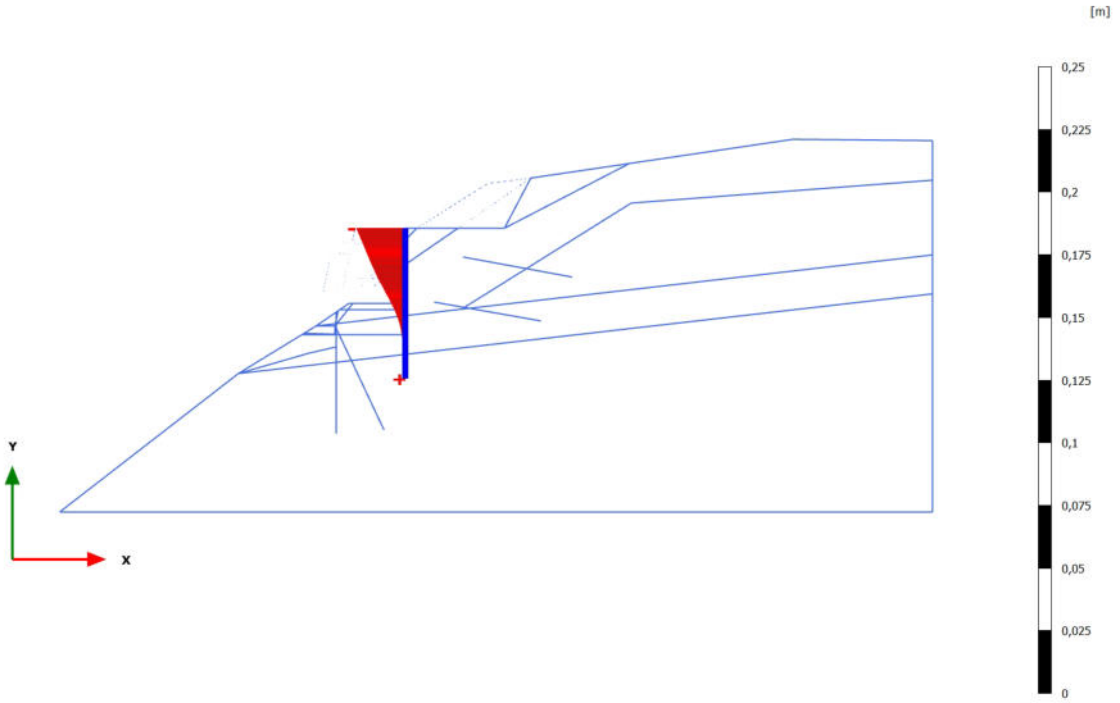

Total displacements u_x (scaled up 200 times)

Maximum value = -0,2962*10^{-3} m (Element 47 at Node 22535)

Minimum value = -0,01940 m (Element 3 at Node 13320)

3.1.1.1.1.11 Calculation results, Plate, Micropalo ancoraggio 2 [Phase_35] (35/309), Total displacements u_x

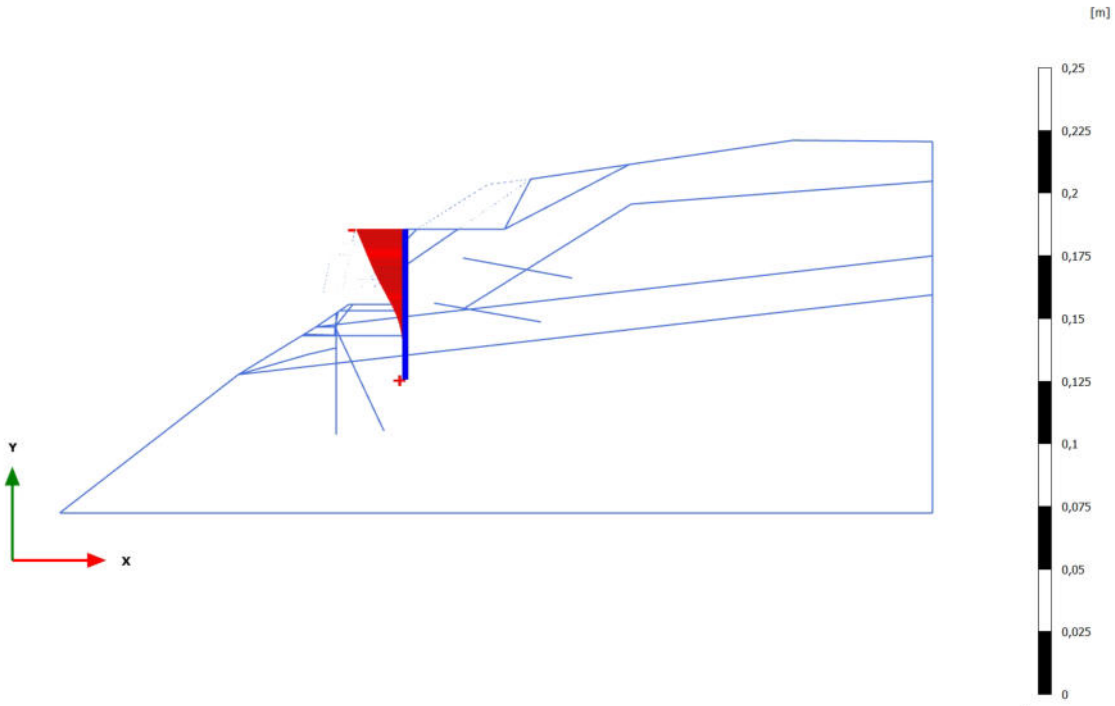

Total displacements u_x (scaled up 200 times)

Maximum value = -0,2984*10^{-3} m (Element 47 at Node 22535)

Minimum value = -0,01948 m (Element 3 at Node 13320)

3.1.1.1.1.12 Calculation results, Plate, Escavo 2 [Phase_10] (10/318), Total displacements u_x

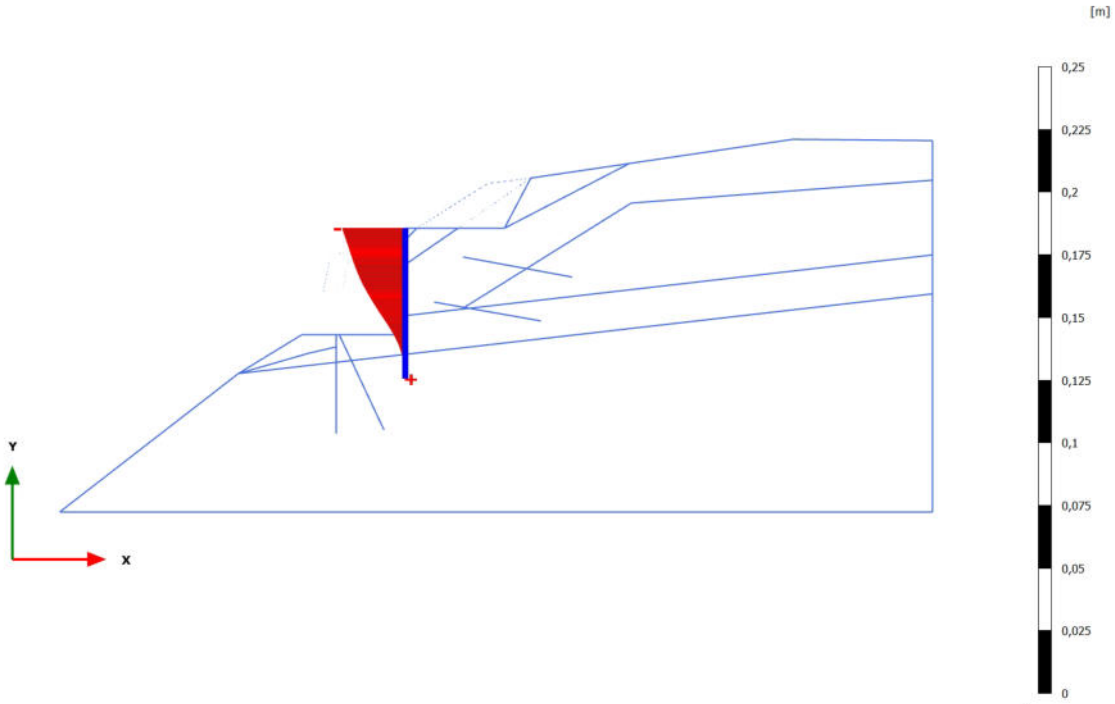

Total displacements u_x (scaled up 200 times)

Maximum value = $0{,}3970*10^{-3}$ m (Element 47 at Node 22535)

Minimum value = -0,02509 m (Element 3 at Node 13320)

3.1.1.1.1.13 Calculation results, Plate, (RIEMP A SBALZO) Micropali e parete [Phase_14] (14/320), Total displacements u_x

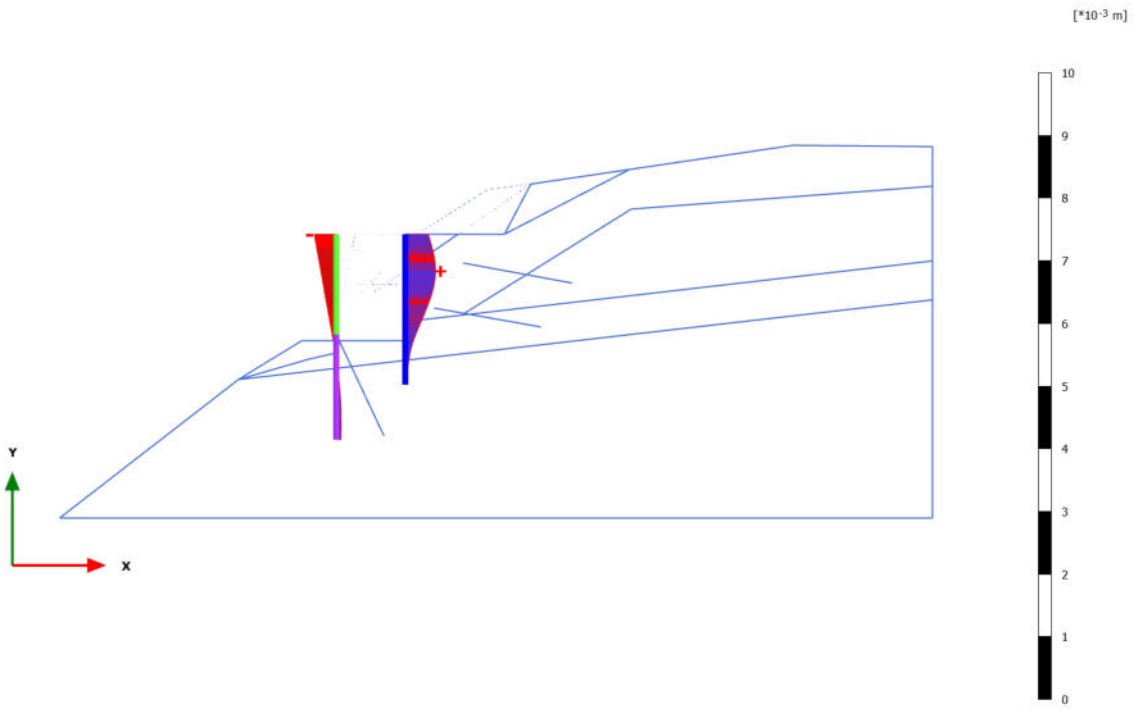

Total displacements u_x (scaled up 5,00*10³ times)

Maximum value = 0,4826*10^{-3} m (Element 14 at Node 16325)

Minimum value = -0,3511*10^{-3} m (Element 1 at Node 15336)

3.1.1.1.1.14 Calculation results, Plate, Riempimento 1 [Phase_15] (15/506), Total displacements u_x

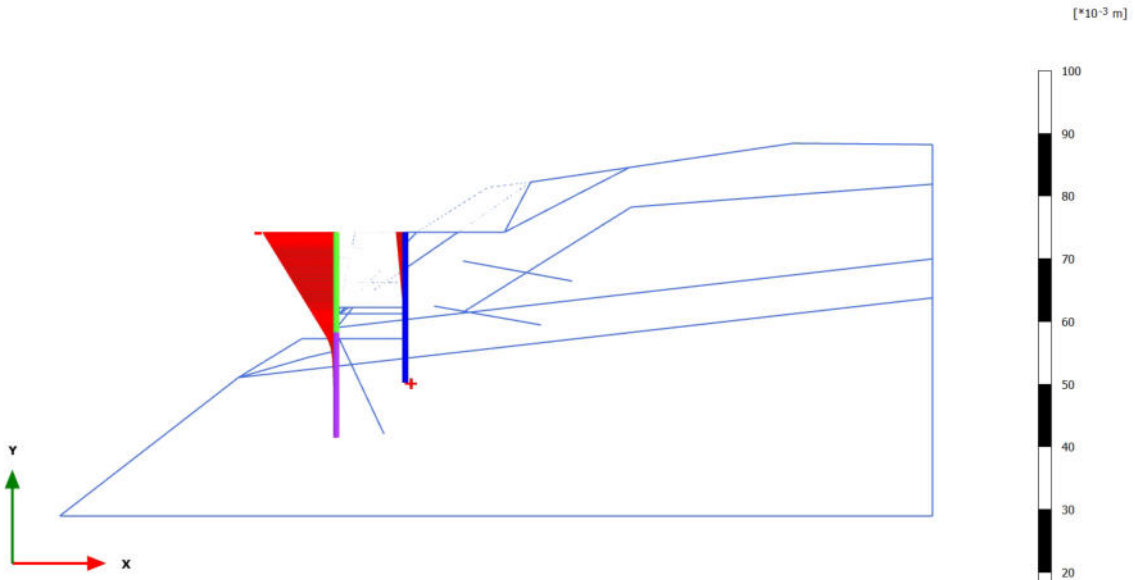

Total displacements u_x (scaled up 500 times)

Maximum value = 0,1566*10^{-3} m (Element 47 at Node 22535)

Minimum value = -0,01173 m (Element 1 at Node 15336)

3.1.1.1.1.15 Calculation results, Plate, Collegamento ancoraggio 1 [Phase_36] (36/614), Total displacements u_x

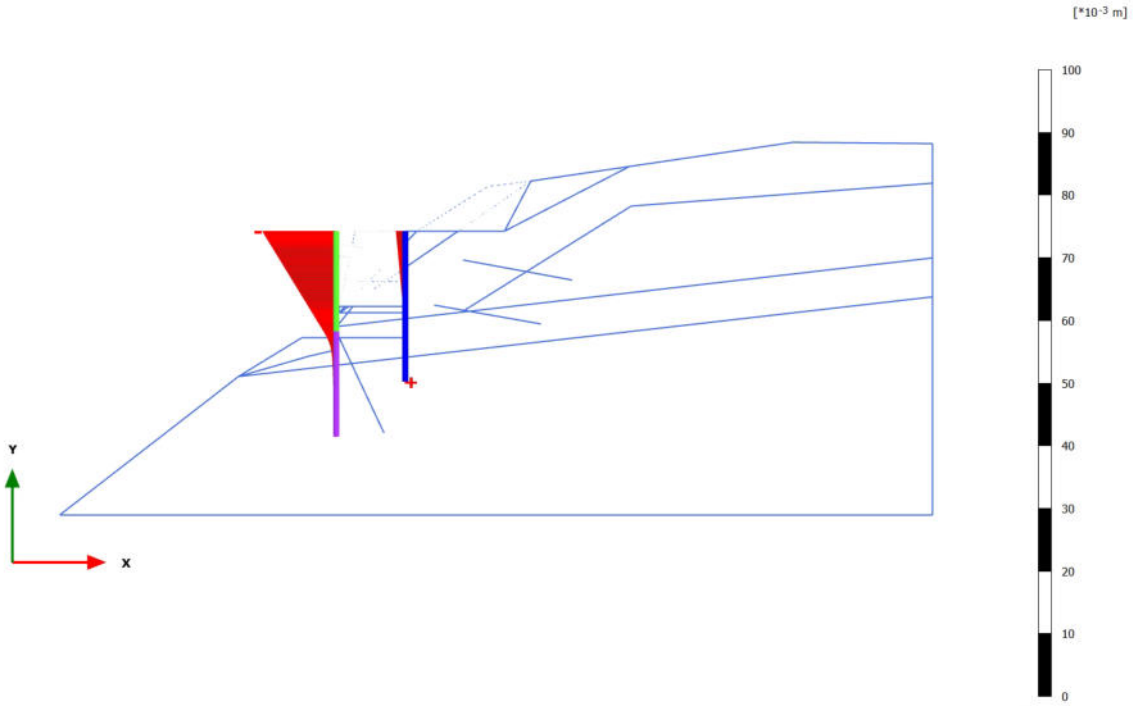

Total displacements u_x (scaled up 500 times)

Maximum value = 0,1569*10^{-3} m (Element 47 at Node 22535)

Minimum value = -0,01174 m (Element 1 at Node 15336)

3.1.1.1.1.16 Calculation results, Plate, Riempimento 2 [Phase_16] (16/640), Total displacements u_x

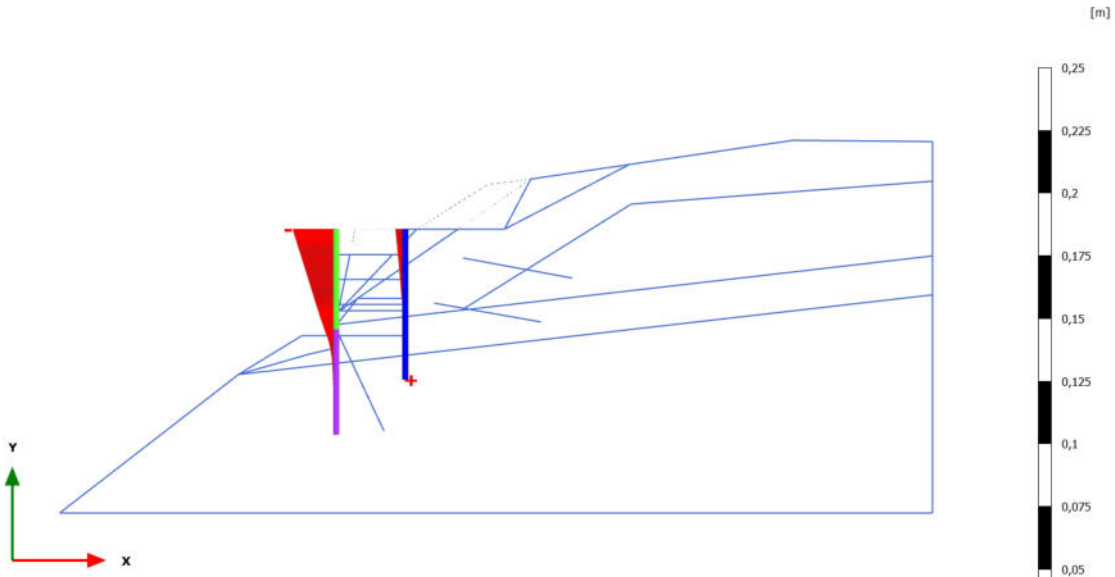

Total displacements u_x (scaled up 200 times)

Maximum value = 0,3812*10^{-3} m (Element 47 at Node 22535)

Minimum value = -0,01725 m (Element 1 at Node 15336)

3.1.1.1.1.17 Calculation results, Plate, Riempimento 3 ed estensione tirante [Phase_17] (17/646), Total displacements u_x

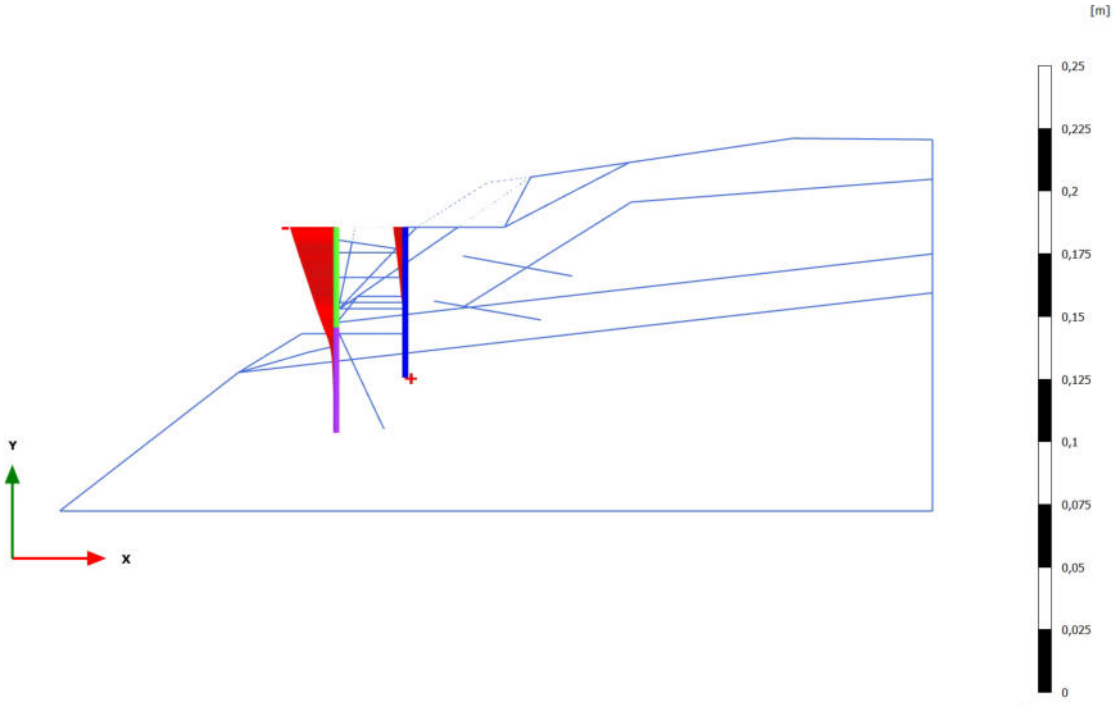

Total displacements u_x (scaled up 200 times)

Maximum value = $0{,}4298*10^{-3}$ m (Element 47 at Node 22535)

Minimum value = -0,01838 m (Element 1 at Node 15336)

3.1.1.1.1.18 Calculation results, Plate, Riempimento 4 [Phase_25] (25/655), Total displacements u_x

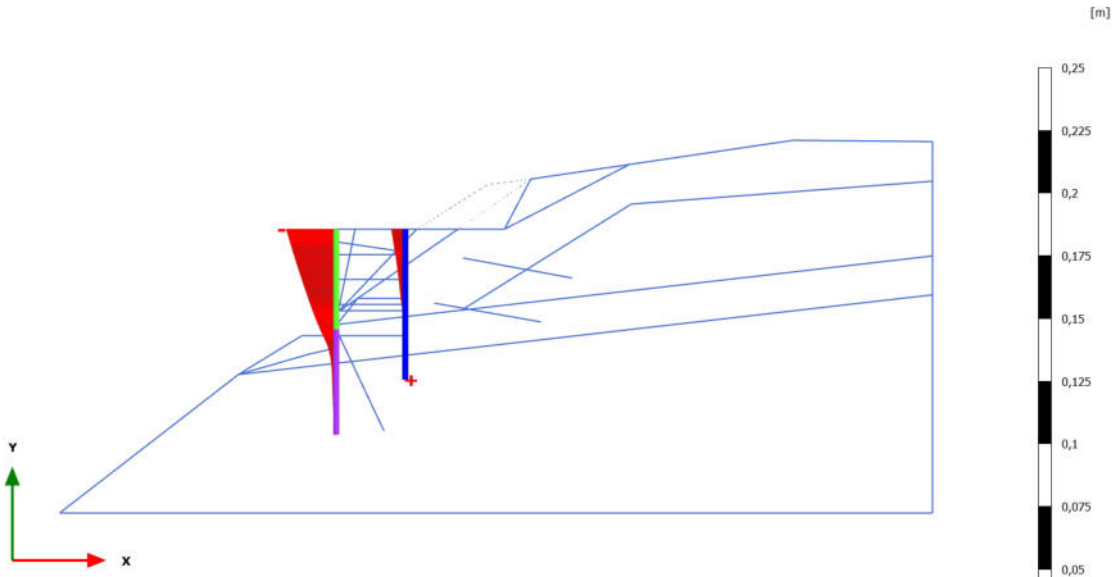

Total displacements u_x (scaled up 200 times)

Maximum value = 0,4768*10^{-3} m (Element 47 at Node 22535)

Minimum value = -0,01984 m (Element 1 at Node 15336)

3.1.1.1.1.19 Calculation results, Plate, Disattivazione paratia esistente [Phase_26] (26/660), Total displacements u_x

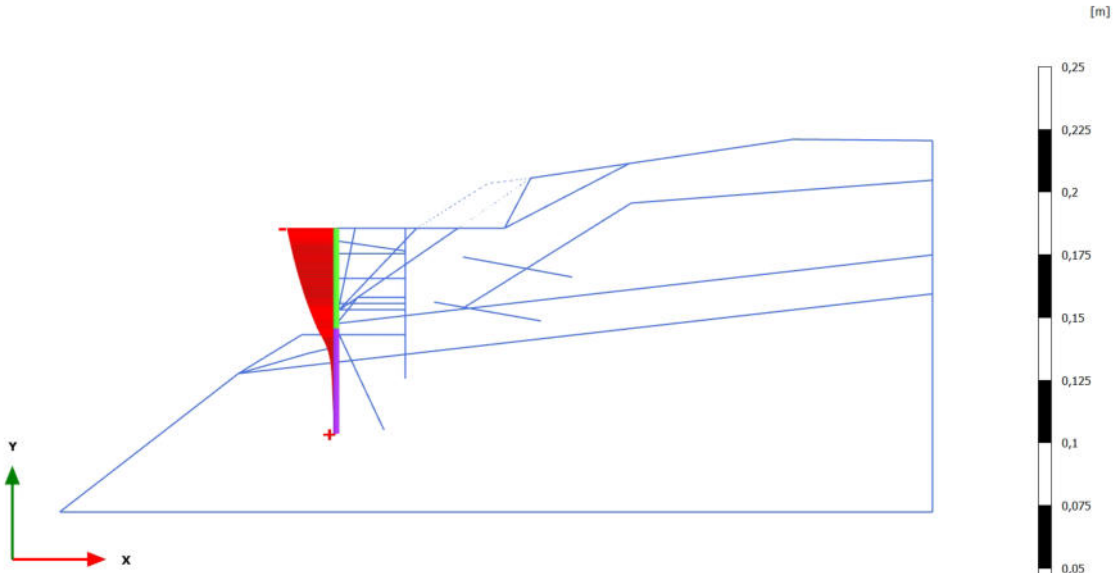

Total displacements u_x (scaled up 200 times)

Maximum value = -0,7780*10^{-3} m (Element 52 at Node 25014)

Minimum value = -0,01957 m (Element 1 at Node 15336)

3.1.1.1.1.20 Calculation results, Plate, Eccezionale paratia esistente [Phase_34] (34/668), Total displacements u_x

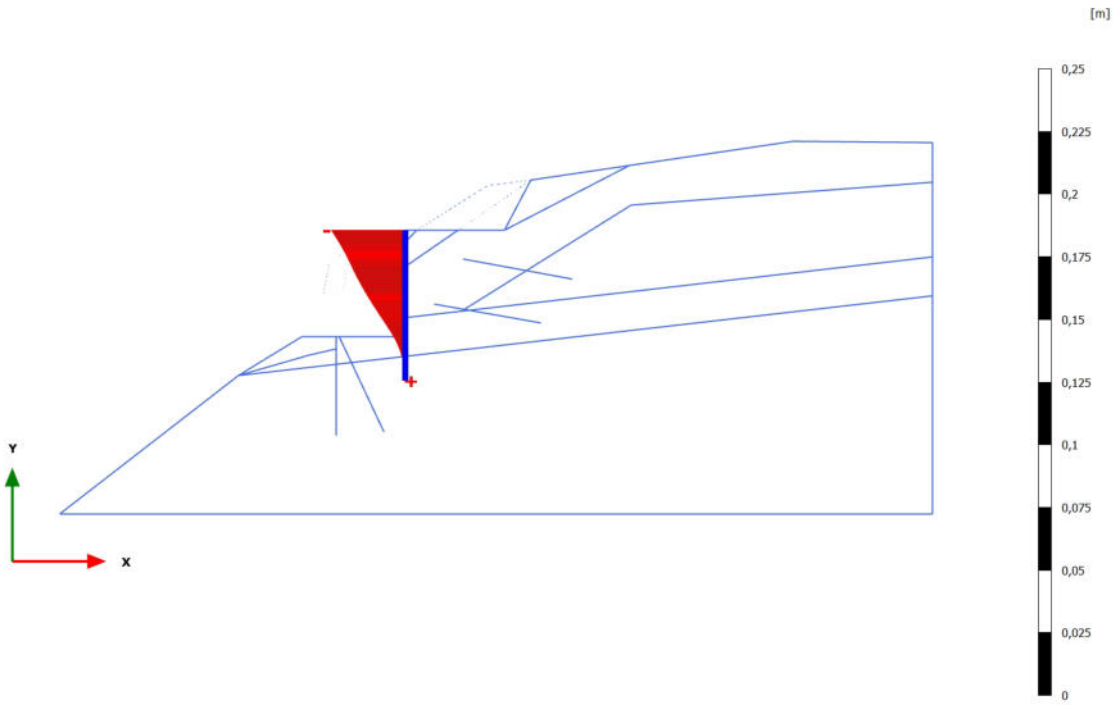

Total displacements u_x (scaled up 200 times)

Maximum value = $0{,}3927*10^{-3}$ m (Element 47 at Node 22535)

Minimum value = -0,02941 m (Element 3 at Node 13320)

3.1.1.1.1.21 Calculation results, Plate, Eccezionale [Phase_24] (24/712), Total displacements u_x

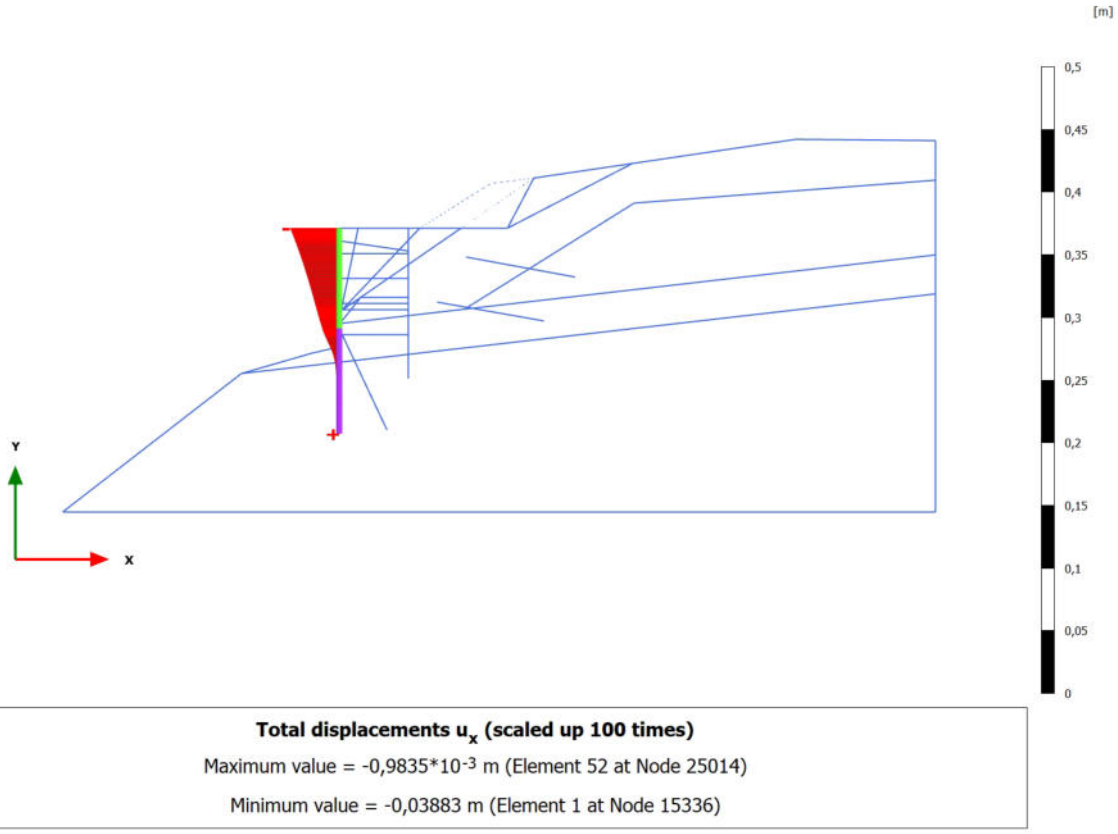

Total displacements u_x (scaled up 100 times)

Maximum value = -0,9835*10^{-3} m (Element 52 at Node 25014)

Minimum value = -0,03883 m (Element 1 at Node 15336)

3.1.1.1.1.22 Calculation results, Plate, SLU11 [Phase_29] (29/723), Total displacements u_x

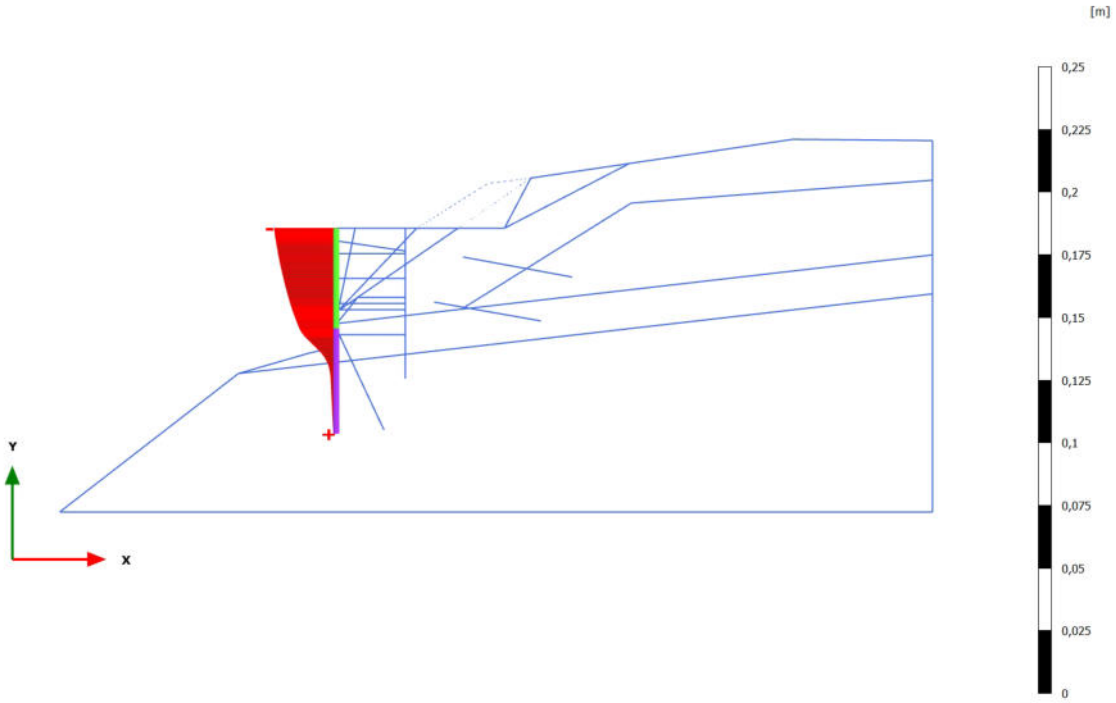

Total displacements u_x (scaled up 200 times)

Maximum value = -1,044*10^{-3} m (Element 52 at Node 25014)

Minimum value = -0,02473 m (Element 1 at Node 15336)

3.1.1.1.1.23 Calculation results, Plate, M2 [Phase_30] (30/770), Total displacements u_x

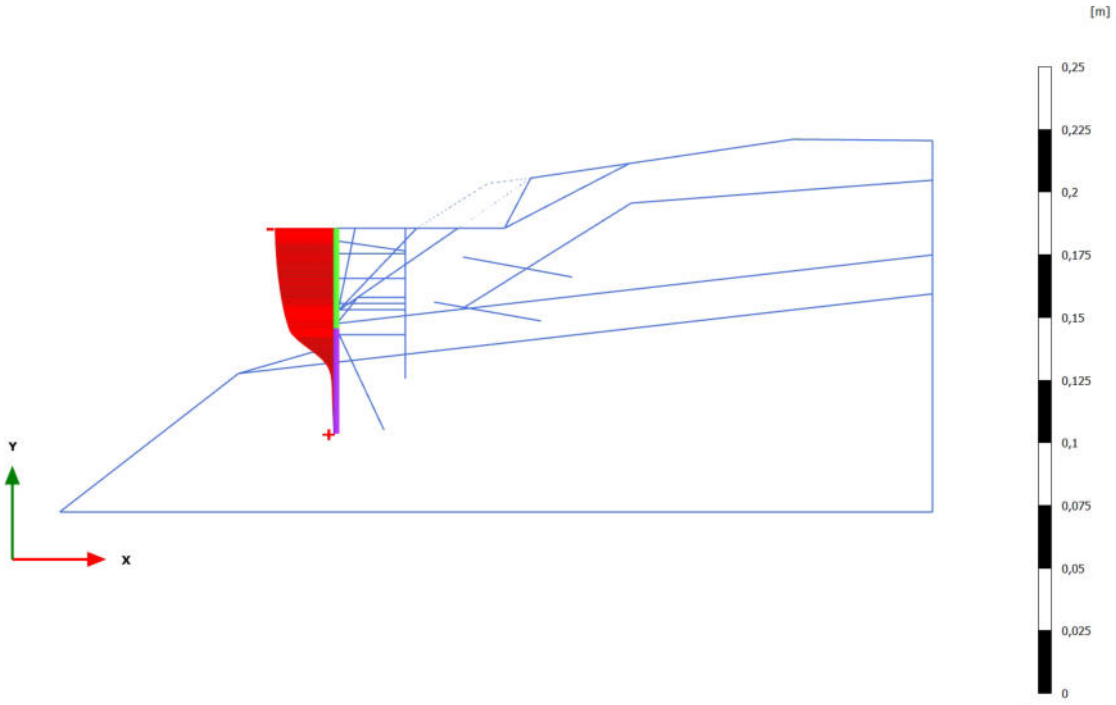

Total displacements u_x (scaled up 200 times)

Maximum value = -1,005*10^{-3} m (Element 52 at Node 25014)

Minimum value = -0,02439 m (Element 1 at Node 15336)

3.1.1.1.1.24 Calculation results, Plate, SLU12 [Phase_31] (31/776), Total displacements u_x

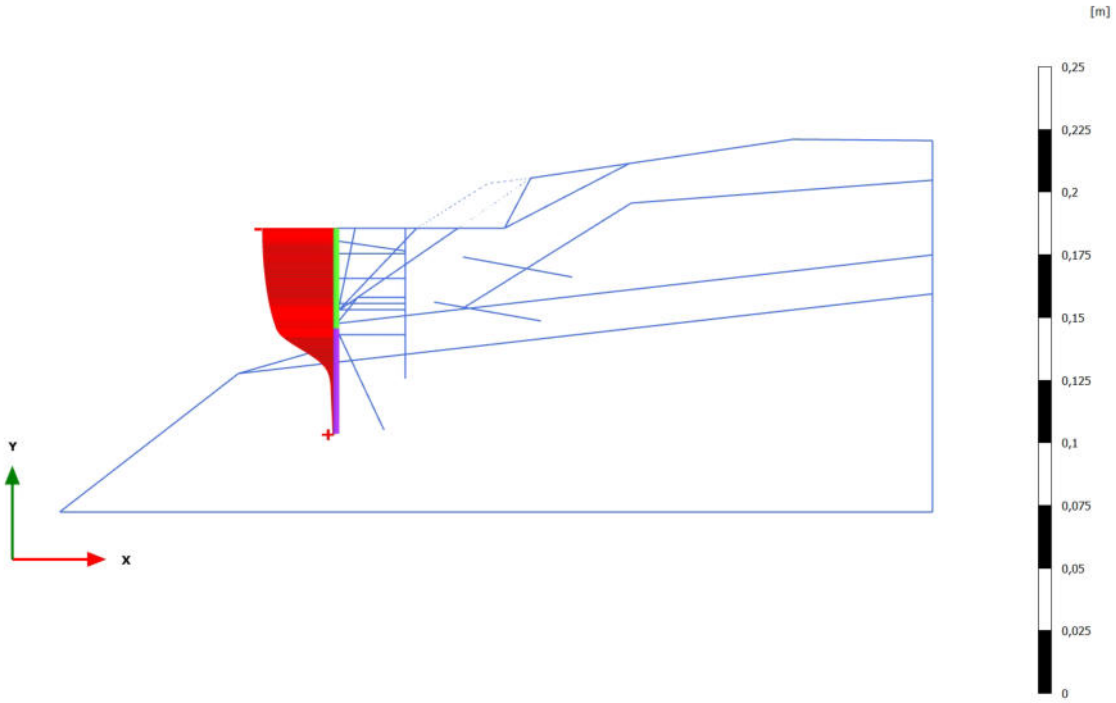

Total displacements u_x (scaled up 200 times)

Maximum value = -1,322*10^{-3} m (Element 52 at Node 25014)

Minimum value = -0,02939 m (Element 1 at Node 15336)

3.1.1.1.1.25 Calculation results, Plate, SLU12 SG [Phase_21] (21/779), Total displacements u_x

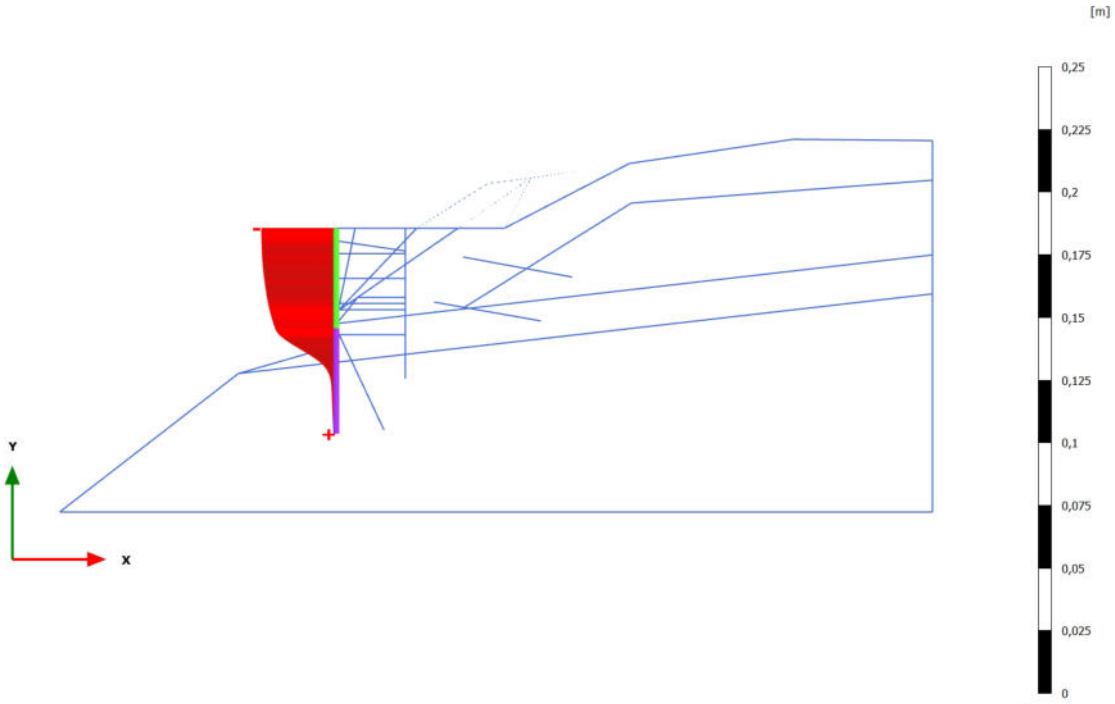

Total displacements u_x (scaled up 200 times)

Maximum value = $-1{,}035*10^{-3}$ m (Element 52 at Node 25014)

Minimum value = -0,02977 m (Element 1 at Node 15336)

3.1.1.1.1.26 Calculation results, Plate, FS SLU12 [Phase_20] (20/879), Total displacements u_x

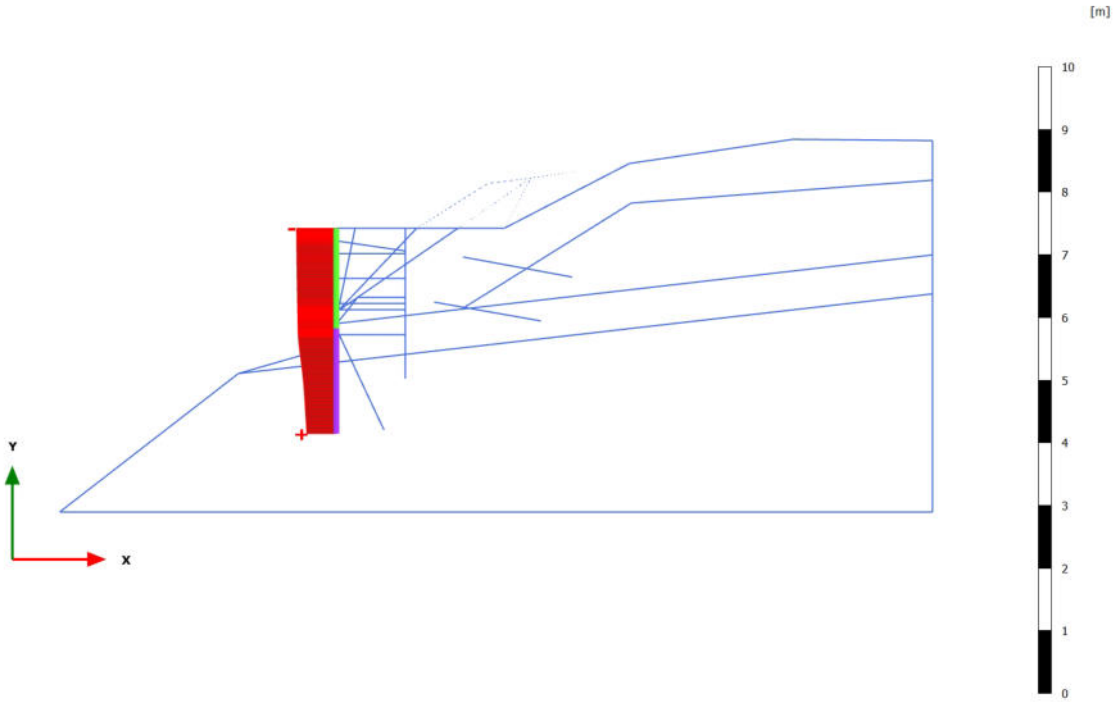

Total displacements u_x (scaled up 5,00 times)

Maximum value = -0,4691 m (Element 52 at Node 25014)

Minimum value = -0,6329 m (Element 1 at Node 15336)

3.1.1.1.1.27 Calculation results, Plate, SLE [Phase_11] (11/883), Total displacements u_x

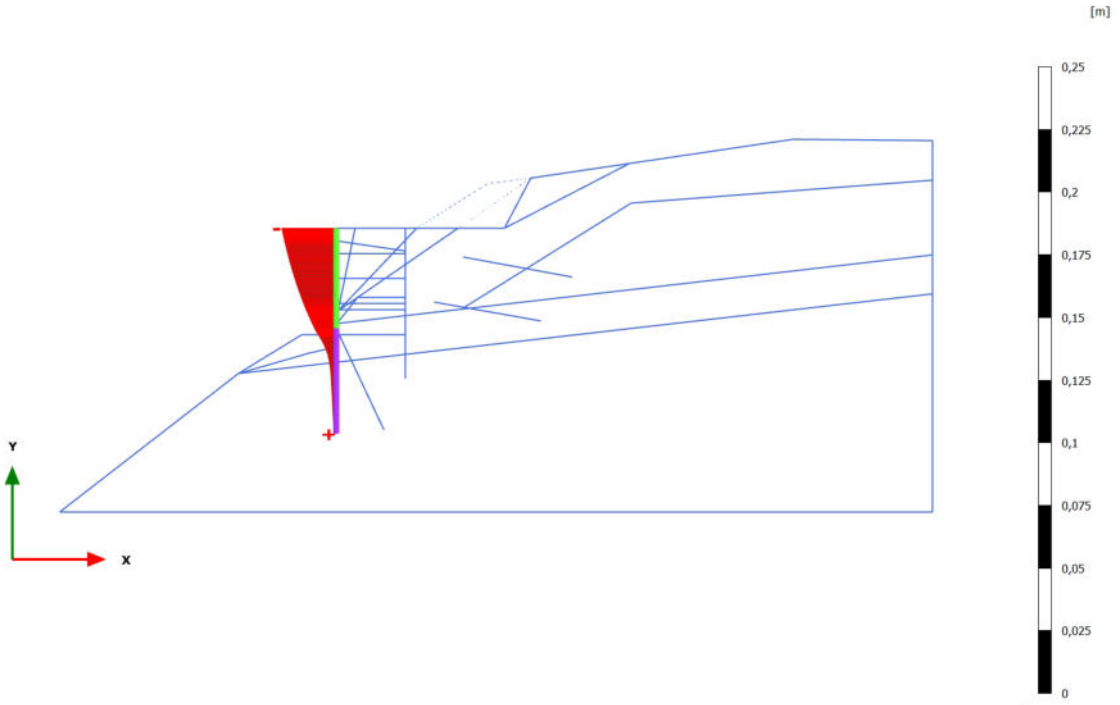

Total displacements u_x (scaled up 200 times)

Maximum value = -0,9337*10^{-3} m (Element 52 at Node 25014)

Minimum value = -0,02176 m (Element 1 at Node 15336)

3.1.1.1.1.28 Calculation results, Plate, SLV + stab globale [Phase_22] (22/896), Total displacements u_x

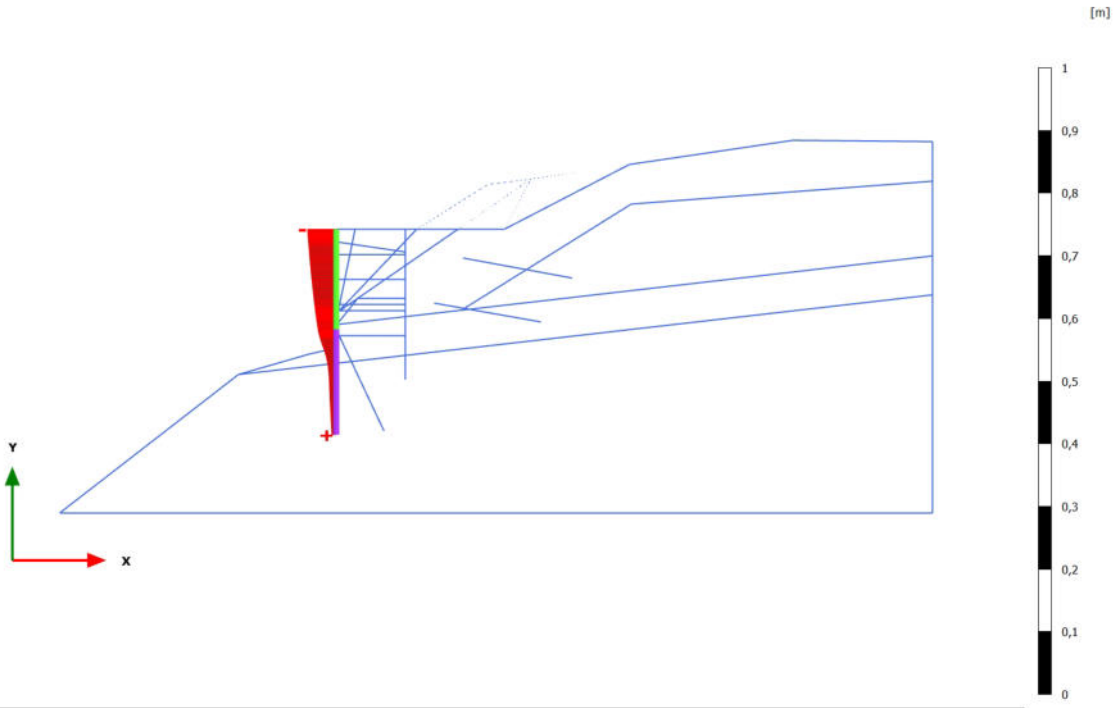

Total displacements u_x (scaled up 50,0 times)

Maximum value = -7,014*10^{-3} m (Element 52 at Node 25014)

Minimum value = -0,04579 m (Element 1 at Node 15336)

3.1.1.1.1.29 Calculation results, Plate, FS SLV+ [Phase_28] (28/1046), Total displacements u_x

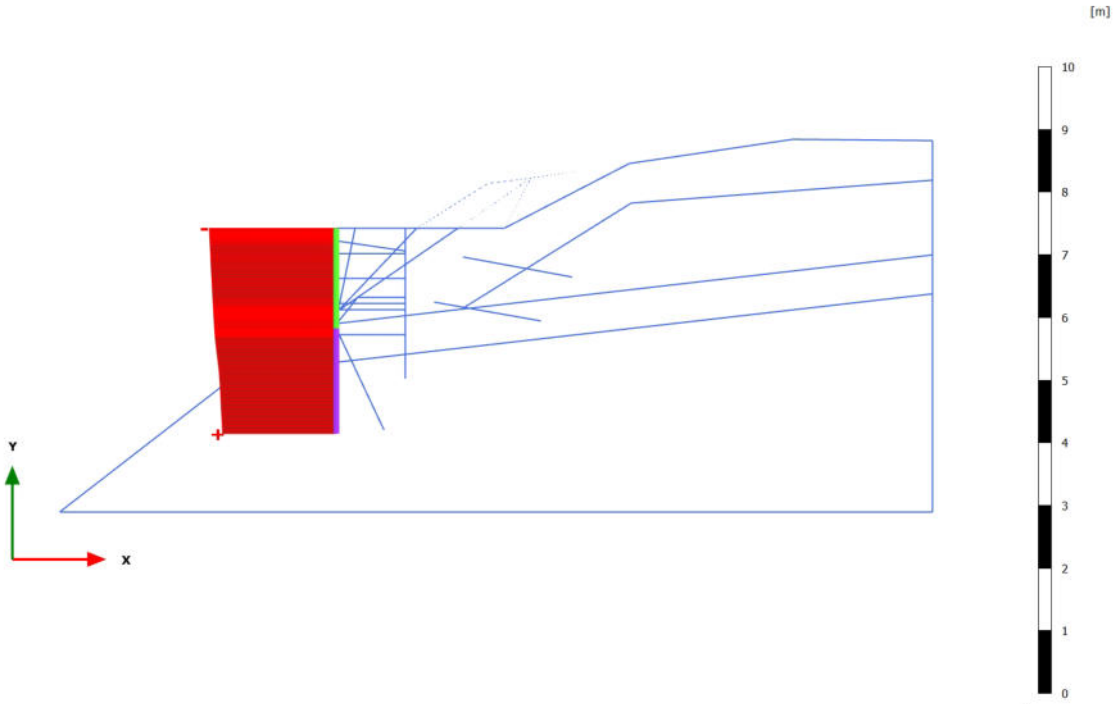

Total displacements u_x (scaled up 5,00 times)

Maximum value = -1,811 m (Element 52 at Node 25014)

Minimum value = -2,024 m (Element 1 at Node 15336)

3.1.1.1.1.30 Calculation results, Plate, SLV - stab globale [Phase_32] (32/1056), Total displacements u_x

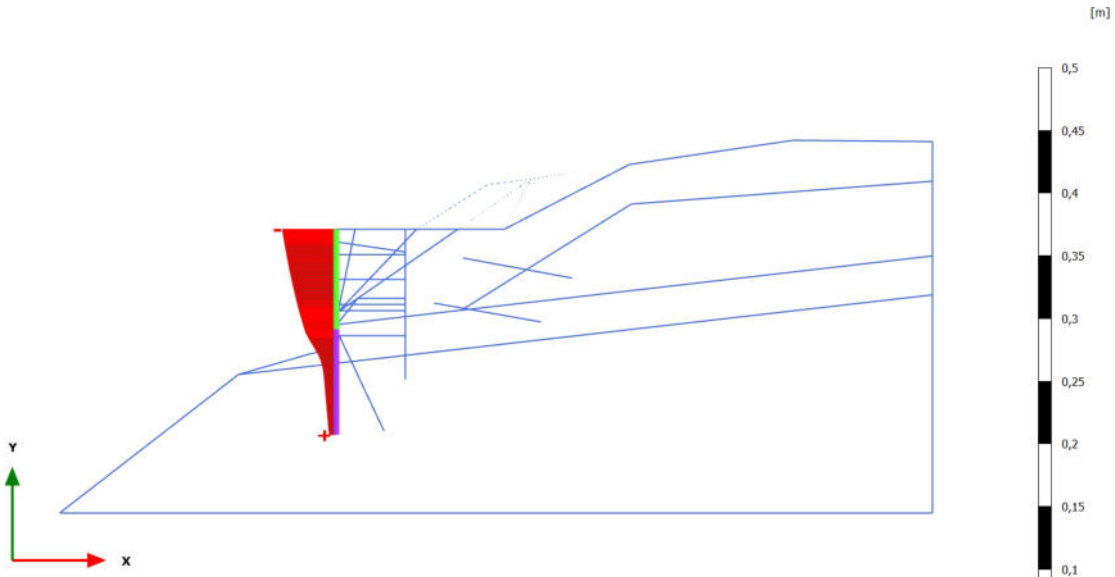

Total displacements u_x (scaled up 100 times)

Maximum value = -5,520*10^{-3} m (Element 52 at Node 25014)

Minimum value = -0,04300 m (Element 1 at Node 15336)

3.1.1.1.1.31 Calculation results, Plate, FS SLV - [Phase_33] (33/1156), Total displacements u_x

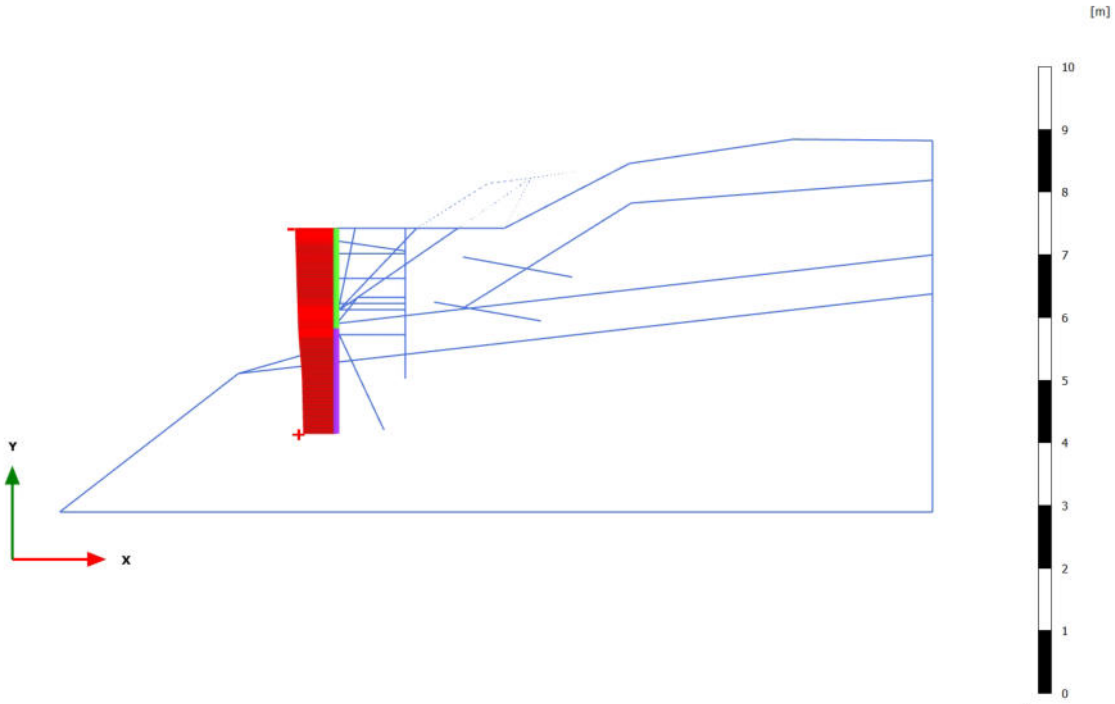

Total displacements u_x (scaled up 5,00 times)

Maximum value = -0,5213 m (Element 52 at Node 25014)

Minimum value = -0,6512 m (Element 1 at Node 15336)

3.1.1.1.1.32 Calculation results, Plate, SLD [Phase_38] (38/1178), Total displacements u_x

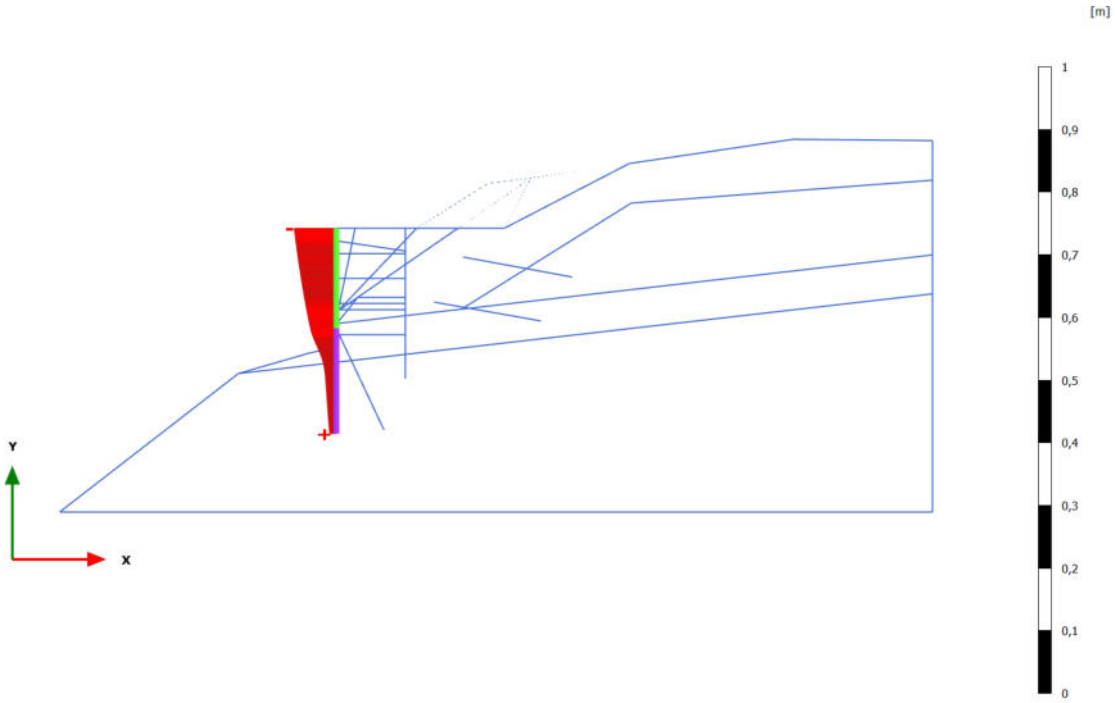

Total displacements u_x (scaled up 50,0 times)

Maximum value = -0,01052 m (Element 52 at Node 25014)

Minimum value = -0,06716 m (Element 1 at Node 15336)

3.1.1.1.1.33 Calculation results, Plate, q rullo [Phase_37] (37/1187), Total displacements u_x

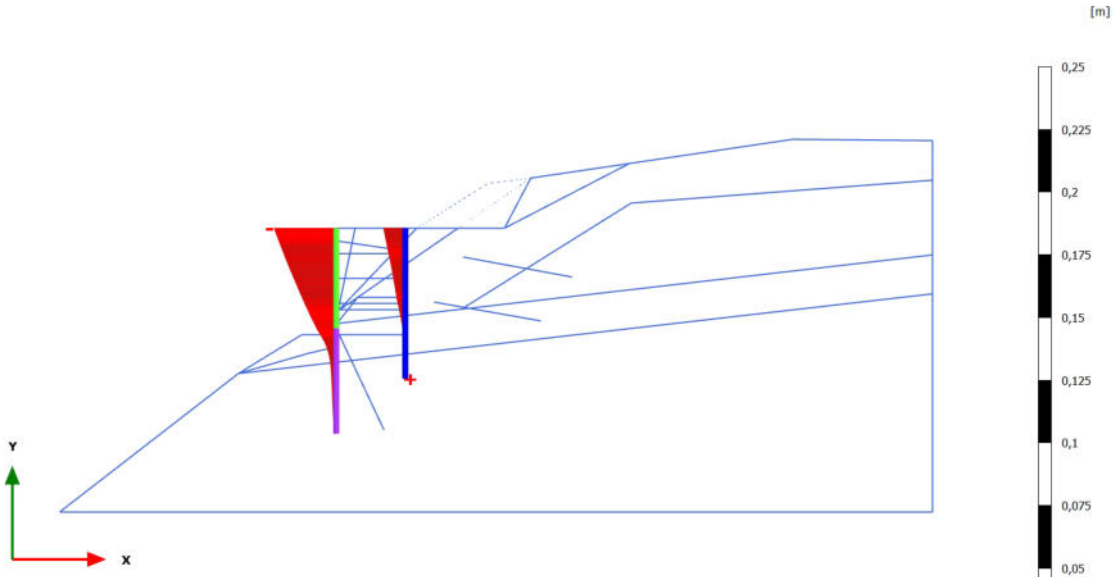

Total displacements u_x (scaled up 200 times)

Maximum value = $0{,}2230*10^{-3}$ m (Element 47 at Node 22535)

Minimum value = -0,02473 m (Element 1 at Node 15336)

3.1.1.1.1.34 Calculation results, Plate, SLE Paratia esistente [Phase_12] (12/1232), Total displacements u_x

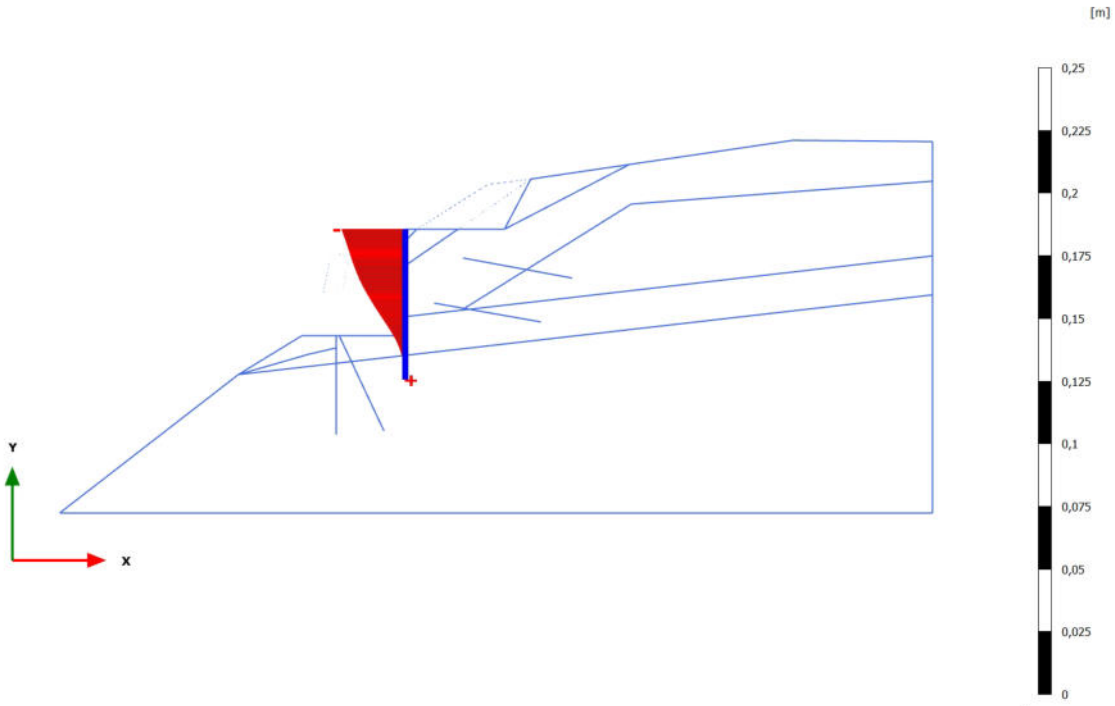

Total displacements u_x (scaled up 200 times)

Maximum value = $0{,}4160 \cdot 10^{-3}$ m (Element 47 at Node 22535)

Minimum value = -0,02526 m (Element 3 at Node 13320)

3.1.1.1.1.35 Calculation results, Plate, SLU11 Paratia esistente [Phase_13] (13/1235), Total displacements u_x

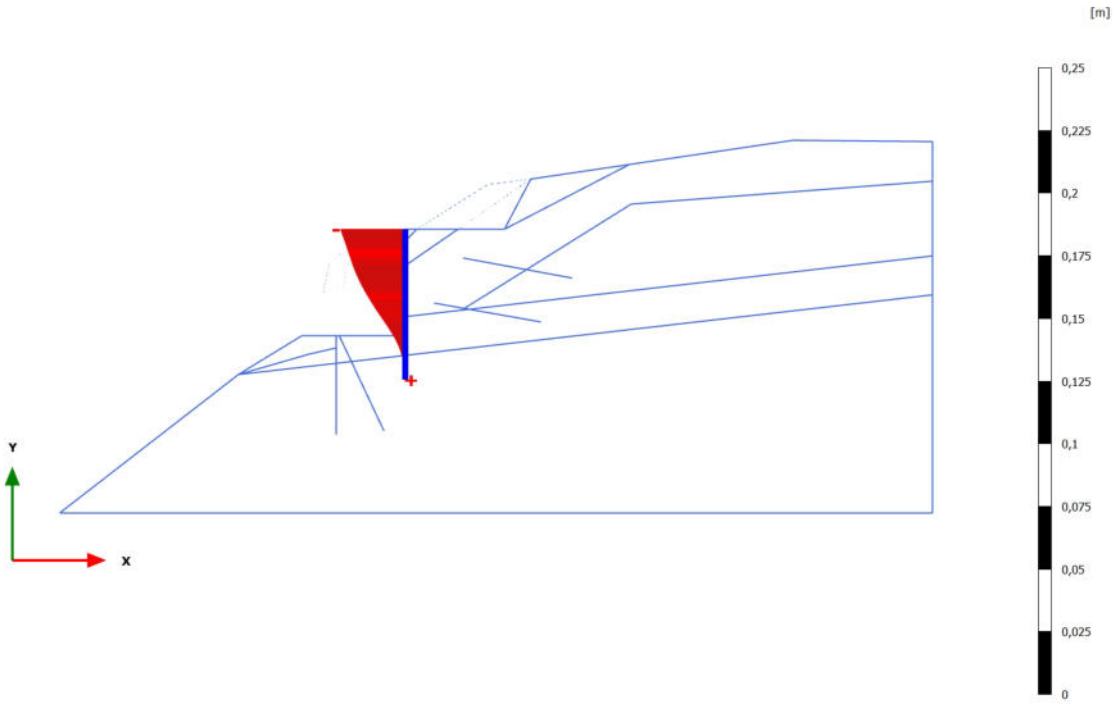

Total displacements u_x (scaled up 200 times)

Maximum value = 0,4271*10^{-3} m (Element 47 at Node 22535)

Minimum value = -0,02575 m (Element 3 at Node 13320)

3.1.1.1.1.36 Calculation results, Plate, SLU12 Paratia esistente [Phase_18] (18/1240), Total displacements u_x

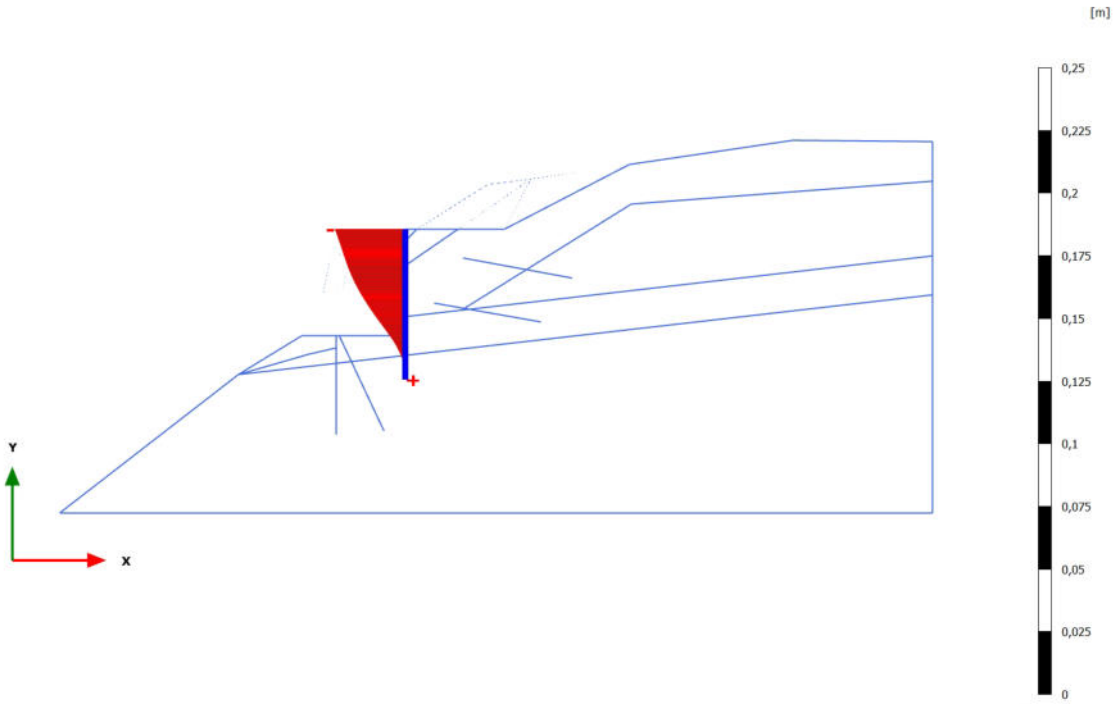

Total displacements u_x (scaled up 200 times)

Maximum value = 1,182*10^{-3} m (Element 47 at Node 22535)

Minimum value = -0,02790 m (Element 3 at Node 13320)

3.1.1.1.1.37 Calculation results, Plate, FS Paratia esistente [Phase_19] (19/1390), Total displacements u_x

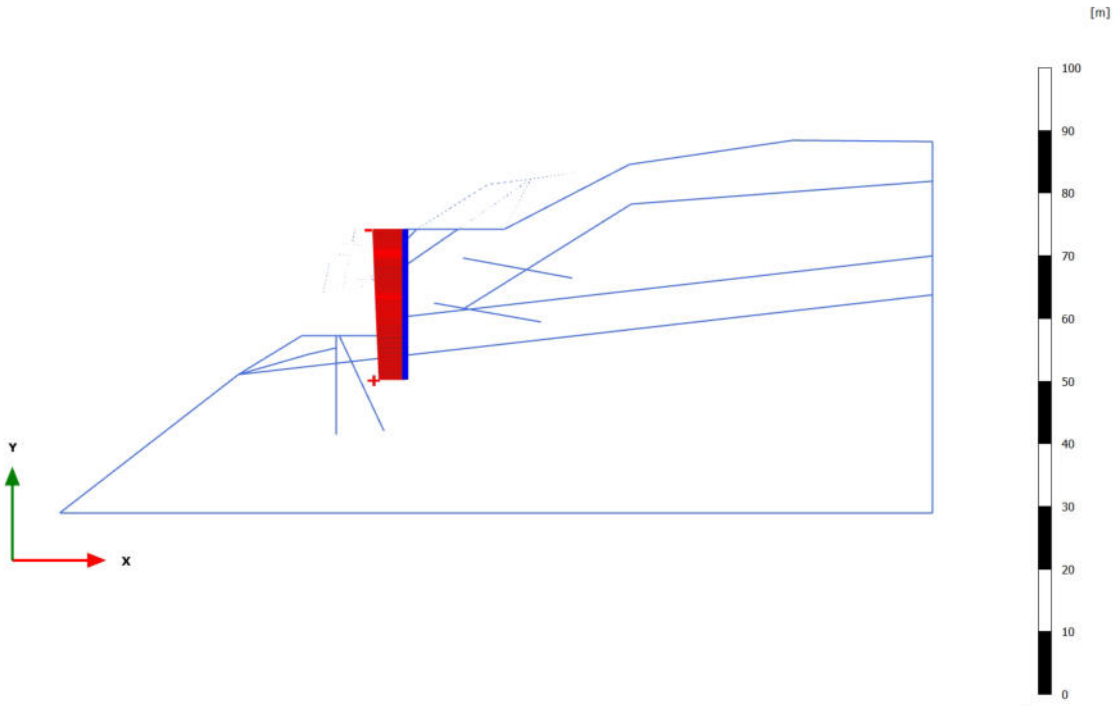

Total displacements u_x (scaled up 0,500 times)

Maximum value = -4,186 m (Element 47 at Node 22535)

Minimum value = -5,189 m (Element 3 at Node 13320)

3.1.1.1.1.38 Calculation results, Plate, FS [Phase_23] (23/1510), Total displacements u_x

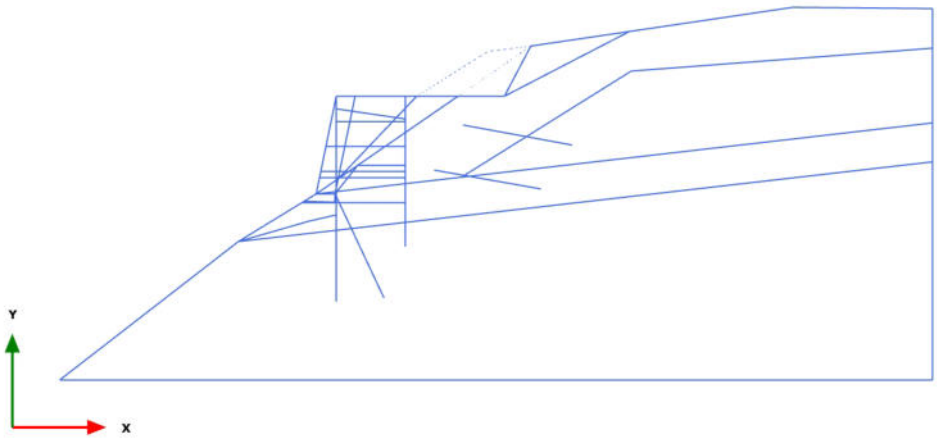

Total displacements u_x (at true scale)

No results

3.1.1.1.1.39 Calculation results, Plate, SLV [Phase_27] (27/1545), Total displacements u_x

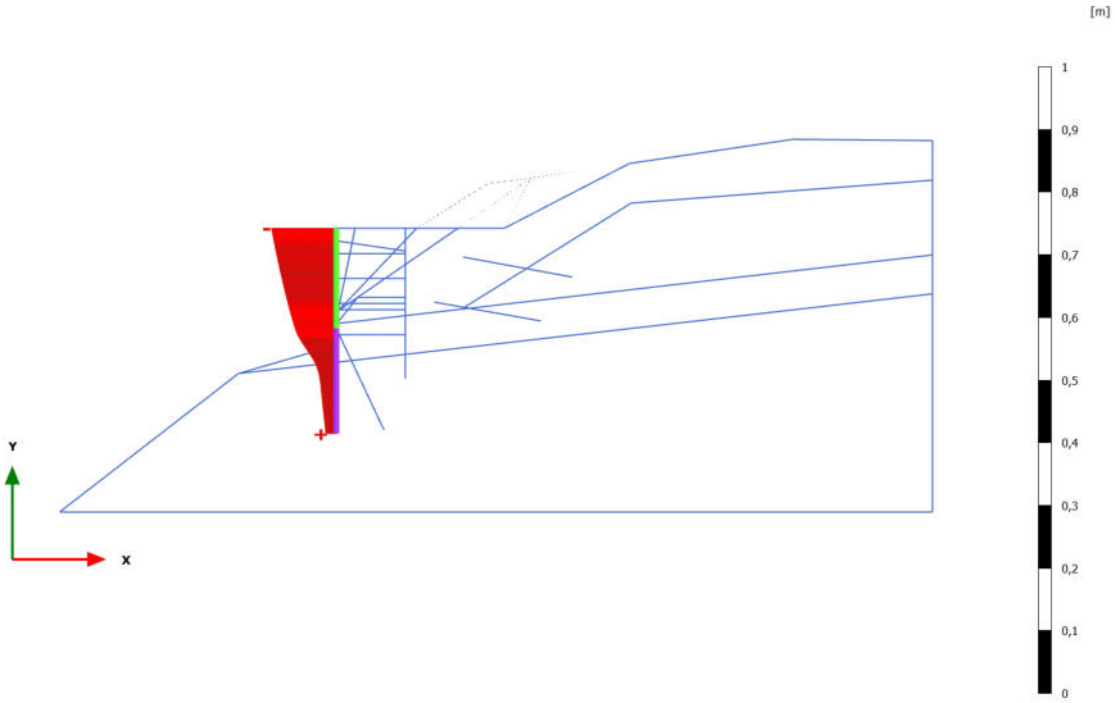

Total displacements u_x (scaled up 50,0 times)

Maximum value = -0,01643 m (Element 52 at Node 25014)

Minimum value = -0,1032 m (Element 1 at Node 15336)

3.1.2.1.1 Calculation results, Plate, Initial phase [InitialPhase] (0/11), Shear forces Q

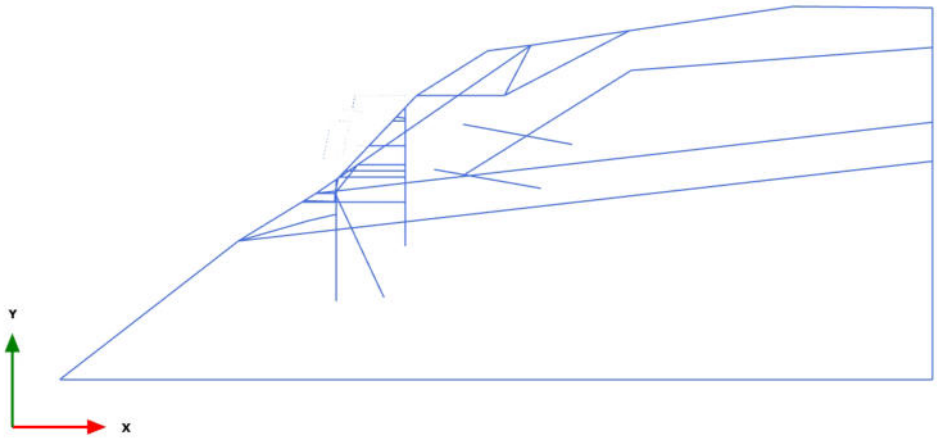

Shear forces Q (scaled up 1,00 times)

No results

3.1.2.1.2 Calculation results, Plate, Phase_1 [Phase_1] (1/14), Shear forces Q

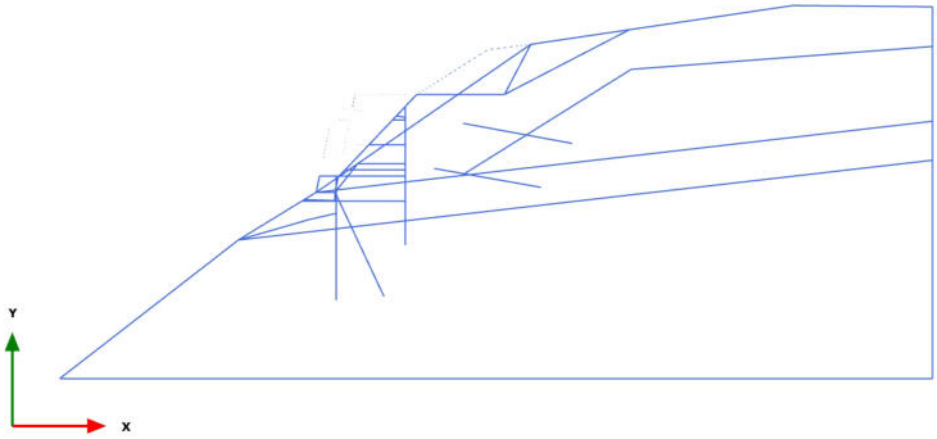

Shear forces Q (scaled up 1,00 times)

No results

3.1.2.1.3 Calculation results, Plate, Phase_2 [Phase_2] (2/26), Shear forces Q

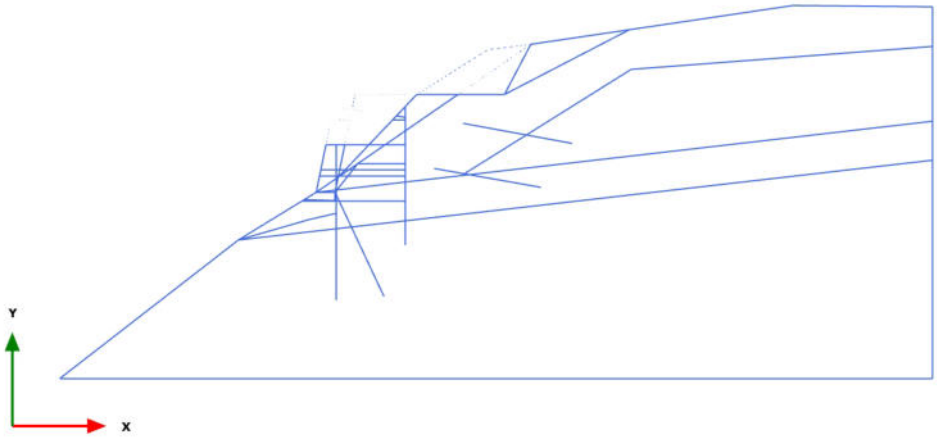

Shear forces Q (scaled up 1,00 times)

No results

3.1.2.1.4 Calculation results, Plate, Fine costruzione muro [Phase_3] (3/89), Shear forces Q

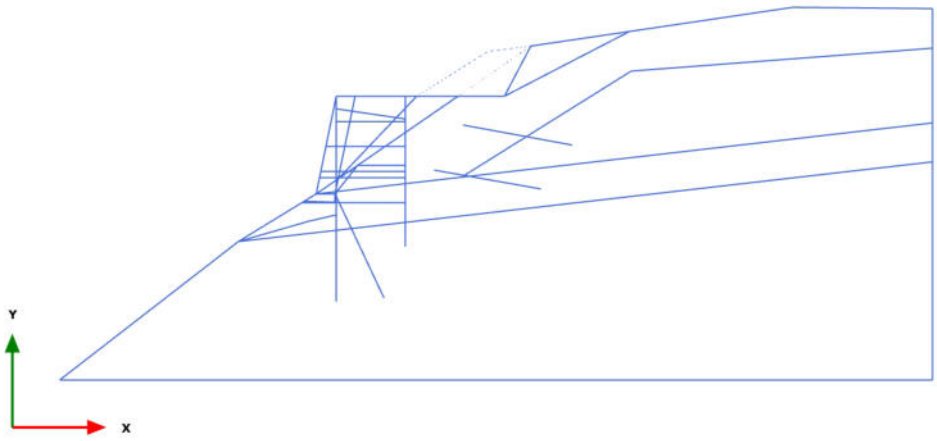

Shear forces Q (scaled up 1,00 times)

No results

3.1.2.1.5 Calculation results, Plate, (RD) Paratia [Phase_4] (4/92), Shear forces Q

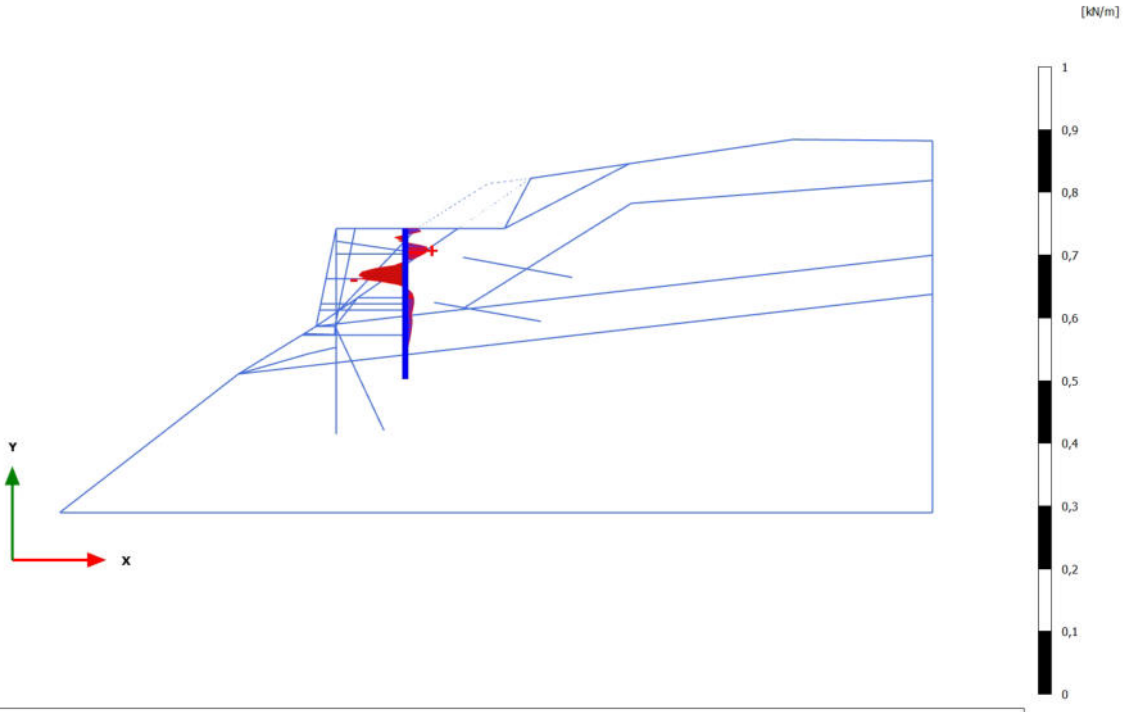

Shear forces Q (scaled up 50,0 times)

Maximum value = 0,03538 kN/m (Element 10 at Node 14233)

Minimum value = -0,07462 kN/m (Element 19 at Node 17175)

3.1.2.1.6 Calculation results, Plate, Voragine 1 [Phase_5] (5/110), Shear forces Q

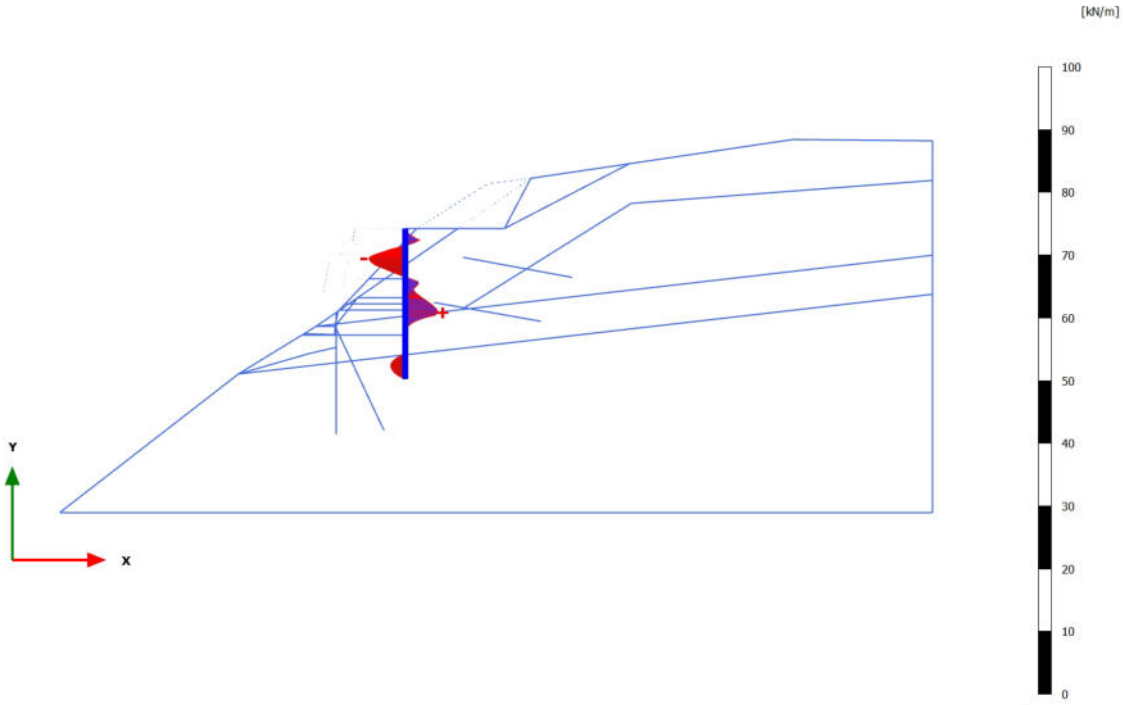

Shear forces Q (scaled up 0,500 times)

Maximum value = 5,180 kN/m (Element 30 at Node 20399)

Minimum value = -5,791 kN/m (Element 14 at Node 16291)

3.1.2.1.7 Calculation results, Plate, Voragine 2 [Phase_6] (6/134), Shear forces Q

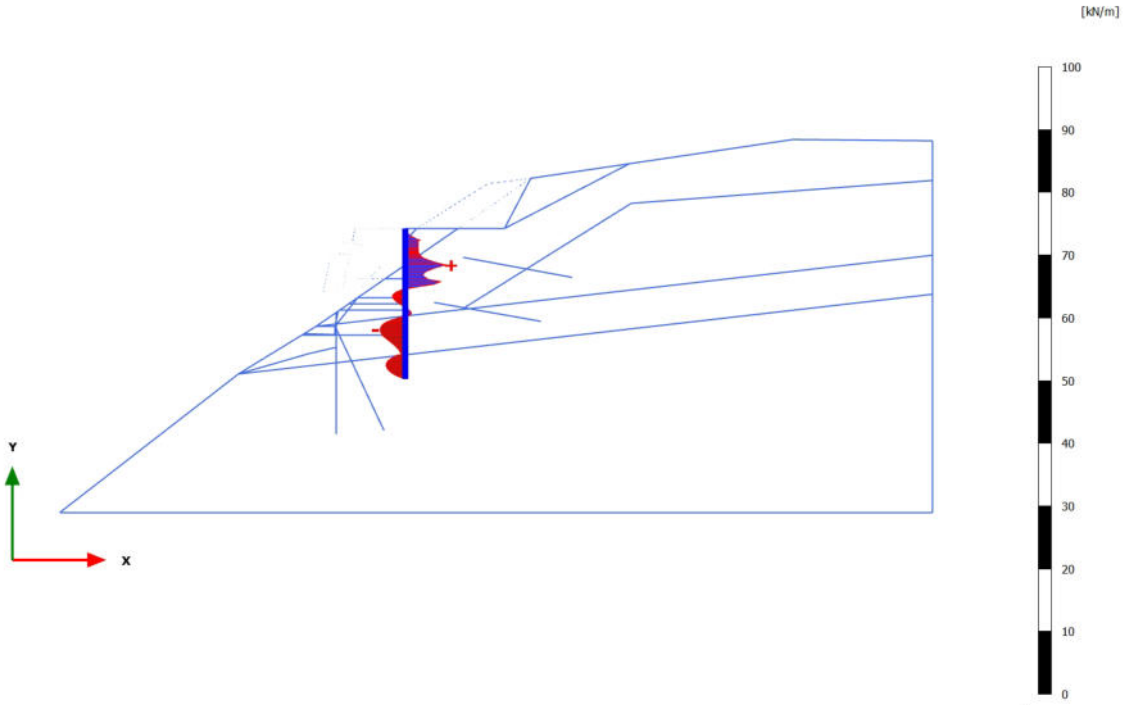

Shear forces Q (scaled up 0,500 times)

Maximum value = 6,539 kN/m (Element 17 at Node 16325)

Minimum value = -4,037 kN/m (Element 37 at Node 21132)

3.1.2.1.8 Calculation results, Plate, Mezzi (10 kPa) [Phase_7] (7/155), Shear forces Q

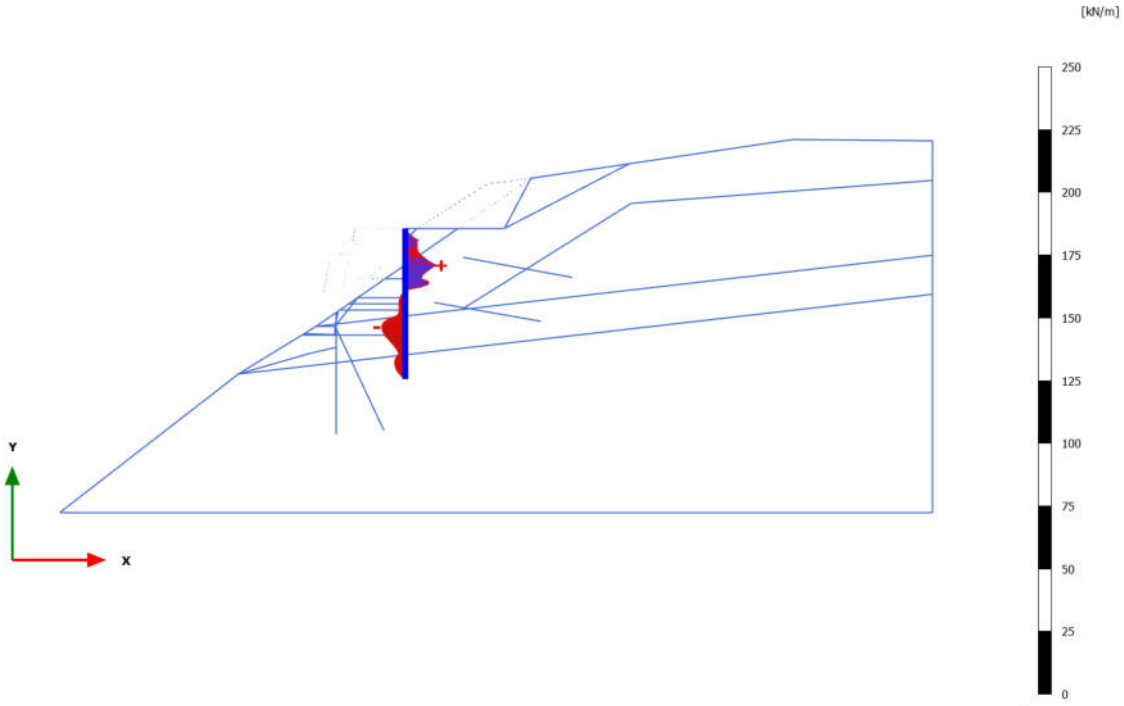

Shear forces Q (scaled up 0,200 times)

Maximum value = 12,34 kN/m (Element 17 at Node 16325)

Minimum value = -9,383 kN/m (Element 37 at Node 21133)

3.1.2.1.9 Calculation results, Plate, Micropalo ancoraggio 1 [Phase_8] (8/221), Shear forces Q

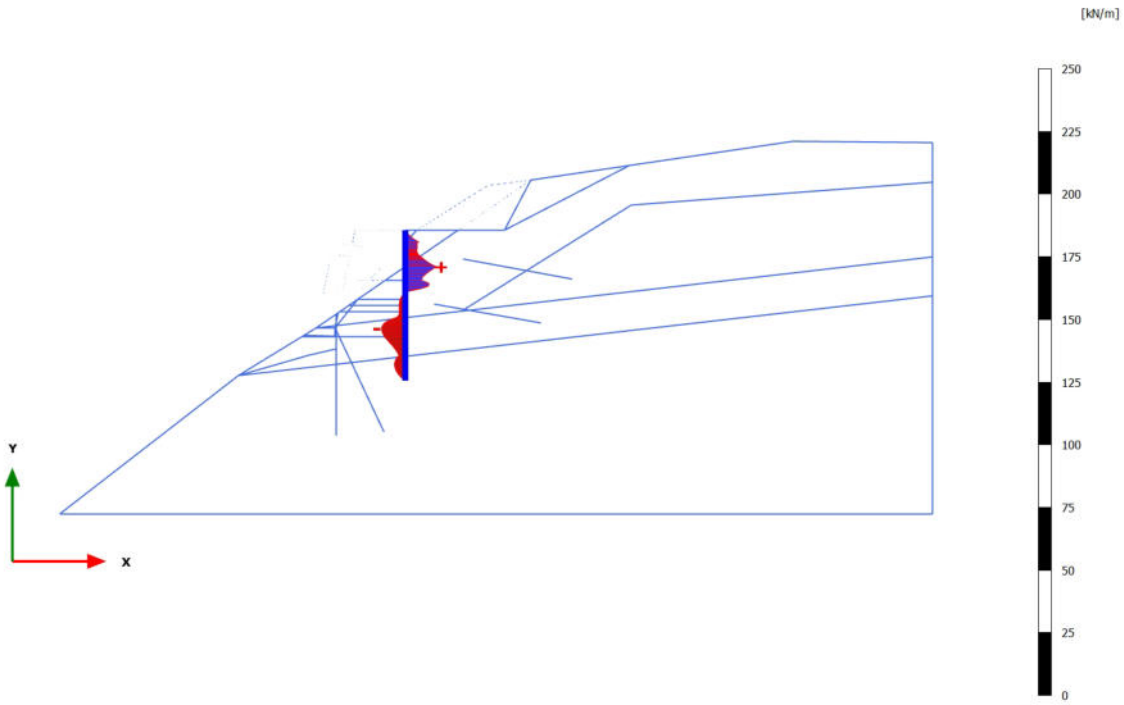

Shear forces Q (scaled up 0,200 times)

Maximum value = 12,37 kN/m (Element 17 at Node 16325)

Minimum value = -9,461 kN/m (Element 37 at Node 21133)

3.1.2.1.10 Calculation results, Plate, Escavo 1 [Phase_9] (9/235), Shear forces Q

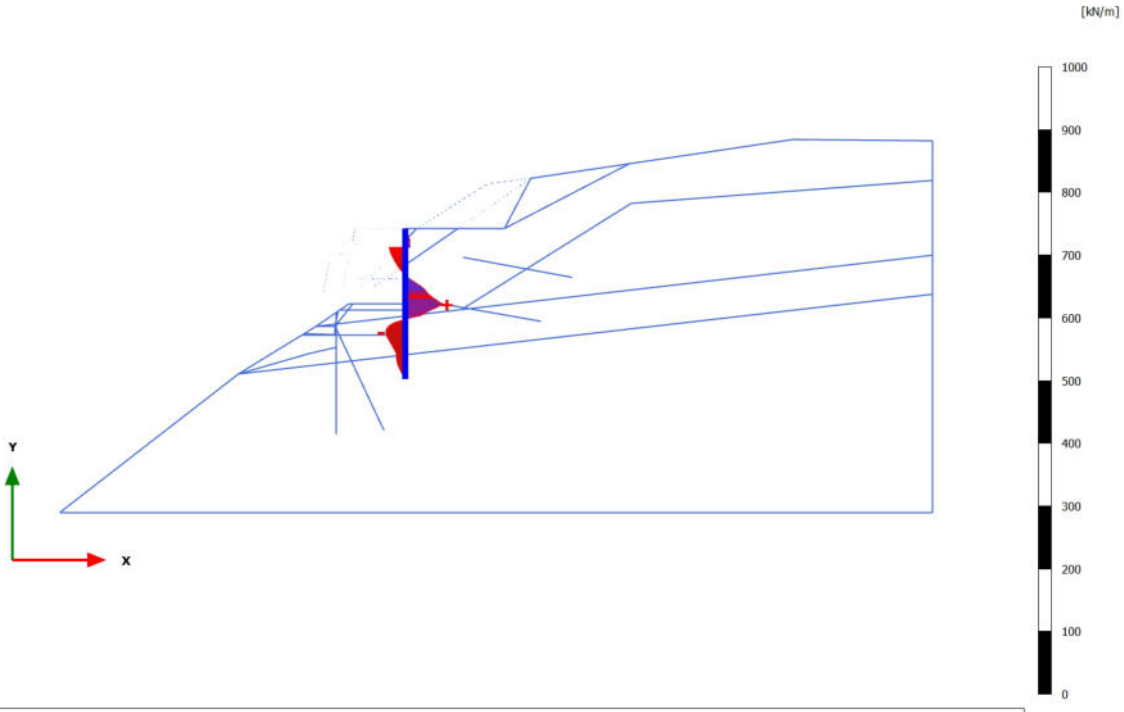

Shear forces Q (scaled up 0,0500 times)

Maximum value = 59,03 kN/m (Element 25 at Node 19633)

Minimum value = -31,15 kN/m (Element 37 at Node 21131)

3.1.2.1.11 Calculation results, Plate, Micropalo ancoraggio 2 [Phase_35] (35/309), Shear forces Q

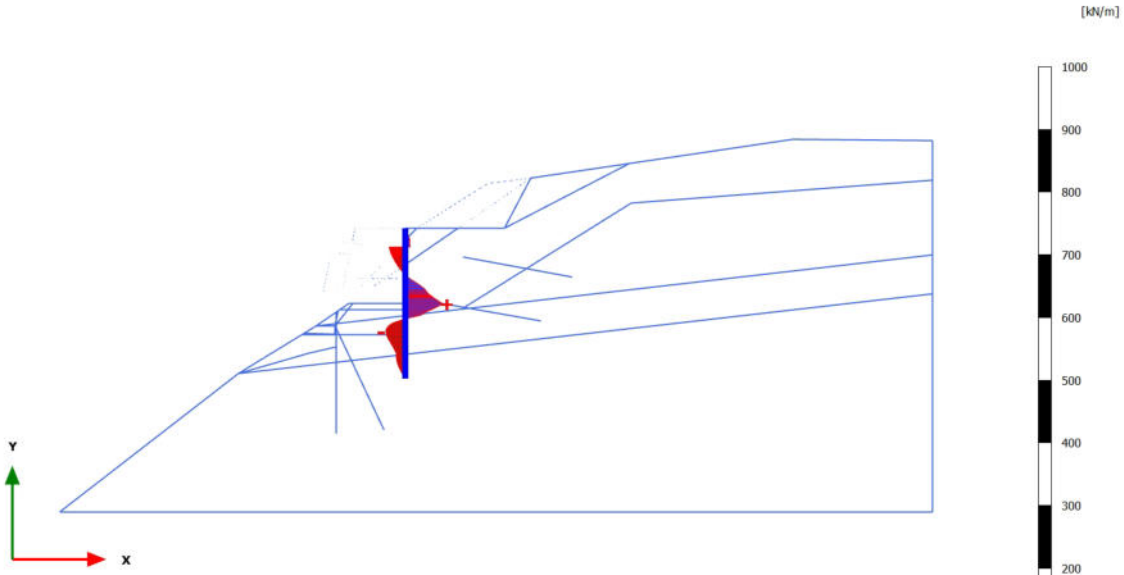

Shear forces Q (scaled up 0,0500 times)

Maximum value = 59,08 kN/m (Element 25 at Node 19633)

Minimum value = -31,21 kN/m (Element 37 at Node 21131)

3.1.2.1.12 Calculation results, Plate, Escavo 2 [Phase_10] (10/318), Shear forces Q

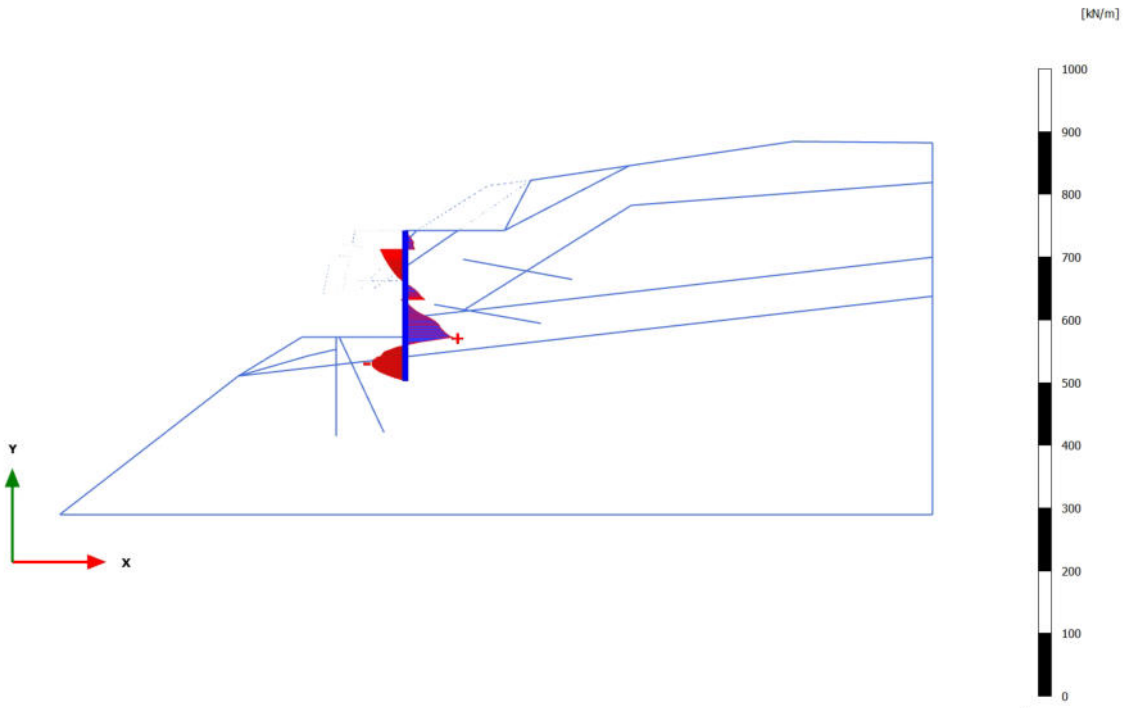

Shear forces Q (scaled up 0,0500 times)

Maximum value = 75,93 kN/m (Element 44 at Node 21634)

Minimum value = -53,33 kN/m (Element 46 at Node 22104)

3.1.2.1.13 Calculation results, Plate, (RIEMP A SBALZO) Micropali e parete [Phase_14] (14/320), Shear forces Q

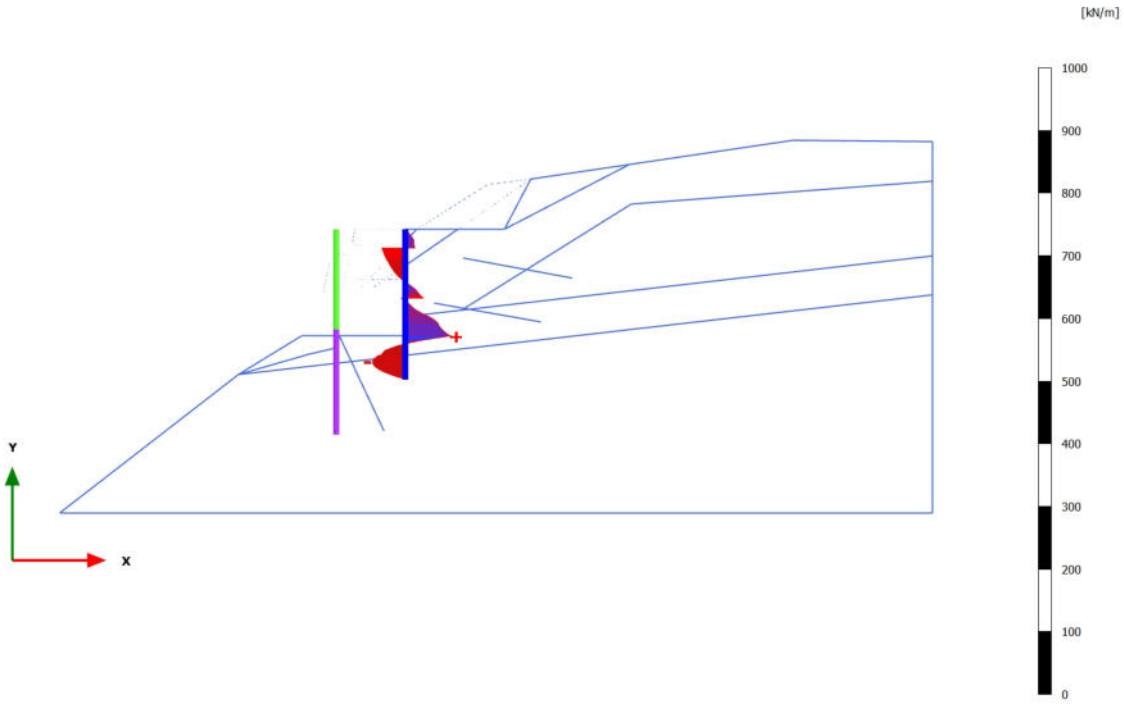

Shear forces Q (scaled up 0,0500 times)

Maximum value = 73,99 kN/m (Element 44 at Node 21634)

Minimum value = -52,03 kN/m (Element 46 at Node 22104)

3.1.2.1.14 Calculation results, Plate, Riempimento 1 [Phase_15] (15/506), Shear forces Q

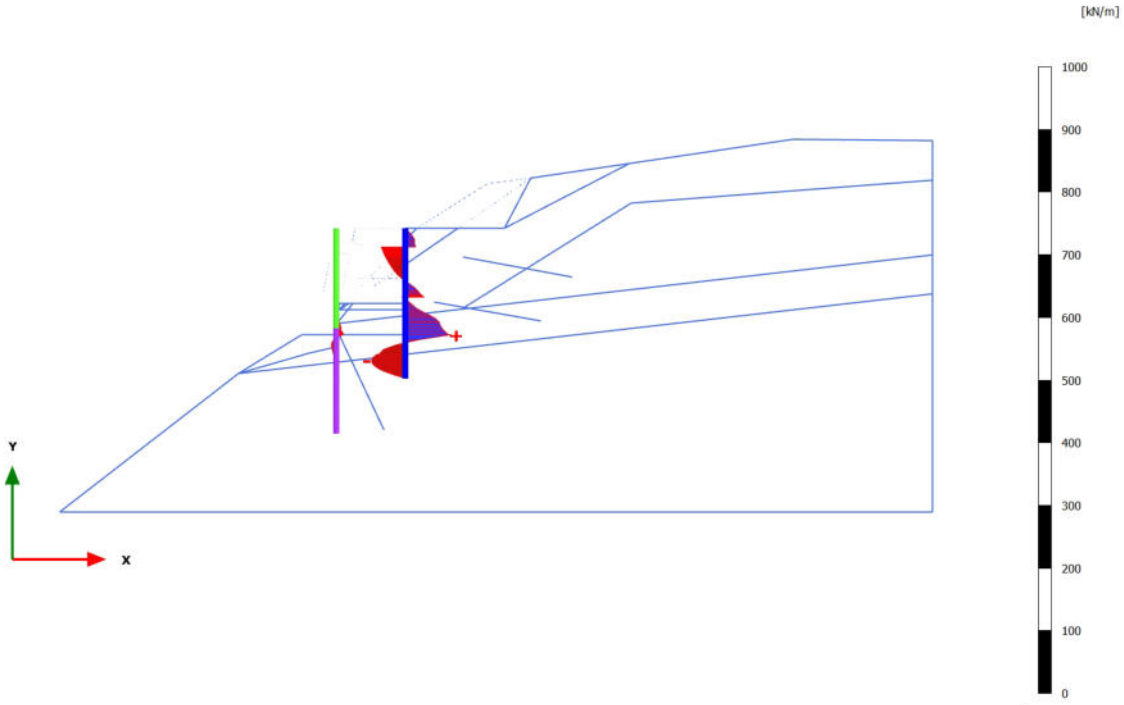

Shear forces Q (scaled up 0,0500 times)

Maximum value = 73,41 kN/m (Element 44 at Node 21634)

Minimum value = -53,80 kN/m (Element 46 at Node 22104)

3.1.2.1.15 Calculation results, Plate, Collegamento ancoraggio 1 [Phase_36] (36/614), Shear forces Q

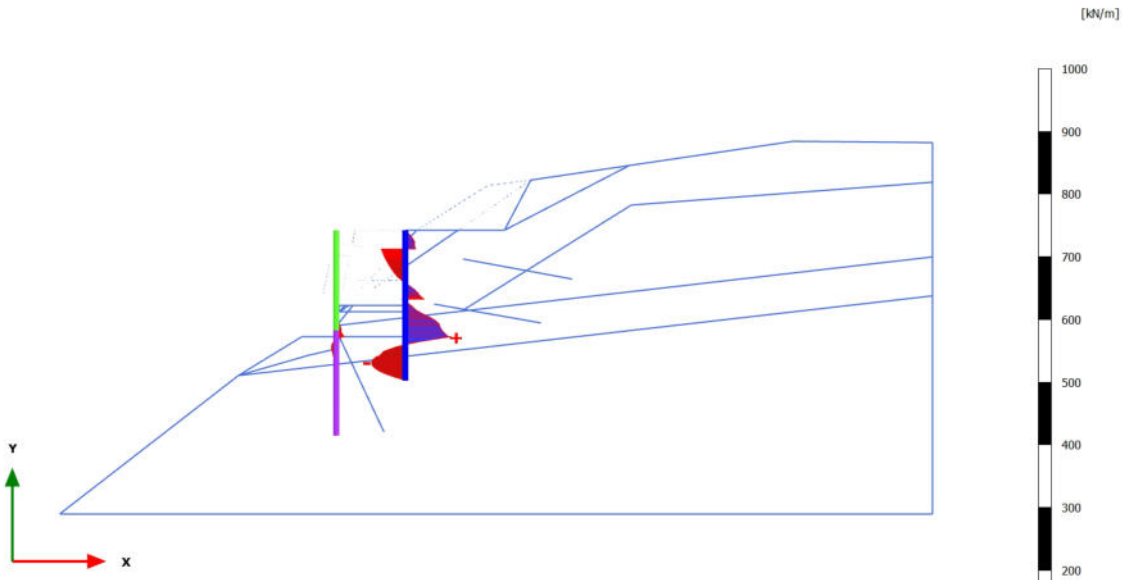

Shear forces Q (scaled up 0,0500 times)

Maximum value = 73,39 kN/m (Element 44 at Node 21634)

Minimum value = -53,82 kN/m (Element 46 at Node 22104)

3.1.2.1.16 Calculation results, Plate, Riempimento 2 [Phase_16] (16/640), Shear forces Q

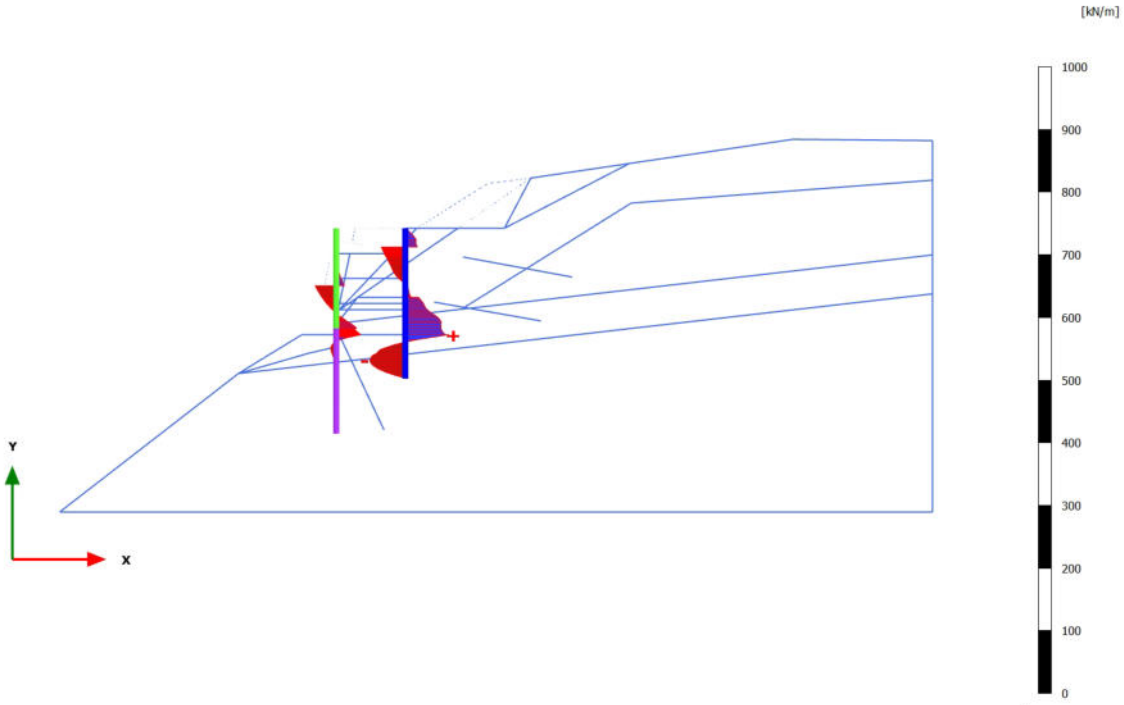

Shear forces Q (scaled up 0,0500 times)

Maximum value = 69,39 kN/m (Element 44 at Node 21634)

Minimum value = -56,57 kN/m (Element 46 at Node 22104)

3.1.2.1.17 Calculation results, Plate, Riempimento 3 ed estensione tirante [Phase_17] (17/646), Shear forces Q

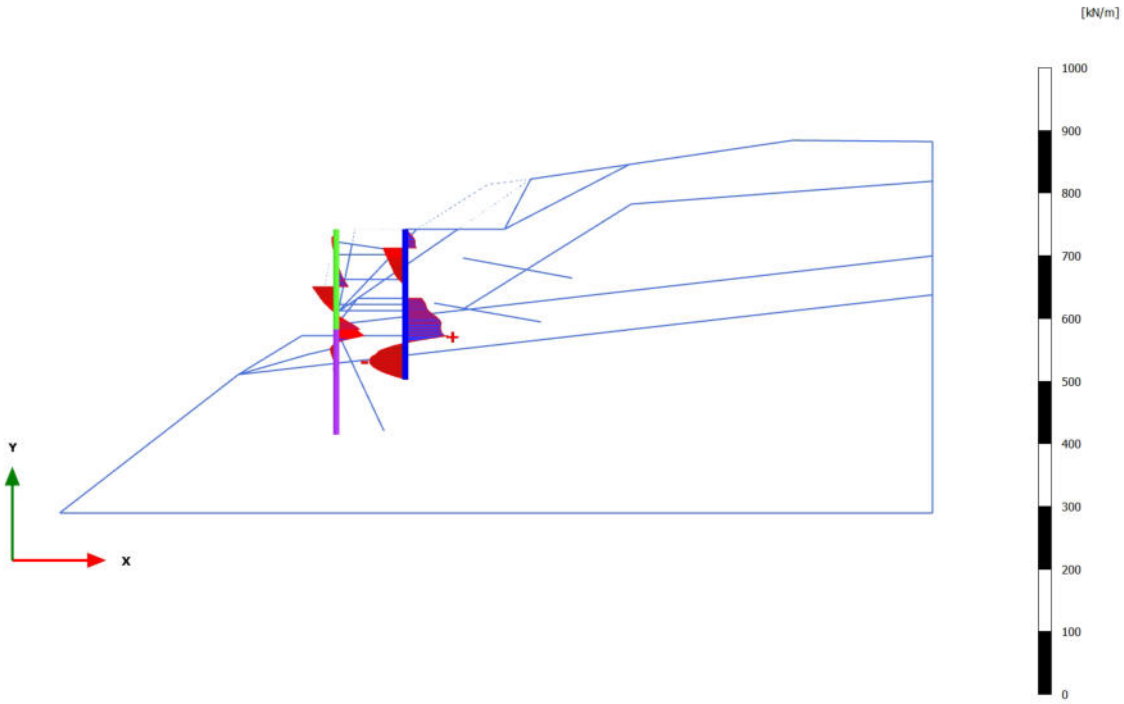

Shear forces Q (scaled up 0,0500 times)

Maximum value = 68,51 kN/m (Element 44 at Node 21634)

Minimum value = -57,21 kN/m (Element 46 at Node 22104)

3.1.2.1.18 Calculation results, Plate, Riempimento 4 [Phase_25] (25/655), Shear forces Q

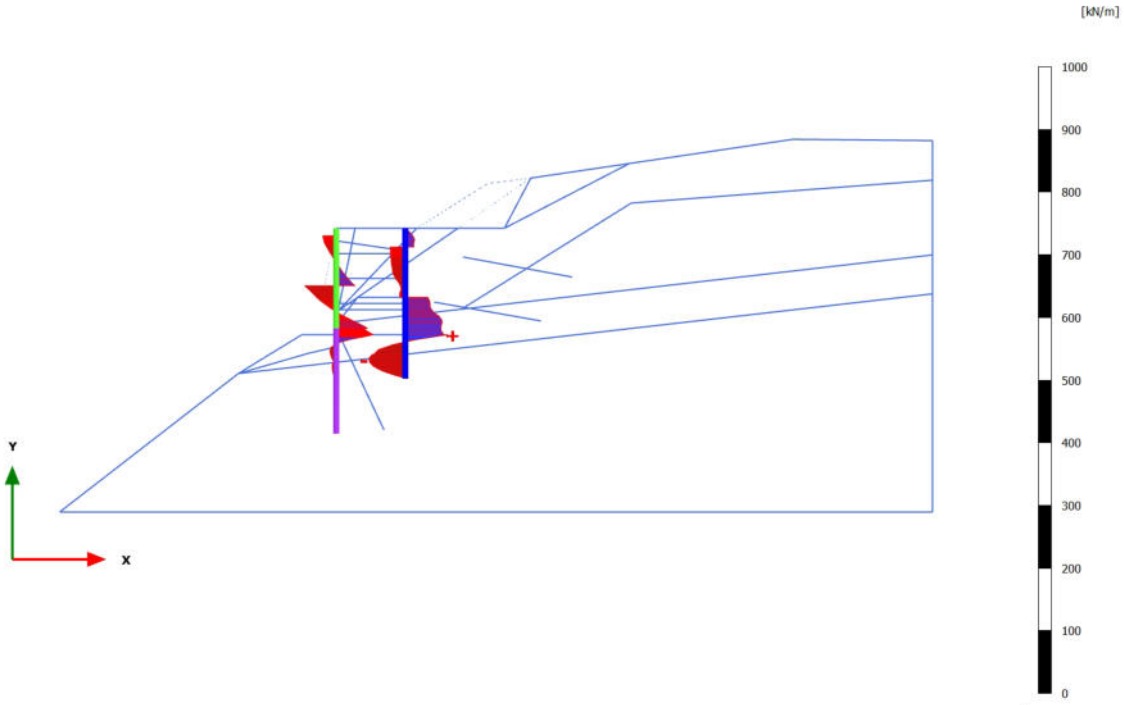

Shear forces Q (scaled up 0,0500 times)

Maximum value = 67,87 kN/m (Element 44 at Node 21634)

Minimum value = -57,98 kN/m (Element 46 at Node 22104)

3.1.2.1.19 Calculation results, Plate, Disattivazione paratia esistente [Phase_26] (26/660), Shear forces Q

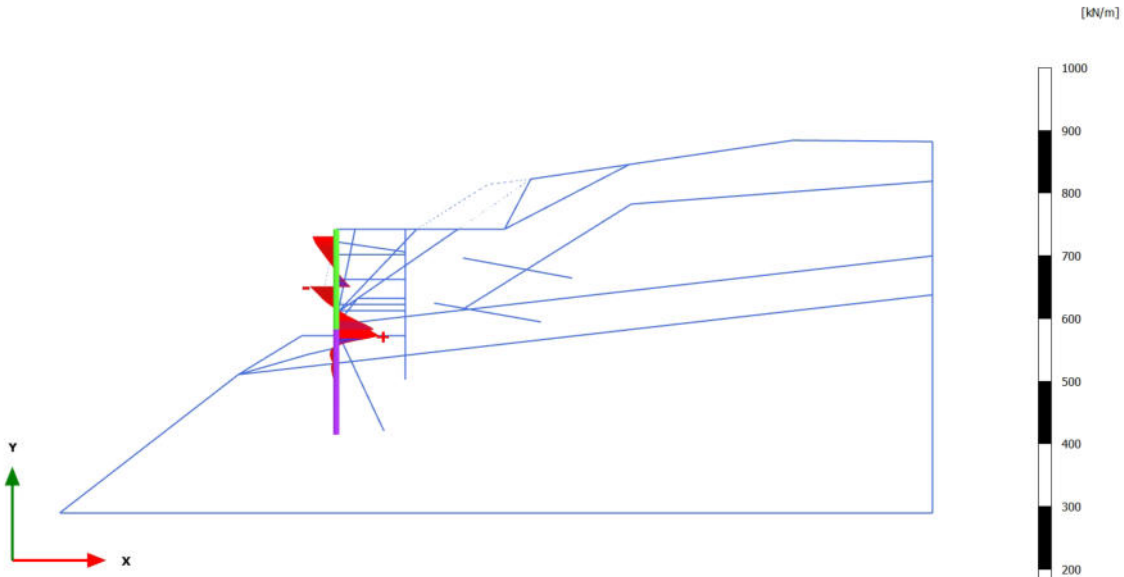

Shear forces Q (scaled up 0,0500 times)

Maximum value = 67,66 kN/m (Element 41 at Node 23191)

Minimum value = -41,06 kN/m (Element 22 at Node 18049)

3.1.2.1.20 Calculation results, Plate, Eccezionale paratia esistente [Phase_34] (34/668), Shear forces Q

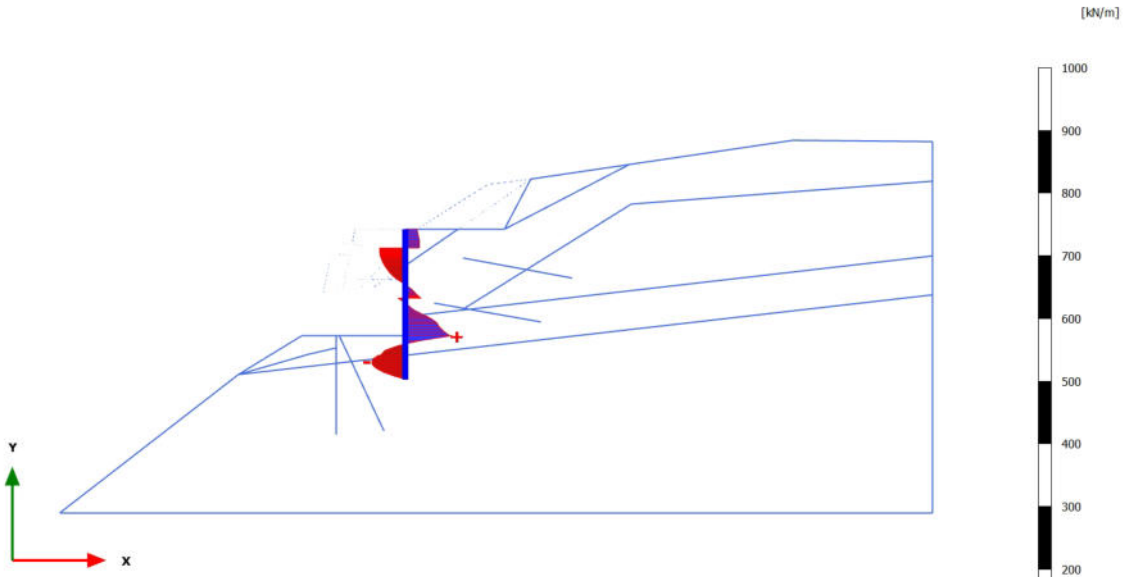

Shear forces Q (scaled up 0,0500 times)

Maximum value = 75,02 kN/m (Element 44 at Node 21634)

Minimum value = -53,49 kN/m (Element 46 at Node 22104)

3.1.2.1.21 Calculation results, Plate, Eccezionale [Phase_24] (24/712), Shear forces Q

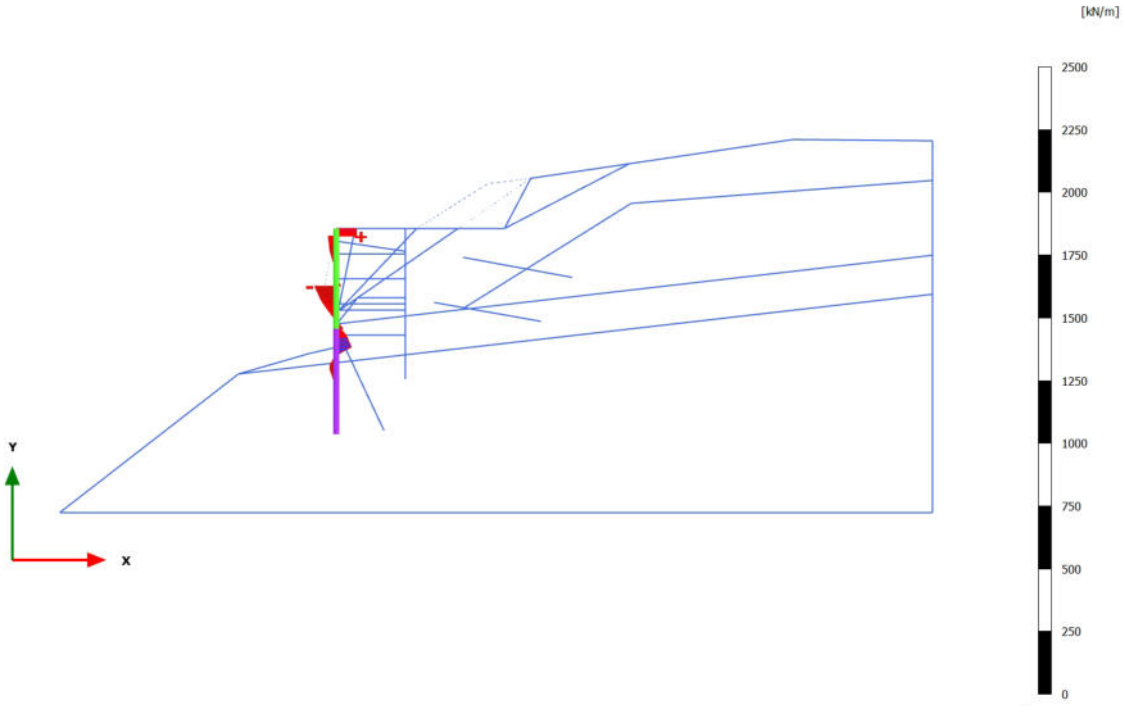

Shear forces Q (scaled up 0,0200 times)

Maximum value = 81,38 kN/m (Element 4 at Node 15405)

Minimum value = -85,97 kN/m (Element 22 at Node 18049)

3.1.2.1.22 Calculation results, Plate, SLU11 [Phase_29] (29/723), Shear forces Q

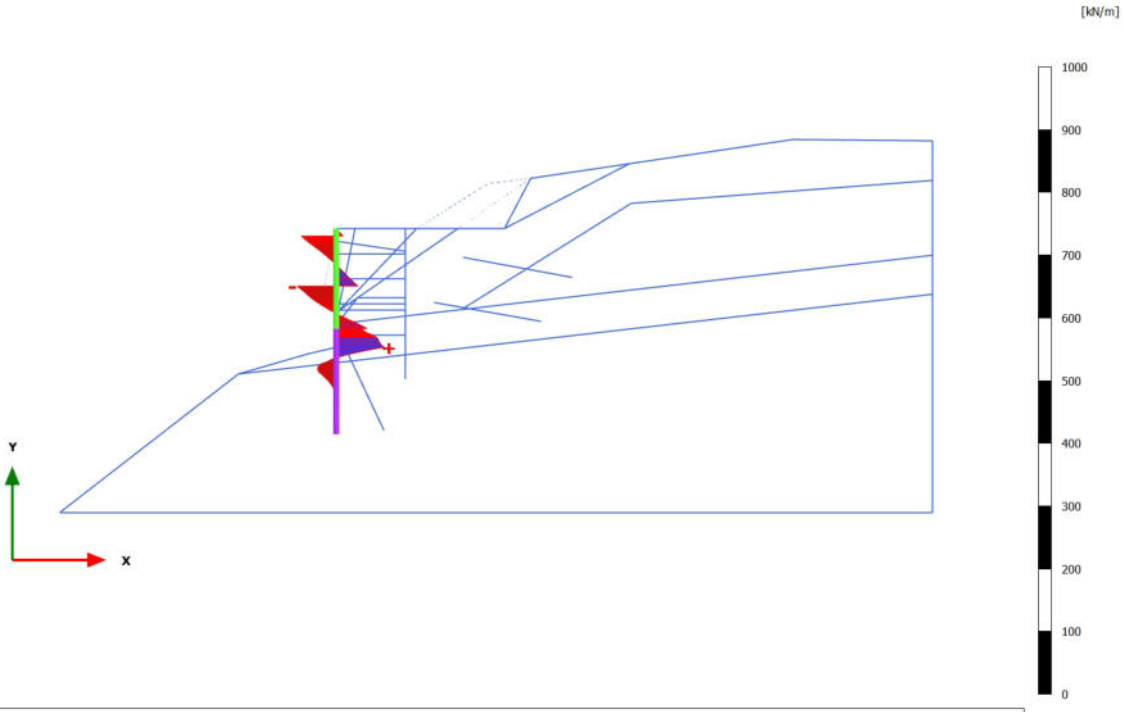

Shear forces Q (scaled up 0,0500 times)

Maximum value = 76,59 kN/m (Element 43 at Node 23981)

Minimum value = -62,27 kN/m (Element 22 at Node 18049)

3.1.2.1.23 Calculation results, Plate, M2 [Phase_30] (30/770), Shear forces Q

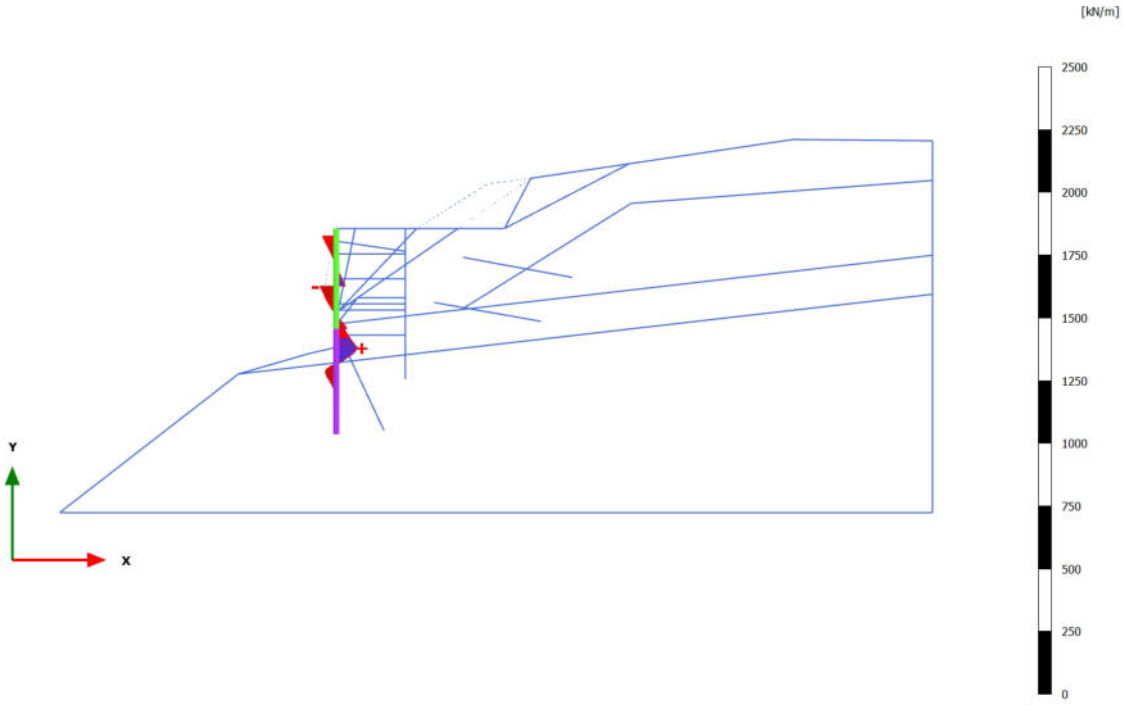

Shear forces Q (scaled up 0,0200 times)

Maximum value = 83,60 kN/m (Element 43 at Node 23981)

Minimum value = -65,39 kN/m (Element 22 at Node 18049)

3.1.2.1.24 Calculation results, Plate, SLU12 [Phase_31] (31/776), Shear forces Q

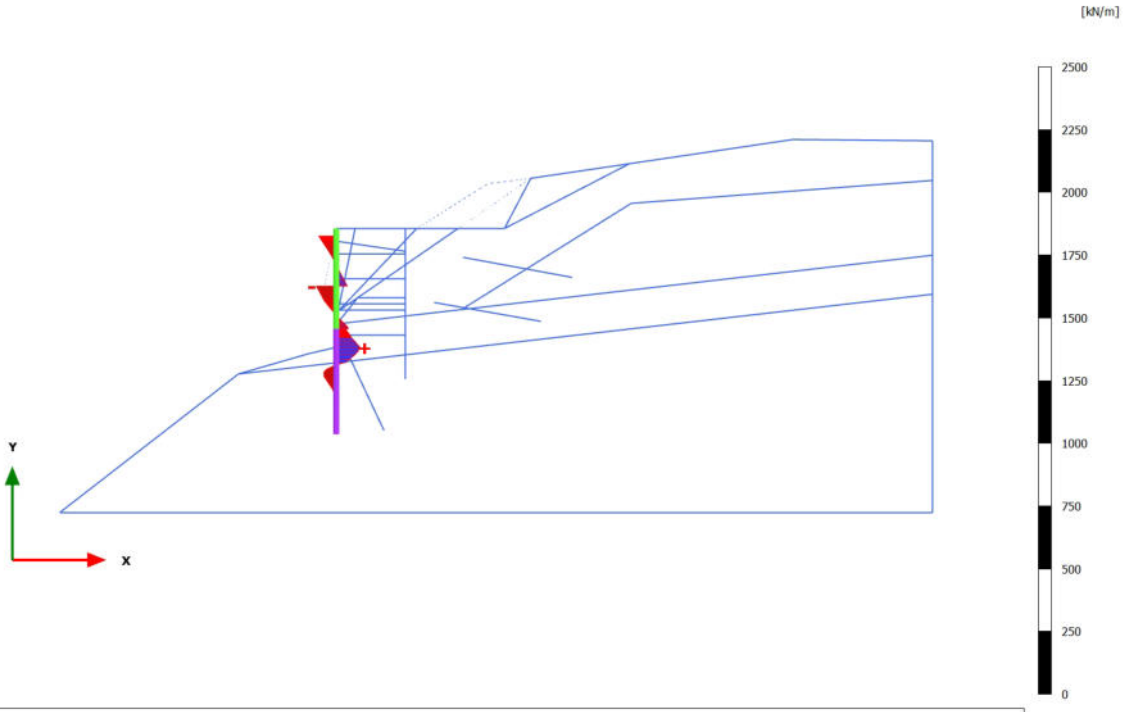

Shear forces Q (scaled up 0,0200 times)

Maximum value = 94,77 kN/m (Element 43 at Node 23981)

Minimum value = -79,67 kN/m (Element 22 at Node 18049)

3.1.2.1.25 Calculation results, Plate, SLU12 SG [Phase_21] (21/779), Shear forces Q

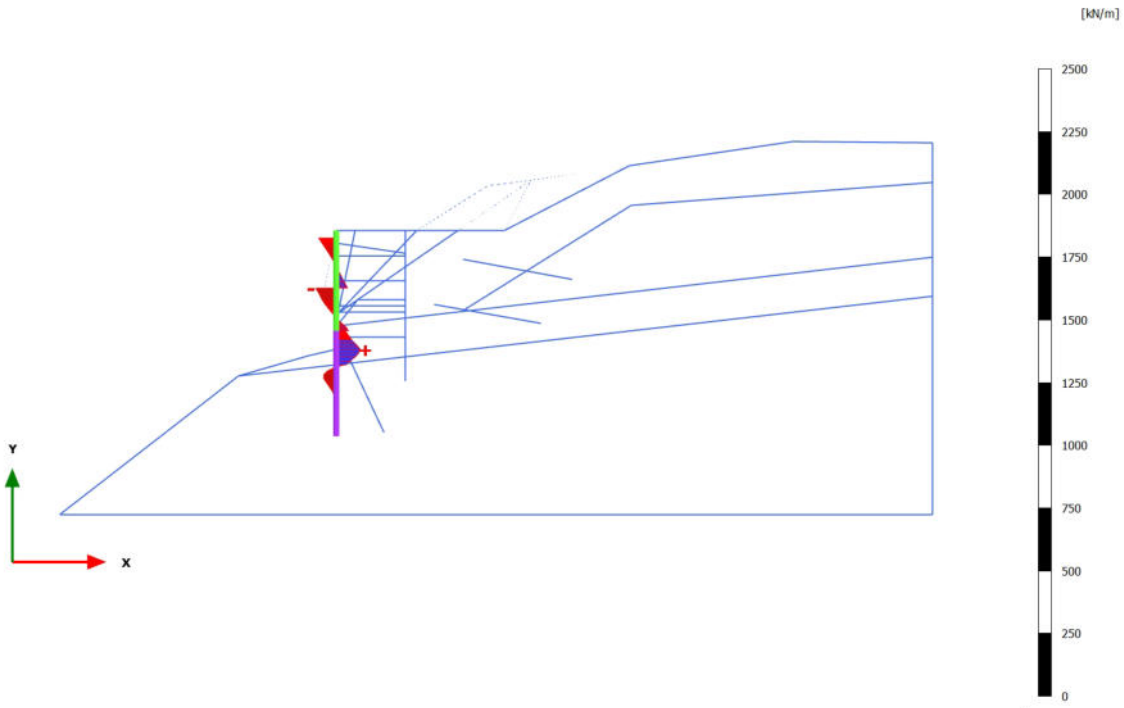

Shear forces Q (scaled up 0,0200 times)

Maximum value = 96,59 kN/m (Element 43 at Node 23981)

Minimum value = -81,66 kN/m (Element 22 at Node 18049)

3.1.2.1.26 Calculation results, Plate, FS SLU12 [Phase_20] (20/879), Shear forces Q

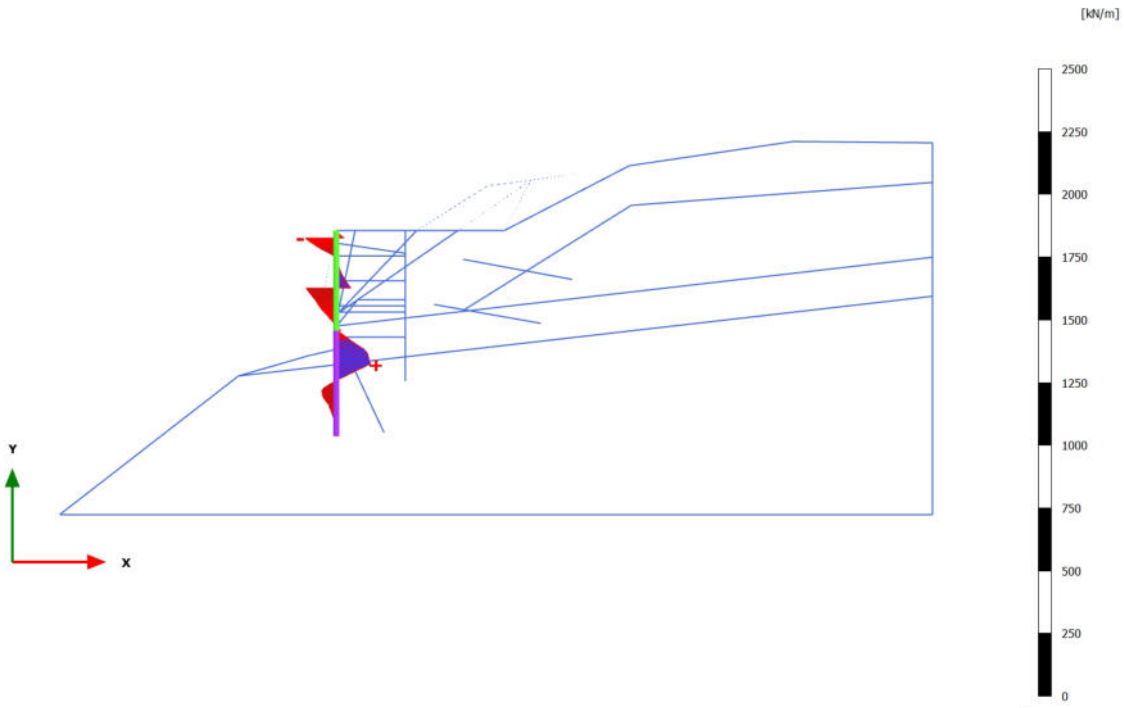

Shear forces Q (scaled up 0,0200 times)

Maximum value = 138,7 kN/m (Element 45 at Node 24131)

Minimum value = -123,7 kN/m (Element 5 at Node 15405)

3.1.2.1.27 Calculation results, Plate, SLE [Phase_11] (11/883), Shear forces Q

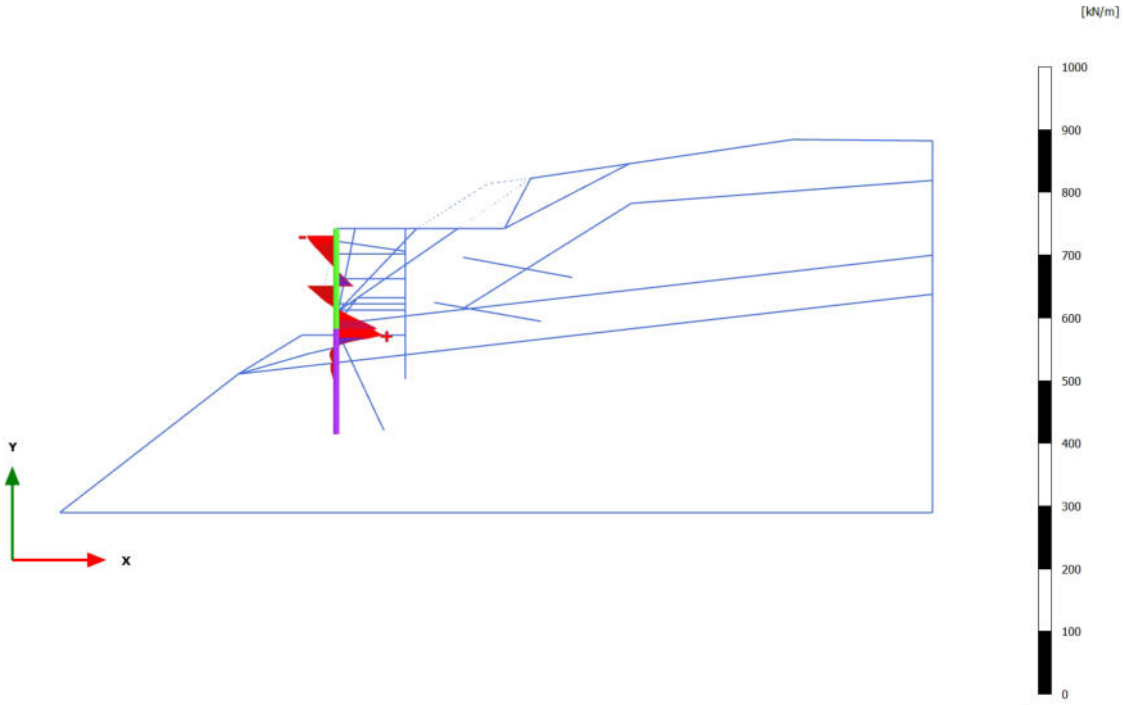

Shear forces Q (scaled up 0,0500 times)

Maximum value = 73,09 kN/m (Element 41 at Node 23191)

Minimum value = -46,51 kN/m (Element 5 at Node 15405)

3.1.2.1.28 Calculation results, Plate, SLV + stab globale [Phase_22] (22/896), Shear forces Q

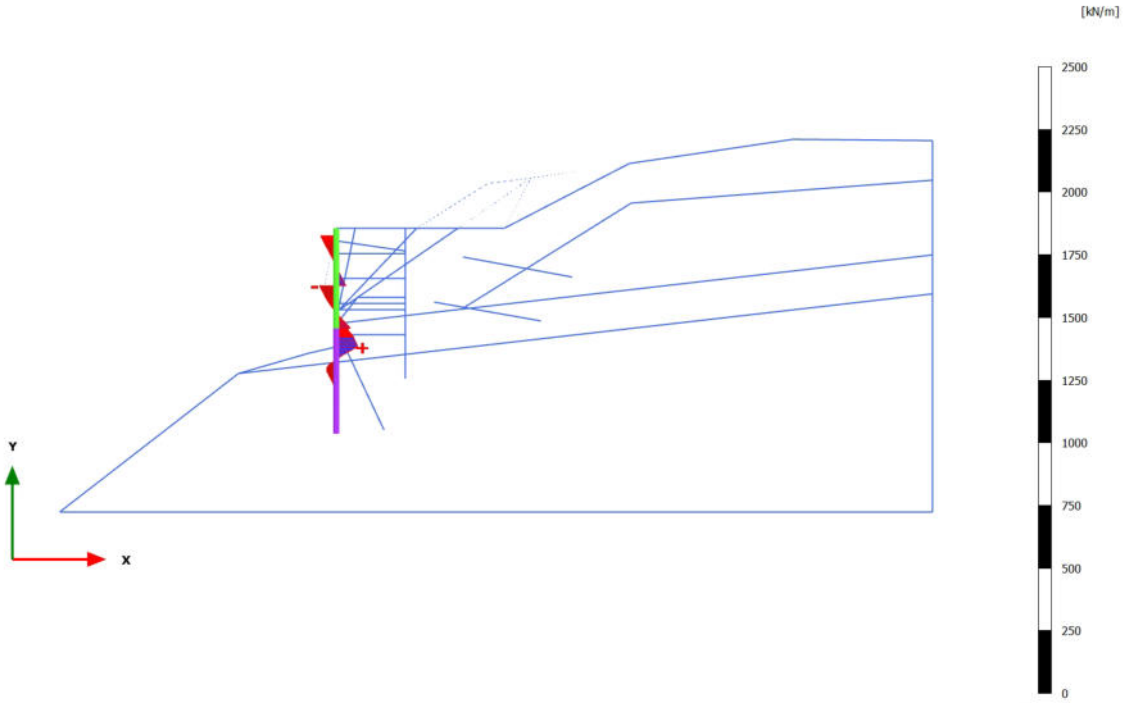

Shear forces Q (scaled up 0,0200 times)

Maximum value = 85,39 kN/m (Element 43 at Node 23981)

Minimum value = -67,36 kN/m (Element 22 at Node 18049)

3.1.2.1.29 Calculation results, Plate, FS SLV+ [Phase_28] (28/1046), Shear forces Q

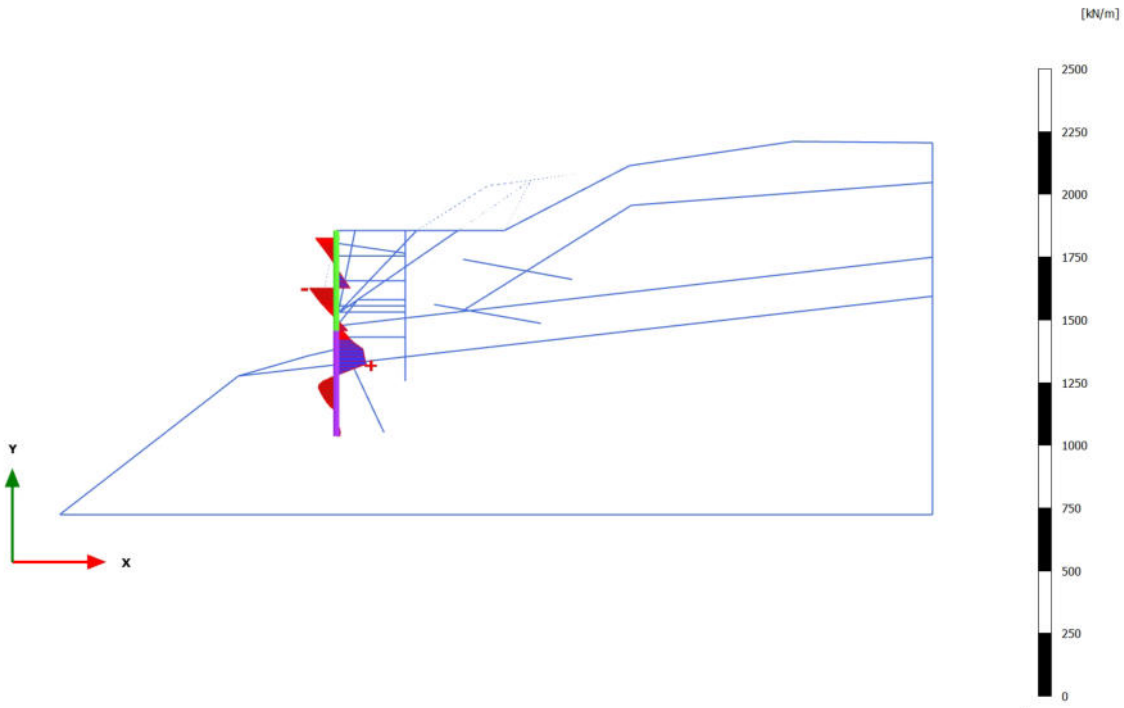

Shear forces Q (scaled up 0,0200 times)

Maximum value = 121,2 kN/m (Element 45 at Node 24131)

Minimum value = -107,1 kN/m (Element 22 at Node 18049)

3.1.2.1.30 Calculation results, Plate, SLV - stab globale [Phase_32] (32/1056), Shear forces Q

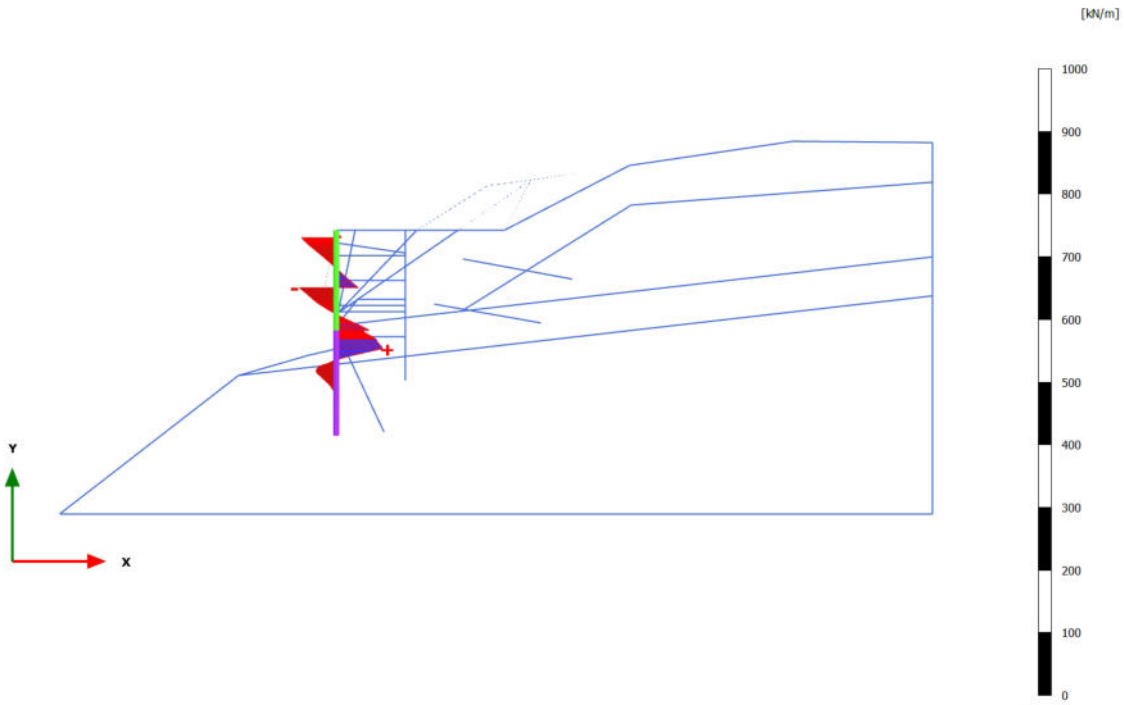

Shear forces Q (scaled up 0,0500 times)

Maximum value = 73,84 kN/m (Element 43 at Node 23981)

Minimum value = -58,92 kN/m (Element 22 at Node 18049)

3.1.2.1.31 Calculation results, Plate, FS SLV - [Phase_33] (33/1156), Shear forces Q

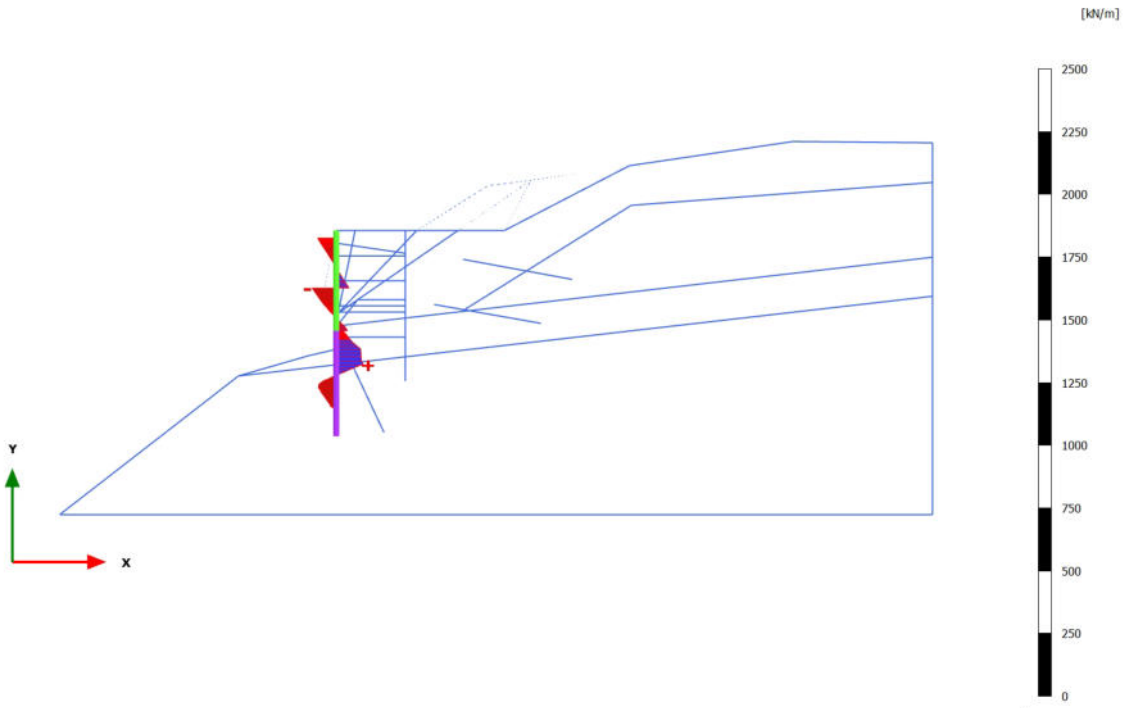

Shear forces Q (scaled up 0,0200 times)

Maximum value = 107,8 kN/m (Element 45 at Node 24131)

Minimum value = -96,43 kN/m (Element 22 at Node 18049)

3.1.2.1.32 Calculation results, Plate, SLD [Phase_38] (38/1178), Shear forces Q

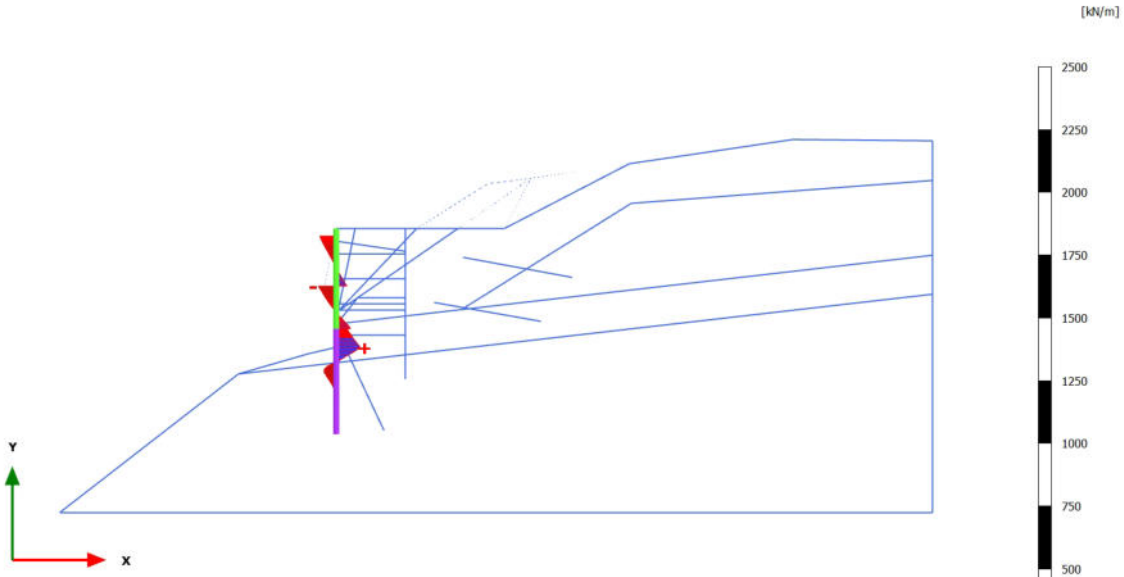

Shear forces Q (scaled up 0,0200 times)

Maximum value = 95,61 kN/m (Element 43 at Node 23981)

Minimum value = -71,68 kN/m (Element 22 at Node 18049)

3.1.2.1.33 Calculation results, Plate, q rullo [Phase_37] (37/1187), Shear forces Q

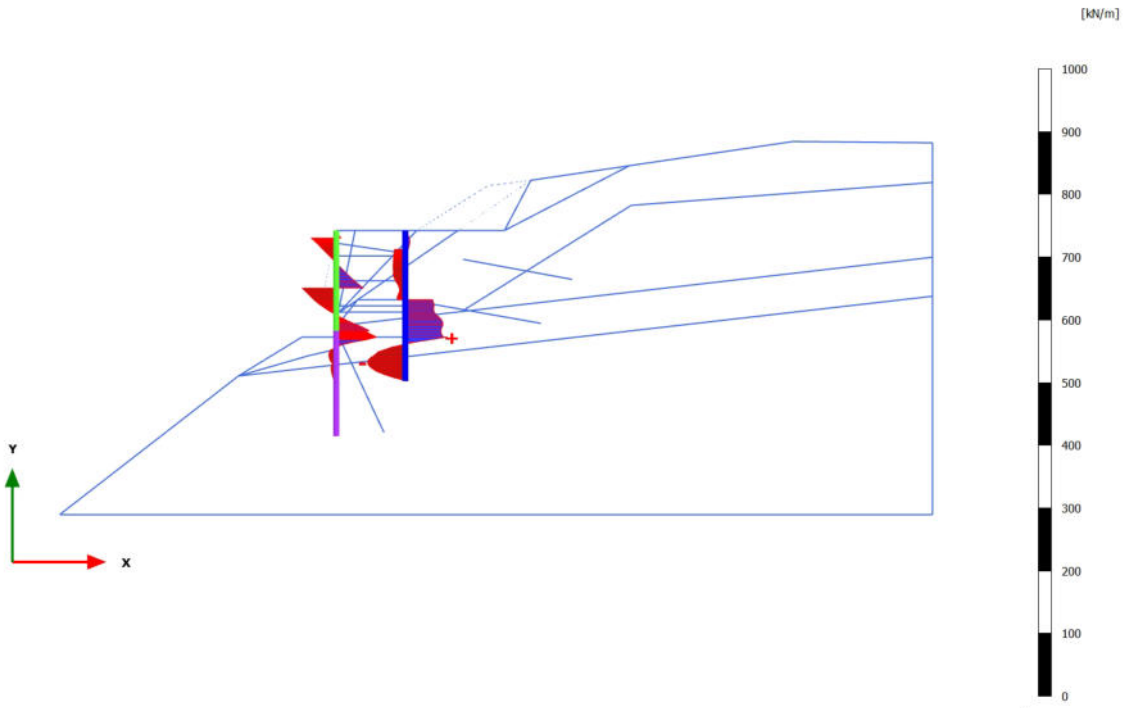

Shear forces Q (scaled up 0,0500 times)

Maximum value = 67,31 kN/m (Element 44 at Node 21634)

Minimum value = -60,32 kN/m (Element 46 at Node 22104)

3.1.2.1.34 Calculation results, Plate, SLE Paratia esistente [Phase_12] (12/1232), Shear forces Q

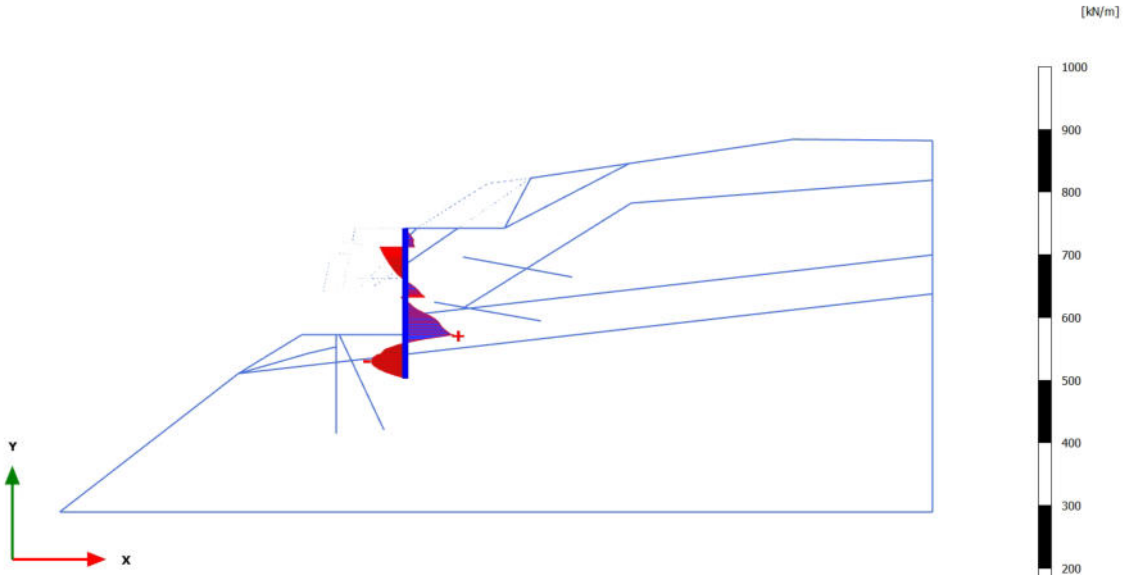

Shear forces Q (scaled up 0,0500 times)

Maximum value = 77,47 kN/m (Element 44 at Node 21634)

Minimum value = -54,13 kN/m (Element 46 at Node 22104)

3.1.2.1.35 Calculation results, Plate, SLU11 Paratia esistente [Phase_13] (13/1235), Shear forces Q

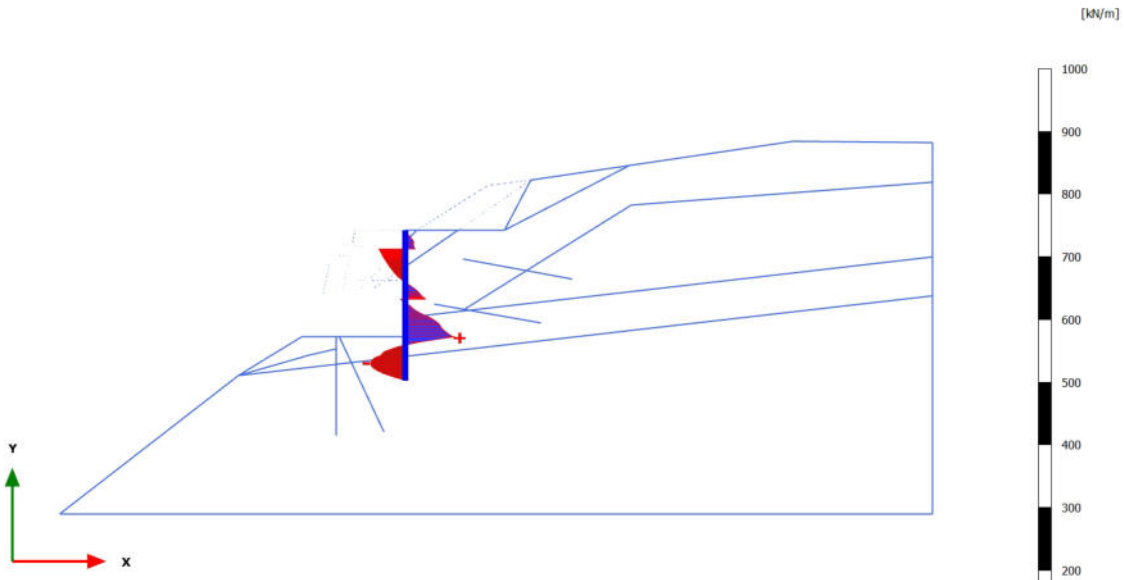

Shear forces Q (scaled up 0,0500 times)

Maximum value = 79,19 kN/m (Element 44 at Node 21634)

Minimum value = -55,27 kN/m (Element 46 at Node 22104)

3.1.2.1.36 Calculation results, Plate, SLU12 Paratia esistente [Phase_18] (18/1240), Shear forces Q

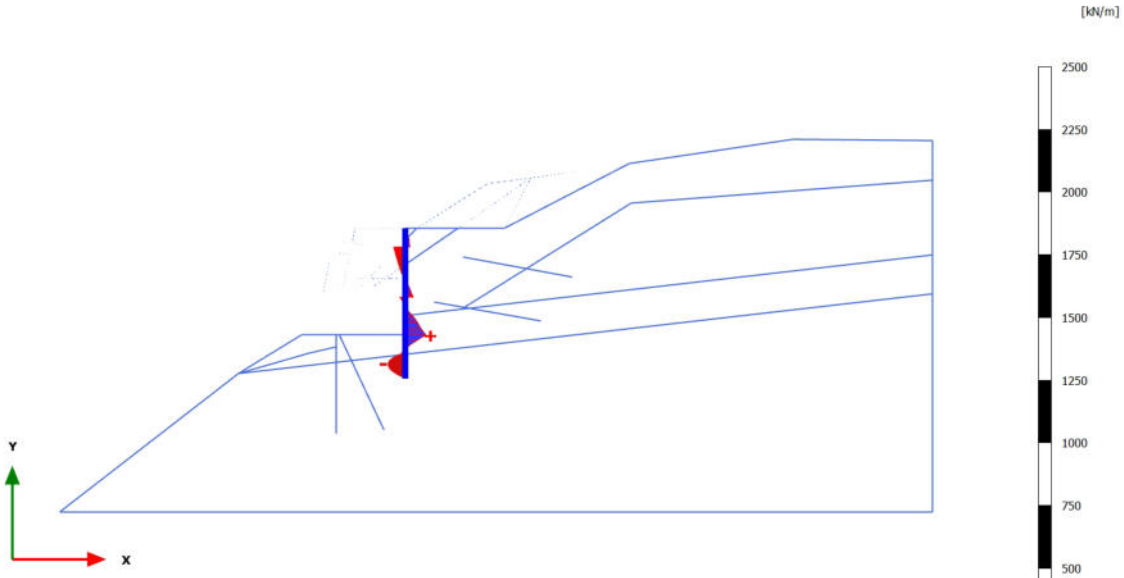

Shear forces Q (scaled up 0,0200 times)

Maximum value = 81,98 kN/m (Element 37 at Node 21634)

Minimum value = -68,61 kN/m (Element 46 at Node 22103)

3.1.2.1.37 Calculation results, Plate, FS Paratia esistente [Phase_19] (19/1390), Shear forces Q

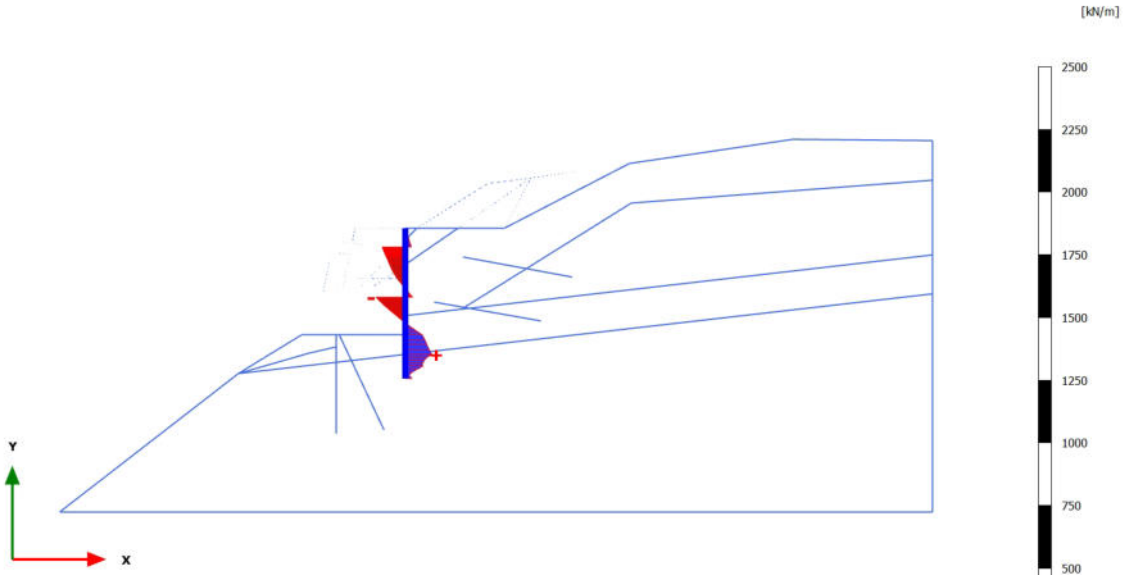

Shear forces Q (scaled up 0,0200 times)

Maximum value = 105,3 kN/m (Element 44 at Node 22102)

Minimum value = -117,6 kN/m (Element 24 at Node 18083)

3.1.2.1.38 Calculation results, Plate, FS [Phase_23] (23/1510), Shear forces Q

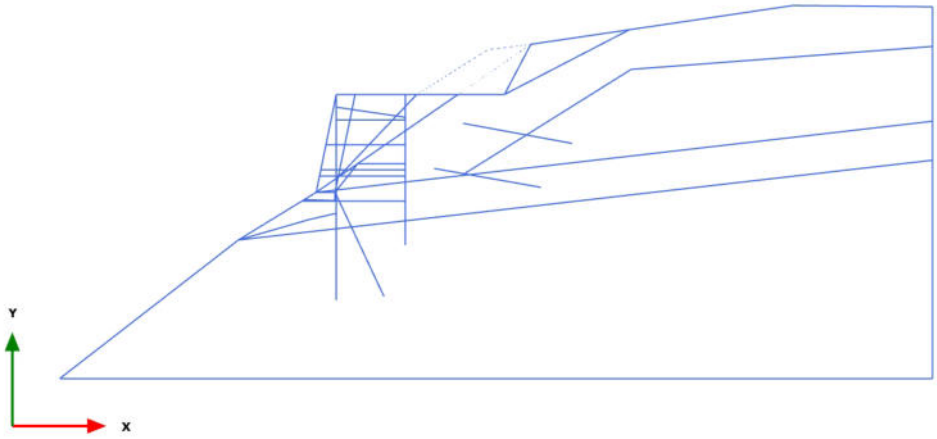

Shear forces Q (scaled up 1,00 times)

No results

3.1.2.1.39 Calculation results, Plate, SLV [Phase_27] (27/1545), Shear forces Q

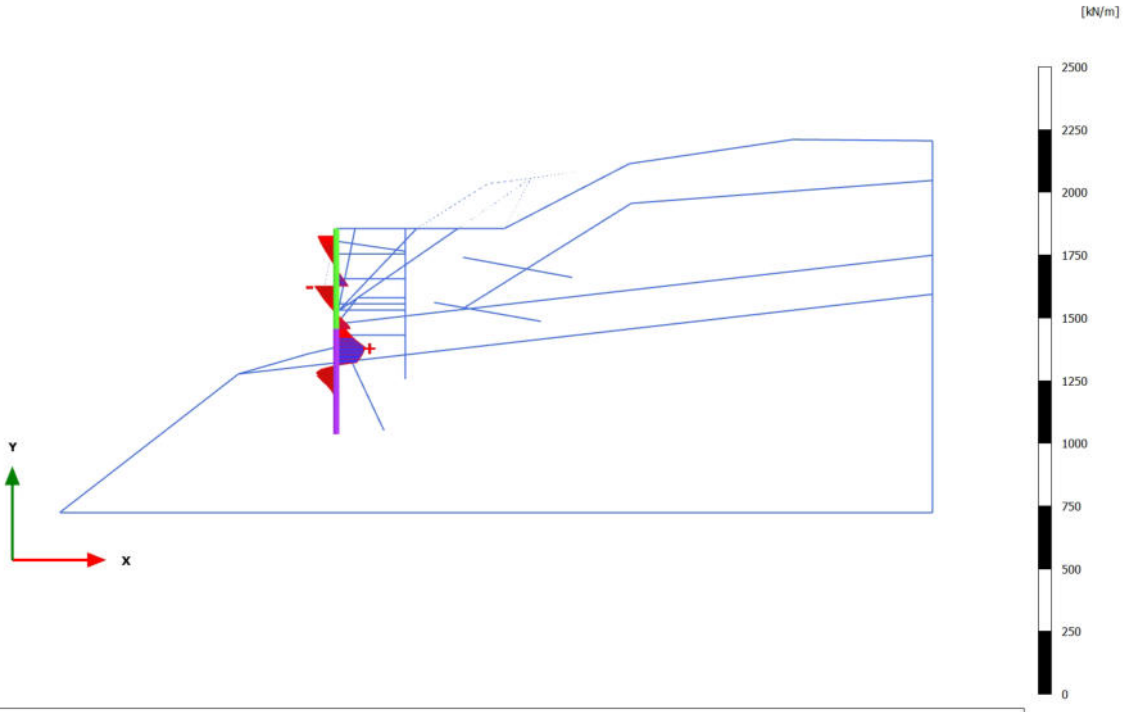

Shear forces Q (scaled up 0,0200 times)

Maximum value = 115,1 kN/m (Element 43 at Node 23981)

Minimum value = -86,50 kN/m (Element 22 at Node 18049)

3.1.2.2.1 Calculation results, Plate, Initial phase [InitialPhase] (0/11), Bending moments M

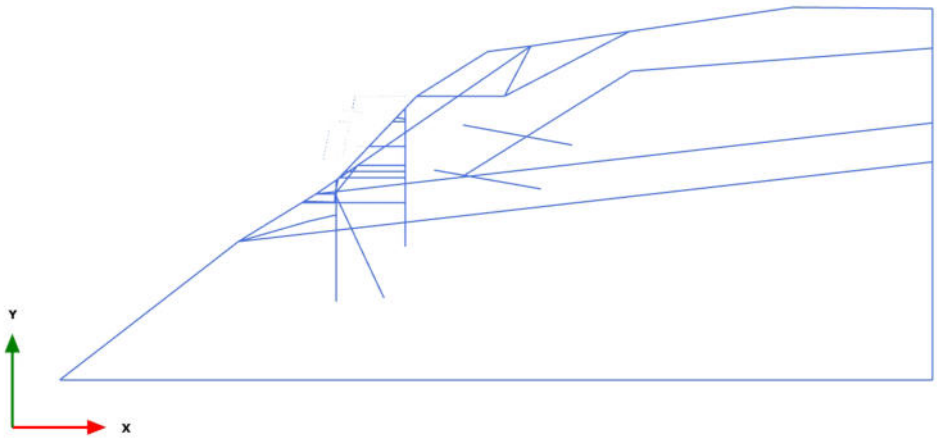

Bending moments M (scaled up 1,00 times)

No results

3.1.2.2.2 Calculation results, Plate, Phase_1 [Phase_1] (1/14), Bending moments M

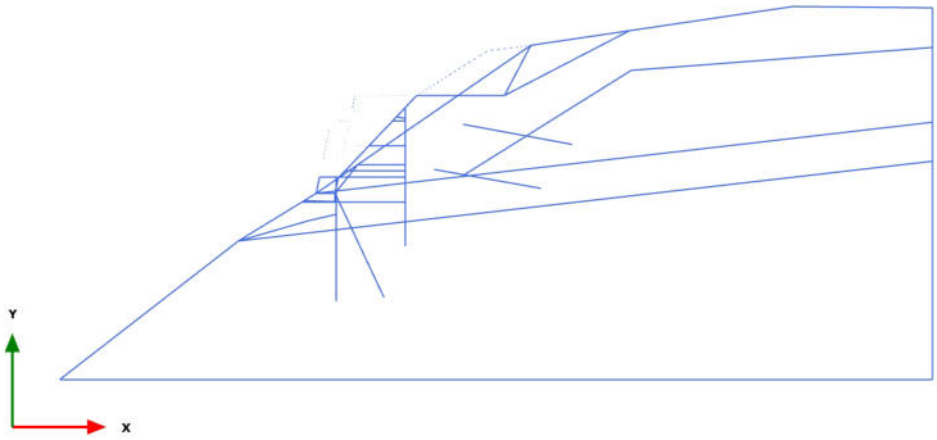

Bending moments M (scaled up 1,00 times)

No results

3.1.2.2.3 Calculation results, Plate, Phase_2 [Phase_2] (2/26), Bending moments M

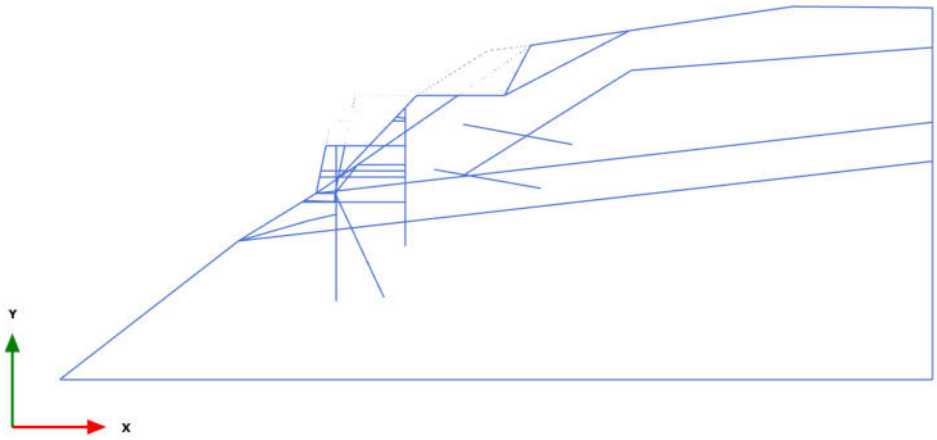

Bending moments M (scaled up 1,00 times)

No results

3.1.2.2.4 Calculation results, Plate, Fine costruzione muro [Phase_3] (3/89), Bending moments M

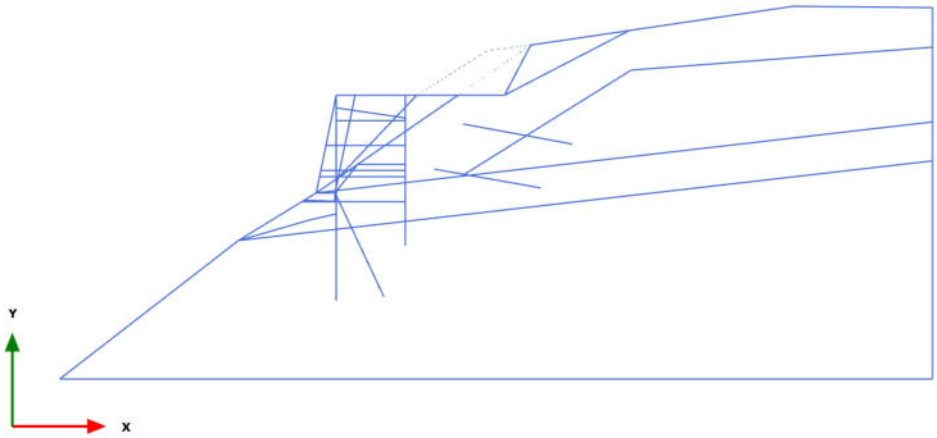

Bending moments M (scaled up 1,00 times)

No results

3.1.2.2.5 Calculation results, Plate, (RD) Paratia [Phase_4] (4/92), Bending moments M

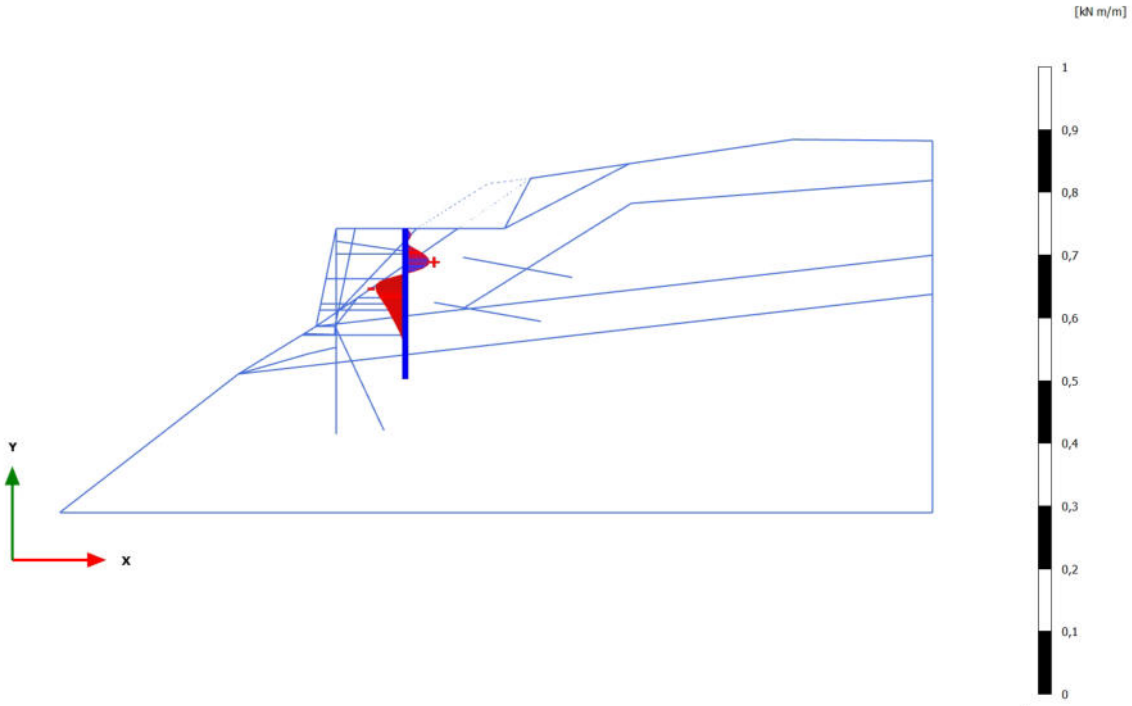

Bending moments M (scaled up 50,0 times)

Maximum value = 0,03805 kN m/m (Element 14 at Node 16293)

Minimum value = -0,04707 kN m/m (Element 19 at Node 17176)

3.1.2.2.6 Calculation results, Plate, Voragine 1 [Phase_5] (5/110), Bending moments M

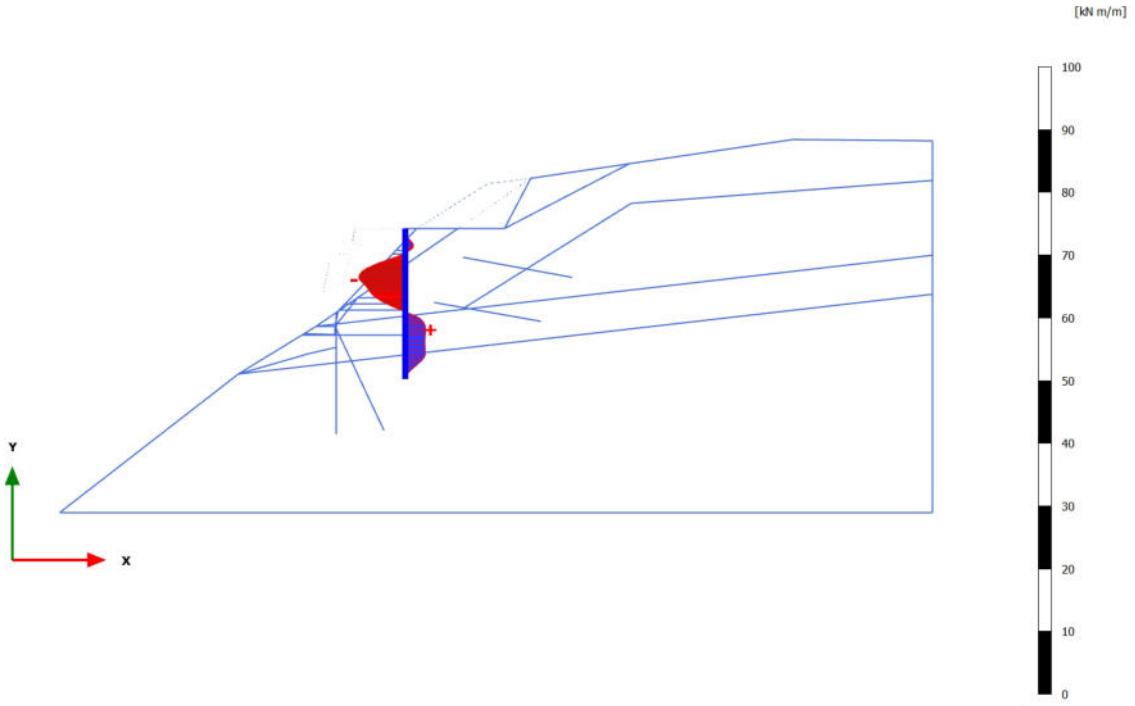

Bending moments M (scaled up 0,500 times)

Maximum value = 3,262 kN m/m (Element 37 at Node 21132)

Minimum value = -7,395 kN m/m (Element 19 at Node 17175)

3.1.2.2.7 Calculation results, Plate, Voragine 2 [Phase_6] (6/134), Bending moments M

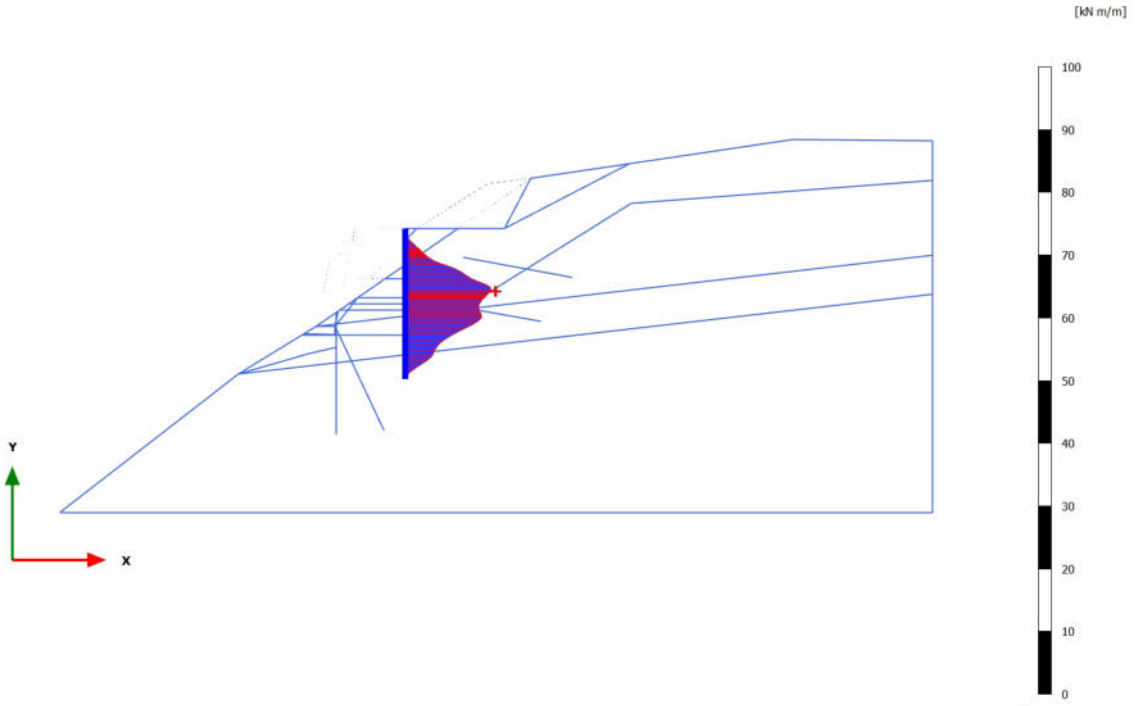

Bending moments M (scaled up 0,500 times)

Maximum value = 13,62 kN m/m (Element 20 at Node 17993)

Minimum value = $-4{,}243*10^{-15}$ kN m/m (Element 47 at Node 22535)

3.1.2.2.8 Calculation results, Plate, Mezzi (10 kPa) [Phase_7] (7/155), Bending moments M

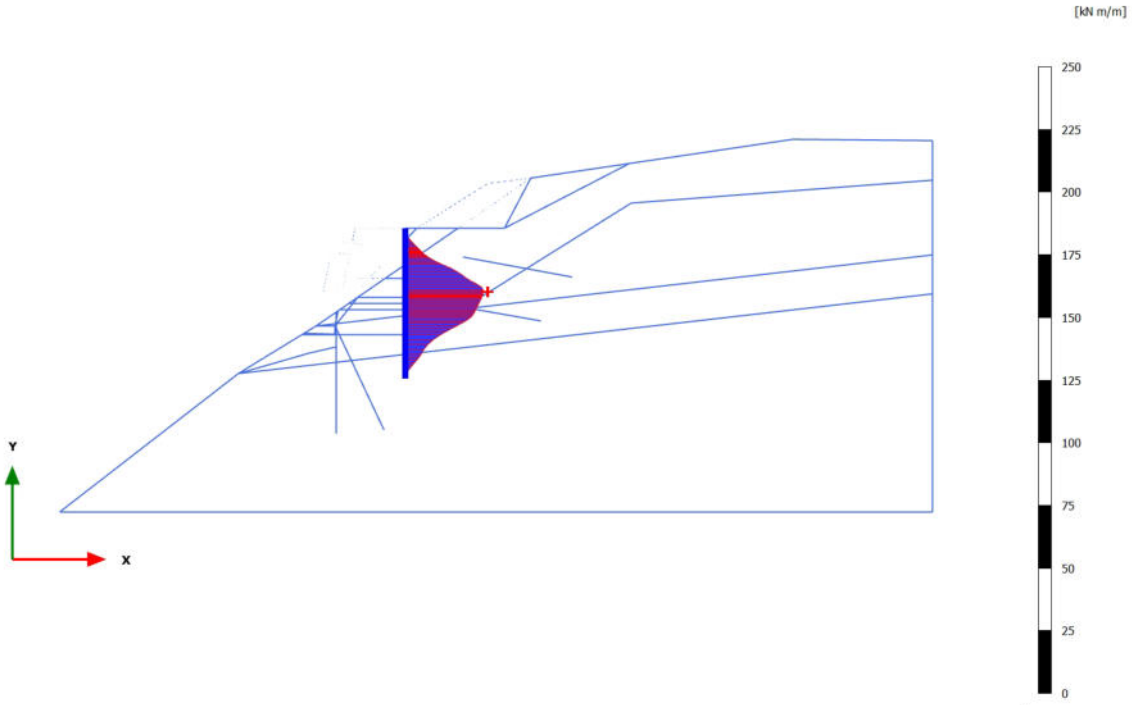

Bending moments M (scaled up 0,200 times)

Maximum value = 31,10 kN m/m (Element 20 at Node 17996)

Minimum value = $-0{,}03541 \cdot 10^{-12}$ kN m/m (Element 3 at Node 13320)

3.1.2.2.9 Calculation results, Plate, Micropalo ancoraggio 1 [Phase_8] (8/221), Bending moments M

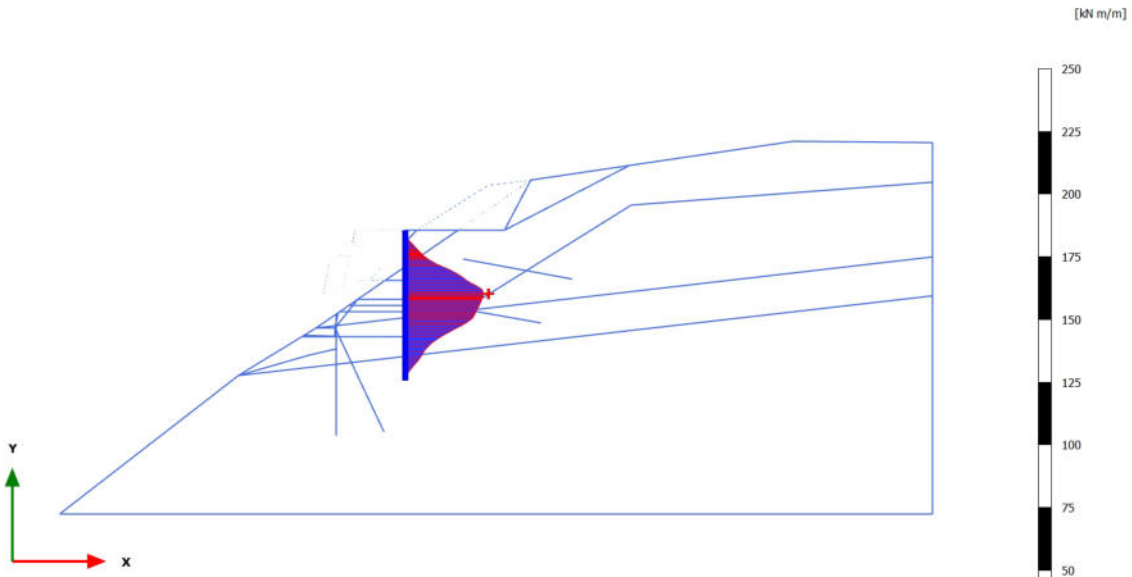

Bending moments M (scaled up 0,200 times)

Maximum value = 31,17 kN m/m (Element 20 at Node 17996)

Minimum value = $-0{,}02082 \cdot 10^{-15}$ kN m/m (Element 3 at Node 13320)

3.1.2.2.10 Calculation results, Plate, Escavo 1 [Phase_9] (9/235), Bending moments M

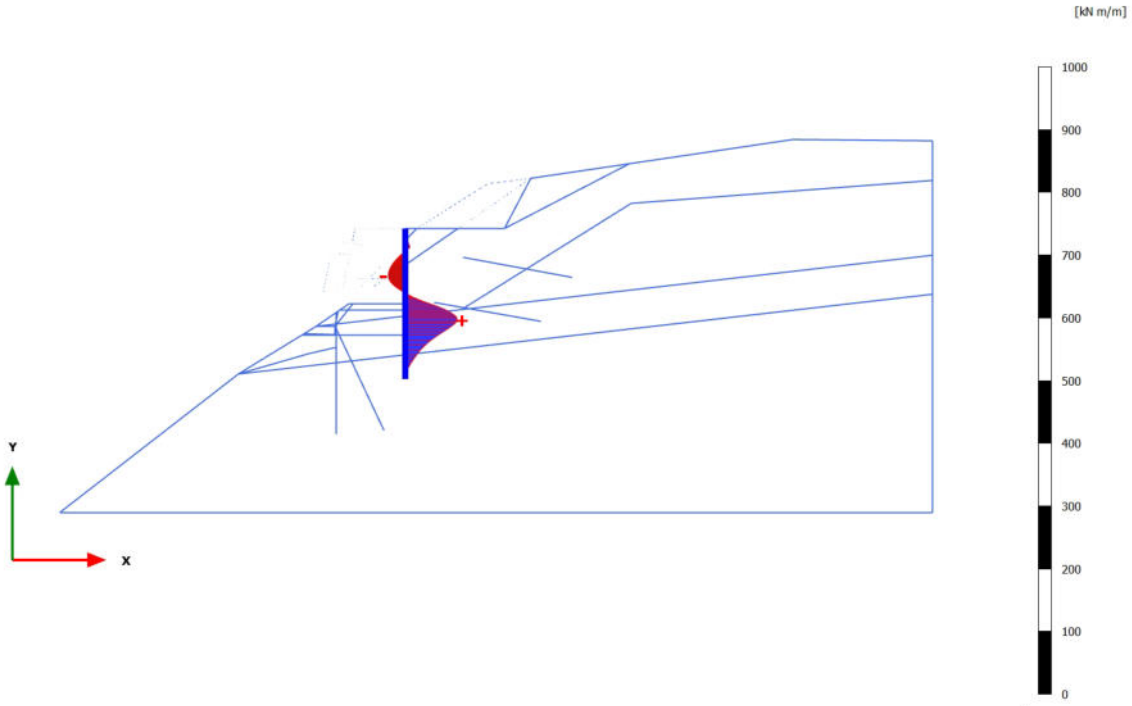

Bending moments M (scaled up 0,0500 times)

Maximum value = 82,73 kN m/m (Element 36 at Node 20732)

Minimum value = -27,12 kN m/m (Element 17 at Node 16326)

3.1.2.2.11 Calculation results, Plate, Micropalo ancoraggio 2 [Phase_35] (35/309), Bending moments M

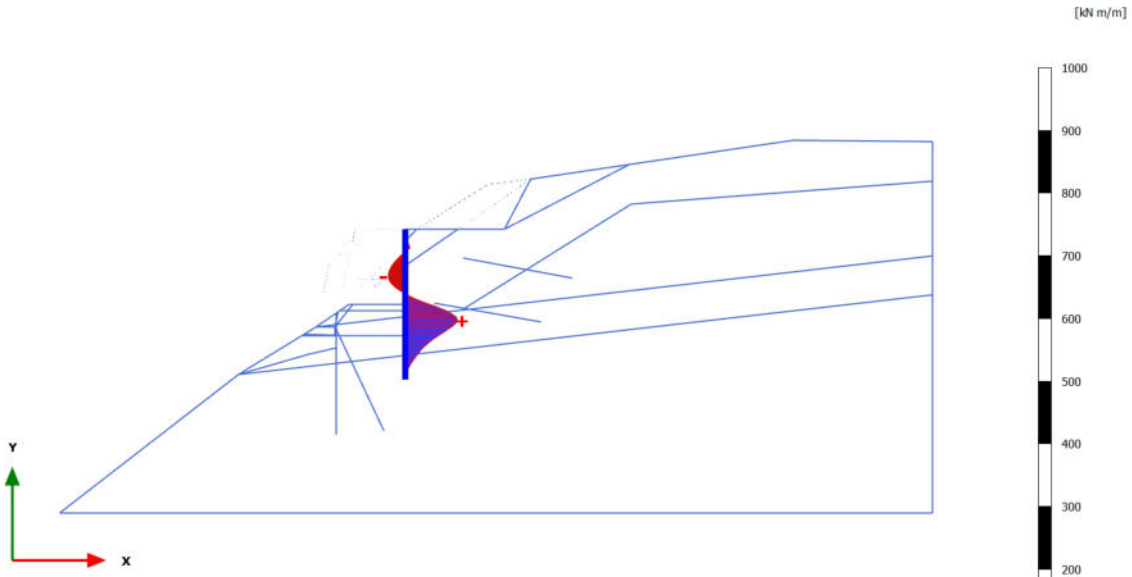

Bending moments M (scaled up 0,0500 times)

Maximum value = 82,96 kN m/m (Element 36 at Node 20732)

Minimum value = -27,25 kN m/m (Element 17 at Node 16326)

3.1.2.2.12 Calculation results, Plate, Escavo 2 [Phase_10] (10/318), Bending moments M

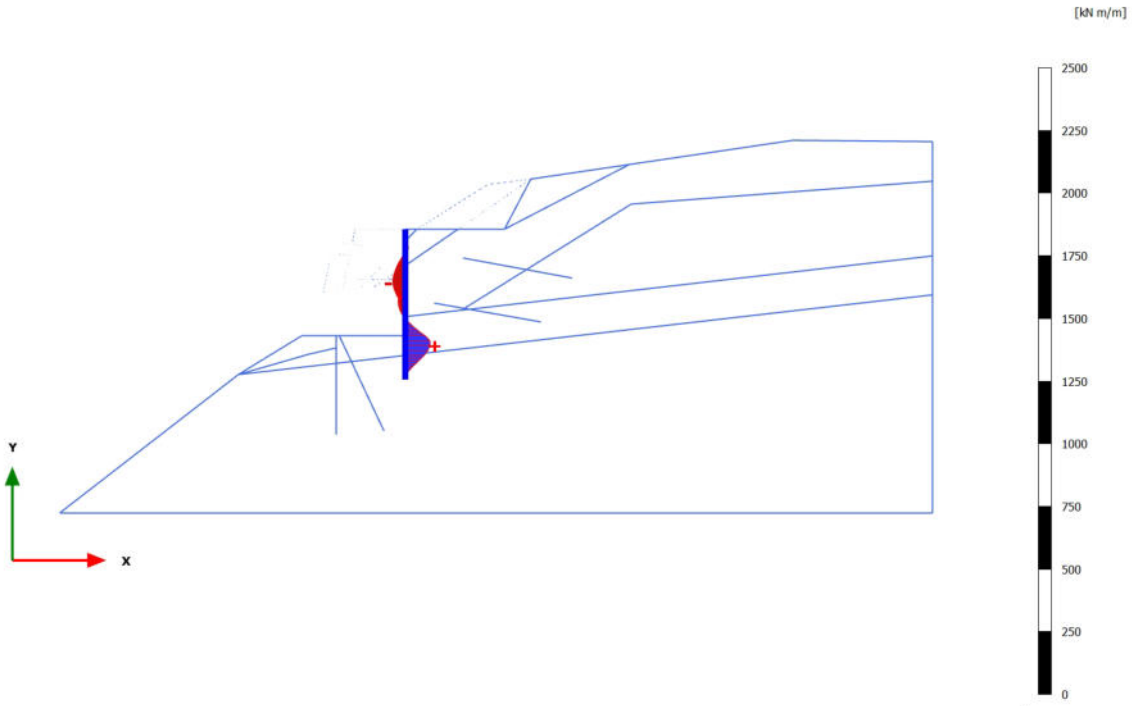

Bending moments M (scaled up 0,0200 times)

Maximum value = 99,84 kN m/m (Element 44 at Node 21636)

Minimum value = -49,99 kN m/m (Element 19 at Node 17178)

3.1.2.2.13 Calculation results, Plate, (RIEMP A SBALZO) Micropali e parete [Phase_14] (14/320), Bending moments M

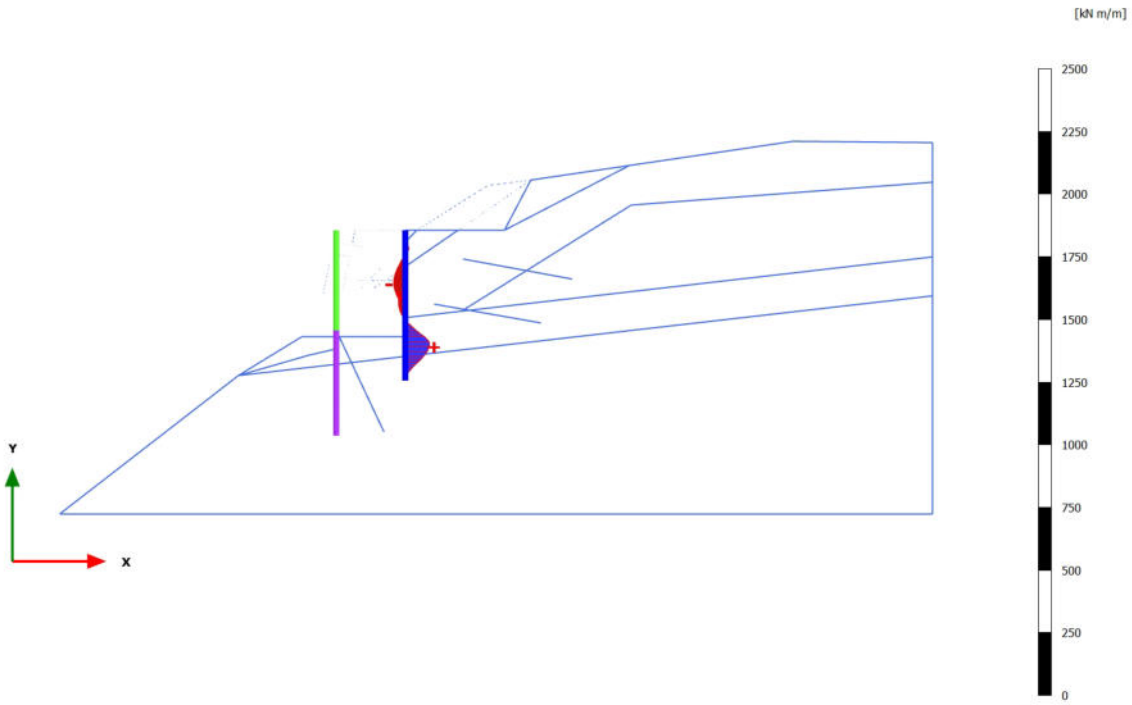

Bending moments M (scaled up 0,0200 times)

Maximum value = 97,18 kN m/m (Element 44 at Node 21636)

Minimum value = -46,95 kN m/m (Element 19 at Node 17178)

3.1.2.2.14 Calculation results, Plate, Riempimento 1 [Phase_15] (15/506), Bending moments M

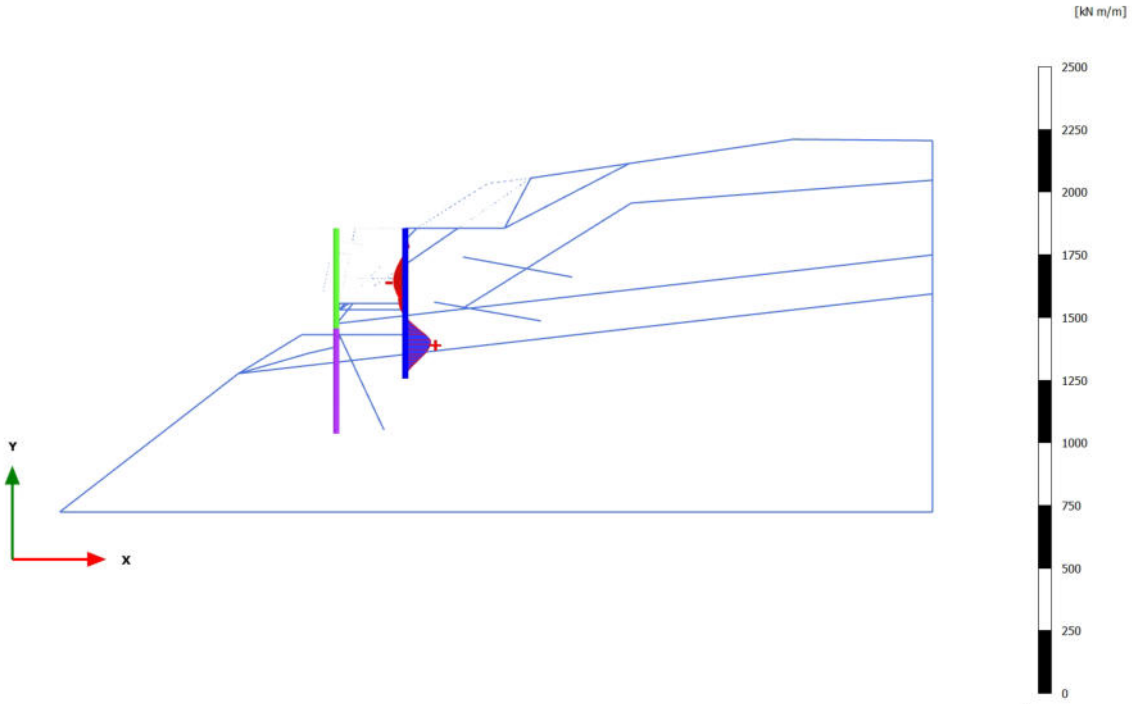

Bending moments M (scaled up 0,0200 times)

Maximum value = 101,3 kN m/m (Element 44 at Node 21636)

Minimum value = -47,20 kN m/m (Element 19 at Node 17178)

3.1.2.2.15 Calculation results, Plate, Collegamento ancoraggio 1 [Phase_36] (36/614), Bending moments M

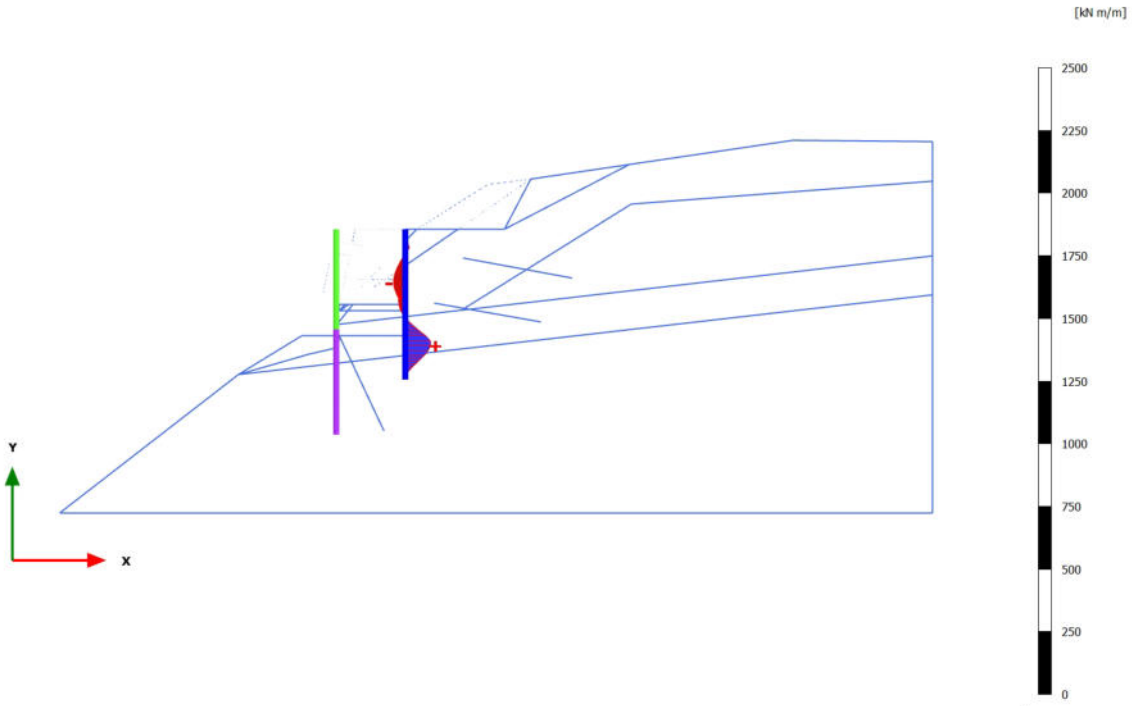

Bending moments M (scaled up 0,0200 times)

Maximum value = 101,3 kN m/m (Element 44 at Node 21636)

Minimum value = -47,24 kN m/m (Element 19 at Node 17178)

3.1.2.2.16 Calculation results, Plate, Riempimento 2 [Phase_16] (16/640), Bending moments M

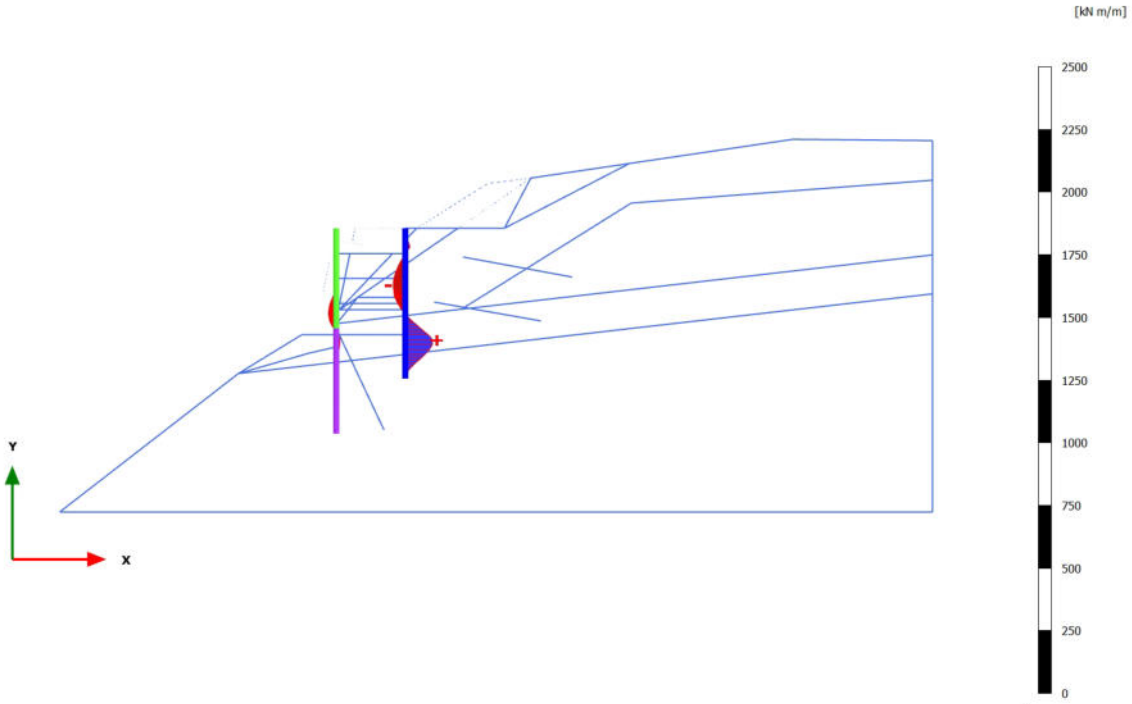

Bending moments M (scaled up 0,0200 times)

Maximum value = 108,5 kN m/m (Element 44 at Node 21637)

Minimum value = -48,07 kN m/m (Element 19 at Node 17177)

3.1.2.2.17 Calculation results, Plate, Riempimento 3 ed estensione tirante [Phase_17] (17/646), Bending moments M

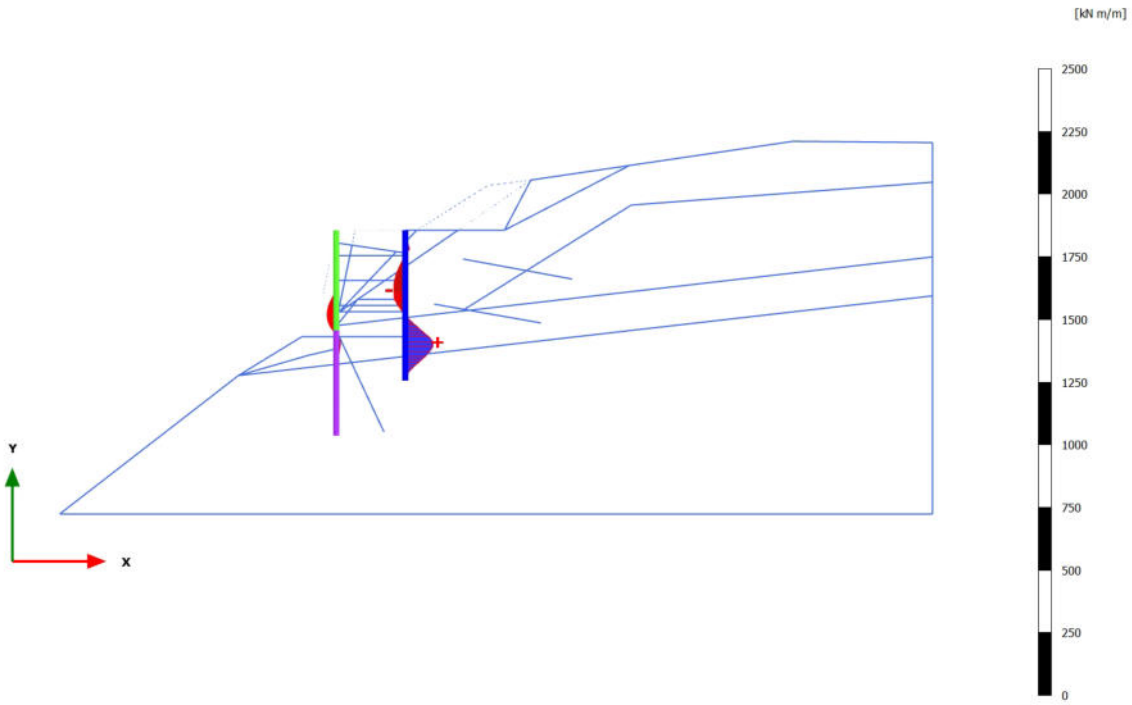

Bending moments M (scaled up 0,0200 times)

Maximum value = 110,7 kN m/m (Element 44 at Node 21637)

Minimum value = -46,03 kN m/m (Element 19 at Node 17176)

3.1.2.2.18 Calculation results, Plate, Riempimento 4 [Phase_25] (25/655), Bending moments M

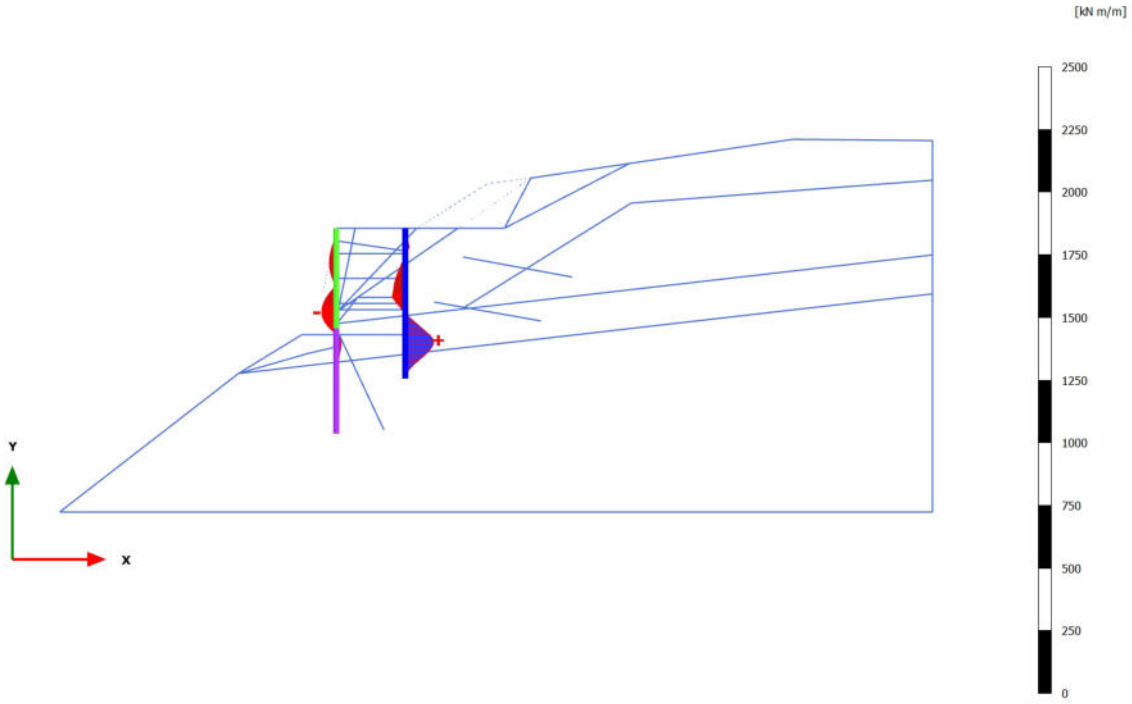

Bending moments M (scaled up 0,0200 times)

Maximum value = 113,0 kN m/m (Element 44 at Node 21637)

Minimum value = -58,02 kN m/m (Element 29 at Node 18892)

3.1.2.2.19 Calculation results, Plate, Disattivazione paratia esistente [Phase_26] (26/660), Bending moments M

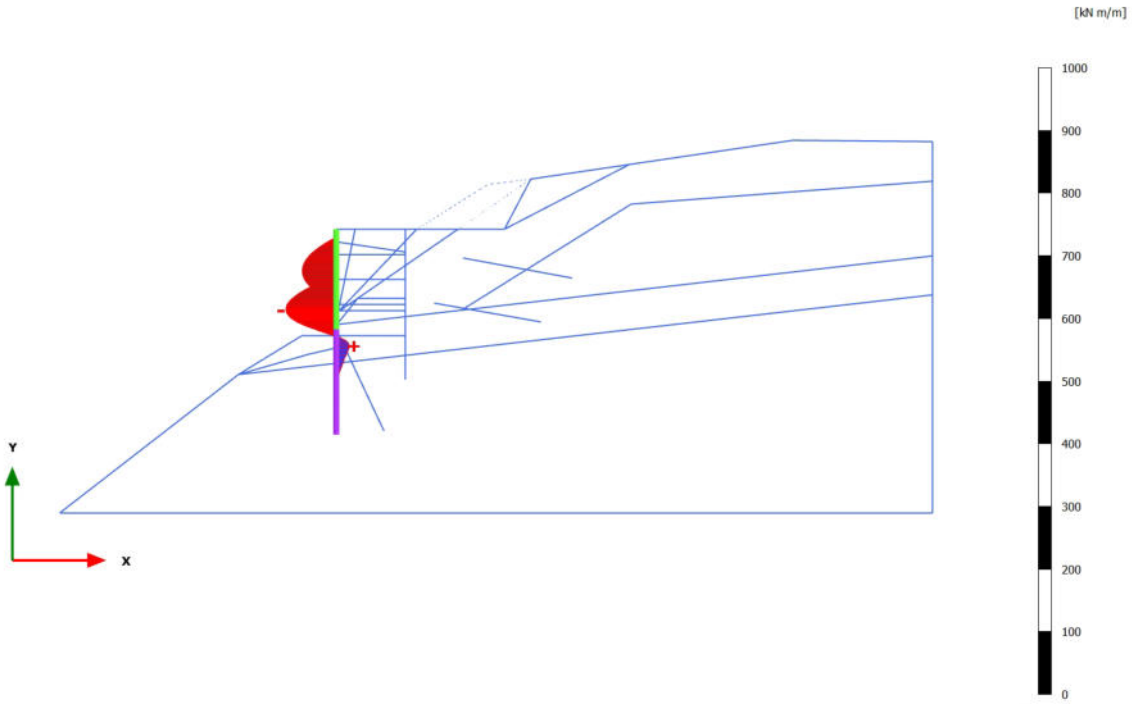

Bending moments M (scaled up 0,0500 times)

Maximum value = 21,02 kN m/m (Element 43 at Node 23454)

Minimum value = -80,28 kN m/m (Element 27 at Node 18853)

3.1.2.2.20 Calculation results, Plate, Eccezionale paratia esistente [Phase_34] (34/668), Bending moments M

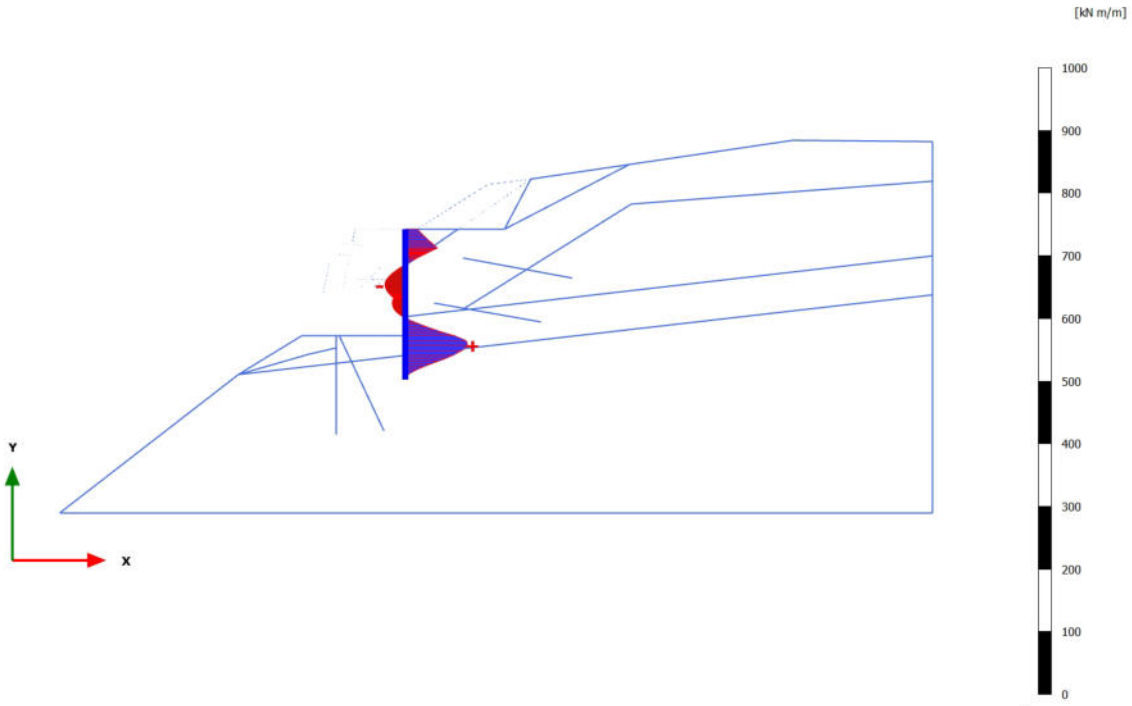

Bending moments M (scaled up 0,0500 times)

Maximum value = 99,54 kN m/m (Element 44 at Node 21636)

Minimum value = -32,62 kN m/m (Element 19 at Node 17177)

3.1.2.2.21 Calculation results, Plate, Eccezionale [Phase_24] (24/712), Bending moments M

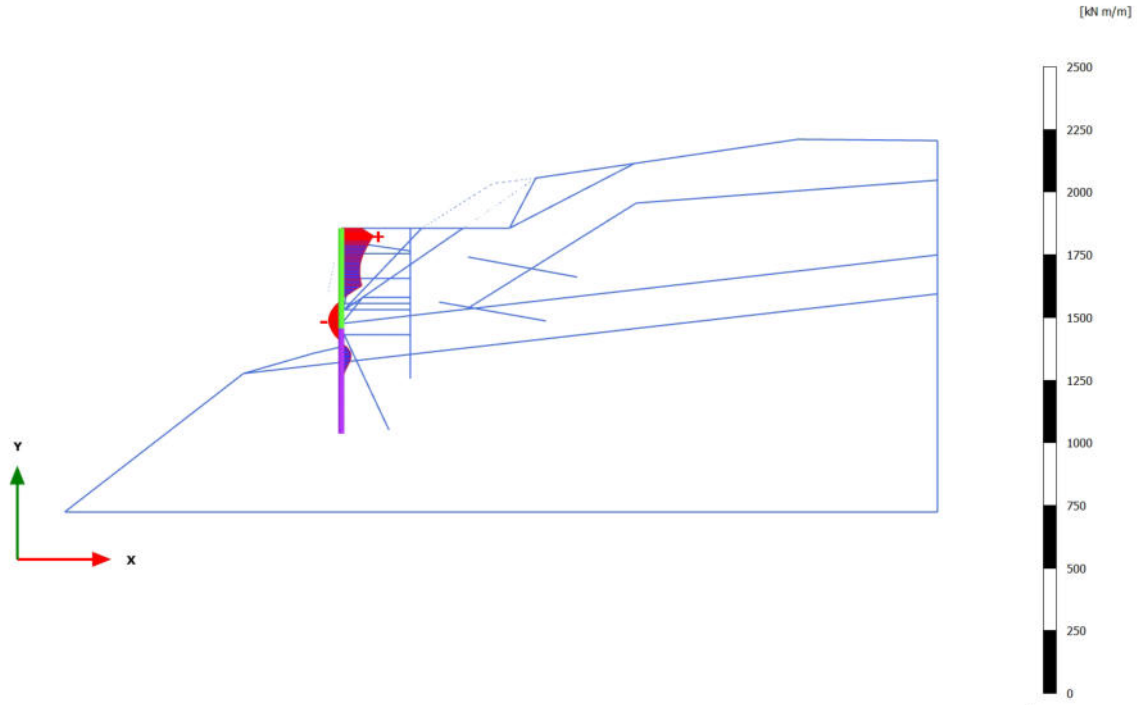

Bending moments M (scaled up 0,0200 times)

Maximum value = 128,4 kN m/m (Element 5 at Node 15405)

Minimum value = -50,65 kN m/m (Element 34 at Node 20461)

3.1.2.2.22 Calculation results, Plate, SLU11 [Phase_29] (29/723), Bending moments M

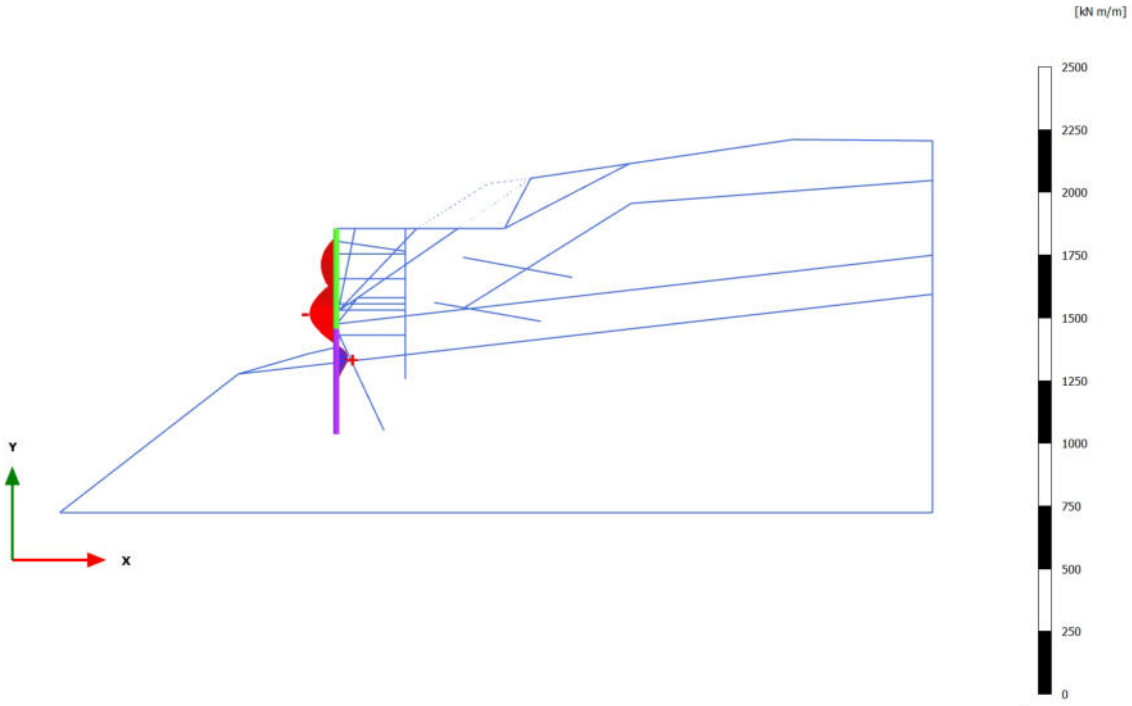

Bending moments M (scaled up 0,0200 times)

Maximum value = 44,64 kN m/m (Element 45 at Node 23982)

Minimum value = -104,9 kN m/m (Element 31 at Node 18918)

3.1.2.2.23 Calculation results, Plate, M2 [Phase_30] (30/770), Bending moments M

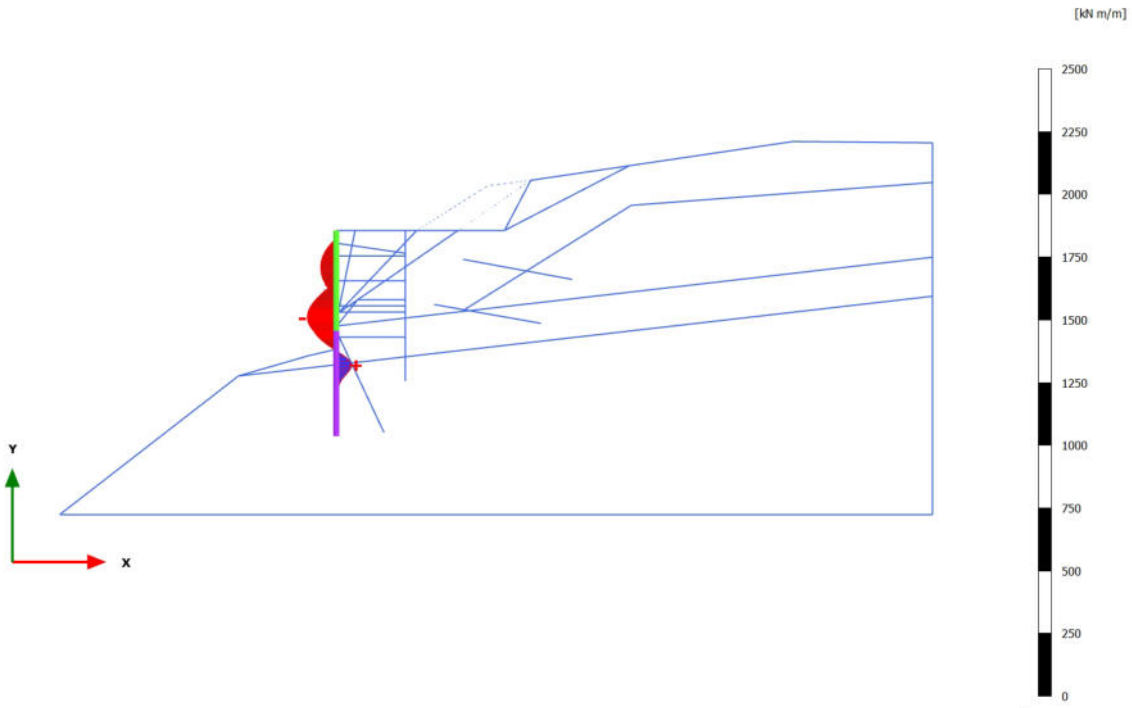

Bending moments M (scaled up 0,0200 times)

Maximum value = 60,87 kN m/m (Element 48 at Node 24131)

Minimum value = -115,3 kN m/m (Element 32 at Node 19683)

3.1.2.2.24 Calculation results, Plate, SLU12 [Phase_31] (31/776), Bending moments M

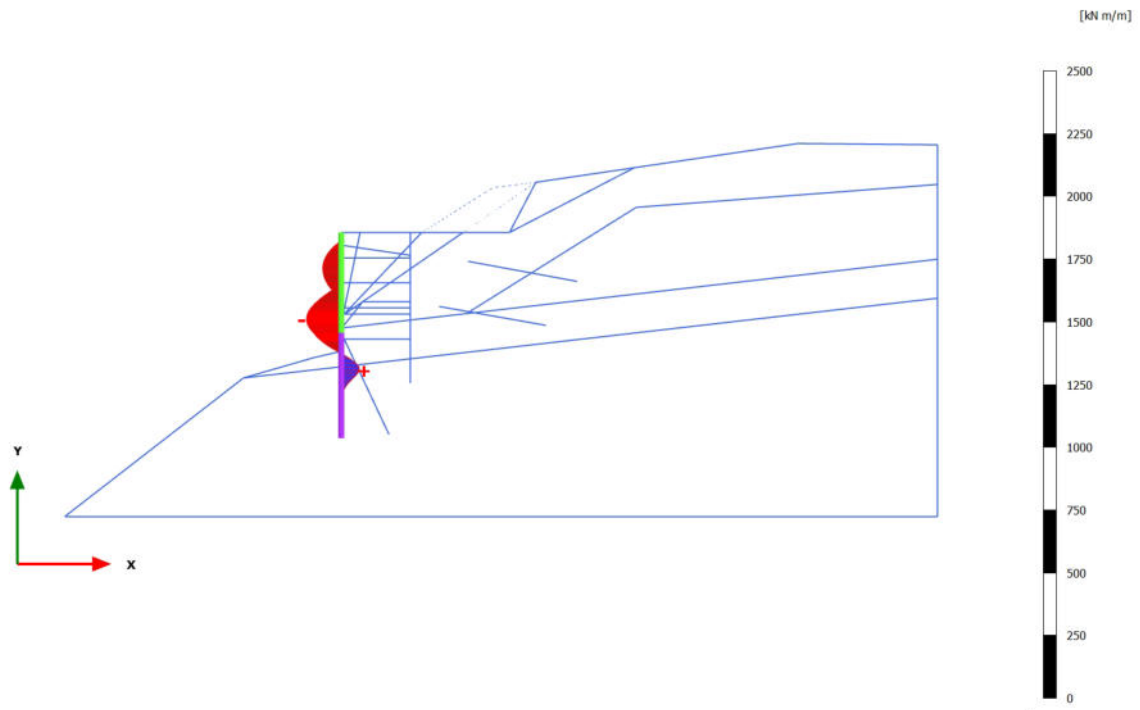

Bending moments M (scaled up 0,0200 times)

Maximum value = 72,76 kN m/m (Element 48 at Node 24134)

Minimum value = -138,2 kN m/m (Element 32 at Node 19683)

3.1.2.2.25 Calculation results, Plate, SLU12 SG [Phase_21] (21/779), Bending moments M

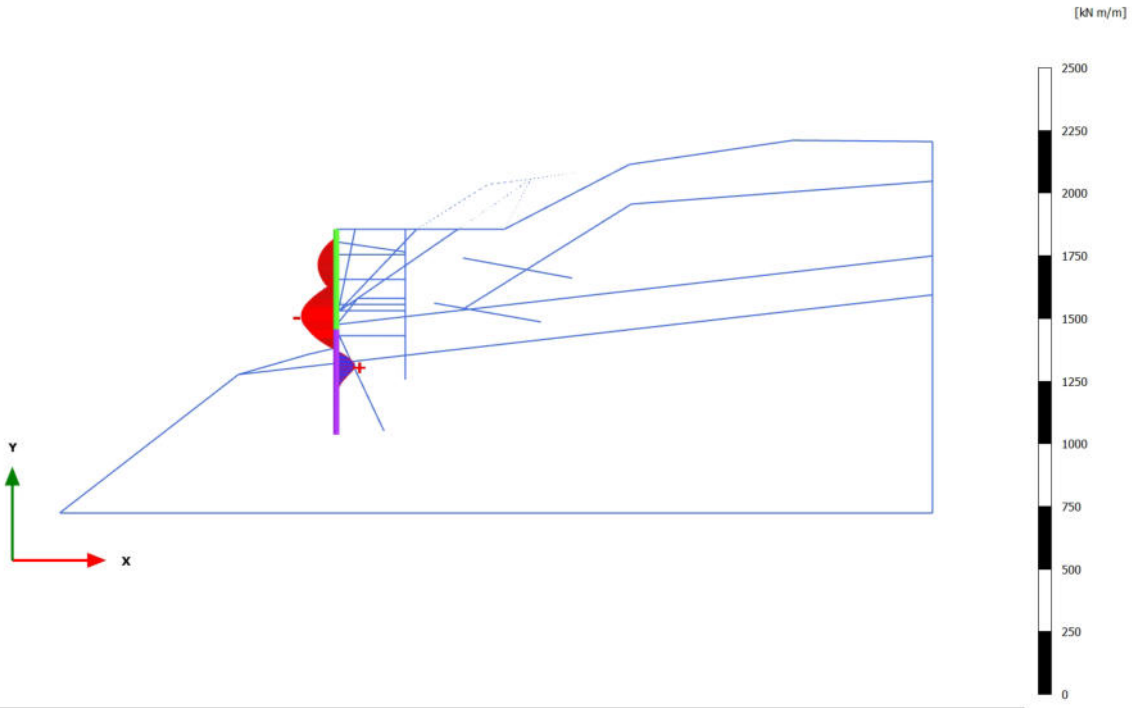

Bending moments M (scaled up 0,0200 times)

Maximum value = 74,22 kN m/m (Element 48 at Node 24134)

Minimum value = -139,5 kN m/m (Element 32 at Node 19686)

3.1.2.2.26 Calculation results, Plate, FS SLU12 [Phase_20] (20/879), Bending moments M

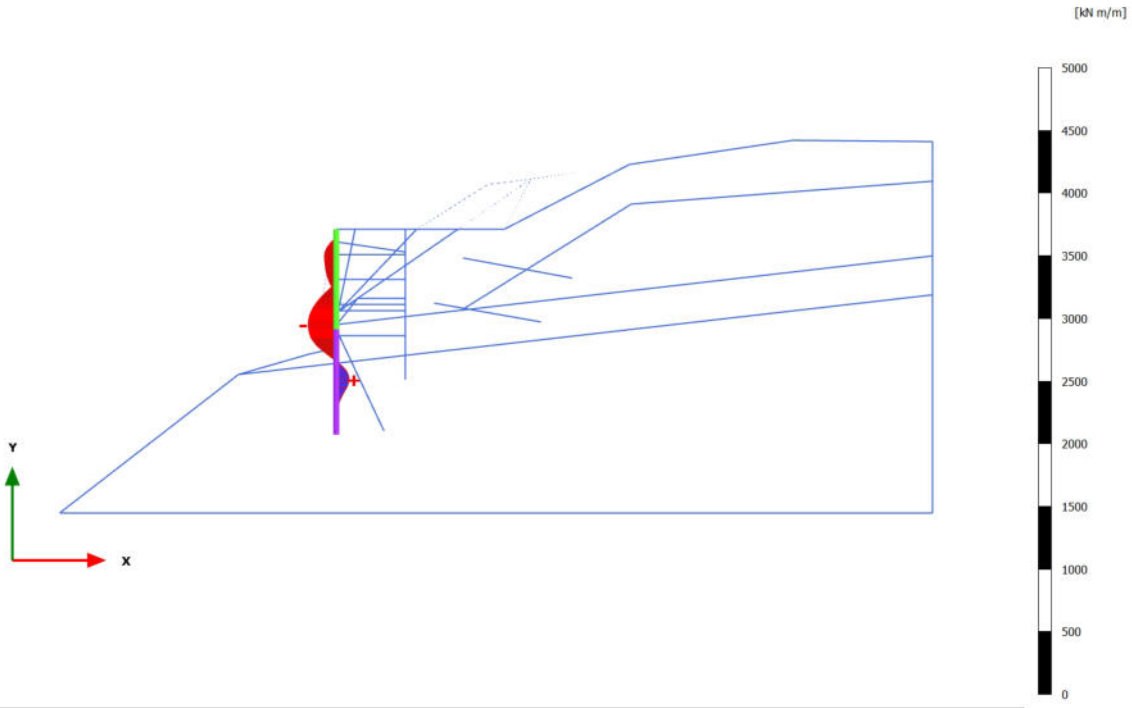

Bending moments M (scaled up 0,0100 times)

Maximum value = 103,1 kN m/m (Element 49 at Node 24152)

Minimum value = -223,6 kN m/m (Element 34 at Node 20494)

3.1.2.2.27 Calculation results, Plate, SLE [Phase_11] (11/883), Bending moments M

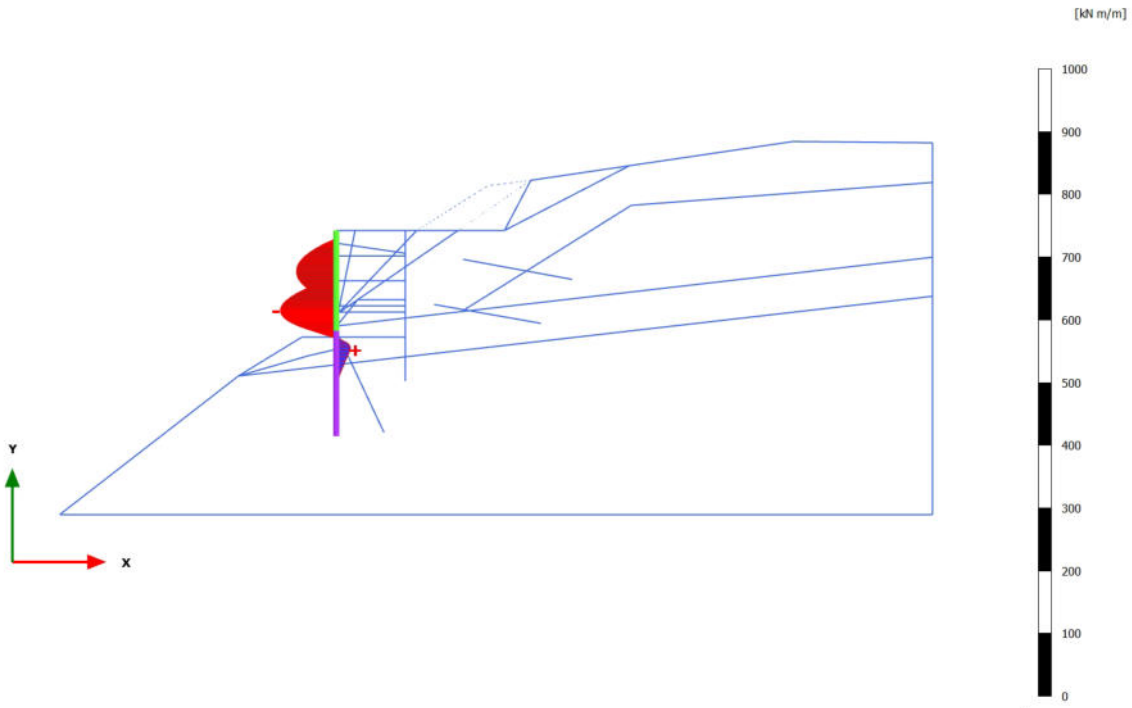

Bending moments M (scaled up 0,0500 times)

Maximum value = 22,59 kN m/m (Element 43 at Node 23981)

Minimum value = -89,04 kN m/m (Element 27 at Node 18854)

3.1.2.2.28 Calculation results, Plate, SLV + stab globale [Phase_22] (22/896), Bending moments M

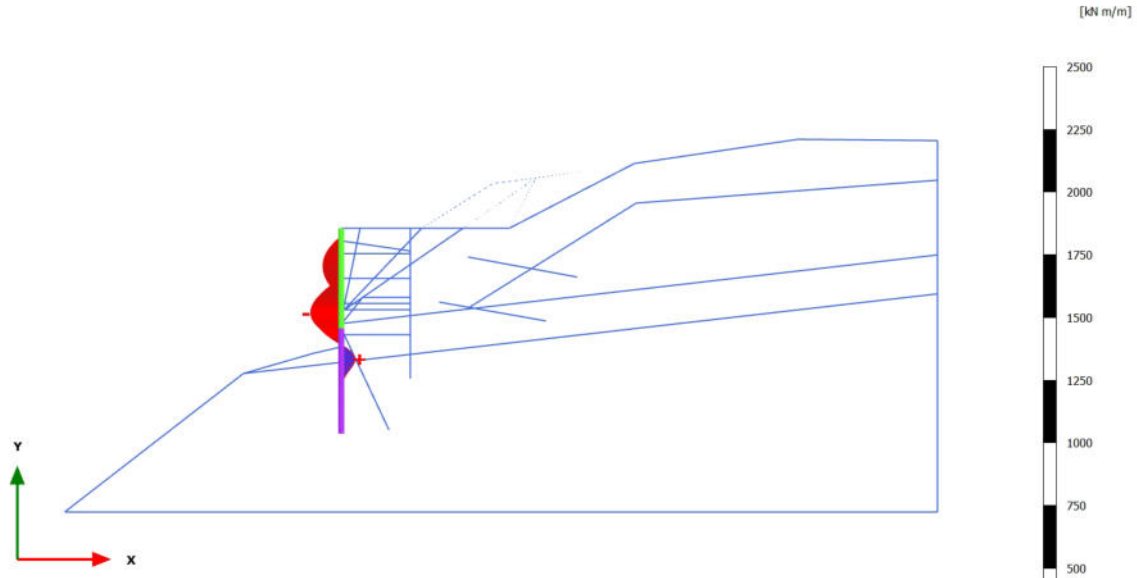

Bending moments M (scaled up 0,0200 times)

Maximum value = 54,19 kN m/m (Element 45 at Node 23982)

Minimum value = -121,9 kN m/m (Element 31 at Node 18918)

3.1.2.2.29 Calculation results, Plate, FS SLV+ [Phase_28] (28/1046), Bending moments M

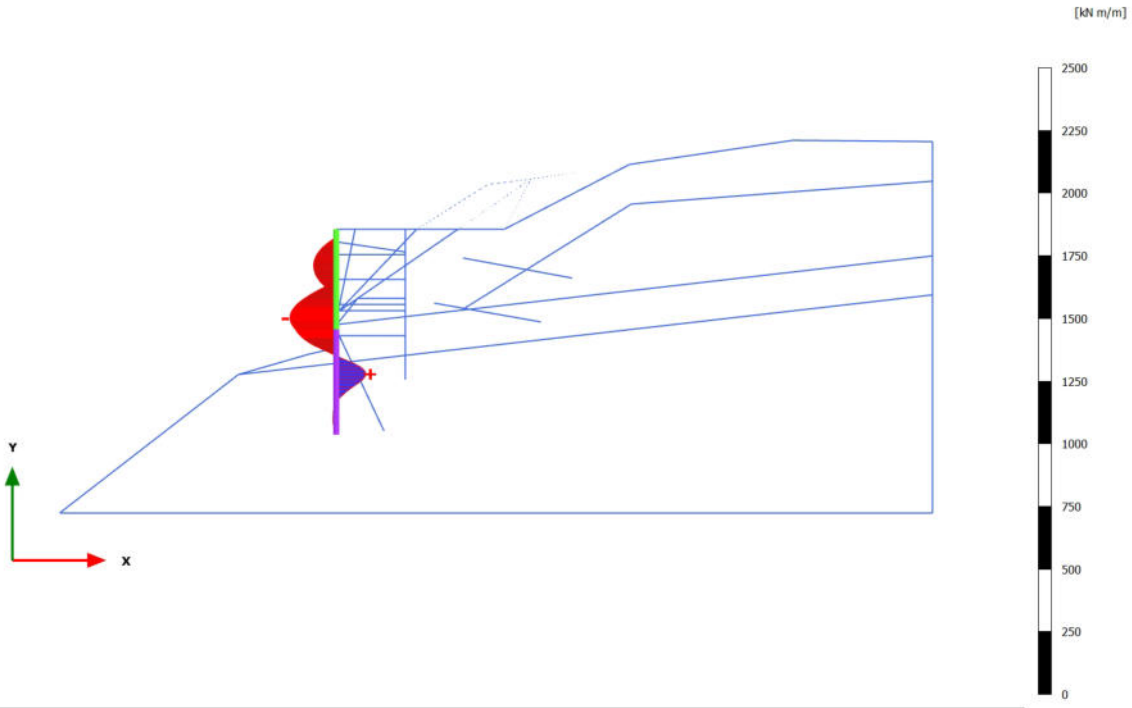

Bending moments M (scaled up 0,0200 times)

Maximum value = 117,5 kN m/m (Element 48 at Node 24132)

Minimum value = -184,6 kN m/m (Element 32 at Node 19684)

3.1.2.2.30 Calculation results, Plate, SLV - stab globale [Phase_32] (32/1056), Bending moments M

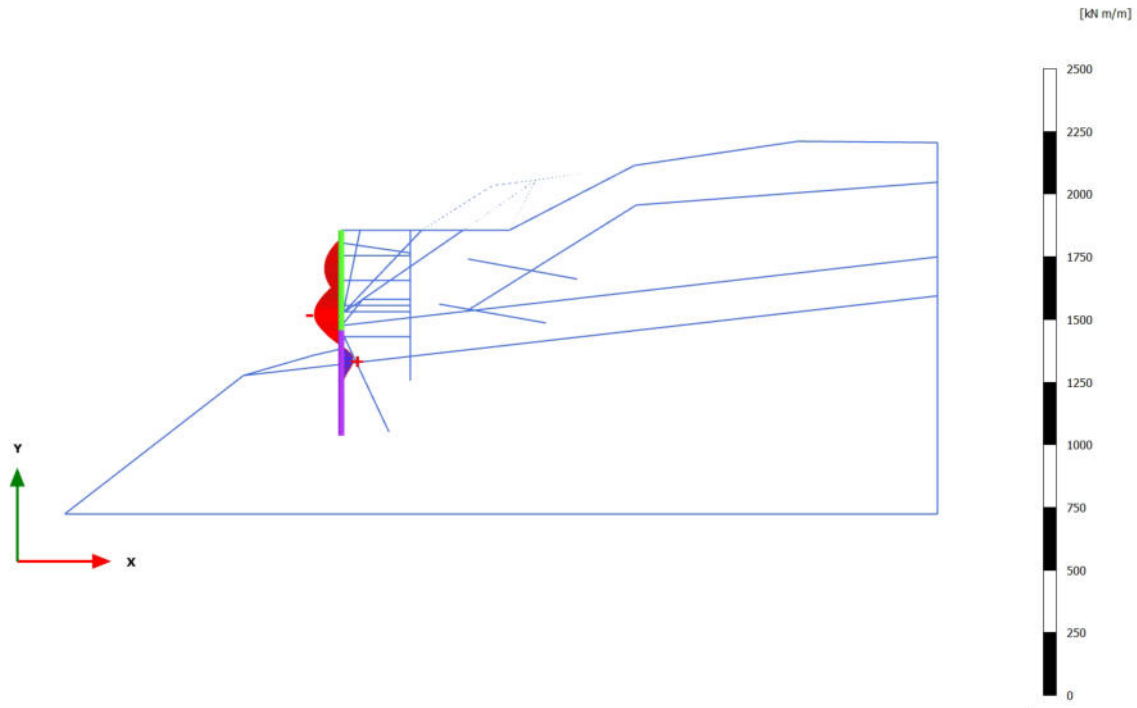

Bending moments M (scaled up 0,0200 times)

Maximum value = 46,95 kN m/m (Element 45 at Node 23982)

Minimum value = -107,1 kN m/m (Element 31 at Node 18915)

3.1.2.2.31 Calculation results, Plate, FS SLV - [Phase_33] (33/1156), Bending moments M

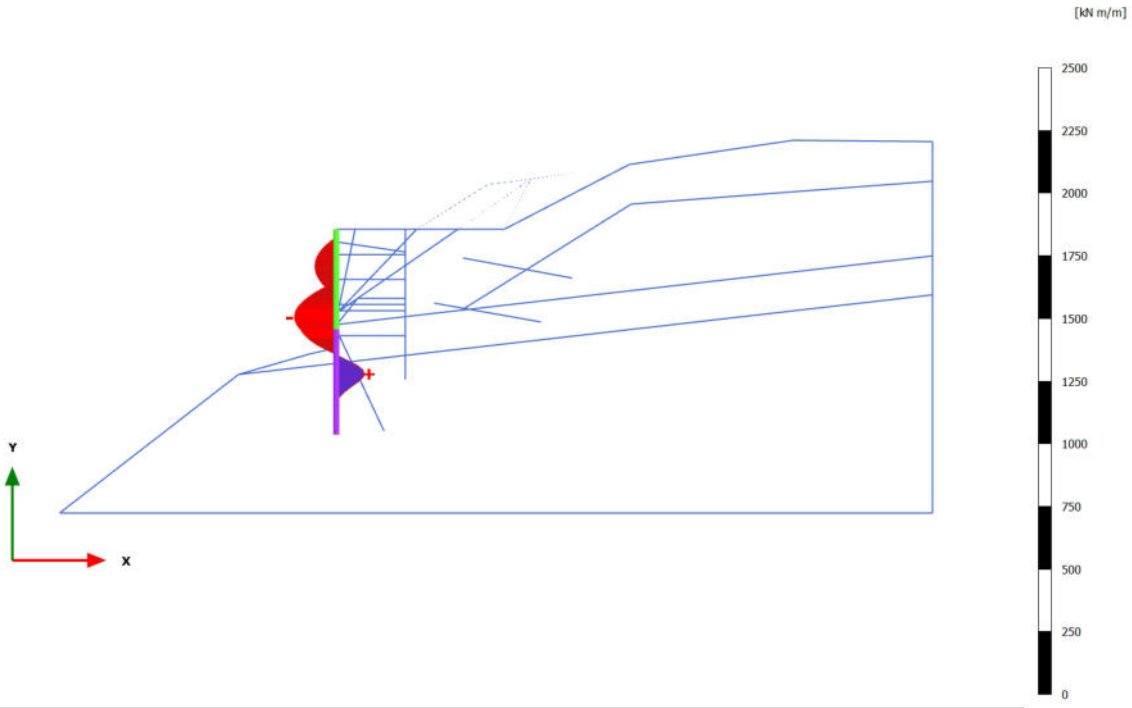

Bending moments M (scaled up 0,0200 times)

Maximum value = 111,2 kN m/m (Element 48 at Node 24132)

Minimum value = -166,5 kN m/m (Element 32 at Node 19685)

3.1.2.2.32 Calculation results, Plate, SLD [Phase_38] (38/1178), Bending moments M

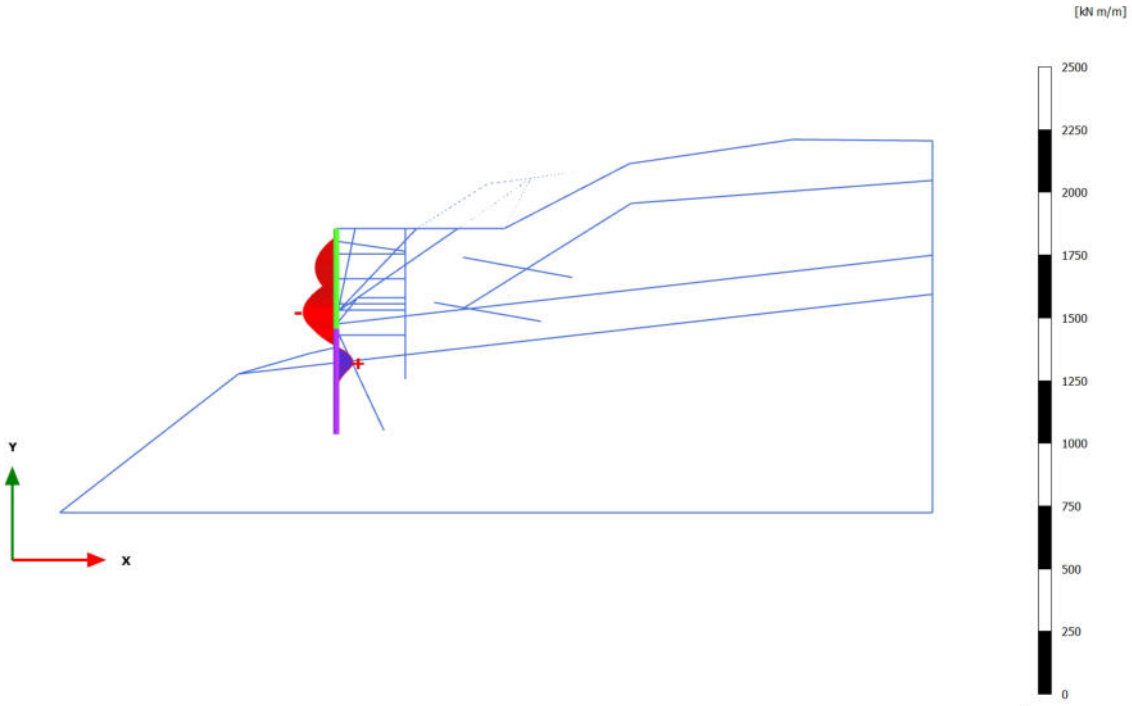

Bending moments M (scaled up 0,0200 times)

Maximum value = 67,47 kN m/m (Element 45 at Node 24131)

Minimum value = -132,2 kN m/m (Element 29 at Node 18892)

3.1.2.2.33 Calculation results, Plate, q rullo [Phase_37] (37/1187), Bending moments M

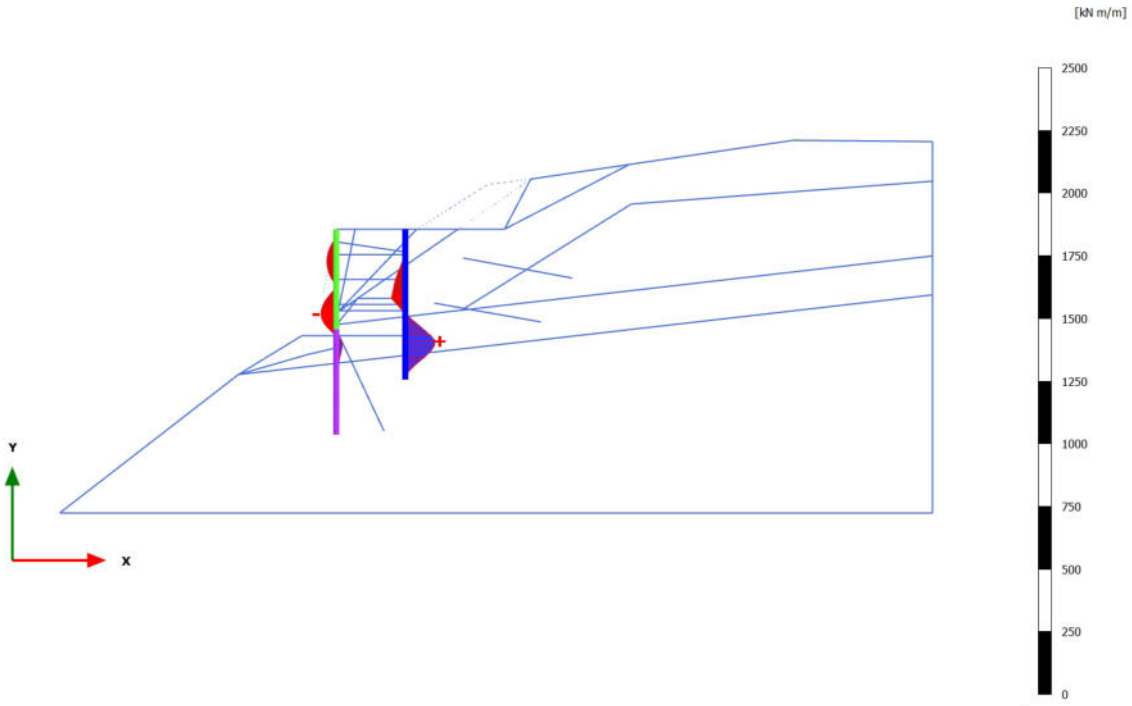

Bending moments M (scaled up 0,0200 times)

Maximum value = 118,3 kN m/m (Element 44 at Node 21637)

Minimum value = -60,54 kN m/m (Element 29 at Node 18915)

3.1.2.2.34 Calculation results, Plate, SLE Paratia esistente [Phase_12] (12/1232), Bending moments M

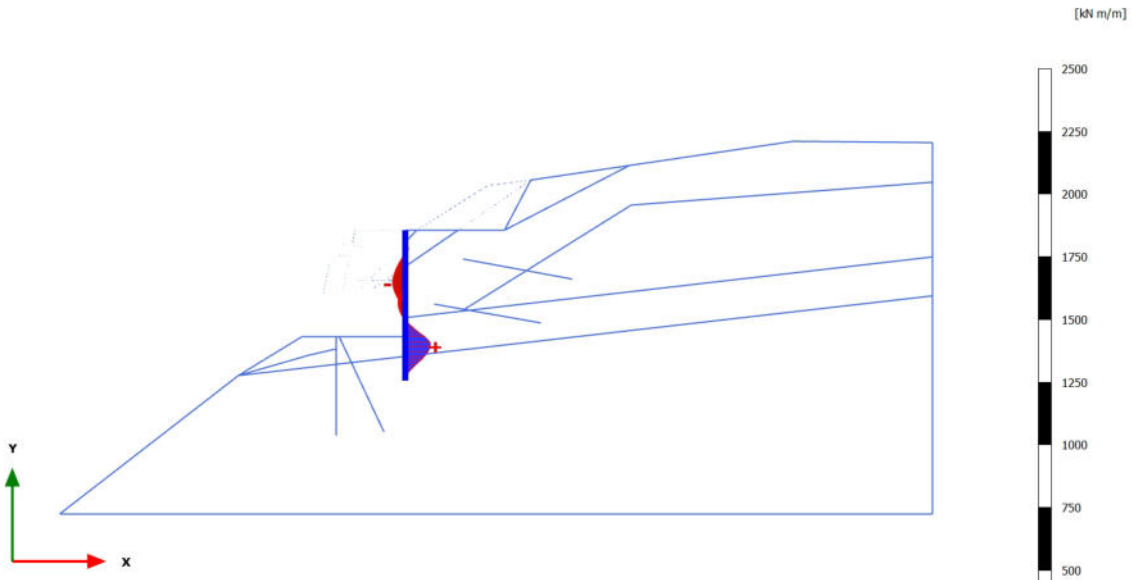

Bending moments M (scaled up 0,0200 times)

Maximum value = 100,6 kN m/m (Element 44 at Node 21636)

Minimum value = -50,50 kN m/m (Element 19 at Node 17178)

3.1.2.2.35 Calculation results, Plate, SLU11 Paratia esistente [Phase_13] (13/1235), Bending moments M

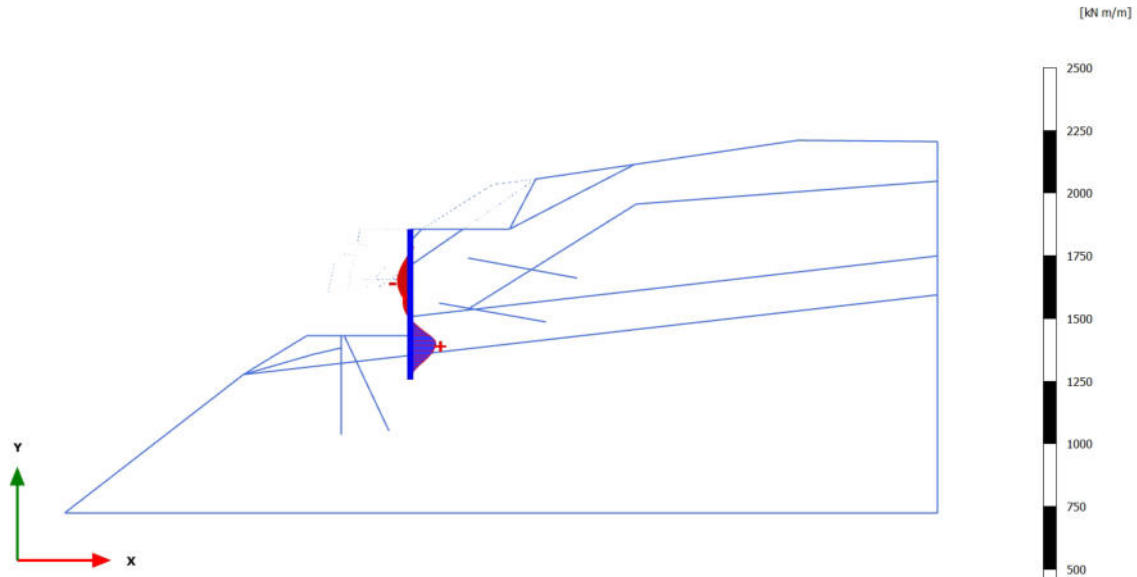

Bending moments M (scaled up 0,0200 times)

Maximum value = 102,5 kN m/m (Element 44 at Node 21636)

Minimum value = -51,79 kN m/m (Element 19 at Node 17178)

3.1.2.2.36 Calculation results, Plate, SLU12 Paratia esistente [Phase_18] (18/1240), Bending moments M

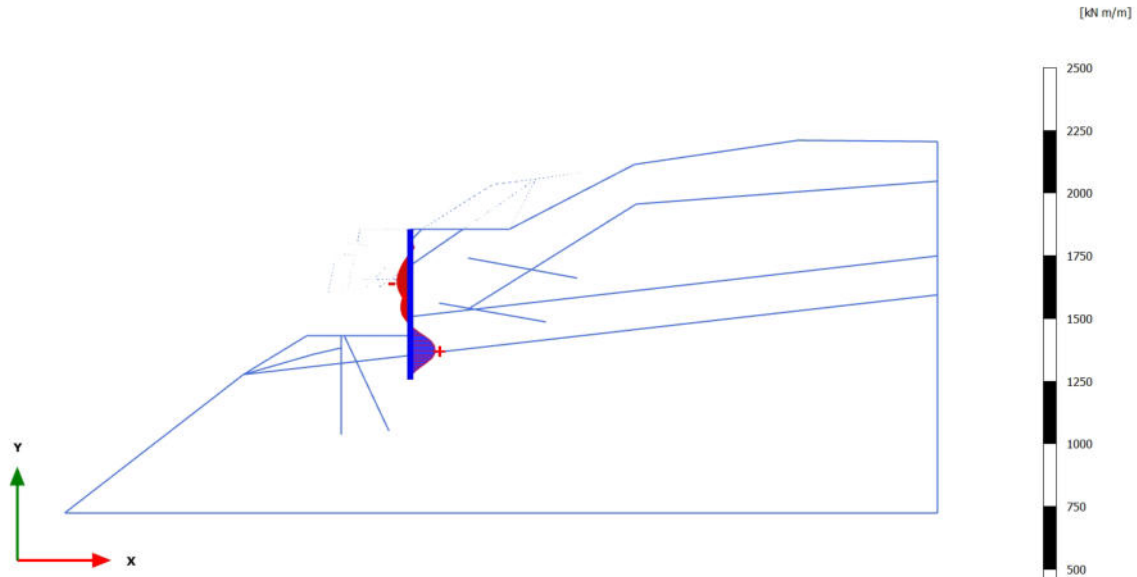

Bending moments M (scaled up 0,0200 times)

Maximum value = 99,51 kN m/m (Element 44 at Node 21635)

Minimum value = -53,52 kN m/m (Element 19 at Node 17178)

3.1.2.2.37 Calculation results, Plate, FS Paratia esistente [Phase_19] (19/1390), Bending moments M

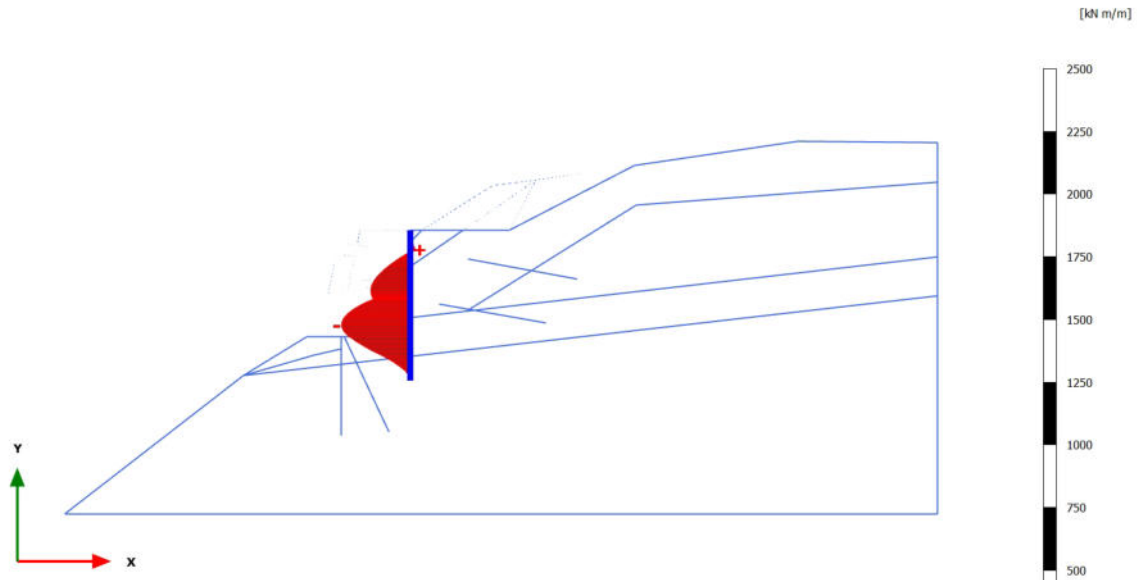

Bending moments M (scaled up 0,0200 times)

Maximum value = 19,20 kN m/m (Element 7 at Node 14231)

Minimum value = -274,1 kN m/m (Element 37 at Node 21130)

3.1.2.2.38 Calculation results, Plate, FS [Phase_23] (23/1510), Bending moments M

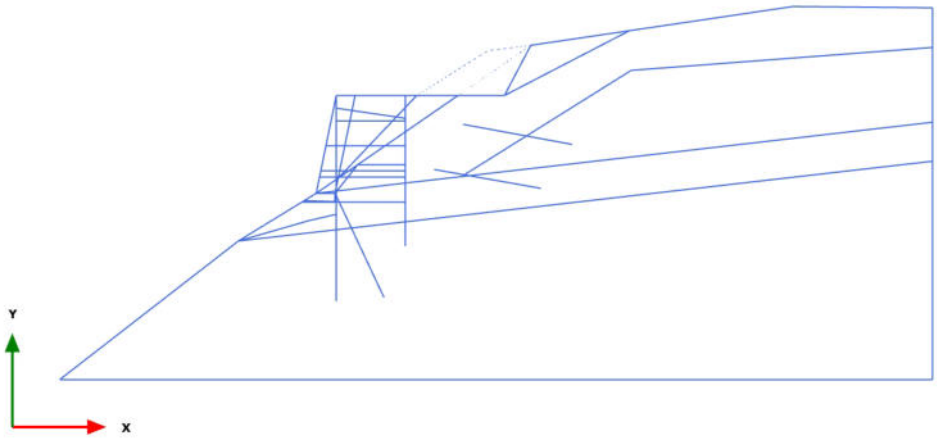

Bending moments M (scaled up 1,00 times)

No results

3.1.2.2.39 Calculation results, Plate, SLV [Phase_27] (27/1545), Bending moments M

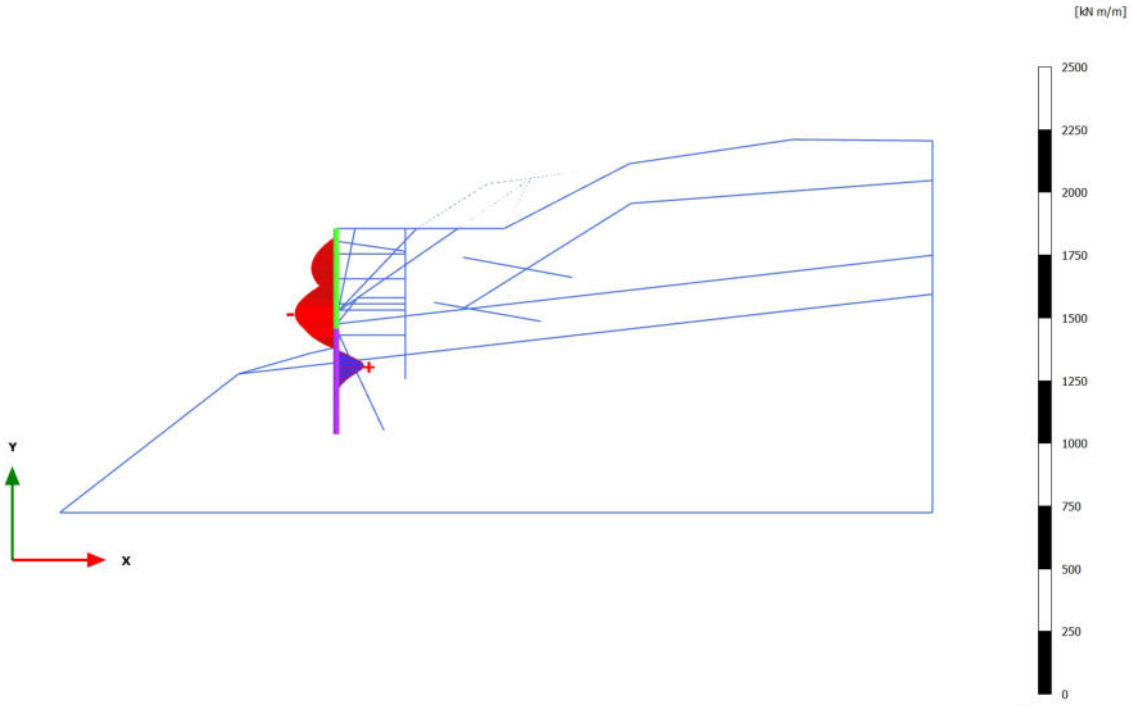

Bending moments M (scaled up 0,0200 times)

Maximum value = 111,0 kN m/m (Element 48 at Node 24134)

Minimum value = -164,0 kN m/m (Element 31 at Node 18918)

3.1.2.3.1 Calculation results, Plate, Initial phase [InitialPhase] (0/11), Axial forces N

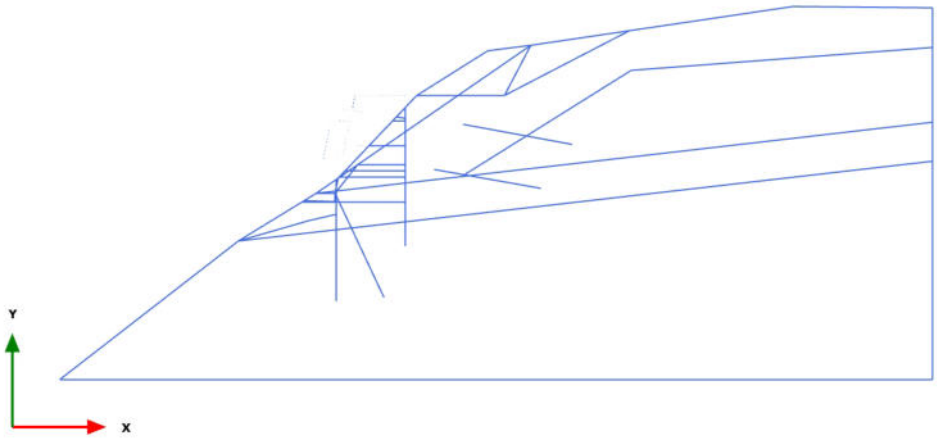

Axial forces N (scaled up 1,00 times)

No results

3.1.2.3.2 Calculation results, Plate, Phase_1 [Phase_1] (1/14), Axial forces N

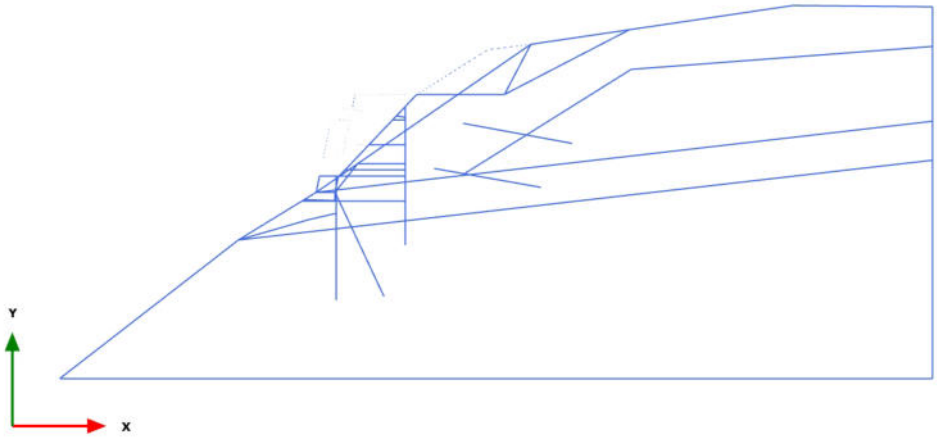

Axial forces N (scaled up 1,00 times)

No results

3.1.2.3.3 Calculation results, Plate, Phase_2 [Phase_2] (2/26), Axial forces N

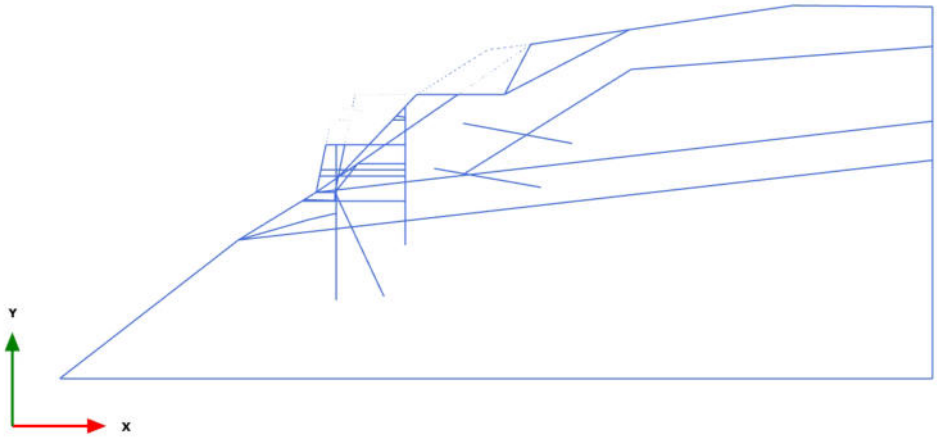

Axial forces N (scaled up 1,00 times)

No results

3.1.2.3.4 Calculation results, Plate, Fine costruzione muro [Phase_3] (3/89), Axial forces N

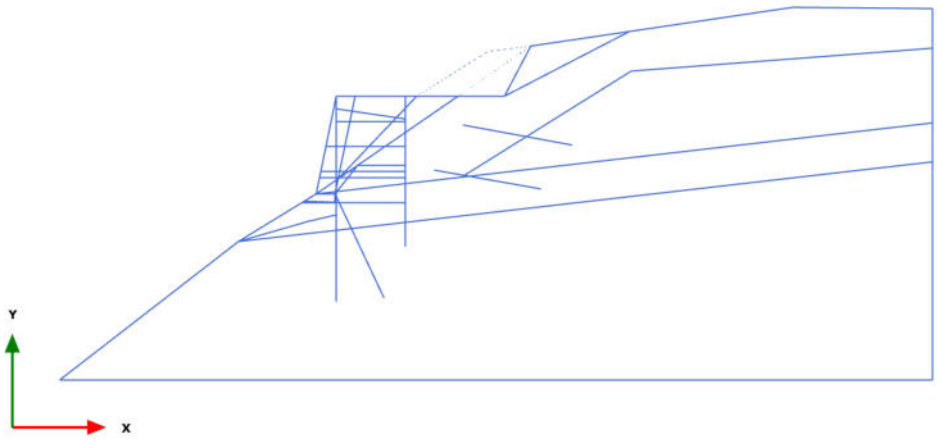

Axial forces N (scaled up 1,00 times)

No results

3.1.2.3.5 Calculation results, Plate, (RD) Paratia [Phase_4] (4/92), Axial forces N

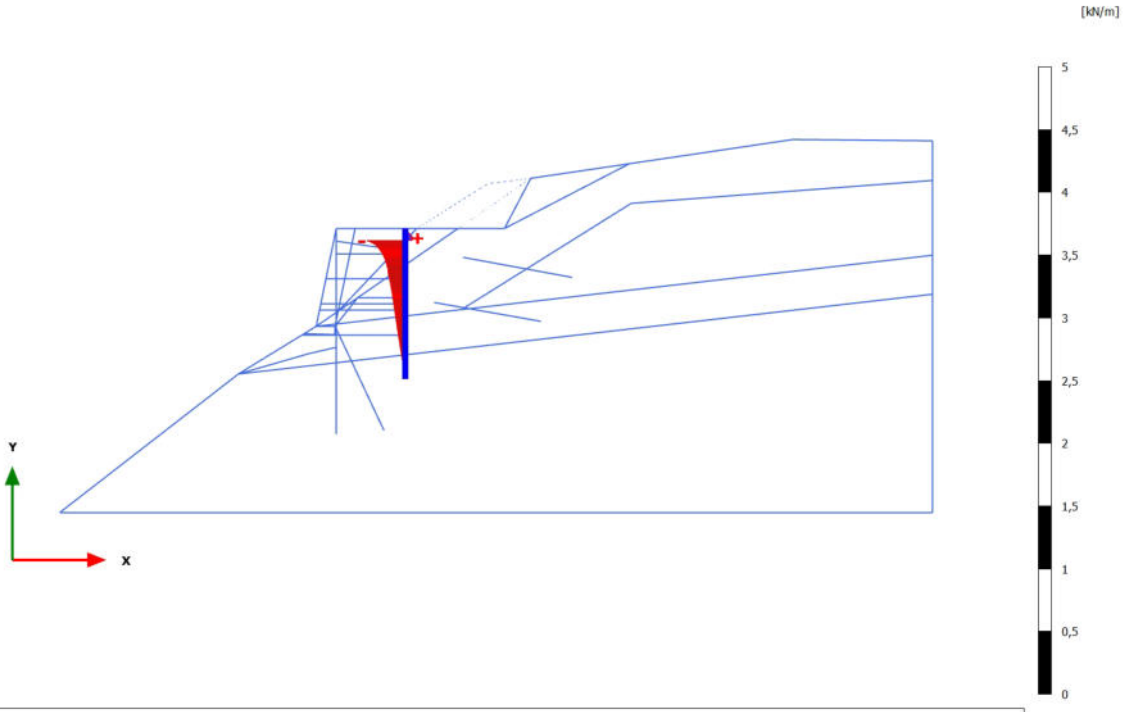

Axial forces N (scaled up 10,0 times)

Maximum value = 0,05940 kN/m (Element 3 at Node 13317)

Minimum value = -0,3088 kN/m (Element 7 at Node 13527)

3.1.2.3.6 Calculation results, Plate, Voragine 1 [Phase_5] (5/110), Axial forces N

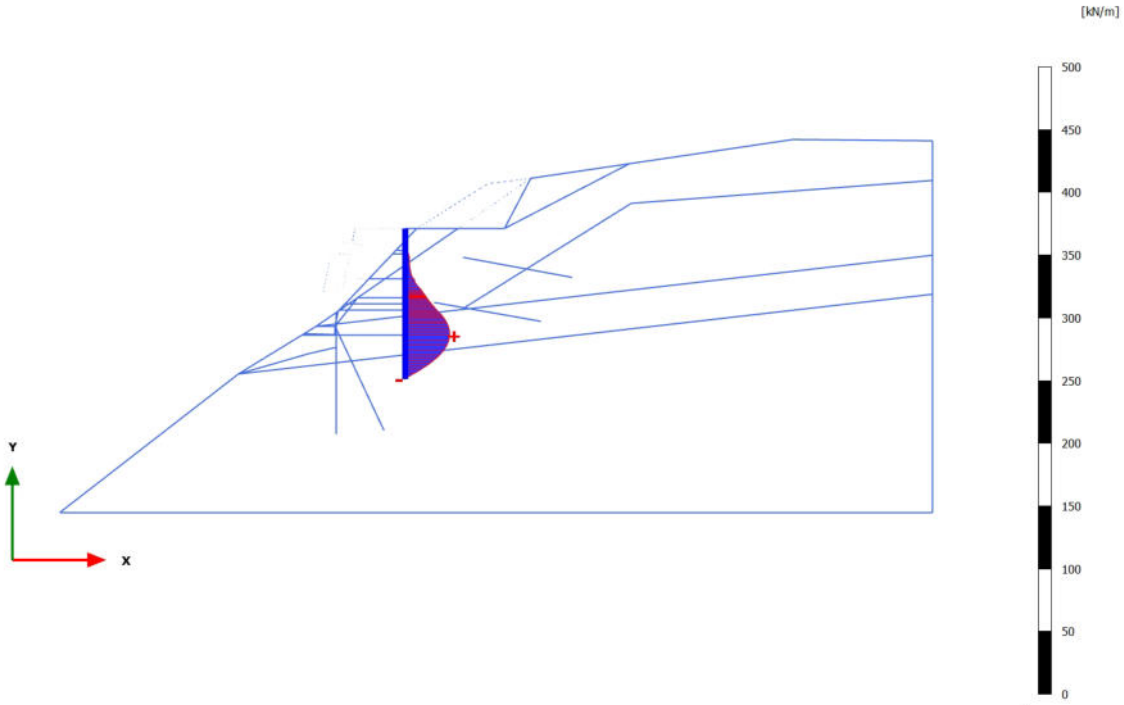

Axial forces N (scaled up 0,100 times)

Maximum value = 35,41 kN/m (Element 37 at Node 21634)

Minimum value = -1,415 kN/m (Element 47 at Node 22535)

3.1.2.3.7 Calculation results, Plate, Voragine 2 [Phase_6] (6/134), Axial forces N

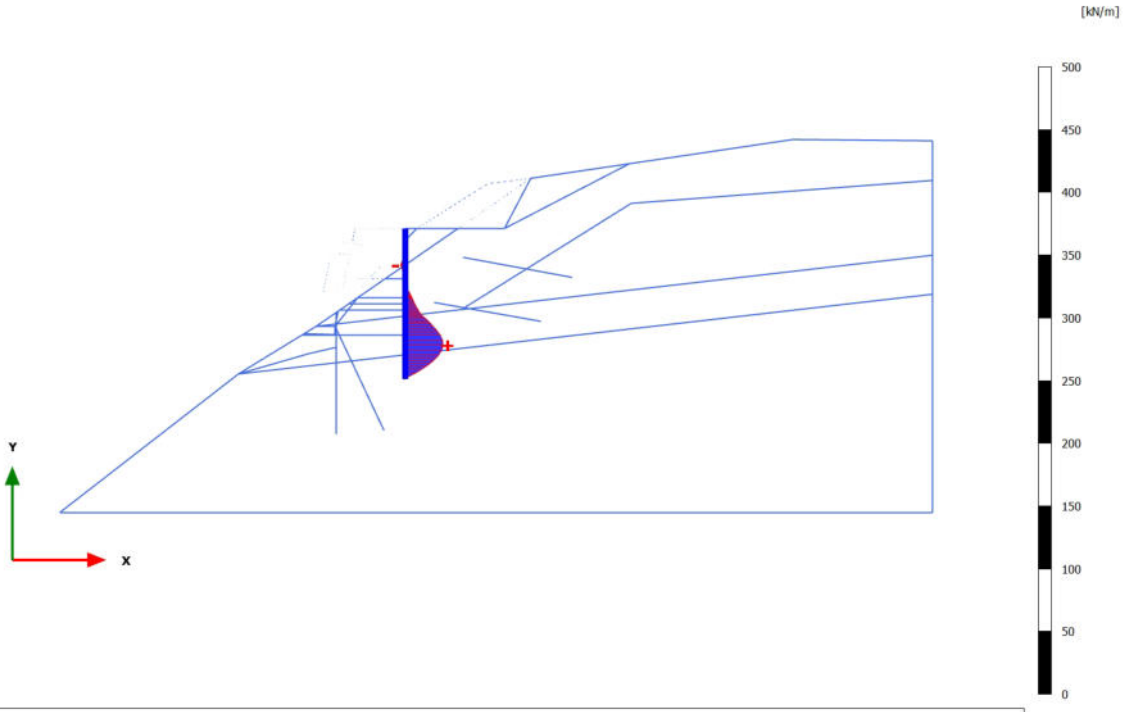

Axial forces N (scaled up 0,100 times)

Maximum value = 30,15 kN/m (Element 44 at Node 21636)

Minimum value = -3,785 kN/m (Element 17 at Node 16325)

3.1.2.3.8 Calculation results, Plate, Mezzi (10 kPa) [Phase_7] (7/155), Axial forces N

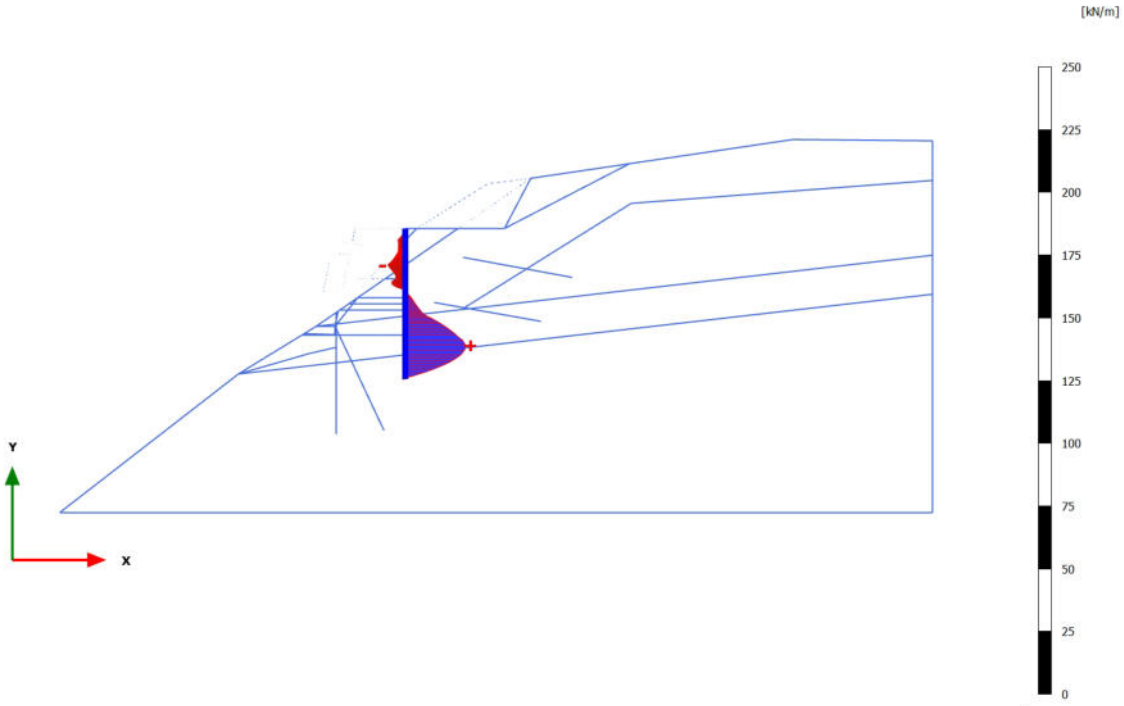

Axial forces N (scaled up 0,200 times)

Maximum value = 23,99 kN/m (Element 44 at Node 21636)

Minimum value = -7,083 kN/m (Element 17 at Node 16325)

3.1.2.3.9 Calculation results, Plate, Micropalo ancoraggio 1 [Phase_8] (8/221), Axial forces N

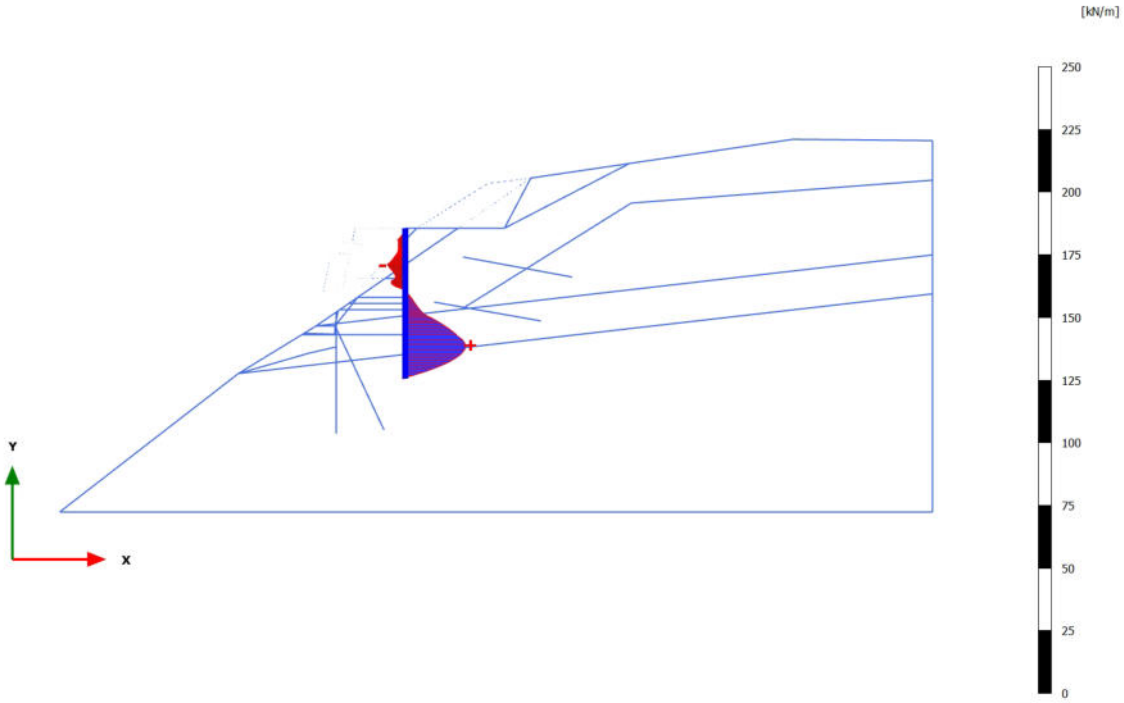

Axial forces N (scaled up 0,200 times)

Maximum value = 24,02 kN/m (Element 44 at Node 21636)

Minimum value = -7,278 kN/m (Element 17 at Node 16325)

3.1.2.3.10 Calculation results, Plate, Escavo 1 [Phase_9] (9/235), Axial forces N

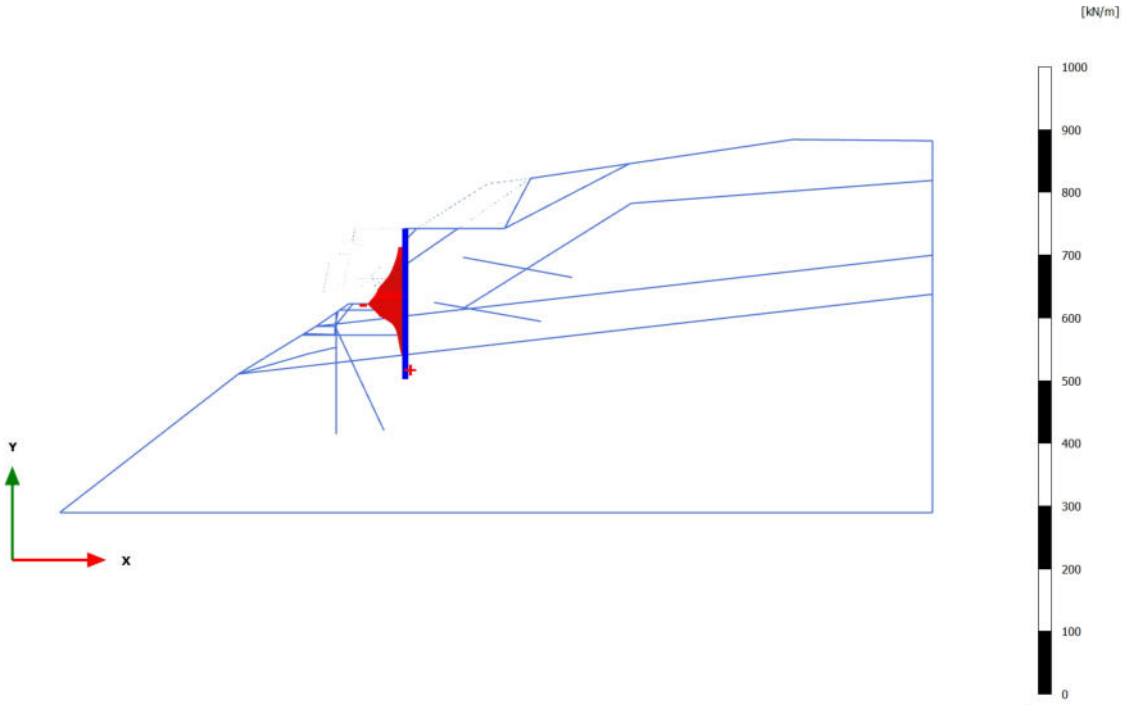

Axial forces N (scaled up 0,0500 times)

Maximum value = 0,9179 kN/m (Element 47 at Node 22538)

Minimum value = -59,38 kN/m (Element 25 at Node 19633)

3.1.2.3.11 Calculation results, Plate, Micropalo ancoraggio 2 [Phase_35] (35/309), Axial forces N

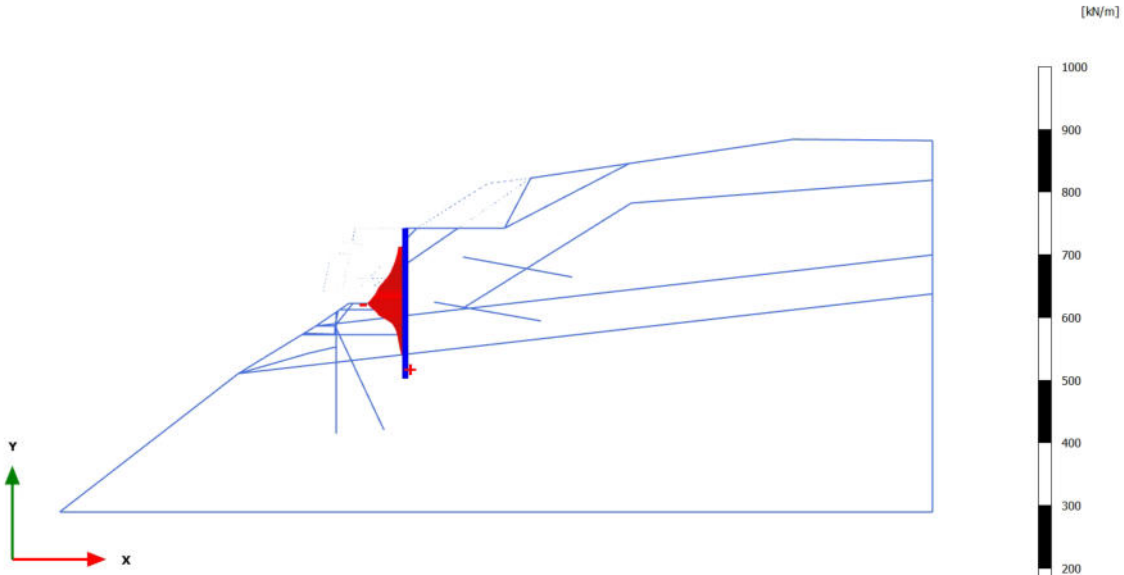

Axial forces N (scaled up 0,0500 times)

Maximum value = 0,8011 kN/m (Element 47 at Node 22538)

Minimum value = -59,78 kN/m (Element 25 at Node 19633)

3.1.2.3.12 Calculation results, Plate, Escavo 2 [Phase_10] (10/318), Axial forces N

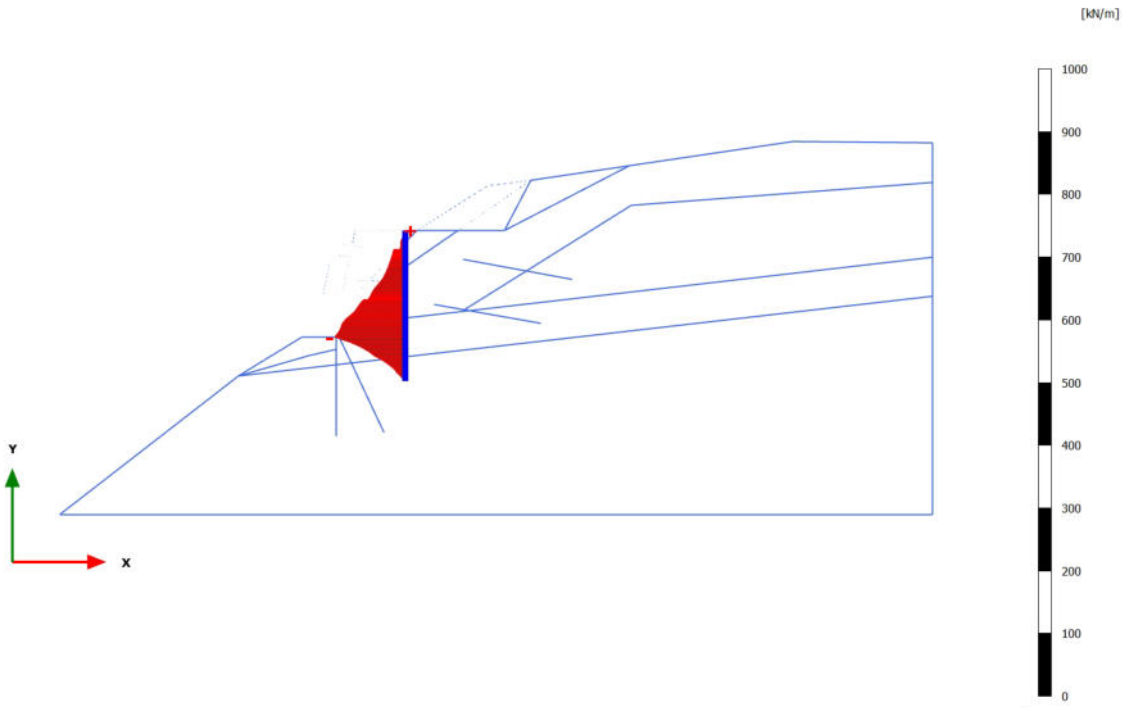

Axial forces N (scaled up 0,0500 times)

Maximum value = 0,2821 kN/m (Element 3 at Node 13320)

Minimum value = -112,7 kN/m (Element 44 at Node 21634)

3.1.2.3.13 Calculation results, Plate, (RIEMP A SBALZO) Micropali e parete [Phase_14] (14/320), Axial forces N

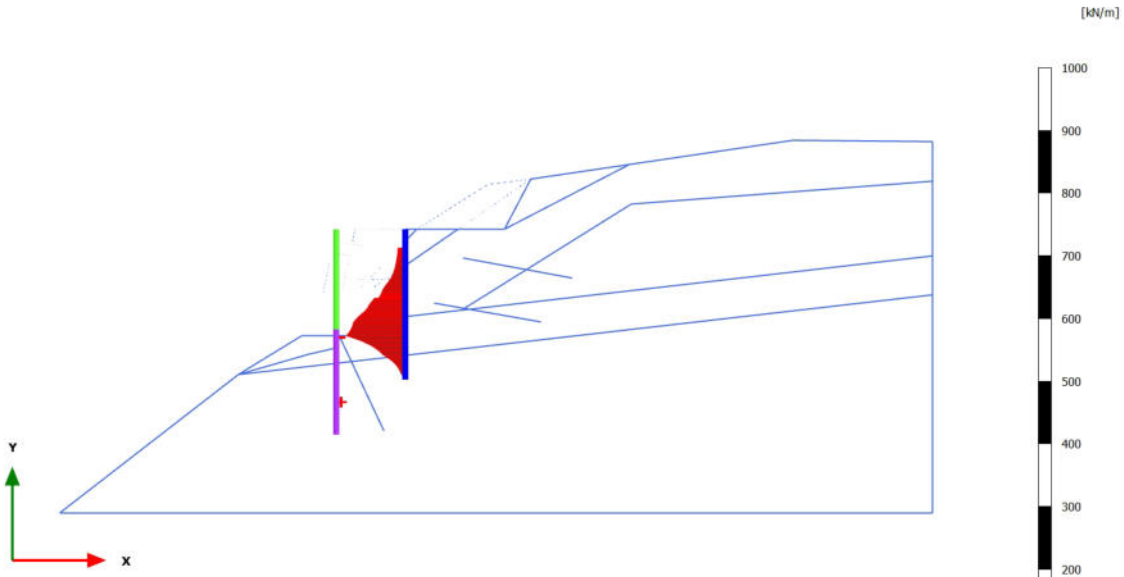

Axial forces N (scaled up 0,0500 times)

Maximum value = 0,4352 kN/m (Element 50 at Node 24477)

Minimum value = -93,93 kN/m (Element 44 at Node 21634)

3.1.2.3.14 Calculation results, Plate, Riempimento 1 [Phase_15] (15/506), Axial forces N

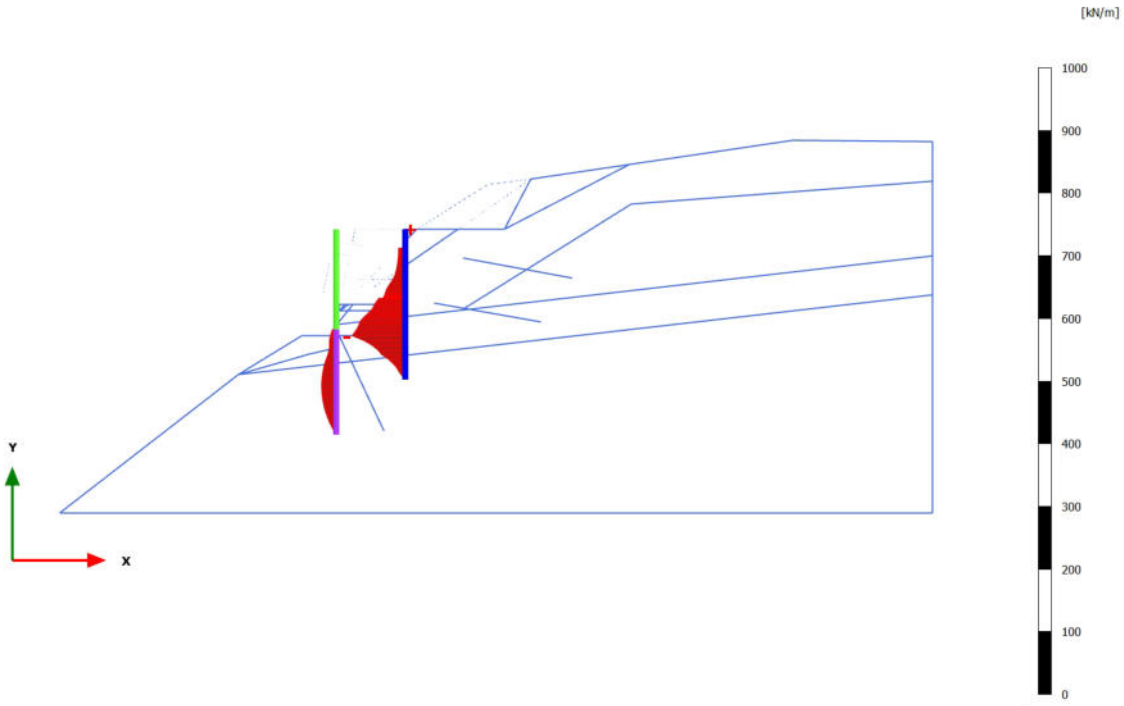

Axial forces N (scaled up 0,0500 times)

Maximum value = 0,3137 kN/m (Element 3 at Node 13320)

Minimum value = -85,13 kN/m (Element 44 at Node 21634)

3.1.2.3.15 Calculation results, Plate, Collegamento ancoraggio 1 [Phase_36] (36/614), Axial forces N

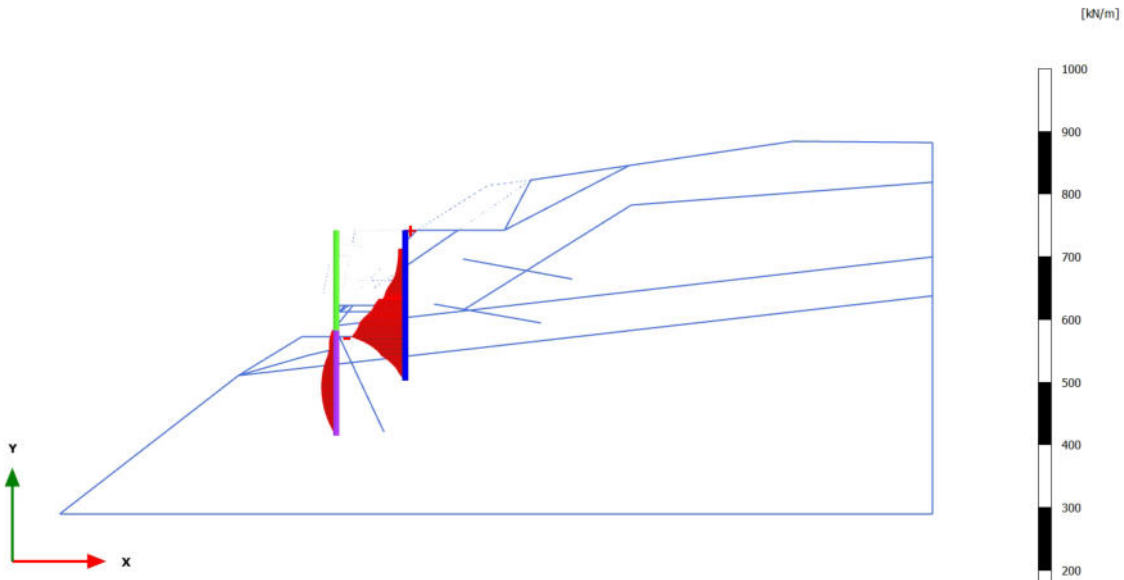

Axial forces N (scaled up 0,0500 times)

Maximum value = 0,3137 kN/m (Element 3 at Node 13320)

Minimum value = -85,12 kN/m (Element 44 at Node 21634)

3.1.2.3.16 Calculation results, Plate, Riempimento 2 [Phase_16] (16/640), Axial forces N

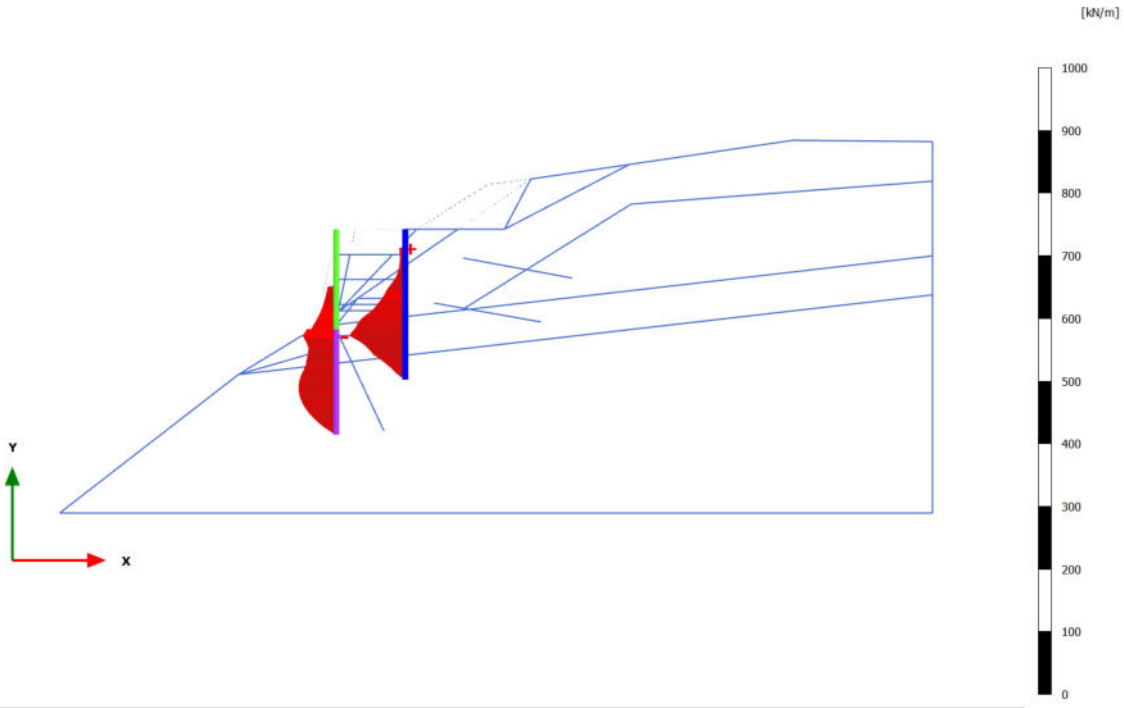

Axial forces N (scaled up 0,0500 times)

Maximum value = 1,191 kN/m (Element 7 at Node 14231)

Minimum value = -88,84 kN/m (Element 37 at Node 21634)

3.1.2.3.17 Calculation results, Plate, Riempimento 3 ed estensione tirante [Phase_17] (17/646), Axial forces N

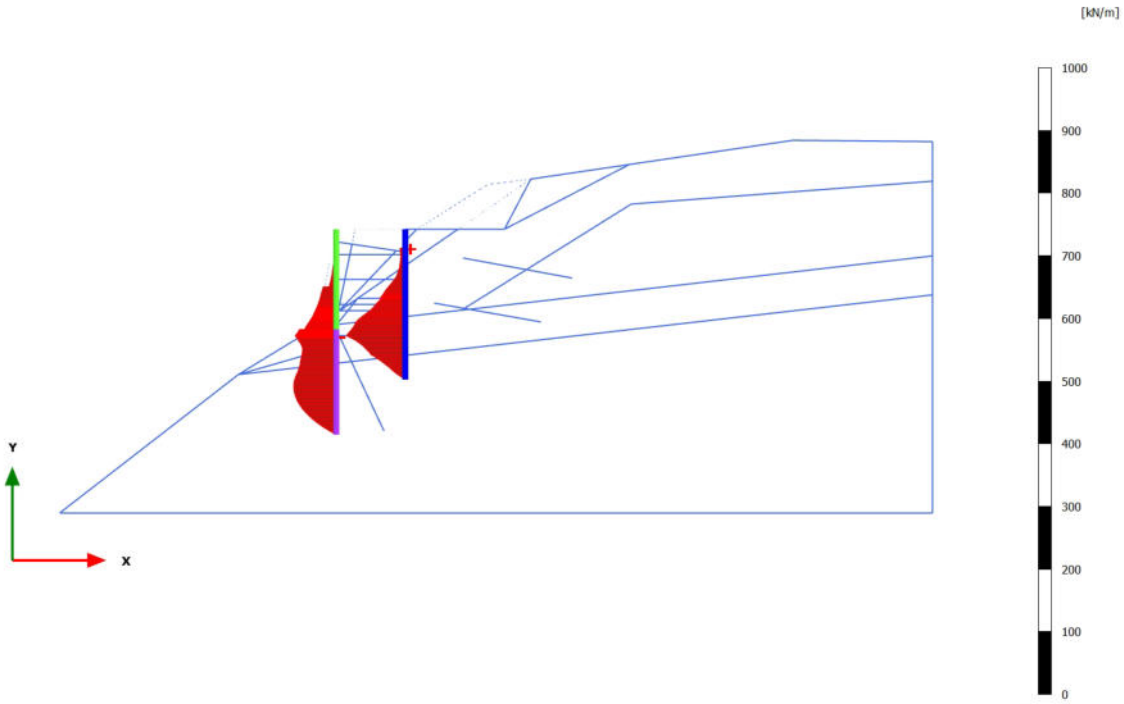

Axial forces N (scaled up 0,0500 times)

Maximum value = 1,036 kN/m (Element 7 at Node 14231)

Minimum value = -93,89 kN/m (Element 37 at Node 21634)

3.1.2.3.18 Calculation results, Plate, Riempimento 4 [Phase_25] (25/655), Axial forces N

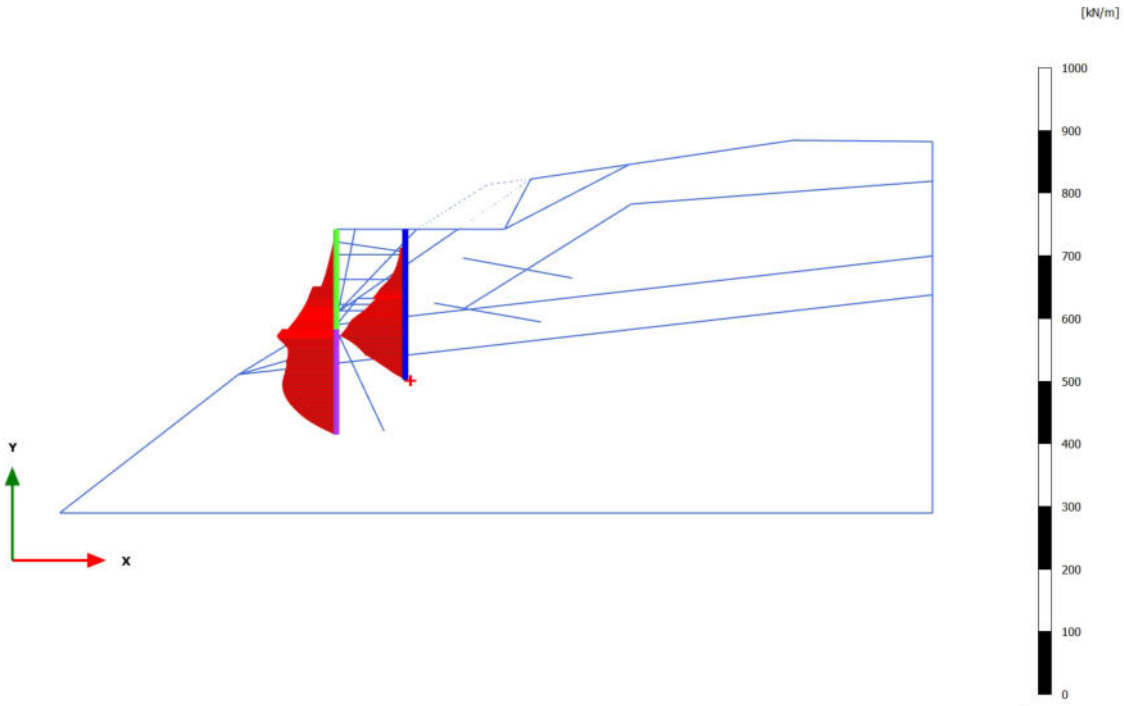

Axial forces N (scaled up 0,0500 times)

Maximum value = 1,098 kN/m (Element 47 at Node 22535)

Minimum value = -103,0 kN/m (Element 37 at Node 21634)

3.1.2.3.19 Calculation results, Plate, Disattivazione paratia esistente [Phase_26] (26/660), Axial forces N

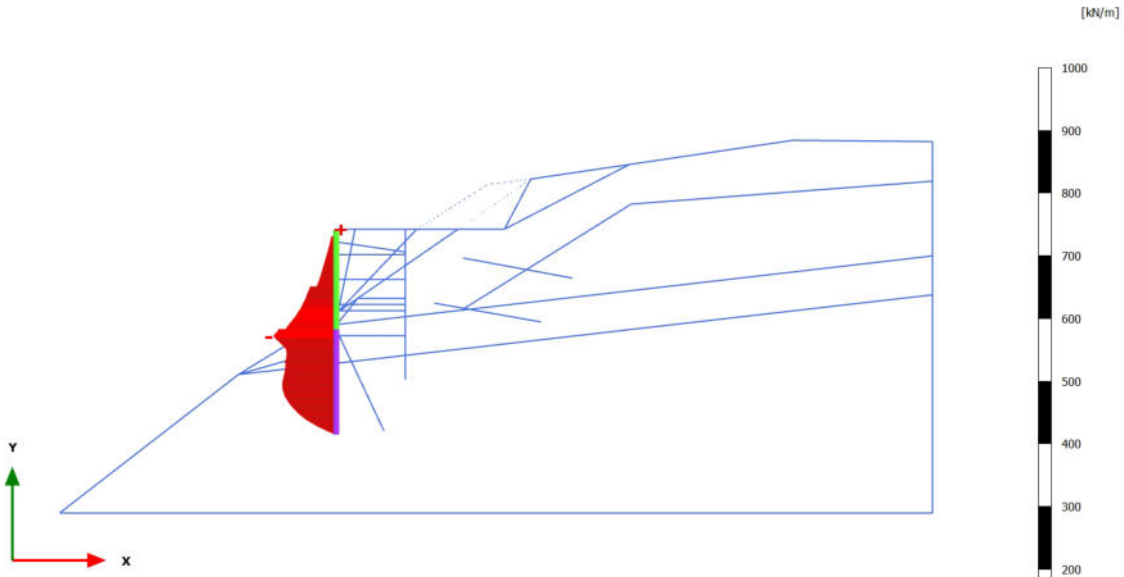

Axial forces N (scaled up 0,0500 times)

Maximum value = 0,01442 kN/m (Element 1 at Node 15336)

Minimum value = -99,73 kN/m (Element 41 at Node 23191)

3.1.2.3.20 Calculation results, Plate, Eccezionale paratia esistente [Phase_34] (34/668), Axial forces N

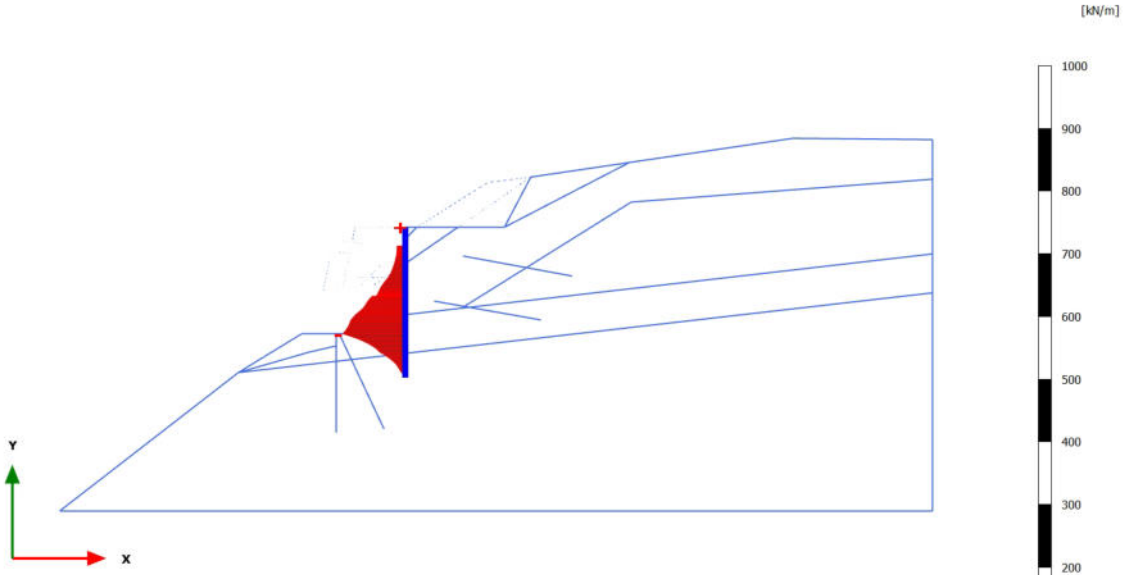

Axial forces N (scaled up 0,0500 times)

Maximum value = -0,05152 kN/m (Element 3 at Node 13320)

Minimum value = -99,66 kN/m (Element 44 at Node 21634)

3.1.2.3.21 Calculation results, Plate, Eccezionale [Phase_24] (24/712), Axial forces N

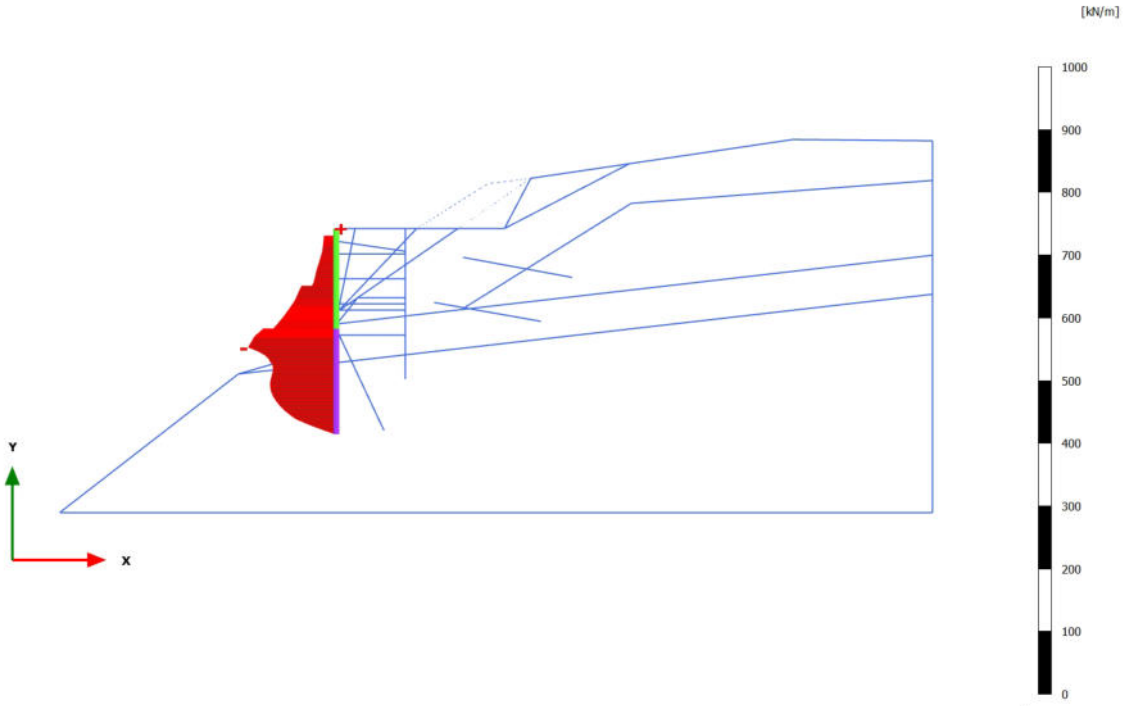

Axial forces N (scaled up 0,0500 times)

Maximum value = 0,01871 kN/m (Element 1 at Node 15336)

Minimum value = -140,1 kN/m (Element 43 at Node 23981)

3.1.2.3.22 Calculation results, Plate, SLU11 [Phase_29] (29/723), Axial forces N

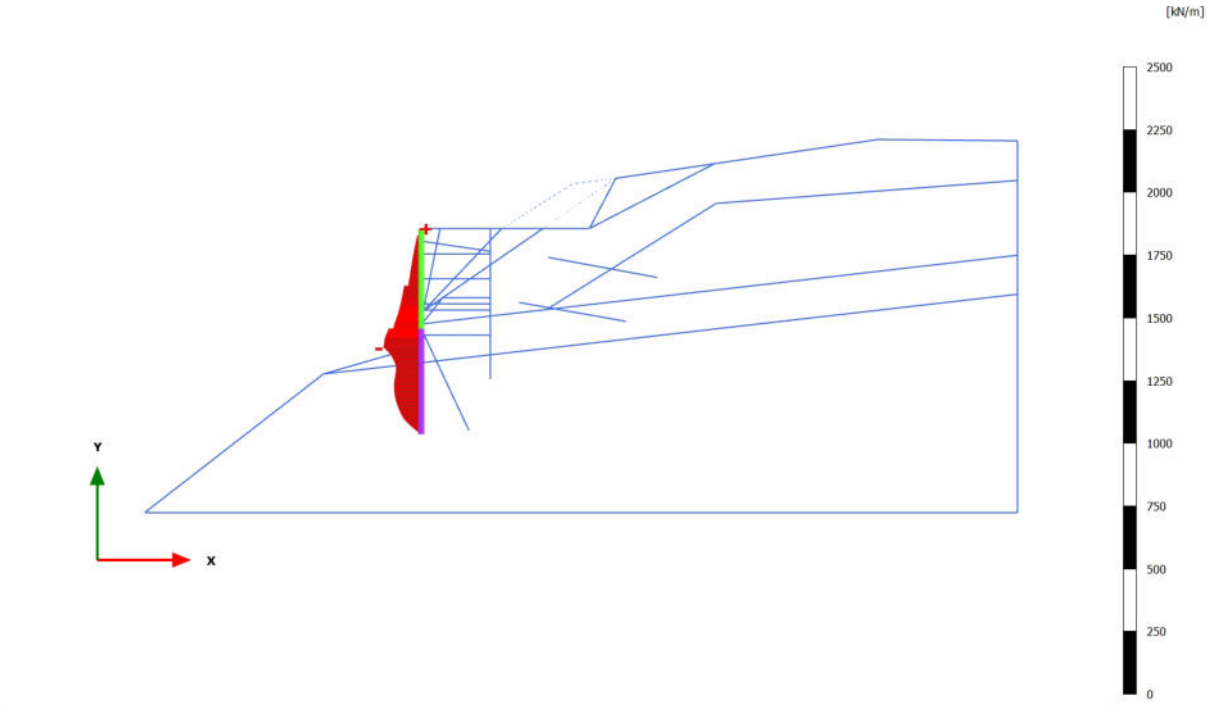

Axial forces N (scaled up 0,0200 times)

Maximum value = 0,02428 kN/m (Element 1 at Node 15336)

Minimum value = -150,1 kN/m (Element 43 at Node 23981)

3.1.2.3.23 Calculation results, Plate, M2 [Phase_30] (30/770), Axial forces N

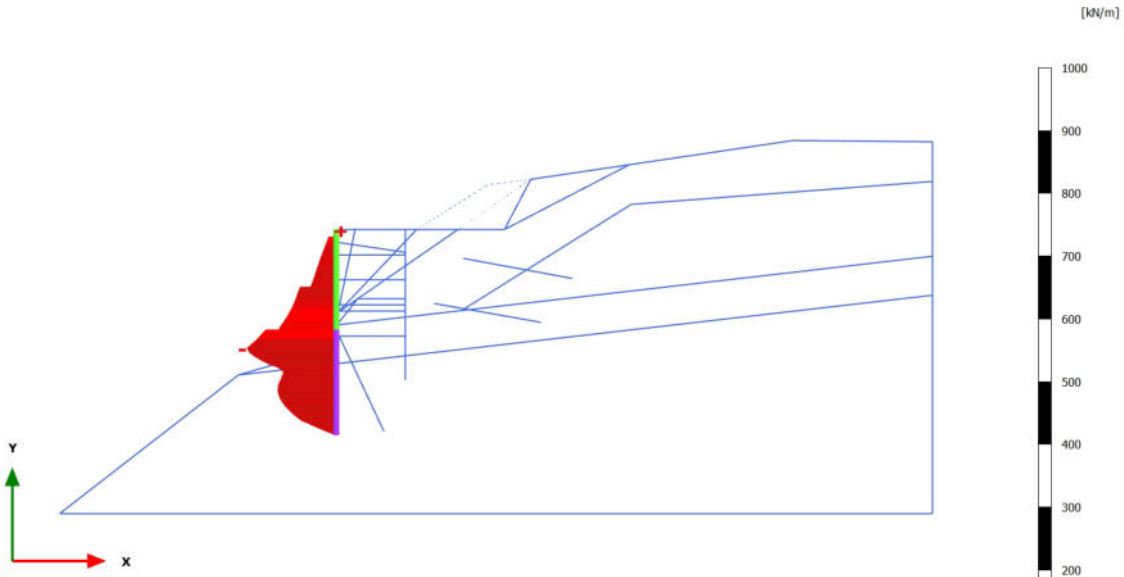

Axial forces N (scaled up 0,0500 times)

Maximum value = 2,796*10^{-3} kN/m (Element 1 at Node 15335)

Minimum value = -142,5 kN/m (Element 43 at Node 23981)

3.1.2.3.24 Calculation results, Plate, SLU12 [Phase_31] (31/776), Axial forces N

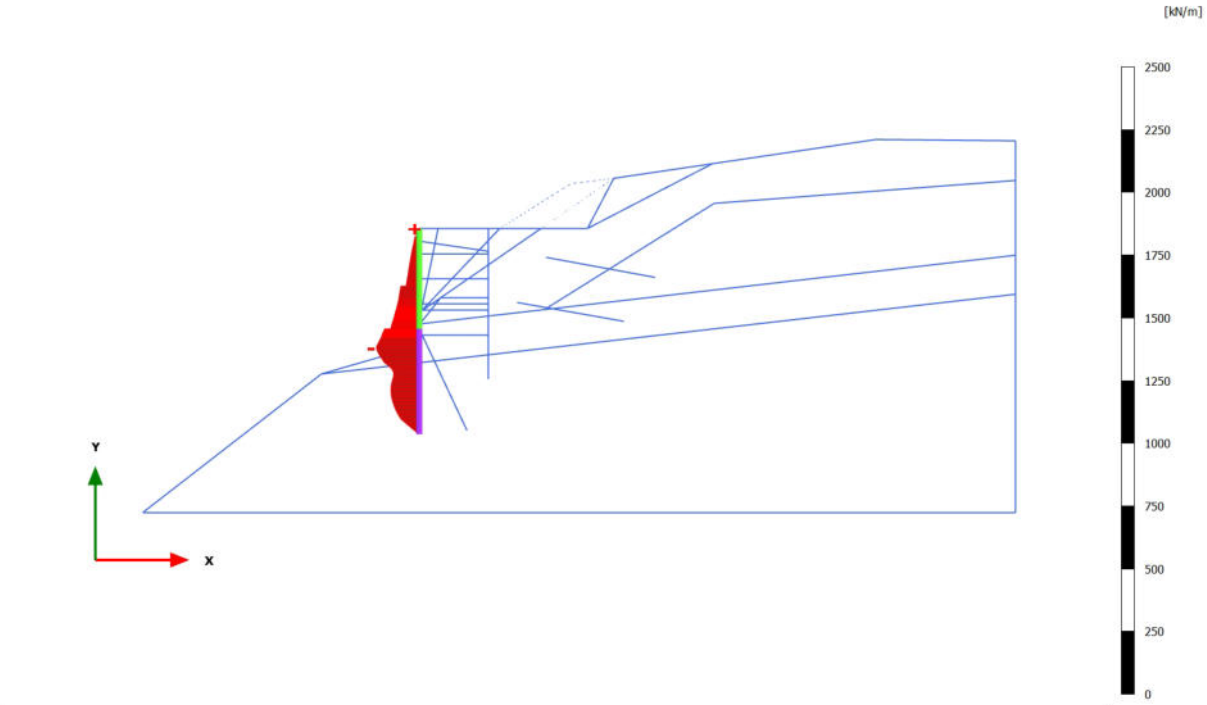

Axial forces N (scaled up 0,0200 times)

Maximum value = -0,01796 kN/m (Element 1 at Node 15336)

Minimum value = -171,8 kN/m (Element 43 at Node 23981)

3.1.2.3.25 Calculation results, Plate, SLU12 SG [Phase_21] (21/779), Axial forces N

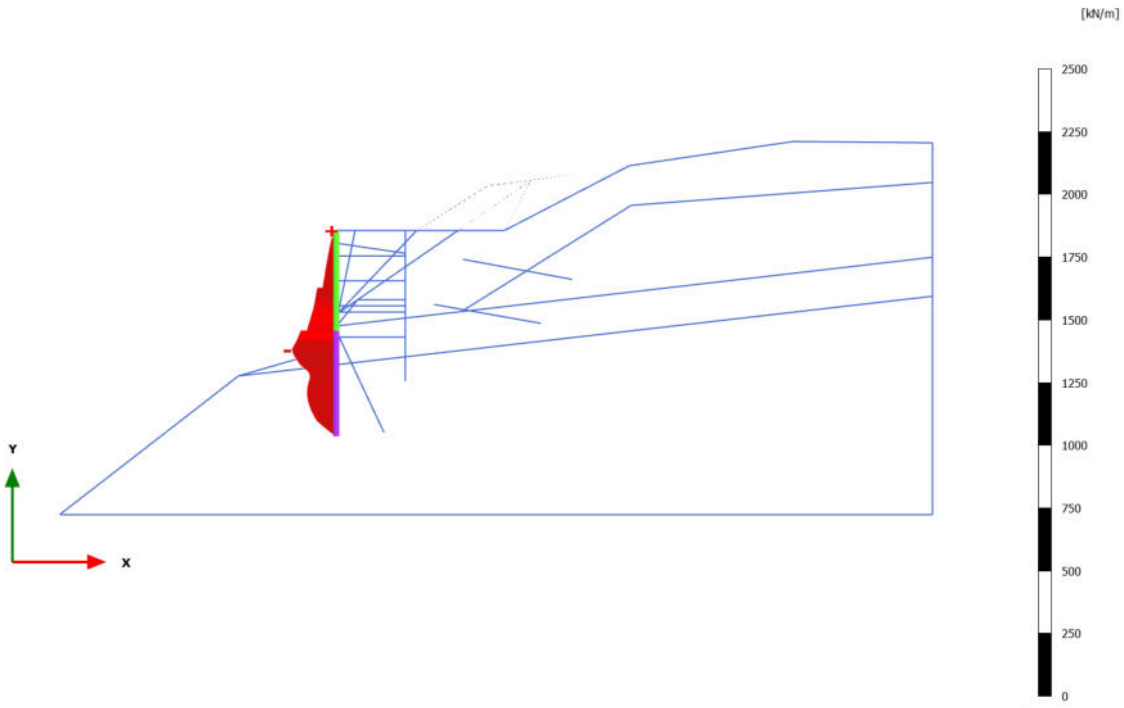

Axial forces N (scaled up 0,0200 times)

Maximum value = -0,01766 kN/m (Element 1 at Node 15336)

Minimum value = -175,1 kN/m (Element 43 at Node 23981)

3.1.2.3.26 Calculation results, Plate, FS SLU12 [Phase_20] (20/879), Axial forces N

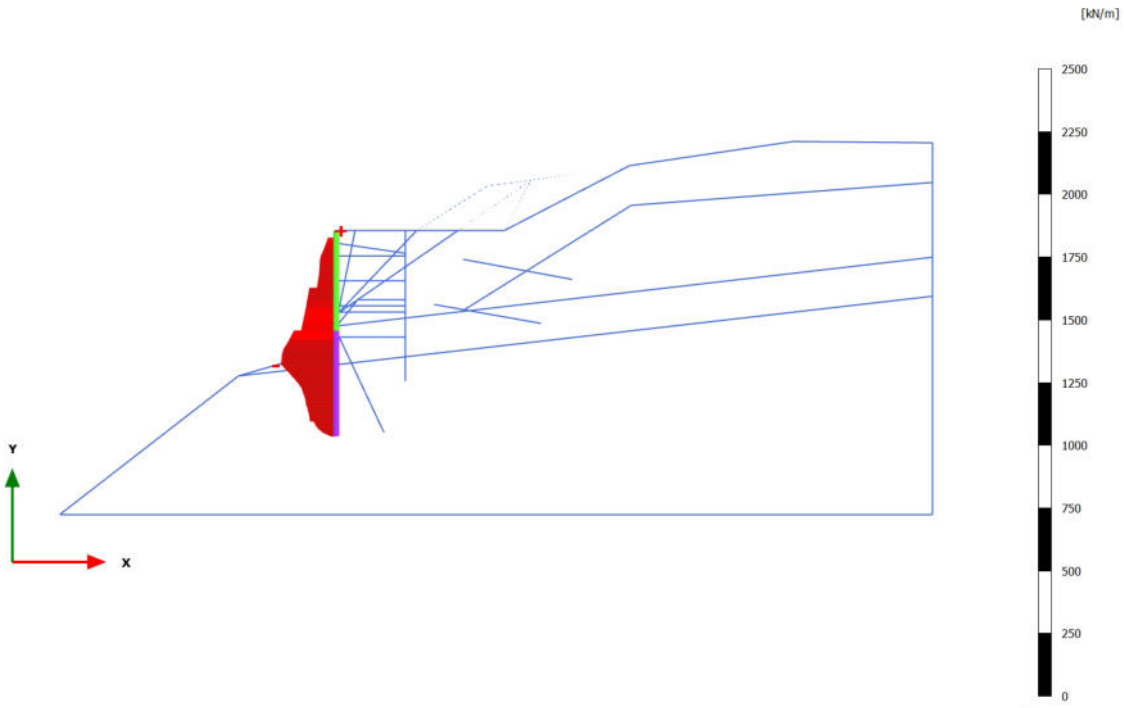

Axial forces N (scaled up 0,0200 times)

Maximum value = 0,01285 kN/m (Element 1 at Node 15336)

Minimum value = -220,5 kN/m (Element 45 at Node 24131)

3.1.2.3.27 Calculation results, Plate, SLE [Phase_11] (11/883), Axial forces N

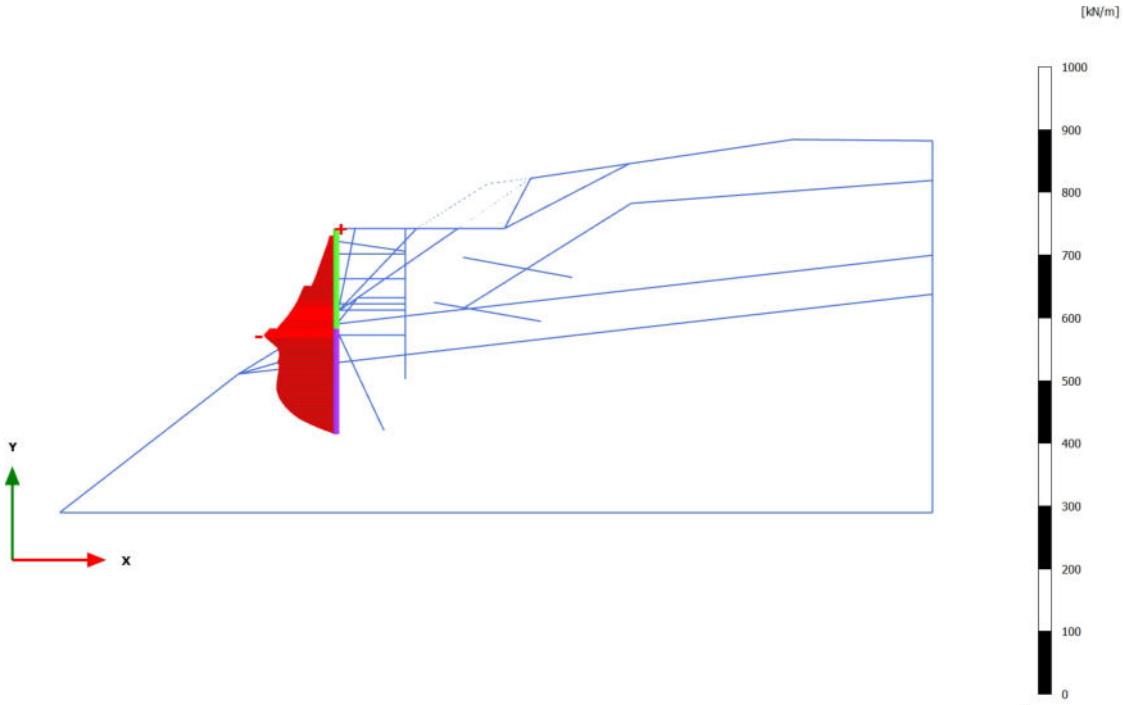

Axial forces N (scaled up 0,0500 times)

Maximum value = 9,253*10^{-3} kN/m (Element 1 at Node 15336)

Minimum value = -115,4 kN/m (Element 41 at Node 23191)

3.1.2.3.28 Calculation results, Plate, SLV + stab globale [Phase_22] (22/896), Axial forces N

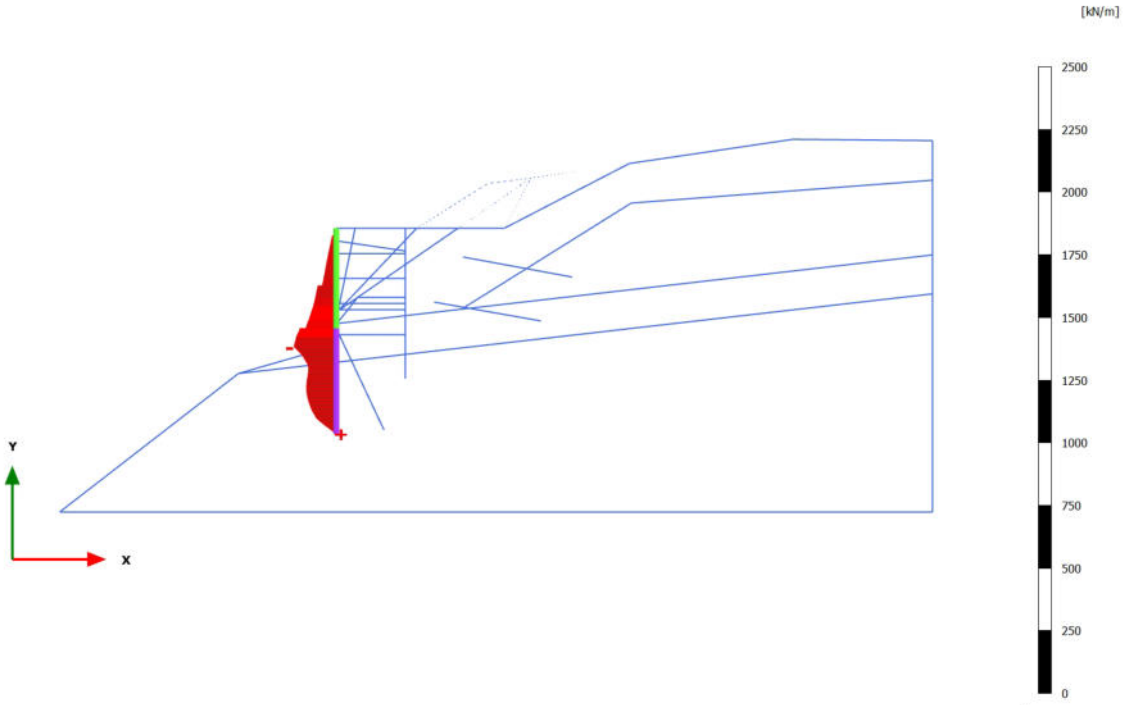

Axial forces N (scaled up 0,0200 times)

Maximum value = 0,4237 kN/m (Element 52 at Node 25014)

Minimum value = -168,0 kN/m (Element 43 at Node 23981)

3.1.2.3.29 Calculation results, Plate, FS SLV+ [Phase_28] (28/1046), Axial forces N

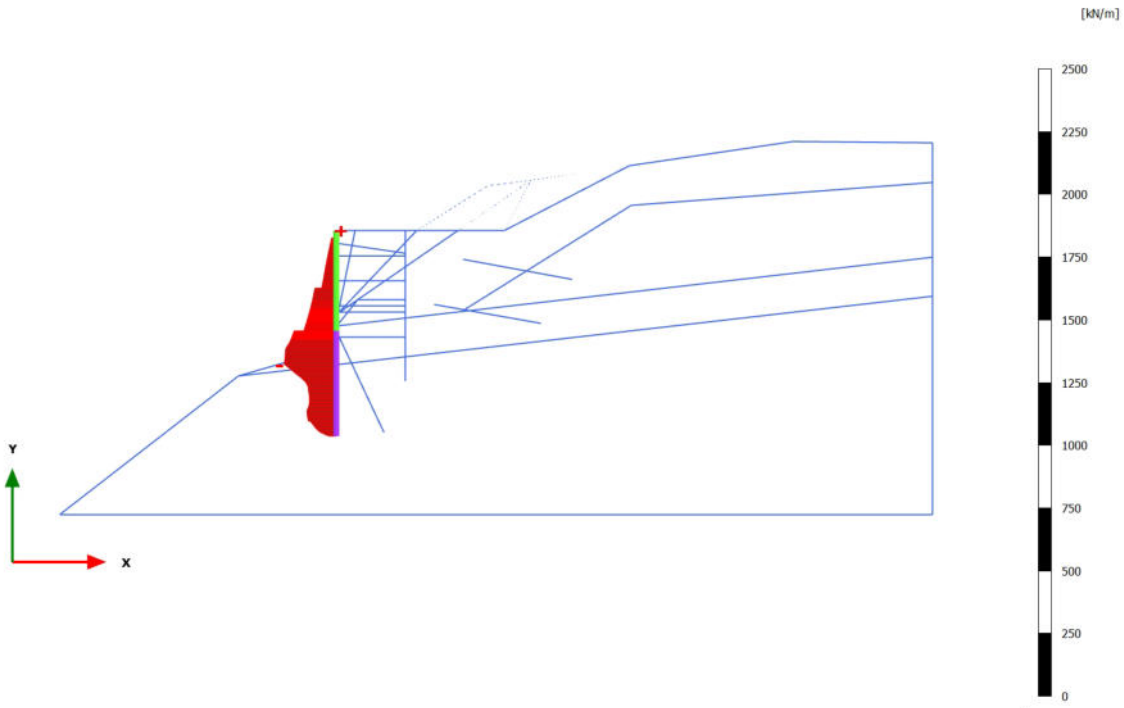

Axial forces N (scaled up 0,0200 times)

Maximum value = 0,04743 kN/m (Element 1 at Node 15336)

Minimum value = -207,7 kN/m (Element 45 at Node 24131)

3.1.2.3.30 Calculation results, Plate, SLV - stab globale [Phase_32] (32/1056), Axial forces N

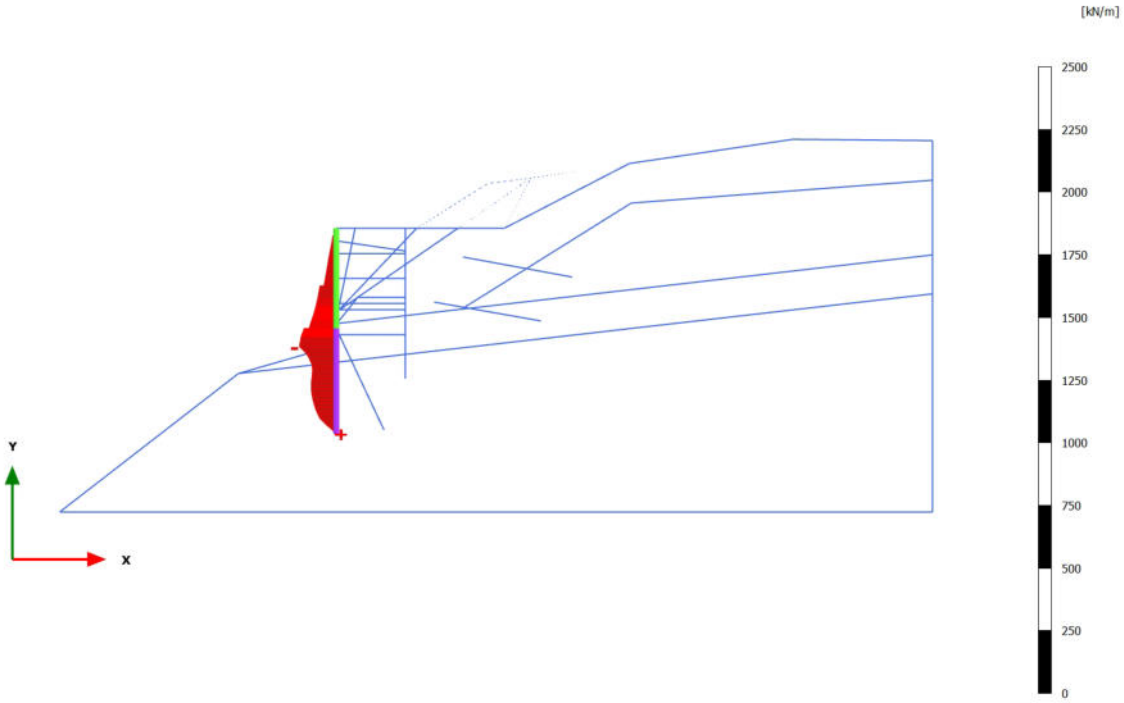

Axial forces N (scaled up 0,0200 times)

Maximum value = 0,4934 kN/m (Element 52 at Node 25014)

Minimum value = -146,9 kN/m (Element 43 at Node 23981)

3.1.2.3.31 Calculation results, Plate, FS SLV - [Phase_33] (33/1156), Axial forces N

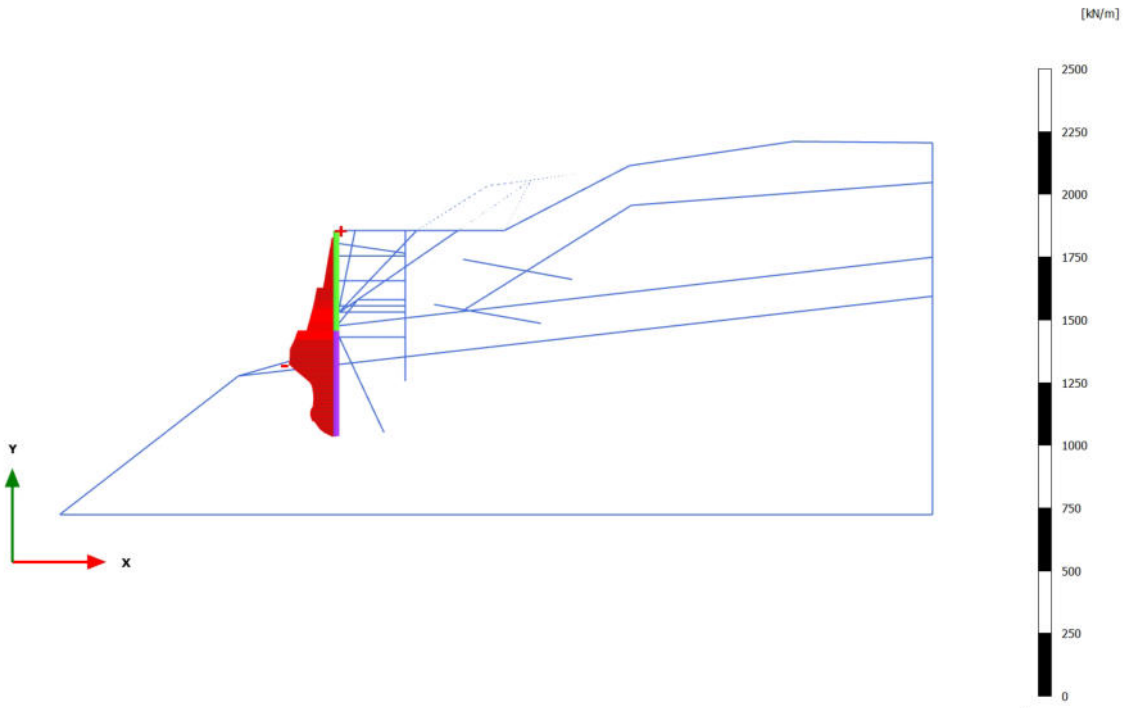

Axial forces N (scaled up 0,0200 times)

Maximum value = 0,03715 kN/m (Element 1 at Node 15336)

Minimum value = -188,1 kN/m (Element 45 at Node 24131)

3.1.2.3.32 Calculation results, Plate, SLD [Phase_38] (38/1178), Axial forces N

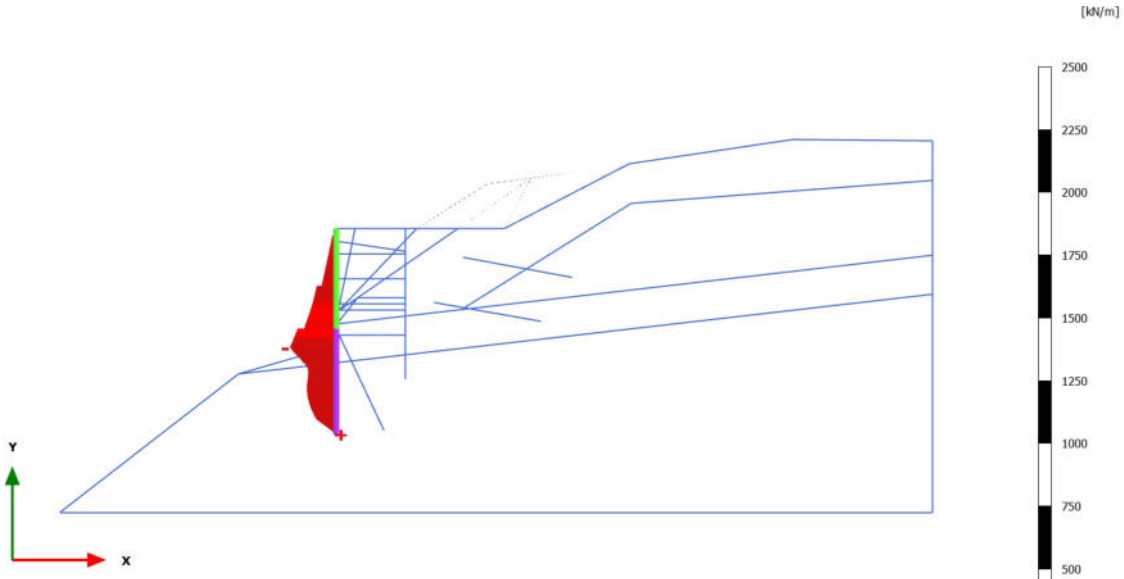

Axial forces N (scaled up 0,0200 times)

Maximum value = 1,637 kN/m (Element 52 at Node 25014)

Minimum value = -183,4 kN/m (Element 43 at Node 23981)

3.1.2.3.33 Calculation results, Plate, q rullo [Phase_37] (37/1187), Axial forces N

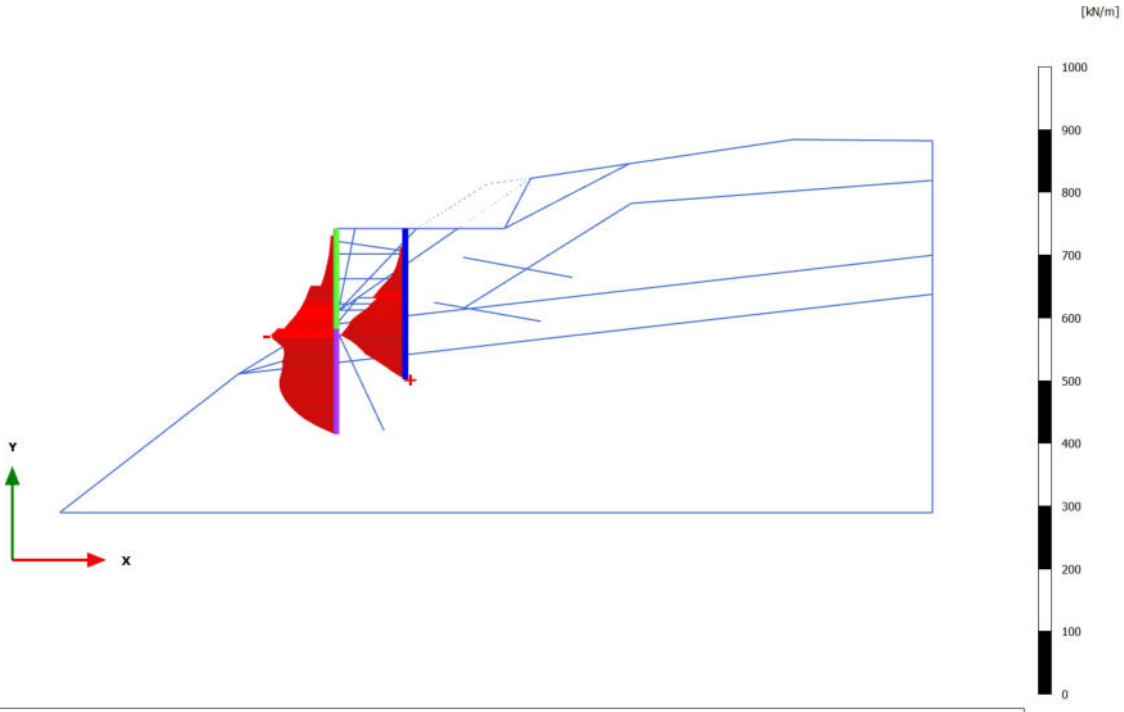

Axial forces N (scaled up 0,0500 times)

Maximum value = 0,9579 kN/m (Element 47 at Node 22535)

Minimum value = -103,7 kN/m (Element 41 at Node 23191)

3.1.2.3.34 Calculation results, Plate, SLE Paratia esistente [Phase_12] (12/1232), Axial forces N

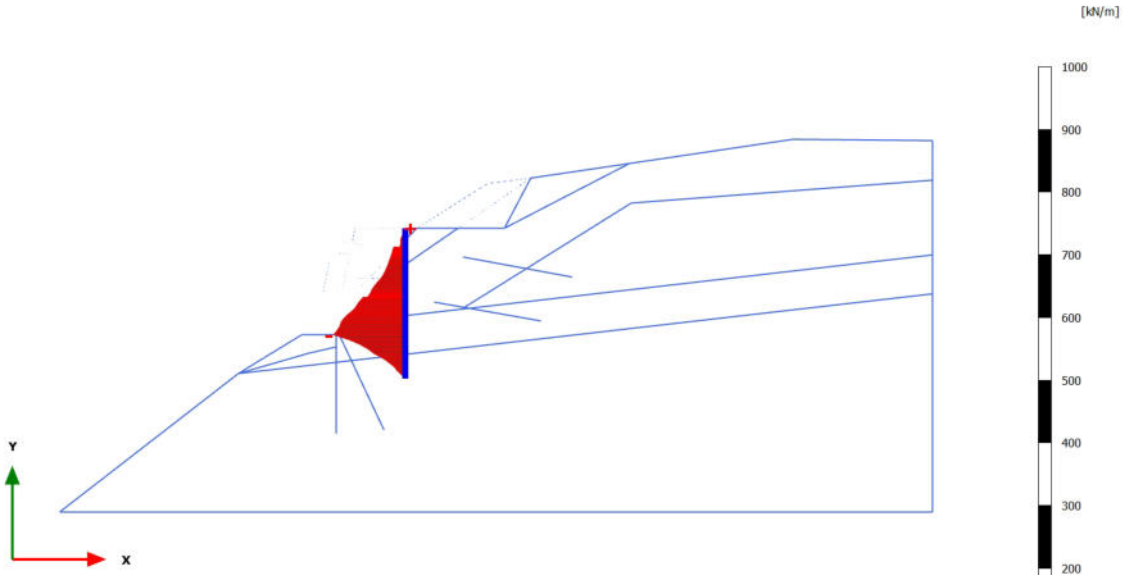

Axial forces N (scaled up 0,0500 times)

Maximum value = 0,3129 kN/m (Element 3 at Node 13320)

Minimum value = -114,3 kN/m (Element 44 at Node 21634)

3.1.2.3.35 Calculation results, Plate, SLU11 Paratia esistente [Phase_13] (13/1235), Axial forces N

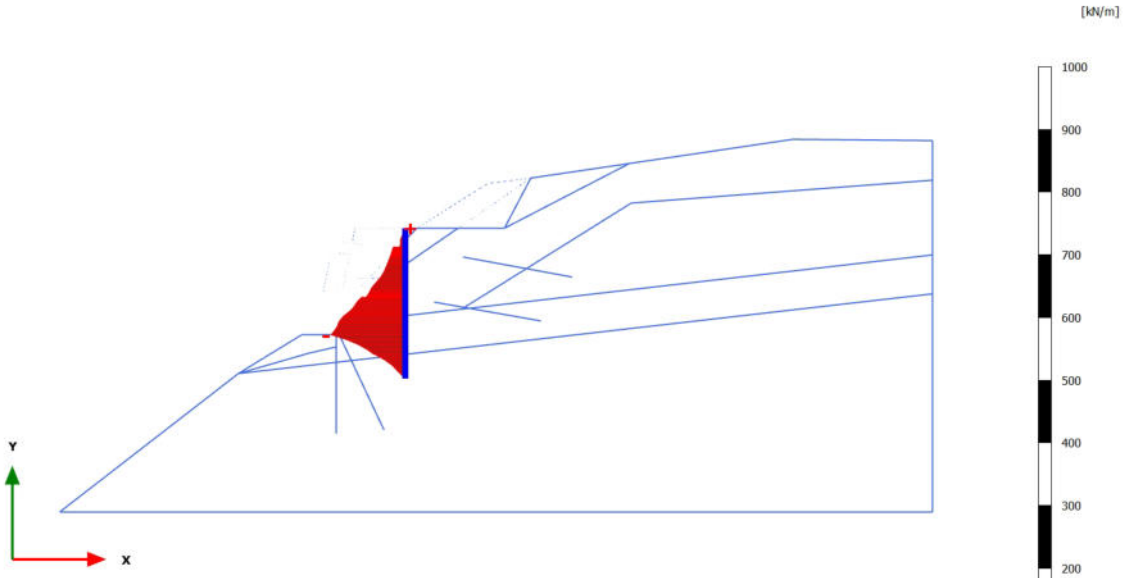

Axial forces N (scaled up 0,0500 times)

Maximum value = 0,3109 kN/m (Element 3 at Node 13320)

Minimum value = -118,7 kN/m (Element 44 at Node 21634)

3.1.2.3.36 Calculation results, Plate, SLU12 Paratia esistente [Phase_18] (18/1240), Axial forces N

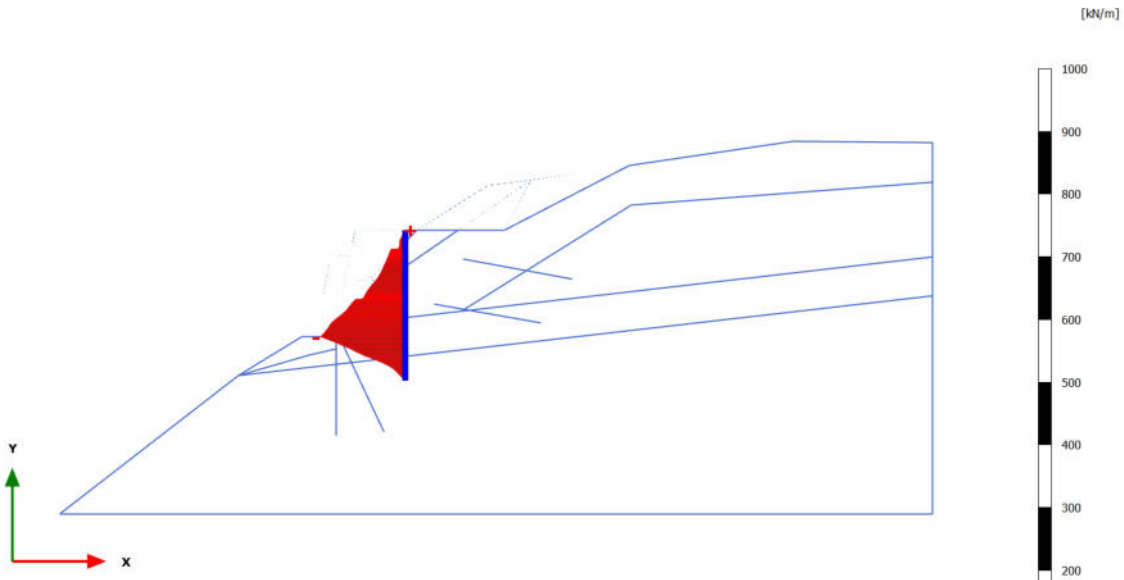

Axial forces N (scaled up 0,0500 times)

Maximum value = 0,4912 kN/m (Element 3 at Node 13320)

Minimum value = -134,7 kN/m (Element 44 at Node 21634)

3.1.2.3.37 Calculation results, Plate, FS Paratia esistente [Phase_19] (19/1390), Axial forces N

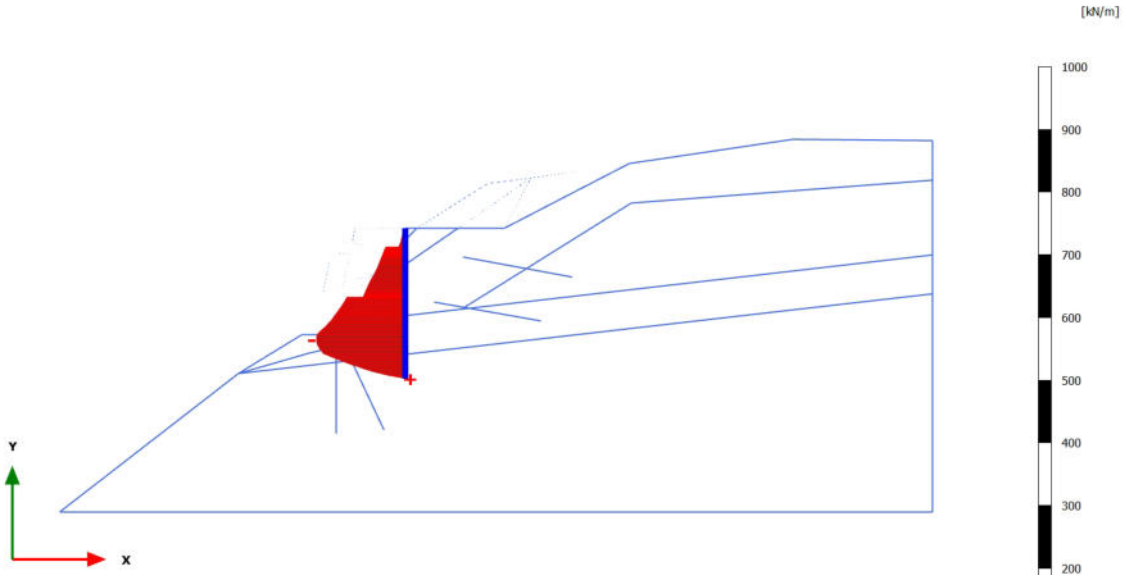

Axial forces N (scaled up 0,0500 times)

Maximum value = 1,172 kN/m (Element 47 at Node 22535)

Minimum value = -141,7 kN/m (Element 44 at Node 21637)

3.1.2.3.38 Calculation results, Plate, FS [Phase_23] (23/1510), Axial forces N

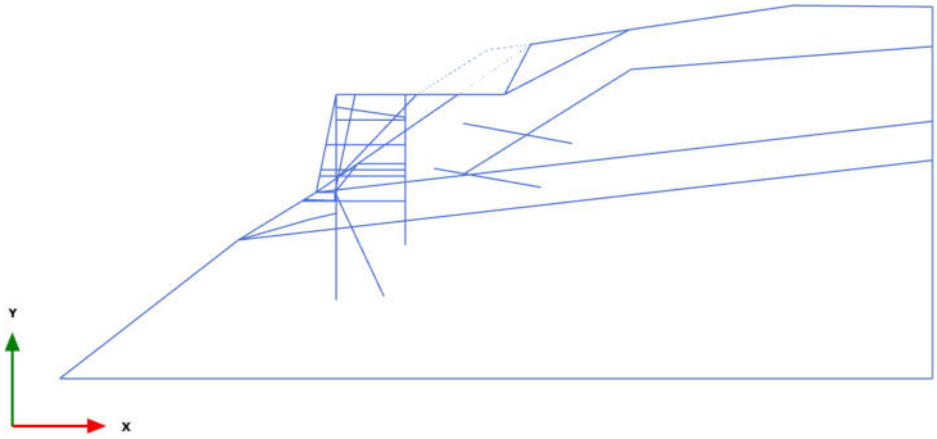

Axial forces N (scaled up 1,00 times)

No results

3.1.2.3.39 Calculation results, Plate, SLV [Phase_27] (27/1545), Axial forces N

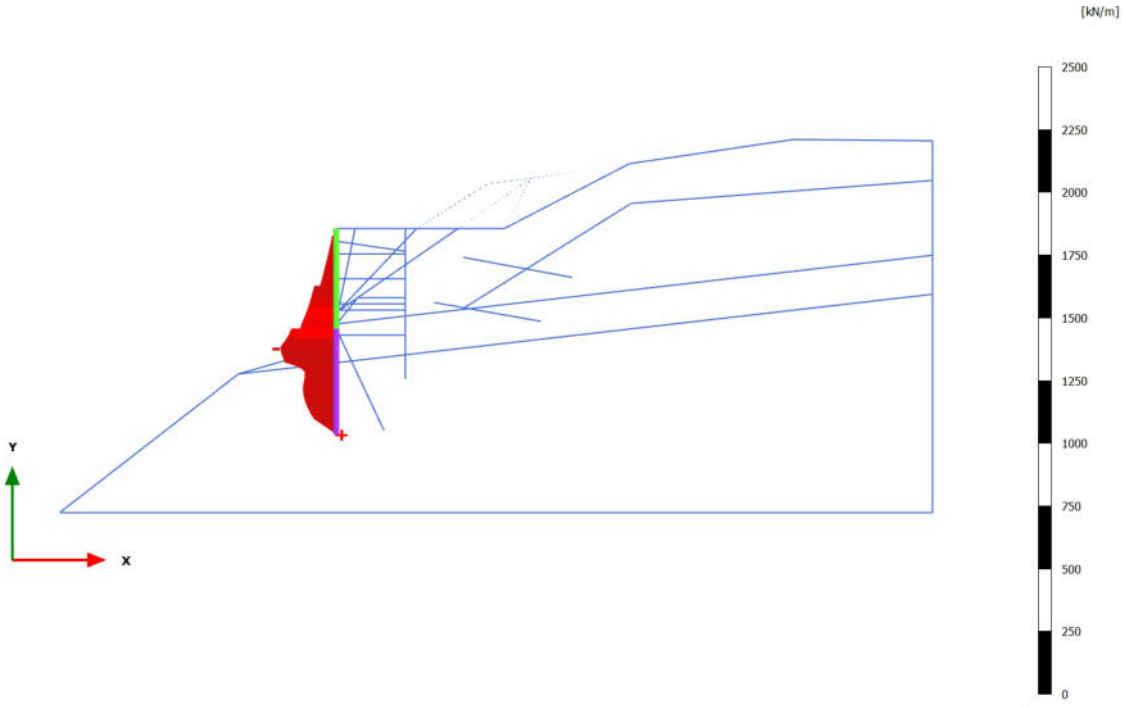

Axial forces N (scaled up 0,0200 times)

Maximum value = 2,383 kN/m (Element 52 at Node 25014)

Minimum value = -222,0 kN/m (Element 43 at Node 23981)

3.1.2.4.5 Calculation results, Plate, (RD) Paratia [Phase_4] (4/92), Table of plate force envelopes

Structural element	Node [10^]	Local number	X [m]	Y [m]	N [10^ kN/m]	N ··· [10^ kN/m]	N ··· [10^ kN/m]	Q [10^ kN/m]	Q ··· [10^ kN/m]	Q ··· [10^ kN/m]	M [10^ kN m/m]	M ··· [10^ kN m/m]	M ··· [10^ kN m/m]
Plate_1_1	13320	1	0,000	0,000	-17,482	-17,482	0,000	19,328	0,000	19,328	0,000	0,000	0,000
Element 2-3 (Plate)	13319	2	0,000	-0,240	17,406	0,000	19,608	24,974	0,000	24,974	6,530	0,000	6,530
(Pali 400/0,4m)	13318	3	0,000	-0,480	44,902	0,000	45,776	2,317	-4,102	2,317	9,293	0,000	9,293
昂	13317	4	0,000	-0,720	59,404	0,000	62,936	-17,212	-22,361	0,000	7,893	-0,390	7,893
昂	13527	5	0,000	-0,960	55,314	0,000	66,205	-2,184	-19,381	0,000	4,227	-4,377	4,227
Plate_1_2	13527	1	0,000	-0,960	-308,783	-308,783	0,000	-11,786	-21,671	0,000	4,227	-4,377	4,227
Element 5-7 (Plate)	13530	2	0,000	-1,095	-274,953	-274,953	0,000	-1,684	-11,280	0,000	3,222	-6,031	3,222
(Pali 400/0,4m)	13529	3	0,000	-1,230	-250,107	-250,107	0,000	12,448	-1,814	12,448	3,989	-6,740	3,989
昂	13528	4	0,000	-1,365	-232,777	-232,777	0,000	26,184	0,000	26,184	6,564	-6,546	6,564
昂	14231	5	0,000	-1,500	-221,497	-221,497	0,000	35,102	0,000	35,102	10,803	-5,561	10,803
Plate_1_3	14231	1	0,000	-1,500	-220,062	-220,062	0,000	33,571	0,000	33,571	10,803	-5,561	10,803
Element 7-10 (Plate)	14232	2	0,000	-1,580	-212,947	-212,947	0,000	34,804	0,000	34,804	13,534	-4,829	13,534
(Pali 400/0,4m)	14233	3	0,000	-1,660	-206,379	-206,379	0,000	35,376	0,000	35,376	16,338	-4,021	16,338
昂	14234	4	0,000	-1,739	-200,346	-200,346	0,000	35,261	0,000	35,261	19,160	-3,155	19,160
昂	15007	5	0,000	-1,819	-194,841	-194,841	0,000	34,433	0,000	34,433	21,944	-2,247	21,944
Plate_1_4	15007	1	0,000	-1,819	-194,808	-194,808	0,000	34,465	0,000	34,465	21,944	-2,247	21,944
Element 8-11 (Plate)	15010	2	0,000	-1,871	-191,406	-191,406	0,000	33,532	0,000	33,532	23,727	-1,637	23,727
(Pali 400/0,4m)	15009	3	0,000	-1,924	-188,164	-188,164	0,000	32,316	0,000	32,316	25,455	-1,023	25,455
昂	15008	4	0,000	-1,976	-185,084	-185,084	0,000	30,827	0,000	30,827	27,113	-0,411	27,113
昂	15973	5	0,000	-2,029	-182,163	-182,163	0,000	29,072	0,000	29,072	28,684	0,000	28,684
Plate_1_5	15973	1	0,000	-2,029	-182,148	-182,148	0,000	29,114	0,000	29,114	28,684	0,000	28,684
Element 10-13 (Plate)	15974	2	0,000	-2,103	-178,236	-178,236	0,000	26,252	0,000	26,252	30,752	0,000	30,752
(Pali 400/0,4m)	15975	3	0,000	-2,178	-174,564	-174,564	0,000	23,116	0,000	23,116	32,596	0,000	32,596
昂	15976	4	0,000	-2,253	-171,129	-171,129	0,000	19,724	0,000	19,724	34,197	0,000	34,197
昂	16291	5	0,000	-2,327	-167,927	-167,927	0,000	16,093	0,000	16,093	35,535	0,000	35,535
Plate_1_5	16291	1	0,000	-2,327	-167,872	-167,872	0,000	16,155	0,000	16,155	35,535	0,000	35,535
Element 10-14 (Plate)	16294	2	0,000	-2,471	-162,296	-162,296	0,000	8,793	0,000	10,880	37,322	0,000	37,322
(Pali 400/0,4m)	16293	3	0,000	-2,614	-157,235	-157,235	0,000	1,228	0,000	5,742	38,046	0,000	38,046
昂	16292	4	0,000	-2,757	-152,674	-152,674	0,000	-6,735	-6,735	2,844	37,655	0,000	37,655
昂	16325	5	0,000	-2,901	-148,594	-148,594	0,000	-15,292	-15,292	0,000	36,086	0,000	36,086
Plate_1_6	16325	1	0,000	-2,901	-150,441	-150,441	0,000	-10,959	-10,959	1,809	36,086	0,000	36,086
Element 12-17 (Plate)	16328	2	0,000	-3,177	-140,085	-140,085	0,000	-46,784	-46,784	0,000	27,836	0,000	27,836
(Pali 400/0,4m)	16327	3	0,000	-3,453	-137,456	-137,456	0,000	-68,487	-68,487	0,000	11,528	-0,678	11,528
昂	16326	4	0,000	-3,729	-134,896	-134,896	0,000	-74,326	-74,326	0,000	-8,523	-12,792	0,000
昂	17175	5	0,000	-4,005	-124,748	-124,748	0,000	-62,557	-62,557	0,000	-27,856	-27,856	0,000
Plate_1_7	17175	1	0,000	-4,005	-125,798	-125,798	0,000	-74,621	-74,621	0,000	-27,856	-27,856	0,000
Element 14-19 (Plate)	17178	2	0,000	-4,232	-121,950	-121,950	0,000	-37,939	-37,939	0,000	-40,405	-40,405	0,000
(Pali 400/0,4m)	17177	3	0,000	-4,459	-117,953	-117,953	0,000	-12,801	-12,801	0,000	-45,950	-45,950	0,000
昂	17176	4	0,000	-4,686	-113,767	-113,767	0,000	0,992	0,000	5,531	-47,074	-47,074	0,000
昂	17993	5	0,000	-4,912	-109,349	-109,349	0,000	3,640	0,000	7,248	-46,341	-46,341	0,000
Plate_1_7	17993	1	0,000	-4,912	-109,563	-109,563	0,000	5,963	0,000	9,220	-46,341	-46,341	0,000
Element 14-20 (Plate)	17996	2	0,000	-5,014	-107,866	-107,866	0,000	8,070	0,000	10,771	-45,626	-45,626	0,000
(Pali 400/0,4m)	17995	3	0,000	-5,115	-106,198	-106,198	0,000	9,772	0,000	11,977	-44,717	-44,717	0,000
昂	17994	4	0,000	-5,217	-104,560	-104,560	0,000	11,080	0,000	12,845	-43,655	-43,655	0,000
昂	18028	5	0,000	-5,318	-102,955	-102,955	0,000	12,002	0,000	13,383	-42,481	-42,481	0,000
Plate_1_7	18028	1	0,000	-5,318	-102,956	-102,956	0,000	12,028	0,000	13,404	-42,481	-42,481	0,000
Element 14-21 (Plate)	18027	2	0,000	-5,364	-102,249	-102,249	0,000	12,360	0,000	13,576	-41,928	-41,928	0,000

Structural element	Node [10 ^]	Local number	X [m]	Y [m]	N [10 ^ kN/m]	N ,,, [10 ^ kN/m]	N ,,, [10 ^ kN/m]	Q [10 ^ kN/m]	Q ,,, [10 ^ kN/m]	Q ,,, [10 ^ kN/m]	M [10 ^ kN m/m]	M ,,, [10 ^ kN m/m]	M ,,, [10 ^ kN m/m]
(Pali 400/0,4m)	18026	3	0,000	-5,409	-101,548	-101,548	0,000	12,646	0,000	13,707	-41,360	-41,360	0,000
2	18025	4	0,000	-5,455	-100,854	-100,854	0,000	12,885	0,000	13,799	-40,780	-40,780	0,000
2	18083	5	0,000	-5,500	-100,166	-100,166	0,000	13,079	0,000	13,851	-40,191	-40,191	0,000
Plate_1_8	18083	1	0,000	-5,500	-100,165	-100,165	0,000	13,081	0,000	13,852	-40,191	-40,191	0,000
Element 16-24 (Plate)	18084	2	0,000	-5,504	-100,106	-100,106	0,000	13,096	0,000	13,855	-40,139	-40,139	0,000
(Pali 400/0,4m)	18085	3	0,000	-5,508	-100,046	-100,046	0,000	13,111	0,000	13,858	-40,087	-40,087	0,000
2	18086	4	0,000	-5,512	-99,986	-99,986	0,000	13,126	0,000	13,861	-40,035	-40,035	0,000
2	18785	5	0,000	-5,516	-99,927	-99,927	0,000	13,140	0,000	13,863	-39,983	-39,983	0,000
Plate_1_9	18785	1	0,000	-5,516	-99,923	-99,923	0,000	13,157	0,000	13,878	-39,983	-39,983	0,000
Element 17-25 (Plate)	18788	2	0,000	-5,639	-98,095	-98,095	0,000	13,453	0,000	13,820	-38,348	-38,348	0,000
(Pali 400/0,4m)	18787	3	0,000	-5,761	-96,293	-96,293	0,000	13,565	0,000	13,604	-36,686	-36,686	0,000
2	18786	4	0,000	-5,884	-94,516	-94,516	0,000	13,506	0,000	13,506	-35,022	-35,022	0,000
2	19633	5	0,000	-6,007	-92,764	-92,764	0,000	13,286	0,000	13,286	-33,375	-33,375	0,000
Plate_1_10	19633	1	0,000	-6,007	-92,758	-92,758	0,000	13,305	0,000	13,305	-33,375	-33,375	0,000
Element 19-28 (Plate)	19636	2	0,000	-6,130	-91,012	-91,012	0,000	12,979	0,000	12,979	-31,755	-31,755	0,000
(Pali 400/0,4m)	19635	3	0,000	-6,254	-89,268	-89,268	0,000	12,575	0,000	12,575	-30,180	-30,180	0,000
2	19634	4	0,000	-6,377	-87,526	-87,526	0,000	12,098	0,000	12,098	-28,659	-28,659	0,000
2	20396	5	0,000	-6,500	-85,785	-85,785	0,000	11,555	0,000	11,555	-27,201	-27,201	0,000
Plate_1_11	20396	1	0,000	-6,500	-85,782	-85,782	0,000	11,598	0,000	11,598	-27,201	-27,201	0,000
Element 21-30 (Plate)	20399	2	0,000	-6,620	-84,077	-84,077	0,000	11,006	0,000	11,006	-25,844	-25,844	0,000
(Pali 400/0,4m)	20398	3	0,000	-6,740	-82,359	-82,359	0,000	10,512	0,000	10,512	-24,552	-24,552	0,000
2	20397	4	0,000	-6,861	-80,629	-80,629	0,000	10,162	0,000	10,162	-23,311	-23,311	0,000
2	20730	5	0,000	-6,981	-78,887	-78,887	0,000	10,002	0,000	10,002	-22,102	-22,102	0,000
Plate_1_12	20730	1	0,000	-6,981	-78,886	-78,886	0,000	10,186	0,000	10,186	-22,102	-22,102	0,000
Element 25-36 (Plate)	20733	2	0,000	-7,128	-76,717	-76,717	0,000	10,572	0,000	10,572	-20,568	-20,568	0,000
(Pali 400/0,4m)	20732	3	0,000	-7,276	-74,519	-74,519	0,000	10,768	0,000	10,768	-18,990	-18,990	0,000
2	20731	4	0,000	-7,423	-72,295	-72,295	0,000	10,791	0,000	10,791	-17,397	-17,397	0,000
2	21130	5	0,000	-7,571	-70,050	-70,050	0,000	10,655	0,000	10,655	-15,812	-15,812	0,000
Plate_1_12	21130	1	0,000	-7,571	-70,054	-70,054	0,000	10,689	0,000	10,689	-15,812	-15,812	0,000
Element 25-37 (Plate)	21133	2	0,000	-7,803	-66,490	-66,490	0,000	10,300	0,000	10,300	-13,373	-13,373	0,000
(Pali 400/0,4m)	21132	3	0,000	-8,036	-62,905	-62,905	0,000	9,760	0,000	9,760	-11,040	-11,040	0,000
2	21131	4	0,000	-8,268	-59,303	-59,303	0,000	9,078	0,000	9,078	-8,850	-8,850	0,000
2	21634	5	0,000	-8,500	-55,689	-55,689	0,000	8,264	0,000	8,264	-6,834	-6,834	0,000
Plate_1_13	21634	1	0,000	-8,500	-55,685	-55,685	0,000	8,307	0,000	8,307	-6,834	-6,834	0,000
Element 30-44 (Plate)	21637	2	0,000	-8,893	-49,585	-49,585	0,000	6,684	0,000	6,684	-3,886	-3,886	0,000
(Pali 400/0,4m)	21636	3	0,000	-9,285	-43,467	-43,467	0,000	4,964	0,000	4,964	-1,600	-1,600	0,161
2	21635	4	0,000	-9,678	-37,328	-37,328	0,000	3,221	0,000	3,221	0,010	0,000	0,416
2	22102	5	0,000	-10,071	-31,162	-31,162	0,000	1,527	-0,281	1,527	0,938	0,000	0,938
Plate_1_14	22102	1	0,000	-10,071	-31,131	-31,131	0,000	1,689	-0,157	1,689	0,938	0,000	0,938
Element 32-46 (Plate)	22105	2	0,000	-10,297	-27,495	-27,495	0,000	0,873	-0,124	0,873	1,227	0,000	1,227
(Pali 400/0,4m)	22104	3	0,000	-10,524	-23,826	-23,826	0,000	0,139	-0,118	0,139	1,340	0,000	1,340
2	22103	4	0,000	-10,751	-20,128	-20,128	0,000	-0,501	-0,501	0,000	1,297	0,000	1,297
2	22534	5	0,000	-10,977	-16,401	-16,401	0,000	-1,032	-1,032	0,000	1,121	0,000	1,121
Plate_1_14	22534	1	0,000	-10,977	-16,383	-16,383	0,000	-0,957	-0,957	0,000	1,121	0,000	1,121
Element 32-47 (Plate)	22538	2	0,000	-11,233	-12,150	-12,150	0,000	-1,417	-1,417	0,000	0,809	0,000	0,809
(Pali 400/0,4m)	22537	3	0,000	-11,489	-7,811	-7,811	0,000	-1,426	-1,426	0,000	0,434	0,000	0,434
2	22536	4	0,000	-11,744	-3,353	-3,353	0,000	-0,940	-0,940	0,000	0,122	0,000	0,122
2	22535	5	0,000	-12,000	1,237	0,000	1,237	0,083	0,000	0,083	0,000	0,000	0,000

3.1.2.4.6 Calculation results, Plate, Voragine 1 [Phase_5] (5/110), Table of plate force envelopes

Structural element	Node [10 ³]	Local number	X [m]	Y [m]	N [kN/m]	N_{min} [kN/m]	N_{max} [kN/m]	Q [kN/m]	Q_{min} [kN/m]	Q_{max} [kN/m]	M [kN m/m]	M_{min} [kN m/m]	M_{max} [kN m/m]
Plate_1_1	13320	1	0,000	0,000	-0,001	-0,034	0,043	0,001	0,000	0,068	0,000	0,000	0,000
Element 2-3 (Plate)	13319	2	0,000	-0,240	-0,116	-0,124	0,020	0,199	-0,003	0,199	0,017	0,000	0,017
(Pali 400/0,4m)	13318	3	0,000	-0,480	-0,409	-0,409	0,046	0,705	-0,004	0,705	0,121	0,000	0,121
2m	13317	4	0,000	-0,720	-0,846	-0,848	0,063	1,461	-0,022	1,461	0,375	0,000	0,375
2m	13527	5	0,000	-0,960	-1,392	-1,414	0,066	2,405	-0,019	2,405	0,837	-0,004	0,837
Plate_1_2	13527	1	0,000	-0,960	-1,216	-1,296	0,000	2,099	-0,022	2,099	0,837	-0,004	0,837
Element 5-7 (Plate)	13530	2	0,000	-1,095	-0,943	-0,943	0,000	1,622	-0,011	1,622	1,091	-0,006	1,091
(Pali 400/0,4m)	13529	3	0,000	-1,230	-0,527	-0,527	0,471	0,898	-0,220	0,898	1,263	-0,007	1,263
2m	13528	4	0,000	-1,365	0,007	-0,233	1,216	-0,031	-1,155	0,026	1,324	-0,007	1,324
2m	14231	5	0,000	-1,500	0,635	-0,221	2,071	-1,122	-2,194	0,035	1,248	-0,006	1,248
Plate_1_3	14231	1	0,000	-1,500	0,601	-0,220	2,060	-1,061	-2,135	0,034	1,248	-0,006	1,248
Element 7-10 (Plate)	14232	2	0,000	-1,580	0,983	-0,213	2,562	-1,726	-2,678	0,035	1,136	-0,033	1,136
(Pali 400/0,4m)	14233	3	0,000	-1,660	1,325	-0,206	3,064	-2,320	-3,217	0,035	0,974	-0,131	0,974
2m	14234	4	0,000	-1,739	1,621	-0,200	3,568	-2,836	-3,710	0,035	0,768	-0,301	0,768
2m	15007	5	0,000	-1,819	1,868	-0,195	4,072	-3,264	-4,157	0,034	0,524	-0,492	0,524
Plate_1_4	15007	1	0,000	-1,819	1,891	-0,195	4,071	-3,304	-4,155	0,034	0,524	-0,492	0,524
Element 8-11 (Plate)	15010	2	0,000	-1,871	2,062	-0,191	4,403	-3,600	-4,444	0,034	0,343	-0,688	0,343
(Pali 400/0,4m)	15009	3	0,000	-1,924	2,238	-0,188	4,732	-3,904	-4,706	0,032	0,147	-0,905	0,147
2m	15008	4	0,000	-1,976	2,418	-0,185	5,056	-4,216	-4,941	0,031	-0,066	-1,143	0,027
2m	15973	5	0,000	-2,029	2,601	-0,182	5,376	-4,534	-5,161	0,029	-0,296	-1,396	0,029
Plate_1_5	15973	1	0,000	-2,029	2,594	-0,182	5,376	-4,522	-5,160	0,029	-0,296	-1,396	0,029
Element 10-13 (Plate)	15974	2	0,000	-2,103	2,851	-0,178	5,825	-4,968	-5,430	0,026	-0,650	-1,770	0,031
(Pali 400/0,4m)	15975	3	0,000	-2,178	3,059	-0,175	6,266	-5,331	-5,656	0,023	-1,035	-2,159	0,033
2m	15976	4	0,000	-2,253	3,211	-0,171	6,700	-5,598	-5,819	0,020	-1,444	-2,561	0,034
2m	16291	5	0,000	-2,327	3,299	-0,168	7,127	-5,753	-5,906	0,016	-1,868	-2,971	0,036
Plate_1_5	16291	1	0,000	-2,327	3,337	-0,168	7,128	-5,791	-5,917	0,016	-1,868	-2,971	0,036
Element 10-14 (Plate)	16294	2	0,000	-2,471	3,322	-0,162	7,927	-5,761	-5,930	0,011	-2,698	-3,777	0,037
(Pali 400/0,4m)	16293	3	0,000	-2,614	3,326	-0,157	8,702	-5,567	-5,794	0,006	-3,511	-4,598	0,038
2m	16292	4	0,000	-2,757	3,356	-0,153	9,454	-5,241	-5,524	0,003	-4,288	-5,398	0,038
2m	16325	5	0,000	-2,901	3,422	-0,149	10,436	-4,820	-5,122	0,000	-5,009	-6,156	0,036
Plate_1_6	16325	1	0,000	-2,901	3,434	-0,150	10,394	-4,892	-5,205	0,002	-5,009	-6,156	0,036
Element 12-17 (Plate)	16328	2	0,000	-3,177	3,806	-0,140	12,522	-3,541	-4,300	0,000	-6,170	-7,446	0,028
(Pali 400/0,4m)	16327	3	0,000	-3,453	4,294	-0,137	14,537	-2,211	-3,627	0,000	-6,967	-8,457	0,012
2m	16326	4	0,000	-3,729	5,071	-0,135	16,461	-0,806	-2,931	0,000	-7,384	-9,206	0,000
2m	17175	5	0,000	-4,005	6,308	-0,125	18,315	0,773	-2,250	0,773	-7,395	-9,709	0,000
Plate_1_7	17175	1	0,000	-4,005	7,294	-0,126	18,262	0,776	-2,214	0,776	-7,395	-9,709	0,000
Element 14-19 (Plate)	17178	2	0,000	-4,232	7,577	-0,122	19,768	2,060	-1,671	2,060	-7,035	-9,983	0,000
(Pali 400/0,4m)	17177	3	0,000	-4,459	8,938	-0,118	21,351	2,074	-1,126	2,074	-6,565	-10,167	0,000
2m	17176	4	0,000	-4,686	10,893	-0,114	23,128	1,549	-0,521	1,549	-6,134	-10,341	0,000
2m	17993	5	0,000	-4,912	12,953	-0,109	24,884	1,213	0,000	1,213	-5,838	-10,371	0,000
Plate_1_7	17993	1	0,000	-4,912	12,716	-0,110	24,839	1,343	0,000	1,343	-5,838	-10,371	0,000
Element 14-20 (Plate)	17996	2	0,000	-5,014	13,520	-0,108	25,543	1,492	0,000	1,492	-5,695	-10,322	0,000
(Pali 400/0,4m)	17995	3	0,000	-5,115	14,297	-0,106	26,220	1,679	0,000	1,679	-5,534	-10,233	0,000

Structural element	Node [10 ^{3}]	Local number	X [m]	Y [m]	N [kN/m]	N_{min} [kN/m]	N_{max} [kN/m]	Q [kN/m]	Q_{min} [kN/m]	Q_{max} [kN/m]	M [kN m/m]	M_{min} [kN m/m]	M_{max} [kN m/m]
점	17994	4	0,000	-5,217	15,052	-0,105	27,042	1,901	0,000	1,930	-5,353	-10,102	0,000
점	18028	5	0,000	-5,318	15,790	-0,103	27,834	2,154	0,000	2,257	-5,147	-9,930	0,000
Plate_1_7	18028	1	0,000	-5,318	15,791	-0,103	27,835	2,151	0,000	2,255	-5,147	-9,930	0,000
Element 14-21 (Plate)	18027	2	0,000	-5,364	16,118	-0,102	28,178	2,270	0,000	2,405	-5,047	-9,839	0,000
(Pali 400/0,4m)	18026	3	0,000	-5,409	16,443	-0,102	28,514	2,391	0,000	2,556	-4,941	-9,741	0,000
점	18025	4	0,000	-5,455	16,767	-0,101	28,844	2,515	0,000	2,709	-4,830	-9,634	0,000
점	18083	5	0,000	-5,500	17,089	-0,100	29,166	2,641	0,000	2,863	-4,713	-9,519	0,000
Plate_1_8	18083	1	0,000	-5,500	17,089	-0,100	29,166	2,641	0,000	2,862	-4,713	-9,519	0,000
Element 16-24 (Plate)	18084	2	0,000	-5,504	17,116	-0,100	29,194	2,652	0,000	2,876	-4,703	-9,508	0,000
(Pali 400/0,4m)	18085	3	0,000	-5,508	17,144	-0,100	29,222	2,663	0,000	2,889	-4,692	-9,498	0,000
점	18086	4	0,000	-5,512	17,172	-0,100	29,249	2,675	0,000	2,902	-4,681	-9,487	0,000
점	18785	5	0,000	-5,516	17,200	-0,100	29,277	2,686	0,000	2,916	-4,671	-9,477	0,000
Plate_1_9	18785	1	0,000	-5,516	17,206	-0,100	29,277	2,684	0,000	2,915	-4,671	-9,477	0,000
Element 17-25 (Plate)	18788	2	0,000	-5,639	18,068	-0,098	30,109	3,035	0,000	3,324	-4,320	-9,118	0,000
(Pali 400/0,4m)	18787	3	0,000	-5,761	18,972	-0,096	30,891	3,383	0,000	3,723	-3,925	-8,702	0,000
점	18786	4	0,000	-5,884	19,916	-0,095	31,623	3,727	0,000	4,114	-3,489	-8,232	0,000
점	19633	5	0,000	-6,007	20,899	-0,093	32,305	4,064	0,000	4,499	-3,010	-7,711	0,000
Plate_1_10	19633	1	0,000	-6,007	20,900	-0,093	32,305	4,057	0,000	4,492	-3,010	-7,711	0,000
Element 19-28 (Plate)	19636	2	0,000	-6,130	21,919	-0,091	32,939	4,377	0,000	4,888	-2,490	-7,141	0,000
(Pali 400/0,4m)	19635	3	0,000	-6,254	22,969	-0,089	33,521	4,657	0,000	5,234	-1,933	-6,528	0,000
점	19634	4	0,000	-6,377	24,054	-0,088	34,051	4,892	0,000	5,524	-1,344	-5,881	0,000
점	20396	5	0,000	-6,500	25,178	-0,086	34,528	5,077	0,000	5,754	-0,730	-5,205	0,000
Plate_1_11	20396	1	0,000	-6,500	25,153	-0,086	34,528	5,043	0,000	5,725	-0,730	-5,205	0,000
Element 21-30 (Plate)	20399	2	0,000	-6,620	26,339	-0,084	35,001	5,180	0,000	5,890	-0,114	-4,529	0,000
(Pali 400/0,4m)	20398	3	0,000	-6,740	27,503	-0,082	35,438	5,141	0,000	5,881	0,508	-3,846	0,508
점	20397	4	0,000	-6,861	28,614	-0,081	35,816	4,887	0,000	5,664	1,113	-3,178	1,113
점	20730	5	0,000	-6,981	29,641	-0,079	36,136	4,381	0,000	5,212	1,673	-2,547	1,673
Plate_1_12	20730	1	0,000	-6,981	29,628	-0,079	36,133	4,224	0,000	5,101	1,673	-2,547	1,673
Element 25-36 (Plate)	20733	2	0,000	-7,128	30,741	-0,077	36,460	3,095	0,000	4,206	2,210	-1,916	2,210
(Pali 400/0,4m)	20732	3	0,000	-7,276	31,738	-0,075	36,729	2,194	0,000	3,484	2,598	-1,393	2,598
점	20731	4	0,000	-7,423	32,618	-0,072	37,002	1,506	0,000	2,922	2,868	-0,965	2,868
점	21130	5	0,000	-7,571	33,379	-0,070	37,200	1,013	0,000	2,496	3,052	-0,617	3,052
Plate_1_12	21130	1	0,000	-7,571	33,378	-0,070	37,195	0,970	0,000	2,472	3,052	-0,617	3,052
Element 25-37 (Plate)	21133	2	0,000	-7,803	34,334	-0,066	37,342	0,423	0,000	1,942	3,210	-0,167	3,210
(Pali 400/0,4m)	21132	3	0,000	-8,036	34,992	-0,063	37,276	0,056	0,000	1,530	3,262	-0,011	3,262
점	21131	4	0,000	-8,268	35,351	-0,059	36,994	-0,143	-0,143	1,231	3,249	-0,009	3,249
점	21634	5	0,000	-8,500	35,410	-0,056	36,581	-0,190	-0,190	1,036	3,207	-0,007	3,207
Plate_1_13	21634	1	0,000	-8,500	35,399	-0,056	36,563	-0,261	-0,261	0,987	3,207	-0,007	3,207
Element 30-44 (Plate)	21637	2	0,000	-8,893	34,821	-0,050	35,385	-0,080	-0,080	0,862	3,136	-0,004	3,136
(Pali 400/0,4m)	21636	3	0,000	-9,285	33,339	-0,043	33,568	0,092	0,000	0,746	3,146	-0,002	3,146
점	21635	4	0,000	-9,678	30,945	-0,037	31,029	0,130	0,000	0,551	3,191	0,000	3,191
점	22102	5	0,000	-10,071	27,629	-0,031	27,642	-0,094	-0,094	0,182	3,211	0,000	3,211
Plate_1_14	22102	1	0,000	-10,071	27,590	-0,031	27,603	-0,444	-0,444	0,002	3,211	0,000	3,211
Element 32-46 (Plate)	22105	2	0,000	-10,297	25,233	-0,027	25,233	-1,314	-1,314	0,001	3,006	0,000	3,006
(Pali 400/0,4m)	22104	3	0,000	-10,524	22,617	-0,024	22,617	-1,916	-1,916	0,000	2,635	0,000	2,635
점	22103	4	0,000	-10,751	19,742	-0,020	19,742	-2,254	-2,254	0,000	2,158	0,000	2,158
점	22534	5	0,000	-10,977	16,607	-0,016	16,607	-2,334	-2,334	0,000	1,633	0,000	1,633
Plate_1_14	22534	1	0,000	-10,977	16,586	-0,016	16,586	-2,349	-2,349	0,000	1,633	0,000	1,633
Element 32-47 (Plate)	22538	2	0,000	-11,233	12,727	-0,012	12,727	-2,169	-2,169	0,000	1,053	0,000	1,053

Structural element	Node [10 ^{3}]	Local number	X [m]	Y [m]	N [kN/m]	N_{min} [kN/m]	N_{max} [kN/m]	Q [kN/m]	Q_{min} [kN/m]	Q_{max} [kN/m]	M [kN m/m]	M_{min} [kN m/m]	M_{max} [kN m/m]
(Pali 400/0,4m)	22537	3	0,000	-11,489	8,452	-0,008	8,452	-1,788	-1,788	0,000	0,540	0,000	0,540
杏	22536	4	0,000	-11,744	3,744	-0,003	3,744	-1,120	-1,120	0,000	0,163	0,000	0,163
杏	22535	5	0,000	-12,000	-1,415	-1,415	0,001	-0,078	-0,078	0,000	0,000	0,000	0,000

3.1.2.4.7 Calculation results, Plate, Voragine 2 [Phase_6] (6/134), Table of plate force envelopes

Structural element	Node [10 ³]	Local number	X [m]	Y [m]	N [kN/m]	N_{min} [kN/m]	N_{max} [kN/m]	Q [kN/m]	Q_{min} [kN/m]	Q_{max} [kN/m]	M [kN m/m]	M_{min} [kN m/m]	M_{max} [kN m/m]
Plate_1_1	13320	1	0,000	0,000	-0,002	-0,034	0,043	0,003	-0,029	0,068	0,000	0,000	0,000
Element 2-3 (Plate)	13319	2	0,000	-0,240	-0,092	-0,124	0,020	0,157	-0,003	0,210	0,014	0,000	0,017
(Pali 400/0,4m)	13318	3	0,000	-0,480	-0,349	-0,418	0,046	0,599	-0,004	0,724	0,098	0,000	0,123
2m	13317	4	0,000	-0,720	-0,791	-0,867	0,063	1,362	-0,022	1,501	0,327	0,000	0,385
2m	13527	5	0,000	-0,960	-1,440	-1,494	0,066	2,483	-0,019	2,581	0,781	-0,004	0,864
Plate_1_2	13527	1	0,000	-0,960	-1,206	-1,296	0,000	2,080	-0,022	2,212	0,781	-0,004	0,864
Element 5-7 (Plate)	13530	2	0,000	-1,095	-1,207	-1,207	0,000	2,080	-0,011	2,080	1,062	-0,006	1,141
(Pali 400/0,4m)	13529	3	0,000	-1,230	-1,207	-1,207	0,471	2,081	-0,220	2,081	1,343	-0,007	1,362
2m	13528	4	0,000	-1,365	-1,208	-1,208	1,216	2,083	-1,155	2,083	1,624	-0,007	1,624
2m	14231	5	0,000	-1,500	-1,208	-1,208	2,071	2,085	-2,194	2,085	1,905	-0,006	1,905
Plate_1_3	14231	1	0,000	-1,500	-1,208	-1,208	2,060	2,085	-2,135	2,085	1,905	-0,006	1,905
Element 7-10 (Plate)	14232	2	0,000	-1,580	-1,209	-1,209	2,562	2,086	-2,678	2,086	2,071	-0,033	2,071
(Pali 400/0,4m)	14233	3	0,000	-1,660	-1,209	-1,209	3,064	2,087	-3,217	2,087	2,237	-0,131	2,237
2m	14234	4	0,000	-1,739	-1,209	-1,209	3,568	2,087	-3,710	2,087	2,404	-0,301	2,404
2m	15007	5	0,000	-1,819	-1,209	-1,209	4,072	2,088	-4,157	2,088	2,570	-0,492	2,570
Plate_1_4	15007	1	0,000	-1,819	-1,210	-1,210	4,071	2,089	-4,155	2,089	2,570	-0,492	2,570
Element 8-11 (Plate)	15010	2	0,000	-1,871	-1,214	-1,214	4,403	2,096	-4,444	2,096	2,680	-0,688	2,680
(Pali 400/0,4m)	15009	3	0,000	-1,924	-1,233	-1,233	4,732	2,127	-4,706	2,127	2,791	-0,905	2,791
2m	15008	4	0,000	-1,976	-1,263	-1,263	5,056	2,180	-4,941	2,180	2,903	-1,143	2,903
2m	15973	5	0,000	-2,029	-1,303	-1,303	5,376	2,249	-5,161	2,249	3,019	-1,396	3,019
Plate_1_5	15973	1	0,000	-2,029	-1,301	-1,301	5,376	2,246	-5,160	2,246	3,019	-1,396	3,019
Element 10-13 (Plate)	15974	2	0,000	-2,103	-1,361	-1,361	5,825	2,350	-5,430	2,350	3,191	-1,770	3,191
(Pali 400/0,4m)	15975	3	0,000	-2,178	-1,436	-1,436	6,266	2,478	-5,656	2,478	3,371	-2,159	3,371
2m	15976	4	0,000	-2,253	-1,530	-1,530	6,700	2,640	-5,819	2,640	3,562	-2,561	3,562
2m	16291	5	0,000	-2,327	-1,648	-1,648	7,127	2,845	-5,906	2,845	3,766	-2,971	3,766
Plate_1_5	16291	1	0,000	-2,327	-1,634	-1,634	7,128	2,819	-5,917	2,819	3,766	-2,971	3,766
Element 10-14 (Plate)	16294	2	0,000	-2,471	-2,017	-2,017	7,927	3,480	-5,930	3,480	4,216	-3,777	4,216
(Pali 400/0,4m)	16293	3	0,000	-2,614	-2,489	-2,489	8,702	4,296	-5,794	4,296	4,771	-4,598	4,771
2m	16292	4	0,000	-2,757	-3,054	-3,054	9,454	5,274	-5,524	5,274	5,455	-5,398	5,455
2m	16325	5	0,000	-2,901	-3,717	-3,717	10,436	6,421	-5,122	6,421	6,291	-6,156	6,291
Plate_1_6	16325	1	0,000	-2,901	-3,785	-3,785	10,394	6,539	-5,205	6,539	6,291	-6,156	6,291
Element 12-17 (Plate)	16328	2	0,000	-3,177	-2,677	-2,677	12,522	4,618	-4,300	4,618	7,826	-7,446	7,826
(Pali 400/0,4m)	16327	3	0,000	-3,453	-1,883	-1,883	14,537	3,238	-3,627	3,238	8,884	-8,457	8,884
2m	16326	4	0,000	-3,729	-1,609	-1,609	16,461	2,757	-2,931	2,757	9,697	-9,206	9,697
2m	17175	5	0,000	-4,005	-2,060	-2,060	18,315	3,532	-2,250	3,532	10,528	-9,709	10,528
Plate_1_7	17175	1	0,000	-4,005	-0,688	-0,688	18,262	3,112	-2,214	3,112	10,528	-9,709	10,528
Element 14-19 (Plate)	17178	2	0,000	-4,232	-2,234	-2,234	19,768	5,716	-1,671	5,716	11,640	-9,983	11,640
(Pali 400/0,4m)	17177	3	0,000	-4,459	-1,494	-1,494	21,351	4,547	-1,126	4,547	12,810	-10,167	12,810
2m	17176	4	0,000	-4,686	0,444	-0,114	23,128	1,667	-0,521	1,667	13,575	-10,341	13,575
2m	17993	5	0,000	-4,912	2,497	-0,109	24,884	-0,861	-0,888	1,213	13,620	-10,371	13,620
Plate_1_7	17993	1	0,000	-4,912	2,167	-0,110	24,839	-0,705	-0,715	1,343	13,620	-10,371	13,620
Element 14-20 (Plate)	17996	2	0,000	-5,014	2,824	-0,108	25,543	-1,232	-1,235	1,492	13,521	-10,322	13,521
(Pali 400/0,4m)	17995	3	0,000	-5,115	3,423	-0,106	26,220	-1,618	-1,618	1,679	13,375	-10,233	13,375

Structural element	Node [10 ^{3}]	Local number	X [m]	Y [m]	N [kN/m]	N_{min} [kN/m]	N_{max} [kN/m]	Q [kN/m]	Q_{min} [kN/m]	Q_{max} [kN/m]	M [kN m/m]	M_{min} [kN m/m]	M_{max} [kN m/m]
점	17994	4	0,000	-5,217	3,971	-0,105	27,042	-1,873	-1,873	1,930	13,196	-10,102	13,196
점	18028	5	0,000	-5,318	4,474	-0,103	27,834	-2,006	-2,006	2,257	12,999	-9,930	12,999
Plate_1_7	18028	1	0,000	-5,318	4,477	-0,103	27,835	-2,012	-2,012	2,255	12,999	-9,930	12,999
Element 14-21 (Plate)	18027	2	0,000	-5,364	4,695	-0,102	28,178	-2,041	-2,041	2,405	12,907	-9,839	12,907
(Pali 400/0,4m)	18026	3	0,000	-5,409	4,908	-0,102	28,514	-2,052	-2,052	2,556	12,814	-9,741	12,814
점	18025	4	0,000	-5,455	5,115	-0,101	28,844	-2,044	-2,044	2,709	12,721	-9,634	12,721
점	18083	5	0,000	-5,500	5,318	-0,100	29,166	-2,019	-2,019	2,863	12,628	-9,519	12,628
Plate_1_8	18083	1	0,000	-5,500	5,318	-0,100	29,166	-2,019	-2,019	2,862	12,628	-9,519	12,628
Element 16-24 (Plate)	18084	2	0,000	-5,504	5,335	-0,100	29,194	-2,016	-2,016	2,876	12,620	-9,508	12,620
(Pali 400/0,4m)	18085	3	0,000	-5,508	5,352	-0,100	29,222	-2,013	-2,013	2,889	12,612	-9,498	12,612
점	18086	4	0,000	-5,512	5,370	-0,100	29,249	-2,010	-2,010	2,902	12,604	-9,487	12,604
점	18785	5	0,000	-5,516	5,387	-0,100	29,277	-2,007	-2,007	2,916	12,597	-9,477	12,597
Plate_1_9	18785	1	0,000	-5,516	5,394	-0,100	29,277	-2,014	-2,014	2,915	12,597	-9,477	12,597
Element 17-25 (Plate)	18788	2	0,000	-5,639	5,916	-0,098	30,109	-1,849	-1,849	3,324	12,358	-9,118	12,358
(Pali 400/0,4m)	18787	3	0,000	-5,761	6,464	-0,096	30,891	-1,607	-1,607	3,723	12,146	-8,702	12,146
점	18786	4	0,000	-5,884	7,039	-0,095	31,623	-1,293	-1,293	4,114	11,967	-8,232	11,967
점	19633	5	0,000	-6,007	7,638	-0,093	32,305	-0,914	-0,914	4,499	11,831	-7,711	11,831
Plate_1_10	19633	1	0,000	-6,007	7,641	-0,093	32,305	-0,929	-0,929	4,492	11,831	-7,711	11,831
Element 19-28 (Plate)	19636	2	0,000	-6,130	8,265	-0,091	32,939	-0,516	-0,516	4,888	11,742	-7,141	11,742
(Pali 400/0,4m)	19635	3	0,000	-6,254	8,915	-0,089	33,521	-0,113	-0,113	5,234	11,703	-6,528	11,703
점	19634	4	0,000	-6,377	9,594	-0,088	34,051	0,271	0,000	5,524	11,713	-5,881	11,713
점	20396	5	0,000	-6,500	10,308	-0,086	34,528	0,630	0,000	5,754	11,769	-5,205	11,769
Plate_1_11	20396	1	0,000	-6,500	10,320	-0,086	34,528	0,587	0,000	5,725	11,769	-5,205	11,769
Element 21-30 (Plate)	20399	2	0,000	-6,620	11,051	-0,084	35,001	0,892	0,000	5,890	11,859	-4,529	11,859
(Pali 400/0,4m)	20398	3	0,000	-6,740	11,869	-0,082	35,438	1,002	0,000	5,881	11,976	-3,846	11,976
점	20397	4	0,000	-6,861	12,793	-0,081	35,816	0,870	0,000	5,664	12,090	-3,178	12,090
점	20730	5	0,000	-6,981	13,841	-0,079	36,136	0,447	0,000	5,212	12,173	-2,547	12,173
Plate_1_12	20730	1	0,000	-6,981	13,903	-0,079	36,133	0,271	0,000	5,101	12,173	-2,547	12,173
Element 25-36 (Plate)	20733	2	0,000	-7,128	15,614	-0,077	36,460	-1,090	-1,090	4,206	12,108	-1,916	12,108
(Pali 400/0,4m)	20732	3	0,000	-7,276	17,226	-0,075	36,729	-2,140	-2,140	3,484	11,866	-1,393	11,866
점	20731	4	0,000	-7,423	18,746	-0,072	37,002	-2,898	-2,898	2,922	11,491	-0,965	11,491
점	21130	5	0,000	-7,571	20,176	-0,070	37,200	-3,379	-3,379	2,496	11,025	-0,617	11,025
Plate_1_12	21130	1	0,000	-7,571	20,184	-0,070	37,195	-3,436	-3,436	2,472	11,025	-0,617	11,025
Element 25-37 (Plate)	21133	2	0,000	-7,803	22,313	-0,066	37,342	-3,870	-3,870	1,942	10,171	-0,167	10,171
(Pali 400/0,4m)	21132	3	0,000	-8,036	24,302	-0,063	37,276	-4,037	-4,037	1,530	9,248	-0,011	9,248
점	21131	4	0,000	-8,268	26,155	-0,059	36,994	-3,954	-3,954	1,231	8,315	-0,009	8,315
점	21634	5	0,000	-8,500	27,877	-0,056	36,581	-3,640	-3,640	1,036	7,429	-0,007	7,429
Plate_1_13	21634	1	0,000	-8,500	27,883	-0,056	36,563	-3,741	-3,741	0,987	7,429	-0,007	7,429
Element 30-44 (Plate)	21637	2	0,000	-8,893	29,723	-0,050	35,385	-2,765	-2,765	0,862	6,146	-0,004	6,146
(Pali 400/0,4m)	21636	3	0,000	-9,285	30,151	-0,043	33,568	-1,804	-1,804	0,746	5,260	-0,002	5,260
점	21635	4	0,000	-9,678	29,174	-0,037	31,304	-1,035	-1,035	0,551	4,705	0,000	4,705
점	22102	5	0,000	-10,071	26,801	-0,031	28,219	-0,637	-0,637	0,182	4,395	0,000	4,395
Plate_1_14	22102	1	0,000	-10,071	26,788	-0,031	28,187	-1,157	-1,157	0,002	4,395	0,000	4,395
Element 32-46 (Plate)	22105	2	0,000	-10,297	24,842	-0,027	25,916	-2,103	-2,103	0,001	4,019	0,000	4,019
(Pali 400/0,4m)	22104	3	0,000	-10,524	22,550	-0,024	23,343	-2,733	-2,733	0,000	3,465	0,000	3,465
점	22103	4	0,000	-10,751	19,912	-0,020	20,468	-3,053	-3,053	0,000	2,803	0,000	2,803
점	22534	5	0,000	-10,977	16,927	-0,016	17,296	-3,068	-3,068	0,000	2,104	0,000	2,104
Plate_1_14	22534	1	0,000	-10,977	16,908	-0,016	17,276	-3,084	-3,084	0,000	2,104	0,000	2,104
Element 32-47 (Plate)	22538	2	0,000	-11,233	13,112	-0,012	13,341	-2,793	-2,793	0,000	1,351	0,000	1,351

Structural element	Node [10 ^{3}]	Local number	X [m]	Y [m]	N [kN/m]	N_{min} [kN/m]	N_{max} [kN/m]	Q [kN/m]	Q_{min} [kN/m]	Q_{max} [kN/m]	M [kN m/m]	M_{min} [kN m/m]	M_{max} [kN m/m]
(Pali 400/0,4m)	22537	3	0,000	-11,489	8,798	-0,008	8,917	-2,284	-2,284	0,000	0,693	0,000	0,693
杏	22536	4	0,000	-11,744	3,945	-0,003	3,986	-1,435	-1,435	0,000	0,212	0,000	0,212
杏	22535	5	0,000	-12,000	-1,465	-1,472	0,001	-0,123	-0,123	0,000	0,000	0,000	0,000

3.1.2.4.8 Calculation results, Plate, Mezzi (10 kPa) [Phase_7] (7/155), Table of plate force envelopes

Structural element	Node [10 ³]	Local number	X [m]	Y [m]	N [kN/m]	N_{min} [kN/m]	N_{max} [kN/m]	Q [kN/m]	Q_{min} [kN/m]	Q_{max} [kN/m]	M [kN m/m]	M_{min} [kN m/m]	M_{max} [kN m/m]
Plate_1_1	13320	1	0,000	0,000	0,012	-0,034	0,043	-0,020	-0,029	0,068	0,000	0,000	0,000
Element 2-3 (Plate)	13319	2	0,000	-0,240	-0,460	-0,460	0,020	0,791	-0,003	0,791	0,088	0,000	0,088
(Pali 400/0,4m)	13318	3	0,000	-0,480	-1,106	-1,106	0,046	1,905	-0,004	1,905	0,403	0,000	0,403
2	13317	4	0,000	-0,720	-1,981	-1,981	0,063	3,413	-0,022	3,413	1,035	0,000	1,035
2	13527	5	0,000	-0,960	-3,139	-3,139	0,066	5,406	-0,019	5,406	2,081	-0,004	2,081
Plate_1_2	13527	1	0,000	-0,960	-2,737	-2,737	0,000	4,720	-0,022	4,720	2,081	-0,004	2,081
Element 5-7 (Plate)	13530	2	0,000	-1,095	-2,740	-2,740	0,000	4,742	-0,011	4,742	2,720	-0,006	2,720
(Pali 400/0,4m)	13529	3	0,000	-1,230	-2,743	-2,743	0,471	4,767	-0,220	4,767	3,361	-0,007	3,361
2	13528	4	0,000	-1,365	-2,745	-2,745	1,216	4,794	-1,155	4,794	4,007	-0,007	4,007
2	14231	5	0,000	-1,500	-2,746	-2,746	2,071	4,824	-2,194	4,824	4,655	-0,006	4,655
Plate_1_3	14231	1	0,000	-1,500	-2,750	-2,750	2,060	4,828	-2,135	4,828	4,655	-0,006	4,655
Element 7-10 (Plate)	14232	2	0,000	-1,580	-2,745	-2,745	2,562	4,831	-2,678	4,831	5,040	-0,033	5,040
(Pali 400/0,4m)	14233	3	0,000	-1,660	-2,749	-2,749	3,064	4,845	-3,217	4,845	5,426	-0,131	5,426
2	14234	4	0,000	-1,739	-2,770	-2,770	3,568	4,882	-3,710	4,882	5,814	-0,301	5,814
2	15007	5	0,000	-1,819	-2,814	-2,814	4,072	4,956	-4,157	4,956	6,206	-0,492	6,206
Plate_1_4	15007	1	0,000	-1,819	-2,847	-2,847	4,071	5,014	-4,155	5,014	6,206	-0,492	6,206
Element 8-11 (Plate)	15010	2	0,000	-1,871	-2,915	-2,915	4,403	5,129	-4,444	5,129	6,472	-0,688	6,472
(Pali 400/0,4m)	15009	3	0,000	-1,924	-3,010	-3,010	4,732	5,292	-4,706	5,292	6,745	-0,905	6,745
2	15008	4	0,000	-1,976	-3,133	-3,133	5,056	5,506	-4,941	5,506	7,028	-1,143	7,028
2	15973	5	0,000	-2,029	-3,288	-3,288	5,376	5,773	-5,161	5,773	7,323	-1,396	7,323
Plate_1_5	15973	1	0,000	-2,029	-3,277	-3,277	5,376	5,753	-5,160	5,753	7,323	-1,396	7,323
Element 10-13 (Plate)	15974	2	0,000	-2,103	-3,544	-3,544	5,825	6,218	-5,430	6,218	7,770	-1,770	7,770
(Pali 400/0,4m)	15975	3	0,000	-2,178	-3,811	-3,811	6,266	6,681	-5,656	6,681	8,251	-2,159	8,251
2	15976	4	0,000	-2,253	-4,071	-4,071	6,700	7,132	-5,819	7,132	8,767	-2,561	8,767
2	16291	5	0,000	-2,327	-4,319	-4,319	7,127	7,561	-5,906	7,561	9,315	-2,971	9,315
Plate_1_5	16291	1	0,000	-2,327	-4,340	-4,340	7,128	7,599	-5,917	7,599	9,315	-2,971	9,315
Element 10-14 (Plate)	16294	2	0,000	-2,471	-4,824	-4,824	7,927	8,434	-5,930	8,434	10,462	-3,777	10,462
(Pali 400/0,4m)	16293	3	0,000	-2,614	-5,421	-5,421	8,702	9,466	-5,794	9,466	11,742	-4,598	11,742
2	16292	4	0,000	-2,757	-6,143	-6,143	9,454	10,714	-5,524	10,714	13,186	-5,398	13,186
2	16325	5	0,000	-2,901	-7,001	-7,001	10,436	12,199	-5,122	12,199	14,824	-6,156	14,824
Plate_1_6	16325	1	0,000	-2,901	-7,083	-7,083	10,394	12,340	-5,205	12,340	14,824	-6,156	14,824
Element 12-17 (Plate)	16328	2	0,000	-3,177	-5,993	-5,993	12,522	10,453	-4,300	10,453	17,989	-7,446	17,989
(Pali 400/0,4m)	16327	3	0,000	-3,453	-4,806	-4,806	14,537	8,397	-3,627	8,397	20,569	-8,457	20,569
2	16326	4	0,000	-3,729	-3,905	-3,905	16,461	6,837	-2,931	6,837	22,671	-9,206	22,671
2	17175	5	0,000	-4,005	-3,676	-3,676	18,315	6,437	-2,250	6,437	24,461	-9,709	24,461
Plate_1_7	17175	1	0,000	-4,005	-3,664	-3,664	18,262	6,413	-2,214	6,413	24,461	-9,709	24,461
Element 14-19 (Plate)	17178	2	0,000	-4,232	-5,411	-5,411	19,768	9,438	-1,671	9,438	26,325	-9,983	26,325
(Pali 400/0,4m)	17177	3	0,000	-4,459	-5,290	-5,290	21,351	9,226	-1,126	9,226	28,496	-10,167	28,496
2	17176	4	0,000	-4,686	-3,441	-3,441	23,128	6,021	-0,521	6,021	30,287	-10,341	30,287
2	17993	5	0,000	-4,912	-0,006	-0,109	24,884	0,070	-0,888	1,213	31,025	-10,371	31,025
Plate_1_7	17993	1	0,000	-4,912	-0,720	-0,720	24,839	1,281	-0,715	1,343	31,025	-10,371	31,025
Element 14-20 (Plate)	17996	2	0,000	-5,014	-0,024	-0,108	25,543	0,201	-1,235	1,492	31,097	-10,322	31,097
(Pali 400/0,4m)	17995	3	0,000	-5,115	0,590	-0,106	26,220	-0,602	-1,618	1,679	31,075	-10,233	31,075

Structural element	Node [10 ^{3}]	Local number	X [m]	Y [m]	N [kN/m]	N_{min} [kN/m]	N_{max} [kN/m]	Q [kN/m]	Q_{min} [kN/m]	Q_{max} [kN/m]	M [kN m/m]	M_{min} [kN m/m]	M_{max} [kN m/m]
점	17994	4	0,000	-5,217	1,130	-0,105	27,042	-1,182	-1,873	1,930	30,983	-10,102	30,983
점	18028	5	0,000	-5,318	1,599	-0,103	27,834	-1,589	-2,022	2,257	30,841	-9,930	30,841
Plate_1_7	18028	1	0,000	-5,318	1,608	-0,103	27,835	-1,624	-2,027	2,255	30,841	-9,930	30,841
Element 14-21 (Plate)	18027	2	0,000	-5,364	1,807	-0,102	28,178	-1,773	-2,074	2,405	30,764	-9,839	30,764
(Pali 400/0,4m)	18026	3	0,000	-5,409	1,995	-0,102	28,514	-1,896	-2,102	2,556	30,680	-9,741	30,680
점	18025	4	0,000	-5,455	2,172	-0,101	28,844	-1,996	-2,146	2,709	30,592	-9,634	30,592
점	18083	5	0,000	-5,500	2,339	-0,100	29,166	-2,076	-2,216	2,863	30,500	-9,519	30,500
Plate_1_8	18083	1	0,000	-5,500	2,339	-0,100	29,166	-2,079	-2,218	2,862	30,500	-9,519	30,500
Element 16-24 (Plate)	18084	2	0,000	-5,504	2,353	-0,100	29,194	-2,086	-2,224	2,876	30,491	-9,508	30,491
(Pali 400/0,4m)	18085	3	0,000	-5,508	2,367	-0,100	29,222	-2,093	-2,230	2,889	30,483	-9,498	30,483
점	18086	4	0,000	-5,512	2,381	-0,100	29,249	-2,100	-2,236	2,902	30,475	-9,487	30,475
점	18785	5	0,000	-5,516	2,395	-0,100	29,277	-2,107	-2,242	2,916	30,466	-9,477	30,466
Plate_1_9	18785	1	0,000	-5,516	2,404	-0,100	29,277	-2,107	-2,243	2,915	30,466	-9,477	30,466
Element 17-25 (Plate)	18788	2	0,000	-5,639	2,805	-0,098	30,109	-2,297	-2,383	3,324	30,196	-9,118	30,196
(Pali 400/0,4m)	18787	3	0,000	-5,761	3,213	-0,096	30,891	-2,440	-2,473	3,723	29,904	-8,702	29,904
점	18786	4	0,000	-5,884	3,629	-0,095	31,623	-2,531	-2,550	4,114	29,598	-8,232	29,598
점	19633	5	0,000	-6,007	4,052	-0,093	32,305	-2,565	-2,580	4,499	29,285	-7,711	29,285
Plate_1_10	19633	1	0,000	-6,007	4,056	-0,093	32,305	-2,574	-2,589	4,492	29,285	-7,711	29,285
Element 19-28 (Plate)	19636	2	0,000	-6,130	4,487	-0,091	32,939	-2,553	-2,560	4,888	28,969	-7,141	28,969
(Pali 400/0,4m)	19635	3	0,000	-6,254	4,932	-0,089	33,521	-2,525	-2,525	5,234	28,656	-6,528	28,656
점	19634	4	0,000	-6,377	5,397	-0,088	34,051	-2,496	-2,496	5,524	28,347	-5,881	28,347
점	20396	5	0,000	-6,500	5,886	-0,086	34,528	-2,473	-2,473	5,754	28,041	-5,205	28,041
Plate_1_11	20396	1	0,000	-6,500	5,903	-0,086	34,528	-2,522	-2,522	5,725	28,041	-5,205	28,041
Element 21-30 (Plate)	20399	2	0,000	-6,620	6,410	-0,084	35,001	-2,494	-2,494	5,890	27,740	-4,529	27,740
(Pali 400/0,4m)	20398	3	0,000	-6,740	7,011	-0,082	35,438	-2,615	-2,615	5,881	27,436	-3,846	27,436
점	20397	4	0,000	-6,861	7,727	-0,081	35,816	-2,955	-2,955	5,664	27,103	-3,178	27,103
점	20730	5	0,000	-6,981	8,580	-0,079	36,136	-3,584	-3,584	5,212	26,713	-2,547	26,713
Plate_1_12	20730	1	0,000	-6,981	8,643	-0,079	36,133	-3,848	-3,848	5,101	26,713	-2,547	26,713
Element 25-36 (Plate)	20733	2	0,000	-7,128	10,143	-0,077	36,460	-5,821	-5,821	4,206	25,994	-1,916	25,994
(Pali 400/0,4m)	20732	3	0,000	-7,276	11,539	-0,075	36,729	-7,312	-7,312	3,484	25,019	-1,393	25,019
점	20731	4	0,000	-7,423	12,837	-0,072	37,002	-8,344	-8,344	2,922	23,857	-0,965	23,857
점	21130	5	0,000	-7,571	14,041	-0,070	37,200	-8,936	-8,936	2,496	22,577	-0,617	22,577
Plate_1_12	21130	1	0,000	-7,571	14,055	-0,070	37,195	-9,034	-9,034	2,472	22,577	-0,617	22,577
Element 25-37 (Plate)	21133	2	0,000	-7,803	15,825	-0,066	37,342	-9,383	-9,383	1,942	20,431	-0,167	20,431
(Pali 400/0,4m)	21132	3	0,000	-8,036	17,475	-0,063	37,276	-9,324	-9,324	1,530	18,251	-0,011	18,251
점	21131	4	0,000	-8,268	19,014	-0,059	36,994	-8,898	-8,898	1,231	16,127	-0,009	16,127
점	21634	5	0,000	-8,500	20,452	-0,056	36,581	-8,144	-8,144	1,036	14,144	-0,007	14,144
Plate_1_13	21634	1	0,000	-8,500	20,130	-0,056	36,563	-8,308	-8,308	0,987	14,144	-0,007	14,144
Element 30-44 (Plate)	21637	2	0,000	-8,893	22,791	-0,050	35,385	-6,557	-6,557	0,862	11,219	-0,004	11,219
(Pali 400/0,4m)	21636	3	0,000	-9,285	23,993	-0,043	33,568	-4,830	-4,830	0,746	8,996	-0,002	8,996
점	21635	4	0,000	-9,678	23,761	-0,037	31,304	-3,357	-3,357	0,551	7,391	0,000	7,391
점	22102	5	0,000	-10,071	22,119	-0,031	28,219	-2,368	-2,368	0,182	6,291	0,000	6,291
Plate_1_14	22102	1	0,000	-10,071	22,129	-0,031	28,187	-2,970	-2,970	0,002	6,291	0,000	6,291
Element 32-46 (Plate)	22105	2	0,000	-10,297	20,647	-0,027	25,916	-3,754	-3,754	0,001	5,523	0,000	5,523
(Pali 400/0,4m)	22104	3	0,000	-10,524	18,840	-0,024	23,343	-4,202	-4,202	0,000	4,615	0,000	4,615
점	22103	4	0,000	-10,751	16,708	-0,020	20,468	-4,323	-4,323	0,000	3,642	0,000	3,642
점	22534	5	0,000	-10,977	14,250	-0,016	17,296	-4,125	-4,125	0,000	2,679	0,000	2,679
Plate_1_14	22534	1	0,000	-10,977	14,237	-0,016	17,276	-4,137	-4,137	0,000	2,679	0,000	2,679
Element 32-47 (Plate)	22538	2	0,000	-11,233	11,062	-0,012	13,341	-3,614	-3,614	0,000	1,687	0,000	1,687

Structural element	Node [10 ^{3}]	Local number	X [m]	Y [m]	N [kN/m]	N_{min} [kN/m]	N_{max} [kN/m]	Q [kN/m]	Q_{min} [kN/m]	Q_{max} [kN/m]	M [kN m/m]	M_{min} [kN m/m]	M_{max} [kN m/m]
(Pali 400/0,4m)	22537	3	0,000	-11,489	7,418	-0,008	8,917	-2,866	-2,866	0,000	0,849	0,000	0,849
"	22536	4	0,000	-11,744	3,289	-0,003	3,986	-1,749	-1,749	0,000	0,253	0,000	0,253
"	22535	5	0,000	-12,000	-1,342	-1,472	0,001	-0,119	-0,123	0,000	0,000	0,000	0,000

3.1.2.4.9 Calculation results, Plate, Micropalo ancoraggio 1 [Phase_8] (8/221), Table of plate force envelopes

Structural element	Node [10 ^{3}]	Local number	X [m]	Y [m]	N [kN/m]	N_{min} [kN/m]	N_{max} [kN/m]	Q [kN/m]	Q_{min} [kN/m]	Q_{max} [kN/m]	M [kN m/m]	M_{min} [kN m/m]	M_{max} [kN m/m]
Plate_1_1	13320	1	0,000	0,000	0,013	-0,034	0,043	-0,022	-0,029	0,068	0,000	0,000	0,000
Element 2-3 (Plate)	13319	2	0,000	-0,240	-0,481	-0,481	0,020	0,832	-0,003	0,832	0,094	0,000	0,094
(Pali 400/0,4m)	13318	3	0,000	-0,480	-1,136	-1,136	0,046	1,968	-0,004	1,968	0,421	0,000	0,421
2D	13317	4	0,000	-0,720	-2,011	-2,011	0,063	3,484	-0,022	3,484	1,069	0,000	1,069
2D	13527	5	0,000	-0,960	-3,163	-3,163	0,066	5,480	-0,019	5,480	2,133	-0,004	2,133
Plate_1_2	13527	1	0,000	-0,960	-2,763	-2,763	0,000	4,787	-0,022	4,787	2,133	-0,004	2,133
Element 5-7 (Plate)	13530	2	0,000	-1,095	-2,763	-2,763	0,000	4,786	-0,011	4,786	2,779	-0,006	2,779
(Pali 400/0,4m)	13529	3	0,000	-1,230	-2,763	-2,763	0,471	4,786	-0,220	4,786	3,425	-0,007	3,425
2D	13528	4	0,000	-1,365	-2,763	-2,763	1,216	4,786	-1,155	4,797	4,071	-0,007	4,071
2D	14231	5	0,000	-1,500	-2,763	-2,763	2,071	4,787	-2,194	4,825	4,717	-0,006	4,717
Plate_1_3	14231	1	0,000	-1,500	-2,803	-2,803	2,060	4,607	-2,135	4,828	4,717	-0,006	4,717
Element 7-10 (Plate)	14232	2	0,000	-1,580	-2,792	-2,792	2,562	4,586	-2,678	4,831	5,083	-0,033	5,083
(Pali 400/0,4m)	14233	3	0,000	-1,660	-2,798	-2,798	3,064	4,598	-3,217	4,845	5,449	-0,131	5,449
2D	14234	4	0,000	-1,739	-2,836	-2,836	3,568	4,668	-3,710	4,882	5,818	-0,301	5,818
2D	15007	5	0,000	-1,819	-2,921	-2,921	4,072	4,822	-4,157	4,956	6,196	-0,492	6,208
Plate_1_4	15007	1	0,000	-1,819	-2,943	-2,943	4,071	4,857	-4,155	5,014	6,196	-0,492	6,208
Element 8-11 (Plate)	15010	2	0,000	-1,871	-3,019	-3,019	4,403	4,990	-4,444	5,129	6,454	-0,688	6,472
(Pali 400/0,4m)	15009	3	0,000	-1,924	-3,122	-3,122	4,732	5,168	-4,706	5,292	6,720	-0,905	6,745
2D	15008	4	0,000	-1,976	-3,253	-3,253	5,056	5,394	-4,941	5,506	6,997	-1,143	7,028
2D	15973	5	0,000	-2,029	-3,414	-3,414	5,376	5,673	-5,161	5,773	7,287	-1,396	7,323
Plate_1_5	15973	1	0,000	-2,029	-3,403	-3,403	5,376	5,655	-5,160	5,753	7,287	-1,396	7,323
Element 10-13 (Plate)	15974	2	0,000	-2,103	-3,679	-3,679	5,825	6,133	-5,430	6,218	7,726	-1,770	7,770
(Pali 400/0,4m)	15975	3	0,000	-2,178	-3,954	-3,954	6,266	6,608	-5,656	6,681	8,202	-2,159	8,251
2D	15976	4	0,000	-2,253	-4,222	-4,222	6,700	7,072	-5,819	7,132	8,713	-2,561	8,767
2D	16291	5	0,000	-2,327	-4,477	-4,477	7,127	7,515	-5,906	7,561	9,257	-2,971	9,315
Plate_1_5	16291	1	0,000	-2,327	-4,499	-4,499	7,128	7,553	-5,917	7,599	9,257	-2,971	9,315
Element 10-14 (Plate)	16294	2	0,000	-2,471	-4,995	-4,995	7,927	8,412	-5,930	8,438	10,399	-3,777	10,462
(Pali 400/0,4m)	16293	3	0,000	-2,614	-5,601	-5,601	8,702	9,462	-5,794	9,478	11,677	-4,598	11,742
2D	16292	4	0,000	-2,757	-6,330	-6,330	9,454	10,725	-5,524	10,733	13,122	-5,398	13,186
2D	16325	5	0,000	-2,901	-7,195	-7,195	10,436	12,222	-5,122	12,223	14,762	-6,156	14,824
Plate_1_6	16325	1	0,000	-2,901	-7,278	-7,278	10,394	12,366	-5,205	12,366	14,762	-6,156	14,824
Element 12-17 (Plate)	16328	2	0,000	-3,177	-6,193	-6,193	12,522	10,487	-4,300	10,487	17,935	-7,446	17,989
(Pali 400/0,4m)	16327	3	0,000	-3,453	-5,010	-5,010	14,537	8,437	-3,627	8,437	20,526	-8,457	20,569
2D	16326	4	0,000	-3,729	-4,111	-4,111	16,461	6,881	-2,931	6,881	22,640	-9,206	22,671
2D	17175	5	0,000	-4,005	-3,881	-3,881	18,315	6,482	-2,250	6,482	24,441	-9,709	24,465
Plate_1_7	17175	1	0,000	-4,005	-3,866	-3,866	18,262	6,456	-2,214	6,456	24,441	-9,709	24,465
Element 14-19 (Plate)	17178	2	0,000	-4,232	-5,620	-5,620	19,768	9,490	-1,671	9,490	26,316	-9,983	26,335
(Pali 400/0,4m)	17177	3	0,000	-4,459	-5,512	-5,512	21,351	9,300	-1,126	9,300	28,502	-10,167	28,512
2D	17176	4	0,000	-4,686	-3,691	-3,691	23,128	6,144	-0,521	6,144	30,314	-10,341	30,314
2D	17993	5	0,000	-4,912	-0,305	-0,305	24,884	0,279	-0,888	1,213	31,089	-10,371	31,089
Plate_1_7	17993	1	0,000	-4,912	-0,942	-0,942	24,839	1,376	-0,715	1,376	31,089	-10,371	31,089
Element 14-20 (Plate)	17996	2	0,000	-5,014	-0,238	-0,238	25,543	0,258	-1,235	1,492	31,169	-10,322	31,169
(Pali 400/0,4m)	17995	3	0,000	-5,115	0,391	-0,106	26,220	-0,562	-1,618	1,679	31,152	-10,233	31,152

Structural element	Node [10 ^{3}]	Local number	X [m]	Y [m]	N [kN/m]	N_{min} [kN/m]	N_{max} [kN/m]	Q [kN/m]	Q_{min} [kN/m]	Q_{max} [kN/m]	M [kN m/m]	M_{min} [kN m/m]	M_{max} [kN m/m]
점	17994	4	0,000	-5,217	0,947	-0,105	27,042	-1,145	-1,873	1,930	31,063	-10,102	31,063
점	18028	5	0,000	-5,318	1,434	-0,103	27,834	-1,556	-2,022	2,257	30,925	-9,930	30,925
Plate_1_7	18028	1	0,000	-5,318	1,442	-0,103	27,835	-1,588	-2,027	2,255	30,925	-9,930	30,925
Element 14-21 (Plate)	18027	2	0,000	-5,364	1,648	-0,102	28,178	-1,738	-2,074	2,405	30,849	-9,839	30,849
(Pali 400/0,4m)	18026	3	0,000	-5,409	1,843	-0,102	28,514	-1,859	-2,102	2,556	30,767	-9,741	30,767
점	18025	4	0,000	-5,455	2,027	-0,101	28,844	-1,955	-2,146	2,709	30,681	-9,634	30,681
점	18083	5	0,000	-5,500	2,200	-0,100	29,166	-2,028	-2,216	2,863	30,590	-9,519	30,590
Plate_1_8	18083	1	0,000	-5,500	2,200	-0,100	29,166	-2,031	-2,218	2,862	30,590	-9,519	30,590
Element 16-24 (Plate)	18084	2	0,000	-5,504	2,215	-0,100	29,194	-2,038	-2,224	2,876	30,582	-9,508	30,582
(Pali 400/0,4m)	18085	3	0,000	-5,508	2,229	-0,100	29,222	-2,044	-2,230	2,889	30,574	-9,498	30,574
점	18086	4	0,000	-5,512	2,244	-0,100	29,249	-2,050	-2,236	2,902	30,566	-9,487	30,566
점	18785	5	0,000	-5,516	2,258	-0,100	29,277	-2,056	-2,242	2,916	30,558	-9,477	30,558
Plate_1_9	18785	1	0,000	-5,516	2,267	-0,100	29,277	-2,056	-2,243	2,915	30,558	-9,477	30,558
Element 17-25 (Plate)	18788	2	0,000	-5,639	2,683	-0,098	30,109	-2,225	-2,383	3,324	30,295	-9,118	30,295
(Pali 400/0,4m)	18787	3	0,000	-5,761	3,105	-0,096	30,891	-2,351	-2,473	3,723	30,013	-8,702	30,013
점	18786	4	0,000	-5,884	3,534	-0,095	31,623	-2,430	-2,550	4,114	29,719	-8,232	29,719
점	19633	5	0,000	-6,007	3,969	-0,093	32,305	-2,457	-2,580	4,499	29,418	-7,711	29,418
Plate_1_10	19633	1	0,000	-6,007	3,973	-0,093	32,305	-2,465	-2,589	4,492	29,418	-7,711	29,418
Element 19-28 (Plate)	19636	2	0,000	-6,130	4,414	-0,091	32,939	-2,447	-2,560	4,888	29,116	-7,141	29,116
(Pali 400/0,4m)	19635	3	0,000	-6,254	4,868	-0,089	33,521	-2,428	-2,525	5,234	28,815	-6,528	28,815
점	19634	4	0,000	-6,377	5,341	-0,088	34,051	-2,411	-2,496	5,524	28,517	-5,881	28,517
점	20396	5	0,000	-6,500	5,839	-0,086	34,528	-2,404	-2,473	5,754	28,221	-5,205	28,221
Plate_1_11	20396	1	0,000	-6,500	5,857	-0,086	34,528	-2,452	-2,522	5,725	28,221	-5,205	28,221
Element 21-30 (Plate)	20399	2	0,000	-6,620	6,374	-0,084	35,001	-2,440	-2,494	5,890	27,927	-4,529	27,927
(Pali 400/0,4m)	20398	3	0,000	-6,740	6,983	-0,082	35,438	-2,576	-2,615	5,881	27,629	-3,846	27,629
점	20397	4	0,000	-6,861	7,707	-0,081	35,816	-2,931	-2,955	5,664	27,299	-3,178	27,299
점	20730	5	0,000	-6,981	8,567	-0,079	36,136	-3,575	-3,585	5,212	26,912	-2,547	26,912
Plate_1_12	20730	1	0,000	-6,981	8,629	-0,079	36,133	-3,840	-3,850	5,101	26,912	-2,547	26,912
Element 25-36 (Plate)	20733	2	0,000	-7,128	10,137	-0,077	36,460	-5,840	-5,840	4,206	26,192	-1,916	26,192
(Pali 400/0,4m)	20732	3	0,000	-7,276	11,540	-0,075	36,729	-7,354	-7,354	3,484	25,212	-1,393	25,212
점	20731	4	0,000	-7,423	12,844	-0,072	37,002	-8,401	-8,401	2,922	24,043	-0,965	24,043
점	21130	5	0,000	-7,571	14,052	-0,070	37,200	-9,005	-9,005	2,496	22,754	-0,617	22,754
Plate_1_12	21130	1	0,000	-7,571	14,066	-0,070	37,195	-9,104	-9,104	2,472	22,754	-0,617	22,754
Element 25-37 (Plate)	21133	2	0,000	-7,803	15,840	-0,066	37,342	-9,461	-9,461	1,942	20,590	-0,167	20,590
(Pali 400/0,4m)	21132	3	0,000	-8,036	17,493	-0,063	37,276	-9,405	-9,405	1,530	18,392	-0,011	18,392
점	21131	4	0,000	-8,268	19,034	-0,059	36,994	-8,976	-8,976	1,231	16,250	-0,009	16,250
점	21634	5	0,000	-8,500	20,472	-0,056	36,581	-8,217	-8,217	1,036	14,248	-0,007	14,248
Plate_1_13	21634	1	0,000	-8,500	20,148	-0,056	36,563	-8,382	-8,382	0,987	14,248	-0,007	14,248
Element 30-44 (Plate)	21637	2	0,000	-8,893	22,814	-0,050	35,385	-6,620	-6,620	0,862	11,297	-0,004	11,297
(Pali 400/0,4m)	21636	3	0,000	-9,285	24,019	-0,043	33,568	-4,882	-4,882	0,746	9,052	-0,002	9,052
점	21635	4	0,000	-9,678	23,787	-0,037	31,304	-3,398	-3,398	0,551	7,428	0,000	7,428
점	22102	5	0,000	-10,071	22,143	-0,031	28,219	-2,400	-2,400	0,182	6,314	0,000	6,314
Plate_1_14	22102	1	0,000	-10,071	22,153	-0,031	28,187	-3,002	-3,002	0,002	6,314	0,000	6,314
Element 32-46 (Plate)	22105	2	0,000	-10,297	20,670	-0,027	25,916	-3,780	-3,780	0,001	5,539	0,000	5,539
(Pali 400/0,4m)	22104	3	0,000	-10,524	18,861	-0,024	23,343	-4,222	-4,222	0,000	4,626	0,000	4,626
점	22103	4	0,000	-10,751	16,726	-0,020	20,468	-4,338	-4,338	0,000	3,649	0,000	3,649
점	22534	5	0,000	-10,977	14,265	-0,016	17,296	-4,135	-4,135	0,000	2,683	0,000	2,683
Plate_1_14	22534	1	0,000	-10,977	14,252	-0,016	17,276	-4,147	-4,147	0,000	2,683	0,000	2,683
Element 32-47 (Plate)	22538	2	0,000	-11,233	11,074	-0,012	13,341	-3,620	-3,620	0,000	1,689	0,000	1,689

Structural element	Node [10 ^{3}]	Local number	X [m]	Y [m]	N [kN/m]	N_{min} [kN/m]	N_{max} [kN/m]	Q [kN/m]	Q_{min} [kN/m]	Q_{max} [kN/m]	M [kN m/m]	M_{min} [kN m/m]	M_{max} [kN m/m]
(Pali 400/0,4m)	22537	3	0,000	-11,489	7,426	-0,008	8,917	-2,869	-2,869	0,000	0,849	0,000	0,849
"	22536	4	0,000	-11,744	3,293	-0,003	3,986	-1,750	-1,750	0,000	0,253	0,000	0,253
"	22535	5	0,000	-12,000	-1,343	-1,472	0,001	-0,119	-0,123	0,000	0,000	0,000	0,000

3.1.2.4.10 Calculation results, Plate, Escavo 1 [Phase_9] (9/235), Table of plate force envelopes

Structural element	Node [10 ^{3}]	Local number	X [m]	Y [m]	N [kN/m]	N_{min} [kN/m]	N_{max} [kN/m]	Q [kN/m]	Q_{min} [kN/m]	Q_{max} [kN/m]	M [kN m/m]	M_{min} [kN m/m]	M_{max} [kN m/m]
Plate_1_1	13320	1	0,000	0,000	0,071	-0,034	0,071	-0,123	-0,123	0,068	0,000	0,000	0,000
Element 2-3 (Plate)	13319	2	0,000	-0,240	-1,115	-1,115	0,020	1,948	-0,003	1,948	0,223	0,000	0,223
(Pali 400/0,4m)	13318	3	0,000	-0,480	-2,232	-2,232	0,046	3,898	-0,004	3,898	0,925	0,000	0,925
점	13317	4	0,000	-0,720	-3,320	-3,320	0,063	5,798	-0,022	5,798	2,091	0,000	2,091
점	13527	5	0,000	-0,960	-4,420	-4,420	0,066	7,718	-0,019	7,718	3,711	-0,004	3,711
Plate_1_2	13527	1	0,000	-0,960	-4,099	-4,099	0,000	7,167	-0,022	7,167	3,711	-0,004	3,711
Element 5-7 (Plate)	13530	2	0,000	-1,095	-4,052	-4,052	0,000	7,084	-0,011	7,084	4,672	-0,006	4,672
(Pali 400/0,4m)	13529	3	0,000	-1,230	-4,070	-4,070	0,471	7,119	-0,220	7,119	5,627	-0,007	5,627
점	13528	4	0,000	-1,365	-4,208	-4,208	1,216	7,362	-1,155	7,362	6,603	-0,007	6,603
점	14231	5	0,000	-1,500	-4,516	-4,516	2,071	7,903	-2,194	7,903	7,628	-0,006	7,628
Plate_1_3	14231	1	0,000	-1,500	-10,398	-10,398	2,060	-25,951	-25,951	4,828	7,628	-0,006	7,628
Element 7-10 (Plate)	14232	2	0,000	-1,580	-10,737	-10,737	2,562	-25,360	-25,360	4,831	5,582	-0,033	5,582
(Pali 400/0,4m)	14233	3	0,000	-1,660	-11,044	-11,044	3,064	-24,824	-24,824	4,845	3,582	-0,131	5,449
점	14234	4	0,000	-1,739	-11,291	-11,291	3,568	-24,390	-24,390	4,882	1,619	-0,301	5,818
점	15007	5	0,000	-1,819	-11,450	-11,450	4,072	-24,109	-24,109	4,956	-0,313	-0,492	6,208
Plate_1_4	15007	1	0,000	-1,819	-11,503	-11,503	4,071	-24,018	-24,018	5,014	-0,313	-0,492	6,208
Element 8-11 (Plate)	15010	2	0,000	-1,871	-11,643	-11,643	4,403	-23,772	-23,772	5,129	-1,566	-1,566	6,472
(Pali 400/0,4m)	15009	3	0,000	-1,924	-11,807	-11,807	4,732	-23,484	-23,484	5,292	-2,806	-2,806	6,745
점	15008	4	0,000	-1,976	-11,997	-11,997	5,056	-23,151	-23,151	5,506	-4,029	-4,029	7,028
점	15973	5	0,000	-2,029	-12,216	-12,216	5,376	-22,770	-22,770	5,773	-5,233	-5,233	7,323
Plate_1_5	15973	1	0,000	-2,029	-12,212	-12,212	5,376	-22,777	-22,777	5,753	-5,233	-5,233	7,323
Element 10-13 (Plate)	15974	2	0,000	-2,103	-12,575	-12,575	5,825	-22,145	-22,145	6,218	-6,910	-6,910	7,770
(Pali 400/0,4m)	15975	3	0,000	-2,178	-12,969	-12,969	6,266	-21,460	-21,460	6,681	-8,538	-8,538	8,251
점	15976	4	0,000	-2,253	-13,391	-13,391	6,700	-20,727	-20,727	7,132	-10,113	-10,113	8,767
점	16291	5	0,000	-2,327	-13,838	-13,838	7,127	-19,952	-19,952	7,561	-11,631	-11,631	9,315
Plate_1_5	16291	1	0,000	-2,327	-13,837	-13,837	7,128	-19,952	-19,952	7,599	-11,631	-11,631	9,315
Element 10-14 (Plate)	16294	2	0,000	-2,471	-14,717	-14,717	7,927	-18,426	-18,426	8,438	-14,382	-14,382	10,462
(Pali 400/0,4m)	16293	3	0,000	-2,614	-15,654	-15,654	8,702	-16,800	-16,800	9,478	-16,907	-16,907	11,742
점	16292	4	0,000	-2,757	-16,640	-16,640	9,454	-15,090	-15,090	10,733	-19,194	-19,194	13,186
점	16325	5	0,000	-2,901	-17,665	-17,665	10,436	-13,308	-13,308	12,223	-21,229	-21,229	14,824
Plate_1_6	16325	1	0,000	-2,901	-17,601	-17,601	10,394	-13,421	-13,421	12,366	-21,229	-21,229	14,824
Element 12-17 (Plate)	16328	2	0,000	-3,177	-19,956	-19,956	12,522	-9,331	-9,331	10,487	-24,350	-24,350	17,989
(Pali 400/0,4m)	16327	3	0,000	-3,453	-22,354	-22,354	14,537	-5,165	-5,165	8,437	-26,386	-26,386	20,569
점	16326	4	0,000	-3,729	-25,283	-25,283	16,461	-0,078	-2,931	6,881	-27,117	-27,117	22,671
점	17175	5	0,000	-4,005	-29,232	-29,232	18,315	6,775	-2,250	8,272	-26,254	-26,254	24,465
Plate_1_7	17175	1	0,000	-4,005	-28,989	-28,989	18,262	6,355	-2,214	7,866	-26,254	-26,254	24,465
Element 14-19 (Plate)	17178	2	0,000	-4,232	-33,189	-33,189	19,768	13,638	-1,671	14,416	-23,985	-23,985	26,335
(Pali 400/0,4m)	17177	3	0,000	-4,459	-37,205	-37,205	21,351	20,601	-1,126	20,631	-20,084	-20,084	28,512
점	17176	4	0,000	-4,686	-40,872	-40,872	23,128	26,958	-0,521	26,958	-14,679	-14,679	30,314
점	17993	5	0,000	-4,912	-44,026	-44,026	24,884	32,425	-0,888	32,425	-7,919	-10,371	31,089
Plate_1_7	17993	1	0,000	-4,912	-43,928	-43,928	24,839	32,254	-0,715	32,254	-7,919	-10,371	31,089
Element 14-20 (Plate)	17996	2	0,000	-5,014	-44,502	-44,502	25,543	33,254	-1,235	33,254	-4,599	-10,322	31,169
(Pali 400/0,4m)	17995	3	0,000	-5,115	-45,337	-45,337	26,220	34,702	-1,618	34,702	-1,155	-10,233	31,152
점	17994	4	0,000	-5,217	-46,482	-46,482	27,042	36,686	-1,873	36,686	2,465	-10,102	31,063

Structural element	Node [10 ^{3}]	Local number	X [m]	Y [m]	N [kN/m]	N_{min} [kN/m]	N_{max} [kN/m]	Q [kN/m]	Q_{min} [kN/m]	Q_{max} [kN/m]	M [kN m/m]	M_{min} [kN m/m]	M_{max} [kN m/m]
좀	18028	5	0,000	-5,318	-47,988	-47,988	27,834	39,291	-2,022	39,291	6,313	-9,930	30,925
Plate_1_7	18028	1	0,000	-5,318	-47,907	-47,907	27,835	39,154	-2,027	39,154	6,313	-9,930	30,925
Element 14-21 (Plate)	18027	2	0,000	-5,364	-48,560	-48,560	28,178	40,286	-2,074	40,286	8,116	-9,839	30,849
(Pali 400/0,4m)	18026	3	0,000	-5,409	-49,240	-49,240	28,514	41,464	-2,102	41,464	9,971	-9,741	30,767
좀	18025	4	0,000	-5,455	-49,947	-49,947	28,844	42,690	-2,146	42,690	11,881	-9,634	30,681
좀	18083	5	0,000	-5,500	-50,681	-50,681	29,166	43,963	-2,216	43,963	13,847	-9,519	30,590
Plate_1_8	18083	1	0,000	-5,500	-50,680	-50,680	29,166	43,962	-2,218	43,962	13,847	-9,519	30,590
Element 16-24 (Plate)	18084	2	0,000	-5,504	-50,745	-50,745	29,194	44,074	-2,224	44,074	14,021	-9,508	30,582
(Pali 400/0,4m)	18085	3	0,000	-5,508	-50,811	-50,811	29,222	44,187	-2,230	44,187	14,196	-9,498	30,574
좀	18086	4	0,000	-5,512	-50,876	-50,876	29,249	44,300	-2,236	44,300	14,371	-9,487	30,566
좀	18785	5	0,000	-5,516	-50,940	-50,940	29,277	44,412	-2,242	44,412	14,546	-9,477	30,558
Plate_1_9	18785	1	0,000	-5,516	-50,926	-50,926	29,277	44,387	-2,243	44,387	14,546	-9,477	30,558
Element 17-25 (Plate)	18788	2	0,000	-5,639	-52,977	-52,977	30,109	47,941	-2,383	47,941	20,217	-9,118	30,680
(Pali 400/0,4m)	18787	3	0,000	-5,761	-54,995	-54,995	30,891	51,439	-2,473	51,439	26,319	-8,702	33,533
좀	18786	4	0,000	-5,884	-57,092	-57,092	31,623	55,073	-2,550	55,073	32,861	-8,232	37,604
좀	19633	5	0,000	-6,007	-59,380	-59,380	32,305	59,035	-2,580	59,035	39,862	-7,711	42,608
Plate_1_10	19633	1	0,000	-6,007	-59,296	-59,296	32,305	58,849	-2,589	58,849	39,862	-7,711	42,608
Element 19-28 (Plate)	19636	2	0,000	-6,130	-57,502	-57,502	32,939	55,793	-2,560	55,793	46,936	-7,141	48,231
(Pali 400/0,4m)	19635	3	0,000	-6,254	-55,138	-55,138	33,521	51,665	-2,525	51,665	53,567	-6,528	53,868
좀	19634	4	0,000	-6,377	-52,326	-52,326	34,051	46,593	-2,496	46,593	59,633	-5,881	59,633
좀	20396	5	0,000	-6,500	-49,192	-49,192	34,528	40,704	-2,473	40,704	65,017	-5,205	65,017
Plate_1_11	20396	1	0,000	-6,500	-49,548	-49,548	34,528	41,427	-2,522	41,427	65,017	-5,205	65,017
Element 21-30 (Plate)	20399	2	0,000	-6,620	-46,897	-46,897	35,001	35,713	-2,494	35,713	69,639	-4,529	69,639
(Pali 400/0,4m)	20398	3	0,000	-6,740	-44,653	-44,653	35,438	30,935	-2,615	30,935	73,639	-3,846	73,639
좀	20397	4	0,000	-6,861	-42,669	-42,669	35,816	26,892	-2,955	26,892	77,106	-3,178	77,106
좀	20730	5	0,000	-6,981	-40,798	-40,798	36,136	23,379	-3,585	23,379	80,122	-2,547	80,122
Plate_1_12	20730	1	0,000	-6,981	-40,353	-40,353	36,133	21,698	-3,850	21,698	80,122	-2,547	80,122
Element 25-36 (Plate)	20733	2	0,000	-7,128	-34,898	-34,898	36,460	8,616	-6,190	8,616	82,346	-1,916	82,346
(Pali 400/0,4m)	20732	3	0,000	-7,276	-29,681	-29,681	36,729	-2,980	-10,502	3,484	82,735	-1,393	82,735
좀	20731	4	0,000	-7,423	-24,975	-24,975	37,002	-12,715	-15,568	2,922	81,557	-0,965	81,557
좀	21130	5	0,000	-7,571	-21,051	-21,051	37,200	-20,214	-20,577	2,496	79,095	-0,617	79,095
Plate_1_12	21130	1	0,000	-7,571	-20,740	-20,740	37,195	-20,628	-21,022	2,472	79,095	-0,617	79,095
Element 25-37 (Plate)	21133	2	0,000	-7,803	-17,499	-17,499	37,342	-26,904	-26,904	1,942	73,515	-0,167	73,515
(Pali 400/0,4m)	21132	3	0,000	-8,036	-15,050	-15,050	37,276	-30,304	-30,304	1,530	66,826	-0,011	66,826
좀	21131	4	0,000	-8,268	-13,306	-13,306	36,994	-31,147	-31,147	1,231	59,635	-0,009	59,635
좀	21634	5	0,000	-8,500	-12,180	-12,180	36,581	-29,747	-29,747	1,036	52,529	-0,007	52,529
Plate_1_13	21634	1	0,000	-8,500	-11,979	-11,979	36,563	-30,435	-30,435	0,987	52,529	-0,007	52,529
Element 30-44 (Plate)	21637	2	0,000	-8,893	-10,599	-10,599	35,385	-26,231	-26,231	0,862	41,380	-0,004	41,380
(Pali 400/0,4m)	21636	3	0,000	-9,285	-9,203	-9,203	33,568	-21,698	-21,698	0,746	31,982	-0,002	31,982
좀	21635	4	0,000	-9,678	-7,594	-7,594	31,304	-17,276	-17,276	0,551	24,322	0,000	24,322
좀	22102	5	0,000	-10,071	-5,575	-5,575	28,219	-13,409	-13,409	0,182	18,332	0,000	18,332
Plate_1_14	22102	1	0,000	-10,071	-5,153	-5,153	28,187	-14,383	-14,383	0,002	18,332	0,000	18,332
Element 32-46 (Plate)	22105	2	0,000	-10,297	-3,083	-3,083	25,916	-14,285	-14,285	0,001	15,073	0,000	15,073
(Pali 400/0,4m)	22104	3	0,000	-10,524	-1,448	-1,448	23,343	-13,668	-13,668	0,000	11,896	0,000	11,896
좀	22103	4	0,000	-10,751	-0,245	-0,245	20,468	-12,559	-12,559	0,000	8,913	0,000	8,913
좀	22534	5	0,000	-10,977	0,530	-0,016	17,296	-10,982	-10,982	0,000	6,238	0,000	6,238
Plate_1_14	22534	1	0,000	-10,977	0,557	-0,016	17,276	-10,978	-10,978	0,000	6,238	0,000	6,238
Element 32-47 (Plate)	22538	2	0,000	-11,233	0,918	-0,012	13,341	-8,890	-8,890	0,000	3,693	0,000	3,693
(Pali 400/0,4m)	22537	3	0,000	-11,489	0,826	-0,008	8,917	-6,427	-6,427	0,000	1,722	0,000	1,722

Structural element	Node [10 ^{3}]	Local number	X [m]	Y [m]	N [kN/m]	N $_{min}$ [kN/m]	N $_{max}$ [kN/m]	Q [kN/m]	Q $_{min}$ [kN/m]	Q $_{max}$ [kN/m]	M [kN m/m]	M $_{min}$ [kN m/m]	M $_{max}$ [kN m/m]
28	22536	4	0,000	-11,744	0,276	-0,003	3,986	-3,472	-3,472	0,000	0,447	0,000	0,447
28	22535	5	0,000	-12,000	-0,741	-1,472	0,001	0,091	-0,123	0,091	0,000	0,000	0,000

3.1.2.4.11 Calculation results, Plate, Micropalo ancoraggio 2 [Phase_35] (35/309), Table of plate force envelopes

Structural element	Node [10 ^{3}]	Local number	X [m]	Y [m]	N [kN/m]	N_{min} [kN/m]	N_{max} [kN/m]	Q [kN/m]	Q_{min} [kN/m]	Q_{max} [kN/m]	M [kN m/m]	M_{min} [kN m/m]	M_{max} [kN m/m]
Plate_1_1	13320	1	0,000	0,000	0,078	-0,034	0,078	-0,135	-0,135	0,068	0,000	0,000	0,000
Element 2-3 (Plate)	13319	2	0,000	-0,240	-1,131	-1,131	0,020	1,959	-0,003	1,959	0,223	0,000	0,223
(Pali 400/0,4m)	13318	3	0,000	-0,480	-2,264	-2,264	0,046	3,921	-0,004	3,921	0,929	0,000	0,929
㔲	13317	4	0,000	-0,720	-3,367	-3,367	0,063	5,832	-0,022	5,832	2,102	0,000	2,102
㔲	13527	5	0,000	-0,960	-4,486	-4,486	0,066	7,771	-0,019	7,771	3,732	-0,004	3,732
Plate_1_2	13527	1	0,000	-0,960	-4,162	-4,162	0,000	7,209	-0,022	7,209	3,732	-0,004	3,732
Element 5-7 (Plate)	13530	2	0,000	-1,095	-4,118	-4,118	0,000	7,134	-0,011	7,134	4,700	-0,006	4,700
(Pali 400/0,4m)	13529	3	0,000	-1,230	-4,142	-4,142	0,471	7,174	-0,220	7,174	5,662	-0,007	5,662
㔲	13528	4	0,000	-1,365	-4,284	-4,284	1,216	7,421	-1,155	7,421	6,645	-0,007	6,645
㔲	14231	5	0,000	-1,500	-4,598	-4,598	2,071	7,964	-2,194	7,964	7,679	-0,006	7,679
Plate_1_3	14231	1	0,000	-1,500	-10,507	-10,507	2,060	-26,063	-26,063	4,828	7,679	-0,006	7,679
Element 7-10 (Plate)	14232	2	0,000	-1,580	-10,848	-10,848	2,562	-25,472	-25,472	4,831	5,624	-0,033	5,624
(Pali 400/0,4m)	14233	3	0,000	-1,660	-11,158	-11,158	3,064	-24,934	-24,934	4,845	3,614	-0,131	5,449
㔲	14234	4	0,000	-1,739	-11,411	-11,411	3,568	-24,497	-24,497	4,882	1,643	-0,301	5,818
㔲	15007	5	0,000	-1,819	-11,575	-11,575	4,072	-24,211	-24,211	4,956	-0,298	-0,492	6,208
Plate_1_4	15007	1	0,000	-1,819	-11,628	-11,628	4,071	-24,121	-24,121	5,014	-0,298	-0,492	6,208
Element 8-11 (Plate)	15010	2	0,000	-1,871	-11,772	-11,772	4,403	-23,871	-23,871	5,129	-1,556	-1,569	6,472
(Pali 400/0,4m)	15009	3	0,000	-1,924	-11,940	-11,940	4,732	-23,580	-23,580	5,292	-2,800	-2,809	6,745
㔲	15008	4	0,000	-1,976	-12,134	-12,134	5,056	-23,244	-23,244	5,506	-4,029	-4,034	7,028
㔲	15973	5	0,000	-2,029	-12,355	-12,355	5,376	-22,860	-22,860	5,773	-5,237	-5,240	7,323
Plate_1_5	15973	1	0,000	-2,029	-12,351	-12,351	5,376	-22,868	-22,868	5,753	-5,237	-5,240	7,323
Element 10-13 (Plate)	15974	2	0,000	-2,103	-12,718	-12,718	5,825	-22,232	-22,232	6,218	-6,921	-6,921	7,770
(Pali 400/0,4m)	15975	3	0,000	-2,178	-13,115	-13,115	6,266	-21,544	-21,544	6,681	-8,555	-8,555	8,251
㔲	15976	4	0,000	-2,253	-13,540	-13,540	6,700	-20,808	-20,808	7,132	-10,136	-10,136	8,767
㔲	16291	5	0,000	-2,327	-13,989	-13,989	7,127	-20,031	-20,031	7,561	-11,660	-11,660	9,315
Plate_1_5	16291	1	0,000	-2,327	-13,989	-13,989	7,128	-20,032	-20,032	7,599	-11,660	-11,660	9,315
Element 10-14 (Plate)	16294	2	0,000	-2,471	-14,870	-14,870	7,927	-18,505	-18,505	8,438	-14,422	-14,422	10,462
(Pali 400/0,4m)	16293	3	0,000	-2,614	-15,807	-15,807	8,702	-16,882	-16,882	9,478	-16,959	-16,959	11,742
㔲	16292	4	0,000	-2,757	-16,794	-16,794	9,454	-15,173	-15,173	10,733	-19,258	-19,258	13,186
㔲	16325	5	0,000	-2,901	-17,825	-17,825	10,436	-13,386	-13,386	12,223	-21,305	-21,305	14,824
Plate_1_6	16325	1	0,000	-2,901	-17,760	-17,760	10,394	-13,499	-13,499	12,366	-21,305	-21,305	14,824
Element 12-17 (Plate)	16328	2	0,000	-3,177	-20,119	-20,119	12,522	-9,413	-9,413	10,487	-24,449	-24,449	17,989
(Pali 400/0,4m)	16327	3	0,000	-3,453	-22,531	-22,531	14,537	-5,235	-5,235	8,437	-26,505	-26,505	20,569
㔲	16326	4	0,000	-3,729	-25,477	-25,477	16,461	-0,132	-2,931	6,881	-27,254	-27,254	22,671
㔲	17175	5	0,000	-4,005	-29,437	-29,437	18,315	6,727	-2,250	8,272	-26,404	-26,404	24,465
Plate_1_7	17175	1	0,000	-4,005	-29,204	-29,204	18,262	6,324	-2,214	7,866	-26,404	-26,404	24,465
Element 14-19 (Plate)	17178	2	0,000	-4,232	-33,411	-33,411	19,768	13,610	-1,671	14,416	-24,142	-24,142	26,335
(Pali 400/0,4m)	17177	3	0,000	-4,459	-37,429	-37,429	21,351	20,569	-1,126	20,631	-20,247	-20,247	28,512
㔲	17176	4	0,000	-4,686	-41,099	-41,099	23,128	26,926	-0,521	26,958	-14,850	-14,850	30,314
㔲	17993	5	0,000	-4,912	-44,261	-44,261	24,884	32,402	-0,888	32,428	-8,097	-10,371	31,089
Plate_1_7	17993	1	0,000	-4,912	-44,162	-44,162	24,839	32,231	-0,715	32,257	-8,097	-10,371	31,089
Element 14-20 (Plate)	17996	2	0,000	-5,014	-44,748	-44,748	25,543	33,246	-1,235	33,262	-4,778	-10,322	31,169
(Pali 400/0,4m)	17995	3	0,000	-5,115	-45,593	-45,593	26,220	34,710	-1,618	34,715	-1,334	-10,233	31,152

Structural element	Node [10 ^{3}]	Local number	X [m]	Y [m]	N [kN/m]	N_{min} [kN/m]	N_{max} [kN/m]	Q [kN/m]	Q_{min} [kN/m]	Q_{max} [kN/m]	M [kN m/m]	M_{min} [kN m/m]	M_{max} [kN m/m]
2	17994	4	0,000	-5,217	-46,748	-46,748	27,042	36,710	-1,873	36,710	2,287	-10,102	31,063
2	18028	5	0,000	-5,318	-48,262	-48,262	27,834	39,333	-2,022	39,333	6,139	-9,930	30,925
Plate_1_7	18028	1	0,000	-5,318	-48,184	-48,184	27,835	39,204	-2,027	39,204	6,139	-9,930	30,925
Element 14-21 (Plate)	18027	2	0,000	-5,364	-48,842	-48,842	28,178	40,351	-2,074	40,351	7,944	-9,839	30,849
(Pali 400/0,4m)	18026	3	0,000	-5,409	-49,527	-49,527	28,514	41,543	-2,102	41,543	9,803	-9,741	30,767
2	18025	4	0,000	-5,455	-50,240	-50,240	28,844	42,781	-2,146	42,781	11,717	-9,634	30,681
2	18083	5	0,000	-5,500	-50,980	-50,980	29,166	44,065	-2,216	44,065	13,687	-9,519	30,590
Plate_1_8	18083	1	0,000	-5,500	-51,016	-51,016	29,166	43,851	-2,218	43,962	13,687	-9,519	30,590
Element 16-24 (Plate)	18084	2	0,000	-5,504	-51,081	-51,081	29,194	43,965	-2,224	44,074	13,861	-9,508	30,582
(Pali 400/0,4m)	18085	3	0,000	-5,508	-51,147	-51,147	29,222	44,079	-2,230	44,187	14,035	-9,498	30,574
2	18086	4	0,000	-5,512	-51,213	-51,213	29,249	44,192	-2,236	44,300	14,210	-9,487	30,566
2	18785	5	0,000	-5,516	-51,278	-51,278	29,277	44,306	-2,242	44,412	14,384	-9,477	30,558
Plate_1_9	18785	1	0,000	-5,516	-51,263	-51,263	29,277	44,280	-2,243	44,387	14,384	-9,477	30,558
Element 17-25 (Plate)	18788	2	0,000	-5,639	-53,330	-53,330	30,109	47,867	-2,383	47,941	20,045	-9,118	30,680
(Pali 400/0,4m)	18787	3	0,000	-5,761	-55,364	-55,364	30,891	51,400	-2,473	51,439	26,139	-8,702	33,533
2	18786	4	0,000	-5,884	-57,477	-57,477	31,623	55,073	-2,550	55,079	32,679	-8,232	37,604
2	19633	5	0,000	-6,007	-59,780	-59,780	32,305	59,075	-2,580	59,076	39,682	-7,711	42,608
Plate_1_10	19633	1	0,000	-6,007	-59,680	-59,680	32,305	58,845	-2,589	58,853	39,682	-7,711	42,608
Element 19-28 (Plate)	19636	2	0,000	-6,130	-57,927	-57,927	32,939	55,888	-2,560	55,888	46,761	-7,141	48,231
(Pali 400/0,4m)	19635	3	0,000	-6,254	-55,628	-55,628	33,521	51,891	-2,525	51,891	53,412	-6,528	53,868
2	19634	4	0,000	-6,377	-52,868	-52,868	34,051	46,928	-2,496	46,928	59,513	-5,881	59,633
2	20396	5	0,000	-6,500	-49,732	-49,732	34,528	41,074	-2,473	41,074	64,942	-5,205	65,017
Plate_1_11	20396	1	0,000	-6,500	-50,101	-50,101	34,528	41,843	-2,522	41,843	64,942	-5,205	65,017
Element 21-30 (Plate)	20399	2	0,000	-6,620	-47,457	-47,457	35,001	36,117	-2,494	36,117	69,613	-4,529	69,644
(Pali 400/0,4m)	20398	3	0,000	-6,740	-45,218	-45,218	35,438	31,328	-2,615	31,328	73,661	-3,846	73,664
2	20397	4	0,000	-6,861	-43,238	-43,238	35,816	27,269	-2,955	27,269	77,174	-3,178	77,174
2	20730	5	0,000	-6,981	-41,369	-41,369	36,136	23,734	-3,585	23,734	80,234	-2,547	80,234
Plate_1_12	20730	1	0,000	-6,981	-40,918	-40,918	36,133	22,045	-3,850	22,045	80,234	-2,547	80,234
Element 25-36 (Plate)	20733	2	0,000	-7,128	-35,475	-35,475	36,460	8,992	-6,190	8,992	82,511	-1,916	82,511
(Pali 400/0,4m)	20732	3	0,000	-7,276	-30,254	-30,254	36,729	-2,594	-10,502	3,484	82,957	-1,393	82,957
2	20731	4	0,000	-7,423	-25,516	-25,516	37,002	-12,377	-15,568	2,922	81,833	-0,965	81,833
2	21130	5	0,000	-7,571	-21,519	-21,519	37,200	-20,023	-20,577	2,496	79,412	-0,617	79,412
Plate_1_12	21130	1	0,000	-7,571	-21,198	-21,198	37,195	-20,426	-21,022	2,472	79,412	-0,617	79,412
Element 25-37 (Plate)	21133	2	0,000	-7,803	-17,916	-17,916	37,342	-26,826	-26,904	1,942	73,864	-0,167	73,864
(Pali 400/0,4m)	21132	3	0,000	-8,036	-15,436	-15,436	37,276	-30,314	-30,315	1,530	67,182	-0,011	67,182
2	21131	4	0,000	-8,268	-13,671	-13,671	36,994	-31,211	-31,211	1,231	59,982	-0,009	59,982
2	21634	5	0,000	-8,500	-12,533	-12,533	36,581	-29,837	-29,837	1,036	52,858	-0,007	52,858
Plate_1_13	21634	1	0,000	-8,500	-12,328	-12,328	36,563	-30,533	-30,533	0,987	52,858	-0,007	52,858
Element 30-44 (Plate)	21637	2	0,000	-8,893	-10,930	-10,930	35,385	-26,349	-26,349	0,862	41,666	-0,004	41,666
(Pali 400/0,4m)	21636	3	0,000	-9,285	-9,517	-9,517	33,568	-21,822	-21,822	0,746	32,220	-0,002	32,220
2	21635	4	0,000	-9,678	-7,892	-7,892	31,304	-17,397	-17,397	0,551	24,511	0,000	24,511
2	22102	5	0,000	-10,071	-5,856	-5,856	28,219	-13,520	-13,520	0,182	18,476	0,000	18,476
Plate_1_14	22102	1	0,000	-10,071	-5,438	-5,438	28,187	-14,497	-14,497	0,002	18,476	0,000	18,476
Element 32-46 (Plate)	22105	2	0,000	-10,297	-3,336	-3,336	25,916	-14,396	-14,396	0,001	15,192	0,000	15,192
(Pali 400/0,4m)	22104	3	0,000	-10,524	-1,668	-1,668	23,343	-13,774	-13,774	0,000	11,989	0,000	11,989
2	22103	4	0,000	-10,751	-0,432	-0,432	20,468	-12,656	-12,656	0,000	8,984	0,000	8,984
2	22534	5	0,000	-10,977	0,375	-0,016	17,296	-11,068	-11,068	0,000	6,287	0,000	6,287
Plate_1_14	22534	1	0,000	-10,977	0,403	-0,016	17,276	-11,064	-11,064	0,000	6,287	0,000	6,287
Element 32-47 (Plate)	22538	2	0,000	-11,233	0,801	-0,012	13,341	-8,962	-8,962	0,000	3,722	0,000	3,722

Structural element	Node [10 ^{3}]	Local number	X [m]	Y [m]	N [kN/m]	N_{min} [kN/m]	N_{max} [kN/m]	Q [kN/m]	Q_{min} [kN/m]	Q_{max} [kN/m]	M [kN m/m]	M_{min} [kN m/m]	M_{max} [kN m/m]
(Pali 400/0,4m)	22537	3	0,000	-11,489	0,749	-0,008	8,917	-6,480	-6,480	0,000	1,736	0,000	1,736
杏	22536	4	0,000	-11,744	0,240	-0,003	3,986	-3,499	-3,499	0,000	0,451	0,000	0,451
杏	22535	5	0,000	-12,000	-0,734	-1,472	0,001	0,096	-0,123	0,096	0,000	0,000	0,000

3.1.2.4.12 Calculation results, Plate, Escavo 2 [Phase_10] (10/318), Table of plate force envelopes

Structural element	Node [10 ³]	Local number	X [m]	Y [m]	N [kN/m]	N_{min} [kN/m]	N_{max} [kN/m]	Q [kN/m]	Q_{min} [kN/m]	Q_{max} [kN/m]	M [kN m/m]	M_{min} [kN m/m]	M_{max} [kN m/m]
Plate_1_1	13320	1	0,000	0,000	0,282	-0,034	0,282	-0,489	-0,489	0,068	0,000	0,000	0,000
Element 2-3 (Plate)	13319	2	0,000	-0,240	-1,763	-1,763	0,020	3,049	-0,003	3,049	0,298	0,000	0,298
(Pali 400/0,4m)	13318	3	0,000	-0,480	-3,910	-3,910	0,046	6,766	-0,004	6,766	1,482	0,000	1,482
쫌	13317	4	0,000	-0,720	-6,002	-6,002	0,063	10,392	-0,022	10,392	3,540	0,000	3,540
쫌	13527	5	0,000	-0,960	-7,884	-7,884	0,066	13,652	-0,019	13,652	6,438	-0,004	6,438
Plate_1_2	13527	1	0,000	-0,960	-7,408	-7,408	0,000	12,831	-0,022	12,831	6,438	-0,004	6,438
Element 5-7 (Plate)	13530	2	0,000	-1,095	-7,275	-7,275	0,000	12,603	-0,011	12,603	8,153	-0,006	8,153
(Pali 400/0,4m)	13529	3	0,000	-1,230	-7,352	-7,352	0,471	12,735	-0,220	12,735	9,854	-0,007	9,854
쫌	13528	4	0,000	-1,365	-7,801	-7,801	1,216	13,511	-1,155	13,511	11,620	-0,007	11,620
쫌	14231	5	0,000	-1,500	-8,786	-8,786	2,071	15,212	-2,194	15,212	13,544	-0,006	13,544
Plate_1_3	14231	1	0,000	-1,500	-18,232	-18,232	2,060	-40,170	-40,170	4,828	13,544	-0,006	13,544
Element 7-10 (Plate)	14232	2	0,000	-1,580	-18,800	-18,800	2,562	-39,189	-39,189	4,831	10,380	-0,033	10,380
(Pali 400/0,4m)	14233	3	0,000	-1,660	-19,321	-19,321	3,064	-38,289	-38,289	4,845	7,290	-0,131	7,290
쫌	14234	4	0,000	-1,739	-19,768	-19,768	3,568	-37,517	-37,517	4,882	4,267	-0,301	5,818
쫌	15007	5	0,000	-1,819	-20,111	-20,111	4,072	-36,925	-36,925	4,956	1,301	-0,492	6,208
Plate_1_4	15007	1	0,000	-1,819	-20,162	-20,162	4,071	-36,837	-36,837	5,014	1,301	-0,492	6,208
Element 8-11 (Plate)	15010	2	0,000	-1,871	-20,412	-20,412	4,403	-36,405	-36,405	5,129	-0,619	-1,569	6,472
(Pali 400/0,4m)	15009	3	0,000	-1,924	-20,679	-20,679	4,732	-35,944	-35,944	5,292	-2,517	-2,809	6,745
쫌	15008	4	0,000	-1,976	-20,965	-20,965	5,056	-35,450	-35,450	5,506	-4,390	-4,424	7,028
쫌	15973	5	0,000	-2,029	-21,272	-21,272	5,376	-34,919	-34,919	5,773	-6,234	-6,234	7,323
Plate_1_5	15973	1	0,000	-2,029	-21,268	-21,268	5,376	-34,926	-34,926	5,753	-6,234	-6,234	7,323
Element 10-13 (Plate)	15974	2	0,000	-2,103	-21,745	-21,745	5,825	-34,102	-34,102	6,218	-8,810	-8,810	7,770
(Pali 400/0,4m)	15975	3	0,000	-2,178	-22,240	-22,240	6,266	-33,247	-33,247	6,681	-11,324	-11,324	8,251
쫌	15976	4	0,000	-2,253	-22,750	-22,750	6,700	-32,367	-32,367	7,132	-13,774	-13,774	8,767
쫌	16291	5	0,000	-2,327	-23,271	-23,271	7,127	-31,466	-31,466	7,561	-16,156	-16,156	9,315
Plate_1_5	16291	1	0,000	-2,327	-23,272	-23,272	7,128	-31,464	-31,464	7,599	-16,156	-16,156	9,315
Element 10-14 (Plate)	16294	2	0,000	-2,471	-24,263	-24,263	7,927	-29,753	-29,753	8,438	-20,542	-20,542	10,462
(Pali 400/0,4m)	16293	3	0,000	-2,614	-25,276	-25,276	8,702	-28,002	-28,002	9,478	-24,681	-24,681	11,742
쫌	16292	4	0,000	-2,757	-26,310	-26,310	9,454	-26,215	-26,215	10,733	-28,568	-28,568	13,186
쫌	16325	5	0,000	-2,901	-27,362	-27,362	10,436	-24,398	-24,398	12,223	-32,194	-32,194	14,824
Plate_1_6	16325	1	0,000	-2,901	-27,311	-27,311	10,394	-24,486	-24,486	12,366	-32,194	-32,194	14,824
Element 12-17 (Plate)	16328	2	0,000	-3,177	-29,638	-29,638	12,522	-20,466	-20,466	10,487	-38,379	-38,379	17,989
(Pali 400/0,4m)	16327	3	0,000	-3,453	-32,005	-32,005	14,537	-16,374	-16,374	8,437	-43,498	-43,498	20,569
쫌	16326	4	0,000	-3,729	-34,874	-34,874	16,461	-11,415	-11,415	6,881	-47,341	-47,341	22,671
쫌	17175	5	0,000	-4,005	-38,705	-38,705	18,315	-4,792	-4,792	8,272	-49,634	-49,634	24,465
Plate_1_7	17175	1	0,000	-4,005	-38,540	-38,540	18,262	-5,076	-5,076	7,866	-49,634	-49,634	24,465
Element 14-19 (Plate)	17178	2	0,000	-4,232	-42,565	-42,565	19,768	1,886	-1,671	14,416	-49,995	-49,995	26,335
(Pali 400/0,4m)	17177	3	0,000	-4,459	-46,401	-46,401	21,351	8,522	-1,126	20,631	-48,799	-48,799	28,512
쫌	17176	4	0,000	-4,686	-49,919	-49,919	23,128	14,605	-0,521	26,958	-46,168	-46,168	30,314
쫌	17993	5	0,000	-4,912	-52,986	-52,986	24,884	19,910	-0,888	32,428	-42,233	-42,233	31,089
Plate_1_7	17993	1	0,000	-4,912	-52,770	-52,770	24,839	19,535	-0,715	32,257	-42,233	-42,233	31,089
Element 14-20 (Plate)	17996	2	0,000	-5,014	-53,778	-53,778	25,543	21,276	-1,235	33,262	-40,161	-40,161	31,169
(Pali 400/0,4m)	17995	3	0,000	-5,115	-54,749	-54,749	26,220	22,953	-1,618	34,715	-37,917	-37,917	31,152

Structural element	Node [10 ^{3}]	Local number	X [m]	Y [m]	N [kN/m]	N_{min} [kN/m]	N_{max} [kN/m]	Q [kN/m]	Q_{min} [kN/m]	Q_{max} [kN/m]	M [kN m/m]	M_{min} [kN m/m]	M_{max} [kN m/m]
점	17994	4	0,000	-5,217	-55,754	-55,754	27,042	24,690	-1,873	36,710	-35,499	-35,499	31,063
점	18028	5	0,000	-5,318	-56,866	-56,866	27,834	26,613	-2,022	39,333	-32,899	-32,899	30,925
Plate_1_7	18028	1	0,000	-5,318	-56,977	-56,977	27,835	26,804	-2,027	39,204	-32,899	-32,899	30,925
Element 14-21 (Plate)	18027	2	0,000	-5,364	-57,559	-57,559	28,178	27,810	-2,074	40,351	-31,660	-31,660	30,849
(Pali 400/0,4m)	18026	3	0,000	-5,409	-58,192	-58,192	28,514	28,905	-2,102	41,543	-30,373	-30,373	30,767
점	18025	4	0,000	-5,455	-58,877	-58,877	28,844	30,091	-2,146	42,781	-29,034	-29,034	30,681
점	18083	5	0,000	-5,500	-59,617	-59,617	29,166	31,372	-2,216	44,065	-27,640	-27,640	30,590
Plate_1_8	18083	1	0,000	-5,500	-66,296	-66,296	29,166	-7,057	-7,057	43,962	-27,640	-27,640	30,590
Element 16-24 (Plate)	18084	2	0,000	-5,504	-66,362	-66,362	29,194	-6,943	-6,943	44,074	-27,667	-27,667	30,582
(Pali 400/0,4m)	18085	3	0,000	-5,508	-66,429	-66,429	29,222	-6,828	-6,828	44,187	-27,695	-27,695	30,574
점	18086	4	0,000	-5,512	-66,495	-66,495	29,249	-6,713	-6,713	44,300	-27,721	-27,721	30,566
점	18785	5	0,000	-5,516	-66,562	-66,562	29,277	-6,597	-6,597	44,412	-27,748	-27,748	30,558
Plate_1_9	18785	1	0,000	-5,516	-66,495	-66,495	29,277	-6,714	-6,714	44,387	-27,748	-27,748	30,558
Element 17-25 (Plate)	18788	2	0,000	-5,639	-68,745	-68,745	30,109	-2,820	-2,820	47,941	-28,332	-28,332	30,680
(Pali 400/0,4m)	18787	3	0,000	-5,761	-70,908	-70,908	30,891	0,921	-2,473	51,439	-28,446	-28,446	33,533
점	18786	4	0,000	-5,884	-72,933	-72,933	31,623	4,421	-2,550	55,079	-28,116	-28,116	37,604
점	19633	5	0,000	-6,007	-74,769	-74,769	32,305	7,593	-2,580	59,076	-27,374	-27,374	42,608
Plate_1_10	19633	1	0,000	-6,007	-74,833	-74,833	32,305	7,705	-2,589	58,853	-27,374	-27,374	42,608
Element 19-28 (Plate)	19636	2	0,000	-6,130	-76,224	-76,224	32,939	10,106	-2,560	55,888	-26,280	-26,280	48,231
(Pali 400/0,4m)	19635	3	0,000	-6,254	-77,838	-77,838	33,521	12,896	-2,525	51,891	-24,868	-24,868	53,868
점	19634	4	0,000	-6,377	-79,701	-79,701	34,051	16,123	-2,496	46,928	-23,084	-23,084	59,633
점	20396	5	0,000	-6,500	-81,842	-81,842	34,528	19,835	-2,473	41,074	-20,874	-20,874	65,017
Plate_1_11	20396	1	0,000	-6,500	-81,916	-81,916	34,528	19,963	-2,522	41,843	-20,874	-20,874	65,017
Element 21-30 (Plate)	20399	2	0,000	-6,620	-84,472	-84,472	35,001	24,390	-2,494	36,117	-18,213	-18,213	69,644
(Pali 400/0,4m)	20398	3	0,000	-6,740	-87,197	-87,197	35,438	29,112	-2,615	32,631	-15,000	-15,000	73,664
점	20397	4	0,000	-6,861	-90,098	-90,098	35,816	34,138	-2,955	35,301	-11,202	-11,202	77,174
점	20730	5	0,000	-6,981	-93,179	-93,179	36,136	39,476	-3,585	39,476	-6,783	-6,783	80,234
Plate_1_12	20730	1	0,000	-6,981	-92,960	-92,960	36,133	39,096	-3,850	39,096	-6,783	-6,783	80,234
Element 25-36 (Plate)	20733	2	0,000	-7,128	-95,892	-95,892	36,460	44,175	-6,190	44,175	-0,633	-1,916	82,511
(Pali 400/0,4m)	20732	3	0,000	-7,276	-98,422	-98,422	36,729	48,560	-10,502	48,560	6,225	-1,393	82,957
점	20731	4	0,000	-7,423	-100,459	-100,459	37,002	52,092	-15,568	52,092	13,664	-0,965	81,833
점	21130	5	0,000	-7,571	-101,912	-101,912	37,200	54,610	-20,577	54,610	21,552	-0,617	79,412
Plate_1_12	21130	1	0,000	-7,571	-101,552	-101,552	37,195	53,995	-21,022	53,995	21,552	-0,617	79,412
Element 25-37 (Plate)	21133	2	0,000	-7,803	-103,203	-103,203	37,342	56,858	-26,904	56,858	34,389	-0,167	73,864
(Pali 400/0,4m)	21132	3	0,000	-8,036	-105,672	-105,672	37,276	61,137	-30,315	61,137	48,072	-0,011	67,182
점	21131	4	0,000	-8,268	-108,854	-108,854	36,994	66,651	-31,211	66,651	62,887	-0,009	70,275
점	21634	5	0,000	-8,500	-112,646	-112,646	36,581	73,219	-29,837	73,219	79,107	-0,007	81,090
Plate_1_13	21634	1	0,000	-8,500	-112,680	-112,680	36,563	75,933	-30,533	75,933	79,107	-0,007	81,090
Element 30-44 (Plate)	21637	2	0,000	-8,893	-89,125	-89,125	35,385	23,732	-26,349	23,732	98,127	-0,004	98,127
(Pali 400/0,4m)	21636	3	0,000	-9,285	-71,193	-71,193	33,568	-12,529	-25,992	0,746	99,842	-0,002	99,842
점	21635	4	0,000	-9,678	-57,754	-57,754	31,304	-33,563	-35,817	0,551	90,277	0,000	90,277
점	22102	5	0,000	-10,071	-47,676	-47,676	28,219	-40,085	-40,085	0,182	75,370	0,000	75,370
Plate_1_14	22102	1	0,000	-10,071	-46,402	-46,402	28,187	-43,554	-43,554	0,002	75,370	0,000	75,370
Element 32-46 (Plate)	22105	2	0,000	-10,297	-38,423	-38,423	25,916	-50,188	-50,188	0,001	64,682	0,000	64,682
(Pali 400/0,4m)	22104	3	0,000	-10,524	-31,298	-31,298	23,343	-53,333	-53,333	0,000	52,883	0,000	52,883
점	22103	4	0,000	-10,751	-25,073	-25,073	20,468	-53,034	-53,034	0,000	40,760	0,000	40,760
점	22534	5	0,000	-10,977	-19,793	-19,793	17,296	-49,339	-49,339	0,000	29,098	0,000	29,098
Plate_1_14	22534	1	0,000	-10,977	-19,310	-19,310	17,276	-49,499	-49,499	0,000	29,098	0,000	29,098
Element 32-47 (Plate)	22538	2	0,000	-11,233	-14,982	-14,982	13,341	-41,833	-41,833	0,000	17,351	0,000	17,351

Structural element	Node [10 ^{3}]	Local number	X [m]	Y [m]	N [kN/m]	N_{min} [kN/m]	N_{max} [kN/m]	Q [kN/m]	Q_{min} [kN/m]	Q_{max} [kN/m]	M [kN m/m]	M_{min} [kN m/m]	M_{max} [kN m/m]
(Pali 400/0,4m)	22537	3	0,000	-11,489	-10,526	-10,526	8,917	-30,735	-30,735	0,000	8,000	0,000	8,000
宖	22536	4	0,000	-11,744	-5,601	-5,601	3,986	-16,212	-16,212	0,000	1,923	0,000	1,923
宖	22535	5	0,000	-12,000	0,140	-1,472	0,575	1,730	-0,123	1,730	0,000	0,000	0,000

3.1.2.4.13 Calculation results, Plate, (RIEMP A SBALZO) Micropali e parete [Phase_14] (14/320), Table of plate force envelopes

Structural element	Node [10^3]	Local number	X [m]	Y [m]	N [kN/m]	N,max [kN/m]	N,min [kN/m]	Q [kN/m]	Q,max [kN/m]	Q,min [kN/m]	M [kN m/m]	M,max [kN m/m]	M,min [kN m/m]
Plate_2_1	15336	1	-5,500	0,000	0,000	0,000	0,000	0,000	0,000	0,000	0,000	0,000	0,000
Element 1-1 (Plate)	15335	2	-5,500	-0,070	0,000	0,000	0,000	0,000	0,000	0,000	0,000	0,000	0,000
(Parete c.a.C32/40 sp.0.50m)	15334	3	-5,500	-0,141	0,000	0,000	0,000	0,000	0,000	0,000	0,000	0,000	0,000
28	15333	4	-5,500	-0,211	0,000	0,000	0,000	0,000	0,000	0,000	0,000	0,000	0,000
28	15350	5	-5,500	-0,281	0,000	0,000	0,000	0,000	0,000	0,000	0,000	0,000	0,000
Plate_2_1	15350	1	-5,500	-0,281	0,000	0,000	0,000	0,000	0,000	0,000	0,000	0,000	0,000
Element 1-2 (Plate)	15349	2	-5,500	-0,336	0,000	0,000	0,000	0,000	0,000	0,000	0,000	0,000	0,000
(Parete c.a.C32/40 sp.0.50m)	15348	3	-5,500	-0,391	0,000	0,000	0,000	0,000	0,000	0,000	0,000	0,000	0,000
28	15347	4	-5,500	-0,445	0,000	0,000	0,000	0,000	0,000	0,000	0,000	0,000	0,000
28	15361	5	-5,500	-0,500	0,000	0,000	0,000	0,000	0,000	0,000	0,000	0,000	0,000
Plate_1_1	13320	1	0,000	0,000	0,310	-0,034	0,310	-0,047	-0,489	0,068	0,000	0,000	0,000
Element 2-3 (Plate)	13319	2	0,000	-0,240	-0,247	-1,763	0,020	4,493	-0,003	4,493	0,541	0,000	0,541
(Pali 400/0,4m)	13318	3	0,000	-0,480	-0,973	-3,910	0,046	8,524	-0,004	8,524	2,119	0,000	2,119
28	13317	4	0,000	-0,720	-1,710	-6,002	0,063	11,892	-0,022	11,892	4,581	0,000	4,581
28	13527	5	0,000	-0,960	-2,301	-7,884	0,066	14,445	-0,019	14,445	7,761	-0,004	7,761
Plate_2_2	15361	1	-5,500	-0,500	0,000	0,000	0,000	0,000	0,000	0,000	0,000	0,000	0,000
Element 3-4 (Plate)	15364	2	-5,500	-0,525	0,000	0,000	0,000	0,000	0,000	0,000	0,000	0,000	0,000
(Parete c.a.C32/40 sp.0.50m)	15363	3	-5,500	-0,550	0,000	0,000	0,000	0,000	0,000	0,000	0,000	0,000	0,000
28	15362	4	-5,500	-0,575	0,000	0,000	0,000	0,000	0,000	0,000	0,000	0,000	0,000
28	15405	5	-5,500	-0,600	0,000	0,000	0,000	0,000	0,000	0,000	0,000	0,000	0,000
Plate_2_3	15405	1	-5,500	-0,600	0,000	0,000	0,000	0,000	0,000	0,000	0,000	0,000	0,000
Element 4-5 (Plate)	15408	2	-5,500	-0,644	0,000	0,000	0,000	0,000	0,000	0,000	0,000	0,000	0,000
(Parete c.a.C32/40 sp.0.50m)	15407	3	-5,500	-0,688	0,000	0,000	0,000	0,000	0,000	0,000	0,000	0,000	0,000
28	15406	4	-5,500	-0,732	0,000	0,000	0,000	0,000	0,000	0,000	0,000	0,000	0,000
28	15419	5	-5,500	-0,775	0,000	0,000	0,000	0,000	0,000	0,000	0,000	0,000	0,000
Plate_2_3	15419	1	-5,500	-0,775	0,000	0,000	0,000	0,000	0,000	0,000	0,000	0,000	0,000
Element 4-6 (Plate)	15422	2	-5,500	-0,834	0,000	0,000	0,000	0,000	0,000	0,000	0,000	0,000	0,000
(Parete c.a.C32/40 sp.0.50m)	15421	3	-5,500	-0,893	0,000	0,000	0,000	0,000	0,000	0,000	0,000	0,000	0,000
28	15420	4	-5,500	-0,952	0,000	0,000	0,000	0,000	0,000	0,000	0,000	0,000	0,000
28	15479	5	-5,500	-1,011	0,000	0,000	0,000	0,000	0,000	0,000	0,000	0,000	0,000
Plate_1_2	13527	1	0,000	-0,960	-2,144	-7,408	0,000	13,883	-0,022	13,883	7,761	-0,004	7,761
Element 5-7 (Plate)	13530	2	0,000	-1,095	-2,131	-7,275	0,000	13,696	-0,011	13,696	9,621	-0,006	9,621
(Pali 400/0,4m)	13529	3	0,000	-1,230	-2,138	-7,352	0,471	13,798	-0,220	13,798	11,468	-0,007	11,468
28	13528	4	0,000	-1,365	-2,180	-7,801	1,216	14,412	-1,155	14,412	13,368	-0,007	13,368
28	14231	5	0,000	-1,500	-2,271	-8,786	2,071	15,762	-2,194	15,762	15,393	-0,006	15,393
Plate_2_4	15479	1	-5,500	-1,011	0,000	0,000	0,000	0,000	0,000	0,000	0,000	0,000	0,000
Element 6-8 (Plate)	15482	2	-5,500	-1,096	0,000	0,000	0,000	0,000	0,000	0,000	0,000	0,000	0,000
(Parete c.a.C32/40 sp.0.50m)	15481	3	-5,500	-1,180	0,000	0,000	0,000	0,000	0,000	0,000	0,000	0,000	0,000
28	15480	4	-5,500	-1,265	0,000	0,000	0,000	0,000	0,000	0,000	0,000	0,000	0,000
28	16393	5	-5,500	-1,350	0,000	0,000	0,000	0,000	0,000	0,000	0,000	0,000	0,000
Plate_2_4	16393	1	-5,500	-1,350	0,000	0,000	0,000	0,000	0,000	0,000	0,000	0,000	0,000
Element 6-9 (Plate)	16396	2	-5,500	-1,519	0,000	0,000	0,000	0,000	0,000	0,000	0,000	0,000	0,000
(Parete c.a.C32/40 sp.0.50m)	16395	3	-5,500	-1,689	0,000	0,000	0,000	0,000	0,000	0,000	0,000	0,000	0,000
28	16394	4	-5,500	-1,859	0,000	0,000	0,000	0,000	0,000	0,000	0,000	0,000	0,000
28	16427	5	-5,500	-2,029	0,000	0,000	0,000	0,000	0,000	0,000	0,000	0,000	0,000
Plate_1_3	14231	1	0,000	-1,500	-11,565	-18,232	2,060	-37,796	-40,170	4,828	15,393	-0,006	15,393

Structural element	Node [10^3]	Local number	X [m]	Y [m]	N [kN/m]	N,max [kN/m]	N,min [kN/m]	Q [kN/m]	Q,max [kN/m]	Q,min [kN/m]	M [kN m/m]	M,max [kN m/m]	M,min [kN m/m]
Element 7-10 (Plate)	14232	2	0,000	-1,580	-11,767	-18,800	2,562	-36,954	-39,189	4,831	12,412	-0,033	12,412
(Pali 400/0,4m)	14233	3	0,000	-1,660	-11,932	-19,321	3,064	-36,192	-38,289	4,845	9,496	-0,131	9,496
"	14234	4	0,000	-1,739	-12,033	-19,768	3,568	-35,559	-37,517	4,882	6,634	-0,301	6,634
"	15007	5	0,000	-1,819	-12,040	-20,111	4,072	-35,102	-36,925	4,956	3,819	-0,492	6,208
Plate_1_4	15007	1	0,000	-1,819	-12,090	-20,162	4,071	-35,015	-36,837	5,014	3,819	-0,492	6,208
Element 8-11 (Plate)	15010	2	0,000	-1,871	-12,124	-20,412	4,403	-34,671	-36,405	5,129	1,992	-1,569	6,472
(Pali 400/0,4m)	15009	3	0,000	-1,924	-12,178	-20,679	4,732	-34,296	-35,944	5,292	0,183	-2,809	6,745
"	15008	4	0,000	-1,976	-12,255	-20,965	5,056	-33,888	-35,450	5,506	-1,605	-4,424	7,028
"	15973	5	0,000	-2,029	-12,356	-21,272	5,376	-33,442	-34,919	5,773	-3,371	-6,234	7,323
Plate_2_5	16427	1	-5,500	-2,029	0,000	0,000	0,000	0,000	0,000	0,000	0,000	0,000	0,000
Element 9-12 (Plate)	16430	2	-5,500	-2,147	0,000	0,000	0,000	0,000	0,000	0,000	0,000	0,000	0,000
(Parete c.a.C32/40 sp.0.50m)	16429	3	-5,500	-2,264	0,000	0,000	0,000	0,000	0,000	0,000	0,000	0,000	0,000
"	16428	4	-5,500	-2,382	0,000	0,000	0,000	0,000	0,000	0,000	0,000	0,000	0,000
"	17049	5	-5,500	-2,500	0,000	0,000	0,000	0,000	0,000	0,000	0,000	0,000	0,000
Plate_1_5	15973	1	0,000	-2,029	-12,352	-21,268	5,376	-33,448	-34,926	5,753	-3,371	-6,234	7,323
Element 10-13 (Plate)	15974	2	0,000	-2,103	-12,542	-21,745	5,825	-32,743	-34,102	6,218	-5,841	-8,810	7,770
(Pali 400/0,4m)	15975	3	0,000	-2,178	-12,755	-22,240	6,266	-32,003	-33,247	6,681	-8,258	-11,324	8,251
"	15976	4	0,000	-2,253	-12,990	-22,750	6,700	-31,235	-32,367	7,132	-10,619	-13,774	8,767
"	16291	5	0,000	-2,327	-13,243	-23,271	7,127	-30,444	-31,466	7,561	-12,920	-16,156	9,315
Plate_1_5	16291	1	0,000	-2,327	-13,243	-23,272	7,128	-30,443	-31,464	7,599	-12,920	-16,156	9,315
Element 10-14 (Plate)	16294	2	0,000	-2,471	-13,734	-24,263	7,927	-28,935	-29,753	8,438	-17,174	-20,542	10,462
(Pali 400/0,4m)	16293	3	0,000	-2,614	-14,268	-25,276	8,702	-27,377	-28,002	9,478	-21,211	-24,681	11,742
"	16292	4	0,000	-2,757	-14,841	-26,310	9,454	-25,775	-26,215	10,733	-25,021	-28,568	13,186
"	16325	5	0,000	-2,901	-15,452	-27,362	10,436	-24,131	-24,398	12,223	-28,596	-32,194	14,824
Plate_2_6	17049	1	-5,500	-2,500	0,000	0,000	0,000	0,000	0,000	0,000	0,000	0,000	0,000
Element 11-15 (Plate)	17052	2	-5,500	-2,666	0,000	0,000	0,000	0,000	0,000	0,000	0,000	0,000	0,000
(Parete c.a.C32/40 sp.0.50m)	17051	3	-5,500	-2,832	0,000	0,000	0,000	0,000	0,000	0,000	0,000	0,000	0,000
"	17050	4	-5,500	-2,999	0,000	0,000	0,000	0,000	0,000	0,000	0,000	0,000	0,000
"	17279	5	-5,500	-3,165	0,000	0,000	0,000	0,000	0,000	0,000	0,000	0,000	0,000
Plate_2_6	17279	1	-5,500	-3,165	0,000	0,000	0,000	0,000	0,000	0,000	0,000	0,000	0,000
Element 11-16 (Plate)	17282	2	-5,500	-3,375	0,000	0,000	0,000	0,000	0,000	0,000	0,000	0,000	0,000
(Parete c.a.C32/40 sp.0.50m)	17281	3	-5,500	-3,585	0,000	0,000	0,000	0,000	0,000	0,000	0,000	0,000	0,000
"	17280	4	-5,500	-3,795	0,000	0,000	0,000	0,000	0,000	0,000	0,000	0,000	0,000
"	17305	5	-5,500	-4,005	0,000	0,000	0,000	0,000	0,000	0,000	0,000	0,000	0,000
Plate_1_6	16325	1	0,000	-2,901	-15,399	-27,311	10,394	-24,221	-24,486	12,366	-28,596	-32,194	14,824
Element 12-17 (Plate)	16328	2	0,000	-3,177	-16,928	-29,638	12,522	-20,508	-20,508	10,487	-34,752	-38,379	17,989
(Pali 400/0,4m)	16327	3	0,000	-3,453	-18,557	-32,005	14,537	-16,700	-16,700	8,437	-39,921	-43,498	20,569
"	16326	4	0,000	-3,729	-20,748	-34,874	16,461	-12,002	-12,002	6,881	-43,891	-47,341	22,671
"	17175	5	0,000	-4,005	-23,960	-38,705	18,315	-5,618	-5,618	8,272	-46,380	-49,634	24,465
Plate_2_7	17305	1	-5,500	-4,005	0,000	0,000	0,000	0,000	0,000	0,000	0,000	0,000	0,000
Element 13-18 (Plate)	17308	2	-5,500	-4,154	0,000	0,000	0,000	0,000	0,000	0,000	0,000	0,000	0,000
(Parete c.a.C32/40 sp.0.50m)	17307	3	-5,500	-4,302	0,000	0,000	0,000	0,000	0,000	0,000	0,000	0,000	0,000
"	17306	4	-5,500	-4,451	0,000	0,000	0,000	0,000	0,000	0,000	0,000	0,000	0,000
"	18049	5	-5,500	-4,600	0,000	0,000	0,000	0,000	0,000	0,000	0,000	0,000	0,000
Plate_1_7	17175	1	0,000	-4,005	-23,794	-38,540	18,262	-5,906	-5,906	7,866	-46,380	-49,634	24,465
Element 14-19 (Plate)	17178	2	0,000	-4,232	-27,351	-42,565	19,768	0,866	-1,671	14,416	-46,950	-49,995	26,335
(Pali 400/0,4m)	17177	3	0,000	-4,459	-30,756	-46,401	21,351	7,313	-1,126	20,631	-46,008	-48,799	28,512
"	17176	4	0,000	-4,686	-33,878	-49,919	23,128	13,209	-0,521	26,958	-43,672	-46,168	30,314
"	17993	5	0,000	-4,912	-36,588	-52,986	24,884	18,327	-0,888	32,428	-40,075	-42,233	31,089
Plate_1_7	17993	1	0,000	-4,912	-36,371	-52,770	24,839	17,951	-0,715	32,257	-40,075	-42,233	31,089
Element 14-20 (Plate)	17996	2	0,000	-5,014	-37,230	-53,778	25,543	19,607	-1,235	33,262	-38,168	-40,161	31,169
(Pali 400/0,4m)	17995	3	0,000	-5,115	-38,059	-54,749	26,220	21,197	-1,618	34,715	-36,098	-37,917	31,152
"	17994	4	0,000	-5,217	-38,929	-55,754	27,042	22,848	-1,873	36,710	-33,862	-35,499	31,063

Structural element	Node [10 ^]	Local number	X [m]	Y [m]	N [kN/m]	N ,,, [kN/m]	N ,,, [kN/m]	Q [kN/m]	Q ,,, [kN/m]	Q ,,, [kN/m]	M [kN m/m]	M ,,, [kN m/m]	M ,,, [kN m/m]
昂	18028	5	0,000	-5,318	-39,915	-56,866	27,834	24,684	-2,022	39,333	-31,453	-32,899	30,925
Plate_1_7	18028	1	0,000	-5,318	-40,025	-56,977	27,835	24,875	-2,027	39,204	-31,453	-32,899	30,925
Element 14-21 (Plate)	18027	2	0,000	-5,364	-40,553	-57,559	28,178	25,842	-2,074	40,351	-30,303	-31,660	30,849
(Pali 400/0,4m)	18026	3	0,000	-5,409	-41,132	-58,192	28,514	26,897	-2,102	41,543	-29,106	-30,373	30,767
昂	18025	4	0,000	-5,455	-41,767	-58,877	28,844	28,043	-2,146	42,781	-27,859	-29,034	30,681
昂	18083	5	0,000	-5,500	-42,457	-59,617	29,166	29,285	-2,216	44,065	-26,559	-27,640	30,590
Plate_2_8	18049	1	-5,500	-4,600	0,000	0,000	0,000	0,000	0,000	0,000	0,000	0,000	0,000
Element 15-22 (Plate)	18052	2	-5,500	-4,837	0,000	0,000	0,000	0,000	0,000	0,000	0,000	0,000	0,000
(Parete c.a.C32/40 sp.0.50m)	18051	3	-5,500	-5,075	0,000	0,000	0,000	0,000	0,000	0,000	0,000	0,000	0,000
昂	18050	4	-5,500	-5,312	0,000	0,000	0,000	0,000	0,000	0,000	0,000	0,000	0,000
昂	18123	5	-5,500	-5,550	0,000	0,000	0,000	0,000	0,000	0,000	0,000	0,000	0,000
Plate_2_8	18123	1	-5,500	-5,550	0,000	0,000	0,000	0,000	0,000	0,000	0,000	0,000	0,000
Element 15-23 (Plate)	18126	2	-5,500	-5,664	0,000	0,000	0,000	0,000	0,000	0,000	0,000	0,000	0,000
(Parete c.a.C32/40 sp.0.50m)	18125	3	-5,500	-5,779	0,000	0,000	0,000	0,000	0,000	0,000	0,000	0,000	0,000
昂	18124	4	-5,500	-5,893	0,000	0,000	0,000	0,000	0,000	0,000	0,000	0,000	0,000
昂	18147	5	-5,500	-6,007	0,000	0,000	0,000	0,000	0,000	0,000	0,000	0,000	0,000
Plate_1_8	18083	1	0,000	-5,500	-48,787	-66,296	29,166	-7,141	-7,141	43,962	-26,559	-27,640	30,590
Element 16-24 (Plate)	18084	2	0,000	-5,504	-48,849	-66,362	29,194	-7,030	-7,030	44,074	-26,587	-27,667	30,582
(Pali 400/0,4m)	18085	3	0,000	-5,508	-48,911	-66,429	29,222	-6,918	-6,918	44,187	-26,614	-27,695	30,574
昂	18086	4	0,000	-5,512	-48,973	-66,495	29,249	-6,807	-6,807	44,300	-26,642	-27,721	30,566
昂	18785	5	0,000	-5,516	-49,036	-66,562	29,277	-6,695	-6,695	44,412	-26,668	-27,748	30,558
Plate_1_9	18785	1	0,000	-5,516	-48,969	-66,495	29,277	-6,812	-6,812	44,387	-26,668	-27,748	30,558
Element 17-25 (Plate)	18788	2	0,000	-5,639	-51,093	-68,745	30,109	-3,024	-3,024	47,941	-27,272	-28,332	30,680
(Pali 400/0,4m)	18787	3	0,000	-5,761	-53,140	-70,908	30,891	0,608	-2,473	51,439	-27,417	-28,446	33,533
昂	18786	4	0,000	-5,884	-55,060	-72,933	31,623	4,000	-2,550	55,079	-27,132	-28,116	37,604
昂	19633	5	0,000	-6,007	-56,803	-74,769	32,305	7,066	-2,580	59,076	-26,448	-27,374	42,608
Plate_2_9	18147	1	-5,500	-6,007	0,000	0,000	0,000	0,000	0,000	0,000	0,000	0,000	0,000
Element 18-26 (Plate)	18150	2	-5,500	-6,085	0,000	0,000	0,000	0,000	0,000	0,000	0,000	0,000	0,000
(Parete c.a.C32/40 sp.0.50m)	18149	3	-5,500	-6,163	0,000	0,000	0,000	0,000	0,000	0,000	0,000	0,000	0,000
昂	18148	4	-5,500	-6,242	0,000	0,000	0,000	0,000	0,000	0,000	0,000	0,000	0,000
昂	18851	5	-5,500	-6,320	0,000	0,000	0,000	0,000	0,000	0,000	0,000	0,000	0,000
Plate_2_9	18851	1	-5,500	-6,320	0,000	0,000	0,000	0,000	0,000	0,000	0,000	0,000	0,000
Element 18-27 (Plate)	18854	2	-5,500	-6,365	0,000	0,000	0,000	0,000	0,000	0,000	0,000	0,000	0,000
(Parete c.a.C32/40 sp.0.50m)	18853	3	-5,500	-6,410	0,000	0,000	0,000	0,000	0,000	0,000	0,000	0,000	0,000
昂	18852	4	-5,500	-6,455	0,000	0,000	0,000	0,000	0,000	0,000	0,000	0,000	0,000
昂	18891	5	-5,500	-6,500	0,000	0,000	0,000	0,000	0,000	0,000	0,000	0,000	0,000
Plate_1_10	19633	1	0,000	-6,007	-56,867	-74,833	32,305	7,179	-2,589	58,853	-26,448	-27,374	42,608
Element 19-28 (Plate)	19636	2	0,000	-6,130	-58,178	-76,224	32,939	9,477	-2,560	55,888	-25,426	-26,280	48,231
(Pali 400/0,4m)	19635	3	0,000	-6,254	-59,723	-77,838	33,521	12,166	-2,525	51,891	-24,097	-24,868	53,868
昂	19634	4	0,000	-6,377	-61,529	-79,701	34,051	15,298	-2,496	46,928	-22,409	-23,084	59,633
昂	20396	5	0,000	-6,500	-63,624	-81,842	34,528	18,922	-2,473	41,074	-20,306	-20,874	65,017
Plate_2_10	18891	1	-5,500	-6,500	0,000	0,000	0,000	0,000	0,000	0,000	0,000	0,000	0,000
Element 20-29 (Plate)	18894	2	-5,500	-6,549	0,000	0,000	0,000	0,000	0,000	0,000	0,000	0,000	0,000
(Parete c.a.C32/40 sp.0.50m)	18893	3	-5,500	-6,598	0,000	0,000	0,000	0,000	0,000	0,000	0,000	0,000	0,000
昂	18892	4	-5,500	-6,647	0,000	0,000	0,000	0,000	0,000	0,000	0,000	0,000	0,000
昂	18915	5	-5,500	-6,696	0,000	0,000	0,000	0,000	0,000	0,000	0,000	0,000	0,000
Plate_1_11	20396	1	0,000	-6,500	-63,698	-81,916	34,528	19,052	-2,522	41,843	-20,306	-20,874	65,017
Element 21-30 (Plate)	20399	2	0,000	-6,620	-66,204	-84,472	35,001	23,392	-2,494	36,117	-17,760	-18,213	69,644
(Pali 400/0,4m)	20398	3	0,000	-6,740	-68,886	-87,197	35,438	28,037	-2,615	32,631	-14,672	-15,000	73,664
昂	20397	4	0,000	-6,861	-71,749	-90,098	35,816	32,997	-2,955	35,301	-11,007	-11,202	77,174
昂	20730	5	0,000	-6,981	-74,800	-93,179	36,136	38,280	-3,585	39,476	-6,729	-6,817	80,234
Plate_2_11	18915	1	-5,500	-6,696	0,000	0,000	0,000	0,000	0,000	0,000	0,000	0,000	0,000
Element 22-31 (Plate)	18918	2	-5,500	-6,750	0,000	0,000	0,000	0,000	0,000	0,000	0,000	0,000	0,000

Structural element	Node [10 ^]	Local number	X [m]	Y [m]	N [kN/m]	N --- [kN/m]	N --- [kN/m]	Q [kN/m]	Q --- [kN/m]	Q --- [kN/m]	M [kN m/m]	M --- [kN m/m]	M --- [kN m/m]
(Parete c.a.C32/40 sp.0.50m)	18917	3	-5,500	-6,804	0,000	0,000	0,000	0,000	0,000	0,000	0,000	0,000	0,000
88	18916	4	-5,500	-6,857	0,000	0,000	0,000	0,000	0,000	0,000	0,000	0,000	0,000
88	19683	5	-5,500	-6,911	0,000	0,000	0,000	0,000	0,000	0,000	0,000	0,000	0,000
Plate_2_11	19683	1	-5,500	-6,911	0,000	0,000	0,000	0,000	0,000	0,000	0,000	0,000	0,000
Element 22-32 (Plate)	19686	2	-5,500	-6,963	0,000	0,000	0,000	0,000	0,000	0,000	0,000	0,000	0,000
(Parete c.a.C32/40 sp.0.50m)	19685	3	-5,500	-7,014	0,000	0,000	0,000	0,000	0,000	0,000	0,000	0,000	0,000
88	19684	4	-5,500	-7,065	0,000	0,000	0,000	0,000	0,000	0,000	0,000	0,000	0,000
88	19717	5	-5,500	-7,117	0,000	0,000	0,000	0,000	0,000	0,000	0,000	0,000	0,000
Plate_2_11	19717	1	-5,500	-7,117	0,000	0,000	0,000	0,000	0,000	0,000	0,000	0,000	0,000
Element 22-33 (Plate)	19718	2	-5,500	-7,166	0,000	0,000	0,000	0,000	0,000	0,000	0,000	0,000	0,000
(Parete c.a.C32/40 sp.0.50m)	19719	3	-5,500	-7,215	0,000	0,000	0,000	0,000	0,000	0,000	0,000	0,000	0,000
88	19720	4	-5,500	-7,264	0,000	0,000	0,000	0,000	0,000	0,000	0,000	0,000	0,000
88	20458	5	-5,500	-7,313	0,000	0,000	0,000	0,000	0,000	0,000	0,000	0,000	0,000
Plate_2_12	20458	1	-5,500	-7,313	0,000	0,000	0,000	0,000	0,000	0,000	0,000	0,000	0,000
Element 23-34 (Plate)	20461	2	-5,500	-7,388	0,000	0,000	0,000	0,000	0,000	0,000	0,000	0,000	0,000
(Parete c.a.C32/40 sp.0.50m)	20460	3	-5,500	-7,464	0,000	0,000	0,000	0,000	0,000	0,000	0,000	0,000	0,000
88	20459	4	-5,500	-7,540	0,000	0,000	0,000	0,000	0,000	0,000	0,000	0,000	0,000
88	20494	5	-5,500	-7,615	0,000	0,000	0,000	0,000	0,000	0,000	0,000	0,000	0,000
Plate_2_13	20494	1	-5,500	-7,615	0,000	0,000	0,000	0,000	0,000	0,000	0,000	0,000	0,000
Element 24-35 (Plate)	20495	2	-5,500	-7,630	0,000	0,000	0,000	0,000	0,000	0,000	0,000	0,000	0,000
(Parete c.a.C32/40 sp.0.50m)	20496	3	-5,500	-7,645	0,000	0,000	0,000	0,000	0,000	0,000	0,000	0,000	0,000
88	20497	4	-5,500	-7,659	0,000	0,000	0,000	0,000	0,000	0,000	0,000	0,000	0,000
88	21176	5	-5,500	-7,674	0,000	0,000	0,000	0,000	0,000	0,000	0,000	0,000	0,000
Plate_1_12	20730	1	0,000	-6,981	-74,581	-92,960	36,133	37,901	-3,850	39,096	-6,729	-6,817	80,234
Element 25-36 (Plate)	20733	2	0,000	-7,128	-77,487	-95,892	36,460	42,935	-6,190	44,175	-0,758	-1,916	82,511
(Pali 400/0,4m)	20732	3	0,000	-7,276	-79,986	-98,422	36,729	47,262	-10,502	48,560	5,913	-1,393	82,957
88	20731	4	0,000	-7,423	-81,982	-100,459	37,002	50,719	-15,568	52,092	13,155	-0,965	81,833
88	21130	5	0,000	-7,571	-83,381	-101,912	37,200	53,141	-20,577	54,610	20,833	-0,617	79,412
Plate_1_12	21130	1	0,000	-7,571	-83,031	-101,552	37,195	52,535	-21,022	53,995	20,833	-0,617	79,412
Element 25-37 (Plate)	21133	2	0,000	-7,803	-84,583	-103,203	37,342	55,223	-26,904	56,858	33,312	-0,167	73,864
(Pali 400/0,4m)	21132	3	0,000	-8,036	-86,927	-105,672	37,276	59,282	-30,315	61,137	46,591	-0,011	67,182
88	21131	4	0,000	-8,268	-89,956	-108,854	36,994	64,528	-31,211	66,651	60,944	-0,009	70,275
88	21634	5	0,000	-8,500	-93,567	-112,646	36,581	70,782	-29,837	73,219	76,636	-0,007	81,090
Plate_2_14	21176	1	-5,500	-7,674	0,000	0,000	0,000	0,000	0,000	0,000	0,000	0,000	0,000
Element 26-38 (Plate)	21177	2	-5,500	-7,755	0,000	0,000	0,000	0,000	0,000	0,000	0,000	0,000	0,000
(Parete c.a.C32/40 sp.0.50m)	21178	3	-5,500	-7,837	0,000	0,000	0,000	0,000	0,000	0,000	0,000	0,000	0,000
88	21179	4	-5,500	-7,918	0,000	0,000	0,000	0,000	0,000	0,000	0,000	0,000	0,000
88	21766	5	-5,500	-8,000	0,000	0,000	0,000	0,000	0,000	0,000	0,000	0,000	0,000
Plate_3_1	21766	1	-5,500	-8,000	0,085	0,000	0,085	0,040	0,000	0,040	0,000	0,000	0,000
Element 27-39 (Plate)	21767	2	-5,500	-8,058	0,085	0,000	0,085	0,040	0,000	0,040	0,002	0,000	0,002
(Micropali D168.3x10.0/0,27m)	21768	3	-5,500	-8,115	0,085	0,000	0,085	0,040	0,000	0,040	0,005	0,000	0,005
88	21769	4	-5,500	-8,173	0,085	0,000	0,085	0,040	0,000	0,040	0,007	0,000	0,007
88	22356	5	-5,500	-8,231	0,085	0,000	0,085	0,040	0,000	0,040	0,009	0,000	0,009
Plate_3_1	22356	1	-5,500	-8,231	0,085	0,000	0,085	0,040	0,000	0,040	0,009	0,000	0,009
Element 27-40 (Plate)	22357	2	-5,500	-8,288	0,085	0,000	0,085	0,040	0,000	0,040	0,012	0,000	0,012
(Micropali D168.3x10.0/0,27m)	22358	3	-5,500	-8,346	0,085	0,000	0,085	0,040	0,000	0,040	0,014	0,000	0,014
88	22359	4	-5,500	-8,404	0,085	0,000	0,085	0,040	0,000	0,040	0,016	0,000	0,016
88	22779	5	-5,500	-8,461	0,085	0,000	0,085	0,040	0,000	0,040	0,018	0,000	0,018
Plate_3_2	22779	1	-5,500	-8,461	0,085	0,000	0,085	0,040	0,000	0,040	0,018	0,000	0,018
Element 28-41 (Plate)	22780	2	-5,500	-8,471	0,085	0,000	0,085	0,040	0,000	0,040	0,019	0,000	0,019
(Micropali D168.3x10.0/0,27m)	22781	3	-5,500	-8,481	0,085	0,000	0,085	0,040	0,000	0,040	0,019	0,000	0,019
88	22782	4	-5,500	-8,490	0,085	0,000	0,085	0,040	0,000	0,040	0,020	0,000	0,020
88	23191	5	-5,500	-8,500	0,085	0,000	0,085	0,040	0,000	0,040	0,020	0,000	0,020

Structural element	Node [10 ˆ]	Local number	X [m]	Y [m]	N [kN/m]	N ,,, [kN/m]	N ,,, [kN/m]	Q [kN/m]	Q ,,, [kN/m]	Q ,,, [kN/m]	M [kN m/m]	M ,,, [kN m/m]	M ,,, [kN m/m]
Plate_3_3	23191	1	-5,500	-8,500	0,085	0,000	0,085	0,041	0,000	0,041	0,020	0,000	0,020
Element 29-42 (Plate)	23194	2	-5,500	-8,550	0,092	0,000	0,092	0,050	0,000	0,050	0,022	0,000	0,022
(Micropali D168.3x10.0/0,27m)	23193	3	-5,500	-8,599	0,097	0,000	0,097	0,056	0,000	0,056	0,025	0,000	0,025
28	23192	4	-5,500	-8,649	0,102	0,000	0,102	0,060	0,000	0,060	0,028	0,000	0,028
28	23453	5	-5,500	-8,698	0,107	0,000	0,107	0,062	0,000	0,062	0,031	0,000	0,031
Plate_3_3	23453	1	-5,500	-8,698	0,107	0,000	0,107	0,065	0,000	0,065	0,031	0,000	0,031
Element 29-43 (Plate)	23456	2	-5,500	-8,891	0,126	0,000	0,126	0,061	0,000	0,061	0,043	0,000	0,043
(Micropali D168.3x10.0/0,27m)	23455	3	-5,500	-9,084	0,144	0,000	0,144	0,053	0,000	0,053	0,054	0,000	0,054
28	23454	4	-5,500	-9,278	0,162	0,000	0,162	0,042	0,000	0,042	0,063	0,000	0,063
28	23981	5	-5,500	-9,471	0,179	0,000	0,179	0,030	0,000	0,030	0,070	0,000	0,070
Plate_1_13	21634	1	0,000	-8,500	-93,934	-112,680	36,563	73,993	-30,533	75,933	76,636	-0,007	81,090
Element 30-44 (Plate)	21637	2	0,000	-8,893	-70,717	-89,125	35,385	23,651	-26,349	23,732	95,300	-0,004	98,127
(Pali 400/0,4m)	21636	3	0,000	-9,285	-54,021	-71,193	33,568	-11,701	-25,992	0,746	97,177	-0,002	99,842
28	21635	4	0,000	-9,678	-42,475	-57,754	31,304	-32,491	-35,817	0,551	88,014	0,000	90,277
28	22102	5	0,000	-10,071	-34,707	-47,676	28,219	-39,148	-40,085	0,182	73,503	0,000	75,370
Plate_3_4	23981	1	-5,500	-9,471	0,179	0,000	0,179	0,032	0,000	0,032	0,070	0,000	0,070
Element 31-45 (Plate)	23984	2	-5,500	-9,779	0,205	0,000	0,205	0,013	0,000	0,013	0,077	0,000	0,077
(Micropali D168.3x10.0/0,27m)	23983	3	-5,500	-10,087	0,231	0,000	0,231	0,003	0,000	0,003	0,079	0,000	0,079
28	23982	4	-5,500	-10,395	0,256	0,000	0,256	0,003	0,000	0,003	0,080	0,000	0,080
28	24131	5	-5,500	-10,703	0,279	0,000	0,279	0,014	0,000	0,014	0,082	0,000	0,082
Plate_1_14	22102	1	0,000	-10,071	-33,352	-46,402	28,187	-42,449	-43,554	0,002	73,503	0,000	75,370
Element 32-46 (Plate)	22105	2	0,000	-10,297	-26,705	-38,423	25,916	-48,945	-50,188	0,001	63,083	0,000	64,682
(Pali 400/0,4m)	22104	3	0,000	-10,524	-20,967	-31,298	23,343	-52,032	-53,333	0,000	51,574	0,000	52,883
28	22103	4	0,000	-10,751	-16,184	-25,073	20,468	-51,755	-53,034	0,000	39,745	0,000	40,760
28	22534	5	0,000	-10,977	-12,401	-19,793	17,296	-48,157	-49,339	0,000	28,363	0,000	29,098
Plate_1_14	22534	1	0,000	-10,977	-11,929	-19,310	17,276	-48,323	-49,499	0,000	28,363	0,000	29,098
Element 32-47 (Plate)	22538	2	0,000	-11,233	-9,354	-14,982	13,341	-40,810	-41,833	0,000	16,899	0,000	17,351
(Pali 400/0,4m)	22537	3	0,000	-11,489	-6,763	-10,526	8,917	-29,945	-30,735	0,000	7,782	0,000	8,000
28	22536	4	0,000	-11,744	-3,820	-5,601	3,986	-15,763	-16,212	0,000	1,865	0,000	1,923
28	22535	5	0,000	-12,000	-0,186	-1,472	0,575	1,704	-0,123	1,730	0,000	0,000	0,000
Plate_3_5	24131	1	-5,500	-10,703	0,279	0,000	0,279	0,020	0,000	0,020	0,082	0,000	0,082
Element 33-48 (Plate)	24134	2	-5,500	-10,961	0,298	0,000	0,298	0,026	0,000	0,026	0,088	0,000	0,088
(Micropali D168.3x10.0/0,27m)	24133	3	-5,500	-11,218	0,316	0,000	0,316	0,026	0,000	0,026	0,095	0,000	0,095
28	24132	4	-5,500	-11,476	0,334	0,000	0,334	0,022	0,000	0,022	0,101	0,000	0,101
28	24149	5	-5,500	-11,734	0,352	0,000	0,352	0,015	0,000	0,015	0,106	0,000	0,106
Plate_3_5	24149	1	-5,500	-11,734	0,352	0,000	0,352	0,016	0,000	0,016	0,106	0,000	0,106
Element 33-49 (Plate)	24152	2	-5,500	-12,008	0,370	0,000	0,370	0,009	0,000	0,009	0,109	0,000	0,109
(Micropali D168.3x10.0/0,27m)	24151	3	-5,500	-12,281	0,387	0,000	0,387	0,003	0,000	0,003	0,111	0,000	0,111
28	24150	4	-5,500	-12,555	0,403	0,000	0,403	-0,002	-0,002	0,000	0,111	0,000	0,111
28	24480	5	-5,500	-12,829	0,416	0,000	0,416	-0,006	-0,006	0,000	0,110	0,000	0,110
Plate_3_5	24480	1	-5,500	-12,829	0,416	0,000	0,416	-0,007	-0,007	0,000	0,110	0,000	0,110
Element 33-50 (Plate)	24479	2	-5,500	-13,119	0,427	0,000	0,427	-0,010	-0,010	0,000	0,107	0,000	0,107
(Micropali D168.3x10.0/0,27m)	24478	3	-5,500	-13,410	0,434	0,000	0,434	-0,013	-0,013	0,000	0,104	0,000	0,104
28	24477	4	-5,500	-13,701	0,435	0,000	0,435	-0,016	-0,016	0,000	0,100	0,000	0,100
28	24685	5	-5,500	-13,991	0,431	0,000	0,431	-0,019	-0,019	0,000	0,095	0,000	0,095
Plate_3_6	24685	1	-5,500	-13,991	0,430	0,000	0,430	-0,019	-0,019	0,000	0,095	0,000	0,095
Element 34-51 (Plate)	24688	2	-5,500	-14,292	0,419	0,000	0,419	-0,024	-0,024	0,000	0,089	0,000	0,089
(Micropali D168.3x10.0/0,27m)	24687	3	-5,500	-14,593	0,397	0,000	0,397	-0,031	-0,031	0,000	0,080	0,000	0,080
28	24686	4	-5,500	-14,895	0,365	0,000	0,365	-0,039	-0,039	0,000	0,070	0,000	0,070
28	25013	5	-5,500	-15,196	0,323	0,000	0,323	-0,049	-0,049	0,000	0,057	0,000	0,057
Plate_3_6	25013	1	-5,500	-15,196	0,322	0,000	0,322	-0,042	-0,042	0,000	0,057	0,000	0,057
Element 34-52 (Plate)	25017	2	-5,500	-15,497	0,266	0,000	0,266	-0,065	-0,065	0,000	0,040	0,000	0,040
(Micropali D168.3x10.0/0,27m)	25016	3	-5,500	-15,798	0,194	0,000	0,194	-0,063	-0,063	0,000	0,020	0,000	0,020

Structural element	Node [10 ˚]	Local number	X [m]	Y [m]	N [kN/m]	N ⊥ [kN/m]	N ∥ [kN/m]	Q [kN/m]	Q ⊥ [kN/m]	Q ∥ [kN/m]	M [kN m/m]	M ⊥ [kN m/m]	M ∥ [kN m/m]
BS	25015	4	-5,500	-16,099	0,107	0,000	0,107	-0,037	-0,037	0,000	0,004	0,000	0,004
BS	25014	5	-5,500	-16,400	0,003	0,000	0,003	0,012	0,000	0,012	0,000	0,000	0,000

3.1.2.4.14 Calculation results, Plate, Riempimento 1 [Phase_15] (15/506), Table of plate force envelopes

Structural element	Node [10^3]	Local number	X [m]	Y [m]	N [kN/m]	N ⊥⊥ [kN/m]	N ⊥⊥ [kN/m]	Q [kN/m]	Q ⊥⊥ [kN/m]	Q ⊥⊥ [kN/m]	M [kN m/m]	M ⊥⊥ [kN m/m]	M ⊥⊥ [kN m/m]
Plate_2_1	15336	1	-5,500	0,000	0,000	0,000	0,000	0,000	0,000	0,000	0,000	0,000	0,000
Element 1-1 (Plate)	15335	2	-5,500	-0,070	0,000	0,000	0,000	0,000	0,000	0,000	0,000	0,000	0,000
(Parete c.a.C32/40 sp.0.50m)	15334	3	-5,500	-0,141	0,000	0,000	0,000	0,000	0,000	0,000	0,000	0,000	0,000
28	15333	4	-5,500	-0,211	0,000	0,000	0,000	0,000	0,000	0,000	0,000	0,000	0,000
28	15350	5	-5,500	-0,281	0,000	0,000	0,000	0,000	0,000	0,000	0,000	0,000	0,000
Plate_2_1	15350	1	-5,500	-0,281	0,000	0,000	0,000	0,000	0,000	0,000	0,000	0,000	0,000
Element 1-2 (Plate)	15349	2	-5,500	-0,336	0,000	0,000	0,000	0,000	0,000	0,000	0,000	0,000	0,000
(Parete c.a.C32/40 sp.0.50m)	15348	3	-5,500	-0,391	0,000	0,000	0,000	0,000	0,000	0,000	0,000	0,000	0,000
28	15347	4	-5,500	-0,445	0,000	0,000	0,000	0,000	0,000	0,000	0,000	0,000	0,000
28	15361	5	-5,500	-0,500	0,000	0,000	0,000	0,000	0,000	0,000	0,000	0,000	0,000
Plate_1_1	13320	1	0,000	0,000	0,314	-0,034	0,314	0,024	-0,489	0,068	0,000	0,000	0,000
Element 2-3 (Plate)	13319	2	0,000	-0,240	-0,021	-1,763	0,020	4,952	-0,003	4,952	0,607	0,000	0,607
(Pali 400/0,4m)	13318	3	0,000	-0,480	-0,514	-3,910	0,046	9,245	-0,004	9,245	2,329	0,000	2,329
28	13317	4	0,000	-0,720	-1,007	-6,002	0,063	12,775	-0,022	12,775	4,986	0,000	4,986
28	13527	5	0,000	-0,960	-1,341	-7,884	0,066	15,416	-0,019	15,416	8,390	-0,004	8,390
Plate_2_2	15361	1	-5,500	-0,500	0,000	0,000	0,000	0,000	0,000	0,000	0,000	0,000	0,000
Element 3-4 (Plate)	15364	2	-5,500	-0,525	0,000	0,000	0,000	0,000	0,000	0,000	0,000	0,000	0,000
(Parete c.a.C32/40 sp.0.50m)	15363	3	-5,500	-0,550	0,000	0,000	0,000	0,000	0,000	0,000	0,000	0,000	0,000
28	15362	4	-5,500	-0,575	0,000	0,000	0,000	0,000	0,000	0,000	0,000	0,000	0,000
28	15405	5	-5,500	-0,600	0,000	0,000	0,000	0,000	0,000	0,000	0,000	0,000	0,000
Plate_2_3	15405	1	-5,500	-0,600	0,000	0,000	0,000	0,000	0,000	0,000	0,000	0,000	0,000
Element 4-5 (Plate)	15408	2	-5,500	-0,644	0,000	0,000	0,000	0,000	0,000	0,000	0,000	0,000	0,000
(Parete c.a.C32/40 sp.0.50m)	15407	3	-5,500	-0,688	0,000	0,000	0,000	0,000	0,000	0,000	0,000	0,000	0,000
28	15406	4	-5,500	-0,732	0,000	0,000	0,000	0,000	0,000	0,000	0,000	0,000	0,000
28	15419	5	-5,500	-0,775	0,000	0,000	0,000	0,000	0,000	0,000	0,000	0,000	0,000
Plate_2_3	15419	1	-5,500	-0,775	0,000	0,000	0,000	0,000	0,000	0,000	0,000	0,000	0,000
Element 4-6 (Plate)	15422	2	-5,500	-0,834	0,000	0,000	0,000	0,000	0,000	0,000	0,000	0,000	0,000
(Parete c.a.C32/40 sp.0.50m)	15421	3	-5,500	-0,893	0,000	0,000	0,000	0,000	0,000	0,000	0,000	0,000	0,000
28	15420	4	-5,500	-0,952	0,000	0,000	0,000	0,000	0,000	0,000	0,000	0,000	0,000
28	15479	5	-5,500	-1,011	0,000	0,000	0,000	0,000	0,000	0,000	0,000	0,000	0,000
Plate_1_2	13527	1	0,000	-0,960	-1,249	-7,408	0,000	14,846	-0,022	14,846	8,390	-0,004	8,390
Element 5-7 (Plate)	13530	2	0,000	-1,095	-1,265	-7,275	0,000	14,645	-0,011	14,645	10,378	-0,006	10,378
(Pali 400/0,4m)	13529	3	0,000	-1,230	-1,256	-7,352	0,471	14,754	-0,220	14,754	12,354	-0,007	12,354
28	13528	4	0,000	-1,365	-1,203	-7,801	1,216	15,415	-1,155	15,415	14,385	-0,007	14,385
28	14231	5	0,000	-1,500	-1,087	-8,786	2,071	16,868	-2,194	16,868	16,551	-0,006	16,551
Plate_2_4	15479	1	-5,500	-1,011	0,000	0,000	0,000	0,000	0,000	0,000	0,000	0,000	0,000
Element 6-8 (Plate)	15482	2	-5,500	-1,096	0,000	0,000	0,000	0,000	0,000	0,000	0,000	0,000	0,000
(Parete c.a.C32/40 sp.0.50m)	15481	3	-5,500	-1,180	0,000	0,000	0,000	0,000	0,000	0,000	0,000	0,000	0,000
28	15480	4	-5,500	-1,265	0,000	0,000	0,000	0,000	0,000	0,000	0,000	0,000	0,000
28	16393	5	-5,500	-1,350	0,000	0,000	0,000	0,000	0,000	0,000	0,000	0,000	0,000
Plate_2_4	16393	1	-5,500	-1,350	0,000	0,000	0,000	0,000	0,000	0,000	0,000	0,000	0,000
Element 6-9 (Plate)	16396	2	-5,500	-1,519	0,000	0,000	0,000	0,000	0,000	0,000	0,000	0,000	0,000
(Parete c.a.C32/40 sp.0.50m)	16395	3	-5,500	-1,689	0,000	0,000	0,000	0,000	0,000	0,000	0,000	0,000	0,000
28	16394	4	-5,500	-1,859	0,000	0,000	0,000	0,000	0,000	0,000	0,000	0,000	0,000
28	16427	5	-5,500	-2,029	0,000	0,000	0,000	0,000	0,000	0,000	0,000	0,000	0,000
Plate_1_3	14231	1	0,000	-1,500	-10,761	-18,232	2,060	-38,704	-40,170	4,828	16,551	-0,006	16,551

Structural element	Node [10 ^]	Local number	X [m]	Y [m]	N [kN/m]	N,max [kN/m]	N,min [kN/m]	Q [kN/m]	Q,max [kN/m]	Q,min [kN/m]	M [kN m/m]	M,max [kN m/m]	M,min [kN m/m]
Element 7-10 (Plate)	14232	2	0,000	-1,580	-10,870	-18,800	2,562	-37,832	-39,189	4,831	13,500	-0,033	13,500
(Pali 400/0,4m)	14233	3	0,000	-1,660	-10,943	-19,321	3,064	-37,042	-38,289	4,845	10,515	-0,131	10,515
"	14234	4	0,000	-1,739	-10,952	-19,768	3,568	-36,382	-37,517	4,882	7,586	-0,301	7,586
"	15007	5	0,000	-1,819	-10,866	-20,111	4,072	-35,903	-36,925	4,956	4,706	-0,492	6,208
Plate_1_4	15007	1	0,000	-1,819	-10,916	-20,162	4,071	-35,815	-36,837	5,014	4,706	-0,492	6,208
Element 8-11 (Plate)	15010	2	0,000	-1,871	-10,889	-20,412	4,403	-35,456	-36,405	5,129	2,837	-1,569	6,472
(Pali 400/0,4m)	15009	3	0,000	-1,924	-10,881	-20,679	4,732	-35,066	-35,944	5,292	0,988	-2,809	6,745
"	15008	4	0,000	-1,976	-10,896	-20,965	5,056	-34,643	-35,450	5,506	-0,841	-4,424	7,028
"	15973	5	0,000	-2,029	-10,935	-21,272	5,376	-34,184	-34,919	5,773	-2,645	-6,234	7,323
Plate_2_5	16427	1	-5,500	-2,029	0,000	0,000	0,000	0,000	0,000	0,000	0,000	0,000	0,000
Element 9-12 (Plate)	16430	2	-5,500	-2,147	0,000	0,000	0,000	0,000	0,000	0,000	0,000	0,000	0,000
(Parete c.a.C32/40 sp.0.50m)	16429	3	-5,500	-2,264	0,000	0,000	0,000	0,000	0,000	0,000	0,000	0,000	0,000
"	16428	4	-5,500	-2,382	0,000	0,000	0,000	0,000	0,000	0,000	0,000	0,000	0,000
"	17049	5	-5,500	-2,500	0,000	0,000	0,000	0,000	0,000	0,000	0,000	0,000	0,000
Plate_1_5	15973	1	0,000	-2,029	-10,931	-21,268	5,376	-34,190	-34,926	5,753	-2,645	-6,234	7,323
Element 10-13 (Plate)	15974	2	0,000	-2,103	-11,031	-21,745	5,825	-33,465	-34,102	6,218	-5,170	-8,810	7,770
(Pali 400/0,4m)	15975	3	0,000	-2,178	-11,155	-22,240	6,266	-32,707	-33,247	6,681	-7,640	-11,324	8,251
"	15976	4	0,000	-2,253	-11,299	-22,750	6,700	-31,921	-32,367	7,132	-10,053	-13,774	8,767
"	16291	5	0,000	-2,327	-11,461	-23,271	7,127	-31,112	-31,466	7,561	-12,405	-16,156	9,315
Plate_1_5	16291	1	0,000	-2,327	-11,461	-23,272	7,128	-31,110	-31,464	7,599	-12,405	-16,156	9,315
Element 10-14 (Plate)	16294	2	0,000	-2,471	-11,775	-24,263	7,927	-29,568	-29,753	8,438	-16,752	-20,542	10,462
(Pali 400/0,4m)	16293	3	0,000	-2,614	-12,128	-25,276	8,702	-27,976	-28,002	9,478	-20,877	-24,681	11,742
"	16292	4	0,000	-2,757	-12,518	-26,310	9,454	-26,338	-26,338	10,733	-24,770	-28,568	13,186
"	16325	5	0,000	-2,901	-12,943	-27,362	10,436	-24,659	-24,659	12,223	-28,424	-32,194	14,824
Plate_2_6	17049	1	-5,500	-2,500	0,000	0,000	0,000	0,000	0,000	0,000	0,000	0,000	0,000
Element 11-15 (Plate)	17052	2	-5,500	-2,666	0,000	0,000	0,000	0,000	0,000	0,000	0,000	0,000	0,000
(Parete c.a.C32/40 sp.0.50m)	17051	3	-5,500	-2,832	0,000	0,000	0,000	0,000	0,000	0,000	0,000	0,000	0,000
"	17050	4	-5,500	-2,999	0,000	0,000	0,000	0,000	0,000	0,000	0,000	0,000	0,000
"	17279	5	-5,500	-3,165	0,000	0,000	0,000	0,000	0,000	0,000	0,000	0,000	0,000
Plate_2_6	17279	1	-5,500	-3,165	0,000	0,000	0,000	0,000	0,000	0,000	0,000	0,000	0,000
Element 11-16 (Plate)	17282	2	-5,500	-3,375	0,000	0,000	0,000	0,000	0,000	0,000	0,000	0,000	0,000
(Parete c.a.C32/40 sp.0.50m)	17281	3	-5,500	-3,585	0,000	0,000	0,000	0,000	0,000	0,000	0,000	0,000	0,000
"	17280	4	-5,500	-3,795	0,000	0,000	0,000	0,000	0,000	0,000	0,000	0,000	0,000
"	17305	5	-5,500	-4,005	0,000	0,000	0,000	0,000	0,000	0,000	0,000	0,000	0,000
Plate_1_6	16325	1	0,000	-2,901	-12,890	-27,311	10,394	-24,748	-24,748	12,366	-28,424	-32,194	14,824
Element 12-17 (Plate)	16328	2	0,000	-3,177	-14,050	-29,638	12,522	-20,962	-20,962	10,487	-34,714	-38,379	17,989
(Pali 400/0,4m)	16327	3	0,000	-3,453	-15,297	-32,005	14,537	-17,069	-17,069	8,437	-39,998	-43,498	20,569
"	16326	4	0,000	-3,729	-17,092	-34,874	16,461	-12,273	-12,273	6,881	-44,057	-47,341	22,671
"	17175	5	0,000	-4,005	-19,893	-38,705	18,315	-5,778	-5,778	8,272	-46,605	-49,634	24,465
Plate_2_7	17305	1	-5,500	-4,005	0,000	0,000	0,000	0,000	0,000	0,000	0,000	0,000	0,000
Element 13-18 (Plate)	17308	2	-5,500	-4,154	0,000	0,000	0,000	0,000	0,000	0,000	0,000	0,000	0,000
(Parete c.a.C32/40 sp.0.50m)	17307	3	-5,500	-4,302	0,000	0,000	0,000	0,000	0,000	0,000	0,000	0,000	0,000
"	17306	4	-5,500	-4,451	0,000	0,000	0,000	0,000	0,000	0,000	0,000	0,000	0,000
"	18049	5	-5,500	-4,600	0,000	0,000	0,000	0,000	0,000	0,000	0,000	0,000	0,000
Plate_1_7	17175	1	0,000	-4,005	-19,726	-38,540	18,262	-6,063	-6,063	7,866	-46,605	-49,634	24,465
Element 14-19 (Plate)	17178	2	0,000	-4,232	-22,934	-42,565	19,768	0,816	-1,671	14,416	-47,199	-49,995	26,335
(Pali 400/0,4m)	17177	3	0,000	-4,459	-25,977	-46,401	21,351	7,387	-1,126	20,631	-46,255	-48,799	28,512
"	17176	4	0,000	-4,686	-28,723	-49,919	23,128	13,426	-0,521	26,958	-43,886	-46,168	30,314
"	17993	5	0,000	-4,912	-31,045	-52,986	24,884	18,708	-0,888	32,428	-40,221	-42,233	31,089
Plate_1_7	17993	1	0,000	-4,912	-30,828	-52,770	24,839	18,333	-0,715	32,257	-40,221	-42,233	31,089
Element 14-20 (Plate)	17996	2	0,000	-5,014	-31,508	-53,778	25,543	20,069	-1,235	33,262	-38,272	-40,161	31,169
(Pali 400/0,4m)	17995	3	0,000	-5,115	-32,154	-54,749	26,220	21,746	-1,618	34,715	-36,150	-37,917	31,152
"	17994	4	0,000	-5,217	-32,840	-55,754	27,042	23,489	-1,873	36,710	-33,854	-35,499	31,063

Structural element	Node [10 ^]	Local number	X [m]	Y [m]	N [kN/m]	N,max [kN/m]	N,min [kN/m]	Q [kN/m]	Q,max [kN/m]	Q,min [kN/m]	M [kN m/m]	M,max [kN m/m]	M,min [kN m/m]
嵌	18028	5	0,000	-5,318	-33,637	-56,866	27,834	25,423	-2,022	39,333	-31,375	-32,899	30,925
Plate_1_7	18028	1	0,000	-5,318	-33,747	-56,977	27,835	25,614	-2,027	39,204	-31,375	-32,899	30,925
Element 14-21 (Plate)	18027	2	0,000	-5,364	-34,189	-57,559	28,178	26,627	-2,074	40,351	-30,190	-31,660	30,849
(Pali 400/0,4m)	18026	3	0,000	-5,409	-34,683	-58,192	28,514	27,729	-2,102	41,543	-28,957	-30,373	30,767
嵌	18025	4	0,000	-5,455	-35,230	-58,877	28,844	28,924	-2,146	42,781	-27,671	-29,034	30,681
嵌	18083	5	0,000	-5,500	-35,832	-59,617	29,166	30,215	-2,216	44,065	-26,330	-27,640	30,590
Plate_2_8	18049	1	-5,500	-4,600	0,000	0,000	0,000	0,000	0,000	0,000	0,000	0,000	0,000
Element 15-22 (Plate)	18052	2	-5,500	-4,837	0,000	0,000	0,000	0,000	0,000	0,000	0,000	0,000	0,000
(Parete c.a.C32/40 sp.0.50m)	18051	3	-5,500	-5,075	0,000	0,000	0,000	0,000	0,000	0,000	0,000	0,000	0,000
嵌	18050	4	-5,500	-5,312	0,000	0,000	0,000	0,000	0,000	0,000	0,000	0,000	0,000
嵌	18123	5	-5,500	-5,550	0,000	0,000	0,000	0,000	0,000	0,000	0,000	0,000	0,000
Plate_2_8	18123	1	-5,500	-5,550	0,000	0,000	0,000	0,000	0,000	0,000	0,000	0,000	0,000
Element 15-23 (Plate)	18126	2	-5,500	-5,664	0,000	0,000	0,000	0,000	0,000	0,000	0,000	0,000	0,000
(Parete c.a.C32/40 sp.0.50m)	18125	3	-5,500	-5,779	0,000	0,000	0,000	0,000	0,000	0,000	0,000	0,000	0,000
嵌	18124	4	-5,500	-5,893	0,000	0,000	0,000	0,000	0,000	0,000	0,000	0,000	0,000
嵌	18147	5	-5,500	-6,007	0,000	0,000	0,000	0,000	0,000	0,000	0,000	0,000	0,000
Plate_1_8	18083	1	0,000	-5,500	-42,091	-66,296	29,166	-5,802	-7,141	43,962	-26,330	-27,640	30,590
Element 16-24 (Plate)	18084	2	0,000	-5,504	-42,145	-66,362	29,194	-5,687	-7,030	44,074	-26,353	-27,667	30,582
(Pali 400/0,4m)	18085	3	0,000	-5,508	-42,200	-66,429	29,222	-5,571	-6,918	44,187	-26,375	-27,695	30,574
嵌	18086	4	0,000	-5,512	-42,254	-66,495	29,249	-5,455	-6,807	44,300	-26,397	-27,721	30,566
嵌	18785	5	0,000	-5,516	-42,309	-66,562	29,277	-5,338	-6,695	44,412	-26,418	-27,748	30,558
Plate_1_9	18785	1	0,000	-5,516	-42,242	-66,495	29,277	-5,455	-6,812	44,387	-26,418	-27,748	30,558
Element 17-25 (Plate)	18788	2	0,000	-5,639	-44,124	-68,745	30,109	-1,525	-3,024	47,941	-26,846	-28,332	30,680
(Pali 400/0,4m)	18787	3	0,000	-5,761	-45,922	-70,908	30,891	2,263	-2,473	51,439	-26,798	-28,446	33,533
嵌	18786	4	0,000	-5,884	-47,587	-72,933	31,623	5,822	-2,550	55,079	-26,299	-28,116	37,604
嵌	19633	5	0,000	-6,007	-49,068	-74,769	32,305	9,068	-2,580	59,076	-25,381	-27,374	42,608
Plate_2_9	18147	1	-5,500	-6,007	0,006	-0,004	0,006	-0,016	-0,016	0,011	0,000	0,000	0,000
Element 18-26 (Plate)	18150	2	-5,500	-6,085	-0,013	-0,013	0,000	0,033	0,000	0,033	0,001	0,000	0,001
(Parete c.a.C32/40 sp.0.50m)	18149	3	-5,500	-6,163	-0,030	-0,030	0,000	0,074	0,000	0,074	0,005	0,000	0,005
嵌	18148	4	-5,500	-6,242	-0,049	-0,050	0,000	0,123	0,000	0,129	0,013	0,000	0,013
嵌	18851	5	-5,500	-6,320	-0,077	-0,086	0,000	0,193	0,000	0,222	0,025	0,000	0,025
Plate_2_9	18851	1	-5,500	-6,320	-0,078	-0,082	0,000	0,196	0,000	0,211	0,025	0,000	0,025
Element 18-27 (Plate)	18854	2	-5,500	-6,365	-0,106	-0,106	0,000	0,266	0,000	0,266	0,035	0,000	0,035
(Parete c.a.C32/40 sp.0.50m)	18853	3	-5,500	-6,410	-0,135	-0,135	0,000	0,340	0,000	0,340	0,049	0,000	0,049
嵌	18852	4	-5,500	-6,455	-0,166	-0,166	0,000	0,419	0,000	0,419	0,066	0,000	0,066
嵌	18891	5	-5,500	-6,500	-0,198	-0,198	0,000	0,501	0,000	0,501	0,087	0,000	0,087
Plate_1_10	19633	1	0,000	-6,007	-49,135	-74,833	32,305	9,176	-2,589	58,853	-25,381	-27,374	42,608
Element 19-28 (Plate)	19636	2	0,000	-6,130	-50,188	-76,224	32,939	11,648	-2,560	55,888	-24,102	-26,280	48,231
(Pali 400/0,4m)	19635	3	0,000	-6,254	-51,497	-77,838	33,521	14,476	-2,525	51,891	-22,496	-24,868	53,868
嵌	19634	4	0,000	-6,377	-53,097	-79,701	34,051	17,698	-2,496	46,928	-20,517	-23,084	59,633
嵌	20396	5	0,000	-6,500	-55,022	-81,842	34,528	21,352	-2,473	41,074	-18,117	-20,874	65,017
Plate_2_10	18891	1	-5,500	-6,500	-0,197	-0,197	0,000	0,498	0,000	0,498	0,087	0,000	0,087
Element 20-29 (Plate)	18894	2	-5,500	-6,549	-0,248	-0,248	0,000	0,627	0,000	0,627	0,114	0,000	0,114
(Parete c.a.C32/40 sp.0.50m)	18893	3	-5,500	-6,598	-0,299	-0,299	0,000	0,758	0,000	0,758	0,148	0,000	0,148
嵌	18892	4	-5,500	-6,647	-0,348	-0,348	0,000	0,883	0,000	0,883	0,188	0,000	0,188
嵌	18915	5	-5,500	-6,696	-0,393	-0,393	0,000	0,997	0,000	0,997	0,234	0,000	0,234
Plate_1_11	20396	1	0,000	-6,500	-55,101	-81,916	34,528	21,477	-2,522	41,843	-18,117	-20,874	65,017
Element 21-30 (Plate)	20399	2	0,000	-6,620	-57,448	-84,472	35,001	25,837	-2,494	36,117	-15,278	-18,213	69,644
(Pali 400/0,4m)	20398	3	0,000	-6,740	-59,980	-87,197	35,438	30,503	-2,615	32,631	-11,895	-15,000	73,664
嵌	20397	4	0,000	-6,861	-62,709	-90,098	35,816	35,473	-2,955	35,473	-7,933	-11,202	77,174
嵌	20730	5	0,000	-6,981	-65,649	-93,179	36,136	40,746	-3,585	40,746	-3,357	-6,817	80,234
Plate_2_11	18915	1	-5,500	-6,696	-0,395	-0,395	0,000	1,001	0,000	1,001	0,234	0,000	0,234
Element 22-31 (Plate)	18918	2	-5,500	-6,750	-0,431	-0,431	0,000	1,093	0,000	1,093	0,290	0,000	0,290

Structural element	Node [10^3]	Local number	X [m]	Y [m]	N [kN/m]	N,max [kN/m]	N,min [kN/m]	Q [kN/m]	Q,max [kN/m]	Q,min [kN/m]	M [kN m/m]	M,max [kN m/m]	M,min [kN m/m]
(Parete c.a.C32/40 sp.0.50m)	18917	3	-5,500	-6,804	-0,492	-0,492	0,000	1,250	0,000	1,250	0,353	0,000	0,353
"	18916	4	-5,500	-6,857	-0,577	-0,577	0,000	1,466	0,000	1,466	0,426	0,000	0,426
"	19683	5	-5,500	-6,911	-0,682	-0,682	0,000	1,733	0,000	1,736	0,512	0,000	0,512
Plate_2_11	19683	1	-5,500	-6,911	-0,679	-0,679	0,000	1,726	0,000	1,727	0,512	0,000	0,512
Element 22-32 (Plate)	19686	2	-5,500	-6,963	-0,789	-0,789	0,000	2,006	0,000	2,013	0,608	0,000	0,608
(Parete c.a.C32/40 sp.0.50m)	19685	3	-5,500	-7,014	-0,900	-0,900	0,000	2,290	0,000	2,296	0,718	0,000	0,718
"	19684	4	-5,500	-7,065	-1,016	-1,017	0,000	2,587	0,000	2,589	0,843	0,000	0,843
"	19717	5	-5,500	-7,117	-1,141	-1,141	0,000	2,907	0,000	2,907	0,984	0,000	0,984
Plate_2_11	19717	1	-5,500	-7,117	-1,135	-1,136	0,000	2,892	0,000	2,893	0,984	0,000	0,984
Element 22-33 (Plate)	19718	2	-5,500	-7,166	-1,248	-1,248	0,000	3,180	0,000	3,180	1,133	0,000	1,133
(Parete c.a.C32/40 sp.0.50m)	19719	3	-5,500	-7,215	-1,344	-1,344	0,000	3,426	0,000	3,426	1,295	0,000	1,295
"	19720	4	-5,500	-7,264	-1,425	-1,425	0,000	3,633	0,000	3,633	1,468	0,000	1,468
"	20458	5	-5,500	-7,313	-1,493	-1,493	0,000	3,806	0,000	3,806	1,650	0,000	1,650
Plate_2_12	20458	1	-5,500	-7,313	-1,493	-1,493	0,000	3,806	0,000	3,806	1,650	0,000	1,650
Element 23-34 (Plate)	20461	2	-5,500	-7,388	-1,656	-1,656	0,000	4,224	0,000	4,224	1,953	0,000	1,953
(Parete c.a.C32/40 sp.0.50m)	20460	3	-5,500	-7,464	-1,854	-1,854	0,000	4,732	0,000	4,732	2,292	0,000	2,292
"	20459	4	-5,500	-7,540	-2,075	-2,075	0,000	5,297	0,000	5,297	2,671	0,000	2,671
"	20494	5	-5,500	-7,615	-2,305	-2,305	0,000	5,885	0,000	5,885	3,095	0,000	3,095
Plate_2_13	20494	1	-5,500	-7,615	-2,289	-2,289	0,000	5,843	0,000	5,843	3,095	0,000	3,095
Element 24-35 (Plate)	20495	2	-5,500	-7,630	-2,323	-2,323	0,000	5,929	0,000	5,929	3,181	0,000	3,181
(Parete c.a.C32/40 sp.0.50m)	20496	3	-5,500	-7,645	-2,355	-2,355	0,000	6,011	0,000	6,011	3,268	0,000	3,268
"	20497	4	-5,500	-7,659	-2,385	-2,385	0,000	6,090	0,000	6,090	3,356	0,000	3,356
"	21176	5	-5,500	-7,674	-2,416	-2,416	0,000	6,168	0,000	6,168	3,446	0,000	3,446
Plate_1_12	20730	1	0,000	-6,981	-65,423	-92,960	36,133	40,401	-3,850	40,401	-3,357	-6,817	80,234
Element 25-36 (Plate)	20733	2	0,000	-7,128	-68,281	-95,892	36,460	45,300	-6,190	45,300	2,973	-1,916	82,511
(Pali 400/0,4m)	20732	3	0,000	-7,276	-70,714	-98,422	36,729	49,489	-10,502	49,489	9,983	-1,393	82,957
"	20731	4	0,000	-7,423	-72,655	-100,459	37,002	52,764	-15,568	52,764	17,541	-0,965	81,833
"	21130	5	0,000	-7,571	-74,033	-101,912	37,200	54,918	-20,577	54,918	25,503	-0,617	79,412
Plate_1_12	21130	1	0,000	-7,571	-73,660	-101,552	37,195	54,356	-21,022	54,356	25,503	-0,617	79,412
Element 25-37 (Plate)	21133	2	0,000	-7,803	-75,371	-103,203	37,342	56,264	-26,904	56,858	38,325	-0,167	73,864
(Pali 400/0,4m)	21132	3	0,000	-8,036	-78,009	-105,672	37,276	59,274	-30,315	61,137	51,719	-0,011	67,182
"	21131	4	0,000	-8,268	-81,303	-108,854	36,994	63,489	-31,211	66,651	65,954	-0,009	70,275
"	21634	5	0,000	-8,500	-84,985	-112,646	36,581	69,011	-29,837	73,219	81,308	-0,007	81,308
Plate_2_14	21176	1	-5,500	-7,674	-2,412	-2,412	0,000	6,157	0,000	6,157	3,446	0,000	3,446
Element 26-38 (Plate)	21177	2	-5,500	-7,755	-2,600	-2,600	0,000	6,639	0,000	6,639	3,968	0,000	3,968
(Parete c.a.C32/40 sp.0.50m)	21178	3	-5,500	-7,837	-2,784	-2,784	0,000	7,109	0,000	7,109	4,528	0,000	4,528
"	21179	4	-5,500	-7,918	-2,961	-2,961	0,000	7,562	0,000	7,562	5,127	0,000	5,127
"	21766	5	-5,500	-8,000	-3,130	-3,130	0,000	7,994	0,000	7,994	5,761	0,000	5,761
Plate_3_1	21766	1	-5,500	-8,000	-6,407	-6,407	0,085	6,554	0,000	6,554	5,761	0,000	5,761
Element 27-39 (Plate)	21767	2	-5,500	-8,058	-6,700	-6,700	0,085	7,062	0,000	7,062	6,154	0,000	6,154
(Micropali D168.3x10.0/0,27m)	21768	3	-5,500	-8,115	-6,975	-6,975	0,085	7,539	0,000	7,539	6,575	0,000	6,575
"	21769	4	-5,500	-8,173	-7,254	-7,254	0,085	8,023	0,000	8,023	7,024	0,000	7,024
"	22356	5	-5,500	-8,231	-7,561	-7,561	0,085	8,555	0,000	8,555	7,502	0,000	7,502
Plate_3_1	22356	1	-5,500	-8,231	-7,541	-7,541	0,085	8,519	0,000	8,519	7,502	0,000	7,502
Element 27-40 (Plate)	22357	2	-5,500	-8,288	-8,051	-8,051	0,085	9,403	0,000	9,403	8,018	0,000	8,018
(Micropali D168.3x10.0/0,27m)	22358	3	-5,500	-8,346	-8,526	-8,526	0,085	10,225	0,000	10,225	8,585	0,000	8,585
"	22359	4	-5,500	-8,404	-8,933	-8,933	0,085	10,930	0,000	10,930	9,196	0,000	9,196
"	22779	5	-5,500	-8,461	-9,240	-9,240	0,085	11,463	0,000	11,463	9,843	0,000	9,843
Plate_3_2	22779	1	-5,500	-8,461	-9,242	-9,242	0,085	11,465	0,000	11,465	9,843	0,000	9,843
Element 28-41 (Plate)	22780	2	-5,500	-8,471	-9,278	-9,278	0,085	11,528	0,000	11,528	9,954	0,000	9,954
(Micropali D168.3x10.0/0,27m)	22781	3	-5,500	-8,481	-9,312	-9,312	0,085	11,586	0,000	11,586	10,065	0,000	10,065
"	22782	4	-5,500	-8,490	-9,337	-9,337	0,085	11,630	0,000	11,630	10,177	0,000	10,177
"	23191	5	-5,500	-8,500	-9,351	-9,351	0,085	11,654	0,000	11,654	10,289	0,000	10,289

Structural element	Node [10 ^]	Local number	X [m]	Y [m]	N [kN/m]	N --- [kN/m]	N --- [kN/m]	Q [kN/m]	Q --- [kN/m]	Q --- [kN/m]	M [kN m/m]	M --- [kN m/m]	M --- [kN m/m]
Plate_3_3	23191	1	-5,500	-8,500	-9,253	-9,253	0,085	11,587	0,000	11,587	10,289	0,000	10,289
Element 29-42 (Plate)	23194	2	-5,500	-8,550	-9,449	-9,449	0,092	8,393	0,000	8,393	10,782	0,000	10,782
(Micropali D168.3x10.0/0,27m)	23193	3	-5,500	-8,599	-9,659	-9,659	0,097	5,611	0,000	5,611	11,127	0,000	11,127
28	23192	4	-5,500	-8,649	-9,891	-9,891	0,102	3,232	0,000	3,232	11,344	0,000	11,344
28	23453	5	-5,500	-8,698	-10,158	-10,158	0,107	1,243	0,000	1,243	11,453	0,000	11,453
Plate_3_3	23453	1	-5,500	-8,698	-10,204	-10,204	0,107	0,753	-0,105	0,753	11,453	0,000	11,453
Element 29-43 (Plate)	23456	2	-5,500	-8,891	-10,735	-10,735	0,126	-3,944	-3,944	0,061	11,109	0,000	11,109
(Micropali D168.3x10.0/0,27m)	23455	3	-5,500	-9,084	-10,857	-10,857	0,144	-6,665	-6,665	0,053	10,059	0,000	10,059
28	23454	4	-5,500	-9,278	-10,843	-10,843	0,162	-7,673	-7,673	0,042	8,643	0,000	8,643
28	23981	5	-5,500	-9,471	-10,964	-10,964	0,179	-7,227	-7,227	0,030	7,185	0,000	7,185
Plate_1_13	21634	1	0,000	-8,500	-85,133	-112,680	36,563	73,409	-30,533	75,933	81,308	-0,007	81,308
Element 30-44 (Plate)	21637	2	0,000	-8,893	-65,962	-89,125	35,385	23,073	-26,349	23,732	99,780	-0,004	99,780
(Pali 400/0,4m)	21636	3	0,000	-9,285	-52,413	-71,193	33,568	-12,966	-25,992	0,746	101,296	-0,002	101,296
28	21635	4	0,000	-9,678	-43,125	-57,754	31,304	-34,763	-35,817	0,551	91,458	0,000	91,458
28	22102	5	0,000	-10,071	-36,737	-47,676	28,219	-42,372	-42,372	0,182	75,854	0,000	75,854
Plate_3_4	23981	1	-5,500	-9,471	-10,928	-10,928	0,179	-7,673	-7,673	0,032	7,185	0,000	7,185
Element 31-45 (Plate)	23984	2	-5,500	-9,779	-12,145	-12,145	0,205	-6,079	-6,079	0,013	5,059	0,000	5,059
(Micropali D168.3x10.0/0,27m)	23983	3	-5,500	-10,087	-13,942	-13,942	0,231	-4,365	-4,365	0,003	3,456	0,000	3,456
28	23982	4	-5,500	-10,395	-16,147	-16,147	0,256	-2,731	-2,731	0,003	2,361	0,000	2,361
28	24131	5	-5,500	-10,703	-18,586	-18,586	0,279	-1,375	-1,375	0,015	1,741	0,000	1,741
Plate_1_14	22102	1	0,000	-10,071	-35,395	-46,402	28,187	-45,185	-45,185	0,002	75,854	0,000	75,854
Element 32-46 (Plate)	22105	2	0,000	-10,297	-29,231	-38,423	25,916	-51,140	-51,140	0,001	64,878	0,000	64,878
(Pali 400/0,4m)	22104	3	0,000	-10,524	-23,785	-31,298	23,343	-53,804	-53,804	0,000	52,921	0,000	52,921
28	22103	4	0,000	-10,751	-19,101	-25,073	20,468	-53,215	-53,215	0,000	40,728	0,000	40,760
28	22534	5	0,000	-10,977	-15,224	-19,793	17,296	-49,413	-49,413	0,000	29,040	0,000	29,098
Plate_1_14	22534	1	0,000	-10,977	-14,751	-19,310	17,276	-49,530	-49,530	0,000	29,040	0,000	29,098
Element 32-47 (Plate)	22538	2	0,000	-11,233	-11,819	-14,982	13,341	-41,869	-41,869	0,000	17,282	0,000	17,351
(Pali 400/0,4m)	22537	3	0,000	-11,489	-8,613	-10,526	8,917	-30,689	-30,735	0,000	7,932	0,000	8,000
28	22536	4	0,000	-11,744	-4,791	-5,601	3,986	-16,069	-16,212	0,000	1,878	0,000	1,923
28	22535	5	0,000	-12,000	-0,008	-1,472	0,575	1,914	-0,123	1,914	0,000	0,000	0,000
Plate_3_5	24131	1	-5,500	-10,703	-18,327	-18,327	0,279	-1,880	-1,880	0,020	1,741	0,000	1,741
Element 33-48 (Plate)	24134	2	-5,500	-10,961	-19,676	-19,676	0,298	-1,752	-1,752	0,026	1,269	0,000	1,269
(Micropali D168.3x10.0/0,27m)	24133	3	-5,500	-11,218	-20,813	-20,813	0,316	-1,494	-1,494	0,026	0,849	0,000	0,849
28	24132	4	-5,500	-11,476	-21,740	-21,740	0,334	-1,144	-1,144	0,022	0,507	0,000	0,507
28	24149	5	-5,500	-11,734	-22,457	-22,457	0,352	-0,739	-0,739	0,015	0,264	0,000	0,264
Plate_3_5	24149	1	-5,500	-11,734	-22,460	-22,460	0,352	-0,771	-0,771	0,016	0,264	0,000	0,264
Element 33-49 (Plate)	24152	2	-5,500	-12,008	-22,997	-22,997	0,370	-0,457	-0,457	0,009	0,098	0,000	0,110
(Micropali D168.3x10.0/0,27m)	24151	3	-5,500	-12,281	-23,310	-23,310	0,387	-0,220	-0,220	0,003	0,007	0,000	0,111
28	24150	4	-5,500	-12,555	-23,398	-23,398	0,403	-0,059	-0,059	0,000	-0,030	-0,030	0,111
28	24480	5	-5,500	-12,829	-23,262	-23,262	0,416	0,029	-0,007	0,029	-0,032	-0,032	0,110
Plate_3_5	24480	1	-5,500	-12,829	-23,262	-23,262	0,416	0,040	-0,007	0,040	-0,032	-0,032	0,110
Element 33-50 (Plate)	24479	2	-5,500	-13,119	-22,876	-22,876	0,427	0,080	-0,010	0,080	-0,014	-0,014	0,107
(Micropali D168.3x10.0/0,27m)	24478	3	-5,500	-13,410	-22,240	-22,240	0,434	0,094	-0,013	0,094	0,012	0,000	0,104
28	24477	4	-5,500	-13,701	-21,354	-21,354	0,435	0,086	-0,016	0,086	0,038	0,000	0,100
28	24685	5	-5,500	-13,991	-20,218	-20,218	0,431	0,060	-0,019	0,060	0,060	0,000	0,095
Plate_3_6	24685	1	-5,500	-13,991	-20,214	-20,214	0,430	0,064	-0,019	0,064	0,060	0,000	0,095
Element 34-51 (Plate)	24688	2	-5,500	-14,292	-18,772	-18,772	0,419	0,041	-0,024	0,041	0,075	0,000	0,089
(Micropali D168.3x10.0/0,27m)	24687	3	-5,500	-14,593	-17,045	-17,045	0,397	0,020	-0,031	0,020	0,085	0,000	0,085
28	24686	4	-5,500	-14,895	-15,032	-15,032	0,365	0,000	-0,039	0,000	0,088	0,000	0,088
28	25013	5	-5,500	-15,196	-12,732	-12,732	0,323	-0,019	-0,049	0,000	0,085	0,000	0,085
Plate_3_6	25013	1	-5,500	-15,196	-12,712	-12,712	0,322	-0,048	-0,048	0,000	0,085	0,000	0,085
Element 34-52 (Plate)	25017	2	-5,500	-15,497	-10,110	-10,110	0,266	0,003	-0,065	0,003	0,081	0,000	0,081
(Micropali D168.3x10.0/0,27m)	25016	3	-5,500	-15,798	-7,140	-7,140	0,194	-0,036	-0,063	0,000	0,077	0,000	0,077

Structural element	Node [10 ˚]	Local number	X [m]	Y [m]	N [kN/m]	N ⊥ [kN/m]	N ∥ [kN/m]	Q [kN/m]	Q ⊥ [kN/m]	Q ∥ [kN/m]	M [kN m/m]	M ⊥ [kN m/m]	M ∥ [kN m/m]
BS	25015	4	-5,500	-16,099	-3,790	-3,790	0,107	-0,127	-0,127	0,000	0,054	0,000	0,054
BS	25014	5	-5,500	-16,400	-0,049	-0,049	0,003	-0,230	-0,230	0,012	0,000	0,000	0,000

3.1.2.4.15 Calculation results, Plate, Collegamento ancoraggio 1 [Phase_36] (36/614), Table of plate force envelopes

Structural element	Node [10⁰]	Local number	X [m]	Y [m]	N [kN/m]	N-- [kN/m]	N-- [kN/m]	Q [kN/m]	Q-- [kN/m]	Q-- [kN/m]	M [kN m/m]	M-- [kN m/m]	M-- [kN m/m]
Plate_2_1	15336	1	-5,500	0,000	0,000	0,000	0,000	0,000	0,000	0,000	0,000	0,000	0,000
Element 1-1 (Plate)	15335	2	-5,500	-0,070	0,000	0,000	0,000	0,000	0,000	0,000	0,000	0,000	0,000
(Parete c.a.C32/40 sp.0.50m)	15334	3	-5,500	-0,141	0,000	0,000	0,000	0,000	0,000	0,000	0,000	0,000	0,000
28	15333	4	-5,500	-0,211	0,000	0,000	0,000	0,000	0,000	0,000	0,000	0,000	0,000
28	15350	5	-5,500	-0,281	0,000	0,000	0,000	0,000	0,000	0,000	0,000	0,000	0,000
Plate_2_1	15350	1	-5,500	-0,281	0,000	0,000	0,000	0,000	0,000	0,000	0,000	0,000	0,000
Element 1-2 (Plate)	15349	2	-5,500	-0,336	0,000	0,000	0,000	0,000	0,000	0,000	0,000	0,000	0,000
(Parete c.a.C32/40 sp.0.50m)	15348	3	-5,500	-0,391	0,000	0,000	0,000	0,000	0,000	0,000	0,000	0,000	0,000
28	15347	4	-5,500	-0,445	0,000	0,000	0,000	0,000	0,000	0,000	0,000	0,000	0,000
28	15361	5	-5,500	-0,500	0,000	0,000	0,000	0,000	0,000	0,000	0,000	0,000	0,000
Plate_1_1	13320	1	0,000	0,000	0,314	-0,034	0,314	0,024	-0,489	0,068	0,000	0,000	0,000
Element 2-3 (Plate)	13319	2	0,000	-0,240	-0,021	-1,763	0,020	4,952	-0,003	4,952	0,607	0,000	0,607
(Pali 400/0,4m)	13318	3	0,000	-0,480	-0,514	-3,910	0,046	9,245	-0,004	9,245	2,329	0,000	2,329
28	13317	4	0,000	-0,720	-1,007	-6,002	0,063	12,776	-0,022	12,776	4,986	0,000	4,986
28	13527	5	0,000	-0,960	-1,341	-7,884	0,066	15,416	-0,019	15,416	8,390	-0,004	8,390
Plate_2_2	15361	1	-5,500	-0,500	0,000	0,000	0,000	0,000	0,000	0,000	0,000	0,000	0,000
Element 3-4 (Plate)	15364	2	-5,500	-0,525	0,000	0,000	0,000	0,000	0,000	0,000	0,000	0,000	0,000
(Parete c.a.C32/40 sp.0.50m)	15363	3	-5,500	-0,550	0,000	0,000	0,000	0,000	0,000	0,000	0,000	0,000	0,000
28	15362	4	-5,500	-0,575	0,000	0,000	0,000	0,000	0,000	0,000	0,000	0,000	0,000
28	15405	5	-5,500	-0,600	0,000	0,000	0,000	0,000	0,000	0,000	0,000	0,000	0,000
Plate_2_3	15405	1	-5,500	-0,600	0,000	0,000	0,000	0,000	0,000	0,000	0,000	0,000	0,000
Element 4-5 (Plate)	15408	2	-5,500	-0,644	0,000	0,000	0,000	0,000	0,000	0,000	0,000	0,000	0,000
(Parete c.a.C32/40 sp.0.50m)	15407	3	-5,500	-0,688	0,000	0,000	0,000	0,000	0,000	0,000	0,000	0,000	0,000
28	15406	4	-5,500	-0,732	0,000	0,000	0,000	0,000	0,000	0,000	0,000	0,000	0,000
28	15419	5	-5,500	-0,775	0,000	0,000	0,000	0,000	0,000	0,000	0,000	0,000	0,000
Plate_2_3	15419	1	-5,500	-0,775	0,000	0,000	0,000	0,000	0,000	0,000	0,000	0,000	0,000
Element 4-6 (Plate)	15422	2	-5,500	-0,834	0,000	0,000	0,000	0,000	0,000	0,000	0,000	0,000	0,000
(Parete c.a.C32/40 sp.0.50m)	15421	3	-5,500	-0,893	0,000	0,000	0,000	0,000	0,000	0,000	0,000	0,000	0,000
28	15420	4	-5,500	-0,952	0,000	0,000	0,000	0,000	0,000	0,000	0,000	0,000	0,000
28	15479	5	-5,500	-1,011	0,000	0,000	0,000	0,000	0,000	0,000	0,000	0,000	0,000
Plate_1_2	13527	1	0,000	-0,960	-1,249	-7,408	0,000	14,846	-0,022	14,846	8,390	-0,004	8,390
Element 5-7 (Plate)	13530	2	0,000	-1,095	-1,265	-7,275	0,000	14,645	-0,011	14,645	10,378	-0,006	10,378
(Pali 400/0,4m)	13529	3	0,000	-1,230	-1,256	-7,352	0,471	14,755	-0,220	14,755	12,354	-0,007	12,354
28	13528	4	0,000	-1,365	-1,203	-7,801	1,216	15,415	-1,155	15,415	14,386	-0,007	14,386
28	14231	5	0,000	-1,500	-1,087	-8,786	2,071	16,867	-2,194	16,868	16,552	-0,006	16,552
Plate_2_4	15479	1	-5,500	-1,011	0,000	0,000	0,000	0,000	0,000	0,000	0,000	0,000	0,000
Element 6-8 (Plate)	15482	2	-5,500	-1,096	0,000	0,000	0,000	0,000	0,000	0,000	0,000	0,000	0,000
(Parete c.a.C32/40 sp.0.50m)	15481	3	-5,500	-1,180	0,000	0,000	0,000	0,000	0,000	0,000	0,000	0,000	0,000
28	15480	4	-5,500	-1,265	0,000	0,000	0,000	0,000	0,000	0,000	0,000	0,000	0,000
28	16393	5	-5,500	-1,350	0,000	0,000	0,000	0,000	0,000	0,000	0,000	0,000	0,000
Plate_2_4	16393	1	-5,500	-1,350	0,000	0,000	0,000	0,000	0,000	0,000	0,000	0,000	0,000
Element 6-9 (Plate)	16396	2	-5,500	-1,519	0,000	0,000	0,000	0,000	0,000	0,000	0,000	0,000	0,000
(Parete c.a.C32/40 sp.0.50m)	16395	3	-5,500	-1,689	0,000	0,000	0,000	0,000	0,000	0,000	0,000	0,000	0,000
28	16394	4	-5,500	-1,859	0,000	0,000	0,000	0,000	0,000	0,000	0,000	0,000	0,000
28	16427	5	-5,500	-2,029	0,000	0,000	0,000	0,000	0,000	0,000	0,000	0,000	0,000
Plate_1_3	14231	1	0,000	-1,500	-10,762	-18,232	2,060	-38,711	-40,170	4,828	16,552	-0,006	16,552

Structural element	Node [10^3]	Local number	X [m]	Y [m]	N [kN/m]	N,max [kN/m]	N,min [kN/m]	Q [kN/m]	Q,max [kN/m]	Q,min [kN/m]	M [kN m/m]	M,max [kN m/m]	M,min [kN m/m]
Element 7-10 (Plate)	14232	2	0,000	-1,580	-10,872	-18,800	2,562	-37,839	-39,189	4,831	13,500	-0,033	13,500
(Pali 400/0,4m)	14233	3	0,000	-1,660	-10,945	-19,321	3,064	-37,049	-38,289	4,845	10,514	-0,131	10,515
"	14234	4	0,000	-1,739	-10,953	-19,768	3,568	-36,390	-37,517	4,882	7,585	-0,301	7,586
"	15007	5	0,000	-1,819	-10,868	-20,111	4,072	-35,910	-36,925	4,956	4,704	-0,492	6,208
Plate_1_4	15007	1	0,000	-1,819	-10,918	-20,162	4,071	-35,822	-36,837	5,014	4,704	-0,492	6,208
Element 8-11 (Plate)	15010	2	0,000	-1,871	-10,890	-20,412	4,403	-35,463	-36,405	5,129	2,835	-1,569	6,472
(Pali 400/0,4m)	15009	3	0,000	-1,924	-10,883	-20,679	4,732	-35,074	-35,944	5,292	0,985	-2,809	6,745
"	15008	4	0,000	-1,976	-10,897	-20,965	5,056	-34,652	-35,450	5,506	-0,844	-4,424	7,028
"	15973	5	0,000	-2,029	-10,936	-21,272	5,376	-34,192	-34,919	5,773	-2,649	-6,234	7,323
Plate_2_5	16427	1	-5,500	-2,029	0,000	0,000	0,000	0,000	0,000	0,000	0,000	0,000	0,000
Element 9-12 (Plate)	16430	2	-5,500	-2,147	0,000	0,000	0,000	0,000	0,000	0,000	0,000	0,000	0,000
(Parete c.a.C32/40 sp.0.50m)	16429	3	-5,500	-2,264	0,000	0,000	0,000	0,000	0,000	0,000	0,000	0,000	0,000
"	16428	4	-5,500	-2,382	0,000	0,000	0,000	0,000	0,000	0,000	0,000	0,000	0,000
"	17049	5	-5,500	-2,500	0,000	0,000	0,000	0,000	0,000	0,000	0,000	0,000	0,000
Plate_1_5	15973	1	0,000	-2,029	-10,932	-21,268	5,376	-34,199	-34,926	5,753	-2,649	-6,234	7,323
Element 10-13 (Plate)	15974	2	0,000	-2,103	-11,033	-21,745	5,825	-33,474	-34,102	6,218	-5,174	-8,810	7,770
(Pali 400/0,4m)	15975	3	0,000	-2,178	-11,157	-22,240	6,266	-32,716	-33,247	6,681	-7,645	-11,324	8,251
"	15976	4	0,000	-2,253	-11,301	-22,750	6,700	-31,930	-32,367	7,132	-10,058	-13,774	8,767
"	16291	5	0,000	-2,327	-11,462	-23,271	7,127	-31,122	-31,466	7,561	-12,411	-16,156	9,315
Plate_1_5	16291	1	0,000	-2,327	-11,463	-23,272	7,128	-31,120	-31,464	7,599	-12,411	-16,156	9,315
Element 10-14 (Plate)	16294	2	0,000	-2,471	-11,777	-24,263	7,927	-29,578	-29,753	8,438	-16,760	-20,542	10,462
(Pali 400/0,4m)	16293	3	0,000	-2,614	-12,130	-25,276	8,702	-27,987	-28,002	9,478	-20,886	-24,681	11,742
"	16292	4	0,000	-2,757	-12,520	-26,310	9,454	-26,350	-26,350	10,733	-24,781	-28,568	13,186
"	16325	5	0,000	-2,901	-12,944	-27,362	10,436	-24,672	-24,672	12,223	-28,436	-32,194	14,824
Plate_2_6	17049	1	-5,500	-2,500	0,000	0,000	0,000	0,000	0,000	0,000	0,000	0,000	0,000
Element 11-15 (Plate)	17052	2	-5,500	-2,666	0,000	0,000	0,000	0,000	0,000	0,000	0,000	0,000	0,000
(Parete c.a.C32/40 sp.0.50m)	17051	3	-5,500	-2,832	0,000	0,000	0,000	0,000	0,000	0,000	0,000	0,000	0,000
"	17050	4	-5,500	-2,999	0,000	0,000	0,000	0,000	0,000	0,000	0,000	0,000	0,000
"	17279	5	-5,500	-3,165	0,000	0,000	0,000	0,000	0,000	0,000	0,000	0,000	0,000
Plate_2_6	17279	1	-5,500	-3,165	0,000	0,000	0,000	0,000	0,000	0,000	0,000	0,000	0,000
Element 11-16 (Plate)	17282	2	-5,500	-3,375	0,000	0,000	0,000	0,000	0,000	0,000	0,000	0,000	0,000
(Parete c.a.C32/40 sp.0.50m)	17281	3	-5,500	-3,585	0,000	0,000	0,000	0,000	0,000	0,000	0,000	0,000	0,000
"	17280	4	-5,500	-3,795	0,000	0,000	0,000	0,000	0,000	0,000	0,000	0,000	0,000
"	17305	5	-5,500	-4,005	0,000	0,000	0,000	0,000	0,000	0,000	0,000	0,000	0,000
Plate_1_6	16325	1	0,000	-2,901	-12,891	-27,311	10,394	-24,761	-24,761	12,366	-28,436	-32,194	14,824
Element 12-17 (Plate)	16328	2	0,000	-3,177	-14,052	-29,638	12,522	-20,977	-20,977	10,487	-34,731	-38,379	17,989
(Pali 400/0,4m)	16327	3	0,000	-3,453	-15,299	-32,005	14,537	-17,086	-17,086	8,437	-40,019	-43,498	20,569
"	16326	4	0,000	-3,729	-17,094	-34,874	16,461	-12,293	-12,293	6,881	-44,083	-47,341	22,671
"	17175	5	0,000	-4,005	-19,896	-38,705	18,315	-5,800	-5,800	8,272	-46,637	-49,634	24,465
Plate_2_7	17305	1	-5,500	-4,005	0,000	0,000	0,000	0,000	0,000	0,000	0,000	0,000	0,000
Element 13-18 (Plate)	17308	2	-5,500	-4,154	0,000	0,000	0,000	0,000	0,000	0,000	0,000	0,000	0,000
(Parete c.a.C32/40 sp.0.50m)	17307	3	-5,500	-4,302	0,000	0,000	0,000	0,000	0,000	0,000	0,000	0,000	0,000
"	17306	4	-5,500	-4,451	0,000	0,000	0,000	0,000	0,000	0,000	0,000	0,000	0,000
"	18049	5	-5,500	-4,600	0,000	0,000	0,000	0,000	0,000	0,000	0,000	0,000	0,000
Plate_1_7	17175	1	0,000	-4,005	-19,729	-38,540	18,262	-6,086	-6,086	7,866	-46,637	-49,634	24,465
Element 14-19 (Plate)	17178	2	0,000	-4,232	-22,937	-42,565	19,768	0,791	-1,671	14,416	-47,237	-49,995	26,335
(Pali 400/0,4m)	17177	3	0,000	-4,459	-25,980	-46,401	21,351	7,360	-1,126	20,631	-46,298	-48,799	28,512
"	17176	4	0,000	-4,686	-28,727	-49,919	23,128	13,396	-0,521	26,958	-43,936	-46,168	30,314
"	17993	5	0,000	-4,912	-31,049	-52,986	24,884	18,675	-0,888	32,428	-40,278	-42,233	31,089
Plate_1_7	17993	1	0,000	-4,912	-30,832	-52,770	24,839	18,300	-0,715	32,257	-40,278	-42,233	31,089
Element 14-20 (Plate)	17996	2	0,000	-5,014	-31,512	-53,778	25,543	20,036	-1,235	33,262	-38,332	-40,161	31,169
(Pali 400/0,4m)	17995	3	0,000	-5,115	-32,159	-54,749	26,220	21,712	-1,618	34,715	-36,214	-37,917	31,152
"	17994	4	0,000	-5,217	-32,845	-55,754	27,042	23,453	-1,873	36,710	-33,922	-35,499	31,063

Structural element	Node [10 ˆ]	Local number	X [m]	Y [m]	N [kN/m]	N ⊥⊥ [kN/m]	N ⊥⊥ [kN/m]	Q [kN/m]	Q ⊥⊥ [kN/m]	Q ⊥⊥ [kN/m]	M [kN m/m]	M ⊥⊥ [kN m/m]	M ⊥⊥ [kN m/m]
꽃	18028	5	0,000	-5,318	-33,642	-56,866	27,834	25,386	-2,022	39,333	-31,446	-32,899	30,925
Plate_1_7	18028	1	0,000	-5,318	-33,752	-56,977	27,835	25,577	-2,027	39,204	-31,446	-32,899	30,925
Element 14-21 (Plate)	18027	2	0,000	-5,364	-34,194	-57,559	28,178	26,589	-2,074	40,351	-30,263	-31,660	30,849
(Pali 400/0,4m)	18026	3	0,000	-5,409	-34,687	-58,192	28,514	27,691	-2,102	41,543	-29,031	-30,373	30,767
꽃	18025	4	0,000	-5,455	-35,235	-58,877	28,844	28,885	-2,146	42,781	-27,747	-29,034	30,681
꽃	18083	5	0,000	-5,500	-35,837	-59,617	29,166	30,176	-2,216	44,065	-26,408	-27,640	30,590
Plate_2_8	18049	1	-5,500	-4,600	-0,028	-0,028	0,000	-0,171	-0,171	0,000	0,000	0,000	0,000
Element 15-22 (Plate)	18052	2	-5,500	-4,837	-0,028	-0,028	0,000	-0,171	-0,171	0,000	-0,041	-0,041	0,000
(Parete c.a.C32/40 sp.0.50m)	18051	3	-5,500	-5,075	-0,028	-0,028	0,000	-0,171	-0,171	0,000	-0,081	-0,081	0,000
꽃	18050	4	-5,500	-5,312	-0,028	-0,028	0,000	-0,171	-0,171	0,000	-0,122	-0,122	0,000
꽃	18123	5	-5,500	-5,550	-0,028	-0,028	0,000	-0,171	-0,171	0,000	-0,163	-0,163	0,000
Plate_2_8	18123	1	-5,500	-5,550	-0,028	-0,028	0,000	-0,171	-0,171	0,000	-0,163	-0,163	0,000
Element 15-23 (Plate)	18126	2	-5,500	-5,664	-0,028	-0,028	0,000	-0,171	-0,171	0,000	-0,182	-0,182	0,000
(Parete c.a.C32/40 sp.0.50m)	18125	3	-5,500	-5,779	-0,028	-0,028	0,000	-0,171	-0,171	0,000	-0,202	-0,202	0,000
꽃	18124	4	-5,500	-5,893	-0,028	-0,028	0,000	-0,171	-0,171	0,000	-0,221	-0,221	0,000
꽃	18147	5	-5,500	-6,007	-0,028	-0,028	0,000	-0,171	-0,171	0,000	-0,241	-0,241	0,000
Plate_1_8	18083	1	0,000	-5,500	-42,070	-66,296	29,166	-5,675	-7,141	43,962	-26,408	-27,640	30,590
Element 16-24 (Plate)	18084	2	0,000	-5,504	-42,124	-66,362	29,194	-5,560	-7,030	44,074	-26,430	-27,667	30,582
(Pali 400/0,4m)	18085	3	0,000	-5,508	-42,178	-66,429	29,222	-5,445	-6,918	44,187	-26,452	-27,695	30,574
꽃	18086	4	0,000	-5,512	-42,233	-66,495	29,249	-5,328	-6,807	44,300	-26,473	-27,721	30,566
꽃	18785	5	0,000	-5,516	-42,287	-66,562	29,277	-5,212	-6,695	44,412	-26,494	-27,748	30,558
Plate_1_9	18785	1	0,000	-5,516	-42,220	-66,495	29,277	-5,329	-6,812	44,387	-26,494	-27,748	30,558
Element 17-25 (Plate)	18788	2	0,000	-5,639	-44,102	-68,745	30,109	-1,400	-3,024	47,941	-26,906	-28,332	30,680
(Pali 400/0,4m)	18787	3	0,000	-5,761	-45,901	-70,908	30,891	2,387	-2,473	51,439	-26,843	-28,446	33,533
꽃	18786	4	0,000	-5,884	-47,566	-72,933	31,623	5,946	-2,550	55,079	-26,329	-28,116	37,604
꽃	19633	5	0,000	-6,007	-49,047	-74,769	32,305	9,191	-2,580	59,076	-25,396	-27,374	42,608
Plate_2_9	18147	1	-5,500	-6,007	-0,022	-0,022	0,006	-0,188	-0,188	0,011	-0,241	-0,241	0,000
Element 18-26 (Plate)	18150	2	-5,500	-6,085	-0,042	-0,042	0,000	-0,136	-0,136	0,033	-0,253	-0,253	0,001
(Parete c.a.C32/40 sp.0.50m)	18149	3	-5,500	-6,163	-0,060	-0,060	0,000	-0,090	-0,090	0,074	-0,262	-0,262	0,005
꽃	18148	4	-5,500	-6,242	-0,081	-0,081	0,000	-0,034	-0,034	0,129	-0,267	-0,267	0,013
꽃	18851	5	-5,500	-6,320	-0,112	-0,112	0,000	0,044	0,000	0,222	-0,267	-0,267	0,025
Plate_2_9	18851	1	-5,500	-6,320	-0,113	-0,113	0,000	0,047	0,000	0,211	-0,267	-0,267	0,025
Element 18-27 (Plate)	18854	2	-5,500	-6,365	-0,143	-0,143	0,000	0,123	0,000	0,266	-0,263	-0,263	0,035
(Parete c.a.C32/40 sp.0.50m)	18853	3	-5,500	-6,410	-0,174	-0,174	0,000	0,203	0,000	0,340	-0,256	-0,256	0,049
꽃	18852	4	-5,500	-6,455	-0,208	-0,208	0,000	0,289	0,000	0,419	-0,245	-0,245	0,066
꽃	18891	5	-5,500	-6,500	-0,243	-0,243	0,000	0,379	0,000	0,501	-0,230	-0,230	0,087
Plate_1_10	19633	1	0,000	-6,007	-49,115	-74,833	32,305	9,299	-2,589	58,853	-25,396	-27,374	42,608
Element 19-28 (Plate)	19636	2	0,000	-6,130	-50,167	-76,224	32,939	11,755	-2,560	55,888	-24,102	-26,280	48,231
(Pali 400/0,4m)	19635	3	0,000	-6,254	-51,476	-77,838	33,521	14,569	-2,525	51,891	-22,484	-24,868	53,868
꽃	19634	4	0,000	-6,377	-53,075	-79,701	34,051	17,778	-2,496	46,928	-20,495	-23,084	59,633
꽃	20396	5	0,000	-6,500	-55,001	-81,842	34,528	21,421	-2,473	41,074	-18,085	-20,874	65,017
Plate_2_10	18891	1	-5,500	-6,500	-0,242	-0,242	0,000	0,376	0,000	0,498	-0,230	-0,230	0,087
Element 20-29 (Plate)	18894	2	-5,500	-6,549	-0,295	-0,295	0,000	0,514	0,000	0,627	-0,208	-0,208	0,114
(Parete c.a.C32/40 sp.0.50m)	18893	3	-5,500	-6,598	-0,350	-0,350	0,000	0,654	0,000	0,758	-0,179	-0,179	0,148
꽃	18892	4	-5,500	-6,647	-0,404	-0,404	0,000	0,791	0,000	0,884	-0,144	-0,144	0,188
꽃	18915	5	-5,500	-6,696	-0,452	-0,452	0,000	0,915	0,000	0,999	-0,102	-0,102	0,234
Plate_1_11	20396	1	0,000	-6,500	-55,079	-81,916	34,528	21,546	-2,522	41,843	-18,085	-20,874	65,017
Element 21-30 (Plate)	20399	2	0,000	-6,620	-57,426	-84,472	35,001	25,895	-2,494	36,117	-15,238	-18,213	69,644
(Pali 400/0,4m)	20398	3	0,000	-6,740	-59,958	-87,197	35,438	30,551	-2,615	32,631	-11,849	-15,000	73,664
꽃	20397	4	0,000	-6,861	-62,688	-90,098	35,816	35,512	-2,955	35,512	-7,882	-11,202	77,174
꽃	20730	5	0,000	-6,981	-65,628	-93,179	36,136	40,776	-3,585	40,776	-3,302	-6,817	80,234
Plate_2_11	18915	1	-5,500	-6,696	-0,455	-0,455	0,000	0,921	0,000	1,004	-0,102	-0,102	0,234
Element 22-31 (Plate)	18918	2	-5,500	-6,750	-0,494	-0,494	0,000	1,023	0,000	1,096	-0,050	-0,050	0,290

Structural element	Node [10^3]	Local number	X [m]	Y [m]	N [kN/m]	N,min [kN/m]	N,max [kN/m]	Q [kN/m]	Q,min [kN/m]	Q,max [kN/m]	M [kN m/m]	M,min [kN m/m]	M,max [kN m/m]
(Parete c.a.C32/40 sp.0.50m)	18917	3	-5,500	-6,804	-0,560	-0,560	0,000	1,192	0,000	1,253	0,009	0,000	0,353
〃	18916	4	-5,500	-6,857	-0,650	-0,650	0,000	1,420	0,000	1,468	0,079	0,000	0,426
〃	19683	5	-5,500	-6,911	-0,759	-0,759	0,000	1,702	0,000	1,736	0,163	0,000	0,512
Plate_2_11	19683	1	-5,500	-6,911	-0,757	-0,757	0,000	1,694	0,000	1,728	0,163	0,000	0,512
Element 22-32 (Plate)	19686	2	-5,500	-6,963	-0,872	-0,872	0,000	1,989	0,000	2,013	0,258	0,000	0,608
(Parete c.a.C32/40 sp.0.50m)	19685	3	-5,500	-7,014	-0,989	-0,989	0,000	2,289	0,000	2,296	0,367	0,000	0,718
〃	19684	4	-5,500	-7,065	-1,112	-1,112	0,000	2,603	0,000	2,603	0,493	0,000	0,843
〃	19717	5	-5,500	-7,117	-1,243	-1,243	0,000	2,940	0,000	2,940	0,635	0,000	0,984
Plate_2_11	19717	1	-5,500	-7,117	-1,237	-1,237	0,000	2,925	0,000	2,925	0,635	0,000	0,984
Element 22-33 (Plate)	19718	2	-5,500	-7,166	-1,356	-1,356	0,000	3,230	0,000	3,230	0,786	0,000	1,133
(Parete c.a.C32/40 sp.0.50m)	19719	3	-5,500	-7,215	-1,459	-1,459	0,000	3,493	0,000	3,493	0,951	0,000	1,295
〃	19720	4	-5,500	-7,264	-1,547	-1,547	0,000	3,717	0,000	3,717	1,128	0,000	1,468
〃	20458	5	-5,500	-7,313	-1,621	-1,621	0,000	3,908	0,000	3,908	1,315	0,000	1,650
Plate_2_12	20458	1	-5,500	-7,313	-1,622	-1,622	0,000	3,908	0,000	3,908	1,315	0,000	1,650
Element 23-34 (Plate)	20461	2	-5,500	-7,388	-1,797	-1,797	0,000	4,358	0,000	4,358	1,627	0,000	1,953
(Parete c.a.C32/40 sp.0.50m)	20460	3	-5,500	-7,464	-2,010	-2,010	0,000	4,903	0,000	4,903	1,977	0,000	2,292
〃	20459	4	-5,500	-7,540	-2,247	-2,247	0,000	5,510	0,000	5,510	2,371	0,000	2,671
〃	20494	5	-5,500	-7,615	-2,496	-2,496	0,000	6,146	0,000	6,146	2,812	0,000	3,095
Plate_2_13	20494	1	-5,500	-7,615	-2,478	-2,478	0,000	6,102	0,000	6,102	2,812	0,000	3,095
Element 24-35 (Plate)	20495	2	-5,500	-7,630	-2,515	-2,515	0,000	6,197	0,000	6,197	2,902	0,000	3,181
(Parete c.a.C32/40 sp.0.50m)	20496	3	-5,500	-7,645	-2,550	-2,550	0,000	6,286	0,000	6,286	2,993	0,000	3,268
〃	20497	4	-5,500	-7,659	-2,584	-2,584	0,000	6,372	0,000	6,372	3,086	0,000	3,356
〃	21176	5	-5,500	-7,674	-2,617	-2,617	0,000	6,457	0,000	6,457	3,179	0,000	3,446
Plate_1_12	20730	1	0,000	-6,981	-65,402	-92,960	36,133	40,431	-3,850	40,431	-3,302	-6,817	80,234
Element 25-36 (Plate)	20733	2	0,000	-7,128	-68,260	-95,892	36,460	45,321	-6,190	45,321	3,031	-1,916	82,511
(Pali 400/0,4m)	20732	3	0,000	-7,276	-70,694	-98,422	36,729	49,502	-10,502	49,502	10,044	-1,393	82,957
〃	20731	4	0,000	-7,423	-72,635	-100,459	37,002	52,769	-15,568	52,769	17,603	-0,965	81,833
〃	21130	5	0,000	-7,571	-74,014	-101,912	37,200	54,917	-20,577	54,918	25,565	-0,617	79,412
Plate_1_12	21130	1	0,000	-7,571	-73,641	-101,552	37,195	54,354	-21,022	54,356	25,565	-0,617	79,412
Element 25-37 (Plate)	21133	2	0,000	-7,803	-75,354	-103,203	37,342	56,255	-26,904	56,858	38,386	-0,167	73,864
(Pali 400/0,4m)	21132	3	0,000	-8,036	-77,992	-105,672	37,276	59,259	-30,315	61,137	51,777	-0,011	67,182
〃	21131	4	0,000	-8,268	-81,288	-108,854	36,994	63,469	-31,211	66,651	66,009	-0,009	70,275
〃	21634	5	0,000	-8,500	-84,972	-112,646	36,581	68,988	-29,837	73,219	81,358	-0,007	81,358
Plate_2_14	21176	1	-5,500	-7,674	-2,609	-2,609	0,000	6,437	0,000	6,437	3,179	0,000	3,446
Element 26-38 (Plate)	21177	2	-5,500	-7,755	-2,823	-2,823	0,000	6,983	0,000	6,983	3,726	0,000	3,968
(Parete c.a.C32/40 sp.0.50m)	21178	3	-5,500	-7,837	-3,020	-3,020	0,000	7,488	0,000	7,488	4,317	0,000	4,528
〃	21179	4	-5,500	-7,918	-3,195	-3,195	0,000	7,935	0,000	7,935	4,946	0,000	5,127
〃	21766	5	-5,500	-8,000	-3,340	-3,340	0,000	8,308	0,000	8,308	5,609	0,000	5,761
Plate_3_1	21766	1	-5,500	-8,000	-6,630	-6,630	0,085	6,876	0,000	6,876	5,609	0,000	5,761
Element 27-39 (Plate)	21767	2	-5,500	-8,058	-6,907	-6,907	0,085	7,385	0,000	7,385	6,021	0,000	6,154
(Micropali D168.3x10.0/0,27m)	21768	3	-5,500	-8,115	-7,168	-7,168	0,085	7,858	0,000	7,858	6,460	0,000	6,575
〃	21769	4	-5,500	-8,173	-7,434	-7,434	0,085	8,336	0,000	8,336	6,928	0,000	7,024
〃	22356	5	-5,500	-8,231	-7,729	-7,729	0,085	8,855	0,000	8,855	7,423	0,000	7,502
Plate_3_1	22356	1	-5,500	-8,231	-7,708	-7,708	0,085	8,820	0,000	8,820	7,423	0,000	7,502
Element 27-40 (Plate)	22357	2	-5,500	-8,288	-8,208	-8,208	0,085	9,690	0,000	9,690	7,957	0,000	8,018
(Micropali D168.3x10.0/0,27m)	22358	3	-5,500	-8,346	-8,673	-8,673	0,085	10,498	0,000	10,498	8,540	0,000	8,585
〃	22359	4	-5,500	-8,404	-9,070	-9,070	0,085	11,187	0,000	11,187	9,166	0,000	9,196
〃	22779	5	-5,500	-8,461	-9,369	-9,369	0,085	11,703	0,000	11,703	9,827	0,000	9,843
Plate_3_2	22779	1	-5,500	-8,461	-9,370	-9,370	0,085	11,705	0,000	11,705	9,827	0,000	9,843
Element 28-41 (Plate)	22780	2	-5,500	-8,471	-9,405	-9,405	0,085	11,766	0,000	11,766	9,940	0,000	9,954
(Micropali D168.3x10.0/0,27m)	22781	3	-5,500	-8,481	-9,436	-9,436	0,085	11,821	0,000	11,821	10,053	0,000	10,065
〃	22782	4	-5,500	-8,490	-9,460	-9,460	0,085	11,862	0,000	11,862	10,168	0,000	10,177
〃	23191	5	-5,500	-8,500	-9,472	-9,472	0,085	11,883	0,000	11,883	10,282	0,000	10,289

Structural element	Node [10 ˆ]	Local number	X [m]	Y [m]	N [kN/m]	N ⊥⊥ [kN/m]	N ⊥⊥ [kN/m]	Q [kN/m]	Q ⊥⊥ [kN/m]	Q ⊥⊥ [kN/m]	M [kN m/m]	M ⊥⊥ [kN m/m]	M ⊥⊥ [kN m/m]
Plate_3_3	23191	1	-5,500	-8,500	-9,375	-9,375	0,085	11,817	0,000	11,817	10,282	0,000	10,289
Element 29-42 (Plate)	23194	2	-5,500	-8,550	-9,557	-9,557	0,092	8,595	0,000	8,595	10,785	0,000	10,785
(Micropali D168.3x10.0/0,27m)	23193	3	-5,500	-8,599	-9,752	-9,752	0,097	5,786	0,000	5,786	11,140	0,000	11,140
⁂	23192	4	-5,500	-8,649	-9,972	-9,972	0,102	3,380	0,000	3,380	11,365	0,000	11,365
⁂	23453	5	-5,500	-8,698	-10,226	-10,226	0,107	1,366	0,000	1,366	11,481	0,000	11,481
Plate_3_3	23453	1	-5,500	-8,698	-10,270	-10,270	0,107	0,872	-0,105	0,872	11,481	0,000	11,481
Element 29-43 (Plate)	23456	2	-5,500	-8,891	-10,771	-10,771	0,126	-3,888	-3,944	0,061	11,153	0,000	11,153
(Micropali D168.3x10.0/0,27m)	23455	3	-5,500	-9,084	-10,871	-10,873	0,144	-6,652	-6,665	0,053	10,110	0,000	10,110
⁂	23454	4	-5,500	-9,278	-10,844	-10,847	0,162	-7,684	-7,684	0,042	8,694	0,000	8,694
⁂	23981	5	-5,500	-9,471	-10,959	-10,964	0,179	-7,247	-7,247	0,030	7,232	0,000	7,232
Plate_1_13	21634	1	0,000	-8,500	-85,119	-112,680	36,563	73,387	-30,533	75,933	81,358	-0,007	81,358
Element 30-44 (Plate)	21637	2	0,000	-8,893	-65,951	-89,125	35,385	23,048	-26,349	23,732	99,820	-0,004	99,820
(Pali 400/0,4m)	21636	3	0,000	-9,285	-52,405	-71,193	33,568	-12,991	-25,992	0,746	101,326	-0,002	101,326
⁂	21635	4	0,000	-9,678	-43,119	-57,754	31,304	-34,786	-35,817	0,551	91,478	0,000	91,478
⁂	22102	5	0,000	-10,071	-36,734	-47,676	28,219	-42,392	-42,392	0,182	75,866	0,000	75,866
Plate_3_4	23981	1	-5,500	-9,471	-10,921	-10,928	0,179	-7,698	-7,698	0,032	7,232	0,000	7,232
Element 31-45 (Plate)	23984	2	-5,500	-9,779	-12,130	-12,145	0,205	-6,109	-6,109	0,013	5,098	0,000	5,098
(Micropali D168.3x10.0/0,27m)	23983	3	-5,500	-10,087	-13,921	-13,942	0,231	-4,395	-4,395	0,003	3,485	0,000	3,485
⁂	23982	4	-5,500	-10,395	-16,122	-16,147	0,256	-2,757	-2,757	0,003	2,381	0,000	2,381
⁂	24131	5	-5,500	-10,703	-18,560	-18,586	0,279	-1,396	-1,396	0,015	1,754	0,000	1,754
Plate_1_14	22102	1	0,000	-10,071	-35,391	-46,402	28,187	-45,204	-45,204	0,002	75,866	0,000	75,866
Element 32-46 (Plate)	22105	2	0,000	-10,297	-29,228	-38,423	25,916	-51,155	-51,155	0,001	64,886	0,000	64,886
(Pali 400/0,4m)	22104	3	0,000	-10,524	-23,783	-31,298	23,343	-53,815	-53,815	0,000	52,926	0,000	52,926
⁂	22103	4	0,000	-10,751	-19,100	-25,073	20,468	-53,223	-53,223	0,000	40,730	0,000	40,760
⁂	22534	5	0,000	-10,977	-15,224	-19,793	17,296	-49,418	-49,418	0,000	29,041	0,000	29,098
Plate_1_14	22534	1	0,000	-10,977	-14,750	-19,310	17,276	-49,535	-49,535	0,000	29,041	0,000	29,098
Element 32-47 (Plate)	22538	2	0,000	-11,233	-11,819	-14,982	13,341	-41,871	-41,871	0,000	17,282	0,000	17,351
(Pali 400/0,4m)	22537	3	0,000	-11,489	-8,613	-10,526	8,917	-30,689	-30,735	0,000	7,932	0,000	8,000
⁂	22536	4	0,000	-11,744	-4,791	-5,601	3,986	-16,068	-16,212	0,000	1,878	0,000	1,923
⁂	22535	5	0,000	-12,000	-0,008	-1,472	0,575	1,914	-0,123	1,914	0,000	0,000	0,000
Plate_3_5	24131	1	-5,500	-10,703	-18,301	-18,327	0,279	-1,901	-1,901	0,020	1,754	0,000	1,754
Element 33-48 (Plate)	24134	2	-5,500	-10,961	-19,648	-19,676	0,298	-1,768	-1,768	0,026	1,278	0,000	1,278
(Micropali D168.3x10.0/0,27m)	24133	3	-5,500	-11,218	-20,785	-20,813	0,316	-1,506	-1,506	0,026	0,855	0,000	0,855
⁂	24132	4	-5,500	-11,476	-21,712	-21,740	0,334	-1,152	-1,152	0,022	0,509	0,000	0,509
⁂	24149	5	-5,500	-11,734	-22,428	-22,457	0,352	-0,744	-0,744	0,015	0,265	0,000	0,265
Plate_3_5	24149	1	-5,500	-11,734	-22,431	-22,460	0,352	-0,776	-0,776	0,016	0,265	0,000	0,265
Element 33-49 (Plate)	24152	2	-5,500	-12,008	-22,969	-22,997	0,370	-0,460	-0,460	0,009	0,098	0,000	0,110
(Micropali D168.3x10.0/0,27m)	24151	3	-5,500	-12,281	-23,282	-23,310	0,387	-0,222	-0,222	0,003	0,006	0,000	0,111
⁂	24150	4	-5,500	-12,555	-23,371	-23,398	0,403	-0,059	-0,059	0,000	-0,030	-0,030	0,111
⁂	24480	5	-5,500	-12,829	-23,235	-23,262	0,416	0,029	-0,007	0,029	-0,033	-0,033	0,110
Plate_3_5	24480	1	-5,500	-12,829	-23,236	-23,262	0,416	0,040	-0,007	0,040	-0,033	-0,033	0,110
Element 33-50 (Plate)	24479	2	-5,500	-13,119	-22,851	-22,876	0,427	0,080	-0,010	0,080	-0,015	-0,015	0,107
(Micropali D168.3x10.0/0,27m)	24478	3	-5,500	-13,410	-22,217	-22,240	0,434	0,094	-0,013	0,094	0,011	0,000	0,104
⁂	24477	4	-5,500	-13,701	-21,332	-21,354	0,435	0,086	-0,016	0,086	0,038	0,000	0,100
⁂	24685	5	-5,500	-13,991	-20,198	-20,218	0,431	0,060	-0,019	0,060	0,060	0,000	0,095
Plate_3_6	24685	1	-5,500	-13,991	-20,193	-20,214	0,430	0,064	-0,019	0,064	0,060	0,000	0,095
Element 34-51 (Plate)	24688	2	-5,500	-14,292	-18,754	-18,772	0,419	0,041	-0,024	0,041	0,075	0,000	0,089
(Micropali D168.3x10.0/0,27m)	24687	3	-5,500	-14,593	-17,029	-17,045	0,397	0,020	-0,031	0,020	0,085	0,000	0,085
⁂	24686	4	-5,500	-14,895	-15,018	-15,032	0,365	0,000	-0,039	0,000	0,088	0,000	0,088
⁂	25013	5	-5,500	-15,196	-12,720	-12,732	0,323	-0,019	-0,049	0,000	0,085	0,000	0,085
Plate_3_6	25013	1	-5,500	-15,196	-12,700	-12,712	0,322	-0,048	-0,048	0,000	0,085	0,000	0,085
Element 34-52 (Plate)	25017	2	-5,500	-15,497	-10,102	-10,110	0,266	0,003	-0,065	0,003	0,081	0,000	0,081
(Micropali D168.3x10.0/0,27m)	25016	3	-5,500	-15,798	-7,134	-7,140	0,194	-0,036	-0,063	0,000	0,077	0,000	0,077

Structural element	Node [10 ˚]	Local number	X [m]	Y [m]	N [kN/m]	N ⊥ [kN/m]	N ∥ [kN/m]	Q [kN/m]	Q ⊥ [kN/m]	Q ∥ [kN/m]	M [kN m/m]	M ⊥ [kN m/m]	M ∥ [kN m/m]
BS	25015	4	-5,500	-16,099	-3,787	-3,790	0,107	-0,127	-0,127	0,000	0,054	0,000	0,054
BS	25014	5	-5,500	-16,400	-0,049	-0,049	0,003	-0,230	-0,230	0,012	0,000	0,000	0,000

3.1.2.4.16 Calculation results, Plate, Riempimento 2 [Phase_16] (16/640), Table of plate force envelopes

Structural element	Node [10^3]	Local number	X [m]	Y [m]	N [kN/m]	N,max [kN/m]	N,min [kN/m]	Q [kN/m]	Q,max [kN/m]	Q,min [kN/m]	M [kN m/m]	M,max [kN m/m]	M,min [kN m/m]
Plate_2_1	15336	1	-5,500	0,000	0,000	0,000	0,000	0,000	0,000	0,000	0,000	0,000	0,000
Element 1-1 (Plate)	15335	2	-5,500	-0,070	0,000	0,000	0,000	0,000	0,000	0,000	0,000	0,000	0,000
(Parete c.a.C32/40 sp.0.50m)	15334	3	-5,500	-0,141	0,000	0,000	0,000	0,000	0,000	0,000	0,000	0,000	0,000
28	15333	4	-5,500	-0,211	0,000	0,000	0,000	0,000	0,000	0,000	0,000	0,000	0,000
28	15350	5	-5,500	-0,281	0,000	0,000	0,000	0,000	0,000	0,000	0,000	0,000	0,000
Plate_2_1	15350	1	-5,500	-0,281	0,000	0,000	0,000	0,000	0,000	0,000	0,000	0,000	0,000
Element 1-2 (Plate)	15349	2	-5,500	-0,336	0,000	0,000	0,000	0,000	0,000	0,000	0,000	0,000	0,000
(Parete c.a.C32/40 sp.0.50m)	15348	3	-5,500	-0,391	0,000	0,000	0,000	0,000	0,000	0,000	0,000	0,000	0,000
28	15347	4	-5,500	-0,445	0,000	0,000	0,000	0,000	0,000	0,000	0,000	0,000	0,000
28	15361	5	-5,500	-0,500	0,000	0,000	0,000	0,000	0,000	0,000	0,000	0,000	0,000
Plate_1_1	13320	1	0,000	0,000	0,322	-0,034	0,322	0,162	-0,489	0,162	0,000	0,000	0,000
Element 2-3 (Plate)	13319	2	0,000	-0,240	0,419	-1,763	0,419	5,944	-0,003	5,944	0,748	0,000	0,748
(Pali 400/0,4m)	13318	3	0,000	-0,480	0,377	-3,910	0,377	10,869	-0,004	10,869	2,787	0,000	2,787
28	13317	4	0,000	-0,720	0,357	-6,002	0,357	14,861	-0,022	14,861	5,893	0,000	5,893
28	13527	5	0,000	-0,960	0,517	-7,884	0,517	17,848	-0,019	17,848	9,840	-0,004	9,840
Plate_2_2	15361	1	-5,500	-0,500	0,000	0,000	0,000	0,000	0,000	0,000	0,000	0,000	0,000
Element 3-4 (Plate)	15364	2	-5,500	-0,525	0,000	0,000	0,000	0,000	0,000	0,000	0,000	0,000	0,000
(Parete c.a.C32/40 sp.0.50m)	15363	3	-5,500	-0,550	0,000	0,000	0,000	0,000	0,000	0,000	0,000	0,000	0,000
28	15362	4	-5,500	-0,575	0,000	0,000	0,000	0,000	0,000	0,000	0,000	0,000	0,000
28	15405	5	-5,500	-0,600	0,000	0,000	0,000	0,000	0,000	0,000	0,000	0,000	0,000
Plate_2_3	15405	1	-5,500	-0,600	0,000	0,000	0,000	0,000	0,000	0,000	0,000	0,000	0,000
Element 4-5 (Plate)	15408	2	-5,500	-0,644	0,000	0,000	0,000	0,000	0,000	0,000	0,000	0,000	0,000
(Parete c.a.C32/40 sp.0.50m)	15407	3	-5,500	-0,688	0,000	0,000	0,000	0,000	0,000	0,000	0,000	0,000	0,000
28	15406	4	-5,500	-0,732	0,000	0,000	0,000	0,000	0,000	0,000	0,000	0,000	0,000
28	15419	5	-5,500	-0,775	0,000	0,000	0,000	0,000	0,000	0,000	0,000	0,000	0,000
Plate_2_3	15419	1	-5,500	-0,775	0,000	0,000	0,000	0,000	0,000	0,000	0,000	0,000	0,000
Element 4-6 (Plate)	15422	2	-5,500	-0,834	0,000	0,000	0,000	0,000	0,000	0,000	0,000	0,000	0,000
(Parete c.a.C32/40 sp.0.50m)	15421	3	-5,500	-0,893	0,000	0,000	0,000	0,000	0,000	0,000	0,000	0,000	0,000
28	15420	4	-5,500	-0,952	0,000	0,000	0,000	0,000	0,000	0,000	0,000	0,000	0,000
28	15479	5	-5,500	-1,011	0,000	0,000	0,000	0,000	0,000	0,000	0,000	0,000	0,000
Plate_1_2	13527	1	0,000	-0,960	0,485	-7,408	0,485	17,221	-0,022	17,221	9,840	-0,004	9,840
Element 5-7 (Plate)	13530	2	0,000	-1,095	0,413	-7,275	0,413	16,968	-0,011	16,968	12,145	-0,006	12,145
(Pali 400/0,4m)	13529	3	0,000	-1,230	0,456	-7,352	0,471	17,112	-0,220	17,112	14,435	-0,007	14,435
28	13528	4	0,000	-1,365	0,689	-7,801	1,216	17,938	-1,155	17,938	16,795	-0,007	16,795
28	14231	5	0,000	-1,500	1,191	-8,786	2,071	19,734	-2,194	19,734	19,322	-0,006	19,322
Plate_2_4	15479	1	-5,500	-1,011	0,000	0,000	0,000	0,000	0,000	0,000	0,000	0,000	0,000
Element 6-8 (Plate)	15482	2	-5,500	-1,096	0,000	0,000	0,000	0,000	0,000	0,000	0,000	0,000	0,000
(Parete c.a.C32/40 sp.0.50m)	15481	3	-5,500	-1,180	0,000	0,000	0,000	0,000	0,000	0,000	0,000	0,000	0,000
28	15480	4	-5,500	-1,265	0,000	0,000	0,000	0,000	0,000	0,000	0,000	0,000	0,000
28	16393	5	-5,500	-1,350	0,000	0,000	0,000	0,000	0,000	0,000	0,000	0,000	0,000
Plate_2_4	16393	1	-5,500	-1,350	0,000	0,000	0,000	0,000	0,000	0,000	0,000	0,000	0,000
Element 6-9 (Plate)	16396	2	-5,500	-1,519	0,000	0,000	0,000	0,000	0,000	0,000	0,000	0,000	0,000
(Parete c.a.C32/40 sp.0.50m)	16395	3	-5,500	-1,689	0,000	0,000	0,000	0,000	0,000	0,000	0,000	0,000	0,000
28	16394	4	-5,500	-1,859	0,000	0,000	0,000	0,000	0,000	0,000	0,000	0,000	0,000
28	16427	5	-5,500	-2,029	0,000	0,000	0,000	0,000	0,000	0,000	0,000	0,000	0,000
Plate_1_3	14231	1	0,000	-1,500	-9,045	-18,232	2,060	-38,787	-40,170	4,828	19,322	-0,006	19,322

Structural element	Node [10^3]	Local number	X [m]	Y [m]	N [kN/m]	N,min [kN/m]	N,max [kN/m]	Q [kN/m]	Q,min [kN/m]	Q,max [kN/m]	M [kN m/m]	M,min [kN m/m]	M,max [kN m/m]
Element 7-10 (Plate)	14232	2	0,000	-1,580	-8,983	-18,800	2,562	-37,798	-39,189	4,831	16,268	-0,033	16,268
(Pali 400/0,4m)	14233	3	0,000	-1,660	-8,885	-19,321	3,064	-36,896	-38,289	4,845	13,290	-0,131	13,290
"	14234	4	0,000	-1,739	-8,720	-19,768	3,568	-36,130	-37,517	4,882	10,378	-0,301	10,378
"	15007	5	0,000	-1,819	-8,462	-20,111	4,072	-35,548	-36,925	4,956	7,522	-0,492	7,522
Plate_1_4	15007	1	0,000	-1,819	-8,512	-20,162	4,071	-35,460	-36,837	5,014	7,522	-0,492	7,522
Element 8-11 (Plate)	15010	2	0,000	-1,871	-8,370	-20,412	4,403	-35,034	-36,405	5,129	5,674	-1,569	6,472
(Pali 400/0,4m)	15009	3	0,000	-1,924	-8,247	-20,679	4,732	-34,580	-35,944	5,292	3,848	-2,809	6,745
"	15008	4	0,000	-1,976	-8,147	-20,965	5,056	-34,092	-35,450	5,506	2,047	-4,424	7,028
"	15973	5	0,000	-2,029	-8,070	-21,272	5,376	-33,569	-34,919	5,773	0,273	-6,234	7,323
Plate_2_5	16427	1	-5,500	-2,029	0,001	-0,002	0,002	-0,004	-0,006	0,006	0,000	0,000	0,000
Element 9-12 (Plate)	16430	2	-5,500	-2,147	-0,027	-0,027	0,001	0,071	-0,002	0,071	0,004	0,000	0,004
(Parete c.a.C32/40 sp.0.50m)	16429	3	-5,500	-2,264	-0,066	-0,066	0,000	0,174	0,000	0,174	0,018	0,000	0,018
"	16428	4	-5,500	-2,382	-0,121	-0,121	0,000	0,317	0,000	0,317	0,046	0,000	0,046
"	17049	5	-5,500	-2,500	-0,196	-0,196	0,000	0,511	0,000	0,511	0,095	0,000	0,095
Plate_1_5	15973	1	0,000	-2,029	-8,069	-21,268	5,376	-33,581	-34,926	5,753	0,273	-6,234	7,323
Element 10-13 (Plate)	15974	2	0,000	-2,103	-8,006	-21,745	5,825	-32,766	-34,102	6,218	-2,203	-8,810	7,770
(Pali 400/0,4m)	15975	3	0,000	-2,178	-7,986	-22,240	6,266	-31,957	-33,247	6,681	-4,619	-11,324	8,251
"	15976	4	0,000	-2,253	-7,994	-22,750	6,700	-31,136	-32,367	7,132	-6,974	-13,774	8,767
"	16291	5	0,000	-2,327	-8,012	-23,271	7,127	-30,284	-31,466	7,561	-9,266	-16,156	9,315
Plate_1_5	16291	1	0,000	-2,327	-7,982	-23,272	7,128	-30,231	-31,464	7,599	-9,266	-16,156	9,315
Element 10-14 (Plate)	16294	2	0,000	-2,471	-8,127	-24,263	7,927	-28,795	-29,753	8,438	-13,494	-20,542	10,462
(Pali 400/0,4m)	16293	3	0,000	-2,614	-8,327	-25,276	8,702	-27,354	-28,002	9,478	-17,519	-24,681	11,742
"	16292	4	0,000	-2,757	-8,569	-26,310	9,454	-25,892	-26,350	10,733	-21,335	-28,568	13,186
"	16325	5	0,000	-2,901	-8,843	-27,362	10,436	-24,396	-24,676	12,223	-24,938	-32,194	14,824
Plate_2_6	17049	1	-5,500	-2,500	-0,172	-0,172	0,000	0,448	0,000	0,448	0,095	0,000	0,095
Element 11-15 (Plate)	17052	2	-5,500	-2,666	-0,402	-0,402	0,000	1,043	0,000	1,043	0,219	0,000	0,219
(Parete c.a.C32/40 sp.0.50m)	17051	3	-5,500	-2,832	-0,617	-0,617	0,000	1,595	0,000	1,595	0,439	0,000	0,439
"	17050	4	-5,500	-2,999	-0,819	-0,819	0,000	2,117	0,000	2,117	0,748	0,000	0,748
"	17279	5	-5,500	-3,165	-1,014	-1,014	0,000	2,620	0,000	2,620	1,142	0,000	1,142
Plate_2_6	17279	1	-5,500	-3,165	-1,014	-1,014	0,000	2,617	0,000	2,617	1,142	0,000	1,142
Element 11-16 (Plate)	17282	2	-5,500	-3,375	-1,346	-1,346	0,000	3,465	0,000	3,465	1,775	0,000	1,775
(Parete c.a.C32/40 sp.0.50m)	17281	3	-5,500	-3,585	-1,790	-1,790	0,000	4,601	0,000	4,601	2,617	0,000	2,617
"	17280	4	-5,500	-3,795	-2,341	-2,341	0,000	6,013	0,000	6,013	3,727	0,000	3,727
"	17305	5	-5,500	-4,005	-2,995	-2,995	0,000	7,692	0,000	7,692	5,161	0,000	5,161
Plate_1_6	16325	1	0,000	-2,901	-8,660	-27,311	10,394	-24,265	-24,771	12,366	-24,938	-32,194	14,824
Element 12-17 (Plate)	16328	2	0,000	-3,177	-10,047	-29,638	12,522	-21,755	-21,755	10,487	-31,262	-38,379	17,989
(Pali 400/0,4m)	16327	3	0,000	-3,453	-11,574	-32,005	14,537	-19,317	-19,317	8,437	-36,971	-43,498	20,569
"	16326	4	0,000	-3,729	-13,555	-34,874	16,461	-15,902	-15,902	6,881	-41,839	-47,341	22,671
"	17175	5	0,000	-4,005	-16,303	-38,705	18,315	-10,458	-10,458	8,272	-45,547	-49,634	24,465
Plate_2_7	17305	1	-5,500	-4,005	-2,988	-2,988	0,000	7,674	0,000	7,674	5,161	0,000	5,161
Element 13-18 (Plate)	17308	2	-5,500	-4,154	-3,498	-3,498	0,000	8,983	0,000	8,983	6,399	0,000	6,399
(Parete c.a.C32/40 sp.0.50m)	17307	3	-5,500	-4,302	-4,039	-4,039	0,000	10,374	0,000	10,374	7,839	0,000	7,839
"	17306	4	-5,500	-4,451	-4,614	-4,614	0,000	11,848	0,000	11,848	9,492	0,000	9,492
"	18049	5	-5,500	-4,600	-5,222	-5,222	0,000	13,407	0,000	13,407	11,369	0,000	11,369
Plate_1_7	17175	1	0,000	-4,005	-16,174	-38,540	18,262	-10,804	-10,804	7,866	-45,547	-49,634	24,465
Element 14-19 (Plate)	17178	2	0,000	-4,232	-19,676	-42,565	19,768	-5,450	-5,450	14,416	-47,383	-49,995	26,335
(Pali 400/0,4m)	17177	3	0,000	-4,459	-23,181	-46,401	21,351	-0,770	-1,126	20,631	-48,068	-48,799	28,512
"	17176	4	0,000	-4,686	-26,571	-49,919	23,128	2,992	-0,521	26,958	-47,802	-47,802	30,314
"	17993	5	0,000	-4,912	-29,729	-52,986	24,884	5,595	-0,888	32,428	-46,801	-46,801	31,089
Plate_1_7	17993	1	0,000	-4,912	-29,462	-52,770	24,839	5,305	-0,715	32,257	-46,801	-46,801	31,089
Element 14-20 (Plate)	17996	2	0,000	-5,014	-30,571	-53,778	25,543	5,725	-1,235	33,262	-46,240	-46,240	31,169
(Pali 400/0,4m)	17995	3	0,000	-5,115	-31,649	-54,749	26,220	6,070	-1,618	34,715	-45,643	-45,643	31,152
"	17994	4	0,000	-5,217	-32,760	-55,754	27,042	6,479	-1,873	36,710	-45,005	-45,005	31,063

Structural element	Node [10 ^]	Local number	X [m]	Y [m]	N [kN/m]	N ,,, [kN/m]	N ,,, [kN/m]	Q [kN/m]	Q ,,, [kN/m]	Q ,,, [kN/m]	M [kN m/m]	M ,,, [kN m/m]	M ,,, [kN m/m]
昂	18028	5	0,000	-5,318	-33,967	-56,866	27,834	7,095	-2,022	39,333	-44,320	-44,320	30,925
Plate_1_7	18028	1	0,000	-5,318	-34,097	-56,977	27,835	7,251	-2,027	39,204	-44,320	-44,320	30,925
Element 14-21 (Plate)	18027	2	0,000	-5,364	-34,698	-57,559	28,178	7,715	-2,074	40,351	-43,980	-43,980	30,849
(Pali 400/0,4m)	18026	3	0,000	-5,409	-35,350	-58,192	28,514	8,266	-2,102	41,543	-43,618	-43,618	30,767
昂	18025	4	0,000	-5,455	-36,059	-58,877	28,844	8,905	-2,146	42,781	-43,229	-43,229	30,681
昂	18083	5	0,000	-5,500	-36,831	-59,617	29,166	9,629	-2,216	44,065	-42,808	-42,808	30,590
Plate_2_8	18049	1	-5,500	-4,600	-12,952	-12,952	0,000	-33,868	-33,868	0,000	11,369	0,000	11,369
Element 15-22 (Plate)	18052	2	-5,500	-4,837	-14,005	-14,005	0,000	-31,165	-31,165	0,000	3,651	-0,041	3,651
(Parete c.a.C32/40 sp.0.50m)	18051	3	-5,500	-5,075	-15,062	-15,062	0,000	-28,454	-28,454	0,000	-3,434	-3,434	0,000
昂	18050	4	-5,500	-5,312	-16,176	-16,176	0,000	-25,599	-25,599	0,000	-9,855	-9,855	0,000
昂	18123	5	-5,500	-5,550	-17,399	-17,399	0,000	-22,467	-22,467	0,000	-15,569	-15,569	0,000
Plate_2_8	18123	1	-5,500	-5,550	-17,434	-17,434	0,000	-22,379	-22,379	0,000	-15,569	-15,569	0,000
Element 15-23 (Plate)	18126	2	-5,500	-5,664	-18,040	-18,040	0,000	-20,825	-20,825	0,000	-18,037	-18,037	0,000
(Parete c.a.C32/40 sp.0.50m)	18125	3	-5,500	-5,779	-18,665	-18,665	0,000	-19,223	-19,223	0,000	-20,329	-20,329	0,000
昂	18124	4	-5,500	-5,893	-19,356	-19,356	0,000	-17,451	-17,451	0,000	-22,426	-22,426	0,000
昂	18147	5	-5,500	-6,007	-20,161	-20,161	0,000	-15,390	-15,390	0,000	-24,306	-24,306	0,000
Plate_1_8	18083	1	0,000	-5,500	-35,400	-66,296	29,166	20,613	-7,141	43,962	-42,808	-42,808	30,590
Element 16-24 (Plate)	18084	2	0,000	-5,504	-35,468	-66,362	29,194	20,680	-7,030	44,074	-42,727	-42,727	30,582
(Pali 400/0,4m)	18085	3	0,000	-5,508	-35,536	-66,429	29,222	20,747	-6,918	44,187	-42,645	-42,645	30,574
昂	18086	4	0,000	-5,512	-35,605	-66,495	29,249	20,815	-6,807	44,300	-42,563	-42,563	30,566
昂	18785	5	0,000	-5,516	-35,674	-66,562	29,277	20,883	-6,695	44,412	-42,480	-42,480	30,558
Plate_1_9	18785	1	0,000	-5,516	-35,624	-66,495	29,277	20,735	-6,812	44,387	-42,480	-42,480	30,558
Element 17-25 (Plate)	18788	2	0,000	-5,639	-37,901	-68,745	30,109	23,247	-3,024	47,941	-39,779	-39,779	30,680
(Pali 400/0,4m)	18787	3	0,000	-5,761	-40,146	-70,908	30,891	25,546	-2,473	51,439	-36,778	-36,778	33,533
昂	18786	4	0,000	-5,884	-42,306	-72,933	31,623	27,556	-2,550	55,079	-33,514	-33,514	37,604
昂	19633	5	0,000	-6,007	-44,324	-74,769	32,305	29,201	-2,580	59,076	-30,024	-30,024	42,608
Plate_2_9	18147	1	-5,500	-6,007	-20,097	-20,097	0,006	-15,553	-15,553	0,011	-24,306	-24,306	0,000
Element 18-26 (Plate)	18150	2	-5,500	-6,085	-20,663	-20,663	0,000	-14,104	-14,104	0,033	-25,464	-25,464	0,001
(Parete c.a.C32/40 sp.0.50m)	18149	3	-5,500	-6,163	-21,201	-21,201	0,000	-12,725	-12,725	0,074	-26,513	-26,513	0,005
昂	18148	4	-5,500	-6,242	-21,726	-21,726	0,000	-11,381	-11,381	0,129	-27,454	-27,454	0,013
昂	18851	5	-5,500	-6,320	-22,250	-22,250	0,000	-10,039	-10,039	0,222	-28,292	-28,292	0,025
Plate_2_9	18851	1	-5,500	-6,320	-22,259	-22,259	0,000	-10,016	-10,016	0,211	-28,292	-28,292	0,025
Element 18-27 (Plate)	18854	2	-5,500	-6,365	-22,590	-22,590	0,000	-9,167	-9,167	0,266	-28,724	-28,724	0,035
(Parete c.a.C32/40 sp.0.50m)	18853	3	-5,500	-6,410	-22,937	-22,937	0,000	-8,280	-8,280	0,340	-29,117	-29,117	0,049
昂	18852	4	-5,500	-6,455	-23,297	-23,297	0,000	-7,358	-7,358	0,419	-29,470	-29,470	0,066
昂	18891	5	-5,500	-6,500	-23,669	-23,669	0,000	-6,404	-6,404	0,501	-29,780	-29,780	0,087
Plate_1_10	19633	1	0,000	-6,007	-44,380	-74,833	32,305	29,329	-2,589	58,853	-30,024	-30,024	42,608
Element 19-28 (Plate)	19636	2	0,000	-6,130	-46,041	-76,224	32,939	30,102	-2,560	55,888	-26,367	-26,367	48,231
(Pali 400/0,4m)	19635	3	0,000	-6,254	-47,951	-77,838	33,521	31,269	-2,525	51,891	-22,590	-24,868	53,868
昂	19634	4	0,000	-6,377	-50,143	-79,701	34,051	32,871	-2,496	46,928	-18,641	-23,084	59,633
昂	20396	5	0,000	-6,500	-52,649	-81,842	34,528	34,952	-2,473	41,074	-14,469	-20,874	65,017
Plate_2_10	18891	1	-5,500	-6,500	-23,665	-23,665	0,000	-6,415	-6,415	0,498	-29,780	-29,780	0,087
Element 20-29 (Plate)	18894	2	-5,500	-6,549	-24,089	-24,089	0,000	-5,328	-5,328	0,627	-30,067	-30,067	0,114
(Parete c.a.C32/40 sp.0.50m)	18893	3	-5,500	-6,598	-24,520	-24,520	0,000	-4,225	-4,225	0,758	-30,301	-30,301	0,148
昂	18892	4	-5,500	-6,647	-24,952	-24,952	0,000	-3,117	-3,117	0,884	-30,481	-30,481	0,188
昂	18915	5	-5,500	-6,696	-25,384	-25,384	0,000	-2,010	-2,010	0,999	-30,607	-30,607	0,234
Plate_1_11	20396	1	0,000	-6,500	-52,722	-81,916	34,528	35,088	-2,522	41,843	-14,469	-20,874	65,017
Element 21-30 (Plate)	20399	2	0,000	-6,620	-55,655	-84,472	35,001	37,903	-2,494	37,903	-10,088	-18,213	69,644
(Pali 400/0,4m)	20398	3	0,000	-6,740	-58,728	-87,197	35,438	41,133	-2,615	41,133	-5,343	-15,000	73,664
昂	20397	4	0,000	-6,861	-61,949	-90,098	35,816	44,792	-2,955	44,792	-0,183	-11,202	77,174
昂	20730	5	0,000	-6,981	-65,327	-93,179	36,136	48,894	-3,585	48,894	5,440	-6,817	80,234
Plate_2_11	18915	1	-5,500	-6,696	-25,397	-25,397	0,000	-1,979	-1,979	1,004	-30,607	-30,607	0,234
Element 22-31 (Plate)	18918	2	-5,500	-6,750	-25,814	-25,814	0,000	-0,909	-0,909	1,096	-30,685	-30,685	0,290

Structural element	Node [10^3]	Local number	X [m]	Y [m]	N [kN/m]	N,max [kN/m]	N,min [kN/m]	Q [kN/m]	Q,max [kN/m]	Q,min [kN/m]	M [kN m/m]	M,max [kN m/m]	M,min [kN m/m]
(Parete c.a.C32/40 sp.0.50m)	18917	3	-5,500	-6,804	-26,262	-26,262	0,000	0,237	0,000	1,253	-30,703	-30,703	0,353
〃	18916	4	-5,500	-6,857	-26,742	-26,742	0,000	1,467	0,000	1,490	-30,658	-30,658	0,426
〃	19683	5	-5,500	-6,911	-27,257	-27,257	0,000	2,786	0,000	2,786	-30,544	-30,544	0,512
Plate_2_11	19683	1	-5,500	-6,911	-27,256	-27,256	0,000	2,783	0,000	2,783	-30,544	-30,544	0,512
Element 22-32 (Plate)	19686	2	-5,500	-6,963	-27,783	-27,783	0,000	4,133	0,000	4,133	-30,366	-30,366	0,608
(Parete c.a.C32/40 sp.0.50m)	19685	3	-5,500	-7,014	-28,326	-28,326	0,000	5,523	0,000	5,523	-30,119	-30,119	0,718
〃	19684	4	-5,500	-7,065	-28,888	-28,888	0,000	6,963	0,000	6,963	-29,798	-29,798	0,843
〃	19717	5	-5,500	-7,117	-29,472	-29,472	0,000	8,457	0,000	8,457	-29,403	-29,403	0,984
Plate_2_11	19717	1	-5,500	-7,117	-29,465	-29,465	0,000	8,439	0,000	8,439	-29,403	-29,403	0,984
Element 22-33 (Plate)	19718	2	-5,500	-7,166	-30,024	-30,024	0,000	9,871	0,000	9,871	-28,954	-28,954	1,133
(Parete c.a.C32/40 sp.0.50m)	19719	3	-5,500	-7,215	-30,572	-30,572	0,000	11,274	0,000	11,274	-28,436	-28,436	1,295
〃	19720	4	-5,500	-7,264	-31,110	-31,110	0,000	12,651	0,000	12,651	-27,850	-27,850	1,468
〃	20458	5	-5,500	-7,313	-31,637	-31,637	0,000	14,003	0,000	14,003	-27,197	-27,197	1,650
Plate_2_12	20458	1	-5,500	-7,313	-31,633	-31,633	0,000	13,990	0,000	13,990	-27,197	-27,197	1,650
Element 23-34 (Plate)	20461	2	-5,500	-7,388	-32,533	-32,533	0,000	16,295	0,000	16,295	-26,052	-26,052	1,953
(Parete c.a.C32/40 sp.0.50m)	20460	3	-5,500	-7,464	-33,457	-33,457	0,000	18,664	0,000	18,664	-24,728	-24,728	2,292
〃	20459	4	-5,500	-7,540	-34,390	-34,390	0,000	21,052	0,000	21,052	-23,224	-23,224	2,671
〃	20494	5	-5,500	-7,615	-35,313	-35,313	0,000	23,416	0,000	23,416	-21,540	-21,540	3,095
Plate_2_13	20494	1	-5,500	-7,615	-35,292	-35,292	0,000	23,361	0,000	23,361	-21,540	-21,540	3,095
Element 24-35 (Plate)	20495	2	-5,500	-7,630	-35,453	-35,453	0,000	23,773	0,000	23,773	-21,196	-21,196	3,181
(Parete c.a.C32/40 sp.0.50m)	20496	3	-5,500	-7,645	-35,612	-35,612	0,000	24,180	0,000	24,180	-20,846	-20,846	3,268
〃	20497	4	-5,500	-7,659	-35,769	-35,769	0,000	24,583	0,000	24,583	-20,489	-20,489	3,356
〃	21176	5	-5,500	-7,674	-35,926	-35,926	0,000	24,986	0,000	24,986	-20,127	-20,127	3,446
Plate_1_12	20730	1	0,000	-6,981	-65,068	-92,960	36,133	48,640	-3,850	48,640	5,440	-6,817	80,234
Element 25-36 (Plate)	20733	2	0,000	-7,128	-68,510	-95,892	36,460	52,067	-6,190	52,067	12,877	-1,916	82,511
(Pali 400/0,4m)	20732	3	0,000	-7,276	-71,491	-98,422	36,729	54,813	-10,502	54,813	20,779	-1,393	82,957
〃	20731	4	0,000	-7,423	-73,934	-100,459	37,002	56,687	-15,568	56,687	29,019	-0,965	81,833
〃	21130	5	0,000	-7,571	-75,764	-101,912	37,200	57,501	-20,577	57,501	37,460	-0,617	79,412
Plate_1_12	21130	1	0,000	-7,571	-75,387	-101,552	37,195	56,943	-21,022	56,943	37,460	-0,617	79,412
Element 25-37 (Plate)	21133	2	0,000	-7,803	-77,867	-103,203	37,342	56,618	-26,904	56,858	50,645	-0,167	73,864
(Pali 400/0,4m)	21132	3	0,000	-8,036	-81,411	-105,672	37,276	57,088	-30,315	61,137	63,806	-0,011	67,182
〃	21131	4	0,000	-8,268	-85,305	-108,854	36,994	59,223	-31,211	66,651	77,294	-0,009	77,294
〃	21634	5	0,000	-8,500	-88,836	-112,646	36,581	63,897	-29,837	73,219	91,520	-0,007	91,520
Plate_2_14	21176	1	-5,500	-7,674	-35,882	-35,882	0,000	24,871	0,000	24,871	-20,127	-20,127	3,446
Element 26-38 (Plate)	21177	2	-5,500	-7,755	-36,860	-36,860	0,000	27,377	0,000	27,377	-17,997	-17,997	3,968
(Parete c.a.C32/40 sp.0.50m)	21178	3	-5,500	-7,837	-37,737	-37,737	0,000	29,624	0,000	29,624	-15,668	-15,668	4,528
〃	21179	4	-5,500	-7,918	-38,431	-38,431	0,000	31,403	0,000	31,403	-13,177	-13,177	5,127
〃	21766	5	-5,500	-8,000	-38,860	-38,860	0,000	32,501	0,000	32,501	-10,566	-10,566	5,761
Plate_3_1	21766	1	-5,500	-8,000	-46,970	-46,970	0,085	28,771	0,000	28,771	-10,566	-10,566	5,761
Element 27-39 (Plate)	21767	2	-5,500	-8,058	-47,336	-47,336	0,085	29,403	0,000	29,403	-8,889	-8,889	6,154
(Micropali D168.3x10.0/0,27m)	21768	3	-5,500	-8,115	-47,795	-47,795	0,085	30,197	0,000	30,197	-7,171	-7,171	6,575
〃	21769	4	-5,500	-8,173	-48,364	-48,364	0,085	31,183	0,000	31,183	-5,401	-5,401	7,024
〃	22356	5	-5,500	-8,231	-49,060	-49,060	0,085	32,393	0,000	32,393	-3,570	-3,570	7,502
Plate_3_1	22356	1	-5,500	-8,231	-49,026	-49,026	0,085	32,331	0,000	32,331	-3,570	-3,570	7,502
Element 27-40 (Plate)	22357	2	-5,500	-8,288	-49,833	-49,833	0,085	33,732	0,000	33,732	-1,666	-1,666	8,018
(Micropali D168.3x10.0/0,27m)	22358	3	-5,500	-8,346	-50,748	-50,748	0,085	35,316	0,000	35,316	0,326	0,000	8,585
〃	22359	4	-5,500	-8,404	-51,716	-51,716	0,085	36,993	0,000	36,993	2,411	0,000	9,196
〃	22779	5	-5,500	-8,461	-52,686	-52,686	0,085	38,670	0,000	38,670	4,593	0,000	9,843
Plate_3_2	22779	1	-5,500	-8,461	-52,627	-52,627	0,085	38,567	0,000	38,567	4,593	0,000	9,843
Element 28-41 (Plate)	22780	2	-5,500	-8,471	-52,746	-52,746	0,085	38,774	0,000	38,774	4,965	0,000	9,954
(Micropali D168.3x10.0/0,27m)	22781	3	-5,500	-8,481	-52,857	-52,857	0,085	38,965	0,000	38,965	5,340	0,000	10,065
〃	22782	4	-5,500	-8,490	-52,953	-52,953	0,085	39,131	0,000	39,131	5,717	0,000	10,177
〃	23191	5	-5,500	-8,500	-53,030	-53,030	0,085	39,265	0,000	39,265	6,094	0,000	10,289

Structural element	Node [10 ˆ]	Local number	X [m]	Y [m]	N [kN/m]	N ⊥⊥ [kN/m]	N ⊥⊥ [kN/m]	Q [kN/m]	Q ⊥⊥ [kN/m]	Q ⊥⊥ [kN/m]	M [kN m/m]	M ⊥⊥ [kN m/m]	M ⊥⊥ [kN m/m]
Plate_3_3	23191	1	-5,500	-8,500	-52,937	-52,937	0,085	39,031	0,000	39,031	6,094	0,000	10,289
Element 29-42 (Plate)	23194	2	-5,500	-8,550	-52,439	-52,439	0,092	35,080	0,000	35,080	7,931	0,000	10,795
(Micropali D168.3x10.0/0,27m)	23193	3	-5,500	-8,599	-51,919	-51,919	0,097	30,682	0,000	30,682	9,560	0,000	11,214
28	23192	4	-5,500	-8,649	-51,392	-51,392	0,102	25,997	0,000	25,997	10,965	0,000	11,531
28	23453	5	-5,500	-8,698	-50,875	-50,875	0,107	21,183	0,000	21,183	12,132	0,000	12,225
Plate_3_3	23453	1	-5,500	-8,698	-50,874	-50,874	0,107	20,788	-0,105	20,788	12,132	0,000	12,225
Element 29-43 (Plate)	23456	2	-5,500	-8,891	-48,650	-48,650	0,126	7,225	-3,944	7,225	14,756	0,000	14,756
(Micropali D168.3x10.0/0,27m)	23455	3	-5,500	-9,084	-46,617	-46,617	0,144	-1,774	-6,665	0,053	15,223	0,000	15,223
28	23454	4	-5,500	-9,278	-44,991	-44,991	0,162	-6,688	-7,738	0,042	14,334	0,000	14,334
28	23981	5	-5,500	-9,471	-43,986	-43,986	0,179	-8,000	-8,000	0,030	12,865	0,000	12,865
Plate_1_13	21634	1	0,000	-8,500	-88,728	-112,680	36,563	69,394	-30,533	75,933	91,520	-0,007	91,520
Element 30-44 (Plate)	21637	2	0,000	-8,893	-73,745	-89,125	35,385	19,344	-26,349	23,732	108,508	-0,004	108,508
(Pali 400/0,4m)	21636	3	0,000	-9,285	-63,063	-71,193	33,568	-17,097	-25,992	0,746	108,480	-0,002	108,480
28	21635	4	0,000	-9,678	-55,336	-57,754	31,304	-39,578	-39,578	0,551	96,904	0,000	96,904
28	22102	5	0,000	-10,071	-49,217	-49,217	28,219	-47,748	-47,748	0,182	79,282	0,000	79,282
Plate_3_4	23981	1	-5,500	-9,471	-43,697	-43,697	0,179	-9,048	-9,048	0,032	12,865	0,000	12,865
Element 31-45 (Plate)	23984	2	-5,500	-9,779	-44,232	-44,232	0,205	-8,123	-8,123	0,013	10,183	0,000	10,183
(Micropali D168.3x10.0/0,27m)	23983	3	-5,500	-10,087	-45,313	-45,313	0,231	-6,252	-6,252	0,003	7,967	0,000	7,967
28	23982	4	-5,500	-10,395	-46,637	-46,637	0,256	-3,961	-3,961	0,003	6,373	0,000	6,373
28	24131	5	-5,500	-10,703	-47,899	-47,899	0,279	-1,775	-1,775	0,015	5,506	0,000	5,506
Plate_1_14	22102	1	0,000	-10,071	-47,876	-47,876	28,187	-49,924	-49,924	0,002	79,282	0,000	79,282
Element 32-46 (Plate)	22105	2	0,000	-10,297	-41,372	-41,372	25,916	-54,778	-54,778	0,001	67,361	0,000	67,361
(Pali 400/0,4m)	22104	3	0,000	-10,524	-35,285	-35,285	23,343	-56,566	-56,566	0,000	54,683	0,000	54,683
28	22103	4	0,000	-10,751	-29,660	-29,660	20,468	-55,320	-55,320	0,000	41,942	0,000	41,942
28	22534	5	0,000	-10,977	-24,537	-24,537	17,296	-51,074	-51,074	0,000	29,831	0,000	29,831
Plate_1_14	22534	1	0,000	-10,977	-24,055	-24,055	17,276	-51,122	-51,122	0,000	29,831	0,000	29,831
Element 32-47 (Plate)	22538	2	0,000	-11,233	-19,332	-19,332	13,341	-43,157	-43,157	0,000	17,700	0,000	17,700
(Pali 400/0,4m)	22537	3	0,000	-11,489	-13,907	-13,907	8,917	-31,522	-31,522	0,000	8,079	0,000	8,079
28	22536	4	0,000	-11,744	-7,424	-7,424	3,986	-16,357	-16,357	0,000	1,879	0,000	1,923
28	22535	5	0,000	-12,000	0,472	-1,472	0,575	2,194	-0,123	2,194	0,000	0,000	0,000
Plate_3_5	24131	1	-5,500	-10,703	-47,360	-47,360	0,279	-3,049	-3,049	0,020	5,506	0,000	5,506
Element 33-48 (Plate)	24134	2	-5,500	-10,961	-49,034	-49,034	0,298	-3,934	-3,934	0,026	4,590	0,000	4,590
(Micropali D168.3x10.0/0,27m)	24133	3	-5,500	-11,218	-51,102	-51,102	0,316	-4,126	-4,126	0,026	3,540	0,000	3,540
28	24132	4	-5,500	-11,476	-53,482	-53,482	0,334	-3,719	-3,719	0,022	2,514	0,000	2,514
28	24149	5	-5,500	-11,734	-56,095	-56,095	0,352	-2,809	-2,809	0,015	1,665	0,000	1,665
Plate_3_5	24149	1	-5,500	-11,734	-55,903	-55,903	0,352	-2,959	-2,959	0,016	1,665	0,000	1,665
Element 33-49 (Plate)	24152	2	-5,500	-12,008	-57,743	-57,743	0,370	-2,092	-2,092	0,009	0,977	0,000	0,977
(Micropali D168.3x10.0/0,27m)	24151	3	-5,500	-12,281	-58,931	-58,931	0,387	-1,368	-1,368	0,003	0,507	0,000	0,507
28	24150	4	-5,500	-12,555	-59,473	-59,473	0,403	-0,798	-0,798	0,000	0,214	-0,030	0,214
28	24480	5	-5,500	-12,829	-59,372	-59,372	0,416	-0,388	-0,388	0,029	0,055	-0,034	0,110
Plate_3_5	24480	1	-5,500	-12,829	-59,381	-59,381	0,416	-0,374	-0,374	0,040	0,055	-0,034	0,110
Element 33-50 (Plate)	24479	2	-5,500	-13,119	-58,608	-58,608	0,427	-0,123	-0,123	0,080	-0,015	-0,025	0,107
(Micropali D168.3x10.0/0,27m)	24478	3	-5,500	-13,410	-57,152	-57,152	0,434	0,031	-0,013	0,094	-0,026	-0,026	0,104
28	24477	4	-5,500	-13,701	-55,016	-55,016	0,435	0,101	-0,016	0,104	-0,005	-0,005	0,100
28	24685	5	-5,500	-13,991	-52,200	-52,200	0,431	0,096	-0,019	0,096	0,026	0,000	0,095
Plate_3_6	24685	1	-5,500	-13,991	-52,191	-52,191	0,430	0,109	-0,019	0,109	0,026	0,000	0,095
Element 34-51 (Plate)	24688	2	-5,500	-14,292	-48,564	-48,564	0,419	0,097	-0,024	0,097	0,057	0,000	0,089
(Micropali D168.3x10.0/0,27m)	24687	3	-5,500	-14,593	-44,172	-44,172	0,397	0,081	-0,031	0,081	0,084	0,000	0,086
28	24686	4	-5,500	-14,895	-39,015	-39,015	0,365	0,059	-0,039	0,059	0,105	0,000	0,105
28	25013	5	-5,500	-15,196	-33,090	-33,090	0,323	0,033	-0,049	0,033	0,119	0,000	0,119
Plate_3_6	25013	1	-5,500	-15,196	-33,038	-33,038	0,322	-0,052	-0,052	0,000	0,119	0,000	0,119
Element 34-52 (Plate)	25017	2	-5,500	-15,497	-26,309	-26,309	0,266	0,123	-0,065	0,123	0,139	0,000	0,139
(Micropali D168.3x10.0/0,27m)	25016	3	-5,500	-15,798	-18,600	-18,600	0,194	0,019	-0,063	0,019	0,163	0,000	0,163

Structural element	Node [10 ˚]	Local number	X [m]	Y [m]	N [kN/m]	N ⊥ [kN/m]	N ∥ [kN/m]	Q [kN/m]	Q ⊥ [kN/m]	Q ∥ [kN/m]	M [kN m/m]	M ⊥ [kN m/m]	M ∥ [kN m/m]
BS	25015	4	-5,500	-16,099	-9,883	-9,883	0,107	-0,261	-0,261	0,000	0,133	0,000	0,133
BS	25014	5	-5,500	-16,400	-0,130	-0,130	0,003	-0,618	-0,618	0,012	0,000	0,000	0,000

3.1.2.4.17 Calculation results, Plate, Riempimento 3 ed estensione tirante [Phase_17] (17/646), Table of plate force envelopes

Structural element	Node [10^3]	Local number	X [m]	Y [m]	N [kN/m]	N,min [kN/m]	N,max [kN/m]	Q [kN/m]	Q,min [kN/m]	Q,max [kN/m]	M [kN m/m]	M,min [kN m/m]	M,max [kN m/m]
Plate_2_1	15336	1	-5,500	0,000	0,000	0,000	0,000	0,000	0,000	0,000	0,000	0,000	0,000
Element 1-1 (Plate)	15335	2	-5,500	-0,070	0,000	0,000	0,000	0,000	0,000	0,000	0,000	0,000	0,000
(Parete c.a.C32/40 sp.0.50m)	15334	3	-5,500	-0,141	0,000	0,000	0,000	0,000	0,000	0,000	0,000	0,000	0,000
28	15333	4	-5,500	-0,211	0,000	0,000	0,000	0,000	0,000	0,000	0,000	0,000	0,000
28	15350	5	-5,500	-0,281	0,000	0,000	0,000	0,000	0,000	0,000	0,000	0,000	0,000
Plate_2_1	15350	1	-5,500	-0,281	0,000	0,000	0,000	0,000	0,000	0,000	0,000	0,000	0,000
Element 1-2 (Plate)	15349	2	-5,500	-0,336	0,000	0,000	0,000	0,000	0,000	0,000	0,000	0,000	0,000
(Parete c.a.C32/40 sp.0.50m)	15348	3	-5,500	-0,391	0,000	0,000	0,000	0,000	0,000	0,000	0,000	0,000	0,000
28	15347	4	-5,500	-0,445	0,000	0,000	0,000	0,000	0,000	0,000	0,000	0,000	0,000
28	15361	5	-5,500	-0,500	0,000	0,000	0,000	0,000	0,000	0,000	0,000	0,000	0,000
Plate_1_1	13320	1	0,000	0,000	0,320	-0,034	0,322	0,147	-0,489	0,162	0,000	0,000	0,000
Element 2-3 (Plate)	13319	2	0,000	-0,240	0,373	-1,763	0,419	5,499	-0,003	5,944	0,692	0,000	0,748
(Pali 400/0,4m)	13318	3	0,000	-0,480	0,293	-3,910	0,377	10,022	-0,004	10,869	2,576	0,000	2,787
28	13317	4	0,000	-0,720	0,238	-6,002	0,357	13,629	-0,022	14,861	5,432	0,000	5,893
28	13527	5	0,000	-0,960	0,363	-7,884	0,517	16,234	-0,019	17,848	9,037	-0,004	9,840
Plate_2_2	15361	1	-5,500	-0,500	0,000	0,000	0,000	0,000	0,000	0,000	0,000	0,000	0,000
Element 3-4 (Plate)	15364	2	-5,500	-0,525	0,000	0,000	0,000	0,000	0,000	0,000	0,000	0,000	0,000
(Parete c.a.C32/40 sp.0.50m)	15363	3	-5,500	-0,550	0,000	0,000	0,000	0,000	0,000	0,000	0,000	0,000	0,000
28	15362	4	-5,500	-0,575	0,000	0,000	0,000	0,000	0,000	0,000	0,000	0,000	0,000
28	15405	5	-5,500	-0,600	0,000	0,000	0,000	0,000	0,000	0,000	0,000	0,000	0,000
Plate_2_3	15405	1	-5,500	-0,600	-1,111	-1,111	0,000	-6,792	-6,792	0,000	0,000	0,000	0,000
Element 4-5 (Plate)	15408	2	-5,500	-0,644	-1,111	-1,111	0,000	-6,792	-6,792	0,000	-0,298	-0,298	0,000
(Parete c.a.C32/40 sp.0.50m)	15407	3	-5,500	-0,688	-1,111	-1,111	0,000	-6,792	-6,792	0,000	-0,596	-0,596	0,000
28	15406	4	-5,500	-0,732	-1,111	-1,111	0,000	-6,792	-6,792	0,000	-0,894	-0,894	0,000
28	15419	5	-5,500	-0,775	-1,111	-1,111	0,000	-6,792	-6,792	0,000	-1,192	-1,192	0,000
Plate_2_3	15419	1	-5,500	-0,775	-1,111	-1,111	0,000	-6,792	-6,792	0,000	-1,192	-1,192	0,000
Element 4-6 (Plate)	15422	2	-5,500	-0,834	-1,111	-1,111	0,000	-6,792	-6,792	0,000	-1,592	-1,592	0,000
(Parete c.a.C32/40 sp.0.50m)	15421	3	-5,500	-0,893	-1,111	-1,111	0,000	-6,792	-6,792	0,000	-1,992	-1,992	0,000
28	15420	4	-5,500	-0,952	-1,111	-1,111	0,000	-6,792	-6,792	0,000	-2,392	-2,392	0,000
28	15479	5	-5,500	-1,011	-1,111	-1,111	0,000	-6,792	-6,792	0,000	-2,792	-2,792	0,000
Plate_1_2	13527	1	0,000	-0,960	0,340	-7,408	0,485	15,701	-0,022	17,221	9,037	-0,004	9,840
Element 5-7 (Plate)	13530	2	0,000	-1,095	0,270	-7,275	0,413	15,486	-0,011	16,968	11,140	-0,006	12,145
(Pali 400/0,4m)	13529	3	0,000	-1,230	0,308	-7,352	0,471	15,603	-0,220	17,112	13,230	-0,007	14,435
28	13528	4	0,000	-1,365	0,536	-7,801	1,216	16,307	-1,155	17,938	15,378	-0,007	16,795
28	14231	5	0,000	-1,500	1,036	-8,786	2,071	17,855	-2,194	19,734	17,670	-0,006	19,322
Plate_2_4	15479	1	-5,500	-1,011	-1,104	-1,104	0,000	-6,809	-6,809	0,000	-2,792	-2,792	0,000
Element 6-8 (Plate)	15482	2	-5,500	-1,096	-1,148	-1,148	0,000	-6,700	-6,700	0,000	-3,365	-3,365	0,000
(Parete c.a.C32/40 sp.0.50m)	15481	3	-5,500	-1,180	-1,232	-1,232	0,000	-6,486	-6,486	0,000	-3,923	-3,923	0,000
28	15480	4	-5,500	-1,265	-1,350	-1,350	0,000	-6,186	-6,186	0,000	-4,460	-4,460	0,000
28	16393	5	-5,500	-1,350	-1,494	-1,494	0,000	-5,816	-5,816	0,000	-4,968	-4,968	0,000
Plate_2_4	16393	1	-5,500	-1,350	-1,489	-1,489	0,000	-5,830	-5,830	0,000	-4,968	-4,968	0,000
Element 6-9 (Plate)	16396	2	-5,500	-1,519	-1,793	-1,793	0,000	-5,053	-5,053	0,000	-5,892	-5,892	0,000
(Parete c.a.C32/40 sp.0.50m)	16395	3	-5,500	-1,689	-2,108	-2,108	0,000	-4,246	-4,246	0,000	-6,682	-6,682	0,000
28	16394	4	-5,500	-1,859	-2,433	-2,433	0,000	-3,414	-3,414	0,000	-7,333	-7,333	0,000
28	16427	5	-5,500	-2,029	-2,766	-2,766	0,000	-2,561	-2,561	0,000	-7,841	-7,841	0,000
Plate_1_3	14231	1	0,000	-1,500	-8,440	-18,232	2,060	-35,839	-40,170	4,828	17,670	-0,006	19,322

Structural element	Node [10^3]	Local number	X [m]	Y [m]	N [kN/m]	N,max [kN/m]	N,min [kN/m]	Q [kN/m]	Q,max [kN/m]	Q,min [kN/m]	M [kN m/m]	M,max [kN m/m]	M,min [kN m/m]
Element 7-10 (Plate)	14232	2	0,000	-1,580	-8,380	-18,800	2,562	-34,929	-39,189	4,831	14,849	-0,033	16,268
(Pali 400/0,4m)	14233	3	0,000	-1,660	-8,283	-19,321	3,064	-34,099	-38,289	4,845	12,096	-0,131	13,290
"	14234	4	0,000	-1,739	-8,120	-19,768	3,568	-33,398	-37,517	4,882	9,405	-0,301	10,378
"	15007	5	0,000	-1,819	-7,863	-20,111	4,072	-32,875	-36,925	4,956	6,764	-0,492	7,522
Plate_1_4	15007	1	0,000	-1,819	-7,914	-20,162	4,071	-32,789	-36,837	5,014	6,764	-0,492	7,522
Element 8-11 (Plate)	15010	2	0,000	-1,871	-7,773	-20,412	4,403	-32,399	-36,405	5,129	5,055	-1,569	6,472
(Pali 400/0,4m)	15009	3	0,000	-1,924	-7,659	-20,679	4,732	-31,992	-35,944	5,292	3,366	-2,809	6,745
"	15008	4	0,000	-1,976	-7,575	-20,965	5,056	-31,565	-35,450	5,506	1,699	-4,424	7,028
"	15973	5	0,000	-2,029	-7,523	-21,272	5,376	-31,112	-34,919	5,773	0,056	-6,234	7,323
Plate_2_5	16427	1	-5,500	-2,029	-2,761	-2,761	0,002	-2,573	-2,573	0,006	-7,841	-7,841	0,000
Element 9-12 (Plate)	16430	2	-5,500	-2,147	-3,013	-3,013	0,001	-1,926	-1,926	0,071	-8,106	-8,106	0,004
(Parete c.a.C32/40 sp.0.50m)	16429	3	-5,500	-2,264	-3,265	-3,265	0,000	-1,280	-1,280	0,174	-8,295	-8,295	0,018
"	16428	4	-5,500	-2,382	-3,521	-3,521	0,000	-0,626	-0,626	0,317	-8,407	-8,407	0,046
"	17049	5	-5,500	-2,500	-3,784	-3,784	0,000	0,048	0,000	0,511	-8,441	-8,441	0,095
Plate_1_5	15973	1	0,000	-2,029	-7,518	-21,268	5,376	-31,119	-34,926	5,753	0,056	-6,234	7,323
Element 10-13 (Plate)	15974	2	0,000	-2,103	-7,482	-21,745	5,825	-30,392	-34,102	6,218	-2,239	-8,810	7,770
(Pali 400/0,4m)	15975	3	0,000	-2,178	-7,488	-22,240	6,266	-29,664	-33,247	6,681	-4,481	-11,324	8,251
"	15976	4	0,000	-2,253	-7,530	-22,750	6,700	-28,934	-32,367	7,132	-6,668	-13,774	8,767
"	16291	5	0,000	-2,327	-7,600	-23,271	7,127	-28,200	-31,466	7,561	-8,800	-16,156	9,315
Plate_1_5	16291	1	0,000	-2,327	-7,606	-23,272	7,128	-28,208	-31,464	7,599	-8,800	-16,156	9,315
Element 10-14 (Plate)	16294	2	0,000	-2,471	-7,780	-24,263	7,927	-26,869	-29,753	8,438	-12,743	-20,542	10,462
(Pali 400/0,4m)	16293	3	0,000	-2,614	-8,097	-25,276	8,702	-25,663	-28,002	9,478	-16,508	-24,681	11,742
"	16292	4	0,000	-2,757	-8,499	-26,310	9,454	-24,497	-26,350	10,733	-20,102	-28,568	13,186
"	16325	5	0,000	-2,901	-8,925	-27,362	10,436	-23,277	-24,676	12,223	-23,526	-32,194	14,824
Plate_2_6	17049	1	-5,500	-2,500	-3,774	-3,774	0,000	0,022	0,000	0,448	-8,441	-8,441	0,095
Element 11-15 (Plate)	17052	2	-5,500	-2,666	-4,235	-4,235	0,000	1,204	0,000	1,204	-8,339	-8,339	0,219
(Parete c.a.C32/40 sp.0.50m)	17051	3	-5,500	-2,832	-4,695	-4,695	0,000	2,379	0,000	2,379	-8,041	-8,041	0,439
"	17050	4	-5,500	-2,999	-5,154	-5,154	0,000	3,554	0,000	3,554	-7,548	-7,548	0,748
"	17279	5	-5,500	-3,165	-5,617	-5,617	0,000	4,736	0,000	4,736	-6,860	-6,860	1,142
Plate_2_6	17279	1	-5,500	-3,165	-5,612	-5,612	0,000	4,722	0,000	4,722	-6,860	-6,860	1,142
Element 11-16 (Plate)	17282	2	-5,500	-3,375	-6,170	-6,170	0,000	6,158	0,000	6,158	-5,721	-5,721	1,775
(Parete c.a.C32/40 sp.0.50m)	17281	3	-5,500	-3,585	-6,824	-6,824	0,000	7,829	0,000	7,829	-4,257	-4,257	2,617
"	17280	4	-5,500	-3,795	-7,579	-7,579	0,000	9,755	0,000	9,755	-2,415	-2,415	3,727
"	17305	5	-5,500	-4,005	-8,444	-8,444	0,000	11,953	0,000	11,953	-0,142	-0,142	5,161
Plate_1_6	16325	1	0,000	-2,901	-8,799	-27,311	10,394	-23,249	-24,771	12,366	-23,526	-32,194	14,824
Element 12-17 (Plate)	16328	2	0,000	-3,177	-10,036	-29,638	12,522	-20,488	-21,755	10,487	-29,524	-38,379	17,989
(Pali 400/0,4m)	16327	3	0,000	-3,453	-11,653	-32,005	14,537	-18,191	-19,317	8,437	-34,897	-43,498	20,569
"	16326	4	0,000	-3,729	-13,914	-34,874	16,461	-15,230	-15,902	6,881	-39,508	-47,341	22,671
"	17175	5	0,000	-4,005	-17,086	-38,705	18,315	-10,481	-10,481	8,272	-43,123	-49,634	24,465
Plate_2_7	17305	1	-5,500	-4,005	-8,443	-8,443	0,000	11,951	0,000	11,951	-0,142	-0,142	5,161
Element 13-18 (Plate)	17308	2	-5,500	-4,154	-9,119	-9,119	0,000	13,672	0,000	13,672	1,763	0,000	6,399
(Parete c.a.C32/40 sp.0.50m)	17307	3	-5,500	-4,302	-9,840	-9,840	0,000	15,508	0,000	15,508	3,934	0,000	7,839
"	17306	4	-5,500	-4,451	-10,607	-10,607	0,000	17,462	0,000	17,462	6,386	0,000	9,492
"	18049	5	-5,500	-4,600	-11,420	-11,420	0,000	19,538	0,000	19,538	9,137	0,000	11,369
Plate_1_7	17175	1	0,000	-4,005	-16,926	-38,540	18,262	-10,788	-10,812	7,866	-43,123	-49,634	24,465
Element 14-19 (Plate)	17178	2	0,000	-4,232	-20,798	-42,565	19,768	-6,054	-6,054	14,416	-45,024	-49,995	26,335
(Pali 400/0,4m)	17177	3	0,000	-4,459	-24,707	-46,401	21,351	-2,062	-2,062	20,631	-45,924	-48,799	28,512
"	17176	4	0,000	-4,686	-28,532	-49,919	23,128	0,948	-0,521	26,958	-46,035	-47,802	30,314
"	17993	5	0,000	-4,912	-32,150	-52,986	24,884	2,739	-0,888	32,428	-45,589	-46,801	31,089
Plate_1_7	17993	1	0,000	-4,912	-31,882	-52,770	24,839	2,451	-0,715	32,257	-45,589	-46,801	31,089
Element 14-20 (Plate)	17996	2	0,000	-5,014	-33,202	-53,778	25,543	2,493	-1,235	33,262	-45,336	-46,240	31,169
(Pali 400/0,4m)	17995	3	0,000	-5,115	-34,494	-54,749	26,220	2,452	-1,618	34,715	-45,086	-45,643	31,152
"	17994	4	0,000	-5,217	-35,821	-55,754	27,042	2,468	-1,873	36,710	-44,836	-45,005	31,063

Structural element	Node [10 ^]	Local number	X [m]	Y [m]	N [kN/m]	N ,,, [kN/m]	N ,,, [kN/m]	Q [kN/m]	Q ,,, [kN/m]	Q ,,, [kN/m]	M [kN m/m]	M ,,, [kN m/m]	M ,,, [kN m/m]
28	18028	5	0,000	-5,318	-37,246	-56,866	27,834	2,683	-2,022	39,333	-44,578	-44,578	30,925
Plate_1_7	18028	1	0,000	-5,318	-37,376	-56,977	27,835	2,840	-2,027	39,204	-44,578	-44,578	30,925
Element 14-21 (Plate)	18027	2	0,000	-5,364	-38,076	-57,559	28,178	3,123	-2,074	40,351	-44,443	-44,443	30,849
(Pali 400/0,4m)	18026	3	0,000	-5,409	-38,826	-58,192	28,514	3,494	-2,102	41,543	-44,293	-44,293	30,767
28	18025	4	0,000	-5,455	-39,632	-58,877	28,844	3,952	-2,146	42,781	-44,124	-44,124	30,681
28	18083	5	0,000	-5,500	-40,499	-59,617	29,166	4,495	-2,216	44,065	-43,933	-43,933	30,590
Plate_2_8	18049	1	-5,500	-4,600	-20,811	-20,811	0,000	-38,213	-38,213	0,000	9,137	0,000	11,369
Element 15-22 (Plate)	18052	2	-5,500	-4,837	-22,225	-22,225	0,000	-34,608	-34,608	0,000	0,491	-0,041	3,651
(Parete c.a.C32/40 sp.0.50m)	18051	3	-5,500	-5,075	-23,602	-23,602	0,000	-31,098	-31,098	0,000	-7,306	-7,306	0,000
28	18050	4	-5,500	-5,312	-24,892	-24,892	0,000	-27,814	-27,814	0,000	-14,301	-14,301	0,000
28	18123	5	-5,500	-5,550	-26,043	-26,043	0,000	-24,885	-24,885	0,000	-20,547	-20,547	0,000
Plate_2_8	18123	1	-5,500	-5,550	-26,242	-26,242	0,000	-24,382	-24,382	0,000	-20,547	-20,547	0,000
Element 15-23 (Plate)	18126	2	-5,500	-5,664	-26,864	-26,864	0,000	-22,790	-22,790	0,000	-23,243	-23,243	0,000
(Parete c.a.C32/40 sp.0.50m)	18125	3	-5,500	-5,779	-27,550	-27,550	0,000	-21,038	-21,038	0,000	-25,751	-25,751	0,000
28	18124	4	-5,500	-5,893	-28,351	-28,351	0,000	-18,992	-18,992	0,000	-28,041	-28,041	0,000
28	18147	5	-5,500	-6,007	-29,320	-29,320	0,000	-16,516	-16,516	0,000	-30,075	-30,075	0,000
Plate_1_8	18083	1	0,000	-5,500	-37,367	-66,296	29,166	25,876	-7,141	43,962	-43,933	-43,933	30,590
Element 16-24 (Plate)	18084	2	0,000	-5,504	-37,443	-66,362	29,194	25,926	-7,030	44,074	-43,831	-43,831	30,582
(Pali 400/0,4m)	18085	3	0,000	-5,508	-37,520	-66,429	29,222	25,978	-6,918	44,187	-43,728	-43,728	30,574
28	18086	4	0,000	-5,512	-37,597	-66,495	29,249	26,030	-6,807	44,300	-43,625	-43,625	30,566
28	18785	5	0,000	-5,516	-37,675	-66,562	29,277	26,083	-6,695	44,412	-43,522	-43,522	30,558
Plate_1_9	18785	1	0,000	-5,516	-37,625	-66,495	29,277	25,934	-6,812	44,387	-43,522	-43,522	30,558
Element 17-25 (Plate)	18788	2	0,000	-5,639	-40,157	-68,745	30,109	27,964	-3,024	47,941	-40,212	-40,212	30,680
(Pali 400/0,4m)	18787	3	0,000	-5,761	-42,648	-70,908	30,891	29,796	-2,473	51,439	-36,661	-36,778	33,533
28	18786	4	0,000	-5,884	-45,044	-72,933	31,623	31,354	-2,550	55,079	-32,902	-33,514	37,604
28	19633	5	0,000	-6,007	-47,289	-74,769	32,305	32,566	-2,580	59,076	-28,973	-30,024	42,608
Plate_2_9	18147	1	-5,500	-6,007	-29,223	-29,223	0,006	-16,762	-16,762	0,011	-30,075	-30,075	0,000
Element 18-26 (Plate)	18150	2	-5,500	-6,085	-29,910	-29,910	0,000	-15,009	-15,009	0,033	-31,316	-31,316	0,001
(Parete c.a.C32/40 sp.0.50m)	18149	3	-5,500	-6,163	-30,559	-30,559	0,000	-13,354	-13,354	0,074	-32,424	-32,424	0,005
28	18148	4	-5,500	-6,242	-31,178	-31,178	0,000	-11,773	-11,773	0,129	-33,406	-33,406	0,013
28	18851	5	-5,500	-6,320	-31,777	-31,777	0,000	-10,240	-10,240	0,222	-34,266	-34,266	0,025
Plate_2_9	18851	1	-5,500	-6,320	-31,789	-31,789	0,000	-10,211	-10,211	0,211	-34,266	-34,266	0,025
Element 18-27 (Plate)	18854	2	-5,500	-6,365	-32,150	-32,150	0,000	-9,287	-9,287	0,266	-34,705	-34,705	0,035
(Parete c.a.C32/40 sp.0.50m)	18853	3	-5,500	-6,410	-32,524	-32,524	0,000	-8,332	-8,332	0,340	-35,102	-35,102	0,049
28	18852	4	-5,500	-6,455	-32,910	-32,910	0,000	-7,344	-7,358	0,419	-35,456	-35,456	0,066
28	18891	5	-5,500	-6,500	-33,309	-33,309	0,000	-6,323	-6,404	0,501	-35,764	-35,764	0,087
Plate_1_10	19633	1	0,000	-6,007	-47,344	-74,833	32,305	32,695	-2,589	58,853	-28,973	-30,024	42,608
Element 19-28 (Plate)	19636	2	0,000	-6,130	-49,222	-76,224	32,939	33,052	-2,560	55,888	-24,927	-26,367	48,231
(Pali 400/0,4m)	19635	3	0,000	-6,254	-51,336	-77,838	33,521	33,826	-2,525	51,891	-20,811	-24,868	53,868
28	19634	4	0,000	-6,377	-53,719	-79,701	34,051	35,059	-2,496	46,928	-16,570	-23,084	59,633
28	20396	5	0,000	-6,500	-56,404	-81,842	34,528	36,793	-2,473	41,074	-12,150	-20,874	65,017
Plate_2_10	18891	1	-5,500	-6,500	-33,308	-33,308	0,000	-6,327	-6,415	0,498	-35,764	-35,764	0,087
Element 20-29 (Plate)	18894	2	-5,500	-6,549	-33,776	-33,776	0,000	-5,131	-5,328	0,627	-36,044	-36,044	0,114
(Parete c.a.C32/40 sp.0.50m)	18893	3	-5,500	-6,598	-34,262	-34,262	0,000	-3,886	-4,225	0,758	-36,265	-36,265	0,148
28	18892	4	-5,500	-6,647	-34,765	-34,765	0,000	-2,601	-3,117	0,884	-36,425	-36,425	0,188
28	18915	5	-5,500	-6,696	-35,279	-35,279	0,000	-1,286	-2,010	0,999	-36,520	-36,520	0,234
Plate_1_11	20396	1	0,000	-6,500	-56,477	-81,916	34,528	36,931	-2,522	41,843	-12,150	-20,874	65,017
Element 21-30 (Plate)	20399	2	0,000	-6,620	-59,572	-84,472	35,001	39,430	-2,494	39,430	-7,567	-18,213	69,644
(Pali 400/0,4m)	20398	3	0,000	-6,740	-62,795	-87,197	35,438	42,370	-2,615	42,370	-2,656	-15,000	73,664
28	20397	4	0,000	-6,861	-66,153	-90,098	35,816	45,766	-2,955	45,766	2,637	-11,202	77,174
28	20730	5	0,000	-6,981	-69,655	-93,179	36,136	49,634	-3,585	49,634	8,362	-6,817	80,234
Plate_2_11	18915	1	-5,500	-6,696	-35,286	-35,286	0,000	-1,268	-1,979	1,004	-36,520	-36,520	0,234
Element 22-31 (Plate)	18918	2	-5,500	-6,750	-35,783	-35,783	0,000	0,003	-0,909	1,096	-36,553	-36,553	0,290

Structural element	Node [10^3]	Local number	X [m]	Y [m]	N [kN/m]	N,max [kN/m]	N,min [kN/m]	Q [kN/m]	Q,max [kN/m]	Q,min [kN/m]	M [kN m/m]	M,max [kN m/m]	M,min [kN m/m]
(Parete c.a.C32/40 sp.0.50m)	18917	3	-5,500	-6,804	-36,261	-36,261	0,000	1,224	0,000	1,253	-36,521	-36,521	0,353
〃	18916	4	-5,500	-6,857	-36,741	-36,741	0,000	2,451	0,000	2,451	-36,421	-36,421	0,426
〃	19683	5	-5,500	-6,911	-37,246	-37,246	0,000	3,741	0,000	3,741	-36,255	-36,255	0,512
Plate_2_11	19683	1	-5,500	-6,911	-37,252	-37,252	0,000	3,755	0,000	3,755	-36,255	-36,255	0,512
Element 22-32 (Plate)	19686	2	-5,500	-6,963	-37,803	-37,803	0,000	5,162	0,000	5,162	-36,027	-36,027	0,608
(Parete c.a.C32/40 sp.0.50m)	19685	3	-5,500	-7,014	-38,380	-38,380	0,000	6,639	0,000	6,639	-35,724	-35,724	0,718
〃	19684	4	-5,500	-7,065	-38,987	-38,987	0,000	8,191	0,000	8,191	-35,344	-35,344	0,843
〃	19717	5	-5,500	-7,117	-39,626	-39,626	0,000	9,824	0,000	9,824	-34,882	-34,882	0,984
Plate_2_11	19717	1	-5,500	-7,117	-39,618	-39,618	0,000	9,803	0,000	9,803	-34,882	-34,882	0,984
Element 22-33 (Plate)	19718	2	-5,500	-7,166	-40,236	-40,236	0,000	11,383	0,000	11,383	-34,363	-34,363	1,133
(Parete c.a.C32/40 sp.0.50m)	19719	3	-5,500	-7,215	-40,848	-40,848	0,000	12,946	0,000	12,946	-33,767	-33,767	1,295
〃	19720	4	-5,500	-7,264	-41,453	-41,453	0,000	14,493	0,000	14,493	-33,094	-33,094	1,468
〃	20458	5	-5,500	-7,313	-42,052	-42,052	0,000	16,025	0,000	16,025	-32,347	-32,347	1,650
Plate_2_12	20458	1	-5,500	-7,313	-42,047	-42,047	0,000	16,010	0,000	16,010	-32,347	-32,347	1,650
Element 23-34 (Plate)	20461	2	-5,500	-7,388	-43,064	-43,064	0,000	18,609	0,000	18,609	-31,037	-31,037	1,953
(Parete c.a.C32/40 sp.0.50m)	20460	3	-5,500	-7,464	-44,108	-44,108	0,000	21,279	0,000	21,279	-29,527	-29,527	2,292
〃	20459	4	-5,500	-7,540	-45,163	-45,163	0,000	23,975	0,000	23,975	-27,814	-27,814	2,671
〃	20494	5	-5,500	-7,615	-46,210	-46,210	0,000	26,653	0,000	26,653	-25,897	-25,897	3,095
Plate_2_13	20494	1	-5,500	-7,615	-46,189	-46,189	0,000	26,598	0,000	26,598	-25,897	-25,897	3,095
Element 24-35 (Plate)	20495	2	-5,500	-7,630	-46,374	-46,374	0,000	27,071	0,000	27,071	-25,505	-25,505	3,181
(Parete c.a.C32/40 sp.0.50m)	20496	3	-5,500	-7,645	-46,557	-46,557	0,000	27,539	0,000	27,539	-25,106	-25,106	3,268
〃	20497	4	-5,500	-7,659	-46,739	-46,739	0,000	28,004	0,000	28,004	-24,700	-24,700	3,356
〃	21176	5	-5,500	-7,674	-46,920	-46,920	0,000	28,467	0,000	28,467	-24,288	-24,288	3,446
Plate_1_12	20730	1	0,000	-6,981	-69,397	-92,960	36,133	49,386	-3,850	49,386	8,362	-6,817	80,234
Element 25-36 (Plate)	20733	2	0,000	-7,128	-72,975	-95,892	36,460	52,570	-6,190	52,570	15,891	-1,916	82,511
(Pali 400/0,4m)	20732	3	0,000	-7,276	-76,076	-98,422	36,729	55,090	-10,502	55,090	23,851	-1,393	82,957
〃	20731	4	0,000	-7,423	-78,626	-100,459	37,002	56,755	-15,568	56,755	32,116	-0,965	81,833
〃	21130	5	0,000	-7,571	-80,549	-101,912	37,200	57,374	-20,577	57,501	40,553	-0,617	79,412
Plate_1_12	21130	1	0,000	-7,571	-80,173	-101,552	37,195	56,815	-21,022	56,943	40,553	-0,617	79,412
Element 25-37 (Plate)	21133	2	0,000	-7,803	-82,766	-103,203	37,342	56,226	-26,904	56,858	53,676	-0,167	73,864
(Pali 400/0,4m)	21132	3	0,000	-8,036	-86,392	-105,672	37,276	56,464	-30,315	61,137	66,719	-0,011	67,182
〃	21131	4	0,000	-8,268	-90,337	-108,854	36,994	58,399	-31,211	66,651	80,039	-0,009	80,039
〃	21634	5	0,000	-8,500	-93,886	-112,646	36,581	62,903	-29,837	73,219	94,053	-0,007	94,053
Plate_2_14	21176	1	-5,500	-7,674	-46,876	-46,876	0,000	28,353	0,000	28,353	-24,288	-24,288	3,446
Element 26-38 (Plate)	21177	2	-5,500	-7,755	-47,990	-47,990	0,000	31,198	0,000	31,198	-21,860	-21,860	3,968
(Parete c.a.C32/40 sp.0.50m)	21178	3	-5,500	-7,837	-49,001	-49,001	0,000	33,782	0,000	33,782	-19,205	-19,205	4,528
〃	21179	4	-5,500	-7,918	-49,829	-49,829	0,000	35,897	0,000	35,897	-16,362	-16,362	5,127
〃	21766	5	-5,500	-8,000	-50,392	-50,392	0,000	37,339	0,000	37,339	-13,370	-13,370	5,761
Plate_3_1	21766	1	-5,500	-8,000	-59,204	-59,204	0,085	33,373	0,000	33,373	-13,370	-13,370	5,761
Element 27-39 (Plate)	21767	2	-5,500	-8,058	-59,537	-59,537	0,085	33,947	0,000	33,947	-11,430	-11,430	6,154
(Micropali D168.3x10.0/0,27m)	21768	3	-5,500	-8,115	-59,972	-59,972	0,085	34,699	0,000	34,699	-9,451	-9,451	6,575
〃	21769	4	-5,500	-8,173	-60,547	-60,547	0,085	35,696	0,000	35,696	-7,421	-7,421	7,024
〃	22356	5	-5,500	-8,231	-61,301	-61,301	0,085	37,006	0,000	37,006	-5,327	-5,327	7,502
Plate_3_1	22356	1	-5,500	-8,231	-61,258	-61,258	0,085	36,931	0,000	36,931	-5,327	-5,327	7,502
Element 27-40 (Plate)	22357	2	-5,500	-8,288	-62,088	-62,088	0,085	38,369	0,000	38,369	-3,157	-3,157	8,018
(Micropali D168.3x10.0/0,27m)	22358	3	-5,500	-8,346	-63,030	-63,030	0,085	40,004	0,000	40,004	-0,896	-0,896	8,585
〃	22359	4	-5,500	-8,404	-64,037	-64,037	0,085	41,751	0,000	41,751	1,461	0,000	9,196
〃	22779	5	-5,500	-8,461	-65,060	-65,060	0,085	43,526	0,000	43,526	3,921	0,000	9,843
Plate_3_2	22779	1	-5,500	-8,461	-65,001	-65,001	0,085	43,423	0,000	43,423	3,921	0,000	9,843
Element 28-41 (Plate)	22780	2	-5,500	-8,471	-65,131	-65,131	0,085	43,649	0,000	43,649	4,340	0,000	9,954
(Micropali D168.3x10.0/0,27m)	22781	3	-5,500	-8,481	-65,252	-65,252	0,085	43,859	0,000	43,859	4,762	0,000	10,065
〃	22782	4	-5,500	-8,490	-65,359	-65,359	0,085	44,046	0,000	44,046	5,186	0,000	10,177
〃	23191	5	-5,500	-8,500	-65,448	-65,448	0,085	44,199	0,000	44,199	5,611	0,000	10,289

Structural element	Node [10 ˆ]	Local number	X [m]	Y [m]	N [kN/m]	N ⊥⊥ [kN/m]	N ⊥⊥ [kN/m]	Q [kN/m]	Q ⊥⊥ [kN/m]	Q ⊥⊥ [kN/m]	M [kN m/m]	M ⊥⊥ [kN m/m]	M ⊥⊥ [kN m/m]
Plate_3_3	23191	1	-5,500	-8,500	-65,347	-65,347	0,085	43,947	0,000	43,947	5,611	0,000	10,289
Element 29-42 (Plate)	23194	2	-5,500	-8,550	-64,779	-64,779	0,092	39,891	0,000	39,891	7,688	0,000	10,795
(Micropali D168.3x10.0/0,27m)	23193	3	-5,500	-8,599	-64,168	-64,168	0,097	35,409	0,000	35,409	9,553	0,000	11,214
28	23192	4	-5,500	-8,649	-63,533	-63,533	0,102	30,657	0,000	30,657	11,190	0,000	11,531
28	23453	5	-5,500	-8,698	-62,898	-62,898	0,107	25,791	0,000	25,791	12,587	0,000	12,587
Plate_3_3	23453	1	-5,500	-8,698	-62,953	-62,953	0,107	25,526	-0,105	25,526	12,587	0,000	12,587
Element 29-43 (Plate)	23456	2	-5,500	-8,891	-60,161	-60,161	0,126	10,023	-3,944	10,023	15,933	0,000	15,933
(Micropali D168.3x10.0/0,27m)	23455	3	-5,500	-9,084	-57,561	-57,561	0,144	-0,509	-6,665	0,053	16,784	0,000	16,784
28	23454	4	-5,500	-9,278	-55,411	-55,411	0,162	-6,513	-7,738	0,042	16,028	0,000	16,028
28	23981	5	-5,500	-9,471	-53,969	-53,969	0,179	-8,428	-8,428	0,030	14,526	0,000	14,526
Plate_1_13	21634	1	0,000	-8,500	-93,696	-112,680	36,563	68,509	-30,533	75,933	94,053	-0,007	94,053
Element 30-44 (Plate)	21637	2	0,000	-8,893	-78,859	-89,125	35,385	18,272	-26,349	23,732	110,655	-0,004	110,655
(Pali 400/0,4m)	21636	3	0,000	-9,285	-68,131	-71,193	33,568	-18,288	-25,992	0,746	110,180	-0,002	110,180
28	21635	4	0,000	-9,678	-60,168	-60,168	31,304	-40,799	-40,799	0,551	98,127	0,000	98,127
28	22102	5	0,000	-10,071	-53,622	-53,622	28,219	-48,889	-48,889	0,182	80,038	0,000	80,038
Plate_3_4	23981	1	-5,500	-9,471	-53,665	-53,665	0,179	-9,602	-9,602	0,032	14,526	0,000	14,526
Element 31-45 (Plate)	23984	2	-5,500	-9,779	-54,040	-54,040	0,205	-8,949	-8,949	0,013	11,623	0,000	11,623
(Micropali D168.3x10.0/0,27m)	23983	3	-5,500	-10,087	-55,101	-55,101	0,231	-7,109	-7,109	0,003	9,145	0,000	9,145
28	23982	4	-5,500	-10,395	-56,504	-56,504	0,256	-4,674	-4,674	0,003	7,303	0,000	7,303
28	24131	5	-5,500	-10,703	-57,906	-57,906	0,279	-2,241	-2,241	0,015	6,254	0,000	6,254
Plate_1_14	22102	1	0,000	-10,071	-52,276	-52,276	28,187	-50,996	-50,996	0,002	80,038	0,000	80,038
Element 32-46 (Plate)	22105	2	0,000	-10,297	-45,440	-45,440	25,916	-55,618	-55,618	0,001	67,901	0,000	67,901
(Pali 400/0,4m)	22104	3	0,000	-10,524	-38,973	-38,973	23,343	-57,209	-57,209	0,000	55,055	0,000	55,055
28	22103	4	0,000	-10,751	-32,916	-32,916	20,468	-55,803	-55,803	0,000	42,187	0,000	42,187
28	22534	5	0,000	-10,977	-27,313	-27,313	17,296	-51,432	-51,432	0,000	29,982	0,000	29,982
Plate_1_14	22534	1	0,000	-10,977	-26,827	-26,827	17,276	-51,471	-51,471	0,000	29,982	0,000	29,982
Element 32-47 (Plate)	22538	2	0,000	-11,233	-21,498	-21,498	13,341	-43,406	-43,406	0,000	17,774	0,000	17,774
(Pali 400/0,4m)	22537	3	0,000	-11,489	-15,389	-15,389	8,917	-31,665	-31,665	0,000	8,103	0,000	8,103
28	22536	4	0,000	-11,744	-8,142	-8,142	3,986	-16,401	-16,401	0,000	1,878	0,000	1,923
28	22535	5	0,000	-12,000	0,603	-1,472	0,603	2,235	-0,123	2,235	0,000	0,000	0,000
Plate_3_5	24131	1	-5,500	-10,703	-57,187	-57,187	0,279	-3,639	-3,639	0,020	6,254	0,000	6,254
Element 33-48 (Plate)	24134	2	-5,500	-10,961	-58,541	-58,541	0,298	-4,525	-4,525	0,026	5,184	0,000	5,184
(Micropali D168.3x10.0/0,27m)	24133	3	-5,500	-11,218	-60,293	-60,293	0,316	-4,673	-4,673	0,026	3,987	0,000	3,987
28	24132	4	-5,500	-11,476	-62,358	-62,358	0,334	-4,189	-4,189	0,022	2,830	0,000	2,830
28	24149	5	-5,500	-11,734	-64,653	-64,653	0,352	-3,179	-3,179	0,015	1,871	0,000	1,871
Plate_3_5	24149	1	-5,500	-11,734	-64,566	-64,566	0,352	-3,337	-3,337	0,016	1,871	0,000	1,871
Element 33-49 (Plate)	24152	2	-5,500	-12,008	-66,375	-66,375	0,370	-2,372	-2,372	0,009	1,094	0,000	1,094
(Micropali D168.3x10.0/0,27m)	24151	3	-5,500	-12,281	-67,472	-67,472	0,387	-1,562	-1,562	0,003	0,559	0,000	0,559
28	24150	4	-5,500	-12,555	-67,863	-67,863	0,403	-0,919	-0,919	0,000	0,223	-0,030	0,223
28	24480	5	-5,500	-12,829	-67,551	-67,551	0,416	-0,453	-0,453	0,029	0,040	-0,034	0,110
Plate_3_5	24480	1	-5,500	-12,829	-67,561	-67,561	0,416	-0,439	-0,439	0,040	0,040	-0,034	0,110
Element 33-50 (Plate)	24479	2	-5,500	-13,119	-66,505	-66,505	0,427	-0,152	-0,152	0,080	-0,043	-0,043	0,107
(Micropali D168.3x10.0/0,27m)	24478	3	-5,500	-13,410	-64,704	-64,704	0,434	0,027	-0,013	0,094	-0,059	-0,059	0,104
28	24477	4	-5,500	-13,701	-62,160	-62,160	0,435	0,110	-0,016	0,110	-0,037	-0,037	0,100
28	24685	5	-5,500	-13,991	-58,875	-58,875	0,431	0,109	-0,019	0,109	-0,003	-0,003	0,095
Plate_3_6	24685	1	-5,500	-13,991	-58,864	-58,864	0,430	0,124	-0,019	0,124	-0,003	-0,003	0,095
Element 34-51 (Plate)	24688	2	-5,500	-14,292	-54,685	-54,685	0,419	0,114	-0,024	0,114	0,033	0,000	0,089
(Micropali D168.3x10.0/0,27m)	24687	3	-5,500	-14,593	-49,670	-49,670	0,397	0,098	-0,031	0,098	0,065	0,000	0,086
28	24686	4	-5,500	-14,895	-43,815	-43,815	0,365	0,078	-0,039	0,078	0,091	0,000	0,105
28	25013	5	-5,500	-15,196	-37,120	-37,120	0,323	0,052	-0,049	0,052	0,111	0,000	0,119
Plate_3_6	25013	1	-5,500	-15,196	-37,062	-37,062	0,322	-0,042	-0,052	0,000	0,111	0,000	0,119
Element 34-52 (Plate)	25017	2	-5,500	-15,497	-29,483	-29,483	0,266	0,152	-0,065	0,152	0,138	0,000	0,139
(Micropali D168.3x10.0/0,27m)	25016	3	-5,500	-15,798	-20,825	-20,825	0,194	0,039	-0,063	0,039	0,170	0,000	0,170

Structural element	Node [10 ˚]	Local number	X [m]	Y [m]	N [kN/m]	N ⊥ [kN/m]	N ∥ [kN/m]	Q [kN/m]	Q ⊥ [kN/m]	Q ∥ [kN/m]	M [kN m/m]	M ⊥ [kN m/m]	M ∥ [kN m/m]
BS	25015	4	-5,500	-16,099	-11,057	-11,057	0,107	-0,270	-0,270	0,000	0,142	0,000	0,142
BS	25014	5	-5,500	-16,400	-0,145	-0,145	0,003	-0,668	-0,668	0,012	0,000	0,000	0,000

3.1.2.4.18 Calculation results, Plate, Riempimento 4 [Phase_25] (25/655), Table of plate force envelopes

Structural element	Node [10^0]	Local number	X [m]	Y [m]	N [kN/m]	N,-,- [kN/m]	N,-,- [kN/m]	Q [kN/m]	Q,-,- [kN/m]	Q,-,- [kN/m]	M [kN m/m]	M,-,- [kN m/m]	M,-,- [kN m/m]
Plate_2_1	15336	1	-5,500	0,000	0,001	-0,001	0,002	-0,003	-0,004	0,003	0,000	0,000	0,000
Element 1-1 (Plate)	15335	2	-5,500	-0,070	-0,006	-0,006	0,000	0,014	0,000	0,015	0,000	0,000	0,000
(Parete c.a.C32/40 sp.0.50m)	15334	3	-5,500	-0,141	-0,019	-0,019	0,000	0,048	0,000	0,048	0,002	0,000	0,002
28	15333	4	-5,500	-0,211	-0,037	-0,037	0,000	0,095	0,000	0,095	0,007	0,000	0,007
28	15350	5	-5,500	-0,281	-0,057	-0,057	0,000	0,148	0,000	0,148	0,016	0,000	0,016
Plate_2_1	15350	1	-5,500	-0,281	-0,060	-0,060	0,000	0,154	0,000	0,154	0,016	0,000	0,016
Element 1-2 (Plate)	15349	2	-5,500	-0,336	-0,084	-0,084	0,000	0,216	0,000	0,216	0,026	0,000	0,026
(Parete c.a.C32/40 sp.0.50m)	15348	3	-5,500	-0,391	-0,113	-0,113	0,000	0,290	0,000	0,290	0,040	0,000	0,040
28	15347	4	-5,500	-0,445	-0,146	-0,146	0,000	0,375	0,000	0,375	0,058	0,000	0,058
28	15361	5	-5,500	-0,500	-0,184	-0,184	0,000	0,471	0,000	0,471	0,081	0,000	0,081
Plate_1_1	13320	1	0,000	0,000	0,350	-0,034	0,350	0,253	-0,489	0,253	0,000	0,000	0,000
Element 2-3 (Plate)	13319	2	0,000	-0,240	0,462	-1,763	0,462	5,660	-0,003	5,944	0,724	0,000	0,748
(Pali 400/0,4m)	13318	3	0,000	-0,480	0,414	-3,910	0,423	10,110	-0,004	10,869	2,644	0,000	2,787
28	13317	4	0,000	-0,720	0,284	-6,002	0,357	13,402	-0,022	14,861	5,487	0,000	5,893
28	13527	5	0,000	-0,960	0,149	-7,884	0,517	15,334	-0,019	17,848	8,967	-0,004	9,840
Plate_2_2	15361	1	-5,500	-0,500	-0,184	-0,184	0,000	0,472	0,000	0,472	0,081	0,000	0,081
Element 3-4 (Plate)	15364	2	-5,500	-0,525	-0,204	-0,204	0,000	0,523	0,000	0,523	0,093	0,000	0,093
(Parete c.a.C32/40 sp.0.50m)	15363	3	-5,500	-0,550	-0,224	-0,224	0,000	0,576	0,000	0,576	0,107	0,000	0,107
28	15362	4	-5,500	-0,575	-0,247	-0,247	0,000	0,634	0,000	0,634	0,122	0,000	0,122
28	15405	5	-5,500	-0,600	-0,271	-0,271	0,000	0,695	0,000	0,695	0,139	0,000	0,139
Plate_2_3	15405	1	-5,500	-0,600	-3,908	-3,908	0,000	-21,533	-21,533	0,000	0,139	0,000	0,139
Element 4-5 (Plate)	15408	2	-5,500	-0,644	-3,954	-3,954	0,000	-21,413	-21,413	0,000	-0,803	-0,803	0,000
(Parete c.a.C32/40 sp.0.50m)	15407	3	-5,500	-0,688	-4,007	-4,007	0,000	-21,278	-21,278	0,000	-1,739	-1,739	0,000
28	15406	4	-5,500	-0,732	-4,066	-4,066	0,000	-21,127	-21,127	0,000	-2,669	-2,669	0,000
28	15419	5	-5,500	-0,775	-4,132	-4,132	0,000	-20,959	-20,959	0,000	-3,592	-3,592	0,000
Plate_2_3	15419	1	-5,500	-0,775	-4,131	-4,131	0,000	-20,960	-20,960	0,000	-3,592	-3,592	0,000
Element 4-6 (Plate)	15422	2	-5,500	-0,834	-4,229	-4,229	0,000	-20,710	-20,710	0,000	-4,819	-4,819	0,000
(Parete c.a.C32/40 sp.0.50m)	15421	3	-5,500	-0,893	-4,336	-4,336	0,000	-20,437	-20,437	0,000	-6,032	-6,032	0,000
28	15420	4	-5,500	-0,952	-4,451	-4,451	0,000	-20,142	-20,142	0,000	-7,227	-7,227	0,000
28	15479	5	-5,500	-1,011	-4,574	-4,574	0,000	-19,827	-19,827	0,000	-8,405	-8,405	0,000
Plate_1_2	13527	1	0,000	-0,960	0,077	-7,408	0,485	14,788	-0,022	17,221	8,967	-0,004	9,840
Element 5-7 (Plate)	13530	2	0,000	-1,095	-0,355	-7,275	0,413	13,962	-0,011	16,968	10,907	-0,006	12,145
(Pali 400/0,4m)	13529	3	0,000	-1,230	-0,722	-7,352	0,471	13,372	-0,220	17,112	12,743	-0,007	14,435
28	13528	4	0,000	-1,365	-0,908	-7,801	1,216	13,317	-1,155	17,938	14,541	-0,007	16,795
28	14231	5	0,000	-1,500	-0,795	-8,786	2,071	14,094	-2,194	19,734	16,377	-0,006	19,322
Plate_2_4	15479	1	-5,500	-1,011	-4,551	-4,551	0,000	-19,886	-19,886	0,000	-8,405	-8,405	0,000
Element 6-8 (Plate)	15482	2	-5,500	-1,096	-4,771	-4,771	0,000	-19,323	-19,323	0,000	-10,064	-10,064	0,000
(Parete c.a.C32/40 sp.0.50m)	15481	3	-5,500	-1,180	-5,041	-5,041	0,000	-18,630	-18,630	0,000	-11,671	-11,671	0,000
28	15480	4	-5,500	-1,265	-5,354	-5,354	0,000	-17,828	-17,828	0,000	-13,215	-13,215	0,000
28	16393	5	-5,500	-1,350	-5,703	-5,703	0,000	-16,934	-16,934	0,000	-14,686	-14,686	0,000
Plate_2_4	16393	1	-5,500	-1,350	-5,695	-5,695	0,000	-16,956	-16,956	0,000	-14,686	-14,686	0,000
Element 6-9 (Plate)	16396	2	-5,500	-1,519	-6,427	-6,427	0,000	-15,080	-15,080	0,000	-17,406	-17,406	0,000
(Parete c.a.C32/40 sp.0.50m)	16395	3	-5,500	-1,689	-7,183	-7,183	0,000	-13,146	-13,146	0,000	-19,804	-19,804	0,000
28	16394	4	-5,500	-1,859	-7,956	-7,956	0,000	-11,165	-11,165	0,000	-21,869	-21,869	0,000
28	16427	5	-5,500	-2,029	-8,745	-8,745	0,000	-9,145	-9,145	0,000	-23,593	-23,593	0,000
Plate_1_3	14231	1	0,000	-1,500	-7,842	-18,232	2,060	-24,620	-40,170	4,828	16,377	-0,006	19,322

Structural element	Node [10 ^]	Local number	X [m]	Y [m]	N [kN/m]	N,max [kN/m]	N,min [kN/m]	Q [kN/m]	Q,max [kN/m]	Q,min [kN/m]	M [kN m/m]	M,max [kN m/m]	M,min [kN m/m]
Element 7-10 (Plate)	14232	2	0,000	-1,580	-8,015	-18,800	2,562	-24,166	-39,189	4,831	14,432	-0,033	16,268
(Pali 400/0,4m)	14233	3	0,000	-1,660	-8,189	-19,321	3,064	-23,855	-38,289	4,845	12,518	-0,131	13,290
"	14234	4	0,000	-1,739	-8,335	-19,768	3,568	-23,733	-37,517	4,882	10,621	-0,301	10,621
"	15007	5	0,000	-1,819	-8,424	-20,111	4,072	-23,849	-36,925	4,956	8,726	-0,492	8,726
Plate_1_4	15007	1	0,000	-1,819	-8,462	-20,162	4,071	-23,740	-36,837	5,014	8,726	-0,492	8,726
Element 8-11 (Plate)	15010	2	0,000	-1,871	-8,545	-20,412	4,403	-23,763	-36,405	5,129	7,481	-1,569	7,481
(Pali 400/0,4m)	15009	3	0,000	-1,924	-8,662	-20,679	4,732	-23,778	-35,944	5,292	6,234	-2,809	6,745
"	15008	4	0,000	-1,976	-8,819	-20,965	5,056	-23,786	-35,450	5,506	4,986	-4,424	7,028
"	15973	5	0,000	-2,029	-9,019	-21,272	5,376	-23,789	-34,919	5,773	3,739	-6,234	7,323
Plate_2_5	16427	1	-5,500	-2,029	-8,739	-8,739	0,002	-9,161	-9,161	0,006	-23,593	-23,593	0,000
Element 9-12 (Plate)	16430	2	-5,500	-2,147	-9,307	-9,307	0,001	-7,706	-7,706	0,071	-24,587	-24,587	0,004
(Parete c.a.C32/40 sp.0.50m)	16429	3	-5,500	-2,264	-9,874	-9,874	0,000	-6,255	-6,255	0,174	-25,409	-25,409	0,018
"	16428	4	-5,500	-2,382	-10,444	-10,444	0,000	-4,797	-4,797	0,317	-26,060	-26,060	0,046
"	17049	5	-5,500	-2,500	-11,020	-11,020	0,000	-3,322	-3,322	0,511	-26,539	-26,539	0,095
Plate_1_5	15973	1	0,000	-2,029	-9,018	-21,268	5,376	-23,802	-34,926	5,753	3,739	-6,234	7,323
Element 10-13 (Plate)	15974	2	0,000	-2,103	-9,279	-21,745	5,825	-23,611	-34,102	6,218	1,970	-8,810	7,770
(Pali 400/0,4m)	15975	3	0,000	-2,178	-9,596	-22,240	6,266	-23,442	-33,247	6,681	0,214	-11,324	8,251
"	15976	4	0,000	-2,253	-9,963	-22,750	6,700	-23,291	-32,367	7,132	-1,531	-13,774	8,767
"	16291	5	0,000	-2,327	-10,371	-23,271	7,127	-23,157	-31,466	7,561	-3,264	-16,156	9,315
Plate_1_5	16291	1	0,000	-2,327	-10,393	-23,272	7,128	-23,194	-31,464	7,599	-3,264	-16,156	9,315
Element 10-14 (Plate)	16294	2	0,000	-2,471	-11,061	-24,263	7,927	-22,732	-29,753	8,438	-6,550	-20,542	10,462
(Pali 400/0,4m)	16293	3	0,000	-2,614	-11,913	-25,276	8,702	-22,469	-28,002	9,478	-9,789	-24,681	11,742
"	16292	4	0,000	-2,757	-12,869	-26,310	9,454	-22,278	-26,350	10,733	-12,994	-28,568	13,186
"	16325	5	0,000	-2,901	-13,851	-27,362	10,436	-22,032	-24,676	12,223	-16,171	-32,194	14,824
Plate_2_6	17049	1	-5,500	-2,500	-11,009	-11,009	0,000	-3,349	-3,349	0,448	-26,539	-26,539	0,095
Element 11-15 (Plate)	17052	2	-5,500	-2,666	-11,910	-11,910	0,000	-1,043	-1,043	1,204	-26,903	-26,903	0,219
(Parete c.a.C32/40 sp.0.50m)	17051	3	-5,500	-2,832	-12,805	-12,805	0,000	1,248	0,000	2,379	-26,886	-26,886	0,439
"	17050	4	-5,500	-2,999	-13,696	-13,696	0,000	3,529	0,000	3,554	-26,489	-26,489	0,748
"	17279	5	-5,500	-3,165	-14,586	-14,586	0,000	5,806	0,000	5,806	-25,714	-25,714	1,142
Plate_2_6	17279	1	-5,500	-3,165	-14,581	-14,581	0,000	5,793	0,000	5,793	-25,714	-25,714	1,142
Element 11-16 (Plate)	17282	2	-5,500	-3,375	-15,683	-15,683	0,000	8,614	0,000	8,614	-24,205	-24,205	1,775
(Parete c.a.C32/40 sp.0.50m)	17281	3	-5,500	-3,585	-16,875	-16,875	0,000	11,663	0,000	11,663	-22,080	-22,080	2,617
"	17280	4	-5,500	-3,795	-18,164	-18,164	0,000	14,962	0,000	14,962	-19,289	-19,289	3,727
"	17305	5	-5,500	-4,005	-19,560	-19,560	0,000	18,533	0,000	18,533	-15,778	-15,778	5,161
Plate_1_6	16325	1	0,000	-2,901	-13,730	-27,311	10,394	-22,020	-24,771	12,366	-16,171	-32,194	14,824
Element 12-17 (Plate)	16328	2	0,000	-3,177	-15,924	-29,638	12,522	-20,951	-21,755	10,487	-22,061	-38,379	17,989
(Pali 400/0,4m)	16327	3	0,000	-3,453	-18,452	-32,005	14,537	-20,319	-20,319	8,437	-27,797	-43,498	20,569
"	16326	4	0,000	-3,729	-21,524	-34,874	16,461	-18,909	-18,909	6,881	-33,210	-47,341	22,671
"	17175	5	0,000	-4,005	-25,350	-38,705	18,315	-15,508	-15,508	8,272	-38,034	-49,634	24,465
Plate_2_7	17305	1	-5,500	-4,005	-19,562	-19,562	0,000	18,537	0,000	18,537	-15,778	-15,778	5,161
Element 13-18 (Plate)	17308	2	-5,500	-4,154	-20,617	-20,617	0,000	21,237	0,000	21,237	-12,821	-12,821	6,399
(Parete c.a.C32/40 sp.0.50m)	17307	3	-5,500	-4,302	-21,721	-21,721	0,000	24,063	0,000	24,063	-9,451	-9,451	7,839
"	17306	4	-5,500	-4,451	-22,877	-22,877	0,000	27,018	0,000	27,018	-5,650	-5,650	9,492
"	18049	5	-5,500	-4,600	-24,085	-24,085	0,000	30,110	0,000	30,110	-1,402	-1,402	11,369
Plate_1_7	17175	1	0,000	-4,005	-25,179	-38,540	18,262	-15,801	-15,801	7,866	-38,034	-49,634	24,465
Element 14-19 (Plate)	17178	2	0,000	-4,232	-29,514	-42,565	19,768	-12,120	-12,120	14,416	-41,190	-49,995	26,335
(Pali 400/0,4m)	17177	3	0,000	-4,459	-33,890	-46,401	21,351	-9,255	-9,255	20,631	-43,593	-48,799	28,512
"	17176	4	0,000	-4,686	-38,184	-49,919	23,128	-7,444	-7,444	26,958	-45,472	-47,802	30,314
"	17993	5	0,000	-4,912	-42,274	-52,986	24,884	-6,921	-6,921	32,428	-47,072	-47,072	31,089
Plate_1_7	17993	1	0,000	-4,912	-42,005	-52,770	24,839	-7,207	-7,207	32,257	-47,072	-47,072	31,089
Element 14-20 (Plate)	17996	2	0,000	-5,014	-43,535	-53,778	25,543	-7,751	-7,751	33,262	-47,829	-47,829	31,169
(Pali 400/0,4m)	17995	3	0,000	-5,115	-45,038	-54,749	26,220	-8,388	-8,388	34,715	-48,650	-48,650	31,152
"	17994	4	0,000	-5,217	-46,574	-55,754	27,042	-8,975	-8,975	36,710	-49,530	-49,530	31,063

Structural element	Node [10 ˚]	Local number	X [m]	Y [m]	N [kN/m]	N ₊₊ [kN/m]	N ₋₋ [kN/m]	Q [kN/m]	Q ₊₊ [kN/m]	Q ₋₋ [kN/m]	M [kN m/m]	M ₊₊ [kN m/m]	M ₋₋ [kN m/m]
昂	18028	5	0,000	-5,318	-48,207	-56,866	27,834	-9,369	-9,369	39,333	-50,464	-50,464	30,925
Plate_1_7	18028	1	0,000	-5,318	-48,337	-56,977	27,835	-9,212	-9,212	39,204	-50,464	-50,464	30,925
Element 14-21 (Plate)	18027	2	0,000	-5,364	-49,129	-57,559	28,178	-9,203	-9,203	40,351	-50,882	-50,882	30,849
(Pali 400/0,4m)	18026	3	0,000	-5,409	-49,971	-58,192	28,514	-9,106	-9,106	41,543	-51,298	-51,298	30,767
昂	18025	4	0,000	-5,455	-50,869	-58,877	28,844	-8,924	-8,924	42,781	-51,708	-51,708	30,681
昂	18083	5	0,000	-5,500	-51,828	-59,617	29,166	-8,657	-8,657	44,065	-52,107	-52,107	30,590
Plate_2_8	18049	1	-5,500	-4,600	-37,195	-37,195	0,000	-50,442	-50,442	0,000	-1,402	-1,402	11,369
Element 15-22 (Plate)	18052	2	-5,500	-4,837	-39,236	-39,236	0,000	-45,219	-45,219	0,000	-12,759	-12,759	3,651
(Parete c.a.C32/40 sp.0.50m)	18051	3	-5,500	-5,075	-41,221	-41,221	0,000	-40,139	-40,139	0,000	-22,889	-22,889	0,000
昂	18050	4	-5,500	-5,312	-43,088	-43,088	0,000	-35,361	-35,361	0,000	-31,852	-31,852	0,000
昂	18123	5	-5,500	-5,550	-44,776	-44,776	0,000	-31,041	-31,041	0,000	-39,723	-39,723	0,000
Plate_2_8	18123	1	-5,500	-5,550	-44,890	-44,890	0,000	-30,747	-30,747	0,000	-39,723	-39,723	0,000
Element 15-23 (Plate)	18126	2	-5,500	-5,664	-45,883	-45,883	0,000	-28,206	-28,206	0,000	-43,090	-43,090	0,000
(Parete c.a.C32/40 sp.0.50m)	18125	3	-5,500	-5,779	-46,911	-46,911	0,000	-25,575	-25,575	0,000	-46,167	-46,167	0,000
昂	18124	4	-5,500	-5,893	-48,033	-48,033	0,000	-22,702	-22,702	0,000	-48,928	-48,928	0,000
昂	18147	5	-5,500	-6,007	-49,309	-49,309	0,000	-19,435	-19,435	0,000	-51,341	-51,341	0,000
Plate_1_8	18083	1	0,000	-5,500	-44,904	-66,296	29,166	35,872	-7,141	43,962	-52,107	-52,107	30,590
Element 16-24 (Plate)	18084	2	0,000	-5,504	-44,988	-66,362	29,194	35,899	-7,030	44,074	-51,965	-51,965	30,582
(Pali 400/0,4m)	18085	3	0,000	-5,508	-45,073	-66,429	29,222	35,926	-6,918	44,187	-51,823	-51,823	30,574
昂	18086	4	0,000	-5,512	-45,158	-66,495	29,249	35,954	-6,807	44,300	-51,681	-51,681	30,566
昂	18785	5	0,000	-5,516	-45,243	-66,562	29,277	35,983	-6,695	44,412	-51,539	-51,539	30,558
Plate_1_9	18785	1	0,000	-5,516	-45,193	-66,495	29,277	35,836	-6,812	44,387	-51,539	-51,539	30,558
Element 17-25 (Plate)	18788	2	0,000	-5,639	-47,963	-68,745	30,109	37,128	-3,024	47,941	-47,058	-47,058	30,680
(Pali 400/0,4m)	18787	3	0,000	-5,761	-50,678	-70,908	30,891	38,245	-2,473	51,439	-42,425	-42,425	33,533
昂	18786	4	0,000	-5,884	-53,280	-72,933	31,623	39,114	-2,550	55,079	-37,671	-37,671	37,604
昂	19633	5	0,000	-6,007	-55,715	-74,769	32,305	39,662	-2,580	59,076	-32,831	-32,831	42,608
Plate_2_9	18147	1	-5,500	-6,007	-49,215	-49,215	0,006	-19,675	-19,675	0,011	-51,341	-51,341	0,000
Element 18-26 (Plate)	18150	2	-5,500	-6,085	-50,111	-50,111	0,000	-17,380	-17,380	0,033	-52,788	-52,788	0,001
(Parete c.a.C32/40 sp.0.50m)	18149	3	-5,500	-6,163	-50,973	-50,973	0,000	-15,172	-15,172	0,074	-54,060	-54,060	0,005
昂	18148	4	-5,500	-6,242	-51,811	-51,811	0,000	-13,026	-13,026	0,129	-55,162	-55,162	0,013
昂	18851	5	-5,500	-6,320	-52,635	-52,635	0,000	-10,916	-10,916	0,222	-56,097	-56,097	0,025
Plate_2_9	18851	1	-5,500	-6,320	-52,649	-52,649	0,000	-10,880	-10,880	0,211	-56,097	-56,097	0,025
Element 18-27 (Plate)	18854	2	-5,500	-6,365	-53,148	-53,148	0,000	-9,602	-9,602	0,266	-56,559	-56,559	0,035
(Parete c.a.C32/40 sp.0.50m)	18853	3	-5,500	-6,410	-53,666	-53,666	0,000	-8,275	-8,332	0,340	-56,962	-56,962	0,049
昂	18852	4	-5,500	-6,455	-54,203	-54,203	0,000	-6,900	-7,358	0,419	-57,304	-57,304	0,066
昂	18891	5	-5,500	-6,500	-54,759	-54,759	0,000	-5,477	-6,404	0,501	-57,583	-57,583	0,087
Plate_1_10	19633	1	0,000	-6,007	-55,769	-74,833	32,305	39,794	-2,589	58,853	-32,831	-32,831	42,608
Element 19-28 (Plate)	19636	2	0,000	-6,130	-57,817	-76,224	32,939	39,524	-2,560	55,888	-27,949	-27,949	48,231
(Pali 400/0,4m)	19635	3	0,000	-6,254	-60,081	-77,838	33,521	39,710	-2,525	51,891	-23,071	-24,868	53,868
昂	19634	4	0,000	-6,377	-62,596	-79,701	34,051	40,395	-2,496	46,928	-18,140	-23,084	59,633
昂	20396	5	0,000	-6,500	-65,393	-81,842	34,528	41,621	-2,473	41,621	-13,094	-20,874	65,017
Plate_2_10	18891	1	-5,500	-6,500	-54,757	-54,757	0,000	-5,482	-6,415	0,498	-57,583	-57,583	0,087
Element 20-29 (Plate)	18894	2	-5,500	-6,549	-55,407	-55,407	0,000	-3,818	-5,328	0,627	-57,811	-57,811	0,114
(Parete c.a.C32/40 sp.0.50m)	18893	3	-5,500	-6,598	-56,082	-56,082	0,000	-2,092	-4,225	0,758	-57,956	-57,956	0,148
昂	18892	4	-5,500	-6,647	-56,776	-56,776	0,000	-0,316	-3,117	0,884	-58,015	-58,015	0,188
昂	18915	5	-5,500	-6,696	-57,484	-57,484	0,000	1,498	-2,010	1,498	-57,986	-57,986	0,234
Plate_1_11	20396	1	0,000	-6,500	-65,466	-81,916	34,528	41,759	-2,522	41,843	-13,094	-20,874	65,017
Element 21-30 (Plate)	20399	2	0,000	-6,620	-68,653	-84,472	35,001	43,798	-2,494	43,798	-7,959	-18,213	69,644
(Pali 400/0,4m)	20398	3	0,000	-6,740	-71,951	-87,197	35,438	46,316	-2,615	46,316	-2,548	-15,000	73,664
昂	20397	4	0,000	-6,861	-75,370	-90,098	35,816	49,331	-2,955	49,331	3,195	-11,202	77,174
昂	20730	5	0,000	-6,981	-78,915	-93,179	36,136	52,860	-3,585	52,860	9,328	-6,817	80,234
Plate_2_11	18915	1	-5,500	-6,696	-57,492	-57,492	0,000	1,519	-1,979	1,519	-57,986	-57,986	0,234
Element 22-31 (Plate)	18918	2	-5,500	-6,750	-58,177	-58,177	0,000	3,272	-0,909	3,272	-57,856	-57,856	0,290

Structural element	Node [10^3]	Local number	X [m]	Y [m]	N [kN/m]	N,max [kN/m]	N,min [kN/m]	Q [kN/m]	Q,max [kN/m]	Q,min [kN/m]	M [kN m/m]	M,max [kN m/m]	M,min [kN m/m]
(Parete c.a.C32/40 sp.0.50m)	18917	3	-5,500	-6,804	-58,813	-58,813	0,000	4,900	0,000	4,900	-57,637	-57,637	0,353
〃	18916	4	-5,500	-6,857	-59,435	-59,435	0,000	6,493	0,000	6,493	-57,330	-57,330	0,426
〃	19683	5	-5,500	-6,911	-60,079	-60,079	0,000	8,142	0,000	8,142	-56,936	-56,936	0,512
Plate_2_11	19683	1	-5,500	-6,911	-60,082	-60,082	0,000	8,150	0,000	8,150	-56,936	-56,936	0,512
Element 22-32 (Plate)	19686	2	-5,500	-6,963	-60,779	-60,779	0,000	9,935	0,000	9,935	-56,473	-56,473	0,608
(Parete c.a.C32/40 sp.0.50m)	19685	3	-5,500	-7,014	-61,510	-61,510	0,000	11,805	0,000	11,805	-55,915	-55,915	0,718
〃	19684	4	-5,500	-7,065	-62,274	-62,274	0,000	13,763	0,000	13,763	-55,259	-55,259	0,843
〃	19717	5	-5,500	-7,117	-63,076	-63,076	0,000	15,815	0,000	15,815	-54,500	-54,500	0,984
Plate_2_11	19717	1	-5,500	-7,117	-63,066	-63,066	0,000	15,790	0,000	15,790	-54,500	-54,500	0,984
Element 22-33 (Plate)	19718	2	-5,500	-7,166	-63,840	-63,840	0,000	17,773	0,000	17,773	-53,678	-53,678	1,133
(Parete c.a.C32/40 sp.0.50m)	19719	3	-5,500	-7,215	-64,607	-64,607	0,000	19,735	0,000	19,735	-52,759	-52,759	1,295
〃	19720	4	-5,500	-7,264	-65,365	-65,365	0,000	21,676	0,000	21,676	-51,744	-51,744	1,468
〃	20458	5	-5,500	-7,313	-66,115	-66,115	0,000	23,596	0,000	23,596	-50,635	-50,635	1,650
Plate_2_12	20458	1	-5,500	-7,313	-66,110	-66,110	0,000	23,583	0,000	23,583	-50,635	-50,635	1,650
Element 23-34 (Plate)	20461	2	-5,500	-7,388	-67,356	-67,356	0,000	26,773	0,000	26,773	-48,730	-48,730	1,953
(Parete c.a.C32/40 sp.0.50m)	20460	3	-5,500	-7,464	-68,623	-68,623	0,000	30,016	0,000	30,016	-46,579	-46,579	2,292
〃	20459	4	-5,500	-7,540	-69,894	-69,894	0,000	33,269	0,000	33,269	-44,183	-44,183	2,671
〃	20494	5	-5,500	-7,615	-71,152	-71,152	0,000	36,489	0,000	36,489	-41,543	-41,543	3,095
Plate_2_13	20494	1	-5,500	-7,615	-71,132	-71,132	0,000	36,437	0,000	36,437	-41,543	-41,543	3,095
Element 24-35 (Plate)	20495	2	-5,500	-7,630	-71,357	-71,357	0,000	37,014	0,000	37,014	-41,006	-41,006	3,181
(Parete c.a.C32/40 sp.0.50m)	20496	3	-5,500	-7,645	-71,581	-71,581	0,000	37,585	0,000	37,585	-40,461	-40,461	3,268
〃	20497	4	-5,500	-7,659	-71,802	-71,802	0,000	38,153	0,000	38,153	-39,907	-39,907	3,356
〃	21176	5	-5,500	-7,674	-72,024	-72,024	0,000	38,719	0,000	38,719	-39,346	-39,346	3,446
Plate_1_12	20730	1	0,000	-6,981	-78,659	-92,960	36,133	52,625	-3,850	52,625	9,328	-6,817	80,234
Element 25-36 (Plate)	20733	2	0,000	-7,128	-82,273	-95,892	36,460	55,415	-6,190	55,415	17,306	-1,916	82,511
(Pali 400/0,4m)	20732	3	0,000	-7,276	-85,406	-98,422	36,729	57,519	-10,502	57,519	25,656	-1,393	82,957
〃	20731	4	0,000	-7,423	-87,983	-100,459	37,002	58,748	-15,568	58,748	34,247	-0,965	81,833
〃	21130	5	0,000	-7,571	-89,930	-101,912	37,200	58,913	-20,577	58,913	42,945	-0,617	79,412
Plate_1_12	21130	1	0,000	-7,571	-89,552	-101,552	37,195	58,361	-21,022	58,361	42,945	-0,617	79,412
Element 25-37 (Plate)	21133	2	0,000	-7,803	-92,135	-103,203	37,342	57,118	-26,904	57,118	56,353	-0,167	73,864
(Pali 400/0,4m)	21132	3	0,000	-8,036	-95,744	-105,672	37,276	56,683	-30,315	61,137	69,523	-0,011	69,523
〃	21131	4	0,000	-8,268	-99,631	-108,854	36,994	57,989	-31,211	66,651	82,821	-0,009	82,821
〃	21634	5	0,000	-8,500	-103,045	-112,646	36,581	61,970	-29,837	73,219	96,676	-0,007	96,676
Plate_2_14	21176	1	-5,500	-7,674	-71,993	-71,993	0,000	38,641	0,000	38,641	-39,346	-39,346	3,446
Element 26-38 (Plate)	21177	2	-5,500	-7,755	-73,291	-73,291	0,000	41,962	0,000	41,962	-36,060	-36,060	3,968
(Parete c.a.C32/40 sp.0.50m)	21178	3	-5,500	-7,837	-74,503	-74,503	0,000	45,061	0,000	45,061	-32,507	-32,507	4,528
〃	21179	4	-5,500	-7,918	-75,566	-75,566	0,000	47,780	0,000	47,780	-28,719	-28,719	5,127
〃	21766	5	-5,500	-8,000	-76,420	-76,420	0,000	49,963	0,000	49,963	-24,730	-24,730	5,761
Plate_3_1	21766	1	-5,500	-8,000	-86,994	-86,994	0,085	45,360	0,000	45,360	-24,730	-24,730	5,761
Element 27-39 (Plate)	21767	2	-5,500	-8,058	-87,254	-87,254	0,085	45,810	0,000	45,810	-22,103	-22,103	6,154
(Micropali D168.3x10.0/0,27m)	21768	3	-5,500	-8,115	-87,739	-87,739	0,085	46,650	0,000	46,650	-19,438	-19,438	6,575
〃	21769	4	-5,500	-8,173	-88,516	-88,516	0,085	47,994	0,000	47,994	-16,710	-16,710	7,024
〃	22356	5	-5,500	-8,231	-89,650	-89,650	0,085	49,954	0,000	49,954	-13,889	-13,889	7,502
Plate_3_1	22356	1	-5,500	-8,231	-89,578	-89,578	0,085	49,828	0,000	49,828	-13,889	-13,889	7,502
Element 27-40 (Plate)	22357	2	-5,500	-8,288	-90,673	-90,673	0,085	51,723	0,000	51,723	-10,962	-10,962	8,018
(Micropali D168.3x10.0/0,27m)	22358	3	-5,500	-8,346	-91,812	-91,812	0,085	53,695	0,000	53,695	-7,921	-7,921	8,585
〃	22359	4	-5,500	-8,404	-92,979	-92,979	0,085	55,715	0,000	55,715	-4,765	-4,765	9,196
〃	22779	5	-5,500	-8,461	-94,159	-94,159	0,085	57,755	0,000	57,755	-1,493	-1,493	9,843
Plate_3_2	22779	1	-5,500	-8,461	-94,135	-94,135	0,085	57,714	0,000	57,714	-1,493	-1,493	9,843
Element 28-41 (Plate)	22780	2	-5,500	-8,471	-94,312	-94,312	0,085	58,020	0,000	58,020	-0,936	-0,936	9,954
(Micropali D168.3x10.0/0,27m)	22781	3	-5,500	-8,481	-94,482	-94,482	0,085	58,314	0,000	58,314	-0,375	-0,375	10,065
〃	22782	4	-5,500	-8,490	-94,640	-94,640	0,085	58,588	0,000	58,588	0,189	0,000	10,177
〃	23191	5	-5,500	-8,500	-94,782	-94,782	0,085	58,833	0,000	58,833	0,754	0,000	10,289

Structural element	Node [10 ˆ]	Local number	X [m]	Y [m]	N [kN/m]	N ₋₊ [kN/m]	N ₊₋ [kN/m]	Q [kN/m]	Q ₋₊ [kN/m]	Q ₊₋ [kN/m]	M [kN m/m]	M ₋₊ [kN m/m]	M ₊₋ [kN m/m]
Plate_3_3	23191	1	-5,500	-8,500	-94,658	-94,658	0,085	58,523	0,000	58,523	0,754	0,000	10,289
Element 29-42 (Plate)	23194	2	-5,500	-8,550	-94,050	-94,050	0,092	54,669	0,000	54,669	3,558	0,000	10,795
(Micropali D168.3x10.0/0,27m)	23193	3	-5,500	-8,599	-93,395	-93,395	0,097	50,357	0,000	50,357	6,159	0,000	11,214
⁂	23192	4	-5,500	-8,649	-92,709	-92,709	0,102	45,653	0,000	45,653	8,538	0,000	11,531
⁂	23453	5	-5,500	-8,698	-92,008	-92,008	0,107	40,623	0,000	40,623	10,674	0,000	12,587
Plate_3_3	23453	1	-5,500	-8,698	-92,227	-92,227	0,107	41,071	-0,105	41,071	10,674	0,000	12,587
Element 29-43 (Plate)	23456	2	-5,500	-8,891	-88,394	-88,394	0,126	21,677	-3,944	21,677	16,649	0,000	16,661
(Micropali D168.3x10.0/0,27m)	23455	3	-5,500	-9,084	-84,471	-84,471	0,144	7,356	-6,665	7,356	19,379	0,000	19,379
⁂	23454	4	-5,500	-9,278	-80,799	-80,799	0,162	-2,136	-7,738	0,042	19,803	0,000	19,803
⁂	23981	5	-5,500	-9,471	-77,719	-77,719	0,179	-7,046	-8,428	0,030	18,846	0,000	18,846
Plate_1_13	21634	1	0,000	-8,500	-102,774	-112,680	36,563	67,867	-30,533	75,933	96,676	-0,007	96,676
Element 30-44 (Plate)	21637	2	0,000	-8,893	-88,584	-89,125	35,385	17,442	-26,349	23,732	112,994	-0,004	112,994
(Pali 400/0,4m)	21636	3	0,000	-9,285	-78,011	-78,011	33,568	-19,378	-25,992	0,746	112,139	-0,002	112,139
⁂	21635	4	0,000	-9,678	-69,714	-69,714	31,304	-42,136	-42,136	0,551	99,612	0,000	99,612
⁂	22102	5	0,000	-10,071	-62,350	-62,350	28,219	-50,377	-50,377	0,182	80,962	0,000	80,962
Plate_3_4	23981	1	-5,500	-9,471	-77,363	-77,363	0,179	-8,365	-9,602	0,032	18,846	0,000	18,846
Element 31-45 (Plate)	23984	2	-5,500	-9,779	-76,410	-76,410	0,205	-10,015	-10,015	0,013	15,935	0,000	15,935
(Micropali D168.3x10.0/0,27m)	23983	3	-5,500	-10,087	-76,821	-76,821	0,231	-9,304	-9,304	0,003	12,932	0,000	12,932
⁂	23982	4	-5,500	-10,395	-78,148	-78,148	0,256	-7,007	-7,007	0,003	10,364	0,000	10,364
⁂	24131	5	-5,500	-10,703	-79,942	-79,942	0,279	-3,901	-3,901	0,015	8,684	0,000	8,684
Plate_1_14	22102	1	0,000	-10,071	-61,000	-61,000	28,187	-52,316	-52,316	0,002	80,962	0,000	80,962
Element 32-46 (Plate)	22105	2	0,000	-10,297	-53,498	-53,498	25,916	-56,632	-56,632	0,001	68,561	0,000	68,561
(Pali 400/0,4m)	22104	3	0,000	-10,524	-46,247	-46,247	23,343	-57,977	-57,977	0,000	55,514	0,000	55,514
⁂	22103	4	0,000	-10,751	-39,290	-39,290	20,468	-56,381	-56,381	0,000	42,495	0,000	42,495
⁂	22534	5	0,000	-10,977	-32,670	-32,670	17,296	-51,876	-51,876	0,000	30,175	0,000	30,175
Plate_1_14	22534	1	0,000	-10,977	-32,200	-32,200	17,276	-51,899	-51,899	0,000	30,175	0,000	30,175
Element 32-47 (Plate)	22538	2	0,000	-11,233	-25,538	-25,538	13,341	-43,736	-43,736	0,000	17,869	0,000	17,869
(Pali 400/0,4m)	22537	3	0,000	-11,489	-17,977	-17,977	8,917	-31,864	-31,864	0,000	8,131	0,000	8,133
⁂	22536	4	0,000	-11,744	-9,203	-9,203	3,986	-16,454	-16,459	0,000	1,874	0,000	1,923
⁂	22535	5	0,000	-12,000	1,098	-1,472	1,098	2,321	-0,123	2,321	0,000	0,000	0,000
Plate_3_5	24131	1	-5,500	-10,703	-78,685	-78,685	0,279	-5,760	-5,760	0,020	8,684	0,000	8,684
Element 33-48 (Plate)	24134	2	-5,500	-10,961	-79,272	-79,272	0,298	-6,575	-6,575	0,026	7,073	0,000	7,073
(Micropali D168.3x10.0/0,27m)	24133	3	-5,500	-11,218	-80,291	-80,291	0,316	-6,505	-6,505	0,026	5,374	0,000	5,374
⁂	24132	4	-5,500	-11,476	-81,647	-81,647	0,334	-5,694	-5,694	0,022	3,783	0,000	3,783
⁂	24149	5	-5,500	-11,734	-83,246	-83,246	0,352	-4,286	-4,286	0,015	2,488	0,000	2,488
Plate_3_5	24149	1	-5,500	-11,734	-83,040	-83,040	0,352	-4,478	-4,478	0,016	2,488	0,000	2,488
Element 33-49 (Plate)	24152	2	-5,500	-12,008	-84,716	-84,716	0,370	-3,193	-3,193	0,009	1,443	0,000	1,443
(Micropali D168.3x10.0/0,27m)	24151	3	-5,500	-12,281	-85,551	-85,551	0,387	-2,114	-2,114	0,003	0,722	0,000	0,722
⁂	24150	4	-5,500	-12,555	-85,551	-85,551	0,403	-1,255	-1,255	0,000	0,265	-0,030	0,265
⁂	24480	5	-5,500	-12,829	-84,725	-84,725	0,416	-0,631	-0,631	0,029	0,013	-0,034	0,110
Plate_3_5	24480	1	-5,500	-12,829	-84,735	-84,735	0,416	-0,613	-0,613	0,040	0,013	-0,034	0,110
Element 33-50 (Plate)	24479	2	-5,500	-13,119	-83,004	-83,004	0,427	-0,233	-0,233	0,080	-0,106	-0,106	0,107
(Micropali D168.3x10.0/0,27m)	24478	3	-5,500	-13,410	-80,391	-80,391	0,434	0,008	-0,013	0,094	-0,136	-0,136	0,104
⁂	24477	4	-5,500	-13,701	-76,896	-76,896	0,435	0,126	-0,016	0,126	-0,113	-0,113	0,100
⁂	24685	5	-5,500	-13,991	-72,522	-72,522	0,431	0,139	-0,019	0,139	-0,073	-0,073	0,095
Plate_3_6	24685	1	-5,500	-13,991	-72,502	-72,502	0,430	0,156	-0,019	0,156	-0,073	-0,073	0,095
Element 34-51 (Plate)	24688	2	-5,500	-14,292	-67,208	-67,208	0,419	0,181	-0,024	0,181	-0,022	-0,022	0,089
(Micropali D168.3x10.0/0,27m)	24687	3	-5,500	-14,593	-61,070	-61,070	0,397	0,183	-0,031	0,183	0,034	0,000	0,086
⁂	24686	4	-5,500	-14,895	-54,075	-54,075	0,365	0,160	-0,039	0,160	0,086	0,000	0,105
⁂	25013	5	-5,500	-15,196	-46,213	-46,213	0,323	0,108	-0,049	0,108	0,128	0,000	0,128
Plate_3_6	25013	1	-5,500	-15,196	-46,102	-46,102	0,322	-0,008	-0,052	0,000	0,128	0,000	0,128
Element 34-52 (Plate)	25017	2	-5,500	-15,497	-36,594	-36,594	0,266	0,191	-0,065	0,193	0,167	0,000	0,167
(Micropali D168.3x10.0/0,27m)	25016	3	-5,500	-15,798	-25,798	-25,798	0,194	0,042	-0,063	0,057	0,206	0,000	0,206

Structural element	Node [10 ˚]	Local number	X [m]	Y [m]	N [kN/m]	N ⊥ [kN/m]	N ∥ [kN/m]	Q [kN/m]	Q ⊥ [kN/m]	Q ∥ [kN/m]	M [kN m/m]	M ⊥ [kN m/m]	M ∥ [kN m/m]
BS	25015	4	-5,500	-16,099	-13,673	-13,673	0,107	-0,329	-0,329	0,000	0,170	0,000	0,170
BS	25014	5	-5,500	-16,400	-0,180	-0,180	0,003	-0,794	-0,794	0,012	0,000	0,000	0,000

3.1.2.4.19 Calculation results, Plate, Disattivazione paratia esistente [Phase_26] (26/660), Table of plate force envelopes

Structural element	Node [10⁰]	Local number	X [m]	Y [m]	N [kN/m]	N ⁻·⁻ [kN/m]	N ⁻·⁻ [10⁻¹ kN/m]	Q [kN/m]	Q ⁻·⁻ [kN/m]	Q ⁺·⁻ [kN/m]	M [kN m/m]	M ⁻·⁻ [kN m/m]	M ⁺·⁻ [kN m/m]
Plate_2_1	15336	1	-5,500	0,000	0,014	-0,001	14,416	-0,033	-0,033	0,003	0,000	0,000	0,000
Element 1-1 (Plate)	15335	2	-5,500	-0,070	-0,051	-0,051	0,113	0,134	0,000	0,134	0,003	0,000	0,003
(Parete c.a.C32/40 sp.0.50m)	15334	3	-5,500	-0,141	-0,145	-0,145	0,000	0,388	0,000	0,388	0,021	0,000	0,021
嚙	15333	4	-5,500	-0,211	-0,262	-0,262	0,000	0,714	0,000	0,714	0,059	0,000	0,059
嚙	15350	5	-5,500	-0,281	-0,397	-0,397	0,000	1,096	0,000	1,096	0,123	0,000	0,123
Plate_2_1	15350	1	-5,500	-0,281	-0,396	-0,396	0,000	1,090	0,000	1,090	0,123	0,000	0,123
Element 1-2 (Plate)	15349	2	-5,500	-0,336	-0,508	-0,508	0,000	1,403	0,000	1,403	0,191	0,000	0,191
(Parete c.a.C32/40 sp.0.50m)	15348	3	-5,500	-0,391	-0,625	-0,625	0,000	1,730	0,000	1,730	0,276	0,000	0,276
嚙	15347	4	-5,500	-0,445	-0,749	-0,749	0,000	2,070	0,000	2,070	0,380	0,000	0,380
嚙	15361	5	-5,500	-0,500	-0,878	-0,878	0,000	2,423	0,000	2,423	0,503	0,000	0,503
Plate_2_2	15361	1	-5,500	-0,500	-0,878	-0,878	0,000	2,424	0,000	2,424	0,503	0,000	0,503
Element 3-4 (Plate)	15364	2	-5,500	-0,525	-0,940	-0,940	0,000	2,591	0,000	2,591	0,565	0,000	0,565
(Parete c.a.C32/40 sp.0.50m)	15363	3	-5,500	-0,550	-1,003	-1,003	0,000	2,763	0,000	2,763	0,632	0,000	0,632
嚙	15362	4	-5,500	-0,575	-1,068	-1,068	0,000	2,938	0,000	2,938	0,703	0,000	0,703
嚙	15405	5	-5,500	-0,600	-1,134	-1,134	0,000	3,116	0,000	3,116	0,779	0,000	0,779
Plate_2_3	15405	1	-5,500	-0,600	-7,760	-7,760	0,000	-37,374	-37,374	0,000	0,779	0,000	0,779
Element 4-5 (Plate)	15408	2	-5,500	-0,644	-7,881	-7,881	0,000	-37,049	-37,049	0,000	-0,853	-0,853	0,000
(Parete c.a.C32/40 sp.0.50m)	15407	3	-5,500	-0,688	-8,008	-8,008	0,000	-36,710	-36,710	0,000	-2,470	-2,470	0,000
嚙	15406	4	-5,500	-0,732	-8,141	-8,141	0,000	-36,357	-36,357	0,000	-4,073	-4,073	0,000
嚙	15419	5	-5,500	-0,775	-8,280	-8,280	0,000	-35,989	-35,989	0,000	-5,659	-5,659	0,000
Plate_2_3	15419	1	-5,500	-0,775	-8,280	-8,280	0,000	-35,991	-35,991	0,000	-5,659	-5,659	0,000
Element 4-6 (Plate)	15422	2	-5,500	-0,834	-8,476	-8,476	0,000	-35,475	-35,475	0,000	-7,764	-7,764	0,000
(Parete c.a.C32/40 sp.0.50m)	15421	3	-5,500	-0,893	-8,681	-8,681	0,000	-34,940	-34,940	0,000	-9,838	-9,838	0,000
嚙	15420	4	-5,500	-0,952	-8,894	-8,894	0,000	-34,388	-34,388	0,000	-11,881	-11,881	0,000
嚙	15479	5	-5,500	-1,011	-9,114	-9,114	0,000	-33,820	-33,820	0,000	-13,890	-13,890	0,000
Plate_2_4	15479	1	-5,500	-1,011	-9,091	-9,091	0,000	-33,879	-33,879	0,000	-13,890	-13,890	0,000
Element 6-8 (Plate)	15482	2	-5,500	-1,096	-9,448	-9,448	0,000	-32,960	-32,960	0,000	-16,718	-16,718	0,000
(Parete c.a.C32/40 sp.0.50m)	15481	3	-5,500	-1,180	-9,852	-9,852	0,000	-31,922	-31,922	0,000	-19,465	-19,465	0,000
嚙	15480	4	-5,500	-1,265	-10,295	-10,295	0,000	-30,785	-30,785	0,000	-22,120	-22,120	0,000
嚙	16393	5	-5,500	-1,350	-10,770	-10,770	0,000	-29,567	-29,567	0,000	-24,673	-24,673	0,000
Plate_2_4	16393	1	-5,500	-1,350	-10,761	-10,761	0,000	-29,589	-29,589	0,000	-24,673	-24,673	0,000
Element 6-9 (Plate)	16396	2	-5,500	-1,519	-11,733	-11,733	0,000	-27,095	-27,095	0,000	-29,485	-29,485	0,000
(Parete c.a.C32/40 sp.0.50m)	16395	3	-5,500	-1,689	-12,709	-12,709	0,000	-24,588	-24,588	0,000	-33,874	-33,874	0,000
嚙	16394	4	-5,500	-1,859	-13,686	-13,686	0,000	-22,080	-22,080	0,000	-37,837	-37,837	0,000
嚙	16427	5	-5,500	-2,029	-14,660	-14,660	0,000	-19,578	-19,578	0,000	-41,373	-41,373	0,000
Plate_2_5	16427	1	-5,500	-2,029	-14,654	-14,654	2,373	-19,594	-19,594	0,006	-41,373	-41,373	0,000
Element 9-12 (Plate)	16430	2	-5,500	-2,147	-15,340	-15,340	1,427	-17,832	-17,832	0,071	-43,577	-43,577	0,004
(Parete c.a.C32/40 sp.0.50m)	16429	3	-5,500	-2,264	-16,017	-16,017	0,000	-16,094	-16,094	0,174	-45,575	-45,575	0,018
嚙	16428	4	-5,500	-2,382	-16,688	-16,688	0,000	-14,370	-14,370	0,317	-47,370	-47,370	0,046
嚙	17049	5	-5,500	-2,500	-17,357	-17,357	0,000	-12,650	-12,650	0,511	-48,961	-48,961	0,095
Plate_2_6	17049	1	-5,500	-2,500	-17,347	-17,347	0,000	-12,677	-12,677	0,448	-48,961	-48,961	0,095
Element 11-15 (Plate)	17052	2	-5,500	-2,666	-18,366	-18,366	0,000	-10,060	-10,060	1,204	-50,849	-50,849	0,219
(Parete c.a.C32/40 sp.0.50m)	17051	3	-5,500	-2,832	-19,364	-19,364	0,000	-7,497	-7,497	2,379	-52,308	-52,308	0,439
嚙	17050	4	-5,500	-2,999	-20,344	-20,344	0,000	-4,981	-4,981	3,554	-53,345	-53,345	0,748
嚙	17279	5	-5,500	-3,165	-21,308	-21,308	0,000	-2,506	-2,506	5,806	-53,966	-53,966	1,142
Plate_2_6	17279	1	-5,500	-3,165	-21,303	-21,303	0,000	-2,518	-2,518	5,793	-53,966	-53,966	1,142

Structural element	Node [10^3]	Local number	X [m]	Y [m]	N [kN/m]	N,max [kN/m]	N,min [10^3 kN/m]	Q [kN/m]	Q,max [kN/m]	Q,min [kN/m]	M [kN m/m]	M,max [kN m/m]	M,min [kN m/m]
Element 11-16 (Plate)	17282	2	-5,500	-3,375	-22,479	-22,479	0,000	0,503	0,000	8,614	-54,180	-54,180	1,775
(Parete c.a.C32/40 sp.0.50m)	17281	3	-5,500	-3,585	-23,725	-23,725	0,000	3,701	0,000	11,663	-53,743	-53,743	2,617
28	17280	4	-5,500	-3,795	-25,048	-25,048	0,000	7,099	0,000	14,962	-52,612	-52,612	3,727
28	17305	5	-5,500	-4,005	-26,459	-26,459	0,000	10,721	0,000	18,533	-50,746	-50,746	5,161
Plate_2_7	17305	1	-5,500	-4,005	-26,462	-26,462	0,000	10,727	0,000	18,537	-50,746	-50,746	5,161
Element 13-18 (Plate)	17308	2	-5,500	-4,154	-27,518	-27,518	0,000	13,437	0,000	21,237	-48,949	-48,949	6,399
(Parete c.a.C32/40 sp.0.50m)	17307	3	-5,500	-4,302	-28,615	-28,615	0,000	16,253	0,000	24,063	-46,741	-46,741	7,839
28	17306	4	-5,500	-4,451	-29,756	-29,756	0,000	19,181	0,000	27,018	-44,105	-44,105	9,492
28	18049	5	-5,500	-4,600	-30,943	-30,943	0,000	22,227	0,000	30,110	-41,026	-41,026	11,369
Plate_2_8	18049	1	-5,500	-4,600	-41,229	-41,229	0,000	-41,058	-50,442	0,000	-41,026	-41,026	11,369
Element 15-22 (Plate)	18052	2	-5,500	-4,837	-43,225	-43,225	0,000	-35,935	-45,219	0,000	-50,167	-50,167	3,651
(Parete c.a.C32/40 sp.0.50m)	18051	3	-5,500	-5,075	-45,164	-45,164	0,000	-30,963	-40,139	0,000	-58,104	-58,104	0,000
28	18050	4	-5,500	-5,312	-46,983	-46,983	0,000	-26,296	-35,361	0,000	-64,901	-64,901	0,000
28	18123	5	-5,500	-5,550	-48,622	-48,622	0,000	-22,089	-31,041	0,000	-70,632	-70,632	0,000
Plate_2_8	18123	1	-5,500	-5,550	-48,739	-48,739	0,000	-21,791	-30,747	0,000	-70,632	-70,632	0,000
Element 15-23 (Plate)	18126	2	-5,500	-5,664	-49,710	-49,710	0,000	-19,299	-28,206	0,000	-72,979	-72,979	0,000
(Parete c.a.C32/40 sp.0.50m)	18125	3	-5,500	-5,779	-50,720	-50,720	0,000	-16,710	-25,575	0,000	-75,041	-75,041	0,000
28	18124	4	-5,500	-5,893	-51,826	-51,826	0,000	-13,874	-22,702	0,000	-76,790	-76,790	0,000
28	18147	5	-5,500	-6,007	-53,089	-53,089	0,000	-10,637	-19,435	0,000	-78,196	-78,196	0,000
Plate_2_9	18147	1	-5,500	-6,007	-52,995	-52,995	6,246	-10,877	-19,675	0,011	-78,196	-78,196	0,000
Element 18-26 (Plate)	18150	2	-5,500	-6,085	-53,885	-53,885	0,076	-8,598	-17,380	0,033	-78,956	-78,956	0,001
(Parete c.a.C32/40 sp.0.50m)	18149	3	-5,500	-6,163	-54,742	-54,742	0,000	-6,401	-15,172	0,074	-79,542	-79,542	0,005
28	18148	4	-5,500	-6,242	-55,576	-55,576	0,000	-4,263	-13,026	0,129	-79,959	-79,959	0,013
28	18851	5	-5,500	-6,320	-56,398	-56,398	0,011	-2,156	-10,916	0,222	-80,209	-80,209	0,025
Plate_2_9	18851	1	-5,500	-6,320	-56,412	-56,412	0,000	-2,120	-10,880	0,211	-80,209	-80,209	0,025
Element 18-27 (Plate)	18854	2	-5,500	-6,365	-56,912	-56,912	0,075	-0,841	-9,602	0,266	-80,276	-80,276	0,035
(Parete c.a.C32/40 sp.0.50m)	18853	3	-5,500	-6,410	-57,430	-57,430	0,007	0,488	-8,332	0,488	-80,284	-80,284	0,049
28	18852	4	-5,500	-6,455	-57,968	-57,968	0,000	1,867	-7,358	1,867	-80,231	-80,231	0,066
28	18891	5	-5,500	-6,500	-58,526	-58,526	0,000	3,297	-6,404	3,297	-80,115	-80,115	0,087
Plate_2_10	18891	1	-5,500	-6,500	-58,524	-58,524	0,000	3,291	-6,415	3,291	-80,115	-80,115	0,087
Element 20-29 (Plate)	18894	2	-5,500	-6,549	-59,177	-59,177	0,000	4,964	-5,328	4,964	-79,913	-79,913	0,114
(Parete c.a.C32/40 sp.0.50m)	18893	3	-5,500	-6,598	-59,855	-59,855	0,000	6,701	-4,225	6,701	-79,628	-79,628	0,148
28	18892	4	-5,500	-6,647	-60,554	-60,554	0,000	8,490	-3,117	8,490	-79,256	-79,256	0,188
28	18915	5	-5,500	-6,696	-61,268	-61,268	0,000	10,319	-2,010	10,319	-78,796	-78,796	0,234
Plate_2_11	18915	1	-5,500	-6,696	-61,276	-61,276	0,000	10,340	-1,979	10,340	-78,796	-78,796	0,234
Element 22-31 (Plate)	18918	2	-5,500	-6,750	-61,968	-61,968	0,000	12,112	-0,909	12,112	-78,191	-78,191	0,290
(Parete c.a.C32/40 sp.0.50m)	18917	3	-5,500	-6,804	-62,611	-62,611	0,000	13,762	0,000	13,762	-77,494	-77,494	0,353
28	18916	4	-5,500	-6,857	-63,243	-63,243	0,000	15,379	0,000	15,379	-76,710	-76,710	0,426
28	19683	5	-5,500	-6,911	-63,897	-63,897	0,000	17,056	0,000	17,056	-75,838	-75,838	0,512
Plate_2_11	19683	1	-5,500	-6,911	-63,900	-63,900	0,000	17,064	0,000	17,064	-75,838	-75,838	0,512
Element 22-32 (Plate)	19686	2	-5,500	-6,963	-64,608	-64,608	0,000	18,878	0,000	18,878	-74,916	-74,916	0,608
(Parete c.a.C32/40 sp.0.50m)	19685	3	-5,500	-7,014	-65,350	-65,350	0,000	20,778	0,000	20,778	-73,898	-73,898	0,718
28	19684	4	-5,500	-7,065	-66,128	-66,128	0,000	22,769	0,000	22,769	-72,780	-72,780	0,843
28	19717	5	-5,500	-7,117	-66,942	-66,942	0,000	24,855	0,000	24,855	-71,558	-71,558	0,984
Plate_2_11	19717	1	-5,500	-7,117	-66,933	-66,933	0,000	24,830	0,000	24,830	-71,558	-71,558	0,984
Element 22-33 (Plate)	19718	2	-5,500	-7,166	-67,720	-67,720	0,000	26,848	0,000	26,848	-70,292	-70,292	1,133
(Parete c.a.C32/40 sp.0.50m)	19719	3	-5,500	-7,215	-68,500	-68,500	0,000	28,845	0,000	28,845	-68,928	-68,928	1,295
28	19720	4	-5,500	-7,264	-69,272	-69,272	0,000	30,823	0,000	30,823	-67,466	-67,466	1,468
28	20458	5	-5,500	-7,313	-70,036	-70,036	0,000	32,779	0,000	32,779	-65,908	-65,908	1,650
Plate_2_12	20458	1	-5,500	-7,313	-70,031	-70,031	0,000	32,765	0,000	32,765	-65,908	-65,908	1,650
Element 23-34 (Plate)	20461	2	-5,500	-7,388	-71,300	-71,300	0,000	36,017	0,000	36,017	-63,306	-63,306	1,953
(Parete c.a.C32/40 sp.0.50m)	20460	3	-5,500	-7,464	-72,589	-72,589	0,000	39,317	0,000	39,317	-60,453	-60,453	2,292
28	20459	4	-5,500	-7,540	-73,880	-73,880	0,000	42,623	0,000	42,623	-57,350	-57,350	2,671

Structural element	Node [10^3]	Local number	X [m]	Y [m]	N [kN/m]	N,max [kN/m]	N,min [10^3 kN/m]	Q [kN/m]	Q,max [kN/m]	Q,min [kN/m]	M [kN m/m]	M,max [kN m/m]	M,min [kN m/m]
嗇	20494	5	-5,500	-7,615	-75,156	-75,156	0,000	45,891	0,000	45,891	-54,000	-54,000	3,095
Plate_2_13	20494	1	-5,500	-7,615	-75,135	-75,135	0,000	45,837	0,000	45,837	-54,000	-54,000	3,095
Element 24-35 (Plate)	20495	2	-5,500	-7,630	-75,364	-75,364	0,000	46,422	0,000	46,422	-53,326	-53,326	3,181
(Parete c.a.C32/40 sp.0.50m)	20496	3	-5,500	-7,645	-75,589	-75,589	0,000	47,001	0,000	47,001	-52,643	-52,643	3,268
嗇	20497	4	-5,500	-7,659	-75,814	-75,814	0,000	47,575	0,000	47,575	-51,952	-51,952	3,356
嗇	21176	5	-5,500	-7,674	-76,037	-76,037	0,000	48,147	0,000	48,147	-51,253	-51,253	3,446
Plate_2_14	21176	1	-5,500	-7,674	-76,006	-76,006	0,000	48,068	0,000	48,068	-51,253	-51,253	3,446
Element 26-38 (Plate)	21177	2	-5,500	-7,755	-77,313	-77,313	0,000	51,415	0,000	51,415	-47,197	-47,197	3,968
(Parete c.a.C32/40 sp.0.50m)	21178	3	-5,500	-7,837	-78,524	-78,524	0,000	54,515	0,000	54,515	-42,873	-42,873	4,528
嗇	21179	4	-5,500	-7,918	-79,577	-79,577	0,000	57,211	0,000	57,211	-38,315	-38,315	5,127
嗇	21766	5	-5,500	-8,000	-80,410	-80,410	0,000	59,344	0,000	59,344	-33,558	-33,558	5,761
Plate_3_1	21766	1	-5,500	-8,000	-91,988	-91,988	85,010	54,249	0,000	54,249	-33,558	-33,558	5,761
Element 27-39 (Plate)	21767	2	-5,500	-8,058	-92,222	-92,222	85,010	54,656	0,000	54,656	-30,420	-30,420	6,154
(Micropali D168.3x10.0/0,27m)	21768	3	-5,500	-8,115	-92,680	-92,680	85,010	55,451	0,000	55,451	-27,246	-27,246	6,575
嗇	21769	4	-5,500	-8,173	-93,429	-93,429	85,010	56,748	0,000	56,748	-24,012	-24,012	7,024
嗇	22356	5	-5,500	-8,231	-94,533	-94,533	85,010	58,662	0,000	58,662	-20,687	-20,687	7,502
Plate_3_1	22356	1	-5,500	-8,231	-94,450	-94,450	85,010	58,518	0,000	58,518	-20,687	-20,687	7,502
Element 27-40 (Plate)	22357	2	-5,500	-8,288	-95,537	-95,537	85,010	60,401	0,000	60,401	-17,259	-17,259	8,018
(Micropali D168.3x10.0/0,27m)	22358	3	-5,500	-8,346	-96,675	-96,675	85,010	62,373	0,000	62,373	-13,718	-13,718	8,585
嗇	22359	4	-5,500	-8,404	-97,853	-97,853	85,010	64,413	0,000	64,413	-10,061	-10,061	9,196
嗇	22779	5	-5,500	-8,461	-99,057	-99,057	85,010	66,500	0,000	66,500	-6,286	-6,286	9,843
Plate_3_2	22779	1	-5,500	-8,461	-99,039	-99,039	85,010	66,469	0,000	66,469	-6,286	-6,286	9,843
Element 28-41 (Plate)	22780	2	-5,500	-8,471	-99,225	-99,225	85,010	66,790	0,000	66,790	-5,644	-5,644	9,954
(Micropali D168.3x10.0/0,27m)	22781	3	-5,500	-8,481	-99,405	-99,405	85,010	67,102	0,000	67,102	-4,998	-4,998	10,065
嗇	22782	4	-5,500	-8,490	-99,575	-99,575	85,010	67,396	0,000	67,396	-4,350	-4,350	10,177
嗇	23191	5	-5,500	-8,500	-99,729	-99,729	85,010	67,664	0,000	67,664	-3,699	-3,699	10,289
Plate_3_3	23191	1	-5,500	-8,500	-99,596	-99,596	84,892	67,328	0,000	67,328	-3,699	-3,699	10,289
Element 29-42 (Plate)	23194	2	-5,500	-8,550	-98,942	-98,942	91,509	63,464	0,000	63,464	-0,461	-0,461	10,795
(Micropali D168.3x10.0/0,27m)	23193	3	-5,500	-8,599	-98,250	-98,250	97,224	59,193	0,000	59,193	2,577	0,000	11,214
嗇	23192	4	-5,500	-8,649	-97,532	-97,532	102,239	54,569	0,000	54,569	5,395	0,000	11,531
嗇	23453	5	-5,500	-8,698	-96,803	-96,803	106,758	49,644	0,000	49,644	7,975	0,000	12,587
Plate_3_3	23453	1	-5,500	-8,698	-97,133	-97,133	106,566	50,701	-0,105	50,701	7,975	0,000	12,587
Element 29-43 (Plate)	23456	2	-5,500	-8,891	-92,882	-92,882	125,986	29,285	-3,944	29,285	15,611	0,000	16,661
(Micropali D168.3x10.0/0,27m)	23455	3	-5,500	-9,084	-88,615	-88,615	144,433	13,155	-6,665	13,155	19,634	0,000	19,634
嗇	23454	4	-5,500	-9,278	-84,589	-84,589	161,973	2,011	-7,738	2,011	21,016	0,000	21,016
嗇	23981	5	-5,500	-9,471	-81,061	-81,061	178,673	-4,445	-8,428	0,030	20,710	0,000	20,710
Plate_3_4	23981	1	-5,500	-9,471	-80,712	-80,712	178,803	-5,898	-9,602	0,032	20,710	0,000	20,710
Element 31-45 (Plate)	23984	2	-5,500	-9,779	-78,881	-78,881	205,138	-9,313	-10,015	0,013	18,267	0,000	18,267
(Micropali D168.3x10.0/0,27m)	23983	3	-5,500	-10,087	-78,734	-78,734	230,772	-9,678	-9,678	0,003	15,300	0,000	15,300
嗇	23982	4	-5,500	-10,395	-79,805	-79,805	255,552	-7,841	-7,841	0,003	12,529	0,000	12,529
嗇	24131	5	-5,500	-10,703	-81,624	-81,624	279,325	-4,655	-4,655	0,015	10,592	0,000	10,592
Plate_3_5	24131	1	-5,500	-10,703	-80,194	-80,194	279,048	-6,720	-6,720	0,020	10,592	0,000	10,592
Element 33-48 (Plate)	24134	2	-5,500	-10,961	-80,395	-80,395	297,632	-7,648	-7,648	0,026	8,716	0,000	8,716
(Micropali D168.3x10.0/0,27m)	24133	3	-5,500	-11,218	-81,048	-81,048	316,021	-7,568	-7,568	0,026	6,740	0,000	6,740
嗇	24132	4	-5,500	-11,476	-82,056	-82,056	334,181	-6,645	-6,645	0,022	4,887	0,000	4,887
嗇	24149	5	-5,500	-11,734	-83,317	-83,459	352,079	-5,044	-5,044	0,015	3,371	0,000	3,371
Plate_3_5	24149	1	-5,500	-11,734	-83,077	-83,233	351,813	-5,259	-5,259	0,016	3,371	0,000	3,371
Element 33-49 (Plate)	24152	2	-5,500	-12,008	-84,562	-84,928	370,320	-3,826	-3,826	0,009	2,132	0,000	2,132
(Micropali D168.3x10.0/0,27m)	24151	3	-5,500	-12,281	-85,412	-85,773	387,347	-2,617	-2,617	0,003	1,256	0,000	1,256
嗇	24150	4	-5,500	-12,555	-85,547	-85,776	402,755	-1,645	-1,645	0,000	0,678	-0,030	0,678
嗇	24480	5	-5,500	-12,829	-84,889	-84,945	416,402	-0,924	-0,924	0,029	0,333	-0,034	0,333
Plate_3_5	24480	1	-5,500	-12,829	-84,907	-84,956	415,758	-0,905	-0,905	0,040	0,333	-0,034	0,333
Element 33-50 (Plate)	24479	2	-5,500	-13,119	-83,146	-83,215	427,232	-0,436	-0,436	0,080	0,142	-0,106	0,142

Structural element	Node [10 ^]	Local number	X [m]	Y [m]	N [kN/m]	N ⊥⊥ [kN/m]	N ⊥⊥ [10 ^ kN/m]	Q [kN/m]	Q ⊥⊥ [kN/m]	Q ⊥⊥ [kN/m]	M [kN m/m]	M ⊥⊥ [kN m/m]	M ⊥⊥ [kN m/m]
(Micropali D168.3x10.0/0,27m)	24478	3	-5,500	-13,410	-80,575	-80,585	433,798	-0,120	-0,120	0,094	0,064	-0,136	0,104
28	24477	4	-5,500	-13,701	-77,215	-77,215	435,232	0,057	-0,016	0,126	0,059	-0,113	0,100
28	24685	5	-5,500	-13,991	-73,088	-73,088	431,313	0,112	-0,019	0,139	0,086	-0,073	0,095
Plate_3_6	24685	1	-5,500	-13,991	-73,068	-73,068	430,352	0,128	-0,019	0,156	0,086	-0,073	0,095
Element 34-51 (Plate)	24688	2	-5,500	-14,292	-68,046	-68,046	418,819	0,164	-0,024	0,181	0,131	-0,022	0,131
(Micropali D168.3x10.0/0,27m)	24687	3	-5,500	-14,593	-62,124	-62,124	397,289	0,160	-0,031	0,183	0,181	0,000	0,181
28	24686	4	-5,500	-14,895	-55,289	-55,289	365,484	0,113	-0,039	0,160	0,223	0,000	0,223
28	25013	5	-5,500	-15,196	-47,531	-47,531	323,126	0,019	-0,049	0,108	0,244	0,000	0,244
Plate_3_6	25013	1	-5,500	-15,196	-47,417	-47,417	322,196	-0,095	-0,095	0,000	0,244	0,000	0,244
Element 34-52 (Plate)	25017	2	-5,500	-15,497	-37,616	-37,616	266,023	0,075	-0,065	0,193	0,252	0,000	0,252
(Micropali D168.3x10.0/0,27m)	25016	3	-5,500	-15,798	-26,504	-26,504	194,361	-0,074	-0,074	0,057	0,255	0,000	0,255
28	25015	4	-5,500	-16,099	-14,039	-14,039	106,838	-0,415	-0,415	0,000	0,188	0,000	0,188
28	25014	5	-5,500	-16,400	-0,180	-0,180	3,078	-0,824	-0,824	0,012	0,000	0,000	0,000

3.1.2.4.20 Calculation results, Plate, Eccezionale paratia esistente [Phase_34] (34/668), Table of plate force envelopes

Structural element	Node [10 ³]	Local number	X [m]	Y [m]	N [kN/m]	N_{min} [kN/m]	N_{max} [kN/m]	Q [kN/m]	Q_{min} [kN/m]	Q_{max} [kN/m]	M [kN m/m]	M_{min} [kN m/m]	M_{max} [kN m/m]
Plate_1_1	13320	1	0,000	0,000	-0,052	-0,065	0,313	19,184	-0,526	19,184	19,094	0,000	19,094
Element 2-3 (Plate)	13319	2	0,000	-0,240	-0,301	-1,774	0,020	19,613	-0,003	19,613	23,730	0,000	23,730
(Pali 400/0,4m)	13318	3	0,000	-0,480	-0,892	-3,937	0,046	20,632	-0,004	20,632	28,564	0,000	28,564
2m	13317	4	0,000	-0,720	-1,593	-6,022	0,063	21,842	-0,022	21,842	33,654	0,000	33,654
2m	13527	5	0,000	-0,960	-2,169	-7,887	0,066	22,843	-0,019	22,843	39,028	-0,004	39,028
Plate_1_2	13527	1	0,000	-0,960	-2,004	-7,412	0,000	22,553	-0,022	22,553	39,028	-0,004	39,028
Element 5-7 (Plate)	13530	2	0,000	-1,095	-2,003	-7,279	0,000	22,554	-0,011	22,554	42,071	-0,006	42,071
(Pali 400/0,4m)	13529	3	0,000	-1,230	-2,003	-7,356	0,471	22,554	-0,220	22,554	45,115	-0,007	45,115
2m	13528	4	0,000	-1,365	-2,003	-7,807	1,216	22,553	-1,155	22,553	48,159	-0,007	48,159
2m	14231	5	0,000	-1,500	-2,003	-8,816	2,071	22,550	-2,194	22,550	51,201	-0,006	51,201
Plate_1_3	14231	1	0,000	-1,500	-13,036	-18,367	2,060	-40,961	-41,904	4,828	51,201	-0,006	51,201
Element 7-10 (Plate)	14232	2	0,000	-1,580	-13,073	-18,945	2,562	-40,899	-41,534	4,831	47,937	-0,033	47,937
(Pali 400/0,4m)	14233	3	0,000	-1,660	-13,129	-19,475	3,064	-40,801	-41,186	4,845	44,678	-0,131	44,678
2m	14234	4	0,000	-1,739	-13,172	-19,931	3,568	-40,726	-40,995	4,882	41,426	-0,301	41,426
2m	15007	5	0,000	-1,819	-13,167	-20,283	4,072	-40,732	-40,961	4,956	38,179	-0,492	38,179
Plate_1_4	15007	1	0,000	-1,819	-13,208	-20,334	4,071	-40,663	-40,880	5,014	38,179	-0,492	38,179
Element 8-11 (Plate)	15010	2	0,000	-1,871	-13,241	-20,589	4,403	-40,606	-40,769	5,129	36,049	-1,569	36,049
(Pali 400/0,4m)	15009	3	0,000	-1,924	-13,291	-20,862	4,732	-40,518	-40,619	5,292	33,921	-2,809	33,921
2m	15008	4	0,000	-1,976	-13,362	-21,153	5,056	-40,396	-40,427	5,506	31,799	-4,487	31,799
2m	15973	5	0,000	-2,029	-13,454	-21,466	5,376	-40,236	-40,236	5,773	29,685	-6,352	29,685
Plate_1_5	15973	1	0,000	-2,029	-13,455	-21,462	5,376	-40,235	-40,235	5,753	29,685	-6,352	29,685
Element 10-13 (Plate)	15974	2	0,000	-2,103	-13,629	-21,946	5,825	-39,934	-39,934	6,218	26,693	-8,956	26,693
(Pali 400/0,4m)	15975	3	0,000	-2,178	-13,849	-22,448	6,266	-39,552	-39,552	6,681	23,726	-11,497	23,726
2m	15976	4	0,000	-2,253	-14,116	-22,965	6,700	-39,089	-39,089	7,132	20,789	-13,972	20,789
2m	16291	5	0,000	-2,327	-14,429	-23,493	7,127	-38,548	-38,548	7,561	17,892	-16,378	17,892
Plate_1_5	16291	1	0,000	-2,327	-14,421	-23,495	7,128	-38,547	-38,547	7,599	17,892	-16,378	17,892
Element 10-14 (Plate)	16294	2	0,000	-2,471	-15,069	-24,498	7,927	-37,448	-37,448	8,438	12,446	-20,809	12,446
(Pali 400/0,4m)	16293	3	0,000	-2,614	-15,797	-25,525	8,702	-36,173	-36,173	9,478	7,168	-24,989	11,742
2m	16292	4	0,000	-2,757	-16,587	-26,571	9,454	-34,729	-34,729	10,733	2,084	-28,911	13,186
2m	16325	5	0,000	-2,901	-17,417	-27,635	10,436	-33,125	-33,125	12,223	-2,779	-32,570	14,824
Plate_1_6	16325	1	0,000	-2,901	-17,360	-27,584	10,394	-33,245	-33,245	12,366	-2,779	-32,570	14,824
Element 12-17 (Plate)	16328	2	0,000	-3,177	-19,248	-29,934	12,522	-29,368	-29,368	10,487	-11,406	-38,809	17,989
(Pali 400/0,4m)	16327	3	0,000	-3,453	-21,197	-32,325	14,537	-25,222	-25,222	8,437	-18,978	-43,967	20,569
2m	16326	4	0,000	-3,729	-23,671	-35,216	16,461	-20,035	-20,035	6,881	-25,238	-47,836	22,671
2m	17175	5	0,000	-4,005	-27,128	-39,068	18,315	-13,039	-13,039	8,272	-29,861	-50,141	24,465
Plate_1_7	17175	1	0,000	-4,005	-26,965	-38,904	18,262	-13,346	-13,346	7,866	-29,861	-50,141	24,465
Element 14-19 (Plate)	17178	2	0,000	-4,232	-30,702	-42,947	19,768	-6,041	-6,041	14,416	-32,059	-50,502	26,335
(Pali 400/0,4m)	17177	3	0,000	-4,459	-34,269	-46,802	21,351	0,948	-1,126	20,631	-32,623	-49,297	28,512
2m	17176	4	0,000	-4,686	-37,535	-50,337	23,128	7,390	-0,521	26,958	-31,670	-46,646	30,314
2m	17993	5	0,000	-4,912	-40,371	-53,423	24,884	13,054	-0,888	32,428	-29,331	-42,684	31,089
Plate_1_7	17993	1	0,000	-4,912	-40,154	-53,207	24,839	12,675	-0,715	32,257	-29,331	-42,684	31,089
Element 14-20 (Plate)	17996	2	0,000	-5,014	-41,063	-54,221	25,543	14,567	-1,235	33,262	-27,948	-40,596	31,169
(Pali 400/0,4m)	17995	3	0,000	-5,115	-41,939	-55,199	26,220	16,390	-1,618	34,715	-26,378	-38,336	31,152

Structural element	Node [10 ^{3}]	Local number	X [m]	Y [m]	N [kN/m]	N_{min} [kN/m]	N_{max} [kN/m]	Q [kN/m]	Q_{min} [kN/m]	Q_{max} [kN/m]	M [kN m/m]	M_{min} [kN m/m]	M_{max} [kN m/m]
점	17994	4	0,000	-5,217	-42,854	-56,212	27,042	18,268	-1,873	36,710	-24,618	-35,899	31,063
점	18028	5	0,000	-5,318	-43,879	-57,331	27,834	20,327	-2,022	39,333	-22,663	-33,278	30,925
Plate_1_7	18028	1	0,000	-5,318	-43,990	-57,441	27,835	20,518	-2,027	39,204	-22,663	-33,278	30,925
Element 14-21 (Plate)	18027	2	0,000	-5,364	-44,534	-58,027	28,178	21,582	-2,074	40,351	-21,708	-32,030	30,849
(Pali 400/0,4m)	18026	3	0,000	-5,409	-45,130	-58,663	28,514	22,734	-2,102	41,543	-20,702	-30,733	30,767
점	18025	4	0,000	-5,455	-45,780	-59,351	28,844	23,976	-2,146	42,781	-19,642	-29,384	30,681
점	18083	5	0,000	-5,500	-46,485	-60,095	29,166	25,312	-2,216	44,065	-18,524	-27,979	30,590
Plate_1_8	18083	1	0,000	-5,500	-52,954	-66,924	29,166	-11,910	-11,910	43,962	-18,524	-27,979	30,590
Element 16-24 (Plate)	18084	2	0,000	-5,504	-53,017	-66,990	29,194	-11,791	-11,791	44,074	-18,571	-28,009	30,582
(Pali 400/0,4m)	18085	3	0,000	-5,508	-53,081	-67,057	29,222	-11,671	-11,671	44,187	-18,618	-28,039	30,574
점	18086	4	0,000	-5,512	-53,144	-67,124	29,249	-11,551	-11,551	44,300	-18,664	-28,068	30,566
점	18785	5	0,000	-5,516	-53,208	-67,191	29,277	-11,431	-11,431	44,412	-18,709	-28,097	30,558
Plate_1_9	18785	1	0,000	-5,516	-53,140	-67,122	29,277	-11,549	-11,549	44,387	-18,709	-28,097	30,558
Element 17-25 (Plate)	18788	2	0,000	-5,639	-55,303	-69,384	30,109	-7,510	-7,510	47,941	-19,878	-28,757	30,680
(Pali 400/0,4m)	18787	3	0,000	-5,761	-57,382	-71,556	30,891	-3,635	-3,635	51,439	-20,560	-28,942	33,533
점	18786	4	0,000	-5,884	-59,328	-73,588	31,623	-0,011	-2,550	55,079	-20,782	-28,683	37,604
점	19633	5	0,000	-6,007	-61,089	-75,430	32,305	3,273	-2,580	59,076	-20,577	-28,008	42,608
Plate_1_10	19633	1	0,000	-6,007	-61,152	-75,493	32,305	3,383	-2,589	58,853	-20,577	-28,008	42,608
Element 19-28 (Plate)	19636	2	0,000	-6,130	-62,475	-76,891	32,939	5,893	-2,560	55,888	-20,009	-26,980	48,231
(Pali 400/0,4m)	19635	3	0,000	-6,254	-64,033	-78,517	33,521	8,790	-2,525	51,891	-19,109	-25,631	53,868
점	19634	4	0,000	-6,377	-65,857	-80,403	34,051	12,131	-2,496	46,928	-17,824	-23,906	59,633
점	20396	5	0,000	-6,500	-67,978	-82,580	34,528	15,971	-2,473	41,074	-16,099	-21,749	65,017
Plate_1_11	20396	1	0,000	-6,500	-68,048	-82,649	34,528	16,094	-2,522	41,843	-16,099	-21,749	65,017
Element 21-30 (Plate)	20399	2	0,000	-6,620	-70,570	-85,219	35,001	20,608	-2,494	36,117	-13,897	-19,135	69,644
(Pali 400/0,4m)	20398	3	0,000	-6,740	-73,274	-87,964	35,438	25,431	-2,615	32,631	-11,133	-15,967	73,664
점	20397	4	0,000	-6,861	-76,162	-90,885	35,816	30,566	-2,955	35,301	-7,771	-12,209	77,174
점	20730	5	0,000	-6,981	-79,234	-93,985	36,136	36,018	-3,585	39,476	-3,775	-7,827	80,234
Plate_1_12	20730	1	0,000	-6,981	-79,017	-93,768	36,133	35,643	-3,850	39,096	-3,775	-7,827	80,234
Element 25-36 (Plate)	20733	2	0,000	-7,128	-81,923	-96,696	36,460	40,861	-6,190	44,175	1,876	-1,916	82,511
(Pali 400/0,4m)	20732	3	0,000	-7,276	-84,468	-99,253	36,729	45,414	-10,502	48,561	8,257	-1,393	82,957
점	20731	4	0,000	-7,423	-86,556	-101,344	37,002	49,137	-15,568	52,098	15,245	-0,965	81,833
점	21130	5	0,000	-7,571	-88,091	-102,872	37,200	51,863	-20,577	54,631	22,712	-0,617	79,412
Plate_1_12	21130	1	0,000	-7,571	-87,736	-102,518	37,195	51,296	-21,022	54,019	22,712	-0,617	79,412
Element 25-37 (Plate)	21133	2	0,000	-7,803	-89,514	-104,274	37,342	54,402	-26,904	57,049	34,950	-0,167	73,864
(Pali 400/0,4m)	21132	3	0,000	-8,036	-92,113	-106,854	37,276	58,918	-30,315	61,551	48,092	-0,011	67,182
점	21131	4	0,000	-8,268	-95,397	-110,148	36,994	64,611	-31,211	67,289	62,412	-0,009	70,275
점	21634	5	0,000	-8,500	-99,233	-114,047	36,581	71,249	-29,837	74,031	78,170	-0,007	81,090
Plate_1_13	21634	1	0,000	-8,500	-99,656	-114,283	36,563	75,018	-30,533	77,472	78,170	-0,007	81,090
Element 30-44 (Plate)	21637	2	0,000	-8,893	-76,060	-90,177	35,385	24,811	-26,349	25,814	97,292	-0,004	98,151
(Pali 400/0,4m)	21636	3	0,000	-9,285	-58,815	-71,915	33,568	-11,012	-25,992	0,746	99,536	-0,002	100,564
점	21635	4	0,000	-9,678	-46,613	-58,308	31,304	-32,612	-35,817	0,551	90,502	0,000	91,522
점	22102	5	0,000	-10,071	-38,144	-48,168	28,219	-40,147	-40,332	0,182	75,765	0,000	76,718
Plate_1_14	22102	1	0,000	-10,071	-36,793	-46,848	28,187	-43,363	-43,684	0,002	75,765	0,000	76,718
Element 32-46 (Plate)	22105	2	0,000	-10,297	-29,732	-38,784	25,916	-50,188	-50,710	0,001	65,098	0,000	65,954
(Pali 400/0,4m)	22104	3	0,000	-10,524	-23,572	-31,571	23,343	-53,490	-54,132	0,000	53,280	0,000	54,003
점	22103	4	0,000	-10,751	-18,356	-25,256	20,468	-53,312	-53,997	0,000	41,108	0,000	41,679
점	22534	5	0,000	-10,977	-14,131	-19,884	17,296	-49,698	-50,353	0,000	29,372	0,000	29,790
Plate_1_14	22534	1	0,000	-10,977	-13,658	-19,402	17,276	-49,855	-50,511	0,000	29,372	0,000	29,790
Element 32-47 (Plate)	22538	2	0,000	-11,233	-10,605	-14,998	13,341	-42,216	-42,794	0,000	17,530	0,000	17,789

Structural element	Node [10 ^{3}]	Local number	X [m]	Y [m]	N [kN/m]	N $_{min}$ [kN/m]	N $_{max}$ [kN/m]	Q [kN/m]	Q $_{min}$ [kN/m]	Q $_{max}$ [kN/m]	M [kN m/m]	M $_{min}$ [kN m/m]	M $_{max}$ [kN m/m]
(Pali 400/0,4m)	22537	3	0,000	-11,489	-7,563	-10,530	8,917	-31,058	-31,510	0,000	8,086	0,000	8,213
〃	22536	4	0,000	-11,744	-4,196	-5,602	3,986	-16,394	-16,655	0,000	1,943	0,000	1,977
〃	22535	5	0,000	-12,000	-0,167	-1,472	0,575	1,766	-0,123	1,778	0,000	0,000	0,000

3.1.2.4.21 Calculation results, Plate, Eccezionale [Phase_24] (24/712), Table of plate force envelopes

Structural element	Node [10⁰]	Local number	X [m]	Y [m]	N [kN/m]	N ··· [kN/m]	N ··· [10⁻¹ kN/m]	Q [kN/m]	Q ··· [kN/m]	Q ··· [kN/m]	M [kN m/m]	M ··· [kN m/m]	M ··· [kN m/m]
Plate_2_1	15336	1	-5,500	0,000	0,019	-0,016	18,715	79,953	-0,033	79,953	80,000	0,000	80,000
Element 1-1 (Plate)	15335	2	-5,500	-0,070	-0,050	-0,051	0,113	80,122	0,000	80,122	85,630	0,000	85,630
(Parete c.a.C32/40 sp.0.50m)	15334	3	-5,500	-0,141	-0,104	-0,145	0,000	80,252	0,000	80,252	91,272	0,000	91,272
28	15333	4	-5,500	-0,211	-0,165	-0,262	0,000	80,403	0,000	80,403	96,925	0,000	96,925
28	15350	5	-5,500	-0,281	-0,258	-0,397	0,000	80,635	0,000	80,635	102,588	0,000	102,588
Plate_2_1	15350	1	-5,500	-0,281	-0,245	-0,396	0,000	80,601	0,000	80,601	102,588	0,000	102,588
Element 1-2 (Plate)	15349	2	-5,500	-0,336	-0,271	-0,508	0,000	80,664	0,000	80,664	106,993	0,000	106,993
(Parete c.a.C32/40 sp.0.50m)	15348	3	-5,500	-0,391	-0,301	-0,625	0,000	80,738	0,000	80,738	111,404	0,000	111,404
28	15347	4	-5,500	-0,445	-0,342	-0,749	0,000	80,839	0,000	80,839	115,820	0,000	115,820
28	15361	5	-5,500	-0,500	-0,399	-0,878	0,000	80,982	0,000	80,982	120,240	0,000	120,240
Plate_2_2	15361	1	-5,500	-0,500	-0,399	-0,878	0,000	80,982	0,000	80,982	120,240	0,000	120,240
Element 3-4 (Plate)	15364	2	-5,500	-0,525	-0,434	-0,940	0,000	81,070	0,000	81,070	122,265	0,000	122,265
(Parete c.a.C32/40 sp.0.50m)	15363	3	-5,500	-0,550	-0,472	-1,003	0,000	81,167	0,000	81,167	124,294	0,000	124,294
28	15362	4	-5,500	-0,575	-0,514	-1,068	0,000	81,272	0,000	81,272	126,324	0,000	126,324
28	15405	5	-5,500	-0,600	-0,557	-1,134	0,000	81,381	0,000	81,381	128,357	0,000	128,357
Plate_2_3	15405	1	-5,500	-0,600	-19,055	-19,055	0,000	-31,760	-37,374	0,000	128,357	0,000	128,357
Element 4-5 (Plate)	15408	2	-5,500	-0,644	-19,163	-19,163	0,000	-31,484	-37,049	0,000	126,970	-0,853	126,970
(Parete c.a.C32/40 sp.0.50m)	15407	3	-5,500	-0,688	-19,272	-19,272	0,000	-31,207	-36,710	0,000	125,596	-2,470	125,596
28	15406	4	-5,500	-0,732	-19,364	-19,364	0,000	-30,973	-36,357	0,000	124,232	-4,073	124,232
28	15419	5	-5,500	-0,775	-19,423	-19,423	0,000	-30,823	-35,989	0,000	122,878	-5,659	122,878
Plate_2_3	15419	1	-5,500	-0,775	-19,429	-19,429	0,000	-30,808	-35,991	0,000	122,878	-5,659	122,878
Element 4-6 (Plate)	15422	2	-5,500	-0,834	-19,527	-19,527	0,000	-30,560	-35,475	0,000	121,070	-7,764	121,070
(Parete c.a.C32/40 sp.0.50m)	15421	3	-5,500	-0,893	-19,645	-19,645	0,000	-30,258	-34,940	0,000	119,278	-9,838	119,278
28	15420	4	-5,500	-0,952	-19,782	-19,782	0,000	-29,908	-34,388	0,000	117,505	-11,881	117,505
28	15479	5	-5,500	-1,011	-19,936	-19,936	0,000	-29,515	-33,820	0,000	115,755	-13,890	115,755
Plate_2_4	15479	1	-5,500	-1,011	-19,922	-19,922	0,000	-29,551	-33,879	0,000	115,755	-13,890	115,755
Element 6-8 (Plate)	15482	2	-5,500	-1,096	-20,148	-20,148	0,000	-28,974	-33,231	0,000	113,279	-16,718	113,279
(Parete c.a.C32/40 sp.0.50m)	15481	3	-5,500	-1,180	-20,357	-20,357	0,000	-28,437	-32,503	0,000	110,850	-19,465	110,850
28	15480	4	-5,500	-1,265	-20,545	-20,545	0,000	-27,956	-31,648	0,000	108,464	-22,120	108,464
28	16393	5	-5,500	-1,350	-20,706	-20,706	0,000	-27,541	-30,730	0,000	106,117	-24,673	106,117
Plate_2_4	16393	1	-5,500	-1,350	-20,708	-20,708	0,000	-27,537	-30,760	0,000	106,117	-24,673	106,117
Element 6-9 (Plate)	16396	2	-5,500	-1,519	-20,937	-20,937	0,000	-26,939	-28,863	0,000	101,484	-29,485	101,484
(Parete c.a.C32/40 sp.0.50m)	16395	3	-5,500	-1,689	-21,402	-21,402	0,000	-25,740	-27,131	0,000	97,002	-33,874	97,002
28	16394	4	-5,500	-1,859	-22,092	-22,092	0,000	-23,963	-25,515	0,000	92,773	-37,837	92,773
28	16427	5	-5,500	-2,029	-22,999	-22,999	0,000	-21,635	-24,031	0,000	88,895	-41,373	88,895
Plate_2_5	16427	1	-5,500	-2,029	-22,966	-22,966	2,373	-21,720	-24,047	0,006	88,895	-41,373	88,895
Element 9-12 (Plate)	16430	2	-5,500	-2,147	-23,647	-23,647	1,427	-19,966	-22,950	0,071	86,440	-43,577	86,440
(Parete c.a.C32/40 sp.0.50m)	16429	3	-5,500	-2,264	-24,333	-24,333	0,000	-18,202	-21,809	0,174	84,191	-45,575	84,191
28	16428	4	-5,500	-2,382	-25,026	-25,026	0,000	-16,420	-20,628	0,317	82,151	-47,370	82,151
28	17049	5	-5,500	-2,500	-25,728	-25,728	0,000	-14,612	-19,346	0,511	80,324	-48,961	80,324
Plate_2_6	17049	1	-5,500	-2,500	-25,709	-25,709	0,000	-14,663	-19,396	0,448	80,324	-48,961	80,324
Element 11-15 (Plate)	17052	2	-5,500	-2,666	-26,767	-26,767	0,000	-11,941	-17,325	1,204	78,111	-50,849	78,111
(Parete c.a.C32/40 sp.0.50m)	17051	3	-5,500	-2,832	-27,861	-27,861	0,000	-9,127	-15,197	2,379	76,360	-52,308	76,360
28	17050	4	-5,500	-2,999	-28,966	-28,966	0,000	-6,287	-12,978	3,554	75,078	-53,345	75,078
28	17279	5	-5,500	-3,165	-30,053	-30,053	0,000	-3,491	-10,778	5,806	74,267	-53,966	74,267
Plate_2_6	17279	1	-5,500	-3,165	-29,774	-29,774	0,000	-4,210	-10,810	5,793	74,267	-53,966	74,267
Element 11-16 (Plate)	17282	2	-5,500	-3,375	-31,127	-31,127	0,000	-0,725	-7,931	8,614	73,772	-54,180	73,772

Structural element	Node [10^3]	Local number	X [m]	Y [m]	N [kN/m]	N,max [kN/m]	N,min [10^3 kN/m]	Q [kN/m]	Q,max [kN/m]	Q,min [kN/m]	M [kN m/m]	M,max [kN m/m]	M,min [kN m/m]
(Parete c.a.C32/40 sp.0.50m)	17281	3	-5,500	-3,585	-32,155	-32,155	0,000	1,924	-4,753	11,663	73,899	-53,743	73,899
28	17280	4	-5,500	-3,795	-33,044	-33,044	0,000	4,211	-1,314	14,962	74,555	-52,612	74,555
28	17305	5	-5,500	-4,005	-33,982	-33,982	0,000	6,611	0,000	18,533	75,680	-50,746	75,680
Plate_2_7	17305	1	-5,500	-4,005	-34,020	-34,020	0,000	6,706	0,000	18,537	75,680	-50,746	75,680
Element 13-18 (Plate)	17308	2	-5,500	-4,154	-34,764	-34,764	0,000	8,595	0,000	21,237	76,817	-48,949	76,817
(Parete c.a.C32/40 sp.0.50m)	17307	3	-5,500	-4,302	-35,695	-35,695	0,000	10,961	0,000	24,063	78,260	-46,741	78,260
28	17306	4	-5,500	-4,451	-36,932	-36,932	0,000	14,105	0,000	27,018	80,118	-44,105	80,118
28	18049	5	-5,500	-4,600	-38,592	-38,592	0,000	18,326	0,000	30,110	82,514	-41,026	82,514
Plate_2_8	18049	1	-5,500	-4,600	-55,246	-55,246	0,000	-85,971	-85,971	0,000	82,514	-41,026	82,514
Element 15-22 (Plate)	18052	2	-5,500	-4,837	-57,366	-57,366	0,000	-80,560	-80,560	0,000	62,734	-50,167	62,734
(Parete c.a.C32/40 sp.0.50m)	18051	3	-5,500	-5,075	-59,558	-59,558	0,000	-74,964	-74,964	0,000	44,269	-58,104	44,269
28	18050	4	-5,500	-5,312	-61,707	-61,707	0,000	-69,474	-69,474	0,000	27,112	-64,901	27,112
28	18123	5	-5,500	-5,550	-63,700	-63,700	0,000	-64,381	-64,381	0,000	11,236	-70,632	11,236
Plate_2_8	18123	1	-5,500	-5,550	-63,667	-63,667	0,000	-64,464	-64,464	0,000	11,236	-70,632	11,236
Element 15-23 (Plate)	18126	2	-5,500	-5,664	-64,883	-64,883	0,000	-61,361	-61,361	0,000	4,048	-72,979	4,048
(Parete c.a.C32/40 sp.0.50m)	18125	3	-5,500	-5,779	-66,143	-66,143	0,000	-58,142	-58,142	0,000	-2,787	-75,041	0,000
28	18124	4	-5,500	-5,893	-67,525	-67,525	0,000	-54,612	-54,612	0,000	-9,234	-76,790	0,000
28	18147	5	-5,500	-6,007	-69,105	-69,105	0,000	-50,575	-50,575	0,000	-15,250	-78,196	0,000
Plate_2_9	18147	1	-5,500	-6,007	-69,003	-69,003	6,246	-50,838	-50,838	0,011	-15,250	-78,196	0,000
Element 18-26 (Plate)	18150	2	-5,500	-6,085	-70,124	-70,124	0,076	-47,974	-47,974	0,033	-19,110	-78,956	0,001
(Parete c.a.C32/40 sp.0.50m)	18149	3	-5,500	-6,163	-71,207	-71,207	0,000	-45,205	-45,205	0,074	-22,752	-79,542	0,005
28	18148	4	-5,500	-6,242	-72,260	-72,260	0,000	-42,515	-42,515	0,129	-26,180	-79,959	0,013
28	18851	5	-5,500	-6,320	-73,288	-73,288	0,011	-39,889	-39,889	0,222	-29,399	-80,209	0,025
Plate_2_9	18851	1	-5,500	-6,320	-73,298	-73,298	0,000	-39,863	-39,863	0,211	-29,399	-80,209	0,025
Element 18-27 (Plate)	18854	2	-5,500	-6,365	-73,899	-73,899	0,075	-38,328	-38,328	0,266	-31,161	-80,276	0,035
(Parete c.a.C32/40 sp.0.50m)	18853	3	-5,500	-6,410	-74,512	-74,512	0,007	-36,761	-36,761	0,488	-32,853	-80,284	0,049
28	18852	4	-5,500	-6,455	-75,138	-75,138	0,000	-35,161	-35,161	1,867	-34,474	-80,231	0,066
28	18891	5	-5,500	-6,500	-75,778	-75,778	0,000	-33,527	-33,527	3,297	-36,022	-80,115	0,087
Plate_2_10	18891	1	-5,500	-6,500	-75,777	-75,777	0,000	-33,530	-33,530	3,291	-36,022	-80,115	0,087
Element 20-29 (Plate)	18894	2	-5,500	-6,549	-76,515	-76,515	0,000	-31,643	-31,643	4,964	-37,618	-79,913	0,114
(Parete c.a.C32/40 sp.0.50m)	18893	3	-5,500	-6,598	-77,276	-77,276	0,000	-29,699	-29,699	6,701	-39,120	-79,628	0,148
28	18892	4	-5,500	-6,647	-78,055	-78,055	0,000	-27,710	-27,710	8,490	-40,527	-79,256	0,188
28	18915	5	-5,500	-6,696	-78,845	-78,845	0,000	-25,690	-25,690	10,319	-41,834	-78,796	0,234
Plate_2_11	18915	1	-5,500	-6,696	-78,853	-78,853	0,000	-25,670	-25,670	10,340	-41,834	-78,796	0,234
Element 22-31 (Plate)	18918	2	-5,500	-6,750	-79,624	-79,624	0,000	-23,701	-23,701	12,112	-43,161	-78,191	0,290
(Parete c.a.C32/40 sp.0.50m)	18917	3	-5,500	-6,804	-80,341	-80,341	0,000	-21,869	-21,869	13,762	-44,388	-77,494	0,353
28	18916	4	-5,500	-6,857	-81,039	-81,039	0,000	-20,085	-20,085	15,379	-45,517	-76,710	0,426
28	19683	5	-5,500	-6,911	-81,755	-81,755	0,000	-18,256	-18,256	17,056	-46,549	-75,838	0,512
Plate_2_11	19683	1	-5,500	-6,911	-81,759	-81,759	0,000	-18,248	-18,248	17,064	-46,549	-75,838	0,512
Element 22-32 (Plate)	19686	2	-5,500	-6,963	-82,519	-82,519	0,000	-16,303	-16,303	18,878	-47,436	-74,916	0,608
(Parete c.a.C32/40 sp.0.50m)	19685	3	-5,500	-7,014	-83,309	-83,309	0,000	-14,285	-14,285	20,778	-48,221	-73,898	0,718
28	19684	4	-5,500	-7,065	-84,129	-84,129	0,000	-12,189	-12,189	22,769	-48,902	-72,780	0,843
28	19717	5	-5,500	-7,117	-84,982	-84,982	0,000	-10,011	-10,011	24,855	-49,472	-71,558	0,984
Plate_2_11	19717	1	-5,500	-7,117	-84,971	-84,971	0,000	-10,037	-10,037	24,830	-49,472	-71,558	0,984
Element 22-33 (Plate)	19718	2	-5,500	-7,166	-85,791	-85,791	0,000	-7,943	-7,943	26,848	-49,912	-70,458	1,133
(Parete c.a.C32/40 sp.0.50m)	19719	3	-5,500	-7,215	-86,596	-86,596	0,000	-5,886	-5,886	28,845	-50,250	-69,415	1,295
28	19720	4	-5,500	-7,264	-87,385	-87,385	0,000	-3,867	-3,867	30,823	-50,489	-68,270	1,468
28	20458	5	-5,500	-7,313	-88,159	-88,159	0,000	-1,890	-1,890	32,779	-50,630	-67,022	1,650
Plate_2_12	20458	1	-5,500	-7,313	-88,170	-88,170	0,000	-1,861	-1,861	32,765	-50,630	-67,022	1,650
Element 23-34 (Plate)	20461	2	-5,500	-7,388	-89,387	-89,387	0,000	1,250	0,000	36,017	-50,654	-64,885	1,953
(Parete c.a.C32/40 sp.0.50m)	20460	3	-5,500	-7,464	-90,632	-90,632	0,000	4,434	0,000	39,317	-50,439	-62,483	2,292
28	20459	4	-5,500	-7,540	-91,921	-91,921	0,000	7,729	0,000	42,623	-49,979	-60,283	2,671
28	20494	5	-5,500	-7,615	-93,268	-93,268	0,000	11,171	0,000	45,891	-49,265	-58,353	3,095

Structural element	Node [10^3]	Local number	X [m]	Y [m]	N [kN/m]	N,max [kN/m]	N,min [10^3 kN/m]	Q [kN/m]	Q,max [kN/m]	Q,min [kN/m]	M [kN m/m]	M,max [kN m/m]	M,min [kN m/m]
Plate_2_13	20494	1	-5,500	-7,615	-93,254	-93,254	0,000	11,135	0,000	45,837	-49,265	-58,353	3,095
Element 24-35 (Plate)	20495	2	-5,500	-7,630	-93,495	-93,495	0,000	11,752	0,000	46,422	-49,098	-57,950	3,181
(Parete c.a.C32/40 sp.0.50m)	20496	3	-5,500	-7,645	-93,737	-93,737	0,000	12,370	0,000	47,001	-48,921	-57,538	3,268
28	20497	4	-5,500	-7,659	-93,983	-93,983	0,000	13,000	0,000	47,575	-48,736	-57,117	3,356
28	21176	5	-5,500	-7,674	-94,238	-94,238	0,000	13,652	0,000	48,147	-48,541	-56,695	3,446
Plate_2_14	21176	1	-5,500	-7,674	-94,199	-94,199	0,000	13,552	0,000	48,068	-48,541	-56,695	3,446
Element 26-38 (Plate)	21177	2	-5,500	-7,755	-95,699	-95,699	0,000	17,389	0,000	51,415	-47,281	-54,202	3,968
(Parete c.a.C32/40 sp.0.50m)	21178	3	-5,500	-7,837	-97,164	-97,164	0,000	21,135	0,000	54,515	-45,707	-51,478	4,528
28	21179	4	-5,500	-7,918	-98,514	-98,514	0,000	24,588	0,000	57,211	-43,841	-48,610	5,127
28	21766	5	-5,500	-8,000	-99,673	-99,673	0,000	27,549	0,000	59,344	-41,711	-45,659	5,761
Plate_3_1	21766	1	-5,500	-8,000	-116,532	-116,532	85,010	19,496	0,000	54,249	-41,711	-45,659	5,761
Element 27-39 (Plate)	21767	2	-5,500	-8,058	-117,355	-117,355	85,010	20,919	0,000	54,656	-40,548	-43,949	6,154
(Micropali D168.3x10.0/0,27m)	21768	3	-5,500	-8,115	-118,401	-118,401	85,010	22,731	0,000	55,451	-39,290	-42,200	6,575
28	21769	4	-5,500	-8,173	-119,647	-119,647	85,010	24,889	0,000	56,748	-37,918	-40,337	7,024
28	22356	5	-5,500	-8,231	-121,069	-121,069	85,010	27,350	0,000	58,662	-36,413	-38,338	7,502
Plate_3_1	22356	1	-5,500	-8,231	-121,051	-121,051	85,010	27,319	0,000	58,518	-36,413	-38,338	7,502
Element 27-40 (Plate)	22357	2	-5,500	-8,288	-122,441	-122,441	85,010	29,725	0,000	60,401	-34,768	-36,259	8,018
(Micropali D168.3x10.0/0,27m)	22358	3	-5,500	-8,346	-123,821	-123,821	85,010	32,115	0,000	62,373	-32,984	-34,039	8,585
28	22359	4	-5,500	-8,404	-125,204	-125,204	85,010	34,511	0,000	64,413	-31,062	-31,745	9,196
28	22779	5	-5,500	-8,461	-126,604	-126,604	85,010	36,935	0,000	66,500	-29,003	-29,361	9,843
Plate_3_2	22779	1	-5,500	-8,461	-126,609	-126,609	85,010	36,945	0,000	66,469	-29,003	-29,361	9,843
Element 28-41 (Plate)	22780	2	-5,500	-8,471	-126,837	-126,837	85,010	37,339	0,000	66,790	-28,645	-28,952	9,954
(Micropali D168.3x10.0/0,27m)	22781	3	-5,500	-8,481	-127,063	-127,063	85,010	37,731	0,000	67,102	-28,283	-28,539	10,065
28	22782	4	-5,500	-8,490	-127,284	-127,284	85,010	38,113	0,000	67,396	-27,917	-28,122	10,177
28	23191	5	-5,500	-8,500	-127,493	-127,493	85,010	38,475	0,000	67,664	-27,548	-27,702	10,289
Plate_3_3	23191	1	-5,500	-8,500	-127,377	-127,377	84,892	38,275	0,000	67,328	-27,548	-27,702	10,289
Element 29-42 (Plate)	23194	2	-5,500	-8,550	-128,342	-128,342	91,509	39,947	0,000	63,464	-25,612	-25,612	10,795
(Micropali D168.3x10.0/0,27m)	23193	3	-5,500	-8,599	-129,240	-129,240	97,224	41,502	0,000	59,193	-23,595	-23,595	11,214
28	23192	4	-5,500	-8,649	-130,083	-130,083	102,239	42,964	0,000	55,974	-21,503	-21,503	11,531
28	23453	5	-5,500	-8,698	-130,885	-130,885	106,758	44,353	0,000	52,657	-19,342	-19,342	12,587
Plate_3_3	23453	1	-5,500	-8,698	-131,420	-131,420	106,566	45,280	-0,105	53,774	-19,342	-19,342	12,587
Element 29-43 (Plate)	23456	2	-5,500	-8,891	-132,958	-132,958	125,986	47,945	-3,944	49,615	-10,374	-10,374	16,661
(Micropali D168.3x10.0/0,27m)	23455	3	-5,500	-9,084	-135,245	-135,245	144,433	51,910	-6,665	51,910	-0,723	-0,723	19,634
28	23454	4	-5,500	-9,278	-137,801	-137,801	161,973	56,341	-7,738	56,341	9,720	0,000	21,016
28	23981	5	-5,500	-9,471	-140,145	-140,145	178,673	60,403	-8,428	60,403	21,015	0,000	23,090
Plate_3_4	23981	1	-5,500	-9,471	-139,468	-139,468	178,803	60,697	-9,602	60,697	21,015	0,000	23,090
Element 31-45 (Plate)	23984	2	-5,500	-9,779	-124,297	-124,297	205,138	28,683	-10,015	28,683	34,607	0,000	34,607
(Micropali D168.3x10.0/0,27m)	23983	3	-5,500	-10,087	-113,699	-113,699	230,772	4,180	-9,678	4,180	39,444	0,000	39,444
28	23982	4	-5,500	-10,395	-107,124	-107,124	255,552	-12,089	-13,822	0,003	38,028	0,000	38,028
28	24131	5	-5,500	-10,703	-104,022	-104,022	279,325	-19,401	-19,401	0,015	32,929	0,000	32,929
Plate_3_5	24131	1	-5,500	-10,703	-102,520	-102,520	279,048	-22,189	-22,189	0,020	32,929	0,000	32,929
Element 33-48 (Plate)	24134	2	-5,500	-10,961	-100,703	-100,703	297,632	-25,269	-25,269	0,026	26,727	0,000	26,727
(Micropali D168.3x10.0/0,27m)	24133	3	-5,500	-11,218	-100,275	-100,275	316,021	-24,826	-24,826	0,026	20,218	0,000	20,218
28	24132	4	-5,500	-11,476	-101,017	-101,017	334,181	-21,473	-21,473	0,022	14,179	0,000	14,179
28	24149	5	-5,500	-11,734	-102,707	-102,707	352,079	-15,823	-15,823	0,015	9,339	0,000	9,339
Plate_3_5	24149	1	-5,500	-11,734	-102,298	-102,298	351,813	-16,568	-16,568	0,016	9,339	0,000	9,339
Element 33-49 (Plate)	24152	2	-5,500	-12,008	-103,900	-103,900	370,320	-11,732	-11,732	0,009	5,487	0,000	5,487
(Micropali D168.3x10.0/0,27m)	24151	3	-5,500	-12,281	-104,847	-104,847	387,347	-7,768	-7,768	0,003	2,839	0,000	2,839
28	24150	4	-5,500	-12,555	-105,028	-105,028	402,755	-4,692	-4,692	0,000	1,153	-0,030	1,153
28	24480	5	-5,500	-12,829	-104,332	-104,332	416,402	-2,521	-2,521	0,029	0,187	-0,034	0,333
Plate_3_5	24480	1	-5,500	-12,829	-104,324	-104,324	415,758	-2,422	-2,422	0,040	0,187	-0,034	0,333
Element 33-50 (Plate)	24479	2	-5,500	-13,119	-102,503	-102,503	427,232	-1,013	-1,013	0,080	-0,299	-0,299	0,142
(Micropali D168.3x10.0/0,27m)	24478	3	-5,500	-13,410	-99,782	-99,782	433,798	-0,091	-0,120	0,094	-0,450	-0,450	0,104

Structural element	Node [10 ˆ]	Local number	X [m]	Y [m]	N [kN/m]	N ⊥⊥ [kN/m]	N ⊥⊥ [10 ˆ kN/m]	Q [kN/m]	Q ⊥⊥ [kN/m]	Q ⊥⊥ [kN/m]	M [kN m/m]	M ⊥⊥ [kN m/m]	M ⊥⊥ [kN m/m]
2D	24477	4	-5,500	-13,701	-96,175	-96,175	435,232	0,396	-0,016	0,396	-0,394	-0,394	0,100
2D	24685	5	-5,500	-13,991	-91,699	-91,699	431,313	0,500	-0,019	0,500	-0,256	-0,256	0,095
Plate_3_6	24685	1	-5,500	-13,991	-91,671	-91,671	430,352	0,551	-0,019	0,551	-0,256	-0,256	0,095
Element 34-51 (Plate)	24688	2	-5,500	-14,292	-86,207	-86,207	418,819	0,592	-0,024	0,592	-0,080	-0,080	0,131
(Micropali D168.3x10.0/0,27m)	24687	3	-5,500	-14,593	-79,717	-79,717	397,289	0,504	-0,031	0,504	0,088	0,000	0,181
2D	24686	4	-5,500	-14,895	-72,185	-72,185	365,484	0,285	-0,039	0,285	0,210	0,000	0,252
2D	25013	5	-5,500	-15,196	-63,597	-63,597	323,126	-0,070	-0,076	0,108	0,246	0,000	0,270
Plate_3_6	25013	1	-5,500	-15,196	-63,439	-63,439	322,196	-0,101	-0,158	0,000	0,246	0,000	0,270
Element 34-52 (Plate)	25017	2	-5,500	-15,497	-49,543	-49,543	266,023	-0,301	-0,301	0,193	0,187	0,000	0,252
(Micropali D168.3x10.0/0,27m)	25016	3	-5,500	-15,798	-34,401	-34,401	194,361	-0,388	-0,388	0,057	0,073	0,000	0,255
2D	25015	4	-5,500	-16,099	-17,960	-17,960	106,838	-0,199	-0,415	0,000	-0,019	-0,019	0,188
2D	25014	5	-5,500	-16,400	-0,169	-0,184	3,078	0,429	-0,835	0,429	0,000	0,000	0,000

3.1.2.4.22 Calculation results, Plate, SLU11 [Phase_29] (29/723), Table of plate force envelopes

Structural element	Node [10^0]	Local number	X [m]	Y [m]	N [kN/m]	N,min [kN/m]	N,max [10^-1 kN/m]	Q [kN/m]	Q,max [kN/m]	Q,min [kN/m]	M [kN m/m]	M,max [kN m/m]	M,min [kN m/m]
Plate_2_1	15336	1	-5,500	0,000	0,024	-0,001	24,281	-0,062	-0,062	0,003	0,000	0,000	0,000
Element 1-1 (Plate)	15335	2	-5,500	-0,070	-0,340	-0,340	0,113	0,876	0,000	0,876	0,027	0,000	0,027
(Parete c.a.C32/40 sp.0.50m)	15334	3	-5,500	-0,141	-0,780	-0,780	0,000	2,004	0,000	2,004	0,128	0,000	0,128
28	15333	4	-5,500	-0,211	-1,283	-1,283	0,000	3,296	0,000	3,296	0,313	0,000	0,313
28	15350	5	-5,500	-0,281	-1,839	-1,839	0,000	4,724	0,000	4,724	0,595	0,000	0,595
Plate_2_1	15350	1	-5,500	-0,281	-1,831	-1,831	0,000	4,704	0,000	4,704	0,595	0,000	0,595
Element 1-2 (Plate)	15349	2	-5,500	-0,336	-2,275	-2,275	0,000	5,844	0,000	5,844	0,883	0,000	0,883
(Parete c.a.C32/40 sp.0.50m)	15348	3	-5,500	-0,391	-2,729	-2,729	0,000	7,009	0,000	7,009	1,234	0,000	1,234
28	15347	4	-5,500	-0,445	-3,191	-3,191	0,000	8,197	0,000	8,197	1,649	0,000	1,649
28	15361	5	-5,500	-0,500	-3,663	-3,663	0,000	9,408	0,000	9,408	2,130	0,000	2,130
Plate_2_2	15361	1	-5,500	-0,500	-3,663	-3,663	0,000	9,407	0,000	9,407	2,130	0,000	2,130
Element 3-4 (Plate)	15364	2	-5,500	-0,525	-3,881	-3,881	0,000	9,967	0,000	9,967	2,372	0,000	2,372
(Parete c.a.C32/40 sp.0.50m)	15363	3	-5,500	-0,550	-4,100	-4,100	0,000	10,530	0,000	10,530	2,629	0,000	2,629
28	15362	4	-5,500	-0,575	-4,321	-4,321	0,000	11,098	0,000	11,098	2,899	0,000	2,899
28	15405	5	-5,500	-0,600	-4,543	-4,543	0,000	11,668	0,000	11,668	3,183	0,000	3,183
Plate_2_3	15405	1	-5,500	-0,600	-15,628	-15,628	0,000	-56,072	-56,072	0,000	3,183	0,000	3,183
Element 4-5 (Plate)	15408	2	-5,500	-0,644	-16,021	-16,021	0,000	-55,061	-55,061	0,000	0,747	-0,853	0,747
(Parete c.a.C32/40 sp.0.50m)	15407	3	-5,500	-0,688	-16,419	-16,419	0,000	-54,039	-54,039	0,000	-1,646	-2,470	0,000
28	15406	4	-5,500	-0,732	-16,821	-16,821	0,000	-53,008	-53,008	0,000	-3,994	-4,090	0,000
28	15419	5	-5,500	-0,775	-17,226	-17,226	0,000	-51,967	-51,967	0,000	-6,295	-6,295	0,000
Plate_2_3	15419	1	-5,500	-0,775	-17,226	-17,226	0,000	-51,969	-51,969	0,000	-6,295	-6,295	0,000
Element 4-6 (Plate)	15422	2	-5,500	-0,834	-17,775	-17,775	0,000	-50,558	-50,558	0,000	-9,315	-9,315	0,000
(Parete c.a.C32/40 sp.0.50m)	15421	3	-5,500	-0,893	-18,327	-18,327	0,000	-49,141	-49,141	0,000	-12,252	-12,252	0,000
28	15420	4	-5,500	-0,952	-18,880	-18,880	0,000	-47,719	-47,719	0,000	-15,106	-15,106	0,000
28	15479	5	-5,500	-1,011	-19,435	-19,435	0,000	-46,296	-46,296	0,000	-17,875	-17,875	0,000
Plate_2_4	15479	1	-5,500	-1,011	-19,411	-19,411	0,000	-46,356	-46,356	0,000	-17,875	-17,875	0,000
Element 6-8 (Plate)	15482	2	-5,500	-1,096	-20,237	-20,237	0,000	-44,234	-44,234	0,000	-21,708	-21,708	0,000
(Parete c.a.C32/40 sp.0.50m)	15481	3	-5,500	-1,180	-21,097	-21,097	0,000	-42,026	-42,026	0,000	-25,359	-25,359	0,000
28	15480	4	-5,500	-1,265	-21,983	-21,983	0,000	-39,752	-39,752	0,000	-28,820	-28,820	0,000
28	16393	5	-5,500	-1,350	-22,886	-22,886	0,000	-37,432	-37,432	0,000	-32,085	-32,085	0,000
Plate_2_4	16393	1	-5,500	-1,350	-22,878	-22,878	0,000	-37,453	-37,453	0,000	-32,085	-32,085	0,000
Element 6-9 (Plate)	16396	2	-5,500	-1,519	-24,668	-24,668	0,000	-32,855	-32,855	0,000	-38,052	-38,052	0,000
(Parete c.a.C32/40 sp.0.50m)	16395	3	-5,500	-1,689	-26,409	-26,409	0,000	-28,382	-28,382	0,000	-43,250	-43,250	0,000
28	16394	4	-5,500	-1,859	-28,098	-28,098	0,000	-24,043	-24,043	0,000	-47,701	-47,701	0,000
28	16427	5	-5,500	-2,029	-29,730	-29,730	0,000	-19,849	-19,849	0,000	-51,424	-51,424	0,000
Plate_2_5	16427	1	-5,500	-2,029	-29,725	-29,725	2,373	-19,861	-19,861	0,006	-51,424	-51,424	0,000
Element 9-12 (Plate)	16430	2	-5,500	-2,147	-30,839	-30,839	1,427	-16,997	-17,832	0,071	-53,594	-53,594	0,004
(Parete c.a.C32/40 sp.0.50m)	16429	3	-5,500	-2,264	-31,921	-31,921	0,000	-14,214	-16,094	0,174	-55,432	-55,432	0,018
28	16428	4	-5,500	-2,382	-32,976	-32,976	0,000	-11,502	-14,370	0,317	-56,946	-56,946	0,046
28	17049	5	-5,500	-2,500	-34,007	-34,007	0,000	-8,849	-12,650	0,511	-58,144	-58,144	0,095
Plate_2_6	17049	1	-5,500	-2,500	-33,997	-33,997	0,000	-8,873	-12,677	0,448	-58,144	-58,144	0,095
Element 11-15 (Plate)	17052	2	-5,500	-2,666	-35,492	-35,492	0,000	-5,028	-10,060	1,204	-59,297	-59,297	0,219
(Parete c.a.C32/40 sp.0.50m)	17051	3	-5,500	-2,832	-36,928	-36,928	0,000	-1,334	-7,497	2,379	-59,824	-59,824	0,439
28	17050	4	-5,500	-2,999	-38,307	-38,307	0,000	2,216	-4,981	3,554	-59,748	-59,748	0,748
28	17279	5	-5,500	-3,165	-39,632	-39,632	0,000	5,628	-2,506	5,806	-59,095	-59,095	1,142
Plate_2_6	17279	1	-5,500	-3,165	-39,627	-39,627	0,000	5,615	-2,518	5,793	-59,095	-59,095	1,142
Element 11-16 (Plate)	17282	2	-5,500	-3,375	-41,206	-41,206	0,000	9,683	0,000	9,683	-57,489	-57,489	1,775

Structural element	Node [10^3]	Local number	X [m]	Y [m]	N [kN/m]	N,max [kN/m]	N,min [10^3 kN/m]	Q [kN/m]	Q,max [kN/m]	Q,min [kN/m]	M [kN m/m]	M,max [kN m/m]	M,min [kN m/m]
(Parete c.a.C32/40 sp.0.50m)	17281	3	-5,500	-3,585	-42,792	-42,792	0,000	13,769	0,000	13,769	-55,027	-55,027	2,617
2D	17280	4	-5,500	-3,795	-44,394	-44,394	0,000	17,899	0,000	17,899	-51,702	-52,612	3,727
2D	17305	5	-5,500	-4,005	-46,024	-46,024	0,000	22,097	0,000	22,097	-47,506	-50,746	5,161
Plate_2_7	17305	1	-5,500	-4,005	-46,036	-46,036	0,000	22,128	0,000	22,128	-47,506	-50,746	5,161
Element 13-18 (Plate)	17308	2	-5,500	-4,154	-47,225	-47,225	0,000	25,188	0,000	25,188	-43,987	-48,949	6,399
(Parete c.a.C32/40 sp.0.50m)	17307	3	-5,500	-4,302	-48,464	-48,464	0,000	28,374	0,000	28,374	-40,002	-46,741	7,839
2D	17306	4	-5,500	-4,451	-49,758	-49,758	0,000	31,701	0,000	31,701	-35,533	-44,105	9,492
2D	18049	5	-5,500	-4,600	-51,112	-51,112	0,000	35,180	0,000	35,180	-30,559	-41,026	11,369
Plate_2_8	18049	1	-5,500	-4,600	-67,001	-67,001	0,000	-62,269	-62,269	0,000	-30,559	-41,026	11,369
Element 15-22 (Plate)	18052	2	-5,500	-4,837	-69,276	-69,276	0,000	-56,429	-56,429	0,000	-44,652	-50,167	3,651
(Parete c.a.C32/40 sp.0.50m)	18051	3	-5,500	-5,075	-71,518	-71,518	0,000	-50,675	-50,675	0,000	-57,366	-58,104	0,000
2D	18050	4	-5,500	-5,312	-73,670	-73,670	0,000	-45,152	-45,152	0,000	-68,745	-68,745	0,000
2D	18123	5	-5,500	-5,550	-75,676	-75,676	0,000	-40,003	-40,003	0,000	-78,844	-78,844	0,000
Plate_2_8	18123	1	-5,500	-5,550	-75,782	-75,782	0,000	-39,730	-39,730	0,000	-78,844	-78,844	0,000
Element 15-23 (Plate)	18126	2	-5,500	-5,664	-76,924	-76,924	0,000	-36,800	-36,800	0,000	-83,216	-83,216	0,000
(Parete c.a.C32/40 sp.0.50m)	18125	3	-5,500	-5,779	-78,112	-78,112	0,000	-33,754	-33,754	0,000	-87,252	-87,252	0,000
2D	18124	4	-5,500	-5,893	-79,406	-79,406	0,000	-30,435	-30,435	0,000	-90,923	-90,923	0,000
2D	18147	5	-5,500	-6,007	-80,868	-80,868	0,000	-26,686	-26,686	0,000	-94,192	-94,192	0,000
Plate_2_9	18147	1	-5,500	-6,007	-80,773	-80,773	6,246	-26,931	-26,931	0,011	-94,192	-94,192	0,000
Element 18-26 (Plate)	18150	2	-5,500	-6,085	-81,804	-81,803	0,076	-24,289	-24,289	0,033	-96,192	-96,192	0,001
(Parete c.a.C32/40 sp.0.50m)	18149	3	-5,500	-6,163	-82,801	-82,801	0,000	-21,733	-21,733	0,074	-97,991	-97,991	0,005
2D	18148	4	-5,500	-6,242	-83,775	-83,775	0,000	-19,237	-19,237	0,129	-99,592	-99,592	0,013
2D	18851	5	-5,500	-6,320	-84,734	-84,734	0,011	-16,778	-16,778	0,222	-100,999	-100,999	0,025
Plate_2_9	18851	1	-5,500	-6,320	-84,748	-84,748	0,000	-16,743	-16,743	0,211	-100,999	-100,999	0,025
Element 18-27 (Plate)	18854	2	-5,500	-6,365	-85,325	-85,325	0,075	-15,264	-15,264	0,266	-101,720	-101,720	0,035
(Parete c.a.C32/40 sp.0.50m)	18853	3	-5,500	-6,410	-85,921	-85,921	0,007	-13,736	-13,736	0,488	-102,374	-102,374	0,049
2D	18852	4	-5,500	-6,455	-86,537	-86,537	0,000	-12,159	-12,159	1,867	-102,957	-102,957	0,066
2D	18891	5	-5,500	-6,500	-87,171	-87,171	0,000	-10,533	-10,533	3,297	-103,469	-103,469	0,087
Plate_2_10	18891	1	-5,500	-6,500	-87,169	-87,169	0,000	-10,538	-10,538	3,291	-103,469	-103,469	0,087
Element 20-29 (Plate)	18894	2	-5,500	-6,549	-87,906	-87,906	0,000	-8,651	-8,651	4,964	-103,939	-103,939	0,114
(Parete c.a.C32/40 sp.0.50m)	18893	3	-5,500	-6,598	-88,668	-88,668	0,000	-6,699	-6,699	6,701	-104,315	-104,315	0,148
2D	18892	4	-5,500	-6,647	-89,450	-89,450	0,000	-4,695	-4,695	8,490	-104,595	-104,595	0,188
2D	18915	5	-5,500	-6,696	-90,248	-90,248	0,000	-2,650	-2,650	10,319	-104,774	-104,774	0,234
Plate_2_11	18915	1	-5,500	-6,696	-90,256	-90,256	0,000	-2,630	-2,630	10,340	-104,774	-104,774	0,234
Element 22-31 (Plate)	18918	2	-5,500	-6,750	-91,041	-91,041	0,000	-0,620	-0,909	12,112	-104,861	-104,861	0,290
(Parete c.a.C32/40 sp.0.50m)	18917	3	-5,500	-6,804	-91,777	-91,777	0,000	1,265	0,000	13,762	-104,844	-104,844	0,353
2D	18916	4	-5,500	-6,857	-92,500	-92,500	0,000	3,118	0,000	15,379	-104,725	-104,725	0,426
2D	19683	5	-5,500	-6,911	-93,246	-93,246	0,000	5,028	0,000	17,056	-104,507	-104,507	0,512
Plate_2_11	19683	1	-5,500	-6,911	-93,248	-93,248	0,000	5,034	0,000	17,064	-104,507	-104,507	0,512
Element 22-32 (Plate)	19686	2	-5,500	-6,963	-94,042	-94,042	0,000	7,067	0,000	18,878	-104,197	-104,197	0,608
(Parete c.a.C32/40 sp.0.50m)	19685	3	-5,500	-7,014	-94,866	-94,866	0,000	9,180	0,000	20,778	-103,780	-103,780	0,718
2D	19684	4	-5,500	-7,065	-95,723	-95,723	0,000	11,375	0,000	22,769	-103,252	-103,252	0,843
2D	19717	5	-5,500	-7,117	-96,614	-96,614	0,000	13,657	0,000	24,855	-102,610	-102,610	0,984
Plate_2_11	19717	1	-5,500	-7,117	-96,603	-96,603	0,000	13,630	0,000	24,830	-102,610	-102,610	0,984
Element 22-33 (Plate)	19718	2	-5,500	-7,166	-97,459	-97,459	0,000	15,822	0,000	26,848	-101,889	-101,889	1,133
(Parete c.a.C32/40 sp.0.50m)	19719	3	-5,500	-7,215	-98,299	-98,299	0,000	17,975	0,000	28,845	-101,061	-101,061	1,295
2D	19720	4	-5,500	-7,264	-99,124	-99,124	0,000	20,087	0,000	30,823	-100,128	-100,128	1,468
2D	20458	5	-5,500	-7,313	-99,932	-99,932	0,000	22,158	0,000	32,779	-99,093	-99,093	1,650
Plate_2_12	20458	1	-5,500	-7,313	-99,929	-99,929	0,000	22,149	0,000	32,765	-99,093	-99,093	1,650
Element 23-34 (Plate)	20461	2	-5,500	-7,388	-101,236	-101,236	0,000	25,500	0,000	36,017	-97,290	-97,290	1,953
(Parete c.a.C32/40 sp.0.50m)	20460	3	-5,500	-7,464	-102,538	-102,538	0,000	28,835	0,000	39,317	-95,232	-95,232	2,292
2D	20459	4	-5,500	-7,540	-103,826	-103,826	0,000	32,135	0,000	42,623	-92,923	-92,923	2,671
2D	20494	5	-5,500	-7,615	-105,093	-105,093	0,000	35,380	0,000	45,891	-90,367	-90,367	3,095

Structural element	Node [10^3]	Local number	X [m]	Y [m]	N [kN/m]	N,max [kN/m]	N,min [10^3 kN/m]	Q [kN/m]	Q,max [kN/m]	Q,min [kN/m]	M [kN m/m]	M,max [kN m/m]	M,min [kN m/m]
Plate_2_13	20494	1	-5,500	-7,615	-105,085	-105,085	0,000	35,360	0,000	45,837	-90,367	-90,367	3,095
Element 24-35 (Plate)	20495	2	-5,500	-7,630	-105,319	-105,319	0,000	35,958	0,000	46,422	-89,846	-89,846	3,181
(Parete c.a.C32/40 sp.0.50m)	20496	3	-5,500	-7,645	-105,550	-105,550	0,000	36,550	0,000	47,001	-89,316	-89,316	3,268
28	20497	4	-5,500	-7,659	-105,780	-105,780	0,000	37,139	0,000	47,575	-88,778	-88,778	3,356
28	21176	5	-5,500	-7,674	-106,010	-106,010	0,000	37,729	0,000	48,147	-88,231	-88,231	3,446
Plate_2_14	21176	1	-5,500	-7,674	-105,988	-105,988	0,000	37,671	0,000	48,068	-88,231	-88,231	3,446
Element 26-38 (Plate)	21177	2	-5,500	-7,755	-107,311	-107,311	0,000	41,058	0,000	51,415	-85,021	-85,021	3,968
(Parete c.a.C32/40 sp.0.50m)	21178	3	-5,500	-7,837	-108,549	-108,549	0,000	44,228	0,000	54,515	-81,540	-81,540	4,528
28	21179	4	-5,500	-7,918	-109,648	-109,648	0,000	47,041	0,000	57,211	-77,816	-77,816	5,127
28	21766	5	-5,500	-8,000	-110,555	-110,555	0,000	49,361	0,000	59,344	-73,882	-73,882	5,761
Plate_3_1	21766	1	-5,500	-8,000	-129,463	-129,463	85,010	40,704	0,000	54,249	-73,882	-73,882	5,761
Element 27-39 (Plate)	21767	2	-5,500	-8,058	-129,919	-129,919	85,010	41,490	0,000	54,656	-71,513	-71,513	6,154
(Micropali D168.3x10.0/0,27m)	21768	3	-5,500	-8,115	-130,581	-130,581	85,010	42,638	0,000	55,451	-69,089	-69,089	6,575
28	21769	4	-5,500	-8,173	-131,485	-131,485	85,010	44,208	0,000	56,748	-66,585	-66,585	7,024
28	22356	5	-5,500	-8,231	-132,667	-132,667	85,010	46,260	0,000	58,662	-63,979	-63,979	7,502
Plate_3_1	22356	1	-5,500	-8,231	-132,640	-132,640	85,010	46,215	0,000	58,518	-63,979	-63,979	7,502
Element 27-40 (Plate)	22357	2	-5,500	-8,288	-133,934	-133,934	85,010	48,464	0,000	60,401	-61,250	-61,250	8,018
(Micropali D168.3x10.0/0,27m)	22358	3	-5,500	-8,346	-135,303	-135,303	85,010	50,842	0,000	62,373	-58,386	-58,386	8,585
28	22359	4	-5,500	-8,404	-136,747	-136,747	85,010	53,347	0,000	64,413	-55,381	-55,381	9,196
28	22779	5	-5,500	-8,461	-138,264	-138,264	85,010	55,977	0,000	66,500	-52,230	-52,230	9,843
Plate_3_2	22779	1	-5,500	-8,461	-138,265	-138,265	85,010	55,978	0,000	66,469	-52,230	-52,230	9,843
Element 28-41 (Plate)	22780	2	-5,500	-8,471	-138,518	-138,518	85,010	56,416	0,000	66,790	-51,688	-51,688	9,954
(Micropali D168.3x10.0/0,27m)	22781	3	-5,500	-8,481	-138,769	-138,769	85,010	56,850	0,000	67,102	-51,142	-51,142	10,065
28	22782	4	-5,500	-8,490	-139,013	-139,013	85,010	57,272	0,000	67,396	-50,592	-50,592	10,177
28	23191	5	-5,500	-8,500	-139,245	-139,245	85,010	57,674	0,000	67,664	-50,038	-50,038	10,289
Plate_3_3	23191	1	-5,500	-8,500	-139,100	-139,100	84,892	57,423	0,000	67,328	-50,038	-50,038	10,289
Element 29-42 (Plate)	23194	2	-5,500	-8,550	-140,256	-140,256	91,509	59,423	0,000	63,464	-47,145	-47,145	10,795
(Micropali D168.3x10.0/0,27m)	23193	3	-5,500	-8,599	-141,288	-141,288	97,224	61,208	0,000	63,058	-44,158	-44,158	11,214
28	23192	4	-5,500	-8,649	-142,243	-142,243	102,239	62,863	0,000	63,169	-41,086	-41,086	11,531
28	23453	5	-5,500	-8,698	-143,172	-143,172	106,758	64,472	0,000	64,472	-37,935	-37,935	12,587
Plate_3_3	23453	1	-5,500	-8,698	-143,760	-143,760	106,566	65,488	-0,105	65,495	-37,935	-37,935	12,587
Element 29-43 (Plate)	23456	2	-5,500	-8,891	-144,772	-144,772	125,986	67,253	-3,944	67,253	-25,103	-25,103	16,661
(Micropali D168.3x10.0/0,27m)	23455	3	-5,500	-9,084	-145,849	-145,849	144,433	69,139	-6,665	69,139	-11,949	-11,949	19,634
28	23454	4	-5,500	-9,278	-147,474	-147,474	161,973	71,976	-7,738	71,976	1,680	0,000	21,016
28	23981	5	-5,500	-9,471	-150,127	-150,127	178,673	76,593	-8,428	76,593	15,987	0,000	22,172
Plate_3_4	23981	1	-5,500	-9,471	-149,133	-149,133	178,803	75,880	-9,602	75,880	15,987	0,000	22,172
Element 31-45 (Plate)	23984	2	-5,500	-9,779	-132,561	-132,561	205,138	43,418	-10,015	43,418	34,282	0,000	34,282
(Micropali D168.3x10.0/0,27m)	23983	3	-5,500	-10,087	-120,009	-120,009	230,772	15,731	-9,678	15,731	43,196	0,000	43,196
28	23982	4	-5,500	-10,395	-110,979	-110,979	255,552	-5,493	-12,600	0,003	44,640	0,000	44,640
28	24131	5	-5,500	-10,703	-104,975	-104,975	279,325	-18,564	-18,564	0,015	40,681	0,000	40,681
Plate_3_5	24131	1	-5,500	-10,703	-103,535	-103,535	279,048	-21,247	-21,261	0,020	40,681	0,000	40,681
Element 33-48 (Plate)	24134	2	-5,500	-10,961	-99,731	-99,731	297,632	-28,452	-28,452	0,026	34,143	0,000	34,143
(Micropali D168.3x10.0/0,27m)	24133	3	-5,500	-11,218	-98,710	-98,710	316,021	-30,174	-30,174	0,026	26,500	0,000	26,500
28	24132	4	-5,500	-11,476	-99,903	-99,903	334,181	-27,236	-27,236	0,022	18,988	0,000	18,988
28	24149	5	-5,500	-11,734	-102,743	-102,743	352,079	-20,458	-20,458	0,015	12,781	0,000	12,781
Plate_3_5	24149	1	-5,500	-11,734	-102,104	-102,104	351,813	-21,586	-21,586	0,016	12,781	0,000	12,781
Element 33-49 (Plate)	24152	2	-5,500	-12,008	-104,547	-104,547	370,320	-15,582	-15,582	0,009	7,717	0,000	7,717
(Micropali D168.3x10.0/0,27m)	24151	3	-5,500	-12,281	-106,266	-106,266	387,347	-10,564	-10,564	0,003	4,162	0,000	4,162
28	24150	4	-5,500	-12,555	-107,131	-107,131	402,755	-6,577	-6,577	0,000	1,839	-0,030	1,839
28	24480	5	-5,500	-12,829	-107,011	-107,011	416,402	-3,664	-3,664	0,029	0,463	-0,034	0,463
Plate_3_5	24480	1	-5,500	-12,829	-107,004	-107,004	415,758	-3,561	-3,561	0,040	0,463	-0,034	0,463
Element 33-50 (Plate)	24479	2	-5,500	-13,119	-105,642	-105,642	427,232	-1,639	-1,639	0,080	-0,275	-0,275	0,142
(Micropali D168.3x10.0/0,27m)	24478	3	-5,500	-13,410	-103,274	-103,274	433,798	-0,360	-0,360	0,094	-0,553	-0,553	0,104

Structural element	Node [10 ^]	Local number	X [m]	Y [m]	N [kN/m]	N ⊥⊥ [kN/m]	N ⊥⊥ [10 ^ kN/m]	Q [kN/m]	Q ⊥⊥ [kN/m]	Q ⊥⊥ [kN/m]	M [kN m/m]	M ⊥⊥ [kN m/m]	M ⊥⊥ [kN m/m]
🖹	24477	4	-5,500	-13,701	-99,920	-99,920	435,232	0,343	-0,016	0,343	-0,540	-0,540	0,100
🖹	24685	5	-5,500	-13,991	-95,599	-95,599	431,313	0,535	-0,019	0,535	-0,402	-0,402	0,095
Plate_3_6	24685	1	-5,500	-13,991	-95,576	-95,576	430,352	0,606	-0,019	0,606	-0,402	-0,402	0,095
Element 34-51 (Plate)	24688	2	-5,500	-14,292	-90,201	-90,201	418,819	0,693	-0,024	0,693	-0,202	-0,202	0,131
(Micropali D168.3x10.0/0,27m)	24687	3	-5,500	-14,593	-83,723	-83,723	397,289	0,617	-0,031	0,617	0,000	0,000	0,181
🖹	24686	4	-5,500	-14,895	-76,127	-76,127	365,484	0,375	-0,039	0,375	0,153	0,000	0,240
🖹	25013	5	-5,500	-15,196	-67,398	-67,398	323,126	-0,034	-0,072	0,108	0,209	0,000	0,259
Plate_3_6	25013	1	-5,500	-15,196	-67,234	-67,234	322,196	-0,032	-0,152	0,000	0,209	0,000	0,259
Element 34-52 (Plate)	25017	2	-5,500	-15,497	-52,435	-52,435	266,023	-0,359	-0,359	0,193	0,150	0,000	0,252
(Micropali D168.3x10.0/0,27m)	25016	3	-5,500	-15,798	-36,358	-36,358	194,361	-0,464	-0,464	0,057	0,011	0,000	0,255
🖹	25015	4	-5,500	-16,099	-18,950	-18,950	106,838	-0,133	-0,415	0,000	-0,086	-0,086	0,188
🖹	25014	5	-5,500	-16,400	-0,160	-0,191	3,078	0,847	-0,834	0,847	0,000	0,000	0,000

3.1.2.4.23 Calculation results, Plate, M2 [Phase_30] (30/770), Table of plate force envelopes

Structural element	Node [10 ˆ]	Local number	X [m]	Y [m]	N [kN/m]	N ⊥⊥ [kN/m]	N ⊥⊥ [10 ˆ kN/m]	Q [kN/m]	Q ⊥⊥ [kN/m]	Q ⊥⊥ [kN/m]	M [kN m/m]	M ⊥⊥ [kN m/m]	M ⊥⊥ [kN m/m]
Plate_2_1	15336	1	-5,500	0,000	-0,020	-0,020	14,416	0,063	-0,033	0,063	0,000	0,000	0,000
Element 1-1 (Plate)	15335	2	-5,500	-0,070	0,003	-0,051	2,796	-0,008	-0,008	0,134	0,000	0,000	0,003
(Parete c.a.C32/40 sp.0.50m)	15334	3	-5,500	-0,141	-0,058	-0,145	0,000	0,189	0,000	0,388	0,005	0,000	0,021
28	15333	4	-5,500	-0,211	-0,193	-0,283	0,000	0,620	0,000	0,823	0,032	0,000	0,059
28	15350	5	-5,500	-0,281	-0,390	-0,473	0,000	1,252	0,000	1,401	0,097	0,000	0,137
Plate_2_1	15350	1	-5,500	-0,281	-0,367	-0,469	0,000	1,178	0,000	1,385	0,097	0,000	0,137
Element 1-2 (Plate)	15349	2	-5,500	-0,336	-0,566	-0,645	0,000	1,818	0,000	1,924	0,178	0,000	0,227
(Parete c.a.C32/40 sp.0.50m)	15348	3	-5,500	-0,391	-0,797	-0,832	0,000	2,557	0,000	2,563	0,298	0,000	0,348
28	15347	4	-5,500	-0,445	-1,060	-1,071	0,000	3,399	0,000	3,399	0,460	0,000	0,500
28	15361	5	-5,500	-0,500	-1,355	-1,361	0,000	4,347	0,000	4,347	0,671	0,000	0,686
Plate_2_2	15361	1	-5,500	-0,500	-1,354	-1,359	0,000	4,343	0,000	4,343	0,671	0,000	0,686
Element 3-4 (Plate)	15364	2	-5,500	-0,525	-1,498	-1,501	0,000	4,806	0,000	4,806	0,785	0,000	0,790
(Parete c.a.C32/40 sp.0.50m)	15363	3	-5,500	-0,550	-1,648	-1,649	0,000	5,285	0,000	5,285	0,911	0,000	0,915
28	15362	4	-5,500	-0,575	-1,802	-1,802	0,000	5,779	0,000	5,779	1,050	0,000	1,052
28	15405	5	-5,500	-0,600	-1,961	-1,961	0,000	6,289	0,000	6,289	1,201	0,000	1,201
Plate_2_3	15405	1	-5,500	-0,600	-12,013	-12,013	0,000	-55,154	-55,154	0,000	1,201	0,000	1,201
Element 4-5 (Plate)	15408	2	-5,500	-0,644	-12,303	-12,303	0,000	-54,226	-54,226	0,000	-1,198	-1,198	0,000
(Parete c.a.C32/40 sp.0.50m)	15407	3	-5,500	-0,688	-12,600	-12,600	0,000	-53,273	-53,273	0,000	-3,555	-3,555	0,000
28	15406	4	-5,500	-0,732	-12,904	-12,904	0,000	-52,299	-52,299	0,000	-5,871	-5,871	0,000
28	15419	5	-5,500	-0,775	-13,215	-13,215	0,000	-51,306	-51,306	0,000	-8,142	-8,142	0,000
Plate_2_3	15419	1	-5,500	-0,775	-13,215	-13,215	0,000	-51,306	-51,306	0,000	-8,142	-8,142	0,000
Element 4-6 (Plate)	15422	2	-5,500	-0,834	-13,638	-13,638	0,000	-49,949	-49,949	0,000	-11,124	-11,124	0,000
(Parete c.a.C32/40 sp.0.50m)	15421	3	-5,500	-0,893	-14,064	-14,064	0,000	-48,585	-48,585	0,000	-14,027	-14,027	0,000
28	15420	4	-5,500	-0,952	-14,491	-14,491	0,000	-47,218	-47,218	0,000	-16,850	-16,850	0,000
28	15479	5	-5,500	-1,011	-14,918	-14,918	0,000	-45,849	-45,849	0,000	-19,591	-19,591	0,000
Plate_2_4	15479	1	-5,500	-1,011	-14,900	-14,900	0,000	-45,909	-45,909	0,000	-19,591	-19,591	0,000
Element 6-8 (Plate)	15482	2	-5,500	-1,096	-15,534	-15,534	0,000	-43,880	-43,880	0,000	-23,390	-23,390	0,000
(Parete c.a.C32/40 sp.0.50m)	15481	3	-5,500	-1,180	-16,194	-16,194	0,000	-41,767	-41,767	0,000	-27,015	-27,015	0,000
28	15480	4	-5,500	-1,265	-16,874	-16,874	0,000	-39,590	-39,590	0,000	-30,459	-30,459	0,000
28	16393	5	-5,500	-1,350	-17,568	-17,568	0,000	-37,368	-37,368	0,000	-33,714	-33,714	0,000
Plate_2_4	16393	1	-5,500	-1,350	-17,562	-17,562	0,000	-37,386	-37,386	0,000	-33,714	-33,714	0,000
Element 6-9 (Plate)	16396	2	-5,500	-1,519	-18,939	-18,939	0,000	-32,980	-32,980	0,000	-39,686	-39,686	0,000
(Parete c.a.C32/40 sp.0.50m)	16395	3	-5,500	-1,689	-20,283	-20,283	0,000	-28,678	-28,678	0,000	-44,920	-44,920	0,000
28	16394	4	-5,500	-1,859	-21,592	-21,592	0,000	-24,490	-24,692	0,000	-49,434	-49,434	0,000
28	16427	5	-5,500	-2,029	-22,862	-22,862	0,000	-20,426	-21,823	0,000	-53,245	-53,245	0,000
Plate_2_5	16427	1	-5,500	-2,029	-22,858	-22,858	2,373	-20,437	-21,838	0,006	-53,245	-53,245	0,000
Element 9-12 (Plate)	16430	2	-5,500	-2,147	-23,729	-23,729	1,427	-17,649	-19,831	0,071	-55,487	-55,487	0,004
(Parete c.a.C32/40 sp.0.50m)	16429	3	-5,500	-2,264	-24,579	-24,579	0,000	-14,930	-17,855	0,174	-57,406	-57,406	0,018
28	16428	4	-5,500	-2,382	-25,410	-25,410	0,000	-12,270	-15,899	0,317	-59,008	-59,008	0,046
28	17049	5	-5,500	-2,500	-26,226	-26,226	0,000	-9,659	-13,953	0,511	-60,299	-60,299	0,095
Plate_2_6	17049	1	-5,500	-2,500	-26,219	-26,219	0,000	-9,681	-13,977	0,448	-60,299	-60,299	0,095
Element 11-15 (Plate)	17052	2	-5,500	-2,666	-27,408	-27,408	0,000	-5,876	-11,050	1,204	-61,589	-61,589	0,219
(Parete c.a.C32/40 sp.0.50m)	17051	3	-5,500	-2,832	-28,559	-28,559	0,000	-2,191	-8,196	2,379	-62,258	-62,258	0,439
28	17050	4	-5,500	-2,999	-29,675	-29,675	0,000	1,380	-5,420	3,554	-62,324	-62,324	0,748
28	17279	5	-5,500	-3,165	-30,758	-30,758	0,000	4,846	-2,688	5,806	-61,805	-61,805	1,142
Plate_2_6	17279	1	-5,500	-3,165	-30,757	-30,757	0,000	4,840	-2,695	5,793	-61,805	-61,805	1,142
Element 11-16 (Plate)	17282	2	-5,500	-3,375	-32,071	-32,071	0,000	9,048	0,000	9,048	-60,349	-60,968	1,775

Structural element	Node [10^3]	Local number	X [m]	Y [m]	N [kN/m]	N,max [kN/m]	N,min [10^3 kN/m]	Q [kN/m]	Q,max [kN/m]	Q,min [kN/m]	M [kN m/m]	M,max [kN m/m]	M,min [kN m/m]
(Parete c.a.C32/40 sp.0.50m)	17281	3	-5,500	-3,585	-33,422	-33,422	0,000	13,371	0,000	13,371	-57,998	-60,416	2,617
28	17280	4	-5,500	-3,795	-34,818	-34,818	0,000	17,839	0,000	17,839	-54,723	-59,082	3,727
28	17305	5	-5,500	-4,005	-36,269	-36,269	0,000	22,481	0,000	22,481	-50,494	-56,916	5,161
Plate_2_7	17305	1	-5,500	-4,005	-36,272	-36,272	0,000	22,493	0,000	22,493	-50,494	-56,916	5,161
Element 13-18 (Plate)	17308	2	-5,500	-4,154	-37,341	-37,341	0,000	25,913	0,000	25,913	-46,894	-54,846	6,399
(Parete c.a.C32/40 sp.0.50m)	17307	3	-5,500	-4,302	-38,437	-38,437	0,000	29,420	0,000	29,420	-42,777	-52,311	7,839
28	17306	4	-5,500	-4,451	-39,562	-39,562	0,000	33,020	0,000	33,020	-38,131	-49,292	9,492
28	18049	5	-5,500	-4,600	-40,717	-40,717	0,000	36,717	0,000	36,717	-32,944	-45,771	11,369
Plate_2_8	18049	1	-5,500	-4,600	-57,358	-57,358	0,000	-65,391	-65,391	0,000	-32,944	-45,771	11,369
Element 15-22 (Plate)	18052	2	-5,500	-4,837	-59,257	-59,257	0,000	-59,313	-59,313	0,000	-47,747	-57,634	3,651
(Parete c.a.C32/40 sp.0.50m)	18051	3	-5,500	-5,075	-61,082	-61,082	0,000	-53,473	-53,473	0,000	-61,132	-68,133	0,000
28	18050	4	-5,500	-5,312	-62,779	-62,779	0,000	-48,039	-48,039	0,000	-73,183	-77,320	0,000
28	18123	5	-5,500	-5,550	-64,298	-64,298	0,000	-43,175	-43,175	0,000	-83,997	-85,259	0,000
Plate_2_8	18123	1	-5,500	-5,550	-64,386	-64,386	0,000	-42,892	-42,892	0,000	-83,997	-85,259	0,000
Element 15-23 (Plate)	18126	2	-5,500	-5,664	-65,247	-65,247	0,000	-40,133	-40,133	0,000	-88,741	-88,741	0,000
(Parete c.a.C32/40 sp.0.50m)	18125	3	-5,500	-5,779	-66,152	-66,152	0,000	-37,234	-37,234	0,000	-93,166	-93,166	0,000
28	18124	4	-5,500	-5,893	-67,144	-67,144	0,000	-34,057	-34,057	0,000	-97,243	-97,243	0,000
28	18147	5	-5,500	-6,007	-68,266	-68,266	0,000	-30,461	-30,461	0,000	-100,934	-100,934	0,000
Plate_2_9	18147	1	-5,500	-6,007	-68,190	-68,190	6,246	-30,705	-30,705	0,011	-100,934	-100,934	0,000
Element 18-26 (Plate)	18150	2	-5,500	-6,085	-68,971	-68,971	0,076	-28,202	-28,202	0,033	-103,235	-103,235	0,001
(Parete c.a.C32/40 sp.0.50m)	18149	3	-5,500	-6,163	-69,728	-69,728	0,000	-25,776	-25,776	0,074	-105,345	-105,345	0,005
28	18148	4	-5,500	-6,242	-70,469	-70,469	0,000	-23,401	-23,401	0,129	-107,267	-107,267	0,013
28	18851	5	-5,500	-6,320	-71,202	-71,202	0,011	-21,055	-21,055	0,222	-109,003	-109,003	0,025
Plate_2_9	18851	1	-5,500	-6,320	-71,212	-71,212	0,000	-21,022	-21,022	0,211	-109,003	-109,003	0,025
Element 18-27 (Plate)	18854	2	-5,500	-6,365	-71,651	-71,651	0,075	-19,613	-19,613	0,266	-109,919	-109,919	0,035
(Parete c.a.C32/40 sp.0.50m)	18853	3	-5,500	-6,410	-72,107	-72,107	0,007	-18,154	-18,154	0,488	-110,770	-110,770	0,049
28	18852	4	-5,500	-6,455	-72,578	-72,578	0,000	-16,645	-16,645	1,867	-111,555	-111,555	0,066
28	18891	5	-5,500	-6,500	-73,065	-73,065	0,000	-15,084	-15,084	3,297	-112,270	-112,270	0,087
Plate_2_10	18891	1	-5,500	-6,500	-73,064	-73,064	0,000	-15,088	-15,088	3,291	-112,270	-112,270	0,087
Element 20-29 (Plate)	18894	2	-5,500	-6,549	-73,632	-73,632	0,000	-13,267	-13,267	4,964	-112,964	-112,964	0,114
(Parete c.a.C32/40 sp.0.50m)	18893	3	-5,500	-6,598	-74,223	-74,223	0,000	-11,371	-11,371	6,701	-113,568	-113,568	0,148
28	18892	4	-5,500	-6,647	-74,834	-74,834	0,000	-9,415	-9,415	8,490	-114,078	-114,078	0,188
28	18915	5	-5,500	-6,696	-75,460	-75,460	0,000	-7,409	-7,409	10,319	-114,490	-114,490	0,234
Plate_2_11	18915	1	-5,500	-6,696	-75,465	-75,465	0,000	-7,393	-7,393	10,340	-114,490	-114,490	0,234
Element 22-31 (Plate)	18918	2	-5,500	-6,750	-76,074	-76,074	0,000	-5,442	-5,442	12,112	-114,834	-114,834	0,290
(Parete c.a.C32/40 sp.0.50m)	18917	3	-5,500	-6,804	-76,634	-76,634	0,000	-3,644	-3,644	13,762	-115,078	-115,078	0,353
28	18916	4	-5,500	-6,857	-77,178	-77,178	0,000	-1,903	-1,903	15,379	-115,227	-115,227	0,426
28	19683	5	-5,500	-6,911	-77,733	-77,733	0,000	-0,123	-0,123	17,056	-115,282	-115,282	0,512
Plate_2_11	19683	1	-5,500	-6,911	-77,735	-77,735	0,000	-0,117	-0,117	17,064	-115,282	-115,282	0,512
Element 22-32 (Plate)	19686	2	-5,500	-6,963	-78,321	-78,321	0,000	1,761	0,000	18,878	-115,240	-115,240	0,608
(Parete c.a.C32/40 sp.0.50m)	19685	3	-5,500	-7,014	-78,930	-78,930	0,000	3,713	0,000	20,778	-115,100	-115,100	0,718
28	19684	4	-5,500	-7,065	-79,565	-79,565	0,000	5,748	0,000	22,769	-114,857	-114,857	0,843
28	19717	5	-5,500	-7,117	-80,227	-80,227	0,000	7,872	0,000	24,855	-114,508	-114,508	0,984
Plate_2_11	19717	1	-5,500	-7,117	-80,222	-80,222	0,000	7,854	0,000	24,830	-114,508	-114,508	0,984
Element 22-33 (Plate)	19718	2	-5,500	-7,166	-80,866	-80,866	0,000	9,920	0,000	26,848	-114,073	-114,073	1,133
(Parete c.a.C32/40 sp.0.50m)	19719	3	-5,500	-7,215	-81,512	-81,512	0,000	11,988	0,000	28,845	-113,536	-113,536	1,295
28	19720	4	-5,500	-7,264	-82,158	-82,158	0,000	14,059	0,000	30,823	-112,898	-112,898	1,468
28	20458	5	-5,500	-7,313	-82,806	-82,806	0,000	16,136	0,000	32,779	-112,159	-112,159	1,650
Plate_2_12	20458	1	-5,500	-7,313	-82,795	-82,795	0,000	16,100	0,000	32,765	-112,159	-112,159	1,650
Element 23-34 (Plate)	20461	2	-5,500	-7,388	-83,905	-83,905	0,000	19,659	0,000	36,017	-110,806	-110,806	1,953
(Parete c.a.C32/40 sp.0.50m)	20460	3	-5,500	-7,464	-85,035	-85,035	0,000	23,280	0,000	39,317	-109,180	-109,180	2,292
28	20459	4	-5,500	-7,540	-86,165	-86,165	0,000	26,900	0,000	42,623	-107,280	-107,280	2,671
28	20494	5	-5,500	-7,615	-87,273	-87,273	0,000	30,453	0,000	45,907	-105,108	-105,108	3,095

Structural element	Node [10^3]	Local number	X [m]	Y [m]	N [kN/m]	N,max [kN/m]	N,min [10^3 kN/m]	Q [kN/m]	Q,max [kN/m]	Q,min [kN/m]	M [kN m/m]	M,max [kN m/m]	M,min [kN m/m]
Plate_2_13	20494	1	-5,500	-7,615	-87,246	-87,246	0,000	30,365	0,000	45,843	-105,108	-105,108	3,095
Element 24-35 (Plate)	20495	2	-5,500	-7,630	-87,438	-87,438	0,000	30,980	0,000	46,467	-104,660	-104,660	3,181
(Parete c.a.C32/40 sp.0.50m)	20496	3	-5,500	-7,645	-87,626	-87,626	0,000	31,584	0,000	47,084	-104,203	-104,203	3,268
28	20497	4	-5,500	-7,659	-87,811	-87,811	0,000	32,177	0,000	47,695	-103,737	-103,737	3,356
28	21176	5	-5,500	-7,674	-87,993	-87,993	0,000	32,762	0,000	48,305	-103,263	-103,263	3,446
Plate_2_14	21176	1	-5,500	-7,674	-87,992	-87,992	0,000	32,758	0,000	48,227	-103,263	-103,263	3,446
Element 26-38 (Plate)	21177	2	-5,500	-7,755	-88,955	-88,955	0,000	35,846	0,000	51,712	-100,464	-100,464	3,968
(Parete c.a.C32/40 sp.0.50m)	21178	3	-5,500	-7,837	-89,807	-89,807	0,000	38,581	0,000	54,851	-97,426	-97,426	4,528
28	21179	4	-5,500	-7,918	-90,534	-90,534	0,000	40,916	0,000	57,503	-94,181	-94,181	5,127
28	21766	5	-5,500	-8,000	-91,120	-91,120	0,000	42,801	0,000	59,528	-90,765	-90,765	5,761
Plate_3_1	21766	1	-5,500	-8,000	-112,759	-112,759	85,010	32,164	0,000	54,249	-90,765	-90,765	5,761
Element 27-39 (Plate)	21767	2	-5,500	-8,058	-113,343	-113,343	85,010	33,179	0,000	54,656	-88,884	-88,884	6,154
(Micropali D168.3x10.0/0,27m)	21768	3	-5,500	-8,115	-114,205	-114,205	85,010	34,674	0,000	55,451	-86,928	-86,928	6,575
28	21769	4	-5,500	-8,173	-115,274	-115,274	85,010	36,526	0,000	56,748	-84,876	-84,876	7,024
28	22356	5	-5,500	-8,231	-116,477	-116,477	85,010	38,608	0,000	58,842	-82,710	-82,710	7,502
Plate_3_1	22356	1	-5,500	-8,231	-116,443	-116,443	85,010	38,549	0,000	58,777	-82,710	-82,710	7,502
Element 27-40 (Plate)	22357	2	-5,500	-8,288	-117,530	-117,530	85,010	40,432	0,000	61,052	-80,432	-80,432	8,018
(Micropali D168.3x10.0/0,27m)	22358	3	-5,500	-8,346	-118,576	-118,576	85,010	42,240	0,000	63,350	-78,048	-78,048	8,585
28	22359	4	-5,500	-8,404	-119,628	-119,628	85,010	44,060	0,000	65,641	-75,558	-75,558	9,196
28	22779	5	-5,500	-8,461	-120,735	-120,735	85,010	45,976	0,000	67,897	-72,963	-72,963	9,843
Plate_3_2	22779	1	-5,500	-8,461	-120,760	-120,760	85,010	46,018	0,000	67,872	-72,963	-72,963	9,843
Element 28-41 (Plate)	22780	2	-5,500	-8,471	-120,949	-120,949	85,010	46,346	0,000	68,217	-72,518	-72,518	9,954
(Micropali D168.3x10.0/0,27m)	22781	3	-5,500	-8,481	-121,146	-121,146	85,010	46,686	0,000	68,552	-72,069	-72,069	10,065
28	22782	4	-5,500	-8,490	-121,346	-121,346	85,010	47,032	0,000	68,872	-71,618	-71,618	10,177
28	23191	5	-5,500	-8,500	-121,545	-121,545	85,010	47,377	0,000	69,170	-71,163	-71,163	10,289
Plate_3_3	23191	1	-5,500	-8,500	-121,479	-121,479	84,892	47,263	0,000	68,896	-71,163	-71,163	10,289
Element 29-42 (Plate)	23194	2	-5,500	-8,550	-122,242	-122,242	91,509	48,583	0,000	66,672	-68,791	-68,791	10,795
(Micropali D168.3x10.0/0,27m)	23193	3	-5,500	-8,599	-123,080	-123,080	97,224	50,033	0,000	64,204	-66,350	-66,350	11,214
28	23192	4	-5,500	-8,649	-124,000	-124,000	102,239	51,625	0,000	61,548	-63,834	-63,834	11,531
28	23453	5	-5,500	-8,698	-125,008	-125,008	106,758	53,370	0,000	58,757	-61,237	-61,237	12,587
Plate_3_3	23453	1	-5,500	-8,698	-124,892	-124,892	106,566	53,168	-0,105	59,206	-61,237	-61,237	12,587
Element 29-43 (Plate)	23456	2	-5,500	-8,891	-129,038	-129,038	125,986	60,349	-3,944	60,349	-50,270	-50,270	16,661
(Micropali D168.3x10.0/0,27m)	23455	3	-5,500	-9,084	-133,246	-133,246	144,433	67,633	-6,665	67,633	-37,913	-37,913	19,634
28	23454	4	-5,500	-9,278	-137,670	-137,670	161,973	75,292	-7,738	75,292	-24,106	-24,106	21,016
28	23981	5	-5,500	-9,471	-142,466	-142,466	178,673	83,596	-8,428	83,596	-8,775	-8,775	20,710
Plate_3_4	23981	1	-5,500	-9,471	-141,839	-141,839	178,803	81,231	-9,602	81,231	-8,775	-8,775	20,710
Element 31-45 (Plate)	23984	2	-5,500	-9,779	-138,525	-138,525	205,138	77,317	-10,015	77,317	16,125	0,000	24,802
(Micropali D168.3x10.0/0,27m)	23983	3	-5,500	-10,087	-130,906	-130,906	230,772	60,830	-9,678	60,830	37,462	0,000	37,462
28	23982	4	-5,500	-10,395	-120,377	-120,377	255,552	37,872	-7,841	37,872	52,949	0,000	52,949
28	24131	5	-5,500	-10,703	-108,332	-108,332	279,325	14,545	-8,056	14,545	60,869	0,000	60,869
Plate_3_5	24131	1	-5,500	-10,703	-108,885	-108,885	279,048	10,751	-11,813	10,751	60,869	0,000	60,869
Element 33-48 (Plate)	24134	2	-5,500	-10,961	-94,234	-94,234	297,632	-22,051	-23,543	0,026	59,073	0,000	59,073
(Micropali D168.3x10.0/0,27m)	24133	3	-5,500	-11,218	-85,818	-85,818	316,021	-40,193	-40,193	0,026	50,779	0,000	50,779
28	24132	4	-5,500	-11,476	-83,539	-83,539	334,181	-44,866	-44,866	0,022	39,510	0,000	39,510
28	24149	5	-5,500	-11,734	-87,300	-87,495	352,079	-37,265	-37,265	0,015	28,693	0,000	28,693
Plate_3_5	24149	1	-5,500	-11,734	-85,610	-85,841	351,813	-40,194	-40,194	0,016	28,693	0,000	28,693
Element 33-49 (Plate)	24152	2	-5,500	-12,008	-88,778	-88,824	370,320	-31,362	-31,362	0,009	18,911	0,000	18,911
(Micropali D168.3x10.0/0,27m)	24151	3	-5,500	-12,281	-91,142	-91,142	387,347	-23,137	-23,137	0,003	11,476	0,000	11,476
28	24150	4	-5,500	-12,555	-92,570	-92,570	402,755	-15,791	-15,791	0,000	6,163	-0,030	6,163
28	24480	5	-5,500	-12,829	-92,928	-92,928	416,402	-9,596	-9,596	0,029	2,723	-0,034	2,723
Plate_3_5	24480	1	-5,500	-12,829	-92,929	-92,929	415,758	-9,626	-9,626	0,040	2,723	-0,034	2,723
Element 33-50 (Plate)	24479	2	-5,500	-13,119	-91,889	-91,889	427,232	-5,292	-5,292	0,080	0,588	-0,106	0,588
(Micropali D168.3x10.0/0,27m)	24478	3	-5,500	-13,410	-89,769	-89,769	433,798	-2,233	-2,233	0,094	-0,479	-0,508	0,104

Structural element	Node [10 ^]	Local number	X [m]	Y [m]	N [kN/m]	N ⊥⊥ [kN/m]	N ⊥⊥ [10 ^ kN/m]	Q [kN/m]	Q ⊥⊥ [kN/m]	Q ⊥⊥ [kN/m]	M [kN m/m]	M ⊥⊥ [kN m/m]	M ⊥⊥ [kN m/m]
2D	24477	4	-5,500	-13,701	-86,607	-86,607	435,232	-0,342	-0,342	0,199	-0,823	-0,823	0,100
2D	24685	5	-5,500	-13,991	-82,440	-82,440	431,313	0,489	-0,019	0,538	-0,779	-0,779	0,095
Plate_3_6	24685	1	-5,500	-13,991	-82,456	-82,456	430,352	0,651	-0,019	0,680	-0,779	-0,779	0,095
Element 34-51 (Plate)	24688	2	-5,500	-14,292	-77,309	-77,309	418,819	1,112	-0,024	1,112	-0,505	-0,505	0,131
(Micropali D168.3x10.0/0,27m)	24687	3	-5,500	-14,593	-71,203	-71,203	397,289	1,264	-0,031	1,264	-0,141	-0,141	0,181
2D	24686	4	-5,500	-14,895	-64,132	-64,132	365,484	1,121	-0,039	1,121	0,226	0,000	0,295
2D	25013	5	-5,500	-15,196	-56,090	-56,090	323,126	0,695	-0,049	0,695	0,506	0,000	0,514
Plate_3_6	25013	1	-5,500	-15,196	-56,043	-56,043	322,196	1,032	-0,095	1,032	0,506	0,000	0,514
Element 34-52 (Plate)	25017	2	-5,500	-15,497	-43,288	-43,288	266,023	-0,627	-0,627	0,193	0,593	0,000	0,594
(Micropali D168.3x10.0/0,27m)	25016	3	-5,500	-15,798	-29,782	-29,782	194,361	-1,763	-1,763	0,057	0,155	0,000	0,255
2D	25015	4	-5,500	-16,099	-15,519	-15,519	106,838	-0,885	-0,903	0,000	-0,267	-0,267	0,188
2D	25014	5	-5,500	-16,400	-0,496	-0,496	3,078	3,501	-0,824	3,501	0,000	0,000	0,000

3.1.2.4.24 Calculation results, Plate, SLU12 [Phase_31] (31/776), Table of plate force envelopes

Structural element	Node [10^0]	Local number	X [m]	Y [m]	N [kN/m]	N,min [kN/m]	N,max [10^0 kN/m]	Q [kN/m]	Q,max [kN/m]	Q,min [kN/m]	M [kN m/m]	M,max [kN m/m]	M,min [kN m/m]
Plate_2_1	15336	1	-5,500	0,000	-0,018	-0,020	14,416	0,057	-0,033	0,064	0,000	0,000	0,000
Element 1-1 (Plate)	15335	2	-5,500	-0,070	-0,161	-0,161	2,796	0,504	-0,008	0,504	0,018	0,000	0,018
(Parete c.a.C32/40 sp.0.50m)	15334	3	-5,500	-0,141	-0,389	-0,389	0,000	1,226	0,000	1,226	0,077	0,000	0,077
嵌	15333	4	-5,500	-0,211	-0,699	-0,699	0,000	2,209	0,000	2,209	0,197	0,000	0,197
嵌	15350	5	-5,500	-0,281	-1,086	-1,086	0,000	3,436	0,000	3,436	0,394	0,000	0,394
Plate_2_1	15350	1	-5,500	-0,281	-1,060	-1,060	0,000	3,355	0,000	3,355	0,394	0,000	0,394
Element 1-2 (Plate)	15349	2	-5,500	-0,336	-1,409	-1,409	0,000	4,465	0,000	4,465	0,607	0,000	0,607
(Parete c.a.C32/40 sp.0.50m)	15348	3	-5,500	-0,391	-1,792	-1,792	0,000	5,682	0,000	5,682	0,884	0,000	0,884
嵌	15347	4	-5,500	-0,445	-2,209	-2,209	0,000	7,009	0,000	7,009	1,230	0,000	1,230
嵌	15361	5	-5,500	-0,500	-2,660	-2,660	0,000	8,448	0,000	8,448	1,652	0,000	1,652
Plate_2_2	15361	1	-5,500	-0,500	-2,659	-2,659	0,000	8,443	0,000	8,443	1,652	0,000	1,652
Element 3-4 (Plate)	15364	2	-5,500	-0,525	-2,875	-2,875	0,000	9,131	0,000	9,131	1,872	0,000	1,872
(Parete c.a.C32/40 sp.0.50m)	15363	3	-5,500	-0,550	-3,096	-3,096	0,000	9,835	0,000	9,835	2,109	0,000	2,109
嵌	15362	4	-5,500	-0,575	-3,322	-3,322	0,000	10,556	0,000	10,556	2,364	0,000	2,364
嵌	15405	5	-5,500	-0,600	-3,553	-3,553	0,000	11,291	0,000	11,291	2,637	0,000	2,637
Plate_2_3	15405	1	-5,500	-0,600	-16,814	-16,814	0,000	-69,766	-69,766	0,000	2,637	0,000	2,637
Element 4-5 (Plate)	15408	2	-5,500	-0,644	-17,230	-17,230	0,000	-68,441	-68,441	0,000	-0,393	-1,198	0,000
(Parete c.a.C32/40 sp.0.50m)	15407	3	-5,500	-0,688	-17,653	-17,653	0,000	-67,094	-67,094	0,000	-3,366	-3,555	0,000
嵌	15406	4	-5,500	-0,732	-18,082	-18,082	0,000	-65,726	-65,726	0,000	-6,280	-6,280	0,000
嵌	15419	5	-5,500	-0,775	-18,517	-18,517	0,000	-64,340	-64,340	0,000	-9,131	-9,131	0,000
Plate_2_3	15419	1	-5,500	-0,775	-18,517	-18,517	0,000	-64,340	-64,340	0,000	-9,131	-9,131	0,000
Element 4-6 (Plate)	15422	2	-5,500	-0,834	-19,107	-19,107	0,000	-62,458	-62,458	0,000	-12,865	-12,865	0,000
(Parete c.a.C32/40 sp.0.50m)	15421	3	-5,500	-0,893	-19,698	-19,698	0,000	-60,574	-60,574	0,000	-16,490	-16,490	0,000
嵌	15420	4	-5,500	-0,952	-20,289	-20,289	0,000	-58,691	-58,691	0,000	-20,004	-20,004	0,000
嵌	15479	5	-5,500	-1,011	-20,878	-20,878	0,000	-56,814	-56,814	0,000	-23,405	-23,405	0,000
Plate_2_4	15479	1	-5,500	-1,011	-20,859	-20,859	0,000	-56,874	-56,874	0,000	-23,405	-23,405	0,000
Element 6-8 (Plate)	15482	2	-5,500	-1,096	-21,721	-21,721	0,000	-54,125	-54,125	0,000	-28,102	-28,102	0,000
(Parete c.a.C32/40 sp.0.50m)	15481	3	-5,500	-1,180	-22,605	-22,605	0,000	-51,306	-51,306	0,000	-32,564	-32,564	0,000
嵌	15480	4	-5,500	-1,265	-23,505	-23,505	0,000	-48,439	-48,439	0,000	-36,786	-36,786	0,000
嵌	16393	5	-5,500	-1,350	-24,413	-24,413	0,000	-45,543	-45,543	0,000	-40,761	-40,761	0,000
Plate_2_4	16393	1	-5,500	-1,350	-24,407	-24,407	0,000	-45,561	-45,561	0,000	-40,761	-40,761	0,000
Element 6-9 (Plate)	16396	2	-5,500	-1,519	-26,198	-26,198	0,000	-39,851	-39,851	0,000	-48,009	-48,009	0,000
(Parete c.a.C32/40 sp.0.50m)	16395	3	-5,500	-1,689	-27,936	-27,936	0,000	-34,312	-34,312	0,000	-54,305	-54,305	0,000
嵌	16394	4	-5,500	-1,859	-29,618	-29,618	0,000	-28,953	-28,953	0,000	-59,675	-59,675	0,000
嵌	16427	5	-5,500	-2,029	-31,241	-31,241	0,000	-23,784	-23,784	0,000	-64,149	-64,149	0,000
Plate_2_5	16427	1	-5,500	-2,029	-31,237	-31,237	2,373	-23,794	-23,794	0,006	-64,149	-64,149	0,000
Element 9-12 (Plate)	16430	2	-5,500	-2,147	-32,342	-32,342	1,427	-20,276	-20,276	0,071	-66,743	-66,743	0,004
(Parete c.a.C32/40 sp.0.50m)	16429	3	-5,500	-2,264	-33,416	-33,416	0,000	-16,854	-17,855	0,174	-68,929	-68,929	0,018
嵌	16428	4	-5,500	-2,382	-34,464	-34,464	0,000	-13,519	-15,899	0,317	-70,718	-70,718	0,046
嵌	17049	5	-5,500	-2,500	-35,487	-35,487	0,000	-10,261	-13,953	0,511	-72,117	-72,117	0,095
Plate_2_6	17049	1	-5,500	-2,500	-35,481	-35,481	0,000	-10,281	-13,977	0,448	-72,117	-72,117	0,095
Element 11-15 (Plate)	17052	2	-5,500	-2,666	-36,950	-36,950	0,000	-5,606	-11,050	1,204	-73,435	-73,435	0,219
(Parete c.a.C32/40 sp.0.50m)	17051	3	-5,500	-2,832	-38,367	-38,367	0,000	-1,096	-8,196	2,379	-73,990	-73,990	0,439
嵌	17050	4	-5,500	-2,999	-39,736	-39,736	0,000	3,258	-5,420	3,554	-73,808	-73,808	0,748
嵌	17279	5	-5,500	-3,165	-41,059	-41,059	0,000	7,463	-2,688	7,463	-72,915	-72,915	1,142
Plate_2_6	17279	1	-5,500	-3,165	-41,059	-41,059	0,000	7,464	-2,695	7,464	-72,915	-72,915	1,142
Element 11-16 (Plate)	17282	2	-5,500	-3,375	-42,659	-42,659	0,000	12,549	0,000	12,549	-70,816	-70,816	1,775

Structural element	Node [10^]	Local number	X [m]	Y [m]	N [kN/m]	N,max [kN/m]	N,min [10^ kN/m]	Q [kN/m]	Q,max [kN/m]	Q,min [kN/m]	M [kN m/m]	M,max [kN m/m]	M,min [kN m/m]
(Parete c.a.C32/40 sp.0.50m)	17281	3	-5,500	-3,585	-44,284	-44,284	0,000	17,713	0,000	17,713	-67,640	-67,640	2,617
嗇	17280	4	-5,500	-3,795	-45,944	-45,944	0,000	22,986	0,000	22,986	-63,368	-63,368	3,727
嗇	17305	5	-5,500	-4,005	-47,648	-47,648	0,000	28,402	0,000	28,402	-57,977	-57,977	5,161
Plate_2_7	17305	1	-5,500	-4,005	-47,654	-47,654	0,000	28,422	0,000	28,422	-57,977	-57,977	5,161
Element 13-18 (Plate)	17308	2	-5,500	-4,154	-48,904	-48,904	0,000	32,394	0,000	32,394	-53,454	-54,846	6,399
(Parete c.a.C32/40 sp.0.50m)	17307	3	-5,500	-4,302	-50,182	-50,182	0,000	36,461	0,000	36,461	-48,330	-52,311	7,839
嗇	17306	4	-5,500	-4,451	-51,492	-51,492	0,000	40,627	0,000	40,627	-42,594	-49,292	9,492
嗇	18049	5	-5,500	-4,600	-52,834	-52,834	0,000	44,896	0,000	44,896	-36,233	-45,771	11,369
Plate_2_8	18049	1	-5,500	-4,600	-73,159	-73,159	0,000	-79,674	-79,674	0,000	-36,233	-45,771	11,369
Element 15-22 (Plate)	18052	2	-5,500	-4,837	-75,334	-75,334	0,000	-72,751	-72,751	0,000	-54,327	-57,634	3,651
(Parete c.a.C32/40 sp.0.50m)	18051	3	-5,500	-5,075	-77,438	-77,438	0,000	-66,053	-66,053	0,000	-70,803	-70,803	0,000
嗇	18050	4	-5,500	-5,312	-79,425	-79,425	0,000	-59,722	-59,722	0,000	-85,736	-85,736	0,000
嗇	18123	5	-5,500	-5,550	-81,254	-81,254	0,000	-53,900	-53,900	0,000	-99,212	-99,212	0,000
Plate_2_8	18123	1	-5,500	-5,550	-81,203	-81,203	0,000	-54,061	-54,061	0,000	-99,212	-99,212	0,000
Element 15-23 (Plate)	18126	2	-5,500	-5,664	-82,299	-82,299	0,000	-50,571	-50,571	0,000	-105,191	-105,191	0,000
(Parete c.a.C32/40 sp.0.50m)	18125	3	-5,500	-5,779	-83,474	-83,474	0,000	-46,824	-46,824	0,000	-110,762	-110,762	0,000
嗇	18124	4	-5,500	-5,893	-84,762	-84,762	0,000	-42,716	-42,716	0,000	-115,883	-115,883	0,000
嗇	18147	5	-5,500	-6,007	-86,196	-86,196	0,000	-38,138	-38,138	0,000	-120,507	-120,507	0,000
Plate_2_9	18147	1	-5,500	-6,007	-86,119	-86,119	6,246	-38,384	-38,384	0,011	-120,507	-120,507	0,000
Element 18-26 (Plate)	18150	2	-5,500	-6,085	-87,133	-87,133	0,076	-35,148	-35,148	0,033	-123,380	-123,380	0,001
(Parete c.a.C32/40 sp.0.50m)	18149	3	-5,500	-6,163	-88,124	-88,124	0,000	-31,986	-31,986	0,074	-126,004	-126,004	0,005
嗇	18148	4	-5,500	-6,242	-89,098	-89,098	0,000	-28,879	-28,879	0,129	-128,382	-128,382	0,013
嗇	18851	5	-5,500	-6,320	-90,060	-90,060	0,011	-25,809	-25,809	0,222	-130,519	-130,519	0,025
Plate_2_9	18851	1	-5,500	-6,320	-90,068	-90,068	0,000	-25,785	-25,785	0,211	-130,519	-130,519	0,025
Element 18-27 (Plate)	18854	2	-5,500	-6,365	-90,627	-90,627	0,075	-24,001	-24,001	0,266	-131,641	-131,641	0,035
(Parete c.a.C32/40 sp.0.50m)	18853	3	-5,500	-6,410	-91,199	-91,199	0,007	-22,176	-22,176	0,488	-132,681	-132,681	0,049
嗇	18852	4	-5,500	-6,455	-91,784	-91,784	0,000	-20,308	-20,308	1,867	-133,639	-133,639	0,066
嗇	18891	5	-5,500	-6,500	-92,384	-92,384	0,000	-18,395	-18,395	3,297	-134,511	-134,511	0,087
Plate_2_10	18891	1	-5,500	-6,500	-92,383	-92,383	0,000	-18,398	-18,398	3,291	-134,511	-134,511	0,087
Element 20-29 (Plate)	18894	2	-5,500	-6,549	-93,074	-93,074	0,000	-16,193	-16,193	4,964	-135,358	-135,358	0,114
(Parete c.a.C32/40 sp.0.50m)	18893	3	-5,500	-6,598	-93,786	-93,786	0,000	-13,919	-13,919	6,701	-136,096	-136,096	0,148
嗇	18892	4	-5,500	-6,647	-94,517	-94,517	0,000	-11,587	-11,587	8,490	-136,721	-136,721	0,188
嗇	18915	5	-5,500	-6,696	-95,261	-95,261	0,000	-9,211	-9,211	10,319	-137,231	-137,231	0,234
Plate_2_11	18915	1	-5,500	-6,696	-95,266	-95,266	0,000	-9,196	-9,196	10,340	-137,231	-137,231	0,234
Element 22-31 (Plate)	18918	2	-5,500	-6,750	-96,003	-96,003	0,000	-6,842	-6,842	12,112	-137,661	-137,661	0,290
(Parete c.a.C32/40 sp.0.50m)	18917	3	-5,500	-6,804	-96,690	-96,690	0,000	-4,650	-4,650	13,762	-137,970	-137,970	0,353
嗇	18916	4	-5,500	-6,857	-97,357	-97,357	0,000	-2,523	-2,523	15,379	-138,163	-138,163	0,426
嗇	19683	5	-5,500	-6,911	-98,033	-98,033	0,000	-0,367	-0,367	17,056	-138,241	-138,241	0,512
Plate_2_11	19683	1	-5,500	-6,911	-98,035	-98,035	0,000	-0,361	-0,361	17,064	-138,241	-138,241	0,512
Element 22-32 (Plate)	19686	2	-5,500	-6,963	-98,732	-98,732	0,000	1,863	0,000	18,878	-138,203	-138,203	0,608
(Parete c.a.C32/40 sp.0.50m)	19685	3	-5,500	-7,014	-99,448	-99,448	0,000	4,149	0,000	20,778	-138,049	-138,049	0,718
嗇	19684	4	-5,500	-7,065	-100,186	-100,186	0,000	6,505	0,000	22,769	-137,775	-137,775	0,843
嗇	19717	5	-5,500	-7,117	-100,948	-100,948	0,000	8,936	0,000	24,855	-137,379	-137,379	0,984
Plate_2_11	19717	1	-5,500	-7,117	-100,943	-100,943	0,000	8,920	0,000	24,830	-137,379	-137,379	0,984
Element 22-33 (Plate)	19718	2	-5,500	-7,166	-101,679	-101,679	0,000	11,268	0,000	26,848	-136,885	-136,885	1,133
(Parete c.a.C32/40 sp.0.50m)	19719	3	-5,500	-7,215	-102,414	-102,414	0,000	13,614	0,000	28,845	-136,275	-136,275	1,295
嗇	19720	4	-5,500	-7,264	-103,149	-103,149	0,000	15,960	0,000	30,823	-135,551	-135,551	1,468
嗇	20458	5	-5,500	-7,313	-103,884	-103,884	0,000	18,307	0,000	32,779	-134,712	-134,712	1,650
Plate_2_12	20458	1	-5,500	-7,313	-103,877	-103,877	0,000	18,283	0,000	32,765	-134,712	-134,712	1,650
Element 23-34 (Plate)	20461	2	-5,500	-7,388	-105,122	-105,122	0,000	22,257	0,000	36,017	-133,178	-133,178	1,953
(Parete c.a.C32/40 sp.0.50m)	20460	3	-5,500	-7,464	-106,402	-106,402	0,000	26,344	0,000	39,317	-131,338	-131,338	2,292
嗇	20459	4	-5,500	-7,540	-107,700	-107,700	0,000	30,485	0,000	42,623	-129,187	-129,187	2,671
嗇	20494	5	-5,500	-7,615	-108,996	-108,996	0,000	34,623	0,000	45,907	-126,722	-126,722	3,095

Structural element	Node [10^3]	Local number	X [m]	Y [m]	N [kN/m]	N,max [kN/m]	N,max [10^3 kN/m]	Q [kN/m]	Q,max [kN/m]	Q,min [kN/m]	M [kN m/m]	M,max [kN m/m]	M,min [kN m/m]
Plate_2_13	20494	1	-5,500	-7,615	-108,969	-108,969	0,000	34,535	0,000	45,843	-126,722	-126,722	3,095
Element 24-35 (Plate)	20495	2	-5,500	-7,630	-109,198	-109,198	0,000	35,268	0,000	46,467	-126,212	-126,212	3,181
(Parete c.a.C32/40 sp.0.50m)	20496	3	-5,500	-7,645	-109,425	-109,425	0,000	35,991	0,000	47,084	-125,691	-125,691	3,268
28	20497	4	-5,500	-7,659	-109,649	-109,649	0,000	36,706	0,000	47,695	-125,160	-125,160	3,356
28	21176	5	-5,500	-7,674	-109,871	-109,871	0,000	37,415	0,000	48,305	-124,619	-124,619	3,446
Plate_2_14	21176	1	-5,500	-7,674	-109,869	-109,869	0,000	37,406	0,000	48,227	-124,619	-124,619	3,446
Element 26-38 (Plate)	21177	2	-5,500	-7,755	-111,040	-111,040	0,000	41,145	0,000	51,712	-121,413	-121,413	3,968
(Parete c.a.C32/40 sp.0.50m)	21178	3	-5,500	-7,837	-112,054	-112,054	0,000	44,378	0,000	54,851	-117,922	-117,922	4,528
28	21179	4	-5,500	-7,918	-112,923	-112,923	0,000	47,149	0,000	57,503	-114,186	-114,186	5,127
28	21766	5	-5,500	-8,000	-113,662	-113,662	0,000	49,502	0,000	59,528	-110,244	-110,244	5,761
Plate_3_1	21766	1	-5,500	-8,000	-138,914	-138,914	85,010	37,826	0,000	54,249	-110,244	-110,244	5,761
Element 27-39 (Plate)	21767	2	-5,500	-8,058	-139,490	-139,490	85,010	38,822	0,000	54,656	-108,036	-108,036	6,154
(Micropali D168.3x10.0/0,27m)	21768	3	-5,500	-8,115	-140,380	-140,380	85,010	40,362	0,000	55,451	-105,754	-105,754	6,575
28	21769	4	-5,500	-8,173	-141,573	-141,573	85,010	42,425	0,000	56,748	-103,369	-103,369	7,024
28	22356	5	-5,500	-8,231	-143,055	-143,055	85,010	44,991	0,000	58,842	-100,851	-100,851	7,502
Plate_3_1	22356	1	-5,500	-8,231	-142,986	-142,986	85,010	44,871	0,000	58,777	-100,851	-100,851	7,502
Element 27-40 (Plate)	22357	2	-5,500	-8,288	-144,362	-144,362	85,010	47,254	0,000	61,052	-98,192	-98,192	8,018
(Micropali D168.3x10.0/0,27m)	22358	3	-5,500	-8,346	-145,561	-145,561	85,010	49,332	0,000	63,350	-95,405	-95,405	8,585
28	22359	4	-5,500	-8,404	-146,634	-146,634	85,010	51,194	0,000	65,641	-92,504	-92,504	9,196
28	22779	5	-5,500	-8,461	-147,635	-147,635	85,010	52,933	0,000	67,897	-89,502	-89,502	9,843
Plate_3_2	22779	1	-5,500	-8,461	-147,654	-147,654	85,010	52,964	0,000	67,872	-89,502	-89,502	9,843
Element 28-41 (Plate)	22780	2	-5,500	-8,471	-147,809	-147,809	85,010	53,233	0,000	68,217	-88,990	-88,990	9,954
(Micropali D168.3x10.0/0,27m)	22781	3	-5,500	-8,481	-147,976	-147,976	85,010	53,524	0,000	68,552	-88,475	-88,475	10,065
28	22782	4	-5,500	-8,490	-148,153	-148,153	85,010	53,831	0,000	68,872	-87,958	-87,958	10,177
28	23191	5	-5,500	-8,500	-148,337	-148,337	85,010	54,150	0,000	69,170	-87,438	-87,438	10,289
Plate_3_3	23191	1	-5,500	-8,500	-148,282	-148,282	84,892	54,053	0,000	68,896	-87,438	-87,438	10,289
Element 29-42 (Plate)	23194	2	-5,500	-8,550	-148,955	-148,955	91,509	55,222	0,000	66,672	-84,736	-84,736	10,795
(Micropali D168.3x10.0/0,27m)	23193	3	-5,500	-8,599	-149,884	-149,884	97,224	56,833	0,000	64,204	-81,963	-81,963	11,214
28	23192	4	-5,500	-8,649	-151,021	-151,021	102,239	58,803	0,000	61,548	-79,102	-79,102	11,531
28	23453	5	-5,500	-8,698	-152,318	-152,318	106,758	61,049	0,000	61,049	-76,136	-76,136	12,587
Plate_3_3	23453	1	-5,500	-8,698	-152,133	-152,133	106,566	60,731	-0,105	60,731	-76,136	-76,136	12,587
Element 29-43 (Plate)	23456	2	-5,500	-8,891	-157,300	-157,300	125,986	69,686	-3,944	69,686	-63,522	-63,522	16,661
(Micropali D168.3x10.0/0,27m)	23455	3	-5,500	-9,084	-162,089	-162,089	144,433	77,985	-6,665	77,985	-49,257	-49,257	19,634
28	23454	4	-5,500	-9,278	-166,810	-166,810	161,973	86,168	-7,738	86,168	-33,388	-33,388	21,016
28	23981	5	-5,500	-9,471	-171,772	-171,772	178,673	94,775	-8,428	94,775	-15,928	-15,928	20,710
Plate_3_4	23981	1	-5,500	-9,471	-171,151	-171,151	178,803	93,584	-9,602	93,584	-15,928	-15,928	20,710
Element 31-45 (Plate)	23984	2	-5,500	-9,779	-167,405	-167,405	205,138	87,275	-10,015	87,275	12,239	0,000	24,802
(Micropali D168.3x10.0/0,27m)	23983	3	-5,500	-10,087	-159,328	-159,328	230,772	72,923	-9,678	72,923	36,946	0,000	37,479
28	23982	4	-5,500	-10,395	-148,976	-148,976	255,552	54,638	-7,841	54,638	56,776	0,000	56,776
28	24131	5	-5,500	-10,703	-138,406	-138,406	279,325	36,531	-8,056	36,531	70,702	0,000	70,702
Plate_3_5	24131	1	-5,500	-10,703	-139,585	-139,585	279,048	30,412	-11,813	30,412	70,702	0,000	70,702
Element 33-48 (Plate)	24134	2	-5,500	-10,961	-121,296	-121,296	297,632	-11,788	-23,543	0,026	72,756	0,000	72,756
(Micropali D168.3x10.0/0,27m)	24133	3	-5,500	-11,218	-108,611	-108,611	316,021	-38,524	-40,269	0,026	65,963	0,000	65,963
28	24132	4	-5,500	-11,476	-102,143	-102,143	334,181	-50,488	-50,488	0,022	54,165	0,000	54,165
28	24149	5	-5,500	-11,734	-102,507	-102,507	352,079	-48,372	-48,372	0,015	41,143	0,000	41,143
Plate_3_5	24149	1	-5,500	-11,734	-101,550	-101,550	351,813	-51,005	-51,005	0,016	41,143	0,000	41,143
Element 33-49 (Plate)	24152	2	-5,500	-12,008	-105,945	-105,945	370,320	-42,023	-42,023	0,009	28,392	0,000	28,392
(Micropali D168.3x10.0/0,27m)	24151	3	-5,500	-12,281	-109,461	-109,461	387,347	-32,605	-32,605	0,003	18,190	0,000	18,190
28	24150	4	-5,500	-12,555	-111,918	-111,918	402,755	-23,306	-23,306	0,000	10,530	-0,030	10,530
28	24480	5	-5,500	-12,829	-113,135	-113,135	416,402	-14,681	-14,681	0,029	5,362	-0,034	5,362
Plate_3_5	24480	1	-5,500	-12,829	-113,110	-113,110	415,758	-14,937	-14,937	0,040	5,362	-0,034	5,362
Element 33-50 (Plate)	24479	2	-5,500	-13,119	-112,592	-112,592	427,232	-8,726	-8,726	0,080	1,968	-0,106	1,968
(Micropali D168.3x10.0/0,27m)	24478	3	-5,500	-13,410	-110,697	-110,697	433,798	-4,220	-4,220	0,094	0,122	-0,508	0,122

Structural element	Node [10 ^]	Local number	X [m]	Y [m]	N [kN/m]	N ⊥ [kN/m]	N ∥ [10 ^ kN/m]	Q [kN/m]	Q ⊥ [kN/m]	Q ∥ [kN/m]	M [kN m/m]	M ⊥ [kN m/m]	M ∥ [kN m/m]
🖹	24477	4	-5,500	-13,701	-107,470	-107,470	435,232	-1,300	-1,300	0,199	-0,640	-0,823	0,100
🖹	24685	5	-5,500	-13,991	-102,958	-102,958	431,313	0,157	-0,019	0,538	-0,773	-0,790	0,095
Plate_3_6	24685	1	-5,500	-13,991	-102,987	-102,987	430,352	0,342	-0,019	0,680	-0,773	-0,790	0,095
Element 34-51 (Plate)	24688	2	-5,500	-14,292	-97,269	-97,269	418,819	1,187	-0,024	1,249	-0,528	-0,528	0,131
(Micropali D168.3x10.0/0,27m)	24687	3	-5,500	-14,593	-90,365	-90,365	397,289	1,439	-0,031	1,487	-0,118	-0,141	0,181
🖹	24686	4	-5,500	-14,895	-82,273	-82,273	365,484	1,112	-0,039	1,278	0,280	0,000	0,342
🖹	25013	5	-5,500	-15,196	-72,994	-72,994	323,126	0,224	-0,049	0,716	0,495	0,000	0,650
Plate_3_6	25013	1	-5,500	-15,196	-72,886	-72,886	322,196	0,258	-0,095	1,186	0,495	0,000	0,650
Element 34-52 (Plate)	25017	2	-5,500	-15,497	-55,645	-55,645	266,023	-1,155	-1,188	0,193	0,377	0,000	0,677
(Micropali D168.3x10.0/0,27m)	25016	3	-5,500	-15,798	-37,934	-37,934	194,361	-1,824	-2,175	0,057	-0,149	-0,149	0,255
🖹	25015	4	-5,500	-16,099	-19,678	-19,678	106,838	-0,374	-0,903	0,000	-0,509	-0,509	0,188
🖹	25014	5	-5,500	-16,400	-0,797	-0,797	3,078	4,573	-0,824	4,573	0,000	0,000	0,000

3.1.2.4.25 Calculation results, Plate, SLU12 SG [Phase_21] (21/779), Table of plate force envelopes

Structural element	Node [10^{-1}]	Local number	X [m]	Y [m]	N [kN/m]	N ⎓ [kN/m]	N ⎓ [10^{-1} kN/m]	Q [kN/m]	Q ⎓ [kN/m]	Q ⎓ [kN/m]	M [kN m/m]	M ⎓ [kN m/m]	M ⎓ [kN m/m]
Plate_2_1	15336	1	-5,500	0,000	-0,018	-0,020	14,416	0,056	-0,033	0,064	0,000	0,000	0,000
Element 1-1 (Plate)	15335	2	-5,500	-0,070	-0,168	-0,168	2,796	0,524	-0,008	0,524	0,019	0,000	0,019
(Parete c.a.C32/40 sp.0.50m)	15334	3	-5,500	-0,141	-0,406	-0,406	0,000	1,270	0,000	1,270	0,080	0,000	0,080
昂	15333	4	-5,500	-0,211	-0,726	-0,726	0,000	2,281	0,000	2,281	0,204	0,000	0,204
昂	15350	5	-5,500	-0,281	-1,123	-1,123	0,000	3,539	0,000	3,539	0,407	0,000	0,407
Plate_2_1	15350	1	-5,500	-0,281	-1,098	-1,098	0,000	3,457	0,000	3,457	0,407	0,000	0,407
Element 1-2 (Plate)	15349	2	-5,500	-0,336	-1,456	-1,456	0,000	4,592	0,000	4,592	0,626	0,000	0,626
(Parete c.a.C32/40 sp.0.50m)	15348	3	-5,500	-0,391	-1,848	-1,848	0,000	5,836	0,000	5,836	0,911	0,000	0,911
昂	15347	4	-5,500	-0,445	-2,274	-2,274	0,000	7,190	0,000	7,190	1,266	0,000	1,266
昂	15361	5	-5,500	-0,500	-2,736	-2,736	0,000	8,656	0,000	8,656	1,699	0,000	1,699
Plate_2_2	15361	1	-5,500	-0,500	-2,734	-2,734	0,000	8,651	0,000	8,651	1,699	0,000	1,699
Element 3-4 (Plate)	15364	2	-5,500	-0,525	-2,955	-2,955	0,000	9,352	0,000	9,352	1,924	0,000	1,924
(Parete c.a.C32/40 sp.0.50m)	15363	3	-5,500	-0,550	-3,181	-3,181	0,000	10,069	0,000	10,069	2,166	0,000	2,166
昂	15362	4	-5,500	-0,575	-3,411	-3,411	0,000	10,803	0,000	10,803	2,427	0,000	2,427
昂	15405	5	-5,500	-0,600	-3,647	-3,647	0,000	11,552	0,000	11,552	2,707	0,000	2,707
Plate_2_3	15405	1	-5,500	-0,600	-17,001	-17,001	0,000	-70,072	-70,072	0,000	2,707	0,000	2,707
Element 4-5 (Plate)	15408	2	-5,500	-0,644	-17,425	-17,425	0,000	-68,724	-68,724	0,000	-0,336	-1,198	0,000
(Parete c.a.C32/40 sp.0.50m)	15407	3	-5,500	-0,688	-17,856	-17,856	0,000	-67,352	-67,352	0,000	-3,321	-3,555	0,000
昂	15406	4	-5,500	-0,732	-18,294	-18,294	0,000	-65,960	-65,960	0,000	-6,245	-6,280	0,000
昂	15419	5	-5,500	-0,775	-18,737	-18,737	0,000	-64,550	-64,550	0,000	-9,106	-9,131	0,000
Plate_2_3	15419	1	-5,500	-0,775	-18,737	-18,737	0,000	-64,551	-64,551	0,000	-9,106	-9,131	0,000
Element 4-6 (Plate)	15422	2	-5,500	-0,834	-19,339	-19,339	0,000	-62,636	-62,636	0,000	-12,852	-12,865	0,000
(Parete c.a.C32/40 sp.0.50m)	15421	3	-5,500	-0,893	-19,942	-19,942	0,000	-60,719	-60,719	0,000	-16,486	-16,490	0,000
昂	15420	4	-5,500	-0,952	-20,544	-20,544	0,000	-58,804	-58,804	0,000	-20,008	-20,008	0,000
昂	15479	5	-5,500	-1,011	-21,145	-21,145	0,000	-56,893	-56,893	0,000	-23,415	-23,415	0,000
Plate_2_4	15479	1	-5,500	-1,011	-21,126	-21,126	0,000	-56,953	-56,953	0,000	-23,415	-23,415	0,000
Element 6-8 (Plate)	15482	2	-5,500	-1,096	-22,005	-22,005	0,000	-54,156	-54,156	0,000	-28,116	-28,116	0,000
(Parete c.a.C32/40 sp.0.50m)	15481	3	-5,500	-1,180	-22,906	-22,906	0,000	-51,290	-51,306	0,000	-32,579	-32,579	0,000
昂	15480	4	-5,500	-1,265	-23,822	-23,822	0,000	-48,375	-48,439	0,000	-36,797	-36,797	0,000
昂	16393	5	-5,500	-1,350	-24,747	-24,747	0,000	-45,432	-45,543	0,000	-40,765	-40,765	0,000
Plate_2_4	16393	1	-5,500	-1,350	-24,741	-24,741	0,000	-45,450	-45,561	0,000	-40,765	-40,765	0,000
Element 6-9 (Plate)	16396	2	-5,500	-1,519	-26,565	-26,565	0,000	-39,645	-39,851	0,000	-47,986	-48,009	0,000
(Parete c.a.C32/40 sp.0.50m)	16395	3	-5,500	-1,689	-28,335	-28,335	0,000	-34,014	-34,312	0,000	-54,239	-54,305	0,000
昂	16394	4	-5,500	-1,859	-30,048	-30,048	0,000	-28,566	-28,953	0,000	-59,551	-59,675	0,000
昂	16427	5	-5,500	-2,029	-31,701	-31,701	0,000	-23,310	-23,784	0,000	-63,951	-64,149	0,000
Plate_2_5	16427	1	-5,500	-2,029	-31,698	-31,698	2,373	-23,320	-23,794	0,006	-63,951	-64,149	0,000
Element 9-12 (Plate)	16430	2	-5,500	-2,147	-32,822	-32,822	1,427	-19,744	-20,276	0,071	-66,486	-66,743	0,004
(Parete c.a.C32/40 sp.0.50m)	16429	3	-5,500	-2,264	-33,916	-33,916	0,000	-16,268	-17,855	0,174	-68,607	-68,929	0,018
昂	16428	4	-5,500	-2,382	-34,981	-34,981	0,000	-12,881	-15,899	0,317	-70,323	-70,718	0,046
昂	17049	5	-5,500	-2,500	-36,022	-36,022	0,000	-9,572	-13,953	0,511	-71,645	-72,117	0,095
Plate_2_6	17049	1	-5,500	-2,500	-36,016	-36,016	0,000	-9,593	-13,977	0,448	-71,645	-72,117	0,095
Element 11-15 (Plate)	17052	2	-5,500	-2,666	-37,507	-37,507	0,000	-4,853	-11,050	1,204	-72,843	-73,435	0,219
(Parete c.a.C32/40 sp.0.50m)	17051	3	-5,500	-2,832	-38,944	-38,944	0,000	-0,286	-8,196	2,379	-73,267	-73,990	0,439
昂	17050	4	-5,500	-2,999	-40,331	-40,331	0,000	4,118	-5,420	4,118	-72,947	-73,808	0,748
昂	17279	5	-5,500	-3,165	-41,668	-41,668	0,000	8,365	-2,688	8,365	-71,907	-72,915	1,142
Plate_2_6	17279	1	-5,500	-3,165	-41,668	-41,668	0,000	8,367	-2,695	8,367	-71,907	-72,915	1,142
Element 11-16 (Plate)	17282	2	-5,500	-3,375	-43,282	-43,282	0,000	13,491	0,000	13,491	-69,614	-70,816	1,775

Structural element	Node [10^3]	Local number	X [m]	Y [m]	N [kN/m]	N,max [kN/m]	N,min [10^3 kN/m]	Q [kN/m]	Q,max [kN/m]	Q,min [kN/m]	M [kN m/m]	M,max [kN m/m]	M,min [kN m/m]
(Parete c.a.C32/40 sp.0.50m)	17281	3	-5,500	-3,585	-44,917	-44,917	0,000	18,683	0,000	18,683	-66,237	-67,640	2,617
昏	17280	4	-5,500	-3,795	-46,585	-46,585	0,000	23,977	0,000	23,977	-61,759	-63,368	3,727
昏	17305	5	-5,500	-4,005	-48,294	-48,294	0,000	29,406	0,000	29,406	-56,159	-57,977	5,161
Plate_2_7	17305	1	-5,500	-4,005	-48,301	-48,301	0,000	29,429	0,000	29,429	-56,159	-57,977	5,161
Element 13-18 (Plate)	17308	2	-5,500	-4,154	-49,556	-49,556	0,000	33,413	0,000	33,413	-51,485	-54,846	6,399
(Parete c.a.C32/40 sp.0.50m)	17307	3	-5,500	-4,302	-50,841	-50,841	0,000	37,499	0,000	37,499	-46,208	-52,311	7,839
昏	17306	4	-5,500	-4,451	-52,160	-52,160	0,000	41,690	0,000	41,690	-40,316	-49,292	9,492
昏	18049	5	-5,500	-4,600	-53,514	-53,514	0,000	45,992	0,000	45,992	-33,794	-45,771	11,369
Plate_2_8	18049	1	-5,500	-4,600	-74,343	-74,343	0,000	-81,664	-81,664	0,000	-33,794	-45,771	11,369
Element 15-22 (Plate)	18052	2	-5,500	-4,837	-76,546	-76,546	0,000	-74,662	-74,662	0,000	-52,352	-57,634	3,651
(Parete c.a.C32/40 sp.0.50m)	18051	3	-5,500	-5,075	-78,688	-78,688	0,000	-67,857	-67,857	0,000	-69,269	-70,803	0,000
昏	18050	4	-5,500	-5,312	-80,723	-80,723	0,000	-61,393	-61,393	0,000	-84,616	-85,736	0,000
昏	18123	5	-5,500	-5,550	-82,607	-82,607	0,000	-55,416	-55,416	0,000	-98,470	-99,212	0,000
Plate_2_8	18123	1	-5,500	-5,550	-82,563	-82,563	0,000	-55,556	-55,556	0,000	-98,470	-99,212	0,000
Element 15-23 (Plate)	18126	2	-5,500	-5,664	-83,645	-83,645	0,000	-52,117	-52,117	0,000	-104,624	-105,191	0,000
(Parete c.a.C32/40 sp.0.50m)	18125	3	-5,500	-5,779	-84,819	-84,819	0,000	-48,385	-48,385	0,000	-110,372	-110,762	0,000
昏	18124	4	-5,500	-5,893	-86,115	-86,115	0,000	-44,261	-44,261	0,000	-115,671	-115,883	0,000
昏	18147	5	-5,500	-6,007	-87,564	-87,564	0,000	-39,649	-39,649	0,000	-120,471	-120,507	0,000
Plate_2_9	18147	1	-5,500	-6,007	-87,486	-87,486	6,246	-39,897	-39,897	0,011	-120,471	-120,507	0,000
Element 18-26 (Plate)	18150	2	-5,500	-6,085	-88,509	-88,509	0,076	-36,640	-36,640	0,033	-123,460	-123,460	0,001
(Parete c.a.C32/40 sp.0.50m)	18149	3	-5,500	-6,163	-89,510	-89,510	0,000	-33,455	-33,455	0,074	-126,200	-126,200	0,005
昏	18148	4	-5,500	-6,242	-90,493	-90,493	0,000	-30,325	-30,325	0,129	-128,693	-128,693	0,013
昏	18851	5	-5,500	-6,320	-91,466	-91,466	0,011	-27,229	-27,229	0,222	-130,941	-130,941	0,025
Plate_2_9	18851	1	-5,500	-6,320	-91,473	-91,473	0,000	-27,205	-27,205	0,211	-130,941	-130,941	0,025
Element 18-27 (Plate)	18854	2	-5,500	-6,365	-92,039	-92,039	0,075	-25,405	-25,405	0,266	-132,126	-132,126	0,035
(Parete c.a.C32/40 sp.0.50m)	18853	3	-5,500	-6,410	-92,617	-92,617	0,007	-23,564	-23,564	0,488	-133,230	-133,230	0,049
昏	18852	4	-5,500	-6,455	-93,209	-93,209	0,000	-21,680	-21,680	1,867	-134,250	-134,250	0,066
昏	18891	5	-5,500	-6,500	-93,815	-93,815	0,000	-19,750	-19,750	3,297	-135,184	-135,184	0,087
Plate_2_10	18891	1	-5,500	-6,500	-93,814	-93,814	0,000	-19,753	-19,753	3,291	-135,184	-135,184	0,087
Element 20-29 (Plate)	18894	2	-5,500	-6,549	-94,512	-94,512	0,000	-17,530	-17,530	4,964	-136,097	-136,097	0,114
(Parete c.a.C32/40 sp.0.50m)	18893	3	-5,500	-6,598	-95,232	-95,232	0,000	-15,236	-15,236	6,701	-136,900	-136,900	0,148
昏	18892	4	-5,500	-6,647	-95,970	-95,970	0,000	-12,884	-12,884	8,490	-137,589	-137,589	0,188
昏	18915	5	-5,500	-6,696	-96,723	-96,723	0,000	-10,487	-10,487	10,319	-138,161	-138,161	0,234
Plate_2_11	18915	1	-5,500	-6,696	-96,727	-96,727	0,000	-10,471	-10,471	10,340	-138,161	-138,161	0,234
Element 22-31 (Plate)	18918	2	-5,500	-6,750	-97,474	-97,474	0,000	-8,093	-8,093	12,112	-138,659	-138,659	0,290
(Parete c.a.C32/40 sp.0.50m)	18917	3	-5,500	-6,804	-98,171	-98,171	0,000	-5,874	-5,874	13,762	-139,035	-139,035	0,353
昏	18916	4	-5,500	-6,857	-98,848	-98,848	0,000	-3,719	-3,719	15,379	-139,293	-139,293	0,426
昏	19683	5	-5,500	-6,911	-99,535	-99,535	0,000	-1,533	-1,533	17,056	-139,434	-139,434	0,512
Plate_2_11	19683	1	-5,500	-6,911	-99,537	-99,537	0,000	-1,527	-1,527	17,064	-139,434	-139,434	0,512
Element 22-32 (Plate)	19686	2	-5,500	-6,963	-100,244	-100,244	0,000	0,726	0,000	18,878	-139,455	-139,455	0,608
(Parete c.a.C32/40 sp.0.50m)	19685	3	-5,500	-7,014	-100,972	-100,972	0,000	3,043	0,000	20,778	-139,359	-139,359	0,718
昏	19684	4	-5,500	-7,065	-101,721	-101,721	0,000	5,428	0,000	22,769	-139,142	-139,142	0,843
昏	19717	5	-5,500	-7,117	-102,494	-102,494	0,000	7,891	0,000	24,855	-138,800	-138,800	0,984
Plate_2_11	19717	1	-5,500	-7,117	-102,489	-102,489	0,000	7,875	0,000	24,830	-138,800	-138,800	0,984
Element 22-33 (Plate)	19718	2	-5,500	-7,166	-103,235	-103,235	0,000	10,253	0,000	26,848	-138,356	-138,356	1,133
(Parete c.a.C32/40 sp.0.50m)	19719	3	-5,500	-7,215	-103,981	-103,981	0,000	12,629	0,000	28,845	-137,796	-137,796	1,295
昏	19720	4	-5,500	-7,264	-104,727	-104,727	0,000	15,006	0,000	30,823	-137,118	-137,118	1,468
昏	20458	5	-5,500	-7,313	-105,473	-105,473	0,000	17,385	0,000	32,779	-136,325	-136,325	1,650
Plate_2_12	20458	1	-5,500	-7,313	-105,466	-105,466	0,000	17,360	0,000	32,765	-136,325	-136,325	1,650
Element 23-34 (Plate)	20461	2	-5,500	-7,388	-106,730	-106,730	0,000	21,390	0,000	36,017	-134,860	-134,860	1,953
(Parete c.a.C32/40 sp.0.50m)	20460	3	-5,500	-7,464	-108,029	-108,029	0,000	25,530	0,000	39,317	-133,083	-133,083	2,292
昏	20459	4	-5,500	-7,540	-109,344	-109,344	0,000	29,721	0,000	42,623	-130,992	-130,992	2,671
昏	20494	5	-5,500	-7,615	-110,656	-110,656	0,000	33,904	0,000	45,907	-128,583	-128,583	3,095

Structural element	Node [10^3]	Local number	X [m]	Y [m]	N [kN/m]	N,max [kN/m]	N,min [10^3 kN/m]	Q [kN/m]	Q,max [kN/m]	Q,min [kN/m]	M [kN m/m]	M,max [kN m/m]	M,min [kN m/m]
Plate_2_13	20494	1	-5,500	-7,615	-110,627	-110,627	0,000	33,813	0,000	45,843	-128,583	-128,583	3,095
Element 24-35 (Plate)	20495	2	-5,500	-7,630	-110,859	-110,859	0,000	34,551	0,000	46,467	-128,084	-128,083	3,181
(Parete c.a.C32/40 sp.0.50m)	20496	3	-5,500	-7,645	-111,088	-111,088	0,000	35,280	0,000	47,084	-127,573	-127,573	3,268
28	20497	4	-5,500	-7,659	-111,314	-111,314	0,000	36,002	0,000	47,695	-127,052	-127,052	3,356
28	21176	5	-5,500	-7,674	-111,539	-111,539	0,000	36,718	0,000	48,305	-126,521	-126,521	3,446
Plate_2_14	21176	1	-5,500	-7,674	-111,539	-111,539	0,000	36,718	0,000	48,227	-126,521	-126,521	3,446
Element 26-38 (Plate)	21177	2	-5,500	-7,755	-112,722	-112,722	0,000	40,487	0,000	51,712	-123,370	-123,370	3,968
(Parete c.a.C32/40 sp.0.50m)	21178	3	-5,500	-7,837	-113,757	-113,757	0,000	43,781	0,000	54,851	-119,931	-119,931	4,528
28	21179	4	-5,500	-7,918	-114,656	-114,656	0,000	46,640	0,000	57,503	-116,240	-116,240	5,127
28	21766	5	-5,500	-8,000	-115,431	-115,431	0,000	49,105	0,000	59,528	-112,335	-112,335	5,761
Plate_3_1	21766	1	-5,500	-8,000	-140,842	-140,842	85,010	37,257	0,000	54,249	-112,335	-112,335	5,761
Element 27-39 (Plate)	21767	2	-5,500	-8,058	-141,384	-141,384	85,010	38,191	0,000	54,656	-110,162	-110,162	6,154
(Micropali D168.3x10.0/0,27m)	21768	3	-5,500	-8,115	-142,251	-142,251	85,010	39,686	0,000	55,451	-107,918	-107,918	6,575
28	21769	4	-5,500	-8,173	-143,423	-143,423	85,010	41,713	0,000	56,748	-105,573	-105,573	7,024
28	22356	5	-5,500	-8,231	-144,884	-144,884	85,010	44,241	0,000	58,842	-103,097	-103,097	7,502
Plate_3_1	22356	1	-5,500	-8,231	-144,829	-144,829	85,010	44,146	0,000	58,777	-103,097	-103,097	7,502
Element 27-40 (Plate)	22357	2	-5,500	-8,288	-146,208	-146,208	85,010	46,532	0,000	61,052	-100,480	-100,480	8,018
(Micropali D168.3x10.0/0,27m)	22358	3	-5,500	-8,346	-147,441	-147,441	85,010	48,667	0,000	63,350	-97,734	-97,734	8,585
28	22359	4	-5,500	-8,404	-148,582	-148,582	85,010	50,641	0,000	65,641	-94,868	-94,868	9,196
28	22779	5	-5,500	-8,461	-149,683	-149,683	85,010	52,548	0,000	67,897	-91,893	-91,893	9,843
Plate_3_2	22779	1	-5,500	-8,461	-149,697	-149,697	85,010	52,572	0,000	67,872	-91,893	-91,893	9,843
Element 28-41 (Plate)	22780	2	-5,500	-8,471	-149,868	-149,868	85,010	52,869	0,000	68,217	-91,385	-91,385	9,954
(Micropali D168.3x10.0/0,27m)	22781	3	-5,500	-8,481	-150,052	-150,052	85,010	53,188	0,000	68,552	-90,873	-90,873	10,065
28	22782	4	-5,500	-8,490	-150,246	-150,246	85,010	53,524	0,000	68,872	-90,359	-90,359	10,177
28	23191	5	-5,500	-8,500	-150,447	-150,447	85,010	53,872	0,000	69,170	-89,842	-89,842	10,289
Plate_3_3	23191	1	-5,500	-8,500	-150,387	-150,387	84,892	53,767	0,000	68,896	-89,842	-89,842	10,289
Element 29-42 (Plate)	23194	2	-5,500	-8,550	-151,128	-151,128	91,509	55,050	0,000	66,672	-87,151	-87,151	10,795
(Micropali D168.3x10.0/0,27m)	23193	3	-5,500	-8,599	-152,115	-152,115	97,224	56,759	0,000	64,204	-84,384	-84,384	11,214
28	23192	4	-5,500	-8,649	-153,299	-153,299	102,239	58,808	0,000	61,548	-81,524	-81,524	11,531
28	23453	5	-5,500	-8,698	-154,632	-154,632	106,758	61,117	0,000	61,173	-78,557	-78,557	12,587
Plate_3_3	23453	1	-5,500	-8,698	-154,462	-154,462	106,566	60,821	-0,105	60,878	-78,557	-78,557	12,587
Element 29-43 (Plate)	23456	2	-5,500	-8,891	-159,835	-159,835	125,986	70,125	-3,944	70,125	-65,893	-65,893	16,661
(Micropali D168.3x10.0/0,27m)	23455	3	-5,500	-9,084	-164,867	-164,867	144,433	78,836	-6,665	78,836	-51,504	-51,504	19,634
28	23454	4	-5,500	-9,278	-169,861	-169,861	161,973	87,482	-7,738	87,482	-35,427	-35,427	21,016
28	23981	5	-5,500	-9,471	-175,122	-175,122	178,673	96,589	-8,428	96,589	-17,665	-17,665	20,710
Plate_3_4	23981	1	-5,500	-9,471	-174,514	-174,514	178,803	95,492	-9,602	95,492	-17,665	-17,665	20,710
Element 31-45 (Plate)	23984	2	-5,500	-9,779	-171,002	-171,002	205,138	89,468	-10,015	89,468	11,147	0,000	24,802
(Micropali D168.3x10.0/0,27m)	23983	3	-5,500	-10,087	-162,805	-162,805	230,772	75,126	-9,678	75,126	36,527	0,000	37,479
28	23982	4	-5,500	-10,395	-152,311	-152,311	255,552	56,807	-7,841	56,807	57,037	0,000	57,037
28	24131	5	-5,500	-10,703	-141,910	-141,910	279,325	38,852	-8,056	38,852	71,644	0,000	71,644
Plate_3_5	24131	1	-5,500	-10,703	-142,898	-142,898	279,048	32,362	-11,813	32,362	71,644	0,000	71,644
Element 33-48 (Plate)	24134	2	-5,500	-10,961	-124,576	-124,576	297,632	-9,739	-23,543	0,026	74,224	0,000	74,224
(Micropali D168.3x10.0/0,27m)	24133	3	-5,500	-11,218	-111,596	-111,596	316,021	-36,938	-40,269	0,026	67,912	0,000	67,912
28	24132	4	-5,500	-11,476	-104,551	-104,551	334,181	-49,925	-50,488	0,022	56,403	0,000	56,403
28	24149	5	-5,500	-11,734	-104,034	-104,034	352,079	-49,394	-49,394	0,015	43,334	0,000	43,334
Plate_3_5	24149	1	-5,500	-11,734	-102,975	-102,975	351,813	-51,945	-51,945	0,016	43,334	0,000	43,334
Element 33-49 (Plate)	24152	2	-5,500	-12,008	-107,491	-107,491	370,320	-43,382	-43,382	0,009	30,260	0,000	30,260
(Micropali D168.3x10.0/0,27m)	24151	3	-5,500	-12,281	-111,144	-111,144	387,347	-34,060	-34,060	0,003	19,668	0,000	19,668
28	24150	4	-5,500	-12,555	-113,747	-113,747	402,755	-24,600	-24,600	0,000	11,625	-0,030	11,625
28	24480	5	-5,500	-12,829	-115,108	-115,108	416,402	-15,625	-15,625	0,029	6,147	-0,034	6,147
Plate_3_5	24480	1	-5,500	-12,829	-115,076	-115,076	415,758	-15,942	-15,942	0,040	6,147	-0,034	6,147
Element 33-50 (Plate)	24479	2	-5,500	-13,119	-114,662	-114,662	427,232	-9,439	-9,439	0,080	2,505	-0,106	2,505
(Micropali D168.3x10.0/0,27m)	24478	3	-5,500	-13,410	-112,837	-112,837	433,798	-4,697	-4,697	0,094	0,488	-0,508	0,488

Structural element	Node [10 ^]	Local number	X [m]	Y [m]	N [kN/m]	N ⊥⊥ [kN/m]	N ⊥⊥ [10 ^ kN/m]	Q [kN/m]	Q ⊥⊥ [kN/m]	Q ⊥⊥ [kN/m]	M [kN m/m]	M ⊥⊥ [kN m/m]	M ⊥⊥ [kN m/m]
🔗	24477	4	-5,500	-13,701	-109,646	-109,646	435,232	-1,596	-1,596	0,199	-0,385	-0,823	0,100
🔗	24685	5	-5,500	-13,991	-105,139	-105,139	431,313	-0,017	-0,019	0,538	-0,586	-0,790	0,095
Plate_3_6	24685	1	-5,500	-13,991	-105,170	-105,170	430,352	0,170	-0,019	0,680	-0,586	-0,790	0,095
Element 34-51 (Plate)	24688	2	-5,500	-14,292	-99,435	-99,435	418,819	1,090	-0,024	1,249	-0,379	-0,528	0,131
(Micropali D168.3x10.0/0,27m)	24687	3	-5,500	-14,593	-92,493	-92,493	397,289	1,369	-0,031	1,487	0,006	-0,141	0,181
🔗	24686	4	-5,500	-14,895	-84,345	-84,345	365,484	1,026	-0,039	1,278	0,383	0,000	0,383
🔗	25013	5	-5,500	-15,196	-74,994	-74,994	323,126	0,084	-0,049	0,716	0,565	0,000	0,650
Plate_3_6	25013	1	-5,500	-15,196	-74,882	-74,882	322,196	0,127	-0,095	1,186	0,565	0,000	0,650
Element 34-52 (Plate)	25017	2	-5,500	-15,497	-57,152	-57,152	266,023	-1,184	-1,206	0,193	0,428	0,000	0,677
(Micropali D168.3x10.0/0,27m)	25016	3	-5,500	-15,798	-38,952	-38,952	194,361	-1,875	-2,175	0,057	-0,112	-0,149	0,255
🔗	25015	4	-5,500	-16,099	-20,197	-20,197	106,838	-0,456	-0,903	0,000	-0,489	-0,509	0,188
🔗	25014	5	-5,500	-16,400	-0,800	-0,800	3,078	4,560	-0,824	4,585	0,000	0,000	0,000

3.1.2.4.26 Calculation results, Plate, FS SLU12 [Phase_20] (20/879), Table of plate force envelopes

Structural element	Node [10^{-1}]	Local number	X [m]	Y [m]	N [kN/m]	N ⎓ [kN/m]	N ⎓ [10^{-1} kN/m]	Q [kN/m]	Q ⎓ [kN/m]	Q ⎓ [kN/m]	M [kN m/m]	M ⎓ [kN m/m]	M ⎓ [kN m/m]
Plate_2_1	15336	1	-5,500	0,000	0,013	-0,020	102,737	-0,054	-0,430	0,064	0,000	0,000	0,000
Element 1-1 (Plate)	15335	2	-5,500	-0,070	-0,261	-0,640	2,796	1,090	-0,008	2,663	0,025	0,000	0,087
(Parete c.a.C32/40 sp.0.50m)	15334	3	-5,500	-0,141	-0,906	-1,412	0,000	3,782	0,000	5,886	0,191	0,000	0,385
圖	15333	4	-5,500	-0,211	-1,823	-2,268	0,000	7,611	0,000	9,456	0,584	0,000	0,922
圖	15350	5	-5,500	-0,281	-2,914	-3,179	0,000	12,164	0,000	13,256	1,278	0,000	1,718
Plate_2_1	15350	1	-5,500	-0,281	-2,852	-3,162	0,000	11,904	0,000	13,189	1,278	0,000	1,718
Element 1-2 (Plate)	15349	2	-5,500	-0,336	-3,668	-3,910	0,000	15,313	0,000	16,337	2,022	0,000	2,517
(Parete c.a.C32/40 sp.0.50m)	15348	3	-5,500	-0,391	-4,464	-4,651	0,000	18,636	0,000	19,440	2,950	0,000	3,478
圖	15347	4	-5,500	-0,445	-5,249	-5,374	0,000	21,912	0,000	22,465	4,058	0,000	4,603
圖	15361	5	-5,500	-0,500	-6,032	-6,080	0,000	25,183	0,000	25,510	5,344	0,000	5,896
Plate_2_2	15361	1	-5,500	-0,500	-6,030	-6,089	0,000	25,172	0,000	25,511	5,344	0,000	5,896
Element 3-4 (Plate)	15364	2	-5,500	-0,525	-6,377	-6,414	0,000	26,623	0,000	26,897	5,992	0,000	6,545
(Parete c.a.C32/40 sp.0.50m)	15363	3	-5,500	-0,550	-6,725	-6,751	0,000	28,078	0,000	28,299	6,676	0,000	7,231
圖	15362	4	-5,500	-0,575	-7,074	-7,105	0,000	29,535	0,000	29,718	7,396	0,000	7,953
圖	15405	5	-5,500	-0,600	-7,423	-7,461	0,000	30,992	0,000	31,155	8,152	0,000	8,713
Plate_2_3	15405	1	-5,500	-0,600	-32,725	-32,725	0,000	-123,662	-123,662	0,000	8,152	0,000	8,713
Element 4-5 (Plate)	15408	2	-5,500	-0,644	-33,308	-33,308	0,000	-121,228	-121,228	0,000	2,784	-1,198	4,452
(Parete c.a.C32/40 sp.0.50m)	15407	3	-5,500	-0,688	-33,902	-33,902	0,000	-118,746	-118,746	0,000	-2,480	-3,555	0,316
圖	15406	4	-5,500	-0,732	-34,538	-34,538	0,000	-116,088	-116,088	0,000	-7,631	-7,631	0,000
圖	15419	5	-5,500	-0,775	-35,246	-35,246	0,000	-113,128	-113,128	0,000	-12,658	-12,658	0,000
Plate_2_3	15419	1	-5,500	-0,775	-34,984	-34,984	0,000	-114,222	-114,222	0,000	-12,658	-12,658	0,000
Element 4-6 (Plate)	15422	2	-5,500	-0,834	-36,034	-36,034	0,000	-109,834	-109,834	0,000	-19,256	-19,256	0,000
(Parete c.a.C32/40 sp.0.50m)	15421	3	-5,500	-0,893	-37,074	-37,074	0,000	-105,492	-105,492	0,000	-25,600	-25,600	0,000
圖	15420	4	-5,500	-0,952	-38,129	-38,129	0,000	-101,081	-101,081	0,000	-31,687	-31,687	0,000
圖	15479	5	-5,500	-1,011	-39,229	-39,229	0,000	-96,489	-96,489	0,000	-37,506	-37,506	0,000
Plate_2_4	15479	1	-5,500	-1,011	-39,228	-39,228	0,000	-96,490	-96,490	0,000	-37,506	-37,506	0,000
Element 6-8 (Plate)	15482	2	-5,500	-1,096	-40,728	-40,728	0,000	-90,224	-90,224	0,000	-45,404	-45,404	0,000
(Parete c.a.C32/40 sp.0.50m)	15481	3	-5,500	-1,180	-42,222	-42,222	0,000	-83,985	-83,985	0,000	-52,778	-52,778	0,000
圖	15480	4	-5,500	-1,265	-43,726	-43,726	0,000	-77,698	-77,698	0,000	-59,621	-59,621	0,000
圖	16393	5	-5,500	-1,350	-45,260	-45,260	0,000	-71,290	-71,290	0,000	-65,924	-65,924	0,000
Plate_2_4	16393	1	-5,500	-1,350	-45,299	-45,299	0,000	-71,126	-71,126	0,000	-65,924	-65,924	0,000
Element 6-9 (Plate)	16396	2	-5,500	-1,519	-48,783	-48,783	0,000	-56,560	-56,560	0,000	-76,799	-76,799	0,000
(Parete c.a.C32/40 sp.0.50m)	16395	3	-5,500	-1,689	-52,605	-52,605	0,000	-40,581	-40,659	0,000	-85,041	-85,041	0,000
圖	16394	4	-5,500	-1,859	-56,501	-56,501	0,000	-24,284	-33,222	0,000	-90,566	-90,566	0,000
圖	16427	5	-5,500	-2,029	-60,212	-60,212	0,000	-8,765	-26,176	0,000	-93,344	-93,344	0,000
Plate_2_5	16427	1	-5,500	-2,029	-60,111	-60,111	2,373	-9,187	-26,179	0,006	-93,344	-93,344	0,000
Element 9-12 (Plate)	16430	2	-5,500	-2,147	-61,761	-61,761	1,427	-2,278	-21,463	0,071	-93,998	-93,998	0,004
(Parete c.a.C32/40 sp.0.50m)	16429	3	-5,500	-2,264	-62,953	-62,953	0,000	2,716	-17,855	2,716	-93,957	-93,957	0,018
圖	16428	4	-5,500	-2,382	-63,733	-63,733	0,000	5,989	-15,899	5,989	-93,426	-93,426	0,046
圖	17049	5	-5,500	-2,500	-64,148	-64,148	0,000	7,738	-13,953	7,738	-92,605	-92,605	0,095
Plate_2_6	17049	1	-5,500	-2,500	-64,168	-64,168	0,000	7,820	-13,977	7,820	-92,605	-92,605	0,095
Element 11-15 (Plate)	17052	2	-5,500	-2,666	-64,479	-64,479	0,000	9,145	-11,050	9,145	-91,194	-91,194	0,219
(Parete c.a.C32/40 sp.0.50m)	17051	3	-5,500	-2,832	-64,835	-64,835	0,000	10,660	-8,196	10,660	-89,557	-89,557	0,439
圖	17050	4	-5,500	-2,999	-65,303	-65,303	0,000	12,642	-5,420	12,642	-87,624	-87,860	0,748
圖	17279	5	-5,500	-3,165	-65,951	-65,951	0,000	15,367	-2,688	17,017	-85,311	-85,905	1,142
Plate_2_6	17279	1	-5,500	-3,165	-65,988	-65,988	0,000	15,521	-2,695	17,020	-85,311	-85,905	1,142
Element 11-16 (Plate)	17282	2	-5,500	-3,375	-67,012	-67,012	0,000	19,811	0,000	23,537	-81,623	-82,713	1,775

Structural element	Node [10^3]	Local number	X [m]	Y [m]	N [kN/m]	N,max [kN/m]	N,min [10^3 kN/m]	Q [kN/m]	Q,max [kN/m]	Q,min [kN/m]	M [kN m/m]	M,max [kN m/m]	M,min [kN m/m]
(Parete c.a.C32/40 sp.0.50m)	17281	3	-5,500	-3,585	-68,265	-68,265	0,000	25,052	0,000	30,061	-76,921	-78,566	2,617
〃	17280	4	-5,500	-3,795	-69,690	-69,690	0,000	31,009	0,000	36,627	-71,050	-73,251	3,727
〃	17305	5	-5,500	-4,005	-71,232	-71,232	0,000	37,443	0,000	43,271	-63,869	-66,601	5,161
Plate_2_7	17305	1	-5,500	-4,005	-71,229	-71,229	0,000	37,431	0,000	43,292	-63,869	-66,601	5,161
Element 13-18 (Plate)	17308	2	-5,500	-4,154	-72,426	-72,426	0,000	42,424	0,000	48,104	-57,935	-61,052	6,399
(Parete c.a.C32/40 sp.0.50m)	17307	3	-5,500	-4,302	-73,703	-73,703	0,000	47,753	0,000	52,973	-51,224	-54,702	7,839
〃	17306	4	-5,500	-4,451	-75,025	-75,025	0,000	53,264	0,000	57,903	-43,709	-49,292	9,492
〃	18049	5	-5,500	-4,600	-76,354	-76,354	0,000	58,805	0,000	62,901	-35,370	-45,771	11,369
Plate_2_8	18049	1	-5,500	-4,600	-105,965	-105,965	0,000	-120,250	-120,781	0,000	-35,370	-45,771	11,369
Element 15-22 (Plate)	18052	2	-5,500	-4,837	-107,994	-107,994	0,000	-111,789	-113,060	0,000	-62,930	-67,078	3,651
(Parete c.a.C32/40 sp.0.50m)	18051	3	-5,500	-5,075	-110,152	-110,152	0,000	-102,792	-104,236	0,000	-88,422	-92,510	0,000
〃	18050	4	-5,500	-5,312	-112,413	-112,413	0,000	-93,366	-94,418	0,000	-111,730	-115,659	0,000
〃	18123	5	-5,500	-5,550	-114,752	-114,752	0,000	-83,614	-83,774	0,000	-132,744	-136,389	0,000
Plate_2_8	18123	1	-5,500	-5,550	-114,774	-114,774	0,000	-83,521	-84,047	0,000	-132,744	-136,389	0,000
Element 15-23 (Plate)	18126	2	-5,500	-5,664	-115,747	-115,747	0,000	-79,465	-79,465	0,000	-142,041	-145,482	0,000
(Parete c.a.C32/40 sp.0.50m)	18125	3	-5,500	-5,779	-116,551	-116,551	0,000	-76,112	-76,112	0,000	-150,941	-154,154	0,000
〃	18124	4	-5,500	-5,893	-117,383	-117,383	0,000	-72,632	-72,632	0,000	-159,438	-162,448	0,000
〃	18147	5	-5,500	-6,007	-118,442	-118,442	0,000	-68,196	-68,196	0,000	-167,501	-170,369	0,000
Plate_2_9	18147	1	-5,500	-6,007	-118,351	-118,351	6,246	-68,578	-68,578	0,011	-167,501	-170,369	0,000
Element 18-26 (Plate)	18150	2	-5,500	-6,085	-118,939	-118,939	0,076	-66,122	-66,122	0,033	-172,766	-175,509	0,001
(Parete c.a.C32/40 sp.0.50m)	18149	3	-5,500	-6,163	-119,599	-119,599	0,000	-63,369	-63,369	0,074	-177,829	-180,401	0,005
〃	18148	4	-5,500	-6,242	-120,332	-120,332	0,000	-60,318	-60,318	0,129	-182,666	-185,022	0,013
〃	18851	5	-5,500	-6,320	-121,136	-121,136	0,011	-56,970	-56,970	0,222	-187,250	-189,354	0,025
Plate_2_9	18851	1	-5,500	-6,320	-121,124	-121,124	0,000	-57,019	-57,019	0,211	-187,250	-189,354	0,025
Element 18-27 (Plate)	18854	2	-5,500	-6,365	-121,596	-121,596	0,075	-55,052	-55,052	0,266	-189,775	-191,723	0,035
(Parete c.a.C32/40 sp.0.50m)	18853	3	-5,500	-6,410	-122,078	-122,078	0,007	-53,044	-53,044	0,488	-192,212	-193,998	0,049
〃	18852	4	-5,500	-6,455	-122,568	-122,568	0,000	-51,002	-51,002	1,867	-194,557	-196,180	0,066
〃	18891	5	-5,500	-6,500	-123,066	-123,066	0,000	-48,929	-48,929	3,297	-196,808	-198,267	0,087
Plate_2_10	18891	1	-5,500	-6,500	-123,071	-123,071	0,000	-48,907	-48,907	3,291	-196,808	-198,267	0,087
Element 20-29 (Plate)	18894	2	-5,500	-6,549	-123,568	-123,568	0,000	-46,838	-46,838	4,964	-199,152	-200,431	0,114
(Parete c.a.C32/40 sp.0.50m)	18893	3	-5,500	-6,598	-124,077	-124,077	0,000	-44,716	-44,716	6,701	-201,395	-202,490	0,148
〃	18892	4	-5,500	-6,647	-124,618	-124,618	0,000	-42,462	-42,462	8,490	-203,531	-204,441	0,188
〃	18915	5	-5,500	-6,696	-125,210	-125,210	0,000	-39,999	-39,999	10,319	-205,551	-206,272	0,234
Plate_2_11	18915	1	-5,500	-6,696	-125,204	-125,204	0,000	-40,021	-40,021	10,340	-205,551	-206,272	0,234
Element 22-31 (Plate)	18918	2	-5,500	-6,750	-125,911	-125,911	0,000	-37,077	-37,077	12,112	-207,622	-208,131	0,290
(Parete c.a.C32/40 sp.0.50m)	18917	3	-5,500	-6,804	-126,513	-126,513	0,000	-34,571	-34,571	13,762	-209,550	-209,844	0,353
〃	18916	4	-5,500	-6,857	-127,048	-127,048	0,000	-32,345	-32,345	15,379	-211,349	-211,428	0,426
〃	19683	5	-5,500	-6,911	-127,554	-127,554	0,000	-30,240	-30,240	17,056	-213,033	-213,033	0,512
Plate_2_11	19683	1	-5,500	-6,911	-127,524	-127,524	0,000	-30,365	-30,365	17,064	-213,033	-213,033	0,512
Element 22-32 (Plate)	19686	2	-5,500	-6,963	-128,008	-128,008	0,000	-28,351	-28,351	18,878	-214,542	-214,542	0,608
(Parete c.a.C32/40 sp.0.50m)	19685	3	-5,500	-7,014	-128,546	-128,546	0,000	-26,109	-26,109	20,778	-215,940	-215,940	0,718
〃	19684	4	-5,500	-7,065	-129,106	-129,106	0,000	-23,779	-23,779	22,769	-217,222	-217,222	0,843
〃	19717	5	-5,500	-7,117	-129,653	-129,653	0,000	-21,499	-21,499	24,855	-218,383	-218,383	0,984
Plate_2_11	19717	1	-5,500	-7,117	-129,646	-129,646	0,000	-21,528	-21,528	24,830	-218,383	-218,383	0,984
Element 22-33 (Plate)	19718	2	-5,500	-7,166	-130,133	-130,133	0,000	-19,501	-19,501	26,848	-219,389	-219,389	1,133
(Parete c.a.C32/40 sp.0.50m)	19719	3	-5,500	-7,215	-130,649	-130,649	0,000	-17,349	-17,349	28,845	-220,291	-220,291	1,295
〃	19720	4	-5,500	-7,264	-131,177	-131,177	0,000	-15,143	-15,143	30,823	-221,088	-221,088	1,468
〃	20458	5	-5,500	-7,313	-131,702	-131,702	0,000	-12,949	-12,949	32,779	-221,776	-221,776	1,650
Plate_2_12	20458	1	-5,500	-7,313	-131,690	-131,690	0,000	-12,998	-12,998	32,765	-221,776	-221,776	1,650
Element 23-34 (Plate)	20461	2	-5,500	-7,388	-132,492	-132,492	0,000	-9,647	-9,647	36,017	-222,634	-222,634	1,953
(Parete c.a.C32/40 sp.0.50m)	20460	3	-5,500	-7,464	-133,327	-133,327	0,000	-6,157	-6,157	39,317	-223,233	-223,233	2,292
〃	20459	4	-5,500	-7,540	-134,195	-134,195	0,000	-2,528	-2,528	42,623	-223,563	-223,563	2,671
〃	20494	5	-5,500	-7,615	-135,097	-135,097	0,000	1,239	0,000	45,907	-223,612	-223,612	3,095

Structural element	Node [10^3]	Local number	X [m]	Y [m]	N [kN/m]	N,max [kN/m]	N,max [10^3 kN/m]	Q [kN/m]	Q,max [kN/m]	Q,min [kN/m]	M [kN m/m]	M,max [kN m/m]	M,min [kN m/m]
Plate_2_13	20494	1	-5,500	-7,615	-135,091	-135,091	0,000	1,217	0,000	45,843	-223,612	-223,612	3,095
Element 24-35 (Plate)	20495	2	-5,500	-7,630	-135,272	-135,272	0,000	1,974	0,000	46,467	-223,589	-223,589	3,181
(Parete c.a.C32/40 sp.0.50m)	20496	3	-5,500	-7,645	-135,463	-135,463	0,000	2,769	0,000	47,084	-223,554	-223,554	3,268
28	20497	4	-5,500	-7,659	-135,651	-135,651	0,000	3,554	0,000	47,695	-223,508	-223,508	3,356
28	21176	5	-5,500	-7,674	-135,826	-135,826	0,000	4,286	0,000	48,305	-223,451	-223,451	3,446
Plate_2_14	21176	1	-5,500	-7,674	-135,892	-135,892	0,000	4,558	0,000	48,227	-223,451	-223,451	3,446
Element 26-38 (Plate)	21177	2	-5,500	-7,755	-136,447	-136,447	0,000	6,878	0,000	51,712	-222,993	-222,993	3,968
(Parete c.a.C32/40 sp.0.50m)	21178	3	-5,500	-7,837	-137,256	-137,256	0,000	10,252	0,000	54,851	-222,300	-222,300	4,528
28	21179	4	-5,500	-7,918	-138,281	-138,281	0,000	14,528	0,000	57,503	-221,296	-221,296	5,127
28	21766	5	-5,500	-8,000	-139,486	-139,486	0,000	19,552	0,000	59,528	-219,911	-219,911	5,761
Plate_3_1	21766	1	-5,500	-8,000	-167,400	-170,515	85,010	6,121	0,000	54,249	-219,911	-219,911	5,761
Element 27-39 (Plate)	21767	2	-5,500	-8,058	-169,074	-171,510	85,010	10,346	0,000	54,656	-219,434	-219,434	6,154
(Micropali D168.3x10.0/0,27m)	21768	3	-5,500	-8,115	-170,667	-172,815	85,010	14,279	0,000	55,451	-218,723	-218,723	6,575
28	21769	4	-5,500	-8,173	-172,191	-174,254	85,010	18,062	0,000	56,748	-217,789	-217,789	7,024
28	22356	5	-5,500	-8,231	-173,660	-175,670	85,010	21,840	0,000	58,842	-216,639	-216,639	7,502
Plate_3_1	22356	1	-5,500	-8,231	-173,631	-175,650	85,010	21,741	0,000	58,777	-216,639	-216,639	7,502
Element 27-40 (Plate)	22357	2	-5,500	-8,288	-175,173	-176,883	85,010	25,888	0,000	61,052	-215,265	-215,265	8,018
(Micropali D168.3x10.0/0,27m)	22358	3	-5,500	-8,346	-176,659	-178,094	85,010	29,920	0,000	63,350	-213,655	-213,655	8,585
28	22359	4	-5,500	-8,404	-178,152	-179,320	85,010	33,942	0,000	65,641	-211,813	-211,813	9,196
28	22779	5	-5,500	-8,461	-179,717	-180,596	85,010	38,058	0,000	67,897	-209,738	-209,738	9,843
Plate_3_2	22779	1	-5,500	-8,461	-179,719	-180,602	85,010	38,067	0,000	67,872	-209,738	-209,738	9,843
Element 28-41 (Plate)	22780	2	-5,500	-8,471	-179,948	-180,802	85,010	38,661	0,000	68,217	-209,368	-209,368	9,954
(Micropali D168.3x10.0/0,27m)	22781	3	-5,500	-8,481	-180,210	-181,037	85,010	39,322	0,000	68,552	-208,992	-208,992	10,065
28	22782	4	-5,500	-8,490	-180,503	-181,294	85,010	40,045	0,000	68,872	-208,610	-208,610	10,177
28	23191	5	-5,500	-8,500	-180,821	-181,560	85,010	40,826	0,000	69,170	-208,220	-208,220	10,289
Plate_3_3	23191	1	-5,500	-8,500	-180,785	-181,531	84,892	40,780	0,000	68,896	-208,220	-208,220	10,289
Element 29-42 (Plate)	23194	2	-5,500	-8,550	-181,966	-182,580	91,509	43,749	0,000	66,672	-206,129	-206,129	10,795
(Micropali D168.3x10.0/0,27m)	23193	3	-5,500	-8,599	-183,221	-183,733	97,224	46,907	0,000	64,204	-203,885	-203,885	11,214
28	23192	4	-5,500	-8,649	-184,524	-184,970	102,239	50,239	0,000	61,548	-201,481	-201,481	11,531
28	23453	5	-5,500	-8,698	-185,851	-186,274	106,758	53,730	0,000	62,997	-198,909	-198,909	12,587
Plate_3_3	23453	1	-5,500	-8,698	-185,692	-186,174	106,566	53,400	-0,105	63,036	-198,909	-198,909	12,587
Element 29-43 (Plate)	23456	2	-5,500	-8,891	-191,353	-191,520	125,986	67,458	-3,944	73,568	-187,214	-187,214	16,661
(Micropali D168.3x10.0/0,27m)	23455	3	-5,500	-9,084	-196,978	-197,033	144,433	81,248	-6,665	84,327	-172,870	-172,870	19,634
28	23454	4	-5,500	-9,278	-202,894	-202,895	161,973	95,848	-7,738	95,848	-155,760	-155,760	21,016
28	23981	5	-5,500	-9,471	-209,429	-209,429	178,673	112,337	-8,428	112,337	-135,701	-135,701	20,710
Plate_3_4	23981	1	-5,500	-9,471	-208,608	-208,754	178,803	110,886	-9,602	110,886	-135,701	-135,701	20,710
Element 31-45 (Plate)	23984	2	-5,500	-9,779	-214,223	-214,223	205,138	124,280	-10,015	124,280	-99,084	-99,084	24,802
(Micropali D168.3x10.0/0,27m)	23983	3	-5,500	-10,087	-216,133	-216,133	230,772	128,905	-9,678	128,905	-60,146	-60,146	37,479
28	23982	4	-5,500	-10,395	-217,251	-217,251	255,552	131,461	-7,841	131,461	-19,856	-19,856	57,037
28	24131	5	-5,500	-10,703	-220,490	-220,490	279,325	138,651	-8,056	138,651	21,446	0,000	77,840
Plate_3_5	24131	1	-5,500	-10,703	-216,278	-216,278	279,048	129,190	-11,813	129,190	21,446	0,000	77,840
Element 33-48 (Plate)	24134	2	-5,500	-10,961	-205,111	-205,111	297,632	103,927	-23,543	103,927	51,593	0,000	93,072
(Micropali D168.3x10.0/0,27m)	24133	3	-5,500	-11,218	-192,877	-192,877	316,021	76,246	-40,269	76,246	74,754	0,000	103,945
28	24132	4	-5,500	-11,476	-180,881	-180,881	334,181	49,104	-50,488	49,104	90,944	0,000	113,069
28	24149	5	-5,500	-11,734	-170,430	-170,430	352,079	25,457	-57,315	25,457	100,407	0,000	115,449
Plate_3_5	24149	1	-5,500	-11,734	-169,217	-169,433	351,813	22,715	-60,282	22,715	100,407	0,000	115,449
Element 33-49 (Plate)	24152	2	-5,500	-12,008	-157,641	-157,641	370,320	-3,473	-64,301	0,009	103,131	0,000	109,174
(Micropali D168.3x10.0/0,27m)	24151	3	-5,500	-12,281	-146,357	-146,357	387,347	-29,003	-70,663	0,003	98,493	0,000	99,363
28	24150	4	-5,500	-12,555	-137,357	-138,133	402,755	-49,373	-72,890	0,000	87,723	-0,030	87,736
28	24480	5	-5,500	-12,829	-132,632	-134,819	416,402	-60,081	-63,411	0,029	72,422	-0,034	72,422
Plate_3_5	24480	1	-5,500	-12,829	-133,715	-134,551	415,758	-56,257	-66,653	0,040	72,422	-0,034	72,422
Element 33-50 (Plate)	24479	2	-5,500	-13,119	-127,322	-130,023	427,232	-55,506	-55,745	0,080	56,003	-0,106	56,003
(Micropali D168.3x10.0/0,27m)	24478	3	-5,500	-13,410	-122,877	-125,522	433,798	-48,917	-48,996	0,094	40,744	-0,508	40,744

Structural element	Node [10^3]	Local number	X [m]	Y [m]	N [kN/m]	N,max [kN/m]	N,max [10^3 kN/m]	Q [kN/m]	Q,max [kN/m]	Q,max [kN/m]	M [kN m/m]	M,max [kN m/m]	M,max [kN m/m]
28	24477	4	-5,500	-13,701	-120,007	-121,241	435,232	-38,010	-38,129	0,199	27,976	-0,823	27,976
28	24685	5	-5,500	-13,991	-118,340	-118,340	431,313	-24,304	-25,200	0,538	18,892	-0,790	18,892
Plate_3_6	24685	1	-5,500	-13,991	-115,748	-115,811	430,352	-30,397	-30,397	0,680	18,892	-0,790	18,892
Element 34-51 (Plate)	24688	2	-5,500	-14,292	-112,433	-112,433	418,819	-22,946	-22,946	1,249	11,001	-0,866	11,012
(Micropali D168.3x10.0/0,27m)	24687	3	-5,500	-14,593	-108,541	-108,541	397,289	-17,890	-18,799	1,487	4,783	-2,926	4,856
28	24686	4	-5,500	-14,895	-105,201	-105,349	365,484	-12,220	-14,251	1,278	0,287	-4,942	0,383
28	25013	5	-5,500	-15,196	-103,544	-103,804	323,126	-2,927	-6,350	6,415	-2,161	-5,571	0,650
Plate_3_6	25013	1	-5,500	-15,196	-89,513	-89,877	322,196	-4,024	-6,804	2,864	-2,161	-5,571	0,650
Element 34-52 (Plate)	25017	2	-5,500	-15,497	-82,023	-82,023	266,023	-1,297	-1,297	6,026	-2,972	-4,647	0,677
(Micropali D168.3x10.0/0,27m)	25016	3	-5,500	-15,798	-71,264	-71,264	194,361	1,700	-2,175	6,154	-2,913	-4,006	0,255
28	25015	4	-5,500	-16,099	-52,426	-52,426	106,838	4,839	-0,903	7,138	-1,934	-2,250	0,188
28	25014	5	-5,500	-16,400	-20,699	-20,699	3,078	7,992	-0,824	7,992	0,000	0,000	0,000

3.1.2.4.27 Calculation results, Plate, SLE [Phase_11] (11/883), Table of plate force envelopes

Structural element	Node [10^1]	Local number	X [m]	Y [m]	N [kN/m]	N,min [kN/m]	N,max [10^1 kN/m]	Q [kN/m]	Q,max [kN/m]	Q,min [kN/m]	M [kN m/m]	M,max [kN m/m]	M,min [kN m/m]
Plate_2_1	15336	1	-5,500	0,000	0,009	-0,001	14,472	-0,023	-0,036	0,003	0,000	0,000	0,000
Element 1-1 (Plate)	15335	2	-5,500	-0,070	-0,121	-0,121	0,113	0,312	0,000	0,312	0,009	0,000	0,009
(Parete c.a.C32/40 sp.0.50m)	15334	3	-5,500	-0,141	-0,298	-0,298	0,000	0,769	0,000	0,769	0,047	0,000	0,047
28	15333	4	-5,500	-0,211	-0,516	-0,516	0,000	1,330	0,000	1,330	0,120	0,000	0,120
28	15350	5	-5,500	-0,281	-0,767	-0,767	0,000	1,976	0,000	1,976	0,236	0,000	0,236
Plate_2_1	15350	1	-5,500	-0,281	-0,763	-0,763	0,000	1,965	0,000	1,965	0,236	0,000	0,236
Element 1-2 (Plate)	15349	2	-5,500	-0,336	-0,966	-0,966	0,000	2,490	0,000	2,490	0,357	0,000	0,357
(Parete c.a.C32/40 sp.0.50m)	15348	3	-5,500	-0,391	-1,178	-1,178	0,000	3,034	0,000	3,034	0,508	0,000	0,508
28	15347	4	-5,500	-0,445	-1,397	-1,397	0,000	3,598	0,000	3,598	0,690	0,000	0,690
28	15361	5	-5,500	-0,500	-1,623	-1,623	0,000	4,182	0,000	4,182	0,902	0,000	0,902
Plate_2_2	15361	1	-5,500	-0,500	-1,624	-1,624	0,000	4,182	0,000	4,182	0,902	0,000	0,902
Element 3-4 (Plate)	15364	2	-5,500	-0,525	-1,730	-1,730	0,000	4,456	0,000	4,456	1,010	0,000	1,010
(Parete c.a.C32/40 sp.0.50m)	15363	3	-5,500	-0,550	-1,838	-1,838	0,000	4,734	0,000	4,734	1,125	0,000	1,125
28	15362	4	-5,500	-0,575	-1,948	-1,948	0,000	5,016	0,000	5,016	1,247	0,000	1,247
28	15405	5	-5,500	-0,600	-2,059	-2,059	0,000	5,303	0,000	5,303	1,376	0,000	1,376
Plate_2_3	15405	1	-5,500	-0,600	-10,537	-10,537	0,000	-46,505	-46,505	0,000	1,376	0,000	1,376
Element 4-5 (Plate)	15408	2	-5,500	-0,644	-10,737	-10,737	0,000	-45,990	-45,990	0,000	-0,652	-0,853	0,000
(Parete c.a.C32/40 sp.0.50m)	15407	3	-5,500	-0,688	-10,943	-10,943	0,000	-45,459	-45,459	0,000	-2,658	-2,658	0,000
28	15406	4	-5,500	-0,732	-11,155	-11,155	0,000	-44,914	-44,914	0,000	-4,640	-4,640	0,000
28	15419	5	-5,500	-0,775	-11,373	-11,373	0,000	-44,354	-44,354	0,000	-6,597	-6,597	0,000
Plate_2_3	15419	1	-5,500	-0,775	-11,372	-11,372	0,000	-44,355	-44,355	0,000	-6,597	-6,597	0,000
Element 4-6 (Plate)	15422	2	-5,500	-0,834	-11,674	-11,674	0,000	-43,580	-43,580	0,000	-9,187	-9,187	0,000
(Parete c.a.C32/40 sp.0.50m)	15421	3	-5,500	-0,893	-11,982	-11,982	0,000	-42,786	-42,786	0,000	-11,732	-11,732	0,000
28	15420	4	-5,500	-0,952	-12,298	-12,298	0,000	-41,976	-41,976	0,000	-14,229	-14,229	0,000
28	15479	5	-5,500	-1,011	-12,619	-12,619	0,000	-41,150	-41,150	0,000	-16,677	-16,677	0,000
Plate_2_4	15479	1	-5,500	-1,011	-12,595	-12,595	0,000	-41,210	-41,210	0,000	-16,677	-16,677	0,000
Element 6-8 (Plate)	15482	2	-5,500	-1,096	-13,096	-13,096	0,000	-39,923	-39,923	0,000	-20,110	-20,110	0,000
(Parete c.a.C32/40 sp.0.50m)	15481	3	-5,500	-1,180	-13,642	-13,642	0,000	-38,520	-38,520	0,000	-23,431	-23,431	0,000
28	15480	4	-5,500	-1,265	-14,225	-14,225	0,000	-37,021	-37,021	0,000	-26,629	-26,629	0,000
28	16393	5	-5,500	-1,350	-14,838	-14,838	0,000	-35,446	-35,446	0,000	-29,694	-29,694	0,000
Plate_2_4	16393	1	-5,500	-1,350	-14,830	-14,830	0,000	-35,468	-35,468	0,000	-29,694	-29,694	0,000
Element 6-9 (Plate)	16396	2	-5,500	-1,519	-16,075	-16,075	0,000	-32,270	-32,270	0,000	-35,444	-35,444	0,000
(Parete c.a.C32/40 sp.0.50m)	16395	3	-5,500	-1,689	-17,318	-17,318	0,000	-29,079	-29,079	0,000	-40,654	-40,654	0,000
28	16394	4	-5,500	-1,859	-18,554	-18,554	0,000	-25,905	-25,905	0,000	-45,323	-45,323	0,000
28	16427	5	-5,500	-2,029	-19,779	-19,779	0,000	-22,758	-22,758	0,000	-49,453	-49,453	0,000
Plate_2_5	16427	1	-5,500	-2,029	-19,773	-19,773	2,373	-22,773	-22,773	0,006	-49,453	-49,453	0,000
Element 9-12 (Plate)	16430	2	-5,500	-2,147	-20,630	-20,630	1,427	-20,574	-20,574	0,071	-52,006	-52,006	0,004
(Parete c.a.C32/40 sp.0.50m)	16429	3	-5,500	-2,264	-21,473	-21,473	0,000	-18,408	-18,408	0,174	-54,302	-54,302	0,018
28	16428	4	-5,500	-2,382	-22,308	-22,308	0,000	-16,264	-16,264	0,317	-56,344	-56,344	0,046
28	17049	5	-5,500	-2,500	-23,138	-23,138	0,000	-14,133	-14,133	0,511	-58,134	-58,134	0,095
Plate_2_6	17049	1	-5,500	-2,500	-23,128	-23,128	0,000	-14,158	-14,158	0,448	-58,134	-58,134	0,095
Element 11-15 (Plate)	17052	2	-5,500	-2,666	-24,369	-24,369	0,000	-10,975	-10,975	1,204	-60,221	-60,221	0,219
(Parete c.a.C32/40 sp.0.50m)	17051	3	-5,500	-2,832	-25,583	-25,583	0,000	-7,857	-7,857	2,379	-61,786	-61,786	0,439
28	17050	4	-5,500	-2,999	-26,775	-26,775	0,000	-4,800	-4,981	3,554	-62,837	-62,837	0,748
28	17279	5	-5,500	-3,165	-27,945	-27,945	0,000	-1,795	-2,506	5,806	-63,384	-63,384	1,142
Plate_2_6	17279	1	-5,500	-3,165	-27,941	-27,941	0,000	-1,805	-2,518	5,793	-63,384	-63,384	1,142
Element 11-16 (Plate)	17282	2	-5,500	-3,375	-29,373	-29,373	0,000	1,869	0,000	8,614	-63,380	-63,380	1,775

Structural element	Node [10^3]	Local number	X [m]	Y [m]	N [kN/m]	N,max [kN/m]	N,min [10^3 kN/m]	Q [kN/m]	Q,max [kN/m]	Q,min [kN/m]	M [kN m/m]	M,max [kN m/m]	M,min [kN m/m]
(Parete c.a.C32/40 sp.0.50m)	17281	3	-5,500	-3,585	-30,869	-30,869	0,000	5,710	0,000	11,663	-62,588	-62,588	2,617
2D	17280	4	-5,500	-3,795	-32,440	-32,440	0,000	9,740	0,000	14,962	-60,969	-60,969	3,727
2D	17305	5	-5,500	-4,005	-34,094	-34,094	0,000	13,982	0,000	18,533	-58,483	-58,483	5,161
Plate_2_7	17305	1	-5,500	-4,005	-34,096	-34,096	0,000	13,989	0,000	18,537	-58,483	-58,483	5,161
Element 13-18 (Plate)	17308	2	-5,500	-4,154	-35,323	-35,323	0,000	17,135	0,000	21,237	-56,169	-56,169	6,399
(Parete c.a.C32/40 sp.0.50m)	17307	3	-5,500	-4,302	-36,590	-36,590	0,000	20,385	0,000	24,063	-53,378	-53,378	7,839
2D	17306	4	-5,500	-4,451	-37,901	-37,901	0,000	23,744	0,000	27,018	-50,095	-50,095	9,492
2D	18049	5	-5,500	-4,600	-39,256	-39,256	0,000	27,220	0,000	30,110	-46,305	-46,305	11,369
Plate_2_8	18049	1	-5,500	-4,600	-51,069	-51,069	0,000	-45,408	-50,442	0,000	-46,305	-46,305	11,369
Element 15-22 (Plate)	18052	2	-5,500	-4,837	-53,332	-53,332	0,000	-39,608	-45,219	0,000	-56,397	-56,397	3,651
(Parete c.a.C32/40 sp.0.50m)	18051	3	-5,500	-5,075	-55,526	-55,526	0,000	-33,984	-40,139	0,000	-65,129	-65,129	0,000
2D	18050	4	-5,500	-5,312	-57,589	-57,589	0,000	-28,694	-35,361	0,000	-72,569	-72,569	0,000
2D	18123	5	-5,500	-5,550	-59,461	-59,461	0,000	-23,893	-31,041	0,000	-78,799	-78,799	0,000
Plate_2_8	18123	1	-5,500	-5,550	-59,580	-59,580	0,000	-23,589	-30,747	0,000	-78,799	-78,799	0,000
Element 15-23 (Plate)	18126	2	-5,500	-5,664	-60,659	-60,659	0,000	-20,819	-28,206	0,000	-81,335	-81,335	0,000
(Parete c.a.C32/40 sp.0.50m)	18125	3	-5,500	-5,779	-61,782	-61,782	0,000	-17,937	-25,575	0,000	-83,554	-83,554	0,000
2D	18124	4	-5,500	-5,893	-63,007	-63,007	0,000	-14,794	-22,702	0,000	-85,426	-85,426	0,000
2D	18147	5	-5,500	-6,007	-64,392	-64,392	0,000	-11,240	-19,435	0,000	-86,919	-86,919	0,000
Plate_2_9	18147	1	-5,500	-6,007	-64,300	-64,300	6,246	-11,478	-19,675	0,011	-86,919	-86,919	0,000
Element 18-26 (Plate)	18150	2	-5,500	-6,085	-65,271	-65,271	0,076	-8,987	-17,380	0,033	-87,718	-87,718	0,001
(Parete c.a.C32/40 sp.0.50m)	18149	3	-5,500	-6,163	-66,211	-66,211	0,000	-6,577	-15,172	0,074	-88,326	-88,326	0,005
2D	18148	4	-5,500	-6,242	-67,127	-67,127	0,000	-4,225	-13,026	0,129	-88,748	-88,748	0,013
2D	18851	5	-5,500	-6,320	-68,031	-68,031	0,011	-1,908	-10,916	0,222	-88,987	-88,987	0,025
Plate_2_9	18851	1	-5,500	-6,320	-68,044	-68,044	0,000	-1,874	-10,880	0,211	-88,987	-88,987	0,025
Element 18-27 (Plate)	18854	2	-5,500	-6,365	-68,588	-68,588	0,075	-0,479	-9,602	0,266	-89,041	-89,041	0,035
(Parete c.a.C32/40 sp.0.50m)	18853	3	-5,500	-6,410	-69,152	-69,152	0,007	0,967	-8,332	0,967	-89,030	-89,030	0,049
2D	18852	4	-5,500	-6,455	-69,736	-69,736	0,000	2,465	-7,358	2,465	-88,953	-88,953	0,066
2D	18891	5	-5,500	-6,500	-70,341	-70,341	0,000	4,014	-6,404	4,014	-88,807	-88,807	0,087
Plate_2_10	18891	1	-5,500	-6,500	-70,338	-70,338	0,000	4,008	-6,415	4,008	-88,807	-88,807	0,087
Element 20-29 (Plate)	18894	2	-5,500	-6,549	-71,042	-71,042	0,000	5,812	-5,328	5,812	-88,567	-88,567	0,114
(Parete c.a.C32/40 sp.0.50m)	18893	3	-5,500	-6,598	-71,772	-71,772	0,000	7,683	-4,225	7,683	-88,236	-88,236	0,148
2D	18892	4	-5,500	-6,647	-72,523	-72,523	0,000	9,606	-3,117	9,606	-87,813	-87,813	0,188
2D	18915	5	-5,500	-6,696	-73,289	-73,289	0,000	11,571	-2,010	11,571	-87,295	-87,295	0,234
Plate_2_11	18915	1	-5,500	-6,696	-73,297	-73,297	0,000	11,592	-1,979	11,592	-87,295	-87,295	0,234
Element 22-31 (Plate)	18918	2	-5,500	-6,750	-74,047	-74,047	0,000	13,514	-0,909	13,514	-86,618	-86,618	0,290
(Parete c.a.C32/40 sp.0.50m)	18917	3	-5,500	-6,804	-74,749	-74,749	0,000	15,313	0,000	15,313	-85,843	-85,843	0,353
2D	18916	4	-5,500	-6,857	-75,439	-75,439	0,000	17,082	0,000	17,082	-84,970	-84,970	0,426
2D	19683	5	-5,500	-6,911	-76,153	-76,153	0,000	18,912	0,000	18,912	-84,003	-84,003	0,512
Plate_2_11	19683	1	-5,500	-6,911	-76,156	-76,156	0,000	18,920	0,000	18,920	-84,003	-84,003	0,512
Element 22-32 (Plate)	19686	2	-5,500	-6,963	-76,921	-76,921	0,000	20,880	0,000	20,880	-82,982	-82,982	0,608
(Parete c.a.C32/40 sp.0.50m)	19685	3	-5,500	-7,014	-77,720	-77,720	0,000	22,929	0,000	22,929	-81,857	-81,857	0,718
2D	19684	4	-5,500	-7,065	-78,556	-78,556	0,000	25,069	0,000	25,069	-80,625	-80,625	0,843
2D	19717	5	-5,500	-7,117	-79,429	-79,429	0,000	27,305	0,000	27,305	-79,281	-79,281	0,984
Plate_2_11	19717	1	-5,500	-7,117	-79,419	-79,419	0,000	27,281	0,000	27,281	-79,281	-79,281	0,984
Element 22-33 (Plate)	19718	2	-5,500	-7,166	-80,263	-80,263	0,000	29,442	0,000	29,442	-77,892	-77,892	1,133
(Parete c.a.C32/40 sp.0.50m)	19719	3	-5,500	-7,215	-81,099	-81,099	0,000	31,584	0,000	31,584	-76,397	-76,397	1,295
2D	19720	4	-5,500	-7,264	-81,927	-81,927	0,000	33,706	0,000	33,706	-74,797	-74,797	1,468
2D	20458	5	-5,500	-7,313	-82,747	-82,747	0,000	35,808	0,000	35,808	-73,095	-73,095	1,650
Plate_2_12	20458	1	-5,500	-7,313	-82,741	-82,741	0,000	35,792	0,000	35,792	-73,095	-73,095	1,650
Element 23-34 (Plate)	20461	2	-5,500	-7,388	-84,097	-84,097	0,000	39,266	0,000	39,266	-70,254	-70,254	1,953
(Parete c.a.C32/40 sp.0.50m)	20460	3	-5,500	-7,464	-85,469	-85,469	0,000	42,781	0,000	42,781	-67,147	-67,147	2,292
2D	20459	4	-5,500	-7,540	-86,840	-86,840	0,000	46,293	0,000	46,293	-63,775	-63,775	2,671
2D	20494	5	-5,500	-7,615	-88,191	-88,191	0,000	49,756	0,000	49,756	-60,139	-60,139	3,095

Structural element	Node [10^3]	Local number	X [m]	Y [m]	N [kN/m]	N,max [kN/m]	N,min [10^3 kN/m]	Q [kN/m]	Q,max [kN/m]	Q,min [kN/m]	M [kN m/m]	M,max [kN m/m]	M,min [kN m/m]
Plate_2_13	20494	1	-5,500	-7,615	-88,170	-88,170	0,000	49,701	0,000	49,701	-60,139	-60,139	3,095
Element 24-35 (Plate)	20495	2	-5,500	-7,630	-88,412	-88,412	0,000	50,322	0,000	50,322	-59,408	-59,408	3,181
(Parete c.a.C32/40 sp.0.50m)	20496	3	-5,500	-7,645	-88,652	-88,652	0,000	50,936	0,000	50,936	-58,668	-58,668	3,268
28	20497	4	-5,500	-7,659	-88,890	-88,890	0,000	51,546	0,000	51,546	-57,919	-57,919	3,356
28	21176	5	-5,500	-7,674	-89,127	-89,127	0,000	52,154	0,000	52,154	-57,162	-57,162	3,446
Plate_2_14	21176	1	-5,500	-7,674	-89,101	-89,101	0,000	52,086	0,000	52,086	-57,162	-57,162	3,446
Element 26-38 (Plate)	21177	2	-5,500	-7,755	-90,478	-90,478	0,000	55,616	0,000	55,616	-52,771	-52,771	3,968
(Parete c.a.C32/40 sp.0.50m)	21178	3	-5,500	-7,837	-91,775	-91,775	0,000	58,940	0,000	58,940	-48,096	-48,096	4,528
28	21179	4	-5,500	-7,918	-92,932	-92,932	0,000	61,905	0,000	61,905	-43,166	-43,166	5,127
28	21766	5	-5,500	-8,000	-93,889	-93,889	0,000	64,358	0,000	64,358	-38,014	-38,014	5,761
Plate_3_1	21766	1	-5,500	-8,000	-107,028	-107,028	85,010	58,490	0,000	58,490	-38,014	-38,014	5,761
Element 27-39 (Plate)	21767	2	-5,500	-8,058	-107,396	-107,396	85,010	59,129	0,000	59,129	-34,624	-34,624	6,154
(Micropali D168.3x10.0/0,27m)	21768	3	-5,500	-8,115	-107,950	-107,950	85,010	60,090	0,000	60,090	-31,187	-31,187	6,575
28	21769	4	-5,500	-8,173	-108,760	-108,760	85,010	61,496	0,000	61,496	-27,682	-27,682	7,024
28	22356	5	-5,500	-8,231	-109,897	-109,897	85,010	63,468	0,000	63,468	-24,082	-24,082	7,502
Plate_3_1	22356	1	-5,500	-8,231	-109,814	-109,814	85,010	63,327	0,000	63,327	-24,082	-24,082	7,502
Element 27-40 (Plate)	22357	2	-5,500	-8,288	-110,968	-110,968	85,010	65,331	0,000	65,331	-20,373	-20,373	8,018
(Micropali D168.3x10.0/0,27m)	22358	3	-5,500	-8,346	-112,173	-112,173	85,010	67,425	0,000	67,425	-16,543	-16,543	8,585
28	22359	4	-5,500	-8,404	-113,416	-113,416	85,010	69,585	0,000	69,585	-12,591	-12,591	9,196
28	22779	5	-5,500	-8,461	-114,685	-114,685	85,010	71,791	0,000	71,791	-8,515	-8,515	9,843
Plate_3_2	22779	1	-5,500	-8,461	-114,673	-114,673	85,010	71,771	0,000	71,771	-8,515	-8,515	9,843
Element 28-41 (Plate)	22780	2	-5,500	-8,471	-114,872	-114,872	85,010	72,117	0,000	72,117	-7,822	-7,822	9,954
(Micropali D168.3x10.0/0,27m)	22781	3	-5,500	-8,481	-115,068	-115,068	85,010	72,457	0,000	72,457	-7,125	-7,125	10,065
28	22782	4	-5,500	-8,490	-115,256	-115,256	85,010	72,783	0,000	72,783	-6,425	-6,425	10,177
28	23191	5	-5,500	-8,500	-115,431	-115,431	85,010	73,088	0,000	73,088	-5,722	-5,722	10,289
Plate_3_3	23191	1	-5,500	-8,500	-115,292	-115,292	84,892	72,763	0,000	72,763	-5,722	-5,722	10,289
Element 29-42 (Plate)	23194	2	-5,500	-8,550	-114,463	-114,463	91,509	68,720	0,000	68,720	-2,219	-2,219	10,795
(Micropali D168.3x10.0/0,27m)	23193	3	-5,500	-8,599	-113,622	-113,622	97,224	64,385	0,000	64,385	1,077	0,000	11,214
28	23192	4	-5,500	-8,649	-112,782	-112,782	102,239	59,790	0,000	59,790	4,152	0,000	11,531
28	23453	5	-5,500	-8,698	-111,956	-111,956	106,758	54,964	0,000	54,964	6,993	0,000	12,587
Plate_3_3	23453	1	-5,500	-8,698	-112,184	-112,184	106,566	56,198	-0,105	56,198	6,993	0,000	12,587
Element 29-43 (Plate)	23456	2	-5,500	-8,891	-107,690	-107,690	125,986	33,920	-3,944	33,920	15,604	0,000	16,661
(Micropali D168.3x10.0/0,27m)	23455	3	-5,500	-9,084	-103,157	-103,157	144,433	16,952	-6,665	16,952	20,446	0,000	20,446
28	23454	4	-5,500	-9,278	-98,688	-98,688	161,973	4,833	-7,738	4,833	22,468	0,000	22,468
28	23981	5	-5,500	-9,471	-94,388	-94,388	178,673	-2,902	-8,428	0,030	22,591	0,000	22,591
Plate_3_4	23981	1	-5,500	-9,471	-94,013	-94,013	178,803	-4,275	-9,602	0,032	22,591	0,000	22,591
Element 31-45 (Plate)	23984	2	-5,500	-9,779	-91,225	-91,225	205,138	-9,065	-10,015	0,013	20,418	0,000	20,418
(Micropali D168.3x10.0/0,27m)	23983	3	-5,500	-10,087	-90,548	-90,548	230,772	-10,190	-10,190	0,003	17,399	0,000	17,399
28	23982	4	-5,500	-10,395	-91,439	-91,439	255,552	-8,592	-8,592	0,003	14,418	0,000	14,418
28	24131	5	-5,500	-10,703	-93,358	-93,358	279,325	-5,213	-5,213	0,015	12,271	0,000	12,271
Plate_3_5	24131	1	-5,500	-10,703	-91,996	-91,996	279,048	-7,572	-7,572	0,020	12,271	0,000	12,271
Element 33-48 (Plate)	24134	2	-5,500	-10,961	-91,297	-91,297	297,632	-8,736	-8,736	0,026	10,140	0,000	10,140
(Micropali D168.3x10.0/0,27m)	24133	3	-5,500	-11,218	-91,296	-91,296	316,021	-8,693	-8,693	0,026	7,875	0,000	7,875
28	24132	4	-5,500	-11,476	-91,878	-91,878	334,181	-7,642	-7,642	0,022	5,745	0,000	5,745
28	24149	5	-5,500	-11,734	-92,931	-92,931	352,079	-5,778	-5,778	0,015	4,004	0,000	4,004
Plate_3_5	24149	1	-5,500	-11,734	-92,751	-92,751	351,813	-6,035	-6,035	0,016	4,004	0,000	4,004
Element 33-49 (Plate)	24152	2	-5,500	-12,008	-93,714	-93,714	370,320	-4,419	-4,419	0,009	2,579	0,000	2,579
(Micropali D168.3x10.0/0,27m)	24151	3	-5,500	-12,281	-94,443	-94,443	387,347	-3,066	-3,066	0,003	1,561	0,000	1,561
28	24150	4	-5,500	-12,555	-94,867	-94,867	402,755	-1,981	-1,981	0,000	0,876	-0,030	0,876
28	24480	5	-5,500	-12,829	-94,918	-94,918	416,402	-1,170	-1,170	0,029	0,452	-0,034	0,452
Plate_3_5	24480	1	-5,500	-12,829	-94,757	-94,757	415,758	-1,133	-1,133	0,040	0,452	-0,034	0,452
Element 33-50 (Plate)	24479	2	-5,500	-13,119	-93,514	-93,514	427,232	-0,560	-0,560	0,080	0,210	-0,106	0,210
(Micropali D168.3x10.0/0,27m)	24478	3	-5,500	-13,410	-91,351	-91,351	433,798	-0,167	-0,167	0,094	0,108	-0,136	0,108

Structural element	Node [10 ^]	Local number	X [m]	Y [m]	N [kN/m]	N ⊥⊥ [kN/m]	N ⊥⊥ [10 ^ kN/m]	Q [kN/m]	Q ⊥⊥ [kN/m]	Q ⊥⊥ [kN/m]	M [kN m/m]	M ⊥⊥ [kN m/m]	M ⊥⊥ [kN m/m]
2D	24477	4	-5,500	-13,701	-88,277	-88,277	435,232	0,063	-0,016	0,126	0,097	-0,113	0,100
2D	24685	5	-5,500	-13,991	-84,302	-84,302	431,313	0,147	-0,019	0,147	0,131	-0,073	0,131
Plate_3_6	24685	1	-5,500	-13,991	-84,273	-84,273	430,352	0,158	-0,019	0,158	0,131	-0,073	0,131
Element 34-51 (Plate)	24688	2	-5,500	-14,292	-79,261	-79,261	418,819	0,227	-0,024	0,227	0,191	-0,022	0,191
(Micropali D168.3x10.0/0,27m)	24687	3	-5,500	-14,593	-73,180	-73,180	397,289	0,221	-0,031	0,221	0,260	0,000	0,260
2D	24686	4	-5,500	-14,895	-66,018	-66,018	365,484	0,133	-0,039	0,160	0,316	0,000	0,316
2D	25013	5	-5,500	-15,196	-57,761	-57,761	323,126	-0,045	-0,049	0,108	0,331	0,000	0,331
Plate_3_6	25013	1	-5,500	-15,196	-57,620	-57,620	322,196	-0,164	-0,164	0,000	0,331	0,000	0,331
Element 34-52 (Plate)	25017	2	-5,500	-15,497	-45,519	-45,519	266,023	-0,070	-0,070	0,193	0,306	0,000	0,306
(Micropali D168.3x10.0/0,27m)	25016	3	-5,500	-15,798	-31,954	-31,954	194,361	-0,218	-0,218	0,057	0,262	0,000	0,268
2D	25015	4	-5,500	-16,099	-16,872	-16,872	106,838	-0,452	-0,452	0,000	0,167	0,000	0,191
2D	25014	5	-5,500	-16,400	-0,220	-0,220	3,078	-0,616	-0,849	0,012	0,000	0,000	0,000

3.1.2.4.28 Calculation results, Plate, SLV + stab globale [Phase_22] (22/896), Table of plate force envelopes

Structural element	Node [10^0]	Local number	X [m]	Y [m]	N [kN/m]	N,--- [kN/m]	N,--- [10^0 kN/m]	Q [kN/m]	Q,--- [kN/m]	Q,--- [kN/m]	M [kN m/m]	M,--- [kN m/m]	M,--- [kN m/m]
Plate_2_1	15336	1	-5,500	0,000	0,031	-0,001	30,993	-0,079	-0,079	0,003	0,000	0,000	0,000
Element 1-1 (Plate)	15335	2	-5,500	-0,070	-0,268	-0,268	0,113	0,686	0,000	0,686	0,020	0,000	0,020
(Parete c.a.C32/40 sp.0.50m)	15334	3	-5,500	-0,141	-0,641	-0,641	0,000	1,639	0,000	1,639	0,101	0,000	0,101
28	15333	4	-5,500	-0,211	-1,073	-1,073	0,000	2,745	0,000	2,745	0,254	0,000	0,254
28	15350	5	-5,500	-0,281	-1,552	-1,552	0,000	3,972	0,000	3,972	0,490	0,000	0,490
Plate_2_1	15350	1	-5,500	-0,281	-1,543	-1,543	0,000	3,948	0,000	3,948	0,490	0,000	0,490
Element 1-2 (Plate)	15349	2	-5,500	-0,336	-1,931	-1,931	0,000	4,943	0,000	4,943	0,733	0,000	0,733
(Parete c.a.C32/40 sp.0.50m)	15348	3	-5,500	-0,391	-2,335	-2,335	0,000	5,977	0,000	5,977	1,031	0,000	1,031
28	15347	4	-5,500	-0,445	-2,755	-2,755	0,000	7,052	0,000	7,052	1,387	0,000	1,387
28	15361	5	-5,500	-0,500	-3,190	-3,190	0,000	8,166	0,000	8,166	1,802	0,000	1,802
Plate_2_2	15361	1	-5,500	-0,500	-3,189	-3,189	0,000	8,164	0,000	8,164	1,802	0,000	1,802
Element 3-4 (Plate)	15364	2	-5,500	-0,525	-3,392	-3,392	0,000	8,686	0,000	8,686	2,013	0,000	2,013
(Parete c.a.C32/40 sp.0.50m)	15363	3	-5,500	-0,550	-3,599	-3,599	0,000	9,213	0,000	9,213	2,237	0,000	2,237
28	15362	4	-5,500	-0,575	-3,807	-3,807	0,000	9,747	0,000	9,747	2,474	0,000	2,474
28	15405	5	-5,500	-0,600	-4,018	-4,018	0,000	10,287	0,000	10,287	2,724	0,000	2,724
Plate_2_3	15405	1	-5,500	-0,600	-15,903	-15,903	0,000	-62,348	-62,348	0,000	2,724	0,000	2,724
Element 4-5 (Plate)	15408	2	-5,500	-0,644	-16,278	-16,278	0,000	-61,387	-61,387	0,000	0,011	-0,874	0,012
(Parete c.a.C32/40 sp.0.50m)	15407	3	-5,500	-0,688	-16,660	-16,660	0,000	-60,411	-60,411	0,000	-2,660	-2,660	0,000
28	15406	4	-5,500	-0,732	-17,046	-17,046	0,000	-59,420	-59,420	0,000	-5,288	-5,288	0,000
28	15419	5	-5,500	-0,775	-17,438	-17,438	0,000	-58,415	-58,415	0,000	-7,872	-7,872	0,000
Plate_2_3	15419	1	-5,500	-0,775	-17,438	-17,438	0,000	-58,416	-58,416	0,000	-7,872	-7,872	0,000
Element 4-6 (Plate)	15422	2	-5,500	-0,834	-17,973	-17,973	0,000	-57,045	-57,045	0,000	-11,272	-11,272	0,000
(Parete c.a.C32/40 sp.0.50m)	15421	3	-5,500	-0,893	-18,514	-18,514	0,000	-55,659	-55,659	0,000	-14,593	-14,593	0,000
28	15420	4	-5,500	-0,952	-19,061	-19,061	0,000	-54,258	-54,258	0,000	-17,831	-17,831	0,000
28	15479	5	-5,500	-1,011	-19,612	-19,612	0,000	-52,846	-52,846	0,000	-20,985	-20,985	0,000
Plate_2_4	15479	1	-5,500	-1,011	-19,588	-19,588	0,000	-52,906	-52,906	0,000	-20,985	-20,985	0,000
Element 6-8 (Plate)	15482	2	-5,500	-1,096	-20,416	-20,416	0,000	-50,785	-50,785	0,000	-25,373	-25,373	0,000
(Parete c.a.C32/40 sp.0.50m)	15481	3	-5,500	-1,180	-21,284	-21,284	0,000	-48,559	-48,559	0,000	-29,578	-29,578	0,000
28	15480	4	-5,500	-1,265	-22,186	-22,186	0,000	-46,248	-46,248	0,000	-33,591	-33,591	0,000
28	16393	5	-5,500	-1,350	-23,112	-23,112	0,000	-43,874	-43,874	0,000	-37,403	-37,403	0,000
Plate_2_4	16393	1	-5,500	-1,350	-23,103	-23,103	0,000	-43,897	-43,897	0,000	-37,403	-37,403	0,000
Element 6-9 (Plate)	16396	2	-5,500	-1,519	-24,960	-24,960	0,000	-39,136	-39,136	0,000	-44,451	-44,451	0,000
(Parete c.a.C32/40 sp.0.50m)	16395	3	-5,500	-1,689	-26,791	-26,791	0,000	-34,440	-34,440	0,000	-50,698	-50,698	0,000
28	16394	4	-5,500	-1,859	-28,592	-28,592	0,000	-29,822	-29,822	0,000	-56,154	-56,154	0,000
28	16427	5	-5,500	-2,029	-30,359	-30,359	0,000	-25,291	-25,291	0,000	-60,831	-60,831	0,000
Plate_2_5	16427	1	-5,500	-2,029	-30,353	-30,353	2,373	-25,306	-25,306	0,006	-60,831	-60,831	0,000
Element 9-12 (Plate)	16430	2	-5,500	-2,147	-31,570	-31,570	1,427	-22,183	-22,183	0,071	-63,627	-63,627	0,004
(Parete c.a.C32/40 sp.0.50m)	16429	3	-5,500	-2,264	-32,764	-32,764	0,000	-19,120	-19,120	0,174	-66,060	-66,060	0,018
28	16428	4	-5,500	-2,382	-33,937	-33,937	0,000	-16,109	-16,109	0,317	-68,135	-68,135	0,046
28	17049	5	-5,500	-2,500	-35,095	-35,095	0,000	-13,138	-13,138	0,511	-69,856	-69,856	0,095
Plate_2_6	17049	1	-5,500	-2,500	-35,085	-35,085	0,000	-13,162	-13,162	0,448	-69,856	-69,856	0,095
Element 11-15 (Plate)	17052	2	-5,500	-2,666	-36,769	-36,769	0,000	-8,840	-10,077	1,204	-71,683	-71,683	0,219
(Parete c.a.C32/40 sp.0.50m)	17051	3	-5,500	-2,832	-38,408	-38,408	0,000	-4,633	-7,497	2,379	-72,801	-72,801	0,439
28	17050	4	-5,500	-2,999	-40,003	-40,003	0,000	-0,537	-4,981	3,554	-73,229	-73,229	0,748
28	17279	5	-5,500	-3,165	-41,557	-41,557	0,000	3,454	-2,506	5,806	-72,986	-72,986	1,142
Plate_2_6	17279	1	-5,500	-3,165	-41,553	-41,553	0,000	3,445	-2,518	5,793	-72,986	-72,986	1,142

Structural element	Node [10^3]	Local number	X [m]	Y [m]	N [kN/m]	N,max [kN/m]	N,min [10^3 kN/m]	Q [kN/m]	Q,max [kN/m]	Q,min [kN/m]	M [kN m/m]	M,max [kN m/m]	M,min [kN m/m]
Element 11-16 (Plate)	17282	2	-5,500	-3,375	-43,443	-43,443	0,000	8,300	0,000	8,614	-71,754	-71,754	1,775
(Parete c.a.C32/40 sp.0.50m)	17281	3	-5,500	-3,585	-45,367	-45,367	0,000	13,245	0,000	13,245	-69,494	-69,494	2,617
28	17280	4	-5,500	-3,795	-47,335	-47,335	0,000	18,303	0,000	18,303	-66,183	-66,183	3,727
28	17305	5	-5,500	-4,005	-49,355	-49,355	0,000	23,496	0,000	23,496	-61,798	-61,798	5,161
Plate_2_7	17305	1	-5,500	-4,005	-49,358	-49,358	0,000	23,504	0,000	23,504	-61,798	-61,798	5,161
Element 13-18 (Plate)	17308	2	-5,500	-4,154	-50,826	-50,826	0,000	27,275	0,000	27,275	-58,021	-58,021	6,399
(Parete c.a.C32/40 sp.0.50m)	17307	3	-5,500	-4,302	-52,319	-52,319	0,000	31,114	0,000	31,114	-53,676	-53,676	7,839
28	17306	4	-5,500	-4,451	-53,841	-53,841	0,000	35,027	0,000	35,027	-48,755	-48,755	9,492
28	18049	5	-5,500	-4,600	-55,395	-55,395	0,000	39,020	0,000	39,020	-43,247	-43,247	11,369
Plate_2_8	18049	1	-5,500	-4,600	-72,747	-72,747	0,000	-67,363	-67,363	0,000	-43,247	-43,247	11,369
Element 15-22 (Plate)	18052	2	-5,500	-4,837	-75,295	-75,295	0,000	-60,814	-60,814	0,000	-58,464	-58,464	3,651
(Parete c.a.C32/40 sp.0.50m)	18051	3	-5,500	-5,075	-77,786	-77,786	0,000	-54,413	-54,413	0,000	-72,141	-72,141	0,000
28	18050	4	-5,500	-5,312	-80,166	-80,166	0,000	-48,295	-48,295	0,000	-84,336	-84,336	0,000
28	18123	5	-5,500	-5,550	-82,383	-82,383	0,000	-42,595	-42,595	0,000	-95,115	-95,115	0,000
Plate_2_8	18123	1	-5,500	-5,550	-82,507	-82,507	0,000	-42,280	-42,280	0,000	-95,115	-95,115	0,000
Element 15-23 (Plate)	18126	2	-5,500	-5,664	-83,778	-83,778	0,000	-39,014	-39,014	0,000	-99,759	-99,759	0,000
(Parete c.a.C32/40 sp.0.50m)	18125	3	-5,500	-5,779	-85,098	-85,098	0,000	-35,624	-35,624	0,000	-104,029	-104,029	0,000
28	18124	4	-5,500	-5,893	-86,526	-86,526	0,000	-31,959	-31,959	0,000	-107,894	-107,894	0,000
28	18147	5	-5,500	-6,007	-88,121	-88,121	0,000	-27,867	-27,867	0,000	-111,317	-111,317	0,000
Plate_2_9	18147	1	-5,500	-6,007	-88,027	-88,027	6,246	-28,108	-28,108	0,011	-111,317	-111,317	0,000
Element 18-26 (Plate)	18150	2	-5,500	-6,085	-89,148	-89,148	0,076	-25,232	-25,232	0,033	-113,401	-113,401	0,001
(Parete c.a.C32/40 sp.0.50m)	18149	3	-5,500	-6,163	-90,240	-90,240	0,000	-22,430	-22,430	0,074	-115,263	-115,263	0,005
28	18148	4	-5,500	-6,242	-91,314	-91,314	0,000	-19,677	-19,677	0,129	-116,909	-116,909	0,013
28	18851	5	-5,500	-6,320	-92,378	-92,378	0,011	-16,949	-16,949	0,222	-118,340	-118,340	0,025
Plate_2_9	18851	1	-5,500	-6,320	-92,392	-92,392	0,000	-16,913	-16,913	0,211	-118,340	-118,340	0,025
Element 18-27 (Plate)	18854	2	-5,500	-6,365	-93,032	-93,032	0,075	-15,272	-15,272	0,266	-119,065	-119,065	0,035
(Parete c.a.C32/40 sp.0.50m)	18853	3	-5,500	-6,410	-93,693	-93,693	0,007	-13,578	-13,578	0,488	-119,716	-119,716	0,049
28	18852	4	-5,500	-6,455	-94,374	-94,374	0,000	-11,832	-11,832	1,867	-120,288	-120,288	0,066
28	18891	5	-5,500	-6,500	-95,076	-95,076	0,000	-10,034	-10,034	3,297	-120,781	-120,781	0,087
Plate_2_10	18891	1	-5,500	-6,500	-95,074	-95,074	0,000	-10,039	-10,039	3,291	-120,781	-120,781	0,087
Element 20-29 (Plate)	18894	2	-5,500	-6,549	-95,883	-95,883	0,000	-7,964	-7,964	4,964	-121,222	-121,222	0,114
(Parete c.a.C32/40 sp.0.50m)	18893	3	-5,500	-6,598	-96,719	-96,719	0,000	-5,822	-5,822	6,701	-121,560	-121,560	0,148
28	18892	4	-5,500	-6,647	-97,576	-97,576	0,000	-3,627	-3,627	8,490	-121,792	-121,792	0,188
28	18915	5	-5,500	-6,696	-98,449	-98,449	0,000	-1,392	-2,010	10,319	-121,915	-121,915	0,234
Plate_2_11	18915	1	-5,500	-6,696	-98,457	-98,457	0,000	-1,372	-1,979	10,340	-121,915	-121,915	0,234
Element 22-31 (Plate)	18918	2	-5,500	-6,750	-99,323	-99,323	0,000	0,847	-0,909	12,112	-121,928	-121,928	0,290
(Parete c.a.C32/40 sp.0.50m)	18917	3	-5,500	-6,804	-100,140	-100,140	0,000	2,941	0,000	13,762	-121,826	-121,826	0,353
28	18916	4	-5,500	-6,857	-100,944	-100,944	0,000	5,000	0,000	15,379	-121,612	-121,612	0,426
28	19683	5	-5,500	-6,911	-101,770	-101,770	0,000	7,116	0,000	17,056	-121,287	-121,287	0,512
Plate_2_11	19683	1	-5,500	-6,911	-101,773	-101,773	0,000	7,123	0,000	17,064	-121,287	-121,287	0,512
Element 22-32 (Plate)	19686	2	-5,500	-6,963	-102,643	-102,643	0,000	9,351	0,000	18,878	-120,864	-120,864	0,608
(Parete c.a.C32/40 sp.0.50m)	19685	3	-5,500	-7,014	-103,544	-103,544	0,000	11,659	0,000	20,778	-120,325	-120,325	0,718
28	19684	4	-5,500	-7,065	-104,478	-104,478	0,000	14,051	0,000	22,769	-119,665	-119,665	0,843
28	19717	5	-5,500	-7,117	-105,446	-105,446	0,000	16,529	0,000	24,855	-118,881	-118,881	0,984
Plate_2_11	19717	1	-5,500	-7,117	-105,436	-105,436	0,000	16,503	0,000	24,830	-118,881	-118,881	0,984
Element 22-33 (Plate)	19718	2	-5,500	-7,166	-106,366	-106,366	0,000	18,885	0,000	26,848	-118,014	-118,014	1,133
(Parete c.a.C32/40 sp.0.50m)	19719	3	-5,500	-7,215	-107,283	-107,283	0,000	21,232	0,000	28,845	-117,031	-117,031	1,295
28	19720	4	-5,500	-7,264	-108,186	-108,186	0,000	23,545	0,000	30,823	-115,934	-115,934	1,468
28	20458	5	-5,500	-7,313	-109,075	-109,075	0,000	25,821	0,000	32,779	-114,725	-114,725	1,650
Plate_2_12	20458	1	-5,500	-7,313	-109,070	-109,070	0,000	25,807	0,000	32,765	-114,725	-114,725	1,650
Element 23-34 (Plate)	20461	2	-5,500	-7,388	-110,518	-110,518	0,000	29,513	0,000	36,017	-112,631	-112,631	1,953
(Parete c.a.C32/40 sp.0.50m)	20460	3	-5,500	-7,464	-111,963	-111,963	0,000	33,212	0,000	39,317	-110,255	-110,255	2,292
28	20459	4	-5,500	-7,540	-113,393	-113,393	0,000	36,870	0,000	42,623	-107,602	-107,602	2,671

Structural element	Node [10^3]	Local number	X [m]	Y [m]	N [kN/m]	N,max [kN/m]	N,min [10^3 kN/m]	Q [kN/m]	Q,max [kN/m]	Q,min [kN/m]	M [kN m/m]	M,max [kN m/m]	M,min [kN m/m]
嗇	20494	5	-5,500	-7,615	-114,792	-114,792	0,000	40,452	0,000	45,891	-104,674	-104,674	3,095
Plate_2_13	20494	1	-5,500	-7,615	-114,783	-114,783	0,000	40,429	0,000	45,837	-104,674	-104,674	3,095
Element 24-35 (Plate)	20495	2	-5,500	-7,630	-115,042	-115,042	0,000	41,090	0,000	46,422	-104,079	-104,079	3,181
(Parete c.a.C32/40 sp.0.50m)	20496	3	-5,500	-7,645	-115,299	-115,299	0,000	41,748	0,000	47,001	-103,474	-103,474	3,268
嗇	20497	4	-5,500	-7,659	-115,555	-115,555	0,000	42,403	0,000	47,575	-102,859	-102,859	3,356
嗇	21176	5	-5,500	-7,674	-115,811	-115,811	0,000	43,059	0,000	48,147	-102,234	-102,234	3,446
Plate_2_14	21176	1	-5,500	-7,674	-115,775	-115,775	0,000	42,966	0,000	48,068	-102,234	-102,234	3,446
Element 26-38 (Plate)	21177	2	-5,500	-7,755	-117,286	-117,286	0,000	46,831	0,000	51,415	-98,574	-98,574	3,968
(Parete c.a.C32/40 sp.0.50m)	21178	3	-5,500	-7,837	-118,709	-118,709	0,000	50,471	0,000	54,515	-94,602	-94,602	4,528
嗇	21179	4	-5,500	-7,918	-119,973	-119,973	0,000	53,700	0,000	57,211	-90,351	-90,351	5,127
嗇	21766	5	-5,500	-8,000	-121,006	-121,006	0,000	56,336	0,000	59,344	-85,860	-85,860	5,761
Plate_3_1	21766	1	-5,500	-8,000	-144,853	-144,853	85,010	45,303	0,000	54,249	-85,860	-85,860	5,761
Element 27-39 (Plate)	21767	2	-5,500	-8,058	-145,431	-145,431	85,010	46,301	0,000	54,656	-83,220	-83,220	6,154
(Micropali D168.3x10.0/0,27m)	21768	3	-5,500	-8,115	-146,135	-146,135	85,010	47,524	0,000	55,451	-80,515	-80,515	6,575
嗇	21769	4	-5,500	-8,173	-147,010	-147,010	85,010	49,046	0,000	56,748	-77,730	-77,730	7,024
嗇	22356	5	-5,500	-8,231	-148,100	-148,100	85,010	50,946	0,000	58,662	-74,849	-74,849	7,502
Plate_3_1	22356	1	-5,500	-8,231	-148,126	-148,126	85,010	50,986	0,000	58,518	-74,849	-74,849	7,502
Element 27-40 (Plate)	22357	2	-5,500	-8,288	-149,442	-149,442	85,010	53,270	0,000	60,401	-71,844	-71,844	8,018
(Micropali D168.3x10.0/0,27m)	22358	3	-5,500	-8,346	-150,817	-150,817	85,010	55,653	0,000	62,373	-68,702	-68,702	8,585
嗇	22359	4	-5,500	-8,404	-152,262	-152,262	85,010	58,155	0,000	64,413	-65,420	-65,420	9,196
嗇	22779	5	-5,500	-8,461	-153,788	-153,788	85,010	60,795	0,000	66,500	-61,991	-61,991	9,843
Plate_3_2	22779	1	-5,500	-8,461	-153,790	-153,790	85,010	60,799	0,000	66,469	-61,991	-61,991	9,843
Element 28-41 (Plate)	22780	2	-5,500	-8,471	-154,043	-154,043	85,010	61,236	0,000	66,790	-61,403	-61,403	9,954
(Micropali D168.3x10.0/0,27m)	22781	3	-5,500	-8,481	-154,295	-154,295	85,010	61,673	0,000	67,102	-60,810	-60,810	10,065
嗇	22782	4	-5,500	-8,490	-154,543	-154,543	85,010	62,102	0,000	67,396	-60,214	-60,214	10,177
嗇	23191	5	-5,500	-8,500	-154,783	-154,783	85,010	62,516	0,000	67,664	-59,613	-59,613	10,289
Plate_3_3	23191	1	-5,500	-8,500	-154,636	-154,636	84,892	62,262	0,000	67,328	-59,613	-59,613	10,289
Element 29-42 (Plate)	23194	2	-5,500	-8,550	-155,826	-155,826	91,509	64,320	0,000	65,916	-56,480	-56,480	10,795
(Micropali D168.3x10.0/0,27m)	23193	3	-5,500	-8,599	-156,914	-156,914	97,224	66,201	0,000	66,504	-53,248	-53,248	11,214
嗇	23192	4	-5,500	-8,649	-157,922	-157,922	102,239	67,947	0,000	67,947	-49,926	-49,926	11,531
嗇	23453	5	-5,500	-8,698	-158,876	-158,876	106,758	69,601	0,000	69,601	-46,522	-46,522	12,587
Plate_3_3	23453	1	-5,500	-8,698	-159,311	-159,311	106,566	70,340	-0,105	70,340	-46,522	-46,522	12,587
Element 29-43 (Plate)	23456	2	-5,500	-8,891	-160,640	-160,640	125,986	72,689	-3,944	72,689	-32,801	-32,801	16,661
(Micropali D168.3x10.0/0,27m)	23455	3	-5,500	-9,084	-163,616	-163,616	144,433	77,867	-6,665	77,867	-18,221	-18,221	19,634
嗇	23454	4	-5,500	-9,278	-166,602	-166,602	161,973	83,044	-7,738	83,044	-2,705	-2,705	21,016
嗇	23981	5	-5,500	-9,471	-167,959	-167,959	178,673	85,389	-8,428	85,389	13,654	0,000	22,463
Plate_3_4	23981	1	-5,500	-9,471	-167,678	-167,678	178,803	83,294	-9,602	83,294	13,654	0,000	22,463
Element 31-45 (Plate)	23984	2	-5,500	-9,779	-151,332	-151,332	205,138	57,279	-10,015	57,279	35,437	0,000	35,473
(Micropali D168.3x10.0/0,27m)	23983	3	-5,500	-10,087	-137,906	-137,906	230,772	30,001	-9,678	30,001	48,746	0,000	48,746
嗇	23982	4	-5,500	-10,395	-127,102	-127,102	255,552	5,309	-11,987	5,309	54,192	0,000	54,192
嗇	24131	5	-5,500	-10,703	-118,626	-118,626	279,325	-12,951	-17,804	0,015	52,748	0,000	52,748
Plate_3_5	24131	1	-5,500	-10,703	-117,063	-117,063	279,048	-17,188	-20,854	0,020	52,748	0,000	52,748
Element 33-48 (Plate)	24134	2	-5,500	-10,961	-112,121	-112,121	297,632	-32,576	-32,576	0,026	46,115	0,000	46,115
(Micropali D168.3x10.0/0,27m)	24133	3	-5,500	-11,218	-110,173	-110,173	316,021	-38,836	-38,836	0,026	36,760	0,000	36,760
嗇	24132	4	-5,500	-11,476	-110,635	-110,635	334,181	-37,181	-37,181	0,022	26,774	0,000	26,774
嗇	24149	5	-5,500	-11,734	-112,921	-112,921	352,079	-28,826	-28,826	0,015	18,155	0,000	18,155
Plate_3_5	24149	1	-5,500	-11,734	-112,355	-112,355	351,813	-30,611	-30,611	0,016	18,155	0,000	18,155
Element 33-49 (Plate)	24152	2	-5,500	-12,008	-115,020	-115,020	370,320	-22,697	-22,697	0,009	10,884	0,000	10,884
(Micropali D168.3x10.0/0,27m)	24151	3	-5,500	-12,281	-117,015	-117,015	387,347	-15,868	-15,868	0,003	5,635	0,000	5,635
嗇	24150	4	-5,500	-12,555	-118,182	-118,182	402,755	-10,238	-10,238	0,000	2,087	-0,030	2,087
嗇	24480	5	-5,500	-12,829	-118,362	-118,362	416,402	-5,920	-5,920	0,029	-0,091	-0,248	0,333
Plate_3_5	24480	1	-5,500	-12,829	-118,332	-118,332	415,758	-5,830	-5,830	0,040	-0,091	-0,248	0,333
Element 33-50 (Plate)	24479	2	-5,500	-13,119	-117,160	-117,160	427,232	-2,928	-2,928	0,080	-1,339	-1,339	0,142

Structural element	Node [10 ^]	Local number	X [m]	Y [m]	N [kN/m]	N --- [kN/m]	N --- [10 ^ kN/m]	Q [kN/m]	Q --- [kN/m]	Q --- [kN/m]	M [kN m/m]	M --- [kN m/m]	M --- [kN m/m]
(Micropali D168.3x10.0/0,27m)	24478	3	-5,500	-13,410	-114,879	-114,879	433,798	-0,952	-0,952	0,094	-1,884	-1,884	0,104
2D	24477	4	-5,500	-13,701	-111,509	-111,509	435,232	0,188	-0,016	0,247	-1,974	-1,974	0,100
2D	24685	5	-5,500	-13,991	-107,070	-107,070	431,313	0,581	-0,019	0,581	-1,846	-1,846	0,095
Plate_3_6	24685	1	-5,500	-13,991	-107,039	-107,039	430,352	0,689	-0,019	0,689	-1,846	-1,846	0,095
Element 34-51 (Plate)	24688	2	-5,500	-14,292	-101,447	-101,447	418,819	0,911	-0,024	0,911	-1,600	-1,600	0,131
(Micropali D168.3x10.0/0,27m)	24687	3	-5,500	-14,593	-94,616	-94,616	397,289	0,913	-0,031	0,913	-1,320	-1,320	0,181
2D	24686	4	-5,500	-14,895	-86,528	-86,528	365,484	0,693	-0,039	0,693	-1,072	-1,072	0,223
2D	25013	5	-5,500	-15,196	-77,164	-77,164	323,126	0,249	-0,049	0,249	-0,925	-0,925	0,244
Plate_3_6	25013	1	-5,500	-15,196	-77,095	-77,095	322,196	0,224	-0,095	0,314	-0,925	-0,925	0,244
Element 34-52 (Plate)	25017	2	-5,500	-15,497	-59,209	-59,209	266,023	-0,077	-0,208	0,193	-0,930	-0,930	0,252
(Micropali D168.3x10.0/0,27m)	25016	3	-5,500	-15,798	-40,274	-40,274	194,361	0,416	-0,203	0,416	-0,887	-0,887	0,255
2D	25015	4	-5,500	-16,099	-20,370	-20,370	106,838	1,437	-0,415	1,437	-0,626	-0,626	0,188
2D	25014	5	-5,500	-16,400	0,424	-0,186	423,657	2,722	-0,832	2,722	0,000	0,000	0,000

3.1.2.4.29 Calculation results, Plate, FS SLV+ [Phase_28] (28/1046), Table of plate force envelopes

Structural element	Node [10⁻¹]	Local number	X [m]	Y [m]	N [kN/m]	N ⎓ [kN/m]	N ⎓ [10⁻¹ kN/m]	Q [kN/m]	Q ⎓ [kN/m]	Q ⎓ [kN/m]	M [kN m/m]	M ⎓ [kN m/m]	M ⎓ [kN m/m]
Plate_2_1	15336	1	-5,500	0,000	0,047	-0,001	47,685	-0,151	-0,155	0,003	0,000	0,000	0,000
Element 1-1 (Plate)	15335	2	-5,500	-0,070	-0,141	-0,286	0,113	0,700	0,000	0,796	0,018	0,000	0,023
(Parete c.a.C32/40 sp.0.50m)	15334	3	-5,500	-0,141	-0,395	-0,672	0,000	1,751	0,000	1,865	0,103	0,000	0,116
圔	15333	4	-5,500	-0,211	-0,706	-1,118	0,000	2,975	0,000	3,077	0,268	0,000	0,289
圔	15350	5	-5,500	-0,281	-1,066	-1,610	0,000	4,344	0,000	4,404	0,525	0,000	0,552
Plate_2_1	15350	1	-5,500	-0,281	-1,043	-1,604	0,000	4,270	0,000	4,405	0,525	0,000	0,552
Element 1-2 (Plate)	15349	2	-5,500	-0,336	-1,364	-2,003	0,000	5,465	0,000	5,560	0,790	0,000	0,822
(Parete c.a.C32/40 sp.0.50m)	15348	3	-5,500	-0,391	-1,724	-2,418	0,000	6,782	0,000	6,904	1,125	0,000	1,155
圔	15347	4	-5,500	-0,445	-2,118	-2,851	0,000	8,206	0,000	8,350	1,534	0,000	1,559
圔	15361	5	-5,500	-0,500	-2,540	-3,300	0,000	9,723	0,000	9,887	2,023	0,000	2,056
Plate_2_2	15361	1	-5,500	-0,500	-2,535	-3,299	0,000	9,707	0,000	9,878	2,023	0,000	2,056
Element 3-4 (Plate)	15364	2	-5,500	-0,525	-2,729	-3,508	0,000	10,400	0,000	10,595	2,274	0,000	2,312
(Parete c.a.C32/40 sp.0.50m)	15363	3	-5,500	-0,550	-2,925	-3,721	0,000	11,103	0,000	11,321	2,543	0,000	2,586
圔	15362	4	-5,500	-0,575	-3,125	-3,936	0,000	11,816	0,000	12,056	2,830	0,000	2,879
圔	15405	5	-5,500	-0,600	-3,328	-4,154	0,000	12,539	0,000	12,798	3,134	0,000	3,189
Plate_2_3	15405	1	-5,500	-0,600	-18,908	-19,213	0,000	-82,666	-82,830	0,000	3,134	0,000	3,189
Element 4-5 (Plate)	15408	2	-5,500	-0,644	-19,269	-19,600	0,000	-81,383	-81,558	0,000	-0,462	-0,874	0,044
(Parete c.a.C32/40 sp.0.50m)	15407	3	-5,500	-0,688	-19,637	-19,995	0,000	-80,077	-80,264	0,000	-4,004	-4,210	0,000
圔	15406	4	-5,500	-0,732	-20,011	-20,396	0,000	-78,756	-78,954	0,000	-7,488	-7,695	0,000
圔	15419	5	-5,500	-0,775	-20,386	-20,800	0,000	-77,428	-77,635	0,000	-10,912	-11,127	0,000
Plate_2_3	15419	1	-5,500	-0,775	-20,434	-20,847	0,000	-77,272	-77,480	0,000	-10,912	-11,127	0,000
Element 4-6 (Plate)	15422	2	-5,500	-0,834	-21,104	-21,556	0,000	-74,946	-75,166	0,000	-15,394	-15,621	0,000
(Parete c.a.C32/40 sp.0.50m)	15421	3	-5,500	-0,893	-21,762	-22,251	0,000	-72,665	-72,895	0,000	-19,743	-19,982	0,000
圔	15420	4	-5,500	-0,952	-22,406	-22,934	0,000	-70,425	-70,665	0,000	-23,959	-24,211	0,000
圔	15479	5	-5,500	-1,011	-23,039	-23,605	0,000	-68,226	-68,473	0,000	-28,042	-28,308	0,000
Plate_2_4	15479	1	-5,500	-1,011	-23,024	-23,590	0,000	-68,276	-68,524	0,000	-28,042	-28,308	0,000
Element 6-8 (Plate)	15482	2	-5,500	-1,096	-23,946	-24,568	0,000	-65,075	-65,331	0,000	-33,683	-33,970	0,000
(Parete c.a.C32/40 sp.0.50m)	15481	3	-5,500	-1,180	-24,887	-25,565	0,000	-61,813	-62,075	0,000	-39,054	-39,361	0,000
圔	15480	4	-5,500	-1,265	-25,841	-26,575	0,000	-58,510	-58,776	0,000	-44,146	-44,476	0,000
圔	16393	5	-5,500	-1,350	-26,801	-27,593	0,000	-55,186	-55,454	0,000	-48,956	-49,309	0,000
Plate_2_4	16393	1	-5,500	-1,350	-26,797	-27,589	0,000	-55,198	-55,467	0,000	-48,956	-49,309	0,000
Element 6-9 (Plate)	16396	2	-5,500	-1,519	-28,696	-29,604	0,000	-48,623	-48,891	0,000	-57,767	-58,165	0,000
(Parete c.a.C32/40 sp.0.50m)	16395	3	-5,500	-1,689	-30,549	-31,579	0,000	-42,196	-42,463	0,000	-65,477	-65,920	0,000
圔	16394	4	-5,500	-1,859	-32,353	-33,539	0,000	-35,926	-36,188	0,000	-72,109	-72,597	0,000
圔	16427	5	-5,500	-2,029	-34,106	-35,456	0,000	-29,821	-30,075	0,000	-77,687	-78,217	0,000
Plate_2_5	16427	1	-5,500	-2,029	-34,104	-35,453	2,373	-29,831	-30,085	0,006	-77,687	-78,217	0,000
Element 9-12 (Plate)	16430	2	-5,500	-2,147	-35,303	-36,772	1,427	-25,647	-25,894	0,071	-80,953	-81,512	0,004
(Parete c.a.C32/40 sp.0.50m)	16429	3	-5,500	-2,264	-36,477	-38,069	0,000	-21,547	-22,058	0,174	-83,733	-84,319	0,018
圔	16428	4	-5,500	-2,382	-37,627	-39,347	0,000	-17,520	-18,542	0,317	-86,034	-86,646	0,046
圔	17049	5	-5,500	-2,500	-38,757	-40,608	0,000	-13,558	-15,105	0,511	-87,863	-88,500	0,095
Plate_2_6	17049	1	-5,500	-2,500	-38,751	-40,601	0,000	-13,578	-15,129	0,448	-87,863	-88,500	0,095
Element 11-15 (Plate)	17052	2	-5,500	-2,666	-40,373	-42,414	0,000	-7,890	-10,163	1,204	-89,645	-90,315	0,219
(Parete c.a.C32/40 sp.0.50m)	17051	3	-5,500	-2,832	-41,950	-44,187	0,000	-2,344	-7,497	2,379	-90,494	-91,194	0,439
圔	17050	4	-5,500	-2,999	-43,485	-45,920	0,000	3,068	-4,981	6,233	-90,432	-91,159	0,748
圔	17279	5	-5,500	-3,165	-44,979	-47,616	0,000	8,353	-2,506	11,775	-89,481	-90,235	1,142
Plate_2_6	17279	1	-5,500	-3,165	-44,980	-47,614	0,000	8,357	-2,518	11,769	-89,481	-90,235	1,142
Element 11-16 (Plate)	17282	2	-5,500	-3,375	-46,803	-49,692	0,000	14,830	0,000	18,559	-87,049	-87,835	1,775

Structural element	Node [10^3]	Local number	X [m]	Y [m]	N [kN/m]	N,max [kN/m]	N,min [10^3 kN/m]	Q [kN/m]	Q,max [kN/m]	Q,min [kN/m]	M [kN m/m]	M,max [kN m/m]	M,min [kN m/m]
(Parete c.a.C32/40 sp.0.50m)	17281	3	-5,500	-3,585	-48,659	-51,793	0,000	21,422	0,000	25,422	-83,245	-84,058	2,617
〃	17280	4	-5,500	-3,795	-50,557	-53,923	0,000	28,160	0,000	32,380	-78,041	-78,878	3,727
〃	17305	5	-5,500	-4,005	-52,505	-56,088	0,000	35,072	0,000	39,455	-71,407	-72,265	5,161
Plate_2_7	17305	1	-5,500	-4,005	-52,511	-56,093	0,000	35,095	0,000	39,470	-71,407	-72,265	5,161
Element 13-18 (Plate)	17308	2	-5,500	-4,154	-53,923	-57,655	0,000	40,139	0,000	44,574	-65,812	-66,684	6,399
(Parete c.a.C32/40 sp.0.50m)	17307	3	-5,500	-4,302	-55,363	-59,243	0,000	45,316	0,000	49,760	-59,453	-60,342	7,839
〃	17306	4	-5,500	-4,451	-56,833	-60,859	0,000	50,635	0,000	55,038	-52,314	-54,559	9,492
〃	18049	5	-5,500	-4,600	-58,337	-62,505	0,000	56,106	0,000	60,416	-44,375	-48,103	11,369
Plate_2_8	18049	1	-5,500	-4,600	-84,995	-89,208	0,000	-107,077	-107,413	0,000	-44,375	-48,103	11,369
Element 15-22 (Plate)	18052	2	-5,500	-4,837	-87,485	-91,912	0,000	-97,981	-98,307	0,000	-68,722	-69,656	3,651
(Parete c.a.C32/40 sp.0.50m)	18051	3	-5,500	-5,075	-89,971	-94,587	0,000	-88,864	-89,185	0,000	-90,908	-91,824	0,000
〃	18050	4	-5,500	-5,312	-92,410	-97,190	0,000	-79,882	-80,202	0,000	-110,950	-111,848	0,000
〃	18123	5	-5,500	-5,550	-94,756	-99,674	0,000	-71,192	-71,513	0,000	-128,876	-129,753	0,000
Plate_2_8	18123	1	-5,500	-5,550	-94,845	-99,764	0,000	-70,908	-71,229	0,000	-128,876	-129,753	0,000
Element 15-23 (Plate)	18126	2	-5,500	-5,664	-96,134	-101,110	0,000	-66,212	-66,537	0,000	-136,709	-137,577	0,000
(Parete c.a.C32/40 sp.0.50m)	18125	3	-5,500	-5,779	-97,454	-102,483	0,000	-61,425	-61,756	0,000	-144,008	-144,865	0,000
〃	18124	4	-5,500	-5,893	-98,848	-103,927	0,000	-56,402	-56,739	0,000	-150,744	-151,590	0,000
〃	18147	5	-5,500	-6,007	-100,361	-105,485	0,000	-50,997	-51,342	0,000	-156,885	-157,719	0,000
Plate_2_9	18147	1	-5,500	-6,007	-100,287	-105,411	6,246	-51,244	-51,588	0,011	-156,885	-157,719	0,000
Element 18-26 (Plate)	18150	2	-5,500	-6,085	-101,334	-106,487	0,076	-47,517	-47,868	0,033	-160,743	-161,569	0,001
(Parete c.a.C32/40 sp.0.50m)	18149	3	-5,500	-6,163	-102,351	-107,532	0,000	-43,899	-44,267	0,074	-164,316	-165,133	0,005
〃	18148	4	-5,500	-6,242	-103,344	-108,554	0,000	-40,364	-40,937	0,129	-167,609	-168,417	0,013
〃	18851	5	-5,500	-6,320	-104,323	-109,561	0,011	-36,888	-37,657	0,222	-170,627	-171,426	0,025
Plate_2_9	18851	1	-5,500	-6,320	-104,334	-109,573	0,000	-36,851	-37,619	0,211	-170,627	-171,426	0,025
Element 18-27 (Plate)	18854	2	-5,500	-6,365	-104,916	-110,172	0,075	-34,792	-35,666	0,266	-172,241	-173,035	0,035
(Parete c.a.C32/40 sp.0.50m)	18853	3	-5,500	-6,410	-105,512	-110,786	0,007	-32,690	-33,666	0,488	-173,762	-174,550	0,049
〃	18852	4	-5,500	-6,455	-106,121	-111,414	0,000	-30,546	-31,619	1,867	-175,187	-175,970	0,066
〃	18891	5	-5,500	-6,500	-106,745	-112,057	0,000	-28,360	-29,525	3,297	-176,514	-177,291	0,087
Plate_2_10	18891	1	-5,500	-6,500	-106,743	-112,055	0,000	-28,366	-29,532	3,291	-176,514	-177,291	0,087
Element 20-29 (Plate)	18894	2	-5,500	-6,549	-107,454	-112,788	0,000	-25,882	-27,142	4,964	-177,843	-178,613	0,114
(Parete c.a.C32/40 sp.0.50m)	18893	3	-5,500	-6,598	-108,182	-113,538	0,000	-23,347	-24,698	6,701	-179,049	-179,812	0,148
〃	18892	4	-5,500	-6,647	-108,922	-114,300	0,000	-20,775	-22,212	8,490	-180,130	-180,886	0,188
〃	18915	5	-5,500	-6,696	-109,670	-115,071	0,000	-18,180	-19,699	10,319	-181,083	-181,833	0,234
Plate_2_11	18915	1	-5,500	-6,696	-109,676	-115,077	0,000	-18,161	-19,680	10,340	-181,083	-181,833	0,234
Element 22-31 (Plate)	18918	2	-5,500	-6,750	-110,420	-115,845	0,000	-15,571	-17,176	12,112	-181,990	-182,731	0,290
(Parete c.a.C32/40 sp.0.50m)	18917	3	-5,500	-6,804	-111,121	-116,570	0,000	-13,131	-14,819	13,762	-182,762	-183,496	0,353
〃	18916	4	-5,500	-6,857	-111,805	-117,277	0,000	-10,752	-12,518	15,379	-183,404	-184,129	0,426
〃	19683	5	-5,500	-6,911	-112,499	-117,995	0,000	-8,342	-10,182	17,056	-183,919	-184,635	0,512
Plate_2_11	19683	1	-5,500	-6,911	-112,501	-117,997	0,000	-8,333	-10,174	17,064	-183,919	-184,635	0,512
Element 22-32 (Plate)	19686	2	-5,500	-6,963	-113,219	-118,739	0,000	-5,851	-7,759	18,878	-184,283	-184,991	0,608
(Parete c.a.C32/40 sp.0.50m)	19685	3	-5,500	-7,014	-113,956	-119,500	0,000	-3,305	-5,279	20,778	-184,518	-185,218	0,718
〃	19684	4	-5,500	-7,065	-114,714	-120,283	0,000	-0,692	-2,729	22,769	-184,621	-185,312	0,843
〃	19717	5	-5,500	-7,117	-115,494	-121,088	0,000	1,992	-0,106	24,855	-184,588	-185,270	0,984
Plate_2_11	19717	1	-5,500	-7,117	-115,488	-121,081	0,000	1,971	-0,127	24,830	-184,588	-185,270	0,984
Element 22-33 (Plate)	19718	2	-5,500	-7,166	-116,237	-121,854	0,000	4,545	0,000	26,848	-184,428	-185,101	1,133
(Parete c.a.C32/40 sp.0.50m)	19719	3	-5,500	-7,215	-116,979	-122,620	0,000	7,098	0,000	28,845	-184,143	-184,806	1,295
〃	19720	4	-5,500	-7,264	-117,715	-123,379	0,000	9,628	0,000	30,823	-183,733	-184,387	1,468
〃	20458	5	-5,500	-7,313	-118,445	-124,132	0,000	12,137	0,000	32,779	-183,200	-183,845	1,650
Plate_2_12	20458	1	-5,500	-7,313	-118,442	-124,129	0,000	12,128	0,000	32,765	-183,200	-183,845	1,650
Element 23-34 (Plate)	20461	2	-5,500	-7,388	-119,650	-125,371	0,000	16,268	0,000	36,017	-182,126	-182,755	1,953
(Parete c.a.C32/40 sp.0.50m)	20460	3	-5,500	-7,464	-120,884	-126,636	0,000	20,490	0,000	39,317	-180,734	-181,347	2,292
〃	20459	4	-5,500	-7,540	-122,137	-127,915	0,000	24,770	0,000	42,623	-179,021	-179,617	2,671
〃	20494	5	-5,500	-7,615	-123,401	-129,202	0,000	29,083	0,000	45,891	-176,983	-177,566	3,095

Structural element	Node [10^3]	Local number	X [m]	Y [m]	N [kN/m]	N,x,x [kN/m]	N,x,x [10^3 kN/m]	Q [kN/m]	Q,x,x [kN/m]	Q,x,x [kN/m]	M [kN m/m]	M,x,x [kN m/m]	M,x,x [kN m/m]
Plate_2_13	20494	1	-5,500	-7,615	-123,379	-129,181	0,000	29,014	0,000	45,837	-176,983	-177,566	3,095
Element 24-35 (Plate)	20495	2	-5,500	-7,630	-123,605	-129,411	0,000	29,787	0,000	46,422	-176,553	-177,135	3,181
(Parete c.a.C32/40 sp.0.50m)	20496	3	-5,500	-7,645	-123,829	-129,640	0,000	30,554	0,000	47,001	-176,112	-176,692	3,268
28	20497	4	-5,500	-7,659	-124,052	-129,868	0,000	31,318	0,000	47,575	-175,660	-176,239	3,356
28	21176	5	-5,500	-7,674	-124,276	-130,097	0,000	32,083	0,000	48,147	-175,197	-175,774	3,446
Plate_2_14	21176	1	-5,500	-7,674	-124,244	-130,065	0,000	31,981	0,000	48,068	-175,197	-175,774	3,446
Element 26-38 (Plate)	21177	2	-5,500	-7,755	-125,480	-131,337	0,000	36,204	0,000	51,415	-172,414	-172,980	3,968
(Parete c.a.C32/40 sp.0.50m)	21178	3	-5,500	-7,837	-126,523	-132,410	0,000	39,797	0,000	54,515	-169,309	-169,862	4,528
28	21179	4	-5,500	-7,918	-127,327	-133,238	0,000	42,617	0,000	57,211	-165,943	-166,482	5,127
28	21766	5	-5,500	-8,000	-127,848	-133,773	0,000	44,523	0,000	59,344	-162,384	-162,908	5,761
Plate_3_1	21766	1	-5,500	-8,000	-167,123	-172,982	85,010	25,972	0,000	54,249	-162,384	-162,908	5,761
Element 27-39 (Plate)	21767	2	-5,500	-8,058	-168,080	-173,979	85,010	28,208	0,000	54,656	-160,828	-161,327	6,154
(Micropali D168.3x10.0/0,27m)	21768	3	-5,500	-8,115	-169,372	-175,310	85,010	31,210	0,000	55,451	-159,113	-159,586	6,575
28	21769	4	-5,500	-8,173	-170,783	-176,760	85,010	34,482	0,000	56,748	-157,221	-157,667	7,024
28	22356	5	-5,500	-8,231	-172,097	-178,111	85,010	37,529	0,000	58,662	-155,141	-155,559	7,502
Plate_3_1	22356	1	-5,500	-8,231	-172,177	-178,190	85,010	37,716	0,000	58,518	-155,141	-155,559	7,502
Element 27-40 (Plate)	22357	2	-5,500	-8,288	-173,437	-179,490	85,010	40,581	0,000	60,401	-152,880	-153,270	8,018
(Micropali D168.3x10.0/0,27m)	22358	3	-5,500	-8,346	-174,490	-180,580	85,010	42,983	0,000	62,373	-150,470	-150,829	8,585
28	22359	4	-5,500	-8,404	-175,440	-181,566	85,010	45,157	0,000	64,413	-147,925	-148,252	9,196
28	22779	5	-5,500	-8,461	-176,391	-182,552	85,010	47,339	0,000	66,500	-145,259	-145,555	9,843
Plate_3_2	22779	1	-5,500	-8,461	-176,421	-182,582	85,010	47,401	0,000	66,469	-145,259	-145,555	9,843
Element 28-41 (Plate)	22780	2	-5,500	-8,471	-176,590	-182,758	85,010	47,786	0,000	66,790	-144,801	-145,093	9,954
(Micropali D168.3x10.0/0,27m)	22781	3	-5,500	-8,481	-176,765	-182,938	85,010	48,184	0,000	67,102	-144,338	-144,626	10,065
28	22782	4	-5,500	-8,490	-176,946	-183,125	85,010	48,595	0,000	67,396	-143,872	-144,155	10,177
28	23191	5	-5,500	-8,500	-177,132	-183,317	85,010	49,019	0,000	67,664	-143,401	-143,680	10,289
Plate_3_3	23191	1	-5,500	-8,500	-177,128	-183,313	84,892	49,014	0,000	67,328	-143,401	-143,680	10,289
Element 29-42 (Plate)	23194	2	-5,500	-8,550	-177,820	-184,034	91,509	50,601	0,000	65,916	-140,938	-141,195	10,795
(Micropali D168.3x10.0/0,27m)	23193	3	-5,500	-8,599	-178,712	-184,954	97,224	52,656	0,000	67,230	-138,383	-138,616	11,214
28	23192	4	-5,500	-8,649	-179,780	-186,050	102,239	55,120	0,000	69,135	-135,717	-135,925	11,531
28	23453	5	-5,500	-8,698	-180,998	-187,294	106,758	57,935	0,000	71,056	-132,921	-133,103	12,587
Plate_3_3	23453	1	-5,500	-8,698	-181,284	-187,580	106,566	58,551	-0,105	71,931	-132,921	-133,103	12,587
Element 29-43 (Plate)	23456	2	-5,500	-8,891	-185,366	-191,763	125,986	68,131	-3,944	75,460	-120,779	-120,851	16,661
(Micropali D168.3x10.0/0,27m)	23455	3	-5,500	-9,084	-190,981	-197,466	144,433	81,149	-6,665	82,613	-106,346	-106,346	19,634
28	23454	4	-5,500	-9,278	-197,127	-203,687	161,973	95,321	-7,738	96,970	-89,341	-89,341	21,016
28	23981	5	-5,500	-9,471	-202,800	-209,425	178,673	108,365	-8,428	110,435	-69,612	-69,612	22,463
Plate_3_4	23981	1	-5,500	-9,471	-201,953	-208,753	178,803	106,610	-9,602	109,233	-69,612	-69,612	22,463
Element 31-45 (Plate)	23984	2	-5,500	-9,779	-203,294	-210,179	205,138	109,925	-10,015	111,869	-36,211	-36,440	35,473
(Micropali D168.3x10.0/0,27m)	23983	3	-5,500	-10,087	-204,276	-211,666	230,772	112,531	-9,678	115,031	-1,981	-2,174	50,270
28	23982	4	-5,500	-10,395	-205,543	-213,628	255,552	115,822	-11,987	119,359	33,209	0,000	66,218
28	24131	5	-5,500	-10,703	-207,738	-216,451	279,325	121,190	-17,804	125,320	69,619	0,000	86,904
Plate_3_5	24131	1	-5,500	-10,703	-205,078	-213,410	279,048	115,390	-20,854	119,135	69,619	0,000	86,904
Element 33-48 (Plate)	24134	2	-5,500	-10,961	-188,057	-197,649	297,632	77,803	-34,332	82,644	94,295	0,000	102,160
(Micropali D168.3x10.0/0,27m)	24133	3	-5,500	-11,218	-173,014	-181,552	316,021	45,039	-54,326	47,407	110,200	0,000	116,209
28	24132	4	-5,500	-11,476	-157,632	-164,595	334,181	12,225	-66,055	12,703	117,508	0,000	122,971
28	24149	5	-5,500	-11,734	-139,595	-146,613	352,079	-25,510	-74,559	0,015	116,009	0,000	120,193
Plate_3_5	24149	1	-5,500	-11,734	-140,683	-146,472	351,813	-22,720	-74,208	0,016	116,009	0,000	120,193
Element 33-49 (Plate)	24152	2	-5,500	-12,008	-125,556	-132,227	370,320	-53,226	-74,810	0,009	105,241	0,000	107,155
(Micropali D168.3x10.0/0,27m)	24151	3	-5,500	-12,281	-116,314	-127,220	387,347	-69,101	-83,595	0,003	88,238	0,000	88,373
28	24150	4	-5,500	-12,555	-111,717	-127,525	402,755	-72,278	-84,240	0,000	68,566	-0,030	68,566
28	24480	5	-5,500	-12,829	-110,528	-131,581	416,402	-64,684	-70,985	0,029	49,628	-0,248	49,628
Plate_3_5	24480	1	-5,500	-12,829	-110,286	-130,109	415,758	-65,662	-73,945	0,040	49,628	-0,248	49,628
Element 33-50 (Plate)	24479	2	-5,500	-13,119	-108,059	-131,339	427,232	-56,944	-62,781	0,080	31,849	-1,339	31,849
(Micropali D168.3x10.0/0,27m)	24478	3	-5,500	-13,410	-106,758	-130,926	433,798	-48,363	-51,989	0,094	16,488	-1,884	16,517

Structural element	Node [10 ^]	Local number	X [m]	Y [m]	N [kN/m]	N ⊥⊥ [kN/m]	N ⊥⊥ [10 ^ kN/m]	Q [kN/m]	Q ⊥⊥ [kN/m]	Q ⊥⊥ [kN/m]	M [kN m/m]	M ⊥⊥ [kN m/m]	M ⊥⊥ [kN m/m]
🔗	24477	4	-5,500	-13,701	-107,080	-128,819	435,232	-38,580	-42,104	0,247	3,843	-9,698	9,167
🔗	24685	5	-5,500	-13,991	-109,724	-124,985	431,313	-26,254	-32,773	0,748	-5,673	-19,790	4,024
Plate_3_6	24685	1	-5,500	-13,991	-108,470	-124,975	430,352	-28,448	-35,383	0,910	-5,673	-19,790	4,024
Element 34-51 (Plate)	24688	2	-5,500	-14,292	-115,912	-123,464	418,819	-8,421	-16,456	1,184	-10,680	-26,209	0,131
(Micropali D168.3x10.0/0,27m)	24687	3	-5,500	-14,593	-116,831	-127,040	397,289	-2,202	-9,874	8,308	-12,259	-27,685	0,181
🔗	24686	4	-5,500	-14,895	-114,379	-126,259	365,484	-2,214	-7,649	12,460	-12,632	-25,599	0,223
🔗	25013	5	-5,500	-15,196	-111,706	-121,037	323,126	-0,881	-4,072	13,700	-13,327	-21,819	0,244
Plate_3_6	25013	1	-5,500	-15,196	-104,971	-113,461	322,196	-3,713	-5,163	15,461	-13,327	-21,819	0,244
Element 34-52 (Plate)	25017	2	-5,500	-15,497	-91,587	-98,195	266,023	7,033	-0,546	21,619	-12,732	-16,152	0,252
(Micropali D168.3x10.0/0,27m)	25016	3	-5,500	-15,798	-80,921	-81,572	194,361	13,813	-0,203	22,278	-9,487	-9,487	0,255
🔗	25015	4	-5,500	-16,099	-63,332	-63,332	106,838	16,472	-0,415	16,863	-4,826	-4,826	0,188
🔗	25014	5	-5,500	-16,400	-29,179	-29,179	637,141	14,855	-0,832	14,855	0,000	0,000	0,000

3.1.2.4.30 Calculation results, Plate, SLV - stab globale [Phase_32] (32/1056), Table of plate force envelopes

Structural element	Node [10^0]	Local number	X [m]	Y [m]	N [kN/m]	N,min [kN/m]	N,max [10^0 kN/m]	Q [kN/m]	Q,max [kN/m]	Q,min [kN/m]	M [kN m/m]	M,max [kN m/m]	M,min [kN m/m]
Plate_2_1	15336	1	-5,500	0,000	0,020	-0,001	19,671	-0,050	-0,050	0,003	0,000	0,000	0,000
Element 1-1 (Plate)	15335	2	-5,500	-0,070	-0,207	-0,207	0,113	0,527	0,000	0,527	0,016	0,000	0,016
(Parete c.a.C32/40 sp.0.50m)	15334	3	-5,500	-0,141	-0,501	-0,501	0,000	1,276	0,000	1,276	0,078	0,000	0,078
28	15333	4	-5,500	-0,211	-0,853	-0,853	0,000	2,172	0,000	2,172	0,199	0,000	0,199
28	15350	5	-5,500	-0,281	-1,253	-1,253	0,000	3,193	0,000	3,193	0,387	0,000	0,387
Plate_2_1	15350	1	-5,500	-0,281	-1,246	-1,246	0,000	3,174	0,000	3,174	0,387	0,000	0,387
Element 1-2 (Plate)	15349	2	-5,500	-0,336	-1,569	-1,569	0,000	3,997	0,000	3,997	0,582	0,000	0,582
(Parete c.a.C32/40 sp.0.50m)	15348	3	-5,500	-0,391	-1,904	-1,904	0,000	4,852	0,000	4,852	0,824	0,000	0,824
28	15347	4	-5,500	-0,445	-2,251	-2,251	0,000	5,737	0,000	5,737	1,113	0,000	1,113
28	15361	5	-5,500	-0,500	-2,609	-2,609	0,000	6,651	0,000	6,651	1,452	0,000	1,452
Plate_2_2	15361	1	-5,500	-0,500	-2,609	-2,609	0,000	6,650	0,000	6,650	1,452	0,000	1,452
Element 3-4 (Plate)	15364	2	-5,500	-0,525	-2,776	-2,776	0,000	7,077	0,000	7,077	1,623	0,000	1,623
(Parete c.a.C32/40 sp.0.50m)	15363	3	-5,500	-0,550	-2,946	-2,946	0,000	7,509	0,000	7,509	1,806	0,000	1,806
28	15362	4	-5,500	-0,575	-3,117	-3,117	0,000	7,947	0,000	7,947	1,999	0,000	1,999
28	15405	5	-5,500	-0,600	-3,291	-3,291	0,000	8,389	0,000	8,389	2,203	0,000	2,203
Plate_2_3	15405	1	-5,500	-0,600	-13,728	-13,728	0,000	-55,396	-55,396	0,000	2,203	0,000	2,203
Element 4-5 (Plate)	15408	2	-5,500	-0,644	-14,038	-14,038	0,000	-54,605	-54,605	0,000	-0,209	-0,866	0,000
(Parete c.a.C32/40 sp.0.50m)	15407	3	-5,500	-0,688	-14,354	-14,354	0,000	-53,797	-53,797	0,000	-2,586	-2,586	0,000
28	15406	4	-5,500	-0,732	-14,677	-14,677	0,000	-52,974	-52,974	0,000	-4,928	-4,928	0,000
28	15419	5	-5,500	-0,775	-15,005	-15,005	0,000	-52,135	-52,135	0,000	-7,233	-7,233	0,000
Plate_2_3	15419	1	-5,500	-0,775	-15,005	-15,005	0,000	-52,137	-52,137	0,000	-7,233	-7,233	0,000
Element 4-6 (Plate)	15422	2	-5,500	-0,834	-15,455	-15,455	0,000	-50,987	-50,987	0,000	-10,270	-10,270	0,000
(Parete c.a.C32/40 sp.0.50m)	15421	3	-5,500	-0,893	-15,913	-15,913	0,000	-49,819	-49,819	0,000	-13,240	-13,240	0,000
28	15420	4	-5,500	-0,952	-16,377	-16,377	0,000	-48,634	-48,634	0,000	-16,141	-16,141	0,000
28	15479	5	-5,500	-1,011	-16,846	-16,846	0,000	-47,435	-47,435	0,000	-18,970	-18,970	0,000
Plate_2_4	15479	1	-5,500	-1,011	-16,822	-16,822	0,000	-47,495	-47,495	0,000	-18,970	-18,970	0,000
Element 6-8 (Plate)	15482	2	-5,500	-1,096	-17,535	-17,535	0,000	-45,676	-45,676	0,000	-22,912	-22,912	0,000
(Parete c.a.C32/40 sp.0.50m)	15481	3	-5,500	-1,180	-18,290	-18,290	0,000	-43,746	-43,746	0,000	-26,697	-26,697	0,000
28	15480	4	-5,500	-1,265	-19,081	-19,081	0,000	-41,726	-41,726	0,000	-30,315	-30,315	0,000
28	16393	5	-5,500	-1,350	-19,898	-19,898	0,000	-39,636	-39,636	0,000	-33,757	-33,757	0,000
Plate_2_4	16393	1	-5,500	-1,350	-19,889	-19,889	0,000	-39,660	-39,660	0,000	-33,757	-33,757	0,000
Element 6-9 (Plate)	16396	2	-5,500	-1,519	-21,535	-21,535	0,000	-35,452	-35,452	0,000	-40,133	-40,133	0,000
(Parete c.a.C32/40 sp.0.50m)	16395	3	-5,500	-1,689	-23,165	-23,165	0,000	-31,288	-31,288	0,000	-45,799	-45,799	0,000
28	16394	4	-5,500	-1,859	-24,772	-24,772	0,000	-27,179	-27,179	0,000	-50,764	-50,764	0,000
28	16427	5	-5,500	-2,029	-26,353	-26,353	0,000	-23,136	-23,136	0,000	-55,034	-55,034	0,000
Plate_2_5	16427	1	-5,500	-2,029	-26,347	-26,347	2,373	-23,152	-23,152	0,006	-55,034	-55,034	0,000
Element 9-12 (Plate)	16430	2	-5,500	-2,147	-27,440	-27,440	1,427	-20,356	-20,356	0,071	-57,595	-57,595	0,004
(Parete c.a.C32/40 sp.0.50m)	16429	3	-5,500	-2,264	-28,513	-28,513	0,000	-17,612	-17,612	0,174	-59,832	-59,832	0,018
28	16428	4	-5,500	-2,382	-29,570	-29,570	0,000	-14,911	-14,911	0,317	-61,747	-61,747	0,046
28	17049	5	-5,500	-2,500	-30,613	-30,613	0,000	-12,242	-12,650	0,511	-63,346	-63,346	0,095
Plate_2_6	17049	1	-5,500	-2,500	-30,603	-30,603	0,000	-12,267	-12,677	0,448	-63,346	-63,346	0,095
Element 11-15 (Plate)	17052	2	-5,500	-2,666	-32,132	-32,132	0,000	-8,357	-10,060	1,204	-65,058	-65,058	0,219
(Parete c.a.C32/40 sp.0.50m)	17051	3	-5,500	-2,832	-33,620	-33,620	0,000	-4,551	-7,497	2,379	-66,130	-66,130	0,439
28	17050	4	-5,500	-2,999	-35,070	-35,070	0,000	-0,841	-4,981	3,554	-66,577	-66,577	0,748
28	17279	5	-5,500	-3,165	-36,484	-36,484	0,000	2,778	-2,506	5,806	-66,414	-66,414	1,142
Plate_2_6	17279	1	-5,500	-3,165	-36,480	-36,480	0,000	2,769	-2,518	5,793	-66,414	-66,414	1,142

Structural element	Node [10^3]	Local number	X [m]	Y [m]	N [kN/m]	N,max [kN/m]	N,min [10^3 kN/m]	Q [kN/m]	Q,max [kN/m]	Q,min [kN/m]	M [kN m/m]	M,max [kN m/m]	M,min [kN m/m]
Element 11-16 (Plate)	17282	2	-5,500	-3,375	-38,200	-38,200	0,000	7,171	0,000	8,614	-65,373	-65,373	1,775
(Parete c.a.C32/40 sp.0.50m)	17281	3	-5,500	-3,585	-39,962	-39,962	0,000	11,681	0,000	11,681	-63,395	-63,395	2,617
28	17280	4	-5,500	-3,795	-41,774	-41,774	0,000	16,320	0,000	16,320	-60,457	-60,457	3,727
29	17305	5	-5,500	-4,005	-43,645	-43,645	0,000	21,112	0,000	21,112	-56,531	-56,531	5,161
Plate_2_7	17305	1	-5,500	-4,005	-43,647	-43,647	0,000	21,116	0,000	21,116	-56,531	-56,531	5,161
Element 13-18 (Plate)	17308	2	-5,500	-4,154	-45,011	-45,011	0,000	24,609	0,000	24,609	-53,130	-53,130	6,399
(Parete c.a.C32/40 sp.0.50m)	17307	3	-5,500	-4,302	-46,400	-46,400	0,000	28,167	0,000	28,167	-49,203	-49,203	7,839
30	17306	4	-5,500	-4,451	-47,817	-47,817	0,000	31,795	0,000	31,795	-44,741	-44,741	9,492
31	18049	5	-5,500	-4,600	-49,263	-49,263	0,000	35,499	0,000	35,499	-39,736	-41,026	11,369
Plate_2_8	18049	1	-5,500	-4,600	-64,651	-64,651	0,000	-58,923	-58,923	0,000	-39,736	-41,026	11,369
Element 15-22 (Plate)	18052	2	-5,500	-4,837	-67,014	-67,014	0,000	-52,867	-52,867	0,000	-53,005	-53,005	3,651
(Parete c.a.C32/40 sp.0.50m)	18051	3	-5,500	-5,075	-69,286	-69,286	0,000	-47,046	-47,046	0,000	-64,862	-64,862	0,000
32	18050	4	-5,500	-5,312	-71,411	-71,411	0,000	-41,599	-41,599	0,000	-75,386	-75,386	0,000
33	18123	5	-5,500	-5,550	-73,335	-73,335	0,000	-36,666	-36,666	0,000	-84,664	-84,664	0,000
Plate_2_8	18123	1	-5,500	-5,550	-73,460	-73,460	0,000	-36,349	-36,349	0,000	-84,664	-84,664	0,000
Element 15-23 (Plate)	18126	2	-5,500	-5,664	-74,576	-74,576	0,000	-33,487	-33,487	0,000	-88,653	-88,653	0,000
(Parete c.a.C32/40 sp.0.50m)	18125	3	-5,500	-5,779	-75,737	-75,737	0,000	-30,514	-30,514	0,000	-92,315	-92,315	0,000
34	18124	4	-5,500	-5,893	-77,001	-77,001	0,000	-27,276	-27,276	0,000	-95,620	-95,620	0,000
35	18147	5	-5,500	-6,007	-78,427	-78,427	0,000	-23,623	-23,623	0,000	-98,533	-98,533	0,000
Plate_2_9	18147	1	-5,500	-6,007	-78,334	-78,334	6,246	-23,861	-23,861	0,011	-98,533	-98,533	0,000
Element 18-26 (Plate)	18150	2	-5,500	-6,085	-79,341	-79,341	0,076	-21,283	-21,283	0,033	-100,296	-100,296	0,001
(Parete c.a.C32/40 sp.0.50m)	18149	3	-5,500	-6,163	-80,319	-80,319	0,000	-18,778	-18,778	0,074	-101,862	-101,862	0,005
36	18148	4	-5,500	-6,242	-81,279	-81,279	0,000	-16,321	-16,321	0,129	-103,234	-103,234	0,013
37	18851	5	-5,500	-6,320	-82,231	-82,231	0,011	-13,885	-13,885	0,222	-104,414	-104,414	0,025
Plate_2_9	18851	1	-5,500	-6,320	-82,245	-82,245	0,000	-13,850	-13,850	0,211	-104,414	-104,414	0,025
Element 18-27 (Plate)	18854	2	-5,500	-6,365	-82,820	-82,820	0,075	-12,378	-12,378	0,266	-105,005	-105,005	0,035
(Parete c.a.C32/40 sp.0.50m)	18853	3	-5,500	-6,410	-83,416	-83,416	0,007	-10,854	-10,854	0,488	-105,529	-105,529	0,049
38	18852	4	-5,500	-6,455	-84,031	-84,031	0,000	-9,277	-9,277	1,867	-105,983	-105,982	0,066
39	18891	5	-5,500	-6,500	-84,668	-84,668	0,000	-7,649	-7,649	3,297	-106,364	-106,364	0,087
Plate_2_10	18891	1	-5,500	-6,500	-84,666	-84,666	0,000	-7,655	-7,655	3,291	-106,364	-106,364	0,087
Element 20-29 (Plate)	18894	2	-5,500	-6,549	-85,404	-85,404	0,000	-5,765	-5,765	4,964	-106,693	-106,693	0,114
(Parete c.a.C32/40 sp.0.50m)	18893	3	-5,500	-6,598	-86,168	-86,168	0,000	-3,810	-4,225	6,701	-106,928	-106,928	0,148
40	18892	4	-5,500	-6,647	-86,953	-86,953	0,000	-1,802	-3,117	8,490	-107,065	-107,065	0,188
41	18915	5	-5,500	-6,696	-87,753	-87,753	0,000	0,244	-2,010	10,319	-107,104	-107,104	0,234
Plate_2_11	18915	1	-5,500	-6,696	-87,760	-87,760	0,000	0,264	-1,979	10,340	-107,104	-107,104	0,234
Element 22-31 (Plate)	18918	2	-5,500	-6,750	-88,546	-88,546	0,000	2,274	-0,909	12,112	-107,034	-107,034	0,290
(Parete c.a.C32/40 sp.0.50m)	18917	3	-5,500	-6,804	-89,282	-89,282	0,000	4,156	0,000	13,762	-106,861	-106,861	0,353
42	18916	4	-5,500	-6,857	-90,003	-90,003	0,000	6,002	0,000	15,379	-106,587	-106,587	0,426
43	19683	5	-5,500	-6,911	-90,746	-90,746	0,000	7,902	0,000	17,056	-106,214	-106,214	0,512
Plate_2_11	19683	1	-5,500	-6,911	-90,748	-90,748	0,000	7,909	0,000	17,064	-106,214	-106,214	0,512
Element 22-32 (Plate)	19686	2	-5,500	-6,963	-91,538	-91,538	0,000	9,928	0,000	18,878	-105,757	-105,757	0,608
(Parete c.a.C32/40 sp.0.50m)	19685	3	-5,500	-7,014	-92,358	-92,358	0,000	12,026	0,000	20,778	-105,193	-105,193	0,718
44	19684	4	-5,500	-7,065	-93,209	-93,209	0,000	14,205	0,000	22,769	-104,520	-104,520	0,843
45	19717	5	-5,500	-7,117	-94,094	-94,094	0,000	16,470	0,000	24,855	-103,733	-103,733	0,984
Plate_2_11	19717	1	-5,500	-7,117	-94,084	-94,084	0,000	16,444	0,000	24,830	-103,733	-103,733	0,984
Element 22-33 (Plate)	19718	2	-5,500	-7,166	-94,935	-94,935	0,000	18,620	0,000	26,848	-102,874	-102,874	1,133
(Parete c.a.C32/40 sp.0.50m)	19719	3	-5,500	-7,215	-95,772	-95,772	0,000	20,763	0,000	28,845	-101,909	-101,909	1,295
46	19720	4	-5,500	-7,264	-96,596	-96,596	0,000	22,871	0,000	30,823	-100,840	-100,840	1,468
47	20458	5	-5,500	-7,313	-97,406	-97,406	0,000	24,943	0,000	32,779	-99,669	-99,669	1,650
Plate_2_12	20458	1	-5,500	-7,313	-97,400	-97,400	0,000	24,928	0,000	32,765	-99,669	-99,669	1,650
Element 23-34 (Plate)	20461	2	-5,500	-7,388	-98,728	-98,728	0,000	28,325	0,000	36,017	-97,654	-97,654	1,953
(Parete c.a.C32/40 sp.0.50m)	20460	3	-5,500	-7,464	-100,054	-100,054	0,000	31,718	0,000	39,317	-95,380	-95,380	2,292
48	20459	4	-5,500	-7,540	-101,363	-101,363	0,000	35,068	0,000	42,623	-92,851	-92,851	2,671

Structural element	Node [10^3]	Local number	X [m]	Y [m]	N [kN/m]	N,max [kN/m]	N,min [10^3 kN/m]	Q [kN/m]	Q,max [kN/m]	Q,min [kN/m]	M [kN m/m]	M,max [kN m/m]	M,min [kN m/m]
昏	20494	5	-5,500	-7,615	-102,641	-102,641	0,000	38,335	0,000	45,891	-90,072	-90,072	3,095
Plate_2_13	20494	1	-5,500	-7,615	-102,627	-102,627	0,000	38,300	0,000	45,837	-90,072	-90,072	3,095
Element 24-35 (Plate)	20495	2	-5,500	-7,630	-102,859	-102,859	0,000	38,893	0,000	46,422	-89,508	-89,508	3,181
(Parete c.a.C32/40 sp.0.50m)	20496	3	-5,500	-7,645	-103,089	-103,089	0,000	39,481	0,000	47,001	-88,935	-88,935	3,268
昏	20497	4	-5,500	-7,659	-103,317	-103,317	0,000	40,066	0,000	47,575	-88,354	-88,354	3,356
昏	21176	5	-5,500	-7,674	-103,546	-103,546	0,000	40,651	0,000	48,147	-87,764	-87,764	3,446
Plate_2_14	21176	1	-5,500	-7,674	-103,512	-103,512	0,000	40,563	0,000	48,068	-87,764	-87,764	3,446
Element 26-38 (Plate)	21177	2	-5,500	-7,755	-104,865	-104,865	0,000	44,024	0,000	51,415	-84,316	-84,316	3,968
(Parete c.a.C32/40 sp.0.50m)	21178	3	-5,500	-7,837	-106,135	-106,135	0,000	47,271	0,000	54,515	-80,589	-80,589	4,528
昏	21179	4	-5,500	-7,918	-107,252	-107,252	0,000	50,125	0,000	57,211	-76,615	-76,615	5,127
昏	21766	5	-5,500	-8,000	-108,147	-108,147	0,000	52,404	0,000	59,344	-72,430	-72,430	5,761
Plate_3_1	21766	1	-5,500	-8,000	-128,957	-128,957	85,010	42,873	0,000	54,249	-72,430	-72,430	5,761
Element 27-39 (Plate)	21767	2	-5,500	-8,058	-129,329	-129,329	85,010	43,515	0,000	54,656	-69,940	-69,940	6,154
(Micropali D168.3x10.0/0,27m)	21768	3	-5,500	-8,115	-129,860	-129,860	85,010	44,435	0,000	55,451	-67,405	-67,405	6,575
昏	21769	4	-5,500	-8,173	-130,604	-130,604	85,010	45,726	0,000	56,748	-64,806	-64,806	7,024
昏	22356	5	-5,500	-8,231	-131,613	-131,613	85,010	47,476	0,000	58,662	-62,121	-62,121	7,502
Plate_3_1	22356	1	-5,500	-8,231	-131,624	-131,624	85,010	47,492	0,000	58,518	-62,121	-62,121	7,502
Element 27-40 (Plate)	22357	2	-5,500	-8,288	-132,767	-132,767	85,010	49,471	0,000	60,401	-59,326	-59,326	8,018
(Micropali D168.3x10.0/0,27m)	22358	3	-5,500	-8,346	-133,982	-133,982	85,010	51,573	0,000	62,373	-56,412	-56,412	8,585
昏	22359	4	-5,500	-8,404	-135,264	-135,264	85,010	53,790	0,000	64,413	-53,373	-53,373	9,196
昏	22779	5	-5,500	-8,461	-136,608	-136,608	85,010	56,113	0,000	66,500	-50,205	-50,205	9,843
Plate_3_2	22779	1	-5,500	-8,461	-136,595	-136,595	85,010	56,091	0,000	66,469	-50,205	-50,205	9,843
Element 28-41 (Plate)	22780	2	-5,500	-8,471	-136,808	-136,808	85,010	56,459	0,000	66,790	-49,662	-49,662	9,954
(Micropali D168.3x10.0/0,27m)	22781	3	-5,500	-8,481	-137,018	-137,018	85,010	56,822	0,000	67,102	-49,116	-49,116	10,065
昏	22782	4	-5,500	-8,490	-137,221	-137,221	85,010	57,172	0,000	67,396	-48,567	-48,567	10,177
昏	23191	5	-5,500	-8,500	-137,411	-137,411	85,010	57,501	0,000	67,664	-48,014	-48,014	10,289
Plate_3_3	23191	1	-5,500	-8,500	-137,291	-137,291	84,892	57,293	0,000	67,328	-48,014	-48,014	10,289
Element 29-42 (Plate)	23194	2	-5,500	-8,550	-138,214	-138,214	91,509	58,887	0,000	63,464	-45,138	-45,138	10,795
(Micropali D168.3x10.0/0,27m)	23193	3	-5,500	-8,599	-139,043	-139,043	97,224	60,317	0,000	61,272	-42,187	-42,187	11,214
昏	23192	4	-5,500	-8,649	-139,827	-139,827	102,239	61,668	0,000	61,760	-39,166	-39,166	11,531
昏	23453	5	-5,500	-8,698	-140,615	-140,615	106,758	63,027	0,000	63,027	-36,081	-36,081	12,587
Plate_3_3	23453	1	-5,500	-8,698	-141,088	-141,088	106,566	63,843	-0,105	63,843	-36,081	-36,081	12,587
Element 29-43 (Plate)	23456	2	-5,500	-8,891	-141,894	-141,894	125,986	65,249	-3,944	65,249	-23,674	-23,674	16,661
(Micropali D168.3x10.0/0,27m)	23455	3	-5,500	-9,084	-143,827	-143,827	144,433	68,594	-6,665	68,594	-10,723	-10,723	19,634
昏	23454	4	-5,500	-9,278	-145,833	-145,833	161,973	72,062	-7,738	72,062	2,845	0,000	21,016
昏	23981	5	-5,500	-9,471	-146,863	-146,863	178,673	73,837	-8,428	73,837	16,993	0,000	22,593
Plate_3_4	23981	1	-5,500	-9,471	-146,565	-146,565	178,803	72,562	-9,602	72,562	16,993	0,000	22,593
Element 31-45 (Plate)	23984	2	-5,500	-9,779	-130,201	-130,201	205,138	44,728	-10,015	44,728	35,101	0,000	35,101
(Micropali D168.3x10.0/0,27m)	23983	3	-5,500	-10,087	-117,241	-117,241	230,772	18,441	-9,678	18,441	44,652	0,000	44,652
昏	23982	4	-5,500	-10,395	-107,598	-107,598	255,552	-3,124	-12,687	0,003	46,950	0,000	46,950
昏	24131	5	-5,500	-10,703	-101,183	-101,183	279,325	-16,795	-18,095	0,015	43,596	0,000	43,596
Plate_3_5	24131	1	-5,500	-10,703	-99,664	-99,664	279,048	-20,073	-20,990	0,020	43,596	0,000	43,596
Element 33-48 (Plate)	24134	2	-5,500	-10,961	-96,494	-96,494	297,632	-29,374	-29,374	0,026	37,069	0,000	37,069
(Micropali D168.3x10.0/0,27m)	24133	3	-5,500	-11,218	-94,948	-94,948	316,021	-32,291	-32,291	0,026	29,019	0,000	29,019
昏	24132	4	-5,500	-11,476	-94,915	-94,915	334,181	-29,747	-29,747	0,022	20,892	0,000	20,892
昏	24149	5	-5,500	-11,734	-96,285	-96,285	352,079	-22,667	-22,667	0,015	14,063	0,000	14,063
Plate_3_5	24149	1	-5,500	-11,734	-95,830	-95,830	351,813	-23,945	-23,945	0,016	14,063	0,000	14,063
Element 33-49 (Plate)	24152	2	-5,500	-12,008	-97,731	-97,731	370,320	-17,488	-17,488	0,009	8,415	0,000	8,415
(Micropali D168.3x10.0/0,27m)	24151	3	-5,500	-12,281	-99,016	-99,016	387,347	-12,016	-12,016	0,003	4,402	0,000	4,402
昏	24150	4	-5,500	-12,555	-99,588	-99,588	402,755	-7,600	-7,600	0,000	1,740	-0,030	1,740
昏	24480	5	-5,500	-12,829	-99,349	-99,349	416,402	-4,309	-4,309	0,029	0,138	-0,034	0,333
Plate_3_5	24480	1	-5,500	-12,829	-99,343	-99,343	415,758	-4,217	-4,217	0,040	0,138	-0,034	0,333
Element 33-50 (Plate)	24479	2	-5,500	-13,119	-98,067	-98,067	427,232	-2,042	-2,042	0,080	-0,752	-0,752	0,142

Structural element	Node [10 ^]	Local number	X [m]	Y [m]	N [kN/m]	N ⊥⊥ [kN/m]	N ⊥⊥ [10 ^ kN/m]	Q [kN/m]	Q ⊥⊥ [kN/m]	Q ⊥⊥ [kN/m]	M [kN m/m]	M ⊥⊥ [kN m/m]	M ⊥⊥ [kN m/m]
(Micropali D168.3x10.0/0,27m)	24478	3	-5,500	-13,410	-95,954	-95,954	433,798	-0,589	-0,589	0,094	-1,120	-1,120	0,104
2D	24477	4	-5,500	-13,701	-93,021	-93,021	435,232	0,214	-0,016	0,244	-1,157	-1,157	0,100
2D	24685	5	-5,500	-13,991	-89,285	-89,285	431,313	0,439	-0,019	0,439	-1,050	-1,050	0,095
Plate_3_6	24685	1	-5,500	-13,991	-89,255	-89,255	430,352	0,521	-0,019	0,521	-1,050	-1,050	0,095
Element 34-51 (Plate)	24688	2	-5,500	-14,292	-84,648	-84,648	418,819	0,620	-0,024	0,620	-0,874	-0,874	0,131
(Micropali D168.3x10.0/0,27m)	24687	3	-5,500	-14,593	-79,085	-79,085	397,289	0,544	-0,031	0,544	-0,694	-0,694	0,181
2D	24686	4	-5,500	-14,895	-72,551	-72,551	365,484	0,295	-0,039	0,295	-0,564	-0,564	0,223
2D	25013	5	-5,500	-15,196	-65,027	-65,027	323,126	-0,123	-0,123	0,108	-0,534	-0,534	0,244
Plate_3_6	25013	1	-5,500	-15,196	-64,948	-64,948	322,196	-0,263	-0,263	0,011	-0,534	-0,534	0,244
Element 34-52 (Plate)	25017	2	-5,500	-15,497	-49,619	-49,619	266,023	-0,142	-0,406	0,193	-0,602	-0,602	0,252
(Micropali D168.3x10.0/0,27m)	25016	3	-5,500	-15,798	-33,544	-33,544	194,361	0,261	-0,386	0,261	-0,591	-0,591	0,255
2D	25015	4	-5,500	-16,099	-16,810	-16,810	106,838	0,937	-0,415	0,937	-0,417	-0,417	0,188
2D	25014	5	-5,500	-16,400	0,493	-0,180	493,397	1,878	-0,824	2,034	0,000	0,000	0,000

3.1.2.4.31 Calculation results, Plate, FS SLV - [Phase_33] (33/1156), Table of plate force envelopes

Structural element	Node [10⁻¹]	Local number	X [m]	Y [m]	N [kN/m]	N ⁻·⁻ [kN/m]	N ⁻·⁻ [10⁻¹ kN/m]	Q [kN/m]	Q ⁻·⁻ [kN/m]	Q ⁻·⁻ [kN/m]	M [kN m/m]	M ⁻·⁻ [kN m/m]	M ⁻·⁻ [kN m/m]
Plate_2_1	15336	1	-5,500	0,000	0,037	-0,001	38,034	-0,122	-0,127	0,003	0,000	0,000	0,000
Element 1-1 (Plate)	15335	2	-5,500	-0,070	-0,146	-0,250	0,113	0,775	0,000	0,815	0,022	0,000	0,023
(Parete c.a.C32/40 sp.0.50m)	15334	3	-5,500	-0,141	-0,378	-0,581	0,000	1,816	0,000	1,888	0,113	0,000	0,118
88	15333	4	-5,500	-0,211	-0,650	-0,961	0,000	2,981	0,000	3,078	0,281	0,000	0,292
88	15350	5	-5,500	-0,281	-0,958	-1,381	0,000	4,249	0,000	4,365	0,534	0,000	0,553
Plate_2_1	15350	1	-5,500	-0,281	-0,951	-1,376	0,000	4,228	0,000	4,344	0,534	0,000	0,553
Element 1-2 (Plate)	15349	2	-5,500	-0,336	-1,236	-1,715	0,000	5,363	0,000	5,492	0,796	0,000	0,821
(Parete c.a.C32/40 sp.0.50m)	15348	3	-5,500	-0,391	-1,550	-2,068	0,000	6,592	0,000	6,733	1,122	0,000	1,155
88	15347	4	-5,500	-0,445	-1,891	-2,434	0,000	7,907	0,000	8,058	1,518	0,000	1,559
88	15361	5	-5,500	-0,500	-2,256	-2,814	0,000	9,300	0,000	9,460	1,988	0,000	2,037
Plate_2_2	15361	1	-5,500	-0,500	-2,254	-2,813	0,000	9,292	0,000	9,452	1,988	0,000	2,037
Element 3-4 (Plate)	15364	2	-5,500	-0,525	-2,425	-2,990	0,000	9,941	0,000	10,104	2,228	0,000	2,282
(Parete c.a.C32/40 sp.0.50m)	15363	3	-5,500	-0,550	-2,598	-3,170	0,000	10,597	0,000	10,764	2,485	0,000	2,543
88	15362	4	-5,500	-0,575	-2,774	-3,352	0,000	11,261	0,000	11,431	2,758	0,000	2,820
88	15405	5	-5,500	-0,600	-2,952	-3,536	0,000	11,932	0,000	12,104	3,048	0,000	3,114
Plate_2_3	15405	1	-5,500	-0,600	-17,041	-17,257	0,000	-74,160	-74,160	0,000	3,048	0,000	3,114
Element 4-5 (Plate)	15408	2	-5,500	-0,644	-17,357	-17,608	0,000	-72,973	-72,973	0,000	-0,178	-0,866	0,000
(Parete c.a.C32/40 sp.0.50m)	15407	3	-5,500	-0,688	-17,682	-17,970	0,000	-71,754	-71,754	0,000	-3,352	-3,547	0,000
88	15406	4	-5,500	-0,732	-18,018	-18,341	0,000	-70,504	-70,504	0,000	-6,472	-6,640	0,000
88	15419	5	-5,500	-0,775	-18,363	-18,723	0,000	-69,222	-69,222	0,000	-9,536	-9,678	0,000
Plate_2_3	15419	1	-5,500	-0,775	-18,363	-18,723	0,000	-69,222	-69,222	0,000	-9,536	-9,678	0,000
Element 4-6 (Plate)	15422	2	-5,500	-0,834	-18,832	-19,241	0,000	-67,483	-67,483	0,000	-13,562	-13,670	0,000
(Parete c.a.C32/40 sp.0.50m)	15421	3	-5,500	-0,893	-19,304	-19,761	0,000	-65,738	-65,738	0,000	-17,487	-17,562	0,000
88	15420	4	-5,500	-0,952	-19,777	-20,283	0,000	-63,991	-63,991	0,000	-21,309	-21,352	0,000
88	15479	5	-5,500	-1,011	-20,251	-20,807	0,000	-62,241	-62,241	0,000	-25,027	-25,038	0,000
Plate_2_4	15479	1	-5,500	-1,011	-20,234	-20,789	0,000	-62,299	-62,299	0,000	-25,027	-25,038	0,000
Element 6-8 (Plate)	15482	2	-5,500	-1,096	-20,942	-21,567	0,000	-59,701	-59,701	0,000	-30,188	-30,188	0,000
(Parete c.a.C32/40 sp.0.50m)	15481	3	-5,500	-1,180	-21,679	-22,376	0,000	-57,003	-57,003	0,000	-35,128	-35,128	0,000
88	15480	4	-5,500	-1,265	-22,441	-23,208	0,000	-54,228	-54,228	0,000	-39,836	-39,836	0,000
88	16393	5	-5,500	-1,350	-23,220	-24,059	0,000	-51,394	-51,394	0,000	-44,304	-44,304	0,000
Plate_2_4	16393	1	-5,500	-1,350	-23,214	-24,053	0,000	-51,413	-51,413	0,000	-44,304	-44,304	0,000
Element 6-9 (Plate)	16396	2	-5,500	-1,519	-24,776	-25,760	0,000	-45,738	-45,738	0,000	-52,550	-52,550	0,000
(Parete c.a.C32/40 sp.0.50m)	16395	3	-5,500	-1,689	-26,323	-27,451	0,000	-40,122	-40,122	0,000	-59,840	-59,840	0,000
88	16394	4	-5,500	-1,859	-27,850	-29,124	0,000	-34,577	-34,577	0,000	-66,183	-66,183	0,000
88	16427	5	-5,500	-2,029	-29,354	-30,775	0,000	-29,113	-29,113	0,000	-71,588	-71,588	0,000
Plate_2_5	16427	1	-5,500	-2,029	-29,350	-30,771	2,373	-29,126	-29,126	0,006	-71,588	-71,588	0,000
Element 9-12 (Plate)	16430	2	-5,500	-2,147	-30,391	-31,914	1,427	-25,345	-25,345	0,071	-74,795	-74,795	0,004
(Parete c.a.C32/40 sp.0.50m)	16429	3	-5,500	-2,264	-31,416	-33,041	0,000	-21,617	-21,617	0,174	-77,562	-77,562	0,018
88	16428	4	-5,500	-2,382	-32,429	-34,157	0,000	-17,932	-17,932	0,317	-79,891	-79,891	0,046
88	17049	5	-5,500	-2,500	-33,433	-35,263	0,000	-14,280	-14,475	0,511	-81,788	-81,788	0,095
Plate_2_6	17049	1	-5,500	-2,500	-33,426	-35,256	0,000	-14,303	-14,499	0,448	-81,788	-81,788	0,095
Element 11-15 (Plate)	17052	2	-5,500	-2,666	-34,884	-36,860	0,000	-9,006	-10,060	1,204	-83,723	-83,723	0,219
(Parete c.a.C32/40 sp.0.50m)	17051	3	-5,500	-2,832	-36,314	-38,435	0,000	-3,805	-7,497	2,379	-84,787	-84,787	0,439
88	17050	4	-5,500	-2,999	-37,717	-39,983	0,000	1,306	-4,981	3,961	-84,993	-84,993	0,748
88	17279	5	-5,500	-3,165	-39,094	-41,504	0,000	6,330	-2,506	9,062	-84,357	-84,357	1,142
Plate_2_6	17279	1	-5,500	-3,165	-39,093	-41,502	0,000	6,325	-2,518	9,054	-84,357	-84,357	1,142
Element 11-16 (Plate)	17282	2	-5,500	-3,375	-40,787	-43,376	0,000	12,518	0,000	15,335	-82,382	-82,382	1,775

Structural element	Node [10^3]	Local number	X [m]	Y [m]	N [kN/m]	N,max [kN/m]	N,min [10^3 kN/m]	Q [kN/m]	Q,max [kN/m]	Q,min [kN/m]	M [kN m/m]	M,max [kN m/m]	M,min [kN m/m]
(Parete c.a.C32/40 sp.0.50m)	17281	3	-5,500	-3,585	-42,523	-45,286	0,000	18,850	0,000	21,738	-79,091	-79,091	2,617
嵌	17280	4	-5,500	-3,795	-44,306	-47,239	0,000	25,343	0,000	28,282	-74,453	-74,453	3,727
嵌	17305	5	-5,500	-4,005	-46,143	-49,241	0,000	32,021	0,000	34,990	-68,435	-68,435	5,161
Plate_2_7	17305	1	-5,500	-4,005	-46,147	-49,244	0,000	32,033	0,000	35,000	-68,435	-68,435	5,161
Element 13-18 (Plate)	17308	2	-5,500	-4,154	-47,487	-50,696	0,000	36,895	0,000	39,864	-63,309	-63,309	6,399
(Parete c.a.C32/40 sp.0.50m)	17307	3	-5,500	-4,302	-48,859	-52,174	0,000	41,862	0,000	44,815	-57,448	-57,448	7,839
嵌	17306	4	-5,500	-4,451	-50,264	-53,681	0,000	46,941	0,000	49,892	-50,840	-51,467	9,492
嵌	18049	5	-5,500	-4,600	-51,705	-55,217	0,000	52,138	0,000	55,075	-43,471	-45,290	11,369
Plate_2_8	18049	1	-5,500	-4,600	-75,970	-79,509	0,000	-96,428	-96,819	0,000	-43,471	-45,290	11,369
Element 15-22 (Plate)	18052	2	-5,500	-4,837	-78,344	-82,023	0,000	-87,885	-88,264	0,000	-65,353	-65,353	3,651
(Parete c.a.C32/40 sp.0.50m)	18051	3	-5,500	-5,075	-80,696	-84,496	0,000	-79,431	-79,799	0,000	-85,218	-85,219	0,000
嵌	18050	4	-5,500	-5,312	-82,985	-86,887	0,000	-71,208	-71,567	0,000	-103,107	-103,119	0,000
嵌	18123	5	-5,500	-5,550	-85,168	-89,152	0,000	-63,362	-63,715	0,000	-119,072	-119,096	0,000
Plate_2_8	18123	1	-5,500	-5,550	-85,256	-89,242	0,000	-63,062	-63,414	0,000	-119,072	-119,096	0,000
Element 15-23 (Plate)	18126	2	-5,500	-5,664	-86,459	-90,479	0,000	-58,778	-59,128	0,000	-126,033	-126,065	0,000
(Parete c.a.C32/40 sp.0.50m)	18125	3	-5,500	-5,779	-87,692	-91,743	0,000	-54,396	-54,745	0,000	-132,505	-132,545	0,000
嵌	18124	4	-5,500	-5,893	-89,000	-93,078	0,000	-49,767	-50,137	0,000	-138,460	-138,508	0,000
嵌	18147	5	-5,500	-6,007	-90,425	-94,528	0,000	-44,745	-45,142	0,000	-143,865	-143,922	0,000
Plate_2_9	18147	1	-5,500	-6,007	-90,354	-94,456	6,246	-44,988	-45,385	0,011	-143,865	-143,922	0,000
Element 18-26 (Plate)	18150	2	-5,500	-6,085	-91,346	-95,463	0,076	-41,500	-41,917	0,033	-147,243	-147,307	0,001
(Parete c.a.C32/40 sp.0.50m)	18149	3	-5,500	-6,163	-92,310	-96,440	0,000	-38,108	-38,546	0,074	-150,355	-150,427	0,005
嵌	18148	4	-5,500	-6,242	-93,255	-97,396	0,000	-34,788	-35,249	0,129	-153,203	-153,283	0,013
嵌	18851	5	-5,500	-6,320	-94,187	-98,337	0,011	-31,515	-32,000	0,222	-155,794	-155,881	0,025
Plate_2_9	18851	1	-5,500	-6,320	-94,198	-98,348	0,000	-31,478	-31,964	0,211	-155,794	-155,881	0,025
Element 18-27 (Plate)	18854	2	-5,500	-6,365	-94,754	-98,908	0,075	-29,532	-30,068	0,266	-157,168	-157,260	0,035
(Parete c.a.C32/40 sp.0.50m)	18853	3	-5,500	-6,410	-95,324	-99,481	0,007	-27,539	-28,158	0,488	-158,455	-158,550	0,049
嵌	18852	4	-5,500	-6,455	-95,907	-100,068	0,000	-25,500	-26,202	1,867	-159,650	-159,749	0,066
嵌	18891	5	-5,500	-6,500	-96,505	-100,669	0,000	-23,415	-24,200	3,297	-160,752	-160,855	0,087
Plate_2_10	18891	1	-5,500	-6,500	-96,503	-100,667	0,000	-23,422	-24,207	3,291	-160,752	-160,855	0,087
Element 20-29 (Plate)	18894	2	-5,500	-6,549	-97,186	-101,354	0,000	-21,043	-21,920	4,964	-161,841	-161,948	0,114
(Parete c.a.C32/40 sp.0.50m)	18893	3	-5,500	-6,598	-97,886	-102,055	0,000	-18,613	-19,581	6,701	-162,813	-162,923	0,148
嵌	18892	4	-5,500	-6,647	-98,597	-102,768	0,000	-16,144	-17,206	8,490	-163,664	-163,780	0,188
嵌	18915	5	-5,500	-6,696	-99,316	-103,488	0,000	-13,651	-14,806	10,319	-164,394	-164,513	0,234
Plate_2_11	18915	1	-5,500	-6,696	-99,321	-103,494	0,000	-13,632	-14,786	10,340	-164,394	-164,513	0,234
Element 22-31 (Plate)	18918	2	-5,500	-6,750	-100,035	-104,208	0,000	-11,154	-12,411	12,112	-165,059	-165,184	0,290
(Parete c.a.C32/40 sp.0.50m)	18917	3	-5,500	-6,804	-100,706	-104,877	0,000	-8,826	-10,186	13,762	-165,597	-165,726	0,353
嵌	18916	4	-5,500	-6,857	-101,360	-105,529	0,000	-6,557	-8,021	15,379	-166,011	-166,143	0,426
嵌	19683	5	-5,500	-6,911	-102,024	-106,191	0,000	-4,257	-5,823	17,056	-166,302	-166,439	0,512
Plate_2_11	19683	1	-5,500	-6,911	-102,027	-106,193	0,000	-4,248	-5,815	17,064	-166,302	-166,439	0,512
Element 22-32 (Plate)	19686	2	-5,500	-6,963	-102,716	-106,879	0,000	-1,868	-3,533	18,878	-166,459	-166,599	0,608
(Parete c.a.C32/40 sp.0.50m)	19685	3	-5,500	-7,014	-103,425	-107,584	0,000	0,575	-1,187	20,778	-166,493	-166,636	0,718
嵌	19684	4	-5,500	-7,065	-104,155	-108,310	0,000	3,086	0,000	22,769	-166,399	-166,545	0,843
嵌	19717	5	-5,500	-7,117	-104,906	-109,057	0,000	5,669	0,000	24,855	-166,175	-166,323	0,984
Plate_2_11	19717	1	-5,500	-7,117	-104,900	-109,050	0,000	5,646	0,000	24,830	-166,175	-166,323	0,984
Element 22-33 (Plate)	19718	2	-5,500	-7,166	-105,621	-109,767	0,000	8,123	0,000	26,848	-165,837	-165,989	1,133
(Parete c.a.C32/40 sp.0.50m)	19719	3	-5,500	-7,215	-106,335	-110,475	0,000	10,569	0,000	28,845	-165,379	-165,533	1,295
嵌	19720	4	-5,500	-7,264	-107,041	-111,175	0,000	12,985	0,000	30,823	-164,802	-164,959	1,468
嵌	20458	5	-5,500	-7,313	-107,739	-111,865	0,000	15,369	0,000	32,779	-164,108	-164,267	1,650
Plate_2_12	20458	1	-5,500	-7,313	-107,733	-111,860	0,000	15,349	0,000	32,765	-164,108	-164,267	1,650
Element 23-34 (Plate)	20461	2	-5,500	-7,388	-108,888	-113,001	0,000	19,284	0,000	36,017	-162,797	-162,960	1,953
(Parete c.a.C32/40 sp.0.50m)	20460	3	-5,500	-7,464	-110,047	-114,147	0,000	23,228	0,000	39,317	-161,187	-161,353	2,292
嵌	20459	4	-5,500	-7,540	-111,202	-115,285	0,000	27,144	0,000	42,623	-159,280	-159,448	2,671
嵌	20494	5	-5,500	-7,615	-112,340	-116,405	0,000	30,994	0,000	45,891	-157,078	-157,249	3,095

Structural element	Node [10^3]	Local number	X [m]	Y [m]	N [kN/m]	N,max [kN/m]	N,min [10^3 kN/m]	Q [kN/m]	Q,max [kN/m]	Q,min [kN/m]	M [kN m/m]	M,max [kN m/m]	M,min [kN m/m]
Plate_2_13	20494	1	-5,500	-7,615	-112,324	-116,389	0,000	30,939	0,000	45,837	-157,078	-157,249	3,095
Element 24-35 (Plate)	20495	2	-5,500	-7,630	-112,528	-116,589	0,000	31,627	0,000	46,422	-156,621	-156,793	3,181
(Parete c.a.C32/40 sp.0.50m)	20496	3	-5,500	-7,645	-112,729	-116,787	0,000	32,306	0,000	47,001	-156,154	-156,326	3,268
28	20497	4	-5,500	-7,659	-112,929	-116,982	0,000	32,979	0,000	47,575	-155,677	-155,849	3,356
28	21176	5	-5,500	-7,674	-113,127	-117,177	0,000	33,648	0,000	48,147	-155,190	-155,363	3,446
Plate_2_14	21176	1	-5,500	-7,674	-113,119	-117,170	0,000	33,623	0,000	48,068	-155,190	-155,363	3,446
Element 26-38 (Plate)	21177	2	-5,500	-7,755	-114,179	-118,206	0,000	37,178	0,000	51,415	-152,303	-152,476	3,968
(Parete c.a.C32/40 sp.0.50m)	21178	3	-5,500	-7,837	-115,126	-119,133	0,000	40,353	0,000	54,515	-149,136	-149,311	4,528
28	21179	4	-5,500	-7,918	-115,919	-119,912	0,000	43,012	0,000	57,211	-145,734	-145,909	5,127
28	21766	5	-5,500	-8,000	-116,517	-120,501	0,000	45,017	0,000	59,344	-142,140	-142,316	5,761
Plate_3_1	21766	1	-5,500	-8,000	-152,826	-156,261	85,010	27,561	0,000	54,249	-142,140	-142,316	5,761
Element 27-39 (Plate)	21767	2	-5,500	-8,058	-153,590	-157,011	85,010	29,295	0,000	54,656	-140,506	-140,679	6,154
(Micropali D168.3x10.0/0,27m)	21768	3	-5,500	-8,115	-154,670	-158,074	85,010	31,744	0,000	55,451	-138,745	-138,915	6,575
28	21769	4	-5,500	-8,173	-155,895	-159,283	85,010	34,524	0,000	56,748	-136,837	-137,003	7,024
28	22356	5	-5,500	-8,231	-157,096	-160,469	85,010	37,248	0,000	58,662	-134,765	-134,928	7,502
Plate_3_1	22356	1	-5,500	-8,231	-157,141	-160,513	85,010	37,349	0,000	58,518	-134,765	-134,928	7,502
Element 27-40 (Plate)	22357	2	-5,500	-8,288	-158,209	-161,567	85,010	39,771	0,000	60,401	-132,539	-132,699	8,018
(Micropali D168.3x10.0/0,27m)	22358	3	-5,500	-8,346	-159,172	-162,518	85,010	41,957	0,000	62,373	-130,182	-130,338	8,585
28	22359	4	-5,500	-8,404	-160,105	-163,439	85,010	44,073	0,000	64,413	-127,699	-127,852	9,196
28	22779	5	-5,500	-8,461	-161,079	-164,401	85,010	46,282	0,000	66,500	-125,095	-125,244	9,843
Plate_3_2	22779	1	-5,500	-8,461	-161,088	-164,410	85,010	46,304	0,000	66,469	-125,095	-125,244	9,843
Element 28-41 (Plate)	22780	2	-5,500	-8,471	-161,255	-164,574	85,010	46,681	0,000	66,790	-124,647	-124,795	9,954
(Micropali D168.3x10.0/0,27m)	22781	3	-5,500	-8,481	-161,424	-164,742	85,010	47,066	0,000	67,102	-124,196	-124,342	10,065
28	22782	4	-5,500	-8,490	-161,595	-164,911	85,010	47,454	0,000	67,396	-123,740	-123,886	10,177
28	23191	5	-5,500	-8,500	-161,766	-165,079	85,010	47,842	0,000	67,664	-123,281	-123,426	10,289
Plate_3_3	23191	1	-5,500	-8,500	-161,744	-165,057	84,892	47,791	0,000	67,328	-123,281	-123,426	10,289
Element 29-42 (Plate)	23194	2	-5,500	-8,550	-162,421	-165,724	91,509	49,326	0,000	63,464	-120,879	-121,021	10,795
(Micropali D168.3x10.0/0,27m)	23193	3	-5,500	-8,599	-163,240	-166,532	97,224	51,185	0,000	61,596	-118,392	-118,529	11,214
28	23192	4	-5,500	-8,649	-164,185	-167,462	102,239	53,328	0,000	63,082	-115,805	-115,939	11,531
28	23453	5	-5,500	-8,698	-165,237	-168,497	106,758	55,714	0,000	64,783	-113,108	-113,237	12,587
Plate_3_3	23453	1	-5,500	-8,698	-165,415	-168,672	106,566	56,118	-0,105	65,692	-113,108	-113,237	12,587
Element 29-43 (Plate)	23456	2	-5,500	-8,891	-169,126	-172,312	125,986	64,537	-3,944	68,445	-101,514	-101,622	16,661
(Micropali D168.3x10.0/0,27m)	23455	3	-5,500	-9,084	-173,849	-176,934	144,433	75,251	-6,665	75,838	-88,007	-88,088	19,634
28	23454	4	-5,500	-9,278	-178,986	-181,946	161,973	86,905	-7,738	87,663	-72,370	-72,420	21,016
28	23981	5	-5,500	-9,471	-183,941	-186,757	178,673	98,144	-8,428	99,097	-54,468	-54,481	22,593
Plate_3_4	23981	1	-5,500	-9,471	-183,086	-186,027	178,803	96,214	-9,602	97,396	-54,468	-54,481	22,593
Element 31-45 (Plate)	23984	2	-5,500	-9,779	-184,251	-187,061	205,138	98,849	-10,015	99,638	-24,268	-24,268	35,101
(Micropali D168.3x10.0/0,27m)	23983	3	-5,500	-10,087	-184,367	-187,207	230,772	99,120	-9,678	100,124	6,127	0,000	47,322
28	23982	4	-5,500	-10,395	-185,100	-187,980	255,552	100,827	-12,687	102,178	36,965	0,000	60,561
28	24131	5	-5,500	-10,703	-188,116	-190,914	279,325	107,766	-18,095	109,031	68,854	0,000	77,849
Plate_3_5	24131	1	-5,500	-10,703	-185,038	-188,389	279,048	100,974	-20,990	103,372	68,854	0,000	77,849
Element 33-48 (Plate)	24134	2	-5,500	-10,961	-171,030	-173,635	297,632	70,012	-32,086	70,541	90,843	0,000	93,205
(Micropali D168.3x10.0/0,27m)	24133	3	-5,500	-11,218	-156,585	-158,746	316,021	39,578	-47,765	39,578	104,996	0,000	106,640
28	24132	4	-5,500	-11,476	-141,218	-143,515	334,181	8,527	-58,710	8,527	111,193	0,000	111,765
28	24149	5	-5,500	-11,734	-124,444	-127,878	352,079	-24,285	-67,048	0,015	109,225	0,000	109,225
Plate_3_5	24149	1	-5,500	-11,734	-125,669	-127,459	351,813	-21,276	-66,448	0,016	109,225	0,000	109,225
Element 33-49 (Plate)	24152	2	-5,500	-12,008	-108,728	-116,374	370,320	-53,930	-66,790	0,009	98,499	0,000	98,499
(Micropali D168.3x10.0/0,27m)	24151	3	-5,500	-12,281	-98,594	-113,129	387,347	-69,756	-72,519	0,003	81,275	0,000	81,275
28	24150	4	-5,500	-12,555	-93,807	-113,596	402,755	-71,067	-71,569	0,000	61,631	-0,030	61,631
28	24480	5	-5,500	-12,829	-92,905	-116,324	416,402	-60,172	-60,172	0,029	43,452	-0,034	43,452
Plate_3_5	24480	1	-5,500	-12,829	-92,061	-115,343	415,758	-62,901	-62,901	0,040	43,452	-0,034	43,452
Element 33-50 (Plate)	24479	2	-5,500	-13,119	-90,653	-115,895	427,232	-52,041	-52,041	0,080	26,773	-0,752	26,773
(Micropali D168.3x10.0/0,27m)	24478	3	-5,500	-13,410	-90,126	-115,067	433,798	-41,739	-41,739	0,094	13,139	-1,185	14,432

Structural element	Node [10 ^]	Local number	X [m]	Y [m]	N [kN/m]	N ⊥⊥ [kN/m]	N ⊥⊥ [10 ^ kN/m]	Q [kN/m]	Q ⊥⊥ [kN/m]	Q ⊥⊥ [kN/m]	M [kN m/m]	M ⊥⊥ [kN m/m]	M ⊥⊥ [kN m/m]
🖹	24477	4	-5,500	-13,701	-90,700	-112,844	435,232	-31,620	-32,144	0,244	2,485	-1,279	6,863
🖹	24685	5	-5,500	-13,991	-92,592	-109,209	431,313	-21,308	-23,881	0,623	-5,220	-8,734	2,866
Plate_3_6	24685	1	-5,500	-13,991	-90,347	-109,058	430,352	-25,821	-27,704	0,710	-5,220	-8,734	2,866
Element 34-51 (Plate)	24688	2	-5,500	-14,292	-100,357	-104,446	418,819	-0,126	-11,208	0,964	-8,606	-13,197	0,131
(Micropali D168.3x10.0/0,27m)	24687	3	-5,500	-14,593	-103,205	-103,205	397,289	9,239	-6,754	9,256	-7,007	-14,072	0,181
🖹	24686	4	-5,500	-14,895	-100,537	-100,537	365,484	6,555	-5,412	8,237	-4,249	-13,442	0,223
🖹	25013	5	-5,500	-15,196	-93,997	-93,997	323,126	-3,896	-3,936	1,655	-3,765	-12,517	0,244
Plate_3_6	25013	1	-5,500	-15,196	-87,124	-87,124	322,196	-3,323	-3,867	1,611	-3,765	-12,517	0,244
Element 34-52 (Plate)	25017	2	-5,500	-15,497	-76,799	-76,799	266,023	1,984	-0,642	9,885	-3,849	-10,709	0,252
(Micropali D168.3x10.0/0,27m)	25016	3	-5,500	-15,798	-65,658	-65,658	194,361	4,175	-0,386	13,904	-2,909	-6,976	0,255
🖹	25015	4	-5,500	-16,099	-47,670	-47,670	106,838	4,793	-0,415	12,661	-1,492	-2,863	0,188
🖹	25014	5	-5,500	-16,400	-16,805	-16,805	996,118	5,379	-0,824	5,379	0,000	0,000	0,000

3.1.2.4.32 Calculation results, Plate, SLD [Phase_38] (38/1178), Table of plate force envelopes

Structural element	Node [10⁺]	Local number	X [m]	Y [m]	N [kN/m]	N -·- [kN/m]	N ··- [kN/m]	Q [kN/m]	Q -·- [kN/m]	Q ··- [kN/m]	M [kN m/m]	M -·- [kN m/m]	M ··- [kN m/m]
Plate_2_1	15336	1	-5,500	0,000	0,019	-0,001	0,019	-0,048	-0,048	0,003	0,000	0,000	0,000
Element 1-1 (Plate)	15335	2	-5,500	-0,070	-0,182	-0,182	0,000	0,473	0,000	0,473	0,014	0,000	0,014
(Parete c.a.C32/40 sp.0.50m)	15334	3	-5,500	-0,141	-0,455	-0,455	0,000	1,177	0,000	1,177	0,071	0,000	0,071
28	15333	4	-5,500	-0,211	-0,791	-0,791	0,000	2,042	0,000	2,042	0,183	0,000	0,183
28	15350	5	-5,500	-0,281	-1,181	-1,181	0,000	3,047	0,000	3,047	0,361	0,000	0,361
Plate_2_1	15350	1	-5,500	-0,281	-1,175	-1,175	0,000	3,032	0,000	3,032	0,361	0,000	0,361
Element 1-2 (Plate)	15349	2	-5,500	-0,336	-1,496	-1,496	0,000	3,860	0,000	3,860	0,550	0,000	0,550
(Parete c.a.C32/40 sp.0.50m)	15348	3	-5,500	-0,391	-1,834	-1,834	0,000	4,728	0,000	4,728	0,784	0,000	0,784
28	15347	4	-5,500	-0,445	-2,186	-2,186	0,000	5,634	0,000	5,634	1,067	0,000	1,067
28	15361	5	-5,500	-0,500	-2,553	-2,553	0,000	6,578	0,000	6,578	1,401	0,000	1,401
Plate_2_2	15361	1	-5,500	-0,500	-2,553	-2,553	0,000	6,578	0,000	6,578	1,401	0,000	1,401
Element 3-4 (Plate)	15364	2	-5,500	-0,525	-2,725	-2,725	0,000	7,021	0,000	7,021	1,571	0,000	1,571
(Parete c.a.C32/40 sp.0.50m)	15363	3	-5,500	-0,550	-2,900	-2,900	0,000	7,472	0,000	7,472	1,752	0,000	1,752
28	15362	4	-5,500	-0,575	-3,079	-3,079	0,000	7,931	0,000	7,931	1,944	0,000	1,944
28	15405	5	-5,500	-0,600	-3,259	-3,259	0,000	8,396	0,000	8,396	2,148	0,000	2,148
Plate_2_3	15405	1	-5,500	-0,600	-15,400	-15,400	0,000	-65,798	-65,798	0,000	2,148	0,000	2,148
Element 4-5 (Plate)	15408	2	-5,500	-0,644	-15,725	-15,725	0,000	-64,963	-64,963	0,000	-0,718	-0,877	0,000
(Parete c.a.C32/40 sp.0.50m)	15407	3	-5,500	-0,688	-16,058	-16,058	0,000	-64,106	-64,106	0,000	-3,549	-3,549	0,000
28	15406	4	-5,500	-0,732	-16,400	-16,400	0,000	-63,228	-63,228	0,000	-6,342	-6,342	0,000
28	15419	5	-5,500	-0,775	-16,749	-16,749	0,000	-62,329	-62,329	0,000	-9,095	-9,095	0,000
Plate_2_3	15419	1	-5,500	-0,775	-16,749	-16,749	0,000	-62,331	-62,331	0,000	-9,095	-9,095	0,000
Element 4-6 (Plate)	15422	2	-5,500	-0,834	-17,231	-17,231	0,000	-61,092	-61,092	0,000	-12,730	-12,730	0,000
(Parete c.a.C32/40 sp.0.50m)	15421	3	-5,500	-0,893	-17,723	-17,723	0,000	-59,826	-59,826	0,000	-16,293	-16,293	0,000
28	15420	4	-5,500	-0,952	-18,226	-18,226	0,000	-58,535	-58,535	0,000	-19,780	-19,780	0,000
28	15479	5	-5,500	-1,011	-18,737	-18,737	0,000	-57,221	-57,221	0,000	-23,189	-23,189	0,000
Plate_2_4	15479	1	-5,500	-1,011	-18,713	-18,713	0,000	-57,281	-57,281	0,000	-23,189	-23,189	0,000
Element 6-8 (Plate)	15482	2	-5,500	-1,096	-19,491	-19,491	0,000	-55,282	-55,282	0,000	-27,952	-27,952	0,000
(Parete c.a.C32/40 sp.0.50m)	15481	3	-5,500	-1,180	-20,319	-20,319	0,000	-53,156	-53,156	0,000	-32,542	-32,542	0,000
28	15480	4	-5,500	-1,265	-21,187	-21,187	0,000	-50,925	-50,925	0,000	-36,948	-36,948	0,000
28	16393	5	-5,500	-1,350	-22,090	-22,090	0,000	-48,608	-48,608	0,000	-41,159	-41,159	0,000
Plate_2_4	16393	1	-5,500	-1,350	-22,080	-22,080	0,000	-48,633	-48,633	0,000	-41,159	-41,159	0,000
Element 6-9 (Plate)	16396	2	-5,500	-1,519	-23,913	-23,913	0,000	-43,924	-43,924	0,000	-49,015	-49,015	0,000
(Parete c.a.C32/40 sp.0.50m)	16395	3	-5,500	-1,689	-25,750	-25,750	0,000	-39,207	-39,207	0,000	-56,075	-56,075	0,000
28	16394	4	-5,500	-1,859	-27,585	-27,585	0,000	-34,494	-34,494	0,000	-62,334	-62,334	0,000
28	16427	5	-5,500	-2,029	-29,413	-29,413	0,000	-29,799	-29,799	0,000	-67,791	-67,791	0,000
Plate_2_5	16427	1	-5,500	-2,029	-29,406	-29,406	0,002	-29,816	-29,816	0,006	-67,791	-67,791	0,000
Element 9-12 (Plate)	16430	2	-5,500	-2,147	-30,681	-30,681	0,001	-26,542	-26,568	0,071	-71,109	-71,109	0,004
(Parete c.a.C32/40 sp.0.50m)	16429	3	-5,500	-2,264	-31,942	-31,942	0,000	-23,302	-23,477	0,174	-74,046	-74,046	0,018
28	16428	4	-5,500	-2,382	-33,195	-33,195	0,000	-20,085	-20,432	0,317	-76,602	-76,602	0,046
28	17049	5	-5,500	-2,500	-34,441	-34,441	0,000	-16,884	-17,421	0,511	-78,778	-78,778	0,095
Plate_2_6	17049	1	-5,500	-2,500	-34,431	-34,431	0,000	-16,909	-17,447	0,448	-78,778	-78,778	0,095
Element 11-15 (Plate)	17052	2	-5,500	-2,666	-36,257	-36,257	0,000	-12,220	-13,053	1,204	-81,198	-81,198	0,219
(Parete c.a.C32/40 sp.0.50m)	17051	3	-5,500	-2,832	-38,054	-38,054	0,000	-7,604	-8,731	2,379	-82,844	-82,844	0,439
28	17050	4	-5,500	-2,999	-39,824	-39,824	0,000	-3,056	-4,983	3,554	-83,729	-83,729	0,748
28	17279	5	-5,500	-3,165	-41,570	-41,570	0,000	1,429	-2,506	5,806	-83,864	-83,864	1,142
Plate_2_6	17279	1	-5,500	-3,165	-41,566	-41,566	0,000	1,419	-2,518	5,793	-83,864	-83,864	1,142
Element 11-16 (Plate)	17282	2	-5,500	-3,375	-43,719	-43,719	0,000	6,949	0,000	8,614	-82,988	-82,988	1,775

Structural element	Node [10^3]	Local number	X [m]	Y [m]	N [kN/m]	N,max [kN/m]	N,min [kN/m]	Q [kN/m]	Q,max [kN/m]	Q,min [kN/m]	M [kN m/m]	M,max [kN m/m]	M,min [kN m/m]
(Parete c.a.C32/40 sp.0.50m)	17281	3	-5,500	-3,585	-45,930	-45,930	0,000	12,630	0,000	12,630	-80,935	-80,997	2,617
〃	17280	4	-5,500	-3,795	-48,209	-48,209	0,000	18,482	0,000	18,482	-77,671	-78,116	3,727
〃	17305	5	-5,500	-4,005	-50,563	-50,563	0,000	24,528	0,000	24,528	-73,160	-74,142	5,161
Plate_2_7	17305	1	-5,500	-4,005	-50,565	-50,565	0,000	24,535	0,000	24,535	-73,160	-74,142	5,161
Element 13-18 (Plate)	17308	2	-5,500	-4,154	-52,283	-52,283	0,000	28,947	0,000	28,947	-69,182	-70,584	6,399
(Parete c.a.C32/40 sp.0.50m)	17307	3	-5,500	-4,302	-54,038	-54,038	0,000	33,452	0,000	33,452	-64,539	-66,400	7,839
〃	17306	4	-5,500	-4,451	-55,831	-55,831	0,000	38,054	0,000	38,054	-59,218	-61,652	9,492
〃	18049	5	-5,500	-4,600	-57,663	-57,663	0,000	42,759	0,000	42,759	-53,208	-56,252	11,369
Plate_2_8	18049	1	-5,500	-4,600	-76,323	-76,323	0,000	-71,682	-71,682	0,000	-53,208	-56,252	11,369
Element 15-22 (Plate)	18052	2	-5,500	-4,837	-79,328	-79,328	0,000	-63,969	-63,969	0,000	-69,310	-71,193	3,651
(Parete c.a.C32/40 sp.0.50m)	18051	3	-5,500	-5,075	-82,250	-82,250	0,000	-56,470	-56,470	0,000	-83,605	-84,595	0,000
〃	18050	4	-5,500	-5,312	-85,029	-85,029	0,000	-49,335	-49,335	0,000	-96,167	-96,455	0,000
〃	18123	5	-5,500	-5,550	-87,607	-87,607	0,000	-42,716	-42,716	0,000	-107,081	-107,081	0,000
Plate_2_8	18123	1	-5,500	-5,550	-87,727	-87,727	0,000	-42,409	-42,409	0,000	-107,081	-107,081	0,000
Element 15-23 (Plate)	18126	2	-5,500	-5,664	-89,149	-89,149	0,000	-38,759	-38,759	0,000	-111,718	-111,718	0,000
(Parete c.a.C32/40 sp.0.50m)	18125	3	-5,500	-5,779	-90,610	-90,609	0,000	-35,012	-35,012	0,000	-115,938	-115,938	0,000
〃	18124	4	-5,500	-5,893	-92,166	-92,166	0,000	-31,018	-31,018	0,000	-119,714	-119,714	0,000
〃	18147	5	-5,500	-6,007	-93,879	-93,879	0,000	-26,624	-26,624	0,000	-123,012	-123,012	0,000
Plate_2_9	18147	1	-5,500	-6,007	-93,786	-93,786	0,006	-26,863	-26,863	0,011	-123,012	-123,012	0,000
Element 18-26 (Plate)	18150	2	-5,500	-6,085	-94,983	-94,983	0,000	-23,792	-23,792	0,033	-124,991	-124,991	0,001
(Parete c.a.C32/40 sp.0.50m)	18149	3	-5,500	-6,163	-96,148	-96,148	0,000	-20,803	-20,803	0,074	-126,733	-126,733	0,005
〃	18148	4	-5,500	-6,242	-97,291	-97,291	0,000	-17,873	-17,873	0,129	-128,245	-128,245	0,013
〃	18851	5	-5,500	-6,320	-98,420	-98,420	0,000	-14,976	-14,976	0,222	-129,528	-129,528	0,025
Plate_2_9	18851	1	-5,500	-6,320	-98,434	-98,434	0,000	-14,940	-14,940	0,211	-129,528	-129,528	0,025
Element 18-27 (Plate)	18854	2	-5,500	-6,365	-99,110	-99,110	0,000	-13,207	-13,207	0,266	-130,162	-130,162	0,035
(Parete c.a.C32/40 sp.0.50m)	18853	3	-5,500	-6,410	-99,804	-99,804	0,000	-11,425	-11,425	0,488	-130,718	-130,718	0,049
〃	18852	4	-5,500	-6,455	-100,518	-100,518	0,000	-9,594	-9,594	1,867	-131,192	-131,192	0,066
〃	18891	5	-5,500	-6,500	-101,251	-101,251	0,000	-7,715	-7,715	3,297	-131,582	-131,582	0,087
Plate_2_10	18891	1	-5,500	-6,500	-101,249	-101,249	0,000	-7,721	-7,721	3,291	-131,582	-131,582	0,087
Element 20-29 (Plate)	18894	2	-5,500	-6,549	-102,090	-102,090	0,000	-5,562	-5,562	4,964	-131,907	-131,907	0,114
(Parete c.a.C32/40 sp.0.50m)	18893	3	-5,500	-6,598	-102,956	-102,956	0,000	-3,342	-4,225	6,701	-132,125	-132,125	0,148
〃	18892	4	-5,500	-6,647	-103,841	-103,841	0,000	-1,072	-3,117	8,490	-132,234	-132,234	0,188
〃	18915	5	-5,500	-6,696	-104,740	-104,740	0,000	1,233	-2,010	10,319	-132,230	-132,230	0,234
Plate_2_11	18915	1	-5,500	-6,696	-104,748	-104,748	0,000	1,253	-1,979	10,340	-132,230	-132,230	0,234
Element 22-31 (Plate)	18918	2	-5,500	-6,750	-105,641	-105,641	0,000	3,543	-0,909	12,112	-132,100	-132,100	0,290
(Parete c.a.C32/40 sp.0.50m)	18917	3	-5,500	-6,804	-106,482	-106,482	0,000	5,703	0,000	13,762	-131,851	-131,851	0,353
〃	18916	4	-5,500	-6,857	-107,308	-107,308	0,000	7,822	0,000	15,379	-131,487	-131,487	0,426
〃	19683	5	-5,500	-6,911	-108,154	-108,154	0,000	9,991	0,000	17,056	-131,008	-131,008	0,512
Plate_2_11	19683	1	-5,500	-6,911	-108,156	-108,156	0,000	9,998	0,000	17,064	-131,008	-131,008	0,512
Element 22-32 (Plate)	19686	2	-5,500	-6,963	-109,042	-109,042	0,000	12,269	0,000	18,878	-130,437	-130,437	0,608
(Parete c.a.C32/40 sp.0.50m)	19685	3	-5,500	-7,014	-109,956	-109,956	0,000	14,613	0,000	20,778	-129,747	-129,747	0,718
〃	19684	4	-5,500	-7,065	-110,898	-110,898	0,000	17,031	0,000	22,769	-128,935	-128,935	0,843
〃	19717	5	-5,500	-7,117	-111,872	-111,872	0,000	19,527	0,000	24,855	-127,997	-127,997	0,984
Plate_2_11	19717	1	-5,500	-7,117	-111,861	-111,861	0,000	19,501	0,000	24,830	-127,997	-127,997	0,984
Element 22-33 (Plate)	19718	2	-5,500	-7,166	-112,793	-112,793	0,000	21,890	0,000	26,848	-126,983	-126,983	1,133
(Parete c.a.C32/40 sp.0.50m)	19719	3	-5,500	-7,215	-113,707	-113,707	0,000	24,236	0,000	28,845	-125,853	-125,853	1,295
〃	19720	4	-5,500	-7,264	-114,605	-114,605	0,000	26,538	0,000	30,823	-124,608	-124,608	1,468
〃	20458	5	-5,500	-7,313	-115,484	-115,484	0,000	28,795	0,000	32,779	-123,253	-123,253	1,650
Plate_2_12	20458	1	-5,500	-7,313	-115,478	-115,478	0,000	28,777	0,000	32,765	-123,253	-123,253	1,650
Element 23-34 (Plate)	20461	2	-5,500	-7,388	-116,912	-116,912	0,000	32,456	0,000	36,017	-120,936	-120,936	1,953
(Parete c.a.C32/40 sp.0.50m)	20460	3	-5,500	-7,464	-118,333	-118,333	0,000	36,101	0,000	39,317	-118,339	-118,339	2,292
〃	20459	4	-5,500	-7,540	-119,723	-119,723	0,000	39,667	0,000	42,714	-115,470	-115,470	2,671
〃	20494	5	-5,500	-7,615	-121,065	-121,065	0,000	43,109	0,000	46,223	-112,336	-112,336	3,095

Structural element	Node [10 ˆ]	Local number	X [m]	Y [m]	N [kN/m]	N ⎓ [kN/m]	N ⎓ [kN/m]	Q [kN/m]	Q ⎓ [kN/m]	Q ⎓ [kN/m]	M [kN m/m]	M ⎓ [kN m/m]	M ⎓ [kN m/m]
Plate_2_13	20494	1	-5,500	-7,615	-121,047	-121,047	0,000	43,064	0,000	46,173	-112,336	-112,336	3,095
Element 24-35 (Plate)	20495	2	-5,500	-7,630	-121,286	-121,286	0,000	43,679	0,000	46,798	-111,702	-111,702	3,181
(Parete c.a.C32/40 sp.0.50m)	20496	3	-5,500	-7,645	-121,524	-121,524	0,000	44,287	0,000	47,416	-111,059	-111,059	3,268
⎓	20497	4	-5,500	-7,659	-121,759	-121,759	0,000	44,891	0,000	48,028	-110,407	-110,407	3,356
⎓	21176	5	-5,500	-7,674	-121,993	-121,993	0,000	45,492	0,000	48,638	-109,747	-109,747	3,446
Plate_2_14	21176	1	-5,500	-7,674	-121,951	-121,951	0,000	45,385	0,000	48,539	-109,747	-109,747	3,446
Element 26-38 (Plate)	21177	2	-5,500	-7,755	-123,333	-123,333	0,000	48,931	0,000	52,125	-105,902	-105,902	3,968
(Parete c.a.C32/40 sp.0.50m)	21178	3	-5,500	-7,837	-124,588	-124,588	0,000	52,152	0,000	55,406	-101,775	-101,775	4,528
⎓	21179	4	-5,500	-7,918	-125,643	-125,643	0,000	54,858	0,000	58,200	-97,408	-97,408	5,127
⎓	21766	5	-5,500	-8,000	-126,423	-126,423	0,000	56,864	0,000	60,361	-92,848	-92,848	5,761
Plate_3_1	21766	1	-5,500	-8,000	-153,685	-153,685	0,085	44,131	0,000	54,249	-92,848	-92,848	5,761
Element 27-39 (Plate)	21767	2	-5,500	-8,058	-154,052	-154,052	0,085	44,773	0,000	54,656	-90,287	-90,287	6,154
(Micropali D168.3x10.0/0,27m)	21768	3	-5,500	-8,115	-154,752	-154,752	0,085	45,989	0,000	55,451	-87,671	-87,671	6,575
⎓	21769	4	-5,500	-8,173	-155,727	-155,727	0,085	47,681	0,000	56,748	-84,972	-84,972	7,024
⎓	22356	5	-5,500	-8,231	-156,919	-156,919	0,085	49,747	0,000	58,662	-82,164	-82,164	7,502
Plate_3_1	22356	1	-5,500	-8,231	-156,925	-156,925	0,085	49,757	0,000	58,518	-82,164	-82,164	7,502
Element 27-40 (Plate)	22357	2	-5,500	-8,288	-158,278	-158,278	0,085	52,104	0,000	60,401	-79,226	-79,226	8,018
(Micropali D168.3x10.0/0,27m)	22358	3	-5,500	-8,346	-159,603	-159,603	0,085	54,401	0,000	62,373	-76,154	-76,154	8,585
⎓	22359	4	-5,500	-8,404	-160,920	-160,920	0,085	56,684	0,000	64,413	-72,949	-72,949	9,196
⎓	22779	5	-5,500	-8,461	-162,250	-162,250	0,085	58,991	0,000	66,500	-69,614	-69,614	9,843
Plate_3_2	22779	1	-5,500	-8,461	-162,247	-162,247	0,085	58,985	0,000	66,469	-69,614	-69,614	9,843
Element 28-41 (Plate)	22780	2	-5,500	-8,471	-162,450	-162,450	0,085	59,338	0,000	66,790	-69,044	-69,044	9,954
(Micropali D168.3x10.0/0,27m)	22781	3	-5,500	-8,481	-162,653	-162,653	0,085	59,690	0,000	67,102	-68,471	-68,471	10,065
⎓	22782	4	-5,500	-8,490	-162,853	-162,853	0,085	60,038	0,000	67,396	-67,893	-67,893	10,177
⎓	23191	5	-5,500	-8,500	-163,049	-163,049	0,085	60,377	0,000	67,664	-67,313	-67,313	10,289
Plate_3_3	23191	1	-5,500	-8,500	-162,958	-162,958	0,085	60,220	0,000	67,328	-67,313	-67,313	10,289
Element 29-42 (Plate)	23194	2	-5,500	-8,550	-163,786	-163,786	0,092	61,656	0,000	65,088	-64,297	-64,297	10,795
(Micropali D168.3x10.0/0,27m)	23193	3	-5,500	-8,599	-164,630	-164,630	0,097	63,122	0,000	65,662	-61,208	-61,208	11,214
⎓	23192	4	-5,500	-8,649	-165,522	-165,522	0,102	64,670	0,000	66,272	-58,045	-58,045	11,531
⎓	23453	5	-5,500	-8,698	-166,489	-166,489	0,107	66,351	0,000	67,051	-54,803	-54,803	12,587
Plate_3_3	23453	1	-5,500	-8,698	-166,677	-166,677	0,107	66,675	-0,105	67,187	-54,803	-54,803	12,587
Element 29-43 (Plate)	23456	2	-5,500	-8,891	-170,013	-170,013	0,126	72,473	-3,944	72,473	-41,435	-41,435	16,661
(Micropali D168.3x10.0/0,27m)	23455	3	-5,500	-9,084	-174,677	-174,677	0,144	80,567	-6,665	80,567	-26,628	-26,628	19,634
⎓	23454	4	-5,500	-9,278	-179,510	-179,510	0,162	88,949	-7,738	88,949	-10,277	-10,277	21,016
⎓	23981	5	-5,500	-9,471	-183,354	-183,354	0,179	95,609	-8,428	95,609	7,609	0,000	22,930
Plate_3_4	23981	1	-5,500	-9,471	-182,006	-182,006	0,179	93,289	-9,602	93,289	7,609	0,000	22,930
Element 31-45 (Plate)	23984	2	-5,500	-9,779	-171,653	-171,653	0,205	75,352	-10,015	75,352	34,032	0,000	36,587
(Micropali D168.3x10.0/0,27m)	23983	3	-5,500	-10,087	-156,228	-156,228	0,231	48,667	-9,678	48,667	52,983	0,000	52,983
⎓	23982	4	-5,500	-10,395	-140,734	-140,734	0,256	21,854	-11,987	21,854	64,011	0,000	64,011
⎓	24131	5	-5,500	-10,703	-130,170	-130,170	0,279	3,534	-16,647	3,534	67,474	0,000	67,474
Plate_3_5	24131	1	-5,500	-10,703	-126,591	-126,591	0,279	-7,237	-20,177	0,020	67,474	0,000	67,474
Element 33-48 (Plate)	24134	2	-5,500	-10,961	-117,312	-117,312	0,298	-34,884	-34,884	0,026	61,699	0,000	61,699
(Micropali D168.3x10.0/0,27m)	24133	3	-5,500	-11,218	-111,785	-111,785	0,316	-48,113	-48,113	0,026	50,760	0,000	50,760
⎓	24132	4	-5,500	-11,476	-109,848	-109,848	0,334	-48,774	-48,774	0,022	37,976	0,000	37,976
⎓	24149	5	-5,500	-11,734	-111,341	-111,341	0,352	-38,721	-38,721	0,015	26,516	0,000	26,516
Plate_3_5	24149	1	-5,500	-11,734	-110,469	-110,469	0,352	-41,461	-41,461	0,016	26,516	0,000	26,516
Element 33-49 (Plate)	24152	2	-5,500	-12,008	-112,800	-112,800	0,370	-31,423	-31,423	0,009	16,565	0,000	16,565
(Micropali D168.3x10.0/0,27m)	24151	3	-5,500	-12,281	-114,580	-114,580	0,387	-22,487	-22,487	0,003	9,220	0,000	9,220
⎓	24150	4	-5,500	-12,555	-115,653	-115,653	0,403	-14,864	-14,864	0,000	4,133	-0,030	4,133
⎓	24480	5	-5,500	-12,829	-115,865	-115,865	0,416	-8,768	-8,768	0,029	0,940	-0,203	0,940
Plate_3_5	24480	1	-5,500	-12,829	-115,825	-115,825	0,416	-8,724	-8,724	0,040	0,940	-0,203	0,940
Element 33-50 (Plate)	24479	2	-5,500	-13,119	-114,752	-114,752	0,427	-4,542	-4,542	0,080	-0,953	-1,178	0,142
(Micropali D168.3x10.0/0,27m)	24478	3	-5,500	-13,410	-112,644	-112,644	0,434	-1,685	-1,685	0,094	-1,830	-1,830	0,104

Structural element	Node [10 ˚]	Local number	X [m]	Y [m]	N [kN/m]	N ⊥⊥ [kN/m]	N ⊥⊥ [kN/m]	Q [kN/m]	Q ⊥⊥ [kN/m]	Q ⊥⊥ [kN/m]	M [kN m/m]	M ⊥⊥ [kN m/m]	M ⊥⊥ [kN m/m]
🔗	24477	4	-5,500	-13,701	-109,524	-109,524	0,435	-0,042	-0,042	0,190	-2,050	-2,050	0,100
🔗	24685	5	-5,500	-13,991	-105,412	-105,412	0,431	0,495	-0,019	0,538	-1,960	-1,960	0,095
Plate_3_6	24685	1	-5,500	-13,991	-105,402	-105,402	0,430	0,659	-0,019	0,659	-1,960	-1,960	0,095
Element 34-51 (Plate)	24688	2	-5,500	-14,292	-100,216	-100,216	0,419	0,722	-0,024	0,838	-1,736	-1,736	0,131
(Micropali D168.3x10.0/0,27m)	24687	3	-5,500	-14,593	-93,913	-93,913	0,397	0,340	-0,031	0,560	-1,574	-1,574	0,181
🔗	24686	4	-5,500	-14,895	-86,597	-86,597	0,365	-0,270	-0,270	0,291	-1,554	-1,554	0,223
🔗	25013	5	-5,500	-15,196	-78,369	-78,369	0,323	-0,891	-1,433	0,108	-1,734	-1,734	0,244
Plate_3_6	25013	1	-5,500	-15,196	-78,212	-78,212	0,322	-0,043	-1,261	0,113	-1,734	-1,734	0,244
Element 34-52 (Plate)	25017	2	-5,500	-15,497	-57,930	-57,930	0,266	0,430	-0,289	0,430	-1,740	-1,772	0,252
(Micropali D168.3x10.0/0,27m)	25016	3	-5,500	-15,798	-37,688	-37,748	0,194	1,852	-0,240	1,938	-1,353	-1,396	0,255
🔗	25015	4	-5,500	-16,099	-17,746	-18,179	0,107	2,656	-0,415	2,749	-0,687	-0,698	0,188
🔗	25014	5	-5,500	-16,400	1,637	-0,180	1,637	1,274	-0,826	2,199	0,000	0,000	0,000

3.1.2.4.33 Calculation results, Plate, q rullo [Phase_37] (37/1187), Table of plate force envelopes

Structural element	Node [10⁰]	Local number	X [m]	Y [m]	N [kN/m]	N₋₋ [kN/m]	N₊₊ [kN/m]	Q [kN/m]	Q₋₋ [kN/m]	Q₊₊ [kN/m]	M [kN m/m]	M₋₋ [kN m/m]	M₊₊ [kN m/m]
Plate_2_1	15336	1	-5,500	0,000	0,007	-0,003	0,007	-0,018	-0,018	0,007	0,000	0,000	0,000
Element 1-1 (Plate)	15335	2	-5,500	-0,070	-0,017	-0,017	0,000	0,144	0,000	0,144	0,003	0,000	0,003
(Parete c.a.C32/40 sp.0.50m)	15334	3	-5,500	-0,141	-0,045	-0,045	0,000	0,510	0,000	0,510	0,025	0,000	0,025
28	15333	4	-5,500	-0,211	-0,073	-0,073	0,000	1,077	0,000	1,077	0,080	0,000	0,080
29	15350	5	-5,500	-0,281	-0,103	-0,103	0,000	1,844	0,000	1,844	0,181	0,000	0,181
Plate_2_1	15350	1	-5,500	-0,281	-0,100	-0,100	0,000	1,837	0,000	1,837	0,181	0,000	0,181
Element 1-2 (Plate)	15349	2	-5,500	-0,336	-0,131	-0,131	0,000	2,591	0,000	2,591	0,302	0,000	0,302
(Parete c.a.C32/40 sp.0.50m)	15348	3	-5,500	-0,391	-0,175	-0,175	0,000	3,497	0,000	3,497	0,467	0,000	0,467
28	15347	4	-5,500	-0,445	-0,230	-0,230	0,000	4,551	0,000	4,551	0,687	0,000	0,687
29	15361	5	-5,500	-0,500	-0,294	-0,294	0,000	5,748	0,000	5,748	0,967	0,000	0,967
Plate_1_1	13320	1	0,000	0,000	0,386	-0,034	0,386	0,163	-0,489	0,253	0,000	0,000	0,000
Element 2-3 (Plate)	13319	2	0,000	-0,240	-0,186	-1,763	0,462	3,130	-0,003	5,944	0,406	0,000	0,748
(Pali 400/0,4m)	13318	3	0,000	-0,480	-0,898	-3,910	0,423	5,431	-0,004	10,869	1,451	0,000	2,787
28	13317	4	0,000	-0,720	-1,606	-6,002	0,357	6,965	-0,022	14,861	2,953	0,000	5,893
29	13527	5	0,000	-0,960	-2,161	-7,884	0,517	7,627	-0,019	17,848	4,724	-0,004	9,840
Plate_2_2	15361	1	-5,500	-0,500	-0,293	-0,293	0,000	5,744	0,000	5,744	0,967	0,000	0,967
Element 3-4 (Plate)	15364	2	-5,500	-0,525	-0,323	-0,323	0,000	6,318	0,000	6,318	1,118	0,000	1,118
(Parete c.a.C32/40 sp.0.50m)	15363	3	-5,500	-0,550	-0,353	-0,353	0,000	6,892	0,000	6,892	1,283	0,000	1,283
28	15362	4	-5,500	-0,575	-0,385	-0,385	0,000	7,463	0,000	7,463	1,463	0,000	1,463
29	15405	5	-5,500	-0,600	-0,417	-0,417	0,000	8,032	0,000	8,032	1,656	0,000	1,656
Plate_2_3	15405	1	-5,500	-0,600	-8,312	-8,312	0,000	-40,214	-40,214	0,000	1,656	0,000	1,656
Element 4-5 (Plate)	15408	2	-5,500	-0,644	-8,369	-8,369	0,000	-39,223	-39,223	0,000	-0,085	-0,803	0,000
(Parete c.a.C32/40 sp.0.50m)	15407	3	-5,500	-0,688	-8,429	-8,429	0,000	-38,233	-38,233	0,000	-1,784	-1,796	0,000
28	15406	4	-5,500	-0,732	-8,493	-8,493	0,000	-37,245	-37,245	0,000	-3,440	-3,440	0,000
29	15419	5	-5,500	-0,775	-8,561	-8,561	0,000	-36,257	-36,257	0,000	-5,051	-5,051	0,000
Plate_2_3	15419	1	-5,500	-0,775	-8,559	-8,559	0,000	-36,260	-36,260	0,000	-5,051	-5,051	0,000
Element 4-6 (Plate)	15422	2	-5,500	-0,834	-8,665	-8,665	0,000	-34,912	-34,912	0,000	-7,147	-7,147	0,000
(Parete c.a.C32/40 sp.0.50m)	15421	3	-5,500	-0,893	-8,775	-8,775	0,000	-33,571	-33,571	0,000	-9,165	-9,165	0,000
28	15420	4	-5,500	-0,952	-8,887	-8,887	0,000	-32,247	-32,247	0,000	-11,104	-11,104	0,000
29	15479	5	-5,500	-1,011	-8,996	-8,996	0,000	-30,948	-30,948	0,000	-12,965	-12,965	0,000
Plate_1_2	13527	1	0,000	-0,960	-2,128	-7,408	0,485	7,306	-0,022	17,221	4,724	-0,004	9,840
Element 5-7 (Plate)	13530	2	0,000	-1,095	-2,495	-7,275	0,413	6,736	-0,011	16,968	5,673	-0,006	12,145
(Pali 400/0,4m)	13529	3	0,000	-1,230	-2,813	-7,352	0,471	6,119	-0,220	17,112	6,539	-0,007	14,435
28	13528	4	0,000	-1,365	-3,027	-7,801	1,216	5,542	-1,155	17,938	7,326	-0,007	16,795
29	14231	5	0,000	-1,500	-3,084	-8,786	2,071	5,097	-2,194	19,734	8,041	-0,006	19,322
Plate_2_4	15479	1	-5,500	-1,011	-8,979	-8,979	0,000	-30,989	-30,989	0,000	-12,965	-12,965	0,000
Element 6-8 (Plate)	15482	2	-5,500	-1,096	-9,109	-9,109	0,000	-29,225	-29,225	0,000	-15,511	-15,511	0,000
(Parete c.a.C32/40 sp.0.50m)	15481	3	-5,500	-1,180	-9,233	-9,233	0,000	-27,518	-27,518	0,000	-17,912	-17,912	0,000
28	15480	4	-5,500	-1,265	-9,349	-9,349	0,000	-25,869	-25,869	0,000	-20,172	-20,172	0,000
29	16393	5	-5,500	-1,350	-9,456	-9,456	0,000	-24,281	-24,281	0,000	-22,293	-22,293	0,000
Plate_2_4	16393	1	-5,500	-1,350	-9,448	-9,448	0,000	-24,301	-24,301	0,000	-22,293	-22,293	0,000
Element 6-9 (Plate)	16396	2	-5,500	-1,519	-9,766	-9,766	0,000	-20,973	-20,973	0,000	-26,136	-26,136	0,000
(Parete c.a.C32/40 sp.0.50m)	16395	3	-5,500	-1,689	-10,156	-10,156	0,000	-17,616	-17,616	0,000	-29,413	-29,413	0,000
28	16394	4	-5,500	-1,859	-10,609	-10,609	0,000	-14,251	-14,251	0,000	-32,120	-32,120	0,000
29	16427	5	-5,500	-2,029	-11,118	-11,118	0,000	-10,901	-10,901	0,000	-34,254	-34,254	0,000
Plate_1_3	14231	1	0,000	-1,500	-7,541	-18,232	2,060	-17,254	-40,170	4,828	8,041	-0,006	19,322
Element 7-10 (Plate)	14232	2	0,000	-1,580	-7,740	-18,800	2,562	-17,287	-39,189	4,831	6,664	-0,033	16,268

Structural element	Node [10^3]	Local number	X [m]	Y [m]	N [kN/m]	N,min [kN/m]	N,max [kN/m]	Q [kN/m]	Q,min [kN/m]	Q,max [kN/m]	M [kN m/m]	M,min [kN m/m]	M,max [kN m/m]
(Pali 400/0,4m)	14233	3	0,000	-1,660	-7,924	-19,321	3,064	-17,358	-38,289	4,845	5,283	-0,131	13,290
〃	14234	4	0,000	-1,739	-8,065	-19,768	3,568	-17,534	-37,517	4,882	3,891	-0,301	10,621
〃	15007	5	0,000	-1,819	-8,137	-20,111	4,072	-17,879	-36,925	4,956	2,481	-0,492	8,726
Plate_1_4	15007	1	0,000	-1,819	-8,178	-20,162	4,071	-17,796	-36,837	5,014	2,481	-0,492	8,726
Element 8-11 (Plate)	15010	2	0,000	-1,871	-8,255	-20,412	4,403	-18,032	-36,405	5,129	1,542	-1,569	7,481
(Pali 400/0,4m)	15009	3	0,000	-1,924	-8,365	-20,679	4,732	-18,254	-35,944	5,292	0,590	-2,809	6,745
〃	15008	4	0,000	-1,976	-8,515	-20,965	5,056	-18,460	-35,450	5,506	-0,373	-4,424	7,028
〃	15973	5	0,000	-2,029	-8,710	-21,272	5,376	-18,651	-34,919	5,773	-1,346	-6,234	7,323
Plate_2_5	16427	1	-5,500	-2,029	-11,114	-11,114	0,002	-10,912	-10,912	0,006	-34,254	-34,254	0,000
Element 9-12 (Plate)	16430	2	-5,500	-2,147	-11,504	-11,504	0,001	-8,583	-8,746	0,071	-35,402	-35,402	0,004
(Parete c.a.C32/40 sp.0.50m)	16429	3	-5,500	-2,264	-11,911	-11,911	0,000	-6,287	-6,675	0,174	-36,278	-36,278	0,018
〃	16428	4	-5,500	-2,382	-12,338	-12,338	0,000	-4,015	-4,797	0,317	-36,884	-36,884	0,046
〃	17049	5	-5,500	-2,500	-12,789	-12,789	0,000	-1,759	-3,322	0,511	-37,224	-37,224	0,095
Plate_1_5	15973	1	0,000	-2,029	-8,709	-21,268	5,376	-18,666	-34,926	5,753	-1,346	-6,234	7,323
Element 10-13 (Plate)	15974	2	0,000	-2,103	-8,958	-21,745	5,825	-18,722	-34,102	6,218	-2,741	-8,810	7,770
(Pali 400/0,4m)	15975	3	0,000	-2,178	-9,263	-22,240	6,266	-18,805	-33,247	6,681	-4,141	-11,324	8,251
〃	15976	4	0,000	-2,253	-9,617	-22,750	6,700	-18,914	-32,367	7,132	-5,549	-13,774	8,767
〃	16291	5	0,000	-2,327	-10,014	-23,271	7,127	-19,049	-31,466	7,561	-6,965	-16,156	9,315
Plate_1_5	16291	1	0,000	-2,327	-10,034	-23,272	7,128	-19,057	-31,464	7,599	-6,965	-16,156	9,315
Element 10-14 (Plate)	16294	2	0,000	-2,471	-10,673	-24,263	7,927	-19,003	-29,753	8,438	-9,688	-20,542	10,462
(Pali 400/0,4m)	16293	3	0,000	-2,614	-11,502	-25,276	8,702	-19,153	-28,002	9,478	-12,423	-24,681	11,742
〃	16292	4	0,000	-2,757	-12,444	-26,310	9,454	-19,373	-26,350	10,733	-15,182	-28,568	13,186
〃	16325	5	0,000	-2,901	-13,418	-27,362	10,436	-19,529	-24,676	12,223	-17,971	-32,194	14,824
Plate_2_6	17049	1	-5,500	-2,500	-12,774	-12,774	0,000	-1,798	-3,349	0,448	-37,224	-37,224	0,095
Element 11-15 (Plate)	17052	2	-5,500	-2,666	-13,509	-13,509	0,000	1,561	-1,043	1,561	-37,244	-37,244	0,219
(Parete c.a.C32/40 sp.0.50m)	17051	3	-5,500	-2,832	-14,256	-14,256	0,000	4,907	0,000	4,907	-36,706	-36,706	0,439
〃	17050	4	-5,500	-2,999	-15,016	-15,016	0,000	8,239	0,000	8,239	-35,613	-35,613	0,748
〃	17279	5	-5,500	-3,165	-15,789	-15,789	0,000	11,560	0,000	11,560	-33,968	-33,968	1,142
Plate_2_6	17279	1	-5,500	-3,165	-15,784	-15,784	0,000	11,547	0,000	11,547	-33,968	-33,968	1,142
Element 11-16 (Plate)	17282	2	-5,500	-3,375	-16,765	-16,765	0,000	15,685	0,000	15,685	-31,111	-31,111	1,775
(Parete c.a.C32/40 sp.0.50m)	17281	3	-5,500	-3,585	-17,814	-17,814	0,000	19,932	0,000	19,932	-27,374	-27,374	2,617
〃	17280	4	-5,500	-3,795	-18,947	-18,947	0,000	24,326	0,000	24,326	-22,728	-22,800	3,727
〃	17305	5	-5,500	-4,005	-20,178	-20,178	0,000	28,903	0,000	28,903	-17,145	-17,616	5,161
Plate_1_6	16325	1	0,000	-2,901	-13,297	-27,311	10,394	-19,490	-24,771	12,366	-17,971	-32,194	14,824
Element 12-17 (Plate)	16328	2	0,000	-3,177	-15,488	-29,638	12,522	-19,192	-21,755	10,487	-23,272	-38,379	17,989
(Pali 400/0,4m)	16327	3	0,000	-3,453	-18,031	-32,005	14,537	-19,260	-20,319	8,437	-28,619	-43,498	20,569
〃	16326	4	0,000	-3,729	-21,133	-34,874	16,461	-18,493	-18,909	6,881	-33,830	-47,341	22,671
〃	17175	5	0,000	-4,005	-25,003	-38,705	18,315	-15,688	-15,734	8,272	-38,622	-49,634	24,465
Plate_2_7	17305	1	-5,500	-4,005	-20,189	-20,189	0,000	28,930	0,000	28,930	-17,145	-17,616	5,161
Element 13-18 (Plate)	17308	2	-5,500	-4,154	-21,154	-21,154	0,000	32,368	0,000	32,368	-12,587	-13,527	6,399
(Parete c.a.C32/40 sp.0.50m)	17307	3	-5,500	-4,302	-22,185	-22,185	0,000	35,942	0,000	35,942	-7,504	-9,451	7,839
〃	17306	4	-5,500	-4,451	-23,285	-23,285	0,000	39,653	0,000	39,653	-1,879	-5,650	9,492
〃	18049	5	-5,500	-4,600	-24,454	-24,454	0,000	43,505	0,000	43,505	4,305	-1,402	11,369
Plate_1_7	17175	1	0,000	-4,005	-24,832	-38,540	18,262	-15,997	-16,044	7,866	-38,622	-49,634	24,465
Element 14-19 (Plate)	17178	2	0,000	-4,232	-29,210	-42,565	19,768	-12,857	-12,857	14,416	-41,884	-49,995	26,335
(Pali 400/0,4m)	17177	3	0,000	-4,459	-33,635	-46,401	21,351	-10,565	-10,565	20,631	-44,518	-48,799	28,512
〃	17176	4	0,000	-4,686	-37,983	-49,919	23,128	-9,351	-9,351	26,958	-46,761	-47,802	30,314
〃	17993	5	0,000	-4,912	-42,134	-52,986	24,884	-9,444	-9,444	32,428	-48,864	-48,864	31,089
Plate_1_7	17993	1	0,000	-4,912	-41,864	-52,770	24,839	-9,732	-9,732	32,257	-48,864	-48,864	31,089
Element 14-20 (Plate)	17996	2	0,000	-5,014	-43,424	-53,778	25,543	-10,554	-10,554	33,262	-49,891	-49,891	31,169
(Pali 400/0,4m)	17995	3	0,000	-5,115	-44,955	-54,749	26,220	-11,472	-11,472	34,715	-51,011	-51,011	31,152
〃	17994	4	0,000	-5,217	-46,522	-55,754	27,042	-12,341	-12,341	36,710	-52,219	-52,219	31,063
〃	18028	5	0,000	-5,318	-48,186	-56,866	27,834	-13,019	-13,019	39,333	-53,509	-53,509	30,925

Structural element	Node [10 ˆ]	Local number	X [m]	Y [m]	N [kN/m]	N ⊥ [kN/m]	N ∥ [kN/m]	Q [kN/m]	Q ⊥ [kN/m]	Q ∥ [kN/m]	M [kN m/m]	M ⊥ [kN m/m]	M ∥ [kN m/m]
Plate_1_7	18028	1	0,000	-5,318	-48,316	-56,977	27,835	-12,860	-12,860	39,204	-53,509	-53,509	30,925
Element 14-21 (Plate)	18027	2	0,000	-5,364	-49,122	-57,559	28,178	-12,975	-12,975	40,351	-54,095	-54,095	30,849
(Pali 400/0,4m)	18026	3	0,000	-5,409	-49,978	-58,192	28,514	-13,001	-13,001	41,543	-54,685	-54,685	30,767
28	18025	4	0,000	-5,455	-50,891	-58,877	28,844	-12,941	-12,941	42,781	-55,274	-55,274	30,681
28	18083	5	0,000	-5,500	-51,864	-59,617	29,166	-12,794	-12,794	44,065	-55,858	-55,858	30,590
Plate_2_8	18049	1	-5,500	-4,600	-40,436	-40,436	0,000	-54,574	-54,574	0,000	4,305	-1,402	11,369
Element 15-22 (Plate)	18052	2	-5,500	-4,837	-42,408	-42,408	0,000	-49,507	-49,507	0,000	-8,053	-12,759	3,651
(Parete c.a.C32/40 sp.0.50m)	18051	3	-5,500	-5,075	-44,356	-44,356	0,000	-44,502	-44,502	0,000	-19,211	-22,889	0,000
28	18050	4	-5,500	-5,312	-46,220	-46,220	0,000	-39,711	-39,711	0,000	-29,211	-31,852	0,000
28	18123	5	-5,500	-5,550	-47,942	-47,942	0,000	-35,284	-35,284	0,000	-38,104	-39,723	0,000
Plate_2_8	18123	1	-5,500	-5,550	-48,030	-48,030	0,000	-35,059	-35,059	0,000	-38,104	-39,723	0,000
Element 15-23 (Plate)	18126	2	-5,500	-5,664	-49,047	-49,047	0,000	-32,447	-32,447	0,000	-41,960	-43,090	0,000
(Parete c.a.C32/40 sp.0.50m)	18125	3	-5,500	-5,779	-50,105	-50,105	0,000	-29,728	-29,728	0,000	-45,518	-46,266	0,000
28	18124	4	-5,500	-5,893	-51,266	-51,266	0,000	-26,745	-26,745	0,000	-48,747	-49,352	0,000
28	18147	5	-5,500	-6,007	-52,591	-52,591	0,000	-23,343	-23,343	0,000	-51,614	-52,077	0,000
Plate_1_8	18083	1	0,000	-5,500	-43,083	-66,296	29,166	43,450	-7,141	43,962	-55,858	-55,858	30,590
Element 16-24 (Plate)	18084	2	0,000	-5,504	-43,169	-66,362	29,194	43,467	-7,030	44,074	-55,687	-55,687	30,582
(Pali 400/0,4m)	18085	3	0,000	-5,508	-43,255	-66,429	29,222	43,484	-6,918	44,187	-55,515	-55,515	30,574
28	18086	4	0,000	-5,512	-43,341	-66,495	29,249	43,501	-6,807	44,300	-55,343	-55,343	30,566
28	18785	5	0,000	-5,516	-43,427	-66,562	29,277	43,519	-6,695	44,412	-55,171	-55,171	30,558
Plate_1_9	18785	1	0,000	-5,516	-43,377	-66,495	29,277	43,366	-6,812	44,387	-55,171	-55,171	30,558
Element 17-25 (Plate)	18788	2	0,000	-5,639	-46,190	-68,745	30,109	44,345	-3,024	47,941	-49,784	-49,784	30,680
(Pali 400/0,4m)	18787	3	0,000	-5,761	-48,949	-70,908	30,891	45,130	-2,473	51,439	-44,285	-44,285	33,533
28	18786	4	0,000	-5,884	-51,597	-72,933	31,623	45,647	-2,550	55,079	-38,707	-38,707	37,604
28	19633	5	0,000	-6,007	-54,078	-74,769	32,305	45,820	-2,580	59,076	-33,087	-33,141	42,608
Plate_2_9	18147	1	-5,500	-6,007	-52,498	-52,498	0,006	-23,581	-23,581	0,011	-51,614	-52,077	0,000
Element 18-26 (Plate)	18150	2	-5,500	-6,085	-53,430	-53,430	0,000	-21,190	-21,190	0,033	-53,363	-53,733	0,001
(Parete c.a.C32/40 sp.0.50m)	18149	3	-5,500	-6,163	-54,334	-54,334	0,000	-18,870	-18,870	0,074	-54,928	-55,254	0,005
28	18148	4	-5,500	-6,242	-55,219	-55,219	0,000	-16,596	-16,596	0,129	-56,314	-56,597	0,013
28	18851	5	-5,500	-6,320	-56,097	-56,097	0,000	-14,345	-14,345	0,222	-57,523	-57,762	0,025
Plate_2_9	18851	1	-5,500	-6,320	-56,110	-56,110	0,000	-14,310	-14,310	0,211	-57,523	-57,762	0,025
Element 18-27 (Plate)	18854	2	-5,500	-6,365	-56,642	-56,642	0,000	-12,944	-12,944	0,266	-58,137	-58,352	0,035
(Parete c.a.C32/40 sp.0.50m)	18853	3	-5,500	-6,410	-57,196	-57,196	0,000	-11,524	-11,524	0,340	-58,689	-58,880	0,049
28	18852	4	-5,500	-6,455	-57,771	-57,771	0,000	-10,049	-10,049	0,419	-59,175	-59,342	0,066
28	18891	5	-5,500	-6,500	-58,367	-58,367	0,000	-8,519	-8,519	0,501	-59,594	-59,737	0,087
Plate_1_10	19633	1	0,000	-6,007	-54,132	-74,833	32,305	45,955	-2,589	58,853	-33,087	-33,141	42,608
Element 19-28 (Plate)	19636	2	0,000	-6,130	-56,222	-76,224	32,939	45,295	-2,560	55,888	-27,470	-27,949	48,231
(Pali 400/0,4m)	19635	3	0,000	-6,254	-58,528	-77,838	33,521	45,093	-2,525	51,891	-21,905	-24,868	53,868
28	19634	4	0,000	-6,377	-61,082	-79,701	34,051	45,393	-2,496	46,928	-16,334	-23,084	59,633
28	20396	5	0,000	-6,500	-63,917	-81,842	34,528	46,241	-2,473	46,241	-10,696	-20,874	65,017
Plate_2_10	18891	1	-5,500	-6,500	-58,365	-58,365	0,000	-8,524	-8,524	0,498	-59,594	-59,737	0,087
Element 20-29 (Plate)	18894	2	-5,500	-6,549	-59,062	-59,062	0,000	-6,736	-6,736	0,627	-59,968	-60,086	0,114
(Parete c.a.C32/40 sp.0.50m)	18893	3	-5,500	-6,598	-59,786	-59,786	0,000	-4,878	-4,878	0,758	-60,253	-60,346	0,148
28	18892	4	-5,500	-6,647	-60,534	-60,534	0,000	-2,962	-3,117	0,884	-60,445	-60,514	0,188
28	18915	5	-5,500	-6,696	-61,298	-61,298	0,000	-1,000	-2,010	1,498	-60,542	-60,588	0,234
Plate_1_11	20396	1	0,000	-6,500	-63,991	-81,916	34,528	46,374	-2,522	46,374	-10,696	-20,874	65,017
Element 21-30 (Plate)	20399	2	0,000	-6,620	-67,214	-84,472	35,001	48,052	-2,494	48,052	-5,028	-18,213	69,644
(Pali 400/0,4m)	20398	3	0,000	-6,740	-70,549	-87,197	35,438	50,193	-2,615	50,193	0,872	-15,000	73,664
28	20397	4	0,000	-6,861	-74,005	-90,098	35,816	52,811	-2,955	52,811	7,057	-11,202	77,174
28	20730	5	0,000	-6,981	-77,587	-93,179	36,136	55,918	-3,585	55,918	13,584	-6,817	80,234
Plate_2_11	18915	1	-5,500	-6,696	-61,307	-61,307	0,000	-0,979	-1,979	1,519	-60,542	-60,588	0,234
Element 22-31 (Plate)	18918	2	-5,500	-6,750	-62,057	-62,057	0,000	0,945	-0,909	3,272	-60,542	-60,564	0,290
(Parete c.a.C32/40 sp.0.50m)	18917	3	-5,500	-6,804	-62,761	-62,761	0,000	2,752	0,000	4,900	-60,443	-60,443	0,353

Structural element	Node [10 ^]	Local number	X [m]	Y [m]	N [kN/m]	N ⊥⊥ [kN/m]	N ⊥⊥ [kN/m]	Q [kN/m]	Q ⊥⊥ [kN/m]	Q ⊥⊥ [kN/m]	M [kN m/m]	M ⊥⊥ [kN m/m]	M ⊥⊥ [kN m/m]
昂	18916	4	-5,500	-6,857	-63,455	-63,455	0,000	4,533	0,000	6,493	-60,246	-60,246	0,426
昂	19683	5	-5,500	-6,911	-64,175	-64,175	0,000	6,379	0,000	8,142	-59,953	-59,953	0,512
Plate_2_11	19683	1	-5,500	-6,911	-64,178	-64,178	0,000	6,387	0,000	8,150	-59,953	-59,953	0,512
Element 22-32 (Plate)	19686	2	-5,500	-6,963	-64,950	-64,950	0,000	8,367	0,000	9,935	-59,575	-59,575	0,608
(Parete c.a.C32/40 sp.0.50m)	19685	3	-5,500	-7,014	-65,758	-65,758	0,000	10,439	0,000	11,805	-59,092	-59,092	0,718
昂	19684	4	-5,500	-7,065	-66,603	-66,603	0,000	12,605	0,000	13,763	-58,501	-58,501	0,843
昂	19717	5	-5,500	-7,117	-67,486	-67,486	0,000	14,871	0,000	15,815	-57,796	-57,796	0,984
Plate_2_11	19717	1	-5,500	-7,117	-67,477	-67,477	0,000	14,846	0,000	15,790	-57,796	-57,796	0,984
Element 22-33 (Plate)	19718	2	-5,500	-7,166	-68,332	-68,332	0,000	17,039	0,000	17,773	-57,016	-57,016	1,133
(Parete c.a.C32/40 sp.0.50m)	19719	3	-5,500	-7,215	-69,181	-69,181	0,000	19,215	0,000	19,742	-56,127	-56,127	1,295
昂	19720	4	-5,500	-7,264	-70,023	-70,023	0,000	21,374	0,000	21,791	-55,133	-55,133	1,468
昂	20458	5	-5,500	-7,313	-70,858	-70,858	0,000	23,515	0,000	23,843	-54,033	-54,033	1,650
Plate_2_12	20458	1	-5,500	-7,313	-70,852	-70,852	0,000	23,501	0,000	23,829	-54,033	-54,033	1,650
Element 23-34 (Plate)	20461	2	-5,500	-7,388	-72,235	-72,235	0,000	27,045	0,000	27,275	-52,121	-52,121	1,953
(Parete c.a.C32/40 sp.0.50m)	20460	3	-5,500	-7,464	-73,639	-73,639	0,000	30,644	0,000	30,792	-49,936	-49,936	2,292
昂	20459	4	-5,500	-7,540	-75,048	-75,048	0,000	34,255	0,000	34,362	-47,479	-47,479	2,671
昂	20494	5	-5,500	-7,615	-76,444	-76,444	0,000	37,833	0,000	37,909	-44,750	-44,750	3,095
Plate_2_13	20494	1	-5,500	-7,615	-76,423	-76,423	0,000	37,780	0,000	37,856	-44,750	-44,750	3,095
Element 24-35 (Plate)	20495	2	-5,500	-7,630	-76,675	-76,675	0,000	38,426	0,000	38,495	-44,193	-44,193	3,181
(Parete c.a.C32/40 sp.0.50m)	20496	3	-5,500	-7,645	-76,924	-76,924	0,000	39,066	0,000	39,129	-43,627	-43,627	3,268
昂	20497	4	-5,500	-7,659	-77,173	-77,173	0,000	39,701	0,000	39,759	-43,052	-43,052	3,356
昂	21176	5	-5,500	-7,674	-77,420	-77,420	0,000	40,335	0,000	40,388	-42,467	-42,467	3,446
Plate_1_12	20730	1	0,000	-6,981	-77,330	-92,960	36,133	55,664	-3,850	55,664	13,584	-6,817	80,234
Element 25-36 (Plate)	20733	2	0,000	-7,128	-80,989	-95,892	36,460	57,885	-6,190	57,885	21,967	-1,916	82,511
(Pali 400/0,4m)	20732	3	0,000	-7,276	-84,164	-98,422	36,729	59,479	-10,502	59,479	30,643	-1,393	82,957
昂	20731	4	0,000	-7,423	-86,782	-100,459	37,002	60,256	-15,568	60,256	39,490	-0,965	81,833
昂	21130	5	0,000	-7,571	-88,770	-101,912	37,200	60,024	-20,577	60,024	48,380	-0,617	79,412
Plate_1_12	21130	1	0,000	-7,571	-88,392	-101,552	37,195	59,462	-21,022	59,462	48,380	-0,617	79,412
Element 25-37 (Plate)	21133	2	0,000	-7,803	-91,034	-103,203	37,342	57,689	-26,904	57,689	61,981	-0,167	73,864
(Pali 400/0,4m)	21132	3	0,000	-8,036	-94,701	-105,672	37,276	56,804	-30,315	61,137	75,230	-0,011	75,230
昂	21131	4	0,000	-8,268	-98,640	-108,854	36,994	57,741	-31,211	66,651	88,510	-0,009	88,510
昂	21634	5	0,000	-8,500	-102,102	-112,646	36,581	61,428	-29,837	73,219	102,273	-0,007	102,273
Plate_2_14	21176	1	-5,500	-7,674	-77,389	-77,389	0,000	40,256	0,000	40,308	-42,467	-42,467	3,446
Element 26-38 (Plate)	21177	2	-5,500	-7,755	-78,832	-78,832	0,000	43,955	0,000	43,976	-39,034	-39,034	3,968
(Parete c.a.C32/40 sp.0.50m)	21178	3	-5,500	-7,837	-80,182	-80,182	0,000	47,417	0,000	47,417	-35,304	-35,304	4,528
昂	21179	4	-5,500	-7,918	-81,378	-81,378	0,000	50,484	0,000	50,484	-31,309	-31,309	5,127
昂	21766	5	-5,500	-8,000	-82,357	-82,357	0,000	52,995	0,000	52,995	-27,086	-27,086	5,761
Plate_3_1	21766	1	-5,500	-8,000	-94,013	-94,013	0,085	47,829	0,000	47,829	-27,086	-27,086	5,761
Element 27-39 (Plate)	21767	2	-5,500	-8,058	-94,454	-94,454	0,085	48,595	0,000	48,595	-24,307	-24,307	6,154
(Micropali D168.3x10.0/0,27m)	21768	3	-5,500	-8,115	-95,115	-95,115	0,085	49,742	0,000	49,742	-21,473	-21,473	6,575
昂	21769	4	-5,500	-8,173	-96,058	-96,058	0,085	51,377	0,000	51,377	-18,558	-18,558	7,024
昂	22356	5	-5,500	-8,231	-97,344	-97,344	0,085	53,608	0,000	53,608	-15,534	-15,534	7,502
Plate_3_1	22356	1	-5,500	-8,231	-97,268	-97,268	0,085	53,476	0,000	53,476	-15,534	-15,534	7,502
Element 27-40 (Plate)	22357	2	-5,500	-8,288	-98,542	-98,542	0,085	55,687	0,000	55,687	-12,387	-12,387	8,018
(Micropali D168.3x10.0/0,27m)	22358	3	-5,500	-8,346	-99,892	-99,892	0,085	58,029	0,000	58,029	-9,108	-9,108	8,585
昂	22359	4	-5,500	-8,404	-101,309	-101,309	0,085	60,486	0,000	60,486	-5,689	-5,689	9,196
昂	22779	5	-5,500	-8,461	-102,785	-102,785	0,085	63,046	0,000	63,046	-2,128	-2,128	9,843
Plate_3_2	22779	1	-5,500	-8,461	-102,771	-102,771	0,085	63,020	0,000	63,020	-2,128	-2,128	9,843
Element 28-41 (Plate)	22780	2	-5,500	-8,471	-103,007	-103,007	0,085	63,429	0,000	63,429	-1,519	-1,519	9,954
(Micropali D168.3x10.0/0,27m)	22781	3	-5,500	-8,481	-103,238	-103,238	0,085	63,830	0,000	63,830	-0,905	-0,905	10,065
昂	22782	4	-5,500	-8,490	-103,460	-103,460	0,085	64,215	0,000	64,215	-0,288	-0,288	10,177
昂	23191	5	-5,500	-8,500	-103,667	-103,667	0,085	64,574	0,000	64,574	0,333	0,000	10,289
Plate_3_3	23191	1	-5,500	-8,500	-103,510	-103,510	0,085	64,219	0,000	64,219	0,333	0,000	10,289

Structural element	Node [10 ^]	Local number	X [m]	Y [m]	N [kN/m]	N ,,, [kN/m]	N ,,, [kN/m]	Q [kN/m]	Q ,,, [kN/m]	Q ,,, [kN/m]	M [kN m/m]	M ,,, [kN m/m]	M ,,, [kN m/m]
Element 29-42 (Plate)	23194	2	-5,500	-8,550	-103,098	-103,098	0,092	60,774	0,000	60,774	3,428	0,000	10,795
(Micropali D168.3x10.0/0,27m)	23193	3	-5,500	-8,599	-102,633	-102,633	0,097	56,927	0,000	56,927	6,343	0,000	11,214
28	23192	4	-5,500	-8,649	-102,129	-102,129	0,102	52,728	0,000	52,728	9,059	0,000	11,531
28	23453	5	-5,500	-8,698	-101,598	-101,598	0,107	48,227	0,000	48,227	11,559	0,000	12,587
Plate_3_3	23453	1	-5,500	-8,698	-102,109	-102,109	0,107	49,617	-0,105	49,617	11,559	0,000	12,587
Element 29-43 (Plate)	23456	2	-5,500	-8,891	-97,936	-97,936	0,126	28,259	-3,944	28,259	19,015	0,000	19,015
(Micropali D168.3x10.0/0,27m)	23455	3	-5,500	-9,084	-93,246	-93,246	0,144	11,453	-6,665	11,453	22,765	0,000	22,765
28	23454	4	-5,500	-9,278	-88,756	-88,756	0,162	-0,317	-7,738	0,042	23,766	0,000	23,766
28	23981	5	-5,500	-9,471	-85,182	-85,182	0,179	-6,564	-8,428	0,030	23,004	0,000	23,004
Plate_1_13	21634	1	0,000	-8,500	-101,831	-112,680	36,563	67,306	-30,533	75,933	102,273	-0,007	102,273
Element 30-44 (Plate)	21637	2	0,000	-8,893	-87,719	-89,125	35,385	16,494	-26,349	23,732	118,292	-0,004	118,292
(Pali 400/0,4m)	21636	3	0,000	-9,285	-77,221	-78,011	33,568	-20,661	-25,992	0,746	116,999	-0,002	116,999
28	21635	4	0,000	-9,678	-68,994	-69,714	31,304	-43,725	-43,725	0,551	103,906	0,000	103,906
28	22102	5	0,000	-10,071	-61,698	-62,350	28,219	-52,259	-52,259	0,182	84,575	0,000	84,575
Plate_3_4	23981	1	-5,500	-9,471	-84,442	-84,442	0,179	-8,655	-9,602	0,032	23,004	0,000	23,004
Element 31-45 (Plate)	23984	2	-5,500	-9,779	-82,635	-82,635	0,205	-11,778	-11,778	0,013	19,748	0,000	19,748
(Micropali D168.3x10.0/0,27m)	23983	3	-5,500	-10,087	-82,708	-82,708	0,231	-11,648	-11,648	0,003	16,099	0,000	16,099
28	23982	4	-5,500	-10,395	-84,082	-84,082	0,256	-9,268	-9,268	0,003	12,800	0,000	12,800
28	24131	5	-5,500	-10,703	-86,175	-86,175	0,279	-5,644	-5,644	0,015	10,499	0,000	10,499
Plate_1_14	22102	1	0,000	-10,071	-60,347	-61,000	28,187	-54,251	-54,251	0,002	84,575	0,000	84,575
Element 32-46 (Plate)	22105	2	0,000	-10,297	-52,881	-53,498	25,916	-58,820	-58,820	0,001	71,705	0,000	71,705
(Pali 400/0,4m)	22104	3	0,000	-10,524	-45,666	-46,247	23,343	-60,317	-60,317	0,000	58,143	0,000	58,143
28	22103	4	0,000	-10,751	-38,746	-39,290	20,468	-58,771	-58,771	0,000	44,586	0,000	44,586
28	22534	5	0,000	-10,977	-32,161	-32,670	17,296	-54,213	-54,213	0,000	31,728	0,000	31,728
Plate_1_14	22534	1	0,000	-10,977	-31,718	-32,200	17,276	-54,207	-54,207	0,000	31,728	0,000	31,728
Element 32-47 (Plate)	22538	2	0,000	-11,233	-25,048	-25,538	13,341	-45,876	-45,876	0,000	18,850	0,000	18,850
(Pali 400/0,4m)	22537	3	0,000	-11,489	-17,548	-17,977	8,917	-33,583	-33,583	0,000	8,610	0,000	8,610
28	22536	4	0,000	-11,744	-8,964	-9,203	3,986	-17,451	-17,451	0,000	2,000	0,000	2,000
28	22535	5	0,000	-12,000	0,958	-1,472	1,098	2,393	-0,123	2,393	0,000	0,000	0,000
Plate_3_5	24131	1	-5,500	-10,703	-84,770	-84,770	0,279	-7,691	-7,691	0,020	10,499	0,000	10,499
Element 33-48 (Plate)	24134	2	-5,500	-10,961	-85,123	-85,123	0,298	-8,235	-8,235	0,026	8,424	0,000	8,424
(Micropali D168.3x10.0/0,27m)	24133	3	-5,500	-11,218	-85,912	-85,912	0,316	-7,858	-7,858	0,026	6,336	0,000	6,336
28	24132	4	-5,500	-11,476	-87,037	-87,037	0,334	-6,723	-6,723	0,022	4,438	0,000	4,438
28	24149	5	-5,500	-11,734	-88,395	-88,395	0,352	-4,994	-4,994	0,015	2,920	0,000	2,920
Plate_3_5	24149	1	-5,500	-11,734	-88,129	-88,129	0,352	-5,199	-5,199	0,016	2,920	0,000	2,920
Element 33-49 (Plate)	24152	2	-5,500	-12,008	-89,675	-89,675	0,370	-3,678	-3,678	0,009	1,711	0,000	1,711
(Micropali D168.3x10.0/0,27m)	24151	3	-5,500	-12,281	-90,334	-90,334	0,387	-2,418	-2,418	0,003	0,883	0,000	0,883
28	24150	4	-5,500	-12,555	-90,116	-90,116	0,403	-1,433	-1,433	0,000	0,362	-0,030	0,362
28	24480	5	-5,500	-12,829	-89,026	-89,026	0,416	-0,736	-0,736	0,029	0,072	-0,034	0,110
Plate_3_5	24480	1	-5,500	-12,829	-89,088	-89,088	0,416	-0,713	-0,713	0,040	0,072	-0,034	0,110
Element 33-50 (Plate)	24479	2	-5,500	-13,119	-86,946	-86,946	0,427	-0,280	-0,280	0,080	-0,068	-0,106	0,107
(Micropali D168.3x10.0/0,27m)	24478	3	-5,500	-13,410	-84,030	-84,030	0,434	0,002	-0,013	0,094	-0,106	-0,136	0,104
28	24477	4	-5,500	-13,701	-80,357	-80,357	0,435	0,152	-0,016	0,152	-0,080	-0,113	0,100
28	24685	5	-5,500	-13,991	-75,946	-75,946	0,431	0,186	-0,019	0,186	-0,028	-0,073	0,095
Plate_3_6	24685	1	-5,500	-13,991	-75,920	-75,920	0,430	0,201	-0,019	0,201	-0,028	-0,073	0,095
Element 34-51 (Plate)	24688	2	-5,500	-14,292	-70,622	-70,622	0,419	0,225	-0,024	0,225	0,037	-0,022	0,089
(Micropali D168.3x10.0/0,27m)	24687	3	-5,500	-14,593	-64,430	-64,430	0,397	0,213	-0,031	0,213	0,104	0,000	0,104
28	24686	4	-5,500	-14,895	-57,333	-57,333	0,365	0,160	-0,039	0,162	0,161	0,000	0,161
28	25013	5	-5,500	-15,196	-49,319	-49,319	0,323	0,062	-0,049	0,108	0,196	0,000	0,196
Plate_3_6	25013	1	-5,500	-15,196	-49,199	-49,199	0,322	-0,058	-0,058	0,000	0,196	0,000	0,196
Element 34-52 (Plate)	25017	2	-5,500	-15,497	-38,993	-38,993	0,266	0,124	-0,065	0,193	0,217	0,000	0,217
(Micropali D168.3x10.0/0,27m)	25016	3	-5,500	-15,798	-27,450	-27,450	0,194	-0,022	-0,063	0,057	0,235	0,000	0,235
28	25015	4	-5,500	-16,099	-14,529	-14,529	0,107	-0,378	-0,378	0,000	0,182	0,000	0,182

Structural element	Node [10 ˚]	Local number	X [m]	Y [m]	N [kN/m]	N ⊥ [kN/m]	N ∥ [kN/m]	Q [kN/m]	Q ⊥ [kN/m]	Q ∥ [kN/m]	M [kN m/m]	M ⊥ [kN m/m]	M ∥ [kN m/m]
85	25014	5	-5,500	-16,400	-0,184	-0,184	0,003	-0,829	-0,829	0,012	0,000	0,000	0,000

3.1.2.4.34 Calculation results, Plate, SLE Paratia esistente [Phase_12] (12/1232), Table of plate force envelopes

Structural element	Node [10 ^{3}]	Local number	X [m]	Y [m]	N [kN/m]	N_{min} [kN/m]	N_{max} [kN/m]	Q [kN/m]	Q_{min} [kN/m]	Q_{max} [kN/m]	M [kN m/m]	M_{min} [kN m/m]	M_{max} [kN m/m]
Plate_1_1	13320	1	0,000	0,000	0,313	-0,034	0,313	-0,526	-0,526	0,068	0,000	0,000	0,000
Element 2-3 (Plate)	13319	2	0,000	-0,240	-1,774	-1,774	0,020	3,066	-0,003	3,066	0,294	0,000	0,298
(Pali 400/0,4m)	13318	3	0,000	-0,480	-3,937	-3,937	0,046	6,863	-0,004	6,863	1,494	0,000	1,494
2m	13317	4	0,000	-0,720	-6,022	-6,022	0,063	10,524	-0,022	10,524	3,579	0,000	3,579
2m	13527	5	0,000	-0,960	-7,873	-7,887	0,066	13,707	-0,019	13,707	6,503	-0,004	6,503
Plate_1_2	13527	1	0,000	-0,960	-7,411	-7,412	0,000	12,923	-0,022	12,923	6,503	-0,004	6,503
Element 5-7 (Plate)	13530	2	0,000	-1,095	-7,271	-7,279	0,000	12,681	-0,011	12,681	8,229	-0,006	8,229
(Pali 400/0,4m)	13529	3	0,000	-1,230	-7,347	-7,356	0,471	12,813	-0,220	12,813	9,940	-0,007	9,940
2m	13528	4	0,000	-1,365	-7,806	-7,807	1,216	13,608	-1,155	13,608	11,718	-0,007	11,718
2m	14231	5	0,000	-1,500	-8,816	-8,816	2,071	15,356	-2,194	15,356	13,657	-0,006	13,657
Plate_1_3	14231	1	0,000	-1,500	-18,367	-18,367	2,060	-40,667	-40,667	4,828	13,657	-0,006	13,657
Element 7-10 (Plate)	14232	2	0,000	-1,580	-18,945	-18,945	2,562	-39,668	-39,668	4,831	10,455	-0,033	10,455
(Pali 400/0,4m)	14233	3	0,000	-1,660	-19,475	-19,475	3,064	-38,748	-38,748	4,845	7,328	-0,131	7,328
2m	14234	4	0,000	-1,739	-19,931	-19,931	3,568	-37,959	-37,959	4,882	4,269	-0,301	5,818
2m	15007	5	0,000	-1,819	-20,283	-20,283	4,072	-37,350	-37,350	4,956	1,268	-0,492	6,208
Plate_1_4	15007	1	0,000	-1,819	-20,334	-20,334	4,071	-37,262	-37,262	5,014	1,268	-0,492	6,208
Element 8-11 (Plate)	15010	2	0,000	-1,871	-20,589	-20,589	4,403	-36,819	-36,819	5,129	-0,674	-1,569	6,472
(Pali 400/0,4m)	15009	3	0,000	-1,924	-20,862	-20,862	4,732	-36,347	-36,347	5,292	-2,593	-2,809	6,745
2m	15008	4	0,000	-1,976	-21,153	-21,153	5,056	-35,842	-35,842	5,506	-4,487	-4,487	7,028
2m	15973	5	0,000	-2,029	-21,466	-21,466	5,376	-35,301	-35,301	5,773	-6,352	-6,352	7,323
Plate_1_5	15973	1	0,000	-2,029	-21,462	-21,462	5,376	-35,307	-35,307	5,753	-6,352	-6,352	7,323
Element 10-13 (Plate)	15974	2	0,000	-2,103	-21,946	-21,946	5,825	-34,469	-34,469	6,218	-8,956	-8,956	7,770
(Pali 400/0,4m)	15975	3	0,000	-2,178	-22,448	-22,448	6,266	-33,599	-33,599	6,681	-11,497	-11,497	8,251
2m	15976	4	0,000	-2,253	-22,965	-22,965	6,700	-32,704	-32,704	7,132	-13,972	-13,972	8,767
2m	16291	5	0,000	-2,327	-23,493	-23,493	7,127	-31,789	-31,789	7,561	-16,378	-16,378	9,315
Plate_1_5	16291	1	0,000	-2,327	-23,495	-23,495	7,128	-31,787	-31,787	7,599	-16,378	-16,378	9,315
Element 10-14 (Plate)	16294	2	0,000	-2,471	-24,498	-24,498	7,927	-30,048	-30,048	8,438	-20,809	-20,809	10,462
(Pali 400/0,4m)	16293	3	0,000	-2,614	-25,525	-25,525	8,702	-28,270	-28,270	9,478	-24,989	-24,989	11,742
2m	16292	4	0,000	-2,757	-26,571	-26,571	9,454	-26,458	-26,458	10,733	-28,911	-28,911	13,186
2m	16325	5	0,000	-2,901	-27,635	-27,635	10,436	-24,615	-24,615	12,223	-32,570	-32,570	14,824
Plate_1_6	16325	1	0,000	-2,901	-27,584	-27,584	10,394	-24,703	-24,703	12,366	-32,570	-32,570	14,824
Element 12-17 (Plate)	16328	2	0,000	-3,177	-29,934	-29,934	12,522	-20,633	-20,633	10,487	-38,809	-38,809	17,989
(Pali 400/0,4m)	16327	3	0,000	-3,453	-32,325	-32,325	14,537	-16,492	-16,492	8,437	-43,967	-43,967	20,569
2m	16326	4	0,000	-3,729	-35,216	-35,216	16,461	-11,484	-11,484	6,881	-47,836	-47,836	22,671
2m	17175	5	0,000	-4,005	-39,068	-39,068	18,315	-4,811	-4,811	8,272	-50,141	-50,141	24,465
Plate_1_7	17175	1	0,000	-4,005	-38,904	-38,904	18,262	-5,096	-5,096	7,866	-50,141	-50,141	24,465
Element 14-19 (Plate)	17178	2	0,000	-4,232	-42,947	-42,947	19,768	1,907	-1,671	14,416	-50,502	-50,502	26,335
(Pali 400/0,4m)	17177	3	0,000	-4,459	-46,802	-46,802	21,351	8,584	-1,126	20,631	-49,297	-49,297	28,512
2m	17176	4	0,000	-4,686	-50,337	-50,337	23,128	14,707	-0,521	26,958	-46,646	-46,646	30,314
2m	17993	5	0,000	-4,912	-53,423	-53,423	24,884	20,053	-0,888	32,428	-42,684	-42,684	31,089
Plate_1_7	17993	1	0,000	-4,912	-53,207	-53,207	24,839	19,677	-0,715	32,257	-42,684	-42,684	31,089
Element 14-20 (Plate)	17996	2	0,000	-5,014	-54,221	-54,221	25,543	21,435	-1,235	33,262	-40,596	-40,596	31,169
(Pali 400/0,4m)	17995	3	0,000	-5,115	-55,199	-55,199	26,220	23,128	-1,618	34,715	-38,336	-38,336	31,152

Structural element	Node [10 ^{3}]	Local number	X [m]	Y [m]	N [kN/m]	N $_{min}$ [kN/m]	N $_{max}$ [kN/m]	Q [kN/m]	Q $_{min}$ [kN/m]	Q $_{max}$ [kN/m]	M [kN m/m]	M $_{min}$ [kN m/m]	M $_{max}$ [kN m/m]
2D	17994	4	0,000	-5,217	-56,212	-56,212	27,042	24,882	-1,873	36,710	-35,899	-35,899	31,063
2D	18028	5	0,000	-5,318	-57,331	-57,331	27,834	26,821	-2,022	39,333	-33,278	-33,278	30,925
Plate_1_7	18028	1	0,000	-5,318	-57,441	-57,441	27,835	27,012	-2,027	39,204	-33,278	-33,278	30,925
Element 14-21 (Plate)	18027	2	0,000	-5,364	-58,027	-58,027	28,178	28,026	-2,074	40,351	-32,030	-32,030	30,849
(Pali 400/0,4m)	18026	3	0,000	-5,409	-58,663	-58,663	28,514	29,127	-2,102	41,543	-30,733	-30,733	30,767
2D	18025	4	0,000	-5,455	-59,351	-59,351	28,844	30,320	-2,146	42,781	-29,384	-29,384	30,681
2D	18083	5	0,000	-5,500	-60,095	-60,095	29,166	31,609	-2,216	44,065	-27,979	-27,979	30,590
Plate_1_8	18083	1	0,000	-5,500	-66,924	-66,924	29,166	-7,682	-7,682	43,962	-27,979	-27,979	30,590
Element 16-24 (Plate)	18084	2	0,000	-5,504	-66,990	-66,990	29,194	-7,567	-7,567	44,074	-28,009	-28,009	30,582
(Pali 400/0,4m)	18085	3	0,000	-5,508	-67,057	-67,057	29,222	-7,452	-7,452	44,187	-28,039	-28,039	30,574
2D	18086	4	0,000	-5,512	-67,124	-67,124	29,249	-7,336	-7,336	44,300	-28,068	-28,068	30,566
2D	18785	5	0,000	-5,516	-67,191	-67,191	29,277	-7,219	-7,219	44,412	-28,097	-28,097	30,558
Plate_1_9	18785	1	0,000	-5,516	-67,122	-67,122	29,277	-7,338	-7,338	44,387	-28,097	-28,097	30,558
Element 17-25 (Plate)	18788	2	0,000	-5,639	-69,384	-69,384	30,109	-3,420	-3,420	47,941	-28,757	-28,757	30,680
(Pali 400/0,4m)	18787	3	0,000	-5,761	-71,556	-71,556	30,891	0,342	-2,473	51,439	-28,942	-28,942	33,533
2D	18786	4	0,000	-5,884	-73,588	-73,588	31,623	3,862	-2,550	55,079	-28,683	-28,683	37,604
2D	19633	5	0,000	-6,007	-75,430	-75,430	32,305	7,051	-2,580	59,076	-28,008	-28,008	42,608
Plate_1_10	19633	1	0,000	-6,007	-75,493	-75,493	32,305	7,160	-2,589	58,853	-28,008	-28,008	42,608
Element 19-28 (Plate)	19636	2	0,000	-6,130	-76,891	-76,891	32,939	9,582	-2,560	55,888	-26,980	-26,980	48,231
(Pali 400/0,4m)	19635	3	0,000	-6,254	-78,517	-78,517	33,521	12,399	-2,525	51,891	-25,631	-25,631	53,868
2D	19634	4	0,000	-6,377	-80,403	-80,403	34,051	15,665	-2,496	46,928	-23,906	-23,906	59,633
2D	20396	5	0,000	-6,500	-82,580	-82,580	34,528	19,435	-2,473	41,074	-21,749	-21,749	65,017
Plate_1_11	20396	1	0,000	-6,500	-82,649	-82,649	34,528	19,556	-2,522	41,843	-21,749	-21,749	65,017
Element 21-30 (Plate)	20399	2	0,000	-6,620	-85,219	-85,219	35,001	24,007	-2,494	36,117	-19,135	-19,135	69,644
(Pali 400/0,4m)	20398	3	0,000	-6,740	-87,964	-87,964	35,438	28,761	-2,615	32,631	-15,967	-15,967	73,664
2D	20397	4	0,000	-6,861	-90,885	-90,885	35,816	33,821	-2,955	35,301	-12,209	-12,209	77,174
2D	20730	5	0,000	-6,981	-93,985	-93,985	36,136	39,190	-3,585	39,476	-7,827	-7,827	80,234
Plate_1_12	20730	1	0,000	-6,981	-93,768	-93,768	36,133	38,814	-3,850	39,096	-7,827	-7,827	80,234
Element 25-36 (Plate)	20733	2	0,000	-7,128	-96,696	-96,696	36,460	43,886	-6,190	44,175	-1,719	-1,916	82,511
(Pali 400/0,4m)	20732	3	0,000	-7,276	-99,253	-99,253	36,729	48,315	-10,502	48,561	5,099	-1,393	82,957
2D	20731	4	0,000	-7,423	-101,344	-101,344	37,002	51,936	-15,568	52,098	12,508	-0,965	81,833
2D	21130	5	0,000	-7,571	-102,872	-102,872	37,200	54,582	-20,577	54,631	20,382	-0,617	79,412
Plate_1_12	21130	1	0,000	-7,571	-102,518	-102,518	37,195	54,015	-21,022	54,019	20,382	-0,617	79,412
Element 25-37 (Plate)	21133	2	0,000	-7,803	-104,274	-104,274	37,342	57,049	-26,904	57,049	33,242	-0,167	73,864
(Pali 400/0,4m)	21132	3	0,000	-8,036	-106,854	-106,854	37,276	61,551	-30,315	61,551	46,995	-0,011	67,182
2D	21131	4	0,000	-8,268	-110,148	-110,148	36,994	67,289	-31,211	67,289	61,931	-0,009	70,275
2D	21634	5	0,000	-8,500	-114,047	-114,047	36,581	74,031	-29,837	74,031	78,322	-0,007	81,090
Plate_1_13	21634	1	0,000	-8,500	-114,283	-114,283	36,563	77,472	-30,533	77,472	78,322	-0,007	81,090
Element 30-44 (Plate)	21637	2	0,000	-8,893	-90,177	-90,177	35,385	25,814	-26,349	25,814	98,095	-0,004	98,151
(Pali 400/0,4m)	21636	3	0,000	-9,285	-71,915	-71,915	33,568	-10,814	-25,992	0,746	100,564	-0,002	100,564
2D	21635	4	0,000	-9,678	-58,308	-58,308	31,304	-32,750	-35,817	0,551	91,522	0,000	91,522
2D	22102	5	0,000	-10,071	-48,168	-48,168	28,219	-40,332	-40,332	0,182	76,718	0,000	76,718
Plate_1_14	22102	1	0,000	-10,071	-46,848	-46,848	28,187	-43,684	-43,684	0,002	76,718	0,000	76,718
Element 32-46 (Plate)	22105	2	0,000	-10,297	-38,784	-38,784	25,916	-50,710	-50,710	0,001	65,954	0,000	65,954
(Pali 400/0,4m)	22104	3	0,000	-10,524	-31,571	-31,571	23,343	-54,132	-54,132	0,000	54,003	0,000	54,003
2D	22103	4	0,000	-10,751	-25,256	-25,256	20,468	-53,997	-53,997	0,000	41,679	0,000	41,679
2D	22534	5	0,000	-10,977	-19,884	-19,884	17,296	-50,353	-50,353	0,000	29,790	0,000	29,790
Plate_1_14	22534	1	0,000	-10,977	-19,402	-19,402	17,276	-50,511	-50,511	0,000	29,790	0,000	29,790
Element 32-47 (Plate)	22538	2	0,000	-11,233	-14,998	-14,998	13,341	-42,794	-42,794	0,000	17,789	0,000	17,789

Structural element	Node [10 ^{3}]	Local number	X [m]	Y [m]	N [kN/m]	N_{min} [kN/m]	N_{max} [kN/m]	Q [kN/m]	Q_{min} [kN/m]	Q_{max} [kN/m]	M [kN m/m]	M_{min} [kN m/m]	M_{max} [kN m/m]
(Pali 400/0,4m)	22537	3	0,000	-11,489	-10,509	-10,530	8,917	-31,510	-31,510	0,000	8,213	0,000	8,213
〃	22536	4	0,000	-11,744	-5,593	-5,602	3,986	-16,655	-16,655	0,000	1,977	0,000	1,977
〃	22535	5	0,000	-12,000	0,091	-1,472	0,575	1,778	-0,123	1,778	0,000	0,000	0,000

3.1.2.4.35 Calculation results, Plate, SLU11 Paratia esistente [Phase_13] (13/1235), Table of plate force envelopes

Structural element	Node [10 ³]	Local number	X [m]	Y [m]	N [kN/m]	N_{min} [kN/m]	N_{max} [kN/m]	Q [kN/m]	Q_{min} [kN/m]	Q_{max} [kN/m]	M [kN m/m]	M_{min} [kN m/m]	M_{max} [kN m/m]
Plate_1_1	13320	1	0,000	0,000	0,311	-0,034	0,313	-0,539	-0,539	0,068	0,000	0,000	0,000
Element 2-3 (Plate)	13319	2	0,000	-0,240	-1,792	-1,792	0,020	3,087	-0,003	3,087	0,294	0,000	0,298
(Pali 400/0,4m)	13318	3	0,000	-0,480	-4,040	-4,040	0,046	6,963	-0,004	6,963	1,507	0,000	1,507
쯤	13317	4	0,000	-0,720	-6,232	-6,232	0,063	10,744	-0,022	10,744	3,630	0,000	3,630
쯤	13527	5	0,000	-0,960	-8,167	-8,167	0,066	14,082	-0,019	14,082	6,625	-0,004	6,625
Plate_1_2	13527	1	0,000	-0,960	-7,696	-7,696	0,000	13,265	-0,022	13,265	6,625	-0,004	6,625
Element 5-7 (Plate)	13530	2	0,000	-1,095	-7,543	-7,543	0,000	13,002	-0,011	13,002	8,395	-0,006	8,395
(Pali 400/0,4m)	13529	3	0,000	-1,230	-7,651	-7,651	0,471	13,186	-0,220	13,186	10,152	-0,007	10,152
쯤	13528	4	0,000	-1,365	-8,162	-8,162	1,216	14,066	-1,155	14,066	11,986	-0,007	11,986
쯤	14231	5	0,000	-1,500	-9,221	-9,221	2,071	15,891	-2,194	15,891	13,993	-0,006	13,993
Plate_1_3	14231	1	0,000	-1,500	-19,136	-19,136	2,060	-42,211	-42,211	4,828	13,993	-0,006	13,993
Element 7-10 (Plate)	14232	2	0,000	-1,580	-19,744	-19,744	2,562	-41,163	-41,163	4,831	10,669	-0,033	10,669
(Pali 400/0,4m)	14233	3	0,000	-1,660	-20,305	-20,305	3,064	-40,195	-40,195	4,845	7,425	-0,131	7,425
쯤	14234	4	0,000	-1,739	-20,791	-20,791	3,568	-39,357	-39,357	4,882	4,252	-0,301	5,818
쯤	15007	5	0,000	-1,819	-21,174	-21,174	4,072	-38,698	-38,698	4,956	1,142	-0,492	6,208
Plate_1_4	15007	1	0,000	-1,819	-21,225	-21,225	4,071	-38,610	-38,610	5,014	1,142	-0,492	6,208
Element 8-11 (Plate)	15010	2	0,000	-1,871	-21,501	-21,501	4,403	-38,134	-38,134	5,129	-0,870	-1,569	6,472
(Pali 400/0,4m)	15009	3	0,000	-1,924	-21,795	-21,795	4,732	-37,628	-37,628	5,292	-2,857	-2,857	6,745
쯤	15008	4	0,000	-1,976	-22,108	-22,108	5,056	-37,089	-37,089	5,506	-4,817	-4,817	7,028
쯤	15973	5	0,000	-2,029	-22,442	-22,442	5,376	-36,513	-36,513	5,773	-6,747	-6,747	7,323
Plate_1_5	15973	1	0,000	-2,029	-22,438	-22,438	5,376	-36,519	-36,519	5,753	-6,747	-6,747	7,323
Element 10-13 (Plate)	15974	2	0,000	-2,103	-22,954	-22,954	5,825	-35,629	-35,629	6,218	-9,439	-9,439	7,770
(Pali 400/0,4m)	15975	3	0,000	-2,178	-23,489	-23,489	6,266	-34,707	-34,707	6,681	-12,065	-12,065	8,251
쯤	15976	4	0,000	-2,253	-24,040	-24,040	6,700	-33,757	-33,757	7,132	-14,621	-14,621	8,767
쯤	16291	5	0,000	-2,327	-24,603	-24,603	7,127	-32,785	-32,785	7,561	-17,104	-17,104	9,315
Plate_1_5	16291	1	0,000	-2,327	-24,604	-24,604	7,128	-32,784	-32,784	7,599	-17,104	-17,104	9,315
Element 10-14 (Plate)	16294	2	0,000	-2,471	-25,677	-25,677	7,927	-30,933	-30,933	8,438	-21,669	-21,669	10,462
(Pali 400/0,4m)	16293	3	0,000	-2,614	-26,775	-26,775	8,702	-29,040	-29,040	9,478	-25,967	-25,967	11,742
쯤	16292	4	0,000	-2,757	-27,893	-27,893	9,454	-27,111	-27,111	10,733	-29,992	-29,992	13,186
쯤	16325	5	0,000	-2,901	-29,029	-29,029	10,436	-25,151	-25,151	12,223	-33,736	-33,736	14,824
Plate_1_6	16325	1	0,000	-2,901	-28,978	-28,978	10,394	-25,239	-25,239	12,366	-33,736	-33,736	14,824
Element 12-17 (Plate)	16328	2	0,000	-3,177	-31,458	-31,458	12,522	-20,961	-20,961	10,487	-40,093	-40,093	17,989
(Pali 400/0,4m)	16327	3	0,000	-3,453	-33,965	-33,965	14,537	-16,636	-16,636	8,437	-45,316	-45,316	20,569
쯤	16326	4	0,000	-3,729	-36,962	-36,962	16,461	-11,462	-11,484	6,881	-49,201	-49,201	22,671
쯤	17175	5	0,000	-4,005	-40,911	-40,911	18,315	-4,639	-4,811	8,272	-51,480	-51,480	24,465
Plate_1_7	17175	1	0,000	-4,005	-40,748	-40,748	18,262	-4,922	-5,096	7,866	-51,480	-51,480	24,465
Element 14-19 (Plate)	17178	2	0,000	-4,232	-44,874	-44,874	19,768	2,209	-1,671	14,416	-51,786	-51,786	26,335
(Pali 400/0,4m)	17177	3	0,000	-4,459	-48,811	-48,811	21,351	9,014	-1,126	20,631	-50,498	-50,498	28,512
쯤	17176	4	0,000	-4,686	-52,430	-52,430	23,128	15,266	-0,521	26,958	-47,736	-47,736	30,314
쯤	17993	5	0,000	-4,912	-55,600	-55,600	24,884	20,741	-0,888	32,428	-43,632	-43,632	31,089
Plate_1_7	17993	1	0,000	-4,912	-55,391	-55,391	24,839	20,378	-0,715	32,257	-43,632	-43,632	31,089
Element 14-20 (Plate)	17996	2	0,000	-5,014	-56,467	-56,467	25,543	22,234	-1,235	33,262	-41,468	-41,468	31,169
(Pali 400/0,4m)	17995	3	0,000	-5,115	-57,505	-57,505	26,220	24,025	-1,618	34,715	-39,121	-39,121	31,152

Structural element	Node [10 ^{3}]	Local number	X [m]	Y [m]	N [kN/m]	N_{min} [kN/m]	N_{max} [kN/m]	Q [kN/m]	Q_{min} [kN/m]	Q_{max} [kN/m]	M [kN m/m]	M_{min} [kN m/m]	M_{max} [kN m/m]
점	17994	4	0,000	-5,217	-58,577	-58,577	27,042	25,874	-1,873	36,710	-36,588	-36,588	31,063
점	18028	5	0,000	-5,318	-59,753	-59,753	27,834	27,904	-2,022	39,333	-33,862	-33,862	30,925
Plate_1_7	18028	1	0,000	-5,318	-59,864	-59,864	27,835	28,097	-2,027	39,204	-33,862	-33,862	30,925
Element 14-21 (Plate)	18027	2	0,000	-5,364	-60,475	-60,475	28,178	29,152	-2,074	40,351	-32,564	-32,564	30,849
(Pali 400/0,4m)	18026	3	0,000	-5,409	-61,137	-61,137	28,514	30,295	-2,102	41,543	-31,215	-31,215	30,767
점	18025	4	0,000	-5,455	-61,851	-61,851	28,844	31,530	-2,146	42,781	-29,812	-29,812	30,681
점	18083	5	0,000	-5,500	-62,621	-62,621	29,166	32,860	-2,216	44,065	-28,351	-28,351	30,590
Plate_1_8	18083	1	0,000	-5,500	-69,787	-69,787	29,166	-8,370	-8,370	43,962	-28,351	-28,351	30,590
Element 16-24 (Plate)	18084	2	0,000	-5,504	-69,856	-69,856	29,194	-8,252	-8,252	44,074	-28,384	-28,384	30,582
(Pali 400/0,4m)	18085	3	0,000	-5,508	-69,925	-69,925	29,222	-8,133	-8,133	44,187	-28,416	-28,416	30,574
점	18086	4	0,000	-5,512	-69,994	-69,994	29,249	-8,013	-8,013	44,300	-28,448	-28,448	30,566
점	18785	5	0,000	-5,516	-70,063	-70,063	29,277	-7,893	-7,893	44,412	-28,480	-28,480	30,558
Plate_1_9	18785	1	0,000	-5,516	-69,993	-69,993	29,277	-8,015	-8,015	44,387	-28,480	-28,480	30,558
Element 17-25 (Plate)	18788	2	0,000	-5,639	-72,332	-72,332	30,109	-3,971	-3,971	47,941	-29,215	-29,215	30,680
(Pali 400/0,4m)	18787	3	0,000	-5,761	-74,583	-74,583	30,891	-0,082	-2,473	51,439	-29,461	-29,461	33,533
점	18786	4	0,000	-5,884	-76,692	-76,692	31,623	3,564	-2,550	55,079	-29,245	-29,245	37,604
점	19633	5	0,000	-6,007	-78,610	-78,610	32,305	6,876	-2,580	59,076	-28,600	-28,600	42,608
Plate_1_10	19633	1	0,000	-6,007	-78,670	-78,670	32,305	6,980	-2,589	58,853	-28,600	-28,600	42,608
Element 19-28 (Plate)	19636	2	0,000	-6,130	-80,168	-80,168	32,939	9,568	-2,560	55,888	-27,583	-27,583	48,231
(Pali 400/0,4m)	19635	3	0,000	-6,254	-81,876	-81,876	33,521	12,520	-2,525	51,891	-26,227	-26,227	53,868
점	19634	4	0,000	-6,377	-83,834	-83,834	34,051	15,907	-2,496	46,928	-24,479	-24,479	59,633
점	20396	5	0,000	-6,500	-86,083	-86,083	34,528	19,800	-2,473	41,074	-22,286	-22,286	65,017
Plate_1_11	20396	1	0,000	-6,500	-86,157	-86,157	34,528	19,928	-2,522	41,843	-22,286	-22,286	65,017
Element 21-30 (Plate)	20399	2	0,000	-6,620	-88,772	-88,772	35,001	24,453	-2,494	36,117	-19,623	-19,623	69,644
(Pali 400/0,4m)	20398	3	0,000	-6,740	-91,560	-91,560	35,438	29,279	-2,615	32,631	-16,397	-16,397	73,664
점	20397	4	0,000	-6,861	-94,520	-94,520	35,816	34,402	-2,955	35,301	-12,573	-12,573	77,174
점	20730	5	0,000	-6,981	-97,649	-97,649	36,136	39,819	-3,585	39,819	-8,117	-8,117	80,234
Plate_1_12	20730	1	0,000	-6,981	-97,438	-97,438	36,133	39,453	-3,850	39,453	-8,117	-8,117	80,234
Element 25-36 (Plate)	20733	2	0,000	-7,128	-100,358	-100,358	36,460	44,506	-6,190	44,506	-1,917	-1,917	82,511
(Pali 400/0,4m)	20732	3	0,000	-7,276	-102,939	-102,939	36,729	48,974	-10,502	48,974	4,995	-1,393	82,957
점	20731	4	0,000	-7,423	-105,084	-105,084	37,002	52,687	-15,568	52,687	12,507	-0,965	81,833
점	21130	5	0,000	-7,571	-106,695	-106,695	37,200	55,474	-20,577	55,474	20,501	-0,617	79,412
Plate_1_12	21130	1	0,000	-7,571	-106,390	-106,390	37,195	54,949	-21,022	54,949	20,501	-0,617	79,412
Element 25-37 (Plate)	21133	2	0,000	-7,803	-108,204	-108,204	37,342	58,080	-26,904	58,080	33,586	-0,167	73,864
(Pali 400/0,4m)	21132	3	0,000	-8,036	-110,917	-110,917	37,276	62,775	-30,315	62,775	47,602	-0,011	67,182
점	21131	4	0,000	-8,268	-114,370	-114,370	36,994	68,754	-31,211	68,754	62,848	-0,009	70,275
점	21634	5	0,000	-8,500	-118,403	-118,403	36,581	75,736	-29,837	75,736	79,608	-0,007	81,090
Plate_1_13	21634	1	0,000	-8,500	-118,653	-118,653	36,563	79,189	-30,533	79,189	79,608	-0,007	81,090
Element 30-44 (Plate)	21637	2	0,000	-8,893	-94,040	-94,040	35,385	26,624	-26,349	26,624	99,871	-0,004	99,871
(Pali 400/0,4m)	21636	3	0,000	-9,285	-75,223	-75,223	33,568	-10,720	-25,992	0,746	102,511	-0,002	102,511
점	21635	4	0,000	-9,678	-61,009	-61,009	31,304	-33,177	-35,817	0,551	93,398	0,000	93,398
점	22102	5	0,000	-10,071	-50,208	-50,208	28,219	-41,082	-41,082	0,182	78,356	0,000	78,356
Plate_1_14	22102	1	0,000	-10,071	-48,920	-48,920	28,187	-44,477	-44,477	0,002	78,356	0,000	78,356
Element 32-46 (Plate)	22105	2	0,000	-10,297	-40,355	-40,355	25,916	-51,722	-51,722	0,001	67,386	0,000	67,386
(Pali 400/0,4m)	22104	3	0,000	-10,524	-32,769	-32,769	23,343	-55,269	-55,269	0,000	55,190	0,000	55,190
점	22103	4	0,000	-10,751	-26,189	-26,189	20,468	-55,166	-55,166	0,000	42,602	0,000	42,602
점	22534	5	0,000	-10,977	-20,645	-20,645	17,296	-51,461	-51,461	0,000	30,454	0,000	30,454
Plate_1_14	22534	1	0,000	-10,977	-20,140	-20,140	17,276	-51,631	-51,631	0,000	30,454	0,000	30,454
Element 32-47 (Plate)	22538	2	0,000	-11,233	-15,578	-15,578	13,341	-43,740	-43,740	0,000	18,187	0,000	18,187

Structural element	Node [10 ^{3}]	Local number	X [m]	Y [m]	N [kN/m]	N_{min} [kN/m]	N_{max} [kN/m]	Q [kN/m]	Q_{min} [kN/m]	Q_{max} [kN/m]	M [kN m/m]	M_{min} [kN m/m]	M_{max} [kN m/m]
(Pali 400/0,4m)	22537	3	0,000	-11,489	-10,925	-10,925	8,917	-32,205	-32,205	0,000	8,399	0,000	8,399
〃	22536	4	0,000	-11,744	-5,829	-5,829	3,986	-17,029	-17,029	0,000	2,025	0,000	2,025
〃	22535	5	0,000	-12,000	0,062	-1,472	0,575	1,787	-0,123	1,787	0,000	0,000	0,000

3.1.2.4.36 Calculation results, Plate, SLU12 Paratia esistente [Phase_18] (18/1240), Table of plate force envelopes

Structural element	Node [10 ³]	Local number	X [m]	Y [m]	N [kN/m]	N_{min} [kN/m]	N_{max} [kN/m]	Q [kN/m]	Q_{min} [kN/m]	Q_{max} [kN/m]	M [kN m/m]	M_{min} [kN m/m]	M_{max} [kN m/m]
Plate_1_1	13320	1	0,000	0,000	0,491	-0,034	0,491	-0,863	-0,863	0,068	0,000	0,000	0,000
Element 2-3 (Plate)	13319	2	0,000	-0,240	-2,215	-2,215	0,020	3,846	-0,003	3,846	0,335	0,000	0,335
(Pali 400/0,4m)	13318	3	0,000	-0,480	-5,071	-5,071	0,046	8,814	-0,004	8,814	1,879	0,000	1,879
2m	13317	4	0,000	-0,720	-7,585	-7,585	0,063	13,180	-0,022	13,180	4,520	0,000	4,520
2m	13527	5	0,000	-0,960	-9,268	-9,268	0,066	16,083	-0,019	16,083	8,079	-0,004	8,079
Plate_1_2	13527	1	0,000	-0,960	-9,033	-9,033	0,000	15,700	-0,022	15,700	8,079	-0,004	8,079
Element 5-7 (Plate)	13530	2	0,000	-1,095	-8,778	-8,778	0,000	15,272	-0,011	15,272	10,157	-0,006	10,157
(Pali 400/0,4m)	13529	3	0,000	-1,230	-9,053	-9,053	0,471	15,749	-0,220	15,749	12,241	-0,007	12,241
2m	13528	4	0,000	-1,365	-9,856	-9,856	1,216	17,128	-1,155	17,128	14,449	-0,007	14,449
2m	14231	5	0,000	-1,500	-11,183	-11,183	2,071	19,408	-2,194	19,408	16,903	-0,006	16,903
Plate_1_3	14231	1	0,000	-1,500	-22,494	-22,494	2,060	-46,745	-46,745	4,828	16,903	-0,006	16,903
Element 7-10 (Plate)	14232	2	0,000	-1,580	-23,247	-23,247	2,562	-45,449	-45,449	4,831	13,228	-0,033	13,228
(Pali 400/0,4m)	14233	3	0,000	-1,660	-23,949	-23,949	3,064	-44,242	-44,242	4,845	9,651	-0,131	9,651
2m	14234	4	0,000	-1,739	-24,570	-24,570	3,568	-43,174	-43,174	4,882	6,165	-0,301	6,165
2m	15007	5	0,000	-1,819	-25,083	-25,083	4,072	-42,294	-42,294	4,956	2,759	-0,492	6,208
Plate_1_4	15007	1	0,000	-1,819	-25,134	-25,134	4,071	-42,205	-42,205	5,014	2,759	-0,492	6,208
Element 8-11 (Plate)	15010	2	0,000	-1,871	-25,494	-25,494	4,403	-41,588	-41,588	5,129	0,562	-1,569	6,472
(Pali 400/0,4m)	15009	3	0,000	-1,924	-25,870	-25,870	4,732	-40,943	-40,943	5,292	-1,602	-2,809	6,745
2m	15008	4	0,000	-1,976	-26,263	-26,263	5,056	-40,268	-40,268	5,506	-3,732	-4,487	7,028
2m	15973	5	0,000	-2,029	-26,675	-26,675	5,376	-39,560	-39,560	5,773	-5,825	-6,352	7,323
Plate_1_5	15973	1	0,000	-2,029	-26,671	-26,671	5,376	-39,566	-39,566	5,753	-5,825	-6,352	7,323
Element 10-13 (Plate)	15974	2	0,000	-2,103	-27,296	-27,296	5,825	-38,492	-38,492	6,218	-8,738	-8,956	7,770
(Pali 400/0,4m)	15975	3	0,000	-2,178	-27,936	-27,936	6,266	-37,392	-37,392	6,681	-11,571	-11,571	8,251
2m	15976	4	0,000	-2,253	-28,589	-28,589	6,700	-36,269	-36,269	7,132	-14,320	-14,320	8,767
2m	16291	5	0,000	-2,327	-29,252	-29,252	7,127	-35,131	-35,131	7,561	-16,985	-16,985	9,315
Plate_1_5	16291	1	0,000	-2,327	-29,252	-29,252	7,128	-35,130	-35,130	7,599	-16,985	-16,985	9,315
Element 10-14 (Plate)	16294	2	0,000	-2,471	-30,508	-30,508	7,927	-32,973	-32,973	8,438	-21,864	-21,864	10,462
(Pali 400/0,4m)	16293	3	0,000	-2,614	-31,775	-31,775	8,702	-30,795	-30,795	9,478	-26,434	-26,434	11,742
2m	16292	4	0,000	-2,757	-33,051	-33,051	9,454	-28,603	-28,603	10,733	-30,691	-30,691	13,186
2m	16325	5	0,000	-2,901	-34,333	-34,333	10,436	-26,402	-26,402	12,223	-34,631	-34,631	14,824
Plate_1_6	16325	1	0,000	-2,901	-34,278	-34,278	10,394	-26,497	-26,497	12,366	-34,631	-34,631	14,824
Element 12-17 (Plate)	16328	2	0,000	-3,177	-36,998	-36,998	12,522	-21,826	-21,826	10,487	-41,278	-41,278	17,989
(Pali 400/0,4m)	16327	3	0,000	-3,453	-39,669	-39,669	14,537	-17,239	-17,239	8,437	-46,701	-46,701	20,569
2m	16326	4	0,000	-3,729	-42,757	-42,757	16,461	-11,928	-11,928	6,881	-50,731	-50,731	22,671
2m	17175	5	0,000	-4,005	-46,726	-46,726	18,315	-5,087	-5,087	8,272	-53,133	-53,133	24,465
Plate_1_7	17175	1	0,000	-4,005	-46,555	-46,555	18,262	-5,380	-5,380	7,866	-53,133	-53,133	24,465
Element 14-19 (Plate)	17178	2	0,000	-4,232	-50,747	-50,747	19,768	1,856	-1,671	14,416	-53,525	-53,525	26,335
(Pali 400/0,4m)	17177	3	0,000	-4,459	-54,628	-54,628	21,351	8,551	-1,126	20,631	-52,329	-52,329	28,512
2m	17176	4	0,000	-4,686	-58,125	-58,125	23,128	14,579	-0,521	26,958	-49,693	-49,693	30,314
2m	17993	5	0,000	-4,912	-61,165	-61,165	24,884	19,814	-0,888	32,428	-45,774	-45,774	31,089
Plate_1_7	17993	1	0,000	-4,912	-61,122	-61,122	24,839	19,747	-0,715	32,257	-45,774	-45,774	31,089
Element 14-20 (Plate)	17996	2	0,000	-5,014	-62,250	-62,250	25,543	21,690	-1,235	33,262	-43,670	-43,670	31,169
(Pali 400/0,4m)	17995	3	0,000	-5,115	-63,365	-63,365	26,220	23,613	-1,618	34,715	-41,372	-41,372	31,152

Structural element	Node [10 ^{3}]	Local number	X [m]	Y [m]	N [kN/m]	N_{min} [kN/m]	N_{max} [kN/m]	Q [kN/m]	Q_{min} [kN/m]	Q_{max} [kN/m]	M [kN m/m]	M_{min} [kN m/m]	M_{max} [kN m/m]
점	17994	4	0,000	-5,217	-64,532	-64,532	27,042	25,628	-1,873	36,710	-38,873	-38,873	31,063
점	18028	5	0,000	-5,318	-65,815	-65,815	27,834	27,850	-2,022	39,333	-36,163	-36,163	30,925
Plate_1_7	18028	1	0,000	-5,318	-65,896	-65,896	27,835	27,988	-2,027	39,204	-36,163	-36,163	30,925
Element 14-21 (Plate)	18027	2	0,000	-5,364	-66,551	-66,551	28,178	29,124	-2,074	40,351	-34,867	-34,867	30,849
(Pali 400/0,4m)	18026	3	0,000	-5,409	-67,254	-67,254	28,514	30,342	-2,102	41,543	-33,518	-33,518	30,767
점	18025	4	0,000	-5,455	-68,008	-68,008	28,844	31,649	-2,146	42,781	-32,111	-32,111	30,681
점	18083	5	0,000	-5,500	-68,816	-68,816	29,166	33,048	-2,216	44,065	-30,643	-30,643	30,590
Plate_1_8	18083	1	0,000	-5,500	-78,415	-78,415	29,166	-22,160	-22,160	43,962	-30,643	-30,643	30,590
Element 16-24 (Plate)	18084	2	0,000	-5,504	-78,488	-78,488	29,194	-22,035	-22,035	44,074	-30,731	-30,731	30,582
(Pali 400/0,4m)	18085	3	0,000	-5,508	-78,560	-78,560	29,222	-21,909	-21,909	44,187	-30,818	-30,818	30,574
점	18086	4	0,000	-5,512	-78,633	-78,633	29,249	-21,783	-21,783	44,300	-30,904	-30,904	30,566
점	18785	5	0,000	-5,516	-78,706	-78,706	29,277	-21,656	-21,656	44,412	-30,990	-30,990	30,558
Plate_1_9	18785	1	0,000	-5,516	-78,629	-78,629	29,277	-21,789	-21,789	44,387	-30,990	-30,990	30,558
Element 17-25 (Plate)	18788	2	0,000	-5,639	-81,117	-81,117	30,109	-17,479	-17,479	47,941	-33,401	-33,401	30,680
(Pali 400/0,4m)	18787	3	0,000	-5,761	-83,538	-83,538	30,891	-13,286	-13,286	51,439	-35,287	-35,287	33,533
점	18786	4	0,000	-5,884	-85,830	-85,830	31,623	-9,316	-9,316	55,079	-36,674	-36,674	37,604
점	19633	5	0,000	-6,007	-87,930	-87,930	32,305	-5,679	-5,679	59,076	-37,590	-37,590	42,608
Plate_1_10	19633	1	0,000	-6,007	-87,975	-87,975	32,305	-5,600	-5,600	58,853	-37,590	-37,590	42,608
Element 19-28 (Plate)	19636	2	0,000	-6,130	-89,746	-89,746	32,939	-2,538	-2,560	55,888	-38,090	-38,090	48,231
(Pali 400/0,4m)	19635	3	0,000	-6,254	-91,579	-91,579	33,521	0,630	-2,525	51,891	-38,213	-38,213	53,868
점	19634	4	0,000	-6,377	-93,615	-93,615	34,051	4,150	-2,496	46,928	-37,920	-37,920	59,633
점	20396	5	0,000	-6,500	-95,996	-95,996	34,528	8,266	-2,473	41,074	-37,164	-37,164	65,017
Plate_1_11	20396	1	0,000	-6,500	-96,207	-96,207	34,528	8,633	-2,522	41,843	-37,164	-37,164	65,017
Element 21-30 (Plate)	20399	2	0,000	-6,620	-98,741	-98,741	35,001	13,016	-2,494	36,117	-35,868	-35,868	69,644
(Pali 400/0,4m)	20398	3	0,000	-6,740	-101,531	-101,531	35,438	17,846	-2,615	32,631	-34,018	-34,018	73,664
점	20397	4	0,000	-6,861	-104,596	-104,596	35,816	23,154	-2,955	35,301	-31,559	-31,559	77,174
점	20730	5	0,000	-6,981	-107,955	-107,955	36,136	28,971	-3,585	39,476	-28,433	-28,433	80,234
Plate_1_12	20730	1	0,000	-6,981	-107,731	-107,731	36,133	28,608	-3,850	39,096	-28,433	-28,433	80,234
Element 25-36 (Plate)	20733	2	0,000	-7,128	-111,435	-111,435	36,460	34,981	-6,190	44,175	-23,736	-23,736	82,511
(Pali 400/0,4m)	20732	3	0,000	-7,276	-114,821	-114,821	36,729	40,871	-10,502	48,561	-18,129	-18,129	82,957
점	20731	4	0,000	-7,423	-117,814	-117,814	37,002	46,198	-15,568	52,098	-11,695	-11,695	81,833
점	21130	5	0,000	-7,571	-120,340	-120,340	37,200	50,878	-20,577	54,631	-4,523	-4,523	79,412
Plate_1_12	21130	1	0,000	-7,571	-119,973	-119,973	37,195	50,516	-21,022	54,019	-4,523	-4,523	79,412
Element 25-37 (Plate)	21133	2	0,000	-7,803	-122,933	-122,933	37,342	56,372	-26,904	57,049	7,846	-0,167	73,864
(Pali 400/0,4m)	21132	3	0,000	-8,036	-126,432	-126,432	37,276	63,820	-30,315	63,820	21,787	-0,011	67,182
점	21131	4	0,000	-8,268	-130,349	-130,349	36,994	72,482	-31,211	72,482	37,588	-0,009	70,275
점	21634	5	0,000	-8,500	-134,564	-134,564	36,581	81,980	-29,837	81,980	55,511	-0,007	81,090
Plate_1_13	21634	1	0,000	-8,500	-134,724	-134,724	36,563	80,940	-30,533	80,940	55,511	-0,007	81,090
Element 30-44 (Plate)	21637	2	0,000	-8,893	-114,127	-114,127	35,385	52,082	-26,349	52,082	81,895	-0,004	98,151
(Pali 400/0,4m)	21636	3	0,000	-9,285	-95,617	-95,617	33,568	21,609	-25,992	21,609	96,051	-0,002	100,564
점	21635	4	0,000	-9,678	-78,674	-78,674	31,304	-3,968	-35,817	0,551	99,510	0,000	99,510
점	22102	5	0,000	-10,071	-62,779	-62,779	28,219	-18,134	-40,332	0,182	94,578	0,000	94,578
Plate_1_14	22102	1	0,000	-10,071	-61,911	-61,911	28,187	-24,382	-43,684	0,002	94,578	0,000	94,578
Element 32-46 (Plate)	22105	2	0,000	-10,297	-49,753	-49,753	25,916	-46,896	-50,710	0,001	86,353	0,000	86,353
(Pali 400/0,4m)	22104	3	0,000	-10,524	-38,704	-38,704	23,343	-61,597	-61,597	0,000	73,910	0,000	73,910
점	22103	4	0,000	-10,751	-29,099	-29,099	20,468	-68,609	-68,609	0,000	59,004	0,000	59,004
점	22534	5	0,000	-10,977	-21,272	-21,272	17,296	-68,054	-68,054	0,000	43,379	0,000	43,379
Plate_1_14	22534	1	0,000	-10,977	-20,817	-20,817	17,276	-68,533	-68,533	0,000	43,379	0,000	43,379
Element 32-47 (Plate)	22538	2	0,000	-11,233	-15,108	-15,108	13,341	-61,218	-61,218	0,000	26,657	0,000	26,657

Structural element	Node [10 ^{3}]	Local number	X [m]	Y [m]	N [kN/m]	N_{min} [kN/m]	N_{max} [kN/m]	Q [kN/m]	Q_{min} [kN/m]	Q_{max} [kN/m]	M [kN m/m]	M_{min} [kN m/m]	M_{max} [kN m/m]
(Pali 400/0,4m)	22537	3	0,000	-11,489	-10,100	-10,530	8,917	-47,120	-47,120	0,000	12,651	0,000	12,651
杏	22536	4	0,000	-11,744	-5,476	-5,602	3,986	-25,966	-25,966	0,000	3,158	0,000	3,158
杏	22535	5	0,000	-12,000	-0,918	-1,472	0,575	2,517	-0,123	2,517	0,000	0,000	0,000

3.1.2.4.37 Calculation results, Plate, FS Paratia esistente [Phase_19] (19/1390), Table of plate force envelopes

Structural element	Node [10 ^{3}]	Local number	X [m]	Y [m]	N [kN/m]	N_{min} [kN/m]	N_{max} [kN/m]	Q [kN/m]	Q_{min} [kN/m]	Q_{max} [kN/m]	M [kN m/m]	M_{min} [kN m/m]	M_{max} [kN m/m]
Plate_1_1	13320	1	0,000	0,000	0,665	-0,034	0,794	-1,580	-1,806	0,068	0,000	0,000	0,000
Element 2-3 (Plate)	13319	2	0,000	-0,240	-2,265	-2,770	0,020	5,378	-0,003	6,902	0,533	0,000	0,700
(Pali 400/0,4m)	13318	3	0,000	-0,480	-4,109	-5,551	0,046	9,759	-0,004	12,858	2,359	0,000	3,097
zm	13317	4	0,000	-0,720	-5,397	-7,716	0,063	12,819	-0,022	16,659	5,114	0,000	6,687
zm	13527	5	0,000	-0,960	-6,658	-9,268	0,066	15,813	-0,019	18,668	8,526	-0,004	10,954
Plate_1_2	13527	1	0,000	-0,960	-6,085	-9,033	0,000	14,714	-0,022	17,559	8,526	-0,004	10,954
Element 5-7 (Plate)	13530	2	0,000	-1,095	-7,080	-8,778	0,000	17,079	-0,011	20,173	10,667	-0,006	13,494
(Pali 400/0,4m)	13529	3	0,000	-1,230	-8,174	-9,252	0,471	19,677	-0,220	23,079	13,146	-0,007	16,412
zm	13528	4	0,000	-1,365	-9,329	-10,520	1,216	22,421	-1,155	26,128	15,985	-0,007	19,730
zm	14231	5	0,000	-1,500	-10,510	-11,788	2,071	25,224	-2,194	29,169	19,199	-0,006	23,462
Plate_1_3	14231	1	0,000	-1,500	-31,020	-31,250	2,060	-92,706	-92,706	4,828	19,199	-0,006	23,462
Element 7-10 (Plate)	14232	2	0,000	-1,580	-31,808	-32,059	2,562	-90,836	-90,836	4,831	11,881	-0,033	16,986
(Pali 400/0,4m)	14233	3	0,000	-1,660	-32,548	-32,811	3,064	-89,078	-89,078	4,845	4,706	-0,131	10,929
zm	14234	4	0,000	-1,739	-33,216	-33,487	3,568	-87,488	-87,488	4,882	-2,336	-2,336	6,419
zm	15007	5	0,000	-1,819	-33,789	-34,065	4,072	-86,118	-86,118	4,956	-9,256	-9,256	6,208
Plate_1_4	15007	1	0,000	-1,819	-33,812	-34,100	4,071	-85,964	-85,964	5,014	-9,256	-9,256	6,208
Element 8-11 (Plate)	15010	2	0,000	-1,871	-34,187	-34,487	4,403	-84,935	-84,935	5,129	-13,736	-13,736	6,472
(Pali 400/0,4m)	15009	3	0,000	-1,924	-34,571	-34,885	4,732	-83,880	-83,880	5,292	-18,164	-18,164	6,745
zm	15008	4	0,000	-1,976	-34,967	-35,297	5,056	-82,795	-82,795	5,506	-22,535	-22,535	7,028
zm	15973	5	0,000	-2,029	-35,375	-35,721	5,376	-81,677	-81,677	5,773	-26,847	-26,847	7,323
Plate_1_5	15973	1	0,000	-2,029	-35,374	-35,719	5,376	-81,681	-81,681	5,753	-26,847	-26,847	7,323
Element 10-13 (Plate)	15974	2	0,000	-2,103	-35,975	-36,346	5,825	-80,034	-80,034	6,218	-32,881	-32,881	7,770
(Pali 400/0,4m)	15975	3	0,000	-2,178	-36,588	-36,985	6,266	-78,349	-78,349	6,681	-38,793	-38,793	8,251
zm	15976	4	0,000	-2,253	-37,211	-37,635	6,700	-76,628	-76,628	7,132	-44,579	-44,579	8,767
zm	16291	5	0,000	-2,327	-37,842	-38,293	7,127	-74,878	-74,878	7,561	-50,232	-50,232	9,315
Plate_1_5	16291	1	0,000	-2,327	-37,860	-38,311	7,128	-74,850	-74,850	7,599	-50,232	-50,232	9,315
Element 10-14 (Plate)	16294	2	0,000	-2,471	-38,982	-39,485	7,927	-71,664	-71,664	8,438	-60,727	-60,727	10,462
(Pali 400/0,4m)	16293	3	0,000	-2,614	-40,089	-40,642	8,702	-68,547	-68,547	9,478	-70,775	-70,775	11,742
zm	16292	4	0,000	-2,757	-41,183	-41,785	9,454	-65,504	-65,504	10,733	-80,381	-80,381	13,186
zm	16325	5	0,000	-2,901	-42,268	-42,915	10,436	-62,540	-62,540	12,223	-89,553	-89,553	14,824
Plate_1_6	16325	1	0,000	-2,901	-42,241	-42,902	10,394	-62,483	-62,483	12,366	-89,553	-89,553	14,824
Element 12-17 (Plate)	16328	2	0,000	-3,177	-44,586	-45,316	12,522	-56,563	-56,563	10,487	-105,990	-105,990	17,989
(Pali 400/0,4m)	16327	3	0,000	-3,453	-47,168	-48,020	14,537	-49,836	-49,836	8,437	-120,710	-120,710	20,569
zm	16326	4	0,000	-3,729	-50,085	-51,122	16,461	-41,971	-41,971	6,881	-133,405	-133,405	22,671
zm	17175	5	0,000	-4,005	-53,438	-54,727	18,315	-32,637	-32,637	8,272	-143,741	-143,741	24,465
Plate_1_7	17175	1	0,000	-4,005	-53,290	-54,573	18,262	-32,589	-32,589	7,866	-143,741	-143,741	24,465
Element 14-19 (Plate)	17178	2	0,000	-4,232	-55,720	-57,269	19,768	-24,035	-24,035	14,416	-150,180	-150,180	26,335
(Pali 400/0,4m)	17177	3	0,000	-4,459	-57,988	-60,264	21,351	-14,960	-14,960	20,631	-154,606	-154,606	28,512
zm	17176	4	0,000	-4,686	-60,103	-63,616	23,128	-5,638	-5,638	26,958	-156,953	-156,953	30,314
zm	17993	5	0,000	-4,912	-62,073	-66,805	24,884	3,659	-0,888	32,428	-157,171	-157,171	31,089
Plate_1_7	17993	1	0,000	-4,912	-62,046	-66,817	24,839	3,876	-0,715	32,257	-157,171	-157,171	31,089
Element 14-20 (Plate)	17996	2	0,000	-5,014	-62,939	-68,255	25,543	8,264	-1,235	33,262	-156,554	-156,554	31,169
(Pali 400/0,4m)	17995	3	0,000	-5,115	-63,787	-69,696	26,220	12,548	-1,618	34,715	-155,498	-155,498	31,152

Structural element	Node [10 ^{3}]	Local number	X [m]	Y [m]	N [kN/m]	N_{min} [kN/m]	N_{max} [kN/m]	Q [kN/m]	Q_{min} [kN/m]	Q_{max} [kN/m]	M [kN m/m]	M_{min} [kN m/m]	M_{max} [kN m/m]
점	17994	4	0,000	-5,217	-64,639	-71,178	27,042	16,845	-1,873	36,710	-154,006	-154,006	31,063
점	18028	5	0,000	-5,318	-65,543	-72,730	27,834	21,269	-2,022	39,333	-152,074	-152,074	30,925
Plate_1_7	18028	1	0,000	-5,318	-65,581	-72,769	27,835	21,358	-2,027	39,204	-152,074	-152,074	30,925
Element 14-21 (Plate)	18027	2	0,000	-5,364	-65,999	-73,484	28,178	23,365	-2,074	40,351	-151,059	-151,059	30,849
(Pali 400/0,4m)	18026	3	0,000	-5,409	-66,429	-74,226	28,514	25,404	-2,102	41,543	-149,953	-149,953	30,767
점	18025	4	0,000	-5,455	-66,874	-75,011	28,844	27,481	-2,146	42,781	-148,752	-148,752	30,681
점	18083	5	0,000	-5,500	-67,338	-75,838	29,166	29,605	-2,216	44,065	-147,457	-147,457	30,590
Plate_1_8	18083	1	0,000	-5,500	-92,940	-98,962	29,166	-117,592	-117,592	43,962	-147,457	-147,457	30,590
Element 16-24 (Plate)	18084	2	0,000	-5,504	-92,982	-99,030	29,194	-117,404	-117,404	44,074	-147,922	-147,922	30,582
(Pali 400/0,4m)	18085	3	0,000	-5,508	-93,023	-99,097	29,222	-117,215	-117,215	44,187	-148,386	-148,386	30,574
점	18086	4	0,000	-5,512	-93,065	-99,165	29,249	-117,026	-117,026	44,300	-148,849	-148,849	30,566
점	18785	5	0,000	-5,516	-93,108	-99,234	29,277	-116,837	-116,837	44,412	-149,311	-149,311	30,558
Plate_1_9	18785	1	0,000	-5,516	-93,112	-99,237	29,277	-116,823	-116,823	44,387	-149,311	-149,311	30,558
Element 17-25 (Plate)	18788	2	0,000	-5,639	-94,431	-101,376	30,109	-110,915	-110,915	47,941	-163,294	-163,294	30,680
(Pali 400/0,4m)	18787	3	0,000	-5,761	-95,785	-103,590	30,891	-104,891	-104,891	51,439	-176,552	-176,552	33,533
점	18786	4	0,000	-5,884	-97,193	-105,911	31,623	-98,704	-98,704	55,079	-189,059	-189,059	37,604
점	19633	5	0,000	-6,007	-98,674	-108,325	32,305	-92,309	-92,309	59,076	-200,789	-200,789	42,608
Plate_1_10	19633	1	0,000	-6,007	-98,626	-108,276	32,305	-92,424	-92,424	58,853	-200,789	-200,789	42,608
Element 19-28 (Plate)	19636	2	0,000	-6,130	-100,276	-110,875	32,939	-85,570	-85,570	55,888	-211,757	-211,757	48,231
(Pali 400/0,4m)	19635	3	0,000	-6,254	-101,994	-113,552	33,521	-78,520	-78,520	51,891	-221,869	-221,869	53,868
점	19634	4	0,000	-6,377	-103,733	-116,259	34,051	-71,398	-71,398	46,928	-231,109	-231,109	59,633
점	20396	5	0,000	-6,500	-105,446	-118,946	34,528	-64,326	-64,326	41,074	-239,468	-239,468	65,017
Plate_1_11	20396	1	0,000	-6,500	-105,506	-119,007	34,528	-64,159	-64,159	41,843	-239,468	-239,468	65,017
Element 21-30 (Plate)	20399	2	0,000	-6,620	-107,150	-121,601	35,001	-57,343	-57,343	36,117	-246,770	-246,770	69,644
(Pali 400/0,4m)	20398	3	0,000	-6,740	-108,910	-124,315	35,438	-50,180	-50,180	32,631	-253,235	-253,235	73,664
점	20397	4	0,000	-6,861	-110,775	-127,136	35,816	-42,700	-42,700	35,301	-258,821	-258,821	77,174
점	20730	5	0,000	-6,981	-112,731	-130,049	36,136	-34,928	-34,928	39,476	-263,486	-263,486	80,234
Plate_1_12	20730	1	0,000	-6,981	-112,687	-130,003	36,133	-34,974	-34,974	39,096	-263,486	-263,486	80,234
Element 25-36 (Plate)	20733	2	0,000	-7,128	-114,574	-133,086	36,460	-26,715	-26,715	44,175	-268,034	-268,034	82,511
(Pali 400/0,4m)	20732	3	0,000	-7,276	-116,599	-136,301	36,729	-18,307	-18,307	48,561	-271,369	-271,369	82,957
점	20731	4	0,000	-7,423	-118,942	-139,821	37,002	-9,316	-15,568	52,098	-273,411	-273,411	81,833
점	21130	5	0,000	-7,571	-121,788	-143,826	37,200	0,693	-20,577	54,631	-274,066	-274,066	79,412
Plate_1_12	21130	1	0,000	-7,571	-121,869	-143,898	37,195	0,942	-21,022	54,019	-274,066	-274,066	79,412
Element 25-37 (Plate)	21133	2	0,000	-7,803	-126,273	-150,070	37,342	16,393	-26,904	57,049	-272,079	-272,079	73,864
(Pali 400/0,4m)	21132	3	0,000	-8,036	-131,068	-156,549	37,276	32,802	-30,315	69,601	-266,372	-266,372	67,182
점	21131	4	0,000	-8,268	-136,087	-163,151	36,994	49,813	-31,211	84,290	-256,794	-256,794	70,275
점	21634	5	0,000	-8,500	-141,166	-169,688	36,581	67,073	-29,837	98,332	-243,223	-243,223	81,090
Plate_1_13	21634	1	0,000	-8,500	-140,571	-169,133	36,563	67,224	-30,533	97,127	-243,223	-243,223	81,090
Element 30-44 (Plate)	21637	2	0,000	-8,893	-141,710	-172,294	35,385	77,223	-26,349	89,211	-214,813	-214,813	98,151
(Pali 400/0,4m)	21636	3	0,000	-9,285	-140,052	-172,394	33,568	86,343	-25,992	91,002	-182,709	-182,709	100,564
점	21635	4	0,000	-9,678	-135,748	-169,240	31,304	95,428	-35,817	97,001	-146,993	-146,993	100,994
점	22102	5	0,000	-10,071	-128,950	-162,561	28,219	105,322	-40,332	105,322	-107,643	-107,643	103,726
Plate_1_14	22102	1	0,000	-10,071	-127,122	-160,933	28,187	102,215	-43,684	102,215	-107,643	-107,643	103,726
Element 32-46 (Plate)	22105	2	0,000	-10,297	-116,004	-146,206	25,916	87,842	-50,710	87,842	-86,159	-86,159	99,212
(Pali 400/0,4m)	22104	3	0,000	-10,524	-104,763	-129,745	23,343	76,752	-62,826	76,752	-67,583	-67,583	89,113
점	22103	4	0,000	-10,751	-93,161	-111,960	20,468	69,548	-74,499	69,548	-51,064	-51,064	74,423
점	22534	5	0,000	-10,977	-80,965	-93,396	17,296	66,835	-79,741	66,835	-35,708	-35,708	57,869
Plate_1_14	22534	1	0,000	-10,977	-79,444	-92,789	17,276	72,303	-80,145	72,303	-35,708	-35,708	57,869
Element 32-47 (Plate)	22538	2	0,000	-11,233	-65,137	-74,351	13,341	50,678	-77,898	50,678	-19,677	-19,744	39,020

Structural element	Node [10 ^{3}]	Local number	X [m]	Y [m]	N [kN/m]	N $_{min}$ [kN/m]	N $_{max}$ [kN/m]	Q [kN/m]	Q $_{min}$ [kN/m]	Q $_{max}$ [kN/m]	M [kN m/m]	M $_{min}$ [kN m/m]	M $_{max}$ [kN m/m]
(Pali 400/0,4m)	22537	3	0,000	-11,489	-48,253	-51,799	8,917	27,479	-66,787	27,479	-10,117	-10,598	20,872
杏	22536	4	0,000	-11,744	-26,810	-29,146	3,986	15,437	-44,189	16,409	-4,673	-5,015	6,969
杏	22535	5	0,000	-12,000	1,172	-1,472	9,303	27,286	-10,508	30,003	0,000	0,000	0,000

3.1.2.4.39 Calculation results, Plate, SLV [Phase_27] (27/1545), Table of plate force envelopes

Structural element	Node [10^0]	Local number	X [m]	Y [m]	N [kN/m]	N,-,- [kN/m]	N,-,- [kN/m]	Q [kN/m]	Q,-,- [kN/m]	Q,-,- [kN/m]	M [kN m/m]	M,-,- [kN m/m]	M,-,- [kN m/m]
Plate_2_1	15336	1	-5,500	0,000	0,017	-0,001	0,017	-0,043	-0,043	0,003	0,000	0,000	0,000
Element 1-1 (Plate)	15335	2	-5,500	-0,070	-0,130	-0,131	0,000	0,326	0,000	0,339	0,009	0,000	0,009
(Parete c.a.C32/40 sp.0.50m)	15334	3	-5,500	-0,141	-0,351	-0,351	0,000	0,884	0,000	0,892	0,050	0,000	0,052
28	15333	4	-5,500	-0,211	-0,637	-0,637	0,000	1,609	0,000	1,609	0,137	0,000	0,138
28	15350	5	-5,500	-0,281	-0,981	-0,981	0,000	2,481	0,000	2,481	0,280	0,000	0,280
Plate_2_1	15350	1	-5,500	-0,281	-0,976	-0,976	0,000	2,468	0,000	2,468	0,280	0,000	0,280
Element 1-2 (Plate)	15349	2	-5,500	-0,336	-1,266	-1,266	0,000	3,204	0,000	3,204	0,435	0,000	0,435
(Parete c.a.C32/40 sp.0.50m)	15348	3	-5,500	-0,391	-1,574	-1,574	0,000	3,988	0,000	3,988	0,631	0,000	0,631
28	15347	4	-5,500	-0,445	-1,901	-1,901	0,000	4,818	0,000	4,818	0,872	0,000	0,872
28	15361	5	-5,500	-0,500	-2,246	-2,246	0,000	5,694	0,000	5,694	1,159	0,000	1,159
Plate_2_2	15361	1	-5,500	-0,500	-2,245	-2,245	0,000	5,694	0,000	5,694	1,159	0,000	1,159
Element 3-4 (Plate)	15364	2	-5,500	-0,525	-2,409	-2,409	0,000	6,110	0,000	6,110	1,306	0,000	1,306
(Parete c.a.C32/40 sp.0.50m)	15363	3	-5,500	-0,550	-2,576	-2,576	0,000	6,534	0,000	6,534	1,464	0,000	1,464
28	15362	4	-5,500	-0,575	-2,747	-2,747	0,000	6,968	0,000	6,968	1,633	0,000	1,633
28	15405	5	-5,500	-0,600	-2,921	-2,921	0,000	7,411	0,000	7,411	1,813	0,000	1,813
Plate_2_3	15405	1	-5,500	-0,600	-16,085	-16,085	0,000	-73,037	-73,037	0,000	1,813	0,000	1,813
Element 4-5 (Plate)	15408	2	-5,500	-0,644	-16,399	-16,399	0,000	-72,237	-72,237	0,000	-1,372	-1,372	0,000
(Parete c.a.C32/40 sp.0.50m)	15407	3	-5,500	-0,688	-16,724	-16,724	0,000	-71,410	-71,410	0,000	-4,523	-4,523	0,000
28	15406	4	-5,500	-0,732	-17,059	-17,059	0,000	-70,556	-70,556	0,000	-7,637	-7,637	0,000
28	15419	5	-5,500	-0,775	-17,405	-17,405	0,000	-69,676	-69,676	0,000	-10,711	-10,711	0,000
Plate_2_3	15419	1	-5,500	-0,775	-17,404	-17,404	0,000	-69,678	-69,678	0,000	-10,711	-10,711	0,000
Element 4-6 (Plate)	15422	2	-5,500	-0,834	-17,884	-17,884	0,000	-68,456	-68,456	0,000	-14,779	-14,779	0,000
(Parete c.a.C32/40 sp.0.50m)	15421	3	-5,500	-0,893	-18,378	-18,378	0,000	-67,197	-67,197	0,000	-18,776	-18,776	0,000
28	15420	4	-5,500	-0,952	-18,886	-18,886	0,000	-65,904	-65,904	0,000	-22,698	-22,698	0,000
28	15479	5	-5,500	-1,011	-19,406	-19,406	0,000	-64,579	-64,579	0,000	-26,541	-26,541	0,000
Plate_2_4	15479	1	-5,500	-1,011	-19,382	-19,382	0,000	-64,640	-64,640	0,000	-26,541	-26,541	0,000
Element 6-8 (Plate)	15482	2	-5,500	-1,096	-20,180	-20,180	0,000	-62,608	-62,608	0,000	-31,925	-31,925	0,000
(Parete c.a.C32/40 sp.0.50m)	15481	3	-5,500	-1,180	-21,033	-21,033	0,000	-60,431	-60,431	0,000	-37,133	-37,133	0,000
28	15480	4	-5,500	-1,265	-21,936	-21,936	0,000	-58,130	-58,131	0,000	-42,152	-42,152	0,000
28	16393	5	-5,500	-1,350	-22,879	-22,879	0,000	-55,726	-55,726	0,000	-46,969	-46,969	0,000
Plate_2_4	16393	1	-5,500	-1,350	-22,868	-22,868	0,000	-55,752	-55,752	0,000	-46,969	-46,969	0,000
Element 6-9 (Plate)	16396	2	-5,500	-1,519	-24,804	-24,804	0,000	-50,815	-50,815	0,000	-56,016	-56,016	0,000
(Parete c.a.C32/40 sp.0.50m)	16395	3	-5,500	-1,689	-26,770	-26,770	0,000	-45,802	-45,802	0,000	-64,221	-64,221	0,000
28	16394	4	-5,500	-1,859	-28,759	-28,759	0,000	-40,729	-40,729	0,000	-71,571	-71,571	0,000
28	16427	5	-5,500	-2,029	-30,766	-30,766	0,000	-35,609	-35,609	0,000	-78,051	-78,051	0,000
Plate_2_5	16427	1	-5,500	-2,029	-30,758	-30,758	0,002	-35,628	-35,628	0,006	-78,051	-78,051	0,000
Element 9-12 (Plate)	16430	2	-5,500	-2,147	-32,171	-32,171	0,001	-32,026	-32,026	0,071	-82,035	-82,035	0,004
(Parete c.a.C32/40 sp.0.50m)	16429	3	-5,500	-2,264	-33,580	-33,580	0,000	-28,429	-28,429	0,174	-85,597	-85,597	0,018
28	16428	4	-5,500	-2,382	-34,991	-34,991	0,000	-24,830	-24,830	0,317	-88,734	-88,734	0,046
28	17049	5	-5,500	-2,500	-36,407	-36,407	0,000	-21,219	-21,219	0,511	-91,446	-91,446	0,095
Plate_2_6	17049	1	-5,500	-2,500	-36,396	-36,396	0,000	-21,246	-21,246	0,448	-91,446	-91,446	0,095
Element 11-15 (Plate)	17052	2	-5,500	-2,666	-38,477	-38,477	0,000	-15,936	-15,936	1,204	-94,535	-94,535	0,219
(Parete c.a.C32/40 sp.0.50m)	17051	3	-5,500	-2,832	-40,547	-40,547	0,000	-10,654	-10,654	2,379	-96,745	-96,745	0,439
28	17050	4	-5,500	-2,999	-42,608	-42,608	0,000	-5,396	-5,722	3,554	-98,079	-98,079	0,748
28	17279	5	-5,500	-3,165	-44,661	-44,661	0,000	-0,158	-2,511	5,806	-98,540	-98,540	1,142
Plate_2_6	17279	1	-5,500	-3,165	-44,656	-44,656	0,000	-0,171	-2,523	5,793	-98,540	-98,540	1,142
Element 11-16 (Plate)	17282	2	-5,500	-3,375	-47,219	-47,219	0,000	6,368	0,000	8,614	-97,893	-97,893	1,775

Structural element	Node [10^3]	Local number	X [m]	Y [m]	N [kN/m]	N,max [kN/m]	N,min [kN/m]	Q [kN/m]	Q,max [kN/m]	Q,min [kN/m]	M [kN m/m]	M,max [kN m/m]	M,min [kN m/m]
(Parete c.a.C32/40 sp.0.50m)	17281	3	-5,500	-3,585	-49,860	-49,860	0,000	13,108	0,000	13,120	-95,851	-95,851	2,617
嗀	17280	4	-5,500	-3,795	-52,587	-52,587	0,000	20,066	0,000	20,066	-92,372	-92,372	3,727
嗀	17305	5	-5,500	-4,005	-55,407	-55,407	0,000	27,262	0,000	27,262	-87,408	-87,408	5,161
Plate_2_7	17305	1	-5,500	-4,005	-55,408	-55,408	0,000	27,264	0,000	27,264	-87,408	-87,408	5,161
Element 13-18 (Plate)	17308	2	-5,500	-4,154	-57,462	-57,462	0,000	32,508	0,000	32,508	-82,963	-82,963	6,399
(Parete c.a.C32/40 sp.0.50m)	17307	3	-5,500	-4,302	-59,556	-59,556	0,000	37,852	0,000	37,852	-77,727	-77,727	7,839
嗀	17306	4	-5,500	-4,451	-61,690	-61,690	0,000	43,299	0,000	43,299	-71,689	-71,689	9,492
嗀	18049	5	-5,500	-4,600	-63,865	-63,865	0,000	48,852	0,000	48,852	-64,835	-64,835	11,369
Plate_2_8	18049	1	-5,500	-4,600	-85,942	-85,942	0,000	-86,496	-86,496	0,000	-64,835	-64,835	11,369
Element 15-22 (Plate)	18052	2	-5,500	-4,837	-89,486	-89,486	0,000	-77,448	-77,448	0,000	-84,295	-84,295	3,651
(Parete c.a.C32/40 sp.0.50m)	18051	3	-5,500	-5,075	-92,923	-92,923	0,000	-68,676	-68,676	0,000	-101,639	-101,639	0,000
嗀	18050	4	-5,500	-5,312	-96,191	-96,191	0,000	-60,335	-60,335	0,000	-116,956	-116,956	0,000
嗀	18123	5	-5,500	-5,550	-99,231	-99,231	0,000	-52,580	-52,580	0,000	-130,346	-130,346	0,000
Plate_2_8	18123	1	-5,500	-5,550	-99,351	-99,351	0,000	-52,272	-52,272	0,000	-130,346	-130,346	0,000
Element 15-23 (Plate)	18126	2	-5,500	-5,664	-100,985	-100,985	0,000	-48,102	-48,102	0,000	-136,080	-136,080	0,000
(Parete c.a.C32/40 sp.0.50m)	18125	3	-5,500	-5,779	-102,653	-102,653	0,000	-43,844	-43,844	0,000	-141,338	-141,338	0,000
嗀	18124	4	-5,500	-5,893	-104,414	-104,414	0,000	-39,349	-39,349	0,000	-146,095	-146,095	0,000
嗀	18147	5	-5,500	-6,007	-106,327	-106,327	0,000	-34,463	-34,463	0,000	-150,317	-150,317	0,000
Plate_2_9	18147	1	-5,500	-6,007	-106,235	-106,235	0,006	-34,700	-34,700	0,011	-150,317	-150,317	0,000
Element 18-26 (Plate)	18150	2	-5,500	-6,085	-107,570	-107,570	0,000	-31,292	-31,292	0,033	-152,895	-152,895	0,001
(Parete c.a.C32/40 sp.0.50m)	18149	3	-5,500	-6,163	-108,873	-108,873	0,000	-27,963	-27,963	0,074	-155,211	-155,211	0,005
嗀	18148	4	-5,500	-6,242	-110,155	-110,155	0,000	-24,690	-24,690	0,129	-157,268	-157,268	0,013
嗀	18851	5	-5,500	-6,320	-111,426	-111,426	0,000	-21,445	-21,445	0,222	-159,071	-159,071	0,025
Plate_2_9	18851	1	-5,500	-6,320	-111,441	-111,441	0,000	-21,408	-21,408	0,211	-159,071	-159,071	0,025
Element 18-27 (Plate)	18854	2	-5,500	-6,365	-112,199	-112,199	0,000	-19,471	-19,471	0,266	-159,992	-159,992	0,035
(Parete c.a.C32/40 sp.0.50m)	18853	3	-5,500	-6,410	-112,979	-112,979	0,000	-17,481	-17,481	0,496	-160,825	-160,825	0,049
嗀	18852	4	-5,500	-6,455	-113,778	-113,778	0,000	-15,440	-15,440	1,876	-161,567	-161,567	0,066
嗀	18891	5	-5,500	-6,500	-114,598	-114,598	0,000	-13,346	-13,346	3,307	-162,216	-162,216	0,087
Plate_2_10	18891	1	-5,500	-6,500	-114,596	-114,596	0,000	-13,351	-13,351	3,302	-162,216	-162,216	0,087
Element 20-29 (Plate)	18894	2	-5,500	-6,549	-115,534	-115,534	0,000	-10,955	-10,955	4,975	-162,811	-162,811	0,114
(Parete c.a.C32/40 sp.0.50m)	18893	3	-5,500	-6,598	-116,499	-116,499	0,000	-8,492	-8,492	6,714	-163,288	-163,288	0,148
嗀	18892	4	-5,500	-6,647	-117,484	-117,484	0,000	-5,974	-5,974	8,504	-163,642	-163,642	0,188
嗀	18915	5	-5,500	-6,696	-118,486	-118,486	0,000	-3,415	-3,415	10,335	-163,872	-163,872	0,234
Plate_2_11	18915	1	-5,500	-6,696	-118,494	-118,494	0,000	-3,395	-3,395	10,355	-163,872	-163,872	0,234
Element 22-31 (Plate)	18918	2	-5,500	-6,750	-119,503	-119,503	0,000	-0,819	-0,909	12,129	-163,985	-163,985	0,290
(Parete c.a.C32/40 sp.0.50m)	18917	3	-5,500	-6,804	-120,462	-120,462	0,000	1,632	0,000	13,780	-163,963	-163,963	0,353
嗀	18916	4	-5,500	-6,857	-121,409	-121,409	0,000	4,049	0,000	15,398	-163,810	-163,810	0,426
嗀	19683	5	-5,500	-6,911	-122,378	-122,378	0,000	6,522	0,000	17,076	-163,526	-163,526	0,512
Plate_2_11	19683	1	-5,500	-6,911	-122,380	-122,380	0,000	6,528	0,000	17,084	-163,526	-163,526	0,512
Element 22-32 (Plate)	19686	2	-5,500	-6,963	-123,385	-123,385	0,000	9,095	0,000	18,898	-163,125	-163,125	0,608
(Parete c.a.C32/40 sp.0.50m)	19685	3	-5,500	-7,014	-124,419	-124,419	0,000	11,735	0,000	20,799	-162,591	-162,591	0,718
嗀	19684	4	-5,500	-7,065	-125,482	-125,482	0,000	14,452	0,000	22,791	-161,918	-161,918	0,843
嗀	19717	5	-5,500	-7,117	-126,577	-126,577	0,000	17,248	0,000	24,878	-161,105	-161,105	0,984
Plate_2_11	19717	1	-5,500	-7,117	-126,566	-126,566	0,000	17,220	0,000	24,853	-161,105	-161,105	0,984
Element 22-33 (Plate)	19718	2	-5,500	-7,166	-127,612	-127,612	0,000	19,892	0,000	26,871	-160,196	-160,196	1,133
(Parete c.a.C32/40 sp.0.50m)	19719	3	-5,500	-7,215	-128,638	-128,638	0,000	22,514	0,000	28,892	-159,157	-159,157	1,295
嗀	19720	4	-5,500	-7,264	-129,644	-129,644	0,000	25,082	0,000	30,965	-157,991	-157,991	1,468
嗀	20458	5	-5,500	-7,313	-130,628	-130,628	0,000	27,595	0,000	33,152	-156,700	-156,700	1,650
Plate_2_12	20458	1	-5,500	-7,313	-130,619	-130,619	0,000	27,573	0,000	33,133	-156,700	-156,700	1,650
Element 23-34 (Plate)	20461	2	-5,500	-7,388	-132,210	-132,210	0,000	31,637	0,000	36,934	-154,459	-154,459	1,953
(Parete c.a.C32/40 sp.0.50m)	20460	3	-5,500	-7,464	-133,768	-133,768	0,000	35,614	0,000	40,739	-151,911	-151,911	2,292
嗀	20459	4	-5,500	-7,540	-135,273	-135,273	0,000	39,459	0,000	44,494	-149,068	-149,068	2,671
嗀	20494	5	-5,500	-7,615	-136,708	-136,708	0,000	43,123	0,000	48,152	-145,941	-145,941	3,095

Structural element	Node [10 ^]	Local number	X [m]	Y [m]	N [kN/m]	N ,,, [kN/m]	N ,,, [kN/m]	Q [kN/m]	Q ,,, [kN/m]	Q ,,, [kN/m]	M [kN m/m]	M ,,, [kN m/m]	M ,,, [kN m/m]
Plate_2_13	20494	1	-5,500	-7,615	-136,686	-136,686	0,000	43,066	0,000	48,093	-145,941	-145,941	3,095
Element 24-35 (Plate)	20495	2	-5,500	-7,630	-136,937	-136,937	0,000	43,708	0,000	48,742	-145,307	-145,307	3,181
(Parete c.a.C32/40 sp.0.50m)	20496	3	-5,500	-7,645	-137,184	-137,184	0,000	44,339	0,000	49,383	-144,664	-144,664	3,268
28	20497	4	-5,500	-7,659	-137,428	-137,428	0,000	44,960	0,000	50,016	-144,011	-144,011	3,356
28	21176	5	-5,500	-7,674	-137,668	-137,668	0,000	45,573	0,000	50,644	-143,350	-143,350	3,446
Plate_2_14	21176	1	-5,500	-7,674	-137,636	-137,636	0,000	45,491	0,000	50,582	-143,350	-143,350	3,446
Element 26-38 (Plate)	21177	2	-5,500	-7,755	-139,006	-139,006	0,000	48,987	0,000	54,177	-139,497	-139,497	3,968
(Parete c.a.C32/40 sp.0.50m)	21178	3	-5,500	-7,837	-140,228	-140,228	0,000	52,106	0,000	57,530	-135,370	-135,370	4,528
28	21179	4	-5,500	-7,918	-141,232	-141,232	0,000	54,666	0,000	60,472	-131,012	-131,012	5,127
28	21766	5	-5,500	-8,000	-141,946	-141,946	0,000	56,486	0,000	62,835	-126,475	-126,475	5,761
Plate_3_1	21766	1	-5,500	-8,000	-178,133	-178,133	0,085	39,122	0,000	54,249	-126,475	-126,475	5,761
Element 27-39 (Plate)	21767	2	-5,500	-8,058	-178,711	-178,711	0,085	40,121	0,000	54,656	-124,193	-124,193	6,154
(Micropali D168.3x10.0/0,27m)	21768	3	-5,500	-8,115	-179,616	-179,616	0,085	41,686	0,000	55,451	-121,835	-121,835	6,575
28	21769	4	-5,500	-8,173	-180,798	-180,798	0,085	43,731	0,000	56,748	-119,374	-119,374	7,024
28	22356	5	-5,500	-8,231	-182,208	-182,208	0,085	46,171	0,000	58,662	-116,783	-116,783	7,502
Plate_3_1	22356	1	-5,500	-8,231	-182,258	-182,258	0,085	46,258	0,000	58,518	-116,783	-116,783	7,502
Element 27-40 (Plate)	22357	2	-5,500	-8,288	-183,782	-183,782	0,085	48,894	0,000	60,401	-114,038	-114,038	8,018
(Micropali D168.3x10.0/0,27m)	22358	3	-5,500	-8,346	-185,177	-185,177	0,085	51,307	0,000	62,373	-111,147	-111,147	8,585
28	22359	4	-5,500	-8,404	-186,533	-186,533	0,085	53,654	0,000	64,413	-108,119	-108,119	9,196
28	22779	5	-5,500	-8,461	-187,939	-187,939	0,085	56,087	0,000	66,500	-104,956	-104,956	9,843
Plate_3_2	22779	1	-5,500	-8,461	-187,983	-187,983	0,085	56,165	0,000	66,469	-104,956	-104,956	9,843
Element 28-41 (Plate)	22780	2	-5,500	-8,471	-188,224	-188,224	0,085	56,581	0,000	66,790	-104,413	-104,413	9,954
(Micropali D168.3x10.0/0,27m)	22781	3	-5,500	-8,481	-188,473	-188,473	0,085	57,013	0,000	67,102	-103,865	-103,865	10,065
28	22782	4	-5,500	-8,490	-188,730	-188,730	0,085	57,456	0,000	67,396	-103,313	-103,313	10,177
28	23191	5	-5,500	-8,500	-188,990	-188,990	0,085	57,908	0,000	67,664	-102,757	-102,757	10,289
Plate_3_3	23191	1	-5,500	-8,500	-188,892	-188,892	0,085	57,737	0,000	67,328	-102,757	-102,757	10,289
Element 29-42 (Plate)	23194	2	-5,500	-8,550	-190,029	-190,029	0,092	59,706	0,000	66,911	-99,852	-99,852	10,795
(Micropali D168.3x10.0/0,27m)	23193	3	-5,500	-8,599	-191,289	-191,289	0,097	61,887	0,000	66,845	-96,842	-96,842	11,214
28	23192	4	-5,500	-8,649	-192,687	-192,687	0,102	64,307	0,000	66,821	-93,719	-93,719	11,531
28	23453	5	-5,500	-8,698	-194,239	-194,239	0,107	66,993	0,000	68,046	-90,471	-90,471	12,587
Plate_3_3	23453	1	-5,500	-8,698	-194,374	-194,374	0,107	67,227	-0,105	68,216	-90,471	-90,471	12,587
Element 29-43 (Plate)	23456	2	-5,500	-8,891	-200,241	-200,241	0,126	77,383	-3,944	77,383	-76,569	-76,569	16,661
(Micropali D168.3x10.0/0,27m)	23455	3	-5,500	-9,084	-207,430	-207,430	0,144	89,831	-6,665	89,831	-60,403	-60,403	19,634
28	23454	4	-5,500	-9,278	-215,011	-215,011	0,162	102,955	-7,738	102,955	-41,805	-41,805	21,016
28	23981	5	-5,500	-9,471	-222,049	-222,049	0,179	115,140	-8,428	115,140	-20,700	-20,700	23,200
Plate_3_4	23981	1	-5,500	-9,471	-221,805	-221,805	0,179	114,722	-9,602	114,722	-20,700	-20,700	23,200
Element 31-45 (Plate)	23984	2	-5,500	-9,779	-219,621	-219,621	0,205	110,884	-10,015	110,884	14,205	0,000	36,697
(Micropali D168.3x10.0/0,27m)	23983	3	-5,500	-10,087	-214,929	-214,929	0,231	102,728	-9,678	102,728	47,141	0,000	54,303
28	23982	4	-5,500	-10,395	-208,865	-208,865	0,256	92,189	-11,639	92,189	77,269	0,000	77,269
28	24131	5	-5,500	-10,703	-202,563	-202,563	0,279	81,202	-15,446	81,202	103,931	0,000	103,931
Plate_3_5	24131	1	-5,500	-10,703	-196,456	-196,456	0,279	71,705	-19,495	71,705	103,931	0,000	103,931
Element 33-48 (Plate)	24134	2	-5,500	-10,961	-157,756	-157,756	0,298	-10,947	-35,431	0,026	111,002	0,000	111,002
(Micropali D168.3x10.0/0,27m)	24133	3	-5,500	-11,218	-133,142	-133,142	0,316	-60,701	-61,726	0,026	101,145	0,000	101,145
28	24132	4	-5,500	-11,476	-122,754	-122,754	0,334	-79,898	-79,898	0,022	82,335	0,000	82,335
28	24149	5	-5,500	-11,734	-126,736	-126,736	0,352	-70,879	-70,879	0,015	62,358	0,000	62,358
Plate_3_5	24149	1	-5,500	-11,734	-122,989	-122,989	0,352	-77,220	-77,220	0,016	62,358	0,000	62,358
Element 33-49 (Plate)	24152	2	-5,500	-12,008	-125,846	-125,846	0,370	-63,418	-63,418	0,009	43,091	0,000	43,091
(Micropali D168.3x10.0/0,27m)	24151	3	-5,500	-12,281	-128,375	-128,375	0,387	-49,239	-49,239	0,003	27,692	0,000	27,692
28	24150	4	-5,500	-12,555	-130,283	-130,283	0,403	-35,409	-35,409	0,000	16,101	-0,030	16,101
28	24480	5	-5,500	-12,829	-131,276	-131,276	0,416	-22,657	-22,657	0,029	8,199	-0,256	8,199
Plate_3_5	24480	1	-5,500	-12,829	-131,154	-131,154	0,416	-23,015	-23,015	0,040	8,199	-0,256	8,199
Element 33-50 (Plate)	24479	2	-5,500	-13,119	-130,238	-130,238	0,427	-13,769	-13,769	0,080	2,922	-1,164	2,922
(Micropali D168.3x10.0/0,27m)	24478	3	-5,500	-13,410	-127,843	-127,843	0,434	-7,183	-7,183	0,094	-0,065	-1,676	0,104

Structural element	Node [10 ˚]	Local number	X [m]	Y [m]	N [kN/m]	N ⊥⊥ [kN/m]	N ⊥⊥ [kN/m]	Q [kN/m]	Q ⊥⊥ [kN/m]	Q ⊥⊥ [kN/m]	M [kN m/m]	M ⊥⊥ [kN m/m]	M ⊥⊥ [kN m/m]
🔗	24477	4	-5,500	-13,701	-124,011	-124,011	0,435	-3,094	-3,094	0,224	-1,496	-1,807	0,100
🔗	24685	5	-5,500	-13,991	-118,786	-118,786	0,431	-1,338	-1,338	0,532	-2,088	-2,088	0,095
Plate_3_6	24685	1	-5,500	-13,991	-118,794	-118,794	0,430	-1,088	-1,088	0,746	-2,088	-2,088	0,095
Element 34-51 (Plate)	24688	2	-5,500	-14,292	-112,398	-112,398	0,419	-0,287	-0,287	0,714	-2,280	-2,280	0,131
(Micropali D168.3x10.0/0,27m)	24687	3	-5,500	-14,593	-105,006	-105,006	0,397	0,006	-0,699	0,428	-2,312	-2,312	0,181
🔗	24686	4	-5,500	-14,895	-96,621	-96,621	0,365	-0,155	-0,892	0,270	-2,322	-2,322	0,223
🔗	25013	5	-5,500	-15,196	-87,242	-87,242	0,323	-0,714	-1,626	0,108	-2,445	-2,445	0,244
Plate_3_6	25013	1	-5,500	-15,196	-85,818	-85,818	0,322	-0,309	-1,397	0,658	-2,445	-2,445	0,244
Element 34-52 (Plate)	25017	2	-5,500	-15,497	-64,039	-64,039	0,266	1,671	-0,280	1,770	-2,225	-2,225	0,252
(Micropali D168.3x10.0/0,27m)	25016	3	-5,500	-15,798	-41,919	-41,919	0,194	2,787	-0,214	2,811	-1,520	-1,520	0,255
🔗	25015	4	-5,500	-16,099	-19,699	-19,699	0,107	2,767	-0,415	2,767	-0,660	-0,696	0,188
🔗	25014	5	-5,500	-16,400	2,383	-0,180	2,383	1,340	-0,826	2,264	0,000	0,000	0,000

3.2.1.1.9 Calculation results, Node-to-node anchor, Micropalo ancoraggio 1 [Phase_8] (8/221), Table of node-to-node anchors

Structural element	Node [10^{3}]	Local number	X [m]	Y [m]	N [10^{3} kN]	N_{min} [kN]	N_{max} [10^{3} kN]
NodeToNodeAnchor_1_1	14231	1	0,000	-1,500	311,225	0,000	311,225
Element 2-2 (Node-to-node anchor)	27637	2	4,600	-2,300	311,225	0,000	311,225

3.2.1.1.10 Calculation results, Node-to-node anchor, Escavo 1 [Phase_9] (9/235), Table of node-to-node anchors

Structural element	Node [10 ^{3}]	Local number	X [m]	Y [m]	N [kN]	N_{min} [kN]	N_{max} [kN]
NodeToNodeAnchor_1_1	14231	1	0,000	-1,500	54,967	0,000	54,967
Element 2-2 (Node-to-node anchor)	27637	2	4,600	-2,300	54,967	0,000	54,967

3.2.1.1.11 Calculation results, Node-to-node anchor, Micropalo ancoraggio 2 [Phase_35] (35/309), Table of node-to-node anchors

Structural element	Node [10 ^{3}]	Local number	X [m]	Y [m]	N [kN]	N_{min} [kN]	N_{max} [kN]
NodeToNodeAnchor_1_1	14231	1	0,000	-1,500	55,241	0,000	55,241
Element 2-2 (Node-to-node anchor)	27637	2	4,600	-2,300	55,241	0,000	55,241
NodeToNodeAnchor_4_1	18083	1	0,000	-5,500	0,345	0,000	0,345
Element 4-4 (Node-to-node anchor)	27682	2	2,300	-5,900	0,345	0,000	0,345

3.2.1.1.12 Calculation results, Node-to-node anchor, Escavo 2 [Phase_10] (10/318), Table of node-to-node anchors

Structural element	Node [10 ^{3}]	Local number	X [m]	Y [m]	N [kN]	N_{min} [kN]	N_{max} [kN]
NodeToNodeAnchor_1_1	14231	1	0,000	-1,500	89,541	0,000	89,541
Element 2-2 (Node-to-node anchor)	27637	2	4,600	-2,300	89,541	0,000	89,541
NodeToNodeAnchor_4_1	18083	1	0,000	-5,500	62,399	0,000	62,399
Element 4-4 (Node-to-node anchor)	27682	2	2,300	-5,900	62,399	0,000	62,399

3.2.1.1.13 Calculation results, Node-to-node anchor, (RIEMP A SBALZO) Micropali e parete [Phase_14] (14/320), Table of node-to-node anchors

Structural element	Node [10^3]	Local number	X [m]	Y [m]	N [kN]	N_{min} [10^3 kN]	N_{max} [kN]
NodeToNodeAnchor_1_1	14231	1	0,000	-1,500	86,690	0,000	89,541
Element 2-2 (Node-to-node anchor)	27637	2	4,600	-2,300	86,690	0,000	89,541
NodeToNodeAnchor_4_1	18083	1	0,000	-5,500	59,145	0,000	62,399
Element 4-4 (Node-to-node anchor)	27682	2	2,300	-5,900	59,145	0,000	62,399
NodeToNodeAnchor_3_1	21766	1	-5,500	-8,000	-0,150	-150,240	0,000
Element 5-5 (Node-to-node anchor)	27739	2	-3,562	-12,132	-0,150	-150,240	0,000

3.2.1.1.14 Calculation results, Node-to-node anchor, Riempimento 1 [Phase_15] (15/506), Table of node-to-node anchors

Structural element	Node [10^3]	Local number	X [m]	Y [m]	N [kN]	N_{min} [10^3 kN]	N_{max} [kN]
NodeToNodeAnchor_1_1	14231	1	0,000	-1,500	89,928	0,000	89,928
Element 2-2 (Node-to-node anchor)	27637	2	4,600	-2,300	89,928	0,000	89,928
NodeToNodeAnchor_4_1	18083	1	0,000	-5,500	58,482	0,000	62,399
Element 4-4 (Node-to-node anchor)	27682	2	2,300	-5,900	58,482	0,000	62,399
NodeToNodeAnchor_3_1	21766	1	-5,500	-8,000	5,736	-150,240	5,736
Element 5-5 (Node-to-node anchor)	27739	2	-3,562	-12,132	5,736	-150,240	5,736

3.2.1.1.15 Calculation results, Node-to-node anchor, Collegamento ancoraggio 1 [Phase_36] (36/614), Table of node-to-node anchors

Structural element	Node [10^{3}]	Local number	X [m]	Y [m]	N [kN]	N_{min} [10^{3} kN]	N_{max} [kN]
NodeToNodeAnchor_1_1	14231	1	0,000	-1,500	89,938	0,000	89,938
Element 2-2 (Node-to-node anchor)	27637	2	4,600	-2,300	89,938	0,000	89,938
NodeToNodeAnchor_5_1	18083	1	0,000	-5,500	0,277	0,000	0,277
Element 3-3 (Node-to-node anchor)	18049	2	-5,500	-4,600	0,277	0,000	0,277
NodeToNodeAnchor_4_1	18083	1	0,000	-5,500	58,491	0,000	62,399
Element 4-4 (Node-to-node anchor)	27682	2	2,300	-5,900	58,491	0,000	62,399
NodeToNodeAnchor_3_1	21766	1	-5,500	-8,000	5,752	-150,240	5,752
Element 5-5 (Node-to-node anchor)	27739	2	-3,562	-12,132	5,752	-150,240	5,752

3.2.1.1.16 Calculation results, Node-to-node anchor, Riempimento 2 [Phase_16] (16/640), Table of node-to-node anchors

Structural element	Node [10^3]	Local number	X [m]	Y [m]	N [kN]	N_{min} [10^3 kN]	N_{max} [kN]
NodeToNodeAnchor_1_1	14231	1	0,000	-1,500	94,614	0,000	94,614
Element 2-2 (Node-to-node anchor)	27637	2	4,600	-2,300	94,614	0,000	94,614
NodeToNodeAnchor_5_1	18083	1	0,000	-5,500	76,631	0,000	76,631
Element 3-3 (Node-to-node anchor)	18049	2	-5,500	-4,600	76,631	0,000	76,631
NodeToNodeAnchor_4_1	18083	1	0,000	-5,500	58,917	0,000	62,399
Element 4-4 (Node-to-node anchor)	27682	2	2,300	-5,900	58,917	0,000	62,399
NodeToNodeAnchor_3_1	21766	1	-5,500	-8,000	14,283	-150,240	14,283
Element 5-5 (Node-to-node anchor)	27739	2	-3,562	-12,132	14,283	-150,240	14,283

3.2.1.1.17 Calculation results, Node-to-node anchor, Riempimento 3 ed estensione tirante [Phase_17] (17/646), Table of node-to-node anchors

Structural element	Node [10^3]	Local number	X [m]	Y [m]	N [kN]	N_{min} [10^3 kN]	N_{max} [kN]
NodeToNodeAnchor_2_1	14231	1	0,000	-1,500	11,013	0,000	11,013
Element 1-1 (Node-to-node anchor)	15405	2	-5,500	-0,600	11,013	0,000	11,013
NodeToNodeAnchor_1_1	14231	1	0,000	-1,500	97,886	0,000	97,886
Element 2-2 (Node-to-node anchor)	27637	2	4,600	-2,300	97,886	0,000	97,886
NodeToNodeAnchor_5_1	18083	1	0,000	-5,500	93,455	0,000	93,455
Element 3-3 (Node-to-node anchor)	18049	2	-5,500	-4,600	93,455	0,000	93,455
NodeToNodeAnchor_4_1	18083	1	0,000	-5,500	58,886	0,000	62,399
Element 4-4 (Node-to-node anchor)	27682	2	2,300	-5,900	58,886	0,000	62,399
NodeToNodeAnchor_3_1	21766	1	-5,500	-8,000	15,444	-150,240	15,444
Element 5-5 (Node-to-node anchor)	27739	2	-3,562	-12,132	15,444	-150,240	15,444

3.2.1.1.18 Calculation results, Node-to-node anchor, Riempimento 4 [Phase_25] (25/655), Table of node-to-node anchors

Structural element	Node [10^{3}]	Local number	X [m]	Y [m]	N [kN]	N_{min} [10^{-3} kN]	N_{max} [kN]
NodeToNodeAnchor_2_1	14231	1	0,000	-1,500	36,037	0,000	36,037
Element 1-1 (Node-to-node anchor)	15405	2	-5,500	-0,600	36,037	0,000	36,037
NodeToNodeAnchor_1_1	14231	1	0,000	-1,500	98,586	0,000	98,586
Element 2-2 (Node-to-node anchor)	27637	2	4,600	-2,300	98,586	0,000	98,586
NodeToNodeAnchor_5_1	18083	1	0,000	-5,500	130,387	0,000	130,387
Element 3-3 (Node-to-node anchor)	18049	2	-5,500	-4,600	130,387	0,000	130,387
NodeToNodeAnchor_4_1	18083	1	0,000	-5,500	58,287	0,000	62,399
Element 4-4 (Node-to-node anchor)	27682	2	2,300	-5,900	58,287	0,000	62,399
NodeToNodeAnchor_3_1	21766	1	-5,500	-8,000	18,389	-150,240	18,389
Element 5-5 (Node-to-node anchor)	27739	2	-3,562	-12,132	18,389	-150,240	18,389

3.2.1.1.19 Calculation results, Node-to-node anchor, Disattivazione paratia esistente [Phase_26] (26/660), Table of node-to-node anchors

Structural element	Node [10^{3}]	Local number	X [m]	Y [m]	N [kN]	N_{min} [10^{-3} kN]	N_{max} [kN]
NodeToNodeAnchor_2_1	14231	1	0,000	-1,500	65,645	0,000	65,645
Element 1-1 (Node-to-node anchor)	15405	2	-5,500	-0,600	65,645	0,000	65,645
NodeToNodeAnchor_1_1	14231	1	0,000	-1,500	88,495	0,000	98,586
Element 2-2 (Node-to-node anchor)	27637	2	4,600	-2,300	88,495	0,000	98,586
NodeToNodeAnchor_5_1	18083	1	0,000	-5,500	102,397	0,000	130,387
Element 3-3 (Node-to-node anchor)	18049	2	-5,500	-4,600	102,397	0,000	130,387
NodeToNodeAnchor_4_1	18083	1	0,000	-5,500	86,163	0,000	86,163
Element 4-4 (Node-to-node anchor)	27682	2	2,300	-5,900	86,163	0,000	86,163
NodeToNodeAnchor_3_1	21766	1	-5,500	-8,000	20,178	-150,240	20,178
Element 5-5 (Node-to-node anchor)	27739	2	-3,562	-12,132	20,178	-150,240	20,178

3.2.1.1.20 Calculation results, Node-to-node anchor, Eccezionale paratia esistente [Phase_34] (34/668), Table of node-to-node anchors

Structural element	Node [10 ^{3}]	Local number	X [m]	Y [m]	N [kN]	N_{min} [kN]	N_{max} [kN]
NodeToNodeAnchor_1_1	14231	1	0,000	-1,500	103,118	0,000	103,118
Element 2-2 (Node-to-node anchor)	27637	2	4,600	-2,300	103,118	0,000	103,118
NodeToNodeAnchor_4_1	18083	1	0,000	-5,500	60,438	0,000	63,798
Element 4-4 (Node-to-node anchor)	27682	2	2,300	-5,900	60,438	0,000	63,798

3.2.1.1.21 Calculation results, Node-to-node anchor, Eccezionale [Phase_24] (24/712), Table of node-to-node anchors

Structural element	Node [10^{3}]	Local number	X [m]	Y [m]	N [kN]	N_{min} [10^{-3} kN]	N_{max} [kN]
NodeToNodeAnchor_2_1	14231	1	0,000	-1,500	183,385	0,000	183,385
Element 1-1 (Node-to-node anchor)	15405	2	-5,500	-0,600	183,385	0,000	183,385
NodeToNodeAnchor_1_1	14231	1	0,000	-1,500	170,851	0,000	170,851
Element 2-2 (Node-to-node anchor)	27637	2	4,600	-2,300	170,851	0,000	170,851
NodeToNodeAnchor_5_1	18083	1	0,000	-5,500	167,898	0,000	167,898
Element 3-3 (Node-to-node anchor)	18049	2	-5,500	-4,600	167,898	0,000	167,898
NodeToNodeAnchor_4_1	18083	1	0,000	-5,500	135,352	0,000	135,352
Element 4-4 (Node-to-node anchor)	27682	2	2,300	-5,900	135,352	0,000	135,352
NodeToNodeAnchor_3_1	21766	1	-5,500	-8,000	29,859	-150,240	29,859
Element 5-5 (Node-to-node anchor)	27739	2	-3,562	-12,132	29,859	-150,240	29,859

3.2.1.1.22 Calculation results, Node-to-node anchor, SLU11 [Phase_29] (29/723), Table of node-to-node anchors

Structural element	Node [10^{3}]	Local number	X [m]	Y [m]	N [kN]	N_{min} [10^{-3} kN]	N_{max} [kN]
NodeToNodeAnchor_2_1	14231	1	0,000	-1,500	109,825	0,000	109,825
Element 1-1 (Node-to-node anchor)	15405	2	-5,500	-0,600	109,825	0,000	109,825
NodeToNodeAnchor_1_1	14231	1	0,000	-1,500	111,225	0,000	111,225
Element 2-2 (Node-to-node anchor)	27637	2	4,600	-2,300	111,225	0,000	111,225
NodeToNodeAnchor_5_1	18083	1	0,000	-5,500	157,824	0,000	157,824
Element 3-3 (Node-to-node anchor)	18049	2	-5,500	-4,600	157,824	0,000	157,824
NodeToNodeAnchor_4_1	18083	1	0,000	-5,500	126,796	0,000	126,796
Element 4-4 (Node-to-node anchor)	27682	2	2,300	-5,900	126,796	0,000	126,796
NodeToNodeAnchor_3_1	21766	1	-5,500	-8,000	33,230	-150,240	33,230
Element 5-5 (Node-to-node anchor)	27739	2	-3,562	-12,132	33,230	-150,240	33,230

3.2.1.1.23 Calculation results, Node-to-node anchor, M2 [Phase_30] (30/770), Table of node-to-node anchors

Structural element	Node [10^{3}]	Local number	X [m]	Y [m]	N [kN]	N_{min} [10^{-3} kN]	N_{max} [kN]
NodeToNodeAnchor_2_1	14231	1	0,000	-1,500	99,608	0,000	99,608
Element 1-1 (Node-to-node anchor)	15405	2	-5,500	-0,600	99,608	0,000	99,608
NodeToNodeAnchor_1_1	14231	1	0,000	-1,500	105,903	0,000	105,903
Element 2-2 (Node-to-node anchor)	27637	2	4,600	-2,300	105,903	0,000	105,903
NodeToNodeAnchor_5_1	18083	1	0,000	-5,500	165,316	0,000	165,316
Element 3-3 (Node-to-node anchor)	18049	2	-5,500	-4,600	165,316	0,000	165,316
NodeToNodeAnchor_4_1	18083	1	0,000	-5,500	141,212	0,000	141,212
Element 4-4 (Node-to-node anchor)	27682	2	2,300	-5,900	141,212	0,000	141,212
NodeToNodeAnchor_3_1	21766	1	-5,500	-8,000	38,517	-150,240	38,517
Element 5-5 (Node-to-node anchor)	27739	2	-3,562	-12,132	38,517	-150,240	38,517

3.2.1.1.24 Calculation results, Node-to-node anchor, SLU12 [Phase_31] (31/776), Table of node-to-node anchors

Structural element	Node [10^{3}]	Local number	X [m]	Y [m]	N [kN]	N_{min} [10^{3} kN]	N_{max} [kN]
NodeToNodeAnchor_2_1	14231	1	0,000	-1,500	131,408	0,000	131,408
Element 1-1 (Node-to-node anchor)	15405	2	-5,500	-0,600	131,408	0,000	131,408
NodeToNodeAnchor_1_1	14231	1	0,000	-1,500	127,699	0,000	127,699
Element 2-2 (Node-to-node anchor)	27637	2	4,600	-2,300	127,699	0,000	127,699
NodeToNodeAnchor_5_1	18083	1	0,000	-5,500	201,762	0,000	201,762
Element 3-3 (Node-to-node anchor)	18049	2	-5,500	-4,600	201,762	0,000	201,762
NodeToNodeAnchor_4_1	18083	1	0,000	-5,500	177,409	0,000	177,409
Element 4-4 (Node-to-node anchor)	27682	2	2,300	-5,900	177,409	0,000	177,409
NodeToNodeAnchor_3_1	21766	1	-5,500	-8,000	44,462	-150,240	44,462
Element 5-5 (Node-to-node anchor)	27739	2	-3,562	-12,132	44,462	-150,240	44,462

3.2.1.1.25 Calculation results, Node-to-node anchor, SLU12 SG [Phase_21] (21/779), Table of node-to-node anchors

Structural element	Node [10^{3}]	Local number	X [m]	Y [m]	N [kN]	N_{min} [10^{-3} kN]	N_{max} [kN]
NodeToNodeAnchor_2_1	14231	1	0,000	-1,500	132,326	0,000	132,326
Element 1-1 (Node-to-node anchor)	15405	2	-5,500	-0,600	132,326	0,000	132,326
NodeToNodeAnchor_1_1	14231	1	0,000	-1,500	129,952	0,000	129,952
Element 2-2 (Node-to-node anchor)	27637	2	4,600	-2,300	129,952	0,000	129,952
NodeToNodeAnchor_5_1	18083	1	0,000	-5,500	206,762	0,000	206,762
Element 3-3 (Node-to-node anchor)	18049	2	-5,500	-4,600	206,762	0,000	206,762
NodeToNodeAnchor_4_1	18083	1	0,000	-5,500	181,766	0,000	181,766
Element 4-4 (Node-to-node anchor)	27682	2	2,300	-5,900	181,766	0,000	181,766
NodeToNodeAnchor_3_1	21766	1	-5,500	-8,000	44,794	-150,240	44,794
Element 5-5 (Node-to-node anchor)	27739	2	-3,562	-12,132	44,794	-150,240	44,794

3.2.1.1.26 Calculation results, Node-to-node anchor, FS SLU12 [Phase_20] (20/879), Table of node-to-node anchors

Structural element	Node [10^3]	Local number	X [m]	Y [m]	N [kN]	N_{min} [10^3 kN]	N_{max} [kN]
NodeToNodeAnchor_2_1	14231	1	0,000	-1,500	250,716	0,000	250,716
Element 1-1 (Node-to-node anchor)	15405	2	-5,500	-0,600	250,716	0,000	250,716
NodeToNodeAnchor_1_1	14231	1	0,000	-1,500	214,826	0,000	214,826
Element 2-2 (Node-to-node anchor)	27637	2	4,600	-2,300	214,826	0,000	214,826
NodeToNodeAnchor_5_1	18083	1	0,000	-5,500	291,551	0,000	291,551
Element 3-3 (Node-to-node anchor)	18049	2	-5,500	-4,600	291,551	0,000	291,551
NodeToNodeAnchor_4_1	18083	1	0,000	-5,500	258,918	0,000	259,053
Element 4-4 (Node-to-node anchor)	27682	2	2,300	-5,900	258,918	0,000	259,053
NodeToNodeAnchor_3_1	21766	1	-5,500	-8,000	49,435	-150,240	65,661
Element 5-5 (Node-to-node anchor)	27739	2	-3,562	-12,132	49,435	-150,240	65,661

3.2.1.1.27 Calculation results, Node-to-node anchor, SLE [Phase_11] (11/883), Table of node-to-node anchors

Structural element	Node [10^{3}]	Local number	X [m]	Y [m]	N [kN]	N_{min} [10^{-3} kN]	N_{max} [kN]
NodeToNodeAnchor_2_1	14231	1	0,000	-1,500	83,996	0,000	83,996
Element 1-1 (Node-to-node anchor)	15405	2	-5,500	-0,600	83,996	0,000	83,996
NodeToNodeAnchor_1_1	14231	1	0,000	-1,500	98,304	0,000	98,586
Element 2-2 (Node-to-node anchor)	27637	2	4,600	-2,300	98,304	0,000	98,586
NodeToNodeAnchor_5_1	18083	1	0,000	-5,500	117,542	0,000	130,387
Element 3-3 (Node-to-node anchor)	18049	2	-5,500	-4,600	117,542	0,000	130,387
NodeToNodeAnchor_4_1	18083	1	0,000	-5,500	98,073	0,000	98,073
Element 4-4 (Node-to-node anchor)	27682	2	2,300	-5,900	98,073	0,000	98,073
NodeToNodeAnchor_3_1	21766	1	-5,500	-8,000	22,966	-150,240	22,966
Element 5-5 (Node-to-node anchor)	27739	2	-3,562	-12,132	22,966	-150,240	22,966

3.2.1.1.28 Calculation results, Node-to-node anchor, SLV + stab globale [Phase_22] (22/896), Table of node-to-node anchors

Structural element	Node [10^{3}]	Local number	X [m]	Y [m]	N [kN]	N_{min} [10^{-3} kN]	N_{max} [kN]
NodeToNodeAnchor_2_1	14231	1	0,000	-1,500	117,761	0,000	117,761
Element 1-1 (Node-to-node anchor)	15405	2	-5,500	-0,600	117,761	0,000	117,761
NodeToNodeAnchor_1_1	14231	1	0,000	-1,500	128,326	0,000	128,326
Element 2-2 (Node-to-node anchor)	27637	2	4,600	-2,300	128,326	0,000	128,326
NodeToNodeAnchor_5_1	18083	1	0,000	-5,500	172,312	0,000	172,312
Element 3-3 (Node-to-node anchor)	18049	2	-5,500	-4,600	172,312	0,000	172,312
NodeToNodeAnchor_4_1	18083	1	0,000	-5,500	141,469	0,000	141,469
Element 4-4 (Node-to-node anchor)	27682	2	2,300	-5,900	141,469	0,000	141,469
NodeToNodeAnchor_3_1	21766	1	-5,500	-8,000	42,002	-150,240	42,002
Element 5-5 (Node-to-node anchor)	27739	2	-3,562	-12,132	42,002	-150,240	42,002

3.2.1.1.29 Calculation results, Node-to-node anchor, FS SLV+ [Phase_28] (28/1046), Table of node-to-node anchors

Structural element	Node [10^3]	Local number	X [m]	Y [m]	N [kN]	N_{min} [10^3 kN]	N_{max} [kN]
NodeToNodeAnchor_2_1	14231	1	0,000	-1,500	154,357	0,000	154,499
Element 1-1 (Node-to-node anchor)	15405	2	-5,500	-0,600	154,357	0,000	154,499
NodeToNodeAnchor_1_1	14231	1	0,000	-1,500	143,180	0,000	144,921
Element 2-2 (Node-to-node anchor)	27637	2	4,600	-2,300	143,180	0,000	144,921
NodeToNodeAnchor_5_1	18083	1	0,000	-5,500	264,397	0,000	266,435
Element 3-3 (Node-to-node anchor)	18049	2	-5,500	-4,600	264,397	0,000	266,435
NodeToNodeAnchor_4_1	18083	1	0,000	-5,500	237,841	0,000	241,903
Element 4-4 (Node-to-node anchor)	27682	2	2,300	-5,900	237,841	0,000	241,903
NodeToNodeAnchor_3_1	21766	1	-5,500	-8,000	69,516	-150,240	70,845
Element 5-5 (Node-to-node anchor)	27739	2	-3,562	-12,132	69,516	-150,240	70,845

3.2.1.1.30 Calculation results, Node-to-node anchor, SLV - stab globale [Phase_32] (32/1056), Table of node-to-node anchors

Structural element	Node [10^{3}]	Local number	X [m]	Y [m]	N [kN]	N_{min} [10^{-3} kN]	N_{max} [kN]
NodeToNodeAnchor_2_1	14231	1	0,000	-1,500	103,413	0,000	103,413
Element 1-1 (Node-to-node anchor)	15405	2	-5,500	-0,600	103,413	0,000	103,413
NodeToNodeAnchor_1_1	14231	1	0,000	-1,500	121,418	0,000	121,418
Element 2-2 (Node-to-node anchor)	27637	2	4,600	-2,300	121,418	0,000	121,418
NodeToNodeAnchor_5_1	18083	1	0,000	-5,500	152,900	0,000	152,900
Element 3-3 (Node-to-node anchor)	18049	2	-5,500	-4,600	152,900	0,000	152,900
NodeToNodeAnchor_4_1	18083	1	0,000	-5,500	128,020	0,000	128,020
Element 4-4 (Node-to-node anchor)	27682	2	2,300	-5,900	128,020	0,000	128,020
NodeToNodeAnchor_3_1	21766	1	-5,500	-8,000	36,577	-150,240	36,577
Element 5-5 (Node-to-node anchor)	27739	2	-3,562	-12,132	36,577	-150,240	36,577

3.2.1.1.31 Calculation results, Node-to-node anchor, FS SLV - [Phase_33] (33/1156), Table of node-to-node anchors

Structural element	Node [10^3]	Local number	X [m]	Y [m]	N [kN]	N_{min} [10^3 kN]	N_{max} [kN]
NodeToNodeAnchor_2_1	14231	1	0,000	-1,500	139,585	0,000	139,729
Element 1-1 (Node-to-node anchor)	15405	2	-5,500	-0,600	139,585	0,000	139,729
NodeToNodeAnchor_1_1	14231	1	0,000	-1,500	136,029	0,000	139,417
Element 2-2 (Node-to-node anchor)	27637	2	4,600	-2,300	136,029	0,000	139,417
NodeToNodeAnchor_5_1	18083	1	0,000	-5,500	240,702	0,000	243,471
Element 3-3 (Node-to-node anchor)	18049	2	-5,500	-4,600	240,702	0,000	243,471
NodeToNodeAnchor_4_1	18083	1	0,000	-5,500	226,109	0,000	233,971
Element 4-4 (Node-to-node anchor)	27682	2	2,300	-5,900	226,109	0,000	233,971
NodeToNodeAnchor_3_1	21766	1	-5,500	-8,000	64,406	-150,240	64,406
Element 5-5 (Node-to-node anchor)	27739	2	-3,562	-12,132	64,406	-150,240	64,406

3.2.1.1.32 Calculation results, Node-to-node anchor, SLD [Phase_38] (38/1178), Table of node-to-node anchors

Structural element	Node [10^{3}]	Local number	X [m]	Y [m]	N [kN]	N_{min} [10^{-3} kN]	N_{max} [kN]
NodeToNodeAnchor_2_1	14231	1	0,000	-1,500	120,289	0,000	120,289
Element 1-1 (Node-to-node anchor)	15405	2	-5,500	-0,600	120,289	0,000	120,289
NodeToNodeAnchor_1_1	14231	1	0,000	-1,500	135,313	0,000	135,313
Element 2-2 (Node-to-node anchor)	27637	2	4,600	-2,300	135,313	0,000	135,313
NodeToNodeAnchor_5_1	18083	1	0,000	-5,500	185,346	0,000	185,346
Element 3-3 (Node-to-node anchor)	18049	2	-5,500	-4,600	185,346	0,000	185,346
NodeToNodeAnchor_4_1	18083	1	0,000	-5,500	162,311	0,000	162,311
Element 4-4 (Node-to-node anchor)	27682	2	2,300	-5,900	162,311	0,000	162,311
NodeToNodeAnchor_3_1	21766	1	-5,500	-8,000	48,101	-150,240	48,101
Element 5-5 (Node-to-node anchor)	27739	2	-3,562	-12,132	48,101	-150,240	48,101

3.2.1.1.33 Calculation results, Node-to-node anchor, q rullo [Phase_37] (37/1187), Table of node-to-node anchors

Structural element	Node [10^{3}]	Local number	X [m]	Y [m]	N [kN]	N_{min} [10^{3} kN]	N_{max} [kN]
NodeToNodeAnchor_2_1	14231	1	0,000	-1,500	78,223	0,000	78,223
Element 1-1 (Node-to-node anchor)	15405	2	-5,500	-0,600	78,223	0,000	78,223
NodeToNodeAnchor_1_1	14231	1	0,000	-1,500	114,654	0,000	114,654
Element 2-2 (Node-to-node anchor)	27637	2	4,600	-2,300	114,654	0,000	114,654
NodeToNodeAnchor_5_1	18083	1	0,000	-5,500	158,818	0,000	158,818
Element 3-3 (Node-to-node anchor)	18049	2	-5,500	-4,600	158,818	0,000	158,818
NodeToNodeAnchor_4_1	18083	1	0,000	-5,500	67,740	0,000	67,740
Element 4-4 (Node-to-node anchor)	27682	2	2,300	-5,900	67,740	0,000	67,740
NodeToNodeAnchor_3_1	21766	1	-5,500	-8,000	20,345	-150,240	20,345
Element 5-5 (Node-to-node anchor)	27739	2	-3,562	-12,132	20,345	-150,240	20,345

3.2.1.1.34 Calculation results, Node-to-node anchor, SLE Paratia esistente [Phase_12] (12/1232), Table of node-to-node anchors

Structural element	Node [10 ^{3}]	Local number	X [m]	Y [m]	N [kN]	N_{min} [kN]	N_{max} [kN]
NodeToNodeAnchor_1_1	14231	1	0,000	-1,500	90,570	0,000	90,570
Element 2-2 (Node-to-node anchor)	27637	2	4,600	-2,300	90,570	0,000	90,570
NodeToNodeAnchor_4_1	18083	1	0,000	-5,500	63,798	0,000	63,798
Element 4-4 (Node-to-node anchor)	27682	2	2,300	-5,900	63,798	0,000	63,798

3.2.1.1.35 Calculation results, Node-to-node anchor, SLU11 Paratia esistente [Phase_13] (13/1235), Table of node-to-node anchors

Structural element	Node [10 ^{3}]	Local number	X [m]	Y [m]	N [kN]	N_{min} [kN]	N_{max} [kN]
NodeToNodeAnchor_1_1	14231	1	0,000	-1,500	93,950	0,000	93,950
Element 2-2 (Node-to-node anchor)	27637	2	4,600	-2,300	93,950	0,000	93,950
NodeToNodeAnchor_4_1	18083	1	0,000	-5,500	66,949	0,000	66,949
Element 4-4 (Node-to-node anchor)	27682	2	2,300	-5,900	66,949	0,000	66,949

3.2.1.1.36 Calculation results, Node-to-node anchor, SLU12 Paratia esistente [Phase_18] (18/1240), Table of node-to-node anchors

Structural element	Node [10 ^{3}]	Local number	X [m]	Y [m]	N [kN]	N_{min} [kN]	N_{max} [kN]
NodeToNodeAnchor_1_1	14231	1	0,000	-1,500	107,017	0,000	107,017
Element 2-2 (Node-to-node anchor)	27637	2	4,600	-2,300	107,017	0,000	107,017
NodeToNodeAnchor_4_1	18083	1	0,000	-5,500	89,655	0,000	89,655
Element 4-4 (Node-to-node anchor)	27682	2	2,300	-5,900	89,655	0,000	89,655

3.2.1.1.37 Calculation results, Node-to-node anchor, FS Paratia esistente [Phase_19] (19/1390), Table of node-to-node anchors

Structural element	Node [10 ^{3}]	Local number	X [m]	Y [m]	N [kN]	N_{min} [kN]	N_{max} [kN]
NodeToNodeAnchor_1_1	14231	1	0,000	-1,500	191,524	0,000	191,524
Element 2-2 (Node-to-node anchor)	27637	2	4,600	-2,300	191,524	0,000	191,524
NodeToNodeAnchor_4_1	18083	1	0,000	-5,500	239,057	0,000	239,057
Element 4-4 (Node-to-node anchor)	27682	2	2,300	-5,900	239,057	0,000	239,057

3.2.1.1.39 Calculation results, Node-to-node anchor, SLV [Phase_27] (27/1545), Table of node-to-node anchors

Structural element	Node [10^{3}]	Local number	X [m]	Y [m]	N [kN]	N_{min} [10^{-3} kN]	N_{max} [kN]
NodeToNodeAnchor_2_1	14231	1	0,000	-1,500	130,428	0,000	130,428
Element 1-1 (Node-to-node anchor)	15405	2	-5,500	-0,600	130,428	0,000	130,428
NodeToNodeAnchor_1_1	14231	1	0,000	-1,500	134,149	0,000	134,149
Element 2-2 (Node-to-node anchor)	27637	2	4,600	-2,300	134,149	0,000	134,149
NodeToNodeAnchor_5_1	18083	1	0,000	-5,500	219,229	0,000	219,229
Element 3-3 (Node-to-node anchor)	18049	2	-5,500	-4,600	219,229	0,000	219,229
NodeToNodeAnchor_4_1	18083	1	0,000	-5,500	223,265	0,000	223,265
Element 4-4 (Node-to-node anchor)	27682	2	2,300	-5,900	223,265	0,000	223,265
NodeToNodeAnchor_3_1	21766	1	-5,500	-8,000	64,200	-150,240	64,200
Element 5-5 (Node-to-node anchor)	27739	2	-3,562	-12,132	64,200	-150,240	64,200

3.3.1.1.9 Calculation results, Embedded beam, Micropalo ancoraggio 1 [Phase_8] (8/221), Table of embedded beam force envelopes

Structural element	Node [10^0]	Local number	X [m]	Y [m]	N [10^0 kN]	Q [10^0 kN]	M [10^0 kN m]	$T_{,,,}$ [10^0 kN/m]	$T_{,,,}$ [10^0 kN/m]	$T_{,,,,,,}$ [kN/m]	$T_{,,,,,,}$ [10^0]	$N_{,,,}$ [kN]	$N_{,,,}$ [10^0 kN]	$Q_{,,,}$ [10^0 kN]	$Q_{,,,}$ [10^0 kN]	$M_{,,,}$ [10^0 kN m]
EmbeddedBeam_11_1	27637	1	4,600	-2,300	311,199	2,574	0,000	-40,197	-14,118	30,000	1,340	0,000	311,199	0,000	2,574	0,000
Element 1-1 (Embedded beam)	27638	2	4,890	-2,353	299,541	0,399	403,514	-39,130	5,547	30,000	1,304	0,000	299,541	0,000	0,399	0,000
(TITAN 40/20 l=1,60m)	27639	3	5,179	-2,407	288,162	-0,608	353,279	-38,153	0,622	30,000	1,272	0,000	288,162	-608,165	0,000	0,000
28	27640	4	5,469	-2,460	277,067	-0,668	138,301	-37,196	0,893	30,000	1,240	0,000	277,067	-667,839	0,000	0,000
29	27641	5	5,758	-2,513	266,263	0,001	27,859	-36,237	0,813	30,000	1,208	0,000	266,263	0,000	0,001	0,000
EmbeddedBeam_11_1	27641	1	5,758	-2,513	266,257	-0,245	27,859	-36,237	0,813	30,000	1,208	0,000	266,257	-244,668	0,000	0,000
Element 1-2 (Embedded beam)	27642	2	6,010	-2,559	257,087	-0,089	-13,300	-35,412	0,486	30,000	1,180	0,000	257,087	-88,898	0,000	-13,300
(TITAN 40/20 l=1,60m)	27643	3	6,262	-2,606	248,118	0,001	-23,373	-34,597	0,194	30,000	1,153	0,000	248,118	0,000	0,001	-23,373
30	27644	4	6,514	-2,652	239,357	0,033	-17,597	-33,797	0,030	30,000	1,127	0,000	239,357	0,000	0,033	-17,597
31	27645	5	6,766	-2,698	230,807	0,014	-10,649	-33,014	-0,030	30,000	1,100	0,000	230,807	0,000	0,014	-10,649
EmbeddedBeam_11_1	27645	1	6,766	-2,698	230,800	0,027	-10,649	-33,014	-0,030	30,000	1,100	0,000	230,800	0,000	0,027	-10,649
Element 1-3 (Embedded beam)	27646	2	6,985	-2,739	223,523	0,017	-5,806	-32,349	-0,039	30,000	1,078	0,000	223,523	0,000	0,017	-5,806
(TITAN 40/20 l=1,60m)	27647	3	7,204	-2,779	216,385	0,009	-2,907	-31,701	-0,029	30,000	1,057	0,000	216,385	0,000	0,009	-2,907
32	27648	4	7,423	-2,819	209,389	0,004	-1,409	-31,069	-0,017	30,000	1,036	0,000	209,389	0,000	0,004	-1,409
33	27649	5	7,643	-2,860	202,540	0,002	-0,761	-30,454	-0,007	30,000	1,015	0,000	202,540	0,000	0,002	-0,761
EmbeddedBeam_11_1	27649	1	7,643	-2,860	202,534	0,002	-0,761	-30,454	-0,007	30,000	1,015	0,000	202,534	0,000	0,002	-0,761
Element 1-4 (Embedded beam)	27650	2	7,833	-2,895	196,685	0,001	-0,530	-29,931	-0,003	30,000	0,998	0,000	196,685	0,000	0,001	-0,530
(TITAN 40/20 l=1,60m)	27651	3	8,024	-2,930	190,930	0,000	-0,412	-29,421	-0,002	30,000	0,981	0,000	190,930	0,000	0,000	-0,412
34	27652	4	8,215	-2,965	185,273	0,000	-0,388	-28,922	-0,002	30,000	0,964	0,000	185,273	-0,150	0,000	-0,388
35	27653	5	8,405	-3,000	179,717	-0,001	-0,445	-28,436	-0,003	30,000	0,948	0,000	179,717	-0,519	0,000	-0,445
EmbeddedBeam_11_1	27653	1	8,405	-3,000	179,713	0,000	-0,445	-28,436	-0,003	30,000	0,948	0,000	179,713	-0,474	0,000	-0,445
Element 1-5 (Embedded beam)	27654	2	8,571	-3,030	174,954	-0,001	-0,593	-28,023	-0,004	30,000	0,934	0,000	174,954	-1,238	0,000	-0,593
(TITAN 40/20 l=1,60m)	27655	3	8,737	-3,061	170,260	-0,002	-0,847	-27,620	-0,002	30,000	0,921	0,000	170,260	-1,704	0,000	-0,847
36	27656	4	8,903	-3,091	165,634	-0,002	-1,146	-27,226	0,001	30,000	0,908	0,000	165,634	-1,793	0,000	-1,146
37	27657	5	9,069	-3,122	161,077	-0,001	-1,425	-26,843	0,007	30,000	0,895	0,000	161,077	-1,427	0,000	-1,425
EmbeddedBeam_11_1	27657	1	9,069	-3,122	161,074	-0,001	-1,425	-26,843	0,007	30,000	0,895	0,000	161,074	-1,370	0,000	-1,425
Element 1-6 (Embedded beam)	27658	2	9,213	-3,148	157,161	0,000	-1,520	-26,519	0,013	30,000	0,884	0,000	157,161	0,000	0,000	-1,520
(TITAN 40/20 l=1,60m)	27659	3	9,357	-3,175	153,291	0,002	-1,334	-26,203	0,018	30,000	0,873	0,000	153,291	0,000	0,002	-1,334
38	27660	4	9,502	-3,201	149,468	0,005	-0,806	-25,893	0,018	30,000	0,863	0,000	149,468	0,000	0,005	-0,806
39	27661	5	9,646	-3,228	145,693	0,008	0,120	-25,581	0,004	30,000	0,853	0,000	145,693	0,000	0,008	0,000
EmbeddedBeam_11_1	27661	1	9,646	-3,228	145,690	0,008	0,120	-42,635	0,007	30,000	1,421	0,000	145,690	0,000	0,008	0,000
Element 1-7 (Embedded beam)	27662	2	9,771	-3,251	140,293	0,005	0,979	-42,246	-0,023	30,000	1,408	0,000	140,293	-0,006	0,005	0,000
(TITAN 40/20 l=1,60m)	27663	3	9,896	-3,274	134,939	0,002	1,451	-41,880	-0,024	30,000	1,396	0,000	134,939	-0,371	0,002	0,000
40	27664	4	10,022	-3,297	129,630	0,000	1,594	-41,535	-0,015	30,000	1,385	0,000	129,630	-0,553	0,000	0,000
41	27665	5	10,147	-3,320	124,369	-0,002	1,476	-41,209	-0,007	30,000	1,374	0,000	124,369	-1,650	0,000	0,000
EmbeddedBeam_11_1	27665	1	10,147	-3,320	124,364	-0,002	1,476	-41,209	-0,007	30,000	1,374	0,000	124,364	-1,694	0,000	0,000
Element 1-8 (Embedded beam)	27666	2	10,296	-3,347	118,156	-0,002	1,183	-40,840	-0,001	30,000	1,361	0,000	118,156	-2,102	0,000	-0,023
(TITAN 40/20 l=1,60m)	27667	3	10,445	-3,375	111,995	-0,002	0,859	-40,493	0,002	30,000	1,350	0,000	111,995	-2,118	0,000	-0,059
42	27668	4	10,594	-3,402	105,885	-0,002	0,558	-40,166	0,003	30,000	1,339	0,000	105,885	-1,800	0,000	-0,080
43	27669	5	10,743	-3,430	99,830	-0,001	0,327	-39,861	0,003	30,000	1,329	0,000	99,830	-1,268	0,000	-0,082
EmbeddedBeam_11_1	27669	1	10,743	-3,430	99,823	-0,001	0,327	-39,861	0,003	30,000	1,329	0,000	99,823	-1,310	0,000	-0,082
Element 1-9 (Embedded beam)	27670	2	10,920	-3,462	92,676	-0,001	0,138	-39,525	0,002	30,000	1,318	0,000	92,676	-0,811	0,000	-0,073
(TITAN 40/20 l=1,60m)	27671	3	11,097	-3,495	85,577	0,000	0,027	-39,219	0,002	30,000	1,307	0,000	85,577	-0,442	0,000	-0,060
44	27672	4	11,274	-3,527	78,531	0,000	-0,028	-38,942	0,001	30,000	1,298	0,000	78,531	-0,197	0,000	-0,046
45	27673	5	11,452	-3,560	71,541	0,000	-0,051	-38,695	0,001	30,000	1,290	0,000	71,541	-0,075	0,000	-0,051
EmbeddedBeam_11_1	27673	1	11,452	-3,560	71,531	0,000	-0,051	-38,695	0,001	30,000	1,290	0,000	71,531	-0,050	0,000	-0,051
Element 1-10 (Embedded beam)	27674	2	11,663	-3,599	63,267	0,000	-0,055	-38,440	0,000	30,000	1,281	0,000	63,267	0,000	0,000	-0,055
(TITAN 40/20 l=1,60m)	27675	3	11,874	-3,638	55,041	0,000	-0,049	-38,227	0,000	30,000	1,274	0,000	55,041	0,000	0,000	-0,049
46	27676	4	12,085	-3,676	46,856	0,000	-0,039	-38,058	0,000	30,000	1,269	0,000	46,856	0,000	0,000	-0,039

Structural element	Node [10⁰]	Local number	X [m]	Y [m]	N [10⁰ * kN]	Q [10⁰ * kN]	M [10⁰ * kN m]	T_{zzz} [10⁰ * kN/m]	T_{yyy} [10⁰ * kN/m]	$T_{xxx,zzz}$ [kN/m]	$T_{xxx,yyy}$ [10⁰ *]	N_{yyy} [kN]	N_{zzz} [10⁰ * kN]	Q_{zzz} [10⁰ * kN]	Q_{yyy} [10⁰ * kN]	M_{yyy} [10⁰ * kN m]
图	27677	5	12,296	-3,715	38,715	0,000	0,030	-37,935	0,000	30,000	1,264	0,000	38,715	0,000	0,000	0,030
EmbeddedBeam_11_1	27677	1	12,296	-3,715	38,699	0,000	0,030	-37,935	0,000	30,000	1,264	0,000	38,699	0,000	0,000	0,030
Element 1-11 (Embedded beam)	27678	2	12,547	-3,761	29,043	0,000	0,021	-37,850	0,000	30,000	1,262	0,000	29,043	0,000	0,000	0,021
(TITAN 40/20 l=1,60m)	27679	3	12,798	-3,808	19,377	0,000	0,009	-37,835	0,000	30,000	1,261	0,000	19,377	0,000	0,000	0,009
图	27680	4	13,049	-3,854	9,701	0,000	0,001	-37,922	0,000	30,000	1,264	0,000	9,701	0,000	0,000	0,002
图	27681	5	13,300	-3,900	0,018	0,000	0,000	-38,167	0,000	30,000	1,272	0,000	0,018	0,047	0,000	0,000

3.3.1.1.10 Calculation results, Embedded beam, Escavo 1 [Phase_9] (9/235), Table of embedded beam force envelopes

Structural element	Node [10^]	Local number	X [m]	Y [m]	N [kN]	Q [10^ kN]	M [10^ kN m]	$T_{x,sup.}$ [kN/m]	$T_{x,inf.}$ [kN/m]	$T_{z,sup.,max}$ [kN/m]	$T_{z,sup.,min}$ [10^]	$N_{x,m}$ [kN]	$N_{x,v}$ [kN]	$Q_{x,m}$ [10^ kN]	$Q_{x,v}$ [10^ kN]	$M_{y,m}$ [10^ kN m]	$M_{y,v}$ [10^ kN m]
EmbeddedBeam_1_1	27637	1	4,600	-2,300	54,962	457,187	0,000	-5,814	-2,459	30,000	193,811	0,000	54,962	0,000	457,187	0,000	0,000
Element 1-1 (Embedded beam)	27638	2	4,890	-2,353	53,273	74,282	72,258	-5,688	-0,978	30,000	189,616	0,000	53,273	0,000	74,282	0,000	72,258
(TITAN 40/20 l=1,60m)	27639	3	5,179	-2,407	51,613	-104,266	64,414	-5,581	-0,118	30,000	186,021	0,000	51,613	-104,266	0,000	0,000	64,414
28	27640	4	5,469	-2,460	49,985	-116,461	27,167	-5,477	0,152	30,000	182,560	0,000	49,985	-116,461	0,000	0,000	27,167
29	27641	5	5,758	-2,513	48,389	-0,309	7,797	-5,371	0,142	30,000	179,026	0,000	48,389	-0,309	0,001	0,000	7,797
EmbeddedBeam_1_1	27641	1	5,758	-2,513	48,388	-43,294	7,797	-5,371	0,142	30,000	179,026	0,000	48,388	-43,294	0,000	0,000	7,797
Element 1-2 (Embedded beam)	27642	2	6,010	-2,559	47,025	-15,917	0,485	-5,277	0,086	30,000	175,886	0,000	47,025	-15,917	0,000	-0,013	0,485
(TITAN 40/20 l=1,60m)	27643	3	6,262	-2,606	45,686	0,092	-1,344	-5,180	0,035	30,000	172,671	0,000	45,686	0,000	0,158	-1,344	0,000
30	27644	4	6,514	-2,652	44,371	5,979	-0,331	-5,082	0,007	30,000	169,391	0,000	44,371	0,000	5,979	-0,377	0,000
31	27645	5	6,766	-2,698	43,083	2,989	0,979	-4,982	-0,003	30,000	166,066	0,000	43,083	0,000	2,989	-0,011	0,979
EmbeddedBeam_1_1	27645	1	6,766	-2,698	43,082	5,235	0,979	-4,982	-0,003	30,000	166,066	0,000	43,082	0,000	5,235	-0,011	0,979
Element 1-3 (Embedded beam)	27646	2	6,985	-2,739	41,982	4,241	2,026	-4,895	-0,004	30,000	163,156	0,000	41,982	0,000	4,241	-0,006	2,026
(TITAN 40/20 l=1,60m)	27647	3	7,204	-2,779	40,901	3,653	2,900	-4,807	-0,001	30,000	160,242	0,000	40,901	0,000	3,653	-0,003	2,900
32	27648	4	7,423	-2,819	39,839	3,406	3,680	-4,720	-0,001	30,000	157,332	0,000	39,839	0,000	3,406	-0,001	3,680
33	27649	5	7,643	-2,860	38,798	3,438	4,438	-4,633	-0,004	30,000	154,426	0,000	38,798	0,000	3,438	-0,001	4,438
EmbeddedBeam_1_1	27649	1	7,643	-2,860	38,797	2,718	4,438	-4,633	-0,004	30,000	154,426	0,000	38,797	-0,005	2,718	-0,001	4,438
Element 1-4 (Embedded beam)	27650	2	7,833	-2,895	37,907	1,764	4,916	-4,557	-0,012	30,000	151,893	0,000	37,907	-0,161	1,764	-0,001	4,916
(TITAN 40/20 l=1,60m)	27651	3	8,024	-2,930	37,030	-2,011	4,941	-4,481	-0,026	30,000	149,364	0,000	37,030	-2,011	0,000	0,000	4,941
34	27652	4	8,215	-2,965	36,169	-8,739	3,945	-4,406	-0,043	30,000	146,869	0,000	36,169	-8,739	0,000	0,000	3,945
35	27653	5	8,405	-3,000	35,322	-18,553	1,352	-4,333	-0,058	30,000	144,449	0,000	35,322	-18,553	0,000	0,000	1,518
EmbeddedBeam_1_1	27653	1	8,405	-3,000	35,321	-16,552	1,352	-4,333	-0,058	30,000	144,449	0,000	35,321	-16,552	0,000	0,000	1,518
Element 1-5 (Embedded beam)	27654	2	8,571	-3,030	34,598	-28,994	-2,557	-4,261	-0,052	30,000	142,030	0,000	34,598	-28,994	0,000	-2,557	0,000
(TITAN 40/20 l=1,60m)	27655	3	8,737	-3,061	33,884	-34,640	-8,065	-4,204	-0,025	30,000	140,146	0,000	33,884	-34,640	0,000	-8,065	0,000
36	27656	4	8,903	-3,091	33,180	-31,628	-13,759	-4,142	0,051	30,000	138,078	0,000	33,180	-31,628	0,000	-13,759	0,000
37	27657	5	9,069	-3,122	32,486	-18,097	-18,126	-4,077	0,197	30,000	135,885	0,000	32,486	-18,097	0,067	-18,126	0,000
EmbeddedBeam_1_1	27657	1	9,069	-3,122	32,472	-29,306	-18,126	-4,077	0,197	30,000	135,885	0,000	32,472	-29,306	0,000	-18,126	0,000
Element 1-6 (Embedded beam)	27658	2	9,213	-3,148	31,898	37,152	-17,396	-4,068	0,356	30,000	135,592	0,000	31,898	0,000	37,152	-17,396	0,000
(TITAN 40/20 l=1,60m)	27659	3	9,357	-3,175	31,282	79,452	-8,308	-4,263	0,389	30,000	142,110	0,000	31,282	0,000	79,452	-8,308	0,000
38	27660	4	9,502	-3,201	30,615	86,452	4,202	-4,771	-0,125	30,000	159,047	0,000	30,615	0,000	86,452	-0,001	4,202
39	27661	5	9,646	-3,228	29,886	47,010	14,700	-5,036	-0,271	30,000	167,882	0,000	29,886	0,000	47,010	0,000	14,700
EmbeddedBeam_1_1	27661	1	9,646	-3,228	29,891	51,534	14,700	-8,394	-0,451	30,000	279,804	0,000	29,891	0,000	51,534	0,000	14,700
Element 1-7 (Embedded beam)	27662	2	9,771	-3,251	28,828	9,444	18,401	-8,339	-0,271	30,000	277,952	0,000	28,828	0,000	9,444	0,000	18,401
(TITAN 40/20 l=1,60m)	27663	3	9,896	-3,274	27,769	-16,984	17,775	-8,287	-0,136	30,000	276,240	0,000	27,769	-16,984	0,007	0,000	17,775
40	27664	4	10,022	-3,297	26,718	-28,923	14,692	-8,240	-0,043	30,000	274,660	0,000	26,718	-28,923	0,000	0,000	14,692
41	27665	5	10,147	-3,320	25,673	-27,544	10,971	-8,196	0,012	30,000	273,213	0,000	25,673	-27,544	0,000	0,000	10,971
EmbeddedBeam_1_1	27665	1	10,147	-3,320	25,672	-30,974	10,971	-8,196	0,012	30,000	273,213	0,000	25,672	-30,974	0,000	0,000	10,971
Element 1-8 (Embedded beam)	27666	2	10,296	-3,347	24,435	-24,521	6,761	-8,149	0,043	30,000	271,646	0,000	24,435	-24,521	0,000	0,000	6,761
(TITAN 40/20 l=1,60m)	27667	3	10,445	-3,375	23,203	-17,808	3,561	-8,108	0,048	30,000	270,259	0,000	23,203	-17,808	0,000	0,000	3,561
42	27668	4	10,594	-3,402	21,978	-11,277	1,356	-8,071	0,041	30,000	269,030	0,000	21,978	-11,277	0,000	0,000	1,356
43	27669	5	10,743	-3,430	20,759	-5,370	0,109	-8,038	0,029	30,000	267,933	0,000	20,759	-5,370	0,000	0,000	0,109
EmbeddedBeam_1_1	27669	1	10,743	-3,430	20,758	-5,461	0,109	-8,038	0,029	30,000	267,933	0,000	20,758	-5,461	0,000	0,000	0,109
Element 1-9 (Embedded beam)	27670	2	10,920	-3,462	19,313	-1,877	-0,527	-8,005	0,016	30,000	266,834	0,000	19,313	-1,877	0,000	-0,527	0,034
(TITAN 40/20 l=1,60m)	27671	3	11,097	-3,495	17,872	0,224	-0,658	-7,978	0,007	30,000	265,929	0,000	17,872	-0,112	0,224	-0,658	0,009
44	27672	4	11,274	-3,527	16,436	1,000	-0,526	-7,957	0,001	30,000	265,217	0,000	16,436	-0,035	1,000	-0,526	0,001
45	27673	5	11,452	-3,560	15,004	0,612	-0,366	-7,941	-0,001	30,000	264,694	0,000	15,004	-0,024	0,612	-0,366	0,000
EmbeddedBeam_1_1	27673	1	11,452	-3,560	15,003	0,930	-0,366	-7,941	-0,001	30,000	264,694	0,000	15,003	-0,012	0,930	-0,366	0,000
Element 1-10 (Embedded beam)	27674	2	11,663	-3,599	13,302	0,531	-0,211	-7,929	-0,002	30,000	264,317	0,000	13,302	-0,011	0,531	-0,211	0,000
(TITAN 40/20 l=1,60m)	27675	3	11,874	-3,638	11,601	0,237	-0,130	-7,926	-0,001	30,000	264,204	0,000	11,601	-0,010	0,237	-0,141	0,000
46	27676	4	12,085	-3,676	9,900	0,058	-0,101	-7,931	-0,001	30,000	264,365	0,000	9,900	-0,010	0,058	-0,121	0,000
47	27677	5	12,296	-3,715	8,199	0,001	-0,097	-7,944	0,000	30,000	264,810	0,000	8,199	-0,006	0,011	-0,117	0,000

Structural element	Node [1D ']	Local number	X [m]	Y [m]	N [kN]	Q [1D ' kN]	M [1D ' kN m]	T_{xx} [kN/m]	T_{yy} [kN/m]	$T_{xx,yy,max}$ [kN/m]	$T_{xx,yy,min}$ [1D ']	$N_{x,x}$ [kN]	$N_{y,y}$ [kN]	$Q_{x,x}$ [1D ' kN]	$Q_{y,y}$ [1D ' kN]	$M_{x,x}$ [1D ' kN m]	$M_{y,y}$ [1D ' kN m]
EmbeddedBeam_11_1	27677	1	12,296	-3,715	8,196	0,042	-0,097	7,944	0,000	30,000	264,810	0,000	8,196	-0,042	0,000	-0,117	0,000
Element 1-11 (Embedded beam)	27678	2	12,547	-3,761	6,167	0,056	-0,095	7,972	0,000	30,000	265,733	0,000	6,167	0,000	0,080	-0,111	0,000
(TITAN 40/20 l=1,60m)	27679	3	12,798	-3,808	4,126	0,133	-0,069	8,013	0,000	30,000	267,112	0,000	4,126	0,000	0,158	-0,078	0,000
圧	27680	4	13,049	-3,854	2,071	0,152	-0,032	8,075	0,000	30,000	269,168	0,000	2,071	0,000	0,171	-0,036	0,000
圧	27681	5	13,300	-3,900	0,004	0,079	0,000	8,169	0,001	30,000	272,312	0,000	0,004	0,000	0,084	0,000	0,000

3.3.1.1.11 Calculation results, Embedded beam, Micropalo ancoraggio 2 [Phase_35] (35/309), Table of embedded beam force envelopes

Structural element	Node [10 ^]	Local number	X [m]	Y [m]	N [kN]	Q [10 ^ kN]	M [10 ^ kN m]	$T_{x,m}$ [kN/m]	$T_{z,m}$ [kN/m]	$T_{z,m,adm}$ [kN/m]	$T_{z,m,adm}$ [10 ^]	$N_{x,k}$ [kN]	$N_{x,k}$ [kN]	$Q_{z,k}$ [10 ^ kN]	$Q_{z,k}$ [10 ^ kN]	$M_{y,k}$ [10 ^ kN m]
EmbeddedBeam_11_1	27637	1	4,600	-2,100	55,236	459,528	0,000	-5,800	-2,470	30,000	193,319	0,000	55,236	0,000	459,528	0,000
Element 1-1 (Embedded beam)	27638	2	4,890	-2,353	53,551	74,728	72,640	-5,672	-0,983	30,000	189,073	0,000	53,551	0,000	74,728	0,000
(Micropalo ancoraggio autoperforante R38I=1,60m)	27639	3	5,179	-2,407	51,897	-104,727	64,777	-5,563	-0,118	30,000	185,425	0,000	51,897	-104,727	0,000	0,000
88	27640	4	5,469	-2,460	50,274	-117,016	27,357	-5,457	0,153	30,000	181,908	0,000	50,274	-117,016	0,000	0,000
89	27641	5	5,758	-2,513	48,684	-0,323	7,892	-5,349	0,142	30,000	178,316	0,000	48,684	-0,323	0,001	0,000
EmbeddedBeam_11_1	27641	1	5,758	-2,513	48,683	-43,513	7,892	-5,349	0,142	30,000	178,316	0,000	48,683	-43,513	0,000	0,000
Element 1-2 (Embedded beam)	27642	2	6,010	-2,559	47,326	-16,002	0,542	-5,254	0,086	30,000	175,124	0,000	47,326	-16,002	0,000	-0,013
(Micropalo ancoraggio autoperforante R38I=1,60m)	27643	3	6,262	-2,606	45,992	0,094	-1,297	-5,156	0,035	30,000	171,856	0,000	45,992	0,000	0,158	-1,344
90	27644	4	6,514	-2,652	44,684	6,029	-0,277	-5,056	0,007	30,000	168,522	0,000	44,684	0,000	6,029	-0,377
91	27645	5	6,766	-2,698	43,403	5,054	1,049	-4,954	-0,003	30,000	165,142	0,000	43,403	0,000	5,054	-0,011
EmbeddedBeam_11_1	27645	1	6,766	-2,698	43,402	5,302	1,049	-4,954	-0,003	30,000	165,142	0,000	43,402	0,000	5,302	-0,011
Element 1-3 (Embedded beam)	27646	2	6,985	-2,739	42,309	4,362	2,117	-4,866	-0,003	30,000	162,184	0,000	42,309	0,000	4,362	-0,006
(Micropalo ancoraggio autoperforante R38I=1,60m)	27647	3	7,204	-2,779	41,234	3,812	3,023	-4,777	-0,001	30,000	159,221	0,000	41,234	0,000	3,812	-0,003
92	27648	4	7,423	-2,819	40,179	3,581	3,840	-4,688	-0,001	30,000	156,259	0,000	40,179	0,000	3,581	-0,001
93	27649	5	7,643	-2,860	39,145	3,595	4,636	-4,599	-0,005	30,000	153,296	0,000	39,145	0,000	3,595	-0,001
EmbeddedBeam_11_1	27649	1	7,643	-2,860	39,145	2,815	4,636	-4,599	-0,005	30,000	153,296	0,000	39,145	0,005	2,815	-0,001
Element 1-4 (Embedded beam)	27650	2	7,833	-2,895	38,261	1,695	5,121	-4,521	-0,014	30,000	150,709	0,000	38,261	0,161	1,764	-0,001
(Micropalo ancoraggio autoperforante R38I=1,60m)	27651	3	8,024	-2,930	37,392	-2,527	5,094	-4,444	-0,029	30,000	148,122	0,000	37,392	-2,527	0,000	0,000
94	27652	4	8,215	-2,965	36,537	-9,989	3,932	-4,367	-0,047	30,000	145,569	0,000	36,537	-9,989	0,000	0,000
95	27653	5	8,405	-3,000	35,699	-20,829	1,001	-4,293	-0,064	30,000	143,100	0,000	35,699	-20,829	0,000	0,000
EmbeddedBeam_11_1	27653	1	8,405	-3,000	35,697	-18,682	1,001	-4,293	-0,064	30,000	143,100	0,000	35,697	-18,682	0,000	0,000
Element 1-5 (Embedded beam)	27654	2	8,571	-3,030	34,981	-32,226	-3,366	-4,217	-0,056	30,000	140,571	0,000	34,981	-32,226	0,000	-3,366
(Micropalo ancoraggio autoperforante R38I=1,60m)	27655	3	8,737	-3,061	34,275	-38,297	-9,470	-4,160	-0,027	30,000	138,659	0,000	34,275	-38,297	0,000	-9,470
96	27656	4	8,903	-3,091	33,578	-34,841	-15,753	-4,096	0,057	30,000	136,539	0,000	33,578	-34,841	0,000	-15,753
97	27657	5	9,069	-3,122	32,893	-19,803	-20,553	-4,028	0,217	30,000	134,257	0,000	32,893	-19,803	0,067	-20,553
EmbeddedBeam_11_1	27657	1	9,069	-3,122	32,877	-32,267	-20,553	-4,028	0,217	30,000	134,257	0,000	32,877	-32,267	0,000	-20,553
Element 1-6 (Embedded beam)	27658	2	9,213	-3,148	32,313	41,455	-19,717	-4,016	0,396	30,000	133,879	0,000	32,313	0,000	41,455	-19,717
(Micropalo ancoraggio autoperforante R38I=1,60m)	27659	3	9,357	-3,175	31,703	88,850	-9,566	-4,229	0,327	30,000	140,958	0,000	31,703	0,000	88,850	-9,566
98	27660	4	9,502	-3,201	31,035	97,284	4,461	-4,800	-0,135	30,000	159,987	0,000	31,035	0,000	97,284	-0,001
99	27661	5	9,646	-3,228	30,299	54,124	16,357	-5,111	-0,307	30,000	170,359	0,000	30,299	0,000	54,124	0,000
EmbeddedBeam_11_1	27661	1	9,646	-3,228	30,304	58,576	16,357	-8,518	-0,512	30,000	283,931	0,000	30,304	0,000	58,576	0,000
Element 1-7 (Embedded beam)	27662	2	9,771	-3,251	29,225	10,863	20,571	-8,461	-0,307	30,000	282,023	0,000	29,225	0,000	10,863	0,000
(Micropalo ancoraggio autoperforante R38I=1,60m)	27663	3	9,896	-3,274	28,151	-19,027	19,886	-8,408	-0,153	30,000	280,278	0,000	28,151	-19,027	0,007	0,000
100	27664	4	10,022	-3,297	27,084	-32,458	16,425	-8,360	-0,048	30,000	278,670	0,000	27,084	-32,458	0,000	0,000
101	27665	5	10,147	-3,320	26,024	-30,788	12,257	-8,316	0,014	30,000	277,184	0,000	26,024	-30,788	0,000	0,000
EmbeddedBeam_11_1	27665	1	10,147	-3,320	26,023	-34,690	12,257	-8,316	0,014	30,000	277,184	0,000	26,023	-34,690	0,000	0,000
Element 1-8 (Embedded beam)	27666	2	10,296	-3,347	24,768	-27,432	7,543	-8,267	0,048	30,000	275,571	0,000	24,768	-27,432	0,000	0,000
(Micropalo ancoraggio autoperforante R38I=1,60m)	27667	3	10,445	-3,375	23,519	-19,894	3,966	-8,224	0,054	30,000	274,143	0,000	23,519	-19,894	0,000	0,000
102	27668	4	10,594	-3,402	22,276	-12,571	1,505	-8,186	0,045	30,000	272,876	0,000	22,276	-12,571	0,000	0,000
103	27669	5	10,743	-3,430	21,040	-5,956	0,118	-8,152	0,033	30,000	271,743	0,000	21,040	-5,956	0,000	0,000
EmbeddedBeam_11_1	27669	1	10,743	-3,430	21,038	-6,054	0,118	-8,152	0,033	30,000	271,743	0,000	21,038	-6,054	0,000	0,000
Element 1-9 (Embedded beam)	27670	2	10,920	-3,462	19,573	-2,044	-0,584	-8,118	0,018	30,000	270,605	0,000	19,573	-2,044	0,000	-0,584
(Micropalo ancoraggio autoperforante R38I=1,60m)	27671	3	11,097	-3,495	18,112	0,302	-0,721	-8,090	0,007	30,000	269,664	0,000	18,112	-0,112	0,302	-0,721
104	27672	4	11,274	-3,527	16,656	1,163	-0,565	-8,067	0,001	30,000	268,916	0,000	16,656	-0,035	1,163	-0,565
105	27673	5	11,452	-3,560	15,204	0,720	-0,378	-8,051	-0,001	30,000	268,360	0,000	15,204	-0,024	0,720	-0,378
EmbeddedBeam_11_1	27673	1	11,452	-3,560	15,202	1,075	-0,378	-8,051	-0,001	30,000	268,360	0,000	15,202	-0,012	1,075	-0,378
Element 1-10 (Embedded beam)	27674	2	11,663	-3,599	13,479	0,618	-0,198	-8,038	-0,002	30,000	267,945	0,000	13,479	-0,011	0,618	-0,211
(Micropalo ancoraggio autoperforante R38I=1,60m)	27675	3	11,874	-3,638	11,754	0,279	-0,105	-8,034	-0,001	30,000	267,798	0,000	11,754	-0,010	0,279	-0,141
106	27676	4	12,085	-3,676	10,030	0,066	-0,070	-8,038	-0,001	30,000	267,927	0,000	10,030	-0,010	0,066	-0,121

Structural element	Node [10^1]	Local number	X [m]	Y [m]	N [kN]	Q [10^-1 kN]	M [10^-1 kN m]	T_xx [kN/m]	T_yy [kN/m]	T_xx,sup [kN/m]	T_xx,inf [10^-1]	N_x,i [kN]	N_x,j [kN]	Q_z,i [10^-1 kN]	Q_z,j [10^-1 kN]	M_y,i [10^-1 kN m]
29	27677	5	12,296	3,715	8,306	-0,010	-0,066	0,050	0,000	30,000	268,345	0,000	8,306	0,010	0,011	-0,117
EmbeddedBeam_31_1	27677	1	12,296	3,715	8,303	-0,053	-0,066	0,050	0,000	30,000	268,345	0,000	8,303	0,053	0,000	-0,117
Element 1-11 (Embedded beam)	27678	2	12,547	3,761	6,248	0,027	-0,070	0,077	0,000	30,000	269,242	0,000	6,248	0,000	0,080	-0,111
/Ricropalo ancoraggio autoperforante R38i=1,60m)	27679	3	12,798	3,808	4,179	0,094	-0,053	0,118	0,000	30,000	270,605	0,000	4,179	0,000	0,158	-0,078
28	27680	4	13,049	3,854	2,098	0,118	-0,026	0,180	0,000	30,000	272,656	0,000	2,098	0,000	0,171	-0,036
27	27681	5	13,300	3,900	0,004	0,066	0,000	0,274	0,001	30,000	275,812	0,000	0,004	0,000	0,084	0,000
EmbeddedBeam_31_1	27682	1	2,300	5,900	0,345	0,693	0,000	0,035	0,005	30,000	1,170	0,000	0,345	0,000	0,693	0,000
Element 2-12 (Embedded beam)	27683	2	2,582	5,950	0,336	0,074	0,073	0,032	0,002	30,000	1,062	0,000	0,336	0,074	0,000	0,000
/Ricropalo ancoraggio autoperforante R38i=1,60m)	27684	3	2,865	6,000	0,327	0,336	0,008	0,030	0,000	30,000	1,001	0,000	0,327	0,336	0,000	-0,002
26	27685	4	3,147	6,049	0,319	0,225	-0,084	0,029	0,001	30,000	0,956	0,000	0,319	0,225	0,000	-0,084
25	27686	5	3,430	6,099	0,311	0,127	-0,100	0,028	0,000	30,000	0,920	0,000	0,311	0,000	0,127	-0,100
EmbeddedBeam_31_1	27686	1	3,430	6,099	0,311	0,016	-0,100	0,028	0,000	30,000	0,920	0,000	0,311	0,000	0,016	-0,100
Element 2-13 (Embedded beam)	27687	2	3,595	6,128	0,306	0,054	-0,094	0,027	0,000	30,000	0,903	0,000	0,306	0,000	0,054	-0,094
/Ricropalo ancoraggio autoperforante R38i=1,60m)	27688	3	3,760	6,158	0,301	0,075	-0,083	0,027	0,000	30,000	0,889	0,000	0,301	0,000	0,075	-0,083
24	27689	4	3,925	6,187	0,297	0,079	-0,070	0,026	0,000	30,000	0,878	0,000	0,297	0,000	0,079	-0,070
23	27690	5	4,090	6,216	0,293	0,068	-0,058	0,026	0,000	30,000	0,869	0,000	0,293	0,000	0,068	-0,058
EmbeddedBeam_31_1	27690	1	4,090	6,216	0,293	0,071	-0,058	0,026	0,000	30,000	0,869	0,000	0,293	0,000	0,071	-0,058
Element 2-14 (Embedded beam)	27691	2	4,187	6,233	0,290	0,066	-0,051	0,026	0,000	30,000	0,865	0,000	0,290	0,000	0,066	-0,051
/Ricropalo ancoraggio autoperforante R38i=1,60m)	27692	3	4,283	6,250	0,288	0,061	-0,045	0,026	0,000	30,000	0,861	0,000	0,288	0,000	0,061	-0,045
22	27693	4	4,380	6,267	0,285	0,055	-0,039	0,026	0,000	30,000	0,859	0,000	0,285	0,000	0,055	-0,039
21	27694	5	4,476	6,284	0,283	0,049	-0,034	0,026	0,000	30,000	0,858	0,000	0,283	0,000	0,049	-0,034
EmbeddedBeam_31_1	27694	1	4,476	6,284	0,283	0,048	-0,034	0,026	0,000	30,000	0,858	0,000	0,283	0,000	0,048	-0,034
Element 2-15 (Embedded beam)	27695	2	4,533	6,294	0,281	0,044	-0,031	0,026	0,000	30,000	0,857	0,000	0,281	0,000	0,044	-0,031
/Ricropalo ancoraggio autoperforante R38i=1,60m)	27696	3	4,589	6,304	0,280	0,037	-0,029	0,026	0,000	30,000	0,857	0,000	0,280	0,000	0,037	-0,029
20	27697	4	4,646	6,314	0,278	0,027	-0,027	0,026	0,000	30,000	0,857	0,000	0,278	0,000	0,027	-0,027
19	27698	5	4,702	6,324	0,277	0,015	-0,026	0,026	0,000	30,000	0,858	0,000	0,277	0,000	0,015	-0,026
EmbeddedBeam_31_1	27698	1	4,702	6,324	0,277	0,013	-0,026	0,043	0,000	30,000	1,430	0,000	0,277	0,000	0,013	-0,026
Element 2-16 (Embedded beam)	27699	2	4,800	6,341	0,272	0,022	-0,026	0,043	0,000	30,000	1,424	0,000	0,272	0,022	0,000	-0,026
/Ricropalo ancoraggio autoperforante R38i=1,60m)	27700	3	4,898	6,358	0,268	0,043	-0,030	0,043	0,000	30,000	1,420	0,000	0,268	0,043	0,000	-0,030
18	27701	4	4,995	6,376	0,264	0,051	-0,034	0,043	0,000	30,000	1,419	0,000	0,264	0,051	0,000	-0,034
17	27702	5	5,093	6,393	0,260	0,047	-0,039	0,043	0,000	30,000	1,419	0,000	0,260	0,047	0,000	-0,039
EmbeddedBeam_31_1	27702	1	5,093	6,393	0,260	0,049	-0,039	0,043	0,000	30,000	1,419	0,000	0,260	0,049	0,000	-0,039
Element 2-17 (Embedded beam)	27703	2	5,177	6,408	0,256	0,042	-0,043	0,043	0,000	30,000	1,420	0,000	0,256	0,042	0,000	-0,043
/Ricropalo ancoraggio autoperforante R38i=1,60m)	27704	3	5,261	6,422	0,252	0,033	-0,046	0,043	0,000	30,000	1,423	0,000	0,252	0,033	0,000	-0,046
16	27705	4	5,344	6,437	0,249	0,021	-0,049	0,043	0,000	30,000	1,426	0,000	0,249	0,021	0,000	-0,049
15	27706	5	5,428	6,452	0,245	0,008	-0,050	0,043	0,000	30,000	1,431	0,000	0,245	0,008	0,000	-0,050
EmbeddedBeam_31_1	27706	1	5,428	6,452	0,245	0,009	-0,050	0,043	0,000	30,000	1,431	0,000	0,245	0,009	0,000	-0,050
Element 2-18 (Embedded beam)	27707	2	5,525	6,469	0,241	0,007	-0,050	0,043	0,000	30,000	1,437	0,000	0,241	0,000	0,007	-0,050
/Ricropalo ancoraggio autoperforante R38i=1,60m)	27708	3	5,621	6,486	0,237	0,022	-0,049	0,043	0,000	30,000	1,445	0,000	0,237	0,000	0,022	-0,049
14	27709	4	5,718	6,503	0,232	0,037	-0,046	0,044	0,000	30,000	1,452	0,000	0,232	0,000	0,037	-0,046
13	27710	5	5,814	6,520	0,228	0,052	-0,041	0,044	0,000	30,000	1,460	0,000	0,228	0,000	0,052	-0,041
EmbeddedBeam_31_1	27710	1	5,814	6,520	0,228	0,051	-0,041	0,044	0,000	30,000	1,460	0,000	0,228	0,000	0,051	-0,041
Element 2-19 (Embedded beam)	27711	2	5,926	6,540	0,223	0,066	-0,035	0,044	0,000	30,000	1,470	0,000	0,223	0,000	0,066	-0,035
/Ricropalo ancoraggio autoperforante R38i=1,60m)	27712	3	6,037	6,559	0,218	0,078	-0,026	0,044	0,000	30,000	1,479	0,000	0,218	0,000	0,078	-0,026
12	27713	4	6,149	6,579	0,213	0,086	-0,017	0,045	0,000	30,000	1,487	0,000	0,213	0,000	0,086	-0,017
11	27714	5	6,260	6,599	0,208	0,091	-0,007	0,045	0,000	30,000	1,493	0,000	0,208	0,000	0,091	-0,007
EmbeddedBeam_31_1	27714	1	6,260	6,599	0,208	0,091	-0,007	0,045	0,000	30,000	1,493	0,000	0,208	0,000	0,091	-0,007
Element 2-20 (Embedded beam)	27715	2	6,388	6,621	0,202	0,090	0,005	0,045	0,000	30,000	1,499	0,000	0,202	0,000	0,090	0,000
/Ricropalo ancoraggio autoperforante R38i=1,60m)	27716	3	6,517	6,644	0,196	0,085	0,016	0,045	0,000	30,000	1,503	0,000	0,196	0,000	0,085	0,000
10	27717	4	6,645	6,667	0,190	0,074	0,027	0,045	0,000	30,000	1,505	0,000	0,190	0,000	0,074	0,000
9	27718	5	6,774	6,690	0,185	0,059	0,035	0,045	0,000	30,000	1,505	0,000	0,185	0,000	0,059	0,000
EmbeddedBeam_31_1	27718	1	6,774	6,690	0,185	0,061	0,035	0,045	0,000	30,000	1,505	0,000	0,185	0,000	0,061	0,000
Element 2-21 (Embedded beam)	27719	2	6,922	6,716	0,178	0,041	0,043	0,045	0,000	30,000	1,503	0,000	0,178	0,000	0,041	0,000
/Ricropalo ancoraggio autoperforante R38i=1,60m)	27720	3	7,070	6,742	0,171	0,022	0,048	0,045	0,000	30,000	1,499	0,000	0,171	0,000	0,022	0,000
8	27721	4	7,219	6,768	0,164	0,006	0,050	0,045	0,000	30,000	1,495	0,000	0,164	0,000	0,006	0,000
7	27722	5	7,367	6,794	0,158	0,009	0,050	0,045	0,000	30,000	1,490	0,000	0,158	0,009	0,000	0,000
EmbeddedBeam_31_1	27722	1	7,367	6,794	0,158	0,009	0,050	0,045	0,000	30,000	1,490	0,000	0,158	0,009	0,000	0,000

Structural element	Node [10^0]	Local number	X [m]	Y [m]	N [kN]	Q [10^-1 kN]	M [10^-1 kN m]	$T_{,xx}$ [kN/m]	$T_{,yy}$ [kN/m]	$T_{,xx,max}$ [kN/m]	$T_{,xx,c,u}$ [10^-1]	$N_{,x,c}$ [kN]	$N_{,x,t}$ [kN]	$Q_{,y,c}$ [10^-1 kN]	$Q_{,y,t}$ [10^-1 kN]	$M_{,x,c}$ [10^-1 kN m]
Element 2-22 (Embedded beam)	27723	2	7,538	6,824	0,150	-0,019	0,047	-0,045	0,000	30,000	1,485	0,000	0,150	0,019	0,000	0,000
(Micropalo ancoraggio autoperforante R38l=1,60m)	27724	3	7,709	6,855	0,142	-0,026	0,043	-0,044	0,000	30,000	1,481	0,000	0,142	0,026	0,000	0,000
2D	27725	4	7,880	6,885	0,134	-0,028	0,038	-0,044	0,000	30,000	1,478	0,000	0,134	0,028	0,000	0,000
2D	27726	5	8,051	6,915	0,127	-0,027	0,034	-0,044	0,000	30,000	1,477	0,000	0,127	0,027	0,000	0,000
EmbeddedBeam_3_1	27726	1	8,051	6,915	0,127	-0,028	0,034	-0,044	0,000	30,000	1,477	0,000	0,127	0,028	0,000	0,000
Element 2-23 (Embedded beam)	27727	2	8,248	6,950	0,118	-0,025	0,028	-0,044	0,000	30,000	1,477	0,000	0,118	0,025	0,000	0,000
(Micropalo ancoraggio autoperforante R38l=1,60m)	27728	3	8,445	6,984	0,109	-0,021	0,024	-0,044	0,000	30,000	1,479	0,000	0,109	0,021	0,000	0,000
2D	27729	4	8,643	7,019	0,100	-0,017	0,020	-0,044	0,000	30,000	1,482	0,000	0,100	0,017	0,000	0,000
2D	27730	5	8,840	7,054	0,091	-0,013	0,017	-0,045	0,000	30,000	1,486	0,000	0,091	0,013	0,000	0,000
EmbeddedBeam_3_1	27730	1	8,840	7,054	0,091	-0,013	0,017	-0,045	0,000	30,000	1,486	0,000	0,091	0,013	0,000	0,000
Element 2-24 (Embedded beam)	27731	2	9,067	7,094	0,081	-0,009	0,015	-0,045	0,000	30,000	1,493	0,000	0,081	0,009	0,000	0,000
(Micropalo ancoraggio autoperforante R38l=1,60m)	27732	3	9,295	7,134	0,070	-0,006	0,013	-0,045	0,000	30,000	1,500	0,000	0,070	0,006	0,000	0,000
2D	27733	4	9,523	7,175	0,060	-0,004	0,012	-0,045	0,000	30,000	1,509	0,000	0,060	0,004	0,000	0,000
2D	27734	5	9,750	7,215	0,049	-0,004	0,011	-0,046	0,000	30,000	1,519	0,000	0,049	0,004	0,000	0,000
EmbeddedBeam_3_1	27734	1	9,750	7,215	0,049	-0,002	0,011	-0,046	0,000	30,000	1,519	0,000	0,049	0,002	0,000	0,000
Element 2-25 (Embedded beam)	27735	2	10,013	7,261	0,037	-0,008	0,010	-0,046	0,000	30,000	1,531	0,000	0,037	0,008	0,000	0,000
(Micropalo ancoraggio autoperforante R38l=1,60m)	27736	3	10,275	7,307	0,025	-0,013	0,007	-0,046	0,000	30,000	1,544	0,000	0,025	0,013	0,000	0,000
2D	27737	4	10,538	7,354	0,013	-0,013	0,003	-0,047	0,000	30,000	1,561	0,000	0,013	0,013	0,000	0,000
2D	27738	5	10,800	7,400	0,000	-0,008	0,000	-0,047	0,000	30,000	1,582	0,000	0,000	0,008	0,000	0,000

3.3.1.1.12 Calculation results, Embedded beam, Escavo 2 [Phase_10] (10/318), Table of embedded beam force envelopes

Structural element	Node [10^]	Local number	X [m]	Y [m]	N [kN]	Q [10^ kN]	M [10^ kN m]	$T_{,xx,+}$ [kN/m]	$T_{,xx,-}$ [kN/m]	$T_{,xx,x,+,xx}$ [kN/m]	$T_{,xx,x,-,xx}$ [10^]	$N_{,x,+}$ [kN]	$N_{,x,-}$ [kN]	$Q_{,x,+}$ [10^ kN]	$Q_{,x,-}$ [10^ kN]	$M_{,x,+}$ [10^ kN m]	$M_{,x,-}$ [10^ kN m]
EmbeddedBeam_1_1	27637	1	4,600	-2,300	89,539	753,898	0,000	-7,809	-3,926	30,000	260,314	0,000	89,539	0,000	753,898	0,000	0,000
Element 1-1 (Embedded beam)	27638	2	4,890	-2,353	87,252	124,885	119,580	-7,703	-1,608	30,000	256,771	0,000	87,252	0,000	124,885	0,000	119,580
(TITAN 40/20 l=1,60m)	27639	3	5,179	-2,407	85,004	-169,365	107,397	-7,572	-0,200	30,000	252,399	0,000	85,004	-169,365	0,000	0,000	107,397
28	27640	4	5,469	-2,460	82,795	-190,728	46,598	-7,430	0,246	30,000	247,670	0,000	82,795	-190,728	0,000	0,000	46,598
29	27641	5	5,758	-2,513	80,629	-1,081	14,762	-7,282	0,231	30,000	242,721	0,000	80,629	-2,277	0,001	0,000	14,762
EmbeddedBeam_1_1	27641	1	5,758	-2,513	80,629	-71,432	14,762	-7,282	0,231	30,000	242,721	0,000	80,629	-71,432	0,000	0,000	14,762
Element 1-2 (Embedded beam)	27642	2	6,010	-2,559	78,782	-26,761	2,625	-7,145	0,140	30,000	238,174	0,000	78,782	-26,761	0,000	-0,013	2,777
(TITAN 40/20 l=1,60m)	27643	3	6,262	-2,606	76,969	-0,424	-0,541	-7,003	0,058	30,000	233,432	0,000	76,969	-1,167	0,158	-1,344	0,000
30	27644	4	6,514	-2,652	75,194	9,672	1,022	-6,855	0,013	30,000	228,512	0,000	75,194	0,000	9,672	-0,377	1,038
31	27645	5	6,766	-2,698	73,458	5,619	3,236	-6,703	0,001	30,000	223,438	0,000	73,458	0,000	5,619	-0,011	3,236
EmbeddedBeam_1_1	27645	1	6,766	-2,698	73,458	9,375	3,236	-6,703	0,001	30,000	223,438	0,000	73,458	0,000	9,375	-0,011	3,236
Element 1-3 (Embedded beam)	27646	2	6,985	-2,739	71,979	9,934	5,352	-6,567	0,006	30,000	218,910	0,000	71,979	0,000	9,934	-0,006	5,352
(TITAN 40/20 l=1,60m)	27647	3	7,204	-2,779	70,531	11,997	7,779	-6,428	0,014	30,000	214,272	0,000	70,531	0,000	11,997	-0,003	7,779
32	27648	4	7,423	-2,819	69,114	15,235	10,788	-6,285	0,016	30,000	209,500	0,000	69,114	0,000	15,235	-0,001	10,788
33	27649	5	7,643	-2,860	67,730	19,320	14,628	-6,137	-0,001	30,000	204,564	0,000	67,730	0,000	19,320	-0,001	14,628
EmbeddedBeam_1_1	27649	1	7,643	-2,860	67,731	15,093	14,628	-6,137	-0,001	30,000	204,564	0,000	67,731	-0,005	15,093	-0,001	14,628
Element 1-4 (Embedded beam)	27650	2	7,833	-2,895	66,554	15,159	17,807	-6,003	-0,044	30,000	200,091	0,000	66,554	-0,161	15,159	-0,001	17,807
(TITAN 40/20 l=1,60m)	27651	3	8,024	-2,930	65,403	-1,415	19,444	-5,863	-0,121	30,000	195,443	0,000	65,403	-2,527	0,000	0,000	19,444
34	27652	4	8,215	-2,965	64,280	-35,944	16,098	-5,720	-0,229	30,000	190,667	0,000	64,280	-35,944	0,000	0,000	16,098
35	27653	5	8,405	-3,000	63,185	-89,738	4,249	-5,576	-0,336	30,000	185,863	0,000	63,185	-89,738	0,000	0,000	4,297
EmbeddedBeam_1_1	27653	1	8,405	-3,000	63,177	-80,531	4,249	-5,576	-0,336	30,000	185,863	0,000	63,177	-80,531	0,000	0,000	4,297
Element 1-5 (Embedded beam)	27654	2	8,571	-3,030	62,256	-144,887	-15,356	-5,499	-0,237	30,000	183,294	0,000	62,256	-144,887	0,000	-15,356	0,000
(TITAN 40/20 l=1,60m)	27655	3	8,737	-3,061	61,321	-162,228	-42,026	-5,609	0,009	30,000	186,974	0,000	61,321	-162,228	0,000	-42,026	0,000
36	27656	4	8,903	-3,091	60,377	-128,343	-67,217	-5,606	0,370	30,000	186,859	0,000	60,377	-128,343	0,000	-67,217	0,000
37	27657	5	9,069	-3,122	59,428	-39,023	-82,167	-5,502	0,874	30,000	183,414	0,000	59,428	-39,023	0,067	-82,167	0,000
EmbeddedBeam_1_1	27657	1	9,069	-3,122	59,386	-82,718	-82,167	-5,502	0,874	30,000	183,414	0,000	59,386	-82,718	0,000	-82,167	0,000
Element 1-6 (Embedded beam)	27658	2	9,213	-3,148	58,654	165,155	-75,308	-5,583	1,315	30,000	186,113	0,000	58,654	0,000	165,155	-75,308	0,000
(TITAN 40/20 l=1,60m)	27659	3	9,357	-3,175	57,759	314,816	-38,235	-6,435	0,913	30,000	214,499	0,000	57,759	0,000	314,816	-38,235	0,000
38	27660	4	9,502	-3,201	56,673	335,698	10,814	-8,179	-0,440	30,000	272,636	0,000	56,673	0,000	335,698	-0,001	10,814
39	27661	5	9,646	-3,228	55,369	197,232	52,239	-9,337	-1,072	30,000	311,228	0,000	55,369	0,000	197,232	0,000	52,239
EmbeddedBeam_1_1	27661	1	9,646	-3,228	55,381	205,910	52,239	-15,561	-1,786	30,000	518,714	0,000	55,381	0,000	205,910	0,000	52,239
Element 1-7 (Embedded beam)	27662	2	9,771	-3,251	53,409	40,228	67,182	-15,458	-1,064	30,000	515,263	0,000	53,409	0,000	40,228	0,000	67,182
(TITAN 40/20 l=1,60m)	27663	3	9,896	-3,274	51,447	-62,934	65,161	-15,363	-0,522	30,000	512,109	0,000	51,447	-62,934	0,007	0,000	65,161
40	27664	4	10,022	-3,297	49,497	-108,528	53,602	-15,275	-0,159	30,000	509,162	0,000	49,497	-108,528	0,000	0,000	53,602
41	27665	5	10,147	-3,320	47,560	-101,509	39,737	-15,191	0,053	30,000	506,376	0,000	47,560	-101,509	0,000	0,000	39,737
EmbeddedBeam_1_1	27665	1	10,147	-3,320	47,558	-115,156	39,737	-15,191	0,053	30,000	506,376	0,000	47,558	-115,156	0,000	0,000	39,737
Element 1-8 (Embedded beam)	27666	2	10,296	-3,347	45,267	-90,106	24,169	-15,100	0,165	30,000	503,317	0,000	45,267	-90,106	0,000	0,000	24,169
(TITAN 40/20 l=1,60m)	27667	3	10,445	-3,375	42,985	-64,563	12,483	-15,017	0,182	30,000	500,581	0,000	42,985	-64,563	0,000	0,000	12,483
42	27668	4	10,594	-3,402	40,716	-40,127	4,552	-14,944	0,150	30,000	498,144	0,000	40,716	-40,127	0,000	0,000	4,552
43	27669	5	10,743	-3,430	38,459	-18,395	0,177	-14,879	0,106	30,000	495,973	0,000	38,459	-18,395	0,000	-0,013	0,177
EmbeddedBeam_1_1	27669	1	10,743	-3,430	38,457	-18,629	0,177	-14,879	0,106	30,000	495,973	0,000	38,457	-18,629	0,000	-0,013	0,177
Element 1-9 (Embedded beam)	27670	2	10,920	-3,462	35,783	-5,821	-1,935	-14,814	0,057	30,000	493,810	0,000	35,783	-5,821	0,000	-1,935	0,034
(TITAN 40/20 l=1,60m)	27671	3	11,097	-3,495	33,117	1,539	-2,255	-14,762	0,022	30,000	492,055	0,000	33,117	-0,112	1,539	-2,255	0,009
44	27672	4	11,274	-3,527	30,459	4,060	-1,671	-14,721	0,003	30,000	490,709	0,000	30,459	-0,035	4,060	-1,671	0,001
45	27673	5	11,452	-3,560	27,811	2,353	-1,039	-14,693	-0,005	30,000	489,765	0,000	27,811	-0,024	2,353	-1,039	0,000
EmbeddedBeam_1_1	27673	1	11,452	-3,560	27,807	3,515	-1,039	-14,693	-0,005	30,000	489,765	0,000	27,807	-0,012	3,515	-1,039	0,000
Element 1-10 (Embedded beam)	27674	2	11,663	-3,599	24,661	1,929	-0,463	-14,675	-0,006	30,000	489,154	0,000	24,661	-0,011	1,929	-0,463	0,000
(TITAN 40/20 l=1,60m)	27675	3	11,874	-3,638	21,512	0,787	-0,180	-14,673	-0,004	30,000	489,088	0,000	21,512	-0,010	0,787	-0,209	0,000
46	27676	4	12,085	-3,676	18,362	0,109	-0,092	-14,687	-0,002	30,000	489,573	0,000	18,362	-0,010	0,170	-0,128	0,000
47	27677	5	12,296	-3,715	15,212	-0,084	-0,098	-14,719	0,000	30,000	490,625	0,000	15,212	-0,084	0,027	-0,117	0,000

Structural element	Node [10^]	Local number	X [m]	Y [m]	N [kN]	Q [10^ kN]	M [10^ kN m]	T_x,x [kN/m]	T_y,y [kN/m]	T_max,max [kN/m]	T_min,min [10^]	N_x,x [kN]	N_y,y [kN]	Q_x,x [10^ kN]	Q_y,y [10^ kN]	M_x,x [10^ kN m]	M_y,y [10^ kN m]
EmbeddedBeam_11_1	27677	1	12,296	-3,715	15,205	0,221	-0,098	14,719	0,000	30,000	490,625	0,000	15,205	0,221	0,000	-0,117	0,000
Element 1-11 (Embedded beam)	27678	2	12,547	-3,761	11,447	0,009	-0,129	14,779	0,001	30,000	492,647	0,000	11,447	0,009	0,080	-0,129	0,000
(TITAN 40/20 l=1,60m)	27679	3	12,798	-3,808	7,661	0,167	-0,105	14,867	0,001	30,000	495,556	0,000	7,661	0,000	0,167	-0,105	0,000
20	27680	4	13,049	-3,854	3,847	0,237	-0,052	14,993	0,000	30,000	499,755	0,000	3,847	0,000	0,237	-0,052	0,000
20	27681	5	13,300	-3,900	0,007	0,133	0,000	15,180	0,002	30,000	506,005	0,000	0,007	0,000	0,133	0,000	0,000
EmbeddedBeam_31_1	27682	1	2,300	-5,900	62,359	114,136	0,000	4,234	0,655	30,000	141,130	0,000	62,359	0,000	114,136	0,000	0,000
Element 2-12 (Embedded beam)	27683	2	2,582	-5,950	61,196	58,908	24,811	4,313	0,185	30,000	143,750	0,000	61,196	0,074	58,908	0,000	24,811
(TITAN 40/20 l=1,60m)	27684	3	2,865	-6,000	59,877	6,938	34,033	4,962	0,188	30,000	165,412	0,000	59,877	12,630	6,938	0,002	34,033
20	27685	4	3,147	-6,049	58,429	38,385	29,426	5,216	0,138	30,000	173,852	0,000	58,429	38,385	0,000	0,084	29,426
20	27686	5	3,430	-6,099	56,877	73,676	13,039	5,354	0,102	30,000	178,465	0,000	56,877	73,676	0,127	0,100	13,039
EmbeddedBeam_31_1	27686	1	3,430	-6,099	56,899	55,390	13,039	5,354	0,102	30,000	178,465	0,000	56,899	55,390	0,016	0,100	13,039
Element 2-13 (Embedded beam)	27687	2	3,595	-6,128	55,999	38,593	5,185	5,376	0,093	30,000	179,200	0,000	55,999	38,593	0,054	0,823	5,185
(TITAN 40/20 l=1,60m)	27688	3	3,760	-6,158	55,096	23,907	-0,018	5,398	0,084	30,000	179,925	0,000	55,096	23,907	0,075	1,898	0,000
20	27689	4	3,925	-6,187	54,191	11,690	-2,972	5,398	0,064	30,000	179,936	0,000	54,191	11,690	0,545	2,972	0,000
20	27690	5	4,090	-6,216	53,285	2,300	-4,100	5,371	0,042	30,000	179,029	0,000	53,285	2,300	1,919	4,100	0,000
EmbeddedBeam_31_1	27690	1	4,090	-6,216	53,287	2,523	-4,100	5,371	0,042	30,000	179,029	0,000	53,287	2,523	2,256	4,100	0,000
Element 2-14 (Embedded beam)	27691	2	4,187	-6,233	52,761	0,868	-4,175	5,350	0,031	30,000	178,328	0,000	52,761	0,000	2,967	4,175	0,000
(TITAN 40/20 l=1,60m)	27692	3	4,283	-6,250	52,238	3,483	-3,955	5,329	0,022	30,000	177,640	0,000	52,238	0,000	3,847	3,955	0,000
20	27693	4	4,380	-6,267	51,716	5,367	-3,515	5,309	0,016	30,000	176,983	0,000	51,716	0,000	5,367	3,515	0,000
20	27694	5	4,476	-6,284	51,196	6,565	-2,925	5,291	0,011	30,000	176,361	0,000	51,196	0,000	6,565	2,925	0,000
EmbeddedBeam_31_1	27694	1	4,476	-6,284	51,196	6,620	-2,925	5,291	0,011	30,000	176,361	0,000	51,196	0,000	6,620	2,925	0,000
Element 2-15 (Embedded beam)	27695	2	4,533	-6,294	50,893	7,178	-2,529	5,281	0,008	30,000	176,018	0,000	50,893	0,000	7,178	2,529	0,000
(TITAN 40/20 l=1,60m)	27696	3	4,589	-6,304	50,591	7,545	-2,105	5,270	0,005	30,000	175,675	0,000	50,591	0,000	7,545	2,105	0,000
20	27697	4	4,646	-6,314	50,288	7,693	-1,667	5,261	0,000	30,000	175,382	0,000	50,288	0,000	7,693	1,667	0,025
20	27698	5	4,702	-6,324	49,987	7,593	-1,228	5,265	0,020	30,000	175,508	0,000	49,987	0,000	7,593	1,228	0,070
EmbeddedBeam_31_1	27698	1	4,702	-6,324	49,987	7,265	-1,228	8,775	0,033	30,000	292,514	0,000	49,987	0,000	7,265	1,228	0,070
Element 2-16 (Embedded beam)	27699	2	4,800	-6,341	49,118	4,537	-0,649	8,733	0,023	30,000	291,085	0,000	49,118	0,022	4,537	0,649	0,121
(TITAN 40/20 l=1,60m)	27700	3	4,898	-6,358	48,253	2,617	-0,300	8,693	0,015	30,000	289,746	0,000	48,253	0,628	2,617	0,300	0,120
20	27701	4	4,995	-6,376	47,392	1,468	-0,104	8,656	0,008	30,000	288,544	0,000	47,392	1,160	1,468	0,143	0,082
20	27702	5	5,093	-6,393	46,535	1,058	0,016	8,622	0,003	30,000	287,395	0,000	46,535	1,144	1,058	0,202	0,041
EmbeddedBeam_31_1	27702	1	5,093	-6,393	46,534	0,940	0,016	8,622	0,003	30,000	287,395	0,000	46,534	1,233	0,940	0,202	0,041
Element 2-17 (Embedded beam)	27703	2	5,177	-6,408	45,803	0,859	0,091	8,594	0,000	30,000	286,452	0,000	45,803	1,023	0,859	0,266	0,091
(TITAN 40/20 l=1,60m)	27704	3	5,261	-6,422	45,074	0,892	0,165	8,566	0,001	30,000	285,537	0,000	45,074	0,720	0,892	0,327	0,165
20	27705	4	5,344	-6,437	44,346	1,023	0,246	8,539	0,002	30,000	284,642	0,000	44,346	0,445	1,023	0,373	0,246
20	27706	5	5,428	-6,452	43,622	1,235	0,341	8,513	0,002	30,000	283,763	0,000	43,622	0,187	1,235	0,383	0,341
EmbeddedBeam_31_1	27706	1	5,428	-6,452	43,622	1,201	0,341	8,513	0,002	30,000	283,763	0,000	43,622	0,199	1,201	0,383	0,341
Element 2-18 (Embedded beam)	27707	2	5,525	-6,469	42,789	1,405	0,469	8,483	0,002	30,000	282,761	0,000	42,789	0,043	1,405	0,351	0,469
(TITAN 40/20 l=1,60m)	27708	3	5,621	-6,486	41,958	1,545	0,614	8,453	0,001	30,000	281,767	0,000	41,958	0,000	1,545	0,274	0,614
20	27709	4	5,718	-6,503	41,131	1,617	0,770	8,423	0,000	30,000	280,779	0,000	41,131	0,000	1,642	0,193	0,770
20	27710	5	5,814	-6,520	40,306	1,620	0,929	8,394	0,000	30,000	279,793	0,000	40,306	0,000	1,715	0,114	0,929
EmbeddedBeam_31_1	27710	1	5,814	-6,520	40,306	1,628	0,929	8,394	0,000	30,000	279,793	0,000	40,306	0,000	1,726	0,114	0,929
Element 2-19 (Embedded beam)	27711	2	5,926	-6,540	39,359	1,536	1,109	8,360	0,001	30,000	278,657	0,000	39,359	0,000	1,740	0,035	1,109
(TITAN 40/20 l=1,60m)	27712	3	6,037	-6,559	38,415	1,390	1,275	8,326	0,002	30,000	277,523	0,000	38,415	0,000	1,676	0,026	1,275
20	27713	4	6,149	-6,579	37,475	1,194	1,421	8,292	0,002	30,000	276,392	0,000	37,475	0,000	1,588	0,017	1,421
20	27714	5	6,260	-6,599	36,539	0,953	1,543	8,258	0,002	30,000	275,265	0,000	36,539	0,000	1,403	0,007	1,543
EmbeddedBeam_31_1	27714	1	6,260	-6,599	36,539	0,968	1,543	8,258	0,002	30,000	275,265	0,000	36,539	0,000	1,427	0,007	1,543
Element 2-20 (Embedded beam)	27715	2	6,388	-6,621	35,464	0,682	1,651	8,219	0,002	30,000	273,974	0,000	35,464	0,000	1,154	0,000	1,651
(TITAN 40/20 l=1,60m)	27716	3	6,517	-6,644	34,394	0,414	1,722	8,181	0,002	30,000	272,700	0,000	34,394	0,000	0,877	0,000	1,722
20	27717	4	6,645	-6,667	33,329	0,168	1,760	8,143	0,002	30,000	271,449	0,000	33,329	0,000	0,613	0,000	1,760
20	27718	5	6,774	-6,690	32,269	0,053	1,767	8,107	0,002	30,000	270,227	0,000	32,269	0,053	0,398	0,000	1,767
EmbeddedBeam_31_1	27718	1	6,774	-6,690	32,268	0,051	1,767	8,107	0,002	30,000	270,227	0,000	32,268	0,051	0,410	0,000	1,767
Element 2-21 (Embedded beam)	27719	2	6,922	-6,716	31,052	0,252	1,743	8,066	0,001	30,000	268,865	0,000	31,052	0,252	0,192	0,000	1,743
(TITAN 40/20 l=1,60m)	27720	3	7,070	-6,742	29,841	0,410	1,693	8,027	0,001	30,000	267,561	0,000	29,841	0,410	0,061	0,000	1,693
20	27721	4	7,219	-6,768	28,635	0,524	1,622	7,990	0,001	30,000	266,325	0,000	28,635	0,524	0,006	0,000	1,622
20	27722	5	7,367	-6,794	27,436	0,598	1,537	7,955	0,000	30,000	265,166	0,000	27,436	0,598	0,000	0,000	1,537
EmbeddedBeam_31_1	27722	1	7,367	-6,794	27,434	0,604	1,537	7,955	0,000	30,000	265,166	0,000	27,434	0,604	0,000	0,000	1,537
Element 2-22 (Embedded beam)	27723	2	7,538	-6,824	26,057	0,655	1,428	7,918	0,000	30,000	263,936	0,000	26,057	0,655	0,000	0,000	1,428

Structural element	Node [1]	Local number	X [m]	Y [m]	N [kN]	Q [10 ^ kN]	M [10 ^ kN m]	T_{xx} [kN/m]	T_{yy} [kN/m]	$T_{xx,yy,max}$ [kN/m]	$T_{xx,yy,min}$ [10 ^]	$R_{x,x}$ [kN]	$N_{x,x}$ [kN]	$Q_{x,x}$ [10 ^ kN]	$Q_{y,y}$ [10 ^ kN]	$M_{x,x}$ [10 ^ kN m]	$M_{y,y}$ [10 ^ kN m]
(TITAN 40/20 l=1,60m)	27724	3	7,709	-6,855	24,685	-0,684	1,311	7,885	0,000	30,000	262,828	0,000	24,685	-0,684	0,000	0,000	1,311
89	27725	4	7,880	-6,885	23,318	-0,694	1,191	7,856	0,000	30,000	261,854	0,000	23,318	-0,694	0,000	0,000	1,191
89	27726	5	8,051	-6,915	21,957	-0,686	1,071	7,831	0,000	30,000	261,020	0,000	21,957	-0,686	0,000	0,000	1,071
EmbeddedBeam_31_1	27726	1	8,051	-6,915	21,956	-0,688	1,071	7,831	0,000	30,000	261,020	0,000	21,956	-0,688	0,000	0,000	1,071
Element 2-33 (Embedded beam)	27727	2	8,248	-6,950	20,391	-0,667	0,935	7,807	0,000	30,000	260,243	0,000	20,391	-0,667	0,000	0,000	0,935
(TITAN 40/20 l=1,60m)	27728	3	8,445	-6,984	18,829	-0,633	0,805	7,790	0,000	30,000	259,672	0,000	18,829	-0,633	0,000	0,000	0,805
89	27729	4	8,643	-7,019	17,269	-0,587	0,682	7,779	0,000	30,000	259,316	0,000	17,269	-0,587	0,000	0,000	0,682
89	27730	5	8,840	-7,054	15,713	-0,531	0,570	7,775	0,000	30,000	259,179	0,000	15,713	-0,531	0,000	0,000	0,570
EmbeddedBeam_31_1	27730	1	8,840	-7,054	15,710	-0,535	0,570	7,775	0,000	30,000	259,179	0,000	15,710	-0,535	0,000	0,000	0,570
Element 2-34 (Embedded beam)	27731	2	9,067	-7,094	13,916	-0,458	0,456	7,779	0,000	30,000	259,302	0,000	13,916	-0,458	0,000	0,000	0,456
(TITAN 40/20 l=1,60m)	27732	3	9,295	-7,134	12,116	-0,385	0,358	7,792	0,000	30,000	259,732	0,000	12,116	-0,385	0,000	0,000	0,358
89	27733	4	9,523	-7,175	10,313	-0,317	0,277	7,814	0,000	30,000	260,478	0,000	10,313	-0,317	0,000	0,000	0,277
89	27734	5	9,750	-7,215	8,506	-0,256	0,211	7,847	0,000	30,000	261,555	0,000	8,506	-0,256	0,000	0,000	0,211
EmbeddedBeam_31_1	27734	1	9,750	-7,215	8,502	-0,249	0,211	7,847	0,000	30,000	261,555	0,000	8,502	-0,249	0,000	0,000	0,211
Element 2-35 (Embedded beam)	27735	2	10,013	-7,261	6,408	-0,240	0,146	7,897	0,000	30,000	263,233	0,000	6,408	-0,240	0,000	0,000	0,146
(TITAN 40/20 l=1,60m)	27736	3	10,275	-7,307	4,293	-0,215	0,085	7,962	0,000	30,000	265,394	0,000	4,293	-0,215	0,000	0,000	0,085
89	27737	4	10,538	-7,354	2,158	-0,165	0,034	8,048	0,000	30,000	268,261	0,000	2,158	-0,165	0,000	0,000	0,034
89	27738	5	10,800	-7,400	0,004	-0,081	0,000	8,168	0,001	30,000	272,281	0,000	0,004	-0,081	0,000	0,000	0,000

3.3.1.1.13 Calculation results, Embedded beam, (RIEMP A SBALZO) Micropali e parete [Phase_14] (14/320), Table of embedded beam force envelopes

Structural element	Node [10 ^]	Local number	X [m]	Y [m]	N [kN]	Q [10 ^ kN]	M [10 ^ kN m]	$T_{,,,}$ [kN/m]	$T_{,,,}$ [kN/m]	$T_{,,,,,,}$ [kN/m]	$T_{,,,,,,}$ [10 ^]	$N_{,,,}$ [10 ^ kN]	$N_{,,,}$ [kN]	$Q_{,,,}$ [10 ^ kN]	$Q_{,,,}$ [10 ^ kN]	$M_{,,,}$ [10 ^ kN m]	$M_{,,,}$ [10 ^ kN m]
EmbeddedBeam_1_1	27637	1	4,600	-2,300	86,688	731,356	0,000	-7,325	-3,782	30,000	244,152	0,000	89,539	0,000	753,898	0,000	0,000
Element 1-1 (Embedded beam)	27638	2	4,890	-2,353	84,546	122,812	116,303	-7,202	-1,557	30,000	240,063	0,000	87,252	0,000	124,885	0,000	119,580
ITITAN 40/20 I=1,60m)	27639	3	5,179	-2,407	82,448	-162,689	104,988	-7,054	-0,199	30,000	235,127	0,000	85,004	169,365	0,000	0,000	107,397
28	27640	4	5,469	-2,460	80,394	-184,691	46,332	-6,897	0,233	30,000	229,915	0,000	82,795	190,728	0,000	0,000	46,598
29	27641	5	5,758	-2,513	78,386	-2,740	15,255	-6,739	0,221	30,000	224,646	0,000	80,629	2,740	0,001	0,000	15,255
EmbeddedBeam_1_1	27641	1	5,758	-2,513	78,386	-70,540	15,255	-6,739	0,221	30,000	224,646	0,000	80,629	71,432	0,000	0,000	15,255
Element 1-2 (Embedded beam)	27642	2	6,010	-2,559	76,678	-27,759	3,082	-6,600	0,135	30,000	219,996	0,000	78,782	27,759	0,000	-0,013	3,082
ITITAN 40/20 I=1,60m)	27643	3	6,262	-2,606	75,005	-2,327	0,474	-6,460	0,057	30,000	215,328	0,000	76,969	2,327	0,158	-1,344	0,000
30	27644	4	6,514	-2,652	73,368	7,782	0,582	-6,319	0,015	30,000	210,649	0,000	75,194	0,000	9,672	-0,377	1,038
31	27645	5	6,766	-2,698	71,768	4,592	2,405	-6,179	0,005	30,000	205,953	0,000	73,458	0,000	5,619	-0,011	3,236
EmbeddedBeam_1_1	27645	1	6,766	-2,698	71,768	8,215	2,405	-6,179	0,005	30,000	205,953	0,000	73,458	0,000	9,375	-0,011	3,236
Element 1-3 (Embedded beam)	27646	2	6,985	-2,739	70,405	9,917	4,385	-6,055	0,011	30,000	201,830	0,000	71,979	0,000	9,934	-0,006	5,352
ITITAN 40/20 I=1,60m)	27647	3	7,204	-2,779	69,070	13,409	6,964	-5,929	0,022	30,000	197,622	0,000	70,531	0,000	13,409	-0,003	7,779
32	27648	4	7,423	-2,819	67,763	18,302	10,466	-5,798	0,024	30,000	193,271	0,000	69,114	0,000	18,302	-0,001	10,788
33	27649	5	7,643	-2,860	66,486	24,210	15,190	-5,661	0,004	30,000	188,712	0,000	67,730	0,000	24,210	-0,001	15,190
EmbeddedBeam_1_1	27649	1	7,643	-2,860	66,486	18,618	15,190	-5,661	0,004	30,000	188,712	0,000	67,731	0,005	18,618	-0,001	15,190
Element 1-4 (Embedded beam)	27650	2	7,833	-2,895	65,400	20,711	19,315	-5,537	-0,047	30,000	184,563	0,000	66,554	0,161	20,711	-0,001	19,315
ITITAN 40/20 I=1,60m)	27651	3	8,024	-2,930	64,340	1,234	21,849	-5,406	-0,144	30,000	180,209	0,000	65,403	2,527	1,234	0,000	21,849
34	27652	4	8,215	-2,965	63,305	-41,914	18,265	-5,269	-0,291	30,000	175,647	0,000	64,280	41,914	0,000	0,000	18,265
35	27653	5	8,405	-3,000	62,296	-110,836	3,911	-5,127	-0,447	30,000	170,901	0,000	63,185	110,836	0,000	0,000	4,297
EmbeddedBeam_1_1	27653	1	8,405	-3,000	62,294	-111,433	3,911	-5,127	-0,447	30,000	170,901	0,000	63,177	111,433	0,000	0,000	4,297
Element 1-5 (Embedded beam)	27654	2	8,571	-3,030	61,429	-165,525	20,074	-5,177	-0,175	30,000	172,568	0,000	62,256	165,525	0,000	-20,074	0,000
ITITAN 40/20 I=1,60m)	27655	3	8,737	-3,061	60,546	-171,477	49,251	-5,326	0,088	30,000	177,525	0,000	61,321	171,477	0,000	-49,251	0,000
36	27656	4	8,903	-3,091	59,648	-126,330	75,064	-5,338	0,431	30,000	177,920	0,000	60,377	128,635	0,000	-75,064	0,000
37	27657	5	9,069	-3,122	58,743	-27,124	88,803	-5,242	0,919	30,000	174,745	0,000	59,428	39,023	0,067	-88,803	0,000
EmbeddedBeam_1_1	27657	1	9,069	-3,122	58,700	-72,400	88,803	-5,242	0,919	30,000	174,745	0,000	59,386	82,718	0,000	-88,803	0,000
Element 1-6 (Embedded beam)	27658	2	9,213	-3,148	58,007	182,636	79,822	-5,345	1,345	30,000	178,151	0,000	58,654	0,000	182,636	-79,822	0,000
ITITAN 40/20 I=1,60m)	27659	3	9,357	-3,175	57,142	333,551	40,036	-6,286	0,895	30,000	208,877	0,000	57,759	0,000	333,551	-40,036	0,000
38	27660	4	9,502	-3,201	56,078	350,635	11,554	-8,061	-0,479	30,000	268,695	0,000	56,673	0,000	350,635	-0,001	11,554
39	27661	5	9,646	-3,228	54,787	204,178	54,624	-9,258	-1,120	30,000	308,587	0,000	55,369	0,000	204,178	0,000	54,624
EmbeddedBeam_1_1	27661	1	9,646	-3,228	54,800	213,232	54,624	-15,429	-1,867	30,000	514,312	0,000	55,381	0,000	213,232	0,000	54,624
Element 1-7 (Embedded beam)	27662	2	9,771	-3,251	52,845	40,457	70,015	-15,324	-1,109	30,000	510,798	0,000	53,409	0,000	40,623	0,000	70,015
ITITAN 40/20 I=1,60m)	27663	3	9,896	-3,274	50,900	-66,942	67,727	-15,228	-0,541	30,000	507,585	0,000	51,447	66,942	0,007	0,000	67,727
40	27664	4	10,022	-3,297	48,968	-114,164	55,525	-15,137	-0,163	30,000	504,577	0,000	49,497	114,164	0,000	0,000	55,525
41	27665	5	10,147	-3,320	47,048	-106,410	40,967	-15,052	0,058	30,000	501,736	0,000	47,560	106,410	0,000	0,000	40,967
EmbeddedBeam_1_1	27665	1	10,147	-3,320	47,046	-120,686	40,967	-15,052	0,058	30,000	501,736	0,000	47,558	120,686	0,000	0,000	40,967
Element 1-8 (Embedded beam)	27666	2	10,296	-3,347	44,776	-94,168	24,674	-14,959	0,174	30,000	498,617	0,000	45,267	94,168	0,000	0,000	24,674
ITITAN 40/20 I=1,60m)	27667	3	10,445	-3,375	42,516	-67,246	12,479	-14,875	0,191	30,000	495,823	0,000	42,985	67,246	0,000	0,000	12,483
42	27668	4	10,594	-3,402	40,268	-41,583	4,236	-14,800	0,158	30,000	493,328	0,000	40,716	41,583	0,000	0,000	4,552
43	27669	5	10,743	-3,430	38,034	-18,841	0,280	-14,733	0,111	30,000	491,102	0,000	38,459	18,841	0,000	-0,280	0,177
EmbeddedBeam_1_1	27669	1	10,743	-3,430	38,031	-19,068	0,280	-14,733	0,111	30,000	491,102	0,000	38,457	19,068	0,000	-0,280	0,177
Element 1-9 (Embedded beam)	27670	2	10,920	-3,462	35,384	-5,716	2,417	-14,666	0,059	30,000	488,870	0,000	35,783	5,821	0,000	-2,417	0,034
ITITAN 40/20 I=1,60m)	27671	3	11,097	-3,495	32,745	1,928	2,689	-14,611	0,023	30,000	487,045	0,000	33,117	0,112	1,928	-2,689	0,009
44	27672	4	11,274	-3,527	30,114	4,505	2,026	-14,569	0,003	30,000	485,626	0,000	30,459	0,035	4,505	-2,026	0,001
45	27673	5	11,452	-3,560	27,493	2,656	1,325	-14,538	-0,005	30,000	484,606	0,000	27,811	0,024	2,656	-1,325	0,000
EmbeddedBeam_1_1	27673	1	11,452	-3,560	27,490	3,877	1,325	-14,538	-0,005	30,000	484,606	0,000	27,807	0,012	3,877	-1,325	0,000
Element 1-10 (Embedded beam)	27674	2	11,663	-3,599	24,377	2,161	0,685	-14,517	-0,007	30,000	483,899	0,000	24,661	0,011	2,161	-0,685	0,000
ITITAN 40/20 I=1,60m)	27675	3	11,874	-3,638	21,262	0,928	0,363	-14,512	-0,005	30,000	483,733	0,000	21,512	0,010	0,928	-0,363	0,000
46	27676	4	12,085	-3,676	18,147	0,199	0,251	-14,523	-0,002	30,000	484,114	0,000	18,362	0,010	0,199	-0,251	0,000

Structural element	Node [10 ⁺]	Local number	X [m]	Y [m]	N [kN]	Q [10 ⁻¹ kN]	M [10 ⁻¹ kN m]	$T_{x,x}$ [kN/m]	$T_{y,y}$ [kN/m]	$T_{x,xy,xy}$ [kN/m]	$T_{x,xy,xy}$ [10 ⁺]	$N_{x,x}$ [10 ⁺ kN]	$N_{y,y}$ [kN]	$Q_{x,x}$ [10 ⁻¹ kN]	$Q_{y,y}$ [10 ⁻¹ kN]	$M_{x,x}$ [10 ⁻¹ kN m]	$M_{y,y}$ [10 ⁻¹ kN m]
图	27677	5	12,296	-3,715	15,032	-0,006	0,240	-14,552	0,000	30,000	485,057	0,000	15,212	0,084	0,027	-0,240	0,000
EmbeddedBeam_11_1	27677	1	12,296	-3,715	15,026	-0,169	0,240	-14,552	0,000	30,000	485,057	0,000	15,205	0,221	0,000	-0,240	0,000
Element 1-11 (Embedded beam)	27678	2	12,547	-3,761	11,311	0,119	0,247	-14,608	0,001	30,000	486,944	0,000	11,447	0,009	0,119	-0,247	0,000
iTITAN 40/20 l=1,60m)	27679	3	12,798	-3,808	7,569	0,341	0,184	-14,691	0,001	30,000	489,710	0,000	7,661	0,000	0,341	-0,184	0,000
图	27680	4	13,049	-3,854	3,800	0,405	0,087	-14,813	0,000	30,000	493,754	0,000	3,847	0,000	0,405	-0,087	0,000
图	27681	5	13,300	-3,900	0,007	0,214	0,000	-14,995	-0,004	30,000	499,826	0,000	0,007	0,000	0,214	0,000	0,000
EmbeddedBeam_31_1	27682	1	2,300	-5,900	59,106	107,097	0,000	-4,112	-0,615	30,000	137,061	0,000	62,359	0,000	114,136	0,000	0,000
Element 2-12 (Embedded beam)	27683	2	2,582	-5,950	57,980	58,403	23,838	-4,171	-0,168	30,000	139,023	0,000	61,196	0,074	58,908	0,000	24,811
iTITAN 40/20 l=1,60m)	27684	3	2,865	-6,000	56,705	9,209	23,372	-4,803	-0,188	30,000	160,116	0,000	59,877	12,630	9,209	-0,002	24,033
图	27685	4	3,147	-6,049	55,305	-36,330	29,470	-5,039	-0,142	30,000	167,953	0,000	58,429	38,385	0,000	-0,084	29,470
图	27686	5	3,430	-6,099	53,806	-74,054	13,357	-5,157	0,099	30,000	171,901	0,000	56,877	74,054	0,127	-0,100	13,357
EmbeddedBeam_31_1	27686	1	3,430	-6,099	53,828	-54,902	13,357	-5,157	0,099	30,000	171,901	0,000	56,899	55,390	0,016	-0,100	13,357
Element 2-13 (Embedded beam)	27687	2	3,595	-6,128	52,962	-38,500	5,551	-5,168	0,091	30,000	172,276	0,000	55,999	38,593	0,054	-0,823	5,551
iTITAN 40/20 l=1,60m)	27688	3	3,760	-6,158	52,095	-24,143	0,336	-5,180	0,082	30,000	172,673	0,000	55,096	24,143	0,075	-1,898	0,336
图	27689	4	3,925	-6,187	51,227	-12,209	2,683	-5,171	0,062	30,000	172,376	0,000	54,191	12,209	0,545	-2,972	0,000
图	27690	5	4,090	-6,216	50,360	-3,080	3,920	-5,135	0,040	30,000	171,170	0,000	53,285	3,080	1,919	-4,100	0,000
EmbeddedBeam_31_1	27690	1	4,090	-6,216	50,362	-3,313	3,920	-5,135	0,040	30,000	171,170	0,000	53,287	3,313	2,256	-4,100	0,000
Element 2-14 (Embedded beam)	27691	2	4,187	-6,233	49,860	-0,111	4,081	-5,109	0,029	30,000	170,311	0,000	52,761	0,111	2,967	-4,175	0,000
iTITAN 40/20 l=1,60m)	27692	3	4,283	-6,250	49,360	2,331	3,967	-5,084	0,020	30,000	169,473	0,000	52,238	0,000	3,847	-3,967	0,000
图	27693	4	4,380	-6,267	48,862	4,064	3,647	-5,060	0,014	30,000	168,676	0,000	51,716	0,000	5,367	-3,647	0,000
图	27694	5	4,476	-6,284	48,368	5,139	3,191	-5,038	0,011	30,000	167,925	0,000	51,196	0,000	6,565	-3,191	0,000
EmbeddedBeam_31_1	27694	1	4,476	-6,284	48,367	5,231	3,191	-5,038	0,011	30,000	167,925	0,000	51,196	0,000	6,620	-3,191	0,000
Element 2-15 (Embedded beam)	27695	2	4,533	-6,294	48,079	5,782	2,875	-5,025	0,009	30,000	167,511	0,000	50,893	0,000	7,178	-2,875	0,000
iTITAN 40/20 l=1,60m)	27696	3	4,589	-6,304	47,791	6,250	2,530	-5,013	0,008	30,000	167,098	0,000	50,591	0,000	7,545	-2,530	0,000
图	27697	4	4,646	-6,314	47,504	6,614	2,160	-5,002	0,005	30,000	166,734	0,000	50,288	0,000	7,693	-2,160	0,025
图	27698	5	4,702	-6,324	47,217	6,850	1,774	-5,004	-0,012	30,000	166,793	0,000	49,987	0,000	7,593	-1,774	0,070
EmbeddedBeam_31_1	27698	1	4,702	-6,324	47,217	6,583	1,774	-8,340	-0,020	30,000	277,989	0,000	49,987	0,000	7,265	-1,774	0,070
Element 2-16 (Embedded beam)	27699	2	4,800	-6,341	46,392	4,774	1,214	-8,294	-0,016	30,000	276,473	0,000	49,118	0,022	4,774	-1,214	0,121
iTITAN 40/20 l=1,60m)	27700	3	4,898	-6,358	45,570	3,441	0,810	-8,252	-0,011	30,000	275,065	0,000	48,253	0,628	3,441	-0,810	0,120
图	27701	4	4,995	-6,376	44,753	2,574	0,515	-8,213	-0,006	30,000	273,757	0,000	47,392	1,160	2,574	-0,515	0,082
图	27702	5	5,093	-6,393	43,940	2,164	0,284	-8,176	-0,003	30,000	272,527	0,000	46,535	1,144	2,164	-0,284	0,041
EmbeddedBeam_31_1	27702	1	5,093	-6,393	43,940	2,099	0,284	-8,176	-0,003	30,000	272,527	0,000	46,534	1,233	2,099	-0,284	0,041
Element 2-17 (Embedded beam)	27703	2	5,177	-6,408	43,246	1,959	0,112	-8,146	-0,001	30,000	271,519	0,000	45,803	1,023	1,959	-0,266	0,091
iTITAN 40/20 l=1,60m)	27704	3	5,261	-6,422	42,555	1,903	0,051	-8,116	0,000	30,000	270,541	0,000	45,074	0,720	1,903	-0,327	0,165
图	27705	4	5,344	-6,437	41,866	1,919	0,213	-8,088	0,001	30,000	269,586	0,000	44,346	0,445	1,919	-0,373	0,246
图	27706	5	5,428	-6,452	41,180	1,997	0,379	-8,059	0,001	30,000	268,648	0,000	43,622	0,187	1,997	-0,383	0,379
EmbeddedBeam_31_1	27706	1	5,428	-6,452	41,180	1,972	0,379	-8,059	0,001	30,000	268,648	0,000	43,622	0,199	1,972	-0,383	0,379
Element 2-18 (Embedded beam)	27707	2	5,525	-6,469	40,392	2,035	0,576	-8,027	0,000	30,000	267,580	0,000	42,789	0,043	2,035	-0,351	0,576
iTITAN 40/20 l=1,60m)	27708	3	5,621	-6,486	39,606	2,046	0,777	-7,996	0,000	30,000	266,522	0,000	41,958	0,000	2,046	-0,274	0,777
图	27709	4	5,718	-6,503	38,823	2,004	0,976	-7,964	-0,001	30,000	265,469	0,000	41,131	0,000	2,004	-0,193	0,976
图	27710	5	5,814	-6,520	38,044	1,906	1,168	-7,933	-0,001	30,000	264,419	0,000	40,306	0,000	1,906	-0,114	1,168
EmbeddedBeam_31_1	27710	1	5,814	-6,520	38,044	1,913	1,168	-7,933	-0,001	30,000	264,419	0,000	40,306	0,000	1,913	-0,114	1,168
Element 2-19 (Embedded beam)	27711	2	5,926	-6,540	37,149	1,723	1,374	-7,896	-0,002	30,000	263,211	0,000	39,359	0,000	1,740	-0,035	1,374
iTITAN 40/20 l=1,60m)	27712	3	6,037	-6,559	36,257	1,492	1,556	-7,860	-0,002	30,000	262,005	0,000	38,415	0,000	1,676	-0,026	1,556
图	27713	4	6,149	-6,579	35,370	1,226	1,710	-7,824	-0,002	30,000	260,804	0,000	37,475	0,000	1,588	-0,017	1,710
图	27714	5	6,260	-6,599	34,488	0,927	1,832	-7,788	-0,003	30,000	259,612	0,000	36,539	0,000	1,403	-0,007	1,832
EmbeddedBeam_31_1	27714	1	6,260	-6,599	34,487	0,941	1,832	-7,788	-0,003	30,000	259,612	0,000	36,539	0,000	1,427	-0,007	1,832
Element 2-20 (Embedded beam)	27715	2	6,388	-6,621	33,474	0,600	1,932	-7,748	-0,002	30,000	258,251	0,000	35,464	0,000	1,154	0,000	1,932
iTITAN 40/20 l=1,60m)	27716	3	6,517	-6,644	32,465	0,289	1,990	-7,707	-0,002	30,000	256,913	0,000	34,394	0,000	0,877	0,000	1,990
图	27717	4	6,645	-6,667	31,462	0,010	2,009	-7,668	-0,002	30,000	255,607	0,000	33,329	0,000	0,613	0,000	2,009
图	27718	5	6,774	-6,690	30,465	-0,235	1,994	-7,630	-0,002	30,000	254,340	0,000	32,269	0,235	0,398	0,000	1,994
EmbeddedBeam_31_1	27718	1	6,774	-6,690	30,464	-0,235	1,994	-7,630	-0,002	30,000	254,340	0,000	32,268	0,235	0,410	0,000	1,994
Element 2-21 (Embedded beam)	27719	2	6,922	-6,716	29,319	-0,457	1,942	-7,588	-0,001	30,000	252,937	0,000	31,052	0,457	0,192	0,000	1,942
iTITAN 40/20 l=1,60m)	27720	3	7,070	-6,742	28,180	-0,628	1,859	-7,548	-0,001	30,000	251,609	0,000	29,841	0,628	0,061	0,000	1,859
图	27721	4	7,219	-6,768	27,046	-0,752	1,755	-7,511	-0,001	30,000	250,365	0,000	28,635	0,752	0,006	0,000	1,755
图	27722	5	7,367	-6,794	25,919	-0,830	1,635	-7,476	0,000	30,000	249,215	0,000	27,436	0,830	0,000	0,000	1,635
EmbeddedBeam_31_1	27722	1	7,367	-6,794	25,918	-0,837	1,635	-7,476	0,000	30,000	249,215	0,000	27,434	0,837	0,000	0,000	1,635

Structural element	Node [10 ^]	Local number	X [m]	Y [m]	N [kN]	Q [10 ^ kN]	M [10 ^ kN m]	T $_{z,z}$ [kN/m]	T $_{z,y}$ [kN/m]	T $_{z,x,z,z}$ [kN/m]	T $_{z,x,z,y}$ [10 ^]	N $_{x,x}$ [10 ^ kN]	N $_{z,z}$ [kN]	Q $_{x,z}$ [10 ^ kN]	Q $_{x,y}$ [10 ^ kN]	M $_{x,z}$ [10 ^ kN m]	M $_{x,y}$ [10 ^ kN m]
Element 2-22 (Embedded beam)	27723	2	7,538	-6,824	24,624	-0,889	1,485	-7,440	0,000	30,000	248,016	0,000	26,057	-0,889	0,000	0,000	1,485
(TITAN 40/20 l=1,60m)	27724	3	7,709	-6,855	23,334	-0,916	1,328	-7,409	0,000	30,000	246,965	0,000	24,685	-0,916	0,000	0,000	1,328
##	27725	4	7,880	-6,885	22,050	-0,919	1,168	-7,382	0,000	30,000	246,070	0,000	23,318	-0,919	0,000	0,000	1,191
##	27726	5	8,051	-6,915	20,771	-0,900	1,010	-7,360	0,000	30,000	245,339	0,000	21,957	-0,900	0,000	0,000	1,071
EmbeddedBeam_3_1	27726	1	8,051	-6,915	20,769	-0,903	1,010	-7,360	0,000	30,000	245,339	0,000	21,956	-0,903	0,000	0,000	1,071
Element 2-23 (Embedded beam)	27727	2	8,248	-6,950	19,299	-0,863	0,833	-7,341	0,000	30,000	244,709	0,000	20,391	-0,863	0,000	0,000	0,935
(TITAN 40/20 l=1,60m)	27728	3	8,445	-6,984	17,829	-0,809	0,665	-7,329	0,000	30,000	244,313	0,000	18,829	-0,809	0,000	0,000	0,805
##	27729	4	8,643	-7,019	16,361	-0,740	0,510	-7,325	0,000	30,000	244,156	0,000	17,269	-0,740	0,000	0,000	0,682
##	27730	5	8,840	-7,054	14,895	-0,657	0,369	-7,327	0,000	30,000	244,240	0,000	15,713	-0,657	0,000	0,000	0,570
EmbeddedBeam_3_1	27730	1	8,840	-7,054	14,893	-0,660	0,369	-7,327	0,000	30,000	244,240	0,000	15,710	-0,660	0,000	0,000	0,570
Element 2-24 (Embedded beam)	27731	2	9,067	-7,094	13,201	-0,559	0,229	-7,339	0,000	30,000	244,640	0,000	13,916	-0,559	0,000	0,000	0,456
(TITAN 40/20 l=1,60m)	27732	3	9,295	-7,134	11,502	-0,455	0,111	-7,361	0,000	30,000	245,361	0,000	12,116	-0,455	0,000	0,000	0,358
##	27733	4	9,523	-7,175	9,797	-0,347	0,019	-7,392	0,000	30,000	246,410	0,000	10,313	-0,347	0,000	0,000	0,277
##	27734	5	9,750	-7,215	8,086	-0,235	-0,049	-7,434	0,001	30,000	247,790	0,000	8,506	-0,256	0,000	-0,049	0,211
EmbeddedBeam_3_1	27734	1	9,750	-7,215	8,083	-0,265	-0,049	-7,434	0,001	30,000	247,790	0,000	8,502	-0,265	0,000	-0,049	0,211
Element 2-25 (Embedded beam)	27735	2	10,013	-7,261	6,097	-0,056	-0,092	-7,494	0,001	30,000	249,812	0,000	6,408	-0,240	0,000	-0,092	0,146
(TITAN 40/20 l=1,60m)	27736	3	10,275	-7,307	4,088	0,107	-0,082	-7,569	0,001	30,000	252,303	0,000	4,293	-0,215	0,107	-0,082	0,085
##	27737	4	10,538	-7,354	2,057	0,178	-0,042	-7,664	0,000	30,000	255,470	0,000	2,158	-0,165	0,178	-0,042	0,034
##	27738	5	10,800	-7,400	0,004	0,109	0,000	-7,792	-0,002	30,000	259,733	0,000	0,004	-0,081	0,109	0,000	0,000
EmbeddedBeam_2_1	27739	1	-3,562	-12,132	-0,133	0,209	0,000	0,497	0,002	125,000	3,972	-133,104	0,000	0,000	0,209	0,000	0,000
Element 3-26 (Embedded beam)	27740	2	-3,445	-12,380	-0,066	0,075	0,037	0,199	0,000	125,000	1,591	-65,705	0,000	0,000	0,075	0,000	0,037
(Ricropalo D168.3 x12.5mm/1,6m)	27741	3	-3,329	-12,628	-0,026	0,009	0,048	0,072	0,000	125,000	0,580	-26,166	0,000	0,000	0,009	0,000	0,048
##	27742	4	-3,213	-12,876	-0,009	-0,007	0,047	0,034	0,000	125,000	0,269	-9,264	0,000	-0,007	0,000	0,000	0,047
##	27743	5	-3,096	-13,124	-0,010	0,010	0,047	0,016	0,000	125,000	0,127	-9,773	0,000	0,000	0,010	0,000	0,047
EmbeddedBeam_2_1	27743	1	-3,096	-13,124	-0,005	-0,005	0,047	0,016	0,000	125,000	0,127	-5,035	0,000	-0,005	0,000	0,000	0,047
Element 3-27 (Embedded beam)	27744	2	-2,980	-13,372	-0,002	-0,006	0,045	0,009	0,000	125,000	0,074	-2,247	0,000	-0,006	0,000	0,000	0,045
(Ricropalo D168.3 x12.5mm/1,6m)	27745	3	-2,863	-13,620	0,000	-0,008	0,043	0,007	0,000	125,000	0,053	-0,019	0,000	-0,008	0,000	0,000	0,043
##	27746	4	-2,747	-13,868	0,002	-0,010	0,041	0,006	0,000	125,000	0,048	0,000	0,002	-0,010	0,000	0,000	0,041
##	27747	5	-2,631	-14,116	0,003	-0,012	0,038	0,006	0,000	125,000	0,047	0,000	0,003	-0,012	0,000	0,000	0,038
EmbeddedBeam_2_1	27747	1	-2,631	-14,116	0,003	-0,012	0,038	0,006	0,000	125,000	0,047	0,000	0,003	-0,012	0,000	0,000	0,038
Element 3-28 (Embedded beam)	27748	2	-2,514	-14,364	0,005	-0,013	0,034	0,006	0,000	125,000	0,048	0,000	0,005	-0,013	0,000	0,000	0,034
(Ricropalo D168.3 x12.5mm/1,6m)	27749	3	-2,398	-14,612	0,007	-0,014	0,031	0,006	0,000	125,000	0,048	0,000	0,007	-0,014	0,000	0,000	0,031
##	27750	4	-2,282	-14,860	0,008	-0,013	0,027	0,006	0,000	125,000	0,045	0,000	0,008	-0,013	0,000	0,000	0,027
##	27751	5	-2,165	-15,108	0,010	-0,011	0,023	0,005	0,000	125,000	0,039	0,000	0,010	-0,011	0,000	0,000	0,023
EmbeddedBeam_2_1	27751	1	-2,165	-15,108	0,009	-0,017	0,023	0,005	0,000	125,000	0,039	0,000	0,009	-0,017	0,000	0,000	0,023
Element 3-29 (Embedded beam)	27752	2	-2,049	-15,356	0,011	-0,009	0,020	0,003	0,000	125,000	0,021	0,000	0,011	-0,009	0,000	0,000	0,020
(Ricropalo D168.3 x12.5mm/1,6m)	27753	3	-1,933	-15,604	0,011	-0,012	0,017	-0,002	0,000	125,000	0,016	0,000	0,011	-0,012	0,000	0,000	0,017
##	27754	4	-1,816	-15,852	0,008	-0,029	0,012	-0,017	0,000	125,000	0,133	0,000	0,008	-0,029	0,000	0,000	0,012
##	27755	5	-1,700	-16,100	0,002	-0,064	0,000	-0,051	0,001	125,000	0,407	0,000	0,002	-0,064	0,000	0,000	0,000

3.3.1.1.14 Calculation results, Embedded beam, Riempimento 1 [Phase_15] (15/506), Table of embedded beam force envelopes

Structural element	Node [10 ⁰]	Local number	X [m]	Y [m]	N [kN]	Q [10 ⁰ kN]	M [10 ⁰ kN m]	$T_{,xx}$ [kN/m]	$T_{,yy}$ [kN/m]	$T_{,xxx,xxx}$ [kN/m]	$T_{,xxx,xxx}$ [10 ⁰]	$N_{,x,x}$ [10 ⁰ kN]	$N_{,x,x}$ [kN]	$Q_{,x,x}$ [10 ⁰ kN]	$Q_{,x,x}$ [10 ⁰ kN]	$M_{,x,x}$ [10 ⁰ kN m]	$M_{,x,x}$ [10 ⁰ kN m]
EmbeddedBeam_1_1	27637	1	4,600	-2,300	89,926	759,545	0,000	-7,145	-3,909	30,000	238,180	0,000	89,926	0,000	759,545	0,000	0,000
Element 1-1 (Embedded beam)	27638	2	4,890	-2,353	87,837	129,161	121,080	-7,023	-1,614	30,000	234,114	0,000	87,837	0,000	129,161	0,000	121,080
(TITAN 40/20 l=1,60m)	27639	3	5,179	-2,407	85,791	-167,417	109,811	-6,871	-0,212	30,000	229,030	0,000	85,791	169,365	0,000	0,000	109,811
圳	27640	4	5,469	-2,460	83,792	-191,457	49,210	-6,709	0,237	30,000	223,649	0,000	83,792	191,457	0,000	0,000	49,210
圳	27641	5	5,758	-2,513	81,841	-4,224	16,783	-6,548	0,228	30,000	218,257	0,000	81,841	4,224	0,001	0,000	16,783
EmbeddedBeam_1_1	27641	1	5,758	-2,513	81,840	-74,213	16,783	-6,548	0,228	30,000	218,257	0,000	81,840	74,213	0,000	0,000	16,783
Element 1-2 (Embedded beam)	27642	2	6,010	-2,559	80,182	-29,933	3,872	-6,406	0,140	30,000	213,534	0,000	80,182	29,933	0,000	-0,013	3,872
(TITAN 40/20 l=1,60m)	27643	3	6,262	-2,606	78,559	-3,417	0,097	-6,264	0,060	30,000	208,797	0,000	78,559	3,417	0,158	-1,344	0,000
圳	27644	4	6,514	-2,652	76,972	7,455	0,786	-6,121	0,018	30,000	204,029	0,000	76,972	0,000	9,672	-0,377	1,038
圳	27645	5	6,766	-2,698	75,424	4,801	2,598	-5,976	0,010	30,000	199,197	0,000	75,424	0,000	5,619	-0,011	3,236
EmbeddedBeam_1_1	27645	1	6,766	-2,698	75,424	8,615	2,598	-5,976	0,010	30,000	199,197	0,000	75,424	0,000	9,375	-0,011	3,236
Element 1-3 (Embedded beam)	27646	2	6,985	-2,739	74,106	11,909	4,827	-5,847	0,020	30,000	194,903	0,000	74,106	0,000	11,909	-0,006	5,352
(TITAN 40/20 l=1,60m)	27647	3	7,204	-2,779	72,818	17,701	8,099	-5,714	0,034	30,000	190,464	0,000	72,818	0,000	17,701	-0,003	8,099
圳	27648	4	7,423	-2,819	71,560	25,429	12,861	-5,574	0,037	30,000	185,806	0,000	71,560	0,000	25,429	-0,001	12,861
圳	27649	5	7,643	-2,860	70,334	14,530	19,526	-5,425	0,007	30,000	180,849	0,000	70,334	0,000	14,530	-0,001	19,526
EmbeddedBeam_1_1	27649	1	7,643	-2,860	70,335	26,083	19,526	-5,425	0,007	30,000	180,849	0,000	70,335	0,005	26,083	-0,001	19,526
Element 1-4 (Embedded beam)	27650	2	7,833	-2,895	69,295	29,983	25,429	-5,288	-0,067	30,000	176,256	0,000	69,295	0,161	29,983	-0,001	25,429
(TITAN 40/20 l=1,60m)	27651	3	8,024	-2,930	68,284	1,448	29,090	-5,140	-0,212	30,000	171,332	0,000	68,284	2,527	1,642	0,000	29,090
圳	27652	4	8,215	-2,965	67,303	-62,805	23,684	-4,985	-0,435	30,000	166,170	0,000	67,303	62,805	0,000	0,000	23,684
圳	27653	5	8,405	-3,000	66,352	-166,056	2,185	-4,831	-0,654	30,000	161,034	0,000	66,352	166,056	0,000	0,000	4,297
EmbeddedBeam_1_1	27653	1	8,405	-3,000	66,358	-185,942	2,185	-4,831	-0,654	30,000	161,034	0,000	66,358	185,942	0,000	0,000	4,297
Element 1-5 (Embedded beam)	27654	2	8,571	-3,030	65,513	-214,283	32,096	-5,061	-0,032	30,000	168,694	0,000	65,513	214,283	0,000	-32,096	0,000
(TITAN 40/20 l=1,60m)	27655	3	8,737	-3,061	64,649	-198,893	67,695	5,210	0,185	30,000	173,677	0,000	64,649	198,893	0,000	-67,695	0,000
圳	27656	4	8,903	-3,091	63,773	-134,338	96,445	-5,205	0,551	30,000	173,500	0,000	63,773	134,338	0,000	-96,445	0,000
圳	27657	5	9,069	-3,122	62,891	-15,185	109,896	-5,096	1,149	30,000	169,851	0,000	62,891	39,023	0,067	-109,896	0,000
EmbeddedBeam_1_1	27657	1	9,069	-3,122	62,834	-68,393	109,896	-5,096	1,149	30,000	169,851	0,000	62,834	82,718	0,000	-109,896	0,000
Element 1-6 (Embedded beam)	27658	2	9,213	-3,148	62,182	246,283	95,517	-5,238	1,625	30,000	174,606	0,000	62,182	0,000	246,283	-95,517	0,000
(TITAN 40/20 l=1,60m)	27659	3	9,357	-3,175	61,309	420,084	44,236	-6,475	0,934	30,000	215,834	0,000	61,309	0,000	420,084	-44,236	0,000
圳	27660	4	9,502	-3,201	60,185	422,187	19,410	8,647	-0,716	30,000	288,219	0,000	60,185	0,000	422,187	-0,001	19,410
圳	27661	5	9,646	-3,228	58,783	221,766	69,509	-9,959	-1,335	30,000	331,976	0,000	58,783	0,000	221,766	0,000	69,509
EmbeddedBeam_1_1	27661	1	9,646	-3,228	58,806	241,635	69,509	-16,599	-2,224	30,000	553,293	0,000	58,806	0,000	241,635	0,000	69,509
Element 1-7 (Embedded beam)	27662	2	9,771	-3,251	56,703	37,086	86,339	-16,480	-1,308	30,000	549,317	0,000	56,703	0,000	40,623	0,000	86,339
(TITAN 40/20 l=1,60m)	27663	3	9,896	-3,274	54,612	-88,836	82,324	-16,372	-0,625	30,000	545,724	0,000	54,612	88,836	0,007	0,000	82,324
圳	27664	4	10,022	-3,297	52,535	-142,513	66,787	-16,272	-0,173	30,000	542,396	0,000	52,535	142,513	0,000	0,000	66,787
圳	27665	5	10,147	-3,320	50,472	-130,325	48,802	-16,178	0,087	30,000	539,252	0,000	50,472	130,325	0,000	0,000	48,802
EmbeddedBeam_1_1	27665	1	10,147	-3,320	50,469	-147,540	48,802	-16,178	0,087	30,000	539,252	0,000	50,469	147,540	0,000	0,000	48,802
Element 1-8 (Embedded beam)	27666	2	10,296	-3,347	48,029	-113,740	28,999	-16,073	0,220	30,000	535,768	0,000	48,029	113,740	0,000	0,000	28,999
(TITAN 40/20 l=1,60m)	27667	3	10,445	-3,375	45,602	-80,200	14,355	-15,979	0,234	30,000	532,631	0,000	45,602	80,200	0,000	0,000	14,355
圳	27668	4	10,594	-3,402	43,187	-48,852	4,589	-15,895	0,191	30,000	529,821	0,000	43,187	48,852	0,000	0,000	4,589
圳	27669	5	10,743	-3,430	40,788	-21,624	0,669	-15,819	0,133	30,000	527,309	0,000	40,788	21,624	0,000	-0,669	0,177
EmbeddedBeam_1_1	27669	1	10,743	-3,430	40,785	-21,745	0,669	-15,819	0,133	30,000	527,309	0,000	40,785	21,745	0,000	-0,669	0,177
Element 1-9 (Embedded beam)	27670	2	10,920	-3,462	37,943	-5,971	3,051	-15,743	0,069	30,000	524,781	0,000	37,943	5,973	0,000	-3,051	0,034
(TITAN 40/20 l=1,60m)	27671	3	11,097	-3,495	35,110	2,953	3,240	-15,681	0,026	30,000	522,702	0,000	35,110	0,112	2,953	-3,240	0,009
圳	27672	4	11,274	-3,527	32,287	5,813	2,351	-15,632	0,002	30,000	521,068	0,000	32,287	0,035	5,813	-2,351	0,001
圳	27673	5	11,452	-3,560	29,476	3,392	1,454	-15,596	-0,007	30,000	519,873	0,000	29,476	0,024	3,392	-1,462	0,000
EmbeddedBeam_1_1	27673	1	11,452	-3,560	29,472	4,856	1,454	-15,596	-0,007	30,000	519,873	0,000	29,472	0,012	4,856	-1,462	0,000
Element 1-10 (Embedded beam)	27674	2	11,663	-3,599	26,133	2,679	0,657	-15,570	-0,009	30,000	519,007	0,000	26,133	0,011	2,679	-0,744	0,000
(TITAN 40/20 l=1,60m)	27675	3	11,874	-3,638	22,793	1,124	0,261	-15,562	-0,006	30,000	518,736	0,000	22,793	0,010	1,124	-0,397	0,000
圳	27676	4	12,085	-3,676	19,452	0,208	0,129	-15,572	-0,003	30,000	519,066	0,000	19,452	0,010	0,247	-0,274	0,000

Structural element	Node [10^]	Local number	X [m]	Y [m]	N [kN]	Q [10^ kN]	M [10^ kN m]	T_{xx} [kN/m]	T_{yy} [kN/m]	$T_{xx,yy,xy}$ [kN/m]	$T_{xx,yy,zz}$ [10^]	N_{xx} [10^ kN]	N_{yy} [kN]	Q_{xx} [10^ kN]	Q_{yy} [10^ kN]	M_{xx} [10^ kN m]	M_{yy} [10^ kN m]
图	27677	5	12,296	-3,715	16,113	-0,051	0,124	-15,600	-0,001	30,000	520,013	0,000	16,113	0,084	0,027	-0,257	0,000
EmbeddedBeam_11_1	27677	1	12,296	-3,715	16,106	-0,233	0,124	-15,600	-0,001	30,000	520,013	0,000	16,106	0,233	0,000	-0,257	0,000
Element 1-11 (Embedded beam)	27678	2	12,547	-3,761	12,123	0,005	0,154	-15,659	0,001	30,000	521,975	0,000	12,123	0,009	0,140	-0,258	0,000
iTITAN 40/20 l=1,60m)	27679	3	12,798	-3,808	8,112	0,202	0,124	-15,747	0,001	30,000	524,897	0,000	8,112	0,000	0,360	-0,189	0,000
图	27680	4	13,049	-3,854	4,073	0,278	0,061	-15,876	0,000	30,000	529,203	0,000	4,073	0,000	0,417	-0,088	0,000
图	27681	5	13,300	-3,900	0,007	0,154	0,000	-16,071	-0,003	30,000	535,697	0,000	0,007	0,000	0,215	0,000	0,000
EmbeddedBeam_31_1	27682	1	2,300	-5,900	58,442	105,920	0,000	-3,965	-0,603	30,000	132,177	0,000	62,359	0,000	114,136	0,000	0,000
Element 2-12 (Embedded beam)	27683	2	2,582	-5,950	57,360	58,610	23,726	-4,018	-0,165	30,000	133,946	0,000	61,196	0,074	58,908	0,000	24,811
iTITAN 40/20 l=1,60m)	27684	3	2,865	-6,000	56,128	9,876	23,400	-4,646	-0,189	30,000	154,869	0,000	59,877	12,630	9,876	-0,002	24,033
图	27685	4	3,147	-6,049	54,774	-35,942	29,669	-4,877	-0,144	30,000	162,576	0,000	58,429	38,385	0,000	-0,084	29,669
图	27686	5	3,430	-6,099	53,322	-74,509	13,556	-4,993	0,097	30,000	166,448	0,000	56,877	74,509	0,127	-0,100	13,556
EmbeddedBeam_31_1	27686	1	3,430	-6,099	53,344	-55,153	13,556	-4,993	0,097	30,000	166,448	0,000	56,899	55,390	0,016	-0,100	13,556
Element 2-13 (Embedded beam)	27687	2	3,595	-6,128	52,506	-39,088	5,678	-5,004	0,090	30,000	166,808	0,000	55,999	39,088	0,054	-0,823	5,678
iTITAN 40/20 l=1,60m)	27688	3	3,760	-6,158	51,666	-24,984	0,342	-5,017	0,081	30,000	167,218	0,000	55,096	24,984	0,075	-1,898	0,395
图	27689	4	3,925	-6,187	50,825	-13,203	2,832	-5,009	0,062	30,000	166,968	0,000	54,191	13,203	0,545	-2,972	0,000
图	27690	5	4,090	-6,216	49,986	-4,110	4,241	-4,975	0,041	30,000	165,845	0,000	53,285	4,110	1,919	-4,241	0,000
EmbeddedBeam_31_1	27690	1	4,090	-6,216	49,987	-4,292	4,241	-4,975	0,041	30,000	165,845	0,000	53,287	4,292	2,256	-4,241	0,000
Element 2-14 (Embedded beam)	27691	2	4,187	-6,233	49,501	-0,956	4,493	-4,952	0,031	30,000	165,056	0,000	52,761	0,956	2,967	-4,493	0,000
iTITAN 40/20 l=1,60m)	27692	3	4,283	-6,250	49,016	1,771	4,448	-4,929	0,024	30,000	164,306	0,000	52,238	0,000	3,847	-4,448	0,000
图	27693	4	4,380	-6,267	48,534	3,945	4,163	-4,909	0,020	30,000	163,617	0,000	51,716	0,000	5,367	-4,163	0,000
图	27694	5	4,476	-6,284	48,054	5,621	3,691	-4,890	0,018	30,000	162,998	0,000	51,196	0,000	6,565	-3,691	0,000
EmbeddedBeam_31_1	27694	1	4,476	-6,284	48,053	5,717	3,691	-4,890	0,018	30,000	162,998	0,000	51,196	0,000	6,620	-3,691	0,000
Element 2-15 (Embedded beam)	27695	2	4,533	-6,294	47,773	6,706	3,335	-4,880	0,017	30,000	162,680	0,000	50,893	0,000	7,178	-3,335	0,000
iTITAN 40/20 l=1,60m)	27696	3	4,589	-6,304	47,494	7,682	2,922	-4,871	0,018	30,000	162,366	0,000	50,591	0,000	7,682	-2,922	0,000
图	27697	4	4,646	-6,314	47,214	8,599	2,454	-4,865	0,015	30,000	162,164	0,000	50,288	0,000	8,599	-2,454	0,025
图	27698	5	4,702	-6,324	46,936	9,411	1,937	-4,881	-0,014	30,000	162,713	0,000	49,987	0,000	9,411	-1,937	0,070
EmbeddedBeam_31_1	27698	1	4,702	-6,324	46,935	8,922	1,937	-8,136	-0,023	30,000	271,189	0,000	49,987	0,000	8,922	-1,937	0,070
Element 2-16 (Embedded beam)	27699	2	4,800	-6,341	46,130	6,923	1,155	-8,103	-0,018	30,000	270,099	0,000	49,118	0,022	6,923	-1,287	0,121
iTITAN 40/20 l=1,60m)	27700	3	4,898	-6,358	45,327	5,383	0,548	-8,072	-0,013	30,000	269,078	0,000	48,253	0,628	5,383	-0,828	0,120
图	27701	4	4,995	-6,376	44,526	4,300	0,071	-8,044	-0,009	30,000	268,138	0,000	47,392	1,160	4,300	-0,515	0,082
图	27702	5	5,093	-6,393	43,730	3,674	0,321	-8,018	-0,005	30,000	267,253	0,000	46,535	1,144	3,674	-0,284	0,321
EmbeddedBeam_31_1	27702	1	5,093	-6,393	43,729	3,610	0,321	-8,018	-0,005	30,000	267,253	0,000	46,534	1,233	3,610	-0,284	0,321
Element 2-17 (Embedded beam)	27703	2	5,177	-6,408	43,049	3,276	0,613	-7,996	-0,004	30,000	266,517	0,000	45,803	1,023	3,276	-0,266	0,613
iTITAN 40/20 l=1,60m)	27704	3	5,261	-6,422	42,370	3,013	0,880	-7,974	-0,003	30,000	265,787	0,000	45,074	0,720	3,013	-0,327	0,880
图	27705	4	5,344	-6,437	41,693	2,812	1,127	-7,952	-0,002	30,000	265,059	0,000	44,346	0,445	2,817	-0,373	1,127
图	27706	5	5,428	-6,452	41,019	2,663	1,359	-7,930	-0,002	30,000	264,327	0,000	43,622	0,187	2,690	-0,383	1,359
EmbeddedBeam_31_1	27706	1	5,428	-6,452	41,018	2,646	1,359	-7,930	-0,002	30,000	264,327	0,000	43,622	0,199	2,677	-0,383	1,359
Element 2-18 (Embedded beam)	27707	2	5,525	-6,469	40,242	2,461	1,610	-7,904	-0,002	30,000	263,477	0,000	42,789	0,043	2,513	-0,351	1,610
iTITAN 40/20 l=1,60m)	27708	3	5,621	-6,486	39,468	2,257	1,841	-7,878	-0,002	30,000	262,615	0,000	41,958	0,000	2,342	-0,274	1,841
图	27709	4	5,718	-6,503	38,697	2,034	2,052	-7,852	-0,002	30,000	261,741	0,000	41,131	0,000	2,165	-0,193	2,052
图	27710	5	5,814	-6,520	37,928	1,790	2,239	-7,826	-0,003	30,000	260,855	0,000	40,306	0,000	1,989	-0,114	2,239
EmbeddedBeam_31_1	27710	1	5,814	-6,520	37,928	1,795	2,239	-7,826	-0,003	30,000	260,855	0,000	40,306	0,000	1,999	-0,114	2,239
Element 2-19 (Embedded beam)	27711	2	5,926	-6,540	37,045	1,489	2,425	-7,795	-0,003	30,000	259,818	0,000	39,359	0,000	1,755	-0,035	2,425
iTITAN 40/20 l=1,60m)	27712	3	6,037	-6,559	36,165	1,180	2,576	-7,763	-0,003	30,000	258,768	0,000	38,415	0,000	1,476	-0,026	2,576
图	27713	4	6,149	-6,579	35,288	0,870	2,692	-7,731	-0,003	30,000	257,709	0,000	37,475	0,000	1,588	-0,017	2,692
图	27714	5	6,260	-6,599	34,416	0,560	2,773	-7,699	-0,003	30,000	256,646	0,000	36,539	0,000	1,403	-0,007	2,773
EmbeddedBeam_31_1	27714	1	6,260	-6,599	34,416	0,567	2,773	-7,699	-0,003	30,000	256,646	0,000	36,539	0,000	1,427	-0,007	2,773
Element 2-20 (Embedded beam)	27715	2	6,388	-6,621	33,414	0,233	2,825	-7,663	-0,002	30,000	255,422	0,000	35,464	0,000	1,154	0,000	2,825
iTITAN 40/20 l=1,60m)	27716	3	6,517	-6,644	32,416	-0,067	2,835	-7,626	-0,002	30,000	254,210	0,000	34,394	0,067	0,877	0,000	2,835
图	27717	4	6,645	-6,667	31,423	-0,331	2,809	-7,591	-0,002	30,000	253,020	0,000	33,329	0,331	0,613	0,000	2,809
图	27718	5	6,774	-6,690	30,435	-0,558	2,750	-7,556	-0,002	30,000	251,861	0,000	32,269	0,558	0,398	0,000	2,750
EmbeddedBeam_31_1	27718	1	6,774	-6,690	30,435	-0,559	2,750	-7,556	-0,002	30,000	251,861	0,000	32,268	0,559	0,410	0,000	2,750
Element 2-21 (Embedded beam)	27719	2	6,922	-6,716	29,301	-0,769	2,650	-7,517	-0,001	30,000	250,578	0,000	31,052	0,769	0,192	0,000	2,650
iTITAN 40/20 l=1,60m)	27720	3	7,070	-6,742	28,172	-0,933	2,521	-7,481	-0,001	30,000	249,365	0,000	29,841	0,933	0,061	0,000	2,521
图	27721	4	7,219	-6,768	27,048	-1,054	2,371	-7,447	-0,001	30,000	248,235	0,000	28,635	1,054	0,006	0,000	2,371
图	27722	5	7,367	-6,794	25,930	-1,133	2,206	-7,416	0,000	30,000	247,201	0,000	27,436	1,133	0,000	0,000	2,206
EmbeddedBeam_31_1	27722	1	7,367	-6,794	25,929	-1,139	2,206	-7,416	0,000	30,000	247,201	0,000	27,434	1,139	0,000	0,000	2,206

Structural element	Node [10 ^]	Local number	X [m]	Y [m]	N [kN]	Q [10 ^ kN]	M [10 ^ kN m]	T $_{,,,}$ [kN/m]	T $_{,,,}$ [kN/m]	T $_{,,,,,,}$ [kN/m]	T $_{,,,,,,}$ [10 ^]	N $_{,,,}$ [10 ^ kN]	N $_{,,,}$ [kN]	Q $_{,,,}$ [10 ^ kN]	Q $_{,,,}$ [10 ^ kN]	M $_{,,,}$ [10 ^ kN m]	M $_{,,,}$ [10 ^ kN m]
Element 2-22 (Embedded beam)	27723	2	7,538	-6,824	24,645	-1,193	2,003	-7,384	0,000	30,000	246,141	0,000	26,057	-1,193	0,000	0,000	2,003
(TITAN 40/20 l=1,60m)	27724	3	7,709	-6,855	23,365	-1,220	1,793	-7,357	0,000	30,000	245,237	0,000	24,685	-1,220	0,000	0,000	1,793
,,	27725	4	7,880	-6,885	22,089	-1,220	1,581	-7,335	0,000	30,000	244,501	0,000	23,318	-1,220	0,000	0,000	1,581
,,	27726	5	8,051	-6,915	20,818	-1,194	1,371	-7,318	0,000	30,000	243,942	0,000	21,957	-1,194	0,000	0,000	1,371
EmbeddedBeam_3_1	27726	1	8,051	-6,915	20,817	-1,196	1,371	-7,318	0,000	30,000	243,942	0,000	21,956	-1,196	0,000	0,000	1,371
Element 2-23 (Embedded beam)	27727	2	8,248	-6,950	19,354	-1,141	1,137	-7,306	0,000	30,000	243,529	0,000	20,391	-1,141	0,000	0,000	1,137
(TITAN 40/20 l=1,60m)	27728	3	8,445	-6,984	17,890	-1,064	0,915	-7,301	0,000	30,000	243,370	0,000	18,829	-1,064	0,000	0,000	0,915
,,	27729	4	8,643	-7,019	16,427	-0,967	0,712	-7,304	0,001	30,000	243,470	0,000	17,269	-0,967	0,000	0,000	0,712
,,	27730	5	8,840	-7,054	14,965	-0,850	0,529	-7,315	0,001	30,000	243,830	0,000	15,713	-0,850	0,000	0,000	0,570
EmbeddedBeam_3_1	27730	1	8,840	-7,054	14,962	-0,855	0,529	-7,315	0,001	30,000	243,830	0,000	15,710	-0,855	0,000	0,000	0,570
Element 2-24 (Embedded beam)	27731	2	9,067	-7,094	13,272	-0,710	0,349	-7,337	0,001	30,000	244,568	0,000	13,916	-0,710	0,000	0,000	0,456
(TITAN 40/20 l=1,60m)	27732	3	9,295	-7,134	11,572	-0,566	0,201	-7,369	0,001	30,000	245,647	0,000	12,116	-0,566	0,000	0,000	0,358
,,	27733	4	9,523	-7,175	9,864	-0,424	0,087	-7,412	0,001	30,000	247,065	0,000	10,313	-0,424	0,000	0,000	0,277
,,	27734	5	9,750	-7,215	8,148	-0,283	0,005	-7,465	0,001	30,000	248,825	0,000	8,506	-0,283	0,000	0,049	0,211
EmbeddedBeam_3_1	27734	1	9,750	-7,215	8,144	-0,308	0,005	-7,465	0,001	30,000	248,825	0,000	8,502	-0,308	0,000	0,049	0,211
Element 2-25 (Embedded beam)	27735	2	10,013	-7,261	6,148	-0,104	0,050	-7,539	0,001	30,000	251,290	0,000	6,408	-0,240	0,000	0,092	0,146
(TITAN 40/20 l=1,60m)	27736	3	10,275	-7,307	4,126	0,052	0,054	-7,627	0,001	30,000	254,224	0,000	4,293	-0,215	0,107	0,082	0,085
,,	27737	4	10,538	-7,354	2,078	0,123	0,029	-7,735	0,000	30,000	257,833	0,000	2,158	-0,165	0,178	0,042	0,034
,,	27738	5	10,800	-7,400	0,004	0,070	0,000	-7,876	-0,001	30,000	262,539	0,000	0,004	-0,081	0,109	0,000	0,000
EmbeddedBeam_2_1	27739	1	3,562	-12,132	5,024	0,122	0,000	-20,539	0,001	125,000	164,312	-133,104	5,024	0,000	0,209	0,000	0,000
Element 3-26 (Embedded beam)	27740	2	3,445	-12,380	2,250	0,045	0,022	-8,158	0,000	125,000	65,261	-65,705	2,250	0,000	0,075	0,000	0,037
(Ricrapalo D168.3 x12.5mm/1,6m)	27741	3	3,329	-12,628	0,638	0,022	0,030	-2,886	0,000	125,000	23,091	-26,166	0,638	0,000	0,022	0,000	0,048
,,	27742	4	3,213	-12,876	-0,027	0,050	0,038	-1,249	0,000	125,000	9,995	-28,289	0,000	-0,007	0,050	0,000	0,047
,,	27743	5	3,096	-13,124	0,037	0,128	0,061	-0,492	0,000	125,000	3,937	-9,986	0,037	0,000	0,128	0,000	0,061
EmbeddedBeam_2_1	27743	1	3,096	-13,124	-0,160	0,070	0,061	-0,492	0,000	125,000	3,937	-160,157	0,000	-0,005	0,070	0,000	0,061
Element 3-27 (Embedded beam)	27744	2	2,980	-13,372	-0,227	0,075	0,081	-0,196	0,000	125,000	1,572	-227,444	0,000	-0,006	0,075	0,000	0,081
(Ricrapalo D168.3 x12.5mm/1,6m)	27745	3	2,863	-13,620	-0,266	0,081	0,103	-0,067	0,000	125,000	0,533	-265,815	0,000	-0,008	0,081	0,000	0,103
,,	27746	4	2,747	-13,868	-0,280	0,080	0,125	-0,023	0,000	125,000	0,183	-280,415	0,002	-0,010	0,080	0,000	0,125
,,	27747	5	2,631	-14,116	-0,276	0,061	0,145	-0,001	0,000	125,000	0,006	-276,390	0,003	-0,012	0,061	0,000	0,145
EmbeddedBeam_2_1	27747	1	2,631	-14,116	-0,281	0,067	0,145	-0,001	0,000	125,000	0,006	-281,000	0,003	-0,012	0,067	0,000	0,145
Element 3-28 (Embedded beam)	27748	2	2,514	-14,364	-0,279	0,048	0,161	0,010	0,000	125,000	0,080	-279,278	0,005	-0,013	0,048	0,000	0,161
(Ricrapalo D168.3 x12.5mm/1,6m)	27749	3	2,398	-14,612	-0,276	0,029	0,171	0,017	0,000	125,000	0,137	-275,540	0,007	-0,014	0,029	0,000	0,171
,,	27750	4	2,282	-14,860	-0,270	0,010	0,177	0,025	0,000	125,000	0,200	-269,743	0,008	-0,013	0,010	0,000	0,177
,,	27751	5	2,165	-15,108	-0,262	-0,010	0,177	0,029	0,000	125,000	0,209	-261,844	0,010	-0,011	0,000	0,000	0,177
EmbeddedBeam_2_1	27751	1	2,165	-15,108	-0,254	-0,050	0,177	0,029	0,000	125,000	0,209	-254,061	0,009	-0,050	0,000	0,000	0,177
Element 3-29 (Embedded beam)	27752	2	2,049	-15,356	-0,251	-0,005	0,170	0,071	0,000	125,000	0,565	-251,283	0,011	-0,009	0,000	0,000	0,170
(Ricrapalo D168.3 x12.5mm/1,6m)	27753	3	1,933	-15,604	-0,219	-0,062	0,165	0,138	0,000	125,000	1,103	-218,705	0,011	-0,062	0,000	0,000	0,165
,,	27754	4	1,816	-15,852	-0,148	-0,268	0,123	0,353	-0,001	125,000	2,820	-147,530	0,008	-0,268	0,000	0,000	0,123
,,	27755	5	1,700	-16,100	-0,029	-0,669	0,000	0,857	0,006	125,000	6,854	-28,959	0,002	-0,669	0,000	0,000	0,000

3.3.1.1.15 Calculation results, Embedded beam, Collegamento ancoraggio 1 [Phase_36] (36/614), Table of embedded beam force envelopes

Structural element	Node [10^1]	Local number	X [m]	Y [m]	N [kN]	Q [10^1 kN]	M [10^1 kN m]	$T_{x,xx}$ [kN/m]	T_{xx} [kN/m]	$T_{xx,xx}$ [kN/m]	$T_{xx,xx}$ [10^1]	N_{xx} [10^1 kN]	N_{xx} [kN]	Q_{xx} [10^1 kN]	Q_{xx} [10^1 kN]	M_{xx} [10^1 kN m]
EmbeddedBeam_1_1	27637	1	4,600	-2,300	89,936	759,634	0,000	7,146	-3,909	30,000	238,188	0,000	89,936	0,000	759,634	0,000
Element 1-1 (Embedded beam)	27638	2	4,890	-2,353	87,847	129,178	121,094	7,024	-1,614	30,000	234,121	0,000	87,847	0,000	129,178	0,000
(Ricropalo ancoraggio autoperforante R38I=1,60m)	27639	3	5,179	-2,407	85,801	-167,436	109,824	6,871	0,212	30,000	229,038	0,000	85,801	-169,365	0,000	0,000
88	27640	4	5,469	-2,460	83,802	-191,480	49,217	6,710	0,237	30,000	223,658	0,000	83,802	-191,480	0,000	0,000
89	27641	5	5,758	-2,513	81,850	-4,227	16,785	6,548	0,228	30,000	218,267	0,000	81,850	-4,227	0,001	0,000
EmbeddedBeam_1_1	27641	1	5,758	-2,513	81,850	-74,224	16,785	6,548	0,228	30,000	218,267	0,000	81,850	-74,224	0,000	0,000
Element 1-2 (Embedded beam)	27642	2	6,010	-2,559	80,191	-29,938	3,872	6,406	0,140	30,000	213,544	0,000	80,191	-29,938	0,000	-0,013
(Ricropalo ancoraggio autoperforante R38I=1,60m)	27643	3	6,262	-2,606	78,568	3,419	-0,097	6,264	0,060	30,000	208,808	0,000	78,568	3,419	0,158	-1,344
90	27644	4	6,514	-2,652	76,982	7,455	0,786	6,121	0,018	30,000	204,040	0,000	76,982	0,000	9,672	-0,377
91	27645	5	6,766	-2,698	75,433	4,802	2,597	5,976	0,010	30,000	199,209	0,000	75,433	0,000	5,619	-0,011
EmbeddedBeam_1_1	27645	1	6,766	-2,698	75,433	8,616	2,597	5,976	0,010	30,000	199,209	0,000	75,433	0,000	9,375	-0,011
Element 1-3 (Embedded beam)	27646	2	6,985	-2,739	74,115	11,912	4,827	5,847	0,020	30,000	194,915	0,000	74,115	0,000	11,912	-0,006
(Ricropalo ancoraggio autoperforante R38I=1,60m)	27647	3	7,204	-2,779	72,827	17,706	8,099	5,714	0,034	30,000	190,475	0,000	72,827	0,000	17,706	-0,003
92	27648	4	7,423	-2,819	71,569	25,436	12,863	5,575	0,037	30,000	185,818	0,000	71,569	0,000	25,436	-0,001
93	27649	5	7,643	-2,860	70,343	34,541	19,530	5,426	0,007	30,000	180,861	0,000	70,343	0,000	34,541	-0,001
EmbeddedBeam_1_1	27649	1	7,643	-2,860	70,344	26,090	19,530	5,426	0,007	30,000	180,861	0,000	70,344	0,005	26,090	-0,001
Element 1-4 (Embedded beam)	27650	2	7,833	-2,895	69,304	29,993	25,435	5,288	-0,067	30,000	176,267	0,000	69,304	0,161	29,993	-0,001
(Ricropalo ancoraggio autoperforante R38I=1,60m)	27651	3	8,024	-2,930	68,293	1,448	29,098	5,140	-0,212	30,000	171,343	0,000	68,293	2,527	1,642	0,000
94	27652	4	8,215	-2,965	67,312	62,828	23,689	4,985	-0,435	30,000	166,180	0,000	67,312	62,828	0,000	0,000
95	27653	5	8,405	-3,000	66,360	-166,117	2,183	4,831	-0,654	30,000	161,044	0,000	66,360	-166,117	0,000	0,000
EmbeddedBeam_1_1	27653	1	8,405	-3,000	66,367	-186,017	2,183	4,831	-0,654	30,000	161,044	0,000	66,367	-186,017	0,000	0,000
Element 1-5 (Embedded beam)	27654	2	8,571	-3,030	65,522	214,335	32,109	5,061	-0,032	30,000	168,710	0,000	65,522	214,335	0,000	-32,109
(Ricropalo ancoraggio autoperforante R38I=1,60m)	27655	3	8,737	-3,061	64,658	198,922	67,716	5,211	0,185	30,000	173,693	0,000	64,658	198,922	0,000	-67,716
96	27656	4	8,903	-3,091	63,782	134,341	96,468	5,205	0,551	30,000	173,515	0,000	63,782	134,341	0,000	-96,468
97	27657	5	9,069	-3,122	62,900	15,157	109,917	5,096	1,149	30,000	169,866	0,000	62,900	39,023	0,067	-109,917
EmbeddedBeam_1_1	27657	1	9,069	-3,122	62,843	68,371	109,917	5,096	1,149	30,000	169,866	0,000	62,843	82,718	0,000	-109,917
Element 1-6 (Embedded beam)	27658	2	9,213	-3,148	62,190	246,362	95,530	5,239	1,625	30,000	174,626	0,000	62,190	0,000	246,362	-95,530
(Ricropalo ancoraggio autoperforante R38I=1,60m)	27659	3	9,357	-3,175	61,317	420,171	44,237	6,476	0,933	30,000	215,870	0,000	61,317	0,000	420,171	-44,237
98	27660	4	9,502	-3,201	60,193	422,244	19,421	8,648	0,716	30,000	288,262	0,000	60,193	0,000	422,244	-0,001
99	27661	5	9,646	-3,228	58,791	221,767	69,524	9,961	1,335	30,000	332,021	0,000	58,791	0,000	221,767	0,000
EmbeddedBeam_1_1	27661	1	9,646	-3,228	58,814	241,646	69,524	16,601	2,225	30,000	553,368	0,000	58,814	0,000	241,646	0,000
Element 1-7 (Embedded beam)	27662	2	9,771	-3,251	56,711	37,075	86,355	16,482	1,308	30,000	549,392	0,000	56,711	0,000	40,623	0,000
(Ricropalo ancoraggio autoperforante R38I=1,60m)	27663	3	9,896	-3,274	54,620	88,859	82,337	16,374	0,625	30,000	545,798	0,000	54,620	88,859	0,007	0,000
100	27664	4	10,022	-3,297	52,542	142,539	66,797	16,274	0,173	30,000	542,470	0,000	52,542	142,539	0,000	0,000
101	27665	5	10,147	-3,320	50,478	130,345	48,809	16,180	0,087	30,000	539,326	0,000	50,478	130,345	0,000	0,000
EmbeddedBeam_1_1	27665	1	10,147	-3,320	50,476	147,562	48,809	16,180	0,087	30,000	539,326	0,000	50,476	147,562	0,000	0,000
Element 1-8 (Embedded beam)	27666	2	10,296	-3,347	48,036	113,755	29,002	16,075	0,220	30,000	535,841	0,000	48,036	113,755	0,000	0,000
(Ricropalo ancoraggio autoperforante R38I=1,60m)	27667	3	10,445	-3,375	45,608	80,210	14,357	15,981	0,234	30,000	532,703	0,000	45,608	80,210	0,000	0,000
102	27668	4	10,594	-3,402	43,193	48,857	4,590	15,897	0,191	30,000	529,893	0,000	43,193	48,857	0,000	0,000
103	27669	5	10,743	-3,430	40,793	21,626	-0,669	15,821	0,133	30,000	527,381	0,000	40,793	21,626	0,000	-0,669
EmbeddedBeam_1_1	27669	1	10,743	-3,430	40,790	21,747	-0,669	15,821	0,133	30,000	527,381	0,000	40,790	21,747	0,000	-0,669
Element 1-9 (Embedded beam)	27670	2	10,920	-3,462	37,948	5,971	-3,051	15,746	0,069	30,000	524,853	0,000	37,948	5,973	0,000	-3,052
(Ricropalo ancoraggio autoperforante R38I=1,60m)	27671	3	11,097	-3,495	35,115	2,954	-3,240	15,683	0,026	30,000	522,773	0,000	35,115	0,112	2,954	-3,240
104	27672	4	11,274	-3,527	32,292	5,813	-2,351	15,634	0,002	30,000	521,139	0,000	32,292	0,035	5,813	-2,351
105	27673	5	11,452	-3,560	29,480	3,392	-1,454	15,598	-0,007	30,000	519,943	0,000	29,480	0,024	3,392	-1,462
EmbeddedBeam_1_1	27673	1	11,452	-3,560	29,476	4,856	-1,454	15,598	-0,007	30,000	519,943	0,000	29,476	0,012	4,856	-1,462
Element 1-10 (Embedded beam)	27674	2	11,663	-3,599	26,137	2,679	-0,657	15,572	-0,009	30,000	519,077	0,000	26,137	0,011	2,679	-0,744
(Ricropalo ancoraggio autoperforante R38I=1,60m)	27675	3	11,874	-3,638	22,796	1,124	-0,260	15,564	-0,006	30,000	518,806	0,000	22,796	0,010	1,124	-0,397
106	27676	4	12,085	-3,676	19,455	0,208	-0,129	15,574	-0,003	30,000	519,136	0,000	19,455	0,010	0,247	-0,274

Structural element	Node [10^1]	Local number	X [m]	Y [m]	N [kN]	Q [10^-1 kN]	M [10^-1 kN m]	T_{xxx} [kN/m]	T_{zzz} [kN/m]	$T_{xxx,zzz}$ [kN/m]	$T_{xxx,zzz}$ [10^-1]	N_{xxx} [10^-1 kN]	N_{zzz} [kN]	Q_{xxx} [10^-1 kN]	Q_{zzz} [10^-1 kN]	M_{zzz} [10^-1 kN m]
25	27677	5	12,296	-3,715	16,115	0,051	-0,124	15,602	0,001	30,000	520,083	0,000	16,115	0,084	0,027	-0,257
EmbeddedBeam_21_1	27677	1	12,296	-3,715	16,108	0,233	-0,124	15,602	0,001	30,000	520,083	0,000	16,108	0,233	0,000	-0,257
Element 1-11 (Embedded beam)	27678	2	12,547	-3,761	12,125	0,005	-0,154	15,661	0,001	30,000	522,045	0,000	12,125	0,009	0,140	-0,258
/Ricropalo ancoraggio autoperforante R38I=1,60m)	27679	3	12,798	-3,808	8,113	0,202	-0,124	15,749	0,001	30,000	524,968	0,000	8,113	0,000	0,360	-0,189
26	27680	4	13,049	-3,854	4,074	0,278	-0,061	15,878	0,000	30,000	529,274	0,000	4,074	0,000	0,417	-0,088
27	27681	5	13,300	-3,900	0,007	0,154	0,000	16,073	0,003	30,000	535,769	0,000	0,007	0,000	0,215	0,000
EmbeddedBeam_31_1	27682	1	2,300	-3,900	58,451	105,941	0,000	3,966	0,603	30,000	132,201	0,000	62,359	0,000	114,136	0,000
Element 2-12 (Embedded beam)	27683	2	2,582	-3,950	57,369	58,614	23,729	4,019	0,165	30,000	133,971	0,000	61,196	0,074	58,908	0,000
/Ricropalo ancoraggio autoperforante R38I=1,60m)	27684	3	2,865	-4,000	56,137	9,872	23,403	4,647	0,189	30,000	154,894	0,000	59,877	12,630	9,876	-0,002
28	27685	4	3,147	-4,049	54,783	35,948	29,671	4,878	0,144	30,000	162,602	0,000	58,429	38,385	0,000	-0,084
29	27686	5	3,430	-4,099	53,331	74,511	13,557	4,994	0,097	30,000	166,474	0,000	56,877	74,511	0,127	-0,100
EmbeddedBeam_31_1	27686	1	3,430	-4,099	53,353	55,156	13,557	4,994	0,097	30,000	166,474	0,000	56,899	55,390	0,016	-0,100
Element 2-13 (Embedded beam)	27687	2	3,595	-4,128	52,514	39,091	5,678	5,005	0,090	30,000	166,835	0,000	55,999	39,091	0,054	-0,823
/Ricropalo ancoraggio autoperforante R38I=1,60m)	27688	3	3,760	-4,158	51,674	24,986	2,341	5,017	0,081	30,000	167,245	0,000	55,096	24,986	0,075	-1,898
30	27689	4	3,925	-4,187	50,833	13,205	-2,833	5,010	0,062	30,000	166,994	0,000	54,191	13,205	0,545	-2,972
31	27690	5	4,090	-4,216	49,994	4,112	-4,242	4,976	0,041	30,000	165,871	0,000	53,285	4,112	1,919	-4,242
EmbeddedBeam_31_1	27690	1	4,090	-4,216	49,995	4,294	-4,242	4,976	0,041	30,000	165,871	0,000	53,287	4,294	2,256	-4,242
Element 2-14 (Embedded beam)	27691	2	4,187	-4,233	49,509	0,958	-4,494	4,952	0,031	30,000	165,082	0,000	52,761	0,958	2,967	-4,494
/Ricropalo ancoraggio autoperforante R38I=1,60m)	27692	3	4,283	-4,250	49,024	1,770	-4,450	4,930	0,024	30,000	164,332	0,000	52,238	0,000	3,847	-4,450
32	27693	4	4,380	-4,267	48,541	3,945	-4,165	4,909	0,020	30,000	163,643	0,000	51,716	0,000	5,367	-4,165
33	27694	5	4,476	-4,284	48,061	5,622	-3,692	4,891	0,018	30,000	163,025	0,000	51,196	0,000	6,565	-3,692
EmbeddedBeam_31_1	27694	1	4,476	-4,284	48,061	5,717	-3,692	4,891	0,018	30,000	163,025	0,000	51,196	0,000	6,620	-3,692
Element 2-15 (Embedded beam)	27695	2	4,533	-4,294	47,781	6,707	-3,336	4,881	0,017	30,000	162,706	0,000	50,893	0,000	7,178	-3,336
/Ricropalo ancoraggio autoperforante R38I=1,60m)	27696	3	4,589	-4,304	47,501	7,686	-2,923	4,872	0,018	30,000	162,392	0,000	50,591	0,000	7,686	-2,923
34	27697	4	4,646	-4,314	47,222	8,605	-2,455	4,866	0,015	30,000	162,190	0,000	50,288	0,000	8,605	-2,455
35	27698	5	4,702	-4,324	46,943	9,418	-1,938	4,882	0,014	30,000	162,741	0,000	49,987	0,000	9,418	-1,938
EmbeddedBeam_31_1	27698	1	4,702	-4,324	46,942	8,929	-1,938	8,137	0,023	30,000	271,235	0,000	49,987	0,000	8,929	-1,938
Element 2-16 (Embedded beam)	27699	2	4,800	-4,341	46,137	6,928	-1,155	8,104	0,018	30,000	270,146	0,000	49,118	0,022	6,928	-1,287
/Ricropalo ancoraggio autoperforante R38I=1,60m)	27700	3	4,898	-4,358	45,334	5,387	-0,547	8,074	0,013	30,000	269,124	0,000	48,253	0,628	5,387	-0,828
36	27701	4	4,995	-4,376	44,534	4,303	-0,070	8,046	0,009	30,000	268,184	0,000	47,392	1,160	4,303	-0,515
37	27702	5	5,093	-4,393	43,737	3,676	0,322	8,019	0,005	30,000	267,299	0,000	46,535	1,144	3,676	-0,284
EmbeddedBeam_31_1	27702	1	5,093	-4,393	43,736	3,612	0,322	8,019	0,005	30,000	267,299	0,000	46,534	1,233	3,612	-0,284
Element 2-17 (Embedded beam)	27703	2	5,177	-4,408	43,056	3,277	0,614	7,997	0,004	30,000	266,563	0,000	45,803	1,023	3,277	-0,266
/Ricropalo ancoraggio autoperforante R38I=1,60m)	27704	3	5,261	-4,422	42,377	3,013	0,881	7,975	0,003	30,000	265,833	0,000	45,074	0,720	3,013	-0,327
38	27705	4	5,344	-4,437	41,700	2,812	1,128	7,953	0,002	30,000	265,105	0,000	44,346	0,445	2,817	-0,373
39	27706	5	5,428	-4,452	41,025	2,663	1,361	7,931	0,002	30,000	264,373	0,000	43,622	0,187	2,690	-0,383
EmbeddedBeam_31_1	27706	1	5,428	-4,452	41,025	2,645	1,361	7,931	0,002	30,000	264,373	0,000	43,622	0,199	2,677	-0,383
Element 2-18 (Embedded beam)	27707	2	5,525	-4,469	40,249	2,460	1,611	7,906	0,002	30,000	263,522	0,000	42,789	0,043	2,513	-0,351
/Ricropalo ancoraggio autoperforante R38I=1,60m)	27708	3	5,621	-4,486	39,474	2,256	1,842	7,880	0,002	30,000	262,660	0,000	41,958	0,000	2,342	-0,274
40	27709	4	5,718	-4,503	38,703	2,033	2,053	7,854	0,002	30,000	261,786	0,000	41,131	0,000	2,165	-0,193
41	27710	5	5,814	-4,520	37,934	1,789	2,240	7,827	0,003	30,000	260,899	0,000	40,306	0,000	1,989	-0,114
EmbeddedBeam_31_1	27710	1	5,814	-4,520	37,934	1,794	2,240	7,827	0,003	30,000	260,899	0,000	40,306	0,000	1,999	-0,114
Element 2-19 (Embedded beam)	27711	2	5,926	-4,540	37,051	1,488	2,426	7,796	0,003	30,000	259,862	0,000	39,359	0,000	1,755	-0,035
/Ricropalo ancoraggio autoperforante R38I=1,60m)	27712	3	6,037	-4,559	36,171	1,179	2,577	7,764	0,003	30,000	258,812	0,000	38,415	0,000	1,676	-0,026
42	27713	4	6,149	-4,579	35,294	0,869	2,693	7,733	0,003	30,000	257,752	0,000	37,475	0,000	1,588	-0,017
43	27714	5	6,260	-4,599	34,421	0,560	2,774	7,701	0,003	30,000	256,689	0,000	36,539	0,000	1,403	-0,007
EmbeddedBeam_31_1	27714	1	6,260	-4,599	34,421	0,566	2,774	7,701	0,003	30,000	256,689	0,000	36,539	0,000	1,427	-0,007
Element 2-20 (Embedded beam)	27715	2	6,388	-4,621	33,419	0,232	2,825	7,664	0,002	30,000	255,465	0,000	35,464	0,000	1,154	0,000
/Ricropalo ancoraggio autoperforante R38I=1,60m)	27716	3	6,517	-4,644	32,421	0,067	2,836	7,628	0,002	30,000	254,252	0,000	34,394	0,067	0,877	0,000
44	27717	4	6,645	-4,667	31,428	0,331	2,809	7,592	0,002	30,000	253,062	0,000	33,329	0,331	0,613	0,000
45	27718	5	6,774	-4,690	30,440	0,559	2,751	7,557	0,002	30,000	251,903	0,000	32,269	0,559	0,398	0,000
EmbeddedBeam_31_1	27718	1	6,774	-4,690	30,439	0,560	2,751	7,557	0,002	30,000	251,903	0,000	32,268	0,560	0,410	0,000
Element 2-21 (Embedded beam)	27719	2	6,922	-4,716	29,306	0,769	2,650	7,519	0,001	30,000	250,619	0,000	31,052	0,769	0,192	0,000
/Ricropalo ancoraggio autoperforante R38I=1,60m)	27720	3	7,070	-4,742	28,176	0,933	2,522	7,482	0,001	30,000	249,405	0,000	29,841	0,933	0,061	0,000
46	27721	4	7,219	-4,768	27,052	1,054	2,371	7,448	0,001	30,000	248,275	0,000	28,635	1,054	0,006	0,000
47	27722	5	7,367	-4,794	25,934	1,134	2,206	7,417	0,000	30,000	247,241	0,000	27,436	1,134	0,000	0,000
EmbeddedBeam_31_1	27722	1	7,367	-4,794	25,933	1,139	2,206	7,417	0,000	30,000	247,241	0,000	27,434	1,139	0,000	0,000

Structural element	Node [10^]	Local number	X [m]	Y [m]	N [kN]	Q [10^ kN]	M [10^ kN m]	$T_{,xx}$ [kN/m]	$T_{,yy}$ [kN/m]	$T_{,xx,yy}$ [kN/m]	$T_{,xx,yy}$ [10^]	$N_{,xx}$ [10^ kN]	$N_{,yy}$ [kN]	$Q_{,xx}$ [10^ kN]	$Q_{,yy}$ [10^ kN]	$M_{,xx}$ [10^ kN m]
Element 2-22 (Embedded beam)	27723	2	7,538	-9,824	24,649	-1,194	2,003	7,385	0,000	30,000	246,181	0,000	26,057	-1,194	0,000	0,000
/Micropalo ancoraggio autoperforante R38I=1,60m)	27724	3	7,709	-9,855	23,369	-1,220	1,793	7,358	0,000	30,000	245,276	0,000	24,685	-1,220	0,000	0,000
ze	27725	4	7,880	-9,885	22,093	-1,220	1,581	7,336	0,000	30,000	244,539	0,000	23,318	-1,220	0,000	0,000
ze	27726	5	8,051	-9,915	20,821	-1,194	1,371	7,319	0,000	30,000	243,981	0,000	21,957	-1,194	0,000	0,000
EmbeddedBeam_2_1	27726	1	8,051	-9,915	20,820	-1,197	1,371	7,319	0,000	30,000	243,981	0,000	21,956	-1,197	0,000	0,000
Element 2-23 (Embedded beam)	27727	2	8,248	-9,950	19,357	-1,141	1,137	7,307	0,000	30,000	243,567	0,000	20,391	-1,141	0,000	0,000
/Micropalo ancoraggio autoperforante R38I=1,60m)	27728	3	8,445	-9,984	17,893	-1,064	0,915	7,302	0,000	30,000	243,408	0,000	18,829	-1,064	0,000	0,000
ze	27729	4	8,643	-10,019	16,430	-0,967	0,712	7,305	0,001	30,000	243,508	0,000	17,269	-0,967	0,000	0,000
ze	27730	5	8,840	-10,054	14,967	-0,850	0,529	7,316	0,001	30,000	243,868	0,000	15,713	-0,850	0,000	0,000
EmbeddedBeam_3_1	27730	1	8,840	-10,054	14,965	-0,855	0,529	7,316	0,001	30,000	243,868	0,000	15,710	-0,855	0,000	0,000
Element 2-24 (Embedded beam)	27731	2	9,067	-10,094	13,274	-0,711	0,349	7,338	0,001	30,000	244,605	0,000	13,916	-0,711	0,000	0,000
/Micropalo ancoraggio autoperforante R38I=1,60m)	27732	3	9,295	-10,134	11,574	-0,567	0,201	7,371	0,001	30,000	245,684	0,000	12,116	-0,567	0,000	0,000
ze	27733	4	9,523	-10,175	9,865	-0,424	0,087	7,413	0,001	30,000	247,103	0,000	10,313	-0,424	0,000	0,000
ze	27734	5	9,750	-10,215	8,149	-0,283	0,005	7,466	0,001	30,000	248,862	0,000	8,506	-0,283	0,000	-0,049
EmbeddedBeam_3_1	27734	1	9,750	-10,215	8,145	-0,308	0,005	7,466	0,001	30,000	248,862	0,000	8,502	-0,308	0,000	-0,049
Element 2-25 (Embedded beam)	27735	2	10,013	-10,261	6,149	-0,104	-0,050	7,540	0,001	30,000	251,327	0,000	6,408	-0,240	0,000	-0,092
/Micropalo ancoraggio autoperforante R38I=1,60m)	27736	3	10,275	-10,307	4,127	0,053	-0,054	7,628	0,001	30,000	254,262	0,000	4,293	-0,215	0,107	-0,082
ze	27737	4	10,538	-10,354	2,078	0,123	-0,029	7,736	0,000	30,000	257,871	0,000	2,158	-0,165	0,178	-0,042
ze	27738	5	10,800	-10,400	0,004	0,070	0,000	7,877	0,001	30,000	262,578	0,000	0,004	-0,081	0,109	0,000
EmbeddedBeam_2_1	27739	1	-3,562	-12,132	5,038	0,121	0,000	20,592	0,001	125,000	164,738	-133,104	5,038	0,000	0,209	0,000
Element 3-26 (Embedded beam)	27740	2	-3,445	-12,380	2,257	0,045	0,022	8,179	0,000	125,000	65,431	-65,705	2,257	0,000	0,075	0,000
/Micropalo D168.3 s12.5mm/1,6m)	27741	3	-3,329	-12,628	0,641	0,022	0,030	2,894	0,000	125,000	23,151	-26,166	0,641	0,000	0,022	0,000
ze	27742	4	-3,213	-12,876	0,026	0,050	0,038	1,253	0,000	125,000	10,021	-28,289	0,000	0,007	0,050	0,000
ze	27743	5	-3,096	-13,124	0,038	0,128	0,061	0,493	0,000	125,000	3,947	-9,986	0,038	0,000	0,128	0,000
EmbeddedBeam_2_1	27743	1	-3,096	-13,124	0,160	0,070	0,061	0,493	0,000	125,000	3,947	-160,157	0,000	0,005	0,070	0,000
Element 3-27 (Embedded beam)	27744	2	-2,980	-13,372	0,227	0,075	0,081	0,197	0,000	125,000	1,576	-227,444	0,000	0,006	0,075	0,000
/Micropalo D168.3 s12.5mm/1,6m)	27745	3	-2,863	-13,620	0,266	0,081	0,103	0,067	0,000	125,000	0,535	-265,815	0,000	0,008	0,081	0,000
ze	27746	4	-2,747	-13,868	0,280	0,080	0,125	0,023	0,000	125,000	0,184	-280,415	0,002	0,010	0,080	0,000
ze	27747	5	-2,631	-14,116	0,276	0,061	0,145	0,001	0,000	125,000	0,006	-276,390	0,003	0,012	0,061	0,000
EmbeddedBeam_2_1	27747	1	-2,631	-14,116	0,281	0,067	0,145	0,001	0,000	125,000	0,006	-281,000	0,003	0,012	0,067	0,000
Element 3-28 (Embedded beam)	27748	2	-2,514	-14,364	0,279	0,048	0,161	0,010	0,000	125,000	0,079	-279,278	0,005	0,013	0,048	0,000
/Micropalo D168.3 s12.5mm/1,6m)	27749	3	-2,398	-14,612	0,275	0,029	0,171	0,017	0,000	125,000	0,137	-275,540	0,007	0,014	0,029	0,000
ze	27750	4	-2,282	-14,860	0,270	0,010	0,177	0,025	0,000	125,000	0,200	-269,743	0,008	0,013	0,010	0,000
ze	27751	5	-2,165	-15,108	0,262	0,010	0,177	0,039	0,000	125,000	0,309	-261,844	0,010	0,011	0,000	0,000
EmbeddedBeam_2_1	27751	1	-2,165	-15,108	0,254	0,050	0,177	0,039	0,000	125,000	0,309	-254,061	0,009	0,050	0,000	0,000
Element 3-29 (Embedded beam)	27752	2	-2,049	-15,356	0,251	0,005	0,170	0,071	0,000	125,000	0,565	-251,283	0,011	0,009	0,000	0,000
/Micropalo D168.3 s12.5mm/1,6m)	27753	3	-1,933	-15,604	0,219	0,062	0,165	0,138	0,000	125,000	1,103	-218,705	0,011	0,062	0,000	0,000
ze	27754	4	-1,816	-15,852	0,148	0,268	0,123	0,352	0,001	125,000	2,820	-147,530	0,008	0,268	0,000	0,000
ze	27755	5	-1,700	-16,100	0,029	0,669	0,000	0,857	0,006	125,000	6,853	-28,959	0,002	0,669	0,000	0,000

3.3.1.1.16 Calculation results, Embedded beam, Riempimento 2 [Phase_16] (16/640), Table of embedded beam force envelopes

Structural element	Node [10 ^]	Local number	X [m]	Y [m]	N [kN]	Q [10 ^ kN]	M [10 ^ kN m]	$T_{,sup}$ [kN/m]	$T_{,inf}$ [kN/m]	$T_{,sup,max}$ [kN/m]	$T_{,inf,max}$ [10 ^]	$N_{,d,c}$ [10 ^ kN]	$N_{,d,c}$ [kN]	$Q_{,d,c}$ [10 ^ kN]	$Q_{,d,c}$ [10 ^ kN]	$M_{,d,c}$ [10 ^ kN m]	$M_{,d,c}$ [10 ^ kN m]
EmbeddedBeam_1_1	27637	1	4,600	-2,300	94,614	803,887	0,000	-6,884	-4,073	30,000	229,481	0,000	94,614	0,000	803,887	0,000	0,000
Element 1-1 (Embedded beam)	27638	2	4,890	-2,353	92,594	137,421	128,286	-6,783	-1,707	30,000	226,112	0,000	92,594	0,000	137,421	0,000	128,286
(TITAN 40/20 l=1,60m)	27639	3	5,179	-2,407	90,620	-176,615	116,553	-6,626	-0,228	30,000	220,863	0,000	90,620	176,615	0,000	0,000	116,553
88	27640	4	5,469	-2,460	88,694	-202,648	52,516	-6,462	0,250	30,000	215,387	0,000	88,694	202,648	0,000	0,000	52,516
89	27641	5	5,758	-2,513	86,816	-5,105	18,090	-6,303	0,241	30,000	210,112	0,000	86,816	5,105	0,001	0,000	18,090
EmbeddedBeam_1_1	27641	1	5,758	-2,513	86,815	-79,014	18,090	-6,303	0,241	30,000	210,112	0,000	86,815	79,014	0,000	0,000	18,090
Element 1-2 (Embedded beam)	27642	2	6,010	-2,559	85,219	-32,238	4,291	-6,165	0,148	30,000	205,491	0,000	85,219	32,238	0,000	-0,013	4,291
(TITAN 40/20 l=1,60m)	27643	3	6,262	-2,606	83,657	-4,081	0,045	-6,026	0,064	30,000	200,864	0,000	83,657	4,081	0,158	-1,344	0,006
90	27644	4	6,514	-2,652	82,131	7,718	0,804	-5,885	0,020	30,000	196,181	0,000	82,131	0,000	9,672	-0,377	1,038
91	27645	5	6,766	-2,698	80,642	5,421	2,737	-5,742	0,014	30,000	191,388	0,000	80,642	0,000	5,619	-0,011	3,236
EmbeddedBeam_1_1	27645	1	6,766	-2,698	80,643	9,443	2,737	-5,742	0,014	30,000	191,388	0,000	80,643	0,000	9,443	-0,011	3,236
Element 1-3 (Embedded beam)	27646	2	6,985	-2,739	79,377	14,079	5,290	-5,612	0,027	30,000	187,077	0,000	79,377	0,000	14,079	-0,006	5,352
(TITAN 40/20 l=1,60m)	27647	3	7,204	-2,779	78,141	21,576	9,234	-5,477	0,044	30,000	182,554	0,000	78,141	0,000	21,576	-0,003	9,234
92	27648	4	7,423	-2,819	76,937	31,208	15,067	-5,332	0,046	30,000	177,732	0,000	76,937	0,000	31,208	-0,001	15,067
93	27649	5	7,643	-2,860	75,765	42,248	23,238	-5,176	0,007	30,000	172,520	0,000	75,765	0,000	42,248	-0,001	23,238
EmbeddedBeam_1_1	27649	1	7,643	-2,860	75,767	31,418	23,238	-5,176	0,007	30,000	172,520	0,000	75,767	0,005	31,418	-0,001	23,238
Element 1-4 (Embedded beam)	27650	2	7,833	-2,895	74,776	36,325	30,400	-5,030	-0,086	30,000	167,651	0,000	74,776	0,161	36,325	-0,001	30,400
(TITAN 40/20 l=1,60m)	27651	3	8,024	-2,930	73,817	-0,180	34,692	-4,870	-0,270	30,000	162,334	0,000	73,817	2,527	1,642	0,000	34,692
94	27652	4	8,215	-2,965	72,888	82,407	27,377	-4,704	-0,557	30,000	156,794	0,000	72,888	82,407	0,000	0,000	27,377
95	27653	5	8,405	-3,000	71,993	-214,667	0,537	-4,562	-0,791	30,000	152,053	0,000	71,993	214,667	0,000	-0,537	4,297
EmbeddedBeam_1_1	27653	1	8,405	-3,000	72,003	-244,221	0,537	-4,562	-0,791	30,000	152,053	0,000	72,003	244,221	0,000	-0,537	4,297
Element 1-5 (Embedded beam)	27654	2	8,571	-3,030	71,186	-257,458	43,320	-4,892	0,056	30,000	163,054	0,000	71,186	257,458	0,000	43,320	0,000
(TITAN 40/20 l=1,60m)	27655	3	8,737	-3,061	70,351	-228,435	85,086	5,046	0,247	30,000	168,194	0,000	70,351	228,435	0,000	85,086	0,000
96	27656	4	8,903	-3,091	69,504	-149,466	117,593	5,033	0,648	30,000	167,754	0,000	69,504	149,466	0,000	117,593	0,000
97	27657	5	9,069	-3,122	68,651	-12,869	132,199	4,912	1,356	30,000	163,732	0,000	68,651	39,023	0,067	132,199	0,000
EmbeddedBeam_1_1	27657	1	9,069	-3,122	68,584	71,697	132,199	4,912	1,356	30,000	163,732	0,000	68,584	82,718	0,000	132,199	0,000
Element 1-6 (Embedded beam)	27658	2	9,213	-3,148	67,973	296,141	114,178	5,094	1,907	30,000	169,787	0,000	67,973	0,000	296,141	114,178	0,000
(TITAN 40/20 l=1,60m)	27659	3	9,357	-3,175	67,102	500,915	52,962	6,568	1,094	30,000	218,930	0,000	67,102	0,000	500,915	52,962	0,000
98	27660	4	9,502	-3,201	65,936	508,394	23,227	9,114	0,782	30,000	303,796	0,000	65,936	0,000	508,394	0,001	23,227
99	27661	5	9,646	-3,228	64,440	284,345	84,637	10,854	1,639	30,000	361,803	0,000	64,440	0,000	284,345	0,000	84,637
EmbeddedBeam_1_1	27661	1	9,646	-3,228	64,459	299,121	84,637	18,090	2,731	30,000	603,005	0,000	64,459	0,000	299,121	0,000	84,637
Element 1-7 (Embedded beam)	27662	2	9,771	-3,251	62,166	48,345	105,642	17,975	1,405	30,000	599,157	0,000	62,166	0,000	48,345	0,000	105,642
(TITAN 40/20 l=1,60m)	27663	3	9,896	-3,274	59,885	-106,410	101,064	17,869	0,771	30,000	595,622	0,000	59,885	106,410	0,007	0,000	101,064
100	27664	4	10,022	-3,297	57,617	-172,905	82,295	17,769	0,218	30,000	592,288	0,000	57,617	172,905	0,000	0,000	82,295
101	27665	5	10,147	-3,320	55,363	-158,904	60,419	17,674	0,102	30,000	589,124	0,000	55,363	158,904	0,000	0,000	60,419
EmbeddedBeam_1_1	27665	1	10,147	-3,320	55,361	-179,892	60,419	17,674	0,102	30,000	589,124	0,000	55,361	179,892	0,000	0,000	60,419
Element 1-8 (Embedded beam)	27666	2	10,296	-3,347	52,695	-139,045	36,242	17,569	0,266	30,000	585,637	0,000	52,695	139,045	0,000	0,000	36,242
(TITAN 40/20 l=1,60m)	27667	3	10,445	-3,375	50,040	-98,315	18,318	17,474	0,285	30,000	582,482	0,000	50,040	98,315	0,000	0,000	18,318
102	27668	4	10,594	-3,402	47,399	-60,071	6,330	17,389	0,234	30,000	579,643	0,000	47,399	60,071	0,000	0,000	6,330
103	27669	5	10,743	-3,430	44,774	-26,680	0,146	17,313	0,162	30,000	577,113	0,000	44,774	26,680	0,000	-0,671	0,177
EmbeddedBeam_1_1	27669	1	10,743	-3,430	44,771	-26,908	0,146	17,313	0,162	30,000	577,113	0,000	44,771	26,908	0,000	-0,671	0,177
Element 1-9 (Embedded beam)	27670	2	10,920	-3,462	41,660	-7,591	3,114	17,237	0,085	30,000	574,574	0,000	41,660	7,591	0,000	-3,136	0,034
(TITAN 40/20 l=1,60m)	27671	3	11,097	-3,495	38,558	3,341	3,395	17,175	0,032	30,000	572,515	0,000	38,558	0,112	3,341	-3,395	0,009
104	27672	4	11,274	-3,527	35,465	6,846	2,355	17,128	0,003	30,000	570,939	0,000	35,465	0,035	6,846	-2,355	0,001
105	27673	5	11,452	-3,560	32,384	3,880	1,306	17,095	-0,009	30,000	569,844	0,000	32,384	0,024	3,880	-1,462	0,000
EmbeddedBeam_1_1	27673	1	11,452	-3,560	32,379	5,676	1,306	17,095	-0,009	30,000	569,844	0,000	32,379	0,012	5,676	-1,462	0,000
Element 1-10 (Embedded beam)	27674	2	11,663	-3,599	28,719	3,003	0,389	17,075	-0,011	30,000	569,160	0,000	28,719	0,011	3,003	-0,744	0,000
(TITAN 40/20 l=1,60m)	27675	3	11,874	-3,638	25,055	1,105	0,037	17,074	-0,007	30,000	569,144	0,000	25,055	0,010	1,126	-0,397	0,037
106	27676	4	12,085	-3,676	21,389	0,000	0,142	17,094	-0,003	30,000	569,804	0,000	21,389	0,010	0,247	-0,274	0,142

Structural element	Node [10 ⁰]	Local number	X [m]	Y [m]	N [kN]	Q [10 ⁻¹ kN]	M [10 ⁻¹ kN m]	T_{xxx} [kN/m]	T_{yyy} [kN/m]	$T_{xxx,xxx}$ [kN/m]	$T_{yyy,yyy}$ [10 ⁻¹]	N_{xxx} [10 ⁻¹ kN]	N_{yyy} [kN]	Q_{xxx} [10 ⁻¹ kN]	Q_{yyy} [10 ⁻¹ kN]	M_{xxx} [10 ⁻¹ kN m]	M_{yyy} [10 ⁻¹ kN m]
梁	27677	5	12,296	-3,715	17,722	-0,292	0,096	-17,135	-0,001	30,000	571,158	0,000	17,722	0,292	0,027	-0,257	0,096
EmbeddedBeam_11_1	27677	1	12,296	-3,715	17,715	-0,496	0,096	-17,135	-0,001	30,000	571,158	0,000	17,715	0,496	0,000	-0,257	0,096
Element 1-11 (Embedded beam)	27678	2	12,547	-3,761	13,339	-0,258	0,002	-17,211	0,001	30,000	573,704	0,000	13,339	0,258	0,140	-0,258	0,000
iTITAN 40/20 l=1,60m)	27679	3	12,798	-3,808	8,928	-0,038	0,037	-17,320	0,001	30,000	577,318	0,000	8,928	0,038	0,360	-0,189	0,000
梁	27680	4	13,049	-3,854	4,485	0,098	0,028	-17,474	0,000	30,000	582,462	0,000	4,485	0,000	0,417	-0,088	0,000
梁	27681	5	13,300	-3,900	0,008	0,088	0,000	-17,701	-0,001	30,000	590,019	0,000	0,008	0,000	0,215	0,000	0,000
EmbeddedBeam_31_1	27682	1	2,300	-5,900	58,878	107,330	0,000	-3,838	-0,600	30,000	127,938	0,000	62,359	0,000	114,136	0,000	0,000
Element 2-12 (Embedded beam)	27683	2	2,582	-5,950	57,832	59,685	24,088	-3,887	-0,166	30,000	129,564	0,000	61,196	0,074	59,685	0,000	24,811
iTITAN 40/20 l=1,60m)	27684	3	2,865	-6,000	56,639	10,435	23,998	-4,510	-0,191	30,000	150,345	0,000	59,877	12,630	10,435	-0,002	24,033
梁	27685	4	3,147	-6,049	55,324	-36,030	30,339	-4,738	-0,147	30,000	157,929	0,000	58,429	38,385	0,000	-0,084	30,339
梁	27686	5	3,430	-6,099	53,913	-75,317	14,098	-4,851	0,094	30,000	161,710	0,000	56,877	75,317	0,127	-0,100	14,098
EmbeddedBeam_31_1	27686	1	3,430	-6,099	53,935	-55,907	14,098	-4,851	0,094	30,000	161,710	0,000	56,899	55,907	0,016	-0,100	14,098
Element 2-13 (Embedded beam)	27687	2	3,595	-6,128	53,121	-40,340	6,051	-4,861	0,087	30,000	162,038	0,000	55,999	40,340	0,054	-0,823	6,051
iTITAN 40/20 l=1,60m)	27688	3	3,760	-6,158	52,305	-26,612	0,470	-4,873	0,078	30,000	162,436	0,000	55,096	26,612	0,075	-1,898	0,470
梁	27689	4	3,925	-6,187	51,488	-15,053	2,997	-4,866	0,061	30,000	162,196	0,000	54,191	15,053	0,545	-2,997	0,000
梁	27690	5	4,090	-6,216	50,673	-5,988	4,721	-4,833	0,043	30,000	161,111	0,000	53,285	5,988	1,919	-4,721	0,000
EmbeddedBeam_31_1	27690	1	4,090	-6,216	50,674	-6,040	4,721	-4,833	0,043	30,000	161,111	0,000	53,287	6,040	2,256	-4,721	0,000
Element 2-14 (Embedded beam)	27691	2	4,187	-6,233	50,201	-2,401	5,132	-4,811	0,036	30,000	160,157	0,000	52,761	2,401	2,967	-5,132	0,000
iTITAN 40/20 l=1,60m)	27692	3	4,283	-6,250	49,731	0,989	5,200	-4,790	0,032	30,000	159,651	0,000	52,238	0,000	3,847	-5,200	0,000
梁	27693	4	4,380	-6,267	49,262	4,204	4,944	-4,771	0,032	30,000	159,018	0,000	51,716	0,000	5,367	-4,944	0,000
梁	27694	5	4,476	-6,284	48,795	7,320	4,379	-4,754	0,037	30,000	158,482	0,000	51,196	0,000	7,320	-4,379	0,000
EmbeddedBeam_31_1	27694	1	4,476	-6,284	48,795	7,468	4,379	-4,754	0,037	30,000	158,482	0,000	51,196	0,000	7,468	-4,379	0,000
Element 2-15 (Embedded beam)	27695	2	4,533	-6,294	48,523	9,833	3,885	-4,746	0,043	30,000	158,208	0,000	50,893	0,000	9,833	-3,885	0,000
iTITAN 40/20 l=1,60m)	27696	3	4,589	-6,304	48,251	12,519	3,244	-4,739	0,054	30,000	157,970	0,000	50,591	0,000	12,519	-3,244	0,000
梁	27697	4	4,646	-6,314	47,978	15,302	2,447	-4,747	0,047	30,000	158,247	0,000	50,288	0,000	15,302	-2,468	0,025
梁	27698	5	4,702	-6,324	47,706	17,961	1,492	-4,818	-0,032	30,000	160,616	0,000	49,987	0,000	17,961	-1,938	0,070
EmbeddedBeam_31_1	27698	1	4,702	-6,324	47,705	16,519	1,492	-8,031	-0,054	30,000	267,693	0,000	49,987	0,000	16,519	-1,938	0,070
Element 2-16 (Embedded beam)	27699	2	4,800	-6,341	46,909	11,889	0,091	-8,014	-0,042	30,000	267,144	0,000	49,118	0,022	11,889	-1,287	0,121
iTITAN 40/20 l=1,60m)	27700	3	4,898	-6,358	46,114	8,282	0,902	-7,998	-0,031	30,000	266,602	0,000	48,253	0,628	8,282	-0,828	0,902
梁	27701	4	4,995	-6,376	45,320	5,688	1,587	-7,983	-0,021	30,000	266,112	0,000	47,392	1,160	5,688	-0,515	1,587
梁	27702	5	5,093	-6,393	44,529	4,093	2,064	-7,970	-0,013	30,000	265,654	0,000	46,535	1,144	4,093	-0,284	2,064
EmbeddedBeam_31_1	27702	1	5,093	-6,393	44,529	3,970	2,064	-7,970	-0,013	30,000	265,654	0,000	46,534	1,233	3,970	-0,284	2,064
Element 2-17 (Embedded beam)	27703	2	5,177	-6,408	43,852	3,113	2,363	-7,958	-0,009	30,000	265,256	0,000	45,803	1,023	3,287	-0,266	2,363
iTITAN 40/20 l=1,60m)	27704	3	5,261	-6,422	43,176	2,489	2,600	-7,945	-0,006	30,000	264,842	0,000	45,074	0,720	3,013	-0,327	2,600
梁	27705	4	5,344	-6,437	42,501	2,078	2,793	-7,932	-0,004	30,000	264,495	0,000	44,346	0,445	2,817	-0,373	2,793
梁	27706	5	5,428	-6,452	41,828	1,858	2,959	-7,918	-0,003	30,000	263,943	0,000	43,622	0,187	2,690	-0,383	2,959
EmbeddedBeam_31_1	27706	1	5,428	-6,452	41,827	1,811	2,959	-7,918	-0,003	30,000	263,943	0,000	43,622	0,199	2,677	-0,383	2,959
Element 2-18 (Embedded beam)	27707	2	5,525	-6,469	41,052	1,612	3,126	-7,901	-0,002	30,000	263,381	0,000	42,789	0,043	2,513	-0,351	3,126
iTITAN 40/20 l=1,60m)	27708	3	5,621	-6,486	40,278	1,428	3,275	-7,884	-0,002	30,000	262,788	0,000	41,958	0,000	2,342	-0,274	3,275
梁	27709	4	5,718	-6,503	39,506	1,255	3,407	-7,865	-0,002	30,000	262,164	0,000	41,131	0,000	2,165	-0,193	3,407
梁	27710	5	5,814	-6,520	38,736	1,087	3,522	-7,845	-0,002	30,000	261,512	0,000	40,306	0,000	1,989	-0,114	3,522
EmbeddedBeam_31_1	27710	1	5,814	-6,520	38,735	1,083	3,522	-7,845	-0,002	30,000	261,512	0,000	40,306	0,000	1,999	-0,114	3,522
Element 2-19 (Embedded beam)	27711	2	5,926	-6,540	37,850	0,861	3,632	-7,822	-0,002	30,000	260,730	0,000	39,359	0,000	1,755	-0,035	3,632
iTITAN 40/20 l=1,60m)	27712	3	6,037	-6,559	36,966	0,626	3,716	-7,798	-0,002	30,000	259,921	0,000	38,415	0,000	1,476	-0,026	3,716
梁	27713	4	6,149	-6,579	36,085	0,381	3,773	-7,773	-0,002	30,000	259,091	0,000	37,475	0,000	1,588	-0,017	3,773
梁	27714	5	6,260	-6,599	35,208	0,127	3,802	-7,747	-0,002	30,000	258,245	0,000	36,539	0,000	1,403	-0,007	3,802
EmbeddedBeam_31_1	27714	1	6,260	-6,599	35,207	0,133	3,802	-7,747	-0,002	30,000	258,245	0,000	36,539	0,000	1,427	-0,007	3,802
Element 2-20 (Embedded beam)	27715	2	6,388	-6,621	34,199	-0,154	3,800	-7,718	-0,002	30,000	257,262	0,000	35,464	0,154	1,154	0,000	3,800
iTITAN 40/20 l=1,60m)	27716	3	6,517	-6,644	33,193	-0,420	3,762	-7,688	-0,002	30,000	256,280	0,000	34,394	0,420	0,877	0,000	3,762
梁	27717	4	6,645	-6,667	32,192	-0,661	3,692	-7,659	-0,002	30,000	255,313	0,000	33,329	0,661	0,613	0,000	3,692
梁	27718	5	6,774	-6,690	31,195	-0,876	3,591	-7,631	-0,001	30,000	254,371	0,000	32,269	0,876	0,398	0,000	3,591
EmbeddedBeam_31_1	27718	1	6,774	-6,690	31,194	-0,875	3,591	-7,631	-0,001	30,000	254,371	0,000	32,268	0,875	0,410	0,000	3,591
Element 2-21 (Embedded beam)	27719	2	6,922	-6,716	30,049	-1,076	3,444	-7,600	-0,001	30,000	253,333	0,000	31,052	1,076	0,192	0,000	3,444
iTITAN 40/20 l=1,60m)	27720	3	7,070	-6,742	28,906	-1,234	3,269	-7,571	-0,001	30,000	252,363	0,000	29,841	1,234	0,061	0,000	3,269
梁	27721	4	7,219	-6,768	27,769	-1,350	3,074	-7,544	-0,001	30,000	251,475	0,000	28,635	1,350	0,006	0,000	3,074
梁	27722	5	7,367	-6,794	26,636	-1,424	2,865	-7,521	0,000	30,000	250,684	0,000	27,436	1,424	0,000	0,000	2,865
EmbeddedBeam_31_1	27722	1	7,367	-6,794	26,634	-1,429	2,865	-7,521	0,000	30,000	250,684	0,000	27,434	1,429	0,000	0,000	2,865

Structural element	Node [10 ^]	Local number	X [m]	Y [m]	N [kN]	Q [10 ^ kN]	M [10 ^ kN m]	$T_{,,,}$ [kN/m]	$T_{,,,}$ [kN/m]	$T_{,,,,,,}$ [kN/m]	$T_{,,,,,,}$ [10 ^]	$N_{,,,}$ [10 ^ kN]	$N_{,,,}$ [kN]	$Q_{,,,}$ [10 ^ kN]	$Q_{,,,}$ [10 ^ kN]	$M_{,,,}$ [10 ^ kN m]	$M_{,,,}$ [10 ^ kN m]
Element 2-22 (Embedded beam)	27723	2	7,538	-6,824	25,332	-1,475	2,613	-7,497	0,000	30,000	249,908	0,000	26,057	-1,475	0,000	0,000	2,613
(TITAN 40/20 l=1,60m)	27724	3	7,709	-6,855	24,031	-1,490	2,355	-7,479	0,000	30,000	249,294	0,000	24,685	-1,490	0,000	0,000	2,355
##	27725	4	7,880	-6,885	22,733	-1,474	2,097	-7,466	0,000	30,000	248,855	0,000	23,318	-1,474	0,000	0,000	2,097
##	27726	5	8,051	-6,915	21,439	-1,430	1,844	-7,458	0,000	30,000	248,602	0,000	21,957	-1,430	0,000	0,000	1,844
EmbeddedBeam_3_1	27726	1	8,051	-6,915	21,437	-1,433	1,844	-7,458	0,000	30,000	248,602	0,000	21,956	-1,433	0,000	0,000	1,844
Element 2-23 (Embedded beam)	27727	2	8,248	-6,950	19,945	-1,352	1,565	-7,457	0,000	30,000	248,551	0,000	20,391	-1,352	0,000	0,000	1,565
(TITAN 40/20 l=1,60m)	27728	3	8,445	-6,984	18,451	-1,247	1,304	-7,463	0,001	30,000	248,765	0,000	18,829	-1,247	0,000	0,000	1,304
##	27729	4	8,643	-7,019	16,954	-1,119	1,067	-7,477	0,001	30,000	249,250	0,000	17,269	-1,119	0,000	0,000	1,067
##	27730	5	8,840	-7,054	15,456	-0,969	0,858	-7,500	0,001	30,000	250,003	0,000	15,713	-0,969	0,000	0,000	0,858
EmbeddedBeam_3_1	27730	1	8,840	-7,054	15,453	-0,979	0,858	-7,500	0,001	30,000	250,003	0,000	15,710	-0,979	0,000	0,000	0,858
Element 2-24 (Embedded beam)	27731	2	9,067	-7,094	13,718	-0,790	0,654	-7,536	0,001	30,000	251,203	0,000	13,916	-0,790	0,000	0,000	0,654
(TITAN 40/20 l=1,60m)	27732	3	9,295	-7,134	11,971	-0,617	0,491	-7,583	0,001	30,000	252,751	0,000	12,116	-0,617	0,000	0,000	0,491
##	27733	4	9,523	-7,175	10,212	-0,464	0,367	-7,639	0,001	30,000	254,644	0,000	10,313	-0,464	0,000	0,000	0,367
##	27734	5	9,750	-7,215	8,441	-0,334	0,275	-7,706	0,000	30,000	256,882	0,000	8,506	-0,334	0,000	0,049	0,275
EmbeddedBeam_3_1	27734	1	9,750	-7,215	8,438	-0,320	0,275	-7,706	0,000	30,000	256,882	0,000	8,502	-0,320	0,000	0,049	0,275
Element 2-25 (Embedded beam)	27735	2	10,013	-7,261	6,375	-0,295	0,194	-7,797	0,000	30,000	259,902	0,000	6,408	-0,295	0,000	0,092	0,194
(TITAN 40/20 l=1,60m)	27736	3	10,275	-7,307	4,282	-0,273	0,117	-7,902	0,000	30,000	263,397	0,000	4,293	-0,273	0,107	0,082	0,117
##	27737	4	10,538	-7,354	2,158	-0,229	0,051	-8,027	0,000	30,000	267,580	0,000	2,158	-0,229	0,178	0,042	0,051
##	27738	5	10,800	-7,400	0,004	-0,139	0,000	-8,187	0,002	30,000	272,892	0,000	0,004	-0,139	0,109	0,000	0,000
EmbeddedBeam_2_1	27739	1	-3,562	-12,132	12,506	0,424	0,000	-51,284	0,003	125,000	410,270	-133,104	12,506	0,000	0,424	0,000	0,000
Element 3-26 (Embedded beam)	27740	2	-3,445	-12,380	5,580	0,081	0,063	-20,364	-0,001	125,000	162,912	-65,705	5,580	0,000	0,081	0,000	0,063
(Ricrapalo D168.3 x12.5mm/1,6m)	27741	3	-3,329	-12,628	1,557	-0,025	0,067	-7,201	0,000	125,000	57,607	-26,166	1,557	-0,025	0,022	0,000	0,067
##	27742	4	-3,213	-12,876	-0,102	0,061	0,067	-3,114	0,001	125,000	24,912	-102,297	0,000	-0,007	0,064	0,000	0,067
##	27743	5	-3,096	-13,124	0,059	0,294	0,113	-1,224	0,000	125,000	9,795	-9,986	0,059	0,000	0,294	0,000	0,113
EmbeddedBeam_2_1	27743	1	-3,096	-13,124	-0,433	0,138	0,113	-1,224	0,000	125,000	9,795	-433,147	0,000	-0,005	0,138	0,000	0,113
Element 3-27 (Embedded beam)	27744	2	-2,980	-13,372	-0,600	0,163	0,153	-0,488	0,000	125,000	3,903	-600,196	0,000	-0,006	0,163	0,000	0,153
(Ricrapalo D168.3 x12.5mm/1,6m)	27745	3	-2,863	-13,620	-0,696	0,192	0,203	-0,165	0,000	125,000	1,323	-695,523	0,000	-0,008	0,192	0,000	0,203
##	27746	4	-2,747	-13,868	-0,732	0,199	0,256	-0,058	0,000	125,000	0,464	-731,977	0,002	-0,010	0,199	0,000	0,256
##	27747	5	-2,631	-14,116	-0,722	0,161	0,307	-0,004	0,000	125,000	0,034	-722,408	0,003	-0,012	0,161	0,000	0,307
EmbeddedBeam_2_1	27747	1	-2,631	-14,116	-0,734	0,176	0,307	-0,004	0,000	125,000	0,034	-733,847	0,003	-0,012	0,176	0,000	0,307
Element 3-28 (Embedded beam)	27748	2	-2,514	-14,364	-0,731	0,135	0,350	0,021	0,000	125,000	0,169	-730,530	0,005	-0,013	0,135	0,000	0,350
(Ricrapalo D168.3 x12.5mm/1,6m)	27749	3	-2,398	-14,612	-0,722	0,091	0,381	0,038	0,000	125,000	0,303	-722,374	0,007	-0,014	0,091	0,000	0,381
##	27750	4	-2,282	-14,860	-0,709	0,043	0,400	0,058	0,000	125,000	0,461	-709,215	0,008	-0,013	0,043	0,000	0,400
##	27751	5	-2,165	-15,108	-0,691	-0,008	0,404	0,093	0,000	125,000	0,745	-690,883	0,010	-0,011	0,000	0,000	0,404
EmbeddedBeam_2_1	27751	1	-2,165	-15,108	-0,670	-0,100	0,404	0,093	0,000	125,000	0,745	-669,882	0,009	-0,100	0,000	0,000	0,404
Element 3-29 (Embedded beam)	27752	2	-2,049	-15,356	-0,665	0,002	0,394	0,179	0,000	125,000	1,429	-665,482	0,011	-0,009	0,002	0,000	0,394
(Ricrapalo D168.3 x12.5mm/1,6m)	27753	3	-1,933	-15,604	-0,581	-0,136	0,385	0,359	-0,001	125,000	2,870	-581,101	0,011	-0,136	0,000	0,000	0,385
##	27754	4	-1,816	-15,852	-0,393	-0,624	0,287	0,935	-0,003	125,000	7,482	-393,089	0,008	-0,624	0,000	0,000	0,287
##	27755	5	-1,700	-16,100	-0,078	-1,570	0,000	2,290	0,014	125,000	18,317	-77,793	0,002	-1,570	0,000	0,000	0,000

3.3.1.1.17 Calculation results, Embedded beam, Riempimento 3 ed estensione tirante [Phase_17] (17/646), Table of embedded beam force envelopes

Structural element	Node [10 ¹]	Local number	X [m]	Y [m]	N [kN]	Q [10 ⁻¹ kN]	M [10 ⁻¹ kN m]	$T_{,,,}$ [kN/m]	$T_{,,,}$ [kN/m]	$T_{,,,,,,}$ [kN/m]	$T_{,,,,,,}$ [10 ⁻¹]	$N_{,,,}$ [10 ⁻¹ kN]	$N_{,,,}$ [kN]	$Q_{,,,}$ [10 ⁻¹ kN]	$Q_{,,,}$ [10 ⁻¹ kN]	$M_{,,,}$ [10 ⁻¹ kN m]	$M_{,,,}$ [10 ⁻¹ kN m]
EmbeddedBeam_11_1	27637	1	4,600	-2,300	97,892	837,832	0,000	-6,990	-4,170	30,000	233,014	0,000	97,892	0,000	837,832	0,000	0,000
Element 1-1 (Embedded beam)	27638	2	4,890	-2,353	95,824	143,000	133,680	-6,948	-1,780	30,000	231,590	0,000	95,824	0,000	143,000	0,000	133,680
/TITAN 40/20 l=1,60m)	27639	3	5,179	-2,407	93,802	-184,605	121,329	-6,786	-0,240	30,000	226,191	0,000	93,802	184,605	0,000	0,000	121,329
##	27640	4	5,469	-2,460	91,829	-211,802	54,421	-6,616	0,261	30,000	220,540	0,000	91,829	211,802	0,000	0,000	54,421
##	27641	5	5,758	-2,513	89,906	-5,409	18,419	-6,460	0,252	30,000	215,347	0,000	89,906	5,409	0,001	0,000	18,419
EmbeddedBeam_11_1	27641	1	5,758	-2,513	89,905	-82,556	18,419	-6,460	0,252	30,000	215,347	0,000	89,905	82,556	0,000	0,000	18,419
Element 1-2 (Embedded beam)	27642	2	6,010	-2,559	88,268	-33,631	4,007	-6,323	0,155	30,000	210,757	0,000	88,268	33,631	0,000	-0,013	4,291
/TITAN 40/20 l=1,60m)	27643	3	6,262	-2,606	86,666	-4,150	0,502	-6,185	0,067	30,000	206,164	0,000	86,666	4,150	0,158	-1,344	0,006
##	27644	4	6,514	-2,652	85,099	8,250	0,423	-6,045	0,021	30,000	201,503	0,000	85,099	0,000	9,672	-0,377	1,038
##	27645	5	6,766	-2,698	83,569	5,933	2,501	-5,901	0,015	30,000	196,715	0,000	83,569	0,000	5,933	-0,011	3,236
EmbeddedBeam_11_1	27645	1	6,766	-2,698	83,570	10,096	2,501	-5,901	0,015	30,000	196,715	0,000	83,570	0,000	10,096	-0,011	3,236
Element 1-3 (Embedded beam)	27646	2	6,985	-2,739	82,269	15,043	5,235	-5,772	0,028	30,000	192,393	0,000	82,269	0,000	15,043	-0,006	5,352
/TITAN 40/20 l=1,60m)	27647	3	7,204	-2,779	80,998	22,795	9,425	-5,635	0,045	30,000	187,832	0,000	80,998	0,000	22,795	-0,003	9,425
##	27648	4	7,423	-2,819	79,758	12,578	15,547	-5,488	0,046	30,000	182,932	0,000	79,758	0,000	12,578	-0,001	15,547
##	27649	5	7,643	-2,860	78,552	43,621	24,027	-5,328	0,005	30,000	177,603	0,000	78,552	0,000	43,621	-0,001	24,027
EmbeddedBeam_11_1	27649	1	7,643	-2,860	78,553	32,312	24,027	-5,328	0,005	30,000	177,603	0,000	78,553	0,005	32,312	-0,001	24,027
Element 1-4 (Embedded beam)	27650	2	7,833	-2,895	77,534	37,165	31,381	-5,179	-0,091	30,000	172,640	0,000	77,534	0,161	37,165	-0,001	31,381
/TITAN 40/20 l=1,60m)	27651	3	8,024	-2,930	76,545	-1,072	35,701	-5,016	-0,282	30,000	167,195	0,000	76,545	2,527	1,642	0,000	35,701
##	27652	4	8,215	-2,965	75,589	-86,953	27,888	-4,845	-0,582	30,000	161,501	0,000	75,589	86,953	0,000	0,000	27,888
##	27653	5	8,405	-3,000	74,667	-225,030	-1,433	-4,707	-0,810	30,000	156,892	0,000	74,667	225,030	0,000	-1,433	4,297
EmbeddedBeam_11_1	27653	1	8,405	-3,000	74,678	-255,145	-1,433	-4,707	-0,810	30,000	156,892	0,000	74,678	255,145	0,000	-1,433	4,297
Element 1-5 (Embedded beam)	27654	2	8,571	-3,030	73,833	-266,252	-45,876	-5,053	0,070	30,000	168,447	0,000	73,833	266,252	0,000	-45,876	0,000
/TITAN 40/20 l=1,60m)	27655	3	8,737	-3,061	72,971	-234,747	88,933	-5,207	0,260	30,000	173,552	0,000	72,971	234,747	0,000	-88,933	0,000
##	27656	4	8,903	-3,091	72,097	-152,453	-122,232	-5,189	0,672	30,000	172,981	0,000	72,097	152,453	0,000	-122,232	0,000
##	27657	5	9,069	-3,122	71,218	-11,192	-136,974	-5,064	1,406	30,000	168,799	0,000	71,218	39,023	0,067	-136,974	0,000
EmbeddedBeam_11_1	27657	1	9,069	-3,122	71,148	-71,261	-136,974	-5,064	1,406	30,000	168,799	0,000	71,148	82,718	0,000	-136,974	0,000
Element 1-6 (Embedded beam)	27658	2	9,213	-3,148	70,518	308,137	-117,971	-5,261	1,967	30,000	175,375	0,000	70,518	0,000	308,137	-117,971	0,000
/TITAN 40/20 l=1,60m)	27659	3	9,357	-3,175	69,617	518,818	-54,493	-6,800	1,115	30,000	226,662	0,000	69,617	0,000	518,818	-54,493	0,000
##	27660	4	9,502	-3,201	68,411	526,638	24,418	-9,419	-0,799	30,000	313,971	0,000	68,411	0,000	526,638	-0,001	24,418
##	27661	5	9,646	-3,228	66,866	297,453	88,194	-11,251	-1,705	30,000	375,043	0,000	66,866	0,000	297,453	0,000	88,194
EmbeddedBeam_11_1	27661	1	9,646	-3,228	66,884	311,031	88,194	-18,752	-2,841	30,000	625,071	0,000	66,884	0,000	311,031	0,000	88,194
Element 1-7 (Embedded beam)	27662	2	9,771	-3,251	64,507	50,143	110,026	-18,635	-1,670	30,000	621,158	0,000	64,507	0,000	50,143	0,000	110,026
/TITAN 40/20 l=1,60m)	27663	3	9,896	-3,274	62,142	-110,851	105,245	-18,527	-0,802	30,000	617,550	0,000	62,142	110,851	0,007	0,000	105,245
##	27664	4	10,022	-3,297	59,790	-180,026	85,699	-18,424	-0,227	30,000	614,142	0,000	59,790	180,026	0,000	0,000	85,699
##	27665	5	10,147	-3,320	57,454	-165,456	62,922	-18,327	0,106	30,000	610,910	0,000	57,454	165,456	0,000	0,000	62,922
EmbeddedBeam_11_1	27665	1	10,147	-3,320	57,451	-187,289	62,922	-18,327	0,106	30,000	610,910	0,000	57,451	187,289	0,000	0,000	62,922
Element 1-8 (Embedded beam)	27666	2	10,296	-3,347	54,686	-144,760	37,752	-18,221	0,277	30,000	607,351	0,000	54,686	144,760	0,000	0,000	37,752
/TITAN 40/20 l=1,60m)	27667	3	10,445	-3,375	51,933	-102,351	19,091	-18,124	0,297	30,000	604,132	0,000	51,933	102,351	0,000	0,000	19,091
##	27668	4	10,594	-3,402	49,194	-62,529	6,612	-18,037	0,243	30,000	601,235	0,000	49,194	62,529	0,000	0,000	6,612
##	27669	5	10,743	-3,430	46,470	-27,757	0,127	-17,960	0,169	30,000	598,656	0,000	46,470	27,757	0,000	-0,671	0,177
EmbeddedBeam_11_1	27669	1	10,743	-3,430	46,467	-28,001	0,127	-17,960	0,169	30,000	598,656	0,000	46,467	28,001	0,000	-0,671	0,177
Element 1-9 (Embedded beam)	27670	2	10,920	-3,462	43,240	-7,907	3,217	-17,882	0,088	30,000	596,070	0,000	43,240	7,907	0,000	-3,217	0,034
/TITAN 40/20 l=1,60m)	27671	3	11,097	-3,495	40,022	3,462	3,512	-17,819	0,033	30,000	593,980	0,000	40,022	0,112	3,462	-3,512	0,009
##	27672	4	11,274	-3,527	36,813	7,103	2,433	-17,772	0,003	30,000	592,390	0,000	36,813	0,035	7,103	-2,433	0,001
##	27673	5	11,452	-3,560	33,616	4,013	1,345	-17,739	-0,009	30,000	591,299	0,000	33,616	0,024	4,013	-1,462	0,000
EmbeddedBeam_11_1	27673	1	11,452	-3,560	33,611	5,881	1,345	-17,739	-0,009	30,000	591,299	0,000	33,611	0,012	5,881	-1,462	0,000
Element 1-10 (Embedded beam)	27674	2	11,663	-3,599	29,813	3,104	0,396	-17,719	-0,011	30,000	590,643	0,000	29,813	0,011	3,104	-0,744	0,000
/TITAN 40/20 l=1,60m)	27675	3	11,874	-3,638	26,010	1,134	0,044	-17,720	-0,007	30,000	590,680	0,000	26,010	0,010	1,134	-0,397	0,044
##	27676	4	12,085	-3,676	22,205	-0,011	0,150	-17,743	-0,003	30,000	591,418	0,000	22,205	0,011	0,247	-0,274	0,150

Structural element	Node [10 ¹]	Local number	X [m]	Y [m]	N [kN]	Q [10 ⁻¹ kN]	M [10 ⁻¹ kN m]	$T_{x,x}$ [kN/m]	$T_{y,y}$ [kN/m]	$T_{x,y=x,y}$ [kN/m]	$T_{x,y,x,y}$ [10 ⁻¹]	$N_{x,x}$ [10 ⁻¹ kN]	$N_{y,y}$ [kN]	$Q_{x,y}$ [10 ⁻¹ kN]	$Q_{y,y}$ [10 ⁻¹ kN]	$M_{x,x}$ [10 ⁻¹ kN m]	$M_{y,y}$ [10 ⁻¹ kN m]
폴	27677	5	12,296	-3,715	18,400	-0,310	0,100	-17,786	-0,001	30,000	592,875	0,000	18,400	0,310	0,027	-0,257	0,100
EmbeddedBeam_11_1	27677	1	12,296	-3,715	18,392	-0,522	0,100	-17,786	-0,001	30,000	592,875	0,000	18,392	0,522	0,000	-0,257	0,100
Element 1-11 (Embedded beam)	27678	2	12,547	-3,761	13,849	-0,272	0,003	-17,867	0,001	30,000	595,578	0,000	13,849	0,272	0,140	-0,258	0,000
iTITAN 40/20 l=1,60m)	27679	3	12,798	-3,808	9,270	-0,039	0,040	-17,982	0,001	30,000	599,386	0,000	9,270	0,039	0,360	-0,189	0,000
폴	27680	4	13,049	-3,854	4,657	0,106	0,030	-18,143	0,000	30,000	604,778	0,000	4,657	0,000	0,417	-0,088	0,000
폴	27681	5	13,300	-3,900	0,008	0,092	0,000	-18,380	-0,002	30,000	612,676	0,000	0,008	0,000	0,215	0,000	0,000
EmbeddedBeam_31_1	27682	1	2,300	-5,900	58,847	107,391	0,000	-3,805	-0,597	30,000	126,840	0,000	62,359	0,000	114,136	0,000	0,000
Element 2-12 (Embedded beam)	27683	2	2,582	-5,950	57,811	59,996	24,148	-3,853	-0,166	30,000	128,425	0,000	61,196	0,074	59,996	0,000	24,811
iTITAN 40/20 l=1,60m)	27684	3	2,865	-6,000	56,628	10,761	24,153	-4,475	-0,192	30,000	149,156	0,000	59,877	12,630	10,761	-0,002	24,153
폴	27685	4	3,147	-6,049	55,323	-35,880	20,568	-4,700	-0,147	30,000	156,682	0,000	58,429	38,385	0,000	-0,084	20,568
폴	27686	5	3,430	-6,099	53,923	-75,489	14,326	-4,812	0,093	30,000	160,405	0,000	56,877	75,489	0,127	-0,100	14,326
EmbeddedBeam_31_1	27686	1	3,430	-6,099	53,945	-56,028	14,326	-4,812	0,093	30,000	160,405	0,000	56,899	56,028	0,016	-0,100	14,326
Element 2-13 (Embedded beam)	27687	2	3,595	-6,128	53,137	-40,633	6,244	-4,821	0,086	30,000	160,702	0,000	55,999	40,633	0,054	-0,823	6,244
iTITAN 40/20 l=1,60m)	27688	3	3,760	-6,158	52,328	-27,047	0,602	-4,832	0,078	30,000	161,073	0,000	55,096	27,047	0,075	-1,898	0,602
폴	27689	4	3,925	-6,187	51,519	-15,589	2,948	-4,824	0,061	30,000	160,814	0,000	54,191	15,589	0,545	-2,997	0,000
폴	27690	5	4,090	-6,216	50,710	-6,577	4,767	-4,791	0,043	30,000	159,716	0,000	53,285	6,577	1,919	-4,767	0,000
EmbeddedBeam_31_1	27690	1	4,090	-6,216	50,711	-6,595	4,767	-4,791	0,043	30,000	159,716	0,000	53,287	6,595	2,256	-4,767	0,000
Element 2-14 (Embedded beam)	27691	2	4,187	-6,233	50,243	-2,909	5,231	-4,769	0,037	30,000	158,960	0,000	52,761	2,909	2,967	-5,231	0,000
iTITAN 40/20 l=1,60m)	27692	3	4,283	-6,250	49,776	0,622	5,343	-4,748	0,034	30,000	158,255	0,000	52,238	0,000	3,847	-5,343	0,000
폴	27693	4	4,380	-6,267	49,311	4,079	5,111	-4,729	0,035	30,000	157,628	0,000	51,716	0,000	5,367	-5,111	0,000
폴	27694	5	4,476	-6,284	48,849	7,542	4,542	-4,713	0,042	30,000	157,108	0,000	51,196	0,000	7,542	-4,542	0,000
EmbeddedBeam_31_1	27694	1	4,476	-6,284	48,848	7,700	4,542	-4,713	0,042	30,000	157,108	0,000	51,196	0,000	7,700	-4,542	0,000
Element 2-15 (Embedded beam)	27695	2	4,533	-6,294	48,579	10,429	4,026	-4,705	0,050	30,000	156,840	0,000	50,893	0,000	10,429	-4,026	0,000
iTITAN 40/20 l=1,60m)	27696	3	4,589	-6,304	48,309	13,547	3,338	-4,699	0,063	30,000	156,622	0,000	50,591	0,000	13,547	-3,338	0,000
폴	27697	4	4,646	-6,314	48,039	16,787	2,469	-4,711	0,054	30,000	157,030	0,000	50,288	0,000	16,787	-2,469	0,025
폴	27698	5	4,702	-6,324	47,769	19,884	1,416	-4,794	-0,035	30,000	159,803	0,000	49,987	0,000	19,884	-1,938	0,070
EmbeddedBeam_31_1	27698	1	4,702	-6,324	47,767	18,266	1,416	-7,990	-0,058	30,000	266,338	0,000	49,987	0,000	18,266	-1,938	0,070
Element 2-16 (Embedded beam)	27699	2	4,800	-6,341	46,975	13,152	0,134	-7,977	-0,046	30,000	265,903	0,000	49,118	0,022	13,152	-1,287	0,134
iTITAN 40/20 l=1,60m)	27700	3	4,898	-6,358	46,184	9,128	1,231	-7,964	-0,035	30,000	265,460	0,000	48,253	0,628	9,128	-0,828	1,231
폴	27701	4	4,995	-6,376	45,394	5,185	1,982	-7,952	-0,024	30,000	265,062	0,000	47,392	1,160	5,185	-0,515	1,982
폴	27702	5	5,093	-6,393	44,605	4,317	2,494	-7,941	-0,016	30,000	264,690	0,000	46,535	1,144	4,317	-0,284	2,494
EmbeddedBeam_31_1	27702	1	5,093	-6,393	44,605	4,193	2,494	-7,941	-0,016	30,000	264,690	0,000	46,534	1,233	4,193	-0,284	2,494
Element 2-17 (Embedded beam)	27703	2	5,177	-6,408	43,931	3,172	2,805	-7,931	-0,010	30,000	264,359	0,000	45,803	1,023	3,287	-0,266	2,805
iTITAN 40/20 l=1,60m)	27704	3	5,261	-6,422	43,257	2,425	3,042	-7,920	-0,007	30,000	264,007	0,000	45,074	0,720	3,013	-0,327	3,042
폴	27705	4	5,344	-6,437	42,584	1,931	3,225	-7,909	-0,005	30,000	263,627	0,000	44,346	0,445	2,817	-0,373	3,225
폴	27706	5	5,428	-6,452	41,912	1,666	3,376	-7,897	-0,003	30,000	263,219	0,000	43,622	0,187	2,690	-0,383	3,376
EmbeddedBeam_31_1	27706	1	5,428	-6,452	41,912	1,612	3,376	-7,897	-0,003	30,000	263,219	0,000	43,622	0,199	2,677	-0,383	3,376
Element 2-18 (Embedded beam)	27707	2	5,525	-6,469	41,139	1,386	3,523	-7,881	-0,002	30,000	262,713	0,000	42,789	0,043	2,513	-0,351	3,523
iTITAN 40/20 l=1,60m)	27708	3	5,621	-6,486	40,367	1,190	3,649	-7,865	-0,002	30,000	262,171	0,000	41,958	0,000	2,342	-0,274	3,649
폴	27709	4	5,718	-6,503	39,596	1,017	3,757	-7,848	-0,002	30,000	261,596	0,000	41,131	0,000	2,165	-0,193	3,757
폴	27710	5	5,814	-6,520	38,828	0,863	3,849	-7,830	-0,002	30,000	260,990	0,000	40,306	0,000	1,989	-0,114	3,849
EmbeddedBeam_31_1	27710	1	5,814	-6,520	38,827	0,856	3,849	-7,830	-0,002	30,000	260,990	0,000	40,306	0,000	1,999	-0,114	3,849
Element 2-19 (Embedded beam)	27711	2	5,926	-6,540	37,943	0,652	3,934	-7,808	-0,002	30,000	260,257	0,000	39,359	0,000	1,755	-0,035	3,934
iTITAN 40/20 l=1,60m)	27712	3	6,037	-6,559	37,061	0,436	3,996	-7,785	-0,002	30,000	259,496	0,000	38,415	0,000	1,676	-0,026	3,996
폴	27713	4	6,149	-6,579	36,182	0,210	4,033	-7,761	-0,002	30,000	258,711	0,000	37,475	0,000	1,588	-0,017	4,033
폴	27714	5	6,260	-6,599	35,306	-0,027	4,043	-7,737	-0,002	30,000	257,910	0,000	36,539	0,027	1,403	-0,007	4,043
EmbeddedBeam_31_1	27714	1	6,260	-6,599	35,305	-0,020	4,043	-7,737	-0,002	30,000	257,910	0,000	36,539	0,020	1,427	-0,007	4,043
Element 2-20 (Embedded beam)	27715	2	6,388	-6,621	34,298	-0,291	4,023	-7,709	-0,002	30,000	256,977	0,000	35,464	0,291	1,154	0,000	4,023
iTITAN 40/20 l=1,60m)	27716	3	6,517	-6,644	33,293	-0,543	3,968	-7,681	-0,002	30,000	256,045	0,000	34,394	0,543	0,877	0,000	3,968
폴	27717	4	6,645	-6,667	32,293	-0,773	3,882	-7,654	-0,002	30,000	255,127	0,000	33,329	0,773	0,613	0,000	3,882
폴	27718	5	6,774	-6,690	31,296	-0,981	3,767	-7,627	-0,001	30,000	254,234	0,000	32,269	0,981	0,398	0,000	3,767
EmbeddedBeam_31_1	27718	1	6,774	-6,690	31,296	-0,979	3,767	-7,627	-0,001	30,000	254,234	0,000	32,268	0,979	0,410	0,000	3,767
Element 2-21 (Embedded beam)	27719	2	6,922	-6,716	30,150	-1,173	3,605	-7,598	-0,001	30,000	253,254	0,000	31,052	1,173	0,192	0,000	3,605
iTITAN 40/20 l=1,60m)	27720	3	7,070	-6,742	29,009	-1,325	3,416	-7,570	-0,001	30,000	252,342	0,000	29,841	1,325	0,061	0,000	3,416
폴	27721	4	7,219	-6,768	27,871	-1,435	3,208	-7,545	-0,001	30,000	251,514	0,000	28,635	1,435	0,006	0,000	3,208
폴	27722	5	7,367	-6,794	26,737	-1,504	2,986	-7,524	0,000	30,000	250,785	0,000	27,436	1,504	0,000	0,000	2,986
EmbeddedBeam_31_1	27722	1	7,367	-6,794	26,736	-1,509	2,986	-7,524	0,000	30,000	250,785	0,000	27,434	1,509	0,000	0,000	2,986

Structural element	Node [10 ^]	Local number	X [m]	Y [m]	N [kN]	Q [10 ^ kN]	M [10 ^ kN m]	$T_{,,,}$ [kN/m]	$T_{,,,}$ [kN/m]	$T_{,,,,,,}$ [kN/m]	$T_{,,,,,,}$ [10 ^]	$N_{,,,}$ [10 ^ kN]	$N_{,,,}$ [kN]	$Q_{,,,}$ [10 ^ kN]	$Q_{,,,}$ [10 ^ kN]	$M_{,,,}$ [10 ^ kN m]	$M_{,,,}$ [10 ^ kN m]
Element 2-22 (Embedded beam)	27723	2	7,538	-6,824	25,433	-1,549	2,720	-7,502	0,000	30,000	250,082	0,000	26,057	-1,549	0,000	0,000	2,720
(TITAN 40/20 l=1,60m)	27724	3	7,709	-6,855	24,131	-1,557	2,450	-7,486	0,000	30,000	249,544	0,000	24,685	-1,557	0,000	0,000	2,450
#####	27725	4	7,880	-6,885	22,832	-1,534	2,181	-7,476	0,000	30,000	249,183	0,000	23,318	-1,534	0,000	0,000	2,181
#####	27726	5	8,051	-6,915	21,536	-1,483	1,919	-7,470	0,000	30,000	249,012	0,000	21,957	-1,483	0,000	0,000	1,919
EmbeddedBeam_3_1	27726	1	8,051	-6,915	21,534	-1,486	1,919	-7,470	0,000	30,000	249,012	0,000	21,956	-1,486	0,000	0,000	1,919
Element 2-23 (Embedded beam)	27727	2	8,248	-6,950	20,039	-1,397	1,630	-7,472	0,001	30,000	249,058	0,000	20,391	-1,397	0,000	0,000	1,630
(TITAN 40/20 l=1,60m)	27728	3	8,445	-6,984	18,541	-1,285	1,361	-7,481	0,001	30,000	249,373	0,000	18,829	-1,285	0,000	0,000	1,361
#####	27729	4	8,643	-7,019	17,040	-1,149	1,117	-7,499	0,001	30,000	249,960	0,000	17,269	-1,149	0,000	0,000	1,117
#####	27730	5	8,840	-7,054	15,538	-0,993	0,902	-7,525	0,001	30,000	250,819	0,000	15,713	-0,993	0,000	0,000	0,902
EmbeddedBeam_3_1	27730	1	8,840	-7,054	15,535	-1,003	0,902	-7,525	0,001	30,000	250,819	0,000	15,710	-1,003	0,000	0,000	0,902
Element 2-24 (Embedded beam)	27731	2	9,067	-7,094	13,794	-0,806	0,693	-7,564	0,001	30,000	252,144	0,000	13,916	-0,806	0,000	0,000	0,693
(TITAN 40/20 l=1,60m)	27732	3	9,295	-7,134	12,040	-0,627	0,528	-7,615	0,001	30,000	253,818	0,000	12,116	-0,627	0,000	0,000	0,528
#####	27733	4	9,523	-7,175	10,273	-0,471	0,402	-7,675	0,001	30,000	255,840	0,000	10,313	-0,471	0,000	0,000	0,402
#####	27734	5	9,750	-7,215	8,494	-0,341	0,308	-7,746	0,000	30,000	258,208	0,000	8,506	-0,341	0,000	0,049	0,308
EmbeddedBeam_3_1	27734	1	9,750	-7,215	8,490	-0,322	0,308	-7,746	0,000	30,000	258,208	0,000	8,502	-0,322	0,000	0,049	0,308
Element 2-25 (Embedded beam)	27735	2	10,013	-7,261	6,417	-0,319	0,224	-7,841	0,000	30,000	261,381	0,000	6,417	-0,319	0,000	0,092	0,224
(TITAN 40/20 l=1,60m)	27736	3	10,275	-7,307	4,311	-0,312	0,138	-7,951	0,000	30,000	265,030	0,000	4,311	-0,312	0,107	0,082	0,138
#####	27737	4	10,538	-7,354	2,173	-0,271	0,060	-8,081	0,000	30,000	269,370	0,000	2,173	-0,271	0,178	0,042	0,060
#####	27738	5	10,800	-7,400	0,004	-0,165	0,000	-8,245	0,003	30,000	274,846	0,000	0,004	-0,165	0,109	0,000	0,000
EmbeddedBeam_2_1	27739	1	-3,562	-12,132	13,523	0,439	0,000	-55,472	0,003	125,000	443,776	-133,104	13,523	0,000	0,439	0,000	0,000
Element 3-26 (Embedded beam)	27740	2	-3,445	-12,380	6,030	0,071	0,063	-22,027	-0,001	125,000	176,220	-65,705	6,030	0,000	0,081	0,000	0,063
(Ricrocalo D168.3 s12.5mm/1,6m)	27741	3	-3,329	-12,628	1,679	-0,038	0,063	-7,789	0,000	125,000	62,315	-26,166	1,679	-0,038	0,022	0,000	0,067
#####	27742	4	-3,213	-12,876	-0,116	0,060	0,061	-3,369	0,001	125,000	26,951	-116,015	0,000	-0,007	0,064	0,000	0,067
#####	27743	5	-3,096	-13,124	0,058	0,315	0,110	-1,325	0,000	125,000	10,600	-9,986	0,059	0,000	0,315	0,000	0,113
EmbeddedBeam_2_1	27743	1	-3,096	-13,124	-0,474	0,146	0,110	-1,325	0,000	125,000	10,600	-474,045	0,000	-0,005	0,146	0,000	0,113
Element 3-27 (Embedded beam)	27744	2	-2,980	-13,372	-0,655	0,175	0,153	-0,528	0,000	125,000	4,228	-654,917	0,000	-0,006	0,175	0,000	0,154
(Ricrocalo D168.3 s12.5mm/1,6m)	27745	3	-2,863	-13,620	-0,758	0,209	0,207	-0,180	0,000	125,000	1,438	-758,241	0,000	-0,008	0,209	0,000	0,207
#####	27746	4	-2,747	-13,868	-0,798	0,219	0,265	-0,064	0,000	125,000	0,510	-797,913	0,002	-0,010	0,219	0,000	0,265
#####	27747	5	-2,631	-14,116	-0,788	0,179	0,322	-0,006	0,000	125,000	0,045	-787,832	0,003	-0,012	0,179	0,000	0,322
EmbeddedBeam_2_1	27747	1	-2,631	-14,116	-0,800	0,195	0,322	-0,006	0,000	125,000	0,045	-800,195	0,003	-0,012	0,195	0,000	0,322
Element 3-28 (Embedded beam)	27748	2	-2,514	-14,364	-0,797	0,152	0,369	0,022	0,000	125,000	0,174	-796,908	0,005	-0,013	0,152	0,000	0,369
(Ricrocalo D168.3 s12.5mm/1,6m)	27749	3	-2,398	-14,612	-0,788	0,104	0,405	0,040	0,000	125,000	0,319	-788,374	0,007	-0,014	0,104	0,000	0,405
#####	27750	4	-2,282	-14,860	-0,774	0,051	0,426	0,061	0,000	125,000	0,491	-774,403	0,008	-0,013	0,051	0,000	0,426
#####	27751	5	-2,165	-15,108	-0,755	-0,004	0,432	0,100	0,000	125,000	0,803	-754,804	0,010	-0,011	0,000	0,000	0,432
EmbeddedBeam_2_1	27751	1	-2,165	-15,108	-0,732	-0,103	0,432	0,100	0,000	125,000	0,803	-731,794	0,009	-0,103	0,000	0,000	0,432
Element 3-29 (Embedded beam)	27752	2	-2,049	-15,356	-0,727	0,007	0,422	0,194	0,000	125,000	1,551	-727,448	0,011	-0,009	0,007	0,000	0,422
(Ricrocalo D168.3 s12.5mm/1,6m)	27753	3	-1,933	-15,604	-0,636	-0,144	0,414	0,391	-0,001	125,000	3,130	-635,502	0,011	-0,144	0,000	0,000	0,414
#####	27754	4	-1,816	-15,852	-0,430	-0,670	0,309	1,023	-0,003	125,000	8,181	-430,052	0,008	-0,670	0,000	0,000	0,309
#####	27755	5	-1,700	-16,100	-0,085	-1,691	0,000	2,506	0,015	125,000	20,047	-85,195	0,002	-1,691	0,000	0,000	0,000

3.3.1.1.18 Calculation results, Embedded beam, Riempimento 4 [Phase_25] (25/655), Table of embedded beam force envelopes

Structural element	Node [10 ^]	Local number	X [m]	Y [m]	N [kN]	Q [10 ^ kN]	M [10 ^ kN m]	$T_{,xx}$ [kN/m]	$T_{,yy}$ [kN/m]	$T_{,xx,max}$ [kN/m]	$T_{,xx,min}$ [10 ^]	$N_{,xx}$ [10 ^ kN]	$N_{,xx}$ [kN]	$Q_{,xx}$ [10 ^ kN]	$Q_{,yy}$ [10 ^ kN]	$M_{,xx}$ [10 ^ kN m]	$M_{,yy}$ [10 ^ kN m]
EmbeddedBeam_1_1	27637	1	4,600	-2,300	98,595	847,792	0,000	-6,820	-4,168	30,000	227,338	0,000	98,595	0,000	847,792	0,000	0,000
Element 1-1 (Embedded beam)	27638	2	4,890	-2,353	96,566	145,182	135,364	-6,809	-1,800	30,000	226,983	0,000	96,566	0,000	145,182	0,000	135,364
(TITAN 40/20 l=1,60m)	27639	3	5,179	-2,407	94,585	-186,436	122,991	-6,646	-0,245	30,000	221,527	0,000	94,585	186,436	0,000	0,000	122,991
88	27640	4	5,469	-2,460	92,654	-214,332	55,351	-6,473	0,263	30,000	215,783	0,000	92,654	214,332	0,000	0,000	55,351
89	27641	5	5,758	-2,513	90,774	-5,779	18,863	-6,318	0,255	30,000	210,599	0,000	90,774	5,779	0,001	0,000	18,863
EmbeddedBeam_1_1	27641	1	5,758	-2,513	90,772	-83,773	18,863	-6,318	0,255	30,000	210,599	0,000	90,772	83,773	0,000	0,000	18,863
Element 1-2 (Embedded beam)	27642	2	6,010	-2,559	89,172	-34,259	4,220	-6,180	0,157	30,000	206,003	0,000	89,172	34,259	0,000	-0,013	4,291
(TITAN 40/20 l=1,60m)	27643	3	6,262	-2,606	87,606	-4,354	0,393	-6,042	0,068	30,000	201,405	0,000	87,606	4,354	0,158	-1,344	0,006
90	27644	4	6,514	-2,652	86,076	8,329	0,520	-5,902	0,022	30,000	196,729	0,000	86,076	0,000	9,672	-0,377	1,038
91	27645	5	6,766	-2,698	84,583	6,179	2,641	-5,757	0,016	30,000	191,911	0,000	84,583	0,000	6,179	-0,011	3,236
EmbeddedBeam_1_1	27645	1	6,766	-2,698	84,584	10,361	2,641	-5,757	0,016	30,000	191,911	0,000	84,584	0,000	10,361	-0,011	3,236
Element 1-3 (Embedded beam)	27646	2	6,985	-2,739	83,315	15,693	5,476	-5,626	0,030	30,000	187,548	0,000	83,315	0,000	15,693	-0,006	5,476
(TITAN 40/20 l=1,60m)	27647	3	7,204	-2,779	82,076	23,823	9,854	-5,488	0,047	30,000	182,926	0,000	82,076	0,000	23,823	-0,003	9,854
92	27648	4	7,423	-2,819	80,870	33,930	16,243	-5,338	0,047	30,000	177,938	0,000	80,870	0,000	33,930	-0,001	16,243
93	27649	5	7,643	-2,860	79,497	45,192	25,051	-5,175	0,004	30,000	172,490	0,000	79,497	0,000	45,192	-0,001	25,051
EmbeddedBeam_1_1	27649	1	7,643	-2,860	79,499	33,367	25,051	-5,175	0,004	30,000	172,490	0,000	79,499	0,005	33,367	-0,001	25,051
Element 1-4 (Embedded beam)	27650	2	7,833	-2,895	78,709	38,166	32,633	-5,022	-0,096	30,000	167,416	0,000	78,709	0,161	38,166	-0,001	32,633
(TITAN 40/20 l=1,60m)	27651	3	8,024	-2,930	77,752	-2,146	36,985	-4,855	-0,297	30,000	161,846	0,000	77,752	2,527	1,642	0,000	36,985
94	27652	4	8,215	-2,965	76,827	-92,338	28,579	-4,681	-0,611	30,000	156,049	0,000	76,827	92,338	0,000	0,000	28,579
95	27653	5	8,405	-3,000	75,936	-237,176	3,398	-4,547	-0,840	30,000	151,572	0,000	75,936	237,176	0,000	-2,398	4,297
EmbeddedBeam_1_1	27653	1	8,405	-3,000	75,947	-268,886	3,398	-4,547	-0,840	30,000	151,572	0,000	75,947	268,886	0,000	-2,398	4,297
Element 1-5 (Embedded beam)	27654	2	8,571	-3,030	75,128	-277,829	48,966	-4,905	0,083	30,000	163,485	0,000	75,128	277,829	0,000	-48,966	0,000
(TITAN 40/20 l=1,60m)	27655	3	8,737	-3,061	74,291	-244,198	93,812	-5,059	0,268	30,000	168,644	0,000	74,291	244,198	0,000	-93,812	0,000
96	27656	4	8,903	-3,091	73,442	-159,194	128,478	-5,041	0,692	30,000	168,040	0,000	73,442	159,194	0,000	-128,478	0,000
97	27657	5	9,069	-3,122	72,588	-14,018	144,053	-4,911	1,459	30,000	163,709	0,000	72,588	39,023	0,067	-144,053	0,000
EmbeddedBeam_1_1	27657	1	9,069	-3,122	72,515	-75,817	144,053	-4,911	1,459	30,000	163,709	0,000	72,515	82,718	0,000	-144,053	0,000
Element 1-6 (Embedded beam)	27658	2	9,213	-3,148	71,913	319,592	124,541	-5,108	2,061	30,000	170,259	0,000	71,913	0,000	319,592	-124,541	0,000
(TITAN 40/20 l=1,60m)	27659	3	9,357	-3,175	71,030	543,063	58,342	-6,688	1,212	30,000	222,926	0,000	71,030	0,000	543,063	-58,342	0,000
98	27660	4	9,502	-3,201	69,829	557,561	24,666	-9,445	-0,787	30,000	314,827	0,000	69,829	0,000	557,561	-0,001	24,682
99	27661	5	9,646	-3,228	68,273	326,054	92,955	-11,473	-1,820	30,000	382,425	0,000	68,273	0,000	326,054	0,000	92,955
EmbeddedBeam_1_1	27661	1	9,646	-3,228	68,287	335,457	92,955	-19,121	-3,034	30,000	637,376	0,000	68,287	0,000	335,457	0,000	92,955
Element 1-7 (Embedded beam)	27662	2	9,771	-3,251	65,863	56,375	116,661	-19,005	-1,787	30,000	633,502	0,000	65,863	0,000	56,375	0,000	116,661
(TITAN 40/20 l=1,60m)	27663	3	9,896	-3,274	63,451	-116,109	111,880	-18,897	-0,861	30,000	629,905	0,000	63,451	116,109	0,007	0,000	111,880
100	27664	4	10,022	-3,297	61,052	-190,582	91,258	-18,795	-0,247	30,000	626,499	0,000	61,052	190,582	0,000	0,000	91,258
101	27665	5	10,147	-3,320	58,668	-175,632	67,108	-18,698	0,110	30,000	623,270	0,000	58,668	175,632	0,000	0,000	67,108
EmbeddedBeam_1_1	27665	1	10,147	-3,320	58,665	-198,919	67,108	-18,698	0,110	30,000	623,270	0,000	58,665	198,919	0,000	0,000	67,108
Element 1-8 (Embedded beam)	27666	2	10,296	-3,347	55,844	-153,966	40,356	-18,592	0,294	30,000	619,720	0,000	55,844	153,966	0,000	0,000	40,356
(TITAN 40/20 l=1,60m)	27667	3	10,445	-3,375	53,035	-108,997	20,497	-18,495	0,316	30,000	616,508	0,000	53,035	108,997	0,000	0,000	20,497
102	27668	4	10,594	-3,402	50,239	-66,655	7,200	-18,408	0,259	30,000	613,614	0,000	50,239	66,655	0,000	0,000	7,200
103	27669	5	10,743	-3,430	47,459	-29,581	0,016	-18,331	0,180	30,000	611,038	0,000	47,459	29,581	0,000	-0,671	0,177
EmbeddedBeam_1_1	27669	1	10,743	-3,430	47,456	-29,876	0,016	-18,331	0,180	30,000	611,038	0,000	47,456	29,876	0,000	-0,671	0,177
Element 1-9 (Embedded beam)	27670	2	10,920	-3,462	44,162	-8,461	3,283	-18,254	0,094	30,000	608,454	0,000	44,162	8,461	0,000	-3,283	0,034
(TITAN 40/20 l=1,60m)	27671	3	11,097	-3,495	40,877	3,653	3,604	-18,191	0,035	30,000	606,369	0,000	40,877	0,112	3,653	-3,604	0,009
104	27672	4	11,274	-3,527	37,601	7,531	2,460	-18,144	0,003	30,000	604,794	0,000	37,601	0,035	7,531	-2,460	0,001
105	27673	5	11,452	-3,560	34,337	4,235	1,309	-18,112	-0,010	30,000	603,728	0,000	34,337	0,024	4,235	-1,462	0,000
EmbeddedBeam_1_1	27673	1	11,452	-3,560	34,332	6,224	1,309	-18,112	-0,010	30,000	603,728	0,000	34,332	0,012	6,224	-1,462	0,000
Element 1-10 (Embedded beam)	27674	2	11,663	-3,599	30,454	3,267	0,306	-18,094	-0,012	30,000	603,117	0,000	30,454	0,011	3,267	-0,744	0,000
(TITAN 40/20 l=1,60m)	27675	3	11,874	-3,638	26,571	1,164	0,153	-18,096	-0,008	30,000	603,215	0,000	26,571	0,010	1,164	-0,397	0,153
106	27676	4	12,085	-3,676	22,685	-0,065	0,256	-18,121	-0,004	30,000	604,030	0,000	22,685	0,065	0,247	-0,274	0,256

Structural element	Node [10^]	Local number	X [m]	Y [m]	N [kN]	Q [10^ kN]	M [10^ kN m]	T_{xxx} [kN/m]	T_{yyy} [kN/m]	$T_{xxx,xxx}$ [kN/m]	$T_{yyy,yyy}$ [10^]	N_{xxx} [10^ kN]	N_{yyy} [kN]	Q_{xxx} [10^ kN]	Q_{yyy} [10^ kN]	M_{xxx} [10^ kN m]	M_{yyy} [10^ kN m]
圧	27677	5	12,296	-3,715	18,798	-0,400	0,190	-18,167	-0,001	30,000	605,578	0,000	18,798	0,400	0,027	-0,257	0,190
EmbeddedBeam_11_1	27677	1	12,296	-3,715	18,790	-0,626	0,190	-18,167	-0,001	30,000	605,578	0,000	18,790	0,626	0,000	-0,257	0,190
Element 1-11 (Embedded beam)	27678	2	12,547	-3,761	14,149	-0,373	0,060	-18,253	0,001	30,000	608,418	0,000	14,149	0,373	0,140	-0,258	0,060
ITITAN 40/20 l=1,60m)	27679	3	12,798	-3,808	9,472	-0,115	0,001	-18,371	0,001	30,000	612,366	0,000	9,472	0,115	0,360	-0,189	0,001
圧	27680	4	13,049	-3,854	4,758	0,037	0,008	-18,537	0,000	30,000	617,903	0,000	4,758	0,000	0,417	-0,088	0,000
圧	27681	5	13,300	-3,900	0,009	-0,026	0,000	-18,781	0,000	30,000	626,046	0,000	0,009	0,026	0,215	0,000	0,000
EmbeddedBeam_31_1	27682	1	2,300	-5,900	58,247	106,270	0,000	-3,728	-0,588	30,000	124,240	0,000	62,359	0,000	114,136	0,000	0,000
Element 2-12 (Embedded beam)	27683	2	2,582	-5,950	57,235	60,122	24,027	-3,770	-0,163	30,000	125,653	0,000	61,196	0,074	60,122	0,000	24,811
ITITAN 40/20 l=1,60m)	27684	3	2,865	-6,000	56,076	11,353	24,148	-4,386	-0,192	30,000	146,206	0,000	59,877	12,630	11,353	-0,002	24,169
圧	27685	4	3,147	-6,049	54,798	-35,456	30,727	-4,607	-0,149	30,000	153,572	0,000	58,429	38,385	0,000	-0,084	30,727
圧	27686	5	3,430	-6,099	53,425	-75,725	14,520	-4,715	0,092	30,000	157,158	0,000	56,877	75,725	0,127	-0,100	14,520
EmbeddedBeam_31_1	27686	1	3,430	-6,099	53,447	-56,091	14,520	-4,715	0,092	30,000	157,158	0,000	56,899	56,096	0,016	-0,100	14,520
Element 2-13 (Embedded beam)	27687	2	3,595	-6,128	52,456	-40,945	6,406	-4,722	0,085	30,000	157,389	0,000	55,999	40,945	0,054	-0,823	6,406
ITITAN 40/20 l=1,60m)	27688	3	3,760	-6,158	51,863	-27,542	0,694	-4,731	0,077	30,000	157,705	0,000	55,096	27,542	0,075	-1,898	0,694
圧	27689	4	3,925	-6,187	51,071	-16,190	2,948	-4,722	0,060	30,000	157,404	0,000	54,191	16,190	0,545	-2,997	0,000
圧	27690	5	4,090	-6,216	50,280	-7,198	4,871	-4,688	0,044	30,000	156,279	0,000	53,285	7,198	1,919	-4,871	0,000
EmbeddedBeam_31_1	27690	1	4,090	-6,216	50,281	-7,180	4,871	-4,688	0,044	30,000	156,279	0,000	53,287	7,180	2,256	-4,871	0,000
Element 2-14 (Embedded beam)	27691	2	4,187	-6,233	49,823	-3,400	5,388	-4,665	0,039	30,000	155,513	0,000	52,761	3,400	2,967	-5,388	0,000
ITITAN 40/20 l=1,60m)	27692	3	4,283	-6,250	49,366	0,337	5,539	-4,644	0,037	30,000	154,804	0,000	52,238	0,000	3,847	-5,539	0,000
圧	27693	4	4,380	-6,267	48,911	4,121	5,321	-4,625	0,039	30,000	154,180	0,000	51,716	0,000	5,367	-5,321	0,000
圧	27694	5	4,476	-6,284	48,459	8,038	4,726	-4,610	0,048	30,000	153,676	0,000	51,196	0,000	8,038	-4,726	0,000
EmbeddedBeam_31_1	27694	1	4,476	-6,284	48,458	8,206	4,726	-4,610	0,048	30,000	153,676	0,000	51,196	0,000	8,206	-4,726	0,000
Element 2-15 (Embedded beam)	27695	2	4,533	-6,294	48,195	11,398	4,168	-4,602	0,059	30,000	153,411	0,000	50,893	0,000	11,398	-4,168	0,000
ITITAN 40/20 l=1,60m)	27696	3	4,589	-6,304	47,931	15,057	3,409	-4,596	0,074	30,000	153,212	0,000	50,591	0,000	15,057	-3,411	0,000
圧	27697	4	4,646	-6,314	47,667	18,857	2,438	-4,613	0,064	30,000	153,780	0,000	50,288	0,000	18,857	-2,469	0,025
圧	27698	5	4,702	-6,324	47,402	22,474	1,251	-4,713	-0,041	30,000	157,100	0,000	49,987	0,000	22,474	-1,938	0,070
EmbeddedBeam_31_1	27698	1	4,702	-6,324	47,400	20,581	1,251	-7,855	-0,068	30,000	261,834	0,000	49,987	0,000	20,581	-1,938	0,070
Element 2-16 (Embedded beam)	27699	2	4,800	-6,341	46,621	14,670	0,488	-7,847	-0,053	30,000	261,580	0,000	49,118	0,022	14,670	-1,287	0,488
ITITAN 40/20 l=1,60m)	27700	3	4,898	-6,358	45,842	10,036	1,704	-7,839	-0,040	30,000	261,302	0,000	48,253	0,628	10,036	-0,828	1,704
圧	27701	4	4,995	-6,376	45,064	5,666	2,522	-7,832	-0,028	30,000	261,064	0,000	47,392	1,160	5,666	-0,515	2,522
圧	27702	5	5,093	-6,393	44,288	4,548	3,068	-7,825	-0,018	30,000	260,844	0,000	46,535	1,144	4,548	-0,284	3,068
EmbeddedBeam_31_1	27702	1	5,093	-6,393	44,287	4,398	3,068	-7,825	-0,018	30,000	260,844	0,000	46,534	1,233	4,398	-0,284	3,068
Element 2-17 (Embedded beam)	27703	2	5,177	-6,408	43,623	3,227	3,390	-7,819	-0,012	30,000	260,633	0,000	45,803	1,023	3,287	-0,266	3,390
ITITAN 40/20 l=1,60m)	27704	3	5,261	-6,422	42,958	2,366	3,626	-7,812	-0,008	30,000	260,390	0,000	45,074	0,720	3,013	-0,327	3,626
圧	27705	4	5,344	-6,437	42,294	1,790	3,800	-7,803	-0,005	30,000	260,111	0,000	44,346	0,445	2,817	-0,373	3,800
圧	27706	5	5,428	-6,452	41,632	1,474	3,937	-7,794	-0,004	30,000	259,797	0,000	43,622	0,187	2,690	-0,383	3,937
EmbeddedBeam_31_1	27706	1	5,428	-6,452	41,631	1,415	3,937	-7,794	-0,004	30,000	259,797	0,000	43,622	0,199	2,677	-0,383	3,937
Element 2-18 (Embedded beam)	27707	2	5,525	-6,469	40,868	1,153	4,063	-7,782	-0,002	30,000	259,391	0,000	42,789	0,043	2,513	-0,351	4,063
ITITAN 40/20 l=1,60m)	27708	3	5,621	-6,486	40,105	0,937	4,165	-7,768	-0,002	30,000	258,943	0,000	41,958	0,000	2,342	-0,274	4,165
圧	27709	4	5,718	-6,503	39,344	0,760	4,248	-7,754	-0,002	30,000	258,456	0,000	41,131	0,000	2,165	-0,193	4,248
圧	27710	5	5,814	-6,520	38,585	0,613	4,315	-7,738	-0,002	30,000	257,933	0,000	40,306	0,000	1,989	-0,114	4,315
EmbeddedBeam_31_1	27710	1	5,814	-6,520	38,585	0,603	4,315	-7,738	-0,002	30,000	257,933	0,000	40,306	0,000	1,999	-0,114	4,315
Element 2-19 (Embedded beam)	27711	2	5,926	-6,540	37,711	0,416	4,373	-7,719	-0,002	30,000	257,291	0,000	39,359	0,000	1,755	-0,035	4,373
ITITAN 40/20 l=1,60m)	27712	3	6,037	-6,559	36,839	0,219	4,409	-7,698	-0,002	30,000	256,614	0,000	38,415	0,000	1,676	-0,026	4,409
圧	27713	4	6,149	-6,579	35,969	0,013	4,422	-7,677	-0,002	30,000	255,910	0,000	37,475	0,000	1,588	-0,017	4,422
圧	27714	5	6,260	-6,599	35,102	-0,202	4,412	-7,656	-0,002	30,000	255,187	0,000	36,539	0,202	1,403	-0,007	4,412
EmbeddedBeam_31_1	27714	1	6,260	-6,599	35,102	-0,197	4,412	-7,656	-0,002	30,000	255,187	0,000	36,539	0,197	1,427	-0,007	4,412
Element 2-20 (Embedded beam)	27715	2	6,388	-6,621	34,105	-0,446	4,369	-7,630	-0,002	30,000	254,338	0,000	35,464	0,446	1,154	0,000	4,369
ITITAN 40/20 l=1,60m)	27716	3	6,517	-6,644	33,111	-0,680	4,296	-7,605	-0,002	30,000	253,487	0,000	34,394	0,680	0,877	0,000	4,296
圧	27717	4	6,645	-6,667	32,120	-0,897	4,193	-7,579	-0,002	30,000	252,646	0,000	33,329	0,897	0,613	0,000	4,193
圧	27718	5	6,774	-6,690	31,133	-1,095	4,063	-7,555	-0,001	30,000	251,829	0,000	32,269	1,095	0,398	0,000	4,063
EmbeddedBeam_31_1	27718	1	6,774	-6,690	31,132	-1,092	4,063	-7,555	-0,001	30,000	251,829	0,000	32,268	1,092	0,410	0,000	4,063
Element 2-21 (Embedded beam)	27719	2	6,922	-6,716	29,998	-1,280	3,884	-7,528	-0,001	30,000	250,931	0,000	31,052	1,280	0,192	0,000	3,884
ITITAN 40/20 l=1,60m)	27720	3	7,070	-6,742	28,866	-1,427	3,679	-7,503	-0,001	30,000	250,100	0,000	29,841	1,427	0,061	0,000	3,679
圧	27721	4	7,219	-6,768	27,738	-1,534	3,456	-7,481	-0,001	30,000	249,352	0,000	28,635	1,534	0,006	0,000	3,456
圧	27722	5	7,367	-6,794	26,614	-1,602	3,219	-7,461	0,000	30,000	248,701	0,000	27,436	1,602	0,000	0,000	3,219
EmbeddedBeam_31_1	27722	1	7,367	-6,794	26,613	-1,606	3,219	-7,461	0,000	30,000	248,701	0,000	27,434	1,606	0,000	0,000	3,219

Structural element	Node [10 ^]	Local number	X [m]	Y [m]	N [kN]	Q [10 ^ kN]	M [10 ^ kN m]	T $_{,xx}$ [kN/m]	T $_{,yy}$ [kN/m]	T $_{,xx,yy}$ [kN/m]	T $_{,xx,yy}$ [10 ^]	N $_{x,x}$ [10 ^ kN]	N $_{x,x}$ [kN]	Q $_{x,x}$ [10 ^ kN]	Q $_{x,x}$ [10 ^ kN]	M $_{x,x}$ [10 ^ kN m]	M $_{x,x}$ [10 ^ kN m]
Element 2-22 (Embedded beam)	27723	2	7,538	-6,824	25,321	-1,643	2,937	-7,443	0,000	30,000	248,089	0,000	26,057	-1,643	0,000	0,000	2,937
(TITAN 40/20 l=1,60m)	27724	3	7,709	-6,855	24,029	-1,648	2,650	-7,429	0,000	30,000	247,641	0,000	24,685	-1,648	0,000	0,000	2,650
,,	27725	4	7,880	-6,885	22,739	-1,620	2,366	-7,421	0,000	30,000	247,371	0,000	23,318	-1,620	0,000	0,000	2,366
,,	27726	5	8,051	-6,915	21,452	-1,562	2,090	-7,419	0,000	30,000	247,291	0,000	21,957	-1,562	0,000	0,000	2,090
EmbeddedBeam_3_1	27726	1	8,051	-6,915	21,451	-1,565	2,090	-7,419	0,000	30,000	247,291	0,000	21,956	-1,565	0,000	0,000	2,090
Element 2-23 (Embedded beam)	27727	2	8,248	-6,950	19,966	-1,467	1,786	-7,423	0,001	30,000	247,444	0,000	20,391	-1,467	0,000	0,000	1,786
(TITAN 40/20 l=1,60m)	27728	3	8,445	-6,984	18,477	-1,344	1,504	-7,436	0,001	30,000	247,866	0,000	18,829	-1,344	0,000	0,000	1,504
,,	27729	4	8,643	-7,019	16,985	-1,198	1,249	-7,457	0,001	30,000	248,561	0,000	17,269	-1,198	0,000	0,000	1,249
,,	27730	5	8,840	-7,054	15,490	-1,030	1,025	-7,486	0,001	30,000	249,527	0,000	15,713	-1,030	0,000	0,000	1,025
EmbeddedBeam_3_1	27730	1	8,840	-7,054	15,488	-1,042	1,025	-7,486	0,001	30,000	249,527	0,000	15,710	-1,042	0,000	0,000	1,025
Element 2-24 (Embedded beam)	27731	2	9,067	-7,094	13,756	-0,831	0,809	-7,529	0,001	30,000	250,975	0,000	13,916	-0,831	0,000	0,000	0,809
(TITAN 40/20 l=1,60m)	27732	3	9,295	-7,134	12,009	-0,643	0,640	-7,583	0,001	30,000	252,771	0,000	12,116	-0,643	0,000	0,000	0,640
,,	27733	4	9,523	-7,175	10,249	-0,484	0,510	-7,647	0,001	30,000	254,912	0,000	10,313	-0,484	0,000	0,000	0,510
,,	27734	5	9,750	-7,215	8,476	-0,360	0,413	-7,722	0,000	30,000	257,396	0,000	8,506	-0,360	0,000	0,049	0,413
EmbeddedBeam_3_1	27734	1	9,750	-7,215	8,472	-0,327	0,413	-7,722	0,000	30,000	257,396	0,000	8,502	-0,327	0,000	0,049	0,413
Element 2-25 (Embedded beam)	27735	2	10,013	-7,261	6,405	-0,393	0,318	-7,821	0,000	30,000	260,698	0,000	6,417	-0,393	0,000	0,092	0,318
(TITAN 40/20 l=1,60m)	27736	3	10,275	-7,307	4,304	-0,438	0,205	-7,934	0,000	30,000	264,473	0,000	4,311	-0,438	0,107	0,082	0,205
,,	27737	4	10,538	-7,354	2,170	-0,407	0,091	-8,068	0,000	30,000	268,933	0,000	2,173	-0,407	0,178	0,042	0,091
,,	27738	5	10,800	-7,400	0,004	-0,245	0,000	-8,236	0,004	30,000	274,524	0,000	0,004	-0,245	0,109	0,000	0,000
EmbeddedBeam_2_1	27739	1	-3,562	-12,132	16,103	0,488	0,000	-65,975	0,004	125,000	527,804	-133,104	16,103	0,000	0,488	0,000	0,000
Element 3-26 (Embedded beam)	27740	2	-3,445	-12,380	7,192	0,059	0,066	-26,202	-0,001	125,000	209,614	-65,705	7,192	0,000	0,081	0,000	0,066
(Ricropalo D168.3 x12.5mm/1,6m)	27741	3	-3,329	-12,628	2,016	-0,062	0,061	-9,269	0,000	125,000	74,151	-26,166	2,016	-0,062	0,022	0,000	0,067
,,	27742	4	-3,213	-12,876	-0,121	0,062	0,055	-4,011	0,001	125,000	32,091	-120,690	0,000	-0,007	0,064	0,000	0,067
,,	27743	5	-3,096	-13,124	0,085	0,368	0,111	-1,580	0,000	125,000	12,644	-9,986	0,085	0,000	0,368	0,000	0,113
EmbeddedBeam_2_1	27743	1	-3,096	-13,124	-0,548	0,170	0,111	-1,580	0,000	125,000	12,644	-547,820	0,000	-0,005	0,170	0,000	0,113
Element 3-27 (Embedded beam)	27744	2	-2,980	-13,372	-0,764	0,208	0,162	-0,633	0,000	125,000	5,064	-764,178	0,000	-0,006	0,208	0,000	0,162
(Ricropalo D168.3 x12.5mm/1,6m)	27745	3	-2,863	-13,620	-0,888	0,251	0,226	-0,218	0,000	125,000	1,744	-888,271	0,000	-0,008	0,251	0,000	0,226
,,	27746	4	-2,747	-13,868	-0,937	0,265	0,297	-0,080	0,000	125,000	0,640	-936,630	0,002	-0,010	0,265	0,000	0,297
,,	27747	5	-2,631	-14,116	-0,926	0,219	0,365	-0,011	0,000	125,000	0,087	-925,787	0,003	-0,012	0,219	0,000	0,365
EmbeddedBeam_2_1	27747	1	-2,631	-14,116	-0,940	0,238	0,365	-0,011	0,000	125,000	0,087	-940,496	0,003	-0,012	0,238	0,000	0,365
Element 3-28 (Embedded beam)	27748	2	-2,514	-14,364	-0,938	0,188	0,424	0,022	0,000	125,000	0,173	-937,724	0,005	-0,013	0,188	0,000	0,424
(Ricropalo D168.3 x12.5mm/1,6m)	27749	3	-2,398	-14,612	-0,929	0,131	0,467	0,043	0,000	125,000	0,347	-928,708	0,007	-0,014	0,131	0,000	0,467
,,	27750	4	-2,282	-14,860	-0,913	0,068	0,495	0,069	0,000	125,000	0,551	-913,222	0,008	-0,013	0,068	0,000	0,495
,,	27751	5	-2,165	-15,108	-0,891	0,001	0,504	0,115	0,000	125,000	0,921	-891,038	0,010	-0,011	0,001	0,000	0,504
EmbeddedBeam_2_1	27751	1	-2,165	-15,108	-0,864	-0,114	0,504	0,115	0,000	125,000	0,921	-863,754	0,009	-0,114	0,000	0,000	0,504
Element 3-29 (Embedded beam)	27752	2	-2,049	-15,356	-0,860	0,013	0,494	0,226	0,000	125,000	1,809	-859,629	0,011	-0,009	0,013	0,000	0,494
(Ricropalo D168.3 x12.5mm/1,6m)	27753	3	-1,933	-15,604	-0,752	-0,165	0,486	0,460	-0,001	125,000	3,682	-751,605	0,011	-0,165	0,000	0,000	0,486
,,	27754	4	-1,816	-15,852	-0,509	-0,786	0,363	1,209	-0,003	125,000	9,672	-508,949	0,008	-0,786	0,000	0,000	0,363
,,	27755	5	-1,700	-16,100	-0,101	-1,989	0,000	2,968	0,018	125,000	23,742	-101,006	0,002	-1,989	0,000	0,000	0,000

3.3.1.1.19 Calculation results, Embedded beam, Disattivazione paratia esistente [Phase_26] (26/660), Table of embedded beam force envelopes

Structural element	Node [10 ^]	Local number	X [m]	Y [m]	N [kN]	Q [10 ^ kN]	M [10 ^ kN m]	$T_{,max}$ [kN/m]	$T_{,min}$ [kN/m]	$T_{,max,ac}$ [kN/m]	$T_{,min,ac}$ [10 ^]	$N_{,c}$ [10 ^ kN]	$N_{,max}$ [kN]	$Q_{,c}$ [10 ^ kN]	$Q_{,min}$ [10 ^ kN]	$M_{,c}$ [10 ^ kN m]	$M_{,min}$ [10 ^ kN m]
EmbeddedBeam_1_1	27637	1	4,600	-2,300	88,525	783,399	0,000	-5,452	-3,567	30,000	181,720	0,000	98,595	0,000	847,792	0,000	0,000
Element 1-1 (Embedded beam)	27638	2	4,890	-2,353	86,831	135,877	125,422	-5,686	-1,660	30,000	189,524	0,000	96,566	0,000	145,182	0,000	135,364
(TiTAN 40/20 l=1,60m)	27639	3	5,179	-2,407	85,177	-170,963	114,431	-5,550	-0,237	30,000	184,984	0,000	94,585	-186,436	0,000	0,000	122,991
圆	27640	4	5,469	-2,460	83,567	-197,935	52,183	-5,388	0,241	30,000	179,614	0,000	92,654	-214,332	0,000	0,000	55,351
圆	27641	5	5,758	-2,513	82,004	-5,852	18,360	-5,261	0,235	30,000	175,381	0,000	90,774	-5,852	0,001	0,000	18,863
EmbeddedBeam_1_1	27641	1	5,758	-2,513	82,001	-77,814	18,360	-5,261	0,235	30,000	175,381	0,000	90,772	-83,773	0,000	0,000	18,863
Element 1-2 (Embedded beam)	27642	2	6,010	-2,559	80,669	-32,224	4,699	-5,144	0,145	30,000	171,450	0,000	89,172	-34,259	0,000	-0,013	4,699
(TiTAN 40/20 l=1,60m)	27643	3	6,262	-2,606	79,367	-4,511	0,297	-5,025	0,064	30,000	167,498	0,000	87,606	-4,511	0,158	-1,344	0,297
圆	27644	4	6,514	-2,652	78,095	7,519	1,050	-4,903	0,022	30,000	163,435	0,000	86,076	0,000	9,672	-0,377	1,050
圆	27645	5	6,766	-2,698	76,855	6,059	3,028	-4,776	0,018	30,000	159,192	0,000	84,583	0,000	8,278	-0,011	3,236
EmbeddedBeam_1_1	27645	1	6,766	-2,698	76,856	9,867	3,028	-4,776	0,018	30,000	159,192	0,000	84,584	0,000	10,361	-0,011	3,236
Element 1-3 (Embedded beam)	27646	2	6,985	-2,739	75,804	15,679	5,809	-4,659	0,031	30,000	155,302	0,000	83,315	0,000	15,900	-0,006	5,809
(TiTAN 40/20 l=1,60m)	27647	3	7,204	-2,779	74,779	24,112	10,222	-4,534	0,048	30,000	151,121	0,000	82,076	0,000	24,202	-0,003	10,222
圆	27648	4	7,423	-2,819	73,784	34,318	16,689	-4,396	0,047	30,000	146,537	0,000	80,870	0,000	34,341	-0,001	16,689
圆	27649	5	7,643	-2,860	72,820	45,447	25,574	-4,244	0,003	30,000	141,451	0,000	79,697	0,000	45,464	-0,001	25,574
EmbeddedBeam_1_1	27649	1	7,643	-2,860	72,822	33,529	25,574	-4,244	0,003	30,000	141,451	0,000	79,699	0,005	33,540	-0,001	25,574
Element 1-4 (Embedded beam)	27650	2	7,833	-2,895	72,012	38,306	33,190	-4,101	-0,097	30,000	136,689	0,000	78,709	0,161	38,334	-0,001	33,190
(TiTAN 40/20 l=1,60m)	27651	3	8,024	-2,930	71,232	-2,401	37,539	-3,943	-0,299	30,000	131,423	0,000	77,752	2,527	1,642	0,000	37,539
圆	27652	4	8,215	-2,965	70,484	-93,434	29,009	-3,778	-0,617	30,000	125,921	0,000	76,827	93,434	0,000	0,000	29,009
圆	27653	5	8,405	-3,000	69,767	-239,635	2,303	-3,655	-0,841	30,000	121,835	0,000	75,936	239,635	0,000	-2,398	4,297
EmbeddedBeam_1_1	27653	1	8,405	-3,000	69,779	-271,450	2,303	-3,655	-0,841	30,000	121,835	0,000	75,947	271,450	0,000	-2,398	4,297
Element 1-5 (Embedded beam)	27654	2	8,571	-3,030	69,108	278,962	49,176	-4,025	0,090	30,000	134,160	0,000	75,128	278,962	0,000	-49,176	0,000
(TiTAN 40/20 l=1,60m)	27655	3	8,737	-3,061	68,419	244,391	94,127	-4,187	0,272	30,000	139,562	0,000	74,291	244,391	0,000	-94,127	0,000
圆	27656	4	8,903	-3,091	67,716	158,904	128,778	-4,175	0,694	30,000	139,162	0,000	73,442	159,194	0,000	-128,778	0,000
圆	27657	5	9,069	-3,122	67,008	-13,670	144,294	-4,051	1,459	30,000	135,017	0,000	72,588	39,023	0,067	-144,294	0,000
EmbeddedBeam_1_1	27657	1	9,069	-3,122	66,935	-75,364	144,294	-4,051	1,459	30,000	135,017	0,000	72,515	82,718	0,000	-144,294	0,000
Element 1-6 (Embedded beam)	27658	2	9,213	-3,148	66,459	320,053	124,714	-4,252	2,061	30,000	141,720	0,000	71,913	0,000	320,074	-124,714	0,000
(TiTAN 40/20 l=1,60m)	27659	3	9,357	-3,175	65,702	543,443	58,453	-5,836	1,211	30,000	194,542	0,000	71,030	0,000	543,488	-58,453	0,000
圆	27660	4	9,502	-3,201	64,626	557,791	24,601	-8,598	-0,789	30,000	286,585	0,000	69,829	0,000	557,872	-0,001	24,690
圆	27661	5	9,646	-3,228	63,193	326,083	92,910	-10,630	-1,821	30,000	354,330	0,000	68,273	0,000	326,200	0,000	93,003
EmbeddedBeam_1_1	27661	1	9,646	-3,228	63,207	335,490	92,910	-17,717	-3,035	30,000	590,550	0,000	68,287	0,000	335,601	0,000	93,003
Element 1-7 (Embedded beam)	27662	2	9,771	-3,251	60,961	56,357	116,617	-17,607	-1,788	30,000	586,916	0,000	65,863	0,000	56,398	0,000	116,715
(TiTAN 40/20 l=1,60m)	27663	3	9,896	-3,274	58,726	-116,146	111,832	-17,506	-0,861	30,000	583,536	0,000	63,451	-116,178	0,007	0,000	111,929
圆	27664	4	10,022	-3,297	56,504	-190,614	91,206	-17,410	-0,247	30,000	580,327	0,000	61,052	-190,678	0,000	0,000	91,297
圆	27665	5	10,147	-3,320	54,296	-175,641	67,052	-17,318	0,110	30,000	577,278	0,000	58,668	-175,720	0,000	0,000	67,134
EmbeddedBeam_1_1	27665	1	10,147	-3,320	54,294	-198,935	67,052	-17,318	0,110	30,000	577,278	0,000	58,665	-199,016	0,000	0,000	67,134
Element 1-8 (Embedded beam)	27666	2	10,296	-3,347	51,681	-153,968	40,299	-17,218	0,294	30,000	573,923	0,000	55,844	-154,045	0,000	0,000	40,369
(TiTAN 40/20 l=1,60m)	27667	3	10,445	-3,375	49,079	-108,990	20,440	-17,127	0,316	30,000	570,883	0,000	53,035	-109,056	0,000	0,000	20,499
圆	27668	4	10,594	-3,402	46,491	-66,643	7,145	-17,044	0,259	30,000	568,141	0,000	50,239	-66,694	0,000	0,000	7,200
圆	27669	5	10,743	-3,430	43,917	-29,568	0,038	-16,971	0,180	30,000	565,695	0,000	47,459	-29,602	0,000	-0,671	0,177
EmbeddedBeam_1_1	27669	1	10,743	-3,430	43,914	-29,862	0,038	-16,971	0,180	30,000	565,695	0,000	47,456	-29,898	0,000	-0,671	0,177
Element 1-9 (Embedded beam)	27670	2	10,920	-3,462	40,865	8,448	3,334	-16,897	0,094	30,000	563,239	0,000	44,162	8,470	0,000	-3,334	0,034
(TiTAN 40/20 l=1,60m)	27671	3	11,097	-3,495	37,824	3,666	3,652	-16,838	0,035	30,000	561,252	0,000	40,877	0,112	3,666	-3,652	0,009
圆	27672	4	11,274	-3,527	34,792	7,543	2,507	-16,792	0,003	30,000	559,745	0,000	37,601	0,035	7,543	-2,507	0,001
圆	27673	5	11,452	-3,560	31,771	4,246	1,353	-16,762	-0,010	30,000	558,717	0,000	34,337	0,024	4,246	-1,462	0,000
EmbeddedBeam_1_1	27673	1	11,452	-3,560	31,767	8,236	1,353	-16,762	-0,010	30,000	558,717	0,000	34,332	0,012	8,236	-1,462	0,000
Element 1-10 (Embedded beam)	27674	2	11,663	-3,599	28,178	3,278	0,348	-16,743	-0,012	30,000	558,111	0,000	30,454	0,011	3,278	-0,744	0,000
(TiTAN 40/20 l=1,60m)	27675	3	11,874	-3,638	24,584	1,175	0,114	-16,745	-0,008	30,000	558,169	0,000	26,571	0,010	1,175	-0,397	0,153
圆	27676	4	12,085	-3,676	20,989	-0,052	0,219	-16,767	-0,004	30,000	558,899	0,000	22,685	0,065	0,247	-0,274	0,256

Structural element	Node [10^]	Local number	X [m]	Y [m]	N [kN]	Q [10^ kN]	M [10^ kN m]	T_{xxx} [kN/m]	T_{yyy} [kN/m]	$T_{xxx,yyy}$ [kN/m]	$T_{zzz,zzz}$ [10^]	N_{xxx} [10^ kN]	N_{yyy} [kN]	Q_{xxx} [10^ kN]	Q_{yyy} [10^ kN]	M_{xxx} [10^ kN m]	M_{yyy} [10^ kN m]
面	27677	5	12,296	-3,715	17,392	-0,383	0,156	-16,809	-0,001	30,000	560,314	0,000	18,798	0,400	0,027	-0,257	0,190
EmbeddedBeam_11_1	27677	1	12,296	-3,715	17,385	-0,613	0,156	-16,809	-0,001	30,000	560,314	0,000	18,790	0,626	0,000	-0,257	0,190
Element 1-11 (Embedded beam)	27678	2	12,547	-3,761	13,091	-0,342	0,032	-16,888	0,001	30,000	562,927	0,000	14,149	0,373	0,140	-0,258	0,060
iTITAN 40/20 l=1,60m)	27679	3	12,798	-3,808	8,763	-0,074	0,017	-16,997	0,002	30,000	566,571	0,000	9,472	0,115	0,360	-0,189	0,001
面	27680	4	13,049	-3,854	4,402	0,075	0,016	-17,151	0,000	30,000	571,690	0,000	4,758	0,000	0,417	-0,088	0,000
面	27681	5	13,300	-3,900	0,008	-0,007	0,000	-17,377	-0,001	30,000	579,229	0,000	0,009	0,026	0,215	0,000	0,000
EmbeddedBeam_31_1	27682	1	2,300	-5,900	86,122	167,062	0,000	-6,895	-0,897	30,000	229,846	0,000	86,122	0,000	167,062	0,000	0,000
Element 2-12 (Embedded beam)	27683	2	2,582	-5,950	84,213	71,516	33,656	-6,866	-0,293	30,000	228,883	0,000	84,213	0,074	71,516	0,000	33,656
iTITAN 40/20 l=1,60m)	27684	3	2,865	-6,000	82,176	-1,130	43,192	-7,418	-0,214	30,000	247,272	0,000	82,176	12,630	11,353	-0,002	43,192
面	27685	4	3,147	-6,049	80,037	-50,758	35,207	-7,573	-0,133	30,000	252,434	0,000	80,037	50,758	0,000	-0,084	35,207
面	27686	5	3,430	-6,099	77,824	-77,250	16,302	-7,611	0,110	30,000	253,712	0,000	77,824	77,250	0,127	-0,100	16,302
EmbeddedBeam_31_1	27686	1	3,430	-6,099	77,845	-63,013	16,302	-7,611	0,110	30,000	253,712	0,000	77,845	63,013	0,016	-0,100	16,302
Element 2-13 (Embedded beam)	27687	2	3,595	-6,128	76,572	-45,131	7,267	-7,577	0,099	30,000	252,558	0,000	76,572	45,131	0,054	-0,823	7,267
iTITAN 40/20 l=1,60m)	27688	3	3,760	-6,158	75,304	-29,724	1,032	-7,544	0,086	30,000	251,462	0,000	75,304	29,724	0,075	-1,898	1,032
面	27689	4	3,925	-6,187	74,044	-17,081	2,858	-7,492	0,066	30,000	249,723	0,000	74,044	17,081	0,545	-2,997	0,000
面	27690	5	4,090	-6,216	72,792	-7,489	4,871	-7,414	0,047	30,000	247,137	0,000	72,792	7,489	1,919	-4,871	0,000
EmbeddedBeam_31_1	27690	1	4,090	-6,216	72,793	-7,386	4,871	-7,414	0,047	30,000	247,137	0,000	72,793	7,386	2,256	-4,871	0,000
Element 2-14 (Embedded beam)	27691	2	4,187	-6,233	72,069	-3,407	5,398	-7,365	0,040	30,000	245,506	0,000	72,069	3,468	2,967	-5,398	0,000
iTITAN 40/20 l=1,60m)	27692	3	4,283	-6,250	71,349	0,470	5,543	-7,318	0,028	30,000	243,924	0,000	71,349	0,000	3,847	-5,543	0,000
面	27693	4	4,380	-6,267	70,633	4,340	5,306	-7,273	0,040	30,000	242,419	0,000	70,633	0,000	5,367	-5,321	0,000
面	27694	5	4,476	-6,284	69,923	8,299	4,688	-7,231	0,049	30,000	241,025	0,000	69,923	0,000	8,299	-4,726	0,000
EmbeddedBeam_31_1	27694	1	4,476	-6,284	69,922	8,480	4,688	-7,231	0,049	30,000	241,025	0,000	69,922	0,000	8,480	-4,726	0,000
Element 2-15 (Embedded beam)	27695	2	4,533	-6,294	69,509	11,713	4,113	-7,207	0,059	30,000	240,234	0,000	69,509	0,000	11,713	-4,168	0,000
iTITAN 40/20 l=1,60m)	27696	3	4,589	-6,304	69,096	15,414	3,335	-7,185	0,075	30,000	239,505	0,000	69,096	0,000	15,414	-3,411	0,000
面	27697	4	4,646	-6,314	68,683	19,255	2,342	-7,186	0,064	30,000	239,534	0,000	68,683	0,000	19,255	-2,469	0,025
面	27698	5	4,702	-6,324	68,272	22,907	1,131	-7,269	-0,041	30,000	242,306	0,000	68,272	0,000	22,907	-1,938	0,070
EmbeddedBeam_31_1	27698	1	4,702	-6,324	68,270	21,059	1,131	-12,115	-0,068	30,000	403,844	0,000	68,270	0,000	21,059	-1,938	0,070
Element 2-16 (Embedded beam)	27699	2	4,800	-6,341	67,070	14,972	0,646	-12,064	-0,055	30,000	402,142	0,000	67,070	0,022	14,972	-1,287	0,648
iTITAN 40/20 l=1,60m)	27700	3	4,898	-6,358	65,875	10,177	1,884	-12,013	-0,042	30,000	400,449	0,000	65,875	0,628	10,177	-0,828	1,884
面	27701	4	4,995	-6,376	64,685	5,667	2,710	-11,965	-0,029	30,000	398,825	0,000	64,685	1,160	5,667	-0,515	2,710
面	27702	5	5,093	-6,393	63,500	4,435	3,250	-11,917	-0,019	30,000	397,243	0,000	63,500	1,144	4,548	-0,284	3,250
EmbeddedBeam_31_1	27702	1	5,093	-6,393	63,499	4,288	3,250	-11,917	-0,019	30,000	397,243	0,000	63,499	1,233	4,398	-0,284	3,250
Element 2-17 (Embedded beam)	27703	2	5,177	-6,408	62,488	3,060	3,560	-11,877	-0,013	30,000	395,885	0,000	62,488	1,023	3,287	-0,266	3,560
iTITAN 40/20 l=1,60m)	27704	3	5,261	-6,422	61,480	2,163	3,780	-11,835	-0,008	30,000	394,513	0,000	61,480	0,720	3,013	-0,327	3,780
面	27705	4	5,344	-6,437	60,476	1,572	3,936	-11,794	-0,005	30,000	393,123	0,000	60,476	0,445	2,817	-0,373	3,936
面	27706	5	5,428	-6,452	59,476	1,261	4,055	-11,751	-0,004	30,000	391,714	0,000	59,476	0,187	2,690	-0,383	4,055
EmbeddedBeam_31_1	27706	1	5,428	-6,452	59,475	1,197	4,055	-11,751	-0,004	30,000	391,714	0,000	59,475	0,199	2,677	-0,383	4,055
Element 2-18 (Embedded beam)	27707	2	5,525	-6,469	58,326	0,953	4,160	-11,702	-0,002	30,000	390,068	0,000	58,326	0,043	2,513	-0,351	4,160
iTITAN 40/20 l=1,60m)	27708	3	5,621	-6,486	57,180	0,759	4,243	-11,652	-0,002	30,000	388,402	0,000	57,180	0,000	2,342	-0,274	4,243
面	27709	4	5,718	-6,503	56,040	0,607	4,310	-11,602	-0,001	30,000	386,719	0,000	56,040	0,000	2,165	-0,193	4,310
面	27710	5	5,814	-6,520	54,905	0,489	4,363	-11,551	-0,001	30,000	385,023	0,000	54,905	0,000	1,989	-0,114	4,366
EmbeddedBeam_31_1	27710	1	5,814	-6,520	54,905	0,477	4,363	-11,551	-0,001	30,000	385,023	0,000	54,905	0,000	1,999	-0,114	4,366
Element 2-19 (Embedded beam)	27711	2	5,926	-6,540	53,602	0,317	4,409	-11,492	-0,001	30,000	383,056	0,000	53,602	0,000	1,755	-0,035	4,413
iTITAN 40/20 l=1,60m)	27712	3	6,037	-6,559	52,305	0,143	4,435	-11,433	-0,002	30,000	381,086	0,000	52,305	0,000	1,676	-0,026	4,443
面	27713	4	6,149	-6,579	51,015	-0,045	4,440	-11,374	-0,002	30,000	379,118	0,000	51,015	0,045	1,588	-0,017	4,452
面	27714	5	6,260	-6,599	49,733	-0,246	4,424	-11,315	-0,002	30,000	377,162	0,000	49,733	0,246	1,403	-0,007	4,437
EmbeddedBeam_31_1	27714	1	6,260	-6,599	49,732	-0,240	4,424	-11,315	-0,002	30,000	377,162	0,000	49,732	0,240	1,427	-0,007	4,437
Element 2-20 (Embedded beam)	27715	2	6,388	-6,621	48,261	-0,480	4,377	-11,248	-0,002	30,000	374,929	0,000	48,261	0,480	1,154	0,000	4,392
iTITAN 40/20 l=1,60m)	27716	3	6,517	-6,644	46,797	-0,707	4,299	-11,182	-0,002	30,000	372,734	0,000	46,797	0,707	0,877	0,000	4,315
面	27717	4	6,645	-6,667	45,342	-0,919	4,193	-11,118	-0,002	30,000	370,590	0,000	45,342	0,919	0,613	0,000	4,210
面	27718	5	6,774	-6,690	43,896	-1,115	4,060	-11,055	-0,001	30,000	368,511	0,000	43,896	1,115	0,398	0,000	4,077
EmbeddedBeam_31_1	27718	1	6,774	-6,690	43,895	-1,112	4,060	-11,055	-0,001	30,000	368,511	0,000	43,895	1,112	0,410	0,000	4,077
Element 2-21 (Embedded beam)	27719	2	6,922	-6,716	42,237	-1,299	3,878	-10,986	-0,001	30,000	366,209	0,000	42,237	1,299	0,192	0,000	3,896
iTITAN 40/20 l=1,60m)	27720	3	7,070	-6,742	40,588	-1,445	3,671	-10,921	-0,001	30,000	364,028	0,000	40,588	1,445	0,061	0,000	3,691
面	27721	4	7,219	-6,768	38,948	-1,552	3,445	-10,860	-0,001	30,000	361,985	0,000	38,948	1,552	0,006	0,000	3,466
面	27722	5	7,367	-6,794	37,319	-1,620	3,206	-10,803	0,000	30,000	360,095	0,000	37,319	1,620	0,000	0,000	3,228
EmbeddedBeam_31_1	27722	1	7,367	-6,794	37,317	-1,623	3,206	-10,803	0,000	30,000	360,095	0,000	37,317	1,623	0,000	0,000	3,228

Structural element	Node [10 ^]	Local number	X [m]	Y [m]	N [kN]	Q [10 ^ kN]	M [10 ^ kN m]	T $_{,zz}$ [kN/m]	T $_{,yy}$ [kN/m]	T $_{,yy,zz}$ [kN/m]	T $_{,yy,zz}$ [10 ^]	N $_{,x,c}$ [10 ^ kN]	N $_{,x,c}$ [kN]	Q $_{,y,c}$ [10 ^ kN]	Q $_{,z,c}$ [10 ^ kN]	M $_{,y,c}$ [10 ^ kN m]	M $_{,z,c}$ [10 ^ kN m]
Element 2-22 (Embedded beam)	27723	2	7,538	-6,824	35,448	-1,660	2,921	-10,744	0,000	30,000	158,120	0,000	35,448	-1,660	0,000	0,000	2,944
(TITAN 40/20 l=1,60m)	27724	3	7,709	-6,855	33,587	-1,664	2,632	-10,691	0,000	30,000	156,383	0,000	33,587	-1,664	0,000	0,000	2,658
)	27725	4	7,880	-6,885	31,734	-1,635	2,345	-10,647	0,000	30,000	154,898	0,000	31,734	-1,635	0,000	0,000	2,373
)	27726	5	8,051	-6,915	29,890	-1,576	2,066	-10,610	0,000	30,000	153,675	0,000	29,890	-1,576	0,000	0,000	2,095
EmbeddedBeam_3_1	27726	1	8,051	-6,915	29,888	-1,579	2,066	-10,610	0,000	30,000	153,675	0,000	29,888	-1,579	0,000	0,000	2,095
Element 2-23 (Embedded beam)	27727	2	8,248	-6,950	27,768	-1,480	1,759	-10,578	0,001	30,000	152,600	0,000	27,768	-1,480	0,000	0,000	1,790
(TITAN 40/20 l=1,60m)	27728	3	8,445	-6,984	25,651	-1,357	1,474	-10,557	0,001	30,000	151,892	0,000	25,651	-1,357	0,000	0,000	1,508
)	27729	4	8,643	-7,019	23,536	-1,210	1,217	-10,547	0,001	30,000	151,555	0,000	23,536	-1,210	0,000	0,000	1,252
)	27730	5	8,840	-7,054	21,426	-1,041	0,991	-10,548	0,001	30,000	151,588	0,000	21,426	-1,041	0,000	0,000	1,027
EmbeddedBeam_3_1	27730	1	8,840	-7,054	21,423	-1,053	0,991	-10,548	0,001	30,000	151,588	0,000	21,423	-1,053	0,000	0,000	1,027
Element 2-24 (Embedded beam)	27731	2	9,067	-7,094	18,988	-0,842	0,772	-10,562	0,001	30,000	152,081	0,000	18,988	-0,842	0,000	0,000	0,810
(TITAN 40/20 l=1,60m)	27732	3	9,295	-7,134	16,543	-0,653	0,600	-10,592	0,001	30,000	153,055	0,000	16,543	-0,653	0,000	0,000	0,640
)	27733	4	9,523	-7,175	14,089	-0,491	0,469	-10,635	0,001	30,000	154,510	0,000	14,089	-0,491	0,000	0,000	0,510
)	27734	5	9,750	-7,215	11,629	-0,361	0,371	-10,693	0,000	30,000	156,449	0,000	11,629	-0,364	0,000	0,049	0,413
EmbeddedBeam_3_1	27734	1	9,750	-7,215	11,624	-0,336	0,371	-10,693	0,000	30,000	156,449	0,000	11,624	-0,336	0,000	0,049	0,413
Element 2-25 (Embedded beam)	27735	2	10,013	-7,261	8,767	-0,367	0,278	-10,779	0,000	30,000	159,305	0,000	8,767	-0,394	0,000	0,092	0,318
(TITAN 40/20 l=1,60m)	27736	3	10,275	-7,307	5,879	-0,384	0,176	-10,885	0,000	30,000	162,835	0,000	5,879	-0,438	0,107	0,082	0,205
)	27737	4	10,538	-7,354	2,958	-0,346	0,078	-11,020	0,000	30,000	167,333	0,000	2,958	-0,407	0,178	0,042	0,091
)	27738	5	10,800	-7,400	0,005	-0,215	0,000	-11,202	0,003	30,000	173,403	0,000	0,005	-0,245	0,109	0,000	0,000
EmbeddedBeam_2_1	27739	1	-3,562	-12,132	17,674	1,286	0,000	-72,282	0,010	125,000	578,260	-133,104	17,674	0,000	1,286	0,000	0,000
Element 3-26 (Embedded beam)	27740	2	-3,445	-12,380	7,912	0,255	0,193	-28,696	-0,003	125,000	229,569	-65,705	7,912	0,000	0,255	0,000	0,193
(Ricropalo D168.3 x12.5mm/1,6m)	27741	3	-3,329	-12,628	2,245	-0,130	0,201	-10,140	0,000	125,000	81,117	-26,166	2,245	-0,130	0,022	0,000	0,201
)	27742	4	-3,213	-12,876	-0,091	-0,028	0,166	-4,378	0,001	125,000	35,027	-120,690	0,000	-0,028	0,064	0,000	0,166
)	27743	5	-3,096	-13,124	0,139	0,405	0,213	-1,715	0,000	125,000	13,722	-9,986	0,139	0,000	0,405	0,000	0,213
EmbeddedBeam_2_1	27743	1	-3,096	-13,124	-0,554	0,126	0,213	-1,715	0,000	125,000	13,722	-554,496	0,000	-0,005	0,170	0,000	0,213
Element 3-27 (Embedded beam)	27744	2	-2,980	-13,372	-0,787	0,180	0,254	-0,678	0,000	125,000	5,424	-787,151	0,000	-0,006	0,208	0,000	0,254
(Ricropalo D168.3 x12.5mm/1,6m)	27745	3	-2,863	-13,620	-0,919	0,236	0,313	-0,225	0,000	125,000	1,797	-919,032	0,000	-0,008	0,251	0,000	0,313
)	27746	4	-2,747	-13,868	-0,968	0,257	0,380	-0,075	0,000	125,000	0,596	-968,258	0,002	-0,010	0,266	0,000	0,380
)	27747	5	-2,631	-14,116	-0,953	0,206	0,446	0,000	0,000	125,000	0,000	-952,946	0,003	-0,012	0,219	0,000	0,446
EmbeddedBeam_2_1	27747	1	-2,631	-14,116	-0,969	0,228	0,446	0,000	0,000	125,000	0,000	-969,111	0,003	-0,012	0,238	0,000	0,446
Element 3-28 (Embedded beam)	27748	2	-2,514	-14,364	-0,963	0,173	0,501	0,035	0,000	125,000	0,276	-962,864	0,005	-0,013	0,188	0,000	0,501
(Ricropalo D168.3 x12.5mm/1,6m)	27749	3	-2,398	-14,612	-0,950	0,111	0,540	0,057	0,000	125,000	0,455	-950,251	0,007	-0,014	0,131	0,000	0,540
)	27750	4	-2,282	-14,860	-0,931	0,045	0,562	0,082	0,000	125,000	0,659	-931,091	0,008	-0,013	0,068	0,000	0,562
)	27751	5	-2,165	-15,108	-0,905	-0,024	0,565	0,128	0,000	125,000	1,026	-905,207	0,010	-0,024	0,001	0,000	0,565
EmbeddedBeam_2_1	27751	1	-2,165	-15,108	-0,878	-0,150	0,565	0,128	0,000	125,000	1,026	-877,925	0,009	-0,150	0,000	0,000	0,565
Element 3-29 (Embedded beam)	27752	2	-2,049	-15,356	-0,870	-0,010	0,547	0,219	0,000	125,000	1,910	-870,349	0,011	-0,010	0,013	0,000	0,547
(Ricropalo D168.3 x12.5mm/1,6m)	27753	3	-1,933	-15,604	-0,759	-0,198	0,531	0,473	-0,001	125,000	3,781	-758,888	0,011	-0,198	0,000	0,000	0,531
)	27754	4	-1,816	-15,852	-0,513	-0,862	0,395	1,222	-0,004	125,000	9,776	-512,769	0,008	-0,862	0,000	0,000	0,395
)	27755	5	-1,700	-16,100	-0,101	-2,149	0,000	2,984	0,019	125,000	23,868	-101,221	0,002	-2,149	0,000	0,000	0,000

3.3.1.1.20 Calculation results, Embedded beam, Eccezionale paratia esistente [Phase_34] (34/668), Table of embedded beam force envelopes

Structural element	Node [10 ⁰]	Local number	X [m]	Y [m]	N [kN]	Q [10 ⁰ kN]	M [10 ⁰ kN m]	$T_{,max}$ [kN/m]	$T_{,min}$ [kN/m]	$T_{,min,eq}$ [kN/m]	$T_{,min,ax}$ [10 ⁰]	$N_{,max}$ [kN]	$N_{,min}$ [kN]	$Q_{,max}$ [10 ⁰ kN]	$Q_{,min}$ [10 ⁰ kN]	$M_{,min}$ [10 ⁰ kN m]
EmbeddedBeam_1_1	27637	1	4,600	2,300	103,117	876,481	0,000	-7,931	-4,444	30,000	264,364	0,000	103,117	0,000	876,481	0,000
Element 1-1 (Embedded beam)	27638	2	4,890	2,353	100,792	148,267	139,609	-7,820	-1,865	30,000	260,665	0,000	100,792	0,000	148,267	0,000
(Micropalo ancoraggio autoperforante R38i=1,60m)	27639	3	5,179	2,407	98,513	-194,561	126,271	-7,657	-0,247	30,000	255,225	0,000	98,513	-194,561	0,000	0,000
88	27640	4	5,469	2,460	96,283	-222,405	55,916	-7,488	0,275	30,000	249,614	0,000	96,283	-222,405	0,000	0,000
89	27641	5	5,758	2,513	94,104	-5,665	18,136	-7,324	0,264	30,000	244,148	0,000	94,104	-5,665	0,001	0,000
EmbeddedBeam_1_1	27641	1	5,758	2,513	94,103	-86,544	18,136	-7,324	0,264	30,000	244,148	0,000	94,103	-86,544	0,000	0,000
Element 1-2 (Embedded beam)	27642	2	6,010	2,559	92,246	-35,340	3,018	-7,179	0,162	30,000	239,302	0,000	92,246	-35,340	0,000	0,013
(Micropalo ancoraggio autoperforante R38i=1,60m)	27643	3	6,262	2,606	90,426	-4,475	1,738	-7,033	0,070	30,000	234,417	0,000	90,426	-4,475	0,158	1,738
90	27644	4	6,514	2,652	88,643	8,552	0,798	-6,884	0,023	30,000	229,457	0,000	88,643	0,000	9,745	0,798
91	27645	5	6,766	2,698	86,900	6,243	1,369	-6,731	0,016	30,000	224,373	0,000	86,900	0,000	6,243	0,011
EmbeddedBeam_1_1	27645	1	6,766	2,698	86,900	10,458	1,369	-6,731	0,016	30,000	224,373	0,000	86,900	0,000	10,458	0,011
Element 1-3 (Embedded beam)	27646	2	6,985	2,739	85,415	15,803	4,236	-6,594	0,028	30,000	219,798	0,000	85,415	0,000	15,803	0,006
(Micropalo ancoraggio autoperforante R38i=1,60m)	27647	3	7,204	2,779	83,961	23,433	8,593	-6,449	0,043	30,000	214,963	0,000	83,961	0,000	23,433	0,003
92	27648	4	7,423	2,819	82,542	32,505	14,789	-6,292	0,041	30,000	209,737	0,000	82,542	0,000	32,505	0,001
93	27649	5	7,643	2,860	81,157	42,180	23,114	-6,121	-0,001	30,000	204,050	0,000	81,157	0,000	42,951	0,001
EmbeddedBeam_1_1	27649	1	7,643	2,860	81,159	30,368	23,114	-6,121	-0,001	30,000	204,050	0,000	81,159	-0,005	31,445	0,001
Element 1-4 (Embedded beam)	27650	2	7,833	2,895	79,986	35,912	30,149	-5,970	-0,089	30,000	199,008	0,000	79,986	-0,161	37,598	0,001
(Micropalo ancoraggio autoperforante R38i=1,60m)	27651	3	8,024	2,930	78,844	-1,999	34,288	-5,810	-0,277	30,000	193,673	0,000	78,844	-2,527	2,789	0,000
94	27652	4	8,215	2,965	77,735	-88,776	26,218	-5,633	-0,593	30,000	187,761	0,000	77,735	-88,776	0,000	0,000
95	27653	5	8,405	3,000	76,660	-229,825	3,697	-5,493	-0,802	30,000	183,096	0,000	76,660	-229,825	0,000	3,697
EmbeddedBeam_1_1	27653	1	8,405	3,000	76,673	-262,538	3,697	-5,493	-0,802	30,000	183,096	0,000	76,673	-262,538	0,000	3,697
Element 1-5 (Embedded beam)	27654	2	8,571	3,030	75,689	-260,624	48,229	-5,875	0,135	30,000	195,831	0,000	75,689	-260,624	0,000	48,229
(Micropalo ancoraggio autoperforante R38i=1,60m)	27655	3	8,737	3,061	74,689	-220,204	89,531	-6,006	0,299	30,000	200,211	0,000	74,689	-220,204	0,000	89,531
96	27656	4	8,903	3,091	73,682	-132,925	119,898	-5,968	0,691	30,000	198,918	0,000	73,682	-132,925	0,000	119,898
97	27657	5	9,069	3,122	72,674	9,565	131,193	-5,836	1,421	30,000	194,543	0,000	72,674	-39,228	9,565	131,193
EmbeddedBeam_1_1	27657	1	9,069	3,122	72,605	-48,194	131,193	-5,836	1,421	30,000	194,543	0,000	72,605	-83,043	0,000	131,193
Element 1-6 (Embedded beam)	27658	2	9,213	3,148	71,856	322,447	109,129	-6,078	1,868	30,000	202,587	0,000	71,856	0,000	322,447	109,129
(Micropalo ancoraggio autoperforante R38i=1,60m)	27659	3	9,357	3,175	70,831	508,982	45,354	-7,721	0,820	30,000	257,377	0,000	70,831	0,000	508,982	45,655
98	27660	4	9,502	3,201	69,507	487,729	30,132	-10,163	-0,964	30,000	338,758	0,000	69,507	0,000	487,729	0,001
99	27661	5	9,646	3,228	67,859	235,005	86,273	-11,579	-1,549	30,000	385,960	0,000	67,859	0,000	235,364	0,000
EmbeddedBeam_1_1	27661	1	9,646	3,228	67,892	263,534	86,273	-19,298	-2,581	30,000	643,267	0,000	67,892	0,000	263,534	0,000
Element 1-7 (Embedded beam)	27662	2	9,771	3,251	65,448	28,188	103,775	-19,148	-1,499	30,000	638,273	0,000	65,448	0,000	44,019	0,000
(Micropalo ancoraggio autoperforante R38i=1,60m)	27663	3	9,896	3,274	63,019	-115,106	97,401	-19,013	-0,697	30,000	633,759	0,000	63,019	-115,106	0,007	0,000
100	27664	4	10,022	3,297	60,607	-173,999	78,050	-18,887	-0,173	30,000	629,573	0,000	60,607	-173,999	0,000	0,000
101	27665	5	10,147	3,320	58,212	-156,142	56,318	-18,768	0,125	30,000	625,606	0,000	58,212	-156,142	0,000	0,000
EmbeddedBeam_1_1	27665	1	10,147	3,320	58,210	-176,349	56,318	-18,768	0,125	30,000	625,606	0,000	58,210	-176,349	0,000	0,000
Element 1-8 (Embedded beam)	27666	2	10,296	3,347	55,380	-134,283	32,788	-18,636	0,271	30,000	621,199	0,000	55,380	-134,283	0,000	0,000
(Micropalo ancoraggio autoperforante R38i=1,60m)	27667	3	10,445	3,375	52,566	-93,472	15,601	-18,516	0,281	30,000	617,184	0,000	52,566	-93,472	0,000	0,000
102	27668	4	10,594	3,402	49,769	-56,080	4,295	-18,406	0,226	30,000	613,549	0,000	49,769	-56,080	0,000	0,000
103	27669	5	10,743	3,430	46,991	-24,272	1,689	-18,308	0,155	30,000	610,282	0,000	46,991	-24,272	0,000	1,689
EmbeddedBeam_1_1	27669	1	10,743	3,430	46,988	-24,246	1,689	-18,308	0,155	30,000	610,282	0,000	46,988	-24,246	0,000	1,689
Element 1-9 (Embedded beam)	27670	2	10,920	3,462	43,700	-6,070	4,286	-18,208	0,080	30,000	606,936	0,000	43,700	-6,195	0,000	4,286
(Micropalo ancoraggio autoperforante R38i=1,60m)	27671	3	11,097	3,495	40,425	4,116	4,366	-18,124	0,029	30,000	604,130	0,000	40,425	-0,112	4,116	4,366
104	27672	4	11,274	3,527	37,163	7,244	3,226	-18,056	0,001	30,000	601,852	0,000	37,163	-0,035	7,244	3,226
105	27673	5	11,452	3,560	33,917	4,245	2,113	-18,003	-0,009	30,000	600,090	0,000	33,917	-0,024	4,245	2,113
EmbeddedBeam_1_1	27673	1	11,452	3,560	33,912	5,957	2,113	-18,003	-0,009	30,000	600,090	0,000	33,912	-0,012	5,957	2,113
Element 1-10 (Embedded beam)	27674	2	11,663	3,599	30,060	3,321	1,132	-17,959	-0,010	30,000	598,644	0,000	30,060	-0,011	3,321	1,132
(Micropalo ancoraggio autoperforante R38i=1,60m)	27675	3	11,874	3,638	26,208	1,455	0,634	-17,937	-0,007	30,000	597,893	0,000	26,208	-0,010	1,455	0,634
106	27676	4	12,085	3,676	22,359	0,375	0,451	-17,935	-0,003	30,000	597,840	0,000	22,359	-0,010	0,375	0,451

Structural element	Node [10^]	Local number	X [m]	Y [m]	N [kN]	Q [10^ kN]	M [10^ kN m]	T_xx [kN/m]	T_yy [kN/m]	T_xx,sup [kN/m]	T_xx,inf [10^]	N_x,r [kN]	N_y,r [kN]	Q_x,r [10^ kN]	Q_y,r [10^ kN]	M_x,r [10^ kN m]
폴	27677	5	12,296	3,715	18,515	0,101	0,415	-17,955	0,000	30,000	598,505	0,000	18,515	-0,124	0,101	0,415
EmbeddedBeam_1_1	27677	1	12,296	3,715	18,507	-0,150	0,415	-17,955	0,000	30,000	598,505	0,000	18,507	-0,264	0,000	0,415
Element 1-11 (Embedded beam)	27678	2	12,547	3,761	17,925	0,262	0,401	-18,008	0,001	30,000	600,266	0,000	17,925	-0,059	0,262	0,401
/Ricropalo ancoraggio autoperforante R38I=1,60m)	27679	3	12,798	3,808	9,314	0,568	0,288	-18,094	0,002	30,000	603,137	0,000	9,314	0,000	0,568	0,288
폴	27680	4	13,049	3,854	4,675	0,631	0,132	-18,228	-0,001	30,000	607,604	0,000	4,675	0,000	0,631	0,132
폴	27681	5	13,300	3,900	0,008	0,315	0,000	-18,438	-0,006	30,000	614,587	0,000	0,008	0,000	0,315	0,000
EmbeddedBeam_2_1	27682	1	2,300	5,900	60,394	104,819	0,000	-3,946	-0,635	30,000	131,542	0,000	61,755	0,000	114,126	0,000
Element 2-12 (Embedded beam)	27683	2	2,582	5,950	59,323	64,093	24,586	-4,004	-0,153	30,000	133,456	0,000	62,596	-0,074	64,192	0,000
/Ricropalo ancoraggio autoperforante R38I=1,60m)	27684	3	2,865	6,000	58,088	14,678	35,811	-4,699	-0,213	30,000	156,638	0,000	61,262	-12,630	14,678	0,002
폴	27685	4	3,147	6,049	56,717	-36,709	32,817	-4,952	-0,167	30,000	165,054	0,000	59,782	-38,592	0,000	0,084
폴	27686	5	3,430	6,099	55,238	-83,354	15,327	-5,056	0,095	30,000	168,532	0,000	58,186	-83,354	0,127	0,100
EmbeddedBeam_3_1	27686	1	3,430	6,099	55,264	-61,394	15,327	-5,056	0,095	30,000	168,532	0,000	58,213	-61,394	0,016	0,100
Element 2-13 (Embedded beam)	27687	2	3,595	6,128	54,416	-44,964	8,431	-5,059	0,092	30,000	168,625	0,000	57,292	-44,964	0,054	0,823
/Ricropalo ancoraggio autoperforante R38I=1,60m)	27688	3	3,760	6,158	53,568	-30,334	0,152	-5,065	0,084	30,000	168,840	0,000	56,368	-30,334	0,075	1,898
폴	27689	4	3,925	6,187	52,719	-17,906	3,868	-5,053	0,066	30,000	168,446	0,000	55,443	-17,906	0,545	3,868
폴	27690	5	4,090	6,216	51,873	-8,078	6,004	-5,016	0,046	30,000	167,205	0,000	54,518	-8,078	1,919	6,004
EmbeddedBeam_3_1	27690	1	4,090	6,216	51,874	-8,159	6,004	-5,016	0,046	30,000	167,205	0,000	54,519	-8,159	2,256	6,004
Element 2-14 (Embedded beam)	27691	2	4,187	6,233	51,384	-4,297	6,612	-4,991	0,039	30,000	166,357	0,000	53,983	-4,297	2,967	6,612
/Ricropalo ancoraggio autoperforante R38I=1,60m)	27692	3	4,283	6,250	50,895	-0,617	6,853	-4,967	0,035	30,000	165,561	0,000	53,447	-0,617	3,847	6,853
폴	27693	4	4,380	6,267	50,409	2,979	6,736	-4,945	0,037	30,000	164,842	0,000	52,914	0,000	5,438	6,736
폴	27694	5	4,476	6,284	49,926	6,588	6,268	-4,927	0,045	30,000	164,234	0,000	52,384	0,000	6,920	6,268
EmbeddedBeam_3_1	27694	1	4,476	6,284	49,925	6,821	6,268	-4,927	0,045	30,000	164,234	0,000	52,383	0,000	6,993	6,268
Element 2-15 (Embedded beam)	27695	2	4,533	6,294	49,643	9,713	5,798	-4,918	0,055	30,000	163,925	0,000	52,074	0,000	9,713	5,798
/Ricropalo ancoraggio autoperforante R38I=1,60m)	27696	3	4,589	6,304	49,361	13,188	5,142	-4,909	0,071	30,000	163,648	0,000	51,764	0,000	13,188	5,142
폴	27697	4	4,646	6,314	49,079	16,988	4,279	-4,920	0,066	30,000	164,007	0,000	51,456	0,000	16,988	4,279
폴	27698	5	4,702	6,324	48,797	20,852	3,193	-5,010	-0,026	30,000	166,997	0,000	51,148	0,000	20,852	3,193
EmbeddedBeam_3_1	27698	1	4,702	6,324	48,795	19,197	3,193	-8,350	-0,044	30,000	278,328	0,000	51,147	0,000	19,197	3,193
Element 2-16 (Embedded beam)	27699	2	4,800	6,341	47,968	15,042	1,499	-8,330	-0,039	30,000	277,677	0,000	50,259	-0,022	15,042	1,617
/Ricropalo ancoraggio autoperforante R38I=1,60m)	27700	3	4,898	6,358	47,142	11,510	0,186	-8,309	-0,033	30,000	276,969	0,000	49,374	-0,628	11,510	0,877
폴	27701	4	4,995	6,376	46,318	8,637	0,809	-8,289	-0,025	30,000	276,298	0,000	48,493	-1,160	8,637	0,430
폴	27702	5	5,093	6,393	45,497	6,456	1,551	-8,269	-0,019	30,000	275,644	0,000	47,616	-1,144	6,456	0,202
EmbeddedBeam_3_1	27702	1	5,093	6,393	45,496	6,409	1,551	-8,269	-0,019	30,000	275,644	0,000	47,615	-1,233	6,409	0,202
Element 2-17 (Embedded beam)	27703	2	5,177	6,408	44,794	5,012	2,035	-8,252	-0,015	30,000	275,062	0,000	46,867	-1,023	5,012	0,266
/Ricropalo ancoraggio autoperforante R38I=1,60m)	27704	3	5,261	6,422	44,093	3,865	2,411	-8,234	-0,012	30,000	274,451	0,000	46,121	-0,720	3,870	0,327
폴	27705	4	5,344	6,437	43,394	2,955	2,699	-8,214	-0,009	30,000	273,811	0,000	45,376	-0,445	3,184	0,373
폴	27706	5	5,428	6,452	42,697	2,272	2,920	-8,194	-0,007	30,000	273,144	0,000	44,635	-0,187	2,808	0,383
EmbeddedBeam_3_1	27706	1	5,428	6,452	42,697	2,236	2,920	-8,194	-0,007	30,000	273,144	0,000	44,635	-0,199	2,787	0,383
Element 2-18 (Embedded beam)	27707	2	5,525	6,469	41,895	1,628	3,108	-8,170	-0,006	30,000	272,343	0,000	43,782	-0,043	2,448	0,351
/Ricropalo ancoraggio autoperforante R38I=1,60m)	27708	3	5,621	6,486	41,095	1,143	3,243	-8,145	-0,004	30,000	271,512	0,000	42,932	0,000	2,222	0,274
폴	27709	4	5,718	6,503	40,297	0,772	3,336	-8,120	-0,003	30,000	270,653	0,000	42,085	0,000	2,021	0,193
폴	27710	5	5,814	6,520	39,502	0,508	3,398	-8,093	-0,003	30,000	269,769	0,000	41,242	0,000	1,818	0,114
EmbeddedBeam_3_1	27710	1	5,814	6,520	39,502	0,486	3,398	-8,093	-0,003	30,000	269,769	0,000	41,241	0,000	1,822	0,114
Element 2-19 (Embedded beam)	27711	2	5,926	6,540	38,589	0,219	3,438	-8,062	-0,002	30,000	268,724	0,000	40,272	0,000	1,740	0,035
/Ricropalo ancoraggio autoperforante R38I=1,60m)	27712	3	6,037	6,559	37,678	0,020	3,453	-8,030	-0,002	30,000	267,657	0,000	39,306	0,000	1,676	0,026
폴	27713	4	6,149	6,579	36,772	-0,173	3,444	-7,997	-0,002	30,000	266,576	0,000	38,344	-0,173	1,588	0,017
폴	27714	5	6,260	6,599	35,869	-0,345	3,414	-7,965	-0,002	30,000	265,487	0,000	37,387	-0,345	1,403	0,007
EmbeddedBeam_3_1	27714	1	6,260	6,599	35,869	-0,348	3,414	-7,965	-0,002	30,000	265,487	0,000	37,387	-0,348	1,427	0,007
Element 2-20 (Embedded beam)	27715	2	6,388	6,621	34,833	-0,548	3,356	-7,927	-0,001	30,000	264,232	0,000	36,287	-0,548	1,154	0,000
/Ricropalo ancoraggio autoperforante R38I=1,60m)	27716	3	6,517	6,644	33,801	-0,738	3,272	-7,890	-0,001	30,000	262,990	0,000	35,192	-0,738	0,877	0,000
폴	27717	4	6,645	6,667	32,773	-0,917	3,164	-7,853	-0,001	30,000	261,773	0,000	34,102	-0,917	0,613	0,000
폴	27718	5	6,774	6,690	31,751	-1,086	3,033	-7,818	-0,001	30,000	260,594	0,000	33,018	-1,086	0,398	0,000
EmbeddedBeam_3_1	27718	1	6,774	6,690	31,751	-1,082	3,033	-7,818	-0,001	30,000	260,594	0,000	33,017	-1,082	0,410	0,000
Element 2-21 (Embedded beam)	27719	2	6,922	6,716	30,578	-1,248	2,857	-7,779	-0,001	30,000	259,298	0,000	31,773	-1,248	0,192	0,000
/Ricropalo ancoraggio autoperforante R38I=1,60m)	27720	3	7,070	6,742	29,409	-1,379	2,659	-7,743	-0,001	30,000	258,086	0,000	30,533	-1,379	0,061	0,000
폴	27721	4	7,219	6,768	28,246	-1,476	2,444	-7,709	-0,001	30,000	256,975	0,000	29,300	-1,476	0,006	0,000
폴	27722	5	7,367	6,794	27,089	-1,538	2,216	-7,679	0,000	30,000	255,979	0,000	28,073	-1,538	0,000	0,000
EmbeddedBeam_3_1	27722	1	7,367	6,794	27,087	-1,541	2,216	-7,679	0,000	30,000	255,979	0,000	28,072	-1,541	0,000	0,000

Structural element	Node [10^0]	Local number	X [m]	Y [m]	N [kN]	Q [10^0 kN]	M [10^0 kN m]	$T_{,,,}$ [kN/m]	$T_{,,,}$ [kN/m]	$T_{,,,,,,}$ [kN/m]	$T_{,,,,,,}$ [10^0]	$N_{,,,}$ [kN]	$N_{,,,}$ [kN]	$Q_{,,,}$ [10^0 kN]	$Q_{,,,}$ [10^0 kN]	$M_{,,,}$ [10^0 kN m]
Element 2-22 (Embedded beam)	27723	2	7,538	-9,824	25,758	-1,572	1,946	-7,650	0,000	30,000	254,988	0,000	26,664	-1,572	0,000	0,000
(Micropalo ancoraggio autoperforante R38I=1,60m)	27724	3	7,709	-9,855	24,431	-1,572	1,672	-7,625	0,000	30,000	254,182	0,000	25,260	-1,572	0,000	0,000
,,	27725	4	7,880	-9,885	23,108	-1,541	1,401	-7,607	0,000	30,000	253,574	0,000	23,861	-1,541	0,000	0,000
,,	27726	5	8,051	-9,915	21,790	-1,480	1,139	-7,595	0,000	30,000	253,174	0,000	22,469	-1,480	0,000	0,000
EmbeddedBeam_3_1	27726	1	8,051	-9,915	21,788	-1,484	1,139	-7,595	0,000	30,000	253,174	0,000	22,468	-1,484	0,000	0,000
Element 2-23 (Embedded beam)	27727	2	8,248	-9,950	20,269	-1,385	0,851	-7,589	0,001	30,000	252,981	0,000	20,867	-1,385	0,000	0,000
(Micropalo ancoraggio autoperforante R38I=1,60m)	27728	3	8,445	-9,984	18,748	-1,264	0,585	-7,592	0,001	30,000	253,080	0,000	19,269	-1,264	0,000	0,000
,,	27729	4	8,643	-10,019	17,226	-1,125	0,346	-7,604	0,001	30,000	253,473	0,000	17,673	-1,125	0,000	0,000
,,	27730	5	8,840	-10,054	15,702	-0,967	0,136	-7,625	0,001	30,000	254,158	0,000	16,081	-0,967	0,000	0,000
EmbeddedBeam_3_1	27730	1	8,840	-10,054	15,700	-0,969	0,136	-7,625	0,001	30,000	254,158	0,000	16,079	-0,969	0,000	0,000
Element 2-24 (Embedded beam)	27731	2	9,067	-10,094	13,937	-0,792	0,067	-7,659	0,001	30,000	255,306	0,000	14,242	-0,792	0,000	0,067
(Micropalo ancoraggio autoperforante R38I=1,60m)	27732	3	9,295	-10,134	12,161	-0,608	0,230	-7,705	0,001	30,000	256,826	0,000	12,401	-0,608	0,000	0,230
,,	27733	4	9,523	-10,175	10,373	-0,414	0,348	-7,761	0,001	30,000	258,712	0,000	10,555	-0,417	0,000	0,348
,,	27734	5	9,750	-10,215	8,575	-0,205	0,420	-7,829	0,001	30,000	260,961	0,000	8,706	-0,256	0,000	0,420
EmbeddedBeam_3_1	27734	1	9,750	-10,215	8,571	-0,288	0,420	-7,829	0,001	30,000	260,961	0,000	8,702	-0,294	0,000	0,420
Element 2-25 (Embedded beam)	27735	2	10,013	-10,261	6,476	0,213	0,429	-7,920	0,002	30,000	264,013	0,000	6,559	-0,240	0,213	0,429
(Micropalo ancoraggio autoperforante R38I=1,60m)	27736	3	10,275	-10,307	4,350	0,572	0,317	-8,027	0,002	30,000	267,554	0,000	4,395	-0,215	0,572	0,317
,,	27737	4	10,538	-10,354	2,192	0,664	0,148	-8,154	0,000	30,000	271,798	0,000	2,209	-0,165	0,664	0,148
,,	27738	5	10,800	-10,400	0,004	0,361	0,000	-8,316	-0,006	30,000	277,187	0,000	0,004	-0,081	0,361	0,000

3.3.1.1.21 Calculation results, Embedded beam, Eccezionale [Phase_24] (24/712), Table of embedded beam force envelopes

Structural element	Node [10 ⁺]	Local number	X [m]	Y [m]	N [kN]	Q [kN]	M [10 ⁺ kN m]	$T_{,min}$ [kN/m]	$T_{,max}$ [kN/m]	$T_{,min,max}$ [kN/m]	$T_{,min,min}$	$N_{,min}$ [kN]	$N_{,max}$ [kN]	$Q_{,min}$ [10 ⁺ kN]	$Q_{,max}$ [kN]	$M_{,min}$ [10 ⁺ kN m]	$M_{,max}$ [10 ⁺ kN m]
EmbeddedBeam_1_1	27637	1	4,600	2,100	170,909	1,520	0,000	-12,820	6,866	30,000	0,427	0,000	170,909	0,000	1,520	0,000	0,000
Element 1-1 (Embedded beam)	27638	2	4,890	2,353	166,959	0,256	242,086	-13,287	3,239	30,000	0,443	0,000	166,959	0,000	0,256	0,000	242,086
(TITAN 40/20 l=1,60m)	27639	3	5,179	2,407	163,084	-0,342	217,900	-13,053	-0,461	30,000	0,435	0,000	163,084	-342,035	0,000	0,000	217,900
圆	27640	4	5,469	2,460	159,294	-0,390	94,543	-12,706	0,495	30,000	0,424	0,000	159,294	-390,256	0,000	0,000	94,543
圆	27641	5	5,758	2,513	155,601	-0,006	28,582	-12,388	0,466	30,000	0,413	0,000	155,601	-6,042	0,000	0,000	28,582
EmbeddedBeam_1_1	27641	1	5,758	2,513	155,599	-0,149	28,582	-12,388	0,466	30,000	0,413	0,000	155,599	-148,876	0,000	0,000	28,582
Element 1-2 (Embedded beam)	27642	2	6,010	2,559	152,464	-0,060	2,733	-12,107	0,282	30,000	0,404	0,000	152,464	-59,760	0,000	-0,013	4,699
(TITAN 40/20 l=1,60m)	27643	3	6,262	2,606	149,398	-0,006	-5,154	-11,828	0,118	30,000	0,394	0,000	149,398	-6,472	0,000	-5,154	0,297
圆	27644	4	6,514	2,652	146,403	0,016	-3,240	-11,552	0,038	30,000	0,385	0,000	146,403	0,000	0,016	-3,240	1,050
圆	27645	5	6,766	2,698	143,481	0,011	0,686	-11,279	0,029	30,000	0,376	0,000	143,481	0,000	0,011	-0,011	3,236
EmbeddedBeam_1_1	27645	1	6,766	2,698	143,480	0,018	0,686	-11,279	0,029	30,000	0,376	0,000	143,480	0,000	0,018	-0,011	3,236
Element 1-3 (Embedded beam)	27646	2	6,985	2,739	140,992	0,029	5,843	-11,043	0,048	30,000	0,368	0,000	140,992	0,000	0,029	-0,006	5,882
(TITAN 40/20 l=1,60m)	27647	3	7,204	2,779	138,559	0,040	13,608	-10,798	0,062	30,000	0,360	0,000	138,559	0,000	0,040	-0,003	13,608
圆	27648	4	7,423	2,819	136,182	0,049	23,557	-10,531	0,028	30,000	0,351	0,000	136,182	0,000	0,049	-0,001	23,557
圆	27649	5	7,643	2,860	133,865	0,053	35,103	-10,244	-0,071	30,000	0,341	0,000	133,865	0,000	0,053	-0,001	35,103
EmbeddedBeam_1_1	27649	1	7,643	2,860	133,866	0,039	35,103	-10,244	-0,071	30,000	0,341	0,000	133,866	-0,005	0,039	-0,001	35,103
Element 1-4 (Embedded beam)	27650	2	7,833	2,895	131,900	0,028	42,163	-10,047	-0,201	30,000	0,335	0,000	131,900	-0,161	0,039	-0,001	42,163
(TITAN 40/20 l=1,60m)	27651	3	8,024	2,930	129,969	-0,034	42,705	-9,882	-0,376	30,000	0,329	0,000	129,969	-33,977	0,002	0,000	42,803
圆	27652	4	8,215	2,965	128,081	-0,158	24,927	-9,616	-0,849	30,000	0,321	0,000	128,081	-158,407	0,000	0,000	29,586
圆	27653	5	8,405	3,000	126,240	-0,358	-23,722	-9,399	-1,141	30,000	0,313	0,000	126,240	-358,251	0,000	-23,722	4,297
EmbeddedBeam_1_1	27653	1	8,405	3,000	126,259	-0,401	-23,722	-9,399	-1,141	30,000	0,313	0,000	126,259	-401,285	0,000	-23,722	4,297
Element 1-5 (Embedded beam)	27654	2	8,571	3,030	124,602	-0,406	-92,483	-9,851	0,183	30,000	0,328	0,000	124,602	-406,112	0,000	-92,483	0,000
(TITAN 40/20 l=1,60m)	27655	3	8,737	3,061	122,933	-0,346	-157,211	-9,986	0,446	30,000	0,333	0,000	122,933	-345,785	0,000	-157,211	0,000
圆	27656	4	8,903	3,091	121,260	-0,204	-204,595	-9,892	1,146	30,000	0,330	0,000	121,260	-204,230	0,000	-204,595	0,000
圆	27657	5	9,069	3,122	119,593	0,035	-220,490	-9,663	2,439	30,000	0,322	0,000	119,593	39,023	0,035	-220,490	0,000
EmbeddedBeam_1_1	27657	1	9,069	3,122	119,472	-0,063	-220,490	-9,663	2,439	30,000	0,322	0,000	119,472	82,718	0,000	-220,490	0,000
Element 1-6 (Embedded beam)	27658	2	9,213	3,148	118,236	0,571	-179,769	-10,096	3,186	30,000	0,337	0,000	118,236	0,000	0,571	-179,769	0,000
(TITAN 40/20 l=1,60m)	27659	3	9,357	3,175	116,525	0,886	-68,155	-12,947	1,319	30,000	0,432	0,000	116,525	0,000	0,886	-68,155	0,000
圆	27660	4	9,502	3,201	114,297	0,843	62,738	-17,153	-1,677	30,000	0,572	0,000	114,297	0,000	0,843	-0,001	62,738
圆	27661	5	9,646	3,228	111,508	0,407	159,682	-19,828	-2,743	30,000	0,661	0,000	111,508	0,000	0,407	0,000	159,682
EmbeddedBeam_1_1	27661	1	9,646	3,228	111,556	0,451	159,682	-30,000	-4,571	30,000	1,000	0,000	111,556	0,000	0,451	0,000	159,682
Element 1-7 (Embedded beam)	27662	2	9,771	3,251	107,737	0,037	188,802	-30,000	-2,634	30,000	1,000	0,000	107,737	0,000	0,056	0,000	188,802
(TITAN 40/20 l=1,60m)	27663	3	9,896	3,274	103,915	-0,214	175,999	-30,000	-1,211	30,000	1,000	0,000	103,915	-214,356	0,000	0,000	175,999
圆	27664	4	10,022	3,297	100,093	-0,316	140,567	-30,000	-0,285	30,000	1,000	0,000	100,093	-315,886	0,000	0,000	140,567
圆	27665	5	10,147	3,320	96,274	-0,282	101,263	-30,000	0,238	30,000	1,000	0,000	96,274	-281,692	0,000	0,000	101,263
EmbeddedBeam_1_1	27665	1	10,147	3,320	96,272	-0,318	101,263	-30,000	0,238	30,000	1,000	0,000	96,272	-317,523	0,000	0,000	101,263
Element 1-8 (Embedded beam)	27666	2	10,296	3,347	91,726	-0,241	58,977	-30,000	0,493	30,000	1,000	0,000	91,726	-240,807	0,000	0,000	58,977
(TITAN 40/20 l=1,60m)	27667	3	10,445	3,375	87,178	-0,167	28,218	-30,000	0,506	30,000	1,000	0,000	87,178	-166,881	0,000	0,000	28,218
圆	27668	4	10,594	3,402	82,629	-0,100	8,083	-30,000	0,405	30,000	1,000	0,000	82,629	-99,561	0,000	0,000	8,083
圆	27669	5	10,743	3,430	78,083	-0,043	-2,503	-30,000	0,277	30,000	1,000	0,000	78,083	-42,661	0,000	-2,503	0,177
EmbeddedBeam_1_1	27669	1	10,743	3,430	78,081	-0,043	-2,503	-30,000	0,277	30,000	1,000	0,000	78,081	-42,544	0,000	-2,503	0,177
Element 1-9 (Embedded beam)	27670	2	10,920	3,462	72,671	-0,010	-7,012	-30,000	0,142	30,000	1,000	0,000	72,671	-10,172	0,000	-7,012	0,034
(TITAN 40/20 l=1,60m)	27671	3	11,097	3,495	67,258	0,008	-7,046	-30,000	0,050	30,000	1,000	0,000	67,258	-0,112	0,008	-7,046	0,009
圆	27672	4	11,274	3,527	61,844	0,013	-4,932	-30,000	0,001	30,000	1,000	0,000	61,844	-0,035	0,013	-4,932	0,001
圆	27673	5	11,452	3,560	56,434	0,008	-2,905	-30,000	-0,018	30,000	1,000	0,000	56,434	-0,024	0,008	-2,905	0,000
EmbeddedBeam_1_1	27673	1	11,452	3,560	56,431	0,011	-2,905	-30,000	-0,018	30,000	1,000	0,000	56,431	-0,012	0,011	-2,905	0,000
Element 1-10 (Embedded beam)	27674	2	11,663	3,599	49,993	0,006	-1,162	-30,000	-0,020	30,000	1,000	0,000	49,993	-0,011	0,006	-1,162	0,000
(TITAN 40/20 l=1,60m)	27675	3	11,874	3,638	43,549	0,002	-0,366	-30,000	-0,014	30,000	1,000	0,000	43,549	-0,010	0,002	-0,397	0,153
圆	27676	4	12,085	3,676	37,106	0,000	-0,210	-30,000	-0,007	30,000	1,000	0,000	37,106	-0,297	0,000	-0,274	0,256

Structural element	Node [10^]	Local number	X [m]	Y [m]	N [kN]	Q [kN]	M [10^ kN m]	$T_{xx,-}$ [kN/m]	$T_{xx,+}$ [kN/m]	$T_{xx,max}$ [kN/m]	$T_{xx,min}$	$N_{xx,-}$ [kN]	$N_{xx,+}$ [kN]	$Q_{xz,-}$ [10^ kN]	$Q_{xz,+}$ [kN]	$M_{xx,-}$ [10^ kN m]	$M_{xx,+}$ [10^ kN m]
扉	27677	5	12,296	3,715	30,668	-0,001	-0,384	-30,000	0,001	30,000	1,000	0,000	30,668	-1,061	0,000	-0,384	0,190
EmbeddedBeam_11_1	27677	1	12,296	3,715	30,664	-0,003	-0,384	-30,000	0,001	30,000	1,000	0,000	30,664	-3,046	0,000	-0,384	0,190
Element 1-11 (Embedded beam)	27678	2	12,547	3,761	23,001	0,002	-0,481	-30,000	0,012	30,000	1,000	0,000	23,001	-0,373	0,002	-0,481	0,060
(TITAN 40/20 l=1,60m)	27679	3	12,798	3,808	15,333	0,003	0,282	-30,000	0,003	30,000	1,000	0,000	15,333	-0,115	0,003	-0,232	0,282
扉	27680	4	13,049	3,854	7,665	0,000	0,824	-30,000	-0,022	30,000	1,000	0,000	7,665	0,000	0,001	-0,122	0,824
扉	27681	5	13,300	3,900	0,002	-0,008	0,000	-30,000	0,057	30,000	1,000	0,000	0,043	7,823	0,001	0,000	0,000
EmbeddedBeam_31_1	27682	1	2,300	5,900	135,310	0,274	0,000	-11,232	-1,440	30,000	0,374	0,000	135,310	0,000	0,274	0,000	0,000
Element 2-12 (Embedded beam)	27683	2	2,582	5,950	132,183	0,093	50,778	-11,040	-0,522	30,000	0,368	0,000	132,183	-0,074	0,093	0,000	50,778
(TITAN 40/20 l=1,60m)	27684	3	2,865	6,000	128,970	-0,022	59,576	-11,447	-0,255	30,000	0,382	0,000	128,970	22,470	0,011	-0,002	59,576
扉	27685	4	3,147	6,049	125,695	-0,079	43,455	-11,467	-0,116	30,000	0,382	0,000	125,695	79,325	0,000	-0,084	43,455
扉	27686	5	3,430	6,099	122,385	-0,086	18,773	-11,377	0,123	30,000	0,379	0,000	122,385	85,836	0,000	-0,100	18,773
EmbeddedBeam_31_1	27686	1	3,430	6,099	122,405	-0,081	18,773	-11,377	0,123	30,000	0,379	0,000	122,405	80,512	0,000	-0,100	18,773
Element 2-13 (Embedded beam)	27687	2	3,595	6,128	120,507	-0,062	6,845	-11,272	0,103	30,000	0,376	0,000	120,507	62,160	0,000	-0,823	7,723
(TITAN 40/20 l=1,60m)	27688	3	3,760	6,158	118,625	-0,046	-2,199	-11,173	0,089	30,000	0,372	0,000	118,625	46,050	0,000	-2,199	1,300
扉	27689	4	3,925	6,187	116,761	-0,032	-8,725	-11,062	0,077	30,000	0,369	0,000	116,761	32,139	0,001	-8,725	0,000
扉	27690	5	4,090	6,216	114,916	-0,020	-13,098	-10,935	0,071	30,000	0,364	0,000	114,916	20,384	0,002	-13,098	0,000
EmbeddedBeam_31_1	27690	1	4,090	6,216	114,916	-0,019	-13,098	-10,935	0,071	30,000	0,364	0,000	114,916	19,149	0,002	-13,098	0,000
Element 2-14 (Embedded beam)	27691	2	4,187	6,233	113,848	-0,014	-14,720	-10,857	0,073	30,000	0,362	0,000	113,848	13,551	0,003	-14,720	0,000
(TITAN 40/20 l=1,60m)	27692	3	4,283	6,250	112,787	-0,005	-15,665	-10,782	0,094	30,000	0,359	0,000	112,787	5,065	0,004	-15,665	0,000
扉	27693	4	4,380	6,267	111,732	0,007	-15,597	-10,717	0,145	30,000	0,357	0,000	111,732	0,000	0,007	-15,597	0,000
扉	27694	5	4,476	6,284	110,685	0,023	-14,157	-10,660	0,228	30,000	0,355	0,000	110,685	0,000	0,023	-14,157	0,000
EmbeddedBeam_31_1	27694	1	4,476	6,284	110,683	0,024	-14,157	-10,660	0,228	30,000	0,355	0,000	110,683	0,000	0,024	-14,157	0,000
Element 2-15 (Embedded beam)	27695	2	4,533	6,294	110,075	0,040	-12,349	-10,618	0,291	30,000	0,354	0,000	110,075	0,000	0,040	-12,349	0,000
(TITAN 40/20 l=1,60m)	27696	3	4,589	6,304	109,466	0,058	-9,541	-10,590	0,367	30,000	0,353	0,000	109,466	0,000	0,058	-9,541	0,000
扉	27697	4	4,646	6,314	108,855	0,077	-5,693	-10,707	0,308	30,000	0,357	0,000	108,855	0,000	0,077	-5,693	0,025
扉	27698	5	4,702	6,324	108,239	0,094	-0,792	-11,243	-0,194	30,000	0,375	0,000	108,239	0,000	0,094	-1,938	0,070
EmbeddedBeam_31_1	27698	1	4,702	6,324	108,231	0,085	-0,792	-18,738	-0,323	30,000	0,625	0,000	108,231	0,000	0,085	-1,938	0,070
Element 2-16 (Embedded beam)	27699	2	4,800	6,341	106,373	0,056	6,159	-18,497	-0,269	30,000	0,623	0,000	106,373	-0,022	0,056	-1,287	6,159
(TITAN 40/20 l=1,60m)	27700	3	4,898	6,358	104,519	0,032	10,460	-18,640	-0,207	30,000	0,621	0,000	104,519	-0,628	0,032	-0,828	10,460
扉	27701	4	4,995	6,376	102,671	0,015	12,721	-18,584	-0,145	30,000	0,619	0,000	102,671	-1,160	0,015	-0,515	12,721
扉	27702	5	5,093	6,393	100,831	0,003	13,552	-18,527	-0,093	30,000	0,618	0,000	100,831	-1,144	0,006	-0,284	13,552
EmbeddedBeam_31_1	27702	1	5,093	6,393	100,830	0,003	13,552	-18,527	-0,093	30,000	0,618	0,000	100,830	-1,233	0,006	-0,284	13,552
Element 2-17 (Embedded beam)	27703	2	5,177	6,408	99,258	0,003	13,503	-18,476	-0,060	30,000	0,616	0,000	99,258	-3,422	0,004	-0,266	13,503
(TITAN 40/20 l=1,60m)	27704	3	5,261	6,422	97,689	-0,007	13,027	-18,422	-0,034	30,000	0,614	0,000	97,689	-7,463	0,003	-0,327	13,027
扉	27705	4	5,344	6,437	96,125	-0,010	12,287	-18,366	-0,016	30,000	0,612	0,000	96,125	-9,630	0,003	-0,373	12,287
扉	27706	5	5,428	6,452	94,567	-0,010	11,439	-18,308	-0,003	30,000	0,610	0,000	94,567	-10,051	0,003	-0,383	11,439
EmbeddedBeam_31_1	27706	1	5,428	6,452	94,566	-0,010	11,439	-18,308	-0,003	30,000	0,610	0,000	94,566	-10,431	0,003	-0,383	11,439
Element 2-18 (Embedded beam)	27707	2	5,525	6,469	92,775	-0,010	10,435	-18,239	0,007	30,000	0,608	0,000	92,775	-9,962	0,003	-0,351	10,435
(TITAN 40/20 l=1,60m)	27708	3	5,621	6,486	90,990	-0,009	9,499	-18,170	0,012	30,000	0,606	0,000	90,990	-9,094	0,002	-0,274	9,499
扉	27709	4	5,718	6,503	89,211	-0,008	8,662	-18,099	0,013	30,000	0,603	0,000	89,211	-7,896	0,002	-0,193	8,662
扉	27710	5	5,814	6,520	87,441	-0,006	7,958	-18,029	0,013	30,000	0,601	0,000	87,441	-6,434	0,002	-0,114	7,958
EmbeddedBeam_31_1	27710	1	5,814	6,520	87,440	-0,007	7,958	-18,029	0,013	30,000	0,601	0,000	87,440	-6,555	0,002	-0,114	7,958
Element 2-19 (Embedded beam)	27711	2	5,926	6,540	85,406	-0,005	7,301	-17,947	0,011	30,000	0,598	0,000	85,406	-5,118	0,002	-0,035	7,301
(TITAN 40/20 l=1,60m)	27712	3	6,037	6,559	83,380	-0,004	6,790	-17,866	0,009	30,000	0,596	0,000	83,380	-3,965	0,002	-0,026	6,790
扉	27713	4	6,149	6,579	81,363	-0,003	6,393	-17,786	0,006	30,000	0,593	0,000	81,363	-3,098	0,002	-0,017	6,393
扉	27714	5	6,260	6,599	79,357	-0,003	6,078	-17,707	0,004	30,000	0,590	0,000	79,357	-2,521	0,001	-0,007	6,078
EmbeddedBeam_31_1	27714	1	6,260	6,599	79,355	-0,002	6,078	-17,707	0,004	30,000	0,590	0,000	79,355	-2,479	0,001	-0,007	6,078
Element 2-20 (Embedded beam)	27715	2	6,388	6,621	77,052	-0,002	5,778	-17,617	0,002	30,000	0,587	0,000	77,052	-2,149	0,001	0,000	5,778
(TITAN 40/20 l=1,60m)	27716	3	6,517	6,644	74,758	-0,002	5,510	-17,531	0,000	30,000	0,584	0,000	74,758	-1,892	0,001	0,000	5,510
扉	27717	4	6,645	6,667	72,476	-0,002	5,251	-17,447	0,000	30,000	0,582	0,000	72,476	-1,991	0,001	0,000	5,251
扉	27718	5	6,774	6,690	70,206	-0,002	4,984	-17,368	-0,001	30,000	0,579	0,000	70,206	-2,128	0,000	0,000	4,984
EmbeddedBeam_31_1	27718	1	6,774	6,690	70,204	-0,002	4,984	-17,368	-0,001	30,000	0,579	0,000	70,204	-2,085	0,000	0,000	4,984
Element 2-21 (Embedded beam)	27719	2	6,922	6,716	67,598	-0,002	4,658	-17,281	-0,001	30,000	0,576	0,000	67,598	-2,247	0,000	0,000	4,658
(TITAN 40/20 l=1,60m)	27720	3	7,070	6,742	65,002	-0,002	4,309	-17,201	-0,001	30,000	0,573	0,000	65,002	-2,371	0,000	0,000	4,309
扉	27721	4	7,219	6,768	62,418	-0,002	3,946	-17,128	0,000	30,000	0,571	0,000	62,418	-2,453	0,000	0,000	3,946
扉	27722	5	7,367	6,794	59,846	-0,002	3,573	-17,063	0,000	30,000	0,569	0,000	59,846	-2,490	0,000	0,000	3,573
EmbeddedBeam_31_1	27722	1	7,367	6,794	59,844	-0,002	3,573	-17,063	0,000	30,000	0,569	0,000	59,844	-2,492	0,000	0,000	3,573

Structural element	Node [10^]	Local number	X [m]	Y [m]	N [kN]	Q [kN]	M [10^ kN m]	$T_{xx,+}$ [kN/m]	$T_{xx,-}$ [kN/m]	$T_{xx,xx,max}$ [kN/m]	$T_{xx,xx,cr}$	$N_{x,+}$ [kN]	$N_{x,-}$ [kN]	$Q_{x,+}$ [10^ kN]	$Q_{x,-}$ [kN]	$M_{x,+}$ [10^ kN m]	$M_{x,-}$ [10^ kN m]
Element 2-22 (Embedded beam)	27723	2	7,538	6,824	56,889	-0,002	3,143	-16,998	0,000	30,000	0,567	0,000	56,889	-2,457	0,000	0,000	3,146
(TITAN 40/20 l=1,60m)	27724	3	7,709	6,855	53,941	-0,002	2,723	-16,944	0,001	30,000	0,565	0,000	53,941	-2,374	0,000	0,000	2,747
#####	27725	4	7,880	6,885	51,002	-0,002	2,321	-16,903	0,001	30,000	0,563	0,000	51,002	-2,246	0,000	0,000	2,376
#####	27726	5	8,051	6,915	48,072	-0,002	1,945	-16,873	0,001	30,000	0,562	0,000	48,072	-2,076	0,000	0,000	2,095
EmbeddedBeam_2_1	27726	1	8,051	6,915	48,069	-0,002	1,945	-16,873	0,001	30,000	0,562	0,000	48,069	-2,085	0,000	0,000	2,095
Element 2-23 (Embedded beam)	27727	2	8,248	6,950	44,695	-0,002	1,549	-16,854	0,001	30,000	0,562	0,000	44,695	-1,864	0,000	0,000	1,790
(TITAN 40/20 l=1,60m)	27728	3	8,445	6,984	41,318	-0,002	1,199	-16,852	0,001	30,000	0,562	0,000	41,318	-1,631	0,000	0,000	1,508
#####	27729	4	8,643	7,019	37,940	-0,001	0,896	-16,866	0,001	30,000	0,562	0,000	37,940	-1,399	0,000	0,000	1,252
#####	27730	5	8,840	7,054	34,562	-0,001	0,643	-16,897	0,001	30,000	0,563	0,000	34,562	-1,162	0,000	0,000	1,027
EmbeddedBeam_3_1	27730	1	8,840	7,054	34,557	-0,001	0,643	-16,897	0,001	30,000	0,563	0,000	34,557	-1,172	0,000	0,000	1,027
Element 2-24 (Embedded beam)	27731	2	9,067	7,094	30,652	-0,001	0,408	-16,952	0,001	30,000	0,565	0,000	30,652	-0,910	0,000	0,000	0,810
(TITAN 40/20 l=1,60m)	27732	3	9,295	7,134	26,724	-0,001	0,232	-17,029	0,001	30,000	0,568	0,000	26,724	-0,681	0,000	0,000	0,640
#####	27733	4	9,523	7,175	22,777	0,000	0,106	-17,128	0,001	30,000	0,571	0,000	22,777	-0,500	0,000	0,000	0,510
#####	27734	5	9,750	7,215	18,811	0,000	0,022	-17,248	0,001	30,000	0,575	0,000	18,811	-0,364	0,000	-0,049	0,413
EmbeddedBeam_3_1	27734	1	9,750	7,215	18,803	0,000	0,022	-17,248	0,001	30,000	0,575	0,000	18,803	-0,338	0,000	-0,049	0,413
Element 2-25 (Embedded beam)	27735	2	10,013	7,261	14,191	0,000	-0,032	-17,416	0,001	30,000	0,581	0,000	14,191	-0,394	0,000	-0,092	0,318
(TITAN 40/20 l=1,60m)	27736	3	10,275	7,307	9,521	0,000	-0,022	-17,608	0,001	30,000	0,587	0,000	9,521	-0,438	0,000	-0,082	0,205
#####	27737	4	10,538	7,354	4,794	0,000	0,007	-17,843	0,001	30,000	0,595	0,000	4,794	-0,407	0,000	-0,042	0,091
#####	27738	5	10,800	7,400	0,011	0,000	0,000	-18,185	0,001	30,000	0,606	0,000	0,011	-0,245	0,000	0,000	0,000
EmbeddedBeam_2_1	27739	1	3,562	12,132	26,208	0,002	0,000	-105,405	0,018	125,000	0,843	-0,133	26,208	0,000	0,002	0,000	0,000
Element 3-26 (Embedded beam)	27740	2	3,445	12,380	11,969	0,000	0,333	-41,863	0,005	125,000	0,335	-0,066	11,969	0,000	0,000	0,000	0,333
(Hicropalo D168.3 x12.5mm/1,6m)	27741	3	3,329	12,628	3,700	0,000	0,347	-14,810	0,001	125,000	0,118	-0,026	3,700	-0,240	0,000	0,000	0,347
#####	27742	4	3,213	12,876	0,286	0,000	0,275	-6,408	0,001	125,000	0,051	-0,121	0,286	-0,124	0,000	0,000	0,275
#####	27743	5	3,096	13,124	0,615	0,001	0,324	-2,523	0,001	125,000	0,020	-0,010	0,615	0,000	0,001	0,000	0,324
EmbeddedBeam_2_1	27743	1	3,096	13,124	-0,396	0,000	0,324	-2,523	0,001	125,000	0,020	-0,554	0,000	-0,005	0,000	0,000	0,324
Element 3-27 (Embedded beam)	27744	2	2,980	13,372	-0,741	0,000	0,358	-1,009	0,000	125,000	0,008	-0,789	0,000	-0,006	0,000	0,000	0,358
(Hicropalo D168.3 x12.5mm/1,6m)	27745	3	2,863	13,620	-0,938	0,000	0,417	-0,346	0,000	125,000	0,003	-0,941	0,000	-0,008	0,000	0,000	0,417
#####	27746	4	2,747	13,868	-1,015	0,000	0,488	-0,127	0,000	125,000	0,001	-1,015	0,002	-0,010	0,000	0,000	0,488
#####	27747	5	2,631	14,116	-0,998	0,000	0,559	-0,019	0,000	125,000	0,000	-0,998	0,003	-0,012	0,000	0,000	0,559
EmbeddedBeam_2_1	27747	1	2,631	14,116	-1,022	0,000	0,559	-0,019	0,000	125,000	0,000	-1,022	0,003	-0,012	0,000	0,000	0,559
Element 3-28 (Embedded beam)	27748	2	2,514	14,364	-1,018	0,000	0,618	0,029	0,000	125,000	0,000	-1,018	0,005	-0,013	0,000	0,000	0,618
(Hicropalo D168.3 x12.5mm/1,6m)	27749	3	2,398	14,612	-1,006	0,000	0,659	0,057	0,000	125,000	0,000	-1,006	0,007	-0,014	0,000	0,000	0,659
#####	27750	4	2,282	14,860	-0,987	0,000	0,680	0,085	0,000	125,000	0,001	-0,987	0,008	-0,013	0,000	0,000	0,680
#####	27751	5	2,165	15,108	-0,960	0,000	0,678	0,134	0,000	125,000	0,001	-0,960	0,010	-0,046	0,000	0,000	0,678
EmbeddedBeam_2_1	27751	1	2,165	15,108	-0,931	0,000	0,678	0,134	0,000	125,000	0,001	-0,931	0,009	-0,193	0,000	0,000	0,678
Element 3-29 (Embedded beam)	27752	2	2,049	15,356	-0,924	0,000	0,652	0,251	0,000	125,000	0,002	-0,924	0,011	-0,036	0,000	0,000	0,652
(Hicropalo D168.3 x12.5mm/1,6m)	27753	3	1,933	15,604	-0,806	0,000	0,627	0,499	-0,001	125,000	0,004	-0,806	0,011	-0,256	0,000	0,000	0,627
#####	27754	4	1,816	15,852	-0,545	-0,001	0,461	1,297	-0,004	125,000	0,010	-0,545	0,008	-1,020	0,000	0,000	0,461
#####	27755	5	1,700	16,100	-0,108	-0,002	0,000	3,174	0,023	125,000	0,025	-0,108	0,002	-2,497	0,000	0,000	0,000

3.3.1.1.22 Calculation results, Embedded beam, SLU11 [Phase_29] (29/723), Table of embedded beam force envelopes

Structural element	Node [10^1]	Local number	X [m]	Y [m]	N [kN]	Q [kN]	M [10^-1 kN m]	$T_{z,sx}$ [kN/m]	$T_{z,dx}$ [kN/m]	$T_{z,sx,max}$ [kN/m]	$T_{z,sx,min}$ [10^1]	$N_{x,sx}$ [kN]	$N_{x,dx}$ [kN]	$Q_{y,sx}$ [10^-1 kN]	$Q_{y,dx}$ [kN]	$M_{y,sx}$ [10^-1 kN m]	$M_{y,dx}$ [10^-1 kN m]
EmbeddedBeam_1_1	27617	1	4,600	-2,300	111,336	1,088	0,000	-6,663	-3,668	30,000	222,099	0,000	111,336	0,000	1,088	0,000	0,000
Element 1-1 (Embedded beam)	27618	2	4,890	-2,353	109,001	0,197	176,194	-7,925	-2,296	30,000	264,175	0,000	109,001	0,000	0,197	0,000	176,194
(Ricopalo ancoraggio autoperforante R38l=1,60m)	27619	3	5,179	-2,407	106,664	-0,238	161,845	-7,997	-0,448	30,000	266,560	0,000	106,664	-237,823	0,000	0,000	161,845
28	27640	4	5,469	-2,460	104,343	-0,285	74,128	-7,818	0,337	30,000	260,603	0,000	104,343	-285,244	0,000	0,000	74,128
29	27641	5	5,758	-2,513	102,055	-0,014	24,065	-7,660	0,345	30,000	255,318	0,000	102,055	-13,507	0,000	0,000	24,065
EmbeddedBeam_1_1	27641	1	5,758	-2,513	102,060	-0,116	24,065	-7,660	0,345	30,000	255,318	0,000	102,060	-115,671	0,000	0,000	24,065
Element 1-2 (Embedded beam)	27642	2	6,010	-2,559	100,118	-0,047	3,898	-7,510	0,218	30,000	250,335	0,000	100,118	-46,863	0,000	-0,013	4,699
(Ricopalo ancoraggio autoperforante R38l=1,60m)	27643	3	6,262	-2,606	98,214	-0,005	-2,299	-7,356	0,097	30,000	245,186	0,000	98,214	-5,185	0,000	-2,299	0,297
30	27644	4	6,514	-2,652	96,350	0,012	-0,813	-7,195	0,030	30,000	239,835	0,000	96,350	0,000	0,012	-0,813	1,050
31	27645	5	6,766	-2,698	94,528	0,009	2,308	-7,027	0,015	30,000	234,231	0,000	94,528	0,000	0,009	-0,011	3,236
EmbeddedBeam_1_1	27645	1	6,766	-2,698	94,529	0,015	2,308	-7,027	0,015	30,000	234,231	0,000	94,529	0,000	0,015	-0,011	3,236
Element 1-3 (Embedded beam)	27646	2	6,985	-2,739	92,979	0,019	5,993	-6,873	0,026	30,000	229,096	0,000	92,979	0,000	0,019	-0,006	6,138
(Ricopalo ancoraggio autoperforante R38l=1,60m)	27647	3	7,204	-2,779	91,466	0,026	11,031	-6,709	0,043	30,000	223,626	0,000	91,466	0,000	0,026	-0,003	11,031
32	27648	4	7,423	-2,819	89,991	0,036	17,895	-6,532	0,044	30,000	217,726	0,000	89,991	0,000	0,036	-0,001	17,895
33	27649	5	7,643	-2,860	88,555	0,046	27,000	-6,339	0,001	30,000	211,316	0,000	88,555	0,000	0,046	-0,001	27,000
EmbeddedBeam_1_1	27649	1	7,643	-2,860	88,557	0,034	27,000	-6,339	0,001	30,000	211,316	0,000	88,557	-0,005	0,034	-0,001	27,000
Element 1-4 (Embedded beam)	27650	2	7,833	-2,895	87,344	0,039	34,715	-6,162	-0,099	30,000	205,410	0,000	87,344	-0,161	0,039	-0,001	34,715
(Ricopalo ancoraggio autoperforante R38l=1,60m)	27651	3	8,024	-2,930	86,167	-0,002	29,099	-5,971	-0,302	30,000	199,021	0,000	86,167	-2,566	0,002	0,000	29,099
34	27652	4	8,215	-2,965	85,029	-0,094	10,509	-5,773	-0,620	30,000	192,424	0,000	85,029	-94,038	0,000	0,000	10,509
35	27653	5	8,405	-3,000	83,929	-0,241	-0,991	-5,619	-0,846	30,000	187,284	0,000	83,929	-241,017	0,000	-2,398	4,297
EmbeddedBeam_1_1	27653	1	8,405	-3,000	83,940	-0,273	-0,991	-5,619	-0,846	30,000	187,284	0,000	83,940	-272,756	0,000	-2,398	4,297
Element 1-5 (Embedded beam)	27654	2	8,571	-3,030	82,941	-0,282	-48,189	-5,961	0,084	30,000	198,713	0,000	82,941	-281,510	0,000	-49,176	0,000
(Ricopalo ancoraggio autoperforante R38l=1,60m)	27655	3	8,737	-3,061	81,927	-0,248	-93,666	-6,098	0,265	30,000	203,271	0,000	81,927	-248,001	0,000	-94,127	0,000
36	27656	4	8,903	-3,091	80,904	-0,163	-128,993	-6,062	0,691	30,000	202,077	0,000	80,904	-163,270	0,000	-128,993	0,000
37	27657	5	9,069	-3,122	79,880	-0,018	-145,280	-5,915	1,465	30,000	197,181	0,000	79,880	-39,023	0,000	-145,280	0,000
EmbeddedBeam_1_1	27657	1	9,069	-3,122	79,806	-0,079	-145,280	-5,915	1,465	30,000	197,181	0,000	79,806	-82,718	0,000	-145,280	0,000
Element 1-6 (Embedded beam)	27658	2	9,213	-3,148	79,059	0,317	-126,242	-6,100	2,080	30,000	203,325	0,000	79,059	0,000	0,320	-126,242	0,000
(Ricopalo ancoraggio autoperforante R38l=1,60m)	27659	3	9,357	-3,175	78,031	0,545	-60,089	-7,666	1,255	30,000	255,523	0,000	78,031	0,000	0,545	-60,089	0,000
38	27660	4	9,502	-3,201	76,686	0,567	23,706	-10,420	-0,731	30,000	347,344	0,000	76,686	0,000	0,567	-0,001	24,876
39	27661	5	9,646	-3,228	74,988	0,345	94,008	-12,557	-1,857	30,000	418,578	0,000	74,988	0,000	0,345	0,000	94,008
EmbeddedBeam_1_1	27661	1	9,646	-3,228	74,996	0,349	94,008	-20,929	-3,095	30,000	697,629	0,000	74,996	0,000	0,349	0,000	94,008
Element 1-7 (Embedded beam)	27662	2	9,771	-3,251	72,342	0,063	118,996	-20,813	-1,832	30,000	693,758	0,000	72,342	0,000	0,063	0,000	118,996
(Ricopalo ancoraggio autoperforante R38l=1,60m)	27663	3	9,896	-3,274	69,700	-0,114	114,773	-20,702	-0,891	30,000	690,080	0,000	69,700	-116,257	0,000	0,000	114,773
40	27664	4	10,022	-3,297	67,071	-0,192	94,209	-20,596	-0,265	30,000	686,547	0,000	67,071	-191,512	0,000	0,000	94,209
41	27665	5	10,147	-3,320	64,458	-0,178	69,834	-20,495	0,101	30,000	683,182	0,000	64,458	-177,969	0,000	0,000	69,834
EmbeddedBeam_1_1	27665	1	10,147	-3,320	64,456	-0,202	69,834	-20,495	0,101	30,000	683,182	0,000	64,456	-201,607	0,000	0,000	69,834
Element 1-8 (Embedded beam)	27666	2	10,296	-3,347	61,363	-0,157	42,638	-20,384	0,292	30,000	679,479	0,000	61,363	-157,060	0,000	0,000	42,638
(Ricopalo ancoraggio autoperforante R38l=1,60m)	27667	3	10,445	-3,375	58,282	-0,112	22,310	-20,284	0,318	30,000	676,126	0,000	58,282	-112,033	0,000	0,000	22,310
42	27668	4	10,594	-3,402	55,216	-0,069	8,582	-20,193	0,263	30,000	673,113	0,000	55,216	-69,242	0,000	0,000	8,582
43	27669	5	10,743	-3,430	52,166	-0,031	1,060	-20,113	0,184	30,000	670,449	0,000	52,166	-31,408	0,000	-0,671	1,060
EmbeddedBeam_1_1	27669	1	10,743	-3,430	52,163	-0,032	1,060	-20,113	0,184	30,000	670,449	0,000	52,163	-31,822	0,000	-0,671	1,060
Element 1-9 (Embedded beam)	27670	2	10,920	-3,462	48,548	-0,010	-2,532	-20,034	0,097	30,000	667,797	0,000	48,548	-9,799	0,000	-3,334	0,034
(Ricopalo ancoraggio autoperforante R38l=1,60m)	27671	3	11,097	-3,495	44,942	0,003	-3,051	-19,971	0,037	30,000	665,696	0,000	44,942	0,112	0,004	-3,652	0,009
44	27672	4	11,274	-3,527	41,345	0,007	-2,037	-19,925	0,004	30,000	664,154	0,000	41,345	0,035	0,008	-2,507	0,001
45	27673	5	11,452	-3,560	37,760	0,004	-0,974	-19,895	-0,009	30,000	663,170	0,000	37,760	0,024	0,004	-1,462	0,000
EmbeddedBeam_1_1	27673	1	11,452	-3,560	37,755	0,006	-0,974	-19,895	-0,009	30,000	663,170	0,000	37,755	0,012	0,006	-1,462	0,000
Element 1-10 (Embedded beam)	27674	2	11,663	-3,599	33,494	0,003	-0,040	-19,882	0,011	30,000	662,719	0,000	33,494	0,011	0,003	-0,744	0,000
(Ricopalo ancoraggio autoperforante R38l=1,60m)	27675	3	11,874	-3,638	29,226	0,001	0,373	-19,891	0,008	30,000	663,040	0,000	29,226	0,010	0,001	-0,397	0,373
46	27676	4	12,085	-3,676	24,954	0,000	0,443	-19,924	0,003	30,000	664,134	0,000	24,954	0,194	0,000	-0,274	0,443
47	27677	5	12,296	-3,715	20,680	-0,001	0,352	-19,980	0,001	30,000	666,007	0,000	20,680	0,515	0,000	-0,257	0,352

Structural element	Node [10^1]	Local number	X [m]	Y [m]	N [kN]	Q [kN]	M [10^-1 kN m]	$T_{zx,n}$ [kN/m]	T_{zx} [kN/m]	$T_{zx,n,ad}$ [kN/m]	$T_{zx,n,cr}$ [10^-1]	$N_{x,n}$ [kN]	$N_{x,c}$ [kN]	$Q_{z,n}$ [10^-1 kN]	$Q_{z,c}$ [kN]	$M_{y,n}$ [10^-1 kN m]	$M_{y,c}$ [10^-1 kN m]
EmbeddedBeam_11_1	27677	1	12,296	3,715	20,672	0,001	0,152	-19,980	0,001	30,000	666,007	0,000	20,672	0,701	0,000	0,257	0,152
Element 1-11 (Embedded beam)	27678	2	12,547	3,761	15,566	0,001	0,183	20,081	0,000	30,000	669,382	0,000	15,566	0,647	0,000	0,258	0,183
(Micropalo ancoraggio autoperforante R38i=1,60m)	27679	3	12,798	3,808	10,420	0,000	0,040	20,209	0,001	30,000	673,629	0,000	10,420	0,455	0,000	0,189	0,045
28	27680	4	13,049	3,854	5,236	0,000	0,035	20,386	0,002	30,000	679,531	0,000	5,236	0,097	0,000	0,088	0,011
29	27681	5	13,300	3,900	0,013	0,000	0,000	20,698	0,003	30,000	689,948	0,000	0,013	0,091	0,000	0,000	0,000
EmbeddedBeam_31_1	27682	1	2,300	5,900	126,754	0,255	0,000	-11,433	-1,352	30,000	381,085	0,000	126,754	0,000	0,255	0,000	0,000
Element 2-12 (Embedded beam)	27683	2	2,582	5,950	123,567	0,088	47,613	-11,261	0,483	30,000	375,379	0,000	123,567	0,074	0,088	0,000	47,613
(Micropalo ancoraggio autoperforante R38i=1,60m)	27684	3	2,865	6,000	120,287	0,019	56,267	-11,687	0,245	30,000	389,562	0,000	120,287	19,345	0,011	0,002	56,267
30	27685	4	3,147	6,049	116,941	0,073	41,647	-11,721	0,109	30,000	390,710	0,000	116,941	72,914	0,000	0,084	41,647
31	27686	5	3,430	6,099	113,556	0,079	18,875	-11,642	0,136	30,000	388,062	0,000	113,556	79,170	0,000	0,100	18,875
EmbeddedBeam_31_1	27686	1	3,430	6,099	113,577	0,073	18,875	-11,642	0,136	30,000	388,062	0,000	113,577	72,814	0,000	0,100	18,875
Element 2-13 (Embedded beam)	27687	2	3,595	6,128	111,634	0,051	8,547	-11,540	0,120	30,000	384,678	0,000	111,634	50,928	0,000	0,823	8,547
(Micropalo ancoraggio autoperforante R38i=1,60m)	27688	3	3,760	6,158	109,707	0,033	1,604	-11,442	0,101	30,000	381,401	0,000	109,707	32,512	0,000	1,898	1,604
32	27689	4	3,925	6,187	107,798	0,018	2,568	-11,326	0,076	30,000	377,532	0,000	107,798	17,817	0,001	2,997	0,000
33	27690	5	4,090	6,216	105,909	0,007	-4,596	-11,186	0,053	30,000	372,869	0,000	105,909	7,489	0,002	-4,904	0,000
EmbeddedBeam_31_1	27690	1	4,090	6,216	105,910	0,007	-4,596	-11,186	0,053	30,000	372,869	0,000	105,910	7,386	0,002	-4,904	0,000
Element 2-14 (Embedded beam)	27691	2	4,187	6,233	104,817	0,002	5,046	-11,101	0,045	30,000	370,046	0,000	104,817	3,468	0,003	5,410	0,000
(Micropalo ancoraggio autoperforante R38i=1,60m)	27692	3	4,283	6,250	103,733	0,002	5,067	-11,019	0,042	30,000	367,288	0,000	103,733	0,000	0,004	5,543	0,000
34	27693	4	4,380	6,267	102,656	0,006	-4,669	-10,939	0,043	30,000	364,620	0,000	102,656	0,000	0,006	5,121	0,000
35	27694	5	4,476	6,284	101,588	0,010	3,861	-10,862	0,050	30,000	362,071	0,000	101,588	0,000	0,010	-4,726	0,000
EmbeddedBeam_31_1	27694	1	4,476	6,284	101,587	0,010	3,861	-10,862	0,050	30,000	362,071	0,000	101,587	0,000	0,010	-4,726	0,000
Element 2-15 (Embedded beam)	27695	2	4,533	6,294	100,966	0,014	3,168	-10,818	0,059	30,000	360,610	0,000	100,966	0,000	0,014	-4,168	0,000
(Micropalo ancoraggio autoperforante R38i=1,60m)	27696	3	4,589	6,304	100,346	0,017	2,272	-10,776	0,073	30,000	359,214	0,000	100,346	0,000	0,017	2,411	0,000
36	27697	4	4,646	6,314	99,729	0,021	1,168	-10,757	0,060	30,000	358,578	0,000	99,729	0,000	0,021	2,469	0,025
37	27698	5	4,702	6,324	99,113	0,024	0,139	-10,820	0,049	30,000	360,681	0,000	99,113	0,000	0,024	1,938	0,139
EmbeddedBeam_31_1	27698	1	4,702	6,324	99,110	0,023	0,139	-18,034	0,082	30,000	601,135	0,000	99,110	0,000	0,023	1,938	0,139
Element 2-16 (Embedded beam)	27699	2	4,800	6,341	97,326	0,015	1,998	-17,931	0,066	30,000	597,689	0,000	97,326	0,022	0,015	1,287	1,998
(Micropalo ancoraggio autoperforante R38i=1,60m)	27700	3	4,898	6,358	95,551	0,010	3,210	-17,830	0,049	30,000	594,321	0,000	95,551	0,628	0,010	0,828	3,210
38	27701	4	4,995	6,376	93,786	0,005	3,940	-17,732	0,032	30,000	591,075	0,000	93,786	1,160	0,007	0,515	3,940
39	27702	5	5,093	6,393	92,031	0,003	4,350	-17,638	0,020	30,000	587,917	0,000	92,031	1,144	0,005	0,284	4,350
EmbeddedBeam_31_1	27702	1	5,093	6,393	92,030	0,003	4,350	-17,638	0,020	30,000	587,917	0,000	92,030	1,233	0,004	0,284	4,350
Element 2-17 (Embedded beam)	27703	2	5,177	6,408	90,535	0,002	4,538	-17,557	0,012	30,000	585,245	0,000	90,535	1,023	0,003	0,266	4,538
(Micropalo ancoraggio autoperforante R38i=1,60m)	27704	3	5,261	6,422	89,046	0,001	4,640	-17,478	0,007	30,000	582,589	0,000	89,046	0,720	0,003	0,127	4,640
40	27705	4	5,344	6,437	87,563	0,000	4,686	-17,398	0,004	30,000	579,944	0,000	87,563	0,445	0,003	0,173	4,686
41	27706	5	5,428	6,452	86,088	0,000	4,709	-17,319	0,001	30,000	577,310	0,000	86,088	0,187	0,003	0,183	4,709
EmbeddedBeam_31_1	27706	1	5,428	6,452	86,088	0,000	4,709	-17,319	0,001	30,000	577,310	0,000	86,088	0,199	0,003	0,183	4,709
Element 2-18 (Embedded beam)	27707	2	5,525	6,469	84,395	0,000	4,721	-17,229	0,000	30,000	574,286	0,000	84,395	0,043	0,003	0,351	4,721
(Micropalo ancoraggio autoperforante R38i=1,60m)	27708	3	5,621	6,486	82,709	0,000	4,732	-17,138	0,000	30,000	571,278	0,000	82,709	0,000	0,002	0,274	4,732
42	27709	4	5,718	6,503	81,033	0,000	4,744	-17,049	0,000	30,000	568,289	0,000	81,033	0,000	0,002	0,193	4,744
43	27710	5	5,814	6,520	79,366	0,000	4,757	-16,960	0,000	30,000	565,322	0,000	79,366	0,000	0,002	0,114	4,757
EmbeddedBeam_31_1	27710	1	5,814	6,520	79,365	0,000	4,757	-16,960	0,000	30,000	565,322	0,000	79,365	0,000	0,002	0,114	4,757
Element 2-19 (Embedded beam)	27711	2	5,926	6,540	77,453	0,000	4,771	-16,858	0,001	30,000	561,932	0,000	77,453	0,000	0,002	0,035	4,771
(Micropalo ancoraggio autoperforante R38i=1,60m)	27712	3	6,037	6,559	75,552	0,000	4,778	-16,757	0,001	30,000	558,581	0,000	75,552	0,000	0,002	0,026	4,778
44	27713	4	6,149	6,579	73,661	0,000	4,772	-16,658	0,001	30,000	555,278	0,000	73,661	0,118	0,002	0,017	4,772
45	27714	5	6,260	6,599	71,784	0,000	4,750	-16,561	0,002	30,000	552,027	0,000	71,784	0,288	0,001	0,007	4,750
EmbeddedBeam_31_1	27714	1	6,260	6,599	71,782	0,000	4,750	-16,561	0,002	30,000	552,027	0,000	71,782	0,277	0,001	0,007	4,750
Element 2-20 (Embedded beam)	27715	2	6,388	6,621	69,630	0,000	4,699	-16,451	0,002	30,000	548,353	0,000	69,630	0,498	0,001	0,000	4,699
(Micropalo ancoraggio autoperforante R38i=1,60m)	27716	3	6,517	6,644	67,490	-0,001	4,620	-16,343	0,002	30,000	544,771	0,000	67,490	0,714	0,001	0,000	4,620
46	27717	4	6,645	6,667	65,364	-0,001	4,513	-16,239	0,002	30,000	541,293	0,000	65,364	0,922	0,001	0,000	4,513
47	27718	5	6,774	6,690	63,252	-0,001	4,380	-16,138	0,001	30,000	537,932	0,000	63,252	1,119	0,000	0,000	4,380
EmbeddedBeam_31_1	27718	1	6,774	6,690	63,251	-0,001	4,380	-16,138	0,001	30,000	537,932	0,000	63,251	1,114	0,000	0,000	4,380
Element 2-21 (Embedded beam)	27719	2	6,922	6,716	60,832	-0,001	4,198	-16,026	0,001	30,000	534,214	0,000	60,832	1,300	0,000	0,000	4,198
(Micropalo ancoraggio autoperforante R38i=1,60m)	27720	3	7,070	6,742	58,427	-0,001	3,992	-15,921	0,001	30,000	530,683	0,000	58,427	1,445	0,000	0,000	3,992
48	27721	4	7,219	6,768	56,037	-0,002	3,767	-15,821	0,001	30,000	527,356	0,000	56,037	1,552	0,000	0,000	3,767
49	27722	5	7,367	6,794	53,665	-0,002	3,531	-15,727	0,000	30,000	524,245	0,000	53,665	1,620	0,000	0,000	3,531
EmbeddedBeam_31_1	27722	1	7,367	6,794	53,662	-0,002	3,531	-15,727	0,000	30,000	524,245	0,000	53,662	1,623	0,000	0,000	3,531
Element 2-22 (Embedded beam)	27723	2	7,518	6,824	50,942	-0,002	3,249	-15,628	0,000	30,000	520,942	0,000	50,942	1,660	0,000	0,000	3,249

Structural element	Node [10^1]	Local number	X [m]	Y [m]	N [kN]	Q [kN]	M [10^1 kN m]	$T_{zz,sup}$ [kN/m]	T_{zz} [kN/m]	$T_{zz,sup,sup}$ [kN/m]	$T_{zz,sup,sup}$ [10^1]	$N_{z,i}$ [kN]	$N_{z,j}$ [kN]	$Q_{z,i}$ [10^1 kN]	$Q_{z,j}$ [kN]	$M_{z,i}$ [10^1 kN m]	$M_{z,j}$ [10^1 kN m]
/Micropalo ancoraggio autoperforante R38I=1,60m)	27724	3	7,709	6,855	48,236	0,002	2,966	-15,539	0,000	10,000	517,960	0,000	48,236	1,664	0,000	0,000	2,966
/I	27725	4	7,880	6,885	45,544	0,002	2,685	-15,459	0,000	10,000	515,312	0,000	45,544	1,635	0,000	0,000	2,685
/I	27726	5	8,051	6,915	42,868	0,002	2,413	-15,390	0,000	10,000	513,010	0,000	42,868	1,576	0,000	0,000	2,413
EmbeddedBeam_3_1	27726	1	8,051	6,915	42,865	0,002	2,413	-15,390	0,000	10,000	513,010	0,000	42,865	1,579	0,000	0,000	2,413
Element 2-23 (Embedded beam)	27727	2	8,248	6,950	39,792	0,001	2,115	-15,324	0,001	10,000	510,794	0,000	39,792	1,480	0,000	0,000	2,115
/Micropalo ancoraggio autoperforante R38I=1,60m)	27728	3	8,445	6,984	36,727	0,001	1,839	-15,272	0,001	10,000	509,056	0,000	36,727	1,357	0,000	0,000	1,839
/I	27729	4	8,643	7,019	33,671	0,001	1,589	-15,234	0,001	10,000	507,802	0,000	33,671	1,210	0,000	0,000	1,589
/I	27730	5	8,840	7,054	30,625	0,001	1,371	-15,211	0,001	10,000	507,034	0,000	30,625	1,042	0,000	0,000	1,371
EmbeddedBeam_3_1	27730	1	8,840	7,054	30,620	0,001	1,371	-15,211	0,001	10,000	507,034	0,000	30,620	1,054	0,000	0,000	1,371
Element 2-24 (Embedded beam)	27731	2	9,067	7,094	27,111	0,001	1,161	-15,203	0,001	10,000	506,753	0,000	27,111	0,843	0,000	0,000	1,161
/Micropalo ancoraggio autoperforante R38I=1,60m)	27732	3	9,295	7,134	23,596	0,001	0,997	-15,214	0,001	10,000	507,119	0,000	23,596	0,655	0,000	0,000	0,997
/I	27733	4	9,523	7,175	20,076	0,000	0,869	-15,244	0,000	10,000	508,141	0,000	20,076	0,498	0,000	0,000	0,869
/I	27734	5	9,750	7,215	16,553	0,000	0,766	-15,295	0,000	10,000	509,835	0,000	16,553	0,413	0,000	0,049	0,766
EmbeddedBeam_3_1	27734	1	9,750	7,215	16,545	0,000	0,766	-15,295	0,000	10,000	509,835	0,000	16,545	0,341	0,000	0,049	0,766
Element 2-25 (Embedded beam)	27735	2	10,013	7,261	12,465	0,001	0,636	-15,380	0,001	10,000	512,665	0,000	12,465	0,648	0,000	0,092	0,636
/Micropalo ancoraggio autoperforante R38I=1,60m)	27736	3	10,275	7,307	8,348	0,001	0,427	-15,494	0,001	10,000	516,458	0,000	8,348	0,864	0,000	0,082	0,427
/I	27737	4	10,538	7,354	4,196	0,001	0,194	-15,649	0,001	10,000	521,641	0,000	4,196	0,862	0,000	0,042	0,194
/I	27738	5	10,800	7,400	0,008	0,001	0,000	-15,872	0,008	10,000	529,079	0,000	0,008	0,519	0,000	0,000	0,000
EmbeddedBeam_2_1	27739	1	-3,562	-12,132	29,178	0,002	0,000	-117,002	0,019	125,000	936,012	0,133	29,178	0,000	0,002	0,000	0,000
Element 3-26 (Embedded beam)	27740	2	-3,445	-12,380	13,370	0,000	0,354	-46,478	0,005	125,000	371,825	0,066	13,370	0,000	0,000	0,000	0,354
/Micropalo D168.3 s12.5mm/1,6m)	27741	3	-3,329	-12,628	4,188	0,000	0,366	-16,453	0,000	125,000	131,625	0,026	4,188	0,272	0,000	0,000	0,366
/I	27742	4	-3,213	-12,876	0,395	0,000	0,284	-7,129	0,001	125,000	57,031	0,121	0,395	0,149	0,000	0,000	0,284
/I	27743	5	-3,096	-13,124	0,755	0,001	0,333	2,816	0,001	125,000	22,530	0,010	0,755	0,000	0,001	0,000	0,333
EmbeddedBeam_2_1	27743	1	-3,096	-13,124	0,347	0,000	0,333	2,816	0,001	125,000	22,530	0,554	0,000	0,005	0,000	0,000	0,333
Element 3-27 (Embedded beam)	27744	2	-2,980	-13,372	0,754	0,000	0,364	-1,135	0,000	125,000	5,080	0,796	0,000	0,006	0,000	0,000	0,364
/Micropalo D168.3 s12.5mm/1,6m)	27745	3	-2,863	-13,620	0,977	0,000	0,422	0,399	0,001	125,000	1,189	0,977	0,000	0,008	0,000	0,000	0,422
/I	27746	4	-2,747	-13,868	1,046	0,000	0,494	0,155	0,000	125,000	1,240	1,046	0,002	0,010	0,000	0,000	0,494
/I	27747	5	-2,631	-14,116	1,051	0,000	0,566	0,035	0,000	125,000	0,278	1,051	0,003	0,012	0,000	0,000	0,566
EmbeddedBeam_2_1	27747	1	-2,631	-14,116	1,077	0,000	0,566	0,035	0,000	125,000	0,278	1,077	0,003	0,012	0,000	0,000	0,566
Element 3-28 (Embedded beam)	27748	2	-2,514	-14,364	1,077	0,000	0,627	0,019	0,000	125,000	0,149	1,077	0,005	0,013	0,000	0,000	0,627
/Micropalo D168.3 s12.5mm/1,6m)	27749	3	-2,398	-14,612	1,067	0,000	0,669	0,050	0,000	125,000	0,402	1,067	0,007	0,014	0,000	0,000	0,669
/I	27750	4	-2,282	-14,860	1,049	0,000	0,691	0,081	0,000	125,000	0,647	1,049	0,008	0,013	0,000	0,000	0,691
/I	27751	5	-2,165	-15,108	1,023	0,000	0,689	0,133	0,000	125,000	1,068	1,023	0,010	0,049	0,000	0,000	0,689
EmbeddedBeam_2_1	27751	1	-2,165	-15,108	0,992	0,000	0,689	0,133	0,000	125,000	1,068	0,992	0,009	0,194	0,000	0,000	0,689
Element 3-29 (Embedded beam)	27752	2	-2,049	-15,356	0,987	0,000	0,662	0,260	0,000	125,000	2,078	0,987	0,011	0,040	0,000	0,000	0,662
/Micropalo D168.3 s12.5mm/1,6m)	27753	3	-1,933	-15,604	0,863	0,000	0,635	0,528	0,001	125,000	4,221	0,863	0,011	0,265	0,000	0,000	0,635
/I	27754	4	-1,816	-15,852	0,585	-0,001	0,467	1,388	0,004	125,000	11,102	0,585	0,008	1,036	0,000	0,000	0,467
/I	27755	5	-1,700	-16,100	0,116	-0,003	0,000	3,410	0,023	125,000	27,283	0,116	0,002	2,519	0,000	0,000	0,000

3.3.1.1.23 Calculation results, Embedded beam, M2 [Phase_30] (30/770), Table of embedded beam force envelopes

Structural element	Node [10^1]	Local number	X [m]	Y [m]	N [kN]	Q [10^1 kN]	M [10^1 kN m]	$T_{,xx}$ [kN/m]	$T_{,yy}$ [kN/m]	$T_{,xx,yy}$ [kN/m]	$T_{,xx,zz}$	$N_{,x,x}$ [10^1 kN]	$N_{,x,x}$ [kN]	$Q_{,y,y}$ [10^1 kN]	$Q_{,y,y}$ [10^1 kN]	$M_{,y,y}$ [10^1 kN m]
EmbeddedBeam_11_1	27637	1	4,600	-2,100	105,958	960,327	0,000	-6,384	-4,114	30,000	0,213	0,000	105,958	0,000	960,327	0,000
Element 1-1 (Embedded beam)	27638	2	4,890	-2,353	103,901	163,233	153,253	-6,936	-2,043	30,000	0,231	0,000	103,901	0,000	163,233	0,000
(Micropalo ancoraggio autoperforante Ø38i=1,60m)	27639	3	5,179	-2,407	101,872	-214,437	138,464	-6,860	-0,298	30,000	0,229	0,000	101,872	-214,437	0,000	0,000
88	27640	4	5,469	-2,460	99,879	-245,675	60,939	-6,695	0,311	30,000	0,223	0,000	99,879	-245,675	0,000	0,000
88	27641	5	5,758	-2,513	97,928	-3,473	19,415	-6,556	0,291	30,000	0,219	0,000	97,928	-5,915	0,001	0,000
EmbeddedBeam_11_1	27641	1	5,758	-2,513	97,928	-93,678	19,415	-6,556	0,291	30,000	0,219	0,000	97,928	-93,678	0,000	0,000
Element 1-2 (Embedded beam)	27642	2	6,010	-2,559	96,266	-38,494	3,022	-6,424	0,175	30,000	0,214	0,000	96,266	-38,494	0,000	-0,013
(Micropalo ancoraggio autoperforante Ø38i=1,60m)	27643	3	6,262	-2,606	94,638	-5,155	-2,209	-6,289	0,075	30,000	0,210	0,000	94,638	-5,155	0,158	-2,209
88	27644	4	6,514	-2,652	93,044	9,294	-1,232	-6,151	0,028	30,000	0,205	0,000	93,044	0,000	9,672	-1,232
88	27645	5	6,766	-2,698	91,487	7,810	1,233	-6,008	0,029	30,000	0,200	0,000	91,487	0,000	7,810	-0,011
EmbeddedBeam_11_1	27645	1	6,766	-2,698	91,488	12,661	1,233	-6,008	0,029	30,000	0,200	0,000	91,488	0,000	12,661	-0,011
Element 1-3 (Embedded beam)	27646	2	6,985	-2,739	90,162	22,666	5,066	-5,878	0,053	30,000	0,196	0,000	90,162	0,000	22,666	-0,006
(Micropalo ancoraggio autoperforante Ø38i=1,60m)	27647	3	7,204	-2,779	88,868	36,883	11,666	-5,740	0,080	30,000	0,191	0,000	88,868	0,000	36,883	-0,003
88	27648	4	7,423	-2,819	87,606	54,018	21,724	-5,586	0,079	30,000	0,186	0,000	87,606	0,000	54,018	-0,001
88	27649	5	7,643	-2,860	86,379	72,776	35,844	-5,413	0,015	30,000	0,180	0,000	86,379	0,000	72,776	-0,001
EmbeddedBeam_11_1	27649	1	7,643	-2,860	86,380	53,374	35,844	-5,413	0,015	30,000	0,180	0,000	86,380	-0,005	53,374	-0,001
Element 1-4 (Embedded beam)	27650	2	7,833	-2,895	85,345	67,121	48,461	-5,261	-0,117	30,000	0,175	0,000	85,345	-0,161	67,121	-0,001
(Micropalo ancoraggio autoperforante Ø38i=1,60m)	27651	3	8,024	-2,930	84,340	11,913	57,526	-5,107	-0,403	30,000	0,170	0,000	84,340	-2,527	11,913	0,000
88	27652	4	8,215	-2,965	83,369	-122,743	47,950	-4,920	-0,937	30,000	0,164	0,000	83,369	-122,743	0,000	0,000
88	27653	5	8,405	-3,000	82,432	-347,340	4,013	-4,900	-1,128	30,000	0,163	0,000	82,432	-347,340	0,000	-2,398
EmbeddedBeam_11_1	27653	1	8,405	-3,000	82,455	-405,546	4,013	-4,900	-1,128	30,000	0,163	0,000	82,455	-405,546	0,000	-2,398
Element 1-5 (Embedded beam)	27654	2	8,571	-3,030	81,510	-346,030	-59,586	-5,681	0,432	30,000	0,189	0,000	81,510	-346,030	0,000	-59,586
(Micropalo ancoraggio autoperforante Ø38i=1,60m)	27655	3	8,737	-3,061	80,535	-262,582	-111,442	-5,932	0,516	30,000	0,198	0,000	80,535	-262,582	0,000	-111,442
88	27656	4	8,903	-3,091	79,539	-147,634	-146,418	-5,929	0,806	30,000	0,198	0,000	79,539	-159,194	0,000	-146,418
88	27657	5	9,069	-3,122	78,532	6,379	-158,983	-5,802	1,526	30,000	0,193	0,000	78,532	-39,023	6,379	-158,983
EmbeddedBeam_11_1	27657	1	9,069	-3,122	78,461	-50,062	-158,983	-5,802	1,526	30,000	0,193	0,000	78,461	-82,718	0,000	-158,983
Element 1-6 (Embedded beam)	27658	2	9,213	-3,148	77,727	348,478	-135,373	-6,020	2,068	30,000	0,201	0,000	77,727	0,000	348,478	-135,373
(Micropalo ancoraggio autoperforante Ø38i=1,60m)	27659	3	9,357	-3,175	76,708	569,992	-65,063	-7,643	1,165	30,000	0,255	0,000	76,708	0,000	569,992	-65,063
88	27660	4	9,502	-3,201	75,367	579,669	21,599	-10,399	-0,820	30,000	0,347	0,000	75,367	0,000	579,669	-0,001
88	27661	5	9,646	-3,228	73,670	342,699	92,711	-12,439	-1,856	30,000	0,415	0,000	73,670	0,000	342,699	0,000
EmbeddedBeam_11_1	27661	1	9,646	-3,228	73,684	352,147	92,711	-20,732	-3,093	30,000	0,691	0,000	73,684	0,000	352,147	0,000
Element 1-7 (Embedded beam)	27662	2	9,771	-3,251	71,055	66,859	118,129	-20,603	-1,830	30,000	0,687	0,000	71,055	0,000	66,859	0,000
(Micropalo ancoraggio autoperforante Ø38i=1,60m)	27663	3	9,896	-3,274	68,441	-110,308	114,369	-20,478	-0,891	30,000	0,683	0,000	68,441	-116,178	0,007	0,000
88	27664	4	10,022	-3,297	65,842	-188,018	94,264	-20,357	-0,267	30,000	0,679	0,000	65,842	-190,678	0,000	0,000
88	27665	5	10,147	-3,320	63,260	-174,934	70,307	-20,238	0,097	30,000	0,675	0,000	63,260	-175,720	0,000	0,000
EmbeddedBeam_11_1	27665	1	10,147	-3,320	63,258	-198,579	70,307	-20,238	0,097	30,000	0,675	0,000	63,258	-199,016	0,000	0,000
Element 1-8 (Embedded beam)	27666	2	10,296	-3,347	60,206	-154,802	43,516	-20,104	0,286	30,000	0,670	0,000	60,206	-154,802	0,000	0,000
(Micropalo ancoraggio autoperforante Ø38i=1,60m)	27667	3	10,445	-3,375	57,169	-110,946	23,447	-19,979	0,309	30,000	0,666	0,000	57,169	-110,946	0,000	0,000
88	27668	4	10,594	-3,402	54,151	-69,748	9,768	-19,862	0,251	30,000	0,662	0,000	54,151	-69,748	0,000	0,000
88	27669	5	10,743	-3,430	51,154	-33,944	2,021	-19,754	0,169	30,000	0,658	0,000	51,154	-33,944	0,000	-0,671
EmbeddedBeam_11_1	27669	1	10,743	-3,430	51,150	-34,014	2,021	-19,754	0,169	30,000	0,658	0,000	51,150	-34,014	0,000	-0,671
Element 1-9 (Embedded beam)	27670	2	10,920	-3,462	47,604	-15,301	-2,273	-19,639	0,081	30,000	0,655	0,000	47,604	-15,301	0,000	-3,334
(Micropalo ancoraggio autoperforante Ø38i=1,60m)	27671	3	11,097	-3,495	44,072	-5,201	-4,025	-19,540	0,024	30,000	0,651	0,000	44,072	-5,201	3,666	-4,025
88	27672	4	11,274	-3,527	40,556	-2,399	-4,586	-19,463	0,000	30,000	0,649	0,000	40,556	-2,399	7,543	-4,586
88	27673	5	11,452	-3,560	37,057	-5,578	-5,236	-19,410	0,008	30,000	0,647	0,000	37,057	-5,578	4,246	-5,236
EmbeddedBeam_11_1	27673	1	11,452	-3,560	37,048	-5,158	-5,236	-19,410	0,008	30,000	0,647	0,000	37,048	-5,158	6,236	-5,236
Element 1-10 (Embedded beam)	27674	2	11,663	-3,599	32,897	1,890	-5,558	-19,384	0,028	30,000	0,646	0,000	32,897	-0,011	3,397	-5,558
(Micropalo ancoraggio autoperforante Ø38i=1,60m)	27675	3	11,874	-3,638	28,733	6,979	-4,560	-19,424	0,021	30,000	0,647	0,000	28,733	-0,010	6,979	-4,560
88	27676	4	12,085	-3,676	24,556	9,754	-2,729	-19,500	0,006	30,000	0,650	0,000	24,556	-0,065	9,754	-2,729
88	27677	5	12,296	-3,715	20,368	9,857	-0,571	-19,576	0,018	30,000	0,653	0,000	20,368	-0,400	9,857	-1,051

Structural element	Node [10^]	Local number	X [m]	Y [m]	N [kN]	Q [10^ kN]	M [10^ kN m]	T$_{xx}$ [kN/m]	T$_{yy}$ [kN/m]	T$_{xx,yy,xy}$ [kN/m]	T$_{xx,yy}$	N$_{x,y}$ [10^ kN]	M$_{xx}$ [kN]	Q$_{xx}$ [10^ kN]	Q$_{yy}$ [10^ kN]	M$_{yy}$ [10^ kN m]
EmbeddedBeam_11_1	27677	1	12,296	-3,715	20,373	2,456	-0,571	19,576	0,018	30,000	0,653	0,000	20,373	-1,008	2,456	-1,051
Element 1-11 (Embedded beam)	27678	2	12,547	-3,761	15,348	22,816	3,229	19,709	0,030	30,000	0,657	0,000	15,348	-0,373	22,816	-0,705
(4)Ircopalo ancoraggio autoperforante R38(=1,60m)	27679	3	12,798	-3,808	10,313	17,196	8,853	19,717	-0,077	30,000	0,657	0,000	10,313	-0,115	17,196	-0,292
(5)	27680	4	13,049	-3,854	5,267	13,383	9,888	19,789	-0,166	30,000	0,660	0,000	5,267	-13,383	1,080	-0,088
(6)	27681	5	13,300	-3,900	0,210	67,897	0,000	22,473	0,594	30,000	0,749	0,000	0,210	-67,897	0,215	0,000
EmbeddedBeam_31_1	27682	1	2,300	-3,900	141,168	286,607	0,000	13,954	-1,514	30,000	0,465	0,000	141,168	0,000	286,607	0,000
Element 2-12 (Embedded beam)	27683	2	2,582	-3,950	137,280	93,723	52,546	13,646	-0,550	30,000	0,455	0,000	137,280	-0,074	93,723	0,000
(4)Ircopalo ancoraggio autoperforante R38(=1,60m)	27684	3	2,865	-4,000	133,334	25,556	60,916	13,946	-0,253	30,000	0,465	0,000	133,334	-25,556	11,353	-0,002
(5)	27685	4	3,147	-4,049	129,357	80,075	44,073	13,863	-0,099	30,000	0,462	0,000	129,357	-80,075	0,000	-0,084
(6)	27686	5	3,430	-4,099	125,376	78,678	20,200	13,671	0,146	30,000	0,456	0,000	125,376	-78,678	0,127	-0,100
EmbeddedBeam_31_1	27686	1	3,430	-4,099	125,395	75,292	20,200	13,671	0,146	30,000	0,456	0,000	125,395	-75,292	0,016	-0,100
Element 2-13 (Embedded beam)	27687	2	3,595	-4,128	123,118	52,034	9,580	13,506	0,126	30,000	0,450	0,000	123,118	-52,034	0,054	-0,823
(4)Ircopalo ancoraggio autoperforante R38(=1,60m)	27688	3	3,760	-4,158	120,866	32,911	2,521	13,345	0,103	30,000	0,445	0,000	120,866	-32,911	0,075	-1,898
(5)	27689	4	3,925	-4,187	118,643	18,172	-1,704	13,167	0,074	30,000	0,439	0,000	118,643	-18,172	0,545	-2,997
(6)	27690	5	4,090	-4,216	116,451	8,069	-3,835	12,965	0,048	30,000	0,432	0,000	116,451	-8,069	1,919	-4,871
EmbeddedBeam_31_1	27690	1	4,090	-4,216	116,451	7,768	-3,835	12,965	0,048	30,000	0,432	0,000	116,451	-7,768	2,256	-4,871
Element 2-14 (Embedded beam)	27691	2	4,187	-4,233	115,187	3,865	-4,403	12,844	0,039	30,000	0,428	0,000	115,187	-3,865	2,967	-5,398
(4)Ircopalo ancoraggio autoperforante R38(=1,60m)	27692	3	4,283	-4,250	113,933	-0,163	-4,601	12,725	0,035	30,000	0,424	0,000	113,933	-0,163	3,847	-5,543
(5)	27693	4	4,380	-4,267	112,690	3,460	-4,438	12,608	0,037	30,000	0,420	0,000	112,690	0,000	5,367	-5,321
(6)	27694	5	4,476	-4,284	111,460	7,123	-3,920	12,495	0,048	30,000	0,417	0,000	111,460	0,000	8,299	-4,726
EmbeddedBeam_31_1	27694	1	4,476	-4,284	111,459	7,376	-3,920	12,495	0,048	30,000	0,417	0,000	111,459	0,000	8,480	-4,726
Element 2-15 (Embedded beam)	27695	2	4,533	-4,294	110,745	10,566	-3,410	12,430	0,060	30,000	0,414	0,000	110,745	0,000	11,713	-4,168
(4)Ircopalo ancoraggio autoperforante R38(=1,60m)	27696	3	4,589	-4,304	110,034	14,360	-2,696	12,366	0,078	30,000	0,412	0,000	110,034	0,000	15,414	-3,411
(5)	27697	4	4,646	-4,314	109,326	18,432	-1,758	12,325	0,070	30,000	0,411	0,000	109,326	0,000	19,255	-2,469
(6)	27698	5	4,702	-4,324	108,621	22,454	-0,584	12,366	-0,034	30,000	0,412	0,000	108,621	0,000	22,907	-1,938
EmbeddedBeam_31_1	27698	1	4,702	-4,324	108,618	20,752	-0,584	20,609	-0,056	30,000	0,687	0,000	108,618	0,000	21,059	-1,938
Element 2-16 (Embedded beam)	27699	2	4,800	-4,341	106,581	15,178	1,191	20,452	-0,051	30,000	0,682	0,000	106,581	-0,022	15,178	-1,287
(4)Ircopalo ancoraggio autoperforante R38(=1,60m)	27700	3	4,898	-4,358	104,559	10,627	2,463	20,297	-0,041	30,000	0,677	0,000	104,559	-0,628	10,627	-0,828
(5)	27701	4	4,995	-4,376	102,551	7,127	3,336	20,147	-0,030	30,000	0,672	0,000	102,551	-1,160	7,127	-0,515
(6)	27702	5	5,093	-4,393	100,560	4,705	3,914	20,000	-0,020	30,000	0,667	0,000	100,560	-1,144	4,705	-0,284
EmbeddedBeam_31_1	27702	1	5,093	-4,393	100,558	4,610	3,914	20,000	-0,020	30,000	0,667	0,000	100,558	-1,233	4,610	-0,284
Element 2-17 (Embedded beam)	27703	2	5,177	-4,408	98,864	3,233	4,245	19,876	-0,014	30,000	0,663	0,000	98,864	-1,023	3,287	-0,266
(4)Ircopalo ancoraggio autoperforante R38(=1,60m)	27704	3	5,261	-4,422	97,180	2,199	4,473	19,753	-0,010	30,000	0,658	0,000	97,180	-0,720	3,013	-0,127
(5)	27705	4	5,344	-4,437	95,505	1,485	4,628	19,632	-0,007	30,000	0,654	0,000	95,505	-0,445	2,817	-0,173
(6)	27706	5	5,428	-4,452	93,843	1,067	4,734	19,511	-0,005	30,000	0,650	0,000	93,843	-0,187	2,690	-0,183
EmbeddedBeam_31_1	27706	1	5,428	-4,452	93,842	1,004	4,734	19,511	-0,005	30,000	0,650	0,000	93,842	-0,199	2,677	-0,183
Element 2-18 (Embedded beam)	27707	2	5,525	-4,469	91,936	0,674	4,816	19,373	-0,003	30,000	0,646	0,000	91,936	-0,043	2,513	-0,151
(4)Ircopalo ancoraggio autoperforante R38(=1,60m)	27708	3	5,621	-4,486	90,043	0,419	4,869	19,236	-0,002	30,000	0,641	0,000	90,043	0,000	2,342	-0,274
(5)	27709	4	5,718	-4,503	88,163	0,230	4,900	19,101	-0,002	30,000	0,637	0,000	88,163	0,000	2,165	-0,193
(6)	27710	5	5,814	-4,520	86,297	0,097	4,916	18,968	-0,001	30,000	0,632	0,000	86,297	0,000	1,989	-0,114
EmbeddedBeam_31_1	27710	1	5,814	-4,520	86,296	0,080	4,916	18,968	-0,001	30,000	0,632	0,000	86,296	0,000	1,999	-0,114
Element 2-19 (Embedded beam)	27711	2	5,926	-4,540	84,160	-0,082	4,916	18,816	-0,001	30,000	0,627	0,000	84,160	-0,082	1,755	-0,035
(4)Ircopalo ancoraggio autoperforante R38(=1,60m)	27712	3	6,037	-4,559	82,040	-0,254	4,897	18,666	-0,002	30,000	0,622	0,000	82,040	-0,254	1,676	-0,026
(5)	27713	4	6,149	-4,579	79,936	-0,438	4,858	18,519	-0,002	30,000	0,617	0,000	79,936	-0,438	1,588	-0,017
(6)	27714	5	6,260	-4,599	77,851	-0,633	4,797	18,375	-0,002	30,000	0,612	0,000	77,851	-0,633	1,403	-0,007
EmbeddedBeam_31_1	27714	1	6,260	-4,599	77,849	-0,629	4,797	18,375	-0,002	30,000	0,612	0,000	77,849	-0,629	1,427	-0,007
Element 2-20 (Embedded beam)	27715	2	6,388	-4,621	75,464	-0,868	4,699	18,212	-0,002	30,000	0,607	0,000	75,464	-0,868	1,154	0,000
(4)Ircopalo ancoraggio autoperforante R38(=1,60m)	27716	3	6,517	-4,644	73,097	-1,100	4,571	18,053	-0,002	30,000	0,602	0,000	73,097	-1,100	0,877	0,000
(5)	27717	4	6,645	-4,667	70,751	-1,324	4,413	17,899	-0,002	30,000	0,597	0,000	70,751	-1,324	0,613	0,000
(6)	27718	5	6,774	-4,690	68,426	-1,537	4,226	17,750	-0,002	30,000	0,592	0,000	68,426	-1,537	0,398	0,000
EmbeddedBeam_31_1	27718	1	6,774	-4,690	68,425	-1,530	4,226	17,750	-0,002	30,000	0,592	0,000	68,425	-1,530	0,410	0,000
Element 2-21 (Embedded beam)	27719	2	6,922	-4,716	65,767	-1,742	3,979	17,585	-0,001	30,000	0,586	0,000	65,767	-1,742	0,192	0,000
(4)Ircopalo ancoraggio autoperforante R38(=1,60m)	27720	3	7,070	-4,742	63,131	-1,905	3,704	17,428	-0,001	30,000	0,581	0,000	63,131	-1,905	0,061	0,000
(5)	27721	4	7,219	-4,768	60,518	-2,017	3,408	17,279	-0,001	30,000	0,576	0,000	60,518	-2,017	0,006	0,000
(6)	27722	5	7,367	-4,794	57,930	-2,074	3,099	17,138	0,000	30,000	0,571	0,000	57,930	-2,074	0,000	0,000
EmbeddedBeam_31_1	27722	1	7,367	-4,794	57,928	-2,077	3,099	17,138	0,000	30,000	0,571	0,000	57,928	-2,077	0,000	0,000
Element 2-22 (Embedded beam)	27723	2	7,538	-4,824	54,968	-2,047	2,740	16,987	0,000	30,000	0,566	0,000	54,968	-2,082	0,000	0,000

Structural element	Node [10^]	Local number	X [m]	Y [m]	N [kN]	Q [10 ^ kN]	M [10 ^ kN m]	T$_{xx}$ [kN/m]	T$_{yy}$ [kN/m]	T$_{xx,yy}$ [kN/m]	T$_{xx,zz}$	N$_{xx}$ [10 ^ kN]	M$_{xx}$ [kN]	Q$_{yy}$ [10 ^ kN]	Q$_{zz}$ [10 ^ kN]	M$_{yy}$ [10 ^ kN m]
(Micropalo ancoraggio autoperforante R38i=1,60m)	27724	3	7,709	-6,855	52,029	-1,943	2,393	-16,848	0,001	30,000	0,562	0,000	52,029	-2,064	0,000	0,000
89	27725	4	7,880	-6,885	49,114	-1,774	2,069	-16,722	0,001	30,000	0,557	0,000	49,114	-2,027	0,000	0,000
89	27726	5	8,051	-6,915	46,223	-1,546	1,780	-16,609	0,001	30,000	0,554	0,000	46,223	-1,978	0,000	0,000
EmbeddedBeam_3_1	27726	1	8,051	-6,915	46,219	-1,748	1,780	-16,609	0,001	30,000	0,554	0,000	46,219	-2,001	0,000	0,000
Element 2-23 (Embedded beam)	27727	2	8,248	-6,950	42,908	-1,446	1,473	-16,496	0,001	30,000	0,550	0,000	42,908	-1,902	0,000	0,000
(Micropalo ancoraggio autoperforante R38i=1,60m)	27728	3	8,445	-6,984	39,612	-1,976	1,146	-16,401	0,004	30,000	0,547	0,000	39,612	-1,976	0,000	0,000
89	27729	4	8,643	-7,019	36,333	-3,421	0,620	-16,325	0,010	30,000	0,544	0,000	36,333	-3,421	0,000	0,000
89	27730	5	8,840	-7,054	33,073	-5,868	-0,292	-16,267	0,015	30,000	0,542	0,000	33,073	-5,868	0,000	0,292
EmbeddedBeam_3_1	27730	1	8,840	-7,054	33,066	-4,877	-0,292	-16,267	0,015	30,000	0,542	0,000	33,066	-4,877	0,000	0,292
Element 2-24 (Embedded beam)	27731	2	9,067	-7,094	29,320	-8,055	-1,952	-16,227	0,000	30,000	0,541	0,000	29,320	-8,055	0,000	1,952
(Micropalo ancoraggio autoperforante R38i=1,60m)	27732	3	9,295	-7,134	25,569	-4,205	-3,452	-16,226	0,039	30,000	0,541	0,000	25,569	-4,205	0,000	3,452
89	27733	4	9,523	-7,175	21,811	5,089	-3,477	-16,283	0,047	30,000	0,543	0,000	21,811	-0,491	5,089	3,477
89	27734	5	9,750	-7,215	18,046	18,245	-0,824	-16,404	0,024	30,000	0,547	0,000	18,046	-0,364	18,245	0,824
EmbeddedBeam_3_1	27734	1	9,750	-7,215	18,045	9,771	-0,824	-16,404	0,024	30,000	0,547	0,000	18,045	-0,336	9,771	0,824
Element 2-25 (Embedded beam)	27735	2	10,013	-7,261	13,633	25,488	3,465	-16,631	0,015	30,000	0,554	0,000	13,633	-0,394	25,488	0,092
(Micropalo ancoraggio autoperforante R38i=1,60m)	27736	3	10,275	-7,307	9,177	28,873	12,122	-16,816	0,112	30,000	0,561	0,000	9,177	-1,263	28,873	0,082
89	27737	4	10,538	-7,354	4,688	-9,897	15,117	-16,887	0,302	30,000	0,563	0,000	4,688	-9,897	0,178	0,042
89	27738	5	10,800	-7,400	0,174	-120,647	0,000	-19,078	0,913	30,000	0,636	0,000	0,174	-120,647	0,109	0,000
EmbeddedBeam_2_1	27739	1	-3,562	-12,132	34,845	2,472	0,000	-125,000	0,020	125,000	1,000	-133,104	34,845	0,000	2,472	0,000
Element 3-26 (Embedded beam)	27740	2	-3,445	-12,380	16,199	0,495	0,375	-54,828	0,005	125,000	0,439	-65,705	16,199	0,000	0,495	0,000
(Micropalo D168.3 s12.5mm/1,6m)	27741	3	-3,329	-12,628	5,366	-0,331	0,380	-19,417	0,000	125,000	0,155	-26,166	5,366	-0,331	0,022	0,000
89	27742	4	-3,213	-12,876	0,888	-0,245	0,277	-8,428	0,001	125,000	0,067	-120,690	0,888	-0,245	0,064	0,000
89	27743	5	-3,096	-13,124	1,307	0,514	0,304	-3,348	-0,001	125,000	0,027	-9,986	1,307	0,000	0,514	0,000
EmbeddedBeam_2_1	27743	1	-3,096	-13,124	0,016	-0,028	0,304	-3,348	-0,001	125,000	0,027	-554,496	0,000	-0,028	0,170	0,000
Element 3-27 (Embedded beam)	27744	2	-2,980	-13,372	0,480	0,079	0,309	-1,367	0,000	125,000	0,011	-787,151	0,000	-0,006	0,208	0,000
(Micropalo D168.3 s12.5mm/1,6m)	27745	3	-2,863	-13,620	0,752	0,187	0,348	-0,499	0,001	125,000	0,004	-919,032	0,000	-0,008	0,251	0,000
89	27746	4	-2,747	-13,868	0,865	0,242	0,407	-0,211	0,000	125,000	0,002	-968,258	0,002	-0,010	0,266	0,000
89	27747	5	-2,631	-14,116	0,854	0,191	0,470	-0,068	0,000	125,000	0,001	-952,946	0,003	-0,012	0,219	0,000
EmbeddedBeam_2_1	27747	1	-2,631	-14,116	0,885	0,231	0,470	-0,068	0,000	125,000	0,001	-969,111	0,003	-0,012	0,238	0,000
Element 3-28 (Embedded beam)	27748	2	-2,514	-14,364	0,891	0,193	0,528	-0,004	0,000	125,000	0,000	-962,864	0,005	-0,013	0,193	0,000
(Micropalo D168.3 s12.5mm/1,6m)	27749	3	-2,398	-14,612	0,887	0,141	0,574	0,033	0,000	125,000	0,000	-950,251	0,007	-0,014	0,141	0,000
89	27750	4	-2,282	-14,860	0,874	0,075	0,604	0,064	0,000	125,000	0,001	-931,091	0,008	-0,013	0,075	0,000
89	27751	5	-2,165	-15,108	0,852	0,000	0,615	0,111	0,000	125,000	0,001	-905,207	0,010	-0,024	0,001	0,000
EmbeddedBeam_2_1	27751	1	-2,165	-15,108	0,827	-0,139	0,615	0,111	0,000	125,000	0,001	-877,925	0,009	-0,150	0,000	0,000
Element 3-29 (Embedded beam)	27752	2	-2,049	-15,356	0,823	0,005	0,601	0,217	0,000	125,000	0,002	-870,349	0,011	-0,010	0,013	0,000
(Micropalo D168.3 s12.5mm/1,6m)	27753	3	-1,933	-15,604	0,719	-0,212	0,587	0,441	-0,001	125,000	0,004	-758,888	0,011	-0,213	0,000	0,000
89	27754	4	-1,816	-15,852	0,487	-0,952	0,437	1,157	-0,004	125,000	0,009	-512,769	0,008	-0,952	0,000	0,000
89	27755	5	-1,700	-16,100	0,097	-2,377	0,000	2,841	0,021	125,000	0,023	-101,221	0,002	-2,377	0,000	0,000

3.3.1.1.24 Calculation results, Embedded beam, SLU12 [Phase_31] (31/776), Table of embedded beam force envelopes

Structural element	Node [10^1]	Local number	X [m]	Y [m]	N [kN]	Q [kN]	M [10^-1 kN m]	$T_{x,sup}$ [kN/m]	$T_{x,i}$ [kN/m]	$T_{x,min,sup}$ [kN/m]	$T_{x,min,inf}$	$N_{x,i}$ [kN]	$N_{x,j}$ [kN]	$Q_{z,i}$ [10^-1 kN]	$Q_{z,j}$ [kN]	$M_{y,i}$ [10^-1 kN m]	$M_{y,j}$ [10^-1 kN m]
EmbeddedBeam_1_1	27637	1	4,600	-2,300	127,821	1,236	0,000	-8,002	-4,302	30,000	0,267	0,000	127,821	0,000	1,236	0,000	0,000
Element 1-1 (Embedded beam)	27638	2	4,890	-2,353	125,053	0,224	200,305	-9,401	-2,610	30,000	0,313	0,000	125,053	0,000	0,224	0,000	200,305
(Ricopalo ancoraggio autoperforante R38l=1,60m)	27639	3	5,179	-2,407	122,278	-0,271	183,849	-9,509	-0,515	30,000	0,317	0,000	122,278	-271,143	0,000	0,000	183,849
28	27640	4	5,469	-2,460	119,517	-0,326	83,816	-9,304	0,382	30,000	0,310	0,000	119,517	-325,690	0,000	0,000	83,816
29	27641	5	5,758	-2,513	116,793	-0,017	26,454	-9,100	0,394	30,000	0,303	0,000	116,793	-16,785	0,000	0,000	26,454
EmbeddedBeam_1_1	27641	1	5,758	-2,513	116,802	-0,133	26,454	-9,100	0,394	30,000	0,303	0,000	116,802	-132,823	0,000	0,000	26,454
Element 1-2 (Embedded beam)	27642	2	6,010	-2,559	114,494	-0,054	3,216	-8,918	0,249	30,000	0,297	0,000	114,494	-54,408	0,000	-0,013	4,699
(Ricopalo ancoraggio autoperforante R38l=1,60m)	27643	3	6,262	-2,606	112,234	-0,007	-4,097	-8,732	0,110	30,000	0,291	0,000	112,234	-6,787	0,000	-4,097	0,297
30	27644	4	6,514	-2,652	110,021	0,014	-2,576	-8,542	0,037	30,000	0,285	0,000	110,021	0,000	0,014	-2,576	1,050
31	27645	5	6,766	-2,698	107,858	0,011	0,978	-8,345	0,027	30,000	0,278	0,000	107,858	0,000	0,011	-0,011	3,236
EmbeddedBeam_1_1	27645	1	6,766	-2,698	107,859	0,017	0,978	-8,345	0,027	30,000	0,278	0,000	107,859	0,000	0,017	-0,011	3,236
Element 1-3 (Embedded beam)	27646	2	6,985	-2,739	106,018	0,026	5,711	-8,168	0,048	30,000	0,272	0,000	106,018	0,000	0,026	-0,006	5,809
(Ricopalo ancoraggio autoperforante R38l=1,60m)	27647	3	7,204	-2,779	104,219	0,039	12,932	-7,981	0,074	30,000	0,266	0,000	104,219	0,000	0,039	-0,003	12,932
32	27648	4	7,423	-2,819	102,463	0,055	23,368	-7,778	0,076	30,000	0,259	0,000	102,463	0,000	0,055	-0,001	23,368
33	27649	5	7,643	-2,860	100,752	0,073	37,665	-7,557	0,013	30,000	0,252	0,000	100,752	0,000	0,073	-0,001	37,665
EmbeddedBeam_1_1	27649	1	7,643	-2,860	100,754	0,054	37,665	-7,557	0,013	30,000	0,252	0,000	100,754	-0,005	0,054	-0,001	37,665
Element 1-4 (Embedded beam)	27650	2	7,833	-2,895	99,307	0,067	50,337	-7,363	-0,118	30,000	0,245	0,000	99,307	-0,161	0,067	-0,001	50,337
(Ricopalo ancoraggio autoperforante R38l=1,60m)	27651	3	8,024	-2,930	97,899	0,012	59,418	-7,169	-0,403	30,000	0,239	0,000	97,899	-2,527	0,012	0,000	59,418
34	27652	4	8,215	-2,965	96,531	-0,123	49,836	-6,942	-0,937	30,000	0,231	0,000	96,531	-122,777	0,000	0,000	49,836
35	27653	5	8,405	-3,000	95,207	-0,347	5,896	-6,883	-1,128	30,000	0,229	0,000	95,207	-347,340	0,000	-2,398	5,896
EmbeddedBeam_1_1	27653	1	8,405	-3,000	95,229	-0,405	5,896	-6,883	-1,128	30,000	0,229	0,000	95,229	-405,546	0,000	-2,398	5,896
Element 1-5 (Embedded beam)	27654	2	8,571	-3,030	93,953	-0,346	-57,728	-7,629	0,430	30,000	0,254	0,000	93,953	-346,411	0,000	-59,586	0,000
(Ricopalo ancoraggio autoperforante R38l=1,60m)	27655	3	8,737	-3,061	92,652	-0,263	-109,687	-7,848	0,513	30,000	0,262	0,000	92,652	-263,408	0,000	-111,442	0,000
36	27656	4	8,903	-3,091	91,335	-0,149	-144,836	-7,813	0,804	30,000	0,260	0,000	91,335	-159,194	0,000	-146,418	0,000
37	27657	5	9,069	-3,122	90,013	0,005	-157,635	-7,655	1,525	30,000	0,255	0,000	90,013	-39,023	0,006	-158,983	0,000
EmbeddedBeam_1_1	27657	1	9,069	-3,122	89,942	-0,051	-157,635	-7,655	1,525	30,000	0,255	0,000	89,942	-82,718	0,000	-158,983	0,000
Element 1-6 (Embedded beam)	27658	2	9,213	-3,148	88,938	0,347	-134,234	-7,848	2,070	30,000	0,262	0,000	88,938	0,000	0,348	-135,373	0,000
(Ricopalo ancoraggio autoperforante R38l=1,60m)	27659	3	9,357	-3,175	87,653	0,569	-64,085	-9,446	1,171	30,000	0,315	0,000	87,653	0,000	0,570	-65,063	0,000
38	27660	4	9,502	-3,201	86,049	0,580	22,544	-12,179	0,810	30,000	0,406	0,000	86,049	0,000	0,580	-0,001	24,690
39	27661	5	9,646	-3,228	84,092	0,345	93,837	-14,209	1,854	30,000	0,474	0,000	84,092	0,000	0,345	0,000	93,837
EmbeddedBeam_1_1	27661	1	9,646	-3,228	84,106	0,354	93,837	-23,682	3,090	30,000	0,789	0,000	84,106	0,000	0,354	0,000	93,837
Element 1-7 (Embedded beam)	27662	2	9,771	-3,251	81,103	0,068	119,466	-23,531	1,834	30,000	0,784	0,000	81,103	0,000	0,068	0,000	119,466
(Ricopalo ancoraggio autoperforante R38l=1,60m)	27663	3	9,896	-3,274	78,117	-0,109	115,860	-23,384	-0,897	30,000	0,779	0,000	78,117	-116,178	0,000	0,000	115,860
40	27664	4	10,022	-3,297	75,150	-0,188	95,836	-23,240	-0,272	30,000	0,775	0,000	75,150	-190,678	0,000	0,000	95,836
41	27665	5	10,147	-3,320	72,203	-0,175	71,873	-23,101	0,093	30,000	0,770	0,000	72,203	-175,720	0,000	0,000	71,873
EmbeddedBeam_1_1	27665	1	10,147	-3,320	72,201	-0,199	71,873	-23,101	0,093	30,000	0,770	0,000	72,201	-199,016	0,000	0,000	71,873
Element 1-8 (Embedded beam)	27666	2	10,296	-3,347	68,717	-0,156	44,991	-22,942	0,283	30,000	0,765	0,000	68,717	-155,587	0,000	0,000	44,991
(Ricopalo ancoraggio autoperforante R38l=1,60m)	27667	3	10,445	-3,375	65,252	-0,112	24,778	-22,795	0,307	30,000	0,760	0,000	65,252	-112,071	0,000	0,000	24,778
42	27668	4	10,594	-3,402	61,809	-0,071	10,903	-22,657	0,249	30,000	0,755	0,000	61,809	-71,194	0,000	0,000	10,903
43	27669	5	10,743	-3,430	58,390	-0,036	2,913	-22,530	0,165	30,000	0,751	0,000	58,390	-35,730	0,000	-0,671	2,913
EmbeddedBeam_1_1	27669	1	10,743	-3,430	58,386	-0,036	2,913	-22,530	0,165	30,000	0,751	0,000	58,386	-35,600	0,000	-0,671	2,913
Element 1-9 (Embedded beam)	27670	2	10,920	-3,462	54,342	-0,018	-1,788	-22,395	0,076	30,000	0,746	0,000	54,342	-18,214	0,000	-3,334	0,034
(Ricopalo ancoraggio autoperforante R38l=1,60m)	27671	3	11,097	-3,495	50,314	-0,009	-4,160	-22,278	0,019	30,000	0,743	0,000	50,314	-9,000	0,004	-4,160	0,009
44	27672	4	11,274	-3,527	46,306	-0,006	-5,427	-22,184	0,003	30,000	0,739	0,000	46,306	-6,333	0,008	-5,427	0,001
45	27673	5	11,452	-3,560	42,318	-0,009	-6,722	-22,118	0,027	30,000	0,737	0,000	42,318	-8,589	0,004	-6,722	0,000
EmbeddedBeam_1_1	27673	1	11,452	-3,560	42,309	-0,008	-6,722	-22,118	0,027	30,000	0,737	0,000	42,309	-7,779	0,006	-6,722	0,000
Element 1-10 (Embedded beam)	27674	2	11,663	-3,599	37,577	0,004	-7,076	-22,099	0,049	30,000	0,737	0,000	37,577	-0,011	0,005	-7,076	0,000
(Ricopalo ancoraggio autoperforante R38l=1,60m)	27675	3	11,874	-3,638	32,830	0,013	-5,199	-22,147	0,035	30,000	0,738	0,000	32,830	0,010	0,013	-5,199	0,153
46	27676	4	12,085	-3,676	28,068	0,020	-1,580	-22,232	0,029	30,000	0,741	0,000	28,068	0,065	0,020	-2,729	0,256
47	27677	5	12,296	-3,715	23,293	0,025	3,319	-22,288	0,048	30,000	0,743	0,000	23,293	0,400	0,025	-1,051	3,319

Structural element	Node [10^]	Local number	X [m]	Y [m]	N [kN]	Q [kN]	M [10^ kN m]	$T_{,xx,max}$ [kN/m]	$T_{,yy}$ [kN/m]	$T_{,xx,max}$ [kN/m]	$T_{,xx,min}$	$N_{,xx}$ [kN]	$N_{,yy}$ [kN]	$Q_{,xz}$ [10^ kN]	$Q_{,yz}$ [kN]	$M_{,xx}$ [10^ kN m]	$M_{,yy}$ [10^ kN m]
EmbeddedBeam_11_1	27677	1	12,296	-3,715	23,305	0,006	3,319	22,288	0,048	30,000	0,743	0,000	23,305	-1,008	0,006	-1,051	3,319
Element 1-11 (Embedded beam)	27678	2	12,547	-3,761	17,574	0,054	12,504	22,464	0,066	30,000	0,749	0,000	17,574	-0,373	0,054	-0,705	12,504
(Micropalo ancoraggio autoperforante R38i=1,60m)	27679	3	12,798	-3,808	11,841	0,037	25,447	22,393	0,217	30,000	0,746	0,000	11,841	-0,115	0,037	-0,292	25,447
28	27680	4	13,049	-3,854	6,096	-0,041	26,403	22,556	0,412	30,000	0,752	0,000	6,096	-40,658	0,001	-0,088	26,403
29	27681	5	13,300	-3,900	0,330	-0,175	0,000	26,772	1,563	30,000	0,892	0,000	0,330	-174,677	0,000	0,000	0,000
EmbeddedBeam_31_1	27682	1	2,300	-5,900	177,364	0,365	0,000	-18,018	-1,915	30,000	0,601	0,000	177,364	0,000	0,365	0,000	0,000
Element 2-12 (Embedded beam)	27683	2	2,582	-5,950	172,328	0,109	65,099	-17,603	0,719	30,000	0,587	0,000	172,328	0,074	0,109	0,000	65,099
(Micropalo ancoraggio autoperforante R38i=1,60m)	27684	3	2,865	-6,000	167,261	-0,041	72,875	-17,803	0,282	30,000	0,593	0,000	167,261	-41,101	0,011	-0,002	72,875
30	27685	4	3,147	-6,049	162,193	-0,099	50,290	-17,619	0,078	30,000	0,587	0,000	162,193	-99,384	0,000	-0,084	50,290
31	27686	5	3,430	-6,099	157,149	-0,080	23,024	-17,325	0,168	30,000	0,577	0,000	157,149	-80,480	0,000	-0,100	23,024
EmbeddedBeam_31_1	27686	1	3,430	-6,099	157,169	-0,084	23,024	-17,325	0,168	30,000	0,577	0,000	157,169	83,987	0,000	-0,100	23,024
Element 2-13 (Embedded beam)	27687	2	3,595	-6,128	154,284	-0,057	11,248	-17,100	0,144	30,000	0,570	0,000	154,284	-57,285	0,000	-0,823	11,248
(Micropalo ancoraggio autoperforante R38i=1,60m)	27688	3	3,760	-6,158	151,434	-0,036	3,539	-16,880	0,116	30,000	0,563	0,000	151,434	-35,536	0,000	-1,898	3,539
32	27689	4	3,925	-6,187	148,623	-0,019	-0,961	-16,644	0,083	30,000	0,555	0,000	148,623	-18,957	0,001	-2,997	0,000
33	27690	5	4,090	-6,216	145,853	-0,008	-3,123	-16,384	0,054	30,000	0,546	0,000	145,853	-8,069	0,002	-4,871	0,000
EmbeddedBeam_31_1	27690	1	4,090	-6,216	145,853	-0,007	-3,123	-16,384	0,054	30,000	0,546	0,000	145,853	-7,768	0,002	-4,871	0,000
Element 2-14 (Embedded beam)	27691	2	4,187	-6,233	144,255	-0,003	-3,624	-16,230	0,044	30,000	0,541	0,000	144,255	-3,865	0,003	-5,398	0,000
(Micropalo ancoraggio autoperforante R38i=1,60m)	27692	3	4,283	-6,250	142,671	0,001	-3,707	-16,079	0,039	30,000	0,536	0,000	142,671	0,163	0,004	-5,543	0,000
34	27693	4	4,380	-6,267	141,101	0,005	-3,389	-15,929	0,041	30,000	0,531	0,000	141,101	0,000	0,005	-5,321	0,000
35	27694	5	4,476	-6,284	139,547	0,009	-2,687	-15,784	0,049	30,000	0,526	0,000	139,547	0,000	0,009	-4,726	0,000
EmbeddedBeam_31_1	27694	1	4,476	-6,284	139,546	0,009	-2,687	-15,784	0,049	30,000	0,526	0,000	139,546	0,000	0,009	-4,726	0,000
Element 2-15 (Embedded beam)	27695	2	4,533	-6,294	138,644	0,013	-2,063	-15,699	0,059	30,000	0,523	0,000	138,644	0,000	0,013	-4,168	0,000
(Micropalo ancoraggio autoperforante R38i=1,60m)	27696	3	4,589	-6,304	137,745	0,016	-1,234	-15,617	0,075	30,000	0,521	0,000	137,745	0,000	0,016	-3,411	0,000
36	27697	4	4,646	-6,314	136,851	0,020	-0,192	-15,557	0,063	30,000	0,519	0,000	136,851	0,000	0,020	-2,469	0,025
37	27698	5	4,702	-6,324	135,962	0,024	1,065	-15,578	0,045	30,000	0,519	0,000	135,962	0,000	0,024	-1,938	1,065
EmbeddedBeam_31_1	27698	1	4,702	-6,324	135,959	0,022	1,065	-25,963	0,074	30,000	0,865	0,000	135,959	0,000	0,022	-1,938	1,065
Element 2-16 (Embedded beam)	27699	2	4,800	-6,341	133,394	0,015	2,877	-25,756	0,064	30,000	0,859	0,000	133,394	-0,022	0,015	-1,287	2,877
(Micropalo ancoraggio autoperforante R38i=1,60m)	27700	3	4,898	-6,358	130,846	0,009	4,062	-25,554	0,048	30,000	0,852	0,000	130,846	-0,628	0,011	-0,828	4,062
38	27701	4	4,995	-6,376	128,319	0,005	4,771	-25,358	0,033	30,000	0,845	0,000	128,319	-1,160	0,007	-0,515	4,773
39	27702	5	5,093	-6,393	125,813	0,003	5,160	-25,166	0,020	30,000	0,839	0,000	125,813	-1,144	0,005	-0,284	5,160
EmbeddedBeam_31_1	27702	1	5,093	-6,393	125,811	0,003	5,160	-25,166	0,020	30,000	0,839	0,000	125,811	-1,233	0,005	-0,284	5,160
Element 2-17 (Embedded beam)	27703	2	5,177	-6,408	123,680	0,001	5,326	-25,005	0,013	30,000	0,833	0,000	123,680	-1,023	0,003	-0,266	5,326
(Micropalo ancoraggio autoperforante R38i=1,60m)	27704	3	5,261	-6,422	121,561	0,000	5,400	-24,845	0,007	30,000	0,828	0,000	121,561	-0,720	0,003	-0,327	5,400
40	27705	4	5,344	-6,437	119,455	0,000	5,417	-24,688	0,004	30,000	0,823	0,000	119,455	-0,445	0,003	-0,373	5,417
41	27706	5	5,428	-6,452	117,364	0,000	5,407	-24,532	0,002	30,000	0,818	0,000	117,364	-0,187	0,003	-0,383	5,407
EmbeddedBeam_31_1	27706	1	5,428	-6,452	117,363	0,000	5,407	-24,532	0,002	30,000	0,818	0,000	117,363	0,244	0,003	-0,383	5,407
Element 2-18 (Embedded beam)	27707	2	5,525	-6,469	114,968	0,000	5,381	-24,354	0,000	30,000	0,812	0,000	114,968	0,282	0,003	-0,351	5,381
(Micropalo ancoraggio autoperforante R38i=1,60m)	27708	3	5,621	-6,486	112,588	0,000	5,353	-24,178	0,000	30,000	0,806	0,000	112,588	0,283	0,002	-0,274	5,353
42	27709	4	5,718	-6,503	110,225	0,000	5,326	-24,005	0,000	30,000	0,800	0,000	110,225	0,258	0,002	-0,193	5,326
43	27710	5	5,814	-6,520	107,880	0,000	5,303	-23,834	0,000	30,000	0,794	0,000	107,880	0,220	0,002	-0,114	5,303
EmbeddedBeam_31_1	27710	1	5,814	-6,520	107,879	0,000	5,303	-23,834	0,000	30,000	0,794	0,000	107,879	0,233	0,002	-0,114	5,303
Element 2-19 (Embedded beam)	27711	2	5,926	-6,540	105,195	0,000	5,275	-23,641	0,000	30,000	0,788	0,000	105,195	0,258	0,002	-0,035	5,275
(Micropalo ancoraggio autoperforante R38i=1,60m)	27712	3	6,037	-6,559	102,531	0,000	5,242	-23,450	0,001	30,000	0,782	0,000	102,531	0,334	0,002	-0,026	5,242
44	27713	4	6,149	-6,579	99,889	0,000	5,198	-23,263	0,001	30,000	0,775	0,000	99,889	0,457	0,002	-0,017	5,198
45	27714	5	6,260	-6,599	97,269	-0,001	5,137	-23,080	0,002	30,000	0,769	0,000	97,269	0,633	0,001	-0,007	5,137
EmbeddedBeam_31_1	27714	1	6,260	-6,599	97,267	-0,001	5,137	-23,080	0,002	30,000	0,769	0,000	97,267	0,629	0,001	-0,007	5,137
Element 2-20 (Embedded beam)	27715	2	6,388	-6,621	94,271	-0,001	5,042	-22,874	0,002	30,000	0,762	0,000	94,271	0,868	0,001	0,000	5,042
(Micropalo ancoraggio autoperforante R38i=1,60m)	27716	3	6,517	-6,644	91,299	-0,001	4,917	-22,673	0,002	30,000	0,756	0,000	91,299	1,100	0,001	0,000	4,917
46	27717	4	6,645	-6,667	88,352	-0,001	4,762	-22,478	0,002	30,000	0,749	0,000	88,352	1,324	0,001	0,000	4,762
47	27718	5	6,774	-6,690	85,433	-0,002	4,578	-22,290	0,002	30,000	0,743	0,000	85,433	1,537	0,000	0,000	4,578
EmbeddedBeam_31_1	27718	1	6,774	-6,690	85,431	-0,002	4,578	-22,290	0,002	30,000	0,743	0,000	85,431	1,530	0,000	0,000	4,578
Element 2-21 (Embedded beam)	27719	2	6,922	-6,716	82,094	-0,002	4,333	-22,080	0,001	30,000	0,736	0,000	82,094	1,742	0,000	0,000	4,333
(Micropalo ancoraggio autoperforante R38i=1,60m)	27720	3	7,070	-6,742	78,784	-0,002	4,059	-21,880	0,001	30,000	0,729	0,000	78,784	1,905	0,000	0,000	4,059
48	27721	4	7,219	-6,768	75,504	-0,002	3,765	-21,690	0,001	30,000	0,723	0,000	75,504	2,017	0,000	0,000	3,765
49	27722	5	7,367	-6,794	72,256	-0,002	3,459	-21,510	0,000	30,000	0,717	0,000	72,256	2,074	0,000	0,000	3,459
EmbeddedBeam_31_1	27722	1	7,367	-6,794	72,252	-0,002	3,459	-21,510	0,000	30,000	0,717	0,000	72,252	2,077	0,000	0,000	3,459
Element 2-22 (Embedded beam)	27723	2	7,538	-6,824	68,538	-0,002	3,106	-21,315	0,001	30,000	0,710	0,000	68,538	2,082	0,000	0,000	3,106

Structural element	Node [10^1]	Local number	X [m]	Y [m]	N [kN]	Q [kN]	M [10^1 kN m]	$T_{,max}$ [kN/m]	$T_{,t}$ [kN/m]	$T_{,min,max}$ [kN/m]	$T_{,min,t}$	$N_{,t}$ [kN]	$N_{,max}$ [kN]	$Q_{,t}$ [10^1 kN]	$Q_{,t}$ [kN]	$M_{,t}$ [10^1 kN m]	$M_{,max}$ [10^1 kN m]
/Micropalo ancoraggio autoperforante R38I=1,60m)	27724	3	7,709	-6,855	64,851	-0,002	2,769	21,135	0,001	10,000	0,704	0,000	64,851	2,064	0,000	0,000	2,769
ti	27725	4	7,880	-6,885	61,195	-0,002	2,463	20,969	0,001	10,000	0,699	0,000	61,195	2,027	0,000	0,000	2,463
ti	27726	5	8,051	-6,915	57,570	-0,001	2,199	20,820	0,001	10,000	0,694	0,000	57,570	-1,978	0,000	0,000	2,199
EmbeddedBeam_3_1	27726	1	8,051	-6,915	57,565	-0,002	2,199	20,820	0,001	10,000	0,694	0,000	57,565	2,001	0,000	0,000	2,199
Element 2-23 (Embedded beam)	27727	2	8,248	-6,950	53,415	-0,001	1,928	20,666	0,001	10,000	0,689	0,000	53,415	-1,902	0,000	0,000	1,928
/Micropalo ancoraggio autoperforante R38I=1,60m)	27728	3	8,445	-6,984	49,288	-0,002	1,635	20,534	0,005	10,000	0,684	0,000	49,288	-1,989	0,000	0,000	1,635
ti	27729	4	8,643	-7,019	45,184	-0,004	1,103	20,424	0,012	10,000	0,681	0,000	45,184	3,617	0,000	0,000	1,252
ti	27730	5	8,840	-7,054	41,107	-0,007	0,104	20,335	0,018	10,000	0,678	0,000	41,107	-6,574	0,000	-0,292	1,027
EmbeddedBeam_3_1	27730	1	8,840	-7,054	41,099	-0,005	0,104	20,335	0,018	10,000	0,678	0,000	41,099	-5,013	0,000	-0,292	1,027
Element 2-24 (Embedded beam)	27731	2	9,067	-7,094	36,418	-0,010	-1,815	20,266	0,003	10,000	0,676	0,000	36,418	-9,839	0,000	-1,952	0,810
/Micropalo ancoraggio autoperforante R38I=1,60m)	27732	3	9,295	-7,134	31,736	-0,006	3,732	20,236	0,045	10,000	0,675	0,000	31,736	5,724	0,000	3,732	0,640
ti	27733	4	9,523	-7,175	27,052	0,006	3,896	20,279	0,061	10,000	0,676	0,000	27,052	0,491	0,006	3,896	0,510
ti	27734	5	9,750	-7,215	22,367	0,023	0,667	20,430	0,031	10,000	0,681	0,000	22,367	0,364	0,023	0,824	0,734
EmbeddedBeam_3_1	27734	1	9,750	-7,215	22,365	0,018	0,667	20,430	0,031	10,000	0,681	0,000	22,365	0,336	0,018	0,824	0,734
Element 2-25 (Embedded beam)	27735	2	10,013	-7,261	16,872	0,024	4,374	20,685	0,009	10,000	0,690	0,000	16,872	0,394	0,025	0,092	4,374
/Micropalo ancoraggio autoperforante R38I=1,60m)	27736	3	10,275	-7,307	11,337	0,025	12,140	20,852	0,114	10,000	0,695	0,000	11,337	1,263	0,029	0,082	12,142
ti	27737	4	10,538	-7,354	5,772	-0,011	14,278	20,919	0,278	10,000	0,697	0,000	5,772	-10,940	0,000	-0,042	15,117
ti	27738	5	10,800	-7,400	0,185	-0,112	0,000	23,232	0,859	10,000	0,774	0,000	0,185	-120,647	0,000	0,000	0,000
EmbeddedBeam_2_1	27739	1	-3,562	-12,132	42,272	0,003	0,000	-125,000	0,021	125,000	1,000	0,133	42,272	0,000	0,003	0,000	0,000
Element 3-26 (Embedded beam)	27740	2	-3,445	-12,380	19,673	0,000	0,389	66,450	0,006	125,000	0,532	0,066	19,673	0,000	0,000	0,000	0,389
/Micropalo D168.3 s12.5mm/1,6m)	27741	3	-3,329	-12,628	6,544	0,000	0,382	23,524	0,000	125,000	0,188	0,026	6,544	0,392	0,000	0,000	0,385
ti	27742	4	-3,213	-12,876	1,117	0,000	0,265	-10,216	0,002	125,000	0,082	0,121	1,117	0,264	0,000	0,000	0,277
ti	27743	5	-3,096	-13,124	1,624	0,001	0,297	4,065	0,001	125,000	0,033	0,010	1,624	0,000	0,001	0,000	0,304
EmbeddedBeam_2_1	27743	1	-3,096	-13,124	0,020	0,000	0,297	4,065	0,001	125,000	0,033	0,554	0,020	0,042	0,000	0,000	0,304
Element 3-27 (Embedded beam)	27744	2	-2,980	-13,372	0,545	0,000	0,300	1,466	0,000	125,000	0,013	0,787	0,000	0,006	0,000	0,000	0,310
/Micropalo D168.3 s12.5mm/1,6m)	27745	3	-2,863	-13,620	0,876	0,000	0,341	0,614	0,001	125,000	0,005	0,919	0,000	0,008	0,000	0,000	0,349
ti	27746	4	-2,747	-13,868	1,016	0,000	0,407	0,264	0,000	125,000	0,002	1,016	0,002	0,010	0,000	0,000	0,410
ti	27747	5	-2,631	-14,116	1,005	0,000	0,481	0,089	0,000	125,000	0,001	1,005	0,003	0,012	0,000	0,000	0,481
EmbeddedBeam_2_1	27747	1	-2,631	-14,116	1,043	0,000	0,481	0,089	0,000	125,000	0,001	1,043	0,003	0,012	0,000	0,000	0,481
Element 3-28 (Embedded beam)	27748	2	-2,514	-14,364	1,052	0,000	0,555	0,011	0,000	125,000	0,000	1,052	0,005	0,013	0,000	0,000	0,555
/Micropalo D168.3 s12.5mm/1,6m)	27749	3	-2,398	-14,612	1,049	0,000	0,619	0,035	0,000	125,000	0,000	1,049	0,007	0,014	0,000	0,000	0,619
ti	27750	4	-2,282	-14,860	1,034	0,000	0,668	0,072	0,000	125,000	0,001	1,034	0,008	0,013	0,000	0,000	0,668
ti	27751	5	-2,165	-15,108	1,009	0,000	0,696	0,128	0,000	125,000	0,001	1,009	0,010	0,024	0,000	0,000	0,696
EmbeddedBeam_2_1	27751	1	-2,165	-15,108	0,979	0,000	0,696	0,128	0,000	125,000	0,001	0,979	0,009	0,150	0,000	0,000	0,696
Element 3-29 (Embedded beam)	27752	2	-2,049	-15,356	0,975	0,000	0,696	0,254	0,000	125,000	0,002	0,975	0,011	0,010	0,000	0,000	0,696
/Micropalo D168.3 s12.5mm/1,6m)	27753	3	-1,933	-15,604	0,853	0,000	0,696	0,519	0,001	125,000	0,004	0,853	0,011	0,213	0,000	0,000	0,696
ti	27754	4	-1,816	-15,852	0,578	-0,001	0,526	1,371	0,005	125,000	0,011	0,578	0,008	-1,122	0,000	0,000	0,526
ti	27755	5	-1,700	-16,100	0,115	-0,003	0,000	2,377	0,026	125,000	0,027	0,115	0,002	2,901	0,000	0,000	0,000

3.3.1.1.25 Calculation results, Embedded beam, SLU12 SG [Phase_21] (21/779), Table of embedded beam force envelopes

Structural element	Node [10^1]	Local number	X [m]	Y [m]	N [kN]	Q [kN]	M [10^-1 kN m]	$T_{z,x}$ [kN/m]	$T_{z,y}$ [kN/m]	$T_{z,x,z,x}$ [kN/m]	$T_{z,x,z,y}$	$N_{z,x}$ [kN]	$N_{z,y}$ [kN]	$Q_{z,x}$ [10^-1 kN]	$Q_{z,y}$ [kN]	$M_{z,x}$ [10^-1 kN m]	$M_{z,y}$ [10^-1 kN m]
EmbeddedBeam_1_1	27637	1	4,600	2,300	130,084	1,263	0,000	-8,210	-4,131	30,000	0,274	0,000	130,084	0,000	1,263	0,000	0,000
Element 1-1 (Embedded beam)	27638	2	4,890	2,353	127,165	0,267	212,094	-10,097	-2,607	30,000	0,337	0,000	127,165	0,000	0,267	0,000	212,094
(TITAN 40/20 l=1,60m)	27639	3	5,179	2,407	124,123	-0,250	205,245	-10,683	-0,729	30,000	0,356	0,000	124,123	271,143	0,000	0,000	205,245
28	27640	4	5,469	2,460	121,003	-0,344	106,398	-10,635	0,263	30,000	0,355	0,000	121,003	344,421	0,000	0,000	106,398
29	27641	5	5,758	2,513	117,846	-0,073	37,370	-10,421	0,447	30,000	0,347	0,000	117,846	73,499	0,000	0,000	37,370
EmbeddedBeam_1_1	27641	1	5,758	2,513	117,880	-0,176	37,370	-10,421	0,447	30,000	0,347	0,000	117,880	175,560	0,000	0,000	37,370
Element 1-2 (Embedded beam)	27642	2	6,010	2,559	115,236	-0,077	5,848	-10,226	0,316	30,000	0,341	0,000	115,236	77,210	0,000	-0,013	5,848
(TITAN 40/20 l=1,60m)	27643	3	6,262	2,606	112,642	-0,015	-5,311	-10,026	0,158	30,000	0,334	0,000	112,642	14,975	0,000	-5,311	0,297
30	27644	4	6,514	2,652	110,101	0,015	-4,615	-9,815	0,061	30,000	0,327	0,000	110,101	0,000	0,015	-4,615	1,050
31	27645	5	6,766	2,698	107,614	0,015	-0,299	-9,588	0,034	30,000	0,320	0,000	107,858	0,000	0,015	-0,299	3,236
EmbeddedBeam_1_1	27645	1	6,766	2,698	107,617	0,022	-0,299	-9,588	0,034	30,000	0,320	0,000	107,859	0,000	0,022	-0,299	3,236
Element 1-3 (Embedded beam)	27646	2	6,985	2,739	105,502	0,031	5,574	-9,374	0,048	30,000	0,312	0,000	106,018	0,000	0,031	-0,006	6,113
(TITAN 40/20 l=1,60m)	27647	3	7,204	2,779	103,439	0,044	13,927	-9,140	0,071	30,000	0,305	0,000	104,219	0,000	0,044	-0,003	13,927
32	27648	4	7,423	2,819	101,432	0,059	25,391	-8,879	0,072	30,000	0,296	0,000	102,463	0,000	0,059	-0,001	25,391
33	27649	5	7,643	2,860	99,482	0,076	40,525	-8,589	0,010	30,000	0,286	0,000	100,752	0,000	0,076	-0,001	40,525
EmbeddedBeam_1_1	27649	1	7,643	2,860	99,485	0,057	40,525	-8,589	0,010	30,000	0,286	0,000	100,754	0,005	0,057	-0,001	40,525
Element 1-4 (Embedded beam)	27650	2	7,833	2,895	97,844	0,070	53,801	-8,328	-0,121	30,000	0,278	0,000	99,307	0,161	0,070	-0,001	53,801
(TITAN 40/20 l=1,60m)	27651	3	8,024	2,930	96,255	0,014	63,387	-8,059	-0,406	30,000	0,269	0,000	97,899	2,527	0,014	0,000	63,387
34	27652	4	8,215	2,965	94,723	-0,121	54,197	-7,751	-0,941	30,000	0,258	0,000	96,531	122,777	0,000	0,000	54,197
35	27653	5	8,405	3,000	93,250	-0,346	10,516	-7,605	-1,134	30,000	0,254	0,000	95,207	347,340	0,000	-2,398	10,516
EmbeddedBeam_1_1	27653	1	8,405	3,000	93,272	-0,405	10,516	-7,605	-1,134	30,000	0,254	0,000	95,229	405,546	0,000	-2,398	10,516
Element 1-5 (Embedded beam)	27654	2	8,571	3,030	91,881	-0,347	-53,054	-8,273	0,422	30,000	0,276	0,000	93,953	346,688	0,000	-59,586	0,000
(TITAN 40/20 l=1,60m)	27655	3	8,737	3,061	90,478	-0,265	-105,189	-8,410	0,502	30,000	0,280	0,000	92,652	265,309	0,000	-111,442	0,000
36	27656	4	8,903	3,091	89,074	-0,153	-140,830	-8,289	0,790	30,000	0,276	0,000	91,335	159,194	0,000	-146,418	0,000
37	27657	5	9,069	3,122	87,679	-0,002	-154,518	-8,044	1,511	30,000	0,268	0,000	90,013	39,023	0,006	-158,983	0,000
EmbeddedBeam_1_1	27657	1	9,069	3,122	87,607	-0,058	-154,518	-8,044	1,511	30,000	0,268	0,000	89,942	82,718	0,000	-158,983	0,000
Element 1-6 (Embedded beam)	27658	2	9,213	3,148	86,553	0,338	-132,213	-8,159	2,059	30,000	0,272	0,000	88,938	0,000	0,348	-135,373	0,000
(TITAN 40/20 l=1,60m)	27659	3	9,357	3,175	85,227	0,560	-63,423	-9,678	1,169	30,000	0,323	0,000	87,653	0,000	0,570	-65,063	0,000
38	27660	4	9,502	3,201	83,595	0,572	21,882	-12,332	-0,793	30,000	0,411	0,000	86,049	0,000	0,580	-0,001	24,690
39	27661	5	9,646	3,228	81,622	0,340	92,192	-14,281	-1,807	30,000	0,476	0,000	84,092	0,000	0,345	0,000	93,837
EmbeddedBeam_1_1	27661	1	9,646	3,228	81,635	0,351	92,192	-23,802	-3,011	30,000	0,793	0,000	84,106	0,000	0,354	0,000	93,837
Element 1-7 (Embedded beam)	27662	2	9,771	3,251	78,622	0,071	117,841	-23,589	-1,794	30,000	0,786	0,000	81,103	0,000	0,071	0,000	119,466
(TITAN 40/20 l=1,60m)	27663	3	9,896	3,274	75,632	-0,103	114,875	-23,380	-0,884	30,000	0,779	0,000	78,117	116,178	0,000	0,000	115,860
40	27664	4	10,022	3,297	72,669	-0,180	95,761	-23,175	-0,275	30,000	0,772	0,000	75,150	190,678	0,000	0,000	95,836
41	27665	5	10,147	3,320	69,735	-0,170	72,641	-22,974	0,083	30,000	0,766	0,000	72,203	175,720	0,000	0,000	72,641
EmbeddedBeam_1_1	27665	1	10,147	3,320	69,732	-0,193	72,641	-22,974	0,083	30,000	0,766	0,000	72,201	199,016	0,000	0,000	72,641
Element 1-8 (Embedded beam)	27666	2	10,296	3,347	66,273	-0,151	46,552	-22,745	0,271	30,000	0,758	0,000	68,717	155,587	0,000	0,000	46,552
(TITAN 40/20 l=1,60m)	27667	3	10,445	3,375	62,844	-0,110	26,830	-22,527	0,296	30,000	0,751	0,000	65,252	112,071	0,000	0,000	26,830
42	27668	4	10,594	3,402	59,447	-0,070	13,201	-22,320	0,240	30,000	0,744	0,000	61,809	71,194	0,000	0,000	13,201
43	27669	5	10,743	3,430	56,084	-0,036	5,265	-22,126	0,160	30,000	0,738	0,000	58,390	35,859	0,000	-0,671	5,265
EmbeddedBeam_1_1	27669	1	10,743	3,430	56,080	-0,036	5,265	-22,126	0,160	30,000	0,738	0,000	58,386	35,785	0,000	-0,671	5,265
Element 1-9 (Embedded beam)	27670	2	10,920	3,462	52,115	-0,019	0,478	-21,912	0,073	30,000	0,730	0,000	54,342	18,931	0,000	-3,334	0,478
(TITAN 40/20 l=1,60m)	27671	3	11,097	3,495	48,182	-0,010	-2,050	-21,719	0,018	30,000	0,724	0,000	50,314	9,978	0,004	-4,160	0,009
44	27672	4	11,274	3,527	44,281	-0,007	-3,499	-21,551	0,003	30,000	0,718	0,000	46,306	7,339	0,008	-5,427	0,001
45	27673	5	11,452	3,560	40,414	-0,009	-4,963	-21,414	0,028	30,000	0,714	0,000	42,318	9,423	0,004	-6,722	0,000
EmbeddedBeam_1_1	27673	1	11,452	3,560	40,404	-0,009	-4,963	-21,414	0,028	30,000	0,714	0,000	42,309	8,672	0,006	-6,722	0,000
Element 1-10 (Embedded beam)	27674	2	11,663	3,599	35,833	0,003	-5,491	-21,314	0,050	30,000	0,710	0,000	37,577	0,011	0,005	-7,076	0,000
(TITAN 40/20 l=1,60m)	27675	3	11,874	3,638	31,261	0,013	-3,755	-21,285	0,036	30,000	0,710	0,000	32,830	0,010	0,013	-5,199	0,153
46	27676	4	12,085	3,676	26,692	0,020	-0,248	-21,298	0,029	30,000	0,710	0,000	28,068	0,065	0,020	-2,729	0,256
47	27677	5	12,296	3,715	22,126	0,025	4,562	-21,286	0,048	30,000	0,710	0,000	23,293	0,400	0,025	-1,051	4,562

Structural element	Node [10^]	Local number	X [m]	Y [m]	N [kN]	Q [kN]	M [10^ kN m]	$T_{zz,i}$ [kN/m]	$T_{zz,j}$ [kN/m]	$T_{zz,max}$ [kN/m]	$T_{zz,min}$	$N_{z,i}$ [kN]	$N_{z,j}$ [kN]	$Q_{z,i}$ [10^ kN]	$Q_{z,j}$ [kN]	$M_{y,i}$ [10^ kN m]	$M_{y,j}$ [10^ kN m]
EmbeddedBeam_11_1	27677	1	12,296	3,715	22,136	0,005	4,562	-21,286	0,048	30,000	0,710	0,000	23,305	-1,008	0,006	-1,051	4,562
Element 1-11 (Embedded beam)	27678	2	12,547	3,761	16,673	0,054	13,646	-21,385	0,064	30,000	0,713	0,000	17,574	-0,373	0,054	-0,705	13,646
(TITAN 40/20 l=1,60m)	27679	3	12,798	3,808	11,224	0,036	26,368	-21,244	-0,221	30,000	0,708	0,000	11,841	-0,115	0,037	-0,292	26,368
臂	27680	4	13,049	3,854	5,780	-0,043	26,946	-21,344	-0,414	30,000	0,711	0,000	6,096	-42,501	0,001	-0,088	26,946
臂	27681	5	13,300	3,900	0,331	-0,177	0,000	-25,517	1,591	30,000	0,851	0,000	0,331	-177,011	0,000	0,000	0,000
EmbeddedBeam_31_1	27682	1	2,300	5,900	181,721	0,375	0,000	-18,932	-1,958	30,000	0,631	0,000	181,721	0,000	0,375	0,000	0,000
Element 2-12 (Embedded beam)	27683	2	2,582	5,950	176,426	0,111	66,715	-18,492	-0,740	30,000	0,616	0,000	176,426	-0,074	0,111	0,000	66,715
(TITAN 40/20 l=1,60m)	27684	3	2,865	6,000	171,109	-0,043	74,423	-18,667	-0,286	30,000	0,622	0,000	171,109	-43,091	0,011	-0,002	74,423
臂	27685	4	3,147	6,049	165,796	-0,102	51,088	-18,456	-0,076	30,000	0,615	0,000	165,796	-101,981	0,000	-0,084	51,088
臂	27686	5	3,430	6,099	160,517	-0,081	23,335	-18,133	0,171	30,000	0,604	0,000	160,517	-80,938	0,000	-0,100	23,335
EmbeddedBeam_31_1	27686	1	3,430	6,099	160,536	-0,085	23,335	-18,133	0,171	30,000	0,604	0,000	160,536	-85,335	0,000	-0,100	23,335
Element 2-13 (Embedded beam)	27687	2	3,595	6,128	157,517	-0,058	11,365	-17,891	0,146	30,000	0,596	0,000	157,517	-58,275	0,000	-0,823	11,365
(TITAN 40/20 l=1,60m)	27688	3	3,760	6,158	154,537	-0,036	3,509	-17,652	0,117	30,000	0,588	0,000	154,537	-36,318	0,000	-1,898	3,539
臂	27689	4	3,925	6,187	151,598	-0,020	-1,115	-17,396	0,083	30,000	0,580	0,000	151,598	-19,674	0,001	-2,997	0,000
臂	27690	5	4,090	6,216	148,703	-0,009	-3,400	-17,116	0,054	30,000	0,571	0,000	148,703	-8,552	0,002	-4,871	0,000
EmbeddedBeam_31_1	27690	1	4,090	6,216	148,704	-0,008	-3,400	-17,116	0,054	30,000	0,571	0,000	148,704	-8,119	0,002	-4,871	0,000
Element 2-14 (Embedded beam)	27691	2	4,187	6,233	147,034	-0,004	-3,978	-16,950	0,044	30,000	0,565	0,000	147,034	-3,865	0,003	-5,398	0,000
(TITAN 40/20 l=1,60m)	27692	3	4,283	6,250	145,380	0,000	-4,140	-16,786	0,039	30,000	0,560	0,000	145,380	-0,163	0,004	-5,543	0,000
臂	27693	4	4,380	6,267	143,741	0,004	-3,903	-16,624	0,041	30,000	0,554	0,000	143,741	0,000	0,005	-5,321	0,000
臂	27694	5	4,476	6,284	142,120	0,008	-3,277	-16,465	0,050	30,000	0,549	0,000	142,120	0,000	0,009	-4,726	0,000
EmbeddedBeam_31_1	27694	1	4,476	6,284	142,119	0,009	-3,277	-16,465	0,050	30,000	0,549	0,000	142,119	0,000	0,009	-4,726	0,000
Element 2-15 (Embedded beam)	27695	2	4,533	6,294	141,178	0,012	-2,691	-16,373	0,061	30,000	0,546	0,000	141,178	0,000	0,013	-4,168	0,000
(TITAN 40/20 l=1,60m)	27696	3	4,589	6,304	140,241	0,016	-1,896	-16,283	0,078	30,000	0,543	0,000	140,241	0,000	0,016	-3,411	0,000
臂	27697	4	4,646	6,314	139,309	0,020	-0,875	-16,215	0,069	30,000	0,541	0,000	139,309	0,000	0,020	-2,469	0,025
臂	27698	5	4,702	6,324	138,382	0,024	0,381	-16,228	-0,036	30,000	0,541	0,000	138,382	0,000	0,024	-1,938	1,065
EmbeddedBeam_31_1	27698	1	4,702	6,324	138,379	0,022	0,381	-27,047	-0,060	30,000	0,902	0,000	138,379	0,000	0,022	-1,938	1,065
Element 2-16 (Embedded beam)	27699	2	4,800	6,341	135,707	0,016	2,270	-26,831	-0,057	30,000	0,894	0,000	135,707	-0,022	0,016	-1,287	2,877
(TITAN 40/20 l=1,60m)	27700	3	4,898	6,358	133,053	0,011	3,602	-26,618	-0,046	30,000	0,887	0,000	133,053	-0,628	0,011	-0,828	4,062
臂	27701	4	4,995	6,376	130,421	0,007	4,489	-26,410	-0,033	30,000	0,880	0,000	130,421	-1,160	0,007	-0,515	4,771
臂	27702	5	5,093	6,393	127,811	0,004	5,047	-26,206	-0,022	30,000	0,874	0,000	127,811	-1,144	0,005	-0,284	5,160
EmbeddedBeam_31_1	27702	1	5,093	6,393	127,810	0,004	5,047	-26,206	-0,022	30,000	0,874	0,000	127,810	-1,233	0,005	-0,284	5,160
Element 2-17 (Embedded beam)	27703	2	5,177	6,408	125,590	0,003	5,343	-26,034	-0,015	30,000	0,868	0,000	125,590	-1,023	0,003	-0,266	5,343
(TITAN 40/20 l=1,60m)	27704	3	5,261	6,422	123,384	0,002	5,529	-25,862	-0,010	30,000	0,862	0,000	123,384	-0,720	0,003	-0,327	5,529
臂	27705	4	5,344	6,437	121,192	0,001	5,636	-25,693	-0,007	30,000	0,856	0,000	121,192	-0,445	0,003	-0,373	5,636
臂	27706	5	5,428	6,452	119,017	0,001	5,698	-25,524	-0,004	30,000	0,851	0,000	119,017	-0,187	0,003	-0,383	5,698
EmbeddedBeam_31_1	27706	1	5,428	6,452	119,015	0,000	5,698	-25,524	-0,004	30,000	0,851	0,000	119,015	-0,244	0,003	-0,383	5,698
Element 2-18 (Embedded beam)	27707	2	5,525	6,469	116,523	0,000	5,733	-25,331	-0,002	30,000	0,844	0,000	116,523	-0,282	0,003	-0,351	5,733
(TITAN 40/20 l=1,60m)	27708	3	5,621	6,486	114,048	0,000	5,749	-25,140	-0,001	30,000	0,838	0,000	114,048	-0,283	0,002	-0,274	5,749
臂	27709	4	5,718	6,503	111,592	0,000	5,752	-24,950	-0,001	30,000	0,832	0,000	111,592	-0,258	0,002	-0,193	5,752
臂	27710	5	5,814	6,520	109,156	0,000	5,749	-24,762	-0,001	30,000	0,825	0,000	109,156	-0,220	0,002	-0,114	5,749
EmbeddedBeam_31_1	27710	1	5,814	6,520	109,154	0,000	5,749	-24,762	-0,001	30,000	0,825	0,000	109,154	-0,233	0,002	-0,114	5,749
Element 2-19 (Embedded beam)	27711	2	5,926	6,540	106,367	0,000	5,739	-24,548	-0,001	30,000	0,818	0,000	106,367	-0,258	0,002	-0,035	5,739
(TITAN 40/20 l=1,60m)	27712	3	6,037	6,559	103,602	0,000	5,720	-24,336	-0,001	30,000	0,811	0,000	103,602	-0,334	0,002	-0,026	5,720
臂	27713	4	6,149	6,579	100,860	0,000	5,688	-24,127	-0,001	30,000	0,804	0,000	100,860	-0,457	0,002	-0,017	5,688
臂	27714	5	6,260	6,599	98,144	0,000	5,642	-23,921	-0,001	30,000	0,797	0,000	98,144	-0,633	0,001	-0,007	5,642
EmbeddedBeam_31_1	27714	1	6,260	6,599	98,142	0,000	5,642	-23,921	-0,001	30,000	0,797	0,000	98,142	-0,629	0,001	-0,007	5,642
Element 2-20 (Embedded beam)	27715	2	6,388	6,621	95,038	-0,001	5,566	-23,687	-0,002	30,000	0,790	0,000	95,038	-0,868	0,001	0,000	5,566
(TITAN 40/20 l=1,60m)	27716	3	6,517	6,644	91,961	-0,001	5,462	-23,457	-0,002	30,000	0,782	0,000	91,961	-1,100	0,001	0,000	5,462
臂	27717	4	6,645	6,667	88,914	-0,001	5,332	-23,233	-0,002	30,000	0,774	0,000	88,914	-1,324	0,001	0,000	5,332
臂	27718	5	6,774	6,690	85,899	-0,001	5,174	-23,013	-0,001	30,000	0,767	0,000	85,899	-1,537	0,000	0,000	5,174
EmbeddedBeam_31_1	27718	1	6,774	6,690	85,897	-0,001	5,174	-23,013	-0,001	30,000	0,767	0,000	85,897	-1,530	0,000	0,000	5,174
Element 2-21 (Embedded beam)	27719	2	6,922	6,716	82,454	-0,002	4,960	-22,767	-0,001	30,000	0,759	0,000	82,454	-1,742	0,000	0,000	4,960
(TITAN 40/20 l=1,60m)	27720	3	7,070	6,742	79,044	-0,002	4,718	-22,529	-0,001	30,000	0,751	0,000	79,044	-1,905	0,000	0,000	4,718
臂	27721	4	7,219	6,768	75,669	-0,002	4,455	-22,299	-0,001	30,000	0,743	0,000	75,669	-2,017	0,000	0,000	4,455
臂	27722	5	7,367	6,794	72,331	-0,002	4,179	-22,079	0,000	30,000	0,736	0,000	72,331	-2,074	0,000	0,000	4,179
EmbeddedBeam_31_1	27722	1	7,367	6,794	72,328	-0,002	4,179	-22,079	0,000	30,000	0,736	0,000	72,328	-2,077	0,000	0,000	4,179
Element 2-22 (Embedded beam)	27723	2	7,538	6,824	68,519	-0,002	3,859	-21,836	0,000	30,000	0,728	0,000	68,538	-2,082	0,000	0,000	3,859

Structural element	Node [10^]	Local number	X [m]	Y [m]	N [kN]	Q [kN]	M [10^ kN m]	T_{xx} [kN/m]	T_{yy} [kN/m]	$T_{xx,xx}$ [kN/m]	$T_{xx,yy}$	$N_{x,x}$ [kN]	$N_{y,y}$ [kN]	$Q_{x,z}$ [10^ kN]	$Q_{y,z}$ [kN]	$M_{x,y}$ [10^ kN m]	$M_{x,x}$ [10^ kN m]
(TITAN 40/20 l=1,60m)	27724	3	7,709	6,855	64,746	-0,002	3,552	-21,606	0,001	30,000	0,720	0,000	64,851	-2,064	0,000	0,000	3,552
菅	27725	4	7,880	6,885	61,012	-0,002	3,273	-21,389	0,001	30,000	0,713	0,000	61,195	-2,027	0,000	0,000	3,273
菅	27726	5	8,051	6,915	57,319	-0,001	3,033	-21,187	0,001	30,000	0,706	0,000	57,570	-1,978	0,000	0,000	3,033
EmbeddedBeam_3_1	27726	1	8,051	6,915	57,315	-0,001	3,033	-21,187	0,001	30,000	0,706	0,000	57,565	-2,001	0,000	0,000	3,033
Element 2-23 (Embedded beam)	27727	2	8,248	6,950	53,097	-0,001	2,784	-20,972	0,001	30,000	0,699	0,000	53,415	-1,902	0,000	0,000	2,784
(TITAN 40/20 l=1,60m)	27728	3	8,445	6,984	48,915	-0,002	2,510	-20,776	0,005	30,000	0,693	0,000	49,288	-1,989	0,000	0,000	2,510
菅	27729	4	8,643	7,019	44,769	-0,004	1,991	-20,601	0,012	30,000	0,687	0,000	45,184	-3,617	0,000	0,000	1,991
菅	27730	5	8,840	7,054	40,663	-0,007	1,003	-20,447	0,018	30,000	0,682	0,000	41,107	-6,574	0,000	0,292	1,027
EmbeddedBeam_3_1	27730	1	8,840	7,054	40,655	-0,005	1,003	-20,447	0,018	30,000	0,682	0,000	41,099	-5,013	0,000	0,292	1,027
Element 2-24 (Embedded beam)	27731	2	9,067	7,094	35,957	-0,010	-0,907	-20,301	0,003	30,000	0,677	0,000	36,418	-9,839	0,000	-1,952	0,810
(TITAN 40/20 l=1,60m)	27732	3	9,295	7,134	31,276	-0,006	-2,815	-20,193	0,045	30,000	0,673	0,000	31,736	-5,724	0,000	-3,732	0,640
菅	27733	4	9,523	7,175	26,611	0,006	-2,978	-20,158	0,060	30,000	0,672	0,000	27,052	-0,491	0,006	-3,896	0,510
菅	27734	5	9,750	7,215	21,963	0,023	0,237	-20,231	0,030	30,000	0,674	0,000	22,367	-0,364	0,023	-0,824	0,734
EmbeddedBeam_3_1	27734	1	9,750	7,215	21,961	0,018	0,237	-20,231	0,030	30,000	0,674	0,000	22,365	-0,336	0,018	-0,824	0,734
Element 2-25 (Embedded beam)	27735	2	10,013	7,261	16,533	0,024	5,191	-20,396	0,011	30,000	0,680	0,000	16,872	-0,394	0,025	-0,092	5,191
(TITAN 40/20 l=1,60m)	27736	3	10,275	7,307	11,087	0,023	12,711	-20,473	0,112	30,000	0,682	0,000	11,337	-1,263	0,029	-0,082	12,711
菅	27737	4	10,538	7,354	5,635	-0,012	14,542	-20,450	0,277	30,000	0,682	0,000	5,772	-12,114	0,000	-0,042	15,117
菅	27738	5	10,800	7,400	0,185	-0,113	0,000	-22,674	0,870	30,000	0,756	0,000	0,185	-120,647	0,000	0,000	0,000
EmbeddedBeam_2_1	27739	1	3,562	12,132	42,682	0,003	0,000	-125,000	0,022	125,000	1,000	-0,133	42,682	0,000	0,003	0,000	0,000
Element 3-26 (Embedded beam)	27740	2	3,445	12,380	19,868	0,001	0,421	-67,084	0,006	125,000	0,537	-0,066	19,868	0,000	0,001	0,000	0,421
(Micropalo D168.3 x12.5mm/1,6m)	27741	3	3,329	12,628	6,614	0,000	0,422	-23,747	0,000	125,000	0,190	-0,026	6,614	-0,392	0,000	0,000	0,422
菅	27742	4	3,213	12,876	1,136	0,000	0,303	-10,311	0,002	125,000	0,082	-0,121	1,136	-0,266	0,000	0,000	0,303
菅	27743	5	3,096	13,124	1,648	0,001	0,337	-4,103	-0,001	125,000	0,033	-0,010	1,648	0,000	0,001	0,000	0,337
EmbeddedBeam_2_1	27743	1	3,096	13,124	0,029	0,000	0,337	-4,103	-0,001	125,000	0,033	-0,554	0,029	-0,045	0,000	0,000	0,337
Element 3-27 (Embedded beam)	27744	2	2,980	13,372	-0,542	0,000	0,340	-1,682	0,000	125,000	0,013	-0,787	0,000	-0,006	0,000	0,000	0,340
(Micropalo D168.3 x12.5mm/1,6m)	27745	3	2,863	13,620	-0,876	0,000	0,380	-0,620	0,001	125,000	0,005	-0,919	0,000	-0,008	0,000	0,000	0,380
菅	27746	4	2,747	13,868	-1,017	0,000	0,445	-0,266	0,000	125,000	0,002	-1,019	0,002	-0,010	0,000	0,000	0,445
菅	27747	5	2,631	14,116	-1,006	0,000	0,518	-0,090	0,000	125,000	0,001	-1,008	0,003	-0,012	0,000	0,000	0,518
EmbeddedBeam_2_1	27747	1	2,631	14,116	-1,045	0,000	0,518	-0,090	0,000	125,000	0,001	-1,046	0,003	-0,012	0,000	0,000	0,518
Element 3-28 (Embedded beam)	27748	2	2,514	14,364	-1,053	0,000	0,591	-0,011	0,000	125,000	0,000	-1,055	0,005	-0,013	0,000	0,000	0,591
(Micropalo D168.3 x12.5mm/1,6m)	27749	3	2,398	14,612	-1,050	0,000	0,654	0,035	0,000	125,000	0,000	-1,051	0,007	-0,014	0,000	0,000	0,654
菅	27750	4	2,282	14,860	-1,036	0,000	0,702	0,073	0,000	125,000	0,001	-1,037	0,008	-0,013	0,000	0,000	0,702
菅	27751	5	2,165	15,108	-1,010	0,000	0,730	0,129	0,000	125,000	0,001	-1,011	0,010	-0,024	0,000	0,000	0,730
EmbeddedBeam_2_1	27751	1	2,165	15,108	-0,980	0,000	0,730	0,129	0,000	125,000	0,001	-0,981	0,009	-0,150	0,000	0,000	0,730
Element 3-29 (Embedded beam)	27752	2	2,049	15,356	-0,976	0,000	0,728	0,256	0,000	125,000	0,002	-0,977	0,011	-0,010	0,000	0,000	0,728
(Micropalo D168.3 x12.5mm/1,6m)	27753	3	1,933	15,604	-0,853	0,000	0,729	0,521	-0,001	125,000	0,004	-0,854	0,011	-0,213	0,000	0,000	0,729
菅	27754	4	1,816	15,852	-0,578	-0,001	0,552	1,372	-0,005	125,000	0,011	-0,579	0,008	-1,173	0,000	0,000	0,552
菅	27755	5	1,700	16,100	-0,115	-0,003	0,000	3,374	0,027	125,000	0,027	-0,115	0,002	-3,048	0,000	0,000	0,000

3.3.1.1.26 Calculation results, Embedded beam, FS SLU12 [Phase_20] (20/879), Table of embedded beam force envelopes

Structural element	Node [10^]	Local number	X [m]	Y [m]	N [kN]	Q [kN]	M [kN m]	$T_{,xxx}$ [kN/m]	$T_{,xx}$ [kN/m]	$T_{,xxx,xxx}$ [kN/m]	$T_{,xxx,xx}$	$N_{,xx}$ [kN]	$N_{,xxx}$ [kN]	$Q_{,xx}$ [kN]	$Q_{,xxx}$ [kN]	$M_{,xx}$ [kN m]	$M_{,xxx}$ [kN m]
EmbeddedBeam_1_1	27637	1	4,600	-2,300	214,909	1,932	0,000	-20,798	-8,104	30,000	0,693	0,000	214,909	0,000	1,932	0,000	0,000
Element 1-1 (Embedded beam)	27638	2	4,890	-2,353	208,430	0,397	0,321	-22,190	-3,988	30,000	0,740	0,000	208,430	0,000	0,397	0,000	0,321
(TITAN 40/20 l=1,60m)	27639	3	5,179	-2,407	201,829	-0,372	0,311	-22,767	-0,880	30,000	0,759	0,000	201,829	-0,372	0,000	0,000	0,311
28	27640	4	5,469	-2,460	195,151	-0,492	0,166	-22,714	0,421	30,000	0,757	0,000	195,151	-0,492	0,000	0,000	0,166
29	27641	5	5,758	-2,513	188,441	-0,080	0,071	-22,345	0,599	30,000	0,745	0,000	188,441	-0,134	0,000	0,000	0,072
EmbeddedBeam_1_1	27641	1	5,758	-2,513	188,492	-0,233	0,071	-22,345	0,599	30,000	0,745	0,000	188,492	-0,262	0,000	0,000	0,072
Element 1-2 (Embedded beam)	27642	2	6,010	-2,559	182,814	-0,118	0,028	-21,945	0,374	30,000	0,732	0,000	182,814	-0,129	0,000	0,000	0,028
(TITAN 40/20 l=1,60m)	27643	3	6,262	-2,606	177,250	-0,043	0,008	-21,492	0,194	30,000	0,716	0,000	177,250	-0,048	0,000	-0,006	0,008
30	27644	4	6,514	-2,652	171,808	-0,002	0,003	-21,003	0,109	30,000	0,700	0,000	171,808	-0,006	0,016	-0,006	0,003
31	27645	5	6,766	-2,698	166,492	0,011	0,004	-20,491	0,059	30,000	0,683	0,000	166,492	0,000	0,018	-0,001	0,004
EmbeddedBeam_1_1	27645	1	6,766	-2,698	166,493	0,017	0,004	-20,491	0,059	30,000	0,683	0,000	166,493	0,000	0,027	-0,001	0,004
Element 1-3 (Embedded beam)	27646	2	6,985	-2,739	161,977	0,027	0,009	-20,042	0,046	30,000	0,668	0,000	161,977	0,000	0,036	0,000	0,009
(TITAN 40/20 l=1,60m)	27647	3	7,204	-2,779	157,561	0,037	0,016	-19,584	0,044	30,000	0,653	0,000	157,561	0,000	0,048	0,000	0,016
32	27648	4	7,423	-2,819	153,249	0,045	0,026	-19,112	0,031	30,000	0,637	0,000	153,249	0,000	0,064	0,000	0,028
33	27649	5	7,643	-2,860	149,044	0,051	0,036	-18,625	-0,017	30,000	0,621	0,000	149,044	0,000	0,082	0,000	0,045
EmbeddedBeam_1_1	27649	1	7,643	-2,860	149,044	0,039	0,036	-18,625	-0,017	30,000	0,621	0,000	149,044	0,000	0,063	0,000	0,045
Element 1-4 (Embedded beam)	27650	2	7,833	-2,895	145,475	0,044	0,045	-18,206	-0,095	30,000	0,607	0,000	145,475	0,000	0,080	0,000	0,059
(TITAN 40/20 l=1,60m)	27651	3	8,024	-2,930	141,985	0,005	0,051	-17,790	-0,266	30,000	0,593	0,000	141,985	-0,003	0,031	0,000	0,071
34	27652	4	8,215	-2,965	138,578	-0,083	0,044	-17,352	-0,609	30,000	0,578	0,000	138,578	-0,123	0,000	0,000	0,065
35	27653	5	8,405	-3,000	135,257	-0,228	0,015	-17,097	-0,527	30,000	0,570	0,000	135,257	-0,348	0,000	-0,002	0,031
EmbeddedBeam_1_1	27653	1	8,405	-3,000	135,276	-0,288	0,015	-17,097	-0,527	30,000	0,570	0,000	135,276	-0,407	0,000	-0,002	0,031
Element 1-5 (Embedded beam)	27654	2	8,571	-3,030	132,291	-0,092	-0,018	-17,712	1,283	30,000	0,590	0,000	132,291	-0,347	0,000	-0,060	0,000
(TITAN 40/20 l=1,60m)	27655	3	8,737	-3,061	129,298	0,144	-0,014	-17,830	1,504	30,000	0,594	0,000	129,298	-0,271	0,144	-0,111	0,000
36	27656	4	8,903	-3,091	126,308	0,422	0,033	-17,671	1,785	30,000	0,589	0,000	126,308	-0,167	0,422	-0,146	0,033
37	27657	5	9,069	-3,122	123,333	0,745	0,131	-17,322	2,182	30,000	0,577	0,000	123,333	-0,039	0,745	-0,159	0,131
EmbeddedBeam_1_1	27657	1	9,069	-3,122	123,266	0,660	0,131	-17,322	2,182	30,000	0,577	0,000	123,266	-0,083	0,660	-0,159	0,131
Element 1-6 (Embedded beam)	27658	2	9,213	-3,148	120,844	1,115	0,264	-17,522	1,973	30,000	0,584	0,000	120,844	0,000	1,115	-0,135	0,264
(TITAN 40/20 l=1,60m)	27659	3	9,357	-3,175	118,148	1,251	0,442	-18,829	0,094	30,000	0,628	0,000	118,148	0,000	1,251	-0,065	0,442
38	27660	4	9,502	-3,201	115,116	1,039	0,615	-22,092	-2,795	30,000	0,736	0,000	115,116	0,000	1,039	0,000	0,615
39	27661	5	9,646	-3,228	111,689	0,443	0,728	-30,000	-7,783	30,000	1,000	0,000	111,696	0,000	0,573	0,000	0,728
EmbeddedBeam_1_1	27661	1	9,646	-3,228	111,445	0,377	0,728	-30,000	-12,972	30,000	1,000	0,000	111,480	0,000	0,493	0,000	0,728
Element 1-7 (Embedded beam)	27662	2	9,771	-3,251	107,629	-1,091	0,676	-30,000	-8,969	30,000	1,000	0,000	107,664	-1,091	0,109	0,000	0,676
(TITAN 40/20 l=1,60m)	27663	3	9,896	-3,274	103,810	-1,901	0,479	-30,000	-3,697	30,000	1,000	0,000	103,845	-1,901	0,000	0,000	0,479
40	27664	4	10,022	-3,297	99,992	-2,063	0,219	-30,000	1,223	30,000	1,000	0,000	100,025	-2,063	0,000	0,000	0,219
41	27665	5	10,147	-3,320	96,177	-1,586	-0,020	-30,000	4,418	30,000	1,000	0,000	96,209	-1,586	0,000	-0,020	0,097
EmbeddedBeam_1_1	27665	1	10,147	-3,320	96,175	-1,786	-0,020	-30,000	4,418	30,000	1,000	0,000	96,207	-1,786	0,000	-0,020	0,097
Element 1-8 (Embedded beam)	27666	2	10,296	-3,347	91,634	-0,840	-0,215	-30,000	5,385	30,000	1,000	0,000	91,664	-0,840	0,000	-0,215	0,059
(TITAN 40/20 l=1,60m)	27667	3	10,445	-3,375	87,090	-0,152	-0,287	-30,000	3,746	30,000	1,000	0,000	87,119	-0,201	0,000	-0,287	0,034
42	27668	4	10,594	-3,402	82,546	0,272	-0,275	-30,000	1,891	30,000	1,000	0,000	82,573	-0,148	0,272	-0,275	0,018
43	27669	5	10,743	-3,430	78,005	0,424	-0,218	-30,000	0,409	30,000	1,000	0,000	78,031	-0,058	0,424	-0,218	0,009
EmbeddedBeam_1_1	27669	1	10,743	-3,430	78,002	0,462	-0,218	-30,000	0,409	30,000	1,000	0,000	78,028	-0,072	0,462	-0,218	0,009
Element 1-9 (Embedded beam)	27670	2	10,920	-3,462	72,598	0,434	-0,136	-30,000	-0,264	30,000	1,000	0,000	72,622	-0,031	0,434	-0,136	0,003
(TITAN 40/20 l=1,60m)	27671	3	11,097	-3,495	67,189	0,356	-0,065	-30,000	-0,761	30,000	1,000	0,000	67,212	-0,017	0,356	-0,065	0,000
44	27672	4	11,274	-3,527	61,781	0,255	-0,009	-30,000	-0,501	30,000	1,000	0,000	61,802	0,011	0,255	-0,031	0,003
45	27673	5	11,452	-3,560	56,377	0,164	0,028	-30,000	0,264	30,000	1,000	0,000	56,396	0,010	0,146	-0,008	0,028
EmbeddedBeam_1_1	27673	1	11,452	-3,560	56,374	0,272	0,028	-30,000	0,264	30,000	1,000	0,000	56,393	-0,009	0,438	-0,008	0,028
Element 1-10 (Embedded beam)	27674	2	11,663	-3,599	49,942	0,097	0,070	-30,000	-0,869	30,000	1,000	0,000	49,960	0,000	0,147	-0,007	0,077
(TITAN 40/20 l=1,60m)	27675	3	11,874	-3,638	43,506	-0,132	0,064	-30,000	-1,616	30,000	1,000	0,000	43,521	-0,163	0,014	-0,005	0,074
46	27676	4	12,085	-3,676	37,070	-0,332	0,015	-30,000	-0,599	30,000	1,000	0,000	37,082	-0,370	0,024	-0,004	0,019
47	27677	5	12,296	-3,715	30,638	-0,421	-0,069	-30,000	0,770	30,000	1,000	0,000	30,648	-0,441	0,034	-0,076	0,007

Structural element	Node [10^]	Local number	X [m]	Y [m]	N [kN]	Q [kN]	M [kN m]	$T_{,,,}$ [kN/m]	$T_{,,,}$ [kN/m]	$T_{,,,,,,,}$ [kN/m]	$T_{,,,,,,}$	$N_{,,,}$ [kN]	$N_{,,,}$ [kN]	$Q_{,,,}$ [kN]	$Q_{,,,}$ [kN]	$M_{,,,}$ [kN m]	$M_{,,,}$ [kN m]
EmbeddedBeam_11_1	27677	1	12,296	-7,715	30,634	-0,581	-0,069	30,000	0,770	30,000	1,000	0,000	30,644	-0,581	0,008	-0,076	0,007
Element 1-11 (Embedded beam)	27678	2	12,547	-7,761	22,979	0,117	-0,120	30,000	1,858	30,000	1,000	0,000	22,986	-0,052	0,117	-0,126	0,019
(TITAN 40/20 l=1,60m)	27679	3	12,798	-7,808	15,319	0,384	-0,046	30,000	0,398	30,000	1,000	0,000	15,323	0,000	0,384	-0,099	0,036
20	27680	4	13,049	-7,854	7,658	0,177	0,036	30,000	-1,863	30,000	1,000	0,000	7,660	-0,057	0,234	-0,047	0,038
20	27681	5	13,300	-7,900	0,002	-0,550	0,000	30,000	3,069	30,000	1,000	0,000	0,398	-0,550	0,135	0,000	0,000
EmbeddedBeam_31_1	27682	1	2,300	-5,900	258,915	0,538	0,000	30,000	-2,904	30,000	1,000	0,000	259,050	0,000	0,546	0,000	0,000
Element 2-12 (Embedded beam)	27683	2	2,582	-5,950	250,317	0,132	0,091	30,000	-1,109	30,000	1,000	0,000	250,449	0,000	0,146	0,000	0,094
(TITAN 40/20 l=1,60m)	27684	3	2,865	-6,000	241,713	-0,087	0,094	30,000	-0,326	30,000	1,000	0,000	241,843	-0,087	0,011	0,000	0,101
20	27685	4	3,147	-6,049	233,109	-0,149	0,056	30,000	-0,014	30,000	1,000	0,000	233,237	-0,150	0,000	0,000	0,066
20	27686	5	3,430	-6,099	224,511	-0,084	0,020	30,000	0,226	30,000	1,000	0,000	224,636	-0,090	0,000	0,000	0,030
EmbeddedBeam_31_1	27686	1	3,430	-6,099	224,508	-0,105	0,020	30,000	0,226	30,000	1,000	0,000	224,633	-0,108	0,000	0,000	0,030
Element 2-13 (Embedded beam)	27687	2	3,595	-6,128	219,480	-0,070	0,006	30,000	0,187	30,000	1,000	0,000	219,603	-0,074	0,000	-0,001	0,015
(TITAN 40/20 l=1,60m)	27688	3	3,760	-6,158	214,448	-0,042	-0,003	30,000	0,142	30,000	1,000	0,000	214,570	-0,046	0,000	-0,004	0,005
20	27689	4	3,925	-6,187	209,416	-0,022	-0,009	30,000	0,099	30,000	1,000	0,000	209,537	-0,026	0,001	-0,009	0,000
20	27690	5	4,090	-6,216	204,388	-0,009	0,011	30,000	0,069	30,000	1,000	0,000	204,507	-0,013	0,002	-0,012	0,000
EmbeddedBeam_31_1	27690	1	4,090	-6,216	204,386	-0,008	0,011	30,000	0,069	30,000	1,000	0,000	204,506	-0,012	0,002	-0,012	0,000
Element 2-14 (Embedded beam)	27691	2	4,187	-6,233	201,446	-0,002	0,011	30,000	0,059	30,000	1,000	0,000	201,564	-0,006	0,003	-0,013	0,000
(TITAN 40/20 l=1,60m)	27692	3	4,283	-6,250	198,503	0,004	0,011	30,000	0,054	30,000	1,000	0,000	198,621	0,000	0,004	-0,013	0,000
20	27693	4	4,380	-6,267	195,560	0,009	0,011	30,000	0,053	30,000	1,000	0,000	195,677	0,000	0,009	-0,012	0,000
20	27694	5	4,476	-6,284	192,620	0,014	0,010	30,000	0,060	30,000	1,000	0,000	192,736	0,000	0,014	-0,011	0,000
EmbeddedBeam_31_1	27694	1	4,476	-6,284	192,619	0,014	0,010	30,000	0,060	30,000	1,000	0,000	192,735	0,000	0,014	-0,011	0,000
Element 2-15 (Embedded beam)	27695	2	4,533	-6,294	190,899	0,018	0,009	30,000	0,073	30,000	1,000	0,000	191,015	0,000	0,018	-0,010	0,000
(TITAN 40/20 l=1,60m)	27696	3	4,589	-6,304	189,178	0,023	0,008	30,000	0,094	30,000	1,000	0,000	189,293	0,000	0,023	-0,009	0,000
20	27697	4	4,646	-6,314	187,458	0,028	0,006	30,000	0,087	30,000	1,000	0,000	187,572	0,000	0,028	-0,008	0,000
20	27698	5	4,702	-6,324	185,738	0,033	0,004	30,000	-0,027	30,000	1,000	0,000	185,852	0,000	0,033	-0,006	0,001
EmbeddedBeam_31_1	27698	1	4,702	-6,324	185,737	0,031	0,004	30,000	-0,045	30,000	1,000	0,000	185,851	0,000	0,031	-0,006	0,001
Element 2-16 (Embedded beam)	27699	2	4,800	-6,341	182,760	0,026	0,001	30,000	-0,049	30,000	1,000	0,000	182,873	0,000	0,027	-0,003	0,003
(TITAN 40/20 l=1,60m)	27700	3	4,898	-6,358	179,782	0,021	0,001	30,000	-0,049	30,000	1,000	0,000	179,893	0,001	0,023	-0,001	0,005
20	27701	4	4,995	-6,376	176,804	0,017	0,003	30,000	-0,043	30,000	1,000	0,000	176,913	0,001	0,018	-0,001	0,006
20	27702	5	5,093	-6,393	173,827	0,013	0,004	30,000	-0,035	30,000	1,000	0,000	173,935	0,001	0,014	0,000	0,007
EmbeddedBeam_31_1	27702	1	5,093	-6,393	173,826	0,013	0,004	30,000	-0,035	30,000	1,000	0,000	173,934	0,001	0,014	0,000	0,007
Element 2-17 (Embedded beam)	27703	2	5,177	-6,408	171,277	0,010	0,005	30,000	-0,029	30,000	1,000	0,000	171,383	0,001	0,012	0,000	0,007
(TITAN 40/20 l=1,60m)	27704	3	5,261	-6,422	168,726	0,008	0,006	30,000	-0,023	30,000	1,000	0,000	168,831	0,001	0,009	0,000	0,008
20	27705	4	5,344	-6,437	166,176	0,006	0,007	30,000	-0,018	30,000	1,000	0,000	166,279	0,000	0,008	0,000	0,008
20	27706	5	5,428	-6,452	163,627	0,005	0,007	30,000	-0,014	30,000	1,000	0,000	163,729	0,000	0,006	0,000	0,008
EmbeddedBeam_31_1	27706	1	5,428	-6,452	163,625	0,005	0,007	30,000	-0,014	30,000	1,000	0,000	163,728	0,000	0,006	0,000	0,008
Element 2-18 (Embedded beam)	27707	2	5,525	-6,469	160,685	0,004	0,007	30,000	-0,010	30,000	1,000	0,000	160,786	0,000	0,005	0,000	0,008
(TITAN 40/20 l=1,60m)	27708	3	5,621	-6,486	157,743	0,003	0,008	30,000	-0,008	30,000	1,000	0,000	157,842	0,000	0,004	0,000	0,009
20	27709	4	5,718	-6,503	154,800	0,002	0,008	30,000	-0,006	30,000	1,000	0,000	154,898	0,000	0,003	0,000	0,009
20	27710	5	5,814	-6,520	151,860	0,002	0,008	30,000	-0,005	30,000	1,000	0,000	151,956	0,000	0,003	0,000	0,009
EmbeddedBeam_31_1	27710	1	5,814	-6,520	151,859	0,001	0,008	30,000	-0,005	30,000	1,000	0,000	151,955	0,000	0,002	0,000	0,009
Element 2-19 (Embedded beam)	27711	2	5,926	-6,540	148,467	0,001	0,008	30,000	-0,005	30,000	1,000	0,000	148,561	0,000	0,002	0,000	0,009
(TITAN 40/20 l=1,60m)	27712	3	6,037	-6,559	145,073	0,000	0,008	30,000	-0,006	30,000	1,000	0,000	145,165	0,000	0,002	0,000	0,009
20	27713	4	6,149	-6,579	141,679	0,000	0,008	30,000	-0,007	30,000	1,000	0,000	141,769	0,000	0,002	0,000	0,009
20	27714	5	6,260	-6,599	138,287	-0,001	0,008	30,000	-0,008	30,000	1,000	0,000	138,375	0,001	0,001	0,000	0,009
EmbeddedBeam_31_1	27714	1	6,260	-6,599	138,285	-0,001	0,008	30,000	-0,008	30,000	1,000	0,000	138,374	0,001	0,001	0,000	0,009
Element 2-20 (Embedded beam)	27715	2	6,388	-6,621	134,372	-0,002	0,008	30,000	-0,009	30,000	1,000	0,000	134,459	0,002	0,001	0,000	0,009
(TITAN 40/20 l=1,60m)	27716	3	6,517	-6,644	130,457	-0,004	0,008	30,000	-0,007	30,000	1,000	0,000	130,541	0,004	0,001	0,000	0,008
20	27717	4	6,645	-6,667	126,542	-0,004	0,007	30,000	-0,002	30,000	1,000	0,000	126,624	0,004	0,001	0,000	0,008
20	27718	5	6,774	-6,690	122,629	-0,004	0,007	30,000	0,011	30,000	1,000	0,000	122,709	0,004	0,001	0,000	0,008
EmbeddedBeam_31_1	27718	1	6,774	-6,690	122,627	-0,003	0,007	30,000	0,011	30,000	1,000	0,000	122,707	0,003	0,001	0,000	0,008
Element 2-21 (Embedded beam)	27719	2	6,922	-6,716	118,114	-0,001	0,006	30,000	0,036	30,000	1,000	0,000	118,191	0,002	0,003	0,000	0,008
(TITAN 40/20 l=1,60m)	27720	3	7,070	-6,742	113,597	0,008	0,007	30,000	0,076	30,000	1,000	0,000	113,672	0,002	0,010	0,000	0,009
20	27721	4	7,219	-6,768	109,081	0,023	0,009	30,000	0,127	30,000	1,000	0,000	109,153	0,002	0,025	0,000	0,012
20	27722	5	7,367	-6,794	104,567	0,046	0,014	30,000	0,178	30,000	1,000	0,000	104,637	0,002	0,047	0,000	0,016
EmbeddedBeam_31_1	27722	1	7,367	-6,794	104,565	0,038	0,014	30,000	0,178	30,000	1,000	0,000	104,634	0,002	0,039	0,000	0,016
Element 2-22 (Embedded beam)	27723	2	7,518	-6,824	99,358	0,084	0,025	30,000	0,197	30,000	1,000	0,000	99,425	0,003	0,084	0,000	0,026

Structural element	Node [10^1]	Local number	X [m]	Y [m]	N [kN]	Q [kN]	M [kN m]	$T_{,,,}$ [kN/m]	$T_{,,,}$ [kN/m]	$T_{,,,,,,,}$ [kN/m]	$T_{,,,,,,,}$	$N_{,,,}$ [kN]	$N_{,,,}$ [kN]	$Q_{,,,}$ [kN]	$Q_{,,,}$ [kN]	$M_{,,,}$ [kN m]	$M_{,,,}$ [kN m]
(TITAN 40/20 l=1,60m)	27724	3	7,709	-6,855	94,148	0,109	0,042	30,000	0,129	30,000	1,000	0,000	94,212	-0,005	0,109	0,000	0,042
梁	27725	4	7,880	-6,885	88,938	0,106	0,061	30,000	-0,124	30,000	1,000	0,000	88,999	-0,010	0,106	0,000	0,061
梁	27726	5	8,051	-6,915	83,732	0,069	0,077	30,000	-0,760	30,000	1,000	0,000	83,789	-0,044	0,069	0,000	0,077
EmbeddedBeam_3_1	27726	1	8,051	-6,915	83,729	0,015	0,077	30,000	-0,760	30,000	1,000	0,000	83,787	-0,057	0,015	0,000	0,077
Element 2-23 (Embedded beam)	27727	2	8,248	-6,950	77,723	-0,190	0,065	30,000	-1,750	30,000	1,000	0,000	77,778	-0,283	0,000	-0,002	0,065
(TITAN 40/20 l=1,60m)	27728	3	8,445	-6,984	71,713	-0,494	0,019	30,000	-3,375	30,000	1,000	0,000	71,764	-0,743	0,000	-0,079	0,005
梁	27729	4	8,643	-7,019	65,703	-1,474	0,232	30,000	-4,512	30,000	1,000	0,000	65,751	-1,482	0,000	-0,276	0,003
梁	27730	5	8,840	-7,054	59,697	-2,509	0,627	30,000	-3,928	30,000	1,000	0,000	59,747	-2,509	0,000	-0,656	0,001
EmbeddedBeam_3_1	27730	1	8,840	-7,054	59,694	-2,141	0,627	30,000	-3,928	30,000	1,000	0,000	59,744	-2,194	0,000	-0,656	0,001
Element 2-24 (Embedded beam)	27731	2	9,067	-7,094	52,766	-3,171	1,265	30,000	-1,474	30,000	1,000	0,000	52,819	-3,171	0,000	-1,265	0,001
(TITAN 40/20 l=1,60m)	27732	3	9,295	-7,134	45,833	-2,847	1,989	30,000	4,034	30,000	1,000	0,000	45,889	-2,847	0,038	-1,989	0,001
梁	27733	4	9,523	-7,175	38,901	-1,104	2,472	30,000	10,798	30,000	1,000	0,000	38,957	-1,104	1,319	-2,472	0,001
梁	27734	5	9,750	-7,215	31,973	2,118	2,384	30,000	11,441	30,000	1,000	0,000	32,028	0,000	4,281	-2,384	0,003
EmbeddedBeam_3_1	27734	1	9,750	-7,215	31,970	1,763	2,384	30,000	11,441	30,000	1,000	0,000	32,024	-0,043	4,527	-2,384	0,003
Element 2-25 (Embedded beam)	27735	2	10,013	-7,261	23,978	3,549	1,595	30,000	3,165	30,000	1,000	0,000	24,028	0,000	3,549	-1,595	0,186
(TITAN 40/20 l=1,60m)	27736	3	10,275	-7,307	15,982	2,962	0,723	30,000	-11,926	30,000	1,000	0,000	16,022	-0,055	2,962	-0,723	0,183
梁	27737	4	10,538	-7,354	7,989	1,286	0,112	30,000	-5,000	30,000	1,000	0,000	8,011	-0,929	1,286	-0,112	0,291
梁	27738	5	10,800	-7,400	0,003	-0,192	0,000	30,000	-3,222	30,000	1,000	0,000	0,265	-1,199	0,000	0,000	0,000
EmbeddedBeam_2_1	27739	1	-3,562	-12,132	53,901	0,094	0,000	72,392	0,461	125,000	0,579	-0,133	68,502	0,000	0,096	0,000	0,000
Element 3-26 (Embedded beam)	27740	2	-3,445	-12,380	25,422	-0,024	0,003	84,029	-0,276	125,000	0,672	-0,066	22,511	-0,025	0,003	0,000	0,004
(Micropalo D168.3 s12.5mm/1,6m)	27741	3	-3,329	-12,628	8,671	-0,006	0,001	31,287	0,847	125,000	0,250	-0,026	11,630	-0,010	0,002	0,000	0,004
梁	27742	4	-3,213	-12,876	1,546	0,016	0,000	-13,741	-0,246	125,000	0,110	-0,121	3,077	-0,003	0,017	0,000	0,003
梁	27743	5	-3,096	-13,124	1,947	-0,091	0,004	5,736	0,462	125,000	0,046	-0,010	3,952	-0,091	0,002	-0,004	0,002
EmbeddedBeam_2_1	27743	1	-3,096	-13,124	-0,077	0,134	0,004	5,736	0,462	125,000	0,046	-0,554	1,388	-0,026	0,134	-0,004	0,002
Element 3-27 (Embedded beam)	27744	2	-2,980	-13,372	-1,158	-0,104	0,002	4,374	-0,535	125,000	0,035	-1,158	0,575	-0,104	0,002	-0,001	0,004
(Micropalo D168.3 s12.5mm/1,6m)	27745	3	-2,863	-13,620	-2,487	-0,229	0,053	5,453	-0,983	125,000	0,044	-2,487	0,168	-0,229	0,008	-0,053	0,001
梁	27746	4	-2,747	-13,868	-4,026	-0,058	0,097	5,902	1,626	125,000	0,047	-4,026	0,087	-0,063	0,001	-0,097	0,000
梁	27747	5	-2,631	-14,116	-5,735	0,592	0,039	0,794	-3,687	125,000	0,006	-5,735	0,262	-0,158	0,592	-0,039	0,001
EmbeddedBeam_2_1	27747	1	-2,631	-14,116	-5,016	1,670	0,039	0,794	-3,687	125,000	0,006	-5,016	0,164	-0,006	1,670	-0,039	0,001
Element 3-28 (Embedded beam)	27748	2	-2,514	-14,364	-7,496	-2,958	0,277	14,015	-10,302	125,000	0,112	-7,496	0,396	-3,007	0,001	-0,380	0,001
(Micropalo D168.3 s12.5mm/1,6m)	27749	3	-2,398	-14,612	-13,262	-4,211	1,361	32,995	-0,917	125,000	0,264	-13,262	0,553	-4,211	0,000	-1,361	0,001
梁	27750	4	-2,282	-14,860	-20,816	-1,467	2,220	27,074	18,890	125,000	0,217	-20,816	0,643	-1,467	1,034	-2,220	0,001
梁	27751	5	-2,165	-15,108	-28,662	5,899	1,733	5,752	12,477	125,000	0,046	-28,662	0,678	0,000	6,957	-1,733	0,006
EmbeddedBeam_2_1	27751	1	-2,165	-15,108	-24,510	3,283	1,733	5,752	12,477	125,000	0,046	-24,739	0,705	-0,059	5,902	-1,733	0,006
Element 3-29 (Embedded beam)	27752	2	-2,049	-15,356	-30,065	6,417	0,272	8,585	2,685	125,000	0,069	-30,065	1,078	-0,007	6,417	-0,272	0,773
(Micropalo D168.3 s12.5mm/1,6m)	27753	3	-1,933	-15,604	-30,423	4,482	1,308	4,528	-19,168	125,000	0,036	-30,423	1,121	-0,497	4,482	0,000	1,538
梁	27754	4	-1,816	-15,852	-22,408	-1,804	1,787	52,549	-29,081	125,000	0,420	-22,408	0,789	-3,053	0,008	0,000	1,787
梁	27755	5	-1,700	-16,100	-2,845	-11,722	0,000	125,000	94,507	125,000	1,000	2,845	0,127	-11,722	0,091	0,000	0,000

3.3.1.1.27 Calculation results, Embedded beam, SLE [Phase_11] (11/883), Table of embedded beam force envelopes

Structural element	Node [10 ⁺]	Local number	X [m]	Y [m]	N [kN]	Q [10 ⁺ kN]	M [10 ⁺ kN m]	T_{xxx} [kN/m]	T_{zzz} [kN/m]	$T_{xxx,xxx}$ [kN/m]	$T_{xxx,zzz}$ [10 ⁺]	$N_{x,x}$ [kN]	$N_{z,z}$ [kN]	$Q_{x,x}$ [10 ⁺ kN]	$Q_{z,z}$ [10 ⁺ kN]	$M_{x,x}$ [10 ⁺ kN m]	$M_{z,z}$ [10 ⁺ kN m]
EmbeddedBeam_11_1	27637	1	4,600	-2,300	98,361	896,226	0,000	-6,448	-3,774	30,000	214,945	0,000	98,595	0,000	896,226	0,000	0,000
Element 1-1 (Embedded beam)	27638	2	4,890	-2,353	96,288	154,390	143,383	-6,967	-1,902	30,000	232,227	0,000	96,566	0,000	154,390	0,000	143,383
(TITAN 40/20 l=1,60m)	27639	3	5,179	-2,407	94,258	-197,892	130,239	-6,830	-0,282	30,000	227,673	0,000	94,585	-197,892	0,000	0,000	130,239
66	27640	4	5,469	-2,460	92,276	-228,311	58,403	-6,641	-0,285	30,000	221,362	0,000	92,654	-228,311	0,000	0,000	58,403
66	27641	5	5,758	-2,513	90,347	-4,555	19,614	-6,494	-0,273	30,000	216,474	0,000	90,774	-5,852	0,001	0,000	19,614
EmbeddedBeam_11_1	27641	1	5,758	-2,513	90,344	-88,093	19,614	-6,494	-0,273	30,000	216,474	0,000	90,772	-88,093	0,000	0,000	19,614
Element 1-2 (Embedded beam)	27642	2	6,010	-2,559	88,699	-35,273	4,319	-6,352	-0,167	30,000	211,729	0,000	89,172	-35,273	0,000	-0,013	4,699
(TITAN 40/20 l=1,60m)	27643	3	6,262	-2,606	87,090	-3,405	-0,278	-6,206	-0,073	30,000	206,851	0,000	87,606	-4,511	0,158	-1,344	0,297
66	27644	4	6,514	-2,652	85,520	10,032	1,002	-6,053	-0,023	30,000	201,777	0,000	86,076	0,000	10,032	-0,377	1,089
66	27645	5	6,766	-2,698	83,990	7,560	3,538	-5,894	-0,016	30,000	196,455	0,000	84,583	0,000	7,560	-0,011	3,538
EmbeddedBeam_11_1	27645	1	6,766	-2,698	83,991	11,974	3,538	-5,894	-0,016	30,000	196,455	0,000	84,584	0,000	11,974	-0,011	3,538
Element 1-3 (Embedded beam)	27646	2	6,985	-2,739	82,693	17,151	6,716	-5,747	-0,029	30,000	191,578	0,000	83,315	0,000	17,151	-0,006	6,716
(TITAN 40/20 l=1,60m)	27647	3	7,204	-2,779	81,429	25,036	11,395	-5,591	-0,046	30,000	186,383	0,000	82,076	0,000	25,036	-0,003	11,395
66	27648	4	7,423	-2,819	80,202	34,795	18,016	-5,423	-0,045	30,000	180,769	0,000	80,870	0,000	34,795	-0,001	18,016
66	27649	5	7,643	-2,860	79,012	45,596	26,968	-5,240	-0,002	30,000	174,656	0,000	79,697	0,000	45,596	-0,001	26,968
EmbeddedBeam_11_1	27649	1	7,643	-2,860	79,014	33,671	26,968	-5,240	-0,002	30,000	174,656	0,000	79,699	-0,005	33,671	-0,001	26,968
Element 1-4 (Embedded beam)	27650	2	7,833	-2,895	78,013	38,279	34,595	-5,070	-0,098	30,000	169,014	0,000	78,709	-0,161	38,334	-0,001	34,595
(TITAN 40/20 l=1,60m)	27651	3	8,024	-2,930	77,048	-2,560	38,925	-4,887	-0,300	30,000	162,887	0,000	77,752	-2,560	1,642	0,000	38,925
66	27652	4	8,215	-2,965	76,119	-93,694	30,353	-4,696	-0,617	30,000	156,548	0,000	76,827	-93,694	0,000	0,000	30,353
66	27653	5	8,405	-3,000	75,227	-239,971	-1,016	-4,550	-0,842	30,000	151,655	0,000	75,936	-239,971	0,000	-2,398	4,297
EmbeddedBeam_11_1	27653	1	8,405	-3,000	75,238	-271,793	-1,016	-4,550	-0,842	30,000	151,655	0,000	75,947	-271,793	0,000	-2,398	4,297
Element 1-5 (Embedded beam)	27654	2	8,571	-3,030	74,419	-279,412	-47,956	-4,899	0,090	30,000	163,303	0,000	75,128	-279,412	0,000	-49,176	0,000
(TITAN 40/20 l=1,60m)	27655	3	8,737	-3,061	73,583	-244,940	-92,992	-5,042	0,271	30,000	168,055	0,000	74,291	-244,940	0,000	-94,127	0,000
66	27656	4	8,903	-3,091	72,738	-159,541	-127,744	-5,011	0,694	30,000	167,035	0,000	73,442	-159,541	0,000	-128,778	0,000
66	27657	5	9,069	-3,122	71,891	-14,377	-143,373	-4,869	1,459	30,000	162,302	0,000	72,588	-39,023	0,067	-144,294	0,000
EmbeddedBeam_11_1	27657	1	9,069	-3,122	71,818	-76,059	-143,373	-4,869	1,459	30,000	162,302	0,000	72,515	-82,718	0,000	-144,294	0,000
Element 1-6 (Embedded beam)	27658	2	9,213	-3,148	71,223	319,341	-123,897	-5,056	2,061	30,000	168,519	0,000	71,913	0,000	320,074	-124,714	0,000
(TITAN 40/20 l=1,60m)	27659	3	9,357	-3,175	70,348	542,774	-57,738	-6,626	1,212	30,000	220,883	0,000	71,030	0,000	543,488	-58,453	0,000
66	27660	4	9,502	-3,201	69,157	557,227	25,225	-9,375	-0,788	30,000	312,493	0,000	69,829	0,000	557,872	-0,001	25,225
66	27661	5	9,646	-3,228	67,612	325,687	93,463	-11,395	-1,820	30,000	379,828	0,000	68,273	0,000	326,200	0,000	93,463
EmbeddedBeam_11_1	27661	1	9,646	-3,228	67,625	335,102	93,463	-18,991	-3,034	30,000	633,047	0,000	68,287	0,000	335,601	0,000	93,463
Element 1-7 (Embedded beam)	27662	2	9,771	-3,251	65,218	56,082	117,128	-18,870	-1,787	30,000	628,987	0,000	65,863	0,000	56,398	0,000	117,128
(TITAN 40/20 l=1,60m)	27663	3	9,896	-3,274	62,823	-116,332	112,313	-18,756	-0,861	30,000	625,216	0,000	63,451	-116,346	0,007	0,000	112,313
66	27664	4	10,022	-3,297	60,443	-190,732	91,668	-18,650	-0,246	30,000	621,650	0,000	61,052	-190,775	0,000	0,000	91,668
66	27665	5	10,147	-3,320	58,077	-175,707	67,503	-18,548	0,110	30,000	618,273	0,000	58,668	-175,780	0,000	0,000	67,503
EmbeddedBeam_11_1	27665	1	10,147	-3,320	58,075	-198,999	67,503	-18,548	0,110	30,000	618,273	0,000	58,665	-199,071	0,000	0,000	67,503
Element 1-8 (Embedded beam)	27666	2	10,296	-3,347	55,277	-153,992	40,744	-18,437	0,294	30,000	614,558	0,000	55,844	-154,090	0,000	0,000	40,744
(TITAN 40/20 l=1,60m)	27667	3	10,445	-3,375	52,491	-109,008	20,882	-18,336	0,316	30,000	611,189	0,000	53,035	-109,110	0,000	0,000	20,882
66	27668	4	10,594	-3,402	49,721	-66,687	7,583	-18,244	0,259	30,000	608,147	0,000	50,239	-66,757	0,000	0,000	7,583
66	27669	5	10,743	-3,430	46,966	-29,670	0,390	-18,163	0,180	30,000	605,430	0,000	47,459	-29,673	0,000	-0,671	0,390
EmbeddedBeam_11_1	27669	1	10,743	-3,430	46,963	-29,953	0,390	-18,163	0,180	30,000	605,430	0,000	47,456	-29,968	0,000	-0,671	0,390
Element 1-9 (Embedded beam)	27670	2	10,920	-3,462	43,700	-8,616	-2,930	-18,081	0,094	30,000	602,691	0,000	44,162	-8,616	0,000	-3,334	0,034
(TITAN 40/20 l=1,60m)	27671	3	11,097	-3,495	40,446	3,447	-3,284	-18,014	0,035	30,000	600,468	0,000	40,877	-0,112	3,666	-3,652	0,009
66	27672	4	11,274	-3,527	37,202	7,303	-2,180	-17,963	0,003	30,000	598,772	0,000	37,601	-0,035	7,543	-2,507	0,001
66	27673	5	11,452	-3,560	33,971	4,015	-1,070	-17,928	-0,010	30,000	597,601	0,000	34,337	-0,024	4,246	-1,462	0,000
EmbeddedBeam_11_1	27673	1	11,452	-3,560	33,966	5,995	-1,070	-17,928	-0,010	30,000	597,601	0,000	34,332	-0,012	6,236	-1,462	0,000
Element 1-10 (Embedded beam)	27674	2	11,663	-3,599	30,128	3,081	-0,111	-17,907	-0,012	30,000	596,883	0,000	30,454	-0,011	3,278	-0,744	0,000
(TITAN 40/20 l=1,60m)	27675	3	11,874	-3,638	26,285	1,018	0,313	-17,907	-0,008	30,000	596,890	0,000	26,571	-0,010	1,175	-0,397	0,313
66	27676	4	12,085	-3,676	22,440	-0,176	0,388	-17,929	-0,003	30,000	597,626	0,000	22,685	-0,176	0,247	-0,274	0,388
66	27677	5	12,296	-3,715	18,594	-0,485	0,301	-17,973	-0,001	30,000	599,102	0,000	18,798	-0,485	0,027	-0,257	0,301

Structural element	Node [10 ³]	Local number	X [m]	Y [m]	N [kN]	Q [10 ³ kN]	M [10 ³ kN m]	T_{xx} [kN/m]	T_{yy} [kN/m]	$T_{xx,yy}$ [kN/m]	$T_{xx,yy}$ [10 ³]	N_{xx} [kN]	M_{xx} [kN]	Q_{xx} [10 ³ kN]	Q_{yy} [10 ³ kN]	M_{yy} [10 ³ kN m]	M_{xy} [10 ³ kN m]
EmbeddedBeam_11_1	27677	1	12,296	-3,715	18,586	-0,699	0,301	-17,973	-0,001	30,000	599,102	0,000	18,790	-0,699	0,000	-0,257	0,301
Element 1-11 (Embedded beam)	27678	2	12,547	-3,761	13,996	-0,480	0,148	-18,056	0,001	30,000	601,861	0,000	14,149	-0,480	0,140	-0,258	0,148
(TITAN 40/20 l=1,60m)	27679	3	12,798	-3,808	9,369	-0,245	0,058	-18,172	0,001	30,000	605,729	0,000	9,472	-0,245	0,360	-0,189	0,058
20	27680	4	13,049	-3,854	4,706	-0,084	0,016	-18,335	0,000	30,000	611,177	0,000	4,758	-0,084	0,417	-0,088	0,016
21	27681	5	13,300	-3,900	0,009	-0,087	0,000	-18,576	0,001	30,000	619,209	0,000	0,009	-0,087	0,215	0,000	0,000
EmbeddedBeam_31_1	27682	1	2,300	-5,900	98,031	192,781	0,000	-8,180	-1,033	30,000	272,651	0,000	98,031	0,000	192,781	0,000	0,000
Element 2-12 (Embedded beam)	27683	2	2,582	-5,950	95,760	76,062	37,684	-8,115	-0,349	30,000	270,506	0,000	95,760	-0,074	76,062	0,000	37,684
(TITAN 40/20 l=1,60m)	27684	3	2,865	-6,000	93,369	-6,724	46,885	-8,637	-0,222	30,000	287,909	0,000	93,369	-12,630	11,353	0,002	46,885
22	27685	4	3,147	-6,049	90,884	-57,410	36,893	-8,764	-0,125	30,000	292,143	0,000	90,884	-57,410	0,000	0,084	36,893
23	27686	5	3,430	-6,099	88,334	-77,829	16,829	-8,775	0,118	30,000	292,508	0,000	88,334	-77,829	0,127	0,100	16,829
EmbeddedBeam_31_1	27686	1	3,430	-6,099	88,355	-65,919	16,829	-8,775	0,118	30,000	292,508	0,000	88,355	-65,919	0,016	0,100	16,829
Element 2-13 (Embedded beam)	27687	2	3,595	-6,128	86,888	-46,827	7,412	-8,725	0,105	30,000	290,836	0,000	86,888	-46,827	0,054	0,823	7,412
(TITAN 40/20 l=1,60m)	27688	3	3,760	-6,158	85,429	-30,453	0,976	-8,677	0,091	30,000	289,232	0,000	85,429	-30,453	0,075	1,898	1,032
24	27689	4	3,925	-6,187	83,980	-17,070	2,970	-8,610	0,070	30,000	286,996	0,000	83,980	-17,081	0,545	2,997	0,000
25	27690	5	4,090	-6,216	82,542	-6,949	4,934	-8,518	0,050	30,000	283,925	0,000	82,542	-7,489	1,919	4,934	0,000
EmbeddedBeam_31_1	27690	1	4,090	-6,216	82,543	-6,812	4,934	-8,518	0,050	30,000	283,925	0,000	82,543	-7,386	2,256	4,934	0,000
Element 2-14 (Embedded beam)	27691	2	4,187	-6,233	81,711	-2,520	5,390	-8,460	0,043	30,000	282,015	0,000	81,711	-3,468	2,967	5,398	0,000
(TITAN 40/20 l=1,60m)	27692	3	4,283	-6,250	80,884	1,638	5,433	-8,405	0,041	30,000	280,156	0,000	80,884	0,000	3,847	5,543	0,000
26	27693	4	4,380	-6,267	80,062	5,752	5,070	-8,351	0,042	30,000	278,374	0,000	80,062	0,000	5,752	5,321	0,000
27	27694	5	4,476	-6,284	79,246	9,910	4,303	-8,301	0,050	30,000	276,701	0,000	79,246	0,000	9,910	4,726	0,000
EmbeddedBeam_31_1	27694	1	4,476	-6,284	79,245	10,052	4,303	-8,301	0,050	30,000	276,701	0,000	79,245	0,000	10,052	4,726	0,000
Element 2-15 (Embedded beam)	27695	2	4,533	-6,294	78,771	13,322	3,636	-8,272	0,059	30,000	275,747	0,000	78,771	0,000	13,322	4,168	0,000
(TITAN 40/20 l=1,60m)	27696	3	4,589	-6,304	78,297	16,941	2,767	-8,246	0,072	30,000	274,856	0,000	78,297	0,000	16,941	3,411	0,000
28	27697	4	4,646	-6,314	77,824	20,576	1,492	-8,242	0,059	30,000	274,725	0,000	77,824	0,000	20,576	2,469	0,025
29	27698	5	4,702	-6,324	77,352	23,890	0,415	-8,320	-0,049	30,000	277,337	0,000	77,352	0,000	23,890	1,938	0,070
EmbeddedBeam_31_1	27698	1	4,702	-6,324	77,350	21,995	0,415	-13,867	-0,081	30,000	462,228	0,000	77,350	0,000	21,995	1,938	0,070
Element 2-16 (Embedded beam)	27699	2	4,800	-6,341	75,977	14,891	1,402	-13,804	-0,063	30,000	460,121	0,000	75,977	-0,022	14,972	1,287	1,402
(TITAN 40/20 l=1,60m)	27700	3	4,898	-6,358	74,610	9,424	2,596	-13,741	-0,046	30,000	458,041	0,000	74,610	-0,628	10,177	0,828	2,596
30	27701	4	4,995	-6,376	73,248	5,596	3,329	-13,681	-0,031	30,000	456,041	0,000	73,248	-1,160	6,667	0,515	3,329
31	27702	5	5,093	-6,393	71,894	3,348	3,760	-13,623	-0,019	30,000	454,091	0,000	71,894	-1,144	4,548	0,284	3,760
EmbeddedBeam_31_1	27702	1	5,093	-6,393	71,893	3,146	3,760	-13,623	-0,019	30,000	454,091	0,000	71,893	-1,233	4,398	0,284	3,760
Element 2-17 (Embedded beam)	27703	2	5,177	-6,408	70,738	1,995	3,975	-13,573	-0,011	30,000	452,424	0,000	70,738	-1,023	3,287	0,266	3,975
(TITAN 40/20 l=1,60m)	27704	3	5,261	-6,422	69,586	1,217	4,110	-13,522	-0,007	30,000	450,746	0,000	69,586	-0,720	3,013	0,327	4,110
32	27705	4	5,344	-6,437	68,438	0,779	4,192	-13,472	-0,003	30,000	449,053	0,000	68,438	-0,445	2,817	0,373	4,192
33	27706	5	5,428	-6,452	67,296	0,649	4,251	-13,420	-0,002	30,000	447,345	0,000	67,296	-0,187	2,690	0,383	4,251
EmbeddedBeam_31_1	27706	1	5,428	-6,452	67,295	0,573	4,251	-13,420	-0,002	30,000	447,345	0,000	67,295	-0,199	2,677	0,383	4,251
Element 2-18 (Embedded beam)	27707	2	5,525	-6,469	65,983	0,519	4,304	-13,361	0,000	30,000	445,358	0,000	65,983	-0,043	2,513	0,351	4,304
(TITAN 40/20 l=1,60m)	27708	3	5,621	-6,486	64,675	0,487	4,353	-13,301	0,000	30,000	443,354	0,000	64,675	0,000	2,342	0,274	4,353
34	27709	4	5,718	-6,503	63,374	0,467	4,400	-13,240	0,000	30,000	441,336	0,000	63,374	0,000	2,165	0,193	4,400
35	27710	5	5,814	-6,520	62,079	0,451	4,445	-13,179	0,000	30,000	439,308	0,000	62,079	0,000	1,989	0,114	4,445
EmbeddedBeam_31_1	27710	1	5,814	-6,520	62,078	0,442	4,445	-13,179	0,000	30,000	439,308	0,000	62,078	0,000	1,999	0,114	4,445
Element 2-19 (Embedded beam)	27711	2	5,926	-6,540	60,592	0,361	4,491	-13,109	-0,001	30,000	436,963	0,000	60,592	0,000	1,755	0,035	4,491
(TITAN 40/20 l=1,60m)	27712	3	6,037	-6,559	59,113	0,239	4,525	-13,038	-0,001	30,000	434,616	0,000	59,113	0,000	1,476	0,026	4,525
36	27713	4	6,149	-6,579	57,642	0,079	4,543	-12,968	-0,002	30,000	432,275	0,000	57,642	-0,045	1,588	0,017	4,543
37	27714	5	6,260	-6,599	56,180	-0,117	4,541	-12,898	-0,002	30,000	429,949	0,000	56,180	-0,246	1,403	0,007	4,541
EmbeddedBeam_31_1	27714	1	6,260	-6,599	56,179	-0,106	4,541	-12,898	-0,002	30,000	429,949	0,000	56,179	-0,240	1,427	0,007	4,541
Element 2-20 (Embedded beam)	27715	2	6,388	-6,621	54,502	-0,350	4,511	-12,819	-0,002	30,000	427,292	0,000	54,502	-0,480	1,154	0,000	4,511
(TITAN 40/20 l=1,60m)	27716	3	6,517	-6,644	52,834	-0,585	4,450	-12,740	-0,002	30,000	424,677	0,000	52,834	-0,707	0,877	0,000	4,450
38	27717	4	6,645	-6,667	51,176	-0,809	4,359	-12,664	-0,002	30,000	422,118	0,000	51,176	-0,919	0,613	0,000	4,359
39	27718	5	6,774	-6,690	49,530	-1,019	4,240	-12,589	-0,001	30,000	419,627	0,000	49,530	-1,115	0,398	0,000	4,240
EmbeddedBeam_31_1	27718	1	6,774	-6,690	49,528	-1,015	4,240	-12,589	-0,001	30,000	419,627	0,000	49,528	-1,112	0,410	0,000	4,240
Element 2-21 (Embedded beam)	27719	2	6,922	-6,716	47,641	-1,213	4,072	-12,506	-0,001	30,000	416,855	0,000	47,641	-1,299	0,192	0,000	4,072
(TITAN 40/20 l=1,60m)	27720	3	7,070	-6,742	45,764	-1,370	3,877	-12,426	-0,001	30,000	414,210	0,000	45,764	-1,445	0,061	0,000	3,877
40	27721	4	7,219	-6,768	43,899	-1,485	3,661	-12,351	-0,001	30,000	411,708	0,000	43,899	-1,552	0,006	0,000	3,661
41	27722	5	7,367	-6,794	42,046	-1,560	3,432	-12,281	0,000	30,000	409,366	0,000	42,046	-1,620	0,000	0,000	3,432
EmbeddedBeam_31_1	27722	1	7,367	-6,794	42,044	-1,564	3,432	-12,281	0,000	30,000	409,366	0,000	42,044	-1,623	0,000	0,000	3,432
Element 2-22 (Embedded beam)	27723	2	7,538	-6,824	39,920	-1,607	3,156	-12,206	0,000	30,000	406,880	0,000	39,920	-1,660	0,000	0,000	3,156

Structural element	Node [10 ^]	Local number	X [m]	Y [m]	N [kN]	Q [10 ^ kN]	M [10 ^ kN m]	T $_{xx}$ [kN/m]	T $_{yy}$ [kN/m]	T $_{xx,yy}$ [kN/m]	T $_{xx,zz}$ [10 ^]	N $_{xx}$ [kN]	N $_{yy}$ [kN]	Q $_{xx}$ [10 ^ kN]	Q $_{yy}$ [10 ^ kN]	M $_{xx}$ [10 ^ kN m]	M $_{yy}$ [10 ^ kN m]
(TITAN 40/20 l=1,60m)	27724	3	7,709	-6,855	37,806	-1,618	2,875	-12,139	0,000	30,000	404,642	0,000	37,806	-1,664	0,000	0,000	2,875
89	27725	4	7,880	-6,885	35,703	-1,597	2,596	-12,080	0,000	30,000	402,668	0,000	35,703	-1,635	0,000	0,000	2,596
89	27726	5	8,051	-6,915	33,612	-1,545	2,322	-12,029	0,000	30,000	400,969	0,000	33,612	-1,576	0,000	0,000	2,322
EmbeddedBeam_3_1	27726	1	8,051	-6,915	33,609	-1,548	2,322	-12,029	0,000	30,000	400,969	0,000	33,609	-1,579	0,000	0,000	2,322
Element 2-23 (Embedded beam)	27727	2	8,248	-6,950	31,207	-1,457	2,021	-11,981	0,001	30,000	399,364	0,000	31,207	-1,480	0,000	0,000	2,021
(TITAN 40/20 l=1,60m)	27728	3	8,445	-6,984	28,810	-1,340	1,741	-11,944	0,001	30,000	398,148	0,000	28,810	-1,357	0,000	0,000	1,741
89	27729	4	8,643	-7,019	26,419	-1,199	1,486	-11,920	0,001	30,000	397,326	0,000	26,419	-1,210	0,000	0,000	1,486
89	27730	5	8,840	-7,054	24,036	-1,034	1,262	-11,907	0,001	30,000	396,899	0,000	24,036	-1,041	0,000	0,000	1,262
EmbeddedBeam_3_1	27730	1	8,840	-7,054	24,032	-1,049	1,262	-11,907	0,001	30,000	396,899	0,000	24,032	-1,055	0,000	0,000	1,262
Element 2-24 (Embedded beam)	27731	2	9,067	-7,094	21,284	-0,835	1,044	-11,907	0,001	30,000	396,899	0,000	21,284	-0,842	0,000	0,000	1,044
(TITAN 40/20 l=1,60m)	27732	3	9,295	-7,134	18,530	-0,651	0,874	-11,923	0,001	30,000	397,421	0,000	18,530	-0,656	0,000	0,000	0,874
89	27733	4	9,523	-7,175	15,771	-0,505	0,741	-11,954	0,001	30,000	398,470	0,000	15,771	-0,505	0,000	0,000	0,741
89	27734	5	9,750	-7,215	13,007	-0,406	0,636	-12,002	0,000	30,000	400,053	0,000	13,007	-0,406	0,000	0,049	0,636
EmbeddedBeam_3_1	27734	1	9,750	-7,215	13,001	-0,344	0,636	-12,002	0,000	30,000	400,053	0,000	13,001	-0,345	0,000	0,049	0,636
Element 2-25 (Embedded beam)	27735	2	10,013	-7,261	9,799	-0,560	0,517	-12,077	-0,001	30,000	402,570	0,000	9,799	-0,560	0,000	0,092	0,517
(TITAN 40/20 l=1,60m)	27736	3	10,275	-7,307	6,565	-0,706	0,343	-12,175	-0,001	30,000	405,843	0,000	6,565	-0,706	0,107	0,082	0,343
89	27737	4	10,538	-7,354	3,300	-0,689	0,155	-12,306	0,001	30,000	410,202	0,000	3,300	-0,689	0,178	0,042	0,155
89	27738	5	10,800	-7,400	0,006	-0,412	0,000	-12,490	0,006	30,000	416,324	0,000	0,006	-0,412	0,109	0,000	0,000
EmbeddedBeam_2_1	27739	1	-3,562	-12,132	20,115	1,679	0,000	-82,284	0,013	125,000	658,273	-0,133	20,115	0,000	1,679	0,000	0,000
Element 3-26 (Embedded beam)	27740	2	-3,445	-12,380	9,003	0,358	0,256	-32,668	-0,003	125,000	261,345	-0,066	9,003	0,000	0,358	0,000	0,256
(Micropalo D168.3 x12.5mm/1,6m)	27741	3	-3,329	-12,628	2,551	-0,154	0,273	-11,544	0,000	125,000	92,353	-0,026	2,551	-0,154	0,022	0,000	0,273
89	27742	4	-3,213	-12,876	-0,109	-0,056	0,227	-4,985	0,001	125,000	39,879	-0,121	0,000	-0,056	0,064	0,000	0,227
89	27743	5	-3,096	-13,124	0,153	0,456	0,277	-1,952	-0,001	125,000	15,617	-0,010	0,153	0,000	0,456	0,000	0,277
EmbeddedBeam_2_1	27743	1	-3,096	-13,124	-0,637	0,121	0,277	-1,952	-0,001	125,000	15,617	-0,637	0,000	-0,005	0,170	0,000	0,277
Element 3-27 (Embedded beam)	27744	2	-2,980	-13,372	-0,901	0,182	0,318	-0,771	0,000	125,000	6,164	-0,901	0,000	-0,006	0,208	0,000	0,318
(Micropalo D168.3 x12.5mm/1,6m)	27745	3	-2,863	-13,620	-1,051	0,246	0,378	-0,254	0,000	125,000	2,030	-1,051	0,000	-0,008	0,251	0,000	0,378
89	27746	4	-2,747	-13,868	-1,106	0,271	0,449	-0,083	0,000	125,000	0,662	-1,106	0,002	-0,010	0,271	0,000	0,449
89	27747	5	-2,631	-14,116	-1,088	0,216	0,519	0,002	0,000	125,000	0,015	-1,088	0,003	-0,012	0,219	0,000	0,519
EmbeddedBeam_2_1	27747	1	-2,631	-14,116	-1,107	0,241	0,519	0,002	0,000	125,000	0,015	-1,107	0,003	-0,012	0,241	0,000	0,519
Element 3-28 (Embedded beam)	27748	2	-2,514	-14,364	-1,099	0,182	0,577	0,040	0,000	125,000	0,323	-1,099	0,005	-0,013	0,188	0,000	0,577
(Micropalo D168.3 x12.5mm/1,6m)	27749	3	-2,398	-14,612	-1,085	0,115	0,618	0,065	0,000	125,000	0,519	-1,085	0,007	-0,014	0,131	0,000	0,618
89	27750	4	-2,282	-14,860	-1,063	0,042	0,639	0,093	0,000	125,000	0,743	-1,063	0,008	-0,013	0,068	0,000	0,639
89	27751	5	-2,165	-15,108	-1,034	-0,036	0,640	0,144	0,000	125,000	1,155	-1,034	0,010	-0,036	0,001	0,000	0,640
EmbeddedBeam_2_1	27751	1	-2,165	-15,108	-1,002	-0,175	0,640	0,144	0,000	125,000	1,155	-1,002	0,009	-0,175	0,000	0,000	0,640
Element 3-29 (Embedded beam)	27752	2	-2,049	-15,356	-0,995	-0,020	0,618	0,270	0,000	125,000	2,162	-0,995	0,011	-0,020	0,013	0,000	0,618
(Micropalo D168.3 x12.5mm/1,6m)	27753	3	-1,933	-15,604	-0,868	-0,230	0,598	0,538	-0,001	125,000	4,301	-0,868	0,011	-0,230	0,000	0,000	0,598
89	27754	4	-1,816	-15,852	-0,587	-0,972	0,443	1,397	-0,004	125,000	11,175	-0,587	0,008	-0,972	0,000	0,000	0,443
89	27755	5	-1,700	-16,100	-0,116	-2,407	0,000	3,418	0,022	125,000	27,341	-0,116	0,002	-2,407	0,000	0,000	0,000

3.3.1.1.28 Calculation results, Embedded beam, SLV + stab globale [Phase_22] (22/896), Table of embedded beam force envelopes

Structural element	Node [10^]	Local number	X [m]	Y [m]	N [kN]	Q [kN]	M [10^ kN m]	$T_{z,c}$ [kN/m]	$T_{z,t}$ [kN/m]	$T_{res,max}$ [kN/m]	$T_{res,min}$	$N_{x,c}$ [kN]	$N_{x,t}$ [kN]	$Q_{y,c}$ [10^ kN]	$Q_{y,t}$ [kN]	$M_{y,c}$ [10^ kN m]	$M_{y,t}$ [10^ kN m]
EmbeddedBeam_1_1	27637	1	4,600	2,300	128,490	1,295	0,000	-5,667	3,788	30,000	0,189	0,000	128,490	0,000	1,295	0,000	0,000
Element 1-1 (Embedded beam)	27638	2	4,890	2,353	126,227	0,261	214,996	-7,837	2,690	30,000	0,261	0,000	126,227	0,000	0,261	0,000	214,996
(TITAN 40/20 l=1,60m)	27639	3	5,179	2,407	123,862	-0,265	204,686	-8,348	-0,685	30,000	0,278	0,000	123,862	-264,608	0,000	0,000	204,686
28	27640	4	5,469	2,460	121,432	-0,346	102,702	-8,267	0,326	30,000	0,276	0,000	121,432	-346,484	0,000	0,000	102,702
29	27641	5	5,758	2,513	118,980	-0,048	36,917	-8,111	0,396	30,000	0,270	0,000	118,980	-48,161	0,000	0,000	36,917
EmbeddedBeam_1_1	27641	1	5,758	2,513	119,000	-0,162	36,917	-8,111	0,396	30,000	0,270	0,000	119,000	-161,721	0,000	0,000	36,917
Element 1-2 (Embedded beam)	27642	2	6,010	2,559	116,946	-0,083	6,070	-7,984	0,266	30,000	0,266	0,000	116,946	-82,760	0,000	-0,013	6,070
(TITAN 40/20 l=1,60m)	27643	3	6,262	2,606	114,910	-0,026	-7,326	-7,922	0,182	30,000	0,264	0,000	114,910	-25,510	0,000	-7,326	0,297
30	27644	4	6,514	2,652	112,895	0,010	-8,868	-7,811	0,095	30,000	0,260	0,000	112,895	0,000	0,012	-8,868	1,050
31	27645	5	6,766	2,698	110,908	0,023	-4,165	-7,645	0,032	30,000	0,255	0,000	110,908	0,000	0,023	-4,165	2,236
EmbeddedBeam_1_1	27645	1	6,766	2,698	110,915	0,026	-4,165	-7,645	0,032	30,000	0,255	0,000	110,915	0,000	0,026	-4,165	2,236
Element 1-3 (Embedded beam)	27646	2	6,985	2,739	109,227	0,030	2,086	-7,479	0,024	30,000	0,249	0,000	109,227	0,000	0,030	0,006	5,809
(TITAN 40/20 l=1,60m)	27647	3	7,204	2,779	107,581	0,037	9,571	-7,291	0,038	30,000	0,243	0,000	107,581	0,000	0,037	0,003	10,228
32	27648	4	7,423	2,819	105,981	0,045	18,707	-7,075	0,040	30,000	0,236	0,000	105,981	0,000	0,045	0,001	18,707
33	27649	5	7,643	2,860	104,428	0,055	29,865	-6,832	-0,012	30,000	0,228	0,000	104,428	0,000	0,055	0,001	29,865
EmbeddedBeam_1_1	27649	1	7,643	2,860	104,431	0,040	29,865	-6,832	-0,012	30,000	0,228	0,000	104,431	-0,005	0,040	-0,001	29,865
Element 1-4 (Embedded beam)	27650	2	7,833	2,895	103,126	0,044	38,838	-6,609	-0,127	30,000	0,220	0,000	103,126	-0,161	0,044	-0,001	38,838
(TITAN 40/20 l=1,60m)	27651	3	8,024	2,930	101,869	-0,007	43,563	-6,364	-0,369	30,000	0,212	0,000	101,869	-6,764	0,002	0,000	43,563
34	27652	4	8,215	2,965	100,660	-0,120	32,207	-6,103	-0,767	30,000	0,203	0,000	100,660	-119,968	0,000	0,000	32,207
35	27653	5	8,405	3,000	99,503	-0,302	-7,454	-5,902	-1,027	30,000	0,197	0,000	99,503	-301,791	0,000	-7,454	4,297
EmbeddedBeam_1_1	27653	1	8,405	3,000	99,518	-0,343	-7,454	-5,902	-1,027	30,000	0,197	0,000	99,518	-342,759	0,000	-7,454	4,297
Element 1-5 (Embedded beam)	27654	2	8,571	3,030	98,456	-0,344	-65,818	-6,317	0,145	30,000	0,211	0,000	98,456	-343,854	0,000	-65,818	0,000
(TITAN 40/20 l=1,60m)	27655	3	8,737	3,061	97,385	-0,299	-120,968	-6,417	0,324	30,000	0,214	0,000	97,385	-298,670	0,000	-120,968	0,000
36	27656	4	8,903	3,091	96,313	-0,195	-163,299	-6,334	0,841	30,000	0,211	0,000	96,313	-194,780	0,000	-163,299	0,000
37	27657	5	9,069	3,122	95,246	-0,020	-182,564	-6,138	1,829	30,000	0,205	0,000	95,246	-19,023	0,000	-182,564	0,000
EmbeddedBeam_1_1	27657	1	9,069	3,122	95,158	-0,081	-182,564	-6,138	1,829	30,000	0,205	0,000	95,158	-82,718	0,000	-182,564	0,000
Element 1-6 (Embedded beam)	27658	2	9,213	3,148	94,394	0,388	-158,269	-6,435	2,516	30,000	0,214	0,000	94,394	0,000	0,388	-158,269	0,000
(TITAN 40/20 l=1,60m)	27659	3	9,357	3,175	93,287	0,671	-77,430	-8,381	1,577	30,000	0,279	0,000	93,287	0,000	0,671	-77,430	0,000
38	27660	4	9,502	3,201	91,793	0,731	27,902	-11,695	-0,534	30,000	0,390	0,000	91,793	0,000	0,731	-0,001	30,486
39	27661	5	9,646	3,228	89,871	0,529	123,998	-15,255	-2,545	30,000	0,508	0,000	89,871	0,000	0,529	0,000	123,998
EmbeddedBeam_1_1	27661	1	9,646	3,228	89,838	0,493	123,998	-25,425	-4,242	30,000	0,847	0,000	89,838	0,000	0,493	0,000	123,998
Element 1-7 (Embedded beam)	27662	2	9,771	3,251	86,613	0,099	159,937	-25,272	-2,534	30,000	0,842	0,000	86,613	0,000	0,099	0,000	159,937
(TITAN 40/20 l=1,60m)	27663	3	9,896	3,274	83,407	-0,147	155,474	-25,113	-1,243	30,000	0,837	0,000	83,407	-147,155	0,000	0,000	155,474
40	27664	4	10,022	3,297	80,220	-0,256	128,284	-24,957	-0,380	30,000	0,832	0,000	80,220	-255,872	0,000	0,000	128,284
41	27665	5	10,147	3,320	77,056	-0,219	95,581	-24,808	0,125	30,000	0,827	0,000	77,056	-239,373	0,000	0,000	95,581
EmbeddedBeam_1_1	27665	1	10,147	3,320	77,053	-0,272	95,581	-24,808	0,125	30,000	0,827	0,000	77,053	-271,766	0,000	0,000	95,581
Element 1-8 (Embedded beam)	27666	2	10,296	3,347	73,311	-0,212	58,861	-24,642	0,392	30,000	0,821	0,000	73,311	-212,372	0,000	0,000	58,861
(TITAN 40/20 l=1,60m)	27667	3	10,445	3,375	69,590	-0,152	31,353	-24,490	0,432	30,000	0,816	0,000	69,590	-151,703	0,000	0,000	31,353
42	27668	4	10,594	3,402	65,890	-0,094	12,773	-24,349	0,359	30,000	0,812	0,000	65,890	-93,526	0,000	0,000	12,773
43	27669	5	10,743	3,430	62,215	-0,042	2,671	-24,222	0,251	30,000	0,807	0,000	62,215	-41,612	0,000	-0,671	2,671
EmbeddedBeam_1_1	27669	1	10,743	3,430	62,211	-0,042	2,671	-24,222	0,251	30,000	0,807	0,000	62,211	-42,369	0,000	-0,671	2,671
Element 1-9 (Embedded beam)	27670	2	10,920	3,462	57,862	-0,012	-2,025	-24,088	0,133	30,000	0,803	0,000	57,862	-12,161	0,000	-1,334	0,034
(TITAN 40/20 l=1,60m)	27671	3	11,097	3,495	53,529	0,005	-2,510	-23,974	0,050	30,000	0,799	0,000	53,529	0,112	0,005	-1,452	0,009
44	27672	4	11,274	3,527	49,215	0,011	-0,913	-23,880	0,004	30,000	0,796	0,000	49,215	0,035	0,011	-2,507	0,001
45	27673	5	11,452	3,560	44,921	0,006	0,719	-23,807	-0,014	30,000	0,794	0,000	44,921	0,024	0,006	-1,462	0,719
EmbeddedBeam_1_1	27673	1	11,452	3,560	44,915	0,009	0,719	-23,807	-0,014	30,000	0,794	0,000	44,915	0,012	0,009	-1,462	0,719
Element 1-10 (Embedded beam)	27674	2	11,663	3,599	39,821	0,004	2,122	-23,748	-0,019	30,000	0,792	0,000	39,821	0,011	0,005	-0,744	2,122
(TITAN 40/20 l=1,60m)	27675	3	11,874	3,638	34,728	0,001	2,656	-23,721	-0,016	30,000	0,791	0,000	34,728	0,010	0,002	-0,397	2,656
46	27676	4	12,085	3,676	29,637	0,002	2,461	-23,724	-0,013	30,000	0,791	0,000	29,637	2,390	0,000	-0,274	2,480

Structural element	Node [10^]	Local number	X [m]	Y [m]	N [kN]	Q [kN]	M [10^ kN m]	$T_{xx,-}$ [kN/m]	$T_{xx,+}$ [kN/m]	$T_{xx,max}$ [kN/m]	$T_{xx,min}$	$N_{xx,-}$ [kN]	$N_{xx,+}$ [kN]	$Q_{xz,-}$ [10^ kN]	$Q_{xz,+}$ [kN]	$M_{xx,-}$ [10^ kN m]	$M_{xx,+}$ [10^ kN m]
梁	27677	5	12,296	3,715	24,551	-0,005	1,681	-23,759	-0,008	30,000	0,792	0,000	24,551	-4,769	0,000	-0,257	1,961
EmbeddedBeam_11_1	27677	1	12,296	3,715	24,544	-0,006	1,681	-23,759	-0,008	30,000	0,792	0,000	24,544	-5,558	0,000	-0,257	1,961
Element 1-11 (Embedded beam)	27678	2	12,547	3,761	18,470	-0,004	0,367	-23,863	0,007	30,000	0,795	0,000	18,470	-3,971	0,000	-0,258	1,175
(TITAN 40/20 l=1,60m)	27679	3	12,798	3,808	12,361	-0,001	-0,168	-23,972	0,028	30,000	0,799	0,000	12,361	-1,543	0,000	-0,189	0,800
梁	27680	4	13,049	3,854	6,219	0,001	-0,142	-24,124	0,003	30,000	0,804	0,000	6,219	-1,493	0,001	-0,142	0,404
梁	27681	5	13,300	3,900	0,046	-0,001	0,000	-24,817	0,001	30,000	0,827	0,000	0,046	2,635	0,000	0,000	0,000
EmbeddedBeam_31_1	27682	1	2,300	5,900	141,427	0,289	0,000	-11,567	-1,489	30,000	0,386	0,000	141,427	0,000	0,289	0,000	0,000
Element 2-12 (Embedded beam)	27683	2	2,582	5,950	138,199	0,096	53,330	-11,412	-0,554	30,000	0,380	0,000	138,199	-0,074	0,096	0,000	53,330
(TITAN 40/20 l=1,60m)	27684	3	2,865	6,000	134,874	-0,025	62,156	-11,852	-0,266	30,000	0,395	0,000	134,874	-25,175	0,011	-0,002	62,156
梁	27685	4	3,147	6,049	131,480	-0,084	44,899	-11,897	-0,115	30,000	0,397	0,000	131,480	-83,688	0,000	-0,084	44,899
梁	27686	5	3,430	6,099	128,043	-0,088	19,224	-11,848	0,142	30,000	0,395	0,000	128,043	-87,839	0,000	-0,100	19,230
EmbeddedBeam_31_1	27686	1	3,430	6,099	128,061	-0,082	19,224	-11,848	0,142	30,000	0,395	0,000	128,061	-81,797	0,000	-0,100	19,230
Element 2-13 (Embedded beam)	27687	2	3,595	6,128	126,084	-0,062	7,236	-11,755	0,110	30,000	0,392	0,000	126,084	-61,768	0,000	-0,823	8,125
(TITAN 40/20 l=1,60m)	27688	3	3,760	6,158	124,119	-0,045	-1,668	-11,677	0,090	30,000	0,389	0,000	124,119	-44,892	0,000	-1,898	1,368
梁	27689	4	3,925	6,187	122,169	-0,031	-7,992	-11,586	0,074	30,000	0,386	0,000	122,169	-31,032	0,001	-7,992	0,000
梁	27690	5	4,090	6,216	120,234	-0,020	-12,235	-11,473	0,069	30,000	0,382	0,000	120,234	-20,053	0,002	-12,235	0,000
EmbeddedBeam_31_1	27690	1	4,090	6,216	120,235	-0,019	-12,235	-11,473	0,069	30,000	0,382	0,000	120,235	-18,630	0,002	-12,235	0,000
Element 2-14 (Embedded beam)	27691	2	4,187	6,233	119,114	-0,013	-13,793	-11,397	0,077	30,000	0,380	0,000	119,114	-12,754	0,003	-13,793	0,000
(TITAN 40/20 l=1,60m)	27692	3	4,283	6,250	118,000	-0,004	-14,639	-11,320	0,099	30,000	0,377	0,000	118,000	-3,771	0,004	-14,639	0,000
梁	27693	4	4,380	6,267	116,892	0,009	-14,408	-11,256	0,155	30,000	0,375	0,000	116,892	0,000	0,009	-14,408	0,000
梁	27694	5	4,476	6,284	115,792	0,026	-12,716	-11,205	0,248	30,000	0,373	0,000	115,792	0,000	0,026	-12,716	0,000
EmbeddedBeam_31_1	27694	1	4,476	6,284	115,790	0,027	-12,716	-11,205	0,248	30,000	0,373	0,000	115,790	0,000	0,027	-12,716	0,000
Element 2-15 (Embedded beam)	27695	2	4,533	6,294	115,152	0,045	-10,680	-11,157	0,319	30,000	0,372	0,000	115,152	0,000	0,045	-10,680	0,000
(TITAN 40/20 l=1,60m)	27696	3	4,589	6,304	114,511	0,064	-7,547	-11,131	0,400	30,000	0,371	0,000	114,511	0,000	0,064	-7,547	0,000
梁	27697	4	4,646	6,314	113,868	0,084	-3,288	-11,277	0,328	30,000	0,376	0,000	113,868	0,000	0,084	-3,288	0,025
梁	27698	5	4,702	6,324	113,219	0,103	2,095	-11,897	-0,234	30,000	0,397	0,000	113,219	0,000	0,103	-1,938	2,095
EmbeddedBeam_31_1	27698	1	4,702	6,324	113,209	0,093	2,095	-19,828	-0,390	30,000	0,661	0,000	113,209	0,000	0,093	-1,938	2,095
Element 2-16 (Embedded beam)	27699	2	4,800	6,341	111,244	0,058	9,528	-19,764	-0,318	30,000	0,659	0,000	111,244	-0,022	0,058	-1,287	9,528
(TITAN 40/20 l=1,60m)	27700	3	4,898	6,358	109,286	0,030	13,832	-19,687	-0,237	30,000	0,656	0,000	109,286	-0,628	0,030	-0,828	13,832
梁	27701	4	4,995	6,376	107,335	0,010	15,784	-19,611	-0,161	30,000	0,654	0,000	107,335	-1,160	0,010	-0,515	15,784
梁	27702	5	5,093	6,393	105,393	-0,002	16,158	-19,537	-0,099	30,000	0,651	0,000	105,393	-1,624	0,005	-0,284	16,158
EmbeddedBeam_31_1	27702	1	5,093	6,393	105,392	-0,002	16,158	-19,537	-0,099	30,000	0,651	0,000	105,392	-2,479	0,004	-0,284	16,158
Element 2-17 (Embedded beam)	27703	2	5,177	6,408	103,735	-0,009	15,671	-19,470	-0,058	30,000	0,649	0,000	103,735	-8,569	0,003	-0,266	15,671
(TITAN 40/20 l=1,60m)	27704	3	5,261	6,422	102,082	-0,012	14,767	-19,402	-0,029	30,000	0,647	0,000	102,082	-12,339	0,003	-0,327	14,767
梁	27705	4	5,344	6,437	100,436	-0,014	13,634	-19,333	-0,008	30,000	0,644	0,000	100,436	-13,953	0,003	-0,373	13,634
梁	27706	5	5,428	6,452	98,796	-0,014	12,451	-19,262	0,006	30,000	0,642	0,000	98,796	-13,572	0,003	-0,383	12,451
EmbeddedBeam_31_1	27706	1	5,428	6,452	98,795	-0,014	12,451	-19,262	0,006	30,000	0,642	0,000	98,795	-14,039	0,003	-0,383	12,451
Element 2-18 (Embedded beam)	27707	2	5,525	6,469	96,911	-0,013	11,139	-19,180	0,015	30,000	0,639	0,000	96,911	-12,663	0,003	-0,351	11,139
(TITAN 40/20 l=1,60m)	27708	3	5,621	6,486	95,034	-0,011	9,977	-19,097	0,019	30,000	0,637	0,000	95,034	-11,009	0,002	-0,274	9,977
梁	27709	4	5,718	6,503	93,165	-0,009	8,986	-19,014	0,019	30,000	0,634	0,000	93,165	-9,152	0,002	-0,193	8,986
梁	27710	5	5,814	6,520	91,306	-0,007	8,186	-18,931	0,018	30,000	0,631	0,000	91,306	-7,171	0,002	-0,114	8,186
EmbeddedBeam_31_1	27710	1	5,814	6,520	91,305	-0,007	8,186	-18,931	0,018	30,000	0,631	0,000	91,305	-7,283	0,002	-0,114	8,186
Element 2-19 (Embedded beam)	27711	2	5,926	6,540	89,170	-0,005	7,468	-18,835	0,014	30,000	0,628	0,000	89,170	-5,477	0,002	-0,035	7,468
(TITAN 40/20 l=1,60m)	27712	3	6,037	6,559	87,044	-0,004	6,931	-18,741	0,010	30,000	0,625	0,000	87,044	-4,097	0,002	-0,026	6,931
梁	27713	4	6,149	6,579	84,929	-0,003	6,525	-18,649	0,007	30,000	0,622	0,000	84,929	-3,135	0,002	-0,017	6,525
梁	27714	5	6,260	6,599	82,826	-0,003	6,206	-18,558	0,004	30,000	0,619	0,000	82,826	-2,586	0,001	-0,007	6,206
EmbeddedBeam_31_1	27714	1	6,260	6,599	82,824	-0,003	6,206	-18,558	0,004	30,000	0,619	0,000	82,824	-2,510	0,001	-0,007	6,206
Element 2-20 (Embedded beam)	27715	2	6,388	6,621	80,411	-0,002	5,897	-18,457	0,001	30,000	0,615	0,000	80,411	-2,253	0,001	0,000	5,897
(TITAN 40/20 l=1,60m)	27716	3	6,517	6,644	78,008	-0,002	5,611	-18,360	0,000	30,000	0,612	0,000	78,008	-2,156	0,001	0,000	5,611
梁	27717	4	6,645	6,667	75,618	-0,002	5,328	-18,267	-0,001	30,000	0,609	0,000	75,618	-2,198	0,001	0,000	5,328
梁	27718	5	6,774	6,690	73,242	-0,002	5,032	-18,178	-0,001	30,000	0,606	0,000	73,242	-2,356	0,000	0,000	5,032
EmbeddedBeam_31_1	27718	1	6,774	6,690	73,240	-0,002	5,032	-18,178	-0,001	30,000	0,606	0,000	73,240	-2,315	0,000	0,000	5,032
Element 2-21 (Embedded beam)	27719	2	6,922	6,716	70,513	-0,002	4,674	-18,083	-0,001	30,000	0,603	0,000	70,513	-2,438	0,000	0,000	4,674
(TITAN 40/20 l=1,60m)	27720	3	7,070	6,742	67,796	-0,002	4,301	-17,996	0,000	30,000	0,600	0,000	67,796	-2,497	0,000	0,000	4,301
梁	27721	4	7,219	6,768	65,093	-0,002	3,925	-17,917	0,000	30,000	0,597	0,000	65,093	-2,492	0,000	0,000	3,925
梁	27722	5	7,367	6,794	62,403	-0,002	3,554	-17,846	0,001	30,000	0,595	0,000	62,403	-2,422	0,000	0,000	3,554
EmbeddedBeam_31_1	27722	1	7,367	6,794	62,401	-0,002	3,554	-17,846	0,001	30,000	0,595	0,000	62,401	-2,433	0,000	0,000	3,554

Structural element	Node [10 ⁰]	Local number	X [m]	Y [m]	N [kN]	Q [kN]	M [10 ⁰ kN m]	$T_{xx,}$ [kN/m]	$T_{yy,}$ [kN/m]	$T_{xxx,max}$ [kN/m]	$T_{xxx,cr}$	$N_{x,y,}$ [kN]	$N_{y,z,}$ [kN]	$Q_{x,y,}$ [10 ⁰ kN]	$Q_{y,z,}$ [kN]	$M_{x,y,}$ [10 ⁰ kN m]	$M_{y,z,}$ [10 ⁰ kN m]
Element 2-22 (Embedded beam)	27723	2	7,538	6,824	59,311	-0,002	3,144	-17,775	0,001	30,000	0,592	0,000	59,311	-2,295	0,000	0,000	3,144
(TITAN 40/20 l=1,60m)	27724	3	7,709	6,855	56,229	-0,002	2,759	-17,716	0,001	30,000	0,591	0,000	56,229	-2,134	0,000	0,000	2,780
#####	27725	4	7,880	6,885	53,156	-0,002	2,404	-17,669	0,001	30,000	0,589	0,000	53,156	-1,954	0,000	0,000	2,478
#####	27726	5	8,051	6,915	50,094	-0,002	2,082	-17,634	0,001	30,000	0,588	0,000	50,094	-1,759	0,000	0,000	2,197
EmbeddedBeam_2_1	27726	1	8,051	6,915	50,090	-0,002	2,082	-17,634	0,001	30,000	0,588	0,000	50,090	-1,742	0,000	0,000	2,197
Element 2-23 (Embedded beam)	27727	2	8,248	6,950	46,564	-0,001	1,759	-17,608	0,002	30,000	0,587	0,000	46,564	-1,551	0,000	0,000	1,890
(TITAN 40/20 l=1,60m)	27728	3	8,445	6,984	43,037	-0,001	1,497	-17,599	0,002	30,000	0,587	0,000	43,037	-1,361	0,000	0,000	1,607
#####	27729	4	8,643	7,019	39,510	-0,001	1,317	-17,606	0,003	30,000	0,587	0,000	39,510	-1,210	0,000	0,000	1,351
#####	27730	5	8,840	7,054	35,985	0,000	1,244	-17,629	0,003	30,000	0,588	0,000	35,985	-1,041	0,000	0,000	1,244
EmbeddedBeam_3_1	27730	1	8,840	7,054	35,980	0,000	1,244	-17,629	0,003	30,000	0,588	0,000	35,980	-1,053	0,000	0,000	1,244
Element 2-24 (Embedded beam)	27731	2	9,067	7,094	31,906	0,001	1,315	-17,676	0,003	30,000	0,589	0,000	31,906	-0,842	0,001	0,000	1,315
(TITAN 40/20 l=1,60m)	27732	3	9,295	7,134	27,813	0,001	1,569	-17,744	0,001	30,000	0,591	0,000	27,813	-0,653	0,001	0,000	1,569
#####	27733	4	9,523	7,175	23,701	0,001	1,784	-17,832	0,005	30,000	0,594	0,000	23,701	-0,494	0,001	0,000	1,784
#####	27734	5	9,750	7,215	19,574	-0,001	1,724	-17,940	0,010	30,000	0,598	0,000	19,574	-1,284	0,000	-0,049	1,724
EmbeddedBeam_3_1	27734	1	9,750	7,215	19,568	0,001	1,724	-17,940	0,010	30,000	0,598	0,000	19,568	-0,338	0,002	-0,049	1,724
Element 2-25 (Embedded beam)	27735	2	10,013	7,261	14,768	-0,006	0,877	-18,115	0,015	30,000	0,604	0,000	14,768	-4,013	0,000	-0,092	0,904
(TITAN 40/20 l=1,60m)	27736	3	10,275	7,307	9,914	-0,005	-0,710	-18,278	0,029	30,000	0,609	0,000	9,914	-5,291	0,000	-0,710	0,416
#####	27737	4	10,538	7,354	5,006	0,001	-1,455	-18,528	0,027	30,000	0,618	0,000	5,006	-0,913	0,001	-1,455	0,269
#####	27738	5	10,800	7,400	0,040	0,010	0,000	-19,219	0,080	30,000	0,641	0,000	0,040	-1,329	0,010	0,000	0,000
EmbeddedBeam_2_1	27739	1	3,562	12,132	39,225	0,002	0,000	-125,000	0,017	125,000	1,000	-0,133	39,225	0,000	0,002	0,000	0,000
Element 3-26 (Embedded beam)	27740	2	3,445	12,380	18,187	0,000	0,298	-61,855	0,005	125,000	0,495	-0,066	18,187	0,000	0,000	0,000	0,298
(Ricropalo D168.3 x12.5mm/1,6m)	27741	3	3,329	12,628	5,969	0,000	0,246	-21,880	0,001	125,000	0,175	-0,026	5,969	-0,482	0,000	0,000	0,246
#####	27742	4	3,213	12,876	0,924	0,000	0,120	-9,476	0,002	125,000	0,076	-0,121	0,924	-0,231	0,000	0,000	0,168
#####	27743	5	3,096	13,124	1,407	0,001	0,166	-3,739	0,001	125,000	0,030	-0,010	1,407	0,000	0,001	0,000	0,218
EmbeddedBeam_2_1	27743	1	3,096	13,124	-0,087	0,000	0,166	-3,739	0,001	125,000	0,030	-0,554	0,000	-0,005	0,000	0,000	0,218
Element 3-27 (Embedded beam)	27744	2	2,980	13,372	-0,599	0,000	0,191	-1,500	0,000	125,000	0,012	-0,787	0,000	-0,006	0,000	0,000	0,258
(Ricropalo D168.3 x12.5mm/1,6m)	27745	3	2,863	13,620	-0,893	0,000	0,253	-0,517	0,001	125,000	0,004	-0,924	0,000	-0,008	0,000	0,000	0,321
#####	27746	4	2,747	13,868	-1,008	0,000	0,338	-0,190	0,000	125,000	0,002	-1,008	0,002	-0,010	0,000	0,000	0,396
#####	27747	5	2,631	14,116	-0,983	0,000	0,430	-0,030	0,000	125,000	0,000	-0,983	0,003	-0,012	0,000	0,000	0,473
EmbeddedBeam_2_1	27747	1	2,631	14,116	-1,019	0,000	0,430	-0,030	0,000	125,000	0,000	-1,019	0,003	-0,012	0,000	0,000	0,473
Element 3-28 (Embedded beam)	27748	2	2,514	14,364	-1,012	0,000	0,515	0,040	0,000	125,000	0,000	-1,012	0,005	-0,013	0,000	0,000	0,542
(Ricropalo D168.3 x12.5mm/1,6m)	27749	3	2,398	14,612	-0,997	0,000	0,584	0,078	0,000	125,000	0,001	-0,997	0,007	-0,014	0,000	0,000	0,598
#####	27750	4	2,282	14,860	-0,972	0,000	0,631	0,106	0,000	125,000	0,001	-0,972	0,008	-0,013	0,000	0,000	0,634
#####	27751	5	2,165	15,108	-0,938	0,000	0,650	0,151	0,000	125,000	0,001	-0,938	0,010	-0,041	0,000	0,000	0,650
EmbeddedBeam_2_1	27751	1	2,165	15,108	-0,911	0,000	0,650	0,151	0,000	125,000	0,001	-0,911	0,009	-0,162	0,000	0,000	0,650
Element 3-29 (Embedded beam)	27752	2	2,049	15,356	-0,898	0,000	0,636	0,260	0,000	125,000	0,002	-0,898	0,011	-0,050	0,000	0,000	0,636
(Ricropalo D168.3 x12.5mm/1,6m)	27753	3	1,933	15,604	-0,781	0,000	0,612	0,494	0,001	125,000	0,004	-0,781	0,011	-0,274	0,000	0,000	0,612
#####	27754	4	1,816	15,852	-0,526	0,001	0,446	1,257	0,004	125,000	0,010	-0,526	0,008	-1,007	0,000	0,000	0,446
#####	27755	5	1,700	16,100	-0,104	0,002	0,000	3,059	0,022	125,000	0,024	-0,104	0,002	-2,382	0,000	0,000	0,000

3.3.1.1.29 Calculation results, Embedded beam, FS SLV+ [Phase_28] (28/1046), Table of embedded beam force envelopes

Structural element	Node [10^1]	Local number	X [m]	Y [m]	N [kN]	Q [kN]	M [kN m]	T_{xxx} [kN/m]	T_{zzz} [kN/m]	T_{xxxxxx} [kN/m]	T_{zzzzzz}	N_{xxx} [kN]	N_{zzz} [kN]	Q_{xxx} [kN]	Q_{zzz} [kN]	M_{xxx} [kN m]	M_{zzz} [kN m]
EmbeddedBeam_1_1	27637	1	4,600	-2,300	143,343	1,424	0,000	-4,935	-4,349	30,000	0,164	0,000	145,084	0,000	1,437	0,000	0,000
Element 1-1 (Embedded beam)	27638	2	4,890	-2,353	141,338	0,295	0,238	-6,816	-2,941	30,000	0,227	0,000	142,937	0,000	0,295	0,000	0,239
(Ricopalo ancoraggio autoperforante R38i=1,60m)	27639	3	5,179	-2,407	139,316	-0,281	0,229	-7,036	-0,755	30,000	0,235	0,000	140,732	-0,288	0,000	0,000	0,230
88	27640	4	5,469	-2,460	137,317	-0,374	0,120	-6,659	0,338	30,000	0,222	0,000	138,507	-0,380	0,000	0,000	0,120
89	27641	5	5,758	-2,513	135,381	-0,055	0,048	-6,178	0,426	30,000	0,206	0,000	136,303	-0,056	0,000	0,000	0,048
EmbeddedBeam_1_1	27641	1	5,758	-2,513	135,402	-0,171	0,048	-6,178	0,426	30,000	0,206	0,000	136,325	-0,174	0,000	0,000	0,048
Element 1-2 (Embedded beam)	27642	2	6,010	-2,559	133,885	-0,100	0,014	-5,748	0,258	30,000	0,192	0,000	134,537	-0,100	0,000	0,000	0,014
(Ricopalo ancoraggio autoperforante R38i=1,60m)	27643	3	6,262	-2,606	132,458	-0,041	-0,004	-5,401	0,193	30,000	0,180	0,000	132,807	-0,043	0,000	0,007	0,000
90	27644	4	6,514	-2,652	131,122	0,008	-0,008	-5,031	0,180	30,000	0,168	0,000	131,139	0,000	0,012	0,012	0,001
91	27645	5	6,766	-2,698	129,880	0,050	0,000	-4,601	0,134	30,000	0,153	0,000	129,880	0,000	0,050	0,007	0,003
EmbeddedBeam_1_1	27645	1	6,766	-2,698	129,886	0,046	0,000	-4,601	0,134	30,000	0,153	0,000	129,886	0,000	0,047	0,007	0,003
Element 1-3 (Embedded beam)	27646	2	6,985	-2,739	128,900	0,084	0,014	-4,236	0,163	30,000	0,141	0,000	128,900	0,000	0,084	0,000	0,014
(Ricopalo ancoraggio autoperforante R38i=1,60m)	27647	3	7,204	-2,779	127,998	0,122	0,037	-3,870	0,199	30,000	0,129	0,000	127,998	0,000	0,122	0,000	0,037
92	27648	4	7,423	-2,819	127,179	0,151	0,068	-3,476	0,091	30,000	0,116	0,000	127,179	0,000	0,161	0,000	0,068
93	27649	5	7,643	-2,860	126,448	0,165	0,103	-3,104	-0,219	30,000	0,103	0,000	126,448	0,000	0,191	0,000	0,106
EmbeddedBeam_1_1	27649	1	7,643	-2,860	126,432	0,143	0,103	-3,104	-0,219	30,000	0,103	0,000	126,432	0,000	0,160	0,000	0,106
Element 1-4 (Embedded beam)	27650	2	7,833	-2,895	125,891	0,056	0,125	-2,728	-0,739	30,000	0,091	0,000	125,891	0,000	0,110	0,000	0,134
(Ricopalo ancoraggio autoperforante R38i=1,60m)	27651	3	8,024	-2,930	125,380	-0,151	0,117	-2,484	-1,480	30,000	0,083	0,000	125,380	-0,151	0,002	0,000	0,136
94	27652	4	8,215	-2,965	124,884	-0,455	0,060	-2,560	-1,756	30,000	0,085	0,000	124,884	-0,461	0,000	0,000	0,085
95	27653	5	8,405	-3,000	124,392	-0,839	-0,064	-2,794	-1,640	30,000	0,093	0,000	124,392	-0,928	0,000	0,065	0,004
EmbeddedBeam_1_1	27653	1	8,405	-3,000	124,385	-0,885	-0,064	-2,794	-1,640	30,000	0,093	0,000	124,385	-0,959	0,000	0,065	0,004
Element 1-5 (Embedded beam)	27654	2	8,571	-3,030	123,792	-0,828	-0,210	-4,065	0,833	30,000	0,135	0,000	123,792	-1,138	0,000	0,238	0,000
(Ricopalo ancoraggio autoperforante R38i=1,60m)	27655	3	8,737	-3,061	123,012	-0,618	-0,335	-5,211	1,466	30,000	0,174	0,000	123,012	-1,218	0,000	0,439	0,000
96	27656	4	8,903	-3,091	122,051	-0,218	-0,408	-6,206	3,079	30,000	0,207	0,000	122,051	-1,155	0,000	0,641	0,000
97	27657	5	9,069	-3,122	120,916	0,407	-0,396	-7,263	6,860	30,000	0,242	0,000	120,916	-0,904	0,407	0,818	0,000
EmbeddedBeam_1_1	27657	1	9,069	-3,122	120,698	0,440	-0,396	-7,263	6,860	30,000	0,242	0,000	120,698	-0,791	0,440	0,818	0,000
Element 1-6 (Embedded beam)	27658	2	9,213	-3,148	119,906	1,841	-0,233	-8,614	9,919	30,000	0,287	0,000	119,906	0,000	1,841	0,852	0,000
(Ricopalo ancoraggio autoperforante R38i=1,60m)	27659	3	9,357	-3,175	118,318	3,427	0,155	-10,614	12,925	30,000	0,354	0,000	118,318	0,000	3,427	0,669	0,155
98	27660	4	9,502	-3,201	115,548	4,995	0,772	-24,732	9,682	30,000	0,824	0,000	115,553	0,000	4,995	0,229	0,772
99	27661	5	9,646	-3,228	111,209	6,345	1,609	-30,000	-27,520	30,000	1,000	0,000	112,037	0,000	6,679	0,000	1,609
EmbeddedBeam_1_1	27661	1	9,646	-3,228	111,423	4,523	1,609	-30,000	-45,866	30,000	1,000	0,000	111,666	0,000	4,886	0,000	1,609
Element 1-7 (Embedded beam)	27662	2	9,771	-3,251	107,608	-0,033	1,879	-30,000	-30,185	30,000	1,000	0,000	107,845	-0,033	1,467	0,000	1,879
(Ricopalo ancoraggio autoperforante R38i=1,60m)	27663	3	9,896	-3,274	103,790	-3,148	1,662	-30,000	-18,568	30,000	1,000	0,000	104,022	-3,148	0,000	0,000	1,662
100	27664	4	10,022	-3,297	99,972	-4,851	1,137	-30,000	-7,972	30,000	1,000	0,000	100,198	-4,851	0,000	0,000	1,219
101	27665	5	10,147	-3,320	96,158	-5,166	0,486	-30,000	5,285	30,000	1,000	0,000	96,377	-5,166	0,000	0,000	0,707
EmbeddedBeam_1_1	27665	1	10,147	-3,320	96,156	-5,990	0,486	-30,000	5,285	30,000	1,000	0,000	96,375	-5,990	0,000	0,000	0,707
Element 1-8 (Embedded beam)	27666	2	10,296	-3,347	91,616	-2,824	-0,168	-30,000	17,050	30,000	1,000	0,000	91,827	-2,938	0,000	0,168	0,389
(Ricopalo ancoraggio autoperforante R38i=1,60m)	27667	3	10,445	-3,375	87,072	-0,795	-0,426	-30,000	10,237	30,000	1,000	0,000	87,275	-1,196	0,000	0,426	0,209
102	27668	4	10,594	-3,402	82,529	0,012	-0,471	-30,000	0,908	30,000	1,000	0,000	82,724	-0,821	0,012	0,472	0,081
103	27669	5	10,743	-3,430	77,989	-0,488	-0,489	-30,000	-1,009	30,000	1,000	0,000	78,175	-1,299	0,000	0,491	0,009
EmbeddedBeam_1_1	27669	1	10,743	-3,430	77,987	-0,571	-0,489	-30,000	-1,009	30,000	1,000	0,000	78,173	-1,474	0,000	0,491	0,009
Element 1-9 (Embedded beam)	27670	2	10,920	-3,462	72,583	0,326	-0,508	-30,000	3,903	30,000	1,000	0,000	72,759	-0,532	0,382	0,508	0,000
(Ricopalo ancoraggio autoperforante R38i=1,60m)	27671	3	11,097	-3,495	67,176	0,871	-0,392	-30,000	2,610	30,000	1,000	0,000	67,341	0,000	0,903	0,392	0,000
104	27672	4	11,274	-3,527	61,769	0,972	-0,220	-30,000	-1,029	30,000	1,000	0,000	61,922	0,000	0,972	0,234	0,000
105	27673	5	11,452	-3,560	56,365	0,535	-0,075	-30,000	-2,507	30,000	1,000	0,000	56,507	0,000	0,535	0,140	0,001
EmbeddedBeam_1_1	27673	1	11,452	-3,560	56,362	0,512	-0,075	-30,000	-2,507	30,000	1,000	0,000	56,504	0,000	0,530	0,140	0,001
Element 1-10 (Embedded beam)	27674	2	11,663	-3,599	49,931	0,281	0,011	-30,000	-1,144	30,000	1,000	0,000	50,059	0,000	0,460	0,043	0,015
(Ricopalo ancoraggio autoperforante R38i=1,60m)	27675	3	11,874	-3,638	43,496	0,020	0,044	-30,000	-1,298	30,000	1,000	0,000	43,608	-0,002	0,260	0,011	0,071
106	27676	4	12,085	-3,676	37,060	-0,267	0,018	-30,000	-1,394	30,000	1,000	0,000	37,157	-0,267	0,110	0,005	0,072
107	27677	5	12,296	-3,715	30,629	-0,579	-0,073	-30,000	-0,576	30,000	1,000	0,000	30,710	-0,603	0,000	0,073	0,050

Structural element	Node [10^]	Local number	X [m]	Y [m]	N [kN]	Q [kN]	M [kN m]	T_{xxx} [kN/m]	T_{yy} [kN/m]	$T_{xxx,yyy}$ [kN/m]	$T_{xxx,yyy}$	$N_{x,x}$ [kN]	N_{yyy} [kN]	$Q_{x,x}$ [kN]	Q_{yyy} [kN]	$M_{x,x}$ [kN m]	M_{yyy} [kN m]
EmbeddedBeam_11_1	27677	1	12,296	3,715	10,626	-0,520	-0,073	-30,000	-0,576	30,000	1,000	0,000	30,706	-0,520	0,000	-0,073	0,050
Element 1-11 (Embedded beam)	27678	2	12,547	3,761	22,972	-0,458	-0,217	-30,000	0,810	30,000	1,000	0,000	23,033	-0,458	0,005	-0,217	0,001
/#(Ricropalo ancoraggio autoperforante R38i=1,60m)	27679	3	12,798	3,808	15,313	0,069	-0,260	-30,000	4,945	30,000	1,000	0,000	15,354	-0,023	0,155	0,260	0,001
/#	27680	4	13,049	3,854	7,655	0,599	-0,182	-30,000	0,840	30,000	1,000	0,000	7,675	-0,001	0,599	-0,182	0,009
/#	27681	5	13,300	3,900	0,002	0,673	0,000	-30,000	-8,939	30,000	1,000	0,000	0,049	-0,312	0,673	0,000	0,000
EmbeddedBeam_31_1	27682	1	2,300	5,900	237,697	0,501	0,000	-15,513	-4,725	30,000	0,517	0,000	241,760	0,000	0,511	0,000	0,000
Element 2-12 (Embedded beam)	27683	2	2,582	5,950	233,562	0,262	0,019	-14,984	-1,612	30,000	0,499	0,000	238,016	-0,266	0,125	0,000	0,073
/#(Ricropalo ancoraggio autoperforante R38i=1,60m)	27684	3	2,865	6,000	229,148	0,412	-0,091	-15,426	0,667	30,000	0,514	0,000	233,983	-0,414	0,011	0,093	0,084
/#	27685	4	3,147	6,049	224,345	0,021	-0,162	-17,706	2,448	30,000	0,590	0,000	229,548	-0,118	0,120	0,164	0,064
/#	27686	5	3,430	6,099	219,040	1,004	-0,027	-24,535	1,584	30,000	0,818	0,000	224,599	-0,128	1,034	0,029	0,087
EmbeddedBeam_31_1	27686	1	3,430	6,099	218,853	0,896	-0,027	-24,535	1,584	30,000	0,818	0,000	224,481	-0,123	0,936	0,029	0,087
Element 2-13 (Embedded beam)	27687	2	3,595	6,128	213,851	0,651	0,105	-29,838	-1,730	30,000	0,995	0,000	219,454	-0,164	0,653	0,003	0,159
/#(Ricropalo ancoraggio autoperforante R38i=1,60m)	27688	3	3,760	6,158	208,847	0,295	0,184	-29,835	-2,807	30,000	0,994	0,000	214,452	-0,258	0,297	0,030	0,195
/#	27689	4	3,925	6,187	203,843	0,117	0,201	-29,833	-2,398	30,000	0,994	0,000	209,433	-0,419	0,001	0,061	0,203
/#	27690	5	4,090	6,216	198,843	0,530	0,146	-29,833	-0,999	30,000	0,994	0,000	204,382	-0,579	0,002	0,096	0,148
EmbeddedBeam_31_1	27690	1	4,090	6,216	198,841	0,450	0,146	-29,833	-0,999	30,000	0,994	0,000	204,394	-0,519	0,002	0,096	0,148
Element 2-14 (Embedded beam)	27691	2	4,187	6,233	195,917	0,501	0,098	-29,833	0,008	30,000	0,994	0,000	201,453	-0,518	0,003	0,114	0,100
/#(Ricropalo ancoraggio autoperforante R38i=1,60m)	27692	3	4,283	6,250	192,991	0,448	0,051	-29,834	1,103	30,000	0,994	0,000	198,510	-0,450	0,004	0,126	0,053
/#	27693	4	4,380	6,267	190,064	0,290	0,014	-29,835	2,125	30,000	0,994	0,000	195,567	-0,292	0,074	0,127	0,016
/#	27694	5	4,476	6,284	187,140	0,030	-0,003	-29,837	3,091	30,000	0,995	0,000	192,627	-0,033	0,276	0,110	0,000
EmbeddedBeam_31_1	27694	1	4,476	6,284	187,139	0,046	-0,003	-29,837	3,091	30,000	0,995	0,000	192,626	-0,048	0,271	0,110	0,000
Element 2-15 (Embedded beam)	27695	2	4,533	6,294	185,428	0,169	0,001	-29,838	3,643	30,000	0,995	0,000	190,906	0,000	0,450	0,090	0,003
/#(Ricropalo ancoraggio autoperforante R38i=1,60m)	27696	3	4,589	6,304	183,717	0,379	0,017	-29,840	3,974	30,000	0,995	0,000	189,185	0,000	0,628	0,059	0,019
/#	27697	4	4,646	6,314	182,005	0,566	0,044	-29,842	2,837	30,000	0,995	0,000	187,464	0,000	0,785	0,019	0,046
/#	27698	5	4,702	6,324	180,294	0,712	0,081	-29,844	-1,675	30,000	0,995	0,000	185,998	0,000	0,907	0,002	0,082
EmbeddedBeam_31_1	27698	1	4,702	6,324	180,293	0,670	0,081	-29,740	-2,792	30,000	0,991	0,000	185,934	0,000	0,871	0,002	0,082
Element 2-16 (Embedded beam)	27699	2	4,800	6,341	177,342	0,342	0,131	-29,749	-2,926	30,000	0,992	0,000	182,955	0,000	0,491	0,001	0,131
/#(Ricropalo ancoraggio autoperforante R38i=1,60m)	27700	3	4,898	6,358	174,388	0,088	0,151	-29,758	-2,219	30,000	0,992	0,000	179,974	-0,001	0,195	0,001	0,152
/#	27701	4	4,995	6,376	171,433	0,086	0,151	-29,767	-1,321	30,000	0,992	0,000	176,993	-0,091	0,011	0,001	0,151
/#	27702	5	5,093	6,393	168,479	0,176	0,137	-29,776	-0,640	30,000	0,993	0,000	174,014	-0,179	0,005	0,000	0,138
EmbeddedBeam_31_1	27702	1	5,093	6,393	168,478	0,185	0,137	-29,776	-0,640	30,000	0,993	0,000	174,012	-0,188	0,004	0,000	0,138
Element 2-17 (Embedded beam)	27703	2	5,177	6,408	165,948	0,215	0,120	-29,784	-0,230	30,000	0,993	0,000	171,461	-0,218	0,003	0,000	0,120
/#(Ricropalo ancoraggio autoperforante R38i=1,60m)	27704	3	5,261	6,422	163,415	0,223	0,101	-29,792	0,053	30,000	0,993	0,000	168,908	-0,226	0,003	0,000	0,102
/#	27705	4	5,344	6,437	160,882	0,212	0,082	-29,801	0,232	30,000	0,993	0,000	166,355	-0,215	0,003	0,000	0,084
/#	27706	5	5,428	6,452	158,349	0,183	0,066	-29,810	0,331	30,000	0,994	0,000	163,804	-0,186	0,003	0,000	0,067
EmbeddedBeam_31_1	27706	1	5,428	6,452	158,348	0,188	0,066	-29,810	0,331	30,000	0,994	0,000	163,802	-0,191	0,003	0,000	0,067
Element 2-18 (Embedded beam)	27707	2	5,525	6,469	155,426	0,150	0,049	-29,820	0,373	30,000	0,994	0,000	160,859	-0,158	0,003	0,000	0,050
/#(Ricropalo ancoraggio autoperforante R38i=1,60m)	27708	3	5,621	6,486	152,501	0,114	0,036	-29,830	0,362	30,000	0,994	0,000	157,914	-0,126	0,002	0,000	0,036
/#	27709	4	5,718	6,503	149,574	0,081	0,026	-29,840	0,320	30,000	0,995	0,000	154,969	-0,095	0,002	0,000	0,026
/#	27710	5	5,814	6,520	146,649	0,052	0,020	-29,850	0,262	30,000	0,995	0,000	152,026	-0,066	0,002	0,000	0,020
EmbeddedBeam_31_1	27710	1	5,814	6,520	146,648	0,052	0,020	-29,850	0,262	30,000	0,995	0,000	152,025	-0,067	0,002	0,000	0,020
Element 2-19 (Embedded beam)	27711	2	5,926	6,540	143,272	0,027	0,016	-29,861	0,188	30,000	0,995	0,000	148,630	-0,041	0,002	0,000	0,016
/#(Ricropalo ancoraggio autoperforante R38i=1,60m)	27712	3	6,037	6,559	139,893	0,010	0,014	-29,870	0,118	30,000	0,996	0,000	145,233	-0,022	0,002	0,000	0,014
/#	27713	4	6,149	6,579	136,513	0,000	0,013	-29,879	0,058	30,000	0,996	0,000	141,835	-0,009	0,002	0,000	0,013
/#	27714	5	6,260	6,599	133,134	0,003	0,013	-29,887	0,016	30,000	0,996	0,000	138,440	-0,004	0,003	0,000	0,013
EmbeddedBeam_31_1	27714	1	6,260	6,599	133,133	0,005	0,013	-29,887	0,016	30,000	0,996	0,000	138,439	-0,003	0,005	0,000	0,013
Element 2-20 (Embedded beam)	27715	2	6,388	6,621	129,234	0,004	0,014	-29,895	-0,009	30,000	0,997	0,000	134,522	-0,003	0,006	0,000	0,014
/#(Ricropalo ancoraggio autoperforante R38i=1,60m)	27716	3	6,517	6,644	125,332	0,002	0,014	-29,902	-0,025	30,000	0,997	0,000	130,604	-0,003	0,007	0,000	0,014
/#	27717	4	6,645	6,667	121,428	0,002	0,014	-29,908	-0,036	30,000	0,997	0,000	126,685	-0,003	0,006	0,000	0,014
/#	27718	5	6,774	6,690	117,527	0,007	0,014	-29,913	-0,042	30,000	0,997	0,000	122,768	-0,007	0,005	0,000	0,014
EmbeddedBeam_31_1	27718	1	6,774	6,690	117,526	0,007	0,014	-29,913	-0,042	30,000	0,997	0,000	122,766	-0,007	0,005	0,000	0,014
Element 2-21 (Embedded beam)	27719	2	6,922	6,716	113,024	0,013	0,012	-29,918	-0,041	30,000	0,997	0,000	118,249	-0,013	0,004	0,000	0,012
/#(Ricropalo ancoraggio autoperforante R38i=1,60m)	27720	3	7,070	6,742	108,520	0,019	0,010	-29,922	-0,035	30,000	0,997	0,000	113,728	-0,019	0,002	0,000	0,010
/#	27721	4	7,219	6,768	104,020	0,023	0,007	-29,860	-0,022	30,000	0,995	0,000	109,207	-0,023	0,001	0,000	0,009
/#	27722	5	7,367	6,794	99,531	0,026	0,003	-29,707	0,002	30,000	0,990	0,000	104,689	-0,026	0,001	0,000	0,009
EmbeddedBeam_31_1	27722	1	7,367	6,794	99,535	0,022	0,003	-29,707	0,002	30,000	0,990	0,000	104,687	-0,022	0,001	0,000	0,009
Element 2-22 (Embedded beam)	27723	2	7,538	6,824	94,393	0,020	-0,001	-29,520	0,077	30,000	0,984	0,000	99,475	-0,020	0,001	0,001	0,008

Structural element	Node [10^]	Local number	X [m]	Y [m]	N [kN]	Q [kN]	M [kN m]	$T_{,,,,}$ [kN/m]	$T_{,,,}$ [kN/m]	$T_{,,,,,,,,,,}$ [kN/m]	$T_{,,,,,,,,}$	$N_{,,,}$ [kN]	$M_{,,,}$ [kN]	$Q_{,,,}$ [kN]	$Q_{,,,}$ [kN]	$M_{,,,}$ [kN m]	$M_{,,,}$ [kN m]
/#(circopalo ancoraggio autoperforante R38l=1,60m)	27724	3	7,709	-6,855	89,284	0,004	-0,003	-29,315	0,195	30,000	0,977	0,000	94,260	-0,007	0,016	0,003	0,008
/#	27725	4	7,880	-6,885	84,212	0,052	0,002	-29,097	0,346	30,000	0,970	0,000	89,045	-0,006	0,054	0,000	0,011
/#	27726	5	8,051	-6,915	79,181	0,124	0,017	-28,873	0,484	30,000	0,962	0,000	83,833	-0,006	0,124	0,000	0,021
EmbeddedBeam_3_1	27726	1	8,051	-6,915	79,179	0,093	0,017	-28,873	0,484	30,000	0,962	0,000	83,831	-0,006	0,094	0,000	0,021
Element 2-23 (Embedded beam)	27727	2	8,248	-6,950	73,426	0,244	0,051	-28,594	0,524	30,000	0,953	0,000	77,819	-0,006	0,244	0,000	0,053
/#(circopalo ancoraggio autoperforante R38l=1,60m)	27728	3	8,445	-6,984	67,727	0,312	0,109	-28,287	0,267	30,000	0,943	0,000	71,803	-0,005	0,312	0,000	0,109
/#	27729	4	8,643	-7,019	62,084	0,274	0,170	-28,030	-0,543	30,000	0,934	0,000	65,786	-0,007	0,274	0,000	0,170
/#	27730	5	8,840	-7,054	56,500	0,104	0,210	-28,078	-2,322	30,000	0,936	0,000	59,774	-0,170	0,104	0,000	0,210
EmbeddedBeam_3_1	27730	1	8,840	-7,054	56,433	0,018	0,210	-28,078	-2,322	30,000	0,936	0,000	59,771	-0,008	0,043	0,000	0,210
Element 2-24 (Embedded beam)	27731	2	9,067	-7,094	50,126	0,894	0,129	-27,132	-5,677	30,000	0,904	0,000	52,836	-0,894	0,004	0,037	0,129
/#(circopalo ancoraggio autoperforante R38l=1,60m)	27732	3	9,295	-7,134	43,882	2,677	-0,273	-27,054	-10,485	30,000	0,902	0,000	45,896	-2,677	0,002	0,334	0,004
/#	27733	4	9,523	-7,175	37,742	5,139	-1,160	-26,227	-11,564	30,000	0,874	0,000	38,955	-5,139	0,001	1,160	0,003
/#	27734	5	9,750	-7,215	31,748	8,092	-2,683	-26,457	-1,111	30,000	0,882	0,000	32,020	-8,092	0,000	2,683	0,002
EmbeddedBeam_3_1	27734	1	9,750	-7,215	31,981	8,346	-2,683	-26,457	-1,111	30,000	0,882	0,000	32,016	-8,346	0,007	2,683	0,002
Element 2-25 (Embedded beam)	27735	2	10,013	-7,261	23,989	3,915	-4,433	-30,000	18,983	30,000	1,000	0,000	24,016	-3,915	1,096	4,433	0,001
/#(circopalo ancoraggio autoperforante R38l=1,60m)	27736	3	10,275	-7,307	15,991	2,846	-4,519	-30,000	41,315	30,000	1,000	0,000	16,009	-0,029	2,849	4,519	0,000
/#	27737	4	10,538	-7,354	7,993	9,113	-2,959	-30,000	15,269	30,000	1,000	0,000	8,010	-0,001	9,113	2,959	0,000
/#	27738	5	10,800	-7,400	0,001	12,059	0,000	-30,000	-139,803	30,000	1,000	0,022	0,224	-0,044	12,059	0,000	0,000
EmbeddedBeam_2_1	27739	1	-3,562	-12,132	73,822	0,004	0,000	-121,174	0,076	125,000	0,969	0,133	75,032	-0,007	0,007	0,000	0,000
Element 3-26 (Embedded beam)	27740	2	-3,445	-12,380	14,700	0,008	0,002	-115,261	0,002	125,000	0,922	0,066	15,402	0,000	0,009	0,000	0,002
/#(circopalo D168.3 s12.5mm/1,6m)	27741	3	-3,329	-12,628	11,872	0,001	0,003	-41,037	-0,083	125,000	0,328	0,026	12,374	-0,001	0,006	0,000	0,004
/#	27742	4	-3,213	-12,876	2,219	0,007	0,002	-19,061	-0,009	125,000	0,152	0,121	2,895	-0,007	0,000	0,000	0,004
/#	27743	5	-3,096	-13,124	2,622	0,008	0,000	-9,906	0,273	125,000	0,079	0,010	3,672	-0,012	0,009	0,000	0,004
EmbeddedBeam_2_1	27743	1	-3,096	-13,124	-0,443	0,070	0,000	-9,906	0,273	125,000	0,079	0,554	0,914	-0,145	0,070	0,000	0,004
Element 3-27 (Embedded beam)	27744	2	-2,980	-13,372	-2,240	0,107	0,000	-8,688	-0,884	125,000	0,070	2,240	0,000	-0,107	0,051	0,011	0,001
/#(circopalo D168.3 s12.5mm/1,6m)	27745	3	-2,863	-13,620	-5,120	0,443	-0,074	-11,613	-1,821	125,000	0,093	5,120	0,000	-0,443	0,089	0,074	0,022
/#	27746	4	-2,747	-13,868	-9,294	0,863	-0,250	-18,143	-1,491	125,000	0,145	9,294	0,002	-0,863	0,000	0,250	0,004
/#	27747	5	-2,631	-14,116	-14,976	1,289	-0,547	-25,633	8,673	125,000	0,205	14,976	0,003	-1,600	0,001	0,547	0,000
EmbeddedBeam_2_1	27747	1	-2,631	-14,116	-17,107	0,408	-0,547	-25,633	8,673	125,000	0,205	17,107	0,003	-2,795	0,408	0,547	0,000
Element 3-28 (Embedded beam)	27748	2	-2,514	-14,364	-20,577	1,622	-0,429	-22,707	-10,652	125,000	0,182	20,577	0,005	-1,865	0,029	0,952	0,001
/#(circopalo D168.3 s12.5mm/1,6m)	27749	3	-2,398	-14,612	-29,372	8,309	-1,979	-39,966	-63,152	125,000	0,320	29,372	0,007	-8,309	1,385	1,979	0,001
/#	27750	4	-2,282	-14,860	-43,942	12,086	-4,716	-64,874	10,603	125,000	0,519	43,942	0,008	-12,086	3,920	4,716	0,059
/#	27751	5	-2,165	-15,108	-64,737	5,382	-7,525	25,696	49,521	125,000	0,206	64,737	0,010	-6,897	3,277	7,525	0,841
EmbeddedBeam_2_1	27751	1	-2,165	-15,108	-39,249	9,682	-7,525	25,696	49,521	125,000	0,206	40,629	0,009	-11,865	2,504	7,525	0,841
Element 3-29 (Embedded beam)	27752	2	-2,049	-15,356	-68,011	12,634	-7,041	-52,502	51,037	125,000	0,420	68,158	0,011	-1,208	12,634	7,041	0,961
/#(circopalo D168.3 s12.5mm/1,6m)	27753	3	-1,933	-15,604	-65,278	21,825	-1,655	96,124	46,837	125,000	0,769	65,281	0,011	-1,744	21,825	1,655	0,695
/#	27754	4	-1,816	-15,852	-38,239	8,576	2,872	125,000	-112,801	125,000	1,000	38,908	0,008	-1,443	8,576	0,018	2,975
/#	27755	5	-1,700	-16,100	5,918	36,424	0,000	125,000	207,694	125,000	1,000	1,790	8,215	-36,424	0,403	0,000	0,000

3.3.1.1.30 Calculation results, Embedded beam, SLV - stab globale [Phase_32] (32/1056), Table of embedded beam force envelopes

Structural element	Node [10^1]	Local number	X [m]	Y [m]	N [kN]	Q [kN]	M [10^-1 kN m]	T_{zzx} [kN/m]	T_{zzy} [kN/m]	$T_{zzx,zzz}$ [kN/m]	$T_{zzy,zzz}$	N_{zzx} [10^-1 kN]	N_{zzy} [kN]	Q_{zzx} [10^-1 kN]	Q_{zzy} [kN]	M_{zzx} [10^-1 kN m]	M_{zzy} [10^-1 kN m]
EmbeddedBeam_1_1	27637	1	4,600	-2,300	121,580	1,233	0,000	5,238	3,497	30,000	0,175	0,000	121,580	0,000	1,233	0,000	0,000
Element 1-1 (Embedded beam)	27638	2	4,890	-2,353	119,448	0,254	205,715	7,403	2,550	30,000	0,247	0,000	119,448	0,000	0,254	0,000	205,715
(Micropalo ancoraggio autoperforante R38i=1,60m)	27639	3	5,179	-2,407	117,207	-0,245	197,860	7,928	-0,656	30,000	0,264	0,000	117,207	-249,660	0,000	0,000	197,860
28	27640	4	5,469	-2,460	114,898	-0,325	102,575	7,871	0,297	30,000	0,262	0,000	114,898	-325,232	0,000	0,000	102,575
29	27641	5	5,758	-2,513	112,559	-0,047	40,552	7,745	0,323	30,000	0,258	0,000	112,559	-46,838	0,000	0,000	40,552
EmbeddedBeam_1_1	27641	1	5,758	-2,513	112,573	-0,152	40,552	7,745	0,323	30,000	0,258	0,000	112,573	-151,989	0,000	0,000	40,552
Element 1-2 (Embedded beam)	27642	2	6,010	-2,559	110,612	-0,098	8,267	7,685	0,206	30,000	0,256	0,000	110,612	-98,436	0,000	-0,013	8,267
(Micropalo ancoraggio autoperforante R38i=1,60m)	27643	3	6,262	-2,606	108,633	-0,043	-9,616	7,797	0,254	30,000	0,260	0,000	108,633	-43,365	0,000	-9,616	0,297
30	27644	4	6,514	-2,652	106,646	0,005	-14,547	7,749	0,151	30,000	0,258	0,000	106,646	0,000	0,011	-14,547	1,050
31	27645	5	6,766	-2,698	104,661	0,037	-8,633	7,589	0,037	30,000	0,253	0,000	104,661	0,000	0,037	-8,633	3,236
EmbeddedBeam_1_1	27645	1	6,766	-2,698	104,675	0,034	-8,633	7,589	0,037	30,000	0,253	0,000	104,675	0,000	0,034	-8,633	3,236
Element 1-3 (Embedded beam)	27646	2	6,985	-2,739	102,998	0,037	-0,734	7,436	0,015	30,000	0,248	0,000	102,998	0,000	0,037	-0,734	5,809
(Micropalo ancoraggio autoperforante R38i=1,60m)	27647	3	7,204	-2,779	101,361	0,041	7,948	7,263	0,027	30,000	0,242	0,000	101,361	0,000	0,041	-0,003	10,222
32	27648	4	7,423	-2,819	99,765	0,048	17,834	7,063	0,032	30,000	0,235	0,000	99,765	0,000	0,048	-0,001	17,834
33	27649	5	7,643	-2,860	98,213	0,056	29,321	6,834	0,012	30,000	0,228	0,000	98,213	0,000	0,056	-0,001	29,321
EmbeddedBeam_1_1	27649	1	7,643	-2,860	98,217	0,041	29,321	6,834	0,012	30,000	0,228	0,000	98,217	0,005	0,041	-0,001	29,321
Element 1-4 (Embedded beam)	27650	2	7,833	-2,895	96,910	0,047	38,583	6,625	0,118	30,000	0,221	0,000	96,910	0,161	0,047	-0,001	38,583
(Micropalo ancoraggio autoperforante R38i=1,60m)	27651	3	8,024	-2,930	95,648	-0,002	44,016	6,392	0,356	30,000	0,213	0,000	95,648	-2,527	0,002	0,000	44,016
34	27652	4	8,215	-2,965	94,434	-0,114	33,659	6,136	0,766	30,000	0,205	0,000	94,434	-114,247	0,000	0,000	33,659
35	27653	5	8,405	-3,000	93,269	-0,296	-4,881	5,952	0,997	30,000	0,198	0,000	93,269	-296,278	0,000	-4,881	4,297
EmbeddedBeam_1_1	27653	1	8,405	-3,000	93,288	-0,338	-4,881	5,952	0,997	30,000	0,198	0,000	93,288	-338,467	0,000	-4,881	4,297
Element 1-5 (Embedded beam)	27654	2	8,571	-3,030	92,204	-0,326	-61,348	6,444	0,206	30,000	0,215	0,000	92,204	-326,341	0,000	-61,348	0,000
(Micropalo ancoraggio autoperforante R38i=1,60m)	27655	3	8,737	-3,061	91,112	-0,273	-112,771	6,537	0,362	30,000	0,218	0,000	91,112	-273,182	0,000	-112,771	0,000
36	27656	4	8,903	-3,091	90,020	-0,168	-150,581	6,448	0,828	30,000	0,215	0,000	90,020	-167,593	0,000	-150,581	0,000
37	27657	5	9,069	-3,122	88,935	0,002	-165,616	6,276	1,743	30,000	0,209	0,000	88,935	-39,023	0,006	-165,616	0,000
EmbeddedBeam_1_1	27657	1	9,069	-3,122	88,853	-0,056	-165,616	6,276	1,743	30,000	0,209	0,000	88,853	-82,718	0,000	-165,616	0,000
Element 1-6 (Embedded beam)	27658	2	9,213	-3,148	88,052	0,379	-139,844	6,622	2,268	30,000	0,221	0,000	88,052	0,000	0,379	-139,844	0,000
(Micropalo ancoraggio autoperforante R38i=1,60m)	27659	3	9,357	-3,175	86,922	0,619	-63,591	8,586	1,164	30,000	0,286	0,000	86,922	0,000	0,619	-63,591	0,000
38	27660	4	9,502	-3,201	85,430	0,637	31,130	11,537	0,756	30,000	0,385	0,000	85,430	0,000	0,637	-0,001	31,962
39	27661	5	9,646	-3,228	83,548	0,407	111,134	14,238	2,145	30,000	0,475	0,000	83,548	0,000	0,407	0,000	111,134
EmbeddedBeam_1_1	27661	1	9,646	-3,228	83,543	0,399	111,134	23,731	3,575	30,000	0,791	0,000	83,543	0,000	0,399	0,000	111,134
Element 1-7 (Embedded beam)	27662	2	9,771	-3,251	80,534	0,070	139,527	23,581	2,113	30,000	0,786	0,000	80,534	0,000	0,070	0,000	139,527
(Micropalo ancoraggio autoperforante R38i=1,60m)	27663	3	9,896	-3,274	77,542	-0,135	134,232	23,430	-1,022	30,000	0,781	0,000	77,542	-134,603	0,000	0,000	134,232
40	27664	4	10,022	-3,297	74,569	-0,223	110,158	23,280	0,298	30,000	0,776	0,000	74,569	-223,257	0,000	0,000	110,158
41	27665	5	10,147	-3,320	71,618	-0,207	81,812	23,137	0,124	30,000	0,771	0,000	71,618	-206,500	0,000	0,000	81,812
EmbeddedBeam_1_1	27665	1	10,147	-3,320	71,615	-0,234	81,812	23,137	0,124	30,000	0,771	0,000	71,615	-233,894	0,000	0,000	81,812
Element 1-8 (Embedded beam)	27666	2	10,296	-3,347	68,126	-0,182	50,308	22,976	0,342	30,000	0,766	0,000	68,126	-181,622	0,000	0,000	50,308
(Micropalo ancoraggio autoperforante R38i=1,60m)	27667	3	10,445	-3,375	64,656	-0,129	26,846	22,827	0,371	30,000	0,761	0,000	64,656	-128,987	0,000	0,000	26,846
42	27668	4	10,594	-3,402	61,209	-0,079	11,088	22,689	0,306	30,000	0,756	0,000	61,209	-79,120	0,000	0,000	11,088
43	27669	5	10,743	-3,430	57,785	-0,035	2,552	22,563	0,213	30,000	0,752	0,000	57,785	-35,153	0,000	-0,671	2,552
EmbeddedBeam_1_1	27669	1	10,743	-3,430	57,781	-0,036	2,552	22,563	0,213	30,000	0,752	0,000	57,781	-35,626	0,000	-0,671	2,552
Element 1-9 (Embedded beam)	27670	2	10,920	-3,462	53,730	-0,010	-1,387	22,430	0,112	30,000	0,748	0,000	53,730	-10,134	0,000	-3,334	0,034
(Micropalo ancoraggio autoperforante R38i=1,60m)	27671	3	11,097	-3,495	49,696	0,004	-1,775	22,316	0,042	30,000	0,744	0,000	49,696	0,112	0,004	-3,652	0,009
44	27672	4	11,274	-3,527	45,681	0,009	-0,408	22,220	0,004	30,000	0,741	0,000	45,681	0,035	0,009	-2,507	0,001
45	27673	5	11,452	-3,560	41,687	0,005	0,986	22,143	0,012	30,000	0,738	0,000	41,687	0,024	0,005	-1,462	0,986
EmbeddedBeam_1_1	27673	1	11,452	-3,560	41,681	0,007	0,986	22,143	0,012	30,000	0,738	0,000	41,681	0,012	0,007	-1,462	0,986
Element 1-10 (Embedded beam)	27674	2	11,663	-3,599	36,944	0,004	2,208	22,077	0,015	30,000	0,736	0,000	36,944	0,011	0,004	-0,744	2,208
(Micropalo ancoraggio autoperforante R38i=1,60m)	27675	3	11,874	-3,638	32,211	0,001	2,737	22,040	0,013	30,000	0,735	0,000	32,211	0,010	0,002	-0,397	2,737
46	27676	4	12,085	-3,676	27,482	-0,001	2,689	22,031	0,010	30,000	0,734	0,000	27,482	-1,392	0,000	-0,274	2,689

Structural element	Node [10^1]	Local number	X [m]	Y [m]	N [kN]	Q [kN]	M [10^1 kN m]	$T_{,xx}$ [kN/m]	$T_{,yy}$ [kN/m]	$T_{,xx,yy}$ [kN/m]	$T_{,xx,yy}$	$N_{,xx}$ [10^1 kN]	$N_{,yy}$ [kN]	$Q_{,xz}$ [10^1 kN]	$Q_{,yz}$ [kN]	$M_{,xx}$ [10^1 kN m]	$M_{,yy}$ [10^1 kN m]
圧	27677	5	12,296	-3,715	22,760	-0,003	2,178	-22,051	0,007	30,000	0,735	0,000	22,760	-3,287	0,000	-0,257	2,178
EmbeddedBeam_31_1	27677	1	12,296	-3,715	22,753	-0,004	2,178	-22,051	0,007	30,000	0,735	0,000	22,753	-3,699	0,000	-0,257	2,178
Element 1-11 (Embedded beam)	27678	2	12,547	-3,761	17,119	-0,003	1,185	-22,133	0,002	30,000	0,738	0,000	17,119	-3,476	0,000	-0,258	1,596
(Micropalo ancoraggio autoperforante R38i=1,60m)	27679	3	12,798	-3,808	11,454	-0,002	0,562	-22,222	0,019	30,000	0,741	0,000	11,454	-2,016	0,000	-0,189	1,070
圧	27680	4	13,049	-3,854	5,761	-0,001	0,243	-22,359	0,002	30,000	0,745	0,000	5,761	-1,868	0,000	-0,088	0,559
圧	27681	5	13,300	-3,900	0,040	-0,002	0,000	-22,962	0,016	30,000	0,765	0,000	0,040	-2,896	0,000	0,000	0,000
EmbeddedBeam_31_1	27682	1	2,300	-3,900	127,978	0,260	0,000	-10,371	-1,338	30,000	0,346	0,000	127,978	0,000	0,260	0,000	0,000
Element 2-12 (Embedded beam)	27683	2	2,582	-3,950	125,088	0,091	48,721	-10,244	0,491	30,000	0,341	0,000	125,088	-0,074	0,091	0,000	48,721
(Micropalo ancoraggio autoperforante R38i=1,60m)	27684	3	2,865	-4,000	122,095	-0,019	57,878	-10,709	0,254	30,000	0,357	0,000	122,095	-18,918	0,011	-0,002	57,878
圧	27685	4	3,147	-4,049	119,025	-0,076	42,919	-10,777	0,122	30,000	0,359	0,000	119,025	-75,834	0,000	-0,084	42,919
圧	27686	5	3,430	-4,099	115,905	-0,086	18,714	-10,754	0,136	30,000	0,358	0,000	115,905	-86,429	0,000	-0,100	18,714
EmbeddedBeam_31_1	27686	1	3,430	-4,099	115,924	-0,078	18,714	-10,754	0,136	30,000	0,358	0,000	115,924	-77,554	0,000	-0,100	18,714
Element 2-13 (Embedded beam)	27687	2	3,595	-4,128	114,129	-0,059	7,336	-10,673	0,103	30,000	0,356	0,000	114,129	-58,709	0,000	-0,823	8,168
(Micropalo ancoraggio autoperforante R38i=1,60m)	27688	3	3,760	-4,158	112,344	-0,043	-1,146	-10,607	0,084	30,000	0,354	0,000	112,344	-42,915	0,000	-1,898	1,395
圧	27689	4	3,925	-4,187	110,572	-0,030	-7,223	-10,527	0,069	30,000	0,351	0,000	110,572	-30,045	0,001	-7,223	0,000
圧	27690	5	4,090	-4,216	108,814	-0,020	-11,378	-10,423	0,062	30,000	0,347	0,000	108,814	-19,972	0,002	-11,378	0,000
EmbeddedBeam_31_1	27690	1	4,090	-4,216	108,815	-0,019	-11,378	-10,423	0,062	30,000	0,347	0,000	108,815	-18,693	0,002	-11,378	0,000
Element 2-14 (Embedded beam)	27691	2	4,187	-4,233	107,797	-0,014	-12,977	-10,351	0,068	30,000	0,345	0,000	107,797	-13,563	0,003	-12,977	0,000
(Micropalo ancoraggio autoperforante R38i=1,60m)	27692	3	4,283	-4,250	106,785	-0,006	-13,949	-10,279	0,088	30,000	0,343	0,000	106,785	-5,612	0,004	-13,949	0,000
圧	27693	4	4,380	-4,267	105,780	0,006	-13,964	-10,217	0,139	30,000	0,341	0,000	105,780	0,000	0,006	-13,964	0,000
圧	27694	5	4,476	-4,284	104,782	0,021	-12,672	-10,170	0,226	30,000	0,339	0,000	104,782	0,000	0,021	-12,672	0,000
EmbeddedBeam_31_1	27694	1	4,476	-4,284	104,779	0,022	-12,672	-10,170	0,226	30,000	0,339	0,000	104,779	0,000	0,022	-12,672	0,000
Element 2-15 (Embedded beam)	27695	2	4,533	-4,294	104,200	0,038	-10,961	-10,126	0,295	30,000	0,338	0,000	104,200	0,000	0,038	-10,961	0,000
(Micropalo ancoraggio autoperforante R38i=1,60m)	27696	3	4,589	-4,304	103,619	0,057	-8,236	-10,102	0,372	30,000	0,337	0,000	103,619	0,000	0,057	-8,236	0,000
圧	27697	4	4,646	-4,314	103,035	0,075	-4,457	-10,238	0,312	30,000	0,341	0,000	103,035	0,000	0,075	-4,457	0,025
圧	27698	5	4,702	-4,324	102,445	0,093	0,387	-10,804	-0,193	30,000	0,360	0,000	102,445	0,000	0,093	-1,938	0,387
EmbeddedBeam_31_1	27698	1	4,702	-4,324	102,437	0,085	0,387	-18,006	-0,322	30,000	0,600	0,000	102,437	0,000	0,085	-1,938	0,387
Element 2-16 (Embedded beam)	27699	2	4,800	-4,341	100,652	0,055	7,245	-17,949	-0,271	30,000	0,598	0,000	100,652	-0,022	0,055	-1,287	7,245
(Micropalo ancoraggio autoperforante R38i=1,60m)	27700	3	4,898	-4,358	98,874	0,031	11,432	-17,880	-0,207	30,000	0,596	0,000	98,874	-0,628	0,031	-0,828	11,432
圧	27701	4	4,995	-4,376	97,102	0,013	13,570	-17,812	-0,145	30,000	0,594	0,000	97,102	-1,160	0,013	-0,515	13,570
圧	27702	5	5,093	-4,393	95,338	0,002	14,279	-17,744	-0,093	30,000	0,591	0,000	95,338	-1,144	0,006	-0,284	14,279
EmbeddedBeam_31_1	27702	1	5,093	-4,393	95,337	0,001	14,279	-17,744	-0,093	30,000	0,591	0,000	95,337	-1,233	0,005	-0,284	14,279
Element 2-17 (Embedded beam)	27703	2	5,177	-4,408	93,832	-0,005	14,131	-17,683	-0,058	30,000	0,589	0,000	93,832	-4,550	0,004	-0,266	14,131
(Micropalo ancoraggio autoperforante R38i=1,60m)	27704	3	5,261	-4,422	92,331	-0,008	13,565	-17,620	-0,032	30,000	0,587	0,000	92,331	-8,460	0,003	-0,327	13,565
圧	27705	4	5,344	-4,437	90,836	-0,010	12,747	-17,556	-0,013	30,000	0,585	0,000	90,836	-10,450	0,003	-0,373	12,747
圧	27706	5	5,428	-4,452	89,347	-0,011	11,838	-17,490	0,000	30,000	0,583	0,000	89,347	-10,651	0,003	-0,383	11,838
EmbeddedBeam_31_1	27706	1	5,428	-4,452	89,346	-0,011	11,838	-17,490	0,000	30,000	0,583	0,000	89,346	-11,053	0,003	-0,383	11,838
Element 2-18 (Embedded beam)	27707	2	5,525	-4,469	87,636	-0,010	10,786	-17,413	0,009	30,000	0,580	0,000	87,636	-10,342	0,003	-0,351	10,786
(Micropalo ancoraggio autoperforante R38i=1,60m)	27708	3	5,621	-4,486	85,932	-0,009	9,821	-17,335	0,013	30,000	0,578	0,000	85,932	-9,294	0,002	-0,274	9,821
圧	27709	4	5,718	-4,503	84,235	-0,008	8,972	-17,257	0,014	30,000	0,575	0,000	84,235	-7,978	0,002	-0,193	8,972
圧	27710	5	5,814	-4,520	82,548	-0,006	8,263	-17,178	0,013	30,000	0,573	0,000	82,548	-6,465	0,002	-0,114	8,263
EmbeddedBeam_31_1	27710	1	5,814	-4,520	82,547	-0,007	8,263	-17,178	0,013	30,000	0,573	0,000	82,547	-6,577	0,002	-0,114	8,263
Element 2-19 (Embedded beam)	27711	2	5,926	-4,540	80,610	-0,005	7,601	-17,088	0,011	30,000	0,570	0,000	80,610	-5,185	0,002	-0,035	7,601
(Micropalo ancoraggio autoperforante R38i=1,60m)	27712	3	6,037	-4,559	78,682	-0,004	7,077	-16,998	0,008	30,000	0,567	0,000	78,682	-4,122	0,002	-0,026	7,077
圧	27713	4	6,149	-4,579	76,763	-0,003	6,656	-16,910	0,005	30,000	0,564	0,000	76,763	-3,386	0,002	-0,017	6,656
圧	27714	5	6,260	-4,599	74,857	-0,003	6,299	-16,824	0,003	30,000	0,561	0,000	74,857	-2,973	0,001	-0,007	6,299
EmbeddedBeam_31_1	27714	1	6,260	-4,599	74,855	-0,003	6,299	-16,824	0,003	30,000	0,561	0,000	74,855	-2,910	0,001	-0,007	6,299
Element 2-20 (Embedded beam)	27715	2	6,388	-4,621	72,668	-0,003	5,932	-16,727	0,001	30,000	0,558	0,000	72,668	-2,735	0,001	0,000	5,932
(Micropalo ancoraggio autoperforante R38i=1,60m)	27716	3	6,517	-4,644	70,490	-0,003	5,581	-16,635	0,000	30,000	0,554	0,000	70,490	-2,669	0,001	0,000	5,581
圧	27717	4	6,645	-4,667	68,325	-0,003	5,232	-16,547	0,000	30,000	0,552	0,000	68,325	-2,694	0,001	0,000	5,232
圧	27718	5	6,774	-4,690	66,173	-0,003	4,875	-16,463	0,000	30,000	0,549	0,000	66,173	-2,789	0,000	0,000	4,875
EmbeddedBeam_31_1	27718	1	6,774	-4,690	66,171	-0,003	4,875	-16,463	0,000	30,000	0,549	0,000	66,171	-2,759	0,000	0,000	4,875
Element 2-21 (Embedded beam)	27719	2	6,922	-4,716	63,701	-0,003	4,457	-16,374	0,000	30,000	0,546	0,000	63,701	-2,784	0,000	0,000	4,457
(Micropalo ancoraggio autoperforante R38i=1,60m)	27720	3	7,070	-4,742	61,242	-0,003	4,040	-16,292	0,001	30,000	0,543	0,000	61,242	-2,741	0,000	0,000	4,077
圧	27721	4	7,219	-4,768	58,795	-0,003	3,635	-16,218	0,001	30,000	0,541	0,000	58,795	-2,633	0,000	0,000	3,714
圧	27722	5	7,367	-4,794	56,361	-0,002	3,251	-16,152	0,001	30,000	0,538	0,000	56,361	-2,461	0,000	0,000	3,409
EmbeddedBeam_31_1	27722	1	7,367	-4,794	56,358	-0,002	3,251	-16,152	0,001	30,000	0,538	0,000	56,358	-2,477	0,000	0,000	3,409

Structural element	Node [10^1]	Local number	X [m]	Y [m]	N [kN]	Q [kN]	M [10^1 kN m]	T_{zzx} [kN/m]	T_{zx} [kN/m]	$T_{zzx,max}$ [kN/m]	$T_{zzx,min}$	N_{xx} [10^1 kN]	N_{xx} [kN]	Q_{xz} [10^1 kN]	Q_{xz} [kN]	M_{xx} [10^1 kN m]	M_{xx} [10^1 kN m]
Element 2-22 (Embedded beam)	27723	2	7,538	6,824	53,562	0,002	2,841	16,085	0,001	30,000	0,536	0,000	53,562	2,247	0,000	0,000	3,093
(Micropalo ancoraggio autoperforante R38I=1,60m)	27724	3	7,709	6,855	50,773	0,002	2,470	16,030	0,001	30,000	0,534	0,000	50,773	2,021	0,000	0,000	2,797
20	27725	4	7,880	6,885	47,992	0,002	2,138	15,986	0,001	30,000	0,533	0,000	47,992	1,812	0,000	0,000	2,508
20	27726	5	8,051	6,915	45,222	0,002	1,844	15,953	0,001	30,000	0,532	0,000	45,222	1,626	0,000	0,000	2,228
EmbeddedBeam_3_1	27726	1	8,051	6,915	45,219	0,002	1,844	15,953	0,001	30,000	0,532	0,000	45,219	1,628	0,000	0,000	2,228
Element 2-23 (Embedded beam)	27727	2	8,248	6,950	42,029	0,001	1,549	15,928	0,001	30,000	0,531	0,000	42,029	1,480	0,000	0,000	1,921
(Micropalo ancoraggio autoperforante R38I=1,60m)	27728	3	8,445	6,984	38,839	0,001	1,305	15,917	0,002	30,000	0,531	0,000	38,839	1,357	0,000	0,000	1,638
20	27729	4	8,643	7,019	35,650	0,001	1,127	15,920	0,002	30,000	0,531	0,000	35,650	1,210	0,000	0,000	1,382
20	27730	5	8,840	7,054	32,462	0,000	1,032	15,937	0,003	30,000	0,531	0,000	32,462	1,041	0,000	0,000	1,161
EmbeddedBeam_3_1	27730	1	8,840	7,054	32,458	0,000	1,032	15,937	0,003	30,000	0,531	0,000	32,458	1,053	0,000	0,000	1,161
Element 2-24 (Embedded beam)	27731	2	9,067	7,094	28,776	0,001	1,056	15,974	0,003	30,000	0,532	0,000	28,776	0,842	0,001	0,000	1,056
(Micropalo ancoraggio autoperforante R38I=1,60m)	27732	3	9,295	7,134	25,077	0,001	1,256	16,030	0,002	30,000	0,534	0,000	25,077	0,653	0,001	0,000	1,256
20	27733	4	9,523	7,175	21,363	0,001	1,484	16,102	0,003	30,000	0,537	0,000	21,363	0,492	0,001	0,000	1,484
20	27734	5	9,750	7,215	17,637	0,000	1,581	16,192	0,007	30,000	0,540	0,000	17,637	0,375	0,000	-0,049	1,581
EmbeddedBeam_3_1	27734	1	9,750	7,215	17,632	0,002	1,581	16,192	0,007	30,000	0,540	0,000	17,632	0,336	0,002	-0,049	1,581
Element 2-25 (Embedded beam)	27735	2	10,013	7,261	13,301	0,004	1,141	16,337	0,013	30,000	0,545	0,000	13,301	4,014	0,000	-0,092	1,141
(Micropalo ancoraggio autoperforante R38I=1,60m)	27736	3	10,275	7,307	8,926	0,004	0,012	16,475	0,018	30,000	0,549	0,000	8,926	4,172	0,000	-0,082	0,525
20	27737	4	10,538	7,354	4,503	0,000	0,726	16,688	0,017	30,000	0,556	0,000	4,503	1,211	0,000	-0,726	0,255
20	27738	5	10,800	7,400	0,032	0,006	0,000	17,250	0,042	30,000	0,575	0,000	0,032	1,079	0,006	0,000	0,000
EmbeddedBeam_2_1	27739	1	-3,562	-12,132	32,424	0,003	0,000	-125,000	0,022	125,000	1,000	-133,104	32,424	0,000	0,003	0,000	0,000
Element 3-26 (Embedded beam)	27740	2	-3,445	-12,380	15,063	0,001	0,404	-51,038	0,006	125,000	0,408	-65,705	15,063	0,000	0,001	0,000	0,404
(Micropalo D168.3 s12.5mm/1,6m)	27741	3	-3,329	-12,628	4,983	0,000	0,406	-18,044	0,001	125,000	0,144	-26,166	4,983	0,361	0,000	0,000	0,406
20	27742	4	-3,213	-12,876	0,825	0,000	0,298	-7,796	0,001	125,000	0,062	-120,690	0,825	0,216	0,000	0,000	0,298
20	27743	5	-3,096	-13,124	1,231	0,001	0,342	-3,055	0,001	125,000	0,024	-9,986	1,231	0,000	0,001	0,000	0,342
EmbeddedBeam_2_1	27743	1	-3,096	-13,124	0,002	0,000	0,342	-3,055	0,001	125,000	0,024	-554,496	0,000	0,005	0,000	0,000	0,342
Element 3-27 (Embedded beam)	27744	2	-2,980	-13,372	0,416	0,000	0,367	-1,205	0,000	125,000	0,010	-787,151	0,000	0,006	0,000	0,000	0,367
(Micropalo D168.3 s12.5mm/1,6m)	27745	3	-2,863	-13,620	0,649	0,000	0,422	-0,393	0,001	125,000	0,003	-919,032	0,000	0,008	0,000	0,000	0,422
20	27746	4	-2,747	-13,868	0,735	0,000	0,498	-0,124	0,000	125,000	0,001	-968,258	0,002	0,010	0,000	0,000	0,498
20	27747	5	-2,631	-14,116	0,705	0,000	0,575	0,008	0,000	125,000	0,000	-952,946	0,003	0,012	0,000	0,000	0,575
EmbeddedBeam_2_1	27747	1	-2,631	-14,116	0,735	0,000	0,575	0,008	0,000	125,000	0,000	-969,111	0,003	0,012	0,000	0,000	0,575
Element 3-28 (Embedded beam)	27748	2	-2,514	-14,364	0,721	0,000	0,645	0,064	0,000	125,000	0,001	-962,864	0,005	0,013	0,000	0,000	0,645
(Micropalo D168.3 s12.5mm/1,6m)	27749	3	-2,398	-14,612	0,699	0,000	0,696	0,094	0,000	125,000	0,001	-950,251	0,007	0,014	0,000	0,000	0,696
20	27750	4	-2,282	-14,860	0,671	0,000	0,727	0,114	0,000	125,000	0,001	-931,091	0,008	0,013	0,000	0,000	0,727
20	27751	5	-2,165	-15,108	0,637	0,000	0,733	0,143	0,000	125,000	0,001	-905,207	0,010	0,050	0,000	0,000	0,733
EmbeddedBeam_2_1	27751	1	-2,165	-15,108	0,620	0,000	0,733	0,143	0,000	125,000	0,001	-877,925	0,009	0,197	0,000	0,000	0,733
Element 3-29 (Embedded beam)	27752	2	-2,049	-15,356	0,599	0,000	0,706	0,211	0,000	125,000	0,002	-870,349	0,011	0,055	0,000	0,000	0,706
(Micropalo D168.3 s12.5mm/1,6m)	27753	3	-1,933	-15,604	0,512	0,000	0,678	0,356	0,001	125,000	0,003	-758,888	0,011	0,286	0,000	0,000	0,678
20	27754	4	-1,816	-15,852	0,341	0,001	0,497	0,830	0,004	125,000	0,007	-512,769	0,008	1,107	0,000	0,000	0,497
20	27755	5	-1,700	-16,100	0,045	0,003	0,000	1,951	0,024	125,000	0,016	-101,221	0,002	2,677	0,000	0,000	0,000

3.3.1.1.31 Calculation results, Embedded beam, FS SLV - [Phase_33] (33/1156), Table of embedded beam force envelopes

Structural element	Node [10^1]	Local number	X [m]	Y [m]	N [kN]	Q [kN]	M [kN m]	T,max [kN/m]	T,min [kN/m]	T,max,max [kN/m]	T,min,min	N,max [kN]	N,min [kN]	Q,max [kN]	Q,min [kN]	M,max [kN m]	M,min [kN m]
EmbeddedBeam_1_1	27637	1	4,600	-2,300	136,191	1,358	0,000	-3,587	-4,074	30,000	0,120	0,000	139,578	0,000	1,385	0,000	0,000
Element 1-1 (Embedded beam)	27638	2	4,890	-2,353	134,584	0,286	0,227	-5,476	-2,794	30,000	0,183	0,000	137,811	0,000	0,288	0,000	0,231
(Ricopalo ancoraggio autoperforante Ø38i=1,60m)	27639	3	5,179	-2,407	132,952	-0,261	0,221	-5,723	-0,712	30,000	0,191	0,000	135,976	-0,271	0,000	0,000	0,223
38	27640	4	5,469	-2,460	131,335	-0,351	0,118	-5,379	0,315	30,000	0,179	0,000	134,111	-0,359	0,000	0,000	0,118
38	27641	5	5,758	-2,513	129,771	-0,050	0,052	-4,929	0,319	30,000	0,164	0,000	132,255	-0,051	0,000	0,000	0,052
EmbeddedBeam_1_1	27641	1	5,758	-2,513	129,785	-0,159	0,052	-4,929	0,319	30,000	0,164	0,000	132,270	-0,164	0,000	0,000	0,052
Element 1-2 (Embedded beam)	27642	2	6,010	-2,559	128,587	-0,123	0,015	-4,585	0,176	30,000	0,153	0,000	130,778	-0,123	0,000	0,000	0,015
(Ricopalo ancoraggio autoperforante Ø38i=1,60m)	27643	3	6,262	-2,606	127,432	-0,064	-0,009	-4,473	0,321	30,000	0,149	0,000	129,297	-0,065	0,000	0,011	0,000
38	27644	4	6,514	-2,652	126,332	0,003	-0,017	-4,154	0,251	30,000	0,138	0,000	127,838	0,000	0,011	0,020	0,001
38	27645	5	6,766	-2,698	125,300	0,069	-0,008	-3,694	0,108	30,000	0,123	0,000	126,417	0,000	0,069	0,011	0,003
EmbeddedBeam_1_1	27645	1	6,766	-2,698	125,318	0,059	-0,008	-3,694	0,108	30,000	0,123	0,000	126,436	0,000	0,059	0,011	0,003
Element 1-3 (Embedded beam)	27646	2	6,985	-2,739	124,536	0,080	0,007	-3,305	0,110	30,000	0,110	0,000	125,346	0,000	0,080	0,001	0,007
(Ricopalo ancoraggio autoperforante Ø38i=1,60m)	27647	3	7,204	-2,779	123,844	0,109	0,028	-2,901	0,167	30,000	0,097	0,000	124,342	0,000	0,109	0,000	0,028
38	27648	4	7,423	-2,819	123,245	0,144	0,057	-2,481	0,156	30,000	0,083	0,000	123,420	0,000	0,144	0,000	0,057
38	27649	5	7,643	-2,860	122,739	0,180	0,093	-2,071	-0,058	30,000	0,069	0,000	122,739	0,000	0,180	0,000	0,093
EmbeddedBeam_1_1	27649	1	7,643	-2,860	122,726	0,142	0,093	-2,071	-0,058	30,000	0,069	0,000	122,726	0,000	0,142	0,000	0,093
Element 1-4 (Embedded beam)	27650	2	7,833	-2,895	122,381	0,122	0,121	-1,694	-0,516	30,000	0,056	0,000	122,381	0,000	0,123	0,000	0,121
(Ricopalo ancoraggio autoperforante Ø38i=1,60m)	27651	3	8,024	-2,930	122,072	-0,058	0,130	-1,457	-1,333	30,000	0,049	0,000	122,072	-0,058	0,002	0,000	0,130
38	27652	4	8,215	-2,965	121,789	-0,398	0,088	-1,417	-2,177	30,000	0,047	0,000	121,789	-0,398	0,000	0,000	0,088
38	27653	5	8,405	-3,000	121,526	-0,901	-0,035	-1,665	-2,435	30,000	0,055	0,000	121,526	-0,901	0,000	0,047	0,004
EmbeddedBeam_1_1	27653	1	8,405	-3,000	121,525	-0,927	-0,035	-1,665	-2,435	30,000	0,055	0,000	121,525	-0,927	0,000	0,047	0,004
Element 1-5 (Embedded beam)	27654	2	8,571	-3,030	121,106	-1,074	-0,205	-2,906	-0,429	30,000	0,097	0,000	121,106	-1,074	0,000	0,208	0,000
(Ricopalo ancoraggio autoperforante Ø38i=1,60m)	27655	3	8,737	-3,061	120,541	-1,085	-0,390	-3,832	0,095	30,000	0,128	0,000	120,541	-1,097	0,000	0,390	0,000
38	27656	4	8,903	-3,091	119,842	-0,924	-0,562	-4,505	1,615	30,000	0,150	0,000	119,842	-1,000	0,000	0,565	0,000
38	27657	5	9,069	-3,122	119,018	-0,554	-0,690	-5,159	5,553	30,000	0,172	0,000	119,018	-0,725	0,006	0,713	0,000
EmbeddedBeam_1_1	27657	1	9,069	-3,122	118,806	-0,480	-0,690	-5,159	5,553	30,000	0,172	0,000	118,806	-0,654	0,000	0,713	0,000
Element 1-6 (Embedded beam)	27658	2	9,213	-3,148	118,366	0,739	-0,678	-5,843	9,379	30,000	0,195	0,000	118,366	0,000	0,739	0,735	0,000
(Ricopalo ancoraggio autoperforante Ø38i=1,60m)	27659	3	9,357	-3,175	117,206	2,343	-0,453	-8,094	13,611	30,000	0,270	0,000	117,206	0,000	2,343	0,566	0,000
38	27660	4	9,502	-3,201	115,025	4,147	0,020	-19,770	12,108	30,000	0,659	0,000	115,025	0,000	4,147	0,182	0,032
38	27661	5	9,646	-3,228	111,520	5,966	0,764	-30,000	-18,199	30,000	1,000	0,000	111,969	0,000	5,966	0,000	0,764
EmbeddedBeam_1_1	27661	1	9,646	-3,228	111,438	4,511	0,764	-30,000	-30,331	30,000	1,000	0,000	111,531	0,000	4,511	0,000	0,764
Element 1-7 (Embedded beam)	27662	2	9,771	-3,251	107,623	1,312	1,123	-30,000	-21,280	30,000	1,000	0,000	107,713	0,000	1,355	0,000	1,123
(Ricopalo ancoraggio autoperforante Ø38i=1,60m)	27663	3	9,896	-3,274	103,806	-0,895	1,140	-30,000	-13,203	30,000	1,000	0,000	103,891	-0,895	0,000	0,000	1,140
38	27664	4	10,022	-3,297	99,988	2,136	0,937	-30,000	-6,103	30,000	1,000	0,000	100,070	-2,136	0,000	0,000	0,937
38	27665	5	10,147	-3,320	96,172	2,437	0,636	-30,000	-0,378	30,000	1,000	0,000	96,252	-2,437	0,000	0,000	0,636
EmbeddedBeam_1_1	27665	1	10,147	-3,320	96,170	2,796	0,636	-30,000	-0,378	30,000	1,000	0,000	96,250	-2,796	0,000	0,000	0,636
Element 1-8 (Embedded beam)	27666	2	10,296	-3,347	91,629	-1,960	0,276	-30,000	5,197	30,000	1,000	0,000	91,705	-1,960	0,000	0,000	0,332
(Ricopalo ancoraggio autoperforante Ø38i=1,60m)	27667	3	10,445	-3,375	87,085	-1,196	0,039	-30,000	5,301	30,000	1,000	0,000	87,157	-1,196	0,000	0,000	0,175
38	27668	4	10,594	-3,402	82,541	-0,575	-0,094	-30,000	3,316	30,000	1,000	0,000	82,609	-0,612	0,000	0,105	0,069
38	27669	5	10,743	-3,430	78,000	-0,165	-0,146	-30,000	1,244	30,000	1,000	0,000	78,065	-0,268	0,000	0,146	0,009
EmbeddedBeam_1_1	27669	1	10,743	-3,430	77,998	-0,228	-0,146	-30,000	1,244	30,000	1,000	0,000	78,062	-0,293	0,000	0,146	0,009
Element 1-9 (Embedded beam)	27670	2	10,920	-3,462	72,593	0,039	-0,162	-30,000	1,244	30,000	1,000	0,000	72,654	-0,098	0,102	0,162	0,000
(Ricopalo ancoraggio autoperforante Ø38i=1,60m)	27671	3	11,097	-3,495	67,185	0,233	-0,136	-30,000	1,076	30,000	1,000	0,000	67,241	0,000	0,233	0,138	0,000
38	27672	4	11,274	-3,527	61,777	0,319	-0,085	-30,000	0,047	30,000	1,000	0,000	61,829	0,000	0,319	0,089	0,000
38	27673	5	11,452	-3,560	56,373	0,263	-0,030	-30,000	-0,367	30,000	1,000	0,000	56,420	0,000	0,288	0,048	0,001
EmbeddedBeam_1_1	27673	1	11,452	-3,560	56,370	0,286	-0,030	-30,000	-0,367	30,000	1,000	0,000	56,417	0,000	0,344	0,048	0,001
Element 1-10 (Embedded beam)	27674	2	11,663	-3,599	49,939	0,179	0,020	-30,000	-0,555	30,000	1,000	0,000	49,980	0,000	0,192	0,023	0,024
(Ricopalo ancoraggio autoperforante Ø38i=1,60m)	27675	3	11,874	-3,638	43,503	0,049	0,045	-30,000	-0,640	30,000	1,000	0,000	43,539	-0,004	0,092	0,008	0,049
38	27676	4	12,085	-3,676	37,067	-0,107	0,040	-30,000	-0,799	30,000	1,000	0,000	37,097	-0,107	0,017	0,005	0,043
38	27677	5	12,296	-3,715	30,635	-0,292	-0,002	-30,000	-0,792	30,000	1,000	0,000	30,660	-0,292	0,000	0,007	0,014

Structural element	Node [10^]	Local number	X [m]	Y [m]	N [kN]	Q [kN]	M [kN m]	T_{xxx} [kN/m]	T_{xx} [kN/m]	$T_{xxx,xx}$ [kN/m]	$T_{xxx,xx}$	N_{xxx} [kN]	N_{xxx} [kN]	Q_{xxx} [kN]	Q_{xxx} [kN]	M_{xxx} [kN m]	M_{xxx} [kN m]
EmbeddedBeam_11_1	27677	1	12,296	3,715	10,632	-0,425	-0,002	-30,000	-0,792	30,000	1,000	0,000	30,656	-0,425	0,000	-0,007	0,014
Element 1-11 (Embedded beam)	27678	2	12,547	3,761	22,977	-0,175	-0,082	-30,000	0,899	30,000	1,000	0,000	22,995	-0,175	0,000	-0,082	0,002
(4)Iropalo ancoraggio autoperforante R38(+1,60m)	27679	3	12,798	3,808	15,317	0,084	-0,089	-30,000	1,596	30,000	1,000	0,000	15,329	-0,002	0,106	-0,089	0,001
25	27680	4	13,049	3,854	7,657	0,221	-0,050	-30,000	-0,060	30,000	1,000	0,000	7,663	-0,002	0,221	-0,050	0,010
26	27681	5	13,300	3,900	0,002	0,103	0,000	-30,000	-2,220	30,000	1,000	0,000	0,045	-0,200	0,103	0,000	0,000
EmbeddedBeam_31_1	27682	1	2,300	5,900	225,997	0,506	0,000	-11,084	-4,091	30,000	0,369	0,000	233,863	0,000	0,528	0,000	0,000
Element 2-12 (Embedded beam)	27683	2	2,582	5,950	223,108	0,224	0,028	-10,341	-1,619	30,000	0,345	0,000	231,116	-0,226	0,107	0,000	0,063
(4)Iropalo ancoraggio autoperforante R38(+1,60m)	27684	3	2,865	6,000	220,088	0,422	-0,078	-10,546	0,236	30,000	0,352	0,000	228,247	-0,429	0,011	-0,078	0,070
25	27685	4	3,147	6,049	216,887	0,087	-0,164	-11,606	2,101	30,000	0,387	0,000	225,202	-0,104	0,015	-0,165	0,048
26	27686	5	3,430	6,099	213,453	0,782	-0,077	-16,137	2,217	30,000	0,538	0,000	221,927	-0,111	0,820	-0,079	0,045
EmbeddedBeam_31_1	27686	1	3,430	6,099	213,220	0,722	-0,077	-16,137	2,217	30,000	0,538	0,000	221,678	-0,101	0,770	-0,079	0,045
Element 2-13 (Embedded beam)	27687	2	3,595	6,128	209,821	0,694	0,046	-22,360	-0,690	30,000	0,745	0,000	218,379	-0,104	0,696	-0,001	0,106
(4)Iropalo ancoraggio autoperforante R38(+1,60m)	27688	3	3,760	6,158	205,678	0,471	0,145	-27,664	-2,239	30,000	0,922	0,000	214,302	-0,136	0,474	-0,019	0,157
25	27689	4	3,925	6,187	200,910	0,107	0,196	-29,812	-2,386	30,000	0,994	0,000	209,545	-0,235	0,109	-0,038	0,198
26	27690	5	4,090	6,216	195,637	0,348	0,176	-29,822	-1,379	30,000	0,994	0,000	204,206	-0,423	0,002	-0,060	0,177
EmbeddedBeam_31_1	27690	1	4,090	6,216	195,802	0,258	0,176	-29,822	-1,379	30,000	0,994	0,000	204,394	-0,357	0,002	-0,060	0,177
Element 2-14 (Embedded beam)	27691	2	4,187	6,233	192,879	0,365	0,145	-29,829	-0,631	30,000	0,994	0,000	201,454	-0,392	0,003	-0,071	0,146
(4)Iropalo ancoraggio autoperforante R38(+1,60m)	27692	3	4,283	6,250	189,953	0,382	0,107	-29,836	0,283	30,000	0,995	0,000	198,513	-0,387	0,004	-0,078	0,109
25	27693	4	4,380	6,267	187,026	0,308	0,073	-29,844	1,224	30,000	0,995	0,000	195,571	-0,310	0,041	-0,079	0,074
26	27694	5	4,476	6,284	184,100	0,142	0,050	-29,853	2,054	30,000	0,995	0,000	192,632	-0,145	0,169	-0,069	0,051
EmbeddedBeam_31_1	27694	1	4,476	6,284	184,099	0,154	0,050	-29,853	2,054	30,000	0,995	0,000	192,631	-0,157	0,166	-0,069	0,051
Element 2-15 (Embedded beam)	27695	2	4,533	6,294	182,388	0,010	0,045	-29,858	2,459	30,000	0,995	0,000	190,912	-0,012	0,282	-0,056	0,047
(4)Iropalo ancoraggio autoperforante R38(+1,60m)	27696	3	4,589	6,304	180,675	0,133	0,049	-29,864	2,700	30,000	0,995	0,000	189,192	0,000	0,399	-0,037	0,050
25	27697	4	4,646	6,314	178,961	0,259	0,060	-29,870	1,924	30,000	0,996	0,000	187,472	0,000	0,502	-0,011	0,061
26	27698	5	4,702	6,324	177,249	0,358	0,078	-29,876	-1,213	30,000	0,996	0,000	186,042	0,000	0,581	-0,002	0,079
EmbeddedBeam_31_1	27698	1	4,702	6,324	177,248	0,313	0,078	-29,794	-2,022	30,000	0,993	0,000	185,996	0,000	0,540	-0,002	0,079
Element 2-16 (Embedded beam)	27699	2	4,800	6,341	174,291	0,127	0,099	-29,810	-1,618	30,000	0,994	0,000	183,017	0,000	0,301	-0,001	0,100
(4)Iropalo ancoraggio autoperforante R38(+1,60m)	27700	3	4,898	6,358	171,331	0,007	0,105	-29,826	-1,080	30,000	0,994	0,000	180,035	-0,011	0,120	-0,001	0,105
25	27701	4	4,995	6,376	168,369	0,091	0,100	-29,842	-0,600	30,000	0,995	0,000	177,054	-0,095	0,013	-0,001	0,100
26	27702	5	5,093	6,393	165,407	0,126	0,088	-29,859	-0,249	30,000	0,995	0,000	174,075	-0,129	0,006	0,000	0,088
EmbeddedBeam_31_1	27702	1	5,093	6,393	165,406	0,133	0,088	-29,859	-0,249	30,000	0,995	0,000	174,073	-0,136	0,005	0,000	0,088
Element 2-17 (Embedded beam)	27703	2	5,177	6,408	162,869	0,142	0,077	-29,862	-0,041	30,000	0,995	0,000	171,522	-0,144	0,004	0,000	0,077
(4)Iropalo ancoraggio autoperforante R38(+1,60m)	27704	3	5,261	6,422	160,330	0,140	0,065	-29,862	0,099	30,000	0,995	0,000	168,968	-0,142	0,003	0,000	0,066
25	27705	4	5,344	6,437	157,791	0,128	0,053	-29,862	0,183	30,000	0,995	0,000	166,415	-0,130	0,003	0,000	0,055
26	27706	5	5,428	6,452	155,254	0,108	0,043	-29,862	0,224	30,000	0,995	0,000	163,863	-0,112	0,003	0,000	0,045
EmbeddedBeam_31_1	27706	1	5,428	6,452	155,252	0,111	0,043	-29,862	0,224	30,000	0,995	0,000	163,862	-0,115	0,003	0,000	0,045
Element 2-18 (Embedded beam)	27707	2	5,525	6,469	152,325	0,087	0,034	-29,862	0,233	30,000	0,995	0,000	160,919	-0,097	0,003	0,000	0,035
(4)Iropalo ancoraggio autoperforante R38(+1,60m)	27708	3	5,621	6,486	149,397	0,065	0,026	-29,862	0,214	30,000	0,995	0,000	157,973	-0,078	0,002	0,000	0,027
25	27709	4	5,718	6,503	146,468	0,046	0,021	-29,861	0,180	30,000	0,995	0,000	155,028	-0,060	0,002	0,000	0,021
26	27710	5	5,814	6,520	143,541	0,029	0,017	-29,860	0,138	30,000	0,995	0,000	152,084	-0,042	0,002	0,000	0,017
EmbeddedBeam_31_1	27710	1	5,814	6,520	143,540	0,029	0,017	-29,860	0,138	30,000	0,995	0,000	152,083	-0,043	0,002	0,000	0,017
Element 2-19 (Embedded beam)	27711	2	5,926	6,540	140,165	0,017	0,014	-29,828	0,089	30,000	0,994	0,000	148,687	-0,027	0,002	0,000	0,014
(4)Iropalo ancoraggio autoperforante R38(+1,60m)	27712	3	6,037	6,559	136,793	0,009	0,013	-29,770	0,050	30,000	0,992	0,000	145,289	-0,016	0,002	0,000	0,013
25	27713	4	6,149	6,579	133,428	0,005	0,012	-29,710	0,027	30,000	0,990	0,000	141,891	-0,008	0,002	0,000	0,012
26	27714	5	6,260	6,599	130,073	0,004	0,012	-29,646	0,014	30,000	0,988	0,000	138,496	-0,005	0,001	0,000	0,012
EmbeddedBeam_31_1	27714	1	6,260	6,599	130,071	0,003	0,012	-29,646	0,014	30,000	0,988	0,000	138,494	-0,005	0,001	0,000	0,012
Element 2-20 (Embedded beam)	27715	2	6,388	6,621	126,209	0,002	0,011	-29,568	0,003	30,000	0,986	0,000	134,577	-0,004	0,003	0,000	0,011
(4)Iropalo ancoraggio autoperforante R38(+1,60m)	27716	3	6,517	6,644	122,356	0,002	0,011	-29,484	-0,006	30,000	0,983	0,000	130,657	-0,004	0,004	0,000	0,011
25	27717	4	6,645	6,667	118,513	0,004	0,011	-29,395	-0,016	30,000	0,980	0,000	126,737	-0,005	0,004	0,000	0,011
26	27718	5	6,774	6,690	114,685	0,006	0,010	-29,299	-0,022	30,000	0,977	0,000	122,819	-0,007	0,003	0,000	0,010
EmbeddedBeam_31_1	27718	1	6,774	6,690	114,684	0,006	0,010	-29,299	-0,022	30,000	0,977	0,000	122,817	-0,007	0,003	0,000	0,010
Element 2-21 (Embedded beam)	27719	2	6,922	6,716	110,284	0,010	0,009	-29,180	-0,024	30,000	0,973	0,000	118,298	-0,010	0,001	0,000	0,009
(4)Iropalo ancoraggio autoperforante R38(+1,60m)	27720	3	7,070	6,742	105,901	0,013	0,007	-29,052	-0,019	30,000	0,968	0,000	113,776	-0,013	0,001	0,000	0,008
25	27721	4	7,219	6,768	101,537	0,015	0,005	-28,916	-0,007	30,000	0,964	0,000	109,254	-0,015	0,001	0,000	0,008
26	27722	5	7,367	6,794	97,197	0,015	0,003	-28,771	0,010	30,000	0,959	0,000	104,735	-0,015	0,001	0,000	0,007
EmbeddedBeam_31_1	27722	1	7,367	6,794	97,196	0,014	0,003	-28,771	0,010	30,000	0,959	0,000	104,733	-0,014	0,001	0,000	0,007
Element 2-22 (Embedded beam)	27723	2	7,538	6,824	92,217	0,011	0,001	-28,593	0,044	30,000	0,953	0,000	99,519	-0,011	0,001	0,001	0,007

Structural element	Node [10^]	Local number	X [m]	Y [m]	N [kN]	Q [kN]	M [kN m]	$T_{,,,,}$ [kN/m]	$T_{,,,}$ [kN/m]	$T_{,,,,,,,,,,}$ [kN/m]	$T_{,,,,,,,,}$	$N_{,,,}$ [kN]	$N_{,,,}$ [kN]	$Q_{,,,}$ [kN]	$Q_{,,,}$ [kN]	$M_{,,,}$ [kN m]	$M_{,,,}$ [kN m]
(Micropalo ancoraggio autoperforante R38I=1,60m)	27724	3	7,709	-6,855	87,267	0,001	0,000	-28,404	0,091	30,000	0,947	0,000	94,302	-0,005	0,008	-0,001	0,007
,,	27725	4	7,880	-6,885	82,351	0,023	0,002	-28,208	0,152	30,000	0,940	0,000	89,085	-0,005	0,023	0,000	0,006
,,	27726	5	8,051	-6,915	77,472	0,054	0,008	-28,010	0,219	30,000	0,934	0,000	83,872	-0,006	0,054	0,000	0,009
EmbeddedBeam_3_1	27726	1	8,051	-6,915	77,469	0,041	0,008	-28,010	0,219	30,000	0,934	0,000	83,869	-0,005	0,041	0,000	0,009
Element 2-23 (Embedded beam)	27727	2	8,248	-6,950	71,887	0,113	0,024	-27,765	0,273	30,000	0,925	0,000	77,855	-0,005	0,113	0,000	0,024
(Micropalo ancoraggio autoperforante R38I=1,60m)	27728	3	8,445	-6,984	66,349	0,155	0,051	-27,510	0,212	30,000	0,917	0,000	71,836	-0,005	0,155	0,000	0,051
,,	27729	4	8,643	-7,019	60,857	0,157	0,083	-27,300	-0,138	30,000	0,910	0,000	65,818	-0,004	0,157	0,000	0,083
,,	27730	5	8,840	-7,054	55,414	0,105	0,111	-27,221	-1,103	30,000	0,907	0,000	59,803	-0,031	0,105	0,000	0,111
EmbeddedBeam_3_1	27730	1	8,840	-7,054	55,361	0,012	0,111	-27,221	-1,103	30,000	0,907	0,000	59,800	-0,014	0,012	0,000	0,111
Element 2-24 (Embedded beam)	27731	2	9,067	-7,094	49,242	0,333	0,085	-26,338	-2,509	30,000	0,878	0,000	52,862	-0,146	0,006	0,000	0,085
(Micropalo ancoraggio autoperforante R38I=1,60m)	27732	3	9,295	-7,134	43,182	-1,185	-0,084	-26,183	-5,258	30,000	0,873	0,000	45,918	-1,185	0,003	-0,122	0,004
,,	27733	4	9,523	-7,175	37,210	2,443	-0,494	-25,588	-6,019	30,000	0,853	0,000	38,975	-2,443	0,001	-0,494	0,002
,,	27734	5	9,750	-7,215	31,350	-4,005	-1,235	-24,449	-1,237	30,000	0,815	0,000	32,036	-4,005	0,000	-1,235	0,002
EmbeddedBeam_3_1	27734	1	9,750	-7,215	31,814	-4,029	-1,235	-24,449	-1,237	30,000	0,815	0,000	32,032	-4,029	0,007	-1,235	0,002
Element 2-25 (Embedded beam)	27735	2	10,013	-7,261	23,932	-2,217	-2,129	-29,685	8,607	30,000	0,989	0,000	24,028	-2,217	0,105	-2,129	0,001
(Micropalo ancoraggio autoperforante R38I=1,60m)	27736	3	10,275	-7,307	15,984	1,049	-2,267	-30,000	20,255	30,000	1,000	0,000	16,017	-0,023	1,049	-2,267	0,001
,,	27737	4	10,538	-7,354	7,996	4,478	-1,555	-30,000	9,839	30,000	1,000	0,000	8,041	-0,001	4,478	-1,555	0,000
,,	27738	5	10,800	-7,400	-0,009	6,783	0,000	-30,000	-74,900	30,000	1,000	-0,081	0,272	-0,001	6,783	0,000	0,000
EmbeddedBeam_2_1	27739	1	-3,562	-12,132	67,002	0,004	0,000	-125,000	0,004	125,000	1,000	-0,133	67,002	-0,006	0,006	0,000	0,000
Element 3-26 (Embedded beam)	27740	2	-3,445	-12,380	51,606	0,005	0,001	-104,163	0,019	125,000	0,833	-0,066	51,606	0,000	0,006	0,000	0,001
(Micropalo D168.3 s12.5mm/1,6m)	27741	3	-3,329	-12,628	11,008	0,004	0,002	-36,928	-0,056	125,000	0,295	-0,026	11,008	-0,001	0,005	0,000	0,002
,,	27742	4	-3,213	-12,876	2,412	-0,003	0,002	-16,526	-0,013	125,000	0,132	-0,121	2,548	-0,004	0,000	0,000	0,003
,,	27743	5	-3,096	-13,124	3,023	-0,006	0,001	-7,441	0,000	125,000	0,060	-0,010	3,276	-0,013	0,002	0,000	0,001
EmbeddedBeam_2_1	27743	1	-3,096	-13,124	0,438	-0,031	0,001	-7,441	0,000	125,000	0,060	-0,554	0,835	-0,038	0,001	0,000	0,001
Element 3-27 (Embedded beam)	27744	2	-2,980	-13,372	-0,766	0,004	0,001	-4,495	-0,024	125,000	0,036	-0,787	0,000	-0,002	0,008	-0,002	0,001
(Micropalo D168.3 s12.5mm/1,6m)	27745	3	-2,863	-13,620	-1,977	-0,063	-0,007	-3,937	-0,634	125,000	0,031	-1,977	0,000	-0,063	0,010	-0,007	0,001
,,	27746	4	-2,747	-13,868	-3,320	-0,180	-0,039	-5,455	-0,389	125,000	0,044	-3,320	0,002	-0,180	0,000	-0,039	0,001
,,	27747	5	-2,631	-14,116	-4,918	-0,296	-0,105	-7,752	2,754	125,000	0,062	-4,918	0,003	-0,296	0,000	-0,105	0,001
EmbeddedBeam_2_1	27747	1	-2,631	-14,116	-5,970	0,446	-0,105	-7,752	2,754	125,000	0,062	-5,970	0,003	-0,012	0,665	-0,105	0,001
Element 3-28 (Embedded beam)	27748	2	-2,514	-14,364	-7,353	-0,627	-0,078	-13,298	-4,478	125,000	0,106	-7,353	0,005	-1,135	0,000	-0,112	0,001
(Micropalo D168.3 s12.5mm/1,6m)	27749	3	-2,398	-14,612	-13,172	-2,543	-0,548	-28,450	-14,158	125,000	0,228	-13,172	0,007	-2,543	0,000	-0,548	0,001
,,	27750	4	-2,282	-14,860	-23,640	-3,894	-1,420	-47,244	-0,353	125,000	0,378	-23,640	0,008	-3,894	0,123	-1,420	0,001
,,	27751	5	-2,165	-15,108	-38,970	-3,272	-2,479	-46,272	14,519	125,000	0,370	-38,970	0,010	-3,272	3,079	-2,479	0,001
EmbeddedBeam_2_1	27751	1	-2,165	-15,108	-31,401	5,621	-2,479	-46,272	14,519	125,000	0,370	-31,401	0,009	-5,621	5,038	-2,479	0,001
Element 3-29 (Embedded beam)	27752	2	-2,049	-15,356	-53,851	4,949	-2,533	-45,177	24,220	125,000	0,361	-53,851	0,011	0,000	4,949	-2,533	0,520
(Micropalo D168.3 s12.5mm/1,6m)	27753	3	-1,933	-15,604	-58,090	9,312	-0,266	-2,614	22,071	125,000	0,021	-58,090	0,011	-0,504	9,312	-0,266	0,800
,,	27754	4	-1,816	-15,852	-39,032	3,099	1,605	125,000	-52,996	125,000	1,000	-39,202	0,008	-1,771	3,099	0,000	1,605
,,	27755	5	-1,700	-16,100	0,410	-18,057	0,000	125,000	108,556	125,000	1,000	-1,757	8,675	-18,057	0,232	0,000	0,000

3.3.1.1.32 Calculation results, Embedded beam, SLD [Phase_38] (38/1178), Table of embedded beam force envelopes

Structural element	Node [10^1]	Local number	X [m]	Y [m]	N [kN]	Q [kN]	M [10^-1 kN m]	$T_{zz,sup}$ [kN/m]	$T_{zz,inf}$ [kN/m]	$T_{zz,sup,sup}$ [kN/m]	$T_{zz,inf,inf}$	$N_{z,i}$ [10^-1 kN]	$N_{z,k}$ [kN]	$Q_{z,k}$ [10^-1 kN]	$Q_{z,k}$ [kN]	$M_{y,i}$ [10^-1 kN m]	$M_{y,k}$ [10^-1 kN m]
EmbeddedBeam_1_1	27617	1	4,600	-2,300	135,426	1,281	0,000	-4,584	-4,754	30,000	0,153	0,000	135,426	0,000	1,281	0,000	0,000
Element 1-1 (Embedded beam)	27618	2	4,890	-2,353	133,710	0,238	208,265	-5,765	-2,688	30,000	0,192	0,000	133,710	0,000	0,238	0,000	208,265
(Ricopalo ancoraggio autoperforante R38i=1,60m)	27619	3	5,179	-2,407	132,026	-0,269	194,155	-5,721	-0,491	30,000	0,191	0,000	132,026	-268,878	0,000	0,000	194,155
28	27640	4	5,469	-2,460	130,391	-0,326	94,039	-5,430	0,369	30,000	0,181	0,000	130,391	-325,892	0,000	0,000	94,039
29	27641	5	5,758	-2,513	128,823	-0,019	36,553	-5,175	0,316	30,000	0,172	0,000	128,823	-19,941	0,000	0,000	36,553
EmbeddedBeam_1_1	27641	1	5,758	-2,513	128,819	-0,131	36,553	-5,175	0,316	30,000	0,172	0,000	128,819	-133,309	0,000	0,000	36,553
Element 1-2 (Embedded beam)	27642	2	6,010	-2,559	127,532	-0,090	8,061	-4,971	0,171	30,000	0,166	0,000	127,532	-89,516	0,000	-0,013	8,061
(Ricopalo ancoraggio autoperforante R38i=1,60m)	27643	3	6,262	-2,606	126,271	-0,041	-8,531	-4,898	0,234	30,000	0,163	0,000	126,271	-40,599	0,000	-8,531	0,297
30	27644	4	6,514	-2,652	125,042	0,010	-12,630	-4,714	0,181	30,000	0,157	0,000	125,042	0,000	0,011	-12,630	1,050
31	27645	5	6,766	-2,698	123,854	0,055	-4,147	-4,441	0,038	30,000	0,148	0,000	123,854	0,000	0,055	-4,574	3,236
EmbeddedBeam_1_1	27645	1	6,766	-2,698	123,863	0,050	-4,147	-4,441	0,038	30,000	0,148	0,000	123,863	0,000	0,050	-4,574	3,236
Element 1-3 (Embedded beam)	27646	2	6,985	-2,739	122,901	0,045	6,204	-4,201	-0,002	30,000	0,140	0,000	122,901	0,000	0,045	-0,006	6,204
(Ricopalo ancoraggio autoperforante R38i=1,60m)	27647	3	7,204	-2,779	121,991	0,050	16,561	-3,971	0,055	30,000	0,132	0,000	121,991	0,000	0,050	-0,003	16,561
32	27648	4	7,423	-2,819	121,135	0,065	29,157	-3,714	0,086	30,000	0,124	0,000	121,135	0,000	0,065	-0,001	29,157
33	27649	5	7,643	-2,860	120,335	0,089	46,130	-3,410	-0,053	30,000	0,114	0,000	120,335	0,000	0,089	-0,001	46,130
EmbeddedBeam_1_1	27649	1	7,643	-2,860	120,342	0,057	46,130	-3,410	-0,053	30,000	0,114	0,000	120,342	-0,005	0,057	-0,001	46,130
Element 1-4 (Embedded beam)	27650	2	7,833	-2,895	119,699	0,058	58,740	-3,164	-0,253	30,000	0,105	0,000	119,699	-0,161	0,058	-0,001	58,740
(Ricopalo ancoraggio autoperforante R38i=1,60m)	27651	3	8,024	-2,930	119,115	-0,037	62,717	-2,875	-0,676	30,000	0,096	0,000	119,115	-26,517	0,002	0,000	62,717
34	27652	4	8,215	-2,965	118,590	-0,238	37,678	-2,542	-1,355	30,000	0,085	0,000	118,590	-238,343	0,000	0,000	37,678
35	27653	5	8,405	-3,000	118,128	-0,558	-37,409	-2,454	-1,420	30,000	0,082	0,000	118,128	-557,794	0,000	-37,409	4,297
EmbeddedBeam_1_1	27653	1	8,405	-3,000	118,129	-0,603	-37,409	-2,454	-1,420	30,000	0,082	0,000	118,129	-602,508	0,000	-37,409	4,297
Element 1-5 (Embedded beam)	27654	2	8,571	-3,030	117,655	-0,577	-136,851	-2,886	0,285	30,000	0,096	0,000	117,655	-577,200	0,000	-136,851	0,000
(Ricopalo ancoraggio autoperforante R38i=1,60m)	27655	3	8,737	-3,061	117,155	-0,519	-230,613	-3,061	0,221	30,000	0,102	0,000	117,155	-519,290	0,000	-230,613	0,000
36	27656	4	8,903	-3,091	116,633	-0,395	-308,353	-3,142	1,070	30,000	0,105	0,000	116,633	-395,176	0,000	-308,353	0,000
37	27657	5	9,069	-3,122	116,094	-0,171	-357,997	-2,886	2,811	30,000	0,096	0,000	116,094	-171,259	0,001	-357,997	0,000
EmbeddedBeam_1_1	27657	1	9,069	-3,122	115,964	-0,224	-357,997	-2,886	2,811	30,000	0,096	0,000	115,964	-223,839	0,000	-357,997	0,000
Element 1-6 (Embedded beam)	27658	2	9,213	-3,148	115,768	0,506	-337,316	-3,139	4,530	30,000	0,105	0,000	115,768	0,000	0,506	-337,316	0,000
(Ricopalo ancoraggio autoperforante R38i=1,60m)	27659	3	9,357	-3,175	115,088	1,141	-213,346	-5,391	4,686	30,000	0,180	0,000	115,088	0,000	1,141	-213,346	0,000
38	27660	4	9,502	-3,201	113,809	1,588	-11,650	-11,315	1,972	30,000	0,377	0,000	113,809	0,000	1,588	-11,650	35,484
39	27661	5	9,646	-3,228	111,812	1,754	238,102	-23,934	-6,367	30,000	0,798	0,000	111,812	0,000	1,754	0,000	238,102
EmbeddedBeam_1_1	27661	1	9,646	-3,228	111,449	1,404	238,102	-30,000	-10,612	30,000	1,000	0,000	111,461	0,000	1,404	0,000	238,102
Element 1-7 (Embedded beam)	27662	2	9,771	-3,251	107,633	0,393	348,256	-30,000	-6,541	30,000	1,000	0,000	107,644	0,000	0,393	0,000	348,256
(Ricopalo ancoraggio autoperforante R38i=1,60m)	27663	3	9,896	-3,274	103,815	-0,249	354,001	-30,000	-3,356	30,000	1,000	0,000	103,826	-249,402	0,000	0,000	354,001
40	27664	4	10,022	-3,297	99,996	-0,552	299,182	-30,000	-1,196	30,000	1,000	0,000	100,007	-552,055	0,000	0,000	299,182
41	27665	5	10,147	-3,320	96,181	-0,543	226,532	-30,000	0,097	30,000	1,000	0,000	96,191	-542,843	0,000	0,000	226,532
EmbeddedBeam_1_1	27665	1	10,147	-3,320	96,179	-0,622	226,532	-30,000	0,097	30,000	1,000	0,000	96,189	-622,290	0,000	0,000	226,532
Element 1-8 (Embedded beam)	27666	2	10,296	-3,347	91,638	-0,502	141,133	-30,000	0,822	30,000	1,000	0,000	91,647	-501,982	0,000	0,000	141,133
(Ricopalo ancoraggio autoperforante R38i=1,60m)	27667	3	10,445	-3,375	87,093	-0,370	75,179	-30,000	0,984	30,000	1,000	0,000	87,102	-369,630	0,000	0,000	75,179
42	27668	4	10,594	-3,402	82,549	-0,235	29,255	-30,000	0,851	30,000	1,000	0,000	82,558	-235,072	0,000	0,000	29,255
43	27669	5	10,743	-3,430	78,008	-0,108	3,497	-30,000	0,613	30,000	1,000	0,000	78,016	-108,151	0,000	-0,671	3,497
EmbeddedBeam_1_1	27669	1	10,743	-3,430	78,005	-0,112	3,497	-30,000	0,613	30,000	1,000	0,000	78,013	-112,020	0,000	-0,671	3,497
Element 1-9 (Embedded beam)	27670	2	10,920	-3,462	72,601	-0,036	-9,293	-30,000	0,337	30,000	1,000	0,000	72,608	-35,844	0,000	-9,293	0,034
(Ricopalo ancoraggio autoperforante R38i=1,60m)	27671	3	11,097	-3,495	67,192	0,008	-11,390	-30,000	0,134	30,000	1,000	0,000	67,199	-0,112	0,008	-11,390	0,009
44	27672	4	11,274	-3,527	61,784	0,023	-8,085	-30,000	0,017	30,000	1,000	0,000	61,790	-0,035	0,023	-8,085	0,001
45	27673	5	11,452	-3,560	56,379	0,013	-4,481	-30,000	-0,035	30,000	1,000	0,000	56,385	-0,024	0,013	-4,481	0,000
EmbeddedBeam_1_1	27673	1	11,452	-3,560	56,376	0,020	-4,481	-30,000	-0,035	30,000	1,000	0,000	56,382	-0,012	0,020	-4,481	0,000
Element 1-10 (Embedded beam)	27674	2	11,663	-3,599	49,944	0,008	-1,471	-30,000	0,048	30,000	1,000	0,000	49,949	-0,011	0,008	-1,471	0,095
(Ricopalo ancoraggio autoperforante R38i=1,60m)	27675	3	11,874	-3,638	43,507	-0,001	-0,696	-30,000	0,037	30,000	1,000	0,000	43,512	-2,673	0,002	-0,696	0,865
46	27676	4	12,085	-3,676	37,070	-0,007	-1,508	-30,000	0,019	30,000	1,000	0,000	37,074	-7,128	0,000	-1,550	1,019
47	27677	5	12,296	-3,715	30,638	-0,009	-3,239	-30,000	0,002	30,000	1,000	0,000	30,641	-9,006	0,000	-3,325	0,956

Structural element	Node [10^3]	Local number	X [m]	Y [m]	N [kN]	Q [kN]	M [10^3 kN m]	T_{res} [kN/m]	T_{yy} [kN/m]	$T_{res,max}$ [kN/m]	$T_{res,min}$	N_{xx} [10^3 kN]	N_{yy} [kN]	Q_{xz} [10^3 kN]	Q_{yz} [kN]	M_{xx} [10^3 kN m]	M_{yy} [10^3 kN m]
EmbeddedBeam_11_1	27677	1	12,296	-3,715	30,634	-0,012	-3,239	-30,000	0,002	30,000	1,000	0,000	30,638	-11,747	0,000	-3,325	0,956
Element 1-11 (Embedded beam)	27678	2	12,547	-3,761	22,979	-0,002	-5,072	-30,000	0,033	30,000	1,000	0,000	22,981	-2,388	0,000	-5,097	0,683
(R)Ircopalo ancoraggio autoperforante R38(=1,60m)	27679	3	12,798	-3,808	15,318	0,007	-4,337	-30,000	0,049	30,000	1,000	0,000	15,320	-9,738	0,007	-4,337	0,473
89	27680	4	13,049	-3,854	7,657	0,010	-2,165	-30,000	0,007	30,000	1,000	0,000	7,658	-9,863	0,010	-2,165	0,281
89	27681	5	13,300	-3,900	0,002	0,005	0,000	-30,000	0,096	30,000	1,000	0,000	0,037	-1,808	0,005	0,000	0,000
EmbeddedBeam_31_1	27682	1	2,300	-5,900	162,265	0,348	0,000	-9,105	-1,837	30,000	0,303	0,000	162,265	0,000	0,348	0,000	0,000
Element 2-12 (Embedded beam)	27683	2	2,582	-5,950	159,768	0,068	55,849	8,823	0,735	30,000	0,294	0,000	159,768	-9,074	0,095	0,000	55,849
(R)Ircopalo ancoraggio autoperforante R38(=1,60m)	27684	3	2,865	-6,000	157,202	-0,068	53,163	9,111	0,165	30,000	0,304	0,000	157,202	-67,808	0,011	-0,002	61,638
89	27685	4	3,147	-6,049	154,579	-0,077	29,100	9,211	0,152	30,000	0,307	0,000	154,579	-85,632	0,000	-0,084	43,992
89	27686	5	3,430	-6,099	151,915	0,025	19,432	-10,117	0,198	30,000	0,337	0,000	151,915	-92,532	0,025	-0,100	19,432
EmbeddedBeam_31_1	27686	1	3,430	-6,099	151,889	0,032	19,432	-10,117	0,198	30,000	0,337	0,000	151,889	-74,503	0,032	-0,100	19,432
Element 2-13 (Embedded beam)	27687	2	3,595	-6,128	150,054	-0,050	17,840	-10,989	0,428	30,000	0,366	0,000	150,054	-79,698	0,000	-0,823	17,840
(R)Ircopalo ancoraggio autoperforante R38(=1,60m)	27688	3	3,760	-6,158	148,200	-0,115	3,580	-11,188	0,401	30,000	0,373	0,000	148,200	-115,204	0,000	-8,661	3,580
89	27689	4	3,925	-6,187	146,338	-0,156	-19,429	-11,068	0,134	30,000	0,369	0,000	146,338	-156,121	0,001	-26,009	0,000
89	27690	5	4,090	-6,216	144,484	-0,164	-46,823	-10,852	0,158	30,000	0,362	0,000	144,484	-163,605	0,002	-47,961	0,000
EmbeddedBeam_31_1	27690	1	4,090	-6,216	144,493	-0,154	-46,823	-10,852	0,158	30,000	0,362	0,000	144,493	-153,829	0,002	-47,961	0,000
Element 2-14 (Embedded beam)	27691	2	4,187	-6,233	143,436	-0,135	-61,205	-10,734	0,375	30,000	0,358	0,000	143,436	-134,645	0,003	-61,205	0,000
(R)Ircopalo ancoraggio autoperforante R38(=1,60m)	27692	3	4,283	-6,250	142,388	-0,082	-72,155	-10,638	0,663	30,000	0,355	0,000	142,388	-81,916	0,004	-72,155	0,000
89	27693	4	4,380	-6,267	141,347	0,008	-76,047	-10,586	1,141	30,000	0,353	0,000	141,347	0,000	0,019	-76,047	0,000
89	27694	5	4,476	-6,284	140,312	0,140	-69,129	-10,495	1,750	30,000	0,350	0,000	140,312	0,000	0,140	-69,129	0,000
EmbeddedBeam_31_1	27694	1	4,476	-6,284	140,304	0,139	-69,129	-10,495	1,750	30,000	0,350	0,000	140,304	0,000	0,139	-69,129	0,000
Element 2-15 (Embedded beam)	27695	2	4,533	-6,294	139,720	0,260	-57,721	-10,393	2,058	30,000	0,346	0,000	139,720	0,000	0,260	-57,721	0,000
(R)Ircopalo ancoraggio autoperforante R38(=1,60m)	27696	3	4,589	-6,304	139,116	0,380	-39,261	-10,480	2,283	30,000	0,349	0,000	139,116	0,000	0,380	-39,261	0,000
89	27697	4	4,646	-6,314	138,481	0,486	-14,420	-11,494	1,595	30,000	0,383	0,000	138,481	0,000	0,486	-14,420	0,025
89	27698	5	4,702	-6,324	137,802	0,567	15,932	-14,822	-1,471	30,000	0,494	0,000	137,802	0,000	0,567	-1,938	15,932
EmbeddedBeam_31_1	27698	1	4,702	-6,324	137,771	0,523	15,932	-24,704	2,452	30,000	0,823	0,000	137,771	0,000	0,523	-1,938	15,932
Element 2-16 (Embedded beam)	27699	2	4,800	-6,341	135,269	0,294	56,015	-25,180	2,031	30,000	0,839	0,000	135,269	-0,022	0,294	-1,287	56,015
(R)Ircopalo ancoraggio autoperforante R38(=1,60m)	27700	3	4,898	-6,358	132,775	0,121	76,148	-25,069	-1,452	30,000	0,836	0,000	132,775	-0,628	0,121	-0,828	76,148
89	27701	4	4,995	-6,376	130,292	0,002	81,772	-24,937	-0,929	30,000	0,831	0,000	130,292	-1,160	0,011	-0,515	81,772
89	27702	5	5,093	-6,393	127,824	-0,063	78,290	-24,826	-0,519	30,000	0,828	0,000	127,824	-63,290	0,005	-0,284	78,290
EmbeddedBeam_31_1	27702	1	5,093	-6,393	127,823	-0,070	78,290	-24,826	-0,519	30,000	0,828	0,000	127,823	-69,857	0,004	-0,284	78,290
Element 2-17 (Embedded beam)	27703	2	5,177	-6,408	125,718	-0,099	71,008	-24,714	0,260	30,000	0,824	0,000	125,718	-98,929	0,003	-0,266	71,008
(R)Ircopalo ancoraggio autoperforante R38(=1,60m)	27704	3	5,261	-6,422	123,622	-0,114	61,886	-24,596	-0,072	30,000	0,820	0,000	123,622	-113,542	0,003	-0,327	61,886
89	27705	4	5,344	-6,437	121,536	-0,115	52,077	-24,474	0,054	30,000	0,816	0,000	121,536	-114,840	0,003	-0,373	52,077
89	27706	5	5,428	-6,452	119,462	-0,104	42,702	-24,349	0,130	30,000	0,812	0,000	119,462	-103,963	0,003	-0,383	42,702
EmbeddedBeam_31_1	27706	1	5,428	-6,452	119,461	-0,107	42,702	-24,349	0,130	30,000	0,812	0,000	119,461	-107,077	0,003	-0,383	42,702
Element 2-18 (Embedded beam)	27707	2	5,525	-6,469	117,081	-0,090	33,027	-24,203	0,173	30,000	0,807	0,000	117,081	-90,165	0,003	-0,351	33,027
(R)Ircopalo ancoraggio autoperforante R38(=1,60m)	27708	3	5,621	-6,486	114,715	-0,073	25,031	-24,056	0,182	30,000	0,802	0,000	114,715	-72,984	0,002	-0,274	25,031
89	27709	4	5,718	-6,503	112,363	-0,056	18,704	-23,910	0,169	30,000	0,797	0,000	112,363	-56,006	0,002	-0,193	18,704
89	27710	5	5,814	-6,520	110,026	-0,040	14,022	-23,764	0,145	30,000	0,792	0,000	110,026	-39,701	0,002	-0,114	14,022
EmbeddedBeam_31_1	27710	1	5,814	-6,520	110,025	-0,040	14,022	-23,764	0,145	30,000	0,792	0,000	110,025	-40,181	0,002	-0,114	14,022
Element 2-19 (Embedded beam)	27711	2	5,926	-6,540	107,348	-0,026	10,322	-23,599	0,111	30,000	0,787	0,000	107,348	-25,860	0,002	-0,035	10,322
(R)Ircopalo ancoraggio autoperforante R38(=1,60m)	27712	3	6,037	-6,559	104,687	-0,015	8,039	-23,437	0,079	30,000	0,781	0,000	104,687	-15,050	0,002	-0,026	8,039
89	27713	4	6,149	-6,579	102,044	-0,008	6,788	-23,278	0,051	30,000	0,776	0,000	102,044	-7,643	0,002	-0,017	6,870
89	27714	5	6,260	-6,599	99,421	-0,004	6,186	-23,124	0,030	30,000	0,771	0,000	99,421	-3,798	0,001	-0,007	6,365
EmbeddedBeam_31_1	27714	1	6,260	-6,599	99,419	-0,003	6,186	-23,124	0,030	30,000	0,771	0,000	99,419	-3,469	0,001	-0,007	6,365
Element 2-20 (Embedded beam)	27715	2	6,388	-6,621	96,415	-0,001	5,963	-22,952	0,012	30,000	0,765	0,000	96,415	-2,502	0,001	0,000	6,004
(R)Ircopalo ancoraggio autoperforante R38(=1,60m)	27716	3	6,517	-6,644	93,430	0,000	5,942	-22,786	0,002	30,000	0,760	0,000	93,430	-2,082	0,001	0,000	5,974
89	27717	4	6,645	-6,667	90,466	0,000	5,991	-22,628	0,003	30,000	0,754	0,000	90,466	-2,078	0,001	0,000	6,005
89	27718	5	6,774	-6,690	87,526	-0,001	5,984	-22,477	0,004	30,000	0,749	0,000	87,526	-2,414	0,000	0,000	5,984
EmbeddedBeam_31_1	27718	1	6,774	-6,690	87,523	0,000	5,984	-22,477	0,004	30,000	0,749	0,000	87,523	-2,318	0,000	0,000	5,984
Element 2-21 (Embedded beam)	27719	2	6,922	-6,716	84,155	-0,001	5,894	-22,313	0,003	30,000	0,744	0,000	84,155	-2,567	0,000	0,000	5,894
(R)Ircopalo ancoraggio autoperforante R38(=1,60m)	27720	3	7,070	-6,742	80,807	-0,001	5,725	-22,158	0,002	30,000	0,739	0,000	80,807	-2,700	0,000	0,000	5,725
89	27721	4	7,219	-6,768	77,482	-0,001	5,523	-22,014	0,001	30,000	0,734	0,000	77,482	-2,710	0,000	0,000	5,523
89	27722	5	7,367	-6,794	74,181	-0,001	5,333	-21,880	0,002	30,000	0,729	0,000	74,181	-2,599	0,000	0,000	5,333
EmbeddedBeam_31_1	27722	1	7,367	-6,794	74,177	-0,001	5,333	-21,880	0,002	30,000	0,729	0,000	74,177	-2,619	0,000	0,000	5,333
Element 2-22 (Embedded beam)	27723	2	7,538	-6,824	70,194	-0,001	5,178	-21,738	0,004	30,000	0,725	0,000	70,194	-2,397	0,000	0,000	5,178

Structural element	Node [10^1]	Local number	X [m]	Y [m]	N [kN]	Q [kN]	M [10^-1 kN m]	$T_{1,min}$ [kN/m]	$T_{1,1}$ [kN/m]	$T_{1,min,max}$ [kN/m]	$T_{1,min,min}$	$N_{1,1}$ [10^-1 kN]	$N_{1,1}$ [kN]	$Q_{1,1}$ [10^-1 kN]	$Q_{1,1}$ [kN]	$M_{1,1}$ [10^-1 kN m]	$M_{1,1}$ [10^-1 kN m]
(Micropalo ancoraggio autoperforante R38I=1,60m)	27724	3	7,709	-6,855	66,629	0,000	5,134	21,608	0,003	30,000	0,720	0,000	66,629	-2,238	0,000	0,000	5,134
)	27725	4	7,880	-6,885	62,886	0,000	5,168	21,491	0,001	30,000	0,716	0,000	62,886	-2,072	0,000	0,000	5,168
)	27726	5	8,051	-6,915	59,167	0,000	5,245	21,385	0,003	30,000	0,713	0,000	59,167	-1,882	0,000	0,000	5,245
EmbeddedBeam_3_1	27726	1	8,051	-6,915	59,163	0,001	5,245	21,385	0,003	30,000	0,713	0,000	59,163	-1,877	0,001	0,000	5,245
Element 2-23 (Embedded beam)	27727	2	8,248	-6,950	54,895	0,001	5,209	21,276	0,008	30,000	0,709	0,000	54,895	-1,650	0,000	0,000	5,209
(Micropalo ancoraggio autoperforante R38I=1,60m)	27728	3	8,445	-6,984	50,641	0,002	4,829	21,184	0,005	30,000	0,706	0,000	50,641	-2,452	0,001	0,000	4,829
)	27729	4	8,643	-7,019	46,404	0,003	4,288	21,108	0,001	30,000	0,704	0,000	46,404	-2,805	0,001	0,000	4,560
)	27730	5	8,840	-7,054	42,186	0,002	3,780	21,050	0,006	30,000	0,702	0,000	42,186	-2,060	0,002	0,000	4,490
EmbeddedBeam_3_1	27730	1	8,840	-7,054	42,181	0,005	3,780	21,050	0,006	30,000	0,702	0,000	42,181	-4,683	0,001	0,000	4,490
Element 2-24 (Embedded beam)	27731	2	9,067	-7,094	37,330	0,001	3,505	20,983	0,004	30,000	0,699	0,000	37,330	-0,844	0,001	0,000	4,412
(Micropalo ancoraggio autoperforante R38I=1,60m)	27732	3	9,295	-7,134	32,485	0,003	3,197	20,943	0,038	30,000	0,698	0,000	32,485	-4,994	0,000	0,000	3,854
)	27733	4	9,523	-7,175	27,649	0,015	1,532	20,903	0,067	30,000	0,697	0,000	27,649	-14,709	0,000	0,000	1,803
)	27734	5	9,750	-7,215	22,826	0,034	3,966	20,848	0,005	30,000	0,695	0,000	22,826	-34,001	0,000	-3,966	0,706
EmbeddedBeam_3_1	27734	1	9,750	-7,215	22,823	0,000	3,966	20,848	0,005	30,000	0,695	0,000	22,823	-2,650	0,002	-3,966	0,706
Element 2-25 (Embedded beam)	27735	2	10,013	-7,261	17,259	0,053	13,267	20,968	0,074	30,000	0,699	0,000	17,259	-52,672	0,000	-13,267	0,360
(Micropalo ancoraggio autoperforante R38I=1,60m)	27736	3	10,275	-7,307	11,662	0,029	24,863	20,871	0,340	30,000	0,696	0,000	11,662	-29,265	0,000	-24,863	0,236
)	27737	4	10,538	-7,354	5,996	0,044	24,477	21,494	0,297	30,000	0,716	0,000	5,996	-0,469	0,044	-24,477	0,142
)	27738	5	10,800	-7,400	0,222	0,139	0,000	24,529	-1,270	30,000	0,818	0,000	0,222	-0,742	0,139	0,000	0,000
EmbeddedBeam_2_1	27739	1	-3,562	-12,132	46,766	0,003	0,000	-125,000	0,026	125,000	1,000	-133,104	46,766	0,000	0,003	0,000	0,000
Element 3-26 (Embedded beam)	27740	2	-3,445	-12,380	21,889	0,000	0,475	73,140	0,008	125,000	0,585	-65,705	21,889	0,000	0,000	0,000	0,475
(Micropalo D168.3 s12.5mm/1,6m)	27741	3	-3,329	-12,628	7,442	0,001	0,421	25,866	0,002	125,000	0,207	26,166	7,442	0,668	0,000	0,000	0,421
)	27742	4	-3,213	-12,876	1,477	0,000	0,233	-11,204	0,002	125,000	0,090	-120,690	1,477	0,407	0,000	0,000	0,233
)	27743	5	-3,096	-13,124	2,049	0,001	0,260	-4,423	0,001	125,000	0,035	9,986	2,049	0,000	0,001	0,000	0,260
EmbeddedBeam_2_1	27743	1	-3,096	-13,124	0,283	0,000	0,260	-4,423	0,001	125,000	0,035	554,496	0,283	0,086	0,000	0,000	0,260
Element 3-27 (Embedded beam)	27744	2	-2,980	-13,372	0,324	0,000	0,254	-1,773	0,000	125,000	0,014	787,151	0,000	0,006	0,000	0,000	0,287
(Micropalo D168.3 s12.5mm/1,6m)	27745	3	-2,863	-13,620	0,671	0,000	0,292	0,608	0,001	125,000	0,005	919,032	0,000	0,008	0,000	0,000	0,351
)	27746	4	-2,747	-13,868	0,805	0,000	0,362	0,218	0,000	125,000	0,002	968,258	0,002	0,010	0,000	0,000	0,430
)	27747	5	-2,631	-14,116	0,773	0,000	0,444	0,023	0,000	125,000	0,000	952,946	0,003	0,012	0,000	0,000	0,510
EmbeddedBeam_2_1	27747	1	-2,631	-14,116	0,816	0,000	0,444	0,023	0,000	125,000	0,000	969,111	0,003	0,012	0,000	0,000	0,510
Element 3-28 (Embedded beam)	27748	2	-2,514	-14,364	0,804	0,000	0,530	0,063	0,000	125,000	0,001	962,864	0,005	0,013	0,000	0,000	0,583
(Micropalo D168.3 s12.5mm/1,6m)	27749	3	-2,398	-14,612	0,781	0,000	0,608	0,110	0,000	125,000	0,001	950,251	0,007	0,014	0,000	0,000	0,644
)	27750	4	-2,282	-14,860	0,747	0,000	0,671	0,139	0,000	125,000	0,001	931,091	0,008	0,013	0,000	0,000	0,691
)	27751	5	-2,165	-15,108	0,704	0,000	0,715	0,174	0,001	125,000	0,001	905,207	0,010	0,043	0,000	0,000	0,724
EmbeddedBeam_2_1	27751	1	-2,165	-15,108	0,687	0,000	0,715	0,174	0,001	125,000	0,001	877,925	0,009	0,175	0,000	0,000	0,724
Element 3-29 (Embedded beam)	27752	2	-2,049	-15,356	0,658	0,000	0,725	0,248	0,000	125,000	0,002	870,349	0,011	0,051	0,000	0,000	0,728
(Micropalo D168.3 s12.5mm/1,6m)	27753	3	-1,933	-15,604	0,559	0,000	0,736	0,404	0,001	125,000	0,003	758,888	0,011	0,276	0,000	0,000	0,736
)	27754	4	-1,816	-15,852	0,370	0,001	0,562	0,909	0,006	125,000	0,007	512,769	0,008	1,181	0,000	0,000	0,562
)	27755	5	-1,700	-16,100	0,049	0,003	0,000	2,105	0,028	125,000	0,017	101,221	0,002	3,119	0,000	0,000	0,000

3.3.1.1.33 Calculation results, Embedded beam, q rullo [Phase_37] (37/1187), Table of embedded beam force envelopes

Structural element	Node [10 ^]	Local number	X [m]	Y [m]	N [kN]	Q [kN]	M [10 ^ kN m]	$T_{x,+}$ [kN/m]	$T_{x,-}$ [kN/m]	$T_{,max,+}$ [kN/m]	$T_{,min,-}$ [10 ^]	$N_{x,+}$ [10 ^ kN]	$N_{x,-}$ [kN]	$Q_{z,+}$ [10 ^ kN]	$Q_{z,-}$ [kN]	$M_{y,+}$ [10 ^ kN m]	$M_{y,-}$ [10 ^ kN m]
EmbeddedBeam_1_1	27637	1	4,600	-2,300	114,697	1,022	0,000	7,295	-4,592	30,000	243,171	0,000	114,697	0,000	1,022	0,000	0,000
Element 1-1 (Embedded beam)	27638	2	4,890	-2,353	112,418	0,173	162,856	7,661	-2,175	30,000	255,370	0,000	112,418	0,000	0,173	0,000	162,856
(Ricopalo ancoraggio autoperforante Ø38i=1,60m)	27639	3	5,179	-2,407	110,186	-0,228	147,007	7,509	0,306	30,000	250,313	0,000	110,186	-228,301	0,000	0,000	147,007
28	27640	4	5,469	-2,460	108,005	-0,261	64,538	7,310	0,329	30,000	243,680	0,000	108,005	-260,965	0,000	0,000	64,538
29	27641	5	5,758	-2,513	105,880	-0,004	20,392	7,143	0,311	30,000	238,114	0,000	105,880	-5,779	0,000	0,000	20,392
EmbeddedBeam_1_1	27641	1	5,758	-2,513	105,878	-0,100	20,392	7,143	0,311	30,000	238,114	0,000	105,878	-100,064	0,000	0,000	20,392
Element 1-2 (Embedded beam)	27642	2	6,010	-2,559	104,069	-0,040	2,988	6,989	0,189	30,000	232,965	0,000	104,069	-40,309	0,000	-0,013	4,291
(Ricopalo ancoraggio autoperforante Ø38i=1,60m)	27643	3	6,262	-2,606	102,298	-0,004	-2,327	6,833	0,081	30,000	227,755	0,000	102,298	-4,413	0,000	-2,327	0,006
30	27644	4	6,514	-2,652	100,569	0,011	-1,011	6,672	0,026	30,000	222,396	0,000	100,569	0,000	0,011	-1,011	1,038
31	27645	5	6,766	-2,698	98,881	0,008	1,710	6,505	0,018	30,000	216,819	0,000	98,881	0,000	0,008	-0,011	3,236
EmbeddedBeam_1_1	27645	1	6,766	-2,698	98,882	0,013	1,710	6,505	0,018	30,000	216,819	0,000	98,882	0,000	0,013	-0,011	3,236
Element 1-3 (Embedded beam)	27646	2	6,985	-2,739	97,448	0,019	5,207	6,352	0,033	30,000	211,725	0,000	97,448	0,000	0,019	-0,006	5,476
(Ricopalo ancoraggio autoperforante Ø38i=1,60m)	27647	3	7,204	-2,779	96,051	0,028	10,441	6,189	0,051	30,000	206,292	0,000	96,051	0,000	0,028	-0,003	10,441
32	27648	4	7,423	-2,819	94,692	0,038	17,798	6,011	0,047	30,000	200,379	0,000	94,692	0,000	0,038	-0,001	17,798
33	27649	5	7,643	-2,860	93,372	0,049	27,590	5,816	0,007	30,000	193,879	0,000	93,372	0,000	0,049	-0,001	27,590
EmbeddedBeam_1_1	27649	1	7,643	-2,860	93,374	0,036	27,590	5,816	0,007	30,000	193,879	0,000	93,374	0,005	0,036	-0,001	27,590
Element 1-4 (Embedded beam)	27650	2	7,833	-2,895	92,262	0,039	35,595	5,639	0,122	30,000	187,954	0,000	92,262	0,161	0,039	-0,001	35,595
(Ricopalo ancoraggio autoperforante Ø38i=1,60m)	27651	3	8,024	-2,930	91,188	-0,009	39,468	5,446	0,351	30,000	181,540	0,000	91,188	9,235	0,002	0,000	39,468
34	27652	4	8,215	-2,965	90,151	-0,114	28,338	5,245	0,709	30,000	174,846	0,000	90,151	114,445	0,000	0,000	28,863
35	27653	5	8,405	-3,000	89,154	-0,282	8,989	5,097	0,946	30,000	169,907	0,000	89,154	281,974	0,000	-8,989	4,297
EmbeddedBeam_1_1	27653	1	8,405	-3,000	89,165	-0,315	8,989	5,097	0,946	30,000	169,907	0,000	89,165	314,929	0,000	-8,989	4,297
Element 1-5 (Embedded beam)	27654	2	8,571	-3,030	88,250	-0,327	63,677	5,468	0,095	30,000	182,267	0,000	88,250	327,064	0,000	-63,677	0,000
(Ricopalo ancoraggio autoperforante Ø38i=1,60m)	27655	3	8,737	-3,061	87,318	-0,287	116,526	5,626	0,311	30,000	187,524	0,000	87,318	287,479	0,000	-116,526	0,000
36	27656	4	8,903	-3,091	86,375	-0,184	157,116	5,590	0,847	30,000	186,349	0,000	86,375	184,468	0,000	-157,116	0,000
37	27657	5	9,069	-3,122	85,429	-0,006	174,425	5,428	1,812	30,000	180,927	0,000	85,429	19,023	0,000	-174,425	0,000
EmbeddedBeam_1_1	27657	1	9,069	-3,122	85,337	-0,082	174,425	5,428	1,812	30,000	180,927	0,000	85,337	82,718	0,000	-174,425	0,000
Element 1-6 (Embedded beam)	27658	2	9,213	-3,148	84,688	0,405	148,561	5,687	2,520	30,000	189,557	0,000	84,688	0,000	0,405	-148,561	0,000
(Ricopalo ancoraggio autoperforante Ø38i=1,60m)	27659	3	9,357	-3,175	83,685	0,673	65,855	7,707	1,381	30,000	256,914	0,000	83,685	0,000	0,673	65,855	0,000
38	27660	4	9,502	-3,201	82,285	0,679	16,209	11,099	1,043	30,000	369,959	0,000	82,285	0,000	0,679	-0,001	16,209
39	27661	5	9,646	-3,228	80,445	0,383	118,308	13,548	2,232	30,000	451,584	0,000	80,445	0,000	0,383	0,000	118,308
EmbeddedBeam_1_1	27661	1	9,646	-3,228	80,465	0,398	118,308	22,579	3,721	30,000	752,640	0,000	80,465	0,000	0,398	0,000	118,308
Element 1-7 (Embedded beam)	27662	2	9,771	-3,251	77,603	0,057	145,757	22,436	2,178	30,000	747,882	0,000	77,603	0,000	0,059	0,000	145,757
(Ricopalo ancoraggio autoperforante Ø38i=1,60m)	27663	3	9,896	-3,274	74,756	-0,152	138,501	22,304	1,035	30,000	743,462	0,000	74,756	152,211	0,000	0,000	138,501
40	27664	4	10,022	-3,297	71,924	-0,241	112,127	22,180	0,280	30,000	739,319	0,000	71,924	240,829	0,000	0,000	112,127
41	27665	5	10,147	-3,320	69,111	-0,219	81,800	22,063	0,154	30,000	735,421	0,000	69,111	219,412	0,000	0,000	81,800
EmbeddedBeam_1_1	27665	1	10,147	-3,320	69,109	-0,248	81,800	22,063	0,154	30,000	735,421	0,000	69,109	248,190	0,000	0,000	81,800
Element 1-8 (Embedded beam)	27666	2	10,296	-3,347	65,780	-0,191	48,543	21,934	0,374	30,000	731,131	0,000	65,780	190,644	0,000	0,000	48,543
(Ricopalo ancoraggio autoperforante Ø38i=1,60m)	27667	3	10,445	-3,375	62,466	-0,134	24,045	21,817	0,395	30,000	727,248	0,000	62,466	133,849	0,000	0,000	24,045
42	27668	4	10,594	-3,402	59,168	-0,081	7,791	21,712	0,321	30,000	723,750	0,000	59,168	81,005	0,000	0,000	7,791
43	27669	5	10,743	-3,430	55,890	-0,035	-0,883	21,619	0,222	30,000	720,627	0,000	55,890	35,312	0,000	-0,883	0,177
EmbeddedBeam_1_1	27669	1	10,743	-3,430	55,886	-0,036	-0,883	21,619	0,222	30,000	720,627	0,000	55,886	35,512	0,000	-0,883	0,177
Element 1-9 (Embedded beam)	27670	2	10,920	-3,462	52,002	-0,009	-4,731	21,524	0,115	30,000	717,481	0,000	52,002	9,333	0,000	-4,731	0,034
(Ricopalo ancoraggio autoperforante Ø38i=1,60m)	27671	3	11,097	-3,495	48,128	0,005	-4,950	21,448	0,042	30,000	714,920	0,000	48,128	-0,112	0,005	-4,950	0,009
44	27672	4	11,274	-3,527	44,266	0,010	-3,406	21,389	0,002	30,000	712,954	0,000	44,266	-0,035	0,010	-3,406	0,001
45	27673	5	11,452	-3,560	40,418	0,006	-1,892	21,347	0,013	30,000	711,580	0,000	40,418	-0,024	0,006	-1,892	0,000
EmbeddedBeam_1_1	27673	1	11,452	-3,560	40,413	0,008	-1,892	21,347	0,013	30,000	711,580	0,000	40,413	-0,012	0,008	-1,892	0,000
Element 1-10 (Embedded beam)	27674	2	11,663	-3,599	35,842	0,004	-0,580	21,321	0,015	30,000	710,709	0,000	35,842	-0,011	0,004	-0,744	0,000
(Ricopalo ancoraggio autoperforante Ø38i=1,60m)	27675	3	11,874	-3,638	31,267	0,002	0,040	21,320	0,010	30,000	710,660	0,000	31,267	-0,010	0,002	-0,397	0,153
46	27676	4	12,085	-3,676	26,689	0,000	0,205	21,343	0,005	30,000	711,436	0,000	26,689	-0,065	0,000	-0,274	0,256
47	27677	5	12,296	-3,715	22,111	0,000	0,156	21,391	0,001	30,000	713,044	0,000	22,111	-0,403	0,000	-0,257	0,190

Structural element	Node [10^1]	Local number	X [m]	Y [m]	N [kN]	Q [kN]	M [10^-1 kN m]	$T_{zz,sup}$ [kN/m]	$T_{zz,inf}$ [kN/m]	$T_{xx,sup}$ [kN/m]	$T_{xx,inf}$ [10^-1]	$N_{x,i}$ [10^-1 kN]	$N_{x,j}$ [kN]	$Q_{z,i}$ [10^-1 kN]	$Q_{z,j}$ [kN]	$M_{y,i}$ [10^-1 kN m]	$M_{y,j}$ [10^-1 kN m]
EmbeddedBeam_11_1	27677	1	12,296	3,715	22,103	-0,001	0,156	21,391	0,001	30,000	713,044	0,000	22,103	-0,635	0,000	-0,257	0,190
Element 1-11 (Embedded beam)	27678	2	12,547	3,761	16,638	0,000	0,021	21,486	0,001	30,000	716,198	0,000	16,638	-0,468	0,000	-0,258	0,060
(R)Ircopalo ancoraggio autoperforante R38(=1,60m)	27679	3	12,798	3,808	11,134	0,000	0,066	21,607	0,002	30,000	720,245	0,000	11,134	-0,214	0,000	-0,189	0,001
28	27680	4	13,049	3,854	5,593	0,000	0,080	21,782	0,001	30,000	726,060	0,000	5,593	0,000	0,000	-0,088	0,000
29	27681	5	13,300	3,900	0,015	0,000	0,000	22,109	0,005	30,000	736,962	0,000	0,015	-0,047	0,000	0,000	0,000
EmbeddedBeam_31_1	27682	1	2,300	5,900	67,701	0,127	0,000	3,973	0,686	30,000	132,417	0,000	67,701	0,000	0,127	0,000	0,000
Element 2-12 (Embedded beam)	27683	2	2,582	5,950	66,617	0,065	27,513	4,020	0,205	30,000	134,014	0,000	66,617	-0,074	0,065	0,000	27,513
(R)Ircopalo ancoraggio autoperforante R38(=1,60m)	27684	3	2,865	6,000	65,386	0,008	37,819	4,640	0,203	30,000	154,676	0,000	65,386	-12,630	0,011	-0,002	17,819
28	27685	4	3,147	6,049	64,034	-0,041	32,939	4,863	0,152	30,000	162,090	0,000	64,034	-41,370	0,000	-0,084	12,939
29	27686	5	3,430	6,099	62,588	-0,080	15,163	4,971	0,086	30,000	165,685	0,000	62,588	-80,338	0,000	-0,100	15,167
EmbeddedBeam_31_1	27686	1	3,430	6,099	62,610	-0,062	15,163	4,971	0,086	30,000	165,685	0,000	62,610	-61,934	0,000	-0,100	15,167
Element 2-13 (Embedded beam)	27687	2	3,595	6,128	61,776	-0,049	5,908	4,978	0,078	30,000	165,927	0,000	61,776	-48,531	0,000	-0,823	6,507
(R)Ircopalo ancoraggio autoperforante R38(=1,60m)	27688	3	3,760	6,158	60,940	-0,036	-1,141	4,988	0,076	30,000	166,274	0,000	60,940	-35,684	0,000	-1,898	0,701
28	27689	4	3,925	6,187	60,104	-0,024	4,107	4,989	0,069	30,000	166,295	0,000	60,104	-23,632	0,001	-6,107	0,000
29	27690	5	4,090	6,216	59,267	-0,013	9,127	4,976	0,058	30,000	165,863	0,000	59,267	-12,618	0,002	-9,127	0,000
EmbeddedBeam_31_1	27690	1	4,090	6,216	59,268	-0,012	9,127	4,976	0,058	30,000	165,863	0,000	59,268	-12,413	0,002	-9,127	0,000
Element 2-14 (Embedded beam)	27691	2	4,187	6,233	58,781	-0,008	10,114	4,961	0,057	30,000	165,353	0,000	58,781	-7,553	0,003	-10,114	0,000
(R)Ircopalo ancoraggio autoperforante R38(=1,60m)	27692	3	4,283	6,250	58,295	-0,001	10,566	4,944	0,066	30,000	164,808	0,000	58,295	-1,330	0,004	-10,566	0,000
28	27693	4	4,380	6,267	57,811	0,007	10,319	4,934	0,092	30,000	164,464	0,000	57,811	0,000	0,007	-10,319	0,000
29	27694	5	4,476	6,284	57,328	0,017	9,200	4,926	0,136	30,000	164,212	0,000	57,328	0,000	0,017	-9,200	0,000
EmbeddedBeam_31_1	27694	1	4,476	6,284	57,327	0,017	9,200	4,926	0,136	30,000	164,212	0,000	57,327	0,000	0,017	-9,200	0,000
Element 2-15 (Embedded beam)	27695	2	4,533	6,294	57,046	0,026	7,967	4,919	0,172	30,000	163,952	0,000	57,046	0,000	0,026	-7,967	0,000
(R)Ircopalo ancoraggio autoperforante R38(=1,60m)	27696	3	4,589	6,304	56,763	0,037	4,140	4,918	0,221	30,000	163,937	0,000	56,763	0,000	0,037	-6,140	0,000
28	27697	4	4,646	6,314	56,478	0,048	3,690	5,003	0,185	30,000	166,769	0,000	56,478	0,000	0,048	-3,690	0,025
29	27698	5	4,702	6,324	56,190	0,059	-0,605	5,338	0,125	30,000	177,935	0,000	56,190	0,000	0,059	-1,938	0,070
EmbeddedBeam_31_1	27698	1	4,702	6,324	56,185	0,054	-0,605	8,897	0,208	30,000	296,559	0,000	56,185	0,000	0,054	-1,938	0,070
Element 2-16 (Embedded beam)	27699	2	4,800	6,341	55,300	0,035	3,746	8,919	0,168	30,000	297,285	0,000	55,300	0,022	0,035	-1,287	3,746
(R)Ircopalo ancoraggio autoperforante R38(=1,60m)	27700	3	4,898	6,358	54,414	0,020	6,447	8,933	0,126	30,000	297,765	0,000	54,414	0,628	0,020	-0,828	6,447
28	27701	4	4,995	6,376	53,527	0,010	7,895	8,947	0,087	30,000	298,245	0,000	53,527	1,160	0,010	-0,515	7,895
29	27702	5	5,093	6,393	52,638	0,003	8,488	8,961	0,055	30,000	298,689	0,000	52,638	1,144	0,005	-0,284	8,488
EmbeddedBeam_31_1	27702	1	5,093	6,393	52,638	0,003	8,488	8,961	0,055	30,000	298,689	0,000	52,638	1,233	0,004	-0,284	8,488
Element 2-17 (Embedded beam)	27703	2	5,177	6,408	51,876	-0,001	8,546	8,969	0,035	30,000	298,976	0,000	51,876	1,023	0,003	-0,266	8,546
(R)Ircopalo ancoraggio autoperforante R38(=1,60m)	27704	3	5,261	6,422	51,113	-0,003	8,355	8,975	0,020	30,000	299,178	0,000	51,113	1,142	0,003	-0,327	8,355
28	27705	4	5,344	6,437	50,350	-0,005	8,009	8,979	0,009	30,000	299,301	0,000	50,350	4,609	0,003	-0,373	8,009
29	27706	5	5,428	6,452	49,587	-0,005	7,600	8,981	0,002	30,000	299,354	0,000	49,587	4,862	0,003	-0,383	7,600
EmbeddedBeam_31_1	27706	1	5,428	6,452	49,587	-0,005	7,600	8,981	0,002	30,000	299,354	0,000	49,587	5,088	0,003	-0,383	7,600
Element 2-18 (Embedded beam)	27707	2	5,525	6,469	48,706	-0,005	7,110	8,980	0,003	30,000	299,340	0,000	48,706	4,860	0,003	-0,351	7,110
(R)Ircopalo ancoraggio autoperforante R38(=1,60m)	27708	3	5,621	6,486	47,826	-0,004	6,653	8,978	0,006	30,000	299,255	0,000	47,826	4,426	0,002	-0,274	6,653
28	27709	4	5,718	6,503	46,945	-0,004	6,247	8,973	0,007	30,000	299,109	0,000	46,945	3,824	0,002	-0,193	6,247
29	27710	5	5,814	6,520	46,066	-0,003	5,908	8,967	0,006	30,000	298,911	0,000	46,066	3,090	0,002	-0,114	5,908
EmbeddedBeam_31_1	27710	1	5,814	6,520	46,066	-0,003	5,908	8,967	0,006	30,000	298,911	0,000	46,066	3,154	0,002	-0,114	5,908
Element 2-19 (Embedded beam)	27711	2	5,926	6,540	45,052	-0,002	5,591	8,959	0,005	30,000	298,628	0,000	45,052	2,462	0,002	-0,035	5,591
(R)Ircopalo ancoraggio autoperforante R38(=1,60m)	27712	3	6,037	6,559	44,039	-0,002	5,344	8,949	0,004	30,000	298,297	0,000	44,039	1,930	0,002	-0,026	5,344
28	27713	4	6,149	6,579	43,027	-0,002	5,149	8,938	0,003	30,000	297,929	0,000	43,027	1,559	0,002	-0,017	5,149
29	27714	5	6,260	6,599	42,017	-0,001	4,986	8,926	0,001	30,000	297,533	0,000	42,017	1,148	0,001	-0,007	4,986
EmbeddedBeam_31_1	27714	1	6,260	6,599	42,017	-0,001	4,986	8,926	0,001	30,000	297,533	0,000	42,017	1,122	0,001	-0,007	4,986
Element 2-20 (Embedded beam)	27715	2	6,388	6,621	40,854	-0,001	4,819	8,912	0,000	30,000	297,055	0,000	40,854	1,255	0,001	0,000	4,819
(R)Ircopalo ancoraggio autoperforante R38(=1,60m)	27716	3	6,517	6,644	39,692	-0,001	4,654	8,897	0,001	30,000	296,571	0,000	39,692	1,271	0,001	0,000	4,654
28	27717	4	6,645	6,667	38,531	-0,001	4,484	8,883	0,001	30,000	296,094	0,000	38,531	1,361	0,001	0,000	4,484
29	27718	5	6,774	6,690	37,374	-0,002	4,297	8,869	0,001	30,000	295,642	0,000	37,374	1,513	0,000	0,000	4,297
EmbeddedBeam_31_1	27718	1	6,774	6,690	37,373	-0,001	4,297	8,869	0,001	30,000	295,642	0,000	37,373	1,490	0,000	0,000	4,297
Element 2-21 (Embedded beam)	27719	2	6,922	6,716	36,040	-0,002	4,060	8,855	0,001	30,000	295,169	0,000	36,040	1,650	0,000	0,000	4,060
(R)Ircopalo ancoraggio autoperforante R38(=1,60m)	27720	3	7,070	6,742	34,707	-0,002	3,802	8,843	0,001	30,000	294,769	0,000	34,707	1,772	0,000	0,000	3,802
28	27721	4	7,219	6,768	33,377	-0,002	3,528	8,834	0,000	30,000	294,459	0,000	33,377	1,856	0,000	0,000	3,528
29	27722	5	7,367	6,794	32,048	-0,002	3,245	8,828	0,000	30,000	294,257	0,000	32,048	1,900	0,000	0,000	3,247
EmbeddedBeam_31_1	27722	1	7,367	6,794	32,047	-0,002	3,245	8,828	0,000	30,000	294,257	0,000	32,047	1,903	0,000	0,000	3,247
Element 2-22 (Embedded beam)	27723	2	7,538	6,824	30,516	-0,002	2,915	8,825	0,000	30,000	294,176	0,000	30,516	1,899	0,000	0,000	2,951

Structural element	Node [10^0]	Local number	X [m]	Y [m]	N [kN]	Q [kN]	M [10^0 kN m]	$T_{1,1}$ [kN/m]	$T_{2,2}$ [kN/m]	$T_{1,1,max}$ [kN/m]	$T_{1,1,min}$ [10^0]	$N_{1,1}$ [10^0 kN]	$N_{2,2}$ [kN]	$Q_{1,1}$ [10^0 kN]	$Q_{2,2}$ [kN]	$M_{1,1}$ [10^0 kN m]	$M_{2,2}$ [10^0 kN m]
(Micropalo ancoraggio autoperforante R38I=1,60m)	27724	3	7,709	4,855	28,983	0,002	2,588	8,828	0,000	10,000	294,274	0,000	28,983	-1,860	0,000	0,000	2,660
89	27725	4	7,880	4,885	27,449	0,002	2,270	8,837	0,001	10,000	294,566	0,000	27,449	-1,788	0,000	0,000	2,371
89	27726	5	8,051	4,915	25,914	0,002	1,968	8,852	0,001	10,000	295,064	0,000	25,914	-1,685	0,000	0,000	2,094
EmbeddedBeam_3_1	27726	1	8,051	4,915	25,912	0,002	1,968	8,852	0,001	10,000	295,064	0,000	25,912	-1,690	0,000	0,000	2,094
Element 2-23 (Embedded beam)	27727	2	8,248	4,950	24,139	0,002	1,644	8,877	0,001	10,000	295,904	0,000	24,139	-1,549	0,000	0,000	1,788
(Micropalo ancoraggio autoperforante R38I=1,60m)	27728	3	8,445	4,984	22,357	0,001	1,349	8,911	0,001	10,000	297,034	0,000	22,357	-1,391	0,000	0,000	1,505
89	27729	4	8,643	7,019	20,567	0,001	1,087	8,954	0,001	10,000	298,459	0,000	20,567	-1,217	0,000	0,000	1,249
89	27730	5	8,840	7,054	18,770	0,001	0,862	9,005	0,001	10,000	300,178	0,000	18,770	-1,037	0,000	0,000	1,025
EmbeddedBeam_3_1	27730	1	8,840	7,054	18,768	0,001	0,862	9,005	0,001	10,000	300,178	0,000	18,768	-1,049	0,000	0,000	1,025
Element 2-24 (Embedded beam)	27731	2	9,067	7,094	16,681	0,001	0,649	9,076	0,001	10,000	302,522	0,000	16,681	-0,835	0,000	0,000	0,809
(Micropalo ancoraggio autoperforante R38I=1,60m)	27732	3	9,295	7,134	14,574	0,001	0,485	9,157	0,001	10,000	305,248	0,000	14,574	-0,645	0,000	0,000	0,640
89	27733	4	9,523	7,175	12,447	0,000	0,364	9,251	0,001	10,000	308,353	0,000	12,447	-0,485	0,000	0,000	0,510
89	27734	5	9,750	7,215	10,300	0,000	0,280	9,355	0,000	10,000	311,841	0,000	10,300	-0,361	0,000	-0,049	0,413
EmbeddedBeam_3_1	27734	1	9,750	7,215	10,296	0,000	0,280	9,355	0,000	10,000	311,841	0,000	10,296	-0,327	0,000	-0,049	0,413
Element 2-25 (Embedded beam)	27735	2	10,013	7,261	7,789	0,000	0,206	9,491	0,000	10,000	316,359	0,000	7,789	-0,193	0,000	-0,092	0,318
(Micropalo ancoraggio autoperforante R38I=1,60m)	27736	3	10,275	7,307	5,238	0,000	0,131	9,643	0,000	10,000	321,417	0,000	5,238	-0,438	0,000	-0,082	0,205
89	27737	4	10,538	7,354	2,643	0,000	0,060	9,818	0,000	10,000	327,282	0,000	2,643	-0,407	0,000	-0,042	0,091
89	27738	5	10,800	7,400	0,005	0,000	0,000	-10,035	0,003	10,000	334,500	0,000	0,005	-0,245	0,000	0,000	0,000
EmbeddedBeam_2_1	27739	1	-3,562	-12,132	17,825	0,001	0,000	72,747	0,006	125,000	581,977	-133,104	17,825	0,000	0,001	0,000	0,000
Element 3-26 (Embedded beam)	27740	2	-3,445	-12,380	7,999	0,000	0,114	28,890	0,002	125,000	231,117	65,705	7,999	0,000	0,000	0,000	0,114
(Micropalo D168.3 s12.5mm/1,6m)	27741	3	-3,329	-12,628	2,292	0,000	0,118	10,218	0,000	125,000	81,744	26,166	2,292	-0,071	0,000	0,000	0,118
89	27742	4	-3,213	-12,876	-0,063	0,000	0,105	-4,420	0,001	125,000	35,363	-120,690	0,000	-0,007	0,000	0,000	0,105
89	27743	5	-3,096	-13,124	0,164	0,000	0,163	-1,739	0,000	125,000	13,916	9,986	0,164	0,000	0,000	0,000	0,163
EmbeddedBeam_2_1	27743	1	-3,096	-13,124	0,533	0,000	0,163	-1,739	0,000	125,000	13,916	547,820	0,000	-0,005	0,000	0,000	0,163
Element 3-27 (Embedded beam)	27744	2	-2,980	-13,372	0,771	0,000	0,211	0,695	0,000	125,000	5,556	770,853	0,000	-0,006	0,000	0,000	0,211
(Micropalo D168.3 s12.5mm/1,6m)	27745	3	-2,863	-13,620	0,907	0,000	0,273	0,237	0,000	125,000	1,896	906,761	0,000	-0,008	0,000	0,000	0,273
89	27746	4	-2,747	-13,868	0,959	0,000	0,342	0,085	0,000	125,000	0,682	959,214	0,002	-0,010	0,000	0,000	0,342
89	27747	5	-2,631	-14,116	0,946	0,000	0,408	0,010	0,000	125,000	0,077	946,465	0,003	-0,012	0,000	0,000	0,408
EmbeddedBeam_2_1	27747	1	-2,631	-14,116	0,963	0,000	0,408	0,010	0,000	125,000	0,077	962,782	0,003	-0,012	0,000	0,000	0,408
Element 3-28 (Embedded beam)	27748	2	-2,514	-14,364	0,959	0,000	0,465	0,025	0,000	125,000	0,202	959,124	0,005	-0,013	0,000	0,000	0,465
(Micropalo D168.3 s12.5mm/1,6m)	27749	3	-2,398	-14,612	0,949	0,000	0,507	0,048	0,000	125,000	0,382	949,046	0,007	-0,014	0,000	0,000	0,507
89	27750	4	-2,282	-14,860	0,932	0,000	0,532	0,073	0,000	125,000	0,587	932,364	0,008	-0,013	0,000	0,000	0,532
89	27751	5	-2,165	-15,108	0,909	0,000	0,540	0,120	0,000	125,000	0,960	908,893	0,010	-0,011	0,000	0,000	0,540
EmbeddedBeam_2_1	27751	1	-2,165	-15,108	0,881	0,000	0,540	0,120	0,000	125,000	0,960	881,154	0,009	-0,130	0,000	0,000	0,540
Element 3-29 (Embedded beam)	27752	2	-2,049	-15,356	0,876	0,000	0,527	0,232	0,000	125,000	1,860	876,275	0,011	-0,009	0,000	0,000	0,527
(Micropalo D168.3 s12.5mm/1,6m)	27753	3	-1,933	-15,604	0,766	0,000	0,517	0,470	0,001	125,000	3,762	765,771	0,011	-0,178	0,000	0,000	0,517
89	27754	4	-1,816	-15,852	0,518	-0,001	0,386	1,232	0,004	125,000	9,856	518,375	0,008	-0,836	0,000	0,000	0,386
89	27755	5	-1,700	-16,100	0,103	-0,002	0,000	3,022	0,019	125,000	24,174	102,817	0,002	-2,113	0,000	0,000	0,000

3.3.1.1.34 Calculation results, Embedded beam, SLE Paratia esistente [Phase_12] (12/1232), Table of embedded beam force envelopes

Structural element	Node [10 ^]	Local number	X [m]	Y [m]	N [kN]	Q [10 ^ kN]	M [10 ^ kN m]	T_{max} [kN/m]	T_{min} [kN/m]	$T_{max,ser}$ [kN/m]	$T_{min,ser}$ [10 ^]	N_{max} [kN]	N_{min} [kN]	Q_{max} [10 ^ kN]	Q_{min} [10 ^ kN]	M_{max} [10 ^ kN m]	M_{min} [10 ^ kN m]
EmbeddedBeam_11_1	27637	1	4,600	-2,300	90,569	764,667	0,000	-7,847	-3,957	30,000	261,570	0,000	90,569	0,000	764,667	0,000	0,000
Element 1-1 (Embedded beam)	27638	2	4,890	-2,353	88,267	126,385	121,236	-7,751	-1,632	30,000	258,376	0,000	88,267	0,000	126,385	0,000	121,236
(TITAN 40/20 l=1,60m)	27639	3	5,179	-2,407	86,005	-172,034	108,797	-7,617	-0,202	30,000	253,885	0,000	86,005	-172,034	0,000	0,000	108,797
88	27640	4	5,469	-2,460	83,784	-193,462	47,084	-7,470	0,250	30,000	248,990	0,000	83,784	-193,462	0,000	0,000	47,084
88	27641	5	5,758	-2,513	81,607	-0,774	14,840	-7,318	0,235	30,000	243,929	0,000	81,607	-2,277	0,001	0,000	14,840
EmbeddedBeam_11_1	27641	1	5,758	-2,513	81,607	-72,210	14,840	-7,318	0,235	30,000	243,929	0,000	81,607	-72,210	0,000	0,000	14,840
Element 1-2 (Embedded beam)	27642	2	6,010	-2,559	79,751	-27,038	2,574	-7,178	0,142	30,000	239,272	0,000	79,751	-27,038	0,000	-0,013	2,777
(TITAN 40/20 l=1,60m)	27643	3	6,262	-2,606	77,930	-0,432	-0,625	-7,033	0,058	30,000	234,423	0,000	77,930	-1,167	0,158	-1,344	0,000
88	27644	4	6,514	-2,652	76,148	9,745	0,951	-6,882	0,013	30,000	229,396	0,000	76,148	0,000	9,745	-0,377	1,038
88	27645	5	6,766	-2,698	74,405	5,626	3,177	-6,726	0,002	30,000	224,210	0,000	74,405	0,000	5,627	-0,011	3,236
EmbeddedBeam_11_1	27645	1	6,766	-2,698	74,405	9,473	3,177	-6,726	0,002	30,000	224,210	0,000	74,405	0,000	9,473	-0,011	3,236
Element 1-3 (Embedded beam)	27646	2	6,985	-2,739	72,922	10,222	5,332	-6,587	0,007	30,000	219,579	0,000	72,922	0,000	10,222	-0,006	5,352
(TITAN 40/20 l=1,60m)	27647	3	7,204	-2,779	71,470	12,711	7,867	-6,445	0,017	30,000	214,830	0,000	71,470	0,000	12,711	-0,003	7,867
88	27648	4	7,423	-2,819	70,050	16,591	11,102	-6,298	0,019	30,000	209,940	0,000	70,050	0,000	16,591	-0,001	11,102
88	27649	5	7,643	-2,860	68,663	21,513	15,334	-6,146	0,001	30,000	204,872	0,000	68,663	0,000	21,513	-0,001	15,334
EmbeddedBeam_11_1	27649	1	7,643	-2,860	68,663	16,699	15,334	-6,146	0,001	30,000	204,872	0,000	68,663	-0,005	16,699	-0,001	15,334
Element 1-4 (Embedded beam)	27650	2	7,833	-2,895	67,485	17,547	18,930	-6,008	-0,046	30,000	200,270	0,000	67,485	-0,161	17,547	-0,001	18,930
(TITAN 40/20 l=1,60m)	27651	3	8,024	-2,930	66,334	-0,426	20,938	-5,864	-0,132	30,000	195,477	0,000	66,334	-2,527	0,000	0,000	20,938
88	27652	4	8,215	-2,965	65,211	-38,842	17,444	-5,716	-0,257	30,000	190,534	0,000	65,211	-38,842	0,000	0,000	17,444
88	27653	5	8,405	-3,000	64,118	-99,325	4,436	-5,566	-0,392	30,000	185,517	0,000	64,118	-99,325	0,000	0,000	4,436
EmbeddedBeam_11_1	27653	1	8,405	-3,000	64,113	-96,415	4,436	-5,566	-0,392	30,000	185,517	0,000	64,113	-96,415	0,000	0,000	4,436
Element 1-5 (Embedded beam)	27654	2	8,571	-3,030	63,184	-153,786	-17,225	-5,540	-0,202	30,000	184,683	0,000	63,184	-153,786	0,000	-17,225	0,000
(TITAN 40/20 l=1,60m)	27655	3	8,737	-3,061	62,242	-166,318	-44,967	-5,648	0,029	30,000	188,281	0,000	62,242	-166,318	0,000	-44,967	0,000
88	27656	4	8,903	-3,091	61,292	-129,538	-70,574	-5,640	0,383	30,000	188,001	0,000	61,292	-129,538	0,000	-70,574	0,000
88	27657	5	9,069	-3,122	60,338	-38,972	-85,601	-5,535	0,893	30,000	184,501	0,000	60,338	-39,228	0,067	-85,601	0,000
EmbeddedBeam_11_1	27657	1	9,069	-3,122	60,294	-82,808	-85,601	-5,535	0,893	30,000	184,501	0,000	60,294	-83,043	0,000	-85,601	0,000
Element 1-6 (Embedded beam)	27658	2	9,213	-3,148	59,559	170,745	-78,339	-5,613	1,349	30,000	187,105	0,000	59,559	0,000	170,745	-78,339	0,000
(TITAN 40/20 l=1,60m)	27659	3	9,357	-3,175	58,659	324,966	-40,074	-6,476	0,948	30,000	215,855	0,000	58,659	0,000	324,966	-40,074	0,000
88	27660	4	9,502	-3,201	57,563	348,201	10,656	-8,267	-0,437	30,000	275,560	0,000	57,563	0,000	348,201	-0,001	10,814
88	27661	5	9,646	-3,228	56,244	208,794	53,900	-9,495	-1,116	30,000	316,485	0,000	56,244	0,000	208,794	0,000	53,900
EmbeddedBeam_11_1	27661	1	9,646	-3,228	56,254	215,844	53,900	-15,824	-1,861	30,000	527,476	0,000	56,254	0,000	215,844	0,000	53,900
Element 1-7 (Embedded beam)	27662	2	9,771	-3,251	54,249	43,058	69,626	-15,719	-1,110	30,000	523,964	0,000	54,249	0,000	43,058	0,000	69,626
(TITAN 40/20 l=1,60m)	27663	3	9,896	-3,274	52,254	-64,655	67,651	-15,622	-0,546	30,000	520,734	0,000	52,254	-64,655	0,007	0,000	67,651
88	27664	4	10,022	-3,297	50,271	-112,431	55,708	-15,531	-0,168	30,000	517,705	0,000	50,271	-112,431	0,000	0,000	55,708
88	27665	5	10,147	-3,320	48,302	-105,403	41,326	-15,445	0,054	30,000	514,841	0,000	48,302	-105,403	0,000	0,000	41,326
EmbeddedBeam_11_1	27665	1	10,147	-3,320	48,300	-119,605	41,326	-15,445	0,054	30,000	514,841	0,000	48,300	-119,605	0,000	0,000	41,326
Element 1-8 (Embedded beam)	27666	2	10,296	-3,347	45,970	-93,641	25,152	-15,351	0,171	30,000	511,699	0,000	45,970	-93,641	0,000	0,000	25,152
(TITAN 40/20 l=1,60m)	27667	3	10,445	-3,375	43,651	-67,114	13,005	-15,266	0,189	30,000	508,878	0,000	43,651	-67,114	0,000	0,000	13,005
88	27668	4	10,594	-3,402	41,343	-41,692	4,762	-15,191	0,157	30,000	506,353	0,000	41,343	-41,692	0,000	0,000	4,762
88	27669	5	10,743	-3,430	39,050	-19,046	0,221	-15,123	0,111	30,000	504,094	0,000	39,050	-19,046	0,000	-0,013	0,221
EmbeddedBeam_11_1	27669	1	10,743	-3,430	39,047	-19,307	0,221	-15,123	0,111	30,000	504,094	0,000	39,047	-19,307	0,000	-0,013	0,221
Element 1-9 (Embedded beam)	27670	2	10,920	-3,462	36,330	-5,989	-1,964	-15,055	0,059	30,000	501,825	0,000	36,330	-5,989	0,000	-1,964	0,034
(TITAN 40/20 l=1,60m)	27671	3	11,097	-3,495	33,621	1,651	-2,286	-14,999	0,023	30,000	499,968	0,000	33,621	-0,112	1,651	-2,286	0,009
88	27672	4	11,274	-3,527	30,920	4,252	-1,671	-14,956	0,003	30,000	498,525	0,000	30,920	-0,035	4,252	-1,676	0,001
88	27673	5	11,452	-3,560	28,230	2,449	-1,011	-14,925	-0,005	30,000	497,490	0,000	28,230	-0,024	2,449	-1,039	0,000
EmbeddedBeam_11_1	27673	1	11,452	-3,560	28,226	3,661	-1,011	-14,925	-0,005	30,000	497,490	0,000	28,226	-0,012	3,661	-1,039	0,000
Element 1-10 (Embedded beam)	27674	2	11,663	-3,599	25,031	1,989	-0,413	-14,903	-0,007	30,000	496,781	0,000	25,031	-0,011	1,989	-0,463	0,000
(TITAN 40/20 l=1,60m)	27675	3	11,874	-3,638	21,833	0,788	-0,124	-14,899	-0,005	30,000	496,630	0,000	21,833	-0,010	0,791	-0,209	0,000
88	27676	4	12,085	-3,676	18,635	0,077	-0,040	-14,911	-0,002	30,000	497,043	0,000	18,635	-0,010	0,170	-0,128	0,000

Structural element	Node [10^]	Local number	X [m]	Y [m]	N [kN]	Q [10 ^ kN]	M [10 ^ kN m]	T$_{xx}$ [kN/m]	T$_{yy}$ [kN/m]	T$_{xx,yy,max}$ [kN/m]	T$_{xx,yy,min}$ [10 ^]	N$_{xx}$ [kN]	N$_{yy}$ [kN]	Q$_{xx}$ [10 ^ kN]	Q$_{yy}$ [10 ^ kN]	M$_{xx}$ [10 ^ kN m]	M$_{yy}$ [10 ^ kN m]
臂	27677	5	12,296	-3,715	15,437	0,124	-0,054	14,941	0,000	30,000	498,037	0,000	15,437	-0,124	0,027	-0,117	0,000
EmbeddedBeam_11_1	27677	1	12,296	-3,715	15,430	0,264	-0,054	14,941	0,000	30,000	498,037	0,000	15,430	-0,264	0,000	-0,117	0,000
Element 1-11 (Embedded beam)	27678	2	12,547	-3,761	11,615	0,059	-0,096	15,000	0,001	30,000	500,008	0,000	11,615	-0,059	0,080	-0,129	0,000
(TITAN 40/20 l=1,60m)	27679	3	12,798	-3,808	7,773	0,116	-0,086	15,087	0,001	30,000	502,884	0,000	7,773	0,000	0,167	-0,105	0,000
臂	27680	4	13,049	-3,854	3,903	0,196	-0,045	15,212	0,000	30,000	507,075	0,000	3,903	0,000	0,237	-0,052	0,000
臂	27681	5	13,300	-3,900	0,007	0,118	0,000	15,401	0,002	30,000	513,350	0,000	0,007	0,000	0,133	0,000	0,000
EmbeddedBeam_31_1	27682	1	2,300	-5,900	63,755	111,495	0,000	4,234	0,683	30,000	141,121	0,000	63,755	0,000	114,136	0,000	0,000
Element 2-12 (Embedded beam)	27683	2	2,582	-5,950	62,596	64,192	25,445	4,328	0,169	30,000	144,280	0,000	62,596	-0,074	64,192	0,000	25,445
(TITAN 40/20 l=1,60m)	27684	3	2,865	-6,000	61,262	12,158	36,257	5,060	0,212	30,000	168,670	0,000	61,262	-12,630	12,158	-0,002	36,257
臂	27685	4	3,147	-6,049	59,782	38,592	32,542	5,346	0,160	30,000	178,208	0,000	59,782	-38,592	0,000	-0,084	32,542
臂	27686	5	3,430	-6,099	58,186	82,045	14,926	5,480	0,102	30,000	182,681	0,000	58,186	-82,045	0,127	-0,100	14,926
EmbeddedBeam_31_1	27686	1	3,430	-6,099	58,213	60,888	14,926	5,480	0,102	30,000	182,681	0,000	58,213	-60,888	0,016	-0,100	14,926
Element 2-13 (Embedded beam)	27687	2	3,595	-6,128	57,292	43,087	6,231	5,498	0,100	30,000	183,282	0,000	57,292	-43,087	0,054	-0,823	6,231
(TITAN 40/20 l=1,60m)	27688	3	3,760	-6,158	56,368	27,249	0,371	5,518	0,091	30,000	183,938	0,000	56,368	-27,249	0,075	-1,898	0,371
臂	27689	4	3,925	-6,187	55,443	13,826	-3,045	5,517	0,071	30,000	183,912	0,000	55,443	-13,826	0,545	-3,045	0,000
臂	27690	5	4,090	-6,216	54,518	3,277	-4,431	5,489	0,047	30,000	182,953	0,000	54,518	-3,277	1,919	-4,431	0,000
EmbeddedBeam_31_1	27690	1	4,090	-6,216	54,519	3,583	-4,431	5,489	0,047	30,000	182,953	0,000	54,519	-3,583	2,256	-4,431	0,000
Element 2-14 (Embedded beam)	27691	2	4,187	-6,233	53,983	0,238	-4,588	5,467	0,035	30,000	182,227	0,000	53,983	0,000	2,967	-4,588	0,000
(TITAN 40/20 l=1,60m)	27692	3	4,283	-6,250	53,447	3,228	-4,412	5,445	0,026	30,000	181,516	0,000	53,447	0,000	3,847	-4,412	0,000
臂	27693	4	4,380	-6,267	52,914	5,438	-3,980	5,425	0,019	30,000	180,838	0,000	52,914	0,000	5,438	-3,980	0,000
臂	27694	5	4,476	-6,284	52,384	6,920	-3,369	5,406	0,014	30,000	180,198	0,000	52,384	0,000	6,920	-3,369	0,000
EmbeddedBeam_31_1	27694	1	4,476	-6,284	52,383	6,993	-3,369	5,406	0,014	30,000	180,198	0,000	52,383	0,000	6,993	-3,369	0,000
Element 2-15 (Embedded beam)	27695	2	4,533	-6,294	52,074	7,733	-2,946	5,395	0,011	30,000	179,847	0,000	52,074	0,000	7,733	-2,946	0,000
(TITAN 40/20 l=1,60m)	27696	3	4,589	-6,304	51,764	8,318	-2,485	5,385	0,010	30,000	179,493	0,000	51,764	0,000	8,318	-2,485	0,000
臂	27697	4	4,646	-6,314	51,456	8,706	-1,996	5,376	0,005	30,000	179,215	0,000	51,456	0,000	8,706	-1,996	0,025
臂	27698	5	4,702	-6,324	51,148	8,855	-1,491	5,386	-0,021	30,000	179,523	0,000	51,148	0,000	8,855	-1,491	0,070
EmbeddedBeam_31_1	27698	1	4,702	-6,324	51,147	8,418	-1,491	8,976	-0,036	30,000	299,205	0,000	51,147	0,000	8,418	-1,491	0,070
Element 2-16 (Embedded beam)	27699	2	4,800	-6,341	50,259	5,452	-0,810	8,933	-0,026	30,000	297,782	0,000	50,259	-0,022	5,452	-0,810	0,121
(TITAN 40/20 l=1,60m)	27700	3	4,898	-6,358	49,374	3,320	-0,381	8,894	-0,017	30,000	296,458	0,000	49,374	-0,628	3,320	-0,381	0,120
臂	27701	4	4,995	-6,376	48,493	1,992	-0,124	8,857	-0,010	30,000	295,230	0,000	48,493	-1,160	1,992	-0,143	0,082
臂	27702	5	5,093	-6,393	47,616	1,439	0,040	8,822	-0,004	30,000	294,076	0,000	47,616	-1,144	1,439	-0,202	0,041
EmbeddedBeam_31_1	27702	1	5,093	-6,393	47,615	1,320	0,040	8,822	-0,004	30,000	294,076	0,000	47,615	-1,233	1,320	-0,202	0,041
Element 2-17 (Embedded beam)	27703	2	5,177	-6,408	46,867	1,150	0,144	8,794	-0,001	30,000	293,125	0,000	46,867	-1,023	1,150	-0,266	0,144
(TITAN 40/20 l=1,60m)	27704	3	5,261	-6,422	46,121	1,111	0,239	8,766	0,001	30,000	292,199	0,000	46,121	-0,720	1,111	-0,327	0,239
臂	27705	4	5,344	-6,437	45,376	1,184	0,336	8,739	0,001	30,000	291,291	0,000	45,376	-0,445	1,184	-0,373	0,336
臂	27706	5	5,428	-6,452	44,635	1,353	0,443	8,712	0,002	30,000	290,395	0,000	44,635	-0,187	1,353	-0,383	0,443
EmbeddedBeam_31_1	27706	1	5,428	-6,452	44,635	1,318	0,443	8,712	0,002	30,000	290,395	0,000	44,635	-0,199	1,318	-0,383	0,443
Element 2-18 (Embedded beam)	27707	2	5,525	-6,469	43,782	1,483	0,581	8,681	0,001	30,000	289,373	0,000	43,782	-0,043	1,483	-0,351	0,581
(TITAN 40/20 l=1,60m)	27708	3	5,621	-6,486	42,932	1,592	0,732	8,651	0,001	30,000	288,356	0,000	42,932	0,000	1,592	-0,274	0,732
臂	27709	4	5,718	-6,503	42,085	1,640	0,891	8,620	0,000	30,000	287,342	0,000	42,085	0,000	1,642	-0,193	0,891
臂	27710	5	5,814	-6,520	41,242	1,626	1,052	8,590	0,000	30,000	286,329	0,000	41,242	0,000	1,715	-0,114	1,052
EmbeddedBeam_31_1	27710	1	5,814	-6,520	41,241	1,633	1,052	8,590	0,000	30,000	286,329	0,000	41,241	0,000	1,726	-0,114	1,052
Element 2-19 (Embedded beam)	27711	2	5,926	-6,540	40,272	1,526	1,231	8,555	-0,001	30,000	285,161	0,000	40,272	0,000	1,740	-0,035	1,231
(TITAN 40/20 l=1,60m)	27712	3	6,037	-6,559	39,306	1,368	1,395	8,520	-0,002	30,000	283,992	0,000	39,306	0,000	1,676	-0,026	1,395
臂	27713	4	6,149	-6,579	38,344	1,162	1,539	8,485	-0,002	30,000	282,825	0,000	38,344	0,000	1,588	-0,017	1,539
臂	27714	5	6,260	-6,599	37,387	0,914	1,657	8,450	-0,002	30,000	281,662	0,000	37,387	0,000	1,403	-0,007	1,657
EmbeddedBeam_31_1	27714	1	6,260	-6,599	37,387	0,929	1,657	8,450	-0,002	30,000	281,662	0,000	37,387	0,000	1,427	-0,007	1,657
Element 2-20 (Embedded beam)	27715	2	6,388	-6,621	36,287	0,636	1,759	8,410	-0,002	30,000	280,330	0,000	36,287	0,000	1,154	0,000	1,759
(TITAN 40/20 l=1,60m)	27716	3	6,517	-6,644	35,192	0,363	1,824	8,370	-0,002	30,000	279,015	0,000	35,192	0,000	0,877	0,000	1,824
臂	27717	4	6,645	-6,667	34,102	0,113	1,854	8,332	-0,002	30,000	277,724	0,000	34,102	0,000	0,613	0,000	1,854
臂	27718	5	6,774	-6,690	33,018	-0,110	1,854	8,294	-0,002	30,000	276,464	0,000	33,018	-0,110	0,398	0,000	1,854
EmbeddedBeam_31_1	27718	1	6,774	-6,690	33,017	-0,109	1,854	8,294	-0,002	30,000	276,464	0,000	33,017	-0,109	0,410	0,000	1,854
Element 2-21 (Embedded beam)	27719	2	6,922	-6,716	31,773	-0,312	1,822	8,252	-0,001	30,000	275,058	0,000	31,773	-0,312	0,192	0,000	1,822
(TITAN 40/20 l=1,60m)	27720	3	7,070	-6,742	30,533	-0,470	1,763	8,211	-0,001	30,000	273,715	0,000	30,533	-0,470	0,061	0,000	1,763
臂	27721	4	7,219	-6,768	29,300	-0,584	1,683	8,173	-0,001	30,000	272,443	0,000	29,300	-0,584	0,006	0,000	1,683
臂	27722	5	7,367	-6,794	28,073	-0,656	1,589	8,138	0,000	30,000	271,252	0,000	28,073	-0,656	0,000	0,000	1,589
EmbeddedBeam_31_1	27722	1	7,367	-6,794	28,072	-0,663	1,589	8,138	0,000	30,000	271,252	0,000	28,072	-0,663	0,000	0,000	1,589

Structural element	Node [10⁻¹]	Local number	X [m]	Y [m]	N [kN]	Q [10⁻¹ kN]	M [10⁻¹ kN m]	T_{xx} [kN/m]	T_{yy} [kN/m]	$T_{xx,yy,max}$ [kN/m]	$T_{xx,yy,max}$ [10⁻¹]	$N_{x,x}$ [kN]	$N_{y,y}$ [kN]	$Q_{x,x}$ [10⁻¹ kN]	$Q_{y,y}$ [10⁻¹ kN]	$M_{x,x}$ [10⁻¹ kN m]	$M_{y,y}$ [10⁻¹ kN m]
Element 2-22 (Embedded beam)	27723	2	7,538	-6,824	26,664	-0,712	1,469	8,100	0,000	30,000	269,988	0,000	26,664	-0,712	0,000	0,000	1,469
(TITAN 40/20 l=1,60m)	27724	3	7,709	-6,855	25,260	-0,739	1,343	8,066	0,000	30,000	268,854	0,000	25,260	-0,739	0,000	0,000	1,343
89	27725	4	7,880	-6,885	23,861	-0,746	1,214	8,036	0,000	30,000	267,858	0,000	23,861	-0,746	0,000	0,000	1,214
88	27726	5	8,051	-6,915	22,469	-0,734	1,085	8,010	0,000	30,000	267,009	0,000	22,469	-0,734	0,000	0,000	1,085
EmbeddedBeam_3_1	27726	1	8,051	-6,915	22,468	-0,736	1,085	8,010	0,000	30,000	267,009	0,000	22,468	-0,736	0,000	0,000	1,085
Element 2-23 (Embedded beam)	27727	2	8,248	-6,950	20,867	-0,709	0,940	7,987	0,000	30,000	266,222	0,000	20,867	-0,709	0,000	0,000	0,940
(TITAN 40/20 l=1,60m)	27728	3	8,445	-6,984	19,269	-0,670	0,802	7,969	0,000	30,000	265,650	0,000	19,269	-0,670	0,000	0,000	0,805
87	27729	4	8,643	-7,019	17,673	-0,618	0,673	7,959	0,000	30,000	265,299	0,000	17,673	-0,618	0,000	0,000	0,682
86	27730	5	8,840	-7,054	16,081	-0,554	0,555	7,955	0,000	30,000	265,175	0,000	16,081	-0,554	0,000	0,000	0,570
EmbeddedBeam_3_1	27730	1	8,840	-7,054	16,079	-0,559	0,555	7,955	0,000	30,000	265,175	0,000	16,079	-0,559	0,000	0,000	0,570
Element 2-24 (Embedded beam)	27731	2	9,067	-7,094	14,242	-0,473	0,436	7,960	0,000	30,000	265,321	0,000	14,242	-0,473	0,000	0,000	0,456
(TITAN 40/20 l=1,60m)	27732	3	9,295	-7,134	12,401	-0,392	0,336	7,973	0,000	30,000	265,781	0,000	12,401	-0,392	0,000	0,000	0,358
85	27733	4	9,523	-7,175	10,555	-0,317	0,254	7,997	0,000	30,000	266,565	0,000	10,555	-0,317	0,000	0,000	0,277
84	27734	5	9,750	-7,215	8,706	-0,249	0,189	8,031	0,000	30,000	267,686	0,000	8,706	-0,256	0,000	0,000	0,211
EmbeddedBeam_3_1	27734	1	9,750	-7,215	8,702	-0,244	0,189	8,031	0,000	30,000	267,686	0,000	8,702	-0,249	0,000	0,000	0,211
Element 2-25 (Embedded beam)	27735	2	10,013	-7,261	6,559	-0,220	0,127	8,083	0,000	30,000	269,422	0,000	6,559	-0,240	0,000	0,000	0,146
(TITAN 40/20 l=1,60m)	27736	3	10,275	-7,307	4,395	-0,187	0,072	8,149	0,000	30,000	271,648	0,000	4,395	-0,215	0,000	0,000	0,085
83	27737	4	10,538	-7,354	2,209	-0,139	0,029	8,238	0,000	30,000	274,593	0,000	2,209	-0,165	0,000	0,000	0,034
82	27738	5	10,800	-7,400	0,004	-0,072	0,000	8,361	0,001	30,000	278,713	0,000	0,004	-0,081	0,000	0,000	0,000

3.3.1.1.35 Calculation results, Embedded beam, SLU11 Paratia esistente [Phase_13] (13/1235), Table of embedded beam force envelopes

Structural element	Node [10^1]	Local number	X [m]	Y [m]	N [kN]	Q [10^-1 kN]	M [10^-1 kN m]	T_{min} [kN/m]	T_{max} [kN/m]	$T_{min,min}$ [kN/m]	$T_{min,max}$ [10^-1]	N_{min} [kN]	N_{max} [kN]	Q_{min} [10^-1 kN]	Q_{max} [10^-1 kN]	M_{min} [10^-1 kN m]	M_{max} [10^-1 kN m]
EmbeddedBeam_1_1	27637	1	4,600	-2,100	93,956	800,093	0,000	-8,180	-4,058	30,000	272,667	0,000	93,956	0,000	800,093	0,000	0,000
Element 1-1 (Embedded beam)	27638	2	4,890	-2,353	91,535	131,533	126,735	-8,156	-1,709	30,000	271,863	0,000	91,535	0,000	131,533	0,000	126,735
(TITAN 40/20 l=1,60m)	27639	3	5,179	-2,407	89,154	-180,837	113,478	-8,017	-0,211	30,000	267,222	0,000	89,154	-180,837	0,000	0,000	113,478
28	27640	4	5,469	-2,460	86,816	-202,766	48,718	-7,862	0,365	30,000	262,052	0,000	86,816	-202,766	0,000	0,000	48,718
29	27641	5	5,758	-2,513	84,525	-0,002	15,032	-7,708	0,347	30,000	256,928	0,000	84,525	-2,277	0,001	0,000	15,032
EmbeddedBeam_1_1	27641	1	5,758	-2,513	84,525	-75,041	15,032	-7,708	0,347	30,000	256,928	0,000	84,525	-75,041	0,000	0,000	15,032
Element 1-2 (Embedded beam)	27642	2	6,010	-2,559	82,569	-27,738	2,336	-7,563	0,148	30,000	252,113	0,000	82,569	-27,738	0,000	-0,013	2,777
(TITAN 40/20 l=1,60m)	27643	3	6,262	-2,606	80,651	0,070	-0,872	-7,413	0,061	30,000	247,084	0,000	80,651	-1,167	0,158	-1,344	0,000
30	27644	4	6,514	-2,652	78,772	10,620	0,900	-7,255	0,014	30,000	241,842	0,000	78,772	0,000	10,620	-0,377	1,038
31	27645	5	6,766	-2,698	76,934	6,146	3,318	-7,092	0,001	30,000	236,405	0,000	76,934	0,000	6,146	-0,011	3,318
EmbeddedBeam_1_1	27645	1	6,766	-2,698	76,935	10,178	3,318	-7,092	0,001	30,000	236,405	0,000	76,935	0,000	10,178	-0,011	3,318
Element 1-3 (Embedded beam)	27646	2	6,985	-2,739	75,370	10,701	5,604	-6,946	0,006	30,000	231,532	0,000	75,370	0,000	10,701	-0,006	5,604
(TITAN 40/20 l=1,60m)	27647	3	7,204	-2,779	73,839	13,001	8,223	-6,796	0,016	30,000	226,522	0,000	73,839	0,000	13,001	-0,003	8,223
32	27648	4	7,423	-2,819	72,342	16,732	11,506	-6,641	0,019	30,000	221,361	0,000	72,342	0,000	16,732	-0,001	11,506
33	27649	5	7,643	-2,860	70,880	21,548	15,756	-6,481	0,001	30,000	216,017	0,000	70,880	0,000	21,548	-0,001	15,756
EmbeddedBeam_1_1	27649	1	7,643	-2,860	70,880	16,729	15,756	-6,481	0,001	30,000	216,017	0,000	70,880	-0,005	16,729	-0,001	15,756
Element 1-4 (Embedded beam)	27650	2	7,833	-2,895	69,637	17,519	19,352	-6,335	-0,046	30,000	211,175	0,000	69,637	-0,161	17,547	-0,001	19,352
(TITAN 40/20 l=1,60m)	27651	3	8,024	-2,930	68,424	-0,506	21,350	-6,184	-0,132	30,000	206,144	0,000	68,424	-2,527	0,000	0,000	21,350
34	27652	4	8,215	-2,965	67,239	-38,970	17,836	-6,029	-0,257	30,000	200,968	0,000	67,239	-38,970	0,000	0,000	17,836
35	27653	5	8,405	-3,000	66,086	-99,500	4,798	-5,872	-0,392	30,000	195,726	0,000	66,086	-99,500	0,000	0,000	4,798
EmbeddedBeam_1_1	27653	1	8,405	-3,000	66,081	-96,580	4,798	-5,872	-0,392	30,000	195,726	0,000	66,081	-96,580	0,000	0,000	4,798
Element 1-5 (Embedded beam)	27654	2	8,571	-3,030	65,101	-154,021	-16,896	-5,841	-0,203	30,000	194,701	0,000	65,101	-154,021	0,000	-17,225	0,000
(TITAN 40/20 l=1,60m)	27655	3	8,737	-3,061	64,109	-166,605	-44,683	-5,944	0,029	30,000	198,119	0,000	64,109	-166,605	0,000	-44,967	0,000
36	27656	4	8,903	-3,091	63,109	-129,851	-70,341	-5,930	0,383	30,000	197,667	0,000	63,109	-129,851	0,000	-70,574	0,000
37	27657	5	9,069	-3,122	62,107	-39,282	-85,421	-5,820	0,894	30,000	194,006	0,000	62,107	-39,282	0,067	-85,601	0,000
EmbeddedBeam_1_1	27657	1	9,069	-3,122	62,064	-83,106	-85,421	-5,820	0,894	30,000	194,006	0,000	62,064	-83,106	0,000	-85,601	0,000
Element 1-6 (Embedded beam)	27658	2	9,213	-3,148	61,287	170,525	-78,198	-5,894	1,349	30,000	196,483	0,000	61,287	0,000	170,745	-78,339	0,000
(TITAN 40/20 l=1,60m)	27659	3	9,357	-3,175	60,345	324,895	-39,955	-6,754	0,949	30,000	225,118	0,000	60,345	0,000	324,966	-40,074	0,000
38	27660	4	9,502	-3,201	59,209	348,341	10,779	-8,542	-0,435	30,000	284,725	0,000	59,209	0,000	348,341	-0,001	10,814
39	27661	5	9,646	-3,228	57,850	209,202	54,062	-9,768	-1,116	30,000	325,592	0,000	57,850	0,000	209,202	0,000	54,062
EmbeddedBeam_1_1	27661	1	9,646	-3,228	57,860	216,217	54,062	-16,280	-1,860	30,000	542,654	0,000	57,860	0,000	216,217	0,000	54,062
Element 1-7 (Embedded beam)	27662	2	9,771	-3,251	55,797	43,408	69,836	-16,172	-1,110	30,000	539,053	0,000	55,797	0,000	43,408	0,000	69,836
(TITAN 40/20 l=1,60m)	27663	3	9,896	-3,274	53,745	-64,381	67,901	-16,072	-0,547	30,000	535,728	0,000	53,745	-64,655	0,007	0,000	67,901
40	27664	4	10,022	-3,297	51,705	-112,268	55,986	-15,978	-0,169	30,000	532,604	0,000	51,705	-112,431	0,000	0,000	55,986
41	27665	5	10,147	-3,320	49,678	-105,375	41,616	-15,889	0,053	30,000	529,648	0,000	49,678	-105,403	0,000	0,000	41,616
EmbeddedBeam_1_1	27665	1	10,147	-3,320	49,676	-119,563	41,616	-15,889	0,053	30,000	529,648	0,000	49,676	-119,605	0,000	0,000	41,616
Element 1-8 (Embedded beam)	27666	2	10,296	-3,347	47,279	-93,690	25,441	-15,792	0,171	30,000	526,401	0,000	47,279	-93,690	0,000	0,000	25,441
(TITAN 40/20 l=1,60m)	27667	3	10,445	-3,375	44,894	-67,232	13,282	-15,704	0,188	30,000	523,479	0,000	44,894	-67,232	0,000	0,000	13,282
42	27668	4	10,594	-3,402	42,520	-41,857	5,017	-15,626	0,156	30,000	520,857	0,000	42,520	-41,857	0,000	0,000	5,017
43	27669	5	10,743	-3,430	40,161	-19,234	0,449	-15,555	0,110	30,000	518,510	0,000	40,161	-19,234	0,000	-0,013	0,449
EmbeddedBeam_1_1	27669	1	10,743	-3,430	40,159	-19,501	0,449	-15,555	0,110	30,000	518,510	0,000	40,159	-19,501	0,000	-0,013	0,449
Element 1-9 (Embedded beam)	27670	2	10,920	-3,462	37,364	-6,189	-1,772	-15,485	0,059	30,000	516,151	0,000	37,364	-6,189	0,000	-1,964	0,034
(TITAN 40/20 l=1,60m)	27671	3	11,097	-3,495	34,577	1,461	-2,129	-15,427	0,023	30,000	514,220	0,000	34,577	-0,112	1,651	-2,286	0,009
44	27672	4	11,274	-3,527	31,800	4,084	-1,547	-15,382	0,003	30,000	512,720	0,000	31,800	-0,035	4,252	-1,676	0,001
45	27673	5	11,452	-3,560	29,033	2,314	-0,914	-15,349	-0,005	30,000	511,644	0,000	29,033	-0,024	2,449	-1,039	0,000
EmbeddedBeam_1_1	27673	1	11,452	-3,560	29,029	3,522	-0,914	-15,349	-0,005	30,000	511,644	0,000	29,029	-0,012	3,661	-1,039	0,000
Element 1-10 (Embedded beam)	27674	2	11,663	-3,599	25,743	1,885	-0,342	-15,327	-0,007	30,000	510,906	0,000	25,743	-0,011	1,989	-0,463	0,000
(TITAN 40/20 l=1,60m)	27675	3	11,874	-3,638	22,454	0,713	-0,073	-15,322	-0,004	30,000	510,747	0,000	22,454	-0,010	0,791	-0,209	0,000
46	27676	4	12,085	-3,676	19,165	0,024	-0,002	-15,335	-0,002	30,000	511,172	0,000	19,165	-0,010	0,170	-0,128	0,000

Structural element	Node [10⁰]	Local number	X [m]	Y [m]	N [kN]	Q [10⁰ · kN]	M [10⁰ · kN m]	T_{xx} [kN/m]	T_{yy} [kN/m]	$T_{xx,zz,max}$ [kN/m]	$T_{xx,zz,min}$ [10⁰]	N_{xx} [kN]	N_{yy} [kN]	Q_{xx} [10⁰ · kN]	Q_{yy} [10⁰ · kN]	M_{xx} [10⁰ · kN m]	M_{yy} [10⁰ · kN m]
臂	27677	5	12,296	-3,715	15,876	0,163	-0,026	15,366	0,000	30,000	512,196	0,000	15,876	-0,163	0,027	-0,117	0,000
EmbeddedBeam_11_1	27677	1	12,296	-3,715	15,869	0,299	-0,026	15,366	0,000	30,000	512,196	0,000	15,869	-0,299	0,000	-0,117	0,000
Element 1-11 (Embedded beam)	27678	2	12,547	-3,761	11,946	0,091	-0,077	15,427	0,001	30,000	514,227	0,000	11,946	-0,091	0,080	-0,129	0,000
(TITAN 40/20 I=1,60m)	27679	3	12,798	-3,808	7,994	0,087	-0,074	15,516	0,001	30,000	517,191	0,000	7,994	0,000	0,167	-0,105	0,000
臂	27680	4	13,049	-3,854	4,014	0,173	-0,040	15,645	0,000	30,000	521,506	0,000	4,014	0,000	0,237	-0,052	0,000
臂	27681	5	13,300	-3,900	0,007	0,106	0,000	15,839	0,002	30,000	527,963	0,000	0,007	0,000	0,133	0,000	0,000
EmbeddedBeam_31_1	27682	1	2,300	-5,900	66,902	113,556	0,000	-4,408	0,728	30,000	146,923	0,000	66,902	0,000	114,136	0,000	0,000
Element 2-12 (Embedded beam)	27683	2	2,582	-5,950	65,696	69,582	26,661	-4,518	0,165	30,000	150,610	0,000	65,696	0,074	69,582	0,000	26,661
(TITAN 40/20 I=1,60m)	27684	3	2,865	-6,000	64,299	16,147	38,873	5,318	0,231	30,000	177,259	0,000	64,299	-12,630	16,147	-0,002	38,873
臂	27685	4	3,147	-6,049	62,742	39,329	25,728	5,638	0,179	30,000	187,940	0,000	62,742	-39,329	0,000	-0,084	25,728
臂	27686	5	3,430	-6,099	61,055	89,427	16,959	5,770	0,102	30,000	192,343	0,000	61,055	-89,427	0,127	-0,100	16,959
EmbeddedBeam_31_1	27686	1	3,430	-6,099	61,086	66,018	16,959	5,770	0,102	30,000	192,343	0,000	61,086	-66,018	0,016	-0,100	16,959
Element 2-13 (Embedded beam)	27687	2	3,595	-6,128	60,117	47,681	7,443	5,786	0,104	30,000	192,853	0,000	60,117	-47,681	0,054	-0,823	7,443
(TITAN 40/20 I=1,60m)	27688	3	3,760	-6,158	59,145	30,903	0,887	5,807	0,099	30,000	193,552	0,000	59,145	-30,903	0,075	-1,898	0,887
臂	27689	4	3,925	-6,187	58,172	16,204	-3,040	5,809	0,079	30,000	193,634	0,000	58,172	-16,204	0,545	-3,060	0,000
臂	27690	5	4,090	-6,216	57,197	4,102	-4,698	5,783	0,053	30,000	192,776	0,000	57,197	-4,102	1,919	-4,698	0,000
EmbeddedBeam_31_1	27690	1	4,090	-6,216	57,199	4,581	-4,698	5,783	0,053	30,000	192,776	0,000	57,199	-4,581	2,256	-4,698	0,000
Element 2-14 (Embedded beam)	27691	2	4,187	-6,233	56,633	0,167	-4,923	5,760	0,040	30,000	192,007	0,000	56,633	-0,167	2,967	-4,923	0,000
(TITAN 40/20 I=1,60m)	27692	3	4,283	-6,250	56,069	3,312	-4,762	5,737	0,030	30,000	191,239	0,000	56,069	0,000	3,847	-4,762	0,000
臂	27693	4	4,380	-6,267	55,507	5,908	-4,302	5,715	0,022	30,000	190,502	0,000	55,507	0,000	5,908	-4,302	0,000
臂	27694	5	4,476	-6,284	54,948	7,673	-3,630	5,694	0,016	30,000	189,802	0,000	54,948	0,000	7,673	-3,630	0,000
EmbeddedBeam_31_1	27694	1	4,476	-6,284	54,948	7,749	-3,630	5,694	0,016	30,000	189,802	0,000	54,948	0,000	7,749	-3,630	0,000
Element 2-15 (Embedded beam)	27695	2	4,533	-6,294	54,622	8,623	-3,160	5,682	0,013	30,000	189,415	0,000	54,622	0,000	8,623	-3,160	0,000
(TITAN 40/20 I=1,60m)	27696	3	4,589	-6,304	54,296	9,316	-2,644	5,671	0,011	30,000	189,022	0,000	54,296	0,000	9,316	-2,644	0,000
臂	27697	4	4,646	-6,314	53,971	9,777	-2,096	5,662	0,005	30,000	188,721	0,000	53,971	0,000	9,777	-2,096	0,025
臂	27698	5	4,702	-6,324	53,647	9,954	-1,528	5,673	-0,025	30,000	189,106	0,000	53,647	0,000	9,954	-1,528	0,070
EmbeddedBeam_31_1	27698	1	4,702	-6,324	53,646	9,437	-1,528	9,455	-0,042	30,000	315,176	0,000	53,646	0,000	9,437	-1,528	0,070
Element 2-16 (Embedded beam)	27699	2	4,800	-6,341	52,711	5,952	-0,773	9,410	-0,030	30,000	313,657	0,000	52,711	-0,022	5,952	-0,810	0,121
(TITAN 40/20 I=1,60m)	27700	3	4,898	-6,358	51,778	3,448	-0,314	9,367	-0,020	30,000	312,237	0,000	51,778	-0,628	3,448	-0,381	0,120
臂	27701	4	4,995	-6,376	50,850	1,888	-0,057	9,328	-0,011	30,000	310,917	0,000	50,850	-1,160	1,992	-0,143	0,082
臂	27702	5	5,093	-6,393	49,927	1,235	0,091	9,290	-0,005	30,000	309,672	0,000	49,927	-1,144	1,439	-0,202	0,091
EmbeddedBeam_31_1	27702	1	5,093	-6,393	49,926	1,097	0,091	9,290	-0,005	30,000	309,672	0,000	49,926	-1,233	1,320	-0,202	0,091
Element 2-17 (Embedded beam)	27703	2	5,177	-6,408	49,138	0,901	0,174	9,259	-0,001	30,000	308,645	0,000	49,138	-1,023	1,150	-0,266	0,174
(TITAN 40/20 I=1,60m)	27704	3	5,261	-6,422	48,352	0,864	0,248	9,229	0,001	30,000	307,645	0,000	48,352	-0,720	1,111	-0,327	0,252
臂	27705	4	5,344	-6,437	47,569	0,968	0,325	9,200	0,002	30,000	306,664	0,000	47,569	-0,445	1,184	-0,373	0,337
臂	27706	5	5,428	-6,452	46,789	1,193	0,416	9,171	0,002	30,000	305,695	0,000	46,789	-0,187	1,353	-0,383	0,443
EmbeddedBeam_31_1	27706	1	5,428	-6,452	46,788	1,150	0,416	9,171	0,002	30,000	305,695	0,000	46,788	-0,199	1,318	-0,383	0,443
Element 2-18 (Embedded beam)	27707	2	5,525	-6,469	45,891	1,380	0,541	9,138	0,002	30,000	304,589	0,000	45,891	-0,043	1,483	-0,351	0,581
(TITAN 40/20 I=1,60m)	27708	3	5,621	-6,486	44,996	1,545	0,685	9,105	0,001	30,000	303,488	0,000	44,996	0,000	1,592	-0,274	0,732
臂	27709	4	5,718	-6,503	44,105	1,642	0,842	9,072	0,001	30,000	302,391	0,000	44,105	0,000	1,642	-0,193	0,891
臂	27710	5	5,814	-6,520	43,217	1,666	1,005	9,039	0,000	30,000	301,294	0,000	43,217	0,000	1,715	-0,114	1,052
EmbeddedBeam_31_1	27710	1	5,814	-6,520	43,217	1,673	1,005	9,039	0,000	30,000	301,294	0,000	43,217	0,000	1,726	-0,114	1,052
Element 2-19 (Embedded beam)	27711	2	5,926	-6,540	42,197	1,593	1,190	9,001	-0,001	30,000	300,028	0,000	42,197	0,000	1,740	-0,035	1,231
(TITAN 40/20 I=1,60m)	27712	3	6,037	-6,559	41,181	1,450	1,362	8,963	-0,002	30,000	298,762	0,000	41,181	0,000	1,676	-0,026	1,395
臂	27713	4	6,149	-6,579	40,169	1,250	1,516	8,925	-0,002	30,000	297,498	0,000	40,169	0,000	1,588	-0,017	1,539
臂	27714	5	6,260	-6,599	39,162	0,997	1,643	8,887	-0,002	30,000	296,238	0,000	39,162	0,000	1,403	-0,007	1,657
EmbeddedBeam_31_1	27714	1	6,260	-6,599	39,161	1,014	1,643	8,887	-0,002	30,000	296,238	0,000	39,161	0,000	1,427	-0,007	1,657
Element 2-20 (Embedded beam)	27715	2	6,388	-6,621	38,005	0,712	1,756	8,844	-0,002	30,000	294,795	0,000	38,005	0,000	1,154	0,000	1,759
(TITAN 40/20 I=1,60m)	27716	3	6,517	-6,644	36,854	0,430	1,830	8,801	-0,002	30,000	293,368	0,000	36,854	0,000	0,877	0,000	1,830
臂	27717	4	6,645	-6,667	35,708	0,170	1,869	8,759	-0,002	30,000	291,965	0,000	35,708	0,000	0,613	0,000	1,869
臂	27718	5	6,774	-6,690	34,568	-0,063	1,875	8,718	-0,002	30,000	290,594	0,000	34,568	-0,110	0,398	0,000	1,875
EmbeddedBeam_31_1	27718	1	6,774	-6,690	34,567	-0,061	1,875	8,718	-0,002	30,000	290,594	0,000	34,567	-0,109	0,410	0,000	1,875
Element 2-21 (Embedded beam)	27719	2	6,922	-6,716	33,259	-0,272	1,850	8,672	-0,001	30,000	289,061	0,000	33,259	-0,312	0,192	0,000	1,850
(TITAN 40/20 I=1,60m)	27720	3	7,070	-6,742	31,957	-0,436	1,796	8,628	-0,001	30,000	287,591	0,000	31,957	-0,470	0,061	0,000	1,796
臂	27721	4	7,219	-6,768	30,661	-0,555	1,721	8,586	-0,001	30,000	286,194	0,000	30,661	-0,584	0,006	0,000	1,721
臂	27722	5	7,367	-6,794	29,373	-0,630	1,631	8,546	0,000	30,000	284,878	0,000	29,373	-0,656	0,000	0,000	1,631
EmbeddedBeam_31_1	27722	1	7,367	-6,794	29,372	-0,637	1,631	8,546	0,000	30,000	284,878	0,000	29,372	-0,663	0,000	0,000	1,631

Structural element	Node [1]	Local number	X [m]	Y [m]	N [kN]	Q [10 ^ kN]	M [10 ^ kN m]	T_{xx} [kN/m]	T_{yy} [kN/m]	$T_{xx,yy,max}$ [kN/m]	$T_{xx,yy,min}$ [10 ^]	R_{xx} [kN]	N_{xx} [kN]	Q_{xx} [10 ^ kN]	Q_{yy} [10 ^ kN]	M_{xx} [10 ^ kN m]	M_{yy} [10 ^ kN m]
Element 2-32 (Embedded beam)	27723	2	7,538	-6,824	27,892	-0,688	1,516	3,504	0,000	30,000	283,472	0,000	27,892	-0,712	0,000	0,000	1,516
(TITAN 40/20 l=1,60m)	27724	3	7,709	-6,855	26,419	-0,717	1,393	3,466	0,000	30,000	282,198	0,000	26,419	-0,739	0,000	0,000	1,393
昆	27725	4	7,880	-6,885	24,951	-0,726	1,268	3,432	0,000	30,000	281,064	0,000	24,951	-0,746	0,000	0,000	1,268
昆	27726	5	8,051	-6,915	23,491	-0,716	1,142	3,402	0,000	30,000	280,080	0,000	23,491	-0,734	0,000	0,000	1,142
EmbeddedBeam_3_1	27726	1	8,051	-6,915	23,489	-0,719	1,142	3,402	0,000	30,000	280,080	0,000	23,489	-0,736	0,000	0,000	1,142
Element 2-33 (Embedded beam)	27727	2	8,248	-6,950	21,811	-0,694	1,000	3,374	0,000	30,000	279,140	0,000	21,811	-0,709	0,000	0,000	1,000
(TITAN 40/20 l=1,60m)	27728	3	8,445	-6,984	20,135	-0,657	0,865	3,353	0,000	30,000	278,419	0,000	20,135	-0,670	0,000	0,000	0,865
昆	27729	4	8,643	-7,019	18,463	-0,607	0,738	3,338	0,000	30,000	277,925	0,000	18,463	-0,618	0,000	0,000	0,738
昆	27730	5	8,840	-7,054	16,795	-0,544	0,623	3,330	0,000	30,000	277,663	0,000	16,795	-0,554	0,000	0,000	0,623
EmbeddedBeam_3_1	27730	1	8,840	-7,054	16,793	-0,550	0,623	3,330	0,000	30,000	277,663	0,000	16,793	-0,559	0,000	0,000	0,623
Element 2-34 (Embedded beam)	27731	2	9,067	-7,094	14,871	-0,465	0,506	3,330	0,000	30,000	277,658	0,000	14,871	-0,473	0,000	0,000	0,506
(TITAN 40/20 l=1,60m)	27732	3	9,295	-7,134	12,944	-0,386	0,408	3,339	0,000	30,000	277,977	0,000	12,944	-0,392	0,000	0,000	0,408
昆	27733	4	9,523	-7,175	11,014	-0,315	0,327	3,359	0,000	30,000	278,632	0,000	11,014	-0,317	0,000	0,000	0,327
昆	27734	5	9,750	-7,215	9,082	-0,257	0,261	3,389	0,000	30,000	279,635	0,000	9,082	-0,257	0,000	0,000	0,261
EmbeddedBeam_3_1	27734	1	9,750	-7,215	9,078	-0,242	0,261	3,389	0,000	30,000	279,635	0,000	9,078	-0,249	0,000	0,000	0,261
Element 2-35 (Embedded beam)	27735	2	10,013	-7,261	6,840	-0,271	0,192	3,438	0,000	30,000	281,253	0,000	6,840	-0,271	0,000	0,000	0,192
(TITAN 40/20 l=1,60m)	27736	3	10,275	-7,307	4,581	-0,275	0,118	3,501	0,000	30,000	283,383	0,000	4,581	-0,275	0,000	0,000	0,118
昆	27737	4	10,538	-7,354	2,303	-0,233	0,050	3,588	0,000	30,000	286,264	0,000	2,303	-0,233	0,000	0,000	0,050
昆	27738	5	10,800	-7,400	0,004	-0,126	0,000	3,711	0,002	30,000	290,372	0,000	0,004	-0,126	0,000	0,000	0,000

3.3.1.1.36 Calculation results, Embedded beam, SLU12 Paratia esistente [Phase_18] (18/1240), Table of embedded beam force envelopes

Structural element	Node [10 ^]	Local number	X [m]	Y [m]	N [kN]	Q [kN]	M [10 ^ kN m]	$T_{x,x}$ [kN/m]	$T_{z,z}$ [kN/m]	$T_{x,x,max}$ [kN/m]	$T_{x,x,min}$ [10 ^]	$N_{x,x}$ [kN]	$N_{x,z}$ [kN]	$Q_{x,x}$ [10 ^ kN]	$Q_{x,z}$ [kN]	$M_{x,x}$ [10 ^ kN m]	$M_{x,z}$ [10 ^ kN m]
EmbeddedBeam_1_1	27637	1	4,600	-2,100	107,102	1,008	0,000	-9,384	-3,870	30,000	312,808	0,000	107,102	0,000	1,008	0,000	0,000
Element 1-1 (Embedded beam)	27638	2	4,890	-2,353	104,058	0,172	161,223	-10,318	-2,144	30,000	343,920	0,000	104,058	0,000	0,172	0,000	161,223
(TITAN 40/20 l=1,60m)	27639	3	5,179	-2,407	101,023	-0,226	145,698	-10,324	-0,335	30,000	344,120	0,000	101,023	-225,913	0,000	0,000	145,698
28	27640	4	5,469	-2,460	98,011	-0,261	63,838	-10,165	0,326	30,000	338,842	0,000	98,011	-260,679	0,000	0,000	63,838
29	27641	5	5,758	-2,513	95,034	-0,006	19,411	-10,043	0,305	30,000	334,754	0,000	95,034	-5,611	0,002	0,000	19,411
EmbeddedBeam_1_1	27641	1	5,758	-2,513	95,037	-0,103	19,411	-10,043	0,305	30,000	334,754	0,000	95,037	-103,447	0,000	0,000	19,411
Element 1-2 (Embedded beam)	27642	2	6,010	-2,559	92,480	-0,039	1,768	-9,903	0,204	30,000	330,115	0,000	92,480	-38,976	0,000	-0,013	2,777
(TITAN 40/20 l=1,60m)	27643	3	6,262	-2,606	89,964	0,000	-2,756	-9,739	0,092	30,000	324,638	0,000	89,964	-1,167	0,002	-2,756	0,000
30	27644	4	6,514	-2,652	87,493	0,016	-0,147	-9,555	0,024	30,000	318,505	0,000	87,493	0,000	0,016	-0,377	1,038
31	27645	5	6,766	-2,698	85,070	0,012	3,802	-9,353	0,001	30,000	311,760	0,000	85,070	0,000	0,012	-0,011	3,916
EmbeddedBeam_1_1	27645	1	6,766	-2,698	85,072	0,017	3,802	-9,353	0,001	30,000	311,760	0,000	85,072	0,000	0,017	-0,011	3,916
Element 1-3 (Embedded beam)	27646	2	6,985	-2,739	83,008	0,016	7,465	-9,160	0,002	30,000	305,344	0,000	83,008	0,000	0,016	-0,006	7,465
(TITAN 40/20 l=1,60m)	27647	3	7,204	-2,779	80,989	0,018	11,235	-8,952	0,011	30,000	298,413	0,000	80,989	0,000	0,018	-0,003	11,235
32	27648	4	7,423	-2,819	79,019	0,020	15,435	-8,729	0,014	30,000	290,964	0,000	79,019	0,000	0,020	-0,001	15,435
33	27649	5	7,643	-2,860	77,099	0,024	20,369	-8,490	-0,003	30,000	282,996	0,000	77,099	0,000	0,024	-0,001	20,369
EmbeddedBeam_1_1	27649	1	7,643	-2,860	77,101	0,019	20,369	-8,490	-0,003	30,000	282,996	0,000	77,101	-0,005	0,019	-0,001	20,369
Element 1-4 (Embedded beam)	27650	2	7,833	-2,895	75,476	0,020	24,418	-8,269	-0,049	30,000	275,622	0,000	75,476	-0,161	0,020	-0,001	24,418
(TITAN 40/20 l=1,60m)	27651	3	8,024	-2,930	73,895	0,001	26,776	-8,036	-0,134	30,000	267,852	0,000	73,895	-2,527	0,001	0,000	26,776
34	27652	4	8,215	-2,965	72,360	-0,038	23,518	-7,793	-0,260	30,000	259,751	0,000	72,360	-38,842	0,000	0,000	23,518
35	27653	5	8,405	-3,000	70,873	-0,099	10,625	-7,543	-0,397	30,000	251,422	0,000	70,873	-99,325	0,000	0,000	10,625
EmbeddedBeam_1_1	27653	1	8,405	-3,000	70,869	-0,096	10,625	-7,543	-0,397	30,000	251,422	0,000	70,869	-96,415	0,000	0,000	10,625
Element 1-5 (Embedded beam)	27654	2	8,571	-3,030	69,614	-0,155	-11,093	-7,428	-0,210	30,000	247,597	0,000	69,614	-154,690	0,000	-17,225	0,000
(TITAN 40/20 l=1,60m)	27655	3	8,737	-3,061	68,362	-0,169	-39,109	-7,444	0,019	30,000	248,122	0,000	68,362	-168,747	0,000	-44,967	0,000
36	27656	4	8,903	-3,091	67,116	-0,134	65,287	-7,341	0,370	30,000	244,698	0,000	67,116	-133,950	0,000	-70,574	0,000
37	27657	5	9,069	-3,122	65,884	-0,046	81,256	-7,140	0,880	30,000	237,997	0,000	65,884	-45,808	0,000	-85,601	0,000
EmbeddedBeam_1_1	27657	1	9,069	-3,122	65,840	-0,089	81,256	-7,140	0,880	30,000	237,997	0,000	65,840	-89,124	0,000	-85,601	0,000
Element 1-6 (Embedded beam)	27658	2	9,213	-3,148	64,876	0,162	-75,115	-7,133	1,338	30,000	237,777	0,000	64,876	0,000	0,171	-78,339	0,000
(TITAN 40/20 l=1,60m)	27659	3	9,357	-3,175	63,758	0,316	-38,209	-7,910	0,947	30,000	263,675	0,000	63,758	0,000	0,325	-40,074	0,000
38	27660	4	9,502	-3,201	62,459	0,340	11,209	-9,615	-0,420	30,000	320,501	0,000	62,459	0,000	0,348	-0,001	11,209
39	27661	5	9,646	-3,228	60,948	0,204	53,488	-10,756	-1,071	30,000	358,519	0,000	60,948	0,000	0,209	0,000	53,900
EmbeddedBeam_1_1	27661	1	9,646	-3,228	60,958	0,213	53,488	-17,926	-1,785	30,000	597,531	0,000	60,958	0,000	0,216	0,000	53,900
Element 1-7 (Embedded beam)	27662	2	9,771	-3,251	58,690	0,046	69,220	-17,749	-1,073	30,000	591,626	0,000	58,690	0,000	0,046	0,000	69,626
(TITAN 40/20 l=1,60m)	27663	3	9,896	-3,274	56,441	-0,059	67,838	-17,581	-0,534	30,000	586,035	0,000	56,441	-64,655	0,000	0,000	67,838
40	27664	4	10,022	-3,297	54,214	-0,106	56,743	-17,420	-0,171	30,000	580,679	0,000	54,214	-112,431	0,000	0,000	56,743
41	27665	5	10,147	-3,320	52,008	-0,100	43,141	-17,266	0,043	30,000	575,524	0,000	52,008	-105,403	0,000	0,000	43,141
EmbeddedBeam_1_1	27665	1	10,147	-3,320	52,006	-0,114	43,141	-17,266	0,043	30,000	575,524	0,000	52,006	-119,605	0,000	0,000	43,141
Element 1-8 (Embedded beam)	27666	2	10,296	-3,347	49,407	-0,090	27,688	-17,091	0,159	30,000	569,700	0,000	49,407	-93,641	0,000	0,000	27,688
(TITAN 40/20 l=1,60m)	27667	3	10,445	-3,375	46,830	-0,065	15,969	-16,928	0,177	30,000	564,252	0,000	46,830	-67,114	0,000	0,000	15,969
42	27668	4	10,594	-3,402	44,277	-0,041	7,899	-16,775	0,148	30,000	559,155	0,000	44,277	-41,692	0,000	0,000	7,899
43	27669	5	10,743	-3,430	41,749	-0,020	3,322	-16,631	0,104	30,000	554,376	0,000	41,749	-19,862	0,000	-0,013	3,322
EmbeddedBeam_1_1	27669	1	10,743	-3,430	41,746	-0,020	3,322	-16,631	0,104	30,000	554,376	0,000	41,746	-20,049	0,000	-0,013	3,322
Element 1-9 (Embedded beam)	27670	2	10,920	-3,462	38,766	-0,008	0,897	-16,476	0,054	30,000	549,209	0,000	38,766	-7,824	0,000	-1,964	0,897
(TITAN 40/20 l=1,60m)	27671	3	11,097	-3,495	35,808	-0,001	0,188	-16,335	0,021	30,000	544,490	0,000	35,808	-0,718	0,002	-2,286	0,188
44	27672	4	11,274	-3,527	32,874	0,002	0,369	-16,209	0,005	30,000	540,290	0,000	32,874	-0,035	0,004	-1,676	0,369
45	27673	5	11,452	-3,560	29,965	0,001	0,648	-16,101	-0,002	30,000	536,708	0,000	29,965	-0,024	0,002	-1,039	0,648
EmbeddedBeam_1_1	27673	1	11,452	-3,560	29,960	0,002	0,648	-16,101	-0,002	30,000	536,708	0,000	29,960	-0,012	0,004	-1,039	0,648
Element 1-10 (Embedded beam)	27674	2	11,663	-3,599	26,523	0,001	0,909	-15,999	-0,004	30,000	533,300	0,000	26,523	-0,011	0,002	-0,463	0,909
(TITAN 40/20 l=1,60m)	27675	3	11,874	-3,638	23,097	0,000	0,985	-15,923	-0,003	30,000	530,776	0,000	23,097	-0,010	0,001	-0,209	0,985
46	27676	4	12,085	-3,676	19,685	0,000	0,932	-15,874	-0,002	30,000	529,119	0,000	19,685	-0,468	0,000	-0,128	0,932

Structural element	Node [10 ⁰]	Local number	X [m]	Y [m]	N [kN]	Q [kN]	M [10 ⁰ kN m]	T_{xx} [kN/m]	T_{yy} [kN/m]	$T_{xx,yy,zz}$ [kN/m]	$T_{xx,yy,zz}$ [10 ⁰]	$N_{x,t}$ [kN]	$N_{x,c}$ [kN]	$Q_{z,t}$ [10 ⁰ kN]	$Q_{z,c}$ [kN]	$M_{y,t}$ [10 ⁰ kN m]	$M_{y,c}$ [10 ⁰ kN m]
圧	27677	5	12,296	-3,715	16,288	-0,001	0,803	-15,849	-0,001	30,000	528,303	0,000	16,288	0,684	0,000	-0,117	0,803
EmbeddedBeam_11_1	27677	1	12,296	-3,715	16,280	-0,001	0,803	-15,849	-0,001	30,000	528,303	0,000	16,280	0,603	0,000	-0,117	0,803
Element 1-11 (Embedded beam)	27678	2	12,547	-3,761	12,241	-0,001	0,610	-15,860	-0,001	30,000	528,658	0,000	12,241	0,915	0,000	-0,129	0,610
iTITAN 40/20 l=1,60m)	27679	3	12,798	-3,808	8,184	-0,001	0,349	-15,901	-0,001	30,000	530,038	0,000	8,184	1,041	0,000	-0,105	0,349
圧	27680	4	13,049	-3,854	4,110	-0,001	0,111	-15,997	0,002	30,000	533,226	0,000	4,110	0,785	0,000	-0,052	0,111
圧	27681	5	13,300	-3,900	0,018	0,000	0,000	-16,290	0,004	30,000	543,006	0,000	0,018	0,000	0,000	0,000	0,000
EmbeddedBeam_31_1	27682	1	2,300	-5,900	89,590	0,140	0,000	-6,022	-1,021	30,000	200,728	0,000	89,590	0,000	0,140	0,000	0,000
Element 2-12 (Embedded beam)	27683	2	2,582	-5,950	87,946	0,098	35,380	-6,149	-0,192	30,000	204,979	0,000	87,946	0,074	0,098	0,000	35,380
iTITAN 40/20 l=1,60m)	27684	3	2,865	-6,000	86,045	0,021	52,311	-7,259	-0,411	30,000	241,969	0,000	86,045	12,630	0,021	-0,002	52,311
圧	27685	4	3,147	-6,049	83,938	-0,067	46,497	-7,590	-0,272	30,000	253,009	0,000	83,938	66,501	0,000	-0,084	46,497
圧	27686	5	3,430	-6,099	81,674	-0,143	15,599	-7,639	0,203	30,000	254,631	0,000	81,674	143,352	0,000	-0,100	15,599
EmbeddedBeam_31_1	27686	1	3,430	-6,099	81,717	-0,110	15,599	-7,639	0,203	30,000	254,631	0,000	81,717	109,989	0,000	-0,100	15,599
Element 2-13 (Embedded beam)	27687	2	3,595	-6,128	80,446	-0,057	1,678	-7,632	0,279	30,000	254,413	0,000	80,446	57,436	0,000	-0,823	6,231
iTITAN 40/20 l=1,60m)	27688	3	3,760	-6,158	79,158	-0,016	-4,238	-7,719	0,233	30,000	257,292	0,000	79,158	27,249	0,000	-4,238	0,371
圧	27689	4	3,925	-6,187	77,852	0,013	-4,301	-7,846	0,121	30,000	261,524	0,000	77,852	13,826	0,013	-4,301	0,000
圧	27690	5	4,090	-6,216	76,528	0,026	-0,791	-7,977	-0,001	30,000	265,913	0,000	76,528	3,277	0,026	-4,431	0,000
EmbeddedBeam_31_1	27690	1	4,090	-6,216	76,527	0,025	-0,791	-7,977	-0,001	30,000	265,913	0,000	76,527	3,583	0,025	-4,431	0,000
Element 2-14 (Embedded beam)	27691	2	4,187	-6,233	75,740	0,021	1,492	-8,046	-0,051	30,000	268,207	0,000	75,740	0,000	0,021	-4,588	1,492
iTITAN 40/20 l=1,60m)	27692	3	4,283	-6,250	74,949	0,015	3,266	-8,095	-0,066	30,000	269,817	0,000	74,949	0,000	0,015	-4,412	3,266
圧	27693	4	4,380	-6,267	74,155	0,010	4,497	-8,107	-0,056	30,000	270,241	0,000	74,155	0,000	0,010	-3,980	4,497
圧	27694	5	4,476	-6,284	73,359	0,004	5,165	-8,082	-0,029	30,000	269,412	0,000	73,359	0,000	0,009	-3,369	5,165
EmbeddedBeam_31_1	27694	1	4,476	-6,284	73,360	0,005	5,165	-8,082	-0,029	30,000	269,412	0,000	73,360	0,000	0,009	-3,369	5,165
Element 2-15 (Embedded beam)	27695	2	4,533	-6,294	72,897	0,004	5,409	-8,064	-0,013	30,000	268,794	0,000	72,897	0,000	0,009	-2,946	5,409
iTITAN 40/20 l=1,60m)	27696	3	4,589	-6,304	72,435	0,003	5,615	-8,045	0,004	30,000	268,180	0,000	72,435	0,000	0,010	-2,485	5,615
圧	27697	4	4,646	-6,314	71,974	0,004	5,811	-8,039	0,002	30,000	267,956	0,000	71,974	0,000	0,010	-1,996	5,811
圧	27698	5	4,702	-6,324	71,513	0,004	6,021	-8,074	-0,052	30,000	269,129	0,000	71,513	0,000	0,010	-1,491	6,021
EmbeddedBeam_31_1	27698	1	4,702	-6,324	71,512	0,002	6,021	-13,456	-0,087	30,000	448,548	0,000	71,512	0,000	0,010	-1,491	6,021
Element 2-16 (Embedded beam)	27699	2	4,800	-6,341	70,180	-0,004	5,921	-13,390	-0,052	30,000	446,337	0,000	70,180	3,995	0,005	-0,810	5,921
iTITAN 40/20 l=1,60m)	27700	3	4,898	-6,358	68,854	-0,008	5,318	-13,326	-0,022	30,000	444,198	0,000	68,854	7,761	0,003	-0,381	5,318
圧	27701	4	4,995	-6,376	67,534	-0,009	4,463	-13,264	-0,001	30,000	442,141	0,000	67,534	9,011	0,002	-0,143	4,463
圧	27702	5	5,093	-6,393	66,221	-0,008	3,605	-13,204	0,012	30,000	440,119	0,000	66,221	7,931	0,001	-0,202	3,605
EmbeddedBeam_31_1	27702	1	5,093	-6,393	66,221	-0,008	3,605	-13,204	0,012	30,000	440,119	0,000	66,221	8,394	0,001	-0,202	3,605
Element 2-17 (Embedded beam)	27703	2	5,177	-6,408	65,101	-0,007	2,951	-13,152	0,017	30,000	438,393	0,000	65,101	6,972	0,001	-0,266	2,951
iTITAN 40/20 l=1,60m)	27704	3	5,261	-6,422	63,985	-0,005	2,424	-13,100	0,020	30,000	436,663	0,000	63,985	5,426	0,001	-0,327	2,424
圧	27705	4	5,344	-6,437	62,873	-0,004	2,030	-13,048	0,019	30,000	434,919	0,000	62,873	3,802	0,001	-0,373	2,030
圧	27706	5	5,428	-6,452	61,767	-0,002	1,778	-12,995	0,017	30,000	433,156	0,000	61,767	2,150	0,001	-0,383	1,800
EmbeddedBeam_31_1	27706	1	5,428	-6,452	61,766	-0,002	1,778	-12,995	0,017	30,000	433,156	0,000	61,766	2,225	0,001	-0,383	1,800
Element 2-18 (Embedded beam)	27707	2	5,525	-6,469	60,496	-0,001	1,638	-12,933	0,014	30,000	431,093	0,000	60,496	0,692	0,001	-0,351	1,677
iTITAN 40/20 l=1,60m)	27708	3	5,621	-6,486	59,230	0,000	1,630	-12,870	0,010	30,000	428,997	0,000	59,230	0,000	0,002	-0,274	1,665
圧	27709	4	5,718	-6,503	57,971	0,001	1,720	-12,806	0,006	30,000	426,866	0,000	57,971	0,000	0,002	-0,193	1,736
圧	27710	5	5,814	-6,520	56,719	0,002	1,872	-12,741	0,003	30,000	424,698	0,000	56,719	0,000	0,002	-0,114	1,872
EmbeddedBeam_31_1	27710	1	5,814	-6,520	56,719	0,002	1,872	-12,741	0,003	30,000	424,698	0,000	56,719	0,000	0,002	-0,114	1,872
Element 2-19 (Embedded beam)	27711	2	5,926	-6,540	55,282	0,002	2,086	-12,665	0,001	30,000	422,153	0,000	55,282	0,000	0,002	-0,035	2,086
iTITAN 40/20 l=1,60m)	27712	3	6,037	-6,559	53,854	0,002	2,308	-12,587	-0,001	30,000	419,566	0,000	53,854	0,000	0,002	-0,026	2,308
圧	27713	4	6,149	-6,579	52,434	0,002	2,516	-12,508	-0,003	30,000	416,940	0,000	52,434	0,000	0,002	-0,017	2,516
圧	27714	5	6,260	-6,599	51,024	0,001	2,691	-12,428	-0,003	30,000	414,281	0,000	51,024	0,000	0,001	-0,007	2,691
EmbeddedBeam_31_1	27714	1	6,260	-6,599	51,024	0,001	2,691	-12,428	-0,003	30,000	414,281	0,000	51,024	0,000	0,001	-0,007	2,691
Element 2-20 (Embedded beam)	27715	2	6,388	-6,621	49,409	0,001	2,845	-12,335	-0,003	30,000	411,182	0,000	49,409	0,000	0,001	0,000	2,845
iTITAN 40/20 l=1,60m)	27716	3	6,517	-6,644	47,805	0,001	2,943	-12,242	-0,003	30,000	408,059	0,000	47,805	0,000	0,001	0,000	2,943
圧	27717	4	6,645	-6,667	46,213	0,000	2,994	-12,148	-0,002	30,000	404,922	0,000	46,213	0,000	0,001	0,000	2,994
圧	27718	5	6,774	-6,690	44,635	0,000	3,001	-12,054	-0,002	30,000	401,784	0,000	44,635	0,111	0,000	0,000	3,001
EmbeddedBeam_31_1	27718	1	6,774	-6,690	44,634	0,000	3,001	-12,054	-0,002	30,000	401,784	0,000	44,634	0,109	0,000	0,000	3,001
Element 2-21 (Embedded beam)	27719	2	6,922	-6,716	42,829	0,000	2,969	-11,945	-0,001	30,000	398,174	0,000	42,829	0,333	0,000	0,000	2,969
iTITAN 40/20 l=1,60m)	27720	3	7,070	-6,742	41,039	-0,001	2,905	-11,838	-0,001	30,000	394,592	0,000	41,039	0,511	0,000	0,000	2,905
圧	27721	4	7,219	-6,768	39,264	-0,001	2,818	-11,732	-0,001	30,000	391,052	0,000	39,264	0,631	0,000	0,000	2,818
圧	27722	5	7,367	-6,794	37,507	-0,001	2,718	-11,627	0,000	30,000	387,567	0,000	37,507	0,694	0,000	0,000	2,718
EmbeddedBeam_31_1	27722	1	7,367	-6,794	37,506	-0,001	2,718	-11,627	0,000	30,000	387,567	0,000	37,506	0,706	0,000	0,000	2,718

Structural element	Node [10^]	Local number	X [m]	Y [m]	N [kN]	Q [kN]	M [10^ kN m]	T_{xx} [kN/m]	T_{yy} [kN/m]	$T_{xx,yy}$ [kN/m]	$T_{xx,yy}$ [10^]	$N_{x,y}$ [kN]	$N_{y,y}$ [kN]	$Q_{x,y}$ [10^ kN]	$Q_{y,y}$ [kN]	$M_{x,y}$ [10^ kN m]	$M_{y,y}$ [10^ kN m]
Element 2-32 (Embedded beam)	27723	2	7,538	-6,824	35,499	-0,001	2,591	-11,509	0,000	10,000	383,633	0,000	35,499	-0,749	0,000	0,000	2,591
(TITAN 40/20 l=1,60m)	27724	3	7,709	-6,855	33,510	-0,001	2,459	-11,394	0,000	10,000	379,809	0,000	33,510	-0,777	0,000	0,000	2,459
89	27725	4	7,880	-6,885	31,540	-0,001	2,322	-11,283	0,000	10,000	376,111	0,000	31,540	-0,792	0,000	0,000	2,322
89	27726	5	8,051	-6,915	29,592	-0,001	2,184	-11,177	0,000	10,000	372,556	0,000	29,592	-0,797	0,000	0,000	2,184
EmbeddedBeam_3_1	27726	1	8,051	-6,915	29,590	-0,001	2,184	-11,177	0,000	10,000	372,556	0,000	29,590	-0,798	0,000	0,000	2,184
Element 2-33 (Embedded beam)	27727	2	8,248	-6,950	27,365	-0,001	2,024	-11,059	0,000	10,000	368,649	0,000	27,365	-0,802	0,000	0,000	2,024
(TITAN 40/20 l=1,60m)	27728	3	8,445	-6,984	25,160	-0,001	1,864	-10,949	0,000	10,000	364,969	0,000	25,160	-0,798	0,000	0,000	1,864
89	27729	4	8,643	-7,019	22,977	-0,001	1,705	-10,846	0,000	10,000	361,535	0,000	22,977	-0,785	0,000	0,000	1,705
89	27730	5	8,840	-7,054	20,816	-0,001	1,550	-10,751	0,000	10,000	358,359	0,000	20,816	-0,761	0,000	0,000	1,550
EmbeddedBeam_3_1	27730	1	8,840	-7,054	20,813	-0,001	1,550	-10,751	0,000	10,000	358,359	0,000	20,813	-0,753	0,000	0,000	1,550
Element 2-34 (Embedded beam)	27731	2	9,067	-7,094	18,343	-0,001	1,381	-10,651	0,000	10,000	355,034	0,000	18,343	-0,699	0,000	0,000	1,381
(TITAN 40/20 l=1,60m)	27732	3	9,295	-7,134	15,892	-0,001	1,232	-10,563	0,001	10,000	352,087	0,000	15,892	-0,585	0,000	0,000	1,232
89	27733	4	9,523	-7,175	13,459	0,000	1,115	-10,486	0,001	10,000	349,532	0,000	13,459	-0,413	0,000	0,000	1,115
89	27734	5	9,750	-7,215	11,047	0,000	1,045	-10,422	0,000	10,000	347,383	0,000	11,047	-0,256	0,000	0,000	1,045
EmbeddedBeam_3_1	27734	1	9,750	-7,215	11,041	0,000	1,045	-10,422	0,000	10,000	347,383	0,000	11,041	-0,249	0,000	0,000	1,045
Element 2-35 (Embedded beam)	27735	2	10,013	-7,261	8,278	-0,001	0,973	-10,364	-0,002	10,000	345,480	0,000	8,278	-0,554	0,000	0,000	0,973
(TITAN 40/20 l=1,60m)	27736	3	10,275	-7,307	5,518	-0,001	0,734	-10,331	-0,004	10,000	344,353	0,000	5,518	-1,152	0,000	0,000	0,734
89	27737	4	10,538	-7,354	2,761	-0,001	0,382	-10,339	0,000	10,000	344,638	0,000	2,761	-1,492	0,000	0,000	0,382
89	27738	5	10,800	-7,400	0,008	-0,001	0,000	-10,418	0,017	10,000	347,260	0,000	0,008	-1,210	0,000	0,000	0,000

3.3.1.1.37 Calculation results, Embedded beam, FS Paratia esistente [Phase_19] (19/1390), Table of embedded beam force envelopes

Structural element	Node [10^1]	Local number	X [m]	Y [m]	N [kN]	Q [kN]	M [kN m]	T_xxx [kN/m]	T_zzz [kN/m]	T_xxx,zzz [kN/m]	T_yyy,zzz	N_zzz [10^1 kN]	N_zzz [kN]	Q_xxx [kN]	Q_zzz [kN]	M_xxx [kN m]	M_zzz [kN m]
EmbeddedBeam_11_1	27637	1	4,600	2,300	191,526	1,573	0,000	-12,761	-9,968	10,000	0,425	0,000	191,526	0,000	1,573	0,000	0,000
Element 1-1 (Embedded beam)	27638	2	4,890	2,353	187,653	0,073	0,205	-13,476	-3,448	10,000	0,449	0,000	187,653	-0,001	0,180	0,000	0,205
(TiTAN 40/20 i=1,60m)	27639	3	5,179	2,407	183,636	-0,312	0,159	-13,443	2,005	10,000	0,448	0,000	183,636	-0,312	0,000	0,000	0,159
88	27640	4	5,469	2,460	179,364	0,038	0,094	-15,218	1,542	10,000	0,507	0,000	179,364	-0,261	0,142	0,000	0,094
88	27641	5	5,758	2,513	174,721	0,742	0,210	-18,556	-2,711	10,000	0,619	0,000	174,721	-0,006	0,744	0,000	0,210
EmbeddedBeam_11_1	27641	1	5,758	2,513	174,552	0,119	0,210	-18,556	-2,711	10,000	0,619	0,000	174,552	-0,103	0,148	0,000	0,210
Element 1-2 (Embedded beam)	27642	2	6,010	2,559	169,741	-0,183	0,196	-18,622	-0,821	10,000	0,621	0,000	169,741	-0,190	0,000	0,000	0,197
(TiTAN 40/20 i=1,60m)	27643	3	6,262	2,606	165,011	-0,287	0,133	-18,331	0,148	10,000	0,611	0,000	165,011	-0,294	0,002	-0,003	0,134
88	27644	4	6,514	2,652	160,372	-0,231	0,063	-17,908	0,428	10,000	0,597	0,000	160,372	-0,233	0,016	0,000	0,063
88	27645	5	6,766	2,698	155,835	-0,053	0,025	-17,464	0,362	10,000	0,582	0,000	155,835	-0,053	0,012	0,000	0,025
EmbeddedBeam_11_1	27645	1	6,766	2,698	155,840	-0,098	0,025	-17,464	0,362	10,000	0,582	0,000	155,840	-0,099	0,017	0,000	0,025
Element 1-3 (Embedded beam)	27646	2	6,985	2,739	151,992	-0,031	0,011	-17,063	0,252	10,000	0,569	0,000	151,992	-0,032	0,016	0,000	0,011
(TiTAN 40/20 i=1,60m)	27647	3	7,204	2,779	148,236	0,013	0,009	-16,638	0,143	10,000	0,555	0,000	148,236	0,000	0,020	0,000	0,011
88	27648	4	7,423	2,819	144,577	0,036	0,015	-16,195	0,059	10,000	0,540	0,000	144,577	0,000	0,038	0,000	0,015
88	27649	5	7,643	2,860	141,019	0,019	0,024	-15,734	-0,012	10,000	0,524	0,000	141,019	0,000	0,040	0,000	0,024
EmbeddedBeam_11_1	27649	1	7,643	2,860	141,020	0,038	0,024	-15,734	-0,012	10,000	0,524	0,000	141,020	0,000	0,039	0,000	0,024
Element 1-4 (Embedded beam)	27650	2	7,833	2,895	138,009	0,032	0,031	-15,319	-0,090	10,000	0,511	0,000	138,009	0,000	0,036	0,000	0,031
(TiTAN 40/20 i=1,60m)	27651	3	8,024	2,930	135,080	0,004	0,035	-14,890	-0,197	10,000	0,496	0,000	135,080	-0,003	0,014	0,000	0,035
88	27652	4	8,215	2,965	132,236	-0,048	0,031	-14,447	-0,334	10,000	0,482	0,000	132,236	-0,048	0,000	0,000	0,034
88	27653	5	8,405	3,000	129,479	-0,125	0,014	-13,990	-0,473	10,000	0,466	0,000	129,479	-0,125	0,000	0,000	0,023
EmbeddedBeam_11_1	27653	1	8,405	3,000	129,466	-0,121	0,014	-13,990	-0,473	10,000	0,466	0,000	129,466	-0,121	0,000	0,000	0,023
Element 1-5 (Embedded beam)	27654	2	8,571	3,030	127,155	-0,184	-0,012	-13,669	-0,167	10,000	0,456	0,000	127,155	-0,192	0,000	-0,017	0,005
(TiTAN 40/20 i=1,60m)	27655	3	8,737	3,061	124,855	-0,180	-0,044	-13,607	0,172	10,000	0,454	0,000	124,855	-0,217	0,000	-0,046	0,000
88	27656	4	8,903	3,091	122,568	-0,104	-0,069	-13,510	0,697	10,000	0,450	0,000	122,568	-0,183	0,000	-0,080	0,000
88	27657	5	9,069	3,122	120,297	0,052	-0,074	-13,306	1,395	10,000	0,444	0,000	120,297	-0,083	0,119	-0,103	0,000
EmbeddedBeam_11_1	27657	1	9,069	3,122	120,263	0,021	-0,074	-13,306	1,395	10,000	0,444	0,000	120,263	-0,115	0,074	-0,103	0,000
Element 1-6 (Embedded beam)	27658	2	9,213	3,148	118,366	0,353	-0,047	-13,461	2,153	10,000	0,449	0,000	118,366	0,000	0,403	-0,100	0,016
(TiTAN 40/20 i=1,60m)	27659	3	9,357	3,175	116,331	0,665	0,029	-13,980	2,289	10,000	0,466	0,000	116,331	0,000	0,674	-0,060	0,071
88	27660	4	9,502	3,201	114,113	0,923	0,146	-15,947	1,423	10,000	0,532	0,000	114,113	0,000	0,923	0,000	0,181
88	27661	5	9,646	3,228	111,669	1,095	0,295	-22,224	-1,566	10,000	0,741	0,000	111,675	0,000	1,095	0,000	0,312
EmbeddedBeam_11_1	27661	1	9,646	3,228	111,448	0,844	0,295	-30,000	-2,610	10,000	1,000	0,000	111,462	-0,096	0,844	0,000	0,312
Element 1-7 (Embedded beam)	27662	2	9,771	3,251	107,632	1,039	0,412	-30,000	2,116	10,000	1,000	0,000	107,646	-0,410	1,039	0,000	0,412
(TiTAN 40/20 i=1,60m)	27663	3	9,896	3,274	103,813	1,410	0,567	-30,000	4,224	10,000	1,000	0,000	103,827	-0,489	1,410	0,000	0,567
88	27664	4	10,022	3,297	99,995	1,885	0,775	-30,000	3,754	10,000	1,000	0,000	100,010	-0,380	1,885	0,000	0,775
88	27665	5	10,147	3,320	96,179	2,393	1,048	-30,000	1,360	10,000	1,000	0,000	96,192	-0,198	2,393	-0,029	1,048
EmbeddedBeam_11_1	27665	1	10,147	3,320	96,177	2,272	1,048	-30,000	1,360	10,000	1,000	0,000	96,191	-0,223	2,272	-0,029	1,048
Element 1-8 (Embedded beam)	27666	2	10,296	3,347	91,635	2,264	1,398	-30,000	-1,634	10,000	1,000	0,000	91,649	-0,186	2,264	-0,043	1,398
(TiTAN 40/20 i=1,60m)	27667	3	10,445	3,375	87,091	1,757	1,708	-30,000	-5,374	10,000	1,000	0,000	87,104	-0,351	1,757	-0,041	1,708
88	27668	4	10,594	3,402	82,546	0,803	1,908	-30,000	-7,529	10,000	1,000	0,000	82,559	-0,938	0,803	-0,031	1,908
88	27669	5	10,743	3,430	78,004	-0,543	1,932	-30,000	-7,451	10,000	1,000	0,000	78,017	-1,588	0,062	-0,021	1,932
EmbeddedBeam_11_1	27669	1	10,743	3,430	78,001	-0,313	1,932	-30,000	-7,451	10,000	1,000	0,000	78,015	-1,661	0,076	-0,021	1,932
Element 1-9 (Embedded beam)	27670	2	10,920	3,462	72,596	-1,838	1,740	-30,000	-7,489	10,000	1,000	0,000	72,610	-1,838	0,057	-0,026	1,740
(TiTAN 40/20 i=1,60m)	27671	3	11,097	3,495	67,186	-3,130	1,280	-30,000	-8,388	10,000	1,000	0,000	67,200	-3,130	0,050	-0,135	1,280
88	27672	4	11,274	3,527	61,777	-3,878	0,644	-30,000	-1,459	10,000	1,000	0,000	61,791	-3,878	0,153	-0,188	0,644
88	27673	5	11,452	3,560	56,373	-3,773	-0,063	-30,000	10,806	10,000	1,000	0,000	56,390	-3,773	0,686	-0,124	0,076
EmbeddedBeam_11_1	27673	1	11,452	3,560	56,370	-3,930	-0,063	-30,000	10,806	10,000	1,000	0,000	56,383	-3,930	0,669	-0,124	0,076
Element 1-10 (Embedded beam)	27674	2	11,663	3,599	49,938	-0,797	-0,506	-30,000	9,939	10,000	1,000	0,000	49,950	-1,110	0,336	-0,506	0,048
(TiTAN 40/20 i=1,60m)	27675	3	11,874	3,638	43,502	-0,089	-0,592	-30,000	8,020	10,000	1,000	0,000	43,512	-0,704	0,008	-0,597	0,041
88	27676	4	12,085	3,676	37,066	-0,698	-0,639	-30,000	2,339	10,000	1,000	0,000	37,080	0,698	0,000	-0,647	0,004

Structural element	Node [10^1]	Local number	X [m]	Y [m]	N [kN]	Q [kN]	M [kN m]	T_xx [kN/m]	T_yy [kN/m]	T_xxx,yyy [kN/m]	T_xxx,zzz	N_x,x [10^1 kN]	N_y,y [kN]	Q_y,y [kN]	Q_z,z [kN]	M_y,y [kN m]	M_z,z [kN m]
臂	27677	5	12,296	3,715	30,634	-1,515	-0,893	-30,000	15,795	30,000	1,000	0,000	30,642	1,515	0,000	-0,893	0,001
EmbeddedBeam_11_1	27677	1	12,296	3,715	30,630	-0,201	-0,893	-30,000	15,795	30,000	1,000	0,000	30,638	0,461	0,203	-0,893	0,001
Element 1-11 (Embedded beam)	27678	2	12,547	3,761	22,976	2,699	-0,542	-30,000	5,841	30,000	1,000	0,000	22,982	0,462	2,699	-0,542	0,001
(TITAN 40/20 l=1,60m)	27679	3	12,798	3,808	15,316	3,137	0,290	-30,000	0,902	30,000	1,000	0,000	15,320	0,109	3,137	-0,362	0,290
臂	27680	4	13,049	3,854	7,656	0,180	0,771	-30,000	20,755	30,000	1,000	0,000	7,704	0,001	0,738	-0,284	0,771
臂	27681	5	13,300	3,900	0,001	-7,104	0,000	-30,000	52,707	30,000	1,000	-87,912	0,198	7,104	1,398	0,000	0,000
EmbeddedBeam_31_1	27682	1	2,300	5,900	238,803	0,194	0,000	-15,087	3,799	30,000	0,503	0,000	238,803	0,000	0,194	0,000	0,000
Element 2-12 (Embedded beam)	27683	2	2,582	5,950	234,833	0,306	0,075	-15,423	0,092	30,000	0,514	0,000	234,833	0,000	0,306	0,000	0,075
(TITAN 40/20 l=1,60m)	27684	3	2,865	6,000	229,938	0,258	0,160	-18,885	0,337	30,000	0,629	0,000	229,938	0,013	0,258	0,000	0,160
臂	27685	4	3,147	6,049	224,177	0,023	0,205	-21,463	1,212	30,000	0,715	0,000	224,177	0,086	0,023	0,000	0,205
臂	27686	5	3,430	6,099	217,609	-0,427	0,153	-21,841	0,211	30,000	0,728	0,000	217,609	0,533	0,000	0,000	0,153
EmbeddedBeam_31_1	27686	1	3,430	6,099	217,801	-0,273	0,153	-21,841	0,211	30,000	0,728	0,000	217,801	0,373	0,000	0,000	0,153
Element 2-13 (Embedded beam)	27687	2	3,595	6,128	214,194	-0,286	0,105	-21,777	0,050	30,000	0,726	0,000	214,194	0,300	0,000	-0,002	0,105
(TITAN 40/20 l=1,60m)	27688	3	3,760	6,158	210,512	-0,256	0,059	-21,934	0,327	30,000	0,731	0,000	210,512	0,256	0,000	-0,019	0,059
臂	27689	4	3,925	6,187	206,723	-0,184	0,022	-23,064	0,542	30,000	0,769	0,000	206,723	0,184	0,042	-0,024	0,022
臂	27690	5	4,090	6,216	202,792	-0,073	0,000	-25,101	0,366	30,000	0,837	0,000	202,792	0,073	0,233	-0,007	0,006
EmbeddedBeam_31_1	27690	1	4,090	6,216	202,744	-0,089	0,000	-25,101	0,366	30,000	0,837	0,000	202,744	0,089	0,193	-0,007	0,006
Element 2-14 (Embedded beam)	27691	2	4,187	6,233	200,193	-0,066	0,008	-26,350	0,276	30,000	0,878	0,000	200,193	0,066	0,157	-0,008	0,021
(TITAN 40/20 l=1,60m)	27692	3	4,283	6,250	197,572	-0,034	0,013	-27,195	0,384	30,000	0,906	0,000	197,572	0,034	0,117	-0,013	0,033
臂	27693	4	4,380	6,267	194,895	0,007	0,014	-27,500	0,465	30,000	0,917	0,000	194,895	0,000	0,080	-0,014	0,042
臂	27694	5	4,476	6,284	192,175	0,057	0,011	-27,586	0,474	30,000	0,920	0,000	192,175	0,000	0,059	-0,011	0,048
EmbeddedBeam_31_1	27694	1	4,476	6,284	192,184	0,053	0,011	-27,586	0,474	30,000	0,920	0,000	192,184	0,000	0,061	-0,011	0,048
Element 2-15 (Embedded beam)	27695	2	4,533	6,294	190,602	0,080	0,007	-27,723	0,361	30,000	0,924	0,000	190,602	0,000	0,080	-0,007	0,050
(TITAN 40/20 l=1,60m)	27696	3	4,589	6,304	189,005	0,095	0,002	-27,944	0,187	30,000	0,931	0,000	189,005	0,000	0,095	-0,002	0,053
臂	27697	4	4,646	6,314	187,392	0,095	0,003	-28,283	0,140	30,000	0,943	0,000	187,392	0,000	0,096	-0,002	0,055
臂	27698	5	4,702	6,324	185,762	0,079	0,008	-28,716	0,573	30,000	0,957	0,000	185,802	0,000	0,080	-0,001	0,057
EmbeddedBeam_31_1	27698	1	4,702	6,324	185,758	0,076	0,008	-30,000	0,954	30,000	1,000	0,000	185,798	0,000	0,077	-0,001	0,057
Element 2-16 (Embedded beam)	27699	2	4,800	6,341	182,782	-0,002	0,012	-30,000	0,628	30,000	1,000	0,000	182,821	0,057	0,005	-0,001	0,055
(TITAN 40/20 l=1,60m)	27700	3	4,898	6,358	179,804	-0,048	0,009	-30,000	0,282	30,000	1,000	0,000	179,842	0,105	0,003	0,000	0,048
臂	27701	4	4,995	6,376	176,825	-0,063	0,003	-30,000	0,010	30,000	1,000	0,000	176,863	0,125	0,002	0,000	0,037
臂	27702	5	5,093	6,393	173,849	-0,049	0,002	-30,000	0,160	30,000	1,000	0,000	173,886	0,119	0,001	-0,002	0,027
EmbeddedBeam_31_1	27702	1	5,093	6,393	173,847	-0,055	0,002	-30,000	0,160	30,000	1,000	0,000	173,885	0,123	0,001	-0,002	0,027
Element 2-17 (Embedded beam)	27703	2	5,177	6,408	171,298	-0,036	0,006	-30,000	0,206	30,000	1,000	0,000	171,336	0,106	0,001	-0,006	0,019
(TITAN 40/20 l=1,60m)	27704	3	5,261	6,422	168,748	-0,020	0,009	-30,000	0,181	30,000	1,000	0,000	168,785	0,084	0,001	-0,009	0,014
臂	27705	4	5,344	6,437	166,197	-0,006	0,010	-30,000	0,145	30,000	1,000	0,000	166,233	0,059	0,001	-0,010	0,010
臂	27706	5	5,428	6,452	163,648	0,005	0,010	-30,000	0,161	30,000	1,000	0,000	163,684	0,034	0,011	-0,010	0,006
EmbeddedBeam_31_1	27706	1	5,428	6,452	163,647	0,005	0,010	-30,000	0,161	30,000	1,000	0,000	163,683	0,035	0,011	-0,010	0,006
Element 2-18 (Embedded beam)	27707	2	5,525	6,469	160,707	0,023	0,008	-30,000	0,161	30,000	1,000	0,000	160,742	0,022	0,029	-0,008	0,004
(TITAN 40/20 l=1,60m)	27708	3	5,621	6,486	157,764	0,037	0,005	-30,000	0,125	30,000	1,000	0,000	157,799	0,013	0,042	-0,007	0,002
臂	27709	4	5,718	6,503	154,822	0,047	0,001	-30,000	0,082	30,000	1,000	0,000	154,856	0,007	0,047	-0,005	0,004
臂	27710	5	5,814	6,520	151,881	0,053	0,004	-30,000	0,083	30,000	1,000	0,000	151,915	0,003	0,053	-0,003	0,008
EmbeddedBeam_31_1	27710	1	5,814	6,520	151,880	0,054	0,004	-30,000	0,083	30,000	1,000	0,000	151,914	0,003	0,054	-0,003	0,008
Element 2-19 (Embedded beam)	27711	2	5,926	6,540	148,488	0,066	0,010	-30,000	0,125	30,000	1,000	0,000	148,521	0,000	0,066	-0,001	0,013
(TITAN 40/20 l=1,60m)	27712	3	6,037	6,559	145,094	0,083	0,019	-30,000	0,169	30,000	1,000	0,000	145,127	0,000	0,083	0,000	0,019
臂	27713	4	6,149	6,579	141,700	0,102	0,029	-30,000	0,180	30,000	1,000	0,000	141,732	0,000	0,102	0,000	0,029
臂	27714	5	6,260	6,599	138,308	0,124	0,042	-30,000	0,127	30,000	1,000	0,000	138,339	0,015	0,124	0,000	0,042
EmbeddedBeam_31_1	27714	1	6,260	6,599	138,306	0,112	0,042	-30,000	0,127	30,000	1,000	0,000	138,338	0,014	0,112	0,000	0,042
Element 2-20 (Embedded beam)	27715	2	6,388	6,621	134,393	0,133	0,058	-30,000	0,039	30,000	1,000	0,000	134,424	0,040	0,133	0,000	0,058
(TITAN 40/20 l=1,60m)	27716	3	6,517	6,644	130,478	0,104	0,075	-30,000	0,356	30,000	1,000	0,000	130,508	0,078	0,104	-0,001	0,075
臂	27717	4	6,645	6,667	126,563	0,020	0,083	-30,000	0,892	30,000	1,000	0,000	126,592	0,144	0,020	-0,010	0,083
臂	27718	5	6,774	6,690	122,650	-0,127	0,077	-30,000	1,727	30,000	1,000	0,000	122,679	0,251	0,007	-0,030	0,077
EmbeddedBeam_31_1	27718	1	6,774	6,690	122,648	-0,151	0,077	-30,000	1,727	30,000	1,000	0,000	122,677	0,241	0,007	-0,030	0,077
Element 2-21 (Embedded beam)	27719	2	6,922	6,716	118,134	-0,491	0,031	-30,000	2,983	30,000	1,000	0,000	118,163	0,491	0,007	-0,071	0,031
(TITAN 40/20 l=1,60m)	27720	3	7,070	6,742	113,618	-1,050	0,082	-30,000	4,451	30,000	1,000	0,000	113,647	1,050	0,008	-0,152	0,006
臂	27721	4	7,219	6,768	109,101	-1,824	0,295	-30,000	5,853	30,000	1,000	0,000	109,132	1,824	0,010	-0,295	0,007
臂	27722	5	7,367	6,794	104,587	-2,812	0,642	-30,000	6,329	30,000	1,000	0,000	104,619	2,812	0,044	-0,642	0,007
EmbeddedBeam_31_1	27722	1	7,367	6,794	104,585	-2,396	0,642	-30,000	6,329	30,000	1,000	0,000	104,617	2,396	0,045	-0,642	0,007

Structural element	Node [10^]	Local number	X [m]	Y [m]	N [kN]	Q [kN]	M [kN m]	T_{xx} [kN/m]	T_{yy} [kN/m]	$T_{xx,yy}$ [kN/m]	$T_{xx,zz}$	N_{xx} [10^ kN]	N_{yy} [kN]	Q_{xz} [kN]	Q_{yz} [kN]	M_{xx} [kN m]	M_{yy} [kN m]
Element 2-22 (Embedded beam)	27723	2	7,538	-6,824	99,378	-3,996	-1,214	-30,000	5,112	30,000	1,000	0,000	99,411	3,996	0,064	-1,214	0,007
(TITAN 40/20 l=1,60m)	27724	3	7,709	-6,855	94,168	-4,230	-1,952	-30,000	1,619	30,000	1,000	0,000	94,203	-4,230	0,132	-1,952	0,006
89	27725	4	7,880	-6,885	88,958	-2,943	-2,595	-30,000	12,397	30,000	1,000	0,000	89,034	2,943	0,848	-2,595	0,004
89	27726	5	8,051	-6,915	83,751	0,021	-2,876	-30,000	25,914	30,000	1,000	0,000	83,788	0,021	2,496	-2,876	0,004
EmbeddedBeam_3_1	27726	1	8,051	-6,915	83,749	-0,624	-2,876	-30,000	25,914	30,000	1,000	0,000	83,801	0,624	3,085	-2,876	0,004
Element 2-23 (Embedded beam)	27727	2	8,248	-6,950	77,742	5,646	-2,315	-30,000	22,885	30,000	1,000	0,000	77,793	0,012	5,646	-2,315	0,157
(TITAN 40/20 l=1,60m)	27728	3	8,445	-6,984	71,731	8,519	-0,841	-30,000	5,511	30,000	1,000	0,000	71,788	0,007	8,519	-0,841	0,442
89	27729	4	8,643	-7,019	65,721	8,057	0,876	-30,000	-10,413	30,000	1,000	0,000	65,828	0,005	8,057	-0,002	0,876
89	27730	5	8,840	-7,054	59,715	4,324	2,169	-30,000	-31,034	30,000	1,000	0,000	59,756	0,373	4,324	0,000	2,169
EmbeddedBeam_3_1	27730	1	8,840	-7,054	59,712	3,805	2,169	-30,000	-31,034	30,000	1,000	0,000	59,765	0,558	3,805	0,000	2,169
Element 2-24 (Embedded beam)	27731	2	9,067	-7,094	52,784	-1,159	2,415	-30,000	-15,640	30,000	1,000	0,000	52,830	-1,175	0,024	0,000	2,415
(TITAN 40/20 l=1,60m)	27732	3	9,295	-7,134	45,850	-3,319	1,853	-30,000	2,004	30,000	1,000	0,000	45,890	-3,319	0,006	0,000	1,853
89	27733	4	9,523	-7,175	38,917	-2,942	1,076	-30,000	6,319	30,000	1,000	0,000	38,950	-2,942	0,000	0,000	1,076
89	27734	5	9,750	-7,215	31,988	-0,297	0,664	-30,000	6,845	30,000	1,000	0,000	32,016	-0,297	0,133	0,000	0,664
EmbeddedBeam_3_1	27734	1	9,750	-7,215	31,985	-0,867	0,664	-30,000	6,845	30,000	1,000	0,000	32,012	-0,867	0,043	0,000	0,664
Element 2-25 (Embedded beam)	27735	2	10,013	-7,261	23,992	0,032	0,592	-30,000	1,603	30,000	1,000	0,000	24,012	0,040	0,145	-0,014	0,592
(TITAN 40/20 l=1,60m)	27736	3	10,275	-7,307	15,993	-0,239	0,568	-30,000	5,648	30,000	1,000	0,000	16,007	0,239	0,117	-0,013	0,568
89	27737	4	10,538	-7,354	7,995	-1,086	0,414	-30,000	2,719	30,000	1,000	0,000	8,014	-1,086	0,038	-0,007	0,414
89	27738	5	10,800	-7,400	0,002	-1,914	0,000	-30,000	19,842	30,000	1,000	-25,133	0,217	-1,914	0,016	0,000	0,000

3.3.1.1.39 Calculation results, Embedded beam, SLV [Phase_27] (27/1545), Table of embedded beam force envelopes

Structural element	Node [10^1]	Local number	X [m]	Y [m]	N [kN]	Q [kN]	M [10^-1 kN m]	$T_{z,min}$ [kN/m]	$T_{z,1}$ [kN/m]	$T_{z,min,max}$ [kN/m]	$T_{z,min,ist}$	$M_{y,1}$ [10^-1 kN]	$N_{x,1}$ [kN]	$Q_{y,1}$ [kN]	$Q_{z,1}$ [kN]	$M_{y,1}$ [10^-1 kN m]	$M_{y,1}$ [10^-1 kN m]
EmbeddedBeam_1_1	27617	1	4,600	-2,300	134,244	1,254	0,000	-4,106	-4,861	30,000	0,137	0,000	134,244	0,000	1,254	0,000	0,000
Element 1-1 (Embedded beam)	27618	2	4,890	-2,353	132,761	0,327	202,876	-4,860	-2,642	30,000	0,162	0,000	132,761	0,000	0,228	0,000	202,876
(Ricopalo ancoraggio autoperforante R38l=1,60m)	27619	3	5,179	-2,407	131,379	-0,270	187,134	-4,564	-0,474	30,000	0,152	0,000	131,379	-0,270	0,000	0,000	187,134
89	27640	4	5,469	-2,460	130,110	-0,322	87,569	-4,085	0,380	30,000	0,136	0,000	130,110	-0,322	0,000	0,000	89,631
89	27641	5	5,758	-2,513	128,969	-0,014	31,376	-3,643	0,321	30,000	0,121	0,000	128,969	-0,022	0,000	0,000	34,147
EmbeddedBeam_1_1	27641	1	5,758	-2,513	128,964	-0,122	31,376	-3,643	0,321	30,000	0,121	0,000	128,964	-0,130	0,000	0,000	34,147
Element 1-2 (Embedded beam)	27642	2	6,010	-2,559	128,084	-0,088	4,157	-3,310	0,152	30,000	0,110	0,000	128,084	-0,088	0,000	-0,013	6,656
(Ricopalo ancoraggio autoperforante R38l=1,60m)	27643	3	6,262	-2,606	127,267	-0,042	-12,559	-3,080	0,224	30,000	0,103	0,000	127,267	-0,042	0,000	-12,559	0,297
89	27644	4	6,514	-2,652	126,519	0,010	-16,898	-2,777	0,202	30,000	0,093	0,000	126,519	0,000	0,020	-16,898	1,050
89	27645	5	6,766	-2,698	125,844	0,063	-7,398	-2,441	0,115	30,000	0,081	0,000	125,844	0,000	0,067	-7,398	3,236
EmbeddedBeam_1_1	27645	1	6,766	-2,698	125,829	0,060	-7,398	-2,441	0,115	30,000	0,081	0,000	125,829	0,000	0,065	-7,398	3,236
Element 1-3 (Embedded beam)	27646	2	6,985	-2,739	125,336	0,076	7,554	-2,256	0,086	30,000	0,075	0,000	125,336	0,000	0,076	-0,006	14,227
(Ricopalo ancoraggio autoperforante R38l=1,60m)	27647	3	7,204	-2,779	124,827	0,098	26,864	-2,289	0,120	30,000	0,076	0,000	124,827	0,000	0,098	-0,003	28,836
89	27648	4	7,423	-2,819	124,292	0,127	51,897	-2,474	0,141	30,000	0,082	0,000	124,292	0,000	0,127	-0,001	51,897
89	27649	5	7,643	-2,860	123,727	0,161	83,974	-2,799	-0,179	30,000	0,093	0,000	123,727	0,000	0,161	-0,001	83,974
EmbeddedBeam_1_1	27649	1	7,643	-2,860	123,731	0,100	83,974	-2,799	-0,179	30,000	0,093	0,000	123,731	0,000	0,100	-0,001	83,974
Element 1-4 (Embedded beam)	27650	2	7,833	-2,895	123,136	0,101	105,889	-3,041	-0,446	30,000	0,101	0,000	123,136	0,000	0,101	-0,001	105,889
(Ricopalo ancoraggio autoperforante R38l=1,60m)	27651	3	8,024	-2,930	122,548	-0,067	112,346	-3,077	-1,210	30,000	0,103	0,000	122,548	-0,067	0,002	0,000	112,346
89	27652	4	8,215	-2,965	121,975	-0,420	67,968	-2,880	-2,354	30,000	0,096	0,000	121,975	-0,420	0,000	0,000	67,968
89	27653	5	8,405	-3,000	121,427	-0,974	-63,585	-2,874	-2,453	30,000	0,096	0,000	121,427	-0,974	0,000	-63,585	4,297
EmbeddedBeam_1_1	27653	1	8,405	-3,000	121,453	-1,018	-63,585	-2,874	-2,453	30,000	0,096	0,000	121,453	-1,018	0,000	-63,585	4,297
Element 1-5 (Embedded beam)	27654	2	8,571	-3,030	120,832	-1,069	-239,873	-3,858	-0,017	30,000	0,129	0,000	120,832	-1,069	0,000	-239,873	0,000
(Ricopalo ancoraggio autoperforante R38l=1,60m)	27655	3	8,737	-3,061	120,148	-1,045	-420,521	-4,318	0,017	30,000	0,144	0,000	120,148	-1,045	0,000	-420,521	0,000
89	27656	4	8,903	-3,091	119,409	-0,892	-585,150	-4,494	1,507	30,000	0,150	0,000	119,409	-0,892	0,000	-585,150	0,000
89	27657	5	9,069	-3,122	118,628	-0,557	-710,616	-4,317	5,129	30,000	0,144	0,000	118,628	-0,557	0,015	-710,616	0,000
EmbeddedBeam_1_1	27657	1	9,069	-3,122	118,405	-0,557	-710,616	-4,317	5,129	30,000	0,144	0,000	118,405	-0,557	0,000	-710,616	0,000
Element 1-6 (Embedded beam)	27658	2	9,213	-3,148	118,154	0,676	-705,270	-4,703	8,521	30,000	0,157	0,000	118,154	0,000	0,676	-705,270	0,000
(Ricopalo ancoraggio autoperforante R38l=1,60m)	27659	3	9,357	-3,175	117,124	2,009	-505,832	-7,717	10,689	30,000	0,257	0,000	117,124	0,000	2,009	-505,832	0,000
89	27660	4	9,502	-3,201	115,058	3,270	-119,079	-18,837	7,551	30,000	0,628	0,000	115,058	0,000	3,270	-119,079	47,006
89	27661	5	9,646	-3,228	111,695	4,289	440,617	-30,000	-14,033	30,000	1,000	0,000	111,966	0,000	4,289	0,000	440,617
EmbeddedBeam_1_1	27661	1	9,646	-3,228	111,566	3,257	440,617	-30,000	-23,389	30,000	1,000	0,000	111,566	0,000	3,257	0,000	440,617
Element 1-7 (Embedded beam)	27662	2	9,771	-3,251	107,746	1,023	703,852	-30,000	-14,510	30,000	1,000	0,000	107,746	0,000	1,023	0,000	703,852
(Ricopalo ancoraggio autoperforante R38l=1,60m)	27663	3	9,896	-3,274	103,924	-0,414	735,235	-30,000	-7,651	30,000	1,000	0,000	103,924	-0,414	0,000	0,000	735,235
89	27664	4	10,022	-3,297	100,101	-1,112	629,873	-30,000	2,909	30,000	1,000	0,000	100,101	-1,112	0,000	0,000	629,873
89	27665	5	10,147	-3,320	96,282	-1,131	480,571	-30,000	0,014	30,000	1,000	0,000	96,282	-1,131	0,000	0,000	480,571
EmbeddedBeam_1_1	27665	1	10,147	-3,320	96,280	-1,302	480,571	-30,000	0,014	30,000	1,000	0,000	96,280	-1,302	0,000	0,000	480,571
Element 1-8 (Embedded beam)	27666	2	10,296	-3,347	91,734	-1,067	300,513	-30,000	1,643	30,000	1,000	0,000	91,734	-1,067	0,000	0,000	300,513
(Ricopalo ancoraggio autoperforante R38l=1,60m)	27667	3	10,445	-3,375	87,185	-0,796	159,476	-30,000	2,061	30,000	1,000	0,000	87,185	-0,796	0,000	0,000	159,476
89	27668	4	10,594	-3,402	82,635	-0,512	60,023	-30,000	1,818	30,000	1,000	0,000	82,635	-0,512	0,000	0,000	60,023
89	27669	5	10,743	-3,430	78,089	-0,237	3,709	-30,000	1,328	30,000	1,000	0,000	78,089	-0,237	0,000	-0,758	3,709
EmbeddedBeam_1_1	27669	1	10,743	-3,430	78,087	-0,247	3,709	-30,000	1,328	30,000	1,000	0,000	78,087	-0,247	0,000	-0,758	3,709
Element 1-9 (Embedded beam)	27670	2	10,920	-3,462	72,677	-0,080	-24,664	-30,000	0,742	30,000	1,000	0,000	72,677	-0,080	0,000	-24,664	0,034
(Ricopalo ancoraggio autoperforante R38l=1,60m)	27671	3	11,097	-3,495	67,263	0,017	-29,482	-30,000	0,304	30,000	1,000	0,000	67,263	0,000	0,017	-29,482	0,009
89	27672	4	11,274	-3,527	61,848	0,052	-22,191	-30,000	0,049	30,000	1,000	0,000	61,848	0,000	0,052	-22,191	0,001
89	27673	5	11,452	-3,560	56,438	0,032	-13,842	-30,000	0,064	30,000	1,000	0,000	56,438	0,000	0,032	-13,842	0,000
EmbeddedBeam_1_1	27673	1	11,452	-3,560	56,435	0,047	-13,842	-30,000	0,064	30,000	1,000	0,000	56,435	0,000	0,047	-13,842	0,000
Element 1-10 (Embedded beam)	27674	2	11,663	-3,599	49,996	0,024	-6,222	-30,000	0,093	30,000	1,000	0,000	49,996	0,000	0,024	-6,222	0,000
(Ricopalo ancoraggio autoperforante R38l=1,60m)	27675	3	11,874	-3,638	43,553	0,007	-2,958	-30,000	0,071	30,000	1,000	0,000	43,553	-0,002	0,007	-2,958	0,436
89	27676	4	12,085	-3,676	37,109	-0,004	-2,735	-30,000	0,035	30,000	1,000	0,000	37,109	-0,007	0,001	-2,919	0,697
89	27677	5	12,296	-3,715	30,670	-0,008	-4,201	-30,000	0,001	30,000	1,000	0,000	30,670	-0,008	0,000	-4,425	0,647

Structural element	Node [10^1]	Local number	X [m]	Y [m]	N [kN]	Q [kN]	M [10^-1 kN m]	$T_{,xx}$ [kN/m]	$T_{,yy}$ [kN/m]	$T_{,xx,xx}$ [kN/m]	$T_{,xx,yy}$	$N_{,xx}$ [10^-1 kN]	$N_{,yy}$ [kN]	$Q_{,xz}$ [kN]	$Q_{,yz}$ [kN]	$M_{,xx}$ [10^-1 kN m]	$M_{,yy}$ [10^-1 kN m]
EmbeddedBeam_11_1	27677	1	12,296	3,715	30,666	-0,013	-4,201	30,000	0,001	30,000	1,000	0,000	30,666	-0,013	0,000	-4,425	0,447
Element 1-11 (Embedded beam)	27678	2	12,547	3,761	23,003	0,000	-5,905	30,000	0,040	30,000	1,000	0,000	23,003	-0,001	0,001	-6,045	0,489
(R)Ircopalo ancoraggio autoperforante R38(+1,60m)	27679	3	12,798	3,808	15,334	0,010	-4,456	30,000	0,054	30,000	1,000	0,000	15,334	0,000	0,010	-4,511	0,378
89	27680	4	13,049	3,854	7,665	0,011	-1,729	30,000	0,024	30,000	1,000	0,000	7,665	-0,001	0,011	-1,730	0,475
89	27681	5	13,300	3,900	0,002	-0,001	0,000	30,000	0,062	30,000	1,000	0,000	0,047	-0,007	0,000	0,000	0,000
EmbeddedBeam_31_1	27682	1	2,300	5,900	222,995	0,442	0,000	2,948	3,496	30,000	0,098	0,000	222,995	0,000	0,475	0,000	0,000
Element 2-12 (Embedded beam)	27683	2	2,582	5,950	222,543	-0,042	49,864	3,226	-1,139	30,000	0,108	0,000	222,543	-0,093	0,093	0,000	52,295
(R)Ircopalo ancoraggio autoperforante R38(+1,60m)	27684	3	2,865	6,000	221,152	-0,213	5,511	6,425	0,067	30,000	0,214	0,000	221,152	-0,281	0,011	-17,209	59,852
89	27685	4	3,147	6,049	218,806	-0,065	-41,926	9,886	1,083	30,000	0,330	0,000	218,806	-0,082	0,000	-77,588	43,975
89	27686	5	3,430	6,099	215,489	0,406	-2,892	13,746	1,795	30,000	0,459	0,000	215,489	-0,098	0,534	-25,120	23,529
EmbeddedBeam_31_1	27686	1	3,430	6,099	215,588	0,509	-2,892	13,746	1,795	30,000	0,459	0,000	215,588	-0,074	0,616	-25,120	23,529
Element 2-13 (Embedded beam)	27687	2	3,595	6,128	212,586	0,336	71,339	19,233	-1,152	30,000	0,641	0,000	212,586	-0,089	0,371	-0,823	71,339
(R)Ircopalo ancoraggio autoperforante R38(+1,60m)	27688	3	3,760	6,158	209,115	0,107	108,306	22,493	-1,802	30,000	0,750	0,000	209,115	-0,144	0,127	-11,790	108,306
89	27689	4	3,925	6,187	205,239	-0,138	106,361	24,060	-1,337	30,000	0,802	0,000	205,239	-0,224	0,001	31,807	106,361
89	27690	5	4,090	6,216	201,023	-0,357	63,942	24,369	0,411	30,000	0,812	0,000	201,023	-0,357	0,002	58,565	63,942
EmbeddedBeam_31_1	27690	1	4,090	6,216	201,115	-0,307	63,942	24,369	0,411	30,000	0,812	0,000	201,115	-0,309	0,002	58,565	63,942
Element 2-14 (Embedded beam)	27691	2	4,187	6,233	198,737	-0,332	32,068	24,226	0,114	30,000	0,808	0,000	198,737	-0,332	0,003	74,148	32,068
(R)Ircopalo ancoraggio autoperforante R38(+1,60m)	27692	3	4,283	6,250	196,364	-0,285	1,231	24,134	0,825	30,000	0,804	0,000	196,364	-0,285	0,004	86,664	1,231
89	27693	4	4,380	6,267	193,999	-0,166	21,478	24,094	1,590	30,000	0,803	0,000	193,999	-0,166	0,025	90,866	0,000
89	27694	5	4,476	6,284	191,640	0,026	28,933	24,032	2,341	30,000	0,801	0,000	191,640	0,000	0,171	82,398	0,000
EmbeddedBeam_31_1	27694	1	4,476	6,284	191,629	0,017	28,933	24,032	2,341	30,000	0,801	0,000	191,629	0,000	0,169	82,398	0,000
Element 2-15 (Embedded beam)	27695	2	4,533	6,294	190,270	0,178	23,381	23,948	2,718	30,000	0,799	0,000	190,270	0,000	0,312	68,688	0,000
(R)Ircopalo ancoraggio autoperforante R38(+1,60m)	27696	3	4,589	6,304	188,885	0,334	8,558	24,128	2,947	30,000	0,804	0,000	188,885	0,000	0,454	46,590	0,000
89	27697	4	4,646	6,314	187,461	0,473	14,626	25,315	2,098	30,000	0,844	0,000	187,461	0,000	0,580	17,243	14,626
89	27698	5	4,702	6,324	185,987	0,580	45,027	29,070	-1,452	30,000	0,969	0,000	186,023	0,000	0,678	-1,938	45,027
EmbeddedBeam_31_1	27698	1	4,702	6,324	185,934	0,538	45,027	30,000	2,419	30,000	1,000	0,000	185,969	0,000	0,636	-1,938	45,027
Element 2-16 (Embedded beam)	27699	2	4,800	6,341	182,955	0,287	85,473	30,000	2,222	30,000	1,000	0,000	182,990	0,000	0,356	-1,287	85,473
(R)Ircopalo ancoraggio autoperforante R38(+1,60m)	27700	3	4,898	6,358	179,974	0,098	104,073	30,000	1,583	30,000	1,000	0,000	180,008	-0,001	0,144	-0,828	104,073
89	27701	4	4,995	6,376	176,992	-0,030	106,913	30,000	0,988	30,000	1,000	0,000	177,026	-0,030	0,012	-0,515	106,913
89	27702	5	5,093	6,393	174,013	-0,098	100,052	30,000	0,536	30,000	1,000	0,000	174,046	-0,098	0,005	-0,284	100,052
EmbeddedBeam_31_1	27702	1	5,093	6,393	174,012	-0,106	100,052	30,000	0,536	30,000	1,000	0,000	174,045	-0,106	0,004	-0,284	100,052
Element 2-17 (Embedded beam)	27703	2	5,177	6,408	171,461	-0,135	89,721	30,000	0,251	30,000	1,000	0,000	171,493	-0,135	0,003	-0,266	89,721
(R)Ircopalo ancoraggio autoperforante R38(+1,60m)	27704	3	5,261	6,422	168,908	-0,148	77,620	30,000	0,043	30,000	1,000	0,000	168,939	-0,148	0,003	-0,327	77,620
89	27705	4	5,344	6,437	166,355	-0,146	65,022	30,000	0,096	30,000	1,000	0,000	166,386	-0,146	0,003	-0,373	65,022
89	27706	5	5,428	6,452	163,803	-0,131	53,172	30,000	0,181	30,000	1,000	0,000	163,834	-0,131	0,003	-0,383	53,172
EmbeddedBeam_31_1	27706	1	5,428	6,452	163,802	-0,134	53,172	30,000	0,181	30,000	1,000	0,000	163,833	-0,135	0,003	-0,383	53,172
Element 2-18 (Embedded beam)	27707	2	5,525	6,469	160,859	-0,112	41,097	30,000	0,228	30,000	1,000	0,000	160,889	-0,112	0,003	-0,351	41,097
(R)Ircopalo ancoraggio autoperforante R38(+1,60m)	27708	3	5,621	6,486	157,914	-0,089	31,231	30,000	0,236	30,000	1,000	0,000	157,943	-0,090	0,002	-0,274	31,231
89	27709	4	5,718	6,503	154,969	-0,067	23,539	30,000	0,218	30,000	1,000	0,000	154,998	-0,069	0,002	-0,193	23,539
89	27710	5	5,814	6,520	152,026	-0,046	17,968	30,000	0,185	30,000	1,000	0,000	152,054	-0,049	0,002	-0,114	17,968
EmbeddedBeam_31_1	27710	1	5,814	6,520	152,024	-0,047	17,968	30,000	0,185	30,000	1,000	0,000	152,052	-0,050	0,002	-0,114	17,968
Element 2-19 (Embedded beam)	27711	2	5,926	6,540	148,629	-0,029	13,720	30,000	0,140	30,000	1,000	0,000	148,657	-0,032	0,002	-0,035	13,720
(R)Ircopalo ancoraggio autoperforante R38(+1,60m)	27712	3	6,037	6,559	145,232	-0,016	11,256	30,000	0,093	30,000	1,000	0,000	145,259	-0,018	0,002	-0,026	11,256
89	27713	4	6,149	6,579	141,835	-0,007	9,999	30,000	0,050	30,000	1,000	0,000	141,860	-0,009	0,002	-0,017	9,999
89	27714	5	6,260	6,599	138,440	-0,004	9,372	30,000	0,017	30,000	1,000	0,000	138,465	-0,004	0,001	-0,007	9,372
EmbeddedBeam_31_1	27714	1	6,260	6,599	138,438	-0,003	9,372	30,000	0,017	30,000	1,000	0,000	138,463	-0,003	0,001	-0,007	9,372
Element 2-20 (Embedded beam)	27715	2	6,388	6,621	134,522	-0,003	8,946	30,000	0,002	30,000	1,000	0,000	134,546	-0,003	0,003	0,000	8,946
(R)Ircopalo ancoraggio autoperforante R38(+1,60m)	27716	3	6,517	6,644	130,603	-0,003	8,546	30,000	0,000	30,000	1,000	0,000	130,626	-0,003	0,004	0,000	8,777
89	27717	4	6,645	6,667	126,684	-0,003	8,175	30,000	0,002	30,000	1,000	0,000	126,706	-0,003	0,004	0,000	8,958
89	27718	5	6,774	6,690	122,767	-0,002	7,839	30,000	0,000	30,000	1,000	0,000	122,789	-0,003	0,003	0,000	8,986
EmbeddedBeam_31_1	27718	1	6,774	6,690	122,765	-0,002	7,839	30,000	0,000	30,000	1,000	0,000	122,787	-0,002	0,003	0,000	8,986
Element 2-21 (Embedded beam)	27719	2	6,922	6,716	118,247	-0,003	7,438	30,000	0,005	30,000	1,000	0,000	118,268	-0,004	0,002	0,000	8,865
(R)Ircopalo ancoraggio autoperforante R38(+1,60m)	27720	3	7,070	6,742	113,727	-0,004	6,913	30,000	0,004	30,000	1,000	0,000	113,746	-0,005	0,002	0,000	8,386
89	27721	4	7,219	6,768	109,206	-0,004	6,336	30,000	0,002	30,000	1,000	0,000	109,224	-0,005	0,001	0,000	7,946
89	27722	5	7,367	6,794	104,688	-0,003	5,787	30,000	0,007	30,000	1,000	0,000	104,705	-0,004	0,001	0,000	7,553
EmbeddedBeam_31_1	27722	1	7,367	6,794	104,685	-0,003	5,787	30,000	0,007	30,000	1,000	0,000	104,703	-0,005	0,001	0,000	7,553
Element 2-22 (Embedded beam)	27723	2	7,538	6,824	99,474	-0,003	5,276	30,000	0,001	30,000	1,000	0,000	99,490	-0,005	0,002	0,000	7,092

Structural element	Node [10^1]	Local number	X [m]	Y [m]	N [kN]	Q [kN]	M [10^1 kN m]	T_{zzss} [kN/m]	T_{zz} [kN/m]	$T_{zzssmax}$ [kN/m]	$T_{zzssmin}$	N_{xxs} [10^1 kN]	N_{xxs} [kN]	Q_{xzs} [kN]	Q_{xys} [kN]	M_{xzs} [10^1 kN m]	M_{xxs} [10^1 kN m]
/Micropalo ancoraggio autoperforante R38I=1,60m)	27724	3	7,709	-6,855	94,259	-0,003	4,785	30,000	0,009	30,000	1,000	0,000	94,274	-0,004	0,001	0,000	6,874
ti	27725	4	7,880	-6,885	89,043	-0,002	4,188	30,000	0,003	30,000	1,000	0,000	89,057	-0,005	0,000	0,000	6,747
ti	27726	5	8,051	-6,915	83,832	-0,001	4,126	30,000	0,026	30,000	1,000	0,000	83,845	-0,007	0,000	0,000	6,019
EmbeddedBeam_3_1	27726	1	8,051	-6,915	83,829	-0,003	4,126	30,000	0,026	30,000	1,000	0,000	83,842	-0,009	0,000	0,000	6,019
Element 2-23 (Embedded beam)	27727	2	8,248	-6,950	77,817	-0,006	3,139	30,000	0,006	30,000	1,000	0,000	77,829	-0,009	0,000	0,000	4,656
/Micropalo ancoraggio autoperforante R38I=1,60m)	27728	3	8,445	-6,984	71,801	-0,005	2,014	30,000	0,026	30,000	1,000	0,000	71,811	-0,006	0,001	0,000	4,001
ti	27729	4	8,643	-7,019	65,784	0,000	1,501	30,000	0,029	30,000	1,000	0,000	65,794	-0,003	0,001	0,000	3,783
ti	27730	5	8,840	-7,054	59,772	0,008	2,269	30,000	0,032	30,000	1,000	0,000	59,781	-0,002	0,008	0,000	3,553
EmbeddedBeam_3_1	27730	1	8,840	-7,054	59,769	-0,010	2,269	30,000	0,032	30,000	1,000	0,000	59,777	-0,010	0,001	0,000	3,553
Element 2-24 (Embedded beam)	27731	2	9,067	-7,094	52,833	0,005	2,455	30,000	0,018	30,000	1,000	0,000	52,841	-0,002	0,008	0,000	3,094
/Micropalo ancoraggio autoperforante R38I=1,60m)	27732	3	9,295	-7,134	45,893	-0,019	1,417	30,000	0,198	30,000	1,000	0,000	45,899	-0,019	0,000	0,000	3,022
ti	27733	4	9,523	-7,175	38,952	-0,079	9,148	30,000	0,326	30,000	1,000	0,000	38,957	-0,079	0,000	9,148	1,165
ti	27734	5	9,750	-7,215	32,016	-0,171	37,357	30,000	0,301	30,000	1,000	0,000	32,020	-0,171	0,000	37,357	0,504
EmbeddedBeam_3_1	27734	1	9,750	-7,215	32,013	-0,179	37,357	30,000	0,301	30,000	1,000	0,000	32,017	-0,179	0,001	37,357	0,504
Element 2-25 (Embedded beam)	27735	2	10,013	-7,261	24,011	-0,145	83,897	30,000	0,293	30,000	1,000	0,000	24,014	-0,145	0,000	83,897	0,318
/Micropalo ancoraggio autoperforante R38I=1,60m)	27736	3	10,275	-7,307	16,005	-0,004	104,224	30,000	0,927	30,000	1,000	0,000	16,007	-0,034	0,000	104,224	0,205
ti	27737	4	10,538	-7,354	7,999	0,195	80,799	30,000	0,732	30,000	1,000	0,000	8,071	0,000	0,195	80,799	0,096
ti	27738	5	10,800	-7,400	0,001	0,404	0,000	30,000	-4,060	30,000	1,000	-153,471	0,372	0,000	0,404	0,000	0,000
EmbeddedBeam_2_1	27739	1	-3,562	-12,132	66,763	0,007	0,000	-125,000	0,052	125,000	1,000	-133,104	66,763	0,000	0,007	0,000	0,000
Element 3-26 (Embedded beam)	27740	2	-3,445	-12,380	31,461	0,001	0,956	-103,803	0,016	125,000	0,830	-65,705	31,461	0,000	0,001	0,000	0,956
/Micropalo D168.3 s12.5mm/1,6m)	27741	3	-3,329	-12,628	10,954	-0,001	0,882	-36,739	0,004	125,000	0,294	-26,166	10,954	-0,001	0,000	0,000	0,882
ti	27742	4	-3,213	-12,876	2,476	-0,001	0,513	-15,961	0,003	125,000	0,128	-120,690	2,476	-0,001	0,000	0,000	0,513
ti	27743	5	-3,096	-13,124	3,266	0,001	0,481	6,356	0,002	125,000	0,051	9,986	3,266	0,000	0,001	0,000	0,481
EmbeddedBeam_2_1	27743	1	-3,096	-13,124	0,762	0,000	0,481	6,356	0,002	125,000	0,051	554,496	0,762	0,000	0,000	0,000	0,481
Element 3-27 (Embedded beam)	27744	2	-2,980	-13,372	0,122	0,000	0,381	2,599	0,001	125,000	0,021	787,151	0,000	0,000	0,000	0,000	0,381
/Micropalo D168.3 s12.5mm/1,6m)	27745	3	-2,863	-13,620	0,637	0,000	0,345	0,944	0,001	125,000	0,008	919,032	0,000	0,000	0,000	0,000	0,345
ti	27746	4	-2,747	-13,868	0,849	0,000	0,357	0,386	0,000	125,000	0,003	968,258	0,002	0,000	0,000	0,000	0,421
ti	27747	5	-2,631	-14,116	0,823	0,000	0,393	0,105	0,000	125,000	0,001	952,946	0,003	0,000	0,000	0,000	0,504
EmbeddedBeam_2_1	27747	1	-2,631	-14,116	0,884	0,000	0,393	0,105	0,000	125,000	0,001	969,111	0,003	0,000	0,000	0,000	0,504
Element 3-28 (Embedded beam)	27748	2	-2,514	-14,364	0,886	0,000	0,447	0,024	0,000	125,000	0,000	962,864	0,005	0,000	0,000	0,000	0,580
/Micropalo D168.3 s12.5mm/1,6m)	27749	3	-2,398	-14,612	0,870	0,000	0,506	0,097	0,000	125,000	0,001	950,251	0,007	0,000	0,000	0,000	0,642
ti	27750	4	-2,282	-14,860	0,838	0,000	0,564	0,144	0,000	125,000	0,001	931,091	0,008	0,000	0,000	0,000	0,691
ti	27751	5	-2,165	-15,108	0,791	0,000	0,612	0,194	0,000	125,000	0,002	905,207	0,010	0,000	0,000	0,000	0,726
EmbeddedBeam_2_1	27751	1	-2,165	-15,108	0,773	0,000	0,612	0,194	0,000	125,000	0,002	877,925	0,009	0,000	0,000	0,000	0,726
Element 3-29 (Embedded beam)	27752	2	-2,049	-15,356	0,739	0,000	0,636	0,284	0,000	125,000	0,002	870,349	0,011	0,000	0,000	0,000	0,728
/Micropalo D168.3 s12.5mm/1,6m)	27753	3	-1,933	-15,604	0,626	0,000	0,667	0,462	0,001	125,000	0,004	758,888	0,011	0,000	0,000	0,000	0,734
ti	27754	4	-1,816	-15,852	0,413	-0,001	0,522	1,021	0,005	125,000	0,008	512,769	0,008	-0,001	0,000	0,000	0,561
ti	27755	5	-1,700	-16,100	0,075	-0,003	0,000	2,335	0,026	125,000	0,019	101,221	0,002	-0,003	0,000	0,000	0,000

PLAXIS Report

1.1.1.1 Calculation results, Initial phase [InitialPhase] (0/1), Active loads plot

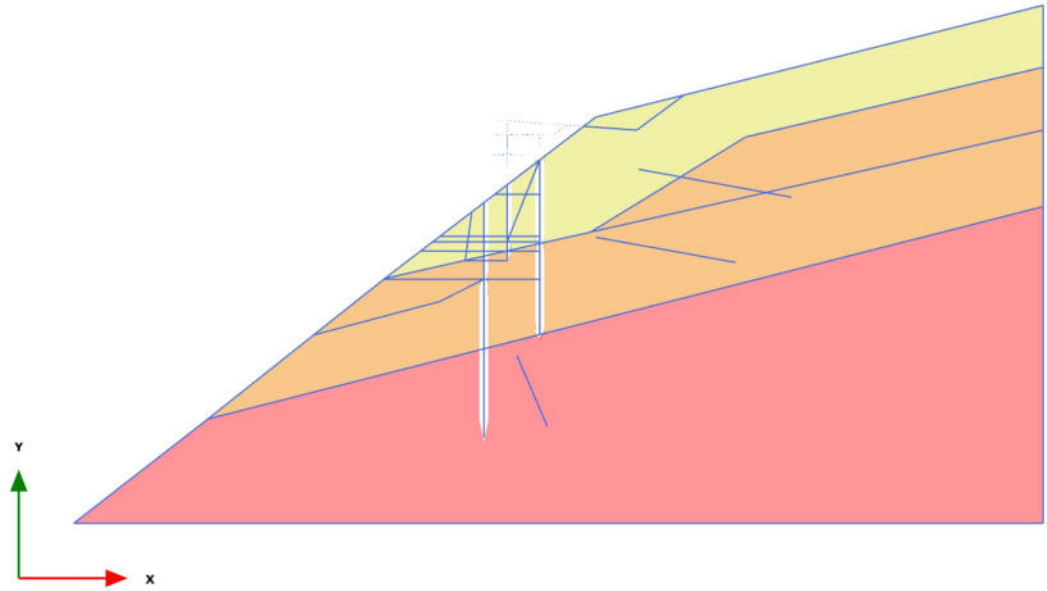

Active loads plot

1.1.1.2 Calculation results, Costruzione stato di fatto 1 [Phase_1] (1/6), Active loads plot

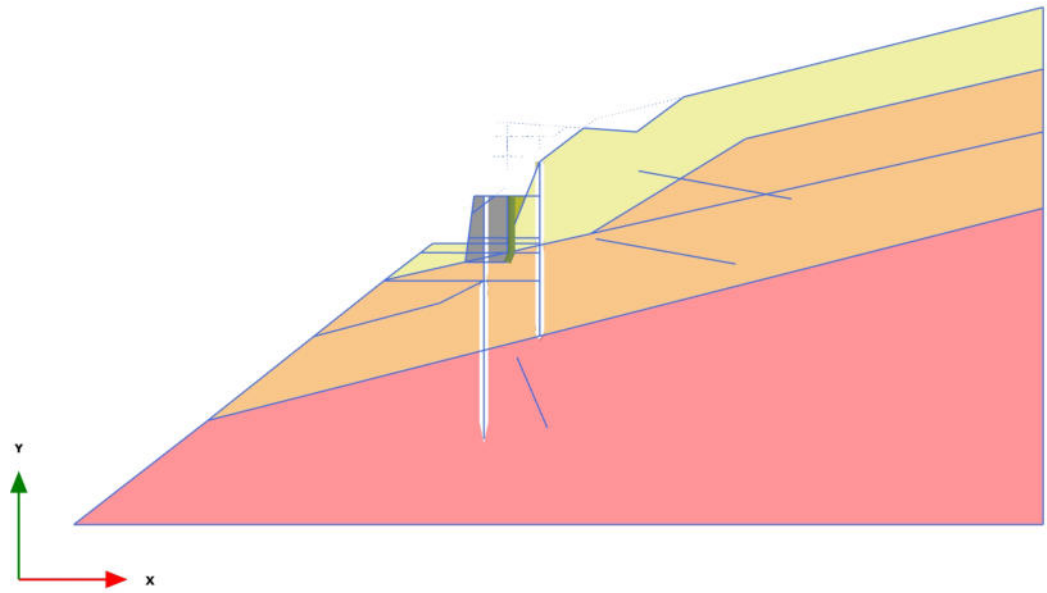

Active loads plot

1.1.1.3 Calculation results, Costruzione stato di fatto 2 [Phase_2] (2/99), Active loads plot

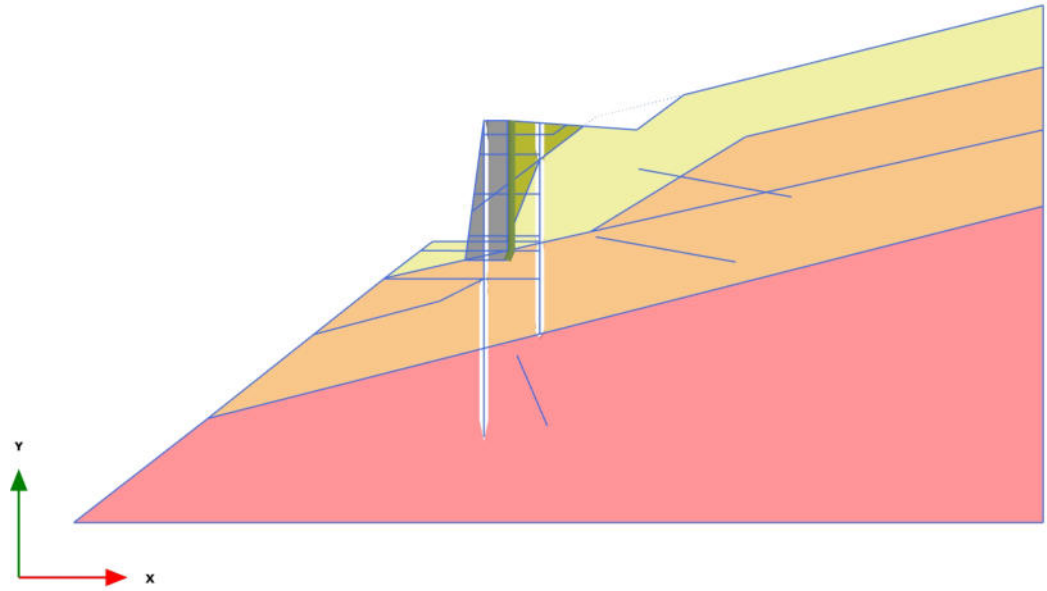

Active loads plot

1.1.1.4 Calculation results, Phase_3 [Phase_3] (3/199), Active loads plot

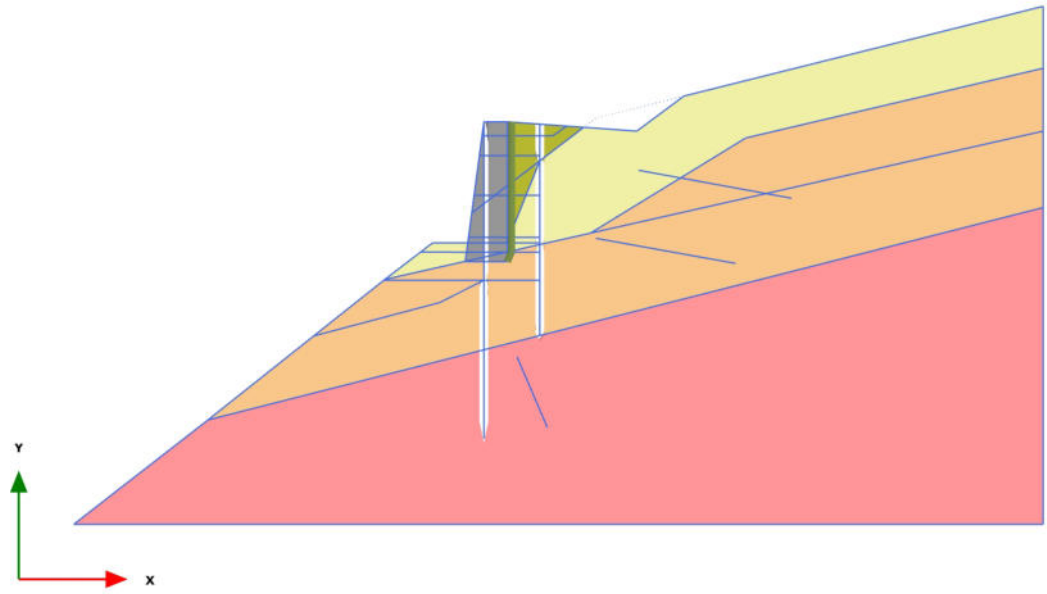

Active loads plot

1.1.1.5 Calculation results, Preparazione cantiere [Phase_4] (4/204), Active loads plot

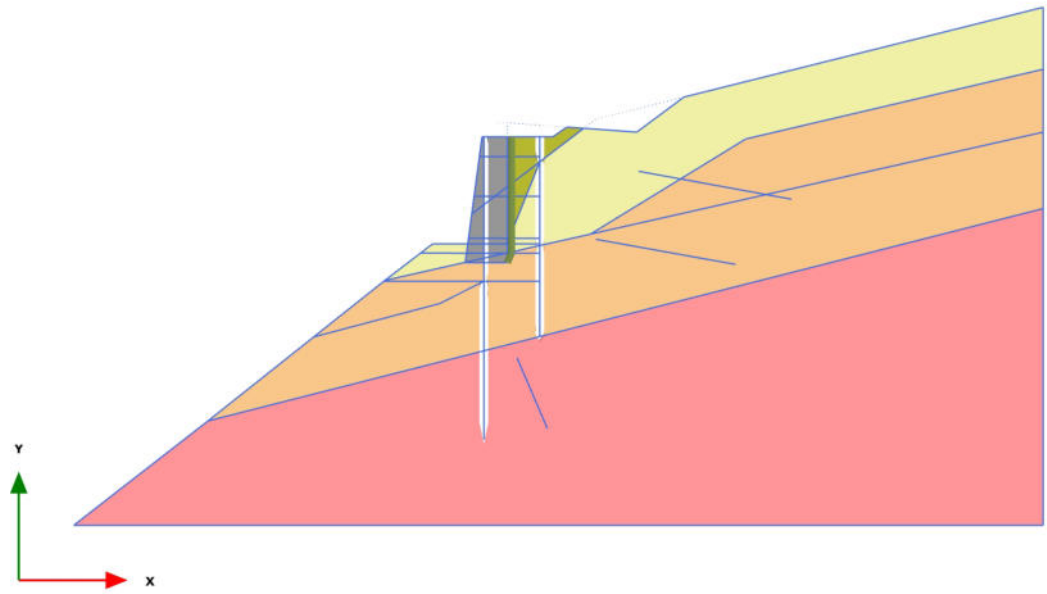

Active loads plot

1.1.1.6 Calculation results, Paratia di micropali [Phase_5] (5/211), Active loads plot

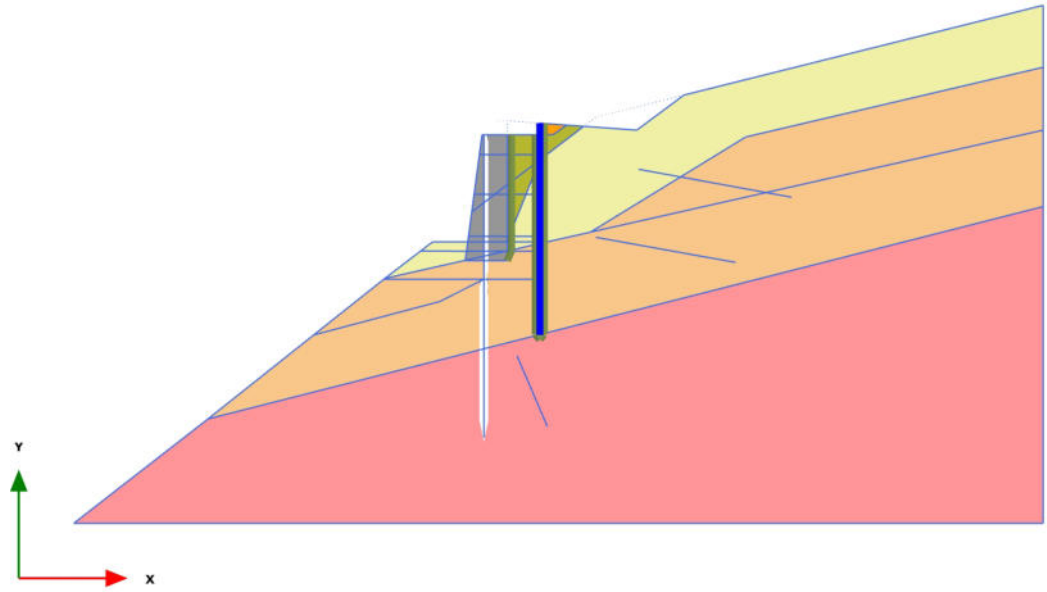

Active loads plot

1.1.1.7 Calculation results, (RD) Escavo 1 + sovraccarico [Phase_6] (6/229), Active loads plot

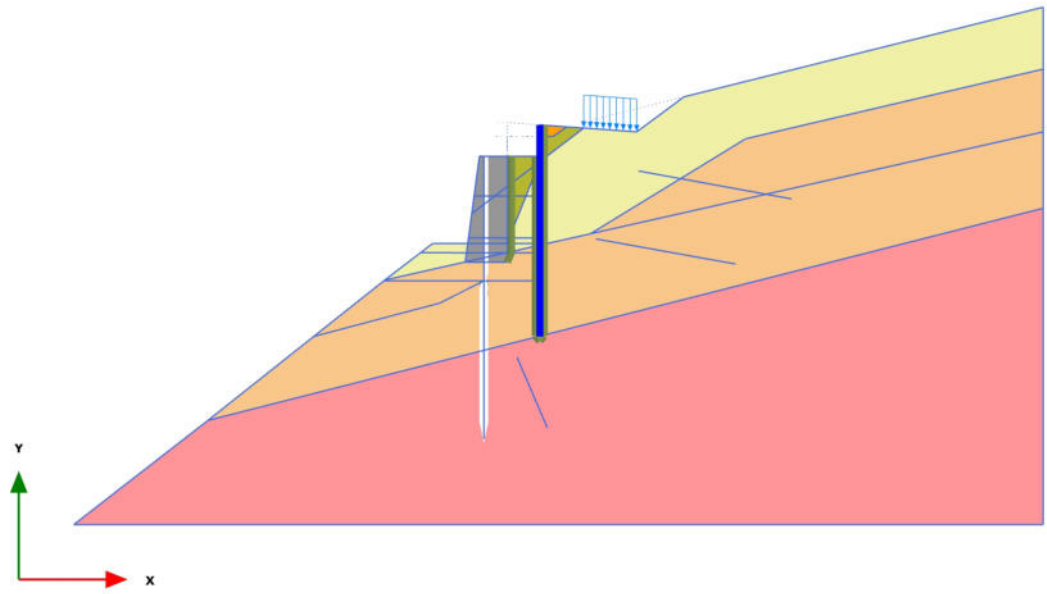

Active loads plot

1.1.1.8 Calculation results, Ancoraggio 1 [Phase_7] (7/308), Active loads plot

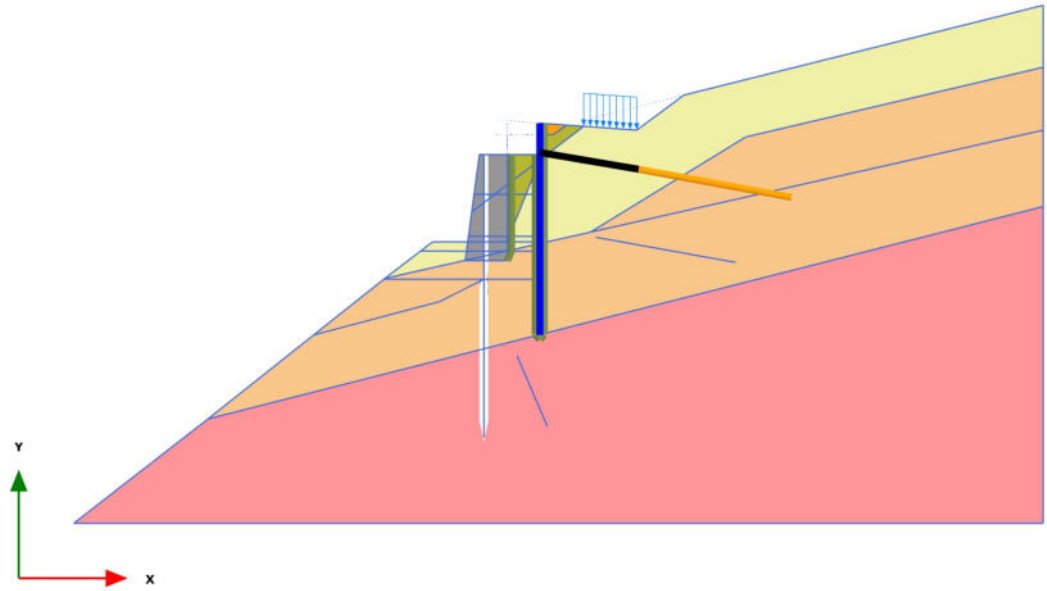

Active loads plot

1.1.1.9 Calculation results, Escavo 2 [Phase_8] (8/338), Active loads plot

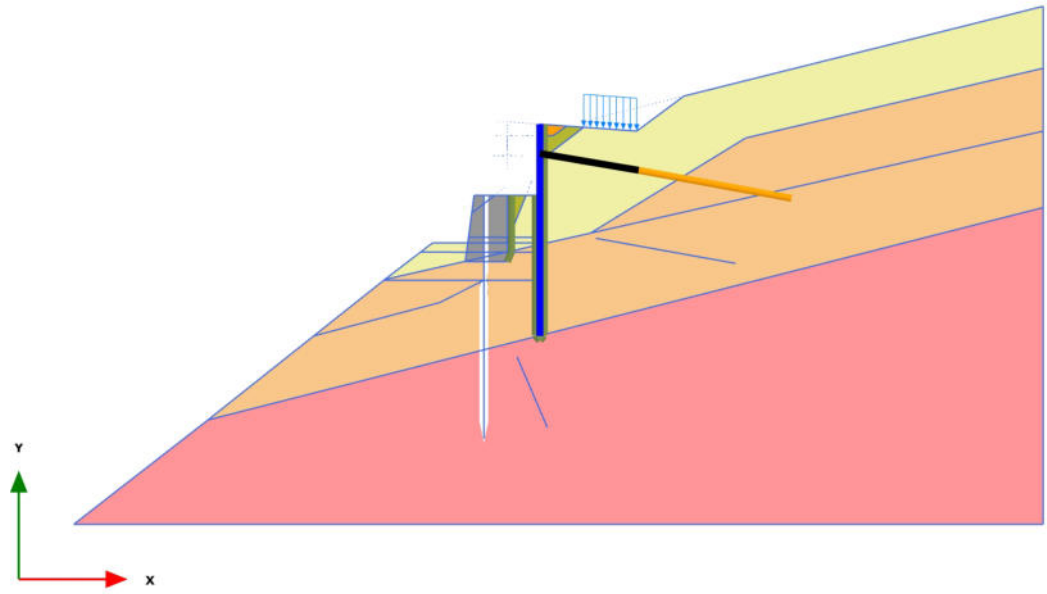

Active loads plot

1.1.1.10 Calculation results, Escavo 3 [Phase_9] (9/379), Active loads plot

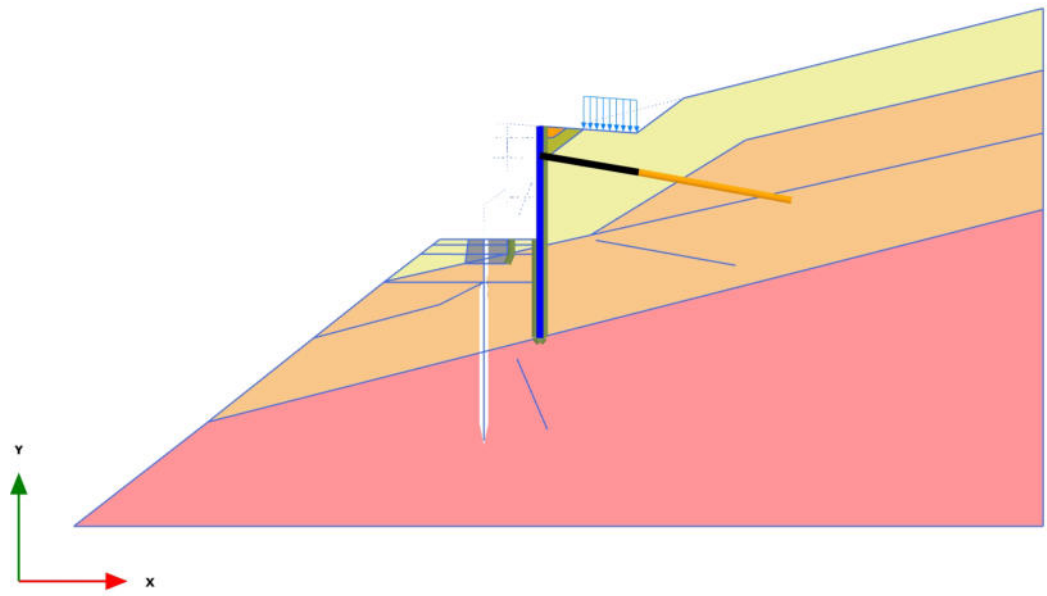

Active loads plot

1.1.1.11 Calculation results, Ancoraggio 2 [Phase_27] (27/430), Active loads plot

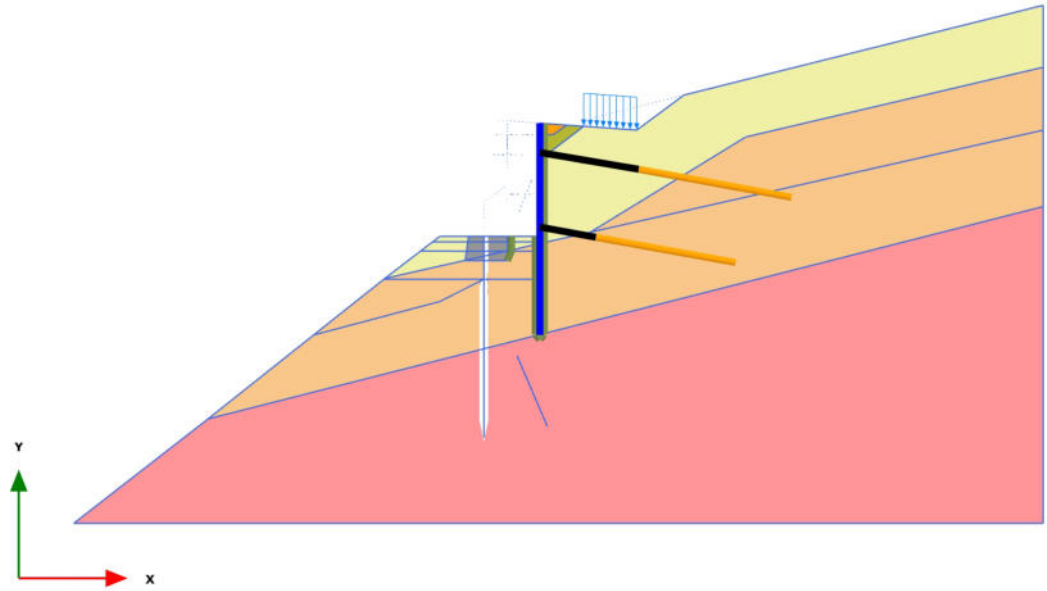

Active loads plot

1.1.1.12 Calculation results, Escavo 4 [Phase_10] (10/449), Active loads plot

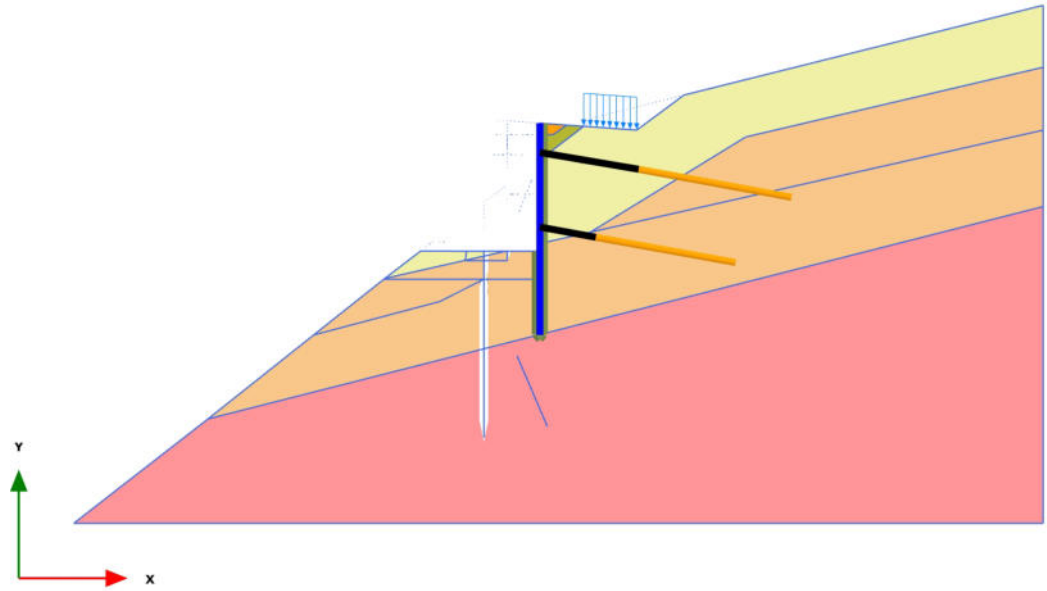

Active loads plot

1.1.1.13 Calculation results, Completamento scavo [Phase_28] (28/479), Active loads plot

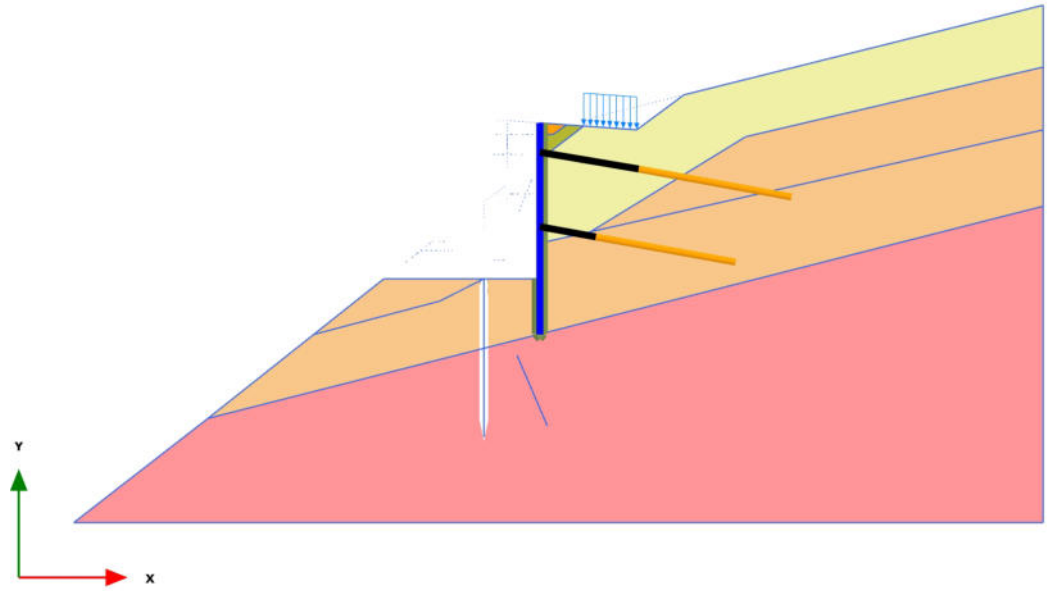

Active loads plot

1.1.1.14 Calculation results, (RD) Strutture [Phase_11] (11/482), Active loads plot

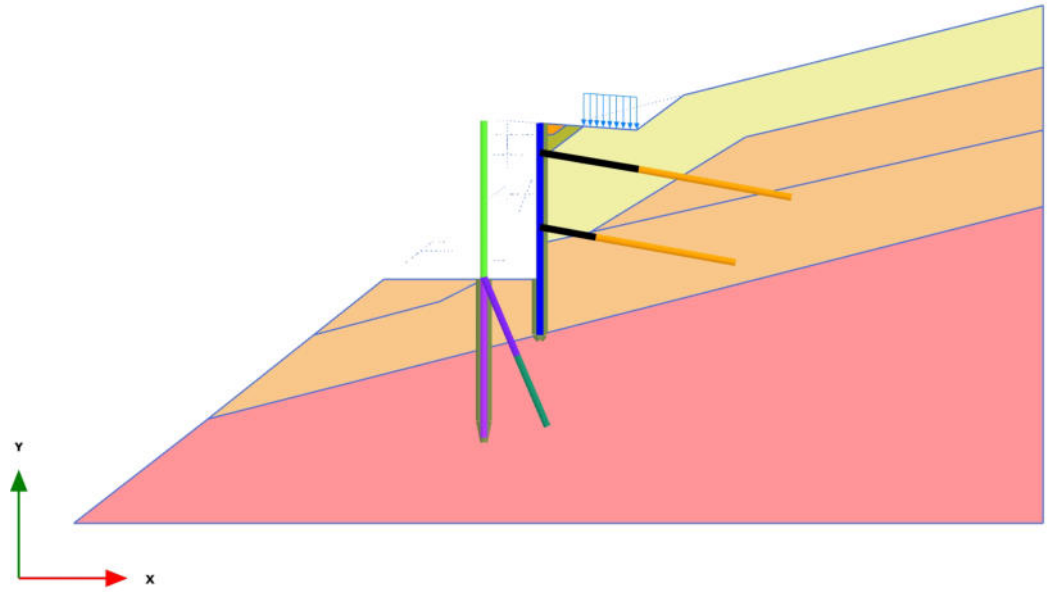

Active loads plot

1.1.1.15 Calculation results, Riempimento 1 [Phase_12] (12/828), Active loads plot

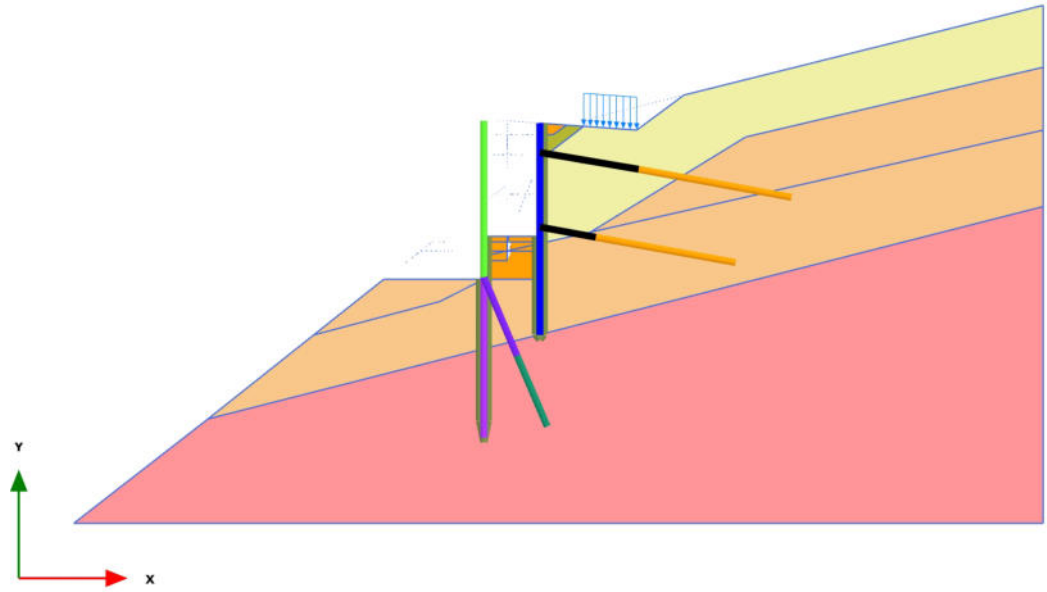

Active loads plot

1.1.1.16 Calculation results, Collegamento ancoraggio 1 [Phase_29] (29/843), Active loads plot

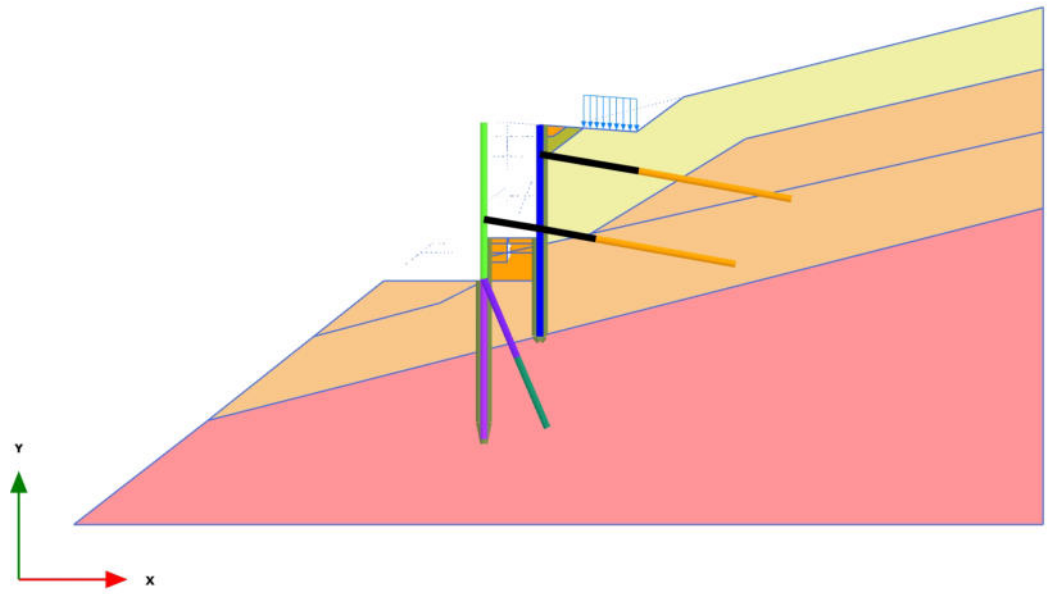

Active loads plot

1.1.1.17 Calculation results, Riempimento 2 [Phase_13] (13/861), Active loads plot

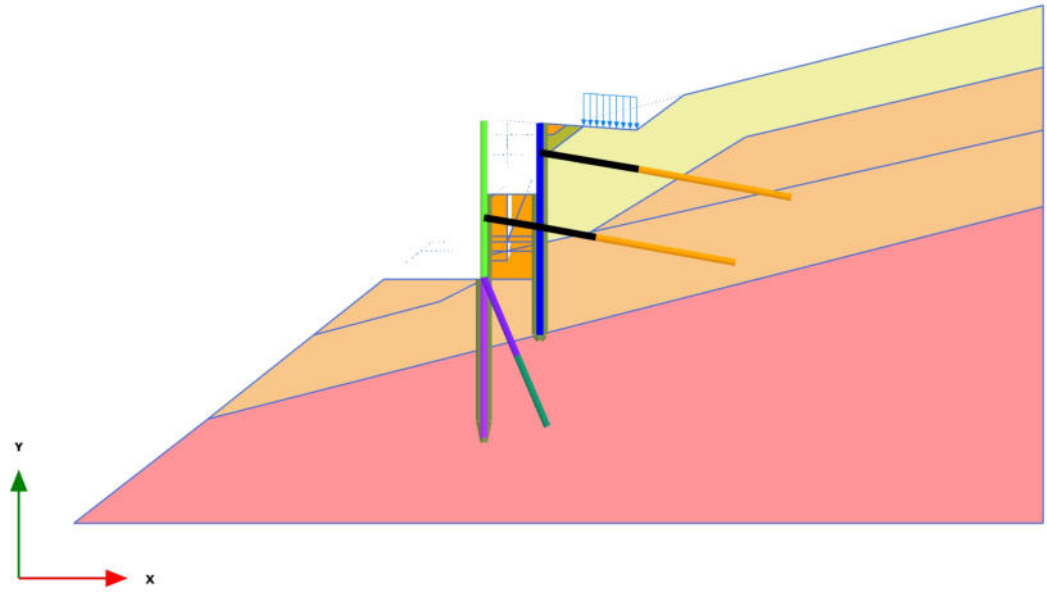

Active loads plot

1.1.1.18 Calculation results, Riempimento 3 [Phase_30] (30/964), Active loads plot

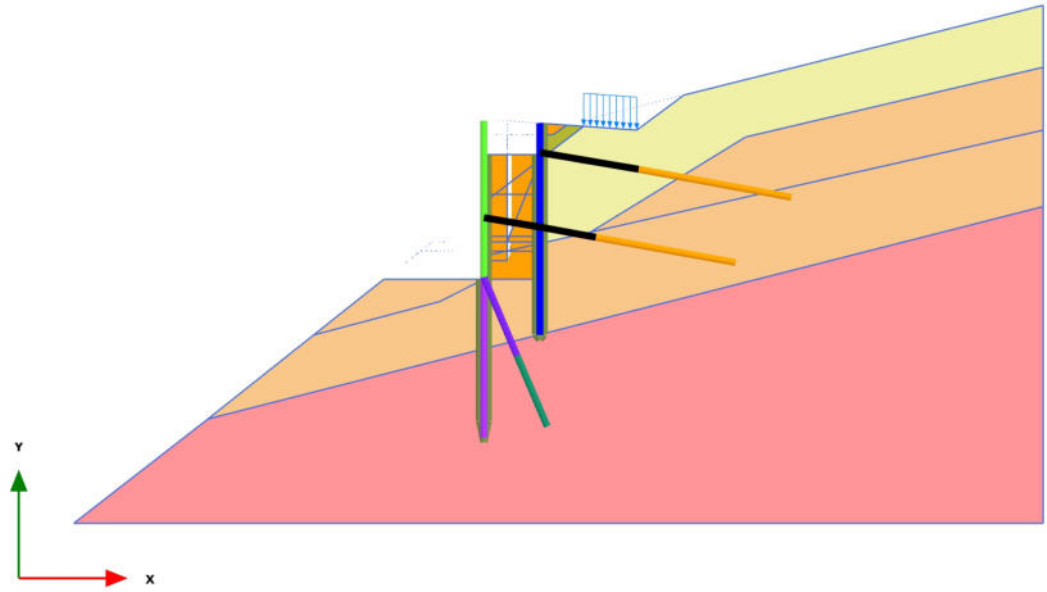

Active loads plot

1.1.1.19 Calculation results, Collegamento ancoraggio 2 [Phase_14] (14/977), Active loads plot

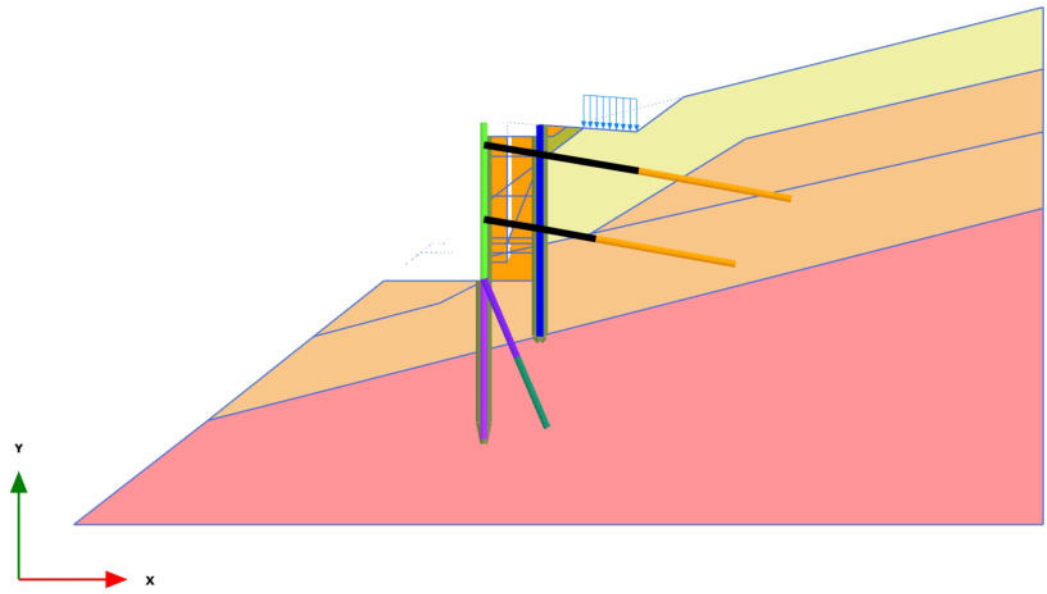

Active loads plot

1.1.1.20 Calculation results, Riempimento 4 (MG) [Phase_15] (15/984), Active loads plot

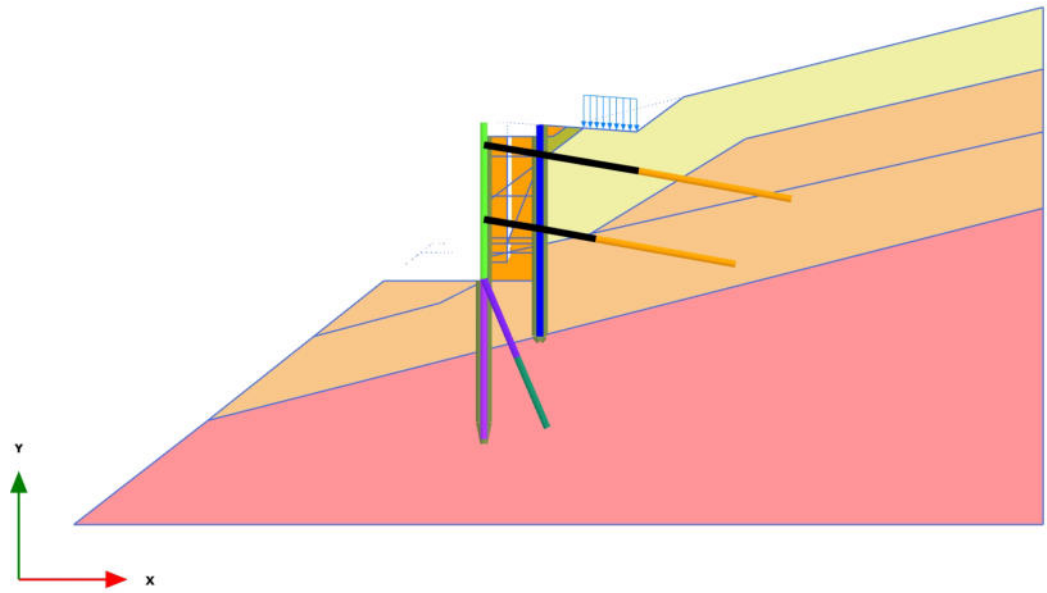

Active loads plot

1.1.1.21 Calculation results, Riempimento 5 (MG) [Phase_16] (16/992), Active loads plot

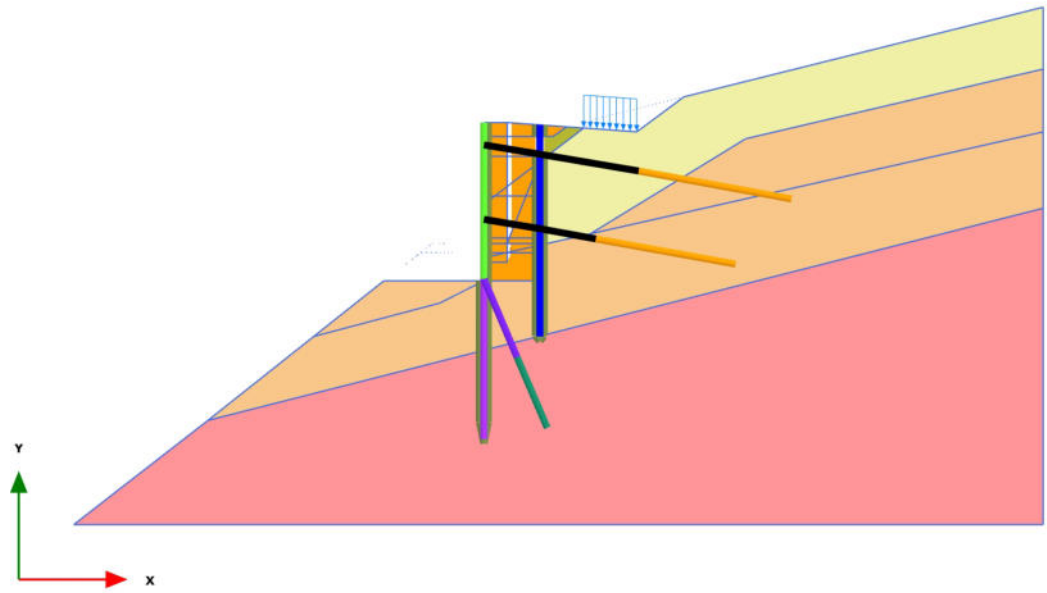

Active loads plot

1.1.1.22 Calculation results, Disattivazione paratia provvisionale [Phase_17] (17/998), Active loads plot

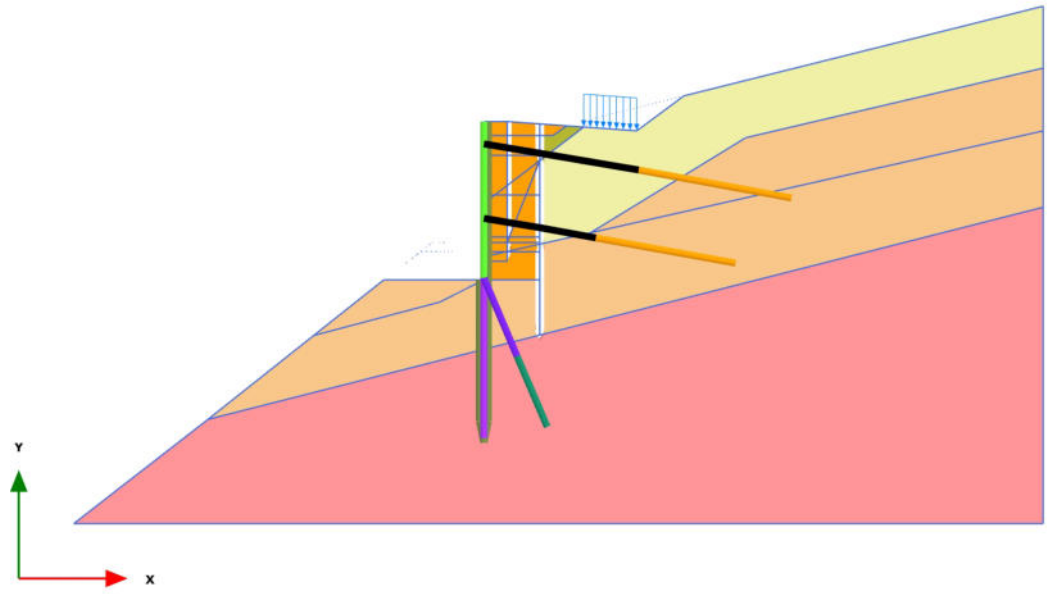

Active loads plot

1.1.1.23 Calculation results, SLE [Phase_18] (18/1002), Active loads plot

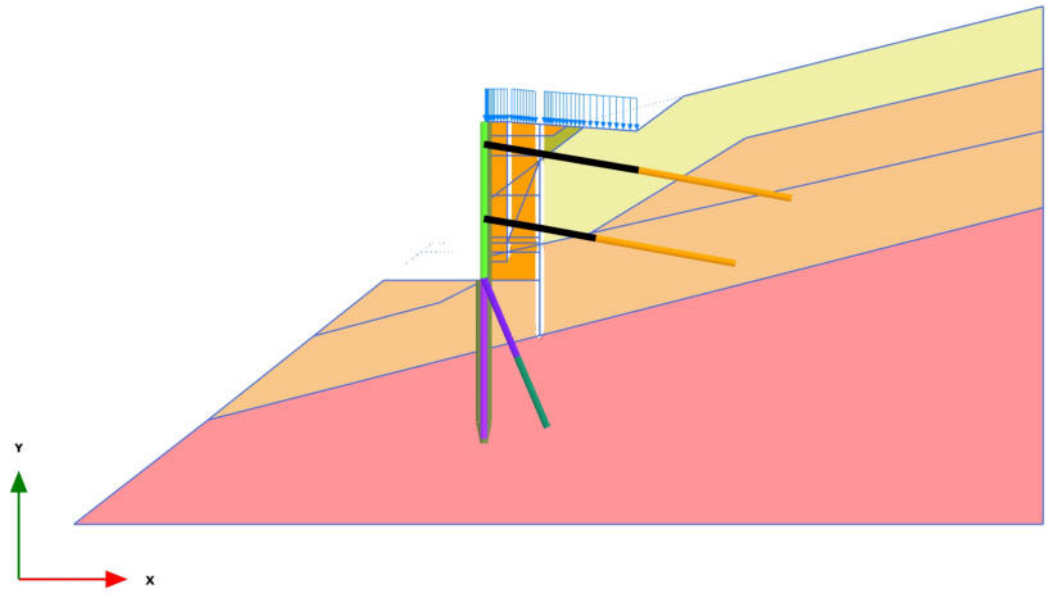

Active loads plot

1.1.1.24 Calculation results, Scalzamento al piede [Phase_19] (19/1007), Active loads plot

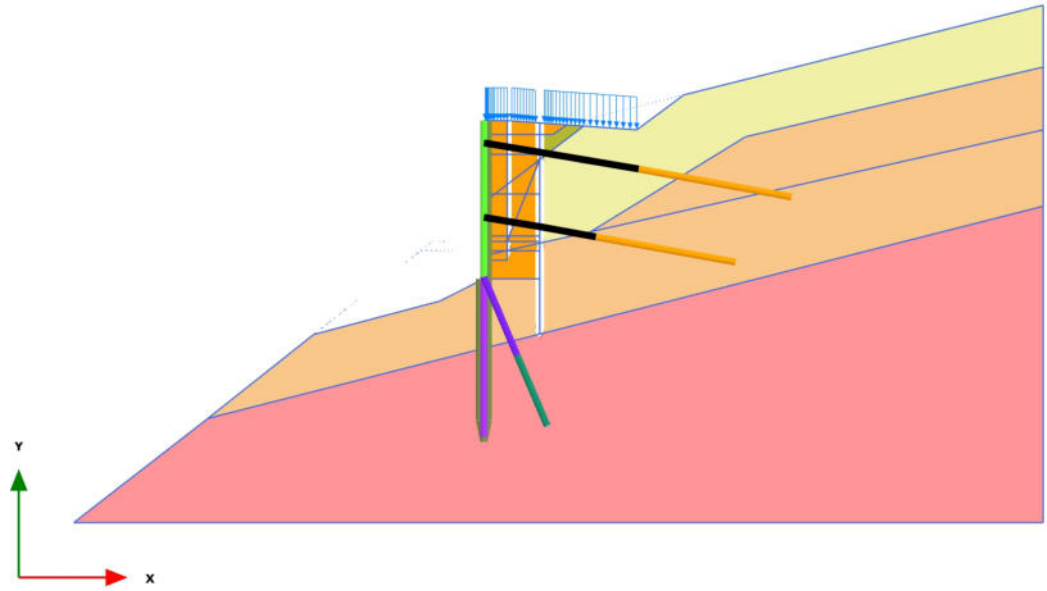

Active loads plot

1.1.1.25 Calculation results, SLU11 [Phase_20] (20/1011), Active loads plot

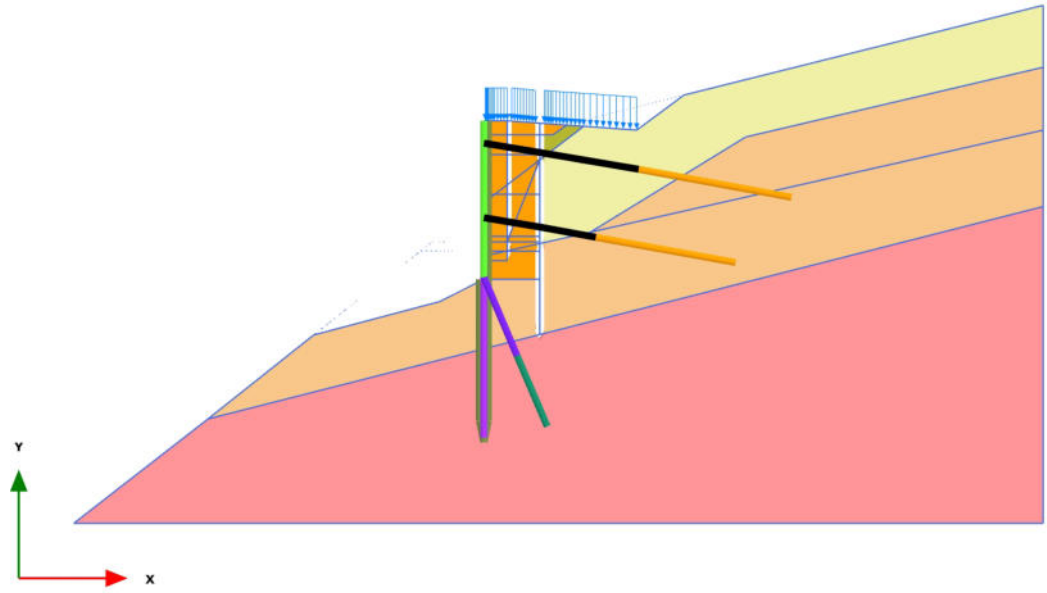

Active loads plot

1.1.1.26 Calculation results, SLV [Phase_21] (21/1061), Active loads plot

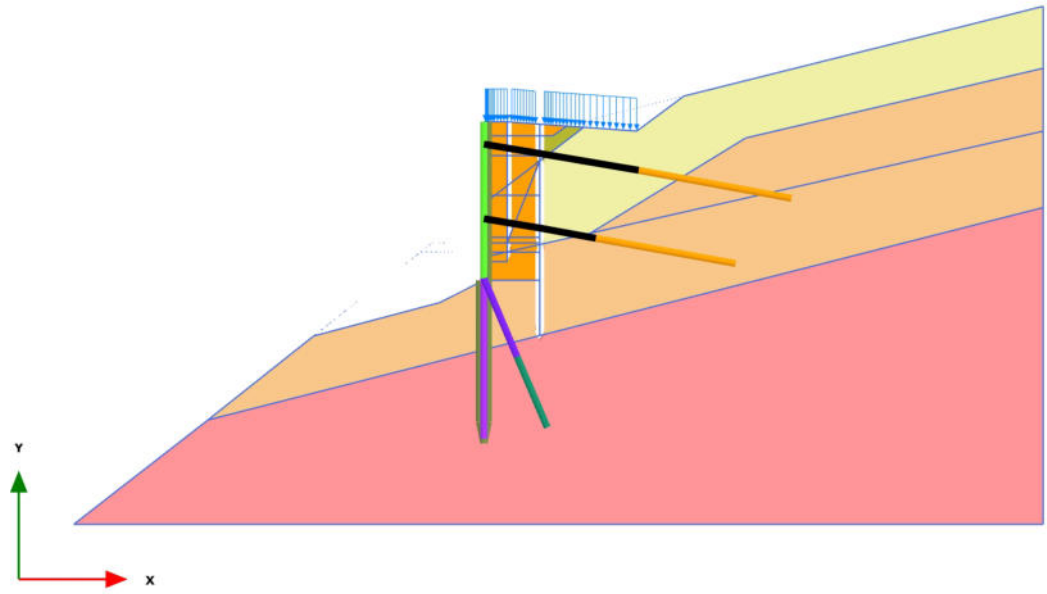

Active loads plot

1.1.1.27 Calculation results, SLU12 [Phase_26] (26/1072), Active loads plot

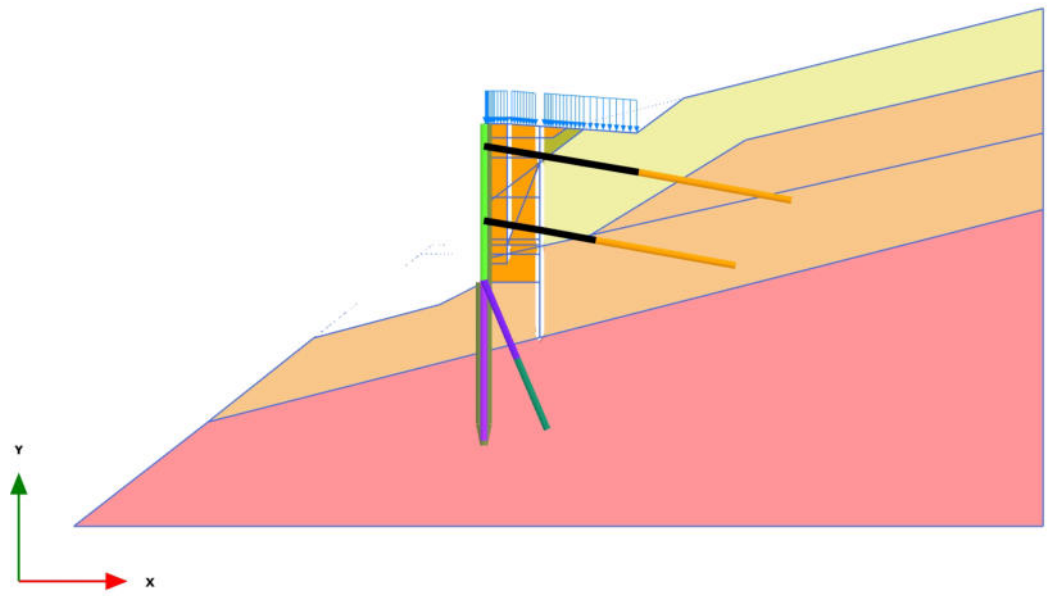

Active loads plot

1.1.1.28 Calculation results, SLD [Phase_31] (31/1085), Active loads plot

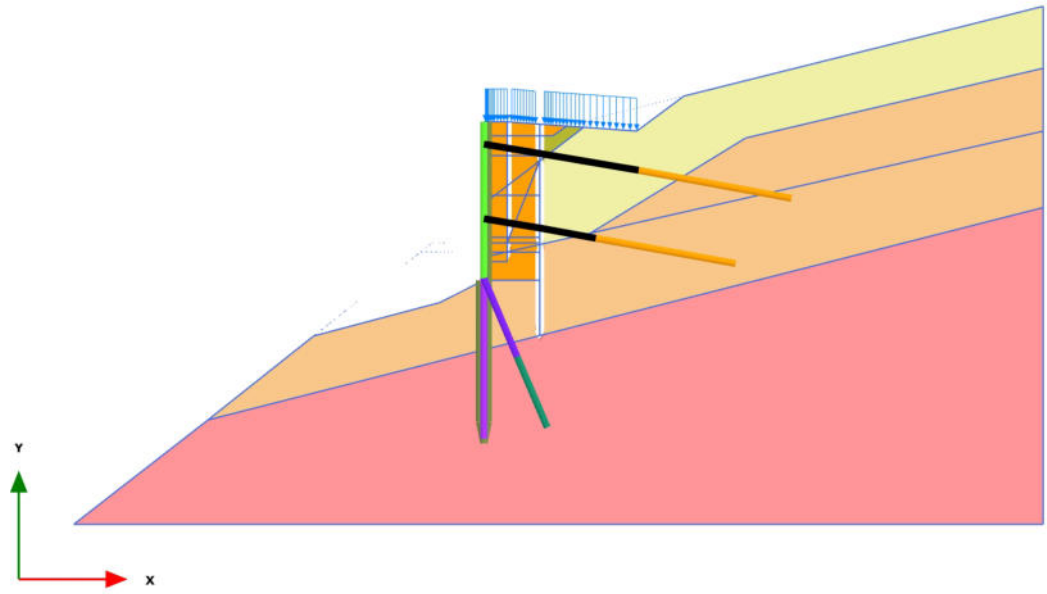

Active loads plot

1.1.1.29 Calculation results, Eccezionale [Phase_22] (22/1130), Active loads plot

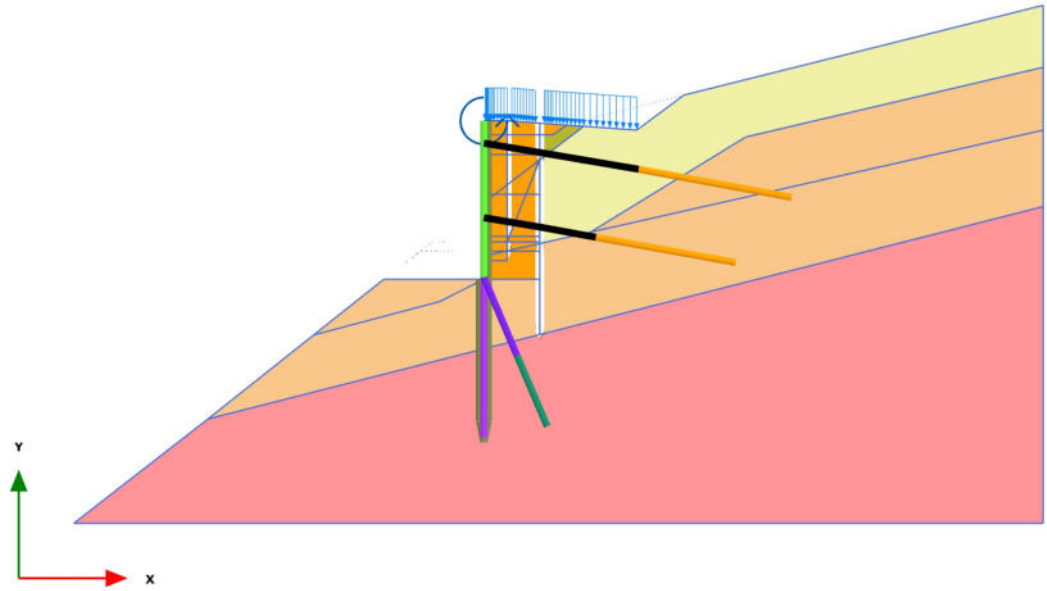

Active loads plot

1.1.1.30 Calculation results, q Rullo [Phase_25] (25/1142), Active loads plot

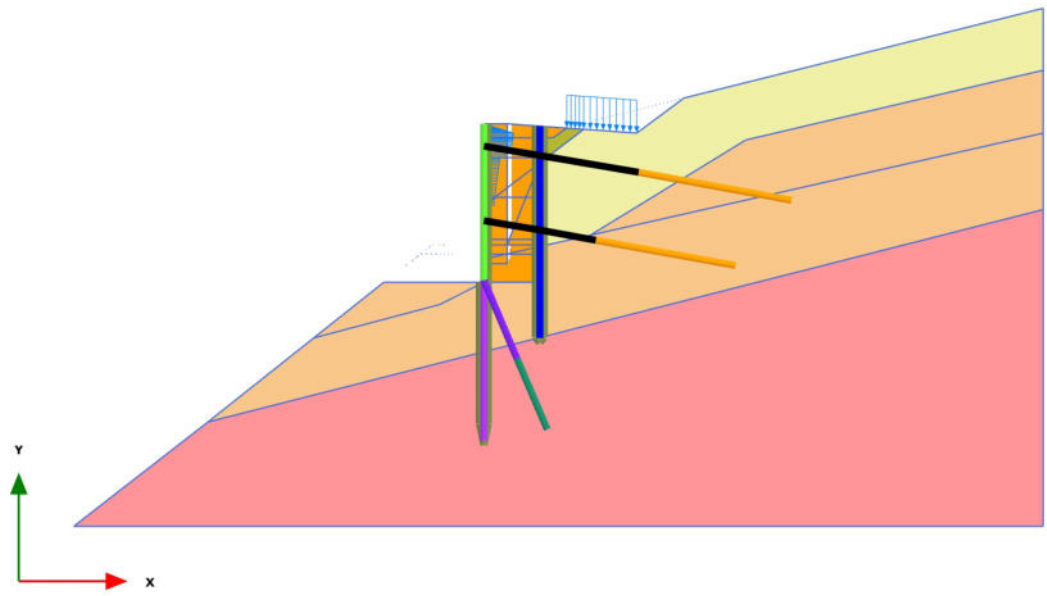

Active loads plot

1.1.1.31 Calculation results, SLU11 Paratia provvisionale [Phase_23] (23/1151), Active loads plot

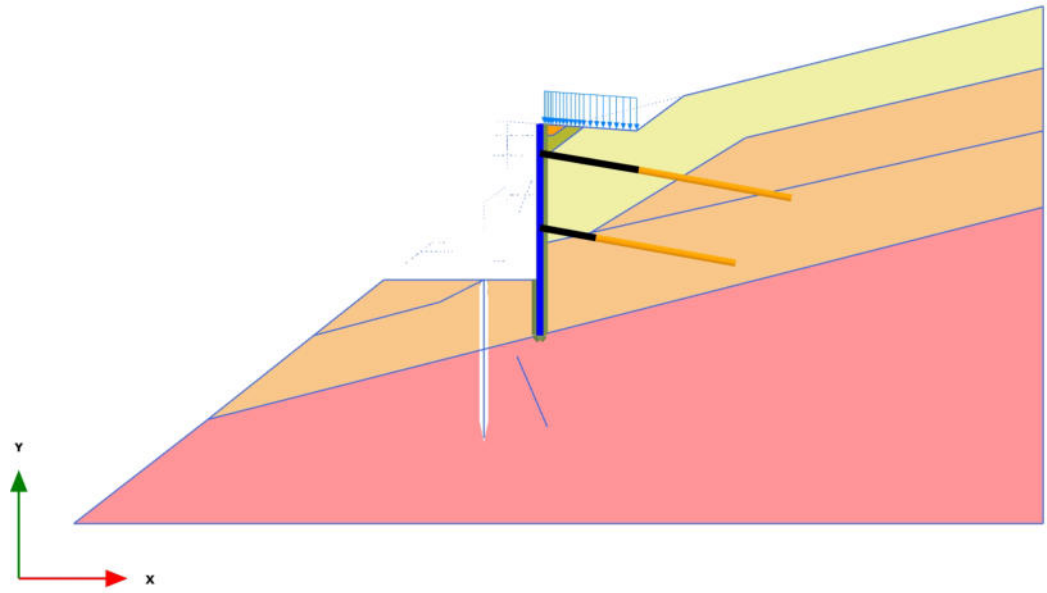

Active loads plot

1.1.1.32 Calculation results, SLU12 Paratia provvisionale [Phase_24] (24/1162), Active loads plot

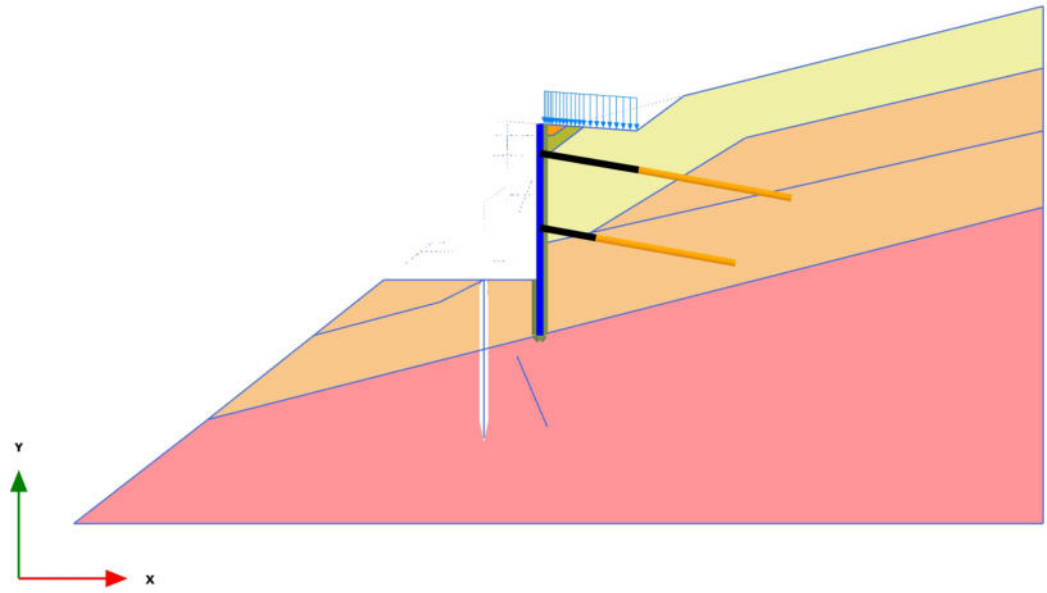

Active loads plot

1.1.1.33 Calculation results, FS [Phase_32] (32/1262), Active loads plot

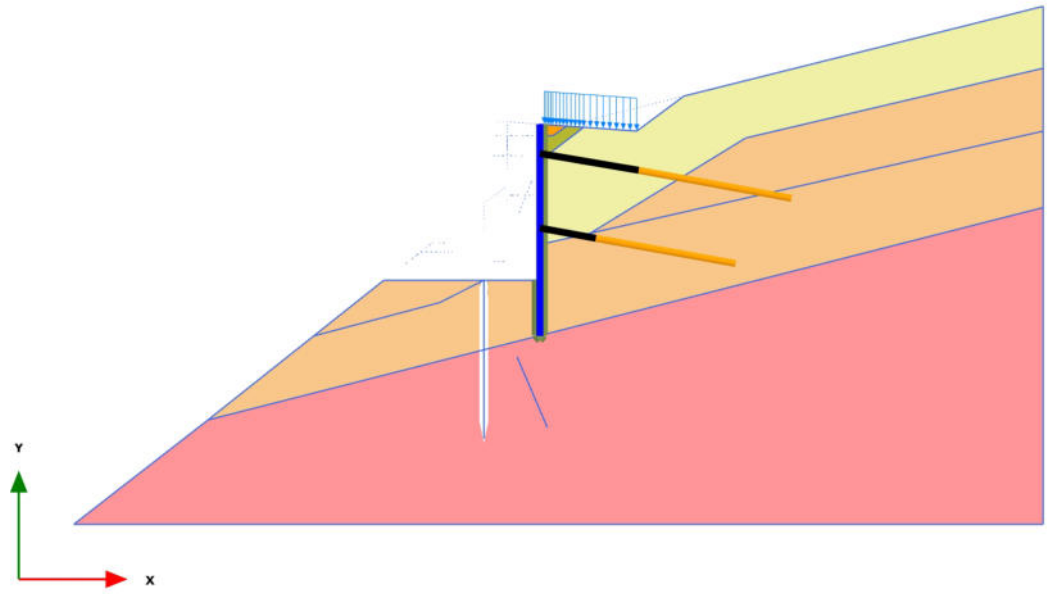

Active loads plot

1.1.1.34 Calculation results, Eccezionale Op provvisionale [Phase_33] (33/1287), Active loads plot

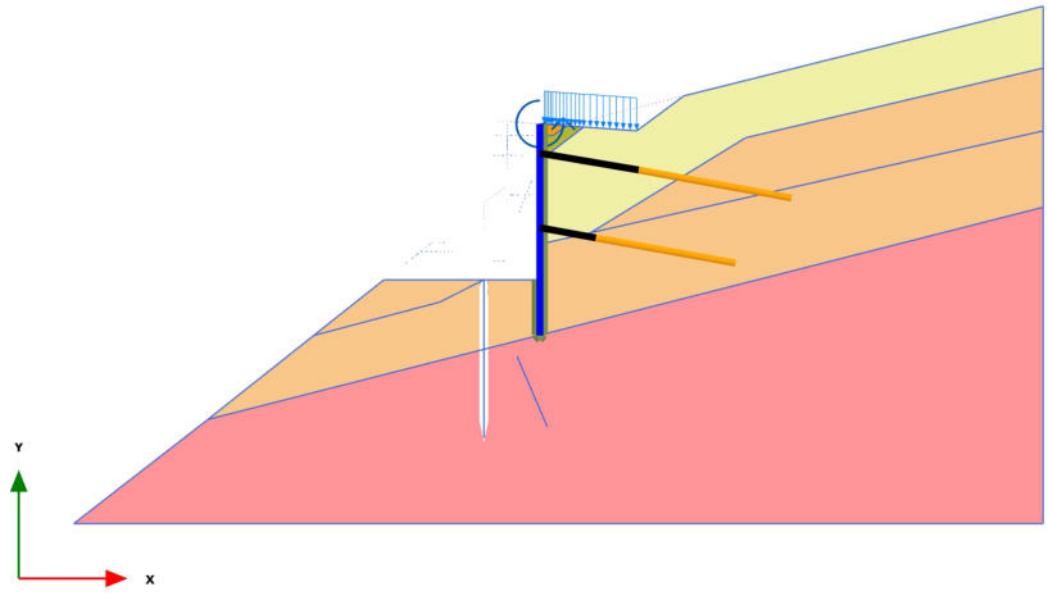

Active loads plot

1.1.2.1 Point load

ID	Node	X [m]	Y [m]	F_x [kN/m]	F_y [kN/m]	$F_{a,x}$ [kN/m]	$F_{a,y}$ [kN/m]	M [kN m/m]

1.1.2.2 Point load

ID	Node	X [m]	Y [m]	F_x [kN/m]	F_y [kN/m]	$F_{a,x}$ [kN/m]	$F_{a,y}$ [kN/m]	M [kN m/m]

1.1.2.3 Point load

ID	Node	X [m]	Y [m]	F_x [kN/m]	F_y [kN/m]	$F_{a,x}$ [kN/m]	$F_{a,y}$ [kN/m]	M [kN m/m]

1.1.2.4 Point load

ID	Node	X [m]	Y [m]	F_x [kN/m]	F_y [kN/m]	$F_{a,x}$ [kN/m]	$F_{a,y}$ [kN/m]	M [kN m/m]

1.1.2.5 Point load

ID	Node	X [m]	Y [m]	F_x [kN/m]	F_y [kN/m]	$F_{a,x}$ [kN/m]	$F_{a,y}$ [kN/m]	M [kN m/m]

1.1.2.6 Point load

ID	Node	X [m]	Y [m]	F_x [kN/m]	F_y [kN/m]	$F_{a,x}$ [kN/m]	$F_{a,y}$ [kN/m]	M [kN m/m]

1.1.2.7 Point load

ID	Node	X [m]	Y [m]	F_x [kN/m]	F_y [kN/m]	$F_{a,x}$ [kN/m]	$F_{a,y}$ [kN/m]	M [kN m/m]

1.1.2.8 Point load

ID	Node	X [m]	Y [m]	F_x [kN/m]	F_y [kN/m]	$F_{a,x}$ [kN/m]	$F_{a,y}$ [kN/m]	M [kN m/m]

1.1.2.9 Point load

ID	Node	X [m]	Y [m]	F_x [kN/m]	F_y [kN/m]	$F_{a,x}$ [kN/m]	$F_{a,y}$ [kN/m]	M [kN m/m]

1.1.2.10 Point load

ID	Node	X [m]	Y [m]	F_x [kN/m]	F_y [kN/m]	$F_{a,x}$ [kN/m]	$F_{a,y}$ [kN/m]	M [kN m/m]

1.1.2.11 Point load

ID	Node	X [m]	Y [m]	F_x [kN/m]	F_y [kN/m]	$F_{a,x}$ [kN/m]	$F_{a,y}$ [kN/m]	M [kN m/m]

1.1.2.12 Point load

ID	Node	X [m]	Y [m]	F_x [kN/m]	F_y [kN/m]	$F_{a,x}$ [kN/m]	$F_{a,y}$ [kN/m]	M [kN m/m]

1.1.2.13 Point load

ID	Node	X [m]	Y [m]	F_x [kN/m]	F_y [kN/m]	$F_{a,x}$ [kN/m]	$F_{a,y}$ [kN/m]	M [kN m/m]

1.1.2.14 Point load

ID	Node	X [m]	Y [m]	F_x [kN/m]	F_y [kN/m]	$F_{a,x}$ [kN/m]	$F_{a,y}$ [kN/m]	M [kN m/m]

1.1.2.15 Point load

ID	Node	X [m]	Y [m]	F_x [kN/m]	F_y [kN/m]	$F_{a,x}$ [kN/m]	$F_{a,y}$ [kN/m]	M [kN m/m]

1.1.2.16 Point load

ID	Node	X [m]	Y [m]	F_x [kN/m]	F_y [kN/m]	$F_{a,x}$ [kN/m]	$F_{a,y}$ [kN/m]	M [kN m/m]

1.1.2.17 Point load

ID	Node	X [m]	Y [m]	F_x [kN/m]	F_y [kN/m]	$F_{a,x}$ [kN/m]	$F_{a,y}$ [kN/m]	M [kN m/m]

1.1.2.18 Point load

ID	Node	X [m]	Y [m]	F_x [kN/m]	F_y [kN/m]	$F_{a,x}$ [kN/m]	$F_{a,y}$ [kN/m]	M [kN m/m]

1.1.2.19 Point load

ID	Node	X [m]	Y [m]	F_x [kN/m]	F_y [kN/m]	$F_{a,x}$ [kN/m]	$F_{a,y}$ [kN/m]	M [kN m/m]

1.1.2.20 Point load

ID	Node	X [m]	Y [m]	F_x [kN/m]	F_y [kN/m]	$F_{a,x}$ [kN/m]	$F_{a,y}$ [kN/m]	M [kN m/m]

1.1.2.21 Point load

ID	Node	X [m]	Y [m]	F_x [kN/m]	F_y [kN/m]	$F_{a,x}$ [kN/m]	$F_{a,y}$ [kN/m]	M [kN m/m]

1.1.2.22 Point load

ID	Node	X [m]	Y [m]	F_x [kN/m]	F_y [kN/m]	$F_{a,x}$ [kN/m]	$F_{a,y}$ [kN/m]	M [kN m/m]

1.1.2.23 Point load

ID	Node	X [m]	Y [m]	F_x [kN/m]	F_y [kN/m]	$F_{a,x}$ [kN/m]	$F_{a,y}$ [kN/m]	M [kN m/m]

1.1.2.24 Point load

ID	Node	X [m]	Y [m]	F_x [kN/m]	F_y [kN/m]	$F_{a,x}$ [kN/m]	$F_{a,y}$ [kN/m]	M [kN m/m]

1.1.2.25 Point load

ID	Node	X [m]	Y [m]	F_x [kN/m]	F_y [kN/m]	$F_{a,x}$ [kN/m]	$F_{a,y}$ [kN/m]	M [kN m/m]

1.1.2.26 Point load

ID	Node	X [m]	Y [m]	F_x [kN/m]	F_y [kN/m]	$F_{a,x}$ [kN/m]	$F_{a,y}$ [kN/m]	M [kN m/m]

1.1.2.27 Point load

ID	Node	X [m]	Y [m]	F_x [kN/m]	F_y [kN/m]	$F_{a,x}$ [kN/m]	$F_{a,y}$ [kN/m]	M [kN m/m]

1.1.2.28 Point load

ID	Node	X [m]	Y [m]	F_x [kN/m]	F_y [kN/m]	$F_{a,x}$ [kN/m]	$F_{a,y}$ [kN/m]	M [kN m/m]

1.1.2.29 Point load

ID	Node [10^3]	X [m]	Y [m]	F_x [kN/m]	F_y [kN/m]	$F_{a,x}$ [kN/m]	$F_{a,y}$ [kN/m]	M [kN m/m]
1	17871	0,000	0,000	-80,000	0,000	-80,000	0,000	80,000

1.1.2.30 Point load

ID	Node	X [m]	Y [m]	F_x [kN/m]	F_y [kN/m]	$F_{a,x}$ [kN/m]	$F_{a,y}$ [kN/m]	M [kN m/m]

1.1.2.31 Point load

ID	Node	X [m]	Y [m]	F_x [kN/m]	F_y [kN/m]	$F_{a,x}$ [kN/m]	$F_{a,y}$ [kN/m]	M [kN m/m]

1.1.2.32 Point load

ID	Node	X [m]	Y [m]	F_x [kN/m]	F_y [kN/m]	$F_{a,x}$ [kN/m]	$F_{a,y}$ [kN/m]	M [kN m/m]

1.1.2.33 Point load

ID	Node	X [m]	Y [m]	F_x [kN/m]	F_y [kN/m]	$F_{a,x}$ [kN/m]	$F_{a,y}$ [kN/m]	M [kN m/m]

1.1.2.34 Point load

ID	Node [10^{3}]	X [m]	Y [10^{-3} m]	F_x [kN/m]	F_y [kN/m]	$F_{a,x}$ [kN/m]	$F_{a,y}$ [kN/m]	M [kN m/m]
1	16475	3,000	-125,899	-19,100	0,000	-19,100	0,000	19,100

1.1.3.1 Line load

ID	Node	Local node	X [m]	Y [m]	q_x [kN/m/m]	q_y [kN/m/m]	$q_{a,x}$ [kN/m/m]	$q_{a,y}$ [kN/m/m]

1.1.3.2 Line load

ID	Node	Local node	X [m]	Y [m]	q_x [kN/m/m]	q_y [kN/m/m]	$q_{a,x}$ [kN/m/m]	$q_{a,y}$ [kN/m/m]

1.1.3.3 Line load

ID	Node	Local node	X [m]	Y [m]	q_x [kN/m/m]	q_y [kN/m/m]	$q_{a,x}$ [kN/m/m]	$q_{a,y}$ [kN/m/m]

1.1.3.4 Line load

ID	Node	Local node	X [m]	Y [m]	q_x [kN/m/m]	q_y [kN/m/m]	$q_{a,x}$ [kN/m/m]	$q_{a,y}$ [kN/m/m]

1.1.3.5 Line load

ID	Node	Local node	X [m]	Y [m]	q_x [kN/m/m]	q_y [kN/m/m]	$q_{a,x}$ [kN/m/m]	$q_{a,y}$ [kN/m/m]

1.1.3.6 Line load

ID	Node	Local node	X [m]	Y [m]	q_x [kN/m/m]	q_y [kN/m/m]	$q_{a,x}$ [kN/m/m]	$q_{a,y}$ [kN/m/m]

1.1.3.7 Line load

ID	Node [10 ^{3}]	Local node	X [m]	Y [10 ^{3} m]	q $_{x}$ [kN/m/m]	q $_{y}$ [kN/m/m]	q $_{ax}$ [kN/m/m]	q $_{ay}$ [kN/m/m]
1	15840	1	5,353	-295,182	0,000	-20,000	0,000	-20,000
2	15561	2	5,703	-320,346	0,000	-20,000	0,000	-20,000
3	15560	3	6,053	-345,509	0,000	-20,000	0,000	-20,000
4	15559	4	6,402	-370,673	0,000	-20,000	0,000	-20,000
5	15558	5	6,752	-395,837	0,000	-20,000	0,000	-20,000
6	15558	1	6,752	-395,837	0,000	-20,000	0,000	-20,000
7	15028	2	7,114	-421,878	0,000	-20,000	0,000	-20,000
8	15027	3	7,476	-447,919	0,000	-20,000	0,000	-20,000
9	15026	4	7,838	-473,959	0,000	-20,000	0,000	-20,000
10	15022	5	8,200	-500,000	0,000	-20,000	0,000	-20,000

1.1.3.8 Line load

ID	Node [10 ^{3}]	Local node	X [m]	Y [10 ^{3} m]	q $_{x}$ [kN/m/m]	q $_{y}$ [kN/m/m]	q $_{ax}$ [kN/m/m]	q $_{ay}$ [kN/m/m]
1	15840	1	5,353	-295,182	0,000	-20,000	0,000	-20,000
2	15561	2	5,703	-320,346	0,000	-20,000	0,000	-20,000
3	15560	3	6,053	-345,509	0,000	-20,000	0,000	-20,000
4	15559	4	6,402	-370,673	0,000	-20,000	0,000	-20,000
5	15558	5	6,752	-395,837	0,000	-20,000	0,000	-20,000
6	15558	1	6,752	-395,837	0,000	-20,000	0,000	-20,000
7	15028	2	7,114	-421,878	0,000	-20,000	0,000	-20,000
8	15027	3	7,476	-447,919	0,000	-20,000	0,000	-20,000
9	15026	4	7,838	-473,959	0,000	-20,000	0,000	-20,000
10	15022	5	8,200	-500,000	0,000	-20,000	0,000	-20,000

1.1.3.9 Line load

ID	Node [10^{3}]	Local node	X [m]	Y [10^{3} m]	q_{x} [kN/m/m]	q_{y} [kN/m/m]	q_{ax} [kN/m/m]	q_{ay} [kN/m/m]
1	15840	1	5,353	-295,182	0,000	-20,000	0,000	-20,000
2	15561	2	5,703	-320,346	0,000	-20,000	0,000	-20,000
3	15560	3	6,053	-345,509	0,000	-20,000	0,000	-20,000
4	15559	4	6,402	-370,673	0,000	-20,000	0,000	-20,000
5	15558	5	6,752	-395,837	0,000	-20,000	0,000	-20,000
6	15558	1	6,752	-395,837	0,000	-20,000	0,000	-20,000
7	15028	2	7,114	-421,878	0,000	-20,000	0,000	-20,000
8	15027	3	7,476	-447,919	0,000	-20,000	0,000	-20,000
9	15026	4	7,838	-473,959	0,000	-20,000	0,000	-20,000
10	15022	5	8,200	-500,000	0,000	-20,000	0,000	-20,000

1.1.3.10 Line load

ID	Node [10^{3}]	Local node	X [m]	Y [10^{3} m]	q_{x} [kN/m/m]	q_{y} [kN/m/m]	q_{ax} [kN/m/m]	q_{ay} [kN/m/m]
1	15840	1	5,353	-295,182	0,000	-20,000	0,000	-20,000
2	15561	2	5,703	-320,346	0,000	-20,000	0,000	-20,000
3	15560	3	6,053	-345,509	0,000	-20,000	0,000	-20,000
4	15559	4	6,402	-370,673	0,000	-20,000	0,000	-20,000
5	15558	5	6,752	-395,837	0,000	-20,000	0,000	-20,000
6	15558	1	6,752	-395,837	0,000	-20,000	0,000	-20,000
7	15028	2	7,114	-421,878	0,000	-20,000	0,000	-20,000
8	15027	3	7,476	-447,919	0,000	-20,000	0,000	-20,000
9	15026	4	7,838	-473,959	0,000	-20,000	0,000	-20,000
10	15022	5	8,200	-500,000	0,000	-20,000	0,000	-20,000

1.1.3.11 Line load

ID	Node [10^{3}]	Local node	X [m]	Y [10^{3} m]	q_{x} [kN/m/m]	q_{y} [kN/m/m]	q_{ax} [kN/m/m]	q_{ay} [kN/m/m]
1	15840	1	5,353	-295,182	0,000	-20,000	0,000	-20,000
2	15561	2	5,703	-320,346	0,000	-20,000	0,000	-20,000
3	15560	3	6,053	-345,509	0,000	-20,000	0,000	-20,000
4	15559	4	6,402	-370,673	0,000	-20,000	0,000	-20,000
5	15558	5	6,752	-395,837	0,000	-20,000	0,000	-20,000
6	15558	1	6,752	-395,837	0,000	-20,000	0,000	-20,000
7	15028	2	7,114	-421,878	0,000	-20,000	0,000	-20,000
8	15027	3	7,476	-447,919	0,000	-20,000	0,000	-20,000
9	15026	4	7,838	-473,959	0,000	-20,000	0,000	-20,000
10	15022	5	8,200	-500,000	0,000	-20,000	0,000	-20,000

1.1.3.12 Line load

ID	Node [10 ^{3}]	Local node	X [m]	Y [10 ^{3} m]	q $_{x}$ [kN/m/m]	q $_{y}$ [kN/m/m]	q $_{ax}$ [kN/m/m]	q $_{ay}$ [kN/m/m]
1	15840	1	5,353	-295,182	0,000	-20,000	0,000	-20,000
2	15561	2	5,703	-320,346	0,000	-20,000	0,000	-20,000
3	15560	3	6,053	-345,509	0,000	-20,000	0,000	-20,000
4	15559	4	6,402	-370,673	0,000	-20,000	0,000	-20,000
5	15558	5	6,752	-395,837	0,000	-20,000	0,000	-20,000
6	15558	1	6,752	-395,837	0,000	-20,000	0,000	-20,000
7	15028	2	7,114	-421,878	0,000	-20,000	0,000	-20,000
8	15027	3	7,476	-447,919	0,000	-20,000	0,000	-20,000
9	15026	4	7,838	-473,959	0,000	-20,000	0,000	-20,000
10	15022	5	8,200	-500,000	0,000	-20,000	0,000	-20,000

1.1.3.13 Line load

ID	Node [10 ^{3}]	Local node	X [m]	Y [10 ^{3} m]	q $_{x}$ [kN/m/m]	q $_{y}$ [kN/m/m]	q $_{ax}$ [kN/m/m]	q $_{ay}$ [kN/m/m]
1	15840	1	5,353	-295,182	0,000	-20,000	0,000	-20,000
2	15561	2	5,703	-320,346	0,000	-20,000	0,000	-20,000
3	15560	3	6,053	-345,509	0,000	-20,000	0,000	-20,000
4	15559	4	6,402	-370,673	0,000	-20,000	0,000	-20,000
5	15558	5	6,752	-395,837	0,000	-20,000	0,000	-20,000
6	15558	1	6,752	-395,837	0,000	-20,000	0,000	-20,000
7	15028	2	7,114	-421,878	0,000	-20,000	0,000	-20,000
8	15027	3	7,476	-447,919	0,000	-20,000	0,000	-20,000
9	15026	4	7,838	-473,959	0,000	-20,000	0,000	-20,000
10	15022	5	8,200	-500,000	0,000	-20,000	0,000	-20,000

1.1.3.14 Line load

ID	Node [10^{3}]	Local node	X [m]	Y [10^{3} m]	q_{x} [kN/m/m]	q_{y} [kN/m/m]	q_{ax} [kN/m/m]	q_{ay} [kN/m/m]
1	15840	1	5,353	-295,182	0,000	-20,000	0,000	-20,000
2	15561	2	5,703	-320,346	0,000	-20,000	0,000	-20,000
3	15560	3	6,053	-345,509	0,000	-20,000	0,000	-20,000
4	15559	4	6,402	-370,673	0,000	-20,000	0,000	-20,000
5	15558	5	6,752	-395,837	0,000	-20,000	0,000	-20,000
6	15558	1	6,752	-395,837	0,000	-20,000	0,000	-20,000
7	15028	2	7,114	-421,878	0,000	-20,000	0,000	-20,000
8	15027	3	7,476	-447,919	0,000	-20,000	0,000	-20,000
9	15026	4	7,838	-473,959	0,000	-20,000	0,000	-20,000
10	15022	5	8,200	-500,000	0,000	-20,000	0,000	-20,000

1.1.3.15 Line load

ID	Node [10^{3}]	Local node	X [m]	Y [10^{3} m]	q_{x} [kN/m/m]	q_{y} [kN/m/m]	q_{ax} [kN/m/m]	q_{ay} [kN/m/m]
1	15840	1	5,353	-295,182	0,000	-20,000	0,000	-20,000
2	15561	2	5,703	-320,346	0,000	-20,000	0,000	-20,000
3	15560	3	6,053	-345,509	0,000	-20,000	0,000	-20,000
4	15559	4	6,402	-370,673	0,000	-20,000	0,000	-20,000
5	15558	5	6,752	-395,837	0,000	-20,000	0,000	-20,000
6	15558	1	6,752	-395,837	0,000	-20,000	0,000	-20,000
7	15028	2	7,114	-421,878	0,000	-20,000	0,000	-20,000
8	15027	3	7,476	-447,919	0,000	-20,000	0,000	-20,000
9	15026	4	7,838	-473,959	0,000	-20,000	0,000	-20,000
10	15022	5	8,200	-500,000	0,000	-20,000	0,000	-20,000

1.1.3.16 Line load

ID	Node [10^{3}]	Local node	X [m]	Y [10^{3} m]	q_{x} [kN/m/m]	q_{y} [kN/m/m]	q_{ax} [kN/m/m]	q_{ay} [kN/m/m]
1	15840	1	5,353	-295,182	0,000	-20,000	0,000	-20,000
2	15561	2	5,703	-320,346	0,000	-20,000	0,000	-20,000
3	15560	3	6,053	-345,509	0,000	-20,000	0,000	-20,000
4	15559	4	6,402	-370,673	0,000	-20,000	0,000	-20,000
5	15558	5	6,752	-395,837	0,000	-20,000	0,000	-20,000
6	15558	1	6,752	-395,837	0,000	-20,000	0,000	-20,000
7	15028	2	7,114	-421,878	0,000	-20,000	0,000	-20,000
8	15027	3	7,476	-447,919	0,000	-20,000	0,000	-20,000
9	15026	4	7,838	-473,959	0,000	-20,000	0,000	-20,000
10	15022	5	8,200	-500,000	0,000	-20,000	0,000	-20,000

1.1.3.17 Line load

ID	Node [10^{3}]	Local node	X [m]	Y [10^{3} m]	q_{x} [kN/m/m]	q_{y} [kN/m/m]	q_{ax} [kN/m/m]	q_{ay} [kN/m/m]
1	15840	1	5,353	-295,182	0,000	-20,000	0,000	-20,000
2	15561	2	5,703	-320,346	0,000	-20,000	0,000	-20,000
3	15560	3	6,053	-345,509	0,000	-20,000	0,000	-20,000
4	15559	4	6,402	-370,673	0,000	-20,000	0,000	-20,000
5	15558	5	6,752	-395,837	0,000	-20,000	0,000	-20,000
6	15558	1	6,752	-395,837	0,000	-20,000	0,000	-20,000
7	15028	2	7,114	-421,878	0,000	-20,000	0,000	-20,000
8	15027	3	7,476	-447,919	0,000	-20,000	0,000	-20,000
9	15026	4	7,838	-473,959	0,000	-20,000	0,000	-20,000
10	15022	5	8,200	-500,000	0,000	-20,000	0,000	-20,000

1.1.3.18 Line load

ID	Node [10^{3}]	Local node	X [m]	Y [10^{3} m]	q_{x} [kN/m/m]	q_{y} [kN/m/m]	q_{ax} [kN/m/m]	q_{ay} [kN/m/m]
1	15840	1	5,353	-295,182	0,000	-20,000	0,000	-20,000
2	15561	2	5,703	-320,346	0,000	-20,000	0,000	-20,000
3	15560	3	6,053	-345,509	0,000	-20,000	0,000	-20,000
4	15559	4	6,402	-370,673	0,000	-20,000	0,000	-20,000
5	15558	5	6,752	-395,837	0,000	-20,000	0,000	-20,000
6	15558	1	6,752	-395,837	0,000	-20,000	0,000	-20,000
7	15028	2	7,114	-421,878	0,000	-20,000	0,000	-20,000
8	15027	3	7,476	-447,919	0,000	-20,000	0,000	-20,000
9	15026	4	7,838	-473,959	0,000	-20,000	0,000	-20,000
10	15022	5	8,200	-500,000	0,000	-20,000	0,000	-20,000

1.1.3.19 Line load

ID	Node [10^{3}]	Local node	X [m]	Y [10^{3} m]	q_{x} [kN/m/m]	q_{y} [kN/m/m]	q_{ax} [kN/m/m]	q_{ay} [kN/m/m]
1	15840	1	5,353	-295,182	0,000	-20,000	0,000	-20,000
2	15561	2	5,703	-320,346	0,000	-20,000	0,000	-20,000
3	15560	3	6,053	-345,509	0,000	-20,000	0,000	-20,000
4	15559	4	6,402	-370,673	0,000	-20,000	0,000	-20,000
5	15558	5	6,752	-395,837	0,000	-20,000	0,000	-20,000
6	15558	1	6,752	-395,837	0,000	-20,000	0,000	-20,000
7	15028	2	7,114	-421,878	0,000	-20,000	0,000	-20,000
8	15027	3	7,476	-447,919	0,000	-20,000	0,000	-20,000
9	15026	4	7,838	-473,959	0,000	-20,000	0,000	-20,000
10	15022	5	8,200	-500,000	0,000	-20,000	0,000	-20,000

1.1.3.20 Line load

ID	Node [10^{3}]	Local node	X [m]	Y [10^{3} m]	q_{x} [kN/m/m]	q_{y} [kN/m/m]	q_{ax} [kN/m/m]	q_{ay} [kN/m/m]
1	15840	1	5,353	-295,182	0,000	-20,000	0,000	-20,000
2	15561	2	5,703	-320,346	0,000	-20,000	0,000	-20,000
3	15560	3	6,053	-345,509	0,000	-20,000	0,000	-20,000
4	15559	4	6,402	-370,673	0,000	-20,000	0,000	-20,000
5	15558	5	6,752	-395,837	0,000	-20,000	0,000	-20,000
6	15558	1	6,752	-395,837	0,000	-20,000	0,000	-20,000
7	15028	2	7,114	-421,878	0,000	-20,000	0,000	-20,000
8	15027	3	7,476	-447,919	0,000	-20,000	0,000	-20,000
9	15026	4	7,838	-473,959	0,000	-20,000	0,000	-20,000
10	15022	5	8,200	-500,000	0,000	-20,000	0,000	-20,000

1.1.3.21 Line load

ID	Node [10^{3}]	Local node	X [m]	Y [10^{3} m]	q_{x} [kN/m/m]	q_{y} [kN/m/m]	q_{ax} [kN/m/m]	q_{ay} [kN/m/m]
1	15840	1	5,353	-295,182	0,000	-20,000	0,000	-20,000
2	15561	2	5,703	-320,346	0,000	-20,000	0,000	-20,000
3	15560	3	6,053	-345,509	0,000	-20,000	0,000	-20,000
4	15559	4	6,402	-370,673	0,000	-20,000	0,000	-20,000
5	15558	5	6,752	-395,837	0,000	-20,000	0,000	-20,000
6	15558	1	6,752	-395,837	0,000	-20,000	0,000	-20,000
7	15028	2	7,114	-421,878	0,000	-20,000	0,000	-20,000
8	15027	3	7,476	-447,919	0,000	-20,000	0,000	-20,000
9	15026	4	7,838	-473,959	0,000	-20,000	0,000	-20,000
10	15022	5	8,200	-500,000	0,000	-20,000	0,000	-20,000

1.1.3.22 Line load

ID	Node [10 ^{3}]	Local node	X [m]	Y [10 ^{3} m]	q $_{x}$ [kN/m/m]	q $_{y}$ [kN/m/m]	q $_{ax}$ [kN/m/m]	q $_{ay}$ [kN/m/m]
1	15840	1	5,353	-295,182	0,000	-20,000	0,000	-20,000
2	15561	2	5,703	-320,346	0,000	-20,000	0,000	-20,000
3	15560	3	6,053	-345,509	0,000	-20,000	0,000	-20,000
4	15559	4	6,402	-370,673	0,000	-20,000	0,000	-20,000
5	15558	5	6,752	-395,837	0,000	-20,000	0,000	-20,000
6	15558	1	6,752	-395,837	0,000	-20,000	0,000	-20,000
7	15028	2	7,114	-421,878	0,000	-20,000	0,000	-20,000
8	15027	3	7,476	-447,919	0,000	-20,000	0,000	-20,000
9	15026	4	7,838	-473,959	0,000	-20,000	0,000	-20,000
10	15022	5	8,200	-500,000	0,000	-20,000	0,000	-20,000

1.1.3.23 Line load

ID	Node [10 ^{3}]	Local node	X [m]	Y [10 ^{3} m]	q $_{x}$ [kN/m/m]	q $_{y}$ [kN/m/m]	q $_{ax}$ [kN/m/m]	q $_{ay}$ [kN/m/m]
1	17789	1	0,000	0,000	0,000	-20,000	0,000	-20,000
2	17785	2	0,019	0,000	0,000	-20,000	0,000	-20,000
3	17784	3	0,037	0,000	0,000	-20,000	0,000	-20,000
4	17783	4	0,056	0,000	0,000	-20,000	0,000	-20,000
5	17779	5	0,075	0,000	0,000	-20,000	0,000	-20,000
6	17779	1	0,075	0,000	0,000	-20,000	0,000	-20,000
7	17713	2	0,114	0,000	0,000	-20,000	0,000	-20,000
8	17712	3	0,153	0,000	0,000	-20,000	0,000	-20,000
9	17711	4	0,192	0,000	0,000	-20,000	0,000	-20,000
10	17707	5	0,231	0,000	0,000	-20,000	0,000	-20,000
11	17707	1	0,231	0,000	0,000	-20,000	0,000	-20,000
12	17615	2	0,313	0,000	0,000	-20,000	0,000	-20,000
13	17614	3	0,395	0,000	0,000	-20,000	0,000	-20,000
14	17613	4	0,478	0,000	0,000	-20,000	0,000	-20,000
15	17609	5	0,560	0,000	0,000	-20,000	0,000	-20,000
16	17609	1	0,560	0,000	0,000	-20,000	0,000	-20,000
17	17511	2	0,732	0,000	0,000	-20,000	0,000	-20,000
18	17510	3	0,905	0,000	0,000	-20,000	0,000	-20,000
19	17509	4	1,077	0,000	0,000	-20,000	0,000	-20,000
20	17508	5	1,250	0,000	0,000	-20,000	0,000	-20,000
21	17286	1	1,250	0,000	0,000	-20,000	0,000	-20,000
22	17282	2	1,469	-15,737	0,000	-20,000	0,000	-20,000
23	17281	3	1,688	-31,475	0,000	-20,000	0,000	-20,000
24	17280	4	1,906	-47,212	0,000	-20,000	0,000	-20,000
25	17276	5	2,125	-62,950	0,000	-20,000	0,000	-20,000
26	17276	1	2,125	-62,950	0,000	-20,000	0,000	-20,000
27	17096	2	2,344	-78,687	0,000	-20,000	0,000	-20,000
28	17095	3	2,563	-94,424	0,000	-20,000	0,000	-20,000

ID	Node [10 ^{3}]	Local node	X [m]	Y [10 $^{-3}$ m]	q $_{x}$ [kN/m/m]	q $_{y}$ [kN/m/m]	q $_{ax}$ [kN/m/m]	q $_{ay}$ [kN/m/m]
29	17094	4	2,781	-110,162	0,000	-20,000	0,000	-20,000
30	17090	5	3,000	-125,899	0,000	-20,000	0,000	-20,000
31	16467	1	3,000	-125,899	0,000	-20,000	0,000	-20,000
32	16462	2	3,173	-138,333	0,000	-20,000	0,000	-20,000
33	16461	3	3,346	-150,767	0,000	-20,000	0,000	-20,000
34	16460	4	3,518	-163,201	0,000	-20,000	0,000	-20,000
35	16456	5	3,691	-175,635	0,000	-20,000	0,000	-20,000
36	16456	1	3,691	-175,635	0,000	-20,000	0,000	-20,000
37	16116	2	3,881	-189,276	0,000	-20,000	0,000	-20,000
38	16115	3	4,071	-202,917	0,000	-20,000	0,000	-20,000
39	16114	4	4,260	-216,558	0,000	-20,000	0,000	-20,000
40	16110	5	4,450	-230,199	0,000	-20,000	0,000	-20,000
41	16110	1	4,450	-230,199	0,000	-20,000	0,000	-20,000
42	15846	2	4,676	-246,445	0,000	-20,000	0,000	-20,000
43	15845	3	4,901	-262,690	0,000	-20,000	0,000	-20,000
44	15844	4	5,127	-278,936	0,000	-20,000	0,000	-20,000
45	15840	5	5,353	-295,182	0,000	-20,000	0,000	-20,000
46	15840	1	5,353	-295,182	0,000	-20,000	0,000	-20,000
47	15561	2	5,703	-320,346	0,000	-20,000	0,000	-20,000
48	15560	3	6,053	-345,509	0,000	-20,000	0,000	-20,000
49	15559	4	6,402	-370,673	0,000	-20,000	0,000	-20,000
50	15558	5	6,752	-395,837	0,000	-20,000	0,000	-20,000
51	15558	1	6,752	-395,837	0,000	-20,000	0,000	-20,000
52	15028	2	7,114	-421,878	0,000	-20,000	0,000	-20,000
53	15027	3	7,476	-447,919	0,000	-20,000	0,000	-20,000
54	15026	4	7,838	-473,959	0,000	-20,000	0,000	-20,000
55	15022	5	8,200	-500,000	0,000	-20,000	0,000	-20,000

1.1.3.24 Line load

ID	Node [10 ^{3}]	Local node	X [m]	Y [10 ^{3} m]	q $_{x}$ [kN/m/m]	q $_{y}$ [kN/m/m]	q $_{ax}$ [kN/m/m]	q $_{ay}$ [kN/m/m]
1	17789	1	0,000	0,000	0,000	-20,000	0,000	-20,000
2	17785	2	0,019	0,000	0,000	-20,000	0,000	-20,000
3	17784	3	0,037	0,000	0,000	-20,000	0,000	-20,000
4	17783	4	0,056	0,000	0,000	-20,000	0,000	-20,000
5	17779	5	0,075	0,000	0,000	-20,000	0,000	-20,000
6	17779	1	0,075	0,000	0,000	-20,000	0,000	-20,000
7	17713	2	0,114	0,000	0,000	-20,000	0,000	-20,000
8	17712	3	0,153	0,000	0,000	-20,000	0,000	-20,000
9	17711	4	0,192	0,000	0,000	-20,000	0,000	-20,000
10	17707	5	0,231	0,000	0,000	-20,000	0,000	-20,000
11	17707	1	0,231	0,000	0,000	-20,000	0,000	-20,000
12	17615	2	0,313	0,000	0,000	-20,000	0,000	-20,000
13	17614	3	0,395	0,000	0,000	-20,000	0,000	-20,000
14	17613	4	0,478	0,000	0,000	-20,000	0,000	-20,000
15	17609	5	0,560	0,000	0,000	-20,000	0,000	-20,000
16	17609	1	0,560	0,000	0,000	-20,000	0,000	-20,000
17	17511	2	0,732	0,000	0,000	-20,000	0,000	-20,000
18	17510	3	0,905	0,000	0,000	-20,000	0,000	-20,000
19	17509	4	1,077	0,000	0,000	-20,000	0,000	-20,000
20	17508	5	1,250	0,000	0,000	-20,000	0,000	-20,000
21	17286	1	1,250	0,000	0,000	-20,000	0,000	-20,000
22	17282	2	1,469	-15,737	0,000	-20,000	0,000	-20,000
23	17281	3	1,688	-31,475	0,000	-20,000	0,000	-20,000
24	17280	4	1,906	-47,212	0,000	-20,000	0,000	-20,000
25	17276	5	2,125	-62,950	0,000	-20,000	0,000	-20,000
26	17276	1	2,125	-62,950	0,000	-20,000	0,000	-20,000
27	17096	2	2,344	-78,687	0,000	-20,000	0,000	-20,000
28	17095	3	2,563	-94,424	0,000	-20,000	0,000	-20,000

ID	Node [10 ^{3}]	Local node	X [m]	Y [10 $^{-3}$ m]	q $_{x}$ [kN/m/m]	q $_{y}$ [kN/m/m]	q $_{ax}$ [kN/m/m]	q $_{ay}$ [kN/m/m]
29	17094	4	2,781	-110,162	0,000	-20,000	0,000	-20,000
30	17090	5	3,000	-125,899	0,000	-20,000	0,000	-20,000
31	16467	1	3,000	-125,899	0,000	-20,000	0,000	-20,000
32	16462	2	3,173	-138,333	0,000	-20,000	0,000	-20,000
33	16461	3	3,346	-150,767	0,000	-20,000	0,000	-20,000
34	16460	4	3,518	-163,201	0,000	-20,000	0,000	-20,000
35	16456	5	3,691	-175,635	0,000	-20,000	0,000	-20,000
36	16456	1	3,691	-175,635	0,000	-20,000	0,000	-20,000
37	16116	2	3,881	-189,276	0,000	-20,000	0,000	-20,000
38	16115	3	4,071	-202,917	0,000	-20,000	0,000	-20,000
39	16114	4	4,260	-216,558	0,000	-20,000	0,000	-20,000
40	16110	5	4,450	-230,199	0,000	-20,000	0,000	-20,000
41	16110	1	4,450	-230,199	0,000	-20,000	0,000	-20,000
42	15846	2	4,676	-246,445	0,000	-20,000	0,000	-20,000
43	15845	3	4,901	-262,690	0,000	-20,000	0,000	-20,000
44	15844	4	5,127	-278,936	0,000	-20,000	0,000	-20,000
45	15840	5	5,353	-295,182	0,000	-20,000	0,000	-20,000
46	15840	1	5,353	-295,182	0,000	-20,000	0,000	-20,000
47	15561	2	5,703	-320,346	0,000	-20,000	0,000	-20,000
48	15560	3	6,053	-345,509	0,000	-20,000	0,000	-20,000
49	15559	4	6,402	-370,673	0,000	-20,000	0,000	-20,000
50	15558	5	6,752	-395,837	0,000	-20,000	0,000	-20,000
51	15558	1	6,752	-395,837	0,000	-20,000	0,000	-20,000
52	15028	2	7,114	-421,878	0,000	-20,000	0,000	-20,000
53	15027	3	7,476	-447,919	0,000	-20,000	0,000	-20,000
54	15026	4	7,838	-473,959	0,000	-20,000	0,000	-20,000
55	15022	5	8,200	-500,000	0,000	-20,000	0,000	-20,000

1.1.3.25 Line load

ID	Node [10 ^{3}]	Local node	X [m]	Y [10 ^{3} m]	q $_{x}$ [kN/m/m]	q $_{y}$ [kN/m/m]	q $_{ax}$ [kN/m/m]	q $_{ay}$ [kN/m/m]
1	17789	1	0,000	0,000	0,000	-23,100	0,000	-23,100
2	17785	2	0,019	0,000	0,000	-23,100	0,000	-23,100
3	17784	3	0,037	0,000	0,000	-23,100	0,000	-23,100
4	17783	4	0,056	0,000	0,000	-23,100	0,000	-23,100
5	17779	5	0,075	0,000	0,000	-23,100	0,000	-23,100
6	17779	1	0,075	0,000	0,000	-23,100	0,000	-23,100
7	17713	2	0,114	0,000	0,000	-23,100	0,000	-23,100
8	17712	3	0,153	0,000	0,000	-23,100	0,000	-23,100
9	17711	4	0,192	0,000	0,000	-23,100	0,000	-23,100
10	17707	5	0,231	0,000	0,000	-23,100	0,000	-23,100
11	17707	1	0,231	0,000	0,000	-23,100	0,000	-23,100
12	17615	2	0,313	0,000	0,000	-23,100	0,000	-23,100
13	17614	3	0,395	0,000	0,000	-23,100	0,000	-23,100
14	17613	4	0,478	0,000	0,000	-23,100	0,000	-23,100
15	17609	5	0,560	0,000	0,000	-23,100	0,000	-23,100
16	17609	1	0,560	0,000	0,000	-23,100	0,000	-23,100
17	17511	2	0,732	0,000	0,000	-23,100	0,000	-23,100
18	17510	3	0,905	0,000	0,000	-23,100	0,000	-23,100
19	17509	4	1,077	0,000	0,000	-23,100	0,000	-23,100
20	17508	5	1,250	0,000	0,000	-23,100	0,000	-23,100
21	17286	1	1,250	0,000	0,000	-23,100	0,000	-23,100
22	17282	2	1,469	-15,737	0,000	-23,100	0,000	-23,100
23	17281	3	1,688	-31,475	0,000	-23,100	0,000	-23,100
24	17280	4	1,906	-47,212	0,000	-23,100	0,000	-23,100
25	17276	5	2,125	-62,950	0,000	-23,100	0,000	-23,100
26	17276	1	2,125	-62,950	0,000	-23,100	0,000	-23,100
27	17096	2	2,344	-78,687	0,000	-23,100	0,000	-23,100
28	17095	3	2,563	-94,424	0,000	-23,100	0,000	-23,100

ID	Node [10 ^{3}]	Local node	X [m]	Y [10 $^{-3}$ m]	q $_{x}$ [kN/m/m]	q $_{y}$ [kN/m/m]	q $_{ax}$ [kN/m/m]	q $_{ay}$ [kN/m/m]
29	17094	4	2,781	-110,162	0,000	-23,100	0,000	-23,100
30	17090	5	3,000	-125,899	0,000	-23,100	0,000	-23,100
31	16467	1	3,000	-125,899	0,000	-23,100	0,000	-23,100
32	16462	2	3,173	-138,333	0,000	-23,100	0,000	-23,100
33	16461	3	3,346	-150,767	0,000	-23,100	0,000	-23,100
34	16460	4	3,518	-163,201	0,000	-23,100	0,000	-23,100
35	16456	5	3,691	-175,635	0,000	-23,100	0,000	-23,100
36	16456	1	3,691	-175,635	0,000	-23,100	0,000	-23,100
37	16116	2	3,881	-189,276	0,000	-23,100	0,000	-23,100
38	16115	3	4,071	-202,917	0,000	-23,100	0,000	-23,100
39	16114	4	4,260	-216,558	0,000	-23,100	0,000	-23,100
40	16110	5	4,450	-230,199	0,000	-23,100	0,000	-23,100
41	16110	1	4,450	-230,199	0,000	-23,100	0,000	-23,100
42	15846	2	4,676	-246,445	0,000	-23,100	0,000	-23,100
43	15845	3	4,901	-262,690	0,000	-23,100	0,000	-23,100
44	15844	4	5,127	-278,936	0,000	-23,100	0,000	-23,100
45	15840	5	5,353	-295,182	0,000	-23,100	0,000	-23,100
46	15840	1	5,353	-295,182	0,000	-23,100	0,000	-23,100
47	15561	2	5,703	-320,346	0,000	-23,100	0,000	-23,100
48	15560	3	6,053	-345,509	0,000	-23,100	0,000	-23,100
49	15559	4	6,402	-370,673	0,000	-23,100	0,000	-23,100
50	15558	5	6,752	-395,837	0,000	-23,100	0,000	-23,100
51	15558	1	6,752	-395,837	0,000	-23,100	0,000	-23,100
52	15028	2	7,114	-421,878	0,000	-23,100	0,000	-23,100
53	15027	3	7,476	-447,919	0,000	-23,100	0,000	-23,100
54	15026	4	7,838	-473,959	0,000	-23,100	0,000	-23,100
55	15022	5	8,200	-500,000	0,000	-23,100	0,000	-23,100

1.1.3.26 Line load

ID	Node [10 ^{3}]	Local node	X [m]	Y [10 ^{3} m]	q $_{x}$ [kN/m/m]	q $_{y}$ [kN/m/m]	q $_{ax}$ [kN/m/m]	q $_{ay}$ [kN/m/m]
1	17789	1	0,000	0,000	0,000	-6,000	0,000	-6,000
2	17785	2	0,019	0,000	0,000	-6,000	0,000	-6,000
3	17784	3	0,037	0,000	0,000	-6,000	0,000	-6,000
4	17783	4	0,056	0,000	0,000	-6,000	0,000	-6,000
5	17779	5	0,075	0,000	0,000	-6,000	0,000	-6,000
6	17779	1	0,075	0,000	0,000	-6,000	0,000	-6,000
7	17713	2	0,114	0,000	0,000	-6,000	0,000	-6,000
8	17712	3	0,153	0,000	0,000	-6,000	0,000	-6,000
9	17711	4	0,192	0,000	0,000	-6,000	0,000	-6,000
10	17707	5	0,231	0,000	0,000	-6,000	0,000	-6,000
11	17707	1	0,231	0,000	0,000	-6,000	0,000	-6,000
12	17615	2	0,313	0,000	0,000	-6,000	0,000	-6,000
13	17614	3	0,395	0,000	0,000	-6,000	0,000	-6,000
14	17613	4	0,478	0,000	0,000	-6,000	0,000	-6,000
15	17609	5	0,560	0,000	0,000	-6,000	0,000	-6,000
16	17609	1	0,560	0,000	0,000	-6,000	0,000	-6,000
17	17511	2	0,732	0,000	0,000	-6,000	0,000	-6,000
18	17510	3	0,905	0,000	0,000	-6,000	0,000	-6,000
19	17509	4	1,077	0,000	0,000	-6,000	0,000	-6,000
20	17508	5	1,250	0,000	0,000	-6,000	0,000	-6,000
21	17286	1	1,250	0,000	0,000	-6,000	0,000	-6,000
22	17282	2	1,469	-15,737	0,000	-6,000	0,000	-6,000
23	17281	3	1,688	-31,475	0,000	-6,000	0,000	-6,000
24	17280	4	1,906	-47,212	0,000	-6,000	0,000	-6,000
25	17276	5	2,125	-62,950	0,000	-6,000	0,000	-6,000
26	17276	1	2,125	-62,950	0,000	-6,000	0,000	-6,000
27	17096	2	2,344	-78,687	0,000	-6,000	0,000	-6,000
28	17095	3	2,563	-94,424	0,000	-6,000	0,000	-6,000

ID	Node [10 ^{3}]	Local node	X [m]	Y [10 $^{-3}$ m]	q $_{x}$ [kN/m/m]	q $_{y}$ [kN/m/m]	q $_{ax}$ [kN/m/m]	q $_{ay}$ [kN/m/m]
29	17094	4	2,781	-110,162	0,000	-6,000	0,000	-6,000
30	17090	5	3,000	-125,899	0,000	-6,000	0,000	-6,000
31	16467	1	3,000	-125,899	0,000	-6,000	0,000	-6,000
32	16462	2	3,173	-138,333	0,000	-6,000	0,000	-6,000
33	16461	3	3,346	-150,767	0,000	-6,000	0,000	-6,000
34	16460	4	3,518	-163,201	0,000	-6,000	0,000	-6,000
35	16456	5	3,691	-175,635	0,000	-6,000	0,000	-6,000
36	16456	1	3,691	-175,635	0,000	-6,000	0,000	-6,000
37	16116	2	3,881	-189,276	0,000	-6,000	0,000	-6,000
38	16115	3	4,071	-202,917	0,000	-6,000	0,000	-6,000
39	16114	4	4,260	-216,558	0,000	-6,000	0,000	-6,000
40	16110	5	4,450	-230,199	0,000	-6,000	0,000	-6,000
41	16110	1	4,450	-230,199	0,000	-6,000	0,000	-6,000
42	15846	2	4,676	-246,445	0,000	-6,000	0,000	-6,000
43	15845	3	4,901	-262,690	0,000	-6,000	0,000	-6,000
44	15844	4	5,127	-278,936	0,000	-6,000	0,000	-6,000
45	15840	5	5,353	-295,182	0,000	-6,000	0,000	-6,000
46	15840	1	5,353	-295,182	0,000	-6,000	0,000	-6,000
47	15561	2	5,703	-320,346	0,000	-6,000	0,000	-6,000
48	15560	3	6,053	-345,509	0,000	-6,000	0,000	-6,000
49	15559	4	6,402	-370,673	0,000	-6,000	0,000	-6,000
50	15558	5	6,752	-395,837	0,000	-6,000	0,000	-6,000
51	15558	1	6,752	-395,837	0,000	-6,000	0,000	-6,000
52	15028	2	7,114	-421,878	0,000	-6,000	0,000	-6,000
53	15027	3	7,476	-447,919	0,000	-6,000	0,000	-6,000
54	15026	4	7,838	-473,959	0,000	-6,000	0,000	-6,000
55	15022	5	8,200	-500,000	0,000	-6,000	0,000	-6,000

1.1.3.27 Line load

ID	Node [10 ^{3}]	Local node	X [m]	Y [10 ^{3} m]	q $_{x}$ [kN/m/m]	q $_{y}$ [kN/m/m]	q $_{ax}$ [kN/m/m]	q $_{ay}$ [kN/m/m]
1	17789	1	0,000	0,000	0,000	-26,000	0,000	-26,000
2	17785	2	0,019	0,000	0,000	-26,000	0,000	-26,000
3	17784	3	0,037	0,000	0,000	-26,000	0,000	-26,000
4	17783	4	0,056	0,000	0,000	-26,000	0,000	-26,000
5	17779	5	0,075	0,000	0,000	-26,000	0,000	-26,000
6	17779	1	0,075	0,000	0,000	-26,000	0,000	-26,000
7	17713	2	0,114	0,000	0,000	-26,000	0,000	-26,000
8	17712	3	0,153	0,000	0,000	-26,000	0,000	-26,000
9	17711	4	0,192	0,000	0,000	-26,000	0,000	-26,000
10	17707	5	0,231	0,000	0,000	-26,000	0,000	-26,000
11	17707	1	0,231	0,000	0,000	-26,000	0,000	-26,000
12	17615	2	0,313	0,000	0,000	-26,000	0,000	-26,000
13	17614	3	0,395	0,000	0,000	-26,000	0,000	-26,000
14	17613	4	0,478	0,000	0,000	-26,000	0,000	-26,000
15	17609	5	0,560	0,000	0,000	-26,000	0,000	-26,000
16	17609	1	0,560	0,000	0,000	-26,000	0,000	-26,000
17	17511	2	0,732	0,000	0,000	-26,000	0,000	-26,000
18	17510	3	0,905	0,000	0,000	-26,000	0,000	-26,000
19	17509	4	1,077	0,000	0,000	-26,000	0,000	-26,000
20	17508	5	1,250	0,000	0,000	-26,000	0,000	-26,000
21	17286	1	1,250	0,000	0,000	-26,000	0,000	-26,000
22	17282	2	1,469	-15,737	0,000	-26,000	0,000	-26,000
23	17281	3	1,688	-31,475	0,000	-26,000	0,000	-26,000
24	17280	4	1,906	-47,212	0,000	-26,000	0,000	-26,000
25	17276	5	2,125	-62,950	0,000	-26,000	0,000	-26,000
26	17276	1	2,125	-62,950	0,000	-26,000	0,000	-26,000
27	17096	2	2,344	-78,687	0,000	-26,000	0,000	-26,000
28	17095	3	2,563	-94,424	0,000	-26,000	0,000	-26,000

ID	Node [10 ^{3}]	Local node	X [m]	Y [10 $^{-3}$ m]	q $_{x}$ [kN/m/m]	q $_{y}$ [kN/m/m]	q $_{ax}$ [kN/m/m]	q $_{ay}$ [kN/m/m]
29	17094	4	2,781	-110,162	0,000	-26,000	0,000	-26,000
30	17090	5	3,000	-125,899	0,000	-26,000	0,000	-26,000
31	16467	1	3,000	-125,899	0,000	-26,000	0,000	-26,000
32	16462	2	3,173	-138,333	0,000	-26,000	0,000	-26,000
33	16461	3	3,346	-150,767	0,000	-26,000	0,000	-26,000
34	16460	4	3,518	-163,201	0,000	-26,000	0,000	-26,000
35	16456	5	3,691	-175,635	0,000	-26,000	0,000	-26,000
36	16456	1	3,691	-175,635	0,000	-26,000	0,000	-26,000
37	16116	2	3,881	-189,276	0,000	-26,000	0,000	-26,000
38	16115	3	4,071	-202,917	0,000	-26,000	0,000	-26,000
39	16114	4	4,260	-216,558	0,000	-26,000	0,000	-26,000
40	16110	5	4,450	-230,199	0,000	-26,000	0,000	-26,000
41	16110	1	4,450	-230,199	0,000	-26,000	0,000	-26,000
42	15846	2	4,676	-246,445	0,000	-26,000	0,000	-26,000
43	15845	3	4,901	-262,690	0,000	-26,000	0,000	-26,000
44	15844	4	5,127	-278,936	0,000	-26,000	0,000	-26,000
45	15840	5	5,353	-295,182	0,000	-26,000	0,000	-26,000
46	15840	1	5,353	-295,182	0,000	-26,000	0,000	-26,000
47	15561	2	5,703	-320,346	0,000	-26,000	0,000	-26,000
48	15560	3	6,053	-345,509	0,000	-26,000	0,000	-26,000
49	15559	4	6,402	-370,673	0,000	-26,000	0,000	-26,000
50	15558	5	6,752	-395,837	0,000	-26,000	0,000	-26,000
51	15558	1	6,752	-395,837	0,000	-26,000	0,000	-26,000
52	15028	2	7,114	-421,878	0,000	-26,000	0,000	-26,000
53	15027	3	7,476	-447,919	0,000	-26,000	0,000	-26,000
54	15026	4	7,838	-473,959	0,000	-26,000	0,000	-26,000
55	15022	5	8,200	-500,000	0,000	-26,000	0,000	-26,000

1.1.3.28 Line load

ID	Node [10 ^{3}]	Local node	X [m]	Y [10 ^{3} m]	q $_{x}$ [kN/m/m]	q $_{y}$ [kN/m/m]	q $_{ax}$ [kN/m/m]	q $_{ay}$ [kN/m/m]
1	17789	1	0,000	0,000	0,000	-6,000	0,000	-6,000
2	17785	2	0,019	0,000	0,000	-6,000	0,000	-6,000
3	17784	3	0,037	0,000	0,000	-6,000	0,000	-6,000
4	17783	4	0,056	0,000	0,000	-6,000	0,000	-6,000
5	17779	5	0,075	0,000	0,000	-6,000	0,000	-6,000
6	17779	1	0,075	0,000	0,000	-6,000	0,000	-6,000
7	17713	2	0,114	0,000	0,000	-6,000	0,000	-6,000
8	17712	3	0,153	0,000	0,000	-6,000	0,000	-6,000
9	17711	4	0,192	0,000	0,000	-6,000	0,000	-6,000
10	17707	5	0,231	0,000	0,000	-6,000	0,000	-6,000
11	17707	1	0,231	0,000	0,000	-6,000	0,000	-6,000
12	17615	2	0,313	0,000	0,000	-6,000	0,000	-6,000
13	17614	3	0,395	0,000	0,000	-6,000	0,000	-6,000
14	17613	4	0,478	0,000	0,000	-6,000	0,000	-6,000
15	17609	5	0,560	0,000	0,000	-6,000	0,000	-6,000
16	17609	1	0,560	0,000	0,000	-6,000	0,000	-6,000
17	17511	2	0,732	0,000	0,000	-6,000	0,000	-6,000
18	17510	3	0,905	0,000	0,000	-6,000	0,000	-6,000
19	17509	4	1,077	0,000	0,000	-6,000	0,000	-6,000
20	17508	5	1,250	0,000	0,000	-6,000	0,000	-6,000
21	17286	1	1,250	0,000	0,000	-6,000	0,000	-6,000
22	17282	2	1,469	-15,737	0,000	-6,000	0,000	-6,000
23	17281	3	1,688	-31,475	0,000	-6,000	0,000	-6,000
24	17280	4	1,906	-47,212	0,000	-6,000	0,000	-6,000
25	17276	5	2,125	-62,950	0,000	-6,000	0,000	-6,000
26	17276	1	2,125	-62,950	0,000	-6,000	0,000	-6,000
27	17096	2	2,344	-78,687	0,000	-6,000	0,000	-6,000
28	17095	3	2,563	-94,424	0,000	-6,000	0,000	-6,000

ID	Node [10 ^{3}]	Local node	X [m]	Y [10 $^{-3}$ m]	q $_{x}$ [kN/m/m]	q $_{y}$ [kN/m/m]	q $_{ax}$ [kN/m/m]	q $_{ay}$ [kN/m/m]
29	17094	4	2,781	-110,162	0,000	-6,000	0,000	-6,000
30	17090	5	3,000	-125,899	0,000	-6,000	0,000	-6,000
31	16467	1	3,000	-125,899	0,000	-6,000	0,000	-6,000
32	16462	2	3,173	-138,333	0,000	-6,000	0,000	-6,000
33	16461	3	3,346	-150,767	0,000	-6,000	0,000	-6,000
34	16460	4	3,518	-163,201	0,000	-6,000	0,000	-6,000
35	16456	5	3,691	-175,635	0,000	-6,000	0,000	-6,000
36	16456	1	3,691	-175,635	0,000	-6,000	0,000	-6,000
37	16116	2	3,881	-189,276	0,000	-6,000	0,000	-6,000
38	16115	3	4,071	-202,917	0,000	-6,000	0,000	-6,000
39	16114	4	4,260	-216,558	0,000	-6,000	0,000	-6,000
40	16110	5	4,450	-230,199	0,000	-6,000	0,000	-6,000
41	16110	1	4,450	-230,199	0,000	-6,000	0,000	-6,000
42	15846	2	4,676	-246,445	0,000	-6,000	0,000	-6,000
43	15845	3	4,901	-262,690	0,000	-6,000	0,000	-6,000
44	15844	4	5,127	-278,936	0,000	-6,000	0,000	-6,000
45	15840	5	5,353	-295,182	0,000	-6,000	0,000	-6,000
46	15840	1	5,353	-295,182	0,000	-6,000	0,000	-6,000
47	15561	2	5,703	-320,346	0,000	-6,000	0,000	-6,000
48	15560	3	6,053	-345,509	0,000	-6,000	0,000	-6,000
49	15559	4	6,402	-370,673	0,000	-6,000	0,000	-6,000
50	15558	5	6,752	-395,837	0,000	-6,000	0,000	-6,000
51	15558	1	6,752	-395,837	0,000	-6,000	0,000	-6,000
52	15028	2	7,114	-421,878	0,000	-6,000	0,000	-6,000
53	15027	3	7,476	-447,919	0,000	-6,000	0,000	-6,000
54	15026	4	7,838	-473,959	0,000	-6,000	0,000	-6,000
55	15022	5	8,200	-500,000	0,000	-6,000	0,000	-6,000

1.1.3.29 Line load

ID	Node [10 ^{3}]	Local node	X [m]	Y [10 ^{3} m]	q $_{x}$ [kN/m/m]	q $_{y}$ [kN/m/m]	q $_{ax}$ [kN/m/m]	q $_{ay}$ [kN/m/m]
1	17789	1	0,000	0,000	0,000	-6,000	0,000	-6,000
2	17785	2	0,019	0,000	0,000	-6,000	0,000	-6,000
3	17784	3	0,037	0,000	0,000	-6,000	0,000	-6,000
4	17783	4	0,056	0,000	0,000	-6,000	0,000	-6,000
5	17779	5	0,075	0,000	0,000	-6,000	0,000	-6,000
6	17779	1	0,075	0,000	0,000	-6,000	0,000	-6,000
7	17713	2	0,114	0,000	0,000	-6,000	0,000	-6,000
8	17712	3	0,153	0,000	0,000	-6,000	0,000	-6,000
9	17711	4	0,192	0,000	0,000	-6,000	0,000	-6,000
10	17707	5	0,231	0,000	0,000	-6,000	0,000	-6,000
11	17707	1	0,231	0,000	0,000	-6,000	0,000	-6,000
12	17615	2	0,313	0,000	0,000	-6,000	0,000	-6,000
13	17614	3	0,395	0,000	0,000	-6,000	0,000	-6,000
14	17613	4	0,478	0,000	0,000	-6,000	0,000	-6,000
15	17609	5	0,560	0,000	0,000	-6,000	0,000	-6,000
16	17609	1	0,560	0,000	0,000	-6,000	0,000	-6,000
17	17511	2	0,732	0,000	0,000	-6,000	0,000	-6,000
18	17510	3	0,905	0,000	0,000	-6,000	0,000	-6,000
19	17509	4	1,077	0,000	0,000	-6,000	0,000	-6,000
20	17508	5	1,250	0,000	0,000	-6,000	0,000	-6,000
21	17286	1	1,250	0,000	0,000	-6,000	0,000	-6,000
22	17282	2	1,469	-15,737	0,000	-6,000	0,000	-6,000
23	17281	3	1,688	-31,475	0,000	-6,000	0,000	-6,000
24	17280	4	1,906	-47,212	0,000	-6,000	0,000	-6,000
25	17276	5	2,125	-62,950	0,000	-6,000	0,000	-6,000
26	17276	1	2,125	-62,950	0,000	-6,000	0,000	-6,000
27	17096	2	2,344	-78,687	0,000	-6,000	0,000	-6,000
28	17095	3	2,563	-94,424	0,000	-6,000	0,000	-6,000

ID	Node [10 ^{3}]	Local node	X [m]	Y [10 $^{-3}$ m]	q $_{x}$ [kN/m/m]	q $_{y}$ [kN/m/m]	q $_{ax}$ [kN/m/m]	q $_{ay}$ [kN/m/m]
29	17094	4	2,781	-110,162	0,000	-6,000	0,000	-6,000
30	17090	5	3,000	-125,899	0,000	-6,000	0,000	-6,000
31	16467	1	3,000	-125,899	0,000	-6,000	0,000	-6,000
32	16462	2	3,173	-138,333	0,000	-6,000	0,000	-6,000
33	16461	3	3,346	-150,767	0,000	-6,000	0,000	-6,000
34	16460	4	3,518	-163,201	0,000	-6,000	0,000	-6,000
35	16456	5	3,691	-175,635	0,000	-6,000	0,000	-6,000
36	16456	1	3,691	-175,635	0,000	-6,000	0,000	-6,000
37	16116	2	3,881	-189,276	0,000	-6,000	0,000	-6,000
38	16115	3	4,071	-202,917	0,000	-6,000	0,000	-6,000
39	16114	4	4,260	-216,558	0,000	-6,000	0,000	-6,000
40	16110	5	4,450	-230,199	0,000	-6,000	0,000	-6,000
41	16110	1	4,450	-230,199	0,000	-6,000	0,000	-6,000
42	15846	2	4,676	-246,445	0,000	-6,000	0,000	-6,000
43	15845	3	4,901	-262,690	0,000	-6,000	0,000	-6,000
44	15844	4	5,127	-278,936	0,000	-6,000	0,000	-6,000
45	15840	5	5,353	-295,182	0,000	-6,000	0,000	-6,000
46	15840	1	5,353	-295,182	0,000	-6,000	0,000	-6,000
47	15561	2	5,703	-320,346	0,000	-6,000	0,000	-6,000
48	15560	3	6,053	-345,509	0,000	-6,000	0,000	-6,000
49	15559	4	6,402	-370,673	0,000	-6,000	0,000	-6,000
50	15558	5	6,752	-395,837	0,000	-6,000	0,000	-6,000
51	15558	1	6,752	-395,837	0,000	-6,000	0,000	-6,000
52	15028	2	7,114	-421,878	0,000	-6,000	0,000	-6,000
53	15027	3	7,476	-447,919	0,000	-6,000	0,000	-6,000
54	15026	4	7,838	-473,959	0,000	-6,000	0,000	-6,000
55	15022	5	8,200	-500,000	0,000	-6,000	0,000	-6,000

1.1.3.30 Line load

ID	Node [10^3]	Local node	X [m]	Y [m]	q_x [kN/m/m]	q_y [kN/m/m]	$q_{a,x}$ [kN/m/m]	$q_{a,y}$ [kN/m/m]
1	17871	1	0,000	0,000	0,000	0,000	0,000	0,000
2	17868	2	0,000	-0,021	-0,771	0,000	-0,771	0,000
3	17867	3	0,000	-0,043	-1,541	0,000	-1,541	0,000
4	17866	4	0,000	-0,064	-2,312	0,000	-2,312	0,000
5	17869	5	0,000	-0,086	-3,082	0,000	-3,082	0,000
6	17869	1	0,000	-0,086	-3,082	0,000	-3,082	0,000
7	17860	2	0,000	-0,113	-4,053	0,000	-4,053	0,000
8	17859	3	0,000	-0,140	-5,023	0,000	-5,023	0,000
9	17858	4	0,000	-0,166	-5,993	0,000	-5,993	0,000
10	17857	5	0,000	-0,193	-6,963	0,000	-6,963	0,000
11	17857	1	0,000	-0,193	-6,963	0,000	-6,963	0,000
12	17837	2	0,000	-0,227	-8,184	0,000	-8,184	0,000
13	17836	3	0,000	-0,261	-9,406	0,000	-9,406	0,000
14	17835	4	0,000	-0,295	-10,627	0,000	-10,627	0,000
15	17834	5	0,000	-0,329	-11,849	0,000	-11,849	0,000
16	17834	1	0,000	-0,329	-11,849	0,000	-11,849	0,000
17	17759	2	0,000	-0,372	-13,387	0,000	-13,387	0,000
18	17758	3	0,000	-0,415	-14,924	0,000	-14,924	0,000
19	17757	4	0,000	-0,457	-16,462	0,000	-16,462	0,000
20	17753	5	0,000	-0,500	-18,000	0,000	-18,000	0,000
21	16110	1	4,450	-0,230	0,000	-20,000	0,000	-20,000
22	15846	2	4,676	-0,246	0,000	-20,000	0,000	-20,000
23	15845	3	4,901	-0,263	0,000	-20,000	0,000	-20,000
24	15844	4	5,127	-0,279	0,000	-20,000	0,000	-20,000
25	15840	5	5,353	-0,295	0,000	-20,000	0,000	-20,000
26	15840	1	5,353	-0,295	0,000	-20,000	0,000	-20,000
27	15561	2	5,703	-0,320	0,000	-20,000	0,000	-20,000

ID	Node [10^3]	Local node	X [m]	Y [m]	q_x [kN/m/m]	q_y [kN/m/m]	$q_{a,x}$ [kN/m/m]	$q_{a,y}$ [kN/m/m]
28	15560	3	6,053	-0,346	0,000	-20,000	0,000	-20,000
29	15559	4	6,402	-0,371	0,000	-20,000	0,000	-20,000
30	15558	5	6,752	-0,396	0,000	-20,000	0,000	-20,000
31	15558	1	6,752	-0,396	0,000	-20,000	0,000	-20,000
32	15028	2	7,114	-0,422	0,000	-20,000	0,000	-20,000
33	15027	3	7,476	-0,448	0,000	-20,000	0,000	-20,000
34	15026	4	7,838	-0,474	0,000	-20,000	0,000	-20,000
35	15022	5	8,200	-0,500	0,000	-20,000	0,000	-20,000
36	17753	1	0,000	-0,500	-18,000	0,000	-18,000	0,000
37	17677	2	0,000	-0,563	-17,894	0,000	-17,894	0,000
38	17676	3	0,000	-0,625	-17,788	0,000	-17,788	0,000
39	17675	4	0,000	-0,688	-17,681	0,000	-17,681	0,000
40	17671	5	0,000	-0,750	-17,575	0,000	-17,575	0,000
41	17671	1	0,000	-0,750	-17,575	0,000	-17,575	0,000
42	17599	2	0,000	-0,798	-17,493	0,000	-17,493	0,000
43	17598	3	0,000	-0,846	-17,412	0,000	-17,412	0,000
44	17597	4	0,000	-0,894	-17,330	0,000	-17,330	0,000
45	17593	5	0,000	-0,942	-17,248	0,000	-17,248	0,000
46	17593	1	0,000	-0,942	-17,248	0,000	-17,248	0,000
47	17468	2	0,000	-1,007	-17,139	0,000	-17,139	0,000
48	17467	3	0,000	-1,071	-17,029	0,000	-17,029	0,000
49	17466	4	0,000	-1,136	-16,920	0,000	-16,920	0,000
50	17465	5	0,000	-1,200	-16,810	0,000	-16,810	0,000
51	17465	1	0,000	-1,200	-13,655	0,000	-13,655	0,000
52	17390	2	0,000	-1,261	-13,573	0,000	-13,573	0,000
53	17389	3	0,000	-1,322	-13,491	0,000	-13,491	0,000
54	17388	4	0,000	-1,382	-13,409	0,000	-13,409	0,000
55	17387	5	0,000	-1,443	-13,327	0,000	-13,327	0,000
56	17387	1	0,000	-1,443	-13,327	0,000	-13,327	0,000
57	17259	2	0,000	-1,535	-13,203	0,000	-13,203	0,000

ID	Node [10^3]	Local node	X [m]	Y [m]	q_x [kN/m/m]	q_y [kN/m/m]	$q_{a,x}$ [kN/m/m]	$q_{a,y}$ [kN/m/m]
58	17258	3	0,000	-1,627	-13,079	0,000	-13,079	0,000
59	17257	4	0,000	-1,718	-12,955	0,000	-12,955	0,000
60	17256	5	0,000	-1,810	-12,832	0,000	-12,832	0,000
61	17256	1	0,000	-1,810	-9,804	0,000	-9,804	0,000
62	17223	2	0,000	-1,882	-9,688	0,000	-9,688	0,000
63	17222	3	0,000	-1,955	-9,572	0,000	-9,572	0,000
64	17221	4	0,000	-2,027	-9,456	0,000	-9,456	0,000
65	17220	5	0,000	-2,100	-9,340	0,000	-9,340	0,000
66	17220	1	0,000	-2,100	-9,340	0,000	-9,340	0,000
67	17043	2	0,000	-2,200	-9,180	0,000	-9,180	0,000
68	17042	3	0,000	-2,300	-9,020	0,000	-9,020	0,000
69	17041	4	0,000	-2,400	-8,860	0,000	-8,860	0,000
70	17040	5	0,000	-2,500	-8,700	0,000	-8,700	0,000
71	17040	1	0,000	-2,500	-8,700	0,000	-8,700	0,000
72	17003	2	0,000	-2,615	-8,530	0,000	-8,530	0,000
73	17002	3	0,000	-2,731	-8,360	0,000	-8,360	0,000
74	17001	4	0,000	-2,846	-8,189	0,000	-8,189	0,000
75	17000	5	0,000	-2,962	-8,019	0,000	-8,019	0,000
76	17000	1	0,000	-2,962	-8,019	0,000	-8,019	0,000
77	16689	2	0,000	-3,082	-7,842	0,000	-7,842	0,000
78	16688	3	0,000	-3,202	-7,665	0,000	-7,665	0,000
79	16687	4	0,000	-3,322	-7,488	0,000	-7,488	0,000
80	16686	5	0,000	-3,442	-7,310	0,000	-7,310	0,000
81	16686	1	0,000	-3,442	-7,310	0,000	-7,310	0,000
82	16542	2	0,000	-3,567	-7,126	0,000	-7,126	0,000
83	16541	3	0,000	-3,693	-6,942	0,000	-6,942	0,000
84	16540	4	0,000	-3,818	-6,757	0,000	-6,757	0,000
85	16536	5	0,000	-3,943	-6,573	0,000	-6,573	0,000
86	16536	1	0,000	-3,943	-6,573	0,000	-6,573	0,000
87	16129	2	0,000	-4,055	-6,407	0,000	-6,407	0,000

ID	Node [10^3]	Local node	X [m]	Y [m]	q_x [kN/m/m]	q_y [kN/m/m]	$q_{a,x}$ [kN/m/m]	$q_{a,y}$ [kN/m/m]
88	16128	3	0,000	-4,167	-6,241	0,000	-6,241	0,000
89	16127	4	0,000	-4,280	-6,075	0,000	-6,075	0,000
90	16126	5	0,000	-4,392	-5,910	0,000	-5,910	0,000

1.1.3.31 Line load

ID	Node [10 ^{3}]	Local node	X [m]	Y [10 ^{3} m]	q $_{x}$ [kN/m/m]	q $_{y}$ [kN/m/m]	q $_{ax}$ [kN/m/m]	q $_{ay}$ [kN/m/m]
1	16467	1	3,000	-125,899	0,000	-23,100	0,000	-23,100
2	16462	2	3,173	-138,333	0,000	-23,100	0,000	-23,100
3	16461	3	3,346	-150,767	0,000	-23,100	0,000	-23,100
4	16460	4	3,518	-163,201	0,000	-23,100	0,000	-23,100
5	16456	5	3,691	-175,635	0,000	-23,100	0,000	-23,100
6	16456	1	3,691	-175,635	0,000	-23,100	0,000	-23,100
7	16116	2	3,881	-189,276	0,000	-23,100	0,000	-23,100
8	16115	3	4,071	-202,917	0,000	-23,100	0,000	-23,100
9	16114	4	4,260	-216,558	0,000	-23,100	0,000	-23,100
10	16110	5	4,450	-230,199	0,000	-23,100	0,000	-23,100
11	16110	1	4,450	-230,199	0,000	-23,100	0,000	-23,100
12	15846	2	4,676	-246,445	0,000	-23,100	0,000	-23,100
13	15845	3	4,901	-262,690	0,000	-23,100	0,000	-23,100
14	15844	4	5,127	-278,936	0,000	-23,100	0,000	-23,100
15	15840	5	5,353	-295,182	0,000	-23,100	0,000	-23,100
16	15840	1	5,353	-295,182	0,000	-23,100	0,000	-23,100
17	15561	2	5,703	-320,346	0,000	-23,100	0,000	-23,100
18	15560	3	6,053	-345,509	0,000	-23,100	0,000	-23,100
19	15559	4	6,402	-370,673	0,000	-23,100	0,000	-23,100
20	15558	5	6,752	-395,837	0,000	-23,100	0,000	-23,100
21	15558	1	6,752	-395,837	0,000	-23,100	0,000	-23,100
22	15028	2	7,114	-421,878	0,000	-23,100	0,000	-23,100
23	15027	3	7,476	-447,919	0,000	-23,100	0,000	-23,100
24	15026	4	7,838	-473,959	0,000	-23,100	0,000	-23,100
25	15022	5	8,200	-500,000	0,000	-23,100	0,000	-23,100

1.1.3.32 Line load

ID	Node [10 ^{3}]	Local node	X [m]	Y [10 ^{3} m]	q $_{x}$ [kN/m/m]	q $_{y}$ [kN/m/m]	q $_{ax}$ [kN/m/m]	q $_{ay}$ [kN/m/m]
1	16467	1	3,000	-125,899	0,000	-26,000	0,000	-26,000
2	16462	2	3,173	-138,333	0,000	-26,000	0,000	-26,000
3	16461	3	3,346	-150,767	0,000	-26,000	0,000	-26,000
4	16460	4	3,518	-163,201	0,000	-26,000	0,000	-26,000
5	16456	5	3,691	-175,635	0,000	-26,000	0,000	-26,000
6	16456	1	3,691	-175,635	0,000	-26,000	0,000	-26,000
7	16116	2	3,881	-189,276	0,000	-26,000	0,000	-26,000
8	16115	3	4,071	-202,917	0,000	-26,000	0,000	-26,000
9	16114	4	4,260	-216,558	0,000	-26,000	0,000	-26,000
10	16110	5	4,450	-230,199	0,000	-26,000	0,000	-26,000
11	16110	1	4,450	-230,199	0,000	-26,000	0,000	-26,000
12	15846	2	4,676	-246,445	0,000	-26,000	0,000	-26,000
13	15845	3	4,901	-262,690	0,000	-26,000	0,000	-26,000
14	15844	4	5,127	-278,936	0,000	-26,000	0,000	-26,000
15	15840	5	5,353	-295,182	0,000	-26,000	0,000	-26,000
16	15840	1	5,353	-295,182	0,000	-26,000	0,000	-26,000
17	15561	2	5,703	-320,346	0,000	-26,000	0,000	-26,000
18	15560	3	6,053	-345,509	0,000	-26,000	0,000	-26,000
19	15559	4	6,402	-370,673	0,000	-26,000	0,000	-26,000
20	15558	5	6,752	-395,837	0,000	-26,000	0,000	-26,000
21	15558	1	6,752	-395,837	0,000	-26,000	0,000	-26,000
22	15028	2	7,114	-421,878	0,000	-26,000	0,000	-26,000
23	15027	3	7,476	-447,919	0,000	-26,000	0,000	-26,000
24	15026	4	7,838	-473,959	0,000	-26,000	0,000	-26,000
25	15022	5	8,200	-500,000	0,000	-26,000	0,000	-26,000

1.1.3.33 Line load

ID	Node [10 ^{3}]	Local node	X [m]	Y [10 ^{3} m]	q $_{x}$ [kN/m/m]	q $_{y}$ [kN/m/m]	q $_{ax}$ [kN/m/m]	q $_{ay}$ [kN/m/m]
1	16467	1	3,000	-125,899	0,000	-26,000	0,000	-26,000
2	16462	2	3,173	-138,333	0,000	-26,000	0,000	-26,000
3	16461	3	3,346	-150,767	0,000	-26,000	0,000	-26,000
4	16460	4	3,518	-163,201	0,000	-26,000	0,000	-26,000
5	16456	5	3,691	-175,635	0,000	-26,000	0,000	-26,000
6	16456	1	3,691	-175,635	0,000	-26,000	0,000	-26,000
7	16116	2	3,881	-189,276	0,000	-26,000	0,000	-26,000
8	16115	3	4,071	-202,917	0,000	-26,000	0,000	-26,000
9	16114	4	4,260	-216,558	0,000	-26,000	0,000	-26,000
10	16110	5	4,450	-230,199	0,000	-26,000	0,000	-26,000
11	16110	1	4,450	-230,199	0,000	-26,000	0,000	-26,000
12	15846	2	4,676	-246,445	0,000	-26,000	0,000	-26,000
13	15845	3	4,901	-262,690	0,000	-26,000	0,000	-26,000
14	15844	4	5,127	-278,936	0,000	-26,000	0,000	-26,000
15	15840	5	5,353	-295,182	0,000	-26,000	0,000	-26,000
16	15840	1	5,353	-295,182	0,000	-26,000	0,000	-26,000
17	15561	2	5,703	-320,346	0,000	-26,000	0,000	-26,000
18	15560	3	6,053	-345,509	0,000	-26,000	0,000	-26,000
19	15559	4	6,402	-370,673	0,000	-26,000	0,000	-26,000
20	15558	5	6,752	-395,837	0,000	-26,000	0,000	-26,000
21	15558	1	6,752	-395,837	0,000	-26,000	0,000	-26,000
22	15028	2	7,114	-421,878	0,000	-26,000	0,000	-26,000
23	15027	3	7,476	-447,919	0,000	-26,000	0,000	-26,000
24	15026	4	7,838	-473,959	0,000	-26,000	0,000	-26,000
25	15022	5	8,200	-500,000	0,000	-26,000	0,000	-26,000

1.1.3.34 Line load

ID	Node [10^{3}]	Local node	X [m]	Y [10^{3} m]	q_{x} [kN/m/m]	q_{y} [kN/m/m]	q_{ax} [kN/m/m]	q_{ay} [kN/m/m]
1	16467	1	3,000	-125,899	0,000	-6,000	0,000	-6,000
2	16462	2	3,173	-138,333	0,000	-6,000	0,000	-6,000
3	16461	3	3,346	-150,767	0,000	-6,000	0,000	-6,000
4	16460	4	3,518	-163,201	0,000	-6,000	0,000	-6,000
5	16456	5	3,691	-175,635	0,000	-6,000	0,000	-6,000
6	16456	1	3,691	-175,635	0,000	-6,000	0,000	-6,000
7	16116	2	3,881	-189,276	0,000	-6,000	0,000	-6,000
8	16115	3	4,071	-202,917	0,000	-6,000	0,000	-6,000
9	16114	4	4,260	-216,558	0,000	-6,000	0,000	-6,000
10	16110	5	4,450	-230,199	0,000	-6,000	0,000	-6,000
11	16110	1	4,450	-230,199	0,000	-6,000	0,000	-6,000
12	15846	2	4,676	-246,445	0,000	-6,000	0,000	-6,000
13	15845	3	4,901	-262,690	0,000	-6,000	0,000	-6,000
14	15844	4	5,127	-278,936	0,000	-6,000	0,000	-6,000
15	15840	5	5,353	-295,182	0,000	-6,000	0,000	-6,000
16	15840	1	5,353	-295,182	0,000	-6,000	0,000	-6,000
17	15561	2	5,703	-320,346	0,000	-6,000	0,000	-6,000
18	15560	3	6,053	-345,509	0,000	-6,000	0,000	-6,000
19	15559	4	6,402	-370,673	0,000	-6,000	0,000	-6,000
20	15558	5	6,752	-395,837	0,000	-6,000	0,000	-6,000
21	15558	1	6,752	-395,837	0,000	-6,000	0,000	-6,000
22	15028	2	7,114	-421,878	0,000	-6,000	0,000	-6,000
23	15027	3	7,476	-447,919	0,000	-6,000	0,000	-6,000
24	15026	4	7,838	-473,959	0,000	-6,000	0,000	-6,000
25	15022	5	8,200	-500,000	0,000	-6,000	0,000	-6,000

1.1.4.1 Calculation results, Initial phase [InitialPhase] (0/1), Materials plot

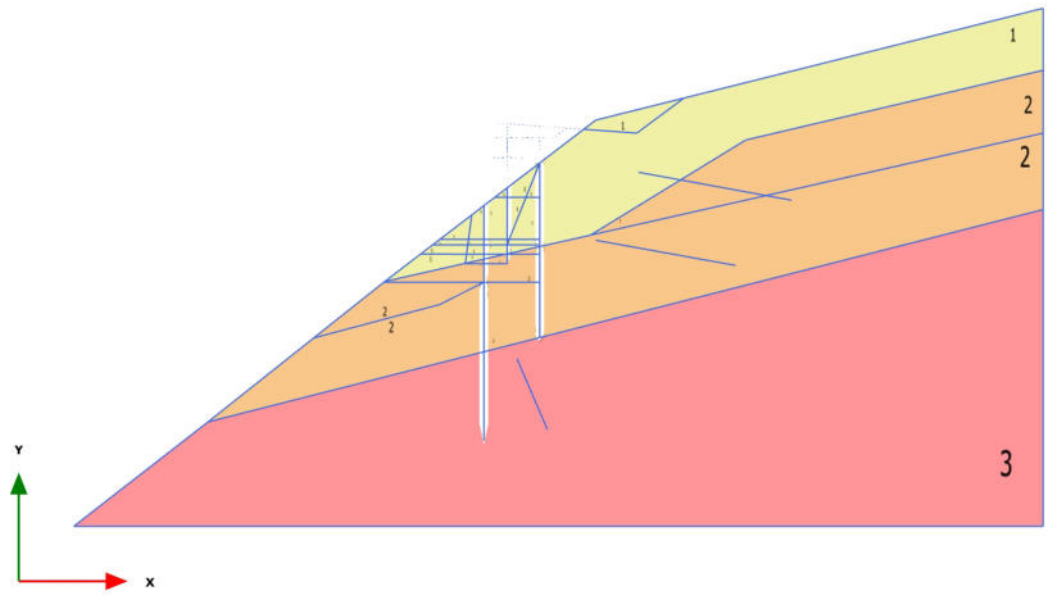

Materials plot

1.1.4.2 Calculation results, Costruzione stato di fatto 1 [Phase_1] (1/6), Materials plot

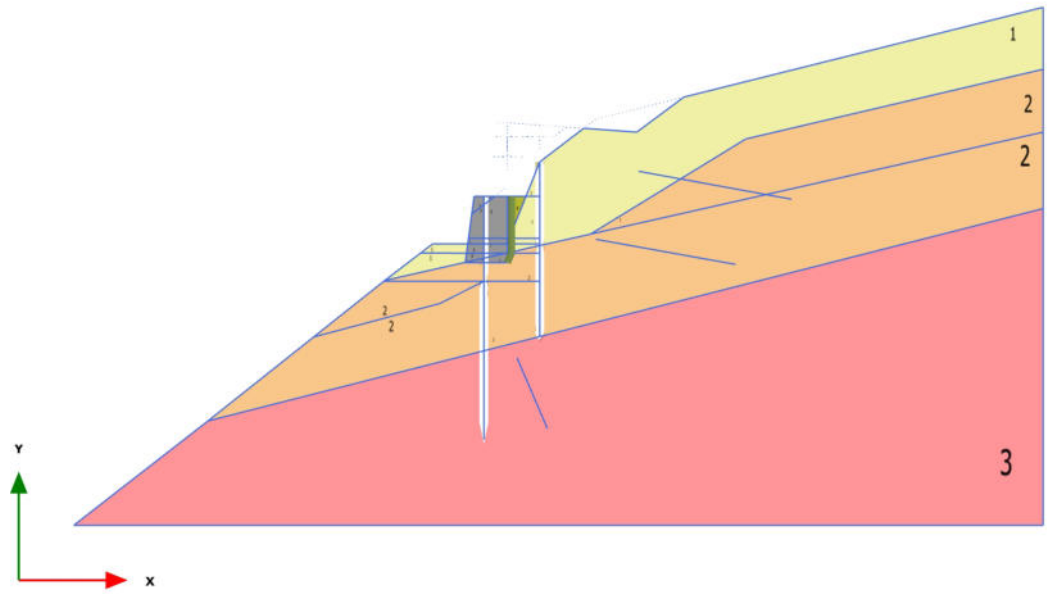

Materials plot

1.1.4.3 Calculation results, Costruzione stato di fatto 2 [Phase_2] (2/99), Materials plot

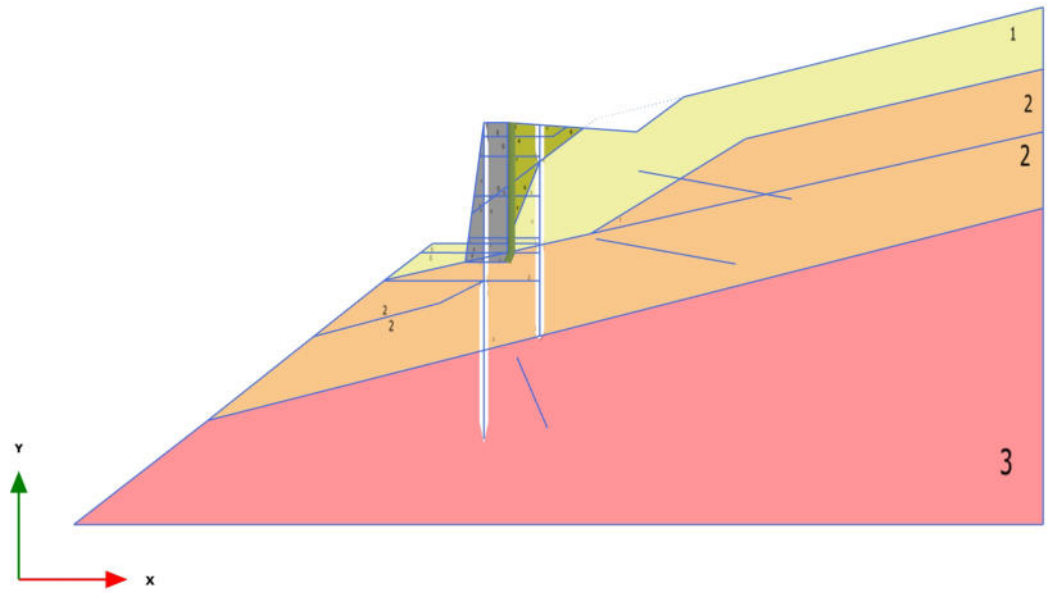

Materials plot

1.1.4.4 Calculation results, Phase_3 [Phase_3] (3/199), Materials plot

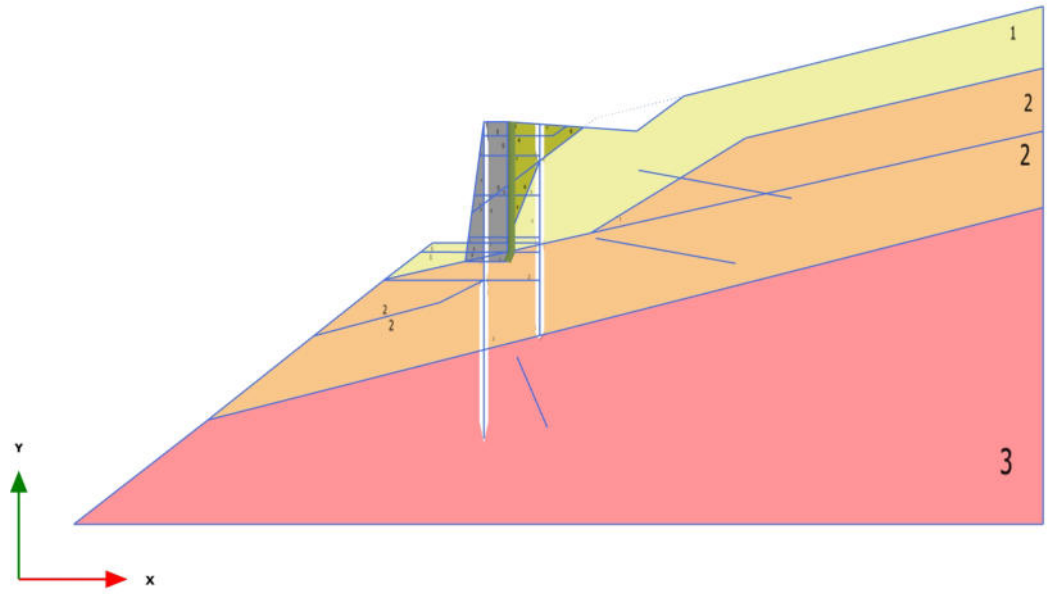

Materials plot

1.1.4.5 Calculation results, Preparazione cantiere [Phase_4] (4/204), Materials plot

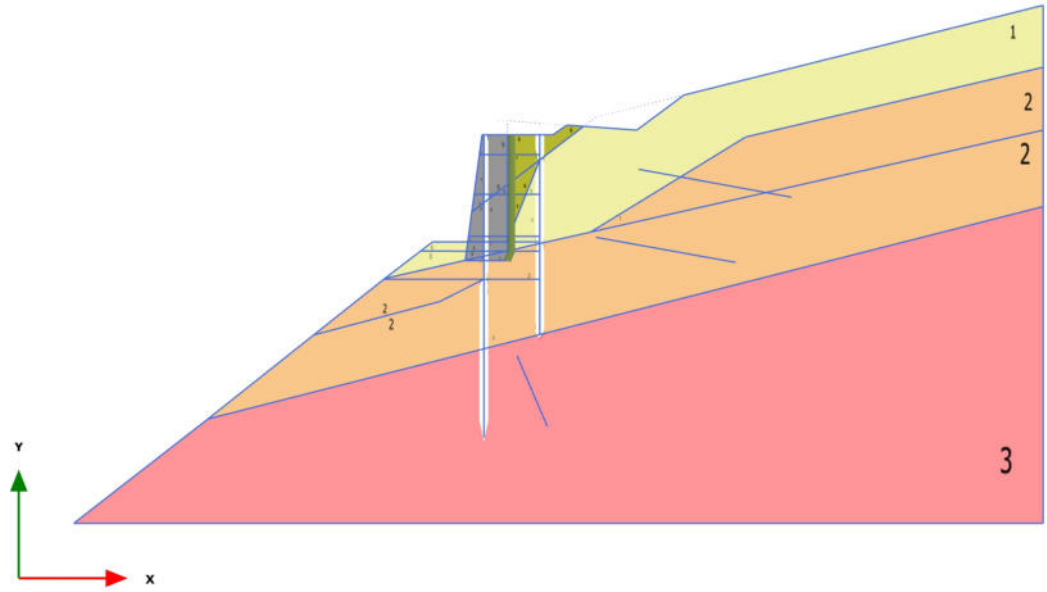

Materials plot

1.1.4.6 Calculation results, Paratia di micropali [Phase_5] (5/211), Materials plot

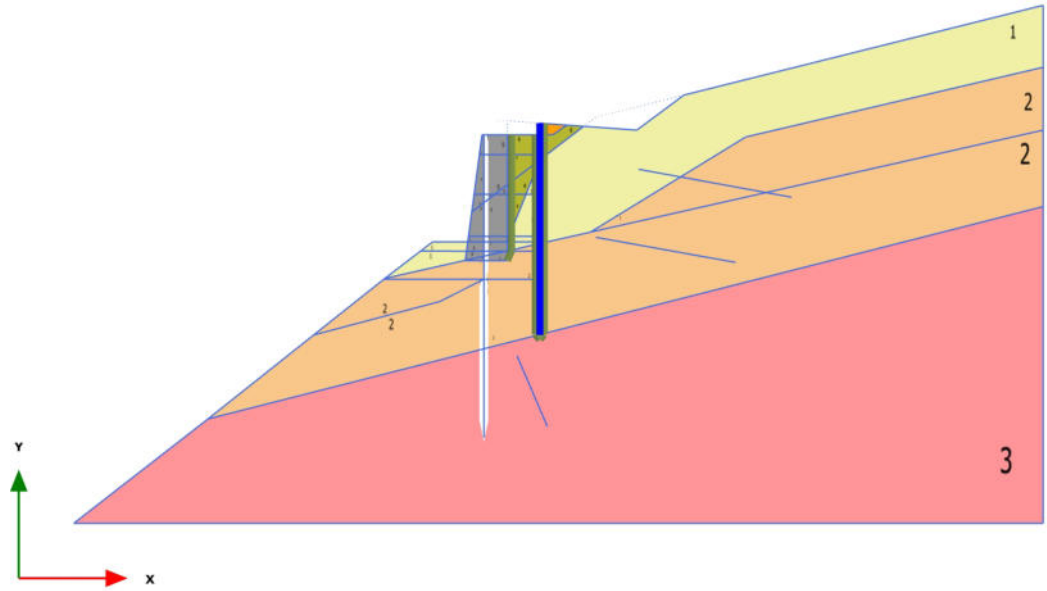

Materials plot

1.1.4.7 Calculation results, (RD) Escavo 1 + sovraccarico [Phase_6] (6/229), Materials plot

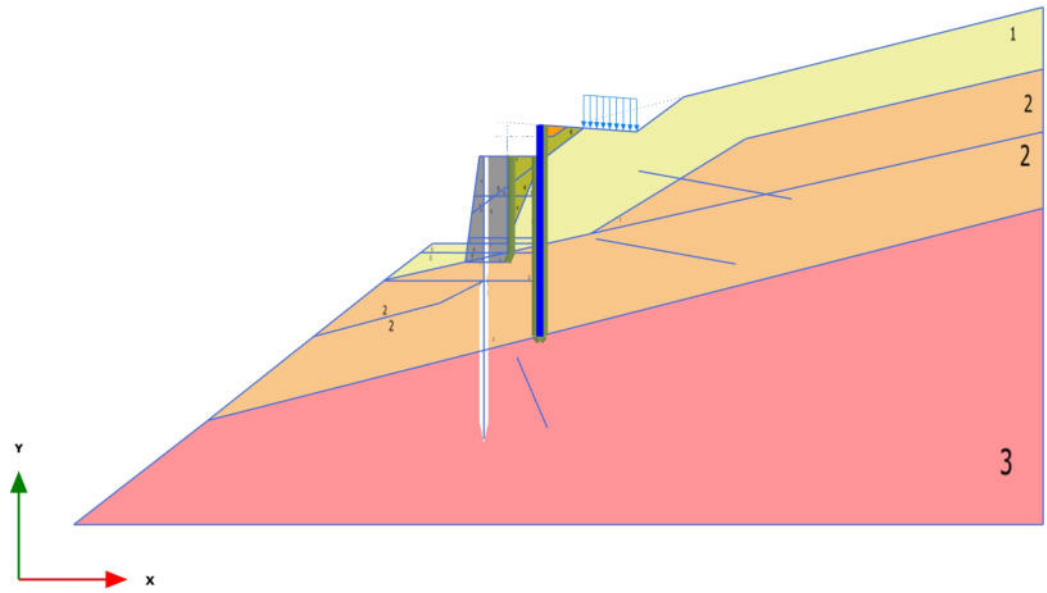

Materials plot

1.1.4.8 Calculation results, Ancoraggio 1 [Phase_7] (7/308), Materials plot

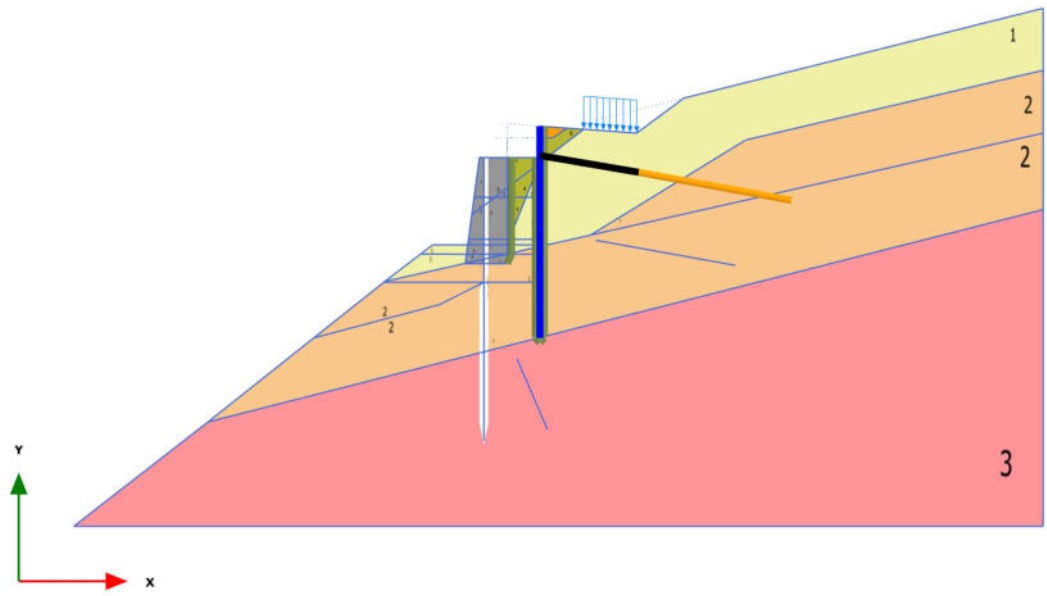

Materials plot

1.1.4.9 Calculation results, Escavo 2 [Phase_8] (8/338), Materials plot

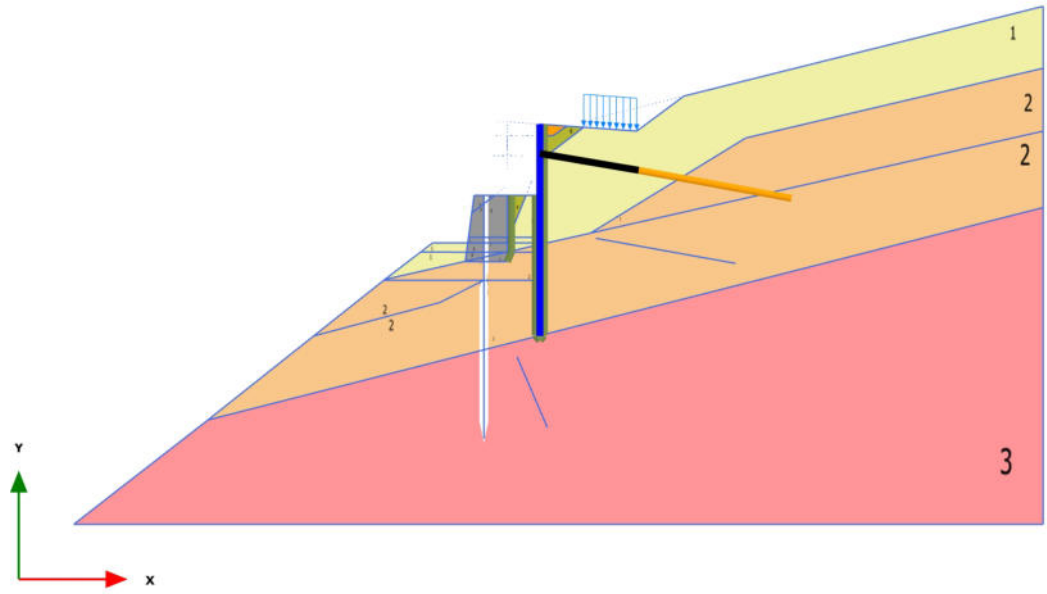

Materials plot

1.1.4.10 Calculation results, Escavo 3 [Phase_9] (9/379), Materials plot

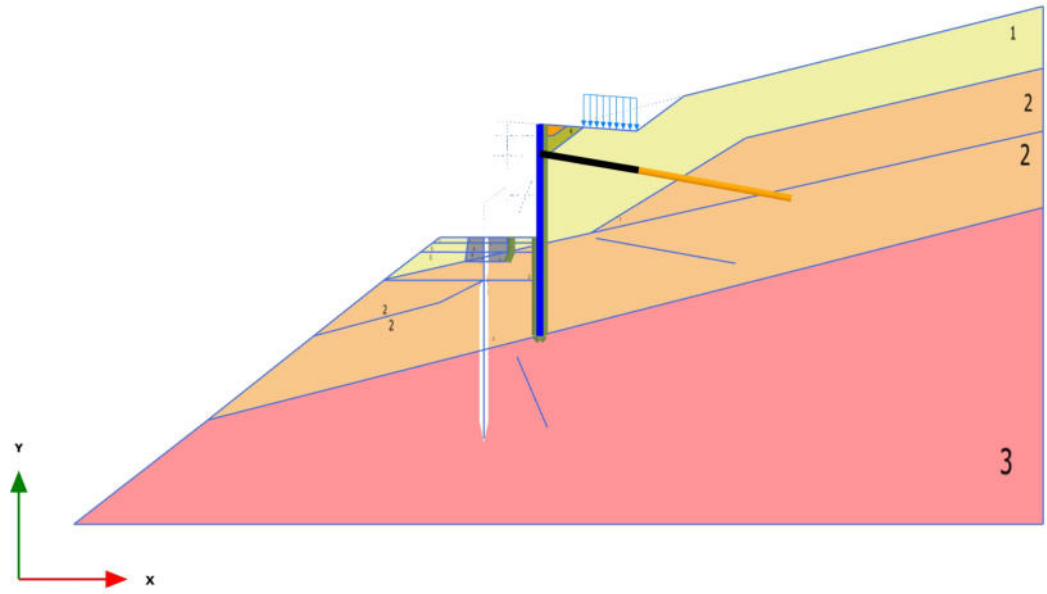

Materials plot

1.1.4.11 Calculation results, Ancoraggio 2 [Phase_27] (27/430), Materials plot

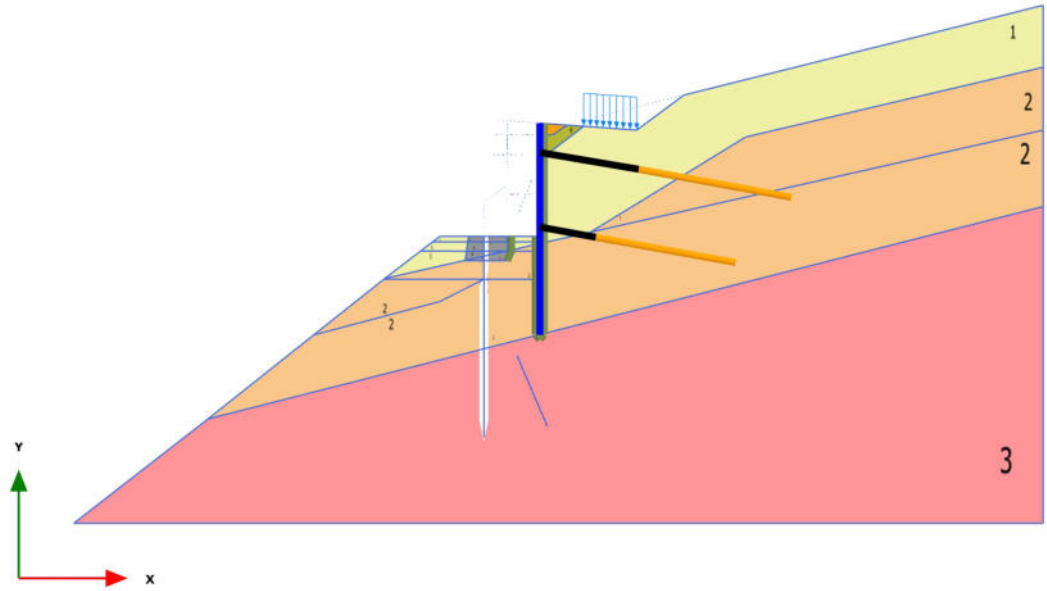

Materials plot

1.1.4.12 Calculation results, Escavo 4 [Phase_10] (10/449), Materials plot

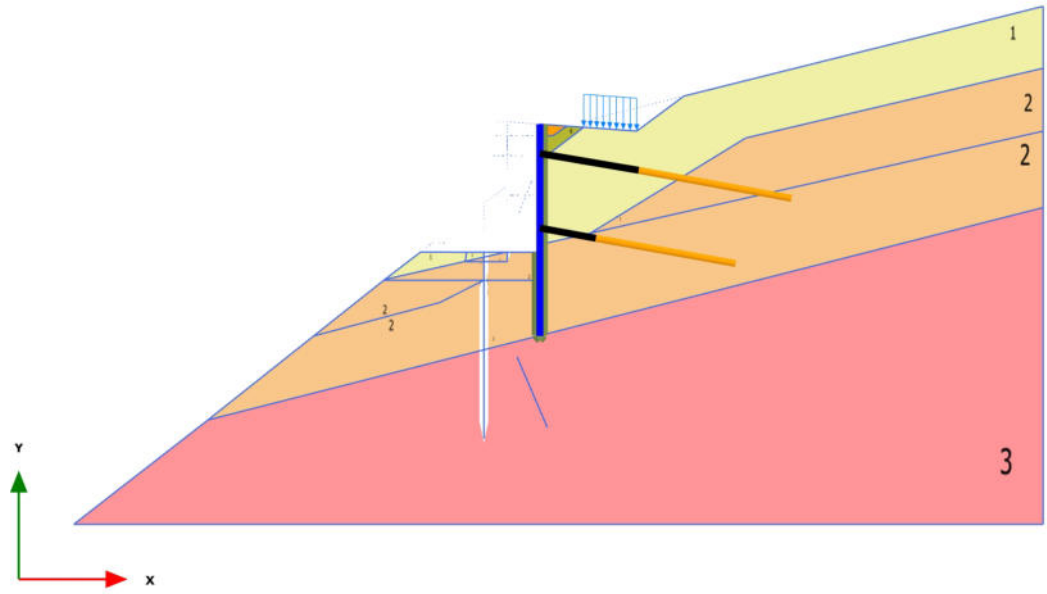

Materials plot

1.1.4.13 Calculation results, Completamento scavo [Phase_28] (28/479), Materials plot

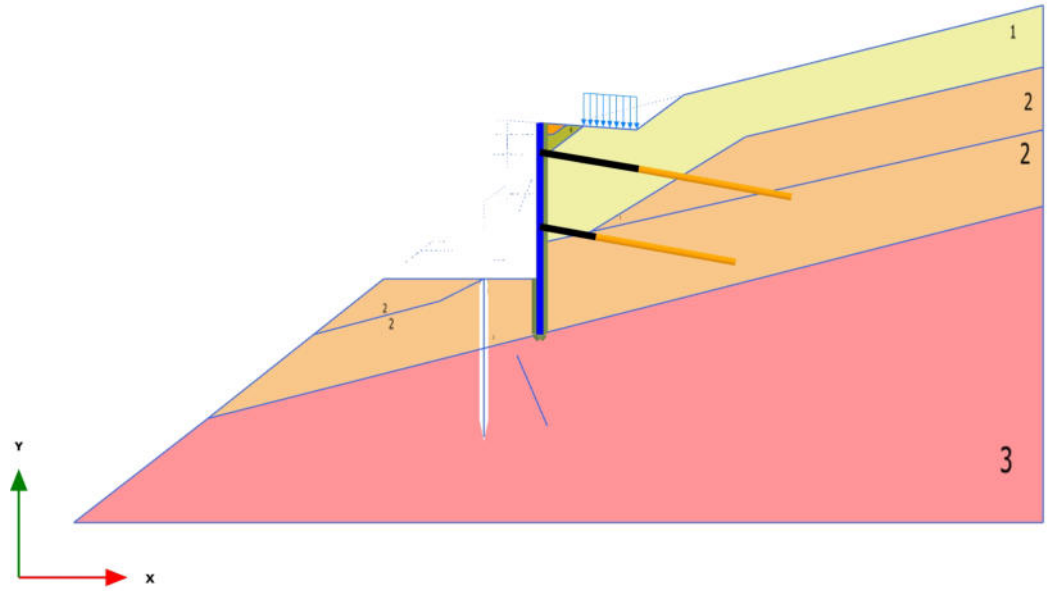

Materials plot

1.1.4.14 Calculation results, (RD) Strutture [Phase_11] (11/482), Materials plot

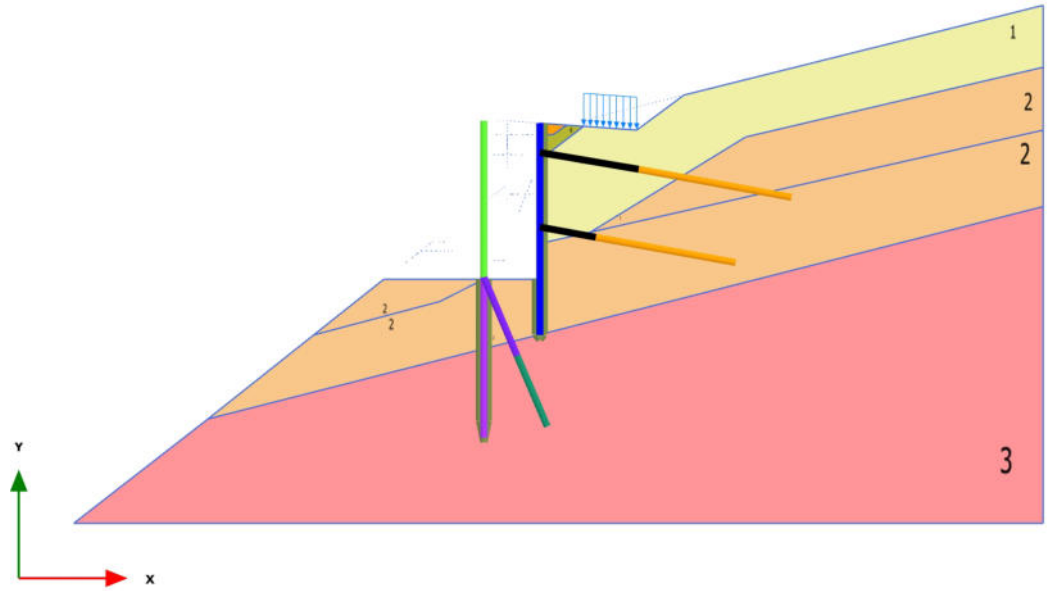

Materials plot

1.1.4.15 Calculation results, Riempimento 1 [Phase_12] (12/828), Materials plot

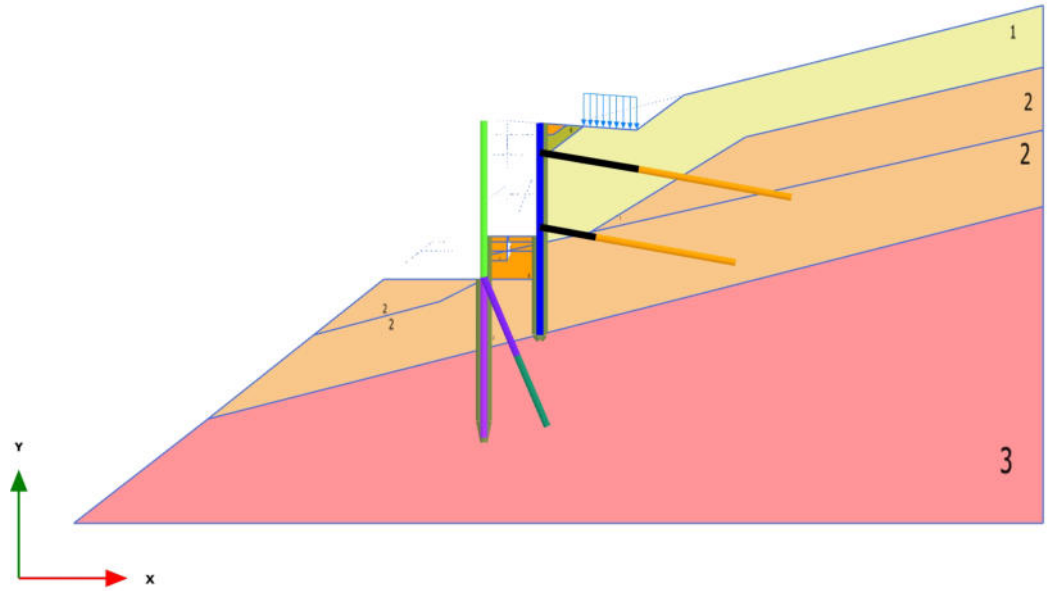

Materials plot

1.1.4.16 Calculation results, Collegamento ancoraggio 1 [Phase_29] (29/843), Materials plot

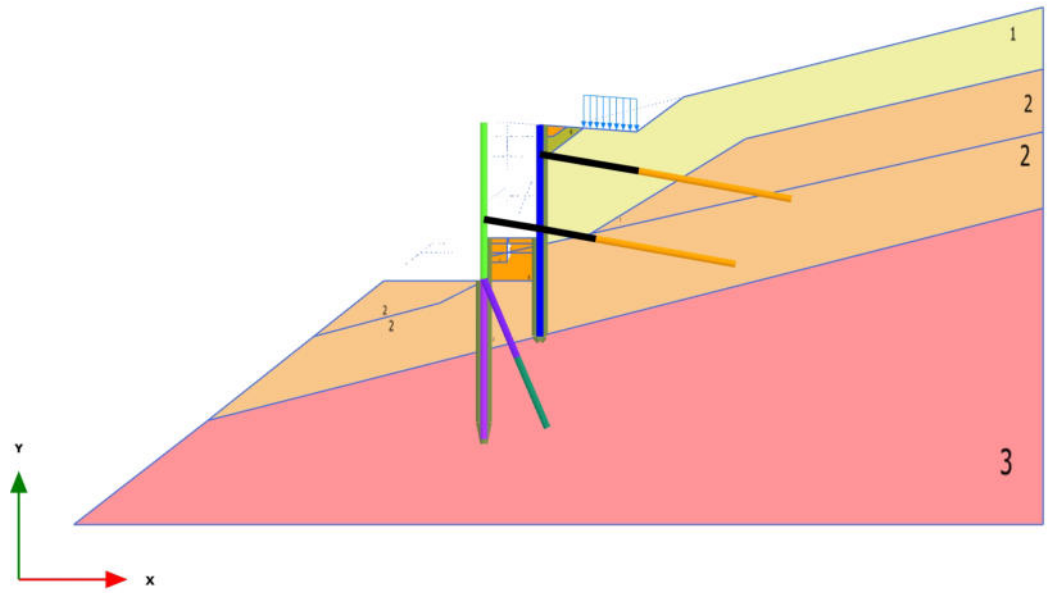

Materials plot

1.1.4.17 Calculation results, Riempimento 2 [Phase_13] (13/861), Materials plot

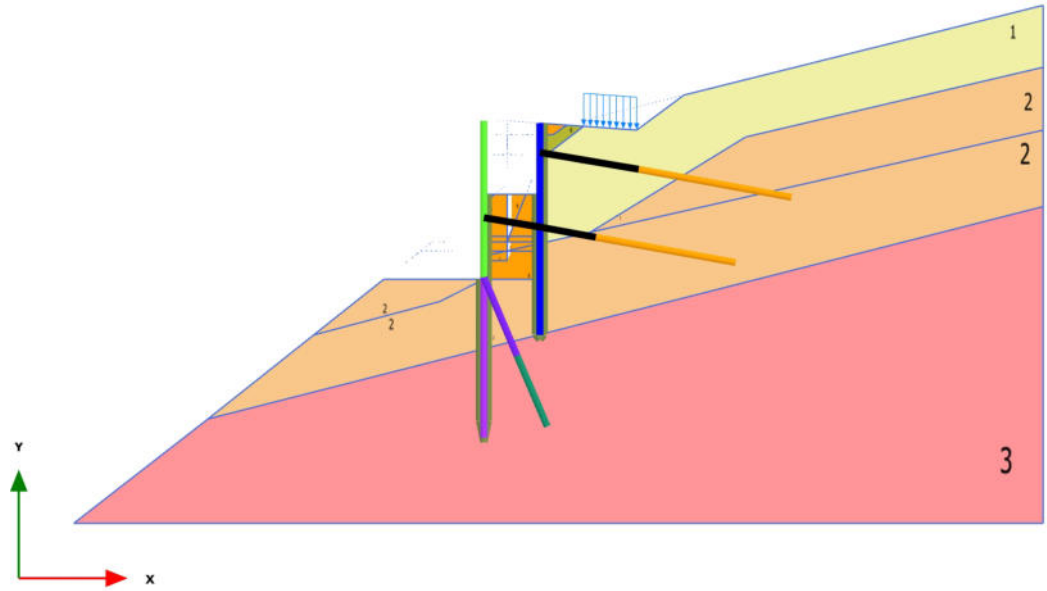

Materials plot

1.1.4.18 Calculation results, Riempimento 3 [Phase_30] (30/964), Materials plot

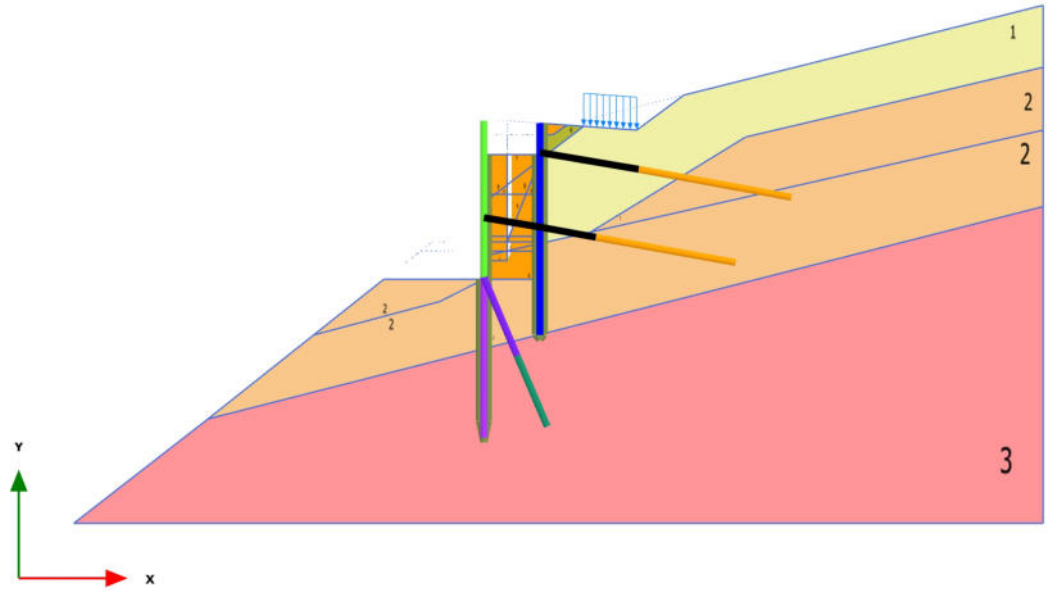

Materials plot

1.1.4.19 Calculation results, Collegamento ancoraggio 2 [Phase_14] (14/977), Materials plot

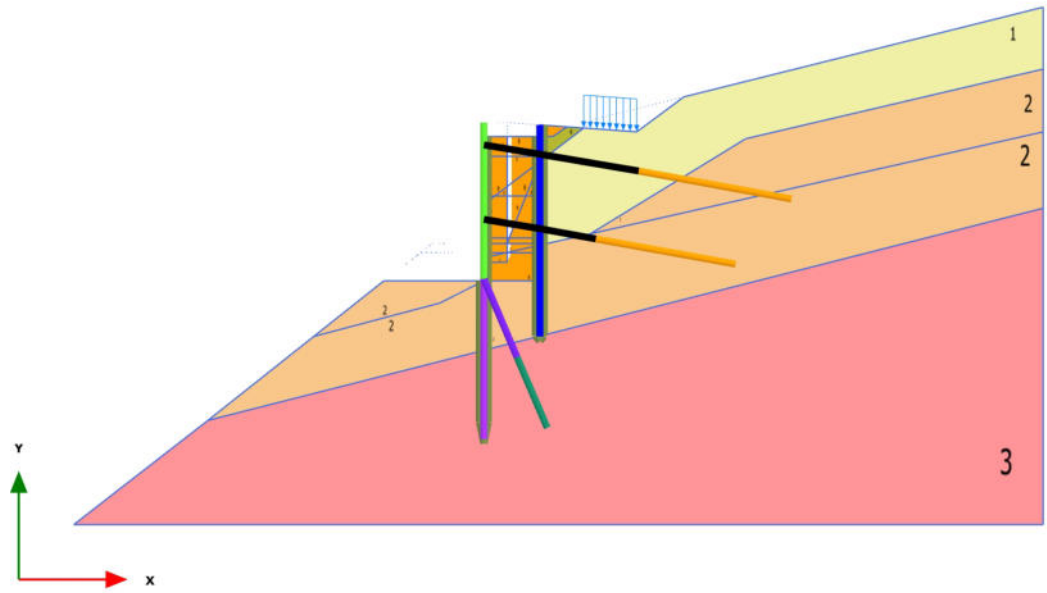

Materials plot

1.1.4.20 Calculation results, Riempimento 4 (MG) [Phase_15] (15/984), Materials plot

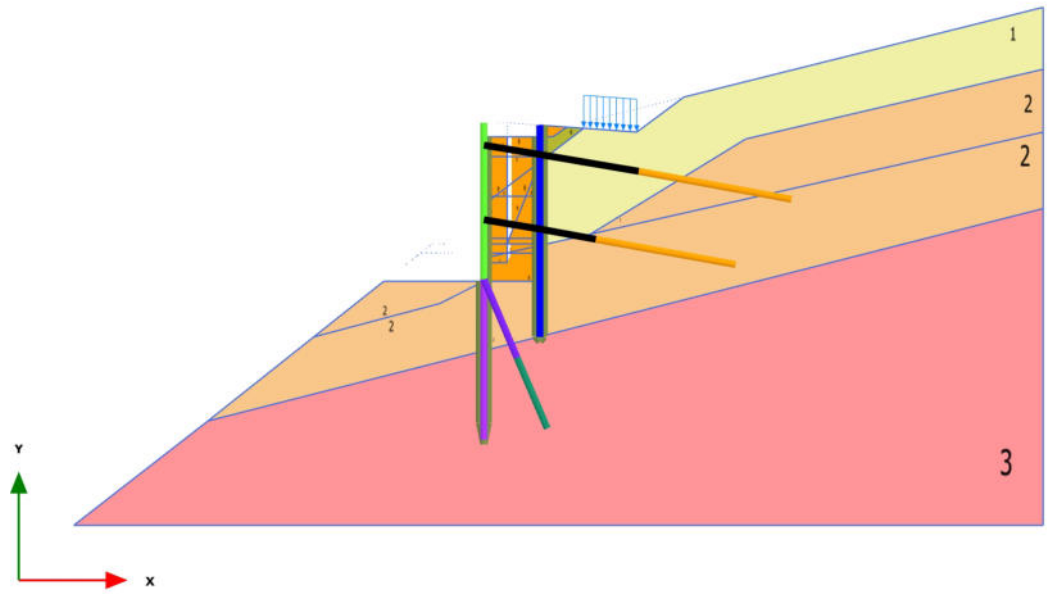

Materials plot

1.1.4.21 Calculation results, Riempimento 5 (MG) [Phase_16] (16/992), Materials plot

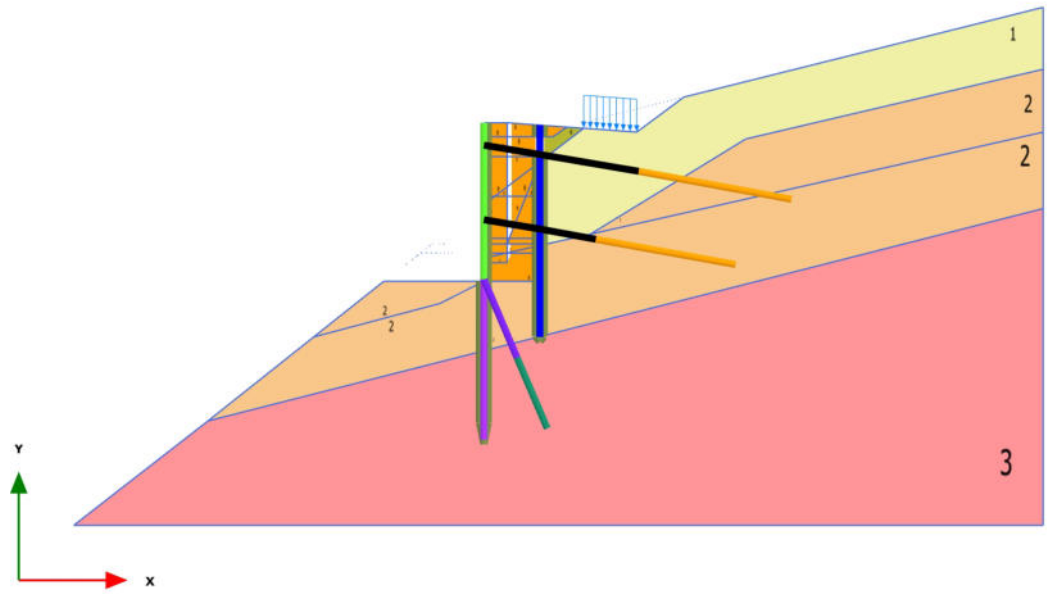

Materials plot

1.1.4.22 Calculation results, Disattivazione paratia provvisionale [Phase_17] (17/998), Materials plot

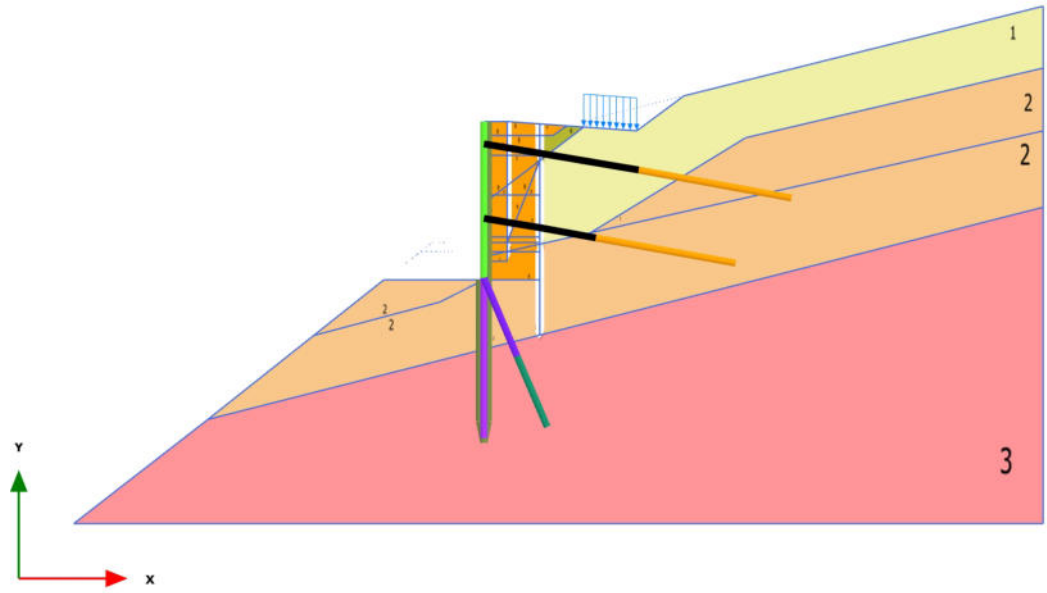

Materials plot

1.1.4.23 Calculation results, SLE [Phase_18] (18/1002), Materials plot

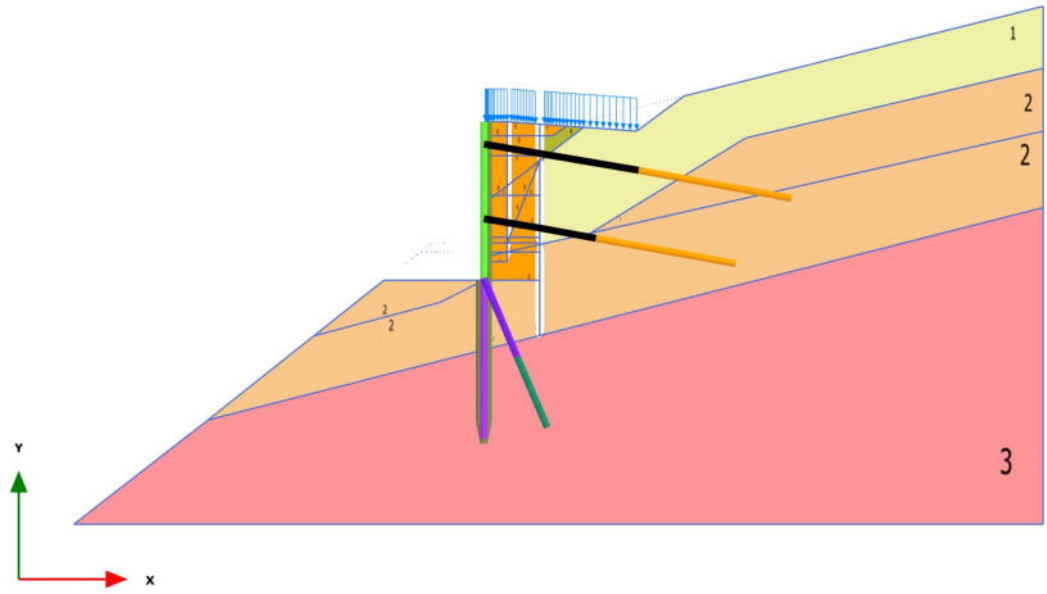

Materials plot

1.1.4.24 Calculation results, Scalzamento al piede [Phase_19] (19/1007), Materials plot

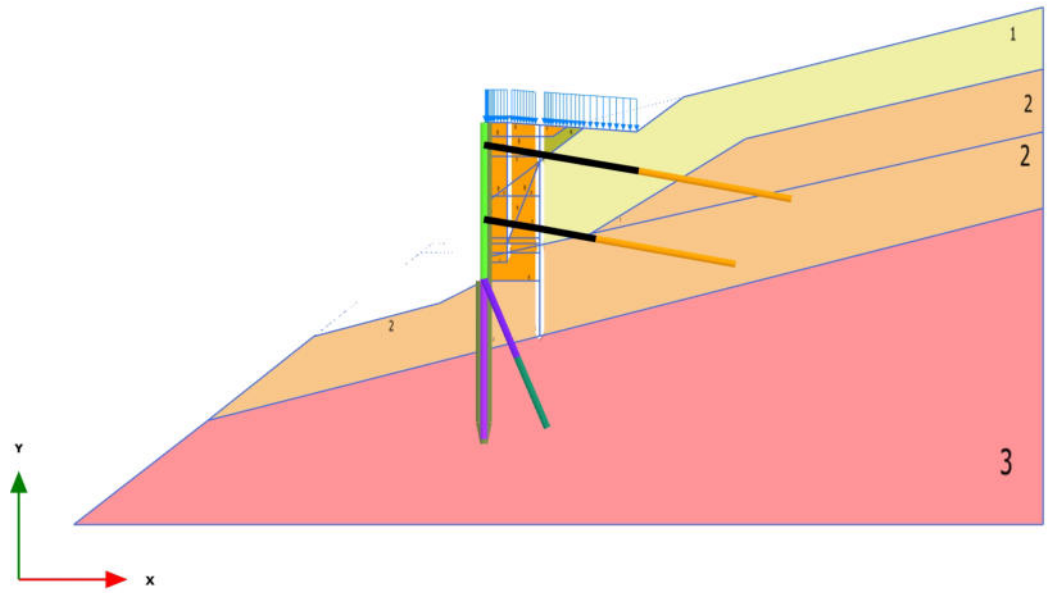

Materials plot

1.1.4.25 Calculation results, SLU11 [Phase_20] (20/1011), Materials plot

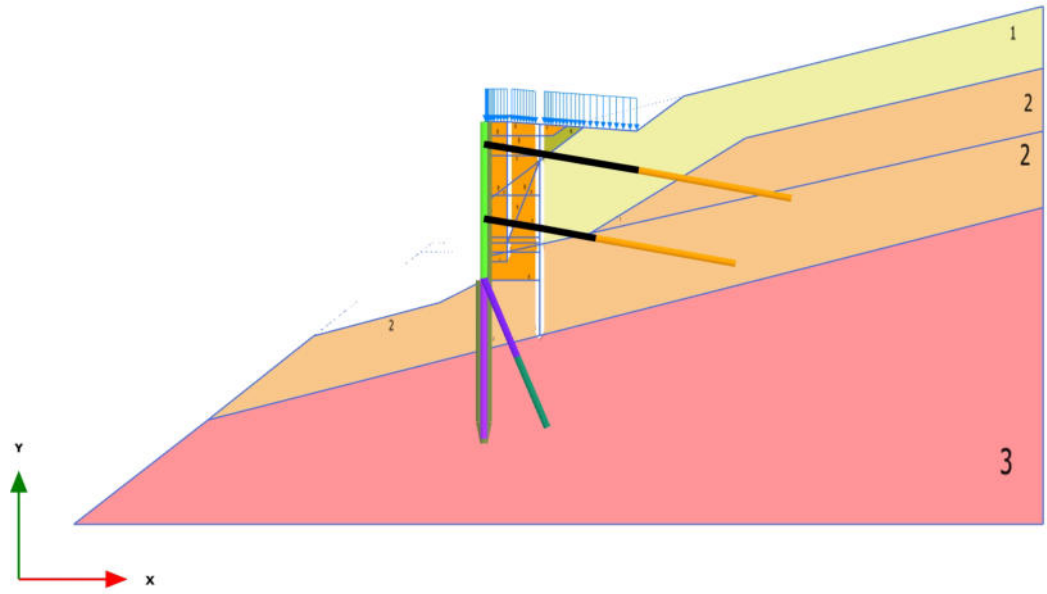

Materials plot

1.1.4.26 Calculation results, SLV [Phase_21] (21/1061), Materials plot

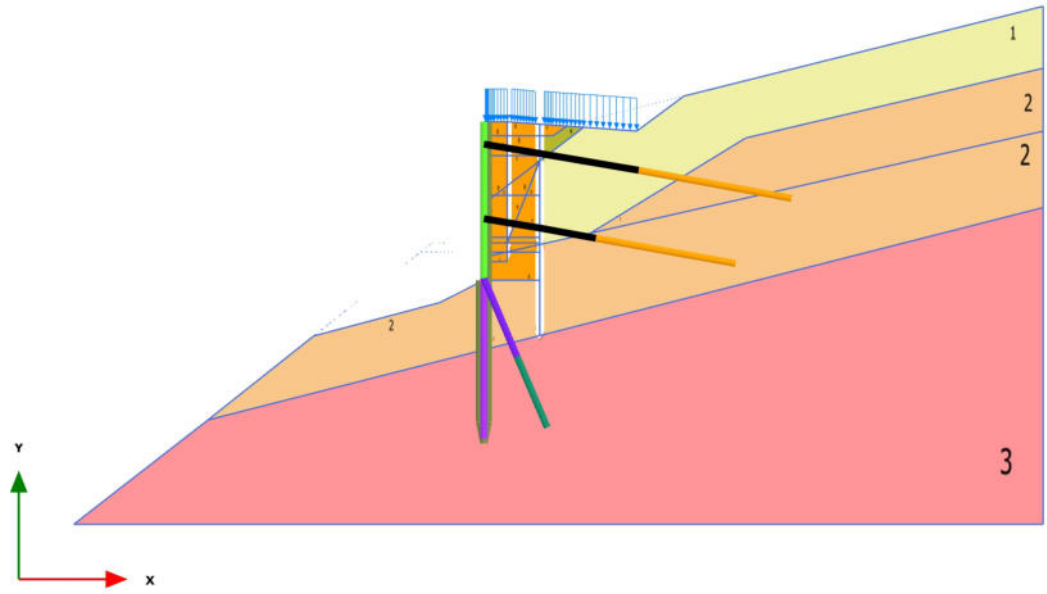

Materials plot

1.1.4.27 Calculation results, SLU12 [Phase_26] (26/1072), Materials plot

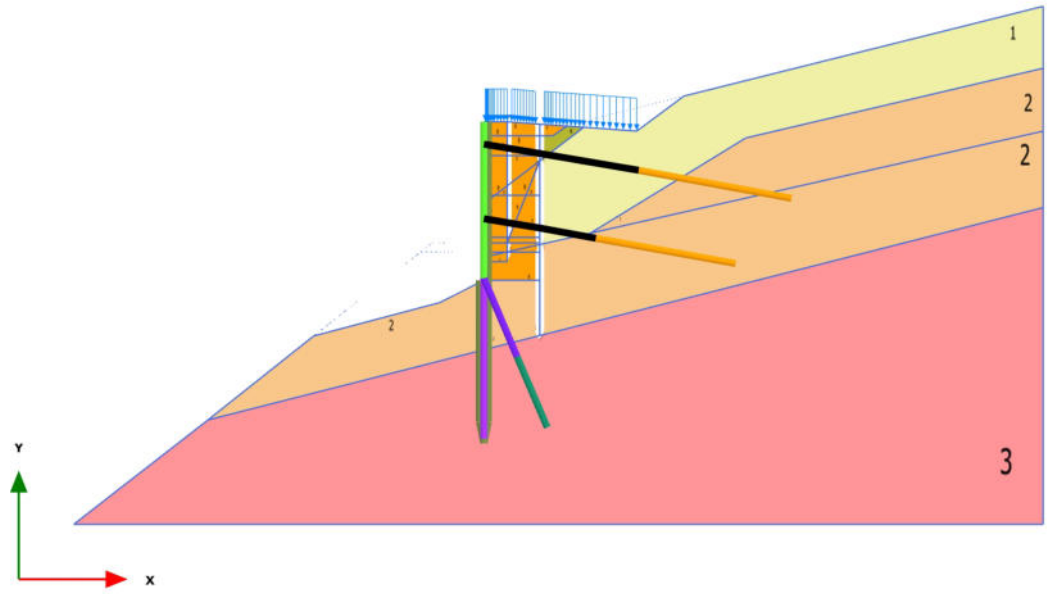

Materials plot

1.1.4.28 Calculation results, SLD [Phase_31] (31/1085), Materials plot

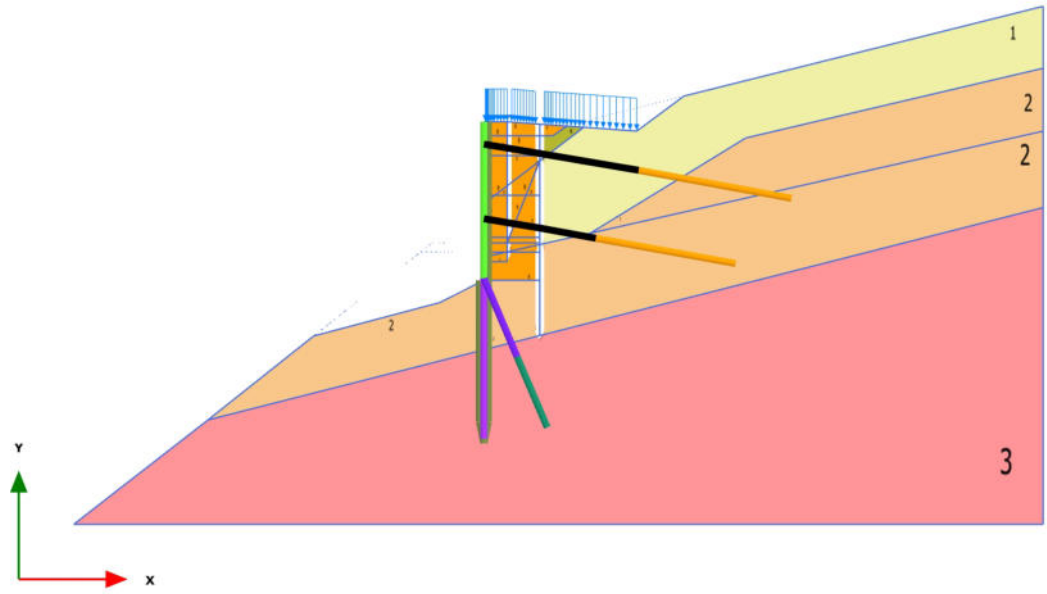

Materials plot

1.1.4.29 Calculation results, Eccezionale [Phase_22] (22/1130), Materials plot

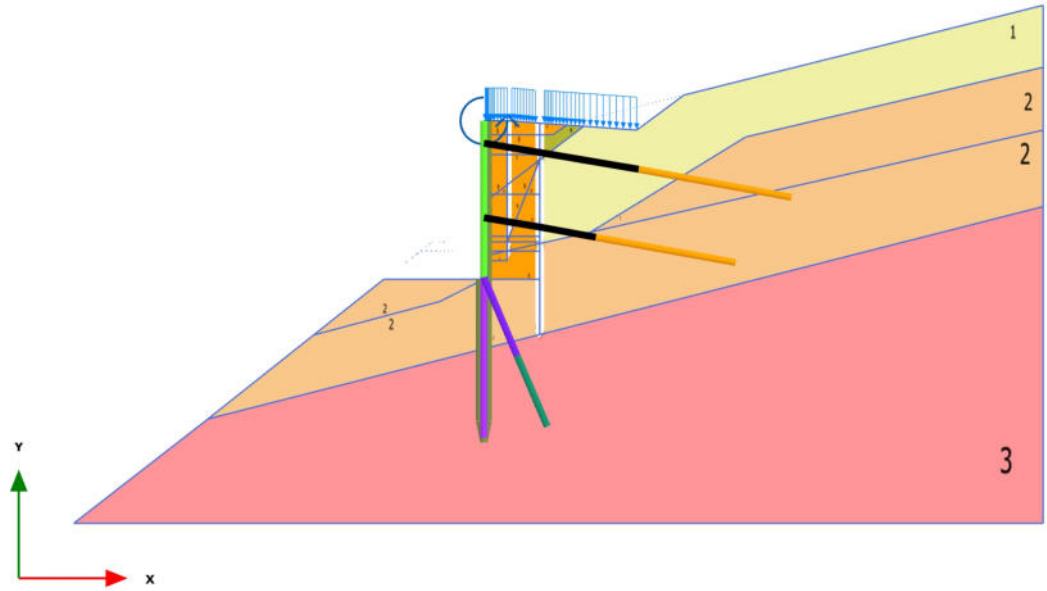

Materials plot

1.1.4.30 Calculation results, q Rullo [Phase_25] (25/1142), Materials plot

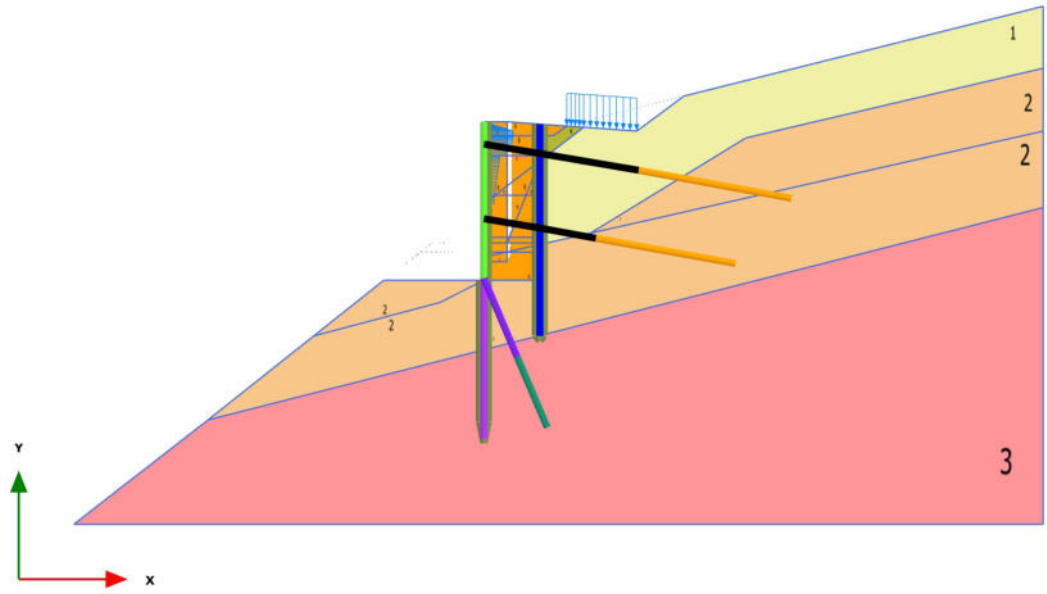

Materials plot

1.1.4.31 Calculation results, SLU11 Paratia provvisionale [Phase_23] (23/1151), Materials plot

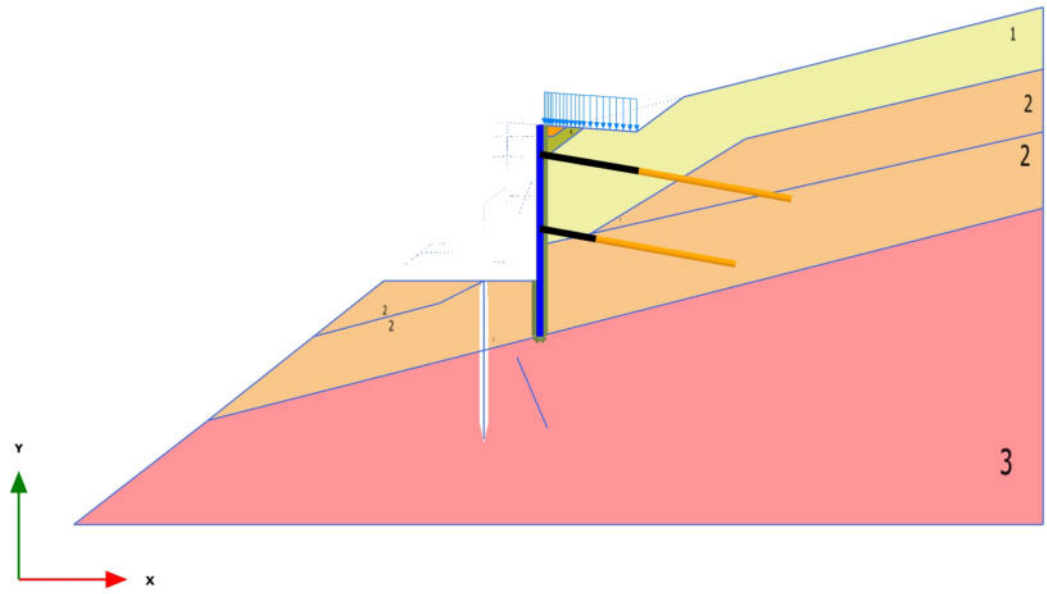

Materials plot

1.1.4.32 Calculation results, SLU12 Paratia provvisionale [Phase_24] (24/1162), Materials plot

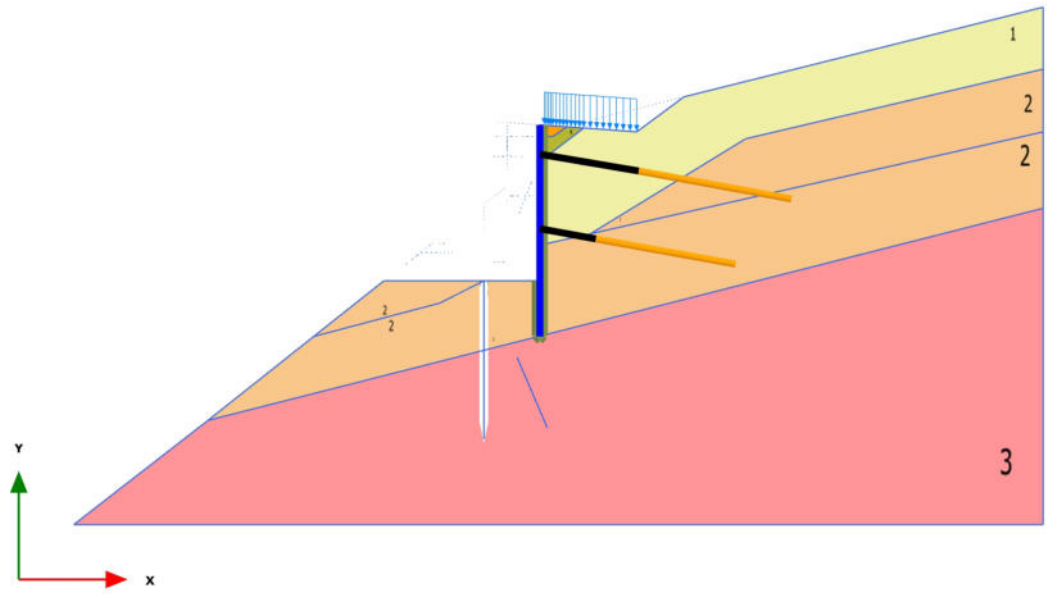

Materials plot

1.1.4.33 Calculation results, FS [Phase_32] (32/1262), Materials plot

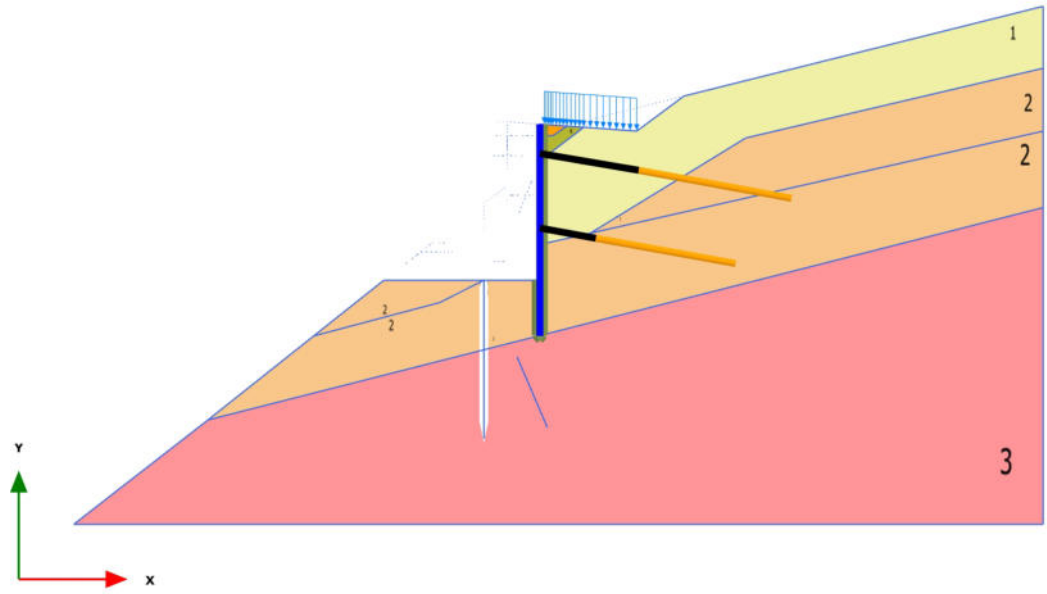

Materials plot

1.1.4.34 Calculation results, Eccezionale Op provvisionale [Phase_33] (33/1287), Materials plot

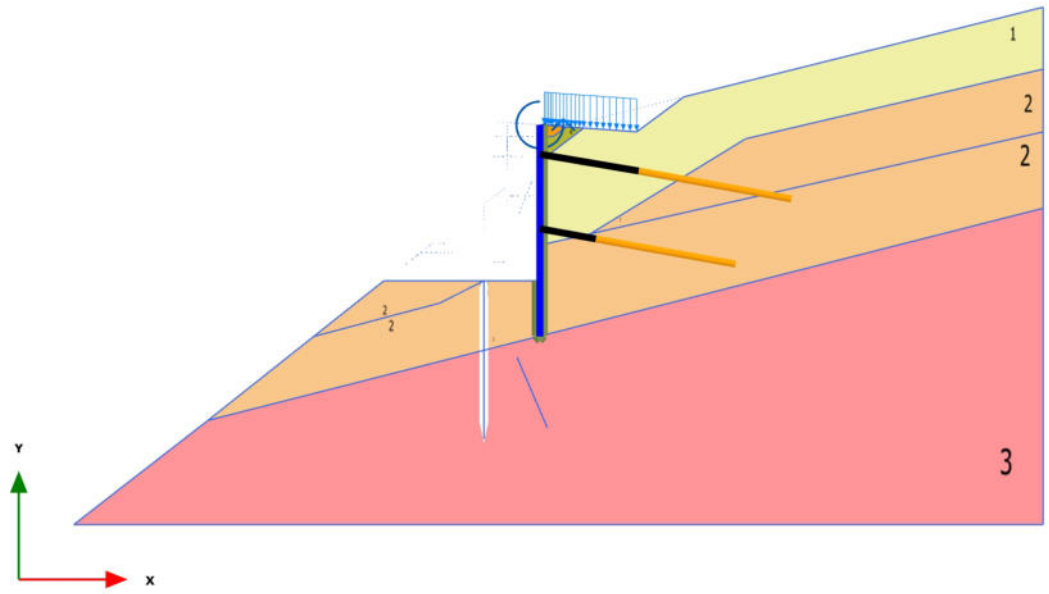

Materials plot

1.1.5.1.1.1 Materials - Soil and interfaces - Mohr-Coulomb (1/2)

Identification number	吝	1	2	3	4	6
Identification	吝	U1	U2	U3	Riempimento	Interfaccia paratia
Soil model	吝	Mohr-Coulomb	Mohr-Coulomb	Mohr-Coulomb	Mohr-Coulomb	Mohr-Coulomb
Drainage type	吝	Drained	Drained	Drained	Drained	Drained
Colour	吝					
Comments	吝	吝	吝	吝	吝	
₡_unsat	kN/m³	19,00	20,00	20,00	19,00	19,00
₡_sat	kN/m³	19,00	20,00	20,00	19,00	19,00
e_init	吝	0,5000	0,5000	0,5000	0,5000	0,5000
n_init	吝	0,3333	0,3333	0,3333	0,3333	0,3333
E'_ref	kN/m²	30,00E3	50,00E3	85,00E3	30,00E3	15,00E3
™(nu)	吝	0,3000	0,3000	0,3000	0,3000	0,4000
G_ref	kN/m²	11,54E3	19,23E3	32,69E3	11,54E3	5357
E_oed	kN/m²	40,38E3	67,31E3	114,4E3	40,38E3	32,14E3
E'_inc	kN/m²/m	0,000	0,000	0,000	0,000	0,000
y_ref	m	0,000	0,000	0,000	0,000	0,000
V_s	m/s	77,18	97,12	126,6	77,18	52,59
V_p	m/s	144,4	181,7	236,9	144,4	128,8
c'_ref	kN/m²	8,000	20,00	50,00	0,1000	0,000
⅛' (phi)	°	27,00	30,00	30,00	30,00	27,00
⅝ (psi)	°	0,000	0,000	0,000	0,000	0,000
c'_inc	kN/m²/m	0,000	0,000	0,000	0,000	0,000
y_ref	m	0,000	0,000	0,000	0,000	0,000
Tension cut-off	吝	True	True	True	True	True
Tensile strength	kN/m²	0,000	0,000	0,000	0,000	0,000
Determination	吝	™undrained definition	™undrained definition	™undrained definition	™undrained definition	™undrained definition
™u definition method	吝	Direct	Direct	Direct	Direct	Direct
™u,equivalent (nu)	吝	0,4950	0,4950	0,4950	0,4950	0,4950
Skempton B	吝	0,9783	0,9783	0,9783	0,9783	0,9532
K_w,ref/n	kN/m²	1,125E6	1,875E6	3,188E6	1,125E6	508,9E3
Classification type	吝	Standard	Standard	Standard	Standard	Standard
Soil class (Standard)	吝	Coarse	Coarse	Coarse	Coarse	Coarse
< 2 ı m	%	10,00	10,00	10,00	10,00	10,00
2 ı m - 50 ı m	%	13,00	13,00	13,00	13,00	13,00
50 ı m - 2 mm	%	77,00	77,00	77,00	77,00	77,00
Use defaults	吝	False	False	False	False	False
k_x	m/day	0,000	0,000	0,000	0,000	0,000
k_y	m/day	0,000	0,000	0,000	0,000	0,000

Identification number	**?**	**1**	**2**	**3**	**4**	**6**
Void ratio dependency	?	False	False	False	False	False
c_k	?	1000E12	1000E12	1000E12	1000E12	1000E12
n_init	?	0,3333	0,3333	0,3333	0,3333	0,3333
-%_unsat	m	10,00E3	10,00E3	10,00E3	10,00E3	10,00E3
c_s	kJ/t/K	0,000	0,000	0,000	0,000	0,000
?_s	kW/m/K	0,000	0,000	0,000	0,000	0,000
Å_s	t/m³	2,600	2,600	2,600	2,600	2,600
Thermal expansion type	?	Isotropic	Isotropic	Isotropic	Isotropic	Isotropic
?_sv	1/K	0,000	0,000	0,000	0,000	0,000
Phase change	?	False	False	False	False	False
D_v	m²/day	0,000	0,000	0,000	0,000	0,000
f_Tv	?	0,000	0,000	0,000	0,000	0,000
Stiffness determination	?	Derived	Derived	Derived	Derived	Derived
Strength determination	?	Rigid	Rigid	Rigid	Manual	Rigid
R_inter	?	1,000	1,000	1,000	0,5000	1,000
Consider gap closure	?	True	True	True	True	True
Cross permeability	?	Impermeable	Impermeable	Impermeable	Impermeable	Impermeable
Drainage conductivity, dk	m³/day/m	0,000	0,000	0,000	0,000	0,000
R_thermal	m² K/kW	0,000	0,000	0,000	0,000	0,000
K_0 determination	?	Automatic	Automatic	Automatic	Automatic	Automatic
K_0,x	?	0,5460	0,5000	0,5000	0,5000	0,5460
K_0,z	?	0,5460	0,5000	0,5000	0,5000	0,5460

1.1.5.1.1.2 Materials - Soil and interfaces - Mohr-Coulomb (2/2)

Identification number	**¾**	**7**	**8**
Identification	¾	Argilla espansa	R
Soil model	¾	Mohr-Coulomb	Mohr-Coulomb
Drainage type	¾	Drained	Drained
Colour	¾		
Comments	¾	¾	
¢_unsat	kN/m³	19,00	19,00
¢_sat	kN/m³	19,00	19,00
e_init	¾	0,5000	0,5000
n_init	¾	0,3333	0,3333
E'_ref	kN/m²	35,00E3	50,00E3
™(nu)	¾	0,3000	0,3000
G_ref	kN/m²	13,46E3	19,23E3
E_oed	kN/m²	47,12E3	67,31E3
E'_inc	kN/m²/m	0,000	0,000
y_ref	m	0,000	0,000
V_s	m/s	83,37	99,65
V_p	m/s	156,0	186,4
c'_ref	kN/m²	0,000	0,000
⅛' (phi)	°	38,00	38,00
⅝ (psi)	°	0,000	0,000
c'_inc	kN/m²/m	0,000	0,000
y_ref	m	0,000	0,000
Tension cut-off	¾	True	True
Tensile strength	kN/m²	0,000	0,000

Identification number	**잠**	**7**	**8**
Determination	잠	ᵀᴱᴸundrained definition	ᵀᴱᴸundrained definition
ᵀᴱᴸu definition method	잠	Direct	Direct
ᵀᴱᴸu,equivalent (nu)	잠	0,4950	0,4950
Skempton B	잠	0,9783	0,9783
K_w,ref/n	kN/m²	1,312E6	1,875E6
Classification type	잠	Standard	Standard
Soil class (Standard)	잠	Coarse	Coarse
< 2 ı m	%	10,00	10,00
2 ı m - 50 ı m	%	13,00	13,00
50 ı m - 2 mm	%	77,00	77,00
Use defaults	잠	False	False
k_x	m/day	0,000	0,000
k_y	m/day	0,000	0,000
Void ratio dependency	잠	False	False
c_k	잠	1000E12	1000E12
n_init	잠	0,3333	0,3333
-⅝_unsat	m	10,00E3	10,00E3
c_s	kJ/t/K	0,000	0,000
ℵ_s	kW/m/K	0,000	0,000
Å_s	t/m³	2,600	2,600
Thermal expansion type	잠	Isotropic	Isotropic
₳_sv	1/K	0,000	0,000
Phase change	잠	False	False
D_v	m²/day	0,000	0,000
f_Tv	잠	0,000	0,000
Stiffness determination	잠	Derived	Derived
Strength determination	잠	Manual	Manual
R_inter	잠	0,5000	0,5000

Identification number	**잠**	**7**	**8**
Consider gap closure	잠	True	True
Cross permeability	잠	Impermeable	Impermeable
Drainage conductivity, dk	m^3/day/m	0,000	0,000
R_thermal	m^2 K/kW	0,000	0,000
K_0 determination	잠	Automatic	Automatic
K_0,x	잠	0,3843	0,3843
K_0,z	잠	0,3843	0,3843

1.1.5.1.2 Materials - Soil and interfaces - Linear Elastic

Identification number	**쏤**	**5**
Identification	쏤	Muro
Soil model	쏤	Linear Elastic
Drainage type	쏤	Drained
Colour	쏤	
Comments	쏤	
₡_unsat	kN/m³	22,00
₡_sat	kN/m³	22,00
e_init	쏤	0,5000
n_init	쏤	0,3333
E'_ref	kN/m²	1,000E6
ᵀᴱᴸ(nu)	쏤	0,2000
G_ref	kN/m²	416,7E3
E_oed	kN/m²	1,111E6
E'_inc	kN/m²/m	0,000
y_ref	m	0,000
V_s	m/s	431,0
V_p	m/s	703,9
Determination	쏤	ᵀᴱᴸundrained definition
ᵀᴱᴸ_u definition method	쏤	Direct
ᵀᴱᴸu,equivalent (nu)	쏤	0,4950
Skempton B	쏤	0,9866
K_w,ref/n	kN/m²	40,97E6
Classification type	쏤	Standard
Soil class (Standard)	쏤	Coarse

Identification number	**잠**	**5**
< 2 ı m	%	10,00
2 ı m - 50 ı m	%	13,00
50 ı m - 2 mm	%	77,00
Use defaults	잠	False
k_x	m/day	0,000
k_y	m/day	0,000
Void ratio dependency	잠	False
c_k	잠	1000E12
n_init	잠	0,3333
-⅝_unsat	m	10,00E3
c_s	kJ/t/K	0,000
ℜ_s	kW/m/K	0,000
Å_s	t/m³	2,600
Thermal expansion type	잠	Isotropic
₳_sv	1/K	0,000
Phase change	잠	False
D_v	m²/day	0,000
f_Tv	잠	0,000
Stiffness determination	잠	Derived
Strength determination	잠	Rigid
R_inter	잠	1,000
Consider gap closure	잠	True
Cross permeability	잠	Impermeable
Drainage conductivity, dk	m³/day/m	0,000
R_thermal	m² K/kW	0,000
K_0 determination	잠	Automatic
K_0,x	잠	0,5000
K_0,z	잠	0,5000

Identification number	咎	5

1.1.5.2 Materials - Plates

Identification number	㱺	1	2	3
Identification	㱺	Micropali D168.3x8,0mm/0,4	Parete c.a.C32/40 sp.0.50m	Micropali D168.3x10/0,27m
Material type	㱺	Elastic	Elastic	Elastic
Colour	㱺			
Comments	㱺	㱺	㱺	
w	kN/m/m	0,000	0,000	0,000
Prevent punching	㱺	False	False	True
Isotropic	㱺	True	True	True
EA_1	kN/m	2,115E6	16,67E6	3,868E6
EA_2	kN/m	2,115E6	16,67E6	3,868E6
E_1	kN/m²	9,471E6	33,35E6	18,05E6
E_2	kN/m²	9,471E6	33,35E6	18,05E6
EI	kN m²/m	8791	347,4E3	14,80E3
ᵀᴱᴸ(nu)	㱺	0,3000	0,2000	0,3000
d	m	0,2233	0,5000	0,2143
c	kJ/t/K	0,000	0,000	0,000
ℜ	kW/m/K	0,000	0,000	0,000
Å	t/m³	0,000	0,000	0,000
Å	1/K	0,000	0,000	0,000
A_eff,T	m²	0,000	0,000	0,000

1.1.5.3 Materials - Anchors

Identification number	**¾**	**1**	**2**
Identification	¾	TITAN 40/20 l=1,60m	Micropalo D168.3x10,0m/1,6m
Material type	¾	Elastoplastic	Elastic
Colour	¾		
Comments	¾	¾	
L_spacing	m	1,600	1,600
EA	kN	135,0E3	1,044E6
| F_max,tens |	kN	1,000E9	
| F_max,comp |	kN	0,000	
c	kJ/t/K	0,000	0,000
ℜ	kW/m/K	0,000	0,000
Å	t/m³	0,000	0,000
₳	1/K	0,000	0,000
A_eff,T	m²	0,000	0,000

1.1.5.4 Materials - Embedded beams

Identification number	**쏨**	**1**	**2**
Identification	쏨	TITAN 40/20 l=1,60m	Micropalo D168.3 x12.5mm/1,6m
Material type	쏨	Elastic	Elastic
Colour	쏨		
Comments	쏨	쏨	
₡	kN/m³	0,000	0,000
L_spacing	m	1,600	1,600
Cross section type	쏨	Predefined	Predefined
Predefined cross section type	쏨	Circular tube	Circular tube
Diameter	m	0,03490	0,1683
Thickness	m	0,01000	0,01000
A	m²	0,7823E-3	4,973E-3
I	mジ	0,07040E-6	0,01564E-3
E	kN/m²	210,0E6	210,0E3
Axial skin resistance	쏨	Linear	Linear
T_skin, start, max	kN/m	30,00	125,0
T_skin, end, max	kN/m	30,00	125,0
Lateral resistance	쏨	Unlimited	Unlimited
F_max	kN	0,000	0,000
Default values	쏨	True	True
Axial stiffness factor	쏨	0,1419	0,4618
Lateral stiffness factor	쏨	0,1419	0,4618
Base stiffness factor	쏨	1,419	4,618

1.1.6 General information

General information	
Project	
Filename	Castel del Rio - C.p2dx
Directory	\\Pc-Server\Archivio-GES\LAVORI\Castel del Rio SOIL\2_Elaborazione\4_Modellazione Numerica\Plaxis\MODELLI FINALI\
Title	Castel del Rio - tratto paratia provvisionale
General	
Model	Plane strain
Elements	15-Noded
Acceleration	
Gravity angle	-90,00 °
x-acceleration	0,000 m/s²
y-acceleration	0,000 m/s²
Earth gravity	9,810 m/s²
Mesh	
Nr of soil elements	2146
Nr of nodes	18073
Average element size	0,7645 m
Maximum element size	5,235 m
Minimum element size	0,02411E-3 m
Comments	
沓	

1.1.7.1 Calculation information

Calculation information				
Step info				
Phase	Initial phase [InitialPhase]			
Step	Initial			
Calulation mode	Classical mode			
Step type	Gravity loading			
Solver type	Picos			
Kernel type	64 bit			
Extrapolation factor	1,000			
Relative stiffness	0,9999			
Multipliers				
Soil weight	㱺	㱺	₡M $_{Weight}$	1,000
Strength reduction factor	M $_{sf}$	0,000	₡M $_{sf}$	1,000
Time	Increment	0,000	End time	0,000
Staged construction				
Active proportion total area	M $_{Area}$	0,4927	₡M $_{Area}$	0,9854
Active proportion of stage	M $_{Stage}$	0,5000	₡M $_{Stage}$	1,000
Forces				
F $_{X}$	0,000 kN/m			
F $_{Y}$	0,000 kN/m			
Consolidation				
Realised P $_{Excess,Max}$	0,000 kN/m^2			

1.1.7.2 Calculation information

Calculation information				
Step info				
Phase	Costruzione stato di fatto 1 [Phase_1]			
Step	Initial			
Calulation mode	Classical mode			
Step type	Plastic			
Updated mesh	False			
Solver type	Picos			
Kernel type	64 bit			
Extrapolation factor	1,089			
Relative stiffness	0,3419			
Multipliers				
Soil weight	𝛾	𝛾	ℳ Weight	1,000
Strength reduction factor	M sf	0,000	ℳ sf	1,000
Time	Increment	0,000	End time	0,000
Staged construction				
Active proportion total area	M Area	-0,9315E-3	ℳ Area	0,9786
Active proportion of stage	M Stage	0,1250	ℳ Stage	1,000
Forces				
F x	0,000 kN/m			
F y	0,000 kN/m			
Consolidation				
Realised P Excess,Max	0,000 kN/m²			

1.1.7.3 Calculation information

Calculation information				
Step info				
Phase	Costruzione stato di fatto 2 [Phase_2]			
Step	Initial			
Calulation mode	Classical mode			
Step type	Plastic			
Updated mesh	False			
Solver type	Picos			
Kernel type	64 bit			
Extrapolation factor	0,3342			
Relative stiffness	1,468E-3			
Multipliers				
Soil weight	𝛾	𝛾	∇M Weight	1,000
Strength reduction factor	M sf	0,000	∇M sf	1,000
Time	Increment	0,000	End time	0,000
Staged construction				
Active proportion total area	M Area	2,207E-3	∇M Area	0,9943
Active proportion of stage	M Stage	3,113E-3	∇M Stage	1,000
Forces				
F x	0,000 kN/m			
F y	0,000 kN/m			
Consolidation				
Realised P Excess,Max	0,000 kN/m²			

1.1.7.4 Calculation information

Calculation information				
Step info				
Phase	Phase_3 [Phase_3]			
Step	Initial			
Calulation mode	Classical mode			
Step type	Safety			
Updated mesh	False			
Solver type	Picos			
Kernel type	64 bit			
Extrapolation factor	0,5000			
Relative stiffness	-0,3633E-6			
Multipliers				
Soil weight	㱺	㱺	ℳ $_{Weight}$	1,000
Strength reduction factor	M_{sf}	-0,4382E-3	ℳ $_{sf}$	1,094
Time	Increment	0,000	End time	0,000
Staged construction				
Active proportion total area	M_{Area}	0,000	ℳ $_{Area}$	0,9943
Active proportion of stage	M_{Stage}	0,000	ℳ $_{Stage}$	0,000
Forces				
F_X	0,000 kN/m			
F_Y	0,000 kN/m			
Consolidation				
Realised $P_{Excess,Max}$	0,000 kN/m²			

1.1.7.5 Calculation information

Calculation information				
Step info				
Phase	Preparazione cantiere [Phase_4]			
Step	Initial			
Calulation mode	Classical mode			
Step type	Plastic			
Updated mesh	False			
Solver type	Picos			
Kernel type	64 bit			
Extrapolation factor	0,4436			
Relative stiffness	0,5277			
Multipliers				
Soil weight	㱺	㱺	₡M $_{Weight}$	1,000
Strength reduction factor	M $_{sf}$	0,000	₡M $_{sf}$	1,000
Time	Increment	0,000	End time	0,000
Staged construction				
Active proportion total area	M $_{Area}$	-0,3067E-3	₡M $_{Area}$	0,9912
Active proportion of stage	M $_{Stage}$	0,09983	₡M $_{Stage}$	1,000
Forces				
F $_{X}$	0,000 kN/m			
F $_{Y}$	0,000 kN/m			
Consolidation				
Realised P $_{Excess,Max}$	0,000 kN/m²			

1.1.7.6 Calculation information

Calculation information				
Step info				
Phase	Paratia di micropali [Phase_5]			
Step	Initial			
Calulation mode	Classical mode			
Step type	Plastic			
Updated mesh	False			
Solver type	Picos			
Kernel type	64 bit			
Extrapolation factor	0,6984			
Relative stiffness	0,4896			
Multipliers				
Soil weight	㱺	㱺	₡M $_{Weight}$	1,000
Strength reduction factor	M $_{sf}$	0,000	₡M $_{sf}$	1,000
Time	Increment	0,000	End time	0,000
Staged construction				
Active proportion total area	M $_{Area}$	0,1837E-3	₡M $_{Area}$	0,9919
Active proportion of stage	M $_{Stage}$	0,1266	₡M $_{Stage}$	1,000
Forces				
F $_{X}$	0,000 kN/m			
F $_{Y}$	0,000 kN/m			
Consolidation				
Realised P $_{Excess,Max}$	0,000 kN/m²			

1.1.7.7 Calculation information

Calculation information				
Step info				
Phase	(RD) Escavo 1 + sovraccarico [Phase_6]			
Step	Initial			
Calulation mode	Classical mode			
Step type	Plastic			
Updated mesh	False			
Solver type	Picos			
Kernel type	64 bit			
Extrapolation factor	0,1725			
Relative stiffness	0,4104			
Multipliers				
Soil weight	⍺	⍺	⅀M Weight	1,000
Strength reduction factor	M sf	0,000	⅀M sf	1,000
Time	Increment	0,000	End time	0,000
Staged construction				
Active proportion total area	M Area	-0,01627E-3	⅀M Area	0,9882
Active proportion of stage	M Stage	4,049E-3	⅀M Stage	1,000
Forces				
F x	0,000 kN/m			
F y	0,000 kN/m			
Consolidation				
Realised P Excess,Max	0,000 kN/m²			

1.1.7.8 Calculation information

Calculation information				
Step info				
Phase	Ancoraggio 1 [Phase_7]			
Step	Initial			
Calulation mode	Classical mode			
Step type	Plastic			
Updated mesh	False			
Solver type	Picos			
Kernel type	64 bit			
Extrapolation factor	0,3570			
Relative stiffness	0,2832			
Multipliers				
Soil weight	㱺	㱺	₡M $_{Weight}$	1,000
Strength reduction factor	M $_{sf}$	0,000	₡M $_{sf}$	1,000
Time	Increment	0,000	End time	0,000
Staged construction				
Active proportion total area	M $_{Area}$	0,000	₡M $_{Area}$	0,9882
Active proportion of stage	M $_{Stage}$	4,896E-3	₡M $_{Stage}$	1,000
Forces				
F $_{X}$	0,000 kN/m			
F $_{Y}$	0,000 kN/m			
Consolidation				
Realised P $_{Excess,Max}$	0,000 kN/m²			

1.1.7.9 Calculation information

Calculation information				
Step info				
Phase	Escavo 2 [Phase_8]			
Step	Initial			
Calulation mode	Classical mode			
Step type	Plastic			
Updated mesh	False			
Solver type	Picos			
Kernel type	64 bit			
Extrapolation factor	0,4674			
Relative stiffness	0,3951			
Multipliers				
Soil weight	쟘	쟘	ΣM_{Weight}	1,000
Strength reduction factor	M_{sf}	0,000	ΣM_{sf}	1,000
Time	Increment	0,000	End time	0,000
Staged construction				
Active proportion total area	M_{Area}	-0,06542E-3	ΣM_{Area}	0,9803
Active proportion of stage	M_{Stage}	3,102E-3	ΣM_{Stage}	1,000
Forces				
F_X	0,000 kN/m			
F_Y	0,000 kN/m			
Consolidation				
Realised $P_{Excess,Max}$	0,000 kN/m^2			

1.1.7.10 Calculation information

Calculation information				
Step info				
Phase	Escavo 3 [Phase_9]			
Step	Initial			
Calulation mode	Classical mode			
Step type	Plastic			
Updated mesh	False			
Solver type	Picos			
Kernel type	64 bit			
Extrapolation factor	0,1426			
Relative stiffness	0,3995			
Multipliers				
Soil weight	㱺	㱺	₡M $_{Weight}$	1,000
Strength reduction factor	M $_{sf}$	0,000	₡M $_{sf}$	1,000
Time	Increment	0,000	End time	0,000
Staged construction				
Active proportion total area	M $_{Area}$	-0,08185E-3	₡M $_{Area}$	0,9718
Active proportion of stage	M $_{Stage}$	4,520E-3	₡M $_{Stage}$	1,000
Forces				
F $_{X}$	0,000 kN/m			
F $_{Y}$	0,000 kN/m			
Consolidation				
Realised P $_{Excess,Max}$	0,000 kN/m^2			

1.1.7.11 Calculation information

Calculation information				
Step info				
Phase	Ancoraggio 2 [Phase_27]			
Step	Initial			
Calulation mode	Classical mode			
Step type	Plastic			
Updated mesh	False			
Solver type	Picos			
Kernel type	64 bit			
Extrapolation factor	0,1829			
Relative stiffness	0,1781			
Multipliers				
Soil weight	쟘	쟘	ℂM $_{Weight}$	1,000
Strength reduction factor	M $_{sf}$	0,000	ℂM $_{sf}$	1,000
Time	Increment	0,000	End time	0,000
Staged construction				
Active proportion total area	M $_{Area}$	0,000	ℂM $_{Area}$	0,9718
Active proportion of stage	M $_{Stage}$	3,605E-3	ℂM $_{Stage}$	1,000
Forces				
F $_{X}$	0,000 kN/m			
F $_{Y}$	0,000 kN/m			
Consolidation				
Realised P $_{Excess,Max}$	0,000 kN/m²			

1.1.7.12 Calculation information

Calculation information				
Step info				
Phase	Escavo 4 [Phase_10]			
Step	Initial			
Calulation mode	Classical mode			
Step type	Plastic			
Updated mesh	False			
Solver type	Picos			
Kernel type	64 bit			
Extrapolation factor	1,588			
Relative stiffness	0,6309			
Multipliers				
Soil weight	쟘	쟘	₡M $_{Weight}$	1,000
Strength reduction factor	M $_{sf}$	0,000	₡M $_{sf}$	1,000
Time	Increment	0,000	End time	0,000
Staged construction				
Active proportion total area	M $_{Area}$	-0,6336E-3	₡M $_{Area}$	0,9667
Active proportion of stage	M $_{Stage}$	0,08791	₡M $_{Stage}$	1,000
Forces				
F $_{X}$	0,000 kN/m			
F $_{Y}$	0,000 kN/m			
Consolidation				
Realised P $_{Excess,Max}$	0,000 kN/m^2			

1.1.7.13 Calculation information

Calculation information				
Step info				
Phase	Completamento scavo [Phase_28]			
Step	Initial			
Calulation mode	Classical mode			
Step type	Plastic			
Updated mesh	False			
Solver type	Picos			
Kernel type	64 bit			
Extrapolation factor	0,7076			
Relative stiffness	0,4643			
Multipliers				
Soil weight	☐	☐	$\mathbb{M}_{Weight}$	1,000
Strength reduction factor	M_{sf}	0,000	$\mathbb{M}_{sf}$	1,000
Time	Increment	0,000	End time	0,000
Staged construction				
Active proportion total area	M_{Area}	-0,4381E-3	$\mathbb{M}_{Area}$	0,9546
Active proportion of stage	M_{Stage}	0,02608	$\mathbb{M}_{Stage}$	1,000
Forces				
F_X	0,000 kN/m			
F_Y	0,000 kN/m			
Consolidation				
Realised $P_{Excess,Max}$	0,000 kN/m²			

1.1.7.14 Calculation information

Calculation information				
Step info				
Phase	(RD) Strutture [Phase_11]			
Step	Initial			
Calulation mode	Classical mode			
Step type	Plastic			
Updated mesh	False			
Solver type	Picos			
Kernel type	64 bit			
Extrapolation factor	0,5107			
Relative stiffness	0,2127			
Multipliers				
Soil weight	㱺	㱺	ℳ $_{Weight}$	1,000
Strength reduction factor	M $_{sf}$	0,000	ℳ $_{sf}$	1,000
Time	Increment	0,000	End time	0,000
Staged construction				
Active proportion total area	M $_{Area}$	0,000	ℳ $_{Area}$	0,9546
Active proportion of stage	M $_{Stage}$	0,2070	ℳ $_{Stage}$	1,000
Forces				
F $_{X}$	0,000 kN/m			
F $_{Y}$	0,000 kN/m			
Consolidation				
Realised P $_{Excess,Max}$	0,000 kN/m^2			

1.1.7.15 Calculation information

Calculation information				
Step info				
Phase	Riempimento 1 [Phase_12]			
Step	Initial			
Calulation mode	Classical mode			
Step type	Plastic			
Updated mesh	False			
Solver type	Picos			
Kernel type	64 bit			
Extrapolation factor	0,3986			
Relative stiffness	0,3380			
Multipliers				
Soil weight	𝛾	𝛾	$\mathbb{M}_{Weight}$	1,000
Strength reduction factor	M_{sf}	0,000	$\mathbb{M}_{sf}$	1,000
Time	Increment	0,000	End time	0,000
Staged construction				
Active proportion total area	M_{Area}	0,04260E-3	$\mathbb{M}_{Area}$	0,9621
Active proportion of stage	M_{Stage}	4,046E-3	$\mathbb{M}_{Stage}$	1,000
Forces				
F_X	0,000 kN/m			
F_Y	0,000 kN/m			
Consolidation				
Realised $P_{Excess,Max}$	0,000 kN/m²			

1.1.7.16 Calculation information

Calculation information				
Step info				
Phase	Collegamento ancoraggio 1 [Phase_29]			
Step	Initial			
Calulation mode	Classical mode			
Step type	Plastic			
Updated mesh	False			
Solver type	Picos			
Kernel type	64 bit			
Extrapolation factor	0,03306			
Relative stiffness	0,05183			
Multipliers				
Soil weight	𝛾	𝛾	∁M $_{Weight}$	1,000
Strength reduction factor	M $_{sf}$	0,000	∁M $_{sf}$	1,000
Time	Increment	0,000	End time	0,000
Staged construction				
Active proportion total area	M $_{Area}$	0,000	∁M $_{Area}$	0,9621
Active proportion of stage	M $_{Stage}$	1,866E-3	∁M $_{Stage}$	1,000
Forces				
F $_{x}$	0,000 kN/m			
F $_{y}$	0,000 kN/m			
Consolidation				
Realised P $_{Excess,Max}$	0,000 kN/m²			

1.1.7.17 Calculation information

Calculation information				
Step info				
Phase	Riempimento 2 [Phase_13]			
Step	Initial			
Calulation mode	Classical mode			
Step type	Plastic			
Updated mesh	False			
Solver type	Picos			
Kernel type	64 bit			
Extrapolation factor	0,9299			
Relative stiffness	0,3377			
Multipliers				
Soil weight	㱺	㱺	$\mathcal{M}_{Weight}$	1,000
Strength reduction factor	M_{sf}	0,000	$\mathcal{M}_{sf}$	1,000
Time	Increment	0,000	End time	0,000
Staged construction				
Active proportion total area	M_{Area}	0,8767E-3	$\mathcal{M}_{Area}$	0,9695
Active proportion of stage	M_{Stage}	0,06060	$\mathcal{M}_{Stage}$	1,000
Forces				
F_X	0,000 kN/m			
F_Y	0,000 kN/m			
Consolidation				
Realised $P_{Excess,Max}$	0,000 kN/m²			

1.1.7.18 Calculation information

Calculation information				
Step info				
Phase	Riempimento 3 [Phase_30]			
Step	Initial			
Calulation mode	Classical mode			
Step type	Plastic			
Updated mesh	False			
Solver type	Picos			
Kernel type	64 bit			
Extrapolation factor	0,9003			
Relative stiffness	0,2040			
Multipliers				
Soil weight	𝛾	𝛾	∂M_{Weight}	1,000
Strength reduction factor	M_{sf}	0,000	∂M_{sf}	1,000
Time	Increment	0,000	End time	0,000
Staged construction				
Active proportion total area	M_{Area}	0,3542E-3	∂M_{Area}	0,9765
Active proportion of stage	M_{Stage}	0,02663	∂M_{Stage}	1,000
Forces				
F_X	0,000 kN/m			
F_Y	0,000 kN/m			
Consolidation				
Realised $P_{Excess,Max}$	0,000 kN/m²			

1.1.7.19 Calculation information

Calculation information				
Step info				
Phase	Collegamento ancoraggio 2 [Phase_14]			
Step	Initial			
Calulation mode	Classical mode			
Step type	Plastic			
Updated mesh	False			
Solver type	Picos			
Kernel type	64 bit			
Extrapolation factor	0,1755			
Relative stiffness	0,2026			
Multipliers				
Soil weight	쟘	쟘	₡M $_{Weight}$	1,000
Strength reduction factor	M $_{sf}$	0,000	₡M $_{sf}$	1,000
Time	Increment	0,000	End time	0,000
Staged construction				
Active proportion total area	M $_{Area}$	0,2948E-3	₡M $_{Area}$	0,9800
Active proportion of stage	M $_{Stage}$	0,03579	₡M $_{Stage}$	1,000
Forces				
F $_{x}$	0,000 kN/m			
F $_{y}$	0,000 kN/m			
Consolidation				
Realised P $_{Excess,Max}$	0,000 kN/m²			

1.1.7.20 Calculation information

Calculation information				
Step info				
Phase	Riempimento 4 (MG) [Phase_15]			
Step	Initial			
Calulation mode	Classical mode			
Step type	Plastic			
Updated mesh	False			
Solver type	Picos			
Kernel type	64 bit			
Extrapolation factor	0,02916			
Relative stiffness	0,1882			
Multipliers				
Soil weight	㱺	㱺	ℳ $_{Weight}$	1,000
Strength reduction factor	M $_{sf}$	0,000	ℳ $_{sf}$	1,000
Time	Increment	0,000	End time	0,000
Staged construction				
Active proportion total area	M $_{Area}$	0,000	ℳ $_{Area}$	0,9800
Active proportion of stage	M $_{Stage}$	2,493E-3	ℳ $_{Stage}$	1,000
Forces				
F $_{X}$	0,000 kN/m			
F $_{Y}$	0,000 kN/m			
Consolidation				
Realised P $_{Excess,Max}$	0,000 kN/m^2			

1.1.7.21 Calculation information

Calculation information				
Step info				
Phase	Riempimento 5 (MG) [Phase_16]			
Step	Initial			
Calulation mode	Classical mode			
Step type	Plastic			
Updated mesh	False			
Solver type	Picos			
Kernel type	64 bit			
Extrapolation factor	0,9551			
Relative stiffness	0,2040			
Multipliers				
Soil weight	쟘	쟘	$\mathbb{M}_{Weight}$	1,000
Strength reduction factor	M_{sf}	0,000	$\mathbb{M}_{sf}$	1,000
Time	Increment	0,000	End time	0,000
Staged construction				
Active proportion total area	M_{Area}	1,116E-3	$\mathbb{M}_{Area}$	0,9823
Active proportion of stage	M_{Stage}	0,2036	$\mathbb{M}_{Stage}$	1,000
Forces				
F_X	0,000 kN/m			
F_Y	0,000 kN/m			
Consolidation				
Realised $P_{Excess,Max}$	0,000 kN/m²			

1.1.7.22 Calculation information

Calculation information				
Step info				
Phase	Disattivazione paratia provvisionale [Phase_17]			
Step	Initial			
Calulation mode	Classical mode			
Step type	Plastic			
Updated mesh	False			
Solver type	Picos			
Kernel type	64 bit			
Extrapolation factor	0,8933			
Relative stiffness	0,6628			
Multipliers				
Soil weight	㱺	㱺	⅀M Weight	1,000
Strength reduction factor	M sf	0,000	⅀M sf	1,000
Time	Increment	0,000	End time	0,000
Staged construction				
Active proportion total area	M Area	0,000	⅀M Area	0,9823
Active proportion of stage	M Stage	0,1759	⅀M Stage	1,000
Forces				
F x	0,000 kN/m			
F y	0,000 kN/m			
Consolidation				
Realised P Excess,Max	0,000 kN/m²			

1.1.7.23 Calculation information

Calculation information				
Step info				
Phase	SLE [Phase_18]			
Step	Initial			
Calulation mode	Classical mode			
Step type	Plastic			
Updated mesh	False			
Solver type	Picos			
Kernel type	64 bit			
Extrapolation factor	0,5435			
Relative stiffness	0,5376			
Multipliers				
Soil weight	㱺	㱺	₡M $_{Weight}$	1,000
Strength reduction factor	M $_{sf}$	0,000	₡M $_{sf}$	1,000
Time	Increment	0,000	End time	0,000
Staged construction				
Active proportion total area	M $_{Area}$	0,000	₡M $_{Area}$	0,9823
Active proportion of stage	M $_{Stage}$	0,1613	₡M $_{Stage}$	1,000
Forces				
F $_{X}$	0,000 kN/m			
F $_{Y}$	0,000 kN/m			
Consolidation				
Realised P $_{Excess,Max}$	0,000 kN/m^2			

1.1.7.24 Calculation information

Calculation information				
Step info				
Phase	Scalzamento al piede [Phase_19]			
Step	Initial			
Calulation mode	Classical mode			
Step type	Plastic			
Updated mesh	False			
Solver type	Picos			
Kernel type	64 bit			
Extrapolation factor	1,207			
Relative stiffness	0,6960			
Multipliers				
Soil weight	𝛾	𝛾	$\mathbb{C}M_{Weight}$	1,000
Strength reduction factor	M_{sf}	0,000	$\mathbb{C}M_{sf}$	1,000
Time	Increment	0,000	End time	0,000
Staged construction				
Active proportion total area	M_{Area}	-1,642E-3	$\mathbb{C}M_{Area}$	0,9714
Active proportion of stage	M_{Stage}	0,1351	$\mathbb{C}M_{Stage}$	1,000
Forces				
F_X	0,000 kN/m			
F_Y	0,000 kN/m			
Consolidation				
Realised $P_{Excess,Max}$	0,000 kN/m²			

1.1.7.25 Calculation information

Calculation information				
Step info				
Phase	SLU11 [Phase_20]			
Step	Initial			
Calulation mode	Classical mode			
Step type	Plastic			
Updated mesh	False			
Solver type	Picos			
Kernel type	64 bit			
Extrapolation factor	0,2721			
Relative stiffness	0,5304			
Multipliers				
Soil weight	쟘	쟘	ℂM $_{Weight}$	1,000
Strength reduction factor	M $_{sf}$	0,000	ℂM $_{sf}$	1,000
Time	Increment	0,000	End time	0,000
Staged construction				
Active proportion total area	M $_{Area}$	0,000	ℂM $_{Area}$	0,9714
Active proportion of stage	M $_{Stage}$	0,07393	ℂM $_{Stage}$	1,000
Forces				
F $_{X}$	0,000 kN/m			
F $_{Y}$	0,000 kN/m			
Consolidation				
Realised P $_{Excess,Max}$	0,000 kN/m^2			

1.1.7.26 Calculation information

Calculation information				
Step info				
Phase	SLV [Phase_21]			
Step	Initial			
Calulation mode	Classical mode			
Step type	Plastic			
Updated mesh	False			
Solver type	Picos			
Kernel type	64 bit			
Extrapolation factor	0,7128			
Relative stiffness	0,05408			
Multipliers				
Soil weight	㱺	㱺	₡M $_{Weight}$	1,000
Strength reduction factor	M $_{sf}$	0,000	₡M $_{sf}$	1,000
Time	Increment	0,000	End time	0,000
Staged construction				
Active proportion total area	M $_{Area}$	0,000	₡M $_{Area}$	0,9714
Active proportion of stage	M $_{Stage}$	2,365E-3	₡M $_{Stage}$	1,000
Forces				
F $_{X}$	0,000 kN/m			
F $_{Y}$	0,000 kN/m			
Consolidation				
Realised P $_{Excess,Max}$	0,000 kN/m²			
Pseudo-static acceleration				
X	0,2350 g			

Calculation information				
Y	0,000 g			

1.1.7.27 Calculation information

Calculation information				
Step info				
Phase	SLU12 [Phase_26]			
Step	Initial			
Calulation mode	Classical mode			
Step type	Plastic			
Updated mesh	False			
Solver type	Picos			
Kernel type	64 bit			
Extrapolation factor	0,7823			
Relative stiffness	0,5593			
Design approach				
Index	1			
Name	M2			
Multipliers				
Soil weight	쟘	쟘	ℭM $_{Weight}$	1,000
Strength reduction factor	M $_{sf}$	0,000	ℭM $_{sf}$	1,000
Time	Increment	0,000	End time	0,000
Staged construction				
Active proportion total area	M $_{Area}$	0,000	ℭM $_{Area}$	0,9714
Active proportion of stage	M $_{Stage}$	0,06705	ℭM $_{Stage}$	1,000
Forces				
F $_{X}$	0,000 kN/m			
F $_{Y}$	0,000 kN/m			
Consolidation				

Calculation information				
Realised $P_{Excess,Max}$	0,000 kN/m²			

1.1.7.28 Calculation information

Calculation information				
Step info				
Phase	SLD [Phase_31]			
Step	Initial			
Calulation mode	Classical mode			
Step type	Plastic			
Updated mesh	False			
Solver type	Picos			
Kernel type	64 bit			
Extrapolation factor	0,3681			
Relative stiffness	0,09740			
Design approach				
Index	1			
Name	M2			
Multipliers				
Soil weight	걈	걈	₡M $_{Weight}$	1,000
Strength reduction factor	M $_{sf}$	0,000	₡M $_{sf}$	1,000
Time	Increment	0,000	End time	0,000
Staged construction				
Active proportion total area	M $_{Area}$	0,000	₡M $_{Area}$	0,9714
Active proportion of stage	M $_{Stage}$	0,01991	₡M $_{Stage}$	1,000
Forces				
F $_{X}$	0,000 kN/m			
F $_{Y}$	0,000 kN/m			
Consolidation				

Calculation information				
Realised $P_{Excess,Max}$	0,000 kN/m²			
Pseudo-static acceleration				
X	0,1750 g			
Y	0,000 g			

1.1.7.29 Calculation information

Calculation information				
Step info				
Phase	Eccezionale [Phase_22]			
Step	Initial			
Calulation mode	Classical mode			
Step type	Plastic			
Updated mesh	False			
Solver type	Picos			
Kernel type	64 bit			
Extrapolation factor	0,5866			
Relative stiffness	0,6479			
Design approach				
Index	1			
Name	M2			
Multipliers				
Soil weight	쟘	쟘	₡M $_{Weight}$	1,000
Strength reduction factor	M $_{sf}$	0,000	₡M $_{sf}$	1,000
Time	Increment	0,000	End time	0,000
Staged construction				
Active proportion total area	M $_{Area}$	0,000	₡M $_{Area}$	0,9823
Active proportion of stage	M $_{Stage}$	0,01072	₡M $_{Stage}$	1,000
Forces				
F $_{X}$	0,000 kN/m			
F $_{Y}$	0,000 kN/m			
Consolidation				

Calculation information				
Realised $P_{Excess,Max}$	0,000 kN/m²			

1.1.7.30 Calculation information

Calculation information				
Step info				
Phase	q Rullo [Phase_25]			
Step	Initial			
Calulation mode	Classical mode			
Step type	Plastic			
Updated mesh	False			
Solver type	Picos			
Kernel type	64 bit			
Extrapolation factor	0,04628			
Relative stiffness	0,6031			
Design approach				
Index	1			
Name	M2			
Multipliers				
Soil weight	㱺	㱺	℄M $_{Weight}$	1,000
Strength reduction factor	M $_{sf}$	0,000	℄M $_{sf}$	1,000
Time	Increment	0,000	End time	0,000
Staged construction				
Active proportion total area	M $_{Area}$	0,000	℄M $_{Area}$	0,9823
Active proportion of stage	M $_{Stage}$	4,747E-3	℄M $_{Stage}$	1,000
Forces				
F $_{X}$	0,000 kN/m			
F $_{Y}$	0,000 kN/m			
Consolidation				

Calculation information				
Realised $P_{Excess,Max}$	0,000 kN/m²			

1.1.7.31 Calculation information

Calculation information				
Step info				
Phase	SLU11 Paratia provvisionale [Phase_23]			
Step	Initial			
Calulation mode	Classical mode			
Step type	Plastic			
Updated mesh	False			
Solver type	Picos			
Kernel type	64 bit			
Extrapolation factor	0,1441			
Relative stiffness	0,4568			
Design approach				
Index	1			
Name	M2			
Multipliers				
Soil weight	갊	갊	ℳ Weight	1,000
Strength reduction factor	M sf	0,000	ℳ sf	1,000
Time	Increment	0,000	End time	0,000
Staged construction				
Active proportion total area	M Area	0,000	ℳ Area	0,9546
Active proportion of stage	M Stage	0,03407	ℳ Stage	1,000
Forces				
F x	0,000 kN/m			
F y	0,000 kN/m			
Consolidation				

Calculation information				
Realised $P_{Excess,Max}$	0,000 kN/m²			

1.1.7.32 Calculation information

Calculation information				
Step info				
Phase	SLU12 Paratia provvisionale [Phase_24]			
Step	Initial			
Calulation mode	Classical mode			
Step type	Plastic			
Updated mesh	False			
Solver type	Picos			
Kernel type	64 bit			
Extrapolation factor	0,2429			
Relative stiffness	0,4875			
Design approach				
Index	1			
Name	M2			
Multipliers				
Soil weight	갬	갬	ℳ Weight	1,000
Strength reduction factor	M sf	0,000	ℳ sf	1,000
Time	Increment	0,000	End time	0,000
Staged construction				
Active proportion total area	M Area	0,000	ℳ Area	0,9546
Active proportion of stage	M Stage	0,03197	ℳ Stage	1,000
Forces				
F x	0,000 kN/m			
F y	0,000 kN/m			
Consolidation				

Calculation information				
Realised $P_{Excess,Max}$	0,000 kN/m²			

1.1.7.33 Calculation information

Calculation information				
Step info				
Phase	FS [Phase_32]			
Step	Initial			
Calulation mode	Classical mode			
Step type	Safety			
Updated mesh	False			
Solver type	Picos			
Kernel type	64 bit			
Extrapolation factor	1,000			
Relative stiffness	1,828E-3			
Design approach				
Index	1			
Name	M2			
Multipliers				
Soil weight	㱺	㱺	ℳ $_{Weight}$	1,000
Strength reduction factor	M $_{sf}$	0,02617E-3	ℳ $_{sf}$	1,267
Time	Increment	0,000	End time	0,000
Staged construction				
Active proportion total area	M $_{Area}$	0,000	ℳ $_{Area}$	0,9546
Active proportion of stage	M $_{Stage}$	0,000	ℳ $_{Stage}$	0,000
Forces				
F $_{X}$	0,000 kN/m			
F $_{Y}$	0,000 kN/m			
Consolidation				

Calculation information				
Realised $P_{Excess,Max}$	0,000 kN/m²			

1.1.7.34 Calculation information

Calculation information				
Step info				
Phase	Eccezionale Op provvisionale [Phase_33]			
Step	Initial			
Calulation mode	Classical mode			
Step type	Plastic			
Updated mesh	False			
Solver type	Picos			
Kernel type	64 bit			
Extrapolation factor	0,1959			
Relative stiffness	0,8184			
Design approach				
Index	1			
Name	M2			
Multipliers				
Soil weight	쟘	쟘	ℳ Weight	1,000
Strength reduction factor	M sf	0,000	ℳ sf	1,000
Time	Increment	0,000	End time	0,000
Staged construction				
Active proportion total area	M Area	0,000	ℳ Area	0,9546
Active proportion of stage	M Stage	3,003E-3	ℳ Stage	1,000
Forces				
F x	0,000 kN/m			
F y	0,000 kN/m			
Consolidation				

Calculation information				
Realised $P_{Excess,Max}$	0,000 kN/m²			

1.1.8 Calculation information per phase

Identification	Phase	Start from	Calculation type	Loading input	Pore pressure	Time step [day]	First step	Last step	Log
Initial phase [InitialPhase]	0	N/A	Gravity loading	N/A	Phreatic	0,000	0	1	ab
Costruzione stato di fatto 1 [Phase_1]	1	0	Plastic	Staged construction	Phreatic	0,000	2	6	ab
Costruzione stato di fatto 2 [Phase_2]	2	1	Plastic	Staged construction	Phreatic	0,000	7	99	ab
Phase_3 [Phase_3]	3	2	Safety	Incremental multipliers	Use pressures from previous phase	0,000	100	199	ab
Preparazione cantiere [Phase_4]	4	2	Plastic	Staged construction	Phreatic	0,000	200	204	ab
Paratia di micropali [Phase_5]	5	4	Plastic	Staged construction	Phreatic	0,000	205	211	ab
(RD) Escavo 1 + sovraccarico [Phase_6]	6	5	Plastic	Staged construction	Phreatic	0,000	212	229	ab
Ancoraggio 1 [Phase_7]	7	6	Plastic	Staged construction	Phreatic	0,000	230	308	ab
Escavo 2 [Phase_8]	8	7	Plastic	Staged construction	Phreatic	0,000	309	338	ab
Escavo 3 [Phase_9]	9	8	Plastic	Staged construction	Phreatic	0,000	339	379	ab
Ancoraggio 2 [Phase_27]	27	9	Plastic	Staged construction	Phreatic	0,000	380	430	ab
Escavo 4 [Phase_10]	10	27	Plastic	Staged construction	Phreatic	0,000	431	449	ab
Completamento scavo [Phase_28]	28	10	Plastic	Staged construction	Phreatic	0,000	450	479	ab
(RD) Strutture [Phase_11]	11	28	Plastic	Staged construction	Phreatic	0,000	480	482	ab
Riempimento 1 [Phase_12]	12	11	Plastic	Staged construction	Phreatic	0,000	483	828	ab
Collegamento ancoraggio 1 [Phase_29]	29	12	Plastic	Staged construction	Phreatic	0,000	829	843	ab
Riempimento 2 [Phase_13]	13	29	Plastic	Staged construction	Phreatic	0,000	844	861	ab
Riempimento 3 [Phase_30]	30	13	Plastic	Staged construction	Phreatic	0,000	862	964	ab
Collegamento ancoraggio 2 [Phase_14]	14	30	Plastic	Staged construction	Phreatic	0,000	965	977	ab
Riempimento 4 (MG) [Phase_15]	15	14	Plastic	Staged construction	Phreatic	0,000	978	984	ab
Riempimento 5 (MG) [Phase_16]	16	15	Plastic	Staged construction	Phreatic	0,000	985	992	ab
Disattivazione paratia provvisionale [Phase_17]	17	16	Plastic	Staged construction	Phreatic	0,000	993	998	ab
SLE [Phase_18]	18	17	Plastic	Staged construction	Phreatic	0,000	999	1002	ab
Scalzamento al piede [Phase_19]	19	18	Plastic	Staged construction	Phreatic	0,000	1003	1007	ab
SLU11 [Phase_20]	20	19	Plastic	Staged construction	Phreatic	0,000	1008	1011	ab
SLV [Phase_21]	21	19	Plastic	Staged construction	Phreatic	0,000	1012	1061	ab
SLU12 [Phase_26]	26	19	Plastic	Staged construction	Phreatic	0,000	1062	1072	ab
SLD [Phase_31]	31	19	Plastic	Staged construction	Phreatic	0,000	1073	1085	ab
Eccezionale [Phase_22]	22	18	Plastic	Staged construction	Phreatic	0,000	1086	1130	ab
q Rullo [Phase_25]	25	16	Plastic	Staged construction	Phreatic	0,000	1131	1142	ab
SLU11 Paratia provvisionale [Phase_23]	23	28	Plastic	Staged construction	Phreatic	0,000	1143	1151	ab
SLU12 Paratia provvisionale [Phase_24]	24	28	Plastic	Staged construction	Phreatic	0,000	1152	1162	ab
FS [Phase_32]	32	24	Safety	Incremental multipliers	Use pressures from previous phase	0,000	1163	1262	ab
Eccezionale Op provvisionale [Phase_33]	33	28	Plastic	Staged construction	Phreatic	0,000	1263	1287	ab

2.1.1.1.1 Calculation results, Initial phase [InitialPhase] (0/1), Total displacements u_x

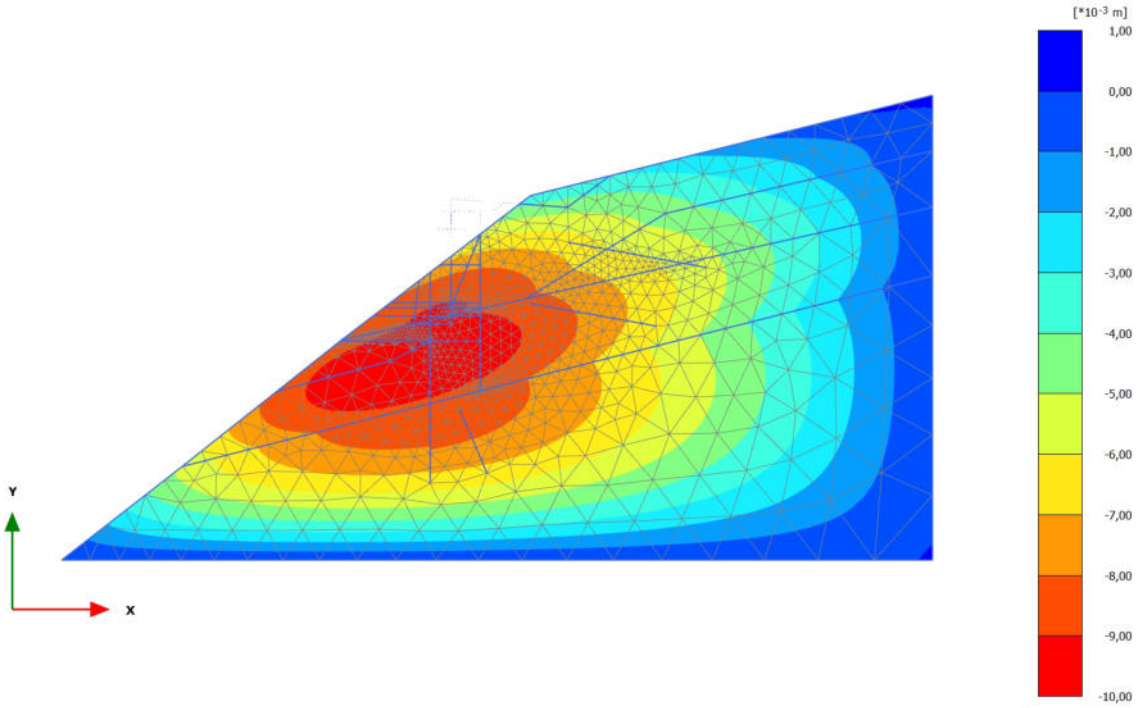

Total displacements u_x (scaled up 200 times)

Maximum value = 0,1603*10^{-3} m (Element 3 at Node 2330)

Minimum value = -9,870*10^{-3} m (Element 1677 at Node 5771)

2.1.1.1.2 Calculation results, Costruzione stato di fatto 1 [Phase_1] (1/6), Total displacements u_x

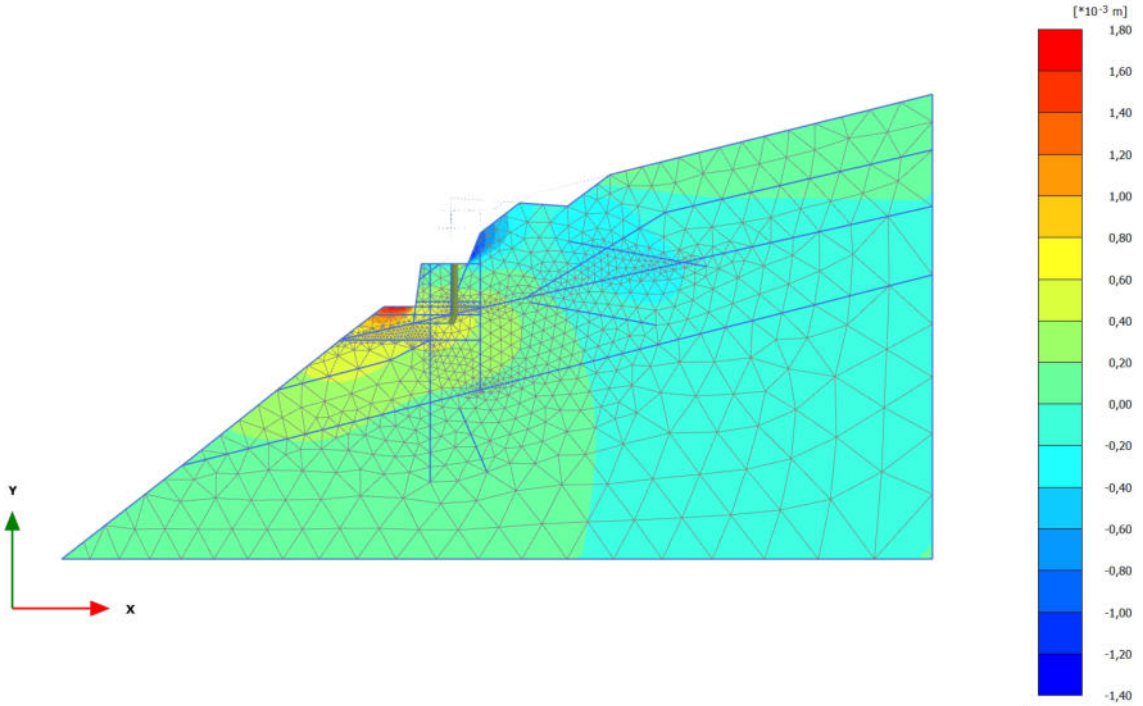

Total displacements u_x (scaled up 500 times)

Maximum value = 1,791*10^{-3} m (Element 1165 at Node 12907)

Minimum value = -1,269*10^{-3} m (Element 474 at Node 16330)

2.1.1.1.3 Calculation results, Costruzione stato di fatto 2 [Phase_2] (2/99), Total displacements u_x

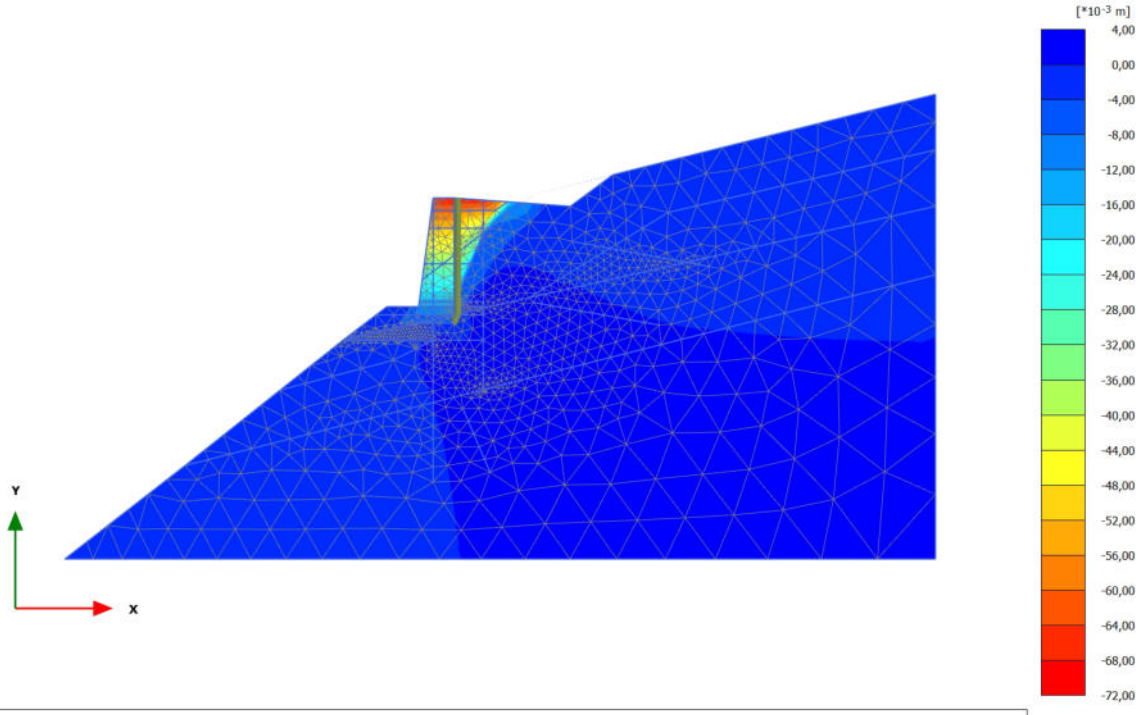

Total displacements u_x (scaled up 20,0 times)

Maximum value = 0,9350*10-3 m (Element 1732 at Node 5679)

Minimum value = -0,06828 m (Element 243 at Node 17096)

2.1.1.1.4 Calculation results, Phase_3 [Phase_3] (3/199), Total displacements u_x

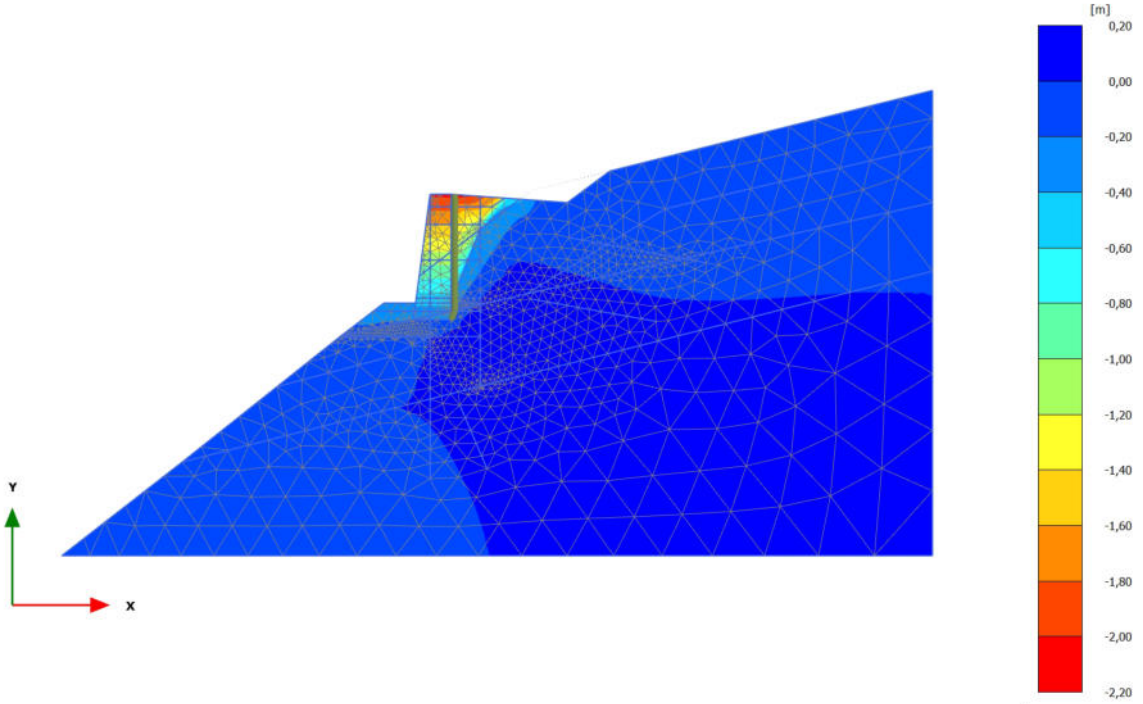

Total displacements u_x (scaled up 0,500 times)

Maximum value = $1{,}925*10^{-3}$ m (Element 1639 at Node 8269)

Minimum value = -2,085 m (Element 241 at Node 17281)

2.1.1.1.5 Calculation results, Preparazione cantiere [Phase_4] (4/204), Total displacements u_x

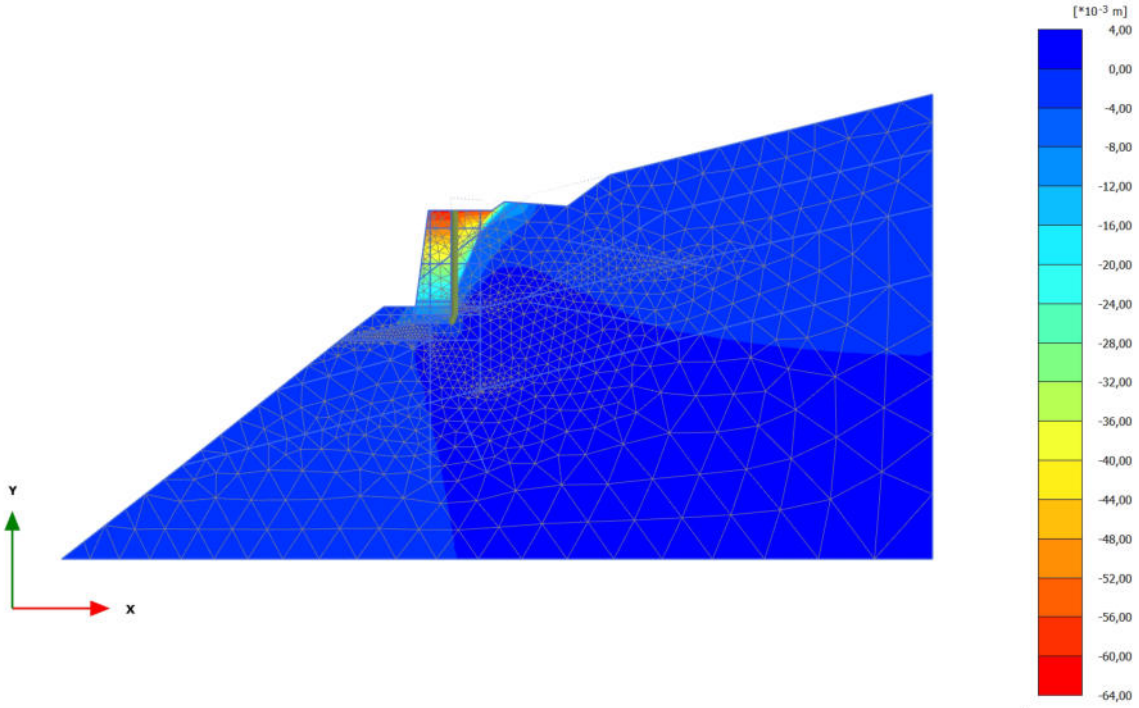

Total displacements u_x (scaled up 20,0 times)

Maximum value = 1,008*10^{-3} m (Element 1732 at Node 5679)

Minimum value = -0,06093 m (Element 367 at Node 17524)

2.1.1.1.6 Calculation results, Paratia di micropali [Phase_5] (5/211), Total displacements u_x

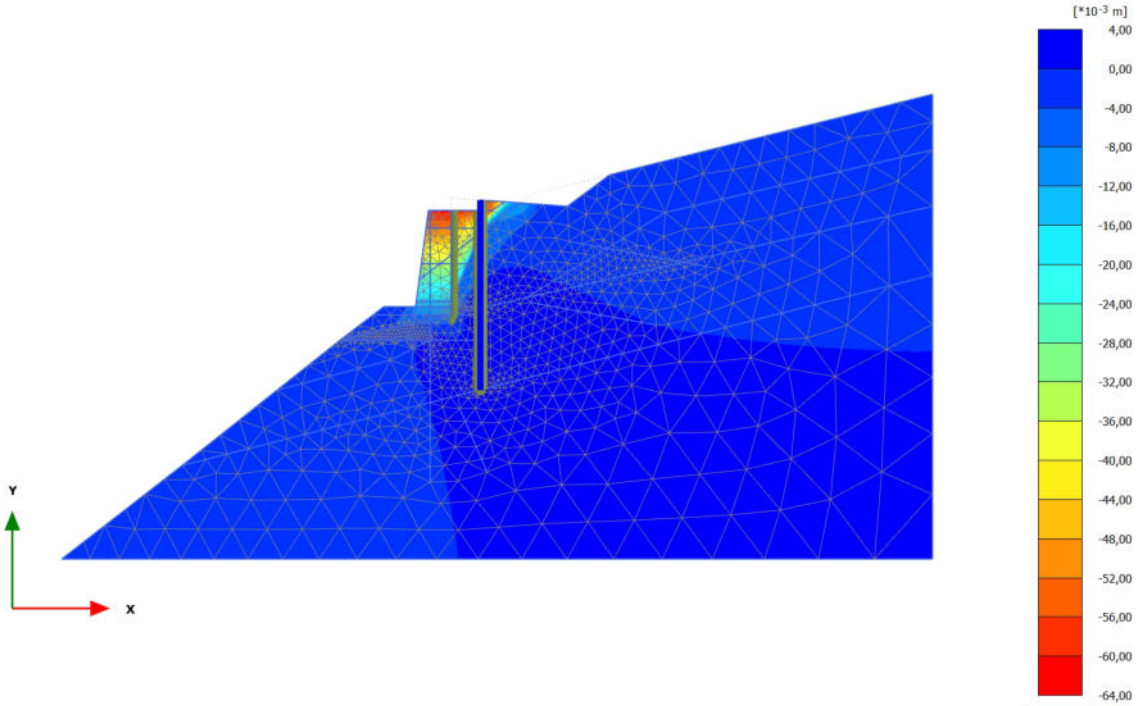

Total displacements u_x (scaled up 20,0 times)

Maximum value = $0{,}9950*10^{-3}$ m (Element 1732 at Node 5679)

Minimum value = -0,06367 m (Element 247 at Node 16467)

2.1.1.1.7 Calculation results, (RD) Escavo 1 + sovraccarico [Phase_6] (6/229), Total displacements u_x

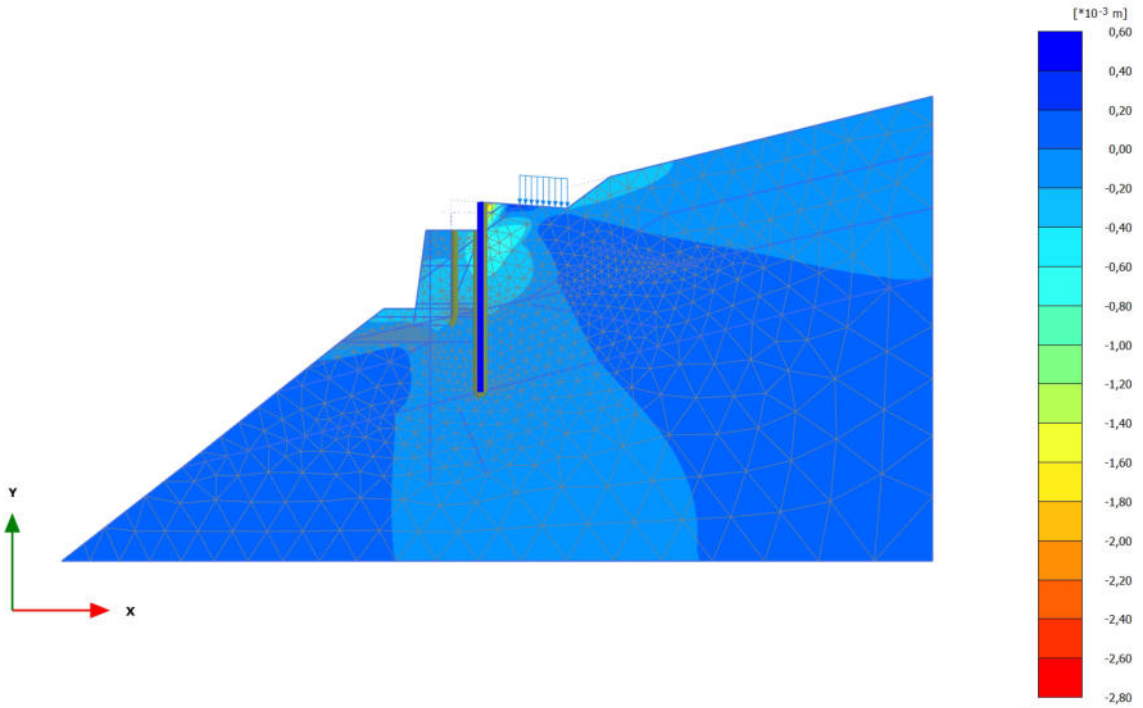

Total displacements u_x (scaled up 500 times)

Maximum value = 0,4040*10^{-3} m (Element 346 at Node 15844)

Minimum value = -2,722*10^{-3} m (Element 247 at Node 16467)

2.1.1.1.8 Calculation results, Ancoraggio 1 [Phase_7] (7/308), Total displacements u_x

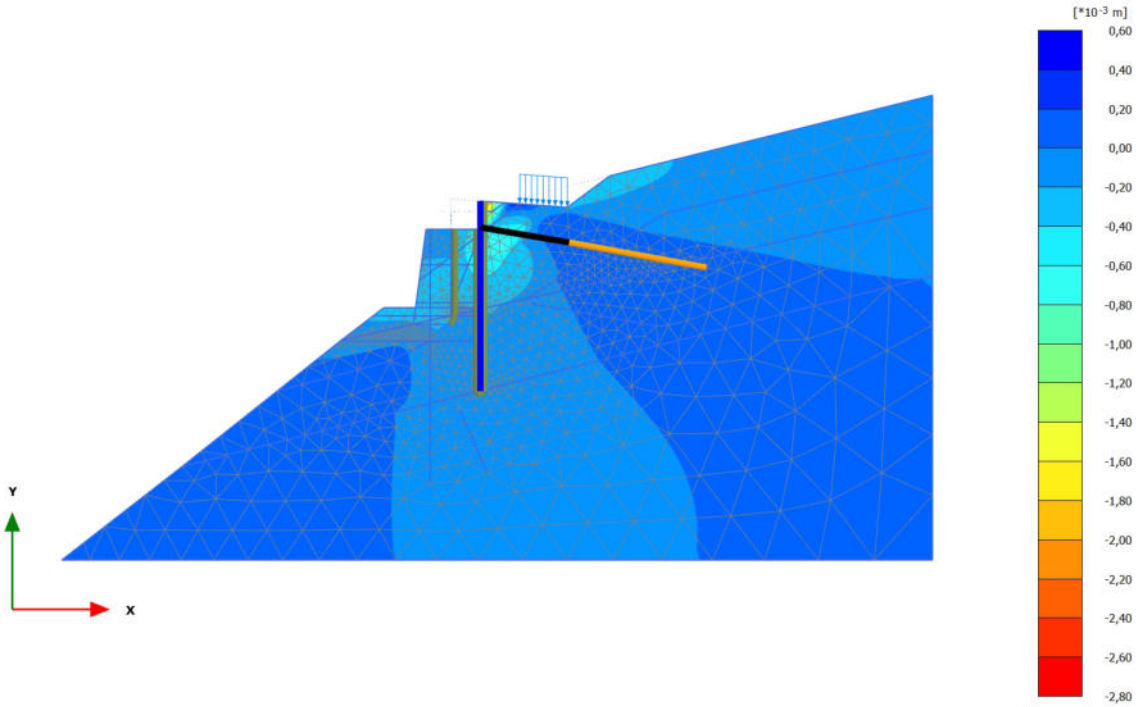

Total displacements u_x (scaled up 500 times)

Maximum value = 0,4081*10^{-3} m (Element 346 at Node 15844)

Minimum value = -2,795*10^{-3} m (Element 247 at Node 16467)

2.1.1.1.9 Calculation results, Escavo 2 [Phase_8] (8/338), Total displacements u_x

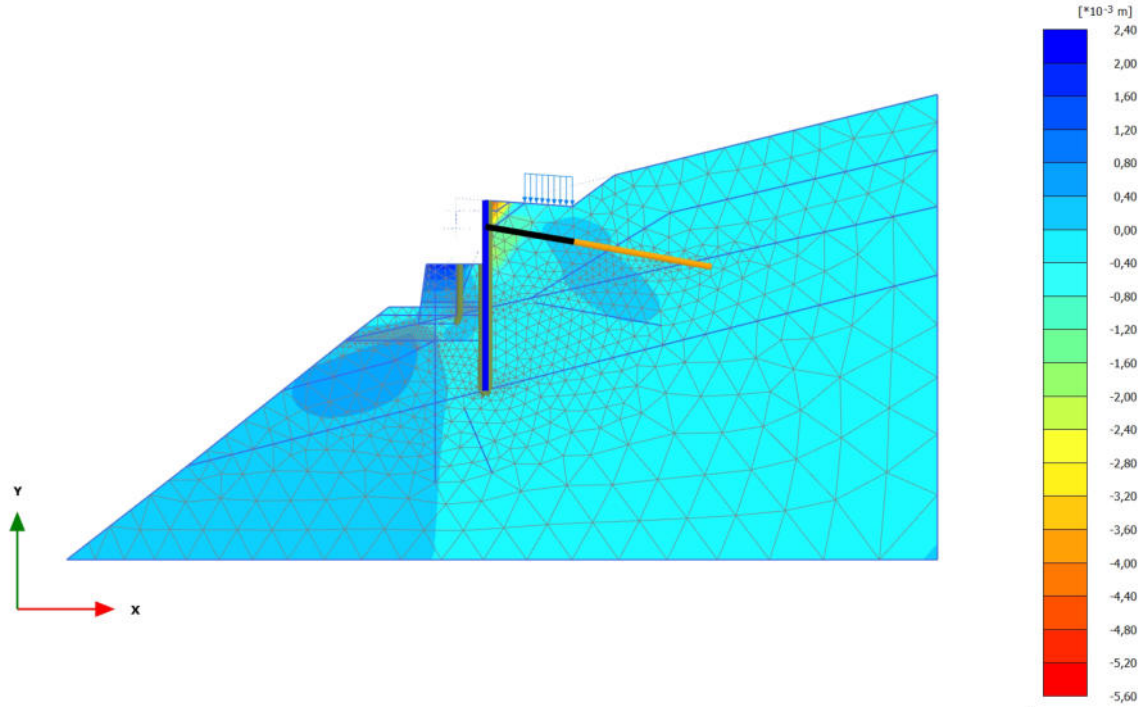

Total displacements u_x (scaled up 200 times)

Maximum value = 2,076*10^{-3} m (Element 614 at Node 16650)

Minimum value = -5,247*10^{-3} m (Element 247 at Node 16467)

2.1.1.1.10 Calculation results, Escavo 3 [Phase_9] (9/379), Total displacements u_x

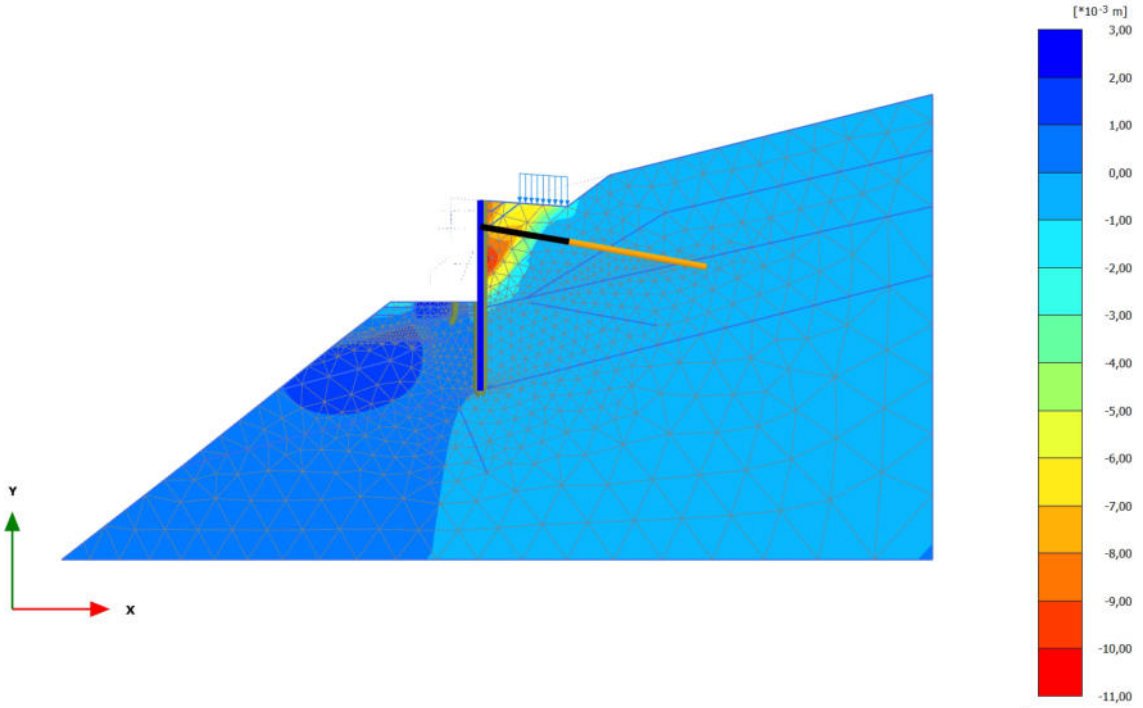

Total displacements u_x (scaled up 100 times)

Maximum value = $2{,}253*10^{-3}$ m (Element 1067 at Node 14776)

Minimum value = -0,01036 m (Element 92 at Node 15602)

2.1.1.1.11 Calculation results, Ancoraggio 2 [Phase_27] (27/430), Total displacements u_x

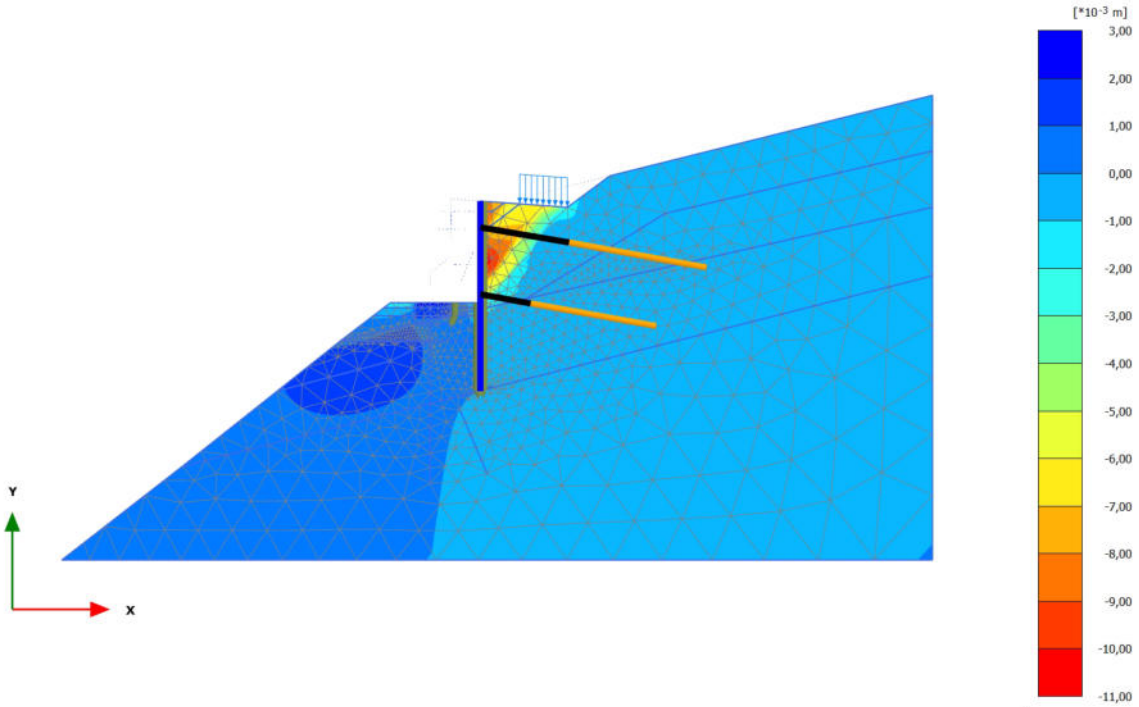

Total displacements u_x (scaled up 100 times)

Maximum value = 2,250*10^{-3} m (Element 1067 at Node 14776)

Minimum value = -0,01047 m (Element 92 at Node 15602)

2.1.1.1.12 Calculation results, Escavo 4 [Phase_10] (10/449), Total displacements u_x

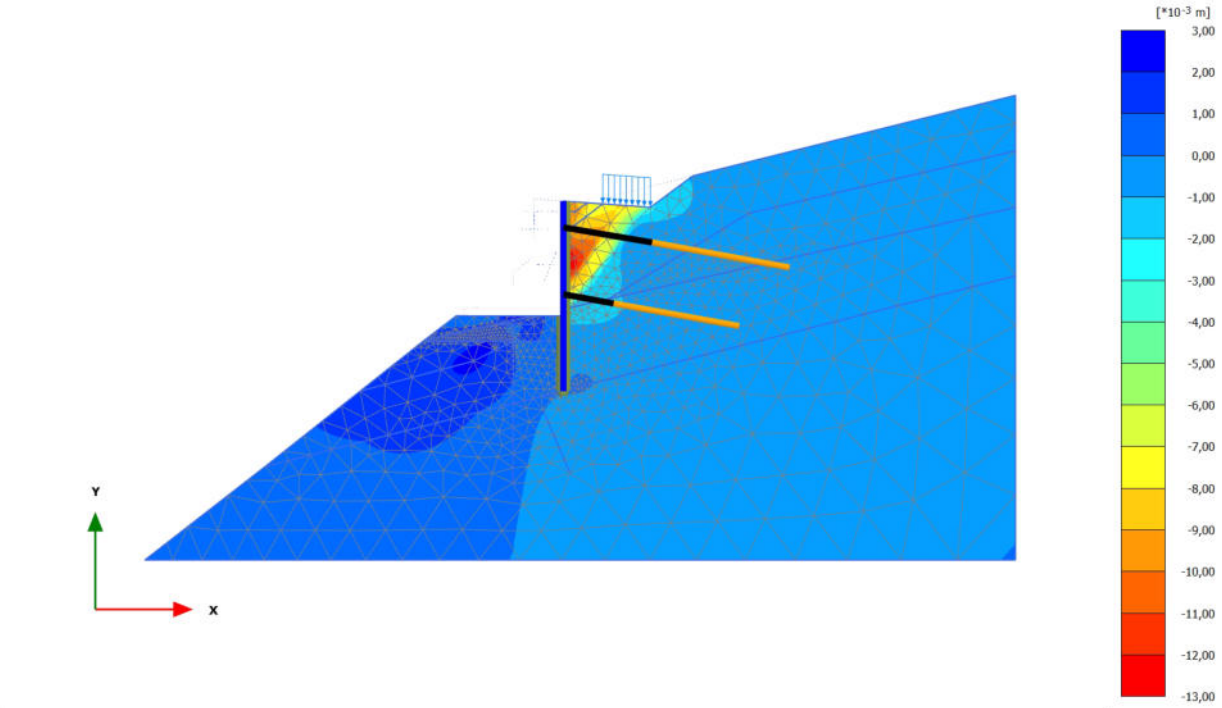

Total displacements u_x (scaled up 100 times)

Maximum value = $2{,}856*10^{-3}$ m (Element 1188 at Node 14151)

Minimum value = -0,01281 m (Element 92 at Node 15603)

2.1.1.1.13 Calculation results, Completamento scavo [Phase_28] (28/479), Total displacements u_x

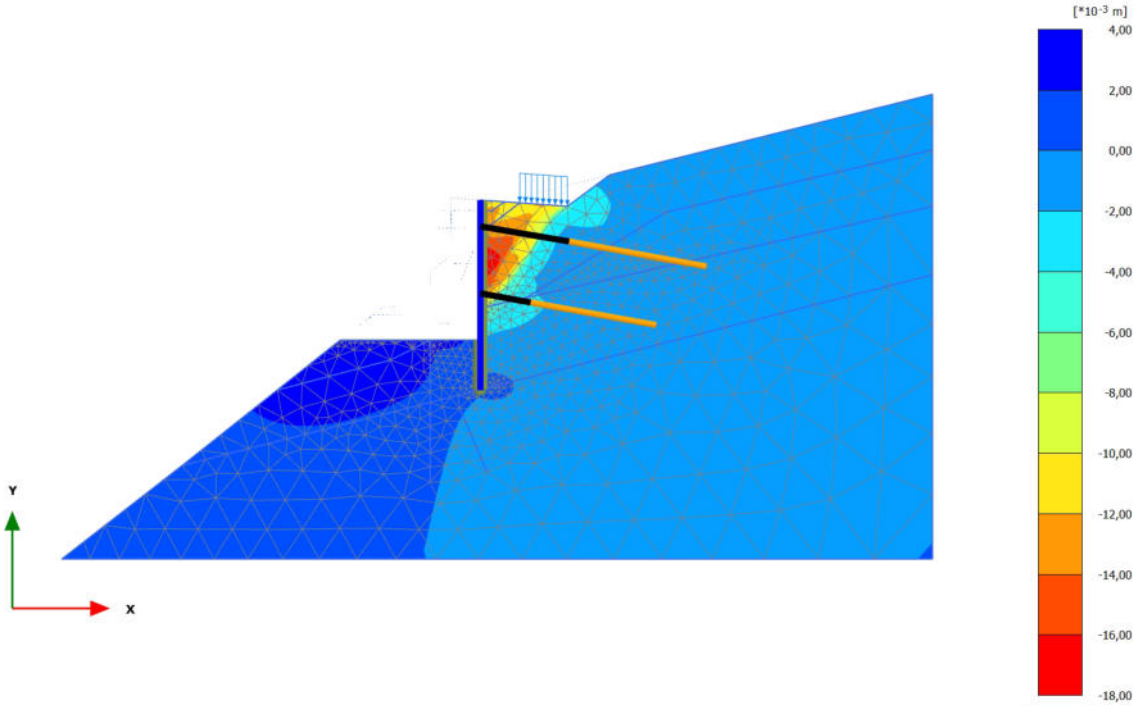

Total displacements u_x (scaled up 50,0 times)

Maximum value = 3,691*10^{-3} m (Element 1551 at Node 6336)

Minimum value = -0,01770 m (Element 80 at Node 15600)

2.1.1.1.14 Calculation results, (RD) Strutture [Phase_11] (11/482), Total displacements u_x

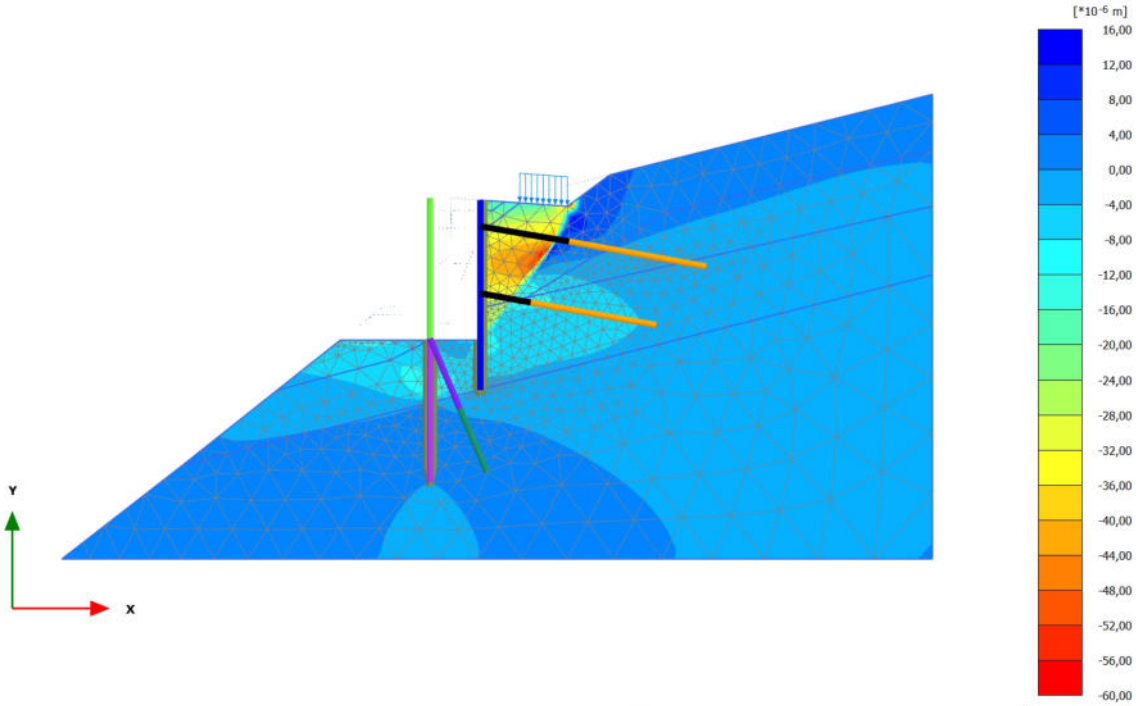

Total displacements u_x (scaled up $20,0*10^3$ times)

Maximum value = $0,01408*10^{-3}$ m (Element 96 at Node 14168)

Minimum value = $-0,05755*10^{-3}$ m (Element 47 at Node 14306)

2.1.1.1.15 Calculation results, Riempimento 1 [Phase_12] (12/828), Total displacements u_x

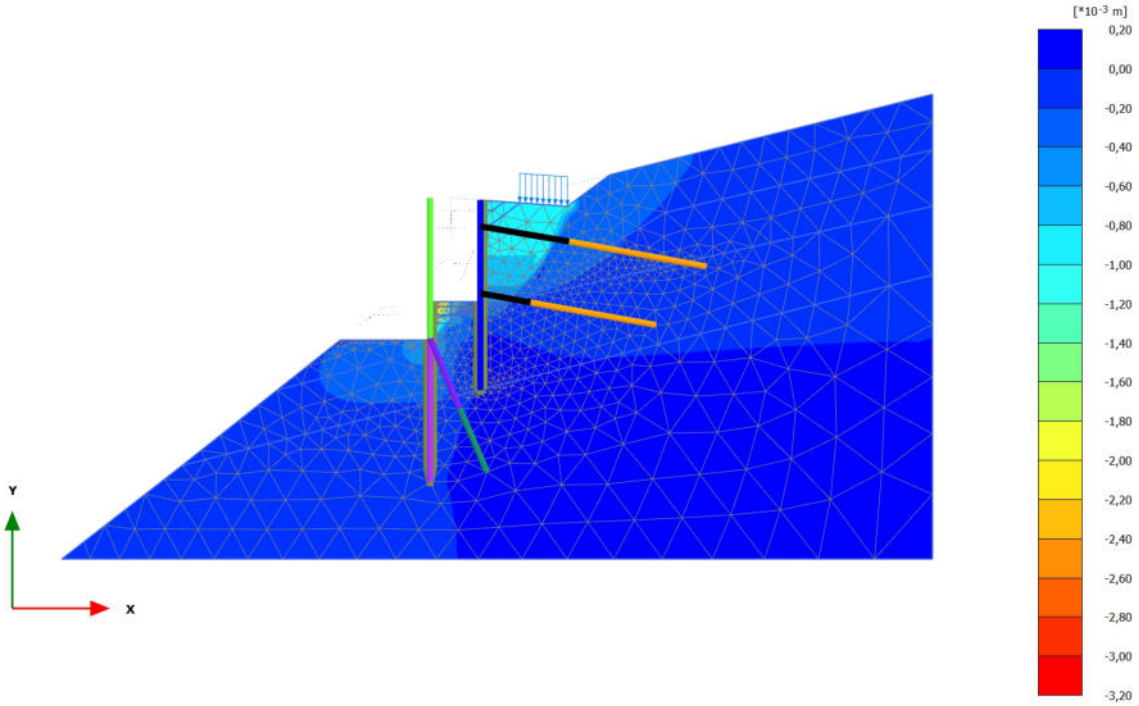

Total displacements u_x (scaled up 500 times)

Maximum value = $0{,}1704*10^{-3}$ m (Element 1867 at Node 1575)

Minimum value = $-3{,}122*10^{-3}$ m (Element 1057 at Node 15280)

2.1.1.1.16 Calculation results, Collegamento ancoraggio 1 [Phase_29] (29/843), Total displacements u_x

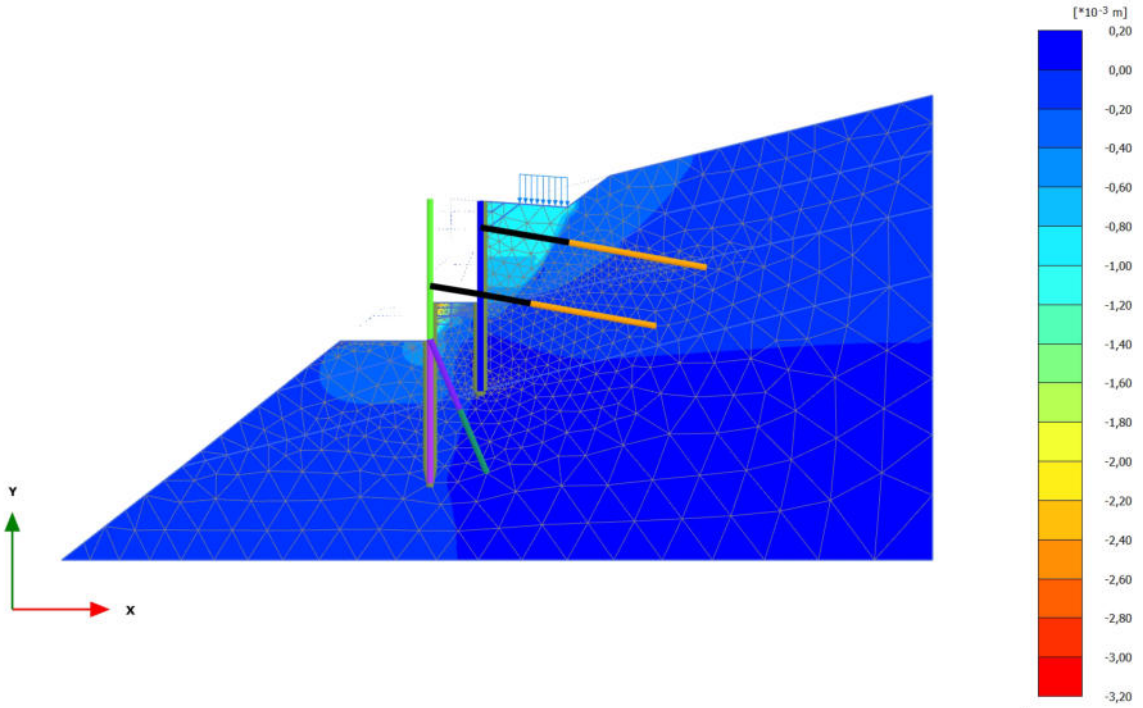

Total displacements u_x (scaled up 500 times)

Maximum value = 0,1704*10^{-3} m (Element 1867 at Node 1575)

Minimum value = -3,122*10^{-3} m (Element 1057 at Node 15280)

2.1.1.1.17 Calculation results, Riempimento 2 [Phase_13] (13/861), Total displacements u_x

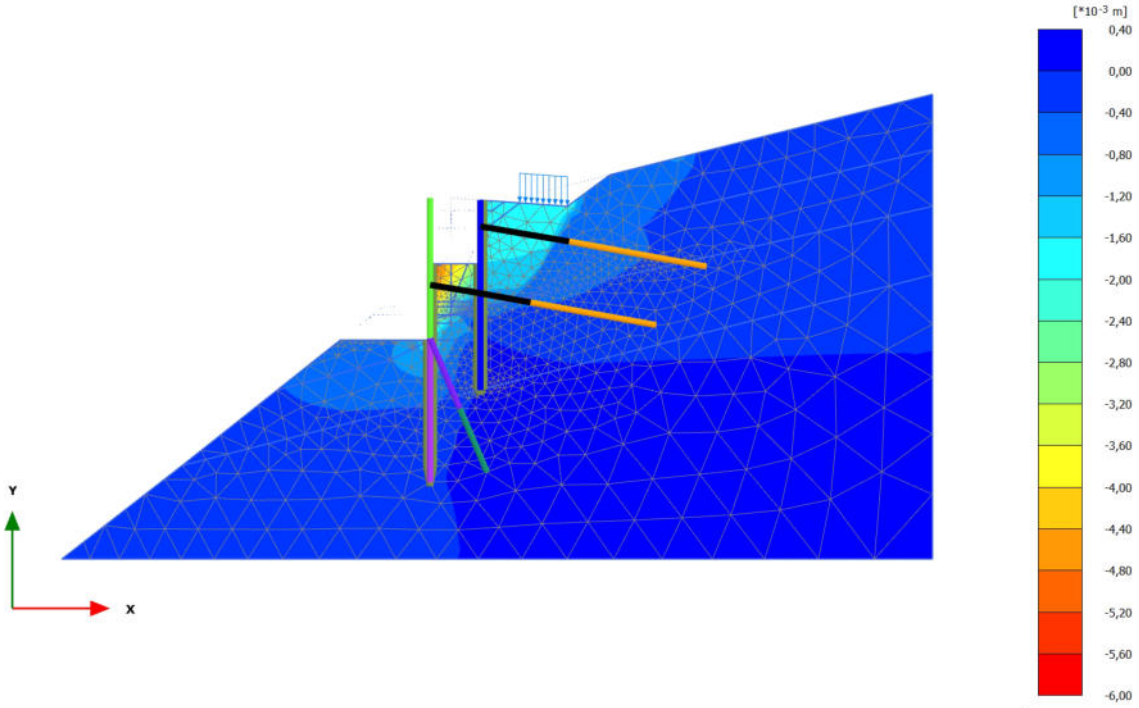

Total displacements u_x (scaled up 200 times)

Maximum value = 0,3528*10^{-3} m (Element 1867 at Node 1575)

Minimum value = -5,686*10^{-3} m (Element 503 at Node 16370)

2.1.1.1.18 Calculation results, Riempimento 3 [Phase_30] (30/964), Total displacements u_x

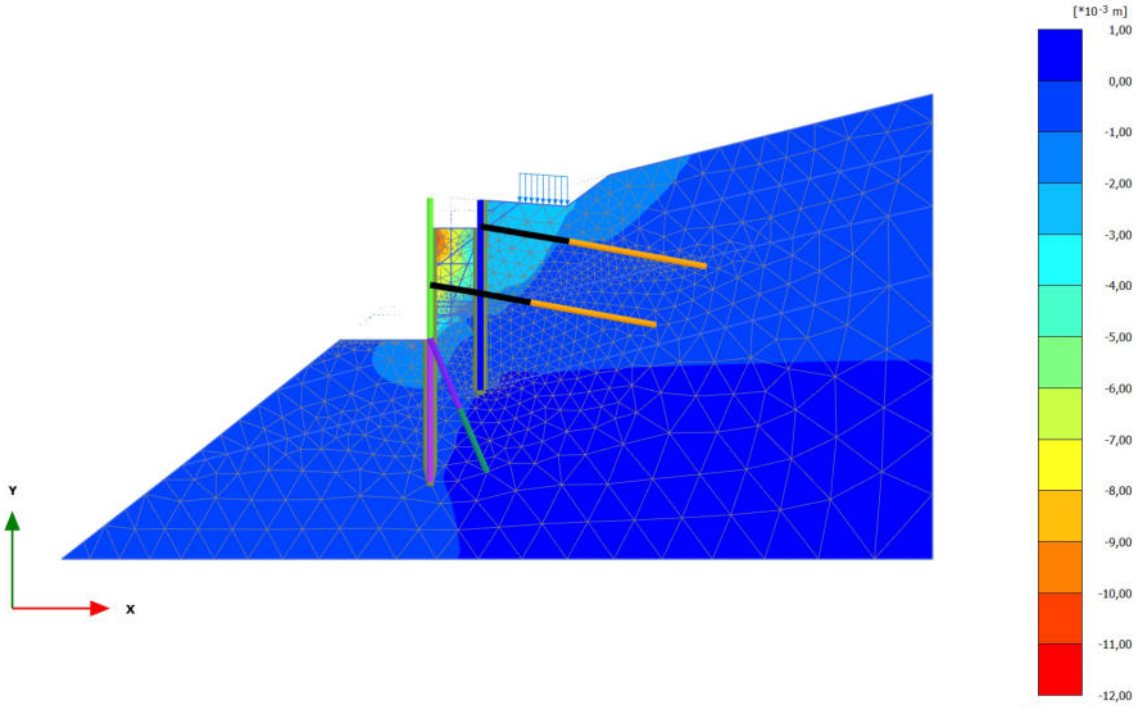

Total displacements u_x (scaled up 200 times)

Maximum value = $0{,}5148*10^{-3}$ m (Element 1867 at Node 1576)

Minimum value = -0,01170 m (Element 442 at Node 17362)

2.1.1.1.19 Calculation results, Collegamento ancoraggio 2 [Phase_14] (14/977), Total displacements u_x

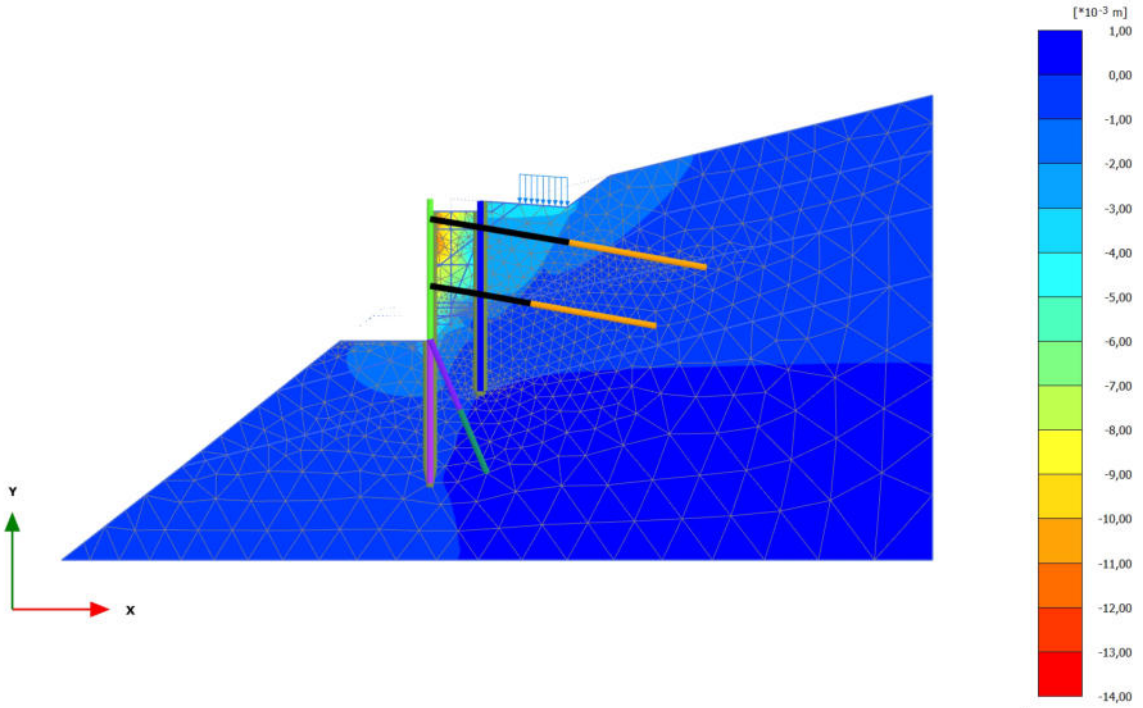

Total displacements u_x (scaled up 100 times)

Maximum value = 0,5928*10^{-3} m (Element 1867 at Node 1327)

Minimum value = -0,01317 m (Element 372 at Node 17474)

2.1.1.1.20 Calculation results, Riempimento 4 (MG) [Phase_15] (15/984), Total displacements u_x

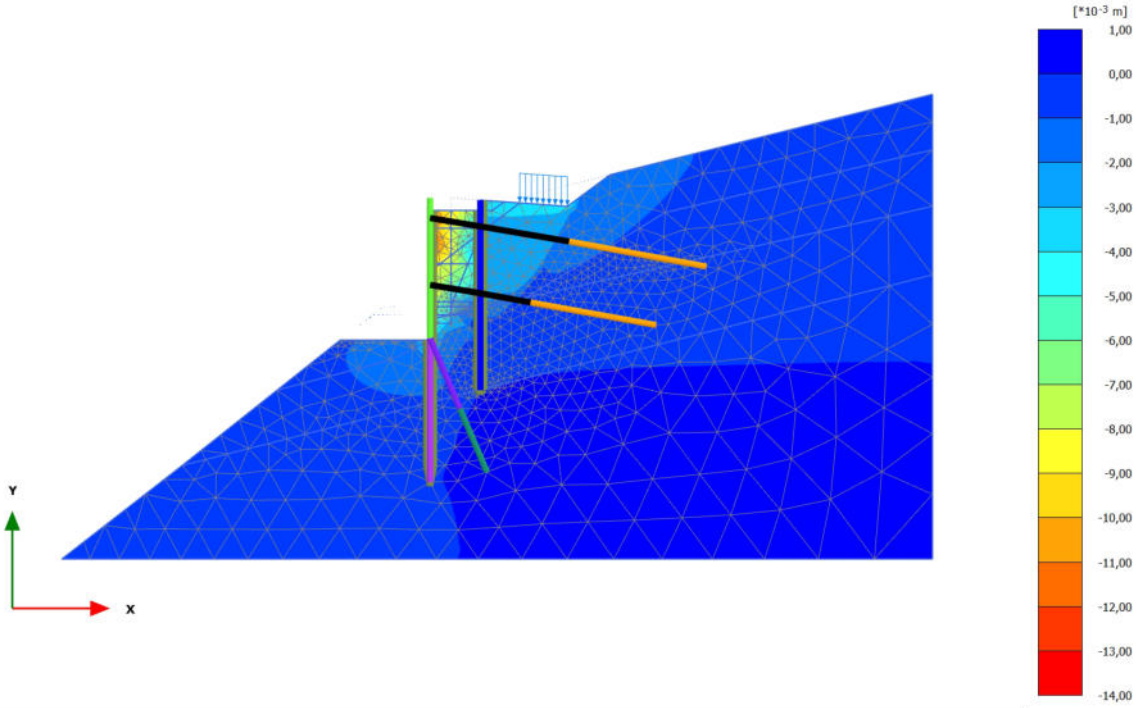

Total displacements u_x (scaled up 100 times)

Maximum value = $0{,}5924*10^{-3}$ m (Element 1867 at Node 1327)

Minimum value = -0,01317 m (Element 372 at Node 17474)

2.1.1.1.21 Calculation results, Riempimento 5 (MG) [Phase_16] (16/992), Total displacements u_x

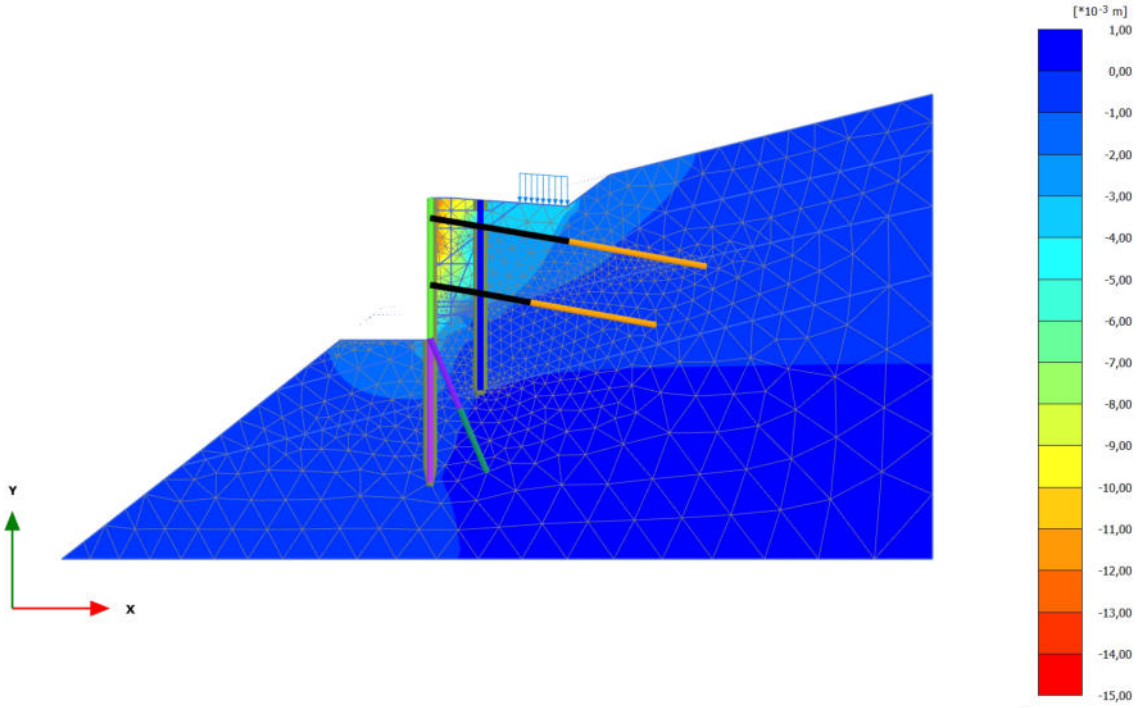

Total displacements u_x (scaled up 100 times)

Maximum value = 0,6467*10^{-3} m (Element 1867 at Node 1327)

Minimum value = -0,01450 m (Element 236 at Node 17801)

2.1.1.1.22 Calculation results, Disattivazione paratia provvisionale [Phase_17] (17/998), Total displacements u_x

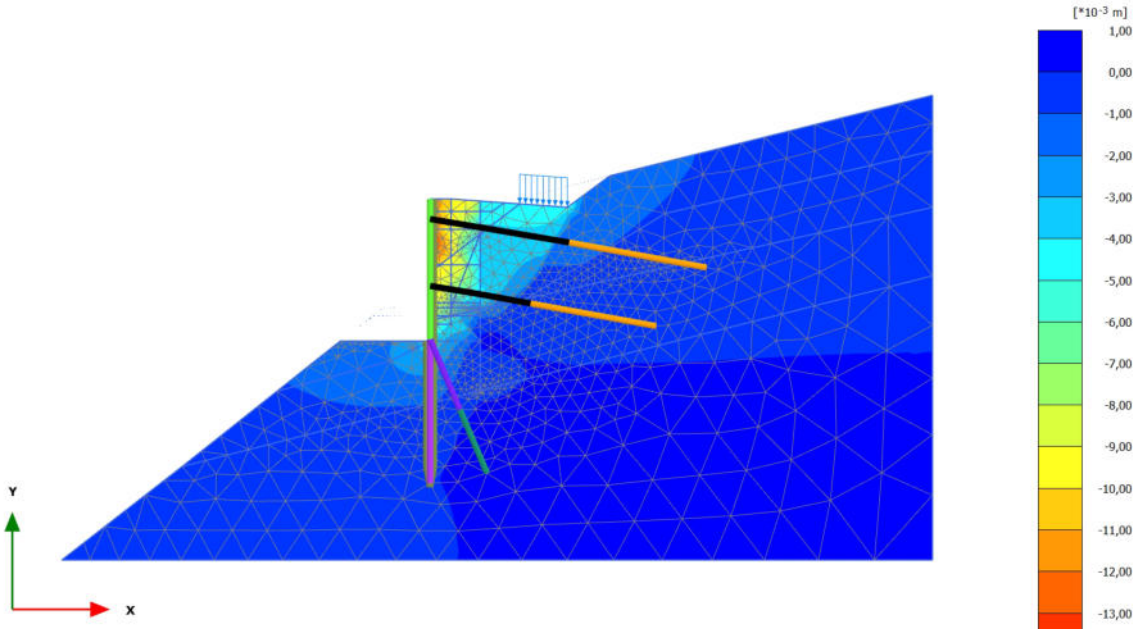

Total displacements u_x (scaled up 100 times)

Maximum value = $0{,}5924*10^{-3}$ m (Element 1867 at Node 1327)

Minimum value = -0,01419 m (Element 236 at Node 17802)

2.1.1.1.23 Calculation results, SLE [Phase_18] (18/1002), Total displacements u_x

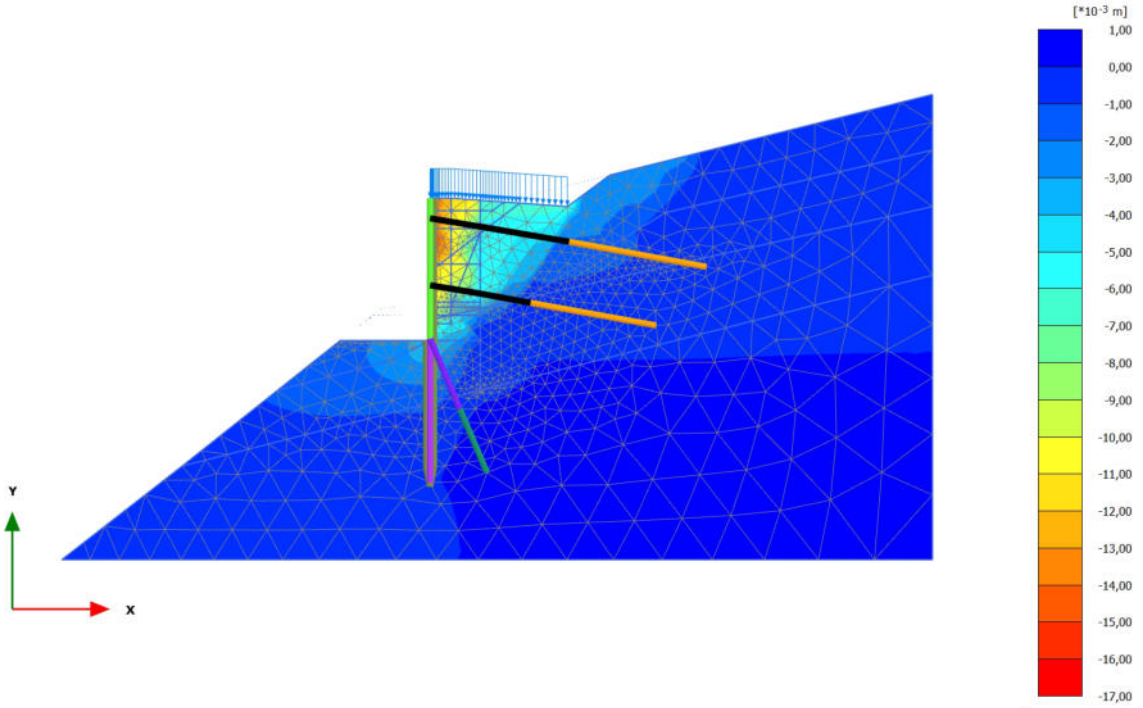

Total displacements u_x (scaled up 100 times)

Maximum value = $0{,}7071*10^{-3}$ m (Element 1867 at Node 1325)

Minimum value = -0,01638 m (Element 236 at Node 17802)

2.1.1.1.24 Calculation results, Scalzamento al piede [Phase_19] (19/1007), Total displacements u_x

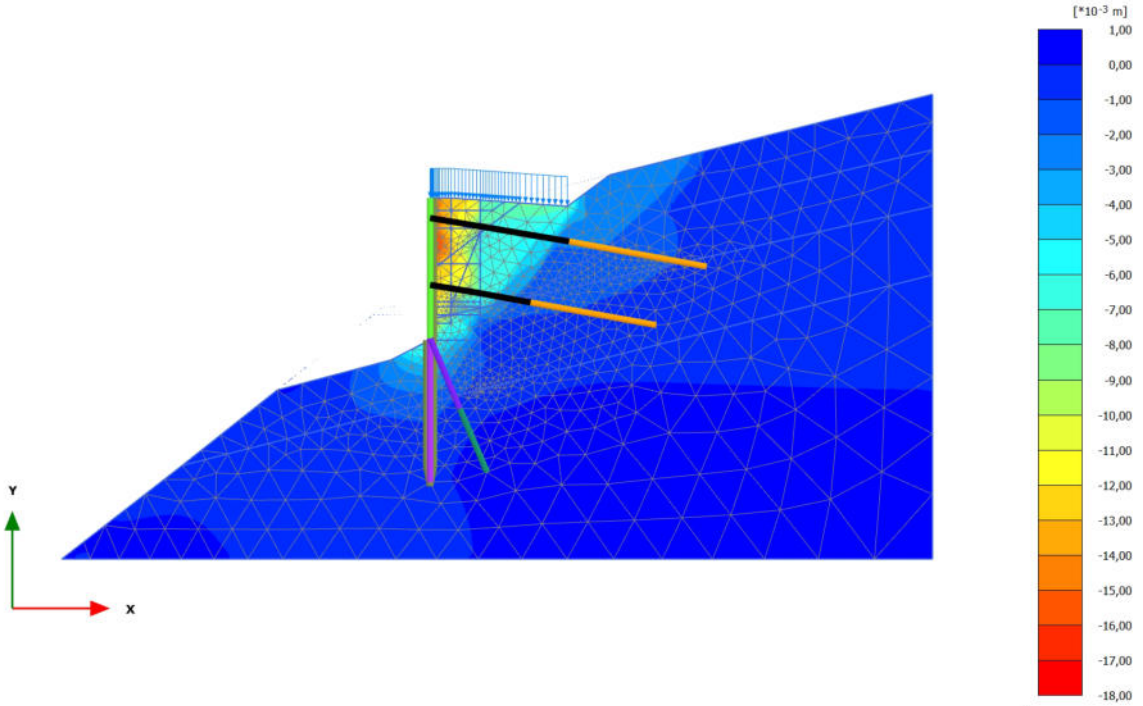

Total displacements u_x (scaled up 50,0 times)

Maximum value = 0,5835*10-3 m (Element 1855 at Node 1400)

Minimum value = -0,01727 m (Element 236 at Node 17802)

2.1.1.1.25 Calculation results, SLU11 [Phase_20] (20/1011), Total displacements u_x

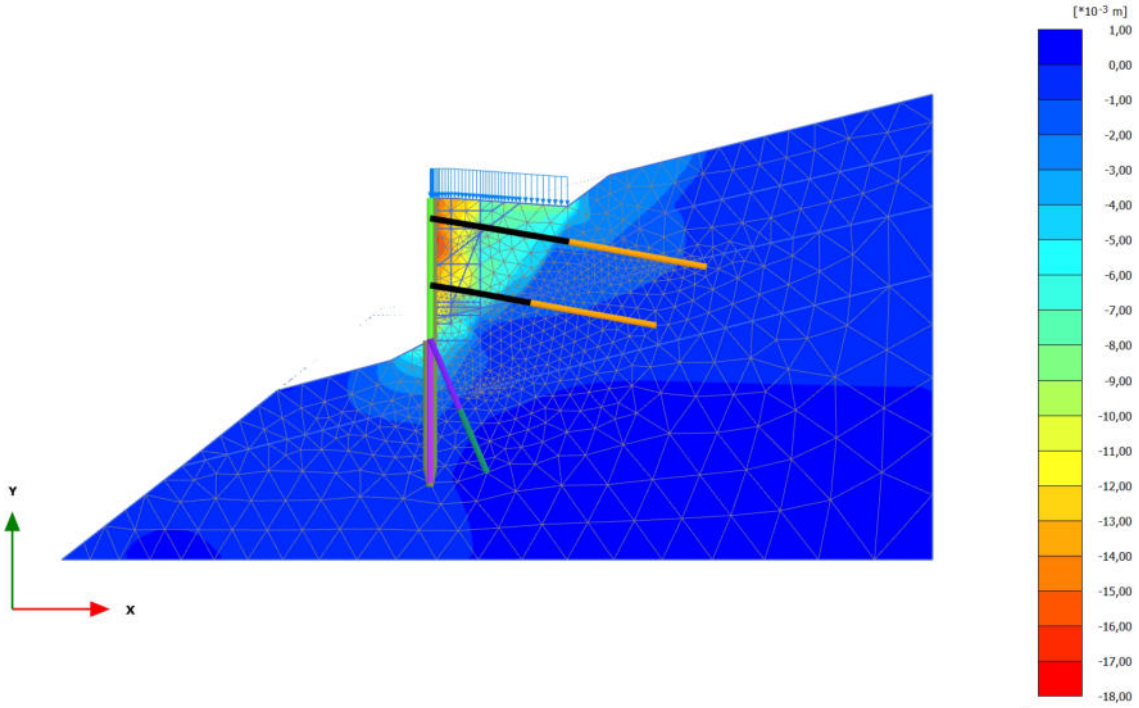

Total displacements u_x (scaled up 50,0 times)

Maximum value = $0{,}6031*10^{-3}$ m (Element 1855 at Node 1400)

Minimum value = -0,01772 m (Element 236 at Node 17802)

2.1.1.1.26 Calculation results, SLV [Phase_21] (21/1061), Total displacements u_x

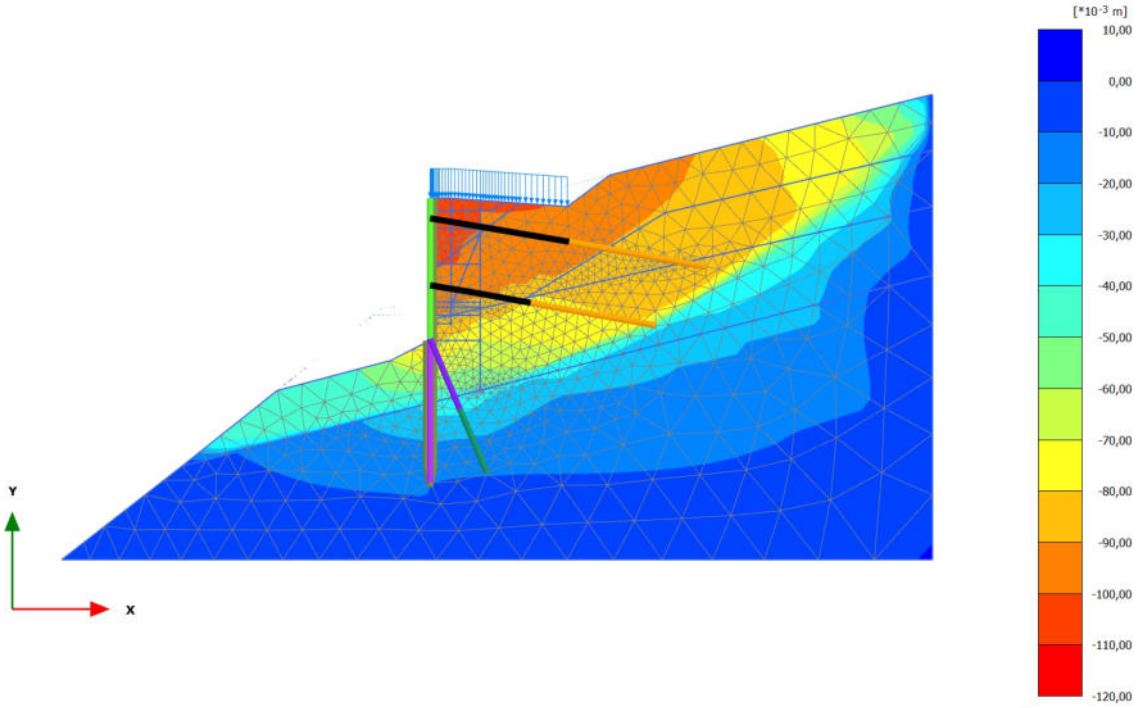

Total displacements u_x (scaled up 20,0 times)

Maximum value = 0,000 m (Element 4 at Node 2326)

Minimum value = -0,1109 m (Element 236 at Node 17800)

2.1.1.1.27 Calculation results, SLU12 [Phase_26] (26/1072), Total displacements u_x

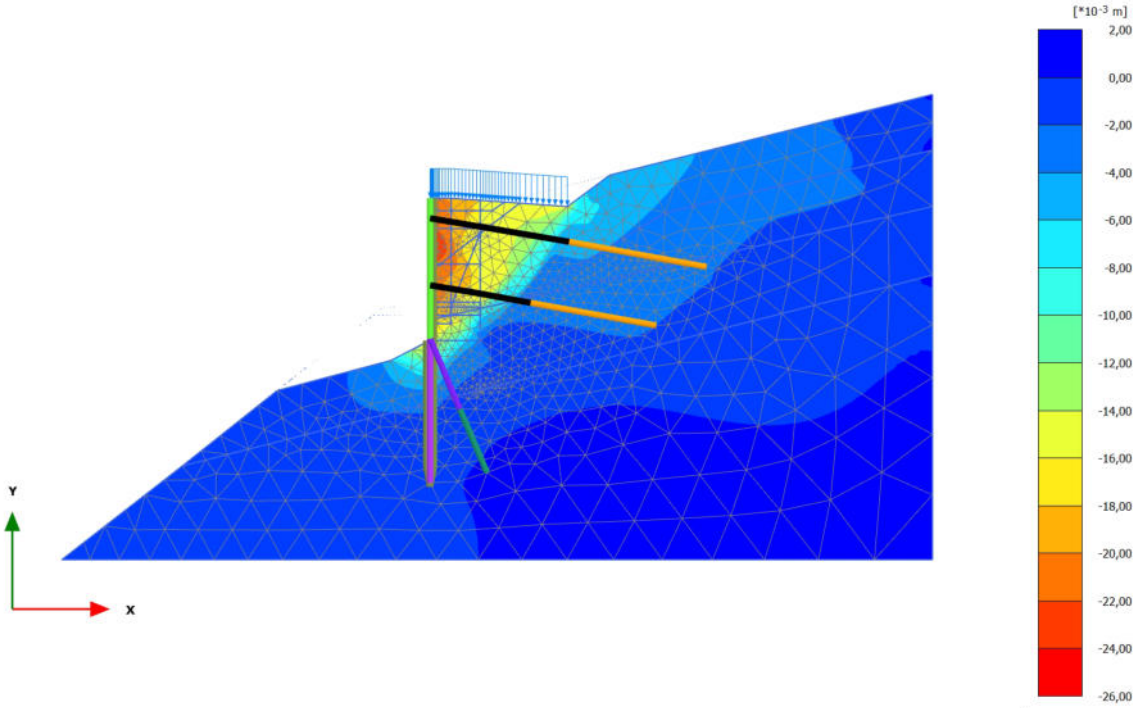

Total displacements u_x (scaled up 50,0 times)

Maximum value = $0{,}5520*10^{-3}$ m (Element 1802 at Node 1389)

Minimum value = -0,02444 m (Element 444 at Node 17210)

2.1.1.1.28 Calculation results, SLD [Phase_31] (31/1085), Total displacements u_x

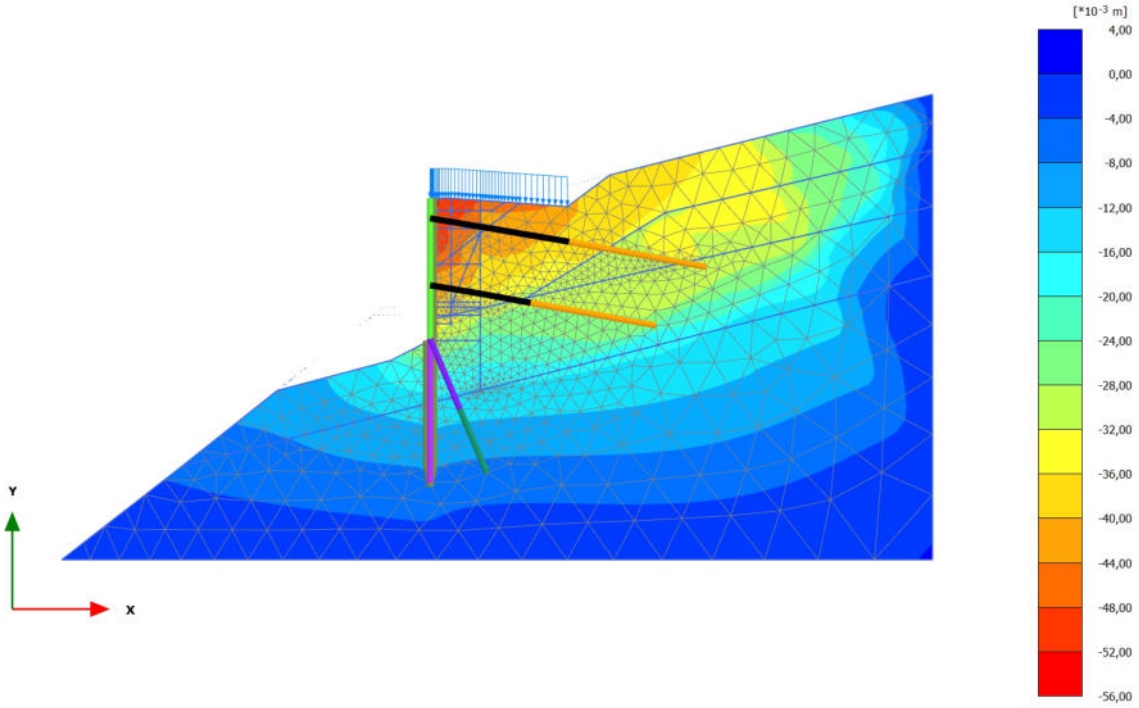

Total displacements u_x (scaled up 50,0 times)

Maximum value = 0,000 m (Element 4 at Node 2326)

Minimum value = -0,05488 m (Element 236 at Node 17800)

2.1.1.1.29 Calculation results, Eccezionale [Phase_22] (22/1130), Total displacements u_x

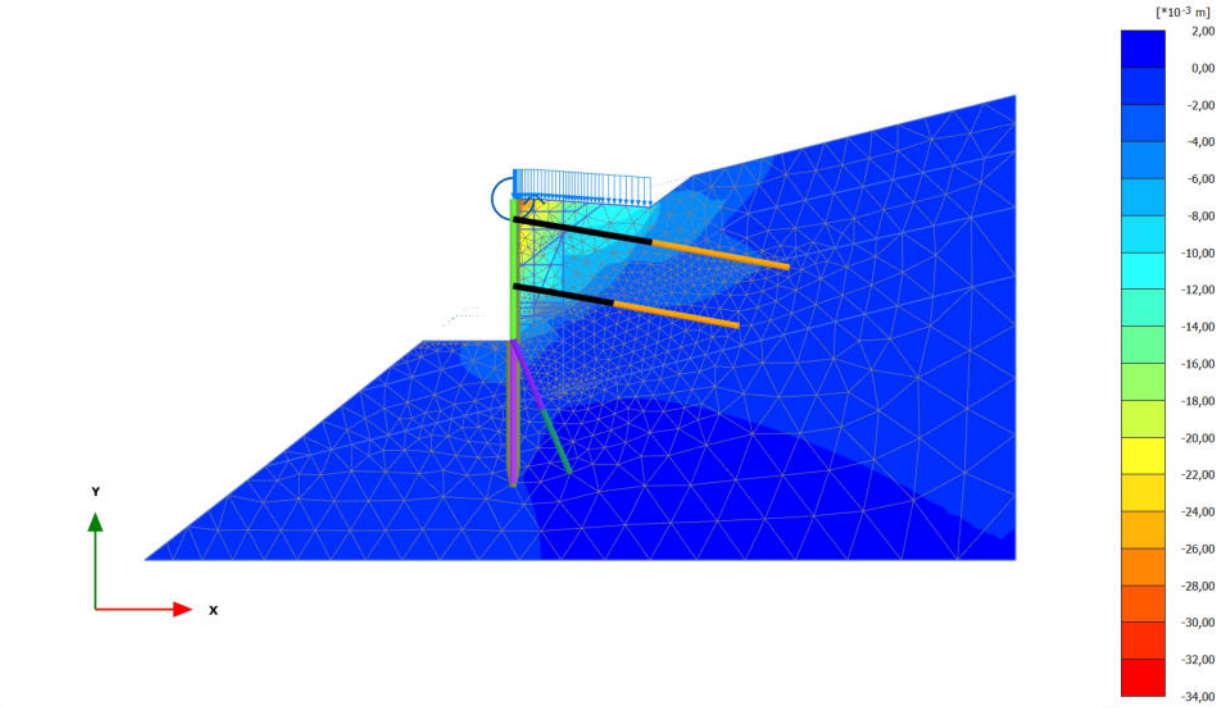

Total displacements u_x (scaled up 50,0 times)

Maximum value = $0{,}6377*10^{-3}$ m (Element 1850 at Node 1043)

Minimum value = -0,03240 m (Element 237 at Node 17816)

2.1.1.1.30 Calculation results, q Rullo [Phase_25] (25/1142), Total displacements u_x

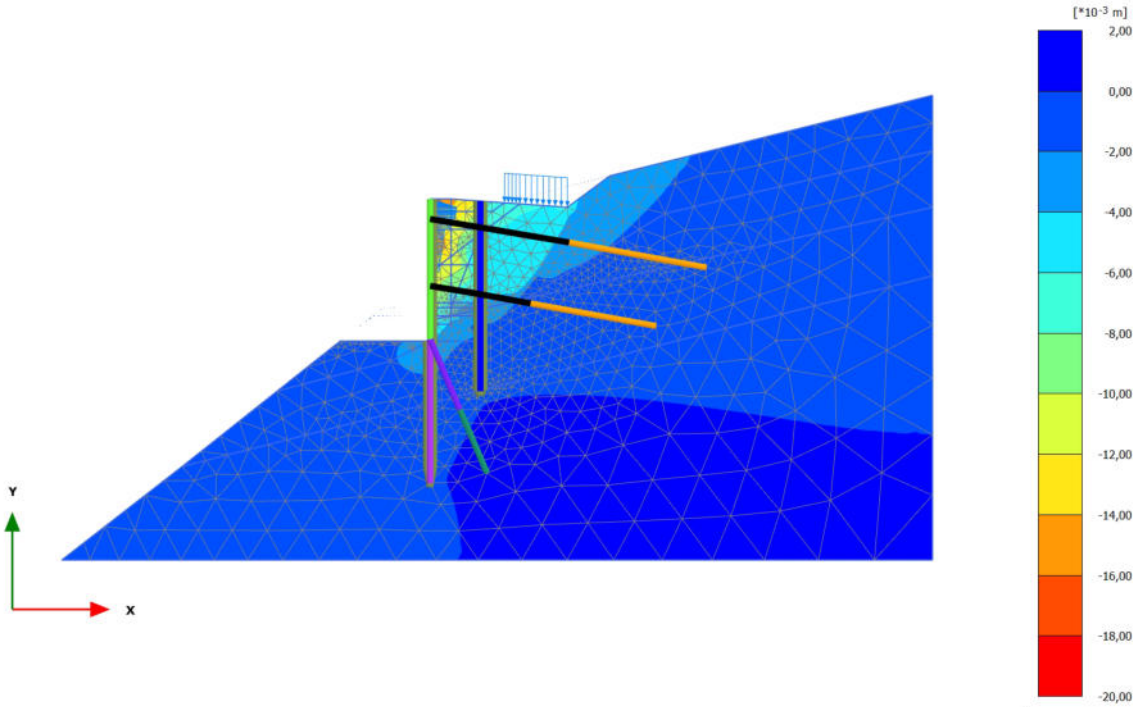

Total displacements u_x (scaled up 50,0 times)

Maximum value = 0,6104*10^{-3} m (Element 1850 at Node 1323)

Minimum value = -0,01949 m (Element 236 at Node 17801)

2.1.1.1.31 Calculation results, SLU11 Paratia provvisionale [Phase_23] (23/1151), Total displacements u_x

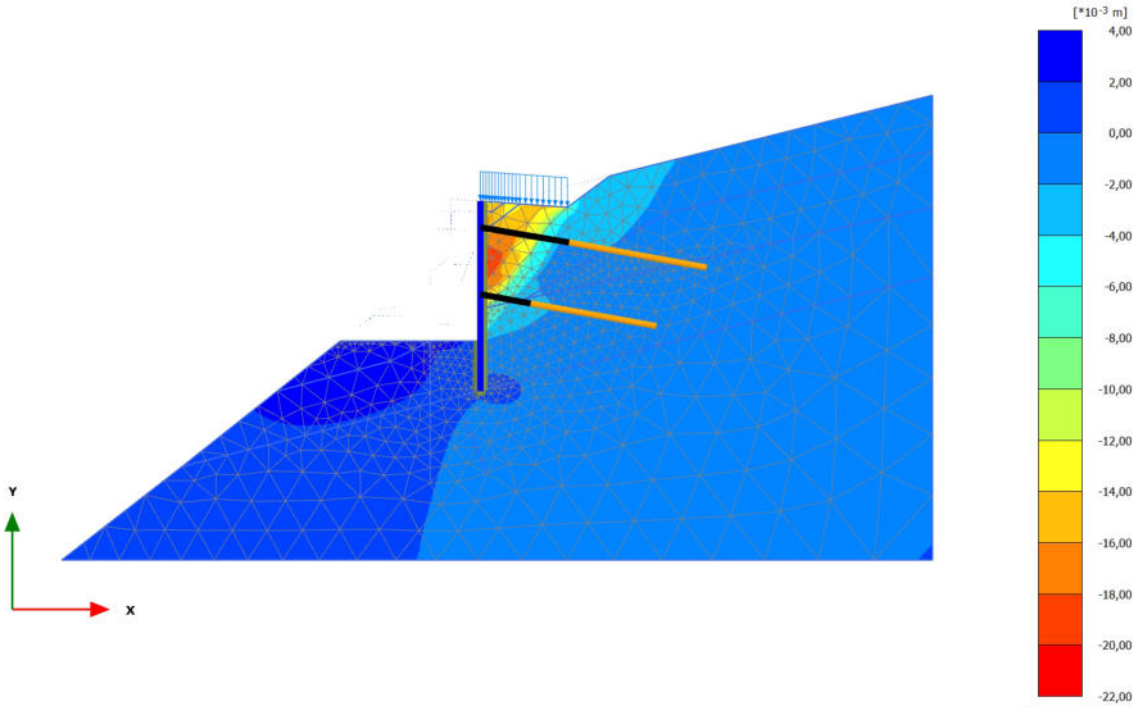

Total displacements u_x (scaled up 50,0 times)

Maximum value = 3,722*10^{-3} m (Element 1551 at Node 6336)

Minimum value = -0,02030 m (Element 80 at Node 15600)

2.1.1.1.32 Calculation results, SLU12 Paratia provvisionale [Phase_24] (24/1162), Total displacements u_x

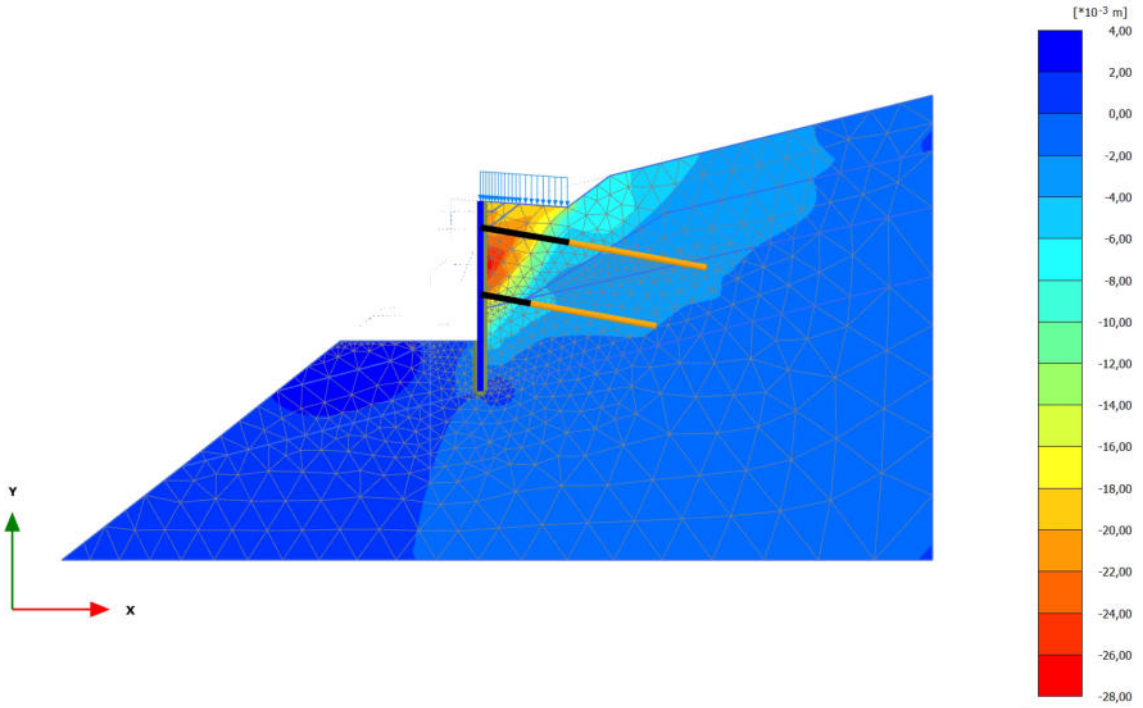

Total displacements u_x (scaled up 50,0 times)

Maximum value = 3,032*10^{-3} m (Element 1519 at Node 5212)

Minimum value = -0,02697 m (Element 80 at Node 15600)

2.1.1.1.33 Calculation results, FS [Phase_32] (32/1262), Total displacements u_x

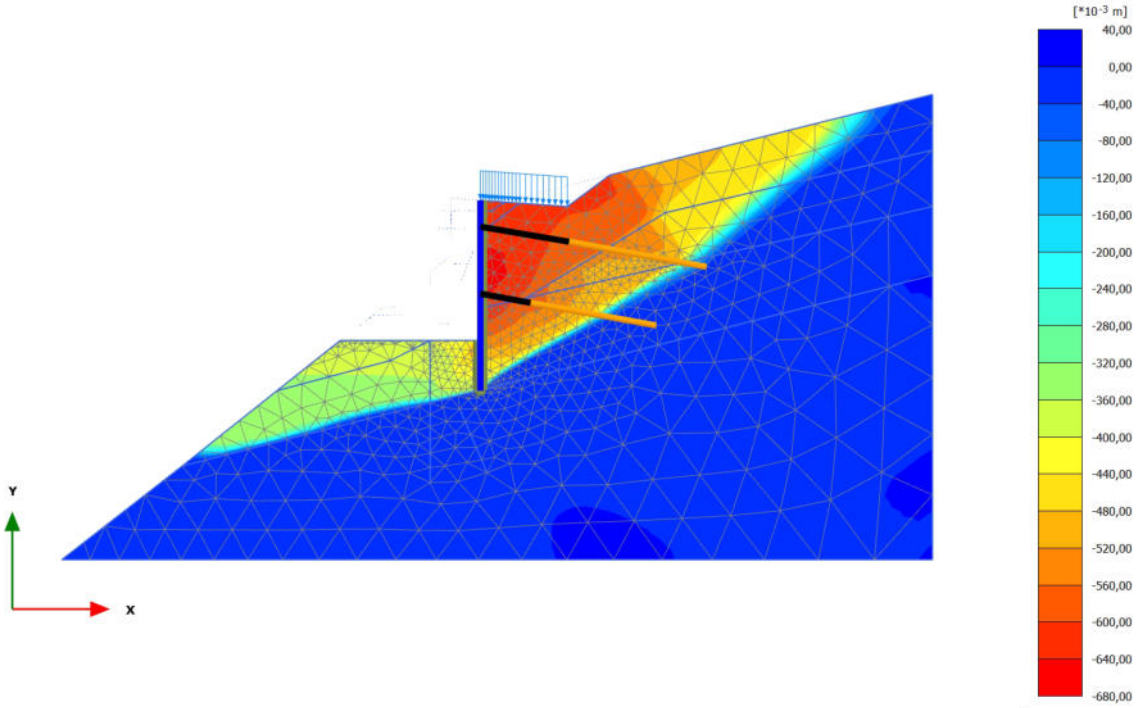

Total displacements u_x (scaled up 5,00 times)

Maximum value = $0{,}2332*10^{-3}$ m (Element 1761 at Node 650)

Minimum value = -0,6511 m (Element 80 at Node 15491)

2.1.1.1.34 Calculation results, Eccezionale Op provvisionale [Phase_33] (33/1287), Total displacements u_x

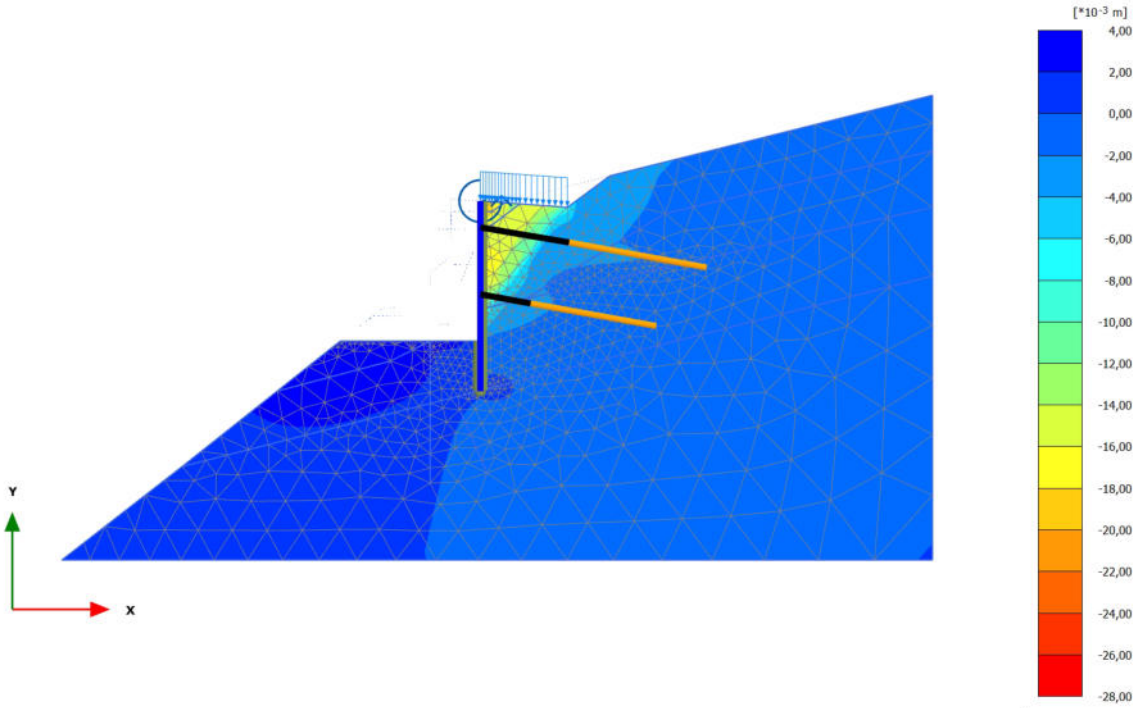

Total displacements u_x (scaled up 50,0 times)

Maximum value = 3,693*10^{-3} m (Element 1551 at Node 6336)

Minimum value = -0,02605 m (Element 247 at Node 16467)

2.1.2.1 Calculation results, Initial phase [InitialPhase] (0/1), Deformed mesh |u|

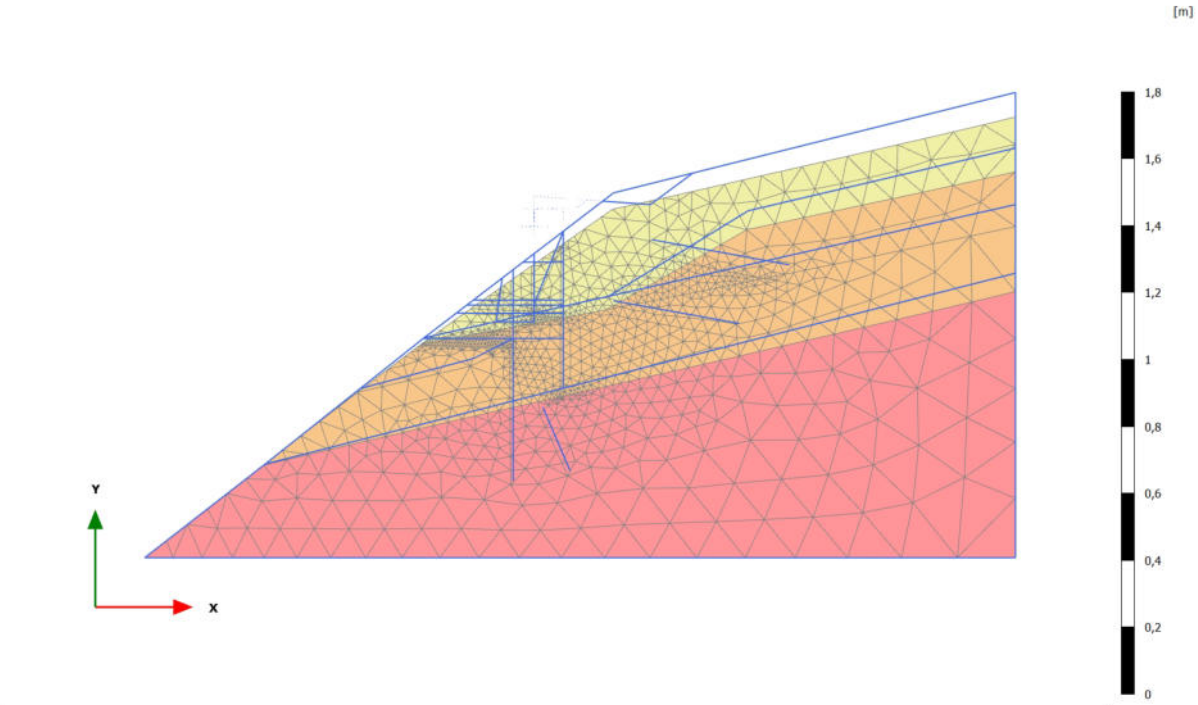

Deformed mesh |u| (scaled up 20,0 times)

Maximum value = 0,07310 m (Element 4 at Node 2319)

2.1.2.2 Calculation results, Costruzione stato di fatto 1 [Phase_1] (1/6), Deformed mesh |u|

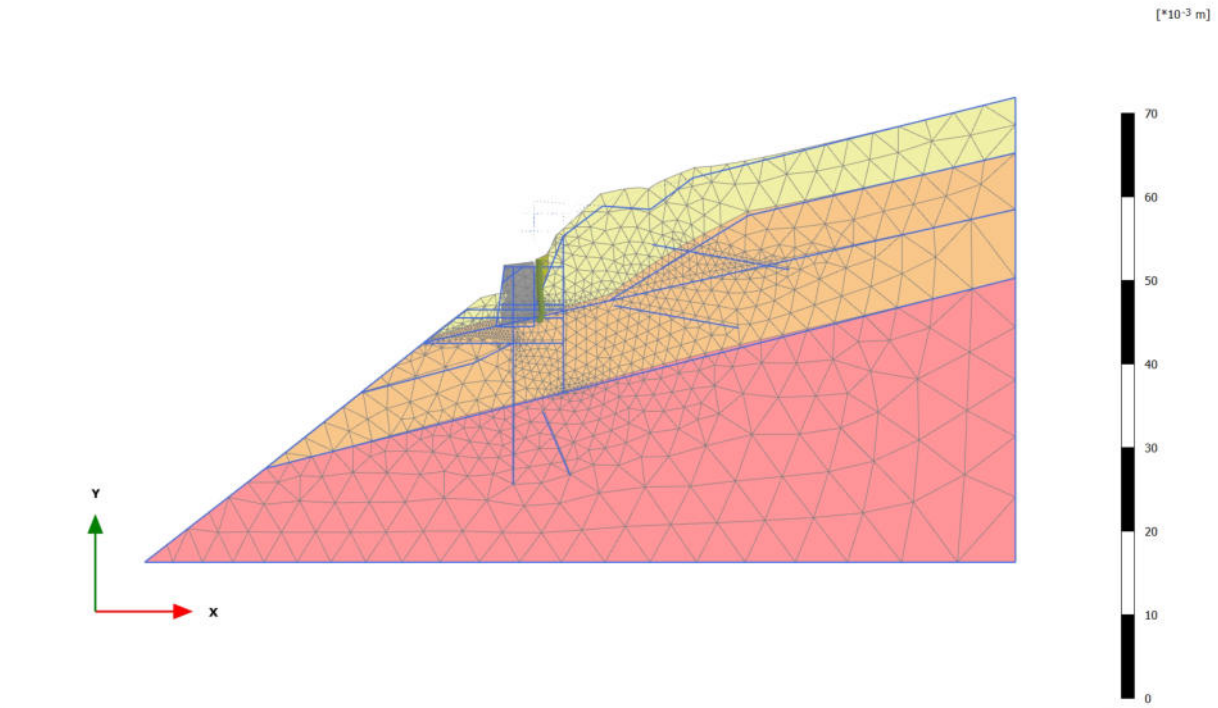

Deformed mesh |u| (scaled up 500 times)

Maximum value = 2,608*10^{-3} m (Element 1165 at Node 12908)

2.1.2.3 Calculation results, Costruzione stato di fatto 2 [Phase_2] (2/99), Deformed mesh |u|

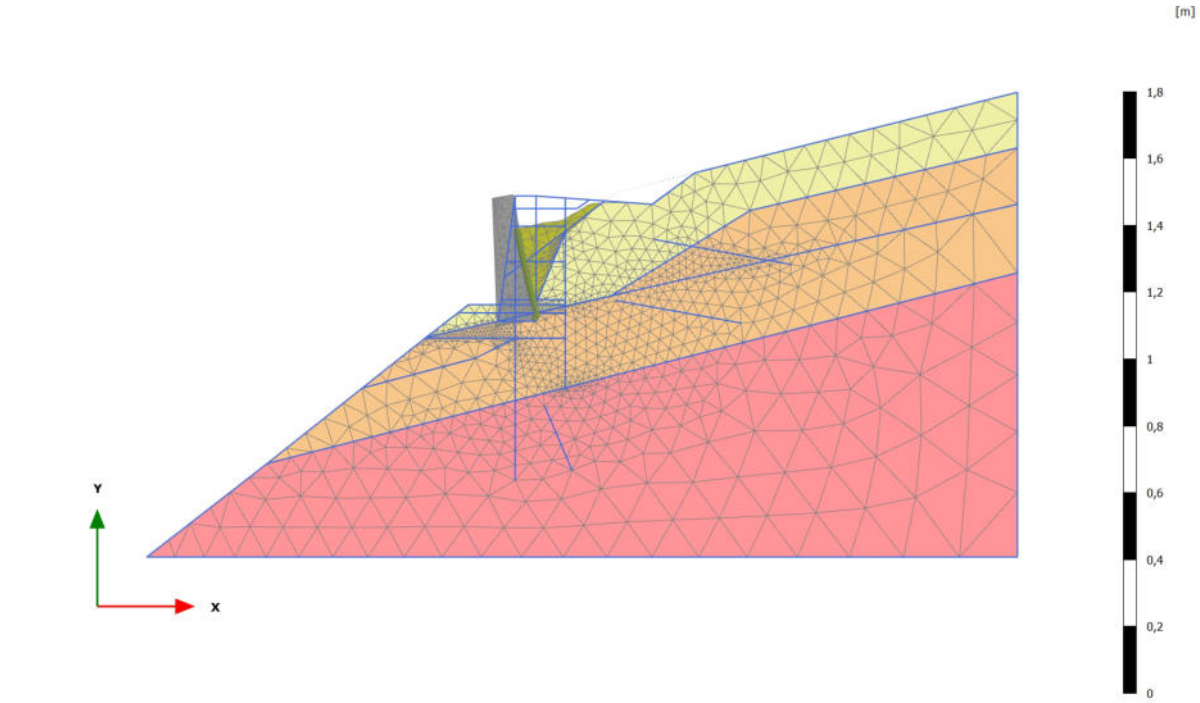

Deformed mesh |u| (scaled up 20,0 times)

Maximum value = 0,1196 m (Element 241 at Node 17287)

2.1.2.4 Calculation results, Phase_3 [Phase_3] (3/199), Deformed mesh |u|

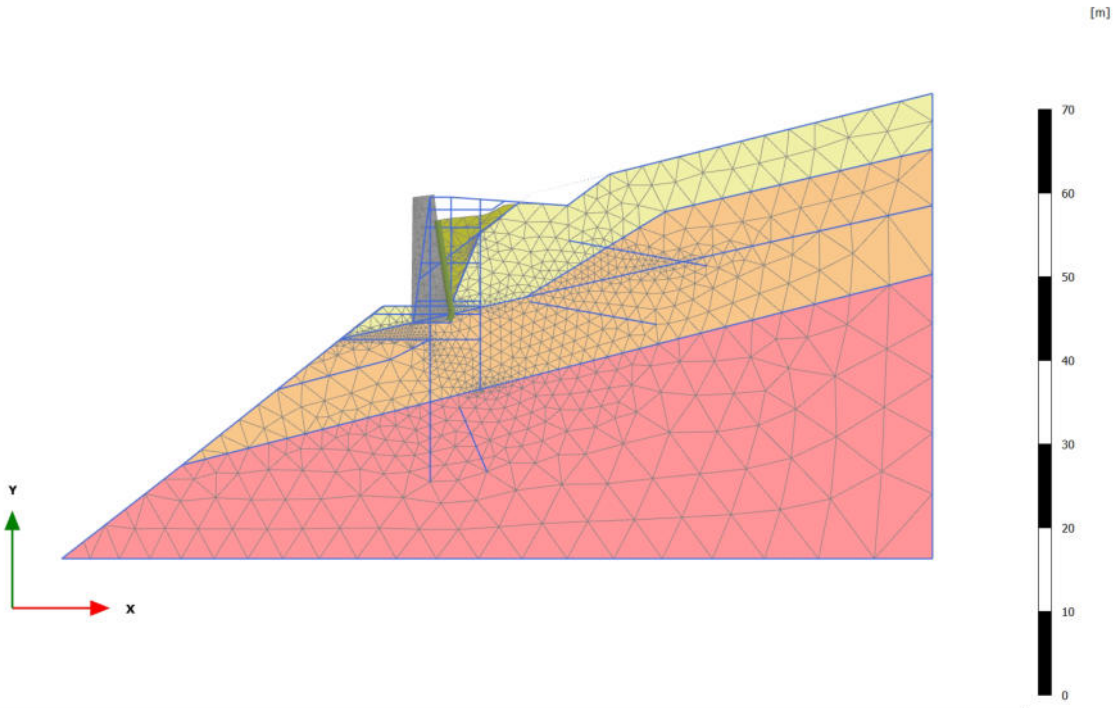

Deformed mesh |u| (scaled up 0,500 times)

Maximum value = 3,483 m (Element 241 at Node 17287)

2.1.2.5 Calculation results, Preparazione cantiere [Phase_4] (4/204), Deformed mesh |u|

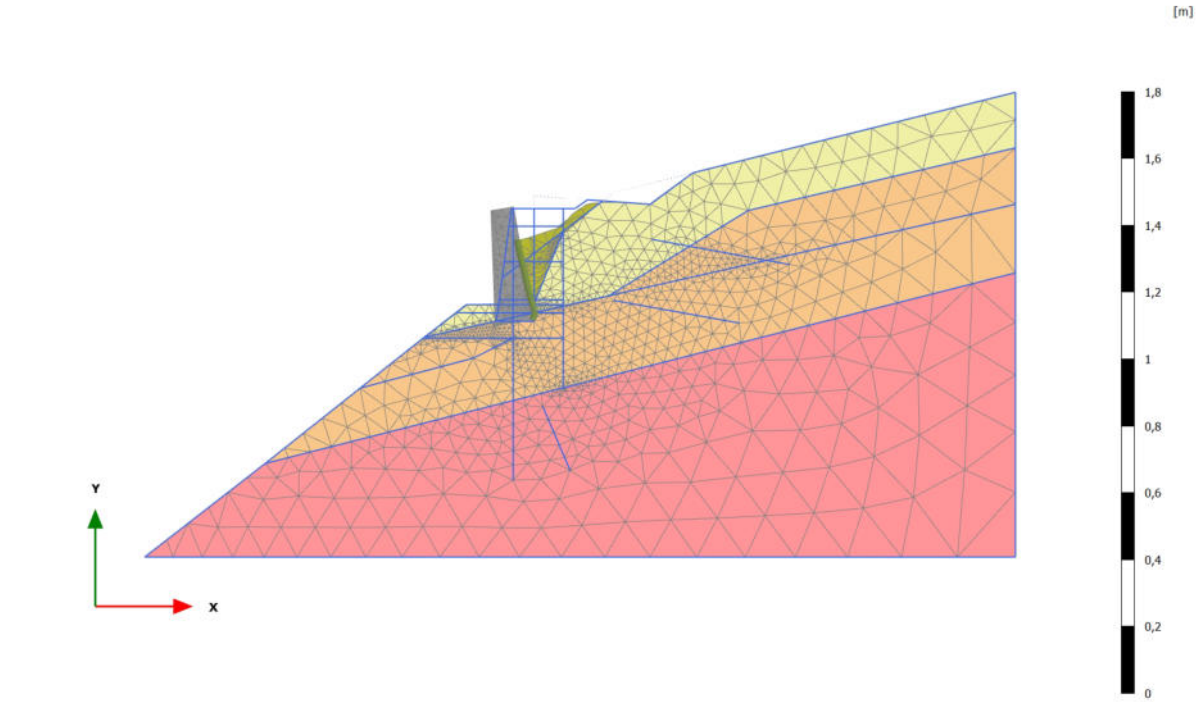

Deformed mesh |u| (scaled up 20,0 times)

Maximum value = 0,1114 m (Element 380 at Node 17270)

2.1.2.6 Calculation results, Paratia di micropali [Phase_5] (5/211), Deformed mesh |u|

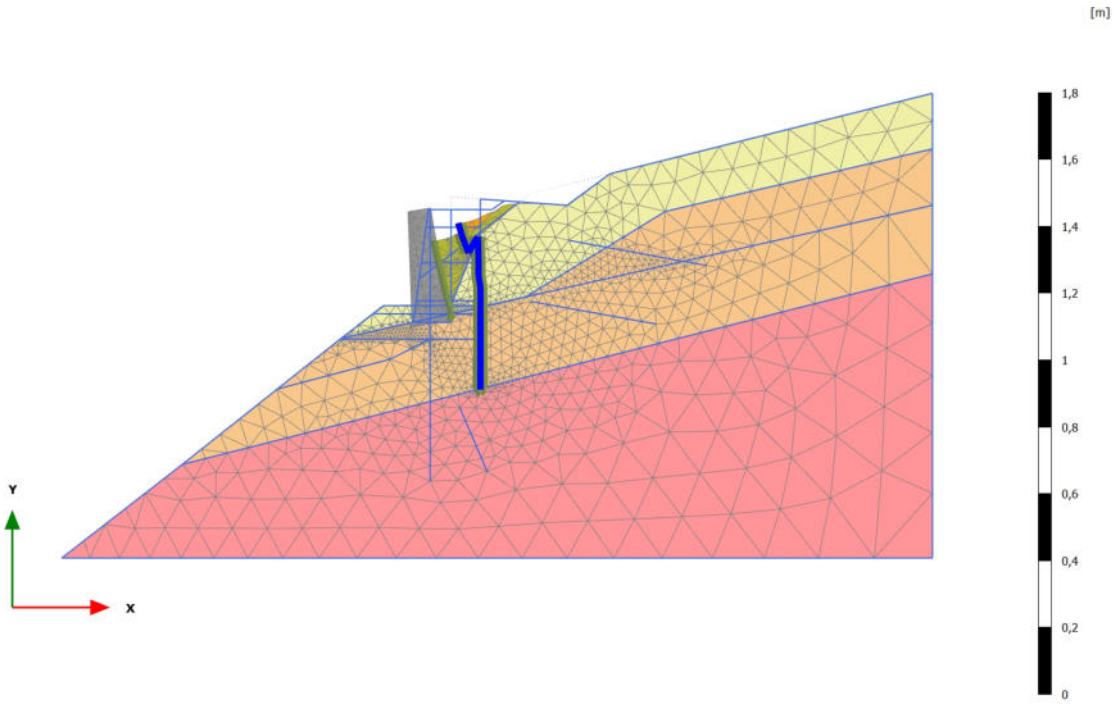

Deformed mesh |u| (scaled up 20,0 times)

Maximum value = 0,1116 m (Element 380 at Node 17270)

2.1.2.7 Calculation results, (RD) Escavo 1 + sovraccarico [Phase_6] (6/229), Deformed mesh |u|

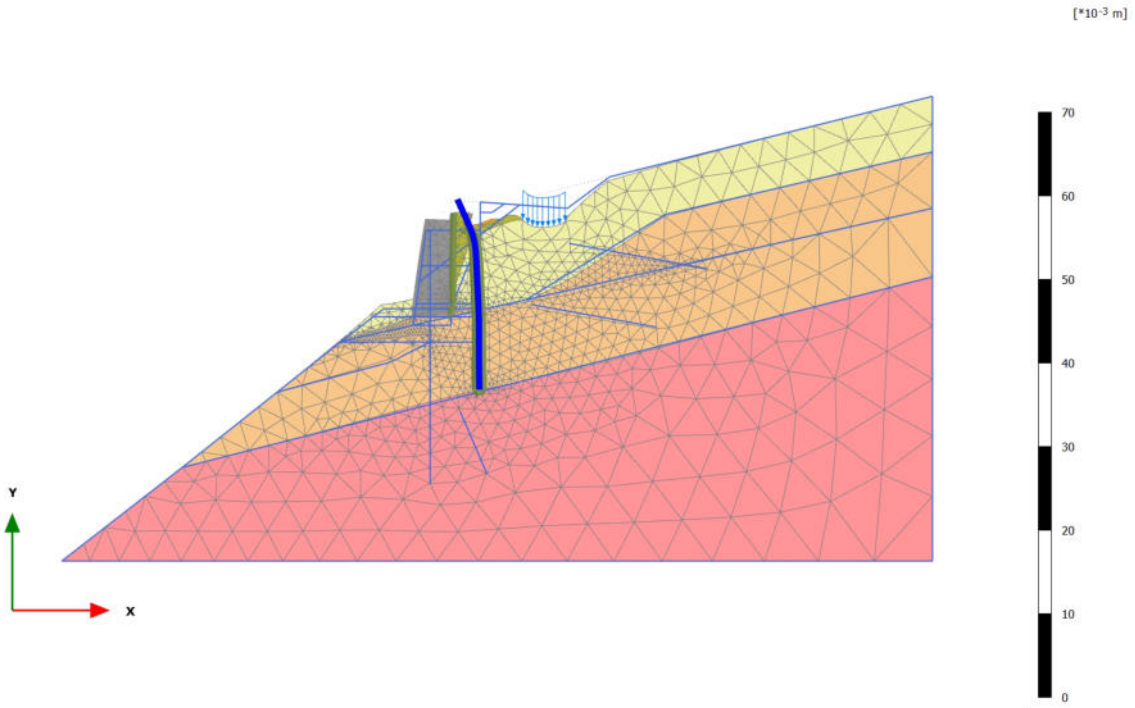

Deformed mesh |u| (scaled up 500 times)

Maximum value = 4,366*10-3 m (Element 247 at Node 16467)

2.1.2.8 Calculation results, Ancoraggio 1 [Phase_7] (7/308), Deformed mesh |u|

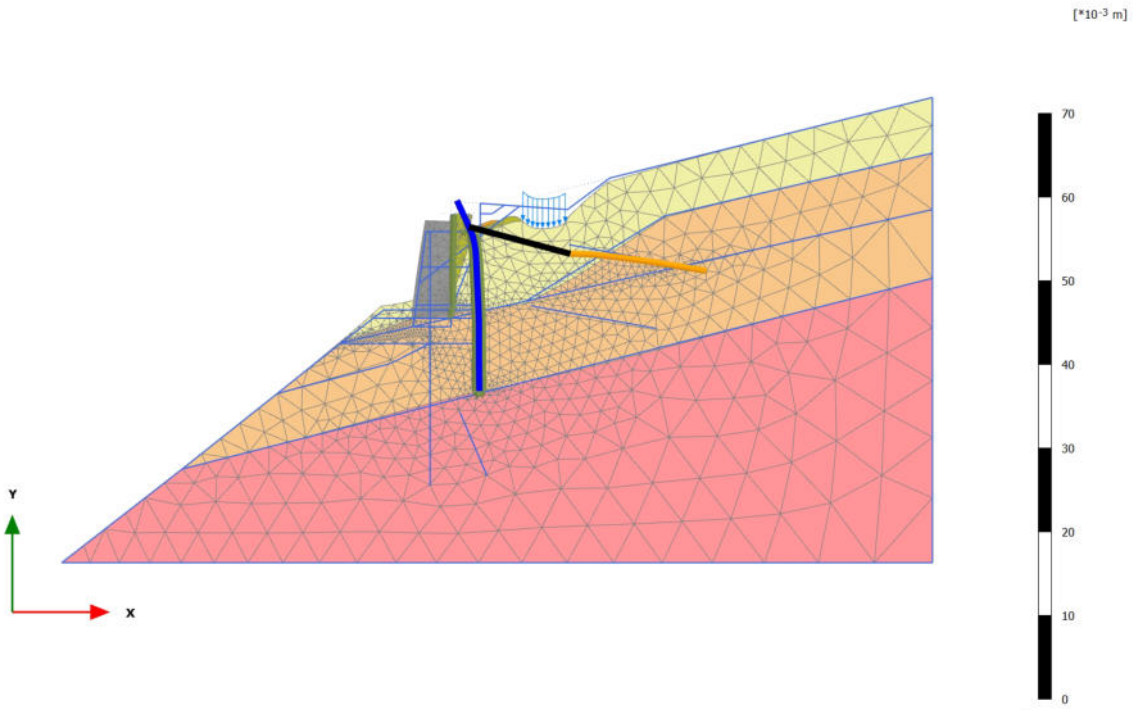

Deformed mesh |u| (scaled up 500 times)

Maximum value = 4,484*10-3 m (Element 247 at Node 16467)

2.1.2.9 Calculation results, Escavo 2 [Phase_8] (8/338), Deformed mesh |u|

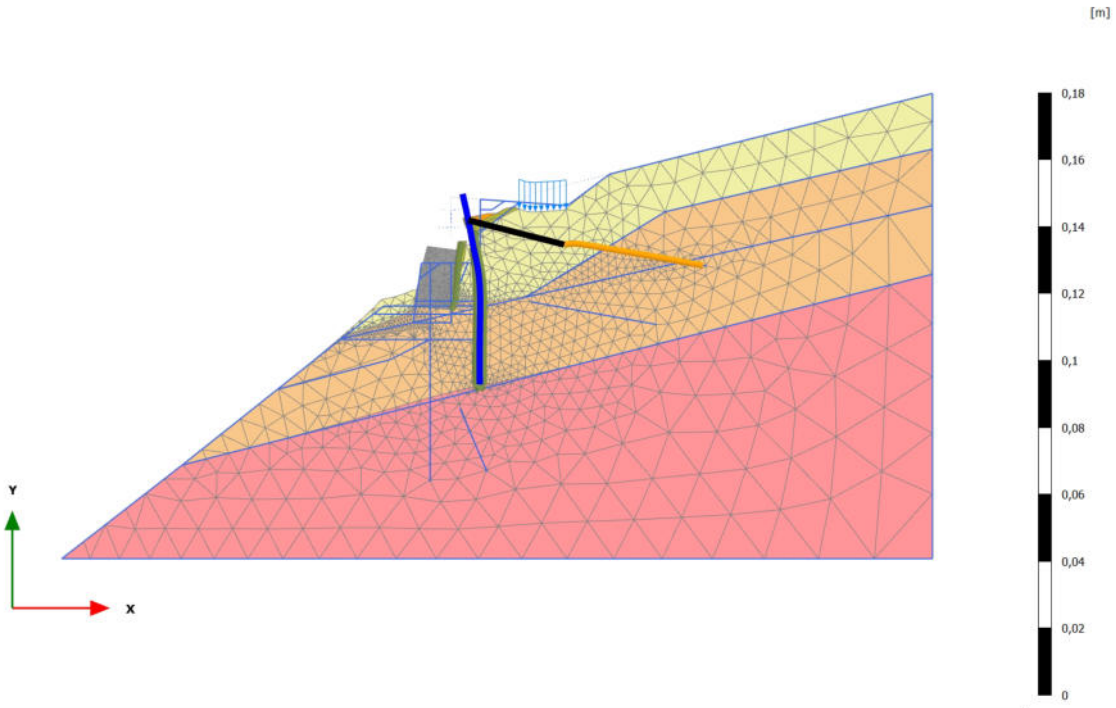

Deformed mesh |u| (scaled up 200 times)

Maximum value = 7,693*10^{-3} m (Element 247 at Node 16467)

2.1.2.10 Calculation results, Escavo 3 [Phase_9] (9/379), Deformed mesh |u|

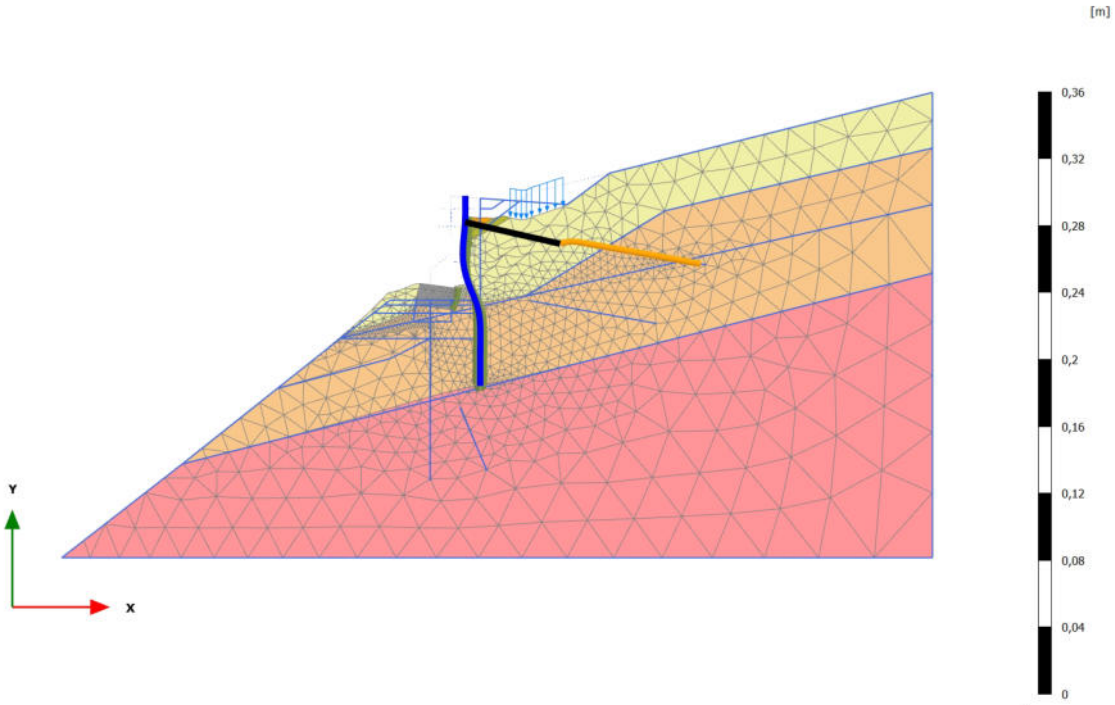

Deformed mesh |u| (scaled up 100 times)

Maximum value = 0,01402 m (Element 247 at Node 16467)

2.1.2.11 Calculation results, Ancoraggio 2 [Phase_27] (27/430), Deformed mesh |u|

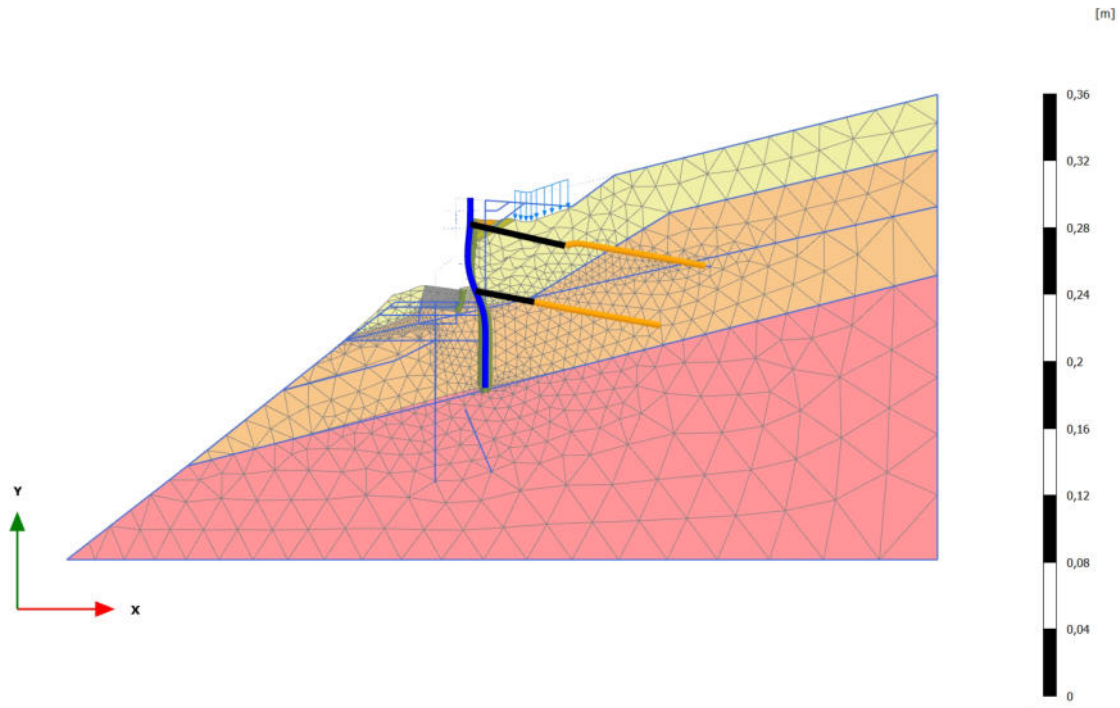

Deformed mesh |u| (scaled up 100 times)

Maximum value = 0,01388 m (Element 247 at Node 16464)

2.1.2.12 Calculation results, Escavo 4 [Phase_10] (10/449), Deformed mesh |u|

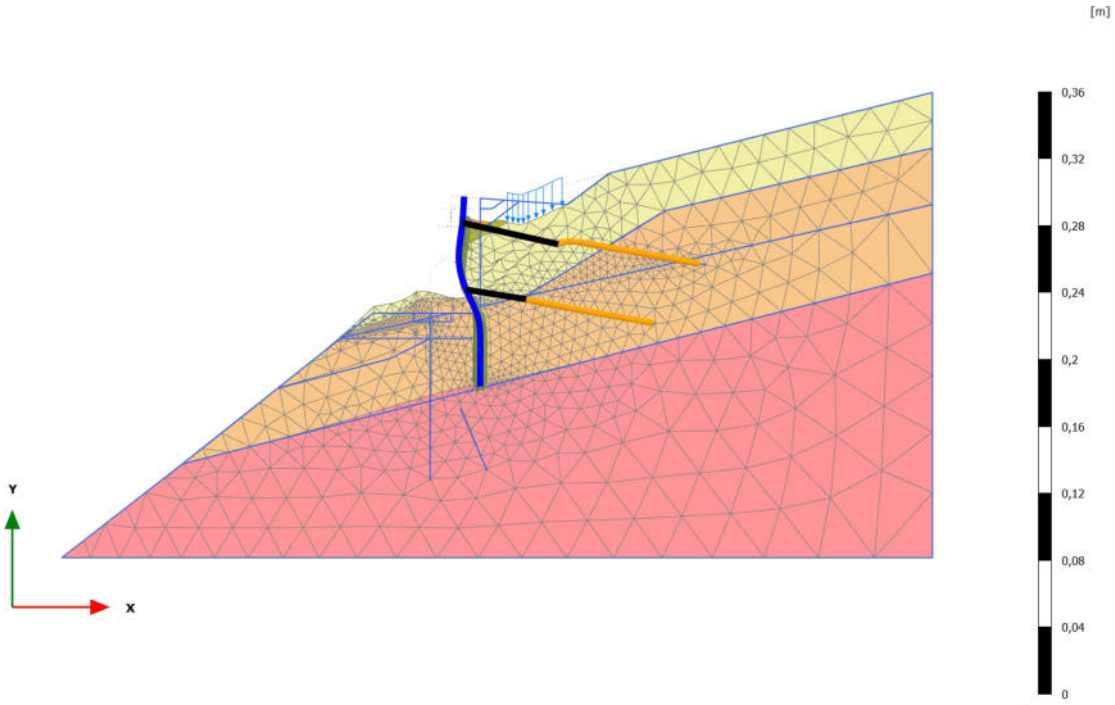

Deformed mesh |u| (scaled up 100 times)

Maximum value = 0,01589 m (Element 245 at Node 16434)

2.1.2.13 Calculation results, Completamento scavo [Phase_28] (28/479), Deformed mesh |u|

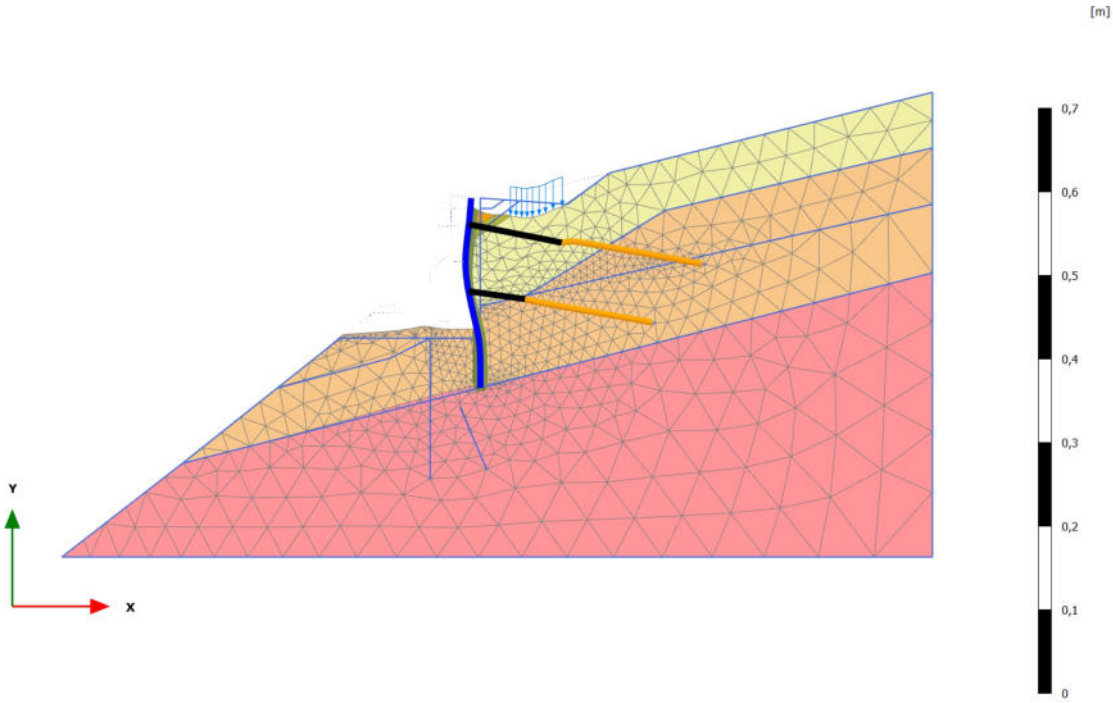

Deformed mesh |u| (scaled up 50,0 times)

Maximum value = 0,02253 m (Element 39 at Node 15820)

2.1.2.14 Calculation results, (RD) Strutture [Phase_11] (11/482), Deformed mesh |u|

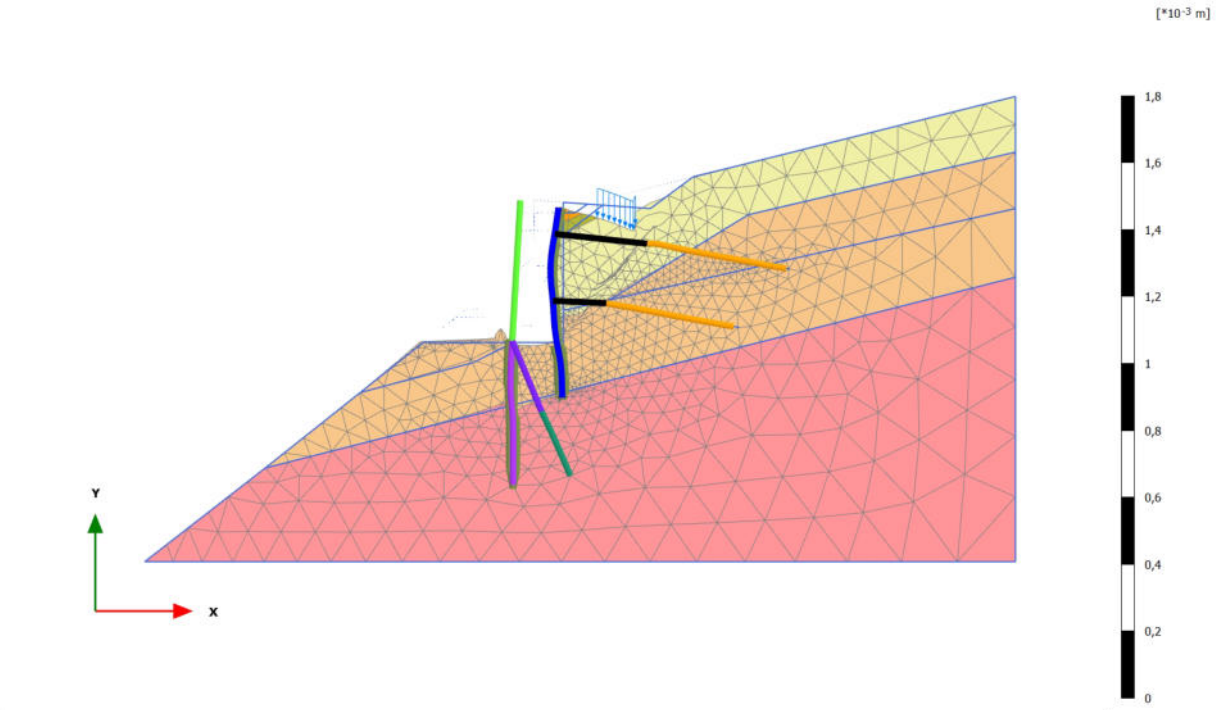

Deformed mesh |u| (scaled up 20,0*10³ times)

Maximum value = 0,09423*10-3 m (Element 85 at Node 14760)

2.1.2.15 Calculation results, Riempimento 1 [Phase_12] (12/828), Deformed mesh |u|

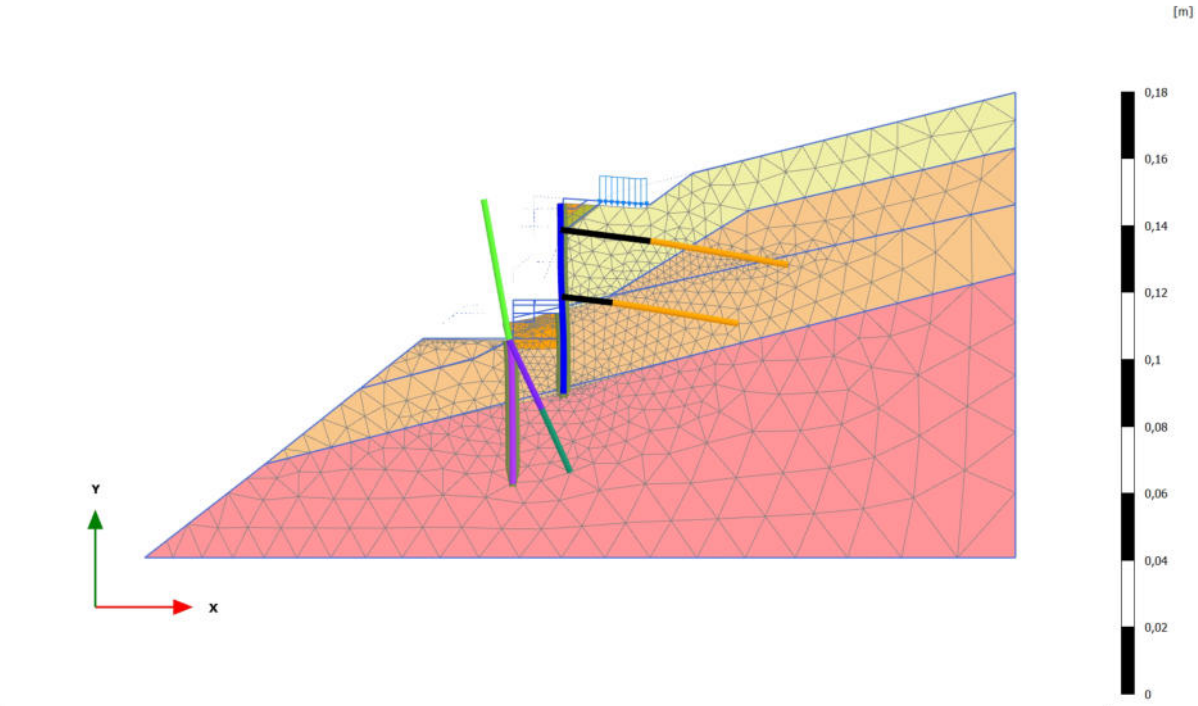

Deformed mesh |u| (scaled up 200 times)

Maximum value = 8,800*10^{-3} m (Element 0 at Node 17871)

2.1.2.16 Calculation results, Collegamento ancoraggio 1 [Phase_29] (29/843), Deformed mesh |u|

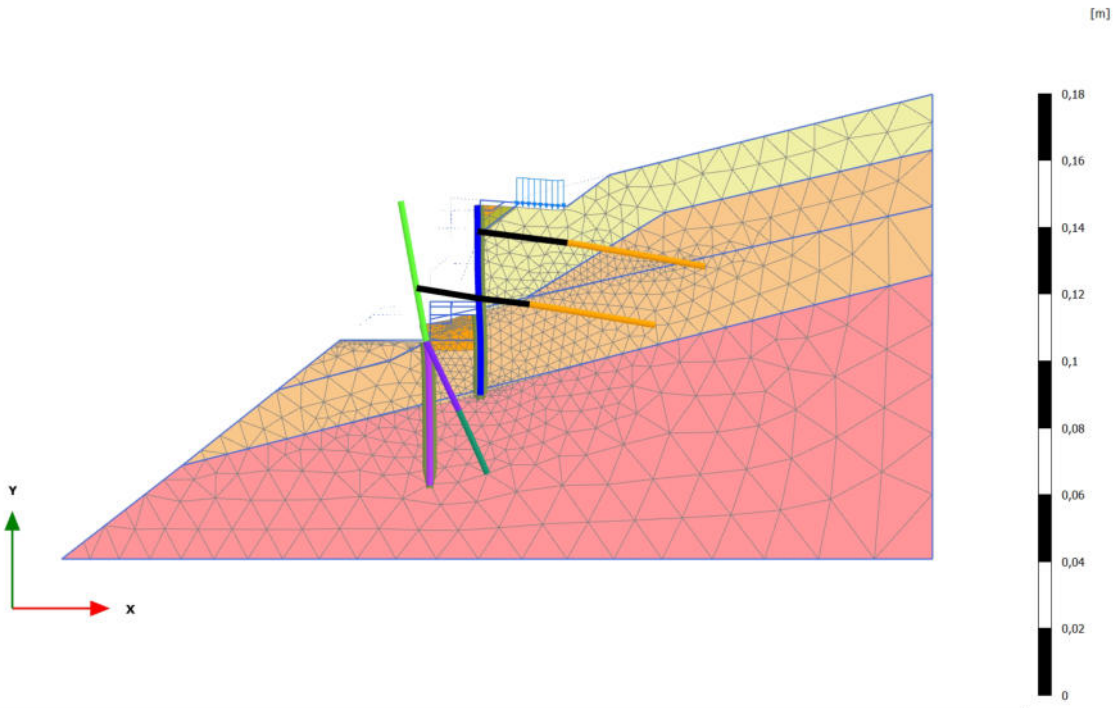

Deformed mesh |u| (scaled up 200 times)

Maximum value = 8,801*10^{-3} m (Element 0 at Node 17871)

2.1.2.17 Calculation results, Riempimento 2 [Phase_13] (13/861), Deformed mesh |u|

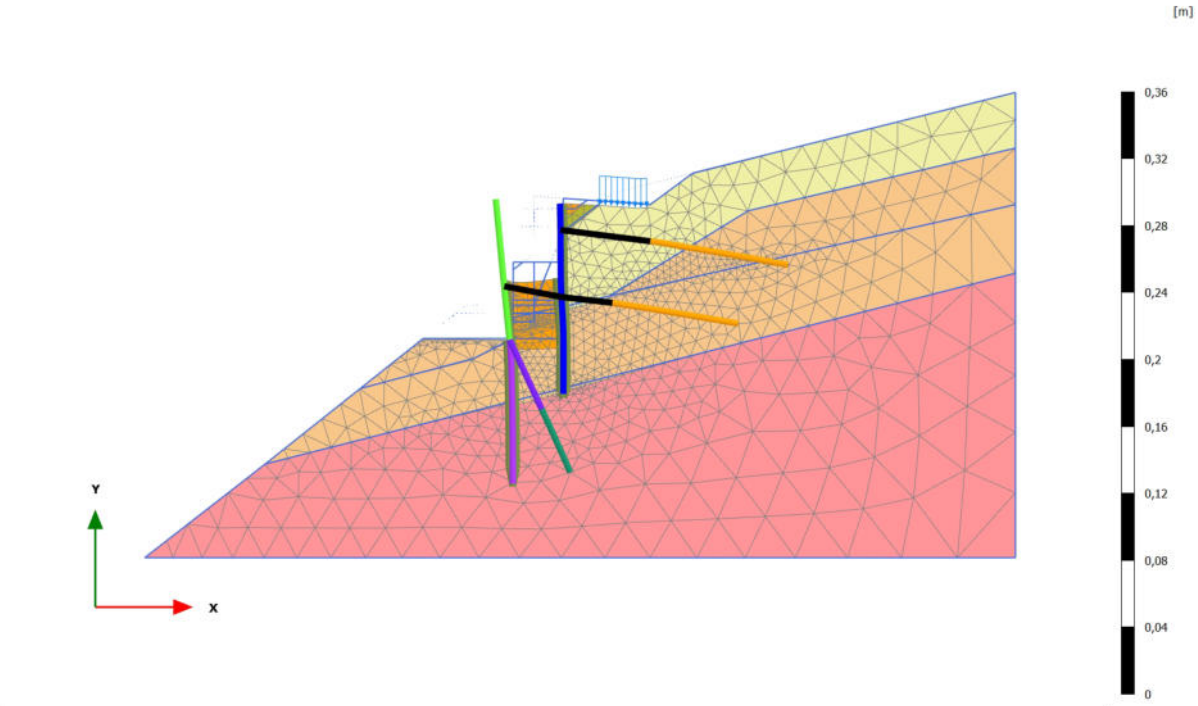

Deformed mesh |u| (scaled up 100 times)

Maximum value = 0,01280 m (Element 629 at Node 16656)

2.1.2.18 Calculation results, Riempimento 3 [Phase_30] (30/964), Deformed mesh |u|

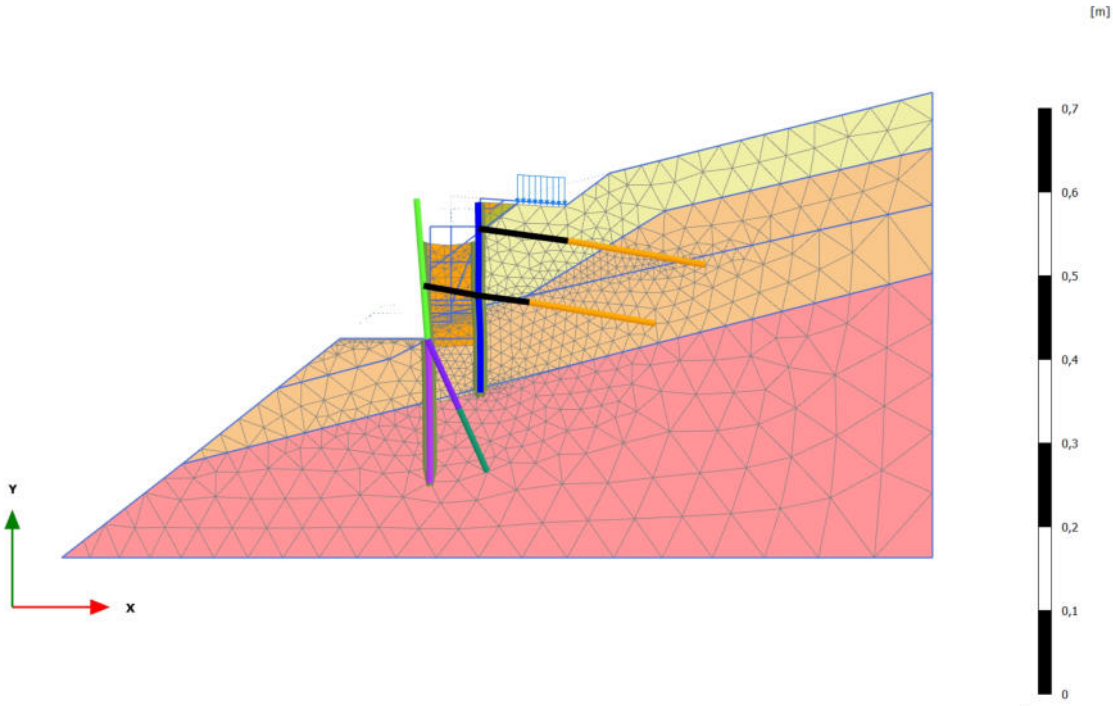

Deformed mesh |u| (scaled up 50,0 times)

Maximum value = 0,02336 m (Element 396 at Node 17321)

2.1.2.19 Calculation results, Collegamento ancoraggio 2 [Phase_14] (14/977), Deformed mesh |u|

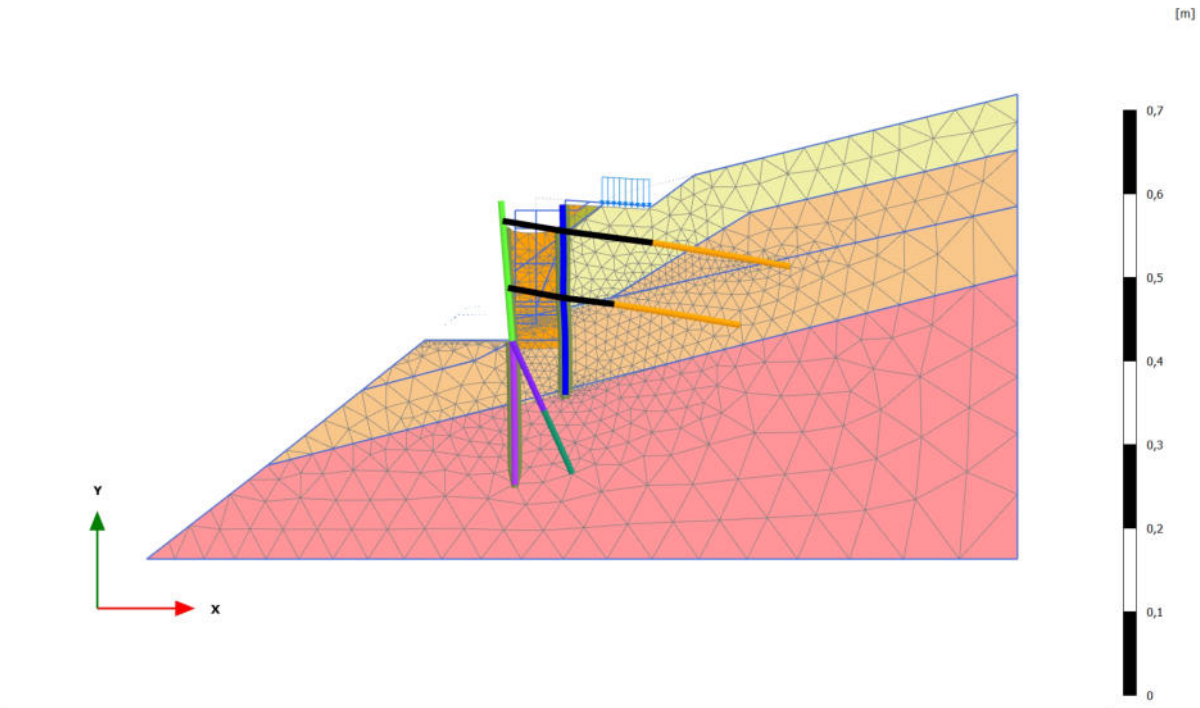

Deformed mesh |u| (scaled up 50,0 times)

Maximum value = 0,02831 m (Element 367 at Node 17521)

2.1.2.20 Calculation results, Riempimento 4 (MG) [Phase_15] (15/984), Deformed mesh |u|

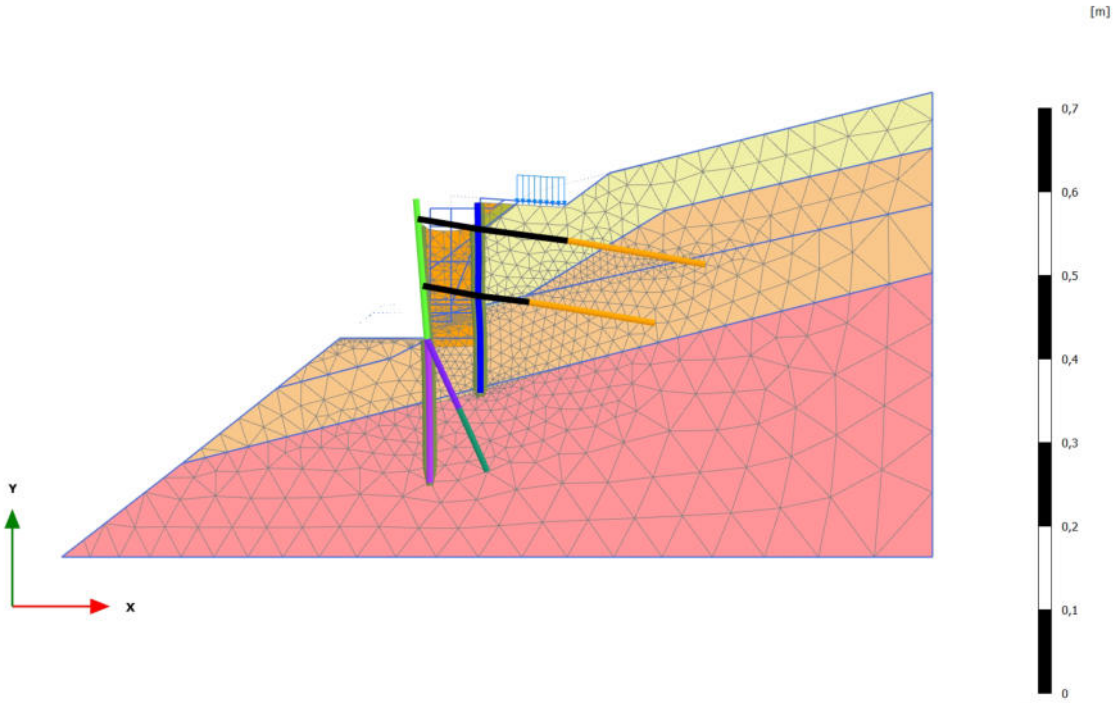

Deformed mesh |u| (scaled up 50,0 times)

Maximum value = 0,02833 m (Element 367 at Node 17521)

2.1.2.21 Calculation results, Riempimento 5 (MG) [Phase_16] (16/992), Deformed mesh |u|

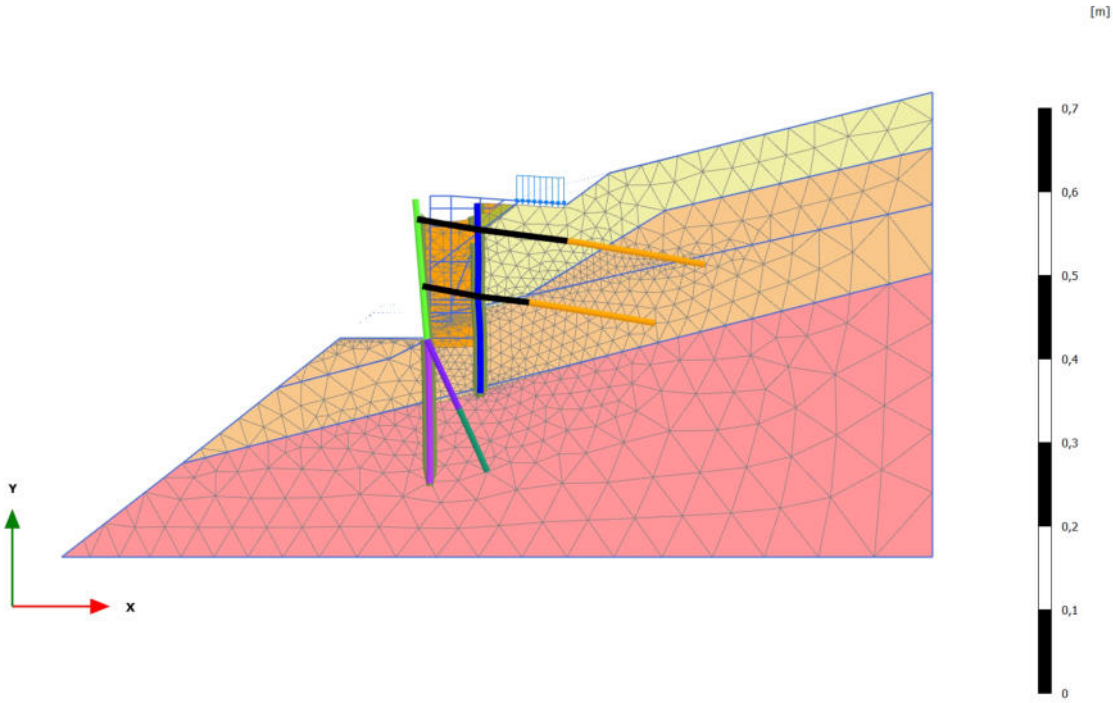

Deformed mesh |u| (scaled up 50,0 times)

Maximum value = 0,03163 m (Element 241 at Node 17286)

2.1.2.22 Calculation results, Disattivazione paratia provvisionale [Phase_17] (17/998), Deformed mesh |u|

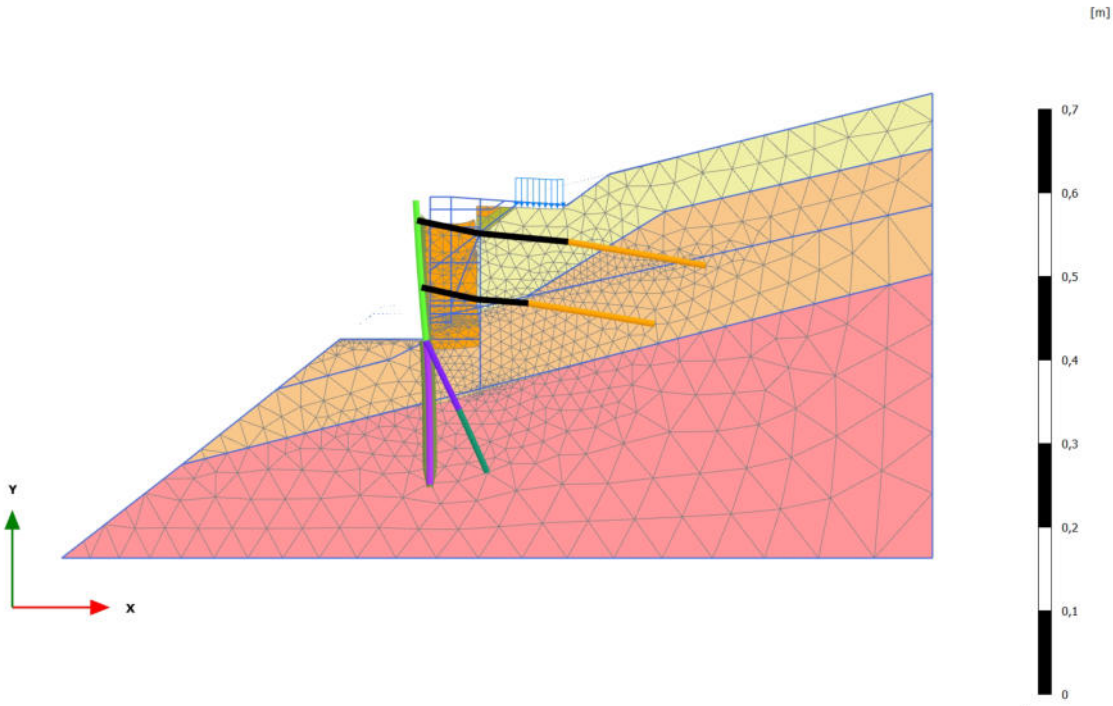

Deformed mesh |u| (scaled up 50,0 times)

Maximum value = 0,03300 m (Element 241 at Node 17282)

2.1.2.23 Calculation results, SLE [Phase_18] (18/1002), Deformed mesh |u|

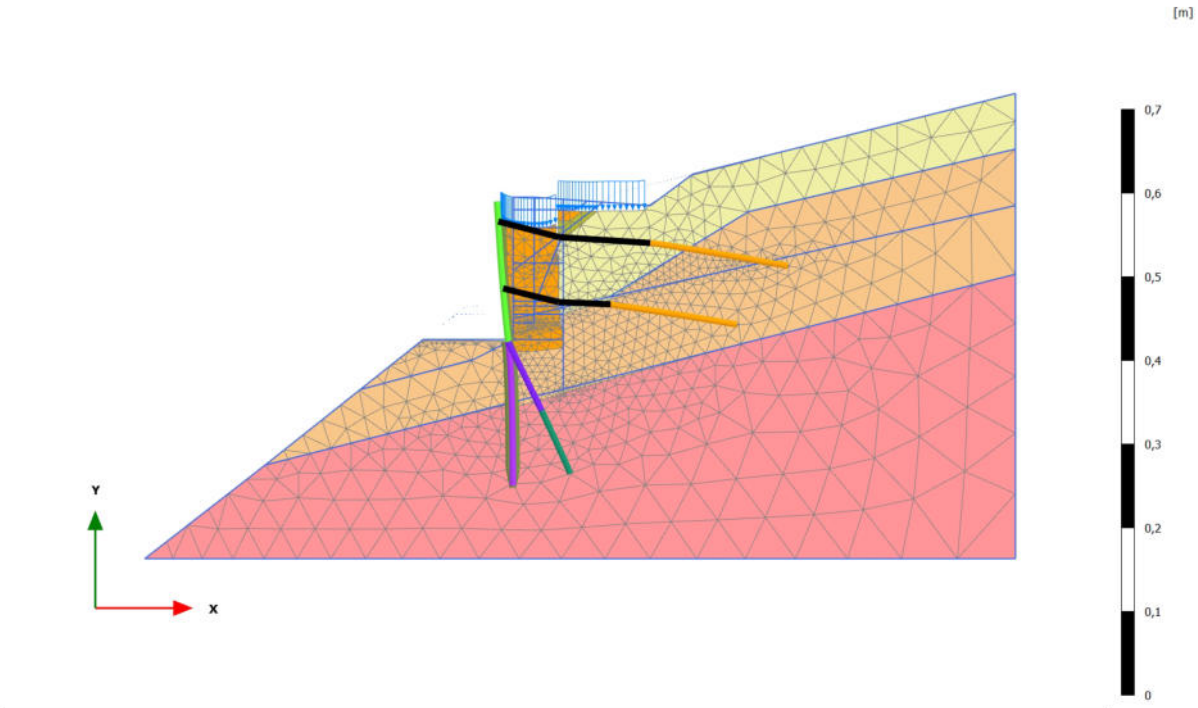

Deformed mesh |u| (scaled up 50,0 times)

Maximum value = 0,03840 m (Element 241 at Node 17282)

2.1.2.24 Calculation results, Scalzamento al piede [Phase_19] (19/1007), Deformed mesh |u|

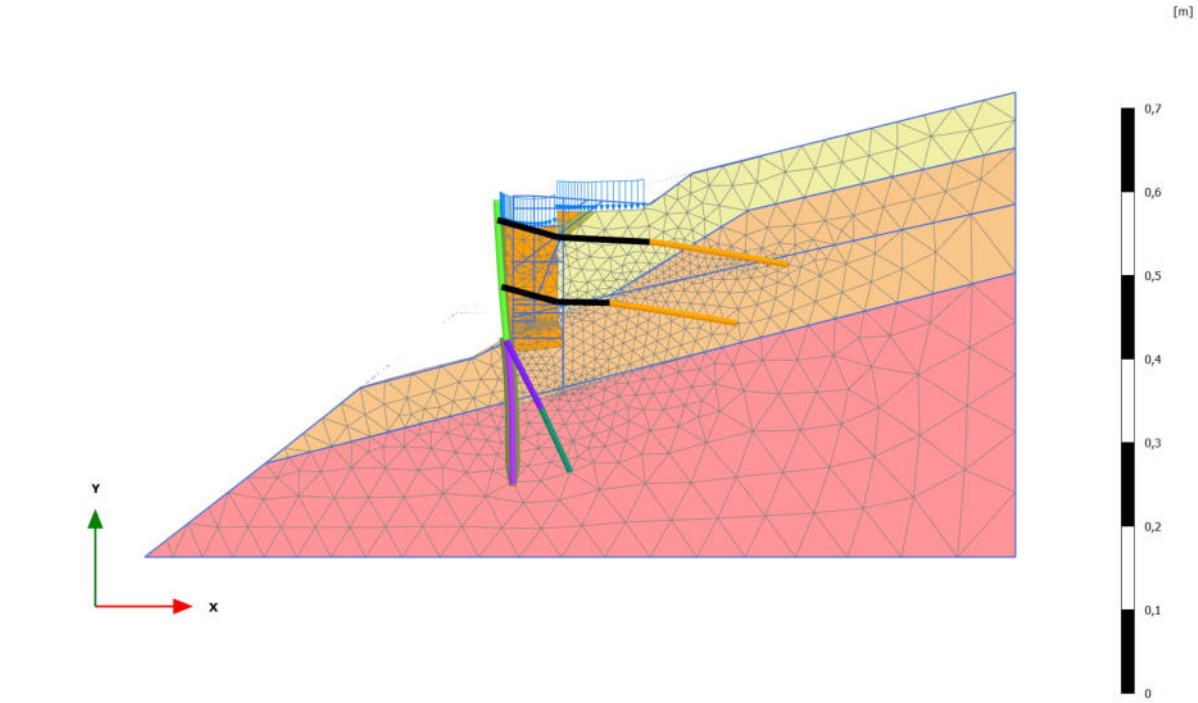

Deformed mesh |u| (scaled up 50,0 times)

Maximum value = 0,04009 m (Element 241 at Node 17282)

2.1.2.25 Calculation results, SLU11 [Phase_20] (20/1011), Deformed mesh |u|

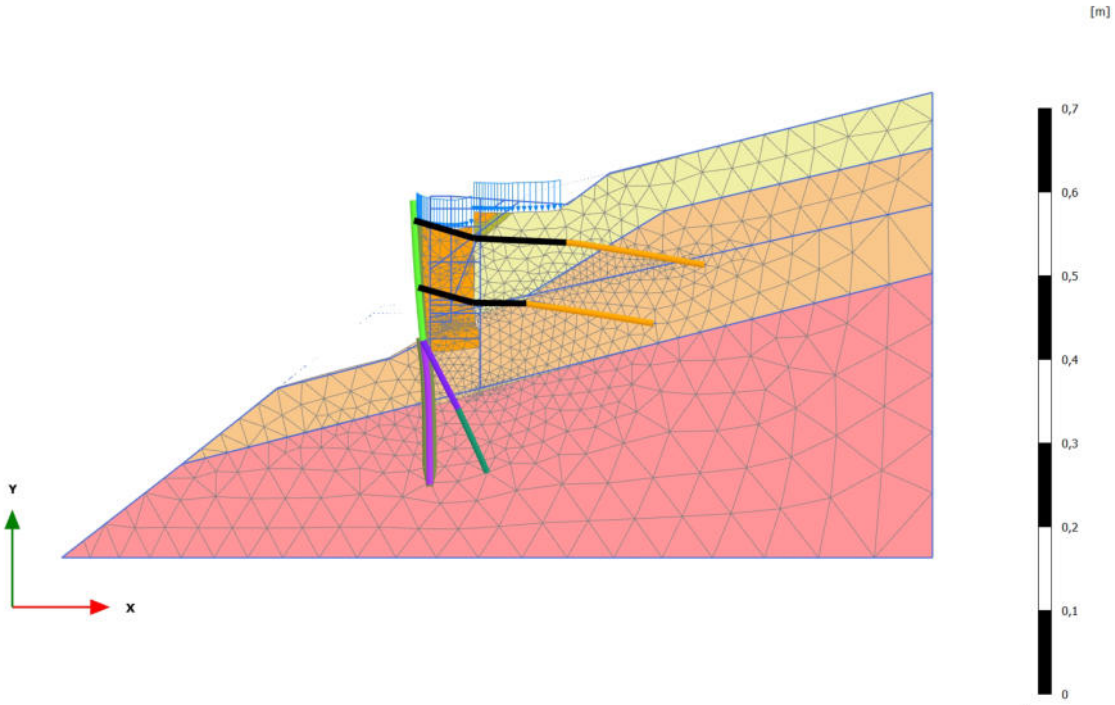

Deformed mesh |u| (scaled up 50,0 times)

Maximum value = 0,04118 m (Element 241 at Node 17282)

2.1.2.26 Calculation results, SLV [Phase_21] (21/1061), Deformed mesh |u|

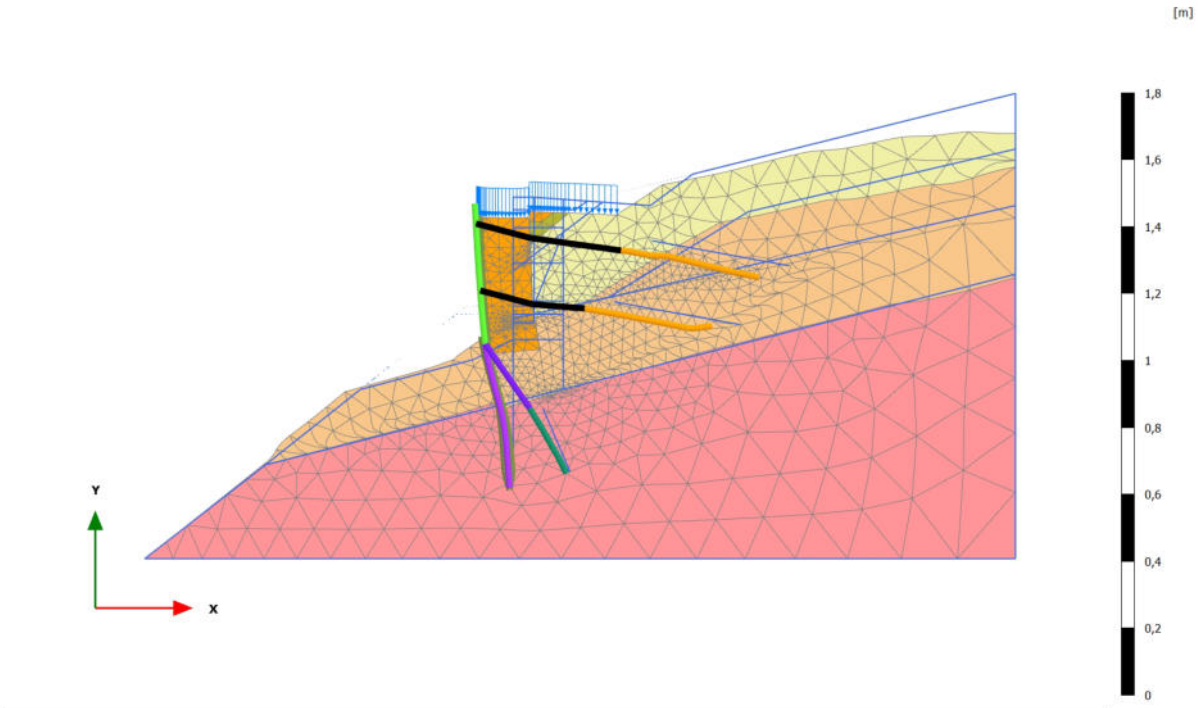

Deformed mesh |u| (scaled up 20,0 times)

Maximum value = 0,1240 m (Element 230 at Node 17728)

2.1.2.27 Calculation results, SLU12 [Phase_26] (26/1072), Deformed mesh |u|

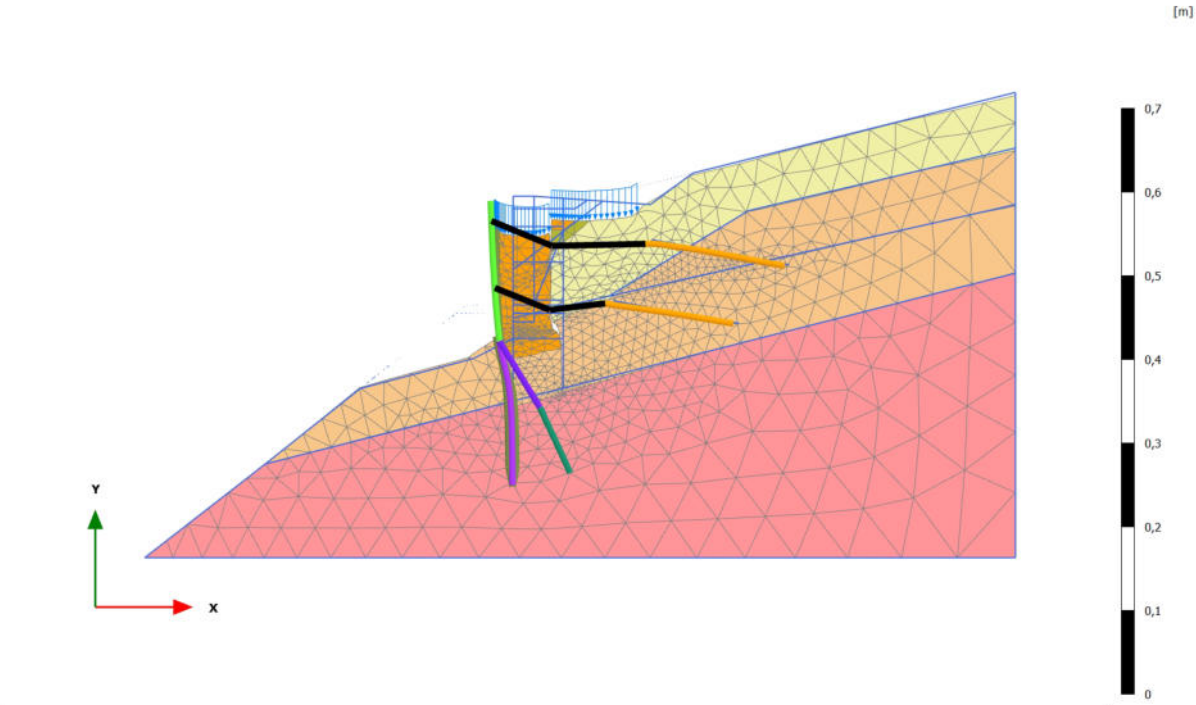

Deformed mesh |u| (scaled up 50,0 times)

Maximum value = 0,05149 m (Element 241 at Node 17282)

2.1.2.28 Calculation results, SLD [Phase_31] (31/1085), Deformed mesh |u|

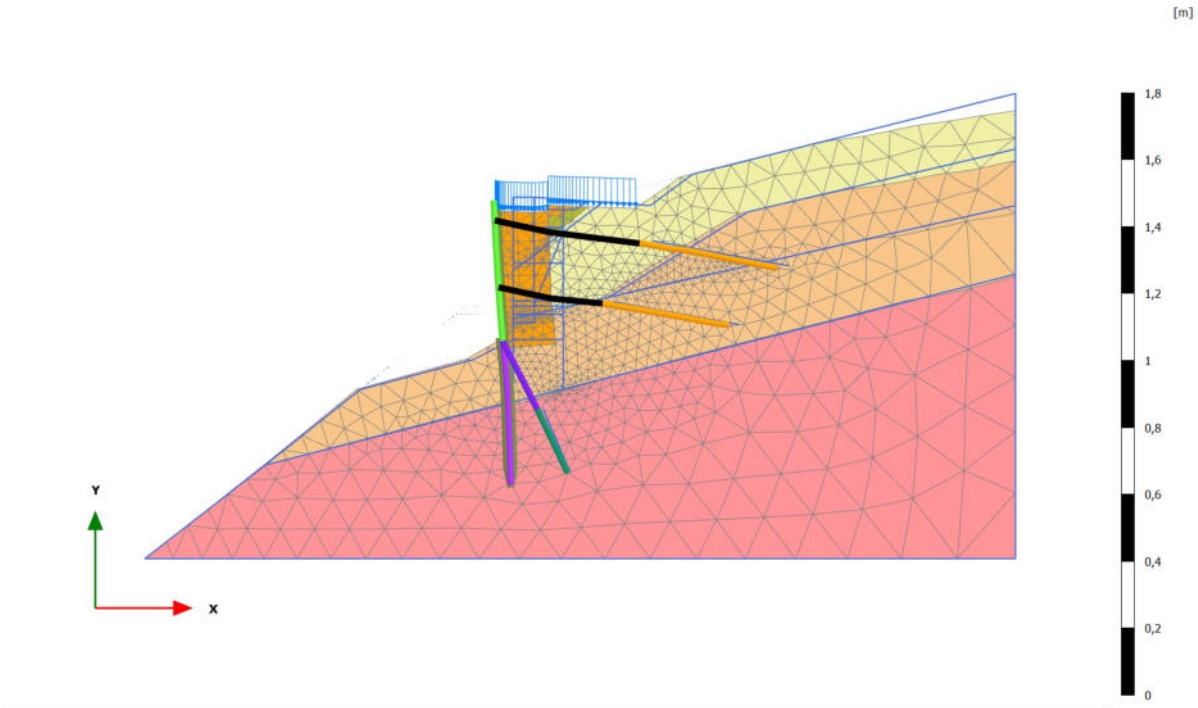

Deformed mesh |u| (scaled up 20,0 times)

Maximum value = 0,06719 m (Element 239 at Node 17612)

2.1.2.29 Calculation results, Eccezionale [Phase_22] (22/1130), Deformed mesh |u|

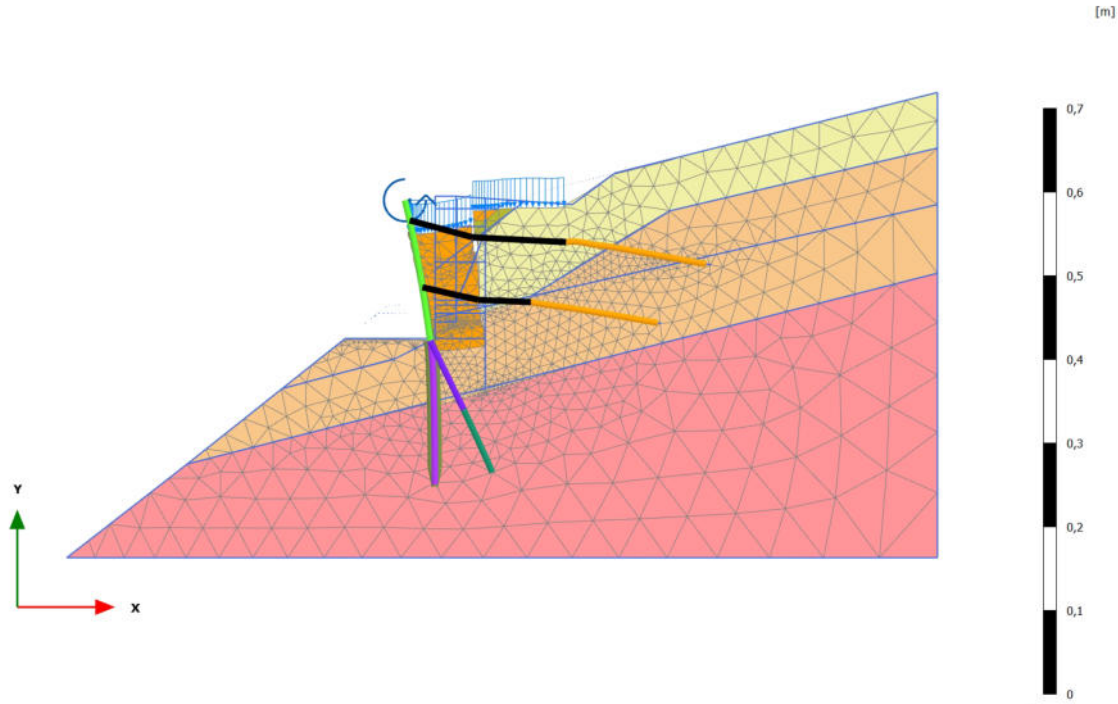

Deformed mesh |u| (scaled up 50,0 times)

Maximum value = 0,05351 m (Element 234 at Node 17711)

2.1.2.30 Calculation results, q Rullo [Phase_25] (25/1142), Deformed mesh |u|

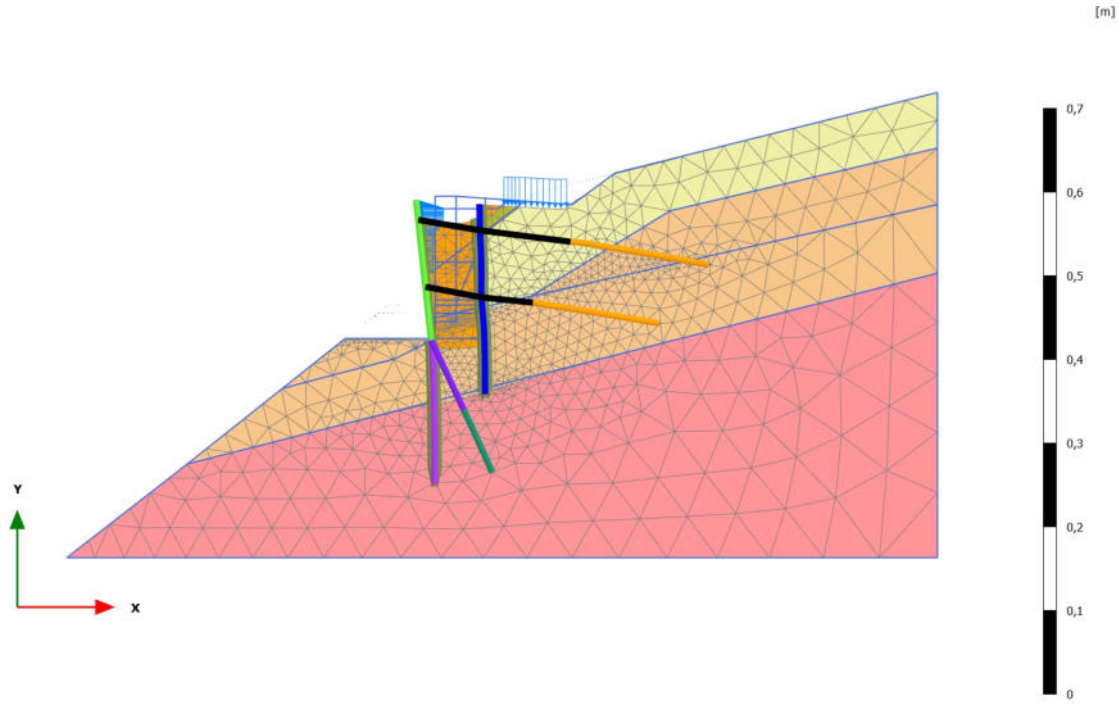

Deformed mesh |u| (scaled up 50,0 times)

Maximum value = 0,03603 m (Element 224 at Node 17609)

2.1.2.31 Calculation results, SLU11 Paratia provvisionale [Phase_23] (23/1151), Deformed mesh |u|

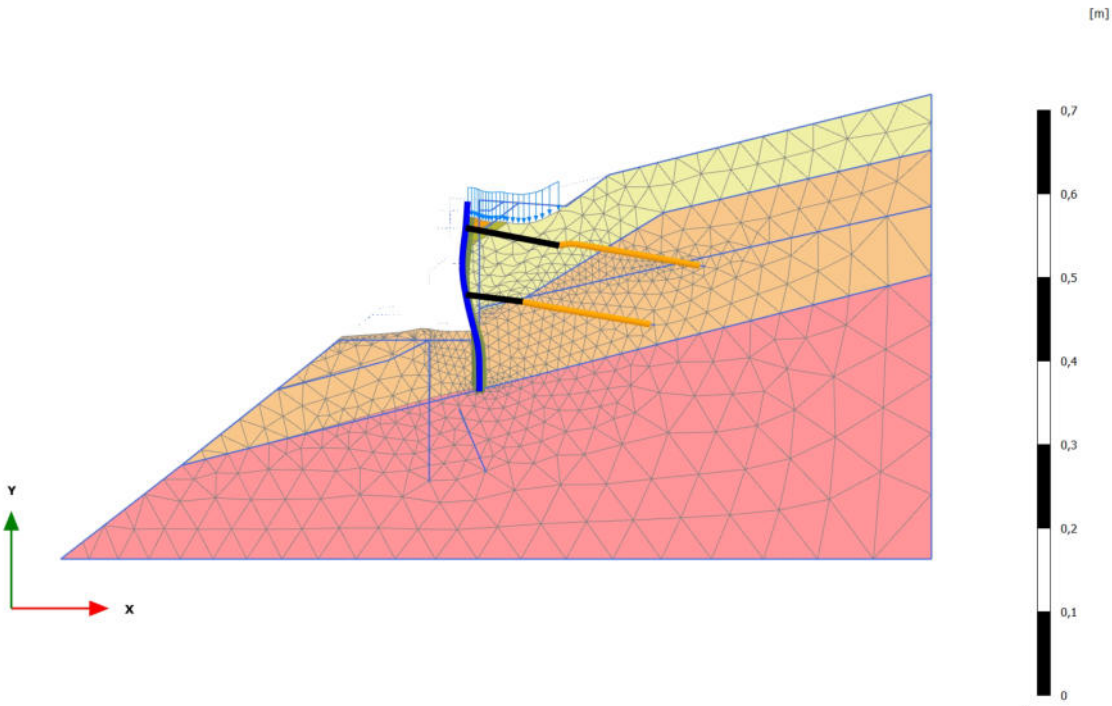

Deformed mesh |u| (scaled up 50,0 times)

Maximum value = 0,02815 m (Element 39 at Node 15560)

2.1.2.32 Calculation results, SLU12 Paratia provvisionale [Phase_24] (24/1162), Deformed mesh |u|

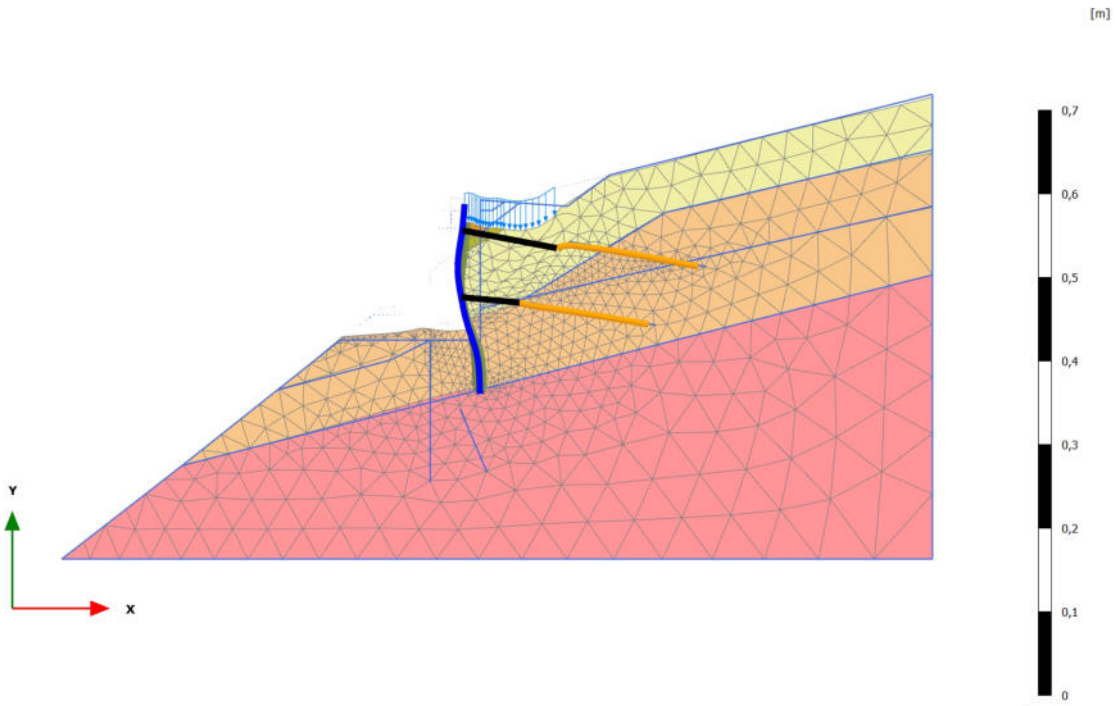

Deformed mesh |u| (scaled up 50,0 times)

Maximum value = 0,03769 m (Element 39 at Node 15559)

2.1.2.33 Calculation results, FS [Phase_32] (32/1262), Deformed mesh |u|

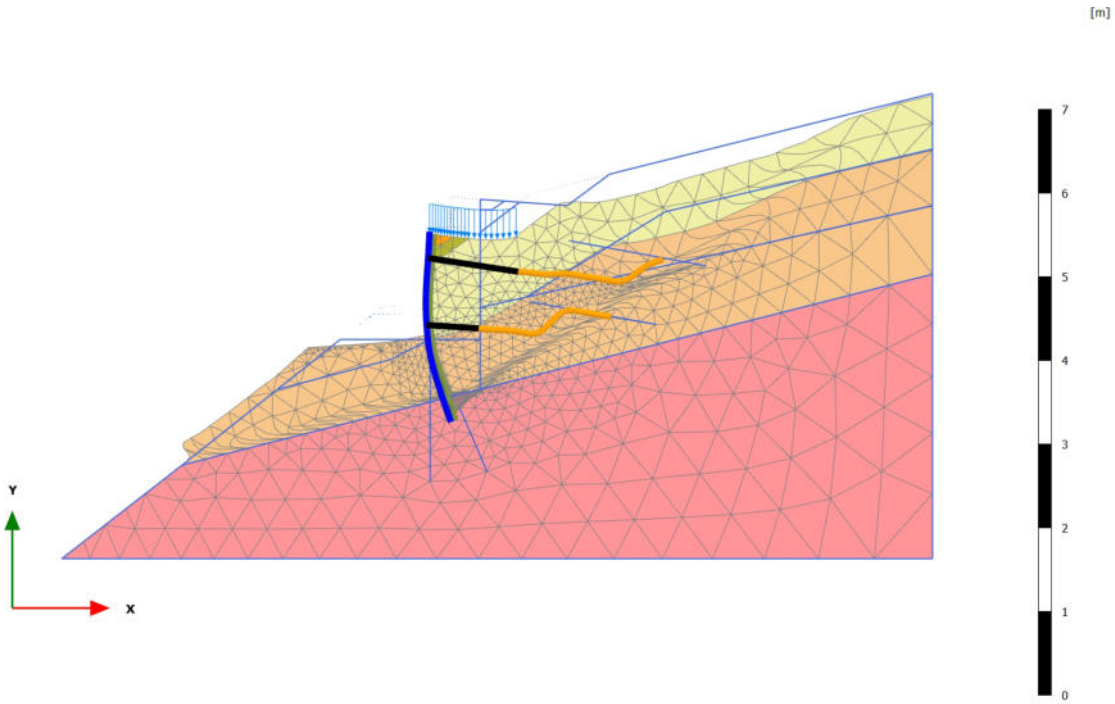

Deformed mesh |u| (scaled up 5,00 times)

Maximum value = 0,7677 m (Element 90 at Node 15453)

2.1.2.34 Calculation results, Eccezionale Op provvisionale [Phase_33] (33/1287), Deformed mesh |u|

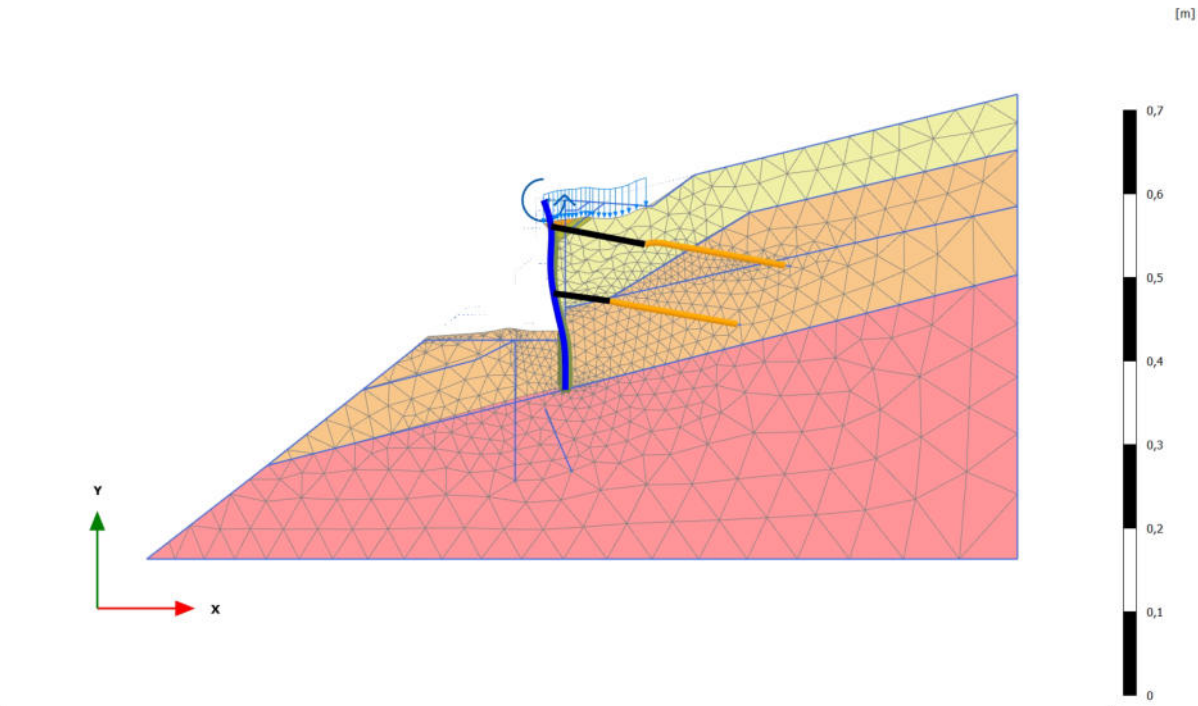

Deformed mesh |u| (scaled up 50,0 times)

Maximum value = 0,03918 m (Element 247 at Node 16467)

2.2.1.1 Calculation results, Initial phase [InitialPhase] (0/1), Plastic points

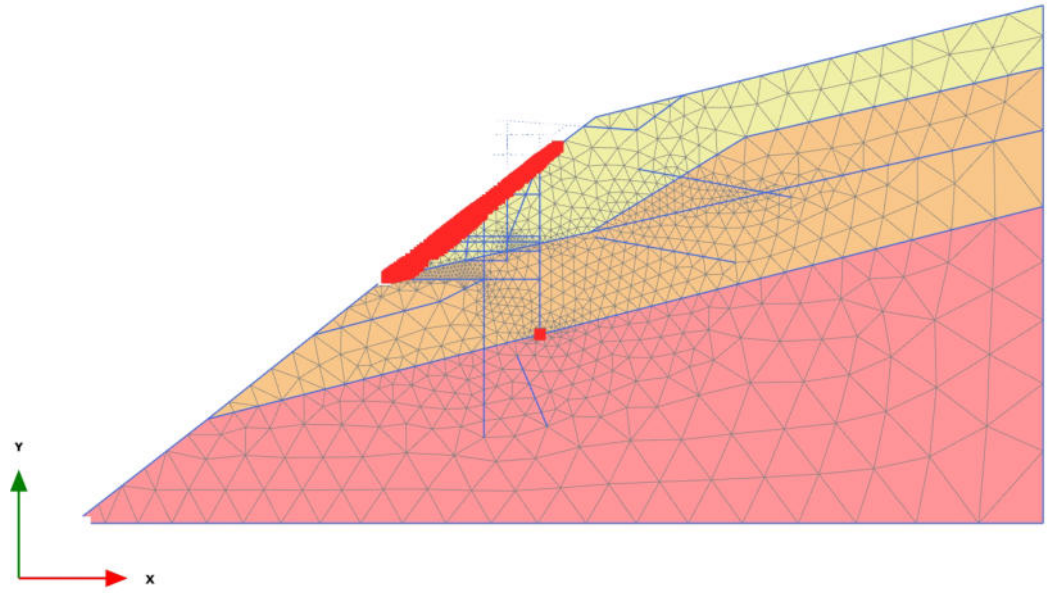

Plastic points (scaled up 0,236 times)

- Failure point
- Tension cut-off point
- Plasticity in local 2 direction only
- Plasticity in local 1 and 2 directions

2.2.1.2 Calculation results, Costruzione stato di fatto 1 [Phase_1] (1/6), Plastic points

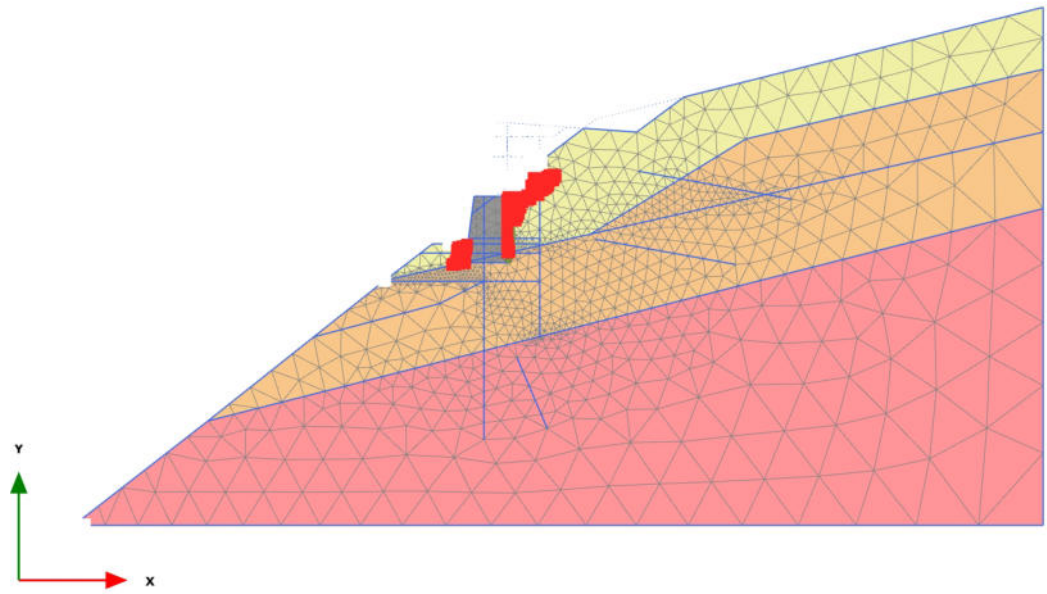

Plastic points (scaled up 0,236 times)

- Failure point
- Tension cut-off point
- Plasticity in local 2 direction only
- Plasticity in local 1 and 2 directions

2.2.1.3 Calculation results, Costruzione stato di fatto 2 [Phase_2] (2/99), Plastic points

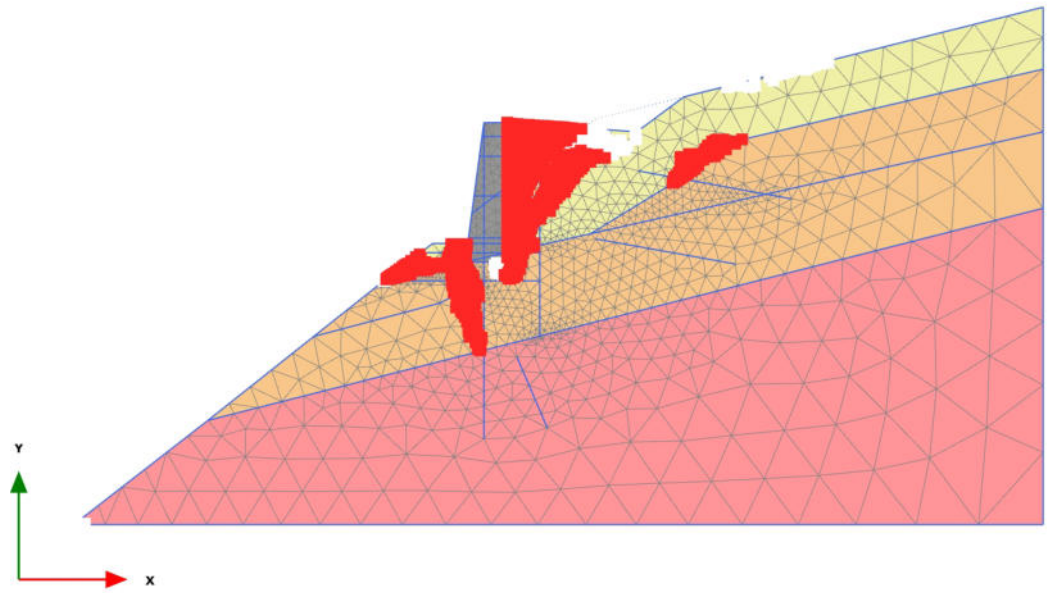

Plastic points (scaled up 0,236 times)

- Failure point
- Tension cut-off point
- Plasticity in local 2 direction only
- Plasticity in local 1 and 2 directions

2.2.1.4 Calculation results, Phase_3 [Phase_3] (3/199), Plastic points

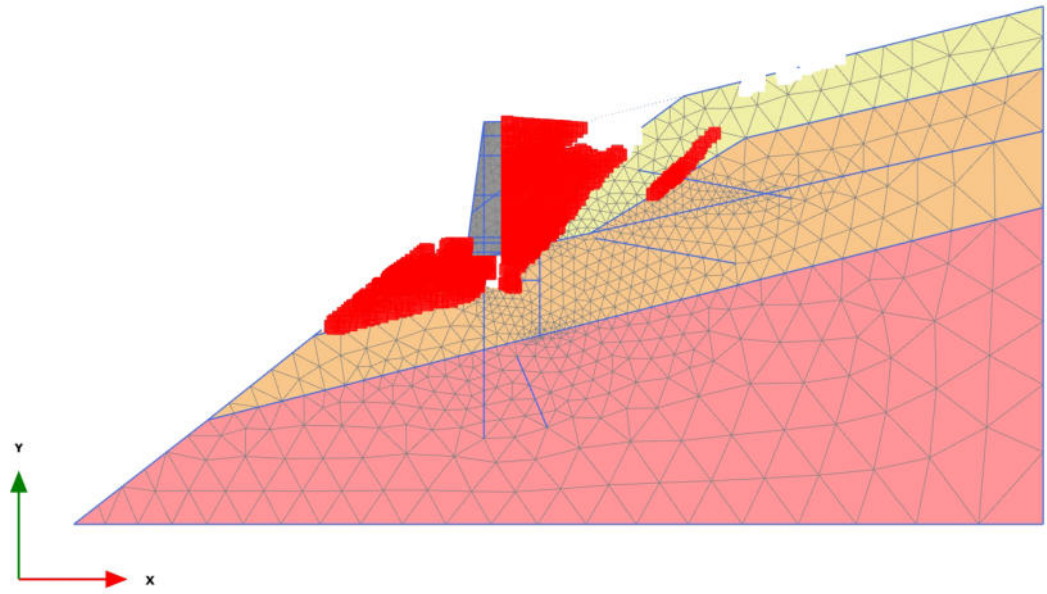

Plastic points (scaled up 0,236 times)

- Failure point
- Tension cut-off point
- Plasticity in local 2 direction only
- Plasticity in local 1 and 2 directions

2.2.1.5 Calculation results, Preparazione cantiere [Phase_4] (4/204), Plastic points

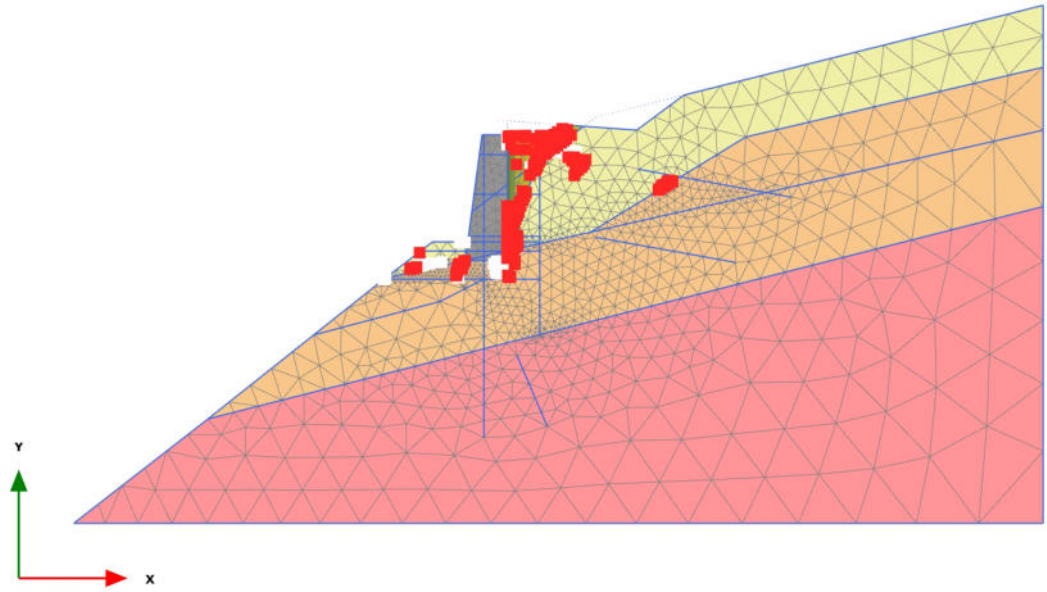

Plastic points (scaled up 0,236 times)

- Failure point
- Tension cut-off point
- Plasticity in local 2 direction only
- Plasticity in local 1 and 2 directions

2.2.1.6 Calculation results, Paratia di micropali [Phase_5] (5/211), Plastic points

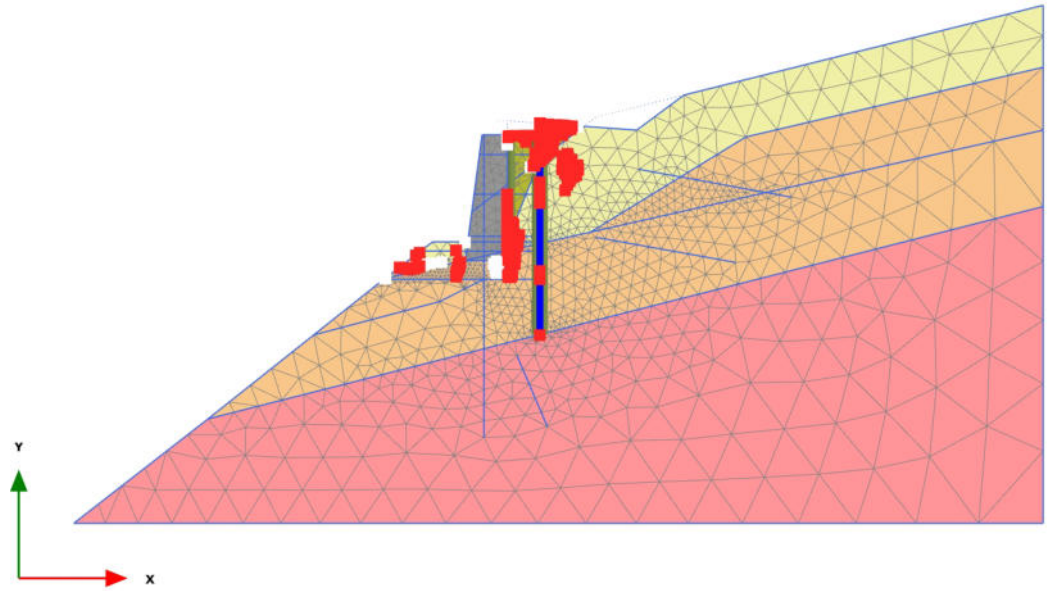

Plastic points (scaled up 0,236 times)

- Failure point
- Tension cut-off point
- Plasticity in local 2 direction only
- Plasticity in local 1 and 2 directions

2.2.1.7 Calculation results, (RD) Escavo 1 + sovraccarico [Phase_6] (6/229), Plastic points

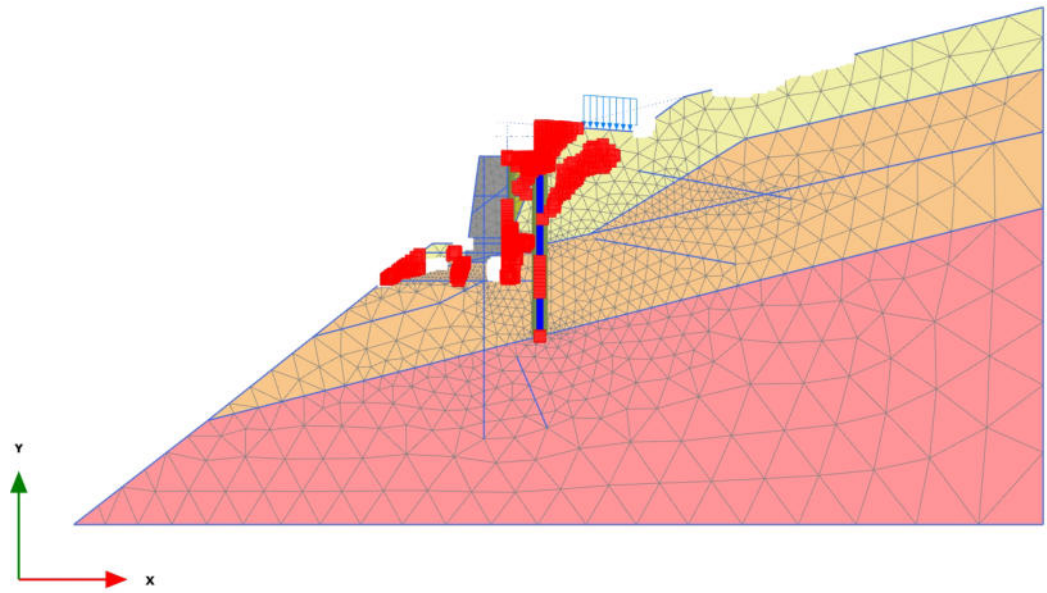

Plastic points (scaled up 0,236 times)

- Failure point
- Tension cut-off point
- Plasticity in local 2 direction only
- Plasticity in local 1 and 2 directions

2.2.1.8 Calculation results, Ancoraggio 1 [Phase_7] (7/308), Plastic points

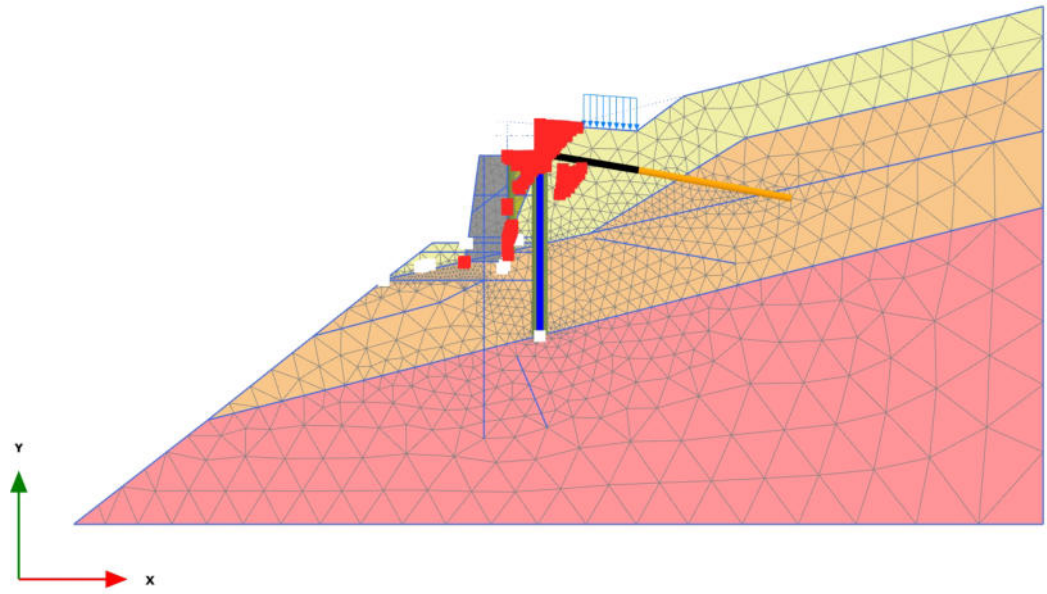

Plastic points (scaled up 0,236 times)

- Failure point
- Tension cut-off point
- Plasticity in local 2 direction only
- Plasticity in local 1 and 2 directions

2.2.1.9 Calculation results, Escavo 2 [Phase_8] (8/338), Plastic points

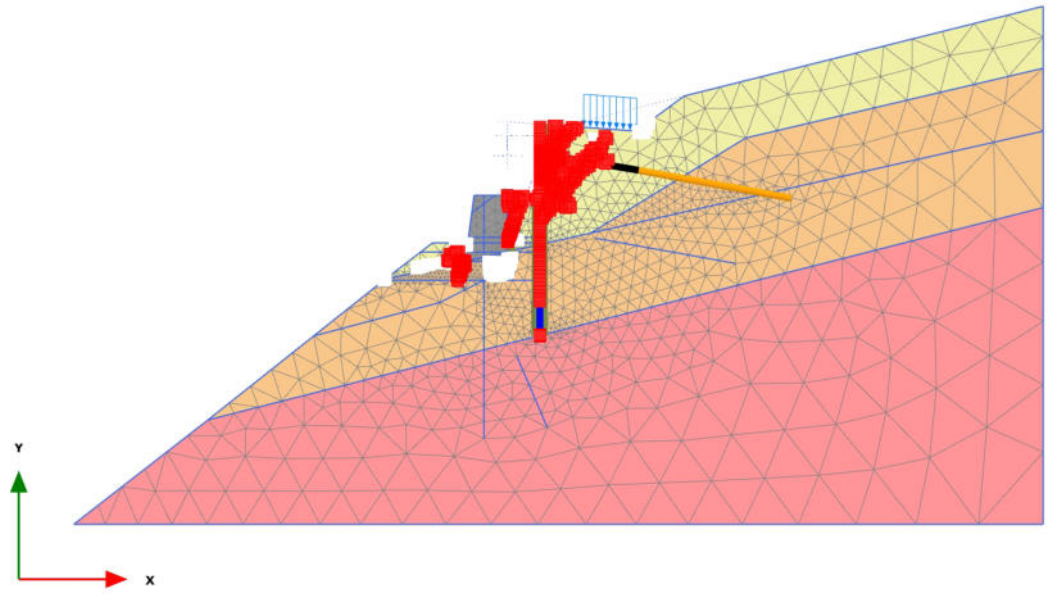

Plastic points (scaled up 0,236 times)

- Failure point
- Tension cut-off point
- Plasticity in local 2 direction only
- Plasticity in local 1 and 2 directions

2.2.1.10 Calculation results, Escavo 3 [Phase_9] (9/379), Plastic points

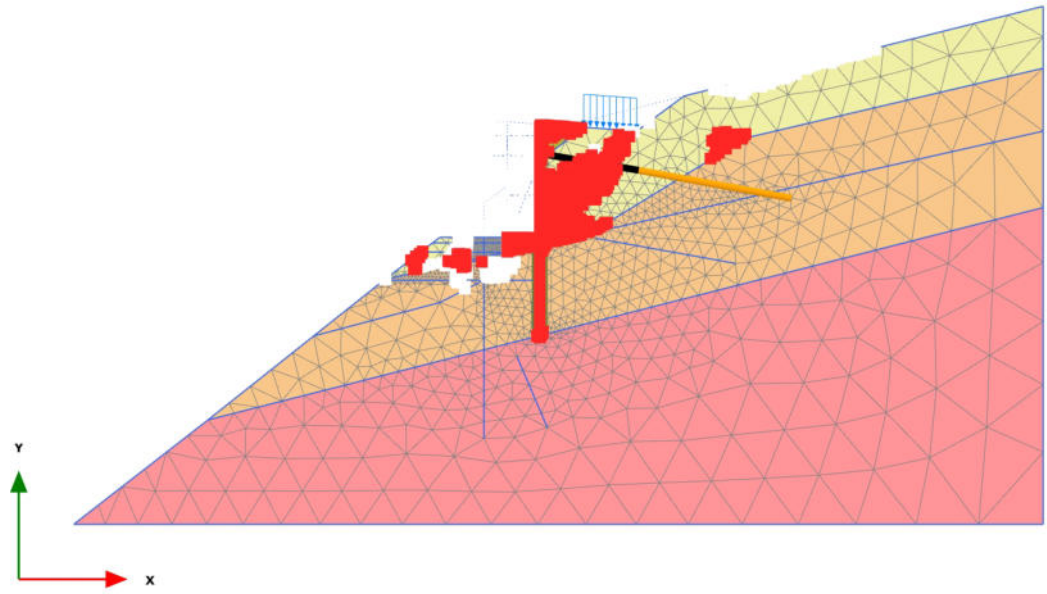

Plastic points (scaled up 0,236 times)

- Failure point
- Tension cut-off point
- Plasticity in local 2 direction only
- Plasticity in local 1 and 2 directions

2.2.1.11 Calculation results, Ancoraggio 2 [Phase_27] (27/430), Plastic points

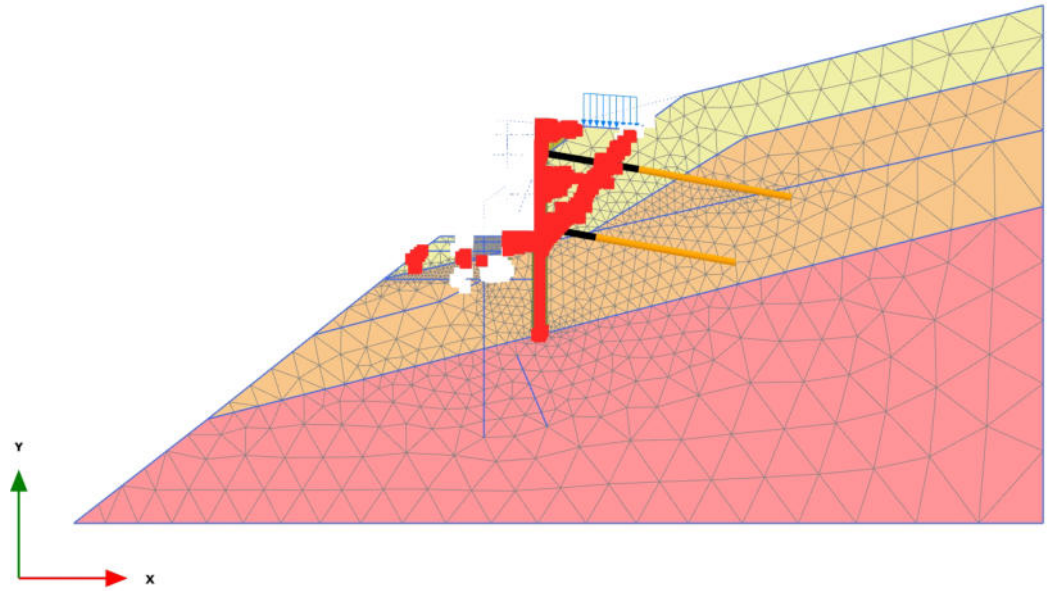

Plastic points (scaled up 0,236 times)

- Failure point
- Tension cut-off point
- Plasticity in local 2 direction only
- Plasticity in local 1 and 2 directions

2.2.1.12 Calculation results, Escavo 4 [Phase_10] (10/449), Plastic points

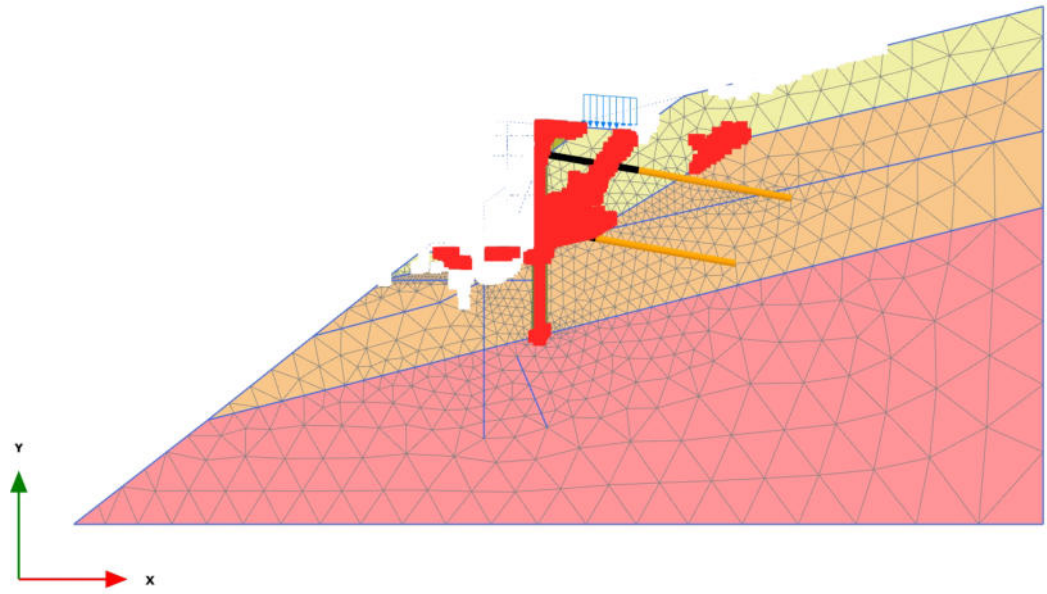

Plastic points (scaled up 0,236 times)

- Failure point
- Tension cut-off point
- Plasticity in local 2 direction only
- Plasticity in local 1 and 2 directions

2.2.1.13 Calculation results, Completamento scavo [Phase_28] (28/479), Plastic points

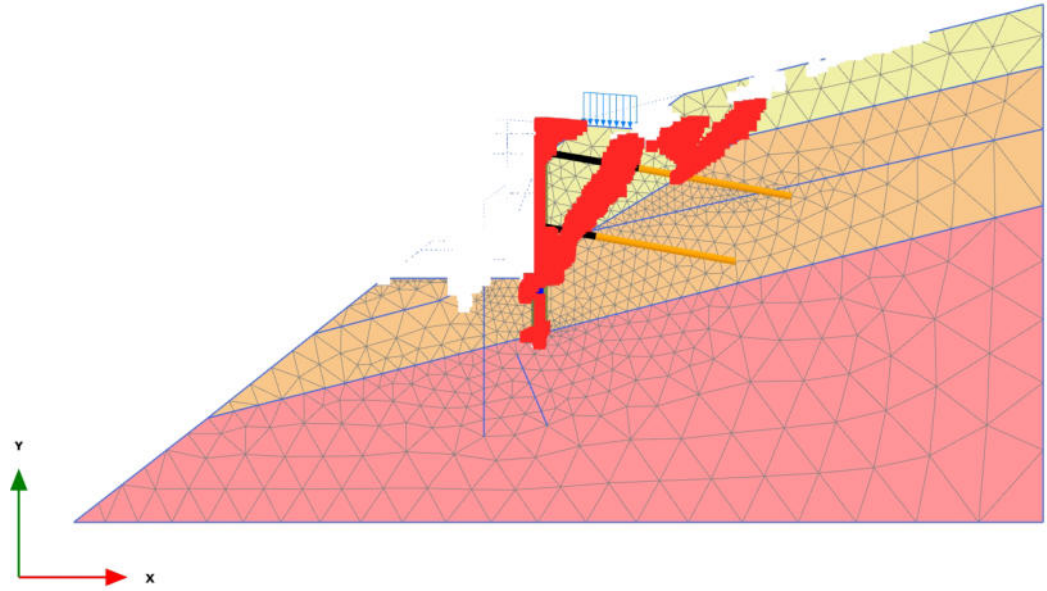

Plastic points (scaled up 0,236 times)

- Failure point
- Tension cut-off point
- Plasticity in local 2 direction only
- Plasticity in local 1 and 2 directions

2.2.1.14 Calculation results, (RD) Strutture [Phase_11] (11/482), Plastic points

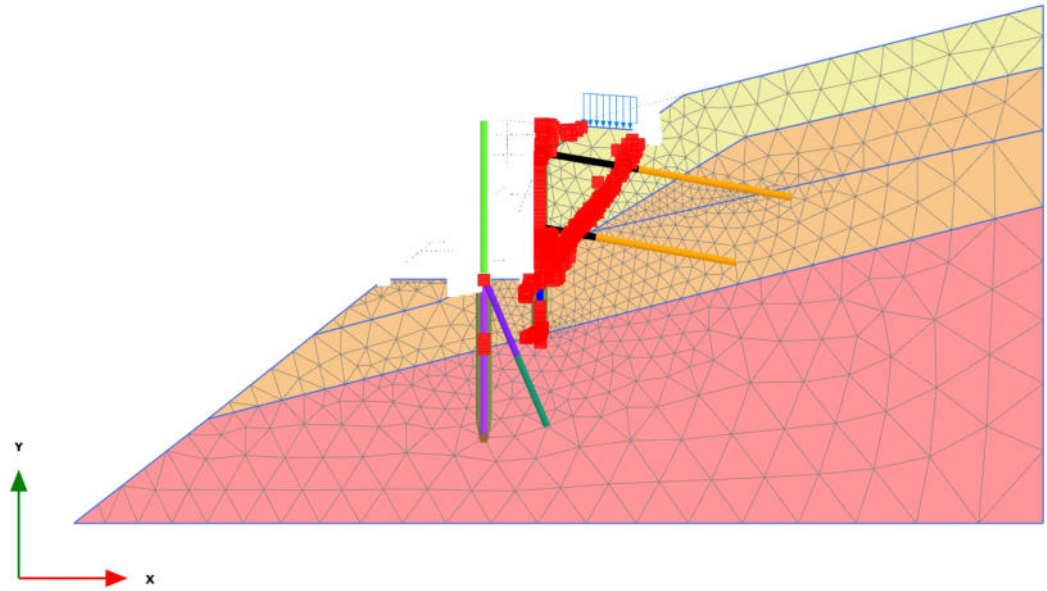

Plastic points (scaled up 0,236 times)

- Failure point
- Tension cut-off point
- Plasticity in local 2 direction only
- Plasticity in local 1 and 2 directions

2.2.1.15 Calculation results, Riempimento 1 [Phase_12] (12/828), Plastic points

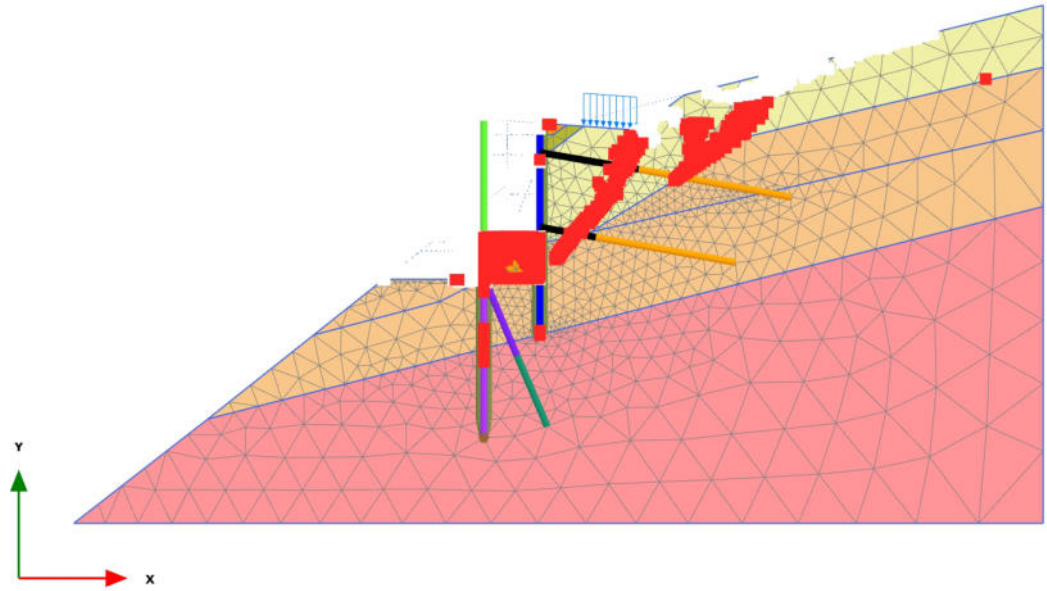

Plastic points (scaled up 0,236 times)

- Failure point
- Tension cut-off point
- Plasticity in local 2 direction only
- Plasticity in local 1 and 2 directions

2.2.1.16 Calculation results, Collegamento ancoraggio 1 [Phase_29] (29/843), Plastic points

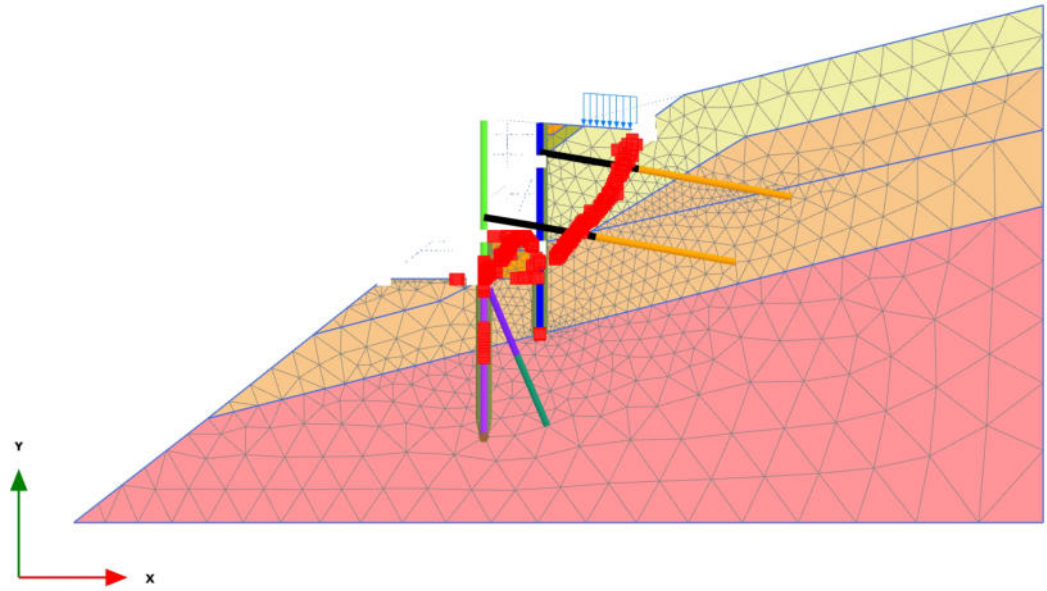

Plastic points (scaled up 0,236 times)

- Failure point
- Tension cut-off point
- Plasticity in local 2 direction only
- Plasticity in local 1 and 2 directions

2.2.1.17 Calculation results, Riempimento 2 [Phase_13] (13/861), Plastic points

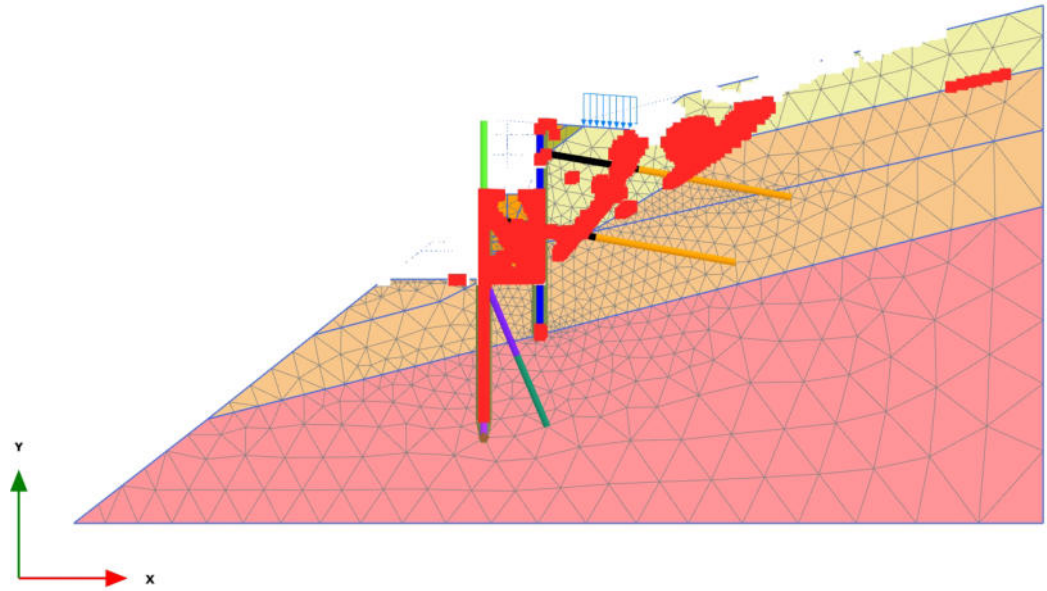

Plastic points (scaled up 0,236 times)

- Failure point
- Tension cut-off point
- Plasticity in local 2 direction only
- Plasticity in local 1 and 2 directions

2.2.1.18 Calculation results, Riempimento 3 [Phase_30] (30/964), Plastic points

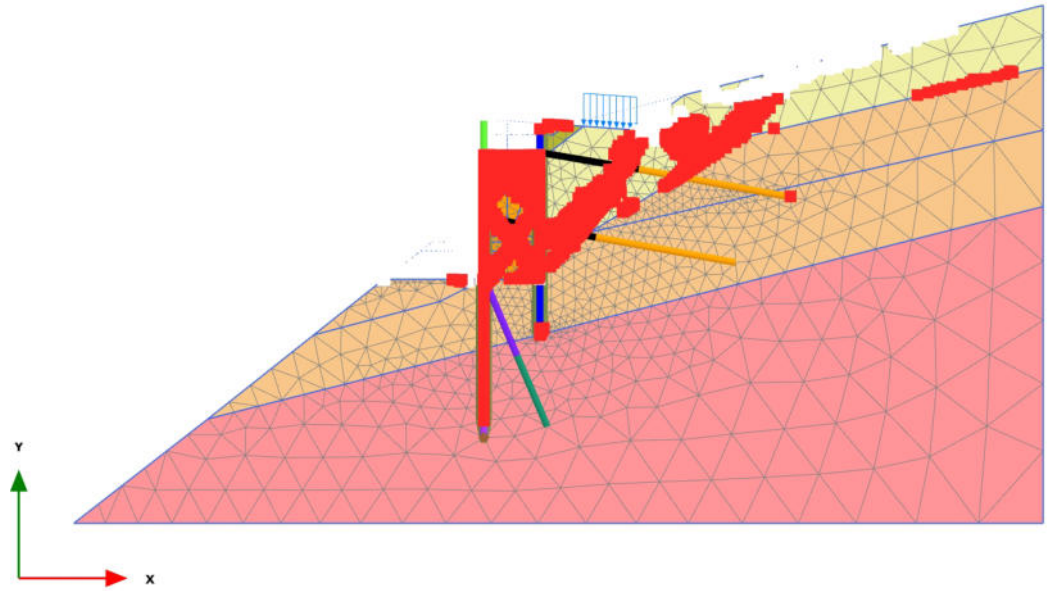

Plastic points (scaled up 0,236 times)

- Failure point
- Tension cut-off point
- Plasticity in local 2 direction only
- Plasticity in local 1 and 2 directions

2.2.1.19 Calculation results, Collegamento ancoraggio 2 [Phase_14] (14/977), Plastic points

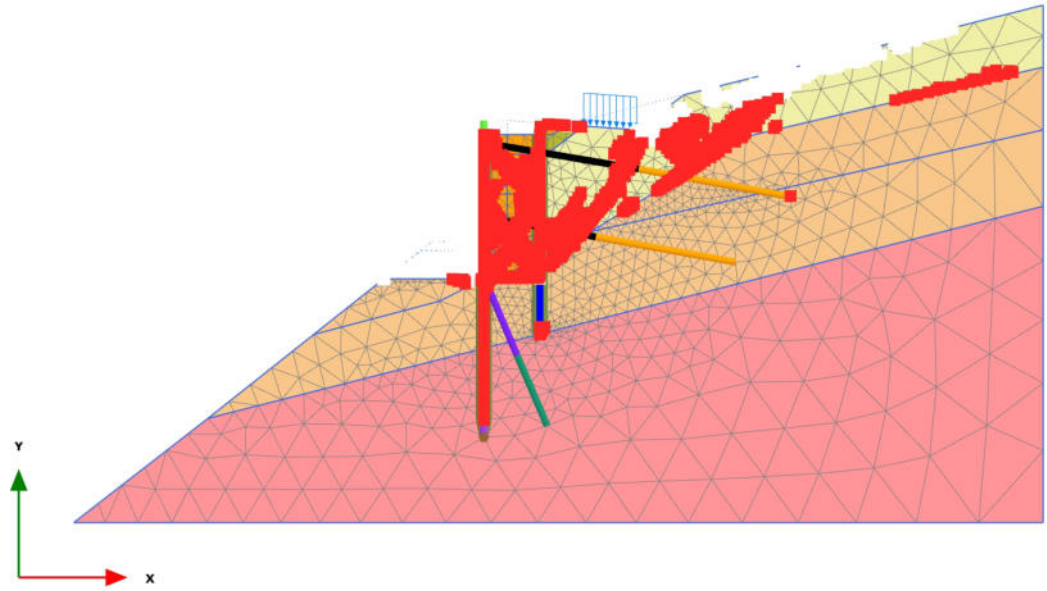

Plastic points (scaled up 0,236 times)

- Failure point
- Tension cut-off point
- Plasticity in local 2 direction only
- Plasticity in local 1 and 2 directions

2.2.1.20 Calculation results, Riempimento 4 (MG) [Phase_15] (15/984), Plastic points

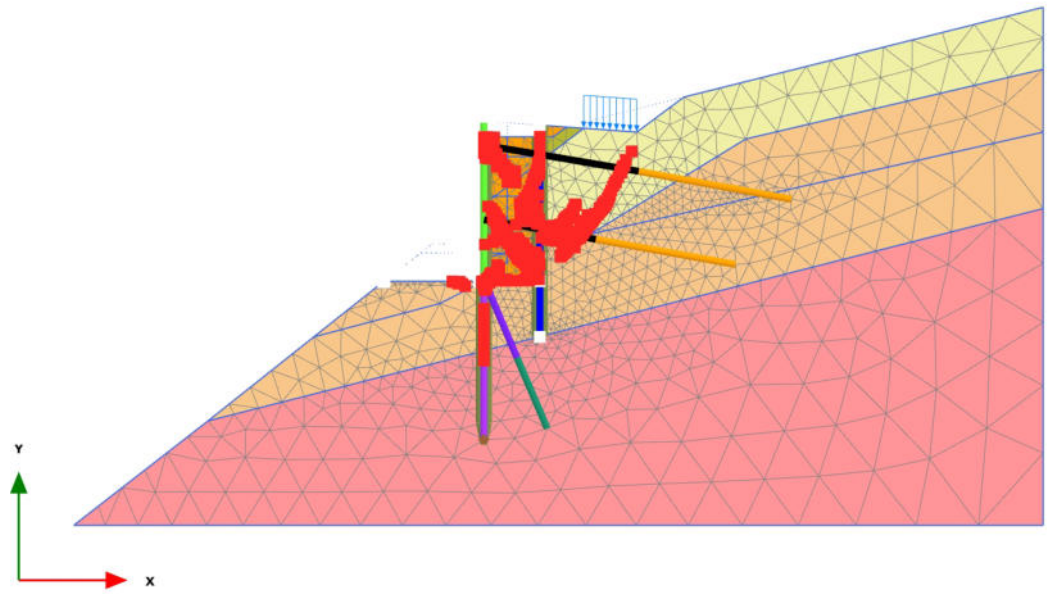

Plastic points (scaled up 0,236 times)

- Failure point
- Tension cut-off point
- Plasticity in local 2 direction only
- Plasticity in local 1 and 2 directions

2.2.1.21 Calculation results, Riempimento 5 (MG) [Phase_16] (16/992), Plastic points

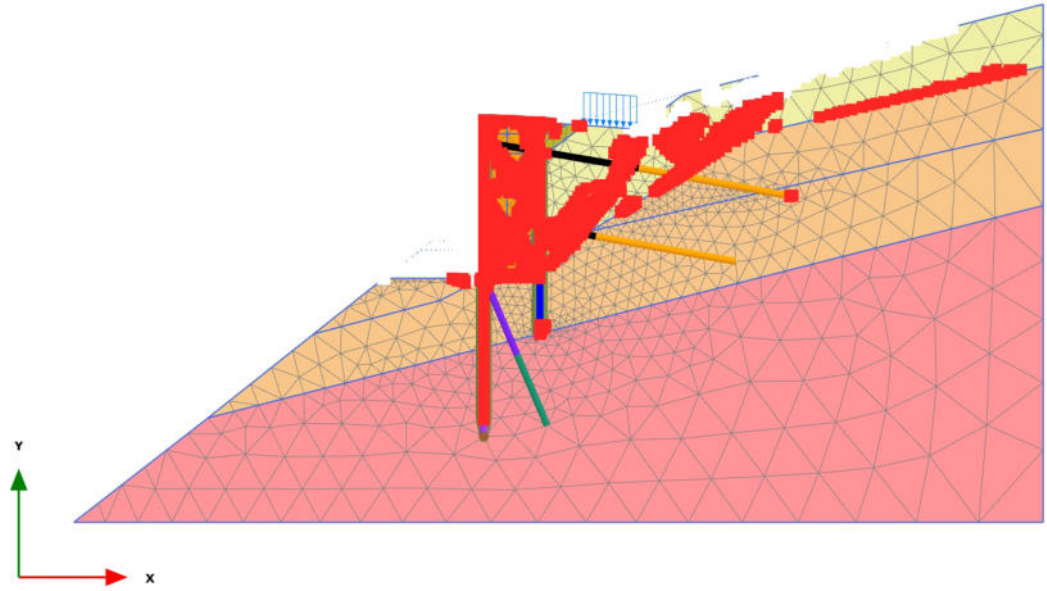

Plastic points (scaled up 0,236 times)

- Failure point
- Tension cut-off point
- Plasticity in local 2 direction only
- Plasticity in local 1 and 2 directions

2.2.1.22 Calculation results, Disattivazione paratia provvisionale [Phase_17] (17/998), Plastic points

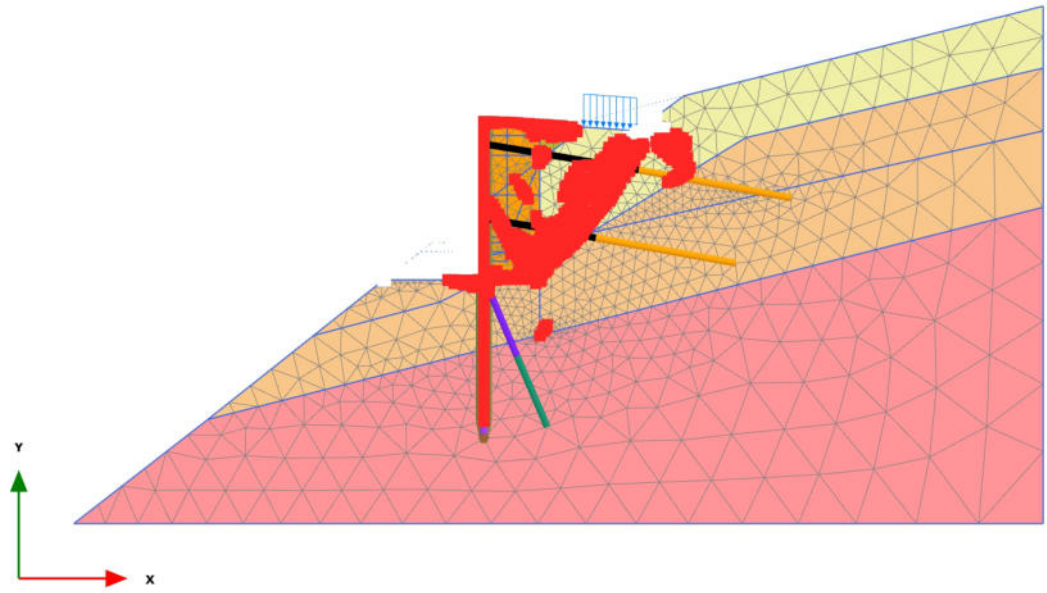

Plastic points (scaled up 0,236 times)

- Failure point
- Tension cut-off point
- Plasticity in local 2 direction only
- Plasticity in local 1 and 2 directions

2.2.1.23 Calculation results, SLE [Phase_18] (18/1002), Plastic points

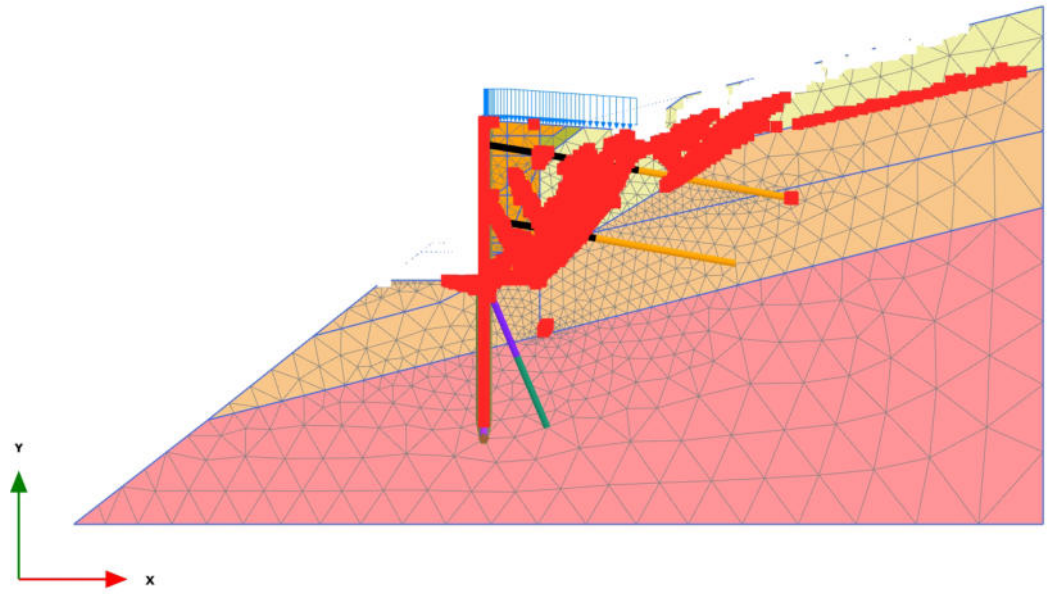

Plastic points (scaled up 0,236 times)

- Failure point
- Tension cut-off point
- Plasticity in local 2 direction only
- Plasticity in local 1 and 2 directions

2.2.1.24 Calculation results, Scalzamento al piede [Phase_19] (19/1007), Plastic points

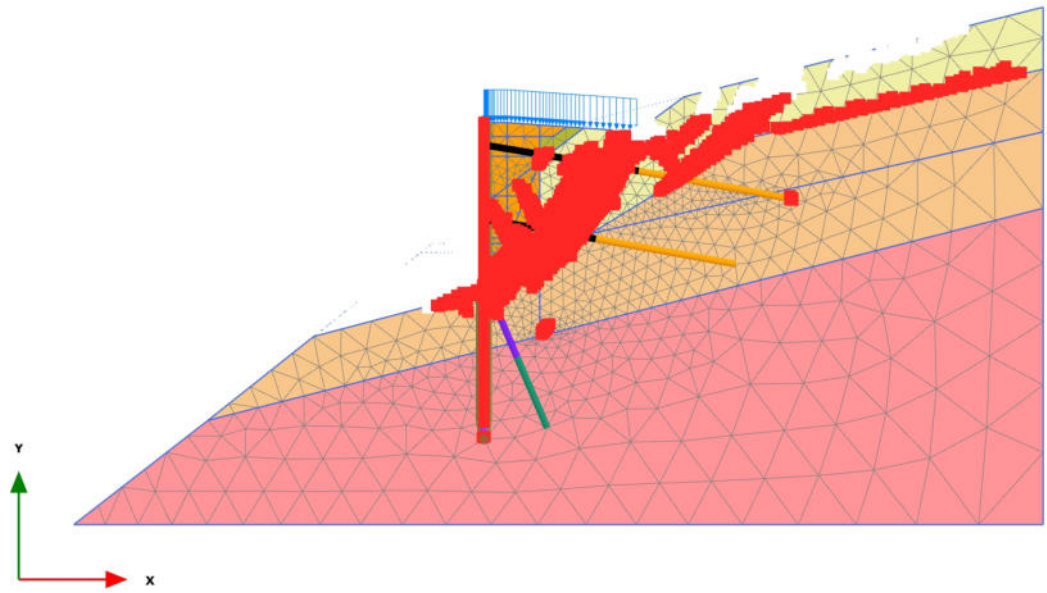

Plastic points (scaled up 0,236 times)

- Failure point
- Tension cut-off point
- Plasticity in local 2 direction only
- Plasticity in local 1 and 2 directions

2.2.1.25 Calculation results, SLU11 [Phase_20] (20/1011), Plastic points

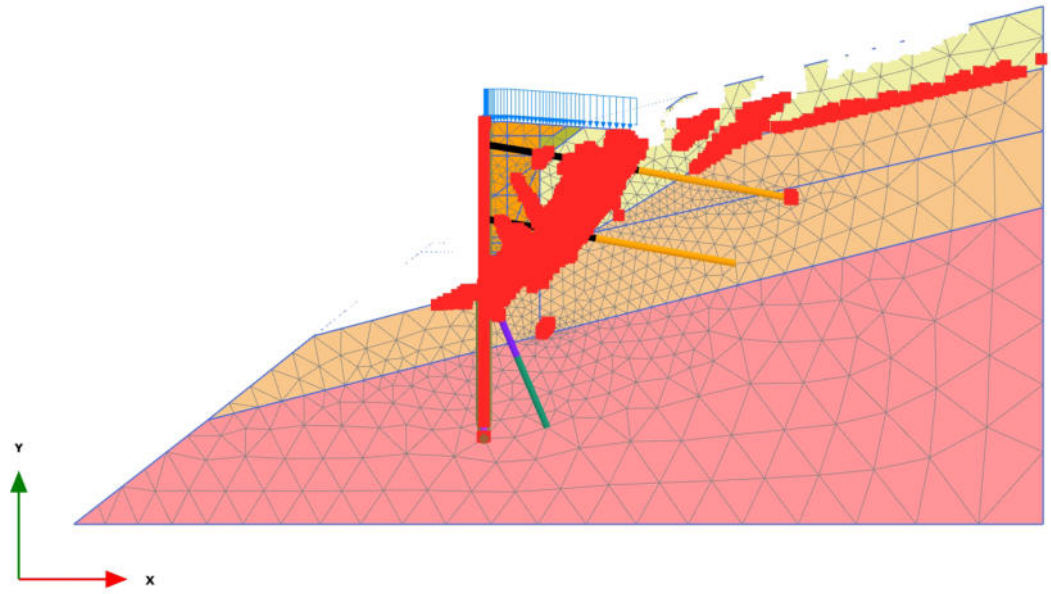

Plastic points (scaled up 0,236 times)

- Failure point
- Tension cut-off point
- Plasticity in local 2 direction only
- Plasticity in local 1 and 2 directions

2.2.1.26 Calculation results, SLV [Phase_21] (21/1061), Plastic points

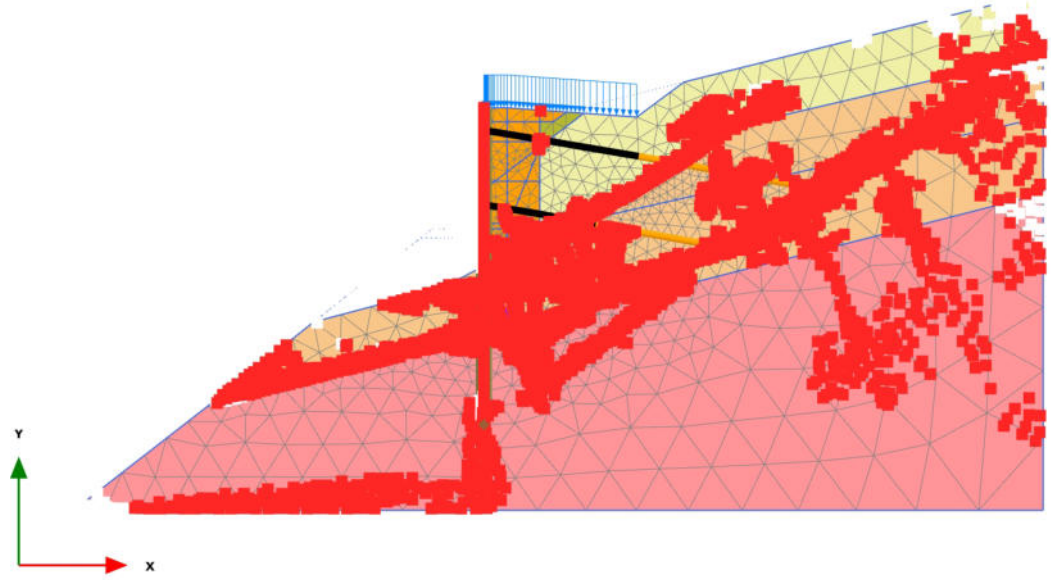

Plastic points (scaled up 0,236 times)

- Failure point
- Tension cut-off point
- Plasticity in local 2 direction only
- Plasticity in local 1 and 2 directions

2.2.1.27 Calculation results, SLU12 [Phase_26] (26/1072), Plastic points

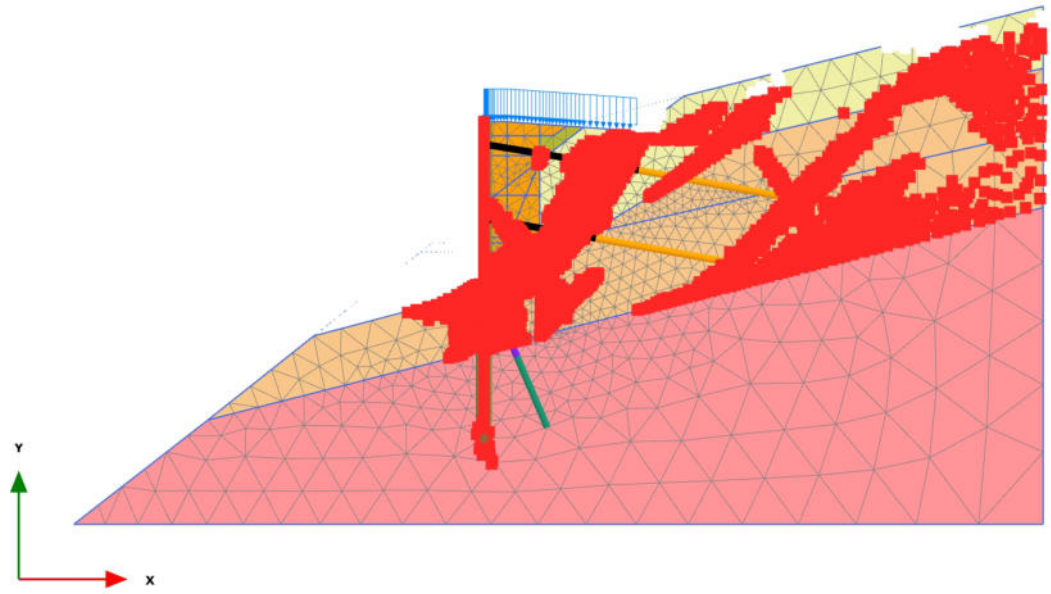

Plastic points (scaled up 0,236 times)

- Failure point
- Tension cut-off point
- Plasticity in local 2 direction only
- Plasticity in local 1 and 2 directions

2.2.1.28 Calculation results, SLD [Phase_31] (31/1085), Plastic points

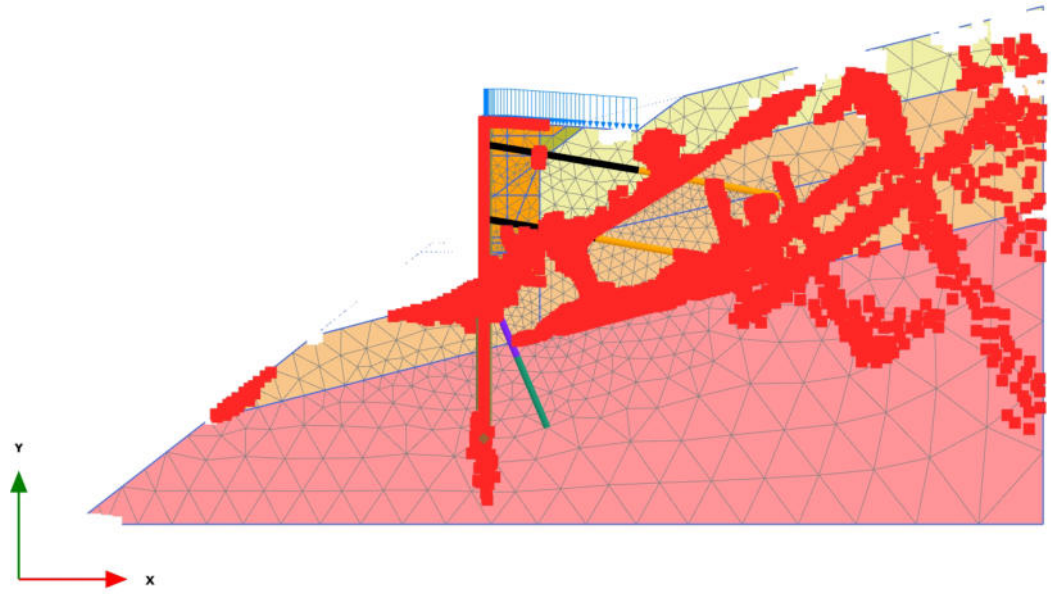

Plastic points (scaled up 0,236 times)

- Failure point
- Tension cut-off point
- Plasticity in local 2 direction only
- Plasticity in local 1 and 2 directions

2.2.1.29 Calculation results, Eccezionale [Phase_22] (22/1130), Plastic points

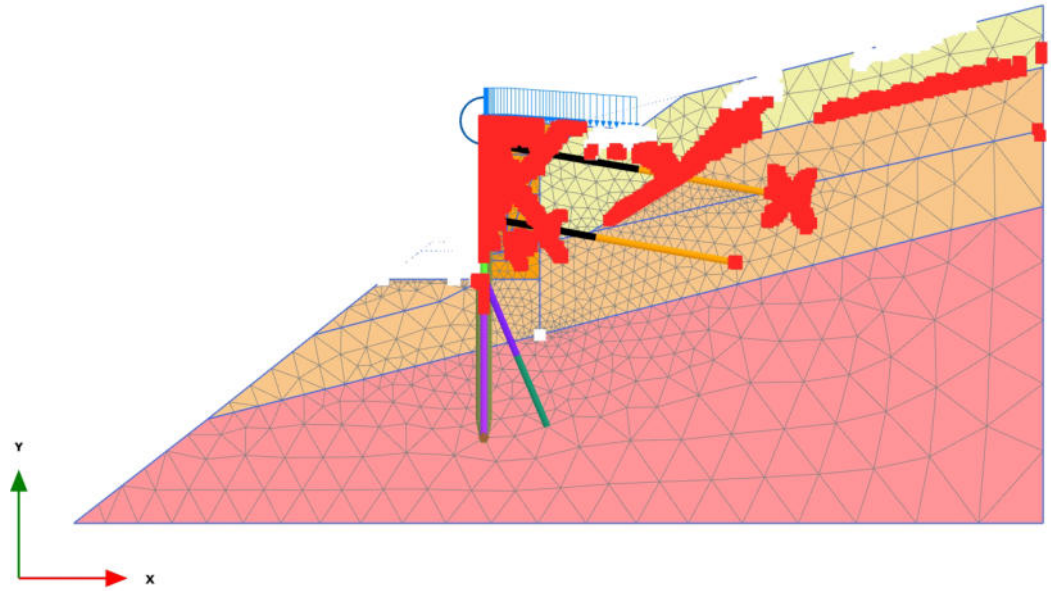

Plastic points (scaled up 0,236 times)

- Failure point
- Tension cut-off point
- Plasticity in local 2 direction only
- Plasticity in local 1 and 2 directions

2.2.1.30 Calculation results, q Rullo [Phase_25] (25/1142), Plastic points

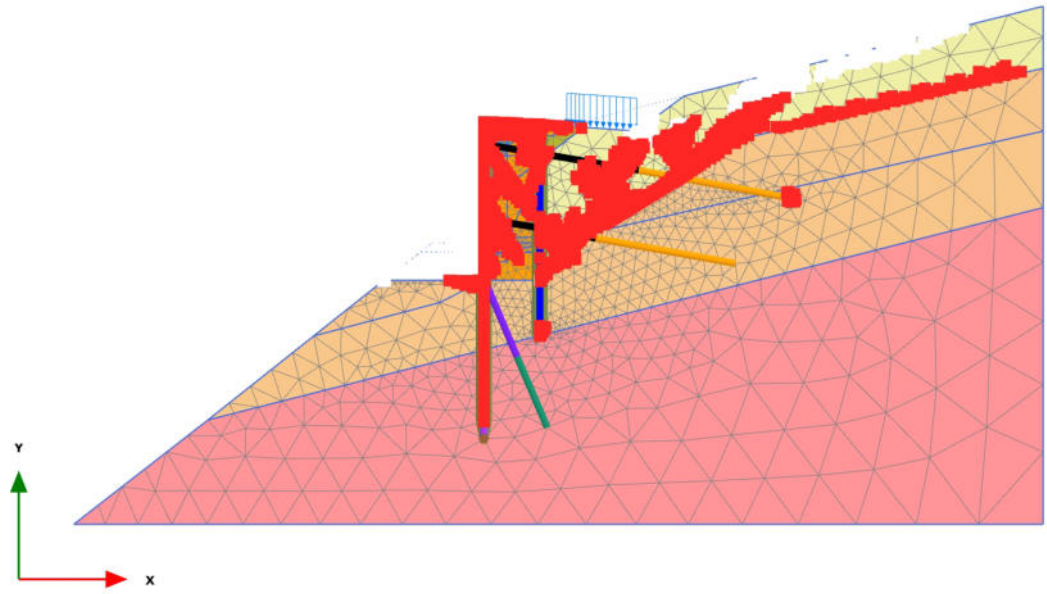

Plastic points (scaled up 0,236 times)

- Failure point
- Tension cut-off point
- Plasticity in local 2 direction only
- Plasticity in local 1 and 2 directions

2.2.1.31 Calculation results, SLU11 Paratia provvisionale [Phase_23] (23/1151), Plastic points

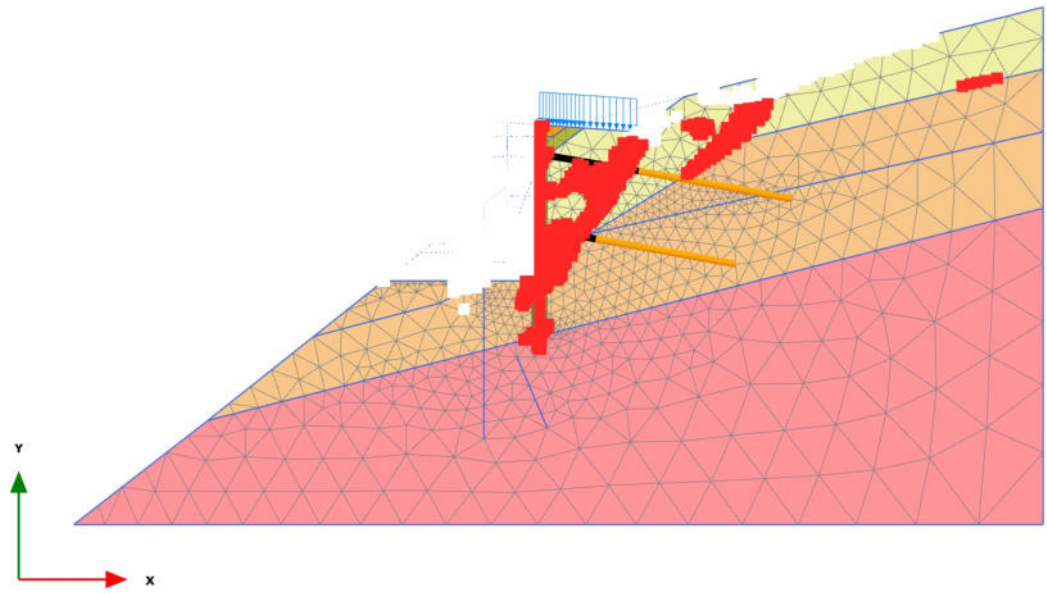

Plastic points (scaled up 0,236 times)

- Failure point
- Tension cut-off point
- Plasticity in local 2 direction only
- Plasticity in local 1 and 2 directions

2.2.1.32 Calculation results, SLU12 Paratia provvisionale [Phase_24] (24/1162), Plastic points

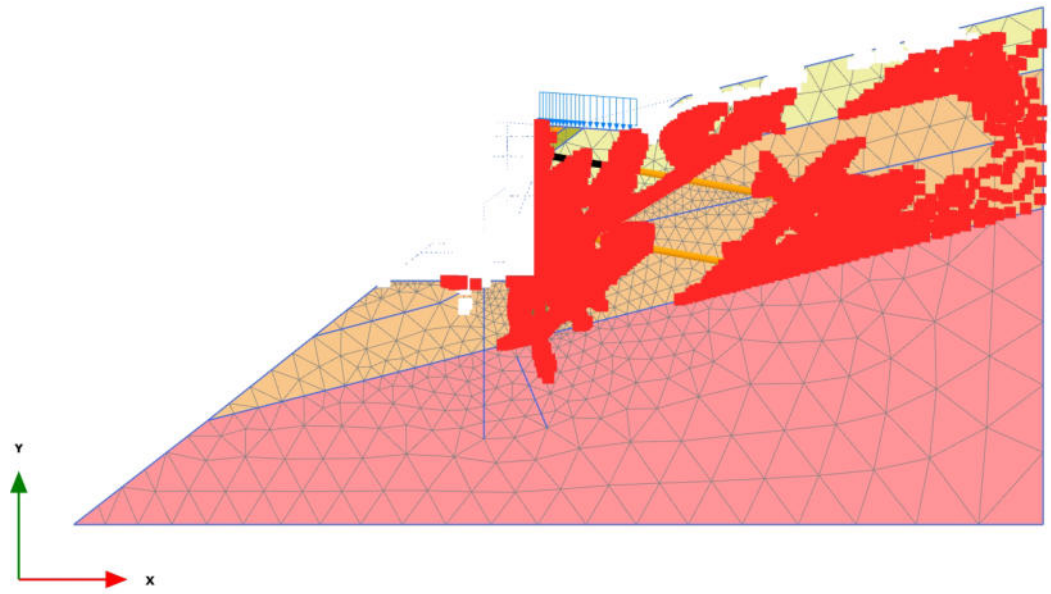

Plastic points (scaled up 0,236 times)

- Failure point
- Tension cut-off point
- Plasticity in local 2 direction only
- Plasticity in local 1 and 2 directions

2.2.1.33 Calculation results, FS [Phase_32] (32/1262), Plastic points

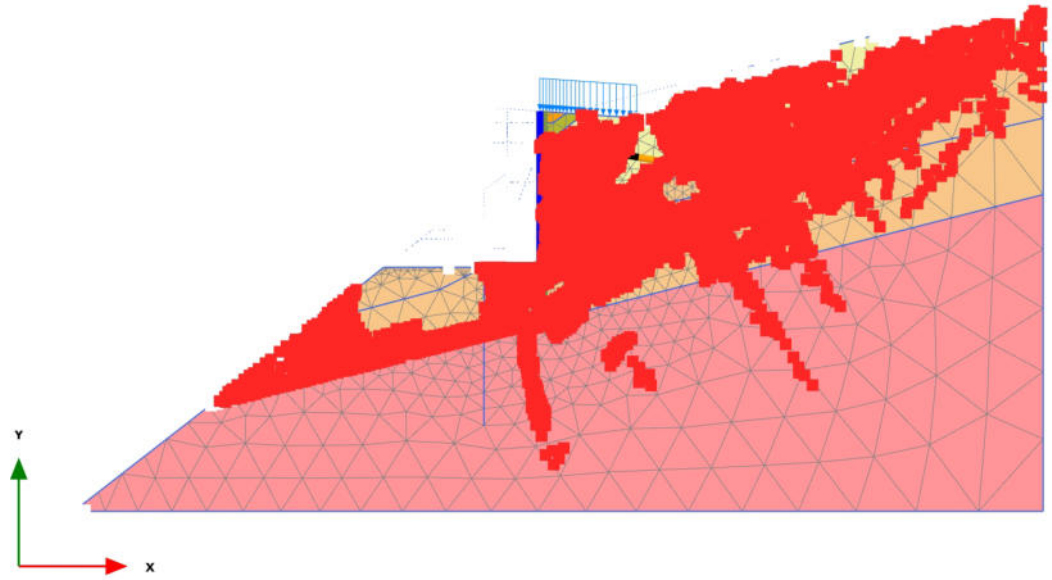

Plastic points (scaled up 0,236 times)

- Failure point
- Tension cut-off point
- Plasticity in local 2 direction only
- Plasticity in local 1 and 2 directions

2.2.1.34 Calculation results, Eccezionale Op provvisionale [Phase_33] (33/1287), Plastic points

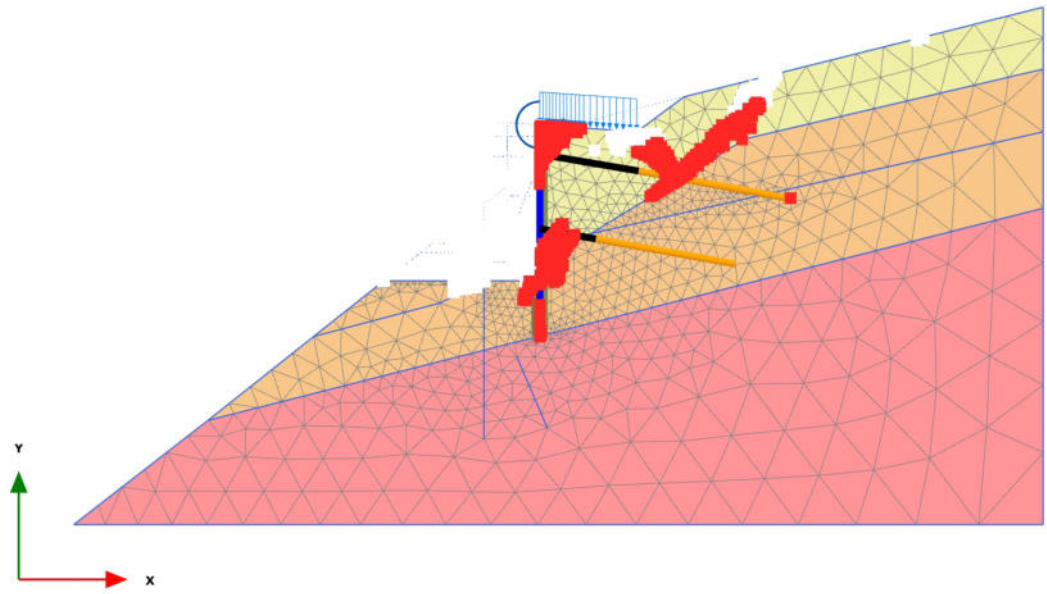

Plastic points (scaled up 0,236 times)

- Failure point
- Tension cut-off point
- Plasticity in local 2 direction only
- Plasticity in local 1 and 2 directions

3.1.1.1.1.1 Calculation results, Plate, Initial phase [InitialPhase] (0/1), Total displacements u_x

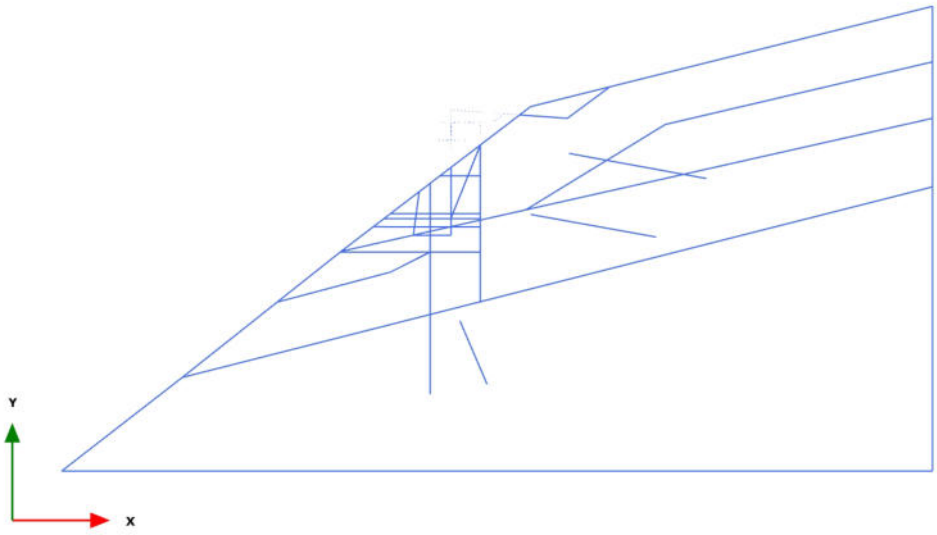

Total displacements u_x (at true scale)

No results

3.1.1.1.1.2 Calculation results, Plate, Costruzione stato di fatto 1 [Phase_1] (1/6), Total displacements u_x

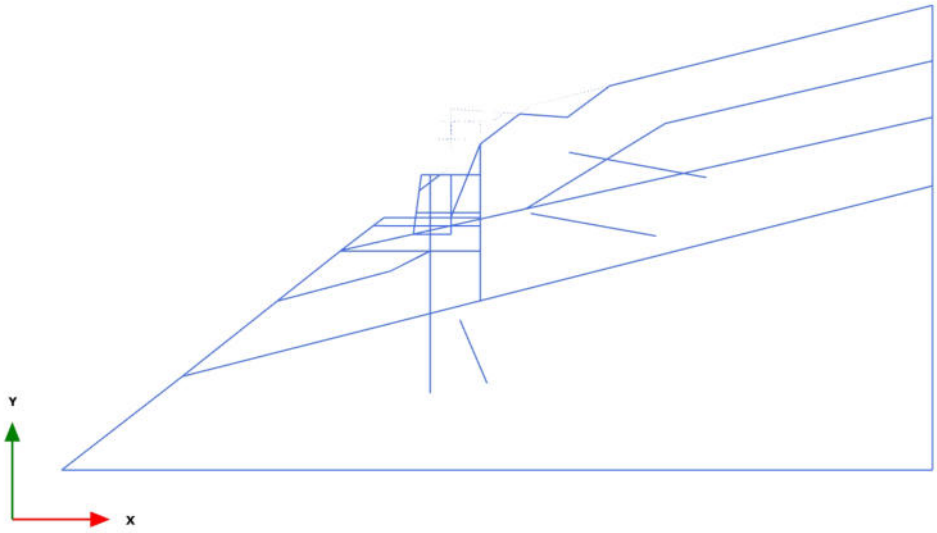

Total displacements u_x (at true scale)

No results

3.1.1.1.1.3 Calculation results, Plate, Costruzione stato di fatto 2 [Phase_2] (2/99), Total displacements u_x

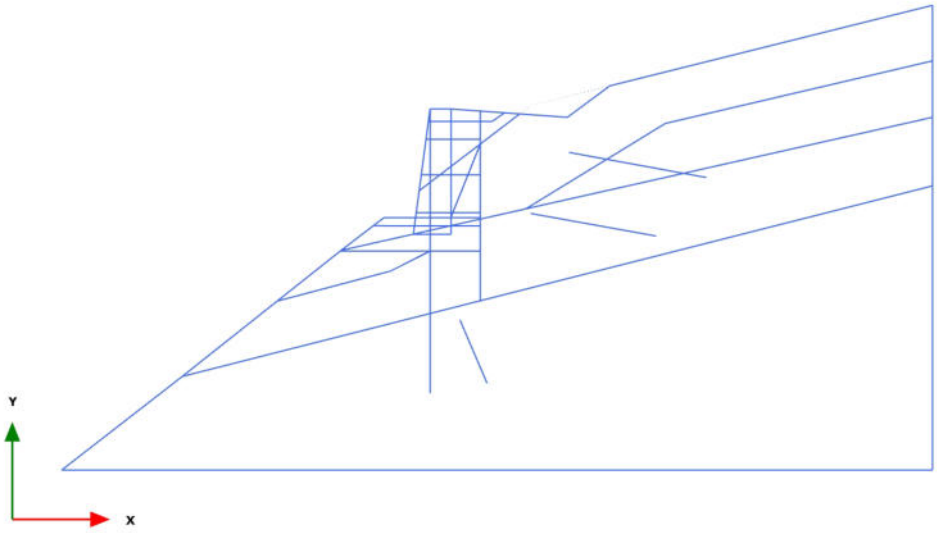

Total displacements u_x (at true scale)

No results

3.1.1.1.1.4 Calculation results, Plate, Phase_3 [Phase_3] (3/199), Total displacements u_x

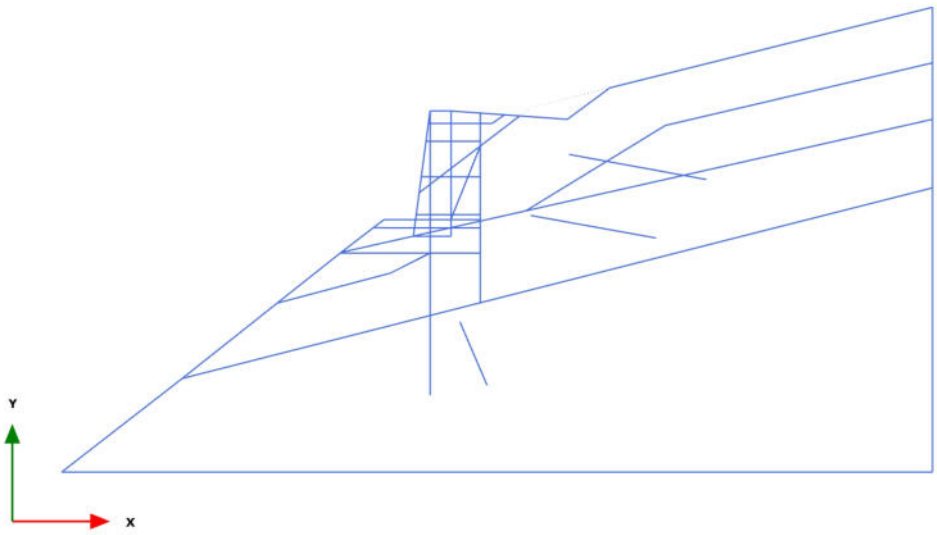

Total displacements u_x (at true scale)

No results

3.1.1.1.1.5 Calculation results, Plate, Preparazione cantiere [Phase_4] (4/204), Total displacements u_x

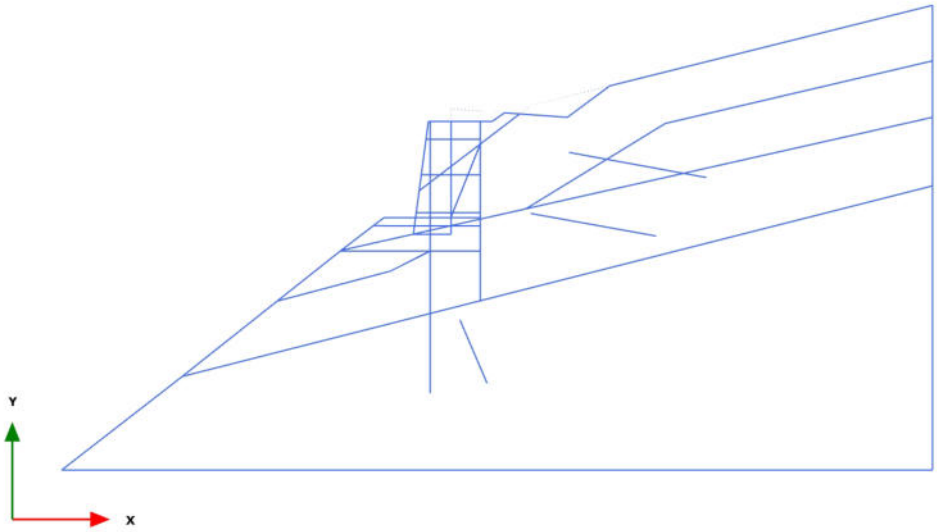

Total displacements u_x (at true scale)

No results

3.1.1.1.1.6 Calculation results, Plate, Paratia di micropali [Phase_5] (5/211), Total displacements u_x

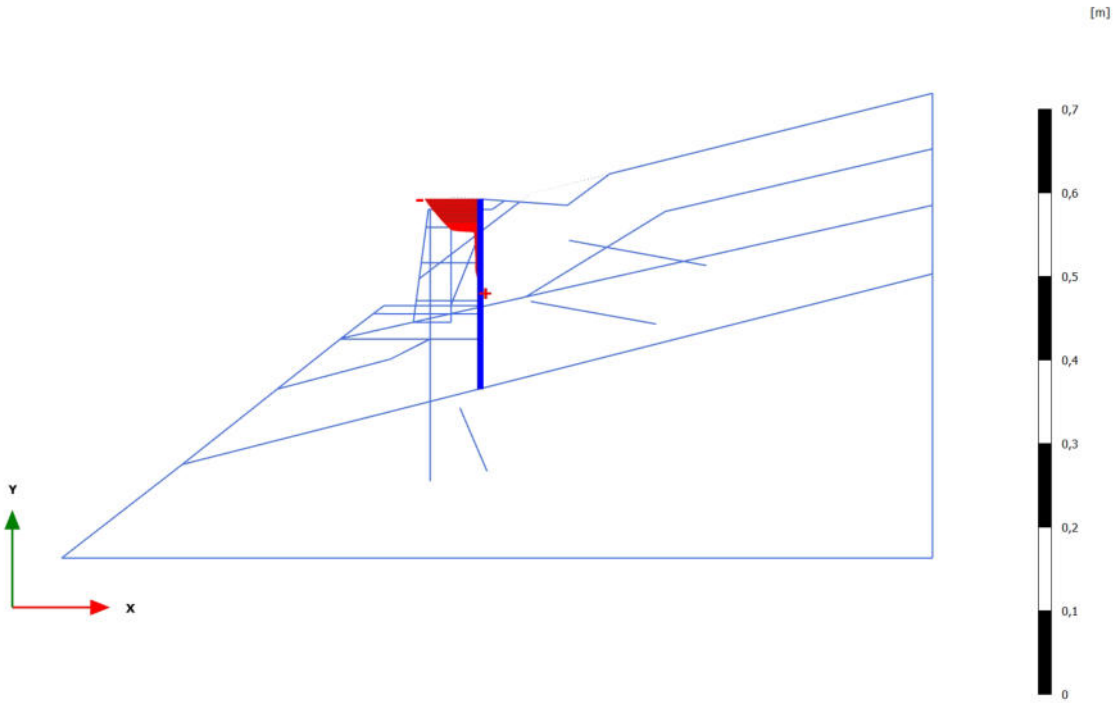

Total displacements u_x (scaled up 50,0 times)

Maximum value = 0,5657*10^{-3} m (Element 29 at Node 15511)

Minimum value = -0,06612 m (Element 5 at Node 16475)

3.1.1.1.1.7 Calculation results, Plate, (RD) Escavo 1 + sovraccarico [Phase_6] (6/229), Total displacements u_x

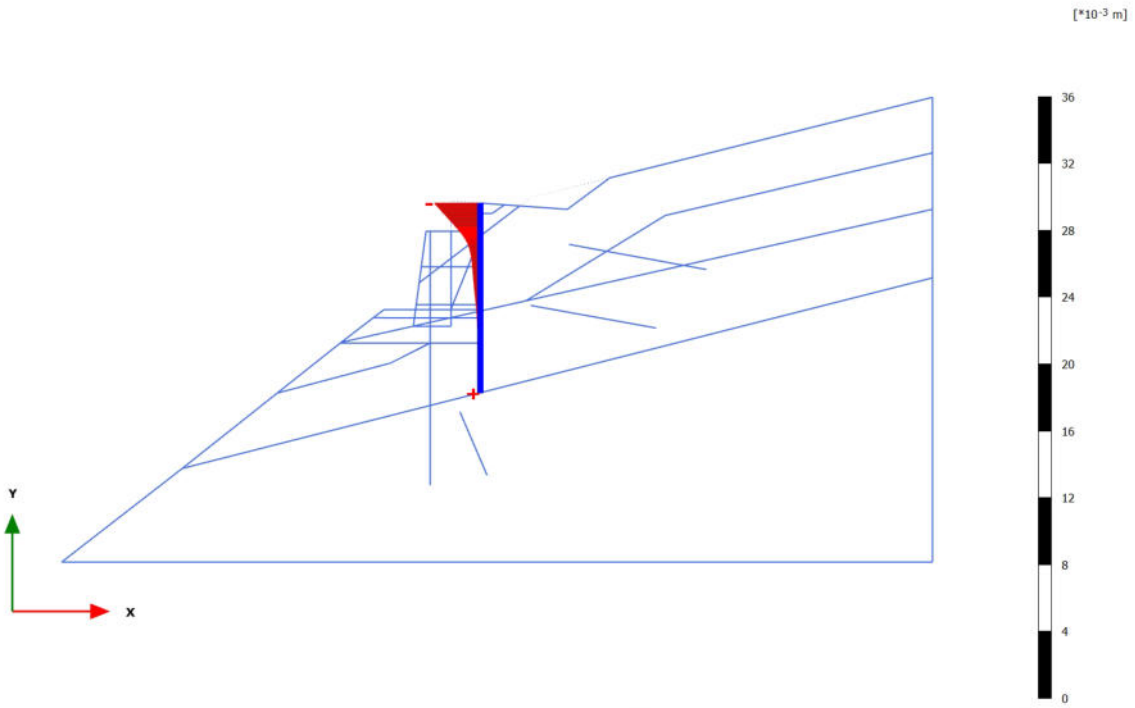

Total displacements u_x (scaled up 1,00*10³ times)

Maximum value = -0,1136*10^{-3} m (Element 64 at Node 4609)

Minimum value = -2,743*10^{-3} m (Element 5 at Node 16475)

3.1.1.1.1.8 Calculation results, Plate, Ancoraggio 1 [Phase_7] (7/308), Total displacements u_x

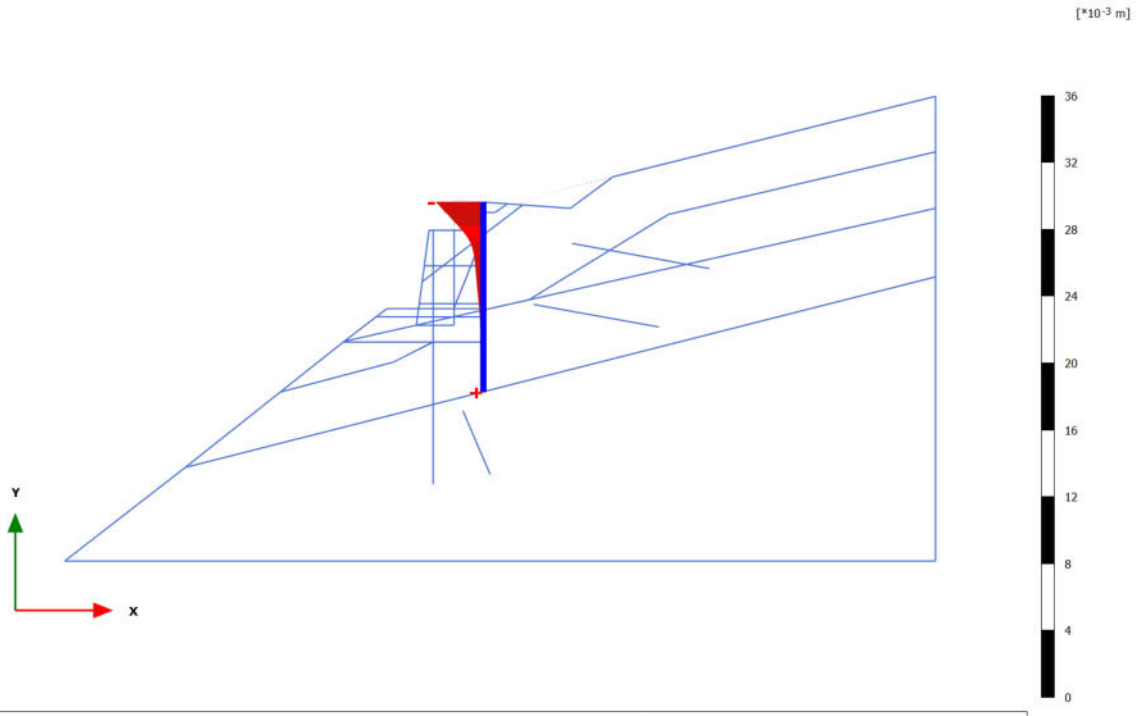

Total displacements u_x (scaled up 1,00*10³ times)

Maximum value = -0,1135*10^{-3} m (Element 64 at Node 4609)

Minimum value = -2,801*10^{-3} m (Element 5 at Node 16475)

3.1.1.1.1.9 Calculation results, Plate, Escavo 2 [Phase_8] (8/338), Total displacements u_x

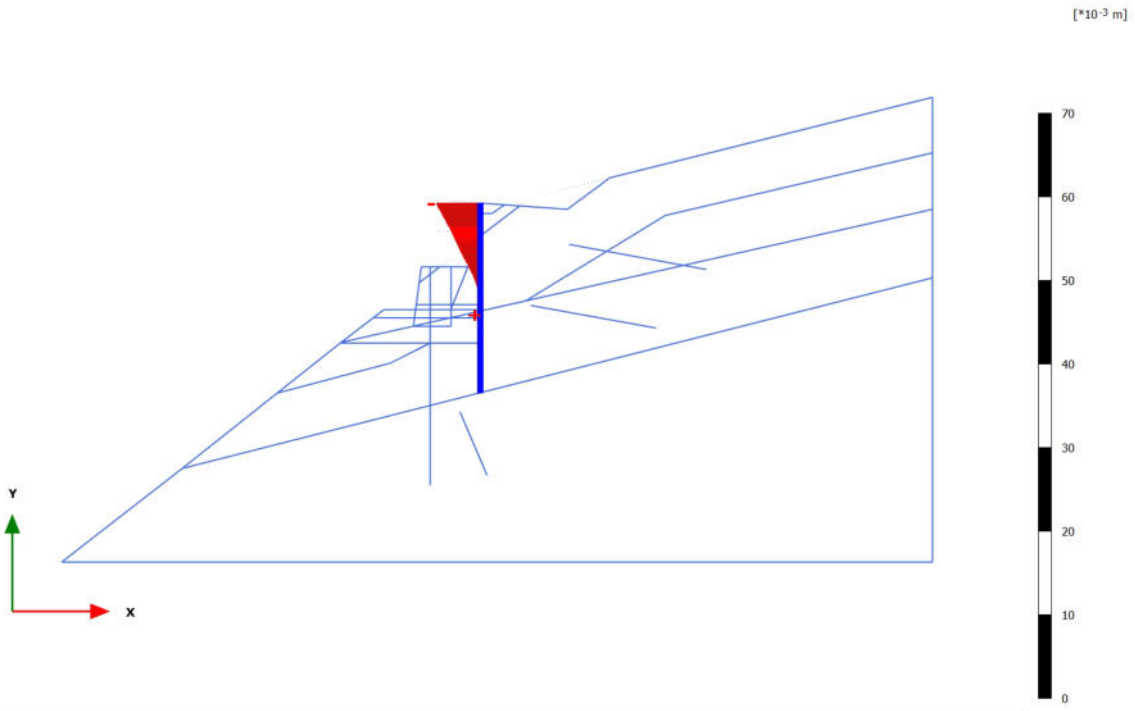

Total displacements u_x (scaled up 500 times)

Maximum value = -0,03946*10^{-3} m (Element 37 at Node 13952)

Minimum value = -5,291*10^{-3} m (Element 5 at Node 16475)

3.1.1.1.1.10 Calculation results, Plate, Escavo 3 [Phase_9] (9/379), Total displacements u_x

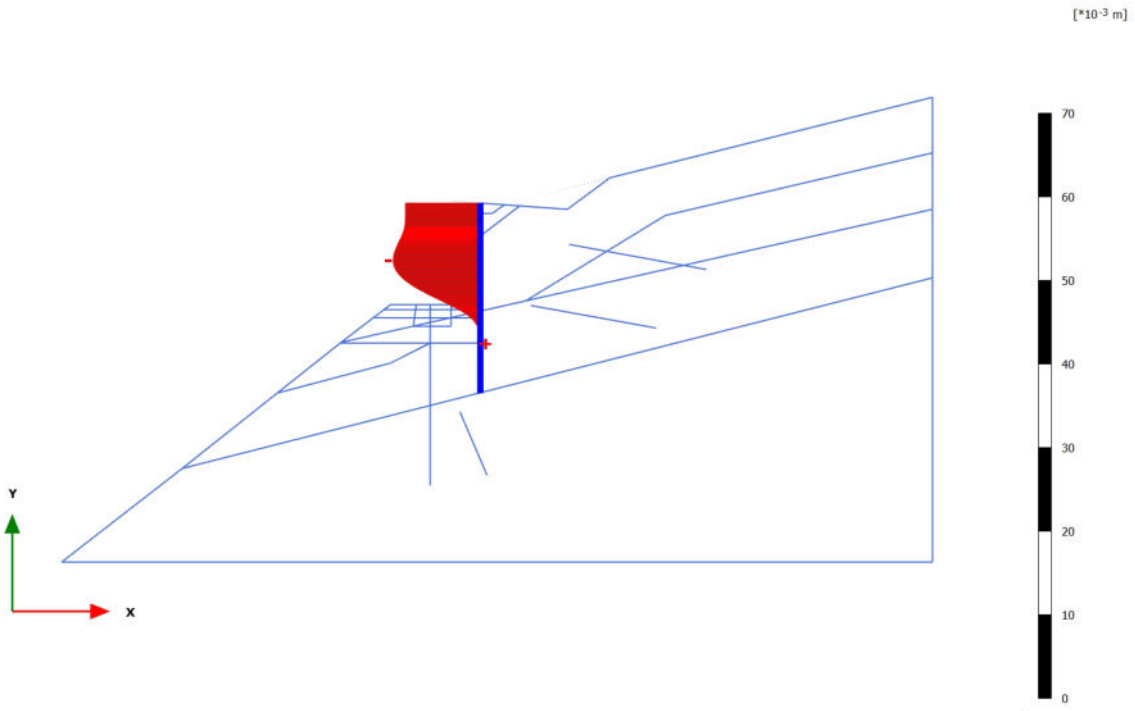

Total displacements u_x (scaled up 500 times)

Maximum value = 0,02855*10-3 m (Element 41 at Node 12093)

Minimum value = -0,01041 m (Element 22 at Node 15606)

3.1.1.1.1.11 Calculation results, Plate, Ancoraggio 2 [Phase_27] (27/430), Total displacements u_x

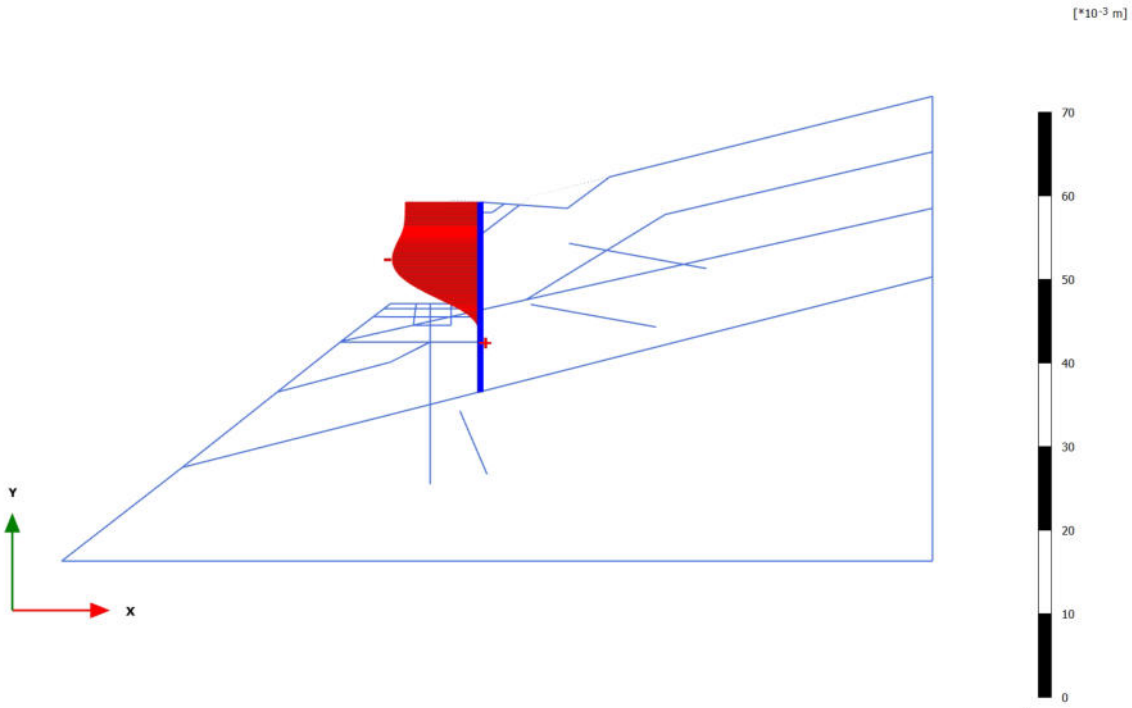

Total displacements u_x (scaled up 500 times)

Maximum value = 0,03066*10^{-3} m (Element 41 at Node 12093)

Minimum value = -0,01052 m (Element 22 at Node 15606)

3.1.1.1.1.12 Calculation results, Plate, Escavo 4 [Phase_10] (10/449), Total displacements u_x

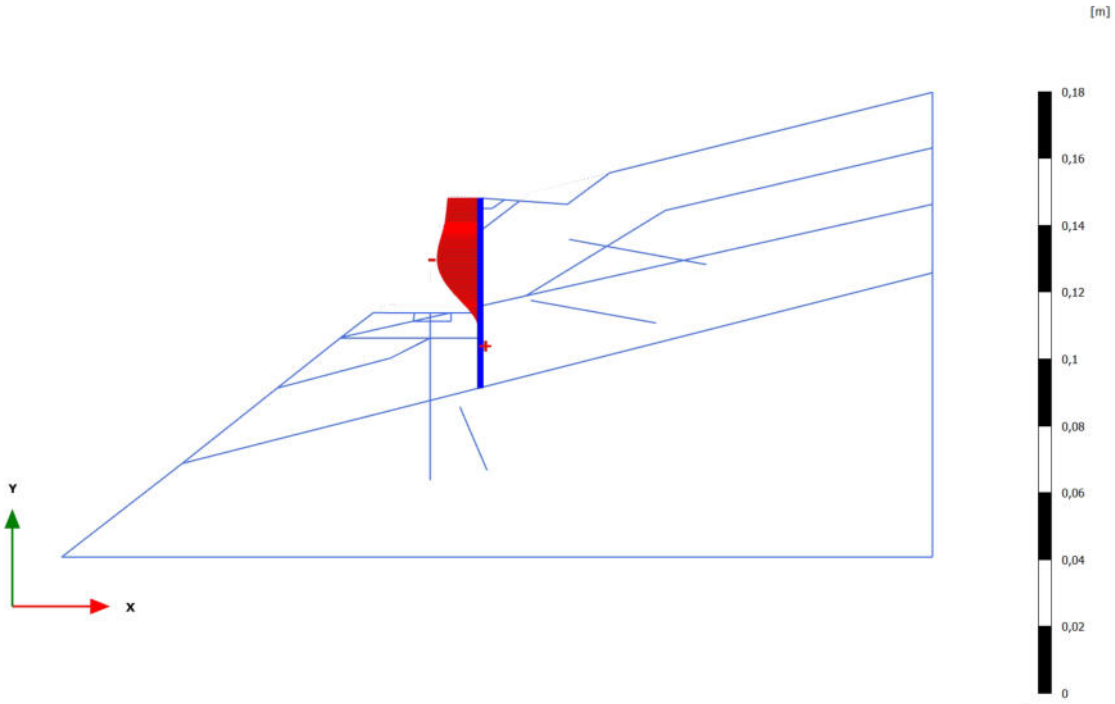

Total displacements u_x (scaled up 200 times)

Maximum value = $0{,}01961*10^{-3}$ m (Element 47 at Node 11391)

Minimum value = -0,01288 m (Element 22 at Node 15605)

3.1.1.1.1.13 Calculation results, Plate, Completamento scavo [Phase_28] (28/479), Total displacements u_x

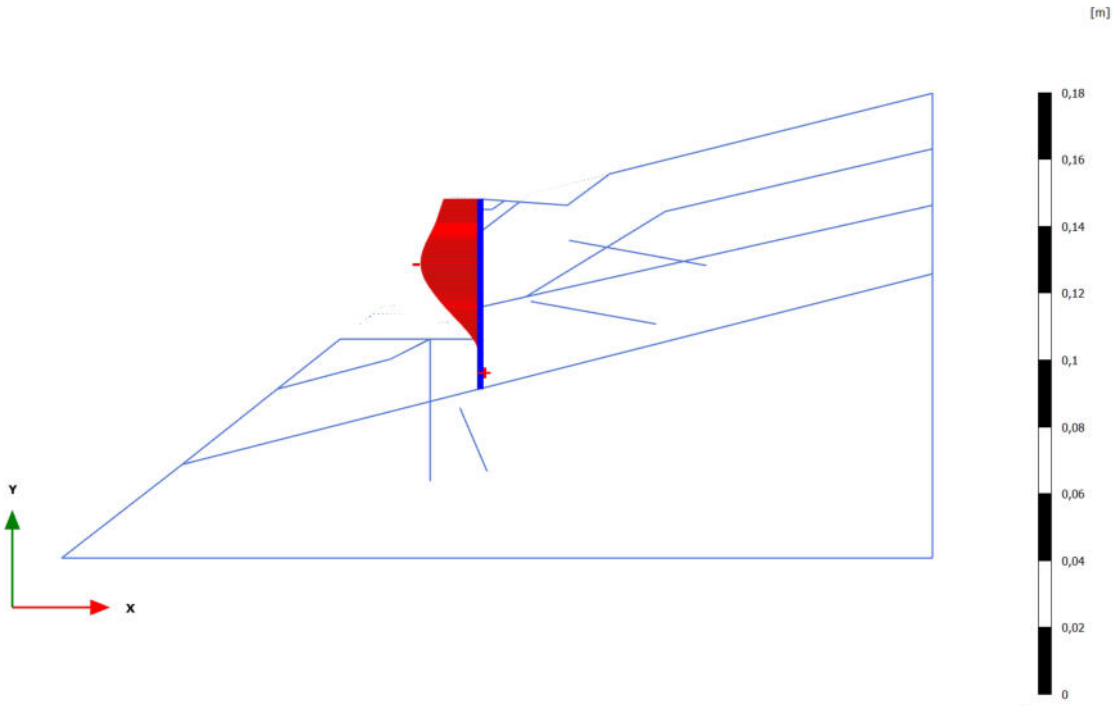

Total displacements u_x (scaled up 200 times)

Maximum value = $8{,}158*10^{-9}$ m (Element 49 at Node 9577)

Minimum value = -0,01775 m (Element 22 at Node 15604)

3.1.1.1.1.14 Calculation results, Plate, (RD) Strutture [Phase_11] (11/482), Total displacements u_x

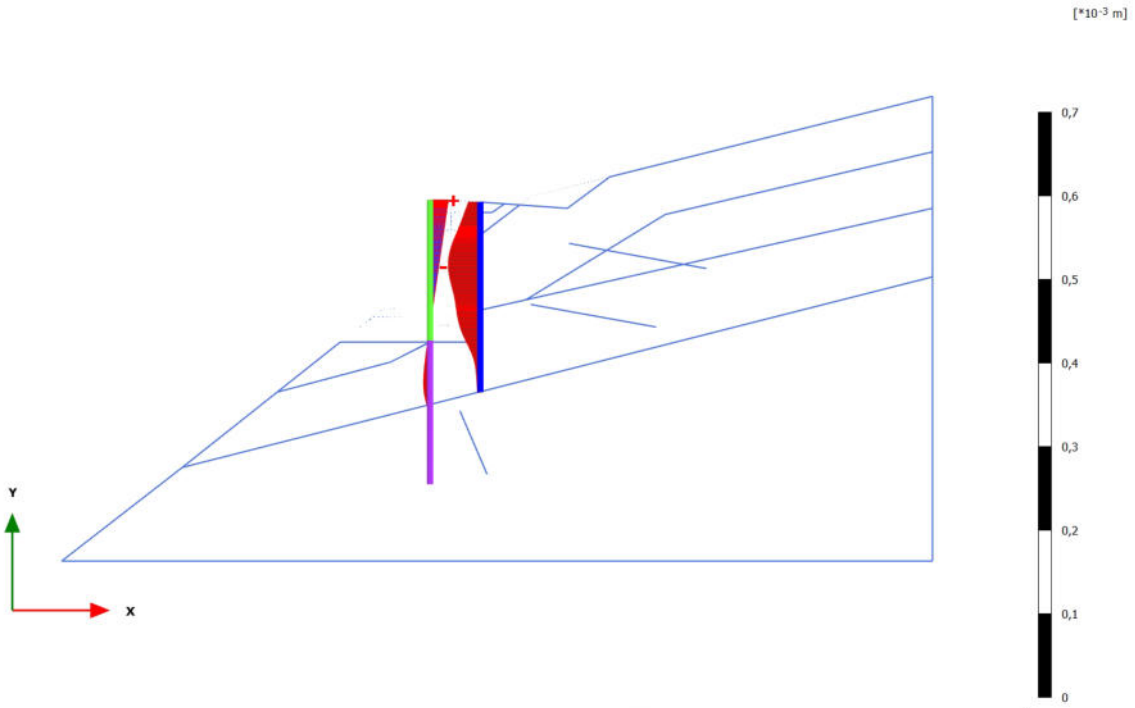

Total displacements u_x (scaled up 50,0*10³ times)

Maximum value = 0,02185*10^{-3} m (Element 1 at Node 17871)

Minimum value = -0,03821*10^{-3} m (Element 22 at Node 15604)

3.1.1.1.1.15 Calculation results, Plate, Riempimento 1 [Phase_12] (12/828), Total displacements u_x

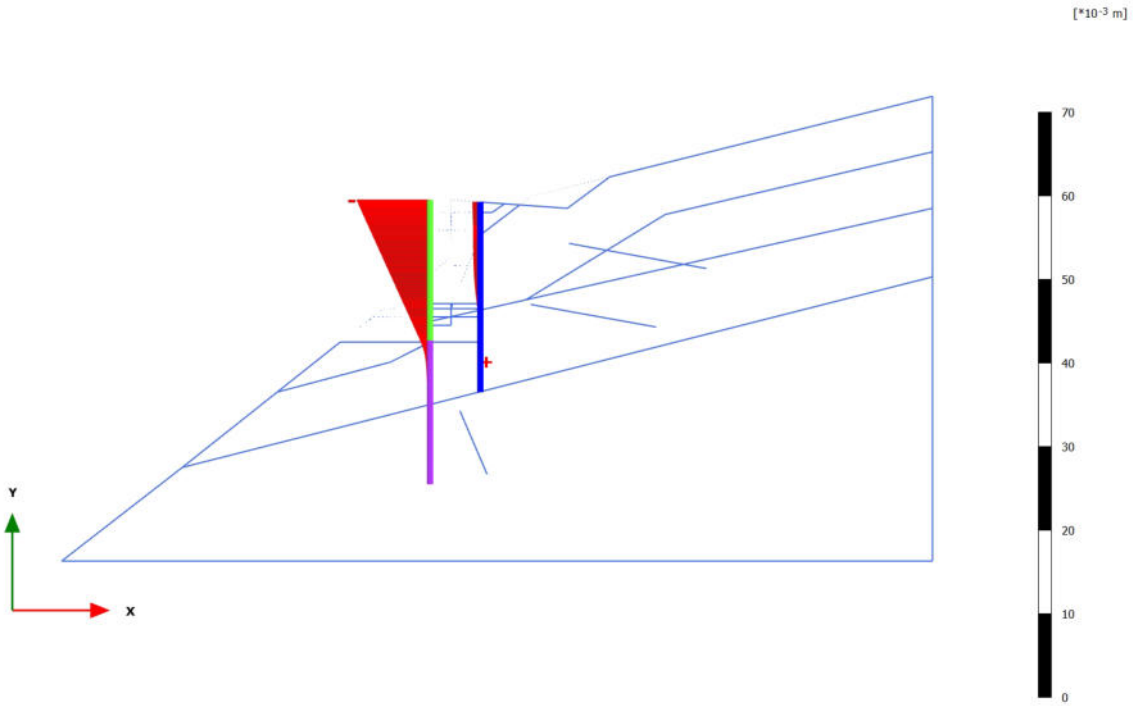

Total displacements u_x (scaled up 500 times)

Maximum value = 0,09099*10^{-3} m (Element 48 at Node 10575)

Minimum value = -8,748*10^{-3} m (Element 1 at Node 17871)

3.1.1.1.1.16 Calculation results, Plate, Collegamento ancoraggio 1 [Phase_29] (29/843), Total displacements u_x

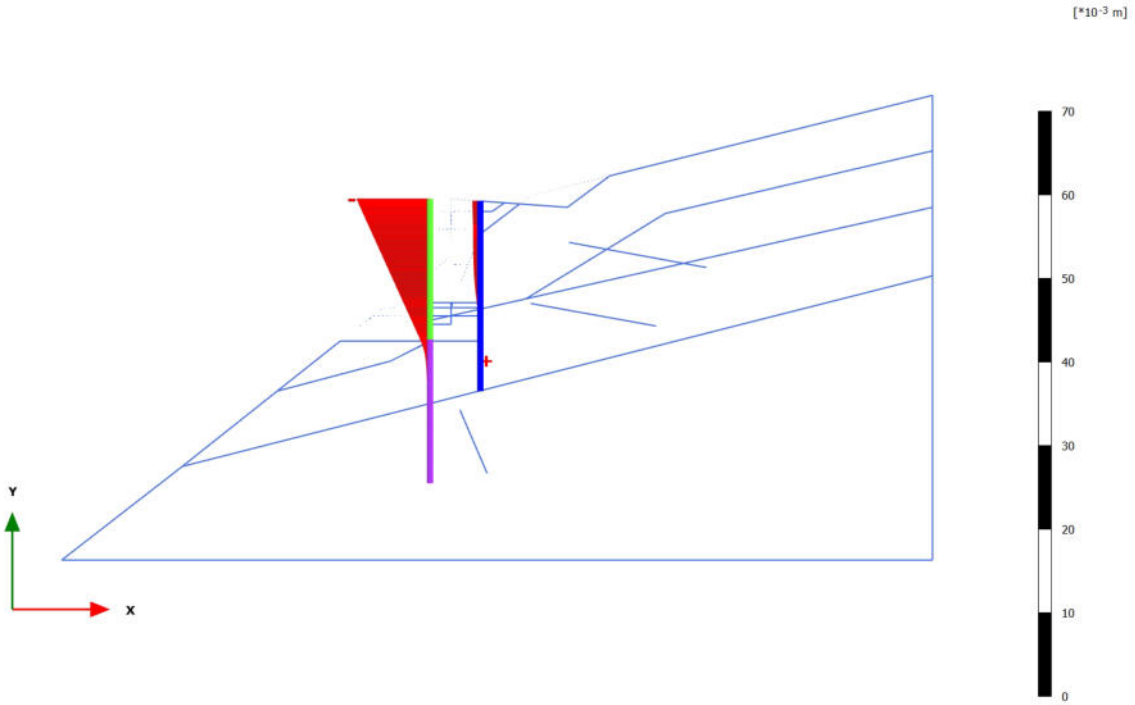

Total displacements u_x (scaled up 500 times)

Maximum value = 0,09096*10-3 m (Element 48 at Node 10575)

Minimum value = -8,749*10-3 m (Element 1 at Node 17871)

3.1.1.1.1.17 Calculation results, Plate, Riempimento 2 [Phase_13] (13/861), Total displacements u_x

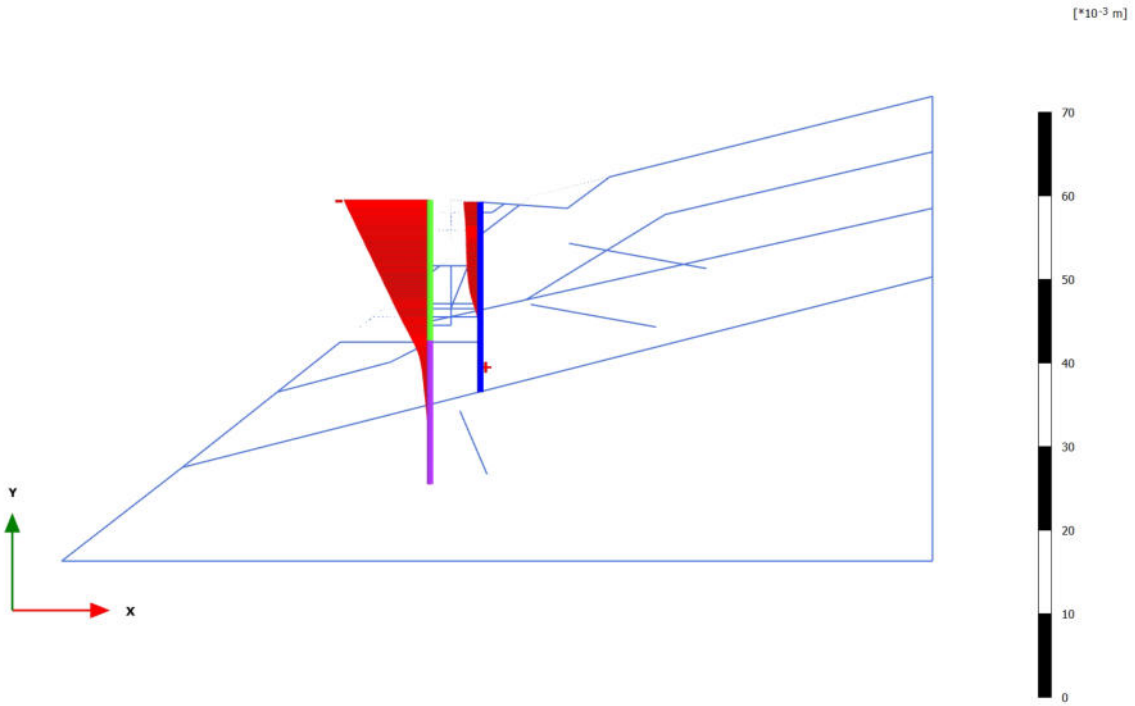

Total displacements u_x (scaled up 500 times)

Maximum value = 0,07941*10^{-3} m (Element 48 at Node 10573)

Minimum value = -0,01030 m (Element 1 at Node 17871)

3.1.1.1.1.18 Calculation results, Plate, Riempimento 3 [Phase_30] (30/964), Total displacements u_x

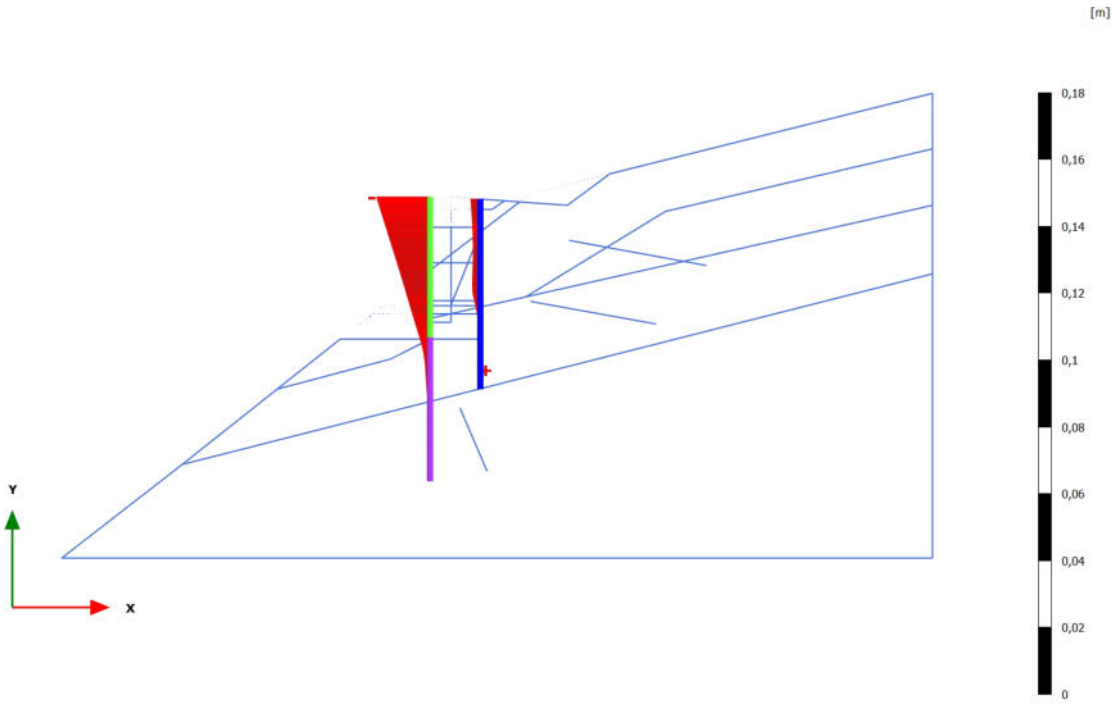

Total displacements u_x (scaled up 200 times)

Maximum value = $0{,}03276*10^{-3}$ m (Element 49 at Node 9578)

Minimum value = -0,01598 m (Element 1 at Node 17871)

3.1.1.1.1.19 Calculation results, Plate, Collegamento ancoraggio 2 [Phase_14] (14/977), Total displacements u_x

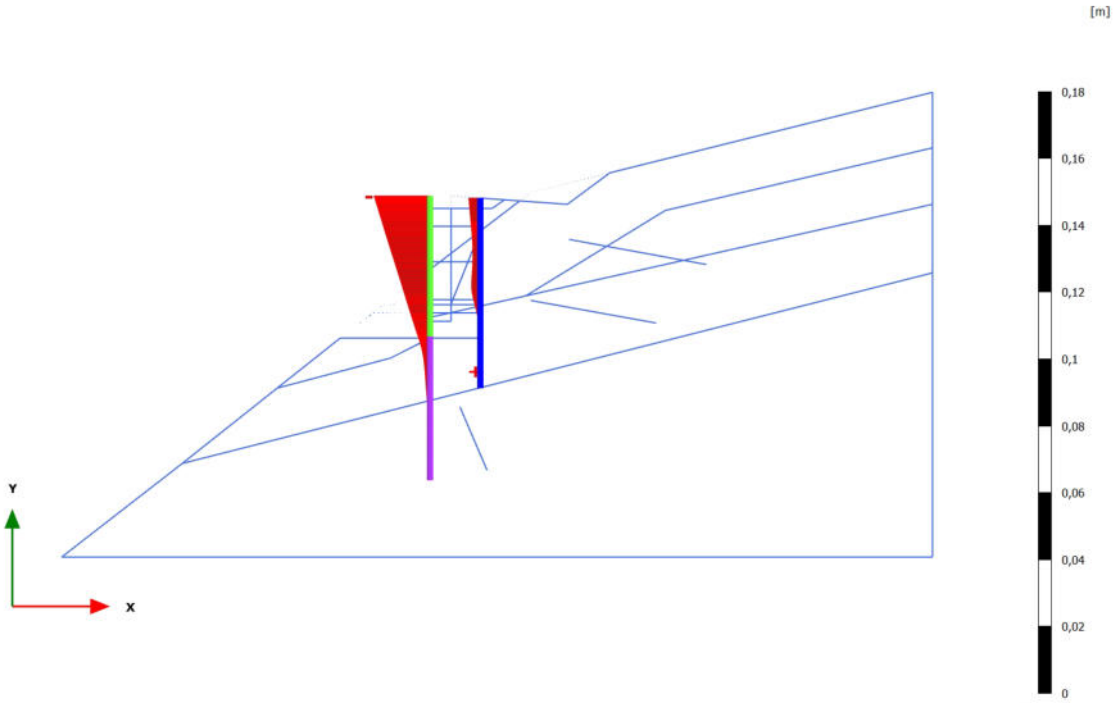

Total displacements u_x (scaled up 200 times)

Maximum value = $-1{,}723 \cdot 10^{-6}$ m (Element 49 at Node 9577)

Minimum value = -0,01670 m (Element 1 at Node 17871)

3.1.1.1.1.20 Calculation results, Plate, Riempimento 4 (MG) [Phase_15] (15/984), Total displacements u_x

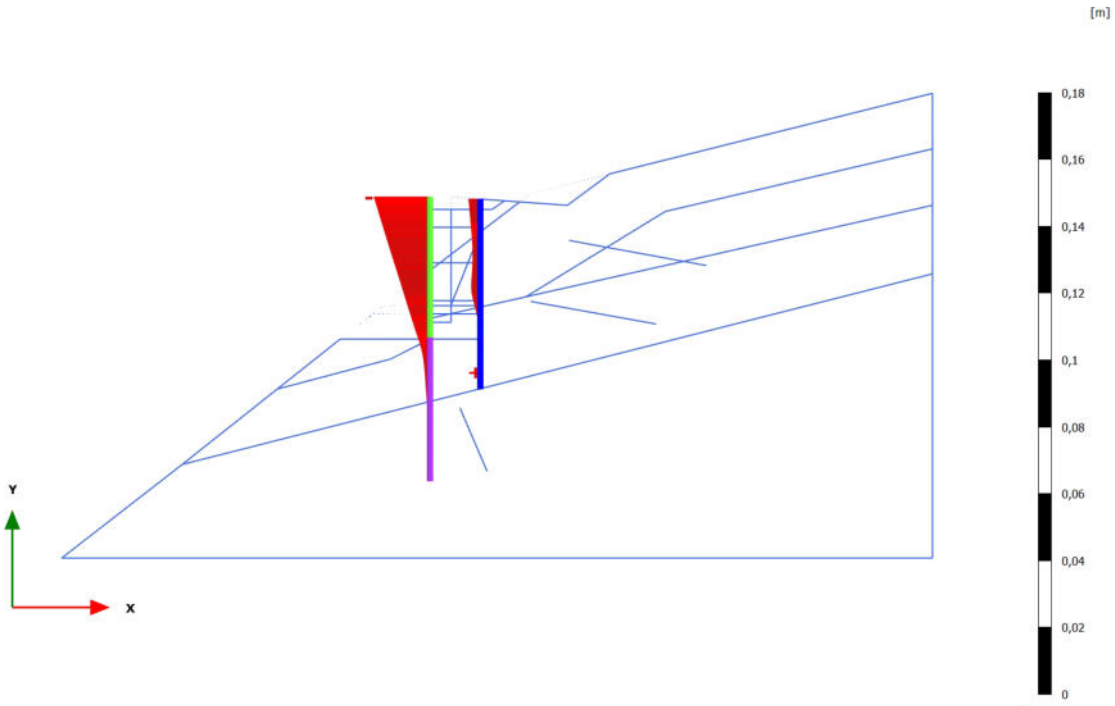

Total displacements u_x (scaled up 200 times)

Maximum value = $-3{,}180*10^{-6}$ m (Element 49 at Node 9577)

Minimum value = -0,01669 m (Element 1 at Node 17871)

3.1.1.1.1.21 Calculation results, Plate, Riempimento 5 (MG) [Phase_16] (16/992), Total displacements u_x

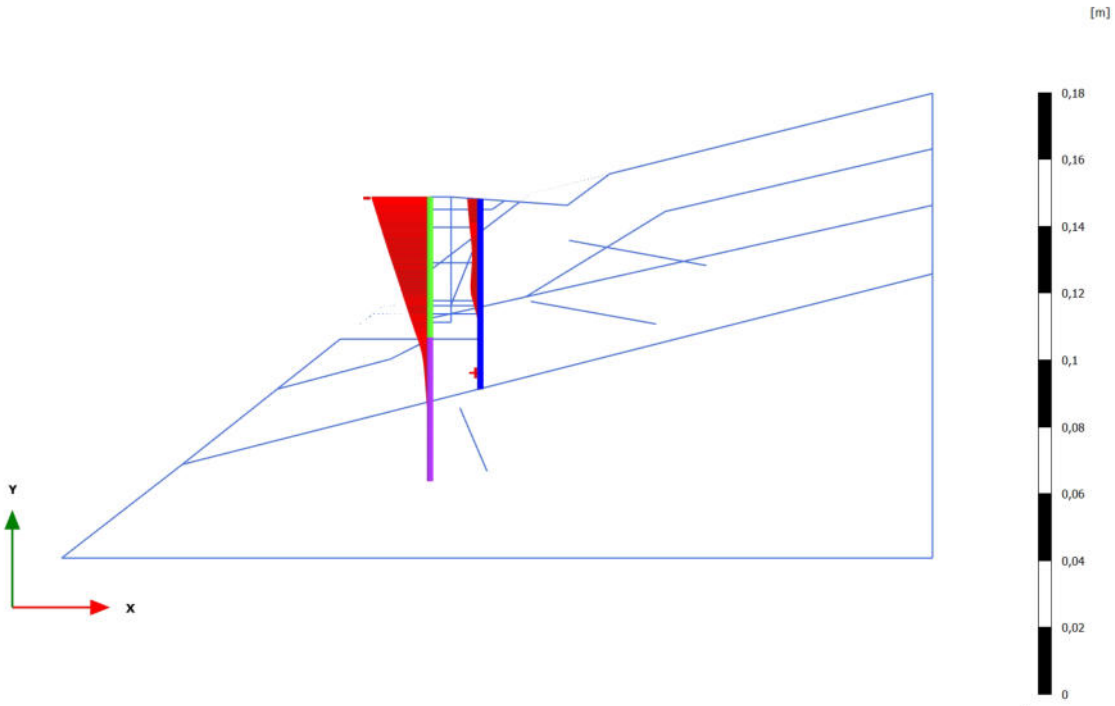

Total displacements u_x (scaled up 200 times)

Maximum value = $-0{,}01875 \cdot 10^{-3}$ m (Element 49 at Node 9577)

Minimum value = -0,01747 m (Element 1 at Node 17871)

3.1.1.1.1.22 Calculation results, Plate, Disattivazione paratia provvisionale [Phase_17] (17/998), Total displacements u_x

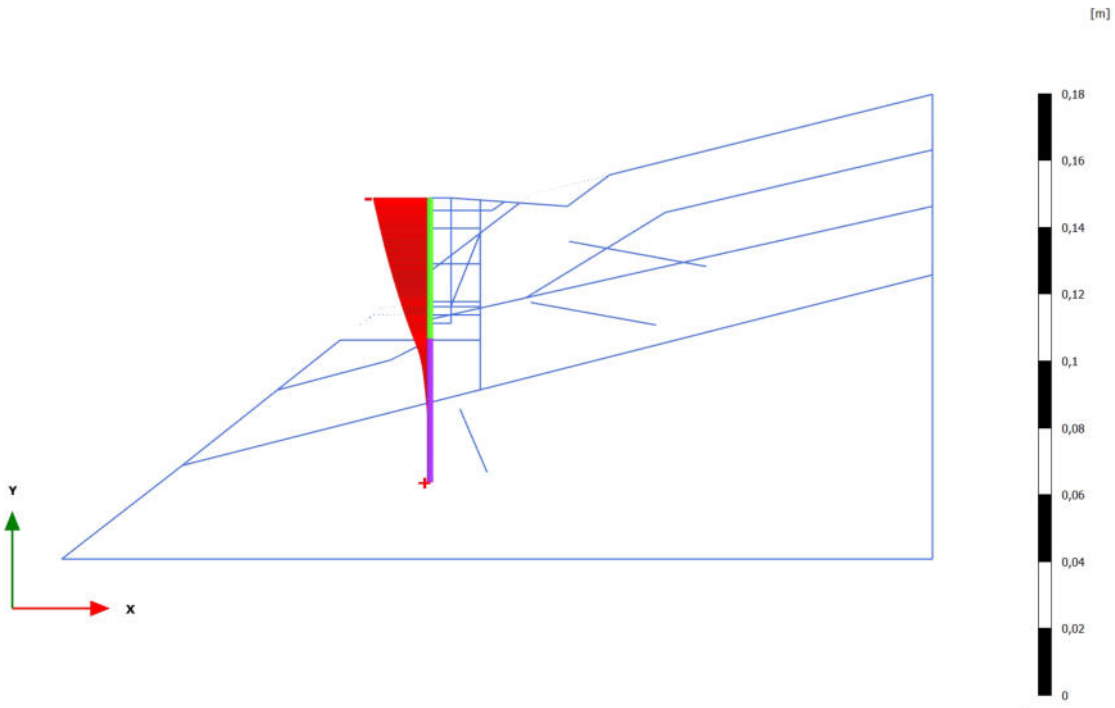

Total displacements u_x (scaled up 200 times)

Maximum value = $-0{,}1782*10^{-3}$ m (Element 70 at Node 666)

Minimum value = -0,01700 m (Element 1 at Node 17871)

3.1.1.1.1.23 Calculation results, Plate, SLE [Phase_18] (18/1002), Total displacements u_x

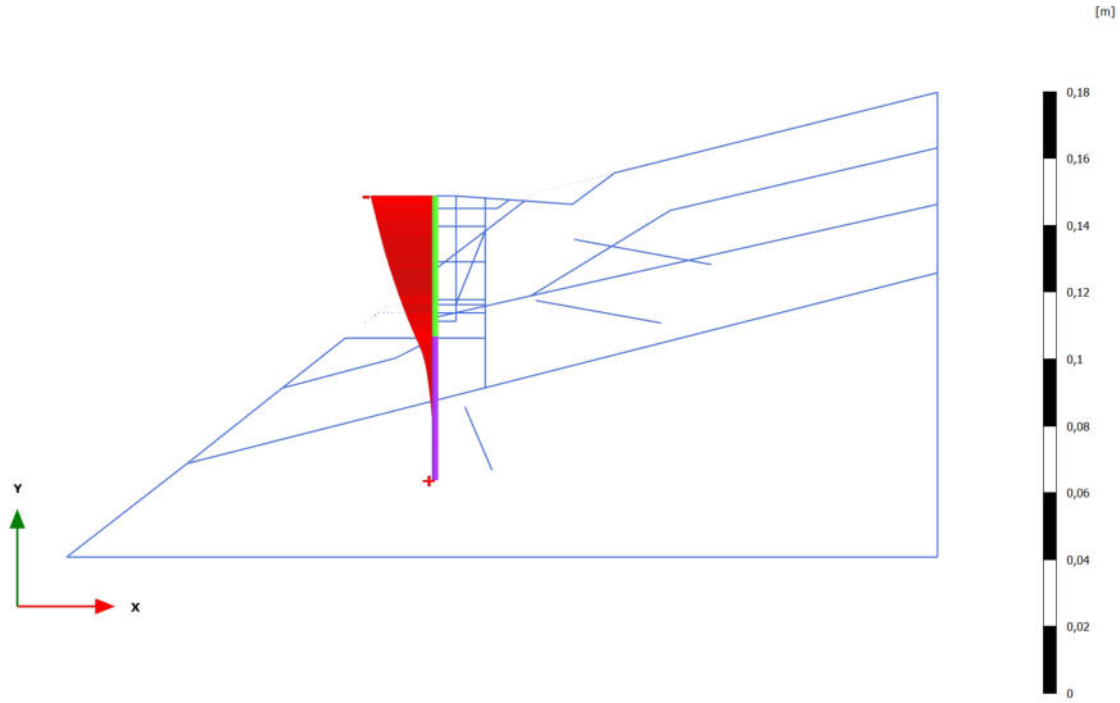

Total displacements u_x (scaled up 200 times)

Maximum value = $-0{,}2317*10^{-3}$ m (Element 70 at Node 666)

Minimum value = -0,01920 m (Element 1 at Node 17871)

3.1.1.1.1.24 Calculation results, Plate, Scalzamento al piede [Phase_19] (19/1007), Total displacements u_x

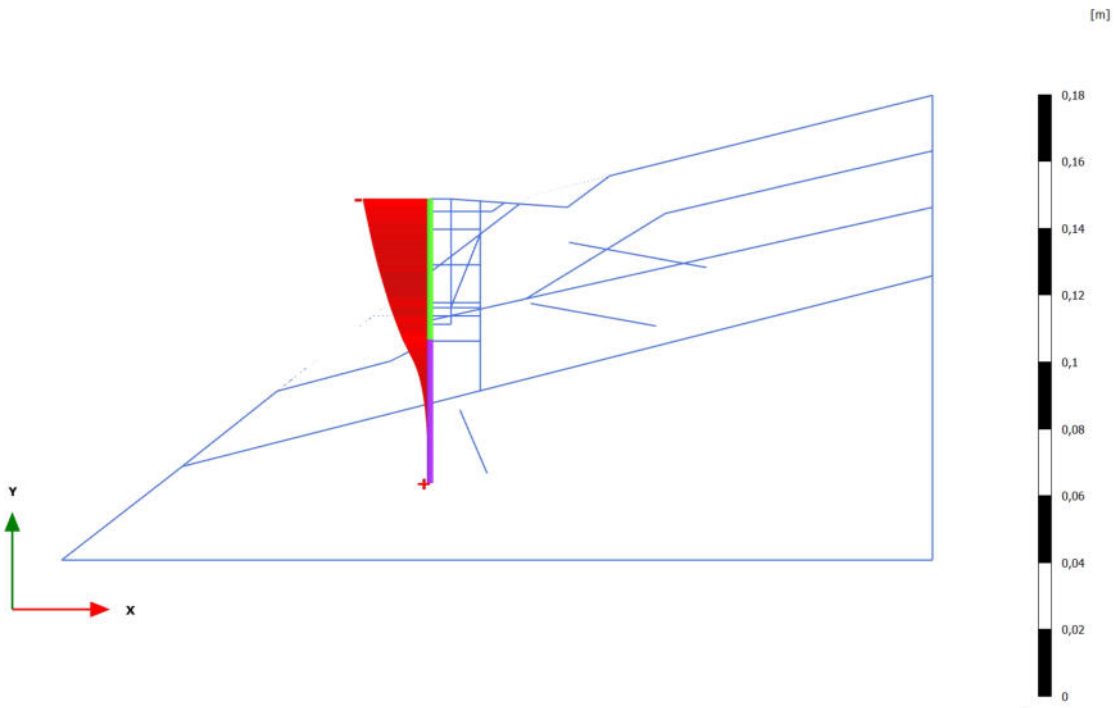

Total displacements u_x (scaled up 200 times)

Maximum value = $-0{,}3812*10^{-3}$ m (Element 70 at Node 666)

Minimum value = -0,02003 m (Element 1 at Node 17871)

3.1.1.1.1.25 Calculation results, Plate, SLU11 [Phase_20] (20/1011), Total displacements u_x

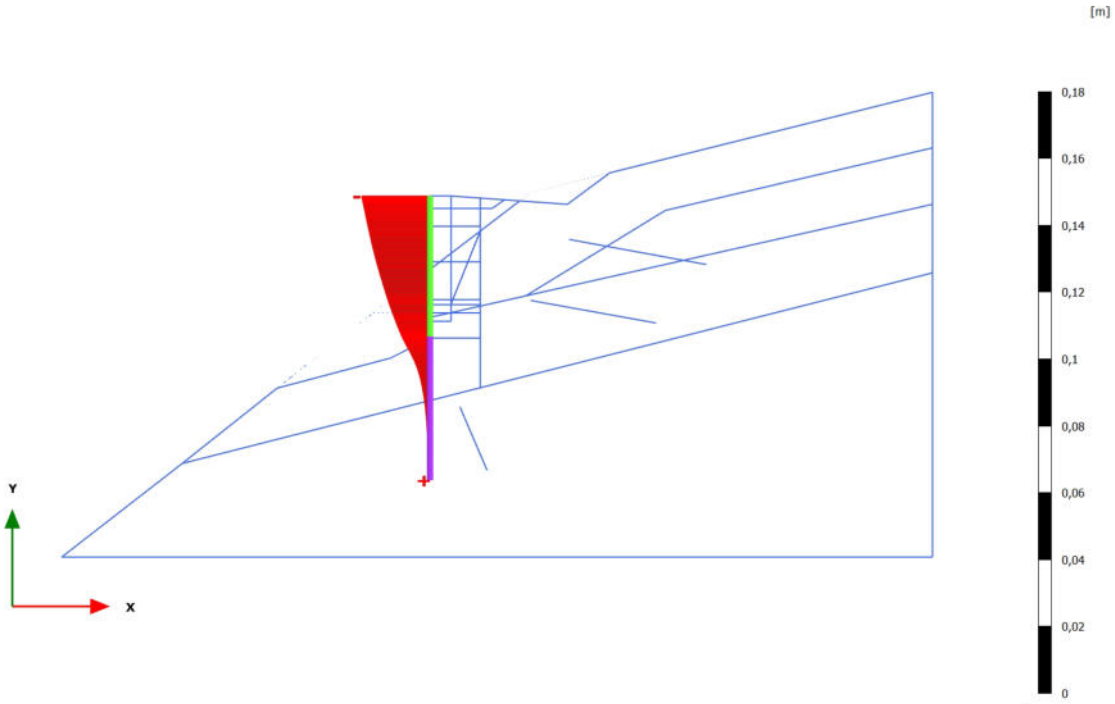

Total displacements u_x (scaled up 200 times)

Maximum value = $-0{,}3989*10^{-3}$ m (Element 70 at Node 666)

Minimum value = -0,02048 m (Element 1 at Node 17871)

3.1.1.1.1.26 Calculation results, Plate, SLV [Phase_21] (21/1061), Total displacements u_x

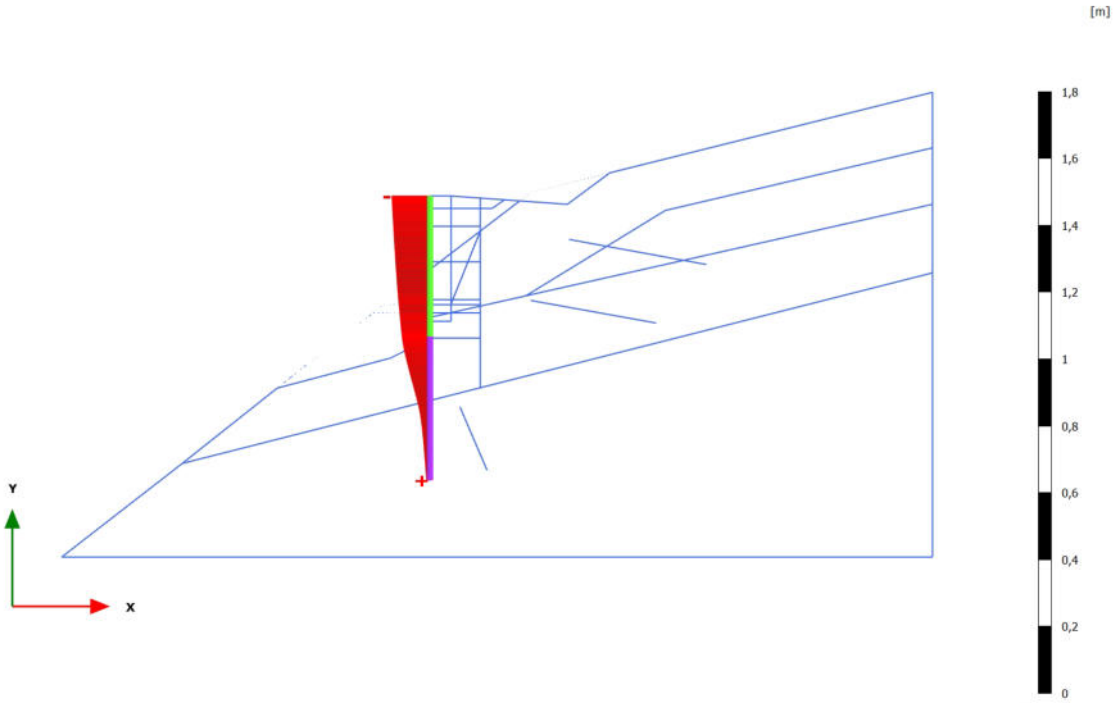

Total displacements u_x (scaled up 20,0 times)

Maximum value = -0,01038 m (Element 70 at Node 666)

Minimum value = -0,1141 m (Element 1 at Node 17871)

3.1.1.1.1.27 Calculation results, Plate, SLU12 [Phase_26] (26/1072), Total displacements u_x

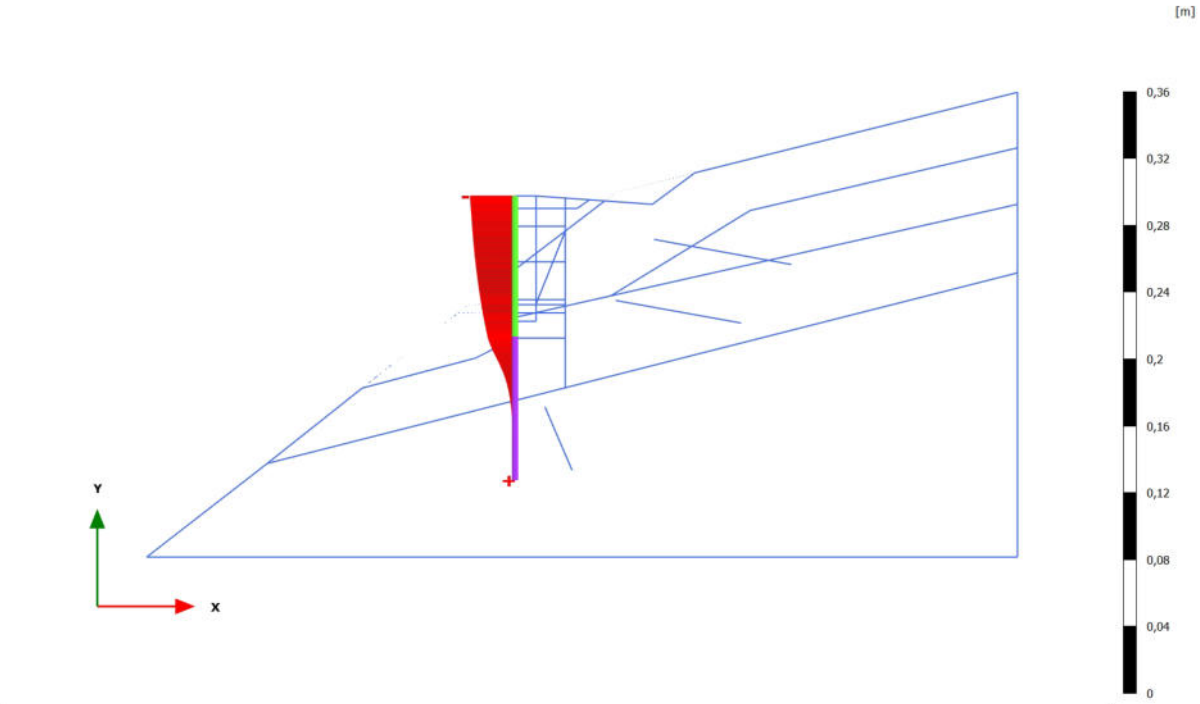

Total displacements u_x (scaled up 100 times)

Maximum value = $-0{,}6770*10^{-3}$ m (Element 70 at Node 666)

Minimum value = -0,02679 m (Element 1 at Node 17871)

3.1.1.1.1.28 Calculation results, Plate, SLD [Phase_31] (31/1085), Total displacements u_x

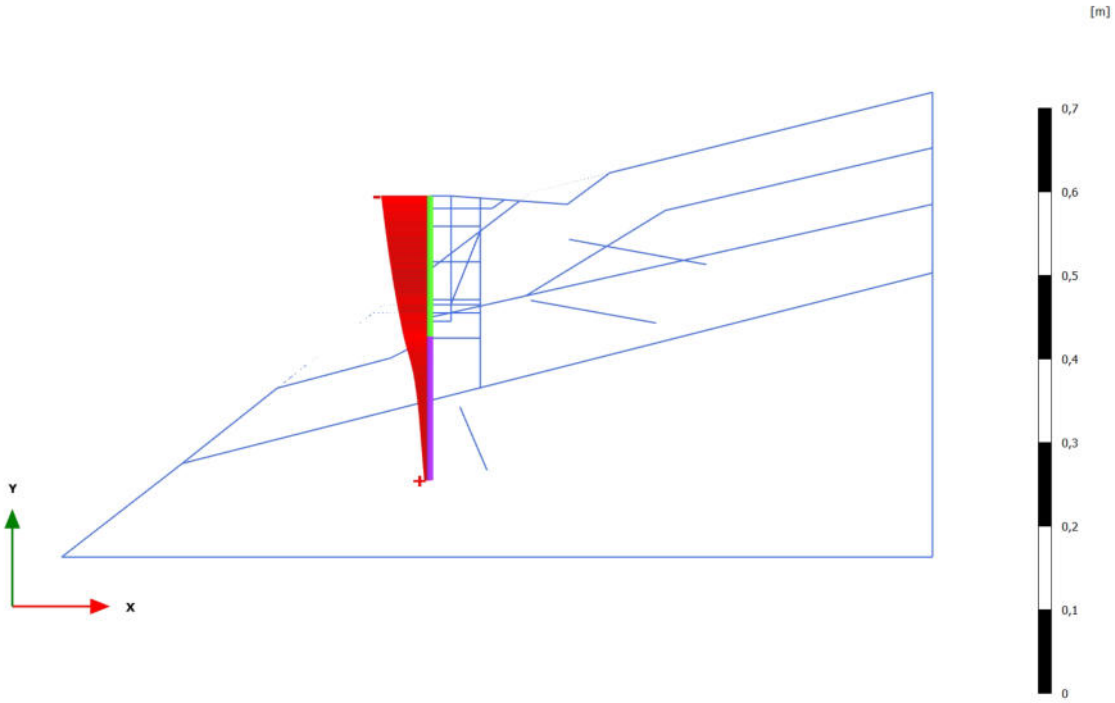

Total displacements u_x (scaled up 50,0 times)

Maximum value = $-6{,}639*10^{-3}$ m (Element 70 at Node 666)

Minimum value = -0,05807 m (Element 1 at Node 17871)

3.1.1.1.1.29 Calculation results, Plate, Eccezionale [Phase_22] (22/1130), Total displacements u_x

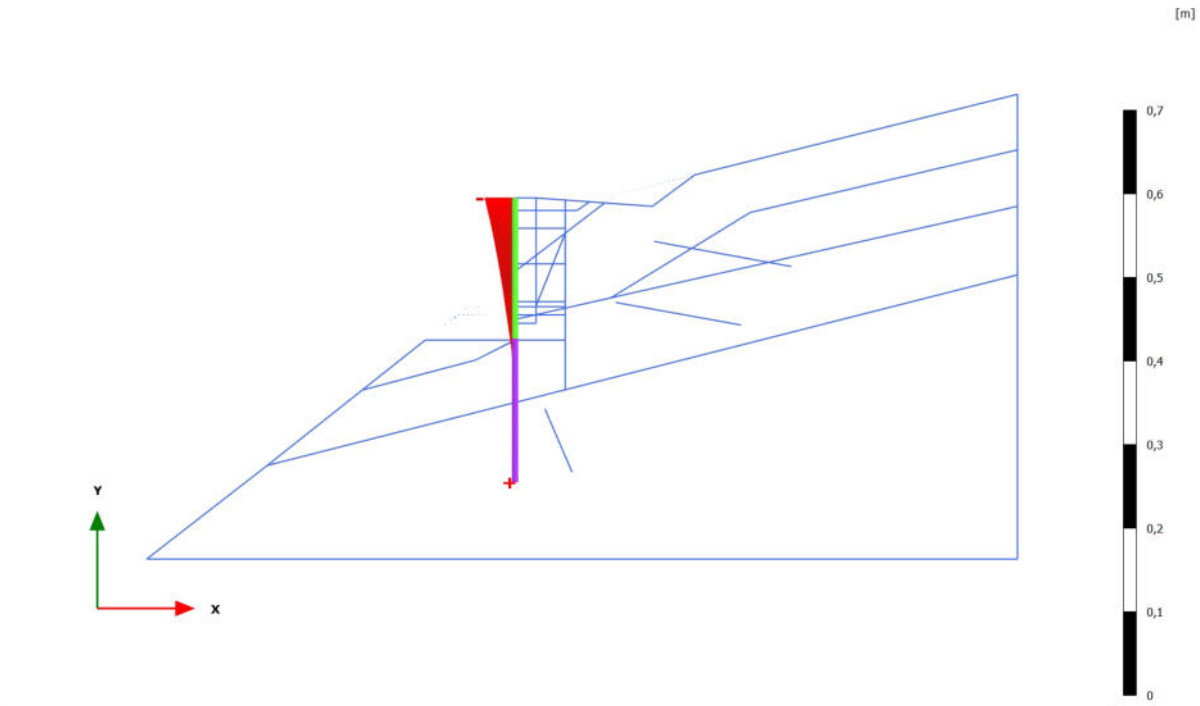

Total displacements u_x (scaled up 50,0 times)

Maximum value = $-0{,}2035*10^{-3}$ m (Element 70 at Node 666)

Minimum value = -0,03603 m (Element 1 at Node 17871)

3.1.1.1.1.30 Calculation results, Plate, q Rullo [Phase_25] (25/1142), Total displacements u_x

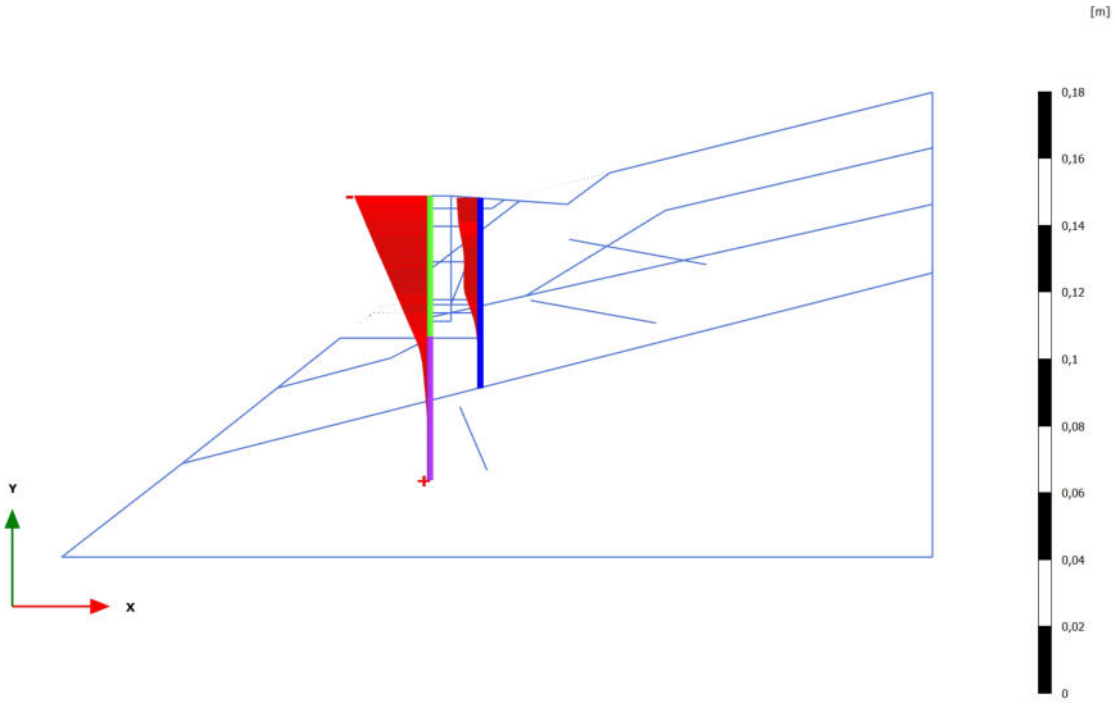

Total displacements u_x (scaled up 200 times)

Maximum value = $-0{,}2619*10^{-3}$ m (Element 70 at Node 666)

Minimum value = -0,02259 m (Element 1 at Node 17871)

3.1.1.1.1.31 Calculation results, Plate, SLU11 Paratia provvisionale [Phase_23] (23/1151), Total displacements u_x

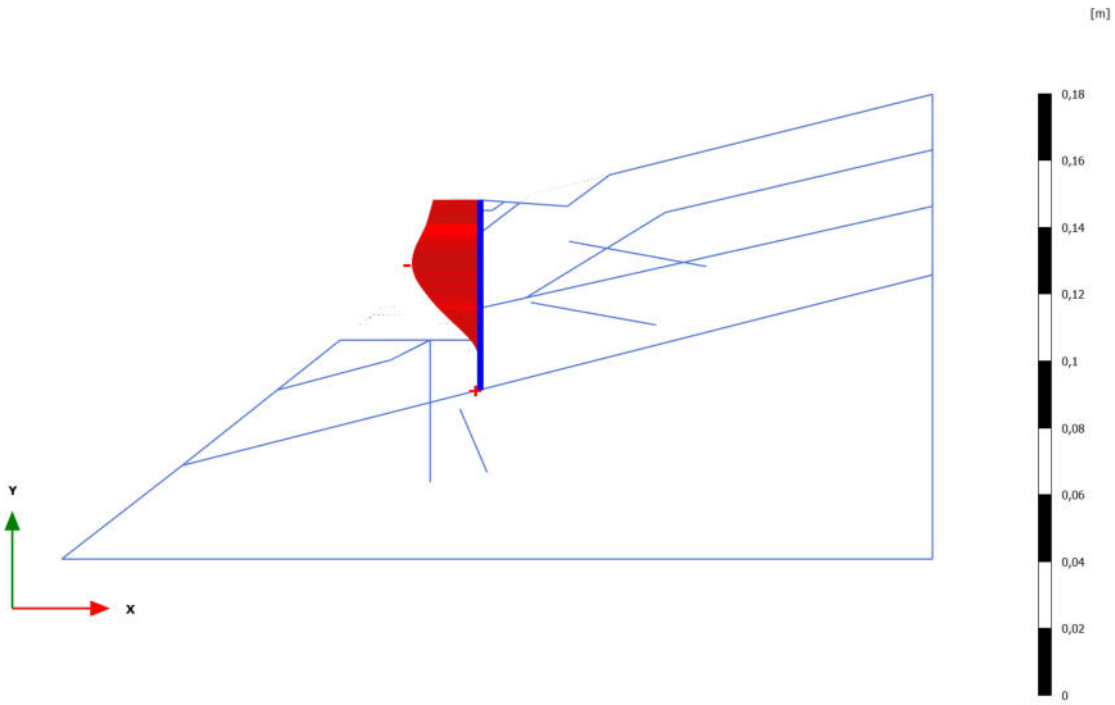

Total displacements u_x (scaled up 200 times)

Maximum value = $-2{,}428 \cdot 10^{-6}$ m (Element 64 at Node 4609)

Minimum value = -0,02034 m (Element 22 at Node 15604)

3.1.1.1.1.32 Calculation results, Plate, SLU12 Paratia provvisionale [Phase_24] (24/1162), Total displacements u_x

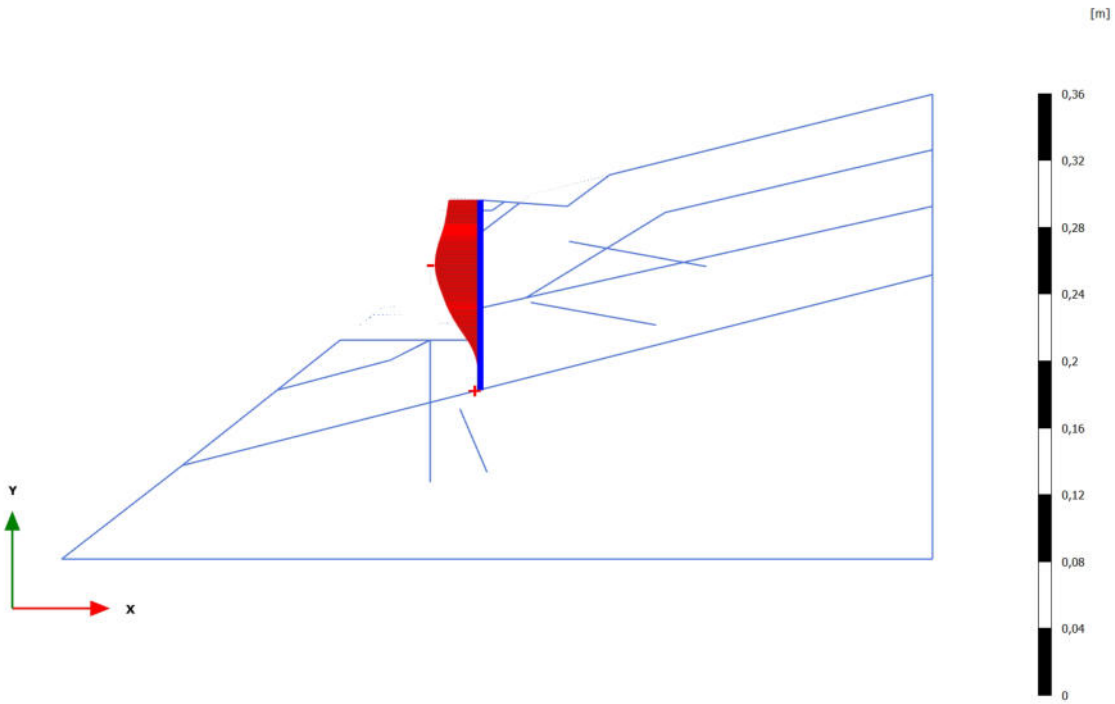

Total displacements u_x (scaled up 100 times)

Maximum value = $-0{,}3816*10^{-3}$ m (Element 64 at Node 4609)

Minimum value = -0,02696 m (Element 22 at Node 15604)

3.1.1.1.1.33 Calculation results, Plate, FS [Phase_32] (32/1262), Total displacements u_x

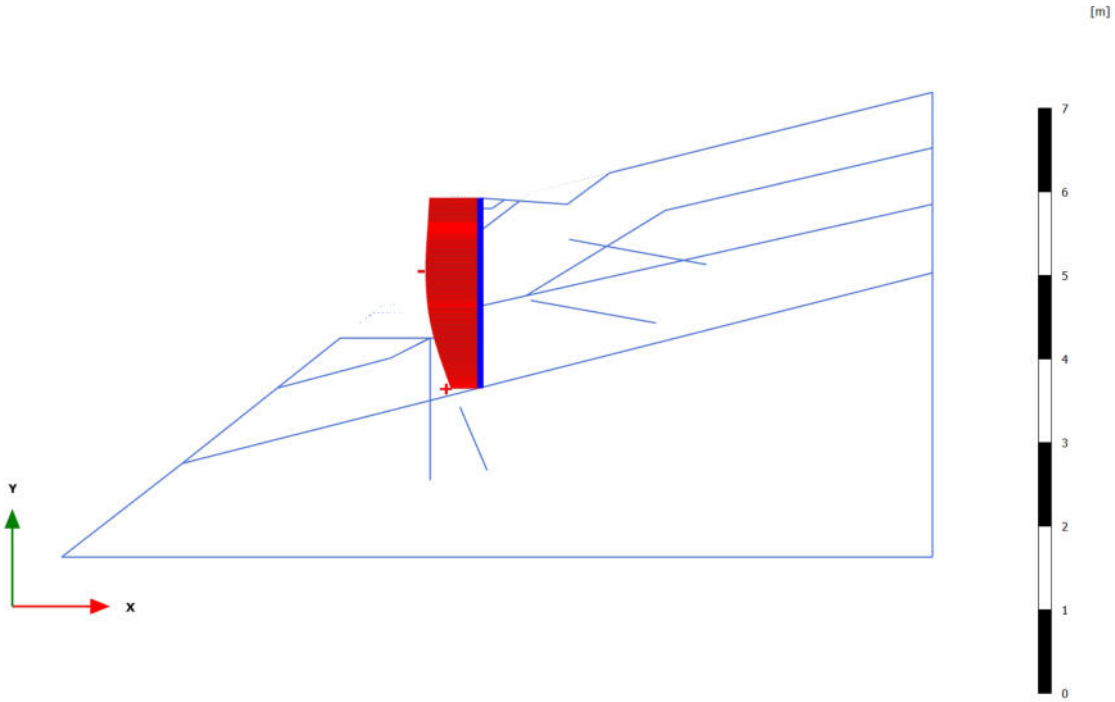

Total displacements u_x (scaled up 5,00 times)

Maximum value = -0,3495 m (Element 64 at Node 4609)

Minimum value = -0,6510 m (Element 28 at Node 15494)

3.1.1.1.1.34 Calculation results, Plate, Eccezionale Op provvisionale [Phase_33] (33/1287), Total displacements u_x

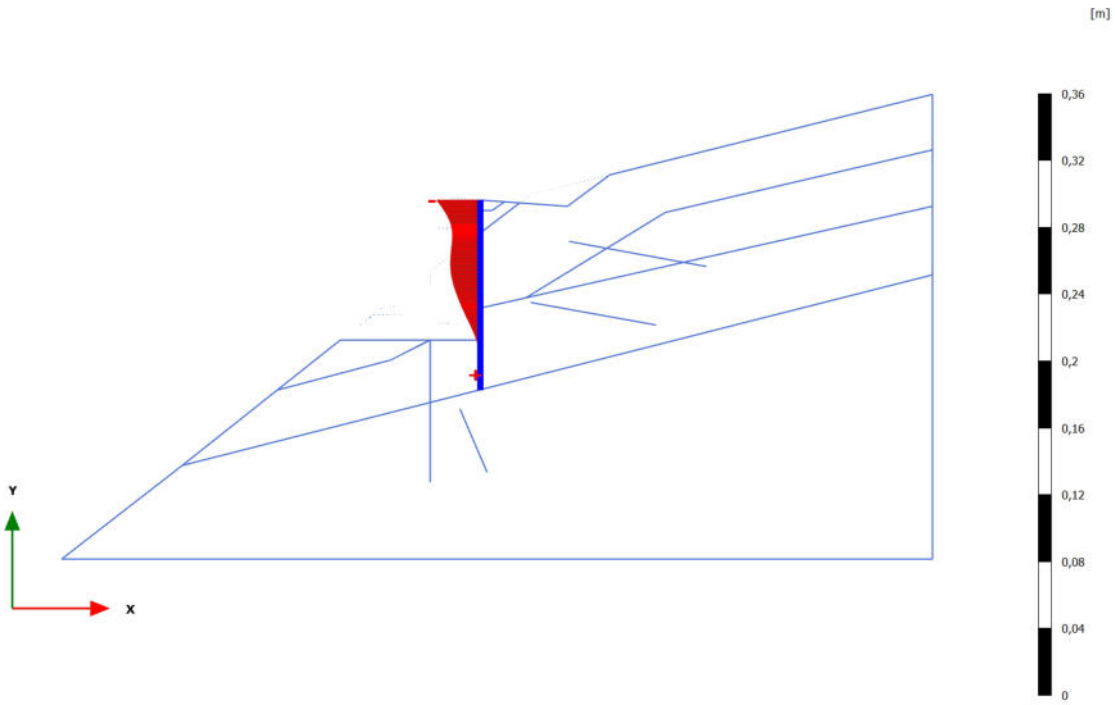

Total displacements u_x (scaled up 100 times)

Maximum value = $-2{,}299 \cdot 10^{-6}$ m (Element 50 at Node 8342)

Minimum value = -0,02608 m (Element 5 at Node 16475)

3.1.2.1.1 Calculation results, Plate, Initial phase [InitialPhase] (0/1), Shear forces Q

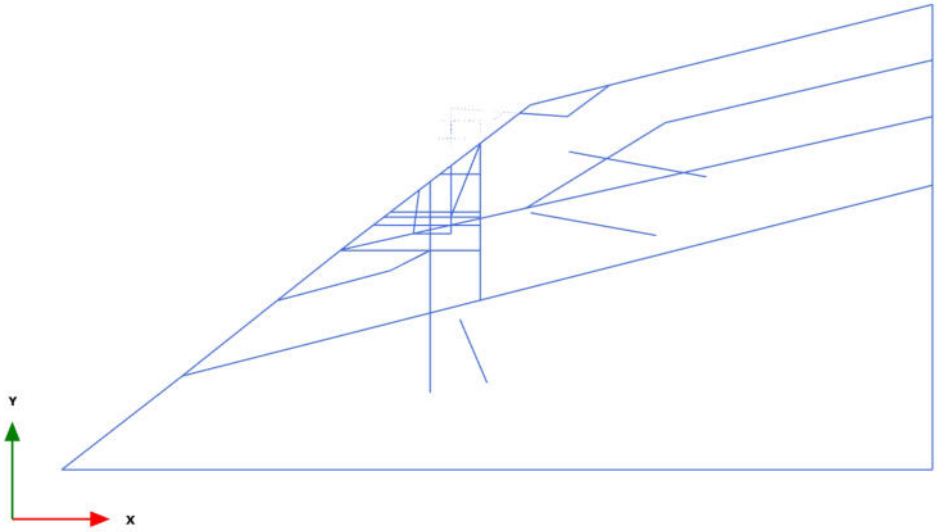

Shear forces Q (scaled up 1,00 times)

No results

3.1.2.1.2 Calculation results, Plate, Costruzione stato di fatto 1 [Phase_1] (1/6), Shear forces Q

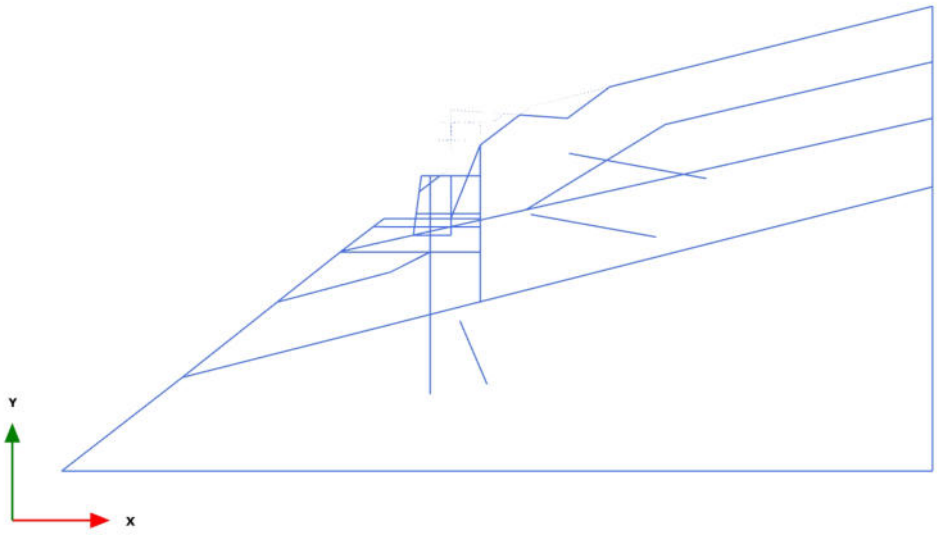

Shear forces Q (scaled up 1,00 times)

No results

3.1.2.1.3 Calculation results, Plate, Costruzione stato di fatto 2 [Phase_2] (2/99), Shear forces Q

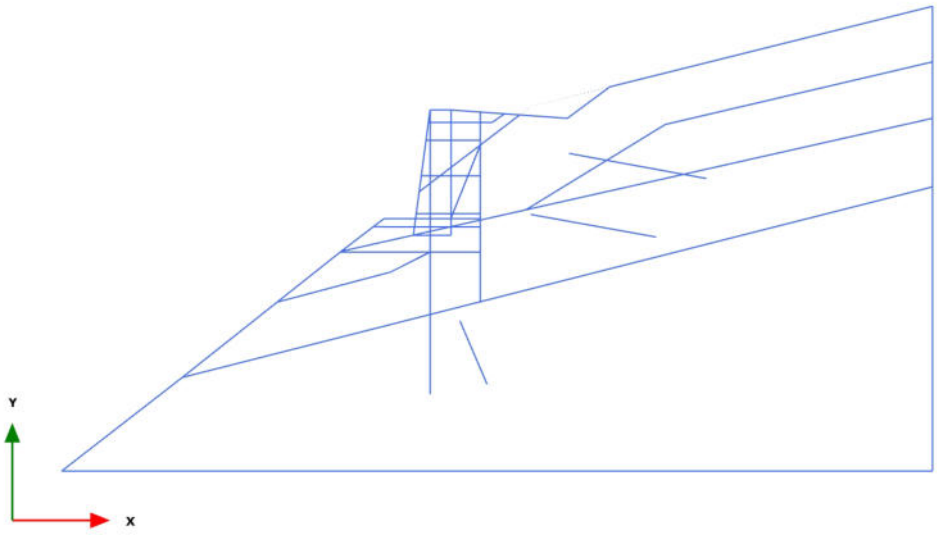

Shear forces Q (scaled up 1,00 times)

No results

3.1.2.1.4 Calculation results, Plate, Phase_3 [Phase_3] (3/199), Shear forces Q

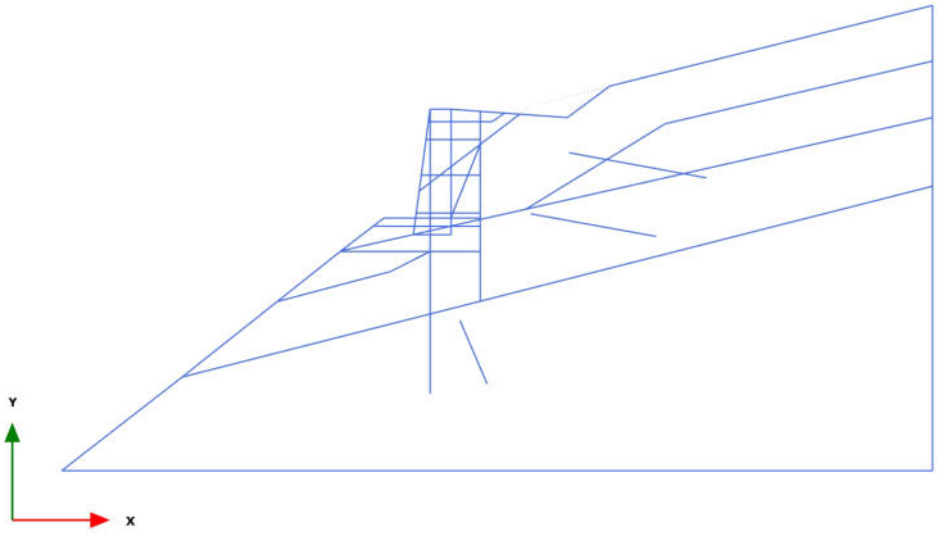

Shear forces Q (scaled up 1,00 times)

No results

3.1.2.1.5 Calculation results, Plate, Preparazione cantiere [Phase_4] (4/204), Shear forces Q

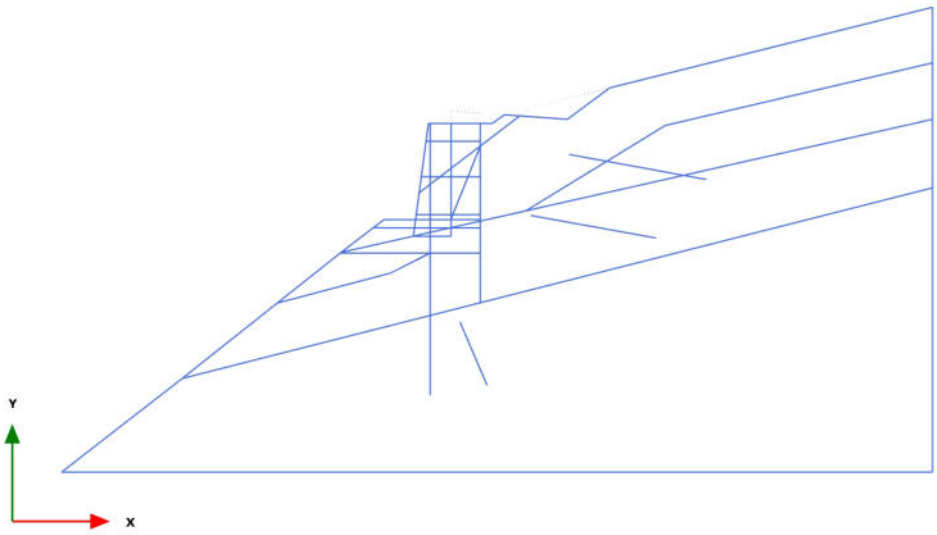

Shear forces Q (scaled up 1,00 times)

No results

3.1.2.1.6 Calculation results, Plate, Paratia di micropali [Phase_5] (5/211), Shear forces Q

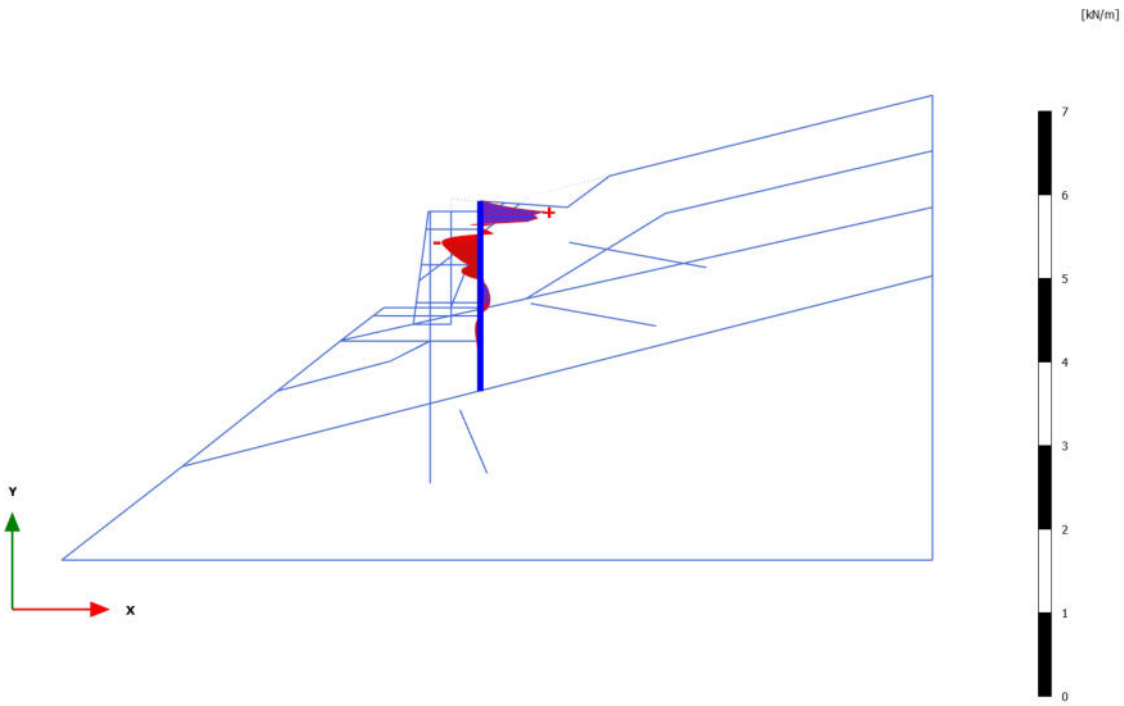

Shear forces Q (scaled up 5,00 times)

Maximum value = 0,7646 kN/m (Element 9 at Node 16471)

Minimum value = -0,4618 kN/m (Element 21 at Node 15912)

3.1.2.1.7 Calculation results, Plate, (RD) Escavo 1 + sovraccarico [Phase_6] (6/229), Shear forces Q

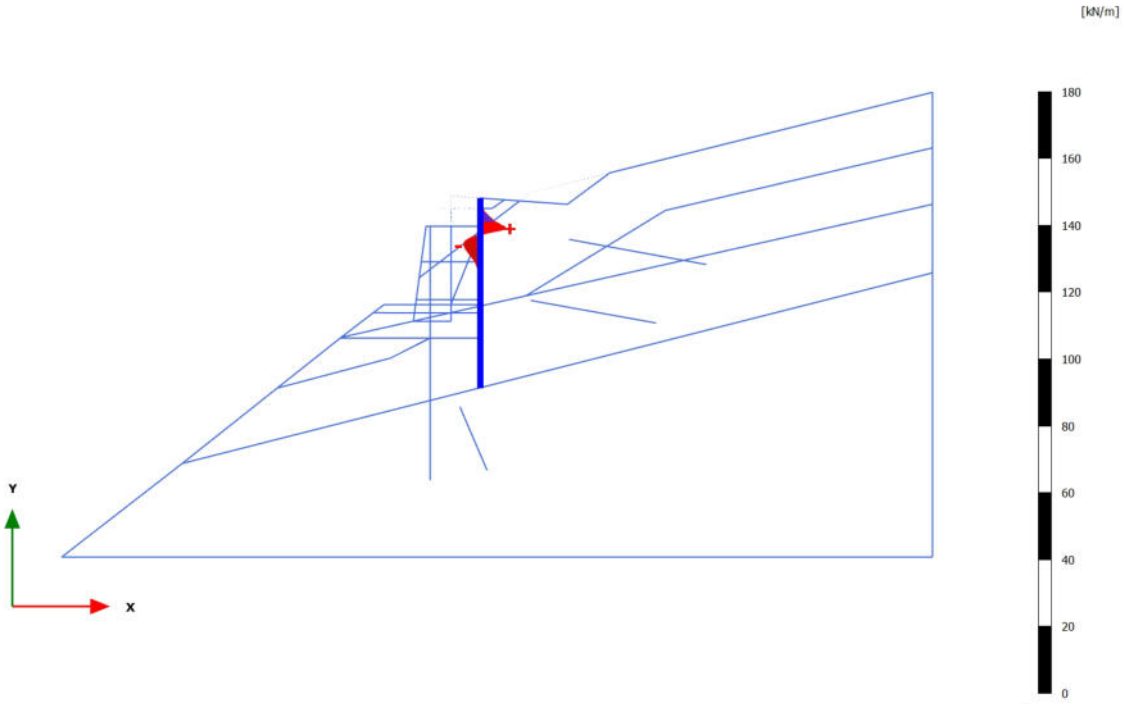

Shear forces Q (scaled up 0,200 times)

Maximum value = 7,484 kN/m (Element 14 at Node 16497)

Minimum value = -4,954 kN/m (Element 21 at Node 15629)

3.1.2.1.8 Calculation results, Plate, Ancoraggio 1 [Phase_7] (7/308), Shear forces Q

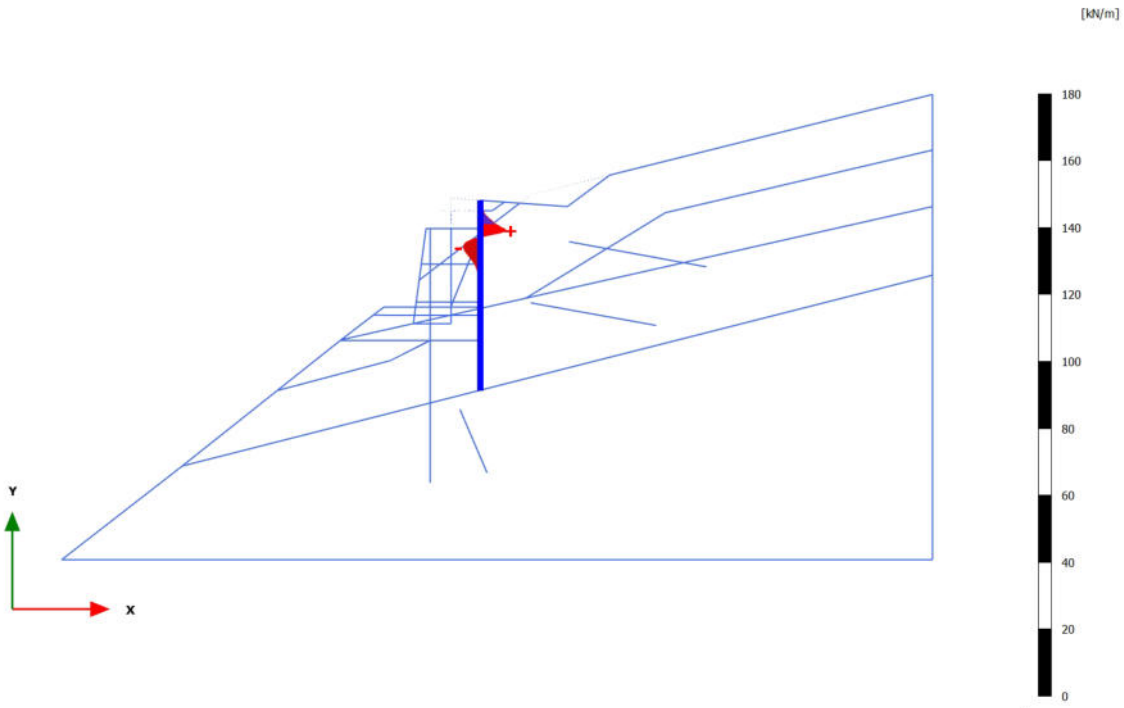

Shear forces Q (scaled up 0,200 times)

Maximum value = 7,553 kN/m (Element 14 at Node 16497)

Minimum value = -5,050 kN/m (Element 21 at Node 15629)

3.1.2.1.9 Calculation results, Plate, Escavo 2 [Phase_8] (8/338), Shear forces Q

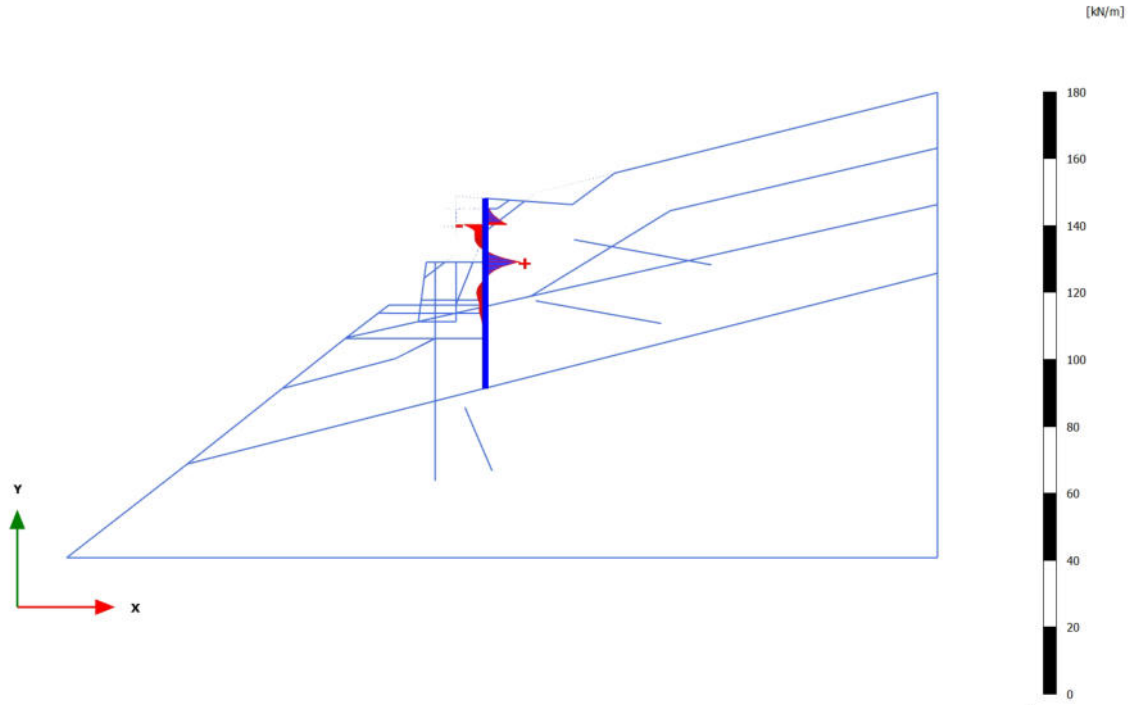

Shear forces Q (scaled up 0,200 times)

Maximum value = 10,45 kN/m (Element 22 at Node 15604)

Minimum value = -6,399 kN/m (Element 13 at Node 16615)

3.1.2.1.10 Calculation results, Plate, Escavo 3 [Phase_9] (9/379), Shear forces Q

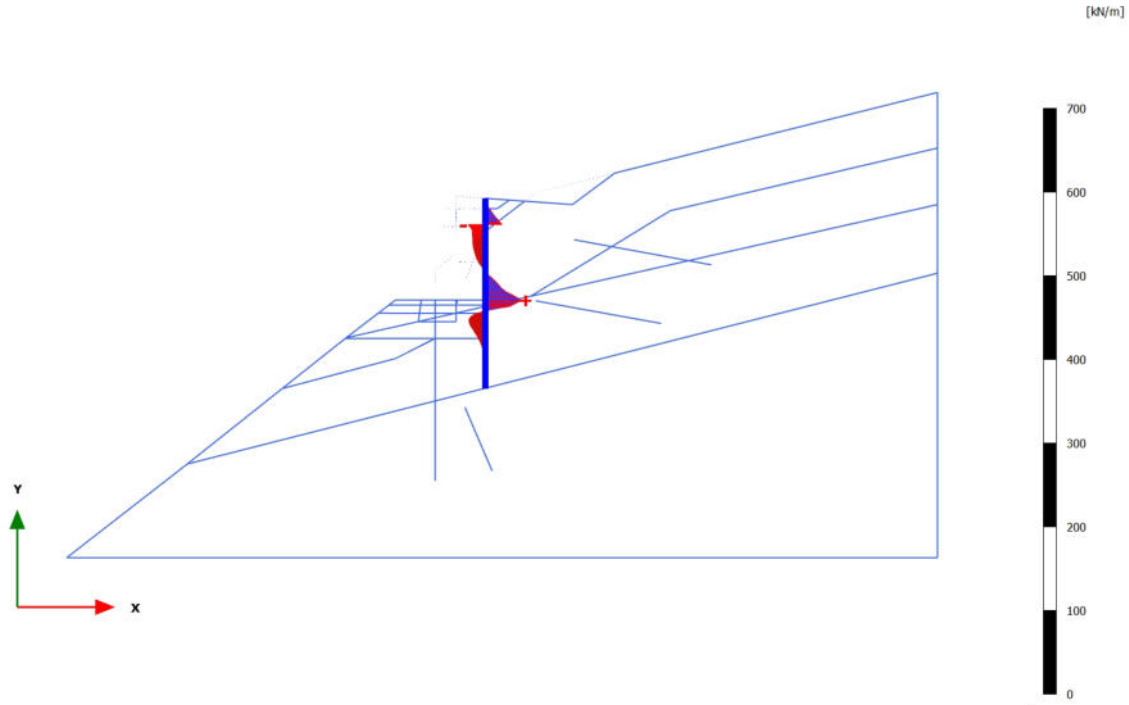

Shear forces Q (scaled up 0,0500 times)

Maximum value = 42,28 kN/m (Element 32 at Node 15226)

Minimum value = -20,49 kN/m (Element 13 at Node 16615)

3.1.2.1.11 Calculation results, Plate, Ancoraggio 2 [Phase_27] (27/430), Shear forces Q

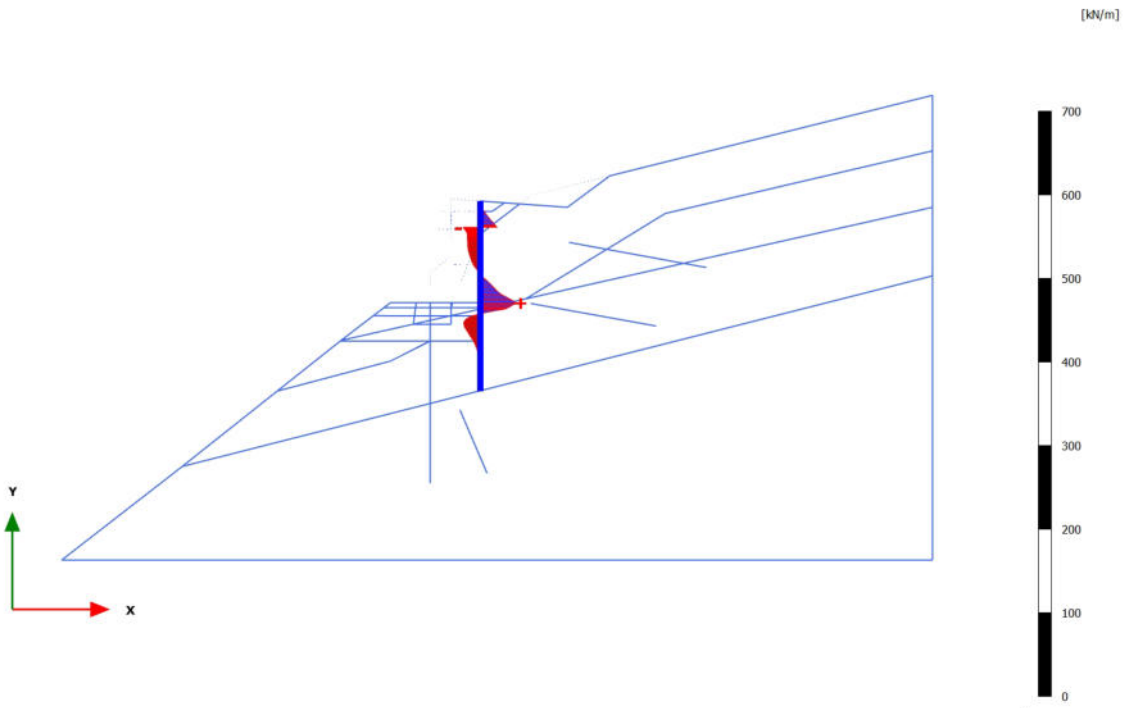

Shear forces Q (scaled up 0,0500 times)

Maximum value = 42,41 kN/m (Element 32 at Node 15226)

Minimum value = -20,65 kN/m (Element 13 at Node 16615)

3.1.2.1.12 Calculation results, Plate, Escavo 4 [Phase_10] (10/449), Shear forces Q

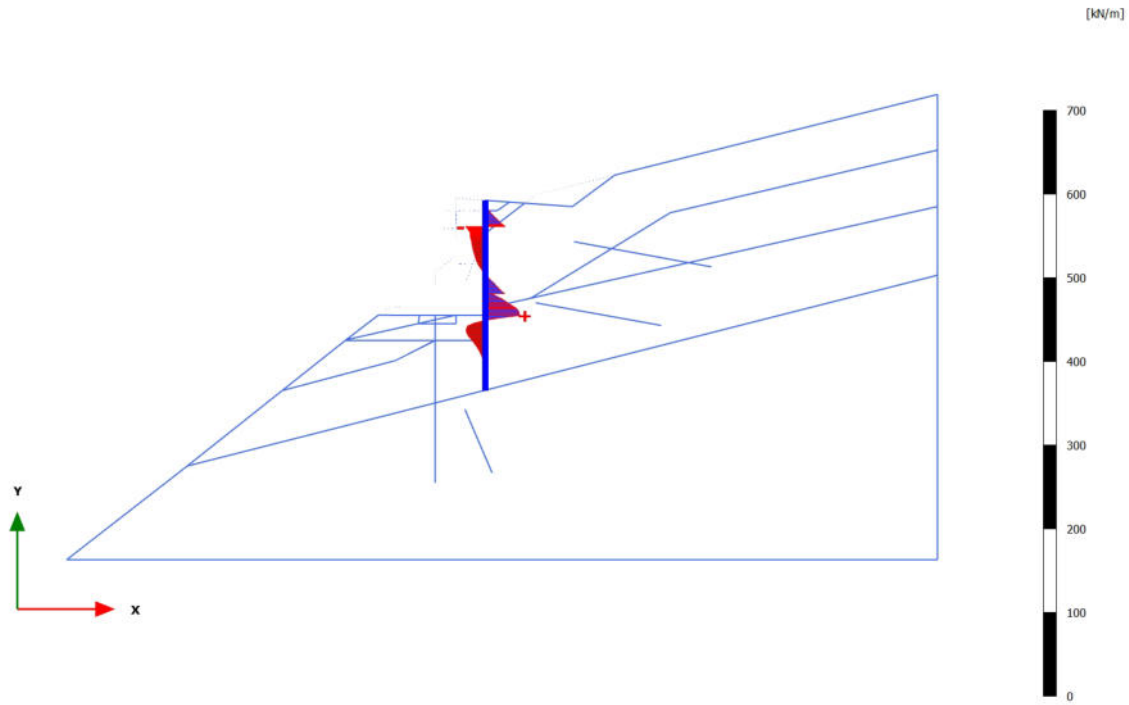

Shear forces Q (scaled up 0,0500 times)

Maximum value = 41,90 kN/m (Element 40 at Node 13950)

Minimum value = -23,80 kN/m (Element 13 at Node 16615)

3.1.2.1.13 Calculation results, Plate, Completamento scavo [Phase_28] (28/479), Shear forces Q

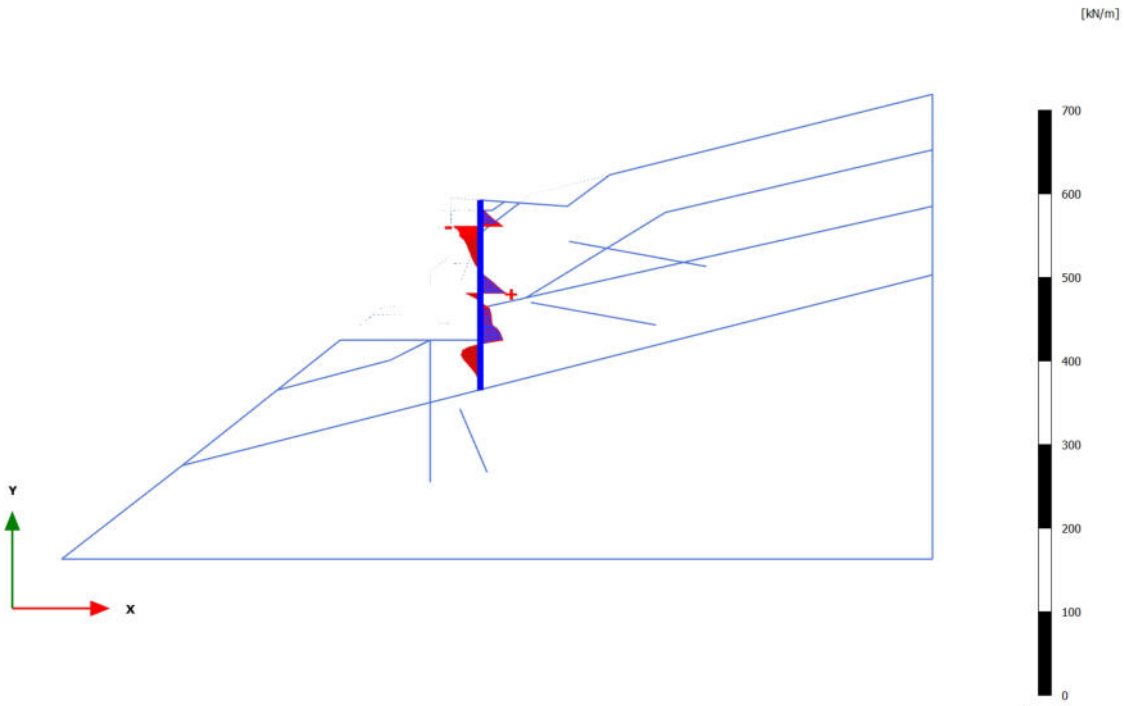

Shear forces Q (scaled up 0,0500 times)

Maximum value = 30,98 kN/m (Element 29 at Node 15511)

Minimum value = -31,92 kN/m (Element 13 at Node 16615)

3.1.2.1.14 Calculation results, Plate, (RD) Strutture [Phase_11] (11/482), Shear forces Q

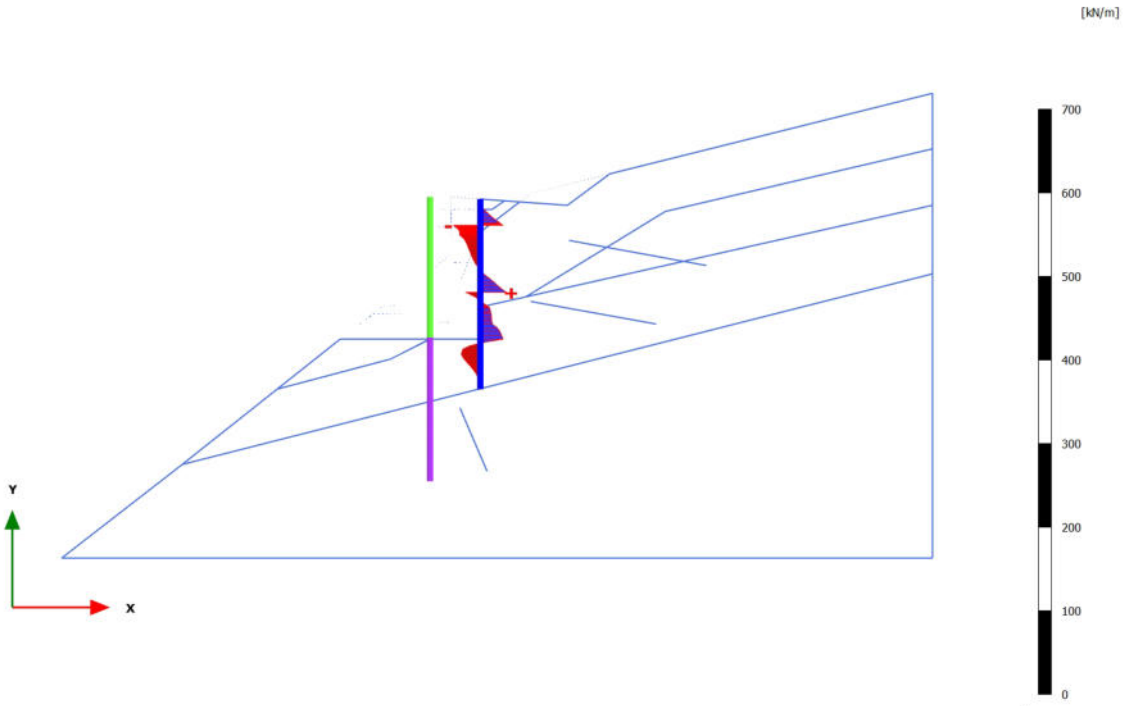

Shear forces Q (scaled up 0,0500 times)

Maximum value = 31,08 kN/m (Element 29 at Node 15511)

Minimum value = -32,00 kN/m (Element 13 at Node 16615)

3.1.2.1.15 Calculation results, Plate, Riempimento 1 [Phase_12] (12/828), Shear forces Q

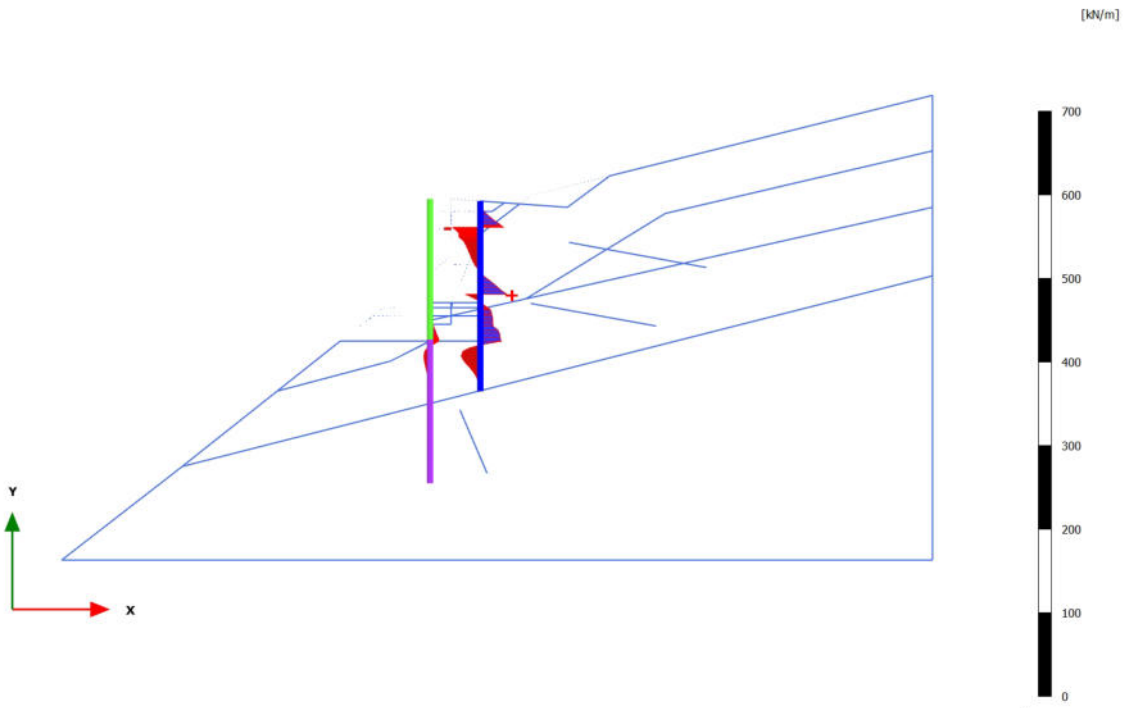

Shear forces Q (scaled up 0,0500 times)

Maximum value = 31,89 kN/m (Element 29 at Node 15511)

Minimum value = -33,23 kN/m (Element 13 at Node 16615)

3.1.2.1.16 Calculation results, Plate, Collegamento ancoraggio 1 [Phase_29] (29/843), Shear forces Q

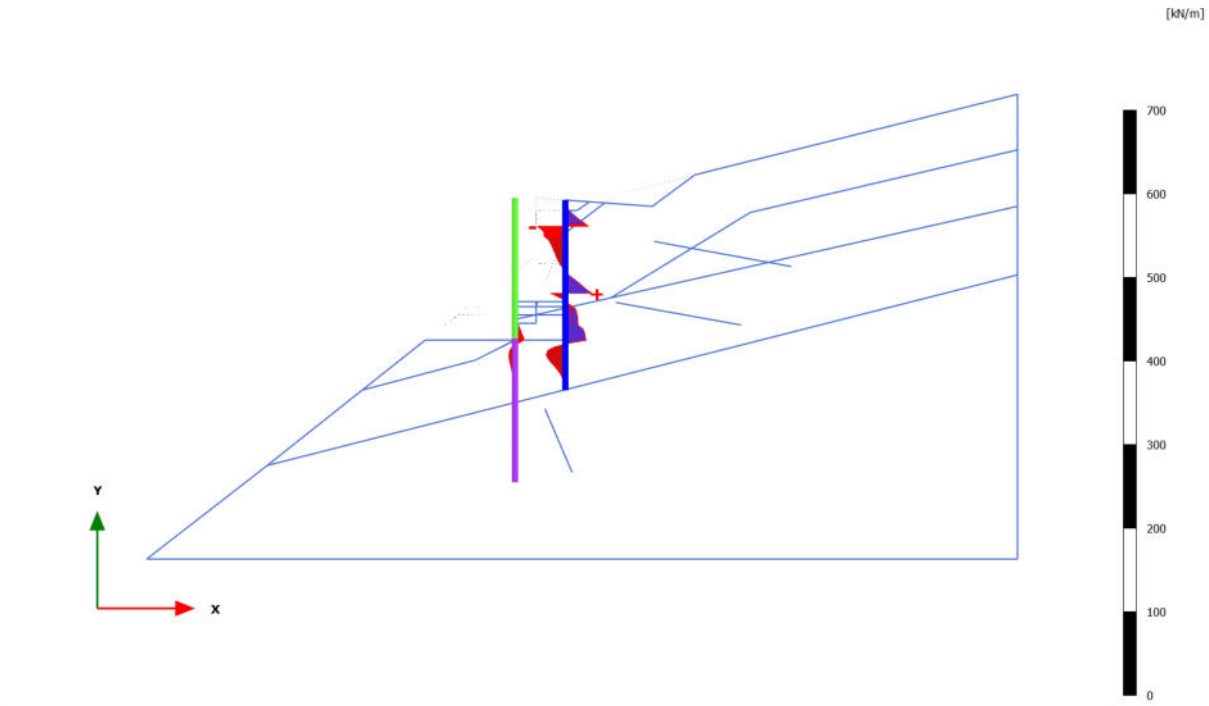

Shear forces Q (scaled up 0,0500 times)

Maximum value = 31,89 kN/m (Element 29 at Node 15511)

Minimum value = -33,24 kN/m (Element 13 at Node 16615)

3.1.2.1.17 Calculation results, Plate, Riempimento 2 [Phase_13] (13/861), Shear forces Q

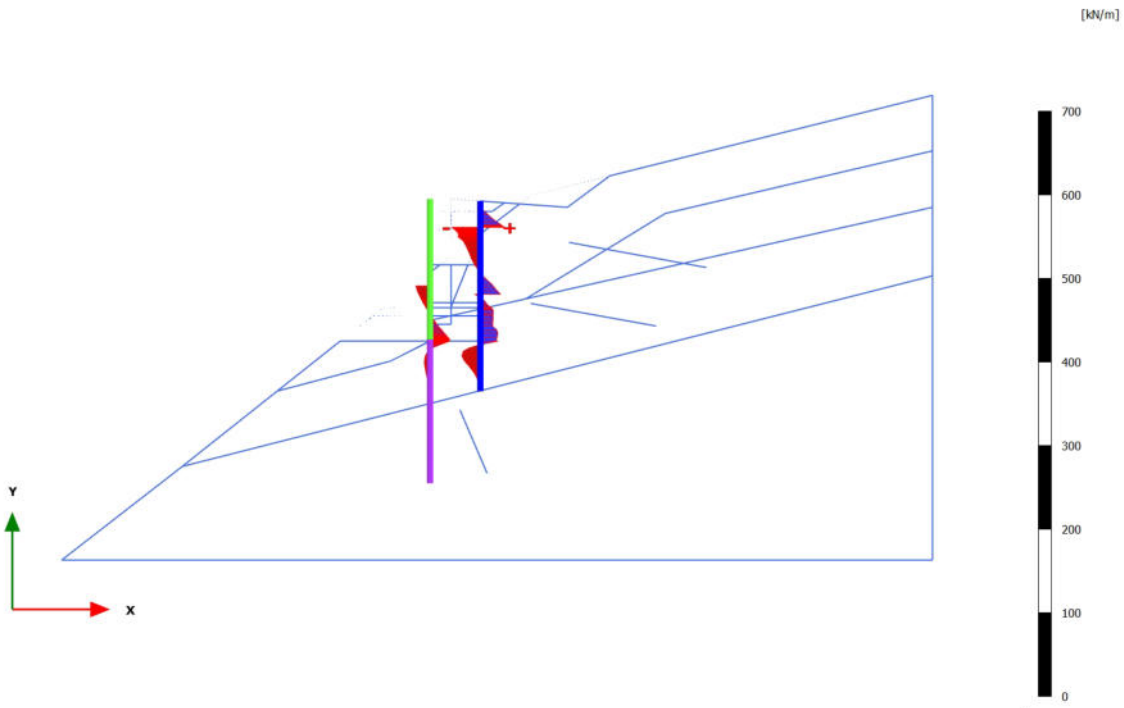

Shear forces Q (scaled up 0,0500 times)

Maximum value = 29,24 kN/m (Element 10 at Node 16615)

Minimum value = -34,33 kN/m (Element 13 at Node 16615)

3.1.2.1.18 Calculation results, Plate, Riempimento 3 [Phase_30] (30/964), Shear forces Q

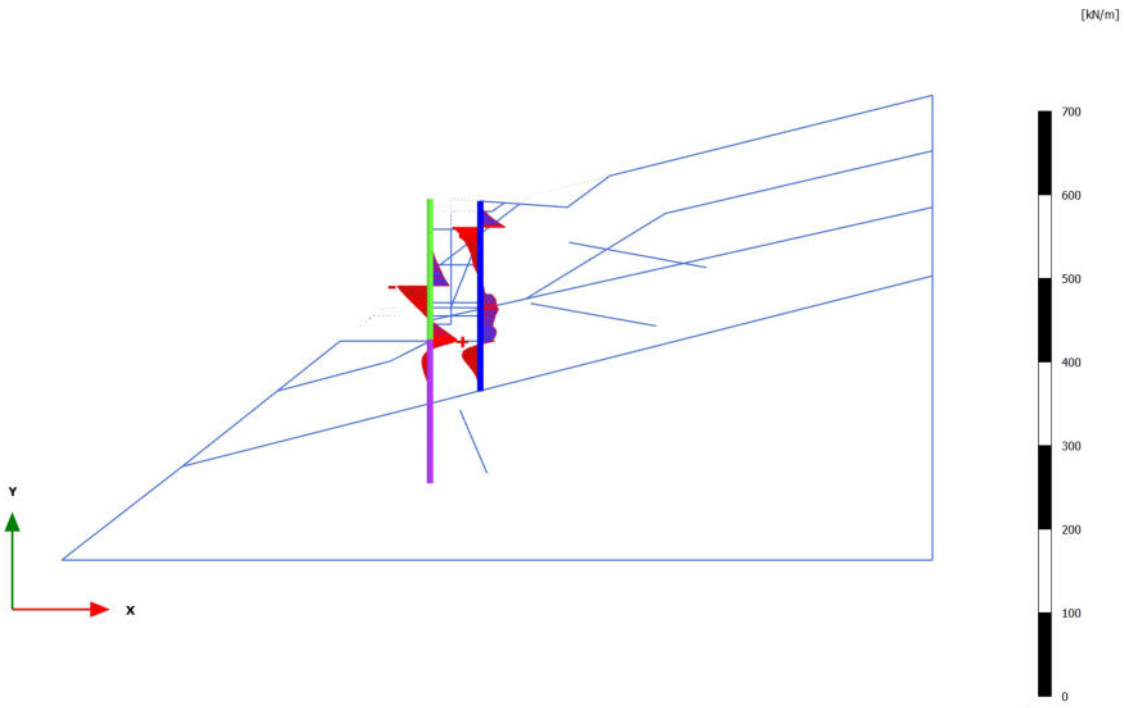

Shear forces Q (scaled up 0,0500 times)

Maximum value = 32,88 kN/m (Element 46 at Node 7881)

Minimum value = -39,51 kN/m (Element 30 at Node 15922)

3.1.2.1.19 Calculation results, Plate, Collegamento ancoraggio 2 [Phase_14] (14/977), Shear forces Q

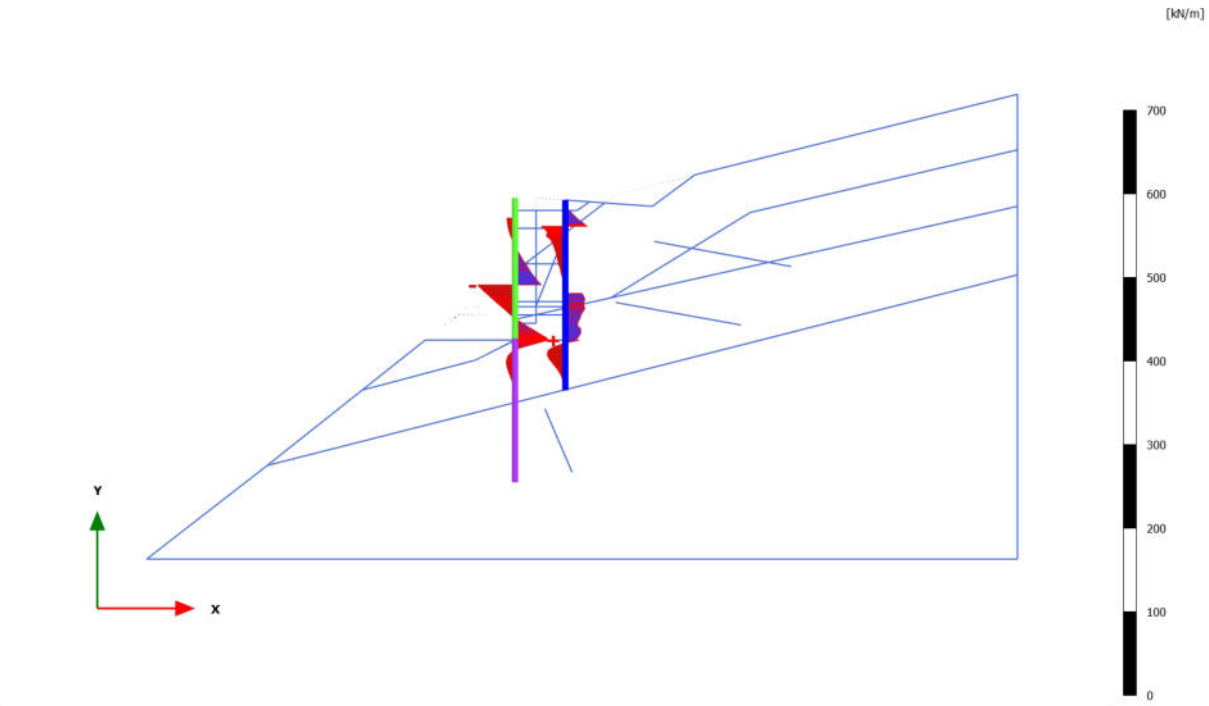

Shear forces Q (scaled up 0,0500 times)

Maximum value = 39,98 kN/m (Element 46 at Node 7881)

Minimum value = -44,77 kN/m (Element 30 at Node 15922)

3.1.2.1.20 Calculation results, Plate, Riempimento 4 (MG) [Phase_15] (15/984), Shear forces Q

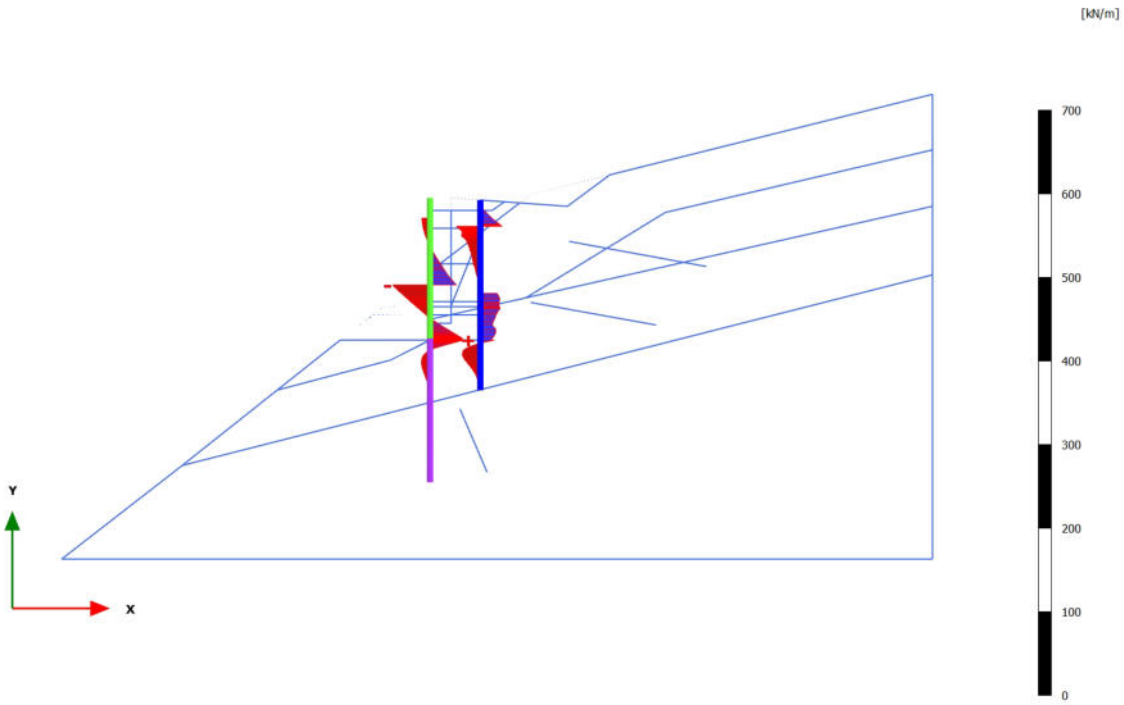

Shear forces Q (scaled up 0,0500 times)

Maximum value = 40,08 kN/m (Element 46 at Node 7881)

Minimum value = -44,81 kN/m (Element 30 at Node 15922)

3.1.2.1.21 Calculation results, Plate, Riempimento 5 (MG) [Phase_16] (16/992), Shear forces Q

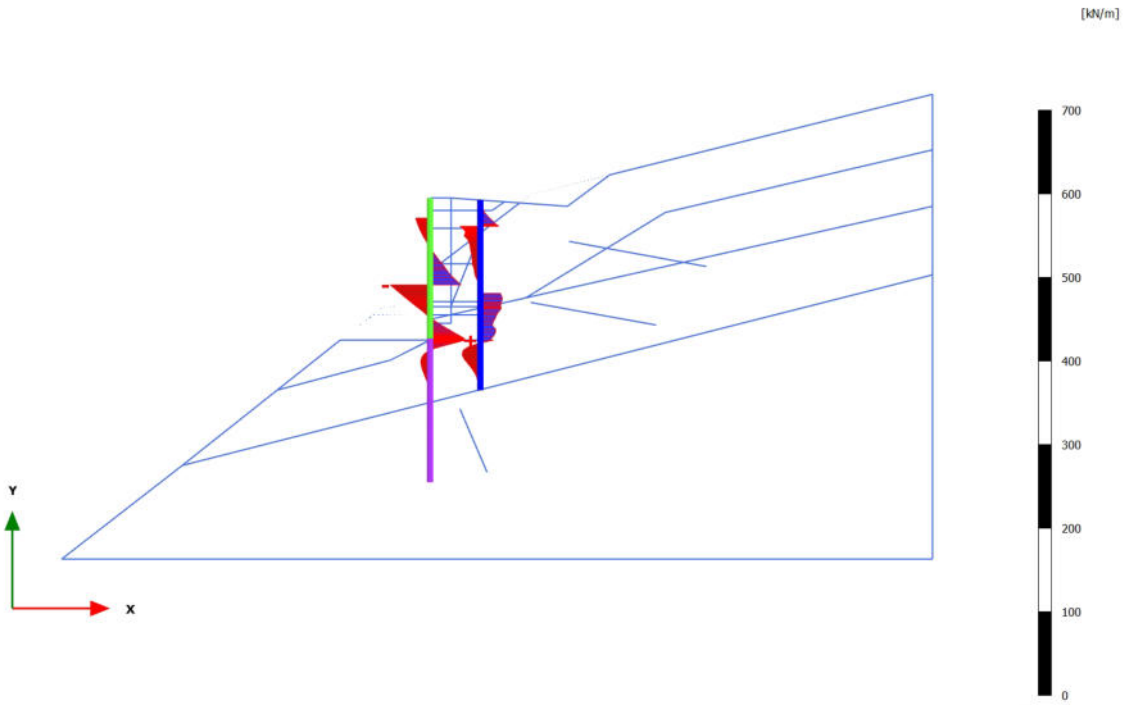

Shear forces Q (scaled up 0,0500 times)

Maximum value = 42,45 kN/m (Element 54 at Node 7881)

Minimum value = -47,54 kN/m (Element 30 at Node 15922)

3.1.2.1.22 Calculation results, Plate, Disattivazione paratia provvisionale [Phase_17] (17/998), Shear forces Q

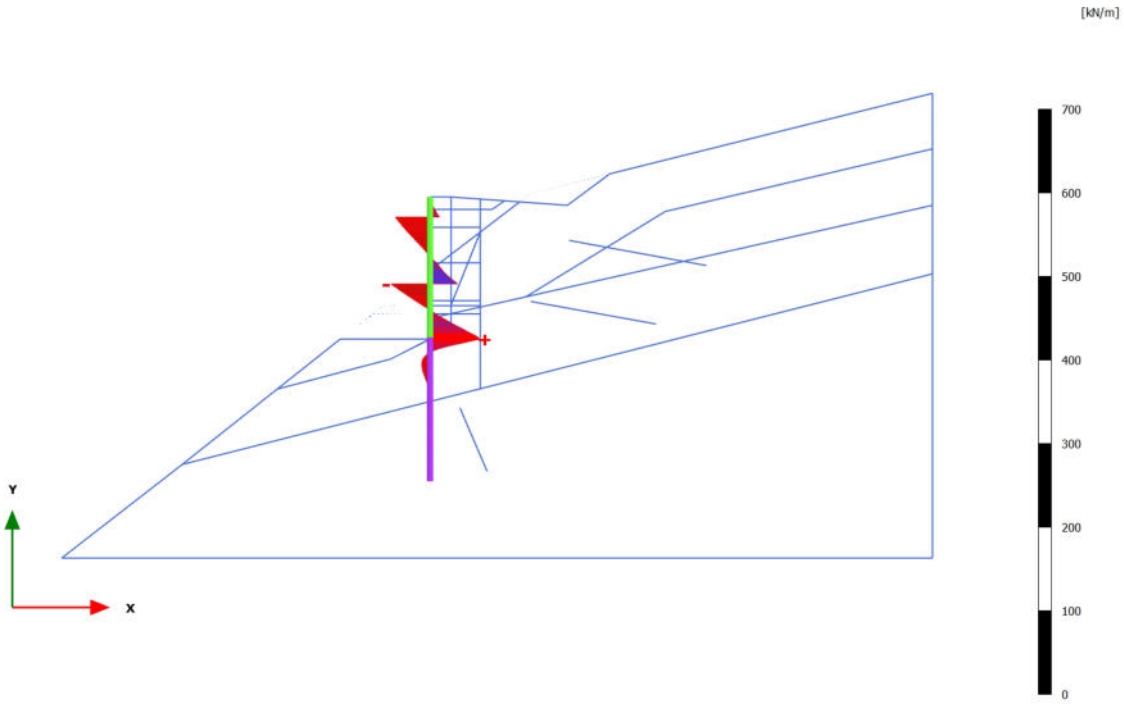

Shear forces Q (scaled up 0,0500 times)

Maximum value = 59,27 kN/m (Element 46 at Node 7881)

Minimum value = -46,72 kN/m (Element 30 at Node 15922)

3.1.2.1.23 Calculation results, Plate, SLE [Phase_18] (18/1002), Shear forces Q

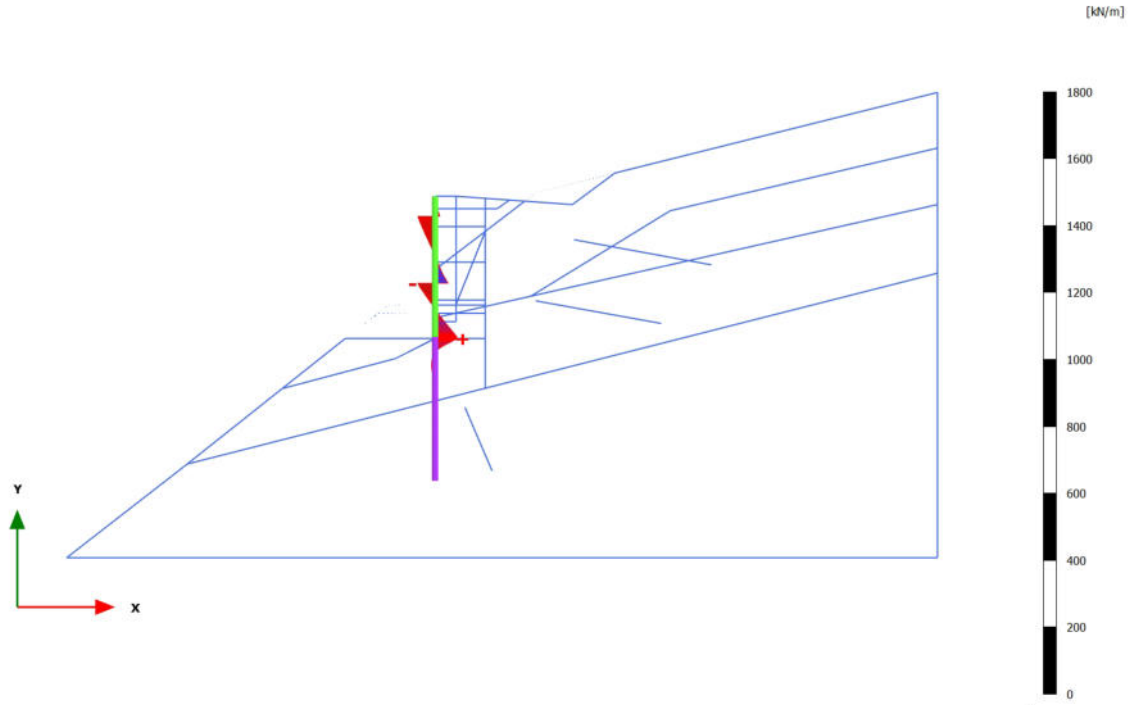

Shear forces Q (scaled up 0,0200 times)

Maximum value = 66,80 kN/m (Element 46 at Node 7881)

Minimum value = -52,42 kN/m (Element 30 at Node 15922)

3.1.2.1.24 Calculation results, Plate, Scalzamento al piede [Phase_19] (19/1007), Shear forces Q

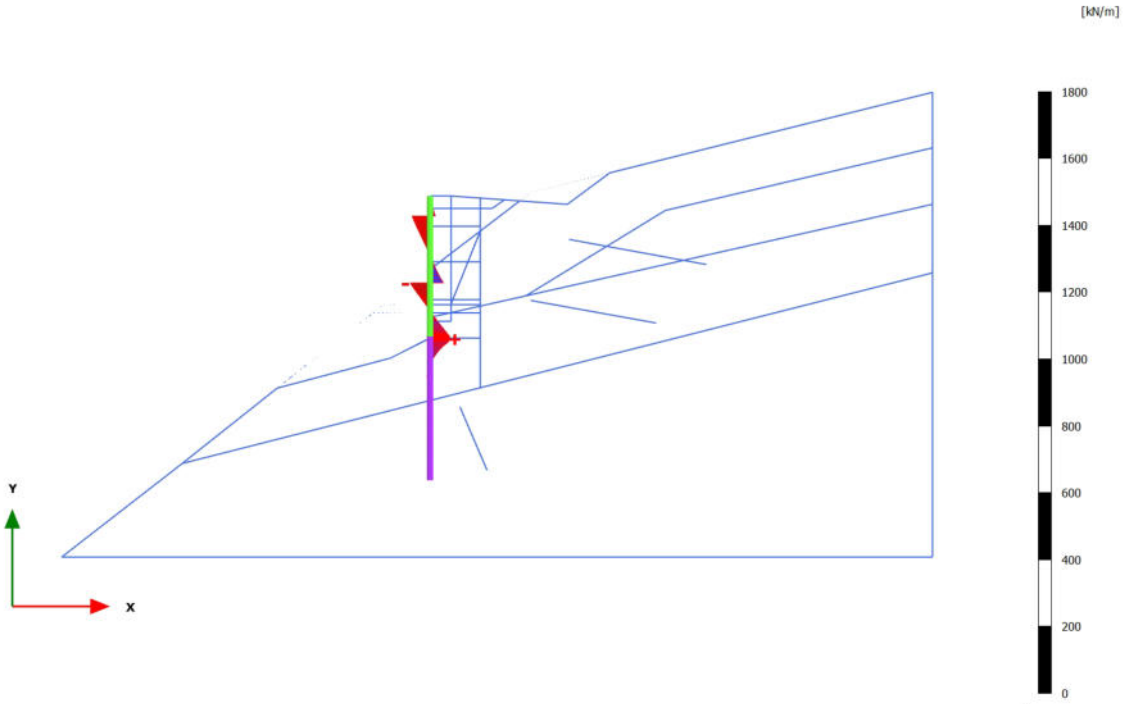

Shear forces Q (scaled up 0,0200 times)

Maximum value = 59,40 kN/m (Element 54 at Node 6882)

Minimum value = -59,38 kN/m (Element 30 at Node 15922)

3.1.2.1.25 Calculation results, Plate, SLU11 [Phase_20] (20/1011), Shear forces Q

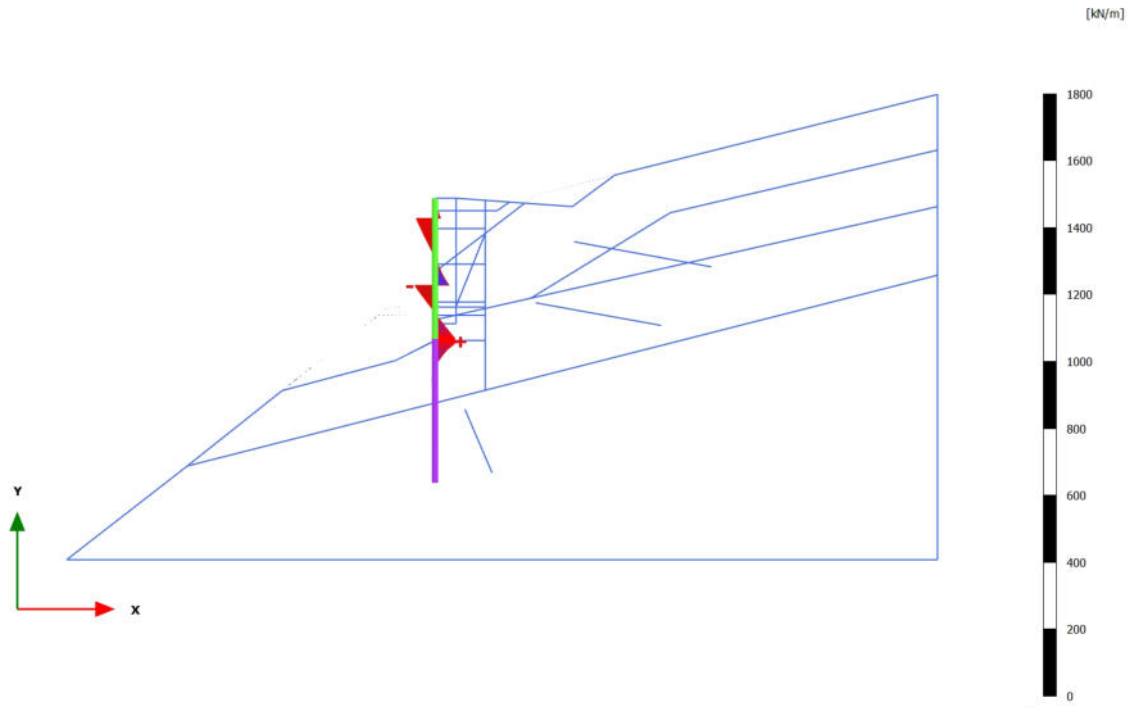

Shear forces Q (scaled up 0,0200 times)

Maximum value = 61,02 kN/m (Element 54 at Node 6882)

Minimum value = -60,89 kN/m (Element 30 at Node 15922)

3.1.2.1.26 Calculation results, Plate, SLV [Phase_21] (21/1061), Shear forces Q

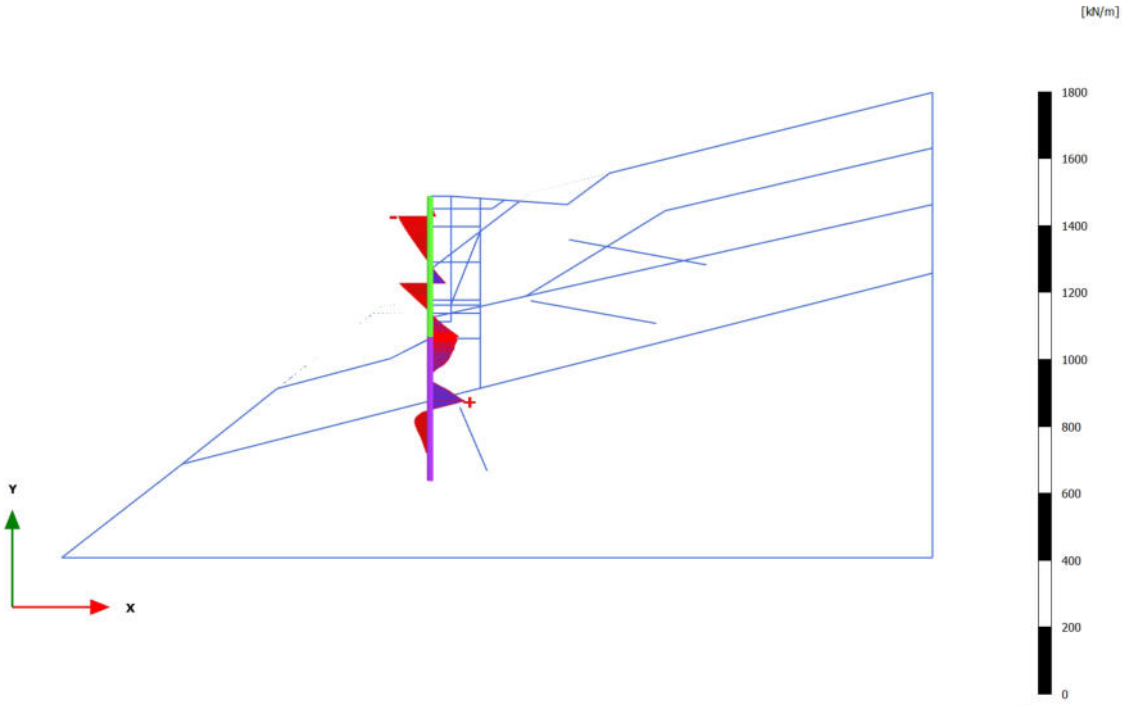

Shear forces Q (scaled up 0,0200 times)

Maximum value = 103,5 kN/m (Element 63 at Node 3618)

Minimum value = -95,00 kN/m (Element 11 at Node 17465)

3.1.2.1.27 Calculation results, Plate, SLU12 [Phase_26] (26/1072), Shear forces Q

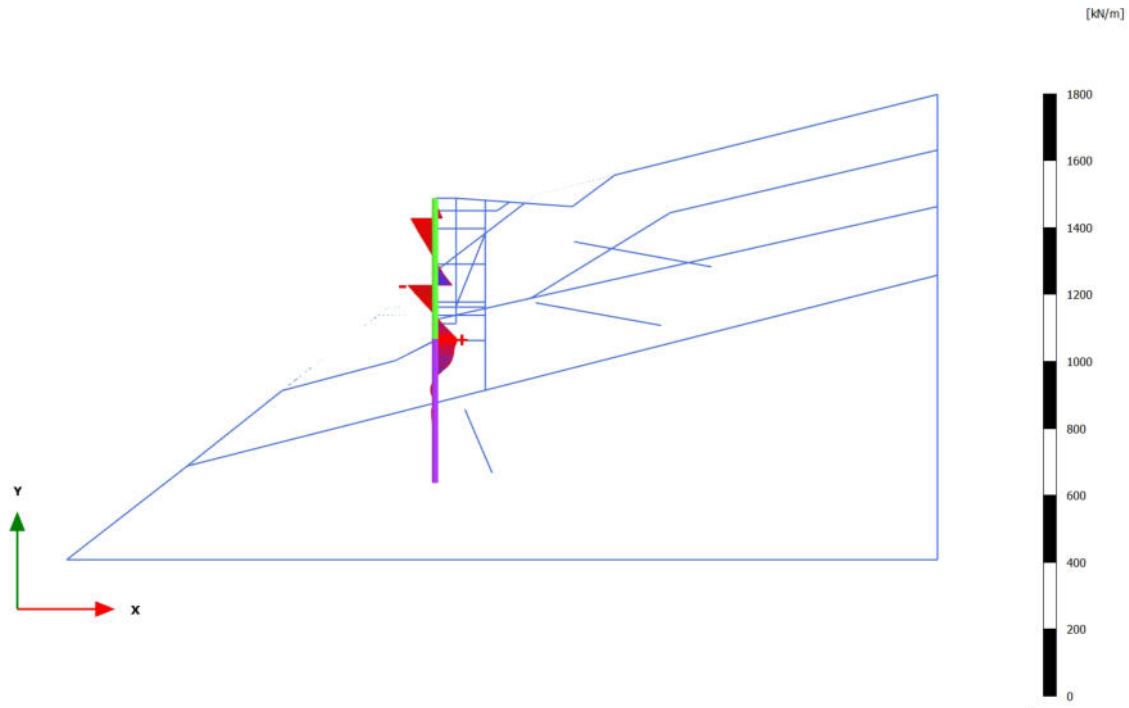

Shear forces Q (scaled up 0,0200 times)

Maximum value = 64,82 kN/m (Element 45 at Node 9077)

Minimum value = -81,24 kN/m (Element 30 at Node 15922)

3.1.2.1.28 Calculation results, Plate, SLD [Phase_31] (31/1085), Shear forces Q

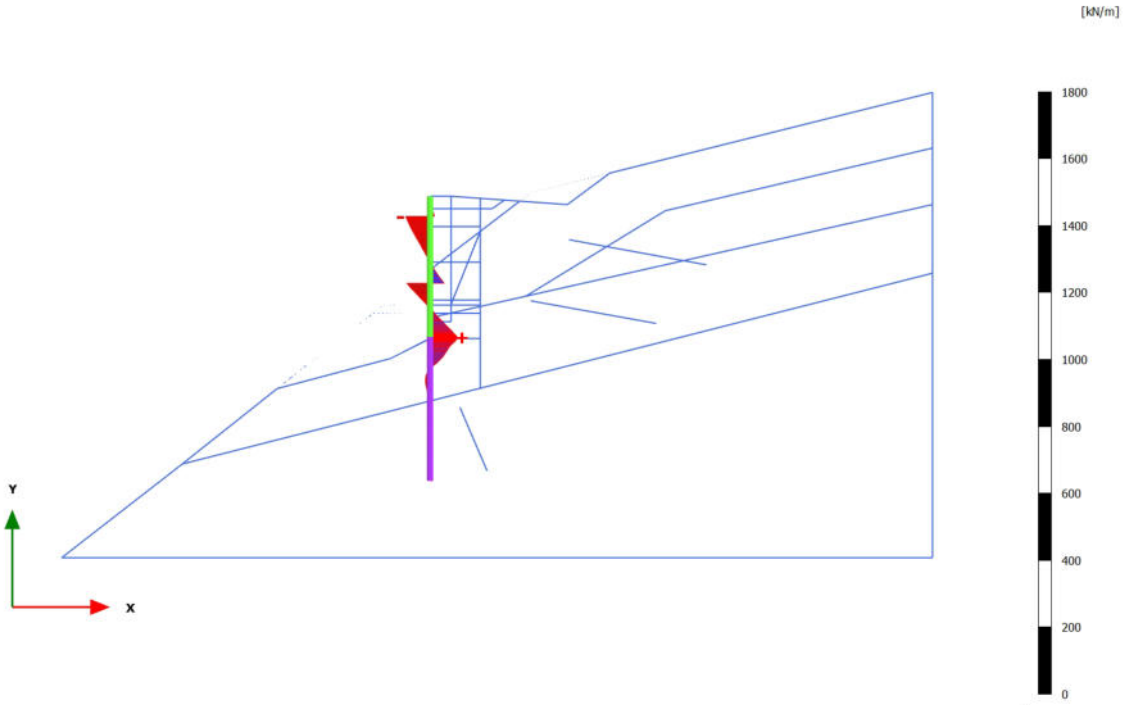

Shear forces Q (scaled up 0,0200 times)

Maximum value = 81,02 kN/m (Element 45 at Node 9077)

Minimum value = -73,13 kN/m (Element 11 at Node 17465)

3.1.2.1.29 Calculation results, Plate, Eccezionale [Phase_22] (22/1130), Shear forces Q

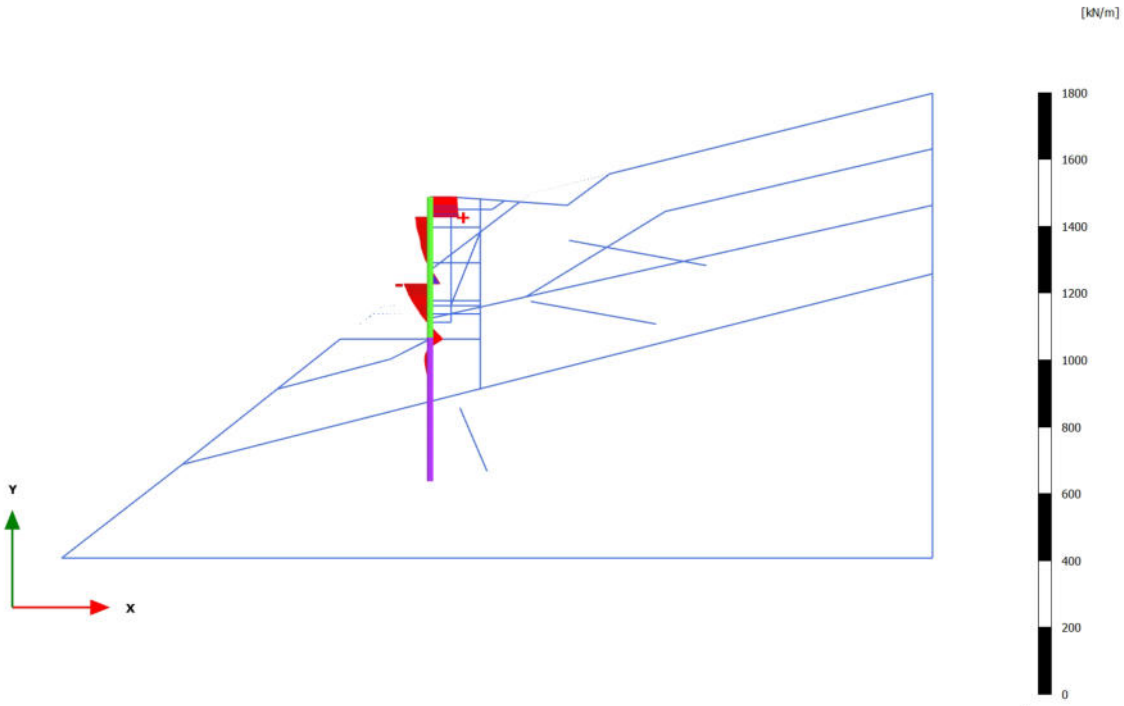

Shear forces Q (scaled up 0,0200 times)

Maximum value = 84,99 kN/m (Element 8 at Node 17465)

Minimum value = -78,20 kN/m (Element 30 at Node 15922)

3.1.2.1.30 Calculation results, Plate, q Rullo [Phase_25] (25/1142), Shear forces Q

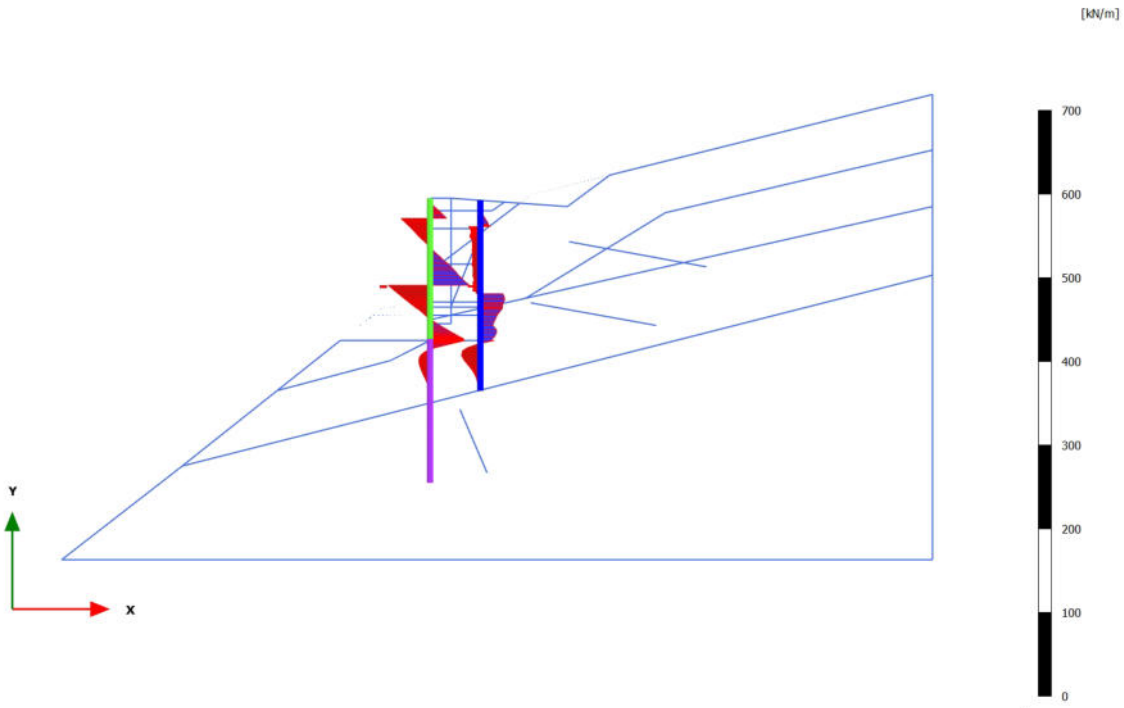

Shear forces Q (scaled up 0,0500 times)

Maximum value = 46,74 kN/m (Element 27 at Node 15922)

Minimum value = -50,13 kN/m (Element 30 at Node 15922)

3.1.2.1.31 Calculation results, Plate, SLU11 Paratia provvisionale [Phase_23] (23/1151), Shear forces Q

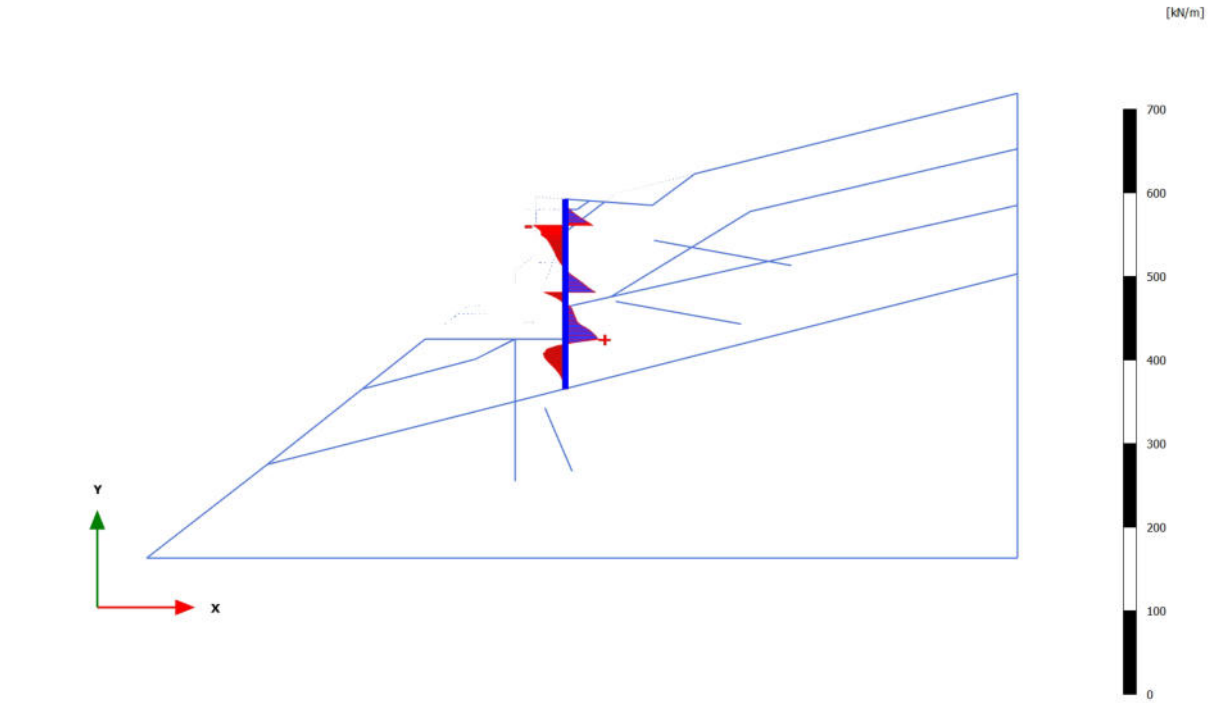

Shear forces Q (scaled up 0,0500 times)

Maximum value = 41,37 kN/m (Element 47 at Node 12093)

Minimum value = -38,17 kN/m (Element 13 at Node 16615)

3.1.2.1.32 Calculation results, Plate, SLU12 Paratia provvisionale [Phase_24] (24/1162), Shear forces Q

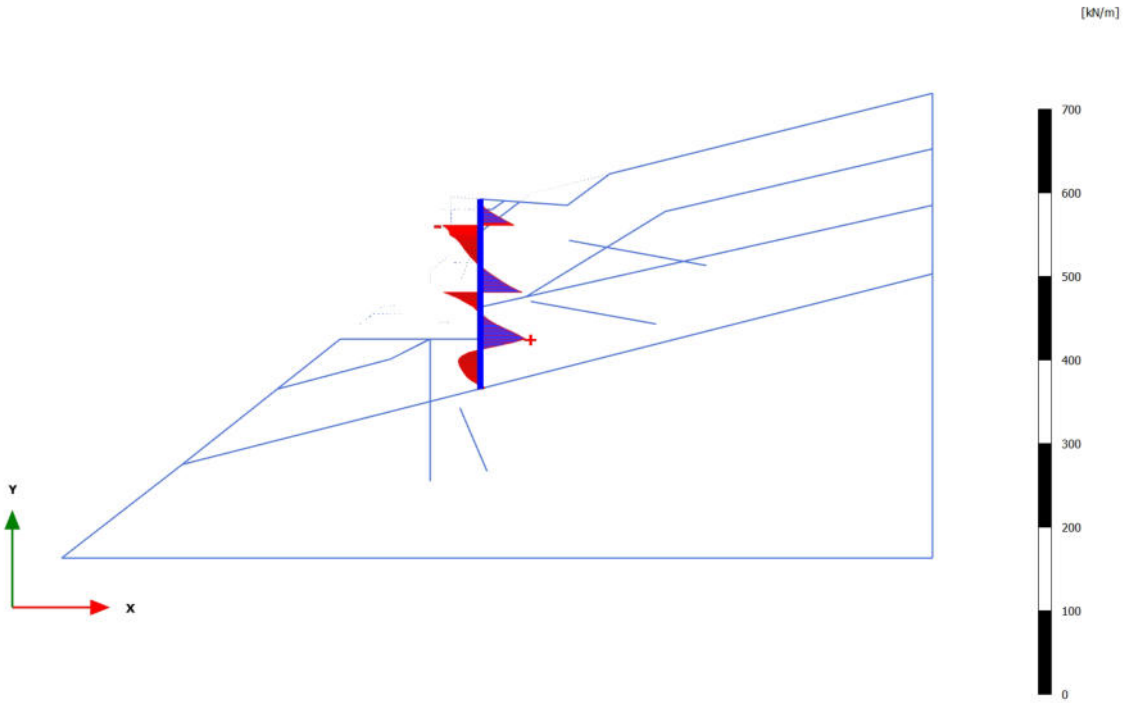

Shear forces Q (scaled up 0,0500 times)

Maximum value = 54,11 kN/m (Element 41 at Node 12093)

Minimum value = -44,89 kN/m (Element 13 at Node 16615)

3.1.2.1.33 Calculation results, Plate, FS [Phase_32] (32/1262), Shear forces Q

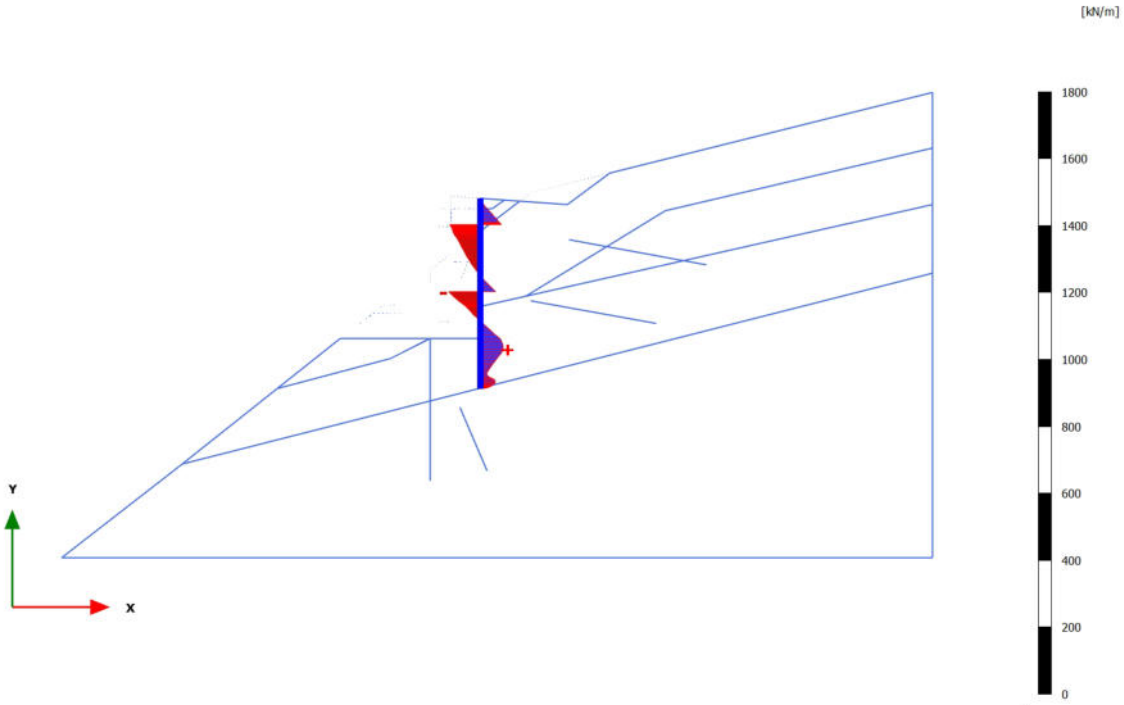

Shear forces Q (scaled up 0,0200 times)

Maximum value = 68,09 kN/m (Element 47 at Node 11392)

Minimum value = -94,94 kN/m (Element 32 at Node 15511)

3.1.2.1.34 Calculation results, Plate, Eccezionale Op provvisionale [Phase_33] (33/1287), Shear forces Q

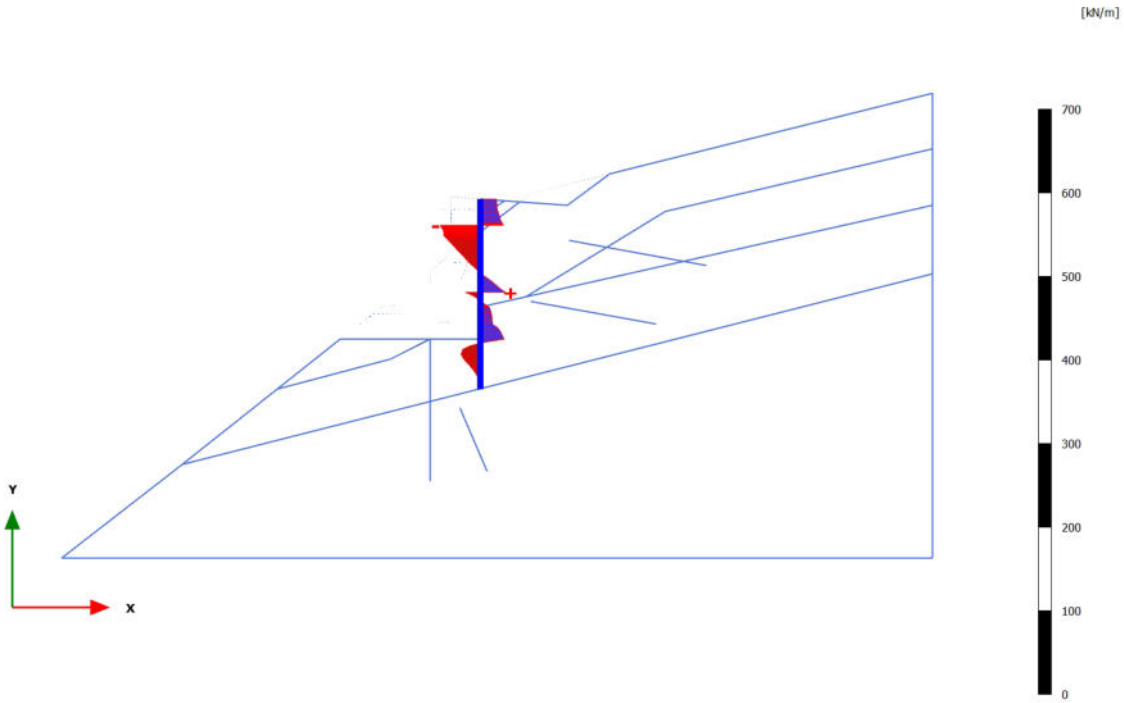

Shear forces Q (scaled up 0,0500 times)

Maximum value = 29,95 kN/m (Element 29 at Node 15511)

Minimum value = -47,81 kN/m (Element 13 at Node 16615)

3.1.2.2.1 Calculation results, Plate, Initial phase [InitialPhase] (0/1), Bending moments M

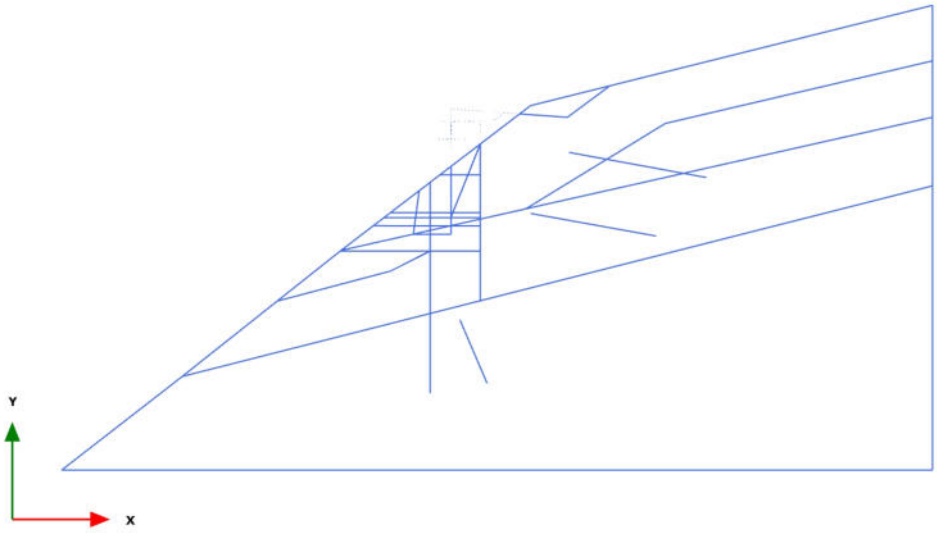

Bending moments M (scaled up 1,00 times)

No results

3.1.2.2.2 Calculation results, Plate, Costruzione stato di fatto 1 [Phase_1] (1/6), Bending moments M

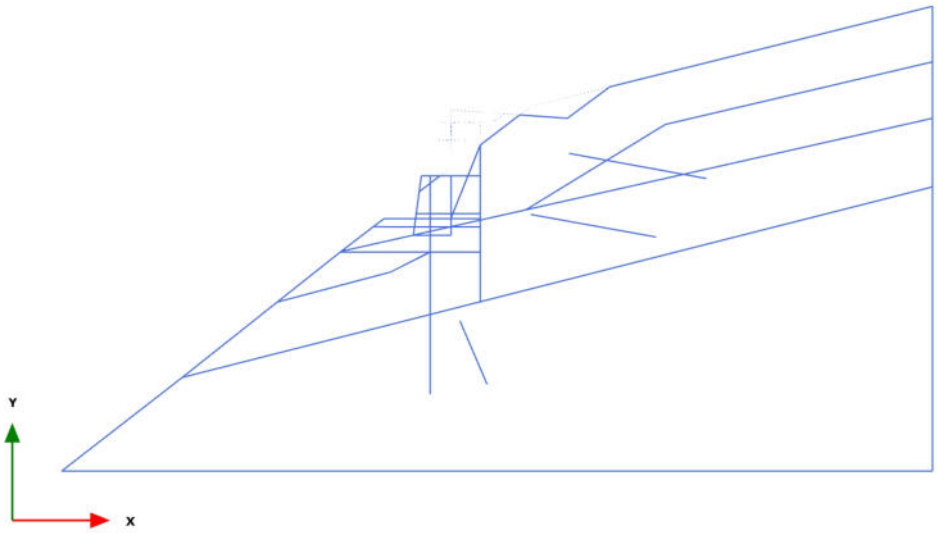

Bending moments M (scaled up 1,00 times)

No results

3.1.2.2.3 Calculation results, Plate, Costruzione stato di fatto 2 [Phase_2] (2/99), Bending moments M

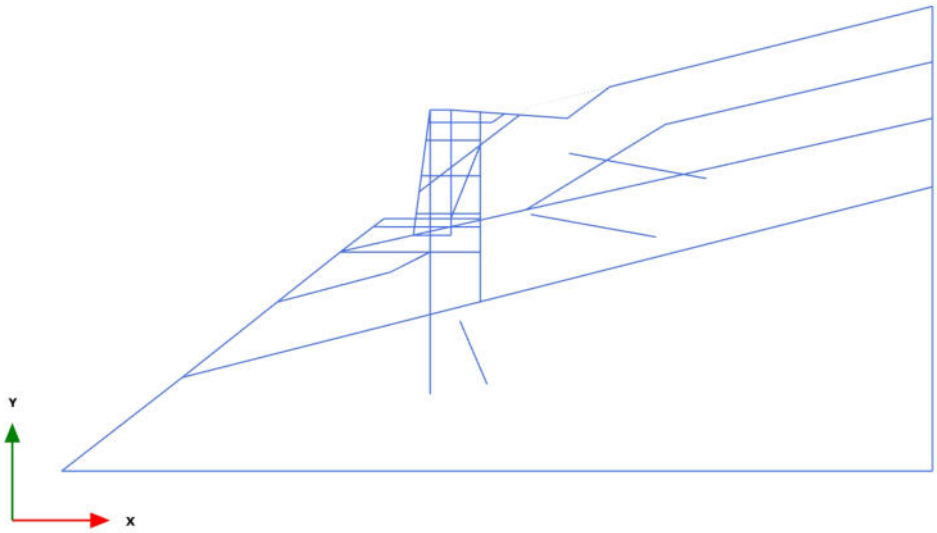

Bending moments M (scaled up 1,00 times)

No results

3.1.2.2.4 Calculation results, Plate, Phase_3 [Phase_3] (3/199), Bending moments M

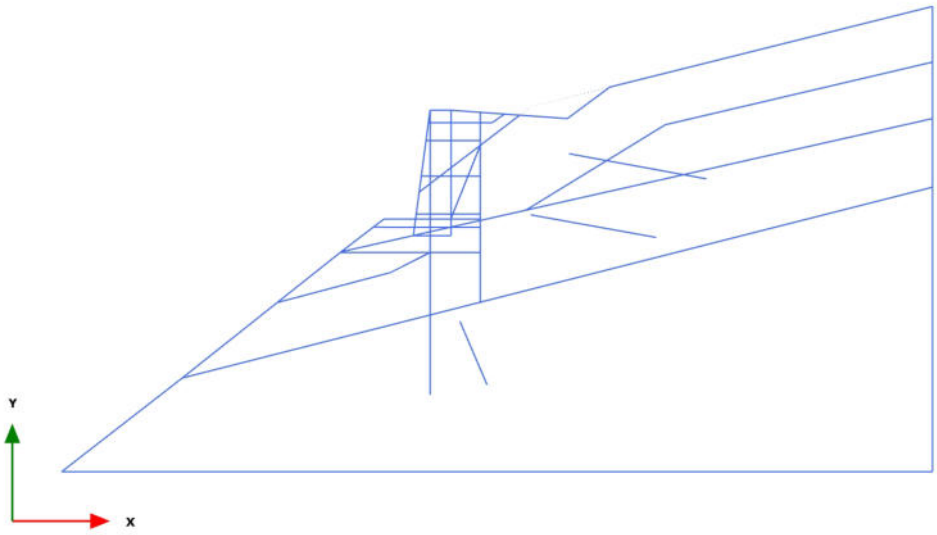

Bending moments M (scaled up 1,00 times)

No results

3.1.2.2.5 Calculation results, Plate, Preparazione cantiere [Phase_4] (4/204), Bending moments M

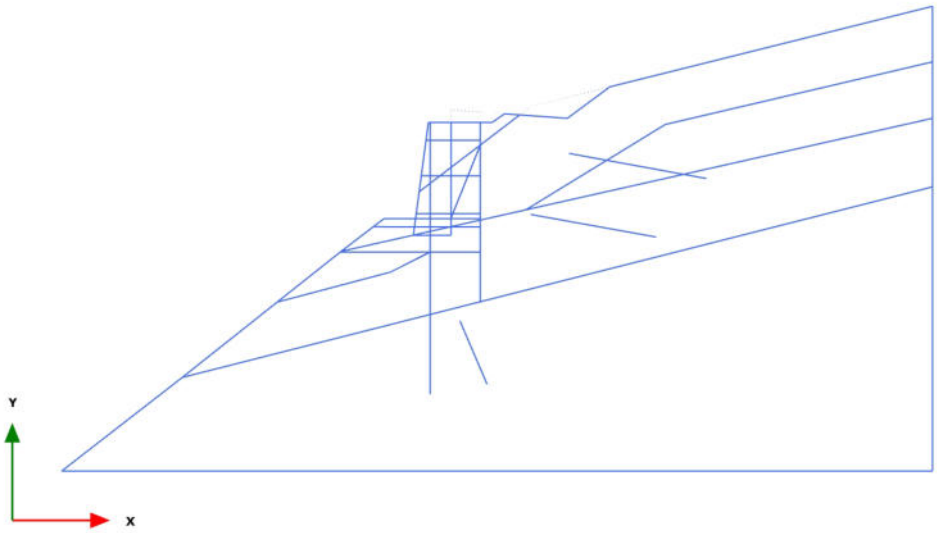

Bending moments M (scaled up 1,00 times)

No results

3.1.2.2.6 Calculation results, Plate, Paratia di micropali [Phase_5] (5/211), Bending moments M

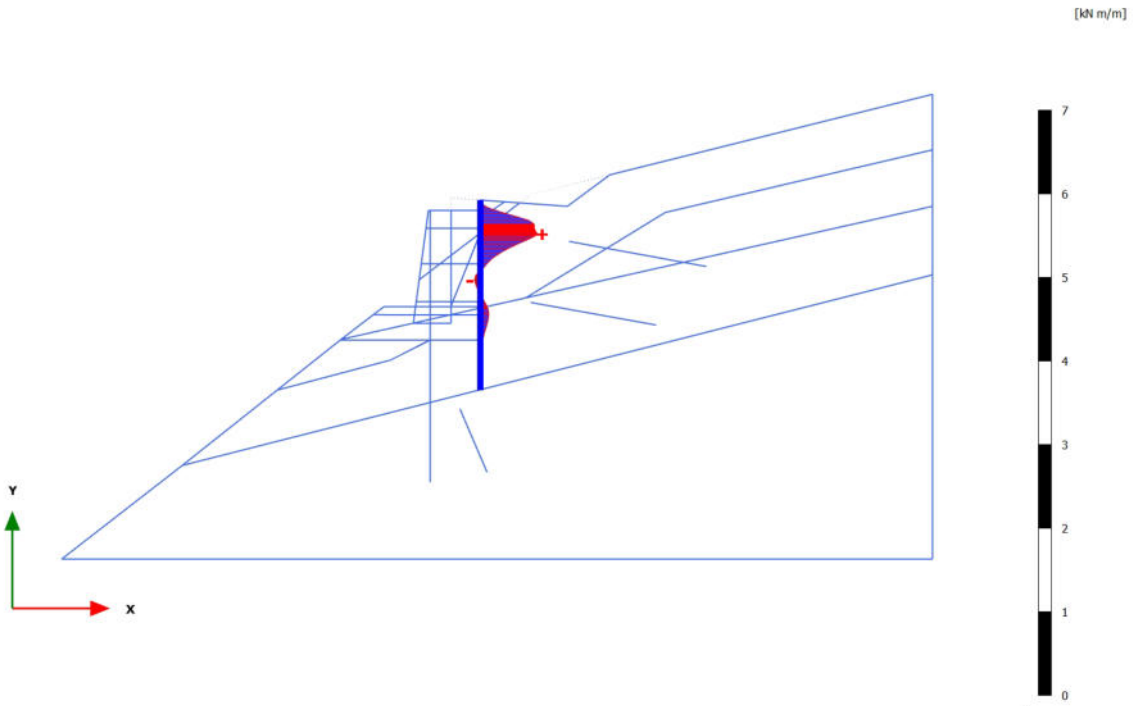

Bending moments M (scaled up 5,00 times)

Maximum value = 0,6776 kN m/m (Element 19 at Node 16221)

Minimum value = -0,06961 kN m/m (Element 28 at Node 15515)

3.1.2.2.7 Calculation results, Plate, (RD) Escavo 1 + sovraccarico [Phase_6] (6/229), Bending moments M

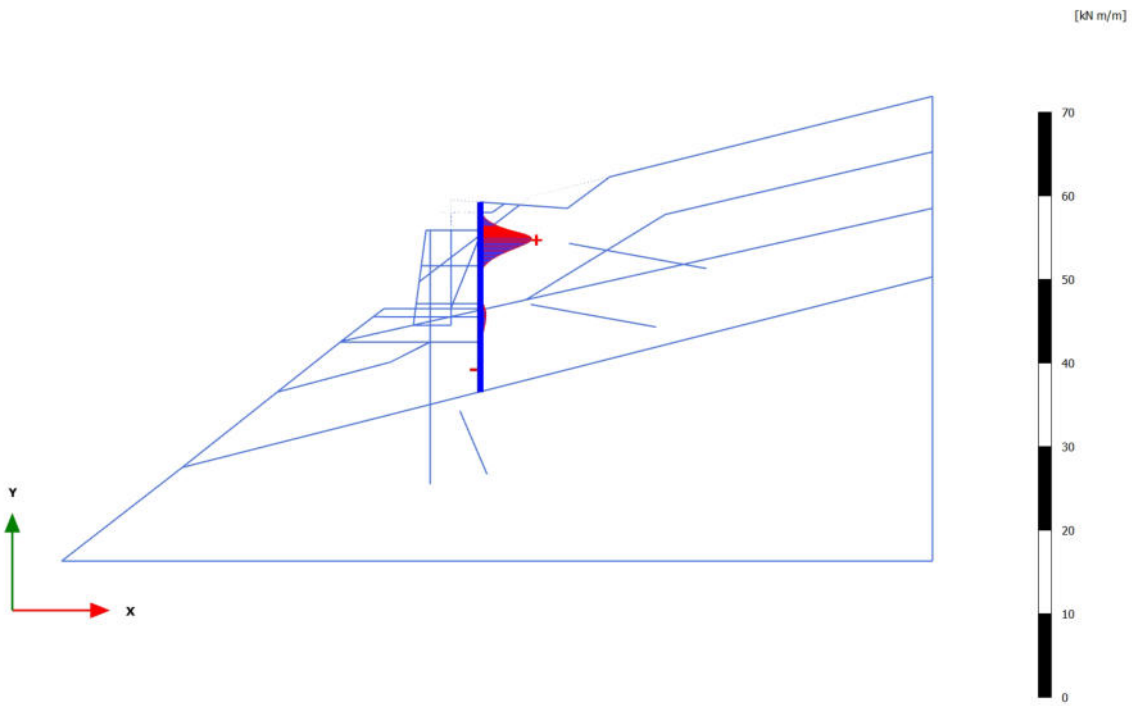

Bending moments M (scaled up 0,500 times)

Maximum value = 6,141 kN m/m (Element 20 at Node 15915)

Minimum value = -0,2454 kN m/m (Element 49 at Node 9580)

3.1.2.2.8 Calculation results, Plate, Ancoraggio 1 [Phase_7] (7/308), Bending moments M

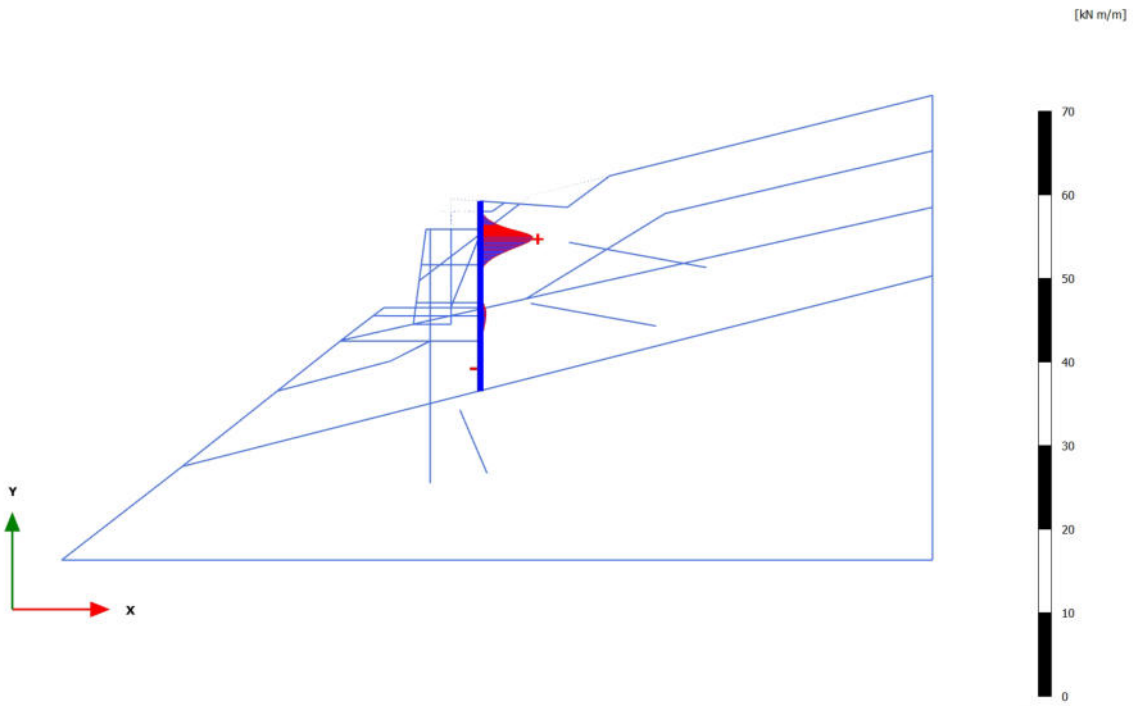

Bending moments M (scaled up 0,500 times)

Maximum value = 6,267 kN m/m (Element 20 at Node 15915)

Minimum value = -0,2456 kN m/m (Element 49 at Node 9580)

3.1.2.2.9 Calculation results, Plate, Escavo 2 [Phase_8] (8/338), Bending moments M

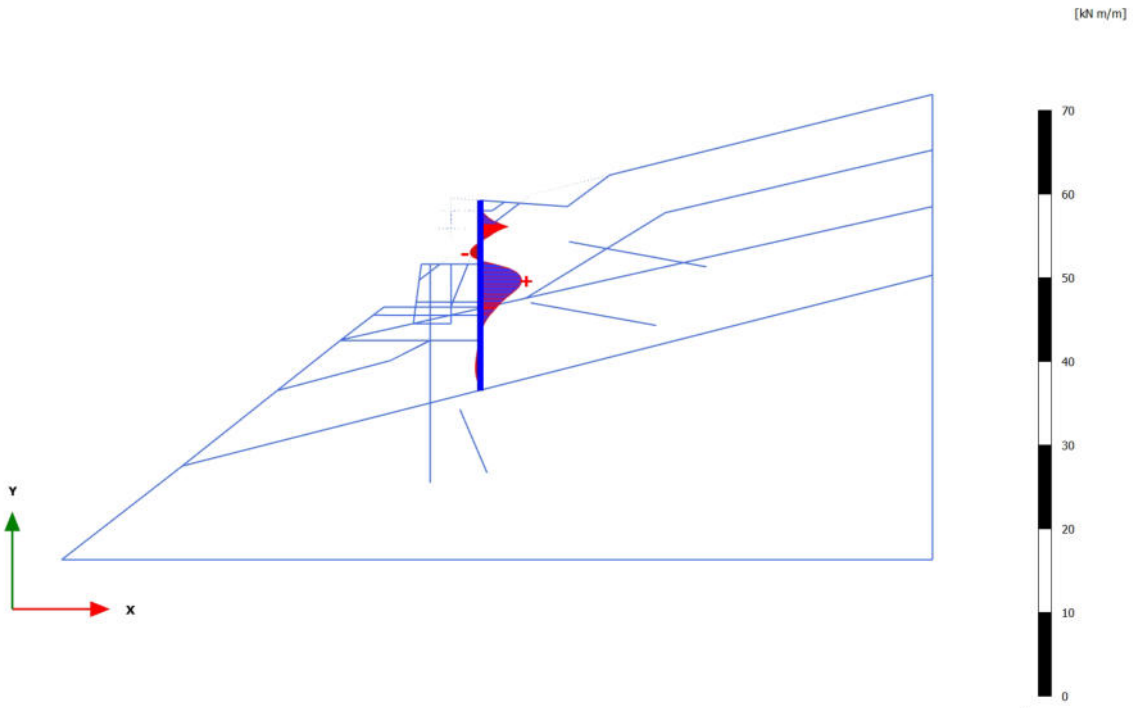

Bending moments M (scaled up 0,500 times)

Maximum value = 4,949 kN m/m (Element 29 at Node 15515)

Minimum value = -1,235 kN m/m (Element 22 at Node 15607)

3.1.2.2.10 Calculation results, Plate, Escavo 3 [Phase_9] (9/379), Bending moments M

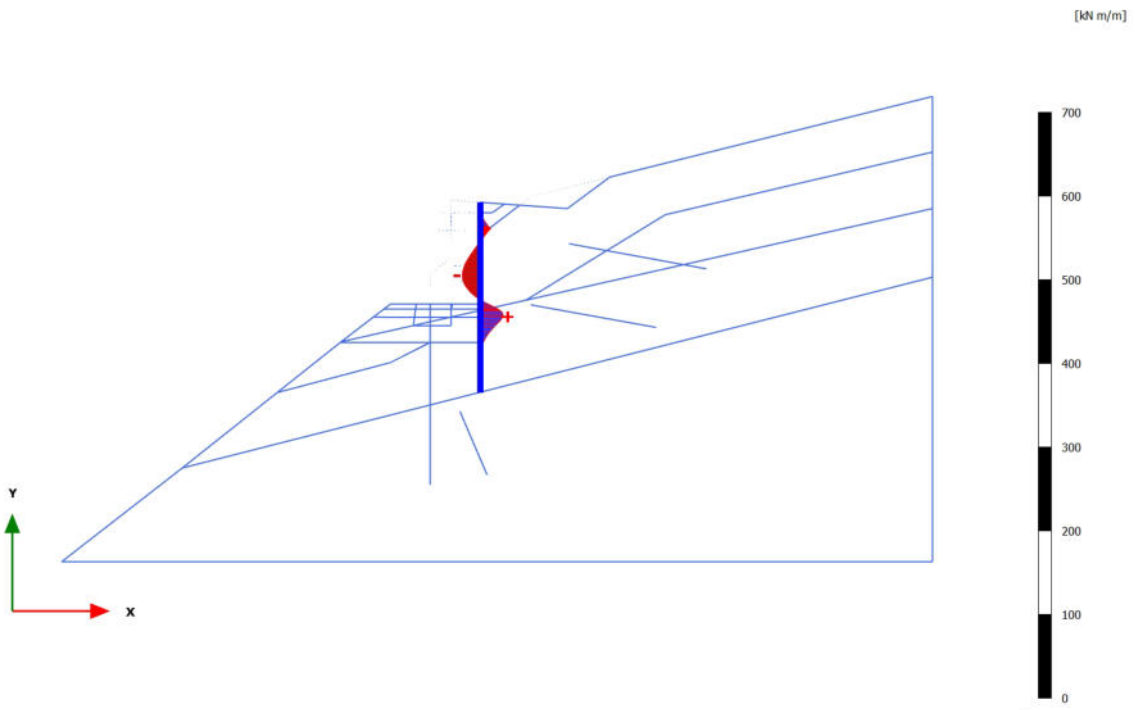

Bending moments M (scaled up 0,0500 times)

Maximum value = 27,28 kN m/m (Element 37 at Node 13953)

Minimum value = -21,56 kN m/m (Element 28 at Node 15494)

3.1.2.2.11 Calculation results, Plate, Ancoraggio 2 [Phase_27] (27/430), Bending moments M

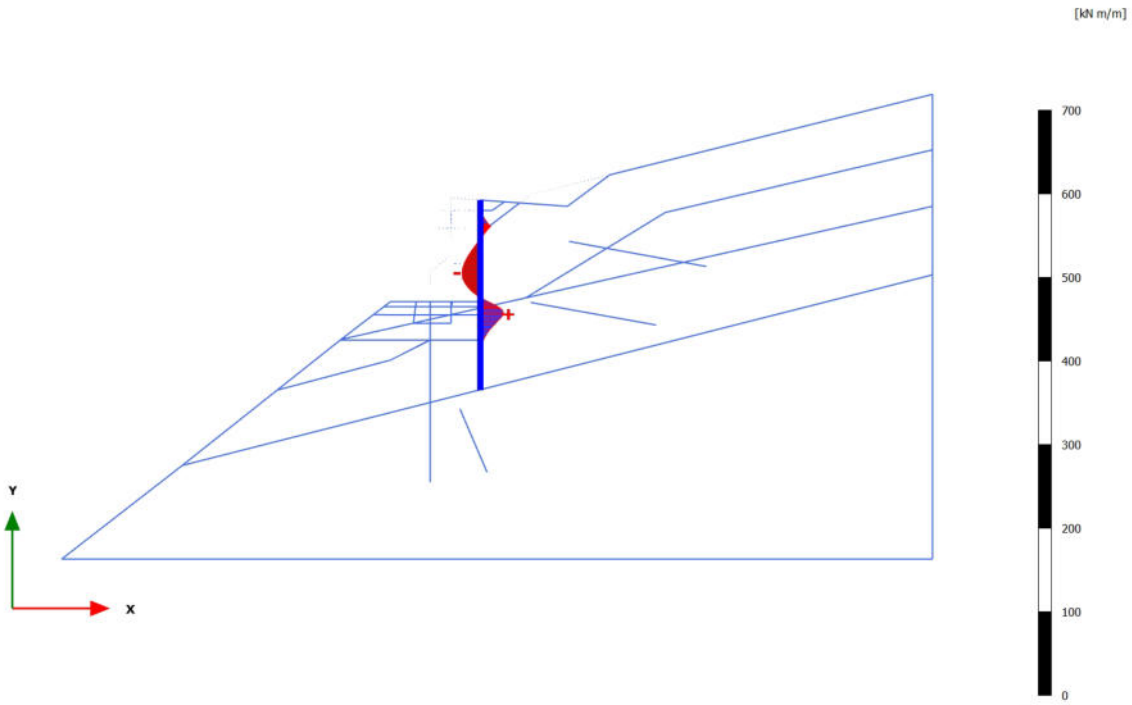

Bending moments M (scaled up 0,0500 times)

Maximum value = 27,57 kN m/m (Element 37 at Node 13953)

Minimum value = -21,81 kN m/m (Element 28 at Node 15494)

3.1.2.2.12 Calculation results, Plate, Escavo 4 [Phase_10] (10/449), Bending moments M

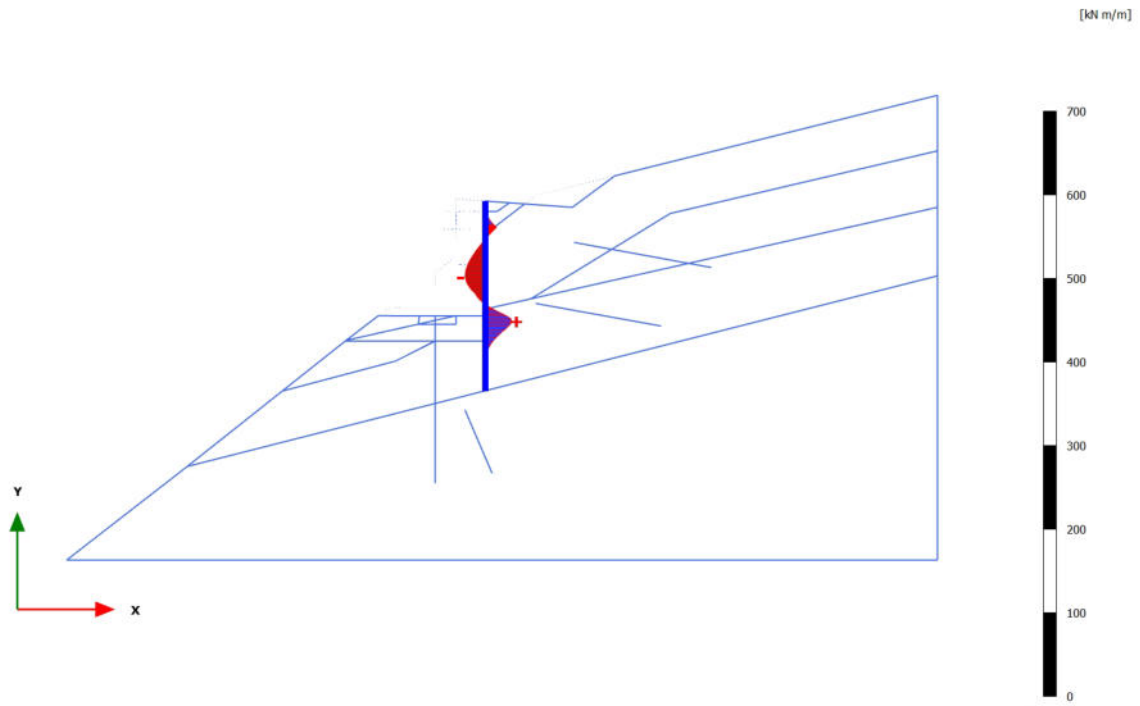

Bending moments M (scaled up 0,0500 times)

Maximum value = 31,48 kN m/m (Element 40 at Node 13002)

Minimum value = -23,98 kN m/m (Element 28 at Node 15493)

3.1.2.2.13 Calculation results, Plate, Completamento scavo [Phase_28] (28/479), Bending moments M

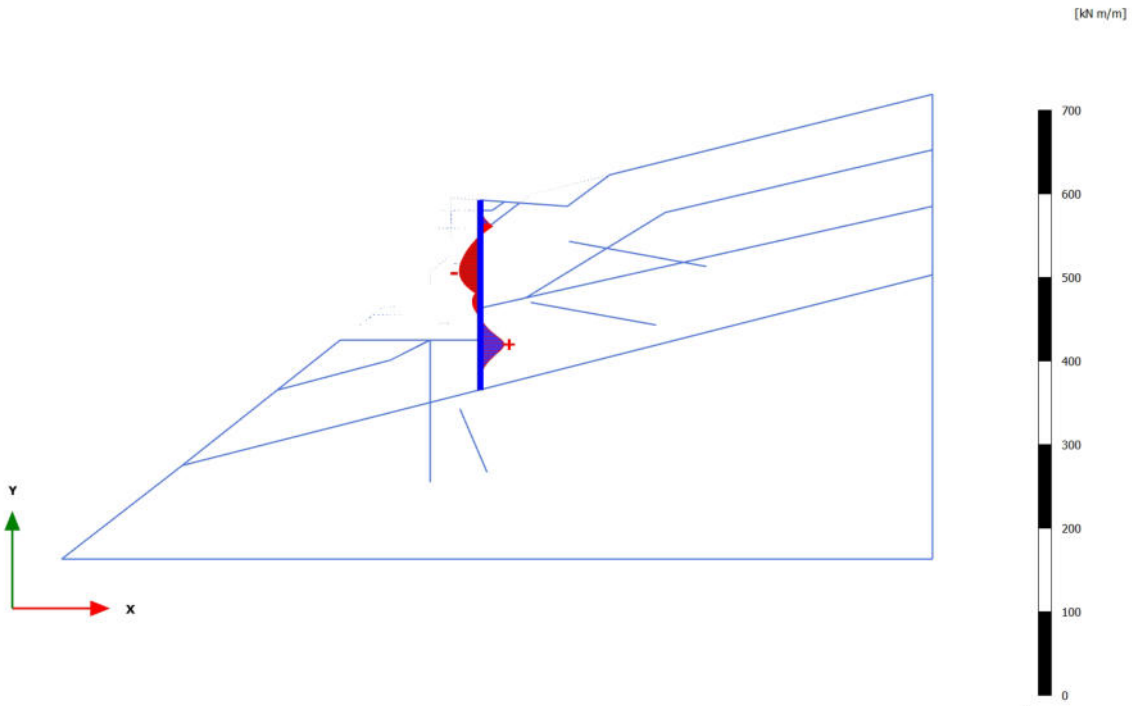

Bending moments M (scaled up 0,0500 times)

Maximum value = 28,70 kN m/m (Element 47 at Node 11390)

Minimum value = -25,09 kN m/m (Element 28 at Node 15494)

3.1.2.2.14 Calculation results, Plate, (RD) Strutture [Phase_11] (11/482), Bending moments M

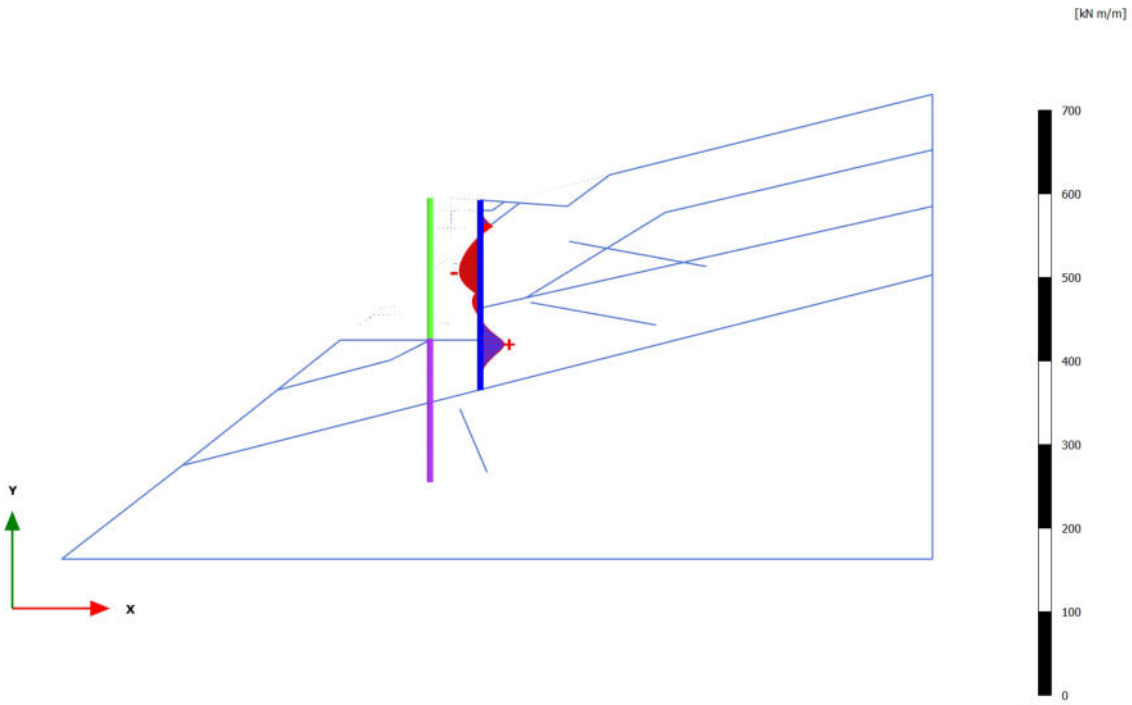

Bending moments M (scaled up 0,0500 times)

Maximum value = 28,71 kN m/m (Element 47 at Node 11390)

Minimum value = -25,13 kN m/m (Element 28 at Node 15494)

3.1.2.2.15 Calculation results, Plate, Riempimento 1 [Phase_12] (12/828), Bending moments M

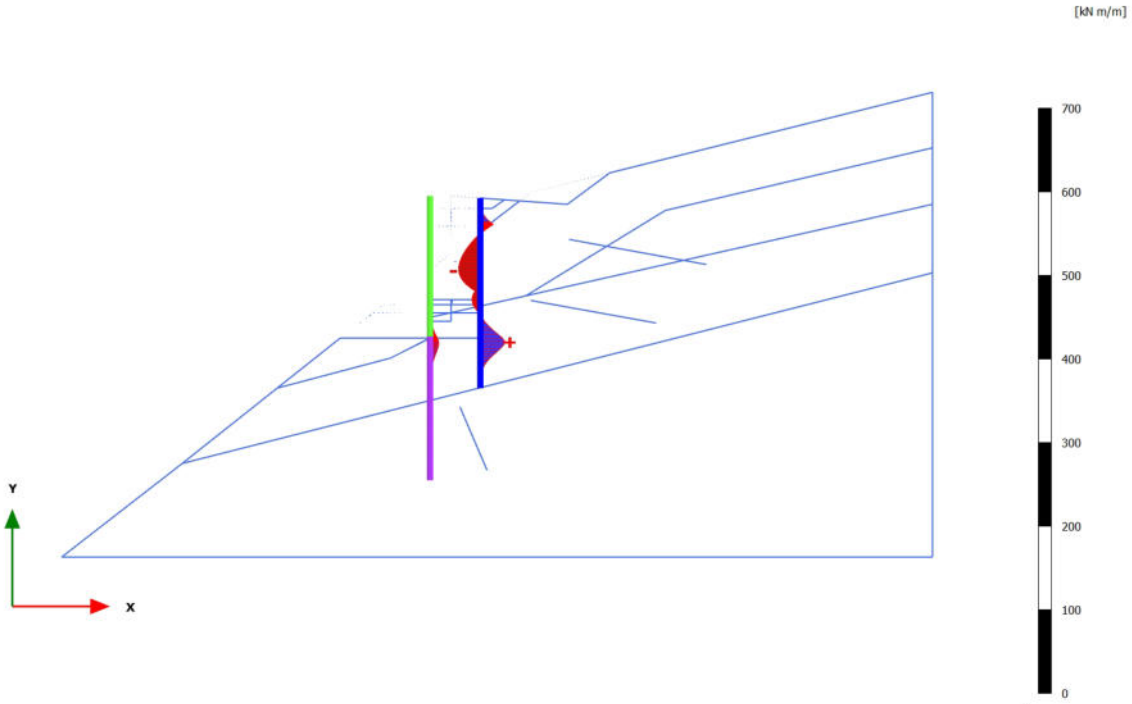

Bending moments M (scaled up 0,0500 times)

Maximum value = 29,24 kN m/m (Element 47 at Node 11390)

Minimum value = -25,93 kN m/m (Element 28 at Node 15494)

3.1.2.2.16 Calculation results, Plate, Collegamento ancoraggio 1 [Phase_29] (29/843), Bending moments M

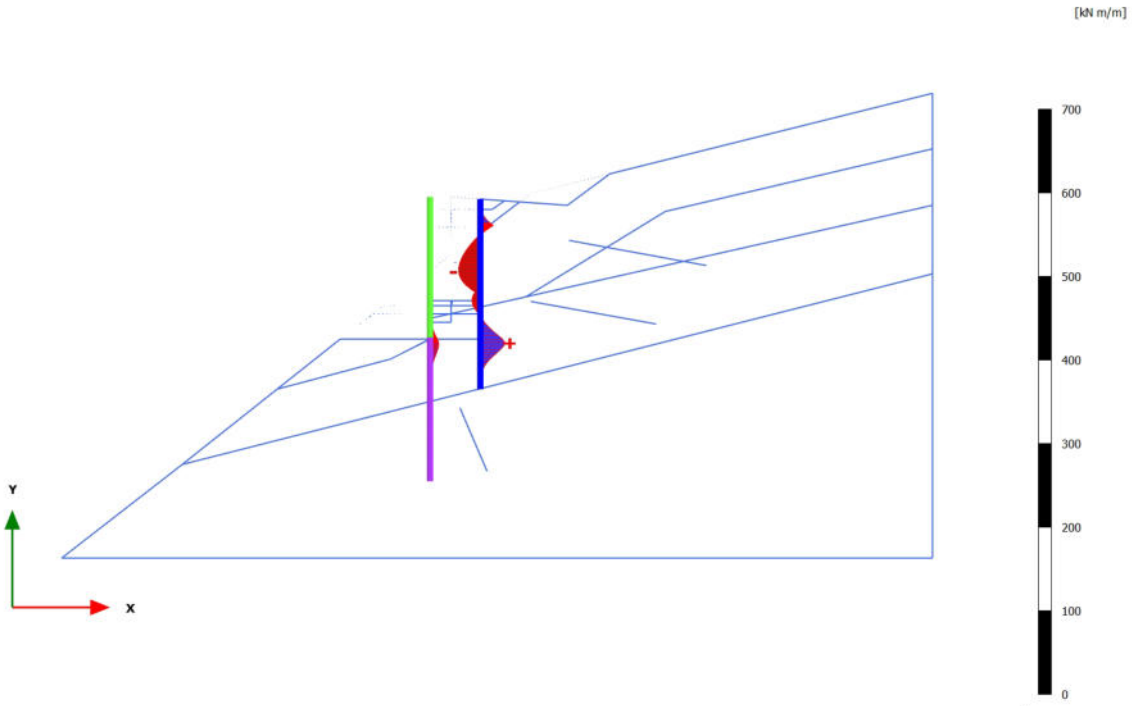

Bending moments M (scaled up 0,0500 times)

Maximum value = 29,24 kN m/m (Element 47 at Node 11390)

Minimum value = -25,93 kN m/m (Element 28 at Node 15494)

3.1.2.2.17 Calculation results, Plate, Riempimento 2 [Phase_13] (13/861), Bending moments M

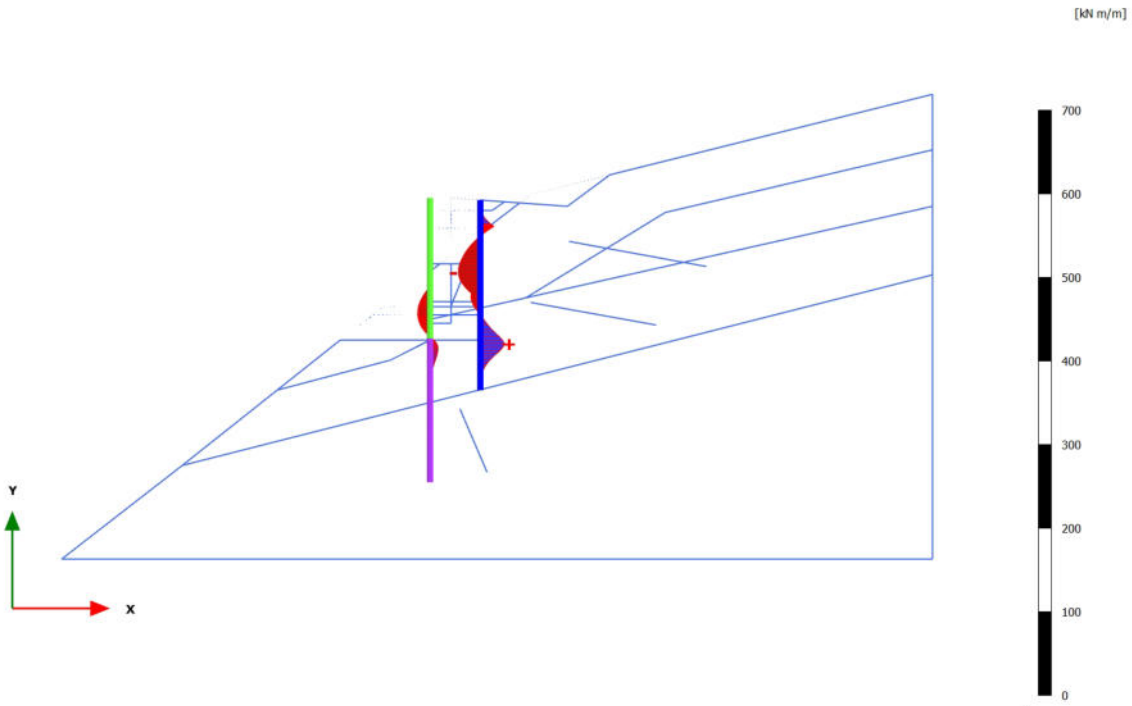

Bending moments M (scaled up 0,0500 times)

Maximum value = 28,86 kN m/m (Element 47 at Node 11390)

Minimum value = -26,27 kN m/m (Element 28 at Node 15494)

3.1.2.2.18 Calculation results, Plate, Riempimento 3 [Phase_30] (30/964), Bending moments M

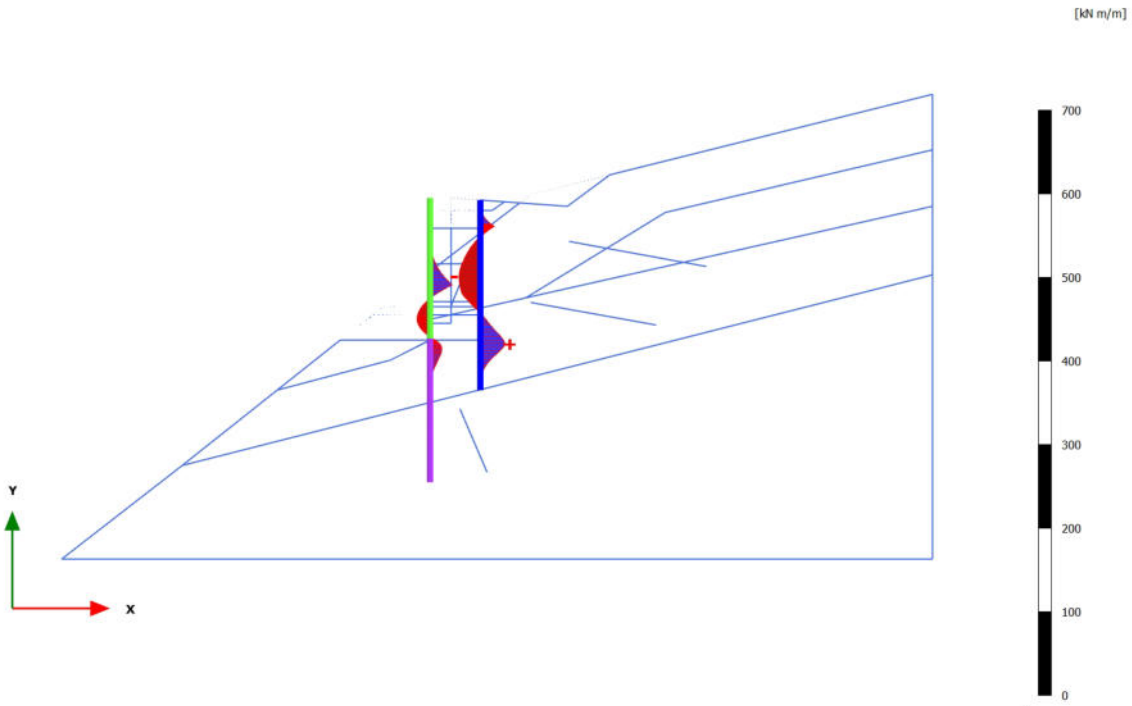

Bending moments M (scaled up 0,0500 times)

Maximum value = 29,38 kN m/m (Element 47 at Node 11390)

Minimum value = -25,46 kN m/m (Element 28 at Node 15493)

3.1.2.2.19 Calculation results, Plate, Collegamento ancoraggio 2 [Phase_14] (14/977), Bending moments M

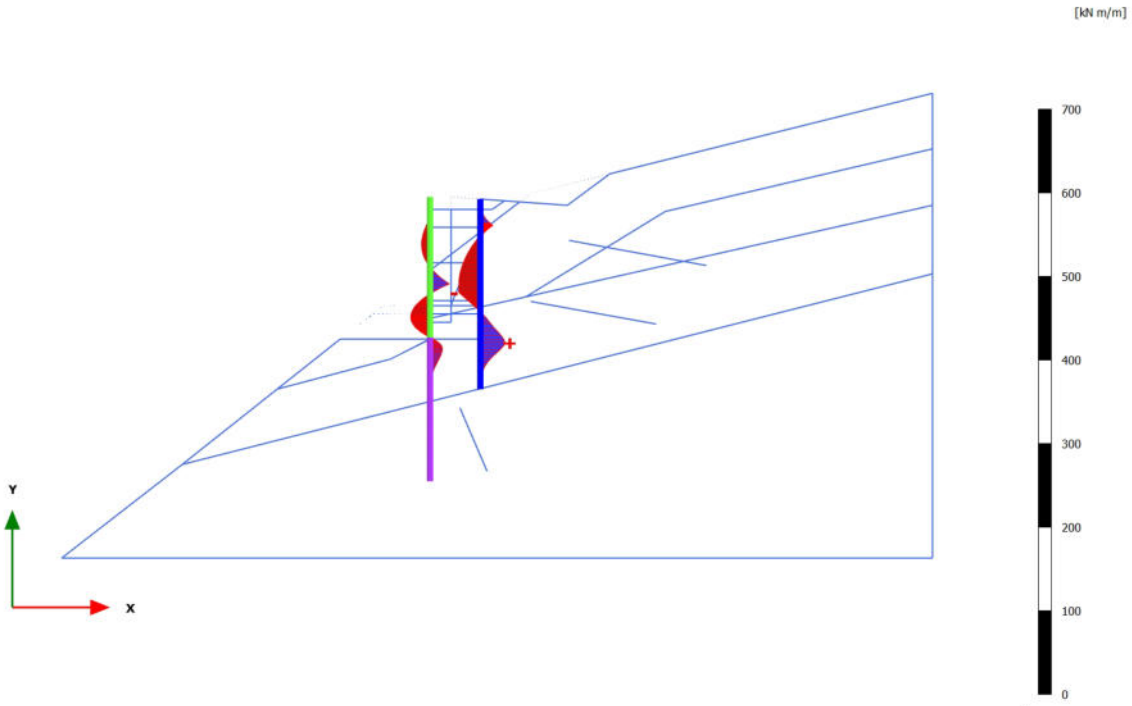

Bending moments M (scaled up 0,0500 times)

Maximum value = 29,39 kN m/m (Element 47 at Node 11390)

Minimum value = -25,69 kN m/m (Element 29 at Node 15511)

3.1.2.2.20 Calculation results, Plate, Riempimento 4 (MG) [Phase_15] (15/984), Bending moments M

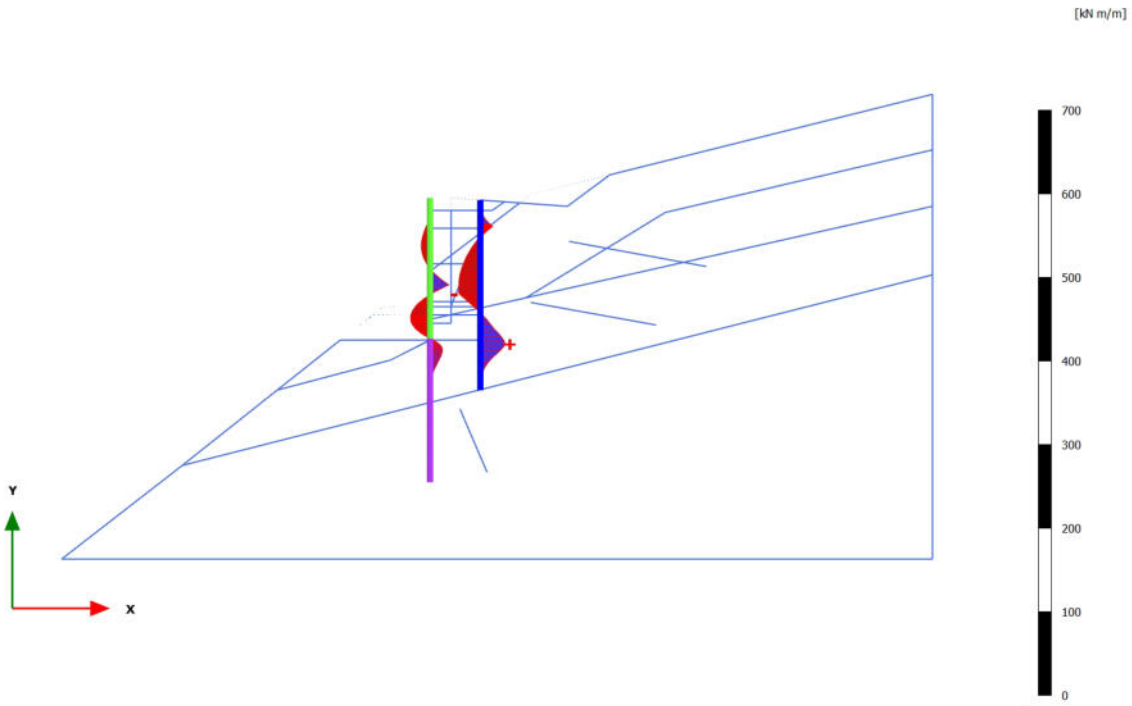

Bending moments M (scaled up 0,0500 times)

Maximum value = 29,38 kN m/m (Element 47 at Node 11390)

Minimum value = -25,75 kN m/m (Element 32 at Node 15511)

3.1.2.2.21 Calculation results, Plate, Riempimento 5 (MG) [Phase_16] (16/992), Bending moments M

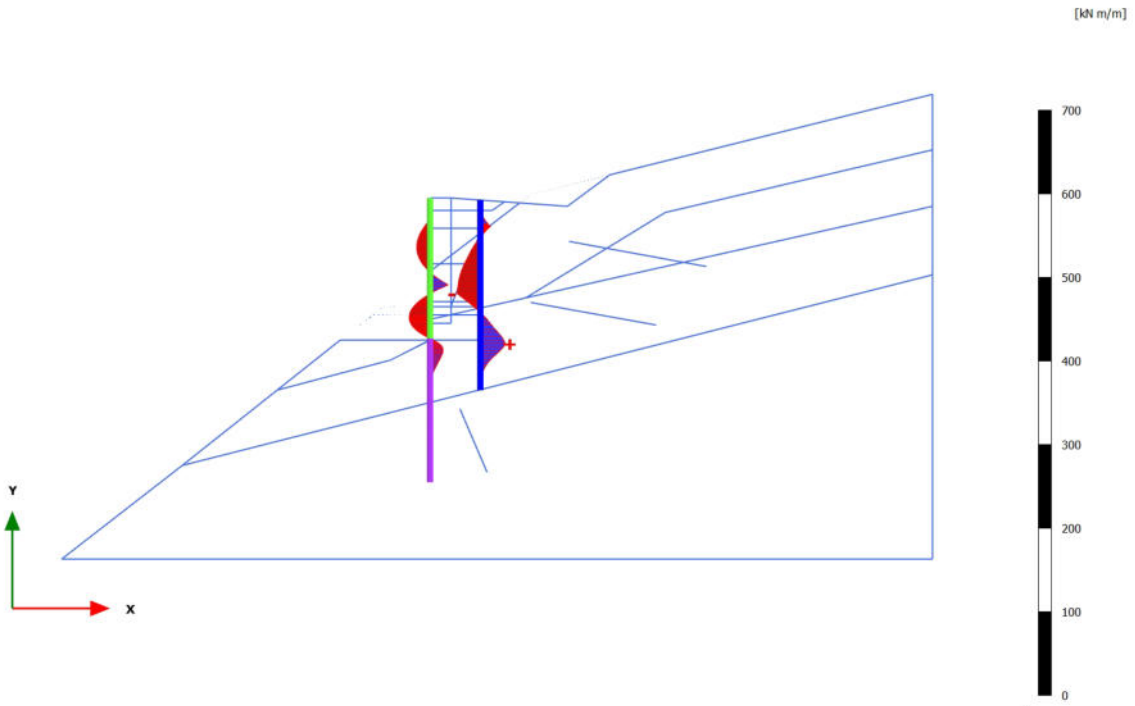

Bending moments M (scaled up 0,0500 times)

Maximum value = 29,54 kN m/m (Element 47 at Node 11390)

Minimum value = -28,12 kN m/m (Element 29 at Node 15511)

3.1.2.2.22 Calculation results, Plate, Disattivazione paratia provvisionale [Phase_17] (17/998), Bending moments M

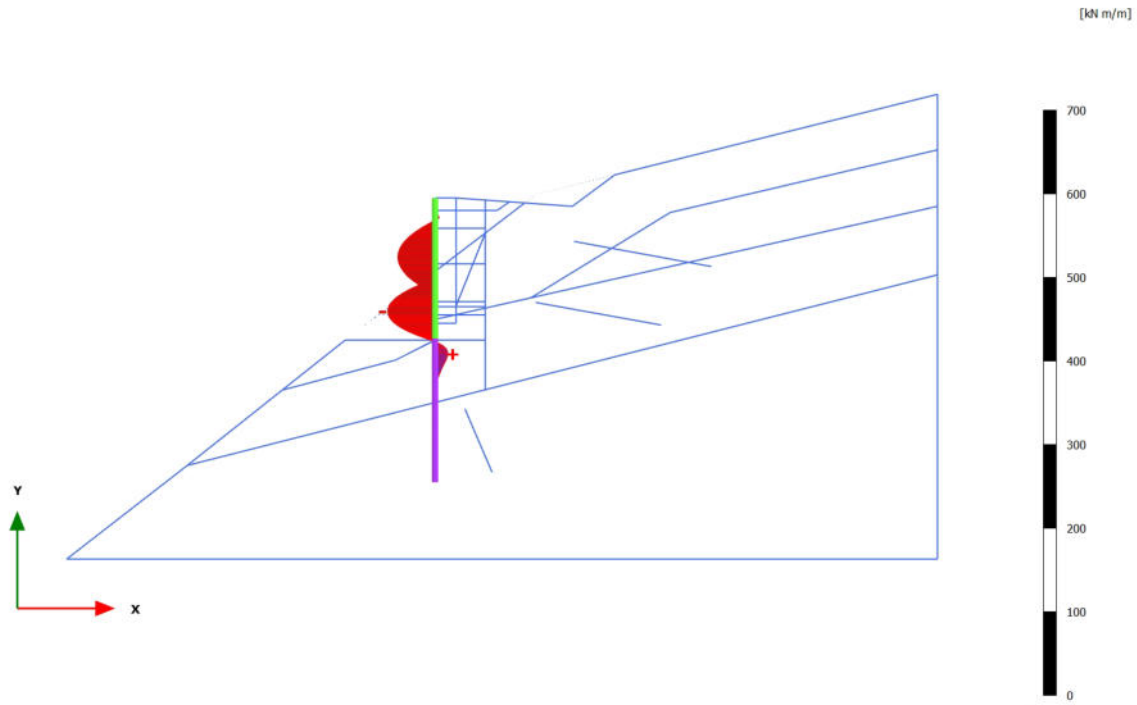

Bending moments M (scaled up 0,0500 times)

Maximum value = 15,12 kN m/m (Element 57 at Node 5670)

Minimum value = -56,62 kN m/m (Element 36 at Node 14136)

3.1.2.2.23 Calculation results, Plate, SLE [Phase_18] (18/1002), Bending moments M

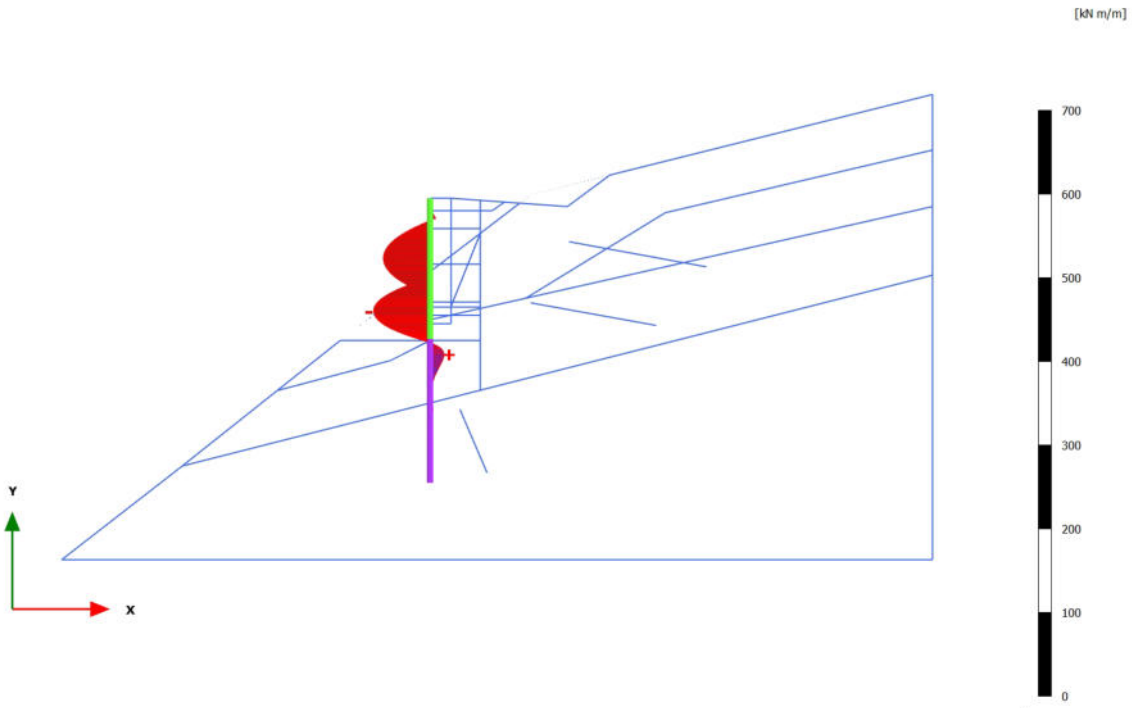

Bending moments M (scaled up 0,0500 times)

Maximum value = 16,57 kN m/m (Element 57 at Node 5670)

Minimum value = -67,43 kN m/m (Element 36 at Node 14136)

3.1.2.2.24 Calculation results, Plate, Scalzamento al piede [Phase_19] (19/1007), Bending moments M

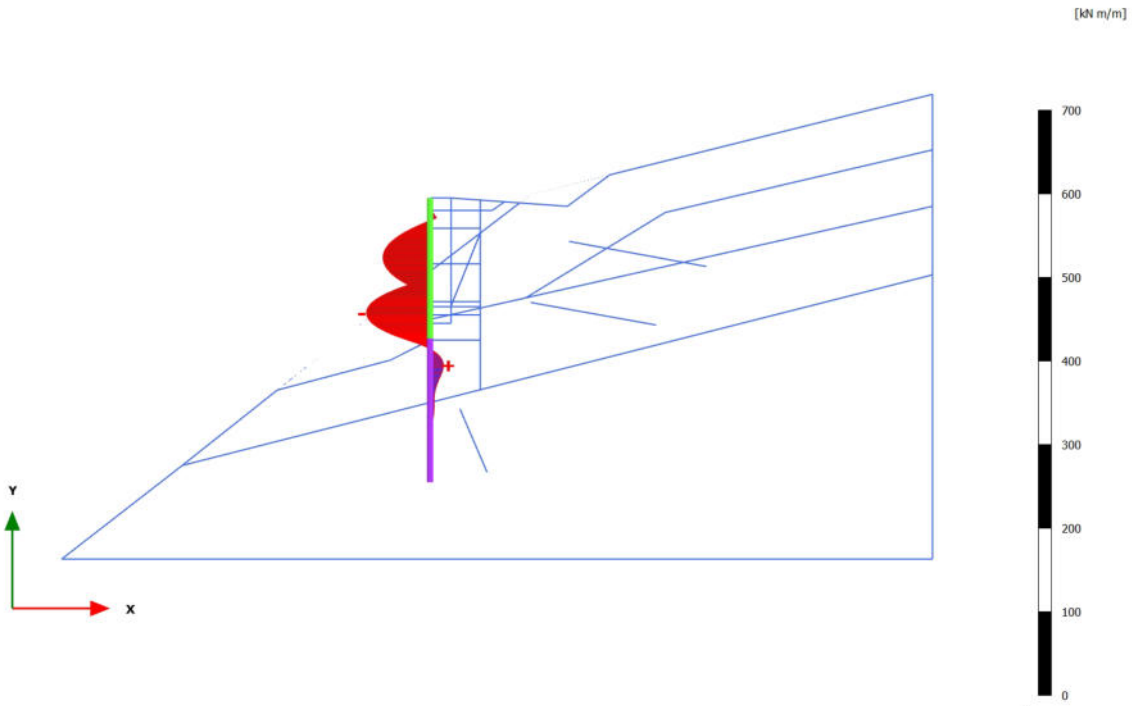

Bending moments M (scaled up 0,0500 times)

Maximum value = 16,00 kN m/m (Element 59 at Node 5546)

Minimum value = -75,96 kN m/m (Element 36 at Node 14135)

3.1.2.2.25 Calculation results, Plate, SLU11 [Phase_20] (20/1011), Bending moments M

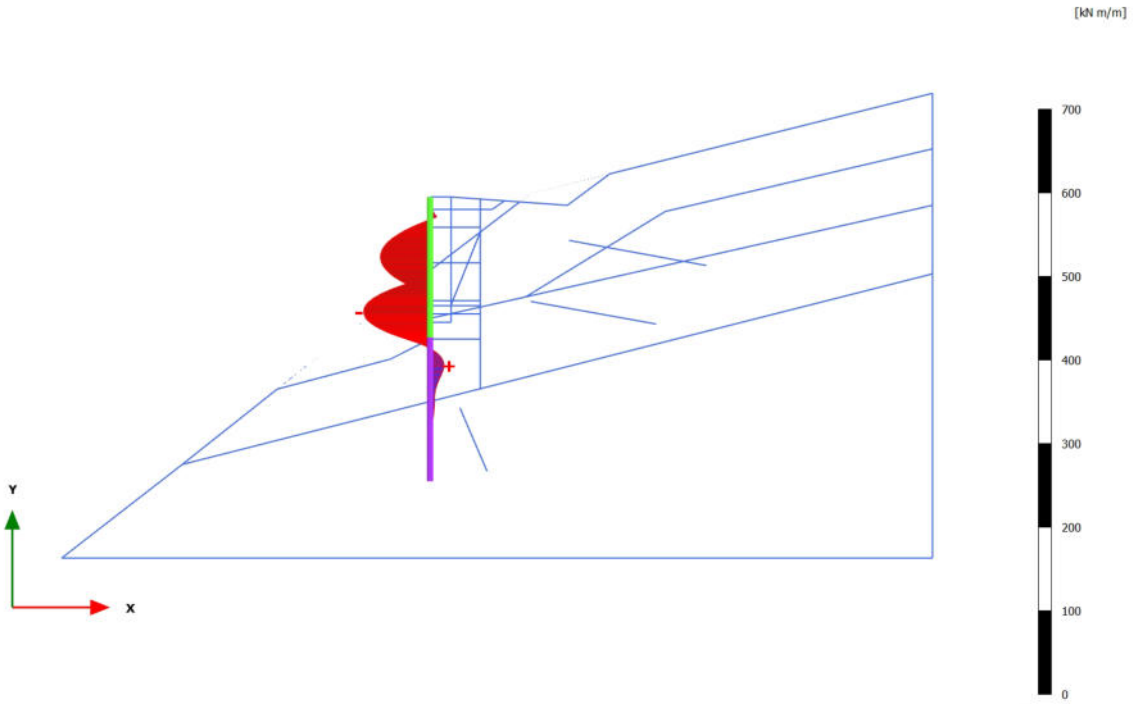

Bending moments M (scaled up 0,0500 times)

Maximum value = 16,61 kN m/m (Element 59 at Node 5543)

Minimum value = -79,32 kN m/m (Element 36 at Node 14135)

3.1.2.2.26 Calculation results, Plate, SLV [Phase_21] (21/1061), Bending moments M

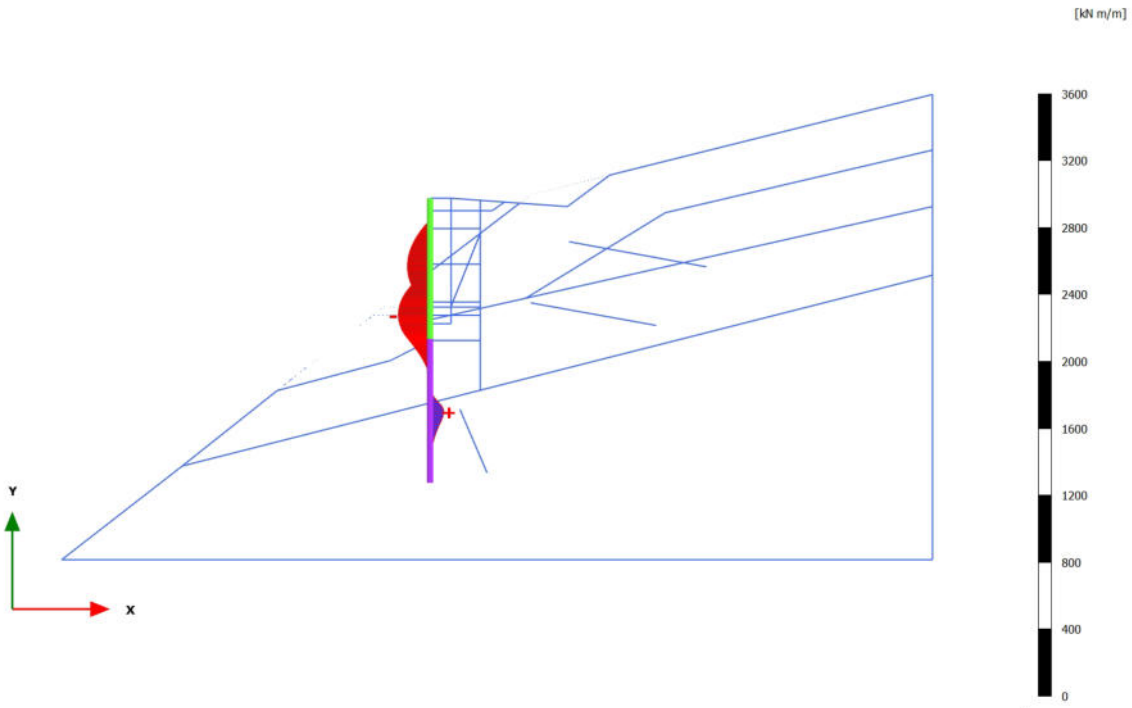

Bending moments M (scaled up 0,0100 times)

Maximum value = 82,26 kN m/m (Element 65 at Node 2979)

Minimum value = -189,3 kN m/m (Element 36 at Node 14134)

3.1.2.2.27 Calculation results, Plate, SLU12 [Phase_26] (26/1072), Bending moments M

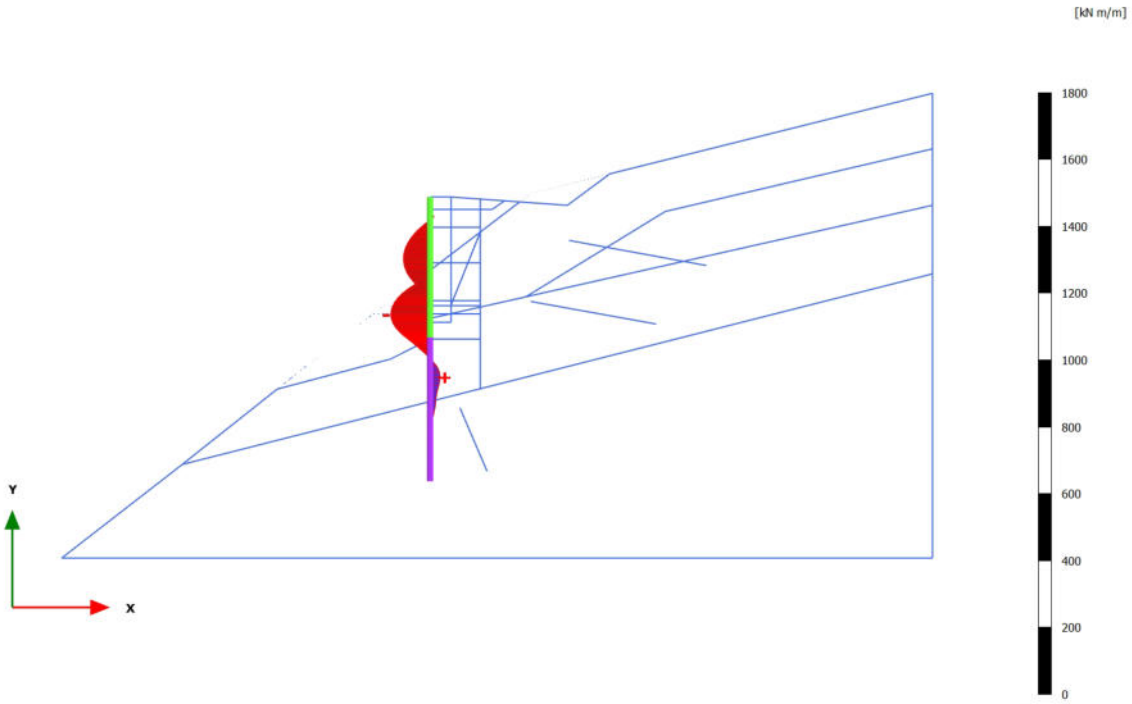

Bending moments M (scaled up 0,0200 times)

Maximum value = 30,02 kN m/m (Element 61 at Node 4562)

Minimum value = -117,2 kN m/m (Element 36 at Node 14134)

3.1.2.2.28 Calculation results, Plate, SLD [Phase_31] (31/1085), Bending moments M

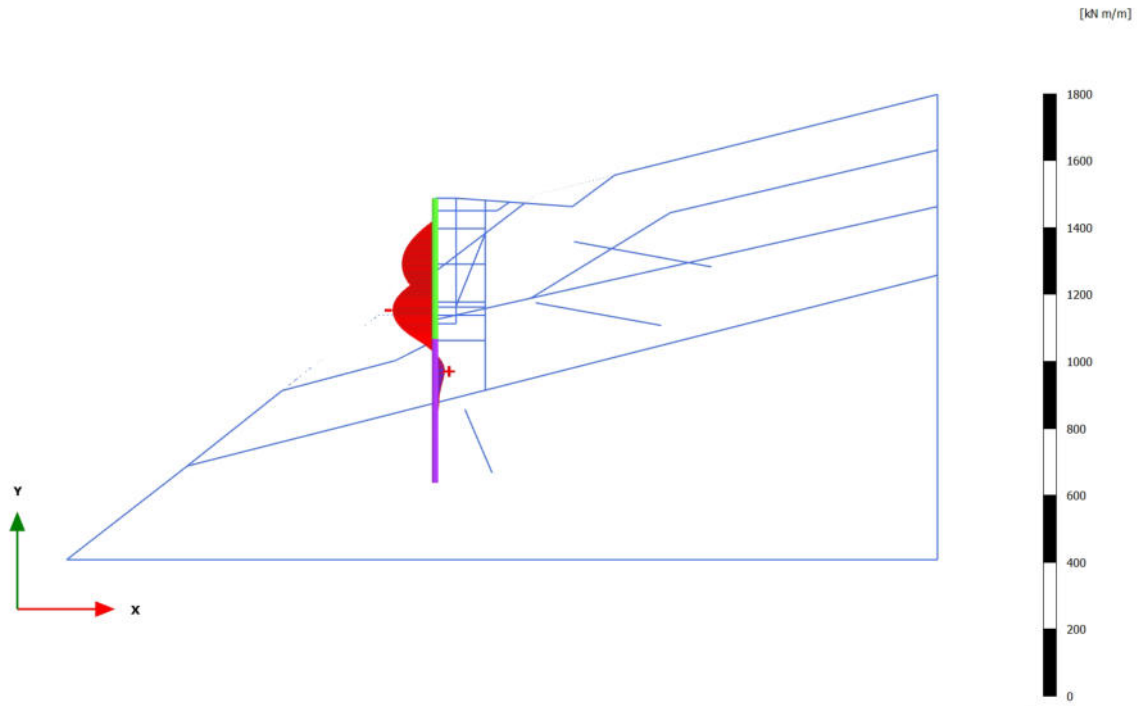

Bending moments M (scaled up 0,0200 times)

Maximum value = 28,08 kN m/m (Element 60 at Node 4598)

Minimum value = -125,8 kN m/m (Element 36 at Node 14137)

3.1.2.2.29 Calculation results, Plate, Eccezionale [Phase_22] (22/1130), Bending moments M

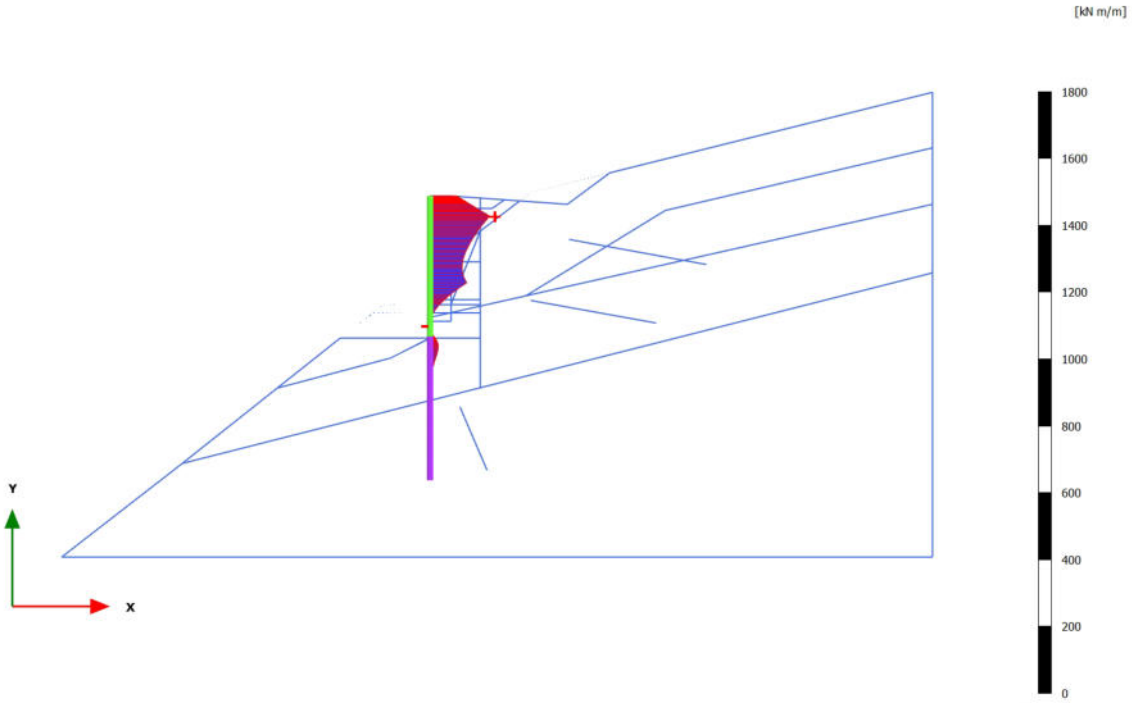

Bending moments M (scaled up 0,0200 times)

Maximum value = 178,4 kN m/m (Element 8 at Node 17465)

Minimum value = -0,2274 kN m/m (Element 42 at Node 11504)

3.1.2.2.30 Calculation results, Plate, q Rullo [Phase_25] (25/1142), Bending moments M

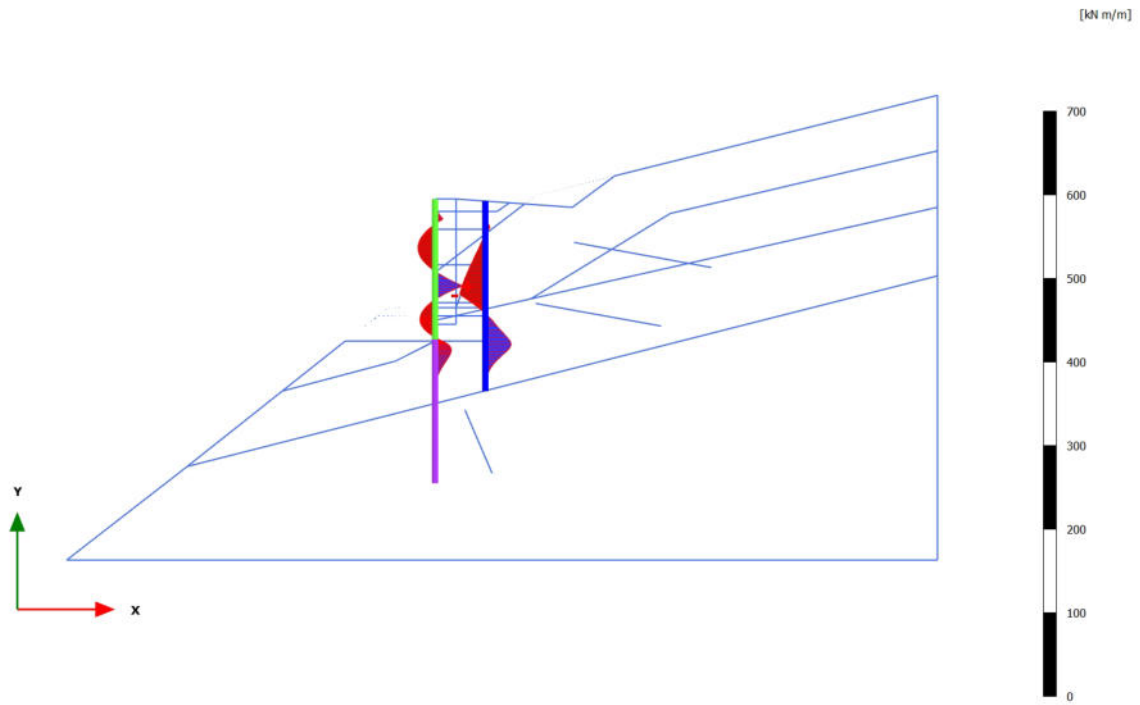

Bending moments M (scaled up 0,0500 times)

Maximum value = 33,03 kN m/m (Element 27 at Node 15922)

Minimum value = -30,68 kN m/m (Element 29 at Node 15511)

3.1.2.2.31 Calculation results, Plate, SLU11 Paratia provvisionale [Phase_23] (23/1151), Bending moments M

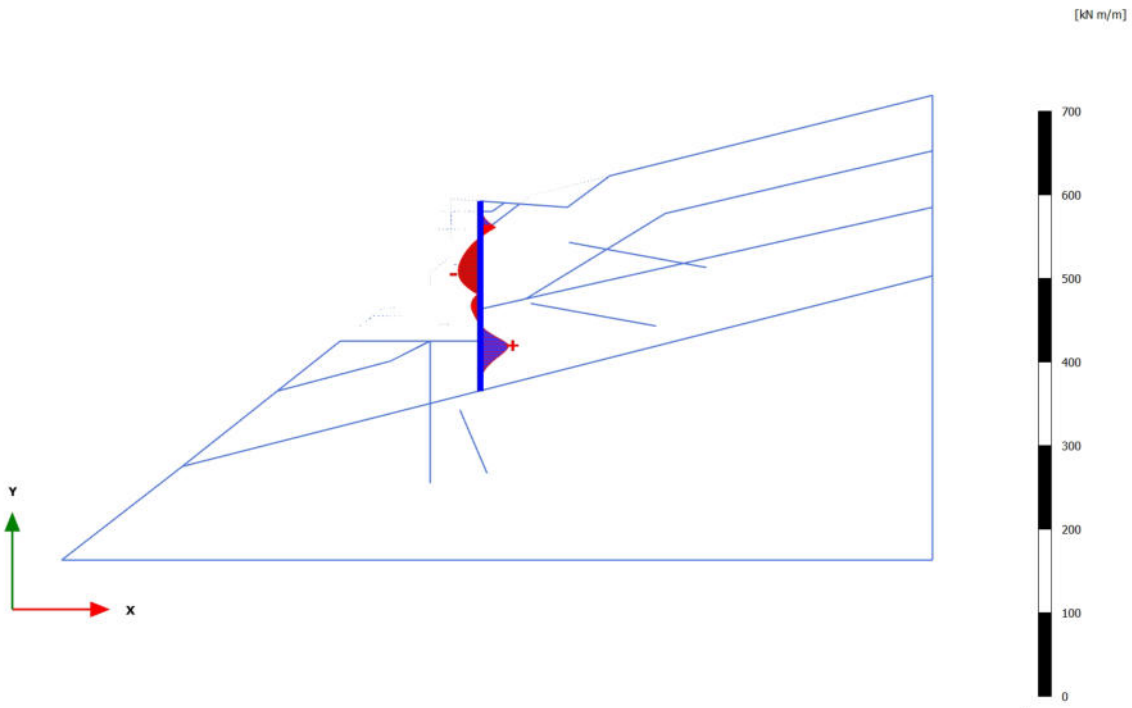

Bending moments M (scaled up 0,0500 times)

Maximum value = 33,25 kN m/m (Element 47 at Node 11390)

Minimum value = -26,40 kN m/m (Element 28 at Node 15494)

3.1.2.2.32 Calculation results, Plate, SLU12 Paratia provvisionale [Phase_24] (24/1162), Bending moments M

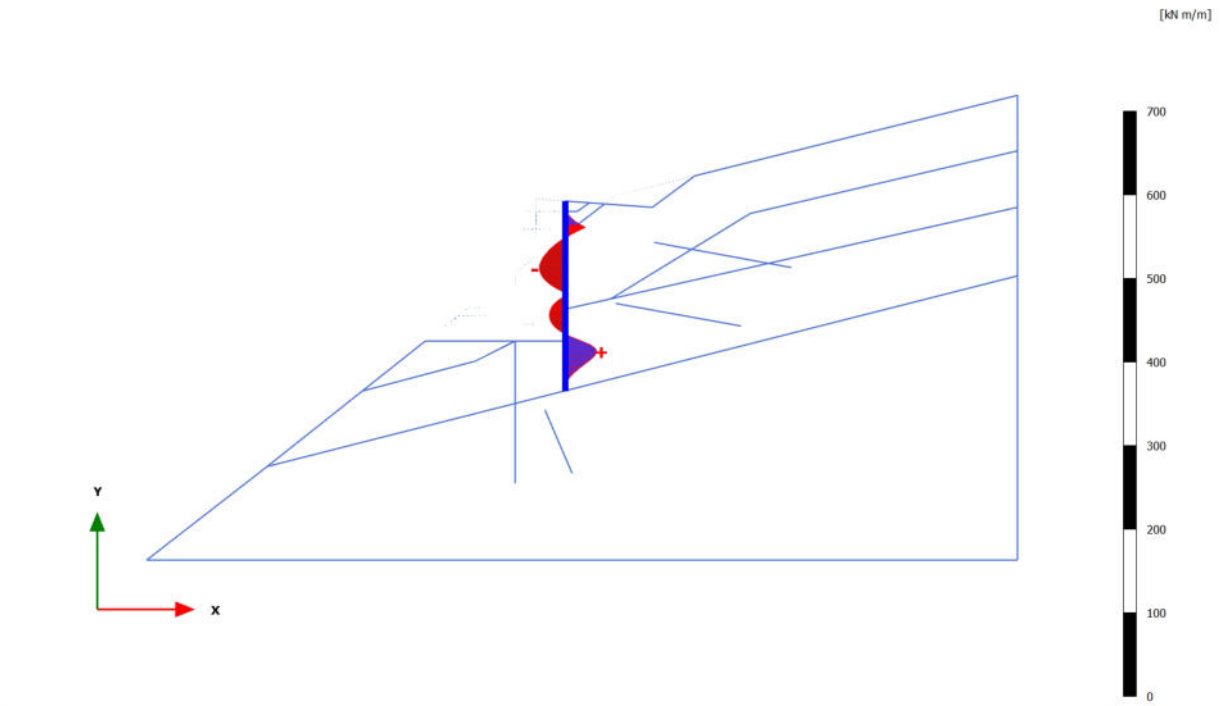

Bending moments M (scaled up 0,0500 times)

Maximum value = 37,50 kN m/m (Element 47 at Node 11392)

Minimum value = -30,89 kN m/m (Element 28 at Node 15495)

3.1.2.2.33 Calculation results, Plate, FS [Phase_32] (32/1262), Bending moments M

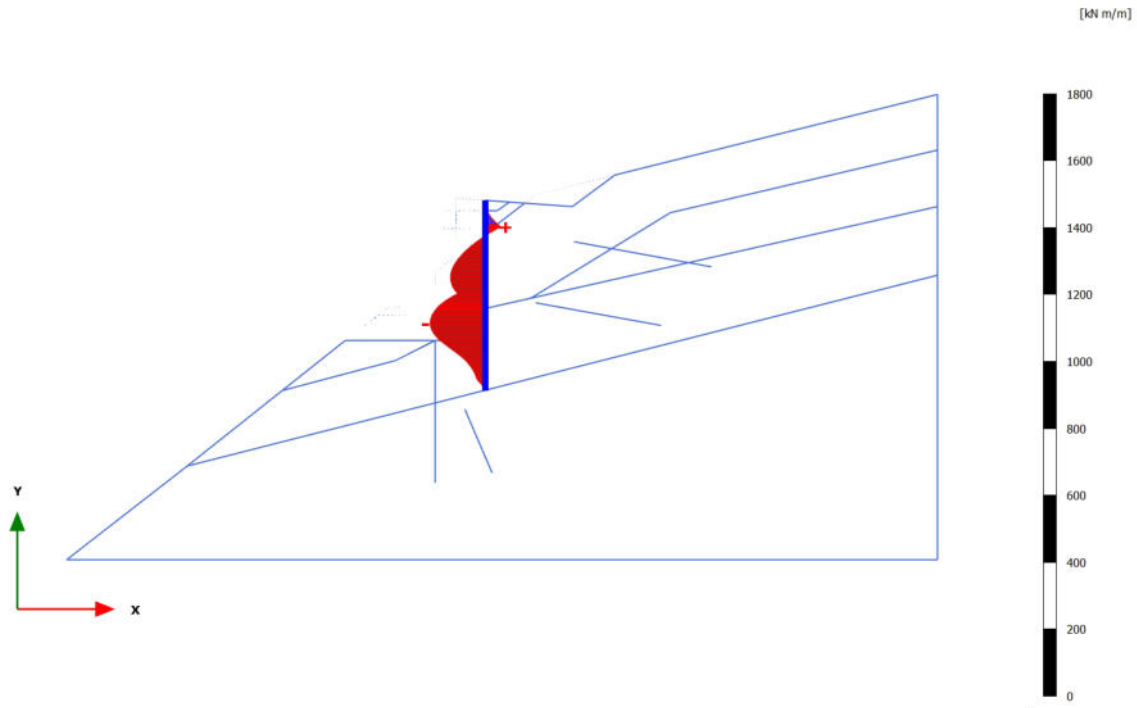

Bending moments M (scaled up 0,0200 times)

Maximum value = 45,76 kN m/m (Element 13 at Node 16615)

Minimum value = -164,9 kN m/m (Element 40 at Node 13003)

3.1.2.2.34 Calculation results, Plate, Eccezionale Op provvisionale [Phase_33] (33/1287), Bending moments M

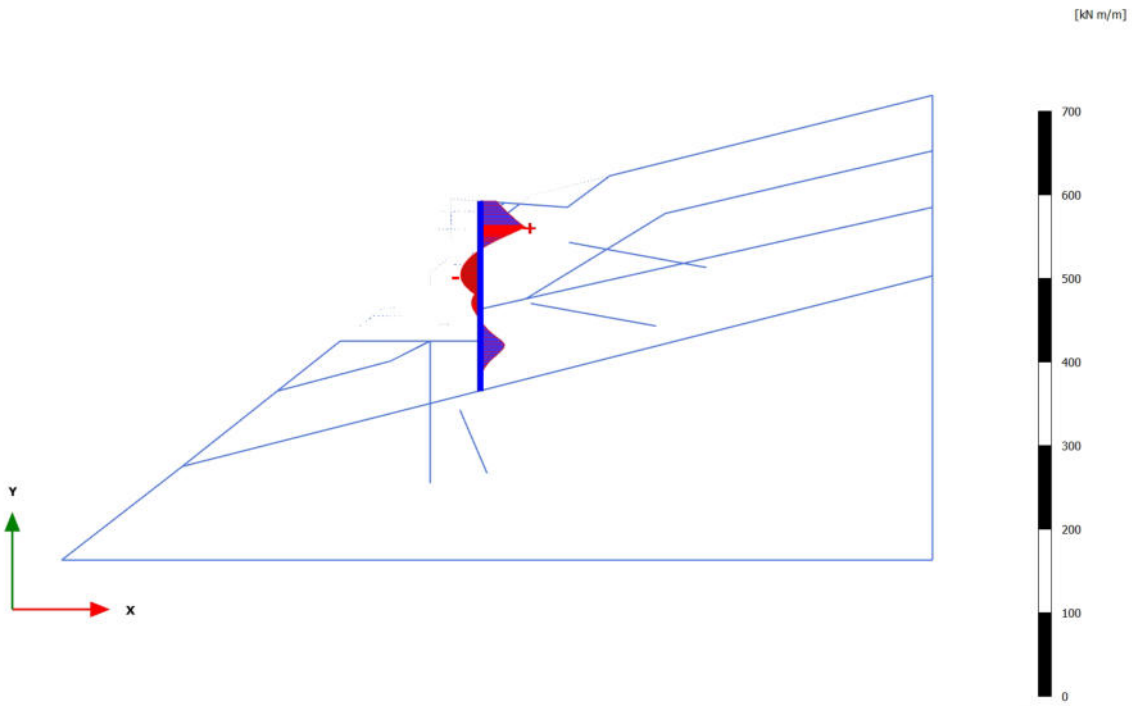

Bending moments M (scaled up 0,0500 times)

Maximum value = 53,75 kN m/m (Element 13 at Node 16615)

Minimum value = -23,45 kN m/m (Element 28 at Node 15493)

3.1.2.3.1 Calculation results, Plate, Initial phase [InitialPhase] (0/1), Axial forces N

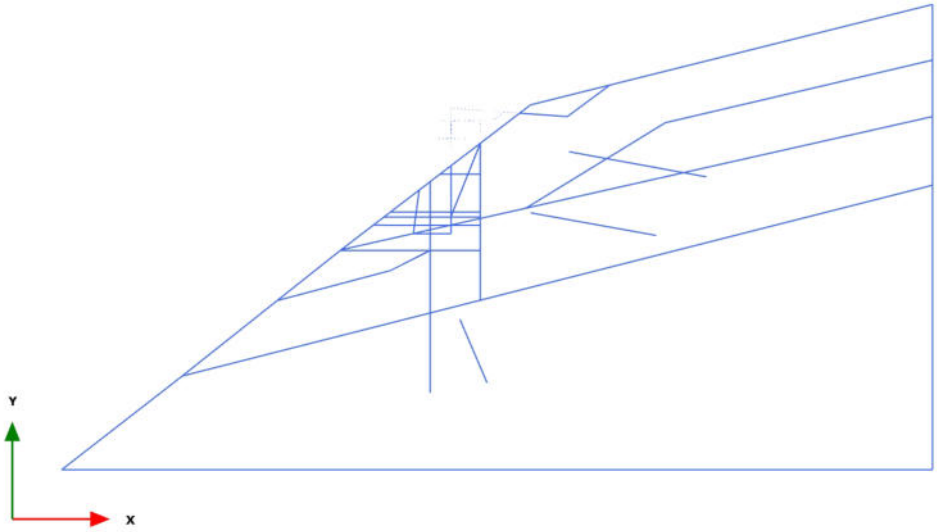

Axial forces N (scaled up 1,00 times)

No results

3.1.2.3.2 Calculation results, Plate, Costruzione stato di fatto 1 [Phase_1] (1/6), Axial forces N

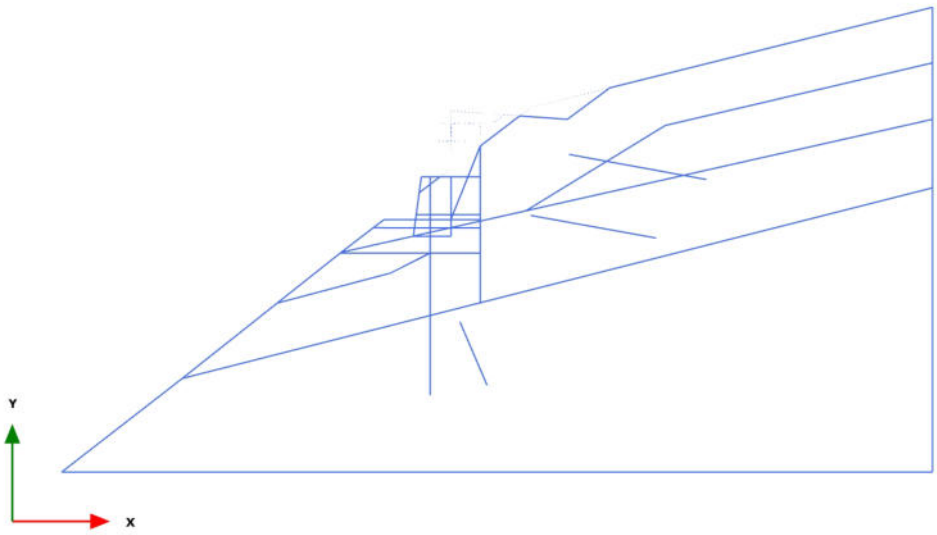

Axial forces N (scaled up 1,00 times)

No results

3.1.2.3.3 Calculation results, Plate, Costruzione stato di fatto 2 [Phase_2] (2/99), Axial forces N

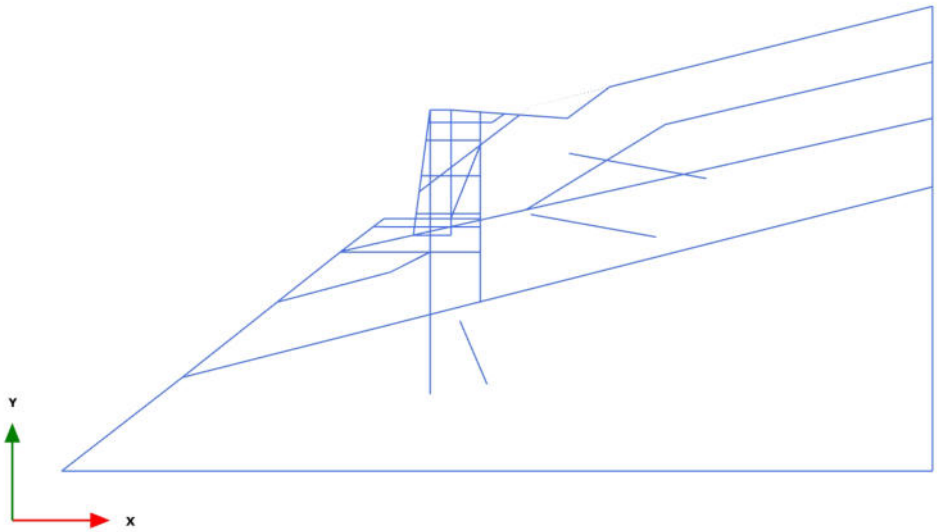

Axial forces N (scaled up 1,00 times)

No results

3.1.2.3.4 Calculation results, Plate, Phase_3 [Phase_3] (3/199), Axial forces N

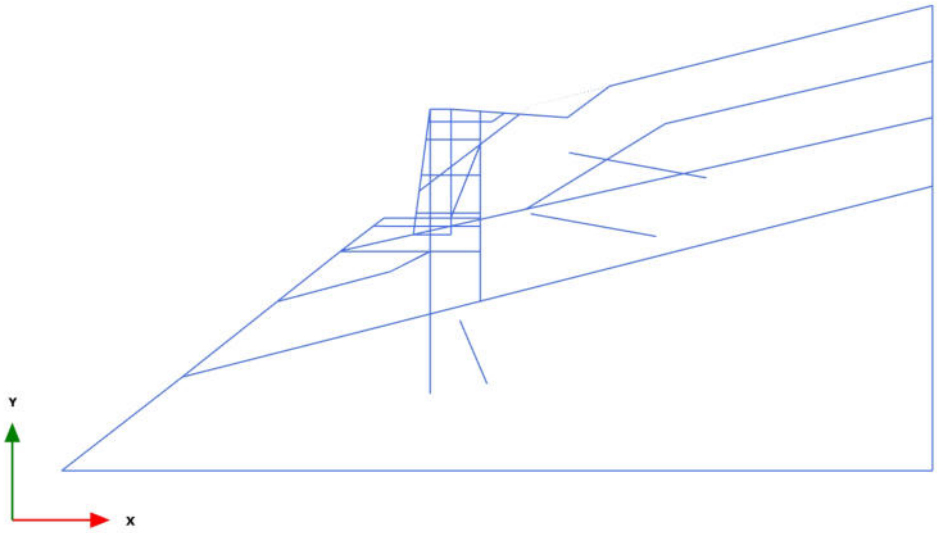

Axial forces N (scaled up 1,00 times)

No results

3.1.2.3.5 Calculation results, Plate, Preparazione cantiere [Phase_4] (4/204), Axial forces N

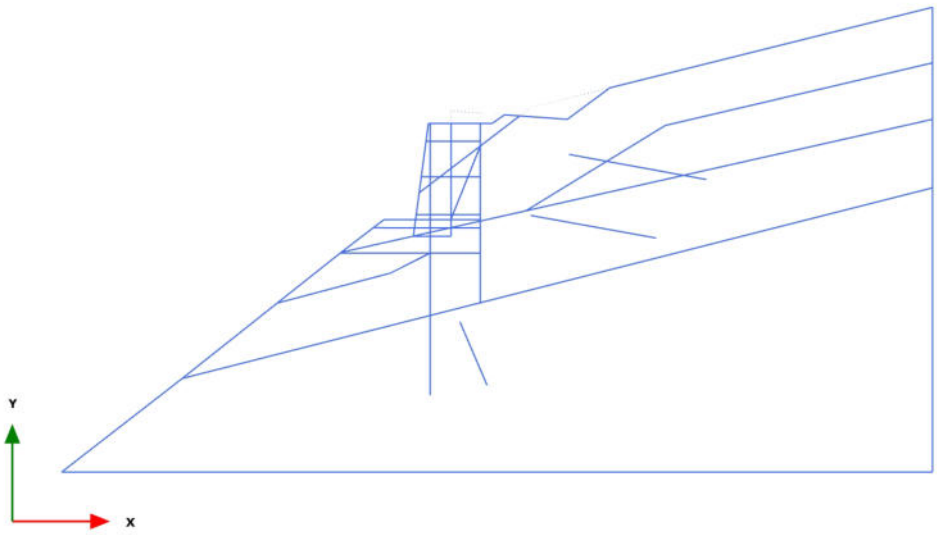

Axial forces N (scaled up 1,00 times)

No results

3.1.2.3.6 Calculation results, Plate, Paratia di micropali [Phase_5] (5/211), Axial forces N

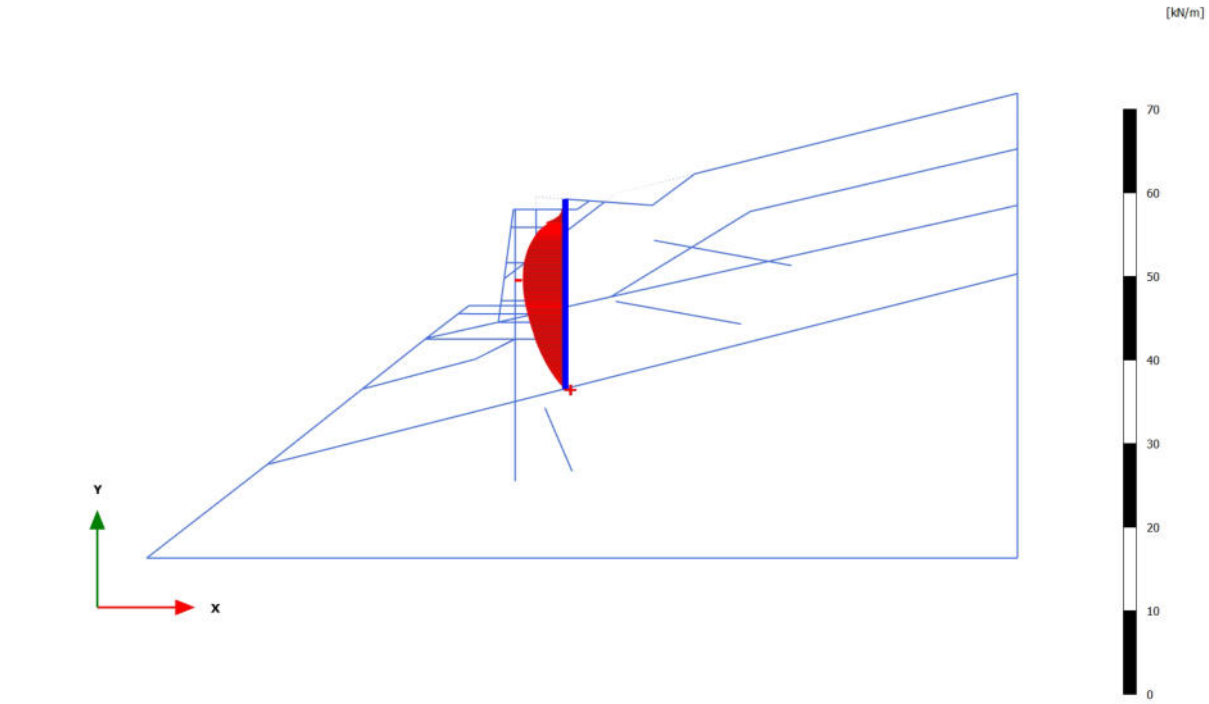

Axial forces N (scaled up 0,500 times)

Maximum value = $4{,}683*10^{-3}$ kN/m (Element 64 at Node 4609)

Minimum value = -5,045 kN/m (Element 28 at Node 15515)

3.1.2.3.7 Calculation results, Plate, (RD) Escavo 1 + sovraccarico [Phase_6] (6/229), Axial forces N

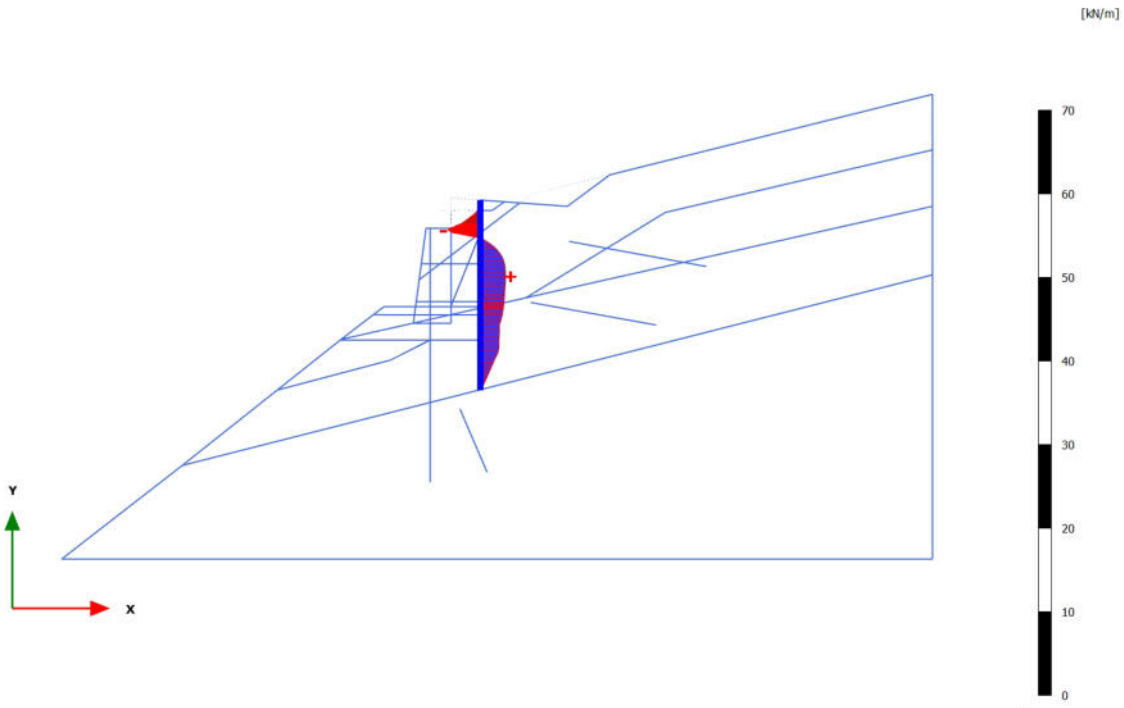

Axial forces N (scaled up 0,500 times)

Maximum value = 3,023 kN/m (Element 28 at Node 15493)

Minimum value = -3,846 kN/m (Element 14 at Node 16497)

3.1.2.3.8 Calculation results, Plate, Ancoraggio 1 [Phase_7] (7/308), Axial forces N

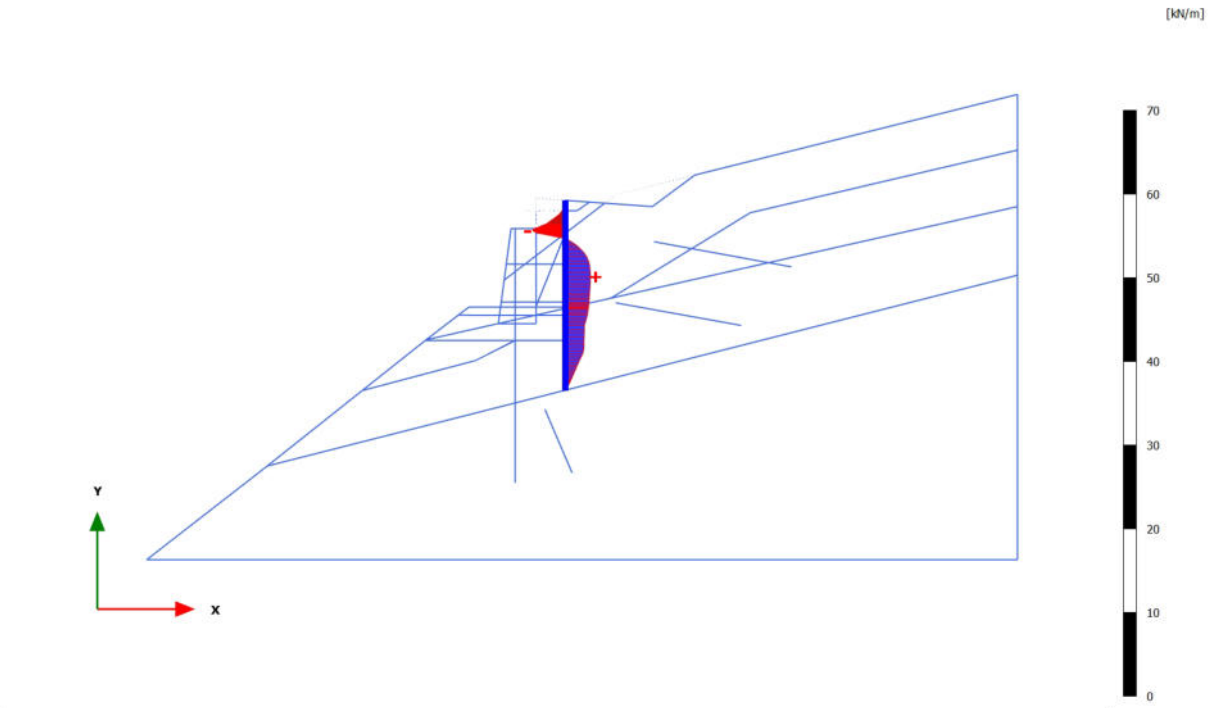

Axial forces N (scaled up 0,500 times)

Maximum value = 3,010 kN/m (Element 28 at Node 15493)

Minimum value = -3,918 kN/m (Element 14 at Node 16497)

3.1.2.3.9 Calculation results, Plate, Escavo 2 [Phase_8] (8/338), Axial forces N

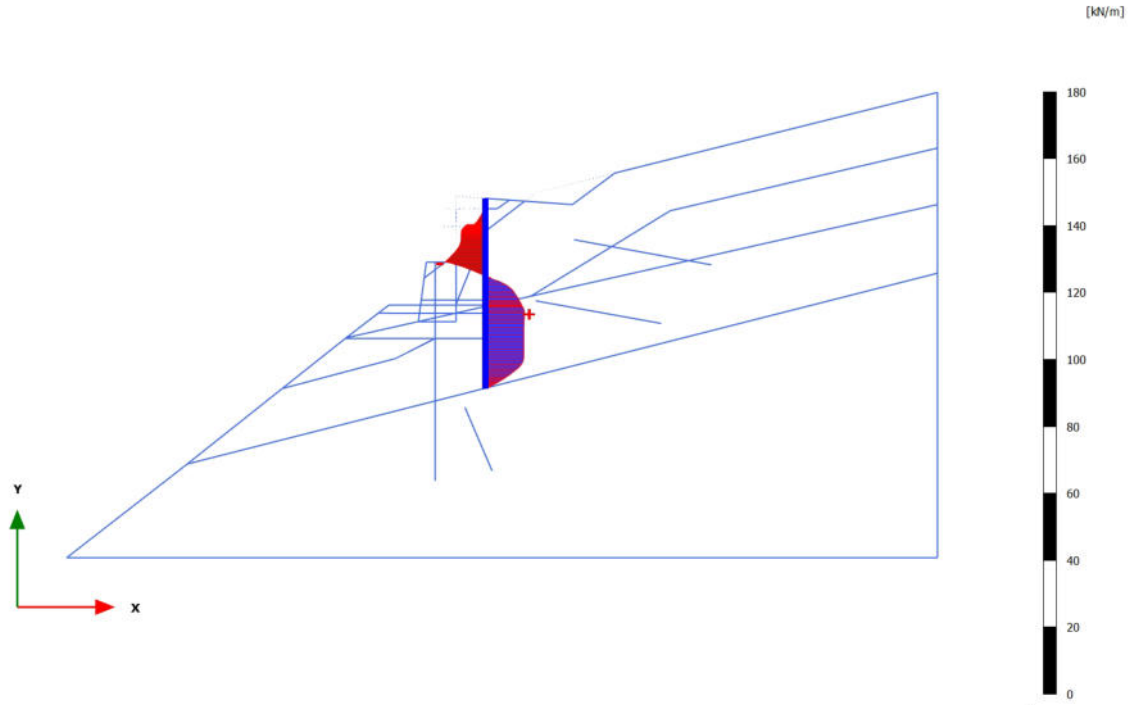

Axial forces N (scaled up 0,200 times)

Maximum value = 11,70 kN/m (Element 40 at Node 13950)

Minimum value = -12,07 kN/m (Element 22 at Node 15604)

3.1.2.3.10 Calculation results, Plate, Escavo 3 [Phase_9] (9/379), Axial forces N

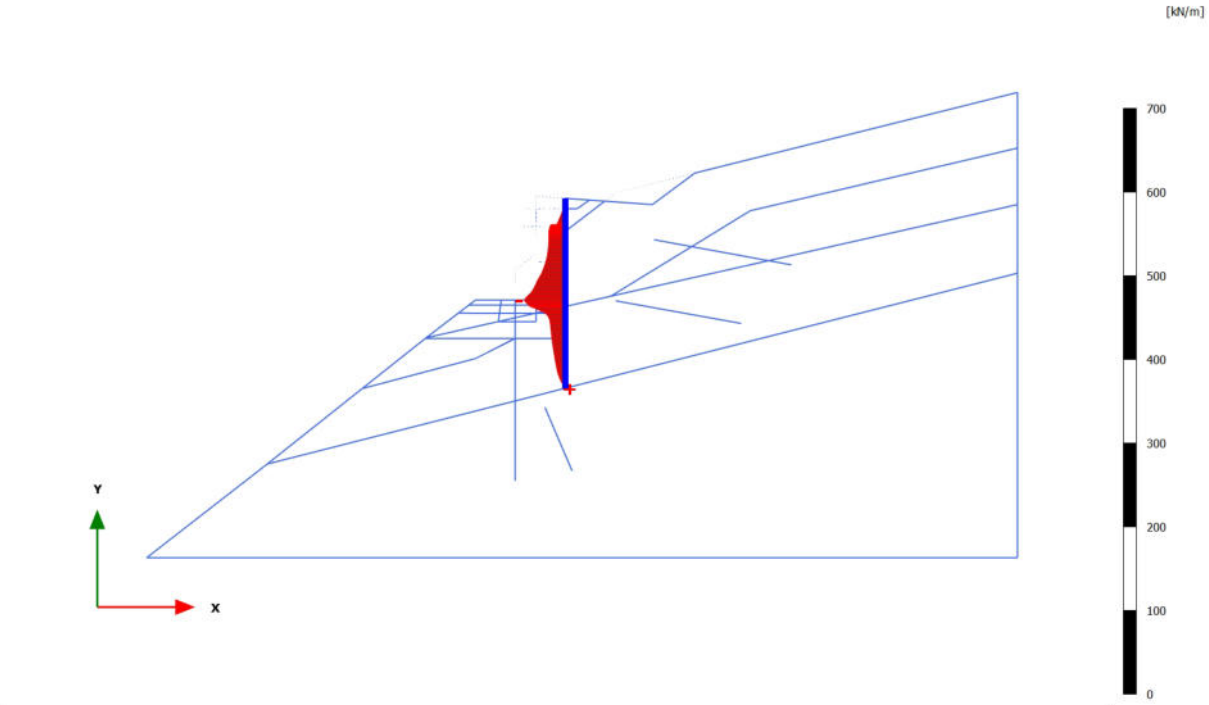

Axial forces N (scaled up 0,0500 times)

Maximum value = $9{,}621*10^{-3}$ kN/m (Element 64 at Node 4609)

Minimum value = -49,05 kN/m (Element 32 at Node 15226)

3.1.2.3.11 Calculation results, Plate, Ancoraggio 2 [Phase_27] (27/430), Axial forces N

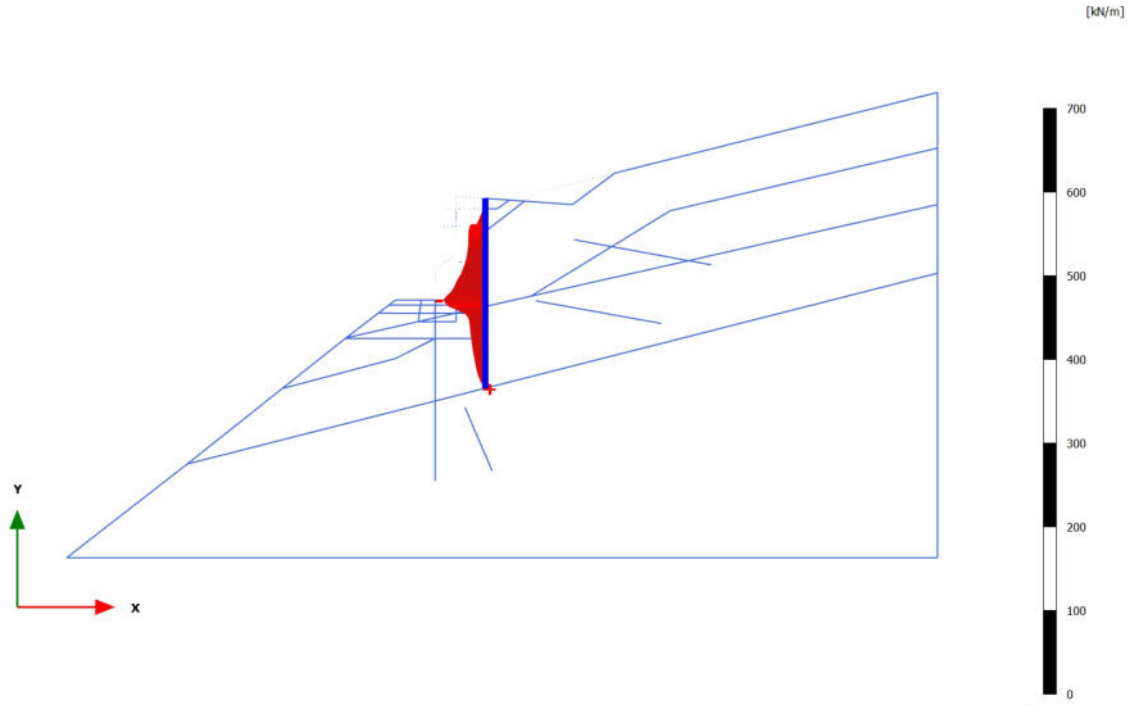

Axial forces N (scaled up 0,0500 times)

Maximum value = 0,01039 kN/m (Element 64 at Node 4609)

Minimum value = -49,62 kN/m (Element 32 at Node 15226)

3.1.2.3.12 Calculation results, Plate, Escavo 4 [Phase_10] (10/449), Axial forces N

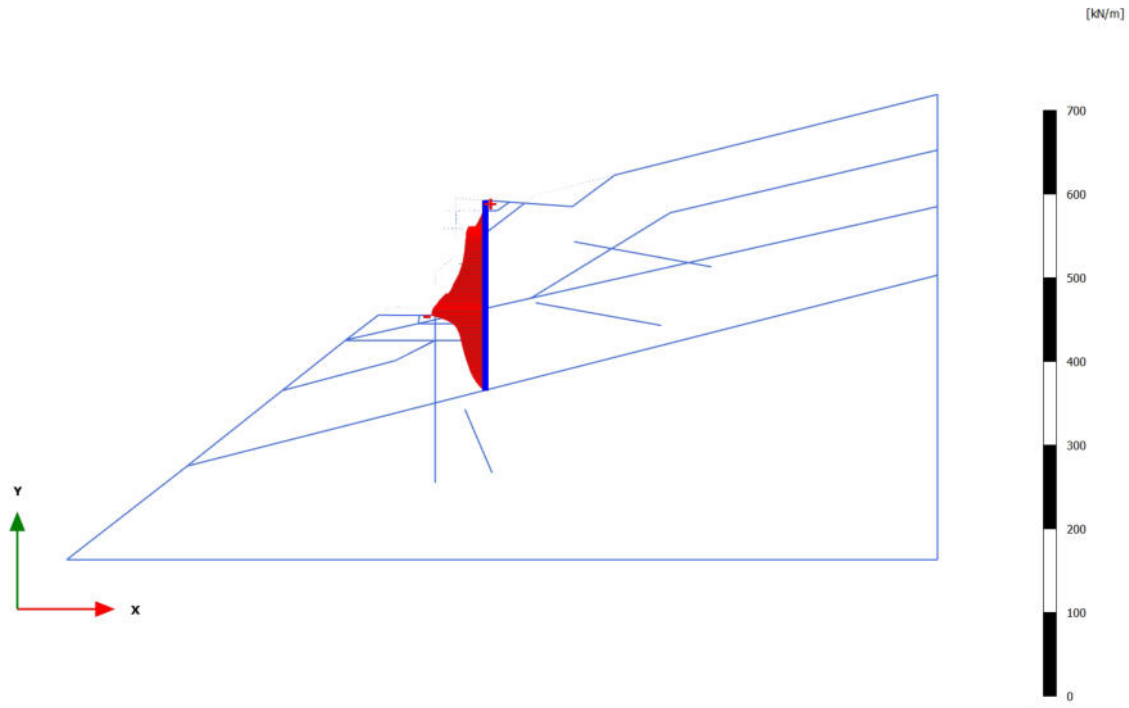

Axial forces N (scaled up 0,0500 times)

Maximum value = 0,03462 kN/m (Element 5 at Node 16474)

Minimum value = -63,99 kN/m (Element 40 at Node 13950)

3.1.2.3.13 Calculation results, Plate, Completamento scavo [Phase_28] (28/479), Axial forces N

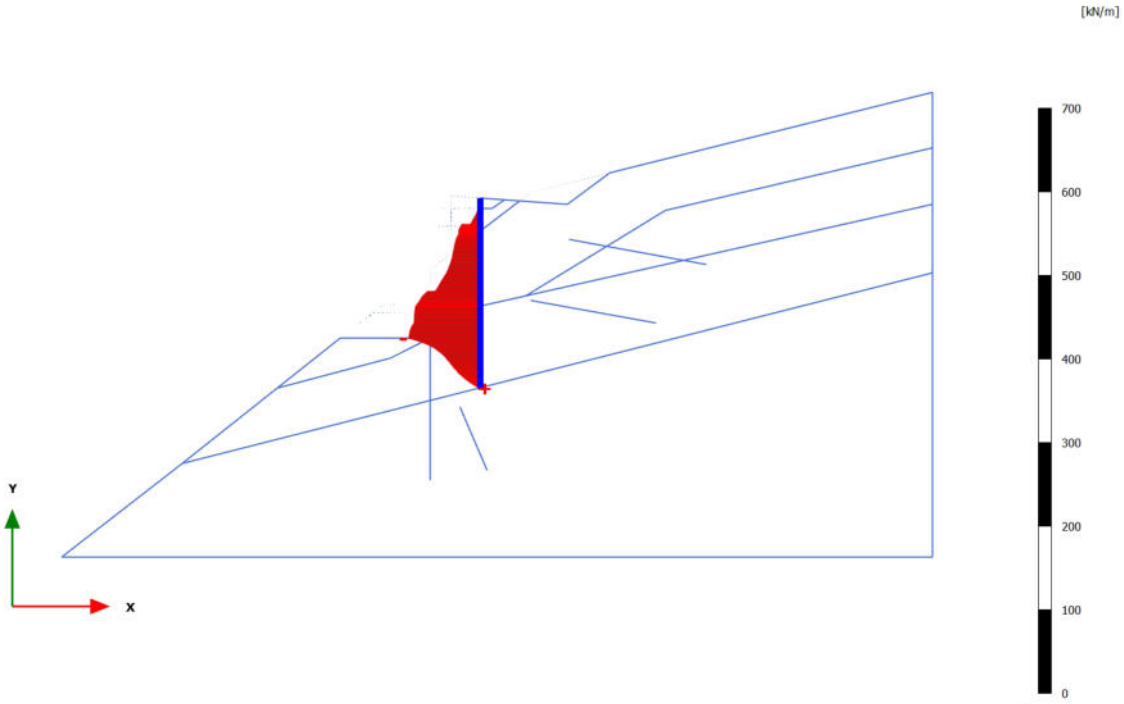

Axial forces N (scaled up 0,0500 times)

Maximum value = 0,02930 kN/m (Element 64 at Node 4609)

Minimum value = -86,13 kN/m (Element 47 at Node 12093)

3.1.2.3.14 Calculation results, Plate, (RD) Strutture [Phase_11] (11/482), Axial forces N

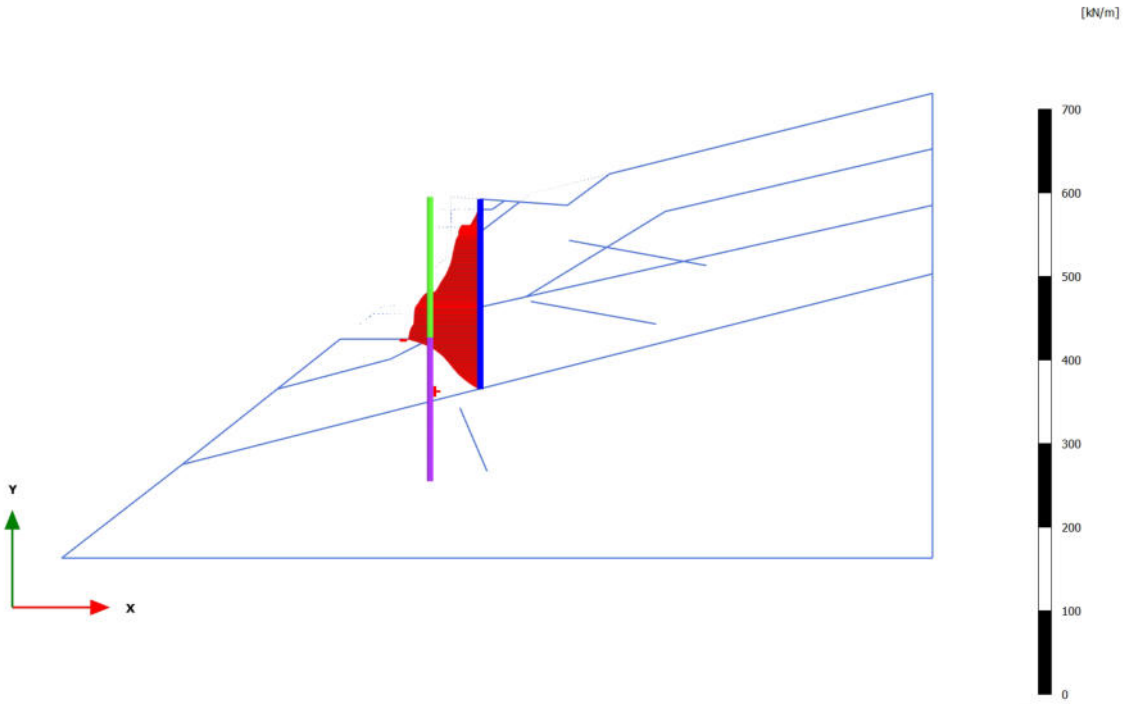

Axial forces N (scaled up 0,0500 times)

Maximum value = 0,07272 kN/m (Element 63 at Node 4344)

Minimum value = -86,37 kN/m (Element 47 at Node 12093)

3.1.2.3.15 Calculation results, Plate, Riempimento 1 [Phase_12] (12/828), Axial forces N

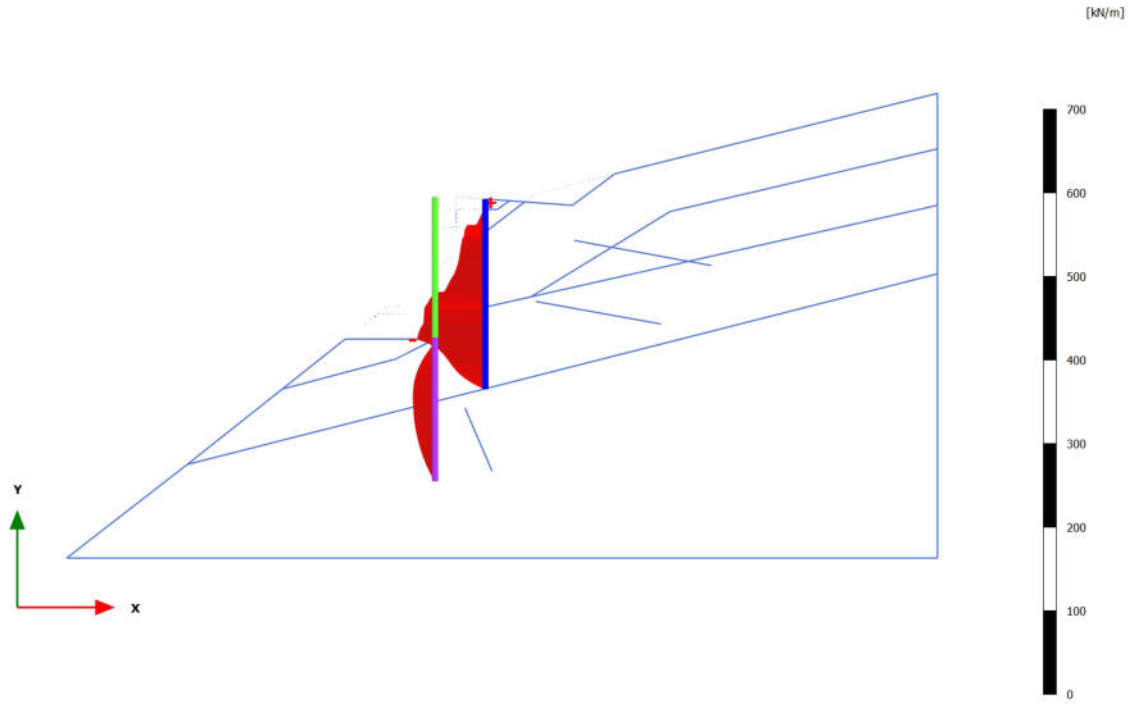

Axial forces N (scaled up 0,0500 times)

Maximum value = 0,09140 kN/m (Element 5 at Node 16474)

Minimum value = -81,27 kN/m (Element 47 at Node 12093)

3.1.2.3.16 Calculation results, Plate, Collegamento ancoraggio 1 [Phase_29] (29/843), Axial forces N

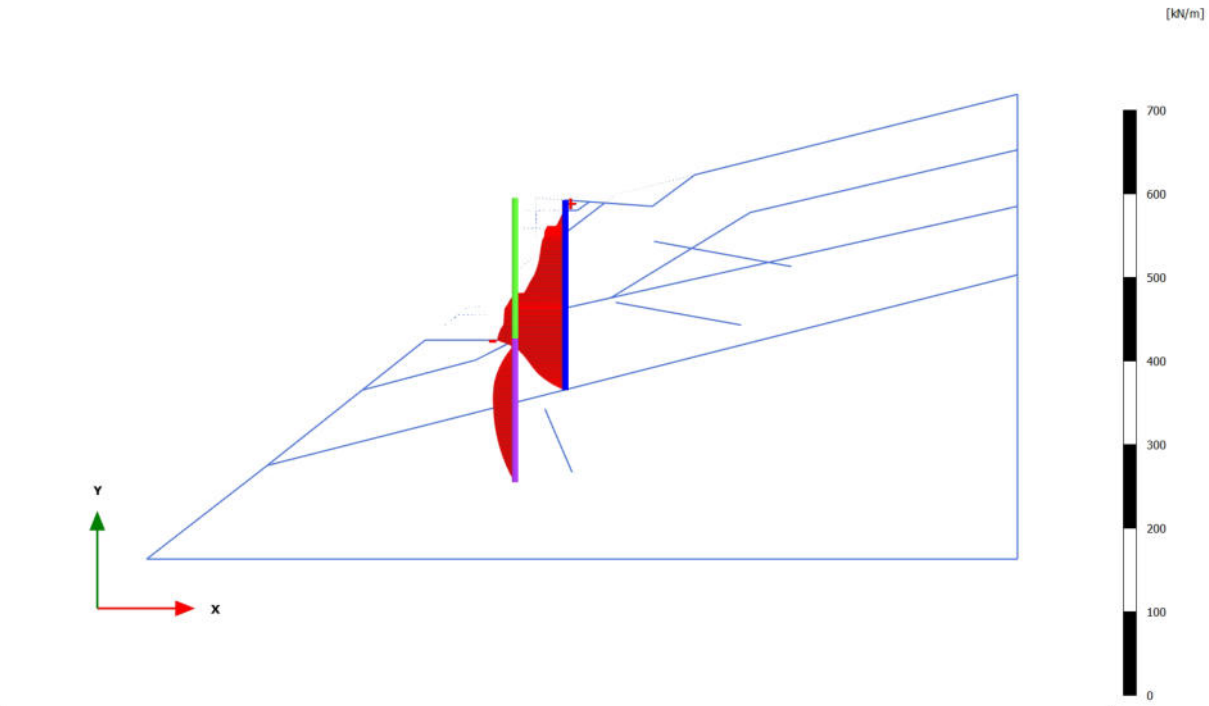

Axial forces N (scaled up 0,0500 times)

Maximum value = 0,09139 kN/m (Element 5 at Node 16474)

Minimum value = -81,27 kN/m (Element 47 at Node 12093)

3.1.2.3.17 Calculation results, Plate, Riempimento 2 [Phase_13] (13/861), Axial forces N

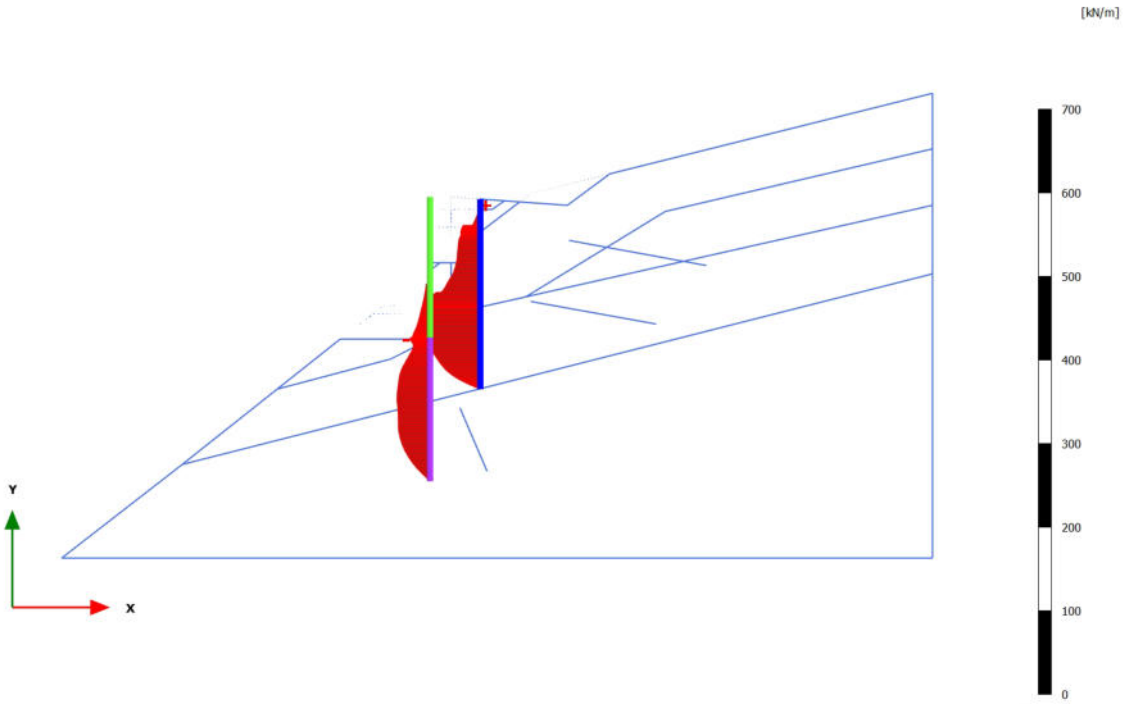

Axial forces N (scaled up 0,0500 times)

Maximum value = 0,1988 kN/m (Element 5 at Node 16473)

Minimum value = -82,32 kN/m (Element 41 at Node 12093)

3.1.2.3.18 Calculation results, Plate, Riempimento 3 [Phase_30] (30/964), Axial forces N

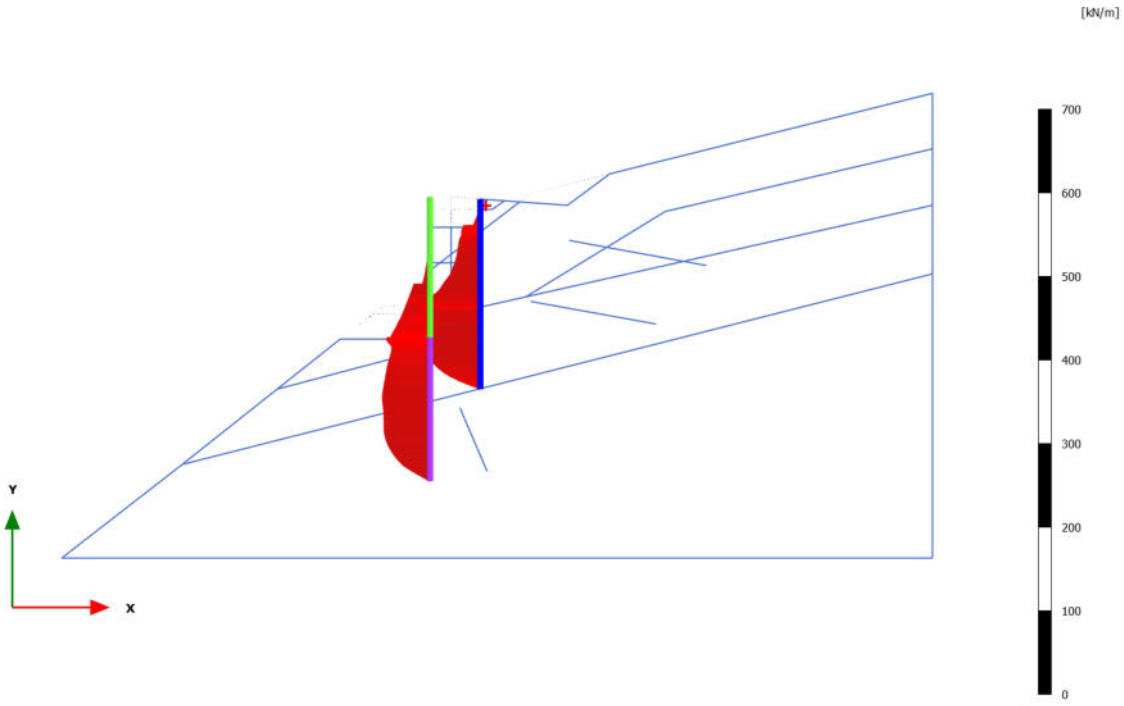

Axial forces N (scaled up 0,0500 times)

Maximum value = 0,3069 kN/m (Element 5 at Node 16473)

Minimum value = -89,12 kN/m (Element 41 at Node 12093)

3.1.2.3.19 Calculation results, Plate, Collegamento ancoraggio 2 [Phase_14] (14/977), Axial forces N

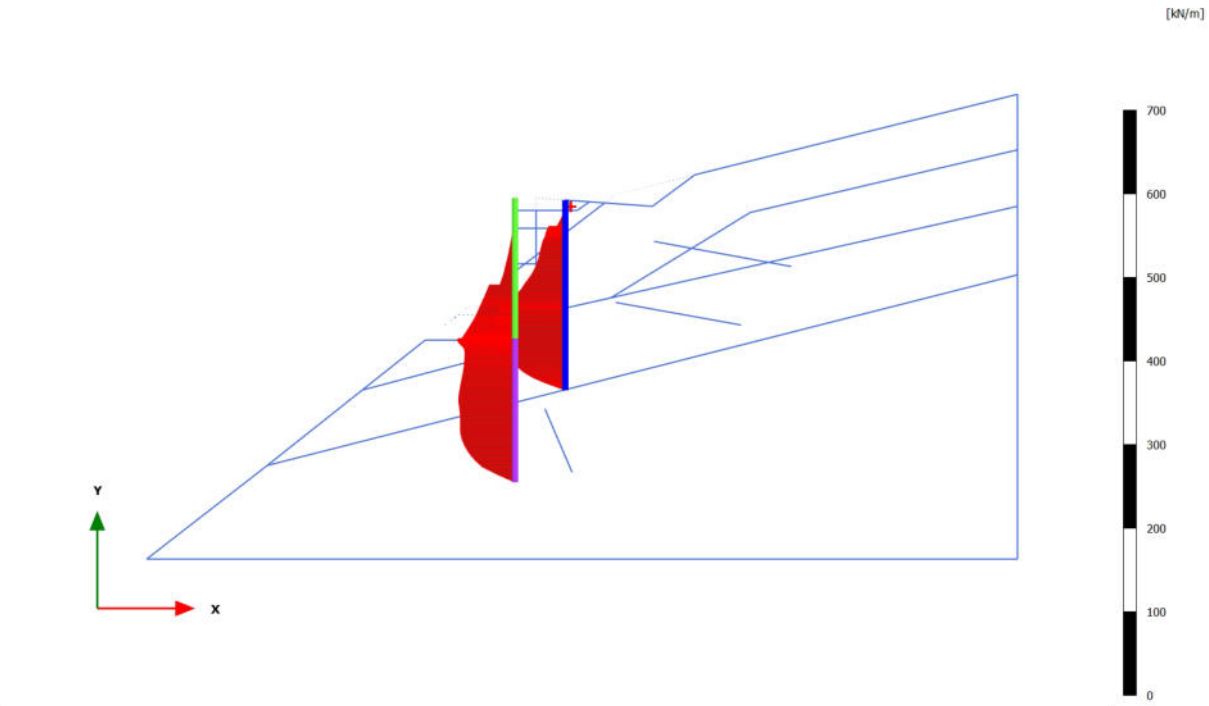

Axial forces N (scaled up 0,0500 times)

Maximum value = 0,3181 kN/m (Element 5 at Node 16473)

Minimum value = -93,47 kN/m (Element 41 at Node 12093)

3.1.2.3.20 Calculation results, Plate, Riempimento 4 (MG) [Phase_15] (15/984), Axial forces N

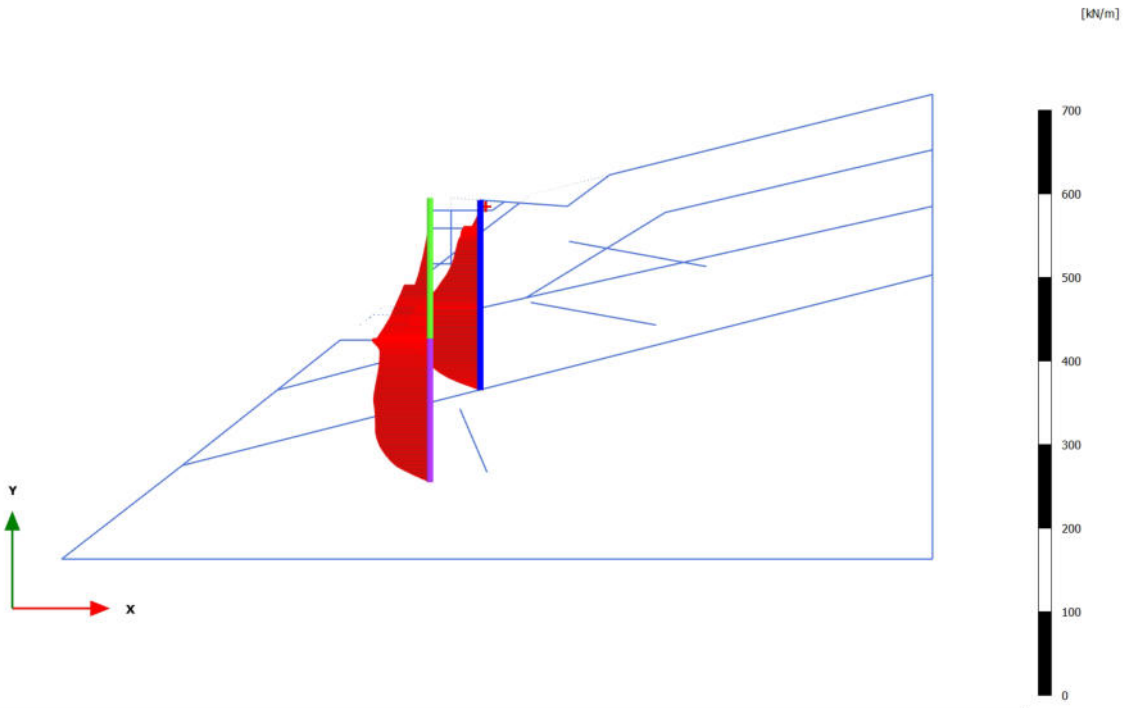

Axial forces N (scaled up 0,0500 times)

Maximum value = 0,3187 kN/m (Element 5 at Node 16473)

Minimum value = -93,36 kN/m (Element 41 at Node 12093)

3.1.2.3.21 Calculation results, Plate, Riempimento 5 (MG) [Phase_16] (16/992), Axial forces N

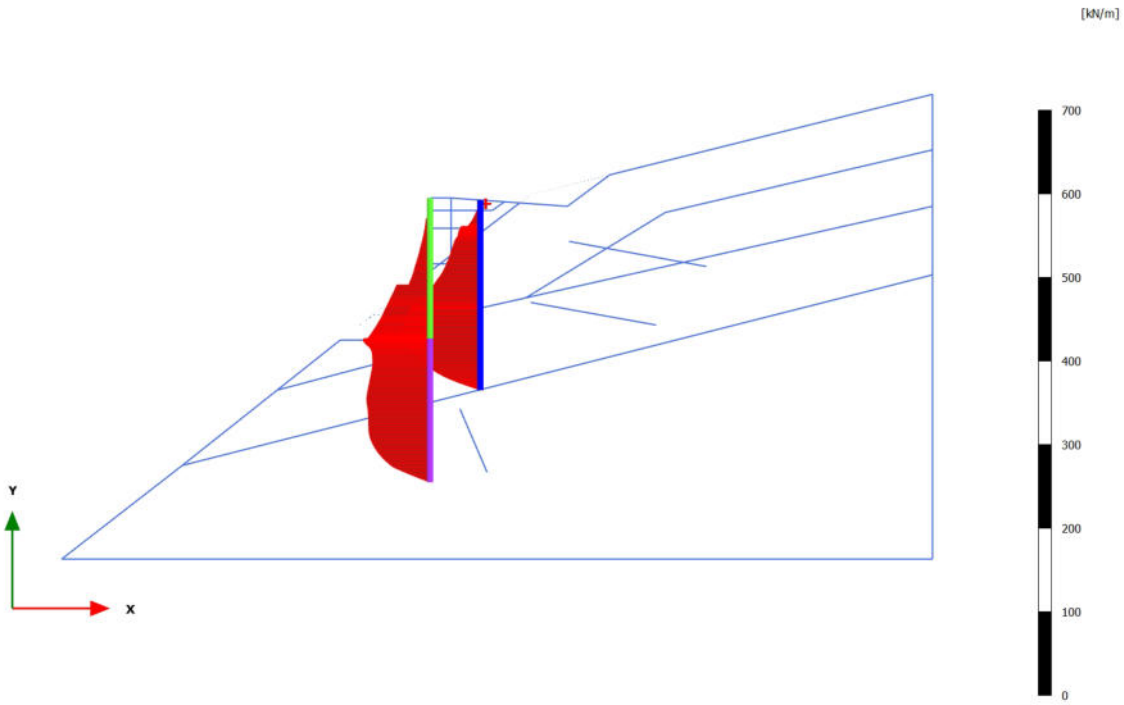

Axial forces N (scaled up 0,0500 times)

Maximum value = 0,2960 kN/m (Element 5 at Node 16474)

Minimum value = -99,27 kN/m (Element 41 at Node 12093)

3.1.2.3.22 Calculation results, Plate, Disattivazione paratia provvisionale [Phase_17] (17/998), Axial forces N

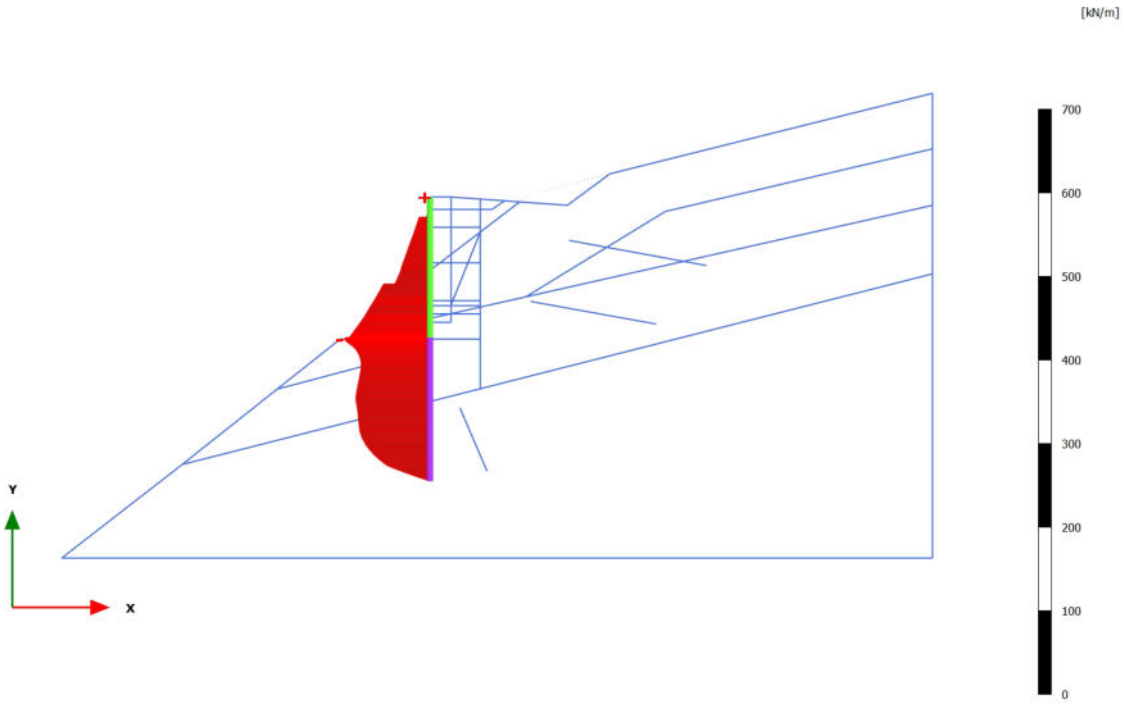

Axial forces N (scaled up 0,0500 times)

Maximum value = -0,6508*10^{-3} kN/m (Element 1 at Node 17871)

Minimum value = -102,5 kN/m (Element 46 at Node 7881)

3.1.2.3.23 Calculation results, Plate, SLE [Phase_18] (18/1002), Axial forces N

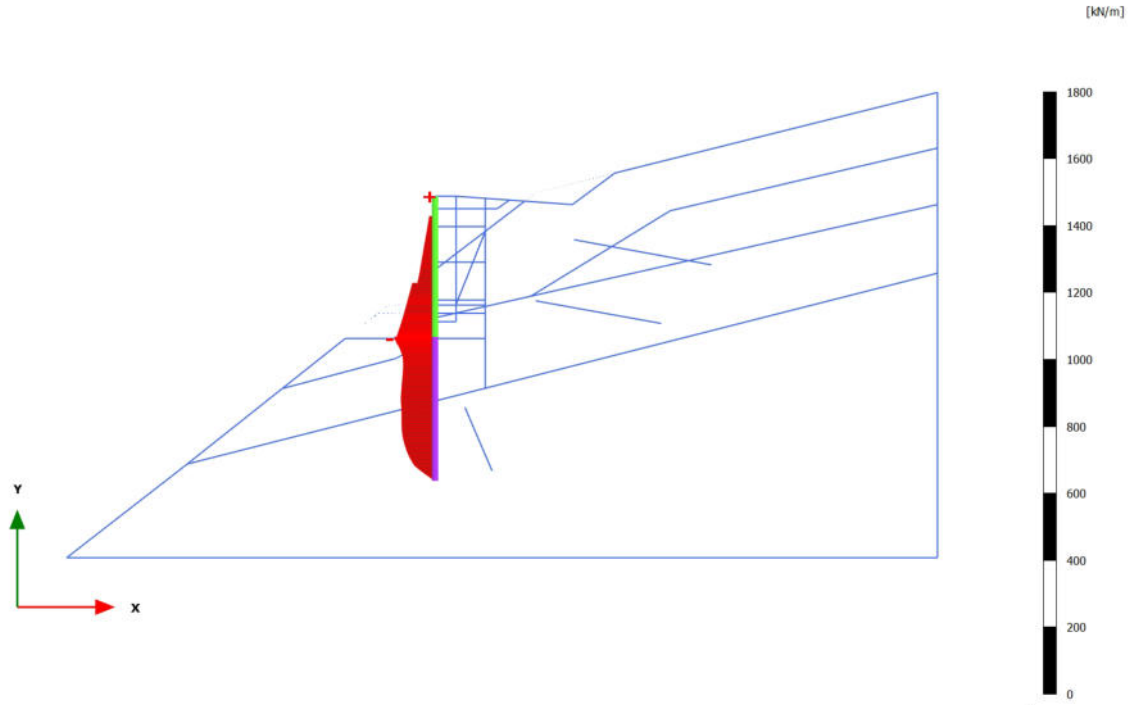

Axial forces N (scaled up 0,0200 times)

Maximum value = -2,540*10^{-3} kN/m (Element 1 at Node 17871)

Minimum value = -120,7 kN/m (Element 46 at Node 7881)

3.1.2.3.24 Calculation results, Plate, Scalzamento al piede [Phase_19] (19/1007), Axial forces N

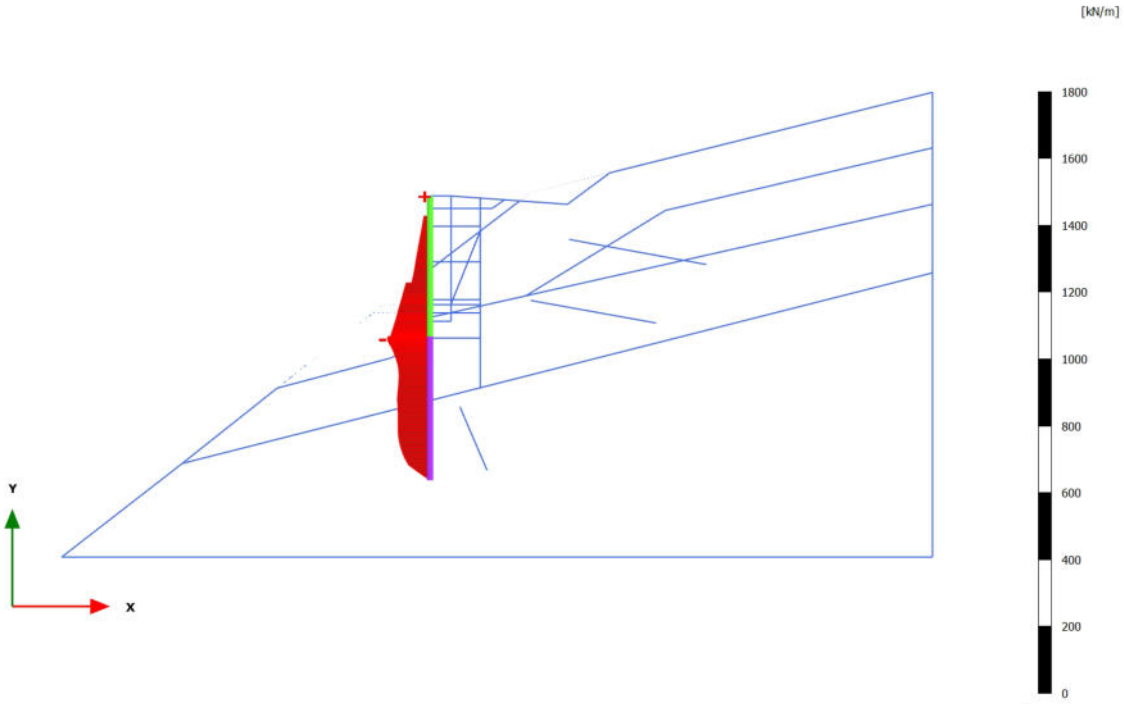

Axial forces N (scaled up 0,0200 times)

Maximum value = -2,011*10^{-3} kN/m (Element 1 at Node 17871)

Minimum value = -127,5 kN/m (Element 54 at Node 6882)

3.1.2.3.25 Calculation results, Plate, SLU11 [Phase_20] (20/1011), Axial forces N

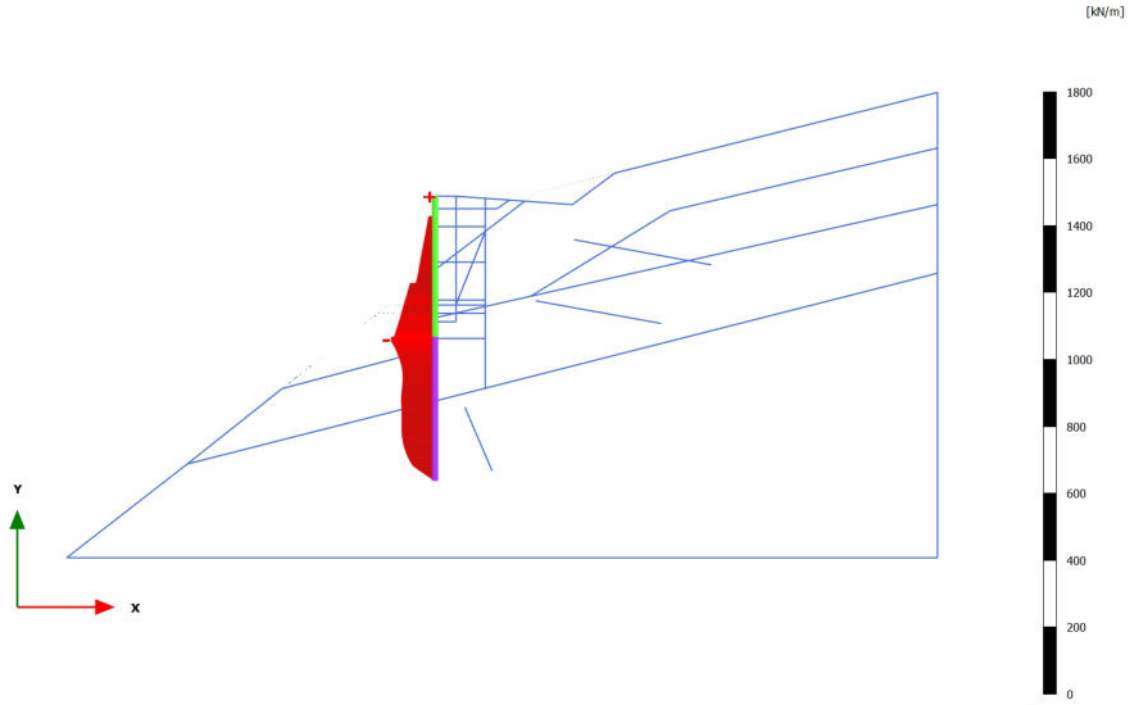

Axial forces N (scaled up 0,0200 times)

Maximum value = -1,906*10^{-3} kN/m (Element 1 at Node 17871)

Minimum value = -131,5 kN/m (Element 54 at Node 6882)

3.1.2.3.26 Calculation results, Plate, SLV [Phase_21] (21/1061), Axial forces N

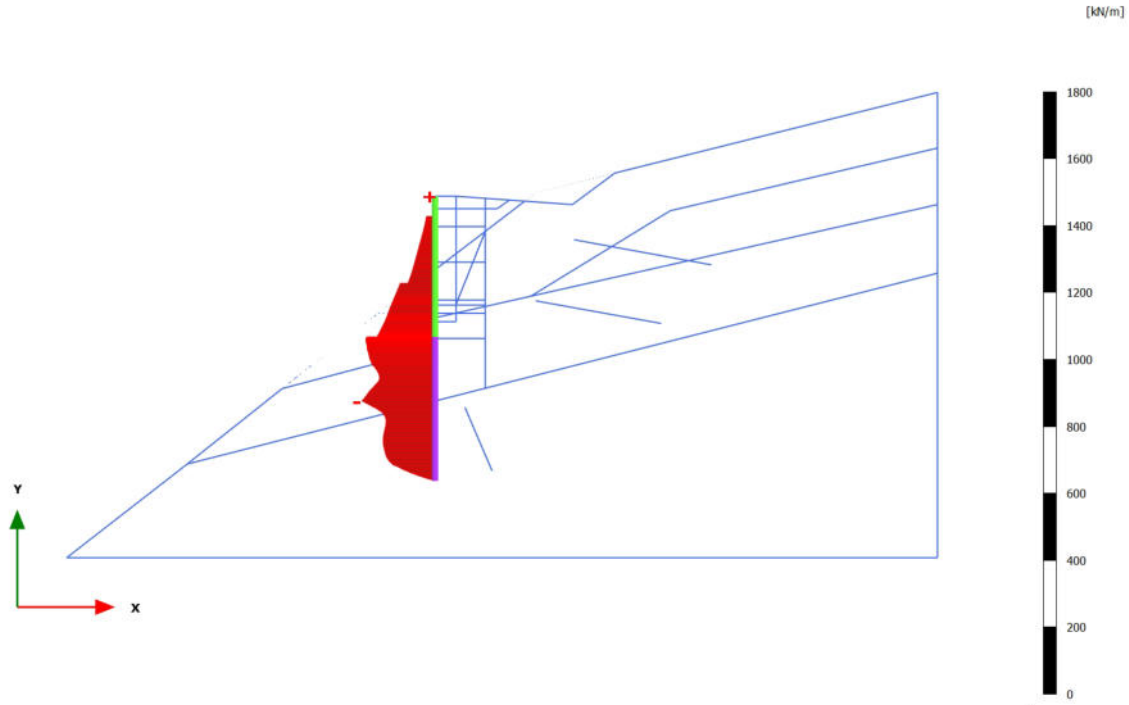

Axial forces N (scaled up 0,0200 times)

Maximum value = -1,679*10^{-3} kN/m (Element 1 at Node 17871)

Minimum value = -218,8 kN/m (Element 63 at Node 3618)

3.1.2.3.27 Calculation results, Plate, SLU12 [Phase_26] (26/1072), Axial forces N

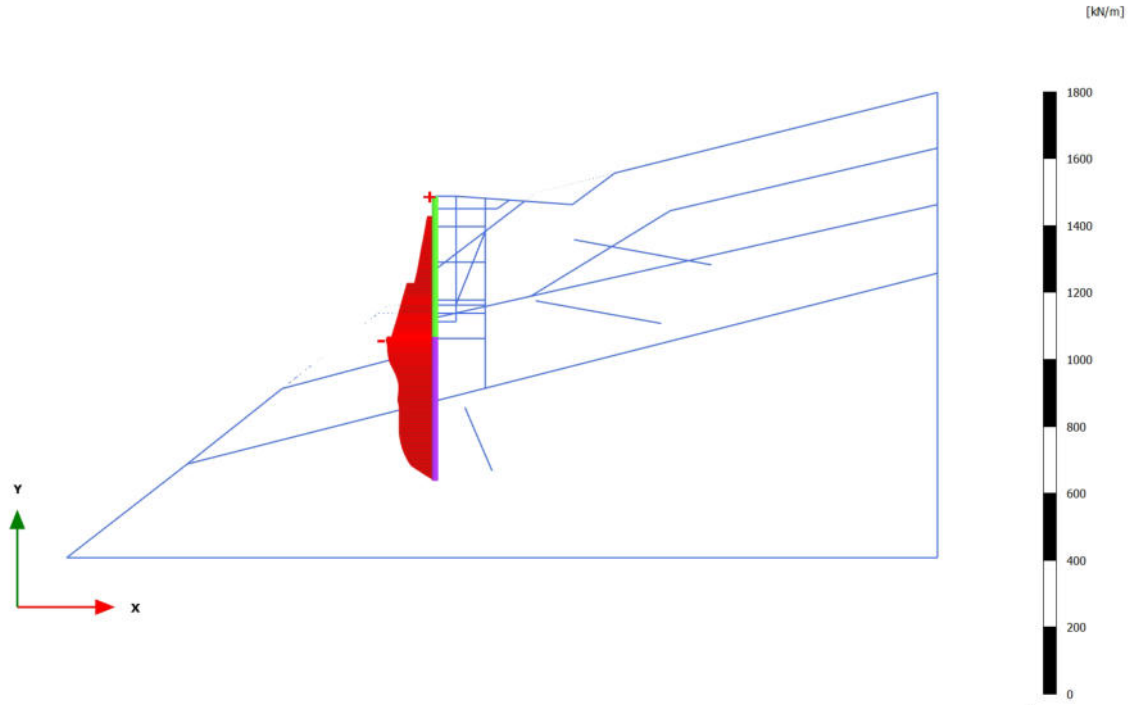

Axial forces N (scaled up 0,0200 times)

Maximum value = -1,057*10^{-3} kN/m (Element 1 at Node 17871)

Minimum value = -146,0 kN/m (Element 54 at Node 6883)

3.1.2.3.28 Calculation results, Plate, SLD [Phase_31] (31/1085), Axial forces N

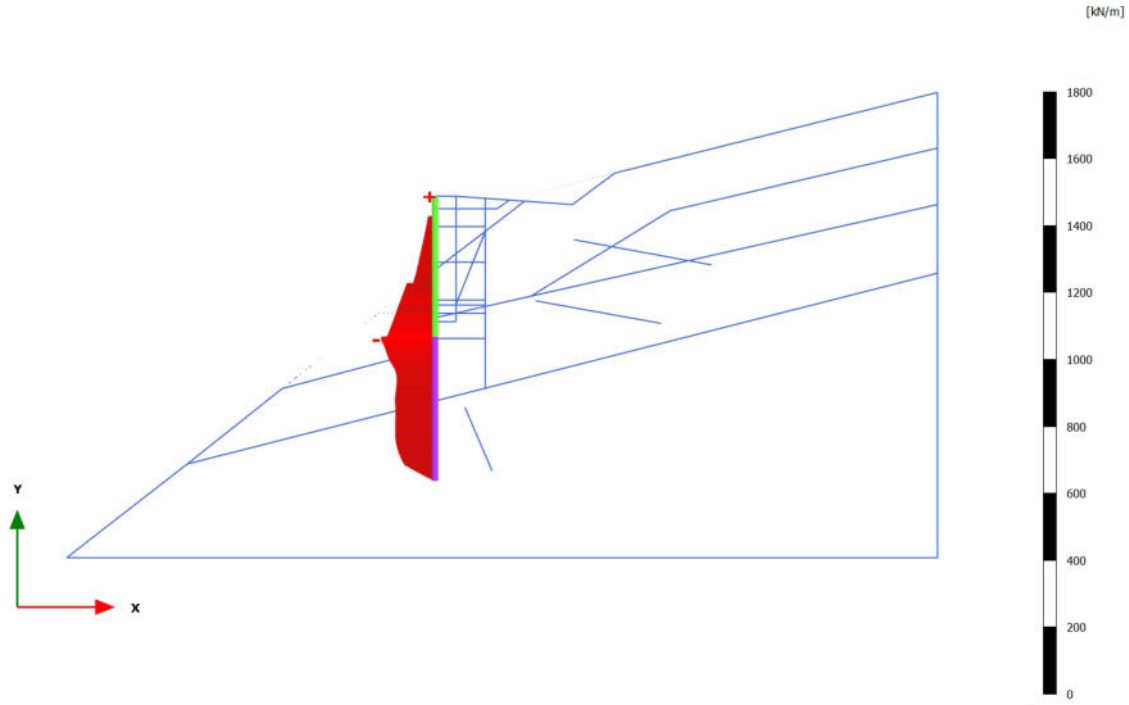

Axial forces N (scaled up 0,0200 times)

Maximum value = -2,446*10^{-3} kN/m (Element 1 at Node 17871)

Minimum value = -160,5 kN/m (Element 54 at Node 6882)

3.1.2.3.29 Calculation results, Plate, Eccezionale [Phase_22] (22/1130), Axial forces N

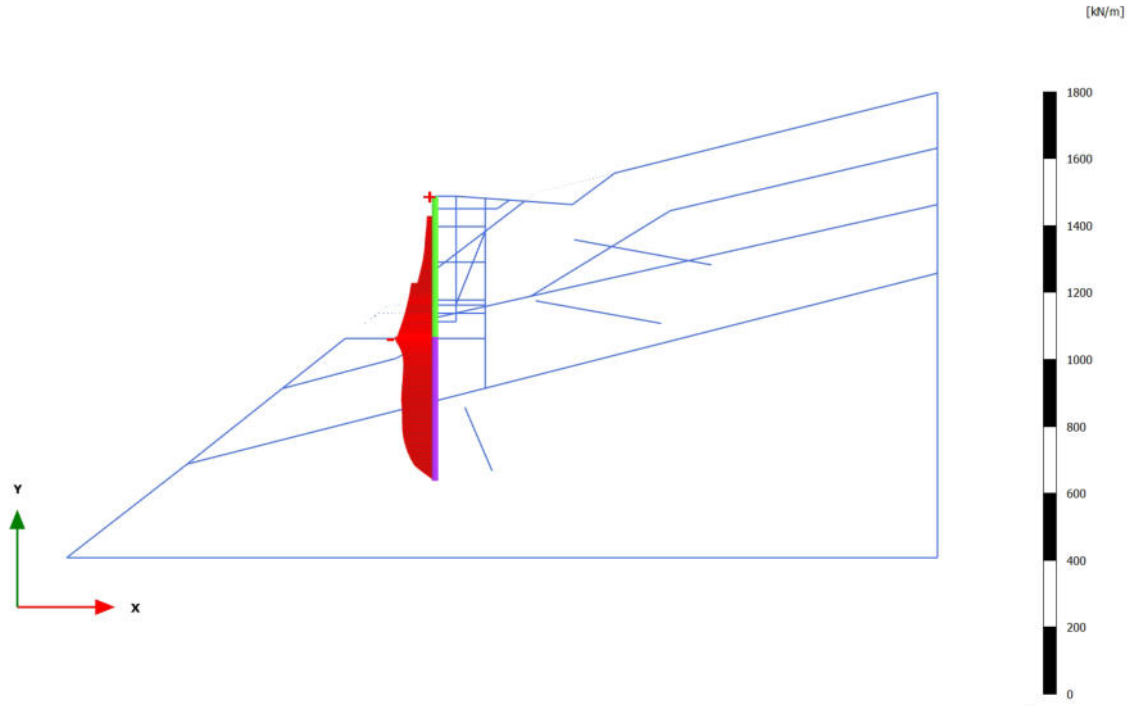

Axial forces N (scaled up 0,0200 times)

Maximum value = -2,755*10^{-3} kN/m (Element 1 at Node 17871)

Minimum value = -119,2 kN/m (Element 46 at Node 7881)

3.1.2.3.30 Calculation results, Plate, q Rullo [Phase_25] (25/1142), Axial forces N

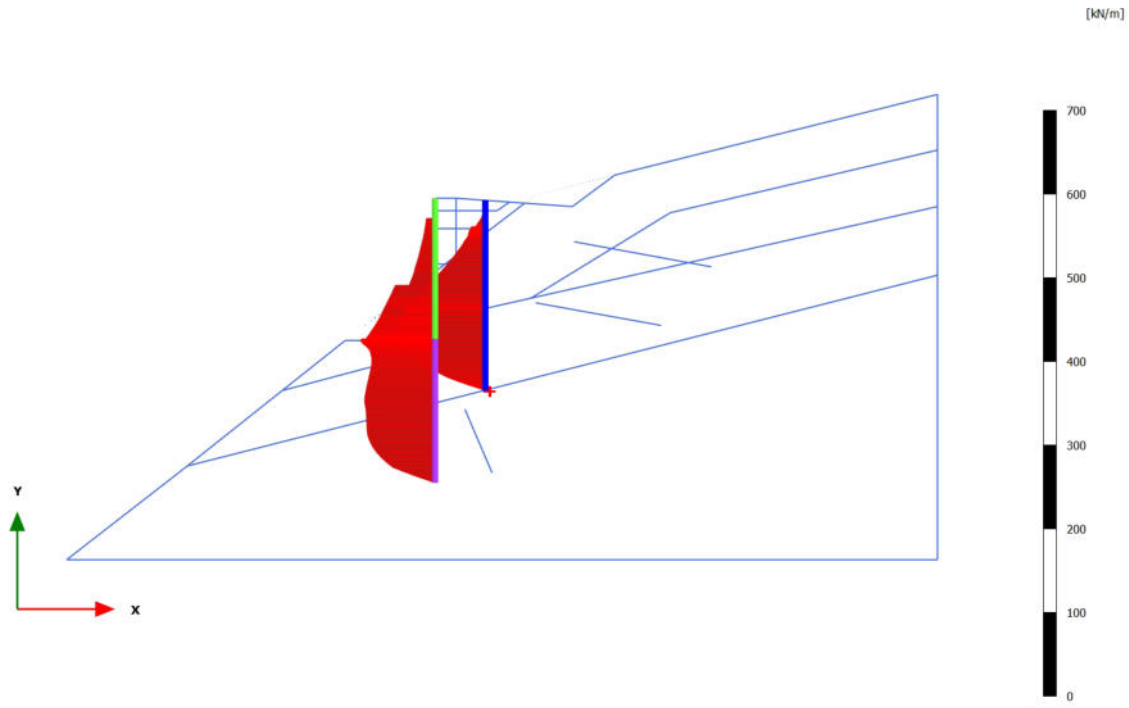

Axial forces N (scaled up 0,0500 times)

Maximum value = 0,02555 kN/m (Element 64 at Node 4609)

Minimum value = -110,7 kN/m (Element 41 at Node 12093)

3.1.2.3.31 Calculation results, Plate, SLU11 Paratia provvisionale [Phase_23] (23/1151), Axial forces N

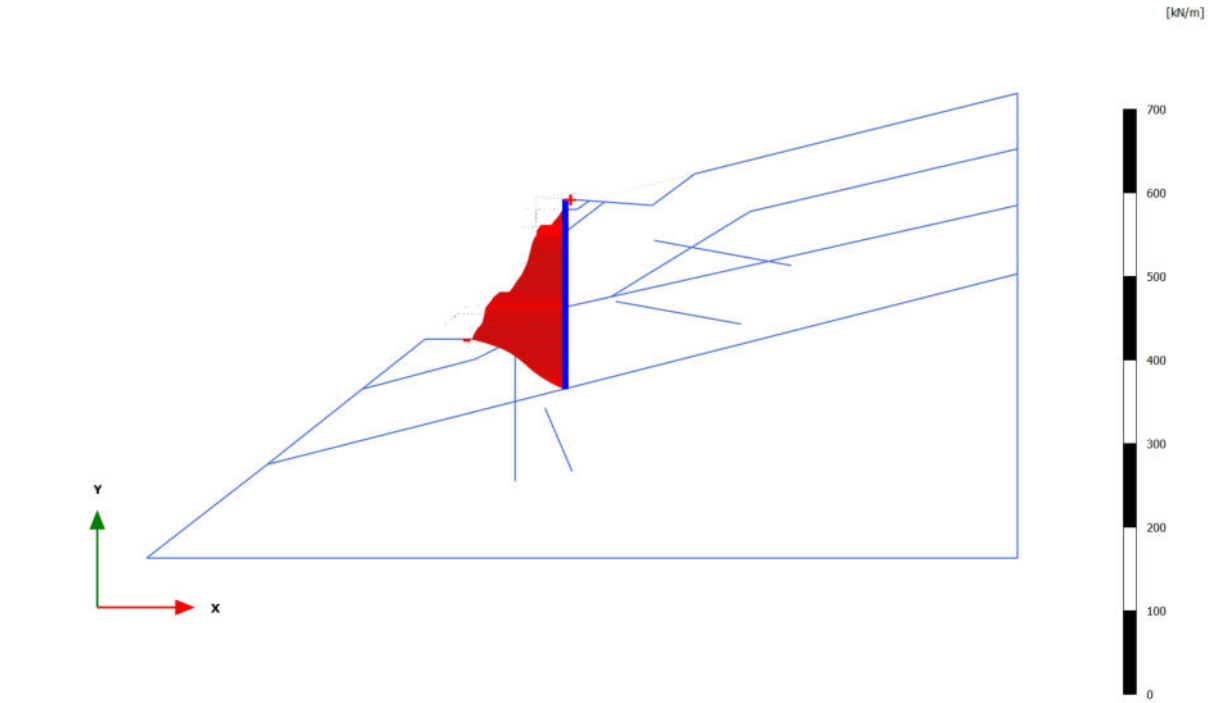

Axial forces N (scaled up 0,0500 times)

Maximum value = 0,1930 kN/m (Element 5 at Node 16475)

Minimum value = -111,5 kN/m (Element 47 at Node 12093)

3.1.2.3.32 Calculation results, Plate, SLU12 Paratia provvisionale [Phase_24] (24/1162), Axial forces N

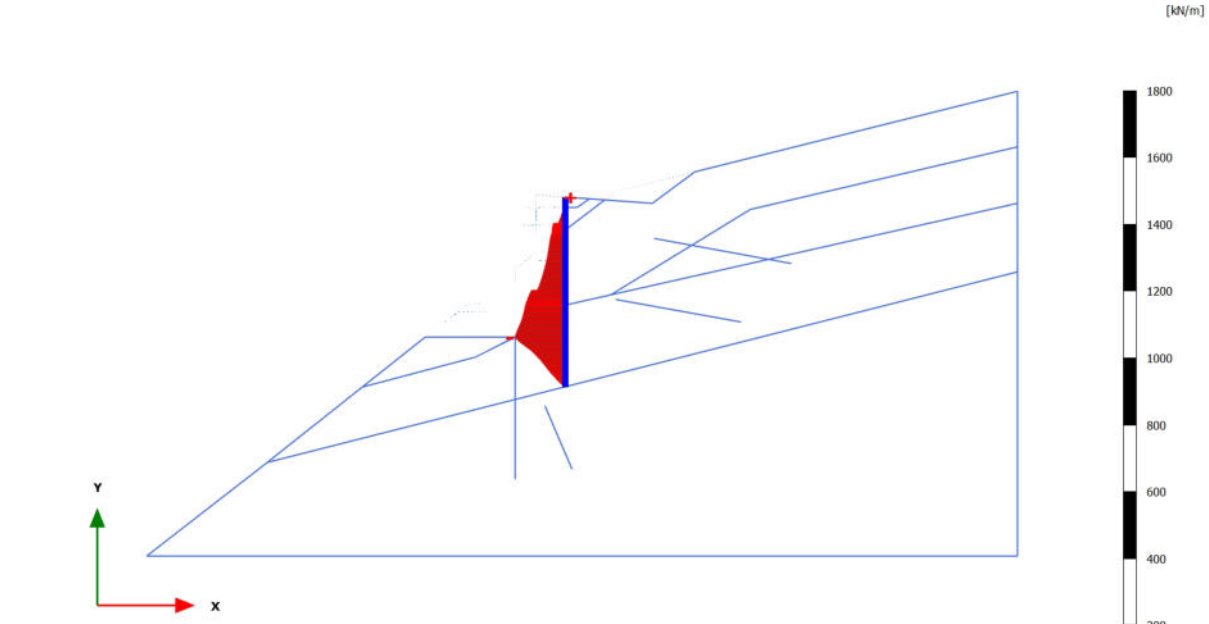

Axial forces N (scaled up 0,0200 times)

Maximum value = 0,09941 kN/m (Element 5 at Node 16475)

Minimum value = -150,5 kN/m (Element 41 at Node 12093)

3.1.2.3.33 Calculation results, Plate, FS [Phase_32] (32/1262), Axial forces N

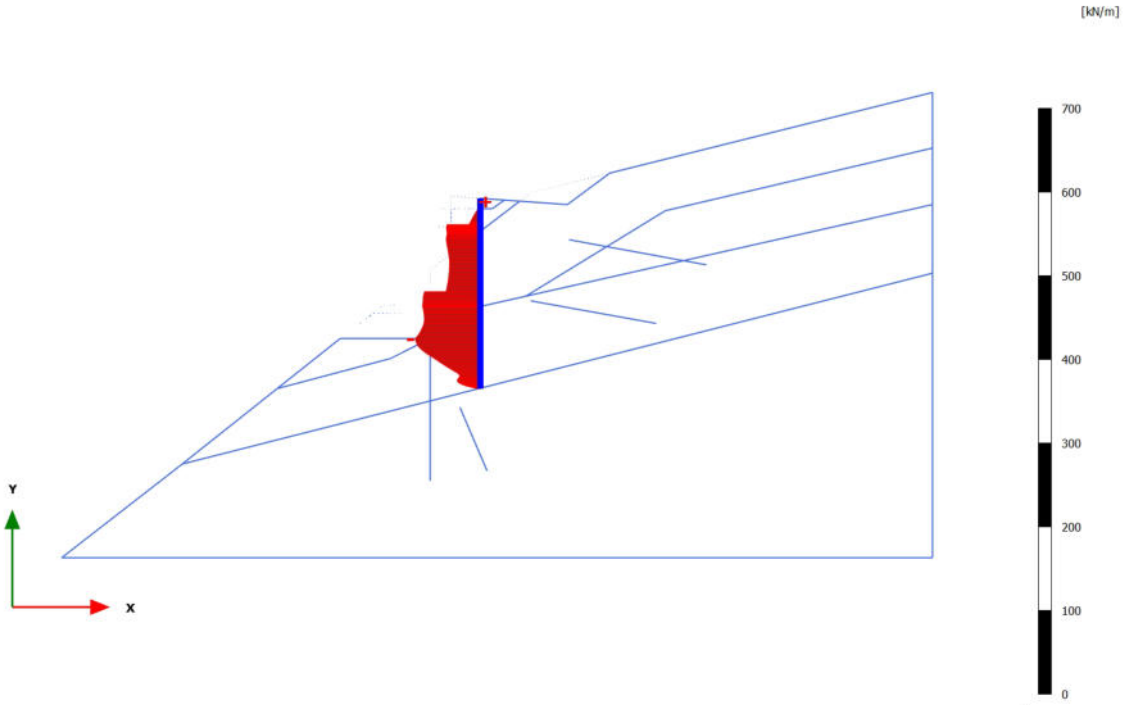

Axial forces N (scaled up 0,0500 times)

Maximum value = 0,2839 kN/m (Element 5 at Node 16474)

Minimum value = -77,72 kN/m (Element 47 at Node 12093)

3.1.2.3.34 Calculation results, Plate, Eccezionale Op provvisionale [Phase_33] (33/1287), Axial forces N

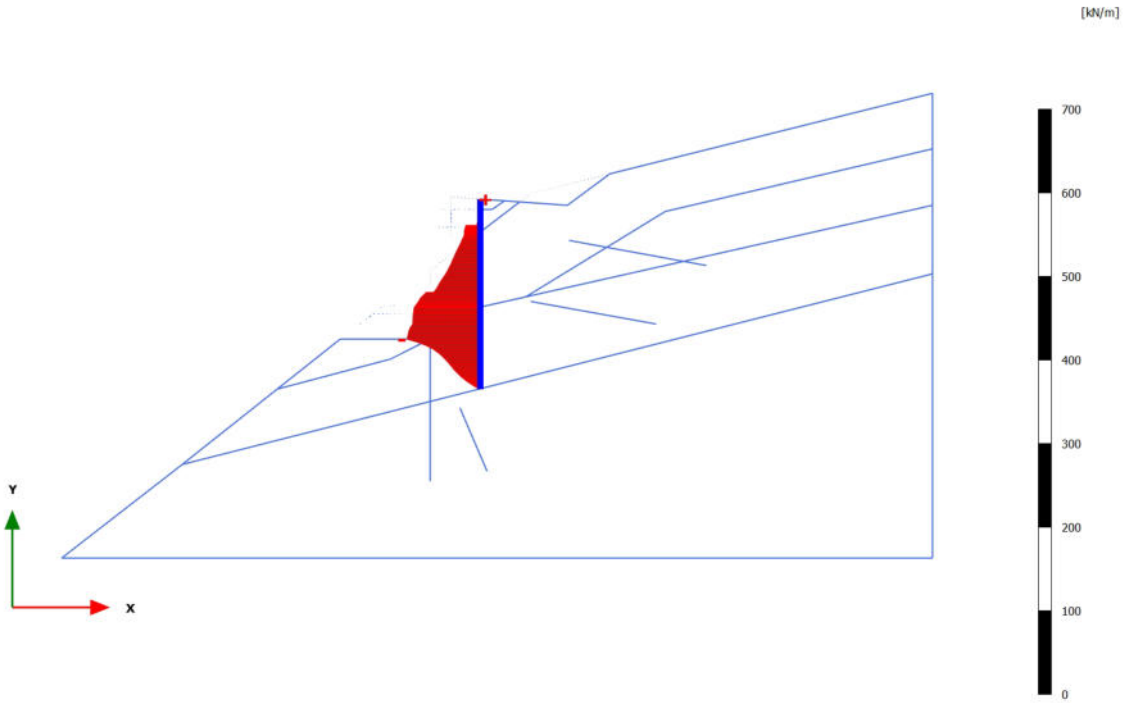

Axial forces N (scaled up 0,0500 times)

Maximum value = 0,09343 kN/m (Element 5 at Node 16475)

Minimum value = -87,95 kN/m (Element 47 at Node 12093)

3.1.2.4.6 Calculation results, Plate, Paratia di micropali [Phase_5] (5/211), Table of plate force envelopes

Structural element	Node [10 ^]	Local number	X [m]	Y [m]	N [kN/m]	N ... [kN/m]	N ... [10 ^ kN/m]	Q [10 ^ kN/m]	Q ... [10 ^ kN/m]	Q ... [10 ^ kN/m]	M [10 ^ kN m/m]	M ... [10 ^ kN m/m]	M ... [10 ^ kN m/m]
Plate_4_1	16475	1	3,000	-0,126	-0,014	-0,014	6,920	26,709	-8,498	26,709	0,000	0,000	0,000
Element 2-5 (Plate)	16474	2	3,000	-0,282	-0,071	-0,071	0,000	137,713	0,000	137,713	12,873	0,000	12,873
(Micropali D168.3x8,0mm/0,4)	16473	3	3,000	-0,438	-0,141	-0,141	0,000	272,973	0,000	272,973	43,998	0,000	43,998
28	16472	4	3,000	-0,594	-0,238	-0,238	0,000	459,893	0,000	459,893	100,759	0,000	100,759
28	16471	5	3,000	-0,750	-0,376	-0,376	0,000	725,878	0,000	725,878	191,854	0,000	191,854
Plate_1_1	16471	1	3,000	-0,750	-0,413	-0,413	0,000	764,583	0,000	764,583	191,854	0,000	191,854
Element 5-9 (Plate)	16455	2	3,000	-0,948	-0,489	-0,489	0,000	632,529	0,000	632,529	320,725	0,000	320,725
(Micropali D168.3x8,0mm/0,4)	16454	3	3,000	-1,146	-0,770	-0,770	0,000	687,894	0,000	687,894	458,771	0,000	458,771
28	16453	4	3,000	-1,344	-1,341	-1,341	0,000	561,538	0,000	561,538	581,097	0,000	581,097
28	16595	5	3,000	-1,542	-2,293	-2,293	0,000	-115,681	-115,681	12,129	640,541	0,000	640,541
Plate_1_1	16595	1	3,000	-1,542	-2,203	-2,203	0,000	148,412	0,000	148,412	640,541	0,000	640,541
Element 5-10 (Plate)	16594	2	3,000	-1,581	-2,125	-2,125	0,000	61,417	0,000	61,417	644,586	0,000	644,586
(Micropali D168.3x8,0mm/0,4)	16593	3	3,000	-1,621	-2,149	-2,149	0,000	7,207	-16,544	16,517	645,835	0,000	645,835
28	16592	4	3,000	-1,660	-2,227	-2,227	0,000	-14,043	-35,391	8,818	645,591	0,000	645,591
28	16615	5	3,000	-1,700	-2,314	-2,314	0,000	-2,161	-21,852	6,933	645,161	0,000	645,161
Plate_1_2	16615	1	3,000	-1,700	-2,321	-2,321	0,000	-11,322	-31,264	5,500	645,161	0,000	645,161
Element 7-13 (Plate)	16614	2	3,000	-1,728	-2,406	-2,406	0,000	0,731	-20,397	2,877	645,007	0,000	645,007
(Micropali D168.3x8,0mm/0,4)	16613	3	3,000	-1,757	-2,489	-2,489	0,000	13,866	-8,880	13,866	645,214	0,000	645,214
28	16612	4	3,000	-1,785	-2,571	-2,571	0,000	27,367	-3,704	27,367	645,795	0,000	645,795
28	16611	5	3,000	-1,813	-2,651	-2,651	0,000	40,514	-5,737	40,514	646,758	0,000	646,758
Plate_1_3	16611	1	3,000	-1,813	-2,604	-2,604	0,000	44,977	-5,952	44,977	646,758	0,000	646,758
Element 8-14 (Plate)	16499	2	3,000	-1,847	-2,697	-2,697	0,000	60,113	-13,253	60,113	648,548	0,000	648,548
(Micropali D168.3x8,0mm/0,4)	16498	3	3,000	-1,881	-2,787	-2,787	0,000	75,081	-22,744	75,081	650,850	0,000	650,850
28	16497	4	3,000	-1,915	-2,874	-2,874	0,000	90,082	-34,112	90,082	653,664	0,000	653,664
28	16496	5	3,000	-1,949	-2,957	-2,957	0,000	105,319	-47,045	105,319	656,989	0,000	656,989
Plate_1_3	16496	1	3,000	-1,949	-2,957	-2,957	0,000	104,881	-46,058	104,881	656,989	0,000	656,989
Element 8-15 (Plate)	16287	2	3,000	-1,983	-3,037	-3,037	0,000	119,175	-59,181	119,175	660,808	0,000	660,808
(Micropali D168.3x8,0mm/0,4)	16286	3	3,000	-2,018	-3,114	-3,114	0,000	131,839	-71,343	131,839	665,089	0,000	665,089
28	16285	4	3,000	-2,052	-3,186	-3,186	0,000	142,699	-82,336	142,699	669,770	0,000	669,770
28	16284	5	3,000	-2,086	-3,254	-3,254	0,000	151,581	-91,953	151,581	674,787	0,000	674,787
Plate_1_4	16284	1	3,000	-2,086	-3,253	-3,253	0,000	145,692	-92,128	145,692	674,787	0,000	674,787
Element 9-16 (Plate)	16241	2	3,000	-2,088	-3,259	-3,259	0,000	142,540	-92,822	142,540	675,165	0,000	675,165
(Micropali D168.3x8,0mm/0,4)	16240	3	3,000	-2,091	-3,262	-3,262	0,000	136,043	-93,656	136,043	675,530	0,000	675,530
28	16239	4	3,000	-2,094	-3,262	-3,262	0,000	126,486	-94,649	126,486	675,874	0,000	675,874
28	16238	5	3,000	-2,096	-3,257	-3,257	0,000	114,155	-95,818	114,155	676,190	0,000	676,190
Plate_1_5	16238	1	3,000	-2,096	-3,254	-3,254	0,000	107,660	-96,229	107,660	676,190	0,000	676,190
Element 11-19 (Plate)	16221	2	3,000	-2,140	-3,319	-3,319	0,000	-37,472	-123,396	0,000	677,586	0,000	677,586
(Micropali D168.3x8,0mm/0,4)	16220	3	3,000	-2,183	-3,381	-3,381	0,000	-150,347	-163,759	0,000	673,408	0,000	673,408
28	16219	4	3,000	-2,226	-3,441	-3,441	0,000	-233,786	-233,786	0,000	664,956	0,000	664,956
28	16218	5	3,000	-2,270	-3,501	-3,501	0,000	-290,612	-290,612	0,000	653,490	0,000	653,490
Plate_1_5	16218	1	3,000	-2,270	-3,501	-3,501	0,000	-299,187	-299,187	0,000	653,490	0,000	653,490
Element 11-20 (Plate)	15915	2	3,000	-2,344	-3,600	-3,600	0,000	-370,160	-370,160	0,000	628,501	0,000	628,501
(Micropali D168.3x8,0mm/0,4)	15914	3	3,000	-2,418	-3,695	-3,695	0,000	-418,585	-418,585	0,000	599,099	0,000	599,099
28	15913	4	3,000	-2,492	-3,788	-3,788	0,000	-446,361	-446,361	0,000	566,852	0,000	566,852
28	15912	5	3,000	-2,567	-3,876	-3,876	0,000	-455,390	-455,390	0,000	533,287	0,000	533,286
Plate_1_5	15912	1	3,000	-2,567	-3,876	-3,876	0,000	-461,808	-461,808	0,000	533,287	0,000	533,286

Structural element	Node [10 ^]	Local number	X [m]	Y [m]	N [kN/m]	N ,,, [kN/m]	N ,,, [10 ^ kN/m]	Q [10 ^ kN/m]	Q ,,, [10 ^ kN/m]	Q ,,, [10 ^ kN/m]	M [10 ^ kN m/m]	M ,,, [10 ^ kN m/m]	M ,,, [10 ^ kN m/m]
Element 11-21 (Plate)	15631	2	3,000	-2,694	-4,020	-4,020	0,000	-452,843	-452,843	0,000	475,111	0,000	475,111
(Micropali D168.3x8,0mm/0,4)	15630	3	3,000	-2,821	-4,155	-4,155	0,000	-433,709	-433,709	0,000	418,774	0,000	418,774
28	15629	4	3,000	-2,948	-4,279	-4,279	0,000	-407,169	-407,169	0,000	365,293	0,000	365,293
28	15628	5	3,000	-3,074	-4,394	-4,394	0,000	-375,987	-375,987	0,000	315,581	0,000	315,581
Plate_1_5	15628	1	3,000	-3,074	-4,399	-4,399	0,000	-382,387	-382,387	0,000	315,581	0,000	315,581
Element 11-22 (Plate)	15607	2	3,000	-3,292	-4,559	-4,559	0,000	-330,239	-330,239	0,000	238,365	0,000	238,365
(Micropali D168.3x8,0mm/0,4)	15606	3	3,000	-3,509	-4,688	-4,688	0,000	-276,818	-276,818	0,000	172,228	0,000	172,228
28	15605	4	3,000	-3,726	-4,800	-4,800	0,000	-215,081	-215,081	0,000	118,768	0,000	118,768
28	15604	5	3,000	-3,943	-4,908	-4,908	0,000	-137,986	-137,986	0,000	80,053	0,000	80,053
Plate_1_6	15604	1	3,000	-3,943	-4,875	-4,875	0,000	-106,484	-106,484	0,000	80,053	0,000	80,053
Element 15-28 (Plate)	15495	2	3,000	-4,180	-4,969	-4,969	0,000	-216,943	-216,943	0,000	39,345	0,000	39,345
(Micropali D168.3x8,0mm/0,4)	15494	3	3,000	-4,418	-5,005	-5,005	0,000	-221,796	-221,796	0,000	-14,608	-15,683	0,000
28	15493	4	3,000	-4,656	-5,019	-5,019	0,000	-130,013	-130,013	0,000	-58,484	-58,484	0,000
28	15515	5	3,000	-4,894	-5,045	-5,045	0,000	49,436	0,000	49,436	-69,608	-69,608	0,000
Plate_1_6	15515	1	3,000	-4,894	-5,039	-5,039	0,000	23,315	0,000	23,315	-69,608	-69,608	0,000
Element 15-29 (Plate)	15514	2	3,000	-5,095	-5,037	-5,037	0,000	58,739	0,000	58,739	-61,117	-61,117	0,000
(Micropali D168.3x8,0mm/0,4)	15513	3	3,000	-5,297	-5,022	-5,022	0,000	83,326	0,000	83,326	-46,680	-46,680	0,000
28	15512	4	3,000	-5,498	-4,996	-4,996	0,000	99,486	0,000	99,486	-28,079	-28,079	0,000
28	15511	5	3,000	-5,700	-4,957	-4,957	0,000	109,629	0,000	109,629	-6,947	-10,037	0,000
Plate_1_7	15511	1	3,000	-5,700	-4,957	-4,957	0,000	109,922	0,000	109,922	-6,947	-10,037	0,000
Element 17-32 (Plate)	15227	2	3,000	-5,825	-4,928	-4,928	0,000	114,079	0,000	114,079	7,071	-1,520	7,071
(Micropali D168.3x8,0mm/0,4)	15228	3	3,000	-5,950	-4,895	-4,895	0,000	116,166	0,000	116,166	21,488	0,000	21,488
28	15229	4	3,000	-6,075	-4,857	-4,857	0,000	116,090	0,000	116,090	36,029	0,000	36,029
28	15226	5	3,000	-6,200	-4,816	-4,816	0,000	113,759	0,000	113,759	50,416	0,000	50,416
Plate_1_8	15226	1	3,000	-6,200	-4,816	-4,816	0,000	113,484	0,000	113,484	50,416	0,000	50,416
Element 19-34 (Plate)	15055	2	3,000	-6,275	-4,789	-4,789	0,000	110,623	0,000	110,623	58,827	0,000	58,827
(Micropali D168.3x8,0mm/0,4)	15054	3	3,000	-6,350	-4,761	-4,761	0,000	106,159	0,000	106,159	66,969	0,000	66,969
28	15053	4	3,000	-6,425	-4,731	-4,731	0,000	99,968	0,000	99,968	74,711	0,000	74,711
28	15052	5	3,000	-6,500	-4,700	-4,700	0,000	91,926	0,000	91,926	81,918	0,000	81,918
Plate_1_9	15052	1	3,000	-6,500	-4,700	-4,700	0,000	91,574	0,000	91,574	81,918	0,000	81,918
Element 20-35 (Plate)	14383	2	3,000	-6,522	-4,691	-4,691	0,000	88,627	0,000	88,627	83,857	0,000	83,857
(Micropali D168.3x8,0mm/0,4)	14384	3	3,000	-6,543	-4,681	-4,681	0,000	85,204	0,000	85,204	85,728	0,000	85,728
28	14385	4	3,000	-6,565	-4,672	-4,672	0,000	81,261	0,000	81,261	87,520	0,000	87,520
28	14382	5	3,000	-6,586	-4,662	-4,662	0,000	76,755	0,000	76,755	89,221	0,000	89,221
Plate_1_10	14382	1	3,000	-6,586	-4,662	-4,662	0,000	77,388	0,000	77,388	89,221	0,000	89,221
Element 22-37 (Plate)	13951	2	3,000	-6,690	-4,614	-4,614	0,000	50,828	0,000	50,828	95,824	0,000	95,824
(Micropali D168.3x8,0mm/0,4)	13952	3	3,000	-6,793	-4,565	-4,565	0,000	27,714	0,000	27,714	99,859	0,000	99,859
28	13953	4	3,000	-6,897	-4,514	-4,514	0,000	8,025	-0,023	8,989	101,679	0,000	101,679
28	13950	5	3,000	-7,000	-4,462	-4,462	0,000	-8,260	-8,260	0,000	101,638	0,000	101,638
Plate_1_11	13950	1	3,000	-7,000	-4,462	-4,462	0,000	-8,701	-8,701	0,000	101,638	0,000	101,638
Element 25-40 (Plate)	13001	2	3,000	-7,152	-4,383	-4,383	0,000	-27,513	-27,513	0,000	98,818	0,000	98,818
(Micropali D168.3x8,0mm/0,4)	13002	3	3,000	-7,305	-4,301	-4,301	0,000	-41,760	-41,760	0,000	93,483	0,000	93,483
28	13003	4	3,000	-7,457	-4,215	-4,215	0,000	-51,646	-51,646	0,000	86,306	0,000	86,306
28	13000	5	3,000	-7,610	-4,127	-4,127	0,000	-57,372	-57,372	0,000	77,949	0,000	77,949
Plate_1_11	13000	1	3,000	-7,610	-4,129	-4,129	0,000	-58,248	-58,248	0,000	77,949	0,000	77,949
Element 25-41 (Plate)	12096	2	3,000	-7,832	-3,990	-3,990	0,000	-60,216	-60,216	0,000	64,667	0,000	64,667
(Micropali D168.3x8,0mm/0,4)	12095	3	3,000	-8,055	-3,849	-3,849	0,000	-57,644	-57,644	0,000	51,492	0,000	51,492
28	12094	4	3,000	-8,277	-3,709	-3,709	0,000	-51,422	-51,422	0,000	39,272	0,000	39,272
28	12093	5	3,000	-8,500	-3,573	-3,573	0,000	-42,441	-42,441	0,000	28,795	0,000	28,795
Plate_1_12	12093	1	3,000	-8,500	-3,588	-3,588	0,000	-43,906	-43,906	0,000	28,795	0,000	28,795
Element 28-47 (Plate)	11390	2	3,000	-8,706	-3,429	-3,429	0,000	-39,054	-39,054	0,000	20,225	0,000	20,225
(Micropali D168.3x8,0mm/0,4)	11391	3	3,000	-8,913	-3,262	-3,262	0,000	-33,526	-33,526	0,000	12,732	0,000	12,732
28	11392	4	3,000	-9,119	-3,086	-3,086	0,000	-27,525	-27,525	0,000	6,424	0,000	6,424

Structural element	Node [10 ^]	Local number	X [m]	Y [m]	N [kN/m]	N ,,, [kN/m]	N ,,, [10 ^ kN/m]	Q [10 ^ kN/m]	Q ,,, [10 ^ kN/m]	Q ,,, [10 ^ kN/m]	M [10 ^ kN m/m]	M ,,, [10 ^ kN m/m]	M ,,, [10 ^ kN m/m]
2D	11389	5	3,000	-9,325	-2,901	-2,901	0,000	-21,252	-21,252	0,000	1,393	-0,071	1,393
Plate_1_12	11389	1	3,000	-9,325	-2,901	-2,901	0,000	-21,557	-21,557	0,000	1,393	-0,071	1,393
Element 28-48 (Plate)	10576	2	3,000	-9,483	-2,752	-2,752	0,000	-17,719	-17,719	0,000	-1,699	-1,699	0,000
(Micropali D168.3x8,0mm/0,4)	10575	3	3,000	-9,641	-2,597	-2,597	0,000	-14,277	-14,277	0,000	-4,218	-4,218	0,000
2D	10574	4	3,000	-9,798	-2,434	-2,434	0,000	-11,216	-11,216	0,000	-6,224	-6,224	0,000
2D	10573	5	3,000	-9,956	-2,264	-2,264	0,000	-8,522	-8,522	0,000	-7,775	-7,775	0,000
Plate_1_12	10573	1	3,000	-9,956	-2,264	-2,264	0,000	-8,460	-8,460	0,000	-7,775	-7,775	0,000
Element 28-49 (Plate)	9580	2	3,000	-10,077	-2,129	-2,129	0,000	-6,520	-6,520	0,000	-8,679	-8,679	0,000
(Micropali D168.3x8,0mm/0,4)	9579	3	3,000	-10,197	-1,988	-1,988	0,000	-4,553	-4,553	0,000	-9,347	-9,347	0,000
2D	9578	4	3,000	-10,318	-1,842	-1,842	0,000	-2,540	-2,540	0,000	-9,776	-9,776	0,000
2D	9577	5	3,000	-10,439	-1,691	-1,691	0,000	-0,459	-0,531	0,000	-9,957	-9,957	0,000
Plate_1_12	9577	1	3,000	-10,439	-1,690	-1,690	0,000	-0,427	-0,511	0,000	-9,957	-9,957	0,000
Element 28-50 (Plate)	8342	2	3,000	-10,531	-1,571	-1,571	0,000	1,305	-0,036	1,305	-9,918	-9,918	0,000
(Micropali D168.3x8,0mm/0,4)	8343	3	3,000	-10,623	-1,446	-1,446	0,000	3,178	0,000	3,178	-9,712	-9,712	0,000
2D	8344	4	3,000	-10,715	-1,318	-1,318	0,000	5,193	0,000	5,193	-9,327	-9,327	0,000
2D	8341	5	3,000	-10,808	-1,186	-1,186	0,000	7,350	0,000	7,350	-8,750	-8,750	0,000
Plate_1_12	8341	1	3,000	-10,808	-1,186	-1,186	0,000	7,330	0,000	7,330	-8,750	-8,750	0,000
Element 28-51 (Plate)	7770	2	3,000	-10,878	-1,081	-1,081	0,000	9,075	0,000	9,075	-8,171	-8,171	0,000
(Micropali D168.3x8,0mm/0,4)	7769	3	3,000	-10,949	-0,974	-0,974	0,000	10,820	0,000	10,820	-7,469	-7,469	0,000
2D	7768	4	3,000	-11,019	-0,863	-0,863	0,000	12,545	0,000	12,545	-6,645	-6,645	0,000
2D	7767	5	3,000	-11,090	-0,749	-0,749	0,000	14,233	0,000	14,233	-5,700	-5,700	0,000
Plate_1_12	7767	1	3,000	-11,090	-0,749	-0,749	0,000	14,138	0,000	14,138	-5,700	-5,700	0,000
Element 28-52 (Plate)	6794	2	3,000	-11,144	-0,659	-0,659	0,000	15,319	0,000	15,319	-4,905	-4,905	0,000
(Micropali D168.3x8,0mm/0,4)	6795	3	3,000	-11,198	-0,567	-0,567	0,000	16,154	0,000	16,154	-4,054	-4,054	0,000
2D	6796	4	3,000	-11,252	-0,473	-0,473	0,000	16,598	0,000	16,598	-3,168	-3,168	0,000
2D	6793	5	3,000	-11,306	-0,375	-0,375	0,000	16,605	0,000	16,605	-2,271	-2,271	0,000
Plate_1_12	6793	1	3,000	-11,306	-0,375	-0,375	0,000	16,357	0,000	16,357	-2,271	-2,271	0,000
Element 28-53 (Plate)	5608	2	3,000	-11,347	-0,299	-0,299	0,000	15,876	0,000	15,876	-1,603	-1,603	0,000
(Micropali D168.3x8,0mm/0,4)	5609	3	3,000	-11,388	-0,220	-0,220	0,000	14,199	0,000	14,199	-0,977	-0,977	0,000
2D	5610	4	3,000	-11,429	-0,140	-0,140	0,000	11,137	0,000	11,137	-0,450	-0,450	0,000
2D	5607	5	3,000	-11,471	-0,057	-0,057	0,000	6,502	0,000	6,502	-0,080	-0,080	0,000
Plate_1_13	5607	1	3,000	-11,471	-0,056	-0,056	0,000	5,693	0,000	5,693	-0,080	-0,080	0,000
Element 30-64 (Plate)	4612	2	3,000	-11,478	-0,041	-0,041	0,000	4,204	0,000	4,204	-0,044	-0,044	0,000
(Micropali D168.3x8,0mm/0,4)	4611	3	3,000	-11,485	-0,026	-0,026	0,000	2,715	0,000	2,715	-0,018	-0,018	0,000
2D	4610	4	3,000	-11,493	-0,011	-0,011	0,000	1,234	0,000	1,234	-0,004	-0,004	0,000
2D	4609	5	3,000	-11,500	0,005	0,000	4,683	-0,233	-0,233	0,000	0,000	0,000	0,000

3.1.2.4.7 Calculation results, Plate, (RD) Escavo 1 + sovraccarico [Phase_6] (6/229), Table of plate force envelopes

Structural element	Node [10^]	Local number	X [m]	Y [m]	N [kN/m]	N ... [kN/m]	N ... [kN/m]	Q [kN/m]	Q ... [kN/m]	Q ... [kN/m]	M [kN m/m]	M ... [10^ kN m/m]	M ... [kN m/m]
Plate_4_1	16475	1	3,000	-0,126	-0,003	-0,016	0,009	0,007	-0,018	0,029	0,000	0,000	0,000
Element 2-5 (Plate)	16474	2	3,000	-0,282	-0,024	-0,071	0,000	0,038	0,000	0,138	0,002	0,000	0,013
(Micropali D168.3x8,0mm/0,4)	16473	3	3,000	-0,438	-0,097	-0,141	0,000	0,172	0,000	0,273	0,017	0,000	0,044
28	16472	4	3,000	-0,594	-0,214	-0,238	0,000	0,394	0,000	0,460	0,060	0,000	0,101
28	16471	5	3,000	-0,750	-0,368	-0,426	0,000	0,688	0,000	0,813	0,144	0,000	0,192
Plate_1_1	16471	1	3,000	-0,750	-0,349	-0,471	0,000	0,651	0,000	0,864	0,144	0,000	0,192
Element 5-9 (Plate)	16455	2	3,000	-0,948	-0,696	-0,696	0,000	1,321	0,000	1,321	0,330	0,000	0,341
(Micropali D168.3x8,0mm/0,4)	16454	3	3,000	-1,146	-1,199	-1,199	0,000	2,303	0,000	2,303	0,690	0,000	0,690
28	16453	4	3,000	-1,344	-1,757	-1,757	0,000	3,392	0,000	3,392	1,249	0,000	1,249
28	16595	5	3,000	-1,542	-2,264	-2,843	0,000	4,384	-0,116	4,384	2,024	0,000	2,024
Plate_1_1	16595	1	3,000	-1,542	-2,400	-2,689	0,000	4,651	0,000	4,651	2,024	0,000	2,024
Element 5-10 (Plate)	16594	2	3,000	-1,581	-2,506	-2,652	0,000	4,859	0,000	4,859	2,210	0,000	2,210
(Micropali D168.3x8,0mm/0,4)	16593	3	3,000	-1,621	-2,727	-2,730	0,000	5,292	-0,017	5,292	2,412	0,000	2,412
28	16592	4	3,000	-1,660	-2,933	-2,933	0,000	5,694	-0,035	5,694	2,629	0,000	2,629
28	16615	5	3,000	-1,700	-2,993	-2,993	0,000	5,811	-0,022	5,811	2,858	0,000	2,858
Plate_1_2	16615	1	3,000	-1,700	-3,033	-3,033	0,000	5,890	-0,031	5,890	2,858	0,000	2,858
Element 7-13 (Plate)	16614	2	3,000	-1,728	-3,167	-3,167	0,000	6,153	-0,020	6,153	3,029	0,000	3,029
(Micropali D168.3x8,0mm/0,4)	16613	3	3,000	-1,757	-3,320	-3,320	0,000	6,453	-0,009	6,453	3,207	0,000	3,207
28	16612	4	3,000	-1,785	-3,491	-3,491	0,000	6,788	-0,004	6,788	3,394	0,000	3,394
28	16611	5	3,000	-1,813	-3,680	-3,680	0,000	7,160	-0,006	7,160	3,592	0,000	3,592
Plate_1_3	16611	1	3,000	-1,813	-3,618	-3,618	0,000	7,037	-0,006	7,037	3,592	0,000	3,592
Element 8-14 (Plate)	16499	2	3,000	-1,847	-3,761	-3,761	0,000	7,317	-0,013	7,317	3,836	0,000	3,836
(Micropali D168.3x8,0mm/0,4)	16498	3	3,000	-1,881	-3,840	-3,840	0,000	7,471	-0,023	7,471	4,089	0,000	4,089
28	16497	4	3,000	-1,915	-3,846	-3,846	0,000	7,484	-0,034	7,484	4,344	0,000	4,344
28	16496	5	3,000	-1,949	-3,774	-3,774	0,000	7,341	-0,047	7,341	4,597	0,000	4,597
Plate_1_3	16496	1	3,000	-1,949	-3,787	-3,787	0,000	7,356	-0,046	7,356	4,597	0,000	4,597
Element 8-15 (Plate)	16287	2	3,000	-1,983	-3,678	-3,678	0,000	7,112	-0,059	7,112	4,843	0,000	4,843
(Micropali D168.3x8,0mm/0,4)	16286	3	3,000	-2,018	-3,554	-3,554	0,000	6,732	-0,071	6,732	5,079	0,000	5,079
28	16285	4	3,000	-2,052	-3,406	-3,406	0,000	6,225	-0,082	6,225	5,301	0,000	5,300
28	16284	5	3,000	-2,086	-3,226	-3,352	0,000	5,598	-0,092	5,598	5,502	0,000	5,502
Plate_1_4	16284	1	3,000	-2,086	-3,193	-3,336	0,000	5,604	-0,092	5,604	5,502	0,000	5,502
Element 9-16 (Plate)	16241	2	3,000	-2,088	-3,180	-3,337	0,000	5,541	-0,093	5,541	5,517	0,000	5,517
(Micropali D168.3x8,0mm/0,4)	16240	3	3,000	-2,091	-3,158	-3,335	0,000	5,467	-0,094	5,467	5,531	0,000	5,531
28	16239	4	3,000	-2,094	-3,128	-3,327	0,000	5,388	-0,095	5,388	5,545	0,000	5,545
28	16238	5	3,000	-2,096	-3,089	-3,310	0,000	5,311	-0,096	5,311	5,559	0,000	5,559
Plate_1_5	16238	1	3,000	-2,096	-3,112	-3,315	0,000	5,361	-0,096	5,361	5,559	0,000	5,559
Element 11-19 (Plate)	16221	2	3,000	-2,140	-2,632	-3,319	0,000	4,203	-0,169	4,203	5,766	0,000	5,766
(Micropali D168.3x8,0mm/0,4)	16220	3	3,000	-2,183	-2,180	-3,381	0,000	3,134	-0,536	3,134	5,926	0,000	5,926
28	16219	4	3,000	-2,226	-1,742	-3,441	0,000	2,135	-0,898	2,135	6,040	0,000	6,040
28	16218	5	3,000	-2,270	-1,304	-3,501	0,000	1,189	-1,296	1,189	6,112	0,000	6,112
Plate_1_5	16218	1	3,000	-2,270	-1,366	-3,501	0,000	1,240	-1,305	1,240	6,112	0,000	6,112
Element 11-20 (Plate)	15915	2	3,000	-2,344	-0,516	-3,600	0,000	-0,408	-1,862	0,000	6,141	0,000	6,141
(Micropali D168.3x8,0mm/0,4)	15914	3	3,000	-2,418	0,087	-3,695	0,087	-1,756	-2,459	0,000	6,059	0,000	6,059
28	15913	4	3,000	-2,492	0,459	-3,788	0,459	-2,824	-3,065	0,000	5,887	0,000	5,887
28	15912	5	3,000	-2,567	0,618	-3,876	0,618	-3,632	-3,635	0,000	5,646	0,000	5,646
Plate_1_5	15912	1	3,000	-2,567	0,682	-3,876	0,682	-3,681	-3,686	0,000	5,646	0,000	5,646

Structural element	Node [10^]	Local number	X [m]	Y [m]	N [kN/m]	N -,- [kN/m]	N -,- [kN/m]	Q [kN/m]	Q -,- [kN/m]	Q -,- [kN/m]	M [kN m/m]	M -,- [10^ kN m/m]	M -,- [kN m/m]
Element 11-21 (Plate)	15631	2	3,000	-2,694	1,061	-4,020	1,061	-4,518	-4,518	0,000	5,120	0,000	5,120
(Micropali D168.3x8,0mm/0,4)	15630	3	3,000	-2,821	1,399	-4,155	1,399	-4,925	-4,925	0,000	4,517	0,000	4,517
雹	15629	4	3,000	-2,948	1,695	-4,279	1,695	-4,954	-4,954	0,000	3,886	0,000	3,886
雹	15628	5	3,000	-3,074	1,952	-4,394	1,952	-4,657	-4,657	0,000	3,273	0,000	3,273
Plate_1_5	15628	1	3,000	-3,074	1,954	-4,399	1,954	-4,760	-4,760	0,000	3,273	0,000	3,273
Element 11-22 (Plate)	15607	2	3,000	-3,292	2,318	-4,559	2,318	-4,022	-4,022	0,000	2,318	0,000	2,318
(Micropali D168.3x8,0mm/0,4)	15606	3	3,000	-3,509	2,599	-4,688	2,599	-3,223	-3,223	0,000	1,532	0,000	1,532
雹	15605	4	3,000	-3,726	2,787	-4,800	2,787	-2,400	-2,400	0,000	0,920	0,000	0,920
雹	15604	5	3,000	-3,943	2,872	-4,908	2,872	-1,591	-1,591	0,000	0,488	0,000	0,488
Plate_1_6	15604	1	3,000	-3,943	2,922	-4,875	2,922	-1,581	-1,581	0,000	0,488	0,000	0,488
Element 15-28 (Plate)	15495	2	3,000	-4,180	2,958	-4,969	2,958	-1,127	-1,127	0,000	0,168	-84,027	0,168
(Micropali D168.3x8,0mm/0,4)	15494	3	3,000	-4,418	3,002	-5,005	3,002	-0,728	-0,728	0,000	-0,052	-187,271	0,000
雹	15493	4	3,000	-4,656	3,023	-5,019	3,023	-0,369	-0,369	0,000	-0,182	-259,273	0,000
雹	15515	5	3,000	-4,894	2,992	-5,045	2,992	-0,035	-0,035	0,080	-0,229	-275,608	0,000
Plate_1_6	15515	1	3,000	-4,894	3,003	-5,039	3,003	-0,035	-0,035	0,061	-0,229	-275,608	0,000
Element 15-29 (Plate)	15514	2	3,000	-5,095	2,984	-5,037	2,984	0,120	0,000	0,178	-0,221	-251,635	0,000
(Micropali D168.3x8,0mm/0,4)	15513	3	3,000	-5,297	2,963	-5,022	2,963	0,268	0,000	0,297	-0,182	-204,252	0,000
雹	15512	4	3,000	-5,498	2,939	-4,996	2,939	0,412	0,000	0,426	-0,113	-136,224	0,000
雹	15511	5	3,000	-5,700	2,912	-4,957	2,912	0,558	0,000	0,560	-0,015	-57,335	0,000
Plate_1_7	15511	1	3,000	-5,700	2,912	-4,957	2,912	0,554	0,000	0,556	-0,015	-57,335	0,000
Element 17-32 (Plate)	15227	2	3,000	-5,825	2,894	-4,928	2,894	0,642	0,000	0,642	0,059	-10,634	0,059
(Micropali D168.3x8,0mm/0,4)	15228	3	3,000	-5,950	2,876	-4,895	2,876	0,715	0,000	0,715	0,145	0,000	0,145
雹	15229	4	3,000	-6,075	2,856	-4,857	2,856	0,771	0,000	0,771	0,238	0,000	0,238
雹	15226	5	3,000	-6,200	2,835	-4,816	2,835	0,807	0,000	0,807	0,336	0,000	0,336
Plate_1_8	15226	1	3,000	-6,200	2,835	-4,816	2,835	0,802	0,000	0,802	0,336	0,000	0,336
Element 19-34 (Plate)	15055	2	3,000	-6,275	2,822	-4,789	2,822	0,805	0,000	0,805	0,397	0,000	0,397
(Micropali D168.3x8,0mm/0,4)	15054	3	3,000	-6,350	2,808	-4,761	2,808	0,786	0,000	0,786	0,457	0,000	0,457
雹	15053	4	3,000	-6,425	2,793	-4,731	2,793	0,743	0,000	0,743	0,514	0,000	0,514
雹	15052	5	3,000	-6,500	2,778	-4,700	2,778	0,675	0,000	0,675	0,568	0,000	0,568
Plate_1_9	15052	1	3,000	-6,500	2,778	-4,700	2,778	0,670	0,000	0,670	0,568	0,000	0,568
Element 20-35 (Plate)	14383	2	3,000	-6,522	2,773	-4,691	2,773	0,641	0,000	0,641	0,582	0,000	0,582
(Micropali D168.3x8,0mm/0,4)	14384	3	3,000	-6,543	2,769	-4,681	2,769	0,607	0,000	0,607	0,595	0,000	0,595
雹	14385	4	3,000	-6,565	2,764	-4,672	2,764	0,566	0,000	0,566	0,608	0,000	0,608
雹	14382	5	3,000	-6,586	2,760	-4,662	2,760	0,519	0,000	0,519	0,619	0,000	0,619
Plate_1_10	14382	1	3,000	-6,586	2,759	-4,662	2,759	0,511	0,000	0,511	0,619	0,000	0,619
Element 22-37 (Plate)	13951	2	3,000	-6,690	2,735	-4,614	2,735	0,291	0,000	0,291	0,661	0,000	0,661
(Micropali D168.3x8,0mm/0,4)	13952	3	3,000	-6,793	2,705	-4,565	2,705	0,114	0,000	0,114	0,681	0,000	0,681
雹	13953	4	3,000	-6,897	2,670	-4,514	2,670	-0,023	-0,023	0,020	0,686	0,000	0,686
雹	13950	5	3,000	-7,000	2,628	-4,462	2,628	-0,125	-0,125	0,000	0,678	0,000	0,678
Plate_1_11	13950	1	3,000	-7,000	2,629	-4,462	2,629	-0,131	-0,131	0,000	0,678	0,000	0,678
Element 25-40 (Plate)	13001	2	3,000	-7,152	2,556	-4,383	2,556	-0,250	-0,250	0,000	0,648	0,000	0,648
(Micropali D168.3x8,0mm/0,4)	13002	3	3,000	-7,305	2,470	-4,301	2,470	-0,338	-0,338	0,000	0,603	0,000	0,603
雹	13003	4	3,000	-7,457	2,372	-4,215	2,372	-0,396	-0,396	0,000	0,547	0,000	0,547
雹	13000	5	3,000	-7,610	2,263	-4,127	2,263	-0,424	-0,424	0,000	0,484	0,000	0,484
Plate_1_11	13000	1	3,000	-7,610	2,285	-4,129	2,285	-0,430	-0,430	0,000	0,484	0,000	0,484
Element 25-41 (Plate)	12096	2	3,000	-7,832	2,282	-3,990	2,282	-0,423	-0,423	0,000	0,389	0,000	0,389
(Micropali D168.3x8,0mm/0,4)	12095	3	3,000	-8,055	2,272	-3,849	2,272	-0,404	-0,404	0,000	0,296	0,000	0,296
雹	12094	4	3,000	-8,277	2,258	-3,709	2,258	-0,376	-0,376	0,000	0,210	0,000	0,210
雹	12093	5	3,000	-8,500	2,242	-3,573	2,242	-0,344	-0,344	0,000	0,129	0,000	0,129
Plate_1_12	12093	1	3,000	-8,500	2,234	-3,588	2,234	-0,343	-0,343	0,000	0,129	0,000	0,129
Element 28-47 (Plate)	11390	2	3,000	-8,706	2,245	-3,429	2,245	-0,339	-0,339	0,000	0,059	0,000	0,059
(Micropali D168.3x8,0mm/0,4)	11391	3	3,000	-8,913	2,234	-3,262	2,234	-0,331	-0,331	0,000	-0,010	-24,100	0,013
雹	11392	4	3,000	-9,119	2,182	-3,086	2,182	-0,313	-0,313	0,000	-0,077	-76,962	0,006

Structural element	Node [10^]	Local number	X [m]	Y [m]	N [kN/m]	N --- [kN/m]	N --- [kN/m]	Q [kN/m]	Q --- [kN/m]	Q --- [kN/m]	M [kN m/m]	M --- [10^ kN m/m]	M --- [kN m/m]
28	11389	5	3,000	-9,325	2,071	-2,901	2,071	-0,280	-0,280	0,000	-0,139	-138,505	0,001
Plate_1_12	11389	1	3,000	-9,325	2,048	-2,901	2,048	-0,277	-0,277	0,000	-0,139	-138,505	0,001
Element 28-48 (Plate)	10576	2	3,000	-9,483	1,894	-2,752	1,894	-0,224	-0,224	0,000	-0,178	-178,044	0,000
(Micropali D168.3x8,0mm/0,4)	10575	3	3,000	-9,641	1,746	-2,597	1,746	-0,167	-0,167	0,000	-0,209	-208,879	0,000
28	10574	4	3,000	-9,798	1,603	-2,434	1,603	-0,107	-0,107	0,000	-0,231	-230,520	0,000
28	10573	5	3,000	-9,956	1,465	-2,264	1,465	-0,045	-0,045	0,000	-0,243	-242,534	0,000
Plate_1_12	10573	1	3,000	-9,956	1,465	-2,264	1,465	-0,046	-0,046	0,000	-0,243	-242,534	0,000
Element 28-49 (Plate)	9580	2	3,000	-10,077	1,361	-2,129	1,361	-0,002	-0,007	0,013	-0,245	-245,444	0,000
(Micropali D168.3x8,0mm/0,4)	9579	3	3,000	-10,197	1,257	-1,988	1,257	0,041	-0,005	0,042	-0,243	-243,065	0,000
28	9578	4	3,000	-10,318	1,154	-1,842	1,154	0,083	-0,003	0,083	-0,236	-235,581	0,000
28	9577	5	3,000	-10,439	1,051	-1,691	1,051	0,123	-0,001	0,123	-0,223	-223,173	0,000
Plate_1_12	9577	1	3,000	-10,439	1,050	-1,690	1,050	0,123	-0,001	0,123	-0,223	-223,173	0,000
Element 28-50 (Plate)	8342	2	3,000	-10,531	0,971	-1,571	0,971	0,152	0,000	0,152	-0,210	-210,497	0,000
(Micropali D168.3x8,0mm/0,4)	8343	3	3,000	-10,623	0,890	-1,446	0,890	0,180	0,000	0,180	-0,195	-195,157	0,000
28	8344	4	3,000	-10,715	0,807	-1,318	0,807	0,206	0,000	0,206	-0,177	-177,324	0,000
28	8341	5	3,000	-10,808	0,724	-1,186	0,724	0,230	0,000	0,230	-0,157	-157,169	0,000
Plate_1_12	8341	1	3,000	-10,808	0,723	-1,186	0,723	0,230	0,000	0,230	-0,157	-157,169	0,000
Element 28-51 (Plate)	7770	2	3,000	-10,878	0,658	-1,081	0,658	0,246	0,000	0,246	-0,140	-140,362	0,000
(Micropali D168.3x8,0mm/0,4)	7769	3	3,000	-10,949	0,591	-0,974	0,591	0,259	0,000	0,259	-0,123	-122,501	0,000
28	7768	4	3,000	-11,019	0,523	-0,863	0,523	0,269	0,000	0,269	-0,104	-103,849	0,000
28	7767	5	3,000	-11,090	0,453	-0,749	0,453	0,274	0,000	0,274	-0,085	-84,677	0,000
Plate_1_12	7767	1	3,000	-11,090	0,453	-0,749	0,453	0,273	0,000	0,273	-0,085	-84,677	0,000
Element 28-52 (Plate)	6794	2	3,000	-11,144	0,398	-0,659	0,398	0,273	0,000	0,273	-0,070	-69,926	0,000
(Micropali D168.3x8,0mm/0,4)	6795	3	3,000	-11,198	0,342	-0,567	0,342	0,267	0,000	0,267	-0,055	-55,329	0,000
28	6796	4	3,000	-11,252	0,285	-0,473	0,285	0,254	0,000	0,254	-0,041	-41,255	0,000
28	6793	5	3,000	-11,306	0,227	-0,375	0,227	0,234	0,000	0,234	-0,028	-28,079	0,000
Plate_1_12	6793	1	3,000	-11,306	0,226	-0,375	0,226	0,230	0,000	0,230	-0,028	-28,079	0,000
Element 28-53 (Plate)	5608	2	3,000	-11,347	0,181	-0,299	0,181	0,210	0,000	0,210	-0,019	-18,952	0,000
(Micropali D168.3x8,0mm/0,4)	5609	3	3,000	-11,388	0,133	-0,220	0,133	0,175	0,000	0,175	-0,011	-10,947	0,000
28	5610	4	3,000	-11,429	0,085	-0,140	0,085	0,126	0,000	0,126	-0,005	-4,679	0,000
28	5607	5	3,000	-11,471	0,034	-0,057	0,034	0,061	0,000	0,061	-0,001	-0,773	0,000
Plate_1_13	5607	1	3,000	-11,471	0,035	-0,056	0,035	0,057	0,000	0,057	-0,001	-0,773	0,000
Element 30-64 (Plate)	4612	2	3,000	-11,478	0,025	-0,041	0,025	0,041	0,000	0,041	0,000	-0,413	0,000
(Micropali D168.3x8,0mm/0,4)	4611	3	3,000	-11,485	0,016	-0,026	0,016	0,026	0,000	0,026	0,000	-0,168	0,000
28	4610	4	3,000	-11,493	0,007	-0,011	0,007	0,011	0,000	0,011	0,000	-0,032	0,000
28	4609	5	3,000	-11,500	-0,002	-0,002	0,005	-0,002	-0,002	0,000	0,000	0,000	0,000

3.1.2.4.8 Calculation results, Plate, Ancoraggio 1 [Phase_7] (7/308), Table of plate force envelopes

Structural element	Node [10^0]	Local number	X [m]	Y [m]	N [kN/m]	N,min [kN/m]	N,max [kN/m]	Q [kN/m]	Q,min [kN/m]	Q,max [kN/m]	M [kN m/m]	M,min [10^0 kN m/m]	M,max [kN m/m]
Plate_4_1	16475	1	3,000	-0,126	-0,009	-0,016	0,009	0,018	-0,018	0,029	0,000	0,000	0,000
Element 2-5 (Plate)	16474	2	3,000	-0,282	-0,022	-0,071	0,000	0,044	0,000	0,138	0,003	0,000	0,013
(Micropali D168.3x8,0mm/0,4)	16473	3	3,000	-0,438	-0,092	-0,141	0,000	0,181	0,000	0,273	0,019	0,000	0,044
28	16472	4	3,000	-0,594	-0,221	-0,238	0,000	0,434	0,000	0,460	0,066	0,000	0,101
29	16471	5	3,000	-0,750	-0,412	-0,426	0,000	0,808	0,000	0,813	0,161	0,000	0,192
Plate_1_1	16471	1	3,000	-0,750	-0,399	-0,471	0,000	0,783	0,000	0,864	0,161	0,000	0,192
Element 5-9 (Plate)	16455	2	3,000	-0,948	-0,704	-0,704	0,000	1,381	0,000	1,381	0,365	0,000	0,365
(Micropali D168.3x8,0mm/0,4)	16454	3	3,000	-1,146	-1,195	-1,199	0,000	2,346	0,000	2,346	0,735	0,000	0,735
28	16453	4	3,000	-1,344	-1,755	-1,757	0,000	3,445	0,000	3,445	1,303	0,000	1,303
29	16595	5	3,000	-1,542	-2,265	-2,843	0,000	4,444	-0,116	4,444	2,089	0,000	2,089
Plate_1_1	16595	1	3,000	-1,542	-2,403	-2,689	0,000	4,716	0,000	4,716	2,089	0,000	2,089
Element 5-10 (Plate)	16594	2	3,000	-1,581	-2,509	-2,652	0,000	4,924	0,000	4,924	2,278	0,000	2,278
(Micropali D168.3x8,0mm/0,4)	16593	3	3,000	-1,621	-2,731	-2,731	0,000	5,359	-0,017	5,359	2,482	0,000	2,482
28	16592	4	3,000	-1,660	-2,938	-2,938	0,000	5,765	-0,035	5,765	2,702	0,000	2,702
29	16615	5	3,000	-1,700	-3,000	-3,000	0,000	5,888	-0,022	5,888	2,934	0,000	2,934
Plate_1_2	16615	1	3,000	-1,700	-3,058	-3,058	0,000	5,863	-0,031	5,890	2,934	0,000	2,934
Element 7-13 (Plate)	16614	2	3,000	-1,728	-3,194	-3,194	0,000	6,132	-0,020	6,153	3,104	0,000	3,104
(Micropali D168.3x8,0mm/0,4)	16613	3	3,000	-1,757	-3,350	-3,350	0,000	6,436	-0,009	6,453	3,282	0,000	3,282
28	16612	4	3,000	-1,785	-3,523	-3,523	0,000	6,777	-0,004	6,788	3,469	0,000	3,469
29	16611	5	3,000	-1,813	-3,715	-3,715	0,000	7,153	-0,006	7,160	3,666	0,000	3,666
Plate_1_3	16611	1	3,000	-1,813	-3,660	-3,660	0,000	7,046	-0,006	7,046	3,666	0,000	3,666
Element 8-14 (Plate)	16499	2	3,000	-1,847	-3,814	-3,814	0,000	7,347	-0,013	7,347	3,911	0,000	3,911
(Micropali D168.3x8,0mm/0,4)	16498	3	3,000	-1,881	-3,901	-3,901	0,000	7,519	-0,023	7,519	4,165	0,000	4,165
28	16497	4	3,000	-1,915	-3,918	-3,918	0,000	7,553	-0,034	7,553	4,422	0,000	4,422
29	16496	5	3,000	-1,949	-3,860	-3,860	0,000	7,438	-0,047	7,438	4,677	0,000	4,677
Plate_1_3	16496	1	3,000	-1,949	-3,872	-3,872	0,000	7,452	-0,046	7,452	4,677	0,000	4,677
Element 8-15 (Plate)	16287	2	3,000	-1,983	-3,765	-3,765	0,000	7,221	-0,059	7,221	4,928	0,000	4,928
(Micropali D168.3x8,0mm/0,4)	16286	3	3,000	-2,018	-3,642	-3,642	0,000	6,850	-0,071	6,850	5,168	0,000	5,168
28	16285	4	3,000	-2,052	-3,496	-3,496	0,000	6,349	-0,082	6,349	5,393	0,000	5,393
29	16284	5	3,000	-2,086	-3,320	-3,352	0,000	5,730	-0,092	5,730	5,599	0,000	5,599
Plate_1_4	16284	1	3,000	-2,086	-3,288	-3,336	0,000	5,745	-0,092	5,745	5,599	0,000	5,599
Element 9-16 (Plate)	16241	2	3,000	-2,088	-3,275	-3,337	0,000	5,682	-0,093	5,682	5,614	0,000	5,614
(Micropali D168.3x8,0mm/0,4)	16240	3	3,000	-2,091	-3,253	-3,335	0,000	5,608	-0,094	5,608	5,629	0,000	5,629
28	16239	4	3,000	-2,094	-3,223	-3,327	0,000	5,529	-0,095	5,529	5,643	0,000	5,643
29	16238	5	3,000	-2,096	-3,184	-3,310	0,000	5,451	-0,096	5,451	5,658	0,000	5,658
Plate_1_5	16238	1	3,000	-2,096	-3,206	-3,315	0,000	5,501	-0,096	5,501	5,658	0,000	5,658
Element 11-19 (Plate)	16221	2	3,000	-2,140	-2,726	-3,319	0,000	4,337	-0,169	4,337	5,871	0,000	5,871
(Micropali D168.3x8,0mm/0,4)	16220	3	3,000	-2,183	-2,273	-3,381	0,000	3,259	-0,536	3,259	6,035	0,000	6,035
28	16219	4	3,000	-2,226	-1,835	-3,441	0,000	2,249	-0,898	2,249	6,155	0,000	6,155
29	16218	5	3,000	-2,270	-1,396	-3,501	0,000	1,291	-1,296	1,291	6,231	0,000	6,231
Plate_1_5	16218	1	3,000	-2,270	-1,455	-3,501	0,000	1,335	-1,305	1,335	6,231	0,000	6,231
Element 11-20 (Plate)	15915	2	3,000	-2,344	-0,607	-3,600	0,000	-0,322	-1,862	0,000	6,267	0,000	6,267
(Micropali D168.3x8,0mm/0,4)	15914	3	3,000	-2,418	0,006	-3,695	0,087	-1,702	-2,459	0,000	6,190	0,000	6,190
28	15913	4	3,000	-2,492	0,396	-3,788	0,459	-2,814	-3,065	0,000	6,021	0,000	6,021
29	15912	5	3,000	-2,567	0,572	-3,876	0,618	-3,665	-3,665	0,000	5,779	0,000	5,779
Plate_1_5	15912	1	3,000	-2,567	0,632	-3,876	0,682	-3,711	-3,711	0,000	5,779	0,000	5,779
Element 11-21 (Plate)	15631	2	3,000	-2,694	1,017	-4,020	1,061	-4,582	-4,582	0,000	5,248	0,000	5,248

Structural element	Node [10^]	Local number	X [m]	Y [m]	N [kN/m]	N -,- [kN/m]	N -,- [kN/m]	Q [kN/m]	Q -,- [kN/m]	Q -,- [kN/m]	M [kN m/m]	M -,- [10^ kN m/m]	M -,- [kN m/m]
(Micropali D168.3x8,0mm/0,4)	15630	3	3,000	-2,821	1,359	-4,155	1,399	-5,010	-5,010	0,000	4,635	0,000	4,635
,,	15629	4	3,000	-2,948	1,659	-4,279	1,695	-5,050	-5,050	0,000	3,992	0,000	3,992
,,	15628	5	3,000	-3,074	1,919	-4,394	1,952	-4,753	-4,753	0,000	3,367	0,000	3,367
Plate_1_5	15628	1	3,000	-3,074	1,921	-4,399	1,954	-4,859	-4,859	0,000	3,367	0,000	3,367
Element 11-22 (Plate)	15607	2	3,000	-3,292	2,290	-4,559	2,318	-4,113	-4,113	0,000	2,392	0,000	2,392
(Micropali D168.3x8,0mm/0,4)	15606	3	3,000	-3,509	2,575	-4,688	2,599	-3,302	-3,302	0,000	1,587	0,000	1,587
,,	15605	4	3,000	-3,726	2,765	-4,800	2,787	-2,465	-2,465	0,000	0,960	0,000	0,960
,,	15604	5	3,000	-3,943	2,852	-4,908	2,872	-1,641	-1,641	0,000	0,515	0,000	0,515
Plate_1_6	15604	1	3,000	-3,943	2,902	-4,875	2,922	-1,631	-1,631	0,000	0,515	0,000	0,515
Element 15-28 (Plate)	15495	2	3,000	-4,180	2,940	-4,969	2,958	-1,164	-1,164	0,000	0,184	-84,027	0,184
(Micropali D168.3x8,0mm/0,4)	15494	3	3,000	-4,418	2,987	-5,005	3,002	-0,754	-0,754	0,000	-0,043	-187,271	0,000
,,	15493	4	3,000	-4,656	3,010	-5,019	3,023	-0,386	-0,386	0,000	-0,178	-259,273	0,000
,,	15515	5	3,000	-4,894	2,980	-5,045	2,992	-0,046	-0,046	0,080	-0,229	-275,608	0,000
Plate_1_6	15515	1	3,000	-4,894	2,991	-5,039	3,003	-0,046	-0,046	0,061	-0,229	-275,608	0,000
Element 15-29 (Plate)	15514	2	3,000	-5,095	2,973	-5,037	2,984	0,113	0,000	0,178	-0,222	-251,635	0,000
(Micropali D168.3x8,0mm/0,4)	15513	3	3,000	-5,297	2,953	-5,022	2,963	0,263	0,000	0,297	-0,184	-204,252	0,000
,,	15512	4	3,000	-5,498	2,930	-4,996	2,939	0,410	0,000	0,426	-0,116	-136,224	0,000
,,	15511	5	3,000	-5,700	2,904	-4,957	2,912	0,557	0,000	0,560	-0,019	-57,335	0,000
Plate_1_7	15511	1	3,000	-5,700	2,904	-4,957	2,912	0,553	0,000	0,556	-0,019	-57,335	0,000
Element 17-32 (Plate)	15227	2	3,000	-5,825	2,887	-4,928	2,894	0,642	0,000	0,642	0,056	-10,634	0,059
(Micropali D168.3x8,0mm/0,4)	15228	3	3,000	-5,950	2,869	-4,895	2,876	0,716	0,000	0,716	0,141	0,000	0,145
,,	15229	4	3,000	-6,075	2,850	-4,857	2,856	0,772	0,000	0,772	0,235	0,000	0,238
,,	15226	5	3,000	-6,200	2,829	-4,816	2,835	0,808	0,000	0,808	0,334	0,000	0,336
Plate_1_8	15226	1	3,000	-6,200	2,829	-4,816	2,835	0,803	0,000	0,803	0,334	0,000	0,336
Element 19-34 (Plate)	15055	2	3,000	-6,275	2,816	-4,789	2,822	0,806	0,000	0,806	0,394	0,000	0,397
(Micropali D168.3x8,0mm/0,4)	15054	3	3,000	-6,350	2,802	-4,761	2,808	0,788	0,000	0,788	0,454	0,000	0,457
,,	15053	4	3,000	-6,425	2,788	-4,731	2,793	0,745	0,000	0,745	0,512	0,000	0,514
,,	15052	5	3,000	-6,500	2,773	-4,700	2,778	0,676	0,000	0,676	0,565	0,000	0,568
Plate_1_9	15052	1	3,000	-6,500	2,773	-4,700	2,778	0,672	0,000	0,672	0,565	0,000	0,568
Element 20-35 (Plate)	14383	2	3,000	-6,522	2,768	-4,691	2,773	0,643	0,000	0,643	0,579	0,000	0,582
(Micropali D168.3x8,0mm/0,4)	14384	3	3,000	-6,543	2,764	-4,681	2,769	0,608	0,000	0,608	0,593	0,000	0,595
,,	14385	4	3,000	-6,565	2,760	-4,672	2,764	0,568	0,000	0,568	0,605	0,000	0,608
,,	14382	5	3,000	-6,586	2,755	-4,662	2,760	0,521	0,000	0,521	0,617	0,000	0,619
Plate_1_10	14382	1	3,000	-6,586	2,755	-4,662	2,759	0,513	0,000	0,513	0,617	0,000	0,619
Element 22-37 (Plate)	13951	2	3,000	-6,690	2,731	-4,614	2,735	0,293	0,000	0,293	0,658	0,000	0,661
(Micropali D168.3x8,0mm/0,4)	13952	3	3,000	-6,793	2,701	-4,565	2,705	0,116	0,000	0,116	0,679	0,000	0,681
,,	13953	4	3,000	-6,897	2,666	-4,514	2,670	-0,022	-0,023	0,020	0,684	0,000	0,686
,,	13950	5	3,000	-7,000	2,625	-4,462	2,629	-0,124	-0,125	0,000	0,676	0,000	0,678
Plate_1_11	13950	1	3,000	-7,000	2,625	-4,462	2,629	-0,129	-0,131	0,000	0,676	0,000	0,678
Element 25-40 (Plate)	13001	2	3,000	-7,152	2,553	-4,383	2,556	-0,248	-0,250	0,000	0,647	0,000	0,648
(Micropali D168.3x8,0mm/0,4)	13002	3	3,000	-7,305	2,467	-4,301	2,470	-0,336	-0,338	0,000	0,602	0,000	0,603
,,	13003	4	3,000	-7,457	2,369	-4,215	2,372	-0,395	-0,396	0,000	0,546	0,000	0,547
,,	13000	5	3,000	-7,610	2,260	-4,127	2,263	-0,423	-0,424	0,000	0,483	0,000	0,484
Plate_1_11	13000	1	3,000	-7,610	2,283	-4,129	2,286	-0,429	-0,430	0,000	0,483	0,000	0,484
Element 25-41 (Plate)	12096	2	3,000	-7,832	2,280	-3,990	2,282	-0,422	-0,423	0,000	0,388	0,000	0,389
(Micropali D168.3x8,0mm/0,4)	12095	3	3,000	-8,055	2,270	-3,849	2,272	-0,403	-0,404	0,000	0,296	0,000	0,296
,,	12094	4	3,000	-8,277	2,256	-3,709	2,258	-0,375	-0,376	0,000	0,209	0,000	0,210
,,	12093	5	3,000	-8,500	2,240	-3,573	2,242	-0,344	-0,344	0,000	0,129	0,000	0,129
Plate_1_12	12093	1	3,000	-8,500	2,233	-3,588	2,234	-0,343	-0,343	0,000	0,129	0,000	0,129
Element 28-47 (Plate)	11390	2	3,000	-8,706	2,244	-3,429	2,245	-0,339	-0,339	0,000	0,059	0,000	0,059
(Micropali D168.3x8,0mm/0,4)	11391	3	3,000	-8,913	2,233	-3,262	2,234	-0,331	-0,331	0,000	-0,011	-24,100	0,013
,,	11392	4	3,000	-9,119	2,181	-3,086	2,182	-0,313	-0,313	0,000	-0,077	-77,158	0,006
,,	11389	5	3,000	-9,325	2,071	-2,901	2,072	-0,280	-0,280	0,000	-0,139	-138,695	0,001

Structural element	Node [10^]	Local number	X [m]	Y [m]	N [kN/m]	N,-,- [kN/m]	N,-,- [kN/m]	Q [kN/m]	Q,-,- [kN/m]	Q,-,- [kN/m]	M [kN m/m]	M,-,- [10^ kN m/m]	M,-,- [kN m/m]
Plate_1_12	11389	1	3,000	-9,325	2,047	-2,901	2,049	-0,277	-0,277	0,000	-0,139	-138,695	0,001
Element 28-48 (Plate)	10576	2	3,000	-9,483	1,893	-2,752	1,894	-0,224	-0,224	0,000	-0,178	-178,230	0,000
(Micropali D168.3x8,0mm/0,4)	10575	3	3,000	-9,641	1,745	-2,597	1,746	-0,167	-0,167	0,000	-0,209	-209,062	0,000
28	10574	4	3,000	-9,798	1,602	-2,434	1,603	-0,107	-0,107	0,000	-0,231	-230,698	0,000
28	10573	5	3,000	-9,956	1,465	-2,264	1,466	-0,045	-0,045	0,000	-0,243	-242,706	0,000
Plate_1_12	10573	1	3,000	-9,956	1,464	-2,264	1,465	-0,046	-0,046	0,000	-0,243	-242,706	0,000
Element 28-49 (Plate)	9580	2	3,000	-10,077	1,360	-2,129	1,361	-0,002	-0,007	0,013	-0,246	-245,608	0,000
(Micropali D168.3x8,0mm/0,4)	9579	3	3,000	-10,197	1,257	-1,988	1,258	0,041	-0,005	0,042	-0,243	-243,222	0,000
28	9578	4	3,000	-10,318	1,154	-1,842	1,154	0,083	-0,003	0,083	-0,236	-235,727	0,000
28	9577	5	3,000	-10,439	1,051	-1,691	1,051	0,123	-0,001	0,123	-0,223	-223,307	0,000
Plate_1_12	9577	1	3,000	-10,439	1,050	-1,690	1,051	0,123	-0,001	0,123	-0,223	-223,307	0,000
Element 28-50 (Plate)	8342	2	3,000	-10,531	0,970	-1,571	0,971	0,152	0,000	0,152	-0,211	-210,621	0,000
(Micropali D168.3x8,0mm/0,4)	8343	3	3,000	-10,623	0,889	-1,446	0,890	0,180	0,000	0,180	-0,195	-195,270	0,000
28	8344	4	3,000	-10,715	0,807	-1,318	0,807	0,206	0,000	0,206	-0,177	-177,424	0,000
28	8341	5	3,000	-10,808	0,723	-1,186	0,724	0,231	0,000	0,231	-0,157	-157,256	0,000
Plate_1_12	8341	1	3,000	-10,808	0,723	-1,186	0,724	0,230	0,000	0,230	-0,157	-157,256	0,000
Element 28-51 (Plate)	7770	2	3,000	-10,878	0,658	-1,081	0,658	0,246	0,000	0,246	-0,140	-140,439	0,000
(Micropali D168.3x8,0mm/0,4)	7769	3	3,000	-10,949	0,591	-0,974	0,591	0,260	0,000	0,260	-0,123	-122,566	0,000
28	7768	4	3,000	-11,019	0,523	-0,863	0,523	0,269	0,000	0,269	-0,104	-103,903	0,000
28	7767	5	3,000	-11,090	0,453	-0,749	0,453	0,274	0,000	0,274	-0,085	-84,721	0,000
Plate_1_12	7767	1	3,000	-11,090	0,453	-0,749	0,453	0,273	0,000	0,273	-0,085	-84,721	0,000
Element 28-52 (Plate)	6794	2	3,000	-11,144	0,398	-0,659	0,399	0,273	0,000	0,273	-0,070	-69,962	0,000
(Micropali D168.3x8,0mm/0,4)	6795	3	3,000	-11,198	0,342	-0,567	0,343	0,267	0,000	0,267	-0,055	-55,357	0,000
28	6796	4	3,000	-11,252	0,285	-0,473	0,285	0,254	0,000	0,254	-0,041	-41,275	0,000
28	6793	5	3,000	-11,306	0,226	-0,375	0,227	0,234	0,000	0,234	-0,028	-28,093	0,000
Plate_1_12	6793	1	3,000	-11,306	0,226	-0,375	0,226	0,231	0,000	0,231	-0,028	-28,093	0,000
Element 28-53 (Plate)	5608	2	3,000	-11,347	0,180	-0,299	0,181	0,210	0,000	0,210	-0,019	-18,961	0,000
(Micropali D168.3x8,0mm/0,4)	5609	3	3,000	-11,388	0,133	-0,220	0,133	0,176	0,000	0,176	-0,011	-10,952	0,000
28	5610	4	3,000	-11,429	0,085	-0,140	0,085	0,126	0,000	0,126	-0,005	-4,681	0,000
28	5607	5	3,000	-11,471	0,034	-0,057	0,034	0,061	0,000	0,061	-0,001	-0,774	0,000
Plate_1_13	5607	1	3,000	-11,471	0,035	-0,056	0,035	0,057	0,000	0,057	-0,001	-0,774	0,000
Element 30-64 (Plate)	4612	2	3,000	-11,478	0,025	-0,041	0,025	0,041	0,000	0,041	0,000	-0,413	0,000
(Micropali D168.3x8,0mm/0,4)	4611	3	3,000	-11,485	0,016	-0,026	0,016	0,026	0,000	0,026	0,000	-0,168	0,000
28	4610	4	3,000	-11,493	0,007	-0,011	0,007	0,011	0,000	0,011	0,000	-0,032	0,000
28	4609	5	3,000	-11,500	-0,002	-0,002	0,005	-0,002	-0,002	0,000	0,000	0,000	0,000

3.1.2.4.9 Calculation results, Plate, Escavo 2 [Phase_8] (8/338), Table of plate force envelopes

Structural element	Node [10⁰]	Local number	X [m]	Y [m]	N [kN/m]	N ⋯ [kN/m]	N ⋯ [kN/m]	Q [kN/m]	Q ⋯ [kN/m]	Q ⋯ [kN/m]	M [kN m/m]	M ⋯ [kN m/m]	M ⋯ [kN m/m]
Plate_4_1	16475	1	3,000	-0,126	0,022	-0,016	0,022	-0,042	-0,042	0,029	0,000	0,000	0,000
Element 2-5 (Plate)	16474	2	3,000	-0,282	-0,060	-0,071	0,000	0,119	0,000	0,138	0,006	0,000	0,013
(Micropali D168.3x8,0mm/0,4)	16473	3	3,000	-0,438	-0,166	-0,166	0,000	0,327	0,000	0,327	0,039	0,000	0,044
⋯	16472	4	3,000	-0,594	-0,310	-0,310	0,000	0,611	0,000	0,611	0,112	0,000	0,112
⋯	16471	5	3,000	-0,750	-0,509	-0,509	0,000	1,002	0,000	1,002	0,236	0,000	0,236
Plate_1_1	16471	1	3,000	-0,750	-0,554	-0,554	0,000	1,091	0,000	1,091	0,236	0,000	0,236
Element 5-9 (Plate)	16455	2	3,000	-0,948	-0,843	-0,843	0,000	1,659	0,000	1,659	0,501	0,000	0,501
(Micropali D168.3x8,0mm/0,4)	16454	3	3,000	-1,146	-1,303	-1,303	0,000	2,564	0,000	2,564	0,916	0,000	0,916
⋯	16453	4	3,000	-1,344	-1,905	-1,905	0,000	3,746	0,000	3,746	1,535	0,000	1,535
⋯	16595	5	3,000	-1,542	-2,618	-2,843	0,000	5,148	-0,116	5,148	2,412	0,000	2,412
Plate_1_1	16595	1	3,000	-1,542	-2,687	-2,689	0,000	5,282	0,000	5,282	2,412	0,000	2,412
Element 5-10 (Plate)	16594	2	3,000	-1,581	-2,768	-2,768	0,000	5,442	0,000	5,442	2,623	0,000	2,623
(Micropali D168.3x8,0mm/0,4)	16593	3	3,000	-1,621	-2,981	-2,981	0,000	5,859	-0,017	5,859	2,847	0,000	2,847
⋯	16592	4	3,000	-1,660	-3,197	-3,197	0,000	6,285	-0,035	6,285	3,087	0,000	3,087
⋯	16615	5	3,000	-1,700	-3,292	-3,292	0,000	6,470	-0,022	6,470	3,341	0,000	3,341
Plate_1_2	16615	1	3,000	-1,700	-5,529	-5,529	0,000	-6,399	-6,399	5,890	3,341	0,000	3,341
Element 7-13 (Plate)	16614	2	3,000	-1,728	-5,689	-5,689	0,000	-6,085	-6,085	6,153	3,164	0,000	3,164
(Micropali D168.3x8,0mm/0,4)	16613	3	3,000	-1,757	-5,853	-5,853	0,000	-5,762	-5,762	6,453	2,996	0,000	3,282
⋯	16612	4	3,000	-1,785	-6,026	-6,026	0,000	-5,423	-5,423	6,788	2,838	0,000	3,469
⋯	16611	5	3,000	-1,813	-6,211	-6,211	0,000	-5,060	-5,060	7,160	2,690	0,000	3,666
Plate_1_3	16611	1	3,000	-1,813	-6,170	-6,170	0,000	-5,139	-5,139	7,046	2,690	0,000	3,666
Element 8-14 (Plate)	16499	2	3,000	-1,847	-6,379	-6,379	0,000	-4,729	-4,729	7,347	2,522	0,000	3,911
(Micropali D168.3x8,0mm/0,4)	16498	3	3,000	-1,881	-6,558	-6,558	0,000	-4,378	-4,378	7,519	2,367	0,000	4,165
⋯	16497	4	3,000	-1,915	-6,700	-6,700	0,000	-4,098	-4,098	7,553	2,223	0,000	4,422
⋯	16496	5	3,000	-1,949	-6,800	-6,800	0,000	-3,902	-3,902	7,438	2,087	0,000	4,677
Plate_1_3	16496	1	3,000	-1,949	-6,853	-6,853	0,000	-3,798	-3,798	7,452	2,087	0,000	4,677
Element 8-15 (Plate)	16287	2	3,000	-1,983	-6,958	-6,958	0,000	-3,592	-3,592	7,221	1,961	0,000	4,928
(Micropali D168.3x8,0mm/0,4)	16286	3	3,000	-2,018	-7,050	-7,050	0,000	-3,412	-3,412	6,850	1,842	0,000	5,168
⋯	16285	4	3,000	-2,052	-7,132	-7,132	0,000	-3,250	-3,250	6,349	1,728	0,000	5,393
⋯	16284	5	3,000	-2,086	-7,208	-7,208	0,000	-3,102	-3,102	5,730	1,620	0,000	5,599
Plate_1_4	16284	1	3,000	-2,086	-7,204	-7,204	0,000	-3,110	-3,110	5,745	1,620	0,000	5,599
Element 9-16 (Plate)	16241	2	3,000	-2,088	-7,204	-7,204	0,000	-3,110	-3,110	5,682	1,612	0,000	5,614
(Micropali D168.3x8,0mm/0,4)	16240	3	3,000	-2,091	-7,204	-7,204	0,000	-3,110	-3,110	5,608	1,604	0,000	5,629
⋯	16239	4	3,000	-2,094	-7,204	-7,204	0,000	-3,110	-3,110	5,529	1,596	0,000	5,643
⋯	16238	5	3,000	-2,096	-7,204	-7,204	0,000	-3,109	-3,109	5,451	1,588	0,000	5,658
Plate_1_5	16238	1	3,000	-2,096	-7,204	-7,204	0,000	-3,109	-3,109	5,501	1,588	0,000	5,658
Element 11-19 (Plate)	16221	2	3,000	-2,140	-7,204	-7,204	0,000	-3,108	-3,108	4,337	1,453	0,000	5,871
(Micropali D168.3x8,0mm/0,4)	16220	3	3,000	-2,183	-7,204	-7,204	0,000	-3,107	-3,107	3,259	1,318	0,000	6,035
⋯	16219	4	3,000	-2,226	-7,204	-7,204	0,000	-3,107	-3,107	2,249	1,183	0,000	6,155
⋯	16218	5	3,000	-2,270	-7,204	-7,204	0,000	-3,107	-3,107	1,291	1,048	0,000	6,231
Plate_1_5	16218	1	3,000	-2,270	-7,208	-7,208	0,000	-3,099	-3,099	1,335	1,048	0,000	6,231
Element 11-20 (Plate)	15915	2	3,000	-2,344	-7,203	-7,203	0,000	-3,110	-3,110	0,000	0,817	0,000	6,267
(Micropali D168.3x8,0mm/0,4)	15914	3	3,000	-2,418	-7,213	-7,213	0,087	-3,090	-3,090	0,000	0,587	0,000	6,190
⋯	15913	4	3,000	-2,492	-7,224	-7,224	0,459	-3,069	-3,069	0,000	0,358	0,000	6,021
⋯	15912	5	3,000	-2,567	-7,220	-7,220	0,618	-3,077	-3,665	0,000	0,131	0,000	5,779
Plate_1_5	15912	1	3,000	-2,567	-7,216	-7,216	0,682	-3,083	-3,711	0,000	0,131	0,000	5,779
Element 11-21 (Plate)	15631	2	3,000	-2,694	-7,292	-7,292	1,061	-2,933	-4,582	0,000	-0,254	-0,254	5,248

Structural element	Node [10^3]	Local number	X [m]	Y [m]	N [kN/m]	N,min [kN/m]	N,max [kN/m]	Q [kN/m]	Q,min [kN/m]	Q,max [kN/m]	M [kN m/m]	M,min [kN m/m]	M,max [kN m/m]
(Micropali D168.3x8,0mm/0,4)	15630	3	3,000	-2,821	-7,478	-7,478	1,399	-2,570	-5,010	0,000	-0,605	-0,605	4,635
愛	15629	4	3,000	-2,948	-7,748	-7,748	1,695	-2,040	-5,050	0,000	-0,899	-0,899	3,992
愛	15628	5	3,000	-3,074	-8,080	-8,080	1,952	-1,390	-4,753	0,000	-1,118	-1,118	3,367
Plate_1_5	15628	1	3,000	-3,074	-8,055	-8,055	1,954	-1,412	-4,859	0,000	-1,118	-1,118	3,367
Element 11-22 (Plate)	15607	2	3,000	-3,292	-8,898	-8,898	2,318	0,337	-4,113	0,450	-1,235	-1,235	2,392
(Micropali D168.3x8,0mm/0,4)	15606	3	3,000	-3,509	-9,852	-9,852	2,599	2,588	-3,302	2,725	-0,941	-0,941	1,587
愛	15605	4	3,000	-3,726	-10,912	-10,912	2,787	5,803	-2,465	5,921	-0,042	-0,042	1,372
愛	15604	5	3,000	-3,943	-12,074	-12,074	2,872	10,446	-1,641	10,502	1,687	0,000	2,875
Plate_1_6	15604	1	3,000	-3,943	-11,282	-11,282	2,922	9,422	-1,631	9,422	1,687	0,000	2,875
Element 15-28 (Plate)	15495	2	3,000	-4,180	-7,188	-7,188	2,958	5,328	-1,164	5,328	3,403	-0,084	4,155
(Micropali D168.3x8,0mm/0,4)	15494	3	3,000	-4,418	-4,032	-5,005	3,002	2,711	-0,754	2,711	4,343	-0,187	4,661
愛	15493	4	3,000	-4,656	-1,218	-5,019	3,023	1,172	-1,432	1,172	4,778	-0,259	4,837
愛	15515	5	3,000	-4,894	1,851	-5,045	5,094	0,316	-1,757	0,316	4,949	-0,276	4,949
Plate_1_6	15515	1	3,000	-4,894	1,203	-5,039	4,592	0,078	-1,910	0,078	4,949	-0,276	4,949
Element 15-29 (Plate)	15514	2	3,000	-5,095	4,264	-5,037	7,199	-0,827	-2,225	0,178	4,874	-0,252	4,874
(Micropali D168.3x8,0mm/0,4)	15513	3	3,000	-5,297	6,260	-5,022	8,839	-1,645	-2,391	0,297	4,620	-0,204	4,620
愛	15512	4	3,000	-5,498	7,557	-4,996	9,858	-2,262	-2,410	0,426	4,224	-0,136	4,224
愛	15511	5	3,000	-5,700	8,524	-4,957	10,602	-2,567	-2,567	0,560	3,731	-0,057	3,731
Plate_1_7	15511	1	3,000	-5,700	8,443	-4,957	10,519	-2,543	-2,543	0,556	3,731	-0,057	3,731
Element 17-32 (Plate)	15227	2	3,000	-5,825	8,898	-4,928	10,862	-2,514	-2,514	0,642	3,414	-0,011	3,414
(Micropali D168.3x8,0mm/0,4)	15228	3	3,000	-5,950	9,338	-4,895	11,209	-2,419	-2,419	0,716	3,105	0,000	3,105
愛	15229	4	3,000	-6,075	9,750	-4,857	11,545	-2,266	-2,266	0,772	2,811	0,000	2,811
愛	15226	5	3,000	-6,200	10,122	-4,816	11,859	-2,063	-2,063	0,808	2,540	0,000	2,540
Plate_1_8	15226	1	3,000	-6,200	10,120	-4,816	11,857	-2,075	-2,075	0,803	2,540	0,000	2,540
Element 19-34 (Plate)	15055	2	3,000	-6,275	10,331	-4,789	12,040	-1,952	-1,952	0,806	2,389	0,000	2,389
(Micropali D168.3x8,0mm/0,4)	15054	3	3,000	-6,350	10,527	-4,761	12,214	-1,841	-1,841	0,788	2,247	0,000	2,247
愛	15053	4	3,000	-6,425	10,709	-4,731	12,379	-1,746	-1,746	0,745	2,113	0,000	2,113
愛	15052	5	3,000	-6,500	10,878	-4,700	12,537	-1,671	-1,671	0,676	1,985	0,000	1,985
Plate_1_9	15052	1	3,000	-6,500	10,880	-4,700	12,539	-1,679	-1,679	0,672	1,985	0,000	1,985
Element 20-35 (Plate)	14383	2	3,000	-6,522	10,928	-4,691	12,584	-1,668	-1,668	0,643	1,949	0,000	1,949
(Micropali D168.3x8,0mm/0,4)	14384	3	3,000	-6,543	10,978	-4,681	12,631	-1,666	-1,666	0,608	1,913	0,000	1,913
愛	14385	4	3,000	-6,565	11,030	-4,672	12,682	-1,673	-1,673	0,568	1,877	0,000	1,877
愛	14382	5	3,000	-6,586	11,087	-4,662	12,737	-1,693	-1,693	0,521	1,841	0,000	1,841
Plate_1_10	14382	1	3,000	-6,586	11,082	-4,662	12,732	-1,719	-1,719	0,513	1,841	0,000	1,841
Element 22-37 (Plate)	13951	2	3,000	-6,690	11,403	-4,614	13,028	-1,795	-1,795	0,293	1,658	0,000	1,658
(Micropali D168.3x8,0mm/0,4)	13952	3	3,000	-6,793	11,607	-4,565	13,209	-1,794	-1,794	0,116	1,472	0,000	1,472
愛	13953	4	3,000	-6,897	11,697	-4,514	13,278	-1,727	-1,727	0,020	1,289	0,000	1,289
愛	13950	5	3,000	-7,000	11,675	-4,462	13,236	-1,603	-1,603	0,000	1,117	0,000	1,117
Plate_1_11	13950	1	3,000	-7,000	11,700	-4,462	13,261	-1,620	-1,620	0,000	1,117	0,000	1,117
Element 25-40 (Plate)	13001	2	3,000	-7,152	11,668	-4,383	13,206	-1,407	-1,407	0,000	0,886	0,000	0,886
(Micropali D168.3x8,0mm/0,4)	13002	3	3,000	-7,305	11,632	-4,301	13,152	-1,204	-1,204	0,000	0,687	0,000	0,687
愛	13003	4	3,000	-7,457	11,595	-4,215	13,102	-1,018	-1,018	0,000	0,518	0,000	0,547
愛	13000	5	3,000	-7,610	11,561	-4,127	13,058	-0,851	-0,851	0,000	0,376	0,000	0,484
Plate_1_11	13000	1	3,000	-7,610	11,561	-4,129	13,057	-0,849	-0,849	0,000	0,376	0,000	0,484
Element 25-41 (Plate)	12096	2	3,000	-7,832	11,535	-3,990	13,018	-0,680	-0,680	0,000	0,207	0,000	0,389
(Micropali D168.3x8,0mm/0,4)	12095	3	3,000	-8,055	11,521	-3,849	12,993	-0,557	-0,557	0,000	0,070	0,000	0,296
愛	12094	4	3,000	-8,277	11,516	-3,709	12,979	-0,474	-0,474	0,000	-0,044	-0,044	0,210
愛	12093	5	3,000	-8,500	11,516	-3,573	12,973	-0,424	-0,424	0,000	-0,144	-0,144	0,129
Plate_1_12	12093	1	3,000	-8,500	11,515	-3,588	12,971	-0,418	-0,418	0,000	-0,144	-0,144	0,129
Element 28-47 (Plate)	11390	2	3,000	-8,706	11,514	-3,429	12,966	-0,380	-0,380	0,000	-0,226	-0,226	0,059
(Micropali D168.3x8,0mm/0,4)	11391	3	3,000	-8,913	11,513	-3,262	12,961	-0,348	-0,349	0,000	-0,301	-0,301	0,013
愛	11392	4	3,000	-9,119	11,512	-3,086	12,956	-0,320	-0,327	0,000	-0,370	-0,370	0,006
愛	11389	5	3,000	-9,325	11,511	-2,901	12,950	-0,298	-0,311	0,000	-0,433	-0,433	0,001

Structural element	Node [10^0]	Local number	X [m]	Y [m]	N [kN/m]	N,--- [kN/m]	N,--- [kN/m]	Q [kN/m]	Q,--- [kN/m]	Q,--- [kN/m]	M [kN m/m]	M,--- [kN m/m]	M,--- [kN m/m]
Plate_1_12	11389	1	3,000	-9,325	11,491	-2,901	12,896	-0,295	-0,310	0,000	-0,433	-0,433	0,001
Element 28-48 (Plate)	10576	2	3,000	-9,483	11,521	-2,752	12,962	-0,276	-0,280	0,000	-0,478	-0,478	0,000
(Micropali D168.3x8,0mm/0,4)	10575	3	3,000	-9,641	11,491	-2,597	12,831	-0,240	-0,241	0,000	-0,519	-0,519	0,000
28	10574	4	3,000	-9,798	11,360	-2,434	12,507	-0,185	-0,185	0,000	-0,553	-0,553	0,000
28	10573	5	3,000	-9,956	11,091	-2,264	11,989	-0,111	-0,111	0,000	-0,577	-0,577	0,000
Plate_1_12	10573	1	3,000	-9,956	11,062	-2,264	11,989	-0,109	-0,111	0,000	-0,577	-0,577	0,000
Element 28-49 (Plate)	9580	2	3,000	-10,077	10,673	-2,129	11,448	-0,043	-0,045	0,013	-0,586	-0,586	0,000
(Micropali D168.3x8,0mm/0,4)	9579	3	3,000	-10,197	10,155	-1,988	10,796	0,034	-0,005	0,048	-0,587	-0,587	0,000
28	9578	4	3,000	-10,318	9,510	-1,842	10,058	0,123	-0,003	0,123	-0,577	-0,577	0,000
28	9577	5	3,000	-10,439	8,740	-1,691	9,219	0,224	-0,001	0,224	-0,557	-0,557	0,000
Plate_1_12	9577	1	3,000	-10,439	8,767	-1,690	9,240	0,222	-0,001	0,222	-0,557	-0,557	0,000
Element 28-50 (Plate)	8342	2	3,000	-10,531	8,188	-1,571	8,607	0,307	0,000	0,307	-0,532	-0,532	0,000
(Micropali D168.3x8,0mm/0,4)	8343	3	3,000	-10,623	7,582	-1,446	7,948	0,392	0,000	0,392	-0,500	-0,500	0,000
28	8344	4	3,000	-10,715	6,949	-1,318	7,265	0,475	0,000	0,475	-0,460	-0,460	0,000
28	8341	5	3,000	-10,808	6,287	-1,186	6,557	0,556	0,000	0,556	-0,412	-0,412	0,000
Plate_1_12	8341	1	3,000	-10,808	6,285	-1,186	6,555	0,554	0,000	0,554	-0,412	-0,412	0,000
Element 28-51 (Plate)	7770	2	3,000	-10,878	5,757	-1,081	5,993	0,610	0,000	0,610	-0,371	-0,371	0,000
(Micropali D168.3x8,0mm/0,4)	7769	3	3,000	-10,949	5,207	-0,974	5,411	0,658	0,000	0,658	-0,326	-0,326	0,000
28	7768	4	3,000	-11,019	4,634	-0,863	4,808	0,695	0,000	0,695	-0,279	-0,279	0,000
28	7767	5	3,000	-11,090	4,040	-0,749	4,185	0,721	0,000	0,721	-0,229	-0,229	0,000
Plate_1_12	7767	1	3,000	-11,090	4,039	-0,749	4,184	0,718	0,000	0,718	-0,229	-0,229	0,000
Element 28-52 (Plate)	6794	2	3,000	-11,144	3,567	-0,659	3,691	0,726	0,000	0,726	-0,190	-0,190	0,000
(Micropali D168.3x8,0mm/0,4)	6795	3	3,000	-11,198	3,079	-0,567	3,182	0,715	0,000	0,715	-0,151	-0,151	0,000
28	6796	4	3,000	-11,252	2,573	-0,473	2,657	0,685	0,000	0,685	-0,113	-0,113	0,000
28	6793	5	3,000	-11,306	2,050	-0,375	2,116	0,634	0,000	0,634	-0,077	-0,077	0,000
Plate_1_12	6793	1	3,000	-11,306	2,049	-0,375	2,114	0,626	0,000	0,626	-0,077	-0,077	0,000
Element 28-53 (Plate)	5608	2	3,000	-11,347	1,636	-0,299	1,687	0,570	0,000	0,570	-0,052	-0,052	0,000
(Micropali D168.3x8,0mm/0,4)	5609	3	3,000	-11,388	1,209	-0,220	1,246	0,477	0,000	0,477	-0,031	-0,031	0,000
28	5610	4	3,000	-11,429	0,767	-0,140	0,791	0,348	0,000	0,348	-0,013	-0,013	0,000
28	5607	5	3,000	-11,471	0,311	-0,057	0,321	0,182	0,000	0,182	-0,002	-0,002	0,000
Plate_1_13	5607	1	3,000	-11,471	0,310	-0,056	0,321	0,167	0,000	0,167	-0,002	-0,002	0,000
Element 30-64 (Plate)	4612	2	3,000	-11,478	0,227	-0,041	0,235	0,125	0,000	0,125	-0,001	-0,001	0,000
(Micropali D168.3x8,0mm/0,4)	4611	3	3,000	-11,485	0,144	-0,026	0,149	0,083	0,000	0,083	-0,001	-0,001	0,000
28	4610	4	3,000	-11,493	0,060	-0,011	0,062	0,038	0,000	0,038	0,000	0,000	0,000
28	4609	5	3,000	-11,500	-0,024	-0,024	0,005	-0,008	-0,008	0,000	0,000	0,000	0,000

3.1.2.4.10 Calculation results, Plate, Escavo 3 [Phase_9] (9/379), Table of plate force envelopes

Structural element	Node [10⁰]	Local number	X [m]	Y [m]	N [kN/m]	N ⋯ [kN/m]	N ⋯ [kN/m]	Q [kN/m]	Q ⋯ [kN/m]	Q ⋯ [kN/m]	M [kN m/m]	M ⋯ [kN m/m]	M ⋯ [kN m/m]
Plate_4_1	16475	1	3,000	-0,126	-0,067	-0,067	0,043	0,123	-0,084	0,123	0,000	0,000	0,000
Element 2-5 (Plate)	16474	2	3,000	-0,282	-0,062	-0,174	0,000	0,119	0,000	0,340	0,006	0,000	0,016
(Micropali D168.3x8,0mm/0,4)	16473	3	3,000	-0,438	-0,496	-0,605	0,000	0,979	0,000	1,191	0,083	0,000	0,130
28	16472	4	3,000	-0,594	-1,316	-1,370	0,000	2,596	0,000	2,698	0,351	0,000	0,409
28	16471	5	3,000	-0,750	-2,465	-2,470	0,000	4,861	0,000	4,871	0,926	0,000	0,979
Plate_1_1	16471	1	3,000	-0,750	-2,638	-2,638	0,000	5,201	0,000	5,201	0,926	0,000	0,979
Element 5-9 (Plate)	16455	2	3,000	-0,948	-3,899	-3,899	0,000	7,689	0,000	7,689	2,190	0,000	2,198
(Micropali D168.3x8,0mm/0,4)	16454	3	3,000	-1,146	-5,394	-5,394	0,000	10,638	0,000	10,638	4,002	0,000	4,002
28	16453	4	3,000	-1,344	-7,040	-7,040	0,000	13,880	0,000	13,880	6,421	0,000	6,421
28	16595	5	3,000	-1,542	-8,749	-8,749	0,000	17,250	-0,116	17,250	9,502	0,000	9,502
Plate_1_1	16595	1	3,000	-1,542	-8,868	-8,868	0,000	17,483	0,000	17,483	9,502	0,000	9,502
Element 5-10 (Plate)	16594	2	3,000	-1,581	-9,120	-9,120	0,000	17,980	0,000	17,980	10,202	0,000	10,202
(Micropali D168.3x8,0mm/0,4)	16593	3	3,000	-1,621	-9,500	-9,500	0,000	18,728	-0,017	18,728	10,929	0,000	10,929
28	16592	4	3,000	-1,660	-9,886	-9,886	0,000	19,488	-0,035	19,488	11,685	0,000	11,685
28	16615	5	3,000	-1,700	-10,158	-10,158	0,000	20,024	-0,022	20,024	12,469	0,000	12,469
Plate_1_2	16615	1	3,000	-1,700	-17,086	-17,086	0,000	-20,491	-20,491	5,890	12,469	0,000	12,469
Element 7-13 (Plate)	16614	2	3,000	-1,728	-17,325	-17,325	0,000	-20,019	-20,019	6,153	11,896	0,000	11,896
(Micropali D168.3x8,0mm/0,4)	16613	3	3,000	-1,757	-17,570	-17,570	0,000	-19,537	-19,537	6,453	11,336	0,000	11,336
28	16612	4	3,000	-1,785	-17,825	-17,825	0,000	-19,037	-19,037	6,788	10,790	0,000	10,790
28	16611	5	3,000	-1,813	-18,091	-18,091	0,000	-18,513	-18,513	7,160	10,259	0,000	10,259
Plate_1_3	16611	1	3,000	-1,813	-18,064	-18,064	0,000	-18,566	-18,566	7,046	10,259	0,000	10,259
Element 8-14 (Plate)	16499	2	3,000	-1,847	-18,336	-18,336	0,000	-18,031	-18,031	7,347	9,636	0,000	9,636
(Micropali D168.3x8,0mm/0,4)	16498	3	3,000	-1,881	-18,584	-18,584	0,000	-17,542	-17,542	7,519	9,030	0,000	9,030
28	16497	4	3,000	-1,915	-18,803	-18,803	0,000	-17,111	-17,111	7,553	8,440	0,000	8,440
28	16496	5	3,000	-1,949	-18,988	-18,988	0,000	-16,747	-16,747	7,438	7,864	0,000	7,864
Plate_1_3	16496	1	3,000	-1,949	-19,026	-19,026	0,000	-16,673	-16,673	7,452	7,864	0,000	7,864
Element 8-15 (Plate)	16287	2	3,000	-1,983	-19,221	-19,221	0,000	-16,288	-16,288	7,221	7,302	0,000	7,302
(Micropali D168.3x8,0mm/0,4)	16286	3	3,000	-2,018	-19,395	-19,395	0,000	-15,943	-15,943	6,850	6,754	0,000	6,754
28	16285	4	3,000	-2,052	-19,550	-19,550	0,000	-15,639	-15,639	6,349	6,216	0,000	6,216
28	16284	5	3,000	-2,086	-19,684	-19,684	0,000	-15,375	-15,375	5,730	5,688	0,000	5,688
Plate_1_4	16284	1	3,000	-2,086	-19,674	-19,674	0,000	-15,394	-15,394	5,745	5,688	0,000	5,688
Element 9-16 (Plate)	16241	2	3,000	-2,088	-19,680	-19,680	0,000	-15,382	-15,382	5,682	5,648	0,000	5,648
(Micropali D168.3x8,0mm/0,4)	16240	3	3,000	-2,091	-19,683	-19,683	0,000	-15,377	-15,377	5,608	5,607	0,000	5,629
28	16239	4	3,000	-2,094	-19,684	-19,684	0,000	-15,376	-15,376	5,529	5,567	0,000	5,643
28	16238	5	3,000	-2,096	-19,683	-19,683	0,000	-15,377	-15,377	5,451	5,527	0,000	5,658
Plate_1_5	16238	1	3,000	-2,096	-19,683	-19,683	0,000	-15,376	-15,376	5,501	5,527	0,000	5,658
Element 11-19 (Plate)	16221	2	3,000	-2,140	-19,683	-19,683	0,000	-15,376	-15,376	4,337	4,859	0,000	5,871
(Micropali D168.3x8,0mm/0,4)	16220	3	3,000	-2,183	-19,683	-19,683	0,000	-15,375	-15,375	3,259	4,192	0,000	6,035
28	16219	4	3,000	-2,226	-19,682	-19,682	0,000	-15,374	-15,374	2,249	3,524	0,000	6,155
28	16218	5	3,000	-2,270	-19,682	-19,682	0,000	-15,373	-15,373	1,291	2,857	0,000	6,231
Plate_1_5	16218	1	3,000	-2,270	-19,704	-19,704	0,000	-15,331	-15,331	1,335	2,857	0,000	6,231
Element 11-20 (Plate)	15915	2	3,000	-2,344	-19,672	-19,672	0,000	-15,392	-15,392	0,000	1,715	0,000	6,267
(Micropali D168.3x8,0mm/0,4)	15914	3	3,000	-2,418	-19,724	-19,724	0,087	-15,287	-15,287	0,000	0,576	0,000	6,190
28	15913	4	3,000	-2,492	-19,805	-19,805	0,459	-15,127	-15,127	0,000	-0,554	-0,554	6,021
28	15912	5	3,000	-2,567	-19,858	-19,858	0,618	-15,021	-15,021	0,000	-1,671	-1,671	5,779
Plate_1_5	15912	1	3,000	-2,567	-19,870	-19,870	0,682	-14,997	-14,997	0,000	-1,671	-1,671	5,779
Element 11-21 (Plate)	15631	2	3,000	-2,694	-19,835	-19,835	1,061	-15,065	-15,065	0,000	-3,581	-3,581	5,248

Structural element	Node [10^3]	Local number	X [m]	Y [m]	N [kN/m]	N,max [kN/m]	N,min [kN/m]	Q [kN/m]	Q,max [kN/m]	Q,min [kN/m]	M [kN m/m]	M,max [kN m/m]	M,min [kN m/m]
(Micropali D168.3x8,0mm/0,4)	15630	3	3,000	-2,821	-19,897	-19,897	1,399	-14,940	-14,940	0,000	-5,487	-5,487	4,635
"	15629	4	3,000	-2,948	-20,049	-20,049	1,695	-14,641	-14,641	0,000	-7,367	-7,367	3,992
"	15628	5	3,000	-3,074	-20,279	-20,279	1,952	-14,187	-14,187	0,000	-9,198	-9,198	3,367
Plate_1_5	15628	1	3,000	-3,074	-20,188	-20,188	1,954	-14,367	-14,367	0,000	-9,198	-9,198	3,367
Element 11-22 (Plate)	15607	2	3,000	-3,292	-20,866	-20,866	2,318	-13,035	-13,035	0,450	-12,161	-12,161	2,392
(Micropali D168.3x8,0mm/0,4)	15606	3	3,000	-3,509	-21,494	-21,494	2,599	-11,801	-11,801	2,725	-14,869	-14,869	1,587
"	15605	4	3,000	-3,726	-22,290	-22,290	2,787	-10,240	-10,240	5,921	-17,262	-17,262	1,372
"	15604	5	3,000	-3,943	-23,469	-23,469	2,872	-7,926	-7,926	10,502	-19,254	-19,254	2,875
Plate_1_6	15604	1	3,000	-3,943	-23,256	-23,256	2,922	-8,342	-8,342	9,422	-19,254	-19,254	2,875
Element 15-28 (Plate)	15495	2	3,000	-4,180	-25,083	-25,083	2,958	-4,759	-4,759	5,328	-20,783	-20,783	4,155
(Micropali D168.3x8,0mm/0,4)	15494	3	3,000	-4,418	-26,737	-26,737	3,002	-1,511	-1,511	3,000	-21,558	-21,558	4,661
"	15493	4	3,000	-4,656	-28,763	-28,763	3,023	2,467	-1,432	3,493	-21,444	-21,444	4,837
"	15515	5	3,000	-4,894	-31,703	-31,703	5,094	8,241	-1,757	8,752	-20,229	-20,229	4,949
Plate_1_6	15515	1	3,000	-4,894	-31,550	-31,550	4,592	7,942	-1,910	8,175	-20,229	-20,229	4,949
Element 15-29 (Plate)	15514	2	3,000	-5,095	-33,850	-33,850	7,199	12,454	-2,225	12,717	-18,136	-18,136	4,874
(Micropali D168.3x8,0mm/0,4)	15513	3	3,000	-5,297	-35,628	-35,628	8,839	15,941	-2,391	15,942	-15,289	-15,289	4,620
"	15512	4	3,000	-5,498	-37,476	-37,476	9,858	19,568	-2,410	19,568	-11,698	-11,698	4,345
"	15511	5	3,000	-5,700	-39,988	-39,988	10,602	24,500	-2,567	24,500	-7,299	-7,299	4,347
Plate_1_7	15511	1	3,000	-5,700	-39,970	-39,970	10,519	24,465	-2,543	24,465	-7,299	-7,299	4,347
Element 17-32 (Plate)	15227	2	3,000	-5,825	-42,485	-42,485	10,862	29,399	-2,514	29,399	-3,936	-3,936	4,273
(Micropali D168.3x8,0mm/0,4)	15228	3	3,000	-5,950	-44,947	-44,947	11,209	34,231	-2,419	34,231	0,049	0,000	5,350
"	15229	4	3,000	-6,075	-47,190	-47,190	11,545	38,634	-2,266	38,634	4,606	0,000	8,280
"	15226	5	3,000	-6,200	-49,047	-49,047	11,859	42,278	-2,063	42,278	9,673	0,000	11,701
Plate_1_8	15226	1	3,000	-6,200	-48,954	-48,954	11,857	42,094	-2,075	42,094	9,673	0,000	11,701
Element 19-34 (Plate)	15055	2	3,000	-6,275	-48,217	-48,217	12,040	40,640	-1,952	40,640	12,782	0,000	14,032
(Micropali D168.3x8,0mm/0,4)	15054	3	3,000	-6,350	-47,034	-47,034	12,214	38,323	-1,841	38,323	15,747	0,000	16,324
"	15053	4	3,000	-6,425	-45,548	-45,548	12,379	35,420	-1,746	35,420	18,517	0,000	18,631
"	15052	5	3,000	-6,500	-43,903	-43,903	12,537	32,208	-1,732	32,208	21,053	0,000	21,053
Plate_1_9	15052	1	3,000	-6,500	-43,976	-43,976	12,539	32,349	-1,766	32,349	21,053	0,000	21,053
Element 20-35 (Plate)	14383	2	3,000	-6,522	-43,519	-43,519	12,584	31,451	-1,825	31,451	21,739	0,000	21,739
(Micropali D168.3x8,0mm/0,4)	14384	3	3,000	-6,543	-43,087	-43,087	12,631	30,603	-1,889	30,603	22,407	0,000	22,407
"	14385	4	3,000	-6,565	-42,664	-42,664	12,682	29,773	-1,959	29,773	23,056	0,000	23,056
"	14382	5	3,000	-6,586	-42,234	-42,234	12,737	28,928	-2,038	28,928	23,688	0,000	23,688
Plate_1_10	14382	1	3,000	-6,586	-42,246	-42,246	12,732	28,719	-2,060	28,719	23,688	0,000	23,688
Element 22-37 (Plate)	13951	2	3,000	-6,690	-36,905	-36,905	13,028	16,481	-2,574	16,481	26,013	0,000	26,013
(Micropali D168.3x8,0mm/0,4)	13952	3	3,000	-6,793	-31,925	-31,925	13,209	5,828	-5,355	5,828	27,153	0,000	27,153
"	13953	4	3,000	-6,897	-27,456	-27,456	13,278	-3,148	-8,747	0,020	27,278	0,000	27,278
"	13950	5	3,000	-7,000	-23,646	-23,646	13,236	-10,356	-11,767	0,000	26,563	0,000	26,563
Plate_1_11	13950	1	3,000	-7,000	-23,404	-23,404	13,261	-10,799	-12,169	0,000	26,563	0,000	26,563
Element 25-40 (Plate)	13001	2	3,000	-7,152	-20,842	-20,842	13,206	-16,143	-16,143	0,000	24,475	0,000	24,475
(Micropali D168.3x8,0mm/0,4)	13002	3	3,000	-7,305	-19,234	-19,234	13,152	-19,017	-19,017	0,000	21,770	0,000	21,770
"	13003	4	3,000	-7,457	-18,377	-18,377	13,102	-19,719	-19,719	0,000	18,786	0,000	18,786
"	13000	5	3,000	-7,610	-18,071	-18,071	13,058	-18,547	-18,547	0,000	15,851	0,000	15,851
Plate_1_11	13000	1	3,000	-7,610	-17,903	-17,903	13,057	-19,043	-19,043	0,000	15,851	0,000	15,851
Element 25-41 (Plate)	12096	2	3,000	-7,832	-17,445	-17,445	13,018	-16,422	-16,422	0,000	11,899	0,000	11,899
(Micropali D168.3x8,0mm/0,4)	12095	3	3,000	-8,055	-17,007	-17,007	12,993	-13,640	-13,640	0,000	8,554	0,000	8,554
"	12094	4	3,000	-8,277	-16,567	-16,567	12,979	-10,834	-10,834	0,000	5,828	-0,044	5,828
"	12093	5	3,000	-8,500	-16,101	-16,101	12,973	-8,140	-8,140	0,000	3,721	-0,144	3,721
Plate_1_12	12093	1	3,000	-8,500	-16,091	-16,091	12,971	-8,210	-8,210	0,000	3,721	-0,144	3,721
Element 28-47 (Plate)	11390	2	3,000	-8,706	-15,575	-15,575	12,966	-6,208	-6,208	0,000	2,241	-0,226	2,241
(Micropali D168.3x8,0mm/0,4)	11391	3	3,000	-8,913	-15,006	-15,006	12,961	-4,550	-4,550	0,000	1,137	-0,301	1,137
"	11392	4	3,000	-9,119	-14,389	-14,389	12,956	-3,225	-3,225	0,000	0,340	-0,370	0,340
"	11389	5	3,000	-9,325	-13,724	-13,724	12,950	-2,223	-2,223	0,000	-0,216	-0,433	0,001

Structural element	Node [10^0]	Local number	X [m]	Y [m]	N [kN/m]	N,min [kN/m]	N,max [kN/m]	Q [kN/m]	Q,max [kN/m]	Q,min [kN/m]	M [kN m/m]	M,max [kN m/m]	M,min [kN m/m]
Plate_1_12	11389	1	3,000	-9,325	-13,726	-13,726	12,896	-2,200	-2,200	0,000	-0,216	-0,433	0,001
Element 28-48 (Plate)	10576	2	3,000	-9,483	-13,194	-13,194	12,962	-1,600	-1,600	0,000	-0,514	-0,519	0,000
(Micropali D168.3x8,0mm/0,4)	10575	3	3,000	-9,641	-12,643	-12,643	12,831	-1,104	-1,104	0,000	-0,726	-0,726	0,000
28	10574	4	3,000	-9,798	-12,076	-12,076	12,507	-0,704	-0,704	0,000	-0,868	-0,868	0,000
28	10573	5	3,000	-9,956	-11,493	-11,493	11,989	-0,395	-0,395	0,000	-0,953	-0,953	0,000
Plate_1_12	10573	1	3,000	-9,956	-11,492	-11,492	11,989	-0,383	-0,383	0,000	-0,953	-0,953	0,000
Element 28-49 (Plate)	9580	2	3,000	-10,077	-11,038	-11,038	11,448	-0,178	-0,207	0,013	-0,987	-0,987	0,000
(Micropali D168.3x8,0mm/0,4)	9579	3	3,000	-10,197	-10,576	-10,576	10,796	0,014	-0,134	0,048	-0,997	-0,997	0,000
28	9578	4	3,000	-10,318	-10,104	-10,104	10,058	0,198	-0,038	0,198	-0,984	-0,984	0,000
28	9577	5	3,000	-10,439	-9,622	-9,622	9,219	0,374	-0,001	0,374	-0,949	-0,949	0,000
Plate_1_12	9577	1	3,000	-10,439	-9,591	-9,591	9,240	0,376	-0,001	0,376	-0,949	-0,949	0,000
Element 28-50 (Plate)	8342	2	3,000	-10,531	-9,118	-9,118	8,607	0,514	0,000	0,514	-0,908	-0,908	0,000
(Micropali D168.3x8,0mm/0,4)	8343	3	3,000	-10,623	-8,581	-8,581	7,948	0,650	0,000	0,650	-0,855	-0,855	0,000
28	8344	4	3,000	-10,715	-7,982	-7,982	7,265	0,781	0,000	0,781	-0,789	-0,789	0,000
28	8341	5	3,000	-10,808	-7,320	-7,320	6,557	0,908	0,000	0,908	-0,711	-0,711	0,000
Plate_1_12	8341	1	3,000	-10,808	-7,315	-7,315	6,555	0,904	0,000	0,904	-0,711	-0,711	0,000
Element 28-51 (Plate)	7770	2	3,000	-10,878	-6,762	-6,762	5,993	0,994	0,000	0,994	-0,644	-0,644	0,000
(Micropali D168.3x8,0mm/0,4)	7769	3	3,000	-10,949	-6,158	-6,158	5,411	1,069	0,000	1,069	-0,571	-0,571	0,000
28	7768	4	3,000	-11,019	-5,503	-5,503	4,808	1,128	0,000	1,128	-0,493	-0,493	0,000
28	7767	5	3,000	-11,090	-4,795	-4,795	4,185	1,167	0,000	1,167	-0,412	-0,412	0,000
Plate_1_12	7767	1	3,000	-11,090	-4,795	-4,795	4,184	1,163	0,000	1,163	-0,412	-0,412	0,000
Element 28-52 (Plate)	6794	2	3,000	-11,144	-4,197	-4,197	3,691	1,166	0,000	1,166	-0,349	-0,349	0,000
(Micropali D168.3x8,0mm/0,4)	6795	3	3,000	-11,198	-3,563	-3,563	3,182	1,142	0,000	1,142	-0,287	-0,287	0,000
28	6796	4	3,000	-11,252	-2,907	-2,907	2,657	1,092	0,000	1,092	-0,226	-0,226	0,000
28	6793	5	3,000	-11,306	-2,242	-2,242	2,116	1,018	0,000	1,018	-0,169	-0,169	0,000
Plate_1_12	6793	1	3,000	-11,306	-2,247	-2,247	2,114	0,981	0,000	0,981	-0,169	-0,169	0,000
Element 28-53 (Plate)	5608	2	3,000	-11,347	-1,780	-1,780	1,687	1,038	0,000	1,038	-0,128	-0,128	0,000
(Micropali D168.3x8,0mm/0,4)	5609	3	3,000	-11,388	-1,313	-1,313	1,246	1,026	0,000	1,026	-0,085	-0,085	0,000
28	5610	4	3,000	-11,429	-0,841	-0,841	0,791	0,928	0,000	0,928	-0,044	-0,044	0,000
28	5607	5	3,000	-11,471	-0,361	-0,361	0,321	0,725	0,000	0,725	-0,010	-0,010	0,000
Plate_1_13	5607	1	3,000	-11,471	-0,355	-0,355	0,321	0,612	0,000	0,612	-0,010	-0,010	0,000
Element 30-64 (Plate)	4612	2	3,000	-11,478	-0,262	-0,262	0,235	0,489	0,000	0,489	-0,005	-0,005	0,000
(Micropali D168.3x8,0mm/0,4)	4611	3	3,000	-11,485	-0,170	-0,170	0,149	0,342	0,000	0,342	-0,002	-0,002	0,000
28	4610	4	3,000	-11,493	-0,079	-0,079	0,062	0,168	0,000	0,168	-0,001	-0,001	0,000
28	4609	5	3,000	-11,500	0,010	-0,024	0,010	-0,032	-0,032	0,000	0,000	0,000	0,000

3.1.2.4.11 Calculation results, Plate, Ancoraggio 2 [Phase_27] (27/430), Table of plate force envelopes

Structural element	Node [10 ^]	Local number	X [m]	Y [m]	N [kN/m]	N -.- [kN/m]	N -.- [kN/m]	Q [kN/m]	Q -.- [kN/m]	Q -.- [kN/m]	M [kN m/m]	M -.- [kN m/m]	M -.- [kN m/m]
Plate_4_1	16475	1	3,000	-0,126	-0,074	-0,074	0,043	0,074	-0,084	0,125	0,000	0,000	0,000
Element 2-5 (Plate)	16474	2	3,000	-0,282	-0,039	-0,174	0,000	0,193	0,000	0,340	0,011	0,000	0,016
(Micropali D168.3x8,0mm/0,4)	16473	3	3,000	-0,438	-0,417	-0,605	0,000	1,025	0,000	1,191	0,098	0,000	0,130
88	16472	4	3,000	-0,594	-1,176	-1,370	0,000	2,546	0,000	2,698	0,367	0,000	0,409
88	16471	5	3,000	-0,750	-2,285	-2,470	0,000	4,737	0,000	4,871	0,927	0,000	0,979
Plate_1_1	16471	1	3,000	-0,750	-2,404	-2,638	0,000	4,925	0,000	5,201	0,927	0,000	0,979
Element 5-9 (Plate)	16455	2	3,000	-0,948	-3,669	-3,899	0,000	7,538	0,000	7,689	2,149	0,000	2,198
(Micropali D168.3x8,0mm/0,4)	16454	3	3,000	-1,146	-5,201	-5,394	0,000	10,613	0,000	10,641	3,943	0,000	4,002
88	16453	4	3,000	-1,344	-6,900	-7,040	0,000	13,965	0,000	13,965	6,369	0,000	6,421
88	16595	5	3,000	-1,542	-8,666	-8,758	0,000	17,409	-0,116	17,409	9,475	0,000	9,502
Plate_1_1	16595	1	3,000	-1,542	-8,786	-8,877	0,000	17,659	0,000	17,659	9,475	0,000	9,502
Element 5-10 (Plate)	16594	2	3,000	-1,581	-9,049	-9,131	0,000	18,175	0,000	18,175	10,182	0,000	10,202
(Micropali D168.3x8,0mm/0,4)	16593	3	3,000	-1,621	-9,437	-9,511	0,000	18,937	-0,017	18,937	10,917	0,000	10,930
88	16592	4	3,000	-1,660	-9,830	-9,898	0,000	19,708	-0,035	19,708	11,682	0,000	11,686
88	16615	5	3,000	-1,700	-10,108	-10,171	0,000	20,252	-0,022	20,252	12,474	0,000	12,474
Plate_1_2	16615	1	3,000	-1,700	-17,101	-17,117	0,000	-20,649	-20,649	5,890	12,474	0,000	12,474
Element 7-13 (Plate)	16614	2	3,000	-1,728	-17,344	-17,357	0,000	-20,171	-20,171	6,153	11,896	0,000	11,897
(Micropali D168.3x8,0mm/0,4)	16613	3	3,000	-1,757	-17,593	-17,603	0,000	-19,683	-19,683	6,453	11,332	0,000	11,337
88	16612	4	3,000	-1,785	-17,849	-17,858	0,000	-19,180	-19,180	6,788	10,782	0,000	10,791
88	16611	5	3,000	-1,813	-18,116	-18,124	0,000	-18,656	-18,656	7,160	10,247	0,000	10,259
Plate_1_3	16611	1	3,000	-1,813	-18,094	-18,099	0,000	-18,700	-18,700	7,046	10,247	0,000	10,259
Element 8-14 (Plate)	16499	2	3,000	-1,847	-18,367	-18,372	0,000	-18,164	-18,164	7,347	9,619	0,000	9,636
(Micropali D168.3x8,0mm/0,4)	16498	3	3,000	-1,881	-18,617	-18,620	0,000	-17,672	-17,672	7,519	9,009	0,000	9,031
88	16497	4	3,000	-1,915	-18,841	-18,841	0,000	-17,232	-17,232	7,553	8,415	0,000	8,440
88	16496	5	3,000	-1,949	-19,034	-19,034	0,000	-16,854	-16,854	7,438	7,835	0,000	7,864
Plate_1_3	16496	1	3,000	-1,949	-19,064	-19,064	0,000	-16,796	-16,796	7,452	7,835	0,000	7,864
Element 8-15 (Plate)	16287	2	3,000	-1,983	-19,267	-19,267	0,000	-16,396	-16,396	7,221	7,270	0,000	7,303
(Micropali D168.3x8,0mm/0,4)	16286	3	3,000	-2,018	-19,447	-19,447	0,000	-16,044	-16,044	6,850	6,717	0,000	6,754
88	16285	4	3,000	-2,052	-19,601	-19,601	0,000	-15,742	-15,742	6,349	6,176	0,000	6,216
88	16284	5	3,000	-2,086	-19,729	-19,729	0,000	-15,490	-15,490	5,730	5,644	0,000	5,688
Plate_1_4	16284	1	3,000	-2,086	-19,719	-19,719	0,000	-15,510	-15,510	5,745	5,644	0,000	5,688
Element 9-16 (Plate)	16241	2	3,000	-2,088	-19,725	-19,725	0,000	-15,499	-15,499	5,682	5,604	0,000	5,648
(Micropali D168.3x8,0mm/0,4)	16240	3	3,000	-2,091	-19,727	-19,727	0,000	-15,494	-15,494	5,608	5,563	0,000	5,629
88	16239	4	3,000	-2,094	-19,727	-19,727	0,000	-15,493	-15,493	5,529	5,523	0,000	5,643
88	16238	5	3,000	-2,096	-19,727	-19,727	0,000	-15,494	-15,494	5,451	5,482	0,000	5,658
Plate_1_5	16238	1	3,000	-2,096	-19,727	-19,727	0,000	-15,494	-15,494	5,501	5,482	0,000	5,658
Element 11-19 (Plate)	16221	2	3,000	-2,140	-19,727	-19,727	0,000	-15,494	-15,494	4,337	4,810	0,000	5,871
(Micropali D168.3x8,0mm/0,4)	16220	3	3,000	-2,183	-19,727	-19,727	0,000	-15,494	-15,494	3,259	4,137	0,000	6,035
88	16219	4	3,000	-2,226	-19,727	-19,727	0,000	-15,494	-15,494	2,249	3,464	0,000	6,155
88	16218	5	3,000	-2,270	-19,727	-19,727	0,000	-15,494	-15,494	1,291	2,792	0,000	6,231
Plate_1_5	16218	1	3,000	-2,270	-19,750	-19,750	0,000	-15,448	-15,448	1,335	2,792	0,000	6,231
Element 11-20 (Plate)	15915	2	3,000	-2,344	-19,716	-19,716	0,000	-15,514	-15,514	0,000	1,641	0,000	6,267
(Micropali D168.3x8,0mm/0,4)	15914	3	3,000	-2,418	-19,772	-19,772	0,087	-15,405	-15,405	0,000	0,493	0,000	6,190
88	15913	4	3,000	-2,492	-19,859	-19,859	0,459	-15,234	-15,234	0,000	-0,645	-0,645	6,021
88	15912	5	3,000	-2,567	-19,918	-19,918	0,618	-15,118	-15,118	0,000	-1,770	-1,770	5,779
Plate_1_5	15912	1	3,000	-2,567	-19,927	-19,927	0,682	-15,100	-15,100	0,000	-1,770	-1,770	5,779

Structural element	Node [10^3]	Local number	X [m]	Y [m]	N [kN/m]	N,max [kN/m]	N,min [kN/m]	Q [kN/m]	Q,max [kN/m]	Q,min [kN/m]	M [kN m/m]	M,max [kN m/m]	M,min [kN m/m]
Element 11-21 (Plate)	15631	2	3,000	-2,694	-19,896	-19,896	1,061	-15,162	-15,162	0,000	-3,693	-3,693	5,248
(Micropali D168.3x8,0mm/0,4)	15630	3	3,000	-2,821	-19,961	-19,961	1,399	-15,033	-15,033	0,000	-5,611	-5,611	4,635
"	15629	4	3,000	-2,948	-20,114	-20,114	1,695	-14,733	-14,733	0,000	-7,503	-7,503	3,992
"	15628	5	3,000	-3,074	-20,345	-20,345	1,952	-14,280	-14,280	0,000	-9,345	-9,345	3,367
Plate_1_5	15628	1	3,000	-3,074	-20,253	-20,253	1,954	-14,462	-14,462	0,000	-9,345	-9,345	3,367
Element 11-22 (Plate)	15607	2	3,000	-3,292	-20,934	-20,934	2,318	-13,125	-13,125	0,450	-12,329	-12,329	2,392
(Micropali D168.3x8,0mm/0,4)	15606	3	3,000	-3,509	-21,565	-21,565	2,599	-11,885	-11,885	2,725	-15,055	-15,055	1,587
"	15605	4	3,000	-3,726	-22,363	-22,363	2,787	-10,319	-10,319	5,921	-17,466	-17,466	1,372
"	15604	5	3,000	-3,943	-23,542	-23,542	2,872	-8,006	-8,006	10,502	-19,476	-19,476	2,875
Plate_1_6	15604	1	3,000	-3,943	-23,334	-23,334	2,922	-8,414	-8,414	9,422	-19,476	-19,476	2,875
Element 15-28 (Plate)	15495	2	3,000	-4,180	-25,160	-25,160	2,958	-4,830	-4,830	5,328	-21,021	-21,021	4,155
(Micropali D168.3x8,0mm/0,4)	15494	3	3,000	-4,418	-26,822	-26,822	3,002	-1,569	-1,569	3,000	-21,812	-21,812	4,661
"	15493	4	3,000	-4,656	-28,863	-28,863	3,023	2,439	-1,432	3,493	-21,708	-21,708	4,837
"	15515	5	3,000	-4,894	-31,831	-31,831	5,094	8,263	-1,757	8,752	-20,494	-20,494	4,949
Plate_1_6	15515	1	3,000	-4,894	-31,679	-31,679	4,592	7,965	-1,910	8,175	-20,494	-20,494	4,949
Element 15-29 (Plate)	15514	2	3,000	-5,095	-34,010	-34,010	7,199	12,540	-2,225	12,717	-18,391	-18,391	4,874
(Micropali D168.3x8,0mm/0,4)	15513	3	3,000	-5,297	-35,828	-35,828	8,839	16,107	-2,391	16,107	-15,519	-15,519	4,620
"	15512	4	3,000	-5,498	-37,726	-37,726	9,858	19,832	-2,410	19,832	-11,884	-11,884	4,345
"	15511	5	3,000	-5,700	-40,298	-40,298	10,602	24,880	-2,567	24,880	-7,421	-7,421	4,347
Plate_1_7	15511	1	3,000	-5,700	-40,388	-40,388	10,519	24,279	-2,543	24,465	-7,421	-7,421	4,347
Element 17-32 (Plate)	15227	2	3,000	-5,825	-42,934	-42,934	10,862	29,277	-2,514	29,399	-4,077	-4,077	4,273
(Micropali D168.3x8,0mm/0,4)	15228	3	3,000	-5,950	-45,435	-45,435	11,209	34,184	-2,419	34,231	-0,103	-0,103	5,350
"	15229	4	3,000	-6,075	-47,720	-47,720	11,545	38,670	-2,266	38,670	4,453	0,000	8,280
"	15226	5	3,000	-6,200	-49,624	-49,624	11,859	42,407	-2,063	42,407	9,531	0,000	11,701
Plate_1_8	15226	1	3,000	-6,200	-49,523	-49,523	11,857	42,207	-2,075	42,207	9,531	0,000	11,701
Element 19-34 (Plate)	15055	2	3,000	-6,275	-48,838	-48,838	12,040	40,863	-1,952	40,863	12,652	0,000	14,032
(Micropali D168.3x8,0mm/0,4)	15054	3	3,000	-6,350	-47,741	-47,741	12,214	38,711	-1,841	38,711	15,639	0,000	16,324
"	15053	4	3,000	-6,425	-46,360	-46,360	12,379	36,000	-1,746	36,000	18,446	0,000	18,631
"	15052	5	3,000	-6,500	-44,822	-44,822	12,537	32,983	-1,732	32,983	21,033	0,000	21,053
Plate_1_9	15052	1	3,000	-6,500	-44,912	-44,912	12,539	33,163	-1,766	33,163	21,033	0,000	21,053
Element 20-35 (Plate)	14383	2	3,000	-6,522	-44,458	-44,458	12,584	32,261	-1,825	32,261	21,736	0,000	21,745
(Micropali D168.3x8,0mm/0,4)	14384	3	3,000	-6,543	-44,031	-44,031	12,631	31,415	-1,889	31,415	22,421	0,000	22,421
"	14385	4	3,000	-6,565	-43,615	-43,615	12,682	30,592	-1,959	30,592	23,088	0,000	23,088
"	14382	5	3,000	-6,586	-43,192	-43,192	12,737	29,760	-2,038	29,760	23,738	0,000	23,738
Plate_1_10	14382	1	3,000	-6,586	-43,182	-43,182	12,732	29,493	-2,060	29,493	23,738	0,000	23,738
Element 22-37 (Plate)	13951	2	3,000	-6,690	-37,912	-37,912	13,028	17,336	-2,574	17,336	26,149	0,000	26,149
(Micropali D168.3x8,0mm/0,4)	13952	3	3,000	-6,793	-32,928	-32,928	13,209	6,630	-5,355	6,630	27,375	0,000	27,375
"	13953	4	3,000	-6,897	-28,380	-28,380	13,278	-2,525	-8,747	0,020	27,575	0,000	27,575
"	13950	5	3,000	-7,000	-24,416	-24,416	13,236	-10,030	-11,767	0,000	26,910	0,000	26,910
Plate_1_11	13950	1	3,000	-7,000	-24,177	-24,177	13,261	-10,479	-12,169	0,000	26,910	0,000	26,910
Element 25-40 (Plate)	13001	2	3,000	-7,152	-21,467	-21,467	13,206	-16,108	-16,143	0,000	24,847	0,000	24,847
(Micropali D168.3x8,0mm/0,4)	13002	3	3,000	-7,305	-19,773	-19,773	13,152	-19,165	-19,165	0,000	22,132	0,000	22,132
"	13003	4	3,000	-7,457	-18,879	-18,879	13,102	-19,963	-19,963	0,000	19,118	0,000	19,118
"	13000	5	3,000	-7,610	-18,567	-18,567	13,058	-18,811	-18,811	0,000	16,143	0,000	16,143
Plate_1_11	13000	1	3,000	-7,610	-18,388	-18,388	13,057	-19,327	-19,327	0,000	16,143	0,000	16,143
Element 25-41 (Plate)	12096	2	3,000	-7,832	-17,910	-17,910	13,018	-16,695	-16,695	0,000	12,129	0,000	12,129
(Micropali D168.3x8,0mm/0,4)	12095	3	3,000	-8,055	-17,455	-17,455	12,993	-13,885	-13,885	0,000	8,727	0,000	8,727
"	12094	4	3,000	-8,277	-16,998	-16,998	12,979	-11,036	-11,036	0,000	5,950	-0,044	5,950
"	12093	5	3,000	-8,500	-16,516	-16,516	12,973	-8,292	-8,292	0,000	3,804	-0,144	3,804
Plate_1_12	12093	1	3,000	-8,500	-16,505	-16,505	12,971	-8,365	-8,365	0,000	3,804	-0,144	3,804
Element 28-47 (Plate)	11390	2	3,000	-8,706	-15,972	-15,972	12,966	-6,326	-6,326	0,000	2,295	-0,226	2,295
(Micropali D168.3x8,0mm/0,4)	11391	3	3,000	-8,913	-15,385	-15,385	12,961	-4,636	-4,636	0,000	1,170	-0,301	1,170
"	11392	4	3,000	-9,119	-14,747	-14,747	12,956	-3,285	-3,285	0,000	0,359	-0,370	0,359

Structural element	Node [10^0]	Local number	X [m]	Y [m]	N [kN/m]	N,min [kN/m]	N,max [kN/m]	Q [kN/m]	Q,max [kN/m]	Q,min [kN/m]	M [kN m/m]	M,max [kN m/m]	M,min [kN m/m]
28	11389	5	3,000	-9,325	-14,061	-14,061	12,950	-2,263	-2,263	0,000	-0,207	-0,433	0,001
Plate_1_12	11389	1	3,000	-9,325	-14,063	-14,063	12,896	-2,240	-2,240	0,000	-0,207	-0,433	0,001
Element 28-48 (Plate)	10576	2	3,000	-9,483	-13,513	-13,513	12,962	-1,628	-1,628	0,000	-0,511	-0,519	0,000
(Micropali D168.3x8,0mm/0,4)	10575	3	3,000	-9,641	-12,945	-12,945	12,831	-1,122	-1,122	0,000	-0,727	-0,727	0,000
28	10574	4	3,000	-9,798	-12,360	-12,360	12,507	-0,715	-0,715	0,000	-0,870	-0,870	0,000
28	10573	5	3,000	-9,956	-11,758	-11,758	11,989	-0,400	-0,400	0,000	-0,957	-0,957	0,000
Plate_1_12	10573	1	3,000	-9,956	-11,758	-11,758	11,989	-0,388	-0,388	0,000	-0,957	-0,957	0,000
Element 28-49 (Plate)	9580	2	3,000	-10,077	-11,289	-11,289	11,448	-0,181	-0,207	0,013	-0,991	-0,991	0,000
(Micropali D168.3x8,0mm/0,4)	9579	3	3,000	-10,197	-10,812	-10,812	10,796	0,014	-0,134	0,048	-1,001	-1,001	0,000
28	9578	4	3,000	-10,318	-10,325	-10,325	10,058	0,200	-0,038	0,200	-0,988	-0,988	0,000
28	9577	5	3,000	-10,439	-9,829	-9,829	9,219	0,377	-0,001	0,377	-0,953	-0,953	0,000
Plate_1_12	9577	1	3,000	-10,439	-9,798	-9,798	9,240	0,379	-0,001	0,379	-0,953	-0,953	0,000
Element 28-50 (Plate)	8342	2	3,000	-10,531	-9,312	-9,312	8,607	0,519	0,000	0,519	-0,912	-0,912	0,000
(Micropali D168.3x8,0mm/0,4)	8343	3	3,000	-10,623	-8,764	-8,764	7,948	0,655	0,000	0,655	-0,858	-0,858	0,000
28	8344	4	3,000	-10,715	-8,153	-8,153	7,265	0,786	0,000	0,786	-0,791	-0,791	0,000
28	8341	5	3,000	-10,808	-7,478	-7,478	6,557	0,913	0,000	0,913	-0,713	-0,713	0,000
Plate_1_12	8341	1	3,000	-10,808	-7,474	-7,474	6,555	0,909	0,000	0,909	-0,713	-0,713	0,000
Element 28-51 (Plate)	7770	2	3,000	-10,878	-6,911	-6,911	5,993	0,999	0,000	0,999	-0,645	-0,645	0,000
(Micropali D168.3x8,0mm/0,4)	7769	3	3,000	-10,949	-6,298	-6,298	5,411	1,074	0,000	1,074	-0,572	-0,572	0,000
28	7768	4	3,000	-11,019	-5,632	-5,632	4,808	1,132	0,000	1,132	-0,494	-0,494	0,000
28	7767	5	3,000	-11,090	-4,914	-4,914	4,185	1,171	0,000	1,171	-0,413	-0,413	0,000
Plate_1_12	7767	1	3,000	-11,090	-4,913	-4,913	4,184	1,167	0,000	1,167	-0,413	-0,413	0,000
Element 28-52 (Plate)	6794	2	3,000	-11,144	-4,309	-4,309	3,691	1,169	0,000	1,169	-0,350	-0,350	0,000
(Micropali D168.3x8,0mm/0,4)	6795	3	3,000	-11,198	-3,666	-3,666	3,182	1,144	0,000	1,144	-0,287	-0,287	0,000
28	6796	4	3,000	-11,252	-2,995	-2,995	2,657	1,093	0,000	1,093	-0,227	-0,227	0,000
28	6793	5	3,000	-11,306	-2,308	-2,308	2,116	1,019	0,000	1,019	-0,170	-0,170	0,000
Plate_1_12	6793	1	3,000	-11,306	-2,315	-2,315	2,114	0,981	0,000	0,981	-0,170	-0,170	0,000
Element 28-53 (Plate)	5608	2	3,000	-11,347	-1,834	-1,834	1,687	1,040	0,000	1,040	-0,128	-0,128	0,000
(Micropali D168.3x8,0mm/0,4)	5609	3	3,000	-11,388	-1,352	-1,352	1,246	1,029	0,000	1,029	-0,085	-0,085	0,000
28	5610	4	3,000	-11,429	-0,866	-0,866	0,791	0,931	0,000	0,931	-0,044	-0,044	0,000
28	5607	5	3,000	-11,471	-0,372	-0,372	0,321	0,728	0,000	0,728	-0,010	-0,010	0,000
Plate_1_13	5607	1	3,000	-11,471	-0,365	-0,365	0,321	0,614	0,000	0,614	-0,010	-0,010	0,000
Element 30-64 (Plate)	4612	2	3,000	-11,478	-0,269	-0,269	0,235	0,491	0,000	0,491	-0,006	-0,006	0,000
(Micropali D168.3x8,0mm/0,4)	4611	3	3,000	-11,485	-0,174	-0,174	0,149	0,343	0,000	0,343	-0,002	-0,002	0,000
28	4610	4	3,000	-11,493	-0,081	-0,081	0,062	0,169	0,000	0,169	-0,001	-0,001	0,000
28	4609	5	3,000	-11,500	0,010	-0,024	0,010	-0,032	-0,032	0,000	0,000	0,000	0,000

3.1.2.4.12 Calculation results, Plate, Escavo 4 [Phase_10] (10/449), Table of plate force envelopes

Structural element	Node [10⁰]	Local number	X [m]	Y [m]	N [kN/m]	N ··· [kN/m]	N ··· [kN/m]	Q [kN/m]	Q ··· [kN/m]	Q ··· [kN/m]	M [kN m/m]	M ··· [kN m/m]	M ··· [kN m/m]
Plate_4_1	16475	1	3,000	-0,126	-0,106	-0,144	0,043	0,217	-0,084	0,289	0,000	0,000	0,000
Element 2-5 (Plate)	16474	2	3,000	-0,282	0,035	-0,174	0,070	-0,074	-0,129	0,340	0,004	0,000	0,016
(Micropali D168.3x8,0mm/0,4)	16473	3	3,000	-0,438	-0,209	-0,605	0,000	0,410	0,000	1,191	0,015	0,000	0,130
88	16472	4	3,000	-0,594	-0,934	-1,370	0,000	1,877	0,000	2,698	0,183	0,000	0,409
88	16471	5	3,000	-0,750	-2,240	-2,470	0,000	4,537	0,000	4,871	0,665	0,000	0,979
Plate_1_1	16471	1	3,000	-0,750	-2,293	-2,638	0,000	4,576	0,000	5,201	0,665	0,000	0,979
Element 5-9 (Plate)	16455	2	3,000	-0,948	-3,877	-3,969	0,000	7,814	0,000	7,831	1,877	0,000	2,198
(Micropali D168.3x8,0mm/0,4)	16454	3	3,000	-1,146	-5,709	-5,866	0,000	11,625	0,000	11,625	3,799	0,000	4,002
88	16453	4	3,000	-1,344	-7,691	-7,902	0,000	15,774	0,000	15,774	6,502	0,000	6,502
88	16595	5	3,000	-1,542	-9,723	-9,964	0,000	20,026	-0,116	20,026	10,046	0,000	10,046
Plate_1_1	16595	1	3,000	-1,542	-9,925	-10,147	0,000	20,341	0,000	20,341	10,046	0,000	10,046
Element 5-10 (Plate)	16594	2	3,000	-1,581	-10,306	-10,519	0,000	21,140	0,000	21,140	10,866	0,000	10,866
(Micropali D168.3x8,0mm/0,4)	16593	3	3,000	-1,621	-10,766	-10,971	0,000	22,069	-0,017	22,069	11,722	0,000	11,722
88	16592	4	3,000	-1,660	-11,221	-11,414	0,000	22,972	-0,035	22,972	12,613	0,000	12,613
88	16615	5	3,000	-1,700	-11,585	-11,759	0,000	23,695	-0,022	23,695	13,538	0,000	13,538
Plate_1_2	16615	1	3,000	-1,700	-19,706	-19,722	0,000	-23,801	-23,801	5,890	13,538	0,000	13,538
Element 7-13 (Plate)	16614	2	3,000	-1,728	-19,989	-19,997	0,000	-23,250	-23,250	6,153	12,872	0,000	12,872
(Micropali D168.3x8,0mm/0,4)	16613	3	3,000	-1,757	-20,270	-20,270	0,000	-22,691	-22,691	6,453	12,222	0,000	12,222
88	16612	4	3,000	-1,785	-20,546	-20,546	0,000	-22,141	-22,141	6,788	11,588	0,000	11,588
88	16611	5	3,000	-1,813	-20,814	-20,814	0,000	-21,620	-21,620	7,160	10,969	0,000	10,969
Plate_1_3	16611	1	3,000	-1,813	-20,826	-20,826	0,000	-21,593	-21,593	7,046	10,969	0,000	10,969
Element 8-14 (Plate)	16499	2	3,000	-1,847	-21,146	-21,146	0,000	-20,965	-20,965	7,347	10,244	0,000	10,244
(Micropali D168.3x8,0mm/0,4)	16498	3	3,000	-1,881	-21,445	-21,445	0,000	-20,377	-20,377	7,519	9,540	0,000	9,540
88	16497	4	3,000	-1,915	-21,721	-21,721	0,000	-19,836	-19,836	7,553	8,855	0,000	8,855
88	16496	5	3,000	-1,949	-21,968	-21,968	0,000	-19,350	-19,350	7,438	8,188	0,000	8,188
Plate_1_3	16496	1	3,000	-1,949	-21,969	-21,969	0,000	-19,349	-19,349	7,452	8,188	0,000	8,188
Element 8-15 (Plate)	16287	2	3,000	-1,983	-22,194	-22,194	0,000	-18,906	-18,906	7,221	7,537	0,000	7,543
(Micropali D168.3x8,0mm/0,4)	16286	3	3,000	-2,018	-22,389	-22,389	0,000	-18,524	-18,524	6,850	6,900	0,000	6,921
88	16285	4	3,000	-2,052	-22,543	-22,543	0,000	-18,222	-18,222	6,349	6,274	0,000	6,311
88	16284	5	3,000	-2,086	-22,646	-22,646	0,000	-18,019	-18,019	5,730	5,657	0,000	5,709
Plate_1_4	16284	1	3,000	-2,086	-22,642	-22,642	0,000	-18,027	-18,027	5,745	5,657	0,000	5,709
Element 9-16 (Plate)	16241	2	3,000	-2,088	-22,646	-22,646	0,000	-18,020	-18,020	5,682	5,610	0,000	5,663
(Micropali D168.3x8,0mm/0,4)	16240	3	3,000	-2,091	-22,652	-22,652	0,000	-18,008	-18,008	5,608	5,563	0,000	5,629
88	16239	4	3,000	-2,094	-22,656	-22,656	0,000	-18,000	-18,000	5,529	5,516	0,000	5,643
88	16238	5	3,000	-2,096	-22,653	-22,653	0,000	-18,005	-18,005	5,451	5,469	0,000	5,658
Plate_1_5	16238	1	3,000	-2,096	-22,655	-22,655	0,000	-18,001	-18,001	5,501	5,469	0,000	5,658
Element 11-19 (Plate)	16221	2	3,000	-2,140	-22,655	-22,655	0,000	-18,002	-18,002	4,337	4,688	0,000	5,871
(Micropali D168.3x8,0mm/0,4)	16220	3	3,000	-2,183	-22,655	-22,655	0,000	-18,002	-18,002	3,259	3,906	0,000	6,035
88	16219	4	3,000	-2,226	-22,655	-22,655	0,000	-18,002	-18,002	2,249	3,124	0,000	6,155
88	16218	5	3,000	-2,270	-22,655	-22,655	0,000	-18,002	-18,002	1,291	2,343	0,000	6,231
Plate_1_5	16218	1	3,000	-2,270	-22,642	-22,642	0,000	-18,028	-18,028	1,335	2,343	0,000	6,231
Element 11-20 (Plate)	15915	2	3,000	-2,344	-22,750	-22,750	0,000	-17,817	-17,817	0,000	1,010	0,000	6,267
(Micropali D168.3x8,0mm/0,4)	15914	3	3,000	-2,418	-23,001	-23,001	0,087	-17,324	-17,324	0,000	-0,294	-0,294	6,190
88	15913	4	3,000	-2,492	-23,300	-23,300	0,459	-16,737	-16,737	0,000	-1,560	-1,560	6,021
88	15912	5	3,000	-2,567	-23,552	-23,552	0,618	-16,243	-16,243	0,000	-2,782	-2,782	5,779
Plate_1_5	15912	1	3,000	-2,567	-23,436	-23,436	0,682	-16,469	-16,469	0,000	-2,782	-2,782	5,779
Element 11-21 (Plate)	15631	2	3,000	-2,694	-23,617	-23,617	1,061	-16,115	-16,115	0,000	-4,851	-4,851	5,248

Structural element	Node [10^3]	Local number	X [m]	Y [m]	N [kN/m]	N,min [kN/m]	N,max [kN/m]	Q [kN/m]	Q,min [kN/m]	Q,max [kN/m]	M [kN m/m]	M,min [kN m/m]	M,max [kN m/m]
(Micropali D168.3x8,0mm/0,4)	15630	3	3,000	-2,821	-23,836	-23,836	1,399	-15,685	-15,685	0,000	-6,870	-6,870	4,635
〃	15629	4	3,000	-2,948	-24,092	-24,092	1,695	-15,183	-15,197	0,000	-8,831	-8,831	3,992
〃	15628	5	3,000	-3,074	-24,382	-24,382	1,952	-14,615	-14,653	0,000	-10,722	-10,722	3,367
Plate_1_5	15628	1	3,000	-3,074	-24,299	-24,299	1,954	-14,777	-14,818	0,000	-10,722	-10,722	3,367
Element 11-22 (Plate)	15607	2	3,000	-3,292	-25,016	-25,016	2,318	-13,371	-13,429	0,450	-13,765	-13,765	2,392
(Micropali D168.3x8,0mm/0,4)	15606	3	3,000	-3,509	-25,637	-25,637	2,599	-12,153	-12,213	2,725	-16,545	-16,545	1,587
〃	15605	4	3,000	-3,726	-26,383	-26,383	2,787	-10,690	-10,735	5,921	-19,024	-19,024	1,372
〃	15604	5	3,000	-3,943	-27,478	-27,478	2,872	-8,545	-8,560	10,502	-21,131	-21,131	2,875
Plate_1_6	15604	1	3,000	-3,943	-27,275	-27,275	2,922	-8,943	-8,959	9,422	-21,131	-21,131	2,875
Element 15-28 (Plate)	15495	2	3,000	-4,180	-28,994	-28,994	2,958	-5,571	-5,571	5,328	-22,828	-22,828	4,155
(Micropali D168.3x8,0mm/0,4)	15494	3	3,000	-4,418	-30,539	-30,539	3,002	-2,543	-2,543	3,000	-23,822	-23,822	4,661
〃	15493	4	3,000	-4,656	-32,458	-32,458	3,023	1,221	-1,432	3,493	-23,979	-23,979	4,837
〃	15515	5	3,000	-4,894	-35,301	-35,301	5,094	6,798	-1,757	8,752	-23,083	-23,083	4,949
Plate_1_6	15515	1	3,000	-4,894	-35,161	-35,161	4,592	6,523	-1,910	8,175	-23,083	-23,083	4,949
Element 15-29 (Plate)	15514	2	3,000	-5,095	-37,406	-37,406	7,199	10,927	-2,225	12,717	-21,289	-21,289	4,874
(Micropali D168.3x8,0mm/0,4)	15513	3	3,000	-5,297	-39,175	-39,175	8,839	14,398	-2,391	16,107	-18,754	-18,754	4,620
〃	15512	4	3,000	-5,498	-41,076	-41,076	9,858	18,128	-2,410	19,832	-15,465	-15,465	4,345
〃	15511	5	3,000	-5,700	-43,716	-43,716	10,602	23,307	-2,567	24,899	-11,334	-11,334	4,347
Plate_1_7	15511	1	3,000	-5,700	-46,644	-46,644	10,519	7,223	-2,543	24,465	-11,334	-11,334	4,347
Element 17-32 (Plate)	15227	2	3,000	-5,825	-49,281	-49,281	10,862	12,399	-2,514	29,399	-10,110	-10,110	4,273
(Micropali D168.3x8,0mm/0,4)	15228	3	3,000	-5,950	-51,842	-51,842	11,209	17,424	-2,419	34,231	-8,237	-8,237	5,350
〃	15229	4	3,000	-6,075	-54,129	-54,129	11,545	21,914	-2,266	38,670	-5,776	-5,776	8,280
〃	15226	5	3,000	-6,200	-55,946	-55,946	11,859	25,480	-2,063	42,407	-2,801	-2,801	11,701
Plate_1_8	15226	1	3,000	-6,200	-55,829	-55,829	11,857	25,249	-2,075	42,207	-2,801	-2,801	11,701
Element 19-34 (Plate)	15055	2	3,000	-6,275	-57,016	-57,016	12,040	27,578	-1,952	40,863	-0,820	-0,820	14,032
(Micropali D168.3x8,0mm/0,4)	15054	3	3,000	-6,350	-58,190	-58,190	12,214	29,879	-1,841	38,711	1,335	0,000	16,324
〃	15053	4	3,000	-6,425	-59,371	-59,371	12,379	32,196	-1,746	36,000	3,664	0,000	18,631
〃	15052	5	3,000	-6,500	-60,582	-60,582	12,537	34,569	-1,732	35,219	6,166	0,000	21,053
Plate_1_9	15052	1	3,000	-6,500	-60,601	-60,601	12,539	34,607	-1,766	35,293	6,166	0,000	21,053
Element 20-35 (Plate)	14383	2	3,000	-6,522	-60,979	-60,979	12,584	35,348	-1,825	35,792	6,919	0,000	21,745
(Micropali D168.3x8,0mm/0,4)	14384	3	3,000	-6,543	-61,347	-61,347	12,631	36,068	-1,889	36,292	7,687	0,000	22,421
〃	14385	4	3,000	-6,565	-61,695	-61,695	12,682	36,752	-1,959	36,776	8,471	0,000	23,088
〃	14382	5	3,000	-6,586	-62,018	-62,018	12,737	37,384	-2,038	37,384	9,268	0,000	23,738
Plate_1_10	14382	1	3,000	-6,586	-61,970	-61,970	12,732	37,289	-2,060	37,289	9,268	0,000	23,738
Element 22-37 (Plate)	13951	2	3,000	-6,690	-62,916	-62,916	13,028	39,143	-2,574	39,143	13,231	0,000	26,149
(Micropali D168.3x8,0mm/0,4)	13952	3	3,000	-6,793	-63,462	-63,462	13,209	40,214	-5,355	40,214	17,341	0,000	27,375
〃	13953	4	3,000	-6,897	-63,724	-63,724	13,278	40,726	-8,747	40,726	21,536	0,000	27,575
〃	13950	5	3,000	-7,000	-63,816	-63,816	13,236	40,905	-11,767	40,905	25,760	0,000	27,371
Plate_1_11	13950	1	3,000	-7,000	-63,992	-63,992	13,261	41,897	-12,169	41,897	25,760	0,000	27,371
Element 25-40 (Plate)	13001	2	3,000	-7,152	-53,285	-53,285	13,206	17,792	-16,143	17,792	30,235	0,000	30,260
(Micropali D168.3x8,0mm/0,4)	13002	3	3,000	-7,305	-44,994	-44,994	13,152	-0,527	-19,165	0,000	31,477	0,000	31,477
〃	13003	4	3,000	-7,457	-39,241	-39,241	13,102	-13,092	-19,963	0,000	30,366	0,000	30,366
〃	13000	5	3,000	-7,610	-36,147	-36,147	13,058	-19,935	-20,289	0,000	27,777	0,000	27,777
Plate_1_11	13000	1	3,000	-7,610	-35,818	-35,818	13,057	-21,022	-21,743	0,000	27,777	0,000	27,777
Element 25-41 (Plate)	12096	2	3,000	-7,832	-33,107	-33,107	13,018	-22,973	-22,973	0,000	22,823	0,000	22,823
(Micropali D168.3x8,0mm/0,4)	12095	3	3,000	-8,055	-31,148	-31,148	12,993	-22,301	-22,301	0,000	17,753	0,000	17,753
〃	12094	4	3,000	-8,277	-29,785	-29,785	12,979	-19,595	-19,595	0,000	13,044	-0,044	13,044
〃	12093	5	3,000	-8,500	-28,862	-28,862	12,973	-15,445	-15,445	0,000	9,130	-0,144	9,130
Plate_1_12	12093	1	3,000	-8,500	-28,747	-28,747	12,971	-15,861	-15,861	0,000	9,130	-0,144	9,130
Element 28-47 (Plate)	11390	2	3,000	-8,706	-27,779	-27,779	12,966	-12,588	-12,588	0,000	6,202	-0,226	6,202
(Micropali D168.3x8,0mm/0,4)	11391	3	3,000	-8,913	-26,754	-26,754	12,961	-9,702	-9,702	0,000	3,911	-0,301	3,911
〃	11392	4	3,000	-9,119	-25,664	-25,664	12,956	-7,225	-7,225	0,000	2,171	-0,370	2,171
〃	11389	5	3,000	-9,325	-24,505	-24,505	12,950	-5,178	-5,178	0,000	0,900	-0,433	0,900

Structural element	Node [10^0]	Local number	X [m]	Y [m]	N [kN/m]	N,min [kN/m]	N,max [kN/m]	Q [kN/m]	Q,max [kN/m]	Q,min [kN/m]	M [kN m/m]	M,max [kN m/m]	M,min [kN m/m]
Plate_1_12	11389	1	3,000	-9,325	-24,502	-24,502	12,896	-5,170	-5,170	0,000	0,900	-0,433	0,900
Element 28-48 (Plate)	10576	2	3,000	-9,483	-23,556	-23,556	12,962	-3,911	-3,911	0,000	0,187	-0,519	0,187
(Micropali D168.3x8,0mm/0,4)	10575	3	3,000	-9,641	-22,564	-22,564	12,831	-2,846	-2,846	0,000	-0,344	-0,727	0,000
28	10574	4	3,000	-9,798	-21,526	-21,526	12,507	-1,966	-1,966	0,000	-0,721	-0,870	0,000
28	10573	5	3,000	-9,956	-20,445	-20,445	11,989	-1,264	-1,264	0,000	-0,974	-0,974	0,000
Plate_1_12	10573	1	3,000	-9,956	-20,443	-20,443	11,989	-1,247	-1,247	0,000	-0,974	-0,974	0,000
Element 28-49 (Plate)	9580	2	3,000	-10,077	-19,588	-19,588	11,448	-0,789	-0,789	0,013	-1,096	-1,096	0,000
(Micropali D168.3x8,0mm/0,4)	9579	3	3,000	-10,197	-18,704	-18,704	10,796	-0,378	-0,378	0,048	-1,166	-1,166	0,000
28	9578	4	3,000	-10,318	-17,792	-17,792	10,058	-0,010	-0,038	0,200	-1,189	-1,189	0,000
28	9577	5	3,000	-10,439	-16,849	-16,849	9,219	0,318	-0,001	0,377	-1,170	-1,170	0,000
Plate_1_12	9577	1	3,000	-10,439	-16,817	-16,817	9,240	0,319	-0,001	0,379	-1,170	-1,170	0,000
Element 28-50 (Plate)	8342	2	3,000	-10,531	-15,975	-15,975	8,607	0,554	0,000	0,554	-1,129	-1,129	0,000
(Micropali D168.3x8,0mm/0,4)	8343	3	3,000	-10,623	-15,055	-15,055	7,948	0,764	0,000	0,764	-1,068	-1,068	0,000
28	8344	4	3,000	-10,715	-14,055	-14,055	7,265	0,948	0,000	0,948	-0,989	-0,989	0,000
28	8341	5	3,000	-10,808	-12,976	-12,976	6,557	1,104	0,000	1,104	-0,894	-0,894	0,000
Plate_1_12	8341	1	3,000	-10,808	-12,970	-12,970	6,555	1,097	0,000	1,097	-0,894	-0,894	0,000
Element 28-51 (Plate)	7770	2	3,000	-10,878	-12,085	-12,085	5,993	1,191	0,000	1,191	-0,813	-0,813	0,000
(Micropali D168.3x8,0mm/0,4)	7769	3	3,000	-10,949	-11,134	-11,134	5,411	1,249	0,000	1,249	-0,727	-0,727	0,000
28	7768	4	3,000	-11,019	-10,116	-10,116	4,808	1,270	0,000	1,270	-0,638	-0,638	0,000
28	7767	5	3,000	-11,090	-9,029	-9,029	4,185	1,254	0,000	1,254	-0,549	-0,549	0,000
Plate_1_12	7767	1	3,000	-11,090	-9,021	-9,021	4,184	1,269	0,000	1,269	-0,549	-0,549	0,000
Element 28-52 (Plate)	6794	2	3,000	-11,144	-8,132	-8,132	3,691	1,226	0,000	1,226	-0,482	-0,482	0,000
(Micropali D168.3x8,0mm/0,4)	6795	3	3,000	-11,198	-7,177	-7,177	3,182	1,209	0,000	1,209	-0,416	-0,416	0,000
28	6796	4	3,000	-11,252	-6,153	-6,153	2,657	1,231	0,000	1,231	-0,350	-0,350	0,000
28	6793	5	3,000	-11,306	-5,060	-5,060	2,116	1,301	0,000	1,301	-0,282	-0,282	0,000
Plate_1_12	6793	1	3,000	-11,306	-5,026	-5,026	2,114	1,206	0,000	1,206	-0,282	-0,282	0,000
Element 28-53 (Plate)	5608	2	3,000	-11,347	-4,171	-4,171	1,687	1,540	0,000	1,540	-0,225	-0,225	0,000
(Micropali D168.3x8,0mm/0,4)	5609	3	3,000	-11,388	-3,196	-3,196	1,246	1,719	0,000	1,719	-0,157	-0,157	0,000
28	5610	4	3,000	-11,429	-2,093	-2,093	0,791	1,716	0,000	1,716	-0,086	-0,086	0,000
28	5607	5	3,000	-11,471	-0,852	-0,852	0,321	1,505	0,000	1,505	-0,019	-0,019	0,000
Plate_1_13	5607	1	3,000	-11,471	-0,831	-0,831	0,321	1,214	0,000	1,214	-0,019	-0,019	0,000
Element 30-64 (Plate)	4612	2	3,000	-11,478	-0,552	-0,552	0,235	0,958	0,000	0,958	-0,011	-0,011	0,000
(Micropali D168.3x8,0mm/0,4)	4611	3	3,000	-11,485	-0,315	-0,315	0,149	0,659	0,000	0,659	-0,005	-0,005	0,000
28	4610	4	3,000	-11,493	-0,129	-0,129	0,062	0,320	0,000	0,320	-0,001	-0,001	0,000
28	4609	5	3,000	-11,500	-0,003	-0,024	0,015	-0,058	-0,060	0,000	0,000	0,000	0,000

3.1.2.4.13 Calculation results, Plate, Completamento scavo [Phase_28] (28/479), Table of plate force envelopes

Structural element	Node [10^3]	Local number	X [m]	Y [m]	N [kN/m]	N,max [kN/m]	N,min [kN/m]	Q [kN/m]	Q,max [kN/m]	Q,min [kN/m]	M [kN m/m]	M,max [kN m/m]	M,min [kN m/m]
Plate_4_1	16475	1	3,000	-0,126	-0,062	-0,144	0,043	0,132	-0,084	0,289	0,000	0,000	0,000
Element 2-5 (Plate)	16474	2	3,000	-0,282	0,010	-0,174	0,070	-0,029	-0,129	0,340	0,008	0,000	0,016
(Micropali D168.3x8,0mm/0,4)	16473	3	3,000	-0,438	-0,138	-0,605	0,000	0,272	0,000	1,191	0,011	0,000	0,130
28	16472	4	3,000	-0,594	-0,737	-1,370	0,000	1,522	0,000	2,698	0,143	0,000	0,409
28	16471	5	3,000	-0,750	-2,022	-2,470	0,000	4,204	0,000	4,871	0,564	0,000	0,979
Plate_1_1	16471	1	3,000	-0,750	-2,181	-2,638	0,000	4,523	0,000	5,201	0,564	0,000	0,979
Element 5-9 (Plate)	16455	2	3,000	-0,948	-3,858	-3,969	0,000	8,428	0,000	8,428	1,846	0,000	2,198
(Micropali D168.3x8,0mm/0,4)	16454	3	3,000	-1,146	-5,744	-5,866	0,000	12,629	0,000	12,629	3,916	0,000	4,002
28	16453	4	3,000	-1,344	-7,801	-7,916	0,000	17,456	0,000	17,456	6,888	0,000	6,888
28	16595	5	3,000	-1,542	-9,991	-10,201	0,000	23,237	-0,116	23,237	10,892	0,000	10,892
Plate_1_1	16595	1	3,000	-1,542	-10,009	-10,267	0,000	22,803	0,000	22,803	10,892	0,000	10,892
Element 5-10 (Plate)	16594	2	3,000	-1,581	-10,439	-10,743	0,000	23,834	0,000	23,834	11,815	0,000	11,815
(Micropali D168.3x8,0mm/0,4)	16593	3	3,000	-1,621	-10,949	-11,286	0,000	24,978	-0,017	24,978	12,781	0,000	12,781
28	16592	4	3,000	-1,660	-11,486	-11,843	0,000	26,149	-0,035	26,149	13,793	0,000	13,793
28	16615	5	3,000	-1,700	-11,998	-12,361	0,000	27,261	-0,022	27,261	14,850	0,000	14,850
Plate_1_2	16615	1	3,000	-1,700	-22,098	-22,098	0,000	-31,917	-31,917	5,890	14,850	0,000	14,850
Element 7-13 (Plate)	16614	2	3,000	-1,728	-22,420	-22,420	0,000	-31,188	-31,188	6,153	13,957	0,000	13,957
(Micropali D168.3x8,0mm/0,4)	16613	3	3,000	-1,757	-22,776	-22,776	0,000	-30,435	-30,435	6,453	13,085	0,000	13,085
28	16612	4	3,000	-1,785	-23,145	-23,145	0,000	-29,667	-29,667	6,788	12,235	0,000	12,235
28	16611	5	3,000	-1,813	-23,509	-23,509	0,000	-28,893	-28,893	7,160	11,406	0,000	11,476
Plate_1_3	16611	1	3,000	-1,813	-23,525	-23,525	0,000	-28,882	-28,882	7,046	11,406	0,000	11,476
Element 8-14 (Plate)	16499	2	3,000	-1,847	-23,915	-23,915	0,000	-28,116	-28,116	7,347	10,436	0,000	10,611
(Micropali D168.3x8,0mm/0,4)	16498	3	3,000	-1,881	-24,292	-24,292	0,000	-27,377	-27,377	7,519	9,491	0,000	9,773
28	16497	4	3,000	-1,915	-24,642	-24,642	0,000	-26,688	-26,688	7,553	8,570	0,000	8,989
28	16496	5	3,000	-1,949	-24,954	-24,954	0,000	-26,077	-26,077	7,438	7,672	0,000	8,282
Plate_1_3	16496	1	3,000	-1,949	-24,954	-24,954	0,000	-26,076	-26,076	7,452	7,672	0,000	8,282
Element 8-15 (Plate)	16287	2	3,000	-1,983	-25,222	-25,222	0,000	-25,551	-25,551	7,221	6,793	0,000	7,599
(Micropali D168.3x8,0mm/0,4)	16286	3	3,000	-2,018	-25,453	-25,453	0,000	-25,098	-25,098	6,850	5,931	0,000	6,931
28	16285	4	3,000	-2,052	-25,635	-25,635	0,000	-24,741	-24,741	6,349	5,082	0,000	6,311
28	16284	5	3,000	-2,086	-25,754	-25,754	0,000	-24,505	-24,505	5,730	4,244	0,000	5,709
Plate_1_4	16284	1	3,000	-2,086	-25,751	-25,751	0,000	-24,511	-24,511	5,745	4,244	0,000	5,709
Element 9-16 (Plate)	16241	2	3,000	-2,088	-25,749	-25,749	0,000	-24,516	-24,516	5,682	4,180	0,000	5,663
(Micropali D168.3x8,0mm/0,4)	16240	3	3,000	-2,091	-25,754	-25,754	0,000	-24,505	-24,505	5,608	4,116	0,000	5,629
28	16239	4	3,000	-2,094	-25,760	-25,760	0,000	-24,494	-24,494	5,529	4,051	0,000	5,643
28	16238	5	3,000	-2,096	-25,759	-25,759	0,000	-24,495	-24,495	5,451	3,987	0,000	5,658
Plate_1_5	16238	1	3,000	-2,096	-25,760	-25,760	0,000	-24,493	-24,493	5,501	3,987	0,000	5,658
Element 11-19 (Plate)	16221	2	3,000	-2,140	-25,760	-25,760	0,000	-24,493	-24,493	4,337	2,924	0,000	5,871
(Micropali D168.3x8,0mm/0,4)	16220	3	3,000	-2,183	-25,760	-25,760	0,000	-24,493	-24,493	3,259	1,861	0,000	6,035
28	16219	4	3,000	-2,226	-25,760	-25,760	0,000	-24,494	-24,494	2,249	0,797	0,000	6,155
28	16218	5	3,000	-2,270	-25,759	-25,759	0,000	-24,494	-24,494	1,291	-0,266	-0,266	6,231
Plate_1_5	16218	1	3,000	-2,270	-25,548	-25,548	0,000	-24,910	-24,910	1,335	-0,266	-0,266	6,231
Element 11-20 (Plate)	15915	2	3,000	-2,344	-26,508	-26,508	0,000	-23,025	-23,025	0,000	-2,045	-2,045	6,267
(Micropali D168.3x8,0mm/0,4)	15914	3	3,000	-2,418	-27,421	-27,421	0,087	-21,231	-21,231	0,000	-3,686	-3,686	6,190
28	15913	4	3,000	-2,492	-28,222	-28,222	0,459	-19,658	-19,658	0,000	-5,203	-5,203	6,021
28	15912	5	3,000	-2,567	-28,845	-28,845	0,618	-18,436	-18,436	0,000	-6,614	-6,614	5,779
Plate_1_5	15912	1	3,000	-2,567	-28,766	-28,766	0,682	-18,590	-18,590	0,000	-6,614	-6,614	5,779

Structural element	Node [10^0]	Local number	X [m]	Y [m]	N [kN/m]	N,max [kN/m]	N,min [kN/m]	Q [kN/m]	Q,max [kN/m]	Q,min [kN/m]	M [kN m/m]	M,max [kN m/m]	M,min [kN m/m]
Element 11-21 (Plate)	15631	2	3,000	-2,694	-29,458	-29,458	1,061	-17,231	-17,231	0,000	-8,885	-8,885	5,248
(Micropali D168.3x8,0mm/0,4)	15630	3	3,000	-2,821	-30,083	-30,083	1,399	-16,003	-16,061	0,000	-10,994	-10,994	4,635
嵌	15629	4	3,000	-2,948	-30,648	-30,648	1,695	-14,892	-15,297	0,000	-12,954	-12,954	3,992
嵌	15628	5	3,000	-3,074	-31,160	-31,160	1,952	-13,887	-14,653	0,000	-14,779	-14,779	3,367
Plate_1_5	15628	1	3,000	-3,074	-31,101	-31,101	1,954	-14,001	-14,818	0,000	-14,779	-14,779	3,367
Element 11-22 (Plate)	15607	2	3,000	-3,292	-32,084	-32,084	2,318	-12,070	-13,429	0,450	-17,593	-17,593	2,392
(Micropali D168.3x8,0mm/0,4)	15606	3	3,000	-3,509	-32,916	-32,916	2,599	-10,435	-12,213	2,725	-20,046	-20,046	1,587
嵌	15605	4	3,000	-3,726	-33,837	-33,837	2,787	-8,627	-10,735	5,921	-22,112	-22,112	1,372
嵌	15604	5	3,000	-3,943	-35,083	-35,083	2,872	-6,179	-8,560	10,502	-23,739	-23,739	2,875
Plate_1_6	15604	1	3,000	-3,943	-34,894	-34,894	2,922	-6,551	-8,959	9,422	-23,739	-23,739	2,875
Element 15-28 (Plate)	15495	2	3,000	-4,180	-36,821	-36,821	2,958	-2,767	-5,571	5,328	-24,820	-24,820	4,155
(Micropali D168.3x8,0mm/0,4)	15494	3	3,000	-4,418	-38,632	-38,632	3,002	0,790	-2,543	3,000	-25,087	-25,087	4,661
嵌	15493	4	3,000	-4,656	-40,880	-40,880	3,023	5,204	-1,432	5,204	-24,376	-24,426	4,837
嵌	15515	5	3,000	-4,894	-44,115	-44,115	5,094	11,556	-1,757	11,556	-22,444	-23,208	4,949
Plate_1_6	15515	1	3,000	-4,894	-43,967	-43,967	4,592	11,265	-1,910	11,265	-22,444	-23,208	4,949
Element 15-29 (Plate)	15514	2	3,000	-5,095	-46,594	-46,594	7,199	16,422	-2,225	16,422	-19,619	-21,343	4,874
(Micropali D168.3x8,0mm/0,4)	15513	3	3,000	-5,297	-48,747	-48,747	8,839	20,649	-2,391	20,649	-15,899	-18,754	4,620
嵌	15512	4	3,000	-5,498	-51,020	-51,020	9,858	25,113	-2,410	25,113	-11,276	-15,465	4,345
嵌	15511	5	3,000	-5,700	-54,009	-54,009	10,602	30,981	-2,567	30,981	-5,667	-11,334	4,347
Plate_1_7	15511	1	3,000	-5,700	-62,867	-62,867	10,519	-17,652	-17,652	24,465	-5,667	-11,334	4,347
Element 17-32 (Plate)	15227	2	3,000	-5,825	-65,656	-65,656	10,862	-12,176	-12,176	29,399	-7,531	-10,134	4,273
(Micropali D168.3x8,0mm/0,4)	15228	3	3,000	-5,950	-68,226	-68,226	11,209	-7,131	-7,131	34,231	-8,725	-9,265	5,350
嵌	15229	4	3,000	-6,075	-70,360	-70,360	11,545	-2,940	-2,940	38,670	-9,349	-9,349	8,280
嵌	15226	5	3,000	-6,200	-71,842	-71,842	11,859	-0,028	-2,063	42,407	-9,517	-9,517	11,701
Plate_1_8	15226	1	3,000	-6,200	-71,681	-71,681	11,857	-0,344	-2,075	42,207	-9,517	-9,517	11,701
Element 19-34 (Plate)	15055	2	3,000	-6,275	-72,645	-72,645	12,040	1,550	-1,952	40,863	-9,472	-9,472	14,032
(Micropali D168.3x8,0mm/0,4)	15054	3	3,000	-6,350	-73,655	-73,655	12,214	3,536	-1,841	38,711	-9,282	-9,282	16,324
嵌	15053	4	3,000	-6,425	-74,719	-74,719	12,379	5,625	-1,746	36,000	-8,939	-8,939	18,631
嵌	15052	5	3,000	-6,500	-75,842	-75,842	12,537	7,830	-1,732	35,219	-8,435	-8,435	21,053
Plate_1_9	15052	1	3,000	-6,500	-75,848	-75,848	12,539	7,843	-1,766	35,293	-8,435	-8,435	21,053
Element 20-35 (Plate)	14383	2	3,000	-6,522	-76,198	-76,198	12,584	8,528	-1,825	35,792	-8,259	-8,259	21,745
(Micropali D168.3x8,0mm/0,4)	14384	3	3,000	-6,543	-76,533	-76,533	12,631	9,187	-1,889	36,292	-8,069	-8,069	22,421
嵌	14385	4	3,000	-6,565	-76,848	-76,848	12,682	9,805	-1,959	36,776	-7,864	-7,864	23,088
嵌	14382	5	3,000	-6,586	-77,134	-77,134	12,737	10,367	-2,038	37,384	-7,647	-7,647	23,738
Plate_1_10	14382	1	3,000	-6,586	-77,176	-77,176	12,732	10,448	-2,060	37,289	-7,647	-7,647	23,738
Element 22-37 (Plate)	13951	2	3,000	-6,690	-77,711	-77,711	13,028	11,501	-2,574	39,143	-6,505	-6,505	26,149
(Micropali D168.3x8,0mm/0,4)	13952	3	3,000	-6,793	-77,999	-77,999	13,209	12,069	-5,355	40,214	-5,285	-5,285	27,375
嵌	13953	4	3,000	-6,897	-78,190	-78,190	13,278	12,446	-8,747	40,726	-4,013	-4,013	27,575
嵌	13950	5	3,000	-7,000	-78,435	-78,435	13,236	12,927	-11,767	40,905	-2,704	-2,704	27,371
Plate_1_11	13950	1	3,000	-7,000	-78,471	-78,471	13,261	12,999	-12,169	41,897	-2,704	-2,704	27,371
Element 25-40 (Plate)	13001	2	3,000	-7,152	-78,631	-78,631	13,206	13,314	-16,143	19,858	-0,696	-0,696	30,260
(Micropali D168.3x8,0mm/0,4)	13002	3	3,000	-7,305	-78,744	-78,744	13,152	13,536	-19,165	14,274	1,349	0,000	31,477
嵌	13003	4	3,000	-7,457	-78,890	-78,890	13,102	13,825	-19,963	13,825	3,435	0,000	30,366
嵌	13000	5	3,000	-7,610	-79,152	-79,152	13,058	14,343	-20,289	14,343	5,576	0,000	27,777
Plate_1_11	13000	1	3,000	-7,610	-79,177	-79,177	13,057	14,395	-21,743	14,395	5,576	0,000	27,777
Element 25-41 (Plate)	12096	2	3,000	-7,832	-82,240	-82,240	13,018	20,401	-22,973	20,401	9,530	0,000	22,823
(Micropali D168.3x8,0mm/0,4)	12095	3	3,000	-8,055	-83,827	-83,827	12,993	23,524	-22,301	23,524	14,425	0,000	18,311
嵌	12094	4	3,000	-8,277	-84,713	-84,713	12,979	25,277	-19,595	25,277	19,902	-0,044	20,486
嵌	12093	5	3,000	-8,500	-85,672	-85,672	12,973	27,170	-15,445	27,170	25,706	-0,144	25,706
Plate_1_12	12093	1	3,000	-8,500	-86,132	-86,132	12,971	27,649	-15,861	27,649	25,706	-0,144	25,706
Element 28-47 (Plate)	11390	2	3,000	-8,706	-72,297	-72,297	12,966	2,929	-12,588	2,929	28,703	-0,226	28,703
(Micropali D168.3x8,0mm/0,4)	11391	3	3,000	-8,913	-61,761	-61,761	12,961	-13,201	-17,018	0,000	27,511	-0,301	27,511
嵌	11392	4	3,000	-9,119	-54,143	-54,143	12,956	-21,302	-21,730	0,000	23,807	-0,370	23,807

Structural element	Node [10^0]	Local number	X [m]	Y [m]	N [kN/m]	N,min [kN/m]	N,max [kN/m]	Q [kN/m]	Q,max [kN/m]	Q,min [kN/m]	M [kN m/m]	M,max [kN m/m]	M,min [kN m/m]
28	11389	5	3,000	-9,325	-49,062	-49,062	12,950	-21,931	-21,931	0,000	19,231	-0,433	19,231
Plate_1_12	11389	1	3,000	-9,325	-48,648	-48,648	12,896	-23,059	-23,059	0,000	19,231	-0,433	19,231
Element 28-48 (Plate)	10576	2	3,000	-9,483	-45,165	-45,165	12,962	-21,999	-21,999	0,000	15,665	-0,519	15,665
(Micropali D168.3x8,0mm/0,4)	10575	3	3,000	-9,641	-42,051	-42,051	12,831	-20,144	-20,144	0,000	12,334	-0,727	12,334
28	10574	4	3,000	-9,798	-39,261	-39,261	12,507	-17,634	-17,634	0,000	9,343	-0,870	9,343
28	10573	5	3,000	-9,956	-36,748	-36,748	11,989	-14,609	-14,609	0,000	6,796	-0,974	6,796
Plate_1_12	10573	1	3,000	-9,956	-36,685	-36,685	11,989	-14,756	-14,756	0,000	6,796	-0,974	6,796
Element 28-49 (Plate)	9580	2	3,000	-10,077	-34,762	-34,762	11,448	-12,568	-12,568	0,013	5,150	-1,096	5,150
(Micropali D168.3x8,0mm/0,4)	9579	3	3,000	-10,197	-32,811	-32,811	10,796	-10,502	-10,502	0,048	3,759	-1,166	3,759
28	9578	4	3,000	-10,318	-30,825	-30,825	10,058	-8,572	-8,572	0,200	2,610	-1,189	2,610
28	9577	5	3,000	-10,439	-28,798	-28,798	9,219	-6,792	-6,792	0,377	1,685	-1,170	1,685
Plate_1_12	9577	1	3,000	-10,439	-28,756	-28,756	9,240	-6,807	-6,807	0,379	1,685	-1,170	1,685
Element 28-50 (Plate)	8342	2	3,000	-10,531	-27,052	-27,052	8,607	-5,590	-5,590	0,554	1,114	-1,129	1,114
(Micropali D168.3x8,0mm/0,4)	8343	3	3,000	-10,623	-25,235	-25,235	7,948	-4,510	-4,510	0,764	0,650	-1,068	0,650
28	8344	4	3,000	-10,715	-23,306	-23,306	7,265	-3,570	-3,570	0,948	0,278	-0,989	0,278
28	8341	5	3,000	-10,808	-21,264	-21,264	6,557	-2,772	-2,772	1,104	-0,013	-0,894	0,000
Plate_1_12	8341	1	3,000	-10,808	-21,254	-21,254	6,555	-2,787	-2,787	1,097	-0,013	-0,894	0,000
Element 28-51 (Plate)	7770	2	3,000	-10,878	-19,608	-19,608	5,993	-2,241	-2,241	1,191	-0,190	-0,813	0,000
(Micropali D168.3x8,0mm/0,4)	7769	3	3,000	-10,949	-17,871	-17,871	5,411	-1,763	-1,763	1,249	-0,331	-0,727	0,000
28	7768	4	3,000	-11,019	-16,042	-16,042	4,808	-1,329	-1,329	1,270	-0,440	-0,638	0,000
28	7767	5	3,000	-11,090	-14,123	-14,123	4,185	-0,916	-0,916	1,254	-0,519	-0,613	0,000
Plate_1_12	7767	1	3,000	-11,090	-14,118	-14,118	4,184	-0,863	-0,863	1,269	-0,519	-0,613	0,000
Element 28-52 (Plate)	6794	2	3,000	-11,144	-12,590	-12,590	3,691	-0,467	-0,467	1,226	-0,555	-0,608	0,000
(Micropali D168.3x8,0mm/0,4)	6795	3	3,000	-11,198	-10,997	-10,997	3,182	0,027	0,000	1,209	-0,568	-0,593	0,000
28	6796	4	3,000	-11,252	-9,342	-9,342	2,657	0,645	0,000	1,231	-0,550	-0,560	0,000
28	6793	5	3,000	-11,306	-7,623	-7,623	2,116	1,413	0,000	1,585	-0,496	-0,498	0,000
Plate_1_12	6793	1	3,000	-11,306	-7,569	-7,569	2,114	1,275	0,000	1,449	-0,496	-0,498	0,000
Element 28-53 (Plate)	5608	2	3,000	-11,347	-6,282	-6,282	1,687	2,411	0,000	2,468	-0,418	-0,419	0,000
(Micropali D168.3x8,0mm/0,4)	5609	3	3,000	-11,388	-4,816	-4,816	1,246	3,108	0,000	3,122	-0,303	-0,303	0,000
28	5610	4	3,000	-11,429	-3,143	-3,143	0,791	3,311	0,000	3,311	-0,169	-0,169	0,000
28	5607	5	3,000	-11,471	-1,234	-1,234	0,321	2,965	0,000	2,965	-0,037	-0,037	0,000
Plate_1_13	5607	1	3,000	-11,471	-1,310	-1,310	0,321	2,540	0,000	2,540	-0,037	-0,037	0,000
Element 30-64 (Plate)	4612	2	3,000	-11,478	-0,984	-0,984	0,235	1,920	0,000	1,920	-0,021	-0,021	0,000
(Micropali D168.3x8,0mm/0,4)	4611	3	3,000	-11,485	-0,647	-0,647	0,149	1,268	0,000	1,268	-0,009	-0,009	0,000
28	4610	4	3,000	-11,493	-0,307	-0,307	0,062	0,603	0,000	0,603	-0,002	-0,002	0,000
28	4609	5	3,000	-11,500	0,029	-0,024	0,029	-0,059	-0,060	0,000	0,000	0,000	0,000

3.1.2.4.14 Calculation results, Plate, (RD) Strutture [Phase_11] (11/482), Table of plate force envelopes

Structural element	Node [10^0]	Local number	X [m]	Y [m]	N [kN/m]	N,min [kN/m]	N,max [kN/m]	Q [kN/m]	Q,min [kN/m]	Q,max [kN/m]	M [kN m/m]	M,min [kN m/m]	M,max [kN m/m]
Plate_2_1	17871	1	0,000	0,000	0,000	0,000	0,000	0,000	0,000	0,000	0,000	0,000	0,000
Element 1-1 (Plate)	17868	2	0,000	-0,021	0,000	0,000	0,000	0,000	0,000	0,000	0,000	0,000	0,000
(Parete c.a.C32/40 sp.0.50m)	17867	3	0,000	-0,043	0,000	0,000	0,000	0,000	0,000	0,000	0,000	0,000	0,000
28	17866	4	0,000	-0,064	0,000	0,000	0,000	0,000	0,000	0,000	0,000	0,000	0,000
28	17869	5	0,000	-0,086	0,000	0,000	0,000	0,000	0,000	0,000	0,000	0,000	0,000
Plate_2_1	17869	1	0,000	-0,086	0,000	0,000	0,000	0,000	0,000	0,000	0,000	0,000	0,000
Element 1-2 (Plate)	17860	2	0,000	-0,113	0,000	0,000	0,000	0,000	0,000	0,000	0,000	0,000	0,000
(Parete c.a.C32/40 sp.0.50m)	17859	3	0,000	-0,140	0,000	0,000	0,000	0,000	0,000	0,000	0,000	0,000	0,000
28	17858	4	0,000	-0,166	0,000	0,000	0,000	0,000	0,000	0,000	0,000	0,000	0,000
28	17857	5	0,000	-0,193	0,000	0,000	0,000	0,000	0,000	0,000	0,000	0,000	0,000
Plate_2_1	17857	1	0,000	-0,193	0,000	0,000	0,000	0,000	0,000	0,000	0,000	0,000	0,000
Element 1-3 (Plate)	17837	2	0,000	-0,227	0,000	0,000	0,000	0,000	0,000	0,000	0,000	0,000	0,000
(Parete c.a.C32/40 sp.0.50m)	17836	3	0,000	-0,261	0,000	0,000	0,000	0,000	0,000	0,000	0,000	0,000	0,000
28	17835	4	0,000	-0,295	0,000	0,000	0,000	0,000	0,000	0,000	0,000	0,000	0,000
28	17834	5	0,000	-0,329	0,000	0,000	0,000	0,000	0,000	0,000	0,000	0,000	0,000
Plate_2_1	17834	1	0,000	-0,329	0,000	0,000	0,000	0,000	0,000	0,000	0,000	0,000	0,000
Element 1-4 (Plate)	17759	2	0,000	-0,372	0,000	0,000	0,000	0,000	0,000	0,000	0,000	0,000	0,000
(Parete c.a.C32/40 sp.0.50m)	17758	3	0,000	-0,415	0,000	0,000	0,000	0,000	0,000	0,000	0,000	0,000	0,000
28	17757	4	0,000	-0,457	0,000	0,000	0,000	0,000	0,000	0,000	0,000	0,000	0,000
28	17753	5	0,000	-0,500	0,000	0,000	0,000	0,000	0,000	0,000	0,000	0,000	0,000
Plate_4_1	16475	1	3,000	-0,126	-0,062	-0,144	0,043	0,132	-0,084	0,289	0,000	0,000	0,000
Element 2-5 (Plate)	16474	2	3,000	-0,282	0,010	-0,174	0,070	-0,027	-0,129	0,340	0,009	0,000	0,016
(Micropali D168.3x8,0mm/0,4)	16473	3	3,000	-0,438	-0,137	-0,605	0,000	0,277	0,000	1,191	0,011	0,000	0,130
28	16472	4	3,000	-0,594	-0,735	-1,370	0,000	1,528	0,000	2,698	0,144	0,000	0,409
28	16471	5	3,000	-0,750	-2,017	-2,470	0,000	4,214	0,000	4,871	0,567	0,000	0,979
Plate_2_2	17753	1	0,000	-0,500	0,000	0,000	0,000	0,000	0,000	0,000	0,000	0,000	0,000
Element 3-6 (Plate)	17677	2	0,000	-0,563	0,000	0,000	0,000	0,000	0,000	0,000	0,000	0,000	0,000
(Parete c.a.C32/40 sp.0.50m)	17676	3	0,000	-0,625	0,000	0,000	0,000	0,000	0,000	0,000	0,000	0,000	0,000
28	17675	4	0,000	-0,688	0,000	0,000	0,000	0,000	0,000	0,000	0,000	0,000	0,000
28	17671	5	0,000	-0,750	0,000	0,000	0,000	0,000	0,000	0,000	0,000	0,000	0,000
Plate_2_3	17671	1	0,000	-0,750	0,000	0,000	0,000	0,000	0,000	0,000	0,000	0,000	0,000
Element 4-7 (Plate)	17599	2	0,000	-0,798	0,000	0,000	0,000	0,000	0,000	0,000	0,000	0,000	0,000
(Parete c.a.C32/40 sp.0.50m)	17598	3	0,000	-0,846	0,000	0,000	0,000	0,000	0,000	0,000	0,000	0,000	0,000
28	17597	4	0,000	-0,894	0,000	0,000	0,000	0,000	0,000	0,000	0,000	0,000	0,000
28	17593	5	0,000	-0,942	0,000	0,000	0,000	0,000	0,000	0,000	0,000	0,000	0,000
Plate_2_3	17593	1	0,000	-0,942	0,000	0,000	0,000	0,000	0,000	0,000	0,000	0,000	0,000
Element 4-8 (Plate)	17468	2	0,000	-1,007	0,000	0,000	0,000	0,000	0,000	0,000	0,000	0,000	0,000
(Parete c.a.C32/40 sp.0.50m)	17467	3	0,000	-1,071	0,000	0,000	0,000	0,000	0,000	0,000	0,000	0,000	0,000
28	17466	4	0,000	-1,136	0,000	0,000	0,000	0,000	0,000	0,000	0,000	0,000	0,000
28	17465	5	0,000	-1,200	0,000	0,000	0,000	0,000	0,000	0,000	0,000	0,000	0,000
Plate_1_1	16471	1	3,000	-0,750	-2,177	-2,638	0,000	4,525	0,000	5,201	0,567	0,000	0,979
Element 5-9 (Plate)	16455	2	3,000	-0,948	-3,852	-3,969	0,000	8,433	0,000	8,433	1,849	0,000	2,198
(Micropali D168.3x8,0mm/0,4)	16454	3	3,000	-1,146	-5,737	-5,866	0,000	12,643	0,000	12,643	3,922	0,000	4,002
28	16453	4	3,000	-1,344	-7,794	-7,916	0,000	17,482	0,000	17,482	6,897	0,000	6,897
28	16595	5	3,000	-1,542	-9,984	-10,201	0,000	23,274	-0,116	23,274	10,908	0,000	10,908
Plate_1_1	16595	1	3,000	-1,542	-10,003	-10,267	0,000	22,841	0,000	22,841	10,908	0,000	10,908

Structural element	Node [10^0]	Local number	X [m]	Y [m]	N [kN/m]	N,--- [kN/m]	N,--- [kN/m]	Q [kN/m]	Q,--- [kN/m]	Q,--- [kN/m]	M [kN m/m]	M,--- [kN m/m]	M,--- [kN m/m]
Element 5-10 (Plate)	16594	2	3,000	-1,581	-10,434	-10,743	0,000	23,876	0,000	23,876	11,831	0,000	11,831
(Micropali D168.3x8,0mm/0,4)	16593	3	3,000	-1,621	-10,944	-11,286	0,000	25,022	-0,017	25,022	12,800	0,000	12,800
〃	16592	4	3,000	-1,660	-11,482	-11,843	0,000	26,194	-0,035	26,194	13,813	0,000	13,813
〃	16615	5	3,000	-1,700	-11,995	-12,361	0,000	27,306	-0,022	27,306	14,872	0,000	14,872
Plate_2_4	17465	1	0,000	-1,200	0,000	0,000	0,000	0,000	0,000	0,000	0,000	0,000	0,000
Element 6-11 (Plate)	17390	2	0,000	-1,261	0,000	0,000	0,000	0,000	0,000	0,000	0,000	0,000	0,000
(Parete c.a.C32/40 sp.0.50m)	17389	3	0,000	-1,322	0,000	0,000	0,000	0,000	0,000	0,000	0,000	0,000	0,000
〃	17388	4	0,000	-1,382	0,000	0,000	0,000	0,000	0,000	0,000	0,000	0,000	0,000
〃	17387	5	0,000	-1,443	0,000	0,000	0,000	0,000	0,000	0,000	0,000	0,000	0,000
Plate_2_4	17387	1	0,000	-1,443	0,000	0,000	0,000	0,000	0,000	0,000	0,000	0,000	0,000
Element 6-12 (Plate)	17259	2	0,000	-1,535	0,000	0,000	0,000	0,000	0,000	0,000	0,000	0,000	0,000
(Parete c.a.C32/40 sp.0.50m)	17258	3	0,000	-1,627	0,000	0,000	0,000	0,000	0,000	0,000	0,000	0,000	0,000
〃	17257	4	0,000	-1,718	0,000	0,000	0,000	0,000	0,000	0,000	0,000	0,000	0,000
〃	17256	5	0,000	-1,810	0,000	0,000	0,000	0,000	0,000	0,000	0,000	0,000	0,000
Plate_1_2	16615	1	3,000	-1,700	-22,116	-22,116	0,000	-32,002	-32,002	5,890	14,872	0,000	14,872
Element 7-13 (Plate)	16614	2	3,000	-1,728	-22,439	-22,439	0,000	-31,271	-31,271	6,153	13,977	0,000	13,977
(Micropali D168.3x8,0mm/0,4)	16613	3	3,000	-1,757	-22,795	-22,795	0,000	-30,517	-30,517	6,453	13,103	0,000	13,103
〃	16612	4	3,000	-1,785	-23,165	-23,165	0,000	-29,748	-29,748	6,788	12,250	0,000	12,250
〃	16611	5	3,000	-1,813	-23,528	-23,528	0,000	-28,974	-28,974	7,160	11,419	0,000	11,476
Plate_1_3	16611	1	3,000	-1,813	-23,545	-23,545	0,000	-28,963	-28,963	7,046	11,419	0,000	11,476
Element 8-14 (Plate)	16499	2	3,000	-1,847	-23,936	-23,936	0,000	-28,195	-28,195	7,347	10,446	0,000	10,611
(Micropali D168.3x8,0mm/0,4)	16498	3	3,000	-1,881	-24,312	-24,312	0,000	-27,454	-27,454	7,519	9,498	0,000	9,773
〃	16497	4	3,000	-1,915	-24,663	-24,663	0,000	-26,764	-26,764	7,553	8,575	0,000	8,989
〃	16496	5	3,000	-1,949	-24,976	-24,976	0,000	-26,151	-26,151	7,438	7,674	0,000	8,282
Plate_1_3	16496	1	3,000	-1,949	-24,976	-24,976	0,000	-26,152	-26,152	7,452	7,674	0,000	8,282
Element 8-15 (Plate)	16287	2	3,000	-1,983	-25,244	-25,244	0,000	-25,625	-25,625	7,221	6,793	0,000	7,599
(Micropali D168.3x8,0mm/0,4)	16286	3	3,000	-2,018	-25,475	-25,475	0,000	-25,170	-25,170	6,850	5,928	0,000	6,931
〃	16285	4	3,000	-2,052	-25,657	-25,657	0,000	-24,811	-24,811	6,349	5,077	0,000	6,311
〃	16284	5	3,000	-2,086	-25,777	-25,777	0,000	-24,574	-24,574	5,730	4,236	0,000	5,709
Plate_1_4	16284	1	3,000	-2,086	-25,774	-25,774	0,000	-24,579	-24,579	5,745	4,236	0,000	5,709
Element 9-16 (Plate)	16241	2	3,000	-2,088	-25,771	-25,771	0,000	-24,584	-24,584	5,682	4,172	0,000	5,663
(Micropali D168.3x8,0mm/0,4)	16240	3	3,000	-2,091	-25,777	-25,777	0,000	-24,573	-24,573	5,608	4,108	0,000	5,629
〃	16239	4	3,000	-2,094	-25,783	-25,783	0,000	-24,561	-24,561	5,529	4,043	0,000	5,643
〃	16238	5	3,000	-2,096	-25,782	-25,782	0,000	-24,563	-24,563	5,451	3,979	0,000	5,658
Plate_2_5	17256	1	0,000	-1,810	0,000	0,000	0,000	0,000	0,000	0,000	0,000	0,000	0,000
Element 10-17 (Plate)	17223	2	0,000	-1,882	0,000	0,000	0,000	0,000	0,000	0,000	0,000	0,000	0,000
(Parete c.a.C32/40 sp.0.50m)	17222	3	0,000	-1,955	0,000	0,000	0,000	0,000	0,000	0,000	0,000	0,000	0,000
〃	17221	4	0,000	-2,027	0,000	0,000	0,000	0,000	0,000	0,000	0,000	0,000	0,000
〃	17220	5	0,000	-2,100	0,000	0,000	0,000	0,000	0,000	0,000	0,000	0,000	0,000
Plate_2_5	17220	1	0,000	-2,100	0,000	0,000	0,000	0,000	0,000	0,000	0,000	0,000	0,000
Element 10-18 (Plate)	17043	2	0,000	-2,200	0,000	0,000	0,000	0,000	0,000	0,000	0,000	0,000	0,000
(Parete c.a.C32/40 sp.0.50m)	17042	3	0,000	-2,300	0,000	0,000	0,000	0,000	0,000	0,000	0,000	0,000	0,000
〃	17041	4	0,000	-2,400	0,000	0,000	0,000	0,000	0,000	0,000	0,000	0,000	0,000
〃	17040	5	0,000	-2,500	0,000	0,000	0,000	0,000	0,000	0,000	0,000	0,000	0,000
Plate_1_5	16238	1	3,000	-2,096	-25,783	-25,783	0,000	-24,561	-24,561	5,501	3,979	0,000	5,658
Element 11-19 (Plate)	16221	2	3,000	-2,140	-25,783	-25,783	0,000	-24,560	-24,560	4,337	2,913	0,000	5,871
(Micropali D168.3x8,0mm/0,4)	16220	3	3,000	-2,183	-25,784	-25,784	0,000	-24,560	-24,560	3,259	1,847	0,000	6,035
〃	16219	4	3,000	-2,226	-25,784	-25,784	0,000	-24,560	-24,560	2,249	0,780	0,000	6,155
〃	16218	5	3,000	-2,270	-25,784	-25,784	0,000	-24,559	-24,559	1,291	-0,286	-0,286	6,231
Plate_1_5	16218	1	3,000	-2,270	-25,572	-25,572	0,000	-24,974	-24,974	1,335	-0,286	-0,286	6,231
Element 11-20 (Plate)	15915	2	3,000	-2,344	-26,535	-26,535	0,000	-23,084	-23,084	0,000	-2,069	-2,069	6,267
(Micropali D168.3x8,0mm/0,4)	15914	3	3,000	-2,418	-27,452	-27,452	0,087	-21,285	-21,285	0,000	-3,714	-3,714	6,190
〃	15913	4	3,000	-2,492	-28,256	-28,256	0,459	-19,708	-19,708	0,000	-5,236	-5,236	6,021

Structural element	Node [10^0]	Local number	X [m]	Y [m]	N [kN/m]	N,max [kN/m]	N,min [kN/m]	Q [kN/m]	Q,max [kN/m]	Q,min [kN/m]	M [kN m/m]	M,max [kN m/m]	M,min [kN m/m]
28	15912	5	3,000	-2,567	-28,881	-28,881	0,618	-18,482	-18,482	0,000	-6,650	-6,650	5,779
Plate_1_5	15912	1	3,000	-2,567	-28,802	-28,802	0,682	-18,636	-18,636	0,000	-6,650	-6,650	5,779
Element 11-21 (Plate)	15631	2	3,000	-2,694	-29,498	-29,498	1,061	-17,271	-17,271	0,000	-8,927	-8,927	5,248
(Micropali D168.3x8,0mm/0,4)	15630	3	3,000	-2,821	-30,127	-30,127	1,399	-16,037	-16,061	0,000	-11,040	-11,040	4,635
29	15629	4	3,000	-2,948	-30,697	-30,697	1,695	-14,921	-15,297	0,000	-13,004	-13,004	3,992
30	15628	5	3,000	-3,074	-31,212	-31,212	1,952	-13,910	-14,653	0,000	-14,832	-14,832	3,367
Plate_1_5	15628	1	3,000	-3,074	-31,154	-31,154	1,954	-14,024	-14,818	0,000	-14,832	-14,832	3,367
Element 11-22 (Plate)	15607	2	3,000	-3,292	-32,144	-32,144	2,318	-12,085	-13,429	0,450	-17,651	-17,651	2,392
(Micropali D168.3x8,0mm/0,4)	15606	3	3,000	-3,509	-32,983	-32,983	2,599	-10,440	-12,213	2,725	-20,106	-20,106	1,587
31	15605	4	3,000	-3,726	-33,910	-33,910	2,787	-8,623	-10,735	5,921	-22,172	-22,172	1,372
32	15604	5	3,000	-3,943	-35,164	-35,164	2,872	-6,167	-8,560	10,502	-23,797	-23,797	2,875
Plate_2_6	17040	1	0,000	-2,500	0,000	0,000	0,000	0,000	0,000	0,000	0,000	0,000	0,000
Element 12-23 (Plate)	17003	2	0,000	-2,615	0,000	0,000	0,000	0,000	0,000	0,000	0,000	0,000	0,000
(Parete c.a.C32/40 sp.0.50m)	17002	3	0,000	-2,731	0,000	0,000	0,000	0,000	0,000	0,000	0,000	0,000	0,000
33	17001	4	0,000	-2,846	0,000	0,000	0,000	0,000	0,000	0,000	0,000	0,000	0,000
34	17000	5	0,000	-2,962	0,000	0,000	0,000	0,000	0,000	0,000	0,000	0,000	0,000
Plate_2_6	17000	1	0,000	-2,962	0,000	0,000	0,000	0,000	0,000	0,000	0,000	0,000	0,000
Element 12-24 (Plate)	16689	2	0,000	-3,082	0,000	0,000	0,000	0,000	0,000	0,000	0,000	0,000	0,000
(Parete c.a.C32/40 sp.0.50m)	16688	3	0,000	-3,202	0,000	0,000	0,000	0,000	0,000	0,000	0,000	0,000	0,000
35	16687	4	0,000	-3,322	0,000	0,000	0,000	0,000	0,000	0,000	0,000	0,000	0,000
36	16686	5	0,000	-3,442	0,000	0,000	0,000	0,000	0,000	0,000	0,000	0,000	0,000
Plate_2_6	16686	1	0,000	-3,442	0,000	0,000	0,000	0,000	0,000	0,000	0,000	0,000	0,000
Element 12-25 (Plate)	16542	2	0,000	-3,567	0,000	0,000	0,000	0,000	0,000	0,000	0,000	0,000	0,000
(Parete c.a.C32/40 sp.0.50m)	16541	3	0,000	-3,693	0,000	0,000	0,000	0,000	0,000	0,000	0,000	0,000	0,000
37	16540	4	0,000	-3,818	0,000	0,000	0,000	0,000	0,000	0,000	0,000	0,000	0,000
38	16536	5	0,000	-3,943	0,000	0,000	0,000	0,000	0,000	0,000	0,000	0,000	0,000
Plate_2_7	16536	1	0,000	-3,943	0,000	0,000	0,000	0,000	0,000	0,000	0,000	0,000	0,000
Element 13-26 (Plate)	16129	2	0,000	-4,055	0,000	0,000	0,000	0,000	0,000	0,000	0,000	0,000	0,000
(Parete c.a.C32/40 sp.0.50m)	16128	3	0,000	-4,167	0,000	0,000	0,000	0,000	0,000	0,000	0,000	0,000	0,000
39	16127	4	0,000	-4,280	0,000	0,000	0,000	0,000	0,000	0,000	0,000	0,000	0,000
40	16126	5	0,000	-4,392	0,000	0,000	0,000	0,000	0,000	0,000	0,000	0,000	0,000
Plate_2_8	16126	1	0,000	-4,392	0,000	0,000	0,000	0,000	0,000	0,000	0,000	0,000	0,000
Element 14-27 (Plate)	15925	2	0,000	-4,594	0,000	0,000	0,000	0,000	0,000	0,000	0,000	0,000	0,000
(Parete c.a.C32/40 sp.0.50m)	15924	3	0,000	-4,796	0,000	0,000	0,000	0,000	0,000	0,000	0,000	0,000	0,000
41	15923	4	0,000	-4,998	0,000	0,000	0,000	0,000	0,000	0,000	0,000	0,000	0,000
42	15922	5	0,000	-5,200	0,000	0,000	0,000	0,000	0,000	0,000	0,000	0,000	0,000
Plate_1_6	15604	1	3,000	-3,943	-34,975	-34,975	2,922	-6,538	-8,959	9,422	-23,797	-23,797	2,875
Element 15-28 (Plate)	15495	2	3,000	-4,180	-36,911	-36,911	2,958	-2,743	-5,571	5,328	-24,874	-24,874	4,155
(Micropali D168.3x8,0mm/0,4)	15494	3	3,000	-4,418	-38,731	-38,731	3,002	0,826	-2,543	3,000	-25,134	-25,134	4,661
43	15493	4	3,000	-4,656	-40,988	-40,988	3,023	5,251	-1,432	5,251	-24,413	-24,426	4,837
44	15515	5	3,000	-4,894	-44,234	-44,234	5,094	11,616	-1,757	11,616	-22,469	-23,208	4,949
Plate_1_6	15515	1	3,000	-4,894	-44,085	-44,085	4,592	11,324	-1,910	11,324	-22,469	-23,208	4,949
Element 15-29 (Plate)	15514	2	3,000	-5,095	-46,720	-46,720	7,199	16,492	-2,225	16,492	-19,630	-21,343	4,874
(Micropali D168.3x8,0mm/0,4)	15513	3	3,000	-5,297	-48,881	-48,881	8,839	20,729	-2,391	20,729	-15,895	-18,754	4,620
45	15512	4	3,000	-5,498	-51,163	-51,163	9,858	25,202	-2,410	25,202	-11,255	-15,465	4,345
46	15511	5	3,000	-5,700	-54,158	-54,158	10,602	31,077	-2,567	31,077	-5,627	-11,334	4,347
Plate_2_9	15922	1	0,000	-5,200	0,000	0,000	0,000	0,000	0,000	0,000	0,000	0,000	0,000
Element 16-30 (Plate)	15715	2	0,000	-5,366	0,000	0,000	0,000	0,000	0,000	0,000	0,000	0,000	0,000
(Parete c.a.C32/40 sp.0.50m)	15714	3	0,000	-5,531	0,000	0,000	0,000	0,000	0,000	0,000	0,000	0,000	0,000
47	15713	4	0,000	-5,697	0,000	0,000	0,000	0,000	0,000	0,000	0,000	0,000	0,000
48	15712	5	0,000	-5,863	0,000	0,000	0,000	0,000	0,000	0,000	0,000	0,000	0,000
Plate_2_9	15712	1	0,000	-5,863	0,000	0,000	0,000	0,000	0,000	0,000	0,000	0,000	0,000
Element 16-31 (Plate)	15279	2	0,000	-5,947	0,000	0,000	0,000	0,000	0,000	0,000	0,000	0,000	0,000

Structural element	Node [10^0]	Local number	X [m]	Y [m]	N [kN/m]	N min [kN/m]	N max [kN/m]	Q [kN/m]	Q min [kN/m]	Q max [kN/m]	M [kN m/m]	M min [kN m/m]	M max [kN m/m]
(Parete c.a.C32/40 sp.0.50m)	15278	3	0,000	-6,031	0,000	0,000	0,000	0,000	0,000	0,000	0,000	0,000	0,000
"	15277	4	0,000	-6,116	0,000	0,000	0,000	0,000	0,000	0,000	0,000	0,000	0,000
"	15276	5	0,000	-6,200	0,000	0,000	0,000	0,000	0,000	0,000	0,000	0,000	0,000
Plate_1_7	15511	1	3,000	-5,700	-63,045	-63,045	10,519	-17,711	-17,711	24,465	-5,627	-11,334	4,347
Element 17-32 (Plate)	15227	2	3,000	-5,825	-65,837	-65,837	10,862	-12,233	-12,233	29,399	-7,498	-10,134	4,273
(Micropali D168.3x8,0mm/0,4)	15228	3	3,000	-5,950	-68,410	-68,410	11,209	-7,187	-7,187	34,231	-8,700	-9,265	5,350
"	15229	4	3,000	-6,075	-70,547	-70,547	11,545	-2,996	-2,996	38,670	-9,331	-9,349	8,280
"	15226	5	3,000	-6,200	-72,033	-72,033	11,859	-0,083	-2,063	42,407	-9,505	-9,517	11,701
Plate_2_10	15276	1	0,000	-6,200	0,000	0,000	0,000	0,000	0,000	0,000	0,000	0,000	0,000
Element 18-33 (Plate)	15111	2	0,000	-6,275	0,000	0,000	0,000	0,000	0,000	0,000	0,000	0,000	0,000
(Parete c.a.C32/40 sp.0.50m)	15110	3	0,000	-6,350	0,000	0,000	0,000	0,000	0,000	0,000	0,000	0,000	0,000
"	15109	4	0,000	-6,425	0,000	0,000	0,000	0,000	0,000	0,000	0,000	0,000	0,000
"	15108	5	0,000	-6,500	0,000	0,000	0,000	0,000	0,000	0,000	0,000	0,000	0,000
Plate_1_8	15226	1	3,000	-6,200	-71,871	-71,871	11,857	-0,400	-2,075	42,207	-9,505	-9,517	11,701
Element 19-34 (Plate)	15055	2	3,000	-6,275	-72,839	-72,839	12,040	1,497	-1,952	40,863	-9,464	-9,472	14,032
(Micropali D168.3x8,0mm/0,4)	15054	3	3,000	-6,350	-73,852	-73,852	12,214	3,484	-1,841	38,711	-9,278	-9,282	16,324
"	15053	4	3,000	-6,425	-74,917	-74,917	12,379	5,574	-1,746	36,000	-8,939	-8,939	18,631
"	15052	5	3,000	-6,500	-76,041	-76,041	12,537	7,778	-1,732	35,219	-8,439	-8,439	21,053
Plate_1_9	15052	1	3,000	-6,500	-76,047	-76,047	12,539	7,790	-1,766	35,293	-8,439	-8,439	21,053
Element 20-35 (Plate)	14383	2	3,000	-6,522	-76,397	-76,397	12,584	8,475	-1,825	35,792	-8,264	-8,264	21,745
(Micropali D168.3x8,0mm/0,4)	14384	3	3,000	-6,543	-76,733	-76,733	12,631	9,134	-1,889	36,292	-8,075	-8,075	22,421
"	14385	4	3,000	-6,565	-77,048	-77,048	12,682	9,752	-1,959	36,776	-7,872	-7,872	23,088
"	14382	5	3,000	-6,586	-77,334	-77,334	12,737	10,313	-2,038	37,384	-7,656	-7,656	23,738
Plate_2_11	15108	1	0,000	-6,500	0,000	0,000	0,000	0,000	0,000	0,000	0,000	0,000	0,000
Element 21-36 (Plate)	14137	2	0,000	-6,624	0,000	0,000	0,000	0,000	0,000	0,000	0,000	0,000	0,000
(Parete c.a.C32/40 sp.0.50m)	14136	3	0,000	-6,747	0,000	0,000	0,000	0,000	0,000	0,000	0,000	0,000	0,000
"	14135	4	0,000	-6,871	0,000	0,000	0,000	0,000	0,000	0,000	0,000	0,000	0,000
"	14134	5	0,000	-6,994	0,000	0,000	0,000	0,000	0,000	0,000	0,000	0,000	0,000
Plate_1_10	14382	1	3,000	-6,586	-77,375	-77,375	12,732	10,394	-2,060	37,289	-7,656	-7,656	23,738
Element 22-37 (Plate)	13951	2	3,000	-6,690	-77,913	-77,913	13,028	11,447	-2,574	39,143	-6,519	-6,519	26,149
(Micropali D168.3x8,0mm/0,4)	13952	3	3,000	-6,793	-78,204	-78,204	13,209	12,016	-5,355	40,214	-5,305	-5,305	27,375
"	13953	4	3,000	-6,897	-78,400	-78,400	13,278	12,398	-8,747	40,726	-4,038	-4,038	27,575
"	13950	5	3,000	-7,000	-78,651	-78,651	13,236	12,890	-11,767	40,905	-2,733	-2,733	27,371
Plate_2_12	14134	1	0,000	-6,994	0,000	0,000	0,000	0,000	0,000	0,000	0,000	0,000	0,000
Element 23-38 (Plate)	13402	2	0,000	-7,061	0,000	0,000	0,000	0,000	0,000	0,000	0,000	0,000	0,000
(Parete c.a.C32/40 sp.0.50m)	13401	3	0,000	-7,128	0,000	0,000	0,000	0,000	0,000	0,000	0,000	0,000	0,000
"	13400	4	0,000	-7,195	0,000	0,000	0,000	0,000	0,000	0,000	0,000	0,000	0,000
"	13396	5	0,000	-7,262	0,000	0,000	0,000	0,000	0,000	0,000	0,000	0,000	0,000
Plate_2_13	13396	1	0,000	-7,262	0,000	0,000	0,000	0,000	0,000	0,000	0,000	0,000	0,000
Element 24-39 (Plate)	12634	2	0,000	-7,322	0,000	0,000	0,000	0,000	0,000	0,000	0,000	0,000	0,000
(Parete c.a.C32/40 sp.0.50m)	12633	3	0,000	-7,381	0,000	0,000	0,000	0,000	0,000	0,000	0,000	0,000	0,000
"	12632	4	0,000	-7,441	0,000	0,000	0,000	0,000	0,000	0,000	0,000	0,000	0,000
"	12628	5	0,000	-7,500	0,000	0,000	0,000	0,000	0,000	0,000	0,000	0,000	0,000
Plate_1_11	13950	1	3,000	-7,000	-78,688	-78,688	13,261	12,962	-12,169	41,897	-2,733	-2,733	27,371
Element 25-40 (Plate)	13001	2	3,000	-7,152	-78,851	-78,851	13,206	13,279	-16,143	19,858	-0,731	-0,731	30,260
(Micropali D168.3x8,0mm/0,4)	13002	3	3,000	-7,305	-78,967	-78,967	13,152	13,504	-19,165	14,274	1,309	0,000	31,477
"	13003	4	3,000	-7,457	-79,118	-79,118	13,102	13,799	-19,963	13,825	3,390	0,000	30,366
"	13000	5	3,000	-7,610	-79,389	-79,389	13,058	14,329	-20,289	14,343	5,529	0,000	27,777
Plate_1_11	13000	1	3,000	-7,610	-79,413	-79,413	13,057	14,368	-21,743	14,395	5,529	0,000	27,777
Element 25-41 (Plate)	12096	2	3,000	-7,832	-82,488	-82,488	13,018	20,423	-22,973	20,423	9,483	0,000	22,823
(Micropali D168.3x8,0mm/0,4)	12095	3	3,000	-8,055	-84,084	-84,084	12,993	23,569	-22,301	23,569	14,385	0,000	18,311
"	12094	4	3,000	-8,277	-84,981	-84,981	12,979	25,343	-19,595	25,343	19,875	-0,044	20,486
"	12093	5	3,000	-8,500	-85,958	-85,958	12,973	27,281	-15,445	27,281	25,698	-0,144	25,706

Structural element	Node [10^]	Local number	X [m]	Y [m]	N [kN/m]	N,,x,, [kN/m]	N,,z,, [kN/m]	Q [kN/m]	Q,,x,, [kN/m]	Q,,z,, [kN/m]	M [kN m/m]	M,,x,, [kN m/m]	M,,z,, [kN m/m]
Plate_2_14	12628	1	0,000	-7,500	0,000	0,000	0,000	0,000	0,000	0,000	0,000	0,000	0,000
Element 26-42 (Plate)	11506	2	0,000	-7,576	0,000	0,000	0,000	0,000	0,000	0,000	0,000	0,000	0,000
(Parete c.a.C32/40 sp.0.50m)	11505	3	0,000	-7,653	0,000	0,000	0,000	0,000	0,000	0,000	0,000	0,000	0,000
28	11504	4	0,000	-7,729	0,000	0,000	0,000	0,000	0,000	0,000	0,000	0,000	0,000
28	11503	5	0,000	-7,806	0,000	0,000	0,000	0,000	0,000	0,000	0,000	0,000	0,000
Plate_2_14	11503	1	0,000	-7,806	0,000	0,000	0,000	0,000	0,000	0,000	0,000	0,000	0,000
Element 26-43 (Plate)	11181	2	0,000	-7,867	0,000	0,000	0,000	0,000	0,000	0,000	0,000	0,000	0,000
(Parete c.a.C32/40 sp.0.50m)	11180	3	0,000	-7,928	0,000	0,000	0,000	0,000	0,000	0,000	0,000	0,000	0,000
28	11179	4	0,000	-7,989	0,000	0,000	0,000	0,000	0,000	0,000	0,000	0,000	0,000
28	11175	5	0,000	-8,050	0,000	0,000	0,000	0,000	0,000	0,000	0,000	0,000	0,000
Plate_2_14	11175	1	0,000	-8,050	0,000	0,000	0,000	0,000	0,000	0,000	0,000	0,000	0,000
Element 26-44 (Plate)	9918	2	0,000	-8,098	0,000	0,000	0,000	0,000	0,000	0,000	0,000	0,000	0,000
(Parete c.a.C32/40 sp.0.50m)	9917	3	0,000	-8,147	0,000	0,000	0,000	0,000	0,000	0,000	0,000	0,000	0,000
28	9916	4	0,000	-8,196	0,000	0,000	0,000	0,000	0,000	0,000	0,000	0,000	0,000
28	9915	5	0,000	-8,245	0,000	0,000	0,000	0,000	0,000	0,000	0,000	0,000	0,000
Plate_2_14	9915	1	0,000	-8,245	0,000	0,000	0,000	0,000	0,000	0,000	0,000	0,000	0,000
Element 26-45 (Plate)	9080	2	0,000	-8,283	0,000	0,000	0,000	0,000	0,000	0,000	0,000	0,000	0,000
(Parete c.a.C32/40 sp.0.50m)	9079	3	0,000	-8,322	0,000	0,000	0,000	0,000	0,000	0,000	0,000	0,000	0,000
28	9078	4	0,000	-8,361	0,000	0,000	0,000	0,000	0,000	0,000	0,000	0,000	0,000
28	9077	5	0,000	-8,400	0,000	0,000	0,000	0,000	0,000	0,000	0,000	0,000	0,000
Plate_3_1	9077	1	0,000	-8,400	-0,016	-0,016	0,000	-0,007	-0,007	0,000	0,000	0,000	0,000
Element 27-46 (Plate)	7882	2	0,000	-8,425	-0,016	-0,016	0,000	-0,007	-0,007	0,000	0,000	0,000	0,000
(Micropali D168.3x10/0,27m)	7883	3	0,000	-8,450	-0,016	-0,016	0,000	-0,007	-0,007	0,000	0,000	0,000	0,000
28	7884	4	0,000	-8,475	-0,016	-0,016	0,000	-0,007	-0,007	0,000	-0,001	-0,001	0,000
28	7881	5	0,000	-8,500	-0,016	-0,016	0,000	-0,007	-0,007	0,000	-0,001	-0,001	0,000
Plate_1_12	12093	1	3,000	-8,500	-86,373	-86,373	12,971	27,713	-15,861	27,713	25,698	-0,144	25,706
Element 28-47 (Plate)	11390	2	3,000	-8,706	-72,606	-72,606	12,966	3,027	-12,588	3,027	28,711	-0,226	28,711
(Micropali D168.3x8,0mm/0,4)	11391	3	3,000	-8,913	-62,076	-62,076	12,961	-13,096	-17,018	0,000	27,541	-0,301	27,541
28	11392	4	3,000	-9,119	-54,425	-54,425	12,956	-21,217	-21,730	0,000	23,857	-0,370	23,857
28	11389	5	3,000	-9,325	-49,293	-49,293	12,950	-21,900	-21,931	0,000	19,293	-0,433	19,293
Plate_1_12	11389	1	3,000	-9,325	-48,887	-48,887	12,896	-23,021	-23,059	0,000	19,293	-0,433	19,293
Element 28-48 (Plate)	10576	2	3,000	-9,483	-45,381	-45,381	12,962	-21,999	-21,999	0,000	15,731	-0,519	15,731
(Micropali D168.3x8,0mm/0,4)	10575	3	3,000	-9,641	-42,244	-42,244	12,831	-20,174	-20,174	0,000	12,396	-0,727	12,396
28	10574	4	3,000	-9,798	-39,430	-39,430	12,507	-17,684	-17,684	0,000	9,400	-0,870	9,400
28	10573	5	3,000	-9,956	-36,893	-36,893	11,989	-14,670	-14,670	0,000	6,843	-0,974	6,843
Plate_1_12	10573	1	3,000	-9,956	-36,830	-36,830	11,989	-14,817	-14,817	0,000	6,843	-0,974	6,843
Element 28-49 (Plate)	9580	2	3,000	-10,077	-34,893	-34,893	11,448	-12,630	-12,630	0,013	5,189	-1,096	5,189
(Micropali D168.3x8,0mm/0,4)	9579	3	3,000	-10,197	-32,929	-32,929	10,796	-10,563	-10,563	0,048	3,792	-1,166	3,792
28	9578	4	3,000	-10,318	-30,931	-30,931	10,058	-8,629	-8,629	0,200	2,635	-1,189	2,635
28	9577	5	3,000	-10,439	-28,893	-28,893	9,219	-6,841	-6,841	0,377	1,704	-1,170	1,704
Plate_1_12	9577	1	3,000	-10,439	-28,851	-28,851	9,240	-6,857	-6,857	0,379	1,704	-1,170	1,704
Element 28-50 (Plate)	8342	2	3,000	-10,531	-27,139	-27,139	8,607	-5,633	-5,633	0,554	1,129	-1,129	1,129
(Micropali D168.3x8,0mm/0,4)	8343	3	3,000	-10,623	-25,315	-25,315	7,948	-4,547	-4,547	0,764	0,660	-1,068	0,660
28	8344	4	3,000	-10,715	-23,379	-23,379	7,265	-3,601	-3,601	0,948	0,285	-0,989	0,285
28	8341	5	3,000	-10,808	-21,329	-21,329	6,557	-2,798	-2,798	1,104	-0,009	-0,894	0,000
Plate_1_12	8341	1	3,000	-10,808	-21,319	-21,319	6,555	-2,813	-2,813	1,097	-0,009	-0,894	0,000
Element 28-51 (Plate)	7770	2	3,000	-10,878	-19,667	-19,667	5,993	-2,262	-2,262	1,191	-0,187	-0,813	0,000
(Micropali D168.3x8,0mm/0,4)	7769	3	3,000	-10,949	-17,924	-17,924	5,411	-1,779	-1,779	1,249	-0,329	-0,727	0,000
28	7768	4	3,000	-11,019	-16,089	-16,089	4,808	-1,341	-1,341	1,270	-0,439	-0,638	0,000
28	7767	5	3,000	-11,090	-14,164	-14,164	4,185	-0,924	-0,924	1,254	-0,519	-0,613	0,000
Plate_1_12	7767	1	3,000	-11,090	-14,159	-14,159	4,184	-0,870	-0,870	1,269	-0,519	-0,613	0,000
Element 28-52 (Plate)	6794	2	3,000	-11,144	-12,626	-12,626	3,691	-0,472	-0,472	1,226	-0,556	-0,608	0,000
(Micropali D168.3x8,0mm/0,4)	6795	3	3,000	-11,198	-11,028	-11,028	3,182	0,024	0,000	1,209	-0,568	-0,593	0,000

Structural element	Node [10^]	Local number	X [m]	Y [m]	N [kN/m]	N,x [kN/m]	N,y [kN/m]	Q [kN/m]	Q,x [kN/m]	Q,y [kN/m]	M [kN m/m]	M,x [kN m/m]	M,y [kN m/m]
昂	6796	4	3,000	-11,252	-9,367	-9,367	2,657	0,645	0,000	1,231	-0,551	-0,560	0,000
昂	6793	5	3,000	-11,306	-7,643	-7,643	2,116	1,414	0,000	1,585	-0,496	-0,498	0,000
Plate_1_12	6793	1	3,000	-11,306	-7,589	-7,589	2,114	1,276	0,000	1,449	-0,496	-0,498	0,000
Element 28-53 (Plate)	5608	2	3,000	-11,347	-6,297	-6,297	1,687	2,413	0,000	2,468	-0,419	-0,419	0,000
(Micropali D168.3x8,0mm/0,4)	5609	3	3,000	-11,388	-4,826	-4,826	1,246	3,111	0,000	3,122	-0,303	-0,303	0,000
昂	5610	4	3,000	-11,429	-3,148	-3,148	0,791	3,313	0,000	3,313	-0,169	-0,169	0,000
昂	5607	5	3,000	-11,471	-1,232	-1,234	0,321	2,965	0,000	2,965	-0,037	-0,037	0,000
Plate_3_2	7881	1	0,000	-8,500	-0,016	-0,016	0,000	-0,006	-0,006	0,000	-0,001	-0,001	0,000
Element 29-54 (Plate)	6882	2	0,000	-8,544	-0,015	-0,015	0,000	-0,009	-0,009	0,000	-0,001	-0,001	0,000
(Micropali D168.3x10/0,27m)	6883	3	0,000	-8,588	-0,014	-0,014	0,000	-0,013	-0,013	0,000	-0,001	-0,001	0,000
昂	6884	4	0,000	-8,631	-0,014	-0,014	0,000	-0,018	-0,018	0,000	-0,002	-0,002	0,000
昂	6881	5	0,000	-8,675	-0,014	-0,014	0,000	-0,022	-0,022	0,000	-0,003	-0,003	0,000
Plate_3_2	6881	1	0,000	-8,675	-0,014	-0,014	0,000	-0,022	-0,022	0,000	-0,003	-0,003	0,000
Element 29-55 (Plate)	6868	2	0,000	-8,726	-0,014	-0,014	0,000	-0,024	-0,024	0,000	-0,004	-0,004	0,000
(Micropali D168.3x10/0,27m)	6869	3	0,000	-8,777	-0,014	-0,014	0,000	-0,024	-0,024	0,000	-0,005	-0,005	0,000
昂	6870	4	0,000	-8,827	-0,013	-0,013	0,000	-0,023	-0,023	0,000	-0,007	-0,007	0,000
昂	6867	5	0,000	-8,878	-0,013	-0,013	0,000	-0,020	-0,020	0,000	-0,008	-0,008	0,000
Plate_3_2	6867	1	0,000	-8,878	-0,013	-0,013	0,000	-0,021	-0,021	0,000	-0,008	-0,008	0,000
Element 29-56 (Plate)	5682	2	0,000	-8,937	-0,012	-0,012	0,000	-0,017	-0,017	0,000	-0,009	-0,009	0,000
(Micropali D168.3x10/0,27m)	5683	3	0,000	-8,996	-0,011	-0,011	0,000	-0,013	-0,013	0,000	-0,010	-0,010	0,000
昂	5684	4	0,000	-9,055	-0,011	-0,011	0,000	-0,010	-0,010	0,000	-0,010	-0,010	0,000
昂	5681	5	0,000	-9,114	-0,010	-0,010	0,000	-0,007	-0,007	0,000	-0,011	-0,011	0,000
Plate_3_2	5681	1	0,000	-9,114	-0,010	-0,010	0,000	-0,007	-0,007	0,000	-0,011	-0,011	0,000
Element 29-57 (Plate)	5668	2	0,000	-9,182	-0,008	-0,008	0,000	-0,005	-0,005	0,000	-0,011	-0,011	0,000
(Micropali D168.3x10/0,27m)	5669	3	0,000	-9,250	-0,007	-0,007	0,000	-0,003	-0,004	0,000	-0,012	-0,012	0,000
昂	5670	4	0,000	-9,319	-0,006	-0,006	0,000	-0,002	-0,003	0,000	-0,012	-0,012	0,000
昂	5667	5	0,000	-9,387	-0,005	-0,005	0,000	-0,002	-0,003	0,000	-0,012	-0,012	0,000
Plate_3_2	5667	1	0,000	-9,387	-0,005	-0,005	0,000	-0,002	-0,003	0,000	-0,012	-0,012	0,000
Element 29-58 (Plate)	5642	2	0,000	-9,466	-0,003	-0,004	0,000	-0,003	-0,004	0,000	-0,012	-0,012	0,000
(Micropali D168.3x10/0,27m)	5643	3	0,000	-9,546	-0,002	-0,003	0,000	-0,004	-0,005	0,000	-0,012	-0,012	0,000
昂	5644	4	0,000	-9,625	0,000	-0,003	0,000	-0,006	-0,006	0,000	-0,013	-0,013	0,000
昂	5641	5	0,000	-9,704	0,001	-0,002	0,001	-0,008	-0,008	0,000	-0,013	-0,013	0,000
Plate_3_2	5641	1	0,000	-9,704	0,001	-0,002	0,001	-0,008	-0,008	0,000	-0,013	-0,013	0,000
Element 29-59 (Plate)	5544	2	0,000	-9,796	0,003	-0,002	0,003	-0,012	-0,012	0,000	-0,014	-0,014	0,000
(Micropali D168.3x10/0,27m)	5545	3	0,000	-9,888	0,005	-0,001	0,005	-0,015	-0,015	0,000	-0,015	-0,015	0,000
昂	5546	4	0,000	-9,980	0,007	-0,001	0,007	-0,020	-0,020	0,000	-0,017	-0,017	0,000
昂	5543	5	0,000	-10,072	0,008	0,000	0,008	-0,024	-0,024	0,000	-0,019	-0,019	0,000
Plate_3_2	5543	1	0,000	-10,072	0,008	0,000	0,008	-0,024	-0,024	0,000	-0,019	-0,019	0,000
Element 29-60 (Plate)	4597	2	0,000	-10,179	0,011	0,000	0,011	-0,029	-0,029	0,000	-0,022	-0,022	0,000
(Micropali D168.3x10/0,27m)	4598	3	0,000	-10,285	0,013	0,000	0,013	-0,035	-0,035	0,000	-0,025	-0,025	0,000
昂	4599	4	0,000	-10,392	0,015	0,000	0,015	-0,041	-0,041	0,000	-0,029	-0,029	0,000
昂	4596	5	0,000	-10,499	0,017	0,000	0,017	-0,046	-0,046	0,000	-0,034	-0,034	0,000
Plate_3_2	4596	1	0,000	-10,499	0,017	0,000	0,017	-0,046	-0,046	0,000	-0,034	-0,034	0,000
Element 29-61 (Plate)	4561	2	0,000	-10,622	0,020	0,000	0,020	-0,052	-0,052	0,000	-0,040	-0,040	0,000
(Micropali D168.3x10/0,27m)	4562	3	0,000	-10,746	0,023	0,000	0,023	-0,058	-0,058	0,000	-0,047	-0,047	0,000
昂	4563	4	0,000	-10,870	0,026	0,000	0,026	-0,062	-0,062	0,000	-0,054	-0,054	0,000
昂	4560	5	0,000	-10,994	0,028	0,000	0,028	-0,064	-0,064	0,000	-0,062	-0,062	0,000
Plate_3_2	4560	1	0,000	-10,994	0,029	0,000	0,029	-0,062	-0,062	0,000	-0,062	-0,062	0,000
Element 29-62 (Plate)	4345	2	0,000	-11,137	0,032	0,000	0,032	-0,063	-0,063	0,000	-0,071	-0,071	0,000
(Micropali D168.3x10/0,27m)	4346	3	0,000	-11,281	0,035	0,000	0,035	-0,052	-0,052	0,000	-0,080	-0,080	0,000
昂	4347	4	0,000	-11,424	0,040	0,000	0,040	-0,029	-0,029	0,000	-0,086	-0,086	0,000
昂	4344	5	0,000	-11,568	0,045	0,000	0,045	0,008	0,000	0,008	-0,087	-0,087	0,000
Plate_3_2	4344	1	0,000	-11,568	0,073	0,000	0,073	-0,018	-0,018	0,000	-0,087	-0,087	0,000

Structural element	Node [10^0]	Local number	X [m]	Y [m]	N [kN/m]	N,x [kN/m]	N,y [kN/m]	Q [kN/m]	Q,x [kN/m]	Q,y [kN/m]	M [kN m/m]	M,x [kN m/m]	M,y [kN m/m]
Element 29-63 (Plate)	3619	2	0,000	-11,734	0,007	-0,002	0,007	0,112	0,000	0,112	-0,079	-0,079	0,000
(Micropali D168.3x10/0,27m)	3620	3	0,000	-11,901	-0,034	-0,034	0,000	0,193	0,000	0,193	-0,053	-0,053	0,000
⁂	3621	4	0,000	-12,067	-0,046	-0,046	0,000	0,216	0,000	0,216	-0,018	-0,018	0,000
⁂	3618	5	0,000	-12,234	-0,024	-0,024	0,000	0,172	0,000	0,172	0,015	0,000	0,015
Plate_1_13	5607	1	3,000	-11,471	-1,310	-1,310	0,321	2,540	0,000	2,540	-0,037	-0,037	0,000
Element 30-64 (Plate)	4612	2	3,000	-11,478	-0,984	-0,984	0,235	1,920	0,000	1,920	-0,021	-0,021	0,000
(Micropali D168.3x8,0mm/0,4)	4611	3	3,000	-11,485	-0,647	-0,647	0,149	1,269	0,000	1,269	-0,009	-0,009	0,000
⁂	4610	4	3,000	-11,493	-0,307	-0,307	0,062	0,603	0,000	0,603	-0,002	-0,002	0,000
⁂	4609	5	3,000	-11,500	0,029	-0,024	0,029	-0,059	-0,060	0,000	0,000	0,000	0,000
Plate_3_3	3618	1	0,000	-12,234	-0,031	-0,031	0,000	0,221	0,000	0,221	0,015	0,000	0,015
Element 31-65 (Plate)	2977	2	0,000	-12,406	-0,028	-0,028	0,000	0,116	0,000	0,116	0,044	0,000	0,044
(Micropali D168.3x10/0,27m)	2978	3	0,000	-12,579	-0,025	-0,025	0,000	0,041	0,000	0,041	0,057	0,000	0,057
⁂	2979	4	0,000	-12,751	-0,022	-0,022	0,000	-0,003	-0,003	0,000	0,060	0,000	0,060
⁂	2976	5	0,000	-12,924	-0,020	-0,020	0,000	-0,018	-0,018	0,000	0,058	0,000	0,058
Plate_3_3	2976	1	0,000	-12,924	-0,020	-0,020	0,000	-0,024	-0,024	0,000	0,058	0,000	0,058
Element 31-66 (Plate)	2613	2	0,000	-13,106	-0,019	-0,019	0,000	-0,037	-0,037	0,000	0,052	0,000	0,052
(Micropali D168.3x10/0,27m)	2612	3	0,000	-13,288	-0,017	-0,017	0,000	-0,043	-0,043	0,000	0,045	0,000	0,045
⁂	2611	4	0,000	-13,470	-0,016	-0,016	0,000	-0,043	-0,043	0,000	0,037	0,000	0,037
⁂	2610	5	0,000	-13,653	-0,014	-0,014	0,000	-0,039	-0,039	0,000	0,029	0,000	0,029
Plate_3_3	2610	1	0,000	-13,653	-0,014	-0,014	0,000	-0,040	-0,040	0,000	0,029	0,000	0,029
Element 31-67 (Plate)	1951	2	0,000	-13,845	-0,013	-0,013	0,000	-0,034	-0,034	0,000	0,022	0,000	0,022
(Micropali D168.3x10/0,27m)	1952	3	0,000	-14,037	-0,012	-0,012	0,000	-0,029	-0,029	0,000	0,016	0,000	0,016
⁂	1953	4	0,000	-14,230	-0,011	-0,011	0,000	-0,023	-0,023	0,000	0,011	0,000	0,011
⁂	1950	5	0,000	-14,422	-0,010	-0,010	0,000	-0,017	-0,017	0,000	0,007	0,000	0,007
Plate_3_3	1950	1	0,000	-14,422	-0,010	-0,010	0,000	-0,018	-0,018	0,000	0,007	0,000	0,007
Element 31-68 (Plate)	1613	2	0,000	-14,625	-0,009	-0,009	0,000	-0,013	-0,013	0,000	0,004	0,000	0,004
(Micropali D168.3x10/0,27m)	1614	3	0,000	-14,829	-0,008	-0,008	0,000	-0,009	-0,009	0,000	0,002	0,000	0,002
⁂	1615	4	0,000	-15,032	-0,008	-0,008	0,000	-0,006	-0,006	0,000	0,000	0,000	0,000
⁂	1612	5	0,000	-15,235	-0,007	-0,007	0,000	-0,003	-0,003	0,000	-0,001	-0,001	0,000
Plate_3_3	1612	1	0,000	-15,235	-0,007	-0,007	0,000	-0,003	-0,003	0,000	-0,001	-0,001	0,000
Element 31-69 (Plate)	1081	2	0,000	-15,450	-0,006	-0,006	0,000	-0,001	-0,001	0,000	-0,001	-0,001	0,000
(Micropali D168.3x10/0,27m)	1082	3	0,000	-15,664	-0,005	-0,005	0,000	0,000	0,000	0,000	-0,001	-0,001	0,000
⁂	1083	4	0,000	-15,879	-0,004	-0,004	0,000	0,001	0,000	0,001	-0,001	-0,001	0,000
⁂	1080	5	0,000	-16,093	-0,004	-0,004	0,000	0,002	0,000	0,002	-0,001	-0,001	0,000
Plate_3_3	1080	1	0,000	-16,093	-0,004	-0,004	0,000	0,002	0,000	0,002	-0,001	-0,001	0,000
Element 31-70 (Plate)	669	2	0,000	-16,320	-0,003	-0,003	0,000	0,002	0,000	0,002	0,000	0,000	0,000
(Micropali D168.3x10/0,27m)	668	3	0,000	-16,547	-0,002	-0,002	0,000	0,001	0,000	0,001	0,000	0,000	0,000
⁂	667	4	0,000	-16,773	-0,001	-0,001	0,000	0,000	0,000	0,000	0,000	0,000	0,000
⁂	666	5	0,000	-17,000	0,000	0,000	0,000	-0,001	-0,001	0,000	0,000	0,000	0,000

3.1.2.4.15 Calculation results, Plate, Riempimento 1 [Phase_12] (12/828), Table of plate force envelopes

Structural element	Node [10^]	Local number	X [m]	Y [m]	N [kN/m]	N -·- [kN/m]	N -·- [kN/m]	Q [kN/m]	Q -·- [kN/m]	Q -·- [kN/m]	M [kN m/m]	M -·- [kN m/m]	M -·- [kN m/m]
Plate_2_1	17871	1	0,000	0,000	0,000	0,000	0,000	0,000	0,000	0,000	0,000	0,000	0,000
Element 1-1 (Plate)	17868	2	0,000	-0,021	0,000	0,000	0,000	0,000	0,000	0,000	0,000	0,000	0,000
(Parete c.a.C32/40 sp.0.50m)	17867	3	0,000	-0,043	0,000	0,000	0,000	0,000	0,000	0,000	0,000	0,000	0,000
28	17866	4	0,000	-0,064	0,000	0,000	0,000	0,000	0,000	0,000	0,000	0,000	0,000
28	17869	5	0,000	-0,086	0,000	0,000	0,000	0,000	0,000	0,000	0,000	0,000	0,000
Plate_2_1	17869	1	0,000	-0,086	0,000	0,000	0,000	0,000	0,000	0,000	0,000	0,000	0,000
Element 1-2 (Plate)	17860	2	0,000	-0,113	0,000	0,000	0,000	0,000	0,000	0,000	0,000	0,000	0,000
(Parete c.a.C32/40 sp.0.50m)	17859	3	0,000	-0,140	0,000	0,000	0,000	0,000	0,000	0,000	0,000	0,000	0,000
28	17858	4	0,000	-0,166	0,000	0,000	0,000	0,000	0,000	0,000	0,000	0,000	0,000
28	17857	5	0,000	-0,193	0,000	0,000	0,000	0,000	0,000	0,000	0,000	0,000	0,000
Plate_2_1	17857	1	0,000	-0,193	0,000	0,000	0,000	0,000	0,000	0,000	0,000	0,000	0,000
Element 1-3 (Plate)	17837	2	0,000	-0,227	0,000	0,000	0,000	0,000	0,000	0,000	0,000	0,000	0,000
(Parete c.a.C32/40 sp.0.50m)	17836	3	0,000	-0,261	0,000	0,000	0,000	0,000	0,000	0,000	0,000	0,000	0,000
28	17835	4	0,000	-0,295	0,000	0,000	0,000	0,000	0,000	0,000	0,000	0,000	0,000
28	17834	5	0,000	-0,329	0,000	0,000	0,000	0,000	0,000	0,000	0,000	0,000	0,000
Plate_2_1	17834	1	0,000	-0,329	0,000	0,000	0,000	0,000	0,000	0,000	0,000	0,000	0,000
Element 1-4 (Plate)	17759	2	0,000	-0,372	0,000	0,000	0,000	0,000	0,000	0,000	0,000	0,000	0,000
(Parete c.a.C32/40 sp.0.50m)	17758	3	0,000	-0,415	0,000	0,000	0,000	0,000	0,000	0,000	0,000	0,000	0,000
28	17757	4	0,000	-0,457	0,000	0,000	0,000	0,000	0,000	0,000	0,000	0,000	0,000
28	17753	5	0,000	-0,500	0,000	0,000	0,000	0,000	0,000	0,000	0,000	0,000	0,000
Plate_4_1	16475	1	3,000	-0,126	-0,108	-0,144	0,043	0,047	-0,084	0,289	0,000	0,000	0,000
Element 2-5 (Plate)	16474	2	3,000	-0,282	0,091	-0,174	0,091	0,114	-0,129	0,340	0,015	0,000	0,016
(Micropali D168.3x8,0mm/0,4)	16473	3	3,000	-0,438	0,024	-0,605	0,024	0,533	0,000	1,191	0,049	0,000	0,130
28	16472	4	3,000	-0,594	-0,492	-1,370	0,000	1,849	0,000	2,698	0,228	0,000	0,409
28	16471	5	3,000	-0,750	-1,640	-2,470	0,000	4,604	0,000	4,871	0,705	0,000	0,979
Plate_2_2	17753	1	0,000	-0,500	0,000	0,000	0,000	0,000	0,000	0,000	0,000	0,000	0,000
Element 3-6 (Plate)	17677	2	0,000	-0,563	0,000	0,000	0,000	0,000	0,000	0,000	0,000	0,000	0,000
(Parete c.a.C32/40 sp.0.50m)	17676	3	0,000	-0,625	0,000	0,000	0,000	0,000	0,000	0,000	0,000	0,000	0,000
28	17675	4	0,000	-0,688	0,000	0,000	0,000	0,000	0,000	0,000	0,000	0,000	0,000
28	17671	5	0,000	-0,750	0,000	0,000	0,000	0,000	0,000	0,000	0,000	0,000	0,000
Plate_2_3	17671	1	0,000	-0,750	0,000	0,000	0,000	0,000	0,000	0,000	0,000	0,000	0,000
Element 4-7 (Plate)	17599	2	0,000	-0,798	0,000	0,000	0,000	0,000	0,000	0,000	0,000	0,000	0,000
(Parete c.a.C32/40 sp.0.50m)	17598	3	0,000	-0,846	0,000	0,000	0,000	0,000	0,000	0,000	0,000	0,000	0,000
28	17597	4	0,000	-0,894	0,000	0,000	0,000	0,000	0,000	0,000	0,000	0,000	0,000
28	17593	5	0,000	-0,942	0,000	0,000	0,000	0,000	0,000	0,000	0,000	0,000	0,000
Plate_2_3	17593	1	0,000	-0,942	0,000	0,000	0,000	0,000	0,000	0,000	0,000	0,000	0,000
Element 4-8 (Plate)	17468	2	0,000	-1,007	0,000	0,000	0,000	0,000	0,000	0,000	0,000	0,000	0,000
(Parete c.a.C32/40 sp.0.50m)	17467	3	0,000	-1,071	0,000	0,000	0,000	0,000	0,000	0,000	0,000	0,000	0,000
28	17466	4	0,000	-1,136	0,000	0,000	0,000	0,000	0,000	0,000	0,000	0,000	0,000
28	17465	5	0,000	-1,200	0,000	0,000	0,000	0,000	0,000	0,000	0,000	0,000	0,000
Plate_1_1	16471	1	3,000	-0,750	-1,810	-2,638	0,000	4,901	0,000	5,201	0,705	0,000	0,979
Element 5-9 (Plate)	16455	2	3,000	-0,948	-3,335	-3,969	0,000	8,874	0,000	8,874	2,068	0,000	2,198
(Micropali D168.3x8,0mm/0,4)	16454	3	3,000	-1,146	-5,063	-5,866	0,000	13,176	0,000	13,176	4,236	0,000	4,236
28	16453	4	3,000	-1,344	-6,955	-7,916	0,000	18,132	0,000	18,132	7,328	0,000	7,328
28	16595	5	3,000	-1,542	-8,974	-10,201	0,000	24,065	-0,116	24,065	11,481	0,000	11,481
Plate_1_1	16595	1	3,000	-1,542	-8,992	-10,267	0,000	23,632	0,000	23,632	11,481	0,000	11,481

Structural element	Node [10^3]	Local number	X [m]	Y [m]	N [kN/m]	N,,xx,, [kN/m]	N,,xy,, [kN/m]	Q [kN/m]	Q,,xz,, [kN/m]	Q,,yz,, [kN/m]	M [kN m/m]	M,,xx,, [kN m/m]	M,,xy,, [kN m/m]
Element 5-10 (Plate)	16594	2	3,000	-1,581	-9,387	-10,743	0,000	24,697	0,000	24,697	12,437	0,000	12,437
(Micropali D168.3x8,0mm/0,4)	16593	3	3,000	-1,621	-9,861	-11,286	0,000	25,875	-0,017	25,875	13,438	0,000	13,438
〃	16592	4	3,000	-1,660	-10,363	-11,843	0,000	27,078	-0,035	27,078	14,486	0,000	14,486
〃	16615	5	3,000	-1,700	-10,839	-12,361	0,000	28,223	-0,022	28,223	15,581	0,000	15,581
Plate_2_4	17465	1	0,000	-1,200	0,000	0,000	0,000	0,000	0,000	0,000	0,000	0,000	0,000
Element 6-11 (Plate)	17390	2	0,000	-1,261	0,000	0,000	0,000	0,000	0,000	0,000	0,000	0,000	0,000
(Parete c.a.C32/40 sp.0.50m)	17389	3	0,000	-1,322	0,000	0,000	0,000	0,000	0,000	0,000	0,000	0,000	0,000
〃	17388	4	0,000	-1,382	0,000	0,000	0,000	0,000	0,000	0,000	0,000	0,000	0,000
〃	17387	5	0,000	-1,443	0,000	0,000	0,000	0,000	0,000	0,000	0,000	0,000	0,000
Plate_2_4	17387	1	0,000	-1,443	0,000	0,000	0,000	0,000	0,000	0,000	0,000	0,000	0,000
Element 6-12 (Plate)	17259	2	0,000	-1,535	0,000	0,000	0,000	0,000	0,000	0,000	0,000	0,000	0,000
(Parete c.a.C32/40 sp.0.50m)	17258	3	0,000	-1,627	0,000	0,000	0,000	0,000	0,000	0,000	0,000	0,000	0,000
〃	17257	4	0,000	-1,718	0,000	0,000	0,000	0,000	0,000	0,000	0,000	0,000	0,000
〃	17256	5	0,000	-1,810	0,000	0,000	0,000	0,000	0,000	0,000	0,000	0,000	0,000
Plate_1_2	16615	1	3,000	-1,700	-21,325	-22,116	0,000	-33,235	-33,235	5,890	15,581	0,000	15,581
Element 7-13 (Plate)	16614	2	3,000	-1,728	-21,622	-22,439	0,000	-32,481	-32,481	6,153	14,651	0,000	14,651
(Micropali D168.3x8,0mm/0,4)	16613	3	3,000	-1,757	-21,951	-22,795	0,000	-31,703	-31,703	6,453	13,743	0,000	13,743
〃	16612	4	3,000	-1,785	-22,294	-23,165	0,000	-30,912	-30,912	6,788	12,857	0,000	12,857
〃	16611	5	3,000	-1,813	-22,630	-23,528	0,000	-30,115	-30,115	7,160	11,993	0,000	11,993
Plate_1_3	16611	1	3,000	-1,813	-22,646	-23,545	0,000	-30,103	-30,103	7,046	11,993	0,000	11,993
Element 8-14 (Plate)	16499	2	3,000	-1,847	-23,004	-23,936	0,000	-29,309	-29,309	7,347	10,982	0,000	10,982
(Micropali D168.3x8,0mm/0,4)	16498	3	3,000	-1,881	-23,348	-24,312	0,000	-28,540	-28,540	7,519	9,997	0,000	9,997
〃	16497	4	3,000	-1,915	-23,665	-24,663	0,000	-27,823	-27,823	7,553	9,037	0,000	9,037
〃	16496	5	3,000	-1,949	-23,943	-24,976	0,000	-27,183	-27,183	7,438	8,101	0,000	8,282
Plate_1_3	16496	1	3,000	-1,949	-23,943	-24,976	0,000	-27,183	-27,183	7,452	8,101	0,000	8,282
Element 8-15 (Plate)	16287	2	3,000	-1,983	-24,176	-25,244	0,000	-26,629	-26,629	7,221	7,185	0,000	7,599
(Micropali D168.3x8,0mm/0,4)	16286	3	3,000	-2,018	-24,372	-25,475	0,000	-26,147	-26,147	6,850	6,286	0,000	6,931
〃	16285	4	3,000	-2,052	-24,518	-25,657	0,000	-25,759	-25,759	6,349	5,402	0,000	6,311
〃	16284	5	3,000	-2,086	-24,602	-25,777	0,000	-25,492	-25,492	5,730	4,530	0,000	5,709
Plate_1_4	16284	1	3,000	-2,086	-24,598	-25,774	0,000	-25,496	-25,496	5,745	4,530	0,000	5,709
Element 9-16 (Plate)	16241	2	3,000	-2,088	-24,595	-25,771	0,000	-25,499	-25,499	5,682	4,463	0,000	5,663
(Micropali D168.3x8,0mm/0,4)	16240	3	3,000	-2,091	-24,598	-25,777	0,000	-25,486	-25,486	5,608	4,396	0,000	5,629
〃	16239	4	3,000	-2,094	-24,602	-25,783	0,000	-25,471	-25,471	5,529	4,330	0,000	5,643
〃	16238	5	3,000	-2,096	-24,598	-25,782	0,000	-25,470	-25,470	5,451	4,263	0,000	5,658
Plate_2_5	17256	1	0,000	-1,810	0,000	0,000	0,000	0,000	0,000	0,000	0,000	0,000	0,000
Element 10-17 (Plate)	17223	2	0,000	-1,882	0,000	0,000	0,000	0,000	0,000	0,000	0,000	0,000	0,000
(Parete c.a.C32/40 sp.0.50m)	17222	3	0,000	-1,955	0,000	0,000	0,000	0,000	0,000	0,000	0,000	0,000	0,000
〃	17221	4	0,000	-2,027	0,000	0,000	0,000	0,000	0,000	0,000	0,000	0,000	0,000
〃	17220	5	0,000	-2,100	0,000	0,000	0,000	0,000	0,000	0,000	0,000	0,000	0,000
Plate_2_5	17220	1	0,000	-2,100	0,000	0,000	0,000	0,000	0,000	0,000	0,000	0,000	0,000
Element 10-18 (Plate)	17043	2	0,000	-2,200	0,000	0,000	0,000	0,000	0,000	0,000	0,000	0,000	0,000
(Parete c.a.C32/40 sp.0.50m)	17042	3	0,000	-2,300	0,000	0,000	0,000	0,000	0,000	0,000	0,000	0,000	0,000
〃	17041	4	0,000	-2,400	0,000	0,000	0,000	0,000	0,000	0,000	0,000	0,000	0,000
〃	17040	5	0,000	-2,500	0,000	0,000	0,000	0,000	0,000	0,000	0,000	0,000	0,000
Plate_1_5	16238	1	3,000	-2,096	-24,600	-25,783	0,000	-25,469	-25,469	5,501	4,263	0,000	5,658
Element 11-19 (Plate)	16221	2	3,000	-2,140	-24,600	-25,783	0,000	-25,469	-25,469	4,337	3,158	0,000	5,871
(Micropali D168.3x8,0mm/0,4)	16220	3	3,000	-2,183	-24,600	-25,784	0,000	-25,469	-25,469	3,259	2,052	0,000	6,035
〃	16219	4	3,000	-2,226	-24,600	-25,784	0,000	-25,469	-25,469	2,249	0,946	0,000	6,155
〃	16218	5	3,000	-2,270	-24,600	-25,784	0,000	-25,469	-25,469	1,291	-0,159	-0,286	6,231
Plate_1_5	16218	1	3,000	-2,270	-24,373	-25,572	0,000	-25,866	-25,866	1,335	-0,159	-0,286	6,231
Element 11-20 (Plate)	15915	2	3,000	-2,344	-25,257	-26,535	0,000	-23,912	-23,912	0,000	-2,007	-2,069	6,267
(Micropali D168.3x8,0mm/0,4)	15914	3	3,000	-2,418	-26,095	-27,452	0,087	-22,057	-22,057	0,000	-3,711	-3,732	6,190
〃	15913	4	3,000	-2,492	-26,820	-28,256	0,459	-20,432	-20,432	0,000	-5,288	-5,292	6,021

Structural element	Node [10^0]	Local number	X [m]	Y [m]	N [kN/m]	N,max [kN/m]	N,min [kN/m]	Q [kN/m]	Q,max [kN/m]	Q,min [kN/m]	M [kN m/m]	M,max [kN m/m]	M,min [kN m/m]
錯	15912	5	3,000	-2,567	-27,366	-28,881	0,618	-19,165	-19,165	0,000	-6,754	-6,754	5,779
Plate_1_5	15912	1	3,000	-2,567	-27,287	-28,802	0,682	-19,318	-19,318	0,000	-6,754	-6,754	5,779
Element 11-21 (Plate)	15631	2	3,000	-2,694	-27,848	-29,498	1,061	-17,889	-17,889	0,000	-9,114	-9,114	5,248
(Micropali D168.3x8,0mm/0,4)	15630	3	3,000	-2,821	-28,343	-30,127	1,399	-16,599	-16,599	0,000	-11,302	-11,302	4,635
錯	15629	4	3,000	-2,948	-28,778	-30,697	1,695	-15,434	-15,434	0,000	-13,334	-13,334	3,992
錯	15628	5	3,000	-3,074	-29,158	-31,212	1,952	-14,381	-14,653	0,000	-15,225	-15,225	3,367
Plate_1_5	15628	1	3,000	-3,074	-29,100	-31,154	1,954	-14,493	-14,818	0,000	-15,225	-15,225	3,367
Element 11-22 (Plate)	15607	2	3,000	-3,292	-29,860	-32,144	2,318	-12,494	-13,429	0,450	-18,139	-18,139	2,392
(Micropali D168.3x8,0mm/0,4)	15606	3	3,000	-3,509	-30,472	-32,983	2,599	-10,795	-12,213	2,725	-20,676	-20,676	1,587
錯	15605	4	3,000	-3,726	-31,174	-33,910	2,787	-8,929	-10,735	5,921	-22,814	-22,814	1,372
錯	15604	5	3,000	-3,943	-32,205	-35,164	2,872	-6,424	-8,560	10,502	-24,500	-24,500	2,875
Plate_2_6	17040	1	0,000	-2,500	0,000	0,000	0,000	0,000	0,000	0,000	0,000	0,000	0,000
Element 12-23 (Plate)	17003	2	0,000	-2,615	0,000	0,000	0,000	0,000	0,000	0,000	0,000	0,000	0,000
(Parete c.a.C32/40 sp.0.50m)	17002	3	0,000	-2,731	0,000	0,000	0,000	0,000	0,000	0,000	0,000	0,000	0,000
錯	17001	4	0,000	-2,846	0,000	0,000	0,000	0,000	0,000	0,000	0,000	0,000	0,000
錯	17000	5	0,000	-2,962	0,000	0,000	0,000	0,000	0,000	0,000	0,000	0,000	0,000
Plate_2_6	17000	1	0,000	-2,962	0,000	0,000	0,000	0,000	0,000	0,000	0,000	0,000	0,000
Element 12-24 (Plate)	16689	2	0,000	-3,082	0,000	0,000	0,000	0,000	0,000	0,000	0,000	0,000	0,000
(Parete c.a.C32/40 sp.0.50m)	16688	3	0,000	-3,202	0,000	0,000	0,000	0,000	0,000	0,000	0,000	0,000	0,000
錯	16687	4	0,000	-3,322	0,000	0,000	0,000	0,000	0,000	0,000	0,000	0,000	0,000
錯	16686	5	0,000	-3,442	0,000	0,000	0,000	0,000	0,000	0,000	0,000	0,000	0,000
Plate_2_6	16686	1	0,000	-3,442	0,000	0,000	0,000	0,000	0,000	0,000	0,000	0,000	0,000
Element 12-25 (Plate)	16542	2	0,000	-3,567	0,000	0,000	0,000	0,000	0,000	0,000	0,000	0,000	0,000
(Parete c.a.C32/40 sp.0.50m)	16541	3	0,000	-3,693	0,000	0,000	0,000	0,000	0,000	0,000	0,000	0,000	0,000
錯	16540	4	0,000	-3,818	0,000	0,000	0,000	0,000	0,000	0,000	0,000	0,000	0,000
錯	16536	5	0,000	-3,943	0,000	0,000	0,000	0,000	0,000	0,000	0,000	0,000	0,000
Plate_2_7	16536	1	0,000	-3,943	0,000	0,000	0,000	0,000	0,000	0,000	0,000	0,000	0,000
Element 13-26 (Plate)	16129	2	0,000	-4,055	0,000	0,000	0,000	0,000	0,000	0,000	0,000	0,000	0,000
(Parete c.a.C32/40 sp.0.50m)	16128	3	0,000	-4,167	0,000	0,000	0,000	0,000	0,000	0,000	0,000	0,000	0,000
錯	16127	4	0,000	-4,280	0,000	0,000	0,000	0,000	0,000	0,000	0,000	0,000	0,000
錯	16126	5	0,000	-4,392	0,000	0,000	0,000	0,000	0,000	0,000	0,000	0,000	0,000
Plate_2_8	16126	1	0,000	-4,392	0,000	0,000	0,000	0,000	0,000	0,000	0,000	0,000	0,000
Element 14-27 (Plate)	15925	2	0,000	-4,594	0,000	0,000	0,000	0,000	0,000	0,000	0,000	0,000	0,000
(Parete c.a.C32/40 sp.0.50m)	15924	3	0,000	-4,796	0,000	0,000	0,000	0,000	0,000	0,000	0,000	0,000	0,000
錯	15923	4	0,000	-4,998	0,000	0,000	0,000	0,000	0,000	0,000	0,000	0,000	0,000
錯	15922	5	0,000	-5,200	0,000	0,000	0,000	0,000	0,000	0,000	0,000	0,000	0,000
Plate_1_6	15604	1	3,000	-3,943	-32,015	-34,975	2,922	-6,792	-8,959	9,422	-24,500	-24,500	2,875
Element 15-28 (Plate)	15495	2	3,000	-4,180	-33,712	-36,911	2,958	-2,940	-5,571	5,328	-25,630	-25,630	4,155
(Micropali D168.3x8,0mm/0,4)	15494	3	3,000	-4,418	-35,296	-38,731	3,002	0,704	-2,543	3,000	-25,929	-25,929	4,661
錯	15493	4	3,000	-4,656	-37,319	-40,988	3,023	5,224	-1,432	5,256	-25,226	-25,226	4,837
錯	15515	5	3,000	-4,894	-40,333	-44,234	5,094	11,706	-1,757	11,711	-23,275	-23,275	4,949
Plate_1_6	15515	1	3,000	-4,894	-40,182	-44,085	4,592	11,418	-1,910	11,422	-23,275	-23,275	4,949
Element 15-29 (Plate)	15514	2	3,000	-5,095	-42,621	-46,720	7,199	16,713	-2,225	16,713	-20,405	-21,343	4,874
(Micropali D168.3x8,0mm/0,4)	15513	3	3,000	-5,297	-44,579	-48,881	8,839	21,111	-2,391	21,111	-16,610	-18,754	4,620
錯	15512	4	3,000	-5,498	-46,652	-51,163	9,858	25,780	-2,410	25,780	-11,873	-15,465	4,345
錯	15511	5	3,000	-5,700	-49,431	-54,158	10,602	31,888	-2,567	31,888	-6,106	-11,334	4,347
Plate_2_9	15922	1	0,000	-5,200	0,000	0,000	0,000	0,000	0,000	0,000	0,000	0,000	0,000
Element 16-30 (Plate)	15715	2	0,000	-5,366	0,000	0,000	0,000	0,000	0,000	0,000	0,000	0,000	0,000
(Parete c.a.C32/40 sp.0.50m)	15714	3	0,000	-5,531	0,000	0,000	0,000	0,000	0,000	0,000	0,000	0,000	0,000
錯	15713	4	0,000	-5,697	0,000	0,000	0,000	0,000	0,000	0,000	0,000	0,000	0,000
錯	15712	5	0,000	-5,863	0,000	0,000	0,000	0,000	0,000	0,000	0,000	0,000	0,000
Plate_2_9	15712	1	0,000	-5,863	0,000	0,000	0,000	0,000	0,000	0,000	0,000	0,000	0,000
Element 16-31 (Plate)	15279	2	0,000	-5,947	0,000	0,000	0,000	0,000	0,000	0,000	0,000	0,000	0,000

Structural element	Node [10^0]	Local number	X [m]	Y [m]	N [kN/m]	N,x [kN/m]	N,y [kN/m]	Q [kN/m]	Q,x [kN/m]	Q,y [kN/m]	M [kN m/m]	M,x [kN m/m]	M,y [kN m/m]
(Parete c.a.C32/40 sp.0.50m)	15278	3	0,000	-6,031	0,000	0,000	0,000	0,000	0,000	0,000	0,000	0,000	0,000
"	15277	4	0,000	-6,116	0,000	0,000	0,000	0,000	0,000	0,000	0,000	0,000	0,000
"	15276	5	0,000	-6,200	0,000	0,000	0,000	0,000	0,000	0,000	0,000	0,000	0,000
Plate_1_7	15511	1	3,000	-5,700	-58,490	-63,045	10,519	-17,854	-17,860	24,465	-6,106	-11,334	4,347
Element 17-32 (Plate)	15227	2	3,000	-5,825	-61,142	-65,837	10,862	-12,210	-12,233	29,399	-7,985	-10,134	4,273
(Micropali D168.3x8,0mm/0,4)	15228	3	3,000	-5,950	-63,565	-68,410	11,209	-6,982	-7,187	34,231	-9,173	-9,265	5,350
"	15229	4	3,000	-6,075	-65,545	-70,547	11,545	-2,592	-2,996	38,670	-9,766	-9,766	8,280
"	15226	5	3,000	-6,200	-66,865	-72,033	11,859	0,538	-2,063	42,407	-9,876	-9,876	11,701
Plate_2_10	15276	1	0,000	-6,200	0,001	-0,001	0,003	-0,004	-0,008	0,003	0,000	0,000	0,000
Element 18-33 (Plate)	15111	2	0,000	-6,275	-0,007	-0,008	0,000	0,018	0,000	0,020	0,000	0,000	0,001
(Parete c.a.C32/40 sp.0.50m)	15110	3	0,000	-6,350	-0,023	-0,023	0,000	0,059	0,000	0,059	0,003	0,000	0,003
"	15109	4	0,000	-6,425	-0,044	-0,044	0,000	0,113	0,000	0,113	0,010	0,000	0,010
"	15108	5	0,000	-6,500	-0,067	-0,067	0,000	0,171	0,000	0,171	0,020	0,000	0,020
Plate_1_8	15226	1	3,000	-6,200	-66,697	-71,871	11,857	0,233	-2,075	42,207	-9,876	-9,876	11,701
Element 19-34 (Plate)	15055	2	3,000	-6,275	-67,583	-72,839	12,040	2,227	-1,952	40,863	-9,785	-9,785	14,032
(Micropali D168.3x8,0mm/0,4)	15054	3	3,000	-6,350	-68,519	-73,852	12,214	4,304	-1,841	38,711	-9,540	-9,540	16,324
"	15053	4	3,000	-6,425	-69,509	-74,917	12,379	6,480	-1,746	36,000	-9,136	-9,139	18,631
"	15052	5	3,000	-6,500	-70,557	-76,041	12,537	8,773	-1,732	35,219	-8,565	-8,574	21,053
Plate_1_9	15052	1	3,000	-6,500	-70,563	-76,047	12,539	8,789	-1,766	35,293	-8,565	-8,574	21,053
Element 20-35 (Plate)	14383	2	3,000	-6,522	-70,890	-76,397	12,584	9,503	-1,825	35,792	-8,369	-8,379	21,745
(Micropali D168.3x8,0mm/0,4)	14384	3	3,000	-6,543	-71,204	-76,733	12,631	10,191	-1,889	36,292	-8,157	-8,168	22,421
"	14385	4	3,000	-6,565	-71,496	-77,048	12,682	10,839	-1,959	36,776	-7,930	-7,944	23,088
"	14382	5	3,000	-6,586	-71,760	-77,334	12,737	11,431	-2,038	37,384	-7,691	-7,707	23,738
Plate_2_11	15108	1	0,000	-6,500	-0,029	-0,061	0,000	0,074	0,000	0,157	0,020	0,000	0,020
Element 21-36 (Plate)	14137	2	0,000	-6,624	-0,152	-0,157	0,000	0,390	0,000	0,403	0,050	0,000	0,054
(Parete c.a.C32/40 sp.0.50m)	14136	3	0,000	-6,747	-0,257	-0,257	0,000	0,658	0,000	0,658	0,114	0,000	0,114
"	14135	4	0,000	-6,871	-0,358	-0,358	0,000	0,918	0,000	0,918	0,212	0,000	0,212
"	14134	5	0,000	-6,994	-0,473	-0,473	0,000	1,213	0,000	1,213	0,343	0,000	0,343
Plate_1_10	14382	1	3,000	-6,586	-71,820	-77,375	12,732	11,475	-2,060	37,289	-7,691	-7,707	23,738
Element 22-37 (Plate)	13951	2	3,000	-6,690	-72,238	-77,913	13,028	12,723	-2,574	39,143	-6,429	-6,519	26,149
(Micropali D168.3x8,0mm/0,4)	13952	3	3,000	-6,793	-72,518	-78,204	13,209	13,288	-5,355	40,214	-5,084	-5,305	27,375
"	13953	4	3,000	-6,897	-72,713	-78,400	13,278	13,650	-8,747	40,726	-3,685	-4,038	27,575
"	13950	5	3,000	-7,000	-72,875	-78,651	13,236	14,290	-11,767	40,905	-2,246	-2,733	27,371
Plate_2_12	14134	1	0,000	-6,994	-0,476	-0,476	0,000	1,219	0,000	1,219	0,343	0,000	0,343
Element 23-38 (Plate)	13402	2	0,000	-7,061	-0,550	-0,550	0,000	1,410	0,000	1,410	0,431	0,000	0,431
(Parete c.a.C32/40 sp.0.50m)	13401	3	0,000	-7,128	-0,638	-0,638	0,000	1,635	0,000	1,635	0,533	0,000	0,533
"	13400	4	0,000	-7,195	-0,739	-0,739	0,000	1,894	0,000	1,894	0,651	0,000	0,651
"	13396	5	0,000	-7,262	-0,853	-0,853	0,000	2,186	0,000	2,186	0,787	0,000	0,787
Plate_2_13	13396	1	0,000	-7,262	-0,848	-0,848	0,000	2,172	0,000	2,172	0,787	0,000	0,787
Element 24-39 (Plate)	12634	2	0,000	-7,322	-0,978	-0,978	0,000	2,505	0,000	2,505	0,926	0,000	0,926
(Parete c.a.C32/40 sp.0.50m)	12633	3	0,000	-7,381	-1,107	-1,112	0,000	2,836	0,000	2,848	1,085	0,000	1,085
"	12632	4	0,000	-7,441	-1,236	-1,244	0,000	3,166	0,000	3,184	1,263	0,000	1,263
"	12628	5	0,000	-7,500	-1,366	-1,373	0,000	3,497	0,000	3,514	1,461	0,000	1,461
Plate_1_11	13950	1	3,000	-7,000	-72,969	-78,688	13,261	14,233	-12,169	41,897	-2,246	-2,733	27,371
Element 25-40 (Plate)	13001	2	3,000	-7,152	-73,000	-78,851	13,206	14,762	-16,143	19,858	-0,027	-0,731	30,260
(Micropali D168.3x8,0mm/0,4)	13002	3	3,000	-7,305	-73,147	-78,967	13,152	14,887	-19,165	14,890	2,230	0,000	31,477
"	13003	4	3,000	-7,457	-73,364	-79,118	13,102	14,991	-19,963	14,991	4,512	0,000	30,366
"	13000	5	3,000	-7,610	-73,607	-79,389	13,058	15,455	-20,289	15,455	6,822	0,000	27,777
Plate_1_11	13000	1	3,000	-7,610	-73,840	-79,413	13,057	15,121	-21,743	15,121	6,822	0,000	27,777
Element 25-41 (Plate)	12096	2	3,000	-7,832	-76,765	-82,488	13,018	21,040	-22,973	21,040	10,958	0,000	22,823
(Micropali D168.3x8,0mm/0,4)	12095	3	3,000	-8,055	-78,727	-84,084	12,993	23,144	-22,301	23,569	15,877	0,000	18,311
"	12094	4	3,000	-8,277	-80,047	-84,981	12,979	23,625	-19,595	25,343	21,142	-0,044	21,142
"	12093	5	3,000	-8,500	-81,047	-85,958	12,973	24,678	-15,445	27,281	26,464	-0,144	26,464

Structural element	Node [10^]	Local number	X [m]	Y [m]	N [kN/m]	N,,-,,, [kN/m]	N,,+,,, [kN/m]	Q [kN/m]	Q,,-,,, [kN/m]	Q,,+,,, [kN/m]	M [kN m/m]	M,,-,,, [kN m/m]	M,,+,,, [kN m/m]
Plate_2_14	12628	1	0,000	-7,500	-1,367	-1,373	0,000	3,500	0,000	3,516	1,461	0,000	1,461
Element 26-42 (Plate)	11506	2	0,000	-7,576	-1,542	-1,542	0,000	3,948	0,000	3,948	1,746	0,000	1,746
(Parete c.a.C32/40 sp.0.50m)	11505	3	0,000	-7,653	-1,735	-1,735	0,000	4,442	0,000	4,442	2,066	0,000	2,066
"	11504	4	0,000	-7,729	-1,961	-1,961	0,000	5,022	0,000	5,022	2,427	0,000	2,427
"	11503	5	0,000	-7,806	-2,235	-2,235	0,000	5,723	0,000	5,723	2,837	0,000	2,837
Plate_2_14	11503	1	0,000	-7,806	-2,225	-2,225	0,000	5,697	0,000	5,697	2,837	0,000	2,837
Element 26-43 (Plate)	11181	2	0,000	-7,867	-2,448	-2,448	0,000	6,267	0,000	6,267	3,202	0,000	3,202
(Parete c.a.C32/40 sp.0.50m)	11180	3	0,000	-7,928	-2,636	-2,636	0,000	6,749	0,000	6,749	3,599	0,000	3,599
"	11179	4	0,000	-7,989	-2,800	-2,800	0,000	7,169	0,000	7,169	4,024	0,000	4,024
"	11175	5	0,000	-8,050	-2,950	-2,950	0,000	7,553	0,000	7,553	4,473	0,000	4,473
Plate_2_14	11175	1	0,000	-8,050	-2,980	-2,980	0,000	7,630	0,000	7,630	4,473	0,000	4,473
Element 26-44 (Plate)	9918	2	0,000	-8,098	-3,132	-3,132	0,000	8,020	0,000	8,020	4,855	0,000	4,855
(Parete c.a.C32/40 sp.0.50m)	9917	3	0,000	-8,147	-3,273	-3,273	0,000	8,380	0,000	8,380	5,254	0,000	5,254
"	9916	4	0,000	-8,196	-3,417	-3,417	0,000	8,747	0,000	8,747	5,671	0,000	5,671
"	9915	5	0,000	-8,245	-3,577	-3,577	0,000	9,158	0,000	9,158	6,107	0,000	6,107
Plate_2_14	9915	1	0,000	-8,245	-3,579	-3,579	0,000	9,163	0,000	9,163	6,107	0,000	6,107
Element 26-45 (Plate)	9080	2	0,000	-8,283	-3,738	-3,738	0,000	9,569	0,000	9,569	6,471	0,000	6,471
(Parete c.a.C32/40 sp.0.50m)	9079	3	0,000	-8,322	-3,886	-3,886	0,000	9,948	0,000	9,948	6,850	0,000	6,850
"	9078	4	0,000	-8,361	-4,023	-4,023	0,000	10,298	0,000	10,298	7,244	0,000	7,244
"	9077	5	0,000	-8,400	-4,148	-4,148	0,000	10,619	0,000	10,619	7,650	0,000	7,650
Plate_3_1	9077	1	0,000	-8,400	-5,493	-5,493	0,000	10,061	-0,007	10,061	7,650	0,000	7,650
Element 27-46 (Plate)	7882	2	0,000	-8,425	-5,599	-5,599	0,000	10,270	-0,007	10,270	7,904	0,000	7,904
(Micropali D168.3x10/0,27m)	7883	3	0,000	-8,450	-5,685	-5,685	0,000	10,439	-0,007	10,439	8,163	0,000	8,163
"	7884	4	0,000	-8,475	-5,754	-5,754	0,000	10,574	-0,007	10,574	8,426	-0,001	8,426
"	7881	5	0,000	-8,500	-5,808	-5,808	0,000	10,680	-0,007	10,680	8,692	-0,001	8,692
Plate_1_12	12093	1	3,000	-8,500	-81,270	-86,373	12,971	25,919	-15,861	27,713	26,464	-0,144	26,464
Element 28-47 (Plate)	11390	2	3,000	-8,706	-69,760	-72,606	12,966	2,382	-12,588	3,027	29,237	-0,226	29,237
(Micropali D168.3x8,0mm/0,4)	11391	3	3,000	-8,913	-61,170	-62,076	12,961	-13,146	-17,018	0,000	28,001	-0,301	28,001
"	11392	4	3,000	-9,119	-55,145	-55,151	12,956	-21,099	-21,730	0,000	24,333	-0,370	24,333
"	11389	5	3,000	-9,325	-51,332	-51,332	12,950	-21,914	-21,994	0,000	19,783	-0,433	19,783
Plate_1_12	11389	1	3,000	-9,325	-50,934	-50,934	12,896	-22,962	-23,079	0,000	19,783	-0,433	19,783
Element 28-48 (Plate)	10576	2	3,000	-9,483	-48,248	-48,248	12,962	-21,992	-22,081	0,000	16,226	-0,519	16,226
(Micropali D168.3x8,0mm/0,4)	10575	3	3,000	-9,641	-45,772	-45,772	12,831	-20,218	-20,287	0,000	12,889	-0,727	12,889
"	10574	4	3,000	-9,798	-43,461	-43,461	12,507	-17,781	-17,826	0,000	9,881	-0,870	9,881
"	10573	5	3,000	-9,956	-41,268	-41,268	11,989	-14,816	-14,838	0,000	7,306	-0,974	7,306
Plate_1_12	10573	1	3,000	-9,956	-41,207	-41,207	11,989	-14,963	-14,986	0,000	7,306	-0,974	7,306
Element 28-49 (Plate)	9580	2	3,000	-10,077	-39,431	-39,431	11,448	-12,808	-12,815	0,013	5,632	-1,096	5,632
(Micropali D168.3x8,0mm/0,4)	9579	3	3,000	-10,197	-37,538	-37,538	10,796	-10,772	-10,772	0,048	4,211	-1,166	4,211
"	9578	4	3,000	-10,318	-35,522	-35,522	10,058	-8,868	-8,868	0,200	3,027	-1,189	3,027
"	9577	5	3,000	-10,439	-33,376	-33,376	9,219	-7,110	-7,110	0,377	2,065	-1,170	2,065
Plate_1_12	9577	1	3,000	-10,439	-33,333	-33,333	9,240	-7,126	-7,126	0,379	2,065	-1,170	2,065
Element 28-50 (Plate)	8342	2	3,000	-10,531	-31,477	-31,477	8,607	-5,926	-5,926	0,554	1,465	-1,129	1,465
(Micropali D168.3x8,0mm/0,4)	8343	3	3,000	-10,623	-29,455	-29,455	7,948	-4,865	-4,865	0,764	0,968	-1,068	0,968
"	8344	4	3,000	-10,715	-27,265	-27,265	7,265	-3,944	-3,944	0,948	0,563	-0,989	0,563
"	8341	5	3,000	-10,808	-24,907	-24,907	6,557	-3,165	-3,165	1,104	0,236	-0,894	0,236
Plate_1_12	8341	1	3,000	-10,808	-24,896	-24,896	6,555	-3,180	-3,180	1,097	0,236	-0,894	0,236
Element 28-51 (Plate)	7770	2	3,000	-10,878	-22,970	-22,970	5,993	-2,648	-2,648	1,191	0,031	-0,813	0,031
(Micropali D168.3x8,0mm/0,4)	7769	3	3,000	-10,949	-20,918	-20,918	5,411	-2,182	-2,182	1,249	-0,139	-0,727	0,000
"	7768	4	3,000	-11,019	-18,740	-18,740	4,808	-1,757	-1,757	1,270	-0,278	-0,638	0,000
"	7767	5	3,000	-11,090	-16,436	-16,436	4,185	-1,349	-1,349	1,254	-0,387	-0,613	0,000
Plate_1_12	7767	1	3,000	-11,090	-16,432	-16,432	4,184	-1,294	-1,294	1,269	-0,387	-0,613	0,000
Element 28-52 (Plate)	6794	2	3,000	-11,144	-14,580	-14,580	3,691	-0,897	-0,897	1,226	-0,447	-0,608	0,000
(Micropali D168.3x8,0mm/0,4)	6795	3	3,000	-11,198	-12,646	-12,646	3,182	-0,393	-0,393	1,209	-0,482	-0,593	0,000

Structural element	Node [10^]	Local number	X [m]	Y [m]	N [kN/m]	N,,x,, [kN/m]	N,,y,, [kN/m]	Q [kN/m]	Q,,x,, [kN/m]	Q,,y,, [kN/m]	M [kN m/m]	M,,x,, [kN m/m]	M,,y,, [kN m/m]
28	6796	4	3,000	-11,252	-10,635	-10,635	2,657	0,246	0,000	1,231	-0,487	-0,560	0,000
28	6793	5	3,000	-11,306	-8,552	-8,552	2,116	1,047	0,000	1,585	-0,453	-0,498	0,000
Plate_1_12	6793	1	3,000	-11,306	-8,507	-8,507	2,114	0,916	0,000	1,449	-0,453	-0,498	0,000
Element 28-53 (Plate)	5608	2	3,000	-11,347	-6,950	-6,950	1,687	2,081	0,000	2,468	-0,390	-0,419	0,000
(Micropali D168.3x8,0mm/0,4)	5609	3	3,000	-11,388	-5,229	-5,229	1,246	2,834	0,000	3,122	-0,287	-0,303	0,000
28	5610	4	3,000	-11,429	-3,316	-3,316	0,791	3,121	0,000	3,313	-0,162	-0,169	0,000
28	5607	5	3,000	-11,471	-1,185	-1,234	0,321	2,891	0,000	2,965	-0,036	-0,037	0,000
Plate_3_2	7881	1	0,000	-8,500	-5,810	-5,810	0,000	10,649	-0,006	10,649	8,692	-0,001	8,692
Element 29-54 (Plate)	6882	2	0,000	-8,544	-5,543	-5,543	0,000	9,108	-0,009	9,108	9,124	-0,001	9,124
(Micropali D168.3x10/0,27m)	6883	3	0,000	-8,588	-5,235	-5,235	0,000	7,590	-0,013	7,590	9,489	-0,001	9,489
28	6884	4	0,000	-8,631	-4,893	-4,893	0,000	6,067	-0,018	6,067	9,788	-0,002	9,788
28	6881	5	0,000	-8,675	-4,525	-4,525	0,000	4,515	-0,022	4,515	10,020	-0,003	10,020
Plate_3_2	6881	1	0,000	-8,675	-4,592	-4,592	0,000	4,611	-0,022	4,611	10,020	-0,003	10,020
Element 29-55 (Plate)	6868	2	0,000	-8,726	-4,077	-4,077	0,000	2,497	-0,041	2,497	10,199	-0,004	10,199
(Micropali D168.3x10/0,27m)	6869	3	0,000	-8,777	-3,759	-3,759	0,000	0,639	-0,329	0,639	10,278	-0,005	10,278
28	6870	4	0,000	-8,827	-3,643	-3,643	0,000	-0,953	-1,147	0,000	10,269	-0,007	10,269
28	6867	5	0,000	-8,878	-3,728	-3,728	0,000	-2,272	-2,326	0,000	10,186	-0,008	10,186
Plate_3_2	6867	1	0,000	-8,878	-3,705	-3,705	0,000	-2,298	-2,351	0,000	10,186	-0,008	10,186
Element 29-56 (Plate)	5682	2	0,000	-8,937	-4,024	-4,024	0,000	-3,555	-3,555	0,000	10,012	-0,009	10,012
(Micropali D168.3x10/0,27m)	5683	3	0,000	-8,996	-4,507	-4,507	0,000	-4,596	-4,596	0,000	9,771	-0,010	9,771
28	5684	4	0,000	-9,055	-5,142	-5,142	0,000	-5,429	-5,429	0,000	9,475	-0,010	9,475
28	5681	5	0,000	-9,114	-5,918	-5,918	0,000	-6,059	-6,059	0,000	9,136	-0,011	9,136
Plate_3_2	5681	1	0,000	-9,114	-5,880	-5,880	0,000	-6,082	-6,082	0,000	9,136	-0,011	9,136
Element 29-57 (Plate)	5668	2	0,000	-9,182	-6,906	-6,911	0,000	-6,618	-6,618	0,000	8,701	-0,011	8,701
(Micropali D168.3x10/0,27m)	5669	3	0,000	-9,250	-7,935	-7,937	0,000	-6,996	-6,996	0,000	8,235	-0,012	8,235
28	5670	4	0,000	-9,319	-8,952	-8,952	0,000	-7,224	-7,224	0,000	7,748	-0,012	7,748
28	5667	5	0,000	-9,387	-9,943	-9,943	0,000	-7,309	-7,309	0,000	7,251	-0,012	7,251
Plate_3_2	5667	1	0,000	-9,387	-9,939	-9,939	0,000	-7,329	-7,329	0,000	7,251	-0,012	7,251
Element 29-58 (Plate)	5642	2	0,000	-9,466	-11,025	-11,025	0,000	-7,308	-7,308	0,000	6,671	-0,012	6,671
(Micropali D168.3x10/0,27m)	5643	3	0,000	-9,546	-12,064	-12,064	0,000	-7,200	-7,200	0,000	6,095	-0,012	6,095
28	5644	4	0,000	-9,625	-13,056	-13,056	0,000	-7,012	-7,012	0,000	5,531	-0,013	5,531
28	5641	5	0,000	-9,704	-14,000	-14,000	0,001	-6,749	-6,749	0,000	4,985	-0,013	4,985
Plate_3_2	5641	1	0,000	-9,704	-14,002	-14,002	0,001	-6,763	-6,763	0,000	4,985	-0,013	4,985
Element 29-59 (Plate)	5544	2	0,000	-9,796	-15,044	-15,044	0,003	-6,407	-6,407	0,000	4,380	-0,014	4,380
(Micropali D168.3x10/0,27m)	5545	3	0,000	-9,888	-16,032	-16,032	0,005	-6,022	-6,022	0,000	3,808	-0,015	3,808
28	5546	4	0,000	-9,980	-16,968	-16,968	0,007	-5,612	-5,612	0,000	3,273	-0,017	3,273
28	5543	5	0,000	-10,072	-17,850	-17,850	0,008	-5,182	-5,182	0,000	2,776	-0,019	2,776
Plate_3_2	5543	1	0,000	-10,072	-17,852	-17,852	0,008	-5,189	-5,189	0,000	2,776	-0,019	2,776
Element 29-60 (Plate)	4597	2	0,000	-10,179	-18,814	-18,814	0,011	-4,691	-4,691	0,000	2,250	-0,022	2,250
(Micropali D168.3x10/0,27m)	4598	3	0,000	-10,285	-19,716	-19,716	0,013	-4,205	-4,205	0,000	1,775	-0,025	1,775
28	4599	4	0,000	-10,392	-20,558	-20,558	0,015	-3,732	-3,732	0,000	1,352	-0,029	1,352
28	4596	5	0,000	-10,499	-21,339	-21,339	0,017	-3,274	-3,274	0,000	0,978	-0,034	0,978
Plate_3_2	4596	1	0,000	-10,499	-21,342	-21,342	0,017	-3,274	-3,274	0,000	0,978	-0,034	0,978
Element 29-61 (Plate)	4561	2	0,000	-10,622	-22,178	-22,178	0,020	-2,772	-2,772	0,000	0,605	-0,040	0,605
(Micropali D168.3x10/0,27m)	4562	3	0,000	-10,746	-22,947	-22,947	0,023	-2,294	-2,294	0,000	0,291	-0,047	0,291
28	4563	4	0,000	-10,870	-23,650	-23,650	0,026	-1,837	-1,837	0,000	0,036	-0,058	0,036
28	4560	5	0,000	-10,994	-24,286	-24,286	0,028	-1,401	-1,401	0,000	-0,164	-0,175	0,000
Plate_3_2	4560	1	0,000	-10,994	-24,339	-24,339	0,029	-1,397	-1,397	0,000	-0,164	-0,175	0,000
Element 29-62 (Plate)	4345	2	0,000	-11,137	-24,823	-24,823	0,032	-0,899	-0,899	0,000	-0,329	-0,329	0,000
(Micropali D168.3x10/0,27m)	4346	3	0,000	-11,281	-25,184	-25,184	0,035	-0,411	-0,411	0,000	-0,423	-0,423	0,000
28	4347	4	0,000	-11,424	-25,450	-25,450	0,040	0,064	-0,029	0,076	-0,447	-0,447	0,000
28	4344	5	0,000	-11,568	-25,650	-25,650	0,045	0,525	0,000	0,525	-0,405	-0,405	0,000
Plate_3_2	4344	1	0,000	-11,568	-25,653	-25,653	0,073	0,491	-0,018	0,491	-0,405	-0,405	0,000

Structural element	Node [10^3]	Local number	X [m]	Y [m]	N [kN/m]	N,x [kN/m]	N,y [kN/m]	Q [kN/m]	Q,x [kN/m]	Q,y [kN/m]	M [kN m/m]	M,x [kN m/m]	M,y [kN m/m]
Element 29-63 (Plate)	3619	2	0,000	-11,734	-25,925	-25,925	0,007	1,026	0,000	1,026	-0,276	-0,276	0,000
(Micropali D168.3x10/0,27m)	3620	3	0,000	-11,901	-26,091	-26,091	0,000	1,351	0,000	1,351	-0,075	-0,075	0,000
33	3621	4	0,000	-12,067	-26,137	-26,137	0,000	1,441	0,000	1,441	0,161	-0,018	0,161
33	3618	5	0,000	-12,234	-26,049	-26,049	0,000	1,268	0,000	1,268	0,391	0,000	0,391
Plate_1_13	5607	1	3,000	-11,471	-1,315	-1,315	0,321	2,468	0,000	2,540	-0,036	-0,037	0,000
Element 30-64 (Plate)	4612	2	3,000	-11,478	-0,978	-0,984	0,235	1,883	0,000	1,920	-0,020	-0,021	0,000
(Micropali D168.3x8,0mm/0,4)	4611	3	3,000	-11,485	-0,638	-0,647	0,149	1,251	0,000	1,269	-0,009	-0,009	0,000
33	4610	4	3,000	-11,493	-0,302	-0,307	0,062	0,596	0,000	0,603	-0,002	-0,002	0,000
33	4609	5	3,000	-11,500	0,028	-0,024	0,029	-0,061	-0,061	0,000	0,000	0,000	0,000
Plate_3_3	3618	1	0,000	-12,234	-26,059	-26,059	0,000	1,288	0,000	1,288	0,391	0,000	0,391
Element 31-65 (Plate)	2977	2	0,000	-12,406	-25,767	-25,767	0,000	0,715	0,000	0,715	0,561	0,000	0,561
(Micropali D168.3x10/0,27m)	2978	3	0,000	-12,579	-25,541	-25,541	0,000	0,271	0,000	0,271	0,645	0,000	0,645
33	2979	4	0,000	-12,751	-25,380	-25,380	0,000	-0,044	-0,066	0,000	0,662	0,000	0,662
33	2976	5	0,000	-12,924	-25,285	-25,285	0,000	-0,231	-0,231	0,000	0,637	0,000	0,637
Plate_3_3	2976	1	0,000	-12,924	-25,259	-25,259	0,000	-0,248	-0,248	0,000	0,637	0,000	0,637
Element 31-66 (Plate)	2613	2	0,000	-13,106	-24,966	-24,966	0,000	-0,347	-0,347	0,000	0,582	0,000	0,582
(Micropali D168.3x10/0,27m)	2612	3	0,000	-13,288	-24,599	-24,599	0,000	-0,393	-0,393	0,000	0,514	0,000	0,514
33	2611	4	0,000	-13,470	-24,158	-24,158	0,000	-0,393	-0,393	0,000	0,441	0,000	0,441
33	2610	5	0,000	-13,653	-23,644	-23,644	0,000	-0,354	-0,354	0,000	0,373	0,000	0,373
Plate_3_3	2610	1	0,000	-13,653	-23,643	-23,643	0,000	-0,363	-0,363	0,000	0,373	0,000	0,373
Element 31-67 (Plate)	1951	2	0,000	-13,845	-23,021	-23,021	0,000	-0,317	-0,317	0,000	0,307	0,000	0,307
(Micropali D168.3x10/0,27m)	1952	3	0,000	-14,037	-22,316	-22,316	0,000	-0,272	-0,272	0,000	0,251	0,000	0,251
33	1953	4	0,000	-14,230	-21,530	-21,530	0,000	-0,226	-0,226	0,000	0,203	0,000	0,203
33	1950	5	0,000	-14,422	-20,663	-20,663	0,000	-0,183	-0,183	0,000	0,163	0,000	0,163
Plate_3_3	1950	1	0,000	-14,422	-20,662	-20,662	0,000	-0,184	-0,184	0,000	0,163	0,000	0,163
Element 31-68 (Plate)	1613	2	0,000	-14,625	-19,658	-19,658	0,000	-0,147	-0,147	0,000	0,130	0,000	0,130
(Micropali D168.3x10/0,27m)	1614	3	0,000	-14,829	-18,560	-18,560	0,000	-0,115	-0,115	0,000	0,104	0,000	0,104
33	1615	4	0,000	-15,032	-17,368	-17,368	0,000	-0,089	-0,089	0,000	0,083	0,000	0,083
33	1612	5	0,000	-15,235	-16,083	-16,083	0,000	-0,068	-0,068	0,000	0,067	-0,001	0,067
Plate_3_3	1612	1	0,000	-15,235	-16,079	-16,079	0,000	-0,068	-0,068	0,000	0,067	-0,001	0,067
Element 31-69 (Plate)	1081	2	0,000	-15,450	-14,616	-14,616	0,000	-0,051	-0,051	0,000	0,054	-0,001	0,054
(Micropali D168.3x10/0,27m)	1082	3	0,000	-15,664	-13,034	-13,034	0,000	-0,036	-0,036	0,000	0,045	-0,001	0,045
33	1083	4	0,000	-15,879	-11,331	-11,331	0,000	-0,024	-0,024	0,001	0,039	-0,001	0,039
33	1080	5	0,000	-16,093	-9,508	-9,508	0,000	-0,013	-0,013	0,002	0,035	-0,001	0,035
Plate_3_3	1080	1	0,000	-16,093	-9,491	-9,491	0,000	-0,001	-0,001	0,002	0,035	-0,001	0,035
Element 31-70 (Plate)	669	2	0,000	-16,320	-7,430	-7,430	0,000	-0,015	-0,015	0,002	0,034	0,000	0,034
(Micropali D168.3x10/0,27m)	668	3	0,000	-16,547	-5,172	-5,172	0,000	-0,046	-0,046	0,001	0,027	0,000	0,027
33	667	4	0,000	-16,773	-2,708	-2,708	0,000	-0,066	-0,066	0,000	0,014	0,000	0,014
33	666	5	0,000	-17,000	-0,032	-0,032	0,000	-0,047	-0,047	0,000	0,000	0,000	0,000

3.1.2.4.16 Calculation results, Plate, Collegamento ancoraggio 1 [Phase_29] (29/843), Table of plate force envelopes

Structural element	Node [10^]	Local number	X [m]	Y [m]	N [kN/m]	N ··· [kN/m]	N ··· [kN/m]	Q [kN/m]	Q··· [kN/m]	Q··· [kN/m]	M [kN m/m]	M··· [kN m/m]	M··· [kN m/m]
Plate_2_1	17871	1	0,000	0,000	0,000	0,000	0,000	0,000	0,000	0,000	0,000	0,000	0,000
Element 1-1 (Plate)	17868	2	0,000	-0,021	0,000	0,000	0,000	0,000	0,000	0,000	0,000	0,000	0,000
(Parete c.a.C32/40 sp.0.50m)	17867	3	0,000	-0,043	0,000	0,000	0,000	0,000	0,000	0,000	0,000	0,000	0,000
28	17866	4	0,000	-0,064	0,000	0,000	0,000	0,000	0,000	0,000	0,000	0,000	0,000
28	17869	5	0,000	-0,086	0,000	0,000	0,000	0,000	0,000	0,000	0,000	0,000	0,000
Plate_2_1	17869	1	0,000	-0,086	0,000	0,000	0,000	0,000	0,000	0,000	0,000	0,000	0,000
Element 1-2 (Plate)	17860	2	0,000	-0,113	0,000	0,000	0,000	0,000	0,000	0,000	0,000	0,000	0,000
(Parete c.a.C32/40 sp.0.50m)	17859	3	0,000	-0,140	0,000	0,000	0,000	0,000	0,000	0,000	0,000	0,000	0,000
28	17858	4	0,000	-0,166	0,000	0,000	0,000	0,000	0,000	0,000	0,000	0,000	0,000
28	17857	5	0,000	-0,193	0,000	0,000	0,000	0,000	0,000	0,000	0,000	0,000	0,000
Plate_2_1	17857	1	0,000	-0,193	0,000	0,000	0,000	0,000	0,000	0,000	0,000	0,000	0,000
Element 1-3 (Plate)	17837	2	0,000	-0,227	0,000	0,000	0,000	0,000	0,000	0,000	0,000	0,000	0,000
(Parete c.a.C32/40 sp.0.50m)	17836	3	0,000	-0,261	0,000	0,000	0,000	0,000	0,000	0,000	0,000	0,000	0,000
28	17835	4	0,000	-0,295	0,000	0,000	0,000	0,000	0,000	0,000	0,000	0,000	0,000
28	17834	5	0,000	-0,329	0,000	0,000	0,000	0,000	0,000	0,000	0,000	0,000	0,000
Plate_2_1	17834	1	0,000	-0,329	0,000	0,000	0,000	0,000	0,000	0,000	0,000	0,000	0,000
Element 1-4 (Plate)	17759	2	0,000	-0,372	0,000	0,000	0,000	0,000	0,000	0,000	0,000	0,000	0,000
(Parete c.a.C32/40 sp.0.50m)	17758	3	0,000	-0,415	0,000	0,000	0,000	0,000	0,000	0,000	0,000	0,000	0,000
28	17757	4	0,000	-0,457	0,000	0,000	0,000	0,000	0,000	0,000	0,000	0,000	0,000
28	17753	5	0,000	-0,500	0,000	0,000	0,000	0,000	0,000	0,000	0,000	0,000	0,000
Plate_4_1	16475	1	3,000	-0,126	-0,108	-0,144	0,043	0,047	-0,084	0,289	0,000	0,000	0,000
Element 2-5 (Plate)	16474	2	3,000	-0,282	0,091	-0,174	0,091	0,114	-0,129	0,340	0,015	0,000	0,016
(Micropali D168.3x8,0mm/0,4)	16473	3	3,000	-0,438	0,024	-0,605	0,024	0,533	0,000	1,191	0,049	0,000	0,130
28	16472	4	3,000	-0,594	-0,492	-1,370	0,000	1,849	0,000	2,698	0,228	0,000	0,409
28	16471	5	3,000	-0,750	-1,640	-2,470	0,000	4,604	0,000	4,871	0,705	0,000	0,979
Plate_2_2	17753	1	0,000	-0,500	0,000	0,000	0,000	0,000	0,000	0,000	0,000	0,000	0,000
Element 3-6 (Plate)	17677	2	0,000	-0,563	0,000	0,000	0,000	0,000	0,000	0,000	0,000	0,000	0,000
(Parete c.a.C32/40 sp.0.50m)	17676	3	0,000	-0,625	0,000	0,000	0,000	0,000	0,000	0,000	0,000	0,000	0,000
28	17675	4	0,000	-0,688	0,000	0,000	0,000	0,000	0,000	0,000	0,000	0,000	0,000
28	17671	5	0,000	-0,750	0,000	0,000	0,000	0,000	0,000	0,000	0,000	0,000	0,000
Plate_2_3	17671	1	0,000	-0,750	0,000	0,000	0,000	0,000	0,000	0,000	0,000	0,000	0,000
Element 4-7 (Plate)	17599	2	0,000	-0,798	0,000	0,000	0,000	0,000	0,000	0,000	0,000	0,000	0,000
(Parete c.a.C32/40 sp.0.50m)	17598	3	0,000	-0,846	0,000	0,000	0,000	0,000	0,000	0,000	0,000	0,000	0,000
28	17597	4	0,000	-0,894	0,000	0,000	0,000	0,000	0,000	0,000	0,000	0,000	0,000
28	17593	5	0,000	-0,942	0,000	0,000	0,000	0,000	0,000	0,000	0,000	0,000	0,000
Plate_2_3	17593	1	0,000	-0,942	0,000	0,000	0,000	0,000	0,000	0,000	0,000	0,000	0,000
Element 4-8 (Plate)	17468	2	0,000	-1,007	0,000	0,000	0,000	0,000	0,000	0,000	0,000	0,000	0,000
(Parete c.a.C32/40 sp.0.50m)	17467	3	0,000	-1,071	0,000	0,000	0,000	0,000	0,000	0,000	0,000	0,000	0,000
28	17466	4	0,000	-1,136	0,000	0,000	0,000	0,000	0,000	0,000	0,000	0,000	0,000
28	17465	5	0,000	-1,200	0,000	0,000	0,000	0,000	0,000	0,000	0,000	0,000	0,000
Plate_1_1	16471	1	3,000	-0,750	-1,810	-2,638	0,000	4,901	0,000	5,201	0,705	0,000	0,979
Element 5-9 (Plate)	16455	2	3,000	-0,948	-3,335	-3,969	0,000	8,874	0,000	8,874	2,068	0,000	2,198
(Micropali D168.3x8,0mm/0,4)	16454	3	3,000	-1,146	-5,063	-5,866	0,000	13,176	0,000	13,176	4,236	0,000	4,236
28	16453	4	3,000	-1,344	-6,955	-7,916	0,000	18,132	0,000	18,132	7,328	0,000	7,328
28	16595	5	3,000	-1,542	-8,974	-10,201	0,000	24,066	-0,116	24,066	11,482	0,000	11,482
Plate_1_1	16595	1	3,000	-1,542	-8,992	-10,267	0,000	23,632	0,000	23,632	11,482	0,000	11,482

Structural element	Node [10^3]	Local number	X [m]	Y [m]	N [kN/m]	N,,x,, [kN/m]	N,,xy,, [kN/m]	Q [kN/m]	Q,,x,, [kN/m]	Q,,y,, [kN/m]	M [kN m/m]	M,,x,, [kN m/m]	M,,xy,, [kN m/m]
Element 5-10 (Plate)	16594	2	3,000	-1,581	-9,387	-10,743	0,000	24,698	0,000	24,698	12,437	0,000	12,437
(Micropali D168.3x8,0mm/0,4)	16593	3	3,000	-1,621	-9,862	-11,286	0,000	25,875	-0,017	25,875	13,438	0,000	13,438
〃	16592	4	3,000	-1,660	-10,363	-11,843	0,000	27,078	-0,035	27,078	14,486	0,000	14,486
〃	16615	5	3,000	-1,700	-10,839	-12,361	0,000	28,223	-0,022	28,223	15,581	0,000	15,581
Plate_2_4	17465	1	0,000	-1,200	0,000	0,000	0,000	0,000	0,000	0,000	0,000	0,000	0,000
Element 6-11 (Plate)	17390	2	0,000	-1,261	0,000	0,000	0,000	0,000	0,000	0,000	0,000	0,000	0,000
(Parete c.a.C32/40 sp.0.50m)	17389	3	0,000	-1,322	0,000	0,000	0,000	0,000	0,000	0,000	0,000	0,000	0,000
〃	17388	4	0,000	-1,382	0,000	0,000	0,000	0,000	0,000	0,000	0,000	0,000	0,000
〃	17387	5	0,000	-1,443	0,000	0,000	0,000	0,000	0,000	0,000	0,000	0,000	0,000
Plate_2_4	17387	1	0,000	-1,443	0,000	0,000	0,000	0,000	0,000	0,000	0,000	0,000	0,000
Element 6-12 (Plate)	17259	2	0,000	-1,535	0,000	0,000	0,000	0,000	0,000	0,000	0,000	0,000	0,000
(Parete c.a.C32/40 sp.0.50m)	17258	3	0,000	-1,627	0,000	0,000	0,000	0,000	0,000	0,000	0,000	0,000	0,000
〃	17257	4	0,000	-1,718	0,000	0,000	0,000	0,000	0,000	0,000	0,000	0,000	0,000
〃	17256	5	0,000	-1,810	0,000	0,000	0,000	0,000	0,000	0,000	0,000	0,000	0,000
Plate_1_2	16615	1	3,000	-1,700	-21,326	-22,116	0,000	-33,235	-33,235	5,890	15,581	0,000	15,581
Element 7-13 (Plate)	16614	2	3,000	-1,728	-21,622	-22,439	0,000	-32,481	-32,481	6,153	14,651	0,000	14,651
(Micropali D168.3x8,0mm/0,4)	16613	3	3,000	-1,757	-21,951	-22,795	0,000	-31,704	-31,704	6,453	13,743	0,000	13,743
〃	16612	4	3,000	-1,785	-22,294	-23,165	0,000	-30,912	-30,912	6,788	12,857	0,000	12,857
〃	16611	5	3,000	-1,813	-22,630	-23,528	0,000	-30,115	-30,115	7,160	11,994	0,000	11,994
Plate_1_3	16611	1	3,000	-1,813	-22,647	-23,545	0,000	-30,104	-30,104	7,046	11,994	0,000	11,994
Element 8-14 (Plate)	16499	2	3,000	-1,847	-23,004	-23,936	0,000	-29,309	-29,309	7,347	10,982	0,000	10,982
(Micropali D168.3x8,0mm/0,4)	16498	3	3,000	-1,881	-23,348	-24,312	0,000	-28,540	-28,540	7,519	9,997	0,000	9,997
〃	16497	4	3,000	-1,915	-23,665	-24,663	0,000	-27,823	-27,823	7,553	9,037	0,000	9,037
〃	16496	5	3,000	-1,949	-23,943	-24,976	0,000	-27,183	-27,183	7,438	8,101	0,000	8,282
Plate_1_3	16496	1	3,000	-1,949	-23,943	-24,976	0,000	-27,183	-27,183	7,452	8,101	0,000	8,282
Element 8-15 (Plate)	16287	2	3,000	-1,983	-24,176	-25,244	0,000	-26,630	-26,630	7,221	7,185	0,000	7,599
(Micropali D168.3x8,0mm/0,4)	16286	3	3,000	-2,018	-24,372	-25,475	0,000	-26,147	-26,147	6,850	6,286	0,000	6,931
〃	16285	4	3,000	-2,052	-24,518	-25,657	0,000	-25,760	-25,760	6,349	5,402	0,000	6,311
〃	16284	5	3,000	-2,086	-24,602	-25,777	0,000	-25,492	-25,492	5,730	4,530	0,000	5,709
Plate_1_4	16284	1	3,000	-2,086	-24,598	-25,774	0,000	-25,496	-25,496	5,745	4,530	0,000	5,709
Element 9-16 (Plate)	16241	2	3,000	-2,088	-24,595	-25,771	0,000	-25,499	-25,499	5,682	4,463	0,000	5,663
(Micropali D168.3x8,0mm/0,4)	16240	3	3,000	-2,091	-24,599	-25,777	0,000	-25,486	-25,486	5,608	4,396	0,000	5,629
〃	16239	4	3,000	-2,094	-24,602	-25,783	0,000	-25,472	-25,472	5,529	4,330	0,000	5,643
〃	16238	5	3,000	-2,096	-24,598	-25,782	0,000	-25,470	-25,470	5,451	4,263	0,000	5,658
Plate_2_5	17256	1	0,000	-1,810	0,000	0,000	0,000	0,000	0,000	0,000	0,000	0,000	0,000
Element 10-17 (Plate)	17223	2	0,000	-1,882	0,000	0,000	0,000	0,000	0,000	0,000	0,000	0,000	0,000
(Parete c.a.C32/40 sp.0.50m)	17222	3	0,000	-1,955	0,000	0,000	0,000	0,000	0,000	0,000	0,000	0,000	0,000
〃	17221	4	0,000	-2,027	0,000	0,000	0,000	0,000	0,000	0,000	0,000	0,000	0,000
〃	17220	5	0,000	-2,100	0,000	0,000	0,000	0,000	0,000	0,000	0,000	0,000	0,000
Plate_2_5	17220	1	0,000	-2,100	0,000	0,000	0,000	0,000	0,000	0,000	0,000	0,000	0,000
Element 10-18 (Plate)	17043	2	0,000	-2,200	0,000	0,000	0,000	0,000	0,000	0,000	0,000	0,000	0,000
(Parete c.a.C32/40 sp.0.50m)	17042	3	0,000	-2,300	0,000	0,000	0,000	0,000	0,000	0,000	0,000	0,000	0,000
〃	17041	4	0,000	-2,400	0,000	0,000	0,000	0,000	0,000	0,000	0,000	0,000	0,000
〃	17040	5	0,000	-2,500	0,000	0,000	0,000	0,000	0,000	0,000	0,000	0,000	0,000
Plate_1_5	16238	1	3,000	-2,096	-24,600	-25,783	0,000	-25,469	-25,469	5,501	4,263	0,000	5,658
Element 11-19 (Plate)	16221	2	3,000	-2,140	-24,600	-25,783	0,000	-25,469	-25,469	4,337	3,158	0,000	5,871
(Micropali D168.3x8,0mm/0,4)	16220	3	3,000	-2,183	-24,600	-25,784	0,000	-25,469	-25,469	3,259	2,052	0,000	6,035
〃	16219	4	3,000	-2,226	-24,600	-25,784	0,000	-25,469	-25,469	2,249	0,946	0,000	6,155
〃	16218	5	3,000	-2,270	-24,600	-25,784	0,000	-25,469	-25,469	1,291	-0,160	-0,286	6,231
Plate_1_5	16218	1	3,000	-2,270	-24,374	-25,572	0,000	-25,866	-25,866	1,335	-0,160	-0,286	6,231
Element 11-20 (Plate)	15915	2	3,000	-2,344	-25,257	-26,535	0,000	-23,912	-23,912	0,000	-2,007	-2,069	6,267
(Micropali D168.3x8,0mm/0,4)	15914	3	3,000	-2,418	-26,095	-27,452	0,087	-22,057	-22,057	0,000	-3,711	-3,732	6,190
〃	15913	4	3,000	-2,492	-26,820	-28,256	0,459	-20,432	-20,432	0,000	-5,288	-5,292	6,021

Structural element	Node [10^0]	Local number	X [m]	Y [m]	N [kN/m]	N,max [kN/m]	N,min [kN/m]	Q [kN/m]	Q,max [kN/m]	Q,min [kN/m]	M [kN m/m]	M,max [kN m/m]	M,min [kN m/m]
28	15912	5	3,000	-2,567	-27,366	-28,881	0,618	-19,165	-19,165	0,000	-6,754	-6,754	5,779
Plate_1_5	15912	1	3,000	-2,567	-27,288	-28,802	0,682	-19,318	-19,318	0,000	-6,754	-6,754	5,779
Element 11-21 (Plate)	15631	2	3,000	-2,694	-27,849	-29,498	1,061	-17,889	-17,889	0,000	-9,114	-9,114	5,248
(Micropali D168.3x8,0mm/0,4)	15630	3	3,000	-2,821	-28,343	-30,127	1,399	-16,599	-16,599	0,000	-11,302	-11,302	4,635
28	15629	4	3,000	-2,948	-28,778	-30,697	1,695	-15,434	-15,434	0,000	-13,334	-13,334	3,992
28	15628	5	3,000	-3,074	-29,159	-31,212	1,952	-14,381	-14,653	0,000	-15,225	-15,225	3,367
Plate_1_5	15628	1	3,000	-3,074	-29,101	-31,154	1,954	-14,494	-14,818	0,000	-15,225	-15,225	3,367
Element 11-22 (Plate)	15607	2	3,000	-3,292	-29,860	-32,144	2,318	-12,494	-13,429	0,450	-18,139	-18,139	2,392
(Micropali D168.3x8,0mm/0,4)	15606	3	3,000	-3,509	-30,472	-32,983	2,599	-10,796	-12,213	2,725	-20,676	-20,676	1,587
28	15605	4	3,000	-3,726	-31,174	-33,910	2,787	-8,929	-10,735	5,921	-22,814	-22,814	1,372
28	15604	5	3,000	-3,943	-32,205	-35,164	2,872	-6,425	-8,560	10,502	-24,500	-24,500	2,875
Plate_2_6	17040	1	0,000	-2,500	0,000	0,000	0,000	0,000	0,000	0,000	0,000	0,000	0,000
Element 12-23 (Plate)	17003	2	0,000	-2,615	0,000	0,000	0,000	0,000	0,000	0,000	0,000	0,000	0,000
(Parete c.a.C32/40 sp.0.50m)	17002	3	0,000	-2,731	0,000	0,000	0,000	0,000	0,000	0,000	0,000	0,000	0,000
28	17001	4	0,000	-2,846	0,000	0,000	0,000	0,000	0,000	0,000	0,000	0,000	0,000
28	17000	5	0,000	-2,962	0,000	0,000	0,000	0,000	0,000	0,000	0,000	0,000	0,000
Plate_2_6	17000	1	0,000	-2,962	0,000	0,000	0,000	0,000	0,000	0,000	0,000	0,000	0,000
Element 12-24 (Plate)	16689	2	0,000	-3,082	0,000	0,000	0,000	0,000	0,000	0,000	0,000	0,000	0,000
(Parete c.a.C32/40 sp.0.50m)	16688	3	0,000	-3,202	0,000	0,000	0,000	0,000	0,000	0,000	0,000	0,000	0,000
28	16687	4	0,000	-3,322	0,000	0,000	0,000	0,000	0,000	0,000	0,000	0,000	0,000
28	16686	5	0,000	-3,442	0,000	0,000	0,000	0,000	0,000	0,000	0,000	0,000	0,000
Plate_2_6	16686	1	0,000	-3,442	0,000	0,000	0,000	0,000	0,000	0,000	0,000	0,000	0,000
Element 12-25 (Plate)	16542	2	0,000	-3,567	0,000	0,000	0,000	0,000	0,000	0,000	0,000	0,000	0,000
(Parete c.a.C32/40 sp.0.50m)	16541	3	0,000	-3,693	0,000	0,000	0,000	0,000	0,000	0,000	0,000	0,000	0,000
28	16540	4	0,000	-3,818	0,000	0,000	0,000	0,000	0,000	0,000	0,000	0,000	0,000
28	16536	5	0,000	-3,943	0,000	0,000	0,000	0,000	0,000	0,000	0,000	0,000	0,000
Plate_2_7	16536	1	0,000	-3,943	0,000	0,000	0,000	0,000	0,000	0,000	0,000	0,000	0,000
Element 13-26 (Plate)	16129	2	0,000	-4,055	0,000	0,000	0,000	0,000	0,000	0,000	0,000	0,000	0,000
(Parete c.a.C32/40 sp.0.50m)	16128	3	0,000	-4,167	0,000	0,000	0,000	0,000	0,000	0,000	0,000	0,000	0,000
28	16127	4	0,000	-4,280	0,000	0,000	0,000	0,000	0,000	0,000	0,000	0,000	0,000
28	16126	5	0,000	-4,392	0,000	0,000	0,000	0,000	0,000	0,000	0,000	0,000	0,000
Plate_2_8	16126	1	0,000	-4,392	0,000	0,000	0,000	0,000	0,000	0,000	0,000	0,000	0,000
Element 14-27 (Plate)	15925	2	0,000	-4,594	0,000	0,000	0,000	0,000	0,000	0,000	0,000	0,000	0,000
(Parete c.a.C32/40 sp.0.50m)	15924	3	0,000	-4,796	0,000	0,000	0,000	0,000	0,000	0,000	0,000	0,000	0,000
28	15923	4	0,000	-4,998	0,000	0,000	0,000	0,000	0,000	0,000	0,000	0,000	0,000
28	15922	5	0,000	-5,200	0,000	0,000	0,000	0,000	0,000	0,000	0,000	0,000	0,000
Plate_1_6	15604	1	3,000	-3,943	-32,016	-34,975	2,922	-6,793	-8,959	9,422	-24,500	-24,500	2,875
Element 15-28 (Plate)	15495	2	3,000	-4,180	-33,712	-36,911	2,958	-2,940	-5,571	5,328	-25,631	-25,631	4,155
(Micropali D168.3x8,0mm/0,4)	15494	3	3,000	-4,418	-35,296	-38,731	3,002	0,703	-2,543	3,000	-25,929	-25,929	4,661
28	15493	4	3,000	-4,656	-37,320	-40,988	3,023	5,223	-1,432	5,256	-25,227	-25,227	4,837
28	15515	5	3,000	-4,894	-40,334	-44,234	5,094	11,705	-1,757	11,711	-23,276	-23,276	4,949
Plate_1_6	15515	1	3,000	-4,894	-40,183	-44,085	4,592	11,417	-1,910	11,422	-23,276	-23,276	4,949
Element 15-29 (Plate)	15514	2	3,000	-5,095	-42,622	-46,720	7,199	16,712	-2,225	16,713	-20,406	-21,343	4,874
(Micropali D168.3x8,0mm/0,4)	15513	3	3,000	-5,297	-44,581	-48,881	8,839	21,110	-2,391	21,111	-16,611	-18,754	4,620
28	15512	4	3,000	-5,498	-46,653	-51,163	9,858	25,779	-2,410	25,780	-11,875	-15,465	4,345
28	15511	5	3,000	-5,700	-49,433	-54,158	10,602	31,887	-2,567	31,888	-6,108	-11,334	4,347
Plate_2_9	15922	1	0,000	-5,200	-0,001	-0,001	0,000	-0,007	-0,007	0,000	0,000	0,000	0,000
Element 16-30 (Plate)	15715	2	0,000	-5,366	-0,001	-0,001	0,000	-0,007	-0,007	0,000	-0,001	-0,001	0,000
(Parete c.a.C32/40 sp.0.50m)	15714	3	0,000	-5,531	-0,001	-0,001	0,000	-0,007	-0,007	0,000	-0,002	-0,002	0,000
28	15713	4	0,000	-5,697	-0,001	-0,001	0,000	-0,007	-0,007	0,000	-0,003	-0,003	0,000
28	15712	5	0,000	-5,863	-0,001	-0,001	0,000	-0,007	-0,007	0,000	-0,004	-0,004	0,000
Plate_2_9	15712	1	0,000	-5,863	-0,001	-0,001	0,000	-0,007	-0,007	0,000	-0,004	-0,004	0,000
Element 16-31 (Plate)	15279	2	0,000	-5,947	-0,001	-0,001	0,000	-0,007	-0,007	0,000	-0,005	-0,005	0,000

Structural element	Node [10^3]	Local number	X [m]	Y [m]	N [kN/m]	N,max [kN/m]	N,min [kN/m]	Q [kN/m]	Q,max [kN/m]	Q,min [kN/m]	M [kN m/m]	M,max [kN m/m]	M,min [kN m/m]
(Parete c.a.C32/40 sp.0.50m)	15278	3	0,000	-6,031	-0,001	-0,001	0,000	-0,007	-0,007	0,000	-0,006	-0,006	0,000
〃	15277	4	0,000	-6,116	-0,001	-0,001	0,000	-0,007	-0,007	0,000	-0,006	-0,006	0,000
〃	15276	5	0,000	-6,200	-0,001	-0,001	0,000	-0,007	-0,007	0,000	-0,007	-0,007	0,000
Plate_1_7	15511	1	3,000	-5,700	-58,491	-63,045	10,519	-17,848	-17,860	24,465	-6,108	-11,334	4,347
Element 17-32 (Plate)	15227	2	3,000	-5,825	-61,142	-65,837	10,862	-12,205	-12,233	29,399	-7,986	-10,134	4,273
(Micropali D168.3x8,0mm/0,4)	15228	3	3,000	-5,950	-63,566	-68,410	11,209	-6,977	-7,187	34,231	-9,173	-9,265	5,350
〃	15229	4	3,000	-6,075	-65,545	-70,547	11,545	-2,586	-2,996	38,670	-9,765	-9,766	8,280
〃	15226	5	3,000	-6,200	-66,866	-72,033	11,859	0,544	-2,063	42,407	-9,875	-9,876	11,701
Plate_2_10	15276	1	0,000	-6,200	0,000	-0,001	0,003	-0,011	-0,011	0,003	-0,007	-0,007	0,000
Element 18-33 (Plate)	15111	2	0,000	-6,275	-0,008	-0,008	0,000	0,012	0,000	0,020	-0,007	-0,007	0,001
(Parete c.a.C32/40 sp.0.50m)	15110	3	0,000	-6,350	-0,024	-0,024	0,000	0,054	0,000	0,059	-0,004	-0,004	0,003
〃	15109	4	0,000	-6,425	-0,046	-0,046	0,000	0,108	0,000	0,113	0,001	0,000	0,010
〃	15108	5	0,000	-6,500	-0,068	-0,068	0,000	0,167	0,000	0,171	0,012	0,000	0,020
Plate_1_8	15226	1	3,000	-6,200	-66,698	-71,871	11,857	0,239	-2,075	42,207	-9,875	-9,876	11,701
Element 19-34 (Plate)	15055	2	3,000	-6,275	-67,584	-72,839	12,040	2,232	-1,952	40,863	-9,783	-9,785	14,032
(Micropali D168.3x8,0mm/0,4)	15054	3	3,000	-6,350	-68,519	-73,852	12,214	4,307	-1,841	38,711	-9,539	-9,540	16,324
〃	15053	4	3,000	-6,425	-69,510	-74,917	12,379	6,483	-1,746	36,000	-9,134	-9,139	18,631
〃	15052	5	3,000	-6,500	-70,558	-76,041	12,537	8,775	-1,732	35,219	-8,563	-8,574	21,053
Plate_1_9	15052	1	3,000	-6,500	-70,564	-76,047	12,539	8,790	-1,766	35,293	-8,563	-8,574	21,053
Element 20-35 (Plate)	14383	2	3,000	-6,522	-70,891	-76,397	12,584	9,504	-1,825	35,792	-8,366	-8,379	21,745
(Micropali D168.3x8,0mm/0,4)	14384	3	3,000	-6,543	-71,205	-76,733	12,631	10,192	-1,889	36,292	-8,154	-8,168	22,421
〃	14385	4	3,000	-6,565	-71,497	-77,048	12,682	10,840	-1,959	36,776	-7,928	-7,944	23,088
〃	14382	5	3,000	-6,586	-71,761	-77,334	12,737	11,432	-2,038	37,384	-7,688	-7,707	23,738
Plate_2_11	15108	1	0,000	-6,500	-0,030	-0,061	0,000	0,070	0,000	0,157	0,012	0,000	0,020
Element 21-36 (Plate)	14137	2	0,000	-6,624	-0,154	-0,157	0,000	0,388	0,000	0,403	0,041	0,000	0,054
(Parete c.a.C32/40 sp.0.50m)	14136	3	0,000	-6,747	-0,259	-0,259	0,000	0,656	0,000	0,658	0,105	0,000	0,114
〃	14135	4	0,000	-6,871	-0,361	-0,361	0,000	0,918	0,000	0,918	0,203	0,000	0,212
〃	14134	5	0,000	-6,994	-0,476	-0,476	0,000	1,214	0,000	1,214	0,334	0,000	0,343
Plate_1_10	14382	1	3,000	-6,586	-71,822	-77,375	12,732	11,476	-2,060	37,289	-7,688	-7,707	23,738
Element 22-37 (Plate)	13951	2	3,000	-6,690	-72,239	-77,913	13,028	12,723	-2,574	39,143	-6,426	-6,519	26,149
(Micropali D168.3x8,0mm/0,4)	13952	3	3,000	-6,793	-72,519	-78,204	13,209	13,287	-5,355	40,214	-5,082	-5,305	27,375
〃	13953	4	3,000	-6,897	-72,714	-78,400	13,278	13,648	-8,747	40,726	-3,683	-4,038	27,575
〃	13950	5	3,000	-7,000	-72,876	-78,651	13,236	14,288	-11,767	40,905	-2,244	-2,733	27,371
Plate_2_12	14134	1	0,000	-6,994	-0,479	-0,479	0,000	1,220	0,000	1,220	0,334	0,000	0,343
Element 23-38 (Plate)	13402	2	0,000	-7,061	-0,554	-0,554	0,000	1,411	0,000	1,411	0,422	0,000	0,431
(Parete c.a.C32/40 sp.0.50m)	13401	3	0,000	-7,128	-0,642	-0,642	0,000	1,637	0,000	1,637	0,524	0,000	0,533
〃	13400	4	0,000	-7,195	-0,743	-0,743	0,000	1,897	0,000	1,897	0,642	0,000	0,651
〃	13396	5	0,000	-7,262	-0,857	-0,857	0,000	2,189	0,000	2,189	0,779	0,000	0,787
Plate_2_13	13396	1	0,000	-7,262	-0,852	-0,852	0,000	2,176	0,000	2,176	0,779	0,000	0,787
Element 24-39 (Plate)	12634	2	0,000	-7,322	-0,982	-0,982	0,000	2,509	0,000	2,509	0,918	0,000	0,926
(Parete c.a.C32/40 sp.0.50m)	12633	3	0,000	-7,381	-1,111	-1,112	0,000	2,840	0,000	2,848	1,077	0,000	1,085
〃	12632	4	0,000	-7,441	-1,240	-1,244	0,000	3,172	0,000	3,184	1,255	0,000	1,263
〃	12628	5	0,000	-7,500	-1,370	-1,373	0,000	3,503	0,000	3,514	1,454	0,000	1,461
Plate_1_11	13950	1	3,000	-7,000	-72,971	-78,688	13,261	14,231	-12,169	41,897	-2,244	-2,733	27,371
Element 25-40 (Plate)	13001	2	3,000	-7,152	-73,002	-78,851	13,206	14,760	-16,143	19,858	-0,025	-0,731	30,260
(Micropali D168.3x8,0mm/0,4)	13002	3	3,000	-7,305	-73,149	-78,967	13,152	14,885	-19,165	14,890	2,231	0,000	31,477
〃	13003	4	3,000	-7,457	-73,366	-79,118	13,102	14,989	-19,963	14,991	4,513	0,000	30,366
〃	13000	5	3,000	-7,610	-73,609	-79,389	13,058	15,453	-20,289	15,455	6,822	0,000	27,777
Plate_1_11	13000	1	3,000	-7,610	-73,841	-79,413	13,057	15,119	-21,743	15,121	6,822	0,000	27,777
Element 25-41 (Plate)	12096	2	3,000	-7,832	-76,766	-82,488	13,018	21,039	-22,973	21,040	10,958	0,000	22,823
(Micropali D168.3x8,0mm/0,4)	12095	3	3,000	-8,055	-78,728	-84,084	12,993	23,143	-22,301	23,569	15,877	0,000	18,311
〃	12094	4	3,000	-8,277	-80,048	-84,981	12,979	23,625	-19,595	25,343	21,142	-0,044	21,142
〃	12093	5	3,000	-8,500	-81,048	-85,958	12,973	24,678	-15,445	27,281	26,464	-0,144	26,464

Structural element	Node [10^]	Local number	X [m]	Y [m]	N [kN/m]	N,,-,,, [kN/m]	N,,,,, [kN/m]	Q [kN/m]	Q,,-,,, [kN/m]	Q,,,,, [kN/m]	M [kN m/m]	M,,-,,, [kN m/m]	M,,,,, [kN m/m]
Plate_2_14	12628	1	0,000	-7,500	-1,371	-1,373	0,000	3,506	0,000	3,516	1,454	0,000	1,461
Element 26-42 (Plate)	11506	2	0,000	-7,576	-1,546	-1,546	0,000	3,954	0,000	3,954	1,739	0,000	1,746
(Parete c.a.C32/40 sp.0.50m)	11505	3	0,000	-7,653	-1,739	-1,739	0,000	4,449	0,000	4,449	2,059	0,000	2,066
,,	11504	4	0,000	-7,729	-1,966	-1,966	0,000	5,028	0,000	5,028	2,421	0,000	2,427
,,	11503	5	0,000	-7,806	-2,239	-2,239	0,000	5,729	0,000	5,729	2,831	0,000	2,837
Plate_2_14	11503	1	0,000	-7,806	-2,230	-2,230	0,000	5,704	0,000	5,704	2,831	0,000	2,837
Element 26-43 (Plate)	11181	2	0,000	-7,867	-2,452	-2,452	0,000	6,273	0,000	6,273	3,197	0,000	3,202
(Parete c.a.C32/40 sp.0.50m)	11180	3	0,000	-7,928	-2,640	-2,640	0,000	6,755	0,000	6,755	3,595	0,000	3,599
,,	11179	4	0,000	-7,989	-2,804	-2,804	0,000	7,175	0,000	7,175	4,020	0,000	4,024
,,	11175	5	0,000	-8,050	-2,954	-2,954	0,000	7,559	0,000	7,559	4,469	0,000	4,473
Plate_2_14	11175	1	0,000	-8,050	-2,984	-2,984	0,000	7,636	0,000	7,636	4,469	0,000	4,473
Element 26-44 (Plate)	9918	2	0,000	-8,098	-3,137	-3,137	0,000	8,026	0,000	8,026	4,851	0,000	4,855
(Parete c.a.C32/40 sp.0.50m)	9917	3	0,000	-8,147	-3,277	-3,277	0,000	8,386	0,000	8,386	5,251	0,000	5,254
,,	9916	4	0,000	-8,196	-3,421	-3,421	0,000	8,753	0,000	8,753	5,668	0,000	5,671
,,	9915	5	0,000	-8,245	-3,581	-3,581	0,000	9,164	0,000	9,164	6,104	0,000	6,107
Plate_2_14	9915	1	0,000	-8,245	-3,583	-3,583	0,000	9,169	0,000	9,169	6,104	0,000	6,107
Element 26-45 (Plate)	9080	2	0,000	-8,283	-3,742	-3,742	0,000	9,574	0,000	9,574	6,468	0,000	6,471
(Parete c.a.C32/40 sp.0.50m)	9079	3	0,000	-8,322	-3,889	-3,889	0,000	9,953	0,000	9,953	6,848	0,000	6,850
,,	9078	4	0,000	-8,361	-4,026	-4,026	0,000	10,303	0,000	10,303	7,242	0,000	7,244
,,	9077	5	0,000	-8,400	-4,151	-4,151	0,000	10,623	0,000	10,623	7,648	0,000	7,650
Plate_3_1	9077	1	0,000	-8,400	-5,496	-5,496	0,000	10,066	-0,007	10,066	7,648	0,000	7,650
Element 27-46 (Plate)	7882	2	0,000	-8,425	-5,602	-5,602	0,000	10,274	-0,007	10,274	7,903	0,000	7,904
(Micropali D168.3x10/0,27m)	7883	3	0,000	-8,450	-5,688	-5,688	0,000	10,443	-0,007	10,443	8,162	0,000	8,163
,,	7884	4	0,000	-8,475	-5,757	-5,757	0,000	10,577	-0,007	10,577	8,425	-0,001	8,426
,,	7881	5	0,000	-8,500	-5,811	-5,811	0,000	10,684	-0,007	10,684	8,690	-0,001	8,692
Plate_1_12	12093	1	3,000	-8,500	-81,271	-86,373	12,971	25,919	-15,861	27,713	26,464	-0,144	26,464
Element 28-47 (Plate)	11390	2	3,000	-8,706	-69,760	-72,606	12,966	2,381	-12,588	3,027	29,237	-0,226	29,237
(Micropali D168.3x8,0mm/0,4)	11391	3	3,000	-8,913	-61,170	-62,076	12,961	-13,146	-17,018	0,000	28,001	-0,301	28,001
,,	11392	4	3,000	-9,119	-55,146	-55,151	12,956	-21,099	-21,730	0,000	24,333	-0,370	24,333
,,	11389	5	3,000	-9,325	-51,333	-51,333	12,950	-21,914	-21,994	0,000	19,783	-0,433	19,783
Plate_1_12	11389	1	3,000	-9,325	-50,934	-50,934	12,896	-22,962	-23,079	0,000	19,783	-0,433	19,783
Element 28-48 (Plate)	10576	2	3,000	-9,483	-48,248	-48,248	12,962	-21,991	-22,081	0,000	16,226	-0,519	16,226
(Micropali D168.3x8,0mm/0,4)	10575	3	3,000	-9,641	-45,773	-45,773	12,831	-20,218	-20,287	0,000	12,889	-0,727	12,889
,,	10574	4	3,000	-9,798	-43,462	-43,462	12,507	-17,780	-17,826	0,000	9,881	-0,870	9,881
,,	10573	5	3,000	-9,956	-41,269	-41,269	11,989	-14,816	-14,838	0,000	7,306	-0,974	7,306
Plate_1_12	10573	1	3,000	-9,956	-41,207	-41,207	11,989	-14,963	-14,986	0,000	7,306	-0,974	7,306
Element 28-49 (Plate)	9580	2	3,000	-10,077	-39,431	-39,431	11,448	-12,808	-12,815	0,013	5,632	-1,096	5,632
(Micropali D168.3x8,0mm/0,4)	9579	3	3,000	-10,197	-37,539	-37,539	10,796	-10,772	-10,772	0,048	4,211	-1,166	4,211
,,	9578	4	3,000	-10,318	-35,522	-35,522	10,058	-8,868	-8,868	0,200	3,027	-1,189	3,027
,,	9577	5	3,000	-10,439	-33,376	-33,376	9,219	-7,109	-7,110	0,377	2,065	-1,170	2,066
Plate_1_12	9577	1	3,000	-10,439	-33,333	-33,333	9,240	-7,126	-7,126	0,379	2,065	-1,170	2,066
Element 28-50 (Plate)	8342	2	3,000	-10,531	-31,478	-31,478	8,607	-5,926	-5,926	0,554	1,465	-1,129	1,465
(Micropali D168.3x8,0mm/0,4)	8343	3	3,000	-10,623	-29,455	-29,455	7,948	-4,864	-4,865	0,764	0,968	-1,068	0,968
,,	8344	4	3,000	-10,715	-27,265	-27,265	7,265	-3,943	-3,944	0,948	0,563	-0,989	0,563
,,	8341	5	3,000	-10,808	-24,907	-24,907	6,557	-3,165	-3,165	1,104	0,236	-0,894	0,236
Plate_1_12	8341	1	3,000	-10,808	-24,897	-24,897	6,555	-3,179	-3,180	1,097	0,236	-0,894	0,236
Element 28-51 (Plate)	7770	2	3,000	-10,878	-22,971	-22,971	5,993	-2,648	-2,648	1,191	0,031	-0,813	0,031
(Micropali D168.3x8,0mm/0,4)	7769	3	3,000	-10,949	-20,919	-20,919	5,411	-2,182	-2,182	1,249	-0,139	-0,727	0,000
,,	7768	4	3,000	-11,019	-18,740	-18,740	4,808	-1,757	-1,757	1,270	-0,278	-0,638	0,000
,,	7767	5	3,000	-11,090	-16,436	-16,436	4,185	-1,349	-1,349	1,254	-0,387	-0,613	0,000
Plate_1_12	7767	1	3,000	-11,090	-16,432	-16,432	4,184	-1,294	-1,294	1,269	-0,387	-0,613	0,000
Element 28-52 (Plate)	6794	2	3,000	-11,144	-14,580	-14,580	3,691	-0,897	-0,897	1,226	-0,447	-0,608	0,000
(Micropali D168.3x8,0mm/0,4)	6795	3	3,000	-11,198	-12,646	-12,646	3,182	-0,393	-0,393	1,209	-0,482	-0,593	0,000

Structural element	Node [10^]	Local number	X [m]	Y [m]	N [kN/m]	N,,x,, [kN/m]	N,,y,, [kN/m]	Q [kN/m]	Q,,x,, [kN/m]	Q,,y,, [kN/m]	M [kN m/m]	M,,x,, [kN m/m]	M,,y,, [kN m/m]
88	6796	4	3,000	-11,252	-10,635	-10,635	2,657	0,247	0,000	1,231	-0,487	-0,560	0,000
88	6793	5	3,000	-11,306	-8,552	-8,552	2,116	1,047	0,000	1,585	-0,453	-0,498	0,000
Plate_1_12	6793	1	3,000	-11,306	-8,507	-8,507	2,114	0,916	0,000	1,449	-0,453	-0,498	0,000
Element 28-53 (Plate)	5608	2	3,000	-11,347	-6,950	-6,950	1,687	2,081	0,000	2,468	-0,390	-0,419	0,000
(Micropali D168.3x8,0mm/0,4)	5609	3	3,000	-11,388	-5,229	-5,229	1,246	2,834	0,000	3,122	-0,287	-0,303	0,000
88	5610	4	3,000	-11,429	-3,316	-3,316	0,791	3,121	0,000	3,313	-0,162	-0,169	0,000
88	5607	5	3,000	-11,471	-1,185	-1,234	0,321	2,891	0,000	2,965	-0,036	-0,037	0,000
Plate_3_2	7881	1	0,000	-8,500	-5,813	-5,813	0,000	10,653	-0,006	10,653	8,690	-0,001	8,692
Element 29-54 (Plate)	6882	2	0,000	-8,544	-5,546	-5,546	0,000	9,112	-0,009	9,112	9,123	-0,001	9,124
(Micropali D168.3x10/0,27m)	6883	3	0,000	-8,588	-5,238	-5,238	0,000	7,594	-0,013	7,594	9,488	-0,001	9,489
88	6884	4	0,000	-8,631	-4,896	-4,896	0,000	6,071	-0,018	6,071	9,787	-0,002	9,788
88	6881	5	0,000	-8,675	-4,528	-4,528	0,000	4,518	-0,022	4,518	10,019	-0,003	10,020
Plate_3_2	6881	1	0,000	-8,675	-4,595	-4,595	0,000	4,613	-0,022	4,613	10,019	-0,003	10,020
Element 29-55 (Plate)	6868	2	0,000	-8,726	-4,080	-4,080	0,000	2,501	-0,041	2,501	10,199	-0,004	10,199
(Micropali D168.3x10/0,27m)	6869	3	0,000	-8,777	-3,762	-3,762	0,000	0,644	-0,329	0,644	10,277	-0,005	10,278
88	6870	4	0,000	-8,827	-3,646	-3,646	0,000	-0,949	-1,147	0,000	10,269	-0,007	10,269
88	6867	5	0,000	-8,878	-3,731	-3,731	0,000	-2,269	-2,326	0,000	10,186	-0,008	10,186
Plate_3_2	6867	1	0,000	-8,878	-3,708	-3,708	0,000	-2,294	-2,351	0,000	10,186	-0,008	10,186
Element 29-56 (Plate)	5682	2	0,000	-8,937	-4,026	-4,026	0,000	-3,552	-3,555	0,000	10,013	-0,009	10,013
(Micropali D168.3x10/0,27m)	5683	3	0,000	-8,996	-4,509	-4,509	0,000	-4,594	-4,596	0,000	9,772	-0,010	9,772
88	5684	4	0,000	-9,055	-5,144	-5,144	0,000	-5,427	-5,429	0,000	9,475	-0,010	9,475
88	5681	5	0,000	-9,114	-5,920	-5,920	0,000	-6,058	-6,059	0,000	9,136	-0,011	9,136
Plate_3_2	5681	1	0,000	-9,114	-5,882	-5,882	0,000	-6,080	-6,082	0,000	9,136	-0,011	9,136
Element 29-57 (Plate)	5668	2	0,000	-9,182	-6,907	-6,911	0,000	-6,616	-6,618	0,000	8,702	-0,011	8,702
(Micropali D168.3x10/0,27m)	5669	3	0,000	-9,250	-7,936	-7,937	0,000	-6,995	-6,996	0,000	8,236	-0,012	8,236
88	5670	4	0,000	-9,319	-8,953	-8,954	0,000	-7,223	-7,224	0,000	7,749	-0,012	7,749
88	5667	5	0,000	-9,387	-9,944	-9,944	0,000	-7,308	-7,309	0,000	7,252	-0,012	7,252
Plate_3_2	5667	1	0,000	-9,387	-9,940	-9,940	0,000	-7,328	-7,329	0,000	7,252	-0,012	7,252
Element 29-58 (Plate)	5642	2	0,000	-9,466	-11,026	-11,026	0,000	-7,307	-7,308	0,000	6,671	-0,012	6,671
(Micropali D168.3x10/0,27m)	5643	3	0,000	-9,546	-12,065	-12,065	0,000	-7,200	-7,200	0,000	6,096	-0,012	6,096
88	5644	4	0,000	-9,625	-13,057	-13,057	0,000	-7,012	-7,012	0,000	5,532	-0,013	5,532
88	5641	5	0,000	-9,704	-14,001	-14,001	0,001	-6,749	-6,749	0,000	4,986	-0,013	4,986
Plate_3_2	5641	1	0,000	-9,704	-14,004	-14,004	0,001	-6,763	-6,763	0,000	4,986	-0,013	4,986
Element 29-59 (Plate)	5544	2	0,000	-9,796	-15,045	-15,045	0,003	-6,407	-6,407	0,000	4,380	-0,014	4,380
(Micropali D168.3x10/0,27m)	5545	3	0,000	-9,888	-16,034	-16,034	0,005	-6,022	-6,022	0,000	3,809	-0,015	3,809
88	5546	4	0,000	-9,980	-16,969	-16,969	0,007	-5,613	-5,613	0,000	3,273	-0,017	3,273
88	5543	5	0,000	-10,072	-17,851	-17,851	0,008	-5,183	-5,183	0,000	2,777	-0,019	2,777
Plate_3_2	5543	1	0,000	-10,072	-17,854	-17,854	0,008	-5,190	-5,190	0,000	2,777	-0,019	2,777
Element 29-60 (Plate)	4597	2	0,000	-10,179	-18,816	-18,816	0,011	-4,692	-4,692	0,000	2,250	-0,022	2,250
(Micropali D168.3x10/0,27m)	4598	3	0,000	-10,285	-19,718	-19,718	0,013	-4,205	-4,205	0,000	1,776	-0,025	1,776
88	4599	4	0,000	-10,392	-20,559	-20,559	0,015	-3,732	-3,732	0,000	1,352	-0,029	1,352
88	4596	5	0,000	-10,499	-21,340	-21,340	0,017	-3,274	-3,274	0,000	0,979	-0,034	0,979
Plate_3_2	4596	1	0,000	-10,499	-21,343	-21,343	0,017	-3,274	-3,274	0,000	0,979	-0,034	0,979
Element 29-61 (Plate)	4561	2	0,000	-10,622	-22,179	-22,180	0,020	-2,773	-2,773	0,000	0,605	-0,040	0,605
(Micropali D168.3x10/0,27m)	4562	3	0,000	-10,746	-22,949	-22,949	0,023	-2,294	-2,294	0,000	0,292	-0,047	0,292
88	4563	4	0,000	-10,870	-23,651	-23,651	0,026	-1,837	-1,837	0,000	0,036	-0,058	0,036
88	4560	5	0,000	-10,994	-24,287	-24,287	0,028	-1,402	-1,402	0,000	-0,164	-0,175	0,000
Plate_3_2	4560	1	0,000	-10,994	-24,341	-24,341	0,029	-1,398	-1,398	0,000	-0,164	-0,175	0,000
Element 29-62 (Plate)	4345	2	0,000	-11,137	-24,824	-24,824	0,032	-0,899	-0,899	0,000	-0,329	-0,329	0,000
(Micropali D168.3x10/0,27m)	4346	3	0,000	-11,281	-25,185	-25,185	0,035	-0,411	-0,411	0,000	-0,422	-0,423	0,000
88	4347	4	0,000	-11,424	-25,451	-25,451	0,040	0,064	-0,029	0,076	-0,447	-0,447	0,000
88	4344	5	0,000	-11,568	-25,651	-25,651	0,045	0,525	0,000	0,525	-0,405	-0,405	0,000
Plate_3_2	4344	1	0,000	-11,568	-25,654	-25,654	0,073	0,491	-0,018	0,491	-0,405	-0,405	0,000

Structural element	Node [10^3]	Local number	X [m]	Y [m]	N [kN/m]	N,x [kN/m]	N,y [kN/m]	Q [kN/m]	Q,x [kN/m]	Q,y [kN/m]	M [kN m/m]	M,x [kN m/m]	M,y [kN m/m]
Element 29-63 (Plate)	3619	2	0,000	-11,734	-25,926	-25,926	0,007	1,025	0,000	1,026	-0,276	-0,276	0,000
(Micropali D168.3x10/0,27m)	3620	3	0,000	-11,901	-26,092	-26,092	0,000	1,351	0,000	1,351	-0,074	-0,075	0,000
꽃	3621	4	0,000	-12,067	-26,138	-26,138	0,000	1,441	0,000	1,441	0,161	-0,018	0,161
꽃	3618	5	0,000	-12,234	-26,050	-26,050	0,000	1,268	0,000	1,268	0,391	0,000	0,391
Plate_1_13	5607	1	3,000	-11,471	-1,315	-1,315	0,321	2,468	0,000	2,540	-0,036	-0,037	0,000
Element 30-64 (Plate)	4612	2	3,000	-11,478	-0,978	-0,984	0,235	1,883	0,000	1,920	-0,020	-0,021	0,000
(Micropali D168.3x8,0mm/0,4)	4611	3	3,000	-11,485	-0,638	-0,647	0,149	1,251	0,000	1,269	-0,009	-0,009	0,000
꽃	4610	4	3,000	-11,493	-0,302	-0,307	0,062	0,596	0,000	0,603	-0,002	-0,002	0,000
꽃	4609	5	3,000	-11,500	0,028	-0,024	0,029	-0,061	-0,061	0,000	0,000	0,000	0,000
Plate_3_3	3618	1	0,000	-12,234	-26,060	-26,060	0,000	1,288	0,000	1,288	0,391	0,000	0,391
Element 31-65 (Plate)	2977	2	0,000	-12,406	-25,768	-25,768	0,000	0,715	0,000	0,715	0,562	0,000	0,562
(Micropali D168.3x10/0,27m)	2978	3	0,000	-12,579	-25,542	-25,542	0,000	0,271	0,000	0,271	0,645	0,000	0,645
꽃	2979	4	0,000	-12,751	-25,381	-25,381	0,000	-0,044	-0,066	0,000	0,662	0,000	0,662
꽃	2976	5	0,000	-12,924	-25,286	-25,286	0,000	-0,231	-0,231	0,000	0,637	0,000	0,637
Plate_3_3	2976	1	0,000	-12,924	-25,260	-25,260	0,000	-0,248	-0,248	0,000	0,637	0,000	0,637
Element 31-66 (Plate)	2613	2	0,000	-13,106	-24,967	-24,967	0,000	-0,347	-0,347	0,000	0,582	0,000	0,582
(Micropali D168.3x10/0,27m)	2612	3	0,000	-13,288	-24,600	-24,600	0,000	-0,393	-0,393	0,000	0,514	0,000	0,514
꽃	2611	4	0,000	-13,470	-24,159	-24,159	0,000	-0,393	-0,393	0,000	0,441	0,000	0,441
꽃	2610	5	0,000	-13,653	-23,644	-23,644	0,000	-0,354	-0,354	0,000	0,373	0,000	0,373
Plate_3_3	2610	1	0,000	-13,653	-23,644	-23,644	0,000	-0,363	-0,363	0,000	0,373	0,000	0,373
Element 31-67 (Plate)	1951	2	0,000	-13,845	-23,021	-23,021	0,000	-0,317	-0,317	0,000	0,307	0,000	0,307
(Micropali D168.3x10/0,27m)	1952	3	0,000	-14,037	-22,317	-22,317	0,000	-0,272	-0,272	0,000	0,251	0,000	0,251
꽃	1953	4	0,000	-14,230	-21,531	-21,531	0,000	-0,226	-0,226	0,000	0,203	0,000	0,203
꽃	1950	5	0,000	-14,422	-20,664	-20,664	0,000	-0,183	-0,183	0,000	0,163	0,000	0,163
Plate_3_3	1950	1	0,000	-14,422	-20,663	-20,663	0,000	-0,184	-0,184	0,000	0,163	0,000	0,163
Element 31-68 (Plate)	1613	2	0,000	-14,625	-19,659	-19,659	0,000	-0,147	-0,147	0,000	0,130	0,000	0,130
(Micropali D168.3x10/0,27m)	1614	3	0,000	-14,829	-18,561	-18,561	0,000	-0,115	-0,115	0,000	0,104	0,000	0,104
꽃	1615	4	0,000	-15,032	-17,369	-17,369	0,000	-0,089	-0,089	0,000	0,083	0,000	0,083
꽃	1612	5	0,000	-15,235	-16,083	-16,083	0,000	-0,068	-0,068	0,000	0,067	-0,001	0,067
Plate_3_3	1612	1	0,000	-15,235	-16,079	-16,079	0,000	-0,068	-0,068	0,000	0,067	-0,001	0,067
Element 31-69 (Plate)	1081	2	0,000	-15,450	-14,617	-14,617	0,000	-0,051	-0,051	0,000	0,054	-0,001	0,054
(Micropali D168.3x10/0,27m)	1082	3	0,000	-15,664	-13,034	-13,034	0,000	-0,036	-0,036	0,000	0,045	-0,001	0,045
꽃	1083	4	0,000	-15,879	-11,331	-11,331	0,000	-0,024	-0,024	0,001	0,039	-0,001	0,039
꽃	1080	5	0,000	-16,093	-9,508	-9,508	0,000	-0,013	-0,013	0,002	0,035	-0,001	0,035
Plate_3_3	1080	1	0,000	-16,093	-9,492	-9,492	0,000	-0,001	-0,001	0,002	0,035	-0,001	0,035
Element 31-70 (Plate)	669	2	0,000	-16,320	-7,430	-7,430	0,000	-0,015	-0,015	0,002	0,034	0,000	0,034
(Micropali D168.3x10/0,27m)	668	3	0,000	-16,547	-5,172	-5,172	0,000	-0,046	-0,046	0,001	0,027	0,000	0,027
꽃	667	4	0,000	-16,773	-2,709	-2,709	0,000	-0,066	-0,066	0,000	0,014	0,000	0,014
꽃	666	5	0,000	-17,000	-0,032	-0,032	0,000	-0,047	-0,047	0,000	0,000	0,000	0,000

3.1.2.4.17 Calculation results, Plate, Riempimento 2 [Phase_13] (13/861), Table of plate force envelopes

Structural element	Node [10^3]	Local number	X [m]	Y [m]	N [kN/m]	N,min [kN/m]	N,max [kN/m]	Q [kN/m]	Q,min [kN/m]	Q,max [kN/m]	M [kN m/m]	M,min [kN m/m]	M,max [kN m/m]
Plate_2_1	17871	1	0,000	0,000	0,000	0,000	0,000	0,000	0,000	0,000	0,000	0,000	0,000
Element 1-1 (Plate)	17868	2	0,000	-0,021	0,000	0,000	0,000	0,000	0,000	0,000	0,000	0,000	0,000
(Parete c.a.C32/40 sp.0.50m)	17867	3	0,000	-0,043	0,000	0,000	0,000	0,000	0,000	0,000	0,000	0,000	0,000
28	17866	4	0,000	-0,064	0,000	0,000	0,000	0,000	0,000	0,000	0,000	0,000	0,000
28	17869	5	0,000	-0,086	0,000	0,000	0,000	0,000	0,000	0,000	0,000	0,000	0,000
Plate_2_1	17869	1	0,000	-0,086	0,000	0,000	0,000	0,000	0,000	0,000	0,000	0,000	0,000
Element 1-2 (Plate)	17860	2	0,000	-0,113	0,000	0,000	0,000	0,000	0,000	0,000	0,000	0,000	0,000
(Parete c.a.C32/40 sp.0.50m)	17859	3	0,000	-0,140	0,000	0,000	0,000	0,000	0,000	0,000	0,000	0,000	0,000
28	17858	4	0,000	-0,166	0,000	0,000	0,000	0,000	0,000	0,000	0,000	0,000	0,000
28	17857	5	0,000	-0,193	0,000	0,000	0,000	0,000	0,000	0,000	0,000	0,000	0,000
Plate_2_1	17857	1	0,000	-0,193	0,000	0,000	0,000	0,000	0,000	0,000	0,000	0,000	0,000
Element 1-3 (Plate)	17837	2	0,000	-0,227	0,000	0,000	0,000	0,000	0,000	0,000	0,000	0,000	0,000
(Parete c.a.C32/40 sp.0.50m)	17836	3	0,000	-0,261	0,000	0,000	0,000	0,000	0,000	0,000	0,000	0,000	0,000
28	17835	4	0,000	-0,295	0,000	0,000	0,000	0,000	0,000	0,000	0,000	0,000	0,000
28	17834	5	0,000	-0,329	0,000	0,000	0,000	0,000	0,000	0,000	0,000	0,000	0,000
Plate_2_1	17834	1	0,000	-0,329	0,000	0,000	0,000	0,000	0,000	0,000	0,000	0,000	0,000
Element 1-4 (Plate)	17759	2	0,000	-0,372	0,000	0,000	0,000	0,000	0,000	0,000	0,000	0,000	0,000
(Parete c.a.C32/40 sp.0.50m)	17758	3	0,000	-0,415	0,000	0,000	0,000	0,000	0,000	0,000	0,000	0,000	0,000
28	17757	4	0,000	-0,457	0,000	0,000	0,000	0,000	0,000	0,000	0,000	0,000	0,000
28	17753	5	0,000	-0,500	0,000	0,000	0,000	0,000	0,000	0,000	0,000	0,000	0,000
Plate_4_1	16475	1	3,000	-0,126	-0,152	-0,152	0,043	-0,035	-0,084	0,289	0,000	0,000	0,000
Element 2-5 (Plate)	16474	2	3,000	-0,282	0,174	-0,174	0,174	0,255	-0,129	0,340	0,021	0,000	0,021
(Micropali D168.3x8,0mm/0,4)	16473	3	3,000	-0,438	0,199	-0,605	0,199	0,815	0,000	1,191	0,089	0,000	0,130
28	16472	4	3,000	-0,594	-0,223	-1,370	0,000	2,220	0,000	2,698	0,320	0,000	0,409
28	16471	5	3,000	-0,750	-1,235	-2,470	0,000	5,045	0,000	5,045	0,860	0,000	0,979
Plate_2_2	17753	1	0,000	-0,500	0,000	0,000	0,000	0,000	0,000	0,000	0,000	0,000	0,000
Element 3-6 (Plate)	17677	2	0,000	-0,563	0,000	0,000	0,000	0,000	0,000	0,000	0,000	0,000	0,000
(Parete c.a.C32/40 sp.0.50m)	17676	3	0,000	-0,625	0,000	0,000	0,000	0,000	0,000	0,000	0,000	0,000	0,000
28	17675	4	0,000	-0,688	0,000	0,000	0,000	0,000	0,000	0,000	0,000	0,000	0,000
28	17671	5	0,000	-0,750	0,000	0,000	0,000	0,000	0,000	0,000	0,000	0,000	0,000
Plate_2_3	17671	1	0,000	-0,750	0,000	0,000	0,000	0,000	0,000	0,000	0,000	0,000	0,000
Element 4-7 (Plate)	17599	2	0,000	-0,798	0,000	0,000	0,000	0,000	0,000	0,000	0,000	0,000	0,000
(Parete c.a.C32/40 sp.0.50m)	17598	3	0,000	-0,846	0,000	0,000	0,000	0,000	0,000	0,000	0,000	0,000	0,000
28	17597	4	0,000	-0,894	0,000	0,000	0,000	0,000	0,000	0,000	0,000	0,000	0,000
28	17593	5	0,000	-0,942	0,000	0,000	0,000	0,000	0,000	0,000	0,000	0,000	0,000
Plate_2_3	17593	1	0,000	-0,942	0,000	0,000	0,000	0,000	0,000	0,000	0,000	0,000	0,000
Element 4-8 (Plate)	17468	2	0,000	-1,007	0,000	0,000	0,000	0,000	0,000	0,000	0,000	0,000	0,000
(Parete c.a.C32/40 sp.0.50m)	17467	3	0,000	-1,071	0,000	0,000	0,000	0,000	0,000	0,000	0,000	0,000	0,000
28	17466	4	0,000	-1,136	0,000	0,000	0,000	0,000	0,000	0,000	0,000	0,000	0,000
28	17465	5	0,000	-1,200	0,000	0,000	0,000	0,000	0,000	0,000	0,000	0,000	0,000
Plate_1_1	16471	1	3,000	-0,750	-1,414	-2,638	0,000	5,333	0,000	5,333	0,860	0,000	0,979
Element 5-9 (Plate)	16455	2	3,000	-0,948	-2,782	-3,969	0,000	9,381	0,000	9,381	2,316	0,000	2,316
(Micropali D168.3x8,0mm/0,4)	16454	3	3,000	-1,146	-4,344	-5,866	0,000	13,785	0,000	13,785	4,594	0,000	4,594
28	16453	4	3,000	-1,344	-6,063	-7,916	0,000	18,867	0,000	18,867	7,818	0,000	7,818
28	16595	5	3,000	-1,542	-7,899	-10,201	0,000	24,951	-0,116	24,951	12,131	0,000	12,131
Plate_1_1	16595	1	3,000	-1,542	-7,917	-10,267	0,000	24,516	0,000	24,516	12,131	0,000	12,131

Structural element	Node [10^3]	Local number	X [m]	Y [m]	N [kN/m]	N,max [kN/m]	N,min [kN/m]	Q [kN/m]	Q,max [kN/m]	Q,min [kN/m]	M [kN m/m]	M,max [kN m/m]	M,min [kN m/m]
Element 5-10 (Plate)	16594	2	3,000	-1,581	-8,273	-10,743	0,000	25,614	0,000	25,614	13,123	0,000	13,123
(Micropali D168.3x8,0mm/0,4)	16593	3	3,000	-1,621	-8,709	-11,286	0,000	26,824	-0,017	26,824	14,161	0,000	14,161
〃	16592	4	3,000	-1,660	-9,172	-11,843	0,000	28,061	-0,035	28,061	15,247	0,000	15,247
〃	16615	5	3,000	-1,700	-9,608	-12,361	0,000	29,239	-0,022	29,239	16,381	0,000	16,381
Plate_2_4	17465	1	0,000	-1,200	0,000	0,000	0,000	0,000	0,000	0,000	0,000	0,000	0,000
Element 6-11 (Plate)	17390	2	0,000	-1,261	0,000	0,000	0,000	0,000	0,000	0,000	0,000	0,000	0,000
(Parete c.a.C32/40 sp.0.50m)	17389	3	0,000	-1,322	0,000	0,000	0,000	0,000	0,000	0,000	0,000	0,000	0,000
〃	17388	4	0,000	-1,382	0,000	0,000	0,000	0,000	0,000	0,000	0,000	0,000	0,000
〃	17387	5	0,000	-1,443	0,000	0,000	0,000	0,000	0,000	0,000	0,000	0,000	0,000
Plate_2_4	17387	1	0,000	-1,443	0,000	0,000	0,000	0,000	0,000	0,000	0,000	0,000	0,000
Element 6-12 (Plate)	17259	2	0,000	-1,535	0,000	0,000	0,000	0,000	0,000	0,000	0,000	0,000	0,000
(Parete c.a.C32/40 sp.0.50m)	17258	3	0,000	-1,627	0,000	0,000	0,000	0,000	0,000	0,000	0,000	0,000	0,000
〃	17257	4	0,000	-1,718	0,000	0,000	0,000	0,000	0,000	0,000	0,000	0,000	0,000
〃	17256	5	0,000	-1,810	0,000	0,000	0,000	0,000	0,000	0,000	0,000	0,000	0,000
Plate_1_2	16615	1	3,000	-1,700	-20,454	-22,116	0,000	-34,334	-34,334	5,890	16,381	0,000	16,381
Element 7-13 (Plate)	16614	2	3,000	-1,728	-20,721	-22,439	0,000	-33,555	-33,555	6,153	15,421	0,000	15,421
(Micropali D168.3x8,0mm/0,4)	16613	3	3,000	-1,757	-21,021	-22,795	0,000	-32,753	-32,753	6,453	14,482	0,000	14,482
〃	16612	4	3,000	-1,785	-21,335	-23,165	0,000	-31,937	-31,937	6,788	13,567	0,000	13,567
〃	16611	5	3,000	-1,813	-21,642	-23,528	0,000	-31,116	-31,116	7,160	12,675	0,000	12,675
Plate_1_3	16611	1	3,000	-1,813	-21,658	-23,545	0,000	-31,104	-31,104	7,046	12,675	0,000	12,675
Element 8-14 (Plate)	16499	2	3,000	-1,847	-21,980	-23,936	0,000	-30,280	-30,280	7,347	11,630	0,000	11,630
(Micropali D168.3x8,0mm/0,4)	16498	3	3,000	-1,881	-22,287	-24,312	0,000	-29,483	-29,483	7,519	10,612	0,000	10,612
〃	16497	4	3,000	-1,915	-22,567	-24,663	0,000	-28,737	-28,737	7,553	9,620	0,000	9,620
〃	16496	5	3,000	-1,949	-22,808	-24,976	0,000	-28,068	-28,068	7,438	8,654	0,000	8,654
Plate_1_3	16496	1	3,000	-1,949	-22,807	-24,976	0,000	-28,068	-28,068	7,452	8,654	0,000	8,654
Element 8-15 (Plate)	16287	2	3,000	-1,983	-23,003	-25,244	0,000	-27,486	-27,486	7,221	7,708	0,000	7,708
(Micropali D168.3x8,0mm/0,4)	16286	3	3,000	-2,018	-23,160	-25,475	0,000	-26,975	-26,975	6,850	6,781	0,000	6,931
〃	16285	4	3,000	-2,052	-23,266	-25,657	0,000	-26,557	-26,557	6,349	5,869	0,000	6,311
〃	16284	5	3,000	-2,086	-23,310	-25,777	0,000	-26,258	-26,258	5,730	4,970	0,000	5,709
Plate_1_4	16284	1	3,000	-2,086	-23,305	-25,774	0,000	-26,260	-26,260	5,745	4,970	0,000	5,709
Element 9-16 (Plate)	16241	2	3,000	-2,088	-23,301	-25,771	0,000	-26,261	-26,261	5,682	4,901	0,000	5,663
(Micropali D168.3x8,0mm/0,4)	16240	3	3,000	-2,091	-23,303	-25,777	0,000	-26,245	-26,245	5,608	4,833	0,000	5,629
〃	16239	4	3,000	-2,094	-23,303	-25,783	0,000	-26,228	-26,228	5,529	4,764	0,000	5,643
〃	16238	5	3,000	-2,096	-23,297	-25,782	0,000	-26,223	-26,223	5,451	4,695	0,000	5,658
Plate_2_5	17256	1	0,000	-1,810	0,000	0,000	0,000	0,000	0,000	0,000	0,000	0,000	0,000
Element 10-17 (Plate)	17223	2	0,000	-1,882	0,000	0,000	0,000	0,000	0,000	0,000	0,000	0,000	0,000
(Parete c.a.C32/40 sp.0.50m)	17222	3	0,000	-1,955	0,000	0,000	0,000	0,000	0,000	0,000	0,000	0,000	0,000
〃	17221	4	0,000	-2,027	0,000	0,000	0,000	0,000	0,000	0,000	0,000	0,000	0,000
〃	17220	5	0,000	-2,100	0,000	0,000	0,000	0,000	0,000	0,000	0,000	0,000	0,000
Plate_2_5	17220	1	0,000	-2,100	0,000	0,000	0,000	0,000	0,000	0,000	0,000	0,000	0,000
Element 10-18 (Plate)	17043	2	0,000	-2,200	0,000	0,000	0,000	0,000	0,000	0,000	0,000	0,000	0,000
(Parete c.a.C32/40 sp.0.50m)	17042	3	0,000	-2,300	0,000	0,000	0,000	0,000	0,000	0,000	0,000	0,000	0,000
〃	17041	4	0,000	-2,400	0,000	0,000	0,000	0,000	0,000	0,000	0,000	0,000	0,000
〃	17040	5	0,000	-2,500	0,000	0,000	0,000	0,000	0,000	0,000	0,000	0,000	0,000
Plate_1_5	16238	1	3,000	-2,096	-23,300	-25,783	0,000	-26,223	-26,223	5,501	4,695	0,000	5,658
Element 11-19 (Plate)	16221	2	3,000	-2,140	-23,300	-25,783	0,000	-26,223	-26,223	4,337	3,557	0,000	5,871
(Micropali D168.3x8,0mm/0,4)	16220	3	3,000	-2,183	-23,300	-25,784	0,000	-26,223	-26,223	3,259	2,419	0,000	6,035
〃	16219	4	3,000	-2,226	-23,300	-25,784	0,000	-26,223	-26,223	2,249	1,280	0,000	6,155
〃	16218	5	3,000	-2,270	-23,300	-25,784	0,000	-26,223	-26,223	1,291	0,142	-0,286	6,231
Plate_1_5	16218	1	3,000	-2,270	-23,056	-25,572	0,000	-26,602	-26,602	1,335	0,142	-0,286	6,231
Element 11-20 (Plate)	15915	2	3,000	-2,344	-23,851	-26,535	0,000	-24,578	-24,578	0,000	-1,757	-2,069	6,267
(Micropali D168.3x8,0mm/0,4)	15914	3	3,000	-2,418	-24,599	-27,452	0,087	-22,663	-22,663	0,000	-3,509	-3,732	6,190
〃	15913	4	3,000	-2,492	-25,234	-28,256	0,459	-20,986	-20,986	0,000	-5,129	-5,292	6,021

Structural element	Node [10^]	Local number	X [m]	Y [m]	N [kN/m]	N,,,, [kN/m]	N,,,, [kN/m]	Q [kN/m]	Q,,,, [kN/m]	Q,,,, [kN/m]	M [kN m/m]	M,,,, [kN m/m]	M,,,, [kN m/m]
愚	15912	5	3,000	-2,567	-25,690	-28,881	0,618	-19,673	-19,673	0,000	-6,634	-6,754	5,779
Plate_1_5	15912	1	3,000	-2,567	-25,612	-28,802	0,682	-19,825	-19,825	0,000	-6,634	-6,754	5,779
Element 11-21 (Plate)	15631	2	3,000	-2,694	-26,017	-29,498	1,061	-18,326	-18,326	0,000	-9,054	-9,114	5,248
(Micropali D168.3x8,0mm/0,4)	15630	3	3,000	-2,821	-26,354	-30,127	1,399	-16,974	-16,974	0,000	-11,293	-11,311	4,635
愚	15629	4	3,000	-2,948	-26,629	-30,697	1,695	-15,755	-15,755	0,000	-13,369	-13,369	3,992
愚	15628	5	3,000	-3,074	-26,847	-31,212	1,952	-14,656	-14,656	0,000	-15,298	-15,298	3,367
Plate_1_5	15628	1	3,000	-3,074	-26,790	-31,154	1,954	-14,767	-14,818	0,000	-15,298	-15,298	3,367
Element 11-22 (Plate)	15607	2	3,000	-3,292	-27,267	-32,144	2,318	-12,701	-13,429	0,450	-18,264	-18,264	2,392
(Micropali D168.3x8,0mm/0,4)	15606	3	3,000	-3,509	-27,591	-32,983	2,599	-10,951	-12,213	2,725	-20,840	-20,840	1,587
愚	15605	4	3,000	-3,726	-28,001	-33,910	2,787	-9,047	-10,735	5,921	-23,008	-23,008	1,372
愚	15604	5	3,000	-3,943	-28,735	-35,164	2,872	-6,519	-8,560	10,502	-24,717	-24,717	2,875
Plate_2_6	17040	1	0,000	-2,500	0,000	0,000	0,000	0,000	0,000	0,000	0,000	0,000	0,000
Element 12-23 (Plate)	17003	2	0,000	-2,615	0,000	0,000	0,000	0,000	0,000	0,000	0,000	0,000	0,000
(Parete c.a.C32/40 sp.0.50m)	17002	3	0,000	-2,731	0,000	0,000	0,000	0,000	0,000	0,000	0,000	0,000	0,000
愚	17001	4	0,000	-2,846	0,000	0,000	0,000	0,000	0,000	0,000	0,000	0,000	0,000
愚	17000	5	0,000	-2,962	0,000	0,000	0,000	0,000	0,000	0,000	0,000	0,000	0,000
Plate_2_6	17000	1	0,000	-2,962	0,000	0,000	0,000	0,000	0,000	0,000	0,000	0,000	0,000
Element 12-24 (Plate)	16689	2	0,000	-3,082	0,000	0,000	0,000	0,000	0,000	0,000	0,000	0,000	0,000
(Parete c.a.C32/40 sp.0.50m)	16688	3	0,000	-3,202	0,000	0,000	0,000	0,000	0,000	0,000	0,000	0,000	0,000
愚	16687	4	0,000	-3,322	0,000	0,000	0,000	0,000	0,000	0,000	0,000	0,000	0,000
愚	16686	5	0,000	-3,442	0,000	0,000	0,000	0,000	0,000	0,000	0,000	0,000	0,000
Plate_2_6	16686	1	0,000	-3,442	0,000	0,000	0,000	0,000	0,000	0,000	0,000	0,000	0,000
Element 12-25 (Plate)	16542	2	0,000	-3,567	0,000	0,000	0,000	0,000	0,000	0,000	0,000	0,000	0,000
(Parete c.a.C32/40 sp.0.50m)	16541	3	0,000	-3,693	0,000	0,000	0,000	0,000	0,000	0,000	0,000	0,000	0,000
愚	16540	4	0,000	-3,818	0,000	0,000	0,000	0,000	0,000	0,000	0,000	0,000	0,000
愚	16536	5	0,000	-3,943	0,000	0,000	0,000	0,000	0,000	0,000	0,000	0,000	0,000
Plate_2_7	16536	1	0,000	-3,943	-0,004	-0,005	0,004	0,011	-0,006	0,013	0,000	0,000	0,000
Element 13-26 (Plate)	16129	2	0,000	-4,055	-0,009	-0,010	0,000	0,024	0,000	0,025	0,001	0,000	0,001
(Parete c.a.C32/40 sp.0.50m)	16128	3	0,000	-4,167	-0,037	-0,037	0,000	0,098	0,000	0,098	0,008	0,000	0,008
愚	16127	4	0,000	-4,280	-0,094	-0,094	0,000	0,245	0,000	0,245	0,026	0,000	0,026
愚	16126	5	0,000	-4,392	-0,185	-0,185	0,000	0,478	0,000	0,478	0,066	0,000	0,066
Plate_2_8	16126	1	0,000	-4,392	-0,196	-0,196	0,000	0,506	0,000	0,506	0,066	0,000	0,066
Element 14-27 (Plate)	15925	2	0,000	-4,594	-0,321	-0,321	0,000	0,823	0,000	0,823	0,197	0,000	0,197
(Parete c.a.C32/40 sp.0.50m)	15924	3	0,000	-4,796	-0,528	-0,528	0,000	1,351	0,000	1,351	0,412	0,000	0,412
愚	15923	4	0,000	-4,998	-0,840	-0,840	0,000	2,149	0,000	2,149	0,761	0,000	0,761
愚	15922	5	0,000	-5,200	-1,278	-1,278	0,000	3,272	0,000	3,272	1,302	0,000	1,302
Plate_1_6	15604	1	3,000	-3,943	-28,568	-34,975	2,922	-6,933	-8,959	9,422	-24,717	-24,717	2,875
Element 15-28 (Plate)	15495	2	3,000	-4,180	-29,970	-36,911	2,958	-3,134	-5,571	5,328	-25,880	-25,880	4,155
(Micropali D168.3x8,0mm/0,4)	15494	3	3,000	-4,418	-31,411	-38,731	3,002	0,117	-2,543	3,000	-26,265	-26,265	4,661
愚	15493	4	3,000	-4,656	-33,430	-40,988	3,023	3,925	-1,432	5,256	-25,780	-25,780	4,837
愚	15515	5	3,000	-4,894	-36,567	-44,234	5,094	9,396	-1,757	11,711	-24,252	-24,252	4,949
Plate_1_6	15515	1	3,000	-4,894	-36,420	-44,085	4,592	9,099	-1,910	11,422	-24,252	-24,252	4,949
Element 15-29 (Plate)	15514	2	3,000	-5,095	-38,883	-46,720	7,199	13,626	-2,225	16,713	-21,922	-21,922	4,874
(Micropali D168.3x8,0mm/0,4)	15513	3	3,000	-5,297	-41,019	-48,881	8,839	16,908	-2,391	21,111	-18,855	-18,855	4,620
愚	15512	4	3,000	-5,498	-43,445	-51,163	9,858	20,076	-2,410	25,780	-15,111	-15,465	4,345
愚	15511	5	3,000	-5,700	-46,778	-54,158	10,602	24,257	-2,567	31,888	-10,680	-11,334	4,347
Plate_2_9	15922	1	0,000	-5,200	-4,645	-4,645	0,000	-17,008	-17,008	0,000	1,302	0,000	1,302
Element 16-30 (Plate)	15715	2	0,000	-5,366	-5,026	-5,026	0,000	-16,033	-16,033	0,000	-1,437	-1,437	0,000
(Parete c.a.C32/40 sp.0.50m)	15714	3	0,000	-5,531	-5,480	-5,480	0,000	-14,869	-14,869	0,000	-4,001	-4,001	0,000
愚	15713	4	0,000	-5,697	-6,010	-6,010	0,000	-13,512	-13,512	0,000	-6,355	-6,355	0,000
愚	15712	5	0,000	-5,863	-6,619	-6,619	0,000	-11,955	-11,955	0,000	-8,467	-8,467	0,000
Plate_2_9	15712	1	0,000	-5,863	-6,611	-6,611	0,000	-11,974	-11,974	0,000	-8,467	-8,467	0,000
Element 16-31 (Plate)	15279	2	0,000	-5,947	-6,940	-6,940	0,000	-11,131	-11,131	0,000	-9,441	-9,441	0,000

Structural element	Node [10^0]	Local number	X [m]	Y [m]	N [kN/m]	N,x [kN/m]	N,y [kN/m]	Q [kN/m]	Q,x [kN/m]	Q,y [kN/m]	M [kN m/m]	M,x [kN m/m]	M,y [kN m/m]
(Parete c.a.C32/40 sp.0.50m)	15278	3	0,000	-6,031	-7,287	-7,287	0,000	-10,243	-10,243	0,000	-10,343	-10,343	0,000
"	15277	4	0,000	-6,116	-7,651	-7,651	0,000	-9,311	-9,311	0,000	-11,168	-11,168	0,000
"	15276	5	0,000	-6,200	-8,032	-8,032	0,000	-8,336	-8,336	0,000	-11,912	-11,912	0,000
Plate_1_7	15511	1	3,000	-5,700	-52,742	-63,045	10,519	-6,759	-17,860	24,465	-10,680	-11,334	4,347
Element 17-32 (Plate)	15227	2	3,000	-5,825	-55,824	-65,837	10,862	-2,437	-12,233	29,399	-11,255	-11,255	4,273
(Micropali D168.3x8,0mm/0,4)	15228	3	3,000	-5,950	-58,684	-68,410	11,209	1,532	-7,187	34,231	-11,300	-11,300	5,350
"	15229	4	3,000	-6,075	-61,105	-70,547	11,545	4,729	-2,996	38,670	-10,904	-10,904	8,280
"	15226	5	3,000	-6,200	-62,873	-72,033	11,859	6,733	-2,063	42,407	-10,171	-10,171	11,701
Plate_2_10	15276	1	0,000	-6,200	-8,002	-8,002	0,003	-8,412	-8,412	0,003	-11,912	-11,912	0,000
Element 18-33 (Plate)	15111	2	0,000	-6,275	-8,350	-8,350	0,000	-7,520	-7,520	0,020	-12,509	-12,509	0,001
(Parete c.a.C32/40 sp.0.50m)	15110	3	0,000	-6,350	-8,700	-8,700	0,000	-6,624	-6,624	0,059	-13,039	-13,039	0,003
"	15109	4	0,000	-6,425	-9,049	-9,049	0,000	-5,730	-5,730	0,113	-13,503	-13,503	0,010
"	15108	5	0,000	-6,500	-9,394	-9,394	0,000	-4,846	-4,846	0,171	-13,899	-13,899	0,020
Plate_1_8	15226	1	3,000	-6,200	-62,707	-71,871	11,857	6,420	-2,075	42,207	-10,171	-10,171	11,701
Element 19-34 (Plate)	15055	2	3,000	-6,275	-63,851	-72,839	12,040	7,790	-1,952	40,863	-9,639	-9,785	14,032
(Micropali D168.3x8,0mm/0,4)	15054	3	3,000	-6,350	-65,041	-73,852	12,214	9,271	-1,841	38,711	-9,000	-9,540	16,324
"	15053	4	3,000	-6,425	-66,281	-74,917	12,379	10,880	-1,746	36,000	-8,245	-9,139	18,631
"	15052	5	3,000	-6,500	-67,577	-76,041	12,537	12,635	-1,732	35,219	-7,364	-8,574	21,053
Plate_1_9	15052	1	3,000	-6,500	-67,581	-76,047	12,539	12,653	-1,766	35,293	-7,364	-8,574	21,053
Element 20-35 (Plate)	14383	2	3,000	-6,522	-67,976	-76,397	12,584	13,222	-1,825	35,792	-7,086	-8,379	21,745
(Micropali D168.3x8,0mm/0,4)	14384	3	3,000	-6,543	-68,357	-76,733	12,631	13,769	-1,889	36,292	-6,795	-8,168	22,421
"	14385	4	3,000	-6,565	-68,717	-77,048	12,682	14,281	-1,959	36,776	-6,494	-7,944	23,088
"	14382	5	3,000	-6,586	-69,046	-77,334	12,737	14,741	-2,038	37,384	-6,181	-7,707	23,738
Plate_2_11	15108	1	0,000	-6,500	-9,352	-9,352	0,000	-4,955	-4,955	0,157	-13,899	-13,899	0,020
Element 21-36 (Plate)	14137	2	0,000	-6,624	-10,006	-10,006	0,000	-3,280	-3,280	0,403	-14,407	-14,407	0,054
(Parete c.a.C32/40 sp.0.50m)	14136	3	0,000	-6,747	-10,618	-10,618	0,000	-1,710	-1,710	0,658	-14,714	-14,714	0,114
"	14135	4	0,000	-6,871	-11,202	-11,202	0,000	-0,216	-0,216	0,918	-14,833	-14,833	0,212
"	14134	5	0,000	-6,994	-11,768	-11,768	0,000	1,235	0,000	1,359	-14,769	-14,769	0,343
Plate_1_10	14382	1	3,000	-6,586	-69,107	-77,375	12,732	14,783	-2,060	37,289	-6,181	-7,707	23,738
Element 22-37 (Plate)	13951	2	3,000	-6,690	-69,835	-77,913	13,028	15,438	-2,574	39,143	-4,608	-6,519	26,149
(Micropali D168.3x8,0mm/0,4)	13952	3	3,000	-6,793	-70,424	-78,204	13,209	15,441	-5,355	40,214	-3,011	-5,305	27,375
"	13953	4	3,000	-6,897	-70,923	-78,400	13,278	15,271	-8,747	40,726	-1,417	-4,038	27,575
"	13950	5	3,000	-7,000	-71,382	-78,651	13,236	15,408	-11,767	40,905	0,163	-2,733	27,371
Plate_2_12	14134	1	0,000	-6,994	-11,776	-11,776	0,000	1,256	0,000	1,372	-14,769	-14,769	0,343
Element 23-38 (Plate)	13402	2	0,000	-7,061	-12,098	-12,098	0,000	2,082	0,000	2,082	-14,658	-14,658	0,431
(Parete c.a.C32/40 sp.0.50m)	13401	3	0,000	-7,128	-12,436	-12,436	0,000	2,947	0,000	2,947	-14,490	-14,490	0,533
"	13400	4	0,000	-7,195	-12,788	-12,788	0,000	3,849	0,000	3,849	-14,262	-14,262	0,651
"	13396	5	0,000	-7,262	-13,154	-13,154	0,000	4,786	0,000	4,786	-13,973	-13,973	0,787
Plate_2_13	13396	1	0,000	-7,262	-13,145	-13,145	0,000	4,763	0,000	4,763	-13,973	-13,973	0,787
Element 24-39 (Plate)	12634	2	0,000	-7,322	-13,494	-13,494	0,000	5,658	0,000	5,658	-13,664	-13,664	0,926
(Parete c.a.C32/40 sp.0.50m)	12633	3	0,000	-7,381	-13,841	-13,841	0,000	6,545	0,000	6,545	-13,301	-13,301	1,085
"	12632	4	0,000	-7,441	-14,183	-14,183	0,000	7,423	0,000	7,423	-12,886	-12,886	1,263
"	12628	5	0,000	-7,500	-14,523	-14,523	0,000	8,293	0,000	8,293	-12,419	-12,419	1,461
Plate_1_11	13950	1	3,000	-7,000	-71,545	-78,688	13,261	15,173	-12,169	41,897	0,163	-2,733	27,371
Element 25-40 (Plate)	13001	2	3,000	-7,152	-71,875	-78,851	13,206	15,320	-16,143	19,858	2,500	-0,731	30,260
(Micropali D168.3x8,0mm/0,4)	13002	3	3,000	-7,305	-72,322	-78,967	13,152	14,969	-19,165	15,111	4,803	0,000	31,477
"	13003	4	3,000	-7,457	-72,783	-79,118	13,102	14,671	-19,963	14,991	7,067	0,000	30,366
"	13000	5	3,000	-7,610	-73,156	-79,389	13,058	14,978	-20,289	15,455	9,311	0,000	27,777
Plate_1_11	13000	1	3,000	-7,610	-73,428	-79,413	13,057	14,575	-21,743	15,121	9,311	0,000	27,777
Element 25-41 (Plate)	12096	2	3,000	-7,832	-76,575	-82,488	13,018	19,792	-22,973	21,040	13,243	0,000	22,823
(Micropali D168.3x8,0mm/0,4)	12095	3	3,000	-8,055	-78,849	-84,084	12,993	21,007	-22,301	23,569	17,801	0,000	18,311
"	12094	4	3,000	-8,277	-80,634	-84,981	12,979	20,035	-19,595	25,343	22,434	-0,044	22,434
"	12093	5	3,000	-8,500	-82,319	-85,958	12,973	18,685	-15,445	27,281	26,715	-0,144	26,721

Structural element	Node [10^]	Local number	X [m]	Y [m]	N [kN/m]	N,,x,, [kN/m]	N,,xy,, [kN/m]	Q [kN/m]	Q,,x,, [kN/m]	Q,,y,, [kN/m]	M [kN m/m]	M,,x,, [kN m/m]	M,,xy,, [kN m/m]
Plate_2_14	12628	1	0,000	-7,500	-14,525	-14,525	0,000	8,298	0,000	8,298	-12,419	-12,419	1,461
Element 26-42 (Plate)	11506	2	0,000	-7,576	-14,969	-14,969	0,000	9,436	0,000	9,436	-11,741	-11,741	1,746
(Parete c.a.C32/40 sp.0.50m)	11505	3	0,000	-7,653	-15,434	-15,434	0,000	10,624	0,000	10,624	-10,975	-10,975	2,066
28	11504	4	0,000	-7,729	-15,934	-15,934	0,000	11,904	0,000	11,904	-10,114	-10,114	2,427
28	11503	5	0,000	-7,806	-16,485	-16,485	0,000	13,315	0,000	13,315	-9,152	-9,152	2,837
Plate_2_14	11503	1	0,000	-7,806	-16,474	-16,474	0,000	13,287	0,000	13,287	-9,152	-9,152	2,837
Element 26-43 (Plate)	11181	2	0,000	-7,867	-16,918	-16,918	0,000	14,423	0,000	14,423	-8,306	-8,306	3,202
(Parete c.a.C32/40 sp.0.50m)	11180	3	0,000	-7,928	-17,329	-17,329	0,000	15,475	0,000	15,475	-7,394	-7,394	3,599
28	11179	4	0,000	-7,989	-17,717	-17,717	0,000	16,468	0,000	16,468	-6,419	-6,419	4,024
28	11175	5	0,000	-8,050	-18,093	-18,093	0,000	17,431	0,000	17,431	-5,385	-5,385	4,473
Plate_2_14	11175	1	0,000	-8,050	-18,123	-18,123	0,000	17,506	0,000	17,506	-5,385	-5,385	4,473
Element 26-44 (Plate)	9918	2	0,000	-8,098	-18,454	-18,454	0,000	18,353	0,000	18,353	-4,512	-4,512	4,855
(Parete c.a.C32/40 sp.0.50m)	9917	3	0,000	-8,147	-18,773	-18,773	0,000	19,170	0,000	19,170	-3,598	-3,598	5,254
28	9916	4	0,000	-8,196	-19,095	-19,095	0,000	19,995	0,000	19,995	-2,645	-2,645	5,671
28	9915	5	0,000	-8,245	-19,435	-19,435	0,000	20,863	0,000	20,863	-1,650	-1,650	6,107
Plate_2_14	9915	1	0,000	-8,245	-19,434	-19,434	0,000	20,861	0,000	20,861	-1,650	-1,650	6,107
Element 26-45 (Plate)	9080	2	0,000	-8,283	-19,730	-19,730	0,000	21,618	0,000	21,618	-0,825	-0,825	6,471
(Parete c.a.C32/40 sp.0.50m)	9079	3	0,000	-8,322	-20,007	-20,007	0,000	22,327	0,000	22,327	0,030	0,000	6,850
28	9078	4	0,000	-8,361	-20,263	-20,263	0,000	22,983	0,000	22,983	0,911	0,000	7,244
28	9077	5	0,000	-8,400	-20,499	-20,499	0,000	23,586	0,000	23,586	1,816	0,000	7,650
Plate_3_1	9077	1	0,000	-8,400	-23,379	-23,379	0,000	22,376	-0,007	22,376	1,816	0,000	7,650
Element 27-46 (Plate)	7882	2	0,000	-8,425	-23,588	-23,588	0,000	22,785	-0,007	22,785	2,380	0,000	7,904
(Micropali D168.3x10/0,27m)	7883	3	0,000	-8,450	-23,771	-23,771	0,000	23,143	-0,007	23,143	2,954	0,000	8,163
28	7884	4	0,000	-8,475	-23,928	-23,928	0,000	23,452	-0,007	23,452	3,537	-0,001	8,426
28	7881	5	0,000	-8,500	-24,061	-24,061	0,000	23,713	-0,007	23,713	4,127	-0,001	8,692
Plate_1_12	12093	1	3,000	-8,500	-82,037	-86,373	12,971	21,484	-15,861	27,713	26,715	-0,144	26,721
Element 28-47 (Plate)	11390	2	3,000	-8,706	-72,142	-72,606	12,966	0,524	-12,588	3,027	28,859	-0,226	29,256
(Micropali D168.3x8,0mm/0,4)	11391	3	3,000	-8,913	-64,895	-64,895	12,961	-13,420	-17,018	0,000	27,415	-0,301	28,005
28	11392	4	3,000	-9,119	-59,945	-59,945	12,956	-20,612	-21,730	0,000	23,786	-0,370	24,338
28	11389	5	3,000	-9,325	-56,941	-56,941	12,950	-21,313	-21,994	0,000	19,356	-0,433	19,791
Plate_1_12	11389	1	3,000	-9,325	-56,547	-56,547	12,896	-22,241	-23,079	0,000	19,356	-0,433	19,791
Element 28-48 (Plate)	10576	2	3,000	-9,483	-54,314	-54,314	12,962	-21,227	-22,081	0,000	15,917	-0,519	16,240
(Micropali D168.3x8,0mm/0,4)	10575	3	3,000	-9,641	-52,150	-52,150	12,831	-19,473	-20,287	0,000	12,699	-0,727	12,912
28	10574	4	3,000	-9,798	-50,010	-50,010	12,507	-17,107	-17,826	0,000	9,804	-0,870	9,914
28	10573	5	3,000	-9,956	-47,847	-47,847	11,989	-14,261	-14,838	0,000	7,326	-0,974	7,348
Plate_1_12	10573	1	3,000	-9,956	-47,786	-47,786	11,989	-14,400	-14,986	0,000	7,326	-0,974	7,348
Element 28-49 (Plate)	9580	2	3,000	-10,077	-45,939	-45,939	11,448	-12,341	-12,815	0,013	5,715	-1,096	5,715
(Micropali D168.3x8,0mm/0,4)	9579	3	3,000	-10,197	-43,893	-43,893	10,796	-10,406	-10,773	0,048	4,344	-1,166	4,344
28	9578	4	3,000	-10,318	-41,640	-41,640	10,058	-8,606	-8,870	0,200	3,198	-1,189	3,198
28	9577	5	3,000	-10,439	-39,173	-39,173	9,219	-6,955	-7,119	0,377	2,261	-1,170	2,261
Plate_1_12	9577	1	3,000	-10,439	-39,129	-39,129	9,240	-6,971	-7,135	0,379	2,261	-1,170	2,261
Element 28-50 (Plate)	8342	2	3,000	-10,531	-36,971	-36,971	8,607	-5,853	-5,944	0,554	1,671	-1,129	1,671
(Micropali D168.3x8,0mm/0,4)	8343	3	3,000	-10,623	-34,593	-34,593	7,948	-4,873	-4,894	0,764	1,177	-1,068	1,177
28	8344	4	3,000	-10,715	-31,995	-31,995	7,265	-4,031	-4,031	0,948	0,768	-0,989	0,768
28	8341	5	3,000	-10,808	-29,177	-29,177	6,557	-3,330	-3,330	1,104	0,429	-0,894	0,429
Plate_1_12	8341	1	3,000	-10,808	-29,164	-29,164	6,555	-3,343	-3,343	1,097	0,429	-0,894	0,429
Element 28-51 (Plate)	7770	2	3,000	-10,878	-26,848	-26,848	5,993	-2,868	-2,868	1,191	0,211	-0,813	0,211
(Micropali D168.3x8,0mm/0,4)	7769	3	3,000	-10,949	-24,371	-24,371	5,411	-2,452	-2,452	1,249	0,023	-0,727	0,023
28	7768	4	3,000	-11,019	-21,732	-21,732	4,808	-2,070	-2,070	1,270	-0,136	-0,638	0,000
28	7767	5	3,000	-11,090	-18,932	-18,932	4,185	-1,698	-1,698	1,254	-0,269	-0,613	0,000
Plate_1_12	7767	1	3,000	-11,090	-18,940	-18,940	4,184	-1,640	-1,640	1,269	-0,269	-0,613	0,000
Element 28-52 (Plate)	6794	2	3,000	-11,144	-16,661	-16,661	3,691	-1,261	-1,261	1,226	-0,348	-0,608	0,000
(Micropali D168.3x8,0mm/0,4)	6795	3	3,000	-11,198	-14,317	-14,317	3,182	-0,761	-0,761	1,209	-0,403	-0,593	0,000

Structural element	Node [10^]	Local number	X [m]	Y [m]	N [kN/m]	N,,x,, [kN/m]	N,,y,, [kN/m]	Q [kN/m]	Q,,x,, [kN/m]	Q,,y,, [kN/m]	M [kN m/m]	M,,x,, [kN m/m]	M,,y,, [kN m/m]
28	6796	4	3,000	-11,252	-11,913	-11,913	2,657	-0,114	-0,114	1,231	-0,427	-0,560	0,000
28	6793	5	3,000	-11,306	-9,451	-9,451	2,116	0,707	0,000	1,585	-0,412	-0,498	0,000
Plate_1_12	6793	1	3,000	-11,306	-9,416	-9,416	2,114	0,582	0,000	1,449	-0,412	-0,498	0,000
Element 28-53 (Plate)	5608	2	3,000	-11,347	-7,549	-7,549	1,687	1,769	0,000	2,468	-0,362	-0,419	0,000
(Micropali D168.3x8,0mm/0,4)	5609	3	3,000	-11,388	-5,555	-5,555	1,246	2,570	0,000	3,122	-0,271	-0,303	0,000
28	5610	4	3,000	-11,429	-3,432	-3,432	0,791	2,936	0,000	3,313	-0,156	-0,169	0,000
28	5607	5	3,000	-11,471	-1,174	-1,234	0,321	2,817	0,000	2,965	-0,036	-0,037	0,000
Plate_3_2	7881	1	0,000	-8,500	-24,063	-24,063	0,000	23,663	-0,006	23,663	4,127	-0,001	8,692
Element 29-54 (Plate)	6882	2	0,000	-8,544	-23,640	-23,640	0,000	21,269	-0,009	21,269	5,109	-0,001	9,124
(Micropali D168.3x10/0,27m)	6883	3	0,000	-8,588	-23,146	-23,146	0,000	18,920	-0,013	18,920	5,989	-0,001	9,489
28	6884	4	0,000	-8,631	-22,599	-22,599	0,000	16,602	-0,018	16,602	6,766	-0,002	9,788
28	6881	5	0,000	-8,675	-22,015	-22,015	0,000	14,303	-0,022	14,303	7,442	-0,003	10,020
Plate_3_2	6881	1	0,000	-8,675	-22,075	-22,075	0,000	14,375	-0,022	14,375	7,442	-0,003	10,020
Element 29-55 (Plate)	6868	2	0,000	-8,726	-21,339	-21,339	0,000	11,508	-0,041	11,508	8,099	-0,004	10,199
(Micropali D168.3x10/0,27m)	6869	3	0,000	-8,777	-20,764	-20,764	0,000	8,876	-0,329	8,876	8,615	-0,005	10,278
28	6870	4	0,000	-8,827	-20,361	-20,361	0,000	6,501	-1,147	6,501	9,004	-0,007	10,269
28	6867	5	0,000	-8,878	-20,140	-20,140	0,000	4,408	-2,326	4,408	9,280	-0,008	10,188
Plate_3_2	6867	1	0,000	-8,878	-20,127	-20,127	0,000	4,400	-2,351	4,400	9,280	-0,008	10,188
Element 29-56 (Plate)	5682	2	0,000	-8,937	-20,130	-20,130	0,000	2,371	-3,555	2,371	9,478	-0,009	10,042
(Micropali D168.3x10/0,27m)	5683	3	0,000	-8,996	-20,304	-20,304	0,000	0,618	-4,596	0,618	9,565	-0,010	9,895
28	5684	4	0,000	-9,055	-20,638	-20,638	0,000	-0,868	-5,429	0,000	9,556	-0,010	9,755
28	5681	5	0,000	-9,114	-21,120	-21,120	0,000	-2,093	-6,059	0,000	9,468	-0,011	9,566
Plate_3_2	5681	1	0,000	-9,114	-21,095	-21,095	0,000	-2,120	-6,082	0,000	9,468	-0,011	9,566
Element 29-57 (Plate)	5668	2	0,000	-9,182	-21,764	-21,764	0,000	-3,288	-6,618	0,000	9,282	-0,011	9,310
(Micropali D168.3x10/0,27m)	5669	3	0,000	-9,250	-22,482	-22,482	0,000	-4,246	-6,996	0,000	9,023	-0,012	9,023
28	5670	4	0,000	-9,319	-23,240	-23,240	0,000	-5,001	-7,224	0,000	8,706	-0,012	8,706
28	5667	5	0,000	-9,387	-24,028	-24,028	0,000	-5,561	-7,309	0,000	8,344	-0,012	8,344
Plate_3_2	5667	1	0,000	-9,387	-24,017	-24,017	0,000	-5,584	-7,329	0,000	8,344	-0,012	8,344
Element 29-58 (Plate)	5642	2	0,000	-9,466	-24,916	-24,916	0,000	-6,055	-7,311	0,000	7,882	-0,012	7,882
(Micropali D168.3x10/0,27m)	5643	3	0,000	-9,546	-25,805	-25,805	0,000	-6,387	-7,234	0,000	7,388	-0,012	7,388
28	5644	4	0,000	-9,625	-26,690	-26,690	0,000	-6,586	-7,098	0,000	6,873	-0,013	6,873
28	5641	5	0,000	-9,704	-27,576	-27,576	0,001	-6,658	-6,916	0,000	6,347	-0,013	6,347
Plate_3_2	5641	1	0,000	-9,704	-27,575	-27,575	0,001	-6,674	-6,931	0,000	6,347	-0,013	6,347
Element 29-59 (Plate)	5544	2	0,000	-9,796	-28,629	-28,629	0,003	-6,650	-6,768	0,000	5,734	-0,014	5,734
(Micropali D168.3x10/0,27m)	5545	3	0,000	-9,888	-29,677	-29,677	0,005	-6,542	-6,569	0,000	5,127	-0,015	5,127
28	5546	4	0,000	-9,980	-30,711	-30,711	0,007	-6,354	-6,354	0,000	4,533	-0,017	4,533
28	5543	5	0,000	-10,072	-31,722	-31,722	0,008	-6,091	-6,091	0,000	3,960	-0,019	3,960
Plate_3_2	5543	1	0,000	-10,072	-31,710	-31,710	0,008	-6,102	-6,102	0,000	3,960	-0,019	3,960
Element 29-60 (Plate)	4597	2	0,000	-10,179	-32,821	-32,821	0,011	-5,738	-5,738	0,000	3,329	-0,022	3,329
(Micropali D168.3x10/0,27m)	4598	3	0,000	-10,285	-33,826	-33,826	0,013	-5,332	-5,332	0,000	2,738	-0,025	2,738
28	4599	4	0,000	-10,392	-34,717	-34,717	0,015	-4,890	-4,890	0,000	2,192	-0,029	2,192
28	4596	5	0,000	-10,499	-35,490	-35,490	0,017	-4,414	-4,414	0,000	1,696	-0,034	1,696
Plate_3_2	4596	1	0,000	-10,499	-35,491	-35,491	0,017	-4,418	-4,418	0,000	1,696	-0,034	1,696
Element 29-61 (Plate)	4561	2	0,000	-10,622	-36,200	-36,200	0,020	-3,847	-3,847	0,000	1,184	-0,040	1,184
(Micropali D168.3x10/0,27m)	4562	3	0,000	-10,746	-36,742	-36,742	0,023	-3,255	-3,255	0,000	0,745	-0,047	0,745
28	4563	4	0,000	-10,870	-37,128	-37,128	0,026	-2,643	-2,643	0,000	0,379	-0,058	0,379
28	4560	5	0,000	-10,994	-37,370	-37,370	0,028	-2,012	-2,012	0,000	0,091	-0,191	0,091
Plate_3_2	4560	1	0,000	-10,994	-37,417	-37,417	0,029	-2,016	-2,016	0,000	0,091	-0,191	0,091
Element 29-62 (Plate)	4345	2	0,000	-11,137	-37,797	-37,797	0,032	-1,270	-1,270	0,000	-0,144	-0,366	0,000
(Micropali D168.3x10/0,27m)	4346	3	0,000	-11,281	-38,166	-38,166	0,035	-0,544	-0,544	0,000	-0,274	-0,461	0,000
28	4347	4	0,000	-11,424	-38,525	-38,525	0,040	0,159	-0,029	0,166	-0,302	-0,477	0,000
28	4344	5	0,000	-11,568	-38,870	-38,870	0,045	0,836	0,000	0,836	-0,230	-0,418	0,000
Plate_3_2	4344	1	0,000	-11,568	-38,844	-38,844	0,073	0,785	-0,018	0,785	-0,230	-0,418	0,000

Structural element	Node [10^]	Local number	X [m]	Y [m]	N [kN/m]	N,,, [kN/m]	N,,, [kN/m]	Q [kN/m]	Q,,, [kN/m]	Q,,, [kN/m]	M [kN m/m]	M,,, [kN m/m]	M,,, [kN m/m]
Element 29-63 (Plate)	3619	2	0,000	-11,734	-39,243	-39,243	0,007	1,569	0,000	1,569	-0,031	-0,276	0,000
(Micropali D168.3x10/0,27m)	3620	3	0,000	-11,901	-39,504	-39,504	0,000	2,082	0,000	2,082	0,278	-0,075	0,278
88	3621	4	0,000	-12,067	-39,602	-39,602	0,000	2,275	0,000	2,275	0,645	-0,018	0,645
88	3618	5	0,000	-12,234	-39,514	-39,514	0,000	2,101	0,000	2,101	1,015	0,000	1,015
Plate_1_13	5607	1	3,000	-11,471	-1,318	-1,318	0,321	2,396	0,000	2,540	-0,036	-0,037	0,000
Element 30-64 (Plate)	4612	2	3,000	-11,478	-0,971	-0,984	0,235	1,845	0,000	1,920	-0,020	-0,021	0,000
(Micropali D168.3x8,0mm/0,4)	4611	3	3,000	-11,485	-0,630	-0,647	0,149	1,234	0,000	1,269	-0,009	-0,009	0,000
88	4610	4	3,000	-11,493	-0,296	-0,307	0,062	0,589	0,000	0,603	-0,002	-0,002	0,000
88	4609	5	3,000	-11,500	0,027	-0,024	0,029	-0,063	-0,063	0,000	0,000	0,000	0,000
Plate_3_3	3618	1	0,000	-12,234	-39,497	-39,497	0,000	2,068	0,000	2,068	1,015	0,000	1,015
Element 31-65 (Plate)	2977	2	0,000	-12,406	-39,039	-39,039	0,000	1,168	0,000	1,168	1,291	0,000	1,291
(Micropali D168.3x10/0,27m)	2978	3	0,000	-12,579	-38,681	-38,681	0,000	0,466	0,000	0,466	1,429	0,000	1,429
88	2979	4	0,000	-12,751	-38,423	-38,423	0,000	-0,041	-0,066	0,000	1,463	0,000	1,463
88	2976	5	0,000	-12,924	-38,261	-38,261	0,000	-0,358	-0,358	0,000	1,426	0,000	1,426
Plate_3_3	2976	1	0,000	-12,924	-38,248	-38,248	0,000	-0,384	-0,384	0,000	1,426	0,000	1,426
Element 31-66 (Plate)	2613	2	0,000	-13,106	-38,136	-38,136	0,000	-0,603	-0,603	0,000	1,335	0,000	1,335
(Micropali D168.3x10/0,27m)	2612	3	0,000	-13,288	-38,067	-38,067	0,000	-0,738	-0,738	0,000	1,212	0,000	1,212
88	2611	4	0,000	-13,470	-38,039	-38,039	0,000	-0,794	-0,794	0,000	1,071	0,000	1,071
88	2610	5	0,000	-13,653	-38,048	-38,048	0,000	-0,776	-0,776	0,000	0,927	0,000	0,927
Plate_3_3	2610	1	0,000	-13,653	-38,031	-38,031	0,000	-0,790	-0,790	0,000	0,927	0,000	0,927
Element 31-67 (Plate)	1951	2	0,000	-13,845	-37,849	-37,849	0,000	-0,719	-0,719	0,000	0,781	0,000	0,781
(Micropali D168.3x10/0,27m)	1952	3	0,000	-14,037	-37,419	-37,419	0,000	-0,634	-0,634	0,000	0,651	0,000	0,651
88	1953	4	0,000	-14,230	-36,745	-36,745	0,000	-0,540	-0,540	0,000	0,538	0,000	0,538
88	1950	5	0,000	-14,422	-35,835	-35,835	0,000	-0,439	-0,439	0,000	0,444	0,000	0,444
Plate_3_3	1950	1	0,000	-14,422	-35,835	-35,835	0,000	-0,444	-0,444	0,000	0,444	0,000	0,444
Element 31-68 (Plate)	1613	2	0,000	-14,625	-34,634	-34,634	0,000	-0,354	-0,354	0,000	0,363	0,000	0,363
(Micropali D168.3x10/0,27m)	1614	3	0,000	-14,829	-33,179	-33,179	0,000	-0,278	-0,278	0,000	0,299	0,000	0,299
88	1615	4	0,000	-15,032	-31,473	-31,473	0,000	-0,216	-0,216	0,000	0,249	0,000	0,249
88	1612	5	0,000	-15,235	-29,519	-29,519	0,000	-0,169	-0,169	0,000	0,210	-0,001	0,210
Plate_3_3	1612	1	0,000	-15,235	-29,501	-29,501	0,000	-0,168	-0,168	0,000	0,210	-0,001	0,210
Element 31-69 (Plate)	1081	2	0,000	-15,450	-27,160	-27,160	0,000	-0,136	-0,138	0,000	0,178	-0,001	0,178
(Micropali D168.3x10/0,27m)	1082	3	0,000	-15,664	-24,474	-24,474	0,000	-0,112	-0,113	0,000	0,151	-0,001	0,151
88	1083	4	0,000	-15,879	-21,434	-21,434	0,000	-0,093	-0,093	0,001	0,129	-0,001	0,129
88	1080	5	0,000	-16,093	-18,033	-18,033	0,000	-0,076	-0,076	0,002	0,111	-0,001	0,111
Plate_3_3	1080	1	0,000	-16,093	-18,000	-18,000	0,000	-0,046	-0,046	0,004	0,111	-0,001	0,111
Element 31-70 (Plate)	669	2	0,000	-16,320	-14,084	-14,084	0,000	-0,075	-0,075	0,002	0,099	0,000	0,099
(Micropali D168.3x10/0,27m)	668	3	0,000	-16,547	-9,801	-9,801	0,000	-0,142	-0,142	0,001	0,073	0,000	0,073
88	667	4	0,000	-16,773	-5,133	-5,133	0,000	-0,180	-0,180	0,000	0,037	0,000	0,037
88	666	5	0,000	-17,000	-0,063	-0,063	0,000	-0,122	-0,122	0,000	0,000	0,000	0,000

3.1.2.4.18 Calculation results, Plate, Riempimento 3 [Phase_30] (30/964), Table of plate force envelopes

Structural element	Node [10^3]	Local number	X [m]	Y [m]	N [kN/m]	N,min [kN/m]	N,max [kN/m]	Q [kN/m]	Q,min [kN/m]	Q,max [kN/m]	M [kN m/m]	M,min [kN m/m]	M,max [kN m/m]
Plate_2_1	17871	1	0,000	0,000	0,000	0,000	0,000	0,000	0,000	0,000	0,000	0,000	0,000
Element 1-1 (Plate)	17868	2	0,000	-0,021	0,000	0,000	0,000	0,000	0,000	0,000	0,000	0,000	0,000
(Parete c.a.C32/40 sp.0.50m)	17867	3	0,000	-0,043	0,000	0,000	0,000	0,000	0,000	0,000	0,000	0,000	0,000
28	17866	4	0,000	-0,064	0,000	0,000	0,000	0,000	0,000	0,000	0,000	0,000	0,000
28	17869	5	0,000	-0,086	0,000	0,000	0,000	0,000	0,000	0,000	0,000	0,000	0,000
Plate_2_1	17869	1	0,000	-0,086	0,000	0,000	0,000	0,000	0,000	0,000	0,000	0,000	0,000
Element 1-2 (Plate)	17860	2	0,000	-0,113	0,000	0,000	0,000	0,000	0,000	0,000	0,000	0,000	0,000
(Parete c.a.C32/40 sp.0.50m)	17859	3	0,000	-0,140	0,000	0,000	0,000	0,000	0,000	0,000	0,000	0,000	0,000
28	17858	4	0,000	-0,166	0,000	0,000	0,000	0,000	0,000	0,000	0,000	0,000	0,000
28	17857	5	0,000	-0,193	0,000	0,000	0,000	0,000	0,000	0,000	0,000	0,000	0,000
Plate_2_1	17857	1	0,000	-0,193	0,000	0,000	0,000	0,000	0,000	0,000	0,000	0,000	0,000
Element 1-3 (Plate)	17837	2	0,000	-0,227	0,000	0,000	0,000	0,000	0,000	0,000	0,000	0,000	0,000
(Parete c.a.C32/40 sp.0.50m)	17836	3	0,000	-0,261	0,000	0,000	0,000	0,000	0,000	0,000	0,000	0,000	0,000
28	17835	4	0,000	-0,295	0,000	0,000	0,000	0,000	0,000	0,000	0,000	0,000	0,000
28	17834	5	0,000	-0,329	0,000	0,000	0,000	0,000	0,000	0,000	0,000	0,000	0,000
Plate_2_1	17834	1	0,000	-0,329	0,000	0,000	0,000	0,000	0,000	0,000	0,000	0,000	0,000
Element 1-4 (Plate)	17759	2	0,000	-0,372	0,000	0,000	0,000	0,000	0,000	0,000	0,000	0,000	0,000
(Parete c.a.C32/40 sp.0.50m)	17758	3	0,000	-0,415	0,000	0,000	0,000	0,000	0,000	0,000	0,000	0,000	0,000
28	17757	4	0,000	-0,457	0,000	0,000	0,000	0,000	0,000	0,000	0,000	0,000	0,000
28	17753	5	0,000	-0,500	0,000	0,000	0,000	0,000	0,000	0,000	0,000	0,000	0,000
Plate_4_1	16475	1	3,000	-0,126	-0,183	-0,183	0,043	-0,045	-0,084	0,289	0,000	0,000	0,000
Element 2-5 (Plate)	16474	2	3,000	-0,282	0,230	-0,174	0,230	0,271	-0,129	0,340	0,022	0,000	0,022
(Micropali D168.3x8,0mm/0,4)	16473	3	3,000	-0,438	0,307	-0,605	0,307	0,841	0,000	1,191	0,092	0,000	0,130
28	16472	4	3,000	-0,594	-0,058	-1,370	0,000	2,254	0,000	2,698	0,328	0,000	0,409
28	16471	5	3,000	-0,750	-0,970	-2,470	0,000	5,099	0,000	5,099	0,876	0,000	0,979
Plate_2_2	17753	1	0,000	-0,500	0,000	0,000	0,000	0,000	0,000	0,000	0,000	0,000	0,000
Element 3-6 (Plate)	17677	2	0,000	-0,563	0,000	0,000	0,000	0,000	0,000	0,000	0,000	0,000	0,000
(Parete c.a.C32/40 sp.0.50m)	17676	3	0,000	-0,625	0,000	0,000	0,000	0,000	0,000	0,000	0,000	0,000	0,000
28	17675	4	0,000	-0,688	0,000	0,000	0,000	0,000	0,000	0,000	0,000	0,000	0,000
28	17671	5	0,000	-0,750	0,000	0,000	0,000	0,000	0,000	0,000	0,000	0,000	0,000
Plate_2_3	17671	1	0,000	-0,750	0,000	0,000	0,000	0,000	0,000	0,000	0,000	0,000	0,000
Element 4-7 (Plate)	17599	2	0,000	-0,798	0,000	0,000	0,000	0,000	0,000	0,000	0,000	0,000	0,000
(Parete c.a.C32/40 sp.0.50m)	17598	3	0,000	-0,846	0,000	0,000	0,000	0,000	0,000	0,000	0,000	0,000	0,000
28	17597	4	0,000	-0,894	0,000	0,000	0,000	0,000	0,000	0,000	0,000	0,000	0,000
28	17593	5	0,000	-0,942	0,000	0,000	0,000	0,000	0,000	0,000	0,000	0,000	0,000
Plate_2_3	17593	1	0,000	-0,942	0,000	0,000	0,000	0,000	0,000	0,000	0,000	0,000	0,000
Element 4-8 (Plate)	17468	2	0,000	-1,007	0,000	0,000	0,000	0,000	0,000	0,000	0,000	0,000	0,000
(Parete c.a.C32/40 sp.0.50m)	17467	3	0,000	-1,071	0,000	0,000	0,000	0,000	0,000	0,000	0,000	0,000	0,000
28	17466	4	0,000	-1,136	0,000	0,000	0,000	0,000	0,000	0,000	0,000	0,000	0,000
28	17465	5	0,000	-1,200	0,000	0,000	0,000	0,000	0,000	0,000	0,000	0,000	0,000
Plate_1_1	16471	1	3,000	-0,750	-1,159	-2,638	0,000	5,391	0,000	5,391	0,876	0,000	0,979
Element 5-9 (Plate)	16455	2	3,000	-0,948	-2,418	-3,969	0,000	9,523	0,000	9,523	2,350	0,000	2,350
(Micropali D168.3x8,0mm/0,4)	16454	3	3,000	-1,146	-3,865	-5,866	0,000	14,078	0,000	14,078	4,670	0,000	4,670
28	16453	4	3,000	-1,344	-5,464	-7,916	0,000	19,377	0,000	19,377	7,972	0,000	7,972
28	16595	5	3,000	-1,542	-7,174	-10,201	0,000	25,747	-0,116	25,747	12,414	0,000	12,414
Plate_1_1	16595	1	3,000	-1,542	-7,190	-10,267	0,000	25,315	0,000	25,315	12,414	0,000	12,414

Structural element	Node [10^3]	Local number	X [m]	Y [m]	N [kN/m]	N,max [kN/m]	N,min [kN/m]	Q [kN/m]	Q,max [kN/m]	Q,min [kN/m]	M [kN m/m]	M,max [kN m/m]	M,min [kN m/m]
Element 5-10 (Plate)	16594	2	3,000	-1,581	-7,521	-10,743	0,000	26,480	0,000	26,480	13,438	0,000	13,438
(Micropali D168.3x8,0mm/0,4)	16593	3	3,000	-1,621	-7,929	-11,286	0,000	27,760	-0,017	27,760	14,512	0,000	14,512
〃	16592	4	3,000	-1,660	-8,364	-11,843	0,000	29,071	-0,035	29,071	15,637	0,000	15,637
〃	16615	5	3,000	-1,700	-8,772	-12,361	0,000	30,327	-0,022	30,327	16,812	0,000	16,812
Plate_2_4	17465	1	0,000	-1,200	0,000	0,000	0,000	0,000	0,000	0,000	0,000	0,000	0,000
Element 6-11 (Plate)	17390	2	0,000	-1,261	0,000	0,000	0,000	0,000	0,000	0,000	0,000	0,000	0,000
(Parete c.a.C32/40 sp.0.50m)	17389	3	0,000	-1,322	0,000	0,000	0,000	0,000	0,000	0,000	0,000	0,000	0,000
〃	17388	4	0,000	-1,382	0,000	0,000	0,000	0,000	0,000	0,000	0,000	0,000	0,000
〃	17387	5	0,000	-1,443	0,000	0,000	0,000	0,000	0,000	0,000	0,000	0,000	0,000
Plate_2_4	17387	1	0,000	-1,443	0,000	0,000	0,000	0,000	0,000	0,000	0,000	0,000	0,000
Element 6-12 (Plate)	17259	2	0,000	-1,535	0,000	0,000	0,000	0,000	0,000	0,000	0,000	0,000	0,000
(Parete c.a.C32/40 sp.0.50m)	17258	3	0,000	-1,627	0,000	0,000	0,000	0,000	0,000	0,000	0,000	0,000	0,000
〃	17257	4	0,000	-1,718	0,000	0,000	0,000	0,000	0,000	0,000	0,000	0,000	0,000
〃	17256	5	0,000	-1,810	0,000	0,000	0,000	0,000	0,000	0,000	0,000	0,000	0,000
Plate_1_2	16615	1	3,000	-1,700	-19,730	-22,116	0,000	-33,902	-34,334	5,890	16,812	0,000	16,812
Element 7-13 (Plate)	16614	2	3,000	-1,728	-19,977	-22,439	0,000	-33,065	-33,555	6,153	15,865	0,000	15,865
(Micropali D168.3x8,0mm/0,4)	16613	3	3,000	-1,757	-20,257	-22,795	0,000	-32,204	-32,753	6,453	14,941	0,000	14,941
〃	16612	4	3,000	-1,785	-20,549	-23,165	0,000	-31,327	-31,937	6,788	14,042	0,000	14,042
〃	16611	5	3,000	-1,813	-20,835	-23,528	0,000	-30,442	-31,116	7,160	13,168	0,000	13,168
Plate_1_3	16611	1	3,000	-1,813	-20,851	-23,545	0,000	-30,431	-31,104	7,046	13,168	0,000	13,168
Element 8-14 (Plate)	16499	2	3,000	-1,847	-21,148	-23,936	0,000	-29,528	-30,280	7,347	12,147	0,000	12,147
(Micropali D168.3x8,0mm/0,4)	16498	3	3,000	-1,881	-21,430	-24,312	0,000	-28,652	-29,483	7,519	11,157	0,000	11,157
〃	16497	4	3,000	-1,915	-21,688	-24,663	0,000	-27,829	-28,737	7,553	10,195	0,000	10,195
〃	16496	5	3,000	-1,949	-21,910	-24,976	0,000	-27,087	-28,068	7,438	9,260	0,000	9,260
Plate_1_3	16496	1	3,000	-1,949	-21,911	-24,976	0,000	-27,088	-28,068	7,452	9,260	0,000	9,260
Element 8-15 (Plate)	16287	2	3,000	-1,983	-22,087	-25,244	0,000	-26,428	-27,486	7,221	8,349	0,000	8,349
(Micropali D168.3x8,0mm/0,4)	16286	3	3,000	-2,018	-22,227	-25,475	0,000	-25,838	-26,975	6,850	7,459	0,000	7,459
〃	16285	4	3,000	-2,052	-22,320	-25,657	0,000	-25,340	-26,557	6,349	6,587	0,000	6,587
〃	16284	5	3,000	-2,086	-22,354	-25,777	0,000	-24,959	-26,258	5,730	5,731	0,000	5,731
Plate_1_4	16284	1	3,000	-2,086	-22,347	-25,774	0,000	-24,953	-26,260	5,745	5,731	0,000	5,731
Element 9-16 (Plate)	16241	2	3,000	-2,088	-22,342	-25,771	0,000	-24,945	-26,261	5,682	5,666	0,000	5,666
(Micropali D168.3x8,0mm/0,4)	16240	3	3,000	-2,091	-22,342	-25,777	0,000	-24,921	-26,245	5,608	5,601	0,000	5,629
〃	16239	4	3,000	-2,094	-22,342	-25,783	0,000	-24,894	-26,228	5,529	5,536	0,000	5,643
〃	16238	5	3,000	-2,096	-22,334	-25,782	0,000	-24,881	-26,223	5,451	5,471	0,000	5,658
Plate_2_5	17256	1	0,000	-1,810	0,000	-0,003	0,004	0,000	-0,009	0,007	0,000	0,000	0,000
Element 10-17 (Plate)	17223	2	0,000	-1,882	-0,004	-0,008	0,000	0,010	-0,001	0,018	0,000	0,000	0,000
(Parete c.a.C32/40 sp.0.50m)	17222	3	0,000	-1,955	-0,015	-0,017	0,001	0,038	0,000	0,039	0,002	0,000	0,002
〃	17221	4	0,000	-2,027	-0,038	-0,038	0,001	0,097	0,000	0,097	0,007	0,000	0,007
〃	17220	5	0,000	-2,100	-0,079	-0,079	0,002	0,202	0,000	0,202	0,017	0,000	0,017
Plate_2_5	17220	1	0,000	-2,100	-0,083	-0,083	0,002	0,211	-0,002	0,211	0,017	0,000	0,017
Element 10-18 (Plate)	17043	2	0,000	-2,200	-0,109	-0,110	0,001	0,277	0,000	0,277	0,041	0,000	0,041
(Parete c.a.C32/40 sp.0.50m)	17042	3	0,000	-2,300	-0,173	-0,187	0,000	0,442	0,000	0,471	0,076	0,000	0,076
〃	17041	4	0,000	-2,400	-0,271	-0,282	0,000	0,693	0,000	0,707	0,132	0,000	0,132
〃	17040	5	0,000	-2,500	-0,398	-0,398	0,000	1,019	0,000	1,019	0,217	0,000	0,217
Plate_1_5	16238	1	3,000	-2,096	-22,337	-25,783	0,000	-24,882	-26,223	5,501	5,471	0,000	5,658
Element 11-19 (Plate)	16221	2	3,000	-2,140	-22,363	-25,783	0,000	-24,933	-26,223	4,337	4,390	0,000	5,871
(Micropali D168.3x8,0mm/0,4)	16220	3	3,000	-2,183	-22,395	-25,784	0,000	-24,998	-26,223	3,259	3,306	0,000	6,035
〃	16219	4	3,000	-2,226	-22,430	-25,784	0,000	-25,066	-26,223	2,249	2,219	0,000	6,155
〃	16218	5	3,000	-2,270	-22,462	-25,784	0,000	-25,130	-26,223	1,291	1,129	-0,286	6,231
Plate_1_5	16218	1	3,000	-2,270	-22,209	-25,572	0,000	-25,439	-26,602	1,335	1,129	-0,286	6,231
Element 11-20 (Plate)	15915	2	3,000	-2,344	-22,993	-26,535	0,000	-23,235	-24,578	0,000	-0,677	-2,069	6,267
(Micropali D168.3x8,0mm/0,4)	15914	3	3,000	-2,418	-23,751	-27,452	0,087	-21,191	-22,663	0,000	-2,324	-3,732	6,190
〃	15913	4	3,000	-2,492	-24,406	-28,256	0,459	-19,416	-20,986	0,000	-3,830	-5,292	6,021

Structural element	Node [10^0]	Local number	X [m]	Y [m]	N [kN/m]	N,max [kN/m]	N,min [kN/m]	Q [kN/m]	Q,max [kN/m]	Q,min [kN/m]	M [kN m/m]	M,max [kN m/m]	M,min [kN m/m]
28	15912	5	3,000	-2,567	-24,884	-28,881	0,618	-18,016	-19,673	0,000	-5,216	-6,754	5,779
Plate_1_5	15912	1	3,000	-2,567	-24,791	-28,802	0,682	-18,138	-19,825	0,000	-5,216	-6,754	5,779
Element 11-21 (Plate)	15631	2	3,000	-2,694	-25,347	-29,498	1,061	-16,702	-18,326	0,000	-7,426	-9,114	5,248
(Micropali D168.3x8,0mm/0,4)	15630	3	3,000	-2,821	-25,805	-30,127	1,399	-15,351	-16,974	0,000	-9,460	-11,311	4,635
28	15629	4	3,000	-2,948	-26,182	-30,697	1,695	-14,097	-15,755	0,000	-11,328	-13,369	3,992
28	15628	5	3,000	-3,074	-26,498	-31,212	1,952	-12,949	-14,656	0,000	-13,043	-15,298	3,367
Plate_1_5	15628	1	3,000	-3,074	-26,425	-31,154	1,954	-13,046	-14,818	0,000	-13,043	-15,298	3,367
Element 11-22 (Plate)	15607	2	3,000	-3,292	-27,202	-32,144	2,318	-11,162	-13,429	0,450	-15,646	-18,264	2,392
(Micropali D168.3x8,0mm/0,4)	15606	3	3,000	-3,509	-28,021	-32,983	2,599	-10,068	-12,213	2,725	-17,952	-20,840	1,587
28	15605	4	3,000	-3,726	-29,099	-33,910	2,787	-9,270	-10,735	5,921	-20,039	-23,008	1,372
28	15604	5	3,000	-3,943	-30,650	-35,164	2,872	-8,274	-8,560	10,502	-21,956	-24,717	2,875
Plate_2_6	17040	1	0,000	-2,500	-0,391	-0,391	0,000	0,999	0,000	0,999	0,217	0,000	0,217
Element 12-23 (Plate)	17003	2	0,000	-2,615	-0,537	-0,537	0,000	1,375	0,000	1,375	0,353	0,000	0,353
(Parete c.a.C32/40 sp.0.50m)	17002	3	0,000	-2,731	-0,722	-0,722	0,000	1,848	0,000	1,848	0,538	0,000	0,538
28	17001	4	0,000	-2,846	-0,934	-0,934	0,000	2,391	0,000	2,391	0,782	0,000	0,782
28	17000	5	0,000	-2,962	-1,163	-1,163	0,000	2,977	0,000	2,977	1,092	0,000	1,092
Plate_2_6	17000	1	0,000	-2,962	-1,168	-1,168	0,000	2,990	0,000	2,990	1,092	0,000	1,092
Element 12-24 (Plate)	16689	2	0,000	-3,082	-1,328	-1,328	0,000	3,399	0,000	3,399	1,475	0,000	1,475
(Parete c.a.C32/40 sp.0.50m)	16688	3	0,000	-3,202	-1,528	-1,528	0,000	3,910	0,000	3,910	1,913	0,000	1,913
28	16687	4	0,000	-3,322	-1,777	-1,777	0,000	4,548	0,000	4,548	2,420	0,000	2,420
28	16686	5	0,000	-3,442	-2,086	-2,086	0,000	5,335	0,000	5,335	3,012	0,000	3,012
Plate_2_6	16686	1	0,000	-3,442	-2,096	-2,096	0,000	5,362	0,000	5,362	3,012	0,000	3,012
Element 12-25 (Plate)	16542	2	0,000	-3,567	-2,430	-2,430	0,000	6,216	0,000	6,216	3,733	0,000	3,733
(Parete c.a.C32/40 sp.0.50m)	16541	3	0,000	-3,693	-2,834	-2,834	0,000	7,248	0,000	7,248	4,574	0,000	4,574
28	16540	4	0,000	-3,818	-3,296	-3,296	0,000	8,430	0,000	8,430	5,553	0,000	5,553
28	16536	5	0,000	-3,943	-3,804	-3,804	0,000	9,731	0,000	9,731	6,688	0,000	6,688
Plate_2_7	16536	1	0,000	-3,943	-3,783	-3,783	0,004	9,676	-0,006	9,676	6,688	0,000	6,688
Element 13-26 (Plate)	16129	2	0,000	-4,055	-4,201	-4,201	0,000	10,746	0,000	10,746	7,836	0,000	7,836
(Parete c.a.C32/40 sp.0.50m)	16128	3	0,000	-4,167	-4,606	-4,606	0,000	11,781	0,000	11,781	9,102	0,000	9,102
28	16127	4	0,000	-4,280	-4,997	-4,997	0,000	12,782	0,000	12,782	10,483	0,000	10,483
28	16126	5	0,000	-4,392	-5,376	-5,376	0,000	13,751	0,000	13,751	11,974	0,000	11,974
Plate_2_8	16126	1	0,000	-4,392	-5,387	-5,387	0,000	13,779	0,000	13,779	11,974	0,000	11,974
Element 14-27 (Plate)	15925	2	0,000	-4,594	-6,075	-6,075	0,000	15,541	0,000	15,541	14,924	0,000	14,924
(Parete c.a.C32/40 sp.0.50m)	15924	3	0,000	-4,796	-6,941	-6,941	0,000	17,760	0,000	17,760	18,283	0,000	18,283
28	15923	4	0,000	-4,998	-7,937	-7,937	0,000	20,311	0,000	20,311	22,121	0,000	22,121
28	15922	5	0,000	-5,200	-9,012	-9,012	0,000	23,065	0,000	23,065	26,498	0,000	26,498
Plate_1_6	15604	1	3,000	-3,943	-30,419	-34,975	2,922	-8,591	-8,959	9,422	-21,956	-24,717	2,875
Element 15-28 (Plate)	15495	2	3,000	-4,180	-32,369	-36,911	2,958	-6,072	-6,072	5,328	-23,683	-25,880	4,155
(Micropali D168.3x8,0mm/0,4)	15494	3	3,000	-4,418	-34,016	-38,731	3,002	-3,782	-3,782	3,000	-24,867	-26,265	4,661
28	15493	4	3,000	-4,656	-36,199	-40,988	3,023	-1,227	-1,432	5,256	-25,461	-25,783	4,837
28	15515	5	3,000	-4,894	-39,759	-44,234	5,094	2,091	-1,757	11,711	-25,383	-25,383	4,949
Plate_1_6	15515	1	3,000	-4,894	-39,702	-44,085	4,592	1,636	-1,910	11,422	-25,383	-25,383	4,949
Element 15-29 (Plate)	15514	2	3,000	-5,095	-42,878	-46,720	7,199	3,269	-2,225	16,713	-24,861	-24,861	4,874
(Micropali D168.3x8,0mm/0,4)	15513	3	3,000	-5,297	-45,410	-48,881	8,839	4,053	-2,391	21,111	-24,132	-24,132	4,620
28	15512	4	3,000	-5,498	-48,108	-51,163	9,858	4,792	-2,410	25,780	-23,230	-23,230	4,345
28	15511	5	3,000	-5,700	-51,784	-54,158	10,602	6,292	-2,567	31,888	-22,139	-22,139	4,347
Plate_2_9	15922	1	0,000	-5,200	-19,477	-19,477	0,000	-39,507	-39,507	0,000	26,498	0,000	26,498
Element 16-30 (Plate)	15715	2	0,000	-5,366	-20,471	-20,471	0,000	-36,962	-36,962	0,000	20,161	-1,437	20,161
(Parete c.a.C32/40 sp.0.50m)	15714	3	0,000	-5,531	-21,547	-21,547	0,000	-34,206	-34,206	0,000	14,261	-4,001	14,261
28	15713	4	0,000	-5,697	-22,710	-22,710	0,000	-31,228	-31,228	0,000	8,835	-6,355	8,835
28	15712	5	0,000	-5,863	-23,964	-23,964	0,000	-28,017	-28,017	0,000	3,925	-8,467	3,925
Plate_2_9	15712	1	0,000	-5,863	-23,948	-23,948	0,000	-28,058	-28,058	0,000	3,925	-8,467	3,925
Element 16-31 (Plate)	15279	2	0,000	-5,947	-24,600	-24,600	0,000	-26,387	-26,387	0,000	1,630	-9,441	1,630

Structural element	Node [10^3]	Local number	X [m]	Y [m]	N [kN/m]	N,max [kN/m]	N,min [kN/m]	Q [kN/m]	Q,max [kN/m]	Q,min [kN/m]	M [kN m/m]	M,max [kN m/m]	M,min [kN m/m]
(Parete c.a.C32/40 sp.0.50m)	15278	3	0,000	-6,031	-25,264	-25,264	0,000	-24,688	-24,688	0,000	-0,523	-10,343	0,000
"	15277	4	0,000	-6,116	-25,938	-25,938	0,000	-22,962	-22,962	0,000	-2,533	-11,168	0,000
"	15276	5	0,000	-6,200	-26,621	-26,621	0,000	-21,213	-21,213	0,000	-4,394	-11,912	0,000
Plate_1_7	15511	1	3,000	-5,700	-51,569	-63,045	10,519	12,992	-17,860	24,465	-22,139	-22,139	4,347
Element 17-32 (Plate)	15227	2	3,000	-5,825	-55,114	-65,837	10,862	15,433	-12,233	29,399	-20,364	-20,364	4,273
(Micropali D168.3x8,0mm/0,4)	15228	3	3,000	-5,950	-58,521	-68,410	11,209	17,547	-7,187	34,231	-18,292	-18,292	5,350
"	15229	4	3,000	-6,075	-61,571	-70,547	11,545	18,915	-2,996	38,670	-16,008	-16,008	8,280
"	15226	5	3,000	-6,200	-64,040	-72,033	11,859	19,120	-2,063	42,407	-13,614	-13,614	11,701
Plate_2_10	15276	1	0,000	-6,200	-26,591	-26,591	0,003	-21,290	-21,290	0,003	-4,394	-11,912	0,000
Element 18-33 (Plate)	15111	2	0,000	-6,275	-27,198	-27,198	0,000	-19,735	-19,735	0,020	-5,932	-12,509	0,001
(Parete c.a.C32/40 sp.0.50m)	15110	3	0,000	-6,350	-27,799	-27,799	0,000	-18,197	-18,197	0,059	-7,355	-13,039	0,003
"	15109	4	0,000	-6,425	-28,390	-28,390	0,000	-16,684	-16,684	0,113	-8,663	-13,503	0,010
"	15108	5	0,000	-6,500	-28,968	-28,968	0,000	-15,204	-15,204	0,171	-9,858	-13,899	0,020
Plate_1_8	15226	1	3,000	-6,200	-63,861	-71,871	11,857	18,806	-2,075	42,207	-13,614	-13,614	11,701
Element 19-34 (Plate)	15055	2	3,000	-6,275	-65,434	-72,839	12,040	19,019	-1,952	40,863	-12,197	-12,197	14,032
(Micropali D168.3x8,0mm/0,4)	15054	3	3,000	-6,350	-67,043	-73,852	12,214	19,358	-1,841	38,711	-10,758	-10,758	16,324
"	15053	4	3,000	-6,425	-68,690	-74,917	12,379	19,850	-1,746	36,000	-9,289	-9,289	18,631
"	15052	5	3,000	-6,500	-70,377	-76,041	12,537	20,522	-1,732	35,219	-7,776	-8,574	21,053
Plate_1_9	15052	1	3,000	-6,500	-70,379	-76,047	12,539	20,549	-1,766	35,293	-7,776	-8,574	21,053
Element 20-35 (Plate)	14383	2	3,000	-6,522	-70,882	-76,397	12,584	20,822	-1,825	35,792	-7,331	-8,379	21,745
(Micropali D168.3x8,0mm/0,4)	14384	3	3,000	-6,543	-71,369	-76,733	12,631	21,080	-1,889	36,292	-6,880	-8,168	22,421
"	14385	4	3,000	-6,565	-71,831	-77,048	12,682	21,306	-1,959	36,776	-6,424	-7,944	23,088
"	14382	5	3,000	-6,586	-72,262	-77,334	12,737	21,487	-2,038	37,384	-5,964	-7,707	23,738
Plate_2_11	15108	1	0,000	-6,500	-28,910	-28,910	0,000	-15,352	-15,352	0,157	-9,858	-13,899	0,020
Element 21-36 (Plate)	14137	2	0,000	-6,624	-29,962	-29,962	0,000	-12,657	-12,657	0,403	-11,586	-14,407	0,054
(Parete c.a.C32/40 sp.0.50m)	14136	3	0,000	-6,747	-30,936	-30,936	0,000	-10,164	-10,164	0,658	-12,996	-14,714	0,114
"	14135	4	0,000	-6,871	-31,856	-31,856	0,000	-7,809	-7,809	0,918	-14,105	-14,833	0,212
"	14134	5	0,000	-6,994	-32,746	-32,746	0,000	-5,529	-5,529	1,359	-14,929	-15,214	0,343
Plate_1_10	14382	1	3,000	-6,586	-72,334	-77,375	12,732	21,537	-2,060	37,289	-5,964	-7,707	23,738
Element 22-37 (Plate)	13951	2	3,000	-6,690	-73,499	-77,913	13,028	20,912	-2,574	39,143	-3,760	-6,519	26,149
(Micropali D168.3x8,0mm/0,4)	13952	3	3,000	-6,793	-74,520	-78,204	13,209	19,811	-5,355	40,214	-1,655	-5,305	27,375
"	13953	4	3,000	-6,897	-75,395	-78,400	13,278	18,714	-8,747	40,726	0,342	-4,038	27,575
"	13950	5	3,000	-7,000	-76,121	-78,651	13,236	18,103	-11,767	40,905	2,238	-2,733	27,371
Plate_2_12	14134	1	0,000	-6,994	-32,784	-32,784	0,000	-5,432	-5,432	1,372	-14,929	-15,214	0,343
Element 23-38 (Plate)	13402	2	0,000	-7,061	-33,347	-33,347	0,000	-3,991	-3,991	2,082	-15,245	-15,484	0,431
(Parete c.a.C32/40 sp.0.50m)	13401	3	0,000	-7,128	-33,952	-33,952	0,000	-2,441	-2,441	2,947	-15,461	-15,657	0,533
"	13400	4	0,000	-7,195	-34,596	-34,596	0,000	-0,793	-0,793	3,849	-15,570	-15,730	0,651
"	13396	5	0,000	-7,262	-35,275	-35,275	0,000	0,947	0,000	4,786	-15,565	-15,699	0,787
Plate_2_13	13396	1	0,000	-7,262	-35,257	-35,257	0,000	0,901	0,000	4,763	-15,565	-15,699	0,787
Element 24-39 (Plate)	12634	2	0,000	-7,322	-35,868	-35,868	0,000	2,465	0,000	5,658	-15,465	-15,577	0,926
(Parete c.a.C32/40 sp.0.50m)	12633	3	0,000	-7,381	-36,474	-36,474	0,000	4,018	0,000	6,545	-15,272	-15,365	1,085
"	12632	4	0,000	-7,441	-37,076	-37,076	0,000	5,559	0,000	7,423	-14,988	-15,063	1,263
"	12628	5	0,000	-7,500	-37,674	-37,674	0,000	7,089	0,000	8,294	-14,612	-14,676	1,461
Plate_1_11	13950	1	3,000	-7,000	-76,345	-78,688	13,261	17,739	-12,169	41,897	2,238	-2,733	27,371
Element 25-40 (Plate)	13001	2	3,000	-7,152	-76,937	-78,851	13,206	17,254	-16,143	19,858	4,922	-0,731	30,260
(Micropali D168.3x8,0mm/0,4)	13002	3	3,000	-7,305	-77,746	-78,967	13,152	16,128	-19,165	16,128	7,458	0,000	31,477
"	13003	4	3,000	-7,457	-78,548	-79,118	13,102	15,127	-19,963	15,196	9,846	0,000	30,366
"	13000	5	3,000	-7,610	-79,118	-79,389	13,058	15,016	-20,289	15,455	12,122	0,000	27,777
Plate_1_11	13000	1	3,000	-7,610	-79,491	-79,491	13,057	14,461	-21,743	15,121	12,122	0,000	27,777
Element 25-41 (Plate)	12096	2	3,000	-7,832	-82,808	-82,808	13,018	18,874	-22,973	21,040	15,941	0,000	22,823
(Micropali D168.3x8,0mm/0,4)	12095	3	3,000	-8,055	-85,363	-85,363	12,993	19,142	-22,301	23,569	20,193	0,000	20,193
"	12094	4	3,000	-8,277	-87,389	-87,389	12,979	17,055	-19,595	25,343	24,290	-0,044	24,290
"	12093	5	3,000	-8,500	-89,120	-89,120	12,973	14,397	-15,445	27,281	27,766	-0,144	27,766

Structural element	Node [10^]	Local number	X [m]	Y [m]	N [kN/m]	N --- [kN/m]	N --- [kN/m]	Q [kN/m]	Q--- [kN/m]	Q--- [kN/m]	M [kN m/m]	M--- [kN m/m]	M--- [kN m/m]
Plate_2_14	12628	1	0,000	-7,500	-37,674	-37,674	0,000	7,091	0,000	8,299	-14,612	-14,676	1,461
Element 26-42 (Plate)	11506	2	0,000	-7,576	-38,444	-38,444	0,000	9,062	0,000	9,457	-13,995	-14,049	1,746
(Parete c.a.C32/40 sp.0.50m)	11505	3	0,000	-7,653	-39,228	-39,228	0,000	11,068	0,000	11,275	-13,226	-13,271	2,066
28	11504	4	0,000	-7,729	-40,042	-40,042	0,000	13,154	0,000	13,293	-12,300	-12,339	2,427
28	11503	5	0,000	-7,806	-40,905	-40,905	0,000	15,364	0,000	15,441	-11,212	-11,245	2,837
Plate_2_14	11503	1	0,000	-7,806	-40,893	-40,893	0,000	15,332	0,000	15,409	-11,212	-11,245	2,837
Element 26-43 (Plate)	11181	2	0,000	-7,867	-41,592	-41,592	0,000	17,122	0,000	17,163	-10,222	-10,252	3,202
(Parete c.a.C32/40 sp.0.50m)	11180	3	0,000	-7,928	-42,259	-42,259	0,000	18,829	0,000	18,853	-9,124	-9,153	3,599
28	11179	4	0,000	-7,989	-42,903	-42,903	0,000	20,478	0,000	20,485	-7,925	-7,953	4,024
28	11175	5	0,000	-8,050	-43,533	-43,533	0,000	22,091	0,000	22,091	-6,627	-6,654	4,473
Plate_2_14	11175	1	0,000	-8,050	-43,564	-43,564	0,000	22,172	0,000	22,172	-6,627	-6,654	4,473
Element 26-44 (Plate)	9918	2	0,000	-8,098	-44,085	-44,085	0,000	23,504	0,000	23,504	-5,515	-5,543	4,855
(Parete c.a.C32/40 sp.0.50m)	9917	3	0,000	-8,147	-44,602	-44,602	0,000	24,830	0,000	24,830	-4,338	-4,368	5,254
28	9916	4	0,000	-8,196	-45,131	-45,131	0,000	26,183	0,000	26,183	-3,095	-3,128	5,671
28	9915	5	0,000	-8,245	-45,683	-45,683	0,000	27,597	0,000	27,597	-1,787	-1,822	6,107
Plate_2_14	9915	1	0,000	-8,245	-45,679	-45,679	0,000	27,587	0,000	27,587	-1,787	-1,822	6,107
Element 26-45 (Plate)	9080	2	0,000	-8,283	-46,140	-46,140	0,000	28,767	0,000	28,767	-0,691	-0,825	6,471
(Parete c.a.C32/40 sp.0.50m)	9079	3	0,000	-8,322	-46,580	-46,580	0,000	29,893	0,000	29,893	0,449	0,000	6,850
28	9078	4	0,000	-8,361	-46,996	-46,996	0,000	30,959	0,000	30,959	1,632	0,000	7,244
28	9077	5	0,000	-8,400	-47,388	-47,388	0,000	31,962	0,000	31,962	2,855	0,000	7,650
Plate_3_1	9077	1	0,000	-8,400	-51,268	-51,268	0,000	30,331	-0,007	30,331	2,855	0,000	7,650
Element 27-46 (Plate)	7882	2	0,000	-8,425	-51,624	-51,624	0,000	31,030	-0,007	31,030	3,622	0,000	7,904
(Micropali D168.3x10/0,27m)	7883	3	0,000	-8,450	-51,959	-51,959	0,000	31,687	-0,007	31,687	4,406	0,000	8,163
28	7884	4	0,000	-8,475	-52,273	-52,273	0,000	32,303	-0,007	32,303	5,206	-0,001	8,426
28	7881	5	0,000	-8,500	-52,567	-52,567	0,000	32,881	-0,007	32,881	6,021	-0,001	8,692
Plate_1_12	12093	1	3,000	-8,500	-88,611	-88,611	12,971	17,962	-15,861	27,713	27,766	-0,144	27,766
Element 28-47 (Plate)	11390	2	3,000	-8,706	-79,514	-79,514	12,966	-1,255	-12,588	3,027	29,376	-0,226	29,376
(Micropali D168.3x8,0mm/0,4)	11391	3	3,000	-8,913	-72,852	-72,852	12,961	-14,092	-17,018	0,000	27,688	-0,301	28,005
28	11392	4	3,000	-9,119	-68,280	-68,280	12,956	-20,711	-21,730	0,000	23,989	-0,370	24,338
28	11389	5	3,000	-9,325	-65,453	-65,453	12,950	-21,271	-21,994	0,000	19,559	-0,433	19,791
Plate_1_12	11389	1	3,000	-9,325	-65,063	-65,063	12,896	-22,122	-23,079	0,000	19,559	-0,433	19,791
Element 28-48 (Plate)	10576	2	3,000	-9,483	-62,846	-62,846	12,962	-21,036	-22,081	0,000	16,145	-0,519	16,240
(Micropali D168.3x8,0mm/0,4)	10575	3	3,000	-9,641	-60,593	-60,593	12,831	-19,258	-20,287	0,000	12,960	-0,727	12,960
28	10574	4	3,000	-9,798	-58,257	-58,257	12,507	-16,913	-17,826	0,000	10,098	-0,870	10,098
28	10573	5	3,000	-9,956	-55,793	-55,793	11,989	-14,124	-14,838	0,000	7,646	-0,974	7,646
Plate_1_12	10573	1	3,000	-9,956	-55,731	-55,731	11,989	-14,258	-14,986	0,000	7,646	-0,974	7,646
Element 28-49 (Plate)	9580	2	3,000	-10,077	-53,581	-53,581	11,448	-12,253	-12,815	0,013	6,049	-1,096	6,049
(Micropali D168.3x8,0mm/0,4)	9579	3	3,000	-10,197	-51,166	-51,166	10,796	-10,377	-10,773	0,048	4,685	-1,166	4,685
28	9578	4	3,000	-10,318	-48,478	-48,478	10,058	-8,643	-8,870	0,200	3,539	-1,189	3,539
28	9577	5	3,000	-10,439	-45,510	-45,510	9,219	-7,065	-7,119	0,377	2,593	-1,170	2,593
Plate_1_12	9577	1	3,000	-10,439	-45,464	-45,464	9,240	-7,079	-7,135	0,379	2,593	-1,170	2,593
Element 28-50 (Plate)	8342	2	3,000	-10,531	-42,875	-42,875	8,607	-6,019	-6,019	0,554	1,990	-1,129	1,990
(Micropali D168.3x8,0mm/0,4)	8343	3	3,000	-10,623	-40,022	-40,022	7,948	-5,095	-5,095	0,764	1,479	-1,068	1,479
28	8344	4	3,000	-10,715	-36,905	-36,905	7,265	-4,310	-4,310	0,948	1,046	-0,989	1,046
28	8341	5	3,000	-10,808	-33,524	-33,524	6,557	-3,664	-3,664	1,104	0,679	-0,894	0,679
Plate_1_12	8341	1	3,000	-10,808	-33,510	-33,510	6,555	-3,675	-3,675	1,097	0,679	-0,894	0,679
Element 28-51 (Plate)	7770	2	3,000	-10,878	-30,731	-30,731	5,993	-3,240	-3,240	1,191	0,436	-0,813	0,436
(Micropali D168.3x8,0mm/0,4)	7769	3	3,000	-10,949	-27,759	-27,759	5,411	-2,857	-2,857	1,249	0,221	-0,727	0,221
28	7768	4	3,000	-11,019	-24,595	-24,595	4,808	-2,503	-2,503	1,270	0,032	-0,638	0,032
28	7767	5	3,000	-11,090	-21,239	-21,239	4,185	-2,150	-2,150	1,254	-0,132	-0,613	0,000
Plate_1_12	7767	1	3,000	-11,090	-21,234	-21,234	4,184	-2,088	-2,088	1,269	-0,132	-0,613	0,000
Element 28-52 (Plate)	6794	2	3,000	-11,144	-18,556	-18,556	3,691	-1,722	-1,722	1,226	-0,235	-0,608	0,000
(Micropali D168.3x8,0mm/0,4)	6795	3	3,000	-11,198	-15,823	-15,823	3,182	-1,218	-1,218	1,209	-0,316	-0,593	0,000

Structural element	Node [10^]	Local number	X [m]	Y [m]	N [kN/m]	N,,,, [kN/m]	N,,, [kN/m]	Q [kN/m]	Q,,, [kN/m]	Q,,, [kN/m]	M [kN m/m]	M,,, [kN m/m]	M,,, [kN m/m]
28	6796	4	3,000	-11,252	-13,036	-13,036	2,657	-0,546	-0,546	1,231	-0,364	-0,560	0,000
28	6793	5	3,000	-11,306	-10,198	-10,198	2,116	0,325	0,000	1,585	-0,371	-0,498	0,000
Plate_1_12	6793	1	3,000	-11,306	-10,184	-10,184	2,114	0,211	0,000	1,449	-0,371	-0,498	0,000
Element 28-53 (Plate)	5608	2	3,000	-11,347	-7,992	-7,992	1,687	1,444	0,000	2,468	-0,336	-0,419	0,000
(Micropali D168.3x8,0mm/0,4)	5609	3	3,000	-11,388	-5,738	-5,738	1,246	2,312	0,000	3,122	-0,257	-0,303	0,000
28	5610	4	3,000	-11,429	-3,464	-3,464	0,791	2,764	0,000	3,313	-0,151	-0,169	0,000
28	5607	5	3,000	-11,471	-1,213	-1,234	0,321	2,750	0,000	2,965	-0,035	-0,037	0,000
Plate_3_2	7881	1	0,000	-8,500	-52,556	-52,556	0,000	32,800	-0,006	32,800	6,021	-0,001	8,692
Element 29-54 (Plate)	6882	2	0,000	-8,544	-52,144	-52,144	0,000	29,685	-0,009	29,685	7,387	-0,001	9,124
(Micropali D168.3x10/0,27m)	6883	3	0,000	-8,588	-51,633	-51,633	0,000	26,694	-0,013	26,694	8,621	-0,001	9,489
28	6884	4	0,000	-8,631	-51,052	-51,052	0,000	23,834	-0,018	23,834	9,727	-0,002	9,988
28	6881	5	0,000	-8,675	-50,432	-50,432	0,000	21,112	-0,022	21,112	10,709	-0,003	10,787
Plate_3_2	6881	1	0,000	-8,675	-50,455	-50,455	0,000	21,095	-0,022	21,095	10,709	-0,003	10,787
Element 29-55 (Plate)	6868	2	0,000	-8,726	-49,512	-49,512	0,000	17,524	-0,041	17,524	11,690	-0,004	11,690
(Micropali D168.3x10/0,27m)	6869	3	0,000	-8,777	-48,583	-48,583	0,000	13,986	-0,329	13,986	12,489	-0,005	12,489
28	6870	4	0,000	-8,827	-47,695	-47,695	0,000	10,538	-1,147	10,538	13,112	-0,007	13,112
28	6867	5	0,000	-8,878	-46,876	-46,876	0,000	7,234	-2,326	7,234	13,562	-0,008	13,562
Plate_3_2	6867	1	0,000	-8,878	-46,886	-46,886	0,000	7,262	-2,351	7,262	13,562	-0,008	13,562
Element 29-56 (Plate)	5682	2	0,000	-8,937	-46,278	-46,278	0,000	4,076	-3,555	4,076	13,893	-0,009	13,893
(Micropali D168.3x10/0,27m)	5683	3	0,000	-8,996	-45,903	-45,903	0,000	1,355	-4,596	1,355	14,051	-0,010	14,051
28	5684	4	0,000	-9,055	-45,742	-45,742	0,000	-0,920	-5,429	0,000	14,062	-0,010	14,062
28	5681	5	0,000	-9,114	-45,780	-45,780	0,000	-2,769	-6,059	0,000	13,951	-0,011	13,951
Plate_3_2	5681	1	0,000	-9,114	-45,747	-45,747	0,000	-2,818	-6,082	0,000	13,951	-0,011	13,951
Element 29-57 (Plate)	5668	2	0,000	-9,182	-45,932	-45,932	0,000	-4,580	-6,618	0,000	13,697	-0,011	13,697
(Micropali D168.3x10/0,27m)	5669	3	0,000	-9,250	-46,192	-46,192	0,000	-6,026	-6,996	0,000	13,332	-0,012	13,332
28	5670	4	0,000	-9,319	-46,513	-46,513	0,000	-7,168	-7,224	0,000	12,880	-0,012	12,880
28	5667	5	0,000	-9,387	-46,886	-46,886	0,000	-8,018	-8,018	0,000	12,359	-0,012	12,359
Plate_3_2	5667	1	0,000	-9,387	-46,872	-46,872	0,000	-8,053	-8,053	0,000	12,359	-0,012	12,359
Element 29-58 (Plate)	5642	2	0,000	-9,466	-47,306	-47,306	0,000	-8,774	-8,774	0,000	11,691	-0,012	11,691
(Micropali D168.3x10/0,27m)	5643	3	0,000	-9,546	-47,740	-47,740	0,000	-9,288	-9,288	0,000	10,974	-0,012	10,974
28	5644	4	0,000	-9,625	-48,180	-48,180	0,000	-9,602	-9,602	0,000	10,224	-0,013	10,224
28	5641	5	0,000	-9,704	-48,630	-48,630	0,001	-9,728	-9,728	0,000	9,457	-0,013	9,457
Plate_3_2	5641	1	0,000	-9,704	-48,626	-48,626	0,001	-9,752	-9,752	0,000	9,457	-0,013	9,457
Element 29-59 (Plate)	5544	2	0,000	-9,796	-49,177	-49,177	0,003	-9,737	-9,737	0,000	8,560	-0,014	8,560
(Micropali D168.3x10/0,27m)	5545	3	0,000	-9,888	-49,720	-49,720	0,005	-9,595	-9,595	0,000	7,670	-0,015	7,670
28	5546	4	0,000	-9,980	-50,244	-50,244	0,007	-9,333	-9,333	0,000	6,799	-0,017	6,799
28	5543	5	0,000	-10,072	-50,742	-50,742	0,008	-8,958	-8,958	0,000	5,957	-0,019	5,957
Plate_3_2	5543	1	0,000	-10,072	-50,748	-50,748	0,008	-8,975	-8,975	0,000	5,957	-0,019	5,957
Element 29-60 (Plate)	4597	2	0,000	-10,179	-51,215	-51,215	0,011	-8,444	-8,444	0,000	5,027	-0,022	5,027
(Micropali D168.3x10/0,27m)	4598	3	0,000	-10,285	-51,611	-51,611	0,013	-7,841	-7,841	0,000	4,158	-0,025	4,158
28	4599	4	0,000	-10,392	-51,967	-51,967	0,015	-7,171	-7,171	0,000	3,357	-0,029	3,357
28	4596	5	0,000	-10,499	-52,313	-52,313	0,017	-6,439	-6,439	0,000	2,631	-0,034	2,631
Plate_3_2	4596	1	0,000	-10,499	-52,322	-52,322	0,017	-6,452	-6,452	0,000	2,631	-0,034	2,631
Element 29-61 (Plate)	4561	2	0,000	-10,622	-52,769	-52,769	0,020	-5,574	-5,574	0,000	1,886	-0,040	1,886
(Micropali D168.3x10/0,27m)	4562	3	0,000	-10,746	-53,219	-53,219	0,023	-4,690	-4,690	0,000	1,251	-0,047	1,251
28	4563	4	0,000	-10,870	-53,671	-53,671	0,026	-3,802	-3,802	0,000	0,726	-0,058	0,726
28	4560	5	0,000	-10,994	-54,123	-54,123	0,028	-2,915	-2,915	0,000	0,310	-0,191	0,310
Plate_3_2	4560	1	0,000	-10,994	-54,120	-54,120	0,029	-2,922	-2,922	0,000	0,310	-0,191	0,310
Element 29-62 (Plate)	4345	2	0,000	-11,137	-54,634	-54,634	0,032	-1,912	-1,912	0,000	-0,036	-0,366	0,000
(Micropali D168.3x10/0,27m)	4346	3	0,000	-11,281	-55,130	-55,130	0,035	-0,939	-0,939	0,000	-0,241	-0,461	0,000
28	4347	4	0,000	-11,424	-55,606	-55,606	0,040	-0,004	-0,029	0,166	-0,308	-0,477	0,000
28	4344	5	0,000	-11,568	-56,061	-56,061	0,045	0,890	0,000	0,966	-0,244	-0,418	0,000
Plate_3_2	4344	1	0,000	-11,568	-56,030	-56,030	0,073	0,829	-0,018	0,908	-0,244	-0,418	0,000

Structural element	Node [10^]	Local number	X [m]	Y [m]	N [kN/m]	N,,,, [kN/m]	N,,,, [kN/m]	Q [kN/m]	Q,,,, [kN/m]	Q,,,, [kN/m]	M [kN m/m]	M,,,, [kN m/m]	M,,,, [kN m/m]
Element 29-63 (Plate)	3619	2	0,000	-11,734	-56,557	-56,557	0,007	1,863	0,000	1,864	-0,016	-0,276	0,000
(Micropali D168.3x10/0,27m)	3620	3	0,000	-11,901	-56,916	-56,916	0,000	2,567	0,000	2,567	0,359	-0,075	0,359
,,	3621	4	0,000	-12,067	-57,074	-57,074	0,000	2,878	0,000	2,878	0,817	-0,018	0,817
,,	3618	5	0,000	-12,234	-57,000	-57,000	0,000	2,732	0,000	2,732	1,292	0,000	1,292
Plate_1_13	5607	1	3,000	-11,471	-1,321	-1,321	0,321	2,331	0,000	2,540	-0,035	-0,037	0,000
Element 30-64 (Plate)	4612	2	3,000	-11,478	-0,965	-0,984	0,235	1,810	0,000	1,920	-0,020	-0,021	0,000
(Micropali D168.3x8,0mm/0,4)	4611	3	3,000	-11,485	-0,622	-0,647	0,149	1,217	0,000	1,269	-0,009	-0,009	0,000
,,	4610	4	3,000	-11,493	-0,291	-0,307	0,062	0,582	0,000	0,603	-0,002	-0,002	0,000
,,	4609	5	3,000	-11,500	0,026	-0,024	0,029	-0,065	-0,065	0,000	0,000	0,000	0,000
Plate_3_3	3618	1	0,000	-12,234	-56,960	-56,960	0,000	2,654	0,000	2,654	1,292	0,000	1,292
Element 31-65 (Plate)	2977	2	0,000	-12,406	-56,383	-56,383	0,000	1,522	0,000	1,522	1,648	0,000	1,648
(Micropali D168.3x10/0,27m)	2978	3	0,000	-12,579	-55,932	-55,932	0,000	0,638	0,000	0,638	1,831	0,000	1,831
,,	2979	4	0,000	-12,751	-55,606	-55,606	0,000	-0,002	-0,066	0,000	1,882	0,000	1,882
,,	2976	5	0,000	-12,924	-55,401	-55,401	0,000	-0,404	-0,404	0,000	1,844	0,000	1,844
Plate_3_3	2976	1	0,000	-12,924	-55,384	-55,384	0,000	-0,438	-0,438	0,000	1,844	0,000	1,844
Element 31-66 (Plate)	2613	2	0,000	-13,106	-55,242	-55,242	0,000	-0,715	-0,715	0,000	1,737	0,000	1,737
(Micropali D168.3x10/0,27m)	2612	3	0,000	-13,288	-55,152	-55,152	0,000	-0,892	-0,892	0,000	1,589	0,000	1,589
,,	2611	4	0,000	-13,470	-55,109	-55,109	0,000	-0,976	-0,976	0,000	1,418	0,000	1,418
,,	2610	5	0,000	-13,653	-55,110	-55,110	0,000	-0,973	-0,973	0,000	1,239	0,000	1,239
Plate_3_3	2610	1	0,000	-13,653	-55,031	-55,031	0,000	-0,993	-0,993	0,000	1,239	0,000	1,239
Element 31-67 (Plate)	1951	2	0,000	-13,845	-55,109	-55,109	0,000	-0,923	-0,923	0,000	1,054	0,000	1,054
(Micropali D168.3x10/0,27m)	1952	3	0,000	-14,037	-54,843	-54,843	0,000	-0,823	-0,823	0,000	0,886	0,000	0,886
,,	1953	4	0,000	-14,230	-54,241	-54,241	0,000	-0,697	-0,697	0,000	0,739	0,000	0,739
,,	1950	5	0,000	-14,422	-53,311	-53,311	0,000	-0,551	-0,551	0,000	0,619	0,000	0,619
Plate_3_3	1950	1	0,000	-14,422	-53,312	-53,312	0,000	-0,560	-0,560	0,000	0,619	0,000	0,619
Element 31-68 (Plate)	1613	2	0,000	-14,625	-51,996	-51,996	0,000	-0,422	-0,422	0,000	0,519	0,000	0,519
(Micropali D168.3x10/0,27m)	1614	3	0,000	-14,829	-50,330	-50,330	0,000	-0,299	-0,299	0,000	0,447	0,000	0,447
,,	1615	4	0,000	-15,032	-48,317	-48,317	0,000	-0,193	-0,217	0,000	0,397	0,000	0,397
,,	1612	5	0,000	-15,235	-45,958	-45,958	0,000	-0,105	-0,169	0,000	0,367	-0,001	0,367
Plate_3_3	1612	1	0,000	-15,235	-45,936	-45,936	0,000	-0,111	-0,168	0,000	0,367	-0,001	0,367
Element 31-69 (Plate)	1081	2	0,000	-15,450	-43,065	-43,065	0,000	-0,043	-0,138	0,000	0,351	-0,001	0,351
(Micropali D168.3x10/0,27m)	1082	3	0,000	-15,664	-39,713	-39,713	0,000	-0,029	-0,113	0,000	0,345	-0,001	0,345
,,	1083	4	0,000	-15,879	-35,875	-35,875	0,000	-0,068	-0,093	0,001	0,335	-0,001	0,335
,,	1080	5	0,000	-16,093	-31,541	-31,541	0,000	-0,156	-0,156	0,002	0,312	-0,001	0,312
Plate_3_3	1080	1	0,000	-16,093	-31,442	-31,442	0,000	-0,112	-0,112	0,004	0,312	-0,001	0,312
Element 31-70 (Plate)	669	2	0,000	-16,320	-24,405	-24,405	0,000	-0,280	-0,280	0,002	0,269	0,000	0,269
(Micropali D168.3x10/0,27m)	668	3	0,000	-16,547	-16,860	-16,860	0,000	-0,432	-0,432	0,001	0,185	0,000	0,185
,,	667	4	0,000	-16,773	-8,774	-8,774	0,000	-0,452	-0,452	0,000	0,083	0,000	0,083
,,	666	5	0,000	-17,000	-0,114	-0,114	0,000	-0,224	-0,224	0,000	0,000	0,000	0,000

3.1.2.4.19 Calculation results, Plate, Collegamento ancoraggio 2 [Phase_14] (14/977), Table of plate force envelopes

Structural element	Node [10⁺⁰]	Local number	X [m]	Y [m]	N [kN/m]	N ⁻·· [kN/m]	N ⁺·· [kN/m]	Q [kN/m]	Q⁻·· [kN/m]	Q⁺·· [kN/m]	M [kN m/m]	M⁻·· [kN m/m]	M⁺·· [kN m/m]
Plate_2_1	17871	1	0,000	0,000	0,000	0,000	0,000	0,000	0,000	0,000	0,000	0,000	0,000
Element 1-1 (Plate)	17868	2	0,000	-0,021	0,000	0,000	0,000	0,000	0,000	0,000	0,000	0,000	0,000
(Parete c.a.C32/40 sp.0.50m)	17867	3	0,000	-0,043	0,000	0,000	0,000	0,000	0,000	0,000	0,000	0,000	0,000
28	17866	4	0,000	-0,064	0,000	0,000	0,000	0,000	0,000	0,000	0,000	0,000	0,000
28	17869	5	0,000	-0,086	0,000	0,000	0,000	0,000	0,000	0,000	0,000	0,000	0,000
Plate_2_1	17869	1	0,000	-0,086	0,000	0,000	0,000	0,000	0,000	0,000	0,000	0,000	0,000
Element 1-2 (Plate)	17860	2	0,000	-0,113	0,000	0,000	0,000	0,000	0,000	0,000	0,000	0,000	0,000
(Parete c.a.C32/40 sp.0.50m)	17859	3	0,000	-0,140	0,000	0,000	0,000	0,000	0,000	0,000	0,000	0,000	0,000
28	17858	4	0,000	-0,166	0,000	0,000	0,000	0,000	0,000	0,000	0,000	0,000	0,000
28	17857	5	0,000	-0,193	0,000	0,000	0,000	0,000	0,000	0,000	0,000	0,000	0,000
Plate_2_1	17857	1	0,000	-0,193	0,000	0,000	0,000	0,000	0,000	0,000	0,000	0,000	0,000
Element 1-3 (Plate)	17837	2	0,000	-0,227	0,000	0,000	0,000	0,000	0,000	0,000	0,000	0,000	0,000
(Parete c.a.C32/40 sp.0.50m)	17836	3	0,000	-0,261	0,000	0,000	0,000	0,000	0,000	0,000	0,000	0,000	0,000
28	17835	4	0,000	-0,295	0,000	0,000	0,000	0,000	0,000	0,000	0,000	0,000	0,000
28	17834	5	0,000	-0,329	0,000	0,000	0,000	0,000	0,000	0,000	0,000	0,000	0,000
Plate_2_1	17834	1	0,000	-0,329	0,000	0,000	0,000	0,000	0,000	0,000	0,000	0,000	0,000
Element 1-4 (Plate)	17759	2	0,000	-0,372	0,000	0,000	0,000	0,000	0,000	0,000	0,000	0,000	0,000
(Parete c.a.C32/40 sp.0.50m)	17758	3	0,000	-0,415	0,000	0,000	0,000	0,000	0,000	0,000	0,000	0,000	0,000
28	17757	4	0,000	-0,457	0,000	0,000	0,000	0,000	0,000	0,000	0,000	0,000	0,000
28	17753	5	0,000	-0,500	0,000	0,000	0,000	0,000	0,000	0,000	0,000	0,000	0,000
Plate_4_1	16475	1	3,000	-0,126	-0,189	-0,189	0,043	-0,035	-0,084	0,289	0,000	0,000	0,000
Element 2-5 (Plate)	16474	2	3,000	-0,282	0,239	-0,174	0,239	0,238	-0,129	0,340	0,020	0,000	0,022
(Micropali D168.3x8,0mm/0,4)	16473	3	3,000	-0,438	0,318	-0,605	0,318	0,747	0,000	1,191	0,081	0,000	0,130
28	16472	4	3,000	-0,594	-0,038	-1,370	0,000	2,064	0,000	2,698	0,295	0,000	0,409
28	16471	5	3,000	-0,750	-0,915	-2,470	0,000	4,760	0,000	5,099	0,802	0,000	0,979
Plate_2_2	17753	1	0,000	-0,500	0,000	0,000	0,000	0,000	0,000	0,000	0,000	0,000	0,000
Element 3-6 (Plate)	17677	2	0,000	-0,563	0,000	0,000	0,000	0,000	0,000	0,000	0,000	0,000	0,000
(Parete c.a.C32/40 sp.0.50m)	17676	3	0,000	-0,625	0,000	0,000	0,000	0,000	0,000	0,000	0,000	0,000	0,000
28	17675	4	0,000	-0,688	0,000	0,000	0,000	0,000	0,000	0,000	0,000	0,000	0,000
28	17671	5	0,000	-0,750	0,000	0,000	0,000	0,000	0,000	0,000	0,000	0,000	0,000
Plate_2_3	17671	1	0,000	-0,750	0,002	-0,001	0,002	-0,004	-0,004	0,003	0,000	0,000	0,000
Element 4-7 (Plate)	17599	2	0,000	-0,798	-0,006	-0,006	0,000	0,014	-0,001	0,014	0,000	0,000	0,000
(Parete c.a.C32/40 sp.0.50m)	17598	3	0,000	-0,846	-0,016	-0,016	0,000	0,037	-0,001	0,037	0,001	0,000	0,001
28	17597	4	0,000	-0,894	-0,025	-0,025	0,000	0,057	0,000	0,057	0,004	0,000	0,004
28	17593	5	0,000	-0,942	-0,029	-0,029	0,000	0,066	0,000	0,066	0,007	0,000	0,007
Plate_2_3	17593	1	0,000	-0,942	-0,035	-0,035	0,000	0,079	0,000	0,079	0,007	0,000	0,007
Element 4-8 (Plate)	17468	2	0,000	-1,007	-0,047	-0,047	0,000	0,110	0,000	0,110	0,013	0,000	0,013
(Parete c.a.C32/40 sp.0.50m)	17467	3	0,000	-1,071	-0,075	-0,075	0,000	0,179	0,000	0,179	0,022	0,000	0,022
28	17466	4	0,000	-1,136	-0,118	-0,118	0,000	0,287	0,000	0,287	0,037	0,000	0,037
28	17465	5	0,000	-1,200	-0,174	-0,174	0,000	0,430	0,000	0,430	0,059	0,000	0,059
Plate_1_1	16471	1	3,000	-0,750	-1,081	-2,638	0,000	5,116	0,000	5,391	0,802	0,000	0,979
Element 5-9 (Plate)	16455	2	3,000	-0,948	-2,466	-3,969	0,000	8,786	0,000	9,523	2,180	0,000	2,350
(Micropali D168.3x8,0mm/0,4)	16454	3	3,000	-1,146	-4,136	-5,866	0,000	12,676	0,000	14,078	4,291	0,000	4,670
28	16453	4	3,000	-1,344	-6,043	-7,916	0,000	17,125	0,000	19,377	7,235	0,000	7,972
28	16595	5	3,000	-1,542	-8,141	-10,201	0,000	22,472	-0,116	25,747	11,132	0,000	12,414
Plate_1_1	16595	1	3,000	-1,542	-8,143	-10,267	0,000	22,071	0,000	25,315	11,132	0,000	12,414

Structural element	Node [10^]	Local number	X [m]	Y [m]	N [kN/m]	N,--- [kN/m]	N,--- [kN/m]	Q [kN/m]	Q,--- [kN/m]	Q,--- [kN/m]	M [kN m/m]	M,--- [kN m/m]	M,--- [kN m/m]
Element 5-10 (Plate)	16594	2	3,000	-1,581	-8,554	-10,743	0,000	23,026	0,000	26,480	12,024	0,000	13,438
(Micropali D168.3x8,0mm/0,4)	16593	3	3,000	-1,621	-9,043	-11,286	0,000	24,098	-0,017	27,760	12,957	0,000	14,512
愚	16592	4	3,000	-1,660	-9,558	-11,843	0,000	25,201	-0,035	29,071	13,933	0,000	15,637
愚	16615	5	3,000	-1,700	-10,045	-12,361	0,000	26,251	-0,022	30,327	14,951	0,000	16,812
Plate_2_4	17465	1	0,000	-1,200	-1,876	-1,876	0,000	-9,817	-9,817	0,000	0,059	0,000	0,059
Element 6-11 (Plate)	17390	2	0,000	-1,261	-1,933	-1,933	0,000	-9,672	-9,672	0,000	-0,533	-0,533	0,000
(Parete c.a.C32/40 sp.0.50m)	17389	3	0,000	-1,322	-1,981	-1,981	0,000	-9,546	-9,546	0,000	-1,117	-1,117	0,000
愚	17388	4	0,000	-1,382	-2,026	-2,026	0,000	-9,430	-9,430	0,000	-1,694	-1,694	0,000
愚	17387	5	0,000	-1,443	-2,071	-2,071	0,000	-9,316	-9,316	0,000	-2,264	-2,264	0,000
Plate_2_4	17387	1	0,000	-1,443	-2,070	-2,070	0,000	-9,317	-9,317	0,000	-2,264	-2,264	0,000
Element 6-12 (Plate)	17259	2	0,000	-1,535	-2,173	-2,173	0,000	-9,056	-9,056	0,000	-3,106	-3,106	0,000
(Parete c.a.C32/40 sp.0.50m)	17258	3	0,000	-1,627	-2,291	-2,291	0,000	-8,752	-8,752	0,000	-3,923	-3,923	0,000
愚	17257	4	0,000	-1,718	-2,425	-2,425	0,000	-8,409	-8,409	0,000	-4,711	-4,711	0,000
愚	17256	5	0,000	-1,810	-2,573	-2,573	0,000	-8,029	-8,029	0,000	-5,464	-5,464	0,000
Plate_1_2	16615	1	3,000	-1,700	-19,449	-22,116	0,000	-28,645	-34,334	5,890	14,951	0,000	16,812
Element 7-13 (Plate)	16614	2	3,000	-1,728	-19,751	-22,439	0,000	-27,951	-33,555	6,153	14,150	0,000	15,865
(Micropali D168.3x8,0mm/0,4)	16613	3	3,000	-1,757	-20,084	-22,795	0,000	-27,226	-32,753	6,453	13,370	0,000	14,941
愚	16612	4	3,000	-1,785	-20,428	-23,165	0,000	-26,480	-31,937	6,788	12,609	0,000	14,042
愚	16611	5	3,000	-1,813	-20,763	-23,528	0,000	-25,720	-31,116	7,160	11,871	0,000	13,168
Plate_1_3	16611	1	3,000	-1,813	-20,769	-23,545	0,000	-25,688	-31,104	7,046	11,871	0,000	13,168
Element 8-14 (Plate)	16499	2	3,000	-1,847	-21,122	-23,936	0,000	-24,929	-30,280	7,347	11,009	0,000	12,147
(Micropali D168.3x8,0mm/0,4)	16498	3	3,000	-1,881	-21,455	-24,312	0,000	-24,180	-29,483	7,519	10,173	0,000	11,157
愚	16497	4	3,000	-1,915	-21,755	-24,663	0,000	-23,464	-28,737	7,553	9,361	0,000	10,195
愚	16496	5	3,000	-1,949	-22,009	-24,976	0,000	-22,806	-28,068	7,438	8,574	0,000	9,260
Plate_1_3	16496	1	3,000	-1,949	-21,983	-24,976	0,000	-22,754	-28,068	7,452	8,574	0,000	9,260
Element 8-15 (Plate)	16287	2	3,000	-1,983	-22,242	-25,244	0,000	-22,276	-27,486	7,221	7,807	0,000	8,349
(Micropali D168.3x8,0mm/0,4)	16286	3	3,000	-2,018	-22,479	-25,475	0,000	-21,889	-26,975	6,850	7,056	0,000	7,459
愚	16285	4	3,000	-2,052	-22,724	-25,657	0,000	-21,698	-26,557	6,349	6,314	0,000	6,587
愚	16284	5	3,000	-2,086	-23,004	-25,777	0,000	-21,808	-26,258	5,730	5,574	0,000	5,731
Plate_1_4	16284	1	3,000	-2,086	-23,047	-25,774	0,000	-21,775	-26,260	5,745	5,574	0,000	5,731
Element 9-16 (Plate)	16241	2	3,000	-2,088	-23,259	-25,771	0,000	-21,958	-26,261	5,682	5,517	0,000	5,666
(Micropali D168.3x8,0mm/0,4)	16240	3	3,000	-2,091	-23,349	-25,777	0,000	-22,003	-26,245	5,608	5,459	0,000	5,629
愚	16239	4	3,000	-2,094	-23,342	-25,783	0,000	-21,977	-26,228	5,529	5,402	0,000	5,643
愚	16238	5	3,000	-2,096	-23,267	-25,782	0,000	-21,951	-26,223	5,451	5,344	0,000	5,658
Plate_2_5	17256	1	0,000	-1,810	-2,564	-2,564	0,004	-8,052	-8,052	0,007	-5,464	-5,464	0,000
Element 10-17 (Plate)	17223	2	0,000	-1,882	-2,693	-2,693	0,000	-7,722	-7,722	0,018	-6,036	-6,036	0,000
(Parete c.a.C32/40 sp.0.50m)	17222	3	0,000	-1,955	-2,836	-2,836	0,001	-7,355	-7,355	0,039	-6,583	-6,583	0,002
愚	17221	4	0,000	-2,027	-3,000	-3,000	0,001	-6,937	-6,937	0,097	-7,101	-7,101	0,007
愚	17220	5	0,000	-2,100	-3,189	-3,189	0,002	-6,452	-6,452	0,202	-7,587	-7,587	0,017
Plate_2_5	17220	1	0,000	-2,100	-3,191	-3,191	0,002	-6,448	-6,448	0,211	-7,587	-7,587	0,017
Element 10-18 (Plate)	17043	2	0,000	-2,200	-3,436	-3,436	0,001	-5,821	-5,821	0,277	-8,201	-8,201	0,041
(Parete c.a.C32/40 sp.0.50m)	17042	3	0,000	-2,300	-3,722	-3,722	0,000	-5,088	-5,088	0,471	-8,747	-8,747	0,076
愚	17041	4	0,000	-2,400	-4,046	-4,046	0,000	-4,259	-4,259	0,707	-9,216	-9,216	0,132
愚	17040	5	0,000	-2,500	-4,403	-4,403	0,000	-3,345	-3,345	1,019	-9,597	-9,597	0,217
Plate_1_5	16238	1	3,000	-2,096	-23,385	-25,783	0,000	-21,963	-26,223	5,501	5,344	0,000	5,658
Element 11-19 (Plate)	16221	2	3,000	-2,140	-23,432	-25,783	0,000	-22,055	-26,223	4,337	4,389	0,000	5,871
(Micropali D168.3x8,0mm/0,4)	16220	3	3,000	-2,183	-23,498	-25,784	0,000	-22,185	-26,223	3,259	3,429	0,000	6,035
愚	16219	4	3,000	-2,226	-23,584	-25,784	0,000	-22,355	-26,223	2,249	2,462	0,000	6,155
愚	16218	5	3,000	-2,270	-23,694	-25,784	0,000	-22,572	-26,223	1,291	1,487	-0,286	6,231
Plate_1_5	16218	1	3,000	-2,270	-23,417	-25,572	0,000	-22,828	-26,602	1,335	1,487	-0,286	6,231
Element 11-20 (Plate)	15915	2	3,000	-2,344	-24,370	-26,535	0,000	-20,917	-24,578	0,000	-0,136	-2,069	6,267
(Micropali D168.3x8,0mm/0,4)	15914	3	3,000	-2,418	-25,295	-27,452	0,087	-19,156	-22,663	0,000	-1,622	-3,732	6,190
愚	15913	4	3,000	-2,492	-26,113	-28,256	0,459	-17,646	-20,986	0,000	-2,987	-5,292	6,021

Structural element	Node [10^]	Local number	X [m]	Y [m]	N [kN/m]	N,,x,, [kN/m]	N,,xy,, [kN/m]	Q [kN/m]	Q,,x,, [kN/m]	Q,,y,, [kN/m]	M [kN m/m]	M,,x,, [kN m/m]	M,,xy,, [kN m/m]
28	15912	5	3,000	-2,567	-26,747	-28,881	0,618	-16,487	-19,673	0,000	-4,251	-6,754	5,779
Plate_1_5	15912	1	3,000	-2,567	-26,675	-28,802	0,682	-16,654	-19,825	0,000	-4,251	-6,754	5,779
Element 11-21 (Plate)	15631	2	3,000	-2,694	-27,404	-29,498	1,061	-15,422	-18,326	0,000	-6,284	-9,114	5,248
(Micropali D168.3x8,0mm/0,4)	15630	3	3,000	-2,821	-28,077	-30,127	1,399	-14,344	-16,974	0,000	-8,172	-11,311	4,635
28	15629	4	3,000	-2,948	-28,702	-30,697	1,695	-13,408	-15,755	0,000	-9,933	-13,369	3,992
28	15628	5	3,000	-3,074	-29,283	-31,212	1,952	-12,602	-14,656	0,000	-11,582	-15,298	3,367
Plate_1_5	15628	1	3,000	-3,074	-29,211	-31,154	1,954	-12,710	-14,818	0,000	-11,582	-15,298	3,367
Element 11-22 (Plate)	15607	2	3,000	-3,292	-30,251	-32,144	2,318	-11,027	-13,429	0,450	-14,138	-18,264	2,392
(Micropali D168.3x8,0mm/0,4)	15606	3	3,000	-3,509	-31,243	-32,983	2,599	-9,979	-12,213	2,725	-16,420	-20,840	1,587
28	15605	4	3,000	-3,726	-32,435	-33,910	2,787	-9,148	-10,735	5,921	-18,487	-23,008	1,372
28	15604	5	3,000	-3,943	-34,076	-35,164	2,872	-8,113	-8,560	10,502	-20,371	-24,717	2,875
Plate_2_6	17040	1	0,000	-2,500	-4,395	-4,395	0,000	-3,367	-3,367	0,999	-9,597	-9,597	0,217
Element 12-23 (Plate)	17003	2	0,000	-2,615	-4,811	-4,811	0,000	-2,302	-2,302	1,375	-9,925	-9,925	0,353
(Parete c.a.C32/40 sp.0.50m)	17002	3	0,000	-2,731	-5,263	-5,263	0,000	-1,145	-1,145	1,848	-10,124	-10,124	0,538
28	17001	4	0,000	-2,846	-5,739	-5,739	0,000	0,075	0,000	2,391	-10,187	-10,187	0,782
28	17000	5	0,000	-2,962	-6,230	-6,230	0,000	1,330	0,000	2,977	-10,106	-10,106	1,092
Plate_2_6	17000	1	0,000	-2,962	-6,233	-6,233	0,000	1,339	0,000	2,990	-10,106	-10,106	1,092
Element 12-24 (Plate)	16689	2	0,000	-3,082	-6,657	-6,657	0,000	2,425	0,000	3,399	-9,880	-9,880	1,475
(Parete c.a.C32/40 sp.0.50m)	16688	3	0,000	-3,202	-7,111	-7,111	0,000	3,586	0,000	3,919	-9,520	-9,520	1,913
28	16687	4	0,000	-3,322	-7,602	-7,602	0,000	4,844	0,000	4,888	-9,015	-9,015	2,420
28	16686	5	0,000	-3,442	-8,140	-8,140	0,000	6,221	0,000	6,221	-8,351	-8,351	3,012
Plate_2_6	16686	1	0,000	-3,442	-8,153	-8,153	0,000	6,253	0,000	6,253	-8,351	-8,351	3,012
Element 12-25 (Plate)	16542	2	0,000	-3,567	-8,709	-8,709	0,000	7,677	0,000	7,677	-7,482	-7,482	3,733
(Parete c.a.C32/40 sp.0.50m)	16541	3	0,000	-3,693	-9,323	-9,323	0,000	9,249	0,000	9,249	-6,425	-6,425	4,574
28	16540	4	0,000	-3,818	-9,982	-9,982	0,000	10,936	0,000	10,936	-5,163	-5,163	5,553
28	16536	5	0,000	-3,943	-10,673	-10,673	0,000	12,707	0,000	12,707	-3,686	-3,686	6,688
Plate_2_7	16536	1	0,000	-3,943	-10,652	-10,652	0,004	12,652	-0,006	12,652	-3,686	-3,686	6,688
Element 13-26 (Plate)	16129	2	0,000	-4,055	-11,224	-11,224	0,000	14,119	0,000	14,119	-2,181	-2,181	7,836
(Parete c.a.C32/40 sp.0.50m)	16128	3	0,000	-4,167	-11,778	-11,778	0,000	15,537	0,000	15,537	-0,514	-0,514	9,102
28	16127	4	0,000	-4,280	-12,314	-12,314	0,000	16,912	0,000	16,912	1,311	0,000	10,483
28	16126	5	0,000	-4,392	-12,837	-12,837	0,000	18,252	0,000	18,252	3,287	0,000	11,974
Plate_2_8	16126	1	0,000	-4,392	-12,845	-12,845	0,000	18,272	0,000	18,272	3,287	0,000	11,974
Element 14-27 (Plate)	15925	2	0,000	-4,594	-13,897	-13,897	0,000	20,967	0,000	20,967	7,235	0,000	14,924
(Parete c.a.C32/40 sp.0.50m)	15924	3	0,000	-4,796	-15,155	-15,155	0,000	24,190	0,000	24,190	11,793	0,000	18,283
28	15923	4	0,000	-4,998	-16,541	-16,541	0,000	27,741	0,000	27,741	17,029	0,000	22,121
28	15922	5	0,000	-5,200	-17,977	-17,977	0,000	31,421	0,000	31,421	23,002	0,000	26,498
Plate_1_6	15604	1	3,000	-3,943	-33,851	-34,975	2,922	-8,461	-8,959	9,422	-20,371	-24,717	2,875
Element 15-28 (Plate)	15495	2	3,000	-4,180	-36,055	-36,911	2,958	-6,288	-6,445	5,328	-22,069	-25,880	4,155
(Micropali D168.3x8,0mm/0,4)	15494	3	3,000	-4,418	-38,403	-38,731	3,002	-5,372	-5,372	3,000	-23,480	-26,265	4,661
28	15493	4	3,000	-4,656	-41,233	-41,233	3,023	-4,259	-4,259	5,256	-24,609	-25,783	4,837
28	15515	5	3,000	-4,894	-44,887	-44,887	5,094	-1,496	-1,757	11,711	-25,355	-25,491	4,949
Plate_1_6	15515	1	3,000	-4,894	-44,715	-44,715	4,592	-1,717	-1,910	11,422	-25,355	-25,491	4,949
Element 15-29 (Plate)	15514	2	3,000	-5,095	-47,765	-47,765	7,199	-0,329	-2,225	16,713	-25,524	-25,524	4,874
(Micropali D168.3x8,0mm/0,4)	15513	3	3,000	-5,297	-50,329	-50,329	8,839	-0,197	-2,391	21,111	-25,583	-25,583	4,620
28	15512	4	3,000	-5,498	-53,165	-53,165	9,858	-0,391	-2,410	25,780	-25,625	-25,625	4,345
28	15511	5	3,000	-5,700	-57,031	-57,031	10,602	0,018	-2,567	31,888	-25,689	-25,689	4,347
Plate_2_9	15922	1	0,000	-5,200	-30,729	-30,729	0,000	-44,768	-44,768	0,000	23,002	0,000	26,498
Element 16-30 (Plate)	15715	2	0,000	-5,366	-31,999	-31,999	0,000	-41,514	-41,514	0,000	15,854	-1,437	20,161
(Parete c.a.C32/40 sp.0.50m)	15714	3	0,000	-5,531	-33,323	-33,323	0,000	-38,122	-38,122	0,000	9,253	-4,001	14,261
28	15713	4	0,000	-5,697	-34,704	-34,704	0,000	-34,583	-34,583	0,000	3,226	-6,355	8,835
28	15712	5	0,000	-5,863	-36,148	-36,148	0,000	-30,885	-30,885	0,000	-2,199	-8,467	3,925
Plate_2_9	15712	1	0,000	-5,863	-36,131	-36,131	0,000	-30,928	-30,928	0,000	-2,199	-8,467	3,925
Element 16-31 (Plate)	15279	2	0,000	-5,947	-36,867	-36,867	0,000	-29,041	-29,041	0,000	-4,727	-9,441	1,630

Structural element	Node [10^3]	Local number	X [m]	Y [m]	N [kN/m]	N,x [kN/m]	N,y [kN/m]	Q [kN/m]	Q,x [kN/m]	Q,y [kN/m]	M [kN m/m]	M,x [kN m/m]	M,y [kN m/m]
(Parete c.a.C32/40 sp.0.50m)	15278	3	0,000	-6,031	-37,613	-37,613	0,000	-27,132	-27,132	0,000	-7,095	-10,343	0,000
"	15277	4	0,000	-6,116	-38,365	-38,365	0,000	-25,204	-25,204	0,000	-9,302	-11,168	0,000
"	15276	5	0,000	-6,200	-39,125	-39,125	0,000	-23,259	-23,259	0,000	-11,344	-11,912	0,000
Plate_1_7	15511	1	3,000	-5,700	-54,659	-63,045	10,519	19,772	-17,860	24,465	-25,689	-25,689	4,347
Element 17-32 (Plate)	15227	2	3,000	-5,825	-58,427	-65,837	10,862	21,385	-12,233	29,399	-23,118	-23,118	4,273
(Micropali D168.3x8,0mm/0,4)	15228	3	3,000	-5,950	-62,073	-68,410	11,209	22,689	-7,187	34,231	-20,352	-20,352	5,350
"	15229	4	3,000	-6,075	-65,370	-70,547	11,545	23,271	-2,996	38,670	-17,475	-17,475	8,280
"	15226	5	3,000	-6,200	-68,090	-72,033	11,859	22,719	-2,063	42,407	-14,585	-14,585	11,701
Plate_2_10	15276	1	0,000	-6,200	-39,096	-39,096	0,003	-23,332	-23,332	0,003	-11,344	-11,912	0,000
Element 18-33 (Plate)	15111	2	0,000	-6,275	-39,773	-39,773	0,000	-21,598	-21,598	0,020	-13,029	-13,029	0,001
(Parete c.a.C32/40 sp.0.50m)	15110	3	0,000	-6,350	-40,448	-40,448	0,000	-19,869	-19,869	0,059	-14,584	-14,584	0,003
"	15109	4	0,000	-6,425	-41,118	-41,118	0,000	-18,153	-18,153	0,113	-16,010	-16,010	0,010
"	15108	5	0,000	-6,500	-41,781	-41,781	0,000	-16,456	-16,456	0,171	-17,307	-17,307	0,020
Plate_1_8	15226	1	3,000	-6,200	-67,904	-71,871	11,857	22,417	-2,075	42,207	-14,585	-14,585	11,701
Element 19-34 (Plate)	15055	2	3,000	-6,275	-69,610	-72,839	12,040	22,216	-1,952	40,863	-12,912	-12,912	14,032
(Micropali D168.3x8,0mm/0,4)	15054	3	3,000	-6,350	-71,340	-73,852	12,214	22,176	-1,841	38,711	-11,249	-11,249	16,324
"	15053	4	3,000	-6,425	-73,095	-74,917	12,379	22,326	-1,746	36,000	-9,580	-9,580	18,631
"	15052	5	3,000	-6,500	-74,876	-76,041	12,537	22,692	-1,732	35,219	-7,894	-8,574	21,053
Plate_1_9	15052	1	3,000	-6,500	-74,878	-76,047	12,539	22,719	-1,766	35,293	-7,894	-8,574	21,053
Element 20-35 (Plate)	14383	2	3,000	-6,522	-75,404	-76,397	12,584	22,912	-1,825	35,792	-7,403	-8,379	21,745
(Micropali D168.3x8,0mm/0,4)	14384	3	3,000	-6,543	-75,914	-76,733	12,631	23,092	-1,889	36,292	-6,908	-8,168	22,421
"	14385	4	3,000	-6,565	-76,397	-77,048	12,682	23,245	-1,959	36,776	-6,410	-7,944	23,088
"	14382	5	3,000	-6,586	-76,848	-77,334	12,737	23,355	-2,038	37,384	-5,908	-7,707	23,738
Plate_2_11	15108	1	0,000	-6,500	-41,721	-41,721	0,000	-16,610	-16,610	0,157	-17,307	-17,307	0,020
Element 21-36 (Plate)	14137	2	0,000	-6,624	-42,935	-42,935	0,000	-13,501	-13,501	0,403	-19,165	-19,165	0,054
(Parete c.a.C32/40 sp.0.50m)	14136	3	0,000	-6,747	-44,062	-44,062	0,000	-10,615	-10,645	0,658	-20,654	-20,654	0,114
"	14135	4	0,000	-6,871	-45,127	-45,127	0,000	-7,887	-8,040	0,918	-21,796	-21,796	0,212
"	14134	5	0,000	-6,994	-46,155	-46,155	0,000	-5,252	-5,588	1,359	-22,607	-22,607	0,343
Plate_1_10	14382	1	3,000	-6,586	-76,931	-77,375	12,732	23,405	-2,060	37,289	-5,908	-7,707	23,738
Element 22-37 (Plate)	13951	2	3,000	-6,690	-78,156	-78,156	13,028	22,470	-2,574	39,143	-3,527	-6,519	26,149
(Micropali D168.3x8,0mm/0,4)	13952	3	3,000	-6,793	-79,251	-79,251	13,209	21,099	-5,355	40,214	-1,276	-5,305	27,375
"	13953	4	3,000	-6,897	-80,174	-80,174	13,278	19,772	-8,747	40,726	0,842	-4,038	27,575
"	13950	5	3,000	-7,000	-80,881	-80,881	13,236	18,970	-11,767	40,905	2,837	-2,733	27,371
Plate_2_12	14134	1	0,000	-6,994	-46,197	-46,197	0,000	-5,146	-5,491	1,372	-22,607	-22,607	0,343
Element 23-38 (Plate)	13402	2	0,000	-7,061	-46,842	-46,842	0,000	-3,493	-3,994	2,082	-22,897	-22,897	0,431
(Parete c.a.C32/40 sp.0.50m)	13401	3	0,000	-7,128	-47,535	-47,535	0,000	-1,719	-2,441	2,947	-23,072	-23,072	0,533
"	13400	4	0,000	-7,195	-48,272	-48,272	0,000	0,167	-0,793	3,849	-23,125	-23,125	0,651
"	13396	5	0,000	-7,262	-49,049	-49,049	0,000	2,157	0,000	4,786	-23,048	-23,048	0,787
Plate_2_13	13396	1	0,000	-7,262	-49,032	-49,032	0,000	2,112	0,000	4,763	-23,048	-23,048	0,787
Element 24-39 (Plate)	12634	2	0,000	-7,322	-49,732	-49,732	0,000	3,906	0,000	5,658	-22,869	-22,869	0,926
(Parete c.a.C32/40 sp.0.50m)	12633	3	0,000	-7,381	-50,434	-50,434	0,000	5,702	0,000	6,545	-22,583	-22,583	1,085
"	12632	4	0,000	-7,441	-51,136	-51,136	0,000	7,500	0,000	7,500	-22,191	-22,191	1,263
"	12628	5	0,000	-7,500	-51,838	-51,838	0,000	9,298	0,000	9,298	-21,692	-21,692	1,461
Plate_1_11	13950	1	3,000	-7,000	-81,138	-81,138	13,261	18,588	-12,169	41,897	2,837	-2,733	27,371
Element 25-40 (Plate)	13001	2	3,000	-7,152	-81,677	-81,677	13,206	17,870	-16,143	19,858	5,635	-0,731	30,260
(Micropali D168.3x8,0mm/0,4)	13002	3	3,000	-7,305	-82,542	-82,542	13,152	16,426	-19,165	16,426	8,241	0,000	31,477
"	13003	4	3,000	-7,457	-83,416	-83,416	13,102	15,075	-19,963	15,196	10,648	0,000	30,366
"	13000	5	3,000	-7,610	-83,981	-83,981	13,058	14,637	-20,289	15,455	12,890	0,000	27,777
Plate_1_11	13000	1	3,000	-7,610	-84,362	-84,362	13,057	14,160	-21,743	15,121	12,890	0,000	27,777
Element 25-41 (Plate)	12096	2	3,000	-7,832	-87,406	-87,406	13,018	18,496	-22,973	21,040	16,632	0,000	22,823
(Micropali D168.3x8,0mm/0,4)	12095	3	3,000	-8,055	-89,819	-89,819	12,993	18,637	-22,301	23,569	20,792	0,000	20,792
"	12094	4	3,000	-8,277	-91,780	-91,780	12,979	16,193	-19,595	25,343	24,738	-0,044	24,738
"	12093	5	3,000	-8,500	-93,471	-93,471	12,973	12,778	-15,445	27,281	27,949	-0,144	27,949

Structural element	Node [10^0]	Local number	X [m]	Y [m]	N [kN/m]	N,,x,, [kN/m]	N,,xy,, [kN/m]	Q [kN/m]	Q,,x,, [kN/m]	Q,,y,, [kN/m]	M [kN m/m]	M,,x,, [kN m/m]	M,,xy,, [kN m/m]
Plate_2_14	12628	1	0,000	-7,500	-51,838	-51,838	0,000	9,298	0,000	9,298	-21,692	-21,692	1,461
Element 26-42 (Plate)	11506	2	0,000	-7,576	-52,749	-52,749	0,000	11,629	0,000	11,629	-20,892	-20,892	1,746
(Parete c.a.C32/40 sp.0.50m)	11505	3	0,000	-7,653	-53,676	-53,676	0,000	14,002	0,000	14,002	-19,913	-19,913	2,066
28	11504	4	0,000	-7,729	-54,636	-54,636	0,000	16,460	0,000	16,460	-18,749	-18,749	2,427
28	11503	5	0,000	-7,806	-55,645	-55,645	0,000	19,044	0,000	19,044	-17,394	-17,394	2,837
Plate_2_14	11503	1	0,000	-7,806	-55,632	-55,632	0,000	19,010	0,000	19,010	-17,394	-17,394	2,837
Element 26-43 (Plate)	11181	2	0,000	-7,867	-56,450	-56,450	0,000	21,105	0,000	21,105	-16,170	-16,170	3,202
(Parete c.a.C32/40 sp.0.50m)	11180	3	0,000	-7,928	-57,237	-57,237	0,000	23,120	0,000	23,120	-14,821	-14,821	3,599
28	11179	4	0,000	-7,989	-58,002	-58,002	0,000	25,078	0,000	25,078	-13,350	-13,350	4,024
28	11175	5	0,000	-8,050	-58,753	-58,753	0,000	27,002	0,000	27,002	-11,761	-11,761	4,473
Plate_2_14	11175	1	0,000	-8,050	-58,785	-58,785	0,000	27,083	0,000	27,083	-11,761	-11,761	4,473
Element 26-44 (Plate)	9918	2	0,000	-8,098	-59,402	-59,402	0,000	28,664	0,000	28,664	-10,404	-10,404	4,855
(Parete c.a.C32/40 sp.0.50m)	9917	3	0,000	-8,147	-60,018	-60,018	0,000	30,240	0,000	30,240	-8,970	-8,970	5,254
28	9916	4	0,000	-8,196	-60,645	-60,645	0,000	31,845	0,000	31,845	-7,458	-7,458	5,671
28	9915	5	0,000	-8,245	-61,295	-61,295	0,000	33,511	0,000	33,511	-5,868	-5,868	6,107
Plate_2_14	9915	1	0,000	-8,245	-61,291	-61,291	0,000	33,500	0,000	33,500	-5,868	-5,868	6,107
Element 26-45 (Plate)	9080	2	0,000	-8,283	-61,831	-61,831	0,000	34,883	0,000	34,883	-4,539	-4,539	6,471
(Parete c.a.C32/40 sp.0.50m)	9079	3	0,000	-8,322	-62,350	-62,350	0,000	36,210	0,000	36,210	-3,157	-3,157	6,850
28	9078	4	0,000	-8,361	-62,844	-62,844	0,000	37,475	0,000	37,475	-1,724	-1,724	7,244
28	9077	5	0,000	-8,400	-63,312	-63,312	0,000	38,673	0,000	38,673	-0,244	-0,244	7,650
Plate_3_1	9077	1	0,000	-8,400	-67,567	-67,567	0,000	36,884	-0,007	36,884	-0,244	-0,244	7,650
Element 27-46 (Plate)	7882	2	0,000	-8,425	-67,992	-67,992	0,000	37,717	-0,007	37,717	0,688	0,000	7,904
(Micropali D168.3x10/0,27m)	7883	3	0,000	-8,450	-68,395	-68,395	0,000	38,509	-0,007	38,509	1,641	0,000	8,163
28	7884	4	0,000	-8,475	-68,779	-68,779	0,000	39,261	-0,007	39,261	2,614	-0,001	8,426
28	7881	5	0,000	-8,500	-69,143	-69,143	0,000	39,976	-0,007	39,976	3,604	-0,001	8,692
Plate_1_12	12093	1	3,000	-8,500	-92,826	-92,826	12,971	16,801	-15,861	27,713	27,949	-0,144	27,949
Element 28-47 (Plate)	11390	2	3,000	-8,706	-84,012	-84,012	12,966	-1,767	-12,588	3,027	29,392	-0,226	29,407
(Micropali D168.3x8,0mm/0,4)	11391	3	3,000	-8,913	-77,543	-77,543	12,961	-14,208	-17,018	0,000	27,642	-0,301	28,005
28	11392	4	3,000	-9,119	-73,076	-73,076	12,956	-20,638	-21,730	0,000	23,942	-0,370	24,338
28	11389	5	3,000	-9,325	-70,265	-70,265	12,950	-21,170	-21,994	0,000	19,532	-0,433	19,791
Plate_1_12	11389	1	3,000	-9,325	-69,875	-69,875	12,896	-21,990	-23,079	0,000	19,532	-0,433	19,791
Element 28-48 (Plate)	10576	2	3,000	-9,483	-67,611	-67,611	12,962	-20,889	-22,081	0,000	16,140	-0,519	16,240
(Micropali D168.3x8,0mm/0,4)	10575	3	3,000	-9,641	-65,259	-65,259	12,831	-19,112	-20,287	0,000	12,979	-0,727	12,980
28	10574	4	3,000	-9,798	-62,772	-62,772	12,507	-16,779	-17,826	0,000	10,139	-0,870	10,139
28	10573	5	3,000	-9,956	-60,105	-60,105	11,989	-14,014	-14,838	0,000	7,707	-0,974	7,707
Plate_1_12	10573	1	3,000	-9,956	-60,041	-60,041	11,989	-14,146	-14,986	0,000	7,707	-0,974	7,707
Element 28-49 (Plate)	9580	2	3,000	-10,077	-57,700	-57,700	11,448	-12,162	-12,815	0,013	6,122	-1,096	6,122
(Micropali D168.3x8,0mm/0,4)	9579	3	3,000	-10,197	-55,060	-55,060	10,796	-10,309	-10,773	0,048	4,768	-1,166	4,768
28	9578	4	3,000	-10,318	-52,114	-52,114	10,058	-8,601	-8,870	0,200	3,628	-1,189	3,628
28	9577	5	3,000	-10,439	-48,855	-48,855	9,219	-7,050	-7,119	0,377	2,686	-1,170	2,686
Plate_1_12	9577	1	3,000	-10,439	-48,808	-48,808	9,240	-7,065	-7,135	0,379	2,686	-1,170	2,686
Element 28-50 (Plate)	8342	2	3,000	-10,531	-45,972	-45,972	8,607	-6,027	-6,027	0,554	2,083	-1,129	2,083
(Micropali D168.3x8,0mm/0,4)	8343	3	3,000	-10,623	-42,851	-42,851	7,948	-5,128	-5,128	0,764	1,570	-1,068	1,570
28	8344	4	3,000	-10,715	-39,443	-39,443	7,265	-4,369	-4,369	0,948	1,133	-0,989	1,133
28	8341	5	3,000	-10,808	-35,748	-35,748	6,557	-3,751	-3,751	1,104	0,759	-0,894	0,759
Plate_1_12	8341	1	3,000	-10,808	-35,733	-35,733	6,555	-3,761	-3,761	1,097	0,759	-0,894	0,759
Element 28-51 (Plate)	7770	2	3,000	-10,878	-32,699	-32,699	5,993	-3,349	-3,349	1,191	0,509	-0,813	0,509
(Micropali D168.3x8,0mm/0,4)	7769	3	3,000	-10,949	-29,456	-29,456	5,411	-2,989	-2,989	1,249	0,286	-0,727	0,286
28	7768	4	3,000	-11,019	-26,003	-26,003	4,808	-2,655	-2,655	1,270	0,087	-0,638	0,087
28	7767	5	3,000	-11,090	-22,342	-22,342	4,185	-2,318	-2,318	1,254	-0,089	-0,613	0,000
Plate_1_12	7767	1	3,000	-11,090	-22,354	-22,354	4,184	-2,253	-2,253	1,269	-0,089	-0,613	0,000
Element 28-52 (Plate)	6794	2	3,000	-11,144	-19,492	-19,492	3,691	-1,891	-1,891	1,226	-0,201	-0,608	0,000
(Micropali D168.3x8,0mm/0,4)	6795	3	3,000	-11,198	-16,572	-16,572	3,182	-1,383	-1,383	1,209	-0,290	-0,593	0,000

Structural element	Node [10^]	Local number	X [m]	Y [m]	N [kN/m]	N,,x,, [kN/m]	N,,xy,, [kN/m]	Q [kN/m]	Q,,x,, [kN/m]	Q,,y,, [kN/m]	M [kN m/m]	M,,x,, [kN m/m]	M,,xy,, [kN m/m]
28	6796	4	3,000	-11,252	-13,597	-13,597	2,657	-0,696	-0,696	1,231	-0,347	-0,560	0,000
28	6793	5	3,000	-11,306	-10,571	-10,571	2,116	0,203	0,000	1,585	-0,361	-0,498	0,000
Plate_1_12	6793	1	3,000	-11,306	-10,569	-10,569	2,114	0,105	0,000	1,449	-0,361	-0,498	0,000
Element 28-53 (Plate)	5608	2	3,000	-11,347	-8,215	-8,215	1,687	1,361	0,000	2,468	-0,330	-0,419	0,000
(Micropali D168.3x8,0mm/0,4)	5609	3	3,000	-11,388	-5,828	-5,828	1,246	2,254	0,000	3,122	-0,254	-0,303	0,000
28	5610	4	3,000	-11,429	-3,478	-3,478	0,791	2,733	0,000	3,313	-0,150	-0,169	0,000
28	5607	5	3,000	-11,471	-1,234	-1,234	0,321	2,747	0,000	2,965	-0,035	-0,037	0,000
Plate_3_2	7881	1	0,000	-8,500	-69,125	-69,125	0,000	39,970	-0,006	39,970	3,604	-0,001	8,692
Element 29-54 (Plate)	6882	2	0,000	-8,544	-68,687	-68,687	0,000	36,624	-0,009	36,624	5,280	-0,001	9,124
(Micropali D168.3x10/0,27m)	6883	3	0,000	-8,588	-68,150	-68,150	0,000	33,382	-0,013	33,382	6,811	-0,001	9,489
28	6884	4	0,000	-8,631	-67,541	-67,541	0,000	30,267	-0,018	30,267	8,204	-0,002	9,988
28	6881	5	0,000	-8,675	-66,888	-66,888	0,000	27,302	-0,022	27,302	9,463	-0,003	10,787
Plate_3_2	6881	1	0,000	-8,675	-66,874	-66,874	0,000	27,221	-0,022	27,221	9,463	-0,003	10,787
Element 29-55 (Plate)	6868	2	0,000	-8,726	-65,959	-65,959	0,000	23,572	-0,041	23,572	10,753	-0,004	11,693
(Micropali D168.3x10/0,27m)	6869	3	0,000	-8,777	-64,969	-64,969	0,000	19,828	-0,329	19,828	11,855	-0,005	12,496
28	6870	4	0,000	-8,827	-63,924	-63,924	0,000	16,032	-1,147	16,032	12,766	-0,007	13,129
28	6867	5	0,000	-8,878	-62,846	-62,846	0,000	12,225	-2,326	12,225	13,483	-0,008	13,590
Plate_3_2	6867	1	0,000	-8,878	-62,885	-62,885	0,000	12,305	-2,351	12,305	13,483	-0,008	13,590
Element 29-56 (Plate)	5682	2	0,000	-8,937	-61,824	-61,824	0,000	8,271	-3,555	8,271	14,086	-0,009	14,086
(Micropali D168.3x10/0,27m)	5683	3	0,000	-8,996	-61,026	-61,026	0,000	4,800	-4,596	4,800	14,468	-0,010	14,468
28	5684	4	0,000	-9,055	-60,475	-60,475	0,000	1,872	-5,429	1,872	14,662	-0,010	14,662
28	5681	5	0,000	-9,114	-60,156	-60,156	0,000	-0,530	-6,059	0,000	14,699	-0,011	14,699
Plate_3_2	5681	1	0,000	-9,114	-60,118	-60,118	0,000	-0,592	-6,082	0,000	14,699	-0,011	14,699
Element 29-57 (Plate)	5668	2	0,000	-9,182	-59,928	-59,928	0,000	-2,887	-6,618	0,000	14,578	-0,011	14,578
(Micropali D168.3x10/0,27m)	5669	3	0,000	-9,250	-59,832	-59,832	0,000	-4,791	-6,996	0,000	14,313	-0,012	14,313
28	5670	4	0,000	-9,319	-59,818	-59,818	0,000	-6,321	-7,224	0,000	13,931	-0,012	13,931
28	5667	5	0,000	-9,387	-59,875	-59,875	0,000	-7,492	-8,025	0,000	13,458	-0,012	13,458
Plate_3_2	5667	1	0,000	-9,387	-59,857	-59,857	0,000	-7,535	-8,061	0,000	13,458	-0,012	13,458
Element 29-58 (Plate)	5642	2	0,000	-9,466	-59,938	-59,938	0,000	-8,569	-8,794	0,000	12,818	-0,012	12,818
(Micropali D168.3x10/0,27m)	5643	3	0,000	-9,546	-60,027	-60,027	0,000	-9,345	-9,349	0,000	12,106	-0,012	12,106
28	5644	4	0,000	-9,625	-60,130	-60,130	0,000	-9,873	-9,873	0,000	11,343	-0,013	11,343
28	5641	5	0,000	-9,704	-60,251	-60,251	0,001	-10,165	-10,165	0,000	10,547	-0,013	10,547
Plate_3_2	5641	1	0,000	-9,704	-60,246	-60,246	0,001	-10,194	-10,194	0,000	10,547	-0,013	10,547
Element 29-59 (Plate)	5544	2	0,000	-9,796	-60,418	-60,418	0,003	-10,326	-10,326	0,000	9,603	-0,014	9,603
(Micropali D168.3x10/0,27m)	5545	3	0,000	-9,888	-60,583	-60,583	0,005	-10,288	-10,288	0,000	8,653	-0,015	8,653
28	5546	4	0,000	-9,980	-60,734	-60,734	0,007	-10,090	-10,090	0,000	7,715	-0,017	7,715
28	5543	5	0,000	-10,072	-60,864	-60,864	0,008	-9,738	-9,738	0,000	6,802	-0,019	6,802
Plate_3_2	5543	1	0,000	-10,072	-60,884	-60,884	0,008	-9,758	-9,758	0,000	6,802	-0,019	6,802
Element 29-60 (Plate)	4597	2	0,000	-10,179	-61,161	-61,161	0,011	-9,214	-9,214	0,000	5,790	-0,022	5,790
(Micropali D168.3x10/0,27m)	4598	3	0,000	-10,285	-61,481	-61,481	0,013	-8,584	-8,584	0,000	4,840	-0,025	4,840
28	4599	4	0,000	-10,392	-61,840	-61,840	0,015	-7,878	-7,878	0,000	3,961	-0,029	3,961
28	4596	5	0,000	-10,499	-62,235	-62,235	0,017	-7,103	-7,103	0,000	3,162	-0,034	3,162
Plate_3_2	4596	1	0,000	-10,499	-62,227	-62,227	0,017	-7,117	-7,117	0,000	3,162	-0,034	3,162
Element 29-61 (Plate)	4561	2	0,000	-10,622	-62,702	-62,702	0,020	-6,185	-6,185	0,000	2,339	-0,040	2,339
(Micropali D168.3x10/0,27m)	4562	3	0,000	-10,746	-63,183	-63,183	0,023	-5,240	-5,240	0,000	1,631	-0,047	1,631
28	4563	4	0,000	-10,870	-63,668	-63,668	0,026	-4,286	-4,286	0,000	1,042	-0,058	1,042
28	4560	5	0,000	-10,994	-64,156	-64,156	0,028	-3,327	-3,327	0,000	0,571	-0,191	0,571
Plate_3_2	4560	1	0,000	-10,994	-64,152	-64,152	0,029	-3,335	-3,335	0,000	0,571	-0,191	0,571
Element 29-62 (Plate)	4345	2	0,000	-11,137	-64,711	-64,711	0,032	-2,238	-2,238	0,000	0,171	-0,366	0,171
(Micropali D168.3x10/0,27m)	4346	3	0,000	-11,281	-65,252	-65,252	0,035	-1,174	-1,174	0,000	-0,073	-0,461	0,000
28	4347	4	0,000	-11,424	-65,774	-65,774	0,040	-0,148	-0,148	0,166	-0,168	-0,477	0,000
28	4344	5	0,000	-11,568	-66,277	-66,277	0,045	0,839	0,000	0,966	-0,118	-0,418	0,000
Plate_3_2	4344	1	0,000	-11,568	-66,242	-66,242	0,073	0,772	-0,018	0,908	-0,118	-0,418	0,000

Structural element	Node [10^3]	Local number	X [m]	Y [m]	N [kN/m]	N,max [kN/m]	N,min [kN/m]	Q [kN/m]	Q,max [kN/m]	Q,min [kN/m]	M [kN m/m]	M,max [kN m/m]	M,min [kN m/m]
Element 29-63 (Plate)	3619	2	0,000	-11,734	-66,825	-66,825	0,007	1,917	0,000	1,917	0,110	-0,276	0,110
(Micropali D168.3x10/0,27m)	3620	3	0,000	-11,901	-67,227	-67,227	0,000	2,708	0,000	2,708	0,502	-0,075	0,502
"	3621	4	0,000	-12,067	-67,413	-67,413	0,000	3,074	0,000	3,074	0,989	-0,018	0,989
"	3618	5	0,000	-12,234	-67,348	-67,348	0,000	2,946	0,000	2,946	1,498	0,000	1,498
Plate_1_13	5607	1	3,000	-11,471	-1,325	-1,325	0,321	2,324	0,000	2,540	-0,035	-0,037	0,000
Element 30-64 (Plate)	4612	2	3,000	-11,478	-0,966	-0,984	0,235	1,808	0,000	1,920	-0,020	-0,021	0,000
(Micropali D168.3x8,0mm/0,4)	4611	3	3,000	-11,485	-0,622	-0,647	0,149	1,217	0,000	1,269	-0,009	-0,009	0,000
"	4610	4	3,000	-11,493	-0,291	-0,307	0,062	0,582	0,000	0,603	-0,002	-0,002	0,000
"	4609	5	3,000	-11,500	0,026	-0,024	0,029	-0,065	-0,065	0,000	0,000	0,000	0,000
Plate_3_3	3618	1	0,000	-12,234	-67,298	-67,298	0,000	2,848	0,000	2,848	1,498	0,000	1,498
Element 31-65 (Plate)	2977	2	0,000	-12,406	-66,668	-66,668	0,000	1,615	0,000	1,615	1,878	0,000	1,878
(Micropali D168.3x10/0,27m)	2978	3	0,000	-12,579	-66,178	-66,178	0,000	0,653	0,000	0,653	2,070	0,000	2,070
"	2979	4	0,000	-12,751	-65,823	-65,823	0,000	-0,043	-0,066	0,000	2,119	0,000	2,119
"	2976	5	0,000	-12,924	-65,600	-65,600	0,000	-0,478	-0,478	0,000	2,070	0,000	2,070
Plate_3_3	2976	1	0,000	-12,924	-65,581	-65,581	0,000	-0,515	-0,515	0,000	2,070	0,000	2,070
Element 31-66 (Plate)	2613	2	0,000	-13,106	-65,429	-65,429	0,000	-0,814	-0,814	0,000	1,948	0,000	1,948
(Micropali D168.3x10/0,27m)	2612	3	0,000	-13,288	-65,332	-65,332	0,000	-1,003	-1,003	0,000	1,781	0,000	1,781
"	2611	4	0,000	-13,470	-65,286	-65,286	0,000	-1,090	-1,090	0,000	1,588	0,000	1,588
"	2610	5	0,000	-13,653	-65,289	-65,289	0,000	-1,084	-1,084	0,000	1,389	0,000	1,389
Plate_3_3	2610	1	0,000	-13,653	-65,195	-65,195	0,000	-1,106	-1,106	0,000	1,389	0,000	1,389
Element 31-67 (Plate)	1951	2	0,000	-13,845	-65,301	-65,301	0,000	-1,026	-1,026	0,000	1,183	0,000	1,183
(Micropali D168.3x10/0,27m)	1952	3	0,000	-14,037	-65,023	-65,023	0,000	-0,910	-0,910	0,000	0,997	0,000	0,997
"	1953	4	0,000	-14,230	-64,366	-64,366	0,000	-0,766	-0,766	0,000	0,835	0,000	0,835
"	1950	5	0,000	-14,422	-63,341	-63,341	0,000	-0,598	-0,598	0,000	0,703	0,000	0,703
Plate_3_3	1950	1	0,000	-14,422	-63,342	-63,342	0,000	-0,607	-0,607	0,000	0,703	0,000	0,703
Element 31-68 (Plate)	1613	2	0,000	-14,625	-61,883	-61,883	0,000	-0,445	-0,445	0,000	0,597	0,000	0,597
(Micropali D168.3x10/0,27m)	1614	3	0,000	-14,829	-60,029	-60,029	0,000	-0,299	-0,300	0,000	0,522	0,000	0,522
"	1615	4	0,000	-15,032	-57,782	-57,782	0,000	-0,172	-0,217	0,000	0,474	0,000	0,474
"	1612	5	0,000	-15,235	-55,145	-55,145	0,000	-0,065	-0,169	0,000	0,450	-0,001	0,450
Plate_3_3	1612	1	0,000	-15,235	-55,120	-55,120	0,000	-0,075	-0,168	0,000	0,450	-0,001	0,450
Element 31-69 (Plate)	1081	2	0,000	-15,450	-51,905	-51,905	0,000	0,011	-0,138	0,011	0,445	-0,001	0,445
(Micropali D168.3x10/0,27m)	1082	3	0,000	-15,664	-48,143	-48,143	0,000	0,017	-0,113	0,017	0,449	-0,001	0,449
"	1083	4	0,000	-15,879	-43,828	-43,828	0,000	-0,055	-0,093	0,001	0,447	-0,001	0,447
"	1080	5	0,000	-16,093	-38,951	-38,951	0,000	-0,200	-0,200	0,002	0,420	-0,001	0,420
Plate_3_3	1080	1	0,000	-16,093	-38,831	-38,831	0,000	-0,148	-0,148	0,004	0,420	-0,001	0,420
Element 31-70 (Plate)	669	2	0,000	-16,320	-30,066	-30,066	0,000	-0,393	-0,393	0,002	0,361	0,000	0,361
(Micropali D168.3x10/0,27m)	668	3	0,000	-16,547	-20,724	-20,724	0,000	-0,590	-0,590	0,001	0,244	0,000	0,244
"	667	4	0,000	-16,773	-10,764	-10,764	0,000	-0,598	-0,598	0,000	0,108	0,000	0,108
"	666	5	0,000	-17,000	-0,141	-0,141	0,000	-0,276	-0,276	0,000	0,000	0,000	0,000

3.1.2.4.20 Calculation results, Plate, Riempimento 4 (MG) [Phase_15] (15/984), Table of plate force envelopes

Structural element	Node [10^3]	Local number	X [m]	Y [m]	N [kN/m]	N,x [kN/m]	N,y [kN/m]	Q [kN/m]	Q,x [kN/m]	Q,y [kN/m]	M [kN m/m]	M,x [kN m/m]	M,y [kN m/m]
Plate_2_1	17871	1	0,000	0,000	0,000	0,000	0,000	0,000	0,000	0,000	0,000	0,000	0,000
Element 1-1 (Plate)	17868	2	0,000	-0,021	0,000	0,000	0,000	0,000	0,000	0,000	0,000	0,000	0,000
(Parete c.a.C32/40 sp.0.50m)	17867	3	0,000	-0,043	0,000	0,000	0,000	0,000	0,000	0,000	0,000	0,000	0,000
28	17866	4	0,000	-0,064	0,000	0,000	0,000	0,000	0,000	0,000	0,000	0,000	0,000
28	17869	5	0,000	-0,086	0,000	0,000	0,000	0,000	0,000	0,000	0,000	0,000	0,000
Plate_2_1	17869	1	0,000	-0,086	0,000	0,000	0,000	0,000	0,000	0,000	0,000	0,000	0,000
Element 1-2 (Plate)	17860	2	0,000	-0,113	0,000	0,000	0,000	0,000	0,000	0,000	0,000	0,000	0,000
(Parete c.a.C32/40 sp.0.50m)	17859	3	0,000	-0,140	0,000	0,000	0,000	0,000	0,000	0,000	0,000	0,000	0,000
28	17858	4	0,000	-0,166	0,000	0,000	0,000	0,000	0,000	0,000	0,000	0,000	0,000
28	17857	5	0,000	-0,193	0,000	0,000	0,000	0,000	0,000	0,000	0,000	0,000	0,000
Plate_2_1	17857	1	0,000	-0,193	0,000	0,000	0,000	0,000	0,000	0,000	0,000	0,000	0,000
Element 1-3 (Plate)	17837	2	0,000	-0,227	0,000	0,000	0,000	0,000	0,000	0,000	0,000	0,000	0,000
(Parete c.a.C32/40 sp.0.50m)	17836	3	0,000	-0,261	0,000	0,000	0,000	0,000	0,000	0,000	0,000	0,000	0,000
28	17835	4	0,000	-0,295	0,000	0,000	0,000	0,000	0,000	0,000	0,000	0,000	0,000
28	17834	5	0,000	-0,329	0,000	0,000	0,000	0,000	0,000	0,000	0,000	0,000	0,000
Plate_2_1	17834	1	0,000	-0,329	0,000	0,000	0,000	0,000	0,000	0,000	0,000	0,000	0,000
Element 1-4 (Plate)	17759	2	0,000	-0,372	0,000	0,000	0,000	0,000	0,000	0,000	0,000	0,000	0,000
(Parete c.a.C32/40 sp.0.50m)	17758	3	0,000	-0,415	0,000	0,000	0,000	0,000	0,000	0,000	0,000	0,000	0,000
28	17757	4	0,000	-0,457	0,000	0,000	0,000	0,000	0,000	0,000	0,000	0,000	0,000
28	17753	5	0,000	-0,500	0,000	0,000	0,000	0,000	0,000	0,000	0,000	0,000	0,000
Plate_4_1	16475	1	3,000	-0,126	-0,190	-0,190	0,043	-0,038	-0,084	0,289	0,000	0,000	0,000
Element 2-5 (Plate)	16474	2	3,000	-0,282	0,239	-0,174	0,239	0,243	-0,129	0,340	0,021	0,000	0,022
(Micropali D168.3x8,0mm/0,4)	16473	3	3,000	-0,438	0,319	-0,605	0,319	0,756	0,000	1,191	0,083	0,000	0,130
28	16472	4	3,000	-0,594	-0,037	-1,370	0,000	2,078	0,000	2,698	0,299	0,000	0,409
28	16471	5	3,000	-0,750	-0,914	-2,470	0,000	4,781	0,000	5,099	0,808	0,000	0,979
Plate_2_2	17753	1	0,000	-0,500	0,000	0,000	0,000	0,000	0,000	0,000	0,000	0,000	0,000
Element 3-6 (Plate)	17677	2	0,000	-0,563	0,000	0,000	0,000	0,000	0,000	0,000	0,000	0,000	0,000
(Parete c.a.C32/40 sp.0.50m)	17676	3	0,000	-0,625	0,000	0,000	0,000	0,000	0,000	0,000	0,000	0,000	0,000
28	17675	4	0,000	-0,688	0,000	0,000	0,000	0,000	0,000	0,000	0,000	0,000	0,000
28	17671	5	0,000	-0,750	0,000	0,000	0,000	0,000	0,000	0,000	0,000	0,000	0,000
Plate_2_3	17671	1	0,000	-0,750	0,004	-0,001	0,004	-0,010	-0,010	0,003	0,000	0,000	0,000
Element 4-7 (Plate)	17599	2	0,000	-0,798	-0,008	-0,008	0,000	0,021	-0,001	0,021	0,000	0,000	0,000
(Parete c.a.C32/40 sp.0.50m)	17598	3	0,000	-0,846	-0,020	-0,020	0,000	0,050	-0,001	0,050	0,002	0,000	0,002
28	17597	4	0,000	-0,894	-0,029	-0,029	0,000	0,072	0,000	0,072	0,005	0,000	0,005
28	17593	5	0,000	-0,942	-0,033	-0,033	0,000	0,080	0,000	0,080	0,009	0,000	0,009
Plate_2_3	17593	1	0,000	-0,942	-0,038	-0,038	0,000	0,093	0,000	0,093	0,009	0,000	0,009
Element 4-8 (Plate)	17468	2	0,000	-1,007	-0,050	-0,050	0,000	0,123	0,000	0,123	0,015	0,000	0,015
(Parete c.a.C32/40 sp.0.50m)	17467	3	0,000	-1,071	-0,077	-0,077	0,000	0,192	0,000	0,192	0,025	0,000	0,025
28	17466	4	0,000	-1,136	-0,119	-0,119	0,000	0,300	0,000	0,300	0,041	0,000	0,041
28	17465	5	0,000	-1,200	-0,176	-0,176	0,000	0,445	0,000	0,445	0,065	0,000	0,065
Plate_1_1	16471	1	3,000	-0,750	-1,079	-2,638	0,000	5,138	0,000	5,391	0,808	0,000	0,979
Element 5-9 (Plate)	16455	2	3,000	-0,948	-2,483	-3,969	0,000	8,776	0,000	9,523	2,187	0,000	2,350
(Micropali D168.3x8,0mm/0,4)	16454	3	3,000	-1,146	-4,170	-5,866	0,000	12,634	0,000	14,078	4,293	0,000	4,670
28	16453	4	3,000	-1,344	-6,095	-7,916	0,000	17,053	0,000	19,377	7,226	0,000	7,972
28	16595	5	3,000	-1,542	-8,209	-10,201	0,000	22,371	-0,116	25,747	11,106	0,000	12,414
Plate_1_1	16595	1	3,000	-1,542	-8,211	-10,267	0,000	21,971	0,000	25,315	11,106	0,000	12,414

Structural element	Node [10^]	Local number	X [m]	Y [m]	N [kN/m]	N,,-,,, [kN/m]	N,,+,,, [kN/m]	Q [kN/m]	Q,,-,,, [kN/m]	Q,,+,,, [kN/m]	M [kN m/m]	M,,-,,, [kN m/m]	M,,+,,, [kN m/m]
Element 5-10 (Plate)	16594	2	3,000	-1,581	-8,624	-10,743	0,000	22,920	0,000	26,480	11,993	0,000	13,438
(Micropali D168.3x8,0mm/0,4)	16593	3	3,000	-1,621	-9,116	-11,286	0,000	23,986	-0,017	27,760	12,922	0,000	14,512
"	16592	4	3,000	-1,660	-9,634	-11,843	0,000	25,084	-0,035	29,071	13,893	0,000	15,637
"	16615	5	3,000	-1,700	-10,124	-12,361	0,000	26,129	-0,022	30,327	14,907	0,000	16,812
Plate_2_4	17465	1	0,000	-1,200	-1,905	-1,905	0,000	-9,972	-9,972	0,000	0,065	0,000	0,065
Element 6-11 (Plate)	17390	2	0,000	-1,261	-1,970	-1,970	0,000	-9,801	-9,801	0,000	-0,536	-0,536	0,000
(Parete c.a.C32/40 sp.0.50m)	17389	3	0,000	-1,322	-2,026	-2,026	0,000	-9,655	-9,655	0,000	-1,127	-1,127	0,000
"	17388	4	0,000	-1,382	-2,076	-2,076	0,000	-9,528	-9,528	0,000	-1,711	-1,711	0,000
"	17387	5	0,000	-1,443	-2,120	-2,120	0,000	-9,415	-9,415	0,000	-2,286	-2,286	0,000
Plate_2_4	17387	1	0,000	-1,443	-2,122	-2,122	0,000	-9,411	-9,411	0,000	-2,286	-2,286	0,000
Element 6-12 (Plate)	17259	2	0,000	-1,535	-2,220	-2,220	0,000	-9,159	-9,159	0,000	-3,138	-3,138	0,000
(Parete c.a.C32/40 sp.0.50m)	17258	3	0,000	-1,627	-2,336	-2,336	0,000	-8,862	-8,862	0,000	-3,965	-3,965	0,000
"	17257	4	0,000	-1,718	-2,469	-2,469	0,000	-8,521	-8,521	0,000	-4,762	-4,762	0,000
"	17256	5	0,000	-1,810	-2,618	-2,618	0,000	-8,140	-8,140	0,000	-5,526	-5,526	0,000
Plate_1_2	16615	1	3,000	-1,700	-19,497	-22,116	0,000	-28,583	-34,334	5,890	14,907	0,000	16,812
Element 7-13 (Plate)	16614	2	3,000	-1,728	-19,801	-22,439	0,000	-27,893	-33,555	6,153	14,108	0,000	15,865
(Micropali D168.3x8,0mm/0,4)	16613	3	3,000	-1,757	-20,136	-22,795	0,000	-27,172	-32,753	6,453	13,329	0,000	14,941
"	16612	4	3,000	-1,785	-20,482	-23,165	0,000	-26,429	-31,937	6,788	12,570	0,000	14,042
"	16611	5	3,000	-1,813	-20,819	-23,528	0,000	-25,673	-31,116	7,160	11,833	0,000	13,168
Plate_1_3	16611	1	3,000	-1,813	-20,824	-23,545	0,000	-25,641	-31,104	7,046	11,833	0,000	13,168
Element 8-14 (Plate)	16499	2	3,000	-1,847	-21,180	-23,936	0,000	-24,885	-30,280	7,347	10,973	0,000	12,147
(Micropali D168.3x8,0mm/0,4)	16498	3	3,000	-1,881	-21,515	-24,312	0,000	-24,140	-29,483	7,519	10,138	0,000	11,157
"	16497	4	3,000	-1,915	-21,817	-24,663	0,000	-23,428	-28,737	7,553	9,328	0,000	10,195
"	16496	5	3,000	-1,949	-22,073	-24,976	0,000	-22,774	-28,068	7,438	8,541	0,000	9,260
Plate_1_3	16496	1	3,000	-1,949	-22,047	-24,976	0,000	-22,723	-28,068	7,452	8,541	0,000	9,260
Element 8-15 (Plate)	16287	2	3,000	-1,983	-22,307	-25,244	0,000	-22,245	-27,486	7,221	7,776	0,000	8,349
(Micropali D168.3x8,0mm/0,4)	16286	3	3,000	-2,018	-22,545	-25,475	0,000	-21,861	-26,975	6,850	7,025	0,000	7,459
"	16285	4	3,000	-2,052	-22,792	-25,657	0,000	-21,674	-26,557	6,349	6,284	0,000	6,587
"	16284	5	3,000	-2,086	-23,074	-25,777	0,000	-21,789	-26,258	5,730	5,545	0,000	5,731
Plate_1_4	16284	1	3,000	-2,086	-23,053	-25,774	0,000	-21,756	-26,260	5,745	5,545	0,000	5,731
Element 9-16 (Plate)	16241	2	3,000	-2,088	-23,140	-25,771	0,000	-21,931	-26,261	5,682	5,488	0,000	5,666
(Micropali D168.3x8,0mm/0,4)	16240	3	3,000	-2,091	-23,179	-25,777	0,000	-21,988	-26,245	5,608	5,430	0,000	5,629
"	16239	4	3,000	-2,094	-23,178	-25,783	0,000	-21,975	-26,228	5,529	5,373	0,000	5,643
"	16238	5	3,000	-2,096	-23,147	-25,782	0,000	-21,942	-26,223	5,451	5,315	0,000	5,658
Plate_2_5	17256	1	0,000	-1,810	-2,609	-2,609	0,004	-8,163	-8,163	0,007	-5,526	-5,526	0,000
Element 10-17 (Plate)	17223	2	0,000	-1,882	-2,736	-2,736	0,000	-7,836	-7,836	0,018	-6,106	-6,106	0,000
(Parete c.a.C32/40 sp.0.50m)	17222	3	0,000	-1,955	-2,877	-2,877	0,001	-7,475	-7,475	0,039	-6,661	-6,661	0,002
"	17221	4	0,000	-2,027	-3,038	-3,038	0,001	-7,063	-7,063	0,097	-7,189	-7,189	0,007
"	17220	5	0,000	-2,100	-3,224	-3,224	0,002	-6,587	-6,587	0,202	-7,684	-7,684	0,017
Plate_2_5	17220	1	0,000	-2,100	-3,226	-3,226	0,002	-6,581	-6,581	0,211	-7,684	-7,684	0,017
Element 10-18 (Plate)	17043	2	0,000	-2,200	-3,469	-3,469	0,001	-5,961	-5,961	0,277	-8,312	-8,312	0,041
(Parete c.a.C32/40 sp.0.50m)	17042	3	0,000	-2,300	-3,753	-3,753	0,000	-5,232	-5,232	0,471	-8,872	-8,872	0,076
"	17041	4	0,000	-2,400	-4,076	-4,076	0,000	-4,407	-4,407	0,707	-9,355	-9,355	0,132
"	17040	5	0,000	-2,500	-4,432	-4,432	0,000	-3,494	-3,494	1,019	-9,751	-9,751	0,217
Plate_1_5	16238	1	3,000	-2,096	-23,164	-25,783	0,000	-21,960	-26,223	5,501	5,315	0,000	5,658
Element 11-19 (Plate)	16221	2	3,000	-2,140	-23,204	-25,783	0,000	-22,039	-26,223	4,337	4,361	0,000	5,871
(Micropali D168.3x8,0mm/0,4)	16220	3	3,000	-2,183	-23,264	-25,784	0,000	-22,156	-26,223	3,259	3,401	0,000	6,035
"	16219	4	3,000	-2,226	-23,344	-25,784	0,000	-22,314	-26,223	2,249	2,436	0,000	6,155
"	16218	5	3,000	-2,270	-23,448	-25,784	0,000	-22,517	-26,223	1,291	1,463	-0,286	6,231
Plate_1_5	16218	1	3,000	-2,270	-23,173	-25,572	0,000	-22,777	-26,602	1,335	1,463	-0,286	6,231
Element 11-20 (Plate)	15915	2	3,000	-2,344	-24,113	-26,535	0,000	-20,839	-24,578	0,000	-0,155	-2,069	6,267
(Micropali D168.3x8,0mm/0,4)	15914	3	3,000	-2,418	-25,029	-27,452	0,087	-19,060	-22,663	0,000	-1,634	-3,732	6,190
"	15913	4	3,000	-2,492	-25,846	-28,256	0,459	-17,544	-20,986	0,000	-2,992	-5,292	6,021

Structural element	Node [10^3]	Local number	X [m]	Y [m]	N [kN/m]	N,max [kN/m]	N,min [kN/m]	Q [kN/m]	Q,max [kN/m]	Q,min [kN/m]	M [kN m/m]	M,max [kN m/m]	M,min [kN m/m]
昭	15912	5	3,000	-2,567	-26,487	-28,881	0,618	-16,395	-19,673	0,000	-4,248	-6,754	5,779
Plate_1_5	15912	1	3,000	-2,567	-26,410	-28,802	0,682	-16,549	-19,825	0,000	-4,248	-6,754	5,779
Element 11-21 (Plate)	15631	2	3,000	-2,694	-27,139	-29,498	1,061	-15,315	-18,326	0,000	-6,268	-9,114	5,248
(Micropali D168.3x8,0mm/0,4)	15630	3	3,000	-2,821	-27,821	-30,127	1,399	-14,245	-16,974	0,000	-8,143	-11,311	4,635
昭	15629	4	3,000	-2,948	-28,460	-30,697	1,695	-13,326	-15,755	0,000	-9,892	-13,369	3,992
昭	15628	5	3,000	-3,074	-29,058	-31,212	1,952	-12,544	-14,656	0,000	-11,532	-15,298	3,367
Plate_1_5	15628	1	3,000	-3,074	-28,983	-31,154	1,954	-12,649	-14,818	0,000	-11,532	-15,298	3,367
Element 11-22 (Plate)	15607	2	3,000	-3,292	-30,061	-32,144	2,318	-11,018	-13,429	0,450	-14,081	-18,264	2,392
(Micropali D168.3x8,0mm/0,4)	15606	3	3,000	-3,509	-31,082	-32,983	2,599	-10,011	-12,213	2,725	-16,365	-20,840	1,587
昭	15605	4	3,000	-3,726	-32,297	-33,910	2,787	-9,211	-10,735	5,921	-18,443	-23,008	1,372
昭	15604	5	3,000	-3,943	-33,955	-35,164	2,872	-8,203	-8,560	10,502	-20,344	-24,717	2,875
Plate_2_6	17040	1	0,000	-2,500	-4,423	-4,423	0,000	-3,516	-3,516	0,999	-9,751	-9,751	0,217
Element 12-23 (Plate)	17003	2	0,000	-2,615	-4,839	-4,839	0,000	-2,452	-2,452	1,375	-10,097	-10,097	0,353
(Parete c.a.C32/40 sp.0.50m)	17002	3	0,000	-2,731	-5,291	-5,291	0,000	-1,294	-1,294	1,848	-10,313	-10,313	0,538
昭	17001	4	0,000	-2,846	-5,768	-5,768	0,000	-0,072	-0,072	2,391	-10,393	-10,393	0,782
昭	17000	5	0,000	-2,962	-6,260	-6,260	0,000	1,186	0,000	2,977	-10,329	-10,329	1,092
Plate_2_6	17000	1	0,000	-2,962	-6,263	-6,263	0,000	1,195	0,000	2,990	-10,329	-10,329	1,092
Element 12-24 (Plate)	16689	2	0,000	-3,082	-6,689	-6,689	0,000	2,285	0,000	3,399	-10,120	-10,120	1,475
(Parete c.a.C32/40 sp.0.50m)	16688	3	0,000	-3,202	-7,145	-7,145	0,000	3,452	0,000	3,919	-9,777	-9,777	1,913
昭	16687	4	0,000	-3,322	-7,639	-7,639	0,000	4,719	0,000	4,888	-9,286	-9,286	2,420
昭	16686	5	0,000	-3,442	-8,181	-8,181	0,000	6,105	0,000	6,221	-8,638	-8,638	3,012
Plate_2_6	16686	1	0,000	-3,442	-8,193	-8,193	0,000	6,137	0,000	6,253	-8,638	-8,638	3,012
Element 12-25 (Plate)	16542	2	0,000	-3,567	-8,754	-8,754	0,000	7,572	0,000	7,677	-7,783	-7,783	3,733
(Parete c.a.C32/40 sp.0.50m)	16541	3	0,000	-3,693	-9,373	-9,373	0,000	9,157	0,000	9,249	-6,737	-6,737	4,574
昭	16540	4	0,000	-3,818	-10,037	-10,037	0,000	10,857	0,000	10,936	-5,487	-5,487	5,553
昭	16536	5	0,000	-3,943	-10,733	-10,733	0,000	12,640	0,000	12,707	-4,018	-4,018	6,688
Plate_2_7	16536	1	0,000	-3,943	-10,712	-10,712	0,004	12,586	-0,006	12,652	-4,018	-4,018	6,688
Element 13-26 (Plate)	16129	2	0,000	-4,055	-11,290	-11,290	0,000	14,065	0,000	14,119	-2,520	-2,520	7,836
(Parete c.a.C32/40 sp.0.50m)	16128	3	0,000	-4,167	-11,848	-11,848	0,000	15,494	0,000	15,537	-0,858	-0,858	9,102
昭	16127	4	0,000	-4,280	-12,390	-12,390	0,000	16,881	0,000	16,912	0,962	0,000	10,483
昭	16126	5	0,000	-4,392	-12,918	-12,918	0,000	18,233	0,000	18,252	2,935	0,000	11,974
Plate_2_8	16126	1	0,000	-4,392	-12,926	-12,926	0,000	18,253	0,000	18,272	2,935	0,000	11,974
Element 14-27 (Plate)	15925	2	0,000	-4,594	-13,988	-13,988	0,000	20,971	0,000	20,971	6,882	0,000	14,924
(Parete c.a.C32/40 sp.0.50m)	15924	3	0,000	-4,796	-15,257	-15,257	0,000	24,222	0,000	24,222	11,443	0,000	18,283
昭	15923	4	0,000	-4,998	-16,655	-16,655	0,000	27,806	0,000	27,806	16,690	0,000	22,121
昭	15922	5	0,000	-5,200	-18,104	-18,104	0,000	31,524	0,000	31,524	22,680	0,000	26,498
Plate_1_6	15604	1	3,000	-3,943	-33,733	-34,975	2,922	-8,554	-8,959	9,422	-20,344	-24,717	2,875
Element 15-28 (Plate)	15495	2	3,000	-4,180	-35,937	-36,911	2,958	-6,376	-6,445	5,328	-22,065	-25,880	4,155
(Micropali D168.3x8,0mm/0,4)	15494	3	3,000	-4,418	-38,267	-38,731	3,002	-5,433	-5,433	3,000	-23,493	-26,265	4,661
昭	15493	4	3,000	-4,656	-41,081	-41,233	3,023	-4,296	-4,296	5,256	-24,633	-25,783	4,837
昭	15515	5	3,000	-4,894	-44,738	-44,887	5,094	-1,541	-1,757	11,711	-25,388	-25,491	4,949
Plate_1_6	15515	1	3,000	-4,894	-44,561	-44,715	4,592	-1,754	-1,910	11,422	-25,388	-25,491	4,949
Element 15-29 (Plate)	15514	2	3,000	-5,095	-47,608	-47,765	7,199	-0,367	-2,225	16,713	-25,565	-25,565	4,874
(Micropali D168.3x8,0mm/0,4)	15513	3	3,000	-5,297	-50,167	-50,329	8,839	-0,231	-2,391	21,111	-25,631	-25,631	4,620
昭	15512	4	3,000	-5,498	-52,996	-53,165	9,858	-0,421	-2,410	25,780	-25,680	-25,680	4,345
昭	15511	5	3,000	-5,700	-56,857	-57,031	10,602	-0,008	-2,567	31,888	-25,749	-25,749	4,347
Plate_2_9	15922	1	0,000	-5,200	-30,879	-30,879	0,000	-44,807	-44,807	0,000	22,680	0,000	26,498
Element 16-30 (Plate)	15715	2	0,000	-5,366	-32,159	-32,159	0,000	-41,523	-41,523	0,000	15,527	-1,437	20,161
(Parete c.a.C32/40 sp.0.50m)	15714	3	0,000	-5,531	-33,491	-33,491	0,000	-38,105	-38,122	0,000	8,927	-4,001	14,261
昭	15713	4	0,000	-5,697	-34,881	-34,881	0,000	-34,544	-34,583	0,000	2,905	-6,355	8,835
昭	15712	5	0,000	-5,863	-36,332	-36,332	0,000	-30,827	-30,885	0,000	-2,512	-8,467	3,925
Plate_2_9	15712	1	0,000	-5,863	-36,315	-36,315	0,000	-30,871	-30,928	0,000	-2,512	-8,467	3,925
Element 16-31 (Plate)	15279	2	0,000	-5,947	-37,055	-37,055	0,000	-28,976	-29,041	0,000	-5,035	-9,441	1,630

Structural element	Node [10^0]	Local number	X [m]	Y [m]	N [kN/m]	N,x [kN/m]	N,y [kN/m]	Q [kN/m]	Q,x [kN/m]	Q,y [kN/m]	M [kN m/m]	M,x [kN m/m]	M,y [kN m/m]
(Parete c.a.C32/40 sp.0.50m)	15278	3	0,000	-6,031	-37,803	-37,803	0,000	-27,061	-27,132	0,000	-7,397	-10,343	0,000
"	15277	4	0,000	-6,116	-38,558	-38,558	0,000	-25,127	-25,204	0,000	-9,598	-11,168	0,000
"	15276	5	0,000	-6,200	-39,320	-39,320	0,000	-23,177	-23,259	0,000	-11,633	-11,912	0,000
Plate_1_7	15511	1	3,000	-5,700	-54,468	-63,045	10,519	19,858	-17,860	24,465	-25,749	-25,749	4,347
Element 17-32 (Plate)	15227	2	3,000	-5,825	-58,237	-65,837	10,862	21,468	-12,233	29,399	-23,168	-23,168	4,273
(Micropali D168.3x8,0mm/0,4)	15228	3	3,000	-5,950	-61,884	-68,410	11,209	22,769	-7,187	34,231	-20,392	-20,392	5,350
"	15229	4	3,000	-6,075	-65,182	-70,547	11,545	23,349	-2,996	38,670	-17,505	-17,505	8,280
"	15226	5	3,000	-6,200	-67,903	-72,033	11,859	22,795	-2,063	42,407	-14,605	-14,605	11,701
Plate_2_10	15276	1	0,000	-6,200	-39,292	-39,292	0,003	-23,250	-23,332	0,003	-11,633	-11,912	0,000
Element 18-33 (Plate)	15111	2	0,000	-6,275	-39,971	-39,971	0,000	-21,512	-21,598	0,020	-13,312	-13,312	0,001
(Parete c.a.C32/40 sp.0.50m)	15110	3	0,000	-6,350	-40,647	-40,647	0,000	-19,780	-19,869	0,059	-14,860	-14,860	0,003
"	15109	4	0,000	-6,425	-41,319	-41,319	0,000	-18,059	-18,153	0,113	-16,280	-16,280	0,010
"	15108	5	0,000	-6,500	-41,984	-41,984	0,000	-16,358	-16,456	0,171	-17,570	-17,570	0,020
Plate_1_8	15226	1	3,000	-6,200	-67,717	-71,871	11,857	22,492	-2,075	42,207	-14,605	-14,605	11,701
Element 19-34 (Plate)	15055	2	3,000	-6,275	-69,424	-72,839	12,040	22,289	-1,952	40,863	-12,927	-12,927	14,032
(Micropali D168.3x8,0mm/0,4)	15054	3	3,000	-6,350	-71,155	-73,852	12,214	22,248	-1,841	38,711	-11,258	-11,258	16,324
"	15053	4	3,000	-6,425	-72,910	-74,917	12,379	22,395	-1,746	36,000	-9,584	-9,585	18,631
"	15052	5	3,000	-6,500	-74,692	-76,041	12,537	22,759	-1,732	35,219	-7,893	-8,574	21,053
Plate_1_9	15052	1	3,000	-6,500	-74,694	-76,047	12,539	22,786	-1,766	35,293	-7,893	-8,574	21,053
Element 20-35 (Plate)	14383	2	3,000	-6,522	-75,221	-76,397	12,584	22,978	-1,825	35,792	-7,401	-8,379	21,745
(Micropali D168.3x8,0mm/0,4)	14384	3	3,000	-6,543	-75,730	-76,733	12,631	23,158	-1,889	36,292	-6,904	-8,168	22,421
"	14385	4	3,000	-6,565	-76,214	-77,048	12,682	23,310	-1,959	36,776	-6,404	-7,944	23,088
"	14382	5	3,000	-6,586	-76,665	-77,334	12,737	23,420	-2,038	37,384	-5,902	-7,707	23,738
Plate_2_11	15108	1	0,000	-6,500	-41,924	-41,924	0,000	-16,512	-16,610	0,157	-17,570	-17,570	0,020
Element 21-36 (Plate)	14137	2	0,000	-6,624	-43,140	-43,140	0,000	-13,397	-13,501	0,403	-19,415	-19,415	0,054
(Parete c.a.C32/40 sp.0.50m)	14136	3	0,000	-6,747	-44,270	-44,270	0,000	-10,507	-10,645	0,658	-20,891	-20,891	0,114
"	14135	4	0,000	-6,871	-45,337	-45,337	0,000	-7,775	-8,040	0,918	-22,019	-22,019	0,212
"	14134	5	0,000	-6,994	-46,367	-46,367	0,000	-5,138	-5,588	1,359	-22,816	-22,816	0,343
Plate_1_10	14382	1	3,000	-6,586	-76,748	-77,375	12,732	23,469	-2,060	37,289	-5,902	-7,707	23,738
Element 22-37 (Plate)	13951	2	3,000	-6,690	-77,976	-78,156	13,028	22,531	-2,574	39,143	-3,514	-6,519	26,149
(Micropali D168.3x8,0mm/0,4)	13952	3	3,000	-6,793	-79,074	-79,251	13,209	21,156	-5,355	40,214	-1,256	-5,305	27,375
"	13953	4	3,000	-6,897	-80,003	-80,174	13,278	19,823	-8,747	40,726	0,867	-4,038	27,575
"	13950	5	3,000	-7,000	-80,717	-80,881	13,236	19,011	-11,767	40,905	2,867	-2,733	27,371
Plate_2_12	14134	1	0,000	-6,994	-46,408	-46,408	0,000	-5,033	-5,491	1,372	-22,816	-22,816	0,343
Element 23-38 (Plate)	13402	2	0,000	-7,061	-47,053	-47,053	0,000	-3,380	-3,994	2,082	-23,099	-23,099	0,431
(Parete c.a.C32/40 sp.0.50m)	13401	3	0,000	-7,128	-47,746	-47,746	0,000	-1,607	-2,441	2,947	-23,266	-23,266	0,533
"	13400	4	0,000	-7,195	-48,483	-48,483	0,000	0,280	-0,793	3,849	-23,312	-23,312	0,651
"	13396	5	0,000	-7,262	-49,260	-49,260	0,000	2,270	0,000	4,786	-23,227	-23,227	0,787
Plate_2_13	13396	1	0,000	-7,262	-49,243	-49,243	0,000	2,225	0,000	4,763	-23,227	-23,227	0,787
Element 24-39 (Plate)	12634	2	0,000	-7,322	-49,944	-49,944	0,000	4,019	0,000	5,658	-23,041	-23,041	0,926
(Parete c.a.C32/40 sp.0.50m)	12633	3	0,000	-7,381	-50,646	-50,646	0,000	5,816	0,000	6,545	-22,749	-22,749	1,085
"	12632	4	0,000	-7,441	-51,348	-51,348	0,000	7,614	0,000	7,614	-22,350	-22,350	1,263
"	12628	5	0,000	-7,500	-52,051	-52,051	0,000	9,413	0,000	9,413	-21,844	-21,844	1,461
Plate_1_11	13950	1	3,000	-7,000	-80,971	-81,138	13,261	18,632	-12,169	41,897	2,867	-2,733	27,371
Element 25-40 (Plate)	13001	2	3,000	-7,152	-81,526	-81,677	13,206	17,894	-16,143	19,858	5,670	-0,731	30,260
(Micropali D168.3x8,0mm/0,4)	13002	3	3,000	-7,305	-82,407	-82,542	13,152	16,422	-19,165	16,426	8,278	0,000	31,477
"	13003	4	3,000	-7,457	-83,299	-83,416	13,102	15,029	-19,963	15,196	10,682	0,000	30,366
"	13000	5	3,000	-7,610	-83,888	-83,981	13,058	14,528	-20,289	15,455	12,912	0,000	27,777
Plate_1_11	13000	1	3,000	-7,610	-84,237	-84,362	13,057	14,120	-21,743	15,121	12,912	0,000	27,777
Element 25-41 (Plate)	12096	2	3,000	-7,832	-87,281	-87,406	13,018	18,467	-22,973	21,040	16,647	0,000	22,823
(Micropali D168.3x8,0mm/0,4)	12095	3	3,000	-8,055	-89,696	-89,819	12,993	18,607	-22,301	23,569	20,800	0,000	20,800
"	12094	4	3,000	-8,277	-91,662	-91,780	12,979	16,156	-19,595	25,343	24,739	-0,044	24,739
"	12093	5	3,000	-8,500	-93,357	-93,471	12,973	12,731	-15,445	27,281	27,940	-0,144	27,949

Structural element	Node [10^3]	Local number	X [m]	Y [m]	N [kN/m]	N,x [kN/m]	N,y [kN/m]	Q [kN/m]	Q,x [kN/m]	Q,y [kN/m]	M [kN m/m]	M,x [kN m/m]	M,y [kN m/m]
Plate_2_14	12628	1	0,000	-7,500	-52,051	-52,051	0,000	9,412	0,000	9,412	-21,844	-21,844	1,461
Element 26-42 (Plate)	11506	2	0,000	-7,576	-52,961	-52,961	0,000	11,744	0,000	11,744	-21,036	-21,036	1,746
(Parete c.a.C32/40 sp.0.50m)	11505	3	0,000	-7,653	-53,888	-53,888	0,000	14,117	0,000	14,117	-20,048	-20,048	2,066
28	11504	4	0,000	-7,729	-54,848	-54,848	0,000	16,575	0,000	16,575	-18,875	-18,875	2,427
28	11503	5	0,000	-7,806	-55,858	-55,858	0,000	19,158	0,000	19,158	-17,511	-17,511	2,837
Plate_2_14	11503	1	0,000	-7,806	-55,845	-55,845	0,000	19,125	0,000	19,125	-17,511	-17,511	2,837
Element 26-43 (Plate)	11181	2	0,000	-7,867	-56,663	-56,663	0,000	21,219	0,000	21,219	-16,280	-16,280	3,202
(Parete c.a.C32/40 sp.0.50m)	11180	3	0,000	-7,928	-57,450	-57,450	0,000	23,234	0,000	23,234	-14,923	-14,923	3,599
28	11179	4	0,000	-7,989	-58,214	-58,214	0,000	25,191	0,000	25,191	-13,446	-13,446	4,024
28	11175	5	0,000	-8,050	-58,966	-58,966	0,000	27,114	0,000	27,114	-11,851	-11,851	4,473
Plate_2_14	11175	1	0,000	-8,050	-58,997	-58,997	0,000	27,195	0,000	27,195	-11,851	-11,851	4,473
Element 26-44 (Plate)	9918	2	0,000	-8,098	-59,614	-59,614	0,000	28,776	0,000	28,776	-10,488	-10,488	4,855
(Parete c.a.C32/40 sp.0.50m)	9917	3	0,000	-8,147	-60,230	-60,230	0,000	30,351	0,000	30,351	-9,048	-9,048	5,254
28	9916	4	0,000	-8,196	-60,857	-60,857	0,000	31,955	0,000	31,955	-7,531	-7,531	5,671
28	9915	5	0,000	-8,245	-61,507	-61,507	0,000	33,620	0,000	33,620	-5,935	-5,935	6,107
Plate_2_14	9915	1	0,000	-8,245	-61,503	-61,503	0,000	33,610	0,000	33,610	-5,935	-5,935	6,107
Element 26-45 (Plate)	9080	2	0,000	-8,283	-62,043	-62,043	0,000	34,993	0,000	34,993	-4,602	-4,602	6,471
(Parete c.a.C32/40 sp.0.50m)	9079	3	0,000	-8,322	-62,561	-62,561	0,000	36,319	0,000	36,319	-3,215	-3,216	6,850
28	9078	4	0,000	-8,361	-63,055	-63,055	0,000	37,583	0,000	37,583	-1,779	-1,779	7,244
28	9077	5	0,000	-8,400	-63,523	-63,523	0,000	38,781	0,000	38,781	-0,295	-0,295	7,650
Plate_3_1	9077	1	0,000	-8,400	-67,777	-67,777	0,000	36,992	-0,007	36,992	-0,295	-0,295	7,650
Element 27-46 (Plate)	7882	2	0,000	-8,425	-68,201	-68,201	0,000	37,825	-0,007	37,825	0,640	0,000	7,904
(Micropali D168.3x10/0,27m)	7883	3	0,000	-8,450	-68,604	-68,604	0,000	38,616	-0,007	38,616	1,596	0,000	8,163
28	7884	4	0,000	-8,475	-68,987	-68,987	0,000	39,367	-0,007	39,367	2,571	-0,001	8,426
28	7881	5	0,000	-8,500	-69,351	-69,351	0,000	40,081	-0,007	40,081	3,564	-0,001	8,692
Plate_1_12	12093	1	3,000	-8,500	-92,712	-92,826	12,971	16,760	-15,861	27,713	27,940	-0,144	27,949
Element 28-47 (Plate)	11390	2	3,000	-8,706	-83,900	-84,012	12,966	-1,782	-12,588	3,027	29,378	-0,226	29,407
(Micropali D168.3x8,0mm/0,4)	11391	3	3,000	-8,913	-77,434	-77,543	12,961	-14,207	-17,018	0,000	27,626	-0,301	28,005
28	11392	4	3,000	-9,119	-72,970	-73,076	12,956	-20,628	-21,730	0,000	23,929	-0,370	24,338
28	11389	5	3,000	-9,325	-70,165	-70,265	12,950	-21,159	-21,994	0,000	19,521	-0,433	19,791
Plate_1_12	11389	1	3,000	-9,325	-69,775	-69,875	12,896	-21,977	-23,079	0,000	19,521	-0,433	19,791
Element 28-48 (Plate)	10576	2	3,000	-9,483	-67,515	-67,611	12,962	-20,877	-22,081	0,000	16,131	-0,519	16,240
(Micropali D168.3x8,0mm/0,4)	10575	3	3,000	-9,641	-65,167	-65,259	12,831	-19,100	-20,287	0,000	12,971	-0,727	12,980
28	10574	4	3,000	-9,798	-62,686	-62,772	12,507	-16,768	-17,826	0,000	10,133	-0,870	10,139
28	10573	5	3,000	-9,956	-60,024	-60,105	11,989	-14,005	-14,838	0,000	7,703	-0,974	7,707
Plate_1_12	10573	1	3,000	-9,956	-59,961	-60,041	11,989	-14,137	-14,986	0,000	7,703	-0,974	7,707
Element 28-49 (Plate)	9580	2	3,000	-10,077	-57,624	-57,700	11,448	-12,153	-12,815	0,013	6,118	-1,096	6,122
(Micropali D168.3x8,0mm/0,4)	9579	3	3,000	-10,197	-54,988	-55,060	10,796	-10,302	-10,773	0,048	4,765	-1,166	4,768
28	9578	4	3,000	-10,318	-52,047	-52,114	10,058	-8,595	-8,870	0,200	3,627	-1,189	3,628
28	9577	5	3,000	-10,439	-48,794	-48,855	9,219	-7,046	-7,119	0,377	2,685	-1,170	2,686
Plate_1_12	9577	1	3,000	-10,439	-48,747	-48,808	9,240	-7,060	-7,135	0,379	2,685	-1,170	2,686
Element 28-50 (Plate)	8342	2	3,000	-10,531	-45,916	-45,972	8,607	-6,023	-6,027	0,554	2,083	-1,129	2,083
(Micropali D168.3x8,0mm/0,4)	8343	3	3,000	-10,623	-42,798	-42,851	7,948	-5,125	-5,128	0,764	1,570	-1,068	1,570
28	8344	4	3,000	-10,715	-39,395	-39,443	7,265	-4,367	-4,369	0,948	1,133	-0,989	1,133
28	8341	5	3,000	-10,808	-35,705	-35,748	6,557	-3,749	-3,751	1,104	0,760	-0,894	0,760
Plate_1_12	8341	1	3,000	-10,808	-35,690	-35,733	6,555	-3,760	-3,761	1,097	0,760	-0,894	0,760
Element 28-51 (Plate)	7770	2	3,000	-10,878	-32,660	-32,699	5,993	-3,348	-3,349	1,191	0,509	-0,813	0,509
(Micropali D168.3x8,0mm/0,4)	7769	3	3,000	-10,949	-29,420	-29,456	5,411	-2,989	-2,989	1,249	0,286	-0,727	0,286
28	7768	4	3,000	-11,019	-25,972	-26,003	4,808	-2,655	-2,655	1,270	0,087	-0,638	0,087
28	7767	5	3,000	-11,090	-22,315	-22,342	4,185	-2,318	-2,319	1,254	-0,088	-0,613	0,000
Plate_1_12	7767	1	3,000	-11,090	-22,327	-22,354	4,184	-2,253	-2,253	1,269	-0,088	-0,613	0,000
Element 28-52 (Plate)	6794	2	3,000	-11,144	-19,468	-19,492	3,691	-1,891	-1,891	1,226	-0,201	-0,608	0,000
(Micropali D168.3x8,0mm/0,4)	6795	3	3,000	-11,198	-16,551	-16,572	3,182	-1,384	-1,384	1,209	-0,290	-0,593	0,000

Structural element	Node [10^]	Local number	X [m]	Y [m]	N [kN/m]	N,,x,, [kN/m]	N,,xy,, [kN/m]	Q [kN/m]	Q,,x,, [kN/m]	Q,,y,, [kN/m]	M [kN m/m]	M,,x,, [kN m/m]	M,,xy,, [kN m/m]
28	6796	4	3,000	-11,252	-13,580	-13,597	2,657	-0,697	-0,697	1,231	-0,347	-0,560	0,000
28	6793	5	3,000	-11,306	-10,557	-10,571	2,116	0,202	0,000	1,585	-0,361	-0,498	0,000
Plate_1_12	6793	1	3,000	-11,306	-10,556	-10,569	2,114	0,104	0,000	1,449	-0,361	-0,498	0,000
Element 28-53 (Plate)	5608	2	3,000	-11,347	-8,204	-8,215	1,687	1,360	0,000	2,468	-0,330	-0,419	0,000
(Micropali D168.3x8,0mm/0,4)	5609	3	3,000	-11,388	-5,820	-5,828	1,246	2,253	0,000	3,122	-0,254	-0,303	0,000
28	5610	4	3,000	-11,429	-3,474	-3,478	0,791	2,733	0,000	3,313	-0,150	-0,169	0,000
28	5607	5	3,000	-11,471	-1,232	-1,234	0,321	2,747	0,000	2,965	-0,035	-0,037	0,000
Plate_3_2	7881	1	0,000	-8,500	-69,332	-69,332	0,000	40,075	-0,006	40,075	3,564	-0,001	8,692
Element 29-54 (Plate)	6882	2	0,000	-8,544	-68,892	-68,892	0,000	36,725	-0,009	36,725	5,244	-0,001	9,124
(Micropali D168.3x10/0,27m)	6883	3	0,000	-8,588	-68,353	-68,353	0,000	33,479	-0,013	33,479	6,780	-0,001	9,489
28	6884	4	0,000	-8,631	-67,742	-67,742	0,000	30,358	-0,018	30,358	8,177	-0,002	9,988
28	6881	5	0,000	-8,675	-67,086	-67,086	0,000	27,384	-0,022	27,384	9,440	-0,003	10,787
Plate_3_2	6881	1	0,000	-8,675	-67,073	-67,073	0,000	27,305	-0,022	27,305	9,440	-0,003	10,787
Element 29-55 (Plate)	6868	2	0,000	-8,726	-66,157	-66,157	0,000	23,650	-0,041	23,650	10,734	-0,004	11,693
(Micropali D168.3x10/0,27m)	6869	3	0,000	-8,777	-65,164	-65,164	0,000	19,901	-0,329	19,901	11,839	-0,005	12,496
28	6870	4	0,000	-8,827	-64,118	-64,118	0,000	16,100	-1,147	16,100	12,754	-0,007	13,129
28	6867	5	0,000	-8,878	-63,039	-63,039	0,000	12,290	-2,326	12,290	13,474	-0,008	13,590
Plate_3_2	6867	1	0,000	-8,878	-63,078	-63,078	0,000	12,369	-2,351	12,369	13,474	-0,008	13,590
Element 29-56 (Plate)	5682	2	0,000	-8,937	-62,015	-62,015	0,000	8,331	-3,555	8,331	14,081	-0,009	14,086
(Micropali D168.3x10/0,27m)	5683	3	0,000	-8,996	-61,215	-61,215	0,000	4,854	-4,596	4,854	14,467	-0,010	14,468
28	5684	4	0,000	-9,055	-60,661	-60,661	0,000	1,920	-5,429	1,920	14,664	-0,010	14,664
28	5681	5	0,000	-9,114	-60,338	-60,338	0,000	-0,489	-6,059	0,000	14,703	-0,011	14,703
Plate_3_2	5681	1	0,000	-9,114	-60,300	-60,300	0,000	-0,550	-6,082	0,000	14,703	-0,011	14,703
Element 29-57 (Plate)	5668	2	0,000	-9,182	-60,106	-60,106	0,000	-2,852	-6,618	0,000	14,585	-0,011	14,585
(Micropali D168.3x10/0,27m)	5669	3	0,000	-9,250	-60,006	-60,006	0,000	-4,763	-6,996	0,000	14,322	-0,012	14,322
28	5670	4	0,000	-9,319	-59,989	-59,989	0,000	-6,298	-7,224	0,000	13,942	-0,012	13,942
28	5667	5	0,000	-9,387	-60,042	-60,042	0,000	-7,473	-8,025	0,000	13,470	-0,012	13,470
Plate_3_2	5667	1	0,000	-9,387	-60,025	-60,025	0,000	-7,515	-8,061	0,000	13,470	-0,012	13,470
Element 29-58 (Plate)	5642	2	0,000	-9,466	-60,101	-60,101	0,000	-8,554	-8,794	0,000	12,831	-0,012	12,831
(Micropali D168.3x10/0,27m)	5643	3	0,000	-9,546	-60,186	-60,186	0,000	-9,334	-9,349	0,000	12,121	-0,012	12,121
28	5644	4	0,000	-9,625	-60,286	-60,286	0,000	-9,866	-9,873	0,000	11,358	-0,013	11,358
28	5641	5	0,000	-9,704	-60,403	-60,403	0,001	-10,161	-10,165	0,000	10,563	-0,013	10,563
Plate_3_2	5641	1	0,000	-9,704	-60,398	-60,398	0,001	-10,190	-10,194	0,000	10,563	-0,013	10,563
Element 29-59 (Plate)	5544	2	0,000	-9,796	-60,566	-60,566	0,003	-10,324	-10,326	0,000	9,619	-0,014	9,619
(Micropali D168.3x10/0,27m)	5545	3	0,000	-9,888	-60,726	-60,726	0,005	-10,289	-10,289	0,000	8,670	-0,015	8,670
28	5546	4	0,000	-9,980	-60,875	-60,875	0,007	-10,091	-10,091	0,000	7,731	-0,017	7,731
28	5543	5	0,000	-10,072	-61,006	-61,006	0,008	-9,741	-9,741	0,000	6,818	-0,019	6,818
Plate_3_2	5543	1	0,000	-10,072	-61,025	-61,025	0,008	-9,761	-9,761	0,000	6,818	-0,019	6,818
Element 29-60 (Plate)	4597	2	0,000	-10,179	-61,302	-61,302	0,011	-9,218	-9,218	0,000	5,806	-0,022	5,806
(Micropali D168.3x10/0,27m)	4598	3	0,000	-10,285	-61,622	-61,622	0,013	-8,590	-8,590	0,000	4,855	-0,025	4,855
28	4599	4	0,000	-10,392	-61,981	-61,981	0,015	-7,884	-7,884	0,000	3,975	-0,029	3,975
28	4596	5	0,000	-10,499	-62,375	-62,375	0,017	-7,109	-7,109	0,000	3,175	-0,034	3,175
Plate_3_2	4596	1	0,000	-10,499	-62,368	-62,368	0,017	-7,124	-7,124	0,000	3,175	-0,034	3,175
Element 29-61 (Plate)	4561	2	0,000	-10,622	-62,842	-62,842	0,020	-6,192	-6,192	0,000	2,351	-0,040	2,351
(Micropali D168.3x10/0,27m)	4562	3	0,000	-10,746	-63,322	-63,322	0,023	-5,247	-5,247	0,000	1,644	-0,047	1,644
28	4563	4	0,000	-10,870	-63,807	-63,807	0,026	-4,294	-4,294	0,000	1,053	-0,058	1,053
28	4560	5	0,000	-10,994	-64,294	-64,294	0,028	-3,335	-3,335	0,000	0,581	-0,191	0,581
Plate_3_2	4560	1	0,000	-10,994	-64,290	-64,290	0,029	-3,342	-3,342	0,000	0,581	-0,191	0,581
Element 29-62 (Plate)	4345	2	0,000	-11,137	-64,848	-64,848	0,032	-2,245	-2,245	0,000	0,180	-0,366	0,180
(Micropali D168.3x10/0,27m)	4346	3	0,000	-11,281	-65,388	-65,388	0,035	-1,181	-1,181	0,000	-0,065	-0,461	0,000
28	4347	4	0,000	-11,424	-65,909	-65,909	0,040	-0,154	-0,154	0,166	-0,161	-0,477	0,000
28	4344	5	0,000	-11,568	-66,410	-66,410	0,045	0,833	0,000	0,966	-0,111	-0,418	0,000
Plate_3_2	4344	1	0,000	-11,568	-66,376	-66,376	0,073	0,766	-0,018	0,908	-0,111	-0,418	0,000

Structural element	Node [10^0]	Local number	X [m]	Y [m]	N [kN/m]	N,x [kN/m]	N,y [kN/m]	Q [kN/m]	Q,x [kN/m]	Q,y [kN/m]	M [kN m/m]	M,x [kN m/m]	M,y [kN m/m]
Element 29-63 (Plate)	3619	2	0,000	-11,734	-66,957	-66,957	0,007	1,911	0,000	1,917	0,115	-0,276	0,115
(Micropali D168.3x10/0,27m)	3620	3	0,000	-11,901	-67,358	-67,358	0,000	2,703	0,000	2,708	0,506	-0,075	0,506
"	3621	4	0,000	-12,067	-67,542	-67,542	0,000	3,070	0,000	3,074	0,992	-0,018	0,992
"	3618	5	0,000	-12,234	-67,474	-67,474	0,000	2,943	0,000	2,946	1,501	0,000	1,501
Plate_1_13	5607	1	3,000	-11,471	-1,323	-1,325	0,321	2,324	0,000	2,540	-0,035	-0,037	0,000
Element 30-64 (Plate)	4612	2	3,000	-11,478	-0,965	-0,984	0,235	1,808	0,000	1,920	-0,020	-0,021	0,000
(Micropali D168.3x8,0mm/0,4)	4611	3	3,000	-11,485	-0,621	-0,647	0,149	1,217	0,000	1,269	-0,009	-0,009	0,000
"	4610	4	3,000	-11,493	-0,291	-0,307	0,062	0,582	0,000	0,603	-0,002	-0,002	0,000
"	4609	5	3,000	-11,500	0,026	-0,024	0,029	-0,065	-0,065	0,000	0,000	0,000	0,000
Plate_3_3	3618	1	0,000	-12,234	-67,424	-67,424	0,000	2,846	0,000	2,848	1,501	0,000	1,501
Element 31-65 (Plate)	2977	2	0,000	-12,406	-66,793	-66,793	0,000	1,613	0,000	1,615	1,881	0,000	1,881
(Micropali D168.3x10/0,27m)	2978	3	0,000	-12,579	-66,300	-66,300	0,000	0,651	0,000	0,653	2,073	0,000	2,073
"	2979	4	0,000	-12,751	-65,942	-65,942	0,000	-0,044	-0,066	0,000	2,121	0,000	2,121
"	2976	5	0,000	-12,924	-65,717	-65,717	0,000	-0,480	-0,480	0,000	2,072	0,000	2,072
Plate_3_3	2976	1	0,000	-12,924	-65,699	-65,699	0,000	-0,516	-0,516	0,000	2,072	0,000	2,072
Element 31-66 (Plate)	2613	2	0,000	-13,106	-65,543	-65,543	0,000	-0,815	-0,815	0,000	1,949	0,000	1,950
(Micropali D168.3x10/0,27m)	2612	3	0,000	-13,288	-65,443	-65,443	0,000	-1,004	-1,004	0,000	1,782	0,000	1,782
"	2611	4	0,000	-13,470	-65,395	-65,395	0,000	-1,091	-1,091	0,000	1,590	0,000	1,590
"	2610	5	0,000	-13,653	-65,395	-65,395	0,000	-1,085	-1,085	0,000	1,390	0,000	1,390
Plate_3_3	2610	1	0,000	-13,653	-65,300	-65,300	0,000	-1,107	-1,107	0,000	1,390	0,000	1,390
Element 31-67 (Plate)	1951	2	0,000	-13,845	-65,404	-65,404	0,000	-1,026	-1,026	0,000	1,185	0,000	1,185
(Micropali D168.3x10/0,27m)	1952	3	0,000	-14,037	-65,122	-65,122	0,000	-0,911	-0,911	0,000	0,998	0,000	0,998
"	1953	4	0,000	-14,230	-64,462	-64,462	0,000	-0,766	-0,766	0,000	0,836	0,000	0,836
"	1950	5	0,000	-14,422	-63,432	-63,432	0,000	-0,598	-0,598	0,000	0,704	0,000	0,704
Plate_3_3	1950	1	0,000	-14,422	-63,434	-63,434	0,000	-0,608	-0,608	0,000	0,704	0,000	0,704
Element 31-68 (Plate)	1613	2	0,000	-14,625	-61,971	-61,971	0,000	-0,445	-0,445	0,000	0,598	0,000	0,598
(Micropali D168.3x10/0,27m)	1614	3	0,000	-14,829	-60,113	-60,113	0,000	-0,299	-0,300	0,000	0,522	0,000	0,522
"	1615	4	0,000	-15,032	-57,862	-57,862	0,000	-0,172	-0,217	0,000	0,475	0,000	0,475
"	1612	5	0,000	-15,235	-55,221	-55,221	0,000	-0,065	-0,169	0,000	0,451	-0,001	0,451
Plate_3_3	1612	1	0,000	-15,235	-55,196	-55,196	0,000	-0,075	-0,168	0,000	0,451	-0,001	0,451
Element 31-69 (Plate)	1081	2	0,000	-15,450	-51,976	-51,976	0,000	0,012	-0,138	0,012	0,446	-0,001	0,446
(Micropali D168.3x10/0,27m)	1082	3	0,000	-15,664	-48,210	-48,210	0,000	0,017	-0,113	0,017	0,450	-0,001	0,450
"	1083	4	0,000	-15,879	-43,889	-43,889	0,000	-0,055	-0,093	0,001	0,448	-0,001	0,448
"	1080	5	0,000	-16,093	-39,007	-39,007	0,000	-0,201	-0,201	0,002	0,421	-0,001	0,421
Plate_3_3	1080	1	0,000	-16,093	-38,887	-38,887	0,000	-0,149	-0,149	0,004	0,421	-0,001	0,421
Element 31-70 (Plate)	669	2	0,000	-16,320	-30,108	-30,108	0,000	-0,394	-0,394	0,002	0,362	0,000	0,362
(Micropali D168.3x10/0,27m)	668	3	0,000	-16,547	-20,753	-20,753	0,000	-0,591	-0,591	0,001	0,245	0,000	0,245
"	667	4	0,000	-16,773	-10,778	-10,778	0,000	-0,599	-0,599	0,000	0,108	0,000	0,108
"	666	5	0,000	-17,000	-0,142	-0,142	0,000	-0,276	-0,276	0,000	0,000	0,000	0,000

3.1.2.4.21 Calculation results, Plate, Riempimento 5 (MG) [Phase_16] (16/992), Table of plate force envelopes

Structural element	Node [10^3]	Local number	X [m]	Y [m]	N [kN/m]	N,min [kN/m]	N,max [kN/m]	Q [kN/m]	Q,min [kN/m]	Q,max [kN/m]	M [kN m/m]	M,min [kN m/m]	M,max [kN m/m]
Plate_2_1	17871	1	0,000	0,000	0,000	0,000	0,000	-0,001	-0,001	0,000	0,000	0,000	0,000
Element 1-1 (Plate)	17868	2	0,000	-0,021	-0,001	-0,001	0,000	0,002	0,000	0,002	0,000	0,000	0,000
(Parete c.a.C32/40 sp.0.50m)	17867	3	0,000	-0,043	-0,003	-0,003	0,000	0,006	0,000	0,006	0,000	0,000	0,000
28	17866	4	0,000	-0,064	-0,004	-0,004	0,000	0,010	0,000	0,010	0,000	0,000	0,000
28	17869	5	0,000	-0,086	-0,006	-0,006	0,000	0,014	0,000	0,014	0,001	0,000	0,001
Plate_2_1	17869	1	0,000	-0,086	-0,006	-0,006	0,000	0,015	0,000	0,015	0,001	0,000	0,001
Element 1-2 (Plate)	17860	2	0,000	-0,113	-0,010	-0,010	0,000	0,024	0,000	0,024	0,001	0,000	0,001
(Parete c.a.C32/40 sp.0.50m)	17859	3	0,000	-0,140	-0,015	-0,015	0,000	0,036	0,000	0,036	0,002	0,000	0,002
28	17858	4	0,000	-0,166	-0,021	-0,021	0,000	0,051	0,000	0,051	0,003	0,000	0,003
28	17857	5	0,000	-0,193	-0,028	-0,028	0,000	0,069	0,000	0,069	0,005	0,000	0,005
Plate_2_1	17857	1	0,000	-0,193	-0,028	-0,028	0,000	0,069	0,000	0,069	0,005	0,000	0,005
Element 1-3 (Plate)	17837	2	0,000	-0,227	-0,039	-0,039	0,000	0,097	0,000	0,097	0,007	0,000	0,007
(Parete c.a.C32/40 sp.0.50m)	17836	3	0,000	-0,261	-0,052	-0,052	0,000	0,130	0,000	0,130	0,011	0,000	0,011
28	17835	4	0,000	-0,295	-0,067	-0,067	0,000	0,168	0,000	0,168	0,016	0,000	0,016
28	17834	5	0,000	-0,329	-0,084	-0,084	0,000	0,212	0,000	0,212	0,023	0,000	0,023
Plate_2_1	17834	1	0,000	-0,329	-0,084	-0,084	0,000	0,211	0,000	0,211	0,023	0,000	0,023
Element 1-4 (Plate)	17759	2	0,000	-0,372	-0,108	-0,108	0,000	0,274	0,000	0,274	0,033	0,000	0,033
(Parete c.a.C32/40 sp.0.50m)	17758	3	0,000	-0,415	-0,135	-0,135	0,000	0,343	0,000	0,343	0,046	0,000	0,046
28	17757	4	0,000	-0,457	-0,165	-0,165	0,000	0,418	0,000	0,418	0,062	0,000	0,062
28	17753	5	0,000	-0,500	-0,197	-0,197	0,000	0,500	0,000	0,500	0,082	0,000	0,082
Plate_4_1	16475	1	3,000	-0,126	-0,272	-0,272	0,043	-0,321	-0,321	0,289	0,000	0,000	0,000
Element 2-5 (Plate)	16474	2	3,000	-0,282	0,296	-0,174	0,296	0,564	-0,129	0,564	0,035	0,000	0,035
(Micropali D168.3x8,0mm/0,4)	16473	3	3,000	-0,438	0,264	-0,605	0,319	1,084	0,000	1,191	0,150	0,000	0,150
28	16472	4	3,000	-0,594	-0,329	-1,370	0,000	2,069	0,000	2,698	0,397	0,000	0,409
28	16471	5	3,000	-0,750	-1,448	-2,470	0,000	4,347	0,000	5,099	0,870	0,000	0,979
Plate_2_2	17753	1	0,000	-0,500	-0,200	-0,200	0,000	0,508	0,000	0,508	0,082	0,000	0,082
Element 3-6 (Plate)	17677	2	0,000	-0,563	-0,253	-0,253	0,000	0,644	0,000	0,644	0,118	0,000	0,118
(Parete c.a.C32/40 sp.0.50m)	17676	3	0,000	-0,625	-0,320	-0,320	0,000	0,815	0,000	0,815	0,163	0,000	0,163
28	17675	4	0,000	-0,688	-0,397	-0,397	0,000	1,010	0,000	1,010	0,220	0,000	0,220
28	17671	5	0,000	-0,750	-0,478	-0,478	0,000	1,218	0,000	1,218	0,290	0,000	0,290
Plate_2_3	17671	1	0,000	-0,750	-0,460	-0,460	0,004	1,173	-0,010	1,173	0,290	0,000	0,290
Element 4-7 (Plate)	17599	2	0,000	-0,798	-0,519	-0,519	0,000	1,323	-0,001	1,323	0,350	0,000	0,350
(Parete c.a.C32/40 sp.0.50m)	17598	3	0,000	-0,846	-0,574	-0,574	0,000	1,464	-0,001	1,464	0,417	0,000	0,417
28	17597	4	0,000	-0,894	-0,622	-0,622	0,000	1,588	0,000	1,588	0,490	0,000	0,490
28	17593	5	0,000	-0,942	-0,661	-0,661	0,000	1,687	0,000	1,687	0,569	0,000	0,569
Plate_2_3	17593	1	0,000	-0,942	-0,669	-0,669	0,000	1,706	0,000	1,706	0,569	0,000	0,569
Element 4-8 (Plate)	17468	2	0,000	-1,007	-0,729	-0,729	0,000	1,860	0,000	1,860	0,683	0,000	0,683
(Parete c.a.C32/40 sp.0.50m)	17467	3	0,000	-1,071	-0,816	-0,816	0,000	2,084	0,000	2,084	0,810	0,000	0,810
28	17466	4	0,000	-1,136	-0,931	-0,931	0,000	2,381	0,000	2,381	0,954	0,000	0,954
28	17465	5	0,000	-1,200	-1,076	-1,076	0,000	2,753	0,000	2,753	1,119	0,000	1,119
Plate_1_1	16471	1	3,000	-0,750	-3,810	-3,810	0,000	3,006	0,000	5,391	0,870	0,000	0,979
Element 5-9 (Plate)	16455	2	3,000	-0,948	-5,626	-5,626	0,000	6,492	0,000	9,523	1,804	0,000	2,350
(Micropali D168.3x8,0mm/0,4)	16454	3	3,000	-1,146	-7,501	-7,501	0,000	10,231	0,000	14,078	3,457	0,000	4,670
28	16453	4	3,000	-1,344	-9,634	-9,634	0,000	14,138	0,000	19,377	5,865	0,000	7,972
28	16595	5	3,000	-1,542	-12,220	-12,220	0,000	18,127	-0,116	25,747	9,058	0,000	12,414
Plate_1_1	16595	1	3,000	-1,542	-12,845	-12,845	0,000	18,050	0,000	25,315	9,058	0,000	12,414

Structural element	Node [10^0]	Local number	X [m]	Y [m]	N [kN/m]	N,max [kN/m]	N,min [kN/m]	Q [kN/m]	Q,max [kN/m]	Q,min [kN/m]	M [kN m/m]	M,max [kN m/m]	M,min [kN m/m]
Element 5-10 (Plate)	16594	2	3,000	-1,581	-13,241	-13,241	0,000	18,977	0,000	26,480	9,789	0,000	13,438
(Micropali D168.3x8,0mm/0,4)	16593	3	3,000	-1,621	-13,640	-13,640	0,000	20,103	-0,017	27,760	10,563	0,000	14,512
〃	16592	4	3,000	-1,660	-14,062	-14,062	0,000	21,237	-0,035	29,071	11,381	0,000	15,637
〃	16615	5	3,000	-1,700	-14,529	-14,529	0,000	22,186	-0,022	30,327	12,241	0,000	16,812
Plate_2_4	17465	1	0,000	-1,200	-4,403	-4,403	0,000	-17,295	-17,295	0,000	1,119	0,000	1,119
Element 6-11 (Plate)	17390	2	0,000	-1,261	-4,576	-4,576	0,000	-16,853	-16,853	0,000	0,081	-0,536	0,081
(Parete c.a.C32/40 sp.0.50m)	17389	3	0,000	-1,322	-4,734	-4,734	0,000	-16,446	-16,446	0,000	-0,931	-1,127	0,000
〃	17388	4	0,000	-1,382	-4,878	-4,878	0,000	-16,075	-16,075	0,000	-1,920	-1,920	0,000
〃	17387	5	0,000	-1,443	-5,008	-5,008	0,000	-15,740	-15,740	0,000	-2,886	-2,886	0,000
Plate_2_4	17387	1	0,000	-1,443	-5,015	-5,015	0,000	-15,722	-15,722	0,000	-2,886	-2,886	0,000
Element 6-12 (Plate)	17259	2	0,000	-1,535	-5,267	-5,267	0,000	-15,075	-15,075	0,000	-4,299	-4,299	0,000
(Parete c.a.C32/40 sp.0.50m)	17258	3	0,000	-1,627	-5,535	-5,535	0,000	-14,386	-14,386	0,000	-5,650	-5,650	0,000
〃	17257	4	0,000	-1,718	-5,818	-5,818	0,000	-13,660	-13,660	0,000	-6,937	-6,937	0,000
〃	17256	5	0,000	-1,810	-6,113	-6,113	0,000	-12,901	-12,901	0,000	-8,154	-8,154	0,000
Plate_1_2	16615	1	3,000	-1,700	-22,672	-22,672	0,000	-24,236	-34,334	5,890	12,241	0,000	16,812
Element 7-13 (Plate)	16614	2	3,000	-1,728	-22,903	-22,903	0,000	-23,432	-33,555	6,153	11,567	0,000	15,865
(Micropali D168.3x8,0mm/0,4)	16613	3	3,000	-1,757	-23,189	-23,189	0,000	-22,650	-32,753	6,453	10,915	0,000	14,941
〃	16612	4	3,000	-1,785	-23,508	-23,508	0,000	-21,892	-31,937	6,788	10,285	0,000	14,042
〃	16611	5	3,000	-1,813	-23,834	-23,834	0,000	-21,158	-31,116	7,160	9,676	0,000	13,168
Plate_1_3	16611	1	3,000	-1,813	-23,850	-23,850	0,000	-21,143	-31,104	7,046	9,676	0,000	13,168
Element 8-14 (Plate)	16499	2	3,000	-1,847	-24,193	-24,193	0,000	-20,414	-30,280	7,347	8,968	0,000	12,147
(Micropali D168.3x8,0mm/0,4)	16498	3	3,000	-1,881	-24,542	-24,542	0,000	-19,745	-29,483	7,519	8,285	0,000	11,157
〃	16497	4	3,000	-1,915	-24,877	-24,877	0,000	-19,144	-28,737	7,553	7,622	0,000	10,195
〃	16496	5	3,000	-1,949	-25,176	-25,176	0,000	-18,621	-28,068	7,438	6,980	0,000	9,260
Plate_1_3	16496	1	3,000	-1,949	-25,163	-25,163	0,000	-18,592	-28,068	7,452	6,980	0,000	9,260
Element 8-15 (Plate)	16287	2	3,000	-1,983	-25,414	-25,414	0,000	-18,145	-27,486	7,221	6,354	0,000	8,349
(Micropali D168.3x8,0mm/0,4)	16286	3	3,000	-2,018	-25,652	-25,652	0,000	-17,804	-26,975	6,850	5,743	0,000	7,459
〃	16285	4	3,000	-2,052	-25,901	-25,901	0,000	-17,667	-26,557	6,349	5,139	0,000	6,587
〃	16284	5	3,000	-2,086	-26,187	-26,187	0,000	-17,830	-26,258	5,730	4,536	0,000	5,731
Plate_1_4	16284	1	3,000	-2,086	-26,167	-26,167	0,000	-17,799	-26,260	5,745	4,536	0,000	5,731
Element 9-16 (Plate)	16241	2	3,000	-2,088	-26,254	-26,254	0,000	-17,979	-26,261	5,682	4,489	0,000	5,666
(Micropali D168.3x8,0mm/0,4)	16240	3	3,000	-2,091	-26,295	-26,295	0,000	-18,040	-26,245	5,608	4,442	0,000	5,629
〃	16239	4	3,000	-2,094	-26,300	-26,300	0,000	-18,032	-26,228	5,529	4,394	0,000	5,643
〃	16238	5	3,000	-2,096	-26,283	-26,283	0,000	-18,007	-26,223	5,451	4,347	0,000	5,658
Plate_2_5	17256	1	0,000	-1,810	-6,104	-6,104	0,004	-12,926	-12,926	0,007	-8,154	-8,154	0,000
Element 10-17 (Plate)	17223	2	0,000	-1,882	-6,343	-6,343	0,000	-12,311	-12,311	0,018	-9,069	-9,069	0,000
(Parete c.a.C32/40 sp.0.50m)	17222	3	0,000	-1,955	-6,594	-6,594	0,001	-11,665	-11,665	0,039	-9,938	-9,938	0,002
〃	17221	4	0,000	-2,027	-6,864	-6,864	0,001	-10,973	-10,973	0,097	-10,759	-10,759	0,007
〃	17220	5	0,000	-2,100	-7,157	-7,157	0,002	-10,220	-10,220	0,202	-11,527	-11,527	0,017
Plate_2_5	17220	1	0,000	-2,100	-7,159	-7,159	0,002	-10,215	-10,215	0,211	-11,527	-11,527	0,017
Element 10-18 (Plate)	17043	2	0,000	-2,200	-7,547	-7,547	0,001	-9,220	-9,220	0,277	-12,500	-12,500	0,041
(Parete c.a.C32/40 sp.0.50m)	17042	3	0,000	-2,300	-7,973	-7,973	0,000	-8,128	-8,128	0,471	-13,368	-13,368	0,076
〃	17041	4	0,000	-2,400	-8,432	-8,432	0,000	-6,951	-6,951	0,707	-14,123	-14,123	0,132
〃	17040	5	0,000	-2,500	-8,920	-8,920	0,000	-5,699	-5,699	1,019	-14,756	-14,756	0,217
Plate_1_5	16238	1	3,000	-2,096	-26,274	-26,274	0,000	-17,984	-26,223	5,501	4,347	0,000	5,658
Element 11-19 (Plate)	16221	2	3,000	-2,140	-26,412	-26,412	0,000	-18,255	-26,223	4,337	3,561	0,000	5,871
(Micropali D168.3x8,0mm/0,4)	16220	3	3,000	-2,183	-26,569	-26,569	0,000	-18,562	-26,223	3,259	2,762	0,000	6,035
〃	16219	4	3,000	-2,226	-26,740	-26,740	0,000	-18,898	-26,223	2,249	1,949	0,000	6,155
〃	16218	5	3,000	-2,270	-26,921	-26,921	0,000	-19,254	-26,223	1,291	1,121	-0,286	6,231
Plate_1_5	16218	1	3,000	-2,270	-26,650	-26,650	0,000	-19,534	-26,602	1,335	1,121	-0,286	6,231
Element 11-20 (Plate)	15915	2	3,000	-2,344	-27,700	-27,700	0,000	-17,851	-24,578	0,000	-0,266	-2,069	6,267
(Micropali D168.3x8,0mm/0,4)	15914	3	3,000	-2,418	-28,739	-28,739	0,087	-16,331	-22,663	0,000	-1,533	-3,732	6,190
〃	15913	4	3,000	-2,492	-29,679	-29,679	0,459	-15,057	-20,986	0,000	-2,697	-5,292	6,021

Structural element	Node [10^]	Local number	X [m]	Y [m]	N [kN/m]	N,,,, [kN/m]	N,,,, [kN/m]	Q [kN/m]	Q,,,, [kN/m]	Q,,,, [kN/m]	M [kN m/m]	M,,,, [kN m/m]	M,,,, [kN m/m]
28	15912	5	3,000	-2,567	-30,430	-30,430	0,618	-14,112	-19,673	0,000	-3,777	-6,754	5,779
Plate_1_5	15912	1	3,000	-2,567	-30,395	-30,395	0,682	-14,354	-19,825	0,000	-3,777	-6,754	5,779
Element 11-21 (Plate)	15631	2	3,000	-2,694	-31,238	-31,238	1,061	-13,283	-18,326	0,000	-5,528	-9,114	5,248
(Micropali D168.3x8,0mm/0,4)	15630	3	3,000	-2,821	-32,107	-32,107	1,399	-12,492	-16,974	0,000	-7,161	-11,311	4,635
29	15629	4	3,000	-2,948	-33,004	-33,004	1,695	-11,966	-15,755	0,000	-8,711	-13,369	3,992
30	15628	5	3,000	-3,074	-33,930	-33,930	1,952	-11,686	-14,656	0,000	-10,209	-15,298	3,367
Plate_1_5	15628	1	3,000	-3,074	-33,867	-33,867	1,954	-11,824	-14,818	0,000	-10,209	-15,298	3,367
Element 11-22 (Plate)	15607	2	3,000	-3,292	-35,337	-35,337	2,318	-10,694	-13,429	0,450	-12,638	-18,264	2,392
(Micropali D168.3x8,0mm/0,4)	15606	3	3,000	-3,509	-36,694	-36,694	2,599	-10,096	-12,213	2,725	-14,894	-20,840	1,587
31	15605	4	3,000	-3,726	-38,245	-38,245	2,787	-9,735	-10,735	5,921	-17,039	-23,008	1,372
32	15604	5	3,000	-3,943	-40,297	-40,297	2,872	-9,321	-9,321	10,502	-19,113	-24,717	2,875
Plate_2_6	17040	1	0,000	-2,500	-8,911	-8,911	0,000	-5,720	-5,720	0,999	-14,756	-14,756	0,217
Element 12-23 (Plate)	17003	2	0,000	-2,615	-9,472	-9,472	0,000	-4,282	-4,282	1,375	-15,335	-15,335	0,353
(Parete c.a.C32/40 sp.0.50m)	17002	3	0,000	-2,731	-10,064	-10,064	0,000	-2,764	-2,764	1,848	-15,742	-15,742	0,538
33	17001	4	0,000	-2,846	-10,676	-10,676	0,000	-1,195	-1,195	2,391	-15,971	-15,971	0,782
34	17000	5	0,000	-2,962	-11,296	-11,296	0,000	0,398	0,000	2,977	-16,017	-16,017	1,092
Plate_2_6	17000	1	0,000	-2,962	-11,301	-11,301	0,000	0,409	0,000	2,990	-16,017	-16,017	1,092
Element 12-24 (Plate)	16689	2	0,000	-3,082	-11,858	-11,858	0,000	1,838	0,000	3,399	-15,882	-15,882	1,475
(Parete c.a.C32/40 sp.0.50m)	16688	3	0,000	-3,202	-12,444	-12,444	0,000	3,340	0,000	3,919	-15,572	-15,572	1,913
35	16687	4	0,000	-3,322	-13,067	-13,067	0,000	4,938	0,000	4,968	-15,076	-15,076	2,420
36	16686	5	0,000	-3,442	-13,735	-13,735	0,000	6,653	0,000	6,653	-14,381	-14,381	3,012
Plate_2_6	16686	1	0,000	-3,442	-13,756	-13,756	0,000	6,706	0,000	6,706	-14,381	-14,381	3,012
Element 12-25 (Plate)	16542	2	0,000	-3,567	-14,434	-14,434	0,000	8,444	0,000	8,444	-13,436	-13,436	3,733
(Parete c.a.C32/40 sp.0.50m)	16541	3	0,000	-3,693	-15,181	-15,181	0,000	10,360	0,000	10,360	-12,261	-12,261	4,574
37	16540	4	0,000	-3,818	-15,982	-15,982	0,000	12,410	0,000	12,410	-10,838	-10,838	5,553
38	16536	5	0,000	-3,943	-16,819	-16,819	0,000	14,556	0,000	14,556	-9,153	-9,153	6,688
Plate_2_7	16536	1	0,000	-3,943	-16,792	-16,792	0,004	14,487	-0,006	14,487	-9,153	-9,153	6,688
Element 13-26 (Plate)	16129	2	0,000	-4,055	-17,483	-17,483	0,000	16,258	0,000	16,258	-7,425	-7,425	7,836
(Parete c.a.C32/40 sp.0.50m)	16128	3	0,000	-4,167	-18,141	-18,141	0,000	17,946	0,000	17,946	-5,501	-5,501	9,102
39	16127	4	0,000	-4,280	-18,767	-18,767	0,000	19,549	0,000	19,549	-3,393	-3,393	10,483
40	16126	5	0,000	-4,392	-19,360	-19,360	0,000	21,069	0,000	21,069	-1,110	-1,110	11,974
Plate_2_8	16126	1	0,000	-4,392	-19,355	-19,355	0,000	21,058	0,000	21,058	-1,110	-1,110	11,974
Element 14-27 (Plate)	15925	2	0,000	-4,594	-20,630	-20,630	0,000	24,317	0,000	24,317	3,456	0,000	14,924
(Parete c.a.C32/40 sp.0.50m)	15924	3	0,000	-4,796	-22,147	-22,147	0,000	28,198	0,000	28,198	8,756	0,000	18,283
41	15923	4	0,000	-4,998	-23,805	-23,805	0,000	32,438	0,000	32,438	14,871	0,000	22,121
42	15922	5	0,000	-5,200	-25,500	-25,500	0,000	36,774	0,000	36,774	21,860	0,000	26,498
Plate_1_6	15604	1	3,000	-3,943	-40,102	-40,102	2,922	-9,737	-9,737	9,422	-19,113	-24,717	2,875
Element 15-28 (Plate)	15495	2	3,000	-4,180	-42,444	-42,444	2,958	-7,746	-7,746	5,328	-21,136	-25,880	4,155
(Micropali D168.3x8,0mm/0,4)	15494	3	3,000	-4,418	-44,859	-44,859	3,002	-7,016	-7,016	3,000	-22,915	-26,265	4,661
43	15493	4	3,000	-4,656	-47,694	-47,694	3,023	-6,097	-6,097	5,256	-24,458	-25,783	4,837
44	15515	5	3,000	-4,894	-51,294	-51,294	5,094	-3,538	-3,538	11,711	-25,665	-25,665	4,949
Plate_1_6	15515	1	3,000	-4,894	-51,103	-51,103	4,592	-3,712	-3,712	11,422	-25,665	-25,665	4,949
Element 15-29 (Plate)	15514	2	3,000	-5,095	-54,099	-54,099	7,199	-2,591	-2,591	16,713	-26,260	-26,260	4,874
(Micropali D168.3x8,0mm/0,4)	15513	3	3,000	-5,297	-56,625	-56,625	8,839	-2,807	-2,807	21,111	-26,811	-26,811	4,620
45	15512	4	3,000	-5,498	-59,420	-59,420	9,858	-3,373	-3,373	25,780	-27,416	-27,416	4,345
46	15511	5	3,000	-5,700	-63,222	-63,222	10,602	-3,300	-3,300	31,888	-28,116	-28,116	4,347
Plate_2_9	15922	1	0,000	-5,200	-39,620	-39,620	0,000	-47,543	-47,543	0,000	21,860	0,000	26,498
Element 16-30 (Plate)	15715	2	0,000	-5,366	-41,118	-41,118	0,000	-43,713	-43,713	0,000	14,300	-1,437	20,161
(Parete c.a.C32/40 sp.0.50m)	15714	3	0,000	-5,531	-42,641	-42,641	0,000	-39,815	-39,815	0,000	7,378	-4,001	14,261
47	15713	4	0,000	-5,697	-44,195	-44,195	0,000	-35,840	-35,840	0,000	1,107	-6,355	8,835
48	15712	5	0,000	-5,863	-45,781	-45,781	0,000	-31,780	-31,780	0,000	-4,495	-8,467	3,925
Plate_2_9	15712	1	0,000	-5,863	-45,764	-45,764	0,000	-31,825	-31,825	0,000	-4,495	-8,467	3,925
Element 16-31 (Plate)	15279	2	0,000	-5,947	-46,562	-46,562	0,000	-29,782	-29,782	0,000	-7,091	-9,441	1,630

Structural element	Node [10^]	Local number	X [m]	Y [m]	N [kN/m]	N,,x,, [kN/m]	N,,xy,, [kN/m]	Q [kN/m]	Q,,x,, [kN/m]	Q,,y,, [kN/m]	M [kN m/m]	M,,x,, [kN m/m]	M,,xy,, [kN m/m]
(Parete c.a.C32/40 sp.0.50m)	15278	3	0,000	-6,031	-47,366	-47,366	0,000	-27,722	-27,722	0,000	-9,516	-10,343	0,000
"	15277	4	0,000	-6,116	-48,177	-48,177	0,000	-25,648	-25,648	0,000	-11,766	-11,766	0,000
"	15276	5	0,000	-6,200	-48,993	-48,993	0,000	-23,559	-23,559	0,000	-13,840	-13,840	0,000
Plate_1_7	15511	1	3,000	-5,700	-59,635	-63,045	10,519	23,894	-17,860	24,465	-28,116	-28,116	4,347
Element 17-32 (Plate)	15227	2	3,000	-5,825	-63,449	-65,837	10,862	25,180	-12,233	29,399	-25,051	-25,051	4,273
(Micropali D168.3x8,0mm/0,4)	15228	3	3,000	-5,950	-67,170	-68,410	11,209	26,134	-7,187	34,231	-21,832	-21,832	5,350
"	15229	4	3,000	-6,075	-70,566	-70,566	11,545	26,346	-2,996	38,670	-18,547	-18,547	8,280
"	15226	5	3,000	-6,200	-73,407	-73,407	11,859	25,405	-2,063	42,407	-15,297	-15,297	11,701
Plate_2_10	15276	1	0,000	-6,200	-48,967	-48,967	0,003	-23,625	-23,625	0,003	-13,840	-13,840	0,000
Element 18-33 (Plate)	15111	2	0,000	-6,275	-49,696	-49,696	0,000	-21,759	-21,785	0,020	-15,541	-15,541	0,001
(Parete c.a.C32/40 sp.0.50m)	15110	3	0,000	-6,350	-50,431	-50,431	0,000	-19,880	-20,041	0,059	-17,103	-17,103	0,003
"	15109	4	0,000	-6,425	-51,168	-51,168	0,000	-17,991	-18,305	0,113	-18,524	-18,524	0,010
"	15108	5	0,000	-6,500	-51,908	-51,908	0,000	-16,098	-16,584	0,171	-19,802	-19,802	0,020
Plate_1_8	15226	1	3,000	-6,200	-73,216	-73,216	11,857	25,107	-2,075	42,207	-15,297	-15,297	11,701
Element 19-34 (Plate)	15055	2	3,000	-6,275	-74,993	-74,993	12,040	24,670	-1,952	40,863	-13,431	-13,431	14,032
(Micropali D168.3x8,0mm/0,4)	15054	3	3,000	-6,350	-76,793	-76,793	12,214	24,403	-1,841	38,711	-11,592	-11,592	16,324
"	15053	4	3,000	-6,425	-78,616	-78,616	12,379	24,334	-1,746	36,000	-9,765	-9,765	18,631
"	15052	5	3,000	-6,500	-80,464	-80,464	12,537	24,491	-1,732	35,219	-7,936	-8,574	21,053
Plate_1_9	15052	1	3,000	-6,500	-80,465	-80,465	12,539	24,519	-1,766	35,293	-7,936	-8,574	21,053
Element 20-35 (Plate)	14383	2	3,000	-6,522	-81,010	-81,010	12,584	24,655	-1,825	35,792	-7,407	-8,379	21,745
(Micropali D168.3x8,0mm/0,4)	14384	3	3,000	-6,543	-81,537	-81,537	12,631	24,779	-1,889	36,292	-6,875	-8,168	22,421
"	14385	4	3,000	-6,565	-82,038	-82,038	12,682	24,877	-1,959	36,776	-6,341	-7,944	23,088
"	14382	5	3,000	-6,586	-82,506	-82,506	12,737	24,935	-2,038	37,384	-5,805	-7,707	23,738
Plate_2_11	15108	1	0,000	-6,500	-51,827	-51,827	0,000	-16,307	-16,743	0,157	-19,802	-19,802	0,020
Element 21-36 (Plate)	14137	2	0,000	-6,624	-53,211	-53,211	0,000	-12,763	-13,575	0,403	-21,592	-21,592	0,054
(Parete c.a.C32/40 sp.0.50m)	14136	3	0,000	-6,747	-54,427	-54,427	0,000	-9,650	-10,658	0,658	-22,975	-22,975	0,114
"	14135	4	0,000	-6,871	-55,513	-55,513	0,000	-6,873	-8,040	0,918	-23,992	-23,992	0,212
"	14134	5	0,000	-6,994	-56,506	-56,506	0,000	-4,333	-5,588	1,359	-24,683	-24,683	0,343
Plate_1_10	14382	1	3,000	-6,586	-82,594	-82,594	12,732	24,986	-2,060	37,289	-5,805	-7,707	23,738
Element 22-37 (Plate)	13951	2	3,000	-6,690	-83,890	-83,890	13,028	23,801	-2,574	39,143	-3,274	-6,519	26,149
(Micropali D168.3x8,0mm/0,4)	13952	3	3,000	-6,793	-85,070	-85,070	13,209	22,197	-5,355	40,214	-0,897	-5,305	27,375
"	13953	4	3,000	-6,897	-86,066	-86,066	13,278	20,656	-8,747	40,726	1,324	-4,038	27,575
"	13950	5	3,000	-7,000	-86,814	-86,814	13,236	19,657	-11,767	40,905	3,400	-2,733	27,371
Plate_2_12	14134	1	0,000	-6,994	-56,562	-56,562	0,000	-4,188	-5,491	1,372	-24,683	-24,683	0,343
Element 23-38 (Plate)	13402	2	0,000	-7,061	-57,199	-57,199	0,000	-2,559	-3,994	2,082	-24,910	-24,910	0,431
(Parete c.a.C32/40 sp.0.50m)	13401	3	0,000	-7,128	-57,890	-57,890	0,000	-0,790	-2,441	2,947	-25,023	-25,023	0,533
"	13400	4	0,000	-7,195	-58,631	-58,631	0,000	1,109	-0,793	3,849	-25,013	-25,013	0,651
"	13396	5	0,000	-7,262	-59,419	-59,419	0,000	3,127	0,000	4,786	-24,871	-24,871	0,787
Plate_2_13	13396	1	0,000	-7,262	-59,399	-59,399	0,000	3,075	0,000	4,763	-24,871	-24,871	0,787
Element 24-39 (Plate)	12634	2	0,000	-7,322	-60,098	-60,098	0,000	4,865	0,000	5,658	-24,636	-24,636	0,926
(Parete c.a.C32/40 sp.0.50m)	12633	3	0,000	-7,381	-60,800	-60,800	0,000	6,665	0,000	6,665	-24,293	-24,293	1,085
"	12632	4	0,000	-7,441	-61,507	-61,507	0,000	8,473	0,000	8,473	-23,843	-23,843	1,263
"	12628	5	0,000	-7,500	-62,216	-62,216	0,000	10,290	0,000	10,290	-23,286	-23,286	1,461
Plate_1_11	13950	1	3,000	-7,000	-87,090	-87,090	13,261	19,263	-12,169	41,897	3,400	-2,733	27,371
Element 25-40 (Plate)	13001	2	3,000	-7,152	-87,651	-87,651	13,206	18,327	-16,143	19,858	6,285	-0,731	30,260
(Micropali D168.3x8,0mm/0,4)	13002	3	3,000	-7,305	-88,576	-88,576	13,152	16,658	-19,165	16,658	8,943	0,000	31,477
"	13003	4	3,000	-7,457	-89,505	-89,505	13,102	15,091	-19,963	15,196	11,369	0,000	30,366
"	13000	5	3,000	-7,610	-90,077	-90,077	13,058	14,461	-20,289	15,455	13,598	0,000	27,777
Plate_1_11	13000	1	3,000	-7,610	-90,449	-90,449	13,057	14,046	-21,743	15,121	13,598	0,000	27,777
Element 25-41 (Plate)	12096	2	3,000	-7,832	-93,393	-93,393	13,018	18,231	-22,973	21,040	17,298	0,000	22,823
(Micropali D168.3x8,0mm/0,4)	12095	3	3,000	-8,055	-95,777	-95,777	12,993	18,184	-22,301	23,569	21,379	0,000	21,379
"	12094	4	3,000	-8,277	-97,702	-97,702	12,979	15,502	-19,595	25,343	25,199	-0,044	25,199
"	12093	5	3,000	-8,500	-99,269	-99,269	12,973	11,780	-15,445	27,281	28,223	-0,144	28,223

Structural element	Node [10^0]	Local number	X [m]	Y [m]	N [kN/m]	N,,xx,, [kN/m]	N,,xx,, [kN/m]	Q [kN/m]	Q,,xx,, [kN/m]	Q,,xx,, [kN/m]	M [kN m/m]	M,,xx,, [kN m/m]	M,,xx,, [kN m/m]
Plate_2_14	12628	1	0,000	-7,500	-62,216	-62,216	0,000	10,289	0,000	10,289	-23,286	-23,286	1,461
Element 26-42 (Plate)	11506	2	0,000	-7,576	-63,140	-63,140	0,000	12,656	0,000	12,656	-22,409	-22,409	1,746
(Parete c.a.C32/40 sp.0.50m)	11505	3	0,000	-7,653	-64,086	-64,086	0,000	15,078	0,000	15,078	-21,350	-21,350	2,066
28	11504	4	0,000	-7,729	-65,071	-65,071	0,000	17,599	0,000	17,599	-20,101	-20,101	2,427
28	11503	5	0,000	-7,806	-66,109	-66,109	0,000	20,257	0,000	20,257	-18,656	-18,656	2,837
Plate_2_14	11503	1	0,000	-7,806	-66,095	-66,095	0,000	20,222	0,000	20,222	-18,656	-18,656	2,837
Element 26-43 (Plate)	11181	2	0,000	-7,867	-66,940	-66,940	0,000	22,386	0,000	22,386	-17,356	-17,356	3,202
(Parete c.a.C32/40 sp.0.50m)	11180	3	0,000	-7,928	-67,758	-67,758	0,000	24,480	0,000	24,480	-15,926	-15,926	3,599
28	11179	4	0,000	-7,989	-68,558	-68,558	0,000	26,529	0,000	26,529	-14,370	-14,370	4,024
28	11175	5	0,000	-8,050	-69,349	-69,349	0,000	28,553	0,000	28,553	-12,690	-12,690	4,473
Plate_2_14	11175	1	0,000	-8,050	-69,381	-69,381	0,000	28,634	0,000	28,634	-12,690	-12,690	4,473
Element 26-44 (Plate)	9918	2	0,000	-8,098	-70,032	-70,032	0,000	30,302	0,000	30,302	-11,255	-11,255	4,855
(Parete c.a.C32/40 sp.0.50m)	9917	3	0,000	-8,147	-70,684	-70,684	0,000	31,971	0,000	31,971	-9,739	-9,739	5,254
28	9916	4	0,000	-8,196	-71,349	-71,349	0,000	33,673	0,000	33,673	-8,140	-8,140	5,671
28	9915	5	0,000	-8,245	-72,039	-72,039	0,000	35,441	0,000	35,441	-6,458	-6,458	6,107
Plate_2_14	9915	1	0,000	-8,245	-72,035	-72,035	0,000	35,430	0,000	35,430	-6,458	-6,458	6,107
Element 26-45 (Plate)	9080	2	0,000	-8,283	-72,608	-72,608	0,000	36,897	0,000	36,897	-5,053	-5,053	6,471
(Parete c.a.C32/40 sp.0.50m)	9079	3	0,000	-8,322	-73,159	-73,159	0,000	38,308	0,000	38,308	-3,591	-3,591	6,850
28	9078	4	0,000	-8,361	-73,686	-73,686	0,000	39,658	0,000	39,658	-2,075	-2,075	7,244
28	9077	5	0,000	-8,400	-74,187	-74,187	0,000	40,941	0,000	40,941	-0,509	-0,509	7,650
Plate_3_1	9077	1	0,000	-8,400	-78,567	-78,567	0,000	39,100	-0,007	39,100	-0,509	-0,509	7,650
Element 27-46 (Plate)	7882	2	0,000	-8,425	-79,021	-79,021	0,000	39,992	-0,007	39,992	0,480	0,000	7,904
(Micropali D168.3x10/0,27m)	7883	3	0,000	-8,450	-79,454	-79,454	0,000	40,842	-0,007	40,842	1,491	0,000	8,163
28	7884	4	0,000	-8,475	-79,868	-79,868	0,000	41,654	-0,007	41,654	2,522	-0,001	8,426
28	7881	5	0,000	-8,500	-80,264	-80,264	0,000	42,431	-0,007	42,431	3,573	-0,001	8,692
Plate_1_12	12093	1	3,000	-8,500	-98,674	-98,674	12,971	15,993	-15,861	27,713	28,223	-0,144	28,223
Element 28-47 (Plate)	11390	2	3,000	-8,706	-89,806	-89,806	12,966	-2,233	-12,588	3,027	29,538	-0,226	29,538
(Micropali D168.3x8,0mm/0,4)	11391	3	3,000	-8,913	-83,226	-83,226	12,961	-14,442	-17,018	0,000	27,716	-0,301	28,005
28	11392	4	3,000	-9,119	-78,592	-78,592	12,956	-20,734	-21,730	0,000	23,985	-0,370	24,338
28	11389	5	3,000	-9,325	-75,558	-75,558	12,950	-21,210	-21,994	0,000	19,562	-0,433	19,791
Plate_1_12	11389	1	3,000	-9,325	-75,168	-75,168	12,896	-22,016	-23,079	0,000	19,562	-0,433	19,791
Element 28-48 (Plate)	10576	2	3,000	-9,483	-72,697	-72,697	12,962	-20,884	-22,081	0,000	16,169	-0,519	16,240
(Micropali D168.3x8,0mm/0,4)	10575	3	3,000	-9,641	-70,104	-70,104	12,831	-19,087	-20,287	0,000	13,009	-0,727	13,009
28	10574	4	3,000	-9,798	-67,343	-67,343	12,507	-16,746	-17,826	0,000	10,174	-0,870	10,174
28	10573	5	3,000	-9,956	-64,368	-64,368	11,989	-13,982	-14,838	0,000	7,747	-0,974	7,747
Plate_1_12	10573	1	3,000	-9,956	-64,304	-64,304	11,989	-14,114	-14,986	0,000	7,747	-0,974	7,747
Element 28-49 (Plate)	9580	2	3,000	-10,077	-61,704	-61,704	11,448	-12,133	-12,815	0,013	6,166	-1,096	6,166
(Micropali D168.3x8,0mm/0,4)	9579	3	3,000	-10,197	-58,782	-58,782	10,796	-10,287	-10,773	0,048	4,815	-1,166	4,815
28	9578	4	3,000	-10,318	-55,532	-55,532	10,058	-8,589	-8,870	0,200	3,677	-1,189	3,677
28	9577	5	3,000	-10,439	-51,947	-51,947	9,219	-7,051	-7,119	0,377	2,736	-1,170	2,736
Plate_1_12	9577	1	3,000	-10,439	-51,899	-51,899	9,240	-7,066	-7,135	0,379	2,736	-1,170	2,736
Element 28-50 (Plate)	8342	2	3,000	-10,531	-48,798	-48,798	8,607	-6,040	-6,040	0,554	2,133	-1,129	2,133
(Micropali D168.3x8,0mm/0,4)	8343	3	3,000	-10,623	-45,394	-45,394	7,948	-5,155	-5,155	0,764	1,617	-1,068	1,617
28	8344	4	3,000	-10,715	-41,689	-41,689	7,265	-4,412	-4,412	0,948	1,177	-0,989	1,177
28	8341	5	3,000	-10,808	-37,681	-37,681	6,557	-3,813	-3,813	1,104	0,799	-0,894	0,799
Plate_1_12	8341	1	3,000	-10,808	-37,667	-37,667	6,555	-3,823	-3,823	1,097	0,799	-0,894	0,799
Element 28-51 (Plate)	7770	2	3,000	-10,878	-34,376	-34,376	5,993	-3,426	-3,426	1,191	0,544	-0,813	0,544
(Micropali D168.3x8,0mm/0,4)	7769	3	3,000	-10,949	-30,871	-30,871	5,411	-3,079	-3,079	1,249	0,314	-0,727	0,314
28	7768	4	3,000	-11,019	-27,158	-27,158	4,808	-2,754	-2,754	1,270	0,109	-0,638	0,109
28	7767	5	3,000	-11,090	-23,242	-23,242	4,185	-2,422	-2,422	1,254	-0,074	-0,613	0,000
Plate_1_12	7767	1	3,000	-11,090	-23,273	-23,273	4,184	-2,354	-2,354	1,269	-0,074	-0,613	0,000
Element 28-52 (Plate)	6794	2	3,000	-11,144	-20,262	-20,262	3,691	-1,990	-1,990	1,226	-0,192	-0,608	0,000
(Micropali D168.3x8,0mm/0,4)	6795	3	3,000	-11,198	-17,192	-17,192	3,182	-1,469	-1,469	1,209	-0,286	-0,593	0,000

Structural element	Node [10^]	Local number	X [m]	Y [m]	N [kN/m]	N,,,, [kN/m]	N,,,, [kN/m]	Q [kN/m]	Q,,,, [kN/m]	Q,,,, [kN/m]	M [kN m/m]	M,,,, [kN m/m]	M,,,, [kN m/m]
28	6796	4	3,000	-11,252	-14,065	-14,065	2,657	-0,758	-0,758	1,231	-0,347	-0,560	0,000
28	6793	5	3,000	-11,306	-10,883	-10,883	2,116	0,178	0,000	1,585	-0,364	-0,498	0,000
Plate_1_12	6793	1	3,000	-11,306	-10,892	-10,892	2,114	0,095	0,000	1,449	-0,364	-0,498	0,000
Element 28-53 (Plate)	5608	2	3,000	-11,347	-8,401	-8,401	1,687	1,364	0,000	2,468	-0,332	-0,419	0,000
(Micropali D168.3x8,0mm/0,4)	5609	3	3,000	-11,388	-5,903	-5,903	1,246	2,269	0,000	3,122	-0,256	-0,303	0,000
28	5610	4	3,000	-11,429	-3,489	-3,489	0,791	2,756	0,000	3,313	-0,151	-0,169	0,000
28	5607	5	3,000	-11,471	-1,254	-1,254	0,321	2,769	0,000	2,965	-0,035	-0,037	0,000
Plate_3_2	7881	1	0,000	-8,500	-80,242	-80,242	0,000	42,449	-0,006	42,449	3,573	-0,001	8,692
Element 29-54 (Plate)	6882	2	0,000	-8,544	-79,755	-79,755	0,000	38,989	-0,009	38,989	5,355	-0,001	9,124
(Micropali D168.3x10/0,27m)	6883	3	0,000	-8,588	-79,169	-79,169	0,000	35,601	-0,013	35,601	6,987	-0,001	9,489
28	6884	4	0,000	-8,631	-78,508	-78,508	0,000	32,311	-0,018	32,311	8,473	-0,002	9,988
28	6881	5	0,000	-8,675	-77,795	-77,795	0,000	29,147	-0,022	29,147	9,817	-0,003	10,787
Plate_3_2	6881	1	0,000	-8,675	-77,767	-77,767	0,000	29,050	-0,022	29,050	9,817	-0,003	10,787
Element 29-55 (Plate)	6868	2	0,000	-8,726	-76,827	-76,827	0,000	25,297	-0,041	25,297	11,197	-0,004	11,693
(Micropali D168.3x10/0,27m)	6869	3	0,000	-8,777	-75,784	-75,784	0,000	21,428	-0,329	21,428	12,384	-0,005	12,496
28	6870	4	0,000	-8,827	-74,657	-74,657	0,000	17,480	-1,147	17,480	13,372	-0,007	13,372
28	6867	5	0,000	-8,878	-73,467	-73,467	0,000	13,495	-2,326	13,495	14,158	-0,008	14,158
Plate_3_2	6867	1	0,000	-8,878	-73,508	-73,508	0,000	13,573	-2,351	13,573	14,158	-0,008	14,158
Element 29-56 (Plate)	5682	2	0,000	-8,937	-72,277	-72,277	0,000	9,278	-3,555	9,278	14,828	-0,009	14,828
(Micropali D168.3x10/0,27m)	5683	3	0,000	-8,996	-71,296	-71,296	0,000	5,547	-4,596	5,547	15,262	-0,010	15,262
28	5684	4	0,000	-9,055	-70,551	-70,551	0,000	2,361	-5,429	2,361	15,492	-0,010	15,492
28	5681	5	0,000	-9,114	-70,025	-70,025	0,000	-0,300	-6,059	0,000	15,550	-0,011	15,550
Plate_3_2	5681	1	0,000	-9,114	-69,989	-69,989	0,000	-0,358	-6,082	0,000	15,550	-0,011	15,550
Element 29-57 (Plate)	5668	2	0,000	-9,182	-69,585	-69,585	0,000	-2,881	-6,618	0,000	15,437	-0,011	15,437
(Micropali D168.3x10/0,27m)	5669	3	0,000	-9,250	-69,286	-69,286	0,000	-4,970	-6,996	0,000	15,167	-0,012	15,167
28	5670	4	0,000	-9,319	-69,079	-69,079	0,000	-6,644	-7,224	0,000	14,767	-0,012	14,767
28	5667	5	0,000	-9,387	-68,952	-68,952	0,000	-7,919	-8,025	0,000	14,268	-0,012	14,268
Plate_3_2	5667	1	0,000	-9,387	-68,933	-68,933	0,000	-7,967	-8,061	0,000	14,268	-0,012	14,268
Element 29-58 (Plate)	5642	2	0,000	-9,466	-68,804	-68,804	0,000	-9,095	-9,095	0,000	13,590	-0,012	13,590
(Micropali D168.3x10/0,27m)	5643	3	0,000	-9,546	-68,685	-68,685	0,000	-9,939	-9,939	0,000	12,834	-0,012	12,834
28	5644	4	0,000	-9,625	-68,580	-68,580	0,000	-10,511	-10,511	0,000	12,021	-0,013	12,021
28	5641	5	0,000	-9,704	-68,494	-68,494	0,001	-10,822	-10,822	0,000	11,174	-0,013	11,174
Plate_3_2	5641	1	0,000	-9,704	-68,501	-68,501	0,001	-10,854	-10,854	0,000	11,174	-0,013	11,174
Element 29-59 (Plate)	5544	2	0,000	-9,796	-68,436	-68,436	0,003	-10,981	-10,981	0,000	10,169	-0,014	10,169
(Micropali D168.3x10/0,27m)	5545	3	0,000	-9,888	-68,464	-68,464	0,005	-10,925	-10,925	0,000	9,160	-0,015	9,160
28	5546	4	0,000	-9,980	-68,580	-68,580	0,007	-10,696	-10,696	0,000	8,165	-0,017	8,165
28	5543	5	0,000	-10,072	-68,779	-68,779	0,008	-10,304	-10,304	0,000	7,198	-0,019	7,198
Plate_3_2	5543	1	0,000	-10,072	-68,767	-68,767	0,008	-10,329	-10,329	0,000	7,198	-0,019	7,198
Element 29-60 (Plate)	4597	2	0,000	-10,179	-69,063	-69,063	0,011	-9,745	-9,745	0,000	6,127	-0,022	6,127
(Micropali D168.3x10/0,27m)	4598	3	0,000	-10,285	-69,404	-69,404	0,013	-9,075	-9,075	0,000	5,122	-0,025	5,122
28	4599	4	0,000	-10,392	-69,784	-69,784	0,015	-8,327	-8,327	0,000	4,193	-0,029	4,193
28	4596	5	0,000	-10,499	-70,201	-70,201	0,017	-7,508	-7,508	0,000	3,348	-0,034	3,348
Plate_3_2	4596	1	0,000	-10,499	-70,193	-70,193	0,017	-7,522	-7,522	0,000	3,348	-0,034	3,348
Element 29-61 (Plate)	4561	2	0,000	-10,622	-70,693	-70,693	0,020	-6,539	-6,539	0,000	2,478	-0,040	2,478
(Micropali D168.3x10/0,27m)	4562	3	0,000	-10,746	-71,200	-71,200	0,023	-5,543	-5,543	0,000	1,731	-0,047	1,731
28	4563	4	0,000	-10,870	-71,711	-71,711	0,026	-4,538	-4,538	0,000	1,107	-0,058	1,107
28	4560	5	0,000	-10,994	-72,225	-72,225	0,028	-3,528	-3,528	0,000	0,608	-0,191	0,608
Plate_3_2	4560	1	0,000	-10,994	-72,221	-72,221	0,029	-3,535	-3,535	0,000	0,608	-0,191	0,608
Element 29-62 (Plate)	4345	2	0,000	-11,137	-72,809	-72,809	0,032	-2,379	-2,379	0,000	0,184	-0,366	0,184
(Micropali D168.3x10/0,27m)	4346	3	0,000	-11,281	-73,380	-73,380	0,035	-1,258	-1,258	0,000	-0,077	-0,461	0,000
28	4347	4	0,000	-11,424	-73,930	-73,930	0,040	-0,175	-0,175	0,166	-0,179	-0,477	0,000
28	4344	5	0,000	-11,568	-74,460	-74,460	0,045	0,867	0,000	0,966	-0,129	-0,418	0,000
Plate_3_2	4344	1	0,000	-11,568	-74,424	-74,424	0,073	0,796	-0,018	0,908	-0,129	-0,418	0,000

Structural element	Node [10^]	Local number	X [m]	Y [m]	N [kN/m]	N,,x,, [kN/m]	N,,xy,, [kN/m]	Q [kN/m]	Q,,x,, [kN/m]	Q,,y,, [kN/m]	M [kN m/m]	M,,x,, [kN m/m]	M,,xy,, [kN m/m]
Element 29-63 (Plate)	3619	2	0,000	-11,734	-75,038	-75,038	0,007	2,004	0,000	2,004	0,108	-0,276	0,115
(Micropali D168.3x10/0,27m)	3620	3	0,000	-11,901	-75,464	-75,464	0,000	2,841	0,000	2,841	0,518	-0,075	0,518
,,	3621	4	0,000	-12,067	-75,663	-75,663	0,000	3,234	0,000	3,234	1,030	-0,018	1,030
,,	3618	5	0,000	-12,234	-75,598	-75,598	0,000	3,107	0,000	3,107	1,566	0,000	1,566
Plate_1_13	5607	1	3,000	-11,471	-1,330	-1,330	0,321	2,339	0,000	2,540	-0,035	-0,037	0,000
Element 30-64 (Plate)	4612	2	3,000	-11,478	-0,971	-0,984	0,235	1,818	0,000	1,920	-0,020	-0,021	0,000
(Micropali D168.3x8,0mm/0,4)	4611	3	3,000	-11,485	-0,625	-0,647	0,149	1,224	0,000	1,269	-0,009	-0,009	0,000
,,	4610	4	3,000	-11,493	-0,293	-0,307	0,062	0,586	0,000	0,603	-0,002	-0,002	0,000
,,	4609	5	3,000	-11,500	0,026	-0,024	0,029	-0,065	-0,065	0,000	0,000	0,000	0,000
Plate_3_3	3618	1	0,000	-12,234	-75,542	-75,542	0,000	2,998	0,000	2,998	1,566	0,000	1,566
Element 31-65 (Plate)	2977	2	0,000	-12,406	-74,879	-74,879	0,000	1,698	0,000	1,698	1,967	0,000	1,967
(Micropali D168.3x10/0,27m)	2978	3	0,000	-12,579	-74,361	-74,361	0,000	0,684	0,000	0,684	2,168	0,000	2,168
,,	2979	4	0,000	-12,751	-73,987	-73,987	0,000	-0,049	-0,066	0,000	2,219	0,000	2,219
,,	2976	5	0,000	-12,924	-73,752	-73,752	0,000	-0,508	-0,508	0,000	2,167	0,000	2,167
Plate_3_3	2976	1	0,000	-12,924	-73,730	-73,729	0,000	-0,547	-0,547	0,000	2,167	0,000	2,167
Element 31-66 (Plate)	2613	2	0,000	-13,106	-73,569	-73,569	0,000	-0,860	-0,860	0,000	2,037	0,000	2,037
(Micropali D168.3x10/0,27m)	2612	3	0,000	-13,288	-73,453	-73,453	0,000	-1,056	-1,056	0,000	1,861	0,000	1,861
,,	2611	4	0,000	-13,470	-73,375	-73,375	0,000	-1,144	-1,144	0,000	1,659	0,000	1,659
,,	2610	5	0,000	-13,653	-73,328	-73,328	0,000	-1,133	-1,133	0,000	1,450	0,000	1,450
Plate_3_3	2610	1	0,000	-13,653	-73,233	-73,233	0,000	-1,156	-1,156	0,000	1,450	0,000	1,450
Element 31-67 (Plate)	1951	2	0,000	-13,845	-73,265	-73,265	0,000	-1,068	-1,068	0,000	1,235	0,000	1,235
(Micropali D168.3x10/0,27m)	1952	3	0,000	-14,037	-72,890	-72,890	0,000	-0,943	-0,943	0,000	1,042	0,000	1,042
,,	1953	4	0,000	-14,230	-72,116	-72,116	0,000	-0,788	-0,788	0,000	0,874	0,000	0,874
,,	1950	5	0,000	-14,422	-70,951	-70,951	0,000	-0,609	-0,609	0,000	0,740	0,000	0,740
Plate_3_3	1950	1	0,000	-14,422	-70,952	-70,952	0,000	-0,619	-0,619	0,000	0,740	0,000	0,740
Element 31-68 (Plate)	1613	2	0,000	-14,625	-69,323	-69,323	0,000	-0,443	-0,445	0,000	0,632	0,000	0,632
(Micropali D168.3x10/0,27m)	1614	3	0,000	-14,829	-67,272	-67,272	0,000	-0,285	-0,300	0,000	0,558	0,000	0,558
,,	1615	4	0,000	-15,032	-64,803	-64,803	0,000	-0,146	-0,217	0,000	0,515	0,000	0,515
,,	1612	5	0,000	-15,235	-61,916	-61,916	0,000	-0,027	-0,169	0,000	0,498	-0,001	0,498
Plate_3_3	1612	1	0,000	-15,235	-61,889	-61,889	0,000	-0,040	-0,168	0,000	0,498	-0,001	0,498
Element 31-69 (Plate)	1081	2	0,000	-15,450	-58,380	-58,380	0,000	0,057	-0,138	0,057	0,501	-0,001	0,501
(Micropali D168.3x10/0,27m)	1082	3	0,000	-15,664	-54,282	-54,282	0,000	0,056	-0,113	0,056	0,515	-0,001	0,515
,,	1083	4	0,000	-15,879	-49,589	-49,589	0,000	-0,040	-0,093	0,001	0,519	-0,001	0,519
,,	1080	5	0,000	-16,093	-44,292	-44,292	0,000	-0,226	-0,226	0,002	0,492	-0,001	0,492
Plate_3_3	1080	1	0,000	-16,093	-44,157	-44,157	0,000	-0,170	-0,170	0,004	0,492	-0,001	0,492
Element 31-70 (Plate)	669	2	0,000	-16,320	-34,143	-34,143	0,000	-0,467	-0,467	0,002	0,421	0,000	0,421
(Micropali D168.3x10/0,27m)	668	3	0,000	-16,547	-23,505	-23,505	0,000	-0,694	-0,694	0,001	0,283	0,000	0,283
,,	667	4	0,000	-16,773	-12,194	-12,194	0,000	-0,694	-0,694	0,000	0,124	0,000	0,124
,,	666	5	0,000	-17,000	-0,161	-0,161	0,000	-0,309	-0,309	0,000	0,000	0,000	0,000

3.1.2.4.22 Calculation results, Plate, Disattivazione paratia provvisionale [Phase_17] (17/998), Table of plate force envelopes

Structural element	Node [10 ⁰]	Local number	X [m]	Y [m]	N [kN/m]	N ₋₋₋ [kN/m]	N ₋₋₋ [10 ⁰ kN/m]	Q [kN/m]	Q₊₋₋ [kN/m]	Q ₋₋₋ [kN/m]	M [kN m/m]	M ₋₋₋ [kN m/m]	M ₋₋₋ [kN m/m]
Plate_2_1	17871	1	0,000	0,000	-0,001	-0,001	1,624	0,002	-0,004	0,002	0,000	0,000	0,000
Element 1-1 (Plate)	17868	2	0,000	-0,021	-0,002	-0,004	0,000	0,007	0,000	0,012	0,000	0,000	0,000
(Parete c.a.C32/40 sp.0.50m)	17867	3	0,000	-0,043	-0,012	-0,014	0,000	0,033	0,000	0,039	0,000	0,000	0,001
88	17866	4	0,000	-0,064	-0,030	-0,030	0,000	0,077	0,000	0,082	0,002	0,000	0,002
88	17869	5	0,000	-0,086	-0,054	-0,054	0,000	0,138	0,000	0,138	0,004	0,000	0,004
Plate_2_1	17869	1	0,000	-0,086	-0,053	-0,053	0,000	0,137	0,000	0,137	0,004	0,000	0,004
Element 1-2 (Plate)	17860	2	0,000	-0,113	-0,090	-0,090	0,000	0,232	0,000	0,232	0,009	0,000	0,009
(Parete c.a.C32/40 sp.0.50m)	17859	3	0,000	-0,140	-0,133	-0,133	0,000	0,343	0,000	0,343	0,017	0,000	0,017
88	17858	4	0,000	-0,166	-0,182	-0,182	0,000	0,469	0,000	0,469	0,027	0,000	0,027
88	17857	5	0,000	-0,193	-0,237	-0,237	0,000	0,610	0,000	0,610	0,042	0,000	0,042
Plate_2_1	17857	1	0,000	-0,193	-0,237	-0,237	0,000	0,609	0,000	0,609	0,042	0,000	0,042
Element 1-3 (Plate)	17837	2	0,000	-0,227	-0,313	-0,313	0,000	0,805	0,000	0,805	0,066	0,000	0,066
(Parete c.a.C32/40 sp.0.50m)	17836	3	0,000	-0,261	-0,396	-0,396	0,000	1,018	0,000	1,018	0,097	0,000	0,097
88	17835	4	0,000	-0,295	-0,486	-0,486	0,000	1,249	0,000	1,249	0,135	0,000	0,135
88	17834	5	0,000	-0,329	-0,582	-0,582	0,000	1,495	0,000	1,495	0,182	0,000	0,182
Plate_2_1	17834	1	0,000	-0,329	-0,582	-0,582	0,000	1,494	0,000	1,494	0,182	0,000	0,182
Element 1-4 (Plate)	17759	2	0,000	-0,372	-0,711	-0,711	0,000	1,826	0,000	1,826	0,253	0,000	0,253
(Parete c.a.C32/40 sp.0.50m)	17758	3	0,000	-0,415	-0,848	-0,848	0,000	2,177	0,000	2,177	0,338	0,000	0,338
88	17757	4	0,000	-0,457	-0,993	-0,993	0,000	2,548	0,000	2,548	0,439	0,000	0,439
88	17753	5	0,000	-0,500	-1,144	-1,144	0,000	2,937	0,000	2,937	0,556	0,000	0,556
Plate_2_2	17753	1	0,000	-0,500	-1,147	-1,147	0,000	2,945	0,000	2,945	0,556	0,000	0,556
Element 3-6 (Plate)	17677	2	0,000	-0,563	-1,383	-1,383	0,000	3,550	0,000	3,550	0,758	0,000	0,758
(Parete c.a.C32/40 sp.0.50m)	17676	3	0,000	-0,625	-1,641	-1,641	0,000	4,209	0,000	4,209	1,001	0,000	1,001
88	17675	4	0,000	-0,688	-1,915	-1,915	0,000	4,912	0,000	4,912	1,286	0,000	1,286
88	17671	5	0,000	-0,750	-2,202	-2,202	0,000	5,647	0,000	5,647	1,615	0,000	1,615
Plate_2_3	17671	1	0,000	-0,750	-2,159	-2,159	3,862	5,538	-0,010	5,538	1,615	0,000	1,615
Element 4-7 (Plate)	17599	2	0,000	-0,798	-2,378	-2,378	0,351	6,101	-0,001	6,101	1,895	0,000	1,895
(Parete c.a.C32/40 sp.0.50m)	17598	3	0,000	-0,846	-2,596	-2,596	0,493	6,659	-0,001	6,659	2,201	0,000	2,201
88	17597	4	0,000	-0,894	-2,809	-2,809	0,000	7,204	0,000	7,204	2,535	0,000	2,535
88	17593	5	0,000	-0,942	-3,013	-3,013	0,000	7,728	0,000	7,728	2,893	0,000	2,893
Plate_2_3	17593	1	0,000	-0,942	-3,021	-3,021	0,000	7,748	0,000	7,748	2,893	0,000	2,893
Element 4-8 (Plate)	17468	2	0,000	-1,007	-3,306	-3,306	0,000	8,479	0,000	8,479	3,416	0,000	3,416
(Parete c.a.C32/40 sp.0.50m)	17467	3	0,000	-1,071	-3,621	-3,621	0,000	9,287	0,000	9,287	3,988	0,000	3,988
88	17466	4	0,000	-1,136	-3,967	-3,967	0,000	10,173	0,000	10,173	4,615	0,000	4,615
88	17465	5	0,000	-1,200	-4,344	-4,344	0,000	11,140	0,000	11,140	5,301	0,000	5,301
Plate_2_4	17465	1	0,000	-1,200	-13,118	-13,118	0,000	-41,585	-41,585	0,000	5,301	0,000	5,301
Element 6-11 (Plate)	17390	2	0,000	-1,261	-13,510	-13,510	0,000	-40,579	-40,579	0,000	2,804	-0,536	2,804
(Parete c.a.C32/40 sp.0.50m)	17389	3	0,000	-1,322	-13,888	-13,888	0,000	-39,610	-39,610	0,000	0,366	-1,127	0,366
88	17388	4	0,000	-1,382	-14,252	-14,252	0,000	-38,679	-38,679	0,000	-2,014	-2,014	0,000
88	17387	5	0,000	-1,443	-14,600	-14,600	0,000	-37,785	-37,785	0,000	-4,338	-4,338	0,000
Plate_2_4	17387	1	0,000	-1,443	-14,607	-14,607	0,000	-37,769	-37,769	0,000	-4,338	-4,338	0,000
Element 6-12 (Plate)	17259	2	0,000	-1,535	-15,186	-15,186	0,000	-36,284	-36,284	0,000	-7,732	-7,732	0,000
(Parete c.a.C32/40 sp.0.50m)	17258	3	0,000	-1,627	-15,778	-15,778	0,000	-34,768	-34,768	0,000	-10,991	-10,991	0,000
88	17257	4	0,000	-1,718	-16,379	-16,379	0,000	-33,228	-33,228	0,000	-14,110	-14,110	0,000
88	17256	5	0,000	-1,810	-16,987	-16,987	0,000	-31,669	-31,669	0,000	-17,085	-17,085	0,000
Plate_2_5	17256	1	0,000	-1,810	-16,977	-16,977	3,534	-31,694	-31,694	0,007	-17,085	-17,085	0,000

Structural element	Node [10 ^]	Local number	X [m]	Y [m]	N [kN/m]	N max [kN/m]	N max [10 ^ kN/m]	Q [kN/m]	Q max [kN/m]	Q max [kN/m]	M [kN m/m]	M max [kN m/m]	M max [kN m/m]
Element 10-17 (Plate)	17223	2	0,000	-1,882	-17,459	-17,459	0,467	-30,459	-30,459	0,018	-19,336	-19,336	0,000
(Parete c.a.C32/40 sp.0.50m)	17222	3	0,000	-1,955	-17,949	-17,949	0,765	-29,204	-29,204	0,039	-21,499	-21,499	0,002
28	17221	4	0,000	-2,027	-18,452	-18,452	1,156	-27,915	-27,915	0,097	-23,570	-23,570	0,007
28	17220	5	0,000	-2,100	-18,974	-18,974	1,550	-26,579	-26,579	0,202	-25,544	-25,544	0,017
Plate_2_5	17220	1	0,000	-2,100	-18,975	-18,975	2,234	-26,575	-26,575	0,211	-25,544	-25,544	0,017
Element 10-18 (Plate)	17043	2	0,000	-2,200	-19,669	-19,669	0,681	-24,796	-24,796	0,277	-28,113	-28,113	0,041
(Parete c.a.C32/40 sp.0.50m)	17042	3	0,000	-2,300	-20,390	-20,390	0,000	-22,950	-22,950	0,471	-30,502	-30,502	0,076
28	17041	4	0,000	-2,400	-21,132	-21,132	0,000	-21,048	-21,048	0,707	-32,704	-32,704	0,132
28	17040	5	0,000	-2,500	-21,892	-21,892	0,000	-19,101	-19,101	1,019	-34,712	-34,712	0,217
Plate_2_6	17040	1	0,000	-2,500	-21,883	-21,883	0,000	-19,123	-19,123	0,999	-34,712	-34,712	0,217
Element 12-23 (Plate)	17003	2	0,000	-2,615	-22,742	-22,742	0,000	-16,922	-16,922	1,375	-36,792	-36,792	0,353
(Parete c.a.C32/40 sp.0.50m)	17002	3	0,000	-2,731	-23,615	-23,615	0,000	-14,685	-14,685	1,848	-38,617	-38,617	0,538
28	17001	4	0,000	-2,846	-24,491	-24,491	0,000	-12,441	-12,441	2,391	-40,183	-40,183	0,782
28	17000	5	0,000	-2,962	-25,359	-25,359	0,000	-10,218	-10,218	2,977	-41,490	-41,490	1,092
Plate_2_6	17000	1	0,000	-2,962	-25,363	-25,363	0,000	-10,207	-10,207	2,990	-41,490	-41,490	1,092
Element 12-24 (Plate)	16689	2	0,000	-3,082	-26,158	-26,158	0,000	-8,170	-8,170	3,399	-42,594	-42,594	1,475
(Parete c.a.C32/40 sp.0.50m)	16688	3	0,000	-3,202	-26,963	-26,963	0,000	-6,107	-6,107	3,919	-43,453	-43,453	1,913
28	16687	4	0,000	-3,322	-27,786	-27,786	0,000	-3,997	-3,997	4,968	-44,060	-44,060	2,420
28	16686	5	0,000	-3,442	-28,636	-28,636	0,000	-1,820	-1,820	6,653	-44,410	-44,410	3,012
Plate_2_6	16686	1	0,000	-3,442	-28,657	-28,657	0,000	-1,766	-1,766	6,706	-44,410	-44,410	3,012
Element 12-25 (Plate)	16542	2	0,000	-3,567	-29,504	-29,504	0,000	0,404	0,000	8,444	-44,497	-44,497	3,733
(Parete c.a.C32/40 sp.0.50m)	16541	3	0,000	-3,693	-30,399	-30,399	0,000	2,699	0,000	10,360	-44,304	-44,304	4,574
28	16540	4	0,000	-3,818	-31,328	-31,328	0,000	5,079	0,000	12,410	-43,818	-43,818	5,553
28	16536	5	0,000	-3,943	-32,274	-32,274	0,000	7,504	0,000	14,556	-43,032	-43,032	6,688
Plate_2_7	16536	1	0,000	-3,943	-32,251	-32,251	3,986	7,445	-0,006	14,487	-43,032	-43,032	6,688
Element 13-26 (Plate)	16129	2	0,000	-4,055	-33,022	-33,022	0,000	9,421	0,000	16,258	-42,083	-42,083	7,836
(Parete c.a.C32/40 sp.0.50m)	16128	3	0,000	-4,167	-33,761	-33,761	0,000	11,314	0,000	17,946	-40,917	-40,917	9,102
28	16127	4	0,000	-4,280	-34,470	-34,470	0,000	13,130	0,000	19,549	-39,542	-39,542	10,483
28	16126	5	0,000	-4,392	-35,151	-35,151	0,000	14,873	0,000	21,069	-37,968	-37,968	11,974
Plate_2_8	16126	1	0,000	-4,392	-35,145	-35,145	0,000	14,859	0,000	21,058	-37,968	-37,968	11,974
Element 14-27 (Plate)	15925	2	0,000	-4,594	-36,588	-36,588	0,000	18,553	0,000	24,317	-34,612	-34,612	14,924
(Parete c.a.C32/40 sp.0.50m)	15924	3	0,000	-4,796	-38,311	-38,311	0,000	22,965	0,000	28,198	-30,424	-30,424	18,283
28	15923	4	0,000	-4,998	-40,215	-40,215	0,000	27,838	0,000	32,438	-25,304	-25,304	22,121
28	15922	5	0,000	-5,200	-42,199	-42,199	0,000	32,916	0,000	36,774	-19,170	-19,170	26,498
Plate_2_9	15922	1	0,000	-5,200	-55,532	-55,532	0,000	-46,720	-47,543	0,000	-19,170	-19,170	26,498
Element 16-30 (Plate)	15715	2	0,000	-5,366	-57,301	-57,301	0,000	-42,192	-43,713	0,000	-26,536	-26,536	20,161
(Parete c.a.C32/40 sp.0.50m)	15714	3	0,000	-5,531	-59,123	-59,123	0,000	-37,530	-39,815	0,000	-33,145	-33,145	14,261
28	15713	4	0,000	-5,697	-60,999	-60,999	0,000	-32,728	-35,840	0,000	-38,969	-38,969	8,835
28	15712	5	0,000	-5,863	-62,932	-62,932	0,000	-27,781	-31,780	0,000	-43,983	-43,983	3,925
Plate_2_9	15712	1	0,000	-5,863	-62,914	-62,914	0,000	-27,828	-31,825	0,000	-43,983	-43,983	3,925
Element 16-31 (Plate)	15279	2	0,000	-5,947	-63,896	-63,896	0,000	-25,314	-29,782	0,000	-46,222	-46,222	1,630
(Parete c.a.C32/40 sp.0.50m)	15278	3	0,000	-6,031	-64,888	-64,888	0,000	-22,773	-27,722	0,000	-48,250	-48,250	0,000
28	15277	4	0,000	-6,116	-65,891	-65,891	0,000	-20,207	-25,648	0,000	-50,062	-50,062	0,000
28	15276	5	0,000	-6,200	-66,902	-66,902	0,000	-17,618	-23,559	0,000	-51,657	-51,657	0,000
Plate_2_10	15276	1	0,000	-6,200	-66,876	-66,876	3,104	-17,685	-23,625	0,003	-51,657	-51,657	0,000
Element 18-33 (Plate)	15111	2	0,000	-6,275	-67,782	-67,782	0,115	-15,366	-21,785	0,020	-52,896	-52,896	0,001
(Parete c.a.C32/40 sp.0.50m)	15110	3	0,000	-6,350	-68,695	-68,695	0,004	-13,030	-20,041	0,059	-53,961	-53,961	0,003
28	15109	4	0,000	-6,425	-69,613	-69,613	0,021	-10,680	-18,305	0,113	-54,850	-54,850	0,010
28	15108	5	0,000	-6,500	-70,534	-70,534	0,052	-8,320	-16,584	0,171	-55,563	-55,563	0,020
Plate_2_11	15108	1	0,000	-6,500	-70,452	-70,452	0,000	-8,532	-16,743	0,157	-55,563	-55,563	0,020
Element 21-36 (Plate)	14137	2	0,000	-6,624	-72,140	-72,140	0,000	-4,210	-13,575	0,403	-56,345	-56,345	0,054
(Parete c.a.C32/40 sp.0.50m)	14136	3	0,000	-6,747	-73,659	-73,659	0,000	-0,320	-10,658	0,658	-56,622	-56,622	0,114
28	14135	4	0,000	-6,871	-75,047	-75,047	0,000	3,234	-8,040	3,234	-56,437	-56,437	0,212

Structural element	Node [10 ^]	Local number	X [m]	Y [m]	N [kN/m]	N ,,, [kN/m]	N ,,, [10 ^ kN/m]	Q [kN/m]	Q ,,, [kN/m]	Q ,,, [kN/m]	M [kN m/m]	M ,,, [kN m/m]	M ,,, [kN m/m]
昭	14134	5	0,000	-6,994	-76,340	-76,340	0,000	6,544	-5,588	6,544	-55,832	-55,832	0,343
Plate_2_12	14134	1	0,000	-6,994	-76,396	-76,396	0,000	6,687	-5,491	6,687	-55,832	-55,832	0,343
Element 23-38 (Plate)	13402	2	0,000	-7,061	-77,193	-77,193	0,000	8,728	-3,994	8,728	-55,317	-55,317	0,431
(Parete c.a.C32/40 sp.0.50m)	13401	3	0,000	-7,128	-78,043	-78,043	0,000	10,904	-2,441	10,904	-54,660	-54,660	0,533
昭	13400	4	0,000	-7,195	-78,941	-78,941	0,000	13,202	-0,793	13,202	-53,853	-53,853	0,651
昭	13396	5	0,000	-7,262	-79,882	-79,882	0,000	15,613	0,000	15,613	-52,889	-52,889	0,787
Plate_2_13	13396	1	0,000	-7,262	-79,861	-79,861	0,000	15,560	0,000	15,560	-52,889	-52,889	0,787
Element 24-39 (Plate)	12634	2	0,000	-7,322	-80,694	-80,694	0,000	17,691	0,000	17,691	-51,901	-51,901	0,926
(Parete c.a.C32/40 sp.0.50m)	12633	3	0,000	-7,381	-81,526	-81,526	0,000	19,822	0,000	19,822	-50,786	-50,786	1,085
昭	12632	4	0,000	-7,441	-82,358	-82,358	0,000	21,953	0,000	21,953	-49,544	-49,544	1,263
昭	12628	5	0,000	-7,500	-83,190	-83,190	0,000	24,082	0,000	24,082	-48,177	-48,177	1,461
Plate_2_14	12628	1	0,000	-7,500	-83,189	-83,189	0,000	24,080	0,000	24,080	-48,177	-48,177	1,461
Element 26-42 (Plate)	11506	2	0,000	-7,576	-84,263	-84,263	0,000	26,831	0,000	26,831	-46,232	-46,232	1,746
(Parete c.a.C32/40 sp.0.50m)	11505	3	0,000	-7,653	-85,351	-85,351	0,000	29,617	0,000	29,617	-44,075	-44,075	2,066
昭	11504	4	0,000	-7,729	-86,469	-86,469	0,000	32,477	0,000	32,477	-41,701	-41,701	2,427
昭	11503	5	0,000	-7,806	-87,631	-87,631	0,000	35,453	0,000	35,453	-39,107	-39,107	2,837
Plate_2_14	11503	1	0,000	-7,806	-87,617	-87,617	0,000	35,417	0,000	35,417	-39,107	-39,107	2,837
Element 26-43 (Plate)	11181	2	0,000	-7,867	-88,553	-88,553	0,000	37,815	0,000	37,815	-36,873	-36,873	3,202
(Parete c.a.C32/40 sp.0.50m)	11180	3	0,000	-7,928	-89,456	-89,456	0,000	40,127	0,000	40,127	-34,495	-34,495	3,599
昭	11179	4	0,000	-7,989	-90,334	-90,334	0,000	42,375	0,000	42,375	-31,977	-31,977	4,024
昭	11175	5	0,000	-8,050	-91,196	-91,196	0,000	44,582	0,000	44,582	-29,325	-29,325	4,473
Plate_2_14	11175	1	0,000	-8,050	-91,227	-91,227	0,000	44,663	0,000	44,663	-29,325	-29,325	4,473
Element 26-44 (Plate)	9918	2	0,000	-8,098	-91,931	-91,931	0,000	46,464	0,000	46,464	-27,107	-27,107	4,855
(Parete c.a.C32/40 sp.0.50m)	9917	3	0,000	-8,147	-92,631	-92,631	0,000	48,255	0,000	48,255	-24,801	-24,801	5,254
昭	9916	4	0,000	-8,196	-93,339	-93,339	0,000	50,070	0,000	50,070	-22,406	-22,406	5,671
昭	9915	5	0,000	-8,245	-94,070	-94,070	0,000	51,940	0,000	51,940	-19,923	-19,923	6,107
Plate_2_14	9915	1	0,000	-8,245	-94,065	-94,065	0,000	51,928	0,000	51,928	-19,923	-19,923	6,107
Element 26-45 (Plate)	9080	2	0,000	-8,283	-94,667	-94,667	0,000	53,469	0,000	53,469	-17,875	-17,875	6,471
(Parete c.a.C32/40 sp.0.50m)	9079	3	0,000	-8,322	-95,244	-95,244	0,000	54,947	0,000	54,947	-15,767	-15,767	6,850
昭	9078	4	0,000	-8,361	-95,794	-95,794	0,000	56,355	0,000	56,355	-13,604	-13,604	7,244
昭	9077	5	0,000	-8,400	-96,314	-96,314	0,000	57,686	0,000	57,686	-11,388	-11,388	7,650
Plate_3_1	9077	1	0,000	-8,400	-100,711	-100,711	0,000	55,838	-0,007	55,838	-11,388	-11,388	7,650
Element 27-46 (Plate)	7882	2	0,000	-8,425	-101,180	-101,180	0,000	56,758	-0,007	56,758	-9,980	-9,980	7,904
(Micropali D168.3x10/0,27m)	7883	3	0,000	-8,450	-101,626	-101,626	0,000	57,634	-0,007	57,634	-8,550	-8,550	8,163
昭	7884	4	0,000	-8,475	-102,052	-102,052	0,000	58,469	-0,007	58,469	-7,098	-7,098	8,426
昭	7881	5	0,000	-8,500	-102,459	-102,459	0,000	59,268	-0,007	59,268	-5,627	-5,627	8,692
Plate_3_2	7881	1	0,000	-8,500	-102,436	-102,436	0,000	59,226	-0,006	59,226	-5,627	-5,627	8,692
Element 29-54 (Plate)	6882	2	0,000	-8,544	-101,733	-101,733	0,000	55,643	-0,009	55,643	-3,113	-3,113	9,124
(Micropali D168.3x10/0,27m)	6883	3	0,000	-8,588	-100,937	-100,937	0,000	51,880	-0,013	51,880	-0,759	-0,759	9,489
昭	6884	4	0,000	-8,631	-100,068	-100,068	0,000	48,011	-0,018	48,011	1,428	-0,002	9,988
昭	6881	5	0,000	-8,675	-99,149	-99,149	0,000	44,105	-0,022	44,105	3,443	-0,003	10,787
Plate_3_2	6881	1	0,000	-8,675	-99,097	-99,097	0,000	44,026	-0,022	44,026	3,443	-0,003	10,787
Element 29-55 (Plate)	6868	2	0,000	-8,726	-97,967	-97,967	0,000	39,589	-0,041	39,589	5,566	-0,004	11,693
(Micropali D168.3x10/0,27m)	6869	3	0,000	-8,777	-96,710	-96,710	0,000	35,017	-0,329	35,017	7,460	-0,005	12,496
昭	6870	4	0,000	-8,827	-95,343	-95,343	0,000	30,355	-1,147	30,355	9,121	-0,007	13,372
昭	6867	5	0,000	-8,878	-93,888	-93,888	0,000	25,649	-2,326	25,649	10,542	-0,008	14,158
Plate_3_2	6867	1	0,000	-8,878	-93,921	-93,921	0,000	25,707	-2,351	25,707	10,542	-0,008	14,158
Element 29-56 (Plate)	5682	2	0,000	-8,937	-92,363	-92,363	0,000	20,594	-3,555	20,594	11,902	-0,009	14,828
(Micropali D168.3x10/0,27m)	5683	3	0,000	-8,996	-91,043	-91,043	0,000	16,080	-4,596	16,080	12,980	-0,010	15,262
昭	5684	4	0,000	-9,055	-89,916	-89,916	0,000	12,087	-5,429	12,087	13,807	-0,010	15,492
昭	5681	5	0,000	-9,114	-88,937	-88,937	0,000	8,537	-6,059	8,537	14,412	-0,011	15,550
Plate_3_2	5681	1	0,000	-9,114	-88,903	-88,903	0,000	8,480	-6,082	8,480	14,412	-0,011	15,550
Element 29-57 (Plate)	5668	2	0,000	-9,182	-87,908	-87,908	0,000	4,861	-6,618	4,861	14,865	-0,011	15,437

Structural element	Node [10 ^]	Local number	X [m]	Y [m]	N [kN/m]	N,max [kN/m]	N,min [10 ^ kN/m]	Q [kN/m]	Q,max [kN/m]	Q,min [kN/m]	M [kN m/m]	M,max [kN m/m]	M,min [kN m/m]
(Micropali D168.3x10/0,27m)	5669	3	0,000	-9,250	-87,034	-87,034	0,000	1,771	-6,996	1,771	15,089	-0,012	15,216
〃	5670	4	0,000	-9,319	-86,270	-86,270	0,000	-0,805	-7,224	0,000	15,119	-0,012	15,119
〃	5667	5	0,000	-9,387	-85,603	-85,603	0,000	-2,883	-8,025	0,000	14,990	-0,012	14,990
Plate_3_2	5667	1	0,000	-9,387	-85,600	-85,600	0,000	-2,940	-8,061	0,000	14,990	-0,012	14,990
Element 29-58 (Plate)	5642	2	0,000	-9,466	-84,827	-84,827	0,000	-4,886	-9,095	0,000	14,677	-0,012	14,677
(Micropali D168.3x10/0,27m)	5643	3	0,000	-9,546	-84,127	-84,127	0,000	-6,455	-9,939	0,000	14,226	-0,012	14,226
〃	5644	4	0,000	-9,625	-83,529	-83,529	0,000	-7,661	-10,511	0,000	13,663	-0,013	13,663
〃	5641	5	0,000	-9,704	-83,061	-83,061	1,198	-8,519	-10,822	0,000	13,020	-0,013	13,020
Plate_3_2	5641	1	0,000	-9,704	-83,058	-83,058	1,200	-8,561	-10,854	0,000	13,020	-0,013	13,020
Element 29-59 (Plate)	5544	2	0,000	-9,796	-82,709	-82,709	2,977	-9,246	-10,981	0,000	12,200	-0,014	12,200
(Micropali D168.3x10/0,27m)	5545	3	0,000	-9,888	-82,487	-82,487	4,782	-9,681	-10,925	0,000	11,328	-0,015	11,328
〃	5546	4	0,000	-9,980	-82,387	-82,387	6,613	-9,877	-10,696	0,000	10,426	-0,017	10,426
〃	5543	5	0,000	-10,072	-82,403	-82,403	8,468	-9,846	-10,304	0,000	9,518	-0,019	9,518
Plate_3_2	5543	1	0,000	-10,072	-82,388	-82,388	8,467	-9,876	-10,329	0,000	9,518	-0,019	9,518
Element 29-60 (Plate)	4597	2	0,000	-10,179	-82,508	-82,508	10,649	-9,641	-9,757	0,000	8,476	-0,022	8,476
(Micropali D168.3x10/0,27m)	4598	3	0,000	-10,285	-82,702	-82,702	12,859	-9,260	-9,260	0,000	7,466	-0,025	7,466
〃	4599	4	0,000	-10,392	-82,965	-82,965	15,096	-8,744	-8,744	0,000	6,505	-0,029	6,505
〃	4596	5	0,000	-10,499	-83,292	-83,292	17,358	-8,103	-8,103	0,000	5,605	-0,034	5,605
Plate_3_2	4596	1	0,000	-10,499	-83,281	-83,281	17,364	-8,124	-8,124	0,000	5,605	-0,034	5,605
Element 29-61 (Plate)	4561	2	0,000	-10,622	-83,704	-83,704	20,019	-7,293	-7,293	0,000	4,651	-0,040	4,651
(Micropali D168.3x10/0,27m)	4562	3	0,000	-10,746	-84,155	-84,155	22,737	-6,409	-6,409	0,000	3,803	-0,047	3,803
〃	4563	4	0,000	-10,870	-84,630	-84,630	25,517	-5,477	-5,477	0,000	3,066	-0,058	3,066
〃	4560	5	0,000	-10,994	-85,127	-85,127	28,360	-4,502	-4,502	0,000	2,449	-0,191	2,449
Plate_3_2	4560	1	0,000	-10,994	-85,120	-85,120	28,511	-4,515	-4,515	0,000	2,449	-0,191	2,449
Element 29-62 (Plate)	4345	2	0,000	-11,137	-85,703	-85,703	31,643	-3,370	-3,370	0,000	1,883	-0,366	1,883
(Micropali D168.3x10/0,27m)	4346	3	0,000	-11,281	-86,281	-86,281	35,394	-2,236	-2,236	0,000	1,481	-0,461	1,481
〃	4347	4	0,000	-11,424	-86,852	-86,852	39,895	-1,116	-1,116	0,166	1,240	-0,477	1,240
〃	4344	5	0,000	-11,568	-87,412	-87,412	45,279	-0,016	-0,016	0,966	1,159	-0,418	1,159
Plate_3_2	4344	1	0,000	-11,568	-87,362	-87,362	72,724	-0,091	-0,091	0,908	1,159	-0,418	1,159
Element 29-63 (Plate)	3619	2	0,000	-11,734	-88,042	-88,042	6,658	1,214	0,000	2,004	1,257	-0,276	1,257
(Micropali D168.3x10/0,27m)	3620	3	0,000	-11,901	-88,495	-88,495	0,000	2,167	0,000	2,841	1,545	-0,075	1,545
〃	3621	4	0,000	-12,067	-88,681	-88,681	0,000	2,690	0,000	3,234	1,955	-0,018	1,955
〃	3618	5	0,000	-12,234	-88,561	-88,561	0,000	2,703	0,000	3,107	2,412	0,000	2,412
Plate_3_3	3618	1	0,000	-12,234	-88,510	-88,510	0,000	2,594	0,000	2,998	2,412	0,000	2,412
Element 31-65 (Plate)	2977	2	0,000	-12,406	-87,768	-87,768	0,000	1,336	0,000	1,698	2,747	0,000	2,747
(Micropali D168.3x10/0,27m)	2978	3	0,000	-12,579	-87,144	-87,144	0,000	0,350	0,000	0,684	2,888	0,000	2,888
〃	2979	4	0,000	-12,751	-86,634	-86,634	0,000	-0,368	-0,368	0,000	2,883	0,000	2,883
〃	2976	5	0,000	-12,924	-86,235	-86,235	0,000	-0,819	-0,819	0,000	2,777	0,000	2,777
Plate_3_3	2976	1	0,000	-12,924	-86,214	-86,214	0,000	-0,855	-0,855	0,000	2,777	0,000	2,777
Element 31-66 (Plate)	2613	2	0,000	-13,106	-85,854	-85,854	0,000	-1,158	-1,158	0,000	2,592	0,000	2,592
(Micropali D168.3x10/0,27m)	2612	3	0,000	-13,288	-85,513	-85,513	0,000	-1,342	-1,342	0,000	2,362	0,000	2,362
〃	2611	4	0,000	-13,470	-85,186	-85,186	0,000	-1,416	-1,416	0,000	2,109	0,000	2,109
〃	2610	5	0,000	-13,653	-84,865	-84,865	0,000	-1,388	-1,388	0,000	1,852	0,000	1,852
Plate_3_3	2610	1	0,000	-13,653	-84,771	-84,771	0,000	-1,411	-1,411	0,000	1,852	0,000	1,852
Element 31-67 (Plate)	1951	2	0,000	-13,845	-84,491	-84,491	0,000	-1,301	-1,301	0,000	1,591	0,000	1,591
(Micropali D168.3x10/0,27m)	1952	3	0,000	-14,037	-83,784	-83,784	0,000	-1,153	-1,153	0,000	1,354	0,000	1,354
〃	1953	4	0,000	-14,230	-82,656	-82,656	0,000	-0,972	-0,972	0,000	1,149	0,000	1,149
〃	1950	5	0,000	-14,422	-81,118	-81,118	0,000	-0,766	-0,766	0,000	0,982	0,000	0,982
Plate_3_3	1950	1	0,000	-14,422	-81,120	-81,120	0,000	-0,777	-0,777	0,000	0,982	0,000	0,982
Element 31-68 (Plate)	1613	2	0,000	-14,625	-79,078	-79,078	0,000	-0,572	-0,572	0,000	0,845	0,000	0,845
(Micropali D168.3x10/0,27m)	1614	3	0,000	-14,829	-76,596	-76,596	0,000	-0,385	-0,385	0,000	0,748	0,000	0,748
〃	1615	4	0,000	-15,032	-73,677	-73,677	0,000	-0,220	-0,220	0,000	0,687	0,000	0,687
〃	1612	5	0,000	-15,235	-70,324	-70,324	0,000	-0,079	-0,169	0,000	0,657	-0,001	0,657

Structural element	Node [10 °]	Local number	X [m]	Y [m]	N [kN/m]	N ⋯ [kN/m]	N ⋯ [10 ° kN/m]	Q [kN/m]	Q ⋯ [kN/m]	Q ⋯ [kN/m]	M [kN m/m]	M ⋯ [kN m/m]	M ⋯ [kN m/m]
Plate_3_3	1612	1	0,000	-15,235	-70,296	-70,296	0,000	-0,094	-0,168	0,000	0,657	-0,001	0,657
Element 31-69 (Plate)	1081	2	0,000	-15,450	-66,278	-66,278	0,000	0,023	-0,138	0,057	0,652	-0,001	0,652
(Micropali D168.3x10/0,27m)	1082	3	0,000	-15,664	-61,644	-61,644	0,000	0,020	-0,113	0,056	0,658	-0,001	0,658
28	1083	4	0,000	-15,879	-56,388	-56,388	0,000	-0,100	-0,100	0,001	0,652	-0,001	0,652
28	1080	5	0,000	-16,093	-50,503	-50,503	0,000	-0,332	-0,332	0,002	0,608	-0,001	0,608
Plate_3_3	1080	1	0,000	-16,093	-50,352	-50,352	0,000	-0,273	-0,273	0,004	0,608	-0,001	0,608
Element 31-70 (Plate)	669	2	0,000	-16,320	-38,810	-38,810	0,000	-0,619	-0,619	0,002	0,508	0,000	0,508
(Micropali D168.3x10/0,27m)	668	3	0,000	-16,547	-26,639	-26,639	0,000	-0,855	-0,855	0,001	0,333	0,000	0,333
28	667	4	0,000	-16,773	-13,781	-13,781	0,000	-0,813	-0,813	0,000	0,141	0,000	0,141
28	666	5	0,000	-17,000	-0,180	-0,180	0,000	-0,330	-0,330	0,000	0,000	0,000	0,000

3.1.2.4.23 Calculation results, Plate, SLE [Phase_18] (18/1002), Table of plate force envelopes

Structural element	Node [10⁻⁰]	Local number	X [m]	Y [m]	N [kN/m]	N,min [kN/m]	N,max [10⁻⁰ kN/m]	Q [kN/m]	Q,min [kN/m]	Q,max [kN/m]	M [kN m/m]	M,min [kN m/m]	M,max [kN m/m]
Plate_2_1	17871	1	0,000	0,000	-0,003	-0,003	1,624	0,006	-0,004	0,007	0,000	0,000	0,000
Element 1-1 (Plate)	17868	2	0,000	-0,021	-0,035	-0,035	0,000	0,088	0,000	0,088	0,001	0,000	0,001
(Parete c.a.C32/40 sp.0.50m)	17867	3	0,000	-0,043	-0,064	-0,064	0,000	0,163	0,000	0,163	0,004	0,000	0,004
28	17866	4	0,000	-0,064	-0,092	-0,092	0,000	0,235	0,000	0,235	0,008	0,000	0,008
28	17869	5	0,000	-0,086	-0,121	-0,121	0,000	0,310	0,000	0,310	0,014	0,000	0,014
Plate_2_1	17869	1	0,000	-0,086	-0,122	-0,122	0,000	0,313	0,000	0,313	0,014	0,000	0,014
Element 1-2 (Plate)	17860	2	0,000	-0,113	-0,168	-0,168	0,000	0,429	0,000	0,429	0,024	0,000	0,024
(Parete c.a.C32/40 sp.0.50m)	17859	3	0,000	-0,140	-0,221	-0,221	0,000	0,564	0,000	0,564	0,037	0,000	0,037
28	17858	4	0,000	-0,166	-0,281	-0,281	0,000	0,718	0,000	0,718	0,054	0,000	0,054
28	17857	5	0,000	-0,193	-0,349	-0,349	0,000	0,891	0,000	0,891	0,076	0,000	0,076
Plate_2_1	17857	1	0,000	-0,193	-0,349	-0,349	0,000	0,890	0,000	0,890	0,076	0,000	0,076
Element 1-3 (Plate)	17837	2	0,000	-0,227	-0,444	-0,444	0,000	1,133	0,000	1,133	0,110	0,000	0,110
(Parete c.a.C32/40 sp.0.50m)	17836	3	0,000	-0,261	-0,549	-0,549	0,000	1,401	0,000	1,401	0,153	0,000	0,153
28	17835	4	0,000	-0,295	-0,663	-0,663	0,000	1,690	0,000	1,690	0,206	0,000	0,206
28	17834	5	0,000	-0,329	-0,785	-0,785	0,000	2,002	0,000	2,002	0,268	0,000	0,268
Plate_2_1	17834	1	0,000	-0,329	-0,784	-0,784	0,000	2,000	0,000	2,000	0,268	0,000	0,268
Element 1-4 (Plate)	17759	2	0,000	-0,372	-0,948	-0,948	0,000	2,420	0,000	2,420	0,362	0,000	0,362
(Parete c.a.C32/40 sp.0.50m)	17758	3	0,000	-0,415	-1,123	-1,123	0,000	2,866	0,000	2,866	0,475	0,000	0,475
28	17757	4	0,000	-0,457	-1,307	-1,307	0,000	3,338	0,000	3,338	0,608	0,000	0,608
28	17753	5	0,000	-0,500	-1,501	-1,501	0,000	3,834	0,000	3,834	0,761	0,000	0,761
Plate_2_2	17753	1	0,000	-0,500	-1,504	-1,504	0,000	3,841	0,000	3,841	0,761	0,000	0,761
Element 3-6 (Plate)	17677	2	0,000	-0,563	-1,806	-1,806	0,000	4,613	0,000	4,613	1,024	0,000	1,024
(Parete c.a.C32/40 sp.0.50m)	17676	3	0,000	-0,625	-2,133	-2,133	0,000	5,450	0,000	5,450	1,339	0,000	1,339
28	17675	4	0,000	-0,688	-2,481	-2,481	0,000	6,340	0,000	6,340	1,707	0,000	1,707
28	17671	5	0,000	-0,750	-2,845	-2,845	0,000	7,272	0,000	7,272	2,132	0,000	2,132
Plate_2_3	17671	1	0,000	-0,750	-2,803	-2,803	3,862	7,162	-0,010	7,162	2,132	0,000	2,132
Element 4-7 (Plate)	17599	2	0,000	-0,798	-3,084	-3,084	0,351	7,882	-0,001	7,882	2,493	0,000	2,493
(Parete c.a.C32/40 sp.0.50m)	17598	3	0,000	-0,846	-3,365	-3,365	0,493	8,601	-0,001	8,601	2,889	0,000	2,889
28	17597	4	0,000	-0,894	-3,643	-3,643	0,000	9,313	0,000	9,313	3,320	0,000	3,320
28	17593	5	0,000	-0,942	-3,915	-3,915	0,000	10,007	0,000	10,007	3,784	0,000	3,784
Plate_2_3	17593	1	0,000	-0,942	-3,922	-3,922	0,000	10,026	0,000	10,026	3,784	0,000	3,784
Element 4-8 (Plate)	17468	2	0,000	-1,007	-4,300	-4,300	0,000	10,993	0,000	10,993	4,460	0,000	4,460
(Parete c.a.C32/40 sp.0.50m)	17467	3	0,000	-1,071	-4,710	-4,710	0,000	12,042	0,000	12,042	5,203	0,000	5,203
28	17466	4	0,000	-1,136	-5,153	-5,153	0,000	13,176	0,000	13,176	6,015	0,000	6,015
28	17465	5	0,000	-1,200	-5,630	-5,630	0,000	14,396	0,000	14,396	6,903	0,000	6,903
Plate_2_4	17465	1	0,000	-1,200	-16,676	-16,676	0,000	-51,968	-51,968	0,000	6,903	0,000	6,903
Element 6-11 (Plate)	17390	2	0,000	-1,261	-17,164	-17,164	0,000	-50,719	-50,719	0,000	3,783	-0,536	3,783
(Parete c.a.C32/40 sp.0.50m)	17389	3	0,000	-1,322	-17,638	-17,638	0,000	-49,504	-49,504	0,000	0,735	-1,127	0,773
28	17388	4	0,000	-1,382	-18,100	-18,100	0,000	-48,324	-48,324	0,000	-2,239	-2,239	0,000
28	17387	5	0,000	-1,443	-18,547	-18,547	0,000	-47,179	-47,179	0,000	-5,141	-5,141	0,000
Plate_2_4	17387	1	0,000	-1,443	-18,553	-18,553	0,000	-47,163	-47,163	0,000	-5,141	-5,141	0,000
Element 6-12 (Plate)	17259	2	0,000	-1,535	-19,283	-19,283	0,000	-45,295	-45,295	0,000	-9,380	-9,380	0,000
(Parete c.a.C32/40 sp.0.50m)	17258	3	0,000	-1,627	-20,026	-20,026	0,000	-43,393	-43,393	0,000	-13,447	-13,447	0,000
28	17257	4	0,000	-1,718	-20,780	-20,780	0,000	-41,464	-41,464	0,000	-17,339	-17,339	0,000
28	17256	5	0,000	-1,810	-21,541	-21,541	0,000	-39,514	-39,514	0,000	-21,051	-21,051	0,000
Plate_2_5	17256	1	0,000	-1,810	-21,531	-21,531	3,534	-39,540	-39,540	0,007	-21,051	-21,051	0,000
Element 10-17 (Plate)	17223	2	0,000	-1,882	-22,134	-22,134	0,467	-37,996	-37,996	0,018	-23,860	-23,860	0,000

Structural element	Node [10 ^]	Local number	X [m]	Y [m]	N [kN/m]	N max [kN/m]	N min [10 ^ kN/m]	Q [kN/m]	Q max [kN/m]	Q min [kN/m]	M [kN m/m]	M max [kN m/m]	M min [kN m/m]
(Parete c.a.C32/40 sp.0.50m)	17222	3	0,000	-1,955	-22,745	-22,745	0,765	-36,432	-36,432	0,039	-26,558	-26,558	0,002
2D	17221	4	0,000	-2,027	-23,369	-23,369	1,156	-34,835	-34,835	0,097	-29,141	-29,141	0,007
2D	17220	5	0,000	-2,100	-24,011	-24,011	1,550	-33,191	-33,191	0,202	-31,606	-31,606	0,017
Plate_2_5	17220	1	0,000	-2,100	-24,013	-24,013	2,234	-33,187	-33,187	0,211	-31,606	-31,606	0,017
Element 10-18 (Plate)	17043	2	0,000	-2,200	-24,873	-24,873	0,681	-30,985	-30,985	0,277	-34,816	-34,816	0,041
(Parete c.a.C32/40 sp.0.50m)	17042	3	0,000	-2,300	-25,759	-25,759	0,000	-28,716	-28,716	0,471	-37,803	-37,803	0,076
2D	17041	4	0,000	-2,400	-26,666	-26,666	0,000	-26,395	-26,395	0,707	-40,560	-40,560	0,132
2D	17040	5	0,000	-2,500	-27,588	-27,588	0,000	-24,032	-24,032	1,019	-43,082	-43,082	0,217
Plate_2_6	17040	1	0,000	-2,500	-27,580	-27,580	0,000	-24,054	-24,054	0,999	-43,082	-43,082	0,217
Element 12-23 (Plate)	17003	2	0,000	-2,615	-28,626	-28,626	0,000	-21,376	-21,376	1,375	-45,704	-45,704	0,353
(Parete c.a.C32/40 sp.0.50m)	17002	3	0,000	-2,731	-29,684	-29,684	0,000	-18,666	-18,666	1,848	-48,015	-48,015	0,538
2D	17001	4	0,000	-2,846	-30,742	-30,742	0,000	-15,955	-15,955	2,391	-50,014	-50,014	0,782
2D	17000	5	0,000	-2,962	-31,791	-31,791	0,000	-13,271	-13,271	2,977	-51,700	-51,700	1,092
Plate_2_6	17000	1	0,000	-2,962	-31,795	-31,795	0,000	-13,260	-13,260	2,990	-51,700	-51,700	1,092
Element 12-24 (Plate)	16689	2	0,000	-3,082	-32,775	-32,775	0,000	-10,749	-10,749	3,399	-53,142	-53,142	1,475
(Parete c.a.C32/40 sp.0.50m)	16688	3	0,000	-3,202	-33,762	-33,762	0,000	-8,222	-8,222	3,919	-54,283	-54,283	1,913
2D	16687	4	0,000	-3,322	-34,762	-34,762	0,000	-5,660	-5,660	4,968	-55,117	-55,117	2,420
2D	16686	5	0,000	-3,442	-35,784	-35,784	0,000	-3,043	-3,043	6,653	-55,641	-55,641	3,012
Plate_2_6	16686	1	0,000	-3,442	-35,805	-35,805	0,000	-2,991	-2,991	6,706	-55,641	-55,641	3,012
Element 12-25 (Plate)	16542	2	0,000	-3,567	-36,823	-36,823	0,000	-0,385	-0,385	8,444	-55,853	-55,853	3,733
(Parete c.a.C32/40 sp.0.50m)	16541	3	0,000	-3,693	-37,880	-37,880	0,000	2,321	0,000	10,360	-55,732	-55,732	4,574
2D	16540	4	0,000	-3,818	-38,961	-38,961	0,000	5,087	0,000	12,410	-55,270	-55,270	5,553
2D	16536	5	0,000	-3,943	-40,053	-40,053	0,000	7,878	0,000	14,556	-54,459	-54,459	6,688
Plate_2_7	16536	1	0,000	-3,943	-40,039	-40,039	3,986	7,842	-0,006	14,487	-54,459	-54,459	6,688
Element 13-26 (Plate)	16129	2	0,000	-4,055	-40,965	-40,965	0,000	10,214	0,000	16,258	-53,444	-53,444	7,836
(Parete c.a.C32/40 sp.0.50m)	16128	3	0,000	-4,167	-41,887	-41,887	0,000	12,572	0,000	17,946	-52,164	-52,164	9,102
2D	16127	4	0,000	-4,280	-42,808	-42,808	0,000	14,927	0,000	19,549	-50,618	-50,618	10,483
2D	16126	5	0,000	-4,392	-43,732	-43,732	0,000	17,288	0,000	21,069	-48,808	-48,808	11,974
Plate_2_8	16126	1	0,000	-4,392	-43,731	-43,731	0,000	17,287	0,000	21,058	-48,808	-48,808	11,974
Element 14-27 (Plate)	15925	2	0,000	-4,594	-45,525	-45,525	0,000	21,873	0,000	24,317	-44,872	-44,872	14,924
(Parete c.a.C32/40 sp.0.50m)	15924	3	0,000	-4,796	-47,603	-47,603	0,000	27,186	0,000	28,198	-39,922	-39,922	18,283
2D	15923	4	0,000	-4,998	-49,864	-49,864	0,000	32,965	0,000	32,965	-33,858	-33,858	22,121
2D	15922	5	0,000	-5,200	-52,205	-52,205	0,000	38,949	0,000	38,949	-26,598	-26,598	26,498
Plate_2_9	15922	1	0,000	-5,200	-67,491	-67,491	0,000	-52,419	-52,419	0,000	-26,598	-26,598	26,498
Element 16-30 (Plate)	15715	2	0,000	-5,366	-69,549	-69,549	0,000	-47,158	-47,158	0,000	-34,848	-34,848	20,161
(Parete c.a.C32/40 sp.0.50m)	15714	3	0,000	-5,531	-71,662	-71,662	0,000	-41,754	-41,754	0,000	-42,218	-42,218	14,261
2D	15713	4	0,000	-5,697	-73,834	-73,834	0,000	-36,202	-36,202	0,000	-48,680	-48,680	8,835
2D	15712	5	0,000	-5,863	-76,067	-76,067	0,000	-30,495	-31,780	0,000	-54,206	-54,206	3,925
Plate_2_9	15712	1	0,000	-5,863	-76,048	-76,048	0,000	-30,542	-31,825	0,000	-54,206	-54,206	3,925
Element 16-31 (Plate)	15279	2	0,000	-5,947	-77,184	-77,184	0,000	-27,640	-29,782	0,000	-56,659	-56,659	1,630
(Parete c.a.C32/40 sp.0.50m)	15278	3	0,000	-6,031	-78,330	-78,330	0,000	-24,709	-27,722	0,000	-58,866	-58,866	0,000
2D	15277	4	0,000	-6,116	-79,487	-79,487	0,000	-21,751	-25,648	0,000	-60,825	-60,825	0,000
2D	15276	5	0,000	-6,200	-80,654	-80,654	0,000	-18,769	-23,559	0,000	-62,533	-62,533	0,000
Plate_2_10	15276	1	0,000	-6,200	-80,628	-80,628	3,104	-18,836	-23,625	0,003	-62,533	-62,533	0,000
Element 18-33 (Plate)	15111	2	0,000	-6,275	-81,672	-81,672	0,115	-16,168	-21,785	0,020	-63,845	-63,845	0,001
(Parete c.a.C32/40 sp.0.50m)	15110	3	0,000	-6,350	-82,723	-82,723	0,004	-13,482	-20,041	0,059	-64,957	-64,957	0,003
2D	15109	4	0,000	-6,425	-83,779	-83,779	0,021	-10,782	-18,305	0,113	-65,868	-65,868	0,010
2D	15108	5	0,000	-6,500	-84,839	-84,839	0,052	-8,075	-16,584	0,171	-66,575	-66,575	0,020
Plate_2_11	15108	1	0,000	-6,500	-84,756	-84,756	0,000	-8,287	-16,743	0,157	-66,575	-66,575	0,020
Element 21-36 (Plate)	14137	2	0,000	-6,624	-86,671	-86,671	0,000	-3,394	-13,575	0,403	-67,291	-67,291	0,054
(Parete c.a.C32/40 sp.0.50m)	14136	3	0,000	-6,747	-88,414	-88,414	0,000	1,059	-10,658	1,059	-67,432	-67,432	0,114
2D	14135	4	0,000	-6,871	-90,021	-90,021	0,000	5,163	-8,040	5,163	-67,043	-67,043	0,212
2D	14134	5	0,000	-6,994	-91,529	-91,529	0,000	9,012	-5,588	9,012	-66,166	-66,166	0,343

Structural element	Node [10 ^]	Local number	X [m]	Y [m]	N [kN/m]	N max [kN/m]	N max [10 ^ kN/m]	Q [kN/m]	Q max [kN/m]	Q max [kN/m]	M [kN m/m]	M max [kN m/m]	M max [kN m/m]
Plate_2_12	14134	1	0,000	-6,994	-91,584	-91,584	0,000	9,154	-5,491	9,154	-66,166	-66,166	0,343
Element 23-38 (Plate)	13402	2	0,000	-7,061	-92,494	-92,494	0,000	11,478	-3,994	11,478	-65,476	-65,476	0,431
(Parete c.a.C32/40 sp.0.50m)	13401	3	0,000	-7,128	-93,455	-93,455	0,000	13,931	-2,441	13,931	-64,625	-64,625	0,533
28	13400	4	0,000	-7,195	-94,461	-94,461	0,000	16,501	-0,793	16,501	-63,607	-63,607	0,651
28	13396	5	0,000	-7,262	-95,508	-95,508	0,000	19,175	0,000	19,175	-62,413	-62,413	0,787
Plate_2_13	13396	1	0,000	-7,262	-95,488	-95,488	0,000	19,122	0,000	19,122	-62,413	-62,413	0,787
Element 24-39 (Plate)	12634	2	0,000	-7,322	-96,411	-96,411	0,000	21,481	0,000	21,481	-61,206	-61,206	0,926
(Parete c.a.C32/40 sp.0.50m)	12633	3	0,000	-7,381	-97,333	-97,333	0,000	23,835	0,000	23,835	-59,859	-59,859	1,085
28	12632	4	0,000	-7,441	-98,253	-98,253	0,000	26,183	0,000	26,183	-58,373	-58,373	1,263
28	12628	5	0,000	-7,500	-99,169	-99,169	0,000	28,524	0,000	28,524	-56,748	-56,748	1,461
Plate_2_14	12628	1	0,000	-7,500	-99,169	-99,169	0,000	28,523	0,000	28,523	-56,748	-56,748	1,461
Element 26-42 (Plate)	11506	2	0,000	-7,576	-100,351	-100,351	0,000	31,539	0,000	31,539	-54,453	-54,453	1,746
(Parete c.a.C32/40 sp.0.50m)	11505	3	0,000	-7,653	-101,544	-101,544	0,000	34,586	0,000	34,586	-51,926	-51,926	2,066
28	11504	4	0,000	-7,729	-102,765	-102,765	0,000	37,706	0,000	37,706	-49,163	-49,163	2,427
28	11503	5	0,000	-7,806	-104,031	-104,031	0,000	40,938	0,000	40,938	-46,159	-46,159	2,837
Plate_2_14	11503	1	0,000	-7,806	-104,018	-104,018	0,000	40,904	0,000	40,904	-46,159	-46,159	2,837
Element 26-43 (Plate)	11181	2	0,000	-7,867	-105,039	-105,039	0,000	43,510	0,000	43,510	-43,584	-43,584	3,202
(Parete c.a.C32/40 sp.0.50m)	11180	3	0,000	-7,928	-106,026	-106,026	0,000	46,031	0,000	46,031	-40,852	-40,852	3,599
28	11179	4	0,000	-7,989	-106,989	-106,989	0,000	48,491	0,000	48,491	-37,968	-37,968	4,024
28	11175	5	0,000	-8,050	-107,937	-107,937	0,000	50,910	0,000	50,910	-34,937	-34,937	4,473
Plate_2_14	11175	1	0,000	-8,050	-107,969	-107,969	0,000	50,991	0,000	50,991	-34,937	-34,937	4,473
Element 26-44 (Plate)	9918	2	0,000	-8,098	-108,741	-108,741	0,000	52,962	0,000	52,962	-32,406	-32,406	4,855
(Parete c.a.C32/40 sp.0.50m)	9917	3	0,000	-8,147	-109,508	-109,508	0,000	54,921	0,000	54,921	-29,779	-29,779	5,254
28	9916	4	0,000	-8,196	-110,283	-110,283	0,000	56,900	0,000	56,900	-27,056	-27,056	5,671
28	9915	5	0,000	-8,245	-111,079	-111,079	0,000	58,932	0,000	58,932	-24,236	-24,236	6,107
Plate_2_14	9915	1	0,000	-8,245	-111,075	-111,075	0,000	58,920	0,000	58,920	-24,236	-24,236	6,107
Element 26-45 (Plate)	9080	2	0,000	-8,283	-111,728	-111,728	0,000	60,588	0,000	60,588	-21,914	-21,914	6,471
(Parete c.a.C32/40 sp.0.50m)	9079	3	0,000	-8,322	-112,356	-112,356	0,000	62,190	0,000	62,190	-19,527	-19,527	6,850
28	9078	4	0,000	-8,361	-112,955	-112,955	0,000	63,719	0,000	63,719	-17,080	-17,080	7,244
28	9077	5	0,000	-8,400	-113,523	-113,523	0,000	65,169	0,000	65,169	-14,575	-14,575	7,650
Plate_3_1	9077	1	0,000	-8,400	-118,760	-118,760	0,000	62,968	-0,007	62,968	-14,575	-14,575	7,650
Element 27-46 (Plate)	7882	2	0,000	-8,425	-119,272	-119,272	0,000	63,972	-0,007	63,972	-12,989	-12,989	7,904
(Micropali D168.3x10/0,27m)	7883	3	0,000	-8,450	-119,768	-119,768	0,000	64,943	-0,007	64,943	-11,377	-11,377	8,163
28	7884	4	0,000	-8,475	-120,250	-120,250	0,000	65,886	-0,007	65,886	-9,741	-9,741	8,426
28	7881	5	0,000	-8,500	-120,719	-120,719	0,000	66,803	-0,007	66,803	-8,083	-8,083	8,692
Plate_3_2	7881	1	0,000	-8,500	-120,687	-120,687	0,000	66,697	-0,006	66,697	-8,083	-8,083	8,692
Element 29-54 (Plate)	6882	2	0,000	-8,544	-119,814	-119,814	0,000	63,111	-0,009	63,111	-5,241	-5,241	9,124
(Micropali D168.3x10/0,27m)	6883	3	0,000	-8,588	-118,832	-118,832	0,000	59,200	-0,013	59,200	-2,563	-2,563	9,489
28	6884	4	0,000	-8,631	-117,755	-117,755	0,000	55,027	-0,018	55,027	-0,062	-0,062	9,988
28	6881	5	0,000	-8,675	-116,599	-116,599	0,000	50,655	-0,022	50,655	2,251	-0,003	10,787
Plate_3_2	6881	1	0,000	-8,675	-116,577	-116,577	0,000	50,670	-0,022	50,670	2,251	-0,003	10,787
Element 29-55 (Plate)	6868	2	0,000	-8,726	-115,164	-115,164	0,000	45,663	-0,041	45,663	4,696	-0,004	11,693
(Micropali D168.3x10/0,27m)	6869	3	0,000	-8,777	-113,649	-113,649	0,000	40,579	-0,329	40,579	6,886	-0,005	12,496
28	6870	4	0,000	-8,827	-112,056	-112,056	0,000	35,478	-1,147	35,478	8,817	-0,007	13,372
28	6867	5	0,000	-8,878	-110,405	-110,405	0,000	30,423	-2,326	30,423	10,489	-0,008	14,158
Plate_3_2	6867	1	0,000	-8,878	-110,430	-110,430	0,000	30,468	-2,351	30,468	10,489	-0,008	14,158
Element 29-56 (Plate)	5682	2	0,000	-8,937	-108,644	-108,644	0,000	25,016	-3,555	25,016	12,120	-0,009	14,828
(Micropali D168.3x10/0,27m)	5683	3	0,000	-8,996	-107,062	-107,062	0,000	20,153	-4,596	20,153	13,448	-0,010	15,262
28	5684	4	0,000	-9,055	-105,641	-105,641	0,000	15,802	-5,429	15,802	14,504	-0,010	15,492
28	5681	5	0,000	-9,114	-104,335	-104,335	0,000	11,886	-6,059	11,886	15,318	-0,011	15,550
Plate_3_2	5681	1	0,000	-9,114	-104,308	-104,308	0,000	11,842	-6,082	11,842	15,318	-0,011	15,550
Element 29-57 (Plate)	5668	2	0,000	-9,182	-102,891	-102,891	0,000	7,766	-6,618	7,766	15,985	-0,011	15,985
(Micropali D168.3x10/0,27m)	5669	3	0,000	-9,250	-101,548	-101,548	0,000	4,195	-6,996	4,195	16,391	-0,012	16,391

Structural element	Node [10 ^]	Local number	X [m]	Y [m]	N [kN/m]	N,max [kN/m]	N,max [10 ^ kN/m]	Q [kN/m]	Q,max [kN/m]	Q,min [kN/m]	M [kN m/m]	M,min [kN m/m]	M,max [kN m/m]
28	5670	4	0,000	-9,319	-100,276	-100,276	0,000	1,128	-7,224	1,128	16,570	-0,012	16,570
28	5667	5	0,000	-9,387	-99,071	-99,071	0,000	-1,434	-8,025	0,000	16,556	-0,012	16,556
Plate_3_2	5667	1	0,000	-9,387	-99,047	-99,047	0,000	-1,481	-8,061	0,000	16,556	-0,012	16,556
Element 29-58 (Plate)	5642	2	0,000	-9,466	-97,818	-97,818	0,000	-3,906	-9,095	0,000	16,340	-0,012	16,340
(Micropali D168.3x10/0,27m)	5643	3	0,000	-9,546	-96,818	-96,818	0,000	-5,881	-9,939	0,000	15,949	-0,012	15,949
28	5644	4	0,000	-9,625	-96,038	-96,038	0,000	-7,424	-10,511	0,000	15,419	-0,013	15,419
28	5641	5	0,000	-9,704	-95,470	-95,470	1,198	-8,549	-10,822	0,000	14,783	-0,013	14,783
Plate_3_2	5641	1	0,000	-9,704	-95,445	-95,445	1,200	-8,599	-10,854	0,000	14,783	-0,013	14,783
Element 29-59 (Plate)	5544	2	0,000	-9,796	-94,977	-94,977	2,977	-9,529	-10,981	0,000	13,947	-0,014	13,947
(Micropali D168.3x10/0,27m)	5545	3	0,000	-9,888	-94,662	-94,662	4,782	-10,159	-10,925	0,000	13,040	-0,015	13,040
28	5546	4	0,000	-9,980	-94,492	-94,492	6,613	-10,502	-10,696	0,000	12,087	-0,017	12,087
28	5543	5	0,000	-10,072	-94,461	-94,461	8,468	-10,572	-10,572	0,000	11,117	-0,019	11,117
Plate_3_2	5543	1	0,000	-10,072	-94,443	-94,443	8,467	-10,608	-10,608	0,000	11,117	-0,019	11,117
Element 29-60 (Plate)	4597	2	0,000	-10,179	-94,527	-94,527	10,649	-10,454	-10,454	0,000	9,992	-0,022	9,992
(Micropali D168.3x10/0,27m)	4598	3	0,000	-10,285	-94,700	-94,700	12,859	-10,124	-10,124	0,000	8,893	-0,025	8,893
28	4599	4	0,000	-10,392	-94,956	-94,956	15,096	-9,632	-9,632	0,000	7,837	-0,029	7,837
28	4596	5	0,000	-10,499	-95,289	-95,289	17,358	-8,987	-8,987	0,000	6,843	-0,034	6,843
Plate_3_2	4596	1	0,000	-10,499	-95,277	-95,277	17,364	-9,011	-9,011	0,000	6,843	-0,034	6,843
Element 29-61 (Plate)	4561	2	0,000	-10,622	-95,718	-95,718	20,019	-8,156	-8,156	0,000	5,781	-0,040	5,781
(Micropali D168.3x10/0,27m)	4562	3	0,000	-10,746	-96,196	-96,196	22,737	-7,229	-7,229	0,000	4,828	-0,047	4,828
28	4563	4	0,000	-10,870	-96,706	-96,706	25,517	-6,238	-6,238	0,000	3,994	-0,058	3,994
28	4560	5	0,000	-10,994	-97,245	-97,245	28,360	-5,189	-5,189	0,000	3,286	-0,191	3,286
Plate_3_2	4560	1	0,000	-10,994	-97,238	-97,238	28,511	-5,204	-5,204	0,000	3,286	-0,191	3,286
Element 29-62 (Plate)	4345	2	0,000	-11,137	-97,878	-97,878	31,643	-3,960	-3,960	0,000	2,629	-0,366	2,629
(Micropali D168.3x10/0,27m)	4346	3	0,000	-11,281	-98,517	-98,517	35,394	-2,716	-2,716	0,000	2,150	-0,461	2,150
28	4347	4	0,000	-11,424	-99,153	-99,153	39,895	-1,478	-1,478	0,166	1,848	-0,477	1,848
28	4344	5	0,000	-11,568	-99,783	-99,783	45,279	-0,252	-0,252	0,966	1,724	-0,418	1,724
Plate_3_2	4344	1	0,000	-11,568	-99,741	-99,741	72,724	-0,335	-0,335	0,908	1,724	-0,418	1,724
Element 29-63 (Plate)	3619	2	0,000	-11,734	-100,490	-100,490	6,658	1,124	0,000	2,004	1,794	-0,276	1,794
(Micropali D168.3x10/0,27m)	3620	3	0,000	-11,901	-101,046	-101,046	0,000	2,203	0,000	2,841	2,079	-0,075	2,079
28	3621	4	0,000	-12,067	-101,363	-101,363	0,000	2,812	0,000	3,234	2,502	-0,018	2,502
28	3618	5	0,000	-12,234	-101,393	-101,393	0,000	2,861	0,000	3,107	2,983	0,000	2,983
Plate_3_3	3618	1	0,000	-12,234	-101,319	-101,319	0,000	2,715	0,000	2,998	2,983	0,000	2,983
Element 31-65 (Plate)	2977	2	0,000	-12,406	-100,601	-100,601	0,000	1,293	0,000	1,698	3,324	0,000	3,324
(Micropali D168.3x10/0,27m)	2978	3	0,000	-12,579	-100,041	-100,041	0,000	0,183	0,000	0,684	3,447	0,000	3,447
28	2979	4	0,000	-12,751	-99,639	-99,639	0,000	-0,618	-0,618	0,000	3,405	0,000	3,405
28	2976	5	0,000	-12,924	-99,392	-99,392	0,000	-1,115	-1,115	0,000	3,251	0,000	3,251
Plate_3_3	2976	1	0,000	-12,924	-99,357	-99,357	0,000	-1,156	-1,156	0,000	3,251	0,000	3,251
Element 31-66 (Plate)	2613	2	0,000	-13,106	-99,222	-99,222	0,000	-1,479	-1,479	0,000	3,009	0,000	3,009
(Micropali D168.3x10/0,27m)	2612	3	0,000	-13,288	-99,121	-99,121	0,000	-1,663	-1,663	0,000	2,721	0,000	2,721
28	2611	4	0,000	-13,470	-99,023	-99,023	0,000	-1,718	-1,718	0,000	2,411	0,000	2,411
28	2610	5	0,000	-13,653	-98,897	-98,897	0,000	-1,654	-1,654	0,000	2,102	0,000	2,102
Plate_3_3	2610	1	0,000	-13,653	-98,793	-98,793	0,000	-1,680	-1,680	0,000	2,102	0,000	2,102
Element 31-67 (Plate)	1951	2	0,000	-13,845	-98,630	-98,630	0,000	-1,527	-1,527	0,000	1,793	0,000	1,793
(Micropali D168.3x10/0,27m)	1952	3	0,000	-14,037	-97,974	-97,974	0,000	-1,334	-1,334	0,000	1,517	0,000	1,517
28	1953	4	0,000	-14,230	-96,834	-96,834	0,000	-1,109	-1,109	0,000	1,282	0,000	1,282
28	1950	5	0,000	-14,422	-95,218	-95,218	0,000	-0,858	-0,858	0,000	1,092	0,000	1,092
Plate_3_3	1950	1	0,000	-14,422	-95,221	-95,221	0,000	-0,870	-0,870	0,000	1,092	0,000	1,092
Element 31-68 (Plate)	1613	2	0,000	-14,625	-93,030	-93,030	0,000	-0,620	-0,620	0,000	0,941	0,000	0,941
(Micropali D168.3x10/0,27m)	1614	3	0,000	-14,829	-90,330	-90,330	0,000	-0,393	-0,393	0,000	0,839	0,000	0,839
28	1615	4	0,000	-15,032	-87,124	-87,124	0,000	-0,191	-0,220	0,000	0,780	0,000	0,780
28	1612	5	0,000	-15,235	-83,414	-83,414	0,000	-0,017	-0,169	0,000	0,759	-0,001	0,759
Plate_3_3	1612	1	0,000	-15,235	-83,382	-83,382	0,000	-0,038	-0,168	0,000	0,759	-0,001	0,759

Structural element	Node [10 ^]	Local number	X [m]	Y [m]	N [kN/m]	N ⊥⊥ [kN/m]	N ⊥⊥ [10 ^ kN/m]	Q [kN/m]	Q ⊥⊥ [kN/m]	Q ⊥⊥ [kN/m]	M [kN m/m]	M ⊥⊥ [kN m/m]	M ⊥⊥ [kN m/m]
Element 31-69 (Plate)	1081	2	0,000	-15,450	-78,910	-78,910	0,000	0,110	-0,138	0,110	0,770	-0,001	0,770
(Micropali D168.3x10/0,27m)	1082	3	0,000	-15,664	-73,723	-73,723	0,000	0,099	-0,113	0,099	0,795	-0,001	0,795
28	1083	4	0,000	-15,879	-67,813	-67,813	0,000	-0,065	-0,100	0,001	0,802	-0,001	0,802
28	1080	5	0,000	-16,093	-61,173	-61,173	0,000	-0,378	-0,378	0,002	0,757	-0,001	0,757
Plate_3_3	1080	1	0,000	-16,093	-60,992	-60,992	0,000	-0,308	-0,308	0,004	0,757	-0,001	0,757
Element 31-70 (Plate)	669	2	0,000	-16,320	-46,956	-46,956	0,000	-0,765	-0,765	0,002	0,636	0,000	0,636
(Micropali D168.3x10/0,27m)	668	3	0,000	-16,547	-32,196	-32,196	0,000	-1,072	-1,072	0,001	0,419	0,000	0,419
28	667	4	0,000	-16,773	-16,641	-16,641	0,000	-1,023	-1,023	0,000	0,177	0,000	0,177
28	666	5	0,000	-17,000	-0,221	-0,221	0,000	-0,412	-0,412	0,000	0,000	0,000	0,000

3.1.2.4.24 Calculation results, Plate, Scalzamento al piede [Phase_19] (19/1007), Table of plate force envelopes

Structural element	Node [10^0]	Local number	X [m]	Y [m]	N [kN/m]	N,min [kN/m]	N,max [10^0 kN/m]	Q [kN/m]	Q,min [kN/m]	Q,max [kN/m]	M [kN m/m]	M,min [kN m/m]	M,max [kN m/m]
Plate_2_1	17871	1	0,000	0,000	-0,002	-0,003	1,624	0,005	-0,004	0,007	0,000	0,000	0,000
Element 1-1 (Plate)	17868	2	0,000	-0,021	-0,044	-0,044	0,000	0,109	0,000	0,109	0,001	0,000	0,001
(Parete c.a.C32/40 sp.0.50m)	17867	3	0,000	-0,043	-0,083	-0,083	0,000	0,208	0,000	0,208	0,005	0,000	0,005
28	17866	4	0,000	-0,064	-0,123	-0,123	0,000	0,306	0,000	0,306	0,010	0,000	0,010
28	17869	5	0,000	-0,086	-0,164	-0,164	0,000	0,410	0,000	0,410	0,018	0,000	0,018
Plate_2_1	17869	1	0,000	-0,086	-0,165	-0,165	0,000	0,412	0,000	0,412	0,018	0,000	0,018
Element 1-2 (Plate)	17860	2	0,000	-0,113	-0,224	-0,224	0,000	0,559	0,000	0,559	0,031	0,000	0,031
(Parete c.a.C32/40 sp.0.50m)	17859	3	0,000	-0,140	-0,291	-0,291	0,000	0,726	0,000	0,726	0,048	0,000	0,048
28	17858	4	0,000	-0,166	-0,366	-0,366	0,000	0,914	0,000	0,914	0,070	0,000	0,070
28	17857	5	0,000	-0,193	-0,449	-0,449	0,000	1,123	0,000	1,123	0,098	0,000	0,098
Plate_2_1	17857	1	0,000	-0,193	-0,448	-0,448	0,000	1,122	0,000	1,122	0,098	0,000	0,098
Element 1-3 (Plate)	17837	2	0,000	-0,227	-0,564	-0,564	0,000	1,413	0,000	1,413	0,140	0,000	0,140
(Parete c.a.C32/40 sp.0.50m)	17836	3	0,000	-0,261	-0,689	-0,689	0,000	1,730	0,000	1,730	0,194	0,000	0,194
28	17835	4	0,000	-0,295	-0,824	-0,824	0,000	2,070	0,000	2,070	0,258	0,000	0,258
28	17834	5	0,000	-0,329	-0,968	-0,968	0,000	2,434	0,000	2,434	0,334	0,000	0,334
Plate_2_1	17834	1	0,000	-0,329	-0,967	-0,967	0,000	2,432	0,000	2,432	0,334	0,000	0,334
Element 1-4 (Plate)	17759	2	0,000	-0,372	-1,159	-1,159	0,000	2,919	0,000	2,919	0,449	0,000	0,449
(Parete c.a.C32/40 sp.0.50m)	17758	3	0,000	-0,415	-1,362	-1,362	0,000	3,434	0,000	3,434	0,584	0,000	0,584
28	17757	4	0,000	-0,457	-1,576	-1,576	0,000	3,975	0,000	3,975	0,742	0,000	0,742
28	17753	5	0,000	-0,500	-1,800	-1,800	0,000	4,541	0,000	4,541	0,924	0,000	0,924
Plate_2_2	17753	1	0,000	-0,500	-1,802	-1,802	0,000	4,549	0,000	4,549	0,924	0,000	0,924
Element 3-6 (Plate)	17677	2	0,000	-0,563	-2,148	-2,148	0,000	5,424	0,000	5,424	1,235	0,000	1,235
(Parete c.a.C32/40 sp.0.50m)	17676	3	0,000	-0,625	-2,518	-2,518	0,000	6,365	0,000	6,365	1,604	0,000	1,604
28	17675	4	0,000	-0,688	-2,910	-2,910	0,000	7,360	0,000	7,360	2,032	0,000	2,032
28	17671	5	0,000	-0,750	-3,319	-3,319	0,000	8,397	0,000	8,397	2,524	0,000	2,524
Plate_2_3	17671	1	0,000	-0,750	-3,276	-3,276	3,862	8,288	-0,010	8,288	2,524	0,000	2,524
Element 4-7 (Plate)	17599	2	0,000	-0,798	-3,591	-3,591	0,351	9,087	-0,001	9,087	2,942	0,000	2,942
(Parete c.a.C32/40 sp.0.50m)	17598	3	0,000	-0,846	-3,906	-3,906	0,493	9,887	-0,001	9,887	3,398	0,000	3,398
28	17597	4	0,000	-0,894	-4,217	-4,217	0,000	10,678	0,000	10,678	3,892	0,000	3,892
28	17593	5	0,000	-0,942	-4,522	-4,522	0,000	11,452	0,000	11,452	4,423	0,000	4,423
Plate_2_3	17593	1	0,000	-0,942	-4,530	-4,530	0,000	11,471	0,000	11,471	4,423	0,000	4,423
Element 4-8 (Plate)	17468	2	0,000	-1,007	-4,952	-4,952	0,000	12,543	0,000	12,543	5,196	0,000	5,196
(Parete c.a.C32/40 sp.0.50m)	17467	3	0,000	-1,071	-5,406	-5,406	0,000	13,697	0,000	13,697	6,042	0,000	6,042
28	17466	4	0,000	-1,136	-5,892	-5,892	0,000	14,934	0,000	14,934	6,965	0,000	6,965
28	17465	5	0,000	-1,200	-6,412	-6,412	0,000	16,256	0,000	16,256	7,969	0,000	7,969
Plate_2_4	17465	1	0,000	-1,200	-18,111	-18,111	0,000	-54,022	-54,022	0,000	7,969	0,000	7,969
Element 6-11 (Plate)	17390	2	0,000	-1,261	-18,638	-18,638	0,000	-52,679	-52,679	0,000	4,727	-0,536	4,727
(Parete c.a.C32/40 sp.0.50m)	17389	3	0,000	-1,322	-19,153	-19,153	0,000	-51,371	-51,371	0,000	1,563	-1,127	1,563
28	17388	4	0,000	-1,382	-19,653	-19,653	0,000	-50,099	-50,099	0,000	-1,522	-2,239	0,000
28	17387	5	0,000	-1,443	-20,138	-20,138	0,000	-48,865	-48,865	0,000	-4,529	-5,141	0,000
Plate_2_4	17387	1	0,000	-1,443	-20,144	-20,144	0,000	-48,849	-48,849	0,000	-4,529	-5,141	0,000
Element 6-12 (Plate)	17259	2	0,000	-1,535	-20,930	-20,930	0,000	-46,849	-46,849	0,000	-8,917	-9,380	0,000
(Parete c.a.C32/40 sp.0.50m)	17258	3	0,000	-1,627	-21,728	-21,728	0,000	-44,819	-44,819	0,000	-13,121	-13,447	0,000
28	17257	4	0,000	-1,718	-22,535	-22,535	0,000	-42,766	-42,766	0,000	-17,138	-17,339	0,000
28	17256	5	0,000	-1,810	-23,348	-23,348	0,000	-40,697	-40,697	0,000	-20,964	-21,051	0,000
Plate_2_5	17256	1	0,000	-1,810	-23,338	-23,338	3,534	-40,723	-40,723	0,007	-20,964	-21,051	0,000

Structural element	Node [10 ^]	Local number	X [m]	Y [m]	N [kN/m]	N max [kN/m]	N min [10 ^ kN/m]	Q [kN/m]	Q max [kN/m]	Q min [kN/m]	M [kN m/m]	M max [kN m/m]	M min [kN m/m]
Element 10-17 (Plate)	17223	2	0,000	-1,882	-23,980	-23,980	0,467	-39,088	-39,088	0,018	-23,855	-23,860	0,000
(Parete c.a.C32/40 sp.0.50m)	17222	3	0,000	-1,955	-24,630	-24,630	0,765	-37,435	-37,435	0,039	-26,629	-26,629	0,002
Max	17221	4	0,000	-2,027	-25,291	-25,291	1,156	-35,752	-35,752	0,097	-29,282	-29,282	0,007
Min	17220	5	0,000	-2,100	-25,970	-25,970	1,550	-34,023	-34,023	0,202	-31,810	-31,810	0,017
Plate_2_5	17220	1	0,000	-2,100	-25,972	-25,972	2,234	-34,019	-34,019	0,211	-31,810	-31,810	0,017
Element 10-18 (Plate)	17043	2	0,000	-2,200	-26,881	-26,881	0,681	-31,706	-31,706	0,277	-35,097	-35,097	0,041
(Parete c.a.C32/40 sp.0.50m)	17042	3	0,000	-2,300	-27,814	-27,814	0,000	-29,331	-29,331	0,471	-38,151	-38,151	0,076
Max	17041	4	0,000	-2,400	-28,766	-28,766	0,000	-26,907	-26,907	0,707	-40,965	-40,965	0,132
Min	17040	5	0,000	-2,500	-29,732	-29,732	0,000	-24,447	-24,447	1,019	-43,533	-43,533	0,217
Plate_2_6	17040	1	0,000	-2,500	-29,724	-29,724	0,000	-24,469	-24,469	0,999	-43,533	-43,533	0,217
Element 12-23 (Plate)	17003	2	0,000	-2,615	-30,818	-30,818	0,000	-21,684	-21,684	1,375	-46,196	-46,196	0,353
(Parete c.a.C32/40 sp.0.50m)	17002	3	0,000	-2,731	-31,922	-31,922	0,000	-18,872	-18,872	1,848	-48,537	-48,537	0,538
Max	17001	4	0,000	-2,846	-33,025	-33,025	0,000	-16,065	-16,065	2,391	-50,555	-50,555	0,782
Min	17000	5	0,000	-2,962	-34,115	-34,115	0,000	-13,289	-13,289	2,977	-52,248	-52,248	1,092
Plate_2_6	17000	1	0,000	-2,962	-34,119	-34,119	0,000	-13,279	-13,279	2,990	-52,248	-52,248	1,092
Element 12-24 (Plate)	16689	2	0,000	-3,082	-35,141	-35,141	0,000	-10,679	-10,749	3,399	-53,687	-53,687	1,475
(Parete c.a.C32/40 sp.0.50m)	16688	3	0,000	-3,202	-36,167	-36,167	0,000	-8,070	-8,222	3,919	-54,814	-54,814	1,913
Max	16687	4	0,000	-3,322	-37,204	-37,204	0,000	-5,431	-5,660	4,968	-55,625	-55,625	2,420
Min	16686	5	0,000	-3,442	-38,260	-38,260	0,000	-2,745	-3,043	6,653	-56,117	-56,117	3,012
Plate_2_6	16686	1	0,000	-3,442	-38,280	-38,280	0,000	-2,693	-2,991	6,706	-56,117	-56,117	3,012
Element 12-25 (Plate)	16542	2	0,000	-3,567	-39,330	-39,330	0,000	-0,021	-0,385	8,444	-56,288	-56,288	3,733
(Parete c.a.C32/40 sp.0.50m)	16541	3	0,000	-3,693	-40,415	-40,415	0,000	2,739	0,000	10,360	-56,118	-56,118	4,574
Max	16540	4	0,000	-3,818	-41,520	-41,520	0,000	5,550	0,000	12,410	-55,601	-55,601	5,553
Min	16536	5	0,000	-3,943	-42,630	-42,630	0,000	8,375	0,000	14,556	-54,730	-54,730	6,688
Plate_2_7	16536	1	0,000	-3,943	-42,617	-42,617	3,986	8,341	-0,006	14,487	-54,730	-54,730	6,688
Element 13-26 (Plate)	16129	2	0,000	-4,055	-43,557	-43,557	0,000	10,732	0,000	16,258	-53,658	-53,658	7,836
(Parete c.a.C32/40 sp.0.50m)	16128	3	0,000	-4,167	-44,491	-44,491	0,000	13,108	0,000	17,946	-52,318	-52,318	9,102
Max	16127	4	0,000	-4,280	-45,424	-45,424	0,000	15,482	0,000	19,549	-50,711	-50,711	10,483
Min	16126	5	0,000	-4,392	-46,361	-46,361	0,000	17,866	0,000	21,069	-48,837	-48,837	11,974
Plate_2_8	16126	1	0,000	-4,392	-46,362	-46,362	0,000	17,868	0,000	21,058	-48,837	-48,837	11,974
Element 14-27 (Plate)	15925	2	0,000	-4,594	-48,186	-48,186	0,000	22,511	0,000	24,317	-44,779	-44,872	14,924
(Parete c.a.C32/40 sp.0.50m)	15924	3	0,000	-4,796	-50,315	-50,315	0,000	27,937	0,000	28,198	-39,690	-39,922	18,283
Max	15923	4	0,000	-4,998	-52,650	-52,650	0,000	33,888	0,000	33,888	-33,458	-33,858	22,121
Min	15922	5	0,000	-5,200	-55,088	-55,088	0,000	40,106	0,000	40,106	-25,989	-26,598	26,498
Plate_2_9	15922	1	0,000	-5,200	-71,723	-71,723	0,000	-59,375	-59,375	0,000	-25,989	-26,598	26,498
Element 16-30 (Plate)	15715	2	0,000	-5,366	-73,881	-73,881	0,000	-53,869	-53,869	0,000	-35,371	-35,371	20,161
(Parete c.a.C32/40 sp.0.50m)	15714	3	0,000	-5,531	-76,105	-76,105	0,000	-48,196	-48,196	0,000	-43,831	-43,831	14,261
Max	15713	4	0,000	-5,697	-78,394	-78,394	0,000	-42,354	-42,354	0,000	-51,337	-51,337	8,835
Min	15712	5	0,000	-5,863	-80,749	-80,749	0,000	-36,342	-36,342	0,000	-57,858	-57,858	3,925
Plate_2_9	15712	1	0,000	-5,863	-80,728	-80,728	0,000	-36,396	-36,396	0,000	-57,858	-57,858	3,925
Element 16-31 (Plate)	15279	2	0,000	-5,947	-81,924	-81,924	0,000	-33,344	-33,344	0,000	-60,797	-60,797	1,630
(Parete c.a.C32/40 sp.0.50m)	15278	3	0,000	-6,031	-83,127	-83,127	0,000	-30,271	-30,271	0,000	-63,479	-63,479	0,000
Max	15277	4	0,000	-6,116	-84,338	-84,338	0,000	-27,181	-27,181	0,000	-65,902	-65,902	0,000
Min	15276	5	0,000	-6,200	-85,554	-85,554	0,000	-24,074	-24,074	0,000	-68,062	-68,062	0,000
Plate_2_10	15276	1	0,000	-6,200	-85,527	-85,527	3,104	-24,143	-24,143	0,003	-68,062	-68,062	0,000
Element 18-33 (Plate)	15111	2	0,000	-6,275	-86,611	-86,611	0,115	-21,377	-21,785	0,020	-69,769	-69,769	0,001
(Parete c.a.C32/40 sp.0.50m)	15110	3	0,000	-6,350	-87,695	-87,695	0,004	-18,607	-20,041	0,059	-71,268	-71,268	0,003
Max	15109	4	0,000	-6,425	-88,779	-88,779	0,021	-15,839	-18,305	0,113	-72,560	-72,560	0,010
Min	15108	5	0,000	-6,500	-89,861	-89,861	0,052	-13,078	-16,584	0,171	-73,644	-73,644	0,020
Plate_2_11	15108	1	0,000	-6,500	-89,778	-89,778	0,000	-13,291	-16,743	0,157	-73,644	-73,644	0,020
Element 21-36 (Plate)	14137	2	0,000	-6,624	-91,712	-91,712	0,000	-8,349	-13,575	0,403	-74,975	-74,975	0,054
(Parete c.a.C32/40 sp.0.50m)	14136	3	0,000	-6,747	-93,456	-93,456	0,000	-3,898	-10,658	1,059	-75,729	-75,729	0,114
Max	14135	4	0,000	-6,871	-95,044	-95,044	0,000	0,155	-8,040	5,163	-75,956	-75,956	0,212

Structural element	Node [10 ^]	Local number	X [m]	Y [m]	N [kN/m]	N,max [kN/m]	N,min [10 ^ kN/m]	Q [kN/m]	Q,max [kN/m]	Q,min [kN/m]	M [kN m/m]	M,max [kN m/m]	M,min [kN m/m]
꽃	14134	5	0,000	-6,994	-96,513	-96,513	0,000	3,905	-5,588	9,012	-75,702	-75,702	0,343
Plate_2_12	14134	1	0,000	-6,994	-96,569	-96,569	0,000	4,049	-5,491	9,154	-75,702	-75,702	0,343
Element 23-38 (Plate)	13402	2	0,000	-7,061	-97,452	-97,452	0,000	6,304	-3,994	11,478	-75,357	-75,357	0,431
(Parete c.a.C32/40 sp.0.50m)	13401	3	0,000	-7,128	-98,382	-98,382	0,000	8,678	-2,441	13,931	-74,855	-74,855	0,533
꽃	13400	4	0,000	-7,195	-99,355	-99,355	0,000	11,161	-0,793	16,501	-74,191	-74,191	0,651
꽃	13396	5	0,000	-7,262	-100,366	-100,366	0,000	13,742	0,000	19,175	-73,358	-73,358	0,787
Plate_2_13	13396	1	0,000	-7,262	-100,346	-100,346	0,000	13,692	0,000	19,122	-73,358	-73,358	0,787
Element 24-39 (Plate)	12634	2	0,000	-7,322	-101,235	-101,235	0,000	15,962	0,000	21,481	-72,477	-72,477	0,926
(Parete c.a.C32/40 sp.0.50m)	12633	3	0,000	-7,381	-102,122	-102,122	0,000	18,227	0,000	23,835	-71,461	-71,461	1,085
꽃	12632	4	0,000	-7,441	-103,007	-103,007	0,000	20,486	0,000	26,183	-70,310	-70,310	1,263
꽃	12628	5	0,000	-7,500	-103,889	-103,889	0,000	22,737	0,000	28,524	-69,026	-69,026	1,461
Plate_2_14	12628	1	0,000	-7,500	-103,889	-103,889	0,000	22,737	0,000	28,523	-69,026	-69,026	1,461
Element 26-42 (Plate)	11506	2	0,000	-7,576	-105,024	-105,024	0,000	25,635	0,000	31,539	-67,178	-67,178	1,746
(Parete c.a.C32/40 sp.0.50m)	11505	3	0,000	-7,653	-106,171	-106,171	0,000	28,562	0,000	34,586	-65,107	-65,107	2,066
꽃	11504	4	0,000	-7,729	-107,346	-107,346	0,000	31,562	0,000	37,706	-62,809	-62,809	2,427
꽃	11503	5	0,000	-7,806	-108,566	-108,566	0,000	34,676	0,000	40,938	-60,280	-60,280	2,837
Plate_2_14	11503	1	0,000	-7,806	-108,552	-108,552	0,000	34,641	0,000	40,904	-60,280	-60,280	2,837
Element 26-43 (Plate)	11181	2	0,000	-7,867	-109,538	-109,538	0,000	37,158	0,000	43,510	-58,089	-58,089	3,202
(Parete c.a.C32/40 sp.0.50m)	11180	3	0,000	-7,928	-110,490	-110,490	0,000	39,587	0,000	46,031	-55,748	-55,748	3,599
꽃	11179	4	0,000	-7,989	-111,415	-111,415	0,000	41,951	0,000	48,491	-53,260	-53,260	4,024
꽃	11175	5	0,000	-8,050	-112,324	-112,324	0,000	44,270	0,000	50,910	-50,630	-50,630	4,473
Plate_2_14	11175	1	0,000	-8,050	-112,357	-112,357	0,000	44,354	0,000	50,991	-50,630	-50,630	4,473
Element 26-44 (Plate)	9918	2	0,000	-8,098	-113,097	-113,097	0,000	46,243	0,000	52,962	-48,425	-48,425	4,855
(Parete c.a.C32/40 sp.0.50m)	9917	3	0,000	-8,147	-113,836	-113,836	0,000	48,130	0,000	54,921	-46,127	-46,127	5,254
꽃	9916	4	0,000	-8,196	-114,587	-114,587	0,000	50,049	0,000	56,900	-43,736	-43,736	5,671
꽃	9915	5	0,000	-8,245	-115,365	-115,365	0,000	52,034	0,000	58,932	-41,251	-41,251	6,107
Plate_2_14	9915	1	0,000	-8,245	-115,361	-115,361	0,000	52,023	0,000	58,920	-41,251	-41,251	6,107
Element 26-45 (Plate)	9080	2	0,000	-8,283	-116,006	-116,006	0,000	53,671	0,000	60,588	-39,197	-39,197	6,471
(Parete c.a.C32/40 sp.0.50m)	9079	3	0,000	-8,322	-116,629	-116,629	0,000	55,261	0,000	62,190	-37,080	-37,080	6,850
꽃	9078	4	0,000	-8,361	-117,226	-117,226	0,000	56,787	0,000	63,719	-34,901	-34,901	7,244
꽃	9077	5	0,000	-8,400	-117,797	-117,797	0,000	58,243	0,000	65,169	-32,666	-32,666	7,650
Plate_3_1	9077	1	0,000	-8,400	-125,284	-125,284	0,000	55,086	-0,007	62,968	-32,666	-32,666	7,650
Element 27-46 (Plate)	7882	2	0,000	-8,425	-125,800	-125,800	0,000	56,098	-0,007	63,972	-31,277	-31,277	7,904
(Micropali D168.3x10/0,27m)	7883	3	0,000	-8,450	-126,300	-126,300	0,000	57,076	-0,007	64,943	-29,861	-29,861	8,163
꽃	7884	4	0,000	-8,475	-126,784	-126,784	0,000	58,024	-0,007	65,886	-28,422	-28,422	8,426
꽃	7881	5	0,000	-8,500	-127,254	-127,254	0,000	58,943	-0,007	66,803	-26,961	-26,961	8,692
Plate_3_2	7881	1	0,000	-8,500	-127,245	-127,245	0,000	58,927	-0,006	66,697	-26,961	-26,961	8,692
Element 29-54 (Plate)	6882	2	0,000	-8,544	-127,490	-127,490	0,000	59,398	-0,009	63,111	-24,369	-24,369	9,124
(Micropali D168.3x10/0,27m)	6883	3	0,000	-8,588	-127,327	-127,327	0,000	59,069	-0,013	59,200	-21,773	-21,773	9,489
꽃	6884	4	0,000	-8,631	-126,808	-126,808	0,000	58,042	-0,018	58,042	-19,207	-19,207	9,988
꽃	6881	5	0,000	-8,675	-125,983	-125,983	0,000	56,417	-0,022	56,417	-16,701	-16,701	10,787
Plate_3_2	6881	1	0,000	-8,675	-126,035	-126,035	0,000	56,517	-0,022	56,517	-16,701	-16,701	10,787
Element 29-55 (Plate)	6868	2	0,000	-8,726	-124,937	-124,937	0,000	54,359	-0,041	54,359	-13,884	-13,884	11,693
(Micropali D168.3x10/0,27m)	6869	3	0,000	-8,777	-123,579	-123,579	0,000	51,683	-0,329	51,683	-11,191	-11,191	12,496
꽃	6870	4	0,000	-8,827	-122,013	-122,013	0,000	48,597	-1,147	48,597	-8,642	-8,642	13,372
꽃	6867	5	0,000	-8,878	-120,294	-120,294	0,000	45,208	-2,326	45,208	-6,261	-6,261	14,158
Plate_3_2	6867	1	0,000	-8,878	-120,386	-120,386	0,000	45,389	-2,351	45,389	-6,261	-6,261	14,158
Element 29-56 (Plate)	5682	2	0,000	-8,937	-118,368	-118,368	0,000	41,420	-3,555	41,420	-3,707	-3,707	14,828
(Micropali D168.3x10/0,27m)	5683	3	0,000	-8,996	-116,565	-116,565	0,000	37,875	-4,596	37,875	-1,373	-1,373	15,262
꽃	5684	4	0,000	-9,055	-114,984	-114,984	0,000	34,774	-5,429	34,774	0,765	-0,010	15,492
꽃	5681	5	0,000	-9,114	-113,636	-113,636	0,000	32,133	-6,059	32,133	2,732	-0,011	15,550
Plate_3_2	5681	1	0,000	-9,114	-113,592	-113,592	0,000	32,044	-6,082	32,044	2,732	-0,011	15,550
Element 29-57 (Plate)	5668	2	0,000	-9,182	-112,088	-112,088	0,000	29,095	-6,618	29,095	4,820	-0,011	15,985

Structural element	Node [10 ˆ]	Local number	X [m]	Y [m]	N [kN/m]	N ⊥⊥ [kN/m]	N ⊥⊥ [10 ˆ kN/m]	Q [kN/m]	Q ⊥⊥ [kN/m]	Q ⊥⊥ [kN/m]	M [kN m/m]	M ⊥⊥ [kN m/m]	M ⊥⊥ [kN m/m]
(Micropali D168.3x10/0,27m)	5669	3	0,000	-9,250	-110,620	-110,620	0,000	26,217	-6,996	26,217	6,710	-0,012	16,391
2D	5670	4	0,000	-9,319	-109,189	-109,189	0,000	23,415	-7,224	23,415	8,405	-0,012	16,570
2D	5667	5	0,000	-9,387	-107,798	-107,798	0,000	20,691	-8,025	20,691	9,911	-0,012	16,556
Plate_3_2	5667	1	0,000	-9,387	-107,804	-107,804	0,000	20,704	-8,061	20,704	9,911	-0,012	16,556
Element 29-58 (Plate)	5642	2	0,000	-9,466	-106,250	-106,250	0,000	17,660	-9,095	17,660	11,431	-0,012	16,340
(Micropali D168.3x10/0,27m)	5643	3	0,000	-9,546	-104,768	-104,768	0,000	14,754	-9,939	14,754	12,715	-0,012	15,949
2D	5644	4	0,000	-9,625	-103,355	-103,355	0,000	11,985	-10,511	11,985	13,774	-0,013	15,419
2D	5641	5	0,000	-9,704	-102,011	-102,011	1,198	9,349	-10,822	9,349	14,618	-0,013	14,783
Plate_3_2	5641	1	0,000	-9,704	-102,016	-102,016	1,200	9,359	-10,854	9,359	14,618	-0,013	14,783
Element 29-59 (Plate)	5544	2	0,000	-9,796	-100,490	-100,490	2,977	6,364	-10,981	6,364	15,340	-0,014	15,340
(Micropali D168.3x10/0,27m)	5545	3	0,000	-9,888	-99,060	-99,060	4,782	3,557	-10,925	3,557	15,794	-0,015	15,794
2D	5546	4	0,000	-9,980	-97,742	-97,742	6,613	0,967	-10,696	0,967	16,001	-0,017	16,001
2D	5543	5	0,000	-10,072	-96,550	-96,550	8,468	-1,375	-10,572	0,000	15,980	-0,019	15,980
Plate_3_2	5543	1	0,000	-10,072	-96,559	-96,559	8,467	-1,358	-10,608	0,000	15,980	-0,019	15,980
Element 29-60 (Plate)	4597	2	0,000	-10,179	-95,422	-95,422	10,649	-3,592	-10,454	0,000	15,712	-0,022	15,712
(Micropali D168.3x10/0,27m)	4598	3	0,000	-10,285	-94,501	-94,700	12,859	-5,403	-10,124	0,000	15,228	-0,025	15,228
2D	4599	4	0,000	-10,392	-93,793	-94,956	15,096	-6,795	-9,632	0,000	14,574	-0,029	14,574
2D	4596	5	0,000	-10,499	-93,297	-95,289	17,358	-7,772	-8,987	0,000	13,793	-0,034	13,793
Plate_3_2	4596	1	0,000	-10,499	-93,280	-95,277	17,364	-7,806	-9,011	0,000	13,793	-0,034	13,793
Element 29-61 (Plate)	4561	2	0,000	-10,622	-92,944	-95,718	20,019	-8,468	-8,468	0,000	12,783	-0,040	12,783
(Micropali D168.3x10/0,27m)	4562	3	0,000	-10,746	-92,801	-96,196	22,737	-8,750	-8,750	0,000	11,713	-0,047	11,713
2D	4563	4	0,000	-10,870	-92,843	-96,706	25,517	-8,668	-8,668	0,000	10,632	-0,058	10,632
2D	4560	5	0,000	-10,994	-93,061	-97,245	28,360	-8,241	-8,241	0,000	9,582	-0,191	9,582
Plate_3_2	4560	1	0,000	-10,994	-93,037	-97,238	28,511	-8,291	-8,291	0,000	9,582	-0,191	9,582
Element 29-62 (Plate)	4345	2	0,000	-11,137	-93,442	-97,878	31,643	-7,497	-7,497	0,000	8,447	-0,366	8,447
(Micropali D168.3x10/0,27m)	4346	3	0,000	-11,281	-93,948	-98,517	35,394	-6,504	-6,504	0,000	7,440	-0,461	7,440
2D	4347	4	0,000	-11,424	-94,547	-99,153	39,895	-5,330	-5,330	0,166	6,588	-0,477	6,588
2D	4344	5	0,000	-11,568	-95,229	-99,783	45,279	-3,993	-3,993	0,966	5,917	-0,418	5,917
Plate_3_2	4344	1	0,000	-11,568	-95,173	-99,741	72,724	-4,103	-4,103	0,908	5,917	-0,418	5,917
Element 29-63 (Plate)	3619	2	0,000	-11,734	-96,037	-100,490	6,658	-2,384	-2,384	2,004	5,379	-0,276	5,379
(Micropali D168.3x10/0,27m)	3620	3	0,000	-11,901	-96,738	-101,046	0,000	-0,951	-0,951	2,841	5,108	-0,075	5,108
2D	3621	4	0,000	-12,067	-97,229	-101,363	0,000	0,096	0,000	3,234	5,041	-0,018	5,041
2D	3618	5	0,000	-12,234	-97,458	-101,393	0,000	0,658	0,000	3,107	5,112	0,000	5,112
Plate_3_3	3618	1	0,000	-12,234	-97,392	-101,319	0,000	0,524	0,000	2,998	5,112	0,000	5,112
Element 31-65 (Plate)	2977	2	0,000	-12,406	-96,754	-100,601	0,000	-0,584	-0,584	1,698	5,103	0,000	5,103
(Micropali D168.3x10/0,27m)	2978	3	0,000	-12,579	-96,255	-100,041	0,000	-1,413	-1,413	0,684	4,927	0,000	4,927
2D	2979	4	0,000	-12,751	-95,896	-99,639	0,000	-1,965	-1,965	0,000	4,631	0,000	4,631
2D	2976	5	0,000	-12,924	-95,679	-99,392	0,000	-2,238	-2,238	0,000	4,265	0,000	4,265
Plate_3_3	2976	1	0,000	-12,924	-95,659	-99,357	0,000	-2,278	-2,278	0,000	4,265	0,000	4,265
Element 31-66 (Plate)	2613	2	0,000	-13,106	-95,521	-99,222	0,000	-2,392	-2,392	0,000	3,838	0,000	3,838
(Micropali D168.3x10/0,27m)	2612	3	0,000	-13,288	-95,437	-99,121	0,000	-2,403	-2,403	0,000	3,400	0,000	3,400
2D	2611	4	0,000	-13,470	-95,401	-99,023	0,000	-2,322	-2,322	0,000	2,968	0,000	2,968
2D	2610	5	0,000	-13,653	-95,409	-98,897	0,000	-2,159	-2,159	0,000	2,559	0,000	2,559
Plate_3_3	2610	1	0,000	-13,653	-95,290	-98,793	0,000	-2,179	-2,179	0,000	2,559	0,000	2,559
Element 31-67 (Plate)	1951	2	0,000	-13,845	-95,502	-98,630	0,000	-1,958	-1,958	0,000	2,160	0,000	2,160
(Micropali D168.3x10/0,27m)	1952	3	0,000	-14,037	-95,398	-97,974	0,000	-1,700	-1,700	0,000	1,808	0,000	1,808
2D	1953	4	0,000	-14,230	-94,916	-96,834	0,000	-1,409	-1,409	0,000	1,508	0,000	1,508
2D	1950	5	0,000	-14,422	-93,998	-95,218	0,000	-1,090	-1,090	0,000	1,267	0,000	1,267
Plate_3_3	1950	1	0,000	-14,422	-93,971	-95,221	0,000	-1,102	-1,102	0,000	1,267	0,000	1,267
Element 31-68 (Plate)	1613	2	0,000	-14,625	-92,420	-93,030	0,000	-0,778	-0,783	0,000	1,077	0,000	1,077
(Micropali D168.3x10/0,27m)	1614	3	0,000	-14,829	-90,324	-90,330	0,000	-0,483	-0,506	0,000	0,949	0,000	0,949
2D	1615	4	0,000	-15,032	-87,686	-87,686	0,000	-0,220	-0,259	0,000	0,878	0,000	0,878
2D	1612	5	0,000	-15,235	-84,509	-84,509	0,000	0,007	-0,169	0,007	0,857	-0,001	0,857

Structural element	Node [10 ^]	Local number	X [m]	Y [m]	N [kN/m]	N ⊥⊥ [kN/m]	N ⊥⊥ [10 ^ kN/m]	Q [kN/m]	Q ⊥⊥ [kN/m]	Q ⊥⊥ [kN/m]	M [kN m/m]	M ⊥⊥ [kN m/m]	M ⊥⊥ [kN m/m]
Plate_3_3	1612	1	0,000	-15,235	-84,475	-84,475	0,000	-0,019	-0,168	0,000	0,857	-0,001	0,857
Element 31-69 (Plate)	1081	2	0,000	-15,450	-80,533	-80,533	0,000	0,176	-0,138	0,176	0,878	-0,001	0,878
(Micropali D168.3x10/0,27m)	1082	3	0,000	-15,664	-75,826	-75,826	0,000	0,177	-0,113	0,177	0,919	-0,001	0,919
28	1083	4	0,000	-15,879	-70,348	-70,348	0,000	-0,012	-0,100	0,001	0,940	-0,001	0,940
28	1080	5	0,000	-16,093	-64,090	-64,090	0,000	-0,387	-0,387	0,002	0,901	-0,001	0,901
Plate_3_3	1080	1	0,000	-16,093	-63,904	-63,904	0,000	-0,178	-0,308	0,004	0,901	-0,001	0,901
Element 31-70 (Plate)	669	2	0,000	-16,320	-48,898	-48,898	0,000	-1,040	-1,040	0,002	0,765	0,000	0,765
(Micropali D168.3x10/0,27m)	668	3	0,000	-16,547	-33,343	-33,343	0,000	-1,540	-1,540	0,001	0,451	0,000	0,451
28	667	4	0,000	-16,773	-17,167	-17,167	0,000	-1,220	-1,220	0,000	0,128	0,000	0,177
28	666	5	0,000	-17,000	-0,298	-0,298	0,000	0,378	-0,412	0,378	0,000	0,000	0,000

3.1.2.4.25 Calculation results, Plate, SLU11 [Phase_20] (20/1011), Table of plate force envelopes

Structural element	Node [10 ⁰]	Local number	X [m]	Y [m]	N [kN/m]	N ⁻ [kN/m]	N ⁺ [10 ⁰ kN/m]	Q [kN/m]	Q⁻ [kN/m]	Q⁺ [kN/m]	M [kN m/m]	M⁻ [kN m/m]	M⁺ [kN m/m]
Plate_2_1	17871	1	0,000	0,000	-0,002	-0,003	1,624	0,005	-0,004	0,007	0,000	0,000	0,000
Element 1-1 (Plate)	17868	2	0,000	-0,021	-0,044	-0,044	0,000	0,110	0,000	0,110	0,001	0,000	0,001
(Parete c.a.C32/40 sp.0.50m)	17867	3	0,000	-0,043	-0,085	-0,085	0,000	0,211	0,000	0,211	0,005	0,000	0,005
88	17866	4	0,000	-0,064	-0,125	-0,125	0,000	0,312	0,000	0,312	0,010	0,000	0,010
88	17869	5	0,000	-0,086	-0,168	-0,168	0,000	0,418	0,000	0,418	0,018	0,000	0,018
Plate_2_1	17869	1	0,000	-0,086	-0,168	-0,168	0,000	0,419	0,000	0,419	0,018	0,000	0,018
Element 1-2 (Plate)	17860	2	0,000	-0,113	-0,226	-0,226	0,000	0,565	0,000	0,565	0,031	0,000	0,031
(Parete c.a.C32/40 sp.0.50m)	17859	3	0,000	-0,140	-0,293	-0,293	0,000	0,733	0,000	0,733	0,049	0,000	0,049
88	17858	4	0,000	-0,166	-0,368	-0,368	0,000	0,922	0,000	0,922	0,071	0,000	0,071
88	17857	5	0,000	-0,193	-0,452	-0,452	0,000	1,133	0,000	1,133	0,099	0,000	0,099
Plate_2_1	17857	1	0,000	-0,193	-0,452	-0,452	0,000	1,132	0,000	1,132	0,099	0,000	0,099
Element 1-3 (Plate)	17837	2	0,000	-0,227	-0,568	-0,568	0,000	1,427	0,000	1,427	0,142	0,000	0,142
(Parete c.a.C32/40 sp.0.50m)	17836	3	0,000	-0,261	-0,695	-0,695	0,000	1,747	0,000	1,747	0,196	0,000	0,196
88	17835	4	0,000	-0,295	-0,832	-0,832	0,000	2,093	0,000	2,093	0,261	0,000	0,261
88	17834	5	0,000	-0,329	-0,978	-0,978	0,000	2,462	0,000	2,462	0,338	0,000	0,338
Plate_2_1	17834	1	0,000	-0,329	-0,977	-0,977	0,000	2,460	0,000	2,460	0,338	0,000	0,338
Element 1-4 (Plate)	17759	2	0,000	-0,372	-1,173	-1,173	0,000	2,956	0,000	2,956	0,454	0,000	0,454
(Parete c.a.C32/40 sp.0.50m)	17758	3	0,000	-0,415	-1,379	-1,379	0,000	3,480	0,000	3,480	0,591	0,000	0,591
88	17757	4	0,000	-0,457	-1,597	-1,597	0,000	4,032	0,000	4,032	0,751	0,000	0,751
88	17753	5	0,000	-0,500	-1,825	-1,825	0,000	4,610	0,000	4,610	0,936	0,000	0,936
Plate_2_2	17753	1	0,000	-0,500	-1,827	-1,827	0,000	4,617	0,000	4,617	0,936	0,000	0,936
Element 3-6 (Plate)	17677	2	0,000	-0,563	-2,180	-2,180	0,000	5,512	0,000	5,512	1,252	0,000	1,252
(Parete c.a.C32/40 sp.0.50m)	17676	3	0,000	-0,625	-2,559	-2,559	0,000	6,475	0,000	6,475	1,626	0,000	1,626
88	17675	4	0,000	-0,688	-2,959	-2,959	0,000	7,493	0,000	7,493	2,063	0,000	2,063
88	17671	5	0,000	-0,750	-3,377	-3,377	0,000	8,555	0,000	8,555	2,564	0,000	2,564
Plate_2_3	17671	1	0,000	-0,750	-3,335	-3,335	3,862	8,446	-0,010	8,446	2,564	0,000	2,564
Element 4-7 (Plate)	17599	2	0,000	-0,798	-3,657	-3,657	0,351	9,267	-0,001	9,267	2,989	0,000	2,989
(Parete c.a.C32/40 sp.0.50m)	17598	3	0,000	-0,846	-3,981	-3,981	0,493	10,088	-0,001	10,088	3,454	0,000	3,454
88	17597	4	0,000	-0,894	-4,301	-4,301	0,000	10,902	0,000	10,902	3,958	0,000	3,958
88	17593	5	0,000	-0,942	-4,615	-4,615	0,000	11,701	0,000	11,701	4,501	0,000	4,501
Plate_2_3	17593	1	0,000	-0,942	-4,622	-4,622	0,000	11,720	0,000	11,720	4,501	0,000	4,501
Element 4-8 (Plate)	17468	2	0,000	-1,007	-5,057	-5,057	0,000	12,825	0,000	12,825	5,292	0,000	5,292
(Parete c.a.C32/40 sp.0.50m)	17467	3	0,000	-1,071	-5,525	-5,525	0,000	14,015	0,000	14,015	6,157	0,000	6,157
88	17466	4	0,000	-1,136	-6,026	-6,026	0,000	15,290	0,000	15,290	7,101	0,000	7,101
88	17465	5	0,000	-1,200	-6,561	-6,561	0,000	16,650	0,000	16,650	8,130	0,000	8,130
Plate_2_4	17465	1	0,000	-1,200	-18,701	-18,701	0,000	-56,277	-56,277	0,000	8,130	0,000	8,130
Element 6-11 (Plate)	17390	2	0,000	-1,261	-19,244	-19,244	0,000	-54,896	-54,896	0,000	4,751	-0,536	4,751
(Parete c.a.C32/40 sp.0.50m)	17389	3	0,000	-1,322	-19,773	-19,773	0,000	-53,548	-53,548	0,000	1,454	-1,127	1,563
88	17388	4	0,000	-1,382	-20,288	-20,288	0,000	-52,236	-52,236	0,000	-1,762	-2,239	0,000
88	17387	5	0,000	-1,443	-20,790	-20,790	0,000	-50,961	-50,961	0,000	-4,898	-5,141	0,000
Plate_2_4	17387	1	0,000	-1,443	-20,796	-20,796	0,000	-50,944	-50,944	0,000	-4,898	-5,141	0,000
Element 6-12 (Plate)	17259	2	0,000	-1,535	-21,607	-21,607	0,000	-48,881	-48,881	0,000	-9,475	-9,475	0,000
(Parete c.a.C32/40 sp.0.50m)	17258	3	0,000	-1,627	-22,430	-22,430	0,000	-46,785	-46,785	0,000	-13,862	-13,862	0,000
88	17257	4	0,000	-1,718	-23,263	-23,263	0,000	-44,665	-44,665	0,000	-18,057	-18,057	0,000
88	17256	5	0,000	-1,810	-24,103	-24,103	0,000	-42,526	-42,526	0,000	-22,054	-22,054	0,000
Plate_2_5	17256	1	0,000	-1,810	-24,093	-24,093	3,534	-42,552	-42,552	0,007	-22,054	-22,054	0,000
Element 10-17 (Plate)	17223	2	0,000	-1,882	-24,757	-24,757	0,467	-40,861	-40,861	0,018	-25,075	-25,075	0,000

Structural element	Node [10 ^]	Local number	X [m]	Y [m]	N [kN/m]	N max [kN/m]	N min [10 ^ kN/m]	Q [kN/m]	Q max [kN/m]	Q min [kN/m]	M [kN m/m]	M max [kN m/m]	M min [kN m/m]
(Parete c.a.C32/40 sp.0.50m)	17222	3	0,000	-1,955	-25,429	-25,429	0,765	-39,152	-39,152	0,039	-27,976	-27,976	0,002
Bar	17221	4	0,000	-2,027	-26,112	-26,112	1,156	-37,412	-37,412	0,097	-30,751	-30,751	0,007
Bar	17220	5	0,000	-2,100	-26,814	-26,814	1,550	-35,626	-35,626	0,202	-33,397	-33,397	0,017
Plate_2_5	17220	1	0,000	-2,100	-26,815	-26,815	2,234	-35,622	-35,622	0,211	-33,397	-33,397	0,017
Element 10-18 (Plate)	17043	2	0,000	-2,200	-27,756	-27,756	0,681	-33,228	-33,228	0,277	-36,840	-36,840	0,041
(Parete c.a.C32/40 sp.0.50m)	17042	3	0,000	-2,300	-28,721	-28,721	0,000	-30,772	-30,772	0,471	-40,042	-40,042	0,076
Bar	17041	4	0,000	-2,400	-29,705	-29,705	0,000	-28,266	-28,266	0,707	-42,996	-42,996	0,132
Bar	17040	5	0,000	-2,500	-30,704	-30,704	0,000	-25,722	-25,722	1,019	-45,696	-45,696	0,217
Plate_2_6	17040	1	0,000	-2,500	-30,696	-30,696	0,000	-25,744	-25,744	0,999	-45,696	-45,696	0,217
Element 12-23 (Plate)	17003	2	0,000	-2,615	-31,828	-31,828	0,000	-22,863	-22,863	1,375	-48,501	-48,501	0,353
(Parete c.a.C32/40 sp.0.50m)	17002	3	0,000	-2,731	-32,970	-32,970	0,000	-19,954	-19,954	1,848	-50,973	-50,973	0,538
Bar	17001	4	0,000	-2,846	-34,112	-34,112	0,000	-17,049	-17,049	2,391	-53,109	-53,109	0,782
Bar	17000	5	0,000	-2,962	-35,241	-35,241	0,000	-14,176	-14,176	2,977	-54,911	-54,911	1,092
Plate_2_6	17000	1	0,000	-2,962	-35,245	-35,245	0,000	-14,165	-14,165	2,990	-54,911	-54,911	1,092
Element 12-24 (Plate)	16689	2	0,000	-3,082	-36,308	-36,308	0,000	-11,462	-11,462	3,399	-56,450	-56,450	1,475
(Parete c.a.C32/40 sp.0.50m)	16688	3	0,000	-3,202	-37,374	-37,374	0,000	-8,750	-8,750	3,919	-57,665	-57,665	1,913
Bar	16687	4	0,000	-3,322	-38,453	-38,452	0,000	-6,008	-6,008	4,968	-58,552	-58,552	2,420
Bar	16686	5	0,000	-3,442	-39,550	-39,550	0,000	-3,218	-3,218	6,653	-59,107	-59,107	3,012
Plate_2_6	16686	1	0,000	-3,442	-39,570	-39,570	0,000	-3,166	-3,166	6,706	-59,107	-59,107	3,012
Element 12-25 (Plate)	16542	2	0,000	-3,567	-40,663	-40,663	0,000	-0,386	-0,386	8,444	-59,330	-59,330	3,733
(Parete c.a.C32/40 sp.0.50m)	16541	3	0,000	-3,693	-41,792	-41,792	0,000	2,483	0,000	10,360	-59,199	-59,199	4,574
Bar	16540	4	0,000	-3,818	-42,940	-42,940	0,000	5,402	0,000	12,410	-58,707	-58,707	5,553
Bar	16536	5	0,000	-3,943	-44,093	-44,093	0,000	8,335	0,000	14,556	-57,848	-57,848	6,688
Plate_2_7	16536	1	0,000	-3,943	-44,080	-44,080	3,986	8,301	-0,006	14,487	-57,848	-57,848	6,688
Element 13-26 (Plate)	16129	2	0,000	-4,055	-45,059	-45,059	0,000	10,789	0,000	16,258	-56,775	-56,775	7,836
(Parete c.a.C32/40 sp.0.50m)	16128	3	0,000	-4,167	-46,032	-46,032	0,000	13,262	0,000	17,946	-55,423	-55,423	9,102
Bar	16127	4	0,000	-4,280	-47,005	-47,005	0,000	15,735	0,000	19,549	-53,793	-53,793	10,483
Bar	16126	5	0,000	-4,392	-47,983	-47,983	0,000	18,220	0,000	21,069	-51,885	-51,885	11,974
Plate_2_8	16126	1	0,000	-4,392	-47,984	-47,984	0,000	18,222	0,000	21,058	-51,885	-51,885	11,974
Element 14-27 (Plate)	15925	2	0,000	-4,594	-49,883	-49,883	0,000	23,049	0,000	24,317	-47,737	-47,737	14,924
(Parete c.a.C32/40 sp.0.50m)	15924	3	0,000	-4,796	-52,091	-52,091	0,000	28,667	0,000	28,667	-42,520	-42,520	18,283
Bar	15923	4	0,000	-4,998	-54,507	-54,507	0,000	34,820	0,000	34,820	-36,121	-36,121	22,121
Bar	15922	5	0,000	-5,200	-57,033	-57,033	0,000	41,251	0,000	41,251	-28,442	-28,442	26,498
Plate_2_9	15922	1	0,000	-5,200	-74,110	-74,110	0,000	-60,889	-60,889	0,000	-28,442	-28,442	26,498
Element 16-30 (Plate)	15715	2	0,000	-5,366	-76,343	-76,343	0,000	-55,200	-55,200	0,000	-38,060	-38,060	20,161
(Parete c.a.C32/40 sp.0.50m)	15714	3	0,000	-5,531	-78,644	-78,644	0,000	-49,339	-49,339	0,000	-46,725	-46,725	14,261
Bar	15713	4	0,000	-5,697	-81,011	-81,011	0,000	-43,303	-43,303	0,000	-54,405	-54,405	8,835
Bar	15712	5	0,000	-5,863	-83,448	-83,448	0,000	-37,092	-37,092	0,000	-61,066	-61,066	3,925
Plate_2_9	15712	1	0,000	-5,863	-83,427	-83,427	0,000	-37,147	-37,147	0,000	-61,066	-61,066	3,925
Element 16-31 (Plate)	15279	2	0,000	-5,947	-84,664	-84,664	0,000	-33,992	-33,992	0,000	-64,064	-64,064	1,630
(Parete c.a.C32/40 sp.0.50m)	15278	3	0,000	-6,031	-85,909	-85,909	0,000	-30,817	-30,817	0,000	-66,797	-66,797	0,000
Bar	15277	4	0,000	-6,116	-87,161	-87,161	0,000	-27,624	-27,624	0,000	-69,261	-69,261	0,000
Bar	15276	5	0,000	-6,200	-88,420	-88,420	0,000	-24,416	-24,416	0,000	-71,454	-71,454	0,000
Plate_2_10	15276	1	0,000	-6,200	-88,393	-88,393	3,104	-24,485	-24,485	0,003	-71,454	-71,454	0,000
Element 18-33 (Plate)	15111	2	0,000	-6,275	-89,513	-89,513	0,115	-21,629	-21,785	0,020	-73,183	-73,183	0,001
(Parete c.a.C32/40 sp.0.50m)	15110	3	0,000	-6,350	-90,634	-90,634	0,004	-18,769	-20,041	0,059	-74,698	-74,698	0,003
Bar	15109	4	0,000	-6,425	-91,754	-91,754	0,021	-15,913	-18,305	0,113	-75,999	-75,999	0,010
Bar	15108	5	0,000	-6,500	-92,871	-92,871	0,052	-13,066	-16,584	0,171	-77,085	-77,085	0,020
Plate_2_11	15108	1	0,000	-6,500	-92,788	-92,788	0,000	-13,280	-16,743	0,157	-77,085	-77,085	0,020
Element 21-36 (Plate)	14137	2	0,000	-6,624	-94,780	-94,780	0,000	-8,200	-13,575	0,403	-78,406	-78,406	0,054
(Parete c.a.C32/40 sp.0.50m)	14136	3	0,000	-6,747	-96,577	-96,577	0,000	-3,618	-10,658	1,059	-79,133	-79,133	0,114
Bar	14135	4	0,000	-6,871	-98,216	-98,216	0,000	0,558	-8,040	5,163	-79,318	-79,318	0,212
Bar	14134	5	0,000	-6,994	-99,734	-99,734	0,000	4,423	-5,588	9,012	-79,008	-79,008	0,343

Structural element	Node [10 ^]	Local number	X [m]	Y [m]	N [kN/m]	N,max [kN/m]	N,min [10 ^ kN/m]	Q [kN/m]	Q,max [kN/m]	Q,min [kN/m]	M [kN m/m]	M,max [kN m/m]	M,min [kN m/m]
Plate_2_12	14134	1	0,000	-6,994	-99,790	-99,790	0,000	4,567	-5,491	9,154	-79,008	-79,008	0,343
Element 23-38 (Plate)	13402	2	0,000	-7,061	-100,698	-100,698	0,000	6,880	-3,994	11,478	-78,625	-78,625	0,431
(Parete c.a.C32/40 sp.0.50m)	13401	3	0,000	-7,128	-101,652	-101,652	0,000	9,310	-2,441	13,931	-78,083	-78,083	0,533
28	13400	4	0,000	-7,195	-102,647	-102,647	0,000	11,847	-0,793	16,501	-77,375	-77,375	0,651
28	13396	5	0,000	-7,262	-103,680	-103,680	0,000	14,479	0,000	19,175	-76,494	-76,494	0,787
Plate_2_13	13396	1	0,000	-7,262	-103,660	-103,660	0,000	14,429	0,000	19,122	-76,494	-76,494	0,787
Element 24-39 (Plate)	12634	2	0,000	-7,322	-104,569	-104,569	0,000	16,743	0,000	21,481	-75,568	-75,568	0,926
(Parete c.a.C32/40 sp.0.50m)	12633	3	0,000	-7,381	-105,474	-105,474	0,000	19,052	0,000	23,835	-74,504	-74,504	1,085
28	12632	4	0,000	-7,441	-106,378	-106,378	0,000	21,353	0,000	26,183	-73,303	-73,303	1,263
28	12628	5	0,000	-7,500	-107,278	-107,278	0,000	23,647	0,000	28,524	-71,967	-71,966	1,461
Plate_2_14	12628	1	0,000	-7,500	-107,278	-107,278	0,000	23,647	0,000	28,523	-71,967	-71,966	1,461
Element 26-42 (Plate)	11506	2	0,000	-7,576	-108,436	-108,436	0,000	26,598	0,000	31,539	-70,047	-70,047	1,746
(Parete c.a.C32/40 sp.0.50m)	11505	3	0,000	-7,653	-109,606	-109,606	0,000	29,579	0,000	34,586	-67,900	-67,900	2,066
28	11504	4	0,000	-7,729	-110,804	-110,804	0,000	32,632	0,000	37,706	-65,522	-65,522	2,427
28	11503	5	0,000	-7,806	-112,047	-112,047	0,000	35,800	0,000	40,938	-62,909	-62,909	2,837
Plate_2_14	11503	1	0,000	-7,806	-112,033	-112,033	0,000	35,765	0,000	40,904	-62,909	-62,909	2,837
Element 26-43 (Plate)	11181	2	0,000	-7,867	-113,038	-113,038	0,000	38,325	0,000	43,510	-60,649	-60,649	3,202
(Parete c.a.C32/40 sp.0.50m)	11180	3	0,000	-7,928	-114,008	-114,008	0,000	40,799	0,000	46,031	-58,234	-58,234	3,599
28	11179	4	0,000	-7,989	-114,954	-114,954	0,000	43,207	0,000	48,491	-55,671	-55,671	4,024
28	11175	5	0,000	-8,050	-115,882	-115,882	0,000	45,573	0,000	50,910	-52,963	-52,964	4,473
Plate_2_14	11175	1	0,000	-8,050	-115,915	-115,915	0,000	45,657	0,000	50,991	-52,963	-52,964	4,473
Element 26-44 (Plate)	9918	2	0,000	-8,098	-116,671	-116,671	0,000	47,583	0,000	52,962	-50,694	-50,694	4,855
(Parete c.a.C32/40 sp.0.50m)	9917	3	0,000	-8,147	-117,427	-117,427	0,000	49,510	0,000	54,921	-48,329	-48,329	5,254
28	9916	4	0,000	-8,196	-118,197	-118,197	0,000	51,472	0,000	56,900	-45,870	-45,870	5,671
28	9915	5	0,000	-8,245	-118,993	-118,993	0,000	53,501	0,000	58,932	-43,315	-43,315	6,107
Plate_2_14	9915	1	0,000	-8,245	-118,989	-118,989	0,000	53,490	0,000	58,920	-43,315	-43,315	6,107
Element 26-45 (Plate)	9080	2	0,000	-8,283	-119,650	-119,650	0,000	55,174	0,000	60,588	-41,204	-41,204	6,471
(Parete c.a.C32/40 sp.0.50m)	9079	3	0,000	-8,322	-120,288	-120,288	0,000	56,801	0,000	62,190	-39,027	-39,027	6,850
28	9078	4	0,000	-8,361	-120,902	-120,902	0,000	58,365	0,000	63,719	-36,788	-36,788	7,244
28	9077	5	0,000	-8,400	-121,488	-121,488	0,000	59,857	0,000	65,169	-34,491	-34,491	7,650
Plate_3_1	9077	1	0,000	-8,400	-129,225	-129,225	0,000	56,594	-0,007	62,968	-34,491	-34,491	7,650
Element 27-46 (Plate)	7882	2	0,000	-8,425	-129,755	-129,755	0,000	57,632	-0,007	63,972	-33,063	-33,063	7,904
(Micropali D168.3x10/0,27m)	7883	3	0,000	-8,450	-130,269	-130,269	0,000	58,635	-0,007	64,943	-31,610	-31,610	8,163
28	7884	4	0,000	-8,475	-130,766	-130,766	0,000	59,608	-0,007	65,886	-30,131	-30,131	8,426
28	7881	5	0,000	-8,500	-131,250	-131,250	0,000	60,552	-0,007	66,803	-28,629	-28,629	8,692
Plate_3_2	7881	1	0,000	-8,500	-131,246	-131,246	0,000	60,545	-0,006	66,697	-28,629	-28,629	8,692
Element 29-54 (Plate)	6882	2	0,000	-8,544	-131,490	-131,490	0,000	61,017	-0,009	63,111	-25,967	-25,967	9,124
(Micropali D168.3x10/0,27m)	6883	3	0,000	-8,588	-131,324	-131,324	0,000	60,683	-0,013	60,683	-23,301	-23,301	9,489
28	6884	4	0,000	-8,631	-130,802	-130,802	0,000	59,649	-0,018	59,649	-20,664	-20,664	9,988
28	6881	5	0,000	-8,675	-129,976	-129,976	0,000	58,020	-0,022	58,020	-18,088	-18,088	10,787
Plate_3_2	6881	1	0,000	-8,675	-130,019	-130,019	0,000	58,103	-0,022	58,103	-18,088	-18,088	10,787
Element 29-55 (Plate)	6868	2	0,000	-8,726	-128,948	-128,948	0,000	55,993	-0,041	55,993	-15,189	-15,189	11,693
(Micropali D168.3x10/0,27m)	6869	3	0,000	-8,777	-127,591	-127,591	0,000	53,319	-0,329	53,319	-12,412	-12,412	12,496
28	6870	4	0,000	-8,827	-126,006	-126,006	0,000	50,198	-1,147	50,198	-9,781	-9,781	13,372
28	6867	5	0,000	-8,878	-124,252	-124,252	0,000	46,746	-2,326	46,746	-7,320	-7,320	14,158
Plate_3_2	6867	1	0,000	-8,878	-124,354	-124,354	0,000	46,945	-2,351	46,945	-7,320	-7,320	14,158
Element 29-56 (Plate)	5682	2	0,000	-8,937	-122,294	-122,294	0,000	42,893	-3,555	42,893	-4,677	-4,677	14,828
(Micropali D168.3x10/0,27m)	5683	3	0,000	-8,996	-120,462	-120,462	0,000	39,291	-4,596	39,291	-2,258	-2,258	15,262
28	5684	4	0,000	-9,055	-118,874	-118,874	0,000	36,172	-5,429	36,172	-0,038	-0,038	15,492
28	5681	5	0,000	-9,114	-117,549	-117,549	0,000	33,572	-6,059	33,572	2,013	-0,011	15,550
Plate_3_2	5681	1	0,000	-9,114	-117,491	-117,491	0,000	33,457	-6,082	33,457	2,013	-0,011	15,550
Element 29-57 (Plate)	5668	2	0,000	-9,182	-116,007	-116,007	0,000	30,546	-6,618	30,546	4,199	-0,011	15,985
(Micropali D168.3x10/0,27m)	5669	3	0,000	-9,250	-114,559	-114,559	0,000	27,704	-6,996	27,704	6,189	-0,012	16,391

Structural element	Node [10 ^]	Local number	X [m]	Y [m]	N [kN/m]	N ,,, [kN/m]	N ,,, [10 ^ kN/m]	Q [kN/m]	Q ,,, [kN/m]	Q ,,, [kN/m]	M [kN m/m]	M ,,, [kN m/m]	M ,,, [kN m/m]
昭	5670	4	0,000	-9,319	-113,145	-113,145	0,000	24,930	-7,224	24,930	7,987	-0,012	16,570
昭	5667	5	0,000	-9,387	-111,765	-111,765	0,000	22,221	-8,025	22,221	9,597	-0,012	16,556
Plate_3_2	5667	1	0,000	-9,387	-111,775	-111,775	0,000	22,241	-8,061	22,241	9,597	-0,012	16,556
Element 29-58 (Plate)	5642	2	0,000	-9,466	-110,225	-110,225	0,000	19,198	-9,095	19,198	11,238	-0,012	16,340
(Micropali D168.3x10/0,27m)	5643	3	0,000	-9,546	-108,737	-108,737	0,000	16,278	-9,939	16,278	12,644	-0,012	15,949
昭	5644	4	0,000	-9,625	-107,313	-107,313	0,000	13,482	-10,511	13,482	13,822	-0,013	15,419
昭	5641	5	0,000	-9,704	-105,953	-105,953	1,198	10,810	-10,822	10,810	14,784	-0,013	14,784
Plate_3_2	5641	1	0,000	-9,704	-105,955	-105,955	1,200	10,813	-10,854	10,813	14,784	-0,013	14,784
Element 29-59 (Plate)	5544	2	0,000	-9,796	-104,401	-104,401	2,977	7,759	-10,981	7,759	15,637	-0,014	15,637
(Micropali D168.3x10/0,27m)	5545	3	0,000	-9,888	-102,919	-102,919	4,782	4,848	-10,925	4,848	16,215	-0,015	16,215
昭	5546	4	0,000	-9,980	-101,527	-101,527	6,613	2,112	-10,696	2,112	16,534	-0,017	16,534
昭	5543	5	0,000	-10,072	-100,242	-100,242	8,468	-0,413	-10,572	0,000	16,610	-0,019	16,610
Plate_3_2	5543	1	0,000	-10,072	-100,246	-100,246	8,467	-0,405	-10,608	0,000	16,610	-0,019	16,610
Element 29-60 (Plate)	4597	2	0,000	-10,179	-98,986	-98,986	10,649	-2,885	-10,454	0,000	16,431	-0,022	16,431
(Micropali D168.3x10/0,27m)	4598	3	0,000	-10,285	-97,953	-97,953	12,859	-4,923	-10,124	0,000	16,010	-0,025	16,010
昭	4599	4	0,000	-10,392	-97,142	-97,142	15,096	-6,523	-9,632	0,000	15,396	-0,029	15,396
昭	4596	5	0,000	-10,499	-96,553	-96,553	17,358	-7,688	-8,987	0,000	14,634	-0,034	14,634
Plate_3_2	4596	1	0,000	-10,499	-96,536	-96,536	17,364	-7,721	-9,011	0,000	14,634	-0,034	14,634
Element 29-61 (Plate)	4561	2	0,000	-10,622	-96,111	-96,111	20,019	-8,565	-8,566	0,000	13,623	-0,040	13,623
(Micropali D168.3x10/0,27m)	4562	3	0,000	-10,746	-95,900	-96,196	22,737	-8,990	-8,990	0,000	12,532	-0,047	12,532
昭	4563	4	0,000	-10,870	-95,893	-96,706	25,517	-9,013	-9,013	0,000	11,414	-0,058	11,414
昭	4560	5	0,000	-10,994	-96,082	-97,245	28,360	-8,651	-8,651	0,000	10,317	-0,191	10,317
Plate_3_2	4560	1	0,000	-10,994	-96,054	-97,238	28,511	-8,705	-8,705	0,000	10,317	-0,191	10,317
Element 29-62 (Plate)	4345	2	0,000	-11,137	-96,445	-97,878	31,643	-7,947	-7,947	0,000	9,119	-0,366	9,119
(Micropali D168.3x10/0,27m)	4346	3	0,000	-11,281	-96,950	-98,517	35,394	-6,965	-6,965	0,000	8,046	-0,461	8,046
昭	4347	4	0,000	-11,424	-97,558	-99,153	39,895	-5,779	-5,779	0,166	7,129	-0,477	7,129
昭	4344	5	0,000	-11,568	-98,260	-99,783	45,279	-4,408	-4,408	0,966	6,396	-0,418	6,396
Plate_3_2	4344	1	0,000	-11,568	-98,201	-99,741	72,724	-4,524	-4,524	0,908	6,396	-0,418	6,396
Element 29-63 (Plate)	3619	2	0,000	-11,734	-99,106	-100,490	6,658	-2,757	-2,757	2,004	5,792	-0,276	5,792
(Micropali D168.3x10/0,27m)	3620	3	0,000	-11,901	-99,864	-101,046	0,000	-1,277	-1,277	2,841	5,463	-0,075	5,463
昭	3621	4	0,000	-12,067	-100,425	-101,363	0,000	-0,184	-0,184	3,234	5,345	-0,018	5,345
昭	3618	5	0,000	-12,234	-100,736	-101,393	0,000	0,418	0,000	3,107	5,373	0,000	5,373
Plate_3_3	3618	1	0,000	-12,234	-100,666	-101,319	0,000	0,276	0,000	2,998	5,373	0,000	5,373
Element 31-65 (Plate)	2977	2	0,000	-12,406	-100,097	-100,601	0,000	-0,815	-0,815	1,698	5,323	0,000	5,323
(Micropali D168.3x10/0,27m)	2978	3	0,000	-12,579	-99,655	-100,041	0,000	-1,622	-1,622	0,684	5,108	0,000	5,108
昭	2979	4	0,000	-12,751	-99,343	-99,639	0,000	-2,148	-2,148	0,000	4,779	0,000	4,779
昭	2976	5	0,000	-12,924	-99,160	-99,392	0,000	-2,392	-2,392	0,000	4,384	0,000	4,384
Plate_3_3	2976	1	0,000	-12,924	-99,141	-99,357	0,000	-2,434	-2,434	0,000	4,384	0,000	4,384
Element 31-66 (Plate)	2613	2	0,000	-13,106	-99,029	-99,222	0,000	-2,519	-2,519	0,000	3,931	0,000	3,931
(Micropali D168.3x10/0,27m)	2612	3	0,000	-13,288	-98,960	-99,121	0,000	-2,506	-2,506	0,000	3,472	0,000	3,472
昭	2611	4	0,000	-13,470	-98,928	-99,023	0,000	-2,403	-2,403	0,000	3,023	0,000	3,023
昭	2610	5	0,000	-13,653	-98,930	-98,930	0,000	-2,220	-2,220	0,000	2,601	0,000	2,601
Plate_3_3	2610	1	0,000	-13,653	-98,810	-98,810	0,000	-2,240	-2,240	0,000	2,601	0,000	2,601
Element 31-67 (Plate)	1951	2	0,000	-13,845	-99,004	-99,004	0,000	-2,003	-2,003	0,000	2,192	0,000	2,192
(Micropali D168.3x10/0,27m)	1952	3	0,000	-14,037	-98,871	-98,871	0,000	-1,731	-1,731	0,000	1,833	0,000	1,833
昭	1953	4	0,000	-14,230	-98,349	-98,349	0,000	-1,428	-1,428	0,000	1,528	0,000	1,528
昭	1950	5	0,000	-14,422	-97,380	-97,380	0,000	-1,099	-1,099	0,000	1,285	0,000	1,285
Plate_3_3	1950	1	0,000	-14,422	-97,353	-97,353	0,000	-1,111	-1,111	0,000	1,285	0,000	1,285
Element 31-68 (Plate)	1613	2	0,000	-14,625	-95,736	-95,736	0,000	-0,777	-0,783	0,000	1,094	0,000	1,094
(Micropali D168.3x10/0,27m)	1614	3	0,000	-14,829	-93,562	-93,562	0,000	-0,473	-0,506	0,000	0,967	0,000	0,967
昭	1615	4	0,000	-15,032	-90,834	-90,834	0,000	-0,203	-0,259	0,000	0,899	0,000	0,899
昭	1612	5	0,000	-15,235	-87,554	-87,554	0,000	0,031	-0,169	0,031	0,882	-0,001	0,882
Plate_3_3	1612	1	0,000	-15,235	-87,519	-87,519	0,000	0,003	-0,168	0,003	0,882	-0,001	0,882

Structural element	Node [10 ˆ]	Local number	X [m]	Y [m]	N [kN/m]	N ⋯ [kN/m]	N ⋯ [10 ˆ kN/m]	Q [kN/m]	Q ⋯ [kN/m]	Q ⋯ [kN/m]	M [kN m/m]	M ⋯ [kN m/m]	M ⋯ [kN m/m]
Element 31-69 (Plate)	1081	2	0,000	-15,450	-83,454	-83,454	0,000	0,205	-0,138	0,205	0,908	-0,001	0,908
(Micropali D168.3x10/0,27m)	1082	3	0,000	-15,664	-78,605	-78,605	0,000	0,203	-0,113	0,203	0,956	-0,001	0,956
88	1083	4	0,000	-15,879	-72,964	-72,964	0,000	0,002	-0,100	0,002	0,981	-0,001	0,981
88	1080	5	0,000	-16,093	-66,523	-66,523	0,000	-0,395	-0,395	0,002	0,942	-0,001	0,942
Plate_3_3	1080	1	0,000	-16,093	-66,332	-66,332	0,000	-0,161	-0,308	0,004	0,942	-0,001	0,942
Element 31-70 (Plate)	669	2	0,000	-16,320	-50,745	-50,745	0,000	-1,111	-1,111	0,002	0,800	0,000	0,800
(Micropali D168.3x10/0,27m)	668	3	0,000	-16,547	-34,597	-34,597	0,000	-1,652	-1,652	0,001	0,463	0,000	0,463
88	667	4	0,000	-16,773	-17,814	-17,814	0,000	-1,274	-1,274	0,000	0,121	0,000	0,177
88	666	5	0,000	-17,000	-0,321	-0,321	0,000	0,534	-0,412	0,534	0,000	0,000	0,000

3.1.2.4.26 Calculation results, Plate, SLV [Phase_21] (21/1061), Table of plate force envelopes

Structural element	Node [10⁰]	Local number	X [m]	Y [m]	N [kN/m]	N,min [kN/m]	N,max [10⁰ kN/m]	Q [kN/m]	Q,min [kN/m]	Q,max [kN/m]	M [kN m/m]	M,min [kN m/m]	M,max [kN m/m]
Plate_2_1	17871	1	0,000	0,000	-0,002	-0,003	1,624	0,004	-0,004	0,007	0,000	0,000	0,000
Element 1-1 (Plate)	17868	2	0,000	-0,021	-0,032	-0,044	0,000	0,083	0,000	0,109	0,001	0,000	0,001
(Parete c.a.C32/40 sp.0.50m)	17867	3	0,000	-0,043	-0,063	-0,083	0,000	0,160	0,000	0,208	0,004	0,000	0,005
28	17866	4	0,000	-0,064	-0,094	-0,123	0,000	0,241	0,000	0,306	0,008	0,000	0,010
28	17869	5	0,000	-0,086	-0,128	-0,164	0,000	0,329	0,000	0,410	0,014	0,000	0,018
Plate_2_1	17869	1	0,000	-0,086	-0,124	-0,165	0,000	0,318	0,000	0,412	0,014	0,000	0,018
Element 1-2 (Plate)	17860	2	0,000	-0,113	-0,164	-0,224	0,000	0,420	0,000	0,559	0,024	0,000	0,031
(Parete c.a.C32/40 sp.0.50m)	17859	3	0,000	-0,140	-0,206	-0,291	0,000	0,529	0,000	0,726	0,037	0,000	0,048
28	17858	4	0,000	-0,166	-0,252	-0,366	0,000	0,645	0,000	0,914	0,052	0,000	0,070
28	17857	5	0,000	-0,193	-0,300	-0,449	0,000	0,770	0,000	1,123	0,071	0,000	0,098
Plate_2_1	17857	1	0,000	-0,193	-0,301	-0,448	0,000	0,772	0,000	1,122	0,071	0,000	0,098
Element 1-3 (Plate)	17837	2	0,000	-0,227	-0,376	-0,564	0,000	0,965	0,000	1,413	0,101	0,000	0,140
(Parete c.a.C32/40 sp.0.50m)	17836	3	0,000	-0,261	-0,466	-0,689	0,000	1,193	0,000	1,730	0,137	0,000	0,194
28	17835	4	0,000	-0,295	-0,569	-0,824	0,000	1,458	0,000	2,070	0,182	0,000	0,258
28	17834	5	0,000	-0,329	-0,685	-0,968	0,000	1,756	0,000	2,434	0,237	0,000	0,334
Plate_2_1	17834	1	0,000	-0,329	-0,684	-0,967	0,000	1,754	0,000	2,432	0,237	0,000	0,334
Element 1-4 (Plate)	17759	2	0,000	-0,372	-0,848	-1,159	0,000	2,172	0,000	2,919	0,320	0,000	0,449
(Parete c.a.C32/40 sp.0.50m)	17758	3	0,000	-0,415	-1,027	-1,362	0,000	2,633	0,000	3,434	0,423	0,000	0,584
28	17757	4	0,000	-0,457	-1,223	-1,576	0,000	3,135	0,000	3,975	0,546	0,000	0,742
28	17753	5	0,000	-0,500	-1,435	-1,800	0,000	3,677	0,000	4,541	0,691	0,000	0,924
Plate_2_2	17753	1	0,000	-0,500	-1,438	-1,802	0,000	3,683	0,000	4,549	0,691	0,000	0,924
Element 3-6 (Plate)	17677	2	0,000	-0,563	-1,775	-2,148	0,000	4,549	0,000	5,424	0,948	0,000	1,235
(Parete c.a.C32/40 sp.0.50m)	17676	3	0,000	-0,625	-2,150	-2,518	0,000	5,509	0,000	6,365	1,262	0,000	1,604
28	17675	4	0,000	-0,688	-2,557	-2,913	0,000	6,551	0,000	7,360	1,638	0,000	2,032
28	17671	5	0,000	-0,750	-2,992	-3,328	0,000	7,665	0,000	8,397	2,082	0,000	2,524
Plate_2_3	17671	1	0,000	-0,750	-2,949	-3,285	3,862	7,555	-0,010	8,288	2,082	0,000	2,524
Element 4-7 (Plate)	17599	2	0,000	-0,798	-3,292	-3,606	0,351	8,433	-0,001	9,087	2,466	0,000	2,942
(Parete c.a.C32/40 sp.0.50m)	17598	3	0,000	-0,846	-3,641	-3,927	0,493	9,328	-0,001	9,887	2,893	0,000	3,398
28	17597	4	0,000	-0,894	-3,993	-4,246	0,000	10,229	0,000	10,678	3,362	0,000	3,892
28	17593	5	0,000	-0,942	-4,345	-4,558	0,000	11,130	0,000	11,452	3,875	0,000	4,423
Plate_2_3	17593	1	0,000	-0,942	-4,353	-4,565	0,000	11,149	0,000	11,471	3,875	0,000	4,423
Element 4-8 (Plate)	17468	2	0,000	-1,007	-4,847	-4,998	0,000	12,416	0,000	12,543	4,634	0,000	5,196
(Parete c.a.C32/40 sp.0.50m)	17467	3	0,000	-1,071	-5,385	-5,464	0,000	13,793	0,000	13,793	5,479	0,000	6,042
28	17466	4	0,000	-1,136	-5,966	-5,966	0,000	15,281	0,000	15,281	6,415	0,000	6,965
28	17465	5	0,000	-1,200	-6,591	-6,591	0,000	16,881	0,000	16,881	7,451	0,000	7,969
Plate_2_4	17465	1	0,000	-1,200	-25,224	-25,224	0,000	-95,001	-95,001	0,000	7,451	0,000	7,969
Element 6-11 (Plate)	17390	2	0,000	-1,261	-25,860	-25,860	0,000	-93,373	-93,373	0,000	1,726	-0,536	4,727
(Parete c.a.C32/40 sp.0.50m)	17389	3	0,000	-1,322	-26,490	-26,490	0,000	-91,759	-91,759	0,000	-3,903	-5,305	1,563
28	17388	4	0,000	-1,382	-27,114	-27,114	0,000	-90,161	-90,161	0,000	-9,434	-10,767	0,000
28	17387	5	0,000	-1,443	-27,731	-27,731	0,000	-88,582	-88,582	0,000	-14,866	-16,146	0,000
Plate_2_4	17387	1	0,000	-1,443	-27,737	-27,737	0,000	-88,566	-88,566	0,000	-14,866	-16,146	0,000
Element 6-12 (Plate)	17259	2	0,000	-1,535	-28,735	-28,735	0,000	-86,009	-86,009	0,000	-22,870	-24,086	0,000
(Parete c.a.C32/40 sp.0.50m)	17258	3	0,000	-1,627	-29,762	-29,762	0,000	-83,381	-83,381	0,000	-30,638	-31,813	0,000
28	17257	4	0,000	-1,718	-30,813	-30,813	0,000	-80,688	-80,688	0,000	-38,164	-39,315	0,000
28	17256	5	0,000	-1,810	-31,887	-31,887	0,000	-77,940	-78,067	0,000	-45,436	-46,585	0,000
Plate_2_5	17256	1	0,000	-1,810	-31,876	-31,876	3,534	-77,966	-78,093	0,007	-45,436	-46,585	0,000
Element 10-17 (Plate)	17223	2	0,000	-1,882	-32,735	-32,735	0,467	-75,767	-76,039	0,018	-51,005	-52,165	0,000

Structural element	Node [10 ^]	Local number	X [m]	Y [m]	N [kN/m]	N max [kN/m]	N min [10 ^ kN/m]	Q [kN/m]	Q max [kN/m]	Q min [kN/m]	M [kN m/m]	M max [kN m/m]	M min [kN m/m]
(Parete c.a.C32/40 sp.0.50m)	17222	3	0,000	-1,955	-33,610	-33,610	0,765	-73,528	-73,940	0,039	-56,416	-57,599	0,002
28	17221	4	0,000	-2,027	-34,505	-34,505	1,156	-71,235	-71,783	0,097	-61,664	-62,881	0,007
28	17220	5	0,000	-2,100	-35,427	-35,427	1,550	-68,874	-69,570	0,202	-66,740	-68,002	0,017
Plate_2_5	17220	1	0,000	-2,100	-35,428	-35,428	2,234	-68,871	-69,566	0,211	-66,740	-68,002	0,017
Element 10-18 (Plate)	17043	2	0,000	-2,200	-36,686	-36,686	0,681	-65,650	-66,543	0,277	-73,467	-74,809	0,041
(Parete c.a.C32/40 sp.0.50m)	17042	3	0,000	-2,300	-37,984	-37,984	0,000	-62,327	-63,409	0,471	-79,870	-81,310	0,076
28	17041	4	0,000	-2,400	-39,315	-39,315	0,000	-58,918	-60,177	0,707	-85,936	-87,494	0,132
28	17040	5	0,000	-2,500	-40,676	-40,676	0,000	-55,434	-56,862	1,019	-91,655	-93,347	0,217
Plate_2_6	17040	1	0,000	-2,500	-40,667	-40,667	0,000	-55,456	-56,883	0,999	-91,655	-93,347	0,217
Element 12-23 (Plate)	17003	2	0,000	-2,615	-42,234	-42,234	0,000	-51,445	-53,054	1,375	-97,824	-99,692	0,353
(Parete c.a.C32/40 sp.0.50m)	17002	3	0,000	-2,731	-43,829	-43,829	0,000	-47,361	-49,137	1,848	-103,528	-105,591	0,538
28	17001	4	0,000	-2,846	-45,440	-45,440	0,000	-43,237	-45,164	2,391	-108,759	-111,036	0,782
28	17000	5	0,000	-2,962	-47,055	-47,055	0,000	-39,101	-41,165	2,977	-113,510	-116,018	1,092
Plate_2_6	17000	1	0,000	-2,962	-47,059	-47,059	0,000	-39,092	-41,156	2,990	-113,510	-116,018	1,092
Element 12-24 (Plate)	16689	2	0,000	-3,082	-48,644	-48,644	0,000	-35,032	-37,226	3,399	-117,963	-120,726	1,475
(Parete c.a.C32/40 sp.0.50m)	16688	3	0,000	-3,202	-50,250	-50,250	0,000	-30,920	-33,233	3,919	-121,927	-124,960	1,913
28	16687	4	0,000	-3,322	-51,883	-51,883	0,000	-26,739	-29,151	4,968	-125,393	-128,707	2,420
28	16686	5	0,000	-3,442	-53,550	-53,550	0,000	-22,470	-24,964	6,653	-128,349	-131,956	3,012
Plate_2_6	16686	1	0,000	-3,442	-53,570	-53,570	0,000	-22,419	-24,913	6,706	-128,349	-131,956	3,012
Element 12-25 (Plate)	16542	2	0,000	-3,567	-55,272	-55,272	0,000	-18,061	-20,620	8,444	-130,882	-134,800	3,733
(Parete c.a.C32/40 sp.0.50m)	16541	3	0,000	-3,693	-57,023	-57,023	0,000	-13,577	-16,181	10,360	-132,862	-137,098	4,574
28	16540	4	0,000	-3,818	-58,809	-58,809	0,000	-9,006	-11,635	12,410	-134,276	-138,833	5,553
28	16536	5	0,000	-3,943	-60,612	-60,612	0,000	-4,388	-7,020	14,556	-135,113	-139,992	6,688
Plate_2_7	16536	1	0,000	-3,943	-60,599	-60,599	3,986	-4,422	-7,054	14,487	-135,113	-139,992	6,688
Element 13-26 (Plate)	16129	2	0,000	-4,055	-62,173	-62,173	0,000	-0,393	-3,010	16,258	-135,384	-140,551	7,836
(Parete c.a.C32/40 sp.0.50m)	16128	3	0,000	-4,167	-63,750	-63,750	0,000	3,646	0,000	17,946	-135,201	-140,653	9,102
28	16127	4	0,000	-4,280	-65,336	-65,336	0,000	7,707	0,000	19,549	-134,563	-140,294	10,483
28	16126	5	0,000	-4,392	-66,935	-66,935	0,000	11,800	0,000	21,069	-133,467	-139,471	11,974
Plate_2_8	16126	1	0,000	-4,392	-66,938	-66,938	0,000	11,807	0,000	21,058	-133,467	-139,471	11,974
Element 14-27 (Plate)	15925	2	0,000	-4,594	-69,971	-69,971	0,000	19,572	0,000	24,317	-130,319	-136,790	14,924
(Parete c.a.C32/40 sp.0.50m)	15924	3	0,000	-4,796	-73,344	-73,344	0,000	28,208	0,000	28,838	-125,501	-132,400	18,283
28	15923	4	0,000	-4,998	-76,959	-76,959	0,000	37,462	0,000	37,502	-118,883	-126,169	22,121
28	15922	5	0,000	-5,200	-80,714	-80,714	0,000	47,075	0,000	47,153	-110,351	-117,982	26,498
Plate_2_9	15922	1	0,000	-5,200	-103,799	-103,799	0,000	-91,099	-91,099	0,000	-110,351	-117,982	26,498
Element 16-30 (Plate)	15715	2	0,000	-5,366	-107,072	-107,072	0,000	-82,719	-82,719	0,000	-124,751	-131,018	20,161
(Parete c.a.C32/40 sp.0.50m)	15714	3	0,000	-5,531	-110,427	-110,427	0,000	-74,132	-74,132	0,000	-137,751	-142,631	14,261
28	15713	4	0,000	-5,697	-113,860	-113,860	0,000	-65,345	-65,345	0,000	-149,313	-152,757	8,835
28	15712	5	0,000	-5,863	-117,369	-117,369	0,000	-56,363	-56,363	0,000	-159,396	-161,354	3,925
Plate_2_9	15712	1	0,000	-5,863	-117,343	-117,343	0,000	-56,428	-56,428	0,000	-159,396	-161,354	3,925
Element 16-31 (Plate)	15279	2	0,000	-5,947	-119,121	-119,121	0,000	-51,878	-51,878	0,000	-163,960	-165,140	1,630
(Parete c.a.C32/40 sp.0.50m)	15278	3	0,000	-6,031	-120,901	-120,901	0,000	-47,321	-47,321	0,000	-168,143	-168,529	0,000
28	15277	4	0,000	-6,116	-122,682	-122,682	0,000	-42,764	-42,764	0,000	-171,941	-171,941	0,000
28	15276	5	0,000	-6,200	-124,461	-124,461	0,000	-38,210	-38,210	0,000	-175,353	-175,353	0,000
Plate_2_10	15276	1	0,000	-6,200	-124,433	-124,433	3,104	-38,282	-38,282	0,003	-175,353	-175,353	0,000
Element 18-33 (Plate)	15111	2	0,000	-6,275	-126,007	-126,007	0,115	-34,251	-34,251	0,020	-178,072	-178,072	0,001
(Parete c.a.C32/40 sp.0.50m)	15110	3	0,000	-6,350	-127,573	-127,573	0,004	-30,245	-30,245	0,059	-180,491	-180,491	0,003
28	15109	4	0,000	-6,425	-129,126	-129,126	0,021	-26,269	-26,269	0,113	-182,611	-182,611	0,010
28	15108	5	0,000	-6,500	-130,664	-130,664	0,052	-22,332	-22,332	0,171	-184,433	-184,433	0,020
Plate_2_11	15108	1	0,000	-6,500	-130,581	-130,581	0,000	-22,544	-22,544	0,157	-184,433	-184,433	0,020
Element 21-36 (Plate)	14137	2	0,000	-6,624	-133,235	-133,235	0,000	-15,751	-15,751	0,403	-186,792	-186,792	0,054
(Parete c.a.C32/40 sp.0.50m)	14136	3	0,000	-6,747	-135,659	-135,659	0,000	-9,546	-10,658	6,966	-188,351	-188,351	0,114
28	14135	4	0,000	-6,871	-137,892	-137,892	0,000	-3,831	-8,040	13,081	-189,172	-189,172	0,212
28	14134	5	0,000	-6,994	-139,971	-139,971	0,000	1,492	-5,588	18,806	-189,313	-189,313	0,343

Structural element	Node [10 ^]	Local number	X [m]	Y [m]	N [kN/m]	N max [kN/m]	N min [10 ^ kN/m]	Q [kN/m]	Q max [kN/m]	Q min [kN/m]	M [kN m/m]	M max [kN m/m]	M min [kN m/m]
Plate_2_12	14134	1	0,000	-6,994	-140,037	-140,037	0,000	1,659	-5,491	18,948	-189,313	-189,313	0,343
Element 23-38 (Plate)	13402	2	0,000	-7,061	-141,249	-141,249	0,000	4,764	-3,994	22,229	-189,099	-189,099	0,431
(Parete c.a.C32/40 sp.0.50m)	13401	3	0,000	-7,128	-142,520	-142,520	0,000	8,018	-2,441	25,606	-188,672	-188,672	0,533
28	13400	4	0,000	-7,195	-143,847	-143,847	0,000	11,413	-0,793	29,070	-188,022	-188,022	0,651
28	13396	5	0,000	-7,262	-145,225	-145,225	0,000	14,942	0,000	32,607	-187,140	-187,140	0,787
Plate_2_13	13396	1	0,000	-7,262	-145,206	-145,206	0,000	14,894	0,000	32,561	-187,140	-187,140	0,787
Element 24-39 (Plate)	12634	2	0,000	-7,322	-146,445	-146,445	0,000	18,066	0,000	35,672	-186,161	-186,161	0,926
(Parete c.a.C32/40 sp.0.50m)	12633	3	0,000	-7,381	-147,703	-147,703	0,000	21,287	0,000	38,777	-184,992	-184,992	1,085
28	12632	4	0,000	-7,441	-148,979	-148,979	0,000	24,555	0,000	41,878	-183,630	-183,630	1,263
28	12628	5	0,000	-7,500	-150,274	-150,274	0,000	27,869	0,000	44,974	-182,073	-182,073	1,461
Plate_2_14	12628	1	0,000	-7,500	-150,275	-150,275	0,000	27,873	0,000	44,975	-182,073	-182,073	1,461
Element 26-42 (Plate)	11506	2	0,000	-7,576	-151,975	-151,975	0,000	32,226	0,000	48,980	-179,777	-179,777	1,746
(Parete c.a.C32/40 sp.0.50m)	11505	3	0,000	-7,653	-153,727	-153,727	0,000	36,713	0,000	53,033	-177,143	-177,143	2,066
28	11504	4	0,000	-7,729	-155,548	-155,548	0,000	41,378	0,000	57,178	-174,159	-174,159	2,427
28	11503	5	0,000	-7,806	-157,456	-157,456	0,000	46,263	0,000	61,451	-170,812	-170,812	2,837
Plate_2_14	11503	1	0,000	-7,806	-157,444	-157,444	0,000	46,234	0,000	61,410	-170,812	-170,812	2,837
Element 26-43 (Plate)	11181	2	0,000	-7,867	-159,013	-159,013	0,000	50,251	0,000	64,849	-167,870	-167,870	3,202
(Parete c.a.C32/40 sp.0.50m)	11180	3	0,000	-7,928	-160,583	-160,583	0,000	54,272	0,000	68,187	-164,681	-164,681	3,599
28	11179	4	0,000	-7,989	-162,163	-162,163	0,000	58,318	0,000	71,442	-161,246	-161,246	4,024
28	11175	5	0,000	-8,050	-163,761	-163,760	0,000	62,410	0,000	74,636	-157,565	-157,565	4,473
Plate_2_14	11175	1	0,000	-8,050	-163,787	-163,787	0,000	62,479	0,000	74,712	-157,565	-157,565	4,473
Element 26-44 (Plate)	9918	2	0,000	-8,098	-165,100	-165,100	0,000	65,841	0,000	77,273	-154,441	-154,441	4,855
(Parete c.a.C32/40 sp.0.50m)	9917	3	0,000	-8,147	-166,412	-166,412	0,000	69,200	0,000	79,797	-151,152	-151,152	5,254
28	9916	4	0,000	-8,196	-167,732	-167,732	0,000	72,580	0,000	82,314	-147,700	-147,700	5,671
28	9915	5	0,000	-8,245	-169,070	-169,070	0,000	76,006	0,000	84,856	-144,083	-144,083	6,107
Plate_2_14	9915	1	0,000	-8,245	-169,056	-169,056	0,000	75,970	0,000	84,837	-144,083	-144,083	6,107
Element 26-45 (Plate)	9080	2	0,000	-8,283	-170,123	-170,123	0,000	78,702	0,000	86,884	-141,077	-141,077	6,471
(Parete c.a.C32/40 sp.0.50m)	9079	3	0,000	-8,322	-171,128	-171,128	0,000	81,275	0,000	88,818	-137,967	-137,967	6,850
28	9078	4	0,000	-8,361	-172,065	-172,065	0,000	83,674	0,000	90,628	-134,760	-134,760	7,244
28	9077	5	0,000	-8,400	-172,928	-172,928	0,000	85,884	0,000	92,307	-131,465	-131,465	7,650
Plate_3_1	9077	1	0,000	-8,400	-203,382	-203,382	0,000	73,012	-0,007	83,520	-131,465	-131,465	7,650
Element 27-46 (Plate)	7882	2	0,000	-8,425	-204,118	-204,118	0,000	74,457	-0,007	84,647	-129,622	-129,622	7,904
(Micropali D168.3x10/0,27m)	7883	3	0,000	-8,450	-204,804	-204,804	0,000	75,804	-0,007	85,714	-127,743	-127,743	8,163
28	7884	4	0,000	-8,475	-205,443	-205,443	0,000	77,058	-0,007	86,723	-125,831	-125,831	8,426
28	7881	5	0,000	-8,500	-206,036	-206,036	0,000	78,221	-0,007	87,678	-123,891	-123,891	8,692
Plate_3_2	7881	1	0,000	-8,500	-206,003	-206,003	0,000	78,157	-0,006	87,706	-123,891	-123,891	8,692
Element 29-54 (Plate)	6882	2	0,000	-8,544	-206,718	-206,718	0,000	79,562	-0,009	87,321	-120,436	-120,436	9,124
(Micropali D168.3x10/0,27m)	6883	3	0,000	-8,588	-206,935	-206,935	0,000	79,990	-0,013	86,168	-116,941	-116,941	9,489
28	6884	4	0,000	-8,631	-206,726	-206,726	0,000	79,582	-0,018	84,394	-113,445	-113,445	9,988
28	6881	5	0,000	-8,675	-206,163	-206,163	0,000	78,480	-0,022	82,143	-109,985	-109,985	10,787
Plate_3_2	6881	1	0,000	-8,675	-206,220	-206,220	0,000	78,592	-0,022	82,310	-109,985	-109,985	10,787
Element 29-55 (Plate)	6868	2	0,000	-8,726	-205,605	-205,605	0,000	77,387	-0,041	79,714	-106,025	-106,025	11,693
(Micropali D168.3x10/0,27m)	6869	3	0,000	-8,777	-204,964	-204,964	0,000	76,132	-0,329	77,203	-102,128	-102,128	12,496
28	6870	4	0,000	-8,827	-204,344	-204,344	0,000	74,917	-1,147	74,917	-98,292	-98,292	13,372
28	6867	5	0,000	-8,878	-203,792	-203,792	0,000	73,836	-2,326	73,836	-94,518	-94,518	14,158
Plate_3_2	6867	1	0,000	-8,878	-203,784	-203,784	0,000	73,820	-2,351	73,820	-94,518	-94,518	14,158
Element 29-56 (Plate)	5682	2	0,000	-8,937	-203,302	-203,302	0,000	72,877	-3,555	72,877	-90,199	-90,199	14,828
(Micropali D168.3x10/0,27m)	5683	3	0,000	-8,996	-202,932	-202,932	0,000	72,153	-4,596	72,153	-85,929	-85,929	15,262
28	5684	4	0,000	-9,055	-202,734	-202,734	0,000	71,769	-5,429	71,769	-81,691	-81,691	15,492
28	5681	5	0,000	-9,114	-202,771	-202,771	0,000	71,845	-6,059	71,845	-77,466	-77,466	15,550
Plate_3_2	5681	1	0,000	-9,114	-203,020	-203,020	0,000	72,334	-6,082	72,334	-77,466	-77,466	15,550
Element 29-57 (Plate)	5668	2	0,000	-9,182	-201,883	-201,883	0,000	70,108	-6,618	70,108	-72,598	-72,598	15,985
(Micropali D168.3x10/0,27m)	5669	3	0,000	-9,250	-200,700	-200,700	0,000	67,790	-6,996	67,790	-67,888	-67,888	16,391

Structural element	Node [10 ^]	Local number	X [m]	Y [m]	N [kN/m]	N ⊶ [kN/m]	N ⊶ [10 ^ kN/m]	Q [kN/m]	Q ⊶ [kN/m]	Q ⊶ [kN/m]	M [kN m/m]	M ⊶ [kN m/m]	M ⊶ [kN m/m]
2D	5670	4	0,000	-9,319	-199,587	-199,587	0,000	65,612	-7,224	65,612	-63,329	-63,329	16,570
2D	5667	5	0,000	-9,387	-198,663	-198,663	0,000	63,804	-8,025	63,804	-58,913	-58,913	16,556
Plate_3_2	5667	1	0,000	-9,387	-198,518	-198,518	0,000	63,519	-8,061	63,519	-58,913	-58,913	16,556
Element 29-58 (Plate)	5642	2	0,000	-9,466	-197,683	-197,683	0,000	61,889	-9,095	61,889	-53,944	-53,944	16,340
(Micropali D168.3x10/0,27m)	5643	3	0,000	-9,546	-196,825	-196,825	0,000	60,213	-9,939	60,406	-49,102	-49,102	15,949
2D	5644	4	0,000	-9,625	-195,909	-195,909	0,000	58,423	-10,511	58,785	-44,399	-44,399	15,634
2D	5641	5	0,000	-9,704	-194,898	-194,898	1,198	56,446	-10,822	56,890	-39,846	-39,846	18,108
Plate_3_2	5641	1	0,000	-9,704	-194,999	-194,999	1,200	56,644	-10,854	57,097	-39,846	-39,846	18,108
Element 29-59 (Plate)	5544	2	0,000	-9,796	-193,156	-193,156	2,977	53,037	-10,981	53,428	-34,804	-34,804	20,817
(Micropali D168.3x10/0,27m)	5545	3	0,000	-9,888	-191,204	-191,204	4,782	49,214	-10,925	49,462	-30,098	-30,098	23,537
2D	5546	4	0,000	-9,980	-189,057	-189,057	6,613	45,010	-10,696	45,099	-25,763	-25,763	26,423
2D	5543	5	0,000	-10,072	-186,631	-186,631	8,468	40,257	-10,572	40,257	-21,838	-21,838	29,172
Plate_3_2	5543	1	0,000	-10,072	-187,136	-187,136	8,467	41,249	-10,608	41,249	-21,838	-21,838	29,172
Element 29-60 (Plate)	4597	2	0,000	-10,179	-182,203	-182,203	10,649	31,577	-10,454	31,577	-17,960	-17,960	31,595
(Micropali D168.3x10/0,27m)	4598	3	0,000	-10,285	-177,762	-177,762	12,859	22,869	-10,124	22,869	-15,070	-15,070	33,383
2D	4599	4	0,000	-10,392	-174,003	-174,003	15,096	15,500	-9,632	15,500	-13,032	-13,032	34,762
2D	4596	5	0,000	-10,499	-171,118	-171,118	17,358	9,846	-8,987	9,846	-11,700	-11,700	35,664
Plate_3_2	4596	1	0,000	-10,499	-171,369	-171,369	17,364	10,338	-9,011	10,338	-11,700	-11,700	35,664
Element 29-61 (Plate)	4561	2	0,000	-10,622	-168,288	-168,288	20,019	4,297	-10,712	4,297	-10,810	-10,810	36,126
(Micropali D168.3x10/0,27m)	4562	3	0,000	-10,746	-166,290	-166,290	22,737	0,380	-12,522	0,380	-10,553	-10,553	35,910
2D	4563	4	0,000	-10,870	-165,688	-165,688	25,517	-0,802	-14,083	0,000	-10,603	-10,603	35,047
2D	4560	5	0,000	-10,994	-166,794	-166,794	28,360	1,363	-16,447	1,363	-10,609	-10,609	33,627
Plate_3_2	4560	1	0,000	-10,994	-166,406	-166,406	28,511	0,603	-16,226	0,603	-10,609	-10,609	33,627
Element 29-62 (Plate)	4345	2	0,000	-11,137	-171,970	-171,970	31,643	11,513	-17,266	11,513	-9,774	-9,774	31,560
(Micropali D168.3x10/0,27m)	4346	3	0,000	-11,281	-178,494	-178,494	35,394	24,310	-16,850	24,310	-7,205	-7,205	29,282
2D	4347	4	0,000	-11,424	-185,490	-185,490	39,895	38,037	-15,612	38,037	-2,749	-2,749	26,986
2D	4344	5	0,000	-11,568	-192,469	-192,469	45,279	51,738	-13,791	51,738	3,706	-0,418	24,863
Plate_3_2	4344	1	0,000	-11,568	-192,541	-192,541	72,724	51,876	-14,250	51,876	3,706	-0,418	24,863
Element 29-63 (Plate)	3619	2	0,000	-11,734	-198,943	-198,943	6,658	64,446	-11,417	64,446	13,428	-0,276	22,745
(Micropali D168.3x10/0,27m)	3620	3	0,000	-11,901	-204,846	-204,846	0,000	76,040	-8,981	76,040	25,100	-0,075	25,484
2D	3621	4	0,000	-12,067	-211,163	-211,163	0,000	88,452	-7,174	88,452	38,806	-0,018	38,806
2D	3618	5	0,000	-12,234	-218,806	-218,806	0,000	103,474	-6,275	103,474	54,722	0,000	54,722
Plate_3_3	3618	1	0,000	-12,234	-218,487	-218,487	0,000	102,115	-6,789	102,115	54,722	0,000	54,722
Element 31-65 (Plate)	2977	2	0,000	-12,406	-201,811	-201,811	0,000	70,488	-8,437	70,488	69,705	0,000	69,705
(Micropali D168.3x10/0,27m)	2978	3	0,000	-12,579	-185,107	-185,107	0,000	36,152	-9,342	36,152	78,840	0,000	78,840
2D	2979	4	0,000	-12,751	-169,920	-169,920	0,000	3,228	-12,730	3,228	82,260	0,000	82,260
2D	2976	5	0,000	-12,924	-157,793	-157,793	0,000	-24,162	-26,066	0,000	80,314	0,000	80,314
Plate_3_3	2976	1	0,000	-12,924	-157,726	-157,726	0,000	-23,392	-25,952	0,000	80,314	0,000	80,314
Element 31-66 (Plate)	2613	2	0,000	-13,106	-150,917	-150,917	0,000	-36,841	-36,857	0,000	74,729	0,000	74,729
(Micropali D168.3x10/0,27m)	2612	3	0,000	-13,288	-147,138	-147,138	0,000	-44,306	-44,306	0,000	67,261	0,000	67,261
2D	2611	4	0,000	-13,470	-146,081	-146,081	0,000	-46,401	-46,401	0,000	58,909	0,000	58,909
2D	2610	5	0,000	-13,653	-147,438	-147,438	0,000	-43,741	-43,741	0,000	50,637	0,000	50,637
Plate_3_3	2610	1	0,000	-13,653	-146,874	-146,874	0,000	-44,758	-44,758	0,000	50,637	0,000	50,637
Element 31-67 (Plate)	1951	2	0,000	-13,845	-148,975	-148,975	0,000	-40,800	-40,800	0,000	42,401	0,000	42,401
(Micropali D168.3x10/0,27m)	1952	3	0,000	-14,037	-151,099	-151,099	0,000	-36,513	-36,513	0,000	34,961	0,000	34,961
2D	1953	4	0,000	-14,230	-153,129	-153,129	0,000	-32,035	-32,035	0,000	28,360	0,000	28,360
2D	1950	5	0,000	-14,422	-154,949	-154,949	0,000	-27,509	-27,509	0,000	22,635	0,000	22,635
Plate_3_3	1950	1	0,000	-14,422	-154,730	-154,730	0,000	-27,559	-27,559	0,000	22,635	0,000	22,635
Element 31-68 (Plate)	1613	2	0,000	-14,625	-155,055	-155,055	0,000	-23,542	-23,542	0,000	17,450	0,000	17,450
(Micropali D168.3x10/0,27m)	1614	3	0,000	-14,829	-154,370	-154,370	0,000	-19,768	-19,768	0,000	13,050	0,000	13,050
2D	1615	4	0,000	-15,032	-152,721	-152,721	0,000	-16,132	-16,132	0,000	9,405	-0,605	9,405
2D	1612	5	0,000	-15,235	-150,154	-150,154	0,000	-12,533	-12,533	0,168	6,492	-1,296	6,492
Plate_3_3	1612	1	0,000	-15,235	-149,476	-149,476	0,000	-13,694	-13,694	0,124	6,492	-1,296	6,492

Structural element	Node [10 ^]	Local number	X [m]	Y [m]	N [kN/m]	N ⊥⊥ [kN/m]	N ⊥⊥ [10 ^ kN/m]	Q [kN/m]	Q ⊥⊥ [kN/m]	Q ⊥⊥ [kN/m]	M [kN m/m]	M ⊥⊥ [kN m/m]	M ⊥⊥ [kN m/m]
Element 31-69 (Plate)	1081	2	0,000	-15,450	-147,603	-147,603	0,000	-6,199	-6,199	0,382	4,392	-1,918	4,392
(Micropali D168.3x10/0,27m)	1082	3	0,000	-15,664	-142,813	-142,813	0,000	-1,681	-1,681	0,351	3,631	-2,067	3,631
28	1083	4	0,000	-15,879	-134,542	-134,542	0,000	-1,162	-1,162	1,508	3,385	-1,872	3,385
28	1080	5	0,000	-16,093	-122,226	-122,226	0,000	-5,667	-5,667	1,407	2,761	-1,546	2,761
Plate_3_3	1080	1	0,000	-16,093	-118,283	-118,283	0,000	-6,160	-6,160	0,747	2,761	-1,546	2,761
Element 31-70 (Plate)	669	2	0,000	-16,320	-96,113	-96,113	0,000	-7,257	-7,257	0,002	1,139	-1,992	1,139
(Micropali D168.3x10/0,27m)	668	3	0,000	-16,547	-69,857	-69,857	0,000	-4,562	-4,562	1,080	-0,223	-2,056	0,451
28	667	4	0,000	-16,773	-38,590	-38,590	0,000	0,409	-1,264	4,868	-0,757	-1,442	0,177
28	666	5	0,000	-17,000	-1,390	-1,390	0,000	6,138	-0,412	7,418	0,000	0,000	0,000

3.1.2.4.27 Calculation results, Plate, SLU12 [Phase_26] (26/1072), Table of plate force envelopes

Structural element	Node [10 ⁰]	Local number	X [m]	Y [m]	N [kN/m]	N ⁻ [kN/m]	N ⁺ [10 ⁰ kN/m]	Q [kN/m]	Q⁻ [kN/m]	Q⁺ [kN/m]	M [kN m/m]	M⁻ [kN m/m]	M⁺ [kN m/m]
Plate_2_1	17871	1	0,000	0,000	-0,001	-0,003	1,624	0,003	-0,004	0,007	0,000	0,000	0,000
Element 1-1 (Plate)	17868	2	0,000	-0,021	-0,062	-0,062	0,000	0,198	0,000	0,198	0,002	0,000	0,002
(Parete c.a.C32/40 sp.0.50m)	17867	3	0,000	-0,043	-0,123	-0,123	0,000	0,392	0,000	0,392	0,008	0,000	0,008
28	17866	4	0,000	-0,064	-0,185	-0,185	0,000	0,589	0,000	0,589	0,019	0,000	0,019
29	17869	5	0,000	-0,086	-0,250	-0,250	0,000	0,795	0,000	0,795	0,034	0,000	0,034
Plate_2_1	17869	1	0,000	-0,086	-0,251	-0,251	0,000	0,798	0,000	0,798	0,034	0,000	0,034
Element 1-2 (Plate)	17860	2	0,000	-0,113	-0,335	-0,335	0,000	1,065	0,000	1,065	0,059	0,000	0,059
(Parete c.a.C32/40 sp.0.50m)	17859	3	0,000	-0,140	-0,425	-0,425	0,000	1,354	0,000	1,354	0,091	0,000	0,091
28	17858	4	0,000	-0,166	-0,523	-0,523	0,000	1,665	0,000	1,665	0,132	0,000	0,132
29	17857	5	0,000	-0,193	-0,627	-0,627	0,000	1,998	0,000	1,998	0,181	0,000	0,181
Plate_2_1	17857	1	0,000	-0,193	-0,627	-0,627	0,000	1,997	0,000	1,997	0,181	0,000	0,181
Element 1-3 (Plate)	17837	2	0,000	-0,227	-0,769	-0,769	0,000	2,451	0,000	2,451	0,257	0,000	0,257
(Parete c.a.C32/40 sp.0.50m)	17836	3	0,000	-0,261	-0,920	-0,920	0,000	2,932	0,000	2,932	0,348	0,000	0,348
28	17835	4	0,000	-0,295	-1,080	-1,080	0,000	3,441	0,000	3,441	0,456	0,000	0,456
29	17834	5	0,000	-0,329	-1,248	-1,248	0,000	3,976	0,000	3,976	0,582	0,000	0,582
Plate_2_1	17834	1	0,000	-0,329	-1,247	-1,247	0,000	3,974	0,000	3,974	0,582	0,000	0,582
Element 1-4 (Plate)	17759	2	0,000	-0,372	-1,468	-1,468	0,000	4,680	0,000	4,680	0,766	0,000	0,766
(Parete c.a.C32/40 sp.0.50m)	17758	3	0,000	-0,415	-1,699	-1,699	0,000	5,416	0,000	5,416	0,982	0,000	0,982
28	17757	4	0,000	-0,457	-1,939	-1,939	0,000	6,181	0,000	6,181	1,230	0,000	1,230
29	17753	5	0,000	-0,500	-2,187	-2,187	0,000	6,975	0,000	6,975	1,510	0,000	1,510
Plate_2_2	17753	1	0,000	-0,500	-2,189	-2,189	0,000	6,982	0,000	6,982	1,510	0,000	1,510
Element 3-6 (Plate)	17677	2	0,000	-0,563	-2,569	-2,569	0,000	8,193	0,000	8,193	1,984	0,000	1,984
(Parete c.a.C32/40 sp.0.50m)	17676	3	0,000	-0,625	-2,970	-2,970	0,000	9,475	0,000	9,475	2,536	0,000	2,536
28	17675	4	0,000	-0,688	-3,390	-3,390	0,000	10,814	0,000	10,814	3,170	0,000	3,170
29	17671	5	0,000	-0,750	-3,823	-3,823	0,000	12,198	0,000	12,198	3,889	0,000	3,889
Plate_2_3	17671	1	0,000	-0,750	-3,789	-3,789	3,862	12,089	-0,010	12,089	3,889	0,000	3,889
Element 4-7 (Plate)	17599	2	0,000	-0,798	-4,124	-4,124	0,351	13,158	-0,001	13,158	4,495	0,000	4,495
(Parete c.a.C32/40 sp.0.50m)	17598	3	0,000	-0,846	-4,460	-4,460	0,493	14,230	-0,001	14,230	5,153	0,000	5,153
28	17597	4	0,000	-0,894	-4,793	-4,793	0,000	15,295	0,000	15,295	5,862	0,000	5,862
29	17593	5	0,000	-0,942	-5,122	-5,122	0,000	16,345	0,000	16,345	6,622	0,000	6,622
Plate_2_3	17593	1	0,000	-0,942	-5,128	-5,128	0,000	16,364	0,000	16,364	6,622	0,000	6,622
Element 4-8 (Plate)	17468	2	0,000	-1,007	-5,581	-5,581	0,000	17,809	0,000	17,809	7,723	0,000	7,723
(Parete c.a.C32/40 sp.0.50m)	17467	3	0,000	-1,071	-6,060	-6,060	0,000	19,340	0,000	19,340	8,920	0,000	8,920
28	17466	4	0,000	-1,136	-6,567	-6,567	0,000	20,958	0,000	20,958	10,219	0,000	10,219
29	17465	5	0,000	-1,200	-7,100	-7,100	0,000	22,662	0,000	22,662	11,624	0,000	11,624
Plate_2_4	17465	1	0,000	-1,200	-22,965	-22,965	0,000	-72,602	-72,602	0,000	11,624	0,000	11,624
Element 6-11 (Plate)	17390	2	0,000	-1,261	-23,499	-23,499	0,000	-70,896	-70,896	0,000	7,263	-0,536	7,263
(Parete c.a.C32/40 sp.0.50m)	17389	3	0,000	-1,322	-24,022	-24,022	0,000	-69,225	-69,225	0,000	3,003	-1,127	3,003
28	17388	4	0,000	-1,382	-24,534	-24,534	0,000	-67,590	-67,590	0,000	-1,157	-2,239	0,000
29	17387	5	0,000	-1,443	-25,035	-25,035	0,000	-65,993	-65,993	0,000	-5,217	-5,217	0,000
Plate_2_4	17387	1	0,000	-1,443	-25,040	-25,040	0,000	-65,976	-65,976	0,000	-5,217	-5,217	0,000
Element 6-12 (Plate)	17259	2	0,000	-1,535	-25,838	-25,838	0,000	-63,427	-63,427	0,000	-11,149	-11,149	0,000
(Parete c.a.C32/40 sp.0.50m)	17258	3	0,000	-1,627	-26,646	-26,646	0,000	-60,847	-60,847	0,000	-16,849	-16,849	0,000
28	17257	4	0,000	-1,718	-27,461	-27,461	0,000	-58,244	-58,244	0,000	-22,311	-22,311	0,000
29	17256	5	0,000	-1,810	-28,281	-28,281	0,000	-55,623	-55,623	0,000	-27,530	-27,530	0,000
Plate_2_5	17256	1	0,000	-1,810	-28,274	-28,274	3,534	-55,648	-55,648	0,007	-27,530	-27,530	0,000
Element 10-17 (Plate)	17223	2	0,000	-1,882	-28,922	-28,922	0,467	-53,576	-53,576	0,018	-31,487	-31,487	0,000

Structural element	Node [10 ^]	Local number	X [m]	Y [m]	N [kN/m]	N max [kN/m]	N max [10 ^ kN/m]	Q [kN/m]	Q max [kN/m]	Q min [kN/m]	M [kN m/m]	M max [kN m/m]	M min [kN m/m]
(Parete c.a.C32/40 sp.0.50m)	17222	3	0,000	-1,955	-29,577	-29,577	0,765	-51,485	-51,485	0,039	-35,295	-35,295	0,002
2D	17221	4	0,000	-2,027	-30,242	-30,242	1,156	-49,362	-49,362	0,097	-38,951	-38,951	0,007
2D	17220	5	0,000	-2,100	-30,921	-30,921	1,550	-47,193	-47,193	0,202	-42,449	-42,449	0,017
Plate_2_5	17220	1	0,000	-2,100	-30,922	-30,922	2,234	-47,188	-47,188	0,211	-42,449	-42,449	0,017
Element 10-18 (Plate)	17043	2	0,000	-2,200	-31,838	-31,838	0,681	-44,264	-44,264	0,277	-47,022	-47,022	0,041
(Parete c.a.C32/40 sp.0.50m)	17042	3	0,000	-2,300	-32,774	-32,774	0,000	-41,274	-41,274	0,471	-51,302	-51,302	0,076
2D	17041	4	0,000	-2,400	-33,727	-33,727	0,000	-38,232	-38,232	0,707	-55,280	-55,280	0,132
2D	17040	5	0,000	-2,500	-34,692	-34,692	0,000	-35,149	-35,149	1,019	-58,949	-58,949	0,217
Plate_2_6	17040	1	0,000	-2,500	-34,686	-34,686	0,000	-35,170	-35,170	0,999	-58,949	-58,949	0,217
Element 12-23 (Plate)	17003	2	0,000	-2,615	-35,784	-35,784	0,000	-31,662	-31,662	1,375	-62,806	-62,806	0,353
(Parete c.a.C32/40 sp.0.50m)	17002	3	0,000	-2,731	-36,893	-36,893	0,000	-28,121	-28,121	1,848	-66,257	-66,257	0,538
2D	17001	4	0,000	-2,846	-38,003	-38,003	0,000	-24,577	-24,577	2,391	-69,300	-69,300	0,782
2D	17000	5	0,000	-2,962	-39,104	-39,104	0,000	-21,061	-21,061	2,977	-71,933	-71,933	1,092
Plate_2_6	17000	1	0,000	-2,962	-39,109	-39,109	0,000	-21,046	-21,046	2,990	-71,933	-71,933	1,092
Element 12-24 (Plate)	16689	2	0,000	-3,082	-40,166	-40,166	0,000	-17,672	-17,672	3,399	-74,258	-74,258	1,475
(Parete c.a.C32/40 sp.0.50m)	16688	3	0,000	-3,202	-41,233	-41,233	0,000	-14,265	-14,265	3,919	-76,178	-76,178	1,913
2D	16687	4	0,000	-3,322	-42,318	-42,318	0,000	-10,802	-10,802	4,968	-77,685	-77,685	2,420
2D	16686	5	0,000	-3,442	-43,428	-43,428	0,000	-7,258	-7,258	6,653	-78,771	-78,771	3,012
Plate_2_6	16686	1	0,000	-3,442	-43,447	-43,447	0,000	-7,199	-7,199	6,706	-78,771	-78,771	3,012
Element 12-25 (Plate)	16542	2	0,000	-3,567	-44,573	-44,573	0,000	-3,606	-3,606	8,444	-79,448	-79,448	3,733
(Parete c.a.C32/40 sp.0.50m)	16541	3	0,000	-3,693	-45,728	-45,728	0,000	0,080	0,000	10,360	-79,669	-79,669	4,574
2D	16540	4	0,000	-3,818	-46,903	-46,903	0,000	3,830	0,000	12,410	-79,425	-79,425	5,553
2D	16536	5	0,000	-3,943	-48,088	-48,088	0,000	7,612	0,000	14,556	-78,710	-78,710	6,688
Plate_2_7	16536	1	0,000	-3,943	-48,084	-48,084	3,986	7,599	-0,006	14,487	-78,710	-78,710	6,688
Element 13-26 (Plate)	16129	2	0,000	-4,055	-49,117	-49,117	0,000	10,894	0,000	16,258	-77,671	-77,671	7,836
(Parete c.a.C32/40 sp.0.50m)	16128	3	0,000	-4,167	-50,161	-50,161	0,000	14,228	0,000	17,946	-76,259	-76,259	9,102
2D	16127	4	0,000	-4,280	-51,226	-51,226	0,000	17,627	0,000	19,549	-74,469	-74,469	10,483
2D	16126	5	0,000	-4,392	-52,319	-52,319	0,000	21,115	0,000	21,115	-72,294	-72,294	11,974
Plate_2_8	16126	1	0,000	-4,392	-52,313	-52,313	0,000	21,097	0,000	21,097	-72,294	-72,294	11,974
Element 14-27 (Plate)	15925	2	0,000	-4,594	-54,376	-54,376	0,000	27,685	0,000	27,685	-67,388	-67,388	14,924
(Parete c.a.C32/40 sp.0.50m)	15924	3	0,000	-4,796	-56,690	-56,690	0,000	35,073	0,000	35,073	-61,056	-61,056	18,283
2D	15923	4	0,000	-4,998	-59,175	-59,175	0,000	43,007	0,000	43,007	-53,183	-53,183	22,121
2D	15922	5	0,000	-5,200	-61,752	-61,752	0,000	51,233	0,000	51,233	-43,670	-43,670	26,498
Plate_2_9	15922	1	0,000	-5,200	-83,847	-83,847	0,000	-81,244	-81,244	0,000	-43,670	-43,670	26,498
Element 16-30 (Plate)	15715	2	0,000	-5,366	-86,094	-86,094	0,000	-74,071	-74,071	0,000	-56,537	-56,537	20,161
(Parete c.a.C32/40 sp.0.50m)	15714	3	0,000	-5,531	-88,383	-88,383	0,000	-66,766	-66,766	0,000	-68,209	-68,209	14,261
2D	15713	4	0,000	-5,697	-90,718	-90,718	0,000	-59,318	-59,318	0,000	-78,660	-78,660	8,835
2D	15712	5	0,000	-5,863	-93,101	-93,101	0,000	-51,716	-51,716	0,000	-87,859	-87,859	3,925
Plate_2_9	15712	1	0,000	-5,863	-93,086	-93,086	0,000	-51,765	-51,765	0,000	-87,859	-87,859	3,925
Element 16-31 (Plate)	15279	2	0,000	-5,947	-94,293	-94,293	0,000	-47,913	-47,913	0,000	-92,060	-92,060	1,630
(Parete c.a.C32/40 sp.0.50m)	15278	3	0,000	-6,031	-95,507	-95,507	0,000	-44,043	-44,043	0,000	-95,937	-95,937	0,000
2D	15277	4	0,000	-6,116	-96,725	-96,725	0,000	-40,159	-40,159	0,000	-99,487	-99,487	0,000
2D	15276	5	0,000	-6,200	-97,947	-97,947	0,000	-36,264	-36,264	0,000	-102,708	-102,708	0,000
Plate_2_10	15276	1	0,000	-6,200	-97,925	-97,925	3,104	-36,332	-36,332	0,003	-102,708	-102,708	0,000
Element 18-33 (Plate)	15111	2	0,000	-6,275	-99,011	-99,011	0,115	-32,869	-32,869	0,020	-105,302	-105,302	0,001
(Parete c.a.C32/40 sp.0.50m)	15110	3	0,000	-6,350	-100,096	-100,096	0,004	-29,410	-29,410	0,059	-107,638	-107,638	0,003
2D	15109	4	0,000	-6,425	-101,178	-101,178	0,021	-25,961	-25,961	0,113	-109,715	-109,715	0,010
2D	15108	5	0,000	-6,500	-102,255	-102,255	0,052	-22,528	-22,528	0,171	-111,533	-111,533	0,020
Plate_2_11	15108	1	0,000	-6,500	-102,190	-102,190	0,000	-22,736	-22,736	0,157	-111,533	-111,533	0,020
Element 21-36 (Plate)	14137	2	0,000	-6,624	-104,083	-104,083	0,000	-16,703	-16,703	0,403	-113,963	-113,963	0,054
(Parete c.a.C32/40 sp.0.50m)	14136	3	0,000	-6,747	-105,812	-105,812	0,000	-11,191	-11,191	1,059	-115,683	-115,683	0,114
2D	14135	4	0,000	-6,871	-107,408	-107,408	0,000	-6,105	-8,040	5,163	-116,747	-116,747	0,212
2D	14134	5	0,000	-6,994	-108,901	-108,901	0,000	-1,351	-5,588	9,012	-117,206	-117,206	0,343

Structural element	Node [10 ^]	Local number	X [m]	Y [m]	N [kN/m]	N,max [kN/m]	N,min [10 ^ kN/m]	Q [kN/m]	Q,max [kN/m]	Q,min [kN/m]	M [kN m/m]	M,max [kN m/m]	M,min [kN m/m]
Plate_2_12	14134	1	0,000	-6,994	-108,948	-108,948	0,000	-1,198	-5,491	9,154	-117,206	-117,206	0,343
Element 23-38 (Plate)	13402	2	0,000	-7,061	-109,827	-109,827	0,000	1,603	-3,994	11,478	-117,193	-117,193	0,431
(Parete c.a.C32/40 sp.0.50m)	13401	3	0,000	-7,128	-110,747	-110,747	0,000	4,535	-2,441	13,931	-116,988	-116,988	0,533
28	13400	4	0,000	-7,195	-111,704	-111,704	0,000	7,588	-0,793	16,501	-116,582	-116,582	0,651
28	13396	5	0,000	-7,262	-112,695	-112,695	0,000	10,751	0,000	19,175	-115,969	-115,969	0,787
Plate_2_13	13396	1	0,000	-7,262	-112,681	-112,681	0,000	10,705	0,000	19,122	-115,969	-115,969	0,787
Element 24-39 (Plate)	12634	2	0,000	-7,322	-113,558	-113,558	0,000	13,502	0,000	21,481	-115,250	-115,250	0,926
(Parete c.a.C32/40 sp.0.50m)	12633	3	0,000	-7,381	-114,438	-114,438	0,000	16,312	0,000	23,835	-114,364	-114,364	1,085
28	12632	4	0,000	-7,441	-115,323	-115,323	0,000	19,135	0,000	26,183	-113,310	-113,310	1,263
28	12628	5	0,000	-7,500	-116,211	-116,211	0,000	21,969	0,000	28,524	-112,089	-112,089	1,461
Plate_2_14	12628	1	0,000	-7,500	-116,209	-116,209	0,000	21,961	0,000	28,523	-112,089	-112,089	1,461
Element 26-42 (Plate)	11506	2	0,000	-7,576	-117,361	-117,361	0,000	25,640	0,000	31,539	-110,271	-110,271	1,746
(Parete c.a.C32/40 sp.0.50m)	11505	3	0,000	-7,653	-118,526	-118,526	0,000	29,357	0,000	34,586	-108,169	-108,169	2,066
28	11504	4	0,000	-7,729	-119,712	-119,712	0,000	33,143	0,000	37,706	-105,780	-105,780	2,427
28	11503	5	0,000	-7,806	-120,929	-120,929	0,000	37,031	0,000	40,938	-103,100	-103,100	2,837
Plate_2_14	11503	1	0,000	-7,806	-120,915	-120,915	0,000	36,985	0,000	40,904	-103,100	-103,100	2,837
Element 26-43 (Plate)	11181	2	0,000	-7,867	-121,875	-121,875	0,000	40,049	0,000	43,510	-100,750	-100,750	3,202
(Parete c.a.C32/40 sp.0.50m)	11180	3	0,000	-7,928	-122,801	-122,801	0,000	43,007	0,000	46,031	-98,216	-98,216	3,599
28	11179	4	0,000	-7,989	-123,702	-123,702	0,000	45,885	0,000	48,491	-95,503	-95,503	4,024
28	11175	5	0,000	-8,050	-124,587	-124,587	0,000	48,711	0,000	50,910	-92,618	-92,618	4,473
Plate_2_14	11175	1	0,000	-8,050	-124,616	-124,616	0,000	48,804	0,000	50,991	-92,618	-92,618	4,473
Element 26-44 (Plate)	9918	2	0,000	-8,098	-125,334	-125,334	0,000	51,096	0,000	52,962	-90,187	-90,187	4,855
(Parete c.a.C32/40 sp.0.50m)	9917	3	0,000	-8,147	-126,057	-126,057	0,000	53,404	0,000	54,921	-87,642	-87,642	5,254
28	9916	4	0,000	-8,196	-126,794	-126,794	0,000	55,756	0,000	56,900	-84,984	-84,984	5,671
28	9915	5	0,000	-8,245	-127,553	-127,553	0,000	58,180	0,000	58,932	-82,211	-82,211	6,107
Plate_2_14	9915	1	0,000	-8,245	-127,544	-127,544	0,000	58,152	0,000	58,920	-82,211	-82,211	6,107
Element 26-45 (Plate)	9080	2	0,000	-8,283	-128,133	-128,133	0,000	60,032	0,000	60,588	-79,914	-79,914	6,471
(Parete c.a.C32/40 sp.0.50m)	9079	3	0,000	-8,322	-128,678	-128,678	0,000	61,771	0,000	62,190	-77,546	-77,546	6,850
28	9078	4	0,000	-8,361	-129,178	-129,178	0,000	63,367	0,000	63,719	-75,113	-75,113	7,244
28	9077	5	0,000	-8,400	-129,633	-129,633	0,000	64,821	0,000	65,169	-72,622	-72,622	7,650
Plate_3_1	9077	1	0,000	-8,400	-143,255	-143,255	0,000	59,076	-0,007	62,968	-72,622	-72,622	7,650
Element 27-46 (Plate)	7882	2	0,000	-8,425	-143,756	-143,756	0,000	60,058	-0,007	63,972	-71,133	-71,133	7,904
(Micropali D168.3x10/0,27m)	7883	3	0,000	-8,450	-144,276	-144,276	0,000	61,076	-0,007	64,943	-69,618	-69,618	8,163
28	7884	4	0,000	-8,475	-144,813	-144,813	0,000	62,129	-0,007	65,886	-68,078	-68,078	8,426
28	7881	5	0,000	-8,500	-145,369	-145,369	0,000	63,218	-0,007	66,803	-66,512	-66,512	8,692
Plate_3_2	7881	1	0,000	-8,500	-145,386	-145,386	0,000	63,253	-0,006	66,697	-66,512	-66,512	8,692
Element 29-54 (Plate)	6882	2	0,000	-8,544	-145,890	-145,890	0,000	64,242	-0,009	64,320	-63,719	-63,719	9,124
(Micropali D168.3x10/0,27m)	6883	3	0,000	-8,588	-145,988	-145,988	0,000	64,435	-0,013	64,479	-60,900	-60,900	9,489
28	6884	4	0,000	-8,631	-145,750	-145,750	0,000	63,969	-0,018	63,976	-58,087	-58,087	9,988
28	6881	5	0,000	-8,675	-145,248	-145,248	0,000	62,986	-0,022	62,986	-55,308	-55,308	10,787
Plate_3_2	6881	1	0,000	-8,675	-145,303	-145,303	0,000	63,092	-0,022	63,092	-55,308	-55,308	10,787
Element 29-55 (Plate)	6868	2	0,000	-8,726	-144,731	-144,731	0,000	61,976	-0,041	61,976	-52,133	-52,133	11,693
(Micropali D168.3x10/0,27m)	6869	3	0,000	-8,777	-144,108	-144,108	0,000	60,763	-0,329	60,763	-49,017	-49,017	12,496
28	6870	4	0,000	-8,827	-143,487	-143,487	0,000	59,553	-1,147	59,553	-45,962	-45,962	13,372
28	6867	5	0,000	-8,878	-142,918	-142,918	0,000	58,445	-2,326	58,445	-42,968	-42,968	14,158
Plate_3_2	6867	1	0,000	-8,878	-142,951	-142,951	0,000	58,510	-2,351	58,510	-42,968	-42,968	14,158
Element 29-56 (Plate)	5682	2	0,000	-8,937	-142,514	-142,514	0,000	57,649	-3,555	57,649	-39,549	-39,549	14,828
(Micropali D168.3x10/0,27m)	5683	3	0,000	-8,996	-142,211	-142,211	0,000	57,045	-4,596	57,045	-36,172	-36,172	15,262
28	5684	4	0,000	-9,055	-142,030	-142,030	0,000	56,677	-5,429	56,677	-32,823	-32,823	15,492
28	5681	5	0,000	-9,114	-141,958	-141,958	0,000	56,524	-6,059	56,524	-29,491	-29,491	15,550
Plate_3_2	5681	1	0,000	-9,114	-141,948	-141,948	0,000	56,507	-6,082	56,507	-29,491	-29,491	15,550
Element 29-57 (Plate)	5668	2	0,000	-9,182	-141,802	-141,802	0,000	56,195	-6,618	56,195	-25,640	-25,640	15,985
(Micropali D168.3x10/0,27m)	5669	3	0,000	-9,250	-141,519	-141,519	0,000	55,623	-6,996	55,623	-21,818	-21,818	16,391

Structural element	Node [10 ^]	Local number	X [m]	Y [m]	N [kN/m]	N,--- [kN/m]	N,--- [10 ^ kN/m]	Q [kN/m]	Q,--- [kN/m]	Q,--- [kN/m]	M [kN m/m]	M,--- [kN m/m]	M,--- [kN m/m]
2D	5670	4	0,000	-9,319	-141,150	-141,150	0,000	54,892	-7,224	54,892	-18,040	-18,040	16,570
2D	5667	5	0,000	-9,387	-140,747	-140,747	0,000	54,102	-8,025	54,102	-14,318	-14,318	16,556
Plate_3_2	5667	1	0,000	-9,387	-140,731	-140,731	0,000	54,072	-8,061	54,072	-14,318	-14,318	16,556
Element 29-58 (Plate)	5642	2	0,000	-9,466	-140,373	-140,373	0,000	53,364	-9,095	53,364	-10,060	-10,060	16,340
(Micropali D168.3x10/0,27m)	5643	3	0,000	-9,546	-139,872	-139,872	0,000	52,382	-9,939	52,382	-5,865	-5,865	15,949
2D	5644	4	0,000	-9,625	-139,200	-139,200	0,000	51,068	-10,511	51,068	-1,762	-1,762	15,419
2D	5641	5	0,000	-9,704	-138,327	-138,327	1,198	49,360	-10,822	49,360	2,220	-0,013	14,783
Plate_3_2	5641	1	0,000	-9,704	-138,293	-138,293	1,200	49,295	-10,854	49,295	2,220	-0,013	14,783
Element 29-59 (Plate)	5544	2	0,000	-9,796	-137,092	-137,092	2,977	46,940	-10,981	46,940	6,648	-0,014	15,340
(Micropali D168.3x10/0,27m)	5545	3	0,000	-9,888	-135,578	-135,578	4,782	43,985	-10,925	43,985	10,834	-0,015	15,794
2D	5546	4	0,000	-9,980	-133,746	-133,746	6,613	40,420	-10,696	40,420	14,720	-0,017	16,674
2D	5543	5	0,000	-10,072	-131,592	-131,592	8,468	36,232	-10,572	36,232	18,248	-0,019	18,634
Plate_3_2	5543	1	0,000	-10,072	-131,584	-131,584	8,467	36,326	-10,608	36,326	18,248	-0,019	18,634
Element 29-60 (Plate)	4597	2	0,000	-10,179	-128,925	-128,925	10,649	30,227	-10,454	30,227	21,800	-0,022	21,800
(Micropali D168.3x10/0,27m)	4598	3	0,000	-10,285	-126,266	-126,266	12,859	23,969	-10,124	23,969	24,690	-0,025	24,690
2D	4599	4	0,000	-10,392	-123,629	-123,629	15,096	17,756	-9,632	17,756	26,917	-0,029	26,917
2D	4596	5	0,000	-10,499	-121,039	-121,039	17,358	11,793	-8,987	11,793	28,488	-0,034	28,488
Plate_3_2	4596	1	0,000	-10,499	-121,100	-121,100	17,364	11,892	-9,011	11,892	28,488	-0,034	28,488
Element 29-61 (Plate)	4561	2	0,000	-10,622	-118,185	-118,185	20,019	6,094	-8,468	6,094	29,594	-0,040	29,594
(Micropali D168.3x10/0,27m)	4562	3	0,000	-10,746	-115,590	-115,590	22,737	0,960	-8,750	0,960	30,024	-0,047	30,024
2D	4563	4	0,000	-10,870	-113,325	-113,325	25,517	-3,505	-8,668	0,000	29,860	-0,058	29,860
2D	4560	5	0,000	-10,994	-111,395	-111,395	28,360	-7,293	-8,542	0,000	29,184	-0,191	29,184
Plate_3_2	4560	1	0,000	-10,994	-111,401	-111,401	28,511	-7,284	-8,562	0,000	29,184	-0,191	29,184
Element 29-62 (Plate)	4345	2	0,000	-11,137	-109,723	-109,723	31,643	-10,596	-10,668	0,000	27,885	-0,366	27,885
(Micropali D168.3x10/0,27m)	4346	3	0,000	-11,281	-108,713	-108,713	35,394	-12,583	-12,583	0,000	26,206	-0,461	26,206
2D	4347	4	0,000	-11,424	-108,354	-108,354	39,895	-13,275	-13,275	0,166	24,334	-0,477	24,334
2D	4344	5	0,000	-11,568	-108,627	-108,627	45,279	-12,700	-12,700	0,966	22,455	-0,418	22,455
Plate_3_2	4344	1	0,000	-11,568	-108,472	-108,472	72,724	-13,071	-13,071	0,908	22,455	-0,418	22,455
Element 29-63 (Plate)	3619	2	0,000	-11,734	-109,199	-109,199	6,658	-10,715	-10,715	2,004	20,458	-0,276	20,458
(Micropali D168.3x10/0,27m)	3620	3	0,000	-11,901	-109,975	-109,975	0,000	-7,694	-7,694	2,841	18,928	-0,075	18,928
2D	3621	4	0,000	-12,067	-110,706	-110,706	0,000	-4,550	-4,550	3,234	17,901	-0,018	17,901
2D	3618	5	0,000	-12,234	-111,293	-111,293	0,000	-1,828	-1,828	3,107	17,384	0,000	17,384
Plate_3_3	3618	1	0,000	-12,234	-111,195	-111,195	0,000	-2,414	-2,414	2,998	17,384	0,000	17,384
Element 31-65 (Plate)	2977	2	0,000	-12,406	-108,960	-108,960	0,000	-6,837	-6,837	1,698	16,563	0,000	16,563
(Micropali D168.3x10/0,27m)	2978	3	0,000	-12,579	-107,528	-107,528	0,000	-9,651	-9,651	0,684	15,118	0,000	15,118
2D	2979	4	0,000	-12,751	-106,866	-106,866	0,000	-10,902	-10,902	0,000	13,322	0,000	13,322
2D	2976	5	0,000	-12,924	-106,941	-106,941	0,000	-10,637	-10,637	0,000	11,444	0,000	11,444
Plate_3_3	2976	1	0,000	-12,924	-106,780	-106,780	0,000	-10,943	-10,943	0,000	11,444	0,000	11,444
Element 31-66 (Plate)	2613	2	0,000	-13,106	-106,901	-106,901	0,000	-10,114	-10,114	0,000	9,522	0,000	9,522
(Micropali D168.3x10/0,27m)	2612	3	0,000	-13,288	-107,021	-107,021	0,000	-9,052	-9,052	0,000	7,774	0,000	7,774
2D	2611	4	0,000	-13,470	-107,134	-107,134	0,000	-7,812	-7,812	0,000	6,234	0,000	6,234
2D	2610	5	0,000	-13,653	-107,228	-107,228	0,000	-6,446	-6,446	0,000	4,935	0,000	4,935
Plate_3_3	2610	1	0,000	-13,653	-107,107	-107,107	0,000	-6,512	-6,512	0,000	4,935	0,000	4,935
Element 31-67 (Plate)	1951	2	0,000	-13,845	-107,324	-107,324	0,000	-5,207	-5,207	0,000	3,810	0,000	3,810
(Micropali D168.3x10/0,27m)	1952	3	0,000	-14,037	-107,150	-107,150	0,000	-4,028	-4,028	0,000	2,923	0,000	2,923
2D	1953	4	0,000	-14,230	-106,529	-106,529	0,000	-2,978	-2,978	0,000	2,251	0,000	2,251
2D	1950	5	0,000	-14,422	-105,400	-105,400	0,000	-2,064	-2,064	0,000	1,768	0,000	1,768
Plate_3_3	1950	1	0,000	-14,422	-105,380	-105,380	0,000	-2,066	-2,066	0,000	1,768	0,000	1,768
Element 31-68 (Plate)	1613	2	0,000	-14,625	-103,547	-103,547	0,000	-1,268	-1,268	0,000	1,432	0,000	1,432
(Micropali D168.3x10/0,27m)	1614	3	0,000	-14,829	-101,120	-101,120	0,000	-0,627	-0,627	0,000	1,242	0,000	1,242
2D	1615	4	0,000	-15,032	-98,106	-98,106	0,000	-0,143	-0,259	0,000	1,167	0,000	1,167
2D	1612	5	0,000	-15,235	-94,508	-94,508	0,000	0,185	-0,169	0,190	1,174	-0,001	1,174
Plate_3_3	1612	1	0,000	-15,235	-94,485	-94,485	0,000	0,170	-0,168	0,170	1,174	-0,001	1,174

Structural element	Node [10 ^]	Local number	X [m]	Y [m]	N [kN/m]	N ,,, [kN/m]	N ,,, [10 ^ kN/m]	Q [kN/m]	Q ,,, [kN/m]	Q ,,, [kN/m]	M [kN m/m]	M ,,, [kN m/m]	M ,,, [kN m/m]
Element 31-69 (Plate)	1081	2	0,000	-15,450	-90,040	-90,040	0,000	0,312	-0,138	0,358	1,235	-0,001	1,235
(Micropali D168.3x10/0,27m)	1082	3	0,000	-15,664	-84,770	-84,770	0,000	0,033	-0,113	0,281	1,276	-0,001	1,285
as	1083	4	0,000	-15,879	-78,721	-78,721	0,000	-0,570	-0,570	0,004	1,226	-0,001	1,252
as	1080	5	0,000	-16,093	-71,940	-71,940	0,000	-1,399	-1,399	0,002	1,017	-0,001	1,109
Plate_3_3	1080	1	0,000	-16,093	-71,929	-71,929	0,000	0,014	-0,698	0,014	1,017	-0,001	1,109
Element 31-70 (Plate)	669	2	0,000	-16,320	-54,738	-54,738	0,000	-2,011	-2,048	0,002	0,789	0,000	0,863
(Micropali D168.3x10/0,27m)	668	3	0,000	-16,547	-37,254	-37,254	0,000	-2,748	-2,748	0,001	0,188	0,000	0,451
as	667	4	0,000	-16,773	-19,333	-19,333	0,000	-1,045	-1,221	0,000	-0,273	-0,273	0,177
as	666	5	0,000	-17,000	-0,828	-0,828	0,000	4,249	-0,412	4,249	0,000	0,000	0,000

3.1.2.4.28 Calculation results, Plate, SLD [Phase_31] (31/1085), Table of plate force envelopes

Structural element	Node [10^0]	Local number	X [m]	Y [m]	N [kN/m]	N,min [kN/m]	N,max [10^0 kN/m]	Q [kN/m]	Q,min [kN/m]	Q,max [kN/m]	M [kN m/m]	M,min [kN m/m]	M,max [kN m/m]
Plate_2_1	17871	1	0,000	0,000	-0,002	-0,003	1,624	0,006	-0,004	0,007	0,000	0,000	0,000
Element 1-1 (Plate)	17868	2	0,000	-0,021	-0,019	-0,044	0,000	0,048	0,000	0,114	0,001	0,000	0,001
(Parete c.a.C32/40 sp.0.50m)	17867	3	0,000	-0,043	-0,032	-0,083	0,000	0,081	0,000	0,216	0,002	0,000	0,005
28	17866	4	0,000	-0,064	-0,043	-0,123	0,000	0,108	0,000	0,318	0,004	0,000	0,011
28	17869	5	0,000	-0,086	-0,054	-0,164	0,000	0,137	0,000	0,423	0,007	0,000	0,018
Plate_2_1	17869	1	0,000	-0,086	-0,055	-0,165	0,000	0,140	0,000	0,425	0,007	0,000	0,018
Element 1-2 (Plate)	17860	2	0,000	-0,113	-0,074	-0,224	0,000	0,188	0,000	0,574	0,011	0,000	0,032
(Parete c.a.C32/40 sp.0.50m)	17859	3	0,000	-0,140	-0,101	-0,291	0,000	0,257	0,000	0,743	0,017	0,000	0,050
28	17858	4	0,000	-0,166	-0,136	-0,366	0,000	0,346	0,000	0,933	0,025	0,000	0,072
28	17857	5	0,000	-0,193	-0,179	-0,449	0,000	0,457	0,000	1,143	0,036	0,000	0,100
Plate_2_1	17857	1	0,000	-0,193	-0,179	-0,448	0,000	0,456	0,000	1,142	0,036	0,000	0,100
Element 1-3 (Plate)	17837	2	0,000	-0,227	-0,245	-0,564	0,000	0,625	0,000	1,434	0,054	0,000	0,144
(Parete c.a.C32/40 sp.0.50m)	17836	3	0,000	-0,261	-0,322	-0,689	0,000	0,823	0,000	1,751	0,079	0,000	0,198
28	17835	4	0,000	-0,295	-0,410	-0,824	0,000	1,047	0,000	2,091	0,110	0,000	0,263
28	17834	5	0,000	-0,329	-0,508	-0,968	0,000	1,298	0,000	2,455	0,150	0,000	0,340
Plate_2_1	17834	1	0,000	-0,329	-0,507	-0,967	0,000	1,296	0,000	2,453	0,150	0,000	0,340
Element 1-4 (Plate)	17759	2	0,000	-0,372	-0,645	-1,159	0,000	1,647	0,000	2,940	0,213	0,000	0,455
(Parete c.a.C32/40 sp.0.50m)	17758	3	0,000	-0,415	-0,795	-1,362	0,000	2,032	0,000	3,455	0,291	0,000	0,591
28	17757	4	0,000	-0,457	-0,959	-1,576	0,000	2,450	0,000	3,995	0,387	0,000	0,750
28	17753	5	0,000	-0,500	-1,135	-1,800	0,000	2,901	0,000	4,562	0,501	0,000	0,933
Plate_2_2	17753	1	0,000	-0,500	-1,138	-1,802	0,000	2,908	0,000	4,569	0,501	0,000	0,933
Element 3-6 (Plate)	17677	2	0,000	-0,563	-1,419	-2,148	0,000	3,628	0,000	5,444	0,705	0,000	1,245
(Parete c.a.C32/40 sp.0.50m)	17676	3	0,000	-0,625	-1,732	-2,518	0,000	4,429	0,000	6,384	0,956	0,000	1,615
28	17675	4	0,000	-0,688	-2,072	-2,910	0,000	5,299	0,000	7,379	1,260	0,000	2,045
28	17671	5	0,000	-0,750	-2,435	-3,319	0,000	6,228	0,000	8,416	1,620	0,000	2,538
Plate_2_3	17671	1	0,000	-0,750	-2,393	-3,276	3,862	6,119	-0,010	8,306	1,620	0,000	2,538
Element 4-7 (Plate)	17599	2	0,000	-0,798	-2,677	-3,591	0,351	6,846	-0,001	9,106	1,931	0,000	2,956
(Parete c.a.C32/40 sp.0.50m)	17598	3	0,000	-0,846	-2,965	-3,906	0,493	7,583	-0,001	9,906	2,278	0,000	3,413
28	17597	4	0,000	-0,894	-3,253	-4,217	0,000	8,321	0,000	10,697	2,660	0,000	3,908
28	17593	5	0,000	-0,942	-3,539	-4,522	0,000	9,052	0,000	11,471	3,077	0,000	4,440
Plate_2_3	17593	1	0,000	-0,942	-3,546	-4,530	0,000	9,071	0,000	11,490	3,077	0,000	4,440
Element 4-8 (Plate)	17468	2	0,000	-1,007	-3,948	-4,952	0,000	10,098	0,000	12,563	3,694	0,000	5,215
(Parete c.a.C32/40 sp.0.50m)	17467	3	0,000	-1,071	-4,388	-5,410	0,000	11,224	0,000	13,718	4,381	0,000	6,062
28	17466	4	0,000	-1,136	-4,867	-5,903	0,000	12,450	0,000	14,956	5,144	0,000	6,986
28	17465	5	0,000	-1,200	-5,386	-6,430	0,000	13,777	0,000	16,280	5,988	0,000	7,992
Plate_2_4	17465	1	0,000	-1,200	-19,855	-19,855	0,000	-73,128	-73,128	0,000	5,988	0,000	7,992
Element 6-11 (Plate)	17390	2	0,000	-1,261	-20,388	-20,388	0,000	-71,766	-71,766	0,000	1,585	-0,536	4,727
(Parete c.a.C32/40 sp.0.50m)	17389	3	0,000	-1,322	-20,911	-20,911	0,000	-70,426	-70,426	0,000	-2,738	-2,738	1,563
28	17388	4	0,000	-1,382	-21,425	-21,425	0,000	-69,110	-69,110	0,000	-6,981	-6,981	0,000
28	17387	5	0,000	-1,443	-21,930	-21,930	0,000	-67,819	-67,819	0,000	-11,142	-11,142	0,000
Plate_2_4	17387	1	0,000	-1,443	-21,936	-21,936	0,000	-67,803	-67,803	0,000	-11,142	-11,142	0,000
Element 6-12 (Plate)	17259	2	0,000	-1,535	-22,760	-22,760	0,000	-65,694	-65,694	0,000	-17,262	-17,262	0,000
(Parete c.a.C32/40 sp.0.50m)	17258	3	0,000	-1,627	-23,607	-23,607	0,000	-63,528	-63,528	0,000	-23,189	-23,189	0,000
28	17257	4	0,000	-1,718	-24,473	-24,473	0,000	-61,312	-61,312	0,000	-28,915	-28,915	0,000
28	17256	5	0,000	-1,810	-25,355	-25,355	0,000	-59,053	-59,053	0,000	-34,433	-34,433	0,000
Plate_2_5	17256	1	0,000	-1,810	-25,345	-25,345	3,534	-59,079	-59,079	0,007	-34,433	-34,433	0,000
Element 10-17 (Plate)	17223	2	0,000	-1,882	-26,050	-26,050	0,467	-57,276	-57,276	0,018	-38,648	-38,648	0,000

Structural element	Node [10 ^]	Local number	X [m]	Y [m]	N [kN/m]	N ,,, [kN/m]	N ,,, [10 ^ kN/m]	Q [kN/m]	Q ,,, [kN/m]	Q ,,, [kN/m]	M [kN m/m]	M ,,, [kN m/m]	M ,,, [kN m/m]
(Parete c.a.C32/40 sp.0.50m)	17222	3	0,000	-1,955	-26,767	-26,767	0,765	-55,440	-55,440	0,039	-42,734	-42,734	0,002
,,	17221	4	0,000	-2,027	-27,502	-27,502	1,156	-53,558	-53,558	0,097	-46,684	-46,684	0,007
,,	17220	5	0,000	-2,100	-28,261	-28,261	1,550	-51,616	-51,616	0,202	-50,495	-50,495	0,017
Plate_2_5	17220	1	0,000	-2,100	-28,263	-28,263	2,234	-51,612	-51,612	0,211	-50,495	-50,495	0,017
Element 10-18 (Plate)	17043	2	0,000	-2,200	-29,291	-29,291	0,681	-48,979	-48,979	0,277	-55,526	-55,526	0,041
(Parete c.a.C32/40 sp.0.50m)	17042	3	0,000	-2,300	-30,355	-30,355	0,000	-46,258	-46,258	0,471	-60,291	-60,291	0,076
,,	17041	4	0,000	-2,400	-31,448	-31,448	0,000	-43,461	-43,461	0,707	-64,780	-64,780	0,132
,,	17040	5	0,000	-2,500	-32,565	-32,565	0,000	-40,601	-40,601	1,019	-68,983	-68,983	0,217
Plate_2_6	17040	1	0,000	-2,500	-32,556	-32,556	0,000	-40,623	-40,623	0,999	-68,983	-68,983	0,217
Element 12-23 (Plate)	17003	2	0,000	-2,615	-33,837	-33,837	0,000	-37,346	-37,346	1,375	-73,483	-73,483	0,353
(Parete c.a.C32/40 sp.0.50m)	17002	3	0,000	-2,731	-35,140	-35,140	0,000	-34,010	-34,010	1,848	-77,603	-77,603	0,538
,,	17001	4	0,000	-2,846	-36,454	-36,454	0,000	-30,647	-30,647	2,391	-81,336	-81,336	0,782
,,	17000	5	0,000	-2,962	-37,767	-37,767	0,000	-27,286	-27,286	2,977	-84,678	-84,678	1,092
Plate_2_6	17000	1	0,000	-2,962	-37,771	-37,771	0,000	-27,276	-27,276	2,990	-84,678	-84,678	1,092
Element 12-24 (Plate)	16689	2	0,000	-3,082	-39,037	-39,037	0,000	-24,036	-24,036	3,399	-87,761	-87,761	1,475
(Parete c.a.C32/40 sp.0.50m)	16688	3	0,000	-3,202	-40,318	-40,318	0,000	-20,757	-20,757	3,919	-90,453	-90,453	1,913
,,	16687	4	0,000	-3,322	-41,622	-41,622	0,000	-17,421	-17,421	4,968	-92,748	-92,748	2,420
,,	16686	5	0,000	-3,442	-42,955	-42,955	0,000	-14,008	-14,008	6,653	-94,637	-94,637	3,012
Plate_2_6	16686	1	0,000	-3,442	-42,975	-42,975	0,000	-13,957	-13,957	6,706	-94,637	-94,637	3,012
Element 12-25 (Plate)	16542	2	0,000	-3,567	-44,325	-44,325	0,000	-10,503	-10,503	8,444	-96,168	-96,168	3,733
(Parete c.a.C32/40 sp.0.50m)	16541	3	0,000	-3,693	-45,720	-45,720	0,000	-6,933	-6,933	10,360	-97,259	-97,259	4,574
,,	16540	4	0,000	-3,818	-47,144	-47,144	0,000	-3,286	-3,286	12,410	-97,899	-97,899	5,553
,,	16536	5	0,000	-3,943	-48,584	-48,584	0,000	0,399	0,000	14,556	-98,079	-98,079	6,688
Plate_2_7	16536	1	0,000	-3,943	-48,571	-48,571	3,986	0,365	-0,006	14,487	-98,079	-98,079	6,688
Element 13-26 (Plate)	16129	2	0,000	-4,055	-49,815	-49,815	0,000	3,550	0,000	16,258	-97,860	-97,860	7,836
(Parete c.a.C32/40 sp.0.50m)	16128	3	0,000	-4,167	-51,062	-51,062	0,000	6,739	0,000	17,946	-97,281	-97,281	9,102
,,	16127	4	0,000	-4,280	-52,315	-52,315	0,000	9,947	0,000	19,549	-96,344	-96,344	10,483
,,	16126	5	0,000	-4,392	-53,580	-53,580	0,000	13,185	0,000	21,069	-95,044	-95,044	11,974
Plate_2_8	16126	1	0,000	-4,392	-53,583	-53,583	0,000	13,193	0,000	21,058	-95,044	-95,044	11,974
Element 14-27 (Plate)	15925	2	0,000	-4,594	-56,015	-56,015	0,000	19,416	0,000	24,317	-91,772	-91,772	14,924
(Parete c.a.C32/40 sp.0.50m)	15924	3	0,000	-4,796	-58,789	-58,789	0,000	26,516	0,000	28,346	-87,140	-87,140	18,283
,,	15923	4	0,000	-4,998	-61,807	-61,807	0,000	34,240	0,000	35,042	-81,018	-81,018	22,121
,,	15922	5	0,000	-5,200	-64,970	-64,970	0,000	42,336	0,000	42,383	-73,290	-73,290	26,498
Plate_2_9	15922	1	0,000	-5,200	-83,698	-83,698	0,000	-69,680	-69,680	0,000	-73,290	-73,290	26,498
Element 16-30 (Plate)	15715	2	0,000	-5,366	-86,494	-86,494	0,000	-62,525	-62,525	0,000	-84,244	-84,244	20,161
(Parete c.a.C32/40 sp.0.50m)	15714	3	0,000	-5,531	-89,390	-89,390	0,000	-55,114	-55,114	0,000	-93,996	-93,996	14,261
,,	15713	4	0,000	-5,697	-92,384	-92,384	0,000	-47,450	-47,450	0,000	-102,499	-102,499	8,835
,,	15712	5	0,000	-5,863	-95,478	-95,478	0,000	-39,533	-39,533	0,000	-109,707	-109,707	3,925
Plate_2_9	15712	1	0,000	-5,863	-95,455	-95,455	0,000	-39,592	-39,592	0,000	-109,707	-109,707	3,925
Element 16-31 (Plate)	15279	2	0,000	-5,947	-97,035	-97,035	0,000	-35,548	-35,548	0,000	-112,874	-112,874	1,630
(Parete c.a.C32/40 sp.0.50m)	15278	3	0,000	-6,031	-98,627	-98,627	0,000	-31,473	-31,473	0,000	-115,700	-115,700	0,000
,,	15277	4	0,000	-6,116	-100,230	-100,230	0,000	-27,371	-27,622	0,000	-118,181	-118,181	0,000
,,	15276	5	0,000	-6,200	-101,842	-101,842	0,000	-23,246	-24,210	0,000	-120,314	-120,314	0,000
Plate_2_10	15276	1	0,000	-6,200	-101,814	-101,814	3,104	-23,317	-24,279	0,003	-120,314	-120,314	0,000
Element 18-33 (Plate)	15111	2	0,000	-6,275	-103,250	-103,250	0,115	-19,643	-21,785	0,020	-121,925	-121,925	0,001
(Parete c.a.C32/40 sp.0.50m)	15110	3	0,000	-6,350	-104,686	-104,686	0,004	-15,968	-20,041	0,059	-123,261	-123,261	0,003
,,	15109	4	0,000	-6,425	-106,120	-106,120	0,021	-12,299	-18,305	0,113	-124,321	-124,321	0,010
,,	15108	5	0,000	-6,500	-107,548	-107,548	0,052	-8,643	-16,584	0,171	-125,106	-125,106	0,020
Plate_2_11	15108	1	0,000	-6,500	-107,463	-107,463	0,000	-8,862	-16,743	0,157	-125,106	-125,106	0,020
Element 21-36 (Plate)	14137	2	0,000	-6,624	-109,963	-109,963	0,000	-2,465	-13,575	0,403	-125,799	-125,799	0,054
(Parete c.a.C32/40 sp.0.50m)	14136	3	0,000	-6,747	-112,250	-112,250	0,000	3,390	-10,658	3,390	-125,738	-125,738	0,114
,,	14135	4	0,000	-6,871	-114,362	-114,362	0,000	8,793	-8,040	8,793	-124,980	-124,980	0,212
,,	14134	5	0,000	-6,994	-116,332	-116,332	0,000	13,833	-5,588	13,833	-123,579	-123,579	0,343

Structural element	Node [10 ^]	Local number	X [m]	Y [m]	N [kN/m]	N max [kN/m]	N min [10 ^ kN/m]	Q [kN/m]	Q max [kN/m]	Q min [kN/m]	M [kN m/m]	M max [kN m/m]	M min [kN m/m]
Plate_2_12	14134	1	0,000	-6,994	-116,387	-116,387	0,000	13,975	-5,491	13,975	-123,579	-123,579	0,343
Element 23-38 (Plate)	13402	2	0,000	-7,061	-117,529	-117,529	0,000	16,898	-3,994	16,898	-122,546	-122,546	0,431
(Parete c.a.C32/40 sp.0.50m)	13401	3	0,000	-7,128	-118,712	-118,712	0,000	19,924	-2,441	19,924	-121,313	-121,313	0,533
28	13400	4	0,000	-7,195	-119,931	-119,931	0,000	23,043	-0,793	23,043	-119,875	-119,875	0,651
28	13396	5	0,000	-7,262	-121,181	-121,181	0,000	26,243	0,000	26,243	-118,225	-118,225	0,787
Plate_2_13	13396	1	0,000	-7,262	-121,163	-121,163	0,000	26,196	0,000	26,196	-118,225	-118,225	0,787
Element 24-39 (Plate)	12634	2	0,000	-7,322	-122,262	-122,262	0,000	29,009	0,000	29,009	-116,585	-116,585	0,926
(Parete c.a.C32/40 sp.0.50m)	12633	3	0,000	-7,381	-123,360	-123,360	0,000	31,819	0,000	31,819	-114,777	-114,777	1,085
28	12632	4	0,000	-7,441	-124,457	-124,457	0,000	34,624	0,000	34,624	-112,802	-112,802	1,263
28	12628	5	0,000	-7,500	-125,551	-125,551	0,000	37,425	0,000	37,425	-110,662	-110,662	1,461
Plate_2_14	12628	1	0,000	-7,500	-125,552	-125,552	0,000	37,427	0,000	37,427	-110,662	-110,662	1,461
Element 26-42 (Plate)	11506	2	0,000	-7,576	-126,967	-126,967	0,000	41,048	0,000	41,048	-107,664	-107,664	1,746
(Parete c.a.C32/40 sp.0.50m)	11505	3	0,000	-7,653	-128,401	-128,401	0,000	44,716	0,000	44,716	-104,386	-104,386	2,066
28	11504	4	0,000	-7,729	-129,869	-129,869	0,000	48,472	0,000	48,472	-100,824	-100,824	2,427
28	11503	5	0,000	-7,806	-131,387	-131,387	0,000	52,355	0,000	52,355	-96,973	-96,973	2,837
Plate_2_14	11503	1	0,000	-7,806	-131,372	-131,372	0,000	52,316	0,000	52,316	-96,973	-96,973	2,837
Element 26-43 (Plate)	11181	2	0,000	-7,867	-132,596	-132,596	0,000	55,449	0,000	55,449	-93,686	-93,686	3,202
(Parete c.a.C32/40 sp.0.50m)	11180	3	0,000	-7,928	-133,784	-133,784	0,000	58,489	0,000	58,489	-90,210	-90,210	3,599
28	11179	4	0,000	-7,989	-134,944	-134,944	0,000	61,456	0,000	61,456	-86,550	-86,550	4,024
28	11175	5	0,000	-8,050	-136,083	-136,083	0,000	64,370	0,000	64,370	-82,712	-82,712	4,473
Plate_2_14	11175	1	0,000	-8,050	-136,114	-136,114	0,000	64,449	0,000	64,449	-82,712	-82,712	4,473
Element 26-44 (Plate)	9918	2	0,000	-8,098	-137,032	-137,032	0,000	66,798	0,000	66,798	-79,517	-79,517	4,855
(Parete c.a.C32/40 sp.0.50m)	9917	3	0,000	-8,147	-137,941	-137,941	0,000	69,124	0,000	69,124	-76,207	-76,207	5,254
28	9916	4	0,000	-8,196	-138,855	-138,855	0,000	71,461	0,000	71,461	-72,783	-72,783	5,671
28	9915	5	0,000	-8,245	-139,785	-139,785	0,000	73,840	0,000	73,840	-69,247	-69,247	6,107
Plate_2_14	9915	1	0,000	-8,245	-139,779	-139,779	0,000	73,825	0,000	73,825	-69,247	-69,247	6,107
Element 26-45 (Plate)	9080	2	0,000	-8,283	-140,536	-140,536	0,000	75,764	0,000	75,764	-66,340	-66,340	6,471
(Parete c.a.C32/40 sp.0.50m)	9079	3	0,000	-8,322	-141,260	-141,260	0,000	77,614	0,000	77,614	-63,358	-63,358	6,850
28	9078	4	0,000	-8,361	-141,946	-141,946	0,000	79,369	0,000	79,369	-60,306	-60,306	7,244
28	9077	5	0,000	-8,400	-142,591	-142,591	0,000	81,021	0,000	81,021	-57,190	-57,190	7,650
Plate_3_1	9077	1	0,000	-8,400	-158,345	-158,345	0,000	74,368	-0,007	74,368	-57,190	-57,190	7,650
Element 27-46 (Plate)	7882	2	0,000	-8,425	-158,918	-158,918	0,000	75,492	-0,007	75,492	-55,317	-55,317	7,904
(Micropali D168.3x10/0,27m)	7883	3	0,000	-8,450	-159,467	-159,467	0,000	76,568	-0,007	76,568	-53,416	-53,416	8,163
28	7884	4	0,000	-8,475	-159,992	-159,992	0,000	77,598	-0,007	77,598	-51,488	-51,488	8,426
28	7881	5	0,000	-8,500	-160,495	-160,495	0,000	78,585	-0,007	78,585	-49,536	-49,536	8,692
Plate_3_2	7881	1	0,000	-8,500	-160,504	-160,504	0,000	78,602	-0,006	78,602	-49,536	-49,536	8,692
Element 29-54 (Plate)	6882	2	0,000	-8,544	-160,532	-160,532	0,000	78,656	-0,009	78,656	-46,092	-46,092	9,124
(Micropali D168.3x10/0,27m)	6883	3	0,000	-8,588	-160,129	-160,129	0,000	77,864	-0,013	77,864	-42,664	-42,664	9,489
28	6884	4	0,000	-8,631	-159,360	-159,360	0,000	76,354	-0,018	76,354	-39,285	-39,285	9,988
28	6881	5	0,000	-8,675	-158,289	-158,289	0,000	74,253	-0,022	74,253	-35,989	-35,989	10,787
Plate_3_2	6881	1	0,000	-8,675	-158,400	-158,400	0,000	74,471	-0,022	74,471	-35,989	-35,989	10,787
Element 29-55 (Plate)	6868	2	0,000	-8,726	-157,016	-157,016	0,000	71,753	-0,041	71,753	-32,276	-32,276	11,693
(Micropali D168.3x10/0,27m)	6869	3	0,000	-8,777	-155,507	-155,507	0,000	68,792	-0,329	68,792	-28,707	-28,707	12,496
28	6870	4	0,000	-8,827	-153,950	-153,950	0,000	65,736	-1,147	65,736	-25,290	-25,290	13,372
28	6867	5	0,000	-8,878	-152,418	-152,418	0,000	62,730	-2,326	62,730	-22,031	-22,031	14,158
Plate_3_2	6867	1	0,000	-8,878	-152,439	-152,439	0,000	62,772	-2,351	62,772	-22,031	-22,031	14,158
Element 29-56 (Plate)	5682	2	0,000	-8,937	-150,987	-150,987	0,000	59,923	-3,555	59,923	-18,421	-18,421	14,828
(Micropali D168.3x10/0,27m)	5683	3	0,000	-8,996	-149,768	-149,768	0,000	57,530	-4,596	57,530	-14,963	-14,963	15,262
28	5684	4	0,000	-9,055	-148,785	-148,785	0,000	55,598	-5,429	55,598	-11,633	-11,633	15,492
28	5681	5	0,000	-9,114	-148,037	-148,037	0,000	54,129	-6,059	54,129	-8,405	-8,405	15,550
Plate_3_2	5681	1	0,000	-9,114	-148,013	-148,013	0,000	54,082	-6,082	54,082	-8,405	-8,405	15,550
Element 29-57 (Plate)	5668	2	0,000	-9,182	-146,947	-146,947	0,000	51,994	-6,618	51,994	-4,781	-4,781	15,985
(Micropali D168.3x10/0,27m)	5669	3	0,000	-9,250	-145,842	-145,842	0,000	49,828	-6,996	49,828	-1,301	-1,301	16,391

Structural element	Node [10 ^]	Local number	X [m]	Y [m]	N [kN/m]	N ,,, [kN/m]	N ,,, [10 ^ kN/m]	Q [kN/m]	Q ,,, [kN/m]	Q ,,, [kN/m]	M [kN m/m]	M ,,, [kN m/m]	M ,,, [kN m/m]
昂	5670	4	0,000	-9,319	-144,719	-144,719	0,000	47,630	-7,224	47,630	2,029	-0,012	16,570
昂	5667	5	0,000	-9,387	-143,603	-143,603	0,000	45,443	-8,025	45,443	5,208	-0,012	16,556
Plate_3_2	5667	1	0,000	-9,387	-143,530	-143,530	0,000	45,301	-8,061	45,301	5,208	-0,012	16,556
Element 29-58 (Plate)	5642	2	0,000	-9,466	-142,186	-142,186	0,000	42,670	-9,095	42,670	8,695	-0,012	16,340
(Micropali D168.3x10/0,27m)	5643	3	0,000	-9,546	-140,741	-140,741	0,000	39,843	-9,939	39,843	11,967	-0,012	15,949
昂	5644	4	0,000	-9,625	-139,186	-139,186	0,000	36,800	-10,511	36,800	15,007	-0,013	15,729
昂	5641	5	0,000	-9,704	-137,512	-137,512	1,198	33,523	-10,822	33,523	17,795	-0,013	18,056
Plate_3_2	5641	1	0,000	-9,704	-137,502	-137,502	1,200	33,503	-10,854	33,503	17,795	-0,013	18,056
Element 29-59 (Plate)	5544	2	0,000	-9,796	-135,298	-135,298	2,977	29,187	-10,981	29,187	20,680	-0,014	20,709
(Micropali D168.3x10/0,27m)	5545	3	0,000	-9,888	-132,842	-132,842	4,782	24,373	-10,925	24,373	23,147	-0,015	23,147
昂	5546	4	0,000	-9,980	-130,129	-130,129	6,613	19,053	-10,696	19,053	25,148	-0,017	25,148
昂	5543	5	0,000	-10,072	-127,157	-127,157	8,468	13,221	-10,572	13,221	26,635	-0,019	26,635
Plate_3_2	5543	1	0,000	-10,072	-127,312	-127,312	8,467	13,527	-10,608	13,527	26,635	-0,019	26,635
Element 29-60 (Plate)	4597	2	0,000	-10,179	-123,784	-123,784	10,649	6,593	-10,454	6,593	27,698	-0,022	27,698
(Micropali D168.3x10/0,27m)	4598	3	0,000	-10,285	-120,839	-120,839	12,859	0,806	-10,124	0,806	28,082	-0,025	28,083
昂	4599	4	0,000	-10,392	-118,476	-118,476	15,096	-3,836	-9,632	0,000	27,911	-0,029	27,911
昂	4596	5	0,000	-10,499	-116,694	-116,694	17,358	-7,338	-8,987	0,000	27,305	-0,034	27,305
Plate_3_2	4596	1	0,000	-10,499	-116,637	-116,637	17,364	-7,451	-9,011	0,000	27,305	-0,034	27,305
Element 29-61 (Plate)	4561	2	0,000	-10,622	-115,133	-115,133	20,019	-10,403	-10,555	0,000	26,191	-0,040	26,191
(Micropali D168.3x10/0,27m)	4562	3	0,000	-10,746	-114,099	-114,099	22,737	-12,435	-12,435	0,000	24,768	-0,047	24,768
昂	4563	4	0,000	-10,870	-113,516	-113,516	25,517	-13,581	-13,581	0,000	23,149	-0,058	23,149
昂	4560	5	0,000	-10,994	-113,365	-113,365	28,360	-13,878	-13,878	0,000	21,442	-0,191	21,442
Plate_3_2	4560	1	0,000	-10,994	-113,309	-113,309	28,511	-13,988	-13,988	0,000	21,442	-0,191	21,442
Element 29-62 (Plate)	4345	2	0,000	-11,137	-113,529	-113,529	31,643	-13,556	-13,556	0,000	19,458	-0,366	19,458
(Micropali D168.3x10/0,27m)	4346	3	0,000	-11,281	-114,017	-114,017	35,394	-12,599	-12,599	0,000	17,575	-0,461	17,575
昂	4347	4	0,000	-11,424	-114,750	-114,750	39,895	-11,160	-11,160	0,166	15,863	-0,477	15,863
昂	4344	5	0,000	-11,568	-115,707	-115,707	45,279	-9,282	-9,282	0,966	14,392	-0,418	14,392
Plate_3_2	4344	1	0,000	-11,568	-115,596	-115,596	72,724	-9,499	-9,499	0,908	14,392	-0,418	14,392
Element 29-63 (Plate)	3619	2	0,000	-11,734	-116,869	-116,869	6,658	-6,999	-6,999	2,004	13,022	-0,276	13,022
(Micropali D168.3x10/0,27m)	3620	3	0,000	-11,901	-117,932	-117,932	0,000	-4,910	-4,910	2,841	12,040	-0,075	12,040
昂	3621	4	0,000	-12,067	-118,698	-118,698	0,000	-3,405	-3,405	3,234	11,353	-0,018	11,353
昂	3618	5	0,000	-12,234	-119,080	-119,080	0,000	-2,654	-2,654	3,107	10,862	0,000	10,862
Plate_3_3	3618	1	0,000	-12,234	-118,895	-118,895	0,000	-2,997	-2,997	2,998	10,862	0,000	10,862
Element 31-65 (Plate)	2977	2	0,000	-12,406	-118,138	-118,138	0,000	-4,513	-4,513	1,698	10,206	0,000	10,206
(Micropali D168.3x10/0,27m)	2978	3	0,000	-12,579	-117,635	-117,635	0,000	-5,463	-5,463	0,684	9,338	0,000	9,338
昂	2979	4	0,000	-12,751	-117,374	-117,374	0,000	-5,877	-5,877	0,000	8,352	0,000	8,352
昂	2976	5	0,000	-12,924	-117,342	-117,342	0,000	-5,784	-5,784	0,000	7,339	0,000	7,339
Plate_3_3	2976	1	0,000	-12,924	-117,299	-117,299	0,000	-5,880	-5,880	0,000	7,339	0,000	7,339
Element 31-66 (Plate)	2613	2	0,000	-13,106	-117,362	-117,362	0,000	-5,557	-5,557	0,000	6,296	0,000	6,296
(Micropali D168.3x10/0,27m)	2612	3	0,000	-13,288	-117,456	-117,456	0,000	-5,151	-5,151	0,000	5,320	0,000	5,320
昂	2611	4	0,000	-13,470	-117,571	-117,571	0,000	-4,682	-4,682	0,000	4,423	0,000	4,423
昂	2610	5	0,000	-13,653	-117,697	-117,697	0,000	-4,171	-4,171	0,000	3,617	0,000	3,617
Plate_3_3	2610	1	0,000	-13,653	-117,686	-117,686	0,000	-4,188	-4,188	0,000	3,617	0,000	3,617
Element 31-67 (Plate)	1951	2	0,000	-13,845	-117,773	-117,773	0,000	-3,731	-3,731	0,000	2,856	0,000	2,856
(Micropali D168.3x10/0,27m)	1952	3	0,000	-14,037	-117,816	-117,816	0,000	-3,325	-3,325	0,000	2,178	0,000	2,178
昂	1953	4	0,000	-14,230	-117,816	-117,816	0,000	-2,966	-2,966	0,000	1,573	0,000	1,573
昂	1950	5	0,000	-14,422	-117,770	-117,770	0,000	-2,650	-2,650	0,000	1,034	0,000	1,267
Plate_3_3	1950	1	0,000	-14,422	-117,583	-117,583	0,000	-2,642	-2,642	0,000	1,034	0,000	1,267
Element 31-68 (Plate)	1613	2	0,000	-14,625	-116,500	-116,500	0,000	-2,366	-2,366	0,000	0,526	0,000	1,077
(Micropali D168.3x10/0,27m)	1614	3	0,000	-14,829	-114,730	-114,730	0,000	-2,127	-2,127	0,000	0,070	0,000	0,949
昂	1615	4	0,000	-15,032	-112,283	-112,283	0,000	-1,915	-1,915	0,000	-0,341	-0,341	0,878
昂	1612	5	0,000	-15,235	-109,167	-109,167	0,000	-1,719	-1,719	0,154	-0,710	-0,710	0,857
Plate_3_3	1612	1	0,000	-15,235	-109,065	-109,065	0,000	-1,856	-1,856	0,112	-0,710	-0,710	0,857

Structural element	Node [10 ˆ]	Local number	X [m]	Y [m]	N [kN/m]	N ⋯ [kN/m]	N ⋯ [10 ˆ kN/m]	Q [kN/m]	Q ⋯ [kN/m]	Q ⋯ [kN/m]	M [kN m/m]	M ⋯ [kN m/m]	M ⋯ [kN m/m]
Element 31-69 (Plate)	1081	2	0,000	-15,450	-105,333	-105,333	0,000	-1,090	-1,090	0,370	-1,033	-1,033	0,878
(Micropali D168.3x10/0,27m)	1082	3	0,000	-15,664	-100,794	-100,794	0,000	-0,194	-0,611	0,350	-1,165	-1,165	0,919
28	1083	4	0,000	-15,879	-95,292	-95,292	0,000	0,551	-0,476	0,551	-1,127	-1,127	0,950
28	1080	5	0,000	-16,093	-88,672	-88,672	0,000	0,865	-1,260	0,865	-0,963	-0,963	0,928
Plate_3_3	1080	1	0,000	-16,093	-86,105	-86,105	0,000	-0,081	-0,518	0,671	-0,963	-0,963	0,928
Element 31-70 (Plate)	669	2	0,000	-16,320	-66,402	-66,402	0,000	-1,631	-1,856	0,002	-1,245	-1,245	0,796
(Micropali D168.3x10/0,27m)	668	3	0,000	-16,547	-45,936	-45,936	0,000	-0,039	-2,136	0,001	-1,445	-1,445	0,451
28	667	4	0,000	-16,773	-24,243	-24,243	0,000	3,205	-1,260	3,205	-1,138	-1,138	0,177
28	666	5	0,000	-17,000	-0,855	-0,855	0,000	6,609	-0,412	6,609	0,000	0,000	0,000

3.1.2.4.29 Calculation results, Plate, Eccezionale [Phase_22] (22/1130), Table of plate force envelopes

Structural element	Node [10 ⁰]	Local number	X [m]	Y [m]	N [kN/m]	N ₊₀₀ [kN/m]	N ₋₀₀ [10 ⁰ kN/m]	Q [kN/m]	Q ₊₀₀ [kN/m]	Q ₋₀₀ [kN/m]	M [kN m/m]	M ₊₀₀ [kN m/m]	M ₋₀₀ [kN m/m]
Plate_2_1	17871	1	0,000	0,000	-0,003	-0,004	2,774	80,007	-0,004	80,007	80,000	0,000	80,000
Element 1-1 (Plate)	17868	2	0,000	-0,021	-0,017	-0,037	0,000	80,044	0,000	80,044	81,713	0,000	81,713
(Parete c.a.C32/40 sp.0.50m)	17867	3	0,000	-0,043	-0,034	-0,075	0,000	80,089	0,000	80,089	83,427	0,000	83,427
28	17866	4	0,000	-0,064	-0,055	-0,115	0,000	80,142	0,000	80,142	85,142	0,000	85,142
28	17869	5	0,000	-0,086	-0,080	-0,161	0,000	80,207	0,000	80,207	86,858	0,000	86,858
Plate_2_1	17869	1	0,000	-0,086	-0,063	-0,148	0,000	80,164	0,000	80,164	86,858	0,000	86,858
Element 1-2 (Plate)	17860	2	0,000	-0,113	-0,097	-0,217	0,000	80,253	0,000	80,253	89,019	0,000	89,019
(Parete c.a.C32/40 sp.0.50m)	17859	3	0,000	-0,140	-0,125	-0,270	0,000	80,325	0,000	80,325	91,183	0,000	91,183
28	17858	4	0,000	-0,166	-0,149	-0,309	0,000	80,386	0,000	80,386	93,349	0,000	93,349
28	17857	5	0,000	-0,193	-0,170	-0,349	0,000	80,441	0,000	80,441	95,516	0,000	95,516
Plate_2_1	17857	1	0,000	-0,193	-0,170	-0,349	0,000	80,443	0,000	80,443	95,516	0,000	95,516
Element 1-3 (Plate)	17837	2	0,000	-0,227	-0,189	-0,444	0,000	80,491	0,000	80,491	98,245	0,000	98,245
(Parete c.a.C32/40 sp.0.50m)	17836	3	0,000	-0,261	-0,210	-0,549	0,000	80,547	0,000	80,547	100,978	0,000	100,978
28	17835	4	0,000	-0,295	-0,240	-0,663	0,000	80,624	0,000	80,624	103,713	0,000	103,713
28	17834	5	0,000	-0,329	-0,284	-0,785	0,000	80,737	0,000	80,737	106,449	0,000	106,449
Plate_2_1	17834	1	0,000	-0,329	-0,271	-0,784	0,000	80,703	0,000	80,703	106,449	0,000	106,449
Element 1-4 (Plate)	17759	2	0,000	-0,372	-0,340	-0,948	0,000	80,879	0,000	80,879	109,900	0,000	109,900
(Parete c.a.C32/40 sp.0.50m)	17758	3	0,000	-0,415	-0,397	-1,123	0,000	81,027	0,000	81,027	113,358	0,000	113,358
28	17757	4	0,000	-0,457	-0,460	-1,307	0,000	81,187	0,000	81,187	116,824	0,000	116,824
28	17753	5	0,000	-0,500	-0,544	-1,501	0,000	81,401	0,000	81,401	120,295	0,000	120,295
Plate_2_2	17753	1	0,000	-0,500	-0,526	-1,504	0,000	81,355	0,000	81,355	120,295	0,000	120,295
Element 3-6 (Plate)	17677	2	0,000	-0,563	-0,650	-1,806	0,000	81,674	0,000	81,674	125,389	0,000	125,389
(Parete c.a.C32/40 sp.0.50m)	17676	3	0,000	-0,625	-0,764	-2,133	0,000	81,967	0,000	81,967	130,504	0,000	130,504
28	17675	4	0,000	-0,688	-0,862	-2,481	0,000	82,217	0,000	82,217	135,636	0,000	135,636
28	17671	5	0,000	-0,750	-0,937	-2,845	0,000	82,410	0,000	82,410	140,780	0,000	140,780
Plate_2_3	17671	1	0,000	-0,750	-0,948	-2,803	3,862	82,437	-0,010	82,437	140,780	0,000	140,780
Element 4-7 (Plate)	17599	2	0,000	-0,798	-0,994	-3,084	0,351	82,556	-0,001	82,556	144,742	0,000	144,742
(Parete c.a.C32/40 sp.0.50m)	17598	3	0,000	-0,846	-1,055	-3,365	0,493	82,713	-0,001	82,713	148,712	0,000	148,712
28	17597	4	0,000	-0,894	-1,138	-3,643	0,000	82,927	0,000	82,927	152,691	0,000	152,691
28	17593	5	0,000	-0,942	-1,251	-3,915	0,000	83,217	0,000	83,217	156,680	0,000	156,680
Plate_2_3	17593	1	0,000	-0,942	-1,207	-3,922	0,000	83,104	0,000	83,104	156,680	0,000	156,680
Element 4-8 (Plate)	17468	2	0,000	-1,007	-1,439	-4,300	0,000	83,700	0,000	83,700	162,056	0,000	162,056
(Parete c.a.C32/40 sp.0.50m)	17467	3	0,000	-1,071	-1,620	-4,710	0,000	84,164	0,000	84,164	167,468	0,000	167,468
28	17466	4	0,000	-1,136	-1,778	-5,153	0,000	84,569	0,000	84,569	172,909	0,000	172,909
28	17465	5	0,000	-1,200	-1,941	-5,630	0,000	84,986	0,000	84,986	178,372	0,000	178,372
Plate_2_4	17465	1	0,000	-1,200	-23,397	-23,397	0,000	-43,675	-51,968	0,000	178,372	0,000	178,372
Element 6-11 (Plate)	17390	2	0,000	-1,261	-23,597	-23,597	0,000	-43,166	-50,719	0,000	175,732	-0,536	175,732
(Parete c.a.C32/40 sp.0.50m)	17389	3	0,000	-1,322	-23,828	-23,828	0,000	-42,576	-49,504	0,000	173,125	-1,127	173,125
28	17388	4	0,000	-1,382	-24,067	-24,067	0,000	-41,964	-48,324	0,000	170,554	-2,239	170,554
28	17387	5	0,000	-1,443	-24,293	-24,293	0,000	-41,389	-47,365	0,000	168,022	-5,141	168,022
Plate_2_4	17387	1	0,000	-1,443	-24,268	-24,268	0,000	-41,452	-47,350	0,000	168,022	-5,141	168,022
Element 6-12 (Plate)	17259	2	0,000	-1,535	-24,369	-24,369	0,000	-41,195	-45,978	0,000	164,234	-9,380	164,234
(Parete c.a.C32/40 sp.0.50m)	17258	3	0,000	-1,627	-24,481	-24,481	0,000	-40,906	-44,658	0,000	160,467	-13,447	160,467
28	17257	4	0,000	-1,718	-24,643	-24,643	0,000	-40,489	-43,358	0,000	156,733	-17,339	156,733
28	17256	5	0,000	-1,810	-24,892	-24,892	0,000	-39,846	-42,078	0,000	153,048	-21,051	153,048
Plate_2_5	17256	1	0,000	-1,810	-24,906	-24,906	3,534	-39,810	-42,101	0,007	153,048	-21,051	153,048

Structural element	Node [10 ^]	Local number	X [m]	Y [m]	N [kN/m]	N max [kN/m]	N min [10 ^ kN/m]	Q [kN/m]	Q max [kN/m]	Q min [kN/m]	M [kN m/m]	M max [kN m/m]	M min [kN m/m]
Element 10-17 (Plate)	17223	2	0,000	-1,882	-25,271	-25,271	0,467	-38,873	-41,128	0,018	150,197	-23,860	150,197
(Parete c.a.C32/40 sp.0.50m)	17222	3	0,000	-1,955	-25,652	-25,652	0,765	-37,891	-40,163	0,039	147,415	-26,558	147,415
28	17221	4	0,000	-2,027	-26,045	-26,045	1,156	-36,879	-39,200	0,097	144,705	-29,141	144,705
28	17220	5	0,000	-2,100	-26,443	-26,443	1,550	-35,851	-38,265	0,202	142,070	-31,606	142,070
Plate_2_5	17220	1	0,000	-2,100	-26,462	-26,462	2,234	-35,806	-38,246	0,211	142,070	-31,606	142,070
Element 10-18 (Plate)	17043	2	0,000	-2,200	-27,036	-27,036	0,681	-34,331	-37,002	0,277	138,563	-34,816	138,563
(Parete c.a.C32/40 sp.0.50m)	17042	3	0,000	-2,300	-27,602	-27,602	0,000	-32,877	-35,574	0,471	135,201	-37,803	135,201
28	17041	4	0,000	-2,400	-28,161	-28,161	0,000	-31,442	-34,034	0,707	131,984	-40,560	131,984
28	17040	5	0,000	-2,500	-28,712	-28,712	0,000	-30,027	-32,421	1,019	128,910	-43,082	128,910
Plate_2_6	17040	1	0,000	-2,500	-28,636	-28,636	0,000	-30,221	-32,428	0,999	128,910	-43,082	128,910
Element 12-23 (Plate)	17003	2	0,000	-2,615	-29,068	-29,068	0,000	-29,113	-31,036	1,375	125,491	-45,704	125,491
(Parete c.a.C32/40 sp.0.50m)	17002	3	0,000	-2,731	-29,387	-29,684	0,000	-28,294	-29,478	1,848	122,177	-48,015	122,177
28	17001	4	0,000	-2,846	-29,676	-30,742	0,000	-27,547	-27,769	2,391	118,955	-50,014	118,955
28	17000	5	0,000	-2,962	-30,023	-31,791	0,000	-26,654	-26,654	2,977	115,824	-51,700	115,824
Plate_2_6	17000	1	0,000	-2,962	-30,012	-31,795	0,000	-26,683	-26,683	2,990	115,824	-51,700	115,824
Element 12-24 (Plate)	16689	2	0,000	-3,082	-30,581	-32,775	0,000	-25,224	-25,224	3,399	112,704	-53,142	112,704
(Parete c.a.C32/40 sp.0.50m)	16688	3	0,000	-3,202	-31,240	-33,762	0,000	-23,534	-23,534	3,919	109,772	-54,283	109,772
28	16687	4	0,000	-3,322	-31,983	-34,762	0,000	-21,629	-21,629	4,968	107,055	-55,117	107,055
28	16686	5	0,000	-3,442	-32,804	-35,784	0,000	-19,526	-19,526	6,653	104,581	-55,641	104,581
Plate_2_6	16686	1	0,000	-3,442	-32,805	-35,805	0,000	-19,522	-19,522	6,706	104,581	-55,641	104,581
Element 12-25 (Plate)	16542	2	0,000	-3,567	-33,606	-36,823	0,000	-17,467	-17,467	8,444	102,265	-55,853	102,265
(Parete c.a.C32/40 sp.0.50m)	16541	3	0,000	-3,693	-34,538	-37,880	0,000	-15,080	-15,080	10,360	100,226	-55,732	100,226
28	16540	4	0,000	-3,818	-35,605	-38,961	0,000	-12,347	-12,347	12,410	98,507	-55,270	98,507
28	16536	5	0,000	-3,943	-36,812	-40,053	0,000	-9,255	-9,255	14,556	97,152	-54,459	97,152
Plate_2_7	16536	1	0,000	-3,943	-36,811	-40,039	3,986	-9,256	-9,256	14,487	97,152	-54,459	97,152
Element 13-26 (Plate)	16129	2	0,000	-4,055	-37,991	-40,965	0,000	-6,233	-6,233	16,258	96,280	-53,444	96,280
(Parete c.a.C32/40 sp.0.50m)	16128	3	0,000	-4,167	-39,253	-41,887	0,000	-3,001	-3,001	17,946	95,759	-52,164	95,759
28	16127	4	0,000	-4,280	-40,609	-42,808	0,000	0,473	0,000	19,549	95,615	-50,618	95,615
28	16126	5	0,000	-4,392	-42,074	-43,732	0,000	4,225	0,000	21,069	95,876	-48,808	95,876
Plate_2_8	16126	1	0,000	-4,392	-42,035	-43,731	0,000	4,123	0,000	21,058	95,876	-48,808	95,876
Element 14-27 (Plate)	15925	2	0,000	-4,594	-44,401	-45,525	0,000	10,185	0,000	24,317	97,296	-44,872	97,296
(Parete c.a.C32/40 sp.0.50m)	15924	3	0,000	-4,796	-47,034	-47,603	0,000	16,929	0,000	28,198	100,043	-39,922	100,043
28	15923	4	0,000	-4,998	-49,665	-49,864	0,000	23,667	0,000	32,965	104,135	-33,858	104,135
28	15922	5	0,000	-5,200	-52,023	-52,205	0,000	29,707	0,000	38,949	109,546	-26,598	109,546
Plate_2_9	15922	1	0,000	-5,200	-69,973	-69,973	0,000	-78,197	-78,197	0,000	109,546	-26,598	109,546
Element 16-30 (Plate)	15715	2	0,000	-5,366	-71,646	-71,646	0,000	-73,910	-73,910	0,000	96,961	-34,848	96,961
(Parete c.a.C32/40 sp.0.50m)	15714	3	0,000	-5,531	-73,067	-73,067	0,000	-70,270	-70,270	0,000	85,014	-42,218	85,014
28	15713	4	0,000	-5,697	-74,370	-74,370	0,000	-66,934	-66,934	0,000	73,652	-48,680	73,652
28	15712	5	0,000	-5,863	-75,688	-76,067	0,000	-63,559	-63,559	0,000	62,838	-54,206	62,838
Plate_2_9	15712	1	0,000	-5,863	-75,758	-76,048	0,000	-63,405	-63,405	0,000	62,838	-54,206	62,838
Element 16-31 (Plate)	15279	2	0,000	-5,947	-76,605	-77,184	0,000	-61,166	-61,166	0,000	57,587	-56,659	57,587
(Parete c.a.C32/40 sp.0.50m)	15278	3	0,000	-6,031	-77,492	-78,330	0,000	-58,836	-58,836	0,000	52,527	-58,866	52,527
28	15277	4	0,000	-6,116	-78,416	-79,487	0,000	-56,431	-56,431	0,000	47,667	-60,825	47,667
28	15276	5	0,000	-6,200	-79,377	-80,654	0,000	-53,965	-53,965	0,000	43,014	-62,533	43,014
Plate_2_10	15276	1	0,000	-6,200	-79,346	-80,628	3,104	-54,036	-54,036	0,003	43,014	-62,533	43,014
Element 18-33 (Plate)	15111	2	0,000	-6,275	-80,224	-81,672	0,115	-51,790	-51,790	0,020	39,046	-63,845	39,046
(Parete c.a.C32/40 sp.0.50m)	15110	3	0,000	-6,350	-81,124	-82,723	0,004	-49,486	-49,486	0,059	35,247	-64,957	35,247
28	15109	4	0,000	-6,425	-82,043	-83,779	0,021	-47,131	-47,131	0,113	31,623	-65,868	31,623
28	15108	5	0,000	-6,500	-82,979	-84,839	0,052	-44,734	-44,734	0,171	28,179	-66,575	28,179
Plate_2_11	15108	1	0,000	-6,500	-82,902	-84,756	0,000	-44,933	-44,933	0,157	28,179	-66,575	28,179
Element 21-36 (Plate)	14137	2	0,000	-6,624	-84,653	-86,671	0,000	-40,448	-40,448	0,403	22,908	-67,291	22,908
(Parete c.a.C32/40 sp.0.50m)	14136	3	0,000	-6,747	-86,272	-88,414	0,000	-36,304	-36,304	1,059	18,166	-67,432	18,166
28	14135	4	0,000	-6,871	-87,794	-90,021	0,000	-32,407	-32,407	5,163	13,922	-67,043	13,922

Structural element	Node [10 ^]	Local number	X [m]	Y [m]	N [kN/m]	N max [kN/m]	N min [10 ^ kN/m]	Q [kN/m]	Q max [kN/m]	Q min [kN/m]	M [kN m/m]	M max [kN m/m]	M min [kN m/m]
88	14134	5	0,000	-6,994	-89,256	-91,529	0,000	-28,665	-28,665	9,012	10,150	-66,166	10,150
Plate_2_12	14134	1	0,000	-6,994	-89,311	-91,584	0,000	-28,524	-28,524	9,154	10,150	-66,166	10,150
Element 23-38 (Plate)	13402	2	0,000	-7,061	-90,212	-92,494	0,000	-26,216	-26,216	11,478	8,316	-65,476	8,316
(Parete c.a.C32/40 sp.0.50m)	13401	3	0,000	-7,128	-91,175	-93,455	0,000	-23,751	-23,751	13,931	6,641	-64,625	6,641
88	13400	4	0,000	-7,195	-92,195	-94,461	0,000	-21,141	-21,141	16,501	5,137	-63,607	5,137
88	13396	5	0,000	-7,262	-93,267	-95,508	0,000	-18,396	-18,396	19,175	3,812	-62,413	3,812
Plate_2_13	13396	1	0,000	-7,262	-93,245	-95,488	0,000	-18,449	-18,449	19,122	3,812	-62,413	3,812
Element 24-39 (Plate)	12634	2	0,000	-7,322	-94,202	-96,411	0,000	-16,003	-16,003	21,481	2,789	-61,206	2,789
(Parete c.a.C32/40 sp.0.50m)	12633	3	0,000	-7,381	-95,164	-97,333	0,000	-13,537	-13,537	23,835	1,911	-59,859	1,911
88	12632	4	0,000	-7,441	-96,127	-98,253	0,000	-11,053	-11,053	26,183	1,180	-58,373	1,263
88	12628	5	0,000	-7,500	-97,091	-99,169	0,000	-8,552	-8,552	28,524	0,597	-56,748	1,461
Plate_2_14	12628	1	0,000	-7,500	-97,090	-99,169	0,000	-8,551	-8,551	28,523	0,597	-56,748	1,461
Element 26-42 (Plate)	11506	2	0,000	-7,576	-98,332	-100,351	0,000	-5,291	-5,291	31,539	0,068	-54,453	1,746
(Parete c.a.C32/40 sp.0.50m)	11505	3	0,000	-7,653	-99,588	-101,544	0,000	-1,953	-1,953	34,586	-0,210	-51,926	2,066
88	11504	4	0,000	-7,729	-100,874	-102,765	0,000	1,504	0,000	37,706	-0,227	-49,163	2,427
88	11503	5	0,000	-7,806	-102,206	-104,031	0,000	5,121	0,000	40,938	0,024	-46,159	2,837
Plate_2_14	11503	1	0,000	-7,806	-102,192	-104,018	0,000	5,089	0,000	40,904	0,024	-46,159	2,837
Element 26-43 (Plate)	11181	2	0,000	-7,867	-103,267	-105,039	0,000	8,040	0,000	43,510	0,425	-43,584	3,202
(Parete c.a.C32/40 sp.0.50m)	11180	3	0,000	-7,928	-104,309	-106,026	0,000	10,944	0,000	46,031	1,004	-40,852	3,599
88	11179	4	0,000	-7,989	-105,327	-106,989	0,000	13,823	0,000	48,491	1,760	-37,968	4,024
88	11175	5	0,000	-8,050	-106,330	-107,937	0,000	16,700	0,000	50,910	2,691	-34,937	4,473
Plate_2_14	11175	1	0,000	-8,050	-106,361	-107,969	0,000	16,782	0,000	50,991	2,691	-34,937	4,473
Element 26-44 (Plate)	9918	2	0,000	-8,098	-107,177	-108,741	0,000	19,149	0,000	52,962	3,566	-32,406	4,855
(Parete c.a.C32/40 sp.0.50m)	9917	3	0,000	-8,147	-107,988	-109,508	0,000	21,534	0,000	54,921	4,556	-29,779	5,254
88	9916	4	0,000	-8,196	-108,807	-110,283	0,000	23,971	0,000	56,900	5,664	-27,056	5,671
88	9915	5	0,000	-8,245	-109,647	-111,079	0,000	26,491	0,000	58,932	6,892	-24,236	6,892
Plate_2_14	9915	1	0,000	-8,245	-109,642	-111,075	0,000	26,481	0,000	58,920	6,892	-24,236	6,892
Element 26-45 (Plate)	9080	2	0,000	-8,283	-110,330	-111,728	0,000	28,564	0,000	60,588	7,962	-21,914	7,962
(Parete c.a.C32/40 sp.0.50m)	9079	3	0,000	-8,322	-110,991	-112,356	0,000	30,607	0,000	62,190	9,112	-19,527	9,112
88	9078	4	0,000	-8,361	-111,624	-112,955	0,000	32,601	0,000	63,719	10,341	-17,080	10,341
88	9077	5	0,000	-8,400	-112,225	-113,523	0,000	34,543	0,000	65,169	11,646	-14,575	11,646
Plate_3_1	9077	1	0,000	-8,400	-117,129	-118,760	0,000	32,486	-0,007	62,968	11,646	-14,575	11,646
Element 27-46 (Plate)	7882	2	0,000	-8,425	-117,669	-119,272	0,000	33,855	-0,007	63,972	12,475	-12,989	12,475
(Micropali D168.3x10/0,27m)	7883	3	0,000	-8,450	-118,193	-119,768	0,000	35,201	-0,007	64,943	13,338	-11,377	13,338
88	7884	4	0,000	-8,475	-118,700	-120,250	0,000	36,527	-0,007	65,886	14,235	-9,741	14,235
88	7881	5	0,000	-8,500	-119,194	-120,719	0,000	37,836	-0,007	66,803	15,164	-8,083	15,164
Plate_3_2	7881	1	0,000	-8,500	-119,160	-120,687	0,000	37,729	-0,006	66,697	15,164	-8,083	15,164
Element 29-54 (Plate)	6882	2	0,000	-8,544	-118,336	-119,814	0,000	34,890	-0,009	63,111	16,755	-5,241	16,755
(Micropali D168.3x10/0,27m)	6883	3	0,000	-8,588	-117,400	-118,832	0,000	31,722	-0,013	59,200	18,213	-2,563	18,213
88	6884	4	0,000	-8,631	-116,367	-117,755	0,000	28,295	-0,018	55,027	19,528	-0,062	19,528
88	6881	5	0,000	-8,675	-115,251	-116,599	0,000	24,679	-0,022	50,655	20,688	-0,003	20,688
Plate_3_2	6881	1	0,000	-8,675	-115,229	-116,577	0,000	24,701	-0,022	50,670	20,688	-0,003	20,688
Element 29-55 (Plate)	6868	2	0,000	-8,726	-113,859	-115,164	0,000	20,627	-0,041	45,663	21,839	-0,004	21,839
(Micropali D168.3x10/0,27m)	6869	3	0,000	-8,777	-112,383	-113,649	0,000	16,508	-0,329	40,579	22,781	-0,005	22,781
88	6870	4	0,000	-8,827	-110,825	-112,056	0,000	12,405	-1,147	35,478	23,515	-0,007	23,515
88	6867	5	0,000	-8,878	-109,206	-110,405	0,000	8,379	-2,326	30,423	24,042	-0,008	24,042
Plate_3_2	6867	1	0,000	-8,878	-109,231	-110,430	0,000	8,417	-2,351	30,468	24,042	-0,008	24,042
Element 29-56 (Plate)	5682	2	0,000	-8,937	-107,476	-108,644	0,000	4,179	-3,555	25,016	24,410	-0,009	24,410
(Micropali D168.3x10/0,27m)	5683	3	0,000	-8,996	-105,920	-107,062	0,000	0,528	-4,596	20,153	24,546	-0,010	24,546
88	5684	4	0,000	-9,055	-104,520	-105,641	0,000	-2,616	-5,429	15,802	24,482	-0,010	24,482
88	5681	5	0,000	-9,114	-103,230	-104,335	0,000	-5,333	-6,059	11,886	24,246	-0,011	24,246
Plate_3_2	5681	1	0,000	-9,114	-103,203	-104,308	0,000	-5,384	-6,082	11,842	24,246	-0,011	24,246
Element 29-57 (Plate)	5668	2	0,000	-9,182	-101,798	-102,891	0,000	-8,103	-8,103	7,766	23,783	-0,011	23,783

Structural element	Node [10 ^]	Local number	X [m]	Y [m]	N [kN/m]	N ,,, [kN/m]	N ,,, [10 ^ kN/m]	Q [kN/m]	Q ,,, [kN/m]	Q ,,, [kN/m]	M [kN m/m]	M ,,, [kN m/m]	M ,,, [kN m/m]
(Micropali D168.3x10/0,27m)	5669	3	0,000	-9,250	-100,460	-101,548	0,000	-10,365	-10,365	4,195	23,150	-0,012	23,150
,,	5670	4	0,000	-9,319	-99,186	-100,276	0,000	-12,173	-12,173	1,128	22,377	-0,012	22,377
,,	5667	5	0,000	-9,387	-97,973	-99,071	0,000	-13,529	-13,529	0,000	21,496	-0,012	21,496
Plate_3_2	5667	1	0,000	-9,387	-97,994	-99,047	0,000	-13,577	-13,577	0,000	21,496	-0,012	21,496
Element 29-58 (Plate)	5642	2	0,000	-9,466	-96,906	-97,818	0,000	-14,689	-14,689	0,000	20,374	-0,012	20,374
(Micropali D168.3x10/0,27m)	5643	3	0,000	-9,546	-96,024	-96,818	0,000	-15,444	-15,444	0,000	19,177	-0,012	19,177
,,	5644	4	0,000	-9,625	-95,340	-96,038	0,000	-15,858	-15,858	0,000	17,934	-0,013	17,934
,,	5641	5	0,000	-9,704	-94,845	-95,470	1,198	-15,948	-15,948	0,000	16,672	-0,013	16,672
Plate_3_2	5641	1	0,000	-9,704	-94,821	-95,445	1,200	-15,994	-15,994	0,000	16,672	-0,013	16,672
Element 29-59 (Plate)	5544	2	0,000	-9,796	-94,411	-94,977	2,977	-15,834	-15,834	0,000	15,207	-0,014	15,207
(Micropali D168.3x10/0,27m)	5545	3	0,000	-9,888	-94,129	-94,662	4,782	-15,481	-15,481	0,000	13,766	-0,015	13,766
,,	5546	4	0,000	-9,980	-93,969	-94,492	6,613	-14,947	-14,947	0,000	12,365	-0,017	12,365
,,	5543	5	0,000	-10,072	-93,923	-94,461	8,468	-14,246	-14,246	0,000	11,022	-0,019	11,117
Plate_3_2	5543	1	0,000	-10,072	-93,911	-94,443	8,467	-14,276	-14,276	0,000	11,022	-0,019	11,117
Element 29-60 (Plate)	4597	2	0,000	-10,179	-93,947	-94,527	10,649	-13,342	-13,342	0,000	9,549	-0,022	9,992
(Micropali D168.3x10/0,27m)	4598	3	0,000	-10,285	-94,071	-94,700	12,859	-12,339	-12,339	0,000	8,178	-0,025	8,893
,,	4599	4	0,000	-10,392	-94,279	-94,956	15,096	-11,275	-11,275	0,000	6,918	-0,029	7,837
,,	4596	5	0,000	-10,499	-94,563	-95,289	17,358	-10,159	-10,159	0,000	5,774	-0,034	6,843
Plate_3_2	4596	1	0,000	-10,499	-94,550	-95,277	17,364	-10,174	-10,174	0,000	5,774	-0,034	6,843
Element 29-61 (Plate)	4561	2	0,000	-10,622	-94,935	-95,718	20,019	-8,876	-8,876	0,000	4,596	-0,040	5,781
(Micropali D168.3x10/0,27m)	4562	3	0,000	-10,746	-95,356	-96,196	22,737	-7,593	-7,593	0,000	3,577	-0,047	4,828
,,	4563	4	0,000	-10,870	-95,809	-96,706	25,517	-6,327	-6,327	0,000	2,716	-0,058	3,994
,,	4560	5	0,000	-10,994	-96,291	-97,245	28,360	-5,082	-5,189	0,000	2,010	-0,191	3,286
Plate_3_2	4560	1	0,000	-10,994	-96,284	-97,238	28,511	-5,086	-5,204	0,000	2,010	-0,191	3,286
Element 29-62 (Plate)	4345	2	0,000	-11,137	-96,858	-97,878	31,643	-3,684	-3,960	0,000	1,381	-0,366	2,629
(Micropali D168.3x10/0,27m)	4346	3	0,000	-11,281	-97,433	-98,517	35,394	-2,332	-2,716	0,000	0,950	-0,461	2,150
,,	4347	4	0,000	-11,424	-98,007	-99,153	39,895	-1,030	-1,478	0,166	0,709	-0,477	1,848
,,	4344	5	0,000	-11,568	-98,577	-99,783	45,279	0,221	-0,252	0,966	0,652	-0,418	1,724
Plate_3_2	4344	1	0,000	-11,568	-98,535	-99,741	72,724	0,149	-0,335	0,908	0,652	-0,418	1,724
Element 29-63 (Plate)	3619	2	0,000	-11,734	-99,219	-100,490	6,658	1,611	0,000	2,004	0,802	-0,276	1,794
(Micropali D168.3x10/0,27m)	3620	3	0,000	-11,901	-99,715	-101,046	0,000	2,698	0,000	2,841	1,169	-0,075	2,079
,,	3621	4	0,000	-12,067	-99,976	-101,363	0,000	3,322	0,000	3,322	1,675	-0,018	2,502
,,	3618	5	0,000	-12,234	-99,956	-101,393	0,000	3,399	0,000	3,399	2,244	0,000	2,983
Plate_3_3	3618	1	0,000	-12,234	-99,882	-101,319	0,000	3,275	0,000	3,275	2,244	0,000	2,983
Element 31-65 (Plate)	2977	2	0,000	-12,406	-99,118	-100,601	0,000	1,883	0,000	1,883	2,685	0,000	3,324
(Micropali D168.3x10/0,27m)	2978	3	0,000	-12,579	-98,518	-100,041	0,000	0,765	0,000	0,765	2,909	0,000	3,447
,,	2979	4	0,000	-12,751	-98,079	-99,639	0,000	-0,077	-0,618	0,000	2,964	0,000	3,405
,,	2976	5	0,000	-12,924	-97,800	-99,392	0,000	-0,642	-1,115	0,000	2,898	0,000	3,251
Plate_3_3	2976	1	0,000	-12,924	-97,769	-99,357	0,000	-0,675	-1,156	0,000	2,898	0,000	3,251
Element 31-66 (Plate)	2613	2	0,000	-13,106	-97,598	-99,222	0,000	-1,072	-1,479	0,000	2,737	0,000	3,009
(Micropali D168.3x10/0,27m)	2612	3	0,000	-13,288	-97,476	-99,121	0,000	-1,326	-1,663	0,000	2,517	0,000	2,721
,,	2611	4	0,000	-13,470	-97,376	-99,023	0,000	-1,445	-1,718	0,000	2,262	0,000	2,411
,,	2610	5	0,000	-13,653	-97,271	-98,897	0,000	-1,440	-1,654	0,000	1,998	0,000	2,103
Plate_3_3	2610	1	0,000	-13,653	-97,162	-98,793	0,000	-1,465	-1,680	0,000	1,998	0,000	2,103
Element 31-67 (Plate)	1951	2	0,000	-13,845	-97,019	-98,630	0,000	-1,361	-1,527	0,000	1,725	0,000	1,797
(Micropali D168.3x10/0,27m)	1952	3	0,000	-14,037	-96,391	-97,974	0,000	-1,209	-1,334	0,000	1,477	0,000	1,525
,,	1953	4	0,000	-14,230	-95,285	-96,834	0,000	-1,016	-1,109	0,000	1,262	0,000	1,292
,,	1950	5	0,000	-14,422	-93,712	-95,218	0,000	-0,790	-0,858	0,000	1,088	0,000	1,106
Plate_3_3	1950	1	0,000	-14,422	-93,715	-95,221	0,000	-0,802	-0,870	0,000	1,088	0,000	1,106
Element 31-68 (Plate)	1613	2	0,000	-14,625	-91,578	-93,030	0,000	-0,572	-0,620	0,000	0,949	0,000	0,959
(Micropali D168.3x10/0,27m)	1614	3	0,000	-14,829	-88,941	-90,330	0,000	-0,361	-0,393	0,000	0,854	0,000	0,860
,,	1615	4	0,000	-15,032	-85,807	-87,124	0,000	-0,171	-0,220	0,000	0,801	0,000	0,803
,,	1612	5	0,000	-15,235	-82,179	-83,414	0,000	-0,006	-0,169	0,000	0,783	-0,001	0,784

Structural element	Node [10 ˚]	Local number	X [m]	Y [m]	N [kN/m]	N ⋯ [kN/m]	N ⋯ [10 ˚ kN/m]	Q [kN/m]	Q ⋯ [kN/m]	Q ⋯ [kN/m]	M [kN m/m]	M ⋯ [kN m/m]	M ⋯ [kN m/m]
Plate_3_3	1612	1	0,000	-15,235	-82,147	-83,382	0,000	-0,028	-0,168	0,000	0,783	-0,001	0,784
Element 31-69 (Plate)	1081	2	0,000	-15,450	-77,772	-78,910	0,000	0,111	-0,138	0,111	0,795	-0,001	0,795
(Micropali D168.3x10/0,27m)	1082	3	0,000	-15,664	-72,696	-73,723	0,000	0,092	-0,113	0,099	0,819	-0,001	0,819
28	1083	4	0,000	-15,879	-66,909	-67,813	0,000	-0,080	-0,100	0,001	0,823	-0,001	0,823
28	1080	5	0,000	-16,093	-60,405	-61,173	0,000	-0,402	-0,402	0,002	0,774	-0,001	0,774
Plate_3_3	1080	1	0,000	-16,093	-60,226	-60,992	0,000	-0,332	-0,332	0,004	0,774	-0,001	0,774
Element 31-70 (Plate)	669	2	0,000	-16,320	-46,350	-46,956	0,000	-0,794	-0,794	0,002	0,647	0,000	0,648
(Micropali D168.3x10/0,27m)	668	3	0,000	-16,547	-31,770	-32,196	0,000	-1,096	-1,096	0,001	0,424	0,000	0,424
28	667	4	0,000	-16,773	-16,416	-16,641	0,000	-1,034	-1,036	0,000	0,178	0,000	0,179
28	666	5	0,000	-17,000	-0,217	-0,221	0,000	-0,409	-0,414	0,000	0,000	0,000	0,000

3.1.2.4.30 Calculation results, Plate, q Rullo [Phase_25] (25/1142), Table of plate force envelopes

Structural element	Node [10^1]	Local number	X [m]	Y [m]	N [kN/m]	N,min [kN/m]	N,max [kN/m]	Q [kN/m]	Q,min [kN/m]	Q,max [kN/m]	M [kN m/m]	M,min [kN m/m]	M,max [kN m/m]
Plate_2_1	17871	1	0,000	0,000	0,000	-0,001	0,002	0,001	-0,004	0,003	0,000	0,000	0,000
Element 1-1 (Plate)	17868	2	0,000	-0,021	-0,001	-0,004	0,001	0,011	0,000	0,013	0,000	0,000	0,000
(Parete c.a.C32/40 sp.0.50m)	17867	3	0,000	-0,043	-0,004	-0,012	0,000	0,044	0,000	0,044	0,001	0,000	0,001
28	17866	4	0,000	-0,064	-0,009	-0,020	0,000	0,099	0,000	0,099	0,002	0,000	0,002
29	17869	5	0,000	-0,086	-0,016	-0,031	0,000	0,176	0,000	0,176	0,005	0,000	0,005
Plate_2_1	17869	1	0,000	-0,086	-0,016	-0,030	0,000	0,176	0,000	0,176	0,005	0,000	0,005
Element 1-2 (Plate)	17860	2	0,000	-0,113	-0,026	-0,043	0,000	0,298	0,000	0,298	0,011	0,000	0,011
(Parete c.a.C32/40 sp.0.50m)	17859	3	0,000	-0,140	-0,037	-0,056	0,000	0,448	0,000	0,448	0,021	0,000	0,021
28	17858	4	0,000	-0,166	-0,049	-0,068	0,000	0,627	0,000	0,627	0,036	0,000	0,036
29	17857	5	0,000	-0,193	-0,061	-0,081	0,000	0,835	0,000	0,835	0,055	0,000	0,055
Plate_2_1	17857	1	0,000	-0,193	-0,062	-0,081	0,000	0,836	0,000	0,836	0,055	0,000	0,055
Element 1-3 (Plate)	17837	2	0,000	-0,227	-0,081	-0,098	0,000	1,143	0,000	1,143	0,089	0,000	0,089
(Parete c.a.C32/40 sp.0.50m)	17836	3	0,000	-0,261	-0,104	-0,117	0,000	1,500	0,000	1,500	0,133	0,000	0,133
28	17835	4	0,000	-0,295	-0,130	-0,136	0,000	1,908	0,000	1,908	0,191	0,000	0,191
29	17834	5	0,000	-0,329	-0,160	-0,160	0,000	2,365	0,000	2,365	0,264	0,000	0,264
Plate_2_1	17834	1	0,000	-0,329	-0,159	-0,159	0,000	2,362	0,000	2,362	0,264	0,000	0,264
Element 1-4 (Plate)	17759	2	0,000	-0,372	-0,195	-0,195	0,000	2,995	0,000	2,995	0,378	0,000	0,378
(Parete c.a.C32/40 sp.0.50m)	17758	3	0,000	-0,415	-0,228	-0,228	0,000	3,684	0,000	3,684	0,520	0,000	0,520
28	17757	4	0,000	-0,457	-0,259	-0,259	0,000	4,435	0,000	4,435	0,693	0,000	0,693
29	17753	5	0,000	-0,500	-0,293	-0,293	0,000	5,256	0,000	5,256	0,900	0,000	0,900
Plate_4_1	16475	1	3,000	-0,126	-0,054	-0,272	0,043	-0,119	-0,321	0,289	0,000	0,000	0,000
Element 2-5 (Plate)	16474	2	3,000	-0,282	-0,011	-0,174	0,296	0,084	-0,129	0,564	0,008	-0,002	0,035
(Micropali D168.3x8,0mm/0,4)	16473	3	3,000	-0,438	-0,205	-0,605	0,319	-0,067	-0,067	1,191	0,004	-0,013	0,150
28	16472	4	3,000	-0,594	-0,543	-1,370	0,000	-0,131	-0,131	2,698	-0,009	-0,009	0,409
29	16471	5	3,000	-0,750	-0,930	-2,470	0,000	0,333	0,000	5,099	-0,006	-0,006	0,979
Plate_2_2	17753	1	0,000	-0,500	-0,299	-0,299	0,000	5,274	0,000	5,274	0,900	0,000	0,900
Element 3-6 (Plate)	17677	2	0,000	-0,563	-0,367	-0,367	0,000	6,569	0,000	6,569	1,270	0,000	1,270
(Parete c.a.C32/40 sp.0.50m)	17676	3	0,000	-0,625	-0,452	-0,452	0,000	7,900	0,000	7,900	1,722	0,000	1,722
28	17675	4	0,000	-0,688	-0,540	-0,540	0,000	9,235	0,000	9,235	2,258	0,000	2,258
29	17671	5	0,000	-0,750	-0,620	-0,620	0,000	10,541	0,000	10,541	2,876	0,000	2,876
Plate_2_3	17671	1	0,000	-0,750	-0,615	-0,615	0,004	10,528	-0,010	10,528	2,876	0,000	2,876
Element 4-7 (Plate)	17599	2	0,000	-0,798	-0,680	-0,680	0,000	11,535	-0,001	11,535	3,405	0,000	3,405
(Parete c.a.C32/40 sp.0.50m)	17598	3	0,000	-0,846	-0,741	-0,741	0,000	12,528	-0,001	12,528	3,984	0,000	3,984
28	17597	4	0,000	-0,894	-0,796	-0,796	0,000	13,501	0,000	13,501	4,609	0,000	4,609
29	17593	5	0,000	-0,942	-0,842	-0,842	0,000	14,445	0,000	14,445	5,280	0,000	5,280
Plate_2_3	17593	1	0,000	-0,942	-0,856	-0,856	0,000	14,483	0,000	14,483	5,280	0,000	5,280
Element 4-8 (Plate)	17468	2	0,000	-1,007	-0,917	-0,917	0,000	15,742	0,000	15,742	6,254	0,000	6,254
(Parete c.a.C32/40 sp.0.50m)	17467	3	0,000	-1,071	-0,995	-0,995	0,000	17,041	0,000	17,041	7,311	0,000	7,311
28	17466	4	0,000	-1,136	-1,090	-1,090	0,000	18,378	0,000	18,378	8,452	0,000	8,452
29	17465	5	0,000	-1,200	-1,202	-1,202	0,000	19,752	0,000	19,752	9,681	0,000	9,681
Plate_1_1	16471	1	3,000	-0,750	-1,447	-3,810	0,000	0,406	0,000	5,391	-0,006	-0,006	0,979
Element 5-9 (Plate)	16455	2	3,000	-0,948	-2,868	-5,626	0,000	2,628	0,000	9,523	0,287	0,000	2,350
(Micropali D168.3x8,0mm/0,4)	16454	3	3,000	-1,146	-4,526	-7,501	0,000	5,073	0,000	14,078	1,052	0,000	4,670
28	16453	4	3,000	-1,344	-6,744	-9,634	0,000	7,519	0,000	19,377	2,296	0,000	7,972
29	16595	5	3,000	-1,542	-9,842	-12,473	0,000	9,743	-0,116	25,747	4,011	0,000	12,414
Plate_1_1	16595	1	3,000	-1,542	-9,602	-12,864	0,000	9,425	0,000	25,315	4,011	0,000	12,414
Element 5-10 (Plate)	16594	2	3,000	-1,581	-10,102	-13,338	0,000	9,860	0,000	26,480	4,391	0,000	13,438

Structural element	Node [10^3]	Local number	X [m]	Y [m]	N [kN/m]	N,,, [kN/m]	N,,, [kN/m]	Q [kN/m]	Q,,, [kN/m]	Q,,, [kN/m]	M [kN m/m]	M,,, [kN m/m]	M,,, [kN m/m]
(Micropali D168.3x8,0mm/0,4)	16593	3	3,000	-1,621	-10,603	-13,825	0,000	10,492	-0,017	27,760	4,795	0,000	14,512
愚	16592	4	3,000	-1,660	-11,110	-14,346	0,000	11,130	-0,035	29,071	5,222	0,000	15,637
愚	16615	5	3,000	-1,700	-11,630	-14,919	0,000	11,581	-0,022	30,327	5,673	0,000	16,812
Plate_2_4	17465	1	0,000	-1,200	-10,290	-10,290	0,000	-34,770	-34,770	0,000	9,681	0,000	9,681
Element 6-11 (Plate)	17390	2	0,000	-1,261	-10,405	-10,405	0,000	-33,649	-33,649	0,000	7,601	-0,536	7,601
(Parete c.a.C32/40 sp.0.50m)	17389	3	0,000	-1,322	-10,560	-10,560	0,000	-32,428	-32,428	0,000	5,592	-1,127	5,592
愚	17388	4	0,000	-1,382	-10,736	-10,736	0,000	-31,159	-31,159	0,000	3,658	-1,920	3,658
愚	17387	5	0,000	-1,443	-10,913	-10,913	0,000	-29,893	-29,893	0,000	1,803	-2,886	1,803
Plate_2_4	17387	1	0,000	-1,443	-10,908	-10,908	0,000	-29,904	-29,904	0,000	1,803	-2,886	1,803
Element 6-12 (Plate)	17259	2	0,000	-1,535	-11,166	-11,166	0,000	-28,026	-28,026	0,000	-0,853	-4,299	0,000
(Parete c.a.C32/40 sp.0.50m)	17258	3	0,000	-1,627	-11,440	-11,440	0,000	-26,120	-26,120	0,000	-3,336	-5,650	0,000
愚	17257	4	0,000	-1,718	-11,728	-11,728	0,000	-24,189	-24,189	0,000	-5,644	-6,937	0,000
愚	17256	5	0,000	-1,810	-12,029	-12,029	0,000	-22,236	-22,236	0,000	-7,772	-8,154	0,000
Plate_1_2	16615	1	3,000	-1,700	-16,235	-22,672	0,000	-13,935	-34,334	5,890	5,673	0,000	16,812
Element 7-13 (Plate)	16614	2	3,000	-1,728	-16,466	-22,903	0,000	-13,351	-33,555	6,153	5,287	0,000	15,865
(Micropali D168.3x8,0mm/0,4)	16613	3	3,000	-1,757	-16,789	-23,189	0,000	-12,894	-32,753	6,453	4,916	0,000	14,941
愚	16612	4	3,000	-1,785	-17,168	-23,508	0,000	-12,513	-31,937	6,788	4,557	0,000	14,042
愚	16611	5	3,000	-1,813	-17,568	-23,834	0,000	-12,154	-31,116	7,160	4,208	0,000	13,168
Plate_1_3	16611	1	3,000	-1,813	-17,574	-23,850	0,000	-12,147	-31,104	7,046	4,208	0,000	13,168
Element 8-14 (Plate)	16499	2	3,000	-1,847	-17,967	-24,193	0,000	-11,843	-30,280	7,347	3,799	0,000	12,147
(Micropali D168.3x8,0mm/0,4)	16498	3	3,000	-1,881	-18,361	-24,542	0,000	-11,579	-29,483	7,519	3,401	0,000	11,157
愚	16497	4	3,000	-1,915	-18,737	-24,877	0,000	-11,365	-28,737	7,553	3,010	0,000	10,195
愚	16496	5	3,000	-1,949	-19,073	-25,176	0,000	-11,215	-28,068	7,438	2,626	0,000	9,260
Plate_1_3	16496	1	3,000	-1,949	-19,087	-25,163	0,000	-11,236	-28,068	7,452	2,626	0,000	9,260
Element 8-15 (Plate)	16287	2	3,000	-1,983	-19,314	-25,414	0,000	-11,049	-27,486	7,221	2,246	0,000	8,349
(Micropali D168.3x8,0mm/0,4)	16286	3	3,000	-2,018	-19,512	-25,652	0,000	-10,929	-26,975	6,850	1,872	0,000	7,459
愚	16285	4	3,000	-2,052	-19,721	-25,901	0,000	-10,984	-26,557	6,349	1,499	0,000	6,587
愚	16284	5	3,000	-2,086	-19,976	-26,187	0,000	-11,321	-26,258	5,730	1,121	0,000	5,731
Plate_1_4	16284	1	3,000	-2,086	-19,966	-26,167	0,000	-11,298	-26,260	5,745	1,121	0,000	5,731
Element 9-16 (Plate)	16241	2	3,000	-2,088	-20,056	-26,254	0,000	-11,479	-26,261	5,682	1,091	0,000	5,666
(Micropali D168.3x8,0mm/0,4)	16240	3	3,000	-2,091	-20,102	-26,295	0,000	-11,557	-26,245	5,608	1,061	0,000	5,629
愚	16239	4	3,000	-2,094	-20,114	-26,300	0,000	-11,570	-26,228	5,529	1,031	0,000	5,643
愚	16238	5	3,000	-2,096	-20,106	-26,283	0,000	-11,560	-26,223	5,451	1,000	0,000	5,658
Plate_2_5	17256	1	0,000	-1,810	-12,019	-12,019	0,004	-22,260	-22,260	0,007	-7,772	-8,154	0,000
Element 10-17 (Plate)	17223	2	0,000	-1,882	-12,261	-12,261	0,000	-20,935	-20,935	0,018	-9,337	-9,448	0,000
(Parete c.a.C32/40 sp.0.50m)	17222	3	0,000	-1,955	-12,511	-12,511	0,001	-19,596	-19,596	0,039	-10,806	-10,845	0,002
愚	17221	4	0,000	-2,027	-12,776	-12,776	0,001	-18,227	-18,227	0,097	-12,177	-12,178	0,007
愚	17220	5	0,000	-2,100	-13,062	-13,062	0,002	-16,814	-16,814	0,202	-13,447	-13,447	0,017
Plate_2_5	17220	1	0,000	-2,100	-13,065	-13,065	0,002	-16,808	-16,808	0,211	-13,447	-13,447	0,017
Element 10-18 (Plate)	17043	2	0,000	-2,200	-13,442	-13,442	0,001	-14,918	-14,918	0,277	-15,034	-15,034	0,041
(Parete c.a.C32/40 sp.0.50m)	17042	3	0,000	-2,300	-13,856	-13,856	0,000	-12,949	-12,949	0,471	-16,429	-16,429	0,076
愚	17041	4	0,000	-2,400	-14,303	-14,303	0,000	-10,913	-10,913	0,707	-17,623	-17,623	0,132
愚	17040	5	0,000	-2,500	-14,777	-14,777	0,000	-8,823	-8,823	1,019	-18,610	-18,610	0,217
Plate_1_5	16238	1	3,000	-2,096	-20,084	-26,274	0,000	-11,513	-26,223	5,501	1,000	0,000	5,658
Element 11-19 (Plate)	16221	2	3,000	-2,140	-20,206	-26,412	0,000	-11,754	-26,223	4,337	0,496	0,000	5,871
(Micropali D168.3x8,0mm/0,4)	16220	3	3,000	-2,183	-20,342	-26,569	0,000	-12,022	-26,223	3,259	-0,021	-0,021	6,035
愚	16219	4	3,000	-2,226	-20,485	-26,740	0,000	-12,304	-26,223	2,249	-0,549	-0,549	6,155
愚	16218	5	3,000	-2,270	-20,628	-26,921	0,000	-12,585	-26,223	1,291	-1,089	-1,089	6,231
Plate_1_5	16218	1	3,000	-2,270	-20,384	-26,650	0,000	-13,068	-26,602	1,335	-1,089	-1,089	6,231
Element 11-20 (Plate)	15915	2	3,000	-2,344	-21,486	-27,770	0,000	-11,913	-24,578	0,000	-2,016	-2,069	6,267
(Micropali D168.3x8,0mm/0,4)	15914	3	3,000	-2,418	-22,663	-28,966	0,087	-10,894	-22,663	0,000	-2,860	-3,732	6,190
愚	15913	4	3,000	-2,492	-23,835	-30,071	0,459	-10,121	-20,986	0,000	-3,640	-5,292	6,021
愚	15912	5	3,000	-2,567	-24,919	-31,033	0,618	-9,703	-19,673	0,000	-4,372	-6,754	5,779

Structural element	Node [10^0]	Local number	X [m]	Y [m]	N [kN/m]	N,,x,, [kN/m]	N,,xy,, [kN/m]	Q [kN/m]	Q,,x,, [kN/m]	Q,,y,, [kN/m]	M [kN m/m]	M,,x,, [kN m/m]	M,,xy,, [kN m/m]
Plate_1_5	15912	1	3,000	-2,567	-24,836	-30,995	0,682	-9,873	-19,825	0,000	-4,372	-6,754	5,779
Element 11-21 (Plate)	15631	2	3,000	-2,694	-26,320	-32,196	1,061	-9,587	-18,326	0,000	-5,605	-9,114	5,248
(Micropali D168.3x8,0mm/0,4)	15630	3	3,000	-2,821	-27,935	-33,421	1,399	-9,463	-16,974	0,000	-6,813	-11,311	4,635
28	15629	4	3,000	-2,948	-29,686	-34,671	1,695	-9,494	-15,755	0,000	-8,015	-13,369	3,992
28	15628	5	3,000	-3,074	-31,574	-35,974	1,952	-9,671	-14,656	0,000	-9,229	-15,298	3,367
Plate_1_5	15628	1	3,000	-3,074	-31,468	-35,914	1,954	-9,870	-14,818	0,000	-9,229	-15,298	3,367
Element 11-22 (Plate)	15607	2	3,000	-3,292	-34,843	-38,160	2,318	-9,339	-13,429	0,450	-11,301	-18,264	2,392
(Micropali D168.3x8,0mm/0,4)	15606	3	3,000	-3,509	-38,045	-40,305	2,599	-9,256	-12,213	2,725	-13,319	-20,840	1,587
28	15605	4	3,000	-3,726	-41,397	-42,781	2,787	-9,369	-10,735	5,921	-15,334	-23,008	1,372
28	15604	5	3,000	-3,943	-45,220	-45,858	2,872	-9,426	-9,459	10,502	-17,379	-24,717	2,875
Plate_2_6	17040	1	0,000	-2,500	-14,769	-14,769	0,000	-8,844	-8,844	0,999	-18,610	-18,610	0,217
Element 12-23 (Plate)	17003	2	0,000	-2,615	-15,312	-15,312	0,000	-6,462	-6,462	1,375	-19,495	-19,495	0,353
(Parete c.a.C32/40 sp.0.50m)	17002	3	0,000	-2,731	-15,884	-15,884	0,000	-4,027	-4,028	1,848	-20,100	-20,100	0,538
28	17001	4	0,000	-2,846	-16,473	-16,473	0,000	-1,567	-1,570	2,391	-20,424	-20,424	0,782
28	17000	5	0,000	-2,962	-17,068	-17,068	0,000	0,890	0,000	2,977	-20,462	-20,462	1,092
Plate_2_6	17000	1	0,000	-2,962	-17,074	-17,074	0,000	0,905	0,000	2,990	-20,462	-20,462	1,092
Element 12-24 (Plate)	16689	2	0,000	-3,082	-17,603	-17,603	0,000	3,209	0,000	3,399	-20,216	-20,216	1,475
(Parete c.a.C32/40 sp.0.50m)	16688	3	0,000	-3,202	-18,166	-18,166	0,000	5,580	0,000	5,580	-19,688	-19,688	1,913
28	16687	4	0,000	-3,322	-18,772	-18,772	0,000	8,039	0,000	8,039	-18,871	-18,871	2,420
28	16686	5	0,000	-3,442	-19,429	-19,429	0,000	10,609	0,000	10,609	-17,752	-17,754	3,012
Plate_2_6	16686	1	0,000	-3,442	-19,473	-19,473	0,000	10,722	0,000	10,722	-17,752	-17,754	3,012
Element 12-25 (Plate)	16542	2	0,000	-3,567	-20,105	-20,105	0,000	13,240	0,000	13,240	-16,257	-16,261	3,733
(Parete c.a.C32/40 sp.0.50m)	16541	3	0,000	-3,693	-20,830	-20,830	0,000	15,975	0,000	15,975	-14,430	-14,438	4,574
28	16540	4	0,000	-3,818	-21,628	-21,628	0,000	18,873	0,000	18,873	-12,253	-12,266	5,553
28	16536	5	0,000	-3,943	-22,478	-22,478	0,000	21,880	0,000	21,880	-9,705	-9,817	6,688
Plate_2_7	16536	1	0,000	-3,943	-22,447	-22,447	0,004	21,801	-0,006	21,801	-9,705	-9,817	6,688
Element 13-26 (Plate)	16129	2	0,000	-4,055	-23,125	-23,125	0,000	24,264	0,000	24,264	-7,116	-7,425	7,836
(Parete c.a.C32/40 sp.0.50m)	16128	3	0,000	-4,167	-23,747	-23,747	0,000	26,566	0,000	26,566	-4,257	-5,501	9,102
28	16127	4	0,000	-4,280	-24,314	-24,314	0,000	28,708	0,000	28,708	-1,148	-3,393	10,483
28	16126	5	0,000	-4,392	-24,827	-24,827	0,000	30,694	0,000	30,694	2,191	-1,110	11,974
Plate_2_8	16126	1	0,000	-4,392	-24,818	-24,818	0,000	30,670	0,000	30,670	2,191	-1,110	11,974
Element 14-27 (Plate)	15925	2	0,000	-4,594	-26,081	-26,081	0,000	33,904	0,000	33,904	8,689	0,000	14,924
(Parete c.a.C32/40 sp.0.50m)	15924	3	0,000	-4,796	-27,645	-27,645	0,000	37,911	0,000	37,911	15,940	0,000	18,283
28	15923	4	0,000	-4,998	-29,365	-29,365	0,000	42,315	0,000	42,315	24,031	0,000	24,031
28	15922	5	0,000	-5,200	-31,093	-31,093	0,000	46,741	0,000	46,741	33,026	0,000	33,026
Plate_1_6	15604	1	3,000	-3,943	-44,970	-45,616	2,922	-9,815	-9,882	9,422	-17,379	-24,717	2,875
Element 15-28 (Plate)	15495	2	3,000	-4,180	-49,382	-49,517	2,958	-8,584	-8,584	5,328	-19,509	-25,880	4,155
(Micropali D168.3x8,0mm/0,4)	15494	3	3,000	-4,418	-53,717	-53,717	3,002	-8,714	-8,714	3,000	-21,588	-26,265	4,661
28	15493	4	3,000	-4,656	-58,293	-58,293	3,023	-8,770	-8,770	5,256	-23,648	-25,783	4,837
28	15515	5	3,000	-4,894	-63,426	-63,426	5,094	-7,319	-7,319	11,711	-25,619	-25,747	4,949
Plate_1_6	15515	1	3,000	-4,894	-63,268	-63,268	4,592	-7,533	-7,533	11,422	-25,619	-25,747	4,949
Element 15-29 (Plate)	15514	2	3,000	-5,095	-66,957	-66,957	7,199	-6,594	-6,594	16,713	-27,016	-27,016	4,874
(Micropali D168.3x8,0mm/0,4)	15513	3	3,000	-5,297	-69,698	-69,698	8,839	-6,359	-6,359	21,111	-28,334	-28,334	4,620
28	15512	4	3,000	-5,498	-72,341	-72,341	9,858	-6,003	-6,003	25,780	-29,573	-29,573	4,345
28	15511	5	3,000	-5,700	-75,741	-75,741	10,602	-4,701	-4,701	31,888	-30,681	-30,681	4,347
Plate_2_9	15922	1	0,000	-5,200	-47,338	-47,338	0,000	-50,132	-50,132	0,000	33,026	0,000	33,026
Element 16-30 (Plate)	15715	2	0,000	-5,366	-48,864	-48,864	0,000	-46,226	-46,226	0,000	25,044	-1,437	25,044
(Parete c.a.C32/40 sp.0.50m)	15714	3	0,000	-5,531	-50,413	-50,413	0,000	-42,259	-42,259	0,000	17,711	-4,001	17,711
28	15713	4	0,000	-5,697	-51,990	-51,990	0,000	-38,220	-38,220	0,000	11,041	-6,355	11,041
28	15712	5	0,000	-5,863	-53,600	-53,600	0,000	-34,099	-34,099	0,000	5,050	-8,467	5,050
Plate_2_9	15712	1	0,000	-5,863	-53,581	-53,581	0,000	-34,145	-34,145	0,000	5,050	-8,467	5,050
Element 16-31 (Plate)	15279	2	0,000	-5,947	-54,385	-54,385	0,000	-32,087	-32,087	0,000	2,258	-9,441	2,258
(Parete c.a.C32/40 sp.0.50m)	15278	3	0,000	-6,031	-55,197	-55,197	0,000	-30,007	-30,007	0,000	-0,360	-10,343	0,000

Structural element	Node [10^3]	Local number	X [m]	Y [m]	N [kN/m]	N,x [kN/m]	N,y [kN/m]	Q [kN/m]	Q,x [kN/m]	Q,y [kN/m]	M [kN m/m]	M,x [kN m/m]	M,y [kN m/m]
2D	15277	4	0,000	-6,116	-56,018	-56,018	0,000	-27,906	-27,906	0,000	-2,802	-11,766	0,000
2D	15276	5	0,000	-6,200	-56,847	-56,847	0,000	-25,784	-25,784	0,000	-5,064	-13,840	0,000
Plate_1_7	15511	1	3,000	-5,700	-71,629	-71,629	10,519	26,721	-17,860	26,721	-30,681	-30,681	4,347
Element 17-32 (Plate)	15227	2	3,000	-5,825	-75,404	-75,404	10,862	28,090	-12,233	29,399	-27,256	-27,256	4,273
(Micropali D168.3x8,0mm/0,4)	15228	3	3,000	-5,950	-79,154	-79,154	11,209	29,018	-7,187	34,231	-23,675	-23,675	5,350
2D	15229	4	3,000	-6,075	-82,621	-82,621	11,545	29,142	-2,996	38,670	-20,033	-20,033	8,280
2D	15226	5	3,000	-6,200	-85,545	-85,545	11,859	28,100	-2,063	42,407	-16,440	-16,440	11,701
Plate_2_10	15276	1	0,000	-6,200	-56,822	-56,822	0,003	-25,848	-25,848	0,003	-5,064	-13,840	0,000
Element 18-33 (Plate)	15111	2	0,000	-6,275	-57,565	-57,565	0,000	-23,944	-23,944	0,020	-6,931	-15,541	0,001
(Parete c.a.C32/40 sp.0.50m)	15110	3	0,000	-6,350	-58,319	-58,319	0,000	-22,013	-22,013	0,059	-8,655	-17,103	0,003
2D	15109	4	0,000	-6,425	-59,082	-59,082	0,000	-20,059	-20,059	0,113	-10,234	-18,524	0,010
2D	15108	5	0,000	-6,500	-59,853	-59,853	0,000	-18,086	-18,086	0,171	-11,664	-19,802	0,020
Plate_1_8	15226	1	3,000	-6,200	-85,342	-85,342	11,857	27,825	-2,075	42,207	-16,440	-16,440	11,701
Element 19-34 (Plate)	15055	2	3,000	-6,275	-87,158	-87,158	12,040	27,288	-1,952	40,863	-14,374	-14,374	14,032
(Micropali D168.3x8,0mm/0,4)	15054	3	3,000	-6,350	-88,987	-88,987	12,214	26,825	-1,841	38,711	-12,345	-12,345	16,324
2D	15053	4	3,000	-6,425	-90,829	-90,829	12,379	26,480	-1,746	36,000	-10,346	-10,346	18,631
2D	15052	5	3,000	-6,500	-92,687	-92,687	12,537	26,294	-1,732	35,219	-8,369	-8,574	21,053
Plate_1_9	15052	1	3,000	-6,500	-92,690	-92,690	12,539	26,341	-1,766	35,293	-8,369	-8,574	21,053
Element 20-35 (Plate)	14383	2	3,000	-6,522	-93,239	-93,239	12,584	26,386	-1,825	35,792	-7,802	-8,379	21,745
(Micropali D168.3x8,0mm/0,4)	14384	3	3,000	-6,543	-93,770	-93,770	12,631	26,420	-1,889	36,292	-7,234	-8,168	22,421
2D	14385	4	3,000	-6,565	-94,274	-94,274	12,682	26,427	-1,959	36,776	-6,665	-7,944	23,088
2D	14382	5	3,000	-6,586	-94,745	-94,745	12,737	26,393	-2,038	37,384	-6,097	-7,707	23,738
Plate_2_11	15108	1	0,000	-6,500	-59,745	-59,745	0,000	-18,363	-18,363	0,157	-11,664	-19,802	0,020
Element 21-36 (Plate)	14137	2	0,000	-6,624	-61,245	-61,245	0,000	-14,521	-14,521	0,403	-13,688	-21,592	0,054
(Parete c.a.C32/40 sp.0.50m)	14136	3	0,000	-6,747	-62,524	-62,524	0,000	-11,247	-11,247	0,658	-15,277	-22,975	0,114
2D	14135	4	0,000	-6,871	-63,623	-63,623	0,000	-8,432	-8,432	0,918	-16,488	-23,992	0,212
2D	14134	5	0,000	-6,994	-64,584	-64,584	0,000	-5,971	-5,971	1,359	-17,375	-24,683	0,343
Plate_1_10	14382	1	3,000	-6,586	-94,833	-94,833	12,732	26,432	-2,060	37,289	-6,097	-7,707	23,738
Element 22-37 (Plate)	13951	2	3,000	-6,690	-96,149	-96,149	13,028	24,894	-2,574	39,143	-3,435	-6,519	26,149
(Micropali D168.3x8,0mm/0,4)	13952	3	3,000	-6,793	-97,349	-97,349	13,209	23,028	-5,355	40,214	-0,959	-5,305	27,375
2D	13953	4	3,000	-6,897	-98,368	-98,368	13,278	21,308	-8,747	40,726	1,337	-4,038	27,575
2D	13950	5	3,000	-7,000	-99,141	-99,141	13,236	20,210	-11,767	40,905	3,476	-2,733	27,371
Plate_2_12	14134	1	0,000	-6,994	-64,649	-64,649	0,000	-5,805	-5,805	1,372	-17,375	-24,683	0,343
Element 23-38 (Plate)	13402	2	0,000	-7,061	-65,258	-65,258	0,000	-4,244	-4,244	2,082	-17,713	-24,910	0,431
(Parete c.a.C32/40 sp.0.50m)	13401	3	0,000	-7,128	-65,937	-65,937	0,000	-2,506	-2,506	2,947	-17,940	-25,023	0,533
2D	13400	4	0,000	-7,195	-66,683	-66,683	0,000	-0,596	-0,793	3,849	-18,045	-25,013	0,651
2D	13396	5	0,000	-7,262	-67,494	-67,494	0,000	1,480	0,000	4,786	-18,016	-24,871	0,787
Plate_2_13	13396	1	0,000	-7,262	-67,471	-67,471	0,000	1,420	0,000	4,763	-18,016	-24,871	0,787
Element 24-39 (Plate)	12634	2	0,000	-7,322	-68,187	-68,187	0,000	3,254	0,000	5,658	-17,877	-24,636	0,926
(Parete c.a.C32/40 sp.0.50m)	12633	3	0,000	-7,381	-68,905	-68,905	0,000	5,093	0,000	6,665	-17,629	-24,293	1,085
2D	12632	4	0,000	-7,441	-69,625	-69,625	0,000	6,935	0,000	8,473	-17,272	-23,843	1,263
2D	12628	5	0,000	-7,500	-70,344	-70,344	0,000	8,778	0,000	10,290	-16,805	-23,286	1,461
Plate_1_11	13950	1	3,000	-7,000	-99,394	-99,394	13,261	19,799	-12,169	41,897	3,476	-2,733	27,371
Element 25-40 (Plate)	13001	2	3,000	-7,152	-100,019	-100,019	13,206	18,827	-16,143	19,858	6,438	-0,731	30,260
(Micropali D168.3x8,0mm/0,4)	13002	3	3,000	-7,305	-100,916	-100,916	13,152	17,197	-19,165	17,197	9,174	0,000	31,477
2D	13003	4	3,000	-7,457	-101,808	-101,808	13,102	15,735	-19,963	15,735	11,690	0,000	30,366
2D	13000	5	3,000	-7,610	-102,418	-102,418	13,058	15,265	-20,289	15,455	14,029	0,000	27,777
Plate_1_11	13000	1	3,000	-7,610	-102,770	-102,770	13,057	14,878	-21,743	15,121	14,029	0,000	27,777
Element 25-41 (Plate)	12096	2	3,000	-7,832	-105,669	-105,669	13,018	19,203	-22,973	21,040	17,924	0,000	22,823
(Micropali D168.3x8,0mm/0,4)	12095	3	3,000	-8,055	-107,905	-107,905	12,993	19,388	-22,301	23,569	22,252	0,000	22,252
2D	12094	4	3,000	-8,277	-109,551	-109,551	12,979	16,827	-19,595	25,343	26,353	-0,044	26,353
2D	12093	5	3,000	-8,500	-110,678	-110,678	12,973	12,916	-15,445	27,281	29,661	-0,144	29,661
Plate_2_14	12628	1	0,000	-7,500	-70,344	-70,344	0,000	8,777	0,000	10,289	-16,805	-23,286	1,461

Structural element	Node [10^0]	Local number	X [m]	Y [m]	N [kN/m]	N,min [kN/m]	N,max [kN/m]	Q [kN/m]	Q,min [kN/m]	Q,max [kN/m]	M [kN m/m]	M,min [kN m/m]	M,max [kN m/m]
Element 26-42 (Plate)	11506	2	0,000	-7,576	-71,282	-71,282	0,000	11,178	0,000	12,656	-16,043	-22,409	1,746
(Parete c.a.C32/40 sp.0.50m)	11505	3	0,000	-7,653	-72,242	-72,242	0,000	13,637	0,000	15,078	-15,095	-21,350	2,066
"	11504	4	0,000	-7,729	-73,241	-73,241	0,000	16,192	0,000	17,599	-13,955	-20,101	2,427
"	11503	5	0,000	-7,806	-74,293	-74,293	0,000	18,886	0,000	20,257	-12,616	-18,656	2,837
Plate_2_14	11503	1	0,000	-7,806	-74,277	-74,277	0,000	18,847	0,000	20,222	-12,616	-18,656	2,837
Element 26-43 (Plate)	11181	2	0,000	-7,867	-75,124	-75,124	0,000	21,013	0,000	22,386	-11,400	-17,356	3,202
(Parete c.a.C32/40 sp.0.50m)	11180	3	0,000	-7,928	-75,947	-75,947	0,000	23,121	0,000	24,480	-10,054	-15,926	3,599
"	11179	4	0,000	-7,989	-76,757	-76,757	0,000	25,195	0,000	26,529	-8,579	-14,370	4,024
"	11175	5	0,000	-8,050	-77,563	-77,563	0,000	27,259	0,000	28,553	-6,980	-12,690	4,473
Plate_2_14	11175	1	0,000	-8,050	-77,595	-77,595	0,000	27,340	0,000	28,634	-6,980	-12,690	4,473
Element 26-44 (Plate)	9918	2	0,000	-8,098	-78,264	-78,264	0,000	29,052	0,000	30,302	-5,607	-11,255	4,855
(Parete c.a.C32/40 sp.0.50m)	9917	3	0,000	-8,147	-78,936	-78,936	0,000	30,774	0,000	31,971	-4,150	-9,739	5,254
"	9916	4	0,000	-8,196	-79,626	-79,626	0,000	32,539	0,000	33,673	-2,608	-8,140	5,671
"	9915	5	0,000	-8,245	-80,344	-80,344	0,000	34,379	0,000	35,441	-0,980	-6,458	6,107
Plate_2_14	9915	1	0,000	-8,245	-80,340	-80,340	0,000	34,368	0,000	35,430	-0,980	-6,458	6,107
Element 26-45 (Plate)	9080	2	0,000	-8,283	-80,938	-80,938	0,000	35,899	0,000	36,897	0,386	-5,053	6,471
(Parete c.a.C32/40 sp.0.50m)	9079	3	0,000	-8,322	-81,517	-81,517	0,000	37,382	0,000	38,308	1,810	-3,591	6,850
"	9078	4	0,000	-8,361	-82,075	-82,075	0,000	38,809	0,000	39,658	3,291	-2,075	7,244
"	9077	5	0,000	-8,400	-82,608	-82,608	0,000	40,175	0,000	40,941	4,826	-0,509	7,650
Plate_3_1	9077	1	0,000	-8,400	-87,396	-87,396	0,000	38,162	-0,007	39,100	4,826	-0,509	7,650
Element 27-46 (Plate)	7882	2	0,000	-8,425	-87,882	-87,882	0,000	39,117	-0,007	39,992	5,792	0,000	7,904
(Micropali D168.3x10/0,27m)	7883	3	0,000	-8,450	-88,350	-88,350	0,000	40,035	-0,007	40,842	6,782	0,000	8,163
"	7884	4	0,000	-8,475	-88,801	-88,801	0,000	40,919	-0,007	41,654	7,794	-0,001	8,426
"	7881	5	0,000	-8,500	-89,235	-89,235	0,000	41,773	-0,007	42,431	8,828	-0,001	8,828
Plate_1_12	12093	1	3,000	-8,500	-110,530	-110,530	12,971	17,014	-15,861	27,713	29,661	-0,144	29,661
Element 28-47 (Plate)	11390	2	3,000	-8,706	-100,958	-100,958	12,966	-2,043	-12,588	3,027	31,094	-0,226	31,094
(Micropali D168.3x8,0mm/0,4)	11391	3	3,000	-8,913	-93,641	-93,641	12,961	-14,793	-17,018	0,000	29,252	-0,301	29,252
"	11392	4	3,000	-9,119	-88,238	-88,238	12,956	-21,371	-21,730	0,000	25,414	-0,370	25,414
"	11389	5	3,000	-9,325	-84,408	-84,408	12,950	-21,912	-21,994	0,000	20,850	-0,433	20,850
Plate_1_12	11389	1	3,000	-9,325	-84,017	-84,017	12,896	-22,757	-23,079	0,000	20,850	-0,433	20,850
Element 28-48 (Plate)	10576	2	3,000	-9,483	-80,922	-80,922	12,962	-21,646	-22,081	0,000	17,338	-0,519	17,338
(Micropali D168.3x8,0mm/0,4)	10575	3	3,000	-9,641	-77,687	-77,687	12,831	-19,847	-20,287	0,000	14,058	-0,727	14,058
"	10574	4	3,000	-9,798	-74,269	-74,269	12,507	-17,487	-17,826	0,000	11,104	-0,870	11,104
"	10573	5	3,000	-9,956	-70,620	-70,620	11,989	-14,690	-14,838	0,000	8,563	-0,974	8,563
Plate_1_12	10573	1	3,000	-9,956	-70,554	-70,554	11,989	-14,825	-14,986	0,000	8,563	-0,974	8,563
Element 28-49 (Plate)	9580	2	3,000	-10,077	-67,425	-67,425	11,448	-12,822	-12,822	0,013	6,897	-1,096	6,897
(Micropali D168.3x8,0mm/0,4)	9579	3	3,000	-10,197	-63,960	-63,960	10,796	-10,956	-10,956	0,048	5,464	-1,166	5,464
"	9578	4	3,000	-10,318	-60,151	-60,151	10,058	-9,241	-9,241	0,200	4,247	-1,189	4,247
"	9577	5	3,000	-10,439	-55,992	-55,992	9,219	-7,689	-7,689	0,377	3,228	-1,170	3,228
Plate_1_12	9577	1	3,000	-10,439	-55,943	-55,943	9,240	-7,703	-7,703	0,379	3,228	-1,170	3,228
Element 28-50 (Plate)	8342	2	3,000	-10,531	-52,390	-52,390	8,607	-6,670	-6,670	0,554	2,566	-1,129	2,566
(Micropali D168.3x8,0mm/0,4)	8343	3	3,000	-10,623	-48,521	-48,521	7,948	-5,778	-5,778	0,764	1,993	-1,068	1,993
"	8344	4	3,000	-10,715	-44,336	-44,336	7,265	-5,028	-5,028	0,948	1,496	-0,989	1,496
"	8341	5	3,000	-10,808	-39,834	-39,834	6,557	-4,420	-4,420	1,104	1,061	-0,894	1,061
Plate_1_12	8341	1	3,000	-10,808	-39,856	-39,856	6,555	-4,431	-4,431	1,097	1,061	-0,894	1,061
Element 28-51 (Plate)	7770	2	3,000	-10,878	-36,114	-36,114	5,993	-4,016	-4,016	1,191	0,764	-0,813	0,764
(Micropali D168.3x8,0mm/0,4)	7769	3	3,000	-10,949	-32,265	-32,265	5,411	-3,647	-3,647	1,249	0,493	-0,727	0,493
"	7768	4	3,000	-11,019	-28,311	-28,311	4,808	-3,293	-3,293	1,270	0,249	-0,638	0,249
"	7767	5	3,000	-11,090	-24,256	-24,256	4,185	-2,925	-2,925	1,254	0,029	-0,613	0,029
Plate_1_12	7767	1	3,000	-11,090	-24,253	-24,253	4,184	-2,853	-2,853	1,269	0,029	-0,613	0,029
Element 28-52 (Plate)	6794	2	3,000	-11,144	-21,088	-21,088	3,691	-2,459	-2,459	1,226	-0,115	-0,608	0,000
(Micropali D168.3x8,0mm/0,4)	6795	3	3,000	-11,198	-17,859	-17,859	3,182	-1,884	-1,884	1,209	-0,233	-0,593	0,000
"	6796	4	3,000	-11,252	-14,568	-14,568	2,657	-1,093	-1,093	1,231	-0,314	-0,560	0,000

Structural element	Node [10^]	Local number	X [m]	Y [m]	N [kN/m]	N,max [kN/m]	N,min [kN/m]	Q [kN/m]	Q,max [kN/m]	Q,min [kN/m]	M [kN m/m]	M,max [kN m/m]	M,min [kN m/m]
28	6793	5	3,000	-11,306	-11,220	-11,220	2,116	-0,053	-0,053	1,585	-0,346	-0,498	0,000
Plate_1_12	6793	1	3,000	-11,306	-11,240	-11,240	2,114	-0,122	-0,122	1,449	-0,346	-0,498	0,000
Element 28-53 (Plate)	5608	2	3,000	-11,347	-8,602	-8,602	1,687	1,206	0,000	2,468	-0,323	-0,419	0,000
(Micropali D168.3x8,0mm/0,4)	5609	3	3,000	-11,388	-5,980	-5,980	1,246	2,170	0,000	3,122	-0,252	-0,303	0,000
28	5610	4	3,000	-11,429	-3,494	-3,494	0,791	2,710	0,000	3,313	-0,150	-0,169	0,000
28	5607	5	3,000	-11,471	-1,263	-1,264	0,321	2,766	0,000	2,965	-0,035	-0,037	0,000
Plate_3_2	7881	1	0,000	-8,500	-89,211	-89,211	0,000	41,737	-0,006	42,449	8,828	-0,001	8,828
Element 29-54 (Plate)	6882	2	0,000	-8,544	-88,614	-88,614	0,000	38,295	-0,009	38,989	10,579	-0,001	10,579
(Micropali D168.3x10/0,27m)	6883	3	0,000	-8,588	-87,930	-87,930	0,000	34,716	-0,013	35,601	12,177	-0,001	12,177
28	6884	4	0,000	-8,631	-87,178	-87,178	0,000	31,070	-0,018	32,311	13,618	-0,002	13,618
28	6881	5	0,000	-8,675	-86,378	-86,378	0,000	27,429	-0,022	29,147	14,897	-0,003	14,897
Plate_3_2	6881	1	0,000	-8,675	-86,350	-86,350	0,000	27,392	-0,022	29,050	14,897	-0,003	14,897
Element 29-55 (Plate)	6868	2	0,000	-8,726	-85,315	-85,315	0,000	23,220	-0,041	25,297	16,182	-0,004	16,182
(Micropali D168.3x10/0,27m)	6869	3	0,000	-8,777	-84,181	-84,181	0,000	18,991	-0,329	21,428	17,254	-0,005	17,254
28	6870	4	0,000	-8,827	-82,969	-82,969	0,000	14,748	-1,147	17,480	18,111	-0,007	18,111
28	6867	5	0,000	-8,878	-81,698	-81,698	0,000	10,535	-2,326	13,495	18,752	-0,008	18,752
Plate_3_2	6867	1	0,000	-8,878	-81,738	-81,738	0,000	10,603	-2,351	13,573	18,752	-0,008	18,752
Element 29-56 (Plate)	5682	2	0,000	-8,937	-80,416	-80,416	0,000	6,115	-3,555	9,278	19,241	-0,009	19,241
(Micropali D168.3x10/0,27m)	5683	3	0,000	-8,996	-79,345	-79,345	0,000	2,246	-4,596	5,547	19,485	-0,010	19,485
28	5684	4	0,000	-9,055	-78,507	-78,507	0,000	-1,028	-5,429	2,361	19,518	-0,010	19,518
28	5681	5	0,000	-9,114	-77,885	-77,885	0,000	-3,728	-6,059	0,000	19,375	-0,011	19,375
Plate_3_2	5681	1	0,000	-9,114	-77,849	-77,849	0,000	-3,793	-6,082	0,000	19,375	-0,011	19,375
Element 29-57 (Plate)	5668	2	0,000	-9,182	-77,331	-77,331	0,000	-6,318	-6,618	0,000	19,027	-0,011	19,027
(Micropali D168.3x10/0,27m)	5669	3	0,000	-9,250	-76,914	-76,914	0,000	-8,374	-8,374	0,000	18,522	-0,012	18,522
28	5670	4	0,000	-9,319	-76,586	-76,586	0,000	-9,981	-9,981	0,000	17,892	-0,012	17,892
28	5667	5	0,000	-9,387	-76,333	-76,333	0,000	-11,158	-11,158	0,000	17,168	-0,012	17,168
Plate_3_2	5667	1	0,000	-9,387	-76,331	-76,331	0,000	-11,212	-11,212	0,000	17,168	-0,012	17,168
Element 29-58 (Plate)	5642	2	0,000	-9,466	-76,015	-76,015	0,000	-12,195	-12,195	0,000	16,239	-0,012	16,239
(Micropali D168.3x10/0,27m)	5643	3	0,000	-9,546	-75,753	-75,753	0,000	-12,876	-12,876	0,000	15,243	-0,012	15,243
28	5644	4	0,000	-9,625	-75,567	-75,567	0,000	-13,268	-13,268	0,000	14,204	-0,013	14,204
28	5641	5	0,000	-9,704	-75,482	-75,482	0,001	-13,384	-13,384	0,000	13,147	-0,013	13,147
Plate_3_2	5641	1	0,000	-9,704	-75,478	-75,478	0,001	-13,422	-13,422	0,000	13,147	-0,013	13,147
Element 29-59 (Plate)	5544	2	0,000	-9,796	-75,526	-75,526	0,003	-13,327	-13,327	0,000	11,916	-0,014	11,916
(Micropali D168.3x10/0,27m)	5545	3	0,000	-9,888	-75,662	-75,662	0,005	-13,060	-13,060	0,000	10,701	-0,015	10,701
28	5546	4	0,000	-9,980	-75,881	-75,881	0,007	-12,630	-12,630	0,000	9,518	-0,017	9,518
28	5543	5	0,000	-10,072	-76,177	-76,177	0,008	-12,049	-12,049	0,000	8,383	-0,019	8,383
Plate_3_2	5543	1	0,000	-10,072	-76,165	-76,165	0,008	-12,074	-12,074	0,000	8,383	-0,019	8,383
Element 29-60 (Plate)	4597	2	0,000	-10,179	-76,567	-76,567	0,011	-11,283	-11,283	0,000	7,137	-0,022	7,137
(Micropali D168.3x10/0,27m)	4598	3	0,000	-10,285	-77,006	-77,006	0,013	-10,422	-10,422	0,000	5,978	-0,025	5,978
28	4599	4	0,000	-10,392	-77,477	-77,477	0,015	-9,498	-9,498	0,000	4,915	-0,029	4,915
28	4596	5	0,000	-10,499	-77,976	-77,976	0,017	-8,519	-8,519	0,000	3,954	-0,034	3,954
Plate_3_2	4596	1	0,000	-10,499	-77,969	-77,969	0,017	-8,533	-8,533	0,000	3,954	-0,034	3,954
Element 29-61 (Plate)	4561	2	0,000	-10,622	-78,555	-78,555	0,020	-7,382	-7,382	0,000	2,969	-0,040	2,969
(Micropali D168.3x10/0,27m)	4562	3	0,000	-10,746	-79,139	-79,139	0,023	-6,236	-6,236	0,000	2,127	-0,047	2,127
28	4563	4	0,000	-10,870	-79,719	-79,719	0,026	-5,098	-5,098	0,000	1,425	-0,058	1,425
28	4560	5	0,000	-10,994	-80,294	-80,294	0,028	-3,971	-3,971	0,000	0,864	-0,191	0,864
Plate_3_2	4560	1	0,000	-10,994	-80,290	-80,290	0,029	-3,977	-3,977	0,000	0,864	-0,191	0,864
Element 29-62 (Plate)	4345	2	0,000	-11,137	-80,940	-80,940	0,032	-2,702	-2,702	0,000	0,386	-0,366	0,386
(Micropali D168.3x10/0,27m)	4346	3	0,000	-11,281	-81,565	-81,565	0,035	-1,476	-1,476	0,000	0,086	-0,461	0,086
28	4347	4	0,000	-11,424	-82,164	-82,164	0,040	-0,301	-0,301	0,166	-0,041	-0,477	0,000
28	4344	5	0,000	-11,568	-82,735	-82,735	0,045	0,821	0,000	0,966	-0,003	-0,418	0,000
Plate_3_2	4344	1	0,000	-11,568	-82,698	-82,698	0,073	0,748	-0,018	0,908	-0,003	-0,418	0,000
Element 29-63 (Plate)	3619	2	0,000	-11,734	-83,356	-83,356	0,007	2,039	0,000	2,039	0,234	-0,276	0,234

Structural element	Node [10^3]	Local number	X [m]	Y [m]	N [kN/m]	N,x [kN/m]	N,y [kN/m]	Q [kN/m]	Q,x [kN/m]	Q,y [kN/m]	M [kN m/m]	M,x [kN m/m]	M,y [kN m/m]
(Micropali D168.3x10/0,27m)	3620	3	0,000	-11,901	-83,815	-83,815	0,000	2,938	0,000	2,938	0,656	-0,075	0,656
2D	3621	4	0,000	-12,067	-84,033	-84,033	0,000	3,367	0,000	3,367	1,186	-0,018	1,186
2D	3618	5	0,000	-12,234	-83,971	-83,971	0,000	3,245	0,000	3,245	1,746	0,000	1,746
Plate_1_13	5607	1	3,000	-11,471	-1,327	-1,330	0,321	2,327	0,000	2,540	-0,035	-0,037	0,000
Element 30-64 (Plate)	4612	2	3,000	-11,478	-0,967	-0,984	0,235	1,810	0,000	1,920	-0,020	-0,021	0,000
(Micropali D168.3x8,0mm/0,4)	4611	3	3,000	-11,485	-0,622	-0,647	0,149	1,219	0,000	1,269	-0,009	-0,009	0,000
2D	4610	4	3,000	-11,493	-0,292	-0,307	0,062	0,583	0,000	0,603	-0,002	-0,002	0,000
2D	4609	5	3,000	-11,500	0,026	-0,024	0,029	-0,065	-0,065	0,000	0,000	0,000	0,000
Plate_3_3	3618	1	0,000	-12,234	-83,909	-83,909	0,000	3,122	0,000	3,122	1,746	0,000	1,746
Element 31-65 (Plate)	2977	2	0,000	-12,406	-83,209	-83,209	0,000	1,749	0,000	1,749	2,161	0,000	2,161
(Micropali D168.3x10/0,27m)	2978	3	0,000	-12,579	-82,664	-82,664	0,000	0,679	0,000	0,691	2,366	0,000	2,366
2D	2979	4	0,000	-12,751	-82,270	-82,270	0,000	-0,095	-0,095	0,000	2,412	0,000	2,412
2D	2976	5	0,000	-12,924	-82,024	-82,024	0,000	-0,578	-0,578	0,000	2,350	0,000	2,350
Plate_3_3	2976	1	0,000	-12,924	-81,999	-81,999	0,000	-0,618	-0,618	0,000	2,350	0,000	2,350
Element 31-66 (Plate)	2613	2	0,000	-13,106	-81,833	-81,833	0,000	-0,944	-0,944	0,000	2,206	0,000	2,206
(Micropali D168.3x10/0,27m)	2612	3	0,000	-13,288	-81,705	-81,705	0,000	-1,145	-1,145	0,000	2,014	0,000	2,014
2D	2611	4	0,000	-13,470	-81,605	-81,605	0,000	-1,231	-1,231	0,000	1,796	0,000	1,796
2D	2610	5	0,000	-13,653	-81,523	-81,523	0,000	-1,210	-1,210	0,000	1,572	0,000	1,572
Plate_3_3	2610	1	0,000	-13,653	-81,425	-81,425	0,000	-1,234	-1,234	0,000	1,572	0,000	1,572
Element 31-67 (Plate)	1951	2	0,000	-13,845	-81,396	-81,396	0,000	-1,134	-1,134	0,000	1,344	0,000	1,344
(Micropali D168.3x10/0,27m)	1952	3	0,000	-14,037	-80,939	-80,939	0,000	-0,996	-0,996	0,000	1,138	0,000	1,138
2D	1953	4	0,000	-14,230	-80,061	-80,061	0,000	-0,827	-0,827	0,000	0,962	0,000	0,962
2D	1950	5	0,000	-14,422	-78,771	-78,771	0,000	-0,632	-0,632	0,000	0,822	0,000	0,822
Plate_3_3	1950	1	0,000	-14,422	-78,771	-78,771	0,000	-0,643	-0,643	0,000	0,822	0,000	0,822
Element 31-68 (Plate)	1613	2	0,000	-14,625	-76,986	-76,986	0,000	-0,451	-0,451	0,000	0,711	0,000	0,711
(Micropali D168.3x10/0,27m)	1614	3	0,000	-14,829	-74,752	-74,752	0,000	-0,278	-0,300	0,000	0,637	0,000	0,637
2D	1615	4	0,000	-15,032	-72,072	-72,072	0,000	-0,125	-0,217	0,000	0,596	0,000	0,596
2D	1612	5	0,000	-15,235	-68,949	-68,949	0,000	0,005	-0,169	0,005	0,584	-0,001	0,584
Plate_3_3	1612	1	0,000	-15,235	-68,919	-68,919	0,000	-0,011	-0,168	0,000	0,584	-0,001	0,584
Element 31-69 (Plate)	1081	2	0,000	-15,450	-65,128	-65,128	0,000	0,096	-0,138	0,096	0,596	-0,001	0,596
(Micropali D168.3x10/0,27m)	1082	3	0,000	-15,664	-60,704	-60,704	0,000	0,086	-0,113	0,086	0,617	-0,001	0,617
2D	1083	4	0,000	-15,879	-55,639	-55,639	0,000	-0,039	-0,093	0,001	0,624	-0,001	0,624
2D	1080	5	0,000	-16,093	-49,925	-49,925	0,000	-0,274	-0,274	0,002	0,593	-0,001	0,593
Plate_3_3	1080	1	0,000	-16,093	-49,774	-49,774	0,000	-0,210	-0,210	0,004	0,593	-0,001	0,593
Element 31-70 (Plate)	669	2	0,000	-16,320	-38,435	-38,435	0,000	-0,572	-0,572	0,002	0,506	0,000	0,506
(Micropali D168.3x10/0,27m)	668	3	0,000	-16,547	-26,427	-26,427	0,000	-0,838	-0,838	0,001	0,338	0,000	0,338
2D	667	4	0,000	-16,773	-13,695	-13,695	0,000	-0,827	-0,827	0,000	0,147	0,000	0,147
2D	666	5	0,000	-17,000	-0,182	-0,182	0,000	-0,359	-0,359	0,000	0,000	0,000	0,000

3.1.2.4.31 Calculation results, Plate, SLU11 Paratia provvisionale [Phase_23] (23/1151), Table of plate force envelopes

Structural element	Node [10 ^]	Local number	X [m]	Y [m]	N [kN/m]	N -·- [kN/m]	N ··- [kN/m]	Q [kN/m]	Q ·-· [kN/m]	Q ··· [kN/m]	M [kN m/m]	M ·-· [kN m/m]	M ··· [kN m/m]
Plate_4_1	16475	1	3,000	-0,126	0,193	-0,144	0,193	-0,349	-0,349	0,289	0,000	0,000	0,000
Element 2-5 (Plate)	16474	2	3,000	-0,282	-0,386	-0,386	0,070	0,789	-0,129	0,789	0,047	0,000	0,047
(Micropali D168.3x8,0mm/0,4)	16473	3	3,000	-0,438	-0,815	-0,815	0,000	1,627	0,000	1,627	0,225	0,000	0,225
28	16472	4	3,000	-0,594	-1,414	-1,414	0,000	2,800	0,000	2,800	0,572	0,000	0,572
28	16471	5	3,000	-0,750	-2,506	-2,506	0,000	4,945	0,000	4,945	1,155	0,000	1,155
Plate_1_1	16471	1	3,000	-0,750	-2,799	-2,799	0,000	5,516	0,000	5,516	1,155	0,000	1,155
Element 5-9 (Plate)	16455	2	3,000	-0,948	-5,147	-5,147	0,000	10,122	0,000	10,122	2,696	0,000	2,696
(Micropali D168.3x8,0mm/0,4)	16454	3	3,000	-1,146	-7,783	-7,783	0,000	15,294	0,000	15,294	5,197	0,000	5,197
28	16453	4	3,000	-1,344	-10,825	-10,825	0,000	21,262	0,000	21,262	8,804	0,000	8,804
28	16595	5	3,000	-1,542	-14,387	-14,387	0,000	28,251	-0,116	28,251	13,682	0,000	13,682
Plate_1_1	16595	1	3,000	-1,542	-14,139	-14,139	0,000	27,765	0,000	27,765	13,682	0,000	13,682
Element 5-10 (Plate)	16594	2	3,000	-1,581	-14,783	-14,783	0,000	29,028	0,000	29,028	14,805	0,000	14,805
(Micropali D168.3x8,0mm/0,4)	16593	3	3,000	-1,621	-15,481	-15,481	0,000	30,398	-0,017	30,398	15,982	0,000	15,982
28	16592	4	3,000	-1,660	-16,192	-16,192	0,000	31,793	-0,035	31,793	17,213	0,000	17,213
28	16615	5	3,000	-1,700	-16,872	-16,872	0,000	33,128	-0,022	33,128	18,498	0,000	18,498
Plate_1_2	16615	1	3,000	-1,700	-29,018	-29,018	0,000	-38,171	-38,171	5,890	18,498	0,000	18,498
Element 7-13 (Plate)	16614	2	3,000	-1,728	-29,457	-29,457	0,000	-37,309	-37,309	6,153	17,430	0,000	17,430
(Micropali D168.3x8,0mm/0,4)	16613	3	3,000	-1,757	-29,910	-29,910	0,000	-36,420	-36,420	6,453	16,387	0,000	16,387
28	16612	4	3,000	-1,785	-30,377	-30,377	0,000	-35,504	-35,504	6,788	15,369	0,000	15,369
28	16611	5	3,000	-1,813	-30,857	-30,857	0,000	-34,561	-34,561	7,160	14,377	0,000	14,377
Plate_1_3	16611	1	3,000	-1,813	-30,846	-30,846	0,000	-34,584	-34,584	7,046	14,377	0,000	14,377
Element 8-14 (Plate)	16499	2	3,000	-1,847	-31,330	-31,330	0,000	-33,635	-33,635	7,347	13,216	0,000	13,216
(Micropali D168.3x8,0mm/0,4)	16498	3	3,000	-1,881	-31,800	-31,800	0,000	-32,711	-32,711	7,519	12,086	0,000	12,086
28	16497	4	3,000	-1,915	-32,245	-32,245	0,000	-31,838	-31,838	7,553	10,987	0,000	10,987
28	16496	5	3,000	-1,949	-32,652	-32,652	0,000	-31,040	-31,040	7,438	9,916	0,000	9,916
Plate_1_3	16496	1	3,000	-1,949	-32,642	-32,642	0,000	-31,058	-31,058	7,452	9,916	0,000	9,916
Element 8-15 (Plate)	16287	2	3,000	-1,983	-33,035	-33,035	0,000	-30,289	-30,289	7,221	8,872	0,000	8,872
(Micropali D168.3x8,0mm/0,4)	16286	3	3,000	-2,018	-33,381	-33,381	0,000	-29,613	-29,613	6,850	7,852	0,000	7,852
28	16285	4	3,000	-2,052	-33,658	-33,658	0,000	-29,070	-29,070	6,349	6,853	0,000	6,853
28	16284	5	3,000	-2,086	-33,846	-33,846	0,000	-28,701	-28,701	5,730	5,870	0,000	5,870
Plate_1_4	16284	1	3,000	-2,086	-33,856	-33,856	0,000	-28,681	-28,681	5,745	5,870	0,000	5,870
Element 9-16 (Plate)	16241	2	3,000	-2,088	-33,860	-33,860	0,000	-28,674	-28,674	5,682	5,795	0,000	5,795
(Micropali D168.3x8,0mm/0,4)	16240	3	3,000	-2,091	-33,871	-33,871	0,000	-28,652	-28,652	5,608	5,720	0,000	5,720
28	16239	4	3,000	-2,094	-33,882	-33,882	0,000	-28,630	-28,630	5,529	5,645	0,000	5,645
28	16238	5	3,000	-2,096	-33,887	-33,887	0,000	-28,621	-28,621	5,451	5,570	0,000	5,658
Plate_1_5	16238	1	3,000	-2,096	-33,886	-33,886	0,000	-28,623	-28,623	5,501	5,570	0,000	5,658
Element 11-19 (Plate)	16221	2	3,000	-2,140	-33,886	-33,886	0,000	-28,619	-28,619	4,337	4,328	0,000	5,871
(Micropali D168.3x8,0mm/0,4)	16220	3	3,000	-2,183	-33,886	-33,886	0,000	-28,616	-28,616	3,259	3,085	0,000	6,035
28	16219	4	3,000	-2,226	-33,885	-33,885	0,000	-28,613	-28,613	2,249	1,843	0,000	6,155
28	16218	5	3,000	-2,270	-33,885	-33,885	0,000	-28,611	-28,611	1,291	0,601	-0,284	6,231
Plate_1_5	16218	1	3,000	-2,270	-33,715	-33,715	0,000	-28,945	-28,945	1,335	0,601	-0,284	6,231
Element 11-20 (Plate)	15915	2	3,000	-2,344	-34,854	-34,854	0,000	-26,709	-26,709	0,000	-1,464	-2,084	6,267
(Micropali D168.3x8,0mm/0,4)	15914	3	3,000	-2,418	-35,933	-35,933	0,087	-24,591	-24,591	0,000	-3,367	-3,751	6,190
28	15913	4	3,000	-2,492	-36,886	-36,886	0,459	-22,720	-22,720	0,000	-5,122	-5,298	6,021
28	15912	5	3,000	-2,567	-37,647	-37,647	0,618	-21,225	-21,225	0,000	-6,750	-6,778	5,779
Plate_1_5	15912	1	3,000	-2,567	-37,570	-37,570	0,682	-21,376	-21,376	0,000	-6,750	-6,778	5,779

Structural element	Node [10^0]	Local number	X [m]	Y [m]	N [kN/m]	N,max [kN/m]	N,min [kN/m]	Q [kN/m]	Q,max [kN/m]	Q,min [kN/m]	M [kN m/m]	M,max [kN m/m]	M,min [kN m/m]
Element 11-21 (Plate)	15631	2	3,000	-2,694	-38,472	-38,472	1,061	-19,603	-19,603	0,000	-9,348	-9,348	5,248
(Micropali D168.3x8,0mm/0,4)	15630	3	3,000	-2,821	-39,285	-39,285	1,399	-18,004	-18,004	0,000	-11,734	-11,734	4,635
"	15629	4	3,000	-2,948	-40,018	-40,018	1,695	-16,562	-16,562	0,000	-13,926	-13,926	3,992
"	15628	5	3,000	-3,074	-40,677	-40,677	1,952	-15,264	-15,264	0,000	-15,944	-15,944	3,367
Plate_1_5	15628	1	3,000	-3,074	-40,624	-40,624	1,954	-15,368	-15,368	0,000	-15,944	-15,944	3,367
Element 11-22 (Plate)	15607	2	3,000	-3,292	-41,829	-41,829	2,318	-12,996	-13,429	0,450	-19,007	-19,007	2,392
(Micropali D168.3x8,0mm/0,4)	15606	3	3,000	-3,509	-42,865	-42,865	2,599	-10,953	-12,213	2,725	-21,616	-21,616	1,587
"	15605	4	3,000	-3,726	-43,976	-43,976	2,787	-8,763	-10,735	5,921	-23,753	-23,753	1,372
"	15604	5	3,000	-3,943	-45,403	-45,403	2,872	-5,951	-8,560	10,502	-25,369	-25,369	2,875
Plate_1_6	15604	1	3,000	-3,943	-45,222	-45,222	2,922	-6,308	-8,959	9,422	-25,369	-25,369	2,875
Element 15-28 (Plate)	15495	2	3,000	-4,180	-47,354	-47,354	2,958	-2,115	-5,571	5,328	-26,345	-26,345	4,155
(Micropali D168.3x8,0mm/0,4)	15494	3	3,000	-4,418	-49,404	-49,404	3,002	1,917	-2,543	3,000	-26,402	-26,402	4,661
"	15493	4	3,000	-4,656	-51,929	-51,929	3,023	6,880	-1,432	6,880	-25,359	-25,359	4,837
"	15515	5	3,000	-4,894	-55,483	-55,483	5,094	13,865	-1,757	13,865	-22,956	-23,208	4,949
Plate_1_6	15515	1	3,000	-4,894	-55,336	-55,336	4,592	13,577	-1,910	13,577	-22,956	-23,208	4,949
Element 15-29 (Plate)	15514	2	3,000	-5,095	-58,280	-58,280	7,199	19,360	-2,225	19,360	-19,602	-21,343	4,874
(Micropali D168.3x8,0mm/0,4)	15513	3	3,000	-5,297	-60,781	-60,781	8,839	24,278	-2,391	24,278	-15,221	-18,754	4,620
"	15512	4	3,000	-5,498	-63,436	-63,436	9,858	29,496	-2,410	29,496	-9,791	-15,465	4,345
"	15511	5	3,000	-5,700	-66,837	-66,837	10,602	36,179	-2,567	36,179	-3,218	-11,334	4,347
Plate_1_7	15511	1	3,000	-5,700	-78,083	-78,083	10,519	-25,478	-25,478	24,465	-3,218	-11,334	4,347
Element 17-32 (Plate)	15227	2	3,000	-5,825	-81,148	-81,148	10,862	-19,457	-19,457	29,399	-6,025	-10,134	4,273
(Micropali D168.3x8,0mm/0,4)	15228	3	3,000	-5,950	-83,997	-83,997	11,209	-13,860	-13,860	34,231	-8,097	-9,265	5,350
"	15229	4	3,000	-6,075	-86,433	-86,433	11,545	-9,072	-9,072	38,670	-9,525	-9,525	8,280
"	15226	5	3,000	-6,200	-88,261	-88,261	11,859	-5,476	-5,476	42,407	-10,417	-10,417	11,701
Plate_1_8	15226	1	3,000	-6,200	-88,107	-88,107	11,857	-5,778	-5,778	42,207	-10,417	-10,417	11,701
Element 19-34 (Plate)	15055	2	3,000	-6,275	-89,234	-89,234	12,040	-3,561	-3,561	40,863	-10,768	-10,768	14,032
(Micropali D168.3x8,0mm/0,4)	15054	3	3,000	-6,350	-90,405	-90,405	12,214	-1,258	-1,841	38,711	-10,949	-10,949	16,324
"	15053	4	3,000	-6,425	-91,627	-91,627	12,379	1,143	-1,746	36,000	-10,954	-10,954	18,631
"	15052	5	3,000	-6,500	-92,903	-92,903	12,537	3,652	-1,732	35,219	-10,775	-10,775	21,053
Plate_1_9	15052	1	3,000	-6,500	-92,905	-92,905	12,539	3,656	-1,766	35,293	-10,775	-10,775	21,053
Element 20-35 (Plate)	14383	2	3,000	-6,522	-93,293	-93,293	12,584	4,420	-1,825	35,792	-10,688	-10,688	21,745
(Micropali D168.3x8,0mm/0,4)	14384	3	3,000	-6,543	-93,665	-93,665	12,631	5,151	-1,889	36,292	-10,585	-10,585	22,421
"	14385	4	3,000	-6,565	-94,012	-94,012	12,682	5,832	-1,959	36,776	-10,467	-10,467	23,088
"	14382	5	3,000	-6,586	-94,324	-94,324	12,737	6,446	-2,038	37,384	-10,334	-10,334	23,738
Plate_1_10	14382	1	3,000	-6,586	-94,304	-94,304	12,732	6,408	-2,060	37,289	-10,334	-10,334	23,738
Element 22-37 (Plate)	13951	2	3,000	-6,690	-95,073	-95,073	13,028	7,925	-2,574	39,143	-9,585	-9,585	26,149
(Micropali D168.3x8,0mm/0,4)	13952	3	3,000	-6,793	-95,535	-95,535	13,209	8,839	-5,355	40,214	-8,717	-8,717	27,375
"	13953	4	3,000	-6,897	-95,879	-95,879	13,278	9,522	-8,747	40,726	-7,763	-7,763	27,575
"	13950	5	3,000	-7,000	-96,294	-96,294	13,236	10,343	-11,767	40,905	-6,740	-6,740	27,371
Plate_1_11	13950	1	3,000	-7,000	-96,200	-96,200	13,261	10,158	-12,169	41,897	-6,740	-6,740	27,371
Element 25-40 (Plate)	13001	2	3,000	-7,152	-96,982	-96,982	13,206	11,702	-16,143	19,858	-5,058	-5,058	30,260
(Micropali D168.3x8,0mm/0,4)	13002	3	3,000	-7,305	-97,538	-97,538	13,152	12,799	-19,165	14,274	-3,202	-3,202	31,477
"	13003	4	3,000	-7,457	-98,276	-98,276	13,102	14,251	-19,963	14,251	-1,137	-1,137	30,366
"	13000	5	3,000	-7,610	-99,604	-99,604	13,058	16,857	-20,289	16,857	1,208	0,000	27,777
Plate_1_11	13000	1	3,000	-7,610	-99,602	-99,602	13,057	16,852	-21,743	16,852	1,208	0,000	27,777
Element 25-41 (Plate)	12096	2	3,000	-7,832	-103,809	-103,809	13,018	25,115	-22,973	25,115	5,927	0,000	22,823
(Micropali D168.3x8,0mm/0,4)	12095	3	3,000	-8,055	-106,928	-106,928	12,993	31,239	-22,301	31,239	12,223	0,000	18,311
"	12094	4	3,000	-8,277	-109,238	-109,238	12,979	35,773	-19,595	35,773	19,719	-0,044	20,486
"	12093	5	3,000	-8,500	-111,017	-111,017	12,973	39,265	-15,445	39,265	28,077	-0,144	28,077
Plate_1_12	12093	1	3,000	-8,500	-111,512	-111,512	12,971	41,370	-15,861	41,370	28,077	-0,144	28,077
Element 28-47 (Plate)	11390	2	3,000	-8,706	-96,148	-96,148	12,966	10,465	-12,588	10,465	33,254	-0,226	33,254
(Micropali D168.3x8,0mm/0,4)	11391	3	3,000	-8,913	-83,310	-83,310	12,961	-10,778	-17,018	0,000	33,058	-0,301	33,058
"	11392	4	3,000	-9,119	-73,143	-73,143	12,956	-22,482	-22,557	0,000	29,462	-0,370	29,462

Structural element	Node [10^0]	Local number	X [m]	Y [m]	N [kN/m]	N,min [kN/m]	N,max [kN/m]	Q [kN/m]	Q,max [kN/m]	Q,min [kN/m]	M [kN m/m]	M,max [kN m/m]	M,min [kN m/m]
28	11389	5	3,000	-9,325	-65,792	-65,792	12,950	-24,773	-24,773	0,000	24,430	-0,433	24,430
Plate_1_12	11389	1	3,000	-9,325	-65,437	-65,437	12,896	-26,120	-26,120	0,000	24,430	-0,433	24,430
Element 28-48 (Plate)	10576	2	3,000	-9,483	-60,706	-60,706	12,962	-25,665	-25,665	0,000	20,330	-0,519	20,330
(Micropali D168.3x8,0mm/0,4)	10575	3	3,000	-9,641	-56,401	-56,401	12,831	-24,100	-24,100	0,000	16,393	-0,727	16,393
28	10574	4	3,000	-9,798	-52,469	-52,469	12,507	-21,594	-21,594	0,000	12,774	-0,870	12,774
28	10573	5	3,000	-9,956	-48,857	-48,857	11,989	-18,313	-18,313	0,000	9,620	-0,974	9,620
Plate_1_12	10573	1	3,000	-9,956	-48,783	-48,783	11,989	-18,498	-18,498	0,000	9,620	-0,974	9,620
Element 28-49 (Plate)	9580	2	3,000	-10,077	-46,030	-46,030	11,448	-16,034	-16,034	0,013	7,538	-1,096	7,538
(Micropali D168.3x8,0mm/0,4)	9579	3	3,000	-10,197	-43,240	-43,240	10,796	-13,670	-13,670	0,048	5,747	-1,166	5,747
28	9578	4	3,000	-10,318	-40,406	-40,406	10,058	-11,427	-11,427	0,200	4,234	-1,189	4,234
28	9577	5	3,000	-10,439	-37,520	-37,520	9,219	-9,326	-9,326	0,377	2,985	-1,170	2,985
Plate_1_12	9577	1	3,000	-10,439	-37,472	-37,472	9,240	-9,351	-9,351	0,379	2,985	-1,170	2,985
Element 28-50 (Plate)	8342	2	3,000	-10,531	-35,091	-35,091	8,607	-7,922	-7,922	0,554	2,189	-1,129	2,189
(Micropali D168.3x8,0mm/0,4)	8343	3	3,000	-10,623	-32,575	-32,575	7,948	-6,654	-6,654	0,764	1,518	-1,068	1,518
28	8344	4	3,000	-10,715	-29,922	-29,922	7,265	-5,547	-5,547	0,948	0,956	-0,989	0,956
28	8341	5	3,000	-10,808	-27,134	-27,134	6,557	-4,601	-4,601	1,104	0,490	-0,894	0,490
Plate_1_12	8341	1	3,000	-10,808	-27,122	-27,122	6,555	-4,626	-4,626	1,097	0,490	-0,894	0,490
Element 28-51 (Plate)	7770	2	3,000	-10,878	-24,889	-24,889	5,993	-3,937	-3,937	1,191	0,188	-0,813	0,188
(Micropali D168.3x8,0mm/0,4)	7769	3	3,000	-10,949	-22,548	-22,548	5,411	-3,313	-3,313	1,249	-0,067	-0,727	0,000
28	7768	4	3,000	-11,019	-20,101	-20,101	4,808	-2,719	-2,719	1,270	-0,280	-0,638	0,000
28	7767	5	3,000	-11,090	-17,547	-17,547	4,185	-2,118	-2,118	1,254	-0,451	-0,613	0,000
Plate_1_12	7767	1	3,000	-11,090	-17,543	-17,543	4,184	-2,044	-2,044	1,269	-0,451	-0,613	0,000
Element 28-52 (Plate)	6794	2	3,000	-11,144	-15,525	-15,525	3,691	-1,436	-1,436	1,226	-0,545	-0,608	0,000
(Micropali D168.3x8,0mm/0,4)	6795	3	3,000	-11,198	-13,437	-13,437	3,182	-0,671	-0,671	1,209	-0,603	-0,603	0,000
28	6796	4	3,000	-11,252	-11,280	-11,280	2,657	0,276	0,000	1,231	-0,614	-0,614	0,000
28	6793	5	3,000	-11,306	-9,055	-9,055	2,116	1,429	0,000	1,585	-0,569	-0,569	0,000
Plate_1_12	6793	1	3,000	-11,306	-9,026	-9,026	2,114	1,303	0,000	1,449	-0,569	-0,569	0,000
Element 28-53 (Plate)	5608	2	3,000	-11,347	-7,301	-7,301	1,687	2,713	0,000	2,713	-0,485	-0,485	0,000
(Micropali D168.3x8,0mm/0,4)	5609	3	3,000	-11,388	-5,434	-5,434	1,246	3,582	0,000	3,582	-0,353	-0,353	0,000
28	5610	4	3,000	-11,429	-3,456	-3,456	0,791	3,858	0,000	3,858	-0,197	-0,197	0,000
28	5607	5	3,000	-11,471	-1,400	-1,400	0,321	3,485	0,000	3,485	-0,044	-0,044	0,000
Plate_1_13	5607	1	3,000	-11,471	-1,510	-1,510	0,321	2,966	0,000	2,966	-0,044	-0,044	0,000
Element 30-64 (Plate)	4612	2	3,000	-11,478	-1,147	-1,147	0,235	2,253	0,000	2,253	-0,024	-0,024	0,000
(Micropali D168.3x8,0mm/0,4)	4611	3	3,000	-11,485	-0,762	-0,762	0,149	1,496	0,000	1,496	-0,011	-0,011	0,000
28	4610	4	3,000	-11,493	-0,365	-0,365	0,062	0,717	0,000	0,717	-0,002	-0,002	0,000
28	4609	5	3,000	-11,500	0,034	-0,024	0,034	-0,067	-0,067	0,000	0,000	0,000	0,000

3.1.2.4.32 Calculation results, Plate, SLU12 Paratia provvisionale [Phase_24] (24/1162), Table of plate force envelopes

Structural element	Node [10 ^]	Local number	X [m]	Y [m]	N [kN/m]	N ,,- [kN/m]	N ,,+ [kN/m]	Q [kN/m]	Q ,,- [kN/m]	Q ,,+ [kN/m]	M [kN m/m]	M ,,- [kN m/m]	M ,,+ [kN m/m]
Plate_4_1	16475	1	3,000	-0,126	0,099	-0,144	0,199	-0,155	-0,328	0,289	0,000	0,000	0,000
Element 2-5 (Plate)	16474	2	3,000	-0,282	-0,513	-0,513	0,070	1,064	-0,129	1,064	0,085	0,000	0,085
(Micropali D168.3x8,0mm/0,4)	16473	3	3,000	-0,438	-1,056	-1,056	0,000	2,127	0,000	2,127	0,316	0,000	0,316
28	16472	4	3,000	-0,594	-1,984	-1,984	0,000	3,932	0,000	3,932	0,788	0,000	0,788
28	16471	5	3,000	-0,750	-3,748	-3,748	0,000	7,377	0,000	7,377	1,636	0,000	1,636
Plate_1_1	16471	1	3,000	-0,750	-3,813	-3,813	0,000	7,507	0,000	7,507	1,636	0,000	1,636
Element 5-9 (Plate)	16455	2	3,000	-0,948	-6,999	-6,999	0,000	13,727	0,000	13,727	3,728	0,000	3,728
(Micropali D168.3x8,0mm/0,4)	16454	3	3,000	-1,146	-10,420	-10,420	0,000	20,413	0,000	20,413	7,102	0,000	7,102
28	16453	4	3,000	-1,344	-14,049	-14,049	0,000	27,509	0,000	27,509	11,837	0,000	11,837
28	16595	5	3,000	-1,542	-17,856	-17,856	0,000	34,959	-0,116	34,959	18,013	0,000	18,013
Plate_1_1	16595	1	3,000	-1,542	-17,674	-17,674	0,000	34,601	0,000	34,601	18,013	0,000	18,013
Element 5-10 (Plate)	16594	2	3,000	-1,581	-18,564	-18,564	0,000	36,341	0,000	36,341	19,417	0,000	19,417
(Micropali D168.3x8,0mm/0,4)	16593	3	3,000	-1,621	-19,378	-19,378	0,000	37,933	-0,017	37,933	20,888	0,000	20,888
28	16592	4	3,000	-1,660	-20,114	-20,114	0,000	39,371	-0,035	39,371	22,419	0,000	22,419
28	16615	5	3,000	-1,700	-20,769	-20,769	0,000	40,651	-0,022	40,651	24,003	0,000	24,003
Plate_1_2	16615	1	3,000	-1,700	-35,371	-35,371	0,000	-44,887	-44,887	5,890	24,003	0,000	24,003
Element 7-13 (Plate)	16614	2	3,000	-1,728	-35,809	-35,809	0,000	-44,032	-44,032	6,153	22,745	0,000	22,745
(Micropali D168.3x8,0mm/0,4)	16613	3	3,000	-1,757	-36,212	-36,212	0,000	-43,245	-43,245	6,453	21,510	0,000	21,510
28	16612	4	3,000	-1,785	-36,599	-36,599	0,000	-42,489	-42,489	6,788	20,297	0,000	20,297
28	16611	5	3,000	-1,813	-36,988	-36,988	0,000	-41,729	-41,729	7,160	19,105	0,000	19,105
Plate_1_3	16611	1	3,000	-1,813	-36,948	-36,948	0,000	-41,806	-41,806	7,046	19,105	0,000	19,105
Element 8-14 (Plate)	16499	2	3,000	-1,847	-37,418	-37,418	0,000	-40,884	-40,884	7,347	17,698	0,000	17,698
(Micropali D168.3x8,0mm/0,4)	16498	3	3,000	-1,881	-37,809	-37,809	0,000	-40,117	-40,117	7,519	16,319	0,000	16,319
28	16497	4	3,000	-1,915	-38,157	-38,157	0,000	-39,434	-39,434	7,553	14,964	0,000	14,964
28	16496	5	3,000	-1,949	-38,498	-38,498	0,000	-38,762	-38,762	7,438	13,633	0,000	13,633
Plate_1_3	16496	1	3,000	-1,949	-38,500	-38,500	0,000	-38,759	-38,759	7,452	13,633	0,000	13,633
Element 8-15 (Plate)	16287	2	3,000	-1,983	-38,780	-38,780	0,000	-38,208	-38,208	7,221	12,322	0,000	12,322
(Micropali D168.3x8,0mm/0,4)	16286	3	3,000	-2,018	-39,029	-39,029	0,000	-37,720	-37,720	6,850	11,029	0,000	11,029
28	16285	4	3,000	-2,052	-39,229	-39,229	0,000	-37,325	-37,325	6,349	9,751	0,000	9,751
28	16284	5	3,000	-2,086	-39,367	-39,367	0,000	-37,055	-37,055	5,730	8,485	0,000	8,485
Plate_1_4	16284	1	3,000	-2,086	-39,369	-39,369	0,000	-37,051	-37,051	5,745	8,485	0,000	8,485
Element 9-16 (Plate)	16241	2	3,000	-2,088	-39,363	-39,363	0,000	-37,064	-37,064	5,682	8,388	0,000	8,388
(Micropali D168.3x8,0mm/0,4)	16240	3	3,000	-2,091	-39,370	-39,370	0,000	-37,049	-37,049	5,608	8,291	0,000	8,291
28	16239	4	3,000	-2,094	-39,390	-39,390	0,000	-37,010	-37,010	5,529	8,194	0,000	8,194
28	16238	5	3,000	-2,096	-39,419	-39,419	0,000	-36,954	-36,954	5,451	8,098	0,000	8,098
Plate_1_5	16238	1	3,000	-2,096	-39,452	-39,452	0,000	-36,889	-36,889	5,501	8,098	0,000	8,098
Element 11-19 (Plate)	16221	2	3,000	-2,140	-39,382	-39,382	0,000	-37,028	-37,028	4,337	6,493	0,000	6,493
(Micropali D168.3x8,0mm/0,4)	16220	3	3,000	-2,183	-39,453	-39,453	0,000	-36,892	-36,892	3,259	4,887	0,000	6,035
28	16219	4	3,000	-2,226	-39,659	-39,659	0,000	-36,489	-36,489	2,249	3,293	0,000	6,155
28	16218	5	3,000	-2,270	-39,994	-39,994	0,000	-35,829	-35,829	1,291	1,722	-0,297	6,231
Plate_1_5	16218	1	3,000	-2,270	-39,802	-39,802	0,000	-36,208	-36,208	1,335	1,722	-0,297	6,231
Element 11-20 (Plate)	15915	2	3,000	-2,344	-41,039	-41,039	0,000	-33,779	-33,779	0,000	-0,875	-2,143	6,267
(Micropali D168.3x8,0mm/0,4)	15914	3	3,000	-2,418	-42,256	-42,256	0,087	-31,389	-31,389	0,000	-3,293	-3,891	6,190
28	15913	4	3,000	-2,492	-43,376	-43,376	0,459	-29,190	-29,190	0,000	-5,541	-5,677	6,021
28	15912	5	3,000	-2,567	-44,322	-44,322	0,618	-27,332	-27,332	0,000	-7,636	-7,636	5,779
Plate_1_5	15912	1	3,000	-2,567	-44,240	-44,240	0,682	-27,494	-27,494	0,000	-7,636	-7,636	5,779

Structural element	Node [10^0]	Local number	X [m]	Y [m]	N [kN/m]	N,max [kN/m]	N,min [kN/m]	Q [kN/m]	Q,max [kN/m]	Q,min [kN/m]	M [kN m/m]	M,max [kN m/m]	M,min [kN m/m]
Element 11-21 (Plate)	15631	2	3,000	-2,694	-45,380	-45,380	1,061	-25,255	-25,255	0,000	-10,980	-10,980	5,248
(Micropali D168.3x8,0mm/0,4)	15630	3	3,000	-2,821	-46,414	-46,414	1,399	-23,226	-23,226	0,000	-14,056	-14,056	4,635
"	15629	4	3,000	-2,948	-47,358	-47,358	1,695	-21,371	-21,371	0,000	-16,885	-16,885	3,992
"	15628	5	3,000	-3,074	-48,235	-48,235	1,952	-19,651	-19,651	0,000	-19,487	-19,487	3,367
Plate_1_5	15628	1	3,000	-3,074	-48,179	-48,179	1,954	-19,759	-19,759	0,000	-19,487	-19,487	3,367
Element 11-22 (Plate)	15607	2	3,000	-3,292	-49,966	-49,966	2,318	-16,253	-16,253	0,450	-23,384	-23,384	2,392
(Micropali D168.3x8,0mm/0,4)	15606	3	3,000	-3,509	-51,697	-51,697	2,599	-12,853	-12,853	2,725	-26,556	-26,556	1,587
"	15605	4	3,000	-3,726	-53,605	-53,605	2,787	-9,107	-10,735	5,921	-28,940	-28,940	1,372
"	15604	5	3,000	-3,943	-55,920	-55,920	2,872	-4,561	-8,560	10,502	-30,446	-30,446	2,875
Plate_1_6	15604	1	3,000	-3,943	-55,711	-55,711	2,922	-4,971	-8,959	9,422	-30,446	-30,446	2,875
Element 15-28 (Plate)	15495	2	3,000	-4,180	-58,830	-58,830	2,958	1,159	-5,571	5,328	-30,890	-30,890	4,155
(Micropali D168.3x8,0mm/0,4)	15494	3	3,000	-4,418	-61,929	-61,929	3,002	7,255	-2,543	7,255	-29,903	-29,903	4,661
"	15493	4	3,000	-4,656	-65,218	-65,218	3,023	13,730	-1,432	13,730	-27,410	-27,410	4,837
"	15515	5	3,000	-4,894	-68,906	-68,906	5,094	20,998	-1,757	20,998	-23,306	-23,465	4,949
Plate_1_6	15515	1	3,000	-4,894	-68,777	-68,777	4,592	20,747	-1,910	20,747	-23,306	-23,465	4,949
Element 15-29 (Plate)	15514	2	3,000	-5,095	-71,995	-71,995	7,199	27,083	-2,225	27,083	-18,475	-21,343	4,874
(Micropali D168.3x8,0mm/0,4)	15513	3	3,000	-5,297	-75,276	-75,276	8,839	33,547	-2,391	33,547	-12,387	-18,754	4,620
"	15512	4	3,000	-5,498	-79,019	-79,019	9,858	40,920	-2,410	40,920	-4,885	-15,465	4,345
"	15511	5	3,000	-5,700	-83,624	-83,624	10,602	49,986	-2,567	49,986	4,234	-11,334	4,347
Plate_1_7	15511	1	3,000	-5,700	-100,631	-100,631	10,519	-43,830	-43,830	24,465	4,234	-11,334	4,347
Element 17-32 (Plate)	15227	2	3,000	-5,825	-103,867	-103,867	10,862	-37,464	-37,464	29,399	-0,847	-10,134	4,273
(Micropali D168.3x8,0mm/0,4)	15228	3	3,000	-5,950	-106,954	-106,954	11,209	-31,389	-31,389	34,231	-5,141	-9,265	5,350
"	15229	4	3,000	-6,075	-109,705	-109,705	11,545	-25,975	-25,975	38,670	-8,724	-9,349	8,280
"	15226	5	3,000	-6,200	-111,931	-111,931	11,859	-21,590	-21,590	42,407	-11,681	-11,681	11,701
Plate_1_8	15226	1	3,000	-6,200	-111,808	-111,808	11,857	-21,831	-21,831	42,207	-11,681	-11,681	11,701
Element 19-34 (Plate)	15055	2	3,000	-6,275	-113,234	-113,234	12,040	-19,024	-19,024	40,863	-13,212	-13,212	14,032
(Micropali D168.3x8,0mm/0,4)	15054	3	3,000	-6,350	-114,652	-114,652	12,214	-16,235	-16,235	38,711	-14,535	-14,535	16,324
"	15053	4	3,000	-6,425	-116,059	-116,059	12,379	-13,466	-13,466	36,000	-15,649	-15,649	18,631
"	15052	5	3,000	-6,500	-117,455	-117,455	12,537	-10,723	-10,723	35,219	-16,555	-16,555	21,053
Plate_1_9	15052	1	3,000	-6,500	-117,455	-117,455	12,539	-10,723	-10,723	35,293	-16,555	-16,555	21,053
Element 20-35 (Plate)	14383	2	3,000	-6,522	-117,851	-117,851	12,584	-9,944	-9,944	35,792	-16,778	-16,778	21,745
(Micropali D168.3x8,0mm/0,4)	14384	3	3,000	-6,543	-118,235	-118,235	12,631	-9,190	-9,190	36,292	-16,984	-16,984	22,421
"	14385	4	3,000	-6,565	-118,596	-118,596	12,682	-8,479	-8,479	36,776	-17,174	-17,174	23,088
"	14382	5	3,000	-6,586	-118,925	-118,925	12,737	-7,833	-7,833	37,384	-17,349	-17,349	23,738
Plate_1_10	14382	1	3,000	-6,586	-118,839	-118,839	12,732	-8,000	-8,000	37,289	-17,349	-17,349	23,738
Element 22-37 (Plate)	13951	2	3,000	-6,690	-119,831	-119,831	13,028	-6,051	-6,051	39,143	-18,079	-18,079	26,149
(Micropali D168.3x8,0mm/0,4)	13952	3	3,000	-6,793	-120,951	-120,951	13,209	-3,850	-5,355	40,214	-18,592	-18,592	27,375
"	13953	4	3,000	-6,897	-122,158	-122,158	13,278	-1,480	-8,747	40,726	-18,870	-18,870	27,575
"	13950	5	3,000	-7,000	-123,410	-123,410	13,236	0,979	-11,767	40,905	-18,896	-18,896	27,371
Plate_1_11	13950	1	3,000	-7,000	-123,277	-123,277	13,261	0,717	-12,169	41,897	-18,896	-18,896	27,371
Element 25-40 (Plate)	13001	2	3,000	-7,152	-125,337	-125,337	13,206	4,770	-16,143	19,858	-18,468	-18,468	30,260
(Micropali D168.3x8,0mm/0,4)	13002	3	3,000	-7,305	-127,349	-127,349	13,152	8,723	-19,165	14,274	-17,452	-17,452	31,477
"	13003	4	3,000	-7,457	-129,652	-129,652	13,102	13,242	-19,963	14,459	-15,779	-15,779	30,366
"	13000	5	3,000	-7,610	-132,583	-132,583	13,058	18,993	-20,289	19,008	-13,347	-13,347	27,777
Plate_1_11	13000	1	3,000	-7,610	-132,201	-132,201	13,057	18,251	-21,743	18,262	-13,347	-13,347	27,777
Element 25-41 (Plate)	12096	2	3,000	-7,832	-137,074	-137,074	13,018	27,800	-22,973	27,800	-8,234	-8,234	22,823
(Micropali D168.3x8,0mm/0,4)	12095	3	3,000	-8,055	-141,945	-141,945	12,993	37,330	-22,301	37,330	-0,965	-0,965	18,311
"	12094	4	3,000	-8,277	-146,521	-146,521	12,979	46,284	-19,595	46,284	8,345	-0,044	20,486
"	12093	5	3,000	-8,500	-150,505	-150,505	12,973	54,105	-15,445	54,105	19,546	-0,144	25,706
Plate_1_12	12093	1	3,000	-8,500	-149,897	-149,897	12,971	53,320	-15,861	53,320	19,546	-0,144	25,706
Element 28-47 (Plate)	11390	2	3,000	-8,706	-140,913	-140,913	12,966	39,054	-12,588	39,054	29,220	-0,226	30,543
(Micropali D168.3x8,0mm/0,4)	11391	3	3,000	-8,913	-128,368	-128,368	12,961	20,182	-17,018	20,182	35,293	-0,301	35,293
"	11392	4	3,000	-9,119	-114,242	-114,242	12,956	0,627	-21,730	0,627	37,501	-0,370	37,501

Structural element	Node [10^0]	Local number	X [m]	Y [m]	N [kN/m]	N,min [kN/m]	N,max [kN/m]	Q [kN/m]	Q,max [kN/m]	Q,min [kN/m]	M [kN m/m]	M,max [kN m/m]	M,min [kN m/m]
2D	11389	5	3,000	-9,325	-100,514	-100,514	12,950	-15,687	-21,931	0,000	35,822	-0,433	35,822
Plate_1_12	11389	1	3,000	-9,325	-101,039	-101,039	12,896	-14,620	-23,059	0,000	35,822	-0,433	35,822
Element 28-48 (Plate)	10576	2	3,000	-9,483	-92,297	-92,297	12,962	-21,203	-22,764	0,000	32,957	-0,519	32,957
(Micropali D168.3x8,0mm/0,4)	10575	3	3,000	-9,641	-84,398	-84,398	12,831	-25,031	-25,031	0,000	29,280	-0,727	29,280
2D	10574	4	3,000	-9,798	-77,266	-77,266	12,507	-26,382	-26,382	0,000	25,189	-0,870	25,189
2D	10573	5	3,000	-9,956	-70,823	-70,823	11,989	-25,534	-25,534	0,000	21,070	-0,974	21,070
Plate_1_12	10573	1	3,000	-9,956	-70,698	-70,698	11,989	-25,895	-25,895	0,000	21,070	-0,974	21,070
Element 28-49 (Plate)	9580	2	3,000	-10,077	-65,866	-65,866	11,448	-24,905	-24,905	0,013	18,004	-1,096	18,004
(Micropali D168.3x8,0mm/0,4)	9579	3	3,000	-10,197	-61,075	-61,075	10,796	-23,690	-23,690	0,048	15,071	-1,166	15,071
2D	9578	4	3,000	-10,318	-56,315	-56,315	10,058	-22,280	-22,280	0,200	12,295	-1,189	12,295
2D	9577	5	3,000	-10,439	-51,575	-51,575	9,219	-20,706	-20,706	0,377	9,702	-1,170	9,702
Plate_1_12	9577	1	3,000	-10,439	-51,524	-51,524	9,240	-20,706	-20,706	0,379	9,702	-1,170	9,702
Element 28-50 (Plate)	8342	2	3,000	-10,531	-47,762	-47,762	8,607	-19,494	-19,494	0,554	7,847	-1,129	7,847
(Micropali D168.3x8,0mm/0,4)	8343	3	3,000	-10,623	-43,902	-43,902	7,948	-18,147	-18,147	0,764	6,110	-1,068	6,110
2D	8344	4	3,000	-10,715	-39,947	-39,947	7,265	-16,646	-16,646	0,948	4,503	-0,989	4,503
2D	8341	5	3,000	-10,808	-35,898	-35,898	6,557	-14,974	-14,974	1,104	3,044	-0,894	3,044
Plate_1_12	8341	1	3,000	-10,808	-35,892	-35,892	6,555	-14,916	-14,916	1,097	3,044	-0,894	3,044
Element 28-51 (Plate)	7770	2	3,000	-10,878	-32,724	-32,724	5,993	-13,425	-13,425	1,191	2,042	-0,813	2,042
(Micropali D168.3x8,0mm/0,4)	7769	3	3,000	-10,949	-29,479	-29,479	5,411	-11,619	-11,619	1,249	1,157	-0,727	1,157
2D	7768	4	3,000	-11,019	-26,163	-26,163	4,808	-9,493	-9,493	1,270	0,410	-0,638	0,410
2D	7767	5	3,000	-11,090	-22,777	-22,777	4,185	-7,042	-7,042	1,254	-0,175	-0,613	0,000
Plate_1_12	7767	1	3,000	-11,090	-22,767	-22,767	4,184	-6,993	-6,993	1,269	-0,175	-0,613	0,000
Element 28-52 (Plate)	6794	2	3,000	-11,144	-20,141	-20,141	3,691	-5,094	-5,094	1,226	-0,501	-0,608	0,000
(Micropali D168.3x8,0mm/0,4)	6795	3	3,000	-11,198	-17,433	-17,433	3,182	-2,990	-2,990	1,209	-0,721	-0,721	0,000
2D	6796	4	3,000	-11,252	-14,640	-14,640	2,657	-0,644	-0,644	1,231	-0,820	-0,820	0,000
2D	6793	5	3,000	-11,306	-11,759	-11,759	2,116	1,981	0,000	1,981	-0,785	-0,785	0,000
Plate_1_12	6793	1	3,000	-11,306	-11,757	-11,757	2,114	1,682	0,000	1,682	-0,785	-0,785	0,000
Element 28-53 (Plate)	5608	2	3,000	-11,347	-9,325	-9,325	1,687	3,791	0,000	3,791	-0,669	-0,669	0,000
(Micropali D168.3x8,0mm/0,4)	5609	3	3,000	-11,388	-6,718	-6,718	1,246	5,022	0,000	5,022	-0,484	-0,484	0,000
2D	5610	4	3,000	-11,429	-4,177	-4,177	0,791	5,335	0,000	5,335	-0,267	-0,267	0,000
2D	5607	5	3,000	-11,471	-1,941	-1,941	0,321	4,688	0,000	4,688	-0,057	-0,057	0,000
Plate_1_13	5607	1	3,000	-11,471	-1,955	-1,955	0,321	3,834	0,000	3,834	-0,057	-0,057	0,000
Element 30-64 (Plate)	4612	2	3,000	-11,478	-1,489	-1,489	0,235	2,920	0,000	2,920	-0,032	-0,032	0,000
(Micropali D168.3x8,0mm/0,4)	4611	3	3,000	-11,485	-1,000	-1,000	0,149	1,961	0,000	1,961	-0,014	-0,014	0,000
2D	4610	4	3,000	-11,493	-0,497	-0,497	0,062	0,976	0,000	0,976	-0,004	-0,004	0,000
2D	4609	5	3,000	-11,500	0,010	-0,024	0,031	-0,019	-0,060	0,000	0,000	0,000	0,000

3.1.2.4.33 Calculation results, Plate, FS [Phase_32] (32/1262), Table of plate force envelopes

Structural element	Node [10 ˚]	Local number	X [m]	Y [m]	N [kN/m]	N ⎓ [kN/m]	N ⎓ [kN/m]	Q [kN/m]	Q ⎓ [kN/m]	Q ⎓ [kN/m]	M [kN m/m]	M ⎓ [kN m/m]	M ⎓ [kN m/m]
Plate_4_1	16475	1	3,000	-0,126	-0,065	-0,144	0,199	0,326	-0,328	0,326	0,000	0,000	0,000
Element 2-5 (Plate)	16474	2	3,000	-0,282	0,284	-0,585	0,284	4,084	-0,129	4,084	0,351	0,000	0,351
(Micropali D168.3x8,0mm/0,4)	16473	3	3,000	-0,438	0,211	-1,337	0,211	8,176	0,000	8,176	1,284	0,000	1,284
⁂	16472	4	3,000	-0,594	-0,653	-2,975	0,000	13,490	0,000	13,490	2,967	0,000	2,967
⁂	16471	5	3,000	-0,750	-2,677	-5,778	0,000	20,913	0,000	20,998	5,611	0,000	5,611
Plate_1_1	16471	1	3,000	-0,750	-2,737	-5,863	0,000	21,523	0,000	21,604	5,611	0,000	5,611
Element 5-9 (Plate)	16455	2	3,000	-0,948	-5,219	-9,373	0,000	30,034	0,000	30,586	10,698	0,000	10,700
(Micropali D168.3x8,0mm/0,4)	16454	3	3,000	-1,146	-7,566	-12,901	0,000	38,910	0,000	40,379	17,529	0,000	17,606
⁂	16453	4	3,000	-1,344	-9,773	-16,448	0,000	47,688	0,000	50,473	26,097	0,000	26,466
⁂	16595	5	3,000	-1,542	-11,834	-20,021	0,000	55,902	-0,116	60,440	36,363	0,000	37,336
Plate_1_1	16595	1	3,000	-1,542	-11,745	-19,950	0,000	55,720	0,000	60,152	36,363	0,000	37,336
Element 5-10 (Plate)	16594	2	3,000	-1,581	-12,305	-20,847	0,000	57,723	0,000	62,527	38,609	0,000	39,742
(Micropali D168.3x8,0mm/0,4)	16593	3	3,000	-1,621	-12,756	-21,646	0,000	59,471	-0,017	64,635	40,929	0,000	42,234
⁂	16592	4	3,000	-1,660	-13,119	-22,368	0,000	61,036	-0,035	66,542	43,316	0,000	44,806
⁂	16615	5	3,000	-1,700	-13,415	-23,034	0,000	62,488	-0,022	68,318	45,760	0,000	47,450
Plate_1_2	16615	1	3,000	-1,700	-39,619	-44,639	0,000	-91,463	-91,463	5,890	45,760	0,000	47,450
Element 7-13 (Plate)	16614	2	3,000	-1,728	-39,762	-45,049	0,000	-90,601	-90,601	6,153	43,184	0,000	45,024
(Micropali D168.3x8,0mm/0,4)	16613	3	3,000	-1,757	-39,895	-45,455	0,000	-89,695	-89,695	6,453	40,633	0,000	42,630
⁂	16612	4	3,000	-1,785	-40,029	-45,867	0,000	-88,775	-88,775	6,788	38,107	0,000	40,271
⁂	16611	5	3,000	-1,813	-40,175	-46,296	0,000	-87,876	-87,876	7,160	35,608	0,000	37,953
Plate_1_3	16611	1	3,000	-1,813	-40,134	-46,255	0,000	-87,953	-87,953	7,046	35,608	0,000	37,953
Element 8-14 (Plate)	16499	2	3,000	-1,847	-40,293	-46,763	0,000	-86,878	-86,878	7,347	32,632	0,000	35,224
(Micropali D168.3x8,0mm/0,4)	16498	3	3,000	-1,881	-40,360	-47,186	0,000	-85,952	-85,952	7,519	29,688	0,000	32,558
⁂	16497	4	3,000	-1,915	-40,376	-47,563	0,000	-85,098	-85,098	7,553	26,775	0,000	29,952
⁂	16496	5	3,000	-1,949	-40,381	-47,932	0,000	-84,237	-84,237	7,438	23,892	0,000	27,407
Plate_1_3	16496	1	3,000	-1,949	-40,415	-47,964	0,000	-84,213	-84,213	7,452	23,892	0,000	27,407
Element 8-15 (Plate)	16287	2	3,000	-1,983	-40,319	-48,239	0,000	-83,556	-83,556	7,221	21,035	0,000	24,897
(Micropali D168.3x8,0mm/0,4)	16286	3	3,000	-2,018	-40,191	-48,480	0,000	-82,932	-82,932	6,850	18,200	0,000	22,430
⁂	16285	4	3,000	-2,052	-40,036	-48,688	0,000	-82,391	-82,391	6,349	15,384	0,000	19,995
⁂	16284	5	3,000	-2,086	-39,859	-48,869	0,000	-81,980	-81,980	5,730	12,586	0,000	17,606
Plate_1_4	16284	1	3,000	-2,086	-39,869	-48,867	0,000	-81,967	-81,967	5,745	12,586	0,000	17,606
Element 9-16 (Plate)	16241	2	3,000	-2,088	-39,858	-48,879	0,000	-81,940	-81,940	5,682	12,371	0,000	17,423
(Micropali D168.3x8,0mm/0,4)	16240	3	3,000	-2,091	-39,849	-48,888	0,000	-81,916	-81,916	5,608	12,157	0,000	17,241
⁂	16239	4	3,000	-2,094	-39,841	-48,894	0,000	-81,897	-81,897	5,529	11,943	0,000	17,059
⁂	16238	5	3,000	-2,096	-39,835	-48,899	0,000	-81,883	-81,883	5,451	11,728	0,000	16,877
Plate_1_5	16238	1	3,000	-2,096	-39,886	-48,777	0,000	-82,059	-82,059	5,501	11,728	0,000	16,877
Element 11-19 (Plate)	16221	2	3,000	-2,140	-39,756	-49,197	0,000	-81,423	-81,423	4,337	8,180	0,000	13,901
(Micropali D168.3x8,0mm/0,4)	16220	3	3,000	-2,183	-39,682	-49,679	0,000	-80,622	-80,622	3,259	4,661	0,000	11,120
⁂	16219	4	3,000	-2,226	-39,670	-50,230	0,000	-79,649	-79,649	2,249	1,181	0,000	8,533
⁂	16218	5	3,000	-2,270	-39,723	-50,852	0,000	-78,498	-78,498	1,291	-2,251	-2,251	6,231
Plate_1_5	16218	1	3,000	-2,270	-39,645	-50,773	0,000	-78,681	-78,681	1,335	-2,251	-2,251	6,231
Element 11-20 (Plate)	15915	2	3,000	-2,344	-40,012	-52,134	0,000	-75,955	-75,955	0,000	-7,991	-7,991	6,267
(Micropali D168.3x8,0mm/0,4)	15914	3	3,000	-2,418	-40,362	-53,493	0,087	-73,139	-73,139	0,000	-13,525	-13,525	6,190
⁂	15913	4	3,000	-2,492	-40,629	-54,783	0,459	-70,392	-70,392	0,000	-18,854	-18,854	6,021
⁂	15912	5	3,000	-2,567	-40,747	-55,938	0,618	-67,870	-67,870	0,000	-23,982	-23,982	5,779
Plate_1_5	15912	1	3,000	-2,567	-40,694	-55,876	0,682	-68,053	-68,053	0,000	-23,982	-23,982	5,779
Element 11-21 (Plate)	15631	2	3,000	-2,694	-40,435	-57,395	1,061	-64,510	-64,510	0,000	-32,392	-32,392	5,248

Structural element	Node [10^3]	Local number	X [m]	Y [m]	N [kN/m]	N,max [kN/m]	N,min [kN/m]	Q [kN/m]	Q,max [kN/m]	Q,min [kN/m]	M [kN m/m]	M,max [kN m/m]	M,min [kN m/m]
(Micropali D168.3x8,0mm/0,4)	15630	3	3,000	-2,821	-40,067	-58,778	1,399	-61,072	-61,072	0,000	-40,364	-40,364	4,635
〃	15629	4	3,000	-2,948	-39,616	-60,045	1,695	-57,716	-57,716	0,000	-47,904	-47,904	3,992
〃	15628	5	3,000	-3,074	-39,104	-61,216	1,952	-54,419	-54,419	0,000	-55,019	-55,019	3,367
Plate_1_5	15628	1	3,000	-3,074	-39,097	-61,208	1,954	-54,363	-54,363	0,000	-55,019	-55,019	3,367
Element 11-22 (Plate)	15607	2	3,000	-3,292	-38,373	-63,254	2,318	-48,725	-48,725	0,450	-66,200	-66,200	2,392
(Micropali D168.3x8,0mm/0,4)	15606	3	3,000	-3,509	-37,623	-65,187	2,599	-42,934	-42,934	2,725	-76,164	-76,164	1,587
〃	15605	4	3,000	-3,726	-37,030	-67,193	2,787	-36,596	-36,596	5,921	-84,803	-84,803	1,372
〃	15604	5	3,000	-3,943	-36,779	-69,460	2,872	-29,321	-29,321	10,502	-91,979	-91,979	2,875
Plate_1_6	15604	1	3,000	-3,943	-36,682	-69,323	2,922	-29,726	-29,726	9,422	-91,979	-91,979	2,875
Element 15-28 (Plate)	15495	2	3,000	-4,180	-36,820	-72,290	2,958	-21,557	-21,557	5,364	-98,088	-98,088	4,155
(Micropali D168.3x8,0mm/0,4)	15494	3	3,000	-4,418	-37,027	-75,283	3,002	-12,706	-12,706	13,050	-102,173	-102,173	4,661
〃	15493	4	3,000	-4,656	-37,395	-78,408	3,023	-3,231	-3,231	21,191	-104,082	-104,082	4,837
〃	15515	5	3,000	-4,894	-38,014	-81,768	5,094	6,811	-1,757	30,228	-103,666	-103,666	4,949
Plate_1_6	15515	1	3,000	-4,894	-37,861	-81,648	4,592	6,537	-1,910	29,996	-103,666	-103,666	4,949
Element 15-29 (Plate)	15514	2	3,000	-5,095	-38,540	-84,758	7,199	15,640	-2,225	38,228	-101,447	-101,447	4,874
(Micropali D168.3x8,0mm/0,4)	15513	3	3,000	-5,297	-39,226	-88,021	8,839	25,381	-2,391	46,830	-97,314	-97,314	4,620
〃	15512	4	3,000	-5,498	-39,989	-91,499	9,858	35,487	-2,410	56,325	-91,187	-91,187	4,345
〃	15511	5	3,000	-5,700	-40,900	-95,306	10,602	45,688	-2,567	67,237	-83,003	-83,003	15,169
Plate_1_7	15511	1	3,000	-5,700	-66,568	-120,938	10,519	-94,938	-95,804	24,465	-83,003	-83,003	15,169
Element 17-32 (Plate)	15227	2	3,000	-5,825	-67,314	-123,605	10,862	-88,891	-89,276	29,399	-94,502	-94,502	7,225
(Micropali D168.3x8,0mm/0,4)	15228	3	3,000	-5,950	-67,933	-126,114	11,209	-82,103	-82,188	34,231	-105,192	-105,192	5,350
〃	15229	4	3,000	-6,075	-68,281	-128,453	11,545	-74,991	-74,991	38,670	-115,019	-115,019	8,280
〃	15226	5	3,000	-6,200	-68,212	-130,294	11,859	-67,974	-67,974	42,407	-123,947	-123,947	11,701
Plate_1_8	15226	1	3,000	-6,200	-68,254	-130,337	11,857	-67,937	-67,937	42,207	-123,947	-123,947	11,701
Element 19-34 (Plate)	15055	2	3,000	-6,275	-68,412	-131,631	12,040	-63,179	-63,179	40,863	-128,862	-128,862	14,032
(Micropali D168.3x8,0mm/0,4)	15054	3	3,000	-6,350	-68,556	-132,922	12,214	-58,439	-58,439	38,711	-133,425	-133,425	16,324
〃	15053	4	3,000	-6,425	-68,709	-134,229	12,379	-53,636	-53,636	36,000	-137,628	-137,628	18,631
〃	15052	5	3,000	-6,500	-68,897	-135,572	12,537	-48,688	-48,688	35,219	-141,466	-141,466	21,053
Plate_1_9	15052	1	3,000	-6,500	-68,901	-135,574	12,539	-48,650	-48,650	35,293	-141,466	-141,466	21,053
Element 20-35 (Plate)	14383	2	3,000	-6,522	-68,954	-135,957	12,584	-47,193	-47,193	35,792	-142,497	-142,497	21,745
(Micropali D168.3x8,0mm/0,4)	14384	3	3,000	-6,543	-69,000	-136,332	12,631	-45,745	-45,774	36,292	-143,497	-143,497	22,421
〃	14385	4	3,000	-6,565	-69,031	-136,692	12,682	-44,318	-44,439	36,776	-144,466	-144,466	23,088
〃	14382	5	3,000	-6,586	-69,045	-137,033	12,737	-42,923	-43,137	37,384	-145,404	-145,404	23,738
Plate_1_10	14382	1	3,000	-6,586	-68,988	-136,990	12,732	-43,080	-43,258	37,289	-145,404	-145,404	23,738
Element 22-37 (Plate)	13951	2	3,000	-6,690	-68,415	-137,958	13,028	-38,068	-38,742	39,143	-149,601	-149,601	26,149
(Micropali D168.3x8,0mm/0,4)	13952	3	3,000	-6,793	-67,956	-139,054	13,209	-33,209	-34,193	40,214	-153,288	-153,288	27,375
〃	13953	4	3,000	-6,897	-67,624	-140,264	13,278	-28,513	-29,604	40,726	-156,481	-156,481	27,575
〃	13950	5	3,000	-7,000	-67,434	-141,635	13,236	-23,989	-25,644	40,905	-159,196	-159,196	27,371
Plate_1_11	13950	1	3,000	-7,000	-67,321	-141,492	13,261	-24,181	-25,882	41,897	-159,196	-159,196	27,371
Element 25-40 (Plate)	13001	2	3,000	-7,152	-66,940	-143,295	13,206	-16,446	-19,715	19,858	-162,291	-162,291	30,260
(Micropali D168.3x8,0mm/0,4)	13002	3	3,000	-7,305	-66,670	-145,044	13,152	-8,520	-19,165	14,274	-164,201	-164,201	31,477
〃	13003	4	3,000	-7,457	-66,779	-147,012	13,102	-0,174	-19,963	14,459	-164,867	-164,867	30,366
〃	13000	5	3,000	-7,610	-67,537	-149,474	13,058	8,823	-20,289	19,008	-164,219	-164,219	27,777
Plate_1_11	13000	1	3,000	-7,610	-67,317	-149,216	13,057	8,222	-21,743	18,262	-164,219	-164,219	27,777
Element 25-41 (Plate)	12096	2	3,000	-7,832	-68,979	-153,091	13,018	20,839	-22,973	27,800	-160,939	-160,939	22,823
(Micropali D168.3x8,0mm/0,4)	12095	3	3,000	-8,055	-71,060	-156,864	12,993	32,485	-22,301	37,330	-155,034	-155,034	18,311
〃	12094	4	3,000	-8,277	-73,827	-160,750	12,979	44,692	-19,595	46,461	-146,434	-146,434	20,486
〃	12093	5	3,000	-8,500	-77,547	-164,973	12,973	58,992	-15,445	59,080	-134,965	-134,965	25,706
Plate_1_12	12093	1	3,000	-8,500	-77,723	-165,062	12,971	59,024	-15,861	59,024	-134,965	-134,965	25,706
Element 28-47 (Plate)	11390	2	3,000	-8,706	-76,875	-163,104	12,966	64,637	-12,588	64,637	-122,185	-122,185	30,543
(Micropali D168.3x8,0mm/0,4)	11391	3	3,000	-8,913	-74,718	-158,870	12,961	67,878	-17,018	67,878	-108,455	-108,455	35,293
〃	11392	4	3,000	-9,119	-71,180	-152,449	12,956	68,089	-21,730	68,089	-94,385	-94,385	37,501
〃	11389	5	3,000	-9,325	-66,191	-143,936	12,950	64,614	-21,931	64,614	-80,626	-80,626	37,689

Structural element	Node [10^0]	Local number	X [m]	Y [m]	N [kN/m]	N min [kN/m]	N max [kN/m]	Q [kN/m]	Q min [kN/m]	Q max [kN/m]	M [kN m/m]	M min [kN m/m]	M max [kN m/m]
Plate_1_12	11389	1	3,000	-9,325	-66,504	-143,879	12,896	64,848	-23,059	64,848	-80,626	-80,626	37,689
Element 28-48 (Plate)	10576	2	3,000	-9,483	-61,496	-136,692	12,962	58,208	-22,764	58,208	-70,925	-70,925	36,868
(Micropali D168.3x8,0mm/0,4)	10575	3	3,000	-9,641	-56,515	-128,804	12,831	51,850	-25,031	51,850	-62,249	-62,249	34,554
28	10574	4	3,000	-9,798	-51,736	-120,171	12,507	45,898	-26,932	45,898	-54,542	-54,542	31,645
28	10573	5	3,000	-9,956	-47,336	-110,767	11,989	40,477	-28,299	40,477	-47,740	-47,740	28,180
Plate_1_12	10573	1	3,000	-9,956	-46,962	-110,443	11,989	39,762	-28,657	39,762	-47,740	-47,740	28,180
Element 28-49 (Plate)	9580	2	3,000	-10,077	-43,489	-103,761	11,448	35,530	-29,058	35,530	-43,199	-43,199	25,369
(Micropali D168.3x8,0mm/0,4)	9579	3	3,000	-10,197	-39,742	-96,253	10,796	31,292	-28,944	31,292	-39,169	-39,169	22,729
28	9578	4	3,000	-10,318	-35,738	-87,997	10,058	27,113	-28,671	27,113	-35,646	-35,646	20,204
28	9577	5	3,000	-10,439	-31,492	-79,154	9,219	23,059	-27,960	23,059	-32,622	-32,622	17,326
Plate_1_12	9577	1	3,000	-10,439	-31,837	-79,357	9,240	23,735	-28,042	23,735	-32,622	-32,622	17,326
Element 28-50 (Plate)	8342	2	3,000	-10,531	-28,271	-72,732	8,607	20,358	-27,560	20,358	-30,603	-30,603	14,930
(Micropali D168.3x8,0mm/0,4)	8343	3	3,000	-10,623	-25,808	-66,300	7,948	19,416	-27,271	19,416	-28,795	-28,795	12,440
28	8344	4	3,000	-10,715	-24,658	-60,019	7,265	21,531	-27,375	21,531	-26,926	-26,926	9,917
28	8341	5	3,000	-10,808	-25,034	-53,845	6,557	27,322	-26,853	27,322	-24,706	-24,706	7,423
Plate_1_12	8341	1	3,000	-10,808	-24,929	-53,909	6,555	25,741	-26,192	25,741	-24,706	-24,706	7,423
Element 28-51 (Plate)	7770	2	3,000	-10,878	-26,382	-49,274	5,993	35,247	-25,159	35,247	-22,532	-22,532	5,616
(Micropali D168.3x8,0mm/0,4)	7769	3	3,000	-10,949	-27,274	-44,722	5,411	41,248	-22,891	41,248	-19,817	-19,817	3,935
28	7768	4	3,000	-11,019	-27,458	-40,258	4,808	44,188	-19,468	44,188	-16,783	-16,783	2,449
28	7767	5	3,000	-11,090	-26,784	-35,965	4,185	44,515	-15,044	44,515	-13,643	-13,643	1,238
Plate_1_12	7767	1	3,000	-11,090	-26,853	-35,851	4,184	44,950	-15,205	44,950	-13,643	-13,643	1,238
Element 28-52 (Plate)	6794	2	3,000	-11,144	-25,770	-32,503	3,691	44,147	-11,988	44,147	-11,229	-11,229	0,511
(Micropali D168.3x8,0mm/0,4)	6795	3	3,000	-11,198	-23,956	-28,850	3,182	41,554	-8,630	41,554	-8,914	-8,914	0,000
28	6796	4	3,000	-11,252	-21,489	-24,808	2,657	37,891	-5,186	37,891	-6,763	-6,763	0,000
28	6793	5	3,000	-11,306	-18,446	-20,240	2,116	33,877	-1,587	33,877	-4,830	-4,830	0,000
Plate_1_12	6793	1	3,000	-11,306	-18,409	-20,256	2,114	35,994	-1,887	35,994	-4,830	-4,830	0,000
Element 28-53 (Plate)	5608	2	3,000	-11,347	-16,124	-17,060	1,687	32,996	0,000	32,996	-3,405	-3,405	0,000
(Micropali D168.3x8,0mm/0,4)	5609	3	3,000	-11,388	-12,857	-13,839	1,246	28,831	0,000	28,831	-2,122	-2,122	0,000
28	5610	4	3,000	-11,429	-9,295	-10,013	0,791	22,872	0,000	22,872	-1,050	-1,050	0,000
28	5607	5	3,000	-11,471	-6,124	-6,124	0,321	14,493	0,000	14,493	-0,269	-0,273	0,000
Plate_1_13	5607	1	3,000	-11,471	-5,517	-5,668	0,321	13,781	0,000	13,781	-0,269	-0,273	0,000
Element 30-64 (Plate)	4612	2	3,000	-11,478	-4,718	-4,836	0,235	11,784	0,000	11,784	-0,175	-0,180	0,000
(Micropali D168.3x8,0mm/0,4)	4611	3	3,000	-11,485	-3,734	-3,830	0,149	9,326	0,000	9,346	-0,097	-0,102	0,000
28	4610	4	3,000	-11,493	-2,640	-2,792	0,062	6,595	0,000	6,953	-0,038	-0,042	0,000
28	4609	5	3,000	-11,500	-1,514	-1,858	0,031	3,779	-0,060	4,539	0,000	0,000	0,000

3.1.2.4.34 Calculation results, Plate, Eccezionale Op provvisionale [Phase_33] (33/1287), Table of plate force envelopes

Structural element	Node [10 ^]	Local number	X [m]	Y [m]	N [kN/m]	N ,,, [kN/m]	N ,,, [kN/m]	Q [kN/m]	Q ,,, [kN/m]	Q ,,, [kN/m]	M [kN m/m]	M ,,, [kN m/m]	M ,,, [kN m/m]
Plate_4_1	16475	1	3,000	-0,126	0,093	-0,144	0,102	18,923	-0,084	18,923	19,100	0,000	19,100
Element 2-5 (Plate)	16474	2	3,000	-0,282	-0,160	-0,174	0,070	19,421	-0,129	19,421	22,095	0,000	22,095
(Micropali D168.3x8,0mm/0,4)	16473	3	3,000	-0,438	-0,312	-0,605	0,000	19,723	0,000	19,723	25,149	0,000	25,149
28	16472	4	3,000	-0,594	-0,450	-1,370	0,000	19,998	0,000	19,998	28,250	0,000	28,250
28	16471	5	3,000	-0,750	-0,664	-2,470	0,000	20,415	0,000	20,415	31,398	0,000	31,398
Plate_1_1	16471	1	3,000	-0,750	-0,608	-2,638	0,000	20,306	0,000	20,306	31,398	0,000	31,398
Element 5-9 (Plate)	16455	2	3,000	-0,948	-1,306	-3,969	0,000	21,675	0,000	21,675	35,565	0,000	35,565
(Micropali D168.3x8,0mm/0,4)	16454	3	3,000	-1,146	-1,845	-5,866	0,000	22,734	0,000	22,734	39,952	0,000	39,952
28	16453	4	3,000	-1,344	-2,485	-7,916	0,000	23,991	0,000	23,991	44,579	0,000	44,579
28	16595	5	3,000	-1,542	-3,487	-10,201	0,000	25,955	-0,116	25,955	49,500	0,000	49,500
Plate_1_1	16595	1	3,000	-1,542	-3,598	-10,267	0,000	26,174	0,000	26,174	49,500	0,000	49,500
Element 5-10 (Plate)	16594	2	3,000	-1,581	-3,761	-10,743	0,000	26,494	0,000	26,494	50,542	0,000	50,542
(Micropali D168.3x8,0mm/0,4)	16593	3	3,000	-1,621	-3,941	-11,286	0,000	26,847	-0,017	26,847	51,598	0,000	51,598
28	16592	4	3,000	-1,660	-4,120	-11,843	0,000	27,199	-0,035	27,199	52,668	0,000	52,668
28	16615	5	3,000	-1,700	-4,280	-12,361	0,000	27,515	-0,022	27,515	53,751	0,000	53,751
Plate_1_2	16615	1	3,000	-1,700	-17,105	-22,267	0,000	-47,806	-47,806	5,890	53,751	0,000	53,751
Element 7-13 (Plate)	16614	2	3,000	-1,728	-17,238	-22,620	0,000	-47,544	-47,544	6,153	52,402	0,000	52,402
(Micropali D168.3x8,0mm/0,4)	16613	3	3,000	-1,757	-17,391	-23,001	0,000	-47,244	-47,244	6,453	51,061	0,000	51,061
28	16612	4	3,000	-1,785	-17,559	-23,396	0,000	-46,915	-46,915	6,788	49,728	0,000	49,728
28	16611	5	3,000	-1,813	-17,738	-23,794	0,000	-46,564	-46,564	7,160	48,405	0,000	48,405
Plate_1_3	16611	1	3,000	-1,813	-17,741	-23,801	0,000	-46,558	-46,558	7,046	48,405	0,000	48,405
Element 8-14 (Plate)	16499	2	3,000	-1,847	-17,943	-24,206	0,000	-46,160	-46,160	7,347	46,827	0,000	46,827
(Micropali D168.3x8,0mm/0,4)	16498	3	3,000	-1,881	-18,160	-24,597	0,000	-45,736	-45,736	7,519	45,262	0,000	45,262
28	16497	4	3,000	-1,915	-18,377	-24,964	0,000	-45,309	-45,309	7,553	43,711	0,000	43,711
28	16496	5	3,000	-1,949	-18,582	-25,292	0,000	-44,906	-44,906	7,438	42,175	0,000	42,175
Plate_1_3	16496	1	3,000	-1,949	-18,584	-25,292	0,000	-44,903	-44,903	7,452	42,175	0,000	42,175
Element 8-15 (Plate)	16287	2	3,000	-1,983	-18,768	-25,575	0,000	-44,540	-44,540	7,221	40,652	0,000	40,652
(Micropali D168.3x8,0mm/0,4)	16286	3	3,000	-2,018	-18,935	-25,823	0,000	-44,214	-44,214	6,850	39,141	0,000	39,141
28	16285	4	3,000	-2,052	-19,072	-26,023	0,000	-43,945	-43,945	6,349	37,639	0,000	37,639
28	16284	5	3,000	-2,086	-19,167	-26,162	0,000	-43,757	-43,757	5,730	36,146	0,000	36,146
Plate_1_4	16284	1	3,000	-2,086	-19,178	-26,160	0,000	-43,736	-43,736	5,745	36,146	0,000	36,146
Element 9-16 (Plate)	16241	2	3,000	-2,088	-19,178	-26,159	0,000	-43,736	-43,736	5,682	36,032	0,000	36,032
(Micropali D168.3x8,0mm/0,4)	16240	3	3,000	-2,091	-19,178	-26,165	0,000	-43,735	-43,735	5,608	35,917	0,000	35,917
28	16239	4	3,000	-2,094	-19,179	-26,173	0,000	-43,735	-43,735	5,529	35,803	0,000	35,803
28	16238	5	3,000	-2,096	-19,178	-26,174	0,000	-43,735	-43,735	5,451	35,688	0,000	35,688
Plate_1_5	16238	1	3,000	-2,096	-19,179	-26,175	0,000	-43,735	-43,735	5,501	35,688	0,000	35,688
Element 11-19 (Plate)	16221	2	3,000	-2,140	-19,178	-26,175	0,000	-43,735	-43,735	4,337	33,790	0,000	33,790
(Micropali D168.3x8,0mm/0,4)	16220	3	3,000	-2,183	-19,178	-26,176	0,000	-43,736	-43,736	3,259	31,891	0,000	31,891
28	16219	4	3,000	-2,226	-19,178	-26,177	0,000	-43,737	-43,737	2,249	29,992	0,000	29,992
28	16218	5	3,000	-2,270	-19,178	-26,178	0,000	-43,737	-43,737	1,291	28,094	-0,266	28,094
Plate_1_5	16218	1	3,000	-2,270	-19,060	-25,975	0,000	-43,969	-43,969	1,335	28,094	-0,266	28,094
Element 11-20 (Plate)	15915	2	3,000	-2,344	-19,542	-26,969	0,000	-43,024	-43,024	0,000	24,862	-2,045	24,862
(Micropali D168.3x8,0mm/0,4)	15914	3	3,000	-2,418	-20,244	-27,924	0,087	-41,646	-41,646	0,000	21,718	-3,686	21,718
28	15913	4	3,000	-2,492	-21,065	-28,772	0,459	-40,035	-40,035	0,000	18,683	-5,203	18,683
28	15912	5	3,000	-2,567	-21,904	-29,437	0,618	-38,389	-38,389	0,000	15,774	-6,614	15,774
Plate_1_5	15912	1	3,000	-2,567	-21,757	-29,359	0,682	-38,676	-38,676	0,000	15,774	-6,614	15,774

Structural element	Node [10^0]	Local number	X [m]	Y [m]	N [kN/m]	N,max [kN/m]	N,min [kN/m]	Q [kN/m]	Q,max [kN/m]	Q,min [kN/m]	M [kN m/m]	M,max [kN m/m]	M,min [kN m/m]
Element 11-21 (Plate)	15631	2	3,000	-2,694	-22,940	-30,122	1,061	-36,355	-36,355	0,000	11,012	-8,885	11,012
(Micropali D168.3x8,0mm/0,4)	15630	3	3,000	-2,821	-24,154	-30,812	1,399	-33,973	-33,973	0,000	6,547	-10,994	6,547
"	15629	4	3,000	-2,948	-25,389	-31,437	1,695	-31,549	-31,549	0,000	2,387	-12,954	3,992
"	15628	5	3,000	-3,074	-26,636	-32,004	1,952	-29,101	-29,101	0,000	-1,461	-14,779	3,367
Plate_1_5	15628	1	3,000	-3,074	-26,520	-31,946	1,954	-29,279	-29,279	0,000	-1,461	-14,779	3,367
Element 11-22 (Plate)	15607	2	3,000	-3,292	-28,806	-33,010	2,318	-24,870	-24,870	0,450	-7,320	-17,593	2,392
(Micropali D168.3x8,0mm/0,4)	15606	3	3,000	-3,509	-30,762	-33,912	2,599	-20,942	-20,942	2,725	-12,298	-20,046	1,587
"	15605	4	3,000	-3,726	-32,622	-34,889	2,787	-17,057	-17,057	5,921	-16,416	-22,112	1,372
"	15604	5	3,000	-3,943	-34,623	-36,180	2,872	-12,781	-12,781	10,502	-19,669	-23,739	2,875
Plate_1_6	15604	1	3,000	-3,943	-34,449	-35,992	2,922	-13,157	-13,157	9,422	-19,669	-23,739	2,875
Element 15-28 (Plate)	15495	2	3,000	-4,180	-37,018	-37,957	2,958	-7,744	-7,744	5,328	-22,120	-24,820	4,155
(Micropali D168.3x8,0mm/0,4)	15494	3	3,000	-4,418	-39,328	-39,797	3,002	-2,881	-2,881	3,000	-23,409	-25,087	4,661
"	15493	4	3,000	-4,656	-41,939	-42,066	3,023	2,527	-1,432	5,204	-23,447	-24,426	4,837
"	15515	5	3,000	-4,894	-45,410	-45,410	5,094	9,577	-1,757	11,556	-22,063	-23,208	4,949
Plate_1_6	15515	1	3,000	-4,894	-45,274	-45,274	4,592	9,305	-1,910	11,265	-22,063	-23,208	4,949
Element 15-29 (Plate)	15514	2	3,000	-5,095	-48,034	-48,034	7,199	14,871	-2,225	16,422	-19,589	-21,343	4,874
(Micropali D168.3x8,0mm/0,4)	15513	3	3,000	-5,297	-50,275	-50,275	8,839	19,382	-2,391	20,649	-16,152	-18,754	4,620
"	15512	4	3,000	-5,498	-52,596	-52,596	9,858	24,016	-2,410	25,113	-11,764	-15,465	4,345
"	15511	5	3,000	-5,700	-55,594	-55,594	10,602	29,950	-2,567	30,981	-6,368	-11,334	4,347
Plate_1_7	15511	1	3,000	-5,700	-64,311	-64,311	10,519	-17,881	-17,973	24,465	-6,368	-11,334	4,347
Element 17-32 (Plate)	15227	2	3,000	-5,825	-67,098	-67,098	10,862	-12,390	-12,508	29,399	-8,259	-10,134	4,273
(Micropali D168.3x8,0mm/0,4)	15228	3	3,000	-5,950	-69,665	-69,665	11,209	-7,332	-7,471	34,231	-9,480	-9,480	5,350
"	15229	4	3,000	-6,075	-71,803	-71,803	11,545	-3,119	-3,273	38,670	-10,128	-10,128	8,280
"	15226	5	3,000	-6,200	-73,303	-73,303	11,859	-0,161	-2,063	42,407	-10,316	-10,316	11,701
Plate_1_8	15226	1	3,000	-6,200	-73,159	-73,159	11,857	-0,445	-2,075	42,207	-10,316	-10,316	11,701
Element 19-34 (Plate)	15055	2	3,000	-6,275	-74,118	-74,118	12,040	1,447	-1,952	40,863	-10,279	-10,279	14,032
(Micropali D168.3x8,0mm/0,4)	15054	3	3,000	-6,350	-75,140	-75,140	12,214	3,460	-1,841	38,711	-10,095	-10,095	16,324
"	15053	4	3,000	-6,425	-76,227	-76,227	12,379	5,601	-1,746	36,000	-9,756	-9,756	18,631
"	15052	5	3,000	-6,500	-77,381	-77,381	12,537	7,873	-1,732	35,219	-9,252	-9,252	21,053
Plate_1_9	15052	1	3,000	-6,500	-77,383	-77,383	12,539	7,877	-1,766	35,293	-9,252	-9,252	21,053
Element 20-35 (Plate)	14383	2	3,000	-6,522	-77,739	-77,739	12,584	8,577	-1,825	35,792	-9,075	-9,075	21,745
(Micropali D168.3x8,0mm/0,4)	14384	3	3,000	-6,543	-78,081	-78,081	12,631	9,250	-1,889	36,292	-8,883	-8,883	22,421
"	14385	4	3,000	-6,565	-78,401	-78,401	12,682	9,880	-1,959	36,776	-8,677	-8,677	23,088
"	14382	5	3,000	-6,586	-78,690	-78,690	12,737	10,451	-2,038	37,384	-8,458	-8,458	23,738
Plate_1_10	14382	1	3,000	-6,586	-78,730	-78,730	12,732	10,528	-2,060	37,289	-8,458	-8,458	23,738
Element 22-37 (Plate)	13951	2	3,000	-6,690	-79,290	-79,290	13,028	11,637	-2,574	39,143	-7,305	-7,305	26,149
(Micropali D168.3x8,0mm/0,4)	13952	3	3,000	-6,793	-79,599	-79,599	13,209	12,250	-5,355	40,214	-6,069	-6,069	27,375
"	13953	4	3,000	-6,897	-79,824	-79,824	13,278	12,699	-8,747	40,726	-4,774	-4,774	27,575
"	13950	5	3,000	-7,000	-80,131	-80,131	13,236	13,317	-11,767	40,905	-3,433	-3,433	27,371
Plate_1_11	13950	1	3,000	-7,000	-80,185	-80,185	13,261	13,423	-12,169	41,897	-3,433	-3,433	27,371
Element 25-40 (Plate)	13001	2	3,000	-7,152	-80,381	-80,381	13,206	13,826	-16,143	19,858	-1,353	-1,353	30,260
(Micropali D168.3x8,0mm/0,4)	13002	3	3,000	-7,305	-80,496	-80,496	13,152	14,062	-19,165	14,274	0,772	0,000	31,477
"	13003	4	3,000	-7,457	-80,599	-80,599	13,102	14,271	-19,963	14,271	2,934	0,000	30,366
"	13000	5	3,000	-7,610	-80,756	-80,756	13,058	14,591	-20,289	14,591	5,130	0,000	27,777
Plate_1_11	13000	1	3,000	-7,610	-80,749	-80,749	13,057	14,565	-21,743	14,565	5,130	0,000	27,777
Element 25-41 (Plate)	12096	2	3,000	-7,832	-83,931	-83,931	13,018	20,884	-22,973	20,884	9,161	0,000	22,823
(Micropali D168.3x8,0mm/0,4)	12095	3	3,000	-8,055	-85,587	-85,587	12,993	24,190	-22,301	24,190	14,182	0,000	18,311
"	12094	4	3,000	-8,277	-86,536	-86,536	12,979	26,111	-19,595	26,111	19,829	-0,044	20,486
"	12093	5	3,000	-8,500	-87,599	-87,599	12,973	28,273	-15,445	28,273	25,844	-0,144	25,858
Plate_1_12	12093	1	3,000	-8,500	-87,954	-87,954	12,971	28,764	-15,861	28,764	25,844	-0,144	25,858
Element 28-47 (Plate)	11390	2	3,000	-8,706	-74,215	-74,215	12,966	3,704	-12,588	3,704	29,035	-0,226	29,037
(Micropali D168.3x8,0mm/0,4)	11391	3	3,000	-8,913	-63,587	-63,587	12,961	-12,758	-17,018	0,000	27,968	-0,301	27,968
"	11392	4	3,000	-9,119	-55,761	-55,761	12,956	-21,163	-21,730	0,000	24,324	-0,370	24,324

Structural element	Node [10^0]	Local number	X [m]	Y [m]	N [kN/m]	N,min [kN/m]	N,max [kN/m]	Q [kN/m]	Q,max [kN/m]	Q,min [kN/m]	M [kN m/m]	M,max [kN m/m]	M,min [kN m/m]
2D	11389	5	3,000	-9,325	-50,424	-50,424	12,950	-22,053	-22,065	0,000	19,749	-0,433	19,749
Plate_1_12	11389	1	3,000	-9,325	-50,034	-50,034	12,896	-23,180	-23,193	0,000	19,749	-0,433	19,749
Element 28-48 (Plate)	10576	2	3,000	-9,483	-46,397	-46,397	12,962	-22,259	-22,259	0,000	16,153	-0,519	16,153
(Micropali D168.3x8,0mm/0,4)	10575	3	3,000	-9,641	-43,152	-43,152	12,831	-20,496	-20,496	0,000	12,772	-0,727	12,772
2D	10574	4	3,000	-9,798	-40,249	-40,249	12,507	-18,032	-18,032	0,000	9,722	-0,870	9,722
2D	10573	5	3,000	-9,956	-37,638	-37,638	11,989	-15,011	-15,011	0,000	7,111	-0,974	7,111
Plate_1_12	10573	1	3,000	-9,956	-37,572	-37,572	11,989	-15,162	-15,162	0,000	7,111	-0,974	7,111
Element 28-49 (Plate)	9580	2	3,000	-10,077	-35,580	-35,580	11,448	-12,957	-12,957	0,013	5,416	-1,096	5,416
(Micropali D168.3x8,0mm/0,4)	9579	3	3,000	-10,197	-33,562	-33,562	10,796	-10,866	-10,866	0,048	3,981	-1,166	3,981
2D	9578	4	3,000	-10,318	-31,511	-31,511	10,058	-8,903	-8,903	0,200	2,789	-1,189	2,789
2D	9577	5	3,000	-10,439	-29,421	-29,421	9,219	-7,083	-7,083	0,377	1,827	-1,170	1,827
Plate_1_12	9577	1	3,000	-10,439	-29,379	-29,379	9,240	-7,100	-7,100	0,379	1,827	-1,170	1,827
Element 28-50 (Plate)	8342	2	3,000	-10,531	-27,626	-27,626	8,607	-5,852	-5,852	0,554	1,231	-1,129	1,231
(Micropali D168.3x8,0mm/0,4)	8343	3	3,000	-10,623	-25,760	-25,760	7,948	-4,742	-4,742	0,764	0,743	-1,068	0,743
2D	8344	4	3,000	-10,715	-23,780	-23,780	7,265	-3,773	-3,773	0,948	0,351	-0,989	0,351
2D	8341	5	3,000	-10,808	-21,687	-21,687	6,557	-2,948	-2,948	1,104	0,042	-0,894	0,042
Plate_1_12	8341	1	3,000	-10,808	-21,677	-21,677	6,555	-2,964	-2,964	1,097	0,042	-0,894	0,042
Element 28-51 (Plate)	7770	2	3,000	-10,878	-19,990	-19,990	5,993	-2,397	-2,397	1,191	-0,146	-0,813	0,000
(Micropali D168.3x8,0mm/0,4)	7769	3	3,000	-10,949	-18,211	-18,211	5,411	-1,900	-1,900	1,249	-0,298	-0,727	0,000
2D	7768	4	3,000	-11,019	-16,341	-16,341	4,808	-1,447	-1,447	1,270	-0,415	-0,638	0,000
2D	7767	5	3,000	-11,090	-14,378	-14,378	4,185	-1,016	-1,016	1,254	-0,502	-0,613	0,000
Plate_1_12	7767	1	3,000	-11,090	-14,373	-14,373	4,184	-0,962	-0,962	1,269	-0,502	-0,613	0,000
Element 28-52 (Plate)	6794	2	3,000	-11,144	-12,811	-12,811	3,691	-0,552	-0,552	1,226	-0,543	-0,608	0,000
(Micropali D168.3x8,0mm/0,4)	6795	3	3,000	-11,198	-11,184	-11,184	3,182	-0,043	-0,043	1,209	-0,560	-0,593	0,000
2D	6796	4	3,000	-11,252	-9,493	-9,493	2,657	0,591	0,000	1,231	-0,546	-0,560	0,000
2D	6793	5	3,000	-11,306	-7,738	-7,738	2,116	1,376	0,000	1,585	-0,493	-0,498	0,000
Plate_1_12	6793	1	3,000	-11,306	-7,684	-7,684	2,114	1,240	0,000	1,449	-0,493	-0,498	0,000
Element 28-53 (Plate)	5608	2	3,000	-11,347	-6,369	-6,369	1,687	2,389	0,000	2,468	-0,417	-0,419	0,000
(Micropali D168.3x8,0mm/0,4)	5609	3	3,000	-11,388	-4,873	-4,873	1,246	3,097	0,000	3,122	-0,302	-0,303	0,000
2D	5610	4	3,000	-11,429	-3,168	-3,168	0,791	3,308	0,000	3,318	-0,169	-0,169	0,000
2D	5607	5	3,000	-11,471	-1,226	-1,234	0,321	2,967	0,000	2,969	-0,037	-0,037	0,000
Plate_1_13	5607	1	3,000	-11,471	-1,311	-1,312	0,321	2,541	0,000	2,544	-0,037	-0,037	0,000
Element 30-64 (Plate)	4612	2	3,000	-11,478	-0,984	-0,985	0,235	1,921	0,000	1,923	-0,021	-0,021	0,000
(Micropali D168.3x8,0mm/0,4)	4611	3	3,000	-11,485	-0,647	-0,648	0,149	1,269	0,000	1,270	-0,009	-0,009	0,000
2D	4610	4	3,000	-11,493	-0,307	-0,307	0,062	0,603	0,000	0,604	-0,002	-0,002	0,000
2D	4609	5	3,000	-11,500	0,029	-0,024	0,029	-0,059	-0,060	0,000	0,000	0,000	0,000

3.2.1.1.8 Calculation results, Node-to-node anchor, Ancoraggio 1 [Phase_7] (7/308), Table of node-to-node anchors

Structural element	Node [10^{3}]	Local number	X [m]	Y [m]	N [10^{-3} kN]	N_{min} [kN]	N_{max} [10^{-3} kN]
NodeToNodeAnchor_1_1	16615	1	3,000	-1,700	167,098	0,000	167,098
Element 2-2 (Node-to-node anchor)	17931	2	8,300	-2,600	167,098	0,000	167,098

3.2.1.1.9 Calculation results, Node-to-node anchor, Escavo 2 [Phase_8] (8/338), Table of node-to-node anchors

Structural element	Node [10 ^{3}]	Local number	X [m]	Y [m]	N [kN]	N_{min} [kN]	N_{max} [kN]
NodeToNodeAnchor_1_1	16615	1	3,000	-1,700	21,009	0,000	21,009
Element 2-2 (Node-to-node anchor)	17931	2	8,300	-2,600	21,009	0,000	21,009

3.2.1.1.10 Calculation results, Node-to-node anchor, Escavo 3 [Phase_9] (9/379), Table of node-to-node anchors

Structural element	Node [10 ^{3}]	Local number	X [m]	Y [m]	N [kN]	N_{min} [kN]	N_{max} [kN]
NodeToNodeAnchor_1_1	16615	1	3,000	-1,700	65,867	0,000	65,867
Element 2-2 (Node-to-node anchor)	17931	2	8,300	-2,600	65,867	0,000	65,867

3.2.1.1.11 Calculation results, Node-to-node anchor, Ancoraggio 2 [Phase_27] (27/430), Table of node-to-node anchors

Structural element	Node [10^3]	Local number	X [m]	Y [m]	N [kN]	N_{min} [kN]	N_{max} [kN]
NodeToNodeAnchor_1_1	16615	1	3,000	-1,700	66,493	0,000	66,493
Element 2-2 (Node-to-node anchor)	17931	2	8,300	-2,600	66,493	0,000	66,493
NodeToNodeAnchor_4_1	15511	1	3,000	-5,700	0,930	0,000	0,930
Element 4-4 (Node-to-node anchor)	18008	2	6,000	-6,250	0,930	0,000	0,930

3.2.1.1.12 Calculation results, Node-to-node anchor, Escavo 4 [Phase_10] (10/449), Table of node-to-node anchors

Structural element	Node [10 ^{3}]	Local number	X [m]	Y [m]	N [kN]	N_{min} [kN]	N_{max} [kN]
NodeToNodeAnchor_1_1	16615	1	3,000	-1,700	77,218	0,000	77,218
Element 2-2 (Node-to-node anchor)	17931	2	8,300	-2,600	77,218	0,000	77,218
NodeToNodeAnchor_4_1	15511	1	3,000	-5,700	26,115	0,000	26,115
Element 4-4 (Node-to-node anchor)	18008	2	6,000	-6,250	26,115	0,000	26,115

3.2.1.1.13 Calculation results, Node-to-node anchor, Completamento scavo [Phase_28] (28/479), Table of node-to-node anchors

Structural element	Node [10 ^{3}]	Local number	X [m]	Y [m]	N [kN]	N_{min} [kN]	N_{max} [kN]
NodeToNodeAnchor_1_1	16615	1	3,000	-1,700	96,126	0,000	96,126
Element 2-2 (Node-to-node anchor)	17931	2	8,300	-2,600	96,126	0,000	96,126
NodeToNodeAnchor_4_1	15511	1	3,000	-5,700	78,973	0,000	78,973
Element 4-4 (Node-to-node anchor)	18008	2	6,000	-6,250	78,973	0,000	78,973

3.2.1.1.14 Calculation results, Node-to-node anchor, (RD) Strutture [Phase_11] (11/482), Table of node-to-node anchors

Structural element	Node [10 ^{3}]	Local number	X [m]	Y [m]	N [kN]	N_{min} [kN]	N_{max} [kN]
NodeToNodeAnchor_1_1	16615	1	3,000	-1,700	96,338	0,000	96,338
Element 2-2 (Node-to-node anchor)	17931	2	8,300	-2,600	96,338	0,000	96,338
NodeToNodeAnchor_4_1	15511	1	3,000	-5,700	79,226	0,000	79,226
Element 4-4 (Node-to-node anchor)	18008	2	6,000	-6,250	79,226	0,000	79,226
NodeToNodeAnchor_2_1	9077	1	0,000	-8,400	0,028	0,000	0,028
Element 5-5 (Node-to-node anchor)	18053	2	1,776	-12,600	0,028	0,000	0,028

3.2.1.1.15 Calculation results, Node-to-node anchor, Riempimento 1 [Phase_12] (12/828), Table of node-to-node anchors

Structural element	Node [10 ^{3}]	Local number	X [m]	Y [m]	N [kN]	N_{min} [kN]	N_{max} [kN]
NodeToNodeAnchor_1_1	16615	1	3,000	-1,700	99,827	0,000	99,827
Element 2-2 (Node-to-node anchor)	17931	2	8,300	-2,600	99,827	0,000	99,827
NodeToNodeAnchor_4_1	15511	1	3,000	-5,700	80,779	0,000	80,779
Element 4-4 (Node-to-node anchor)	18008	2	6,000	-6,250	80,779	0,000	80,779
NodeToNodeAnchor_2_1	9077	1	0,000	-8,400	2,330	0,000	2,330
Element 5-5 (Node-to-node anchor)	18053	2	1,776	-12,600	2,330	0,000	2,330

3.2.1.1.16 Calculation results, Node-to-node anchor, Collegamento ancoraggio 1 [Phase_29] (29/843), Table of node-to-node anchors

Structural element	Node [10^3]	Local number	X [m]	Y [m]	N [kN]	N_{min} [kN]	N_{max} [kN]
NodeToNodeAnchor_1_1	16615	1	3,000	-1,700	99,828	0,000	99,828
Element 2-2 (Node-to-node anchor)	17931	2	8,300	-2,600	99,828	0,000	99,828
NodeToNodeAnchor_5_1	15922	1	0,000	-5,200	0,011	0,000	0,011
Element 3-3 (Node-to-node anchor)	15511	2	3,000	-5,700	0,011	0,000	0,011
NodeToNodeAnchor_4_1	15511	1	3,000	-5,700	80,780	0,000	80,780
Element 4-4 (Node-to-node anchor)	18008	2	6,000	-6,250	80,780	0,000	80,780
NodeToNodeAnchor_2_1	9077	1	0,000	-8,400	2,330	0,000	2,330
Element 5-5 (Node-to-node anchor)	18053	2	1,776	-12,600	2,330	0,000	2,330

3.2.1.1.17 Calculation results, Node-to-node anchor, Riempimento 2 [Phase_13] (13/861), Table of node-to-node anchors

Structural element	Node [10^3]	Local number	X [m]	Y [m]	N [kN]	N_{min} [kN]	N_{max} [kN]
NodeToNodeAnchor_1_1	16615	1	3,000	-1,700	103,259	0,000	103,259
Element 2-2 (Node-to-node anchor)	17931	2	8,300	-2,600	103,259	0,000	103,259
NodeToNodeAnchor_5_1	15922	1	0,000	-5,200	32,859	0,000	32,859
Element 3-3 (Node-to-node anchor)	15511	2	3,000	-5,700	32,859	0,000	32,859
NodeToNodeAnchor_4_1	15511	1	3,000	-5,700	83,293	0,000	83,293
Element 4-4 (Node-to-node anchor)	18008	2	6,000	-6,250	83,293	0,000	83,293
NodeToNodeAnchor_2_1	9077	1	0,000	-8,400	5,001	0,000	5,001
Element 5-5 (Node-to-node anchor)	18053	2	1,776	-12,600	5,001	0,000	5,001

3.2.1.1.18 Calculation results, Node-to-node anchor, Riempimento 3 [Phase_30] (30/964), Table of node-to-node anchors

Structural element	Node [10^3]	Local number	X [m]	Y [m]	N [kN]	N_{min} [kN]	N_{max} [kN]
NodeToNodeAnchor_1_1	16615	1	3,000	-1,700	104,325	0,000	104,325
Element 2-2 (Node-to-node anchor)	17931	2	8,300	-2,600	104,325	0,000	104,325
NodeToNodeAnchor_5_1	15922	1	0,000	-5,200	101,604	0,000	101,604
Element 3-3 (Node-to-node anchor)	15511	2	3,000	-5,700	101,604	0,000	101,604
NodeToNodeAnchor_4_1	15511	1	3,000	-5,700	90,876	0,000	90,876
Element 4-4 (Node-to-node anchor)	18008	2	6,000	-6,250	90,876	0,000	90,876
NodeToNodeAnchor_2_1	9077	1	0,000	-8,400	6,738	0,000	6,738
Element 5-5 (Node-to-node anchor)	18053	2	1,776	-12,600	6,738	0,000	6,738

3.2.1.1.19 Calculation results, Node-to-node anchor, Collegamento ancoraggio 2 [Phase_14] (14/977), Table of node-to-node anchors

Structural element	Node [10 ^{3}]	Local number	X [m]	Y [m]	N [kN]	N_{min} [kN]	N_{max} [kN]
NodeToNodeAnchor_3_1	17465	1	0,000	-1,200	16,606	0,000	16,606
Element 1-1 (Node-to-node anchor)	16615	2	3,000	-1,700	16,606	0,000	16,606
NodeToNodeAnchor_1_1	16615	1	3,000	-1,700	105,794	0,000	105,794
Element 2-2 (Node-to-node anchor)	17931	2	8,300	-2,600	105,794	0,000	105,794
NodeToNodeAnchor_5_1	15922	1	0,000	-5,200	123,740	0,000	123,740
Element 3-3 (Node-to-node anchor)	15511	2	3,000	-5,700	123,740	0,000	123,740
NodeToNodeAnchor_4_1	15511	1	3,000	-5,700	91,843	0,000	91,843
Element 4-4 (Node-to-node anchor)	18008	2	6,000	-6,250	91,843	0,000	91,843
NodeToNodeAnchor_2_1	9077	1	0,000	-8,400	7,390	0,000	7,390
Element 5-5 (Node-to-node anchor)	18053	2	1,776	-12,600	7,390	0,000	7,390

3.2.1.1.20 Calculation results, Node-to-node anchor, Riempimento 4 (MG) [Phase_15] (15/984), Table of node-to-node anchors

Structural element	Node [10^3]	Local number	X [m]	Y [m]	N [kN]	N_{min} [kN]	N_{max} [kN]
NodeToNodeAnchor_3_1	17465	1	0,000	-1,200	16,876	0,000	16,876
Element 1-1 (Node-to-node anchor)	16615	2	3,000	-1,700	16,876	0,000	16,876
NodeToNodeAnchor_1_1	16615	1	3,000	-1,700	105,764	0,000	105,794
Element 2-2 (Node-to-node anchor)	17931	2	8,300	-2,600	105,764	0,000	105,794
NodeToNodeAnchor_5_1	15922	1	0,000	-5,200	123,968	0,000	123,968
Element 3-3 (Node-to-node anchor)	15511	2	3,000	-5,700	123,968	0,000	123,968
NodeToNodeAnchor_4_1	15511	1	3,000	-5,700	91,886	0,000	91,886
Element 4-4 (Node-to-node anchor)	18008	2	6,000	-6,250	91,886	0,000	91,886
NodeToNodeAnchor_2_1	9077	1	0,000	-8,400	7,387	0,000	7,390
Element 5-5 (Node-to-node anchor)	18053	2	1,776	-12,600	7,387	0,000	7,390

3.2.1.1.21 Calculation results, Node-to-node anchor, Riempimento 5 (MG) [Phase_16] (16/992), Table of node-to-node anchors

Structural element	Node [10 ^{3}]	Local number	X [m]	Y [m]	N [kN]	N_{min} [kN]	N_{max} [kN]
NodeToNodeAnchor_3_1	17465	1	0,000	-1,200	32,480	0,000	32,480
Element 1-1 (Node-to-node anchor)	16615	2	3,000	-1,700	32,480	0,000	32,480
NodeToNodeAnchor_1_1	16615	1	3,000	-1,700	107,587	0,000	107,587
Element 2-2 (Node-to-node anchor)	17931	2	8,300	-2,600	107,587	0,000	107,587
NodeToNodeAnchor_5_1	15922	1	0,000	-5,200	136,964	0,000	136,964
Element 3-3 (Node-to-node anchor)	15511	2	3,000	-5,700	136,964	0,000	136,964
NodeToNodeAnchor_4_1	15511	1	3,000	-5,700	92,978	0,000	92,978
Element 4-4 (Node-to-node anchor)	18008	2	6,000	-6,250	92,978	0,000	92,978
NodeToNodeAnchor_2_1	9077	1	0,000	-8,400	7,605	0,000	7,605
Element 5-5 (Node-to-node anchor)	18053	2	1,776	-12,600	7,605	0,000	7,605

3.2.1.1.22 Calculation results, Node-to-node anchor, Disattivazione paratia provvisionale [Phase_17] (17/998), Table of node-to-node anchors

Structural element	Node [10 ^{3}]	Local number	X [m]	Y [m]	N [kN]	N_{min} [kN]	N_{max} [kN]
NodeToNodeAnchor_3_1	17465	1	0,000	-1,200	85,481	0,000	85,481
Element 1-1 (Node-to-node anchor)	16615	2	3,000	-1,700	85,481	0,000	85,481
NodeToNodeAnchor_1_1	16615	1	3,000	-1,700	97,264	0,000	107,587
Element 2-2 (Node-to-node anchor)	17931	2	8,300	-2,600	97,264	0,000	107,587
NodeToNodeAnchor_5_1	15922	1	0,000	-5,200	129,353	0,000	136,964
Element 3-3 (Node-to-node anchor)	15511	2	3,000	-5,700	129,353	0,000	136,964
NodeToNodeAnchor_4_1	15511	1	3,000	-5,700	109,537	0,000	109,537
Element 4-4 (Node-to-node anchor)	18008	2	6,000	-6,250	109,537	0,000	109,537
NodeToNodeAnchor_2_1	9077	1	0,000	-8,400	7,635	0,000	7,635
Element 5-5 (Node-to-node anchor)	18053	2	1,776	-12,600	7,635	0,000	7,635

3.2.1.1.23 Calculation results, Node-to-node anchor, SLE [Phase_18] (18/1002), Table of node-to-node anchors

Structural element	Node [10 ^{3}]	Local number	X [m]	Y [m]	N [kN]	N_{min} [kN]	N_{max} [kN]
NodeToNodeAnchor_3_1	17465	1	0,000	-1,200	107,604	0,000	107,604
Element 1-1 (Node-to-node anchor)	16615	2	3,000	-1,700	107,604	0,000	107,604
NodeToNodeAnchor_1_1	16615	1	3,000	-1,700	108,151	0,000	108,151
Element 2-2 (Node-to-node anchor)	17931	2	8,300	-2,600	108,151	0,000	108,151
NodeToNodeAnchor_5_1	15922	1	0,000	-5,200	148,372	0,000	148,372
Element 3-3 (Node-to-node anchor)	15511	2	3,000	-5,700	148,372	0,000	148,372
NodeToNodeAnchor_4_1	15511	1	3,000	-5,700	121,334	0,000	121,334
Element 4-4 (Node-to-node anchor)	18008	2	6,000	-6,250	121,334	0,000	121,334
NodeToNodeAnchor_2_1	9077	1	0,000	-8,400	9,092	0,000	9,092
Element 5-5 (Node-to-node anchor)	18053	2	1,776	-12,600	9,092	0,000	9,092

3.2.1.1.24 Calculation results, Node-to-node anchor, Scalzamento al piede [Phase_19] (19/1007), Table of node-to-node anchors

Structural element	Node [10 ^{3}]	Local number	X [m]	Y [m]	N [kN]	N_{min} [kN]	N_{max} [kN]
NodeToNodeAnchor_3_1	17465	1	0,000	-1,200	113,954	0,000	113,954
Element 1-1 (Node-to-node anchor)	16615	2	3,000	-1,700	113,954	0,000	113,954
NodeToNodeAnchor_1_1	16615	1	3,000	-1,700	114,055	0,000	114,055
Element 2-2 (Node-to-node anchor)	17931	2	8,300	-2,600	114,055	0,000	114,055
NodeToNodeAnchor_5_1	15922	1	0,000	-5,200	161,524	0,000	161,524
Element 3-3 (Node-to-node anchor)	15511	2	3,000	-5,700	161,524	0,000	161,524
NodeToNodeAnchor_4_1	15511	1	3,000	-5,700	134,566	0,000	134,566
Element 4-4 (Node-to-node anchor)	18008	2	6,000	-6,250	134,566	0,000	134,566
NodeToNodeAnchor_2_1	9077	1	0,000	-8,400	13,004	0,000	13,004
Element 5-5 (Node-to-node anchor)	18053	2	1,776	-12,600	13,004	0,000	13,004

3.2.1.1.25 Calculation results, Node-to-node anchor, SLU11 [Phase_20] (20/1011), Table of node-to-node anchors

Structural element	Node [10 ^{3}]	Local number	X [m]	Y [m]	N [kN]	N_{min} [kN]	N_{max} [kN]
NodeToNodeAnchor_3_1	17465	1	0,000	-1,200	118,251	0,000	118,251
Element 1-1 (Node-to-node anchor)	16615	2	3,000	-1,700	118,251	0,000	118,251
NodeToNodeAnchor_1_1	16615	1	3,000	-1,700	116,714	0,000	116,714
Element 2-2 (Node-to-node anchor)	17931	2	8,300	-2,600	116,714	0,000	116,714
NodeToNodeAnchor_5_1	15922	1	0,000	-5,200	165,837	0,000	165,837
Element 3-3 (Node-to-node anchor)	15511	2	3,000	-5,700	165,837	0,000	165,837
NodeToNodeAnchor_4_1	15511	1	3,000	-5,700	138,107	0,000	138,107
Element 4-4 (Node-to-node anchor)	18008	2	6,000	-6,250	138,107	0,000	138,107
NodeToNodeAnchor_2_1	9077	1	0,000	-8,400	13,438	0,000	13,438
Element 5-5 (Node-to-node anchor)	18053	2	1,776	-12,600	13,438	0,000	13,438

3.2.1.1.26 Calculation results, Node-to-node anchor, SLV [Phase_21] (21/1061), Table of node-to-node anchors

Structural element	Node [10 ^{3}]	Local number	X [m]	Y [m]	N [kN]	N_{min} [kN]	N_{max} [kN]
NodeToNodeAnchor_3_1	17465	1	0,000	-1,200	181,439	0,000	181,439
Element 1-1 (Node-to-node anchor)	16615	2	3,000	-1,700	181,439	0,000	181,439
NodeToNodeAnchor_1_1	16615	1	3,000	-1,700	183,142	0,000	183,142
Element 2-2 (Node-to-node anchor)	17931	2	8,300	-2,600	183,142	0,000	183,142
NodeToNodeAnchor_5_1	15922	1	0,000	-5,200	224,289	0,000	224,289
Element 3-3 (Node-to-node anchor)	15511	2	3,000	-5,700	224,289	0,000	224,289
NodeToNodeAnchor_4_1	15511	1	3,000	-5,700	199,976	0,000	199,976
Element 4-4 (Node-to-node anchor)	18008	2	6,000	-6,250	199,976	0,000	199,976
NodeToNodeAnchor_2_1	9077	1	0,000	-8,400	52,904	0,000	52,904
Element 5-5 (Node-to-node anchor)	18053	2	1,776	-12,600	52,904	0,000	52,904

3.2.1.1.27 Calculation results, Node-to-node anchor, SLU12 [Phase_26] (26/1072), Table of node-to-node anchors

Structural element	Node [10 ^{3}]	Local number	X [m]	Y [m]	N [kN]	N_{min} [kN]	N_{max} [kN]
NodeToNodeAnchor_3_1	17465	1	0,000	-1,200	154,484	0,000	154,484
Element 1-1 (Node-to-node anchor)	16615	2	3,000	-1,700	154,484	0,000	154,484
NodeToNodeAnchor_1_1	16615	1	3,000	-1,700	147,930	0,000	147,930
Element 2-2 (Node-to-node anchor)	17931	2	8,300	-2,600	147,930	0,000	147,930
NodeToNodeAnchor_5_1	15922	1	0,000	-5,200	214,939	0,000	214,939
Element 3-3 (Node-to-node anchor)	15511	2	3,000	-5,700	214,939	0,000	214,939
NodeToNodeAnchor_4_1	15511	1	3,000	-5,700	191,515	0,000	191,515
Element 4-4 (Node-to-node anchor)	18008	2	6,000	-6,250	191,515	0,000	191,515
NodeToNodeAnchor_2_1	9077	1	0,000	-8,400	23,659	0,000	23,659
Element 5-5 (Node-to-node anchor)	18053	2	1,776	-12,600	23,659	0,000	23,659

3.2.1.1.28 Calculation results, Node-to-node anchor, SLD [Phase_31] (31/1085), Table of node-to-node anchors

Structural element	Node [10 ^{3}]	Local number	X [m]	Y [m]	N [kN]	N_{min} [kN]	N_{max} [kN]
NodeToNodeAnchor_3_1	17465	1	0,000	-1,200	140,924	0,000	140,924
Element 1-1 (Node-to-node anchor)	16615	2	3,000	-1,700	140,924	0,000	140,924
NodeToNodeAnchor_1_1	16615	1	3,000	-1,700	149,023	0,000	149,023
Element 2-2 (Node-to-node anchor)	17931	2	8,300	-2,600	149,023	0,000	149,023
NodeToNodeAnchor_5_1	15922	1	0,000	-5,200	181,867	0,000	181,867
Element 3-3 (Node-to-node anchor)	15511	2	3,000	-5,700	181,867	0,000	181,867
NodeToNodeAnchor_4_1	15511	1	3,000	-5,700	158,163	0,000	158,163
Element 4-4 (Node-to-node anchor)	18008	2	6,000	-6,250	158,163	0,000	158,163
NodeToNodeAnchor_2_1	9077	1	0,000	-8,400	27,366	0,000	27,366
Element 5-5 (Node-to-node anchor)	18053	2	1,776	-12,600	27,366	0,000	27,366

3.2.1.1.29 Calculation results, Node-to-node anchor, Eccezionale [Phase_22] (22/1130), Table of node-to-node anchors

Structural element	Node [10 ^{3}]	Local number	X [m]	Y [m]	N [kN]	N_{min} [kN]	N_{max} [kN]
NodeToNodeAnchor_3_1	17465	1	0,000	-1,200	208,734	0,000	208,734
Element 1-1 (Node-to-node anchor)	16615	2	3,000	-1,700	208,734	0,000	208,734
NodeToNodeAnchor_1_1	16615	1	3,000	-1,700	184,175	0,000	184,175
Element 2-2 (Node-to-node anchor)	17931	2	8,300	-2,600	184,175	0,000	184,175
NodeToNodeAnchor_5_1	15922	1	0,000	-5,200	174,930	0,000	174,930
Element 3-3 (Node-to-node anchor)	15511	2	3,000	-5,700	174,930	0,000	174,930
NodeToNodeAnchor_4_1	15511	1	3,000	-5,700	135,742	0,000	135,742
Element 4-4 (Node-to-node anchor)	18008	2	6,000	-6,250	135,742	0,000	135,742
NodeToNodeAnchor_2_1	9077	1	0,000	-8,400	8,513	0,000	9,102
Element 5-5 (Node-to-node anchor)	18053	2	1,776	-12,600	8,513	0,000	9,102

3.2.1.1.30 Calculation results, Node-to-node anchor, q Rullo [Phase_25] (25/1142), Table of node-to-node anchors

Structural element	Node [10 ^{3}]	Local number	X [m]	Y [m]	N [kN]	N_{min} [kN]	N_{max} [kN]
NodeToNodeAnchor_3_1	17465	1	0,000	-1,200	88,439	0,000	88,439
Element 1-1 (Node-to-node anchor)	16615	2	3,000	-1,700	88,439	0,000	88,439
NodeToNodeAnchor_1_1	16615	1	3,000	-1,700	129,564	0,000	129,564
Element 2-2 (Node-to-node anchor)	17931	2	8,300	-2,600	129,564	0,000	129,564
NodeToNodeAnchor_5_1	15922	1	0,000	-5,200	157,426	0,000	157,426
Element 3-3 (Node-to-node anchor)	15511	2	3,000	-5,700	157,426	0,000	157,426
NodeToNodeAnchor_4_1	15511	1	3,000	-5,700	106,311	0,000	106,311
Element 4-4 (Node-to-node anchor)	18008	2	6,000	-6,250	106,311	0,000	106,311
NodeToNodeAnchor_2_1	9077	1	0,000	-8,400	8,313	0,000	8,313
Element 5-5 (Node-to-node anchor)	18053	2	1,776	-12,600	8,313	0,000	8,313

3.2.1.1.31 Calculation results, Node-to-node anchor, SLU11 Paratia provvisionale [Phase_23] (23/1151), Table of node-to-node anchors

Structural element	Node [10 ^{3}]	Local number	X [m]	Y [m]	N [kN]	N_{min} [kN]	N_{max} [kN]
NodeToNodeAnchor_1_1	16615	1	3,000	-1,700	115,803	0,000	115,803
Element 2-2 (Node-to-node anchor)	17931	2	8,300	-2,600	115,803	0,000	115,803
NodeToNodeAnchor_4_1	15511	1	3,000	-5,700	100,159	0,000	100,159
Element 4-4 (Node-to-node anchor)	18008	2	6,000	-6,250	100,159	0,000	100,159

3.2.1.1.32 Calculation results, Node-to-node anchor, SLU12 Paratia provvisionale [Phase_24] (24/1162), Table of node-to-node anchors

Structural element	Node [10 ^{3}]	Local number	X [m]	Y [m]	N [kN]	N_{min} [kN]	N_{max} [kN]
NodeToNodeAnchor_1_1	16615	1	3,000	-1,700	139,003	0,000	139,003
Element 2-2 (Node-to-node anchor)	17931	2	8,300	-2,600	139,003	0,000	139,003
NodeToNodeAnchor_4_1	15511	1	3,000	-5,700	152,153	0,000	152,153
Element 4-4 (Node-to-node anchor)	18008	2	6,000	-6,250	152,153	0,000	152,153

3.2.1.1.33 Calculation results, Node-to-node anchor, FS [Phase_32] (32/1262), Table of node-to-node anchors

Structural element	Node [10 ^{3}]	Local number	X [m]	Y [m]	N [kN]	N_{min} [kN]	N_{max} [kN]
NodeToNodeAnchor_1_1	16615	1	3,000	-1,700	250,029	0,000	250,059
Element 2-2 (Node-to-node anchor)	17931	2	8,300	-2,600	250,029	0,000	250,059
NodeToNodeAnchor_4_1	15511	1	3,000	-5,700	228,564	0,000	228,694
Element 4-4 (Node-to-node anchor)	18008	2	6,000	-6,250	228,564	0,000	228,694

3.2.1.1.34 Calculation results, Node-to-node anchor, Eccezionale Op provvisionale [Phase_33] (33/1287), Table of node-to-node anchors

Structural element	Node [10 ^{3}]	Local number	X [m]	Y [m]	N [kN]	N_{min} [kN]	N_{max} [kN]
NodeToNodeAnchor_1_1	16615	1	3,000	-1,700	122,320	0,000	122,320
Element 2-2 (Node-to-node anchor)	17931	2	8,300	-2,600	122,320	0,000	122,320
NodeToNodeAnchor_4_1	15511	1	3,000	-5,700	77,685	0,000	78,973
Element 4-4 (Node-to-node anchor)	18008	2	6,000	-6,250	77,685	0,000	78,973

3.3.1.1.8 Calculation results, Embedded beam, Ancoraggio 1 [Phase_7] (7/308), Table of embedded beam force envelopes

Structural element	Node [10^]	Local number	X [m]	Y [m]	H [10^ kN]	Q [10^ kN]	M [10^ kN m]	T_{min} [10^ kN/m]	T_{max} [10^ kN/m]	$T_{min,max}$ [kN/m]	$T_{max,min}$ [10^]	$N_{x,i}$ [kN]	$N_{x,k}$ [10^ kN]	$Q_{z,i}$ [10^ kN]	$Q_{z,k}$ [10^ kN]	$M_{y,i}$ [10^ kN m]
EmbeddedBeam_1_1	17931	1	8,300	-2,600	167,080	2,037	0,000	-20,498	-9,776	30,000	683,270	0,000	167,080	0,000	2,037	0,000
Element 1-1 (Embedded beam)	17932	2	8,493	-2,635	163,132	0,676	255,838	-19,912	-5,603	30,000	663,728	0,000	163,132	0,000	0,676	0,000
(TITAN 40/20 l=1,60m)	17933	3	8,685	-2,670	159,282	-0,137	301,149	-19,386	-2,457	30,000	646,212	0,000	159,282	-137,154	0,000	0,000
28	17934	4	8,878	-2,706	155,532	-0,456	234,362	-18,897	-0,554	30,000	629,888	0,000	155,532	-456,216	0,000	0,000
28	17935	5	9,071	-2,741	151,882	-0,334	150,711	-18,429	0,354	30,000	614,301	0,000	151,882	-333,765	0,000	0,000
EmbeddedBeam_1_1	17935	1	9,071	-2,741	151,878	-0,434	150,711	-18,429	0,354	30,000	614,301	0,000	151,878	-433,815	0,000	0,000
Element 1-2 (Embedded beam)	17936	2	9,223	-2,769	149,048	-0,337	90,904	-18,072	0,613	30,000	602,412	0,000	149,048	-336,769	0,000	0,000
(TITAN 40/20 l=1,60m)	17937	3	9,376	-2,797	146,269	-0,242	46,103	-17,727	0,631	30,000	590,899	0,000	146,269	-242,103	0,000	0,000
28	17938	4	9,529	-2,825	143,543	-0,154	15,401	-17,392	0,528	30,000	579,731	0,000	143,543	-154,031	0,000	0,000
28	17939	5	9,681	-2,853	140,872	-0,077	2,307	-17,066	0,383	30,000	568,877	0,000	140,872	-76,767	0,000	2,307
EmbeddedBeam_1_1	17939	1	9,681	-2,853	140,870	-0,080	2,307	-17,066	0,383	30,000	568,877	0,000	140,870	-79,792	0,000	2,307
Element 1-3 (Embedded beam)	17940	2	9,802	-2,875	138,788	-0,041	9,614	-16,815	0,272	30,000	560,486	0,000	138,788	-40,982	0,000	9,614
(TITAN 40/20 l=1,60m)	17941	3	9,923	-2,897	136,735	-0,013	12,835	-16,568	0,178	30,000	552,268	0,000	136,735	-13,047	0,000	12,835
28	17942	4	10,044	-2,919	134,711	0,005	13,246	-16,326	0,105	30,000	544,215	0,000	134,711	0,000	0,005	13,246
28	17943	5	10,165	-2,941	132,719	0,012	12,105	-16,089	0,054	30,000	536,316	0,000	132,719	0,000	0,012	12,105
EmbeddedBeam_1_1	17943	1	10,165	-2,941	132,718	0,014	12,105	-16,089	0,054	30,000	536,316	0,000	132,718	0,000	0,014	12,105
Element 1-4 (Embedded beam)	17944	2	10,261	-2,959	131,160	0,017	10,568	-15,905	0,027	30,000	530,161	0,000	131,160	0,000	0,017	10,568
(TITAN 40/20 l=1,60m)	17945	3	10,357	-2,976	129,619	0,019	8,779	-15,723	0,011	30,000	524,091	0,000	129,619	0,000	0,019	8,779
28	17946	4	10,453	-2,994	128,095	0,020	6,856	-15,542	0,002	30,000	518,078	0,000	128,095	0,000	0,020	6,856
28	17947	5	10,549	-3,011	126,590	0,020	4,918	-15,362	-0,005	30,000	512,083	0,000	126,590	0,000	0,020	4,918
EmbeddedBeam_1_1	17947	1	10,549	-3,011	126,588	0,021	4,918	-25,604	-0,008	30,000	853,472	0,000	126,588	0,000	0,021	4,918
Element 1-5 (Embedded beam)	17948	2	10,656	-3,031	123,799	0,017	2,856	-25,312	-0,034	30,000	843,745	0,000	123,799	0,000	0,017	2,856
(TITAN 40/20 l=1,60m)	17949	3	10,764	-3,051	121,038	0,013	1,205	-25,031	-0,039	30,000	834,380	0,000	121,038	0,000	0,013	1,205
28	17950	4	10,872	-3,071	118,308	0,009	0,016	-24,760	-0,036	30,000	825,326	0,000	118,308	0,000	0,009	0,003
28	17951	5	10,980	-3,090	115,610	0,005	0,798	-24,496	-0,029	30,000	816,537	0,000	115,610	0,000	0,005	0,000
EmbeddedBeam_1_1	17951	1	10,980	-3,090	115,608	0,005	0,798	-24,496	-0,029	30,000	816,537	0,000	115,608	0,000	0,005	0,000
Element 1-6 (Embedded beam)	17952	2	11,085	-3,110	112,997	0,003	1,224	-24,246	-0,022	30,000	808,193	0,000	112,997	0,000	0,003	0,000
(TITAN 40/20 l=1,60m)	17953	3	11,191	-3,129	110,410	0,001	1,399	-24,003	-0,015	30,000	800,089	0,000	110,410	0,000	0,001	0,000
28	17954	4	11,296	-3,148	107,849	-0,001	1,399	-23,767	-0,009	30,000	792,218	0,000	107,849	-0,593	0,000	0,000
28	17955	5	11,402	-3,167	105,315	-0,001	1,296	-23,537	-0,005	30,000	784,574	0,000	105,315	-1,224	0,000	0,000
EmbeddedBeam_1_1	17955	1	11,402	-3,167	105,313	-0,001	1,296	-23,537	-0,005	30,000	784,574	0,000	105,313	-1,329	0,000	0,000
Element 1-7 (Embedded beam)	17956	2	11,505	-3,186	102,860	-0,002	1,142	-23,319	-0,001	30,000	777,315	0,000	102,860	-1,568	0,000	0,000
(TITAN 40/20 l=1,60m)	17957	3	11,608	-3,205	100,426	-0,002	0,974	-23,108	0,001	30,000	770,264	0,000	100,426	-1,621	0,000	0,000
28	17958	4	11,711	-3,224	98,014	-0,002	0,808	-22,903	0,002	30,000	763,418	0,000	98,014	-1,509	0,000	0,000
28	17959	5	11,814	-3,243	95,626	-0,001	0,662	-22,703	0,002	30,000	756,773	0,000	95,626	-1,252	0,000	0,000
EmbeddedBeam_1_1	17959	1	11,814	-3,243	95,624	-0,001	0,662	-22,703	0,002	30,000	756,773	0,000	95,624	-1,292	0,000	0,000
Element 1-8 (Embedded beam)	17960	2	11,915	-3,261	93,309	-0,001	0,543	-22,514	0,002	30,000	750,466	0,000	93,309	-1,046	0,000	0,000
(TITAN 40/20 l=1,60m)	17961	3	12,016	-3,280	91,010	-0,001	0,447	-22,330	0,002	30,000	744,346	0,000	91,010	-0,823	0,000	0,000
28	17962	4	12,117	-3,298	88,730	-0,001	0,373	-22,152	0,002	30,000	738,410	0,000	88,730	-0,627	0,000	0,000
28	17963	5	12,217	-3,317	86,471	0,000	0,318	-21,980	0,001	30,000	732,654	0,000	86,471	-0,460	0,000	0,000
EmbeddedBeam_1_1	17963	1	12,217	-3,317	86,469	0,000	0,318	-21,980	0,001	30,000	732,654	0,000	86,469	-0,461	0,000	0,000
Element 1-9 (Embedded beam)	17964	2	12,316	-3,335	84,276	0,000	0,278	-21,816	0,001	30,000	727,199	0,000	84,276	-0,340	0,000	0,000
(TITAN 40/20 l=1,60m)	17965	3	12,414	-3,353	82,098	0,000	0,249	-21,657	0,001	30,000	721,913	0,000	82,098	-0,249	0,000	0,000
28	17966	4	12,513	-3,371	79,935	0,000	0,227	-21,504	0,001	30,000	716,793	0,000	79,935	-0,185	0,000	0,000
28	17967	5	12,612	-3,389	77,790	0,000	0,211	-21,355	0,000	30,000	711,838	0,000	77,790	-0,148	0,000	0,000
EmbeddedBeam_1_1	17967	1	12,612	-3,389	77,788	0,000	0,211	-21,355	0,000	30,000	711,838	0,000	77,788	-0,143	0,000	0,000
Element 1-10 (Embedded beam)	17968	2	12,708	-3,406	75,704	0,000	0,198	-21,215	0,000	30,000	707,151	0,000	75,704	-0,122	0,000	0,000
(TITAN 40/20 l=1,60m)	17969	3	12,804	-3,424	73,632	0,000	0,187	-21,079	0,000	30,000	702,618	0,000	73,632	-0,108	0,000	0,000
28	17970	4	12,901	-3,442	71,573	0,000	0,176	-20,947	0,000	30,000	698,239	0,000	71,573	-0,102	0,000	0,000
28	17971	5	12,997	-3,459	69,529	0,000	0,166	-20,820	0,000	30,000	694,010	0,000	69,529	-0,102	0,000	0,000

Structural element	Node [10^]	Local number	X [m]	Y [m]	N [10^ kN]	Q [10^ kN]	M [10^ kN m]	T_{sup} [10^ kN/m]	T_{inf} [10^ kN/m]	$T_{sup,ass}$ [kN/m]	$T_{sup,ass}$ [10^]	N_{inf} [kN]	N_{sup} [10^ kN]	Q_{sup} [10^ kN]	Q_{inf} [10^ kN]	M_{inf} [10^ kN m]
EmbeddedBeam_11_1	17971	1	12,997	-3,459	69,527	0,000	0,166	-20,820	0,000	30,000	694,010	0,000	69,527	-0,100	0,000	0,000
Element 1-11 (Embedded beam)	17972	2	13,091	-3,476	67,540	0,000	0,157	-20,701	0,000	30,000	690,022	0,000	67,540	-0,101	0,000	0,000
(TITAN 40/20 l=1,60m)	17973	3	13,185	-3,494	65,563	0,000	0,147	-20,585	0,000	30,000	686,175	0,000	65,563	-0,101	0,000	0,000
20	17974	4	13,280	-3,511	63,596	0,000	0,137	-20,474	0,000	30,000	682,470	0,000	63,596	-0,102	0,000	0,000
20	17975	5	13,374	-3,528	61,641	0,000	0,128	-20,367	0,000	30,000	678,906	0,000	61,641	-0,102	0,000	0,000
EmbeddedBeam_11_1	17975	1	13,374	-3,528	61,640	0,000	0,128	-20,367	0,000	30,000	678,906	0,000	61,640	-0,102	0,000	0,000
Element 1-12 (Embedded beam)	17976	2	13,466	-3,545	59,738	0,000	0,118	-20,267	0,000	30,000	675,556	0,000	59,738	-0,100	0,000	0,000
(TITAN 40/20 l=1,60m)	17977	3	13,558	-3,562	57,844	0,000	0,109	-20,170	0,000	30,000	672,338	0,000	57,844	-0,098	0,000	0,000
20	17978	4	13,650	-3,579	55,959	0,000	0,100	-20,078	0,000	30,000	669,253	0,000	55,959	-0,096	0,000	0,000
20	17979	5	13,742	-3,596	54,085	0,000	0,091	-19,989	0,000	30,000	666,299	0,000	54,085	-0,092	0,000	0,000
EmbeddedBeam_11_1	17979	1	13,742	-3,596	54,083	0,000	0,091	-19,989	0,000	30,000	666,299	0,000	54,083	-0,092	0,000	0,000
Element 1-13 (Embedded beam)	17980	2	13,832	-3,612	52,258	0,000	0,083	-19,906	0,000	30,000	663,537	0,000	52,258	-0,088	0,000	0,000
(TITAN 40/20 l=1,60m)	17981	3	13,923	-3,629	50,439	0,000	0,075	-19,827	0,000	30,000	660,901	0,000	50,439	-0,084	0,000	0,000
20	17982	4	14,013	-3,645	48,626	0,000	0,067	-19,752	0,000	30,000	658,389	0,000	48,626	-0,080	0,000	0,000
20	17983	5	14,103	-3,661	46,822	0,000	0,060	-19,680	0,000	30,000	656,001	0,000	46,822	-0,076	0,000	0,000
EmbeddedBeam_11_1	17983	1	14,103	-3,661	46,821	0,000	0,060	-19,680	0,000	30,000	656,001	0,000	46,821	-0,076	0,000	0,000
Element 1-14 (Embedded beam)	17984	2	14,191	-3,678	45,063	0,000	0,054	-19,614	0,000	30,000	653,786	0,000	45,063	-0,072	0,000	0,000
(TITAN 40/20 l=1,60m)	17985	3	14,279	-3,694	43,310	0,000	0,047	-19,551	0,000	30,000	651,690	0,000	43,310	-0,068	0,000	0,000
20	17986	4	14,367	-3,710	41,562	0,000	0,041	-19,491	0,000	30,000	649,713	0,000	41,562	-0,064	0,000	0,000
20	17987	5	14,455	-3,726	39,821	0,000	0,036	-19,436	0,000	30,000	647,854	0,000	39,821	-0,061	0,000	0,000
EmbeddedBeam_11_1	17987	1	14,455	-3,726	39,819	0,000	0,036	-19,436	0,000	30,000	647,854	0,000	39,819	-0,061	0,000	0,000
Element 1-15 (Embedded beam)	17988	2	14,541	-3,742	38,122	0,000	0,031	-19,385	0,000	30,000	646,152	0,000	38,122	-0,058	0,000	0,000
(TITAN 40/20 l=1,60m)	17989	3	14,627	-3,757	36,427	0,000	0,026	-19,337	0,000	30,000	644,564	0,000	36,427	-0,055	0,000	0,000
20	17990	4	14,713	-3,771	34,736	0,000	0,021	-19,293	0,000	30,000	643,091	0,000	34,736	-0,052	0,000	0,000
20	17991	5	14,799	-3,789	33,050	0,000	0,017	-19,252	0,000	30,000	641,734	0,000	33,050	-0,050	0,000	0,000
EmbeddedBeam_11_1	17991	1	14,799	-3,789	33,049	0,000	0,017	-19,252	0,000	30,000	641,734	0,000	33,049	-0,050	0,000	0,000
Element 1-16 (Embedded beam)	17992	2	14,883	-3,804	31,404	0,000	0,012	-19,216	0,000	30,000	640,518	0,000	31,404	-0,048	0,000	0,000
(TITAN 40/20 l=1,60m)	17993	3	14,968	-3,820	29,760	0,000	0,008	-19,182	0,000	30,000	639,414	0,000	29,760	-0,045	0,000	0,000
20	17994	4	15,052	-3,835	28,120	0,000	0,005	-19,153	0,000	30,000	638,424	0,000	28,120	-0,043	0,000	0,000
20	17995	5	15,136	-3,850	26,483	0,000	0,001	-19,126	0,000	30,000	637,547	0,000	26,483	-0,040	0,000	0,000
EmbeddedBeam_11_1	17995	1	15,136	-3,850	26,482	0,000	0,001	-19,126	0,000	30,000	637,547	0,000	26,482	-0,040	0,000	0,000
Element 1-17 (Embedded beam)	17996	2	15,205	-3,863	25,134	0,000	0,002	-19,107	0,000	30,000	636,911	0,000	25,134	-0,038	0,000	0,002
(TITAN 40/20 l=1,60m)	17997	3	15,275	-3,876	23,786	0,000	0,004	-19,091	0,000	30,000	636,354	0,000	23,786	-0,035	0,000	0,004
20	17998	4	15,344	-3,889	22,439	0,000	0,007	-19,076	0,000	30,000	635,878	0,000	22,439	-0,031	0,000	0,007
20	17999	5	15,414	-3,901	21,094	0,000	0,009	-19,064	0,000	30,000	635,483	0,000	21,094	-0,028	0,000	0,009
EmbeddedBeam_11_1	17999	1	15,414	-3,901	21,093	0,000	0,009	-19,064	0,000	30,000	635,483	0,000	21,093	-0,027	0,000	0,009
Element 1-18 (Embedded beam)	18000	2	15,521	-3,921	19,023	0,000	0,011	-19,051	0,000	30,000	635,039	0,000	19,023	-0,021	0,000	0,011
(TITAN 40/20 l=1,60m)	18001	3	15,627	-3,940	16,952	0,000	0,013	-19,044	0,000	30,000	634,799	0,000	16,952	-0,012	0,000	0,013
20	18002	4	15,734	-3,960	14,882	0,000	0,014	-19,043	0,000	30,000	634,772	0,000	14,882	-0,002	0,000	0,014
20	18003	5	15,841	-3,980	12,813	0,000	0,013	-19,049	0,000	30,000	634,970	0,000	12,813	0,000	0,000	0,013
EmbeddedBeam_11_1	18003	1	15,841	-3,980	12,810	0,000	0,013	-19,049	0,000	30,000	634,970	0,000	12,810	0,000	0,000	0,013
Element 1-19 (Embedded beam)	18004	2	16,006	-4,010	9,623	0,000	0,009	-19,072	0,000	30,000	635,745	0,000	9,623	0,000	0,000	0,009
(TITAN 40/20 l=1,60m)	18005	3	16,171	-4,040	6,425	0,000	0,006	-19,114	0,000	30,000	637,119	0,000	6,425	0,000	0,000	0,006
20	18006	4	16,335	-4,070	3,219	0,000	0,004	-19,183	0,000	30,000	639,434	0,000	3,219	0,000	0,000	0,004
20	18007	5	16,500	-4,100	0,004	0,000	0,000	-19,302	0,001	30,000	643,398	0,000	0,004	0,000	0,000	0,000

3.3.1.1.9 Calculation results, Embedded beam, Escavo 2 [Phase_8] (8/338), Table of embedded beam force envelopes

Structural element	Node [10^1]	Local number	X [m]	Y [m]	N [kN]	Q [10^-1 kN]	M [10^-1 kN m]	T_{min} [kN/m]	T_{xx} [kN/m]	$T_{min,max}$ [kN/m]	$T_{min/max}$ [10^-1]	$N_{x,x}$ [kN]	$N_{y,y}$ [kN]	$Q_{x,x}$ [10^-1 kN]	$Q_{y,y}$ [10^-1 kN]	$M_{x,x}$ [10^-1 kN m]	$M_{y,y}$ [10^-1 kN m]
EmbeddedBeam_1_1	17931	1	8,300	-2,600	21,006	256,219	0,000	-2,422	-1,226	30,000	80,730	0,000	21,006	0,000	256,219	0,000	0,000
Element 1-1 (Embedded beam)	17932	2	8,493	-2,635	20,539	85,249	32,202	-2,358	-0,704	30,000	78,603	0,000	20,539	0,000	85,249	0,000	32,202
(TiTAN 40/20 l=1,60m)	17933	3	8,685	-2,670	20,083	-17,073	37,938	-2,302	-0,310	30,000	76,731	0,000	20,083	-17,073	0,000	0,000	37,938
28	17934	4	8,878	-2,706	19,637	-57,353	29,561	-2,251	-0,071	30,000	75,017	0,000	19,637	-57,353	0,000	0,000	29,561
29	17935	5	9,071	-2,741	19,201	-42,198	19,022	-2,202	0,044	30,000	73,406	0,000	19,201	-42,198	0,000	0,000	19,022
EmbeddedBeam_1_1	17935	1	9,071	-2,741	19,201	-54,733	19,022	-2,202	0,044	30,000	73,406	0,000	19,201	-54,733	0,000	0,000	19,022
Element 1-2 (Embedded beam)	17936	2	9,223	-2,769	18,862	-42,608	11,466	-2,166	0,077	30,000	72,194	0,000	18,862	-42,608	0,000	0,000	11,466
(TiTAN 40/20 l=1,60m)	17937	3	9,376	-2,797	18,529	-30,737	5,789	-2,131	0,079	30,000	71,033	0,000	18,529	-30,737	0,000	0,000	5,789
30	17938	4	9,529	-2,825	18,201	-19,652	1,883	-2,098	0,067	30,000	69,918	0,000	18,201	-19,652	0,000	0,000	1,883
31	17939	5	9,681	-2,853	17,878	-9,885	-0,384	-2,065	0,049	30,000	68,843	0,000	17,878	-9,885	0,000	-0,384	0,000
EmbeddedBeam_1_1	17939	1	9,681	-2,853	17,878	-10,271	-0,384	-2,065	0,049	30,000	68,843	0,000	17,878	-10,271	0,000	-0,384	0,000
Element 1-3 (Embedded beam)	17940	2	9,802	-2,875	17,625	-5,333	-1,328	-2,041	0,035	30,000	68,018	0,000	17,625	-5,333	0,000	-1,328	0,000
(TiTAN 40/20 l=1,60m)	17941	3	9,923	-2,897	17,376	-1,757	-1,752	-2,016	0,023	30,000	67,214	0,000	17,376	-1,757	0,000	-1,752	0,000
32	17942	4	10,044	-2,919	17,129	0,528	-1,814	-1,993	0,014	30,000	66,430	0,000	17,129	0,000	0,528	-1,814	0,000
33	17943	5	10,165	-2,941	16,886	1,591	-1,672	-1,970	0,007	30,000	65,665	0,000	16,886	0,000	1,591	-1,672	0,000
EmbeddedBeam_1_1	17943	1	10,165	-2,941	16,886	1,776	-1,672	-1,970	0,007	30,000	65,665	0,000	16,886	0,000	1,776	-1,672	0,000
Element 1-4 (Embedded beam)	17944	2	10,261	-2,959	16,694	2,243	-1,474	-1,952	0,004	30,000	65,070	0,000	16,694	0,000	2,243	-1,474	0,000
(TiTAN 40/20 l=1,60m)	17945	3	10,357	-2,976	16,505	2,521	-1,241	-1,935	0,002	30,000	64,485	0,000	16,505	0,000	2,521	-1,241	0,000
34	17946	4	10,453	-2,994	16,317	2,628	-0,988	-1,917	0,000	30,000	63,907	0,000	16,317	0,000	2,628	-0,988	0,000
35	17947	5	10,549	-3,011	16,131	2,581	-0,733	-1,900	-0,001	30,000	63,331	0,000	16,131	0,000	2,581	-0,733	0,000
EmbeddedBeam_1_1	17947	1	10,549	-3,011	16,131	2,689	-0,733	-3,167	-0,002	30,000	105,552	0,000	16,131	0,000	2,689	-0,733	0,000
Element 1-5 (Embedded beam)	17948	2	10,656	-3,031	15,786	2,198	-0,465	-3,135	-0,005	30,000	104,491	0,000	15,786	0,000	2,198	-0,465	0,000
(TiTAN 40/20 l=1,60m)	17949	3	10,764	-3,051	15,444	1,677	-0,253	-3,104	-0,005	30,000	103,472	0,000	15,444	0,000	1,677	-0,253	0,000
36	17950	4	10,872	-3,071	15,105	1,152	-0,097	-3,075	-0,005	30,000	102,488	0,000	15,105	0,000	1,152	-0,097	0,000
37	17951	5	10,980	-3,090	14,770	0,649	0,001	-3,046	-0,004	30,000	101,533	0,000	14,770	0,000	0,649	-0,020	0,001
EmbeddedBeam_1_1	17951	1	10,980	-3,090	14,770	0,671	0,001	-3,046	-0,004	30,000	101,533	0,000	14,770	0,000	0,671	-0,020	0,001
Element 1-6 (Embedded beam)	17952	2	11,085	-3,110	14,445	0,327	0,054	-3,019	-0,003	30,000	100,627	0,000	14,445	0,000	0,327	0,000	0,054
(TiTAN 40/20 l=1,60m)	17953	3	11,191	-3,129	14,122	0,076	0,074	-2,992	-0,002	30,000	99,746	0,000	14,122	0,000	0,076	0,000	0,074
38	17954	4	11,296	-3,148	13,803	-0,086	0,073	-2,967	-0,001	30,000	98,892	0,000	13,803	-0,086	0,000	0,000	0,073
39	17955	5	11,402	-3,167	13,486	-0,161	0,059	-2,942	-0,001	30,000	98,062	0,000	13,486	-0,161	0,000	0,000	0,059
EmbeddedBeam_1_1	17955	1	11,402	-3,167	13,486	-0,175	0,059	-2,942	-0,001	30,000	98,062	0,000	13,486	-0,175	0,000	0,000	0,059
Element 1-7 (Embedded beam)	17956	2	11,505	-3,186	13,179	-0,201	0,039	-2,918	0,000	30,000	97,274	0,000	13,179	-0,201	0,000	-0,002	0,039
(TiTAN 40/20 l=1,60m)	17957	3	11,608	-3,205	12,875	-0,204	0,018	-2,895	0,000	30,000	96,509	0,000	12,875	-0,204	0,000	-0,008	0,018
40	17958	4	11,711	-3,224	12,572	-0,187	-0,003	-2,873	0,000	30,000	95,766	0,000	12,572	-0,187	0,000	-0,018	0,001
41	17959	5	11,814	-3,243	12,272	-0,151	-0,021	-2,851	0,000	30,000	95,045	0,000	12,272	-0,151	0,000	-0,029	0,001
EmbeddedBeam_1_1	17959	1	11,814	-3,243	12,272	-0,156	-0,021	-2,851	0,000	30,000	95,045	0,000	12,272	-0,156	0,000	-0,029	0,001
Element 1-8 (Embedded beam)	17960	2	11,915	-3,261	11,981	-0,123	-0,035	-2,831	0,000	30,000	94,361	0,000	11,981	-0,123	0,000	-0,040	0,001
(TiTAN 40/20 l=1,60m)	17961	3	12,016	-3,280	11,692	-0,093	-0,046	-2,811	0,000	30,000	93,698	0,000	11,692	-0,093	0,000	-0,048	0,000
42	17962	4	12,117	-3,298	11,405	-0,067	-0,054	-2,792	0,000	30,000	93,055	0,000	11,405	-0,067	0,000	-0,055	0,000
43	17963	5	12,217	-3,317	11,120	-0,046	-0,060	-2,773	0,000	30,000	92,432	0,000	11,120	-0,046	0,000	-0,060	0,000
EmbeddedBeam_1_1	17963	1	12,217	-3,317	11,120	-0,046	-0,060	-2,773	0,000	30,000	92,432	0,000	11,120	-0,046	0,000	-0,060	0,000
Element 1-9 (Embedded beam)	17964	2	12,316	-3,335	10,843	-0,030	-0,064	-2,755	0,000	30,000	91,842	0,000	10,843	-0,030	0,000	-0,064	0,000
(TiTAN 40/20 l=1,60m)	17965	3	12,414	-3,353	10,568	-0,018	-0,066	-2,738	0,000	30,000	91,270	0,000	10,568	-0,018	0,000	-0,066	0,000
44	17966	4	12,513	-3,371	10,294	-0,010	-0,068	-2,722	0,000	30,000	90,718	0,000	10,294	-0,010	0,000	-0,068	0,000
45	17967	5	12,612	-3,389	10,023	-0,005	-0,068	-2,705	0,000	30,000	90,183	0,000	10,023	-0,005	0,000	-0,068	0,000
EmbeddedBeam_1_1	17967	1	12,612	-3,389	10,022	-0,005	-0,068	-2,705	0,000	30,000	90,183	0,000	10,022	-0,005	0,000	-0,068	0,000
Element 1-10 (Embedded beam)	17968	2	12,708	-3,406	9,758	-0,002	-0,069	-2,690	0,000	30,000	89,678	0,000	9,758	-0,002	0,001	-0,069	0,000
(TiTAN 40/20 l=1,60m)	17969	3	12,804	-3,424	9,495	0,000	-0,069	-2,676	0,000	30,000	89,191	0,000	9,495	0,000	0,002	-0,069	0,000
46	17970	4	12,901	-3,442	9,234	0,000	-0,069	-2,662	0,000	30,000	88,721	0,000	9,234	0,000	0,002	-0,069	0,000
47	17971	5	12,997	-3,459	8,974	0,000	-0,069	-2,648	0,000	30,000	88,268	0,000	8,974	0,000	0,002	-0,069	0,000

Structural element	Node [10^]	Local number	X [m]	Y [m]	N [kN]	Q [10^ kN]	M [10^ kN m]	T$_{xx}$ [kN/m]	T$_{zz}$ [kN/m]	T$_{xx,zz}$ [kN/m]	T$_{xx,xx,zz}$ [10^]	N$_{xx}$ [kN]	N$_{zz}$ [kN]	Q$_{xx}$ [10^ kN]	Q$_{zz}$ [10^ kN]	M$_{xx}$ [10^ kN m]	M$_{zz}$ [10^ kN m]
EmbeddedBeam_11_1	17971	1	12,997	-3,459	8,974	0,000	-0,069	2,648	0,000	30,000	88,268	0,000	8,974	0,000	0,002	-0,069	0,000
Element 1-11 (Embedded beam)	17972	2	13,091	-3,476	8,721	0,000	-0,069	2,635	0,000	30,000	87,842	0,000	8,721	0,000	0,002	-0,069	0,000
(TITAN 40/20 l=1,60m)	17973	3	13,185	-3,494	8,469	0,000	-0,069	2,623	0,000	30,000	87,432	0,000	8,469	0,000	0,002	-0,069	0,000
20	17974	4	13,280	-3,511	8,218	0,000	-0,069	2,611	0,000	30,000	87,038	0,000	8,218	0,000	0,002	-0,069	0,000
20	17975	5	13,374	-3,528	7,969	0,000	-0,069	2,600	0,000	30,000	86,660	0,000	7,969	0,000	0,002	-0,069	0,000
EmbeddedBeam_11_1	17975	1	13,374	-3,528	7,969	0,000	-0,069	2,600	0,000	30,000	86,660	0,000	7,969	0,000	0,002	-0,069	0,000
Element 1-12 (Embedded beam)	17976	2	13,466	-3,545	7,726	0,000	-0,069	2,589	0,000	30,000	86,307	0,000	7,726	0,000	0,002	-0,069	0,000
(TITAN 40/20 l=1,60m)	17977	3	13,558	-3,562	7,484	0,000	-0,069	2,579	0,000	30,000	85,969	0,000	7,484	0,000	0,002	-0,069	0,000
20	17978	4	13,650	-3,579	7,243	0,000	-0,069	2,569	0,000	30,000	85,646	0,000	7,243	0,000	0,002	-0,069	0,000
20	17979	5	13,742	-3,596	7,003	0,000	-0,069	2,560	0,000	30,000	85,338	0,000	7,003	0,000	0,002	-0,069	0,000
EmbeddedBeam_11_1	17979	1	13,742	-3,596	7,003	0,000	-0,069	2,560	0,000	30,000	85,338	0,000	7,003	0,000	0,002	-0,069	0,000
Element 1-13 (Embedded beam)	17980	2	13,832	-3,612	6,769	0,001	-0,069	2,552	0,000	30,000	85,052	0,000	6,769	0,000	0,002	-0,069	0,000
(TITAN 40/20 l=1,60m)	17981	3	13,923	-3,629	6,535	0,001	-0,069	2,543	0,000	30,000	84,781	0,000	6,535	0,000	0,002	-0,069	0,000
20	17982	4	14,013	-3,645	6,303	0,001	-0,069	2,536	0,000	30,000	84,525	0,000	6,303	0,000	0,002	-0,069	0,000
20	17983	5	14,103	-3,661	6,071	0,002	-0,068	2,528	0,000	30,000	84,283	0,000	6,071	0,000	0,002	-0,068	0,000
EmbeddedBeam_11_1	17983	1	14,103	-3,661	6,071	0,002	-0,068	2,528	0,000	30,000	84,283	0,000	6,071	0,000	0,002	-0,068	0,000
Element 1-14 (Embedded beam)	17984	2	14,191	-3,678	5,845	0,002	-0,068	2,522	0,000	30,000	84,061	0,000	5,845	0,000	0,002	-0,068	0,000
(TITAN 40/20 l=1,60m)	17985	3	14,279	-3,694	5,619	0,002	-0,068	2,516	0,000	30,000	83,853	0,000	5,619	0,000	0,002	-0,068	0,000
20	17986	4	14,367	-3,710	5,394	0,002	-0,068	2,510	0,000	30,000	83,660	0,000	5,394	0,000	0,002	-0,068	0,000
20	17987	5	14,455	-3,726	5,170	0,002	-0,068	2,504	0,000	30,000	83,480	0,000	5,170	0,000	0,002	-0,068	0,000
EmbeddedBeam_11_1	17987	1	14,455	-3,726	5,170	0,002	-0,068	2,504	0,000	30,000	83,480	0,000	5,170	0,000	0,002	-0,068	0,000
Element 1-15 (Embedded beam)	17988	2	14,541	-3,742	4,951	0,001	-0,068	2,500	0,000	30,000	83,319	0,000	4,951	0,000	0,002	-0,068	0,000
(TITAN 40/20 l=1,60m)	17989	3	14,627	-3,757	4,733	0,001	-0,068	2,495	0,000	30,000	83,171	0,000	4,733	0,000	0,002	-0,068	0,000
20	17990	4	14,713	-3,773	4,514	0,001	-0,068	2,491	0,000	30,000	83,037	0,000	4,514	0,000	0,001	-0,068	0,000
20	17991	5	14,799	-3,789	4,297	0,000	-0,068	2,488	0,000	30,000	82,917	0,000	4,297	0,000	0,001	-0,068	0,000
EmbeddedBeam_11_1	17991	1	14,799	-3,789	4,296	0,000	-0,068	2,488	0,000	30,000	82,917	0,000	4,296	0,000	0,001	-0,068	0,000
Element 1-16 (Embedded beam)	17992	2	14,883	-3,804	4,084	0,000	-0,068	2,484	0,000	30,000	82,814	0,000	4,084	0,000	0,001	-0,068	0,000
(TITAN 40/20 l=1,60m)	17992	3	14,968	-3,820	3,871	0,000	-0,068	2,482	0,000	30,000	82,724	0,000	3,871	0,000	0,001	-0,068	0,000
20	17994	4	15,052	-3,835	3,659	0,000	-0,068	2,479	0,000	30,000	82,648	0,000	3,659	0,000	0,001	-0,068	0,000
20	17995	5	15,136	-3,850	3,447	0,000	-0,068	2,478	0,000	30,000	82,587	0,000	3,447	0,000	0,001	-0,068	0,000
EmbeddedBeam_11_1	17995	1	15,136	-3,850	3,447	0,001	-0,068	2,478	0,000	30,000	82,587	0,000	3,447	0,000	0,001	-0,068	0,000
Element 1-17 (Embedded beam)	17996	2	15,205	-3,863	3,272	0,002	-0,068	2,476	0,000	30,000	82,546	0,000	3,272	0,000	0,002	-0,068	0,000
(TITAN 40/20 l=1,60m)	17997	3	15,275	-3,876	3,097	0,004	-0,067	2,475	0,000	30,000	82,516	0,000	3,097	0,000	0,004	-0,067	0,000
20	17998	4	15,344	-3,889	2,923	0,006	-0,067	2,475	0,000	30,000	82,496	0,000	2,923	0,000	0,006	-0,067	0,000
20	17999	5	15,414	-3,901	2,748	0,010	-0,066	2,475	0,000	30,000	82,486	0,000	2,748	0,000	0,010	-0,066	0,000
EmbeddedBeam_11_1	17999	1	15,414	-3,901	2,748	0,010	-0,066	2,475	0,000	30,000	82,486	0,000	2,748	0,000	0,010	-0,066	0,000
Element 1-18 (Embedded beam)	18000	2	15,521	-3,921	2,479	0,018	-0,065	2,475	0,000	30,000	82,490	0,000	2,479	0,000	0,018	-0,065	0,000
(TITAN 40/20 l=1,60m)	18001	3	15,627	-3,940	2,210	0,029	-0,062	2,476	0,000	30,000	82,521	0,000	2,210	0,000	0,029	-0,062	0,000
20	18002	4	15,734	-3,960	1,941	0,043	-0,059	2,477	0,000	30,000	82,578	0,000	1,941	0,000	0,043	-0,059	0,000
20	18003	5	15,841	-3,980	1,672	0,060	-0,053	2,480	0,000	30,000	82,664	0,000	1,672	0,000	0,060	-0,053	0,000
EmbeddedBeam_11_1	18003	1	15,841	-3,980	1,671	0,052	-0,053	2,480	0,000	30,000	82,664	0,000	1,671	0,000	0,052	-0,053	0,000
Element 1-19 (Embedded beam)	18004	2	16,006	-4,010	1,256	0,091	-0,041	2,486	0,000	30,000	82,855	0,000	1,256	0,000	0,091	-0,041	0,000
(TITAN 40/20 l=1,60m)	18005	3	16,171	-4,040	0,839	0,100	-0,024	2,494	0,000	30,000	83,123	0,000	0,839	0,000	0,100	-0,024	0,000
20	18006	4	16,335	-4,070	0,421	0,078	-0,009	2,505	0,000	30,000	83,513	0,000	0,421	0,000	0,078	-0,009	0,000
20	18007	5	16,500	-4,100	0,001	0,022	0,000	2,523	-0,001	30,000	84,116	0,000	0,001	0,000	0,022	0,000	0,000

3.3.1.1.10 Calculation results, Embedded beam, Escavo 3 [Phase_9] (9/379), Table of embedded beam force envelopes

Structural element	Node [10^1]	Local number	X [m]	Y [m]	N [kN]	Q [10^-1 kN]	M [10^-1 kN m]	$T_{xx,o}$ [kN/m]	$T_{xx,u}$ [kN/m]	$T_{xx,o,max}$ [kN/m]	$T_{xx,o,min}$ [10^-1]	$N_{x,o}$ [kN]	$N_{x,u}$ [kN]	$Q_{x,o}$ [10^-1 kN]	$Q_{x,u}$ [10^-1 kN]	$M_{x,o}$ [10^-1 kN m]	$M_{x,u}$ [10^-1 kN m]
EmbeddedBeam_1_1	17931	1	8,300	-2,600	65,859	804,132	0,000	-7,503	-3,816	30,000	250,093	0,000	65,859	0,000	804,132	0,000	0,000
Element 1-1 (Embedded beam)	17932	2	8,493	-2,635	64,413	270,148	101,356	-7,298	-2,202	30,000	243,267	0,000	64,413	0,000	270,148	0,000	101,356
(TITAN 40/20 l=1,60m)	17933	3	8,685	-2,670	63,001	-50,326	119,955	-7,116	-0,976	30,000	237,211	0,000	63,001	-50,326	0,000	0,000	119,955
20	17934	4	8,878	-2,706	61,623	-177,667	94,241	-6,950	-0,229	30,000	231,677	0,000	61,623	-177,667	0,000	0,000	94,241
20	17935	5	9,071	-2,741	60,280	-132,251	61,425	-6,796	0,131	30,000	226,523	0,000	60,280	-132,251	0,000	0,000	61,425
EmbeddedBeam_1_1	17935	1	9,071	-2,741	60,278	-171,135	61,425	-6,796	0,131	30,000	226,523	0,000	60,278	-171,135	0,000	0,000	61,425
Element 1-2 (Embedded beam)	17936	2	9,223	-2,769	59,233	-134,013	37,736	-6,681	0,236	30,000	222,688	0,000	59,233	-134,013	0,000	0,000	37,736
(TITAN 40/20 l=1,60m)	17937	3	9,376	-2,797	58,204	-97,382	19,821	-6,572	0,346	30,000	219,055	0,000	58,204	-97,382	0,000	0,000	19,821
20	17938	4	9,529	-2,825	57,192	-62,919	7,391	-6,468	0,308	30,000	215,604	0,000	57,192	-62,919	0,000	0,000	7,391
20	17939	5	9,681	-2,853	56,197	-32,301	0,077	-6,369	0,153	30,000	212,315	0,000	56,197	-32,301	0,000	-0,384	0,091
EmbeddedBeam_1_1	17939	1	9,681	-2,853	56,196	-33,553	0,077	-6,369	0,153	30,000	212,315	0,000	56,196	-33,553	0,000	-0,384	0,091
Element 1-3 (Embedded beam)	17940	2	9,802	-2,875	55,418	-17,965	-3,045	-6,294	0,110	30,000	209,813	0,000	55,418	-17,965	0,000	-3,045	0,000
(TITAN 40/20 l=1,60m)	17941	3	9,923	-2,897	54,648	-6,601	-4,516	-6,222	0,073	30,000	207,395	0,000	54,648	-6,601	0,000	-4,516	0,000
20	17942	4	10,044	-2,919	53,887	0,752	-4,834	-6,152	0,045	30,000	205,055	0,000	53,887	0,000	0,752	-4,834	0,000
20	17943	5	10,165	-2,941	53,135	4,304	-4,486	-6,084	0,024	30,000	202,785	0,000	53,135	0,000	4,304	-4,486	0,000
EmbeddedBeam_1_1	17943	1	10,165	-2,941	53,135	4,863	-4,486	-6,084	0,024	30,000	202,785	0,000	53,135	0,000	4,863	-4,486	0,000
Element 1-4 (Embedded beam)	17944	2	10,261	-2,959	52,545	6,480	-3,928	-6,031	0,013	30,000	201,033	0,000	52,545	0,000	6,480	-3,928	0,000
(TITAN 40/20 l=1,60m)	17945	3	10,357	-2,976	51,960	7,451	-3,244	-5,980	0,006	30,000	199,321	0,000	51,960	0,000	7,451	-3,244	0,000
20	17946	4	10,453	-2,994	51,379	7,825	-2,495	-5,929	0,001	30,000	197,636	0,000	51,379	0,000	7,825	-2,495	0,000
20	17947	5	10,549	-3,011	50,804	7,652	-1,737	-5,879	-0,004	30,000	195,964	0,000	50,804	0,000	7,652	-1,737	0,000
EmbeddedBeam_1_1	17947	1	10,549	-3,011	50,803	7,954	-1,737	-9,798	-0,006	30,000	326,606	0,000	50,803	0,000	7,954	-1,737	0,000
Element 1-5 (Embedded beam)	17948	2	10,656	-3,031	49,735	6,374	-0,951	-9,705	-0,014	30,000	323,504	0,000	49,735	0,000	6,374	-0,951	0,000
(TITAN 40/20 l=1,60m)	17949	3	10,764	-3,051	48,676	4,792	-0,339	-9,616	-0,015	30,000	320,535	0,000	48,676	0,000	4,792	-0,342	0,000
20	17950	4	10,872	-3,071	47,626	3,275	0,103	-9,530	-0,013	30,000	317,679	0,000	47,626	0,000	3,275	-0,112	0,103
20	17951	5	10,980	-3,090	46,586	1,893	0,384	-9,447	-0,010	30,000	314,915	0,000	46,586	0,000	1,893	-0,020	0,384
EmbeddedBeam_1_1	17951	1	10,980	-3,090	46,585	1,936	0,384	-9,447	-0,010	30,000	314,915	0,000	46,585	0,000	1,936	-0,020	0,384
Element 1-6 (Embedded beam)	17952	2	11,085	-3,110	45,577	1,026	0,541	-9,369	-0,007	30,000	312,296	0,000	45,577	0,000	1,026	0,000	0,541
(TITAN 40/20 l=1,60m)	17953	3	11,191	-3,129	44,577	0,366	0,613	-9,293	-0,005	30,000	309,755	0,000	44,577	0,000	0,396	0,000	0,613
20	17954	4	11,296	-3,148	43,584	-0,059	0,627	-9,219	-0,003	30,000	307,287	0,000	43,584	-0,211	0,048	0,000	0,627
20	17955	5	11,402	-3,167	42,601	-0,259	0,609	-9,147	-0,002	30,000	304,889	0,000	42,601	-0,300	0,000	0,000	0,609
EmbeddedBeam_1_1	17955	1	11,402	-3,167	42,600	-0,299	0,609	-9,147	-0,002	30,000	304,889	0,000	42,600	-0,324	0,000	0,000	0,609
Element 1-7 (Embedded beam)	17956	2	11,505	-3,186	41,646	-0,401	0,571	-9,078	-0,001	30,000	302,610	0,000	41,646	-0,401	0,000	-0,002	0,571
(TITAN 40/20 l=1,60m)	17957	3	11,608	-3,205	40,697	-0,455	0,526	-9,012	0,000	30,000	300,397	0,000	40,697	-0,455	0,000	-0,008	0,526
20	17958	4	11,711	-3,224	39,756	-0,466	0,478	-8,947	0,000	30,000	298,249	0,000	39,756	-0,466	0,000	-0,018	0,478
20	17959	5	11,814	-3,243	38,822	-0,439	0,430	-8,885	0,000	30,000	296,168	0,000	38,822	-0,439	0,000	-0,029	0,430
EmbeddedBeam_1_1	17959	1	11,814	-3,243	38,821	-0,448	0,430	-8,885	0,000	30,000	296,168	0,000	38,821	-0,448	0,000	-0,029	0,430
Element 1-8 (Embedded beam)	17960	2	11,915	-3,261	37,914	-0,421	0,385	-8,826	0,000	30,000	294,196	0,000	37,914	-0,421	0,000	-0,040	0,385
(TITAN 40/20 l=1,60m)	17961	3	12,016	-3,280	37,013	-0,394	0,344	-8,769	0,000	30,000	292,288	0,000	37,013	-0,394	0,000	-0,048	0,344
20	17962	4	12,117	-3,298	36,117	-0,368	0,305	-8,713	0,000	30,000	290,444	0,000	36,117	-0,368	0,000	-0,055	0,305
20	17963	5	12,217	-3,317	35,227	-0,343	0,268	-8,660	0,000	30,000	288,663	0,000	35,227	-0,343	0,000	-0,060	0,268
EmbeddedBeam_1_1	17963	1	12,217	-3,317	35,227	-0,343	0,268	-8,660	0,000	30,000	288,663	0,000	35,227	-0,343	0,000	-0,060	0,268
Element 1-9 (Embedded beam)	17964	2	12,316	-3,335	34,362	-0,322	0,235	-8,609	0,000	30,000	286,983	0,000	34,362	-0,322	0,000	-0,064	0,235
(TITAN 40/20 l=1,60m)	17965	3	12,414	-3,353	33,501	-0,303	0,204	-8,561	0,000	30,000	285,363	0,000	33,501	-0,303	0,000	-0,067	0,204
20	17966	4	12,513	-3,371	32,646	-0,285	0,174	-8,514	0,000	30,000	283,802	0,000	32,646	-0,285	0,000	-0,068	0,174
20	17967	5	12,612	-3,389	31,796	-0,269	0,146	-8,469	0,000	30,000	282,302	0,000	31,796	-0,269	0,000	-0,069	0,146
EmbeddedBeam_1_1	17967	1	12,612	-3,389	31,795	-0,268	0,146	-8,469	0,000	30,000	282,302	0,000	31,795	-0,268	0,000	-0,069	0,146
Element 1-10 (Embedded beam)	17968	2	12,708	-3,406	30,968	-0,253	0,121	-8,427	0,000	30,000	280,892	0,000	30,968	-0,253	0,001	-0,070	0,121
(TITAN 40/20 l=1,60m)	17969	3	12,804	-3,424	30,144	-0,237	0,097	-8,386	0,000	30,000	279,538	0,000	30,144	-0,237	0,002	-0,070	0,097
20	17970	4	12,901	-3,442	29,324	-0,220	0,075	-8,347	0,000	30,000	278,240	0,000	29,324	-0,220	0,002	-0,070	0,075
20	17971	5	12,997	-3,459	28,509	-0,204	0,054	-8,310	0,000	30,000	276,998	0,000	28,509	-0,204	0,002	-0,070	0,054

Structural element	Node [10^]	Local number	X [m]	Y [m]	N [kN]	Q [10^ kN]	M [10^ kN m]	T_{xx} [kN/m]	T_{yy} [kN/m]	$T_{xx,yy}$ [kN/m]	$T_{xx,zz}$ [10^]	N_{xx} [kN]	N_{yy} [kN]	Q_{xx} [10^ kN]	Q_{yy} [10^ kN]	M_{xx} [10^ kN m]	M_{yy} [10^ kN m]
EmbeddedBeam_11_1	17971	1	12,997	-3,459	28,509	0,204	0,054	8,310	0,000	30,000	276,998	0,000	28,509	-0,204	0,002	-0,070	0,054
Element 1-11 (Embedded beam)	17972	2	13,091	-3,476	27,715	0,188	0,035	8,275	0,000	30,000	275,836	0,000	27,715	-0,188	0,002	-0,070	0,035
(TITAN 40/20 l=1,60m)	17973	3	13,185	-3,494	26,924	0,171	0,018	8,242	0,000	30,000	274,727	0,000	26,924	-0,171	0,002	-0,071	0,018
20	17974	4	13,280	-3,511	26,136	0,155	0,002	8,210	0,000	30,000	273,670	0,000	26,136	-0,155	0,002	-0,071	0,002
21	17975	5	13,374	-3,528	25,351	0,138	-0,012	8,180	0,000	30,000	272,664	0,000	25,351	-0,138	0,002	-0,071	0,000
EmbeddedBeam_11_1	17975	1	13,374	-3,528	25,351	0,138	-0,012	8,180	0,000	30,000	272,664	0,000	25,351	-0,138	0,002	-0,071	0,000
Element 1-12 (Embedded beam)	17976	2	13,466	-3,545	24,586	0,123	-0,024	8,152	0,000	30,000	271,730	0,000	24,586	-0,123	0,002	-0,071	0,000
(TITAN 40/20 l=1,60m)	17977	3	13,558	-3,562	23,824	0,108	-0,035	8,125	0,000	30,000	270,845	0,000	23,824	-0,108	0,002	-0,071	0,000
22	17978	4	13,650	-3,579	23,064	0,093	-0,044	8,100	0,000	30,000	270,008	0,000	23,064	-0,093	0,002	-0,071	0,000
23	17979	5	13,742	-3,596	22,307	0,080	-0,052	8,077	0,000	30,000	269,220	0,000	22,307	-0,080	0,002	-0,072	0,000
EmbeddedBeam_11_1	17979	1	13,742	-3,596	22,307	0,080	-0,052	8,077	0,000	30,000	269,220	0,000	22,307	-0,080	0,002	-0,072	0,000
Element 1-13 (Embedded beam)	17980	2	13,832	-3,612	21,569	0,067	-0,059	8,055	0,000	30,000	268,495	0,000	21,569	-0,067	0,002	-0,077	0,000
(TITAN 40/20 l=1,60m)	17981	3	13,923	-3,629	20,832	0,056	-0,065	8,035	0,000	30,000	267,817	0,000	20,832	-0,056	0,002	-0,081	0,000
24	17982	4	14,013	-3,645	20,097	0,045	-0,069	8,016	0,000	30,000	267,184	0,000	20,097	-0,045	0,002	-0,084	0,000
25	17983	5	14,103	-3,661	19,364	0,036	-0,073	7,998	0,000	30,000	266,596	0,000	19,364	-0,036	0,002	-0,086	0,000
EmbeddedBeam_11_1	17983	1	14,103	-3,661	19,364	0,036	-0,073	7,998	0,000	30,000	266,596	0,000	19,364	-0,036	0,002	-0,086	0,000
Element 1-14 (Embedded beam)	17984	2	14,191	-3,678	18,649	0,028	-0,076	7,982	0,000	30,000	266,066	0,000	18,649	-0,028	0,002	-0,088	0,000
(TITAN 40/20 l=1,60m)	17985	3	14,279	-3,694	17,935	0,021	-0,078	7,967	0,000	30,000	265,579	0,000	17,935	-0,021	0,002	-0,089	0,000
26	17986	4	14,367	-3,710	17,222	0,015	-0,080	7,954	0,000	30,000	265,137	0,000	17,222	-0,015	0,002	-0,090	0,000
27	17987	5	14,455	-3,726	16,511	0,010	-0,081	7,942	0,000	30,000	264,738	0,000	16,511	-0,010	0,002	-0,090	0,000
EmbeddedBeam_11_1	17987	1	14,455	-3,726	16,510	0,010	-0,081	7,942	0,000	30,000	264,738	0,000	16,510	-0,010	0,002	-0,090	0,000
Element 1-15 (Embedded beam)	17988	2	14,541	-3,742	15,816	0,006	-0,081	7,932	0,000	30,000	264,390	0,000	15,816	-0,006	0,003	-0,090	0,000
(TITAN 40/20 l=1,60m)	17989	3	14,627	-3,757	15,122	0,003	-0,082	7,923	0,000	30,000	264,085	0,000	15,122	-0,005	0,005	-0,089	0,000
28	17990	4	14,713	-3,771	14,429	0,000	-0,082	7,915	0,000	30,000	263,823	0,000	14,429	-0,004	0,007	-0,089	0,000
29	17991	5	14,799	-3,789	13,737	0,001	-0,082	7,908	0,000	30,000	263,604	0,000	13,737	-0,004	0,008	-0,088	0,000
EmbeddedBeam_11_1	17991	1	14,799	-3,789	13,736	0,002	-0,082	7,908	0,000	30,000	263,604	0,000	13,736	-0,004	0,008	-0,088	0,000
Element 1-16 (Embedded beam)	17992	2	14,883	-3,804	13,060	0,003	-0,082	7,903	0,000	30,000	263,431	0,000	13,060	-0,003	0,009	-0,088	0,000
(TITAN 40/20 l=1,60m)	17993	3	14,968	-3,820	12,384	0,004	-0,081	7,899	0,000	30,000	263,301	0,000	12,384	-0,003	0,009	-0,087	0,000
30	17994	4	15,052	-3,835	11,708	0,005	-0,081	7,896	0,000	30,000	263,213	0,000	11,708	-0,002	0,010	-0,086	0,000
31	17995	5	15,136	-3,850	11,033	0,006	-0,080	7,895	0,000	30,000	263,169	0,000	11,033	-0,001	0,011	-0,085	0,000
EmbeddedBeam_11_1	17995	1	15,136	-3,850	11,032	0,007	-0,080	7,895	0,000	30,000	263,169	0,000	11,032	-0,001	0,011	-0,085	0,000
Element 1-17 (Embedded beam)	17996	2	15,205	-3,863	10,475	0,008	-0,080	7,895	0,000	30,000	263,166	0,000	10,475	0,000	0,012	-0,084	0,000
(TITAN 40/20 l=1,60m)	17997	3	15,275	-3,876	9,918	0,010	-0,079	7,896	0,000	30,000	263,192	0,000	9,918	0,000	0,014	-0,083	0,000
32	17998	4	15,344	-3,889	9,361	0,014	-0,078	7,898	0,000	30,000	263,250	0,000	9,361	0,000	0,017	-0,082	0,000
33	17999	5	15,414	-3,901	8,804	0,018	-0,077	7,900	0,000	30,000	263,340	0,000	8,804	0,000	0,021	-0,081	0,000
EmbeddedBeam_11_1	17999	1	15,414	-3,901	8,803	0,018	-0,077	7,900	0,000	30,000	263,340	0,000	8,803	0,000	0,021	-0,081	0,000
Element 1-18 (Embedded beam)	18000	2	15,521	-3,921	7,945	0,026	-0,075	7,906	0,000	30,000	263,541	0,000	7,945	0,000	0,029	-0,078	0,000
(TITAN 40/20 l=1,60m)	18001	3	15,627	-3,940	7,085	0,038	-0,071	7,915	0,000	30,000	263,821	0,000	7,085	0,000	0,041	-0,074	0,000
34	18002	4	15,734	-3,960	6,224	0,054	-0,066	7,926	0,000	30,000	264,185	0,000	6,224	0,000	0,057	-0,069	0,000
35	18003	5	15,841	-3,980	5,362	0,073	-0,060	7,939	0,000	30,000	264,638	0,000	5,362	0,000	0,076	-0,062	0,000
EmbeddedBeam_11_1	18003	1	15,841	-3,980	5,361	0,066	-0,060	7,939	0,000	30,000	264,638	0,000	5,361	0,000	0,068	-0,062	0,000
Element 1-19 (Embedded beam)	18004	2	16,006	-4,010	4,031	0,106	-0,045	7,966	0,000	30,000	265,523	0,000	4,031	0,000	0,109	-0,047	0,000
(TITAN 40/20 l=1,60m)	18005	3	16,171	-4,040	2,695	0,108	-0,026	7,999	0,000	30,000	266,648	0,000	2,695	0,000	0,114	-0,028	0,000
36	18006	4	16,335	-4,070	1,351	0,082	-0,010	8,045	0,000	30,000	268,158	0,000	1,351	0,000	0,087	-0,010	0,000
37	18007	5	16,500	-4,100	0,002	0,034	0,000	8,111	-0,001	30,000	270,352	0,000	0,002	0,000	0,034	0,000	0,000

3.3.1.1.11 Calculation results, Embedded beam, Ancoraggio 2 [Phase_27] (27/430), Table of embedded beam force envelopes

Structural element	Node [10^0]	Local number	X [m]	Y [m]	N [kN]	Q [10^0 kN]	M [10^0 kN m]	T_{xxx} [kN/m]	T_{yyy} [kN/m]	$T_{xxx,max}$ [kN/m]	$T_{xxx,min}$ [10^0]	N_{xxx} [kN]	N_{yyy} [kN]	Q_{xxx} [10^0 kN]	Q_{yyy} [10^0 kN]	M_{yyy} [10^0 kN m]	M_{xxx} [10^0 kN m]
EmbeddedBeam_1_1	17931	1	8,300	-2,600	66,485	811,763	0,000	7,590	3,853	30,000	252,993	0,000	66,485	0,000	811,763	0,000	0,000
Element 1-1 (Embedded beam)	17932	2	8,493	-2,635	65,023	272,695	102,316	7,382	2,223	30,000	246,076	0,000	65,023	0,000	272,695	0,000	102,316
(TiTAN 40/20 l=1,60m)	17933	3	8,685	-2,670	63,594	50,820	121,088	7,198	0,985	30,000	239,933	0,000	63,594	50,820	0,000	0,000	121,088
圆	17934	4	8,878	-2,706	62,201	-179,356	95,127	7,029	0,231	30,000	234,314	0,000	62,201	-179,356	0,000	0,000	95,127
圆	17935	5	9,071	-2,741	60,842	-133,488	62,001	6,872	0,132	30,000	229,077	0,000	60,842	-133,488	0,000	0,000	62,001
EmbeddedBeam_1_1	17935	1	9,071	-2,741	60,840	-172,746	62,001	6,872	0,132	30,000	229,077	0,000	60,840	-172,746	0,000	0,000	62,001
Element 1-2 (Embedded beam)	17936	2	9,223	-2,769	59,783	-135,267	38,090	6,755	0,338	30,000	225,177	0,000	59,783	-135,267	0,000	0,000	38,090
(TiTAN 40/20 l=1,60m)	17937	3	9,376	-2,797	58,743	-98,287	20,008	6,644	0,348	30,000	221,480	0,000	58,743	-98,287	0,000	0,000	20,008
圆	17938	4	9,529	-2,825	57,720	-63,500	7,463	6,539	0,310	30,000	217,968	0,000	57,720	-63,500	0,000	0,000	7,463
圆	17939	5	9,681	-2,853	56,714	-32,599	0,081	6,439	0,154	30,000	214,619	0,000	56,714	-32,599	0,000	-0,384	0,091
EmbeddedBeam_1_1	17939	1	9,681	-2,853	56,713	-33,863	0,081	6,439	0,154	30,000	214,619	0,000	56,713	-33,863	0,000	-0,384	0,091
Element 1-3 (Embedded beam)	17940	2	9,802	-2,875	55,927	-18,133	-3,070	6,362	0,111	30,000	212,070	0,000	55,927	-18,133	0,000	-3,070	0,000
(TiTAN 40/20 l=1,60m)	17941	3	9,923	-2,897	55,148	-6,668	-4,555	6,288	0,074	30,000	209,607	0,000	55,148	-6,668	0,000	-4,555	0,000
圆	17942	4	10,044	-2,919	54,379	0,748	-4,876	6,217	0,045	30,000	207,222	0,000	54,379	0,000	0,752	-4,876	0,000
圆	17943	5	10,165	-2,941	53,620	4,328	-4,527	6,147	0,025	30,000	204,908	0,000	53,620	0,000	4,328	-4,527	0,000
EmbeddedBeam_1_1	17943	1	10,165	-2,941	53,619	4,893	-4,527	6,147	0,025	30,000	204,908	0,000	53,619	0,000	4,893	-4,527	0,000
Element 1-4 (Embedded beam)	17944	2	10,261	-2,959	53,023	6,522	-3,965	6,094	0,013	30,000	203,123	0,000	53,023	0,000	6,522	-3,965	0,000
(TiTAN 40/20 l=1,60m)	17945	3	10,357	-2,976	52,432	7,502	-3,277	6,041	0,006	30,000	201,377	0,000	52,432	0,000	7,502	-3,277	0,000
圆	17946	4	10,453	-2,994	51,845	7,883	-2,522	5,990	0,001	30,000	199,660	0,000	51,845	0,000	7,883	-2,522	0,000
圆	17947	5	10,549	-3,011	51,264	7,715	-1,758	5,939	0,004	30,000	197,955	0,000	51,264	0,000	7,715	-1,758	0,000
EmbeddedBeam_1_1	17947	1	10,549	-3,011	51,264	8,021	-1,758	9,898	0,006	30,000	329,925	0,000	51,264	0,000	8,021	-1,758	0,000
Element 1-5 (Embedded beam)	17948	2	10,656	-3,031	50,184	6,437	-0,965	9,803	0,014	30,000	326,775	0,000	50,184	0,000	6,437	-0,965	0,000
(TiTAN 40/20 l=1,60m)	17949	3	10,764	-3,051	49,114	4,847	-0,348	9,713	0,015	30,000	323,760	0,000	49,114	0,000	4,847	-0,348	0,000
圆	17950	4	10,872	-3,071	48,054	3,318	0,100	9,626	0,013	30,000	320,859	0,000	48,054	0,000	3,318	-0,112	0,103
圆	17951	5	10,980	-3,090	47,004	1,920	0,385	9,542	0,010	30,000	318,051	0,000	47,004	0,000	1,920	-0,020	0,385
EmbeddedBeam_1_1	17951	1	10,980	-3,090	47,003	1,965	0,385	9,542	0,010	30,000	318,051	0,000	47,003	0,000	1,965	-0,020	0,385
Element 1-6 (Embedded beam)	17952	2	11,085	-3,110	45,985	1,043	0,544	9,462	0,007	30,000	315,391	0,000	45,985	0,000	1,043	0,000	0,544
(TiTAN 40/20 l=1,60m)	17953	3	11,191	-3,129	44,975	0,374	0,618	9,384	0,005	30,000	312,809	0,000	44,975	0,000	0,396	0,000	0,618
圆	17954	4	11,296	-3,148	43,973	0,056	0,633	9,309	0,003	30,000	310,302	0,000	43,973	0,211	0,048	0,000	0,633
圆	17955	5	11,402	-3,167	42,979	0,261	0,614	9,236	0,002	30,000	307,867	0,000	42,979	0,300	0,000	0,000	0,614
EmbeddedBeam_1_1	17955	1	11,402	-3,167	42,978	0,301	0,614	9,236	0,002	30,000	307,867	0,000	42,978	0,324	0,000	0,000	0,614
Element 1-7 (Embedded beam)	17956	2	11,505	-3,186	42,015	0,405	0,576	9,167	0,001	30,000	305,552	0,000	42,015	0,405	0,000	-0,002	0,576
(TiTAN 40/20 l=1,60m)	17957	3	11,608	-3,205	41,057	0,460	0,531	9,099	0,000	30,000	303,304	0,000	41,057	0,460	0,000	-0,008	0,531
圆	17958	4	11,711	-3,224	40,107	0,471	0,482	9,034	0,000	30,000	301,123	0,000	40,107	0,471	0,000	-0,018	0,482
圆	17959	5	11,814	-3,243	39,164	0,443	0,433	8,970	0,000	30,000	299,008	0,000	39,164	0,443	0,000	-0,029	0,433
EmbeddedBeam_1_1	17959	1	11,814	-3,243	39,163	0,453	0,433	8,970	0,000	30,000	299,008	0,000	39,163	0,453	0,000	-0,029	0,433
Element 1-8 (Embedded beam)	17960	2	11,915	-3,261	38,248	0,425	0,388	8,910	0,000	30,000	297,006	0,000	38,248	0,425	0,000	-0,040	0,388
(TiTAN 40/20 l=1,60m)	17961	3	12,016	-3,280	37,337	0,397	0,346	8,852	0,000	30,000	295,067	0,000	37,337	0,397	0,000	-0,048	0,346
圆	17962	4	12,117	-3,298	36,433	0,371	0,307	8,796	0,000	30,000	293,194	0,000	36,433	0,371	0,000	-0,055	0,307
圆	17963	5	12,217	-3,317	35,535	0,345	0,270	8,742	0,000	30,000	291,384	0,000	35,535	0,345	0,000	-0,060	0,270
EmbeddedBeam_1_1	17963	1	12,217	-3,317	35,534	0,346	0,270	8,742	0,000	30,000	291,384	0,000	35,534	0,346	0,000	-0,060	0,270
Element 1-9 (Embedded beam)	17964	2	12,316	-3,335	34,661	0,324	0,237	8,690	0,000	30,000	289,677	0,000	34,661	0,324	0,000	-0,064	0,237
(TiTAN 40/20 l=1,60m)	17965	3	12,414	-3,353	33,793	0,305	0,205	8,641	0,000	30,000	288,030	0,000	33,793	0,305	0,000	-0,067	0,205
圆	17966	4	12,513	-3,371	32,929	0,287	0,175	8,593	0,000	30,000	286,445	0,000	32,929	0,287	0,000	-0,068	0,175
圆	17967	5	12,612	-3,389	32,071	0,270	0,148	8,548	0,000	30,000	284,919	0,000	32,071	0,270	0,000	-0,069	0,148
EmbeddedBeam_1_1	17967	1	12,612	-3,389	32,071	0,270	0,148	8,548	0,000	30,000	284,919	0,000	32,071	0,270	0,000	-0,069	0,148
Element 1-10 (Embedded beam)	17968	2	12,708	-3,406	31,236	0,254	0,122	8,505	0,000	30,000	283,486	0,000	31,236	0,254	0,001	-0,070	0,122
(TiTAN 40/20 l=1,60m)	17969	3	12,804	-3,424	30,405	0,238	0,098	8,463	0,000	30,000	282,110	0,000	30,405	0,238	0,002	-0,070	0,098
圆	17970	4	12,901	-3,442	29,577	0,222	0,075	8,424	0,000	30,000	280,790	0,000	29,577	0,222	0,002	-0,070	0,075

Structural element	Node [10^]	Local number	X [m]	Y [m]	N [kN]	Q [10 ^ kN]	M [10 ^ kN m]	T_{xx} [kN/m]	T_{yy} [kN/m]	$T_{xx,sup}$ [kN/m]	$T_{xx,inf}$ [10 ^]	N_{xx} [kN]	N_{yy} [kN]	Q_{xx} [10 ^ kN]	Q_{yy} [10 ^ kN]	M_{xx} [10 ^ kN m]	M_{yy} [10 ^ kN m]
臂	17971	5	12,997	-3,459	28,754	0,206	0,054	8,386	0,000	30,000	279,527	0,000	28,754	0,206	0,002	-0,070	0,054
EmbeddedBeam_11_1	17971	1	12,997	-3,459	28,754	0,206	0,054	8,386	0,000	30,000	279,527	0,000	28,754	0,206	0,002	-0,070	0,054
Element 1-11 (Embedded beam)	17972	2	13,091	-3,476	27,953	0,189	0,035	8,350	0,000	30,000	278,345	0,000	27,953	0,189	0,002	-0,070	0,035
(TITAN 40/20 l=1,60m)	17973	3	13,185	-3,494	27,155	0,173	0,018	8,317	0,000	30,000	277,217	0,000	27,155	0,173	0,002	-0,071	0,018
臂	17974	4	13,280	-3,511	26,359	0,156	0,002	8,284	0,000	30,000	276,141	0,000	26,359	0,156	0,002	-0,071	0,003
臂	17975	5	13,374	-3,528	25,568	0,140	-0,012	8,254	0,000	30,000	275,117	0,000	25,568	0,140	0,002	-0,071	0,000
EmbeddedBeam_11_1	17975	1	13,374	-3,528	25,567	0,140	-0,012	8,254	0,000	30,000	275,117	0,000	25,567	0,140	0,002	-0,071	0,000
Element 1-12 (Embedded beam)	17976	2	13,466	-3,545	24,796	0,124	-0,024	8,225	0,000	30,000	274,167	0,000	24,796	0,124	0,002	-0,071	0,000
(TITAN 40/20 l=1,60m)	17977	3	13,558	-3,562	24,027	0,109	-0,035	8,198	0,000	30,000	273,265	0,000	24,027	0,109	0,002	-0,071	0,000
臂	17978	4	13,650	-3,579	23,260	0,094	-0,045	8,172	0,000	30,000	272,413	0,000	23,260	0,094	0,002	-0,071	0,000
臂	17979	5	13,742	-3,596	22,497	0,080	-0,053	8,148	0,000	30,000	271,609	0,000	22,497	0,080	0,002	-0,072	0,000
EmbeddedBeam_11_1	17979	1	13,742	-3,596	22,496	0,080	-0,053	8,148	0,000	30,000	271,609	0,000	22,496	0,080	0,002	-0,072	0,000
Element 1-13 (Embedded beam)	17980	2	13,832	-3,612	21,752	0,068	-0,060	8,126	0,000	30,000	270,871	0,000	21,752	0,068	0,002	-0,077	0,000
(TITAN 40/20 l=1,60m)	17981	3	13,923	-3,629	21,008	0,056	-0,065	8,105	0,000	30,000	270,178	0,000	21,008	0,056	0,002	-0,081	0,000
臂	17982	4	14,013	-3,645	20,267	0,046	-0,070	8,086	0,000	30,000	269,532	0,000	20,267	0,046	0,002	-0,084	0,000
臂	17983	5	14,103	-3,661	19,528	0,036	-0,074	8,068	0,000	30,000	268,932	0,000	19,528	0,036	0,002	-0,086	0,000
EmbeddedBeam_11_1	17983	1	14,103	-3,661	19,527	0,036	-0,074	8,068	0,000	30,000	268,932	0,000	19,527	0,036	0,002	-0,086	0,000
Element 1-14 (Embedded beam)	17984	2	14,191	-3,678	18,806	0,028	-0,077	8,052	0,000	30,000	268,390	0,000	18,806	0,028	0,002	-0,088	0,000
(TITAN 40/20 l=1,60m)	17985	3	14,279	-3,694	18,086	0,021	-0,079	8,037	0,000	30,000	267,892	0,000	18,086	0,021	0,002	-0,089	0,000
臂	17986	4	14,367	-3,710	17,367	0,015	-0,080	8,023	0,000	30,000	267,439	0,000	17,367	0,015	0,002	-0,090	0,000
臂	17987	5	14,455	-3,726	16,650	0,010	-0,081	8,011	0,000	30,000	267,030	0,000	16,650	0,010	0,002	-0,090	0,000
EmbeddedBeam_11_1	17987	1	14,455	-3,726	16,649	0,010	-0,081	8,011	0,000	30,000	267,030	0,000	16,649	0,010	0,002	-0,090	0,000
Element 1-15 (Embedded beam)	17988	2	14,541	-3,742	15,949	0,006	-0,082	8,000	0,000	30,000	266,673	0,000	15,949	0,006	0,003	-0,090	0,000
(TITAN 40/20 l=1,60m)	17989	3	14,627	-3,757	15,249	0,003	-0,083	7,991	0,000	30,000	266,359	0,000	15,249	0,005	0,005	-0,089	0,000
臂	17990	4	14,713	-3,773	14,550	0,000	-0,083	7,983	0,000	30,000	266,088	0,000	14,550	0,004	0,007	-0,089	0,000
臂	17991	5	14,799	-3,789	13,852	0,001	-0,083	7,976	0,000	30,000	265,861	0,000	13,852	0,004	0,008	-0,088	0,000
EmbeddedBeam_11_1	17991	1	14,799	-3,789	13,851	0,002	-0,083	7,976	0,000	30,000	265,861	0,000	13,851	0,004	0,008	-0,088	0,000
Element 1-16 (Embedded beam)	17992	2	14,883	-3,804	13,169	0,003	-0,082	7,970	0,000	30,000	265,681	0,000	13,169	0,003	0,009	-0,088	0,000
(TITAN 40/20 l=1,60m)	17993	3	14,968	-3,820	12,487	0,004	-0,082	7,966	0,000	30,000	265,544	0,000	12,487	0,003	0,009	-0,087	0,000
臂	17994	4	15,052	-3,835	11,805	0,005	-0,082	7,963	0,000	30,000	265,450	0,000	11,805	0,002	0,010	-0,086	0,000
臂	17995	5	15,136	-3,850	11,124	0,007	-0,081	7,962	0,000	30,000	265,400	0,000	11,124	0,001	0,011	-0,085	0,000
EmbeddedBeam_11_1	17995	1	15,136	-3,850	11,124	0,007	-0,081	7,962	0,000	30,000	265,400	0,000	11,124	0,001	0,011	-0,085	0,000
Element 1-17 (Embedded beam)	17996	2	15,205	-3,863	10,563	0,008	-0,081	7,962	0,000	30,000	265,392	0,000	10,563	0,000	0,012	-0,084	0,000
(TITAN 40/20 l=1,60m)	17997	3	15,275	-3,876	10,001	0,011	-0,080	7,962	0,000	30,000	265,414	0,000	10,001	0,000	0,014	-0,083	0,000
臂	17998	4	15,344	-3,889	9,439	0,014	-0,079	7,964	0,000	30,000	265,468	0,000	9,439	0,000	0,017	-0,082	0,000
臂	17999	5	15,414	-3,901	8,877	0,018	-0,078	7,967	0,000	30,000	265,554	0,000	8,877	0,000	0,021	-0,081	0,000
EmbeddedBeam_11_1	17999	1	15,414	-3,901	8,876	0,018	-0,078	7,967	0,000	30,000	265,554	0,000	8,876	0,000	0,021	-0,081	0,000
Element 1-18 (Embedded beam)	18000	2	15,521	-3,921	8,011	0,027	-0,076	7,973	0,000	30,000	265,750	0,000	8,011	0,000	0,029	-0,078	0,000
(TITAN 40/20 l=1,60m)	18001	3	15,627	-3,940	7,144	0,039	-0,072	7,981	0,000	30,000	266,026	0,000	7,144	0,000	0,041	-0,074	0,000
臂	18002	4	15,734	-3,960	6,275	0,054	-0,067	7,992	0,000	30,000	266,387	0,000	6,275	0,000	0,057	-0,069	0,000
臂	18003	5	15,841	-3,980	5,407	0,074	-0,060	8,005	0,000	30,000	266,838	0,000	5,407	0,000	0,076	-0,062	0,000
EmbeddedBeam_11_1	18003	1	15,841	-3,980	5,405	0,067	-0,060	8,005	0,000	30,000	266,838	0,000	5,405	0,000	0,068	-0,062	0,000
Element 1-19 (Embedded beam)	18004	2	16,006	-4,010	4,065	0,107	-0,045	8,032	0,000	30,000	267,721	0,000	4,065	0,000	0,109	-0,047	0,000
(TITAN 40/20 l=1,60m)	18005	3	16,171	-4,040	2,717	0,110	-0,027	8,065	0,000	30,000	268,846	0,000	2,717	0,000	0,114	-0,028	0,000
臂	18006	4	16,335	-4,070	1,362	0,083	-0,010	8,111	0,000	30,000	270,361	0,000	1,362	0,000	0,087	-0,010	0,000
臂	18007	5	16,500	-4,100	0,002	0,035	0,000	8,177	-0,001	30,000	272,564	0,000	0,002	0,000	0,035	0,000	0,000
EmbeddedBeam_21_1	18008	1	6,000	-6,250	0,930	2,962	0,000	-0,165	0,015	30,000	5,488	0,000	0,930	-2,962	0,000	0,000	0,000
Element 2-20 (Embedded beam)	18009	2	6,126	-6,273	0,909	1,408	-0,274	-0,162	0,010	30,000	5,395	0,000	0,909	-1,408	0,000	-0,274	0,000
(TITAN 40/20 l=1,60m)	18010	3	6,252	-6,295	0,889	-0,334	-0,380	-0,159	0,006	30,000	5,312	0,000	0,889	-0,334	0,000	-0,380	0,000
臂	18011	4	6,377	-6,318	0,869	0,286	-0,378	-0,157	0,003	30,000	5,236	0,000	0,869	0,000	0,286	-0,378	0,000
臂	18012	5	6,503	-6,341	0,849	0,478	-0,325	-0,155	0,001	30,000	5,163	0,000	0,849	0,000	0,478	-0,325	0,000
EmbeddedBeam_21_1	18012	1	6,503	-6,341	0,849	0,565	-0,325	-0,155	0,001	30,000	5,163	0,000	0,849	0,000	0,565	-0,325	0,000
Element 2-21 (Embedded beam)	18013	2	6,636	-6,365	0,828	0,573	-0,247	-0,153	0,000	30,000	5,090	0,000	0,828	0,000	0,573	-0,247	0,000
(TITAN 40/20 l=1,60m)	18014	3	6,770	-6,389	0,807	0,514	-0,173	-0,151	-0,001	30,000	5,020	0,000	0,807	0,000	0,514	-0,173	0,000
臂	18015	4	6,903	-6,413	0,787	0,402	-0,111	-0,149	-0,001	30,000	4,952	0,000	0,787	0,000	0,402	-0,111	0,000
臂	18016	5	7,036	-6,436	0,767	0,251	-0,066	-0,147	-0,001	30,000	4,887	0,000	0,767	0,000	0,251	-0,066	0,000
EmbeddedBeam_21_1	18016	1	7,036	-6,436	0,767	0,268	-0,066	-0,147	-0,001	30,000	4,887	0,000	0,767	0,000	0,268	-0,066	0,000

Structural element	Node [10^]	Local number	X [m]	Y [m]	N [kN]	Q [10^ kN]	M [10^ kN m]	T_{xx} [kN/m]	T_{yy} [kN/m]	$T_{xx,yy}$ [kN/m]	$T_{xx,zz}$ [10^]	N_{xx} [kN]	N_{yy} [kN]	Q_{xz} [10^ kN]	Q_{yz} [10^ kN]	M_{xx} [10^ kN m]	M_{yy} [10^ kN m]
Element 2-22 (Embedded beam)	18017	2	7,177	-6,462	0,746	0,157	-0,036	0,145	0,001	30,000	4,820	0,000	0,746	0,000	0,157	-0,036	0,000
(TITAN 40/20 l=1,60m)	18018	3	7,318	-6,487	0,726	0,077	-0,020	0,143	0,000	30,000	4,755	0,000	0,726	0,000	0,077	-0,020	0,000
20	18019	4	7,459	-6,513	0,705	0,026	-0,013	0,141	0,000	30,000	4,692	0,000	0,705	0,000	0,026	-0,013	0,000
20	18020	5	7,600	-6,538	0,685	0,004	-0,011	0,139	0,000	30,000	4,631	0,000	0,685	0,000	0,004	-0,011	0,000
EmbeddedBeam_21_1	18020	1	7,600	-6,538	0,685	0,002	-0,011	0,139	0,000	30,000	4,631	0,000	0,685	0,002	0,001	-0,011	0,000
Element 2-23 (Embedded beam)	18021	2	7,750	-6,565	0,664	0,009	-0,012	0,137	0,000	30,000	4,568	0,000	0,664	0,009	0,001	-0,012	0,000
(TITAN 40/20 l=1,60m)	18022	3	7,899	-6,592	0,644	0,010	-0,013	0,135	0,000	30,000	4,507	0,000	0,644	0,010	0,001	-0,013	0,000
20	18023	4	8,049	-6,619	0,623	0,007	-0,015	0,133	0,000	30,000	4,448	0,000	0,623	0,007	0,001	-0,015	0,000
20	18024	5	8,198	-6,646	0,603	0,000	-0,015	0,132	0,000	30,000	4,390	0,000	0,603	0,000	0,001	-0,015	0,000
EmbeddedBeam_21_1	18024	1	8,198	-6,646	0,603	0,001	-0,015	0,132	0,000	30,000	4,390	0,000	0,603	0,001	0,001	-0,015	0,000
Element 2-24 (Embedded beam)	18025	2	8,357	-6,674	0,582	0,003	-0,015	0,130	0,000	30,000	4,332	0,000	0,582	0,000	0,003	-0,015	0,000
(TITAN 40/20 l=1,60m)	18026	3	8,515	-6,703	0,561	0,007	-0,014	0,128	0,000	30,000	4,275	0,000	0,561	0,000	0,007	-0,014	0,000
20	18027	4	8,673	-6,731	0,541	0,008	-0,013	0,127	0,000	30,000	4,219	0,000	0,541	0,000	0,008	-0,013	0,000
20	18028	5	8,832	-6,760	0,521	0,008	-0,012	0,125	0,000	30,000	4,166	0,000	0,521	0,000	0,008	-0,012	0,000
EmbeddedBeam_21_1	18028	1	8,832	-6,760	0,521	0,009	-0,012	0,125	0,000	30,000	4,166	0,000	0,521	0,000	0,009	-0,012	0,000
Element 2-25 (Embedded beam)	18029	2	8,999	-6,790	0,499	0,008	-0,010	0,123	0,000	30,000	4,111	0,000	0,499	0,000	0,008	-0,010	0,000
(TITAN 40/20 l=1,60m)	18030	3	9,167	-6,820	0,479	0,007	-0,009	0,122	0,000	30,000	4,059	0,000	0,479	0,000	0,007	-0,009	0,000
20	18031	4	9,335	-6,850	0,458	0,007	-0,008	0,120	0,000	30,000	4,008	0,000	0,458	0,000	0,007	-0,008	0,000
20	18032	5	9,502	-6,880	0,438	0,006	-0,007	0,119	0,000	30,000	3,960	0,000	0,438	0,000	0,006	-0,007	0,000
EmbeddedBeam_21_1	18032	1	9,502	-6,880	0,438	0,006	-0,007	0,119	0,000	30,000	3,960	0,000	0,438	0,000	0,006	-0,007	0,000
Element 2-26 (Embedded beam)	18033	2	9,680	-6,912	0,416	0,005	-0,006	0,117	0,000	30,000	3,910	0,000	0,416	0,000	0,005	-0,006	0,000
(TITAN 40/20 l=1,60m)	18034	3	9,857	-6,944	0,395	0,005	-0,005	0,116	0,000	30,000	3,863	0,000	0,395	0,000	0,005	-0,005	0,000
20	18035	4	10,035	-6,976	0,374	0,004	-0,004	0,115	0,000	30,000	3,819	0,000	0,374	0,000	0,004	-0,004	0,000
20	18036	5	10,213	-7,008	0,354	0,004	-0,003	0,113	0,000	30,000	3,776	0,000	0,354	0,000	0,004	-0,003	0,000
EmbeddedBeam_21_1	18036	1	10,213	-7,008	0,354	0,004	-0,003	0,113	0,000	30,000	3,776	0,000	0,354	0,000	0,004	-0,003	0,000
Element 2-27 (Embedded beam)	18037	2	10,401	-7,042	0,332	0,003	-0,003	0,112	0,000	30,000	3,733	0,000	0,332	0,000	0,003	-0,003	0,000
(TITAN 40/20 l=1,60m)	18038	3	10,589	-7,076	0,311	0,003	-0,002	0,111	0,000	30,000	3,693	0,000	0,311	0,000	0,003	-0,002	0,000
20	18039	4	10,777	-7,110	0,290	0,003	-0,001	0,110	0,000	30,000	3,656	0,000	0,290	0,000	0,003	-0,001	0,000
20	18040	5	10,965	-7,144	0,269	0,002	-0,001	0,109	0,000	30,000	3,621	0,000	0,269	0,000	0,002	-0,001	0,000
EmbeddedBeam_21_1	18040	1	10,965	-7,144	0,269	0,002	-0,001	0,109	0,000	30,000	3,621	0,000	0,269	0,000	0,002	-0,001	0,000
Element 2-28 (Embedded beam)	18041	2	11,164	-7,180	0,247	0,002	-0,001	0,108	0,000	30,000	3,587	0,000	0,247	0,000	0,002	-0,001	0,000
(TITAN 40/20 l=1,60m)	18042	3	11,363	-7,215	0,226	0,002	0,000	0,107	0,000	30,000	3,556	0,000	0,226	0,000	0,002	0,000	0,000
20	18043	4	11,563	-7,251	0,204	0,001	0,000	0,106	0,000	30,000	3,528	0,000	0,204	0,000	0,001	0,000	0,000
20	18044	5	11,762	-7,287	0,183	0,001	0,000	0,105	0,000	30,000	3,504	0,000	0,183	0,000	0,001	0,000	0,000
EmbeddedBeam_21_1	18044	1	11,762	-7,287	0,183	0,001	0,000	0,105	0,000	30,000	3,504	0,000	0,183	0,000	0,001	0,000	0,000
Element 2-29 (Embedded beam)	18045	2	11,973	-7,325	0,160	0,001	0,000	0,104	0,000	30,000	3,481	0,000	0,160	0,000	0,001	0,000	0,000
(TITAN 40/20 l=1,60m)	18046	3	12,184	-7,363	0,138	0,001	0,001	0,104	0,000	30,000	3,462	0,000	0,138	0,000	0,001	0,000	0,001
20	18047	4	12,395	-7,401	0,116	0,000	0,001	0,103	0,000	30,000	3,447	0,000	0,116	0,000	0,000	0,000	0,001
20	18048	5	12,606	-7,439	0,094	0,000	0,001	0,103	0,000	30,000	3,436	0,000	0,094	0,000	0,000	0,000	0,001
EmbeddedBeam_21_1	18048	1	12,606	-7,439	0,094	0,000	0,001	0,103	0,000	30,000	3,436	0,000	0,094	0,000	0,000	0,000	0,001
Element 2-30 (Embedded beam)	18049	2	12,829	-7,479	0,070	0,001	0,001	0,103	0,000	30,000	3,429	0,000	0,070	0,001	0,000	0,000	0,001
(TITAN 40/20 l=1,60m)	18050	3	13,053	-7,520	0,047	0,001	0,000	0,103	0,000	30,000	3,428	0,000	0,047	0,001	0,000	0,000	0,000
20	18051	4	13,276	-7,560	0,023	0,001	0,000	0,103	0,000	30,000	3,434	0,000	0,023	0,001	0,000	0,000	0,000
20	18052	5	13,500	-7,600	0,000	0,000	0,000	0,104	0,000	30,000	3,453	0,000	0,000	0,000	0,000	0,000	0,000

3.3.1.1.12 Calculation results, Embedded beam, Escavo 4 [Phase_10] (10/449), Table of embedded beam force envelopes

Structural element	Node [10^]	Local number	X [m]	Y [m]	N [kN]	Q [10^ kN]	M [10^ kN m]	T_{max} [kN/m]	T_{min} [kN/m]	$T_{max,max}$ [kN/m]	$T_{min,min}$ [10^]	N_{max} [kN]	N_{min} [kN]	Q_{max} [10^ kN]	Q_{min} [10^ kN]	M_{max} [10^ kN m]	M_{min} [10^ kN m]
EmbeddedBeam_1_1	17931	1	8,300	-2,600	77,209	942,554	0,000	-8,797	-4,478	30,000	293,246	0,000	77,209	0,000	942,554	0,000	0,000
Element 1-1 (Embedded beam)	17932	2	8,493	-2,635	75,513	316,424	118,776	-8,560	-2,581	30,000	285,328	0,000	75,513	0,000	316,424	0,000	118,776
(TITAN 40/20 l=1,60m)	17933	3	8,685	-2,670	73,857	-59,221	140,530	-8,348	-1,143	30,000	278,264	0,000	73,857	-59,221	0,000	0,000	140,530
88	17934	4	8,878	-2,706	72,240	-208,322	110,356	-8,153	-0,268	30,000	271,770	0,000	72,240	-208,322	0,000	0,000	110,356
89	17935	5	9,071	-2,741	70,664	-154,819	71,903	-7,971	0,154	30,000	265,690	0,000	70,664	-154,819	0,000	0,000	71,903
EmbeddedBeam_1_1	17935	1	9,071	-2,741	70,662	-200,453	71,903	-7,971	0,154	30,000	265,690	0,000	70,662	-200,453	0,000	0,000	71,903
Element 1-2 (Embedded beam)	17936	2	9,223	-2,769	69,437	-156,870	44,163	-7,834	0,276	30,000	261,147	0,000	69,437	-156,870	0,000	0,000	44,163
(TITAN 40/20 l=1,60m)	17937	3	9,376	-2,797	68,231	-113,907	23,201	-7,705	0,388	30,000	256,832	0,000	68,231	-113,907	0,000	0,000	23,201
90	17938	4	9,529	-2,825	67,044	-73,526	8,667	-7,582	0,243	30,000	252,724	0,000	67,044	-73,526	0,000	0,000	8,667
91	17939	5	9,681	-2,853	65,878	-37,690	0,125	-7,464	0,179	30,000	248,804	0,000	65,878	-37,690	0,000	-0,384	0,125
EmbeddedBeam_1_1	17939	1	9,681	-2,853	65,877	-39,150	0,125	-7,464	0,179	30,000	248,804	0,000	65,877	-39,150	0,000	-0,384	0,125
Element 1-3 (Embedded beam)	17940	2	9,802	-2,875	64,965	-20,925	-3,515	-7,375	0,128	30,000	245,819	0,000	64,965	-20,925	0,000	-3,515	0,000
(TITAN 40/20 l=1,60m)	17941	3	9,923	-2,897	64,063	-7,651	-5,226	-7,288	0,085	30,000	242,933	0,000	64,063	-7,651	0,000	-5,226	0,000
92	17942	4	10,044	-2,919	63,172	0,920	-5,590	-7,204	0,052	30,000	240,140	0,000	63,172	0,000	0,921	-5,590	0,000
93	17943	5	10,165	-2,941	62,291	5,039	-5,181	-7,123	0,028	30,000	237,431	0,000	62,291	0,000	5,039	-5,181	0,000
EmbeddedBeam_1_1	17943	1	10,165	-2,941	62,291	5,695	-5,181	-7,123	0,028	30,000	237,431	0,000	62,291	0,000	5,695	-5,181	0,000
Element 1-4 (Embedded beam)	17944	2	10,261	-2,959	61,600	7,558	-4,529	-7,060	0,015	30,000	235,343	0,000	61,600	0,000	7,558	-4,529	0,000
(TITAN 40/20 l=1,60m)	17945	3	10,357	-2,976	60,915	8,668	-3,733	-6,999	0,007	30,000	233,301	0,000	60,915	0,000	8,668	-3,733	0,000
94	17946	4	10,453	-2,994	60,236	9,081	-2,862	-6,939	0,001	30,000	231,294	0,000	60,236	0,000	9,081	-2,862	0,000
95	17947	5	10,549	-3,011	59,563	8,858	-1,983	-6,879	-0,005	30,000	229,304	0,000	59,563	0,000	8,858	-1,983	0,000
EmbeddedBeam_1_1	17947	1	10,549	-3,011	59,562	9,205	-1,983	-11,465	-0,008	30,000	382,173	0,000	59,562	0,000	9,205	-1,983	0,000
Element 1-5 (Embedded beam)	17948	2	10,656	-3,031	58,312	7,352	-1,075	-11,356	-0,017	30,000	378,526	0,000	58,312	0,000	7,352	-1,075	0,000
(TITAN 40/20 l=1,60m)	17949	3	10,764	-3,051	57,072	5,521	-0,371	-11,251	-0,017	30,000	375,041	0,000	57,072	0,000	5,521	-0,371	0,000
96	17950	4	10,872	-3,071	55,844	3,788	0,140	-11,151	-0,015	30,000	371,692	0,000	55,844	0,000	3,788	-0,112	0,140
97	17951	5	10,980	-3,090	54,627	2,230	0,467	-11,054	-0,012	30,000	368,454	0,000	54,627	0,000	2,230	-0,020	0,467
EmbeddedBeam_1_1	17951	1	10,980	-3,090	54,626	2,273	0,467	-11,054	-0,012	30,000	368,454	0,000	54,626	0,000	2,273	-0,020	0,467
Element 1-6 (Embedded beam)	17952	2	11,085	-3,110	53,447	1,251	0,653	-10,962	-0,008	30,000	365,387	0,000	53,447	0,000	1,251	0,000	0,653
(TITAN 40/20 l=1,60m)	17953	3	11,191	-3,129	52,277	0,505	0,745	-10,872	-0,006	30,000	362,412	0,000	52,277	0,000	0,505	0,000	0,745
98	17954	4	11,296	-3,148	51,115	0,020	0,771	-10,786	-0,003	30,000	359,523	0,000	51,115	-0,211	0,048	0,000	0,771
99	17955	5	11,402	-3,167	49,965	-0,220	0,758	-10,702	-0,002	30,000	356,718	0,000	49,965	-0,300	0,000	0,000	0,758
EmbeddedBeam_1_1	17955	1	11,402	-3,167	49,964	-0,264	0,758	-10,702	-0,002	30,000	356,718	0,000	49,964	-0,330	0,000	0,000	0,758
Element 1-7 (Embedded beam)	17956	2	11,505	-3,186	48,847	-0,400	0,723	-10,622	-0,001	30,000	354,052	0,000	48,847	-0,433	0,000	-0,002	0,723
(TITAN 40/20 l=1,60m)	17957	3	11,608	-3,205	47,738	-0,481	0,676	-10,544	0,000	30,000	351,465	0,000	47,738	-0,486	0,000	-0,008	0,676
100	17958	4	11,711	-3,224	46,636	-0,515	0,624	-10,469	0,000	30,000	348,957	0,000	46,636	-0,515	0,000	-0,018	0,624
101	17959	5	11,814	-3,243	45,543	-0,507	0,570	-10,396	0,000	30,000	346,527	0,000	45,543	-0,507	0,000	-0,029	0,570
EmbeddedBeam_1_1	17959	1	11,814	-3,243	45,543	-0,517	0,570	-10,396	0,000	30,000	346,527	0,000	45,543	-0,517	0,000	-0,029	0,570
Element 1-8 (Embedded beam)	17960	2	11,915	-3,261	44,481	-0,505	0,517	-10,327	0,000	30,000	344,228	0,000	44,481	-0,505	0,000	-0,040	0,517
(TITAN 40/20 l=1,60m)	17961	3	12,016	-3,280	43,426	-0,490	0,466	-10,260	0,000	30,000	342,005	0,000	43,426	-0,490	0,000	-0,048	0,466
102	17962	4	12,117	-3,298	42,378	-0,473	0,417	-10,196	0,000	30,000	339,858	0,000	42,378	-0,473	0,000	-0,055	0,417
103	17963	5	12,217	-3,317	41,337	-0,453	0,370	-10,134	0,000	30,000	337,788	0,000	41,337	-0,453	0,000	-0,060	0,370
EmbeddedBeam_1_1	17963	1	12,217	-3,317	41,336	-0,454	0,370	-10,134	0,000	30,000	337,788	0,000	41,336	-0,454	0,000	-0,060	0,370
Element 1-9 (Embedded beam)	17964	2	12,316	-3,335	40,325	-0,435	0,325	-10,075	0,000	30,000	335,838	0,000	40,325	-0,435	0,000	-0,064	0,325
(TITAN 40/20 l=1,60m)	17965	3	12,414	-3,353	39,318	-0,416	0,282	-10,019	0,000	30,000	333,960	0,000	39,318	-0,416	0,000	-0,067	0,282
104	17966	4	12,513	-3,371	38,316	-0,396	0,242	-9,965	0,000	30,000	332,155	0,000	38,316	-0,396	0,000	-0,068	0,242
105	17967	5	12,612	-3,389	37,321	-0,376	0,203	-9,913	0,000	30,000	330,421	0,000	37,321	-0,376	0,000	-0,069	0,203
EmbeddedBeam_1_1	17967	1	12,612	-3,389	37,320	-0,376	0,203	-9,913	0,000	30,000	330,421	0,000	37,320	-0,376	0,000	-0,069	0,203
Element 1-10 (Embedded beam)	17968	2	12,708	-3,406	36,352	-0,355	0,167	-9,864	0,000	30,000	328,796	0,000	36,352	-0,355	0,001	-0,070	0,167
(TITAN 40/20 l=1,60m)	17969	3	12,804	-3,424	35,388	-0,333	0,133	-9,817	0,000	30,000	327,238	0,000	35,388	-0,333	0,002	-0,070	0,133
106	17970	4	12,901	-3,442	34,428	-0,310	0,102	-9,772	0,000	30,000	325,748	0,000	34,428	-0,310	0,002	-0,070	0,102
107	17971	5	12,997	-3,459	33,474	-0,287	0,073	-9,730	0,000	30,000	324,324	0,000	33,474	-0,287	0,002	-0,070	0,073

Structural element	Node [10^]	Local number	X [m]	Y [m]	N [kN]	Q [10 ^ kN]	M [10 ^ kN m]	T$_{xx}$ [kN/m]	T$_{yy}$ [kN/m]	T$_{xx,yy,max}$ [kN/m]	T$_{xx,yy,min}$ [10 ^]	N$_{xx}$ [kN]	N$_{yyy}$ [kN]	Q$_{xx}$ [10 ^ kN]	Q$_{yy}$ [10 ^ kN]	M$_{xx}$ [10 ^ kN m]	M$_{yy}$ [10 ^ kN m]
EmbeddedBeam_11_1	17971	1	12,997	-3,459	13,473	0,287	0,073	9,730	0,000	30,000	324,324	0,000	13,473	0,287	0,002	-0,070	0,073
Element 1-11 (Embedded beam)	17972	2	13,091	-3,476	12,544	0,263	0,046	9,690	0,000	30,000	322,997	0,000	12,544	0,263	0,002	-0,070	0,047
(TITAN 40/20 l=1,60m)	17973	3	13,185	-3,494	11,617	0,240	0,022	9,652	0,000	30,000	321,732	0,000	11,617	0,240	0,002	-0,071	0,024
20	17974	4	13,280	-3,511	10,694	0,216	0,000	9,616	0,000	30,000	320,529	0,000	10,694	0,216	0,002	-0,071	0,006
20	17975	5	13,374	-3,528	29,775	0,193	-0,019	9,582	0,000	30,000	319,389	0,000	29,775	0,193	0,002	-0,071	0,000
EmbeddedBeam_11_1	17975	1	13,374	-3,528	29,775	0,193	-0,019	9,582	0,000	30,000	319,389	0,000	29,775	0,193	0,002	-0,071	0,000
Element 1-12 (Embedded beam)	17976	2	13,466	-3,545	28,880	0,171	-0,036	9,550	0,000	30,000	318,333	0,000	28,880	0,171	0,002	-0,071	0,000
(TITAN 40/20 l=1,60m)	17977	3	13,558	-3,562	27,986	0,150	-0,051	9,520	0,000	30,000	317,336	0,000	27,986	0,150	0,002	-0,071	0,000
20	17978	4	13,650	-3,579	27,096	0,129	-0,064	9,492	0,000	30,000	316,397	0,000	27,096	0,129	0,002	-0,071	0,000
20	17979	5	13,742	-3,596	26,209	0,110	-0,076	9,465	0,000	30,000	315,515	0,000	26,209	0,110	0,002	-0,076	0,000
EmbeddedBeam_11_1	17979	1	13,742	-3,596	26,208	0,110	-0,076	9,465	0,000	30,000	315,515	0,000	26,208	0,110	0,002	-0,076	0,000
Element 1-13 (Embedded beam)	17980	2	13,832	-3,612	25,343	0,093	-0,085	9,441	0,000	30,000	314,709	0,000	25,343	0,093	0,002	-0,085	0,000
(TITAN 40/20 l=1,60m)	17981	3	13,923	-3,629	24,480	0,076	-0,093	9,419	0,000	30,000	313,957	0,000	24,480	0,076	0,002	-0,093	0,000
20	17982	4	14,013	-3,645	23,618	0,062	-0,099	9,398	0,000	30,000	313,260	0,000	23,618	0,062	0,002	-0,099	0,000
20	17983	5	14,103	-3,661	22,759	0,048	-0,104	9,379	0,000	30,000	312,617	0,000	22,759	0,048	0,002	-0,104	0,000
EmbeddedBeam_11_1	17983	1	14,103	-3,661	22,758	0,048	-0,104	9,379	0,000	30,000	312,617	0,000	22,758	0,048	0,002	-0,104	0,000
Element 1-14 (Embedded beam)	17984	2	14,191	-3,678	21,920	0,036	-0,108	9,361	0,000	30,000	312,041	0,000	21,920	0,036	0,002	-0,108	0,000
(TITAN 40/20 l=1,60m)	17985	3	14,279	-3,694	21,083	0,026	-0,110	9,346	0,000	30,000	311,517	0,000	21,083	0,026	0,002	-0,110	0,000
20	17986	4	14,367	-3,710	20,246	0,017	-0,112	9,331	0,000	30,000	311,046	0,000	20,246	0,018	0,002	-0,112	0,000
20	17987	5	14,455	-3,726	19,412	0,009	-0,113	9,319	0,000	30,000	310,626	0,000	19,412	0,012	0,002	-0,113	0,000
EmbeddedBeam_11_1	17987	1	14,455	-3,726	19,412	0,009	-0,113	9,319	0,000	30,000	310,626	0,000	19,412	0,012	0,002	-0,113	0,000
Element 1-15 (Embedded beam)	17988	2	14,541	-3,742	18,597	0,003	-0,114	9,308	0,000	30,000	310,267	0,000	18,597	0,007	0,003	-0,114	0,000
(TITAN 40/20 l=1,60m)	17989	3	14,627	-3,757	17,782	0,002	-0,114	9,299	0,000	30,000	309,958	0,000	17,782	0,005	0,005	-0,114	0,000
20	17990	4	14,713	-3,773	16,969	0,006	-0,114	9,291	0,000	30,000	309,700	0,000	16,969	0,004	0,007	-0,114	0,000
20	17991	5	14,799	-3,789	16,156	0,009	-0,113	9,285	0,000	30,000	309,493	0,000	16,156	0,004	0,009	-0,113	0,000
EmbeddedBeam_11_1	17991	1	14,799	-3,789	16,156	0,010	-0,113	9,285	0,000	30,000	309,493	0,000	16,156	0,004	0,010	-0,113	0,000
Element 1-16 (Embedded beam)	17992	2	14,883	-3,804	15,362	0,012	-0,112	9,280	0,000	30,000	309,341	0,000	15,362	0,003	0,012	-0,112	0,000
(TITAN 40/20 l=1,60m)	17992	3	14,968	-3,820	14,568	0,014	-0,111	9,277	0,000	30,000	309,238	0,000	14,568	0,003	0,014	-0,111	0,000
20	17994	4	15,052	-3,835	13,774	0,016	-0,110	9,276	0,000	30,000	309,186	0,000	13,774	0,002	0,016	-0,110	0,000
20	17995	5	15,136	-3,850	12,980	0,019	-0,108	9,276	0,000	30,000	309,186	0,000	12,980	0,001	0,019	-0,108	0,000
EmbeddedBeam_11_1	17995	1	15,136	-3,850	12,980	0,019	-0,108	9,276	0,000	30,000	309,186	0,000	12,980	0,001	0,019	-0,108	0,000
Element 1-17 (Embedded beam)	17996	2	15,205	-3,863	12,326	0,021	-0,107	9,277	0,000	30,000	309,225	0,000	12,326	0,000	0,021	-0,107	0,000
(TITAN 40/20 l=1,60m)	17997	3	15,275	-3,876	11,671	0,024	-0,105	9,279	0,000	30,000	309,300	0,000	11,671	0,000	0,024	-0,105	0,000
20	17998	4	15,344	-3,889	11,016	0,028	-0,103	9,282	0,000	30,000	309,411	0,000	11,016	0,000	0,028	-0,103	0,000
20	17999	5	15,414	-3,901	10,361	0,033	-0,101	9,287	0,000	30,000	309,560	0,000	10,361	0,000	0,033	-0,101	0,000
EmbeddedBeam_11_1	17999	1	15,414	-3,901	10,360	0,033	-0,101	9,287	0,000	30,000	309,560	0,000	10,360	0,000	0,033	-0,101	0,000
Element 1-18 (Embedded beam)	18000	2	15,521	-3,921	9,351	0,043	-0,097	9,296	0,000	30,000	309,865	0,000	9,351	0,000	0,043	-0,097	0,000
(TITAN 40/20 l=1,60m)	18001	3	15,627	-3,940	8,340	0,057	-0,092	9,308	0,000	30,000	310,264	0,000	8,340	0,000	0,057	-0,092	0,000
20	18002	4	15,734	-3,960	7,327	0,075	-0,084	9,323	0,000	30,000	310,762	0,000	7,327	0,000	0,075	-0,084	0,000
20	18003	5	15,841	-3,980	6,314	0,098	-0,075	9,341	0,000	30,000	311,365	0,000	6,314	0,000	0,098	-0,075	0,000
EmbeddedBeam_11_1	18003	1	15,841	-3,980	6,312	0,090	-0,075	9,341	0,000	30,000	311,365	0,000	6,312	0,000	0,090	-0,075	0,000
Element 1-19 (Embedded beam)	18004	2	16,006	-4,010	4,747	0,135	-0,056	9,375	0,000	30,000	312,516	0,000	4,747	0,000	0,135	-0,056	0,000
(TITAN 40/20 l=1,60m)	18005	3	16,171	-4,040	3,174	0,136	-0,032	9,419	0,000	30,000	313,951	0,000	3,174	0,000	0,136	-0,032	0,000
20	18006	4	16,335	-4,070	1,592	0,101	-0,012	9,475	0,000	30,000	315,842	0,000	1,592	0,000	0,101	-0,012	0,000
20	18007	5	16,500	-4,100	0,002	0,040	0,000	9,556	-0,001	30,000	318,539	0,000	0,002	0,000	0,040	0,000	0,000
EmbeddedBeam_21_1	18008	1	6,000	-6,250	26,114	-32,924	0,000	-4,173	0,439	30,000	139,087	0,000	26,114	-32,924	0,000	0,000	0,000
Element 2-20 (Embedded beam)	18009	2	6,126	-6,273	25,585	-38,123	-7,574	-4,121	0,296	30,000	137,360	0,000	25,585	-38,123	0,000	-7,574	0,000
(TITAN 40/20 l=1,60m)	18010	3	6,252	-6,295	25,061	-7,523	-10,354	-4,076	0,176	30,000	135,866	0,000	25,061	-7,523	0,000	-10,354	0,000
20	18011	4	6,377	-6,318	24,542	9,716	-10,066	-4,035	0,087	30,000	134,500	0,000	24,542	0,000	9,716	-10,066	0,000
20	18012	5	6,503	-6,341	24,030	14,431	-8,399	-3,996	0,028	30,000	133,206	0,000	24,030	0,000	14,431	-8,399	0,000
EmbeddedBeam_21_1	18012	1	6,503	-6,341	24,029	17,051	-8,399	-3,996	0,028	30,000	133,206	0,000	24,029	0,000	17,051	-8,399	0,000
Element 2-21 (Embedded beam)	18013	2	6,636	-6,365	23,491	16,698	-6,091	-3,957	-0,009	30,000	131,898	0,000	23,491	0,000	16,698	-6,091	0,000
(TITAN 40/20 l=1,60m)	18014	3	6,770	-6,389	22,958	14,603	-3,960	-3,919	-0,025	30,000	130,642	0,000	22,958	0,000	14,603	-3,960	0,000
20	18015	4	6,903	-6,413	22,430	11,144	-2,198	-3,883	-0,029	30,000	129,430	0,000	22,430	0,000	11,144	-2,198	0,000
20	18016	5	7,036	-6,436	21,907	6,701	-0,984	-3,848	-0,026	30,000	128,255	0,000	21,907	0,000	6,701	-0,984	0,000
EmbeddedBeam_21_1	18016	1	7,036	-6,436	21,906	7,167	-0,984	-3,848	-0,026	30,000	128,255	0,000	21,906	0,000	7,167	-0,984	0,000
Element 2-22 (Embedded beam)	18017	2	7,177	-6,462	21,358	3,975	-0,197	-3,811	-0,019	30,000	127,044	0,000	21,358	0,000	2,975	-0,197	0,000

Structural element	Node [10^]	Local number	X [m]	Y [m]	N [kN]	Q [10^ kN]	M [10^ kN m]	T_xx [kN/m]	T_yy [kN/m]	T_xx,sup [kN/m]	T_xx,inf [10^]	N_xx [kN]	N_yy [kN]	Q_xx [10^ kN]	Q_yy [10^ kN]	M_xx [10^ kN m]	M_yy [10^ kN m]
(TITAN 40/20 l=1,60m)	18018	3	7,318	-6,487	20,814	1,689	0,199	3,776	0,012	30,000	125,866	0,000	20,814	0,000	1,689	-0,020	0,199
89	18019	4	7,459	-6,513	20,275	0,276	0,329	3,742	0,007	30,000	124,719	0,000	20,275	0,000	0,276	-0,013	0,329
89	18020	5	7,600	-6,538	19,741	0,299	0,318	3,708	0,003	30,000	123,601	0,000	19,741	0,299	0,004	-0,011	0,318
EmbeddedBeam_31_1	18020	1	7,600	-6,538	19,741	0,462	0,318	3,708	0,003	30,000	123,601	0,000	19,741	0,462	0,001	-0,011	0,318
Element 2-33 (Embedded beam)	18021	2	7,750	-6,565	19,180	0,614	0,234	3,673	0,001	30,000	122,449	0,000	19,180	0,614	0,001	-0,012	0,234
(TITAN 40/20 l=1,60m)	18022	3	7,899	-6,592	18,625	0,612	0,140	3,640	0,001	30,000	121,330	0,000	18,625	0,612	0,001	-0,013	0,140
89	18023	4	8,049	-6,619	18,075	0,484	0,055	3,607	0,001	30,000	120,243	0,000	18,075	0,484	0,001	-0,015	0,055
89	18024	5	8,198	-6,646	17,529	0,258	-0,003	3,576	0,001	30,000	119,187	0,000	17,529	0,258	0,001	-0,025	0,000
EmbeddedBeam_31_1	18024	1	8,198	-6,646	17,529	0,294	-0,003	3,576	0,001	30,000	119,187	0,000	17,529	0,294	0,001	-0,025	0,000
Element 2-34 (Embedded beam)	18025	2	8,357	-6,674	16,957	0,143	-0,037	3,543	0,001	30,000	118,105	0,000	16,957	0,143	0,003	-0,037	0,000
(TITAN 40/20 l=1,60m)	18026	3	8,515	-6,703	16,389	0,039	-0,051	3,512	0,000	30,000	117,060	0,000	16,389	0,039	0,007	-0,051	0,000
89	18027	4	8,673	-6,731	15,827	0,022	-0,052	3,482	0,000	30,000	116,051	0,000	15,827	0,000	0,022	-0,052	0,000
89	18028	5	8,832	-6,760	15,270	0,040	-0,046	3,452	0,000	30,000	115,080	0,000	15,270	0,000	0,040	-0,046	0,000
EmbeddedBeam_31_1	18028	1	8,832	-6,760	15,269	0,049	-0,046	3,452	0,000	30,000	115,080	0,000	15,269	0,000	0,049	-0,046	0,000
Element 2-35 (Embedded beam)	18029	2	8,999	-6,790	14,684	0,049	-0,038	3,423	0,000	30,000	114,092	0,000	14,684	0,000	0,049	-0,038	0,000
(TITAN 40/20 l=1,60m)	18030	3	9,167	-6,820	14,103	0,045	-0,030	3,394	0,000	30,000	113,147	0,000	14,103	0,000	0,045	-0,032	0,000
89	18031	4	9,335	-6,850	13,527	0,036	-0,023	3,367	0,000	30,000	112,246	0,000	13,527	0,000	0,036	-0,026	0,000
89	18032	5	9,502	-6,880	12,956	0,026	-0,018	3,342	0,000	30,000	111,388	0,000	12,956	0,000	0,026	-0,021	0,000
EmbeddedBeam_31_1	18032	1	9,502	-6,880	12,955	0,027	-0,018	3,342	0,000	30,000	111,388	0,000	12,955	0,000	0,027	-0,021	0,000
Element 2-36 (Embedded beam)	18033	2	9,680	-6,912	12,355	0,021	-0,013	3,316	0,000	30,000	110,529	0,000	12,355	0,000	0,021	-0,017	0,000
(TITAN 40/20 l=1,60m)	18034	3	9,857	-6,944	11,759	0,017	-0,010	3,292	0,000	30,000	109,722	0,000	11,759	0,000	0,017	-0,015	0,000
89	18035	4	10,035	-6,976	11,167	0,014	-0,007	3,269	0,000	30,000	108,967	0,000	11,167	0,000	0,014	-0,012	0,000
89	18036	5	10,213	-7,008	10,579	0,013	-0,005	3,248	0,000	30,000	108,265	0,000	10,579	0,000	0,013	-0,010	0,000
EmbeddedBeam_31_1	18036	1	10,213	-7,008	10,579	0,013	-0,005	3,248	0,000	30,000	108,265	0,000	10,579	0,000	0,013	-0,010	0,000
Element 2-37 (Embedded beam)	18037	2	10,401	-7,042	9,960	0,012	-0,002	3,227	0,000	30,000	107,581	0,000	9,960	0,000	0,012	-0,009	0,000
(TITAN 40/20 l=1,60m)	18038	3	10,589	-7,076	9,345	0,010	0,000	3,209	0,000	30,000	106,960	0,000	9,345	0,000	0,010	-0,007	0,000
89	18039	4	10,777	-7,110	8,733	0,009	0,002	3,192	0,000	30,000	106,403	0,000	8,733	0,000	0,009	-0,006	0,002
89	18040	5	10,965	-7,144	8,125	0,007	0,003	3,177	0,000	30,000	105,912	0,000	8,125	0,000	0,008	-0,005	0,003
EmbeddedBeam_31_1	18040	1	10,965	-7,144	8,125	0,007	0,003	3,177	0,000	30,000	105,912	0,000	8,125	0,000	0,008	-0,005	0,003
Element 2-38 (Embedded beam)	18041	2	11,164	-7,180	7,483	0,006	0,004	3,164	0,000	30,000	105,465	0,000	7,483	0,000	0,006	-0,004	0,004
(TITAN 40/20 l=1,60m)	18042	3	11,363	-7,215	6,844	0,004	0,005	3,153	0,000	30,000	105,096	0,000	6,844	0,000	0,004	-0,003	0,005
89	18043	4	11,563	-7,251	6,206	0,002	0,006	3,144	0,000	30,000	104,807	0,000	6,206	0,000	0,003	-0,002	0,006
89	18044	5	11,762	-7,287	5,571	0,000	0,006	3,138	0,000	30,000	104,600	0,000	5,571	0,000	0,002	-0,002	0,006
EmbeddedBeam_31_1	18044	1	11,762	-7,287	5,570	0,000	0,006	3,138	0,000	30,000	104,600	0,000	5,570	0,000	0,003	-0,002	0,006
Element 2-39 (Embedded beam)	18045	2	11,973	-7,325	4,899	-0,002	0,006	3,134	0,000	30,000	104,476	0,000	4,899	-0,002	0,002	-0,001	0,006
(TITAN 40/20 l=1,60m)	18046	3	12,184	-7,363	4,226	-0,003	0,005	3,134	0,000	30,000	104,452	0,000	4,226	-0,003	0,001	-0,001	0,005
89	18047	4	12,395	-7,401	3,554	-0,004	0,004	3,136	0,000	30,000	104,535	0,000	3,554	-0,004	0,001	-0,001	0,004
89	18048	5	12,606	-7,439	2,882	-0,003	0,004	3,142	0,000	30,000	104,733	0,000	2,882	-0,003	0,001	0,000	0,004
EmbeddedBeam_31_1	18048	1	12,606	-7,439	2,881	0,000	0,004	3,142	0,000	30,000	104,733	0,000	2,881	0,000	0,002	0,000	0,004
Element 2-30 (Embedded beam)	18049	2	12,829	-7,479	2,167	-0,004	0,003	3,152	0,000	30,000	105,075	0,000	2,167	-0,004	0,001	0,000	0,003
(TITAN 40/20 l=1,60m)	18050	3	13,053	-7,520	1,449	-0,008	0,002	3,167	0,000	30,000	105,570	0,000	1,449	-0,008	0,000	0,000	0,002
89	18051	4	13,276	-7,560	0,727	-0,005	0,000	3,189	0,000	30,000	106,299	0,000	0,727	-0,005	0,000	0,000	0,000
89	18052	5	13,500	-7,600	0,001	0,007	0,000	3,222	0,000	30,000	107,406	0,000	0,001	0,000	0,007	0,000	0,000

3.3.1.1.13 Calculation results, Embedded beam, Completamento scavo [Phase_28] (28/479), Table of embedded beam force envelopes

Structural element	Node [10^1]	Local number	X [m]	Y [m]	N [kN]	Q [kN]	M [10^1 kN m]	T_{xxx} [kN/m]	T_{xx} [kN/m]	$T_{xx,xxx}$ [kN/m]	$T_{xx,xx}$ [10^1]	$N_{x,x}$ [kN]	N_{xx} [kN]	$Q_{x,x}$ [10^1 kN]	Q_{xx} [kN]	$M_{x,x}$ [10^1 kN m]	M_{xx} [10^1 kN m]
EmbeddedBeam_11_1	17931	1	8,300	-2,600	96,117	1,174	0,000	-10,544	5,555	30,000	251,476	0,000	96,117	0,000	1,174	0,000	0,000
Element 1-1 (Embedded beam)	17932	2	8,493	-2,635	94,080	0,396	148,129	-10,288	3,208	30,000	242,944	0,000	94,080	0,000	0,396	0,000	148,129
(TITAN 40/20 l=1,60m)	17933	3	8,685	-2,670	92,088	-0,071	175,664	-10,055	-1,425	30,000	235,176	0,000	92,088	-71,282	0,000	0,000	175,664
88	17934	4	8,878	-2,706	90,139	-0,258	138,534	-9,836	-0,339	30,000	227,872	0,000	90,139	-257,545	0,000	0,000	138,534
88	17935	5	9,071	-2,741	88,236	-0,192	90,877	-9,627	0,185	30,000	220,900	0,000	88,236	-192,478	0,000	0,000	90,877
EmbeddedBeam_11_1	17935	1	9,071	-2,741	88,233	-0,249	90,877	-9,627	0,185	30,000	220,900	0,000	88,233	-249,032	0,000	0,000	90,877
Element 1-2 (Embedded beam)	17936	2	9,223	-2,769	86,753	-0,196	56,337	-9,469	0,338	30,000	215,637	0,000	86,753	-195,867	0,000	0,000	56,337
(TITAN 40/20 l=1,60m)	17937	3	9,376	-2,797	85,295	-0,143	30,075	-9,319	0,353	30,000	210,617	0,000	85,295	-143,322	0,000	0,000	30,075
88	17938	4	9,529	-2,825	83,859	-0,094	11,685	-9,175	0,299	30,000	205,838	0,000	83,859	-93,817	0,000	0,000	11,685
88	17939	5	9,681	-2,853	82,447	-0,050	0,650	-9,039	0,220	30,000	201,289	0,000	82,447	-49,775	0,000	-0,384	0,650
EmbeddedBeam_11_1	17939	1	9,681	-2,853	82,446	-0,051	0,650	-9,039	0,220	30,000	201,289	0,000	82,446	-51,485	0,000	-0,384	0,650
Element 1-3 (Embedded beam)	17940	2	9,802	-2,875	81,342	-0,029	-4,235	-8,935	0,161	30,000	197,842	0,000	81,342	-28,966	0,000	-4,235	0,000
(TITAN 40/20 l=1,60m)	17941	3	9,923	-2,897	80,249	-0,012	-6,709	-8,836	0,111	30,000	194,533	0,000	80,249	-12,106	0,000	-6,709	0,000
88	17942	4	10,044	-2,919	79,168	-0,001	-7,431	-8,741	0,074	30,000	191,361	0,000	79,168	-0,560	0,001	-7,431	0,000
88	17943	5	10,165	-2,941	78,099	0,006	-7,048	-8,650	0,051	30,000	188,327	0,000	78,099	0,000	0,006	-7,048	0,000
EmbeddedBeam_11_1	17943	1	10,165	-2,941	78,098	0,007	-7,048	-8,650	0,051	30,000	188,327	0,000	78,098	0,000	0,007	-7,048	0,000
Element 1-4 (Embedded beam)	17944	2	10,261	-2,959	77,259	0,011	-6,175	-8,582	0,040	30,000	186,061	0,000	77,259	0,000	0,011	-6,175	0,000
(TITAN 40/20 l=1,60m)	17945	3	10,357	-2,976	76,426	0,015	-4,919	-8,515	0,036	30,000	183,845	0,000	76,426	0,000	0,015	-4,919	0,000
88	17946	4	10,453	-2,994	75,599	0,018	-3,328	-8,455	0,030	30,000	181,844	0,000	75,599	0,000	0,018	-3,377	0,000
88	17947	5	10,549	-3,011	74,778	0,020	-1,453	-8,430	-0,012	30,000	181,001	0,000	74,778	0,000	0,020	-2,268	0,000
EmbeddedBeam_11_1	17947	1	10,549	-3,011	74,776	0,020	-1,453	-14,050	-0,020	30,000	468,336	0,000	74,776	0,000	0,020	-2,268	0,000
Element 1-5 (Embedded beam)	17948	2	10,656	-3,031	73,243	0,016	0,510	-13,939	-0,040	30,000	464,650	0,000	73,243	0,000	0,016	-1,189	0,510
(TITAN 40/20 l=1,60m)	17949	3	10,764	-3,051	71,720	0,011	1,984	-13,829	-0,043	30,000	460,982	0,000	71,720	0,000	0,011	-0,393	1,984
88	17950	4	10,872	-3,071	70,209	0,007	2,971	-13,721	-0,039	30,000	457,359	0,000	70,209	0,000	0,007	-0,112	2,971
88	17951	5	10,980	-3,090	68,712	0,003	3,478	-13,614	-0,032	30,000	453,792	0,000	68,712	0,000	0,004	-0,020	3,478
EmbeddedBeam_11_1	17951	1	10,980	-3,090	68,711	0,003	3,478	-13,614	-0,032	30,000	453,792	0,000	68,711	0,000	0,004	-0,020	3,478
Element 1-6 (Embedded beam)	17952	2	11,085	-3,110	67,258	0,000	3,608	-13,511	-0,023	30,000	450,381	0,000	67,258	-0,173	0,002	0,000	3,608
(TITAN 40/20 l=1,60m)	17953	3	11,191	-3,129	65,814	-0,002	3,472	-13,412	-0,015	30,000	447,064	0,000	65,814	-2,225	0,001	0,000	3,472
88	17954	4	11,296	-3,148	64,381	-0,003	3,160	-13,316	-0,008	30,000	443,851	0,000	64,381	-3,451	0,000	0,000	3,160
88	17955	5	11,402	-3,167	62,960	-0,004	2,760	-13,222	-0,002	30,000	440,743	0,000	62,960	-3,880	0,000	0,000	2,760
EmbeddedBeam_11_1	17955	1	11,402	-3,167	62,959	-0,004	2,760	-13,222	-0,002	30,000	440,743	0,000	62,959	-4,010	0,000	0,000	2,760
Element 1-7 (Embedded beam)	17956	2	11,505	-3,186	61,579	-0,004	2,340	-13,134	0,001	30,000	437,809	0,000	61,579	-3,965	0,000	-0,002	2,340
(TITAN 40/20 l=1,60m)	17957	3	11,608	-3,205	60,206	-0,004	1,936	-13,049	0,004	30,000	434,975	0,000	60,206	-3,719	0,000	-0,008	1,936
88	17958	4	11,711	-3,224	58,842	-0,003	1,567	-12,967	0,005	30,000	432,239	0,000	58,842	-3,296	0,000	-0,018	1,567
88	17959	5	11,814	-3,243	57,488	-0,003	1,250	-12,888	0,005	30,000	429,601	0,000	57,488	-2,725	0,000	-0,029	1,250
EmbeddedBeam_11_1	17959	1	11,814	-3,243	57,487	-0,003	1,250	-12,888	0,005	30,000	429,601	0,000	57,487	-2,775	0,000	-0,029	1,250
Element 1-8 (Embedded beam)	17960	2	11,915	-3,261	56,171	-0,002	0,993	-12,813	0,005	30,000	427,115	0,000	56,171	-2,262	0,000	-0,040	0,993
(TITAN 40/20 l=1,60m)	17961	3	12,016	-3,280	54,862	-0,002	0,785	-12,742	0,004	30,000	424,720	0,000	54,862	-1,811	0,000	-0,048	0,793
88	17962	4	12,117	-3,298	53,559	-0,001	0,619	-12,672	0,003	30,000	422,416	0,000	53,559	-1,424	0,000	-0,055	0,651
88	17963	5	12,217	-3,317	52,265	-0,001	0,490	-12,606	0,003	30,000	420,201	0,000	52,265	-1,118	0,000	-0,060	0,537
EmbeddedBeam_11_1	17963	1	12,217	-3,317	52,264	-0,001	0,490	-12,606	0,003	30,000	420,201	0,000	52,264	-1,123	0,000	-0,060	0,537
Element 1-9 (Embedded beam)	17964	2	12,316	-3,335	51,005	-0,001	0,392	-12,544	0,002	30,000	418,120	0,000	51,005	-0,929	0,000	-0,064	0,448
(TITAN 40/20 l=1,60m)	17965	3	12,414	-3,353	49,751	-0,001	0,314	-12,484	0,002	30,000	416,125	0,000	49,751	-0,774	0,000	-0,067	0,371
88	17966	4	12,513	-3,371	48,502	-0,001	0,253	-12,426	0,001	30,000	414,213	0,000	48,502	-0,656	0,000	-0,068	0,305
88	17967	5	12,612	-3,389	47,261	0,000	0,202	-12,372	0,001	30,000	412,384	0,000	47,261	-0,564	0,000	-0,069	0,247
EmbeddedBeam_11_1	17967	1	12,612	-3,389	47,260	0,000	0,202	-12,372	0,001	30,000	412,384	0,000	47,260	-0,563	0,000	-0,069	0,247
Element 1-10 (Embedded beam)	17968	2	12,708	-3,406	46,051	0,000	0,160	-12,320	0,001	30,000	410,677	0,000	46,051	-0,497	0,000	-0,070	0,197
(TITAN 40/20 l=1,60m)	17969	3	12,804	-3,424	44,846	0,000	0,123	-12,271	0,000	30,000	409,048	0,000	44,846	-0,442	0,000	-0,070	0,152
88	17970	4	12,901	-3,442	43,646	0,000	0,090	-12,225	0,000	30,000	407,498	0,000	43,646	-0,396	0,000	-0,070	0,112

Structural element	Node [10^]	Local number	X [m]	Y [m]	N [kN]	Q [kN]	M [10^ kN m]	T_{sup} [kN/m]	T_{inf} [kN/m]	$T_{sup,sup}$ [kN/m]	$T_{sup,inf}$ [10^]	N_{sup} [kN]	N_{inf} [kN]	Q_{sup} [10^ kN]	Q_{inf} [kN]	M_{sup} [10^ kN m]	M_{inf} [10^ kN m]
2D	17971	5	12,997	-3,459	42,452	0,000	0,059	-12,181	0,000	30,000	406,026	0,000	42,452	-0,357	0,000	0,070	0,077
EmbeddedBeam_11_1	17971	1	12,997	-3,459	42,451	0,000	0,059	-12,181	0,000	30,000	406,026	0,000	42,451	-0,356	0,000	0,070	0,077
Element 1-11 (Embedded beam)	17972	2	13,091	-3,476	41,287	0,000	0,031	-12,140	0,000	30,000	404,663	0,000	41,287	-0,322	0,000	0,070	0,048
(TITAN 40/20 l=1,60m)	17973	3	13,185	-3,494	40,126	0,000	0,004	-12,101	0,000	30,000	403,373	0,000	40,126	-0,290	0,000	0,071	0,024
2D	17974	4	13,280	-3,511	38,968	0,000	-0,021	-12,065	0,000	30,000	402,159	0,000	38,968	-0,260	0,000	0,071	0,006
2D	17975	5	13,374	-3,528	37,815	0,000	-0,044	-12,031	0,000	30,000	401,017	0,000	37,815	-0,236	0,000	0,071	0,000
EmbeddedBeam_11_1	17975	1	13,374	-3,528	37,814	0,000	-0,044	-12,031	0,000	30,000	401,017	0,000	37,814	-0,236	0,000	0,071	0,000
Element 1-12 (Embedded beam)	17976	2	13,466	-3,545	36,690	0,000	-0,065	-11,999	0,000	30,000	399,973	0,000	36,690	-0,218	0,000	0,089	0,000
(TITAN 40/20 l=1,60m)	17977	3	13,558	-3,562	35,567	0,000	-0,085	-11,970	0,000	30,000	398,999	0,000	35,567	-0,199	0,000	0,106	0,000
2D	17978	4	13,650	-3,579	34,447	0,000	-0,102	-11,943	0,000	30,000	398,095	0,000	34,447	-0,179	0,000	0,121	0,000
2D	17979	5	13,742	-3,596	33,331	0,000	-0,118	-11,918	0,000	30,000	397,261	0,000	33,331	-0,158	0,000	0,134	0,000
EmbeddedBeam_11_1	17979	1	13,742	-3,596	33,330	0,000	-0,118	-11,918	0,000	30,000	397,261	0,000	33,330	-0,158	0,000	0,134	0,000
Element 1-13 (Embedded beam)	17980	2	13,832	-3,612	32,240	0,000	-0,132	-11,895	0,000	30,000	396,514	0,000	32,240	-0,137	0,000	0,145	0,000
(TITAN 40/20 l=1,60m)	17981	3	13,923	-3,629	31,152	0,000	-0,143	-11,875	0,000	30,000	395,833	0,000	31,152	-0,117	0,000	0,154	0,000
2D	17982	4	14,013	-3,645	30,065	0,000	-0,153	-11,857	0,000	30,000	395,219	0,000	30,065	-0,097	0,000	0,161	0,000
2D	17983	5	14,103	-3,661	28,981	0,000	-0,161	-11,840	0,000	30,000	394,672	0,000	28,981	-0,078	0,000	0,167	0,000
EmbeddedBeam_11_1	17983	1	14,103	-3,661	28,980	0,000	-0,161	-11,840	0,000	30,000	394,672	0,000	28,980	-0,078	0,000	0,167	0,000
Element 1-14 (Embedded beam)	17984	2	14,191	-3,678	27,922	0,000	-0,167	-11,826	0,000	30,000	394,202	0,000	27,922	-0,060	0,000	0,171	0,000
(TITAN 40/20 l=1,60m)	17985	3	14,279	-3,694	26,863	0,000	-0,172	-11,814	0,000	30,000	393,796	0,000	26,863	-0,044	0,000	0,174	0,000
2D	17986	4	14,367	-3,710	25,806	0,000	-0,175	-11,804	0,000	30,000	393,455	0,000	25,806	-0,029	0,000	0,177	0,000
2D	17987	5	14,455	-3,726	24,750	0,000	-0,177	-11,795	0,000	30,000	393,178	0,000	24,750	-0,015	0,000	0,178	0,000
EmbeddedBeam_11_1	17987	1	14,455	-3,726	24,750	0,000	-0,177	-11,795	0,000	30,000	393,178	0,000	24,750	-0,015	0,000	0,178	0,000
Element 1-15 (Embedded beam)	17988	2	14,541	-3,742	23,718	0,000	-0,178	-11,789	0,000	30,000	392,971	0,000	23,718	-0,007	0,000	0,179	0,000
(TITAN 40/20 l=1,60m)	17989	3	14,627	-3,757	22,686	0,000	-0,178	-11,785	0,000	30,000	392,826	0,000	22,686	-0,005	0,000	0,178	0,000
2D	17990	4	14,713	-3,773	21,654	0,000	-0,177	-11,782	0,000	30,000	392,744	0,000	21,654	-0,004	0,000	0,177	0,000
2D	17991	5	14,799	-3,789	20,624	0,000	-0,175	-11,782	0,000	30,000	392,726	0,000	20,624	-0,004	0,000	0,175	0,000
EmbeddedBeam_11_1	17991	1	14,799	-3,789	20,623	0,000	-0,175	-11,782	0,000	30,000	392,726	0,000	20,623	-0,004	0,000	0,175	0,000
Element 1-16 (Embedded beam)	17992	2	14,883	-3,804	19,615	0,000	-0,173	-11,783	0,000	30,000	392,771	0,000	19,615	-0,003	0,000	0,173	0,000
(TITAN 40/20 l=1,60m)	17993	3	14,968	-3,820	18,607	0,000	-0,170	-11,786	0,000	30,000	392,879	0,000	18,607	-0,003	0,000	0,170	0,000
2D	17994	4	15,052	-3,835	17,598	0,000	-0,167	-11,791	0,000	30,000	393,049	0,000	17,598	-0,002	0,000	0,167	0,000
2D	17995	5	15,136	-3,850	16,589	0,000	-0,163	-11,799	0,000	30,000	393,284	0,000	16,589	-0,001	0,000	0,163	0,000
EmbeddedBeam_11_1	17995	1	15,136	-3,850	16,588	0,000	-0,163	-11,799	0,000	30,000	393,284	0,000	16,588	-0,001	0,000	0,163	0,000
Element 1-17 (Embedded beam)	17996	2	15,205	-3,863	15,756	0,000	-0,160	-11,806	0,000	30,000	393,527	0,000	15,756	0,000	0,000	0,160	0,000
(TITAN 40/20 l=1,60m)	17997	3	15,275	-3,876	14,922	0,000	-0,156	-11,814	0,000	30,000	393,815	0,000	14,922	0,000	0,000	0,156	0,000
2D	17998	4	15,344	-3,889	14,088	0,000	-0,151	-11,824	0,000	30,000	394,149	0,000	14,088	0,000	0,000	0,151	0,000
2D	17999	5	15,414	-3,901	13,254	0,000	-0,147	-11,836	0,000	30,000	394,530	0,000	13,254	0,000	0,000	0,147	0,000
EmbeddedBeam_11_1	17999	1	15,414	-3,901	13,253	0,000	-0,147	-11,836	0,000	30,000	394,530	0,000	13,253	0,000	0,000	0,147	0,000
Element 1-18 (Embedded beam)	18000	2	15,521	-3,921	11,966	0,000	-0,138	-11,856	0,000	30,000	395,212	0,000	11,966	0,000	0,000	0,138	0,000
(TITAN 40/20 l=1,60m)	18001	3	15,627	-3,940	10,676	0,000	-0,128	-11,880	0,000	30,000	396,012	0,000	10,676	0,000	0,000	0,128	0,000
2D	18002	4	15,734	-3,960	9,383	0,000	-0,116	-11,908	0,000	30,000	396,938	0,000	9,383	0,000	0,000	0,116	0,000
2D	18003	5	15,841	-3,980	8,088	0,000	-0,102	-11,940	0,000	30,000	397,997	0,000	8,088	0,000	0,000	0,102	0,000
EmbeddedBeam_11_1	18003	1	15,841	-3,980	8,086	0,000	-0,102	-11,940	0,000	30,000	397,997	0,000	8,086	0,000	0,000	0,102	0,000
Element 1-19 (Embedded beam)	18004	2	16,006	-4,010	6,085	0,000	-0,074	-11,997	0,000	30,000	399,908	0,000	6,085	0,000	0,000	0,074	0,000
(TITAN 40/20 l=1,60m)	18005	3	16,171	-4,040	4,070	0,000	-0,042	-12,065	0,000	30,000	402,181	0,000	4,070	0,000	0,000	0,042	0,000
2D	18006	4	16,335	-4,070	2,042	0,000	-0,015	-12,151	0,000	30,000	405,035	0,000	2,042	0,000	0,000	0,015	0,000
2D	18007	5	16,500	-4,100	0,002	0,000	0,000	-12,268	0,002	30,000	408,922	0,000	0,002	0,000	0,000	0,000	0,000
EmbeddedBeam_21_1	18008	1	6,000	-6,250	78,971	-0,251	0,000	-12,527	1,336	30,000	417,565	0,000	78,971	-250,630	0,000	0,000	0,000
Element 2-20 (Embedded beam)	18009	2	6,126	-6,273	77,384	-0,115	22,862	-12,358	0,897	30,000	411,949	0,000	77,384	-114,829	0,000	22,862	0,000
(TITAN 40/20 l=1,60m)	18010	3	6,252	-6,295	75,813	-0,022	31,209	-12,213	0,532	30,000	407,113	0,000	75,813	-22,274	0,000	31,209	0,000
2D	18011	4	6,377	-6,318	74,260	0,030	30,288	-12,082	0,261	30,000	402,742	0,000	74,260	0,000	0,030	30,288	0,000
2D	18012	5	6,503	-6,341	72,725	0,043	25,242	-11,960	0,081	30,000	398,661	0,000	72,725	0,000	0,043	25,242	0,000
EmbeddedBeam_21_1	18012	1	6,503	-6,341	72,723	0,051	25,242	-11,960	0,081	30,000	398,661	0,000	72,723	0,000	0,051	25,242	0,000
Element 2-21 (Embedded beam)	18013	2	6,636	-6,365	71,114	0,050	18,300	-11,838	0,027	30,000	394,602	0,000	71,114	0,000	0,050	18,300	0,000
(TITAN 40/20 l=1,60m)	18014	3	6,770	-6,389	69,519	0,044	11,923	-11,723	0,076	30,000	390,777	0,000	69,519	0,000	0,044	11,923	0,000
2D	18015	4	6,903	-6,413	67,939	0,033	6,680	-11,614	0,087	30,000	387,149	0,000	67,939	0,000	0,033	6,680	0,000
2D	18016	5	7,036	-6,436	66,375	0,020	3,091	-11,511	0,076	30,000	383,689	0,000	66,375	0,000	0,020	3,091	0,000
EmbeddedBeam_21_1	18016	1	7,036	-6,436	66,373	0,021	3,091	-11,511	0,076	30,000	383,689	0,000	66,373	0,000	0,021	3,091	0,000

Structural element	Node [10^]	Local number	X [m]	Y [m]	N [kN]	Q [kN]	M [10^ kN m]	T_{xxx} [kN/m]	T_{zzz} [kN/m]	$T_{xxx,zzz}$ [kN/m]	$T_{xxx,zzz}$ [10^]	N_{xxx} [kN]	N_{zzz} [kN]	Q_{xxx} [10^ kN]	Q_{zzz} [kN]	M_{xxx} [10^ kN m]	M_{zzz} [10^ kN m]
Element 2-22 (Embedded beam)	18017	2	7,177	-6,462	64,732	0,012	-0,786	-11,405	-0,057	30,000	380,182	0,000	64,732	0,000	0,012	0,786	0,000
(TITAN 40/20 l=1,60m)	18018	3	7,318	-6,487	63,103	0,005	0,357	-11,305	-0,037	30,000	376,819	0,000	63,103	0,000	0,005	0,020	0,524
20	18019	4	7,459	-6,513	61,489	0,001	0,718	-11,207	-0,020	30,000	373,583	0,000	61,489	0,000	0,001	0,013	0,779
20	18020	5	7,600	-6,538	59,890	-0,001	0,674	-11,114	-0,008	30,000	370,462	0,000	59,890	-0,898	0,000	0,011	0,753
EmbeddedBeam_21_1	18020	1	7,600	-6,538	59,889	-0,001	0,674	-11,114	-0,008	30,000	370,462	0,000	59,889	-1,398	0,000	0,011	0,753
Element 2-23 (Embedded beam)	18021	2	7,750	-6,565	58,209	-0,002	0,429	-11,018	-0,001	30,000	367,272	0,000	58,209	-1,741	0,000	0,012	0,586
(TITAN 40/20 l=1,60m)	18022	3	7,899	-6,592	56,543	-0,002	0,168	-10,926	0,003	30,000	364,191	0,000	56,543	-1,652	0,000	0,013	0,401
20	18023	4	8,049	-6,619	54,890	-0,001	-0,055	-10,836	0,004	30,000	361,214	0,000	54,890	-1,215	0,000	0,060	0,239
20	18024	5	8,198	-6,646	53,252	-0,001	-0,188	-10,750	0,003	30,000	358,335	0,000	53,252	-0,513	0,000	0,188	0,132
EmbeddedBeam_21_1	18024	1	8,198	-6,646	53,251	-0,001	-0,188	-10,750	0,003	30,000	358,335	0,000	53,251	-0,617	0,000	0,188	0,132
Element 2-24 (Embedded beam)	18025	2	8,357	-6,674	51,530	0,000	-0,249	-10,662	0,002	30,000	355,389	0,000	51,530	-0,267	0,000	0,249	0,068
(TITAN 40/20 l=1,60m)	18026	3	8,515	-6,703	49,821	0,000	-0,248	-10,576	0,001	30,000	352,546	0,000	49,821	-0,081	0,000	0,248	0,041
20	18027	4	8,673	-6,731	48,126	0,000	-0,209	-10,494	0,001	30,000	349,805	0,000	48,126	0,000	0,000	0,209	0,040
20	18028	5	8,832	-6,760	46,446	0,000	-0,154	-10,415	0,000	30,000	347,164	0,000	46,446	0,000	0,000	0,154	0,051
EmbeddedBeam_21_1	18028	1	8,832	-6,760	46,444	0,000	-0,154	-10,415	0,000	30,000	347,164	0,000	46,444	0,000	0,000	0,154	0,051
Element 2-25 (Embedded beam)	18029	2	8,999	-6,790	44,678	0,000	-0,091	-10,334	0,000	30,000	344,477	0,000	44,678	0,000	0,000	0,091	0,066
(TITAN 40/20 l=1,60m)	18030	3	9,167	-6,820	42,924	0,000	-0,033	-10,257	0,000	30,000	341,904	0,000	42,924	0,000	0,000	0,033	0,082
20	18031	4	9,335	-6,850	41,182	0,000	0,017	-10,183	0,000	30,000	339,446	0,000	41,182	0,000	0,000	0,026	0,096
20	18032	5	9,502	-6,880	39,454	0,000	0,060	-10,113	0,000	30,000	337,105	0,000	39,454	0,000	0,000	0,021	0,109
EmbeddedBeam_21_1	18032	1	9,502	-6,880	39,453	0,000	0,060	-10,113	0,000	30,000	337,105	0,000	39,453	0,000	0,000	0,021	0,109
Element 2-26 (Embedded beam)	18033	2	9,680	-6,912	37,636	0,000	0,097	-10,043	0,000	30,000	334,756	0,000	37,636	0,000	0,000	0,017	0,119
(TITAN 40/20 l=1,60m)	18034	3	9,857	-6,944	35,829	0,000	0,127	-9,976	0,000	30,000	332,545	0,000	35,829	0,000	0,000	0,015	0,127
20	18035	4	10,035	-6,976	34,034	0,000	0,153	-9,914	0,000	30,000	330,477	0,000	34,034	0,000	0,000	0,012	0,153
20	18036	5	10,213	-7,008	32,252	0,000	0,173	-9,857	0,000	30,000	328,555	0,000	32,252	0,000	0,000	0,010	0,173
EmbeddedBeam_21_1	18036	1	10,213	-7,008	32,250	0,000	0,173	-9,857	0,000	30,000	328,555	0,000	32,250	0,000	0,000	0,010	0,173
Element 2-27 (Embedded beam)	18037	2	10,401	-7,042	30,373	0,000	0,190	-9,801	0,000	30,000	326,684	0,000	30,373	-0,002	0,000	0,009	0,190
(TITAN 40/20 l=1,60m)	18038	3	10,589	-7,076	28,504	0,000	0,203	-9,750	0,000	30,000	324,990	0,000	28,504	-0,004	0,000	0,007	0,203
20	18039	4	10,777	-7,110	26,645	0,000	0,212	-9,704	0,000	30,000	323,479	0,000	26,645	-0,008	0,000	0,006	0,212
20	18040	5	10,965	-7,144	24,795	0,000	0,216	-9,665	0,000	30,000	322,157	0,000	24,795	-0,013	0,000	0,005	0,216
EmbeddedBeam_21_1	18040	1	10,965	-7,144	24,794	0,000	0,216	-9,665	0,000	30,000	322,157	0,000	24,794	-0,013	0,000	0,005	0,216
Element 2-28 (Embedded beam)	18041	2	11,164	-7,180	22,843	0,000	0,217	-9,629	0,000	30,000	320,972	0,000	22,843	-0,020	0,000	0,004	0,217
(TITAN 40/20 l=1,60m)	18042	3	11,363	-7,215	20,896	0,000	0,214	-9,600	0,000	30,000	320,016	0,000	20,896	-0,027	0,000	0,003	0,214
20	18043	4	11,563	-7,251	18,954	0,000	0,207	-9,579	0,000	30,000	319,300	0,000	18,954	-0,039	0,000	0,002	0,207
20	18044	5	11,762	-7,287	17,018	0,000	0,198	-9,565	0,000	30,000	318,832	0,000	17,018	-0,050	0,000	0,002	0,198
EmbeddedBeam_21_1	18044	1	11,762	-7,287	17,016	0,000	0,198	-9,565	0,000	30,000	318,832	0,000	17,016	-0,051	0,000	0,002	0,198
Element 2-29 (Embedded beam)	18045	2	11,973	-7,325	14,968	0,000	0,187	-9,559	0,000	30,000	318,620	0,000	14,968	-0,058	0,000	0,001	0,187
(TITAN 40/20 l=1,60m)	18046	3	12,184	-7,363	12,917	0,000	0,173	-9,561	0,000	30,000	318,714	0,000	12,917	-0,068	0,000	0,001	0,173
20	18047	4	12,395	-7,401	10,865	0,000	0,157	-9,574	0,000	30,000	319,135	0,000	10,865	-0,082	0,000	0,001	0,157
20	18048	5	12,606	-7,439	8,813	0,000	0,138	-9,597	0,000	30,000	319,908	0,000	8,813	-0,101	0,000	0,000	0,138
EmbeddedBeam_21_1	18048	1	12,606	-7,439	8,809	0,000	0,138	-9,597	0,000	30,000	319,908	0,000	8,809	-0,076	0,000	0,000	0,138
Element 2-30 (Embedded beam)	18049	2	12,829	-7,479	6,629	0,000	0,111	-9,614	0,000	30,000	321,134	0,000	6,629	-0,159	0,000	0,000	0,111
(TITAN 40/20 l=1,60m)	18050	3	13,053	-7,520	4,434	0,000	0,068	-9,685	0,000	30,000	322,831	0,000	4,434	-0,201	0,000	0,000	0,068
20	18051	4	13,276	-7,560	2,226	0,000	0,025	-9,757	0,000	30,000	325,244	0,000	2,226	-0,168	0,000	0,000	0,025
20	18052	5	13,500	-7,600	0,004	0,000	0,000	-9,864	0,001	30,000	328,816	0,000	0,004	-0,029	0,000	0,000	0,000

3.3.1.1.14 Calculation results, Embedded beam, (RD) Strutture [Phase_11] (11/482), Table of embedded beam force envelopes

Structural element	Node [10^0]	Local number	X [m]	Y [m]	N [kN]	Q [kN]	M [10^0 kN m]	T_xxx [kN/m]	T_yyy [kN/m]	T_xxx,yyy [kN/m]	T_xxx,zzz [10^0]	N_xxx [10^0 kN]	M_yyy [kN]	Q_yyy [10^0 kN]	Q_zzz [kN]	M_yyy [10^0 kN m]	M_zzz [10^0 kN m]
EmbeddedBeam_11_1	17931	1	8,300	-2,600	96,328	1,176	0,000	-10,576	-5,568	10,000	352,530	0,000	96,328	0,000	1,176	0,000	0,000
Element 1-1 (Embedded beam)	17932	2	8,493	-2,635	94,285	0,397	148,442	-10,319	-3,216	10,000	343,965	0,000	94,285	0,000	0,397	0,000	148,442
(TiTAN 40/20 l=1,60m)	17933	3	8,685	-2,670	92,287	-0,072	176,018	-10,085	-1,428	10,000	336,168	0,000	92,287	-71,546	0,000	0,000	176,018
圆	17934	4	8,878	-2,706	90,333	-0,258	138,789	-9,865	-0,339	10,000	328,835	0,000	90,333	-258,172	0,000	0,000	138,789
圆	17935	5	9,071	-2,741	88,424	-0,193	91,023	-9,655	0,185	10,000	321,833	0,000	88,424	-192,875	0,000	0,000	91,023
EmbeddedBeam_11_1	17935	1	9,071	-2,741	88,421	-0,250	91,023	-9,655	0,185	10,000	321,833	0,000	88,421	-249,571	0,000	0,000	91,023
Element 1-2 (Embedded beam)	17936	2	9,223	-2,769	86,937	-0,196	56,411	-9,496	0,339	10,000	316,545	0,000	86,937	-196,257	0,000	0,000	56,411
(TiTAN 40/20 l=1,60m)	17937	3	9,376	-2,797	85,474	-0,144	30,099	-9,345	0,354	10,000	311,500	0,000	85,474	-143,576	0,000	0,000	30,099
圆	17938	4	9,529	-2,825	84,035	-0,094	11,685	-9,201	0,299	10,000	306,695	0,000	84,035	-93,955	0,000	0,000	11,685
圆	17939	5	9,681	-2,853	82,619	-0,050	0,629	-9,064	0,221	10,000	302,120	0,000	82,619	-49,820	0,000	-0,384	0,650
EmbeddedBeam_11_1	17939	1	9,681	-2,853	82,618	-0,052	0,629	-9,064	0,221	10,000	302,120	0,000	82,618	-51,533	0,000	-0,384	0,650
Element 1-3 (Embedded beam)	17940	2	9,802	-2,875	81,510	-0,029	-4,258	-8,960	0,161	10,000	298,652	0,000	81,510	-28,972	0,000	-4,258	0,000
(TiTAN 40/20 l=1,60m)	17941	3	9,923	-2,897	80,414	-0,012	-6,731	-8,860	0,111	10,000	295,323	0,000	80,414	-12,106	0,000	-6,731	0,000
圆	17942	4	10,044	-2,919	79,330	-0,001	-7,450	-8,764	0,074	10,000	292,132	0,000	79,330	-0,560	0,001	-7,450	0,000
圆	17943	5	10,165	-2,941	78,259	0,006	-7,064	-8,672	0,051	10,000	289,079	0,000	78,259	0,000	0,006	-7,064	0,000
EmbeddedBeam_11_1	17943	1	10,165	-2,941	78,258	0,007	-7,064	-8,672	0,051	10,000	289,079	0,000	78,258	0,000	0,007	-7,064	0,000
Element 1-4 (Embedded beam)	17944	2	10,261	-2,959	77,417	0,011	-6,188	-8,604	0,040	10,000	286,797	0,000	77,417	0,000	0,011	-6,188	0,000
(TiTAN 40/20 l=1,60m)	17945	3	10,357	-2,976	76,581	0,015	-4,931	-8,537	0,036	10,000	284,566	0,000	76,581	0,000	0,015	-4,931	0,000
圆	17946	4	10,453	-2,994	75,752	0,018	-3,341	-8,476	0,029	10,000	282,547	0,000	75,752	0,000	0,018	-3,377	0,000
圆	17947	5	10,549	-3,011	74,930	0,020	-1,471	-8,450	-0,012	10,000	281,677	0,000	74,930	0,000	0,020	-2,268	0,000
EmbeddedBeam_11_1	17947	1	10,549	-3,011	74,928	0,020	-1,471	-14,084	-0,020	10,000	469,462	0,000	74,928	0,000	0,020	-2,268	0,000
Element 1-5 (Embedded beam)	17948	2	10,656	-3,031	73,391	0,016	0,490	-13,973	-0,040	10,000	465,756	0,000	73,391	0,000	0,016	-1,189	0,510
(TiTAN 40/20 l=1,60m)	17949	3	10,764	-3,051	71,864	0,011	1,964	-13,862	-0,043	10,000	462,069	0,000	71,864	0,000	0,011	-0,393	1,984
圆	17950	4	10,872	-3,071	70,350	0,007	2,953	-13,753	-0,039	10,000	458,427	0,000	70,350	0,000	0,007	-0,112	2,971
圆	17951	5	10,980	-3,090	68,849	0,003	3,463	-13,645	-0,032	10,000	454,843	0,000	68,849	0,000	0,004	-0,020	3,478
EmbeddedBeam_11_1	17951	1	10,980	-3,090	68,848	0,003	3,463	-13,645	-0,032	10,000	454,843	0,000	68,848	0,000	0,004	-0,020	3,478
Element 1-6 (Embedded beam)	17952	2	11,085	-3,110	67,392	0,000	3,596	-13,542	-0,023	10,000	451,415	0,000	67,392	-0,173	0,002	0,000	3,608
(TiTAN 40/20 l=1,60m)	17953	3	11,191	-3,129	65,945	-0,002	3,463	-13,442	-0,015	10,000	448,081	0,000	65,945	-2,225	0,001	0,000	3,472
圆	17954	4	11,296	-3,148	64,509	-0,003	3,153	-13,346	-0,008	10,000	444,852	0,000	64,509	-3,451	0,000	0,000	3,160
圆	17955	5	11,402	-3,167	63,084	-0,004	2,756	-13,252	-0,002	10,000	441,730	0,000	63,084	-3,880	0,000	0,000	2,760
EmbeddedBeam_11_1	17955	1	11,402	-3,167	63,083	-0,004	2,756	-13,252	-0,002	10,000	441,730	0,000	63,083	-4,010	0,000	0,000	2,760
Element 1-7 (Embedded beam)	17956	2	11,505	-3,186	61,700	-0,004	2,338	-13,163	0,001	10,000	438,782	0,000	61,700	-3,965	0,000	-0,002	2,340
(TiTAN 40/20 l=1,60m)	17957	3	11,608	-3,205	60,324	-0,004	1,935	-13,078	0,004	10,000	435,934	0,000	60,324	-3,719	0,000	-0,008	1,936
圆	17958	4	11,711	-3,224	58,957	-0,003	1,566	-12,996	0,005	10,000	433,185	0,000	58,957	-3,296	0,000	-0,018	1,567
圆	17959	5	11,814	-3,243	57,600	-0,003	1,250	-12,916	0,005	10,000	430,535	0,000	57,600	-2,725	0,000	-0,029	1,251
EmbeddedBeam_11_1	17959	1	11,814	-3,243	57,599	-0,003	1,250	-12,916	0,005	10,000	430,535	0,000	57,599	-2,775	0,000	-0,029	1,251
Element 1-8 (Embedded beam)	17960	2	11,915	-3,261	56,280	-0,002	0,992	-12,841	0,005	10,000	428,037	0,000	56,280	-2,262	0,000	-0,040	0,993
(TiTAN 40/20 l=1,60m)	17961	3	12,016	-3,280	54,968	-0,002	0,784	-12,769	0,004	10,000	425,631	0,000	54,968	-1,811	0,000	-0,048	0,793
圆	17962	4	12,117	-3,298	53,663	-0,001	0,619	-12,699	0,003	10,000	423,316	0,000	53,663	-1,425	0,000	-0,055	0,651
圆	17963	5	12,217	-3,317	52,365	-0,001	0,490	-12,633	0,003	10,000	421,090	0,000	52,365	-1,118	0,000	-0,060	0,537
EmbeddedBeam_11_1	17963	1	12,217	-3,317	52,365	-0,001	0,490	-12,633	0,003	10,000	421,090	0,000	52,365	-1,123	0,000	-0,060	0,537
Element 1-9 (Embedded beam)	17964	2	12,316	-3,335	51,103	-0,001	0,391	-12,570	0,002	10,000	419,000	0,000	51,103	-0,929	0,000	-0,064	0,448
(TiTAN 40/20 l=1,60m)	17965	3	12,414	-3,353	49,846	-0,001	0,314	-12,510	0,002	10,000	416,995	0,000	49,846	-0,774	0,000	-0,067	0,371
圆	17966	4	12,513	-3,371	48,595	-0,001	0,252	-12,452	0,001	10,000	415,074	0,000	48,595	-0,656	0,000	-0,068	0,305
圆	17967	5	12,612	-3,389	47,351	0,000	0,201	-12,397	0,001	10,000	413,237	0,000	47,351	-0,564	0,000	-0,069	0,247
EmbeddedBeam_11_1	17967	1	12,612	-3,389	47,350	0,000	0,201	-12,397	0,001	10,000	413,237	0,000	47,350	-0,563	0,000	-0,069	0,247
Element 1-10 (Embedded beam)	17968	2	12,708	-3,406	46,139	0,000	0,159	-12,346	0,001	10,000	411,521	0,000	46,139	-0,497	0,000	-0,070	0,197
(TiTAN 40/20 l=1,60m)	17969	3	12,804	-3,424	44,932	0,000	0,122	-12,297	0,000	10,000	409,885	0,000	44,932	-0,442	0,000	-0,070	0,152
圆	17970	4	12,901	-3,442	43,729	0,000	0,089	-12,250	0,000	10,000	408,327	0,000	43,729	-0,396	0,000	-0,070	0,112

Structural element	Node [10^]	Local number	X [m]	Y [m]	N [kN]	Q [kN]	M [10^ kN m]	T_{xx} [kN/m]	T_{yy} [kN/m]	$T_{xx,yy}$ [kN/m]	$T_{xx,yy}$ [10^]	$N_{x,x}$ [10^ kN]	M_{xx} [kN]	$Q_{x,x}$ [10^ kN]	$Q_{y,y}$ [kN]	$M_{x,x}$ [10^ kN m]	$M_{y,y}$ [10^ kN m]
臂	17971	5	12,997	-2,459	42,532	0,000	0,058	-12,205	0,000	30,000	406,848	0,000	42,532	-0,357	0,000	0,070	0,077
EmbeddedBeam_11_1	17971	1	12,997	-2,459	42,531	0,000	0,058	-12,205	0,000	30,000	406,848	0,000	42,531	-0,356	0,000	0,070	0,077
Element 1-11 (Embedded beam)	17972	2	13,091	-2,476	41,365	0,000	0,030	-12,164	0,000	30,000	405,478	0,000	41,365	-0,322	0,000	0,070	0,048
(TITAN 40/20 l=1,60m)	17973	3	13,185	-2,494	40,201	0,000	0,003	-12,125	0,000	30,000	404,183	0,000	40,201	-0,290	0,000	0,071	0,024
臂	17974	4	13,280	-2,511	39,041	0,000	-0,022	-12,089	0,000	30,000	402,962	0,000	39,041	-0,260	0,000	0,071	0,006
臂	17975	5	13,374	-2,528	37,886	0,000	-0,045	-12,054	0,000	30,000	401,815	0,000	37,886	-0,236	0,000	0,071	0,000
EmbeddedBeam_11_1	17975	1	13,374	-2,528	37,885	0,000	-0,045	-12,054	0,000	30,000	401,815	0,000	37,885	-0,236	0,000	0,071	0,000
Element 1-12 (Embedded beam)	17976	2	13,466	-2,545	36,759	0,000	-0,066	-12,023	0,000	30,000	400,765	0,000	36,759	-0,218	0,000	0,089	0,000
(TITAN 40/20 l=1,60m)	17977	3	13,558	-2,562	35,634	0,000	-0,086	-11,994	0,000	30,000	399,786	0,000	35,634	-0,199	0,000	0,106	0,000
臂	17978	4	13,650	-2,579	34,512	0,000	-0,103	-11,966	0,000	30,000	398,877	0,000	34,512	-0,179	0,000	0,121	0,000
臂	17979	5	13,742	-2,596	33,393	0,000	-0,119	-11,941	0,000	30,000	398,038	0,000	33,393	-0,158	0,000	0,134	0,000
EmbeddedBeam_11_1	17979	1	13,742	-2,596	33,392	0,000	-0,119	-11,941	0,000	30,000	398,038	0,000	33,392	-0,158	0,000	0,134	0,000
Element 1-13 (Embedded beam)	17980	2	13,832	-2,612	32,300	0,000	-0,133	-11,919	0,000	30,000	397,286	0,000	32,300	-0,137	0,000	0,145	0,000
(TITAN 40/20 l=1,60m)	17981	3	13,923	-2,629	31,210	0,000	-0,144	-11,898	0,000	30,000	396,601	0,000	31,210	-0,117	0,000	0,154	0,000
臂	17982	4	14,013	-2,645	30,121	0,000	-0,154	-11,880	0,000	30,000	395,983	0,000	30,121	-0,097	0,000	0,161	0,000
臂	17983	5	14,103	-2,661	29,035	0,000	-0,162	-11,863	0,000	30,000	395,433	0,000	29,035	-0,078	0,000	0,167	0,000
EmbeddedBeam_11_1	17983	1	14,103	-2,661	29,034	0,000	-0,162	-11,863	0,000	30,000	395,433	0,000	29,034	-0,078	0,000	0,167	0,000
Element 1-14 (Embedded beam)	17984	2	14,191	-2,678	27,973	0,000	-0,168	-11,849	0,000	30,000	394,959	0,000	27,973	-0,060	0,000	0,171	0,000
(TITAN 40/20 l=1,60m)	17985	3	14,279	-2,694	26,913	0,000	-0,173	-11,837	0,000	30,000	394,550	0,000	26,913	-0,044	0,000	0,174	0,000
臂	17986	4	14,367	-2,710	25,854	0,000	-0,176	-11,826	0,000	30,000	394,206	0,000	25,854	-0,029	0,000	0,177	0,000
臂	17987	5	14,455	-2,726	24,796	0,000	-0,178	-11,818	0,000	30,000	393,926	0,000	24,796	-0,015	0,000	0,178	0,000
EmbeddedBeam_11_1	17987	1	14,455	-2,726	24,795	0,000	-0,178	-11,818	0,000	30,000	393,926	0,000	24,795	-0,015	0,000	0,178	0,000
Element 1-15 (Embedded beam)	17988	2	14,541	-2,742	23,762	0,000	-0,179	-11,811	0,000	30,000	393,716	0,000	23,762	-0,007	0,000	0,179	0,000
(TITAN 40/20 l=1,60m)	17989	3	14,627	-2,757	22,728	0,000	-0,178	-11,807	0,000	30,000	393,569	0,000	22,728	-0,005	0,000	0,178	0,000
臂	17990	4	14,713	-2,773	21,694	0,000	-0,177	-11,805	0,000	30,000	393,485	0,000	21,694	-0,004	0,000	0,177	0,000
臂	17991	5	14,799	-2,789	20,662	0,000	-0,176	-11,804	0,000	30,000	393,465	0,000	20,662	-0,004	0,000	0,176	0,000
EmbeddedBeam_11_1	17991	1	14,799	-2,789	20,661	0,000	-0,176	-11,804	0,000	30,000	393,465	0,000	20,661	-0,004	0,000	0,176	0,000
Element 1-16 (Embedded beam)	17992	2	14,883	-2,804	19,651	0,000	-0,173	-11,805	0,000	30,000	393,508	0,000	19,651	-0,003	0,000	0,173	0,000
(TITAN 40/20 l=1,60m)	17993	3	14,968	-2,820	18,641	0,000	-0,171	-11,808	0,000	30,000	393,613	0,000	18,641	-0,003	0,000	0,171	0,000
臂	17994	4	15,052	-2,835	17,630	0,000	-0,167	-11,813	0,000	30,000	393,782	0,000	17,630	-0,002	0,000	0,167	0,000
臂	17995	5	15,136	-2,850	16,619	0,000	-0,163	-11,820	0,000	30,000	394,016	0,000	16,619	-0,001	0,000	0,163	0,000
EmbeddedBeam_11_1	17995	1	15,136	-2,850	16,619	0,000	-0,163	-11,820	0,000	30,000	394,016	0,000	16,619	-0,001	0,000	0,163	0,000
Element 1-17 (Embedded beam)	17996	2	15,205	-2,863	15,785	0,000	-0,160	-11,828	0,000	30,000	394,258	0,000	15,785	0,000	0,000	0,160	0,000
(TITAN 40/20 l=1,60m)	17997	3	15,275	-2,876	14,950	0,000	-0,156	-11,836	0,000	30,000	394,545	0,000	14,950	0,000	0,000	0,156	0,000
臂	17998	4	15,344	-2,889	14,114	0,000	-0,152	-11,846	0,000	30,000	394,878	0,000	14,114	0,000	0,000	0,152	0,000
臂	17999	5	15,414	-2,901	13,278	0,000	-0,147	-11,858	0,000	30,000	395,259	0,000	13,278	0,000	0,000	0,147	0,000
EmbeddedBeam_11_1	17999	1	15,414	-2,901	13,277	0,000	-0,147	-11,858	0,000	30,000	395,259	0,000	13,277	0,000	0,000	0,147	0,000
Element 1-18 (Embedded beam)	18000	2	15,521	-2,921	11,988	0,000	-0,139	-11,878	0,000	30,000	395,940	0,000	11,988	0,000	0,000	0,139	0,000
(TITAN 40/20 l=1,60m)	18001	3	15,627	-2,940	10,696	0,000	-0,129	-11,902	0,000	30,000	396,739	0,000	10,696	0,000	0,000	0,129	0,000
臂	18002	4	15,734	-2,960	9,400	0,000	-0,117	-11,930	0,000	30,000	397,665	0,000	9,400	0,000	0,000	0,117	0,000
臂	18003	5	15,841	-2,980	8,103	0,000	-0,102	-11,962	0,000	30,000	398,724	0,000	8,103	0,000	0,000	0,102	0,000
EmbeddedBeam_11_1	18003	1	15,841	-2,980	8,101	0,000	-0,102	-11,962	0,000	30,000	398,724	0,000	8,101	0,000	0,000	0,102	0,000
Element 1-19 (Embedded beam)	18004	2	16,006	-4,010	6,096	0,000	-0,074	-12,019	0,000	30,000	400,636	0,000	6,096	0,000	0,000	0,074	0,000
(TITAN 40/20 l=1,60m)	18005	3	16,171	-4,040	4,077	0,000	-0,042	-12,087	0,000	30,000	402,911	0,000	4,077	0,000	0,000	0,042	0,000
臂	18006	4	16,335	-4,070	2,046	0,000	-0,015	-12,173	0,000	30,000	405,767	0,000	2,046	0,000	0,000	0,015	0,000
臂	18007	5	16,500	-4,100	0,002	0,000	0,000	-12,290	-0,002	30,000	409,660	0,000	0,002	0,000	0,000	0,000	0,000
EmbeddedBeam_31_1	18008	1	6,000	-6,250	79,224	-0,251	0,000	-12,563	1,341	30,000	418,781	0,000	79,224	-251,421	0,000	0,000	0,000
Element 2-20 (Embedded beam)	18009	2	6,126	-6,273	77,631	-0,115	-22,930	-12,395	0,901	30,000	413,152	0,000	77,631	-115,135	0,000	22,930	0,000
(TITAN 40/20 l=1,60m)	18010	3	6,252	-6,295	76,056	-0,022	-31,294	-12,249	0,534	30,000	408,303	0,000	76,056	-22,274	0,000	31,294	0,000
臂	18011	4	6,377	-6,318	74,498	0,030	-30,361	-12,118	0,262	30,000	403,919	0,000	74,498	0,000	0,030	30,361	0,000
臂	18012	5	6,503	-6,341	72,959	0,044	-25,292	-11,995	0,082	30,000	399,826	0,000	72,959	0,000	0,044	25,292	0,000
EmbeddedBeam_31_1	18012	1	6,503	-6,341	72,958	0,052	-25,292	-11,995	0,082	30,000	399,826	0,000	72,958	0,000	0,052	25,292	0,000
Element 2-21 (Embedded beam)	18013	2	6,636	-6,365	71,344	0,050	-18,323	-11,873	-0,028	30,000	395,754	0,000	71,344	0,000	0,050	18,323	0,000
(TITAN 40/20 l=1,60m)	18014	3	6,770	-6,389	69,744	0,044	-11,925	-11,758	-0,077	30,000	391,918	0,000	69,744	0,000	0,044	11,925	0,000
臂	18015	4	6,903	-6,413	68,159	0,033	-6,667	-11,648	-0,087	30,000	388,280	0,000	68,159	0,000	0,033	6,680	0,000
臂	18016	5	7,036	-6,436	66,590	0,020	-3,070	-11,544	-0,077	30,000	384,809	0,000	66,590	0,000	0,020	3,091	0,000
EmbeddedBeam_31_1	18016	1	7,036	-6,436	66,589	0,021	-3,070	-11,544	-0,077	30,000	384,809	0,000	66,589	0,000	0,021	3,091	0,000

Structural element	Node [10^1]	Local number	X [m]	Y [m]	N [kN]	Q [kN]	M [10^1 kN m]	T_x,x [kN/m]	T_y,y [kN/m]	T_max,min [kN/m]	T_max,max [10^1]	M_x,x [10^1 kN]	N_x,x [kN]	Q_x,x [10^1 kN]	Q_y,y [kN]	M_x,x [10^1 kN m]	M_y,y [10^1 kN m]
Element 2-22 (Embedded beam)	18017	2	7,177	-5,462	64,943	0,012	-0,762	11,439	0,057	30,000	381,293	0,000	64,943	0,000	0,012	-0,786	0,000
(TITAN 40/20 l=1,60m)	18018	3	7,318	-5,487	63,309	0,005	0,380	11,338	0,037	30,000	377,922	0,000	63,309	0,000	0,005	-0,020	0,524
20	18019	4	7,459	-5,513	61,690	0,001	0,738	11,240	0,020	30,000	374,678	0,000	61,690	0,000	0,001	-0,013	0,779
20	18020	5	7,600	-5,538	60,087	-0,001	0,690	11,147	0,008	30,000	371,551	0,000	60,087	-0,925	0,000	-0,011	0,753
EmbeddedBeam_21_1	18020	1	7,600	-5,538	60,085	-0,001	0,690	11,147	0,008	30,000	371,551	0,000	60,085	-1,428	0,000	-0,011	0,753
Element 2-23 (Embedded beam)	18021	2	7,750	-5,565	58,401	-0,002	0,441	11,051	0,001	30,000	368,354	0,000	58,401	-1,768	0,000	-0,012	0,586
(TITAN 40/20 l=1,60m)	18022	3	7,899	-5,592	56,730	-0,002	0,176	10,958	0,003	30,000	365,269	0,000	56,730	-1,675	0,000	-0,013	0,401
20	18023	4	8,049	-5,619	55,072	-0,001	-0,050	10,869	0,004	30,000	362,287	0,000	55,072	-1,232	0,000	-0,060	0,239
20	18024	5	8,198	-5,646	53,429	-0,001	-0,186	10,782	0,003	30,000	359,405	0,000	53,429	-0,526	0,000	-0,188	0,132
EmbeddedBeam_21_1	18024	1	8,198	-5,646	53,428	-0,001	-0,186	10,782	0,003	30,000	359,405	0,000	53,428	-0,630	0,000	-0,188	0,132
Element 2-24 (Embedded beam)	18025	2	8,357	-5,674	51,702	0,000	-0,248	10,694	0,002	30,000	356,456	0,000	51,702	-0,267	0,000	-0,249	0,068
(TITAN 40/20 l=1,60m)	18026	3	8,515	-5,703	49,988	0,000	-0,249	10,608	0,001	30,000	353,611	0,000	49,988	-0,081	0,000	-0,249	0,041
20	18027	4	8,673	-5,731	48,288	0,000	-0,210	10,526	0,001	30,000	350,868	0,000	48,288	0,000	0,000	-0,210	0,040
20	18028	5	8,832	-5,760	46,602	0,000	-0,156	10,447	0,000	30,000	348,227	0,000	46,602	0,000	0,000	-0,156	0,051
EmbeddedBeam_21_1	18028	1	8,832	-5,760	46,601	0,000	-0,156	10,447	0,000	30,000	348,227	0,000	46,601	0,000	0,000	-0,156	0,051
Element 2-25 (Embedded beam)	18029	2	8,999	-5,790	44,829	0,000	-0,094	10,366	0,000	30,000	345,539	0,000	44,829	0,000	0,000	-0,094	0,066
(TITAN 40/20 l=1,60m)	18030	3	9,167	-5,820	43,069	0,000	-0,036	10,289	0,000	30,000	342,966	0,000	43,069	0,000	0,000	-0,036	0,082
20	18031	4	9,335	-5,850	41,322	0,000	0,014	10,215	0,000	30,000	340,508	0,000	41,322	0,000	0,000	-0,026	0,096
20	18032	5	9,502	-5,880	39,589	0,000	0,056	10,145	0,000	30,000	338,168	0,000	39,589	0,000	0,000	-0,021	0,109
EmbeddedBeam_21_1	18032	1	9,502	-5,880	39,588	0,000	0,056	10,145	0,000	30,000	338,168	0,000	39,588	0,000	0,000	-0,021	0,109
Element 2-26 (Embedded beam)	18033	2	9,680	-5,912	37,765	0,000	0,094	10,075	0,000	30,000	335,821	0,000	37,765	0,000	0,000	-0,017	0,119
(TITAN 40/20 l=1,60m)	18034	3	9,857	-5,944	35,953	0,000	0,124	10,008	0,000	30,000	333,612	0,000	35,953	0,000	0,000	-0,015	0,128
20	18035	4	10,035	-5,976	34,152	0,000	0,149	9,946	0,000	30,000	331,545	0,000	34,152	0,000	0,000	-0,012	0,153
20	18036	5	10,213	-7,008	32,363	0,000	0,170	9,889	0,000	30,000	329,625	0,000	32,363	0,000	0,000	-0,010	0,173
EmbeddedBeam_21_1	18036	1	10,213	-7,008	32,362	0,000	0,170	9,889	0,000	30,000	329,625	0,000	32,362	0,000	0,000	-0,010	0,173
Element 2-27 (Embedded beam)	18037	2	10,401	-7,042	30,479	0,000	0,187	9,833	0,000	30,000	327,758	0,000	30,479	-0,002	0,000	-0,009	0,190
(TITAN 40/20 l=1,60m)	18038	3	10,589	-7,076	28,604	0,000	0,200	9,782	0,000	30,000	326,067	0,000	28,604	-0,004	0,000	-0,007	0,203
20	18039	4	10,777	-7,110	26,738	0,000	0,209	9,737	0,000	30,000	324,559	0,000	26,738	-0,008	0,000	-0,006	0,212
20	18040	5	10,965	-7,144	24,883	0,000	0,214	9,697	0,000	30,000	323,242	0,000	24,883	-0,013	0,000	-0,005	0,216
EmbeddedBeam_21_1	18040	1	10,965	-7,144	24,881	0,000	0,214	9,697	0,000	30,000	323,242	0,000	24,881	-0,013	0,000	-0,005	0,216
Element 2-28 (Embedded beam)	18041	2	11,164	-7,180	22,923	0,000	0,215	9,662	0,000	30,000	322,061	0,000	22,923	-0,020	0,000	-0,004	0,217
(TITAN 40/20 l=1,60m)	18042	3	11,363	-7,215	20,969	0,000	0,212	9,633	0,000	30,000	321,110	0,000	20,969	-0,027	0,000	-0,003	0,214
20	18043	4	11,563	-7,251	19,021	0,000	0,205	9,612	0,000	30,000	320,399	0,000	19,021	-0,039	0,000	-0,002	0,207
20	18044	5	11,762	-7,287	17,079	0,000	0,197	9,598	0,000	30,000	319,937	0,000	17,079	-0,050	0,000	-0,002	0,198
EmbeddedBeam_21_1	18044	1	11,762	-7,287	17,076	0,000	0,197	9,598	0,000	30,000	319,937	0,000	17,076	-0,051	0,000	-0,002	0,198
Element 2-29 (Embedded beam)	18045	2	11,973	-7,325	15,021	0,000	0,185	9,592	0,000	30,000	319,732	0,000	15,021	-0,058	0,000	-0,001	0,187
(TITAN 40/20 l=1,60m)	18046	3	12,184	-7,363	12,964	0,000	0,172	9,595	0,000	30,000	319,833	0,000	12,964	-0,068	0,000	-0,001	0,173
20	18047	4	12,395	-7,401	10,904	0,000	0,156	9,608	0,000	30,000	320,263	0,000	10,904	-0,082	0,000	-0,001	0,157
20	18048	5	12,606	-7,439	8,844	0,000	0,137	9,631	0,000	30,000	321,046	0,000	8,844	-0,101	0,000	0,000	0,138
EmbeddedBeam_21_1	18048	1	12,606	-7,439	8,841	0,000	0,137	9,631	0,000	30,000	321,046	0,000	8,841	-0,076	0,000	0,000	0,138
Element 2-30 (Embedded beam)	18049	2	12,829	-7,479	6,653	0,000	0,110	9,668	0,000	30,000	322,282	0,000	6,653	-0,159	0,000	0,000	0,111
(TITAN 40/20 l=1,60m)	18050	3	13,053	-7,520	4,450	0,000	0,068	9,720	0,000	30,000	323,991	0,000	4,450	-0,201	0,000	0,000	0,068
20	18051	4	13,276	-7,560	2,234	0,000	0,025	9,793	0,000	30,000	326,419	0,000	2,234	-0,169	0,000	0,000	0,025
20	18052	5	13,500	-7,600	0,004	0,000	0,000	9,900	0,001	30,000	330,009	0,000	0,004	-0,029	0,000	0,000	0,000
EmbeddedBeam_21_1	18053	1	1,776	-12,600	0,025	0,000	0,000	-0,106	0,002	125,000	0,846	0,000	0,025	-0,011	0,000	0,000	0,000
Element 3-31 (Embedded beam)	18054	2	1,857	-12,790	0,013	0,000	0,001	-0,049	0,000	125,000	0,392	0,000	0,013	0,000	0,000	0,000	0,001
(Ricrocalo D168.3 x12.5mm/1,6m)	18055	3	1,938	-12,980	0,005	0,000	0,004	-0,022	0,000	125,000	0,174	0,000	0,005	0,000	0,000	0,000	0,004
20	18056	4	2,019	-13,170	0,002	0,000	0,006	-0,011	0,000	125,000	0,086	0,000	0,002	-0,001	0,000	0,000	0,006
20	18057	5	2,100	-13,360	0,001	0,000	0,005	-0,005	0,000	125,000	0,042	0,000	0,001	-0,008	0,000	0,000	0,005
EmbeddedBeam_21_1	18057	1	2,100	-13,360	0,000	0,000	0,005	-0,005	0,000	125,000	0,042	0,000	0,000	-0,006	0,000	0,000	0,005
Element 3-32 (Embedded beam)	18058	2	2,182	-13,550	0,000	0,000	0,004	-0,003	0,000	125,000	0,021	-157,339	0,000	-0,004	0,000	0,000	0,004
(Ricrocalo D168.3 x12.5mm/1,6m)	18059	3	2,263	-13,740	-0,001	0,000	0,003	-0,001	0,000	125,000	0,011	-582,527	0,000	-0,003	0,000	0,000	0,003
20	18060	4	2,344	-13,930	-0,001	0,000	0,002	-0,001	0,000	125,000	0,006	-808,286	0,000	-0,002	0,000	0,000	0,002
20	18061	5	2,425	-14,120	-0,001	0,000	0,002	0,000	0,000	125,000	0,003	-867,131	0,000	-0,002	0,000	0,000	0,002
EmbeddedBeam_21_1	18061	1	2,425	-14,120	-0,001	0,000	0,002	0,000	0,000	125,000	0,003	-905,341	0,000	-0,002	0,000	0,000	0,002
Element 3-33 (Embedded beam)	18062	2	2,507	-14,310	-0,001	0,000	0,002	0,000	0,000	125,000	0,001	-954,193	0,000	-0,001	0,000	0,000	0,002
(Ricrocalo D168.3 x12.5mm/1,6m)	18063	3	2,588	-14,500	-0,001	0,000	0,001	0,000	0,000	125,000	0,001	-981,595	0,000	-0,001	0,000	0,000	0,001

Structural element	Node [10 ^]	Local number	X [m]	Y [m]	N [kN]	Q [kN]	M [10 ^ kN m]	$T_{,,,}$ [kN/m]	$T_{,,,}$ [kN/m]	$T_{,,,,,,}$ [kN/m]	$T_{,,,,,,}$ [10 ^]	$N_{,,,}$ [10 ^ kN]	$N_{,,,}$ [kN]	$Q_{,,,}$ [10 ^ kN]	$Q_{,,,}$ [kN]	$M_{,,,}$ [10 ^ kN m]	$M_{,,,}$ [10 ^ kN m]
圧	18064	4	2,669	-14,690	-0,001	0,000	0,001	0,000	0,000	125,000	0,000	-989,732	0,000	-0,001	0,000	0,000	0,001
圧	18065	5	2,750	-14,880	-0,001	0,000	0,001	0,000	0,000	125,000	0,000	-980,785	0,000	-0,001	0,000	0,000	0,001
EmbeddedBeam_2_1	18065	1	2,750	-14,880	-0,001	0,000	0,001	0,000	0,000	125,000	0,000	-983,077	0,000	-0,001	0,000	0,000	0,001
Element 3-34 (Embedded beam)	18066	2	2,831	-15,070	-0,001	0,000	0,001	0,000	0,000	125,000	0,001	-970,101	0,000	-0,001	0,000	0,000	0,001
(Micropalo D168.3 x12.5mm/1,6m)	18067	3	2,913	-15,260	-0,001	0,000	0,001	0,000	0,000	125,000	0,001	-949,856	0,000	-0,001	0,000	0,000	0,001
圧	18068	4	2,994	-15,450	-0,001	0,000	0,001	0,000	0,000	125,000	0,001	-921,773	0,000	0,000	0,000	0,000	0,001
圧	18069	5	3,075	-15,640	-0,001	0,000	0,001	0,000	0,000	125,000	0,002	-885,285	0,000	0,000	0,000	0,000	0,001
EmbeddedBeam_2_1	18069	1	3,075	-15,640	-0,001	0,000	0,001	0,000	0,000	125,000	0,002	-861,327	0,000	-0,001	0,000	0,000	0,001
Element 3-35 (Embedded beam)	18070	2	3,156	-15,830	-0,001	0,000	0,001	0,000	0,000	125,000	0,003	-831,723	0,000	0,000	0,000	0,000	0,001
(Micropalo D168.3 x12.5mm/1,6m)	18071	3	3,238	-16,020	-0,001	0,000	0,000	0,001	0,000	125,000	0,006	-704,795	0,000	-0,001	0,000	0,000	0,000
圧	18072	4	3,319	-16,210	0,000	0,000	0,000	0,002	0,000	125,000	0,012	-458,092	0,000	-0,001	0,000	0,000	0,000
圧	18073	5	3,400	-16,400	0,000	0,000	0,000	0,003	0,000	125,000	0,026	-59,163	0,000	-0,002	0,000	0,000	0,000

3.3.1.1.15 Calculation results, Embedded beam, Riempimento 1 [Phase_12] (12/828), Table of embedded beam force envelopes

Structural element	Node [10^1]	Local number	X [m]	Y [m]	N [kN]	Q [kN]	M [10^-1 kN m]	$T_{xx,+}$ [kN/m]	$T_{xx,-}$ [kN/m]	$T_{xx,m,sup}$ [kN/m]	$T_{xx,m,inf}$ [10^-1]	$N_{x,+}$ [10^-1 kN]	$N_{x,-}$ [kN]	$Q_{y,+}$ [10^-1 kN]	$Q_{y,-}$ [kN]	$M_{y,+}$ [10^-1 kN m]	$M_{y,-}$ [10^-1 kN m]
EmbeddedBeam_1_1	17931	1	8,300	-2,600	99,816	1,219	0,000	-10,886	-5,775	30,000	362,875	0,000	99,816	0,000	1,219	0,000	0,000
Element 1-1 (Embedded beam)	17932	2	8,493	-2,635	97,714	0,410	153,747	-10,622	-3,334	30,000	354,076	0,000	97,714	0,000	0,410	0,000	153,747
(TITAN 40/20 l=1,60m)	17933	3	8,685	-2,670	95,656	-0,075	182,181	-10,383	-1,478	30,000	346,091	0,000	95,656	-74,889	0,000	0,000	182,181
圆	17934	4	8,878	-2,706	93,644	-0,268	143,474	-10,157	-0,349	30,000	338,581	0,000	93,644	-268,023	0,000	0,000	143,474
圆	17935	5	9,071	-2,741	91,679	-0,200	93,929	-9,942	0,193	30,000	331,396	0,000	91,679	-199,827	0,000	0,000	93,929
EmbeddedBeam_1_1	17935	1	9,071	-2,741	91,676	-0,259	93,929	-9,942	0,193	30,000	331,396	0,000	91,676	-258,707	0,000	0,000	93,929
Element 1-2 (Embedded beam)	17936	2	9,223	-2,769	90,148	-0,203	58,060	-9,779	0,351	30,000	325,960	0,000	90,148	-203,337	0,000	0,000	58,060
(TITAN 40/20 l=1,60m)	17937	3	9,376	-2,797	88,642	-0,149	30,803	-9,623	0,367	30,000	320,767	0,000	88,642	-148,722	0,000	0,000	30,803
圆	17938	4	9,529	-2,825	87,159	-0,097	11,720	-9,475	0,309	30,000	315,818	0,000	87,159	-97,370	0,000	0,000	11,738
圆	17939	5	9,681	-2,853	85,702	-0,052	0,258	-9,333	0,228	30,000	311,104	0,000	85,702	-51,786	0,000	0,384	0,650
EmbeddedBeam_1_1	17939	1	9,681	-2,853	85,700	-0,054	0,258	-9,333	0,228	30,000	311,104	0,000	85,700	-53,527	0,000	0,384	0,650
Element 1-3 (Embedded beam)	17940	2	9,802	-2,875	84,560	-0,030	-4,830	-9,226	0,166	30,000	307,530	0,000	84,560	-30,261	0,000	4,830	0,000
(TITAN 40/20 l=1,60m)	17941	3	9,923	-2,897	83,431	-0,013	-7,425	-9,123	0,115	30,000	304,103	0,000	83,431	-12,791	0,000	7,425	0,000
圆	17942	4	10,044	-2,919	82,315	-0,001	-8,199	-9,025	0,078	30,000	300,819	0,000	82,315	-0,745	0,001	8,199	0,000
圆	17943	5	10,165	-2,941	81,212	0,006	-7,813	-8,930	0,056	30,000	297,682	0,000	81,212	0,000	0,006	7,813	0,000
EmbeddedBeam_1_1	17943	1	10,165	-2,941	81,211	0,007	-7,813	-8,930	0,056	30,000	297,682	0,000	81,211	0,000	0,007	7,813	0,000
Element 1-4 (Embedded beam)	17944	2	10,261	-2,959	80,345	0,012	-6,882	-8,860	0,048	30,000	295,321	0,000	80,345	0,000	0,012	6,882	0,000
(TITAN 40/20 l=1,60m)	17945	3	10,357	-2,976	79,484	0,017	-5,491	-8,792	0,048	30,000	293,053	0,000	79,484	0,000	0,017	5,491	0,000
圆	17946	4	10,453	-2,994	78,630	0,021	-3,677	-8,736	0,039	30,000	291,196	0,000	78,630	0,000	0,021	3,677	0,000
圆	17947	5	10,549	-3,011	77,782	0,024	-1,485	-8,728	-0,019	30,000	290,932	0,000	77,782	0,000	0,024	2,248	0,000
EmbeddedBeam_1_1	17947	1	10,549	-3,011	77,780	0,023	-1,485	-14,547	-0,032	30,000	484,886	0,000	77,780	0,000	0,023	2,248	0,000
Element 1-5 (Embedded beam)	17948	2	10,656	-3,031	76,192	0,018	0,758	-14,435	-0,051	30,000	481,164	0,000	76,192	0,000	0,018	1,189	0,758
(TITAN 40/20 l=1,60m)	17949	3	10,764	-3,051	74,615	0,012	2,380	-14,324	-0,051	30,000	477,459	0,000	74,615	0,000	0,012	0,393	2,380
圆	17950	4	10,872	-3,071	73,050	0,007	3,420	-14,214	-0,044	30,000	473,806	0,000	73,050	0,000	0,007	0,112	3,420
圆	17951	5	10,980	-3,090	71,498	0,002	3,923	-14,106	-0,034	30,000	470,211	0,000	71,498	0,000	0,004	0,020	3,923
EmbeddedBeam_1_1	17951	1	10,980	-3,090	71,497	0,002	3,923	-14,106	-0,034	30,000	470,211	0,000	71,497	0,000	0,004	0,020	3,923
Element 1-6 (Embedded beam)	17952	2	11,085	-3,110	69,992	-0,001	4,018	-14,003	-0,024	30,000	466,771	0,000	69,992	-0,556	0,002	0,000	4,018
(TITAN 40/20 l=1,60m)	17953	3	11,191	-3,129	68,496	-0,003	3,838	-13,903	-0,015	30,000	463,423	0,000	68,496	-2,665	0,001	0,000	3,838
圆	17954	4	11,296	-3,148	67,010	-0,004	3,479	-13,805	-0,007	30,000	460,178	0,000	67,010	-3,868	0,000	0,000	3,479
圆	17955	5	11,402	-3,167	65,536	-0,004	3,039	-13,711	-0,002	30,000	457,037	0,000	65,536	-4,206	0,000	0,000	3,039
EmbeddedBeam_1_1	17955	1	11,402	-3,167	65,535	-0,004	3,039	-13,711	-0,002	30,000	457,037	0,000	65,535	-4,355	0,000	0,000	3,039
Element 1-7 (Embedded beam)	17956	2	11,505	-3,186	64,104	-0,004	2,587	-13,622	0,002	30,000	454,070	0,000	64,104	-4,229	0,000	0,002	2,587
(TITAN 40/20 l=1,60m)	17957	3	11,608	-3,205	62,680	-0,004	2,159	-13,536	0,004	30,000	451,203	0,000	62,680	-3,911	0,000	0,008	2,159
圆	17958	4	11,711	-3,224	61,265	-0,003	1,773	-13,453	0,005	30,000	448,434	0,000	61,265	-3,429	0,000	0,018	1,773
圆	17959	5	11,814	-3,243	59,860	-0,003	1,445	-13,373	0,005	30,000	445,764	0,000	59,860	-2,810	0,000	0,029	1,445
EmbeddedBeam_1_1	17959	1	11,814	-3,243	59,859	-0,003	1,445	-13,373	0,005	30,000	445,764	0,000	59,859	-2,861	0,000	0,029	1,445
Element 1-8 (Embedded beam)	17960	2	11,915	-3,261	58,494	-0,002	1,180	-13,297	0,005	30,000	443,248	0,000	58,494	-2,319	0,000	0,040	1,180
(TITAN 40/20 l=1,60m)	17961	3	12,016	-3,280	57,134	-0,002	0,967	-13,225	0,004	30,000	440,824	0,000	57,134	-1,849	0,000	0,048	0,967
圆	17962	4	12,117	-3,298	55,782	-0,001	0,799	-13,155	0,003	30,000	438,493	0,000	55,782	-1,454	0,000	0,055	0,799
圆	17963	5	12,217	-3,317	54,439	-0,001	0,667	-13,088	0,003	30,000	436,252	0,000	54,439	-1,136	0,000	0,060	0,667
EmbeddedBeam_1_1	17963	1	12,217	-3,317	54,438	-0,001	0,667	-13,088	0,003	30,000	436,252	0,000	54,438	-1,133	0,000	0,060	0,667
Element 1-9 (Embedded beam)	17964	2	12,316	-3,335	53,130	-0,001	0,566	-13,024	0,002	30,000	434,150	0,000	53,130	-0,929	0,000	0,064	0,566
(TITAN 40/20 l=1,60m)	17965	3	12,414	-3,353	51,828	-0,001	0,485	-12,964	0,001	30,000	432,134	0,000	51,828	-0,774	0,000	0,067	0,485
圆	17966	4	12,513	-3,371	50,532	-0,001	0,419	-12,906	0,001	30,000	430,205	0,000	50,532	-0,656	0,000	0,068	0,419
圆	17967	5	12,612	-3,389	49,242	-0,001	0,364	-12,851	0,001	30,000	428,363	0,000	49,242	-0,564	0,000	0,069	0,364
EmbeddedBeam_1_1	17967	1	12,612	-3,389	49,241	-0,001	0,364	-12,851	0,001	30,000	428,363	0,000	49,241	-0,563	0,000	0,069	0,364
Element 1-10 (Embedded beam)	17968	2	12,708	-3,406	47,986	0,000	0,317	-12,799	0,000	30,000	426,644	0,000	47,986	-0,497	0,000	0,070	0,317
(TITAN 40/20 l=1,60m)	17969	3	12,804	-3,424	46,734	0,000	0,274	-12,750	0,000	30,000	425,008	0,000	46,734	-0,442	0,000	0,070	0,274
圆	17970	4	12,901	-3,442	45,487	0,000	0,235	-12,704	0,000	30,000	423,453	0,000	45,487	-0,396	0,000	0,070	0,235

Structural element	Node [10^3]	Local number	X [m]	Y [m]	N [kN]	Q [kN]	M [10^3 kN m]	T_xx [kN/m]	T_yy [kN/m]	T_xx,yy [kN/m]	T_xx,yy [10^3]	N_x,x [10^3 kN]	M_x,x [kN]	Q_x,x [10^3 kN]	Q_y,y [kN]	M_y,y [10^3 kN m]	M_x,y [10^3 kN m]
39	17971	5	12,997	-2,459	44,246	0,000	0,198	-12,659	0,000	30,000	421,980	0,000	44,246	-0,371	0,000	0,070	0,198
EmbeddedBeam_11_1	17971	1	12,997	-2,459	44,245	0,000	0,198	-12,659	0,000	30,000	421,980	0,000	44,245	-0,369	0,000	0,070	0,198
Element 1-11 (Embedded beam)	17972	2	13,091	-2,476	43,035	0,000	0,163	-12,619	0,000	30,000	420,619	0,000	43,035	-0,353	0,000	0,070	0,163
ITITAN 40/20 l=1,60m)	17973	3	13,185	-2,494	41,828	0,000	0,130	-12,580	0,000	30,000	419,336	0,000	41,828	-0,336	0,000	0,071	0,130
39	17974	4	13,280	-2,511	40,624	0,000	0,099	-12,544	0,000	30,000	418,130	0,000	40,624	-0,319	0,000	0,071	0,099
39	17975	5	13,374	-2,528	39,425	0,000	0,069	-12,510	0,000	30,000	417,001	0,000	39,425	-0,301	0,000	0,071	0,069
EmbeddedBeam_11_1	17975	1	13,374	-2,528	39,424	0,000	0,069	-12,510	0,000	30,000	417,001	0,000	39,424	-0,301	0,000	0,071	0,069
Element 1-12 (Embedded beam)	17976	2	13,466	-2,545	38,255	0,000	0,042	-12,479	0,000	30,000	415,973	0,000	38,255	-0,281	0,000	0,089	0,042
ITITAN 40/20 l=1,60m)	17977	3	13,558	-2,562	37,088	0,000	0,017	-12,451	0,000	30,000	415,018	0,000	37,088	-0,260	0,000	0,106	0,017
39	17978	4	13,650	-2,579	35,923	0,000	-0,007	-12,424	0,000	30,000	414,137	0,000	35,923	-0,237	0,000	0,121	0,000
39	17979	5	13,742	-2,596	34,761	0,000	-0,028	-12,400	0,000	30,000	413,329	0,000	34,761	-0,214	0,000	0,134	0,000
EmbeddedBeam_11_1	17979	1	13,742	-2,596	34,760	0,000	-0,028	-12,400	0,000	30,000	413,329	0,000	34,760	-0,214	0,000	0,134	0,000
Element 1-13 (Embedded beam)	17980	2	13,832	-2,612	33,626	0,000	-0,046	-12,378	0,000	30,000	412,611	0,000	33,626	-0,191	0,000	0,145	0,000
ITITAN 40/20 l=1,60m)	17981	3	13,923	-2,629	32,494	0,000	-0,063	-12,359	0,000	30,000	411,962	0,000	32,494	-0,168	0,000	0,154	0,000
39	17982	4	14,013	-2,645	31,363	0,000	-0,077	-12,342	0,000	30,000	411,384	0,000	31,363	-0,145	0,000	0,161	0,000
39	17983	5	14,103	-2,661	30,234	0,000	-0,089	-12,326	0,000	30,000	410,876	0,000	30,234	-0,123	0,000	0,167	0,000
EmbeddedBeam_11_1	17983	1	14,103	-2,661	30,233	0,000	-0,089	-12,326	0,000	30,000	410,876	0,000	30,233	-0,123	0,000	0,167	0,000
Element 1-14 (Embedded beam)	17984	2	14,191	-2,678	29,131	0,000	-0,100	-12,313	0,000	30,000	410,447	0,000	29,131	-0,103	0,000	0,171	0,000
ITITAN 40/20 l=1,60m)	17985	3	14,279	-2,694	28,029	0,000	-0,108	-12,303	0,000	30,000	410,086	0,000	28,029	-0,083	0,000	0,174	0,000
39	17986	4	14,367	-2,710	26,928	0,000	-0,114	-12,294	0,000	30,000	409,792	0,000	26,928	-0,065	0,000	0,177	0,000
39	17987	5	14,455	-2,726	25,828	0,000	-0,120	-12,287	0,000	30,000	409,566	0,000	25,828	-0,049	0,000	0,178	0,000
EmbeddedBeam_11_1	17987	1	14,455	-2,726	25,828	0,000	-0,120	-12,287	0,000	30,000	409,566	0,000	25,828	-0,049	0,000	0,178	0,000
Element 1-15 (Embedded beam)	17988	2	14,541	-2,742	24,753	0,000	-0,123	-12,282	0,000	30,000	409,411	0,000	24,753	-0,034	0,000	0,179	0,000
ITITAN 40/20 l=1,60m)	17989	3	14,627	-2,757	23,678	0,000	-0,126	-12,280	0,000	30,000	409,322	0,000	23,678	-0,021	0,000	0,178	0,000
39	17990	4	14,713	-2,773	22,603	0,000	-0,127	-12,279	0,000	30,000	409,299	0,000	22,603	-0,009	0,000	0,177	0,000
39	17991	5	14,799	-2,789	21,529	0,000	-0,127	-12,280	0,000	30,000	409,342	0,000	21,529	-0,004	0,000	0,176	0,000
EmbeddedBeam_11_1	17991	1	14,799	-2,789	21,528	0,000	-0,127	-12,280	0,000	30,000	409,342	0,000	21,528	-0,004	0,000	0,176	0,000
Element 1-16 (Embedded beam)	17992	2	14,883	-2,804	20,478	0,000	-0,127	-12,284	0,000	30,000	409,450	0,000	20,478	-0,003	0,000	0,173	0,000
ITITAN 40/20 l=1,60m)	17993	3	14,968	-2,820	19,426	0,000	-0,126	-12,289	0,000	30,000	409,623	0,000	19,426	-0,003	0,000	0,171	0,000
39	17994	4	15,052	-2,835	18,374	0,000	-0,124	-12,296	0,000	30,000	409,862	0,000	18,374	-0,002	0,000	0,167	0,000
39	17995	5	15,136	-2,850	17,322	0,000	-0,121	-12,305	0,000	30,000	410,169	0,000	17,322	-0,001	0,000	0,163	0,000
EmbeddedBeam_11_1	17995	1	15,136	-2,850	17,321	0,000	-0,121	-12,305	0,000	30,000	410,169	0,000	17,321	-0,001	0,000	0,163	0,000
Element 1-17 (Embedded beam)	17996	2	15,205	-2,863	16,453	0,000	-0,119	-12,314	0,000	30,000	410,472	0,000	16,453	0,000	0,000	0,160	0,000
ITITAN 40/20 l=1,60m)	17997	3	15,275	-2,876	15,583	0,000	-0,116	-12,325	0,000	30,000	410,824	0,000	15,583	0,000	0,000	0,156	0,000
39	17998	4	15,344	-2,889	14,713	0,000	-0,113	-12,337	0,000	30,000	411,223	0,000	14,713	0,000	0,000	0,152	0,000
39	17999	5	15,414	-2,901	13,843	0,000	-0,109	-12,350	0,000	30,000	411,671	0,000	13,843	0,000	0,000	0,147	0,000
EmbeddedBeam_11_1	17999	1	15,414	-2,901	13,842	0,000	-0,109	-12,350	0,000	30,000	411,671	0,000	13,842	0,000	0,000	0,147	0,000
Element 1-18 (Embedded beam)	18000	2	15,521	-2,921	12,499	0,000	-0,102	-12,374	0,000	30,000	412,460	0,000	12,499	0,000	0,000	0,139	0,000
ITITAN 40/20 l=1,60m)	18001	3	15,627	-2,940	11,152	0,000	-0,094	-12,401	0,000	30,000	413,372	0,000	11,152	0,000	0,000	0,129	0,000
39	18002	4	15,734	-2,960	9,803	0,000	-0,084	-12,432	0,000	30,000	414,415	0,000	9,803	0,000	0,000	0,117	0,000
39	18003	5	15,841	-2,980	8,450	0,000	-0,073	-12,468	0,000	30,000	415,597	0,000	8,450	0,000	0,000	0,102	0,000
EmbeddedBeam_11_1	18003	1	15,841	-2,980	8,448	0,000	-0,073	-12,468	0,000	30,000	415,597	0,000	8,448	0,000	0,000	0,102	0,000
Element 1-19 (Embedded beam)	18004	2	16,006	-4,010	6,358	0,000	-0,051	-12,531	0,000	30,000	417,710	0,000	6,358	0,000	0,000	0,074	0,000
ITITAN 40/20 l=1,60m)	18005	3	16,171	-4,040	4,253	0,000	-0,029	-12,606	0,000	30,000	420,199	0,000	4,253	0,000	0,000	0,042	0,000
39	18006	4	16,335	-4,070	2,135	0,000	-0,011	-12,699	0,000	30,000	423,294	0,000	2,135	0,000	0,000	0,015	0,000
39	18007	5	16,500	-4,100	0,003	0,000	0,000	-12,824	-0,001	30,000	427,468	0,000	0,003	0,000	0,000	0,000	0,000
EmbeddedBeam_31_1	18008	1	6,000	-6,250	80,777	-0,256	0,000	-12,820	1,378	30,000	427,348	0,000	80,777	-256,230	0,000	0,000	0,000
Element 2-20 (Embedded beam)	18009	2	6,126	-6,273	79,153	-0,117	-23,311	-12,646	0,922	30,000	421,536	0,000	79,153	-116,522	0,000	23,311	0,000
ITITAN 40/20 l=1,60m)	18010	3	6,252	-6,295	77,545	-0,022	-31,704	-12,495	0,544	30,000	416,510	0,000	77,545	-22,274	0,000	31,704	0,000
39	18011	4	6,377	-6,318	75,957	0,031	-30,601	-12,359	0,265	30,000	411,952	0,000	75,957	0,000	0,031	30,607	0,000
39	18012	5	6,503	-6,341	74,387	0,045	-25,313	-12,231	0,081	30,000	407,690	0,000	74,387	0,000	0,045	25,371	0,000
EmbeddedBeam_31_1	18012	1	6,503	-6,341	74,385	0,053	-25,313	-12,231	0,081	30,000	407,690	0,000	74,385	0,000	0,053	25,371	0,000
Element 2-21 (Embedded beam)	18013	2	6,636	-6,365	72,740	0,052	-18,125	-12,103	-0,031	30,000	403,445	0,000	72,740	0,000	0,052	18,323	0,000
ITITAN 40/20 l=1,60m)	18014	3	6,770	-6,389	71,109	0,045	-11,564	-11,983	-0,080	30,000	399,444	0,000	71,109	0,000	0,045	11,925	0,000
39	18015	4	6,903	-6,413	69,494	0,034	-6,200	-11,870	-0,090	30,000	395,651	0,000	69,494	0,000	0,034	6,680	0,000
39	18016	5	7,036	-6,436	67,896	0,020	-2,557	-11,761	-0,079	30,000	392,037	0,000	67,896	0,000	0,020	3,091	0,000
EmbeddedBeam_31_1	18016	1	7,036	-6,436	67,894	0,021	-2,557	-11,761	-0,079	30,000	392,037	0,000	67,894	0,000	0,021	3,091	0,000

Structural element	Node [10^1]	Local number	X [m]	Y [m]	N [kN]	Q [kN]	M [10^1 kN m]	T_{xx} [kN/m]	T_{yy} [kN/m]	$T_{xx,yy,zz}$ [kN/m]	$T_{xx,yy,zz}$ [10^1]	M_{xx} [10^1 kN]	N_{yy} [kN]	Q_{xx} [10^1 kN]	Q_{yy} [kN]	M_{xx} [10^1 kN m]	M_{yy} [10^1 kN m]
Element 2-22 (Embedded beam)	18017	2	7,177	-5,462	66,217	0,011	-0,245	11,651	0,059	30,000	388,380	0,000	66,217	0,000	0,012	-0,786	0,000
(TITAN 40/20 l=1,60m)	18018	3	7,318	-5,487	64,554	0,005	0,871	11,546	0,037	30,000	384,881	0,000	64,554	0,000	0,005	-0,020	0,871
20	18019	4	7,459	-5,513	62,905	0,000	1,187	11,446	0,020	30,000	381,524	0,000	62,905	0,000	0,001	-0,013	1,187
20	18020	5	7,600	-5,538	61,272	-0,001	1,094	11,349	0,008	30,000	378,294	0,000	61,272	-1,232	0,000	-0,011	1,094
EmbeddedBeam_21_1	18020	1	7,600	-5,538	61,271	-0,002	1,094	11,349	0,008	30,000	378,294	0,000	61,271	-1,753	0,000	-0,011	1,094
Element 2-23 (Embedded beam)	18021	2	7,750	-5,565	59,556	-0,002	0,798	11,250	0,001	30,000	375,003	0,000	59,556	-2,054	0,000	-0,012	0,798
(TITAN 40/20 l=1,60m)	18022	3	7,899	-5,592	57,854	-0,002	0,493	11,155	0,003	30,000	371,835	0,000	57,854	-1,917	0,000	-0,013	0,493
20	18023	4	8,049	-5,619	56,167	-0,001	0,233	11,063	0,004	30,000	368,783	0,000	56,167	-1,430	0,000	-0,060	0,239
20	18024	5	8,198	-5,646	54,495	-0,001	0,071	10,975	0,004	30,000	365,841	0,000	54,495	-0,679	0,000	-0,188	0,132
EmbeddedBeam_21_1	18024	1	8,198	-5,646	54,493	-0,001	0,071	10,975	0,004	30,000	365,841	0,000	54,493	-0,785	0,000	-0,188	0,132
Element 2-24 (Embedded beam)	18025	2	8,357	-5,674	52,736	0,000	-0,013	10,885	0,003	30,000	362,839	0,000	52,736	-0,291	0,000	-0,249	0,068
(TITAN 40/20 l=1,60m)	18026	3	8,515	-5,703	50,992	0,000	-0,031	10,799	0,002	30,000	359,952	0,000	50,992	-0,081	0,000	-0,249	0,041
20	18027	4	8,673	-5,731	49,261	0,000	-0,006	10,715	0,001	30,000	357,176	0,000	49,261	0,000	0,000	-0,210	0,040
20	18028	5	8,832	-5,760	47,545	0,000	0,037	10,635	0,000	30,000	354,510	0,000	47,545	0,000	0,000	-0,156	0,051
EmbeddedBeam_21_1	18028	1	8,832	-5,760	47,544	0,000	0,037	10,635	0,000	30,000	354,510	0,000	47,544	0,000	0,000	-0,156	0,051
Element 2-25 (Embedded beam)	18029	2	8,999	-5,790	45,740	0,000	0,089	10,554	0,000	30,000	351,804	0,000	45,740	0,000	0,000	-0,094	0,089
(TITAN 40/20 l=1,60m)	18030	3	9,167	-5,820	43,949	0,000	0,139	10,477	0,000	30,000	349,219	0,000	43,949	0,000	0,000	-0,036	0,139
20	18031	4	9,335	-5,850	42,169	0,000	0,182	10,403	0,000	30,000	346,757	0,000	42,169	0,000	0,000	-0,026	0,182
20	18032	5	9,502	-5,880	40,404	0,000	0,219	10,333	0,000	30,000	344,418	0,000	40,404	0,000	0,000	-0,021	0,219
EmbeddedBeam_21_1	18032	1	9,502	-5,880	40,403	0,000	0,219	10,333	0,000	30,000	344,418	0,000	40,403	0,000	0,000	-0,021	0,219
Element 2-26 (Embedded beam)	18033	2	9,680	-5,912	38,546	0,000	0,251	10,262	0,000	30,000	342,077	0,000	38,546	0,000	0,000	-0,017	0,251
(TITAN 40/20 l=1,60m)	18034	3	9,857	-5,944	36,700	0,000	0,277	10,196	0,000	30,000	339,879	0,000	36,700	0,000	0,000	-0,015	0,277
20	18035	4	10,035	-5,976	34,865	0,000	0,299	10,135	0,000	30,000	337,829	0,000	34,865	0,000	0,000	-0,012	0,299
20	18036	5	10,213	-7,008	33,043	0,000	0,316	10,078	0,000	30,000	335,931	0,000	33,043	0,000	0,000	-0,010	0,316
EmbeddedBeam_21_1	18036	1	10,213	-7,008	33,041	0,000	0,316	10,078	0,000	30,000	335,931	0,000	33,041	0,000	0,000	-0,010	0,316
Element 2-27 (Embedded beam)	18037	2	10,401	-7,042	31,122	0,000	0,330	10,023	0,000	30,000	334,090	0,000	31,122	-0,002	0,000	-0,009	0,330
(TITAN 40/20 l=1,60m)	18038	3	10,589	-7,076	29,211	0,000	0,340	9,973	0,000	30,000	332,431	0,000	29,211	-0,004	0,000	-0,007	0,340
20	18039	4	10,777	-7,110	27,308	0,000	0,346	9,929	0,000	30,000	330,959	0,000	27,308	-0,008	0,000	-0,006	0,346
20	18040	5	10,965	-7,144	25,416	0,000	0,348	9,890	0,000	30,000	329,682	0,000	25,416	-0,013	0,000	-0,005	0,348
EmbeddedBeam_21_1	18040	1	10,965	-7,144	25,414	0,000	0,348	9,890	0,000	30,000	329,682	0,000	25,414	-0,013	0,000	-0,005	0,348
Element 2-28 (Embedded beam)	18041	2	11,164	-7,180	23,417	0,000	0,346	9,857	0,000	30,000	328,550	0,000	23,417	-0,020	0,000	-0,004	0,346
(TITAN 40/20 l=1,60m)	18042	3	11,363	-7,215	21,424	0,000	0,341	9,830	0,000	30,000	327,653	0,000	21,424	-0,037	0,000	-0,003	0,341
20	18043	4	11,563	-7,251	19,436	0,000	0,332	9,810	0,000	30,000	327,001	0,000	19,436	-0,050	0,000	-0,002	0,332
20	18044	5	11,762	-7,287	17,453	0,000	0,320	9,798	0,000	30,000	326,605	0,000	17,453	-0,060	0,000	-0,002	0,320
EmbeddedBeam_21_1	18044	1	11,762	-7,287	17,450	0,000	0,320	9,798	0,000	30,000	326,605	0,000	17,450	-0,064	0,000	-0,002	0,320
Element 2-29 (Embedded beam)	18045	2	11,973	-7,325	15,352	0,000	0,307	9,794	0,000	30,000	326,477	0,000	15,352	-0,067	0,000	-0,001	0,307
(TITAN 40/20 l=1,60m)	18046	3	12,184	-7,363	13,251	0,000	0,291	9,800	0,000	30,000	326,663	0,000	13,251	-0,080	0,000	-0,001	0,291
20	18047	4	12,395	-7,401	11,148	0,000	0,271	9,816	0,000	30,000	327,185	0,000	11,148	-0,107	0,000	-0,001	0,271
20	18048	5	12,606	-7,439	9,043	0,000	0,244	9,842	0,000	30,000	328,069	0,000	9,043	-0,149	0,000	0,000	0,244
EmbeddedBeam_21_1	18048	1	12,606	-7,439	9,039	0,000	0,244	9,842	0,000	30,000	328,069	0,000	9,039	-0,107	0,000	0,000	0,244
Element 2-30 (Embedded beam)	18049	2	12,829	-7,479	6,803	0,000	0,201	9,883	-0,001	30,000	329,423	0,000	6,803	-0,270	0,000	0,000	0,201
(TITAN 40/20 l=1,60m)	18050	3	13,053	-7,520	4,551	0,000	0,127	9,938	0,000	30,000	331,262	0,000	4,551	-0,355	0,000	0,000	0,127
20	18051	4	13,276	-7,560	2,285	0,000	0,049	10,015	0,001	30,000	333,838	0,000	2,285	-0,311	0,000	0,000	0,049
20	18052	5	13,500	-7,600	0,004	0,000	0,000	10,128	0,003	30,000	337,603	0,000	0,004	-0,084	0,000	0,000	0,000
EmbeddedBeam_21_1	18053	1	1,776	-12,600	2,125	-0,004	0,000	9,518	0,117	125,000	76,143	0,000	2,125	-3,581	0,000	0,000	0,000
Element 3-31 (Embedded beam)	18054	2	1,857	-12,790	1,025	0,000	-0,242	4,359	0,013	125,000	34,872	0,000	1,025	0,000	0,000	-0,242	0,001
(Ricrocalo D168.3 x12.5mm/1,6m)	18055	3	1,938	-12,980	0,349	0,001	-0,059	1,884	-0,012	125,000	15,075	0,000	0,349	0,000	0,001	-0,059	0,004
20	18056	4	2,019	-13,170	0,032	0,000	0,161	-0,895	-0,003	125,000	7,162	0,000	0,032	-0,001	0,000	0,000	0,161
20	18057	5	2,100	-13,360	0,005	0,000	0,130	-0,401	0,000	125,000	3,208	-4,819	0,005	-0,462	0,000	0,000	0,130
EmbeddedBeam_21_1	18057	1	2,100	-13,360	-0,068	0,000	0,130	-0,401	0,000	125,000	3,208	68,013	0,000	-0,106	0,000	0,000	0,130
Element 3-32 (Embedded beam)	18058	2	2,182	-13,550	-0,113	0,000	0,114	-0,177	0,000	125,000	1,413	-113,414	0,000	-0,058	0,000	0,000	0,114
(Ricrocalo D168.3 x12.5mm/1,6m)	18059	3	2,263	-13,740	-0,140	0,000	0,104	-0,067	0,000	125,000	0,535	-139,899	0,000	-0,038	0,000	0,000	0,104
20	18060	4	2,344	-13,930	-0,150	0,000	0,097	-0,022	0,000	125,000	0,174	-150,379	0,000	-0,035	0,000	0,000	0,097
20	18061	5	2,425	-14,120	-0,148	0,000	0,090	0,001	0,000	125,000	0,008	-147,764	0,000	-0,036	0,000	0,000	0,090
EmbeddedBeam_21_1	18061	1	2,425	-14,120	-0,151	0,000	0,090	0,001	0,000	125,000	0,008	-151,024	0,000	-0,034	0,000	0,000	0,090
Element 3-33 (Embedded beam)	18062	2	2,507	-14,310	-0,149	0,000	0,084	0,011	0,000	125,000	0,091	-149,072	0,000	-0,026	0,000	0,000	0,084
(Ricrocalo D168.3 x12.5mm/1,6m)	18063	3	2,588	-14,500	-0,146	0,000	0,079	0,016	0,000	125,000	0,131	-146,265	0,000	-0,019	0,000	0,000	0,079

Structural element	Node [10 ^]	Local number	X [m]	Y [m]	N [kN]	Q [kN]	M [10 ^ kN m]	T_{max} [kN/m]	T_{zz} [kN/m]	$T_{min,max}$ [kN/m]	$T_{min,zz}$ [10 ^]	N_{zz} [10 ^ kN]	N_{zzz} [kN]	Q_{zz} [10 ^ kN]	Q_{zzz} [kN]	M_{zz} [10 ^ kN m]	M_{zzz} [10 ^ kN m]
圧	18064	4	2,669	-14,690	-0,143	0,000	0,076	0,018	0,000	125,000	0,146	-142,745	0,000	-0,014	0,000	0,000	0,076
圧	18065	5	2,750	-14,880	-0,139	0,000	0,073	0,019	0,000	125,000	0,154	-138,652	0,000	-0,011	0,000	0,000	0,073
EmbeddedBeam_2_1	18065	1	2,750	-14,880	-0,139	0,000	0,073	0,019	0,000	125,000	0,154	-138,682	0,000	-0,010	0,000	0,000	0,073
Element 3-34 (Embedded beam)	18066	2	2,831	-15,070	-0,135	0,000	0,072	0,020	0,000	125,000	0,160	-134,798	0,000	-0,008	0,000	0,000	0,072
(Micropalo D168.3 x12.5mm/1,6m)	18067	3	2,913	-15,260	-0,130	0,000	0,070	0,021	0,000	125,000	0,171	-130,476	0,000	-0,007	0,000	0,000	0,070
圧	18068	4	2,994	-15,450	-0,126	0,000	0,069	0,025	0,000	125,000	0,203	-125,600	0,000	-0,006	0,000	0,000	0,069
圧	18069	5	3,075	-15,640	-0,120	0,000	0,068	0,034	0,000	125,000	0,275	-120,053	0,000	-0,005	0,000	0,000	0,068
EmbeddedBeam_2_1	18069	1	3,075	-15,640	-0,117	0,000	0,068	0,034	0,000	125,000	0,275	-116,755	0,000	-0,021	0,000	0,000	0,068
Element 3-35 (Embedded beam)	18070	2	3,156	-15,830	-0,112	0,000	0,066	0,056	0,000	125,000	0,444	-112,323	0,000	-0,011	0,000	0,000	0,066
(Micropalo D168.3 x12.5mm/1,6m)	18071	3	3,238	-16,020	-0,095	0,000	0,059	0,099	0,000	125,000	0,793	-94,958	0,000	-0,055	0,000	0,000	0,059
圧	18072	4	3,319	-16,210	-0,062	0,000	0,040	0,210	0,000	125,000	1,680	-61,632	0,000	-0,140	0,000	0,000	0,040
圧	18073	5	3,400	-16,400	-0,009	0,000	0,000	0,443	0,003	125,000	3,544	-9,317	0,000	-0,249	0,000	0,000	0,000

3.3.1.1.16 Calculation results, Embedded beam, Collegamento ancoraggio 1 [Phase_29] (29/843), Table of embedded beam force envelopes

Structural element	Node [10^1]	Local number	X [m]	Y [m]	N [kN]	Q [kN]	M [10^-1 kN m]	T_xx [kN/m]	T_yy [kN/m]	T_xx,xx [kN/m]	T_xx,yy [10^1]	N_x,x [10^-1 kN]	N_y,y [kN]	Q_y,y [10^-1 kN]	Q_x,x [kN]	M_x,x [10^-1 kN m]	M_y,y [10^-1 kN m]
EmbeddedBeam_1_1	17931	1	8,300	-2,600	99,817	1,219	0,000	-10,886	-5,775	30,000	362,880	0,000	99,817	0,000	1,219	0,000	0,000
Element 1-1 (Embedded beam)	17932	2	8,493	-2,635	97,715	0,410	153,748	-10,622	-3,334	30,000	354,081	0,000	97,715	0,000	0,410	0,000	153,748
(TITAN 40/20 l=1,60m)	17933	3	8,685	-2,670	95,657	-0,075	182,183	-10,383	-1,478	30,000	346,095	0,000	95,657	-74,890	0,000	0,000	182,183
臣	17934	4	8,878	-2,706	93,645	-0,268	143,475	-10,158	-0,349	30,000	338,586	0,000	93,645	-268,026	0,000	0,000	143,475
臣	17935	5	9,071	-2,741	91,680	-0,200	93,930	-9,942	0,193	30,000	331,400	0,000	91,680	-199,829	0,000	0,000	93,930
EmbeddedBeam_1_1	17935	1	9,071	-2,741	91,677	-0,259	93,930	-9,942	0,193	30,000	331,400	0,000	91,677	-258,710	0,000	0,000	93,930
Element 1-2 (Embedded beam)	17936	2	9,223	-2,769	90,149	-0,203	58,060	-9,779	0,351	30,000	325,964	0,000	90,149	-203,339	0,000	0,000	58,060
(TITAN 40/20 l=1,60m)	17937	3	9,376	-2,797	88,643	-0,149	30,803	-9,623	0,367	30,000	320,771	0,000	88,643	-148,724	0,000	0,000	30,803
臣	17938	4	9,529	-2,825	87,160	-0,097	11,720	-9,475	0,309	30,000	315,822	0,000	87,160	-97,371	0,000	0,000	11,738
臣	17939	5	9,681	-2,853	85,702	-0,052	0,257	-9,333	0,228	30,000	311,108	0,000	85,702	-51,787	0,000	-0,384	0,650
EmbeddedBeam_1_1	17939	1	9,681	-2,853	85,701	-0,054	0,257	-9,333	0,228	30,000	311,108	0,000	85,701	-53,528	0,000	-0,384	0,650
Element 1-3 (Embedded beam)	17940	2	9,802	-2,875	84,561	-0,030	-4,831	-9,226	0,166	30,000	307,534	0,000	84,561	-30,261	0,000	-4,831	0,000
(TITAN 40/20 l=1,60m)	17941	3	9,923	-2,897	83,432	-0,013	-7,425	-9,123	0,115	30,000	304,106	0,000	83,432	-12,792	0,000	-7,425	0,000
臣	17942	4	10,044	-2,919	82,316	-0,001	-8,200	-9,025	0,078	30,000	300,823	0,000	82,316	-0,746	0,001	-8,200	0,000
臣	17943	5	10,165	-2,941	81,213	0,006	-7,814	-8,931	0,056	30,000	297,685	0,000	81,213	0,000	0,006	-7,814	0,000
EmbeddedBeam_1_1	17943	1	10,165	-2,941	81,212	0,007	-7,814	-8,931	0,056	30,000	297,685	0,000	81,212	0,000	0,007	-7,814	0,000
Element 1-4 (Embedded beam)	17944	2	10,261	-2,959	80,346	0,012	-6,883	-8,860	0,048	30,000	295,324	0,000	80,346	0,000	0,012	-6,883	0,000
(TITAN 40/20 l=1,60m)	17945	3	10,357	-2,976	79,485	0,017	-5,492	-8,792	0,048	30,000	293,056	0,000	79,485	0,000	0,017	-5,492	0,000
臣	17946	4	10,453	-2,994	78,631	0,021	-3,678	-8,736	0,039	30,000	291,199	0,000	78,631	0,000	0,021	-3,678	0,000
臣	17947	5	10,549	-3,011	77,783	0,024	-1,485	-8,728	-0,019	30,000	290,935	0,000	77,783	0,000	0,024	-2,268	0,000
EmbeddedBeam_1_1	17947	1	10,549	-3,011	77,781	0,023	-1,485	-14,547	-0,032	30,000	484,892	0,000	77,781	0,000	0,023	-2,268	0,000
Element 1-5 (Embedded beam)	17948	2	10,656	-3,031	76,193	0,018	0,758	-14,435	-0,051	30,000	481,169	0,000	76,193	0,000	0,018	-1,189	0,758
(TITAN 40/20 l=1,60m)	17949	3	10,764	-3,051	74,616	0,012	2,380	-14,324	-0,051	30,000	477,465	0,000	74,616	0,000	0,012	-0,393	2,380
臣	17950	4	10,872	-3,071	73,051	0,007	3,420	-14,214	-0,044	30,000	473,811	0,000	73,051	0,000	0,007	-0,112	3,420
臣	17951	5	10,980	-3,090	71,499	0,002	3,923	-14,106	-0,034	30,000	470,217	0,000	71,499	0,000	0,004	-0,020	3,923
EmbeddedBeam_1_1	17951	1	10,980	-3,090	71,498	0,002	3,923	-14,106	-0,034	30,000	470,217	0,000	71,498	0,000	0,004	-0,020	3,923
Element 1-6 (Embedded beam)	17952	2	11,085	-3,110	69,992	-0,001	4,018	-14,003	-0,024	30,000	466,776	0,000	69,992	-0,557	0,002	0,000	4,018
(TITAN 40/20 l=1,60m)	17953	3	11,191	-3,129	68,496	-0,003	3,838	-13,903	-0,015	30,000	463,429	0,000	68,496	-2,665	0,001	0,000	3,838
臣	17954	4	11,296	-3,148	67,011	-0,004	3,479	-13,806	-0,007	30,000	460,183	0,000	67,011	-3,868	0,000	0,000	3,479
臣	17955	5	11,402	-3,167	65,537	-0,004	3,039	-13,711	-0,002	30,000	457,043	0,000	65,537	-4,206	0,000	0,000	3,039
EmbeddedBeam_1_1	17955	1	11,402	-3,167	65,536	-0,004	3,039	-13,711	-0,002	30,000	457,043	0,000	65,536	-4,355	0,000	0,000	3,039
Element 1-7 (Embedded beam)	17956	2	11,505	-3,186	64,104	-0,004	2,587	-13,622	0,002	30,000	454,075	0,000	64,104	-4,229	0,000	-0,002	2,587
(TITAN 40/20 l=1,60m)	17957	3	11,608	-3,205	62,681	-0,004	2,159	-13,536	0,004	30,000	451,208	0,000	62,681	-3,911	0,000	-0,008	2,159
臣	17958	4	11,711	-3,224	61,266	-0,003	1,773	-13,453	0,005	30,000	448,439	0,000	61,266	-3,429	0,000	-0,018	1,773
臣	17959	5	11,814	-3,243	59,861	-0,003	1,445	-13,373	0,005	30,000	445,769	0,000	59,861	-2,810	0,000	-0,029	1,445
EmbeddedBeam_1_1	17959	1	11,814	-3,243	59,860	-0,003	1,445	-13,373	0,005	30,000	445,769	0,000	59,860	-2,861	0,000	-0,029	1,445
Element 1-8 (Embedded beam)	17960	2	11,915	-3,261	58,494	-0,002	1,180	-13,298	0,005	30,000	443,253	0,000	58,494	-2,319	0,000	-0,040	1,180
(TITAN 40/20 l=1,60m)	17961	3	12,016	-3,280	57,135	-0,002	0,968	-13,225	0,004	30,000	440,829	0,000	57,135	-1,849	0,000	-0,048	0,968
臣	17962	4	12,117	-3,298	55,783	-0,001	0,799	-13,155	0,003	30,000	438,497	0,000	55,783	-1,454	0,000	-0,055	0,799
臣	17963	5	12,217	-3,317	54,439	-0,001	0,667	-13,088	0,003	30,000	436,257	0,000	54,439	-1,136	0,000	-0,060	0,667
EmbeddedBeam_1_1	17963	1	12,217	-3,317	54,438	-0,001	0,667	-13,088	0,003	30,000	436,257	0,000	54,438	-1,133	0,000	-0,060	0,667
Element 1-9 (Embedded beam)	17964	2	12,316	-3,335	53,131	-0,001	0,566	-13,025	0,002	30,000	434,155	0,000	53,131	-0,929	0,000	-0,064	0,566
(TITAN 40/20 l=1,60m)	17965	3	12,414	-3,353	51,829	-0,001	0,485	-12,964	0,001	30,000	432,139	0,000	51,829	-0,774	0,000	-0,067	0,485
臣	17966	4	12,513	-3,371	50,532	-0,001	0,419	-12,906	0,001	30,000	430,210	0,000	50,532	-0,656	0,000	-0,068	0,419
臣	17967	5	12,612	-3,389	49,243	-0,001	0,364	-12,851	0,001	30,000	428,367	0,000	49,243	-0,564	0,000	-0,069	0,364
EmbeddedBeam_1_1	17967	1	12,612	-3,389	49,242	-0,001	0,364	-12,851	0,001	30,000	428,367	0,000	49,242	-0,563	0,000	-0,069	0,364
Element 1-10 (Embedded beam)	17968	2	12,708	-3,406	47,986	0,000	0,317	-12,799	0,000	30,000	426,648	0,000	47,986	-0,497	0,000	-0,070	0,317
(TITAN 40/20 l=1,60m)	17969	3	12,804	-3,424	46,735	0,000	0,274	-12,750	0,000	30,000	425,012	0,000	46,735	-0,442	0,000	-0,070	0,274
臣	17970	4	12,901	-3,442	45,487	0,000	0,235	-12,704	0,000	30,000	423,457	0,000	45,487	-0,396	0,000	-0,070	0,235

Structural element	Node [10^]	Local number	X [m]	Y [m]	N [kN]	Q [kN]	M [10^ kN m]	T_nn [kN/m]	T_tt [kN/m]	T_nn,mm [kN/m]	T_nn,tt [10^]	N_n,t [10^ kN]	M_n,t [kN]	Q_n,n [10^ kN]	Q_n,t [kN]	M_n,n [10^ kN m]	M_n,t [10^ kN m]
폴	17971	5	12,997	-2,459	44,246	0,000	0,198	-12,660	0,000	30,000	421,984	0,000	44,246	-0,371	0,000	0,070	0,198
EmbeddedBeam_11_1	17971	1	12,997	-2,459	44,245	0,000	0,198	-12,660	0,000	30,000	421,984	0,000	44,245	-0,369	0,000	0,070	0,198
Element 1-11 (Embedded beam)	17972	2	13,091	-2,476	43,035	0,000	0,163	-12,619	0,000	30,000	420,623	0,000	43,035	-0,353	0,000	0,070	0,163
iTITAN 40/20 l=1,60m)	17973	3	13,185	-2,494	41,828	0,000	0,130	-12,580	0,000	30,000	419,340	0,000	41,828	-0,336	0,000	0,071	0,130
폴	17974	4	13,280	-2,511	40,625	0,000	0,099	-12,544	0,000	30,000	418,134	0,000	40,625	-0,319	0,000	0,071	0,099
폴	17975	5	13,374	-2,528	39,426	0,000	0,069	-12,510	0,000	30,000	417,005	0,000	39,426	-0,301	0,000	0,071	0,069
EmbeddedBeam_11_1	17975	1	13,374	-2,528	39,425	0,000	0,069	-12,510	0,000	30,000	417,005	0,000	39,425	-0,301	0,000	0,071	0,069
Element 1-12 (Embedded beam)	17976	2	13,466	-2,545	38,255	0,000	0,042	-12,479	0,000	30,000	415,977	0,000	38,255	-0,281	0,000	0,089	0,042
iTITAN 40/20 l=1,60m)	17977	3	13,558	-2,562	37,088	0,000	0,017	-12,451	0,000	30,000	415,022	0,000	37,088	-0,260	0,000	0,106	0,017
폴	17978	4	13,650	-2,579	35,923	0,000	-0,007	-12,424	0,000	30,000	414,141	0,000	35,923	-0,237	0,000	0,121	0,000
폴	17979	5	13,742	-2,596	34,761	0,000	-0,028	-12,400	0,000	30,000	413,333	0,000	34,761	-0,214	0,000	0,134	0,000
EmbeddedBeam_11_1	17979	1	13,742	-2,596	34,760	0,000	-0,028	-12,400	0,000	30,000	413,333	0,000	34,760	-0,214	0,000	0,134	0,000
Element 1-13 (Embedded beam)	17980	2	13,832	-2,612	33,627	0,000	-0,046	-12,378	0,000	30,000	412,614	0,000	33,627	-0,191	0,000	0,145	0,000
iTITAN 40/20 l=1,60m)	17981	3	13,923	-2,629	32,494	0,000	-0,063	-12,359	0,000	30,000	411,966	0,000	32,494	-0,168	0,000	0,154	0,000
폴	17982	4	14,013	-2,645	31,363	0,000	-0,077	-12,342	0,000	30,000	411,388	0,000	31,363	-0,145	0,000	0,161	0,000
폴	17983	5	14,103	-2,661	30,234	0,000	-0,089	-12,326	0,000	30,000	410,880	0,000	30,234	-0,123	0,000	0,167	0,000
EmbeddedBeam_11_1	17983	1	14,103	-2,661	30,234	0,000	-0,089	-12,326	0,000	30,000	410,880	0,000	30,234	-0,123	0,000	0,167	0,000
Element 1-14 (Embedded beam)	17984	2	14,191	-2,678	29,131	0,000	-0,100	-12,314	0,000	30,000	410,451	0,000	29,131	-0,103	0,000	0,171	0,000
iTITAN 40/20 l=1,60m)	17985	3	14,279	-2,694	28,029	0,000	-0,108	-12,303	0,000	30,000	410,089	0,000	28,029	-0,083	0,000	0,174	0,000
폴	17986	4	14,367	-2,710	26,928	0,000	-0,114	-12,294	0,000	30,000	409,796	0,000	26,928	-0,065	0,000	0,177	0,000
폴	17987	5	14,455	-2,726	25,828	0,000	-0,120	-12,287	0,000	30,000	409,570	0,000	25,828	-0,049	0,000	0,178	0,000
EmbeddedBeam_11_1	17987	1	14,455	-2,726	25,828	0,000	-0,120	-12,287	0,000	30,000	409,570	0,000	25,828	-0,049	0,000	0,178	0,000
Element 1-15 (Embedded beam)	17988	2	14,541	-2,742	24,753	0,000	-0,123	-12,282	0,000	30,000	409,415	0,000	24,753	-0,034	0,000	0,179	0,000
iTITAN 40/20 l=1,60m)	17989	3	14,627	-2,757	23,678	0,000	-0,126	-12,280	0,000	30,000	409,325	0,000	23,678	-0,021	0,000	0,178	0,000
폴	17990	4	14,713	-2,773	22,603	0,000	-0,127	-12,279	0,000	30,000	409,302	0,000	22,603	-0,010	0,000	0,177	0,000
폴	17991	5	14,799	-2,789	21,529	0,000	-0,127	-12,280	0,000	30,000	409,346	0,000	21,529	-0,004	0,000	0,176	0,000
EmbeddedBeam_11_1	17991	1	14,799	-2,789	21,528	0,000	-0,127	-12,280	0,000	30,000	409,346	0,000	21,528	-0,004	0,000	0,176	0,000
Element 1-16 (Embedded beam)	17992	2	14,883	-2,804	20,478	0,000	-0,127	-12,284	0,000	30,000	409,453	0,000	20,478	-0,003	0,000	0,173	0,000
iTITAN 40/20 l=1,60m)	17993	3	14,968	-2,820	19,426	0,000	-0,126	-12,289	0,000	30,000	409,626	0,000	19,426	-0,003	0,000	0,171	0,000
폴	17994	4	15,052	-2,835	18,374	0,000	-0,124	-12,296	0,000	30,000	409,866	0,000	18,374	-0,002	0,000	0,167	0,000
폴	17995	5	15,136	-2,850	17,322	0,000	-0,121	-12,305	0,000	30,000	410,172	0,000	17,322	-0,001	0,000	0,163	0,000
EmbeddedBeam_11_1	17995	1	15,136	-2,850	17,321	0,000	-0,121	-12,305	0,000	30,000	410,172	0,000	17,321	-0,001	0,000	0,163	0,000
Element 1-17 (Embedded beam)	17996	2	15,205	-2,863	16,453	0,000	-0,119	-12,314	0,000	30,000	410,476	0,000	16,453	0,000	0,000	0,160	0,000
iTITAN 40/20 l=1,60m)	17997	3	15,275	-2,876	15,584	0,000	-0,116	-12,325	0,000	30,000	410,827	0,000	15,584	0,000	0,000	0,156	0,000
폴	17998	4	15,344	-2,889	14,713	0,000	-0,113	-12,337	0,000	30,000	411,226	0,000	14,713	0,000	0,000	0,152	0,000
폴	17999	5	15,414	-2,901	13,843	0,000	-0,109	-12,350	0,000	30,000	411,674	0,000	13,843	0,000	0,000	0,147	0,000
EmbeddedBeam_11_1	17999	1	15,414	-2,901	13,842	0,000	-0,109	-12,350	0,000	30,000	411,674	0,000	13,842	0,000	0,000	0,147	0,000
Element 1-18 (Embedded beam)	18000	2	15,521	-2,921	12,499	0,000	-0,102	-12,374	0,000	30,000	412,463	0,000	12,499	0,000	0,000	0,139	0,000
iTITAN 40/20 l=1,60m)	18001	3	15,627	-2,940	11,153	0,000	-0,094	-12,401	0,000	30,000	413,375	0,000	11,153	0,000	0,000	0,129	0,000
폴	18002	4	15,734	-2,960	9,803	0,000	-0,084	-12,433	0,000	30,000	414,418	0,000	9,803	0,000	0,000	0,117	0,000
폴	18003	5	15,841	-2,980	8,450	0,000	-0,073	-12,468	0,000	30,000	415,600	0,000	8,450	0,000	0,000	0,102	0,000
EmbeddedBeam_11_1	18003	1	15,841	-2,980	8,448	0,000	-0,073	-12,468	0,000	30,000	415,600	0,000	8,448	0,000	0,000	0,102	0,000
Element 1-19 (Embedded beam)	18004	2	16,006	-4,010	6,358	0,000	-0,051	-12,531	0,000	30,000	417,713	0,000	6,358	0,000	0,000	0,074	0,000
iTITAN 40/20 l=1,60m)	18005	3	16,171	-4,040	4,254	0,000	-0,029	-12,606	0,000	30,000	420,202	0,000	4,254	0,000	0,000	0,042	0,000
폴	18006	4	16,335	-4,070	2,135	0,000	-0,011	-12,699	0,000	30,000	423,297	0,000	2,135	0,000	0,000	0,015	0,000
폴	18007	5	16,500	-4,100	0,003	0,000	0,000	-12,824	-0,001	30,000	427,471	0,000	0,003	0,000	0,000	0,000	0,000
EmbeddedBeam_21_1	18008	1	6,000	-6,250	80,779	-0,256	0,000	-12,821	1,378	30,000	427,356	0,000	80,779	-256,234	0,000	0,000	0,000
Element 2-20 (Embedded beam)	18009	2	6,126	-6,273	79,154	-0,117	-23,311	-12,646	0,922	30,000	421,544	0,000	79,154	-116,524	0,000	23,311	0,000
iTITAN 40/20 l=1,60m)	18010	3	6,252	-6,295	77,547	-0,022	-31,705	-12,496	0,545	30,000	416,518	0,000	77,547	-22,274	0,000	31,705	0,000
폴	18011	4	6,377	-6,318	75,958	0,031	-30,601	-12,359	0,265	30,000	411,959	0,000	75,958	0,000	0,031	30,607	0,000
폴	18012	5	6,503	-6,341	74,388	0,045	-25,314	-12,231	0,081	30,000	407,697	0,000	74,388	0,000	0,045	25,371	0,000
EmbeddedBeam_21_1	18012	1	6,503	-6,341	74,386	0,053	-25,314	-12,231	0,081	30,000	407,697	0,000	74,386	0,000	0,053	25,371	0,000
Element 2-21 (Embedded beam)	18013	2	6,636	-6,365	72,741	0,052	-18,125	-12,104	-0,031	30,000	403,452	0,000	72,741	0,000	0,052	18,323	0,000
iTITAN 40/20 l=1,60m)	18014	3	6,770	-6,389	71,110	0,045	-11,564	-11,984	-0,080	30,000	399,451	0,000	71,110	0,000	0,045	11,925	0,000
폴	18015	4	6,903	-6,413	69,495	0,034	-6,200	-11,870	-0,090	30,000	395,657	0,000	69,495	0,000	0,034	6,680	0,000
폴	18016	5	7,036	-6,436	67,897	0,020	-2,557	-11,761	-0,079	30,000	392,043	0,000	67,897	0,000	0,020	3,091	0,000
EmbeddedBeam_21_1	18016	1	7,036	-6,436	67,895	0,021	-2,557	-11,761	-0,079	30,000	392,043	0,000	67,895	0,000	0,021	3,091	0,000

Structural element	Node [10^1]	Local number	X [m]	Y [m]	N [kN]	Q [kN]	M [10^1 kN m]	T_{sup} [kN/m]	T_{inf} [kN/m]	$T_{min,sup}$ [kN/m]	$T_{min,inf}$ [10^1]	N_{sup} [10^1 kN]	N_{inf} [kN]	Q_{sup} [10^1 kN]	Q_{inf} [kN]	M_{sup} [10^1 kN m]	M_{inf} [10^1 kN m]
Element 2-22 (Embedded beam)	18017	2	7,177	-5,462	66,218	0,011	-0,245	11,652	0,059	30,000	388,387	0,000	66,218	0,000	0,012	-0,786	0,000
(TITAN 40/20 l=1,60m)	18018	3	7,318	-5,487	64,555	0,005	0,871	11,547	0,037	30,000	384,888	0,000	64,555	0,000	0,005	-0,020	0,871
ff	18019	4	7,459	-5,513	62,906	0,000	1,187	11,446	0,020	30,000	381,530	0,000	62,906	0,000	0,001	-0,013	1,187
ff	18020	5	7,600	-5,538	61,273	-0,001	1,094	11,349	0,008	30,000	378,300	0,000	61,273	-1,232	0,000	-0,011	1,094
EmbeddedBeam_21_1	18020	1	7,600	-5,538	61,272	-0,002	1,094	11,349	0,008	30,000	378,300	0,000	61,272	-1,753	0,000	-0,011	1,094
Element 2-23 (Embedded beam)	18021	2	7,750	-5,565	59,557	-0,002	0,798	11,250	0,001	30,000	375,009	0,000	59,557	-2,054	0,000	-0,012	0,798
(TITAN 40/20 l=1,60m)	18022	3	7,899	-5,592	57,855	-0,002	0,493	11,155	0,003	30,000	371,841	0,000	57,855	-1,917	0,000	-0,013	0,493
ff	18023	4	8,049	-5,619	56,168	-0,001	0,233	11,064	0,004	30,000	368,788	0,000	56,168	-1,430	0,000	-0,060	0,239
ff	18024	5	8,198	-5,646	54,495	-0,001	0,071	10,975	0,004	30,000	365,846	0,000	54,495	-0,679	0,000	-0,188	0,132
EmbeddedBeam_31_1	18024	1	8,198	-5,646	54,494	-0,001	0,071	10,975	0,004	30,000	365,846	0,000	54,494	-0,785	0,000	-0,188	0,132
Element 2-24 (Embedded beam)	18025	2	8,357	-5,674	52,737	0,000	-0,013	10,885	0,003	30,000	362,845	0,000	52,737	-0,291	0,000	-0,249	0,068
(TITAN 40/20 l=1,60m)	18026	3	8,515	-5,703	50,993	0,000	-0,031	10,799	0,002	30,000	359,957	0,000	50,993	-0,081	0,000	-0,249	0,041
ff	18027	4	8,673	-5,731	49,262	0,000	-0,006	10,715	0,001	30,000	357,181	0,000	49,262	0,000	0,000	-0,210	0,040
ff	18028	5	8,832	-5,760	47,546	0,000	0,037	10,635	0,000	30,000	354,515	0,000	47,546	0,000	0,000	-0,156	0,051
EmbeddedBeam_31_1	18028	1	8,832	-5,760	47,545	0,000	0,037	10,635	0,000	30,000	354,515	0,000	47,545	0,000	0,000	-0,156	0,051
Element 2-25 (Embedded beam)	18029	2	8,999	-5,790	45,741	0,000	0,089	10,554	0,000	30,000	351,809	0,000	45,741	0,000	0,000	-0,094	0,089
(TITAN 40/20 l=1,60m)	18030	3	9,167	-5,820	43,949	0,000	0,138	10,477	0,000	30,000	349,224	0,000	43,949	0,000	0,000	-0,036	0,139
ff	18031	4	9,335	-5,850	42,170	0,000	0,182	10,403	0,000	30,000	346,762	0,000	42,170	0,000	0,000	-0,026	0,182
ff	18032	5	9,502	-5,880	40,405	0,000	0,219	10,333	0,000	30,000	344,422	0,000	40,405	0,000	0,000	-0,021	0,219
EmbeddedBeam_31_1	18032	1	9,502	-5,880	40,404	0,000	0,219	10,333	0,000	30,000	344,422	0,000	40,404	0,000	0,000	-0,021	0,219
Element 2-26 (Embedded beam)	18033	2	9,680	-5,912	38,547	0,000	0,251	10,262	0,000	30,000	342,082	0,000	38,547	0,000	0,000	-0,017	0,251
(TITAN 40/20 l=1,60m)	18034	3	9,857	-5,944	36,700	0,000	0,277	10,197	0,000	30,000	339,884	0,000	36,700	0,000	0,000	-0,015	0,277
ff	18035	4	10,035	-5,976	34,866	0,000	0,298	10,135	0,000	30,000	337,834	0,000	34,866	0,000	0,000	-0,012	0,299
ff	18036	5	10,213	-7,008	33,043	0,000	0,316	10,078	0,000	30,000	335,935	0,000	33,043	0,000	0,000	-0,010	0,316
EmbeddedBeam_31_1	18036	1	10,213	-7,008	33,042	0,000	0,316	10,078	0,000	30,000	335,935	0,000	33,042	0,000	0,000	-0,010	0,316
Element 2-27 (Embedded beam)	18037	2	10,401	-7,042	31,122	0,000	0,330	10,023	0,000	30,000	334,095	0,000	31,122	-0,002	0,000	-0,009	0,330
(TITAN 40/20 l=1,60m)	18038	3	10,589	-7,076	29,211	0,000	0,340	9,973	0,000	30,000	332,435	0,000	29,211	-0,004	0,000	-0,007	0,340
ff	18039	4	10,777	-7,110	27,309	0,000	0,346	9,929	0,000	30,000	330,964	0,000	27,309	-0,008	0,000	-0,006	0,346
ff	18040	5	10,965	-7,144	25,416	0,000	0,348	9,891	0,000	30,000	329,687	0,000	25,416	-0,013	0,000	-0,005	0,348
EmbeddedBeam_31_1	18040	1	10,965	-7,144	25,414	0,000	0,348	9,891	0,000	30,000	329,687	0,000	25,414	-0,013	0,000	-0,005	0,348
Element 2-28 (Embedded beam)	18041	2	11,164	-7,180	23,417	0,000	0,346	9,857	0,000	30,000	328,555	0,000	23,417	-0,020	0,000	-0,004	0,346
(TITAN 40/20 l=1,60m)	18042	3	11,363	-7,215	21,424	0,000	0,341	9,830	0,000	30,000	327,658	0,000	21,424	-0,037	0,000	-0,003	0,341
ff	18043	4	11,563	-7,251	19,436	0,000	0,332	9,810	0,000	30,000	327,006	0,000	19,436	-0,050	0,000	-0,002	0,332
ff	18044	5	11,762	-7,287	17,453	0,000	0,320	9,798	0,000	30,000	326,610	0,000	17,453	-0,060	0,000	-0,002	0,320
EmbeddedBeam_31_1	18044	1	11,762	-7,287	17,451	0,000	0,320	9,798	0,000	30,000	326,610	0,000	17,451	-0,064	0,000	-0,002	0,320
Element 2-29 (Embedded beam)	18045	2	11,973	-7,325	15,353	0,000	0,307	9,794	0,000	30,000	326,481	0,000	15,353	-0,067	0,000	-0,001	0,307
(TITAN 40/20 l=1,60m)	18046	3	12,184	-7,363	13,251	0,000	0,291	9,800	0,000	30,000	326,667	0,000	13,251	-0,080	0,000	-0,001	0,291
ff	18047	4	12,395	-7,401	11,148	0,000	0,271	9,816	0,000	30,000	327,189	0,000	11,148	-0,107	0,000	-0,001	0,271
ff	18048	5	12,606	-7,439	9,043	0,000	0,244	9,842	0,000	30,000	328,073	0,000	9,043	-0,149	0,000	0,000	0,244
EmbeddedBeam_31_1	18048	1	12,606	-7,439	9,039	0,000	0,244	9,842	0,000	30,000	328,073	0,000	9,039	-0,107	0,000	0,000	0,244
Element 2-30 (Embedded beam)	18049	2	12,829	-7,479	6,803	0,000	0,201	9,883	-0,001	30,000	329,427	0,000	6,803	-0,270	0,000	0,000	0,201
(TITAN 40/20 l=1,60m)	18050	3	13,053	-7,520	4,551	0,000	0,127	9,938	0,000	30,000	331,266	0,000	4,551	-0,355	0,000	0,000	0,127
ff	18051	4	13,276	-7,560	2,285	0,000	0,049	10,015	0,001	30,000	333,842	0,000	2,285	-0,311	0,000	0,000	0,049
ff	18052	5	13,500	-7,600	0,004	0,000	0,000	10,128	0,003	30,000	337,608	0,000	0,004	-0,084	0,000	0,000	0,000
EmbeddedBeam_21_1	18053	1	1,776	-12,600	2,125	-0,004	0,000	9,519	0,117	125,000	76,150	0,000	2,125	-3,581	0,000	0,000	0,000
Element 3-31 (Embedded beam)	18054	2	1,857	-12,790	1,025	0,000	-0,242	4,359	0,013	125,000	34,875	0,000	1,025	0,000	0,000	-0,242	0,001
(Micropalo D168,3 x12,5mm/1,6m)	18055	3	1,938	-12,980	0,349	0,001	-0,059	1,885	0,012	125,000	15,077	0,000	0,349	0,000	0,001	-0,059	0,004
ff	18056	4	2,019	-13,170	0,032	0,000	0,161	-0,895	-0,003	125,000	7,163	0,000	0,032	-0,001	0,000	0,000	0,161
ff	18057	5	2,100	-13,360	0,005	0,000	0,131	-0,401	0,000	125,000	3,209	-4,819	0,005	-0,462	0,000	0,000	0,131
EmbeddedBeam_21_1	18057	1	2,100	-13,360	-0,068	0,000	0,131	-0,401	0,000	125,000	3,209	68,013	0,000	-0,106	0,000	0,000	0,131
Element 3-32 (Embedded beam)	18058	2	2,182	-13,550	-0,113	0,000	0,114	-0,177	0,000	125,000	1,413	-113,415	0,000	-0,058	0,000	0,000	0,114
(Micropalo D168,3 x12,5mm/1,6m)	18059	3	2,263	-13,740	-0,140	0,000	0,104	-0,067	0,000	125,000	0,535	-139,900	0,000	-0,038	0,000	0,000	0,104
ff	18060	4	2,344	-13,930	-0,150	0,000	0,097	-0,022	0,000	125,000	0,174	-150,379	0,000	-0,035	0,000	0,000	0,097
ff	18061	5	2,425	-14,120	-0,148	0,000	0,090	0,001	0,000	125,000	0,008	-147,764	0,000	-0,036	0,000	0,000	0,090
EmbeddedBeam_21_1	18061	1	2,425	-14,120	-0,151	0,000	0,090	0,001	0,000	125,000	0,008	-151,024	0,000	-0,034	0,000	0,000	0,090
Element 3-33 (Embedded beam)	18062	2	2,507	-14,310	-0,149	0,000	0,084	0,011	0,000	125,000	0,091	-149,072	0,000	-0,026	0,000	0,000	0,084
(Micropalo D168,3 x12,5mm/1,6m)	18063	3	2,588	-14,500	-0,146	0,000	0,079	0,016	0,000	125,000	0,131	-146,265	0,000	-0,019	0,000	0,000	0,079

Structural element	Node [10 ^]	Local number	X [m]	Y [m]	N [kN]	Q [kN]	M [10 ^ kN m]	T_{min} [kN/m]	T_{max} [kN/m]	$T_{min,max}$ [kN/m]	$T_{min/max}$ [10 ^]	N_{min} [10 ^ kN]	N_{max} [kN]	Q_{min} [10 ^ kN]	Q_{max} [kN]	M_{min} [10 ^ kN m]	M_{max} [10 ^ kN m]
臂	18064	4	2,669	-14,690	-0,143	0,000	0,076	0,018	0,000	125,000	0,146	-142,745	0,000	-0,014	0,000	0,000	0,076
臂	18065	5	2,750	-14,880	-0,139	0,000	0,073	0,019	0,000	125,000	0,154	-138,652	0,000	-0,011	0,000	0,000	0,073
EmbeddedBeam_2_1	18065	1	2,750	-14,880	-0,139	0,000	0,073	0,019	0,000	125,000	0,154	-138,682	0,000	-0,010	0,000	0,000	0,073
Element 3-34 (Embedded beam)	18066	2	2,831	-15,070	-0,135	0,000	0,072	0,020	0,000	125,000	0,160	-134,798	0,000	-0,008	0,000	0,000	0,072
(Micropalo D168.3 s12.5mm/1,6m)	18067	3	2,913	-15,260	-0,130	0,000	0,070	0,021	0,000	125,000	0,171	-130,476	0,000	-0,007	0,000	0,000	0,070
臂	18068	4	2,994	-15,450	-0,126	0,000	0,069	0,025	0,000	125,000	0,203	-125,600	0,000	-0,006	0,000	0,000	0,069
臂	18069	5	3,075	-15,640	-0,120	0,000	0,068	0,034	0,000	125,000	0,275	-120,053	0,000	-0,005	0,000	0,000	0,068
EmbeddedBeam_2_1	18069	1	3,075	-15,640	-0,117	0,000	0,068	0,034	0,000	125,000	0,275	-116,756	0,000	-0,021	0,000	0,000	0,068
Element 3-35 (Embedded beam)	18070	2	3,156	-15,830	-0,112	0,000	0,066	0,056	0,000	125,000	0,444	-112,323	0,000	-0,011	0,000	0,000	0,066
(Micropalo D168.3 s12.5mm/1,6m)	18071	3	3,238	-16,020	-0,095	0,000	0,059	0,099	0,000	125,000	0,793	-94,958	0,000	-0,055	0,000	0,000	0,059
臂	18072	4	3,319	-16,210	-0,062	0,000	0,040	0,210	0,000	125,000	1,680	-61,632	0,000	-0,140	0,000	0,000	0,040
臂	18073	5	3,400	-16,400	-0,009	0,000	0,000	0,443	0,003	125,000	3,544	-9,317	0,000	-0,249	0,000	0,000	0,000

3.3.1.1.17 Calculation results, Embedded beam, Riempimento 2 [Phase_13] (13/861), Table of embedded beam force envelopes

Structural element	Node [10^0]	Local number	X [m]	Y [m]	N [kN]	Q [kN]	M [10^-3 kN m]	$T_{,xx,+}$ [kN/m]	$T_{,xx,-}$ [kN/m]	$T_{,xx,xx,+}$ [kN/m]	$T_{,xx,xx,-}$ [10^3]	$N_{,x,+}$ [10^-3 kN]	$N_{,x,-}$ [kN]	$Q_{,x,+}$ [10^-3 kN]	$Q_{,x,-}$ [kN]	$M_{,x,+}$ [10^-3 kN m]	$M_{,x,-}$ [10^-3 kN m]
EmbeddedBeam_11_1	17931	1	8,300	-2,600	103,249	1,261	0,000	11,078	5,976	30,000	369,259	0,000	103,249	0,000	1,261	0,000	0,000
Element 1-1 (Embedded beam)	17932	2	8,493	-2,635	101,110	0,424	158,994	10,808	3,450	30,000	360,282	0,000	101,110	0,000	0,424	0,000	158,994
(TITAN 40/20 l=1,60m)	17933	3	8,685	-2,670	99,016	-0,078	188,322	10,565	1,529	30,000	352,169	0,000	99,016	-77,942	0,000	0,000	188,322
88	17934	4	8,878	-2,706	96,969	-0,278	148,194	10,337	0,361	30,000	344,561	0,000	96,969	-277,639	0,000	0,000	148,194
89	17935	5	9,071	-2,741	94,968	-0,207	96,887	10,119	0,200	30,000	337,286	0,000	94,968	-206,885	0,000	0,000	96,887
EmbeddedBeam_11_1	17935	1	9,071	-2,741	94,966	-0,268	96,887	10,119	0,200	30,000	337,286	0,000	94,966	-267,887	0,000	0,000	96,887
Element 1-2 (Embedded beam)	17936	2	9,223	-2,769	93,410	-0,211	59,734	9,953	0,362	30,000	331,783	0,000	93,410	-210,724	0,000	0,000	59,734
(TITAN 40/20 l=1,60m)	17937	3	9,376	-2,797	91,877	-0,155	31,459	9,796	0,377	30,000	326,525	0,000	91,877	-154,510	0,000	0,000	31,459
90	17938	4	9,529	-2,825	90,368	-0,102	11,583	9,645	0,317	30,000	321,514	0,000	90,368	-101,831	0,000	0,000	11,738
91	17939	5	9,681	-2,853	88,884	-0,055	-0,490	9,502	0,232	30,000	316,748	0,000	88,884	-55,266	0,000	-0,490	0,650
EmbeddedBeam_11_1	17939	1	9,681	-2,853	88,882	-0,057	-0,490	9,502	0,232	30,000	316,748	0,000	88,882	-57,008	0,000	-0,490	0,650
Element 1-3 (Embedded beam)	17940	2	9,802	-2,875	87,721	-0,033	-5,980	9,393	0,171	30,000	313,115	0,000	87,721	-33,318	0,000	-5,980	0,000
(TITAN 40/20 l=1,60m)	17941	3	9,923	-2,897	86,572	-0,015	-8,916	9,290	0,120	30,000	309,678	0,000	86,572	-15,206	0,000	-8,916	0,000
92	17942	4	10,044	-2,919	85,435	-0,002	-9,928	9,191	0,089	30,000	306,381	0,000	85,435	-2,141	0,001	-9,928	0,000
93	17943	5	10,165	-2,941	84,312	0,006	-9,625	9,096	0,077	30,000	303,195	0,000	84,312	0,000	0,006	-9,625	0,000
EmbeddedBeam_11_1	17943	1	10,165	-2,941	84,310	0,007	-9,625	9,096	0,077	30,000	303,195	0,000	84,310	0,000	0,007	-9,625	0,000
Element 1-4 (Embedded beam)	17944	2	10,261	-2,959	83,429	0,015	-8,540	9,023	0,079	30,000	300,753	0,000	83,429	0,000	0,015	-8,540	0,000
(TITAN 40/20 l=1,60m)	17945	3	10,357	-2,976	82,552	0,023	-6,670	8,958	0,088	30,000	298,605	0,000	82,552	0,000	0,023	-6,670	0,000
94	17946	4	10,453	-2,994	81,680	0,030	-4,089	8,929	0,062	30,000	297,646	0,000	81,680	0,000	0,030	-4,089	0,000
95	17947	5	10,549	-3,011	80,812	0,035	-2,895	8,983	0,050	30,000	299,427	0,000	80,812	0,000	0,035	-2,268	0,000
EmbeddedBeam_11_1	17947	1	10,549	-3,011	80,809	0,033	-2,895	14,971	0,083	30,000	499,046	0,000	80,809	0,000	0,033	-2,268	0,000
Element 1-5 (Embedded beam)	17948	2	10,656	-3,031	79,174	0,022	2,128	14,864	0,089	30,000	495,463	0,000	79,174	0,000	0,022	-1,189	2,128
(TITAN 40/20 l=1,60m)	17949	3	10,764	-3,051	77,550	0,013	4,072	14,755	0,077	30,000	491,843	0,000	77,550	0,000	0,013	-0,393	4,072
96	17950	4	10,872	-3,071	75,938	0,006	5,115	14,648	0,059	30,000	488,268	0,000	75,938	0,000	0,007	-0,112	5,115
97	17951	5	10,980	-3,090	74,338	0,000	5,442	14,543	0,041	30,000	484,762	0,000	74,338	0,000	0,004	-0,020	5,442
EmbeddedBeam_11_1	17951	1	10,980	-3,090	74,337	0,000	5,442	14,543	0,041	30,000	484,762	0,000	74,337	0,000	0,004	-0,020	5,442
Element 1-6 (Embedded beam)	17952	2	11,085	-3,110	72,785	-0,003	5,282	14,442	0,025	30,000	481,410	0,000	72,785	-3,050	0,002	0,000	5,282
(TITAN 40/20 l=1,60m)	17953	3	11,191	-3,129	71,241	-0,005	4,834	14,344	0,013	30,000	478,149	0,000	71,241	-5,136	0,001	0,000	4,834
98	17954	4	11,296	-3,148	69,708	-0,006	4,223	14,250	0,004	30,000	474,988	0,000	69,708	-6,051	0,000	0,000	4,223
99	17955	5	11,402	-3,167	68,187	-0,006	3,575	14,158	0,003	30,000	471,929	0,000	68,187	-5,871	0,000	0,000	3,575
EmbeddedBeam_11_1	17955	1	11,402	-3,167	68,186	-0,006	3,575	14,158	0,003	30,000	471,929	0,000	68,186	-6,091	0,000	0,000	3,575
Element 1-7 (Embedded beam)	17956	2	11,505	-3,186	66,707	-0,006	2,966	14,071	0,006	30,000	469,040	0,000	66,707	-5,509	0,000	-0,002	2,966
(TITAN 40/20 l=1,60m)	17957	3	11,608	-3,205	65,236	-0,005	2,425	13,987	0,008	30,000	466,247	0,000	65,236	-4,796	0,000	-0,008	2,425
100	17958	4	11,711	-3,224	63,774	-0,004	1,963	13,907	0,008	30,000	463,553	0,000	63,774	-3,986	0,000	-0,018	1,963
101	17959	5	11,814	-3,243	62,322	-0,003	1,591	13,829	0,007	30,000	460,954	0,000	62,322	-3,110	0,000	-0,029	1,591
EmbeddedBeam_11_1	17959	1	11,814	-3,243	62,321	-0,003	1,591	13,829	0,007	30,000	460,954	0,000	62,321	-3,158	0,000	-0,029	1,591
Element 1-8 (Embedded beam)	17960	2	11,915	-3,261	60,908	-0,002	1,305	13,755	0,006	30,000	458,507	0,000	60,908	-2,446	0,000	-0,040	1,305
(TITAN 40/20 l=1,60m)	17961	3	12,016	-3,280	59,502	-0,002	1,086	13,684	0,005	30,000	456,150	0,000	59,502	-1,884	0,000	-0,048	1,086
102	17962	4	12,117	-3,298	58,103	-0,001	0,920	13,617	0,004	30,000	453,883	0,000	58,103	-1,468	0,000	-0,055	0,920
103	17963	5	12,217	-3,317	56,711	-0,001	0,796	13,551	0,003	30,000	451,708	0,000	56,711	-1,143	0,000	-0,060	0,796
EmbeddedBeam_11_1	17963	1	12,217	-3,317	56,711	-0,001	0,796	13,551	0,003	30,000	451,708	0,000	56,711	-1,138	0,000	-0,060	0,796
Element 1-9 (Embedded beam)	17964	2	12,316	-3,335	55,357	-0,001	0,704	13,490	0,002	30,000	449,668	0,000	55,357	-0,929	0,000	-0,064	0,704
(TITAN 40/20 l=1,60m)	17965	3	12,414	-3,353	54,008	-0,001	0,632	13,431	0,001	30,000	447,714	0,000	54,008	-0,774	0,000	-0,067	0,632
104	17966	4	12,513	-3,371	52,664	-0,001	0,574	13,375	0,001	30,000	445,847	0,000	52,664	-0,656	0,000	-0,068	0,574
105	17967	5	12,612	-3,389	51,328	0,000	0,524	13,322	0,000	30,000	444,066	0,000	51,328	-0,564	0,000	-0,069	0,524
EmbeddedBeam_11_1	17967	1	12,612	-3,389	51,327	0,000	0,524	13,322	0,000	30,000	444,066	0,000	51,327	-0,563	0,000	-0,069	0,524
Element 1-10 (Embedded beam)	17968	2	12,708	-3,406	50,025	0,000	0,480	13,272	0,000	30,000	442,409	0,000	50,025	-0,497	0,000	-0,070	0,480
(TITAN 40/20 l=1,60m)	17969	3	12,804	-3,424	48,727	0,000	0,437	13,225	0,000	30,000	440,835	0,000	48,727	-0,442	0,000	-0,070	0,437
106	17970	4	12,901	-3,442	47,433	0,000	0,397	13,180	0,000	30,000	439,344	0,000	47,433	-0,411	0,000	-0,070	0,397

Structural element	Node [10^1]	Local number	X [m]	Y [m]	N [kN]	Q [kN]	M [10^-1 kN m]	$T_{xx,+}$ [kN/m]	$T_{xx,-}$ [kN/m]	$T_{xx,xx,+}$ [kN/m]	$T_{xx,xx,-}$ [10^1]	$N_{x,+}$ [10^-1 kN]	$N_{x,-}$ [kN]	$Q_{z,+}$ [10^-1 kN]	$Q_{z,-}$ [kN]	$M_{y,+}$ [10^-1 kN m]	$M_{y,-}$ [10^-1 kN m]
臣	17971	5	12,997	-2,459	46,145	0,000	0,357	13,138	0,000	30,000	+17,935	0,000	46,145	0,409	0,000	-0,070	0,357
EmbeddedBeam_11_1	17971	1	12,997	-2,459	46,144	0,000	0,357	13,138	0,000	30,000	+17,935	0,000	46,144	0,406	0,000	-0,070	0,357
Element 1-11 (Embedded beam)	17972	2	13,091	-2,476	44,888	0,000	0,318	13,099	0,000	30,000	+16,639	0,000	44,888	0,402	0,000	-0,070	0,318
(TITAN 40/20 l=1,60m)	17973	3	13,185	-2,494	43,635	0,000	0,280	13,063	0,000	30,000	+15,422	0,000	43,635	0,394	0,000	-0,071	0,280
臣	17974	4	13,280	-2,511	42,385	0,000	0,243	13,029	0,000	30,000	+14,285	0,000	42,385	0,383	0,000	-0,071	0,243
臣	17975	5	13,374	-2,528	41,140	0,000	0,207	12,997	0,000	30,000	+13,227	0,000	41,140	0,368	0,000	-0,071	0,207
EmbeddedBeam_11_1	17975	1	13,374	-2,528	41,139	0,000	0,207	12,997	0,000	30,000	+13,227	0,000	41,139	0,368	0,000	-0,071	0,207
Element 1-12 (Embedded beam)	17976	2	13,466	-2,545	39,924	0,000	0,173	12,968	0,000	30,000	+12,270	0,000	39,924	0,350	0,000	-0,089	0,173
(TITAN 40/20 l=1,60m)	17977	3	13,558	-2,562	38,710	0,000	0,141	12,942	0,000	30,000	+11,389	0,000	38,710	0,329	0,000	-0,106	0,141
臣	17978	4	13,650	-2,579	37,499	0,000	0,111	12,918	0,000	30,000	+10,585	0,000	37,499	0,306	0,000	-0,121	0,111
臣	17979	5	13,742	-2,596	36,291	0,000	0,084	12,896	0,000	30,000	+29,856	0,000	36,291	0,281	0,000	-0,134	0,084
EmbeddedBeam_11_1	17979	1	13,742	-2,596	36,291	0,000	0,084	12,896	0,000	30,000	+29,856	0,000	36,291	0,282	0,000	-0,134	0,084
Element 1-13 (Embedded beam)	17980	2	13,832	-2,612	35,111	0,000	0,059	12,877	0,000	30,000	+29,217	0,000	35,111	0,256	0,000	-0,145	0,059
(TITAN 40/20 l=1,60m)	17981	3	13,923	-2,629	33,933	0,000	0,037	12,860	0,000	30,000	+28,451	0,000	33,933	0,231	0,000	-0,154	0,037
臣	17982	4	14,013	-2,645	32,756	0,000	0,017	12,845	0,000	30,000	+28,159	0,000	32,756	0,206	0,000	-0,161	0,017
臣	17983	5	14,103	-2,661	31,581	0,000	-0,001	12,832	0,000	30,000	+27,739	0,000	31,581	0,181	0,000	-0,167	0,000
EmbeddedBeam_11_1	17983	1	14,103	-2,661	31,580	0,000	-0,001	12,832	0,000	30,000	+27,739	0,000	31,580	0,181	0,000	-0,167	0,000
Element 1-14 (Embedded beam)	17984	2	14,191	-2,678	30,433	0,000	-0,016	12,822	0,000	30,000	+27,399	0,000	30,433	0,157	0,000	-0,171	0,000
(TITAN 40/20 l=1,60m)	17985	3	14,279	-2,694	29,285	0,000	-0,029	12,814	0,000	30,000	+27,129	0,000	29,285	0,135	0,000	-0,174	0,000
臣	17986	4	14,367	-2,710	28,138	0,000	-0,040	12,808	0,000	30,000	+26,930	0,000	28,138	0,114	0,000	-0,177	0,000
臣	17987	5	14,455	-2,726	26,992	0,000	-0,049	12,804	0,000	30,000	+26,801	0,000	26,992	0,094	0,000	-0,178	0,000
EmbeddedBeam_11_1	17987	1	14,455	-2,726	26,992	0,000	-0,049	12,804	0,000	30,000	+26,801	0,000	26,992	0,094	0,000	-0,178	0,000
Element 1-15 (Embedded beam)	17988	2	14,541	-2,742	25,872	0,000	-0,057	12,802	0,000	30,000	+26,744	0,000	25,872	0,077	0,000	-0,179	0,000
(TITAN 40/20 l=1,60m)	17989	3	14,627	-2,757	24,751	0,000	-0,063	12,803	0,000	30,000	+26,756	0,000	24,751	0,061	0,000	-0,178	0,000
臣	17990	4	14,713	-2,773	23,630	0,000	-0,067	12,805	0,000	30,000	+26,836	0,000	23,630	0,046	0,000	-0,177	0,000
臣	17991	5	14,799	-2,789	22,509	0,000	-0,071	12,810	0,000	30,000	+26,986	0,000	22,509	0,032	0,000	-0,176	0,000
EmbeddedBeam_11_1	17991	1	14,799	-2,789	22,509	0,000	-0,071	12,810	0,000	30,000	+26,986	0,000	22,509	0,032	0,000	-0,176	0,000
Element 1-16 (Embedded beam)	17992	2	14,883	-2,804	21,413	0,000	-0,073	12,816	0,000	30,000	+27,200	0,000	21,413	0,021	0,000	-0,173	0,000
(TITAN 40/20 l=1,60m)	17993	3	14,968	-2,820	20,316	0,000	-0,074	12,824	0,000	30,000	+27,482	0,000	20,316	0,010	0,000	-0,171	0,000
臣	17994	4	15,052	-2,835	19,217	0,000	-0,075	12,835	0,000	30,000	+27,833	0,000	19,217	0,002	0,000	-0,167	0,000
臣	17995	5	15,136	-2,850	18,119	0,000	-0,074	12,848	0,000	30,000	+28,254	0,000	18,119	0,001	0,000	-0,163	0,000
EmbeddedBeam_11_1	17995	1	15,136	-2,850	18,118	0,000	-0,074	12,848	0,000	30,000	+28,254	0,000	18,118	0,001	0,000	-0,163	0,000
Element 1-17 (Embedded beam)	17996	2	15,205	-2,863	17,212	0,000	-0,073	12,860	0,000	30,000	+28,655	0,000	17,212	0,000	0,000	-0,160	0,000
(TITAN 40/20 l=1,60m)	17997	3	15,275	-2,876	16,304	0,000	-0,072	12,873	0,000	30,000	+29,105	0,000	16,304	0,000	0,000	-0,156	0,000
臣	17998	4	15,344	-2,889	15,395	0,000	-0,070	12,888	0,000	30,000	+29,604	0,000	15,395	0,000	0,000	-0,152	0,000
臣	17999	5	15,414	-2,901	14,485	0,000	-0,068	12,905	0,000	30,000	+30,155	0,000	14,485	0,000	0,000	-0,147	0,000
EmbeddedBeam_11_1	17999	1	15,414	-2,901	14,484	0,000	-0,068	12,905	0,000	30,000	+30,155	0,000	14,484	0,000	0,000	-0,147	0,000
Element 1-18 (Embedded beam)	18000	2	15,521	-2,921	13,081	0,000	-0,063	12,933	0,000	30,000	+31,106	0,000	13,081	0,000	0,000	-0,139	0,000
(TITAN 40/20 l=1,60m)	18001	3	15,627	-2,940	11,673	0,000	-0,058	12,966	0,000	30,000	+32,186	0,000	11,673	0,000	0,000	-0,129	0,000
臣	18002	4	15,734	-2,960	10,262	0,000	-0,051	13,002	0,000	30,000	+33,401	0,000	10,262	0,000	0,000	-0,117	0,000
臣	18003	5	15,841	-2,980	8,848	0,000	-0,043	13,043	0,000	30,000	+34,761	0,000	8,848	0,000	0,000	-0,102	0,000
EmbeddedBeam_11_1	18003	1	15,841	-2,980	8,846	0,000	-0,043	13,043	0,000	30,000	+34,761	0,000	8,846	0,000	0,000	-0,102	0,000
Element 1-19 (Embedded beam)	18004	2	16,006	-4,010	6,659	0,000	-0,029	13,115	0,000	30,000	+37,160	0,000	6,659	0,000	0,000	-0,074	0,000
(TITAN 40/20 l=1,60m)	18005	3	16,171	-4,040	4,455	0,000	-0,016	13,199	0,000	30,000	+39,952	0,000	4,455	0,000	0,000	-0,042	0,000
臣	18006	4	16,335	-4,070	2,236	0,000	-0,006	13,301	0,000	30,000	+43,376	0,000	2,236	0,000	0,000	-0,015	0,000
臣	18007	5	16,500	-4,100	0,003	0,000	0,000	13,438	0,001	30,000	+47,928	0,000	0,003	0,000	0,000	0,000	0,000
EmbeddedBeam_21_1	18008	1	6,000	-6,250	83,291	-0,264	0,000	13,181	1,431	30,000	+19,356	0,000	83,291	264,082	0,000	0,000	0,000
Element 2-20 (Embedded beam)	18009	2	6,126	-6,273	81,621	-0,119	-23,971	13,002	0,955	30,000	+33,398	0,000	81,621	119,323	0,000	-23,971	0,000
(TITAN 40/20 l=1,60m)	18010	3	6,252	-6,295	79,968	-0,021	-32,498	12,847	0,562	30,000	+28,239	0,000	79,968	22,274	0,000	-32,498	0,000
臣	18011	4	6,377	-6,318	78,335	0,034	-31,217	12,707	0,272	30,000	+23,553	0,000	78,335	0,000	0,034	-31,217	0,000
臣	18012	5	6,503	-6,341	76,721	0,047	-25,652	12,575	0,081	30,000	+19,167	0,000	76,721	0,000	0,047	-25,652	0,000
EmbeddedBeam_21_1	18012	1	6,503	-6,341	76,719	0,056	-25,652	12,575	0,081	30,000	+19,167	0,000	76,719	0,000	0,056	-25,652	0,000
Element 2-21 (Embedded beam)	18013	2	6,636	-6,365	75,027	0,054	-18,160	12,444	0,034	30,000	+14,795	0,000	75,027	0,000	0,054	-18,323	0,000
(TITAN 40/20 l=1,60m)	18014	3	6,770	-6,389	73,351	0,046	-11,356	12,320	0,084	30,000	+10,674	0,000	73,351	0,000	0,046	-11,925	0,000
臣	18015	4	6,903	-6,413	71,690	0,035	-5,820	12,203	0,094	30,000	+06,768	0,000	71,690	0,000	0,035	-6,680	0,000
臣	18016	5	7,036	-6,436	70,047	0,020	-2,081	12,091	0,082	30,000	+03,048	0,000	70,047	0,000	0,020	-3,091	0,000
EmbeddedBeam_21_1	18016	1	7,036	-6,436	70,046	0,022	-2,081	12,091	0,082	30,000	+03,048	0,000	70,046	0,000	0,022	-3,091	0,000

Structural element	Node [10^3]	Local number	X [m]	Y [m]	N [kN]	Q [kN]	M [10^-3 kN m]	T_{xx} [kN/m]	T_{yy} [kN/m]	$T_{xx,yy}$ [kN/m]	$T_{xx,yy}$ [10^-3]	N_{xx} [10^-3 kN]	N_{yy} [kN]	Q_{xx} [10^-3 kN]	Q_{yy} [kN]	M_{xx} [10^-3 kN m]	M_{yy} [10^-3 kN m]
Element 2-32 (Embedded beam)	18017	2	7,177	-5,462	68,322	0,012	0,270	-11,979	-0,061	30,000	399,290	0,000	68,322	0,000	0,012	-0,786	0,270
(TITAN 40/20 l=1,60m)	18018	3	7,318	-5,487	66,611	0,004	1,381	-11,871	-0,039	30,000	395,698	0,000	66,611	0,000	0,005	-0,020	1,381
#####	18019	4	7,459	-5,513	64,916	0,000	1,667	-11,768	-0,021	30,000	392,257	0,000	64,916	0,000	0,001	-0,013	1,667
#####	18020	5	7,600	-5,538	63,237	0,002	1,532	-11,669	-0,008	30,000	388,955	0,000	63,237	1,512	0,000	-0,011	1,532
EmbeddedBeam_31_1	18020	1	7,600	-5,538	63,236	0,002	1,532	-11,669	-0,008	30,000	388,955	0,000	63,236	2,057	0,000	-0,011	1,532
Element 2-33 (Embedded beam)	18021	2	7,750	-5,565	61,473	0,002	1,192	-11,568	0,000	30,000	385,596	0,000	61,473	2,330	0,000	-0,012	1,192
(TITAN 40/20 l=1,60m)	18022	3	7,899	-5,592	59,723	0,002	0,848	-11,471	0,003	30,000	382,372	0,000	59,723	2,154	0,000	-0,013	0,848
#####	18023	4	8,049	-5,619	57,988	0,002	0,556	-11,378	0,004	30,000	379,273	0,000	57,988	1,621	0,000	-0,060	0,556
#####	18024	5	8,198	-5,646	56,268	0,001	0,368	-11,289	0,004	30,000	376,293	0,000	56,268	0,820	0,000	-0,188	0,368
EmbeddedBeam_31_1	18024	1	8,198	-5,646	56,266	0,001	0,368	-11,289	0,004	30,000	376,293	0,000	56,266	0,929	0,000	-0,188	0,368
Element 2-34 (Embedded beam)	18025	2	8,357	-5,674	54,459	0,000	0,264	-11,198	0,003	30,000	373,261	0,000	54,459	0,398	0,000	-0,249	0,264
(TITAN 40/20 l=1,60m)	18026	3	8,515	-5,703	52,665	0,000	0,232	-11,111	0,002	30,000	370,152	0,000	52,665	0,081	0,000	-0,249	0,232
#####	18027	4	8,673	-5,731	50,884	0,000	0,245	-11,027	0,001	30,000	367,561	0,000	50,884	0,000	0,000	-0,210	0,245
#####	18028	5	8,832	-5,760	49,118	0,000	0,280	-10,947	0,000	30,000	364,887	0,000	49,118	0,000	0,000	-0,156	0,280
EmbeddedBeam_31_1	18028	1	8,832	-5,760	49,116	0,000	0,280	-10,947	0,000	30,000	364,887	0,000	49,116	0,000	0,000	-0,156	0,280
Element 2-35 (Embedded beam)	18029	2	8,999	-5,790	47,260	0,000	0,326	-10,865	0,000	30,000	362,180	0,000	47,260	0,000	0,000	-0,094	0,326
(TITAN 40/20 l=1,60m)	18030	3	9,167	-5,820	45,415	0,000	0,369	-10,788	0,000	30,000	359,600	0,000	45,415	0,000	0,000	-0,036	0,369
#####	18031	4	9,335	-5,850	43,583	0,000	0,408	-10,714	0,000	30,000	357,148	0,000	43,583	0,000	0,000	-0,026	0,408
#####	18032	5	9,502	-5,880	41,764	0,000	0,441	-10,645	0,000	30,000	354,824	0,000	41,764	0,000	0,000	-0,021	0,441
EmbeddedBeam_31_1	18032	1	9,502	-5,880	41,763	0,000	0,441	-10,645	0,000	30,000	354,824	0,000	41,763	0,000	0,000	-0,021	0,441
Element 2-36 (Embedded beam)	18033	2	9,680	-5,912	39,850	0,000	0,469	-10,575	0,000	30,000	352,505	0,000	39,850	0,000	0,000	-0,017	0,469
(TITAN 40/20 l=1,60m)	18034	3	9,857	-5,944	37,947	0,000	0,491	-10,510	0,000	30,000	350,335	0,000	37,947	0,000	0,000	-0,015	0,491
#####	18035	4	10,035	-5,976	36,055	0,000	0,509	-10,450	0,000	30,000	348,317	0,000	36,055	0,000	0,000	-0,012	0,509
#####	18036	5	10,213	-7,008	34,176	0,000	0,523	-10,394	0,000	30,000	346,455	0,000	34,176	0,000	0,000	-0,010	0,523
EmbeddedBeam_31_1	18036	1	10,213	-7,008	34,175	0,000	0,523	-10,394	0,000	30,000	346,455	0,000	34,175	0,000	0,000	-0,010	0,523
Element 2-37 (Embedded beam)	18037	2	10,401	-7,042	32,195	0,000	0,533	-10,340	0,000	30,000	344,661	0,000	32,195	0,002	0,000	-0,009	0,533
(TITAN 40/20 l=1,60m)	18038	3	10,589	-7,076	30,223	0,000	0,539	-10,292	0,000	30,000	343,053	0,000	30,223	0,004	0,000	-0,007	0,539
#####	18039	4	10,777	-7,110	28,259	0,000	0,540	-10,249	0,000	30,000	341,641	0,000	28,259	0,008	0,000	-0,006	0,540
#####	18040	5	10,965	-7,144	26,306	0,000	0,536	-10,213	0,000	30,000	340,430	0,000	26,306	0,029	0,000	-0,005	0,536
EmbeddedBeam_31_1	18040	1	10,965	-7,144	26,304	0,000	0,536	-10,213	0,000	30,000	340,430	0,000	26,304	0,028	0,000	-0,005	0,536
Element 2-38 (Embedded beam)	18041	2	11,164	-7,180	24,241	0,000	0,528	-10,181	0,000	30,000	339,376	0,000	24,241	0,050	0,000	-0,004	0,528
(TITAN 40/20 l=1,60m)	18042	3	11,363	-7,215	22,182	0,000	0,516	-10,157	0,000	30,000	338,567	0,000	22,182	0,067	0,000	-0,003	0,516
#####	18043	4	11,563	-7,251	20,127	0,000	0,501	-10,140	0,000	30,000	338,014	0,000	20,127	0,080	0,000	-0,002	0,501
#####	18044	5	11,762	-7,287	18,077	0,000	0,484	-10,132	0,000	30,000	337,726	0,000	18,077	0,087	0,000	-0,002	0,484
EmbeddedBeam_31_1	18044	1	11,762	-7,287	18,075	0,000	0,484	-10,132	0,000	30,000	337,726	0,000	18,075	0,094	0,000	-0,002	0,484
Element 2-39 (Embedded beam)	18045	2	11,973	-7,325	15,905	0,000	0,465	-10,132	0,000	30,000	337,725	0,000	15,905	0,091	0,000	-0,001	0,465
(TITAN 40/20 l=1,60m)	18046	3	12,184	-7,363	13,731	0,000	0,444	-10,142	0,000	30,000	338,052	0,000	13,731	0,108	0,000	-0,001	0,444
#####	18047	4	12,395	-7,401	11,553	0,000	0,417	-10,162	0,000	30,000	338,729	0,000	11,553	0,149	0,000	-0,001	0,417
#####	18048	5	12,606	-7,439	9,374	0,000	0,378	-10,194	0,000	30,000	339,784	0,000	9,374	0,217	0,000	0,000	0,378
EmbeddedBeam_31_1	18048	1	12,606	-7,439	9,370	0,000	0,378	-10,194	0,000	30,000	339,784	0,000	9,370	0,156	0,000	0,000	0,378
Element 2-30 (Embedded beam)	18049	2	12,829	-7,479	7,054	0,000	0,313	-10,240	-0,001	30,000	341,336	0,000	7,054	0,413	0,000	0,000	0,313
(TITAN 40/20 l=1,60m)	18050	3	13,053	-7,520	4,720	0,001	0,199	-10,302	-0,001	30,000	343,394	0,000	4,720	0,548	0,000	0,000	0,199
#####	18051	4	13,276	-7,560	2,370	0,000	0,079	-10,387	0,001	30,000	346,219	0,000	2,370	0,486	0,000	0,000	0,079
#####	18052	5	13,500	-7,600	0,004	0,000	0,000	-10,508	0,004	30,000	350,280	0,000	0,004	0,150	0,000	0,000	0,000
EmbeddedBeam_21_1	18053	1	1,776	-12,600	4,561	0,008	0,000	-20,400	0,253	125,000	163,197	0,000	4,561	7,571	0,000	0,000	0,000
Element 3-31 (Embedded beam)	18054	2	1,857	-12,790	2,204	0,001	0,503	-9,339	0,028	125,000	74,714	0,000	2,204	0,000	0,001	-0,503	0,001
(Ricrapalo D168.3 x12.5mm/1,6m)	18055	3	1,938	-12,980	0,757	0,003	0,105	-4,035	-0,026	125,000	32,281	0,000	0,757	0,000	0,003	-0,105	0,004
#####	18056	4	2,019	-13,170	0,077	0,001	0,366	-1,916	-0,006	125,000	15,328	0,000	0,077	0,001	0,001	0,000	0,366
#####	18057	5	2,100	-13,360	0,020	-0,001	0,297	-0,858	0,001	125,000	6,864	-4,819	0,020	1,000	0,000	0,000	0,297
EmbeddedBeam_21_1	18057	1	2,100	-13,360	-0,137	0,000	0,297	-0,858	0,001	125,000	6,864	-136,766	0,000	0,243	0,000	0,000	0,297
Element 3-32 (Embedded beam)	18058	2	2,182	-13,550	-0,234	0,000	0,259	-0,378	0,000	125,000	3,024	-233,874	0,000	0,138	0,000	0,000	0,259
(Ricrapalo D168.3 x12.5mm/1,6m)	18059	3	2,263	-13,740	-0,291	0,000	0,236	-0,143	0,000	125,000	1,147	-290,571	0,000	0,093	0,000	0,000	0,236
#####	18060	4	2,344	-13,930	-0,313	0,000	0,218	-0,047	0,000	125,000	0,377	-313,083	0,000	0,084	0,000	0,000	0,218
#####	18061	5	2,425	-14,120	-0,308	0,000	0,201	0,002	0,000	125,000	0,012	-307,637	0,000	0,086	0,000	0,000	0,201
EmbeddedBeam_21_1	18061	1	2,425	-14,120	-0,315	0,000	0,201	0,002	0,000	125,000	0,012	-314,602	0,000	0,082	0,000	0,000	0,201
Element 3-33 (Embedded beam)	18062	2	2,507	-14,310	-0,311	0,000	0,186	0,024	0,000	125,000	0,188	-310,595	0,000	0,062	0,000	0,000	0,186
(Ricrapalo D168.3 x12.5mm/1,6m)	18063	3	2,588	-14,500	-0,305	0,000	0,175	0,034	0,000	125,000	0,273	-304,770	0,000	0,047	0,000	0,000	0,175

Structural element	Node [10 ^]	Local number	X [m]	Y [m]	N [kN]	Q [kN]	M [10 ^ kN m]	$T_{x,x}$ [kN/m]	$T_{x,y}$ [kN/m]	$T_{x,x,max}$ [kN/m]	$T_{x,x,ratio}$ [10 ^]	$N_{x,x}$ [10 ^ kN]	$N_{x,y}$ [kN]	$Q_{x,x}$ [10 ^ kN]	$Q_{x,y}$ [kN]	$M_{x,x}$ [10 ^ kN m]	$M_{x,y}$ [10 ^ kN m]
臂	18064	4	2,669	-14,690	-0,297	0,000	0,166	0,038	0,000	125,000	0,306	-297,427	0,000	0,035	0,000	0,000	0,166
臂	18065	5	2,750	-14,880	-0,289	0,000	0,160	0,040	0,000	125,000	0,321	-288,867	0,000	0,029	0,000	0,000	0,160
EmbeddedBeam_2_1	18065	1	2,750	-14,880	-0,289	0,000	0,160	0,040	0,000	125,000	0,321	-288,937	0,000	0,027	0,000	0,000	0,160
Element 3-34 (Embedded beam)	18066	2	2,831	-15,070	-0,281	0,000	0,154	0,042	0,000	125,000	0,333	-280,826	0,000	0,023	0,000	0,000	0,154
(Micropalo D168.3 s12.5mm/1,6m)	18067	3	2,913	-15,260	-0,272	0,000	0,150	0,044	0,000	125,000	0,356	-271,812	0,000	0,020	0,000	0,000	0,150
臂	18068	4	2,994	-15,450	-0,262	0,000	0,146	0,053	0,000	125,000	0,422	-261,652	0,000	0,018	0,000	0,000	0,146
臂	18069	5	3,075	-15,640	-0,250	0,000	0,142	0,072	0,000	125,000	0,573	-250,106	0,000	0,017	0,000	0,000	0,142
EmbeddedBeam_2_1	18069	1	3,075	-15,640	-0,243	0,000	0,142	0,072	0,000	125,000	0,573	-243,232	0,000	0,049	0,000	0,000	0,142
Element 3-35 (Embedded beam)	18070	2	3,156	-15,830	-0,234	0,000	0,137	0,116	0,000	125,000	0,925	-234,023	0,000	0,028	0,000	0,000	0,137
(Micropalo D168.3 s12.5mm/1,6m)	18071	3	3,238	-16,020	-0,198	0,000	0,123	0,206	-0,001	125,000	1,651	-197,860	0,000	0,119	0,000	0,000	0,123
臂	18072	4	3,319	-16,210	-0,128	0,000	0,082	0,438	-0,001	125,000	3,501	-128,431	0,000	0,290	0,000	0,000	0,082
臂	18073	5	3,400	-16,400	-0,019	0,001	0,000	0,923	0,007	125,000	7,385	-19,422	0,000	0,507	0,000	0,000	0,000

3.3.1.1.18 Calculation results, Embedded beam, Riempimento 3 [Phase_30] (30/964), Table of embedded beam force envelopes

Structural element	Node [10 ^]	Local number	X [m]	Y [m]	N [kN]	Q [kN]	M [10 ^ kN m]	$T_{,xxx}$ [kN/m]	$T_{,yyy}$ [kN/m]	$T_{,xxx,yyy}$ [kN/m]	$T_{,xxx,yyy}$ [10 ^]	$N_{,x,x}$ [10 ^ kN]	$N_{,y,y}$ [kN]	$Q_{,x,x}$ [10 ^ kN]	$Q_{,y,y}$ [kN]	$M_{,x,x}$ [10 ^ kN m]	$M_{,y,y}$ [10 ^ kN m]
EmbeddedBeam_1_1	17931	1	8,300	-2,600	104,314	1,274	0,000	11,083	6,037	30,000	369,444	0,000	104,314	0,000	1,274	0,000	0,000
Element 1-1 (Embedded beam)	17932	2	8,493	-2,635	102,174	0,429	160,635	10,811	3,486	30,000	360,357	0,000	102,174	0,000	0,429	0,000	160,635
(TITAN 40/20 l=1,60m)	17933	3	8,685	-2,670	100,081	-0,079	190,261	10,565	1,544	30,000	352,153	0,000	100,081	-78,762	0,000	0,000	190,261
圳	17934	4	8,878	-2,706	98,033	-0,280	149,719	10,334	0,364	30,000	344,464	0,000	98,033	-280,481	0,000	0,000	149,719
圳	17935	5	9,071	-2,741	96,034	-0,209	97,891	10,113	0,201	30,000	337,108	0,000	96,034	-208,962	0,000	0,000	97,891
EmbeddedBeam_1_1	17935	1	9,071	-2,741	96,031	-0,271	97,891	10,113	0,201	30,000	337,108	0,000	96,031	-270,647	0,000	0,000	97,891
Element 1-2 (Embedded beam)	17936	2	9,223	-2,769	94,476	-0,213	60,339	9,946	0,364	30,000	331,540	0,000	94,476	-213,127	0,000	0,000	60,339
(TITAN 40/20 l=1,60m)	17937	3	9,376	-2,797	92,945	-0,157	31,709	9,787	0,378	30,000	326,220	0,000	92,945	-156,708	0,000	0,000	31,709
圳	17938	4	9,529	-2,825	91,437	-0,104	11,498	9,635	0,316	30,000	321,152	0,000	91,437	-103,984	0,000	0,000	11,738
圳	17939	5	9,681	-2,853	89,955	-0,058	-0,917	9,490	0,231	30,000	316,341	0,000	89,955	-57,548	0,000	-0,917	0,650
EmbeddedBeam_1_1	17939	1	9,681	-2,853	89,953	-0,059	-0,917	9,490	0,231	30,000	316,341	0,000	89,953	-59,243	0,000	-0,917	0,650
Element 1-3 (Embedded beam)	17940	2	9,802	-2,875	88,794	-0,036	-6,689	9,379	0,172	30,000	312,636	0,000	88,794	-35,631	0,000	-6,689	0,000
(TITAN 40/20 l=1,60m)	17941	3	9,923	-2,897	87,647	-0,017	-9,898	9,276	0,122	30,000	309,188	0,000	87,647	-17,228	0,000	-9,898	0,000
圳	17942	4	10,044	-2,919	86,512	-0,003	-11,114	9,176	0,098	30,000	305,880	0,000	86,512	-3,375	0,001	-11,114	0,000
圳	17943	5	10,165	-2,941	85,390	0,007	-10,884	9,079	0,095	30,000	302,648	0,000	85,390	0,000	0,007	-10,884	0,000
EmbeddedBeam_1_1	17943	1	10,165	-2,941	85,388	0,007	-10,884	9,079	0,095	30,000	302,648	0,000	85,388	0,000	0,007	-10,884	0,000
Element 1-4 (Embedded beam)	17944	2	10,261	-2,959	84,509	0,018	-9,661	9,005	0,107	30,000	300,166	0,000	84,509	0,000	0,018	-9,661	0,000
(TITAN 40/20 l=1,60m)	17945	3	10,357	-2,976	83,634	0,028	-7,379	8,946	0,114	30,000	298,194	0,000	83,634	0,000	0,028	-7,379	0,000
圳	17946	4	10,453	-2,994	82,761	0,037	-4,197	8,942	0,070	30,000	298,063	0,000	82,761	0,000	0,037	-4,197	0,000
圳	17947	5	10,549	-3,011	81,892	0,042	-2,306	9,037	0,072	30,000	301,228	0,000	81,892	0,000	0,042	-2,268	0,000
EmbeddedBeam_1_1	17947	1	10,549	-3,011	81,888	0,040	-2,306	15,061	0,120	30,000	502,046	0,000	81,888	0,000	0,040	-2,268	0,000
Element 1-5 (Embedded beam)	17948	2	10,656	-3,031	80,243	0,025	3,237	14,958	0,117	30,000	498,588	0,000	80,243	0,000	0,025	-1,189	3,237
(TITAN 40/20 l=1,60m)	17949	3	10,764	-3,051	78,608	0,014	5,375	14,852	0,095	30,000	495,070	0,000	78,608	0,000	0,014	-0,393	5,375
圳	17950	4	10,872	-3,071	76,985	0,005	6,393	14,748	0,069	30,000	491,594	0,000	76,985	0,000	0,007	-0,112	6,393
圳	17951	5	10,980	-3,090	75,374	-0,001	6,575	14,646	0,045	30,000	488,192	0,000	75,374	-1,224	0,004	-0,020	6,575
EmbeddedBeam_1_1	17951	1	10,980	-3,090	75,373	-0,001	6,575	14,646	0,045	30,000	488,192	0,000	75,373	-1,447	0,004	-0,020	6,575
Element 1-6 (Embedded beam)	17952	2	11,085	-3,110	73,810	-0,005	6,218	14,548	0,026	30,000	484,943	0,000	73,810	-4,945	0,002	0,000	6,218
(TITAN 40/20 l=1,60m)	17953	3	11,191	-3,129	72,255	-0,007	5,567	14,454	0,011	30,000	481,787	0,000	72,255	-6,981	0,001	0,000	5,567
圳	17954	4	11,296	-3,148	70,710	-0,008	4,769	14,362	0,001	30,000	478,732	0,000	70,710	-7,661	0,000	0,000	4,769
圳	17955	5	11,402	-3,167	69,176	-0,007	3,969	14,273	0,006	30,000	475,778	0,000	69,176	-7,088	0,000	0,000	3,969
EmbeddedBeam_1_1	17955	1	11,402	-3,167	69,175	-0,007	3,969	14,273	0,006	30,000	475,778	0,000	69,175	-7,358	0,000	0,000	3,969
Element 1-7 (Embedded beam)	17956	2	11,505	-3,186	67,684	-0,006	3,245	14,190	0,009	30,000	472,991	0,000	67,684	-6,431	0,000	-0,002	3,245
(TITAN 40/20 l=1,60m)	17957	3	11,608	-3,205	66,201	-0,005	2,624	14,109	0,010	30,000	470,300	0,000	66,201	-5,424	0,000	-0,008	2,624
圳	17958	4	11,711	-3,224	64,726	-0,004	2,110	14,031	0,010	30,000	467,705	0,000	64,726	-4,371	0,000	-0,018	2,110
圳	17959	5	11,814	-3,243	63,260	-0,003	1,708	13,956	0,009	30,000	465,205	0,000	63,260	-3,307	0,000	-0,029	1,708
EmbeddedBeam_1_1	17959	1	11,814	-3,243	63,259	-0,003	1,708	13,956	0,009	30,000	465,205	0,000	63,259	-3,352	0,000	-0,029	1,708
Element 1-8 (Embedded beam)	17960	2	11,915	-3,261	61,833	-0,003	1,408	13,886	0,007	30,000	462,852	0,000	61,833	-2,518	0,000	-0,040	1,408
(TITAN 40/20 l=1,60m)	17961	3	12,016	-3,280	60,414	-0,002	1,186	13,818	0,006	30,000	460,589	0,000	60,414	-1,884	0,000	-0,048	1,186
圳	17962	4	12,117	-3,298	59,001	-0,001	1,025	13,752	0,004	30,000	458,415	0,000	59,001	-1,468	0,000	-0,055	1,025
圳	17963	5	12,217	-3,317	57,595	-0,001	0,908	13,690	0,003	30,000	456,330	0,000	57,595	-1,143	0,000	-0,060	0,908
EmbeddedBeam_1_1	17963	1	12,217	-3,317	57,594	-0,001	0,908	13,690	0,003	30,000	456,330	0,000	57,594	-1,138	0,000	-0,060	0,908
Element 1-9 (Embedded beam)	17964	2	12,316	-3,335	56,227	-0,001	0,824	13,631	0,002	30,000	454,379	0,000	56,227	-0,929	0,000	-0,064	0,824
(TITAN 40/20 l=1,60m)	17965	3	12,414	-3,353	54,863	-0,001	0,759	13,575	0,001	30,000	452,513	0,000	54,863	-0,774	0,000	-0,067	0,759
圳	17966	4	12,513	-3,371	53,505	0,000	0,707	13,522	0,001	30,000	450,734	0,000	53,505	-0,656	0,000	-0,068	0,707
圳	17967	5	12,612	-3,389	52,154	0,000	0,662	13,471	0,000	30,000	449,040	0,000	52,154	-0,564	0,000	-0,069	0,662
EmbeddedBeam_1_1	17967	1	12,612	-3,389	52,153	0,000	0,662	13,471	0,000	30,000	449,040	0,000	52,153	-0,563	0,000	-0,069	0,662
Element 1-10 (Embedded beam)	17968	2	12,708	-3,406	50,836	0,000	0,620	13,424	0,000	30,000	447,468	0,000	50,836	-0,497	0,000	-0,070	0,620
(TITAN 40/20 l=1,60m)	17969	3	12,804	-3,424	49,523	0,000	0,580	13,379	0,000	30,000	445,979	0,000	49,523	-0,442	0,000	-0,070	0,580
圳	17970	4	12,901	-3,442	48,214	0,000	0,539	13,337	0,000	30,000	444,573	0,000	48,214	-0,423	0,000	-0,070	0,539

Structural element	Node [10^1]	Local number	X [m]	Y [m]	N [kN]	Q [kN]	M [10^-1 kN m]	T_{xxx} [kN/m]	T_{yyy} [kN/m]	$T_{xxx,yyy}$ [kN/m]	$T_{xxx,yyy}$ [10^1]	N_{xxx} [10^-1 kN]	N_{yyy} [kN]	Q_{xzz} [10^-1 kN]	Q_{yzz} [kN]	M_{xxx} [10^-1 kN m]	M_{yyy} [10^-1 kN m]
臂	17971	5	12,997	-2,459	46,911	0,000	0,497	13,298	0,000	30,000	443,250	0,000	46,911	0,428	0,000	-0,070	0,497
EmbeddedBeam_11_1	17971	1	12,997	-2,459	46,910	0,000	0,497	13,298	0,000	30,000	443,250	0,000	46,910	0,426	0,000	-0,070	0,497
Element 1-11 (Embedded beam)	17972	2	13,091	-2,476	45,639	0,000	0,457	13,261	0,000	30,000	442,038	0,000	45,639	0,428	0,000	-0,070	0,457
TITAN 40/20 l=1,60m)	17973	3	13,185	-2,494	44,370	0,000	0,416	13,227	0,000	30,000	440,905	0,000	44,370	0,427	0,000	-0,071	0,416
臂	17974	4	13,280	-2,511	43,104	0,000	0,375	13,196	0,000	30,000	439,853	0,000	43,104	0,421	0,000	-0,071	0,375
臂	17975	5	13,374	-2,528	41,842	0,000	0,335	13,166	0,000	30,000	438,882	0,000	41,842	0,409	0,000	-0,071	0,335
EmbeddedBeam_11_1	17975	1	13,374	-2,528	41,842	0,000	0,335	13,166	0,000	30,000	438,882	0,000	41,842	0,410	0,000	-0,071	0,335
Element 1-12 (Embedded beam)	17976	2	13,466	-2,545	40,611	0,000	0,297	13,140	0,000	30,000	438,010	0,000	40,611	0,394	0,000	-0,089	0,297
TITAN 40/20 l=1,60m)	17977	3	13,558	-2,562	39,381	0,000	0,261	13,116	0,000	30,000	437,215	0,000	39,381	0,375	0,000	-0,106	0,261
臂	17978	4	13,650	-2,579	38,153	0,000	0,227	13,095	0,000	30,000	436,497	0,000	38,153	0,352	0,000	-0,121	0,227
臂	17979	5	13,742	-2,596	36,929	0,000	0,196	13,076	0,000	30,000	435,857	0,000	36,929	0,327	0,000	-0,134	0,196
EmbeddedBeam_11_1	17979	1	13,742	-2,596	36,928	0,000	0,196	13,076	0,000	30,000	435,857	0,000	36,928	0,328	0,000	-0,134	0,196
Element 1-13 (Embedded beam)	17980	2	13,832	-2,612	35,732	0,000	0,167	13,059	0,000	30,000	435,306	0,000	35,732	0,302	0,000	-0,145	0,167
TITAN 40/20 l=1,60m)	17981	3	13,923	-2,629	34,537	0,000	0,140	13,045	0,000	30,000	434,829	0,000	34,537	0,276	0,000	-0,154	0,140
臂	17982	4	14,013	-2,645	33,343	0,000	0,116	13,033	0,000	30,000	434,427	0,000	33,343	0,250	0,000	-0,161	0,116
臂	17983	5	14,103	-2,661	32,150	0,000	0,094	13,023	0,000	30,000	434,098	0,000	32,150	0,224	0,000	-0,167	0,094
EmbeddedBeam_11_1	17983	1	14,103	-2,661	32,150	0,000	0,094	13,023	0,000	30,000	434,098	0,000	32,150	0,225	0,000	-0,167	0,094
Element 1-14 (Embedded beam)	17984	2	14,191	-2,678	30,985	0,000	0,075	13,015	0,000	30,000	433,850	0,000	30,985	0,200	0,000	-0,171	0,075
TITAN 40/20 l=1,60m)	17985	3	14,279	-2,694	29,820	0,000	0,059	13,010	0,000	30,000	433,673	0,000	29,820	0,176	0,000	-0,174	0,059
臂	17986	4	14,367	-2,710	28,655	0,000	0,044	13,007	0,000	30,000	433,567	0,000	28,655	0,154	0,000	-0,177	0,044
臂	17987	5	14,455	-2,726	27,491	0,000	0,031	13,006	0,000	30,000	433,534	0,000	27,491	0,133	0,000	-0,178	0,031
EmbeddedBeam_11_1	17987	1	14,455	-2,726	27,491	0,000	0,031	13,006	0,000	30,000	433,534	0,000	27,491	0,133	0,000	-0,178	0,031
Element 1-15 (Embedded beam)	17988	2	14,541	-2,742	26,353	0,000	0,020	13,007	0,000	30,000	433,572	0,000	26,353	0,113	0,000	-0,179	0,020
TITAN 40/20 l=1,60m)	17989	3	14,627	-2,757	25,214	0,000	0,011	13,010	0,000	30,000	433,680	0,000	25,214	0,095	0,000	-0,178	0,011
臂	17990	4	14,713	-2,773	24,075	0,000	0,003	13,016	0,000	30,000	433,858	0,000	24,075	0,078	0,000	-0,177	0,003
臂	17991	5	14,799	-2,789	22,936	0,000	-0,003	13,023	0,000	30,000	434,107	0,000	22,936	0,063	0,000	-0,176	0,000
EmbeddedBeam_11_1	17991	1	14,799	-2,789	22,935	0,000	-0,003	13,023	0,000	30,000	434,107	0,000	22,935	0,063	0,000	-0,176	0,000
Element 1-16 (Embedded beam)	17992	2	14,883	-2,804	21,821	0,000	-0,007	13,033	0,000	30,000	434,420	0,000	21,821	0,049	0,000	-0,173	0,000
TITAN 40/20 l=1,60m)	17993	3	14,968	-2,820	20,705	0,000	-0,011	13,044	0,000	30,000	434,802	0,000	20,705	0,037	0,000	-0,171	0,000
臂	17994	4	15,052	-2,835	19,588	0,000	-0,014	13,058	0,000	30,000	435,255	0,000	19,588	0,025	0,000	-0,167	0,000
臂	17995	5	15,136	-2,850	18,470	0,000	-0,015	13,073	0,000	30,000	435,779	0,000	18,470	0,015	0,000	-0,163	0,000
EmbeddedBeam_11_1	17995	1	15,136	-2,850	18,470	0,000	-0,015	13,073	0,000	30,000	435,779	0,000	18,470	0,015	0,000	-0,163	0,000
Element 1-17 (Embedded beam)	17996	2	15,205	-2,863	17,547	0,000	-0,016	13,088	0,000	30,000	436,266	0,000	17,547	0,007	0,000	-0,160	0,000
TITAN 40/20 l=1,60m)	17997	3	15,275	-2,876	16,623	0,000	-0,016	13,104	0,000	30,000	436,803	0,000	16,623	0,000	0,000	-0,156	0,000
臂	17998	4	15,344	-2,889	15,697	0,000	-0,016	13,122	0,000	30,000	437,391	0,000	15,697	0,000	0,000	-0,152	0,000
臂	17999	5	15,414	-2,901	14,771	0,000	-0,016	13,141	0,000	30,000	438,031	0,000	14,771	0,000	0,000	-0,147	0,000
EmbeddedBeam_11_1	17999	1	15,414	-2,901	14,770	0,000	-0,016	13,141	0,000	30,000	438,031	0,000	14,770	0,000	0,000	-0,147	0,000
Element 1-18 (Embedded beam)	18000	2	15,521	-2,921	13,341	0,000	-0,014	13,174	0,000	30,000	439,121	0,000	13,341	0,000	0,000	-0,139	0,000
TITAN 40/20 l=1,60m)	18001	3	15,627	-2,940	11,907	0,000	-0,012	13,210	0,000	30,000	440,343	0,000	11,907	0,000	0,000	-0,129	0,000
臂	18002	4	15,734	-2,960	10,469	0,000	-0,009	13,251	0,000	30,000	441,703	0,000	10,469	0,000	0,000	-0,117	0,000
臂	18003	5	15,841	-2,980	9,027	0,000	-0,006	13,296	0,000	30,000	443,212	0,000	9,027	0,000	0,000	-0,102	0,000
EmbeddedBeam_11_1	18003	1	15,841	-2,980	9,025	0,000	-0,006	13,296	0,000	30,000	443,212	0,000	9,025	0,000	0,000	-0,102	0,000
Element 1-19 (Embedded beam)	18004	2	16,006	-4,010	6,795	0,000	-0,001	13,375	0,000	30,000	445,845	0,000	6,795	0,000	0,000	-0,074	0,000
TITAN 40/20 l=1,60m)	18005	3	16,171	-4,040	4,548	0,000	0,001	13,466	0,000	30,000	448,877	0,000	4,548	0,001	0,000	-0,042	0,001
臂	18006	4	16,335	-4,070	2,283	0,000	0,000	13,577	0,000	30,000	452,555	0,000	2,283	0,009	0,000	-0,015	0,000
臂	18007	5	16,500	-4,100	0,003	0,000	0,000	13,722	0,000	30,000	457,389	0,000	0,003	0,000	0,000	0,000	0,000
EmbeddedBeam_21_1	18008	1	6,000	6,250	90,874	-0,288	0,000	14,363	1,563	30,000	478,772	0,000	90,874	288,118	0,000	0,000	0,000
Element 2-20 (Embedded beam)	18009	2	6,126	6,273	89,053	-0,130	-26,138	14,169	1,043	30,000	472,296	0,000	89,053	-129,967	0,000	-26,138	0,000
TITAN 40/20 l=1,60m)	18010	3	6,252	6,295	87,252	-0,023	-35,404	14,000	0,613	30,000	466,679	0,000	87,252	22,643	0,000	-35,404	0,000
臂	18011	4	6,377	6,318	85,472	0,037	-33,959	13,847	0,296	30,000	461,568	0,000	85,472	0,000	0,037	-33,959	0,000
臂	18012	5	6,503	6,341	83,714	0,052	-27,839	13,703	0,088	30,000	456,776	0,000	83,714	0,000	0,052	-27,839	0,000
EmbeddedBeam_21_1	18012	1	6,503	6,341	83,712	0,061	-27,839	13,703	0,088	30,000	456,776	0,000	83,712	0,000	0,061	-27,839	0,000
Element 2-21 (Embedded beam)	18013	2	6,636	6,365	81,868	0,059	-19,619	13,560	0,038	30,000	451,994	0,000	81,868	0,000	0,059	-19,619	0,000
TITAN 40/20 l=1,60m)	18014	3	6,770	6,389	80,041	0,051	-12,161	13,424	0,093	30,000	447,482	0,000	80,041	0,000	0,051	-12,161	0,000
臂	18015	4	6,903	6,413	78,232	0,038	-6,095	13,296	0,103	30,000	443,203	0,000	78,232	0,000	0,038	-6,680	0,000
臂	18016	5	7,036	6,436	76,442	0,022	-2,001	13,174	0,090	30,000	439,128	0,000	76,442	0,000	0,022	-3,091	0,000
EmbeddedBeam_21_1	18016	1	7,036	6,436	76,440	0,024	-2,001	13,174	0,090	30,000	439,128	0,000	76,440	0,000	0,024	-3,091	0,000

Structural element	Node [10^3]	Local number	X [m]	Y [m]	N [kN]	Q [kN]	M [10^-3 kN m]	$T_{xx,+}$ [kN/m]	T_{xx} [kN/m]	$T_{xx,-+}$ [kN/m]	$T_{xx,-}$ [10^3]	$N_{x,+}$ [10^3 kN]	$N_{x,-}$ [kN]	$Q_{z,+}$ [10^3 kN]	$Q_{z,-}$ [kN]	$M_{y,+}$ [10^3 kN m]	$M_{y,-}$ [10^3 kN m]
Element 2-22 (Embedded beam)	18017	2	7,177	-5,462	74,562	0,013	0,570	-13,050	-0,067	30,000	435,011	0,000	74,562	0,000	0,013	-0,786	0,570
(TITAN 40/20 l=1,60m)	18018	3	7,318	-5,487	72,699	0,005	1,782	-12,932	-0,042	30,000	431,078	0,000	72,699	0,000	0,005	-0,020	1,782
3D	18019	4	7,459	-5,513	70,852	0,000	2,087	-12,819	-0,023	30,000	427,313	0,000	70,852	0,000	0,001	-0,013	2,087
3D	18020	5	7,600	-5,538	69,023	0,002	1,932	-12,711	-0,009	30,000	423,704	0,000	69,023	-1,718	0,000	-0,011	1,932
EmbeddedBeam_3_1	18020	1	7,600	-5,538	69,022	0,002	1,932	-12,711	-0,009	30,000	423,704	0,000	69,022	2,315	0,000	-0,011	1,932
Element 2-23 (Embedded beam)	18021	2	7,750	-5,565	67,101	0,003	1,550	-12,601	0,000	30,000	420,039	0,000	67,101	2,618	0,000	-0,012	1,550
(TITAN 40/20 l=1,60m)	18022	3	7,899	-5,592	65,195	0,002	1,162	-12,496	0,004	30,000	416,525	0,000	65,195	2,427	0,000	-0,013	1,162
3D	18023	4	8,049	-5,619	63,304	0,002	0,832	-12,395	0,005	30,000	413,154	0,000	63,304	1,842	0,000	-0,060	0,832
3D	18024	5	8,198	-5,646	61,431	0,001	0,617	-12,298	0,004	30,000	409,918	0,000	61,431	0,960	0,000	-0,188	0,617
EmbeddedBeam_3_1	18024	1	8,198	-5,646	61,429	0,001	0,617	-12,298	0,004	30,000	409,918	0,000	61,429	-1,081	0,000	-0,188	0,617
Element 2-24 (Embedded beam)	18025	2	8,357	-5,674	59,461	0,000	0,493	-12,199	0,003	30,000	406,632	0,000	59,461	0,493	0,000	-0,249	0,493
(TITAN 40/20 l=1,60m)	18026	3	8,515	-5,703	57,505	0,000	0,448	-12,105	0,002	30,000	403,485	0,000	57,505	-0,087	0,000	-0,249	0,448
3D	18027	4	8,673	-5,731	55,565	0,000	0,456	-12,014	0,001	30,000	400,473	0,000	55,565	0,000	0,000	-0,210	0,456
3D	18028	5	8,832	-5,760	53,641	0,000	0,487	-11,928	0,000	30,000	397,593	0,000	53,641	0,000	0,000	-0,156	0,487
EmbeddedBeam_3_1	18028	1	8,832	-5,760	53,640	0,000	0,487	-11,928	0,000	30,000	397,593	0,000	53,640	0,000	0,000	-0,156	0,487
Element 2-25 (Embedded beam)	18029	2	8,999	-5,790	51,616	0,000	0,531	-11,840	0,000	30,000	394,682	0,000	51,616	0,000	0,000	-0,094	0,531
(TITAN 40/20 l=1,60m)	18030	3	9,167	-5,820	49,606	0,000	0,573	-11,757	0,000	30,000	391,915	0,000	49,606	0,000	0,000	-0,036	0,573
3D	18031	4	9,335	-5,850	47,609	0,000	0,611	-11,679	0,000	30,000	389,291	0,000	47,609	0,000	0,000	-0,026	0,611
3D	18032	5	9,502	-5,880	45,627	0,000	0,642	-11,604	0,000	30,000	386,810	0,000	45,627	0,000	0,000	-0,021	0,642
EmbeddedBeam_3_1	18032	1	9,502	-5,880	45,625	0,000	0,642	-11,604	0,000	30,000	386,810	0,000	45,625	0,000	0,000	-0,021	0,642
Element 2-26 (Embedded beam)	18033	2	9,680	-5,912	43,540	0,000	0,668	-11,530	0,000	30,000	384,341	0,000	43,540	0,000	0,000	-0,017	0,668
(TITAN 40/20 l=1,60m)	18034	3	9,857	-5,944	41,465	0,000	0,688	-11,461	0,000	30,000	382,036	0,000	41,465	0,000	0,000	-0,015	0,688
3D	18035	4	10,035	-5,976	39,402	0,000	0,704	-11,397	0,000	30,000	379,900	0,000	39,402	0,000	0,000	-0,012	0,704
3D	18036	5	10,213	-7,008	37,352	0,000	0,715	-11,338	0,000	30,000	377,937	0,000	37,352	0,000	0,000	-0,010	0,715
EmbeddedBeam_3_1	18036	1	10,213	-7,008	37,350	0,000	0,715	-11,338	0,000	30,000	377,937	0,000	37,350	0,000	0,000	-0,010	0,715
Element 2-27 (Embedded beam)	18037	2	10,401	-7,042	35,191	0,000	0,722	-11,282	0,000	30,000	376,053	0,000	35,191	-0,002	0,000	-0,009	0,722
(TITAN 40/20 l=1,60m)	18038	3	10,589	-7,076	33,039	0,000	0,723	-11,231	0,000	30,000	374,375	0,000	33,039	-0,004	0,000	-0,007	0,723
3D	18039	4	10,777	-7,110	30,896	0,000	0,720	-11,187	0,000	30,000	372,911	0,000	30,896	-0,029	0,000	-0,006	0,720
3D	18040	5	10,965	-7,144	28,763	0,000	0,713	-11,150	0,000	30,000	371,669	0,000	28,763	-0,053	0,000	-0,005	0,713
EmbeddedBeam_3_1	18040	1	10,965	-7,144	28,761	0,000	0,713	-11,150	0,000	30,000	371,669	0,000	28,761	-0,052	0,000	-0,005	0,713
Element 2-28 (Embedded beam)	18041	2	11,164	-7,180	26,509	0,000	0,700	-11,118	0,000	30,000	370,604	0,000	26,509	-0,075	0,000	-0,004	0,700
(TITAN 40/20 l=1,60m)	18042	3	11,363	-7,215	24,260	0,000	0,682	-11,094	0,000	30,000	369,807	0,000	24,260	-0,093	0,000	-0,003	0,682
3D	18043	4	11,563	-7,251	22,015	0,000	0,662	-11,079	0,000	30,000	369,290	0,000	22,015	-0,104	0,000	-0,002	0,662
3D	18044	5	11,762	-7,287	19,775	0,000	0,641	-11,072	0,000	30,000	369,064	0,000	19,775	-0,110	0,000	-0,002	0,641
EmbeddedBeam_3_1	18044	1	11,762	-7,287	19,773	0,000	0,641	-11,072	0,000	30,000	369,064	0,000	19,773	-0,119	0,000	-0,002	0,641
Element 2-29 (Embedded beam)	18045	2	11,973	-7,325	17,401	0,000	0,616	-11,075	0,000	30,000	369,157	0,000	17,401	-0,111	0,000	-0,001	0,616
(TITAN 40/20 l=1,60m)	18046	3	12,184	-7,363	15,024	0,000	0,591	-11,088	0,000	30,000	369,608	0,000	15,024	-0,132	0,000	-0,001	0,591
3D	18047	4	12,395	-7,401	12,643	0,000	0,558	-11,113	0,000	30,000	370,442	0,000	12,643	-0,186	0,000	-0,001	0,558
3D	18048	5	12,606	-7,439	10,259	0,000	0,508	-11,151	-0,001	30,000	371,689	0,000	10,259	-0,281	0,000	0,000	0,508
EmbeddedBeam_3_1	18048	1	12,606	-7,439	10,255	0,000	0,508	-11,151	-0,001	30,000	371,689	0,000	10,255	-0,199	0,000	0,000	0,508
Element 2-30 (Embedded beam)	18049	2	12,829	-7,479	7,721	-0,001	0,422	-11,205	-0,001	30,000	373,485	0,000	7,721	-0,550	0,000	0,000	0,422
(TITAN 40/20 l=1,60m)	18050	3	13,053	-7,520	5,167	-0,001	0,270	-11,275	-0,001	30,000	375,833	0,000	5,167	-0,736	0,000	0,000	0,270
3D	18051	4	13,276	-7,560	2,595	-0,001	0,108	-11,371	0,001	30,000	379,021	0,000	2,595	-0,657	0,000	0,000	0,108
3D	18052	5	13,500	-7,600	0,004	0,000	0,000	-11,507	0,006	30,000	383,562	0,000	0,004	-0,214	0,000	0,000	0,000
EmbeddedBeam_3_1	18053	1	1,776	-12,600	6,141	-0,010	0,000	-27,672	0,340	125,000	221,378	0,000	6,141	-10,196	0,000	0,000	0,000
Element 3-31 (Embedded beam)	18054	2	1,857	-12,790	2,944	0,001	0,674	-12,666	0,038	125,000	101,330	0,000	2,944	0,000	0,001	-0,674	0,001
(Ricrocalo D168.3 s12.5mm/1,6m)	18055	3	1,938	-12,980	0,981	0,004	0,134	-5,470	-0,035	125,000	43,759	0,000	0,981	0,000	0,004	-0,134	0,004
3D	18056	4	2,019	-13,170	0,059	0,001	0,506	-2,595	-0,008	125,000	20,757	0,000	0,077	0,001	0,001	0,000	0,506
3D	18057	5	2,100	-13,360	-0,016	0,001	0,416	-1,159	0,001	125,000	9,272	-16,337	0,020	1,336	0,000	0,000	0,416
EmbeddedBeam_3_1	18057	1	2,100	-13,360	-0,229	0,000	0,416	-1,159	0,001	125,000	9,272	-228,942	0,000	0,313	0,000	0,000	0,416
Element 3-32 (Embedded beam)	18058	2	2,182	-13,550	-0,360	0,000	0,368	-0,508	0,001	125,000	4,061	-359,637	0,000	0,175	0,000	0,000	0,368
(Ricrocalo D168.3 s12.5mm/1,6m)	18059	3	2,263	-13,740	-0,435	0,000	0,338	-0,189	0,000	125,000	1,514	-435,487	0,000	0,116	0,000	0,000	0,338
3D	18060	4	2,344	-13,930	-0,465	0,000	0,317	-0,059	0,000	125,000	0,468	-464,940	0,000	0,105	0,000	0,000	0,317
3D	18061	5	2,425	-14,120	-0,456	0,000	0,294	0,007	0,000	125,000	0,059	-456,446	0,000	0,107	0,000	0,000	0,294
EmbeddedBeam_3_1	18061	1	2,425	-14,120	-0,466	0,000	0,294	0,007	0,000	125,000	0,059	-465,903	0,000	0,102	0,000	0,000	0,294
Element 3-33 (Embedded beam)	18062	2	2,507	-14,310	-0,459	0,000	0,276	0,037	0,000	125,000	0,298	-459,355	0,000	0,075	0,000	0,000	0,276
(Ricrocalo D168.3 s12.5mm/1,6m)	18063	3	2,588	-14,500	-0,450	0,000	0,263	0,052	0,000	125,000	0,413	-450,357	0,000	0,054	0,000	0,000	0,263

Structural element	Node [10 ^]	Local number	X [m]	Y [m]	N [kN]	Q [kN]	M [10 ^ kN m]	$T_{x,x}$ [kN/m]	$T_{x,y}$ [kN/m]	$T_{x,x+y,x+y}$ [kN/m]	$T_{x,x+y,y}$ [10 ^]	$N_{x,x}$ [10 ^ kN]	$N_{x,y}$ [kN]	$Q_{x,x}$ [10 ^ kN]	$Q_{x,y}$ [kN]	$M_{x,x}$ [10 ^ kN m]	$M_{x,y}$ [10 ^ kN m]
臂	18064	4	2,669	-14,690	-0,439	0,000	0,253	0,057	0,000	125,000	0,456	-439,321	0,000	0,040	0,000	0,000	0,253
臂	18065	5	2,750	-14,880	-0,427	0,000	0,246	0,060	0,000	125,000	0,476	-426,657	0,000	0,032	0,000	0,000	0,246
EmbeddedBeam_2_1	18065	1	2,750	-14,880	-0,427	0,000	0,246	0,060	0,000	125,000	0,476	-426,727	0,000	0,030	0,000	0,000	0,246
Element 3-34 (Embedded beam)	18066	2	2,831	-15,070	-0,415	0,000	0,240	0,061	0,000	125,000	0,492	-414,747	0,000	0,027	0,000	0,000	0,240
(Micropalo D168.3 s12.5mm/1,6m)	18067	3	2,913	-15,260	-0,401	0,000	0,235	0,065	0,000	125,000	0,523	-401,478	0,000	0,025	0,000	0,000	0,235
臂	18068	4	2,994	-15,450	-0,387	0,000	0,230	0,077	0,000	125,000	0,619	-386,560	0,000	0,024	0,000	0,000	0,230
臂	18069	5	3,075	-15,640	-0,370	0,000	0,225	0,105	0,000	125,000	0,841	-369,634	0,000	0,024	0,000	0,000	0,225
EmbeddedBeam_2_1	18069	1	3,075	-15,640	-0,359	0,000	0,225	0,105	0,000	125,000	0,841	-359,440	0,000	0,073	0,000	0,000	0,225
Element 3-35 (Embedded beam)	18070	2	3,156	-15,830	-0,346	0,000	0,217	0,170	0,000	125,000	1,362	-346,025	0,000	0,045	0,000	0,000	0,217
(Micropalo D168.3 s12.5mm/1,6m)	18071	3	3,238	-16,020	-0,293	0,000	0,194	0,305	-0,001	125,000	2,437	-292,688	0,000	0,190	0,000	0,000	0,194
臂	18072	4	3,319	-16,210	-0,190	0,000	0,129	0,647	-0,001	125,000	5,178	-190,065	0,000	0,458	0,000	0,000	0,129
臂	18073	5	3,400	-16,400	-0,029	0,001	0,000	1,367	0,011	125,000	10,935	-28,796	0,000	0,798	0,000	0,000	0,000

3.3.1.1.19 Calculation results, Embedded beam, Collegamento ancoraggio 2 [Phase_14] (14/977), Table of embedded beam force envelopes

Structural element	Node [10^1]	Local number	X [m]	Y [m]	N [kN]	Q [kN]	M [10^1 kN m]	T_{max} [kN/m]	T_{min} [kN/m]	$T_{min,max}$ [kN/m]	$T_{min,min}$ [10^1]	$N_{x,i}$ [10^1 kN]	$N_{x,k}$ [kN]	$Q_{z,i}$ [10^1 kN]	$Q_{z,k}$ [kN]	$M_{y,i}$ [10^1 kN m]	$M_{y,k}$ [10^1 kN m]
EmbeddedBeam_1_1	17931	1	8,300	-2,600	105,783	1,292	0,000	-11,104	6,122	30,000	370,149	0,000	105,783	0,000	1,292	0,000	0,000
Element 1-1 (Embedded beam)	17932	2	8,493	-2,635	103,639	0,435	162,906	-10,831	-3,534	30,000	361,034	0,000	103,639	0,000	0,435	0,000	162,906
(TiTAN 40/20 l=1,60m)	17933	3	8,685	-2,670	101,542	-0,080	192,981	-10,585	-1,566	30,000	352,818	0,000	101,542	-79,692	0,000	0,000	192,981
臣	17934	4	8,878	-2,706	99,491	-0,284	151,899	-10,354	-0,370	30,000	345,122	0,000	99,491	-284,314	0,000	0,000	151,899
臣	17935	5	9,071	-2,741	97,487	-0,212	99,347	-10,133	0,202	30,000	337,765	0,000	97,487	-211,983	0,000	0,000	99,347
EmbeddedBeam_1_1	17935	1	9,071	-2,741	97,485	-0,275	99,347	-10,133	0,202	30,000	337,765	0,000	97,485	-274,547	0,000	0,000	99,347
Element 1-2 (Embedded beam)	17936	2	9,223	-2,769	95,927	-0,217	61,224	-9,966	0,366	30,000	332,196	0,000	95,927	-216,619	0,000	0,000	61,224
(TiTAN 40/20 l=1,60m)	17937	3	9,376	-2,797	94,392	-0,160	32,075	-9,806	0,379	30,000	326,876	0,000	94,392	-159,926	0,000	0,000	32,075
臣	17938	4	9,529	-2,825	92,881	-0,107	11,376	-9,654	0,317	30,000	321,809	0,000	92,881	-107,072	0,000	0,000	11,738
臣	17939	5	9,681	-2,853	91,396	-0,061	-1,518	-9,510	0,231	30,000	317,002	0,000	91,396	-60,663	0,000	-1,518	0,650
EmbeddedBeam_1_1	17939	1	9,681	-2,853	91,394	-0,062	-1,518	-9,510	0,231	30,000	317,002	0,000	91,394	-62,268	0,000	-1,518	0,650
Element 1-3 (Embedded beam)	17940	2	9,802	-2,875	90,233	-0,039	-7,663	-9,397	0,175	30,000	313,239	0,000	90,233	-38,606	0,000	-7,663	0,000
(TiTAN 40/20 l=1,60m)	17941	3	9,923	-2,897	89,083	-0,020	-11,211	-9,294	0,128	30,000	309,794	0,000	89,083	-19,639	0,000	-11,211	0,000
臣	17942	4	10,044	-2,919	87,946	-0,005	-12,653	-9,194	0,111	30,000	306,474	0,000	87,946	-4,553	0,001	-12,653	0,000
臣	17943	5	10,165	-2,941	86,822	0,007	-12,451	-9,095	0,122	30,000	303,179	0,000	86,822	0,000	0,007	-12,451	0,000
EmbeddedBeam_1_1	17943	1	10,165	-2,941	86,820	0,007	-12,451	-9,095	0,122	30,000	303,179	0,000	86,820	0,000	0,007	-12,451	0,000
Element 1-4 (Embedded beam)	17944	2	10,261	-2,959	85,940	0,023	-10,976	-9,022	0,144	30,000	300,731	0,000	85,940	0,000	0,023	-10,976	0,000
(TiTAN 40/20 l=1,60m)	17945	3	10,357	-2,976	85,062	0,036	-8,069	-8,977	0,144	30,000	299,243	0,000	85,062	0,000	0,036	-8,069	0,000
臣	17946	4	10,453	-2,994	84,185	0,046	-4,050	-9,008	0,072	30,000	300,275	0,000	84,185	0,000	0,046	-4,197	0,000
臣	17947	5	10,549	-3,011	83,307	0,051	0,718	-9,148	-0,102	30,000	304,927	0,000	83,307	0,000	0,051	-2,268	0,718
EmbeddedBeam_1_1	17947	1	10,549	-3,011	83,303	0,048	0,718	-15,246	-0,171	30,000	508,212	0,000	83,303	0,000	0,048	-2,268	0,718
Element 1-5 (Embedded beam)	17948	2	10,656	-3,031	81,637	0,029	4,870	-15,145	-0,153	30,000	504,818	0,000	81,637	0,000	0,029	-1,189	4,870
(TiTAN 40/20 l=1,60m)	17949	3	10,764	-3,051	79,982	0,014	7,181	-15,040	-0,118	30,000	501,338	0,000	79,982	0,000	0,014	-0,393	7,181
臣	17950	4	10,872	-3,071	78,338	0,003	8,078	-14,937	-0,082	30,000	497,903	0,000	78,338	0,000	0,007	-0,112	8,078
臣	17951	5	10,980	-3,090	76,707	-0,004	7,987	-14,837	-0,050	30,000	494,558	0,000	76,707	-4,003	0,004	-0,020	7,987
EmbeddedBeam_1_1	17951	1	10,980	-3,090	76,706	-0,004	7,987	-14,837	-0,050	30,000	494,558	0,000	76,706	-4,435	0,004	-0,020	7,987
Element 1-6 (Embedded beam)	17952	2	11,085	-3,110	75,122	-0,008	7,304	-14,741	-0,025	30,000	491,375	0,000	75,122	-7,991	0,002	0,000	7,304
(TiTAN 40/20 l=1,60m)	17953	3	11,191	-3,129	73,546	-0,010	6,337	-14,649	-0,007	30,000	488,292	0,000	73,546	-9,803	0,001	0,000	6,337
臣	17954	4	11,296	-3,148	71,980	-0,010	5,259	-14,559	0,005	30,000	485,311	0,000	71,980	-10,018	0,000	0,000	5,259
臣	17955	5	11,402	-3,167	70,425	-0,009	4,240	-14,473	0,011	30,000	482,430	0,000	70,425	-8,781	0,000	0,000	4,240
EmbeddedBeam_1_1	17955	1	11,402	-3,167	70,424	-0,009	4,240	-14,473	0,011	30,000	482,430	0,000	70,424	-9,124	0,000	0,000	4,240
Element 1-7 (Embedded beam)	17956	2	11,505	-3,186	68,912	-0,008	3,361	-14,391	0,014	30,000	479,711	0,000	68,912	-7,645	0,000	-0,002	3,361
(TiTAN 40/20 l=1,60m)	17957	3	11,608	-3,205	67,408	-0,006	2,637	-14,313	0,014	30,000	477,086	0,000	67,408	-6,181	0,000	-0,008	2,637
臣	17958	4	11,711	-3,224	65,911	-0,005	2,063	-14,237	0,013	30,000	474,554	0,000	65,911	-4,768	0,000	-0,018	2,110
臣	17959	5	11,814	-3,243	64,424	-0,003	1,634	-14,163	0,011	30,000	472,115	0,000	64,424	-3,443	0,000	-0,029	1,708
EmbeddedBeam_1_1	17959	1	11,814	-3,243	64,423	-0,003	1,634	-14,163	0,011	30,000	472,115	0,000	64,423	-3,481	0,000	-0,029	1,708
Element 1-8 (Embedded beam)	17960	2	11,915	-3,261	62,976	-0,002	1,330	-14,095	0,009	30,000	469,819	0,000	62,976	-2,518	0,000	-0,040	1,408
(TiTAN 40/20 l=1,60m)	17961	3	12,016	-3,280	61,534	-0,002	1,117	-14,028	0,006	30,000	467,611	0,000	61,534	-1,884	0,000	-0,048	1,186
臣	17962	4	12,117	-3,298	60,100	-0,001	0,972	-13,965	0,005	30,000	465,490	0,000	60,100	-1,468	0,000	-0,055	1,025
臣	17963	5	12,217	-3,317	58,673	-0,001	0,874	-13,904	0,003	30,000	463,458	0,000	58,673	-1,143	0,000	-0,060	0,908
EmbeddedBeam_1_1	17963	1	12,217	-3,317	58,672	-0,001	0,874	-13,904	0,003	30,000	463,458	0,000	58,672	-1,138	0,000	-0,060	0,908
Element 1-9 (Embedded beam)	17964	2	12,316	-3,335	57,282	-0,001	0,809	-13,847	0,002	30,000	461,556	0,000	57,282	-0,929	0,000	-0,064	0,824
(TiTAN 40/20 l=1,60m)	17965	3	12,414	-3,353	55,897	0,000	0,762	-13,792	0,001	30,000	459,739	0,000	55,897	-0,774	0,000	-0,067	0,762
臣	17966	4	12,513	-3,371	54,518	0,000	0,725	-13,740	0,000	30,000	458,007	0,000	54,518	-0,656	0,000	-0,068	0,725
臣	17967	5	12,612	-3,389	53,144	0,000	0,691	-13,691	0,000	30,000	456,360	0,000	53,144	-0,564	0,000	-0,069	0,691
EmbeddedBeam_1_1	17967	1	12,612	-3,389	53,144	0,000	0,691	-13,691	0,000	30,000	456,360	0,000	53,144	-0,563	0,000	-0,069	0,691
Element 1-10 (Embedded beam)	17968	2	12,708	-3,406	51,805	0,000	0,658	-13,645	0,000	30,000	454,833	0,000	51,805	-0,497	0,000	-0,070	0,658
(TiTAN 40/20 l=1,60m)	17969	3	12,804	-3,424	50,471	0,000	0,623	-13,602	0,000	30,000	453,388	0,000	50,471	-0,442	0,000	-0,070	0,623
臣	17970	4	12,901	-3,442	49,140	0,000	0,587	-13,561	0,000	30,000	452,026	0,000	49,140	-0,423	0,000	-0,070	0,587

Structural element	Node [10^1]	Local number	X [m]	Y [m]	N [kN]	Q [kN]	M [10^-1 kN m]	$T_{xx,+}$ [kN/m]	$T_{xx,-}$ [kN/m]	$T_{xx,xx,+/-}$ [kN/m]	$T_{xx,xx,+/-}$ [10^1]	$N_{x,+}$ [10^-1 kN]	$N_{x,-}$ [kN]	$Q_{z,+}$ [10^-1 kN]	$Q_{z,-}$ [kN]	$M_{y,+}$ [10^-1 kN m]	$M_{y,-}$ [10^-1 kN m]
폴	17971	5	12,997	-2,459	47,814	0,000	0,548	13,522	0,000	30,000	450,747	0,000	47,814	0,428	0,000	-0,070	0,548
EmbeddedBeam_11_1	17971	1	12,997	-2,459	47,813	0,000	0,548	13,522	0,000	30,000	450,747	0,000	47,813	0,426	0,000	-0,070	0,548
Element 1-11 (Embedded beam)	17972	2	13,091	-2,476	46,520	0,000	0,508	13,487	0,000	30,000	449,578	0,000	46,520	0,428	0,000	-0,070	0,508
(TITAN 40/20 l=1,60m)	17973	3	13,185	-2,494	45,230	0,000	0,468	13,455	0,000	30,000	448,488	0,000	45,230	0,427	0,000	-0,071	0,468
폴	17974	4	13,280	-2,511	43,942	0,000	0,427	13,424	0,000	30,000	447,479	0,000	43,942	0,424	0,000	-0,071	0,427
폴	17975	5	13,374	-2,528	42,659	0,000	0,387	13,397	0,000	30,000	446,550	0,000	42,659	0,417	0,000	-0,071	0,387
EmbeddedBeam_11_1	17975	1	13,374	-2,528	42,658	0,000	0,387	13,397	0,000	30,000	446,550	0,000	42,658	0,417	0,000	-0,071	0,387
Element 1-12 (Embedded beam)	17976	2	13,466	-2,545	41,405	0,000	0,348	13,372	0,000	30,000	445,721	0,000	41,405	0,404	0,000	-0,089	0,348
(TITAN 40/20 l=1,60m)	17977	3	13,558	-2,562	40,154	0,000	0,311	13,349	0,000	30,000	444,968	0,000	40,154	0,386	0,000	-0,106	0,311
폴	17978	4	13,650	-2,579	38,904	0,000	0,276	13,329	0,000	30,000	444,294	0,000	38,904	0,365	0,000	-0,121	0,276
폴	17979	5	13,742	-2,596	37,658	0,000	0,243	13,311	0,000	30,000	443,698	0,000	37,658	0,341	0,000	-0,134	0,243
EmbeddedBeam_11_1	17979	1	13,742	-2,596	37,657	0,000	0,243	13,311	0,000	30,000	443,698	0,000	37,657	0,342	0,000	-0,134	0,243
Element 1-13 (Embedded beam)	17980	2	13,832	-2,612	36,440	0,000	0,213	13,296	0,000	30,000	443,190	0,000	36,440	0,317	0,000	-0,145	0,213
(TITAN 40/20 l=1,60m)	17981	3	13,923	-2,629	35,223	0,000	0,185	13,283	0,000	30,000	442,758	0,000	35,223	0,291	0,000	-0,154	0,185
폴	17982	4	14,013	-2,645	34,007	0,000	0,160	13,272	0,000	30,000	442,400	0,000	34,007	0,266	0,000	-0,161	0,160
폴	17983	5	14,103	-2,661	32,792	0,000	0,137	13,264	0,000	30,000	442,118	0,000	32,792	0,240	0,000	-0,167	0,137
EmbeddedBeam_11_1	17983	1	14,103	-2,661	32,792	0,000	0,137	13,264	0,000	30,000	442,118	0,000	32,792	0,240	0,000	-0,167	0,137
Element 1-14 (Embedded beam)	17984	2	14,191	-2,678	31,605	0,000	0,116	13,257	0,000	30,000	441,915	0,000	31,605	0,215	0,000	-0,171	0,116
(TITAN 40/20 l=1,60m)	17985	3	14,279	-2,694	30,418	0,000	0,098	13,254	0,000	30,000	441,784	0,000	30,418	0,192	0,000	-0,174	0,098
폴	17986	4	14,367	-2,710	29,232	0,000	0,082	13,252	0,000	30,000	441,727	0,000	29,232	0,169	0,000	-0,177	0,082
폴	17987	5	14,455	-2,726	28,046	0,000	0,068	13,252	0,000	30,000	441,743	0,000	28,046	0,147	0,000	-0,178	0,068
EmbeddedBeam_11_1	17987	1	14,455	-2,726	28,045	0,000	0,068	13,252	0,000	30,000	441,743	0,000	28,045	0,147	0,000	-0,178	0,068
Element 1-15 (Embedded beam)	17988	2	14,541	-2,742	26,886	0,000	0,056	13,255	0,000	30,000	441,829	0,000	26,886	0,128	0,000	-0,179	0,056
(TITAN 40/20 l=1,60m)	17989	3	14,627	-2,757	25,725	0,000	0,045	13,260	0,000	30,000	441,986	0,000	25,725	0,109	0,000	-0,178	0,045
폴	17990	4	14,713	-2,773	24,564	0,000	0,036	13,266	0,000	30,000	442,215	0,000	24,564	0,092	0,000	-0,177	0,036
폴	17991	5	14,799	-2,789	23,403	0,000	0,029	13,275	0,000	30,000	442,516	0,000	23,403	0,076	0,000	-0,176	0,029
EmbeddedBeam_11_1	17991	1	14,799	-2,789	23,403	0,000	0,029	13,275	0,000	30,000	442,516	0,000	23,403	0,076	0,000	-0,176	0,029
Element 1-16 (Embedded beam)	17992	2	14,883	-2,804	22,267	0,000	0,023	13,286	0,000	30,000	442,881	0,000	22,267	0,062	0,000	-0,173	0,023
(TITAN 40/20 l=1,60m)	17993	3	14,968	-2,820	21,129	0,000	0,019	13,299	0,000	30,000	443,317	0,000	21,129	0,049	0,000	-0,171	0,019
폴	17994	4	15,052	-2,835	19,990	0,000	0,015	13,315	0,000	30,000	443,824	0,000	19,990	0,037	0,000	-0,167	0,015
폴	17995	5	15,136	-2,850	18,850	0,000	0,012	13,332	0,000	30,000	444,403	0,000	18,850	0,027	0,000	-0,163	0,012
EmbeddedBeam_11_1	17995	1	15,136	-2,850	18,850	0,000	0,012	13,332	0,000	30,000	444,403	0,000	18,850	0,027	0,000	-0,163	0,012
Element 1-17 (Embedded beam)	17996	2	15,205	-2,863	17,909	0,000	0,011	13,348	0,000	30,000	444,936	0,000	17,909	0,020	0,000	-0,160	0,011
(TITAN 40/20 l=1,60m)	17997	3	15,275	-2,876	16,966	0,000	0,009	13,366	0,000	30,000	445,521	0,000	16,966	0,015	0,000	-0,156	0,009
폴	17998	4	15,344	-2,889	16,022	0,000	0,008	13,385	0,000	30,000	446,157	0,000	16,022	0,010	0,000	-0,152	0,008
폴	17999	5	15,414	-2,901	15,077	0,000	0,008	13,405	0,000	30,000	446,846	0,000	15,077	0,007	0,000	-0,147	0,008
EmbeddedBeam_11_1	17999	1	15,414	-2,901	15,077	0,000	0,008	13,405	0,000	30,000	446,846	0,000	15,077	0,006	0,000	-0,147	0,008
Element 1-18 (Embedded beam)	18000	2	15,521	-2,921	13,619	0,000	0,007	13,440	0,000	30,000	448,014	0,000	13,619	0,004	0,000	-0,139	0,007
(TITAN 40/20 l=1,60m)	18001	3	15,627	-2,940	12,155	0,000	0,007	13,479	0,000	30,000	449,316	0,000	12,155	0,005	0,000	-0,129	0,007
폴	18002	4	15,734	-2,960	10,688	0,000	0,006	13,523	0,000	30,000	450,758	0,000	10,688	0,008	0,000	-0,117	0,006
폴	18003	5	15,841	-2,980	9,216	0,000	0,005	13,571	0,000	30,000	452,351	0,000	9,216	0,013	0,000	-0,102	0,005
EmbeddedBeam_11_1	18003	1	15,841	-2,980	9,214	0,000	0,005	13,571	0,000	30,000	452,351	0,000	9,214	0,011	0,000	-0,102	0,005
Element 1-19 (Embedded beam)	18004	2	16,006	-4,010	6,938	0,000	0,003	13,654	0,000	30,000	455,123	0,000	6,938	0,010	0,000	-0,074	0,003
(TITAN 40/20 l=1,60m)	18005	3	16,171	-4,040	4,644	0,000	0,001	13,749	0,000	30,000	458,285	0,000	4,644	0,013	0,000	-0,042	0,001
폴	18006	4	16,335	-4,070	2,332	0,000	0,000	13,863	0,000	30,000	462,103	0,000	2,332	0,009	0,000	-0,015	0,000
폴	18007	5	16,500	-4,100	0,003	0,000	0,000	14,016	0,000	30,000	467,193	0,000	0,003	0,000	0,000	0,000	0,000
EmbeddedBeam_21_1	18008	1	6,000	-6,250	91,841	-0,291	0,000	14,536	1,582	30,000	484,549	0,000	91,841	291,174	0,000	0,000	0,000
Element 2-20 (Embedded beam)	18009	2	6,126	-6,273	89,999	-0,131	-26,405	14,339	1,055	30,000	477,950	0,000	89,999	131,202	0,000	-26,405	0,000
(TITAN 40/20 l=1,60m)	18010	3	6,252	-6,295	88,176	-0,023	-35,746	14,167	0,620	30,000	472,219	0,000	88,176	22,662	0,000	-35,746	0,000
폴	18011	4	6,377	-6,318	86,375	0,038	-34,256	14,010	0,300	30,000	467,001	0,000	86,375	0,000	0,038	-34,256	0,000
폴	18012	5	6,503	-6,341	84,596	0,053	-28,042	13,863	0,088	30,000	462,105	0,000	84,596	0,000	0,053	-28,042	0,000
EmbeddedBeam_21_1	18012	1	6,503	-6,341	84,594	0,062	-28,042	13,863	0,088	30,000	462,105	0,000	84,594	0,000	0,062	-28,042	0,000
Element 2-21 (Embedded beam)	18013	2	6,636	-6,365	82,729	0,060	-19,709	13,717	0,038	30,000	457,219	0,000	82,729	0,000	0,060	-19,709	0,000
(TITAN 40/20 l=1,60m)	18014	3	6,770	-6,389	80,881	0,051	-12,161	13,578	0,094	30,000	452,606	0,000	80,881	0,000	0,051	-12,161	0,000
폴	18015	4	6,903	-6,413	79,051	0,038	-6,688	13,447	0,105	30,000	448,231	0,000	79,051	0,000	0,038	-6,688	0,000
폴	18016	5	7,036	-6,436	77,241	0,022	-1,861	13,322	0,091	30,000	444,064	0,000	77,241	0,000	0,022	-3,091	0,000
EmbeddedBeam_21_1	18016	1	7,036	-6,436	77,239	0,024	-1,861	13,322	0,091	30,000	444,064	0,000	77,239	0,000	0,024	-3,091	0,000

Structural element	Node [10 ^]	Local number	X [m]	Y [m]	N [kN]	Q [kN]	M [10 ^ kN m]	T_{xx} [kN/m]	T_{yy} [kN/m]	$T_{xx,yy}$ [kN/m]	$T_{xxx,yyy}$ [10 ^]	N_{xxx} [10 ^ kN]	N_{yyy} [kN]	Q_{xxx} [10 ^ kN]	Q_{yyy} [kN]	M_{xxx} [10 ^ kN m]	M_{yyy} [10 ^ kN m]
Element 2-22 (Embedded beam)	18017	2	7,177	-5,462	75,340	0,013	0,742	-13,196	-0,067	30,000	439,855	0,000	75,340	0,000	0,013	-0,786	0,742
(T)TAN 40/20 l=1,60m)	18018	3	7,318	-5,487	73,456	0,005	1,968	-13,075	-0,043	30,000	435,835	0,000	73,456	0,000	0,005	-0,020	1,968
ff	18019	4	7,459	-5,513	71,589	0,000	2,276	-12,960	-0,023	30,000	431,988	0,000	71,589	0,000	0,001	-0,013	2,276
ff	18020	5	7,600	-5,538	69,740	0,002	2,117	-12,849	-0,009	30,000	428,301	0,000	69,740	-1,749	0,000	-0,011	2,117
EmbeddedBeam_2_1	18020	1	7,600	-5,538	69,739	0,002	2,117	-12,849	-0,009	30,000	428,301	0,000	69,739	-2,354	0,000	-0,011	2,117
Element 2-23 (Embedded beam)	18021	2	7,750	-5,565	67,797	0,003	1,729	-12,737	-0,001	30,000	424,558	0,000	67,797	2,661	0,000	-0,012	1,729
(T)TAN 40/20 l=1,60m)	18022	3	7,899	-5,592	65,871	0,002	1,335	-12,629	0,004	30,000	420,972	0,000	65,871	2,468	0,000	-0,013	1,335
ff	18023	4	8,049	-5,619	63,960	0,002	0,999	-12,526	0,005	30,000	417,533	0,000	63,960	1,875	0,000	-0,060	0,999
ff	18024	5	8,198	-5,646	62,067	0,001	0,780	-12,427	0,004	30,000	414,234	0,000	62,067	0,982	0,000	-0,188	0,780
EmbeddedBeam_2_1	18024	1	8,198	-5,646	62,065	0,001	0,780	-12,427	0,004	30,000	414,234	0,000	62,065	-1,103	0,000	-0,188	0,780
Element 2-24 (Embedded beam)	18025	2	8,357	-5,674	60,076	0,001	0,653	-12,327	0,003	30,000	410,885	0,000	60,076	0,507	0,000	-0,249	0,653
(T)TAN 40/20 l=1,60m)	18026	3	8,515	-5,703	58,100	0,000	0,607	-12,230	0,002	30,000	407,680	0,000	58,100	0,095	0,000	-0,249	0,607
ff	18027	4	8,673	-5,731	56,140	0,000	0,613	-12,138	0,001	30,000	404,613	0,000	56,140	0,000	0,000	-0,210	0,613
ff	18028	5	8,832	-5,760	54,196	0,000	0,644	-12,050	0,000	30,000	401,682	0,000	54,196	0,000	0,000	-0,156	0,644
EmbeddedBeam_3_1	18028	1	8,832	-5,760	54,194	0,000	0,644	-12,050	0,000	30,000	401,682	0,000	54,194	0,000	0,000	-0,156	0,644
Element 2-25 (Embedded beam)	18029	2	8,999	-5,790	52,151	0,000	0,687	-11,962	0,000	30,000	398,721	0,000	52,151	0,000	0,000	-0,094	0,687
(T)TAN 40/20 l=1,60m)	18030	3	9,167	-5,820	50,119	0,000	0,729	-11,877	0,000	30,000	395,907	0,000	50,119	0,000	0,000	-0,036	0,729
ff	18031	4	9,335	-5,850	48,102	0,000	0,766	-11,797	0,000	30,000	393,240	0,000	48,102	0,000	0,000	-0,026	0,766
ff	18032	5	9,502	-5,880	46,100	0,000	0,796	-11,722	0,000	30,000	390,719	0,000	46,100	0,000	0,000	-0,021	0,796
EmbeddedBeam_3_1	18032	1	9,502	-5,880	46,099	0,000	0,796	-11,722	0,000	30,000	390,719	0,000	46,099	0,000	0,000	-0,021	0,796
Element 2-26 (Embedded beam)	18033	2	9,680	-5,912	43,992	0,000	0,820	-11,646	0,000	30,000	388,211	0,000	43,992	0,000	0,000	-0,017	0,820
(T)TAN 40/20 l=1,60m)	18034	3	9,857	-5,944	41,896	0,000	0,838	-11,576	0,000	30,000	385,872	0,000	41,896	0,000	0,000	-0,015	0,838
ff	18035	4	10,035	-5,976	39,812	0,000	0,850	-11,511	0,000	30,000	383,707	0,000	39,812	0,000	0,000	-0,012	0,850
ff	18036	5	10,213	-7,008	37,742	0,000	0,857	-11,452	0,000	30,000	381,719	0,000	37,742	0,000	0,000	-0,010	0,857
EmbeddedBeam_3_1	18036	1	10,213	-7,008	37,740	0,000	0,857	-11,452	0,000	30,000	381,719	0,000	37,740	0,000	0,000	-0,010	0,857
Element 2-27 (Embedded beam)	18037	2	10,401	-7,042	35,559	0,000	0,859	-11,394	0,000	30,000	379,813	0,000	35,559	-0,004	0,000	-0,009	0,859
(T)TAN 40/20 l=1,60m)	18038	3	10,589	-7,076	33,386	0,000	0,856	-11,344	0,000	30,000	378,120	0,000	33,386	-0,032	0,000	-0,007	0,856
ff	18039	4	10,777	-7,110	31,221	0,000	0,847	-11,299	0,000	30,000	376,647	0,000	31,221	-0,059	0,000	-0,006	0,847
ff	18040	5	10,965	-7,144	29,067	0,000	0,833	-11,262	0,000	30,000	375,402	0,000	29,067	-0,085	0,000	-0,005	0,833
EmbeddedBeam_3_1	18040	1	10,965	-7,144	29,065	0,000	0,833	-11,262	0,000	30,000	375,402	0,000	29,065	-0,084	0,000	-0,005	0,833
Element 2-28 (Embedded beam)	18041	2	11,164	-7,180	26,790	0,000	0,813	-11,230	0,000	30,000	374,341	0,000	26,790	-0,108	0,000	-0,004	0,813
(T)TAN 40/20 l=1,60m)	18042	3	11,363	-7,215	24,519	0,000	0,790	-11,207	0,000	30,000	373,556	0,000	24,519	-0,124	0,000	-0,003	0,790
ff	18043	4	11,563	-7,251	22,251	0,000	0,763	-11,192	0,000	30,000	373,057	0,000	22,251	-0,134	0,000	-0,002	0,763
ff	18044	5	11,762	-7,287	19,988	0,000	0,736	-11,186	0,000	30,000	372,858	0,000	19,988	-0,138	0,000	-0,002	0,736
EmbeddedBeam_3_1	18044	1	11,762	-7,287	19,985	0,000	0,736	-11,186	0,000	30,000	372,858	0,000	19,985	-0,148	0,000	-0,002	0,736
Element 2-29 (Embedded beam)	18045	2	11,973	-7,325	17,589	0,000	0,706	-11,190	0,000	30,000	372,986	0,000	17,589	-0,136	0,000	-0,001	0,706
(T)TAN 40/20 l=1,60m)	18046	3	12,184	-7,363	15,188	0,000	0,675	-11,204	0,000	30,000	373,481	0,000	15,188	-0,157	0,000	-0,001	0,675
ff	18047	4	12,395	-7,401	12,782	0,000	0,636	-11,231	0,000	30,000	374,367	0,000	12,782	-0,217	0,000	-0,001	0,636
ff	18048	5	12,606	-7,439	10,373	0,000	0,579	-11,270	-0,001	30,000	375,675	0,000	10,373	-0,323	0,000	0,000	0,579
EmbeddedBeam_3_1	18048	1	12,606	-7,439	10,369	0,000	0,579	-11,270	-0,001	30,000	375,675	0,000	10,369	-0,231	0,000	0,000	0,579
Element 2-30 (Embedded beam)	18049	2	12,829	-7,479	7,807	-0,001	0,480	-11,326	-0,001	30,000	377,545	0,000	7,807	-0,627	0,000	0,000	0,480
(T)TAN 40/20 l=1,60m)	18050	3	13,053	-7,520	5,225	-0,001	0,307	-11,399	-0,001	30,000	379,977	0,000	5,225	-0,836	0,000	0,000	0,307
ff	18051	4	13,276	-7,560	2,624	-0,001	0,123	-11,498	0,001	30,000	383,261	0,000	2,624	-0,747	0,000	0,000	0,123
ff	18052	5	13,500	-7,600	0,004	0,000	0,000	-11,638	0,007	30,000	387,917	0,000	0,004	-0,247	0,000	0,000	0,000
EmbeddedBeam_2_1	18053	1	1,776	-12,600	6,733	-0,011	0,000	-30,464	0,374	125,000	243,714	0,000	6,733	-11,146	0,000	0,000	0,000
Element 3-31 (Embedded beam)	18054	2	1,857	-12,790	3,214	0,002	-0,733	-13,944	0,041	125,000	111,551	0,000	3,214	0,000	0,002	-0,733	0,001
(Ricrapalo D168.3 x12.5mm/1,6m)	18055	3	1,938	-12,980	1,053	0,004	-0,136	-6,021	-0,039	125,000	48,167	0,000	1,053	0,000	0,004	-0,136	0,004
ff	18056	4	2,019	-13,170	0,039	0,001	0,568	-2,855	-0,009	125,000	22,840	0,000	0,077	0,001	0,001	0,000	0,568
ff	18057	5	2,100	-13,360	-0,045	-0,001	0,470	-1,274	0,001	125,000	10,193	-44,576	0,020	1,463	0,000	0,000	0,470
EmbeddedBeam_2_1	18057	1	2,100	-13,360	-0,279	0,000	0,470	-1,274	0,001	125,000	10,193	-278,641	0,000	0,341	0,000	0,000	0,470
Element 3-32 (Embedded beam)	18058	2	2,182	-13,550	-0,422	0,000	0,418	-0,557	0,001	125,000	4,454	-422,104	0,000	0,190	0,000	0,000	0,418
(Ricrapalo D168.3 x12.5mm/1,6m)	18059	3	2,263	-13,740	-0,505	0,000	0,385	-0,206	0,000	125,000	1,647	-505,135	0,000	0,125	0,000	0,000	0,385
ff	18060	4	2,344	-13,930	-0,537	0,000	0,362	-0,062	0,000	125,000	0,495	-537,039	0,000	0,112	0,000	0,000	0,362
ff	18061	5	2,425	-14,120	-0,527	0,000	0,338	0,011	0,000	125,000	0,087	-527,124	0,000	0,114	0,000	0,000	0,338
EmbeddedBeam_2_1	18061	1	2,425	-14,120	-0,538	0,000	0,338	0,011	0,000	125,000	0,087	-537,545	0,000	0,108	0,000	0,000	0,338
Element 3-33 (Embedded beam)	18062	2	2,507	-14,310	-0,530	0,000	0,319	0,044	0,000	125,000	0,351	-529,751	0,000	0,079	0,000	0,000	0,319
(Ricrapalo D168.3 x12.5mm/1,6m)	18063	3	2,588	-14,500	-0,519	0,000	0,305	0,060	0,000	125,000	0,477	-519,258	0,000	0,056	0,000	0,000	0,305

Structural element	Node [10 ^]	Local number	X [m]	Y [m]	N [kN]	Q [kN]	M [10 ^ kN m]	T_{xx} [kN/m]	T_{xy} [kN/m]	$T_{xx,ex}$ [kN/m]	$T_{xx,in}$ [10 ^]	$N_{x,c}$ [10 ^ kN]	$N_{x,t}$ [kN]	$Q_{z,c}$ [10 ^ kN]	$Q_{z,t}$ [kN]	$M_{y,c}$ [10 ^ kN m]	$M_{y,t}$ [10 ^ kN m]
臂	18064	4	2,669	-14,690	-0,507	0,000	0,296	0,066	0,000	125,000	0,525	-506,519	0,000	0,040	0,000	0,000	0,296
臂	18065	5	2,750	-14,880	-0,492	0,000	0,288	0,068	0,000	125,000	0,547	-491,991	0,000	0,032	0,000	0,000	0,288
EmbeddedBeam_2_1	18065	1	2,750	-14,880	-0,492	0,000	0,288	0,068	0,000	125,000	0,547	-492,051	0,000	0,030	0,000	0,000	0,288
Element 3-34 (Embedded beam)	18066	2	2,831	-15,070	-0,478	0,000	0,283	0,070	0,000	125,000	0,564	-478,314	0,000	0,027	0,000	0,000	0,283
(Micropalo D168.3 s12.5mm/1,6m)	18067	3	2,913	-15,260	-0,463	0,000	0,278	0,075	0,000	125,000	0,599	-463,102	0,000	0,025	0,000	0,000	0,278
臂	18068	4	2,994	-15,450	-0,446	0,000	0,272	0,089	0,000	125,000	0,710	-446,000	0,000	0,026	0,000	0,000	0,272
臂	18069	5	3,075	-15,640	-0,427	0,000	0,267	0,121	0,000	125,000	0,965	-426,592	0,000	0,027	0,000	0,000	0,267
EmbeddedBeam_2_1	18069	1	3,075	-15,640	-0,415	0,000	0,267	0,121	0,000	125,000	0,965	-414,805	0,000	0,085	0,000	0,000	0,267
Element 3-35 (Embedded beam)	18070	2	3,156	-15,830	-0,399	0,000	0,257	0,196	0,000	125,000	1,567	-399,472	0,000	0,052	0,000	0,000	0,257
(Micropalo D168.3 s12.5mm/1,6m)	18071	3	3,238	-16,020	-0,338	0,000	0,230	0,351	-0,002	125,000	2,810	-337,993	0,000	0,226	0,000	0,000	0,230
臂	18072	4	3,319	-16,210	-0,220	0,001	0,154	0,747	-0,002	125,000	5,979	-219,541	0,000	0,545	0,000	0,000	0,154
臂	18073	5	3,400	-16,400	-0,033	0,001	0,000	1,579	0,013	125,000	12,635	-33,294	0,000	0,947	0,000	0,000	0,000

3.3.1.1.20 Calculation results, Embedded beam, Riempimento 4 (MG) [Phase_15] (15/984), Table of embedded beam force envelopes

Structural element	Node [10 ⁰]	Local number	X [m]	Y [m]	N [kN]	Q [kN]	M [10 ⁰ kN m]	T_{zzz} [kN/m]	T_{zzz} [kN/m]	$T_{zzz,zzz}$ [kN/m]	$T_{zzz,zzz}$ [10 ⁰]	N_{zzz} [10 ⁰ kN]	N_{zzz} [kN]	Q_{zzz} [10 ⁰ kN]	Q_{zzz} [kN]	M_{zzz} [10 ⁰ kN m]	M_{zzz} [10 ⁰ kN m]
EmbeddedBeam_11_1	17931	1	8,300	-2,600	105,753	1,291	0,000	11,104	6,120	30,000	370,124	0,000	105,783	0,000	1,292	0,000	0,000
Element 1-1 (Embedded beam)	17932	2	8,493	-2,635	103,610	0,435	162,860	10,830	3,533	30,000	361,005	0,000	103,639	0,000	0,435	0,000	162,906
jTITAN 40/20 l=1,60m)	17933	3	8,685	-2,670	101,512	-0,080	192,927	10,584	1,565	30,000	352,785	0,000	101,542	-79,692	0,000	0,000	192,981
20	17934	4	8,878	-2,706	99,461	-0,284	151,856	10,353	0,370	30,000	345,086	0,000	99,491	-284,314	0,000	0,000	151,899
20	17935	5	9,071	-2,741	97,458	-0,212	99,320	10,132	0,202	30,000	337,725	0,000	97,487	-211,983	0,000	0,000	99,347
EmbeddedBeam_11_1	17935	1	9,071	-2,741	97,456	-0,274	99,320	10,132	0,202	30,000	337,725	0,000	97,485	-274,547	0,000	0,000	99,347
Element 1-2 (Embedded beam)	17936	2	9,223	-2,769	95,898	-0,217	61,207	9,965	0,366	30,000	332,153	0,000	95,927	-216,619	0,000	0,000	61,224
jTITAN 40/20 l=1,60m)	17937	3	9,376	-2,797	94,363	-0,160	32,066	9,805	0,379	30,000	326,830	0,000	94,392	-159,926	0,000	0,000	32,075
20	17938	4	9,529	-2,825	92,853	-0,107	11,372	9,653	0,317	30,000	321,760	0,000	92,881	-107,072	0,000	0,000	11,738
20	17939	5	9,681	-2,853	91,368	-0,061	-1,518	9,508	0,231	30,000	316,950	0,000	91,396	-60,663	0,000	-1,518	0,650
EmbeddedBeam_11_1	17939	1	9,681	-2,853	91,366	-0,062	-1,518	9,508	0,231	30,000	316,950	0,000	91,394	-62,268	0,000	-1,518	0,650
Element 1-3 (Embedded beam)	17940	2	9,802	-2,875	90,205	-0,039	-7,662	9,396	0,175	30,000	313,185	0,000	90,233	-38,606	0,000	-7,663	0,000
jTITAN 40/20 l=1,60m)	17941	3	9,923	-2,897	89,056	-0,020	-11,209	9,292	0,128	30,000	309,738	0,000	89,083	-19,639	0,000	-11,211	0,000
20	17942	4	10,044	-2,919	87,919	-0,005	-12,651	9,192	0,111	30,000	306,416	0,000	87,946	-4,553	0,001	-12,653	0,000
20	17943	5	10,165	-2,941	86,795	0,007	-12,449	9,094	0,122	30,000	303,119	0,000	86,822	0,000	0,007	-12,451	0,000
EmbeddedBeam_11_1	17943	1	10,165	-2,941	86,793	0,007	-12,449	9,094	0,122	30,000	303,119	0,000	86,820	0,000	0,007	-12,451	0,000
Element 1-4 (Embedded beam)	17944	2	10,261	-2,959	85,913	0,023	-10,974	9,020	0,144	30,000	300,668	0,000	85,940	0,000	0,023	-10,976	0,000
jTITAN 40/20 l=1,60m)	17945	3	10,357	-2,976	85,035	0,036	-8,069	8,975	0,144	30,000	299,179	0,000	85,062	0,000	0,036	-8,069	0,000
20	17946	4	10,453	-2,994	84,158	0,046	-4,051	9,006	0,072	30,000	300,209	0,000	84,185	0,000	0,046	-4,197	0,000
20	17947	5	10,549	-3,011	83,281	0,051	0,717	9,146	0,102	30,000	304,858	0,000	83,307	0,000	0,051	-2,268	0,718
EmbeddedBeam_11_1	17947	1	10,549	-3,011	83,276	0,048	0,717	15,243	0,171	30,000	508,097	0,000	83,303	0,000	0,048	-2,268	0,718
Element 1-5 (Embedded beam)	17948	2	10,656	-3,031	81,411	0,029	4,868	15,141	0,153	30,000	504,702	0,000	81,437	0,000	0,029	-1,189	4,870
jTITAN 40/20 l=1,60m)	17949	3	10,764	-3,051	79,956	0,014	7,179	15,037	0,118	30,000	501,220	0,000	79,982	0,000	0,014	-0,393	7,181
20	17950	4	10,872	-3,071	78,313	0,003	8,075	14,934	0,082	30,000	497,785	0,000	78,338	0,000	0,007	-0,112	8,078
20	17951	5	10,980	-3,090	76,682	-0,004	7,984	14,833	0,050	30,000	494,438	0,000	76,707	-4,003	0,004	-0,020	7,987
EmbeddedBeam_11_1	17951	1	10,980	-3,090	76,681	-0,004	7,984	14,833	0,050	30,000	494,438	0,000	76,706	-4,435	0,004	-0,020	7,987
Element 1-6 (Embedded beam)	17952	2	11,085	-3,110	75,097	-0,008	7,302	14,738	0,025	30,000	491,254	0,000	75,122	-7,991	0,002	0,000	7,304
jTITAN 40/20 l=1,60m)	17953	3	11,191	-3,129	73,522	-0,010	6,335	14,645	0,007	30,000	488,169	0,000	73,546	9,803	0,001	0,000	6,337
20	17954	4	11,296	-3,148	71,956	-0,010	5,257	14,556	0,005	30,000	485,187	0,000	71,980	-10,018	0,000	0,000	5,259
20	17955	5	11,402	-3,167	70,402	-0,009	4,239	14,469	0,011	30,000	482,305	0,000	70,425	8,781	0,000	0,000	4,240
EmbeddedBeam_11_1	17955	1	11,402	-3,167	70,401	-0,009	4,239	14,469	0,011	30,000	482,305	0,000	70,424	9,124	0,000	0,000	4,240
Element 1-7 (Embedded beam)	17956	2	11,505	-3,186	68,889	-0,008	3,360	14,388	0,014	30,000	479,586	0,000	68,912	7,645	0,000	-0,002	3,361
jTITAN 40/20 l=1,60m)	17957	3	11,608	-3,205	67,385	-0,006	2,636	14,309	0,014	30,000	476,959	0,000	67,408	6,181	0,000	-0,008	2,637
20	17958	4	11,711	-3,224	65,889	-0,005	2,063	14,233	0,013	30,000	474,426	0,000	65,911	4,768	0,000	-0,018	2,110
20	17959	5	11,814	-3,243	64,402	-0,003	1,634	14,160	0,011	30,000	471,986	0,000	64,424	3,443	0,000	-0,029	1,708
EmbeddedBeam_11_1	17959	1	11,814	-3,243	64,401	-0,003	1,634	14,160	0,011	30,000	471,986	0,000	64,423	3,481	0,000	-0,029	1,708
Element 1-8 (Embedded beam)	17960	2	11,915	-3,261	62,954	-0,002	1,330	14,091	0,009	30,000	469,689	0,000	62,976	2,518	0,000	-0,040	1,408
jTITAN 40/20 l=1,60m)	17961	3	12,016	-3,280	61,513	-0,002	1,116	14,024	0,006	30,000	467,480	0,000	61,534	1,884	0,000	-0,048	1,186
20	17962	4	12,117	-3,298	60,079	-0,001	0,972	13,961	0,005	30,000	465,358	0,000	60,100	1,468	0,000	-0,055	1,025
20	17963	5	12,217	-3,317	58,652	-0,001	0,874	13,900	0,003	30,000	463,325	0,000	58,673	1,143	0,000	-0,060	0,908
EmbeddedBeam_11_1	17963	1	12,217	-3,317	58,652	-0,001	0,874	13,900	0,003	30,000	463,325	0,000	58,672	1,138	0,000	-0,060	0,908
Element 1-9 (Embedded beam)	17964	2	12,316	-3,335	57,263	-0,001	0,809	13,843	0,002	30,000	461,422	0,000	57,282	0,929	0,000	-0,064	0,824
jTITAN 40/20 l=1,60m)	17965	3	12,414	-3,353	55,878	0,000	0,761	13,788	0,001	30,000	459,604	0,000	55,897	0,774	0,000	-0,067	0,762
20	17966	4	12,513	-3,371	54,499	0,000	0,724	13,736	0,000	30,000	457,871	0,000	54,518	0,656	0,000	-0,068	0,725
20	17967	5	12,612	-3,389	53,126	0,000	0,690	13,687	0,000	30,000	456,223	0,000	53,144	0,564	0,000	-0,069	0,691
EmbeddedBeam_11_1	17967	1	12,612	-3,389	53,125	0,000	0,690	13,687	0,000	30,000	456,223	0,000	53,144	0,563	0,000	-0,069	0,691
Element 1-10 (Embedded beam)	17968	2	12,708	-3,406	51,787	0,000	0,657	13,641	0,000	30,000	454,695	0,000	51,805	0,497	0,000	-0,070	0,658
jTITAN 40/20 l=1,60m)	17969	3	12,804	-3,424	50,453	0,000	0,623	13,597	0,000	30,000	453,249	0,000	50,471	0,442	0,000	-0,070	0,623
20	17970	4	12,901	-3,442	49,122	0,000	0,586	13,557	0,000	30,000	451,887	0,000	49,140	0,423	0,000	-0,070	0,587

Structural element	Node [10^1]	Local number	X [m]	Y [m]	N [kN]	Q [kN]	M [10^1 kN m]	$T_{xx,+}$ [kN/m]	$T_{xx,-}$ [kN/m]	$T_{xx,c,+/-}$ [kN/m]	$T_{xx,c,+/-}$ [10^1]	$N_{x,+}$ [10^1 kN]	$N_{x,-}$ [kN]	$Q_{z,+}$ [10^1 kN]	$Q_{z,-}$ [kN]	$M_{x,+}$ [10^1 kN m]	$M_{x,-}$ [10^1 kN m]
폴	17971	5	12,997	-2,459	47,797	0,000	0,548	13,518	0,000	10,000	450,607	0,000	47,814	0,428	0,000	-0,070	0,548
EmbeddedBeam_11_1	17971	1	12,997	-2,459	47,796	0,000	0,548	13,518	0,000	10,000	450,607	0,000	47,813	0,426	0,000	-0,070	0,548
Element 1-11 (Embedded beam)	17972	2	13,091	-2,476	46,504	0,000	0,508	13,483	0,000	10,000	449,436	0,000	46,520	0,428	0,000	-0,070	0,508
(TITAN 40/20 l=1,60m)	17973	3	13,185	-2,494	45,214	0,000	0,468	13,450	0,000	10,000	448,346	0,000	45,230	0,427	0,000	-0,071	0,468
폴	17974	4	13,280	-2,511	43,927	0,000	0,427	13,420	0,000	10,000	447,336	0,000	43,942	0,424	0,000	-0,071	0,427
폴	17975	5	13,374	-2,528	42,643	0,000	0,387	13,392	0,000	10,000	446,406	0,000	42,659	0,417	0,000	-0,071	0,387
EmbeddedBeam_11_1	17975	1	13,374	-2,528	42,643	0,000	0,387	13,392	0,000	10,000	446,406	0,000	42,658	0,417	0,000	-0,071	0,387
Element 1-12 (Embedded beam)	17976	2	13,466	-2,545	41,390	0,000	0,348	13,367	0,000	10,000	445,576	0,000	41,405	0,404	0,000	-0,089	0,348
(TITAN 40/20 l=1,60m)	17977	3	13,558	-2,562	40,139	0,000	0,311	13,345	0,000	10,000	444,823	0,000	40,154	0,386	0,000	-0,106	0,311
폴	17978	4	13,650	-2,579	38,890	0,000	0,276	13,324	0,000	10,000	444,148	0,000	38,904	0,365	0,000	-0,121	0,276
폴	17979	5	13,742	-2,596	37,644	0,000	0,243	13,307	0,000	10,000	443,550	0,000	37,658	0,341	0,000	-0,134	0,243
EmbeddedBeam_11_1	17979	1	13,742	-2,596	37,643	0,000	0,243	13,307	0,000	10,000	443,550	0,000	37,657	0,342	0,000	-0,134	0,243
Element 1-13 (Embedded beam)	17980	2	13,832	-2,612	36,426	0,000	0,213	13,291	0,000	10,000	443,042	0,000	36,440	0,317	0,000	-0,145	0,213
(TITAN 40/20 l=1,60m)	17981	3	13,923	-2,629	35,210	0,000	0,185	13,278	0,000	10,000	442,608	0,000	35,223	0,291	0,000	-0,154	0,185
폴	17982	4	14,013	-2,645	33,994	0,000	0,159	13,268	0,000	10,000	442,250	0,000	34,007	0,266	0,000	-0,161	0,160
폴	17983	5	14,103	-2,661	32,780	0,000	0,136	13,259	0,000	10,000	441,967	0,000	32,792	0,240	0,000	-0,167	0,137
EmbeddedBeam_11_1	17983	1	14,103	-2,661	32,780	0,000	0,136	13,259	0,000	10,000	441,967	0,000	32,792	0,240	0,000	-0,167	0,137
Element 1-14 (Embedded beam)	17984	2	14,191	-2,678	31,594	0,000	0,116	13,253	0,000	10,000	441,763	0,000	31,605	0,215	0,000	-0,171	0,116
(TITAN 40/20 l=1,60m)	17985	3	14,279	-2,694	30,407	0,000	0,098	13,249	0,000	10,000	441,632	0,000	30,418	0,192	0,000	-0,174	0,098
폴	17986	4	14,367	-2,710	29,221	0,000	0,082	13,247	0,000	10,000	441,573	0,000	29,232	0,169	0,000	-0,177	0,082
폴	17987	5	14,455	-2,726	28,036	0,000	0,067	13,248	0,000	10,000	441,588	0,000	28,046	0,147	0,000	-0,178	0,068
EmbeddedBeam_11_1	17987	1	14,455	-2,726	28,035	0,000	0,067	13,248	0,000	10,000	441,588	0,000	28,045	0,147	0,000	-0,178	0,068
Element 1-15 (Embedded beam)	17988	2	14,541	-2,742	26,876	0,000	0,055	13,250	0,000	10,000	441,674	0,000	26,886	0,128	0,000	-0,179	0,056
(TITAN 40/20 l=1,60m)	17989	3	14,627	-2,757	25,716	0,000	0,045	13,255	0,000	10,000	441,830	0,000	25,725	0,109	0,000	-0,178	0,045
폴	17990	4	14,713	-2,773	24,555	0,000	0,036	13,262	0,000	10,000	442,058	0,000	24,564	0,092	0,000	-0,177	0,036
폴	17991	5	14,799	-2,789	23,395	0,000	0,029	13,271	0,000	10,000	442,358	0,000	23,403	0,076	0,000	-0,176	0,029
EmbeddedBeam_11_1	17991	1	14,799	-2,789	23,394	0,000	0,029	13,271	0,000	10,000	442,358	0,000	23,403	0,076	0,000	-0,176	0,029
Element 1-16 (Embedded beam)	17992	2	14,883	-2,804	22,258	0,000	0,023	13,282	0,000	10,000	442,722	0,000	22,267	0,062	0,000	-0,173	0,023
(TITAN 40/20 l=1,60m)	17993	3	14,968	-2,820	21,121	0,000	0,018	13,295	0,000	10,000	443,157	0,000	21,129	0,049	0,000	-0,171	0,019
폴	17994	4	15,052	-2,835	19,982	0,000	0,015	13,310	0,000	10,000	443,663	0,000	19,990	0,037	0,000	-0,167	0,015
폴	17995	5	15,136	-2,850	18,843	0,000	0,012	13,327	0,000	10,000	444,241	0,000	18,850	0,027	0,000	-0,163	0,012
EmbeddedBeam_11_1	17995	1	15,136	-2,850	18,843	0,000	0,012	13,327	0,000	10,000	444,241	0,000	18,850	0,027	0,000	-0,163	0,012
Element 1-17 (Embedded beam)	17996	2	15,205	-2,863	17,902	0,000	0,010	13,343	0,000	10,000	444,774	0,000	17,909	0,020	0,000	-0,160	0,011
(TITAN 40/20 l=1,60m)	17997	3	15,275	-2,876	16,960	0,000	0,009	13,361	0,000	10,000	445,357	0,000	16,966	0,015	0,000	-0,156	0,009
폴	17998	4	15,344	-2,889	16,016	0,000	0,008	13,380	0,000	10,000	445,993	0,000	16,022	0,010	0,000	-0,152	0,008
폴	17999	5	15,414	-2,901	15,072	0,000	0,008	13,400	0,000	10,000	446,681	0,000	15,077	0,007	0,000	-0,147	0,008
EmbeddedBeam_11_1	17999	1	15,414	-2,901	15,071	0,000	0,008	13,400	0,000	10,000	446,681	0,000	15,077	0,006	0,000	-0,147	0,008
Element 1-18 (Embedded beam)	18000	2	15,521	-2,921	13,614	0,000	0,007	13,435	0,000	10,000	447,848	0,000	13,619	0,004	0,000	-0,139	0,007
(TITAN 40/20 l=1,60m)	18001	3	15,627	-2,940	12,151	0,000	0,007	13,474	0,000	10,000	449,148	0,000	12,155	0,005	0,000	-0,129	0,007
폴	18002	4	15,734	-2,960	10,684	0,000	0,006	13,518	0,000	10,000	450,589	0,000	10,688	0,008	0,000	-0,117	0,006
폴	18003	5	15,841	-2,980	9,213	0,000	0,005	13,565	0,000	10,000	452,180	0,000	9,216	0,013	0,000	-0,102	0,005
EmbeddedBeam_11_1	18003	1	15,841	-2,980	9,211	0,000	0,005	13,565	0,000	10,000	452,180	0,000	9,214	0,011	0,000	-0,102	0,005
Element 1-19 (Embedded beam)	18004	2	16,006	-4,010	6,935	0,000	0,003	13,649	0,000	10,000	454,951	0,000	6,938	0,010	0,000	-0,074	0,003
(TITAN 40/20 l=1,60m)	18005	3	16,171	-4,040	4,642	0,000	0,001	13,743	0,000	10,000	458,110	0,000	4,644	0,013	0,000	-0,042	0,001
폴	18006	4	16,335	-4,070	2,331	0,000	0,000	13,858	0,000	10,000	461,925	0,000	2,332	0,009	0,000	-0,015	0,000
폴	18007	5	16,500	-4,100	0,003	0,000	0,000	14,010	0,000	10,000	467,012	0,000	0,003	0,000	0,000	0,000	0,000
EmbeddedBeam_21_1	18008	1	6,000	-6,250	91,884	-0,291	0,000	14,544	1,582	10,000	484,794	0,000	91,884	291,311	0,000	0,000	0,000
Element 2-20 (Embedded beam)	18009	2	6,126	-6,273	90,041	-0,131	-26,418	14,346	1,056	10,000	478,192	0,000	90,041	-131,269	0,000	-26,418	0,000
(TITAN 40/20 l=1,60m)	18010	3	6,252	-6,295	88,218	-0,023	-35,764	14,174	0,621	10,000	472,457	0,000	88,218	-22,680	0,000	-35,764	0,000
폴	18011	4	6,377	-6,318	86,416	0,038	-34,274	14,017	0,300	10,000	467,236	0,000	86,416	0,000	0,038	-34,274	0,000
폴	18012	5	6,503	-6,341	84,635	0,053	-28,058	13,870	0,088	10,000	462,338	0,000	84,635	0,000	0,053	-28,058	0,000
EmbeddedBeam_21_1	18012	1	6,503	-6,341	84,633	0,062	-28,058	13,870	0,088	10,000	462,338	0,000	84,633	0,000	0,062	-28,058	0,000
Element 2-21 (Embedded beam)	18013	2	6,636	-6,365	82,767	0,060	-19,721	13,723	0,038	10,000	457,448	0,000	82,767	0,000	0,060	-19,721	0,000
(TITAN 40/20 l=1,60m)	18014	3	6,770	-6,389	80,919	0,051	-12,161	13,585	0,094	10,000	452,833	0,000	80,919	0,000	0,051	-12,161	0,000
폴	18015	4	6,903	-6,413	79,088	0,039	-6,014	13,454	0,105	10,000	448,455	0,000	79,088	0,000	0,039	-6,680	0,000
폴	18016	5	7,036	-6,436	77,277	0,023	-1,866	13,329	0,091	10,000	444,286	0,000	77,277	0,000	0,023	-3,091	0,000
EmbeddedBeam_21_1	18016	1	7,036	-6,436	77,275	0,024	-1,866	13,329	0,091	10,000	444,286	0,000	77,275	0,000	0,024	-3,091	0,000

Structural element	Node [10^3]	Local number	X [m]	Y [m]	N [kN]	Q [kN]	M [10^-3 kN m]	$T_{xx,+}$ [kN/m]	$T_{xx,-}$ [kN/m]	$T_{xx,max}$ [kN/m]	$T_{xx,min}$ [10^3]	$N_{xx,+}$ [10^3 kN]	$N_{xx,-}$ [kN]	$Q_{xz,+}$ [10^3 kN]	$Q_{xz,-}$ [kN]	$M_{yy,+}$ [10^3 kN m]	$M_{yy,-}$ [10^3 kN m]
Element 2-22 (Embedded beam)	18017	2	7,177	-5,462	75,375	0,013	0,738	-13,202	-0,067	30,000	440,073	0,000	75,375	0,000	0,013	-0,786	0,742
(TITAN 40/20 l=1,60m)	18018	3	7,318	-5,487	73,490	0,005	1,965	-13,082	-0,043	30,000	436,050	0,000	73,490	0,000	0,005	-0,020	1,968
ff	18019	4	7,459	-5,513	71,622	0,000	2,274	-12,966	-0,023	30,000	432,201	0,000	71,622	0,000	0,001	-0,013	2,276
ff	18020	5	7,600	-5,538	69,772	0,002	2,115	-12,855	-0,009	30,000	428,512	0,000	69,772	-1,749	0,000	-0,011	2,117
EmbeddedBeam_21_1	18020	1	7,600	-5,538	69,771	0,002	2,115	-12,855	-0,009	30,000	428,512	0,000	69,771	2,354	0,000	-0,011	2,117
Element 2-23 (Embedded beam)	18021	2	7,750	-5,565	67,828	0,003	1,727	-12,743	-0,001	30,000	424,767	0,000	67,828	2,661	0,000	-0,012	1,729
(TITAN 40/20 l=1,60m)	18022	3	7,899	-5,592	65,901	0,002	1,333	-12,635	0,004	30,000	421,178	0,000	65,901	2,468	0,000	-0,013	1,335
ff	18023	4	8,049	-5,619	63,989	0,002	0,997	-12,532	0,005	30,000	417,737	0,000	63,989	1,875	0,000	-0,060	0,999
ff	18024	5	8,198	-5,646	62,095	0,001	0,778	-12,433	0,004	30,000	414,435	0,000	62,095	0,982	0,000	-0,188	0,780
EmbeddedBeam_31_1	18024	1	8,198	-5,646	62,094	0,001	0,778	-12,433	0,004	30,000	414,435	0,000	62,094	-1,103	0,000	-0,188	0,780
Element 2-24 (Embedded beam)	18025	2	8,357	-5,674	60,103	0,001	0,651	-12,333	0,003	30,000	411,084	0,000	60,103	0,507	0,000	-0,249	0,653
(TITAN 40/20 l=1,60m)	18026	3	8,515	-5,703	58,127	0,000	0,605	-12,236	0,002	30,000	407,877	0,000	58,127	0,095	0,000	-0,249	0,607
ff	18027	4	8,673	-5,731	56,166	0,000	0,611	-12,144	0,001	30,000	404,808	0,000	56,166	0,000	0,000	-0,210	0,613
ff	18028	5	8,832	-5,760	54,221	0,000	0,642	-12,056	0,000	30,000	401,874	0,000	54,221	0,000	0,000	-0,156	0,644
EmbeddedBeam_31_1	18028	1	8,832	-5,760	54,219	0,000	0,642	-12,056	0,000	30,000	401,874	0,000	54,219	0,000	0,000	-0,156	0,644
Element 2-25 (Embedded beam)	18029	2	8,999	-5,790	52,174	0,000	0,685	-11,967	0,000	30,000	398,912	0,000	52,174	0,000	0,000	-0,094	0,687
(TITAN 40/20 l=1,60m)	18030	3	9,167	-5,820	50,142	0,000	0,727	-11,883	0,000	30,000	396,096	0,000	50,142	0,000	0,000	-0,036	0,729
ff	18031	4	9,335	-5,850	48,124	0,000	0,764	-11,803	0,000	30,000	393,426	0,000	48,124	0,000	0,000	-0,026	0,766
ff	18032	5	9,502	-5,880	46,121	0,000	0,794	-11,727	0,000	30,000	390,904	0,000	46,121	0,000	0,000	-0,021	0,796
EmbeddedBeam_31_1	18032	1	9,502	-5,880	46,119	0,000	0,794	-11,727	0,000	30,000	390,904	0,000	46,119	0,000	0,000	-0,021	0,796
Element 2-26 (Embedded beam)	18033	2	9,680	-5,912	44,012	0,000	0,819	-11,652	0,000	30,000	388,394	0,000	44,012	0,000	0,000	-0,017	0,820
(TITAN 40/20 l=1,60m)	18034	3	9,857	-5,944	41,915	0,000	0,837	-11,582	0,000	30,000	386,053	0,000	41,915	0,000	0,000	-0,015	0,838
ff	18035	4	10,035	-5,976	39,830	0,000	0,849	-11,517	0,000	30,000	383,886	0,000	39,830	0,000	0,000	-0,012	0,850
ff	18036	5	10,213	-7,008	37,759	0,000	0,856	-11,457	0,000	30,000	381,897	0,000	37,759	0,000	0,000	-0,010	0,857
EmbeddedBeam_31_1	18036	1	10,213	-7,008	37,757	0,000	0,856	-11,457	0,000	30,000	381,897	0,000	37,757	0,000	0,000	-0,010	0,857
Element 2-27 (Embedded beam)	18037	2	10,401	-7,042	35,575	0,000	0,858	-11,400	0,000	30,000	379,989	0,000	35,575	-0,004	0,000	-0,009	0,859
(TITAN 40/20 l=1,60m)	18038	3	10,589	-7,076	33,400	0,000	0,855	-11,349	0,000	30,000	378,295	0,000	33,400	-0,032	0,000	-0,007	0,856
ff	18039	4	10,777	-7,110	31,235	0,000	0,846	-11,305	0,000	30,000	376,820	0,000	31,235	-0,059	0,000	-0,006	0,847
ff	18040	5	10,965	-7,144	29,080	0,000	0,832	-11,267	0,000	30,000	375,573	0,000	29,080	-0,085	0,000	-0,005	0,833
EmbeddedBeam_31_1	18040	1	10,965	-7,144	29,078	0,000	0,832	-11,267	0,000	30,000	375,573	0,000	29,078	-0,084	0,000	-0,005	0,833
Element 2-28 (Embedded beam)	18041	2	11,164	-7,180	26,802	0,000	0,813	-11,235	0,000	30,000	374,511	0,000	26,802	-0,108	0,000	-0,004	0,813
(TITAN 40/20 l=1,60m)	18042	3	11,363	-7,215	24,529	0,000	0,789	-11,212	0,000	30,000	373,725	0,000	24,529	-0,124	0,000	-0,003	0,790
ff	18043	4	11,563	-7,251	22,261	0,000	0,763	-11,197	0,000	30,000	373,225	0,000	22,261	-0,134	0,000	-0,002	0,763
ff	18044	5	11,762	-7,287	19,997	0,000	0,735	-11,191	0,000	30,000	373,024	0,000	19,997	-0,138	0,000	-0,002	0,736
EmbeddedBeam_31_1	18044	1	11,762	-7,287	19,994	0,000	0,735	-11,191	0,000	30,000	373,024	0,000	19,994	-0,148	0,000	-0,002	0,736
Element 2-29 (Embedded beam)	18045	2	11,973	-7,325	17,597	0,000	0,705	-11,195	0,000	30,000	373,152	0,000	17,597	-0,136	0,000	-0,001	0,706
(TITAN 40/20 l=1,60m)	18046	3	12,184	-7,363	15,194	0,000	0,675	-11,209	0,000	30,000	373,646	0,000	15,194	-0,157	0,000	-0,001	0,675
ff	18047	4	12,395	-7,401	12,787	0,000	0,636	-11,236	0,000	30,000	374,531	0,000	12,787	-0,217	0,000	-0,001	0,636
ff	18048	5	12,606	-7,439	10,377	0,000	0,579	-11,275	-0,001	30,000	375,838	0,000	10,377	-0,323	0,000	0,000	0,579
EmbeddedBeam_31_1	18048	1	12,606	-7,439	10,373	0,000	0,579	-11,275	-0,001	30,000	375,838	0,000	10,373	-0,231	0,000	0,000	0,579
Element 2-30 (Embedded beam)	18049	2	12,829	-7,479	7,810	-0,001	0,480	-11,331	-0,001	30,000	377,708	0,000	7,810	-0,627	0,000	0,000	0,480
(TITAN 40/20 l=1,60m)	18050	3	13,053	-7,520	5,227	-0,001	0,307	-11,404	-0,001	30,000	380,140	0,000	5,227	-0,836	0,000	0,000	0,307
ff	18051	4	13,276	-7,560	2,625	-0,001	0,123	-11,503	0,001	30,000	383,423	0,000	2,625	-0,747	0,000	0,000	0,123
ff	18052	5	13,500	-7,600	0,004	0,000	0,000	-11,642	0,007	30,000	388,080	0,000	0,004	-0,247	0,000	0,000	0,000
EmbeddedBeam_21_1	18053	1	1,776	-12,600	6,730	-0,011	0,000	-30,452	0,374	125,000	243,618	0,000	6,733	-11,146	0,000	0,000	0,000
Element 3-31 (Embedded beam)	18054	2	1,857	-12,790	3,212	0,002	-0,732	-13,938	0,041	125,000	111,506	0,000	3,214	0,000	0,002	-0,733	0,001
(Ricrocalo D168.3 x12.5mm/1,6m)	18055	3	1,938	-12,980	1,053	0,004	-0,135	-6,018	-0,039	125,000	48,147	0,000	1,053	0,000	0,004	-0,136	0,004
ff	18056	4	2,019	-13,170	0,038	0,001	0,568	-2,854	-0,009	125,000	22,810	0,000	0,077	0,001	0,001	0,000	0,568
ff	18057	5	2,100	-13,360	-0,045	-0,001	0,471	-1,274	0,001	125,000	10,188	-44,805	0,020	1,463	0,000	0,000	0,471
EmbeddedBeam_21_1	18057	1	2,100	-13,360	-0,279	0,000	0,471	-1,274	0,001	125,000	10,188	-278,779	0,000	0,342	0,000	0,000	0,471
Element 3-32 (Embedded beam)	18058	2	2,182	-13,550	-0,422	0,000	0,418	-0,556	0,001	125,000	4,451	-422,167	0,000	0,190	0,000	0,000	0,418
(Ricrocalo D168.3 x12.5mm/1,6m)	18059	3	2,263	-13,740	-0,505	0,000	0,386	-0,206	0,000	125,000	1,646	-505,153	0,000	0,126	0,000	0,000	0,386
ff	18060	4	2,344	-13,930	-0,537	0,000	0,362	-0,062	0,000	125,000	0,494	-537,039	0,000	0,112	0,000	0,000	0,362
ff	18061	5	2,425	-14,120	-0,527	0,000	0,338	0,011	0,000	125,000	0,088	-527,124	0,000	0,114	0,000	0,000	0,339
EmbeddedBeam_21_1	18061	1	2,425	-14,120	-0,538	0,000	0,338	0,011	0,000	125,000	0,088	-537,545	0,000	0,108	0,000	0,000	0,339
Element 3-33 (Embedded beam)	18062	2	2,507	-14,310	-0,530	0,000	0,319	0,044	0,000	125,000	0,351	-529,751	0,000	0,079	0,000	0,000	0,319
(Ricrocalo D168.3 x12.5mm/1,6m)	18063	3	2,588	-14,500	-0,519	0,000	0,306	0,060	0,000	125,000	0,477	-519,258	0,000	0,056	0,000	0,000	0,306

Structural element	Node [10 ^]	Local number	X [m]	Y [m]	N [kN]	Q [kN]	M [10 ^ kN m]	T_{xx} [kN/m]	T_{yy} [kN/m]	$T_{xx,yy}$ [kN/m]	$T_{xx,yy}$ [10 ^]	$N_{x,x}$ [10 ^ kN]	$N_{y,y}$ [kN]	$Q_{z,z}$ [10 ^ kN]	$Q_{y,y}$ [kN]	$m_{x,x}$ [10 ^ kN m]	$m_{y,y}$ [10 ^ kN m]
臂	18064	4	2,669	-14,690	-0,506	0,000	0,296	0,066	0,000	-125,000	0,525	-506,519	0,000	0,040	0,000	0,000	0,296
臂	18065	5	2,750	-14,880	-0,492	0,000	0,289	0,068	0,000	-125,000	0,547	-491,991	0,000	0,032	0,000	0,000	0,289
EmbeddedBeam_2_1	18065	1	2,750	-14,880	-0,492	0,000	0,289	0,068	0,000	-125,000	0,547	-492,051	0,000	0,030	0,000	0,000	0,289
Element 3-34 (Embedded beam)	18066	2	2,831	-15,070	-0,478	0,000	0,283	0,070	0,000	-125,000	0,564	-478,314	0,000	0,027	0,000	0,000	0,283
(Micropalo D168.3 s12.5mm/1,6m)	18067	3	2,913	-15,260	-0,463	0,000	0,278	0,075	0,000	-125,000	0,599	-463,102	0,000	0,025	0,000	0,000	0,278
臂	18068	4	2,994	-15,450	-0,446	0,000	0,272	0,089	0,000	-125,000	0,710	-446,000	0,000	0,026	0,000	0,000	0,272
臂	18069	5	3,075	-15,640	-0,427	0,000	0,267	0,121	0,000	-125,000	0,965	-426,592	0,000	0,027	0,000	0,000	0,267
EmbeddedBeam_2_1	18069	1	3,075	-15,640	-0,415	0,000	0,267	0,121	0,000	-125,000	0,965	-414,805	0,000	0,085	0,000	0,000	0,267
Element 3-35 (Embedded beam)	18070	2	3,156	-15,830	-0,399	0,000	0,257	0,196	0,000	-125,000	1,567	-399,472	0,000	0,052	0,000	0,000	0,257
(Micropalo D168.3 s12.5mm/1,6m)	18071	3	3,238	-16,020	-0,338	0,000	0,230	0,351	-0,002	-125,000	2,809	-337,993	0,000	0,226	0,000	0,000	0,230
臂	18072	4	3,319	-16,210	-0,220	0,001	0,154	0,747	-0,002	-125,000	5,978	-219,541	0,000	0,545	0,000	0,000	0,154
臂	18073	5	3,400	-16,400	-0,033	0,001	0,000	1,579	0,013	-125,000	12,633	-33,294	0,000	0,948	0,000	0,000	0,000

3.3.1.1.21 Calculation results, Embedded beam, Riempimento 5 (MG) [Phase_16] (16/992), Table of embedded beam force envelopes

Structural element	Node [10^1]	Local number	X [m]	Y [m]	N [kN]	Q [kN]	M [10^-1 kN m]	T_{xxx} [kN/m]	T_{yyy} [kN/m]	$T_{xxx,yyy}$ [kN/m]	$T_{xxx,yyy}$ [10^1]	N_{xxx} [10^-1 kN]	N_{yyy} [kN]	Q_{xzz} [10^-1 kN]	Q_{yzz} [kN]	M_{xzz} [10^-1 kN m]	M_{yzz} [10^-1 kN m]
EmbeddedBeam_11_1	17931	1	8,300	-2,600	107,575	1,314	0,000	-11,196	6,227	30,000	373,212	0,000	107,575	0,000	1,314	0,000	0,000
Element 1-1 (Embedded beam)	17932	2	8,493	-2,635	105,414	0,442	165,656	-10,920	3,594	30,000	364,003	0,000	105,414	0,000	0,442	0,000	165,656
jTITAN 40/20 l=1,60m)	17933	3	8,685	-2,670	103,299	-0,081	196,253	-10,672	1,592	30,000	355,719	0,000	103,299	-80,960	0,000	0,000	196,253
ze	17934	4	8,878	-2,706	101,231	-0,289	154,489	-10,439	0,377	30,000	347,971	0,000	101,231	-289,079	0,000	0,000	154,489
ze	17935	5	9,071	-2,741	99,211	-0,216	101,045	-10,217	0,204	30,000	340,568	0,000	99,211	-215,670	0,000	0,000	101,045
EmbeddedBeam_11_1	17935	1	9,071	-2,741	99,209	-0,279	101,045	-10,217	0,204	30,000	340,568	0,000	99,209	-279,300	0,000	0,000	101,045
Element 1-2 (Embedded beam)	17936	2	9,223	-2,769	97,638	-0,221	62,234	-10,049	0,370	30,000	334,965	0,000	97,638	-220,732	0,000	0,000	62,234
jTITAN 40/20 l=1,60m)	17937	3	9,376	-2,797	96,090	-0,164	32,490	-9,888	0,383	30,000	329,609	0,000	96,090	-163,501	0,000	0,000	32,490
ze	17938	4	9,529	-2,825	94,567	-0,110	11,270	-9,735	0,319	30,000	324,507	0,000	94,567	-110,232	0,000	0,000	11,738
ze	17939	5	9,681	-2,853	93,069	-0,064	-2,091	-9,590	0,233	30,000	319,668	0,000	93,069	-63,552	0,000	-2,091	0,650
EmbeddedBeam_11_1	17939	1	9,681	-2,853	93,067	-0,065	-2,091	-9,590	0,233	30,000	319,668	0,000	93,067	-65,050	0,000	-2,091	0,650
Element 1-3 (Embedded beam)	17940	2	9,802	-2,875	91,896	-0,041	-8,567	-9,475	0,178	30,000	315,847	0,000	91,896	-41,153	0,000	-8,567	0,000
jTITAN 40/20 l=1,60m)	17941	3	9,923	-2,897	90,737	-0,022	-12,393	-9,371	0,134	30,000	312,370	0,000	90,737	-21,515	0,000	-12,393	0,000
ze	17942	4	10,044	-2,919	89,591	-0,005	-13,997	-9,270	0,124	30,000	309,008	0,000	89,591	-5,226	0,001	-13,997	0,000
ze	17943	5	10,165	-2,941	88,457	0,009	-13,772	-9,170	0,144	30,000	305,656	0,000	88,457	0,000	0,009	-13,772	0,000
EmbeddedBeam_11_1	17943	1	10,165	-2,941	88,455	0,008	-13,772	-9,170	0,144	30,000	305,656	0,000	88,455	0,000	0,008	-13,772	0,000
Element 1-4 (Embedded beam)	17944	2	10,261	-2,959	87,569	0,027	-12,047	-9,097	0,173	30,000	303,250	0,000	87,569	0,000	0,027	-12,047	0,000
jTITAN 40/20 l=1,60m)	17945	3	10,357	-2,976	86,682	0,043	-8,603	-9,066	0,165	30,000	302,201	0,000	86,682	0,000	0,043	-8,603	0,000
ze	17946	4	10,453	-2,994	85,795	0,053	-3,898	-9,125	0,071	30,000	304,156	0,000	85,795	0,000	0,053	-4,197	0,000
ze	17947	5	10,549	-3,011	84,905	0,057	1,553	-9,296	-0,127	30,000	309,855	0,000	84,905	0,000	0,057	-2,268	1,553
EmbeddedBeam_11_1	17947	1	10,549	-3,011	84,900	0,054	1,553	-15,493	0,211	30,000	516,425	0,000	84,900	0,000	0,054	-2,268	1,553
Element 1-5 (Embedded beam)	17948	2	10,656	-3,031	83,208	0,031	6,164	-15,391	0,182	30,000	513,030	0,000	83,208	0,000	0,031	-1,189	6,164
jTITAN 40/20 l=1,60m)	17949	3	10,764	-3,051	81,525	0,014	8,590	-15,286	0,136	30,000	509,541	0,000	81,525	0,000	0,014	-0,393	8,590
ze	17950	4	10,872	-3,071	79,855	0,001	9,377	-15,183	0,091	30,000	506,105	0,000	79,855	0,000	0,007	-0,112	9,377
ze	17951	5	10,980	-3,090	78,196	-0,006	9,068	-15,083	0,053	30,000	502,764	0,000	78,196	-6,156	0,004	-0,020	9,068
EmbeddedBeam_11_1	17951	1	10,980	-3,090	78,195	-0,007	9,068	-15,083	0,053	30,000	502,764	0,000	78,195	-6,770	0,004	-0,020	9,068
Element 1-6 (Embedded beam)	17952	2	11,085	-3,110	76,585	-0,010	8,134	-14,988	0,024	30,000	499,592	0,000	76,585	-10,322	0,002	0,000	8,134
jTITAN 40/20 l=1,60m)	17953	3	11,191	-3,129	74,982	-0,012	6,926	-14,896	0,004	30,000	496,523	0,000	74,982	-11,936	0,001	0,000	6,926
ze	17954	4	11,296	-3,148	73,390	-0,012	5,637	-14,807	0,008	30,000	493,558	0,000	73,390	-11,789	0,000	0,000	5,637
ze	17955	5	11,402	-3,167	71,808	-0,010	4,454	-14,721	0,015	30,000	490,694	0,000	71,808	-10,058	0,000	0,000	4,454
EmbeddedBeam_11_1	17955	1	11,402	-3,167	71,807	-0,010	4,454	-14,721	0,015	30,000	490,694	0,000	71,807	-10,451	0,000	0,000	4,454
Element 1-7 (Embedded beam)	17956	2	11,505	-3,186	70,270	-0,009	3,458	-14,640	0,018	30,000	487,992	0,000	70,270	-8,565	0,000	-0,002	3,458
jTITAN 40/20 l=1,60m)	17957	3	11,608	-3,205	68,739	-0,007	2,655	-14,561	0,017	30,000	485,383	0,000	68,739	-6,764	0,000	-0,008	2,655
ze	17958	4	11,711	-3,224	67,216	-0,005	2,035	-14,486	0,015	30,000	482,868	0,000	67,216	-5,085	0,000	-0,018	2,110
ze	17959	5	11,814	-3,243	65,703	-0,004	1,583	-14,413	0,012	30,000	480,445	0,000	65,703	-3,568	0,000	-0,029	1,708
EmbeddedBeam_11_1	17959	1	11,814	-3,243	65,702	-0,004	1,583	-14,413	0,012	30,000	480,445	0,000	65,702	-3,599	0,000	-0,029	1,708
Element 1-8 (Embedded beam)	17960	2	11,915	-3,261	64,229	-0,002	1,274	-14,345	0,010	30,000	478,166	0,000	64,229	-2,518	0,000	-0,040	1,408
jTITAN 40/20 l=1,60m)	17961	3	12,016	-3,280	62,762	-0,002	1,065	-14,279	0,007	30,000	475,974	0,000	62,762	-1,884	0,000	-0,048	1,186
ze	17962	4	12,117	-3,298	61,302	-0,001	0,931	-14,216	0,005	30,000	473,870	0,000	61,302	-1,468	0,000	-0,055	1,025
ze	17963	5	12,217	-3,317	59,849	-0,001	0,846	-14,156	0,003	30,000	471,854	0,000	59,849	-1,143	0,000	-0,060	0,908
EmbeddedBeam_11_1	17963	1	12,217	-3,317	59,848	-0,001	0,846	-14,156	0,003	30,000	471,854	0,000	59,848	-1,138	0,000	-0,060	0,908
Element 1-9 (Embedded beam)	17964	2	12,316	-3,335	58,433	0,000	0,794	-14,099	0,002	30,000	469,969	0,000	58,433	-0,929	0,000	-0,064	0,824
jTITAN 40/20 l=1,60m)	17965	3	12,414	-3,353	57,023	0,000	0,759	-14,045	0,001	30,000	468,169	0,000	57,023	-0,774	0,000	-0,067	0,762
ze	17966	4	12,513	-3,371	55,618	0,000	0,732	-13,994	0,000	30,000	466,453	0,000	55,618	-0,656	0,000	-0,068	0,732
ze	17967	5	12,612	-3,389	54,219	0,000	0,706	-13,945	0,000	30,000	464,824	0,000	54,219	-0,564	0,000	-0,069	0,706
EmbeddedBeam_11_1	17967	1	12,612	-3,389	54,218	0,000	0,706	-13,945	0,000	30,000	464,824	0,000	54,218	-0,563	0,000	-0,069	0,706
Element 1-10 (Embedded beam)	17968	2	12,708	-3,406	52,855	0,000	0,680	-13,899	0,000	30,000	463,314	0,000	52,855	-0,497	0,000	-0,070	0,680
jTITAN 40/20 l=1,60m)	17969	3	12,804	-3,424	51,495	0,000	0,650	-13,857	0,000	30,000	461,887	0,000	51,495	-0,442	0,000	-0,070	0,650
ze	17970	4	12,901	-3,442	50,140	0,000	0,616	-13,816	0,000	30,000	460,543	0,000	50,140	-0,423	0,000	-0,070	0,616

Structural element	Node [10^1]	Local number	X [m]	Y [m]	N [kN]	Q [kN]	M [10^-1 kN m]	$T_{xx,+}$ [kN/m]	$T_{xx,-}$ [kN/m]	$T_{xx,eq,+/-}$ [kN/m]	$T_{zz,+/-}$ [10^1]	$N_{x,+}$ [10^-1 kN]	$N_{x,-}$ [kN]	$Q_{z,+}$ [10^-1 kN]	$Q_{z,-}$ [kN]	$M_{y,+}$ [10^-1 kN m]	$M_{y,-}$ [10^-1 kN m]
폴	17971	5	12,997	-2,459	48,789	0,000	0,580	13,778	0,000	10,000	459,282	0,000	48,789	0,428	0,000	-0,070	0,580
EmbeddedBeam_11_1	17971	1	12,997	-2,459	48,788	0,000	0,580	13,778	0,000	10,000	459,282	0,000	48,788	0,426	0,000	-0,070	0,580
Element 1-11 (Embedded beam)	17972	2	13,091	-2,476	47,471	0,000	0,541	13,744	0,000	10,000	458,131	0,000	47,471	0,428	0,000	-0,070	0,541
(TITAN 40/20 l=1,60m)	17973	3	13,185	-2,494	46,156	0,000	0,502	13,712	0,000	10,000	457,061	0,000	46,156	0,427	0,000	-0,071	0,502
폴	17974	4	13,280	-2,511	44,843	0,000	0,461	13,682	0,000	10,000	456,072	0,000	44,843	0,425	0,000	-0,071	0,461
폴	17975	5	13,374	-2,528	43,535	0,000	0,420	13,655	0,000	10,000	455,164	0,000	43,535	0,419	0,000	-0,071	0,420
EmbeddedBeam_11_1	17975	1	13,374	-2,528	43,534	0,000	0,420	13,655	0,000	10,000	455,164	0,000	43,534	0,420	0,000	-0,071	0,420
Element 1-12 (Embedded beam)	17976	2	13,466	-2,545	42,257	0,000	0,382	13,631	0,000	10,000	454,355	0,000	42,257	0,408	0,000	-0,089	0,382
(TITAN 40/20 l=1,60m)	17977	3	13,558	-2,562	40,982	0,000	0,344	13,609	0,000	10,000	453,625	0,000	40,982	0,392	0,000	-0,106	0,344
폴	17978	4	13,650	-2,579	39,708	0,000	0,308	13,589	0,000	10,000	452,973	0,000	39,708	0,372	0,000	-0,121	0,308
폴	17979	5	13,742	-2,596	38,437	0,000	0,274	13,572	0,000	10,000	452,400	0,000	38,437	0,349	0,000	-0,134	0,274
EmbeddedBeam_11_1	17979	1	13,742	-2,596	38,436	0,000	0,274	13,572	0,000	10,000	452,400	0,000	38,436	0,349	0,000	-0,134	0,274
Element 1-13 (Embedded beam)	17980	2	13,832	-2,612	37,195	0,000	0,244	13,558	0,000	10,000	451,917	0,000	37,195	0,325	0,000	-0,145	0,244
(TITAN 40/20 l=1,60m)	17981	3	13,923	-2,629	35,954	0,000	0,215	13,545	0,000	10,000	451,509	0,000	35,954	0,300	0,000	-0,154	0,215
폴	17982	4	14,013	-2,645	34,714	0,000	0,189	13,535	0,000	10,000	451,178	0,000	34,714	0,274	0,000	-0,161	0,189
폴	17983	5	14,103	-2,661	33,475	0,000	0,165	13,528	0,000	10,000	450,923	0,000	33,475	0,249	0,000	-0,167	0,165
EmbeddedBeam_11_1	17983	1	14,103	-2,661	33,475	0,000	0,165	13,528	0,000	10,000	450,923	0,000	33,475	0,249	0,000	-0,167	0,165
Element 1-14 (Embedded beam)	17984	2	14,191	-2,678	32,265	0,000	0,144	13,522	0,000	10,000	450,748	0,000	32,265	0,224	0,000	-0,171	0,144
(TITAN 40/20 l=1,60m)	17985	3	14,279	-2,694	31,054	0,000	0,125	13,519	0,000	10,000	450,646	0,000	31,054	0,201	0,000	-0,174	0,125
폴	17986	4	14,367	-2,710	29,843	0,000	0,108	13,519	0,000	10,000	450,619	0,000	29,843	0,178	0,000	-0,177	0,108
폴	17987	5	14,455	-2,726	28,634	0,000	0,093	13,520	0,000	10,000	450,666	0,000	28,634	0,156	0,000	-0,178	0,093
EmbeddedBeam_11_1	17987	1	14,455	-2,726	28,633	0,000	0,093	13,520	0,000	10,000	450,666	0,000	28,633	0,156	0,000	-0,178	0,093
Element 1-15 (Embedded beam)	17988	2	14,541	-2,742	27,450	0,000	0,080	13,524	0,000	10,000	450,784	0,000	27,450	0,136	0,000	-0,179	0,080
(TITAN 40/20 l=1,60m)	17989	3	14,627	-2,757	26,266	0,000	0,069	13,529	0,000	10,000	450,974	0,000	26,266	0,118	0,000	-0,178	0,069
폴	17990	4	14,713	-2,773	25,081	0,000	0,059	13,537	0,000	10,000	451,238	0,000	25,081	0,100	0,000	-0,177	0,059
폴	17991	5	14,799	-2,789	23,897	0,000	0,051	13,547	0,000	10,000	451,574	0,000	23,897	0,084	0,000	-0,176	0,051
EmbeddedBeam_11_1	17991	1	14,799	-2,789	23,896	0,000	0,051	13,547	0,000	10,000	451,574	0,000	23,896	0,084	0,000	-0,176	0,051
Element 1-16 (Embedded beam)	17992	2	14,883	-2,804	22,737	0,000	0,045	13,559	0,000	10,000	451,975	0,000	22,737	0,069	0,000	-0,173	0,045
(TITAN 40/20 l=1,60m)	17993	3	14,968	-2,820	21,575	0,000	0,039	13,573	0,000	10,000	452,448	0,000	21,575	0,056	0,000	-0,171	0,039
폴	17994	4	15,052	-2,835	20,413	0,000	0,035	13,590	0,000	10,000	452,993	0,000	20,413	0,045	0,000	-0,167	0,035
폴	17995	5	15,136	-2,850	19,250	0,000	0,032	13,608	0,000	10,000	453,613	0,000	19,250	0,035	0,000	-0,163	0,032
EmbeddedBeam_11_1	17995	1	15,136	-2,850	19,249	0,000	0,032	13,608	0,000	10,000	453,613	0,000	19,249	0,035	0,000	-0,163	0,032
Element 1-17 (Embedded beam)	17996	2	15,205	-2,863	18,289	0,000	0,029	13,625	0,000	10,000	454,180	0,000	18,289	0,028	0,000	-0,160	0,029
(TITAN 40/20 l=1,60m)	17997	3	15,275	-2,876	17,327	0,000	0,028	13,644	0,000	10,000	454,799	0,000	17,327	0,023	0,000	-0,156	0,028
폴	17998	4	15,344	-2,889	16,363	0,000	0,026	13,664	0,000	10,000	455,471	0,000	16,363	0,019	0,000	-0,152	0,026
폴	17999	5	15,414	-2,901	15,398	0,000	0,025	13,686	0,000	10,000	456,197	0,000	15,398	0,017	0,000	-0,147	0,025
EmbeddedBeam_11_1	17999	1	15,414	-2,901	15,398	0,000	0,025	13,686	0,000	10,000	456,197	0,000	15,398	0,017	0,000	-0,147	0,025
Element 1-18 (Embedded beam)	18000	2	15,521	-2,921	13,909	0,000	0,023	13,723	0,000	10,000	457,424	0,000	13,909	0,018	0,000	-0,139	0,023
(TITAN 40/20 l=1,60m)	18001	3	15,627	-2,940	12,415	0,000	0,021	13,764	0,000	10,000	458,786	0,000	12,415	0,022	0,000	-0,129	0,021
폴	18002	4	15,734	-2,960	10,916	0,000	0,018	13,809	0,000	10,000	460,292	0,000	10,916	0,030	0,000	-0,117	0,018
폴	18003	5	15,841	-2,980	9,414	0,000	0,014	13,858	0,000	10,000	461,950	0,000	9,414	0,040	0,000	-0,102	0,014
EmbeddedBeam_11_1	18003	1	15,841	-2,980	9,412	0,000	0,014	13,858	0,000	10,000	461,950	0,000	9,412	0,037	0,000	-0,102	0,014
Element 1-19 (Embedded beam)	18004	2	16,006	-4,010	7,087	0,000	0,008	13,945	0,000	10,000	464,835	0,000	7,087	0,041	0,000	-0,074	0,008
(TITAN 40/20 l=1,60m)	18005	3	16,171	-4,040	4,743	0,000	0,001	14,043	0,000	10,000	468,094	0,000	4,743	0,036	0,000	-0,042	0,001
폴	18006	4	16,335	-4,070	2,382	0,000	-0,003	14,161	0,000	10,000	472,021	0,000	2,382	0,009	0,000	-0,015	0,000
폴	18007	5	16,500	-4,100	0,003	0,000	0,000	14,321	0,001	10,000	477,374	0,000	0,003	0,000	0,000	0,000	0,000
EmbeddedBeam_21_1	18008	1	6,000	-6,250	92,976	-0,295	0,000	14,723	1,602	10,000	490,777	0,000	92,976	294,766	0,000	0,000	0,000
Element 2-20 (Embedded beam)	18009	2	6,126	-6,273	91,110	-0,133	-26,724	14,522	1,069	10,000	484,082	0,000	91,110	132,722	0,000	-26,724	0,000
(TITAN 40/20 l=1,60m)	18010	3	6,252	-6,295	89,264	-0,023	-36,164	14,348	0,628	10,000	478,265	0,000	89,264	22,787	0,000	-36,164	0,000
폴	18011	4	6,377	-6,318	87,440	0,038	-34,633	14,189	0,303	10,000	472,966	0,000	87,440	0,000	0,038	-34,633	0,000
폴	18012	5	6,503	-6,341	85,638	0,053	-28,322	14,040	0,089	10,000	467,993	0,000	85,638	0,000	0,053	-28,322	0,000
EmbeddedBeam_21_1	18012	1	6,503	-6,341	85,636	0,063	-28,322	14,040	0,089	10,000	467,993	0,000	85,636	0,000	0,063	-28,322	0,000
Element 2-21 (Embedded beam)	18013	2	6,636	-6,365	83,747	0,061	-19,867	13,891	0,039	10,000	463,027	0,000	83,747	0,000	0,061	-19,867	0,000
(TITAN 40/20 l=1,60m)	18014	3	6,770	-6,389	81,876	0,052	-12,202	13,750	0,095	10,000	458,337	0,000	81,876	0,000	0,052	-12,202	0,000
폴	18015	4	6,903	-6,413	80,023	0,039	-5,972	13,617	0,106	10,000	453,888	0,000	80,023	0,000	0,039	-6,680	0,000
폴	18016	5	7,036	-6,436	78,190	0,023	-1,767	13,490	0,093	10,000	449,650	0,000	78,190	0,000	0,023	-3,091	0,000
EmbeddedBeam_21_1	18016	1	7,036	-6,436	78,188	0,024	-1,767	13,490	0,093	10,000	449,650	0,000	78,188	0,000	0,024	-3,091	0,000

Structural element	Node [10 ^]	Local number	X [m]	Y [m]	N [kN]	Q [kN]	M [10 ^ kN m]	$T_{xx,+}$ [kN/m]	T_{xx} [kN/m]	$T_{xx,-+}$ [kN/m]	$T_{xx,-}$ [10 ^]	$N_{x,+}$ [10 ^ kN]	$N_{x,-}$ [kN]	$Q_{z,+}$ [10 ^ kN]	$Q_{z,-}$ [kN]	$M_{y,+}$ [10 ^ kN m]	$M_{y,-}$ [10 ^ kN m]
Element 2-22 (Embedded beam)	18017	2	7,177	-5,462	76,265	0,013	0,872	-13,361	-0,068	30,000	445,368	0,000	76,265	0,000	0,013	-0,786	0,872
(TITAN 40/20 l=1,60m)	18018	3	7,318	-5,487	74,357	0,005	2,115	-13,238	-0,044	30,000	441,278	0,000	74,357	0,000	0,005	-0,020	2,115
″	18019	4	7,459	-5,513	72,467	0,000	2,427	-13,121	-0,023	30,000	437,364	0,000	72,467	0,000	0,001	-0,013	2,427
″	18020	5	7,600	-5,538	70,595	0,002	2,265	-13,008	-0,009	30,000	433,614	0,000	70,595	-1,780	0,000	-0,011	2,265
EmbeddedBeam_21_1	18020	1	7,600	-5,538	70,594	0,002	2,265	-13,008	-0,009	30,000	433,614	0,000	70,594	2,393	0,000	-0,011	2,265
Element 2-23 (Embedded beam)	18021	2	7,750	-5,565	68,629	0,003	1,870	-12,894	-0,001	30,000	429,806	0,000	68,629	2,706	0,000	-0,012	1,870
(TITAN 40/20 l=1,60m)	18022	3	7,899	-5,592	66,678	0,003	1,470	-12,785	0,004	30,000	426,159	0,000	66,678	2,512	0,000	-0,013	1,470
″	18023	4	8,049	-5,619	64,744	0,002	1,128	-12,680	0,005	30,000	422,662	0,000	64,744	1,911	0,000	-0,060	1,128
″	18024	5	8,198	-5,646	62,828	0,001	0,904	-12,579	0,004	30,000	419,307	0,000	62,828	1,005	0,000	-0,188	0,904
EmbeddedBeam_31_1	18024	1	8,198	-5,646	62,826	0,001	0,904	-12,579	0,004	30,000	419,307	0,000	62,826	1,129	0,000	-0,188	0,904
Element 2-24 (Embedded beam)	18025	2	8,357	-5,674	60,812	0,001	0,773	-12,477	0,003	30,000	415,903	0,000	60,812	0,524	0,000	-0,249	0,773
(TITAN 40/20 l=1,60m)	18026	3	8,515	-5,703	58,813	0,000	0,725	-12,379	0,002	30,000	412,645	0,000	58,813	-0,105	0,000	-0,249	0,725
″	18027	4	8,673	-5,731	56,829	0,000	0,730	-12,286	0,001	30,000	409,528	0,000	56,829	0,000	0,000	-0,210	0,730
″	18028	5	8,832	-5,760	54,861	0,000	0,760	-12,196	0,000	30,000	406,550	0,000	54,861	0,000	0,000	-0,156	0,760
EmbeddedBeam_31_1	18028	1	8,832	-5,760	54,859	0,000	0,760	-12,196	0,000	30,000	406,550	0,000	54,859	0,000	0,000	-0,156	0,760
Element 2-25 (Embedded beam)	18029	2	8,999	-5,790	52,791	0,000	0,803	-12,106	0,000	30,000	403,542	0,000	52,791	0,000	0,000	-0,094	0,803
(TITAN 40/20 l=1,60m)	18030	3	9,167	-5,820	50,735	0,000	0,843	-12,021	0,000	30,000	400,684	0,000	50,735	0,000	0,000	-0,036	0,843
″	18031	4	9,335	-5,850	48,693	0,000	0,879	-11,939	0,000	30,000	397,976	0,000	48,693	0,000	0,000	-0,026	0,879
″	18032	5	9,502	-5,880	46,667	0,000	0,908	-11,863	0,000	30,000	395,417	0,000	46,667	0,000	0,000	-0,021	0,908
EmbeddedBeam_31_1	18032	1	9,502	-5,880	46,666	0,000	0,908	-11,863	0,000	30,000	395,417	0,000	46,666	0,000	0,000	-0,021	0,908
Element 2-26 (Embedded beam)	18033	2	9,680	-5,912	44,534	0,000	0,930	-11,786	0,000	30,000	392,873	0,000	44,534	0,000	0,000	-0,017	0,930
(TITAN 40/20 l=1,60m)	18034	3	9,857	-5,944	42,413	0,000	0,945	-11,715	0,000	30,000	390,501	0,000	42,413	0,000	0,000	-0,015	0,945
″	18035	4	10,035	-5,976	40,304	0,000	0,955	-11,649	0,000	30,000	388,306	0,000	40,304	0,000	0,000	-0,012	0,955
″	18036	5	10,213	-7,008	38,209	0,000	0,958	-11,589	0,000	30,000	386,294	0,000	38,209	0,000	0,000	-0,010	0,958
EmbeddedBeam_31_1	18036	1	10,213	-7,008	38,207	0,000	0,958	-11,589	0,000	30,000	386,294	0,000	38,207	0,000	0,000	-0,010	0,958
Element 2-27 (Embedded beam)	18037	2	10,401	-7,042	36,000	0,000	0,956	-11,531	0,000	30,000	384,367	0,000	36,000	-0,026	0,000	-0,009	0,956
(TITAN 40/20 l=1,60m)	18038	3	10,589	-7,076	33,800	0,000	0,949	-11,480	0,000	30,000	382,658	0,000	33,800	-0,055	0,000	-0,007	0,949
″	18039	4	10,777	-7,110	31,610	0,000	0,935	-11,435	0,000	30,000	381,175	0,000	31,610	-0,083	0,000	-0,006	0,935
″	18040	5	10,965	-7,144	29,430	0,000	0,917	-11,398	0,000	30,000	379,925	0,000	29,430	-0,110	0,000	-0,005	0,917
EmbeddedBeam_31_1	18040	1	10,965	-7,144	29,428	0,000	0,917	-11,398	0,000	30,000	379,925	0,000	29,428	-0,109	0,000	-0,005	0,917
Element 2-28 (Embedded beam)	18041	2	11,164	-7,180	27,126	0,000	0,892	-11,366	0,000	30,000	378,866	0,000	27,126	-0,132	0,000	-0,004	0,892
(TITAN 40/20 l=1,60m)	18042	3	11,363	-7,215	24,827	0,000	0,864	-11,343	0,000	30,000	378,088	0,000	24,827	-0,148	0,000	-0,003	0,864
″	18043	4	11,563	-7,251	22,531	0,000	0,833	-11,328	0,000	30,000	377,604	0,000	22,531	-0,156	0,000	-0,002	0,833
″	18044	5	11,762	-7,287	20,241	0,000	0,801	-11,323	0,000	30,000	377,426	0,000	20,241	-0,158	0,000	-0,002	0,801
EmbeddedBeam_31_1	18044	1	11,762	-7,287	20,238	0,000	0,801	-11,323	0,000	30,000	377,426	0,000	20,238	-0,169	0,000	-0,002	0,801
Element 2-29 (Embedded beam)	18045	2	11,973	-7,325	17,813	0,000	0,767	-11,328	0,000	30,000	377,585	0,000	17,813	-0,154	0,000	-0,001	0,767
(TITAN 40/20 l=1,60m)	18046	3	12,184	-7,363	15,381	0,000	0,733	-11,344	0,000	30,000	378,117	0,000	15,381	-0,174	0,000	-0,001	0,733
″	18047	4	12,395	-7,401	12,945	0,000	0,689	-11,371	0,000	30,000	379,049	0,000	12,945	-0,238	0,000	-0,001	0,689
″	18048	5	12,606	-7,439	10,506	0,000	0,627	-11,412	-0,001	30,000	380,411	0,000	10,506	-0,352	0,000	0,000	0,627
EmbeddedBeam_31_1	18048	1	12,606	-7,439	10,502	0,000	0,627	-11,412	-0,001	30,000	380,411	0,000	10,502	-0,253	0,000	0,000	0,627
Element 2-30 (Embedded beam)	18049	2	12,829	-7,479	7,908	-0,001	0,520	-11,470	-0,001	30,000	382,346	0,000	7,908	-0,680	0,000	0,000	0,520
(TITAN 40/20 l=1,60m)	18050	3	13,053	-7,520	5,293	-0,001	0,332	-11,546	-0,001	30,000	384,854	0,000	5,293	-0,905	0,000	0,000	0,332
″	18051	4	13,276	-7,560	2,658	-0,001	0,133	-11,647	0,002	30,000	388,227	0,000	2,658	-0,808	0,000	0,000	0,133
″	18052	5	13,500	-7,600	0,004	0,000	0,000	-11,790	0,007	30,000	392,992	0,000	0,004	-0,269	0,000	0,000	0,000
EmbeddedBeam_21_1	18053	1	1,776	-12,600	6,926	-0,011	0,000	-31,474	0,385	125,000	251,788	0,000	6,926	-11,461	0,000	0,000	0,000
Element 3-31 (Embedded beam)	18054	2	1,857	-12,790	3,290	0,002	0,751	-14,406	0,042	125,000	115,249	0,000	3,290	0,000	0,002	-0,751	0,001
(Ricrocalo D168.3 x12.5mm/1,6m)	18055	3	1,938	-12,980	1,058	0,004	0,134	-6,220	-0,040	125,000	49,763	0,000	1,058	0,000	0,004	-0,137	0,004
″	18056	4	2,019	-13,170	0,010	0,001	0,593	-2,949	-0,009	125,000	23,593	0,000	0,077	0,001	0,001	0,000	0,593
″	18057	5	2,100	-13,360	-0,076	0,002	0,494	-1,315	0,001	125,000	10,522	-76,067	0,020	-1,500	0,000	0,000	0,494
EmbeddedBeam_21_1	18057	1	2,100	-13,360	-0,318	0,000	0,494	-1,315	0,001	125,000	10,522	-317,885	0,000	0,345	0,000	0,000	0,494
Element 3-32 (Embedded beam)	18058	2	2,182	-13,550	-0,466	0,000	0,441	-0,574	0,001	125,000	4,589	-465,823	0,000	0,191	0,000	0,000	0,441
(Ricrocalo D168.3 x12.5mm/1,6m)	18059	3	2,263	-13,740	-0,551	0,000	0,409	-0,211	0,000	125,000	1,686	-551,244	0,000	0,126	0,000	0,000	0,409
″	18060	4	2,344	-13,930	-0,584	0,000	0,386	-0,062	0,000	125,000	0,493	-583,766	0,000	0,112	0,000	0,000	0,386
″	18061	5	2,425	-14,120	-0,573	0,000	0,362	0,014	0,000	125,000	0,110	-573,009	0,000	0,114	0,000	0,000	0,362
EmbeddedBeam_21_1	18061	1	2,425	-14,120	-0,584	0,000	0,362	0,014	0,000	125,000	0,110	-583,788	0,000	0,108	0,000	0,000	0,362
Element 3-33 (Embedded beam)	18062	2	2,507	-14,310	-0,575	0,000	0,343	0,048	0,000	125,000	0,384	-575,184	0,000	0,079	0,000	0,000	0,343
(Ricrocalo D168.3 x12.5mm/1,6m)	18063	3	2,588	-14,500	-0,564	0,000	0,330	0,064	0,000	125,000	0,516	-563,771	0,000	0,056	0,000	0,000	0,330

Structural element	Node [10 ^]	Local number	X [m]	Y [m]	N [kN]	Q [kN]	M [10 ^ kN m]	T_{xxx} [kN/m]	T_{xxy} [kN/m]	$T_{xxx,min}$ [kN/m]	$T_{xxx,rat}$ [10 ^]	$N_{x,c}$ [10 ^ kN]	$N_{x,t}$ [kN]	$Q_{x,c}$ [10 ^ kN]	$Q_{x,t}$ [kN]	$M_{x,c}$ [10 ^ kN m]	$M_{x,t}$ [10 ^ kN m]
臂	18064	4	2,669	-14,690	-0,550	0,000	0,321	0,071	0,000	-125,000	0,565	-550,023	0,000	0,040	0,000	0,000	0,321
臂	18065	5	2,750	-14,880	-0,534	0,000	0,315	0,073	0,000	-125,000	0,588	-534,413	0,000	0,032	0,000	0,000	0,315
EmbeddedBeam_2_1	18065	1	2,750	-14,880	-0,534	0,000	0,315	0,073	0,000	-125,000	0,588	-534,454	0,000	0,030	0,000	0,000	0,315
Element 3-34 (Embedded beam)	18066	2	2,831	-15,070	-0,520	0,000	0,309	0,076	0,000	-125,000	0,606	-519,688	0,000	0,027	0,000	0,000	0,309
(Micropalo D168.3 s12.5mm/1,6m)	18067	3	2,913	-15,260	-0,503	0,000	0,305	0,081	0,000	-125,000	0,645	-503,315	0,000	0,025	0,000	0,000	0,305
臂	18068	4	2,994	-15,450	-0,485	0,000	0,299	0,096	0,000	-125,000	0,766	-484,884	0,000	0,026	0,000	0,000	0,299
臂	18069	5	3,075	-15,640	-0,464	0,000	0,294	0,130	0,000	-125,000	1,044	-463,941	0,000	0,028	0,000	0,000	0,294
EmbeddedBeam_2_1	18069	1	3,075	-15,640	-0,451	0,000	0,294	0,130	0,000	-125,000	1,044	-451,100	0,000	0,092	0,000	0,000	0,294
Element 3-35 (Embedded beam)	18070	2	3,156	-15,830	-0,435	0,000	0,284	0,212	0,000	-125,000	1,700	-434,595	0,000	0,056	0,000	0,000	0,284
(Micropalo D168.3 s12.5mm/1,6m)	18071	3	3,238	-16,020	-0,368	0,000	0,254	0,382	-0,002	-125,000	3,053	-367,817	0,000	0,249	0,000	0,000	0,254
臂	18072	4	3,319	-16,210	-0,239	0,001	0,170	0,813	-0,002	-125,000	6,506	-238,973	0,000	0,602	0,000	0,000	0,170
臂	18073	5	3,400	-16,400	-0,036	0,001	0,000	1,720	0,014	-125,000	13,757	-36,270	0,000	1,046	0,000	0,000	0,000

3.3.1.1.22 Calculation results, Embedded beam, Disattivazione paratia provvisionale [Phase_17] (17/998), Table of embedded beam force envelopes

Structural element	Node [10 ⁰]	Local number	X [m]	Y [m]	N [kN]	Q [kN]	M [10 ⁰ kN m]	T_{zzz} [kN/m]	T_{zz} [kN/m]	$T_{zzz,zz}$ [kN/m]	$T_{zzz,zz}$ [10 ⁰]	N_{zzz} [10 ⁰ kN]	N_{zzz} [kN]	Q_{zzz} [10 ⁰ kN]	Q_{zzz} [kN]	M_{zzz} [10 ⁰ kN m]	M_{zzz} [10 ⁰ kN m]
EmbeddedBeam_11_1	17931	1	8,300	-2,600	97,254	1,188	0,000	9,959	5,620	10,000	331,964	0,000	107,575	0,000	1,314	0,000	0,000
Element 1-1 (Embedded beam)	17932	2	8,493	-2,635	95,331	0,401	-49,899	9,713	3,246	10,000	323,765	0,000	105,414	0,000	0,442	0,000	165,656
iTITAN 40/20 l=1,60m)	17933	3	8,685	-2,670	93,450	-0,072	177,808	9,493	1,440	10,000	316,427	0,000	103,299	-80,960	0,000	0,000	196,253
m	17934	4	8,878	-2,706	91,610	-0,260	-140,292	9,287	0,343	10,000	309,579	0,000	101,231	289,079	0,000	0,000	154,489
m	17935	5	9,071	-2,741	89,813	-0,195	92,098	9,091	0,181	10,000	303,041	0,000	99,211	-215,670	0,000	0,000	101,045
EmbeddedBeam_11_1	17935	1	9,071	-2,741	89,811	-0,252	92,098	9,091	0,181	10,000	303,041	0,000	99,209	-279,300	0,000	0,000	101,045
Element 1-2 (Embedded beam)	17936	2	9,223	-2,769	88,413	-0,200	57,009	8,943	0,330	10,000	298,089	0,000	97,638	-220,732	0,000	0,000	62,234
iTITAN 40/20 l=1,60m)	17937	3	9,376	-2,797	87,036	-0,149	30,012	8,801	0,341	10,000	293,351	0,000	96,090	-163,501	0,000	0,000	32,490
m	17938	4	9,529	-2,825	85,680	-0,101	10,612	8,665	0,284	10,000	288,832	0,000	94,567	-110,232	0,000	0,000	11,738
m	17939	5	9,681	-2,853	84,347	-0,060	-1,794	8,536	0,207	10,000	284,547	0,000	93,069	-63,552	0,000	-2,091	0,650
EmbeddedBeam_11_1	17939	1	9,681	-2,853	84,345	-0,061	-1,794	8,536	0,207	10,000	284,547	0,000	93,067	-65,050	0,000	-2,091	0,650
Element 1-3 (Embedded beam)	17940	2	9,802	-2,875	83,303	-0,040	-7,964	8,434	0,161	10,000	281,124	0,000	91,896	-41,180	0,000	-8,567	0,000
iTITAN 40/20 l=1,60m)	17941	3	9,923	-2,897	82,271	-0,022	-11,747	8,341	0,125	10,000	278,046	0,000	90,737	-22,112	0,000	-12,393	0,000
m	17942	4	10,044	-2,919	81,250	-0,006	-13,444	8,252	0,124	10,000	275,062	0,000	89,591	-6,187	0,001	-13,997	0,000
m	17943	5	10,165	-2,941	80,242	0,008	-13,318	8,162	0,154	10,000	272,065	0,000	88,457	0,000	0,009	-13,794	0,000
EmbeddedBeam_11_1	17943	1	10,165	-2,941	80,239	0,007	-13,318	8,162	0,154	10,000	272,065	0,000	88,455	0,000	0,008	-13,794	0,000
Element 1-4 (Embedded beam)	17944	2	10,261	-2,959	79,451	0,028	-11,570	8,100	0,190	10,000	269,986	0,000	87,569	0,000	0,029	-12,047	0,000
iTITAN 40/20 l=1,60m)	17945	3	10,357	-2,976	78,661	0,045	-7,928	8,086	0,179	10,000	269,526	0,000	86,682	0,000	0,046	-8,603	0,000
m	17946	4	10,453	-2,994	77,868	0,056	-2,933	8,173	0,070	10,000	272,425	0,000	85,795	0,000	0,057	-4,197	0,000
m	17947	5	10,549	-3,011	77,069	0,060	2,814	8,378	0,145	10,000	279,260	0,000	84,905	0,000	0,060	-2,268	2,814
EmbeddedBeam_11_1	17947	1	10,549	-3,011	77,064	0,056	2,814	13,963	0,241	10,000	465,434	0,000	84,900	0,000	0,057	-2,268	2,814
Element 1-5 (Embedded beam)	17948	2	10,656	-3,031	75,538	0,031	7,526	13,877	0,203	10,000	462,568	0,000	83,208	0,000	0,032	-1,189	7,526
iTITAN 40/20 l=1,60m)	17949	3	10,764	-3,051	74,021	0,012	9,802	13,788	0,148	10,000	459,589	0,000	81,525	0,000	0,014	-0,393	9,802
m	17950	4	10,872	-3,071	72,514	-0,002	10,294	13,700	0,094	10,000	456,675	0,000	79,855	-1,472	0,007	-0,112	10,304
m	17951	5	10,980	-3,090	71,018	-0,009	9,652	13,616	0,051	10,000	453,867	0,000	78,196	9,053	0,004	-0,020	9,713
EmbeddedBeam_11_1	17951	1	10,980	-3,090	71,017	-0,010	9,652	13,616	0,051	10,000	453,867	0,000	78,195	9,852	0,004	-0,020	9,713
Element 1-6 (Embedded beam)	17952	2	11,085	-3,110	69,562	-0,013	8,415	13,536	0,019	10,000	451,207	0,000	76,585	-12,866	0,002	0,000	8,508
iTITAN 40/20 l=1,60m)	17953	3	11,191	-3,129	68,115	-0,014	6,966	13,459	0,002	10,000	448,631	0,000	74,982	-13,885	0,001	0,000	7,109
m	17954	4	11,296	-3,148	66,676	-0,013	5,501	13,384	0,014	10,000	446,135	0,000	73,390	-13,152	0,000	0,000	5,677
m	17955	5	11,402	-3,167	65,246	-0,011	4,209	13,312	0,020	10,000	443,717	0,000	71,808	-10,865	0,000	0,000	4,454
EmbeddedBeam_11_1	17955	1	11,402	-3,167	65,245	-0,011	4,209	13,312	0,020	10,000	443,717	0,000	71,807	-11,295	0,000	0,000	4,454
Element 1-7 (Embedded beam)	17956	2	11,505	-3,186	63,854	-0,009	3,160	13,243	0,021	10,000	441,429	0,000	70,270	9,010	0,000	-0,002	3,458
iTITAN 40/20 l=1,60m)	17957	3	11,608	-3,205	62,469	-0,007	2,343	13,176	0,020	10,000	439,214	0,000	68,739	6,963	0,000	-0,008	2,655
m	17958	4	11,711	-3,224	61,091	-0,005	1,735	13,112	0,017	10,000	437,075	0,000	67,216	5,121	0,000	-0,018	2,110
m	17959	5	11,814	-3,243	59,721	-0,003	1,312	13,050	0,013	10,000	435,010	0,000	65,703	3,568	0,000	-0,029	1,708
EmbeddedBeam_11_1	17959	1	11,814	-3,243	59,720	-0,003	1,312	13,050	0,013	10,000	435,010	0,000	65,702	3,599	0,000	-0,029	1,708
Element 1-8 (Embedded beam)	17960	2	11,915	-3,261	58,387	-0,002	1,037	12,992	0,010	10,000	433,065	0,000	64,229	2,518	0,000	-0,040	1,408
iTITAN 40/20 l=1,60m)	17961	3	12,016	-3,280	57,058	-0,001	0,865	12,936	0,007	10,000	431,192	0,000	62,762	1,884	0,000	-0,048	1,186
m	17962	4	12,117	-3,298	55,735	-0,001	0,766	12,882	0,004	10,000	429,392	0,000	61,302	1,468	0,000	-0,055	1,025
m	17963	5	12,217	-3,317	54,418	0,000	0,713	12,830	0,002	10,000	427,666	0,000	59,849	1,143	0,000	-0,060	0,908
EmbeddedBeam_11_1	17963	1	12,217	-3,317	54,417	0,000	0,713	12,830	0,002	10,000	427,666	0,000	59,848	1,138	0,000	-0,060	0,908
Element 1-9 (Embedded beam)	17964	2	12,316	-3,335	53,135	0,000	0,687	12,782	0,001	10,000	426,051	0,000	58,433	0,929	0,000	-0,064	0,824
iTITAN 40/20 l=1,60m)	17965	3	12,414	-3,353	51,856	0,000	0,672	12,735	0,000	10,000	424,508	0,000	57,023	0,774	0,000	-0,067	0,762
m	17966	4	12,513	-3,371	50,582	0,000	0,662	12,691	0,000	10,000	423,037	0,000	55,618	0,656	0,000	-0,068	0,732
m	17967	5	12,612	-3,389	49,313	0,000	0,649	12,649	0,000	10,000	421,640	0,000	54,219	0,564	0,000	-0,069	0,706
EmbeddedBeam_11_1	17967	1	12,612	-3,389	49,313	0,000	0,649	12,649	0,000	10,000	421,640	0,000	54,218	0,563	0,000	-0,069	0,706
Element 1-10 (Embedded beam)	17968	2	12,708	-3,406	48,076	0,000	0,632	12,610	0,001	10,000	420,346	0,000	52,855	0,497	0,000	-0,070	0,680
iTITAN 40/20 l=1,60m)	17969	3	12,804	-3,424	46,842	0,000	0,609	12,574	0,001	10,000	419,124	0,000	51,495	0,442	0,000	-0,070	0,650
m	17970	4	12,901	-3,442	45,612	0,000	0,582	12,539	0,000	10,000	417,974	0,000	50,140	0,423	0,000	-0,070	0,616

Structural element	Node [10^1]	Local number	X [m]	Y [m]	N [kN]	Q [kN]	M [10^-1 kN m]	T_{xxx} [kN/m]	T_{yyy} [kN/m]	$T_{xxx,yyy}$ [kN/m]	$T_{xxx,yyy}$ [10^1]	N_{xxx} [10^-1 kN]	N_{yyy} [kN]	Q_{xxz} [10^-1 kN]	Q_{yyz} [kN]	M_{xxy} [10^-1 kN m]	M_{yyx} [10^-1 kN m]
圣	17971	5	12,997	-2,459	44,386	0,000	0,549	12,507	0,000	10,000	416,897	0,000	48,789	0,428	0,000	-0,070	0,580
EmbeddedBeam_11_1	17971	1	12,997	-2,459	44,385	0,000	0,549	12,507	0,000	10,000	416,897	0,000	48,788	0,426	0,000	-0,070	0,580
Element 1-11 (Embedded beam)	17972	2	13,091	-2,476	43,189	0,000	0,514	12,477	0,000	10,000	415,915	0,000	47,471	0,428	0,000	-0,070	0,541
(TITAN 40/20 l=1,60m)	17973	3	13,185	-2,494	41,995	0,000	0,476	12,450	0,000	10,000	415,004	0,000	46,156	0,427	0,000	-0,071	0,502
圣	17974	4	13,280	-2,511	40,804	0,000	0,437	12,425	0,000	10,000	414,164	0,000	44,843	0,425	0,000	-0,071	0,461
圣	17975	5	13,374	-2,528	39,615	0,000	0,398	12,402	0,000	10,000	413,396	0,000	43,535	0,419	0,000	-0,071	0,420
EmbeddedBeam_11_1	17975	1	13,374	-2,528	39,615	0,000	0,398	12,402	0,000	10,000	413,396	0,000	43,534	0,420	0,000	-0,071	0,420
Element 1-12 (Embedded beam)	17976	2	13,466	-2,545	38,455	0,000	0,361	12,381	0,000	10,000	412,716	0,000	42,257	0,408	0,000	-0,089	0,382
(TITAN 40/20 l=1,60m)	17977	3	13,558	-2,562	37,296	0,000	0,324	12,363	0,000	10,000	412,105	0,000	40,982	0,392	0,000	-0,106	0,344
圣	17978	4	13,650	-2,579	36,139	0,000	0,289	12,347	0,000	10,000	411,565	0,000	39,708	0,372	0,000	-0,121	0,308
圣	17979	5	13,742	-2,596	34,984	0,000	0,257	12,333	0,000	10,000	411,095	0,000	38,437	0,349	0,000	-0,134	0,274
EmbeddedBeam_11_1	17979	1	13,742	-2,596	34,983	0,000	0,257	12,333	0,000	10,000	411,095	0,000	38,436	0,349	0,000	-0,134	0,274
Element 1-13 (Embedded beam)	17980	2	13,832	-2,612	33,855	0,000	0,226	12,321	0,000	10,000	410,704	0,000	37,195	0,325	0,000	-0,145	0,244
(TITAN 40/20 l=1,60m)	17981	3	13,923	-2,629	32,727	0,000	0,198	12,311	0,000	10,000	410,381	0,000	35,954	0,300	0,000	-0,154	0,215
圣	17982	4	14,013	-2,645	31,600	0,000	0,173	12,304	0,000	10,000	410,126	0,000	34,714	0,274	0,000	-0,161	0,189
圣	17983	5	14,103	-2,661	30,474	0,000	0,149	12,298	0,000	10,000	409,940	0,000	33,475	0,249	0,000	-0,167	0,165
EmbeddedBeam_11_1	17983	1	14,103	-2,661	30,474	0,000	0,149	12,298	0,000	10,000	409,940	0,000	33,475	0,249	0,000	-0,167	0,165
Element 1-14 (Embedded beam)	17984	2	14,191	-2,678	29,373	0,000	0,129	12,295	0,000	10,000	409,825	0,000	32,265	0,224	0,000	-0,171	0,144
(TITAN 40/20 l=1,60m)	17985	3	14,279	-2,694	28,273	0,000	0,110	12,293	0,000	10,000	409,776	0,000	31,054	0,201	0,000	-0,174	0,125
圣	17986	4	14,367	-2,710	27,172	0,000	0,093	12,294	0,000	10,000	409,794	0,000	29,843	0,178	0,000	-0,177	0,108
圣	17987	5	14,455	-2,726	26,072	0,000	0,079	12,296	0,000	10,000	409,880	0,000	28,634	0,156	0,000	-0,178	0,093
EmbeddedBeam_11_1	17987	1	14,455	-2,726	26,071	0,000	0,079	12,296	0,000	10,000	409,880	0,000	28,633	0,156	0,000	-0,178	0,093
Element 1-15 (Embedded beam)	17988	2	14,541	-2,742	24,995	0,000	0,066	12,301	0,000	10,000	410,028	0,000	27,450	0,136	0,000	-0,179	0,080
(TITAN 40/20 l=1,60m)	17989	3	14,627	-2,757	23,918	0,000	0,055	12,307	0,000	10,000	410,242	0,000	26,266	0,118	0,000	-0,178	0,069
圣	17990	4	14,713	-2,773	22,840	0,000	0,046	12,316	0,000	10,000	410,522	0,000	25,081	0,100	0,000	-0,177	0,060
圣	17991	5	14,799	-2,789	21,763	0,000	0,038	12,326	0,000	10,000	410,869	0,000	23,897	0,084	0,000	-0,176	0,052
EmbeddedBeam_11_1	17991	1	14,799	-2,789	21,762	0,000	0,038	12,326	0,000	10,000	410,869	0,000	23,896	0,084	0,000	-0,176	0,052
Element 1-16 (Embedded beam)	17992	2	14,883	-2,804	20,707	0,000	0,032	12,338	0,000	10,000	411,272	0,000	22,737	0,070	0,000	-0,173	0,045
(TITAN 40/20 l=1,60m)	17993	3	14,968	-2,820	19,650	0,000	0,027	12,352	0,000	10,000	411,741	0,000	21,575	0,057	0,000	-0,171	0,040
圣	17994	4	15,052	-2,835	18,592	0,000	0,023	12,368	0,000	10,000	412,276	0,000	20,413	0,045	0,000	-0,167	0,035
圣	17995	5	15,136	-2,850	17,534	0,000	0,019	12,386	0,000	10,000	412,878	0,000	19,250	0,035	0,000	-0,163	0,032
EmbeddedBeam_11_1	17995	1	15,136	-2,850	17,533	0,000	0,019	12,386	0,000	10,000	412,878	0,000	19,249	0,035	0,000	-0,163	0,032
Element 1-17 (Embedded beam)	17996	2	15,205	-2,863	16,459	0,000	0,017	12,403	0,000	10,000	413,426	0,000	18,289	0,029	0,000	-0,160	0,030
(TITAN 40/20 l=1,60m)	17997	3	15,275	-2,876	15,783	0,000	0,016	12,421	0,000	10,000	414,020	0,000	17,327	0,024	0,000	-0,156	0,028
圣	17998	4	15,344	-2,889	14,906	0,000	0,015	12,440	0,000	10,000	414,663	0,000	16,363	0,020	0,000	-0,152	0,026
圣	17999	5	15,414	-2,901	14,028	0,000	0,014	12,461	0,000	10,000	415,355	0,000	15,398	0,018	0,000	-0,147	0,025
EmbeddedBeam_11_1	17999	1	15,414	-2,901	14,027	0,000	0,014	12,461	0,000	10,000	415,355	0,000	15,398	0,017	0,000	-0,147	0,025
Element 1-18 (Embedded beam)	18000	2	15,521	-2,921	12,672	0,000	0,012	12,496	0,000	10,000	416,519	0,000	13,909	0,018	0,000	-0,139	0,023
(TITAN 40/20 l=1,60m)	18001	3	15,627	-2,940	11,311	0,000	0,011	12,534	0,000	10,000	417,807	0,000	12,415	0,023	0,000	-0,129	0,021
圣	18002	4	15,734	-2,960	9,946	0,000	0,009	12,577	0,000	10,000	419,225	0,000	10,916	0,030	0,000	-0,117	0,018
圣	18003	5	15,841	-2,980	8,578	0,000	0,006	12,623	0,000	10,000	420,781	0,000	9,414	0,040	0,000	-0,102	0,014
EmbeddedBeam_11_1	18003	1	15,841	-2,980	8,576	0,000	0,006	12,623	0,000	10,000	420,781	0,000	9,412	0,038	0,000	-0,102	0,014
Element 1-19 (Embedded beam)	18004	2	16,006	-4,010	6,458	0,000	0,001	12,704	0,000	10,000	423,481	0,000	7,087	0,042	0,000	-0,074	0,008
(TITAN 40/20 l=1,60m)	18005	3	16,171	-4,040	4,323	0,000	-0,003	12,796	0,000	10,000	426,518	0,000	4,743	0,036	0,000	-0,042	0,001
圣	18006	4	16,335	-4,070	2,171	0,000	-0,004	12,905	0,000	10,000	430,162	0,000	2,382	0,009	0,000	-0,015	0,000
圣	18007	5	16,500	-4,100	0,003	0,000	0,000	13,054	0,001	10,000	435,127	0,000	0,003	0,000	0,000	0,000	0,000
EmbeddedBeam_21_1	18008	1	6,000	6,250	109,535	-0,347	0,000	17,861	1,885	10,000	595,355	0,000	109,535	-147,101	0,000	0,000	0,000
Element 2-20 (Embedded beam)	18009	2	6,126	6,273	107,271	-0,157	-31,497	17,608	1,259	10,000	586,924	0,000	107,271	-156,508	0,000	-31,497	0,000
(TITAN 40/20 l=1,60m)	18010	3	6,252	6,295	105,035	-0,027	-42,638	17,386	0,740	10,000	579,524	0,000	105,035	-27,018	0,000	-42,638	0,000
圣	18011	4	6,377	6,318	102,825	0,045	-40,856	17,182	0,358	10,000	572,720	0,000	102,825	0,000	0,045	-40,856	0,000
圣	18012	5	6,503	6,341	100,643	0,063	-33,431	16,988	0,106	10,000	566,279	0,000	100,643	0,000	0,063	-33,431	0,000
EmbeddedBeam_21_1	18012	1	6,503	6,341	100,641	0,074	-33,431	16,988	0,106	10,000	566,279	0,000	100,641	0,000	0,074	-33,431	0,000
Element 2-21 (Embedded beam)	18013	2	6,636	6,365	98,357	0,071	-23,471	16,794	0,046	10,000	559,790	0,000	98,357	0,000	0,071	-23,471	0,000
(TITAN 40/20 l=1,60m)	18014	3	6,770	6,389	96,095	0,061	-14,434	16,608	0,112	10,000	553,609	0,000	96,095	0,000	0,061	-14,434	0,000
圣	18015	4	6,903	6,413	93,858	0,046	-7,084	16,431	0,125	10,000	547,694	0,000	93,858	0,000	0,046	-7,084	0,000
圣	18016	5	7,036	6,436	91,647	0,027	-2,119	16,260	0,109	10,000	542,014	0,000	91,647	0,000	0,027	-3,091	0,000
EmbeddedBeam_21_1	18016	1	7,036	6,436	91,645	0,029	-2,119	16,260	0,109	10,000	542,014	0,000	91,645	0,000	0,029	-3,091	0,000

Structural element	Node [10 ^]	Local number	X [m]	Y [m]	N [kN]	Q [kN]	M [10 ^ kN m]	T_{xx} [kN/m]	T_{yy} [kN/m]	$T_{xx,yy}$ [kN/m]	$T_{xx,yy}$ [10 ^]	N_{xx} [10 ^ kN]	N_{yy} [kN]	Q_{xx} [10 ^ kN]	Q_{yy} [kN]	M_{xx} [10 ^ kN m]	M_{yy} [10 ^ kN m]
Element 2-22 (Embedded beam)	18017	2	7,177	-5,462	89,328	0,015	1,003	-16,087	-0,081	30,000	536,229	0,000	89,328	0,000	0,015	-0,786	1,003
(TITAN 40/20 l=1,60m)	18018	3	7,318	-5,487	87,033	0,006	2,479	-15,920	-0,051	30,000	530,662	0,000	87,033	0,000	0,006	-0,020	2,479
)	18019	4	7,459	-5,513	84,761	0,000	2,856	-15,759	-0,028	30,000	525,297	0,000	84,761	0,000	0,001	-0,013	2,856
)	18020	5	7,600	-5,538	82,515	0,002	2,673	-15,604	-0,011	30,000	520,120	0,000	82,515	2,050	0,000	-0,011	2,673
EmbeddedBeam_21_1	18020	1	7,600	-5,538	82,513	0,003	2,673	-15,604	-0,011	30,000	520,120	0,000	82,513	2,771	0,000	-0,011	2,673
Element 2-23 (Embedded beam)	18021	2	7,750	-5,565	80,157	0,003	2,214	-15,445	-0,001	30,000	514,830	0,000	80,157	3,153	0,000	-0,012	2,214
(TITAN 40/20 l=1,60m)	18022	3	7,899	-5,592	77,823	0,003	1,747	-15,292	0,004	30,000	509,731	0,000	77,823	2,936	0,000	-0,013	1,747
)	18023	4	8,049	-5,619	75,511	0,002	1,346	-15,144	0,006	30,000	504,813	0,000	75,511	2,239	0,000	-0,060	1,346
)	18024	5	8,198	-5,646	73,224	0,001	1,083	-15,002	0,005	30,000	500,070	0,000	73,224	1,183	0,000	-0,188	1,083
EmbeddedBeam_31_1	18024	1	8,198	-5,646	73,222	0,001	1,083	-15,002	0,005	30,000	500,070	0,000	73,222	1,329	0,000	-0,188	1,083
Element 2-24 (Embedded beam)	18025	2	8,357	-5,674	70,822	0,001	0,929	-14,857	0,004	30,000	495,231	0,000	70,822	0,628	0,000	-0,249	0,929
(TITAN 40/20 l=1,60m)	18026	3	8,515	-5,703	68,443	0,000	0,870	-14,717	0,002	30,000	490,577	0,000	68,443	0,145	0,000	-0,249	0,870
)	18027	4	8,673	-5,731	66,086	0,000	0,872	-14,583	0,001	30,000	486,104	0,000	66,086	0,000	0,000	-0,210	0,872
)	18028	5	8,832	-5,760	63,752	0,000	0,901	-14,454	0,000	30,000	481,809	0,000	63,752	0,000	0,000	-0,156	0,901
EmbeddedBeam_31_1	18028	1	8,832	-5,760	63,750	0,000	0,901	-14,454	0,000	30,000	481,809	0,000	63,750	0,000	0,000	-0,156	0,901
Element 2-25 (Embedded beam)	18029	2	8,999	-5,790	61,301	0,000	0,944	-14,324	0,000	30,000	477,453	0,000	61,301	0,000	0,000	-0,094	0,944
(TITAN 40/20 l=1,60m)	18030	3	9,167	-5,820	58,871	0,000	0,983	-14,199	0,000	30,000	473,294	0,000	58,871	0,000	0,000	-0,036	0,983
)	18031	4	9,335	-5,850	56,461	0,000	1,015	-14,080	0,000	30,000	469,332	0,000	56,461	0,000	0,000	-0,026	1,015
)	18032	5	9,502	-5,880	54,074	0,000	1,038	-13,967	0,000	30,000	465,568	0,000	54,074	0,000	0,000	-0,021	1,038
EmbeddedBeam_31_1	18032	1	9,502	-5,880	54,072	0,000	1,038	-13,967	0,000	30,000	465,568	0,000	54,072	0,000	0,000	-0,021	1,038
Element 2-26 (Embedded beam)	18033	2	9,680	-5,912	51,564	0,000	1,053	-13,854	0,000	30,000	461,801	0,000	51,564	0,000	0,000	-0,017	1,053
(TITAN 40/20 l=1,60m)	18034	3	9,857	-5,944	49,072	0,000	1,060	-13,748	0,000	30,000	458,262	0,000	49,072	0,000	0,000	-0,015	1,060
)	18035	4	10,035	-5,976	46,600	0,000	1,059	-13,649	0,000	30,000	454,957	0,000	46,600	0,021	0,000	-0,012	1,059
)	18036	5	10,213	-7,008	44,147	0,000	1,052	-13,557	0,000	30,000	451,890	0,000	44,147	0,052	0,000	-0,010	1,052
EmbeddedBeam_31_1	18036	1	10,213	-7,008	44,145	0,000	1,052	-13,557	0,000	30,000	451,890	0,000	44,145	0,052	0,000	-0,010	1,052
Element 2-27 (Embedded beam)	18037	2	10,401	-7,042	41,565	0,000	1,039	-13,467	0,000	30,000	448,906	0,000	41,565	0,084	0,000	-0,009	1,039
(TITAN 40/20 l=1,60m)	18038	3	10,589	-7,076	38,998	0,000	1,020	-13,386	0,000	30,000	446,203	0,000	38,998	0,113	0,000	-0,007	1,020
)	18039	4	10,777	-7,110	36,446	0,000	0,996	-13,314	0,000	30,000	443,789	0,000	36,446	0,140	0,000	-0,006	0,996
)	18040	5	10,965	-7,144	33,910	0,000	0,967	-13,250	0,000	30,000	441,670	0,000	33,910	0,163	0,000	-0,005	0,967
EmbeddedBeam_31_1	18040	1	10,965	-7,144	33,907	0,000	0,967	-13,250	0,000	30,000	441,670	0,000	33,907	0,163	0,000	-0,005	0,967
Element 2-28 (Embedded beam)	18041	2	11,164	-7,180	31,233	0,000	0,932	-13,193	0,000	30,000	439,757	0,000	31,233	0,182	0,000	-0,004	0,932
(TITAN 40/20 l=1,60m)	18042	3	11,363	-7,215	28,566	0,000	0,894	-13,146	0,000	30,000	438,195	0,000	28,566	0,195	0,000	-0,003	0,894
)	18043	4	11,563	-7,251	25,908	0,000	0,854	-13,110	0,000	30,000	436,995	0,000	25,908	0,200	0,000	-0,002	0,854
)	18044	5	11,762	-7,287	23,260	0,000	0,813	-13,085	0,000	30,000	436,169	0,000	23,260	0,198	0,000	-0,002	0,814
EmbeddedBeam_31_1	18044	1	11,762	-7,287	23,256	0,000	0,813	-13,085	0,000	30,000	436,169	0,000	23,256	0,208	0,000	-0,002	0,814
Element 2-29 (Embedded beam)	18045	2	11,973	-7,325	20,455	0,000	0,771	-13,071	0,000	30,000	435,716	0,000	20,455	0,190	0,000	-0,001	0,775
(TITAN 40/20 l=1,60m)	18046	3	12,184	-7,363	17,652	0,000	0,730	-13,071	0,000	30,000	435,713	0,000	17,652	0,205	0,000	-0,001	0,737
)	18047	4	12,395	-7,401	14,847	0,000	0,680	-13,086	0,000	30,000	436,187	0,000	14,847	0,261	0,000	-0,001	0,691
)	18048	5	12,606	-7,439	12,041	0,000	0,614	-13,115	-0,001	30,000	437,171	0,000	12,041	0,365	0,000	0,000	0,628
EmbeddedBeam_31_1	18048	1	12,606	-7,439	12,036	0,000	0,614	-13,115	-0,001	30,000	437,171	0,000	12,036	0,269	0,000	0,000	0,628
Element 2-30 (Embedded beam)	18049	2	12,829	-7,479	9,057	0,001	0,506	-13,164	-0,001	30,000	438,796	0,000	9,057	0,682	0,000	0,000	0,520
(TITAN 40/20 l=1,60m)	18050	3	13,053	-7,520	6,059	0,001	0,321	-13,233	-0,001	30,000	441,092	0,000	6,059	0,905	0,000	0,000	0,332
)	18051	4	13,276	-7,560	3,041	0,001	0,128	-13,332	0,001	30,000	444,391	0,000	3,041	0,808	0,000	0,000	0,133
)	18052	5	13,500	-7,600	0,005	0,000	0,000	-13,479	0,007	30,000	449,295	0,000	0,005	0,269	0,000	0,000	0,000
EmbeddedBeam_21_1	18053	1	1,776	12,600	6,951	0,010	0,000	-31,672	0,400	125,000	253,380	0,000	6,951	11,461	0,000	0,000	0,000
Element 3-31 (Embedded beam)	18054	2	1,857	12,790	3,296	0,002	0,599	-14,471	0,040	125,000	115,768	0,000	3,297	0,000	0,002	-0,751	0,001
(Ricrocalo D168.3 x12.5mm/1,6m)	18055	3	1,938	12,980	1,056	0,004	0,048	-6,224	-0,042	125,000	49,789	0,000	1,058	0,000	0,004	-0,137	0,048
)	18056	4	2,019	13,170	0,009	0,001	0,738	-2,932	-0,009	125,000	23,455	0,000	0,077	0,001	0,001	0,000	0,738
)	18057	5	2,100	13,360	-0,070	0,002	0,595	-1,291	0,002	125,000	10,332	-76,431	0,020	1,616	0,000	0,000	0,595
EmbeddedBeam_21_1	18057	1	2,100	13,360	-0,314	0,001	0,595	-1,291	0,002	125,000	10,332	-317,989	0,000	0,552	0,000	0,000	0,595
Element 3-32 (Embedded beam)	18058	2	2,182	13,550	-0,456	0,000	0,506	-0,550	0,001	125,000	4,403	-465,823	0,000	0,332	0,000	0,000	0,506
(Ricrocalo D168.3 x12.5mm/1,6m)	18059	3	2,263	13,740	-0,537	0,000	0,450	-0,191	0,000	125,000	1,526	-551,244	0,000	0,219	0,000	0,000	0,450
)	18060	4	2,344	13,930	-0,566	0,000	0,411	-0,046	0,000	125,000	0,365	-583,766	0,000	0,175	0,000	0,000	0,411
)	18061	5	2,425	14,120	-0,553	0,000	0,376	0,026	0,000	125,000	0,208	-573,009	0,000	0,158	0,000	0,000	0,376
EmbeddedBeam_21_1	18061	1	2,425	14,120	-0,563	0,000	0,376	0,026	0,000	125,000	0,208	-583,788	0,000	0,145	0,000	0,000	0,376
Element 3-33 (Embedded beam)	18062	2	2,507	14,310	-0,553	0,000	0,350	0,057	0,000	125,000	0,455	-575,184	0,000	0,102	0,000	0,000	0,350
(Ricrocalo D168.3 x12.5mm/1,6m)	18063	3	2,588	14,500	-0,540	0,000	0,333	0,071	0,000	125,000	0,564	-563,771	0,000	0,067	0,000	0,000	0,333

Structural element	Node [10 ^]	Local number	X [m]	Y [m]	N [kN]	Q [kN]	M [10 ^ kN m]	T_{zzz} [kN/m]	T_{zz} [kN/m]	$T_{zzz,zzz}$ [kN/m]	$T_{zzz,zz}$ [10 ^]	N_{zzz} [10 ^ kN]	N_{zzz} [kN]	Q_{zzz} [10 ^ kN]	Q_{zzz} [kN]	M_{zzz} [10 ^ kN m]	M_{zzz} [10 ^ kN m]
89	18064	4	2,669	-14,690	-0,525	0,000	0,322	0,074	0,000	-125,000	0,596	-550,023	0,000	0,043	0,000	0,000	0,322
89	18065	5	2,750	-14,880	-0,509	0,000	0,314	0,075	0,000	-125,000	0,604	-534,413	0,000	0,032	0,000	0,000	0,315
EmbeddedBeam_2_1	18065	1	2,750	-14,880	-0,509	0,000	0,314	0,075	0,000	-125,000	0,604	-534,454	0,000	0,030	0,000	0,000	0,315
Element 3-34 (Embedded beam)	18066	2	2,831	-15,070	-0,494	0,000	0,309	0,076	0,000	-125,000	0,609	-519,688	0,000	0,027	0,000	0,000	0,309
(Micropalo D168.3 s12.5mm/1.6m)	18067	3	2,913	-15,260	-0,477	0,000	0,305	0,079	0,000	-125,000	0,636	-503,315	0,000	0,025	0,000	0,000	0,305
89	18068	4	2,994	-15,450	-0,459	0,000	0,300	0,093	0,000	-125,000	0,742	-484,884	0,000	0,026	0,000	0,000	0,300
89	18069	5	3,075	-15,640	-0,439	0,000	0,295	0,125	0,000	-125,000	0,998	-463,941	0,000	0,028	0,000	0,000	0,295
EmbeddedBeam_2_1	18069	1	3,075	-15,640	-0,427	0,000	0,295	0,125	0,000	-125,000	0,998	-451,100	0,000	0,092	0,000	0,000	0,295
Element 3-35 (Embedded beam)	18070	2	3,156	-15,830	-0,411	0,000	0,285	0,202	0,000	-125,000	1,613	-434,595	0,000	0,056	0,000	0,000	0,285
(Micropalo D168.3 s12.5mm/1.6m)	18071	3	3,238	-16,020	-0,348	0,000	0,255	0,361	-0,002	-125,000	2,890	-367,817	0,000	0,251	0,000	0,000	0,255
89	18072	4	3,319	-16,210	-0,226	0,001	0,171	0,769	-0,002	-125,000	6,156	-238,973	0,000	0,605	0,000	0,000	0,171
89	18073	5	3,400	-16,400	-0,034	0,001	0,000	1,628	0,014	-125,000	13,020	-36,270	0,000	1,050	0,000	0,000	0,000

3.3.1.1.23 Calculation results, Embedded beam, SLE [Phase_18] (18/1002), Table of embedded beam force envelopes

Structural element	Node [10^1]	Local number	X [m]	Y [m]	N [kN]	Q [kN]	M [10^-1 kN m]	T_sup [kN/m]	T_inf [kN/m]	T_ammesso [kN/m]	T_ammesso [10^1]	N_sup [10^-1 kN]	N_inf [kN]	Q_sup [10^-1 kN]	Q_inf [kN]	M_sup [10^-1 kN m]	M_inf [10^-1 kN m]
EmbeddedBeam_1_1	17931	1	8,300	-2,600	108,140	1,321	0,000	-11,062	-6,236	30,000	368,719	0,000	108,140	0,000	1,321	0,000	0,000
Element 1-1 (Embedded beam)	17932	2	8,493	-2,635	106,006	0,447	166,865	-10,775	-3,606	30,000	359,162	0,000	106,006	0,000	0,447	0,000	166,865
(TITAN 40/20 i=1,60m)	17933	3	8,685	-2,670	103,920	-0,078	198,190	-10,519	-1,603	30,000	350,626	0,000	103,920	-80,960	0,000	0,000	198,190
2	17934	4	8,878	-2,706	101,883	-0,288	156,758	-10,281	-0,385	30,000	342,705	0,000	101,883	-289,079	0,000	0,000	156,758
3	17935	5	9,071	-2,741	99,894	-0,216	103,338	-10,056	0,198	30,000	335,189	0,000	99,894	-216,142	0,000	0,000	103,338
EmbeddedBeam_1_1	17935	1	9,071	-2,741	99,892	-0,280	103,338	-10,056	0,198	30,000	335,189	0,000	99,892	-279,831	0,000	0,000	103,338
Element 1-2 (Embedded beam)	17936	2	9,223	-2,769	98,346	-0,222	64,388	-9,885	0,365	30,000	329,516	0,000	98,346	-222,014	0,000	0,000	64,388
(TITAN 40/20 i=1,60m)	17937	3	9,376	-2,797	96,824	-0,166	34,380	-9,723	0,377	30,000	324,096	0,000	96,824	-165,631	0,000	0,000	34,380
4	17938	4	9,529	-2,825	95,327	-0,113	12,757	-9,568	0,312	30,000	318,928	0,000	95,327	-113,308	0,000	0,000	12,757
5	17939	5	9,681	-2,853	93,855	-0,068	-1,160	-9,421	0,227	30,000	314,025	0,000	93,855	-67,670	0,000	-2,091	0,650
EmbeddedBeam_1_1	17939	1	9,681	-2,853	93,853	-0,069	-1,160	-9,421	0,227	30,000	314,025	0,000	93,853	-68,954	0,000	-2,091	0,650
Element 1-3 (Embedded beam)	17940	2	9,802	-2,875	92,703	-0,046	-8,167	-9,303	0,177	30,000	310,098	0,000	92,703	-45,751	0,000	-8,567	0,000
(TITAN 40/20 i=1,60m)	17941	3	9,923	-2,897	91,565	-0,026	-12,553	-9,197	0,139	30,000	306,583	0,000	91,565	-25,775	0,000	-12,553	0,000
6	17942	4	10,044	-2,919	90,440	-0,008	-14,592	-9,095	0,144	30,000	303,168	0,000	90,440	-7,857	0,001	-14,592	0,000
7	17943	5	10,165	-2,941	89,329	0,009	-14,514	-8,992	0,188	30,000	299,739	0,000	89,329	0,000	0,009	-14,514	0,000
EmbeddedBeam_1_1	17943	1	10,165	-2,941	89,325	0,008	-14,514	-8,992	0,188	30,000	299,739	0,000	89,325	0,000	0,008	-14,514	0,000
Element 1-4 (Embedded beam)	17944	2	10,261	-2,959	88,458	0,034	-12,448	-8,924	0,235	30,000	297,457	0,000	88,458	0,000	0,034	-12,448	0,000
(TITAN 40/20 i=1,60m)	17945	3	10,357	-2,976	87,587	0,055	-8,041	-8,922	0,217	30,000	297,405	0,000	87,587	0,000	0,055	-8,603	0,000
8	17946	4	10,453	-2,994	86,710	0,068	-2,016	-9,047	0,075	30,000	301,570	0,000	86,710	0,000	0,068	-4,197	0,000
9	17947	5	10,549	-3,011	85,824	0,070	4,823	-9,311	-0,189	30,000	310,372	0,000	85,824	0,000	0,070	-2,268	4,823
EmbeddedBeam_1_1	17947	1	10,549	-3,011	85,818	0,066	4,823	-15,519	-0,315	30,000	517,286	0,000	85,818	0,000	0,066	-2,268	4,823
Element 1-5 (Embedded beam)	17948	2	10,656	-3,031	84,123	0,034	10,208	-15,424	-0,259	30,000	514,136	0,000	84,123	0,000	0,034	-1,189	10,208
(TITAN 40/20 i=1,60m)	17949	3	10,764	-3,051	82,437	0,009	12,490	-15,328	-0,179	30,000	510,949	0,000	82,437	0,000	0,014	-0,393	12,490
10	17950	4	10,872	-3,071	80,761	-0,006	12,590	-15,236	-0,106	30,000	507,883	0,000	80,761	6,237	0,007	-0,112	12,590
11	17951	5	10,980	-3,090	79,096	-0,014	11,422	-15,148	-0,051	30,000	504,927	0,000	79,096	13,739	0,004	-0,020	11,422
EmbeddedBeam_1_1	17951	1	10,980	-3,090	79,095	-0,015	11,422	-15,148	-0,051	30,000	504,927	0,000	79,095	15,003	0,004	-0,020	11,422
Element 1-6 (Embedded beam)	17952	2	11,085	-3,110	77,476	-0,017	9,662	-15,063	-0,013	30,000	502,100	0,000	77,476	17,432	0,002	0,000	9,662
(TITAN 40/20 i=1,60m)	17953	3	11,191	-3,129	75,866	-0,018	7,764	-14,980	0,011	30,000	499,341	0,000	75,866	17,674	0,001	0,000	7,764
12	17954	4	11,296	-3,148	74,264	-0,016	5,941	-14,900	0,023	30,000	496,651	0,000	74,264	15,987	0,000	0,000	5,941
13	17955	5	11,402	-3,167	72,672	-0,013	4,395	-14,821	0,028	30,000	494,034	0,000	72,672	12,629	0,000	0,000	4,454
EmbeddedBeam_1_1	17955	1	11,402	-3,167	72,671	-0,013	4,395	-14,821	0,028	30,000	494,034	0,000	72,671	13,121	0,000	0,000	4,454
Element 1-7 (Embedded beam)	17956	2	11,505	-3,186	71,122	-0,010	3,183	-14,746	0,027	30,000	491,547	0,000	71,122	10,064	0,000	-0,002	3,458
(TITAN 40/20 i=1,60m)	17957	3	11,608	-3,205	69,580	-0,007	2,273	-14,674	0,024	30,000	489,135	0,000	69,580	7,372	0,000	-0,008	2,655
14	17958	4	11,711	-3,224	68,045	-0,005	1,624	-14,604	0,020	30,000	486,801	0,000	68,045	5,121	0,000	-0,018	2,110
15	17959	5	11,814	-3,243	66,519	-0,003	1,193	-14,536	0,015	30,000	484,547	0,000	66,519	3,568	0,000	-0,029	1,708
EmbeddedBeam_1_1	17959	1	11,814	-3,243	66,518	-0,003	1,193	-14,536	0,015	30,000	484,547	0,000	66,518	3,599	0,000	-0,029	1,708
Element 1-8 (Embedded beam)	17960	2	11,915	-3,261	65,033	-0,002	0,934	-14,473	0,011	30,000	482,420	0,000	65,033	2,518	0,000	-0,040	1,408
(TITAN 40/20 i=1,60m)	17961	3	12,016	-3,280	63,552	-0,001	0,787	-14,411	0,007	30,000	480,370	0,000	63,552	1,884	0,000	-0,048	1,186
16	17962	4	12,117	-3,298	62,078	0,000	0,720	-14,352	0,004	30,000	478,399	0,000	62,078	1,468	0,000	-0,055	1,025
17	17963	5	12,217	-3,317	60,611	0,000	0,697	-14,295	0,002	30,000	476,506	0,000	60,611	1,143	0,000	-0,060	0,908
EmbeddedBeam_1_1	17963	1	12,217	-3,317	60,610	0,000	0,697	-14,295	0,002	30,000	476,506	0,000	60,610	1,138	0,000	-0,060	0,908
Element 1-9 (Embedded beam)	17964	2	12,316	-3,335	59,182	0,000	0,699	-14,242	0,001	30,000	474,732	0,000	59,182	0,929	0,000	-0,064	0,824
(TITAN 40/20 i=1,60m)	17965	3	12,414	-3,353	57,757	0,000	0,709	-14,191	0,000	30,000	473,036	0,000	57,757	0,774	0,000	-0,067	0,762
18	17966	4	12,513	-3,371	56,337	0,000	0,720	-14,142	0,001	30,000	471,417	0,000	56,337	0,656	0,000	-0,068	0,732
19	17967	5	12,612	-3,389	54,923	0,000	0,724	-14,096	0,001	30,000	469,876	0,000	54,923	0,564	0,000	-0,069	0,724
EmbeddedBeam_1_1	17967	1	12,612	-3,389	54,922	0,000	0,724	-14,096	0,001	30,000	469,876	0,000	54,922	0,563	0,000	-0,069	0,724
Element 1-10 (Embedded beam)	17968	2	12,708	-3,406	53,544	0,000	0,721	-14,053	0,001	30,000	468,445	0,000	53,544	0,497	0,000	-0,070	0,721
(TITAN 40/20 i=1,60m)	17969	3	12,804	-3,424	52,169	0,000	0,709	-14,013	0,001	30,000	467,091	0,000	52,169	0,442	0,000	-0,070	0,709
20	17970	4	12,901	-3,442	50,798	0,000	0,689	-13,974	0,001	30,000	465,815	0,000	50,798	0,423	0,000	-0,070	0,689
21	17971	5	12,997	-3,459	49,432	0,000	0,663	-13,938	0,001	30,000	464,616	0,000	49,432	0,428	0,000	-0,070	0,663

Structural element	Node [10 ⁰]	Local number	X [m]	Y [m]	N [kN]	Q [kN]	M [10 ⁻ kN m]	T_{xxx} [kN/m]	T_{yyy} [kN/m]	$T_{xxx,yyy}$ [kN/m]	$T_{xxx,yyy}$ [10 ⁻]	N_{xxx} [10 ⁻ kN]	N_{yyy} [kN]	Q_{xxx} [10 ⁻ kN]	Q_{yyy} [kN]	M_{xxx} [10 ⁻ kN m]	M_{yyy} [10 ⁻ kN m]
EmbeddedBeam_11_1	17971	1	12,997	-2,459	49,431	0,000	0,663	13,938	0,001	30,000	464,616	0,000	49,431	0,426	0,000	-0,070	0,663
Element 1-11 (Embedded beam)	17972	2	13,091	-2,476	48,098	0,000	0,633	13,906	0,000	30,000	463,520	0,000	48,098	0,428	0,000	-0,070	0,633
(TITAN 40/20 l=1,60m)	17973	3	13,185	-2,494	46,767	0,000	0,599	13,875	0,000	30,000	462,501	0,000	46,767	0,427	0,000	-0,071	0,599
,,	17974	4	13,280	-2,511	45,439	0,000	0,563	13,847	0,000	30,000	461,558	0,000	45,439	0,425	0,000	-0,071	0,563
,,	17975	5	13,374	-2,528	44,115	0,000	0,526	13,821	0,000	30,000	460,693	0,000	44,115	0,419	0,000	-0,071	0,526
EmbeddedBeam_11_1	17975	1	13,374	-2,528	44,114	0,000	0,526	13,821	0,000	30,000	460,693	0,000	44,114	0,420	0,000	-0,071	0,526
Element 1-12 (Embedded beam)	17976	2	13,466	-2,545	42,822	0,000	0,490	13,798	0,000	30,000	459,924	0,000	42,822	0,408	0,000	-0,089	0,490
(TITAN 40/20 l=1,60m)	17977	3	13,558	-2,562	41,531	0,000	0,454	13,777	0,000	30,000	459,230	0,000	41,531	0,392	0,000	-0,106	0,454
,,	17978	4	13,650	-2,579	40,241	0,000	0,419	13,758	0,000	30,000	458,613	0,000	40,241	0,372	0,000	-0,121	0,419
,,	17979	5	13,742	-2,596	38,954	0,000	0,385	13,742	0,000	30,000	458,072	0,000	38,954	0,351	0,000	-0,134	0,385
EmbeddedBeam_11_1	17979	1	13,742	-2,596	38,953	0,000	0,385	13,742	0,000	30,000	458,072	0,000	38,953	0,351	0,000	-0,134	0,385
Element 1-13 (Embedded beam)	17980	2	13,832	-2,612	37,696	0,000	0,354	13,729	0,000	30,000	457,619	0,000	37,696	0,333	0,000	-0,145	0,354
(TITAN 40/20 l=1,60m)	17981	3	13,923	-2,629	36,440	0,000	0,324	13,717	0,000	30,000	457,240	0,000	36,440	0,314	0,000	-0,154	0,324
,,	17982	4	14,013	-2,645	35,184	0,000	0,297	13,708	0,000	30,000	456,937	0,000	35,184	0,294	0,000	-0,161	0,297
,,	17983	5	14,103	-2,661	33,930	0,000	0,271	13,701	0,000	30,000	456,709	0,000	33,930	0,273	0,000	-0,167	0,271
EmbeddedBeam_11_1	17983	1	14,103	-2,661	33,929	0,000	0,271	13,701	0,000	30,000	456,709	0,000	33,929	0,273	0,000	-0,167	0,271
Element 1-14 (Embedded beam)	17984	2	14,191	-2,678	32,703	0,000	0,247	13,697	0,000	30,000	456,561	0,000	32,703	0,252	0,000	-0,171	0,247
(TITAN 40/20 l=1,60m)	17985	3	14,279	-2,694	31,477	0,000	0,226	13,695	0,000	30,000	456,486	0,000	31,477	0,231	0,000	-0,174	0,226
,,	17986	4	14,367	-2,710	30,251	0,000	0,206	13,695	0,000	30,000	456,485	0,000	30,251	0,211	0,000	-0,177	0,206
,,	17987	5	14,455	-2,726	29,025	0,000	0,188	13,697	0,000	30,000	456,558	0,000	29,025	0,190	0,000	-0,178	0,188
EmbeddedBeam_11_1	17987	1	14,455	-2,726	29,025	0,000	0,188	13,697	0,000	30,000	456,558	0,000	29,025	0,190	0,000	-0,178	0,188
Element 1-15 (Embedded beam)	17988	2	14,541	-2,742	27,826	0,000	0,172	13,701	0,000	30,000	456,703	0,000	27,826	0,171	0,000	-0,179	0,172
(TITAN 40/20 l=1,60m)	17989	3	14,627	-2,757	26,627	0,000	0,158	13,708	0,000	30,000	456,920	0,000	26,627	0,152	0,000	-0,178	0,158
,,	17990	4	14,713	-2,773	25,426	0,000	0,145	13,716	0,000	30,000	457,211	0,000	25,426	0,133	0,000	-0,177	0,145
,,	17991	5	14,799	-2,789	24,226	0,000	0,135	13,727	0,000	30,000	457,576	0,000	24,226	0,116	0,000	-0,176	0,135
EmbeddedBeam_11_1	17991	1	14,799	-2,789	24,225	0,000	0,135	13,727	0,000	30,000	457,576	0,000	24,225	0,116	0,000	-0,176	0,135
Element 1-16 (Embedded beam)	17992	2	14,883	-2,804	23,050	0,000	0,125	13,740	0,000	30,000	458,006	0,000	23,050	0,100	0,000	-0,173	0,125
(TITAN 40/20 l=1,60m)	17993	3	14,968	-2,820	21,874	0,000	0,117	13,755	0,000	30,000	458,508	0,000	21,874	0,085	0,000	-0,171	0,117
,,	17994	4	15,052	-2,835	20,696	0,000	0,111	13,773	0,000	30,000	459,084	0,000	20,696	0,071	0,000	-0,167	0,111
,,	17995	5	15,136	-2,850	19,517	0,000	0,105	13,792	0,000	30,000	459,734	0,000	19,517	0,060	0,000	-0,163	0,105
EmbeddedBeam_11_1	17995	1	15,136	-2,850	19,516	0,000	0,105	13,792	0,000	30,000	459,734	0,000	19,516	0,060	0,000	-0,163	0,105
Element 1-17 (Embedded beam)	17996	2	15,205	-2,863	18,543	0,000	0,101	13,810	0,000	30,000	460,328	0,000	18,543	0,052	0,000	-0,160	0,101
(TITAN 40/20 l=1,60m)	17997	3	15,275	-2,876	17,567	0,000	0,098	13,829	0,000	30,000	460,974	0,000	17,567	0,046	0,000	-0,156	0,098
,,	17998	4	15,344	-2,889	16,591	0,000	0,095	13,850	0,000	30,000	461,674	0,000	16,591	0,042	0,000	-0,152	0,095
,,	17999	5	15,414	-2,901	15,613	0,000	0,092	13,873	0,000	30,000	462,429	0,000	15,613	0,041	0,000	-0,147	0,092
EmbeddedBeam_11_1	17999	1	15,414	-2,901	15,612	0,000	0,092	13,873	0,000	30,000	462,429	0,000	15,612	0,041	0,000	-0,147	0,092
Element 1-18 (Embedded beam)	18000	2	15,521	-2,921	14,103	0,000	0,087	13,911	0,000	30,000	463,701	0,000	14,103	0,045	0,000	-0,139	0,087
(TITAN 40/20 l=1,60m)	18001	3	15,627	-2,940	12,589	0,000	0,082	13,953	0,000	30,000	465,110	0,000	12,589	0,056	0,000	-0,129	0,082
,,	18002	4	15,734	-2,960	11,069	0,000	0,075	14,000	0,000	30,000	466,664	0,000	11,069	0,073	0,000	-0,117	0,075
,,	18003	5	15,841	-2,980	9,546	0,000	0,066	14,051	0,000	30,000	468,371	0,000	9,546	0,097	0,000	-0,102	0,066
EmbeddedBeam_11_1	18003	1	15,841	-2,980	9,544	0,000	0,066	14,051	0,000	30,000	468,371	0,000	9,544	0,083	0,000	-0,102	0,066
Element 1-19 (Embedded beam)	18004	2	16,006	-4,010	7,187	0,000	0,047	14,140	0,000	30,000	471,340	0,000	7,187	0,137	0,000	-0,074	0,047
(TITAN 40/20 l=1,60m)	18005	3	16,171	-4,040	4,810	0,000	0,022	14,240	0,000	30,000	474,666	0,000	4,810	0,149	0,000	-0,042	0,022
,,	18006	4	16,335	-4,070	2,416	0,000	0,001	14,360	0,001	30,000	478,655	0,000	2,416	0,084	0,000	-0,015	0,003
,,	18007	5	16,500	-4,100	0,003	0,000	0,000	14,527	0,000	30,000	484,221	0,000	0,003	0,000	0,000	0,000	0,000
EmbeddedBeam_21_1	18008	1	6,000	-6,250	121,331	-0,385	0,000	20,006	2,087	30,000	666,853	0,000	121,331	-384,721	0,000	0,000	0,000
Element 2-20 (Embedded beam)	18009	2	6,126	-6,273	118,797	-0,173	-34,895	19,718	1,394	30,000	657,254	0,000	118,797	-173,435	0,000	-34,895	0,000
(TITAN 40/20 l=1,60m)	18010	3	6,252	-6,295	116,292	-0,030	-47,247	19,465	0,820	30,000	648,817	0,000	116,292	-30,010	0,000	-47,247	0,000
,,	18011	4	6,377	-6,318	113,819	0,050	-45,281	19,232	0,397	30,000	641,052	0,000	113,819	0,000	0,050	-45,281	0,000
,,	18012	5	6,503	-6,341	111,377	0,070	-37,060	19,011	0,118	30,000	633,695	0,000	111,377	0,000	0,070	-37,060	0,000
EmbeddedBeam_21_1	18012	1	6,503	-6,341	111,375	0,082	-37,060	19,011	0,118	30,000	633,695	0,000	111,375	0,000	0,082	-37,060	0,000
Element 2-21 (Embedded beam)	18013	2	6,636	-6,365	108,818	0,079	-26,025	18,788	0,050	30,000	626,276	0,000	108,818	0,000	0,079	-26,025	0,000
(TITAN 40/20 l=1,60m)	18014	3	6,770	-6,389	106,289	0,068	-16,006	18,576	0,124	30,000	619,199	0,000	106,289	0,000	0,068	-16,006	0,000
,,	18015	4	6,903	-6,413	103,787	0,051	-7,852	18,373	0,138	30,000	612,418	0,000	103,787	0,000	0,051	-7,852	0,000
,,	18016	5	7,036	-6,436	101,315	0,030	-2,335	18,177	0,121	30,000	605,897	0,000	101,315	0,000	0,030	-3,091	0,000
EmbeddedBeam_21_1	18016	1	7,036	-6,436	101,313	0,032	-2,335	18,177	0,121	30,000	605,897	0,000	101,313	0,000	0,032	-3,091	0,000
Element 2-22 (Embedded beam)	18017	2	7,177	-6,462	98,723	0,017	-1,142	17,977	0,089	30,000	599,245	0,000	98,723	0,000	0,017	-0,786	1,142

Structural element	Node [10 ^]	Local number	X [m]	Y [m]	N [kN]	Q [kN]	M [10 ^ kN m]	T_{xx} [kN/m]	T_{yy} [kN/m]	$T_{xx,yy}$ [kN/m]	$T_{xx,yy}$ [10 ^]	N_{xx} [10 ^ kN]	N_{yy} [kN]	Q_{xx} [10 ^ kN]	Q_{yy} [kN]	M_{xx} [10 ^ kN m]	M_{yy} [10 ^ kN m]
(TITAN 40/20 l=1,60m)	18018	3	7,318	-5,487	96,159	0,007	2,797	-17,785	-0,057	30,000	592,831	0,000	96,159	0,000	0,007	-0,020	2,797
昔	18019	4	7,459	-5,513	93,621	0,000	3,237	-17,599	-0,031	30,000	586,635	0,000	93,621	0,000	0,001	-0,013	3,237
昔	18020	5	7,600	-5,538	91,113	0,002	3,057	-17,419	-0,012	30,000	580,643	0,000	91,113	2,111	0,000	-0,011	3,057
EmbeddedBeam_31_1	18020	1	7,600	-5,538	91,111	0,003	3,057	-17,419	-0,012	30,000	580,643	0,000	91,111	2,910	0,000	-0,011	3,057
Element 2-33 (Embedded beam)	18021	2	7,750	-5,565	88,481	0,003	2,573	-17,235	-0,001	30,000	574,505	0,000	88,481	3,331	0,000	-0,012	2,573
(TITAN 40/20 l=1,60m)	18022	3	7,899	-5,592	85,877	0,003	2,080	-17,057	0,005	30,000	568,568	0,000	85,877	3,092	0,000	-0,013	2,080
昔	18023	4	8,049	-5,619	83,299	0,002	1,660	-16,885	0,006	30,000	562,826	0,000	83,299	2,324	0,000	-0,060	1,660
昔	18024	5	8,198	-5,646	80,749	0,001	1,393	-16,718	0,006	30,000	557,269	0,000	80,749	1,183	0,000	-0,188	1,393
EmbeddedBeam_31_1	18024	1	8,198	-5,646	80,747	0,001	1,393	-16,718	0,006	30,000	557,269	0,000	80,747	1,329	0,000	-0,188	1,393
Element 2-34 (Embedded beam)	18025	2	8,357	-5,674	78,074	0,001	1,245	-16,547	0,004	30,000	551,579	0,000	78,074	0,628	0,000	-0,249	1,245
(TITAN 40/20 l=1,60m)	18026	3	8,515	-5,703	75,425	0,000	1,200	-16,383	0,002	30,000	546,086	0,000	75,425	0,145	0,000	-0,249	1,200
昔	18027	4	8,673	-5,731	72,802	0,000	1,222	-16,224	0,001	30,000	540,786	0,000	72,802	0,000	0,000	-0,210	1,222
昔	18028	5	8,832	-5,760	70,206	0,000	1,271	-16,070	0,000	30,000	535,676	0,000	70,206	0,000	0,000	-0,156	1,271
EmbeddedBeam_31_1	18028	1	8,832	-5,760	70,204	0,000	1,271	-16,070	0,000	30,000	535,676	0,000	70,204	0,000	0,000	-0,156	1,271
Element 2-35 (Embedded beam)	18029	2	8,999	-5,790	67,482	0,000	1,333	-15,914	0,000	30,000	530,472	0,000	67,482	0,000	0,000	-0,094	1,333
(TITAN 40/20 l=1,60m)	18030	3	9,167	-5,820	64,783	0,000	1,388	-15,764	0,000	30,000	525,482	0,000	64,783	0,000	0,000	-0,036	1,388
昔	18031	4	9,335	-5,850	62,108	0,000	1,432	-15,621	0,000	30,000	520,708	0,000	62,108	0,000	0,000	-0,026	1,432
昔	18032	5	9,502	-5,880	59,461	0,000	1,463	-15,485	0,000	30,000	516,152	0,000	59,461	0,000	0,000	-0,021	1,463
EmbeddedBeam_31_1	18032	1	9,502	-5,880	59,458	0,000	1,463	-15,485	0,000	30,000	516,152	0,000	59,458	0,000	0,000	-0,021	1,463
Element 2-36 (Embedded beam)	18033	2	9,680	-5,912	56,679	0,000	1,481	-15,347	0,000	30,000	511,569	0,000	56,679	0,000	0,000	-0,017	1,481
(TITAN 40/20 l=1,60m)	18034	3	9,857	-5,944	53,920	0,000	1,488	-15,217	0,000	30,000	507,242	0,000	53,920	0,001	0,000	-0,015	1,488
昔	18035	4	10,035	-5,976	51,185	0,000	1,483	-15,095	0,000	30,000	503,177	0,000	51,185	0,053	0,000	-0,012	1,483
昔	18036	5	10,213	-7,008	48,473	0,000	1,470	-14,981	0,000	30,000	499,382	0,000	48,473	0,099	0,000	-0,010	1,470
EmbeddedBeam_31_1	18036	1	10,213	-7,008	48,471	0,000	1,470	-14,981	0,000	30,000	499,382	0,000	48,471	0,099	0,000	-0,010	1,470
Element 2-37 (Embedded beam)	18037	2	10,401	-7,042	45,621	0,000	1,446	-14,870	0,000	30,000	495,665	0,000	45,621	0,146	0,000	-0,009	1,446
(TITAN 40/20 l=1,60m)	18038	3	10,589	-7,076	42,788	0,000	1,414	-14,768	0,000	30,000	492,267	0,000	42,788	0,188	0,000	-0,007	1,414
昔	18039	4	10,777	-7,110	39,973	0,000	1,375	-14,676	0,000	30,000	489,199	0,000	39,973	0,224	0,000	-0,006	1,375
昔	18040	5	10,965	-7,144	37,179	0,000	1,329	-14,594	0,000	30,000	486,470	0,000	37,179	0,255	0,000	-0,005	1,329
EmbeddedBeam_31_1	18040	1	10,965	-7,144	37,175	0,000	1,329	-14,594	0,000	30,000	486,470	0,000	37,175	0,254	0,000	-0,005	1,329
Element 2-38 (Embedded beam)	18041	2	11,164	-7,180	34,232	0,000	1,275	-14,519	0,000	30,000	483,960	0,000	34,232	0,278	0,000	-0,004	1,275
(TITAN 40/20 l=1,60m)	18042	3	11,363	-7,215	31,298	0,000	1,217	-14,456	0,000	30,000	481,853	0,000	31,298	0,291	0,000	-0,003	1,217
昔	18043	4	11,563	-7,251	28,376	0,000	1,158	-14,405	0,000	30,000	480,160	0,000	28,376	0,293	0,000	-0,002	1,158
昔	18044	5	11,762	-7,287	25,467	0,000	1,099	-14,367	0,000	30,000	478,894	0,000	25,467	0,285	0,000	-0,002	1,099
EmbeddedBeam_31_1	18044	1	11,762	-7,287	25,463	0,000	1,099	-14,367	0,000	30,000	478,894	0,000	25,463	0,300	0,000	-0,002	1,099
Element 2-39 (Embedded beam)	18045	2	11,973	-7,325	22,389	0,000	1,039	-14,341	0,000	30,000	478,035	0,000	22,389	0,270	0,000	-0,001	1,039
(TITAN 40/20 l=1,60m)	18046	3	12,184	-7,363	19,315	0,000	0,980	-14,331	0,000	30,000	477,689	0,000	19,315	0,286	0,000	-0,001	0,980
昔	18047	4	12,395	-7,401	16,240	0,000	0,912	-14,336	0,000	30,000	477,883	0,000	16,240	0,358	0,000	-0,001	0,912
昔	18048	5	12,606	-7,439	13,168	0,000	0,822	-14,360	-0,001	30,000	478,653	0,000	13,168	0,495	0,000	0,000	0,822
EmbeddedBeam_31_1	18048	1	12,606	-7,439	13,162	0,000	0,822	-14,360	-0,001	30,000	478,653	0,000	13,162	0,368	0,000	0,000	0,822
Element 2-30 (Embedded beam)	18049	2	12,829	-7,479	9,902	0,001	0,676	-14,404	-0,002	30,000	480,124	0,000	9,902	0,904	0,000	0,000	0,676
(TITAN 40/20 l=1,60m)	18050	3	13,053	-7,520	6,622	-0,001	0,429	-14,470	-0,001	30,000	482,147	0,000	6,622	1,180	0,000	0,000	0,429
昔	18051	4	13,276	-7,560	3,323	-0,001	0,171	-14,570	0,002	30,000	485,683	0,000	3,323	1,044	0,000	0,000	0,171
昔	18052	5	13,500	-7,600	0,005	0,000	0,000	-14,724	0,009	30,000	490,787	0,000	0,005	0,344	0,000	0,000	0,000
EmbeddedBeam_21_1	18053	1	1,776	-12,600	8,279	-0,013	0,000	-37,643	0,473	125,000	301,145	0,000	8,279	-12,599	0,000	0,000	0,000
Element 3-31 (Embedded beam)	18054	2	1,857	-12,790	3,935	0,002	0,756	-17,202	0,048	125,000	137,619	0,000	3,935	0,000	0,002	-0,756	0,001
(Ricrapalo D168.3 x12.5mm/1,6m)	18055	3	1,938	-12,980	1,272	0,005	0,004	-7,403	-0,050	125,000	59,222	0,000	1,272	0,000	0,005	-0,137	0,048
昔	18056	4	2,019	-13,170	0,025	0,001	0,816	-3,492	-0,011	125,000	27,935	0,000	0,077	0,001	0,001	0,000	0,816
昔	18057	5	2,100	-13,360	-0,070	-0,002	0,652	-1,543	0,002	125,000	12,344	-76,431	0,020	1,897	0,000	0,000	0,652
EmbeddedBeam_21_1	18057	1	2,100	-13,360	-0,359	-0,001	0,652	-1,543	0,002	125,000	12,344	-359,420	0,000	0,618	0,000	0,000	0,652
Element 3-32 (Embedded beam)	18058	2	2,182	-13,550	-0,531	0,000	0,554	-0,662	0,001	125,000	5,299	-530,851	0,000	0,357	0,000	0,000	0,554
(Ricrapalo D168.3 x12.5mm/1,6m)	18059	3	2,263	-13,740	-0,629	0,000	0,495	-0,235	0,000	125,000	1,877	-628,758	0,000	0,225	0,000	0,000	0,495
昔	18060	4	2,344	-13,930	-0,665	0,000	0,456	-0,062	0,000	125,000	0,494	-664,608	0,000	0,175	0,000	0,000	0,456
昔	18061	5	2,425	-14,120	-0,650	0,000	0,421	0,024	0,000	125,000	0,191	-649,869	0,000	0,160	0,000	0,000	0,421
EmbeddedBeam_21_1	18061	1	2,425	-14,120	-0,663	0,000	0,421	0,024	0,000	125,000	0,191	-662,625	0,000	0,145	0,000	0,000	0,421
Element 3-33 (Embedded beam)	18062	2	2,507	-14,310	-0,651	0,000	0,396	0,061	0,000	125,000	0,490	-651,270	0,000	0,102	0,000	0,000	0,396
(Ricrapalo D168.3 x12.5mm/1,6m)	18063	3	2,588	-14,500	-0,637	0,000	0,380	0,078	0,000	125,000	0,624	-637,114	0,000	0,067	0,000	0,000	0,380
昔	18064	4	2,669	-14,690	-0,621	0,000	0,371	0,083	0,000	125,000	0,666	-620,690	0,000	0,043	0,000	0,000	0,371

Structural element	Node [10 ^]	Local number	X [m]	Y [m]	N [kN]	Q [kN]	M [10 ^ kN m]	$T_{x,x}$ [kN/m]	$T_{x,y}$ [kN/m]	$T_{x,x+y,x+y}$ [kN/m]	$T_{x+y,x,y}$ [10 ^]	$N_{x,x}$ [10 ^ kN]	$N_{x,y}$ [kN]	$Q_{x,x}$ [10 ^ kN]	$Q_{x,y}$ [kN]	$M_{x,x}$ [10 ^ kN m]	$M_{x,y}$ [10 ^ kN m]
89	18065	5	2,750	-14,880	-0,603	0,000	0,365	0,085	0,000	-125,000	0,679	-602,535	0,000	0,032	0,000	0,000	0,365
EmbeddedBeam_2_1	18065	1	2,750	-14,880	-0,603	0,000	0,365	0,085	0,000	-125,000	0,679	-602,551	0,000	0,030	0,000	0,000	0,365
Element 3-34 (Embedded beam)	18066	2	2,831	-15,070	-0,586	0,000	0,362	0,086	0,000	-125,000	0,689	-585,656	0,000	0,027	0,000	0,000	0,362
(Micropalo D168.3 x12.5mm/1,6m)	18067	3	2,913	-15,260	-0,567	0,000	0,358	0,090	0,000	-125,000	0,723	-567,171	0,000	0,025	0,000	0,000	0,358
89	18068	4	2,994	-15,450	-0,547	0,000	0,354	0,107	0,000	-125,000	0,853	-546,571	0,000	0,026	0,000	0,000	0,354
89	18069	5	3,075	-15,640	-0,523	0,000	0,350	0,145	0,000	-125,000	1,162	-523,332	0,000	0,028	0,000	0,000	0,350
EmbeddedBeam_2_1	18069	1	3,075	-15,640	-0,509	0,000	0,350	0,145	0,000	-125,000	1,162	-508,730	0,000	0,102	0,000	0,000	0,350
Element 3-35 (Embedded beam)	18070	2	3,156	-15,830	-0,491	0,000	0,339	0,238	0,000	-125,000	1,901	-490,681	0,000	0,064	0,000	0,000	0,339
(Micropalo D168.3 x12.5mm/1,6m)	18071	3	3,238	-16,020	-0,416	0,000	0,304	0,429	-0,002	-125,000	3,433	-415,667	0,000	0,297	0,000	0,000	0,304
89	18072	4	3,319	-16,210	-0,270	0,001	0,203	0,919	-0,002	-125,000	7,349	-270,298	0,000	0,719	0,000	0,000	0,203
89	18073	5	3,400	-16,400	-0,041	0,001	0,000	1,947	0,017	-125,000	15,578	-41,179	0,000	1,248	0,000	0,000	0,000

3.3.1.1.24 Calculation results, Embedded beam, Scalzamento al piede [Phase_19] (19/1007), Table of embedded beam force envelopes

Structural element	Node [10 ⁰]	Local number	X [m]	Y [m]	N [kN]	Q [kN]	M [10 ⁰ kN m]	T_{xxx} [kN/m]	T_{xxx} [kN/m]	$T_{xxx,xxx}$ [kN/m]	$T_{xxx,xxx}$ [10 ⁰]	N_{xxx} [10 ⁰ kN]	N_{xxx} [kN]	Q_{xxx} [10 ⁰ kN]	Q_{xxx} [kN]	M_{xxx} [10 ⁰ kN m]	M_{xxx} [10 ⁰ kN m]
EmbeddedBeam_11_1	17931	1	8,300	-2,600	114,043	1,393	0,000	-11,584	6,569	30,000	186,140	0,000	114,043	0,000	1,393	0,000	0,000
Element 1-1 (Embedded beam)	17932	2	8,493	-2,635	111,809	0,472	176,069	-11,278	3,801	30,000	175,942	0,000	111,809	0,000	0,472	0,000	176,069
(TITAN 40/20 l=1,60m)	17933	3	8,685	-2,670	109,627	-0,082	209,271	-11,004	-1,691	30,000	166,806	0,000	109,627	-81,689	0,000	0,000	209,271
88	17934	4	8,878	-2,706	107,496	-0,303	165,744	-10,750	0,407	30,000	158,326	0,000	107,496	-303,277	0,000	0,000	165,744
89	17935	5	9,071	-2,741	105,417	-0,228	109,502	-10,509	0,206	30,000	150,290	0,000	105,417	-227,737	0,000	0,000	109,502
EmbeddedBeam_11_1	17935	1	9,071	-2,741	105,414	-0,295	109,502	-10,509	0,206	30,000	150,290	0,000	105,414	-294,858	0,000	0,000	109,502
Element 1-2 (Embedded beam)	17936	2	9,223	-2,769	103,799	-0,234	68,425	-10,327	0,381	30,000	144,236	0,000	103,799	-234,430	0,000	0,000	68,425
(TITAN 40/20 l=1,60m)	17937	3	9,376	-2,797	102,209	-0,176	36,682	-10,154	0,192	30,000	138,461	0,000	102,209	-175,646	0,000	0,000	36,682
90	17938	4	9,529	-2,825	100,646	-0,121	13,668	-9,989	0,324	30,000	132,968	0,000	100,646	-121,255	0,000	0,000	13,668
91	17939	5	9,681	-2,853	99,110	-0,074	-1,351	-9,833	0,235	30,000	127,773	0,000	99,110	-74,007	0,000	-2,091	0,650
EmbeddedBeam_11_1	17939	1	9,681	-2,853	99,108	-0,075	-1,351	-9,833	0,235	30,000	127,773	0,000	99,108	-75,216	0,000	-2,091	0,650
Element 1-3 (Embedded beam)	17940	2	9,802	-2,875	97,908	-0,051	-9,083	-9,708	0,186	30,000	123,584	0,000	97,908	-51,247	0,000	-9,083	0,000
(TITAN 40/20 l=1,60m)	17941	3	9,923	-2,897	96,720	-0,030	-14,078	-9,596	0,149	30,000	119,869	0,000	96,720	-30,069	0,000	-14,078	0,000
92	17942	4	10,044	-2,919	95,547	-0,010	-16,539	-9,487	0,162	30,000	116,242	0,000	95,547	-10,339	0,001	-16,539	0,000
93	17943	5	10,165	-2,941	94,387	0,009	-16,617	-9,377	0,221	30,000	112,572	0,000	94,387	0,000	0,009	-16,617	0,000
EmbeddedBeam_11_1	17943	1	10,165	-2,941	94,383	0,008	-16,617	-9,377	0,221	30,000	112,572	0,000	94,383	0,000	0,008	-16,617	0,000
Element 1-4 (Embedded beam)	17944	2	10,261	-2,959	93,479	0,039	-14,336	-9,306	0,278	30,000	110,214	0,000	93,479	0,000	0,039	-14,336	0,000
(TITAN 40/20 l=1,60m)	17945	3	10,357	-2,976	92,570	0,063	-9,281	-9,321	0,254	30,000	110,698	0,000	92,570	0,000	0,063	-9,281	0,000
94	17946	4	10,453	-2,994	91,652	0,078	-2,343	-9,487	0,081	30,000	116,217	0,000	91,652	0,000	0,078	-4,197	0,000
95	17947	5	10,549	-3,011	90,722	0,080	5,489	-9,815	-0,229	30,000	127,161	0,000	90,722	0,000	0,080	-2,268	5,489
EmbeddedBeam_11_1	17947	1	10,549	-3,011	90,715	0,075	5,489	-16,358	-0,381	30,000	545,269	0,000	90,715	0,000	0,075	-2,268	5,489
Element 1-5 (Embedded beam)	17948	2	10,656	-3,031	88,928	0,037	11,516	-16,263	-0,298	30,000	542,090	0,000	88,928	0,000	0,037	-1,189	11,516
(TITAN 40/20 l=1,60m)	17949	3	10,764	-3,051	87,150	0,010	13,979	-16,165	-0,200	30,000	538,830	0,000	87,150	0,000	0,014	-0,393	13,979
96	17950	4	10,872	-3,071	85,382	-0,008	13,975	-16,070	-0,116	30,000	535,654	0,000	85,382	-7,941	0,007	-0,112	13,975
97	17951	5	10,980	-3,090	83,626	-0,016	12,589	-15,977	-0,053	30,000	532,572	0,000	83,626	-15,790	0,004	-0,020	12,589
EmbeddedBeam_11_1	17951	1	10,980	-3,090	83,625	-0,017	12,589	-15,977	-0,053	30,000	532,572	0,000	83,625	-17,356	0,004	-0,020	12,589
Element 1-6 (Embedded beam)	17952	2	11,085	-3,110	81,918	-0,020	10,577	-15,889	-0,012	30,000	529,622	0,000	81,918	-19,755	0,002	0,000	10,577
(TITAN 40/20 l=1,60m)	17953	3	11,191	-3,129	80,219	-0,020	8,440	-15,802	0,014	30,000	526,741	0,000	80,219	-19,786	0,001	0,000	8,440
98	17954	4	11,296	-3,148	78,529	-0,018	6,408	-15,718	0,027	30,000	523,930	0,000	78,529	-17,740	0,000	0,000	6,408
99	17955	5	11,402	-3,167	76,850	-0,014	4,699	-15,636	0,032	30,000	521,198	0,000	76,850	-13,905	0,000	0,000	4,699
EmbeddedBeam_11_1	17955	1	11,402	-3,167	76,849	-0,014	4,699	-15,636	0,032	30,000	521,198	0,000	76,849	-14,443	0,000	0,000	4,699
Element 1-7 (Embedded beam)	17956	2	11,505	-3,186	75,215	-0,011	3,369	-15,558	0,031	30,000	518,602	0,000	75,215	-11,003	0,000	-0,002	3,458
(TITAN 40/20 l=1,60m)	17957	3	11,608	-3,205	73,588	-0,008	2,377	-15,483	0,027	30,000	516,087	0,000	73,588	-7,998	0,000	-0,008	2,655
100	17958	4	11,711	-3,224	71,969	-0,005	1,676	-15,410	0,022	30,000	513,657	0,000	71,969	-5,458	0,000	-0,018	2,110
101	17959	5	11,814	-3,243	70,358	-0,003	1,215	-15,339	0,016	30,000	511,312	0,000	70,358	-3,568	0,000	-0,029	1,708
EmbeddedBeam_11_1	17959	1	11,814	-3,243	70,357	-0,003	1,215	-15,339	0,016	30,000	511,312	0,000	70,357	-3,599	0,000	-0,029	1,708
Element 1-8 (Embedded beam)	17960	2	11,915	-3,261	68,789	-0,002	0,941	-15,273	0,012	30,000	509,103	0,000	68,789	-2,518	0,000	-0,040	1,408
(TITAN 40/20 l=1,60m)	17961	3	12,016	-3,280	67,227	-0,001	0,790	-15,209	0,008	30,000	506,977	0,000	67,227	-1,884	0,000	-0,048	1,186
102	17962	4	12,117	-3,298	65,671	0,000	0,723	-15,148	0,005	30,000	504,935	0,000	65,671	-1,468	0,000	-0,055	1,025
103	17963	5	12,217	-3,317	64,123	0,000	0,703	-15,089	0,002	30,000	502,978	0,000	64,123	-1,143	0,000	-0,060	0,908
EmbeddedBeam_11_1	17963	1	12,217	-3,317	64,122	0,000	0,703	-15,089	0,002	30,000	502,978	0,000	64,122	-1,138	0,000	-0,060	0,908
Element 1-9 (Embedded beam)	17964	2	12,316	-3,335	62,614	0,000	0,709	-15,034	0,001	30,000	501,148	0,000	62,614	-0,929	0,000	-0,064	0,824
(TITAN 40/20 l=1,60m)	17965	3	12,414	-3,353	61,110	0,000	0,722	-14,982	0,000	30,000	499,400	0,000	61,110	-0,774	0,000	-0,067	0,762
104	17966	4	12,513	-3,371	59,611	0,000	0,735	-14,932	-0,001	30,000	497,735	0,000	59,611	-0,656	0,000	-0,068	0,735
105	17967	5	12,612	-3,389	58,118	0,000	0,740	-14,885	-0,001	30,000	496,154	0,000	58,118	-0,564	0,000	-0,069	0,740
EmbeddedBeam_11_1	17967	1	12,612	-3,389	58,117	0,000	0,740	-14,885	-0,001	30,000	496,154	0,000	58,117	-0,563	0,000	-0,069	0,740
Element 1-10 (Embedded beam)	17968	2	12,708	-3,406	56,662	0,000	0,737	-14,841	-0,001	30,000	494,691	0,000	56,662	-0,497	0,000	-0,070	0,737
(TITAN 40/20 l=1,60m)	17969	3	12,804	-3,424	55,210	0,000	0,724	-14,799	-0,001	30,000	493,308	0,000	55,210	-0,442	0,000	-0,070	0,724
106	17970	4	12,901	-3,442	53,761	0,000	0,703	-14,760	-0,001	30,000	492,008	0,000	53,761	-0,423	0,000	-0,070	0,703

Structural element	Node [10^1]	Local number	X [m]	Y [m]	N [kN]	Q [kN]	M [10^-1 kN m]	T_{xxx} [kN/m]	T_{zzz} [kN/m]	$T_{xxx,zzz}$ [kN/m]	$T_{xxx,zzz}$ [10^1]	N_{xxx} [10^-1 kN]	N_{zzz} [kN]	Q_{xzz} [10^-1 kN]	Q_{zzz} [kN]	M_{xzz} [10^-1 kN m]	M_{zzz} [10^-1 kN m]
폴	17971	5	12,997	-2,459	52,318	0,000	0,676	14,724	0,001	30,000	490,792	0,000	52,318	-0,428	0,000	-0,070	0,676
EmbeddedBeam_11_1	17971	1	12,997	-2,459	52,317	0,000	0,676	14,724	0,001	30,000	490,792	0,000	52,317	-0,426	0,000	-0,070	0,676
Element 1-11 (Embedded beam)	17972	2	13,091	-2,476	50,909	0,000	0,644	14,690	0,000	30,000	489,683	0,000	50,909	-0,428	0,000	-0,070	0,644
iTITAN 40/20 l=1,60m)	17973	3	13,185	-2,494	49,504	0,000	0,608	14,660	0,000	30,000	488,656	0,000	49,504	-0,427	0,000	-0,071	0,608
폴	17974	4	13,280	-2,511	48,100	0,000	0,570	14,631	0,000	30,000	487,710	0,000	48,100	-0,425	0,000	-0,071	0,570
폴	17975	5	13,374	-2,528	46,701	0,000	0,531	14,605	0,000	30,000	486,847	0,000	46,701	-0,419	0,000	-0,071	0,531
EmbeddedBeam_11_1	17975	1	13,374	-2,528	46,700	0,000	0,531	14,605	0,000	30,000	486,847	0,000	46,700	-0,420	0,000	-0,071	0,531
Element 1-12 (Embedded beam)	17976	2	13,466	-2,545	45,334	0,000	0,494	14,582	0,000	30,000	486,083	0,000	45,334	-0,408	0,000	-0,089	0,494
iTITAN 40/20 l=1,60m)	17977	3	13,558	-2,562	43,969	0,000	0,456	14,562	0,000	30,000	485,400	0,000	43,969	-0,394	0,000	-0,106	0,456
폴	17978	4	13,650	-2,579	42,606	0,000	0,420	14,544	0,000	30,000	484,798	0,000	42,606	-0,380	0,000	-0,121	0,420
폴	17979	5	13,742	-2,596	41,246	0,000	0,385	14,528	0,000	30,000	484,278	0,000	41,246	-0,362	0,000	-0,134	0,385
EmbeddedBeam_11_1	17979	1	13,742	-2,596	41,245	0,000	0,385	14,528	0,000	30,000	484,278	0,000	41,245	-0,363	0,000	-0,134	0,385
Element 1-13 (Embedded beam)	17980	2	13,832	-2,612	39,916	0,000	0,353	14,515	0,000	30,000	483,848	0,000	39,916	-0,344	0,000	-0,145	0,354
iTITAN 40/20 l=1,60m)	17981	3	13,923	-2,629	38,587	0,000	0,322	14,505	0,000	30,000	483,498	0,000	38,587	-0,324	0,000	-0,154	0,324
폴	17982	4	14,013	-2,645	37,259	0,000	0,293	14,497	0,000	30,000	483,228	0,000	37,259	-0,303	0,000	-0,161	0,297
폴	17983	5	14,103	-2,661	35,933	0,000	0,267	14,491	0,000	30,000	483,038	0,000	35,933	-0,281	0,000	-0,167	0,271
EmbeddedBeam_11_1	17983	1	14,103	-2,661	35,932	0,000	0,267	14,491	0,000	30,000	483,038	0,000	35,932	-0,281	0,000	-0,167	0,271
Element 1-14 (Embedded beam)	17984	2	14,191	-2,678	34,636	0,000	0,242	14,488	0,000	30,000	482,930	0,000	34,636	-0,260	0,000	-0,171	0,247
iTITAN 40/20 l=1,60m)	17985	3	14,279	-2,694	33,339	0,000	0,220	14,487	0,000	30,000	482,901	0,000	33,339	-0,239	0,000	-0,174	0,226
폴	17986	4	14,367	-2,710	32,041	0,000	0,200	14,488	0,000	30,000	482,950	0,000	32,041	-0,218	0,000	-0,177	0,206
폴	17987	5	14,455	-2,726	30,745	0,000	0,181	14,492	0,000	30,000	483,078	0,000	30,745	-0,197	0,000	-0,178	0,188
EmbeddedBeam_11_1	17987	1	14,455	-2,726	30,744	0,000	0,181	14,492	0,000	30,000	483,078	0,000	30,744	-0,197	0,000	-0,178	0,188
Element 1-15 (Embedded beam)	17988	2	14,541	-2,742	29,476	0,000	0,165	14,498	0,000	30,000	483,280	0,000	29,476	-0,177	0,000	-0,179	0,172
iTITAN 40/20 l=1,60m)	17989	3	14,627	-2,757	28,206	0,000	0,150	14,507	0,000	30,000	483,560	0,000	28,206	-0,157	0,000	-0,178	0,158
폴	17990	4	14,713	-2,773	26,936	0,000	0,137	14,518	0,000	30,000	483,917	0,000	26,936	-0,137	0,000	-0,177	0,145
폴	17991	5	14,799	-2,789	25,665	0,000	0,126	14,531	0,000	30,000	484,352	0,000	25,665	-0,119	0,000	-0,176	0,135
EmbeddedBeam_11_1	17991	1	14,799	-2,789	25,665	0,000	0,126	14,531	0,000	30,000	484,352	0,000	25,665	-0,119	0,000	-0,176	0,135
Element 1-16 (Embedded beam)	17992	2	14,883	-2,804	24,421	0,000	0,117	14,546	0,000	30,000	484,855	0,000	24,421	-0,101	0,000	-0,173	0,125
iTITAN 40/20 l=1,60m)	17993	3	14,968	-2,820	23,175	0,000	0,109	14,563	0,000	30,000	485,435	0,000	23,175	-0,085	0,000	-0,171	0,117
폴	17994	4	15,052	-2,835	21,928	0,000	0,102	14,583	0,000	30,000	486,092	0,000	21,928	-0,071	0,000	-0,167	0,111
폴	17995	5	15,136	-2,850	20,680	0,000	0,097	14,605	0,000	30,000	486,829	0,000	20,680	-0,060	0,000	-0,163	0,105
EmbeddedBeam_11_1	17995	1	15,136	-2,850	20,679	0,000	0,097	14,605	0,000	30,000	486,829	0,000	20,679	-0,060	0,000	-0,163	0,105
Element 1-17 (Embedded beam)	17996	2	15,205	-2,863	19,648	0,000	0,094	14,625	0,000	30,000	487,497	0,000	19,648	-0,052	0,000	-0,160	0,101
iTITAN 40/20 l=1,60m)	17997	3	15,275	-2,876	18,615	0,000	0,091	14,647	0,000	30,000	488,220	0,000	18,615	-0,046	0,000	-0,156	0,098
폴	17998	4	15,344	-2,889	17,581	0,000	0,088	14,670	0,000	30,000	489,000	0,000	17,581	-0,042	0,000	-0,152	0,095
폴	17999	5	15,414	-2,901	16,545	0,000	0,086	14,695	0,000	30,000	489,837	0,000	16,545	-0,041	0,000	-0,147	0,092
EmbeddedBeam_11_1	17999	1	15,414	-2,901	16,544	0,000	0,086	14,695	0,000	30,000	489,837	0,000	16,544	-0,041	0,000	-0,147	0,092
Element 1-18 (Embedded beam)	18000	2	15,521	-2,921	14,946	0,000	0,083	14,737	0,000	30,000	491,242	0,000	14,946	-0,045	0,000	-0,139	0,087
iTITAN 40/20 l=1,60m)	18001	3	15,627	-2,940	13,341	0,000	0,080	14,784	0,000	30,000	492,790	0,000	13,341	-0,056	0,000	-0,129	0,083
폴	18002	4	15,734	-2,960	11,731	0,000	0,074	14,835	0,000	30,000	494,486	0,000	11,731	-0,075	0,000	-0,117	0,078
폴	18003	5	15,841	-2,980	10,117	0,000	0,066	14,890	0,000	30,000	496,337	0,000	10,117	-0,102	0,000	-0,102	0,071
EmbeddedBeam_11_1	18003	1	15,841	-2,980	10,115	0,000	0,066	14,890	0,000	30,000	496,337	0,000	10,115	-0,083	0,000	-0,102	0,071
Element 1-19 (Embedded beam)	18004	2	16,006	-4,010	7,617	0,000	0,044	14,987	0,001	30,000	499,563	0,000	7,617	-0,222	0,000	-0,074	0,051
iTITAN 40/20 l=1,60m)	18005	3	16,171	-4,040	5,098	0,000	-0,002	15,091	0,001	30,000	503,049	0,000	5,098	-0,278	0,000	-0,042	0,022
폴	18006	4	16,335	-4,070	2,561	0,000	-0,033	15,216	0,003	30,000	507,195	0,000	2,561	-0,084	0,000	-0,033	0,003
폴	18007	5	16,500	-4,100	0,005	0,001	0,000	15,412	0,006	30,000	513,723	0,000	0,005	0,000	0,001	0,000	0,000
EmbeddedBeam_21_1	18008	1	6,000	6,250	134,563	-0,427	0,000	22,136	2,311	30,000	737,852	0,000	134,563	-426,724	0,000	0,000	0,000
Element 2-20 (Embedded beam)	18009	2	6,126	6,273	131,759	-0,193	-38,726	21,812	1,545	30,000	727,083	0,000	131,759	-192,675	0,000	-38,726	0,000
iTITAN 40/20 l=1,60m)	18010	3	6,252	6,295	128,988	-0,034	-52,476	21,529	0,909	30,000	717,624	0,000	128,988	-33,728	0,000	-52,476	0,000
폴	18011	4	6,377	6,318	126,253	0,055	-50,353	21,268	0,441	30,000	708,930	0,000	126,253	0,000	0,055	-50,353	0,000
폴	18012	5	6,503	6,341	123,553	0,077	-41,282	21,021	0,131	30,000	700,708	0,000	123,553	0,000	0,077	-41,282	0,000
EmbeddedBeam_21_1	18012	1	6,503	6,341	123,550	0,091	-41,282	21,021	0,131	30,000	700,708	0,000	123,550	0,000	0,091	-41,282	0,000
Element 2-21 (Embedded beam)	18013	2	6,636	6,365	120,724	0,088	-29,078	20,773	0,055	30,000	692,433	0,000	120,724	0,000	0,088	-29,078	0,000
iTITAN 40/20 l=1,60m)	18014	3	6,770	6,389	117,927	0,075	-17,987	20,537	0,137	30,000	684,557	0,000	117,927	0,000	0,075	-17,987	0,000
폴	18015	4	6,903	6,413	115,161	0,057	-8,951	20,311	0,153	30,000	677,027	0,000	115,161	0,000	0,057	-8,951	0,000
폴	18016	5	7,036	6,436	112,429	0,033	-2,833	20,094	0,134	30,000	669,800	0,000	112,429	0,000	0,033	-3,091	0,000
EmbeddedBeam_21_1	18016	1	7,036	6,436	112,427	0,036	-2,833	20,094	0,134	30,000	669,800	0,000	112,427	0,000	0,036	-3,091	0,000

Structural element	Node [10^3]	Local number	X [m]	Y [m]	N [kN]	Q [kN]	M [10^-3 kN m]	$T_{xx,+}$ [kN/m]	$T_{xx,-}$ [kN/m]	$T_{xx,max}$ [kN/m]	$T_{xx,min}$ [10^3]	$N_{x,+}$ [10^3 kN]	$N_{x,-}$ [kN]	$Q_{z,+}$ [10^3 kN]	$Q_{z,-}$ [kN]	$M_{y,+}$ [10^3 kN m]	$M_{y,-}$ [10^3 kN m]
Element 2-22 (Embedded beam)	18017	2	7,177	-5,462	109,563	0,019	1,029	-19,873	-0,099	20,000	662,445	0,000	109,563	0,000	0,019	-0,786	1,142
(TITAN 40/20 l=1,60m)	18018	3	7,318	-5,487	106,728	0,007	2,873	-19,661	-0,063	20,000	655,369	0,000	106,728	0,000	0,007	-0,020	2,873
##	18019	4	7,459	-5,513	103,923	0,000	3,370	-19,456	-0,034	20,000	648,550	0,000	103,923	0,000	0,001	-0,013	3,370
##	18020	5	7,600	-5,538	101,150	-0,002	3,180	-19,259	-0,014	20,000	641,968	0,000	101,150	2,273	0,000	-0,011	3,180
EmbeddedBeam_3_1	18020	1	7,600	-5,538	101,148	-0,003	3,180	-19,259	-0,014	20,000	641,968	0,000	101,148	3,158	0,000	-0,011	3,180
Element 2-23 (Embedded beam)	18021	2	7,750	-5,565	98,240	-0,004	2,654	-19,057	-0,001	20,000	635,238	0,000	98,240	3,626	0,000	-0,012	2,654
(TITAN 40/20 l=1,60m)	18022	3	7,899	-5,592	95,360	-0,003	2,117	-18,862	0,005	20,000	628,743	0,000	95,360	3,362	0,000	-0,013	2,117
##	18023	4	8,049	-5,619	92,509	-0,003	1,663	-18,674	0,007	20,000	622,471	0,000	92,509	2,511	0,000	-0,060	1,663
##	18024	5	8,198	-5,646	89,689	-0,001	1,376	-18,492	0,006	20,000	616,413	0,000	89,689	1,222	0,000	-0,188	1,393
EmbeddedBeam_3_1	18024	1	8,198	-5,646	89,687	-0,001	1,376	-18,492	0,006	20,000	616,413	0,000	89,687	1,401	0,000	-0,188	1,393
Element 2-24 (Embedded beam)	18025	2	8,357	-5,674	86,730	-0,001	1,222	-18,307	0,004	20,000	610,220	0,000	86,730	0,628	0,000	-0,249	1,245
(TITAN 40/20 l=1,60m)	18026	3	8,515	-5,703	83,799	0,000	1,183	-18,128	0,003	20,000	604,251	0,000	83,799	0,145	0,000	-0,249	1,200
##	18027	4	8,673	-5,731	80,896	0,000	1,217	-17,955	0,001	20,000	598,501	0,000	80,896	0,000	0,000	-0,210	1,222
##	18028	5	8,832	-5,760	78,024	0,000	1,281	-17,789	0,000	20,000	592,967	0,000	78,024	0,000	0,000	-0,156	1,281
EmbeddedBeam_3_1	18028	1	8,832	-5,760	78,021	0,000	1,281	-17,789	0,000	20,000	592,967	0,000	78,021	0,000	0,000	-0,156	1,281
Element 2-25 (Embedded beam)	18029	2	8,999	-5,790	75,007	0,000	1,358	-17,620	0,000	20,000	587,339	0,000	75,007	0,000	0,000	-0,094	1,358
(TITAN 40/20 l=1,60m)	18030	3	9,167	-5,820	72,018	0,000	1,428	-17,459	-0,001	20,000	581,952	0,000	72,018	0,000	0,000	-0,036	1,428
##	18031	4	9,335	-5,850	69,056	0,000	1,485	-17,304	-0,001	20,000	576,806	0,000	69,056	0,000	0,000	-0,026	1,485
##	18032	5	9,502	-5,880	66,123	0,000	1,525	-17,157	-0,001	20,000	571,906	0,000	66,123	0,000	0,000	-0,021	1,525
EmbeddedBeam_3_1	18032	1	9,502	-5,880	66,120	0,000	1,525	-17,157	-0,001	20,000	571,906	0,000	66,120	0,000	0,000	-0,021	1,525
Element 2-26 (Embedded beam)	18033	2	9,680	-5,912	63,040	0,000	1,552	-17,010	0,000	20,000	566,988	0,000	63,040	0,000	0,000	-0,017	1,552
(TITAN 40/20 l=1,60m)	18034	3	9,857	-5,944	59,983	0,000	1,564	-16,871	0,000	20,000	562,355	0,000	59,983	0,001	0,000	-0,015	1,564
##	18035	4	10,035	-5,976	56,949	0,000	1,563	-16,740	0,000	20,000	558,016	0,000	56,949	0,053	0,000	-0,012	1,563
##	18036	5	10,213	-7,008	53,942	0,000	1,551	-16,619	0,000	20,000	553,978	0,000	53,942	0,099	0,000	-0,010	1,551
EmbeddedBeam_3_1	18036	1	10,213	-7,008	53,939	0,000	1,551	-16,619	0,000	20,000	553,978	0,000	53,939	0,099	0,000	-0,010	1,551
Element 2-27 (Embedded beam)	18037	2	10,401	-7,042	50,777	0,000	1,528	-16,501	0,000	20,000	550,039	0,000	50,777	0,149	0,000	-0,009	1,528
(TITAN 40/20 l=1,60m)	18038	3	10,589	-7,076	47,632	0,000	1,495	-16,394	0,000	20,000	546,456	0,000	47,632	0,197	0,000	-0,007	1,495
##	18039	4	10,777	-7,110	44,508	0,000	1,453	-16,297	0,000	20,000	543,242	0,000	44,508	0,239	0,000	-0,006	1,453
##	18040	5	10,965	-7,144	41,404	0,000	1,404	-16,212	0,000	20,000	540,405	0,000	41,404	0,273	0,000	-0,005	1,404
EmbeddedBeam_3_1	18040	1	10,965	-7,144	41,400	0,000	1,404	-16,212	0,000	20,000	540,405	0,000	41,400	0,272	0,000	-0,005	1,404
Element 2-28 (Embedded beam)	18041	2	11,164	-7,180	38,130	0,000	1,346	-16,135	0,000	20,000	537,824	0,000	38,130	0,299	0,000	-0,004	1,346
(TITAN 40/20 l=1,60m)	18042	3	11,363	-7,215	34,869	0,000	1,284	-16,071	0,000	20,000	535,691	0,000	34,869	0,314	0,000	-0,003	1,284
##	18043	4	11,563	-7,251	31,620	0,000	1,219	-16,021	0,000	20,000	534,020	0,000	31,620	0,317	0,000	-0,002	1,219
##	18044	5	11,762	-7,287	28,384	0,000	1,156	-15,985	0,000	20,000	532,823	0,000	28,384	0,309	0,000	-0,002	1,156
EmbeddedBeam_3_1	18044	1	11,762	-7,287	28,379	0,000	1,156	-15,985	0,000	20,000	532,823	0,000	28,379	0,324	0,000	-0,002	1,156
Element 2-29 (Embedded beam)	18045	2	11,973	-7,325	24,959	0,000	1,091	-15,963	0,000	20,000	532,091	0,000	24,959	0,293	0,000	-0,001	1,091
(TITAN 40/20 l=1,60m)	18046	3	12,184	-7,363	21,535	0,000	1,027	-15,958	0,000	20,000	531,929	0,000	21,535	0,309	0,000	-0,001	1,027
##	18047	4	12,395	-7,401	18,111	0,000	0,954	-15,971	-0,001	20,000	532,369	0,000	18,111	0,382	0,000	-0,001	0,954
##	18048	5	12,606	-7,439	14,688	-0,001	0,858	-16,003	-0,001	20,000	533,448	0,000	14,688	0,523	0,000	0,000	0,858
EmbeddedBeam_3_1	18048	1	12,606	-7,439	14,682	0,000	0,858	-16,003	-0,001	20,000	533,448	0,000	14,682	0,391	0,000	0,000	0,858
Element 2-30 (Embedded beam)	18049	2	12,829	-7,479	11,047	-0,001	0,705	-16,060	-0,002	20,000	535,321	0,000	11,047	0,946	0,000	0,000	0,705
(TITAN 40/20 l=1,60m)	18050	3	13,053	-7,520	7,389	-0,001	0,447	-16,141	-0,001	20,000	538,029	0,000	7,389	1,231	0,000	0,000	0,447
##	18051	4	13,276	-7,560	3,709	-0,001	0,178	-16,259	0,002	20,000	541,978	0,000	3,709	1,087	0,000	0,000	0,178
##	18052	5	13,500	-7,600	0,006	0,000	0,000	-16,437	0,009	20,000	547,900	0,000	0,006	0,253	0,000	0,000	0,000
EmbeddedBeam_3_1	18053	1	1,776	-12,600	11,872	-0,019	0,000	-52,441	0,666	125,000	419,527	0,000	11,872	18,785	0,000	0,000	0,000
Element 3-31 (Embedded beam)	18054	2	1,857	-12,790	5,817	0,003	-1,203	-23,987	0,070	125,000	191,899	0,000	5,817	0,000	0,003	-1,203	0,001
(Ricrocalo D168.3 x12.5mm/1,6m)	18055	3	1,938	-12,980	2,101	0,007	-0,179	-10,347	-0,069	125,000	82,780	0,000	2,101	0,000	0,007	-0,179	0,048
##	18056	4	2,019	-13,170	0,357	0,002	0,989	-4,904	-0,015	125,000	39,236	0,000	0,357	0,001	0,002	0,000	0,989
##	18057	5	2,100	-13,360	0,216	-0,003	0,771	-2,192	0,003	125,000	17,537	-76,431	0,216	2,658	0,000	0,000	0,771
EmbeddedBeam_3_1	18057	1	2,100	-13,360	-0,187	-0,001	0,771	-2,192	0,003	125,000	17,537	-359,420	0,000	0,791	0,000	0,000	0,771
Element 3-32 (Embedded beam)	18058	2	2,182	-13,550	-0,435	0,000	0,649	-0,966	0,001	125,000	7,728	-530,851	0,000	0,433	0,000	0,000	0,649
(Ricrocalo D168.3 x12.5mm/1,6m)	18059	3	2,263	-13,740	-0,581	0,000	0,578	-0,370	0,000	125,000	2,958	-628,758	0,000	0,260	0,000	0,000	0,578
##	18060	4	2,344	-13,930	-0,639	0,000	0,533	-0,128	0,000	125,000	1,021	-664,608	0,000	0,204	0,000	0,000	0,533
##	18061	5	2,425	-14,120	-0,627	0,000	0,491	-0,007	0,000	125,000	0,055	-649,869	0,000	0,198	0,000	0,000	0,491
EmbeddedBeam_3_1	18061	1	2,425	-14,120	-0,645	0,000	0,491	-0,007	0,000	125,000	0,055	-662,625	0,000	0,173	0,000	0,000	0,491
Element 3-33 (Embedded beam)	18062	2	2,507	-14,310	-0,637	0,000	0,461	0,047	0,000	125,000	0,374	-651,270	0,000	0,120	0,000	0,000	0,461
(Ricrocalo D168.3 x12.5mm/1,6m)	18063	3	2,588	-14,500	-0,625	0,000	0,441	0,072	0,000	125,000	0,574	-637,114	0,000	0,080	0,000	0,000	0,441

Structural element	Node [10 ^]	Local number	X [m]	Y [m]	N [kN]	Q [kN]	M [10 ^ kN m]	$T_{n,n}$ [kN/m]	$T_{n,t}$ [kN/m]	$T_{n,n,ex}$ [kN/m]	$T_{n,n,in}$ [10 ^]	$N_{x,x}$ [10 ^ kN]	$N_{x,t}$ [kN]	$Q_{x,n}$ [10 ^ kN]	$Q_{x,t}$ [kN]	$M_{x,n}$ [10 ^ kN m]	$M_{x,t}$ [10 ^ kN m]
89	18064	4	2,669	-14,690	-0,610	0,000	0,428	0,080	0,000	-125,000	0,643	-620,690	0,000	0,052	0,000	0,000	0,428
89	18065	5	2,750	-14,880	-0,592	0,000	0,419	0,084	0,000	-125,000	0,670	-602,535	0,000	0,039	0,000	0,000	0,419
EmbeddedBeam_2_1	18065	1	2,750	-14,880	-0,592	0,000	0,419	0,084	0,000	-125,000	0,670	-602,551	0,000	0,034	0,000	0,000	0,419
Element 3-34 (Embedded beam)	18066	2	2,831	-15,070	-0,575	0,000	0,412	0,085	0,000	-125,000	0,684	-585,656	0,000	0,033	0,000	0,000	0,412
(Micropalo D168.3 s12.5mm/1,6m)	18067	3	2,913	-15,260	-0,557	0,000	0,405	0,090	0,000	-125,000	0,717	-567,171	0,000	0,037	0,000	0,000	0,405
89	18068	4	2,994	-15,450	-0,537	0,000	0,397	0,105	0,000	-125,000	0,841	-546,571	0,000	0,044	0,000	0,000	0,397
89	18069	5	3,075	-15,640	-0,514	0,000	0,387	0,143	0,000	-125,000	1,141	-521,332	0,000	0,052	0,000	0,000	0,387
EmbeddedBeam_2_1	18069	1	3,075	-15,640	-0,499	0,000	0,387	0,143	0,000	-125,000	1,141	-508,730	0,000	0,128	0,000	0,000	0,387
Element 3-35 (Embedded beam)	18070	2	3,156	-15,830	-0,482	0,000	0,370	0,233	0,000	-125,000	1,863	-490,681	0,000	0,096	0,000	0,000	0,370
(Micropalo D168.3 s12.5mm/1,6m)	18071	3	3,238	-16,020	-0,408	0,000	0,327	0,421	-0,002	-125,000	3,366	-415,667	0,000	0,343	0,000	0,000	0,327
89	18072	4	3,319	-16,210	-0,265	-0,001	0,215	0,902	-0,002	-125,000	7,214	-270,298	0,000	0,777	0,000	0,000	0,215
89	18073	5	3,400	-16,400	-0,041	-0,001	0,000	1,913	0,018	-125,000	15,305	-41,179	0,000	1,309	0,000	0,000	0,000

3.3.1.1.25 Calculation results, Embedded beam, SLU11 [Phase_20] (20/1011), Table of embedded beam force envelopes

Structural element	Node [10^0]	Local number	X [m]	Y [m]	N [kN]	Q [kN]	M [10^0 kN m]	$T_{z,min}$ [kN/m]	$T_{z,max}$ [kN/m]	$T_{z,min,min}$ [kN/m]	$T_{z,min,max}$ [10^0]	$N_{z,min}$ [10^0 kN]	$N_{z,max}$ [kN]	$Q_{y,max}$ [10^0 kN]	$Q_{y,min}$ [kN]	$M_{y,max}$ [10^0 kN m]	$M_{y,min}$ [10^0 kN m]
EmbeddedBeam_1_1	17931	1	8,300	-2,600	116,702	1,426	0,000	-11,939	-6,723	30,000	397,977	0,000	116,702	0,000	1,426	0,000	0,000
Element 1-1 (Embedded beam)	17932	2	8,493	-2,635	114,399	0,483	180,171	-11,623	-3,889	30,000	387,431	0,000	114,399	0,000	0,483	0,000	180,171
(TITAN 40/20 l=1,60m)	17933	3	8,685	-2,670	112,150	-0,083	214,158	-11,339	-1,730	30,000	377,954	0,000	112,150	-83,492	0,000	0,000	214,158
圆	17934	4	8,878	-2,706	109,955	-0,310	169,645	-11,074	-0,416	30,000	369,128	0,000	109,955	-310,146	0,000	0,000	169,645
圆	17935	5	9,071	-2,741	107,814	-0,233	112,142	-10,822	0,211	30,000	360,740	0,000	107,814	-232,751	0,000	0,000	112,142
EmbeddedBeam_1_1	17935	1	9,071	-2,741	107,811	-0,301	112,142	-10,822	0,211	30,000	360,740	0,000	107,811	-301,446	0,000	0,000	112,142
Element 1-2 (Embedded beam)	17936	2	9,223	-2,769	106,148	-0,240	70,153	-10,632	0,390	30,000	354,406	0,000	106,148	-239,578	0,000	0,000	70,153
(TITAN 40/20 l=1,60m)	17937	3	9,376	-2,797	104,511	-0,179	37,722	-10,451	0,402	30,000	348,357	0,000	104,511	-179,387	0,000	0,000	37,722
圆	17938	4	9,529	-2,825	102,902	-0,124	14,230	-10,278	0,332	30,000	342,596	0,000	102,902	-123,684	0,000	0,000	14,230
圆	17939	5	9,681	-2,853	101,322	-0,075	-1,073	-10,114	0,240	30,000	337,142	0,000	101,322	-75,286	0,000	-2,091	0,650
EmbeddedBeam_1_1	17939	1	9,681	-2,853	101,320	-0,077	-1,073	-10,114	0,240	30,000	337,142	0,000	101,320	-76,541	0,000	-2,091	0,650
Element 1-3 (Embedded beam)	17940	2	9,802	-2,875	100,086	-0,052	-8,931	-9,983	0,190	30,000	332,754	0,000	100,086	-52,001	0,000	-9,083	0,000
(TITAN 40/20 l=1,60m)	17941	3	9,923	-2,897	98,865	-0,030	-13,993	-9,865	0,151	30,000	328,846	0,000	98,865	-30,416	0,000	-14,078	0,000
圆	17942	4	10,044	-2,919	97,658	-0,010	-16,480	-9,751	0,164	30,000	325,033	0,000	97,658	-10,435	0,001	-16,539	0,000
圆	17943	5	10,165	-2,941	96,467	0,009	-16,561	-9,636	0,222	30,000	321,184	0,000	96,467	0,000	0,009	-16,617	0,000
EmbeddedBeam_1_1	17943	1	10,165	-2,941	96,462	0,008	-16,561	-9,636	0,222	30,000	321,184	0,000	96,462	0,000	0,008	-16,617	0,000
Element 1-4 (Embedded beam)	17944	2	10,261	-2,959	95,534	0,039	-14,275	-9,561	0,279	30,000	318,687	0,000	95,534	0,000	0,039	-14,336	0,000
(TITAN 40/20 l=1,60m)	17945	3	10,357	-2,976	94,600	0,063	-9,211	-9,571	0,254	30,000	319,036	0,000	94,600	0,000	0,063	-9,281	0,000
圆	17946	4	10,453	-2,994	93,658	0,078	-2,264	-9,733	0,081	30,000	324,423	0,000	93,658	0,000	0,078	-4,197	0,000
圆	17947	5	10,549	-3,011	92,705	0,080	5,579	-10,057	-0,229	30,000	335,240	0,000	92,705	0,000	0,080	-2,268	5,579
EmbeddedBeam_1_1	17947	1	10,549	-3,011	92,698	0,075	5,579	-16,762	-0,382	30,000	558,733	0,000	92,698	0,000	0,075	-2,268	5,579
Element 1-5 (Embedded beam)	17948	2	10,656	-3,031	90,866	0,037	11,619	-16,661	-0,298	30,000	555,381	0,000	90,866	0,000	0,037	-1,189	11,619
(TITAN 40/20 l=1,60m)	17949	3	10,764	-3,051	89,044	0,010	14,093	-16,559	-0,200	30,000	551,959	0,000	89,044	0,000	0,014	-0,393	14,093
圆	17950	4	10,872	-3,071	87,234	-0,008	14,099	-16,459	-0,116	30,000	548,628	0,000	87,234	-7,941	0,007	-0,112	14,099
圆	17951	5	10,980	-3,090	85,436	-0,016	12,726	-16,362	-0,053	30,000	545,398	0,000	85,436	-15,790	0,004	-0,020	12,726
EmbeddedBeam_1_1	17951	1	10,980	-3,090	85,435	-0,017	12,726	-16,362	-0,053	30,000	545,398	0,000	85,435	-17,356	0,004	-0,020	12,726
Element 1-6 (Embedded beam)	17952	2	11,085	-3,110	83,687	-0,020	10,726	-16,269	-0,012	30,000	542,307	0,000	83,687	-19,755	0,002	0,000	10,726
(TITAN 40/20 l=1,60m)	17953	3	11,191	-3,129	81,947	-0,020	8,602	-16,179	0,014	30,000	539,287	0,000	81,947	-19,786	0,001	0,000	8,602
圆	17954	4	11,296	-3,148	80,217	-0,018	6,582	-16,090	0,027	30,000	536,341	0,000	80,217	-17,740	0,000	0,000	6,582
圆	17955	5	11,402	-3,167	78,498	-0,014	4,883	-16,004	0,031	30,000	533,475	0,000	78,498	-13,905	0,000	0,000	4,883
EmbeddedBeam_1_1	17955	1	11,402	-3,167	78,497	-0,014	4,883	-16,004	0,031	30,000	533,475	0,000	78,497	-14,443	0,000	0,000	4,883
Element 1-7 (Embedded beam)	17956	2	11,505	-3,186	76,825	-0,011	3,561	-15,923	0,030	30,000	530,752	0,000	76,825	-11,003	0,000	-0,002	3,561
(TITAN 40/20 l=1,60m)	17957	3	11,608	-3,205	75,159	-0,008	2,574	-15,843	0,027	30,000	528,113	0,000	75,159	-7,998	0,000	-0,008	2,655
圆	17958	4	11,711	-3,224	73,502	-0,005	1,874	-15,767	0,022	30,000	525,562	0,000	73,502	-5,459	0,000	-0,018	2,110
圆	17959	5	11,814	-3,243	71,855	-0,003	1,412	-15,693	0,016	30,000	523,099	0,000	71,855	-3,568	0,000	-0,029	1,708
EmbeddedBeam_1_1	17959	1	11,814	-3,243	71,854	-0,003	1,412	-15,693	0,016	30,000	523,099	0,000	71,854	-3,599	0,000	-0,029	1,708
Element 1-8 (Embedded beam)	17960	2	11,915	-3,261	70,250	-0,002	1,134	-15,623	0,012	30,000	520,779	0,000	70,250	-2,518	0,000	-0,040	1,408
(TITAN 40/20 l=1,60m)	17961	3	12,016	-3,280	68,652	-0,001	0,977	-15,556	0,008	30,000	518,547	0,000	68,652	-1,884	0,000	-0,048	1,186
圆	17962	4	12,117	-3,298	67,061	0,000	0,903	-15,492	0,005	30,000	516,402	0,000	67,061	-1,468	0,000	-0,055	1,025
圆	17963	5	12,217	-3,317	65,477	0,000	0,876	-15,430	0,002	30,000	514,346	0,000	65,477	-1,143	0,000	-0,060	0,908
EmbeddedBeam_1_1	17963	1	12,217	-3,317	65,476	0,000	0,876	-15,430	0,002	30,000	514,346	0,000	65,476	-1,138	0,000	-0,060	0,908
Element 1-9 (Embedded beam)	17964	2	12,316	-3,335	63,934	0,000	0,873	-15,373	0,001	30,000	512,423	0,000	63,934	-0,929	0,000	-0,064	0,873
(TITAN 40/20 l=1,60m)	17965	3	12,414	-3,353	62,396	0,000	0,878	-15,318	0,000	30,000	510,585	0,000	62,396	-0,774	0,000	-0,067	0,878
圆	17966	4	12,513	-3,371	60,864	0,000	0,883	-15,265	-0,001	30,000	508,835	0,000	60,864	-0,656	0,000	-0,068	0,883
圆	17967	5	12,612	-3,389	59,338	0,000	0,890	-15,215	-0,001	30,000	507,173	0,000	59,338	-0,564	0,000	-0,069	0,890
EmbeddedBeam_1_1	17967	1	12,612	-3,389	59,337	0,000	0,890	-15,215	-0,001	30,000	507,173	0,000	59,337	-0,563	0,000	-0,069	0,890
Element 1-10 (Embedded beam)	17968	2	12,708	-3,406	57,849	0,000	0,869	-15,169	-0,001	30,000	505,633	0,000	57,849	-0,497	0,000	-0,070	0,869
(TITAN 40/20 l=1,60m)	17969	3	12,804	-3,424	56,365	0,000	0,849	-15,125	-0,001	30,000	504,178	0,000	56,365	-0,442	0,000	-0,070	0,849
圆	17970	4	12,901	-3,442	54,885	0,000	0,821	-15,084	-0,001	30,000	502,809	0,000	54,885	-0,423	0,000	-0,070	0,821
圆	17971	5	12,997	-3,459	53,410	0,000	0,787	-15,046	0,000	30,000	501,527	0,000	53,410	-0,428	0,000	-0,070	0,787

Structural element	Node [10^]	Local number	X [m]	Y [m]	N [kN]	Q [kN]	M [10^ kN m]	$T_{xx,+}$ [kN/m]	$T_{xx,-}$ [kN/m]	$T_{xx,xx,-}$ [kN/m]	$T_{xx,yy,-}$ [10^]	$N_{x,+}$ [10^ kN]	$N_{x,-}$ [kN]	$Q_{z,+}$ [10^ kN]	$Q_{z,-}$ [kN]	$M_{y,+}$ [10^ kN m]	$M_{y,-}$ [10^ kN m]
EmbeddedBeam_11_1	17971	1	12,997	-2,459	53,409	0,000	0,787	15,046	0,000	30,000	501,527	0,000	53,409	-0,426	0,000	-0,070	0,787
Element 1-11 (Embedded beam)	17972	2	13,091	-2,476	51,971	0,000	0,748	15,011	0,000	30,000	500,358	0,000	51,971	-0,428	0,000	-0,070	0,748
(TITAN 40/20 l=1,60m)	17973	3	13,185	-2,494	50,534	0,000	0,707	14,978	0,000	30,000	499,272	0,000	50,534	-0,441	0,000	-0,071	0,707
20	17974	4	13,280	-2,511	49,101	0,000	0,664	14,948	0,000	30,000	498,272	0,000	49,101	-0,454	0,000	-0,071	0,664
20	17975	5	13,374	-2,528	47,671	0,000	0,621	14,921	0,000	30,000	497,358	0,000	47,671	-0,454	0,000	-0,071	0,621
EmbeddedBeam_11_1	17975	1	13,374	-2,528	47,670	0,000	0,621	14,921	0,000	30,000	497,358	0,000	47,670	-0,456	0,000	-0,071	0,621
Element 1-12 (Embedded beam)	17976	2	13,466	-2,545	46,275	0,000	0,578	14,896	0,000	30,000	496,547	0,000	46,275	-0,448	0,000	-0,089	0,578
(TITAN 40/20 l=1,60m)	17977	3	13,558	-2,562	44,881	0,000	0,537	14,875	0,000	30,000	495,819	0,000	44,881	-0,437	0,000	-0,106	0,537
20	17978	4	13,650	-2,579	43,488	0,000	0,497	14,855	0,000	30,000	495,175	0,000	43,488	-0,420	0,000	-0,121	0,497
20	17979	5	13,742	-2,596	42,099	0,000	0,458	14,838	0,000	30,000	494,616	0,000	42,099	-0,400	0,000	-0,134	0,458
EmbeddedBeam_11_1	17979	1	13,742	-2,596	42,098	0,000	0,458	14,838	0,000	30,000	494,616	0,000	42,098	-0,401	0,000	-0,134	0,458
Element 1-13 (Embedded beam)	17980	2	13,832	-2,612	40,741	0,000	0,423	14,825	0,000	30,000	494,151	0,000	40,741	-0,380	0,000	-0,145	0,423
(TITAN 40/20 l=1,60m)	17981	3	13,923	-2,629	39,384	0,000	0,389	14,813	0,000	30,000	493,768	0,000	39,384	-0,357	0,000	-0,154	0,389
20	17982	4	14,013	-2,645	38,027	0,000	0,357	14,804	0,000	30,000	493,467	0,000	38,027	-0,335	0,000	-0,161	0,357
20	17983	5	14,103	-2,661	36,673	0,000	0,328	14,797	0,000	30,000	493,249	0,000	36,673	-0,311	0,000	-0,167	0,328
EmbeddedBeam_11_1	17983	1	14,103	-2,661	36,672	0,000	0,328	14,797	0,000	30,000	493,249	0,000	36,672	-0,311	0,000	-0,167	0,328
Element 1-14 (Embedded beam)	17984	2	14,191	-2,678	35,348	0,000	0,301	14,793	0,000	30,000	493,116	0,000	35,348	-0,289	0,000	-0,171	0,301
(TITAN 40/20 l=1,60m)	17985	3	14,279	-2,694	34,024	0,000	0,276	14,792	0,000	30,000	493,064	0,000	34,024	-0,266	0,000	-0,174	0,276
20	17986	4	14,367	-2,710	32,699	0,000	0,253	14,793	0,000	30,000	493,092	0,000	32,699	-0,243	0,000	-0,177	0,253
20	17987	5	14,455	-2,726	31,376	0,000	0,232	14,796	0,000	30,000	493,202	0,000	31,376	-0,221	0,000	-0,178	0,232
EmbeddedBeam_11_1	17987	1	14,455	-2,726	31,375	0,000	0,232	14,796	0,000	30,000	493,202	0,000	31,375	-0,221	0,000	-0,178	0,232
Element 1-15 (Embedded beam)	17988	2	14,541	-2,742	30,080	0,000	0,214	14,802	0,000	30,000	493,389	0,000	30,080	-0,199	0,000	-0,179	0,214
(TITAN 40/20 l=1,60m)	17989	3	14,627	-2,757	28,784	0,000	0,197	14,810	0,000	30,000	493,655	0,000	28,784	-0,178	0,000	-0,178	0,197
20	17990	4	14,713	-2,773	27,487	0,000	0,183	14,820	0,000	30,000	494,001	0,000	27,487	-0,157	0,000	-0,177	0,183
20	17991	5	14,799	-2,789	26,190	0,000	0,170	14,833	0,000	30,000	494,427	0,000	26,190	-0,137	0,000	-0,176	0,170
EmbeddedBeam_11_1	17991	1	14,799	-2,789	26,189	0,000	0,170	14,833	0,000	30,000	494,427	0,000	26,189	-0,137	0,000	-0,176	0,170
Element 1-16 (Embedded beam)	17992	2	14,883	-2,804	24,920	0,000	0,159	14,848	0,000	30,000	494,923	0,000	24,920	-0,118	0,000	-0,173	0,159
(TITAN 40/20 l=1,60m)	17993	3	14,968	-2,820	23,649	0,000	0,150	14,865	0,000	30,000	495,498	0,000	23,649	-0,101	0,000	-0,171	0,150
20	17994	4	15,052	-2,835	22,375	0,000	0,142	14,885	0,000	30,000	496,152	0,000	22,375	-0,085	0,000	-0,167	0,142
20	17995	5	15,136	-2,850	21,101	0,000	0,135	14,907	0,000	30,000	496,888	0,000	21,101	-0,071	0,000	-0,163	0,135
EmbeddedBeam_11_1	17995	1	15,136	-2,850	21,101	0,000	0,135	14,907	0,000	30,000	496,888	0,000	21,101	-0,072	0,000	-0,163	0,135
Element 1-17 (Embedded beam)	17996	2	15,205	-2,863	20,049	0,000	0,130	14,927	0,000	30,000	497,556	0,000	20,049	-0,062	0,000	-0,160	0,130
(TITAN 40/20 l=1,60m)	17997	3	15,275	-2,876	18,994	0,000	0,126	14,948	0,000	30,000	498,281	0,000	18,994	-0,056	0,000	-0,156	0,126
20	17998	4	15,344	-2,889	17,938	0,000	0,122	14,972	0,000	30,000	499,064	0,000	17,938	-0,052	0,000	-0,152	0,122
20	17999	5	15,414	-2,901	16,882	0,000	0,119	14,997	0,000	30,000	499,905	0,000	16,882	-0,051	0,000	-0,147	0,119
EmbeddedBeam_11_1	17999	1	15,414	-2,901	16,881	0,000	0,119	14,997	0,000	30,000	499,905	0,000	16,881	-0,052	0,000	-0,147	0,119
Element 1-18 (Embedded beam)	18000	2	15,521	-2,921	15,250	0,000	0,113	15,040	0,000	30,000	501,319	0,000	15,250	-0,059	0,000	-0,139	0,113
(TITAN 40/20 l=1,60m)	18001	3	15,627	-2,940	13,612	0,000	0,106	15,086	0,000	30,000	502,878	0,000	13,612	-0,077	0,000	-0,129	0,106
20	18002	4	15,734	-2,960	11,969	0,000	0,096	15,138	0,000	30,000	504,588	0,000	11,969	-0,106	0,000	-0,117	0,096
20	18003	5	15,841	-2,980	10,322	0,000	0,082	15,194	0,001	30,000	506,454	0,000	10,322	-0,146	0,000	-0,102	0,082
EmbeddedBeam_11_1	18003	1	15,841	-2,980	10,320	0,000	0,082	15,194	0,001	30,000	506,454	0,000	10,320	-0,101	0,000	-0,102	0,082
Element 1-19 (Embedded beam)	18004	2	16,006	-4,010	7,771	0,000	0,052	15,291	0,000	30,000	509,714	0,000	7,771	0,265	0,000	-0,074	0,052
(TITAN 40/20 l=1,60m)	18005	3	16,171	-4,040	5,201	0,000	0,000	15,397	0,001	30,000	513,218	0,000	5,201	0,296	0,000	-0,042	0,022
20	18006	4	16,335	-4,070	2,612	0,000	-0,033	15,522	0,003	30,000	517,387	0,000	2,612	0,084	0,000	-0,033	0,003
20	18007	5	16,500	-4,100	0,005	0,001	0,000	15,725	0,006	30,000	524,167	0,000	0,005	0,000	0,001	0,000	0,000
EmbeddedBeam_21_1	18008	1	6,000	-6,250	138,104	-0,438	0,000	22,734	2,371	30,000	757,807	0,000	138,104	-437,965	0,000	0,000	0,000
Element 2-20 (Embedded beam)	18009	2	6,126	-6,273	135,224	-0,198	-39,750	22,403	1,585	30,000	746,758	0,000	135,224	-197,793	0,000	-39,750	0,000
(TITAN 40/20 l=1,60m)	18010	3	6,252	-6,295	132,378	-0,035	-53,868	22,112	0,933	30,000	737,053	0,000	132,378	-34,672	0,000	-53,868	0,000
20	18011	4	6,377	-6,318	129,569	0,056	-51,696	21,844	0,452	30,000	728,131	0,000	129,569	0,000	0,056	-51,696	0,000
20	18012	5	6,503	-6,341	126,796	0,079	-42,389	21,591	0,135	30,000	719,693	0,000	126,796	0,000	0,079	-42,389	0,000
EmbeddedBeam_21_1	18012	1	6,503	-6,341	126,793	0,093	-42,389	21,591	0,135	30,000	719,693	0,000	126,793	0,000	0,093	-42,389	0,000
Element 2-21 (Embedded beam)	18013	2	6,636	-6,365	123,890	0,090	-29,865	21,336	0,056	30,000	711,199	0,000	123,890	0,000	0,090	-29,865	0,000
(TITAN 40/20 l=1,60m)	18014	3	6,770	-6,389	121,017	0,077	-18,480	21,093	0,141	30,000	703,113	0,000	121,017	0,000	0,077	-18,480	0,000
20	18015	4	6,903	-6,413	118,177	0,058	-9,204	20,861	0,157	30,000	695,381	0,000	118,177	0,000	0,058	-9,204	0,000
20	18016	5	7,036	-6,436	115,370	0,034	-2,922	20,639	0,137	30,000	687,960	0,000	115,370	0,000	0,034	-3,091	0,000
EmbeddedBeam_21_1	18016	1	7,036	-6,436	115,368	0,037	-2,922	20,639	0,137	30,000	687,960	0,000	115,368	0,000	0,037	-3,091	0,000
Element 2-22 (Embedded beam)	18017	2	7,177	-6,462	112,427	0,020	-1,044	20,412	0,101	30,000	680,406	0,000	112,427	0,000	0,020	-0,786	1,142

Structural element	Node [10^0]	Local number	X [m]	Y [m]	N [kN]	Q [kN]	M [10^-1 kN m]	$T_{xx,+}$ [kN/m]	$T_{yy,+}$ [kN/m]	$T_{xx,yy,+}$ [kN/m]	$T_{xx,yy,-}$ [10^0]	$N_{xx,+}$ [10^-1 kN]	$N_{yy,+}$ [kN]	$Q_{zz,+}$ [10^-1 kN]	$Q_{yy,+}$ [kN]	$M_{yy,+}$ [10^-1 kN m]	$M_{xx,+}$ [10^-1 kN m]
(TITAN 40/20 l=1,60m)	18018	3	7,318	-5,487	109,515	0,008	2,938	-20,194	-0,065	30,000	673,137	0,000	109,515	0,000	0,008	-0,020	2,938
)	18019	4	7,459	-5,513	106,634	0,000	3,450	-19,984	-0,035	30,000	666,131	0,000	106,634	0,000	0,001	-0,013	3,450
)	18020	5	7,600	-5,538	103,785	0,002	3,256	-19,781	-0,014	30,000	659,368	0,000	103,785	2,331	0,000	-0,011	3,256
EmbeddedBeam_3_1	18020	1	7,600	-5,538	103,783	0,003	3,256	-19,781	-0,014	30,000	659,368	0,000	103,783	3,239	0,000	-0,011	3,256
Element 2-23 (Embedded beam)	18021	2	7,750	-5,565	100,797	0,004	2,716	-19,574	-0,001	30,000	652,453	0,000	100,797	3,720	0,000	-0,012	2,716
(TITAN 40/20 l=1,60m)	18022	3	7,899	-5,592	97,839	0,003	2,165	-19,373	0,005	30,000	645,777	0,000	97,839	3,449	0,000	-0,013	2,165
)	18023	4	8,049	-5,619	94,911	0,003	1,699	-19,180	0,007	30,000	639,329	0,000	94,911	2,575	0,000	-0,060	1,699
)	18024	5	8,198	-5,646	92,014	0,001	1,405	-18,993	0,006	30,000	633,099	0,000	92,014	-1,250	0,000	-0,188	1,405
EmbeddedBeam_3_1	18024	1	8,198	-5,646	92,012	0,001	1,405	-18,993	0,006	30,000	633,099	0,000	92,012	-1,434	0,000	-0,188	1,405
Element 2-24 (Embedded beam)	18025	2	8,357	-5,674	88,975	0,001	1,248	-18,802	0,005	30,000	626,729	0,000	88,975	-0,628	0,000	-0,249	1,248
(TITAN 40/20 l=1,60m)	18026	3	8,515	-5,703	85,964	0,000	1,209	-18,618	0,003	30,000	620,586	0,000	85,964	0,145	0,000	-0,249	1,209
)	18027	4	8,673	-5,731	82,983	0,000	1,245	-18,440	0,001	30,000	614,666	0,000	82,983	0,000	0,000	-0,210	1,245
)	18028	5	8,832	-5,760	80,033	0,000	1,313	-18,269	0,000	30,000	608,966	0,000	80,033	0,000	0,000	-0,156	1,313
EmbeddedBeam_3_1	18028	1	8,832	-5,760	80,031	0,000	1,313	-18,269	0,000	30,000	608,966	0,000	80,031	0,000	0,000	-0,156	1,313
Element 2-25 (Embedded beam)	18029	2	8,999	-5,790	76,935	0,000	1,395	-18,095	0,000	30,000	603,165	0,000	76,935	0,000	0,000	-0,094	1,395
(TITAN 40/20 l=1,60m)	18030	3	9,167	-5,820	73,866	0,000	1,469	-17,928	-0,001	30,000	597,608	0,000	73,866	0,000	0,000	-0,036	1,469
)	18031	4	9,335	-5,850	70,825	0,000	1,529	-17,769	-0,001	30,000	592,297	0,000	70,825	0,000	0,000	-0,026	1,529
)	18032	5	9,502	-5,880	67,813	0,000	1,574	-17,617	-0,001	30,000	587,234	0,000	67,813	0,000	0,000	-0,021	1,574
EmbeddedBeam_3_1	18032	1	9,502	-5,880	67,810	0,000	1,574	-17,617	-0,001	30,000	587,234	0,000	67,810	0,000	0,000	-0,021	1,574
Element 2-26 (Embedded beam)	18033	2	9,680	-5,912	64,647	0,000	1,604	-17,464	0,000	30,000	582,147	0,000	64,647	0,000	0,000	-0,017	1,604
(TITAN 40/20 l=1,60m)	18034	3	9,857	-5,944	61,508	0,000	1,619	-17,320	0,000	30,000	577,349	0,000	61,508	0,001	0,000	-0,015	1,619
)	18035	4	10,035	-5,976	58,394	0,000	1,621	-17,185	0,000	30,000	572,850	0,000	58,394	0,053	0,000	-0,012	1,621
)	18036	5	10,213	-7,008	55,307	0,000	1,612	-17,060	0,000	30,000	568,655	0,000	55,307	0,099	0,000	-0,010	1,612
EmbeddedBeam_3_1	18036	1	10,213	-7,008	55,304	0,000	1,612	-17,060	0,000	30,000	568,655	0,000	55,304	0,099	0,000	-0,010	1,612
Element 2-27 (Embedded beam)	18037	2	10,401	-7,042	52,058	0,000	1,591	-16,937	0,000	30,000	564,555	0,000	52,058	0,149	0,000	-0,009	1,591
(TITAN 40/20 l=1,60m)	18038	3	10,589	-7,076	48,831	0,000	1,560	-16,825	0,000	30,000	560,818	0,000	48,831	0,197	0,000	-0,007	1,560
)	18039	4	10,777	-7,110	45,624	0,000	1,520	-16,724	0,000	30,000	557,454	0,000	45,624	0,239	0,000	-0,006	1,520
)	18040	5	10,965	-7,144	42,439	0,000	1,472	-16,634	0,000	30,000	554,474	0,000	42,439	0,273	0,000	-0,005	1,472
EmbeddedBeam_3_1	18040	1	10,965	-7,144	42,435	0,000	1,472	-16,634	0,000	30,000	554,474	0,000	42,435	0,272	0,000	-0,005	1,472
Element 2-28 (Embedded beam)	18041	2	11,164	-7,180	39,080	0,000	1,415	-16,552	0,000	30,000	551,750	0,000	39,080	0,299	0,000	-0,004	1,415
(TITAN 40/20 l=1,60m)	18042	3	11,363	-7,215	35,735	0,000	1,353	-16,484	0,000	30,000	549,481	0,000	35,735	0,314	0,000	-0,003	1,353
)	18043	4	11,563	-7,251	32,402	0,000	1,289	-16,431	0,000	30,000	547,683	0,000	32,402	0,317	0,000	-0,002	1,289
)	18044	5	11,762	-7,287	29,084	0,000	1,225	-16,391	0,000	30,000	546,370	0,000	29,084	0,309	0,000	-0,002	1,225
EmbeddedBeam_3_1	18044	1	11,762	-7,287	29,079	0,000	1,225	-16,391	0,000	30,000	546,370	0,000	29,079	0,326	0,000	-0,002	1,225
Element 2-29 (Embedded beam)	18045	2	11,973	-7,325	25,572	0,000	1,159	-16,366	0,000	30,000	545,525	0,000	25,572	0,293	0,000	-0,001	1,159
(TITAN 40/20 l=1,60m)	18046	3	12,184	-7,363	22,063	0,000	1,096	-16,358	0,000	30,000	545,262	0,000	22,063	0,313	0,000	-0,001	1,096
)	18047	4	12,395	-7,401	18,553	0,000	1,021	-16,368	-0,001	30,000	545,615	0,000	18,553	0,395	0,000	-0,001	1,021
)	18048	5	12,606	-7,439	15,045	0,001	0,921	-16,399	-0,001	30,000	546,621	0,000	15,045	0,550	0,000	0,000	0,921
EmbeddedBeam_3_1	18048	1	12,606	-7,439	15,039	0,000	0,921	-16,399	-0,001	30,000	546,621	0,000	15,039	0,408	0,000	0,000	0,921
Element 2-30 (Embedded beam)	18049	2	12,829	-7,479	11,315	0,001	0,758	-16,453	-0,002	30,000	548,434	0,000	11,315	1,011	0,000	0,000	0,758
(TITAN 40/20 l=1,60m)	18050	3	13,053	-7,520	7,567	0,001	0,482	-16,533	-0,002	30,000	551,103	0,000	7,567	1,322	0,000	0,000	0,482
)	18051	4	13,276	-7,560	3,798	0,001	0,192	-16,651	0,002	30,000	555,043	0,000	3,798	1,171	0,000	0,000	0,192
)	18052	5	13,500	-7,600	0,006	0,000	0,000	-16,830	0,010	30,000	561,002	0,000	0,006	0,385	0,000	0,000	0,000
EmbeddedBeam_2_1	18053	1	1,776	-12,600	12,269	-0,019	0,000	-54,160	0,687	125,000	433,284	0,000	12,269	19,492	0,000	0,000	0,000
Element 3-31 (Embedded beam)	18054	2	1,857	-12,790	6,015	0,003	1,255	-24,776	0,072	125,000	198,206	0,000	6,015	0,000	0,003	-1,255	0,001
(Kircopalo D168.3 x12.5mm/1,6m)	18055	3	1,938	-12,980	2,177	0,007	0,202	-10,689	-0,071	125,000	85,515	0,000	2,177	0,000	0,007	-0,202	0,048
)	18056	4	2,019	-13,170	0,375	0,002	1,004	-5,068	-0,015	125,000	40,545	0,000	0,375	0,001	0,002	0,000	1,004
)	18057	5	2,100	-13,360	0,229	-0,003	0,780	-2,267	0,003	125,000	18,136	-76,431	0,229	2,740	0,000	0,000	0,780
EmbeddedBeam_2_1	18057	1	2,100	-13,360	-0,188	0,001	0,780	-2,267	0,003	125,000	18,136	-359,420	0,000	0,807	0,000	0,000	0,780
Element 3-32 (Embedded beam)	18058	2	2,182	-13,550	-0,444	0,000	0,656	-1,001	0,001	125,000	8,004	-530,851	0,000	0,438	0,000	0,000	0,656
(Kircopalo D168.3 x12.5mm/1,6m)	18059	3	2,263	-13,740	-0,595	0,000	0,585	-0,385	0,000	125,000	3,077	-628,758	0,000	0,260	0,000	0,000	0,585
)	18060	4	2,344	-13,930	-0,656	0,000	0,540	-0,134	0,000	125,000	1,075	-664,608	0,000	0,204	0,000	0,000	0,540
)	18061	5	2,425	-14,120	-0,644	0,000	0,499	-0,009	0,000	125,000	0,076	-649,869	0,000	0,198	0,000	0,000	0,499
EmbeddedBeam_2_1	18061	1	2,425	-14,120	-0,662	0,000	0,499	-0,009	0,000	125,000	0,076	-662,625	0,000	0,173	0,000	0,000	0,499
Element 3-33 (Embedded beam)	18062	2	2,507	-14,310	-0,655	0,000	0,469	0,046	0,000	125,000	0,369	-654,945	0,000	0,120	0,000	0,000	0,469
(Kircopalo D168.3 x12.5mm/1,6m)	18063	3	2,588	-14,500	-0,643	0,000	0,449	0,072	0,000	125,000	0,577	-643,080	0,000	0,080	0,000	0,000	0,449
)	18064	4	2,669	-14,690	-0,628	0,000	0,437	0,081	0,000	125,000	0,649	-627,590	0,000	0,052	0,000	0,000	0,437

Structural element	Node [10 ^]	Local number	X [m]	Y [m]	N [kN]	Q [kN]	M [10 ^ kN m]	$T_{x,x}$ [kN/m]	$T_{x,y}$ [kN/m]	$T_{x,x,x,x}$ [kN/m]	$T_{x,x,y,y}$ [10 ^]	$N_{x,x}$ [10 ^ kN]	$N_{x,y}$ [kN]	$Q_{x,x}$ [10 ^ kN]	$Q_{x,y}$ [kN]	$M_{x,x}$ [10 ^ kN m]	$M_{x,y}$ [10 ^ kN m]
臂	18065	5	2,750	-14,880	-0,609	0,000	0,429	0,085	0,000	-125,000	0,678	-609,249	0,000	0,039	0,000	0,000	0,429
EmbeddedBeam_2_1	18065	1	2,750	-14,880	-0,610	0,000	0,429	0,085	0,000	-125,000	0,678	-609,547	0,000	0,034	0,000	0,000	0,429
Element 3-34 (Embedded beam)	18066	2	2,831	-15,070	-0,593	0,000	0,423	0,087	0,000	-125,000	0,694	-592,536	0,000	0,033	0,000	0,000	0,423
(Micropalo D168.3 s12.5mm/1,6m)	18067	3	2,913	-15,260	-0,574	0,000	0,416	0,091	0,000	-125,000	0,729	-573,911	0,000	0,037	0,000	0,000	0,416
臂	18068	4	2,994	-15,450	-0,553	0,000	0,408	0,107	0,000	-125,000	0,859	-553,158	0,000	0,044	0,000	0,000	0,408
臂	18069	5	3,075	-15,640	-0,530	0,000	0,399	0,146	0,000	-125,000	1,169	-529,763	0,000	0,052	0,000	0,000	0,399
EmbeddedBeam_2_1	18069	1	3,075	-15,640	-0,515	0,000	0,399	0,146	0,000	-125,000	1,169	-514,942	0,000	0,130	0,000	0,000	0,399
Element 3-35 (Embedded beam)	18070	2	3,156	-15,830	-0,497	0,000	0,382	0,239	0,000	-125,000	1,916	-496,964	0,000	0,097	0,000	0,000	0,382
(Micropalo D168.3 s12.5mm/1,6m)	18071	3	3,238	-16,020	-0,421	0,000	0,337	0,434	-0,002	-125,000	3,469	-421,199	0,000	0,353	0,000	0,000	0,337
臂	18072	4	3,319	-16,210	-0,274	-0,001	0,223	0,931	-0,002	-125,000	7,445	-274,033	0,000	0,803	0,000	0,000	0,223
臂	18073	5	3,400	-16,400	-0,042	-0,001	0,000	1,975	0,018	-125,000	15,804	-41,852	0,000	1,353	0,000	0,000	0,000

3.3.1.1.26 Calculation results, Embedded beam, SLV [Phase_21] (21/1061), Table of embedded beam force envelopes

Structural element	Node [10⁰]	Local number	X [m]	Y [m]	N [kN]	Q [kN]	M [10⁻³ kN m]	$T_{,xxx}$ [kN/m]	$T_{,xx}$ [kN/m]	$T_{,xxx,xxx}$ [kN/m]	$T_{,xxx,xx}$	$N_{,xxx}$ [10⁻³ kN]	$N_{,xxx}$ [kN]	$Q_{,xx}$ [10⁻³ kN]	$Q_{,xxx}$ [kN]	$M_{,xx}$ [10⁻³ kN m]	$M_{,xxx}$ [10⁻³ kN m]
EmbeddedBeam_1_1	17931	1	8,300	-2,600	183,126	2,235	0,000	-6,176	-10,375	30,000	0,206	0,000	183,126	0,000	2,235	0,000	0,000
Element 1-1 (Embedded beam)	17932	2	8,493	-2,635	181,962	0,785	285,484	-5,734	-6,020	30,000	0,191	0,000	181,962	0,000	0,785	0,000	285,484
(TITAN 40/20 l=1,60m)	17933	3	8,685	-2,670	180,881	-0,101	344,932	-5,307	-2,753	30,000	0,177	0,000	180,881	-100,645	0,000	0,000	344,932
28	17934	4	8,878	-2,706	179,883	-0,482	278,993	-4,882	-0,864	30,000	0,163	0,000	179,883	-481,668	0,000	0,000	278,993
29	17935	5	9,071	-2,741	178,969	-0,416	184,777	-4,453	-0,098	30,000	0,148	0,000	178,969	-416,408	0,000	0,000	184,777
EmbeddedBeam_1_1	17935	1	9,071	-2,741	178,964	-0,516	184,777	-4,453	-0,098	30,000	0,148	0,000	178,964	-516,496	0,000	0,000	184,777
Element 1-2 (Embedded beam)	17936	2	9,223	-2,769	178,307	-0,518	104,412	-4,107	0,012	30,000	0,137	0,000	178,307	-518,415	0,000	0,000	104,412
(TITAN 40/20 l=1,60m)	17937	3	9,376	-2,797	177,691	-0,513	24,231	-3,825	0,050	30,000	0,127	0,000	177,691	-513,176	0,000	0,000	37,139
30	17938	4	9,529	-2,825	177,114	-0,500	-54,483	-3,591	0,117	30,000	0,120	0,000	177,114	-499,754	0,000	-54,483	13,668
31	17939	5	9,681	-2,853	176,577	-0,477	-130,399	-3,341	0,257	30,000	0,111	0,000	176,577	-477,128	0,000	-130,399	0,650
EmbeddedBeam_1_1	17939	1	9,681	-2,853	176,573	-0,465	-130,399	-3,341	0,257	30,000	0,111	0,000	176,573	-464,596	0,000	-130,399	0,650
Element 1-3 (Embedded beam)	17940	2	9,802	-2,875	176,178	-0,421	-185,501	-3,173	0,691	30,000	0,106	0,000	176,178	-420,812	0,000	-185,501	0,000
(TITAN 40/20 l=1,60m)	17941	3	9,923	-2,897	175,791	-0,299	-230,796	-3,152	1,195	30,000	0,105	0,000	175,791	-299,301	0,000	-230,796	0,000
32	17942	4	10,044	-2,919	175,415	-0,088	-255,456	-2,984	2,151	30,000	0,099	0,000	175,415	-88,013	0,001	-255,456	0,000
33	17943	5	10,165	-2,941	175,056	0,225	-248,194	-2,719	3,616	30,000	0,091	0,000	175,056	0,000	0,225	-248,194	0,000
EmbeddedBeam_1_1	17943	1	10,165	-2,941	174,978	0,183	-248,194	-2,719	3,616	30,000	0,091	0,000	174,978	0,000	0,183	-248,194	0,000
Element 1-4 (Embedded beam)	17944	2	10,261	-2,959	174,841	0,699	-204,906	-2,908	4,682	30,000	0,097	0,000	174,841	0,000	0,699	-204,906	0,000
(TITAN 40/20 l=1,60m)	17945	3	10,357	-2,976	174,437	1,117	-114,814	-4,758	4,415	30,000	0,159	0,000	174,437	0,000	1,117	-114,814	0,000
34	17946	4	10,453	-2,994	173,697	1,381	7,853	-9,798	1,521	30,000	0,327	0,000	173,697	0,000	1,381	-4,197	7,862
35	17947	5	10,549	-3,011	172,553	1,435	147,204	-19,138	-5,102	30,000	0,638	0,000	172,553	0,000	1,435	-2,268	147,204
EmbeddedBeam_1_1	17947	1	10,549	-3,011	172,389	1,274	147,204	-30,000	-8,504	30,000	1,000	0,000	172,389	0,000	1,274	-2,268	147,204
Element 1-5 (Embedded beam)	17948	2	10,656	-3,031	169,102	0,524	243,501	-30,000	-5,805	30,000	1,000	0,000	169,102	0,000	0,524	-1,189	243,501
(TITAN 40/20 l=1,60m)	17949	3	10,764	-3,051	165,812	0,006	270,605	-30,000	-3,538	30,000	1,000	0,000	165,812	-5,166	0,014	-0,393	270,605
36	17950	4	10,872	-3,071	162,521	-0,293	252,777	-30,000	-1,804	30,000	1,000	0,000	162,521	-292,992	0,007	-0,112	252,777
37	17951	5	10,980	-3,090	159,234	-0,385	213,848	-30,000	-0,607	30,000	1,000	0,000	159,234	-384,944	0,004	-0,020	213,848
EmbeddedBeam_1_1	17951	1	10,980	-3,090	159,234	-0,423	213,848	-30,000	-0,607	30,000	1,000	0,000	159,234	-422,942	0,004	-0,020	213,848
Element 1-6 (Embedded beam)	17952	2	11,085	-3,110	156,017	-0,426	167,945	-30,000	0,132	30,000	1,000	0,000	156,017	-426,464	0,002	0,000	167,945
(TITAN 40/20 l=1,60m)	17953	3	11,191	-3,129	152,801	-0,393	123,785	-30,000	0,546	30,000	1,000	0,000	152,801	-392,627	0,001	0,000	123,785
38	17954	4	11,296	-3,148	149,593	-0,327	84,883	-29,871	0,725	30,000	0,996	0,000	149,593	-327,007	0,000	0,000	84,883
39	17955	5	11,402	-3,167	146,397	-0,235	54,575	-29,601	0,750	30,000	0,987	0,000	146,397	-235,183	0,000	0,000	54,575
EmbeddedBeam_1_1	17955	1	11,402	-3,167	146,401	-0,245	54,575	-29,601	0,750	30,000	0,987	0,000	146,401	-244,589	0,000	0,000	54,575
Element 1-7 (Embedded beam)	17956	2	11,505	-3,186	143,314	-0,167	33,126	-29,346	0,686	30,000	0,978	0,000	143,314	-166,662	0,000	-0,002	33,126
(TITAN 40/20 l=1,60m)	17957	3	11,608	-3,205	140,250	-0,101	19,230	-29,099	0,578	30,000	0,970	0,000	140,250	-100,579	0,000	-0,008	19,230
40	17958	4	11,711	-3,224	137,212	-0,047	11,609	-28,861	0,452	30,000	0,962	0,000	137,212	-46,779	0,000	-0,018	11,609
41	17959	5	11,814	-3,243	134,201	-0,006	8,975	-28,633	0,324	30,000	0,954	0,000	134,201	-15,295	0,000	-1,110	8,975
EmbeddedBeam_1_1	17959	1	11,814	-3,243	134,199	-0,006	8,975	-28,633	0,324	30,000	0,954	0,000	134,199	-14,817	0,000	-1,110	8,975
Element 1-8 (Embedded beam)	17960	2	11,915	-3,261	131,278	0,021	9,852	-28,422	0,202	30,000	0,947	0,000	131,278	-7,927	0,021	-1,830	9,852
(TITAN 40/20 l=1,60m)	17961	3	12,016	-3,280	128,374	0,035	12,842	-28,224	0,082	30,000	0,941	0,000	128,374	-6,627	0,035	-1,924	12,842
42	17962	4	12,117	-3,298	125,491	0,038	16,720	-28,040	-0,031	30,000	0,935	0,000	125,491	-11,828	0,038	-1,793	16,720
43	17963	5	12,217	-3,317	122,628	0,029	20,266	-27,878	-0,116	30,000	0,929	0,000	122,628	-25,114	0,029	-2,284	20,266
EmbeddedBeam_1_1	17963	1	12,217	-3,317	122,624	0,032	20,266	-27,878	-0,116	30,000	0,929	0,000	122,624	-22,153	0,032	-2,284	20,266
Element 1-9 (Embedded beam)	17964	2	12,316	-3,335	119,842	0,015	22,624	-27,749	-0,153	30,000	0,925	0,000	119,842	-36,377	0,015	-3,709	22,624
(TITAN 40/20 l=1,60m)	17965	3	12,414	-3,353	117,065	0,001	23,439	-27,674	-0,135	30,000	0,922	0,000	117,065	-43,099	0,004	-5,541	23,439
44	17966	4	12,513	-3,371	114,293	-0,011	22,941	-27,636	-0,106	30,000	0,921	0,000	114,293	-42,905	0,003	-7,829	22,941
45	17967	5	12,612	-3,389	111,528	-0,020	21,368	-27,541	-0,277	30,000	0,918	0,000	111,528	-27,677	0,004	-10,086	21,368
EmbeddedBeam_1_1	17967	1	12,612	-3,389	111,524	-0,016	21,368	-27,541	-0,277	30,000	0,918	0,000	111,524	-34,833	0,004	-10,086	21,368
Element 1-10 (Embedded beam)	17968	2	12,708	-3,406	108,838	-0,072	17,076	-27,442	-0,514	30,000	0,915	0,000	108,838	-71,656	0,007	-11,711	17,076
(TITAN 40/20 l=1,60m)	17969	3	12,804	-3,424	106,149	-0,119	7,547	-27,418	-0,529	30,000	0,914	0,000	106,149	-119,379	0,009	-13,096	7,547
46	17970	4	12,901	-3,442	103,457	-0,152	-5,815	-27,514	-0,199	30,000	0,917	0,000	103,457	-151,683	0,011	-16,197	1,147
47	17971	5	12,997	-3,459	100,760	-0,161	-21,383	-27,734	0,435	30,000	0,924	0,000	100,760	-161,152	0,016	-21,687	1,131

Structural element	Node [10^]	Local number	X [m]	Y [m]	N [kN]	Q [kN]	M [10^ kN m]	$T_{xx,+}$ [kN/m]	$T_{xx,-}$ [kN/m]	$T_{xx,xx,-}$ [kN/m]	$T_{xx,yy,-}$	$N_{x,+}$ [10^ kN]	$N_{x,-}$ [kN]	$Q_{z,+}$ [10^ kN]	$Q_{z,-}$ [kN]	$M_{x,+}$ [10^ kN m]	$M_{x,-}$ [10^ kN m]
EmbeddedBeam_11_1	17971	1	12,997	-2,459	100,760	-0,163	-21,383	27,734	0,435	30,000	0,924	0,000	100,760	-163,402	0,015	-21,687	1,131
Element 1-11 (Embedded beam)	17972	2	13,091	-2,476	98,087	-0,083	-33,012	27,893	0,747	30,000	0,930	0,000	98,087	-82,521	0,018	-33,012	1,083
(TITAN 40/20 l=1,60m)	17973	3	13,185	-2,494	95,417	-0,020	-37,780	27,852	0,555	30,000	0,928	0,000	95,417	-20,194	0,020	-37,780	1,012
22	17974	4	13,280	-2,511	92,752	0,023	-37,480	27,798	0,356	30,000	0,927	0,000	92,752	-1,133	0,029	-37,480	0,925
23	17975	5	13,374	-2,528	90,093	0,048	-33,910	27,747	0,225	30,000	0,925	0,000	90,093	-1,173	0,048	-33,910	0,828
EmbeddedBeam_11_1	17975	1	13,374	-2,528	90,091	0,051	-33,910	27,747	0,225	30,000	0,925	0,000	90,091	-1,190	0,051	-33,910	0,828
Element 1-12 (Embedded beam)	17976	2	13,466	-2,545	87,499	0,065	-28,413	27,669	0,111	30,000	0,922	0,000	87,499	-1,205	0,065	-28,413	0,727
(TITAN 40/20 l=1,60m)	17977	3	13,558	-2,562	84,910	0,072	-21,955	27,596	0,030	30,000	0,920	0,000	84,910	-1,221	0,072	-21,955	0,623
24	17978	4	13,650	-2,579	82,328	0,072	-15,165	27,542	0,030	30,000	0,918	0,000	82,328	-1,240	0,072	-15,165	0,516
25	17979	5	13,742	-2,596	79,752	0,066	-8,661	27,525	0,088	30,000	0,917	0,000	79,752	-1,264	0,066	-8,661	0,407
EmbeddedBeam_11_1	17979	1	13,742	-2,596	79,750	0,066	-8,661	27,525	0,088	30,000	0,917	0,000	79,750	-1,274	0,066	-8,661	0,407
Element 1-13 (Embedded beam)	17980	2	13,832	-2,612	77,230	0,056	-3,042	27,541	0,144	30,000	0,918	0,000	77,230	-1,324	0,056	-3,935	0,354
(TITAN 40/20 l=1,60m)	17981	3	13,923	-2,629	74,707	0,040	1,377	27,549	0,192	30,000	0,918	0,000	74,707	-1,417	0,040	-2,239	1,377
26	17982	4	14,013	-2,645	72,185	0,020	4,179	27,539	0,243	30,000	0,918	0,000	72,185	-1,555	0,020	-1,593	4,179
27	17983	5	14,103	-2,661	69,665	-0,004	4,941	27,522	0,273	30,000	0,917	0,000	69,665	-4,482	0,000	-1,514	4,941
EmbeddedBeam_11_1	17983	1	14,103	-2,661	69,663	-0,001	4,941	27,522	0,273	30,000	0,917	0,000	69,663	-4,277	0,000	-1,514	4,941
Element 1-14 (Embedded beam)	17984	2	14,191	-2,678	67,202	-0,029	3,528	27,521	0,251	30,000	0,917	0,000	67,202	-28,959	0,000	-1,904	3,528
(TITAN 40/20 l=1,60m)	17985	3	14,279	-2,694	64,736	-0,047	2,057	27,553	0,152	30,000	0,918	0,000	64,736	-46,515	0,000	-2,588	2,226
28	17986	4	14,367	-2,710	62,267	-0,053	-4,462	27,610	0,004	30,000	0,920	0,000	62,267	-52,662	0,000	-4,462	0,206
29	17987	5	14,455	-2,726	59,794	-0,046	-8,992	27,660	0,156	30,000	0,922	0,000	59,794	-46,299	0,000	-8,992	0,188
EmbeddedBeam_11_1	17987	1	14,455	-2,726	59,789	-0,049	-8,992	27,660	0,156	30,000	0,922	0,000	59,789	-49,484	0,000	-8,992	0,188
Element 1-15 (Embedded beam)	17988	2	14,541	-2,742	57,373	-0,026	-12,290	27,711	0,237	30,000	0,924	0,000	57,373	-26,443	0,000	-12,290	0,172
(TITAN 40/20 l=1,60m)	17989	3	14,627	-2,757	54,940	-0,008	-13,742	27,863	0,200	30,000	0,929	0,000	54,940	-5,932	0,000	-13,742	0,158
30	17990	4	14,713	-2,773	52,490	0,006	-13,793	28,080	0,117	30,000	0,936	0,000	52,490	6,729	0,006	-13,793	0,145
31	17991	5	14,799	-2,789	50,025	0,013	-12,912	28,322	0,001	30,000	0,944	0,000	50,025	6,964	0,013	-12,912	0,135
EmbeddedBeam_11_1	17991	1	14,799	-2,789	50,026	0,014	-12,912	28,322	0,001	30,000	0,944	0,000	50,026	6,871	0,014	-12,912	0,135
Element 1-16 (Embedded beam)	17992	2	14,883	-2,804	47,593	0,008	-12,000	28,439	0,069	30,000	0,948	0,000	47,593	7,157	0,008	-12,000	0,125
(TITAN 40/20 l=1,60m)	17993	3	14,968	-2,820	45,159	0,002	-11,594	28,433	0,070	30,000	0,948	0,000	45,159	6,920	0,002	-11,594	0,117
32	17994	4	15,052	-2,835	42,726	-0,004	-11,696	28,427	0,069	30,000	0,948	0,000	42,726	6,218	0,000	-11,696	0,111
33	17995	5	15,136	-2,850	40,294	-0,010	-12,307	28,460	0,053	30,000	0,949	0,000	40,294	11,600	0,001	-12,307	0,105
EmbeddedBeam_11_1	17995	1	15,136	-2,850	40,291	-0,009	-12,307	28,460	0,053	30,000	0,949	0,000	40,291	10,761	0,000	-12,307	0,105
Element 1-17 (Embedded beam)	17996	2	15,205	-2,863	38,282	-0,012	-13,076	28,556	0,006	30,000	0,952	0,000	38,282	12,814	0,005	-13,076	0,101
(TITAN 40/20 l=1,60m)	17997	3	15,275	-2,876	36,262	-0,008	-13,801	28,692	0,094	30,000	0,956	0,000	36,262	9,315	0,010	-13,801	0,098
34	17998	4	15,344	-2,889	34,232	0,000	-14,113	28,823	0,153	30,000	0,961	0,000	34,232	5,723	0,015	-14,113	0,095
35	17999	5	15,414	-2,901	32,195	0,014	-13,650	28,923	0,172	30,000	0,964	0,000	32,195	2,391	0,021	-13,650	0,092
EmbeddedBeam_11_1	17999	1	15,414	-2,901	32,196	0,011	-13,650	28,923	0,172	30,000	0,964	0,000	32,196	2,377	0,021	-13,650	0,092
Element 1-18 (Embedded beam)	18000	2	15,521	-2,921	29,046	0,031	-11,292	29,008	0,163	30,000	0,967	0,000	29,046	2,352	0,033	-11,309	0,087
(TITAN 40/20 l=1,60m)	18001	3	15,627	-2,940	25,891	0,047	-6,977	29,039	0,126	30,000	0,968	0,000	25,891	2,219	0,047	-7,062	0,083
36	18002	4	15,734	-2,960	22,734	0,057	-1,267	29,053	0,067	30,000	0,968	0,000	22,734	2,198	0,057	-1,854	7,618
37	18003	5	15,841	-2,980	19,576	0,062	5,256	29,087	0,011	30,000	0,970	0,000	19,576	2,211	0,062	-0,207	7,637
EmbeddedBeam_11_1	18003	1	15,841	-2,980	19,578	0,060	5,256	29,087	0,011	30,000	0,970	0,000	19,578	2,290	0,060	-0,207	7,637
Element 1-19 (Embedded beam)	18004	2	16,006	-4,010	14,698	0,046	14,899	29,167	0,157	30,000	0,972	0,000	14,698	2,222	0,046	-0,074	16,164
(TITAN 40/20 l=1,60m)	18005	3	16,171	-4,040	9,816	0,000	18,685	29,109	0,509	30,000	0,970	0,000	9,816	6,207	0,004	-0,053	19,255
38	18006	4	16,335	-4,070	4,931	-0,058	14,178	29,208	0,293	30,000	0,974	0,000	4,931	59,991	0,000	-0,037	14,459
39	18007	5	16,500	-4,100	0,040	-0,106	0,000	30,000	1,771	30,000	1,000	0,000	0,138	107,684	0,001	0,000	0,000
EmbeddedBeam_21_1	18008	1	6,000	6,250	199,974	-0,432	0,000	30,000	3,590	30,000	1,000	0,000	199,974	631,918	0,000	0,000	0,000
Element 2-20 (Embedded beam)	18009	2	6,126	6,273	196,142	-0,275	56,582	30,000	2,344	30,000	1,000	0,000	196,142	274,690	0,000	56,582	0,000
(TITAN 40/20 l=1,60m)	18010	3	6,252	6,295	192,307	-0,036	75,300	30,000	1,338	30,000	1,000	0,000	192,307	27,537	0,000	75,300	0,000
40	18011	4	6,377	6,318	188,472	0,093	70,428	30,000	0,615	30,000	1,000	0,000	188,472	0,000	0,093	70,428	0,000
41	18012	5	6,503	6,341	184,639	0,118	55,929	30,000	0,158	30,000	1,000	0,000	184,639	0,000	0,120	55,929	0,000
EmbeddedBeam_21_1	18012	1	6,503	6,341	184,638	0,140	55,929	30,000	0,158	30,000	1,000	0,000	184,638	0,000	0,141	55,929	0,000
Element 2-21 (Embedded beam)	18013	2	6,636	6,365	180,578	0,132	37,337	30,000	0,103	30,000	1,000	0,000	180,578	0,000	0,132	37,337	0,000
(TITAN 40/20 l=1,60m)	18014	3	6,770	6,389	176,516	0,112	20,776	30,000	0,215	30,000	1,000	0,000	176,516	0,000	0,112	20,776	0,000
42	18015	4	6,903	6,413	172,454	0,082	7,520	30,000	0,235	30,000	1,000	0,000	172,454	0,000	0,083	9,847	0,000
43	18016	5	7,036	6,436	168,395	0,047	1,265	30,000	0,191	30,000	1,000	0,000	168,395	0,000	0,047	3,160	3,395
EmbeddedBeam_21_1	18016	1	7,036	6,436	168,403	0,051	1,265	30,000	0,191	30,000	1,000	0,000	168,403	0,000	0,051	3,160	3,395
Element 2-22 (Embedded beam)	18017	2	7,177	6,462	164,097	0,027	6,774	29,869	0,139	30,000	0,996	0,000	164,097	0,000	0,027	0,786	8,292

Structural element	Node [10^3]	Local number	X [m]	Y [m]	N [kN]	Q [kN]	M [10^-3 kN m]	$T_{xx,+}$ [kN/m]	T_{xx} [kN/m]	$T_{xx,xx,+}$ [kN/m]	$T_{xx,xx}$	$N_{x,+}$ [10^-3 kN]	$N_{x,-}$ [kN]	$Q_{z,+}$ [10^-3 kN]	$Q_{z,-}$ [kN]	$M_{x,+}$ [10^-3 kN m]	$M_{x,-}$ [10^-3 kN m]
(TITAN 40/20 l=1,60m)	18018	3	7,318	6,487	159,839	0,011	9,447	-29,512	-0,088	30,000	0,984	0,000	159,839	0,000	0,011	0,020	10,573
梁	18019	4	7,459	6,513	155,632	0,001	10,222	-29,163	-0,048	30,000	0,972	0,000	155,632	2,244	0,001	0,013	10,970
梁	18020	5	7,600	6,538	151,478	0,003	10,022	-28,822	-0,021	30,000	0,961	0,000	151,478	5,791	0,000	0,011	10,484
EmbeddedBeam_3_1	18020	1	7,600	6,538	151,475	0,004	10,022	-28,822	-0,021	30,000	0,961	0,000	151,475	7,049	0,000	0,011	10,484
Element 2-33 (Embedded beam)	18021	2	7,750	6,565	147,127	0,005	9,302	-28,468	-0,007	30,000	0,949	0,000	147,127	8,127	0,000	0,012	9,536
(TITAN 40/20 l=1,60m)	18022	3	7,899	6,592	142,830	0,006	8,432	-28,119	-0,001	30,000	0,937	0,000	142,830	8,221	0,000	0,013	8,492
梁	18023	4	8,049	6,619	138,585	0,006	7,510	-27,774	0,001	30,000	0,926	0,000	138,585	7,692	0,000	0,060	7,588
梁	18024	5	8,198	6,646	134,395	0,006	6,629	-27,428	-0,002	30,000	0,914	0,000	134,395	6,582	0,000	0,188	6,938
EmbeddedBeam_3_1	18024	1	8,198	6,646	134,393	0,005	6,629	-27,428	-0,002	30,000	0,914	0,000	134,393	6,316	0,000	0,188	6,938
Element 2-34 (Embedded beam)	18025	2	8,357	6,674	130,013	0,007	5,646	-27,060	-0,003	30,000	0,902	0,000	130,013	7,061	0,000	0,249	6,476
(TITAN 40/20 l=1,60m)	18026	3	8,515	6,703	125,689	0,006	4,596	-26,693	0,009	30,000	0,890	0,000	125,689	6,228	0,000	0,249	6,170
梁	18027	4	8,673	6,731	121,422	0,004	3,761	-26,341	0,019	30,000	0,878	0,000	121,422	3,935	0,001	0,210	6,022
梁	18028	5	8,832	6,760	117,216	0,000	3,418	-26,010	0,020	30,000	0,867	0,000	117,216	0,699	0,004	0,156	5,922
EmbeddedBeam_3_1	18028	1	8,832	6,760	117,214	0,000	3,418	-26,010	0,020	30,000	0,867	0,000	117,214	0,812	0,004	0,156	5,922
Element 2-35 (Embedded beam)	18029	2	8,999	6,790	112,811	0,000	3,498	-25,686	-0,002	30,000	0,856	0,000	112,811	0,392	0,004	0,094	5,935
(TITAN 40/20 l=1,60m)	18030	3	9,167	6,820	108,463	0,001	3,503	-25,347	-0,010	30,000	0,845	0,000	108,463	0,537	0,002	0,036	6,053
梁	18031	4	9,335	6,850	104,173	0,003	3,259	-25,000	-0,014	30,000	0,833	0,000	104,173	2,521	0,000	0,026	6,060
梁	18032	5	9,502	6,880	99,945	0,005	2,600	-24,653	-0,014	30,000	0,822	0,000	99,945	5,316	0,000	0,021	5,804
EmbeddedBeam_3_1	18032	1	9,502	6,880	99,942	0,004	2,600	-24,653	-0,014	30,000	0,822	0,000	99,942	3,798	0,000	0,021	5,804
Element 2-36 (Embedded beam)	18033	2	9,680	6,912	95,530	0,008	1,493	-24,293	-0,007	30,000	0,810	0,000	95,530	7,724	0,000	0,017	5,570
(TITAN 40/20 l=1,60m)	18034	3	9,857	6,944	91,176	0,006	0,120	-23,949	0,018	30,000	0,798	0,000	91,176	6,414	0,000	0,167	5,230
梁	18035	4	10,035	6,976	86,883	0,001	0,465	-23,624	0,059	30,000	0,787	0,000	86,883	2,214	0,002	0,563	4,912
梁	18036	5	10,213	7,008	82,652	0,015	0,826	-23,323	0,119	30,000	0,777	0,000	82,652	-1,166	0,015	-0,010	4,753
EmbeddedBeam_3_1	18036	1	10,213	7,008	82,655	0,021	0,826	-23,323	0,119	30,000	0,777	0,000	82,655	-1,545	0,022	-0,010	4,753
Element 2-37 (Embedded beam)	18037	2	10,401	7,042	78,198	0,027	5,428	-23,218	0,025	30,000	0,774	0,000	78,198	-1,500	0,027	-0,009	5,914
(TITAN 40/20 l=1,60m)	18038	3	10,589	7,076	73,780	0,031	10,964	-23,020	0,017	30,000	0,767	0,000	73,780	-1,457	0,031	-0,007	10,964
梁	18039	4	10,777	7,110	69,405	0,032	17,004	-22,758	0,001	30,000	0,759	0,000	69,405	-1,129	0,032	-0,006	17,004
梁	18040	5	10,965	7,144	65,081	0,031	23,096	-22,465	-0,078	30,000	0,749	0,000	65,081	3,935	0,031	-0,005	23,096
EmbeddedBeam_3_1	18040	1	10,965	7,144	65,082	0,015	23,096	-22,465	-0,078	30,000	0,749	0,000	65,082	8,012	0,015	-0,005	23,096
Element 2-38 (Embedded beam)	18041	2	11,164	7,180	60,566	0,005	26,178	-22,167	-0,214	30,000	0,739	0,000	60,566	-16,515	0,005	-0,004	26,178
(TITAN 40/20 l=1,60m)	18042	3	11,363	7,215	56,107	-0,070	20,884	-21,894	-0,512	30,000	0,730	0,000	56,107	-70,096	0,001	-0,003	20,884
梁	18043	4	11,563	7,251	51,710	0,217	6,989	-21,551	-0,914	30,000	0,718	0,000	51,710	-216,581	0,000	-8,614	4,281
梁	18044	5	11,762	7,287	47,381	0,439	71,933	-21,085	-1,136	30,000	0,703	0,000	47,381	-438,502	0,000	-71,933	3,385
EmbeddedBeam_3_1	18044	1	11,762	7,287	47,324	0,373	71,933	-21,085	-1,136	30,000	0,703	0,000	47,324	-372,642	0,000	-71,933	3,385
Element 2-39 (Embedded beam)	18045	2	11,973	7,325	42,869	-0,619	183,998	-21,520	-0,295	30,000	0,717	0,000	42,869	618,997	0,000	-183,998	2,121
(TITAN 40/20 l=1,60m)	18046	3	12,184	7,363	38,141	0,510	312,369	-22,089	1,178	30,000	0,736	0,000	38,141	510,482	0,000	-312,369	1,027
梁	18047	4	12,395	7,401	33,028	0,017	375,460	-25,109	3,296	30,000	0,837	0,000	33,028	-164,182	0,000	-375,460	0,954
梁	18048	5	12,606	7,439	27,419	0,891	289,707	-30,000	6,227	30,000	1,000	0,000	27,502	-217,569	0,891	-289,707	0,858
EmbeddedBeam_3_1	18048	1	12,606	7,439	27,233	2,019	289,707	-30,000	6,227	30,000	1,000	0,000	27,275	-321,023	2,019	-289,707	0,858
Element 2-30 (Embedded beam)	18049	2	12,829	7,479	20,428	0,467	27,059	-30,000	-4,975	30,000	1,000	0,000	20,460	248,903	0,467	-170,744	0,705
(TITAN 40/20 l=1,60m)	18050	3	13,053	7,520	13,618	0,187	7,666	-30,000	-0,228	30,000	1,000	0,000	13,640	193,817	0,132	-184,934	0,447
梁	18051	4	13,276	7,560	6,808	0,082	54,447	-30,000	1,705	30,000	1,000	0,000	6,973	82,252	0,440	-130,594	0,178
梁	18052	5	13,500	7,600	0,001	0,641	0,000	-30,000	-4,478	30,000	1,000	-280,604	0,252	0,353	0,448	0,000	0,000
EmbeddedBeam_2_1	18053	1	1,776	12,600	54,244	0,326	0,000	-125,000	0,377	125,000	1,000	0,000	54,244	-325,961	0,000	0,000	0,000
Element 3-31 (Embedded beam)	18054	2	1,857	12,790	28,838	0,019	29,383	-100,889	1,182	125,000	0,807	0,000	28,838	0,000	0,053	-29,383	0,001
(Ricropalo D168.3 s12.5mm/1,6m)	18055	3	1,938	12,980	13,115	0,181	4,200	-44,819	0,586	125,000	0,359	0,000	13,115	0,000	0,181	-4,200	9,031
梁	18056	4	2,019	13,170	5,613	0,111	29,365	-21,322	-1,050	125,000	0,171	0,000	5,613	5,745	0,111	0,000	29,365
梁	18057	5	2,100	13,360	4,865	0,235	22,175	-9,029	0,377	125,000	0,072	-76,431	4,865	235,267	0,000	0,000	22,273
EmbeddedBeam_2_1	18057	1	2,100	13,360	3,213	0,030	22,175	-9,029	0,377	125,000	0,072	-359,420	3,213	83,716	0,000	0,000	22,273
Element 3-32 (Embedded beam)	18058	2	2,182	13,550	2,199	0,042	13,840	-4,223	-0,022	125,000	0,034	-530,851	2,199	44,469	0,000	0,000	13,840
(Ricropalo D168.3 s12.5mm/1,6m)	18059	3	2,263	13,740	1,487	0,028	6,998	-2,445	0,279	125,000	0,020	-628,758	1,487	28,056	0,000	0,000	6,998
梁	18060	4	2,344	13,930	1,027	0,016	2,096	-1,790	-0,043	125,000	0,014	-664,608	1,027	16,382	0,000	0,000	2,096
梁	18061	5	2,425	14,120	0,767	0,035	2,193	-1,188	0,536	125,000	0,010	-649,869	0,767	35,020	0,000	-2,193	1,577
EmbeddedBeam_2_1	18061	1	2,425	14,120	0,712	0,077	2,193	-1,188	0,536	125,000	0,010	-689,970	0,712	2,332	0,077	-2,193	1,577
Element 3-33 (Embedded beam)	18062	2	2,507	14,310	0,540	0,009	4,522	-0,915	-0,307	125,000	0,007	-704,481	0,540	11,854	0,001	0,000	4,522
(Ricropalo D168.3 s12.5mm/1,6m)	18063	3	2,588	14,500	0,345	0,058	3,726	-0,842	-0,261	125,000	0,007	-705,190	0,345	58,245	0,003	-4,407	1,647
梁	18064	4	2,669	14,690	0,097	0,049	15,535	-1,426	0,258	125,000	0,011	-693,445	0,097	48,835	0,006	-15,535	1,911

Structural element	Node [10^3]	Local number	X [m]	Y [m]	N [kN]	Q [kN]	M [10^-3 kN m]	T_{sup} [kN/m]	T_{inf} [kN/m]	$T_{sup,max}$ [kN/m]	$T_{inf,min}$	N_{max} [10^-3 kN]	N_{min} [kN]	Q_{max} [10^-3 kN]	Q_{min} [kN]	M_{max} [10^-3 kN m]	M_{min} [10^-3 kN m]
梁	18065	5	2,750	-14,880	-0,233	0,040	-18,160	-2,275	1,239	125,000	0,018	-720,515	0,000	0,404	0,047	-18,160	3,034
EmbeddedBeam_2_1	18065	1	2,750	-14,880	-0,272	0,167	-18,160	-2,275	1,239	125,000	0,018	-743,214	0,000	0,395	0,167	-18,160	3,034
Element 3-34 (Embedded beam)	18066	2	2,831	-15,070	-0,614	0,119	14,238	-1,179	-0,300	125,000	0,009	-707,728	0,000	0,645	0,119	0,000	14,635
(Micropalo D168.3 x12.5mm/1,6m)	18067	3	2,913	-15,260	-0,740	0,007	25,460	0,180	-1,211	125,000	0,001	-740,024	0,000	25,538	0,007	0,000	25,460
梁	18068	4	2,994	-15,450	-0,702	0,073	19,216	0,412	0,016	125,000	0,003	-701,943	0,000	73,127	0,000	0,000	19,216
梁	18069	5	3,075	-15,640	-0,550	0,024	5,293	0,363	0,309	125,000	0,003	-550,389	0,000	23,542	0,014	0,000	5,293
EmbeddedBeam_2_1	18069	1	3,075	-15,640	-0,593	0,024	5,293	0,363	0,309	125,000	0,003	-592,766	0,000	25,931	0,000	0,000	5,293
Element 3-35 (Embedded beam)	18070	2	3,156	-15,830	-0,501	0,007	2,395	0,530	0,058	125,000	0,004	-501,127	0,000	7,154	0,000	0,000	2,395
(Micropalo D168.3 x12.5mm/1,6m)	18071	3	3,238	-16,020	-0,374	0,003	1,399	0,690	-0,044	125,000	0,006	-415,671	0,000	2,775	0,002	0,000	1,719
梁	18072	4	3,319	-16,210	-0,211	0,004	0,919	0,883	0,003	125,000	0,007	-270,298	0,000	4,106	0,000	0,000	1,201
梁	18073	5	3,400	-16,400	-0,010	0,004	0,000	1,221	0,059	125,000	0,010	-41,179	0,000	8,377	0,000	0,000	0,000

3.3.1.1.27 Calculation results, Embedded beam, SLU12 [Phase_26] (26/1072), Table of embedded beam force envelopes

Structural element	Node [10^0]	Local number	X [m]	Y [m]	N [kN]	Q [kN]	M [10^-3 kN m]	$T_{z,sup}$ [kN/m]	$T_{z,inf}$ [kN/m]	$T_{z,min,sup}$ [kN/m]	$T_{z,min,inf}$	$N_{z,sup}$ [10^-3 kN]	$N_{z,inf}$ [kN]	$Q_{z,sup}$ [10^-3 kN]	$Q_{z,inf}$ [kN]	$M_{z,sup}$ [10^-3 kN m]	$M_{z,inf}$ [10^-3 kN m]
EmbeddedBeam_1_1	17931	1	8,300	-2,600	147,915	1,807	0,000	-15,177	-8,523	30,000	0,506	0,000	147,915	0,000	1,807	0,000	0,000
Element 1-1 (Embedded beam)	17932	2	8,493	-2,635	144,992	0,613	228,363	-14,734	-4,926	30,000	0,491	0,000	144,992	0,000	0,613	0,000	228,363
(TITAN 40/20 l=1,60m)	17933	3	8,685	-2,670	142,145	-0,105	271,606	-14,335	-2,190	30,000	0,478	0,000	142,145	-104,859	0,000	0,000	271,606
88	17934	4	8,878	-2,706	139,373	-0,393	215,338	-13,961	-0,534	30,000	0,465	0,000	139,373	-392,647	0,000	0,000	215,338
88	17935	5	9,071	-2,741	136,678	-0,296	142,398	-13,602	0,250	30,000	0,453	0,000	136,678	-296,284	0,000	0,000	142,398
EmbeddedBeam_1_1	17935	1	9,071	-2,741	136,674	-0,383	142,398	-13,602	0,250	30,000	0,453	0,000	136,674	-383,346	0,000	0,000	142,398
Element 1-2 (Embedded beam)	17936	2	9,223	-2,769	134,587	-0,309	88,671	-13,327	0,466	30,000	0,444	0,000	134,587	-309,078	0,000	0,000	88,671
(TITAN 40/20 l=1,60m)	17937	3	9,376	-2,797	132,538	-0,237	46,364	-13,064	0,475	30,000	0,435	0,000	132,538	-237,393	0,000	0,000	46,364
88	17938	4	9,529	-2,825	130,530	-0,171	14,675	-12,813	0,393	30,000	0,427	0,000	130,530	-171,440	0,000	0,000	14,675
88	17939	5	9,681	-2,853	128,562	-0,114	-7,339	-12,576	0,301	30,000	0,419	0,000	128,562	-114,368	0,000	-7,339	0,650
EmbeddedBeam_1_1	17939	1	9,681	-2,853	128,560	-0,114	-7,339	-12,576	0,301	30,000	0,419	0,000	128,560	-113,899	0,000	-7,339	0,650
Element 1-3 (Embedded beam)	17940	2	9,802	-2,875	127,026	-0,083	-19,453	-12,392	0,267	30,000	0,413	0,000	127,026	-82,949	0,000	-19,453	0,000
(TITAN 40/20 l=1,60m)	17941	3	9,923	-2,897	125,512	-0,049	-27,627	-12,227	0,272	30,000	0,408	0,000	125,512	-48,944	0,000	-27,627	0,000
88	17942	4	10,044	-2,919	124,017	-0,010	-31,295	-12,074	0,346	30,000	0,402	0,000	124,017	-10,339	0,001	-31,295	0,000
88	17943	5	10,165	-2,941	122,543	0,035	-29,823	-11,957	0,458	30,000	0,399	0,000	122,543	0,000	0,035	-29,823	0,000
EmbeddedBeam_1_1	17943	1	10,165	-2,941	122,533	0,031	-29,823	-11,957	0,458	30,000	0,399	0,000	122,533	0,000	0,031	-29,823	0,000
Element 1-4 (Embedded beam)	17944	2	10,261	-2,959	121,382	0,089	-23,878	-11,942	0,510	30,000	0,398	0,000	121,382	0,000	0,089	-23,878	0,000
(TITAN 40/20 l=1,60m)	17945	3	10,357	-2,976	120,208	0,132	-12,878	-12,088	0,418	30,000	0,403	0,000	120,208	0,000	0,132	-12,878	0,000
88	17946	4	10,453	-2,994	119,007	0,155	1,245	-12,504	0,089	30,000	0,417	0,000	119,007	0,000	0,155	-4,197	1,736
88	17947	5	10,549	-3,011	117,773	0,151	16,413	-13,231	-0,499	30,000	0,441	0,000	117,773	0,000	0,151	-2,268	16,413
EmbeddedBeam_1_1	17947	1	10,549	-3,011	117,760	0,141	16,413	-22,051	-0,832	30,000	0,735	0,000	117,760	0,000	0,141	-2,268	16,413
Element 1-5 (Embedded beam)	17948	2	10,656	-3,031	115,352	0,063	27,335	-21,900	-0,611	30,000	0,730	0,000	115,352	0,000	0,063	-1,189	27,335
(TITAN 40/20 l=1,60m)	17949	3	10,764	-3,051	112,959	0,007	30,967	-21,740	-0,389	30,000	0,725	0,000	112,959	0,000	0,014	-0,393	30,967
88	17950	4	10,872	-3,071	110,583	-0,026	29,724	-21,582	-0,212	30,000	0,719	0,000	110,583	-26,166	0,007	-0,112	29,724
88	17951	5	10,980	-3,090	108,227	-0,039	25,985	-21,426	-0,085	30,000	0,714	0,000	108,227	-38,764	0,004	-0,020	25,985
EmbeddedBeam_1_1	17951	1	10,980	-3,090	108,225	-0,042	25,985	-21,426	-0,085	30,000	0,714	0,000	108,225	-42,428	0,004	-0,020	25,985
Element 1-6 (Embedded beam)	17952	2	11,085	-3,110	105,938	-0,045	21,266	-21,276	-0,003	30,000	0,709	0,000	105,938	-44,800	0,002	0,000	21,266
(TITAN 40/20 l=1,60m)	17953	3	11,191	-3,129	103,665	-0,043	16,541	-21,129	0,046	30,000	0,704	0,000	103,665	-42,777	0,001	0,000	16,541
88	17954	4	11,296	-3,148	101,407	-0,037	12,228	-20,985	0,068	30,000	0,699	0,000	101,407	-36,969	0,000	0,000	12,228
88	17955	5	11,402	-3,167	99,166	-0,028	8,725	-20,844	0,074	30,000	0,695	0,000	99,166	-27,984	0,000	0,000	8,725
EmbeddedBeam_1_1	17955	1	11,402	-3,167	99,165	-0,029	8,725	-20,844	0,074	30,000	0,695	0,000	99,165	-29,026	0,000	0,000	8,725
Element 1-7 (Embedded beam)	17956	2	11,505	-3,186	96,988	-0,021	6,098	-20,710	0,068	30,000	0,690	0,000	96,988	-21,284	0,000	-0,002	6,098
(TITAN 40/20 l=1,60m)	17957	3	11,608	-3,205	94,824	-0,015	4,223	-20,579	0,058	30,000	0,686	0,000	94,824	-14,712	0,000	-0,008	4,223
88	17958	4	11,711	-3,224	92,673	-0,009	2,971	-20,451	0,045	30,000	0,682	0,000	92,673	-9,358	0,000	-0,018	2,971
88	17959	5	11,814	-3,243	90,538	-0,005	2,216	-20,328	0,033	30,000	0,678	0,000	90,538	-5,272	0,000	-0,029	2,216
EmbeddedBeam_1_1	17959	1	11,814	-3,243	90,536	-0,005	2,216	-20,328	0,033	30,000	0,678	0,000	90,536	-5,204	0,000	-0,029	2,216
Element 1-8 (Embedded beam)	17960	2	11,915	-3,261	88,460	-0,003	1,826	-20,210	0,022	30,000	0,674	0,000	88,460	-2,565	0,000	-0,040	1,826
(TITAN 40/20 l=1,60m)	17961	3	12,016	-3,280	86,395	-0,001	1,661	-20,097	0,013	30,000	0,670	0,000	86,395	-1,884	0,000	-0,048	1,661
88	17962	4	12,117	-3,298	84,340	0,000	1,637	-19,987	0,006	30,000	0,666	0,000	84,340	-1,468	0,000	-0,055	1,637
88	17963	5	12,217	-3,317	82,299	0,000	1,671	-19,881	0,001	30,000	0,663	0,000	82,299	-1,143	0,000	-0,060	1,671
EmbeddedBeam_1_1	17963	1	12,217	-3,317	82,298	0,001	1,671	-19,881	0,001	30,000	0,663	0,000	82,298	-1,138	0,001	-0,060	1,671
Element 1-9 (Embedded beam)	17964	2	12,316	-3,335	80,312	0,000	1,718	-19,781	0,002	30,000	0,659	0,000	80,312	-0,929	0,000	-0,064	1,718
(TITAN 40/20 l=1,60m)	17965	3	12,414	-3,353	78,334	0,000	1,747	-19,686	0,003	30,000	0,656	0,000	78,334	-0,774	0,000	-0,067	1,747
88	17966	4	12,513	-3,371	76,366	0,000	1,746	-19,594	0,004	30,000	0,653	0,000	76,366	-0,656	0,000	-0,068	1,746
88	17967	5	12,612	-3,389	74,408	-0,001	1,706	-19,506	0,004	30,000	0,650	0,000	74,408	-0,622	0,000	-0,069	1,706
EmbeddedBeam_1_1	17967	1	12,612	-3,389	74,407	-0,001	1,706	-19,506	0,004	30,000	0,650	0,000	74,407	-0,585	0,000	-0,069	1,706
Element 1-10 (Embedded beam)	17968	2	12,708	-3,406	72,501	-0,001	1,631	-19,424	0,003	30,000	0,647	0,000	72,501	-0,941	0,000	-0,070	1,631
(TITAN 40/20 l=1,60m)	17969	3	12,804	-3,424	70,602	-0,001	1,524	-19,345	0,003	30,000	0,645	0,000	70,602	-1,231	0,000	-0,070	1,524
88	17970	4	12,901	-3,442	68,710	-0,001	1,392	-19,270	0,002	30,000	0,642	0,000	68,710	-1,454	0,000	-0,070	1,392
88	17971	5	12,997	-3,459	66,827	-0,002	1,241	-19,199	0,001	30,000	0,640	0,000	66,827	-1,608	0,000	-0,070	1,241

Structural element	Node [10^]	Local number	X [m]	Y [m]	N [kN]	Q [kN]	M [10^ kN m]	T_{zzz} [kN/m]	T_{zz} [kN/m]	$T_{zzz,zz}$ [kN/m]	$T_{zzz,zzz}$	$N_{z,z}$ [10^ kN]	N_{zzz} [kN]	Q_{zzz} [10^ kN]	Q_{zzz} [kN]	$M_{z,z}$ [10^ kN m]	M_{zzz} [10^ kN m]
EmbeddedBeam_11_1	17971	1	12,997	-2,459	66,826	-0,002	1,241	19,199	0,001	20,000	0,640	0,000	66,826	-1,613	0,000	-0,070	1,241
Element 1-11 (Embedded beam)	17972	2	13,091	-2,476	64,991	-0,002	1,082	19,133	0,001	20,000	0,638	0,000	64,991	-1,497	0,000	-0,070	1,082
(TITAN 40/20 l=1,60m)	17973	3	13,185	-2,494	63,161	-0,002	0,917	19,070	0,000	20,000	0,636	0,000	63,161	-1,737	0,000	-0,071	0,917
20	17974	4	13,280	-2,511	61,337	-0,002	0,751	19,011	0,000	20,000	0,634	0,000	61,337	-1,734	0,000	-0,071	0,751
20	17975	5	13,374	-2,528	59,520	-0,002	0,586	18,956	0,001	20,000	0,632	0,000	59,520	-1,692	0,000	-0,071	0,586
EmbeddedBeam_11_1	17975	1	13,374	-2,528	59,519	-0,002	0,586	18,956	0,001	20,000	0,632	0,000	59,519	-1,698	0,000	-0,071	0,586
Element 1-12 (Embedded beam)	17976	2	13,466	-2,545	57,747	-0,002	0,430	18,905	0,001	20,000	0,630	0,000	57,747	-1,636	0,000	-0,089	0,494
(TITAN 40/20 l=1,60m)	17977	3	13,558	-2,562	55,978	-0,002	0,280	18,857	0,001	20,000	0,629	0,000	55,978	-1,562	0,000	-0,106	0,456
20	17978	4	13,650	-2,579	54,214	-0,001	0,138	18,813	0,001	20,000	0,627	0,000	54,214	-1,477	0,000	-0,121	0,420
20	17979	5	13,742	-2,596	52,455	-0,001	0,004	18,773	0,001	20,000	0,626	0,000	52,455	-1,381	0,000	-0,134	0,385
EmbeddedBeam_11_1	17979	1	13,742	-2,596	52,454	-0,001	0,004	18,773	0,001	20,000	0,626	0,000	52,454	-1,383	0,000	-0,134	0,385
Element 1-13 (Embedded beam)	17980	2	13,832	-2,612	50,738	-0,001	-0,118	18,736	0,001	20,000	0,625	0,000	50,738	-1,285	0,000	-0,145	0,354
(TITAN 40/20 l=1,60m)	17981	3	13,923	-2,629	49,024	-0,001	-0,231	18,703	0,001	20,000	0,623	0,000	49,024	-1,187	0,000	-0,231	0,324
20	17982	4	14,013	-2,645	47,312	-0,001	-0,335	18,673	0,001	20,000	0,622	0,000	47,312	-1,087	0,000	-0,335	0,297
20	17983	5	14,103	-2,661	45,605	-0,001	-0,430	18,647	0,001	20,000	0,622	0,000	45,605	-0,988	0,000	-0,430	0,271
EmbeddedBeam_11_1	17983	1	14,103	-2,661	45,603	-0,001	-0,430	18,647	0,001	20,000	0,622	0,000	45,603	-0,990	0,000	-0,430	0,271
Element 1-14 (Embedded beam)	17984	2	14,191	-2,678	43,936	-0,001	-0,515	18,624	0,001	20,000	0,621	0,000	43,936	-0,896	0,000	-0,515	0,247
(TITAN 40/20 l=1,60m)	17985	3	14,279	-2,694	42,270	-0,001	-0,591	18,604	0,001	20,000	0,620	0,000	42,270	-0,810	0,000	-0,591	0,226
20	17986	4	14,367	-2,710	40,604	-0,001	-0,660	18,587	0,001	20,000	0,620	0,000	40,604	-0,731	0,000	-0,660	0,206
20	17987	5	14,455	-2,726	38,942	-0,001	-0,722	18,573	0,001	20,000	0,619	0,000	38,942	-0,660	0,000	-0,722	0,188
EmbeddedBeam_11_1	17987	1	14,455	-2,726	38,941	-0,001	-0,722	18,573	0,001	20,000	0,619	0,000	38,941	-0,659	0,000	-0,722	0,188
Element 1-15 (Embedded beam)	17988	2	14,541	-2,742	37,317	-0,001	-0,777	18,562	0,001	20,000	0,619	0,000	37,317	-0,600	0,000	-0,777	0,172
(TITAN 40/20 l=1,60m)	17989	3	14,627	-2,757	35,692	-0,001	-0,827	18,554	0,001	20,000	0,618	0,000	35,692	-0,541	0,000	-0,827	0,158
20	17990	4	14,713	-2,773	34,068	0,000	-0,872	18,549	0,001	20,000	0,618	0,000	34,068	-0,483	0,000	-0,872	0,145
20	17991	5	14,799	-2,789	32,446	0,000	-0,912	18,547	0,001	20,000	0,618	0,000	32,446	-0,425	0,000	-0,912	0,135
EmbeddedBeam_11_1	17991	1	14,799	-2,789	32,445	0,000	-0,912	18,547	0,001	20,000	0,618	0,000	32,445	-0,422	0,000	-0,912	0,135
Element 1-16 (Embedded beam)	17992	2	14,883	-2,804	30,858	0,000	-0,945	18,547	0,001	20,000	0,618	0,000	30,858	-0,361	0,000	-0,945	0,125
(TITAN 40/20 l=1,60m)	17993	3	14,968	-2,820	29,271	0,000	-0,973	18,550	0,001	20,000	0,618	0,000	29,271	-0,300	0,000	-0,973	0,117
20	17994	4	15,052	-2,835	27,683	0,000	-0,996	18,555	0,001	20,000	0,619	0,000	27,683	-0,232	0,000	-0,996	0,111
20	17995	5	15,136	-2,850	26,095	0,000	-1,012	18,563	0,001	20,000	0,619	0,000	26,095	-0,158	0,000	-1,012	0,105
EmbeddedBeam_11_1	17995	1	15,136	-2,850	26,094	0,000	-1,012	18,563	0,001	20,000	0,619	0,000	26,094	-0,153	0,000	-1,012	0,105
Element 1-17 (Embedded beam)	17996	2	15,205	-2,863	24,785	0,000	-1,019	18,571	0,001	20,000	0,619	0,000	24,785	-0,130	0,000	-1,019	0,101
(TITAN 40/20 l=1,60m)	17997	3	15,275	-2,876	23,474	0,000	-1,021	18,581	0,002	20,000	0,619	0,000	23,474	-0,150	0,000	-1,021	0,098
20	17998	4	15,344	-2,889	22,162	0,000	-1,015	18,593	0,002	20,000	0,620	0,000	22,162	-0,173	0,000	-1,015	0,095
20	17999	5	15,414	-2,901	20,850	0,000	-0,999	18,606	0,003	20,000	0,620	0,000	20,850	-0,199	0,000	-0,999	0,092
EmbeddedBeam_11_1	17999	1	15,414	-2,901	20,849	0,000	-0,999	18,606	0,003	20,000	0,620	0,000	20,849	-0,189	0,000	-0,999	0,092
Element 1-18 (Embedded beam)	18000	2	15,521	-2,921	18,827	0,001	-0,948	18,630	0,004	20,000	0,621	0,000	18,827	-0,240	0,001	-0,948	0,087
(TITAN 40/20 l=1,60m)	18001	3	15,627	-2,940	16,800	0,001	-0,850	18,658	0,005	20,000	0,622	0,000	16,800	-0,258	0,001	-0,850	0,083
20	18002	4	15,734	-2,960	14,770	0,002	-0,705	18,689	0,004	20,000	0,623	0,000	14,770	-0,237	0,002	-0,705	0,078
20	18003	5	15,841	-2,980	12,738	0,002	-0,512	18,720	0,003	20,000	0,624	0,000	12,738	-0,173	0,002	-0,512	0,071
EmbeddedBeam_11_1	18003	1	15,841	-2,980	12,735	0,003	-0,512	18,720	0,003	20,000	0,624	0,000	12,735	-0,121	0,003	-0,512	0,071
Element 1-19 (Embedded beam)	18004	2	16,006	-4,010	9,599	0,000	-0,280	18,808	0,012	20,000	0,627	0,000	9,599	-0,743	0,000	-0,419	0,051
(TITAN 40/20 l=1,60m)	18005	3	16,171	-4,040	6,441	-0,002	-0,563	18,883	0,022	20,000	0,629	0,000	6,441	-2,041	0,000	-0,563	0,022
20	18006	4	16,335	-4,070	3,257	0,000	-0,725	19,112	0,038	20,000	0,637	0,000	3,257	-0,084	0,001	-0,725	0,003
20	18007	5	16,500	-4,100	0,045	0,010	0,000	20,131	0,113	20,000	0,671	0,000	0,045	0,000	0,010	0,000	0,000
EmbeddedBeam_21_1	18008	1	6,000	-6,250	191,513	-0,607	0,000	30,000	3,290	30,000	1,000	0,000	191,513	-607,271	0,000	0,000	0,000
Element 2-20 (Embedded beam)	18009	2	6,126	-6,273	187,681	-0,274	-55,114	30,000	2,198	30,000	1,000	0,000	187,681	-274,227	0,000	-55,114	0,000
(TITAN 40/20 l=1,60m)	18010	3	6,252	-6,295	183,846	-0,048	-74,684	30,000	1,294	30,000	1,000	0,000	183,846	-48,019	0,000	-74,684	0,000
20	18011	4	6,377	-6,318	180,011	0,078	-71,663	30,000	0,628	30,000	1,000	0,000	180,011	0,000	0,078	-71,663	0,000
20	18012	5	6,503	-6,341	176,179	0,110	-58,742	30,000	0,187	30,000	1,000	0,000	176,179	0,000	0,110	-58,742	0,000
EmbeddedBeam_21_1	18012	1	6,503	-6,341	176,177	0,130	-58,742	30,000	0,187	30,000	1,000	0,000	176,177	0,000	0,130	-58,742	0,000
Element 2-21 (Embedded beam)	18013	2	6,636	-6,365	172,118	0,125	-41,351	30,000	0,078	30,000	1,000	0,000	172,118	0,000	0,125	-41,351	0,000
(TITAN 40/20 l=1,60m)	18014	3	6,770	-6,389	168,056	0,108	-25,540	30,000	0,195	30,000	1,000	0,000	168,056	0,000	0,108	-25,540	0,000
20	18015	4	6,903	-6,413	163,994	0,081	-12,657	30,000	0,218	30,000	1,000	0,000	163,994	0,000	0,081	-12,657	0,000
20	18016	5	7,036	-6,436	159,936	0,047	-3,938	29,656	0,191	30,000	0,989	0,000	159,936	0,000	0,047	-3,938	0,000
EmbeddedBeam_21_1	18016	1	7,036	-6,436	159,947	0,051	-3,938	29,656	0,191	30,000	0,989	0,000	159,947	0,000	0,051	-3,938	0,000
Element 2-22 (Embedded beam)	18017	2	7,177	-6,462	155,725	0,027	-1,559	29,287	0,141	30,000	0,976	0,000	155,725	0,000	0,027	-0,786	1,559

Structural element	Node [10^0]	Local number	X [m]	Y [m]	N [kN]	Q [kN]	M [10^-1 kN m]	T_{xxx} [kN/m]	T_{yyy} [kN/m]	$T_{xxx,yyy}$ [kN/m]	$T_{xxx,yyy}$	N_{xxx} [10^-1 kN]	N_{xxx} [kN]	Q_{xxx} [10^-1 kN]	Q_{xxx} [kN]	M_{xxx} [10^-1 kN m]	M_{xxx} [10^-1 kN m]
(TITAN 40/20 l=1,60m)	18018	3	7,318	-5,487	151,550	0,010	4,174	-28,933	-0,090	30,000	0,964	0,000	151,550	0,000	0,010	-0,020	4,174
晋	18019	4	7,459	-5,513	147,425	0,000	4,863	-28,592	-0,049	30,000	0,953	0,000	147,425	0,000	0,001	-0,013	4,863
晋	18020	5	7,600	-5,538	143,352	0,003	4,572	-28,262	-0,019	30,000	0,942	0,000	143,352	3,396	0,000	-0,011	4,572
EmbeddedBeam_31_1	18020	1	7,600	-5,538	143,349	0,005	4,572	-28,262	-0,019	30,000	0,942	0,000	143,349	4,650	0,000	-0,011	4,572
Element 2-33 (Embedded beam)	18021	2	7,750	-5,565	139,086	0,005	3,799	-27,925	-0,001	30,000	0,931	0,000	139,086	5,317	0,000	-0,012	3,799
(TITAN 40/20 l=1,60m)	18022	3	7,899	-5,592	134,869	0,005	3,012	-27,598	0,008	30,000	0,920	0,000	134,869	4,923	0,000	-0,013	3,012
晋	18023	4	8,049	-5,619	130,701	0,004	2,346	-27,281	0,010	30,000	0,909	0,000	130,701	3,679	0,000	-0,060	2,346
晋	18024	5	8,198	-5,646	126,584	0,002	1,926	-26,974	0,009	30,000	0,899	0,000	126,584	1,794	0,000	-0,188	1,926
EmbeddedBeam_31_1	18024	1	8,198	-5,646	126,581	0,002	1,926	-26,974	0,009	30,000	0,899	0,000	126,581	2,055	0,000	-0,188	1,926
Element 2-34 (Embedded beam)	18025	2	8,357	-5,674	122,270	0,001	1,700	-26,658	0,007	30,000	0,889	0,000	122,270	0,816	0,000	-0,249	1,700
(TITAN 40/20 l=1,60m)	18026	3	8,515	-5,703	118,006	0,000	1,643	-26,351	0,004	30,000	0,878	0,000	118,006	0,145	0,000	-0,249	1,643
晋	18027	4	8,673	-5,731	113,791	0,001	1,697	-26,053	0,002	30,000	0,868	0,000	113,791	0,000	0,001	-0,210	1,697
晋	18028	5	8,832	-5,760	109,626	0,001	1,804	-25,763	0,001	30,000	0,859	0,000	109,626	0,000	0,001	-0,156	1,804
EmbeddedBeam_31_1	18028	1	8,832	-5,760	109,623	0,001	1,804	-25,763	0,001	30,000	0,859	0,000	109,623	0,000	0,001	-0,156	1,804
Element 2-35 (Embedded beam)	18029	2	8,999	-5,790	105,262	0,001	1,938	-25,465	0,000	30,000	0,849	0,000	105,262	0,000	0,001	-0,094	1,938
(TITAN 40/20 l=1,60m)	18030	3	9,167	-5,820	100,947	0,001	2,069	-25,177	-0,001	30,000	0,839	0,000	100,947	0,000	0,001	-0,036	2,069
晋	18031	4	9,335	-5,850	96,681	0,001	2,186	-24,899	-0,001	30,000	0,830	0,000	96,681	0,000	0,001	-0,026	2,186
晋	18032	5	9,502	-5,880	92,465	0,000	2,281	-24,630	-0,001	30,000	0,821	0,000	92,465	0,000	0,000	-0,021	2,281
EmbeddedBeam_31_1	18032	1	9,502	-5,880	92,461	0,000	2,281	-24,630	-0,001	30,000	0,821	0,000	92,461	0,000	0,000	-0,021	2,281
Element 2-36 (Embedded beam)	18033	2	9,680	-5,912	88,045	0,000	2,359	-24,357	-0,001	30,000	0,812	0,000	88,045	0,000	0,000	-0,017	2,359
(TITAN 40/20 l=1,60m)	18034	3	9,857	-5,944	83,672	0,000	2,414	-24,096	-0,001	30,000	0,803	0,000	83,672	0,001	0,000	-0,015	2,414
晋	18035	4	10,035	-5,976	79,345	0,000	2,447	-23,847	-0,001	30,000	0,795	0,000	79,345	0,053	0,000	-0,012	2,447
晋	18036	5	10,213	-7,008	75,067	0,000	2,459	-23,611	-0,001	30,000	0,787	0,000	75,067	0,099	0,000	-0,010	2,459
EmbeddedBeam_31_1	18036	1	10,213	-7,008	75,063	0,000	2,459	-23,611	-0,001	30,000	0,787	0,000	75,063	0,099	0,000	-0,010	2,459
Element 2-37 (Embedded beam)	18037	2	10,401	-7,042	70,577	0,000	2,451	-23,374	0,000	30,000	0,779	0,000	70,577	0,170	0,000	-0,009	2,451
(TITAN 40/20 l=1,60m)	18038	3	10,589	-7,076	66,129	0,000	2,427	-23,153	0,000	30,000	0,772	0,000	66,129	0,226	0,000	-0,007	2,427
晋	18039	4	10,777	-7,110	61,723	0,000	2,410	-22,948	0,001	30,000	0,765	0,000	61,723	0,241	0,000	-0,006	2,410
晋	18040	5	10,965	-7,144	57,359	0,000	2,425	-22,761	0,001	30,000	0,759	0,000	57,359	0,273	0,000	-0,005	2,425
EmbeddedBeam_31_1	18040	1	10,965	-7,144	57,354	0,000	2,425	-22,761	0,001	30,000	0,759	0,000	57,354	0,272	0,000	-0,005	2,425
Element 2-38 (Embedded beam)	18041	2	11,164	-7,180	52,769	0,000	2,484	-22,581	0,001	30,000	0,753	0,000	52,769	0,299	0,000	-0,004	2,484
(TITAN 40/20 l=1,60m)	18042	3	11,363	-7,215	48,213	0,001	2,594	-22,423	0,001	30,000	0,747	0,000	48,213	0,314	0,001	-0,003	2,594
晋	18043	4	11,563	-7,251	43,686	0,001	2,713	-22,288	-0,001	30,000	0,743	0,000	43,686	0,320	0,001	-0,002	2,713
晋	18044	5	11,762	-7,287	39,191	0,000	2,792	-22,177	-0,007	30,000	0,739	0,000	39,191	0,329	0,000	-0,002	2,792
EmbeddedBeam_31_1	18044	1	11,762	-7,287	39,184	0,000	2,792	-22,177	-0,007	30,000	0,739	0,000	39,184	0,375	0,000	-0,002	2,792
Element 2-39 (Embedded beam)	18045	2	11,973	-7,325	34,445	-0,003	2,527	-22,086	-0,018	30,000	0,736	0,000	34,445	2,778	0,000	-0,001	2,527
(TITAN 40/20 l=1,60m)	18046	3	12,184	-7,363	29,715	-0,008	1,405	-22,022	-0,032	30,000	0,734	0,000	29,715	8,054	0,000	-0,001	1,405
晋	18047	4	12,395	-7,401	24,995	-0,016	1,101	-21,985	-0,041	30,000	0,733	0,000	24,995	-15,755	0,000	-1,101	0,954
晋	18048	5	12,606	-7,439	20,289	-0,026	5,502	-21,973	-0,023	30,000	0,732	0,000	20,289	-25,618	0,000	-5,502	0,858
EmbeddedBeam_31_1	18048	1	12,606	-7,439	20,271	-0,028	5,502	-21,973	-0,023	30,000	0,732	0,000	20,271	-28,003	0,000	-5,502	0,858
Element 2-30 (Embedded beam)	18049	2	12,829	-7,479	15,302	-0,015	10,833	-21,999	0,068	30,000	0,733	0,000	15,302	-15,334	0,000	-10,833	0,705
(TITAN 40/20 l=1,60m)	18050	3	13,053	-7,520	10,288	0,007	11,570	-22,079	0,176	30,000	0,736	0,000	10,288	-1,231	0,007	-11,570	0,447
晋	18051	4	13,276	-7,560	5,212	0,028	7,699	-22,538	0,053	30,000	0,751	0,000	5,212	1,087	0,028	-7,699	0,178
晋	18052	5	13,500	-7,600	0,059	0,036	0,000	-23,692	-0,496	30,000	0,790	0,000	0,059	0,353	0,036	0,000	0,000
EmbeddedBeam_21_1	18053	1	1,776	-12,600	21,652	-0,038	0,000	-93,028	1,160	125,000	0,744	0,000	21,652	-38,477	0,000	0,000	0,000
Element 3-31 (Embedded beam)	18054	2	1,857	-12,790	10,904	0,003	2,797	-42,592	0,137	125,000	0,341	0,000	10,904	0,000	0,003	-2,797	0,001
(Ricropalo D168.3 s12.5mm/1,6m)	18055	3	1,938	-12,980	4,303	0,012	1,100	-18,412	-0,120	125,000	0,147	0,000	4,303	0,000	0,012	-1,100	0,048
晋	18056	4	2,019	-13,170	1,197	0,004	1,096	-8,764	-0,026	125,000	0,070	0,000	1,197	0,001	0,004	0,000	1,096
晋	18057	5	2,100	-13,360	0,932	-0,005	0,793	-3,957	0,004	125,000	0,032	-76,431	0,932	4,710	0,000	0,000	0,793
EmbeddedBeam_21_1	18057	1	2,100	-13,360	0,217	-0,001	0,793	-3,957	0,004	125,000	0,032	-359,420	0,217	1,006	0,000	0,000	0,793
Element 3-32 (Embedded beam)	18058	2	2,182	-13,550	-0,237	0,000	0,646	-1,785	0,002	125,000	0,014	-530,851	0,000	0,482	0,000	0,000	0,650
(Ricropalo D168.3 s12.5mm/1,6m)	18059	3	2,263	-13,740	-0,510	0,000	0,571	-0,729	0,000	125,000	0,006	-628,758	0,000	0,261	0,000	0,000	0,579
晋	18060	4	2,344	-13,930	-0,629	0,000	0,527	-0,301	0,000	125,000	0,002	-664,608	0,000	0,218	0,000	0,000	0,534
晋	18061	5	2,425	-14,120	-0,623	0,000	0,478	-0,086	0,000	125,000	0,001	-649,869	0,000	0,240	0,000	0,000	0,491
EmbeddedBeam_21_1	18061	1	2,425	-14,120	-0,655	0,000	0,478	-0,086	0,000	125,000	0,001	-662,625	0,000	0,203	0,000	0,000	0,491
Element 3-33 (Embedded beam)	18062	2	2,507	-14,310	-0,656	0,000	0,444	0,010	0,000	125,000	0,000	-656,214	0,000	0,130	0,000	0,000	0,461
(Ricropalo D168.3 s12.5mm/1,6m)	18063	3	2,588	-14,500	-0,650	0,000	0,424	0,057	0,000	125,000	0,000	-649,881	0,000	0,080	0,000	0,000	0,441
晋	18064	4	2,669	-14,690	-0,637	0,000	0,415	0,075	0,000	125,000	0,001	-636,865	0,000	0,052	0,000	0,000	0,428

Structural element	Node [10 ^]	Local number	X [m]	Y [m]	N [kN]	Q [kN]	M [10 ^ kN m]	$T_{,,,}$ [kN/m]	$T_{,,,}$ [kN/m]	$T_{,,,,,,}$ [kN/m]	$T_{,,,,,,}$	$N_{,,,}$ [10 ^ kN]	$N_{,,,}$ [kN]	$Q_{,,,}$ [10 ^ kN]	$Q_{,,,}$ [kN]	$M_{,,,}$ [10 ^ kN m]	$M_{,,,}$ [10 ^ kN m]
圧	18065	5	2,750	-14,880	-0,618	0,000	0,414	0,084	0,000	125,000	0,001	-618,451	0,000	0,039	0,000	0,000	0,419
EmbeddedBeam_2_1	18065	1	2,750	-14,880	-0,619	0,000	0,414	0,084	0,000	125,000	0,001	-619,342	0,000	0,034	0,000	0,000	0,419
Element 3-34 (Embedded beam)	18066	2	2,831	-15,070	-0,602	0,000	0,419	0,088	0,000	125,000	0,001	-602,111	0,000	0,033	0,000	0,000	0,419
(Micropalo D168.3 s12.5mm/1,6m)	18067	3	2,913	-15,260	-0,583	0,000	0,426	0,095	0,000	125,000	0,001	-582,966	0,000	0,037	0,000	0,000	0,426
圧	18068	4	2,994	-15,450	-0,561	0,000	0,434	0,112	0,000	125,000	0,001	-561,435	0,000	0,044	0,000	0,000	0,434
圧	18069	5	3,075	-15,640	-0,537	0,000	0,440	0,151	0,000	125,000	0,001	-537,043	0,000	0,052	0,000	0,000	0,440
EmbeddedBeam_2_1	18069	1	3,075	-15,640	-0,522	0,000	0,440	0,151	0,000	125,000	0,001	-522,134	0,000	0,128	0,000	0,000	0,440
Element 3-35 (Embedded beam)	18070	2	3,156	-15,830	-0,503	0,000	0,439	0,245	-0,001	125,000	0,002	-503,361	0,000	0,096	0,000	0,000	0,439
(Micropalo D168.3 s12.5mm/1,6m)	18071	3	3,238	-16,020	-0,426	0,000	0,402	0,440	-0,003	125,000	0,004	-426,332	0,000	0,360	0,000	0,000	0,402
圧	18072	4	3,319	-16,210	-0,277	0,001	0,273	0,942	-0,003	125,000	0,008	-277,269	0,000	0,953	0,000	0,000	0,273
圧	18073	5	3,400	-16,400	-0,042	0,002	0,000	1,999	0,022	125,000	0,016	-42,399	0,000	1,690	0,000	0,000	0,000

3.3.1.1.28 Calculation results, Embedded beam, SLD [Phase_31] (31/1085), Table of embedded beam force envelopes

Structural element	Node [10^1]	Local number	X [m]	Y [m]	N [kN]	Q [kN]	M [10^-1 kN m]	$T_{,max}$ [kN/m]	$T_{,min}$ [kN/m]	$T_{,max,max}$ [kN/m]	$T_{,min,min}$ [10^1]	$N_{,max}$ [10^-1 kN]	$N_{,min}$ [kN]	$Q_{,max}$ [10^-1 kN]	$Q_{,min}$ [kN]	$M_{,max}$ [10^-1 kN m]	$M_{,min}$ [10^-1 kN m]
EmbeddedBeam_1_1	17931	1	8,300	-2,600	149,009	1,819	0,000	-8,792	-8,500	30,000	293,059	0,000	149,009	0,000	1,819	0,000	0,000
Element 1-1 (Embedded beam)	17932	2	8,493	-2,635	147,323	0,631	231,413	-8,460	-4,921	30,000	282,003	0,000	147,323	0,000	0,631	0,000	231,413
(TITAN 40/20 l=1,60m)	17933	3	8,685	-2,670	145,696	-0,090	277,998	-8,152	-2,219	30,000	271,739	0,000	145,696	-90,042	0,000	0,000	277,998
20	17934	4	8,878	-2,706	144,128	-0,390	223,590	-7,853	-0,623	30,000	261,776	0,000	144,128	-389,889	0,000	0,000	223,590
20	17935	5	9,071	-2,741	142,621	-0,316	149,177	-7,556	0,064	30,000	251,853	0,000	142,621	-316,015	0,000	0,000	149,177
EmbeddedBeam_1_1	17935	1	9,071	-2,741	142,618	-0,402	149,177	-7,556	0,064	30,000	251,853	0,000	142,618	-401,575	0,000	0,000	149,177
Element 1-2 (Embedded beam)	17936	2	9,223	-2,769	141,467	-0,370	89,386	-7,315	0,193	30,000	243,837	0,000	141,467	-370,046	0,000	0,000	89,386
(TITAN 40/20 l=1,60m)	17937	3	9,376	-2,797	140,349	-0,342	34,118	-7,084	0,156	30,000	236,127	0,000	140,349	-342,198	0,000	0,000	36,946
20	17938	4	9,529	-2,825	139,262	-0,316	-16,956	-6,907	0,167	30,000	230,244	0,000	139,262	-316,371	0,000	-16,956	13,668
20	17939	5	9,681	-2,853	138,206	-0,291	-64,084	-6,758	0,269	30,000	225,274	0,000	138,206	-290,908	0,000	-64,084	0,650
EmbeddedBeam_1_1	17939	1	9,681	-2,853	138,203	-0,281	-64,084	-6,758	0,269	30,000	225,274	0,000	138,203	-280,645	0,000	-64,084	0,650
Element 1-3 (Embedded beam)	17940	2	9,802	-2,875	137,379	-0,244	-96,656	-6,648	0,471	30,000	221,594	0,000	137,379	-243,601	0,000	-96,656	0,000
(TITAN 40/20 l=1,60m)	17941	3	9,923	-2,897	136,567	-0,167	-122,417	-6,572	0,730	30,000	219,074	0,000	136,567	-166,991	0,000	-122,417	0,000
20	17942	4	10,044	-2,919	135,769	-0,045	-135,875	-6,419	1,211	30,000	213,962	0,000	135,769	-44,896	0,001	-135,875	0,000
20	17943	5	10,165	-2,941	134,988	0,129	-131,316	-6,273	1,946	30,000	209,105	0,000	134,988	0,000	0,129	-131,316	0,000
EmbeddedBeam_1_1	17943	1	10,165	-2,941	134,945	0,106	-131,316	-6,273	1,946	30,000	209,105	0,000	134,945	0,000	0,106	-131,316	0,000
Element 1-4 (Embedded beam)	17944	2	10,261	-2,959	134,397	0,376	-107,552	-6,431	2,408	30,000	214,371	0,000	134,397	0,000	0,376	-107,552	0,000
(TITAN 40/20 l=1,60m)	17945	3	10,357	-2,976	133,705	0,585	-59,791	-7,470	2,132	30,000	249,001	0,000	133,705	0,000	0,585	-59,791	0,000
20	17946	4	10,453	-2,994	132,835	0,706	3,701	-10,077	0,588	30,000	335,891	0,000	132,835	0,000	0,706	-4,197	5,220
20	17947	5	10,549	-3,011	131,754	0,710	73,858	-14,644	-2,575	30,000	488,134	0,000	131,754	0,000	0,710	-2,268	73,858
EmbeddedBeam_1_1	17947	1	10,549	-3,011	131,678	0,638	73,858	-24,407	-4,291	30,000	813,556	0,000	131,678	0,000	0,638	-2,268	73,858
Element 1-5 (Embedded beam)	17948	2	10,656	-3,031	129,012	0,259	121,892	-24,226	-2,928	30,000	807,522	0,000	129,012	0,000	0,259	-1,189	121,892
(TITAN 40/20 l=1,60m)	17949	3	10,764	-3,051	126,367	-0,002	135,043	-24,020	-1,773	30,000	800,667	0,000	126,367	6,223	0,014	-0,393	135,043
20	17950	4	10,872	-3,071	123,743	-0,151	125,629	-23,820	-0,897	30,000	793,999	0,000	123,743	-150,911	0,007	-0,112	125,629
20	17951	5	10,980	-3,090	121,144	-0,196	105,744	-23,631	-0,293	30,000	787,707	0,000	121,144	-195,538	0,004	-0,020	105,744
EmbeddedBeam_1_1	17951	1	10,980	-3,090	121,142	-0,215	105,744	-23,631	-0,293	30,000	787,707	0,000	121,142	-215,033	0,004	-0,020	105,744
Element 1-6 (Embedded beam)	17952	2	11,085	-3,110	118,620	-0,215	82,496	-23,452	0,078	30,000	781,733	0,000	118,620	-215,286	0,002	0,000	82,496
(TITAN 40/20 l=1,60m)	17953	3	11,191	-3,129	116,114	-0,197	60,256	-23,281	0,281	30,000	776,027	0,000	116,114	-197,329	0,001	0,000	60,256
20	17954	4	11,296	-3,148	113,627	-0,164	40,727	-23,118	0,364	30,000	770,588	0,000	113,627	-164,023	0,000	0,000	40,727
20	17955	5	11,402	-3,167	111,159	-0,118	25,518	-22,962	0,368	30,000	765,392	0,000	111,159	-118,227	0,000	0,000	25,518
EmbeddedBeam_1_1	17955	1	11,402	-3,167	111,157	-0,123	25,518	-22,962	0,368	30,000	765,392	0,000	111,157	-123,062	0,000	0,000	25,518
Element 1-7 (Embedded beam)	17956	2	11,505	-3,186	108,759	-0,085	14,657	-22,817	0,325	30,000	760,575	0,000	108,759	-85,373	0,000	-0,002	14,657
(TITAN 40/20 l=1,60m)	17957	3	11,608	-3,205	106,375	-0,055	7,376	-22,680	0,260	30,000	756,008	0,000	106,375	-54,780	0,000	-0,008	7,376
20	17958	4	11,711	-3,224	104,004	-0,031	2,916	-22,551	0,186	30,000	751,697	0,000	104,004	-31,492	0,000	-0,018	2,916
20	17959	5	11,814	-3,243	101,648	-0,016	0,510	-22,429	0,114	30,000	747,644	0,000	101,648	-15,717	0,000	-1,407	1,708
EmbeddedBeam_1_1	17959	1	11,814	-3,243	101,646	-0,015	0,510	-22,429	0,114	30,000	747,644	0,000	101,646	-15,159	0,000	-1,407	1,708
Element 1-8 (Embedded beam)	17960	2	11,915	-3,261	99,355	-0,008	-0,619	-22,319	0,050	30,000	743,955	0,000	99,355	-7,758	0,000	-2,120	1,408
(TITAN 40/20 l=1,60m)	17961	3	12,016	-3,280	97,073	-0,005	-1,244	-22,215	0,002	30,000	740,516	0,000	97,073	-5,082	0,002	-2,317	1,186
20	17962	4	12,117	-3,298	94,800	-0,007	-1,806	-22,120	0,033	30,000	737,347	0,000	94,800	6,655	0,004	-2,230	1,025
20	17963	5	12,217	-3,317	92,540	-0,012	-2,734	-22,041	0,016	30,000	734,699	0,000	92,540	12,002	0,005	-2,744	0,908
EmbeddedBeam_1_1	17963	1	12,217	-3,317	92,538	-0,011	-2,734	-22,041	0,016	30,000	734,699	0,000	92,538	11,411	0,005	-2,744	0,908
Element 1-9 (Embedded beam)	17964	2	12,316	-3,335	90,334	-0,009	-3,758	-21,976	0,032	30,000	732,518	0,000	90,334	8,721	0,005	-3,758	0,824
(TITAN 40/20 l=1,60m)	17965	3	12,414	-3,353	88,135	-0,005	-4,436	-21,906	0,053	30,000	730,193	0,000	88,135	4,778	0,004	-4,436	0,762
20	17966	4	12,513	-3,371	85,943	0,000	-4,695	-21,830	0,044	30,000	727,673	0,000	85,943	0,656	0,003	-4,695	0,735
20	17967	5	12,612	-3,389	83,761	0,004	-4,484	-21,752	0,025	30,000	725,069	0,000	83,761	0,564	0,004	-4,484	0,760
EmbeddedBeam_1_1	17967	1	12,612	-3,389	83,760	0,004	-4,484	-21,752	0,025	30,000	725,069	0,000	83,760	0,563	0,004	-4,484	0,760
Element 1-10 (Embedded beam)	17968	2	12,708	-3,406	81,634	0,005	-4,026	-21,673	0,012	30,000	722,448	0,000	81,634	0,497	0,005	-4,026	0,909
(TITAN 40/20 l=1,60m)	17969	3	12,804	-3,424	79,514	0,006	-3,459	-21,597	0,002	30,000	719,902	0,000	79,514	0,442	0,006	-3,459	0,992
20	17970	4	12,901	-3,442	77,401	0,006	-2,857	-21,524	0,004	30,000	717,463	0,000	77,401	0,423	0,006	-2,857	1,021
20	17971	5	12,997	-3,459	75,298	0,005	-2,294	-21,454	0,007	30,000	715,148	0,000	75,298	0,493	0,005	-2,294	1,006

Structural element	Node [10^0]	Local number	X [m]	Y [m]	N [kN]	Q [kN]	M [10^0 kN m]	$T_{xx,0}$ [kN/m]	$T_{yy,0}$ [kN/m]	$T_{xx,sup}$ [kN/m]	$T_{xx,inf}$ [10^0]	$N_{x,0}$ [10^0 kN]	$N_{x,c}$ [kN]	$Q_{z,c}$ [10^0 kN]	$Q_{z,0}$ [kN]	$M_{y,c}$ [10^0 kN m]	$M_{y,0}$ [10^0 kN m]
EmbeddedBeam_11_1	17971	1	12,997	-2,459	75,296	0,005	-2,294	21,454	0,007	30,000	715,148	0,000	75,296	-0,509	0,005	-2,294	1,006
Element 1-11 (Embedded beam)	17972	2	13,091	-2,476	73,246	0,005	-1,809	21,390	0,009	30,000	713,008	0,000	73,246	-0,774	0,005	-1,809	0,960
(TITAN 40/20 l=1,60m)	17973	3	13,185	-2,494	71,199	0,004	-1,407	21,330	0,009	30,000	710,991	0,000	71,199	-0,955	0,004	-1,407	0,892
20	17974	4	13,280	-2,511	69,159	0,003	-1,090	21,273	0,009	30,000	709,099	0,000	69,159	-1,057	0,003	-1,090	0,809
20	17975	5	13,374	-2,528	67,125	0,002	-0,856	21,220	0,008	30,000	707,335	0,000	67,125	-1,110	0,002	-0,856	0,716
EmbeddedBeam_11_1	17975	1	13,374	-2,528	67,124	0,002	-0,856	21,220	0,008	30,000	707,335	0,000	67,124	-1,124	0,002	-0,856	0,716
Element 1-12 (Embedded beam)	17976	2	13,466	-2,545	65,140	0,001	-0,697	21,172	0,007	30,000	705,735	0,000	65,140	-1,153	0,001	-0,697	0,619
(TITAN 40/20 l=1,60m)	17977	3	13,558	-2,562	63,159	0,001	-0,596	21,128	0,005	30,000	704,262	0,000	63,159	-1,173	0,001	-0,596	0,521
20	17978	4	13,650	-2,579	61,182	0,000	-0,543	21,088	0,004	30,000	702,917	0,000	61,182	-1,188	0,000	-0,543	0,432
20	17979	5	13,742	-2,596	59,210	0,000	-0,529	21,051	0,004	30,000	701,702	0,000	59,210	-1,199	0,000	-0,529	0,385
EmbeddedBeam_11_1	17979	1	13,742	-2,596	59,208	0,000	-0,529	21,051	0,004	30,000	701,702	0,000	59,208	-1,208	0,000	-0,529	0,385
Element 1-13 (Embedded beam)	17980	2	13,832	-2,612	57,284	0,000	-0,546	21,019	0,003	30,000	700,641	0,000	57,284	-1,239	0,000	-0,554	0,354
(TITAN 40/20 l=1,60m)	17981	3	13,923	-2,629	55,360	-0,001	-0,589	20,991	0,003	30,000	699,707	0,000	55,360	-1,304	0,000	-0,605	0,324
20	17982	4	14,013	-2,645	53,439	-0,001	-0,657	20,967	0,003	30,000	698,903	0,000	53,439	-1,411	0,000	-0,678	0,297
20	17983	5	14,103	-2,661	51,521	-0,001	-0,749	20,947	0,003	30,000	698,227	0,000	51,521	-1,579	0,000	-0,771	0,271
EmbeddedBeam_11_1	17983	1	14,103	-2,661	51,520	-0,001	-0,749	20,947	0,003	30,000	698,227	0,000	51,520	-1,586	0,000	-0,771	0,271
Element 1-14 (Embedded beam)	17984	2	14,191	-2,678	49,646	-0,001	-0,866	20,931	0,004	30,000	697,693	0,000	49,646	-1,807	0,000	-0,889	0,247
(TITAN 40/20 l=1,60m)	17985	3	14,279	-2,694	47,773	-0,002	-1,014	20,919	0,005	30,000	697,283	0,000	47,773	-2,100	0,000	-1,034	0,226
20	17986	4	14,367	-2,710	45,900	-0,002	-1,199	20,910	0,005	30,000	696,999	0,000	45,900	-2,466	0,000	-1,212	0,206
20	17987	5	14,455	-2,726	44,029	-0,003	-1,428	20,905	0,006	30,000	696,838	0,000	44,029	-2,915	0,000	-1,429	0,188
EmbeddedBeam_11_1	17987	1	14,455	-2,726	44,028	-0,003	-1,428	20,905	0,006	30,000	696,838	0,000	44,028	-2,906	0,000	-1,429	0,188
Element 1-15 (Embedded beam)	17988	2	14,541	-2,742	42,200	-0,003	-1,700	20,904	0,007	30,000	696,800	0,000	42,200	-3,467	0,000	-1,700	0,172
(TITAN 40/20 l=1,60m)	17989	3	14,627	-2,757	40,369	-0,004	-2,025	20,906	0,007	30,000	696,876	0,000	40,369	-4,061	0,000	-2,025	0,158
20	17990	4	14,713	-2,773	38,539	-0,005	-2,405	20,912	0,007	30,000	697,065	0,000	38,539	-4,678	0,000	-2,405	0,145
20	17991	5	14,799	-2,789	36,709	-0,005	-2,839	20,921	0,006	30,000	697,365	0,000	36,709	-5,311	0,000	-2,839	0,135
EmbeddedBeam_11_1	17991	1	14,799	-2,789	36,708	-0,005	-2,839	20,921	0,006	30,000	697,365	0,000	36,708	-5,236	0,000	-2,839	0,135
Element 1-16 (Embedded beam)	17992	2	14,883	-2,804	34,918	-0,006	-3,308	20,933	0,004	30,000	697,758	0,000	34,918	-5,799	0,000	-3,308	0,125
(TITAN 40/20 l=1,60m)	17993	3	14,968	-2,820	33,126	-0,006	-3,808	20,947	0,001	30,000	698,250	0,000	33,126	-6,059	0,000	-3,808	0,117
20	17994	4	15,052	-2,835	31,332	-0,006	-4,308	20,965	0,004	30,000	698,832	0,000	31,332	-5,985	0,000	-4,308	0,111
20	17995	5	15,136	-2,850	29,538	-0,005	-4,777	20,985	0,012	30,000	699,496	0,000	29,538	-5,545	0,000	-4,777	0,105
EmbeddedBeam_11_1	17995	1	15,136	-2,850	29,537	-0,005	-4,777	20,985	0,012	30,000	699,496	0,000	29,537	-5,446	0,000	-4,777	0,105
Element 1-17 (Embedded beam)	17996	2	15,205	-2,863	28,057	-0,004	-5,102	21,003	0,019	30,000	700,091	0,000	28,057	-4,600	0,000	-5,133	0,101
(TITAN 40/20 l=1,60m)	17997	3	15,275	-2,876	26,574	-0,002	-5,333	21,022	0,027	30,000	700,719	0,000	26,574	-3,215	0,000	-5,407	0,098
20	17998	4	15,344	-2,889	25,089	0,000	-5,427	21,041	0,036	30,000	701,375	0,000	25,089	-1,444	0,001	-5,556	0,095
20	17999	5	15,414	-2,901	23,604	0,003	-5,342	21,062	0,045	30,000	702,053	0,000	23,604	0,318	0,003	-5,537	0,092
EmbeddedBeam_11_1	17999	1	15,414	-2,901	23,603	0,002	-5,342	21,062	0,045	30,000	702,053	0,000	23,603	0,324	0,002	-5,537	0,092
Element 1-18 (Embedded beam)	18000	2	15,521	-2,921	21,314	0,008	-4,758	21,094	0,057	30,000	703,140	0,000	21,314	0,170	0,008	-5,074	0,087
(TITAN 40/20 l=1,60m)	18001	3	15,627	-2,940	19,019	0,015	-3,488	21,127	0,065	30,000	704,230	0,000	19,019	0,201	0,015	-3,978	0,083
20	18002	4	15,734	-2,960	16,720	0,022	-1,495	21,161	0,063	30,000	705,377	0,000	16,720	0,220	0,022	-2,357	0,168
20	18003	5	15,841	-2,980	14,419	0,029	-1,247	21,205	0,033	30,000	706,817	0,000	14,419	0,223	0,029	-0,702	1,247
EmbeddedBeam_11_1	18003	1	15,841	-2,980	14,419	0,026	-1,247	21,205	0,033	30,000	706,817	0,000	14,419	0,339	0,026	-0,702	1,247
Element 1-19 (Embedded beam)	18004	2	16,006	-4,010	10,863	0,026	6,118	21,285	0,050	30,000	709,491	0,000	10,863	0,222	0,026	-0,074	6,118
(TITAN 40/20 l=1,60m)	18005	3	16,171	-4,040	7,295	0,005	8,722	21,297	0,274	30,000	709,903	0,000	7,295	3,108	0,006	-0,057	8,722
20	18006	4	16,335	-4,070	3,713	-0,027	7,122	21,457	0,167	30,000	715,236	0,000	3,713	26,810	0,000	-0,033	7,122
20	18007	5	16,500	-4,100	0,114	-0,056	0,000	23,735	0,900	30,000	791,181	0,000	0,114	55,797	0,001	0,000	0,000
EmbeddedBeam_21_1	18008	1	6,000	6,250	158,159	-0,501	0,000	24,520	2,780	30,000	817,329	0,000	158,159	500,809	0,000	0,000	0,000
Element 2-20 (Embedded beam)	18009	2	6,126	6,273	155,050	-0,221	-45,099	24,208	1,842	30,000	806,950	0,000	155,050	221,132	0,000	-45,099	0,000
(TITAN 40/20 l=1,60m)	18010	3	6,252	6,295	151,972	-0,032	-60,423	23,937	1,073	30,000	797,913	0,000	151,972	-36,694	0,000	-60,423	0,000
20	18011	4	6,377	6,318	148,928	0,072	-56,958	23,689	0,510	30,000	789,626	0,000	148,928	0,000	0,072	-56,958	0,000
20	18012	5	6,503	6,341	145,918	0,096	-45,464	23,453	0,142	30,000	781,767	0,000	145,918	0,000	0,096	-45,530	0,000
EmbeddedBeam_21_1	18012	1	6,503	6,341	145,915	0,113	-45,464	23,453	0,142	30,000	781,767	0,000	145,915	0,000	0,113	-45,530	0,000
Element 2-21 (Embedded beam)	18013	2	6,636	6,365	142,759	0,107	-30,443	23,214	0,077	30,000	773,812	0,000	142,759	0,000	0,107	-31,715	0,000
(TITAN 40/20 l=1,60m)	18014	3	6,770	6,389	139,631	0,091	-16,963	22,986	0,172	30,000	766,191	0,000	139,631	0,000	0,091	-19,394	0,000
20	18015	4	6,903	6,413	136,534	0,068	-6,095	22,766	0,188	30,000	758,853	0,000	136,534	0,000	0,068	-9,586	0,000
20	18016	5	7,036	6,436	133,468	0,039	-1,187	22,553	0,163	30,000	751,766	0,000	133,468	0,000	0,039	-3,091	1,187
EmbeddedBeam_21_1	18016	1	7,036	6,436	133,466	0,042	-1,187	22,553	0,163	30,000	751,766	0,000	133,466	0,000	0,042	-3,091	1,187
Element 2-22 (Embedded beam)	18017	2	7,177	6,462	130,250	0,022	5,704	22,335	0,120	30,000	744,515	0,000	130,250	0,000	0,022	-0,786	5,704

Structural element	Node [10^1]	Local number	X [m]	Y [m]	N [kN]	Q [kN]	M [10^-1 kN m]	T_{xx} [kN/m]	T_{yy} [kN/m]	$T_{xx,yy}$ [kN/m]	$T_{xx,yy}$ [10^1]	N_{xx} [10^-1 kN]	N_{yy} [kN]	Q_{xz} [10^-1 kN]	Q_{yz} [kN]	M_{xx} [10^-1 kN m]	M_{yy} [10^-1 kN m]
(TITAN 40/20 l=1,60m)	18018	3	7,318	-5,487	127,062	0,008	7,778	-22,125	-0,076	30,000	737,511	0,000	127,062	0,000	0,009	-0,020	7,778
(1)	18019	4	7,459	-5,513	123,904	0,001	8,229	-21,922	-0,040	30,000	730,739	0,000	123,904	0,604	0,001	-0,013	8,229
(1)	18020	5	7,600	-5,538	120,777	0,004	7,863	-21,726	-0,016	30,000	724,189	0,000	120,777	3,645	0,000	-0,011	7,863
EmbeddedBeam_2_1	18020	1	7,600	-5,538	120,774	0,005	7,863	-21,726	-0,016	30,000	724,189	0,000	120,774	4,733	0,000	-0,011	7,863
Element 2-23 (Embedded beam)	18021	2	7,750	-5,565	117,492	0,005	7,094	-21,524	-0,001	30,000	717,483	0,000	117,492	5,216	0,000	-0,012	7,094
(TITAN 40/20 l=1,60m)	18022	3	7,899	-5,592	114,238	0,005	6,323	-21,330	0,007	30,000	711,007	0,000	114,238	4,843	0,000	-0,013	6,323
(1)	18023	4	8,049	-5,619	111,012	0,004	5,657	-21,143	0,008	30,000	704,757	0,000	111,012	3,790	0,000	-0,060	5,657
(1)	18024	5	8,198	-5,646	107,817	0,002	5,196	-20,962	0,007	30,000	698,730	0,000	107,817	2,235	0,000	-0,188	5,196
EmbeddedBeam_2_1	18024	1	8,198	-5,646	107,814	0,002	5,196	-20,962	0,007	30,000	698,730	0,000	107,814	2,444	0,000	-0,188	5,196
Element 2-24 (Embedded beam)	18025	2	8,357	-5,674	104,460	0,001	4,888	-20,778	0,005	30,000	692,590	0,000	104,460	1,442	0,000	-0,249	4,888
(TITAN 40/20 l=1,60m)	18026	3	8,515	-5,703	101,131	0,001	4,714	-20,601	0,003	30,000	686,703	0,000	101,131	0,768	0,000	-0,249	4,714
(1)	18027	4	8,673	-5,731	97,830	0,000	4,624	-20,432	0,001	30,000	681,073	0,000	97,830	0,404	0,001	-0,210	4,624
(1)	18028	5	8,832	-5,760	94,559	0,000	4,569	-20,271	0,000	30,000	675,705	0,000	94,559	0,334	0,001	-0,156	4,569
EmbeddedBeam_3_1	18028	1	8,832	-5,760	94,556	0,000	4,569	-20,271	0,000	30,000	675,705	0,000	94,556	0,265	0,001	-0,156	4,569
Element 2-25 (Embedded beam)	18029	2	8,999	-5,790	91,119	0,000	4,521	-20,109	0,000	30,000	670,314	0,000	91,119	0,303	0,001	-0,094	4,521
(TITAN 40/20 l=1,60m)	18030	3	9,167	-5,820	87,705	0,000	4,465	-19,957	0,000	30,000	665,232	0,000	87,705	0,341	0,000	-0,036	4,465
(1)	18031	4	9,335	-5,850	84,317	0,000	4,405	-19,814	0,000	30,000	660,469	0,000	84,317	0,369	0,000	-0,026	4,405
(1)	18032	5	9,502	-5,880	80,955	0,000	4,341	-19,681	0,000	30,000	656,029	0,000	80,955	0,373	0,000	-0,021	4,341
EmbeddedBeam_3_1	18032	1	9,502	-5,880	80,952	0,000	4,341	-19,681	0,000	30,000	656,029	0,000	80,952	0,370	0,000	-0,021	4,341
Element 2-26 (Embedded beam)	18033	2	9,680	-5,912	77,415	0,000	4,285	-19,551	0,001	30,000	651,686	0,000	77,415	0,239	0,000	-0,017	4,285
(TITAN 40/20 l=1,60m)	18034	3	9,857	-5,944	73,897	0,000	4,259	-19,431	0,001	30,000	647,713	0,000	73,897	0,226	0,000	-0,015	4,259
(1)	18035	4	10,035	-5,976	70,400	0,000	4,271	-19,323	0,001	30,000	644,112	0,000	70,400	0,299	0,000	-0,012	4,271
(1)	18036	5	10,213	-7,008	66,925	0,000	4,329	-19,226	0,000	30,000	640,877	0,000	66,925	0,380	0,001	-0,010	4,329
EmbeddedBeam_3_1	18036	1	10,213	-7,008	66,921	0,001	4,329	-19,226	0,000	30,000	640,877	0,000	66,921	0,381	0,001	-0,010	4,329
Element 2-27 (Embedded beam)	18037	2	10,401	-7,042	63,259	0,000	4,393	-19,135	-0,003	30,000	637,832	0,000	63,259	0,450	0,001	-0,009	4,393
(TITAN 40/20 l=1,60m)	18038	3	10,589	-7,076	59,608	0,000	4,351	-19,057	-0,004	30,000	635,230	0,000	59,608	0,501	0,001	-0,007	4,364
(1)	18039	4	10,777	-7,110	55,971	0,001	4,208	-18,994	-0,002	30,000	633,133	0,000	55,971	1,019	0,001	-0,006	4,374
(1)	18040	5	10,965	-7,144	52,349	0,001	3,974	-18,944	-0,007	30,000	631,476	0,000	52,349	1,373	0,002	-0,005	4,453
EmbeddedBeam_3_1	18040	1	10,965	-7,144	52,344	0,003	3,974	-18,944	-0,007	30,000	631,476	0,000	52,344	3,153	0,001	-0,005	4,453
Element 2-28 (Embedded beam)	18041	2	11,164	-7,180	48,517	0,002	3,509	-18,911	-0,005	30,000	630,362	0,000	48,517	2,060	0,002	-0,004	4,457
(TITAN 40/20 l=1,60m)	18042	3	11,363	-7,215	44,689	0,005	2,873	-18,897	-0,023	30,000	629,890	0,000	44,689	4,963	0,001	-0,003	4,523
(1)	18043	4	11,563	-7,251	40,862	0,012	1,212	-18,898	-0,047	30,000	629,946	0,000	40,862	12,128	0,000	-0,002	4,216
(1)	18044	5	11,762	-7,287	37,039	0,024	2,345	-18,925	-0,055	30,000	630,842	0,000	37,039	23,823	0,000	-2,345	3,403
EmbeddedBeam_3_1	18044	1	11,762	-7,287	37,021	0,021	2,345	-18,925	-0,055	30,000	630,842	0,000	37,021	20,861	0,000	-2,345	3,403
Element 2-29 (Embedded beam)	18045	2	11,973	-7,325	32,989	0,037	8,582	-18,925	-0,064	30,000	630,841	0,000	32,989	37,024	0,000	-8,582	2,070
(TITAN 40/20 l=1,60m)	18046	3	12,184	-7,363	28,911	0,049	17,958	-19,058	-0,058	30,000	635,282	0,000	28,911	49,110	0,000	-17,958	1,027
(1)	18047	4	12,395	-7,401	24,779	0,055	29,200	-19,425	-0,006	30,000	647,512	0,000	24,779	54,950	0,000	-29,200	0,954
(1)	18048	5	12,606	-7,439	20,586	0,052	40,893	-19,903	-0,250	30,000	663,447	0,000	20,586	55,360	0,000	-40,893	0,858
EmbeddedBeam_3_1	18048	1	12,606	-7,439	20,560	0,117	40,893	-19,903	-0,250	30,000	663,447	0,000	20,560	116,954	0,000	-40,893	0,858
Element 2-30 (Embedded beam)	18049	2	12,829	-7,479	15,946	0,025	58,490	-20,953	0,379	30,000	698,435	0,000	15,946	24,944	0,000	-58,490	0,705
(TITAN 40/20 l=1,60m)	18050	3	13,053	-7,520	11,076	0,080	50,440	-21,591	0,796	30,000	719,713	0,000	11,076	1,249	0,080	-50,440	0,447
(1)	18051	4	13,276	-7,560	5,870	0,132	26,285	-23,911	-0,077	30,000	797,048	0,000	5,870	1,087	0,132	-26,285	0,178
(1)	18052	5	13,500	-7,600	0,249	0,069	0,000	-29,164	-1,489	30,000	972,128	0,000	0,249	0,253	0,069	0,000	0,000
EmbeddedBeam_2_1	18053	1	1,776	-12,600	25,063	-0,044	0,000	-106,801	1,350	125,000	854,405	0,000	25,063	43,508	0,000	0,000	0,000
Element 3-31 (Embedded beam)	18054	2	1,857	-12,790	12,719	0,004	3,158	-48,922	0,155	125,000	391,378	0,000	12,719	0,000	0,004	-3,158	0,001
(Kircopalo D168.3 x12.5mm/1,6m)	18055	3	1,938	-12,980	5,134	0,014	1,268	-21,179	-0,138	125,000	169,430	0,000	5,134	0,000	0,014	-1,268	0,048
(1)	18056	4	2,019	-13,170	1,559	0,005	1,164	-10,108	-0,029	125,000	80,860	0,000	1,559	0,001	0,005	0,000	1,164
(1)	18057	5	2,100	-13,360	1,245	-0,005	0,771	-4,588	0,006	125,000	36,707	-76,431	1,245	5,404	0,000	0,000	0,771
EmbeddedBeam_2_1	18057	1	2,100	-13,360	0,425	-0,001	0,771	-4,588	0,006	125,000	36,707	-359,420	0,425	1,271	0,000	0,000	0,771
Element 3-32 (Embedded beam)	18058	2	2,182	-13,550	-0,106	0,001	0,591	-2,089	0,003	125,000	16,712	-530,851	0,000	0,559	0,000	0,000	0,649
(Kircopalo D168.3 x12.5mm/1,6m)	18059	3	2,263	-13,740	-0,426	0,000	0,512	-0,869	0,000	125,000	6,950	-628,758	0,000	0,260	0,000	0,000	0,578
(1)	18060	4	2,344	-13,930	-0,568	0,000	0,480	-0,367	0,000	125,000	2,932	-664,608	0,000	0,204	0,000	0,000	0,533
(1)	18061	5	2,425	-14,120	-0,565	0,000	0,450	-0,110	0,001	125,000	0,878	-649,869	0,000	0,198	0,000	0,000	0,491
EmbeddedBeam_2_1	18061	1	2,425	-14,120	-0,601	0,000	0,450	-0,110	0,001	125,000	0,878	-662,625	0,000	0,173	0,000	0,000	0,491
Element 3-33 (Embedded beam)	18062	2	2,507	-14,310	-0,604	0,000	0,442	0,011	0,000	125,000	0,089	-651,270	0,000	0,120	0,000	0,000	0,461
(Kircopalo D168.3 x12.5mm/1,6m)	18063	3	2,588	-14,500	-0,596	0,000	0,451	0,074	0,000	125,000	0,593	-637,114	0,000	0,080	0,000	0,000	0,451
(1)	18064	4	2,669	-14,690	-0,578	0,000	0,475	0,103	0,000	125,000	0,824	-620,690	0,000	0,052	0,000	0,000	0,475

Structural element	Node [10 ^]	Local number	X [m]	Y [m]	N [kN]	Q [kN]	M [10 ^ kN m]	$T_{,,,}$ [kN/m]	$T_{,,}$ [kN/m]	$T_{,,,,,,}$ [kN/m]	$T_{,,,,,,}$ [10 ^]	$N_{,,,}$ [10 ^ kN]	$N_{,,,}$ [kN]	$Q_{,,,}$ [10 ^ kN]	$Q_{,,,}$ [kN]	$M_{,,,}$ [10 ^ kN m]	$M_{,,,}$ [10 ^ kN m]
圧	18065	5	2,750	-14,880	-0,553	0,000	0,510	0,119	0,000	-125,000	0,956	-602,535	0,000	0,039	0,000	0,000	0,510
EmbeddedBeam_2_1	18065	1	2,750	-14,880	-0,554	0,000	0,510	0,119	0,000	-125,000	0,956	-602,551	0,000	0,034	0,000	0,000	0,510
Element 3-34 (Embedded beam)	18066	2	2,831	-15,070	-0,528	0,000	0,551	0,129	0,000	-125,000	1,029	-585,656	0,000	0,033	0,000	0,000	0,551
(Micropalo D168.3 x12.5mm/1,6m)	18067	3	2,913	-15,260	-0,501	0,000	0,593	0,136	0,000	-125,000	1,089	-567,171	0,000	0,037	0,000	0,000	0,593
圧	18068	4	2,994	-15,450	-0,471	0,000	0,634	0,149	0,000	-125,000	1,189	-546,571	0,000	0,044	0,000	0,000	0,634
圧	18069	5	3,075	-15,640	-0,440	0,000	0,672	0,176	0,000	-125,000	1,405	-523,332	0,000	0,052	0,000	0,000	0,672
EmbeddedBeam_2_1	18069	1	3,075	-15,640	-0,429	0,000	0,672	0,176	0,000	-125,000	1,405	-508,730	0,000	0,128	0,000	0,000	0,672
Element 3-35 (Embedded beam)	18070	2	3,156	-15,830	-0,402	0,000	0,697	0,241	-0,001	-125,000	1,928	-490,681	0,000	0,102	0,000	0,000	0,697
(Micropalo D168.3 x12.5mm/1,6m)	18071	3	3,238	-16,020	-0,333	0,001	0,658	0,379	-0,005	-125,000	3,036	-415,667	0,000	0,512	0,000	0,000	0,658
圧	18072	4	3,319	-16,210	-0,213	0,002	0,454	0,741	-0,005	-125,000	5,928	-270,298	0,000	1,554	0,000	0,000	0,454
圧	18073	5	3,400	-16,400	-0,031	0,003	0,000	1,508	0,017	-125,000	12,064	-41,179	0,000	2,854	0,000	0,000	0,000

3.3.1.1.29 Calculation results, Embedded beam, Eccezionale [Phase_22] (22/1130), Table of embedded beam force envelopes

Structural element	Node [10^1]	Local number	X [m]	Y [m]	N [kN]	Q [kN]	M [10^-1 kN m]	$T_{z,z,z}$ [kN/m]	$T_{z,z,z}$ [kN/m]	$T_{z,z,z,z,z}$ [kN/m]	$T_{z,z,z,z,z}$ [10^1]	$N_{z,z,z}$ [10^-1 kN]	$N_{z,z,z}$ [kN]	$Q_{z,z,z}$ [10^-1 kN]	$Q_{z,z,z}$ [kN]	$M_{z,z,z}$ [10^-1 kN m]	$M_{z,z,z}$ [10^-1 kN m]
EmbeddedBeam_1_1	17931	1	8,300	2,600	184,156	2,248	0,000	-16,714	-10,630	30,000	557,135	0,000	184,156	0,000	2,248	0,000	0,000
Element 1-1 (Embedded beam)	17932	2	8,493	2,635	180,929	0,761	284,043	-16,313	6,138	30,000	543,762	0,000	180,929	0,000	0,761	0,000	284,043
(TiTAN 40/20 l=1,60m)	17933	3	8,685	2,670	177,768	-0,133	337,441	-15,961	2,731	30,000	532,033	0,000	177,768	-133,495	0,000	0,000	337,441
圆	17934	4	8,878	2,706	174,673	-0,494	266,615	-15,635	-0,679	30,000	521,169	0,000	174,673	-493,887	0,000	0,000	266,615
圆	17935	5	9,071	2,741	171,645	-0,377	174,504	-15,321	0,277	30,000	510,713	0,000	171,645	-377,435	0,000	0,000	174,504
EmbeddedBeam_1_1	17935	1	9,071	2,741	171,642	-0,486	174,504	-15,321	0,277	30,000	510,713	0,000	171,642	-486,020	0,000	0,000	174,504
Element 1-2 (Embedded beam)	17936	2	9,223	2,769	169,285	-0,401	105,703	-15,080	0,534	30,000	502,671	0,000	169,285	-400,838	0,000	0,000	105,703
(TiTAN 40/20 l=1,60m)	17937	3	9,376	2,797	166,962	-0,319	49,951	-14,840	0,538	30,000	494,677	0,000	166,962	-319,005	0,000	0,000	49,951
圆	17938	4	9,529	2,825	164,676	-0,244	6,328	-14,610	0,450	30,000	486,998	0,000	164,676	-243,718	0,000	0,000	12,784
圆	17939	5	9,681	2,853	162,428	-0,178	26,232	-14,399	0,389	30,000	479,955	0,000	162,428	-178,172	0,000	-26,232	0,650
EmbeddedBeam_1_1	17939	1	9,681	2,853	162,427	-0,173	26,232	-14,399	0,389	30,000	479,955	0,000	162,427	-173,342	0,000	-26,232	0,650
Element 1-3 (Embedded beam)	17940	2	9,802	2,875	160,665	-0,132	45,184	-14,246	0,422	30,000	474,869	0,000	160,665	-131,615	0,000	-45,184	0,000
(TiTAN 40/20 l=1,60m)	17941	3	9,923	2,897	158,924	-0,070	57,777	-14,059	0,582	30,000	468,642	0,000	158,924	-69,739	0,000	-57,777	0,000
圆	17942	4	10,044	2,919	157,201	0,013	61,505	-13,936	0,754	30,000	464,540	0,000	157,201	-12,967	0,013	-61,505	0,000
圆	17943	5	10,165	2,941	155,497	0,115	53,847	-14,016	0,841	30,000	467,212	0,000	155,497	0,000	0,115	-53,847	0,000
EmbeddedBeam_1_1	17943	1	10,165	2,941	155,477	0,103	53,847	-14,016	0,841	30,000	467,212	0,000	155,477	0,000	0,103	-53,847	0,000
Element 1-4 (Embedded beam)	17944	2	10,261	2,959	154,114	0,194	39,077	-14,316	0,707	30,000	477,185	0,000	154,114	0,000	0,194	-39,077	0,000
(TiTAN 40/20 l=1,60m)	17945	3	10,357	2,976	152,689	0,242	17,417	-14,883	0,329	30,000	496,101	0,000	152,689	0,000	0,242	-17,417	0,000
圆	17946	4	10,453	2,994	151,197	0,245	6,704	-15,685	0,236	30,000	522,842	0,000	151,197	0,000	0,245	-4,197	7,230
圆	17947	5	10,549	3,011	149,634	0,198	28,739	-16,531	0,810	30,000	551,032	0,000	149,634	0,000	0,198	-2,268	28,739
EmbeddedBeam_1_1	17947	1	10,549	3,011	149,629	0,193	28,739	-27,552	1,350	30,000	918,386	0,000	149,629	0,000	0,193	-2,268	28,739
Element 1-5 (Embedded beam)	17948	2	10,656	3,031	146,621	0,073	42,943	-27,348	0,930	30,000	911,590	0,000	146,621	0,000	0,073	-1,189	42,943
(TiTAN 40/20 l=1,60m)	17949	3	10,764	3,051	143,633	-0,010	46,063	-27,148	0,557	30,000	904,919	0,000	143,633	-10,906	0,014	-0,393	46,063
圆	17950	4	10,872	3,071	140,666	-0,057	42,076	-26,955	0,275	30,000	898,485	0,000	140,666	-56,542	0,007	-0,112	42,076
圆	17951	5	10,980	3,090	137,723	-0,069	34,887	-26,768	0,081	30,000	892,273	0,000	137,723	-69,367	0,004	-0,020	34,887
EmbeddedBeam_1_1	17951	1	10,980	3,090	137,721	-0,076	34,887	-26,768	0,081	30,000	892,273	0,000	137,721	-75,724	0,004	-0,020	34,887
Element 1-6 (Embedded beam)	17952	2	11,085	3,110	134,863	-0,074	26,782	-26,593	0,037	30,000	886,437	0,000	134,863	-74,432	0,002	0,000	26,782
(TiTAN 40/20 l=1,60m)	17953	3	11,191	3,129	132,020	-0,068	19,135	-26,424	0,100	30,000	880,803	0,000	132,020	-67,529	0,001	0,000	19,135
圆	17954	4	11,296	3,148	129,196	-0,056	12,468	-26,261	0,124	30,000	875,361	0,000	129,196	-55,927	0,000	0,000	12,468
圆	17955	5	11,402	3,167	126,391	-0,041	7,274	-26,103	0,124	30,000	870,116	0,000	126,391	-40,537	0,000	0,000	7,274
EmbeddedBeam_1_1	17955	1	11,402	3,167	126,389	-0,042	7,274	-26,103	0,124	30,000	870,116	0,000	126,389	-42,026	0,000	0,000	7,274
Element 1-7 (Embedded beam)	17956	2	11,505	3,186	123,663	-0,029	3,548	-25,955	0,110	30,000	865,164	0,000	123,663	-29,444	0,000	-0,002	3,548
(TiTAN 40/20 l=1,60m)	17957	3	11,608	3,205	120,949	-0,019	1,026	-25,812	0,089	30,000	860,389	0,000	120,949	-19,053	0,000	-0,008	2,455
圆	17958	4	11,711	3,224	118,250	-0,011	-0,525	-25,674	0,067	30,000	855,790	0,000	118,250	-10,893	0,000	-0,525	2,110
圆	17959	5	11,814	3,243	115,568	-0,005	-1,337	-25,541	0,047	30,000	851,364	0,000	115,568	-5,000	0,000	-1,337	1,708
EmbeddedBeam_1_1	17959	1	11,814	3,243	115,566	-0,005	-1,337	-25,541	0,047	30,000	851,364	0,000	115,566	-4,803	0,000	-1,337	1,708
Element 1-8 (Embedded beam)	17960	2	11,915	3,261	112,957	-0,001	-1,630	-25,416	0,030	30,000	847,200	0,000	112,957	2,518	0,000	-1,630	1,408
(TiTAN 40/20 l=1,60m)	17961	3	12,016	3,280	110,358	0,001	-1,610	-25,296	0,017	30,000	843,194	0,000	110,358	-1,884	0,001	-1,610	1,186
圆	17962	4	12,117	3,298	107,771	0,003	-1,397	-25,180	0,007	30,000	839,344	0,000	107,771	-1,468	0,003	-1,397	1,025
圆	17963	5	12,217	3,317	105,198	0,003	-1,110	-25,070	0,001	30,000	835,650	0,000	105,198	-1,143	0,003	-1,110	0,908
EmbeddedBeam_1_1	17963	1	12,217	3,317	105,196	0,003	-1,110	-25,070	0,001	30,000	835,650	0,000	105,196	-1,138	0,003	-1,110	0,908
Element 1-9 (Embedded beam)	17964	2	12,316	3,335	102,691	0,003	-0,814	-24,966	0,003	30,000	832,189	0,000	102,691	0,929	0,003	-0,814	0,824
(TiTAN 40/20 l=1,60m)	17965	3	12,414	3,353	100,194	0,002	-0,547	-24,866	0,005	30,000	828,875	0,000	100,194	0,774	0,002	-0,547	0,762
圆	17966	4	12,513	3,371	97,707	0,002	-0,322	-24,771	0,005	30,000	825,707	0,000	97,707	0,656	0,002	-0,322	0,732
圆	17967	5	12,612	3,389	95,231	0,001	-0,153	-24,681	0,005	30,000	822,686	0,000	95,231	0,564	0,001	-0,153	0,724
EmbeddedBeam_1_1	17967	1	12,612	3,389	95,229	0,001	-0,153	-24,681	0,005	30,000	822,686	0,000	95,229	0,563	0,001	-0,153	0,724
Element 1-10 (Embedded beam)	17968	2	12,708	3,406	92,817	0,001	-0,038	-24,596	0,005	30,000	819,873	0,000	92,817	0,497	0,001	-0,070	0,721
(TiTAN 40/20 l=1,60m)	17969	3	12,804	3,424	90,411	0,001	0,033	-24,516	0,004	30,000	817,199	0,000	90,411	0,442	0,001	-0,070	0,709
圆	17970	4	12,901	3,442	88,012	0,000	0,068	-24,440	0,003	30,000	814,665	0,000	88,012	0,423	0,000	-0,070	0,689

Structural element	Node [10^1]	Local number	X [m]	Y [m]	N [kN]	Q [kN]	M [10^-1 kN m]	T_{xxx} [kN/m]	T_{yyy} [kN/m]	$T_{xxx,yyy}$ [kN/m]	$T_{xxx,yyy}$ [10^1]	N_{xxx} [10^-1 kN]	N_{yyy} [kN]	Q_{xxz} [10^-1 kN]	Q_{yyz} [kN]	M_{xxz} [10^-1 kN m]	M_{yyz} [10^-1 kN m]
2D	17971	5	12,997	-2,459	85,623	0,000	0,074	24,368	0,002	30,000	812,269	0,000	85,623	-0,428	0,000	-0,070	0,663
EmbeddedBeam_11_1	17971	1	12,997	-2,459	85,622	0,000	0,074	24,368	0,002	30,000	812,269	0,000	85,622	-0,426	0,000	-0,070	0,663
Element 1-11 (Embedded beam)	17972	2	13,091	-2,476	83,292	0,000	0,061	24,302	0,001	30,000	810,061	0,000	83,292	-0,428	0,000	-0,070	0,633
(TITAN 40/20 l=1,60m)	17973	3	13,185	-2,494	80,967	0,000	0,036	24,240	0,001	30,000	807,986	0,000	80,967	-0,427	0,000	-0,071	0,599
2D	17974	4	13,280	-2,511	78,647	0,000	0,002	24,181	0,000	30,000	806,044	0,000	78,647	-0,425	0,000	-0,071	0,563
2D	17975	5	13,374	-2,528	76,335	0,000	-0,034	24,127	0,000	30,000	804,234	0,000	76,335	-0,419	0,000	-0,071	0,526
EmbeddedBeam_11_1	17975	1	13,374	-2,528	76,334	0,000	-0,034	24,127	0,000	30,000	804,234	0,000	76,334	-0,420	0,000	-0,071	0,526
Element 1-12 (Embedded beam)	17976	2	13,466	-2,545	74,078	0,000	-0,071	24,078	0,000	30,000	802,593	0,000	74,078	-0,408	0,000	-0,089	0,490
(TITAN 40/20 l=1,60m)	17977	3	13,558	-2,562	71,825	0,000	-0,106	24,032	0,000	30,000	801,079	0,000	71,825	-0,392	0,000	-0,106	0,454
2D	17978	4	13,650	-2,579	69,576	0,000	-0,140	23,991	0,000	30,000	799,692	0,000	69,576	-0,372	0,000	-0,140	0,419
2D	17979	5	13,742	-2,596	67,332	0,000	-0,172	23,953	0,000	30,000	798,431	0,000	67,332	-0,351	0,000	-0,172	0,385
EmbeddedBeam_11_1	17979	1	13,742	-2,596	67,331	0,000	-0,172	23,953	0,000	30,000	798,431	0,000	67,331	-0,351	0,000	-0,172	0,385
Element 1-13 (Embedded beam)	17980	2	13,832	-2,612	65,141	0,000	-0,202	23,920	0,000	30,000	797,322	0,000	65,141	-0,333	0,000	-0,202	0,354
(TITAN 40/20 l=1,60m)	17981	3	13,923	-2,629	62,951	0,000	-0,231	23,890	0,000	30,000	796,334	0,000	62,951	-0,319	0,000	-0,231	0,324
2D	17982	4	14,013	-2,645	60,765	0,000	-0,260	23,864	0,000	30,000	795,467	0,000	60,765	-0,332	0,000	-0,260	0,297
2D	17983	5	14,103	-2,661	58,582	0,000	-0,292	23,842	0,000	30,000	794,723	0,000	58,582	-0,359	0,000	-0,292	0,271
EmbeddedBeam_11_1	17983	1	14,103	-2,661	58,581	0,000	-0,292	23,842	0,000	30,000	794,723	0,000	58,581	-0,359	0,000	-0,292	0,271
Element 1-14 (Embedded beam)	17984	2	14,191	-2,678	56,448	0,000	-0,326	23,823	0,001	30,000	794,114	0,000	56,448	-0,405	0,000	-0,326	0,247
(TITAN 40/20 l=1,60m)	17985	3	14,279	-2,694	54,316	0,000	-0,365	23,809	0,001	30,000	793,622	0,000	54,316	-0,466	0,000	-0,365	0,226
2D	17986	4	14,367	-2,710	52,184	-0,001	-0,410	23,797	0,001	30,000	793,248	0,000	52,184	-0,540	0,000	-0,410	0,206
2D	17987	5	14,455	-2,726	50,056	-0,001	-0,462	23,790	0,001	30,000	792,993	0,000	50,056	-0,628	0,000	-0,462	0,188
EmbeddedBeam_11_1	17987	1	14,455	-2,726	50,054	-0,001	-0,462	23,790	0,001	30,000	792,993	0,000	50,054	-0,621	0,000	-0,462	0,188
Element 1-15 (Embedded beam)	17988	2	14,541	-2,742	47,973	-0,001	-0,521	23,786	0,001	30,000	792,859	0,000	47,973	-0,715	0,000	-0,521	0,172
(TITAN 40/20 l=1,60m)	17989	3	14,627	-2,757	45,891	-0,001	-0,587	23,785	0,001	30,000	792,843	0,000	45,891	-0,792	0,000	-0,587	0,158
2D	17990	4	14,713	-2,773	43,809	-0,001	-0,659	23,788	0,000	30,000	792,943	0,000	43,809	-0,847	0,000	-0,659	0,145
2D	17991	5	14,799	-2,789	41,727	-0,001	-0,734	23,795	0,000	30,000	793,159	0,000	41,727	-0,879	0,000	-0,734	0,135
EmbeddedBeam_11_1	17991	1	14,799	-2,789	41,726	-0,001	-0,734	23,795	0,000	30,000	793,159	0,000	41,726	-0,865	0,000	-0,734	0,135
Element 1-16 (Embedded beam)	17992	2	14,883	-2,804	39,691	-0,001	-0,808	23,805	0,001	30,000	793,486	0,000	39,691	-0,880	0,000	-0,808	0,125
(TITAN 40/20 l=1,60m)	17993	3	14,968	-2,820	37,652	-0,001	-0,878	23,818	0,002	30,000	793,927	0,000	37,652	-0,879	0,000	-0,878	0,117
2D	17994	4	15,052	-2,835	35,613	-0,001	-0,935	23,834	0,003	30,000	794,482	0,000	35,613	-0,834	0,000	-0,935	0,111
2D	17995	5	15,136	-2,850	33,574	0,000	-0,974	23,854	0,004	30,000	795,148	0,000	33,574	-0,742	0,000	-0,974	0,105
EmbeddedBeam_11_1	17995	1	15,136	-2,850	33,572	0,000	-0,974	23,854	0,004	30,000	795,148	0,000	33,572	-0,728	0,000	-0,974	0,105
Element 1-17 (Embedded beam)	17996	2	15,205	-2,863	31,889	0,000	-0,986	23,873	0,005	30,000	795,782	0,000	31,889	-0,630	0,000	-0,986	0,101
(TITAN 40/20 l=1,60m)	17997	3	15,275	-2,876	30,204	0,000	-0,971	23,895	0,006	30,000	796,488	0,000	30,204	-0,545	0,000	-0,971	0,098
2D	17998	4	15,344	-2,889	28,516	0,001	-0,925	23,918	0,008	30,000	797,268	0,000	28,516	-0,489	0,001	-0,925	0,095
2D	17999	5	15,414	-2,901	26,829	0,002	-0,839	23,944	0,009	30,000	798,123	0,000	26,829	-0,422	0,002	-0,853	0,092
EmbeddedBeam_11_1	17999	1	15,414	-2,901	26,827	0,001	-0,839	23,944	0,009	30,000	798,123	0,000	26,827	-0,412	0,001	-0,853	0,092
Element 1-18 (Embedded beam)	18000	2	15,521	-2,921	24,224	0,003	-0,615	23,988	0,011	30,000	799,600	0,000	24,224	-0,290	0,003	-0,725	0,087
(TITAN 40/20 l=1,60m)	18001	3	15,627	-2,940	21,614	0,004	-0,257	24,038	0,011	30,000	801,252	0,000	21,614	-0,203	0,004	-0,535	0,082
2D	18002	4	15,734	-2,960	18,997	0,005	0,202	24,091	0,005	30,000	803,047	0,000	18,997	-0,155	0,005	-0,414	0,202
2D	18003	5	15,841	-2,980	16,377	0,005	0,728	24,148	0,011	30,000	804,943	0,000	16,377	-0,120	0,005	-0,304	0,728
EmbeddedBeam_11_1	18003	1	15,841	-2,980	16,376	0,005	0,728	24,148	0,011	30,000	804,943	0,000	16,376	-0,346	0,005	-0,304	0,728
Element 1-19 (Embedded beam)	18004	2	16,006	-4,010	12,325	0,001	1,334	24,270	0,021	30,000	808,991	0,000	12,325	-0,179	0,002	-0,168	1,334
(TITAN 40/20 l=1,60m)	18005	3	16,171	-4,040	8,252	-0,003	1,066	24,363	0,056	30,000	812,089	0,000	8,252	-1,374	0,001	-0,077	1,066
2D	18006	4	16,335	-4,070	4,156	-0,005	0,396	24,545	0,020	30,000	818,162	0,000	4,156	-4,556	0,000	-0,056	0,404
2D	18007	5	16,500	-4,100	0,036	0,002	0,000	25,373	0,024	30,000	845,776	0,000	0,036	0,508	0,002	0,000	0,000
EmbeddedBeam_21_1	18008	1	6,000	6,250	135,739	-0,430	0,000	22,250	2,334	30,000	741,658	0,000	135,739	430,454	0,000	0,000	0,000
Element 2-20 (Embedded beam)	18009	2	6,126	6,273	132,921	-0,194	39,043	21,918	1,560	30,000	730,585	0,000	132,921	194,040	0,000	39,043	0,000
(TITAN 40/20 l=1,60m)	18010	3	6,252	6,295	130,137	-0,033	52,856	21,625	0,919	30,000	720,848	0,000	130,137	33,468	0,000	52,856	0,000
2D	18011	4	6,377	6,318	127,390	0,056	50,634	21,357	0,445	30,000	711,895	0,000	127,390	0,000	0,056	50,634	0,000
2D	18012	5	6,503	6,341	124,679	0,079	41,386	21,103	0,133	30,000	703,429	0,000	124,679	0,000	0,079	41,386	0,000
EmbeddedBeam_21_1	18012	1	6,503	6,341	124,676	0,093	41,386	21,103	0,133	30,000	703,429	0,000	124,676	0,000	0,093	41,386	0,000
Element 2-21 (Embedded beam)	18013	2	6,636	6,365	121,839	0,089	28,966	20,847	0,055	30,000	694,906	0,000	121,839	0,000	0,089	28,966	0,000
(TITAN 40/20 l=1,60m)	18014	3	6,770	6,389	119,033	0,077	17,668	20,604	0,138	30,000	686,788	0,000	119,033	0,000	0,077	17,668	0,000
2D	18015	4	6,903	6,413	116,259	0,058	8,446	20,371	0,155	30,000	679,020	0,000	116,259	0,000	0,058	8,446	0,000
2D	18016	5	7,036	6,436	113,519	0,034	2,176	20,147	0,135	30,000	671,559	0,000	113,519	0,000	0,034	3,091	0,000
EmbeddedBeam_21_1	18016	1	7,036	6,436	113,516	0,037	2,176	20,147	0,135	30,000	671,559	0,000	113,516	0,000	0,037	3,091	0,000

Structural element	Node [10^3]	Local number	X [m]	Y [m]	N [kN]	Q [kN]	M [10^-3 kN m]	$T_{xx,+}$ [kN/m]	$T_{xx,-}$ [kN/m]	$T_{xx,xx,+}$ [kN/m]	$T_{xx,xx,-}$ [10^3]	$N_{x,+}$ [10^-3 kN]	$N_{x,-}$ [kN]	$Q_{z,+}$ [10^-3 kN]	$Q_{z,-}$ [kN]	$M_{y,+}$ [10^-3 kN m]	$M_{y,-}$ [10^-3 kN m]
Element 2-22 (Embedded beam)	18017	2	7,177	-5,462	110,646	0,020	1,813	-19,919	-0,100	30,000	663,956	0,000	110,646	0,000	0,020	-0,786	1,813
(TITAN 40/20 l=1,60m)	18018	3	7,318	-5,487	107,805	0,008	3,755	-19,699	-0,064	30,000	656,635	0,000	107,805	0,000	0,008	-0,020	3,755
)	18019	4	7,459	-5,513	104,995	0,001	4,326	-19,487	-0,035	30,000	649,573	0,000	104,995	0,000	0,001	-0,013	4,326
)	18020	5	7,600	-5,538	102,218	0,002	4,193	-19,283	-0,014	30,000	642,753	0,000	102,218	2,143	0,000	-0,011	4,193
EmbeddedBeam_21_1	18020	1	7,600	-5,538	102,216	0,003	4,193	-19,283	-0,014	30,000	642,753	0,000	102,216	2,947	0,000	-0,011	4,193
Element 2-23 (Embedded beam)	18021	2	7,750	-5,565	99,305	0,003	3,712	-19,073	-0,001	30,000	635,777	0,000	99,305	3,372	0,000	-0,012	3,712
(TITAN 40/20 l=1,60m)	18022	3	7,899	-5,592	96,423	0,003	3,208	-18,871	0,005	30,000	629,045	0,000	96,423	3,185	0,000	-0,013	3,208
)	18023	4	8,049	-5,619	93,572	0,002	2,774	-18,676	0,006	30,000	622,548	0,000	93,572	2,410	0,000	-0,060	2,774
)	18024	5	8,198	-5,646	90,752	0,001	2,497	-18,488	0,006	30,000	616,280	0,000	90,752	-1,193	0,000	-0,188	2,497
EmbeddedBeam_31_1	18024	1	8,198	-5,646	90,749	0,001	2,497	-18,488	0,006	30,000	616,280	0,000	90,749	-1,373	0,000	-0,188	2,497
Element 2-24 (Embedded beam)	18025	2	8,357	-5,674	87,793	0,001	2,341	-18,297	0,004	30,000	609,889	0,000	87,793	0,628	0,000	-0,249	2,341
(TITAN 40/20 l=1,60m)	18026	3	8,515	-5,703	84,864	0,000	2,285	-18,113	0,002	30,000	603,750	0,000	84,864	0,145	0,000	-0,249	2,285
)	18027	4	8,673	-5,731	81,964	0,000	2,286	-17,936	0,001	30,000	597,868	0,000	81,964	0,000	0,000	-0,210	2,286
)	18028	5	8,832	-5,760	79,095	0,000	2,302	-17,767	0,000	30,000	592,244	0,000	79,095	0,000	0,000	-0,156	2,302
EmbeddedBeam_31_1	18028	1	8,832	-5,760	79,092	0,000	2,302	-17,767	0,000	30,000	592,244	0,000	79,092	0,000	0,000	-0,156	2,302
Element 2-25 (Embedded beam)	18029	2	8,999	-5,790	76,082	0,000	2,314	-17,597	-0,001	30,000	586,576	0,000	76,082	0,000	0,000	-0,094	2,314
(TITAN 40/20 l=1,60m)	18030	3	9,167	-5,820	73,097	0,000	2,303	-17,436	-0,001	30,000	581,212	0,000	73,097	0,134	0,000	-0,036	2,303
)	18031	4	9,335	-5,850	70,139	0,000	2,268	-17,285	-0,001	30,000	576,162	0,000	70,139	0,279	0,000	-0,026	2,268
)	18032	5	9,502	-5,880	67,209	0,000	2,208	-17,143	-0,001	30,000	571,432	0,000	67,209	0,425	0,000	-0,021	2,208
EmbeddedBeam_31_1	18032	1	9,502	-5,880	67,206	0,000	2,208	-17,143	-0,001	30,000	571,432	0,000	67,206	0,418	0,000	-0,021	2,208
Element 2-26 (Embedded beam)	18033	2	9,680	-5,912	64,128	0,001	2,122	-17,003	-0,001	30,000	566,781	0,000	64,128	0,524	0,000	-0,017	2,122
(TITAN 40/20 l=1,60m)	18034	3	9,857	-5,944	61,070	0,001	2,020	-16,875	0,000	30,000	562,509	0,000	61,070	0,602	0,000	-0,015	2,020
)	18035	4	10,035	-5,976	58,035	0,001	1,907	-16,759	0,000	30,000	558,624	0,000	58,035	0,652	0,000	-0,012	1,913
)	18036	5	10,213	-7,008	55,023	0,001	1,787	-16,654	0,000	30,000	555,133	0,000	55,023	0,676	0,000	-0,010	1,801
EmbeddedBeam_31_1	18036	1	10,213	-7,008	55,020	0,001	1,787	-16,654	0,000	30,000	555,133	0,000	55,020	0,679	0,000	-0,010	1,801
Element 2-27 (Embedded beam)	18037	2	10,401	-7,042	51,849	0,001	1,656	-16,556	0,000	30,000	551,874	0,000	51,849	0,688	0,000	-0,009	1,683
(TITAN 40/20 l=1,60m)	18038	3	10,589	-7,076	48,692	0,001	1,524	-16,472	0,000	30,000	549,070	0,000	48,692	0,685	0,000	-0,007	1,571
)	18039	4	10,777	-7,110	45,550	0,001	1,394	-16,402	0,000	30,000	546,729	0,000	45,550	0,672	0,000	-0,006	1,470
)	18040	5	10,965	-7,144	42,424	0,001	1,268	-16,346	0,000	30,000	544,856	0,000	42,424	0,649	0,000	-0,005	1,376
EmbeddedBeam_31_1	18040	1	10,965	-7,144	42,420	0,001	1,268	-16,346	0,000	30,000	544,856	0,000	42,420	0,651	0,000	-0,005	1,376
Element 2-28 (Embedded beam)	18041	2	11,164	-7,180	39,119	0,001	1,139	-16,302	0,000	30,000	543,386	0,000	39,119	0,621	0,000	-0,004	1,288
(TITAN 40/20 l=1,60m)	18042	3	11,363	-7,215	35,821	0,001	1,017	-16,274	0,000	30,000	542,452	0,000	35,821	0,587	0,000	-0,003	1,217
)	18043	4	11,563	-7,251	32,526	0,001	0,902	-16,262	0,000	30,000	542,061	0,000	32,526	0,548	0,000	-0,002	1,158
)	18044	5	11,762	-7,287	29,238	0,001	0,795	-16,267	0,000	30,000	542,219	0,000	29,238	0,505	0,000	-0,002	1,099
EmbeddedBeam_31_1	18044	1	11,762	-7,287	29,233	0,001	0,795	-16,267	0,000	30,000	542,219	0,000	29,233	0,511	0,000	-0,002	1,099
Element 2-29 (Embedded beam)	18045	2	11,973	-7,325	25,747	0,000	0,692	-16,290	0,000	30,000	542,995	0,000	25,747	0,458	0,000	-0,001	1,039
(TITAN 40/20 l=1,60m)	18046	3	12,184	-7,363	22,249	0,000	0,598	-16,332	0,000	30,000	544,410	0,000	22,249	0,424	0,000	-0,001	0,980
)	18047	4	12,395	-7,401	18,739	0,000	0,508	-16,395	0,000	30,000	546,488	0,000	18,739	0,414	0,000	-0,001	0,912
)	18048	5	12,606	-7,439	15,220	0,000	0,418	-16,478	0,000	30,000	549,255	0,000	15,220	0,495	0,000	0,000	0,822
EmbeddedBeam_31_1	18048	1	12,606	-7,439	15,214	0,000	0,418	-16,478	0,000	30,000	549,255	0,000	15,214	0,390	0,000	0,000	0,822
Element 2-30 (Embedded beam)	18049	2	12,829	-7,479	11,465	-0,001	0,309	-16,590	-0,001	30,000	553,007	0,000	11,465	0,904	0,000	0,000	0,676
(TITAN 40/20 l=1,60m)	18050	3	13,053	-7,520	7,680	-0,001	0,141	-16,724	-0,001	30,000	557,467	0,000	7,680	1,180	0,000	0,000	0,429
)	18051	4	13,276	-7,560	3,861	0,000	0,003	-16,895	0,003	30,000	563,182	0,000	3,861	1,044	0,000	0,000	0,171
)	18052	5	13,500	-7,600	0,008	0,001	0,000	-17,156	-0,002	30,000	571,875	0,000	0,008	0,344	0,001	0,000	0,000
EmbeddedBeam_21_1	18053	1	1,776	12,600	7,747	0,012	0,000	-35,425	0,444	125,000	283,401	0,000	8,288	12,613	0,000	0,000	0,000
Element 3-31 (Embedded beam)	18054	2	1,857	12,790	3,661	0,002	0,687	-16,181	0,045	125,000	129,452	0,000	3,939	0,000	0,002	-0,756	0,001
(Ricrocalo D168.3 x12.5mm/1,6m)	18055	3	1,938	12,980	1,156	0,005	0,028	-6,956	-0,047	125,000	55,647	0,000	1,274	0,000	0,005	-0,137	0,048
)	18056	4	2,019	13,170	-0,014	0,001	0,798	-3,274	-0,010	125,000	26,194	-14,491	0,077	0,001	0,001	0,000	0,819
)	18057	5	2,100	13,360	-0,101	0,002	0,643	-1,440	0,002	125,000	11,518	-101,183	0,020	1,898	0,000	0,000	0,656
EmbeddedBeam_21_1	18057	1	2,100	13,360	-0,374	0,001	0,643	-1,440	0,002	125,000	11,518	-373,898	0,000	0,618	0,000	0,000	0,656
Element 3-32 (Embedded beam)	18058	2	2,182	13,550	-0,533	0,000	0,550	-0,611	0,001	125,000	4,890	-532,667	0,000	0,357	0,000	0,000	0,559
(Ricrocalo D168.3 x12.5mm/1,6m)	18059	3	2,263	13,740	-0,622	0,000	0,493	-0,209	0,000	125,000	1,672	-628,758	0,000	0,225	0,000	0,000	0,500
)	18060	4	2,344	13,930	-0,654	0,000	0,455	-0,047	0,000	125,000	0,374	-664,608	0,000	0,176	0,000	0,000	0,460
)	18061	5	2,425	14,120	-0,638	0,000	0,421	0,033	0,000	125,000	0,266	-649,869	0,000	0,160	0,000	0,000	0,426
EmbeddedBeam_21_1	18061	1	2,425	14,120	-0,650	0,000	0,421	0,033	0,000	125,000	0,266	-662,625	0,000	0,145	0,000	0,000	0,426
Element 3-33 (Embedded beam)	18062	2	2,507	14,310	-0,637	0,000	0,398	0,068	0,000	125,000	0,543	-651,270	0,000	0,102	0,000	0,000	0,401
(Ricrocalo D168.3 x12.5mm/1,6m)	18063	3	2,588	14,500	-0,621	0,000	0,382	0,083	0,000	125,000	0,665	-637,114	0,000	0,067	0,000	0,000	0,385

Structural element	Node [10 ^]	Local number	X [m]	Y [m]	N [kN]	Q [kN]	M [10 ^ kN m]	$T_{x,x}$ [kN/m]	$T_{x,y}$ [kN/m]	$T_{x,x,x,x}$ [kN/m]	$T_{x,x,y,y}$ [10 ^]	$N_{x,x}$ [10 ^ kN]	$N_{x,y}$ [kN]	$Q_{x,x}$ [10 ^ kN]	$Q_{x,y}$ [kN]	$M_{x,x}$ [10 ^ kN m]	$M_{x,y}$ [10 ^ kN m]
臂	18064	4	2,669	-14,690	-0,604	0,000	0,373	0,087	0,000	-125,000	0,699	-620,690	0,000	0,043	0,000	0,000	0,376
臂	18065	5	2,750	-14,880	-0,585	0,000	0,368	0,088	0,000	-125,000	0,708	-602,535	0,000	0,032	0,000	0,000	0,371
EmbeddedBeam_2_1	18065	1	2,750	-14,880	-0,585	0,000	0,368	0,088	0,000	-125,000	0,708	-602,551	0,000	0,030	0,000	0,000	0,371
Element 3-34 (Embedded beam)	18066	2	2,831	-15,070	-0,567	0,000	0,365	0,089	0,000	-125,000	0,713	-585,656	0,000	0,027	0,000	0,000	0,367
(Micropalo D168.3 s12.5mm/1,6m)	18067	3	2,913	-15,260	-0,548	0,000	0,362	0,093	0,000	-125,000	0,742	-567,171	0,000	0,025	0,000	0,000	0,364
臂	18068	4	2,994	-15,450	-0,527	0,000	0,358	0,108	0,000	-125,000	0,862	-546,571	0,000	0,026	0,000	0,000	0,359
臂	18069	5	3,075	-15,640	-0,504	0,000	0,354	0,144	0,000	-125,000	1,154	-523,332	0,000	0,028	0,000	0,000	0,355
EmbeddedBeam_2_1	18069	1	3,075	-15,640	-0,490	0,000	0,354	0,144	0,000	-125,000	1,154	-508,730	0,000	0,103	0,000	0,000	0,355
Element 3-35 (Embedded beam)	18070	2	3,156	-15,830	-0,472	0,000	0,343	0,232	0,000	-125,000	1,858	-490,681	0,000	0,064	0,000	0,000	0,344
(Micropalo D168.3 s12.5mm/1,6m)	18071	3	3,238	-16,020	-0,399	0,000	0,308	0,415	-0,002	-125,000	3,318	-415,667	0,000	0,301	0,000	0,000	0,308
臂	18072	4	3,319	-16,210	-0,259	-0,001	0,206	0,882	-0,002	-125,000	7,058	-270,298	0,000	0,730	0,000	0,000	0,206
臂	18073	5	3,400	-16,400	-0,039	-0,001	0,000	1,865	0,017	-125,000	14,917	-41,179	0,000	1,268	0,000	0,000	0,000

3.3.1.1.30 Calculation results, Embedded beam, q Rullo [Phase_25] (25/1142), Table of embedded beam force envelopes

Structural element	Node [10^]	Local number	X [m]	Y [m]	N [kN]	Q [kN]	M [10^ kN m]	$T_{x,sup}$ [kN/m]	$T_{x,inf}$ [kN/m]	$T_{x,min,sup}$ [kN/m]	$T_{x,min,inf}$ [10^]	$N_{x,i}$ [10^ kN]	$N_{x,k}$ [kN]	$Q_{z,k}$ [10^ kN]	$Q_{z,k}$ [kN]	$M_{y,k}$ [10^ kN m]	$M_{y,k}$ [10^ kN m]
EmbeddedBeam_1_1	17931	1	8,300	-2,600	129,551	1,581	0,000	-12,958	-7,514	30,000	431,945	0,000	129,551	0,000	1,581	0,000	0,000
Element 1-1 (Embedded beam)	17932	2	8,493	-2,635	127,048	0,531	199,302	-12,647	-4,328	30,000	421,577	0,000	127,048	0,000	0,531	0,000	199,302
(TITAN 40/20 l=1,60m)	17933	3	8,685	-2,670	124,598	-0,098	235,961	-12,370	-1,915	30,000	412,347	0,000	124,598	-98,454	0,000	0,000	235,961
88	17934	4	8,878	-2,706	122,199	-0,349	185,472	-12,112	-0,455	30,000	403,748	0,000	122,199	-349,135	0,000	0,000	185,472
89	17935	5	9,071	-2,741	119,854	-0,261	120,887	-11,866	0,238	30,000	395,525	0,000	119,854	-261,105	0,000	0,000	120,887
EmbeddedBeam_1_1	17935	1	9,071	-2,741	119,852	-0,338	120,887	-11,866	0,238	30,000	395,525	0,000	119,852	-337,890	0,000	0,000	120,887
Element 1-2 (Embedded beam)	17936	2	9,223	-2,769	118,027	-0,269	73,776	-11,678	0,432	30,000	389,270	0,000	118,027	-269,196	0,000	0,000	73,776
(TITAN 40/20 l=1,60m)	17937	3	9,376	-2,797	116,228	-0,203	37,256	-11,497	0,443	30,000	383,240	0,000	116,228	-202,579	0,000	0,000	37,256
90	17938	4	9,529	-2,825	114,456	-0,141	10,622	-11,323	0,367	30,000	377,443	0,000	114,456	-141,048	0,000	0,000	11,738
91	17939	5	9,681	-2,853	112,714	-0,088	-6,971	-11,157	0,274	30,000	371,916	0,000	112,714	-87,611	0,000	-6,971	0,650
EmbeddedBeam_1_1	17939	1	9,681	-2,853	112,712	-0,088	-6,971	-11,157	0,274	30,000	371,916	0,000	112,712	-88,036	0,000	-6,971	0,650
Element 1-3 (Embedded beam)	17940	2	9,802	-2,875	111,349	-0,060	-16,079	-11,025	0,223	30,000	367,488	0,000	111,349	-60,454	0,000	-16,079	0,000
(TITAN 40/20 l=1,60m)	17941	3	9,923	-2,897	110,001	-0,034	-21,879	-10,903	0,203	30,000	363,419	0,000	110,001	-33,599	0,000	-21,879	0,000
92	17942	4	10,044	-2,919	108,667	-0,006	-24,321	-10,780	0,233	30,000	359,325	0,000	108,667	-6,470	0,001	-24,321	0,000
93	17943	5	10,165	-2,941	107,350	0,023	-23,304	-10,662	0,305	30,000	355,398	0,000	107,350	0,000	0,023	-23,304	0,000
EmbeddedBeam_1_1	17943	1	10,165	-2,941	107,344	0,020	-23,304	-10,662	0,305	30,000	355,398	0,000	107,344	0,000	0,020	-23,304	0,000
Element 1-4 (Embedded beam)	17944	2	10,261	-2,959	106,316	0,060	-19,301	-10,612	0,344	30,000	353,741	0,000	106,316	0,000	0,060	-19,301	0,000
(TITAN 40/20 l=1,60m)	17945	3	10,357	-2,976	105,277	0,089	-11,895	-10,685	0,260	30,000	356,179	0,000	105,277	0,000	0,089	-11,895	0,000
94	17946	4	10,453	-2,994	104,222	0,101	-2,545	-10,915	0,028	30,000	363,819	0,000	104,222	0,000	0,101	-4,197	0,000
95	17947	5	10,549	-3,011	103,151	0,095	7,196	-11,250	-0,285	30,000	374,998	0,000	103,151	0,000	0,095	-2,268	7,196
EmbeddedBeam_1_1	17947	1	10,549	-3,011	103,145	0,091	7,196	-18,750	-0,475	30,000	624,996	0,000	103,145	0,000	0,091	-2,268	7,196
Element 1-5 (Embedded beam)	17948	2	10,656	-3,031	101,097	0,045	14,553	-18,625	-0,366	30,000	620,822	0,000	101,097	0,000	0,045	-1,189	14,553
(TITAN 40/20 l=1,60m)	17949	3	10,764	-3,051	99,062	0,011	17,527	-18,498	-0,246	30,000	616,612	0,000	99,062	0,000	0,014	-0,393	17,527
96	17950	4	10,872	-3,071	97,040	-0,010	17,457	-18,375	-0,145	30,000	612,512	0,000	97,040	-10,421	0,007	-0,112	17,457
97	17951	5	10,980	-3,090	95,033	-0,020	15,669	-18,256	-0,068	30,000	608,541	0,000	95,033	-20,319	0,004	-0,020	15,669
EmbeddedBeam_1_1	17951	1	10,980	-3,090	95,032	-0,022	15,669	-18,256	-0,068	30,000	608,541	0,000	95,032	-22,214	0,004	-0,020	15,669
Element 1-6 (Embedded beam)	17952	2	11,085	-3,110	93,082	-0,025	13,090	-18,144	-0,016	30,000	604,786	0,000	93,082	-25,357	0,002	0,000	13,090
(TITAN 40/20 l=1,60m)	17953	3	11,191	-3,129	91,142	-0,025	10,343	-18,035	0,017	30,000	601,163	0,000	91,142	-25,468	0,001	0,000	10,343
98	17954	4	11,296	-3,148	89,214	-0,023	7,724	-17,930	0,034	30,000	597,670	0,000	89,214	-22,906	0,000	0,000	7,724
99	17955	5	11,402	-3,167	87,298	-0,018	5,513	-17,829	0,040	30,000	594,303	0,000	87,298	-18,030	0,000	0,000	5,513
EmbeddedBeam_1_1	17955	1	11,402	-3,167	87,297	-0,019	5,513	-17,829	0,040	30,000	594,303	0,000	87,297	-18,717	0,000	0,000	5,513
Element 1-7 (Embedded beam)	17956	2	11,505	-3,186	85,435	-0,014	3,789	-17,734	0,040	30,000	591,132	0,000	85,435	-14,270	0,000	-0,002	3,789
(TITAN 40/20 l=1,60m)	17957	3	11,608	-3,205	83,580	-0,010	2,503	-17,642	0,035	30,000	588,077	0,000	83,580	-10,360	0,000	-0,008	2,655
100	17958	4	11,711	-3,224	81,735	-0,007	1,596	-17,554	0,029	30,000	585,138	0,000	81,735	-7,034	0,000	-0,018	2,110
101	17959	5	11,814	-3,243	79,901	-0,004	1,006	-17,469	0,022	30,000	582,312	0,000	79,901	-4,335	0,000	-0,029	1,708
EmbeddedBeam_1_1	17959	1	11,814	-3,243	79,900	-0,004	1,006	-17,469	0,022	30,000	582,312	0,000	79,900	-4,325	0,000	-0,029	1,708
Element 1-8 (Embedded beam)	17960	2	11,915	-3,261	78,115	-0,002	0,662	-17,390	0,016	30,000	579,658	0,000	78,115	2,518	0,000	-0,040	1,408
(TITAN 40/20 l=1,60m)	17961	3	12,016	-3,280	76,336	-0,001	0,481	-17,313	0,010	30,000	577,110	0,000	76,336	1,884	0,000	-0,048	1,186
102	17962	4	12,117	-3,298	74,565	0,000	0,411	-17,240	0,006	30,000	574,668	0,000	74,565	1,468	0,000	-0,055	1,025
103	17963	5	12,217	-3,317	72,803	0,000	0,406	-17,170	0,003	30,000	572,332	0,000	72,803	1,143	0,000	-0,060	0,908
EmbeddedBeam_1_1	17963	1	12,217	-3,317	72,802	0,000	0,406	-17,170	0,003	30,000	572,332	0,000	72,802	1,138	0,000	-0,060	0,908
Element 1-9 (Embedded beam)	17964	2	12,316	-3,335	71,086	0,000	0,433	-17,104	0,001	30,000	570,150	0,000	71,086	0,929	0,000	-0,064	0,824
(TITAN 40/20 l=1,60m)	17965	3	12,414	-3,353	69,375	0,000	0,469	-17,042	0,000	30,000	568,070	0,000	69,375	0,774	0,000	-0,067	0,762
104	17966	4	12,513	-3,371	67,670	0,000	0,504	-16,983	0,001	30,000	566,091	0,000	67,670	0,656	0,000	-0,068	0,732
105	17967	5	12,612	-3,389	65,972	0,000	0,528	-16,926	0,001	30,000	564,214	0,000	65,972	0,564	0,000	-0,069	0,706
EmbeddedBeam_1_1	17967	1	12,612	-3,389	65,971	0,000	0,528	-16,926	0,001	30,000	564,214	0,000	65,971	0,563	0,000	-0,069	0,706
Element 1-10 (Embedded beam)	17968	2	12,708	-3,406	64,317	0,000	0,539	-16,874	0,001	30,000	562,479	0,000	64,317	0,497	0,000	-0,070	0,680
(TITAN 40/20 l=1,60m)	17969	3	12,804	-3,424	62,666	0,000	0,537	-16,825	0,001	30,000	560,842	0,000	62,666	0,442	0,000	-0,070	0,650
106	17970	4	12,901	-3,442	61,019	0,000	0,523	-16,779	0,001	30,000	559,304	0,000	61,019	0,423	0,000	-0,070	0,616
107	17971	5	12,997	-3,459	59,379	0,000	0,499	-16,736	0,001	30,000	557,865	0,000	59,379	0,428	0,000	-0,070	0,580

Structural element	Node [10^]	Local number	X [m]	Y [m]	N [kN]	Q [kN]	M [10^ kN m]	T_{xxx} [kN/m]	T_{yyy} [kN/m]	$T_{xxx,yyy}$ [kN/m]	$T_{xxx,yyy}$ [10^]	N_{xxx} [10^ kN]	N_{yyy} [kN]	Q_{xxx} [10^ kN]	Q_{yyy} [kN]	M_{xxx} [10^ kN m]	M_{yyy} [10^ kN m]
EmbeddedBeam_11_1	17971	1	12,997	-2,459	59,378	0,000	0,499	16,736	0,001	30,000	557,865	0,000	59,378	-0,426	0,000	-0,070	0,580
Element 1-11 (Embedded beam)	17972	2	13,091	-2,476	57,777	0,000	0,469	16,697	0,001	30,000	556,555	0,000	57,777	-0,428	0,000	-0,070	0,541
(TITAN 40/20 l=1,60m)	17973	3	13,185	-2,494	56,180	0,000	0,433	16,660	0,000	30,000	555,341	0,000	56,180	-0,427	0,000	-0,071	0,502
20	17974	4	13,280	-2,511	54,585	0,000	0,395	16,627	0,000	30,000	554,224	0,000	54,585	-0,425	0,000	-0,071	0,461
20	17975	5	13,374	-2,528	52,995	0,000	0,356	16,596	0,000	30,000	553,203	0,000	52,995	-0,419	0,000	-0,071	0,420
EmbeddedBeam_11_1	17975	1	13,374	-2,528	52,994	0,000	0,356	16,596	0,000	30,000	553,203	0,000	52,994	-0,420	0,000	-0,071	0,420
Element 1-12 (Embedded beam)	17976	2	13,466	-2,545	51,442	0,000	0,317	16,569	0,000	30,000	552,300	0,000	51,442	-0,410	0,000	-0,089	0,382
(TITAN 40/20 l=1,60m)	17977	3	13,558	-2,562	49,891	0,000	0,279	16,545	0,000	30,000	551,489	0,000	49,891	-0,396	0,000	-0,106	0,344
20	17978	4	13,650	-2,579	48,342	0,000	0,243	16,523	0,000	30,000	550,773	0,000	48,342	-0,376	0,000	-0,121	0,308
20	17979	5	13,742	-2,596	46,797	0,000	0,209	16,505	0,000	30,000	550,150	0,000	46,797	-0,351	0,000	-0,134	0,274
EmbeddedBeam_11_1	17979	1	13,742	-2,596	46,796	0,000	0,209	16,505	0,000	30,000	550,150	0,000	46,796	-0,352	0,000	-0,134	0,274
Element 1-13 (Embedded beam)	17980	2	13,832	-2,612	45,286	0,000	0,178	16,489	0,000	30,000	549,633	0,000	45,286	-0,325	0,000	-0,145	0,244
(TITAN 40/20 l=1,60m)	17981	3	13,923	-2,629	43,777	0,000	0,149	16,476	0,000	30,000	549,206	0,000	43,777	-0,300	0,000	-0,154	0,215
20	17982	4	14,013	-2,645	42,268	0,000	0,123	16,466	0,000	30,000	548,870	0,000	42,268	-0,275	0,000	-0,161	0,189
20	17983	5	14,103	-2,661	40,762	0,000	0,100	16,459	0,000	30,000	548,626	0,000	40,762	-0,250	0,000	-0,167	0,165
EmbeddedBeam_11_1	17983	1	14,103	-2,661	40,761	0,000	0,100	16,459	0,000	30,000	548,626	0,000	40,761	-0,250	0,000	-0,167	0,165
Element 1-14 (Embedded beam)	17984	2	14,191	-2,678	39,289	0,000	0,079	16,454	0,000	30,000	548,475	0,000	39,289	-0,226	0,000	-0,171	0,144
(TITAN 40/20 l=1,60m)	17985	3	14,279	-2,694	37,815	0,000	0,061	16,452	0,000	30,000	548,413	0,000	37,815	-0,203	0,000	-0,174	0,125
20	17986	4	14,367	-2,710	36,342	0,000	0,045	16,453	0,000	30,000	548,439	0,000	36,342	-0,180	0,000	-0,177	0,108
20	17987	5	14,455	-2,726	34,870	0,000	0,031	16,457	0,000	30,000	548,553	0,000	34,870	-0,159	0,000	-0,178	0,093
EmbeddedBeam_11_1	17987	1	14,455	-2,726	34,869	0,000	0,031	16,457	0,000	30,000	548,553	0,000	34,869	-0,159	0,000	-0,178	0,093
Element 1-15 (Embedded beam)	17988	2	14,541	-2,742	33,429	0,000	0,020	16,463	0,000	30,000	548,752	0,000	33,429	-0,139	0,000	-0,179	0,080
(TITAN 40/20 l=1,60m)	17989	3	14,627	-2,757	31,988	0,000	0,010	16,471	0,000	30,000	549,036	0,000	31,988	-0,120	0,000	-0,178	0,069
20	17990	4	14,713	-2,773	30,545	0,000	0,002	16,482	0,000	30,000	549,407	0,000	30,545	-0,102	0,000	-0,177	0,059
20	17991	5	14,799	-2,789	29,103	0,000	-0,005	16,496	0,000	30,000	549,865	0,000	29,103	-0,086	0,000	-0,176	0,051
EmbeddedBeam_11_1	17991	1	14,799	-2,789	29,102	0,000	-0,005	16,496	0,000	30,000	549,865	0,000	29,102	-0,086	0,000	-0,176	0,051
Element 1-16 (Embedded beam)	17992	2	14,883	-2,804	27,690	0,000	-0,011	16,512	0,000	30,000	550,398	0,000	27,690	-0,071	0,000	-0,173	0,045
(TITAN 40/20 l=1,60m)	17993	3	14,968	-2,820	26,276	0,000	-0,016	16,530	0,000	30,000	551,016	0,000	26,276	-0,062	0,000	-0,171	0,039
20	17994	4	15,052	-2,835	24,860	0,000	-0,021	16,552	0,000	30,000	551,719	0,000	24,860	-0,064	0,000	-0,167	0,035
20	17995	5	15,136	-2,850	23,444	0,000	-0,027	16,575	0,000	30,000	552,509	0,000	23,444	-0,072	0,000	-0,163	0,032
EmbeddedBeam_11_1	17995	1	15,136	-2,850	23,443	0,000	-0,027	16,575	0,000	30,000	552,509	0,000	23,443	-0,072	0,000	-0,163	0,032
Element 1-17 (Embedded beam)	17996	2	15,205	-2,863	22,273	0,000	-0,032	16,597	0,000	30,000	553,227	0,000	22,273	-0,083	0,000	-0,160	0,029
(TITAN 40/20 l=1,60m)	17997	3	15,275	-2,876	21,101	0,000	-0,039	16,620	0,000	30,000	554,004	0,000	21,101	-0,098	0,000	-0,156	0,028
20	17998	4	15,344	-2,889	19,927	0,000	-0,046	16,645	0,000	30,000	554,842	0,000	19,927	-0,116	0,000	-0,152	0,026
20	17999	5	15,414	-2,901	18,752	0,000	-0,055	16,672	0,000	30,000	555,742	0,000	18,752	-0,136	0,000	-0,147	0,025
EmbeddedBeam_11_1	17999	1	15,414	-2,901	18,751	0,000	-0,055	16,672	0,000	30,000	555,742	0,000	18,751	-0,129	0,000	-0,147	0,025
Element 1-18 (Embedded beam)	18000	2	15,521	-2,921	16,938	0,000	-0,072	16,717	0,000	30,000	557,250	0,000	16,938	-0,168	0,000	-0,139	0,023
(TITAN 40/20 l=1,60m)	18001	3	15,627	-2,940	15,118	0,000	-0,091	16,767	0,000	30,000	558,908	0,000	15,118	-0,183	0,000	-0,129	0,021
20	18002	4	15,734	-2,960	13,292	0,000	-0,110	16,822	0,000	30,000	560,718	0,000	13,292	-0,168	0,000	-0,117	0,018
20	18003	5	15,841	-2,980	11,462	0,000	-0,126	16,880	0,001	30,000	562,676	0,000	11,462	-0,131	0,000	-0,126	0,015
EmbeddedBeam_11_1	18003	1	15,841	-2,980	11,460	0,000	-0,126	16,880	0,001	30,000	562,676	0,000	11,460	-0,339	0,000	-0,126	0,015
Element 1-19 (Embedded beam)	18004	2	16,006	-4,010	8,628	0,000	-0,124	16,984	0,002	30,000	566,118	0,000	8,628	-0,125	0,000	-0,124	0,009
(TITAN 40/20 l=1,60m)	18005	3	16,171	-4,040	5,774	0,000	-0,067	17,091	0,002	30,000	569,712	0,000	5,774	-0,177	0,000	-0,075	0,001
20	18006	4	16,335	-4,070	2,901	0,000	-0,010	17,227	0,001	30,000	574,236	0,000	2,901	-0,009	0,000	-0,056	0,000
20	18007	5	16,500	-4,100	0,008	0,000	0,000	17,486	0,001	30,000	582,853	0,000	0,008	-0,092	0,001	0,000	0,000
EmbeddedBeam_31_1	18008	1	6,000	-6,250	106,309	-0,337	0,000	16,654	1,828	30,000	555,146	0,000	106,309	-337,106	0,000	0,000	0,000
Element 2-20 (Embedded beam)	18009	2	6,126	-6,273	104,198	-0,152	-30,577	16,427	1,222	30,000	547,577	0,000	104,198	-151,980	0,000	-30,577	0,000
(TITAN 40/20 l=1,60m)	18010	3	6,252	-6,295	102,110	-0,026	-41,401	16,230	0,719	30,000	541,014	0,000	102,110	-26,292	0,000	-41,401	0,000
20	18011	4	6,377	-6,318	100,047	0,044	-39,676	16,052	0,348	30,000	535,051	0,000	100,047	0,000	0,044	-39,676	0,000
20	18012	5	6,503	-6,341	98,008	0,061	-32,465	15,884	0,103	30,000	529,471	0,000	98,008	0,000	0,061	-32,465	0,000
EmbeddedBeam_31_1	18012	1	6,503	-6,341	98,006	0,072	-32,465	15,884	0,103	30,000	529,471	0,000	98,006	0,000	0,072	-32,465	0,000
Element 2-21 (Embedded beam)	18013	2	6,636	-6,365	95,869	0,069	-22,783	15,717	0,044	30,000	523,914	0,000	95,869	0,000	0,069	-22,783	0,000
(TITAN 40/20 l=1,60m)	18014	3	6,770	-6,389	93,751	0,060	-13,991	15,560	0,109	30,000	518,681	0,000	93,751	0,000	0,060	-13,991	0,000
20	18015	4	6,903	-6,413	91,654	0,045	-6,835	15,412	0,121	30,000	513,730	0,000	91,654	0,000	0,045	-6,835	0,000
20	18016	5	7,036	-6,436	89,579	0,026	-1,995	15,271	0,106	30,000	509,028	0,000	89,579	0,000	0,026	-3,091	0,000
EmbeddedBeam_31_1	18016	1	7,036	-6,436	89,577	0,028	-1,995	15,271	0,106	30,000	509,028	0,000	89,577	0,000	0,028	-3,091	0,000
Element 2-22 (Embedded beam)	18017	2	7,177	-6,462	87,400	0,015	-1,049	15,129	0,079	30,000	504,293	0,000	87,400	0,000	0,015	-0,786	1,049

Structural element	Node [10^1]	Local number	X [m]	Y [m]	N [kN]	Q [kN]	M [10^-1 kN m]	$T_{xx,+}$ [kN/m]	$T_{xx,-}$ [kN/m]	$T_{xx,max}$ [kN/m]	$T_{xx,min}$ [10^1]	$N_{xx,+}$ [10^1 kN]	$N_{xx,-}$ [kN]	$Q_{xz,+}$ [10^1 kN]	$Q_{xz,-}$ [kN]	$M_{yy,+}$ [10^1 kN m]	$M_{yy,-}$ [10^1 kN m]
(TITAN 40/20 l=1,60m)	18018	3	7,318	-5,487	85,240	0,006	2,488	-14,994	-0,050	30,000	499,788	0,000	85,240	0,000	0,006	-0,020	2,488
39	18019	4	7,459	-5,513	83,098	0,000	2,852	-14,865	-0,027	30,000	495,497	0,000	83,098	0,000	0,001	-0,013	2,852
39	18020	5	7,600	-5,538	80,978	0,002	2,666	-14,742	-0,011	30,000	491,403	0,000	80,978	2,067	0,000	-0,011	2,666
EmbeddedBeam_31_1	18020	1	7,600	-5,538	80,976	0,003	2,666	-14,742	-0,011	30,000	491,403	0,000	80,976	2,766	0,000	-0,011	2,666
Element 2-33 (Embedded beam)	18021	2	7,750	-5,565	78,748	0,003	2,208	-14,618	-0,001	30,000	487,268	0,000	78,748	3,153	0,000	-0,012	2,208
(TITAN 40/20 l=1,60m)	18022	3	7,899	-5,592	76,537	0,003	1,740	-14,500	0,004	30,000	483,328	0,000	76,537	2,942	0,000	-0,013	1,740
39	18023	4	8,049	-5,619	74,343	0,002	1,338	-14,387	0,006	30,000	479,571	0,000	74,343	2,250	0,000	-0,060	1,338
39	18024	5	8,198	-5,646	72,167	0,001	1,074	-14,280	0,005	30,000	475,987	0,000	72,167	1,594	0,000	-0,188	1,074
EmbeddedBeam_31_1	18024	1	8,198	-5,646	72,166	0,001	1,074	-14,280	0,005	30,000	475,987	0,000	72,166	1,339	0,000	-0,188	1,074
Element 2-34 (Embedded beam)	18025	2	8,357	-5,674	69,879	0,001	0,919	-14,171	0,004	30,000	472,168	0,000	69,879	0,622	0,000	-0,249	0,919
(TITAN 40/20 l=1,60m)	18026	3	8,515	-5,703	67,608	0,000	0,862	-14,068	0,002	30,000	468,924	0,000	67,608	0,121	0,000	-0,249	0,862
39	18027	4	8,673	-5,731	65,352	0,000	0,869	-13,969	0,001	30,000	465,646	0,000	65,352	0,000	0,000	-0,210	0,869
39	18028	5	8,832	-5,760	63,114	0,000	0,907	-13,876	0,000	30,000	462,529	0,000	63,114	0,000	0,000	-0,156	0,907
EmbeddedBeam_31_1	18028	1	8,832	-5,760	63,112	0,000	0,907	-13,876	0,000	30,000	462,529	0,000	63,112	0,000	0,000	-0,156	0,907
Element 2-35 (Embedded beam)	18029	2	8,999	-5,790	60,758	0,000	0,960	-13,782	0,000	30,000	459,400	0,000	60,758	0,000	0,000	-0,094	0,960
(TITAN 40/20 l=1,60m)	18030	3	9,167	-5,820	58,417	0,000	1,012	-13,693	0,000	30,000	456,445	0,000	58,417	0,000	0,000	-0,036	1,012
39	18031	4	9,335	-5,850	56,091	0,000	1,057	-13,610	0,000	30,000	453,663	0,000	56,091	0,000	0,000	-0,026	1,057
39	18032	5	9,502	-5,880	53,780	0,000	1,091	-13,532	0,000	30,000	451,056	0,000	53,780	0,000	0,000	-0,021	1,091
EmbeddedBeam_31_1	18032	1	9,502	-5,880	53,778	0,000	1,091	-13,532	0,000	30,000	451,056	0,000	53,778	0,000	0,000	-0,021	1,091
Element 2-36 (Embedded beam)	18033	2	9,680	-5,912	51,346	0,000	1,117	-13,455	0,000	30,000	448,489	0,000	51,346	0,000	0,000	-0,017	1,117
(TITAN 40/20 l=1,60m)	18034	3	9,857	-5,944	48,923	0,000	1,132	-13,384	0,000	30,000	446,125	0,000	48,923	0,000	0,000	-0,015	1,132
39	18035	4	10,035	-5,976	46,514	0,000	1,138	-13,319	0,000	30,000	443,970	0,000	46,514	0,000	0,000	-0,012	1,138
39	18036	5	10,213	-7,008	44,117	0,000	1,135	-13,261	0,000	30,000	442,031	0,000	44,117	0,036	0,000	-0,010	1,135
EmbeddedBeam_31_1	18036	1	10,213	-7,008	44,115	0,000	1,135	-13,261	0,000	30,000	442,031	0,000	44,115	0,036	0,000	-0,010	1,135
Element 2-37 (Embedded beam)	18037	2	10,401	-7,042	41,588	0,000	1,124	-13,207	0,000	30,000	440,220	0,000	41,588	0,078	0,000	-0,009	1,124
(TITAN 40/20 l=1,60m)	18038	3	10,589	-7,076	39,068	0,000	1,105	-13,160	0,000	30,000	438,669	0,000	39,068	0,116	0,000	-0,007	1,105
39	18039	4	10,777	-7,110	36,555	0,000	1,080	-13,122	0,000	30,000	437,386	0,000	36,555	0,150	0,000	-0,006	1,080
39	18040	5	10,965	-7,144	34,053	0,000	1,049	-13,091	0,000	30,000	436,382	0,000	34,053	0,179	0,000	-0,005	1,049
EmbeddedBeam_31_1	18040	1	10,965	-7,144	34,050	0,000	1,049	-13,091	0,000	30,000	436,382	0,000	34,050	0,178	0,000	-0,005	1,049
Element 2-38 (Embedded beam)	18041	2	11,164	-7,180	31,405	0,000	1,010	-13,069	0,000	30,000	435,632	0,000	31,405	0,201	0,000	-0,004	1,010
(TITAN 40/20 l=1,60m)	18042	3	11,363	-7,215	28,760	0,000	0,968	-13,057	0,000	30,000	435,218	0,000	28,760	0,216	0,000	-0,003	0,968
39	18043	4	11,563	-7,251	26,116	0,000	0,923	-13,055	0,000	30,000	435,153	0,000	26,116	0,222	0,000	-0,002	0,923
39	18044	5	11,762	-7,287	23,475	0,000	0,878	-13,063	0,000	30,000	435,449	0,000	23,475	0,219	0,000	-0,002	0,878
EmbeddedBeam_31_1	18044	1	11,762	-7,287	23,472	0,000	0,878	-13,063	0,000	30,000	435,449	0,000	23,472	0,231	0,000	-0,002	0,878
Element 2-39 (Embedded beam)	18045	2	11,973	-7,325	20,672	0,000	0,832	-13,085	0,000	30,000	436,173	0,000	20,672	0,210	0,000	-0,001	0,832
(TITAN 40/20 l=1,60m)	18046	3	12,184	-7,363	17,861	0,000	0,786	-13,120	0,000	30,000	437,338	0,000	17,861	0,226	0,000	-0,001	0,786
39	18047	4	12,395	-7,401	15,042	0,000	0,732	-13,169	0,000	30,000	438,973	0,000	15,042	0,285	0,000	-0,001	0,732
39	18048	5	12,606	-7,439	12,215	0,000	0,660	-13,233	-0,001	30,000	441,112	0,000	12,215	0,395	0,000	0,000	0,660
EmbeddedBeam_31_1	18048	1	12,606	-7,439	12,210	0,000	0,660	-13,233	-0,001	30,000	441,112	0,000	12,210	0,292	0,000	0,000	0,660
Element 2-30 (Embedded beam)	18049	2	12,829	-7,479	9,200	0,001	0,543	-13,319	-0,001	30,000	443,956	0,000	9,200	0,724	0,000	0,000	0,543
(TITAN 40/20 l=1,60m)	18050	3	13,053	-7,520	6,162	0,001	0,345	-13,424	-0,001	30,000	447,469	0,000	6,162	0,948	0,000	0,000	0,345
39	18051	4	13,276	-7,560	3,097	0,001	0,137	-13,560	0,002	30,000	451,994	0,000	3,097	0,839	0,000	0,000	0,137
39	18052	5	13,500	-7,600	0,005	0,000	0,000	-13,744	0,007	30,000	458,145	0,000	0,005	0,271	0,000	0,000	0,000
EmbeddedBeam_21_1	18053	1	1,776	-12,600	7,573	0,013	0,000	-34,307	0,419	125,000	274,456	0,000	7,573	12,623	0,000	0,000	0,000
Element 3-31 (Embedded beam)	18054	2	1,857	-12,790	3,609	0,002	0,837	-15,705	0,047	125,000	125,637	0,000	3,609	0,000	0,002	-0,837	0,001
(Kircopalo D168.3 x12.5mm/1,6m)	18055	3	1,938	-12,980	1,176	0,004	0,171	-6,783	-0,044	125,000	54,265	0,000	1,176	0,000	0,004	-0,171	0,004
39	18056	4	2,019	-13,170	0,033	0,002	0,622	-3,218	-0,010	125,000	25,746	0,000	0,077	0,001	0,002	0,000	0,622
39	18057	5	2,100	-13,360	-0,061	-0,002	0,517	-1,438	0,001	125,000	11,503	-76,067	0,020	1,622	0,000	0,000	0,517
EmbeddedBeam_21_1	18057	1	2,100	-13,360	-0,325	0,000	0,517	-1,438	0,001	125,000	11,503	-324,994	0,000	0,258	0,000	0,000	0,517
Element 3-32 (Embedded beam)	18058	2	2,182	-13,550	-0,487	0,000	0,464	-0,630	0,001	125,000	5,037	-487,154	0,000	0,191	0,000	0,000	0,464
(Kircopalo D168.3 x12.5mm/1,6m)	18059	3	2,263	-13,740	-0,581	0,000	0,433	-0,234	0,000	125,000	1,872	-581,157	0,000	0,126	0,000	0,000	0,433
39	18060	4	2,344	-13,930	-0,617	0,000	0,412	-0,071	0,000	125,000	0,570	-617,477	0,000	0,112	0,000	0,000	0,412
39	18061	5	2,425	-14,120	-0,607	0,000	0,390	0,011	0,000	125,000	0,090	-606,592	0,000	0,114	0,000	0,000	0,390
EmbeddedBeam_21_1	18061	1	2,425	-14,120	-0,618	0,000	0,390	0,011	0,000	125,000	0,090	-618,332	0,000	0,108	0,000	0,000	0,390
Element 3-33 (Embedded beam)	18062	2	2,507	-14,310	-0,610	0,000	0,374	0,049	0,000	125,000	0,391	-609,711	0,000	0,079	0,000	0,000	0,374
(Kircopalo D168.3 x12.5mm/1,6m)	18063	3	2,588	-14,500	-0,598	0,000	0,362	0,067	0,000	125,000	0,537	-597,963	0,000	0,056	0,000	0,000	0,362
39	18064	4	2,669	-14,690	-0,584	0,000	0,355	0,074	0,000	125,000	0,593	-583,606	0,000	0,040	0,000	0,000	0,355

Structural element	Node [10 ^]	Local number	X [m]	Y [m]	N [kN]	Q [kN]	M [10 ^ kN m]	$T_{x,x}$ [kN/m]	$T_{x,y}$ [kN/m]	$T_{x,x,x,x}$ [kN/m]	$T_{x,x,y,y}$ [10 ^]	$N_{x,x}$ [10 ^ kN]	$N_{x,y}$ [kN]	$Q_{x,x}$ [10 ^ kN]	$Q_{x,y}$ [kN]	$M_{x,x}$ [10 ^ kN m]	$M_{x,y}$ [10 ^ kN m]
臂	18065	5	2,750	-14,880	-0,567	0,000	0,350	0,077	0,000	125,000	0,620	-567,157	0,000	0,032	0,000	0,000	0,350
EmbeddedBeam_2_1	18065	1	2,750	-14,880	-0,567	0,000	0,350	0,077	0,000	125,000	0,620	-567,225	0,000	0,030	0,000	0,000	0,350
Element 3-34 (Embedded beam)	18066	2	2,831	-15,070	-0,552	0,000	0,346	0,080	0,000	125,000	0,640	-551,639	0,000	0,027	0,000	0,000	0,346
(Micropalo D168.3 s12.5mm/1,6m)	18067	3	2,913	-15,260	-0,534	0,000	0,342	0,085	0,000	125,000	0,682	-534,329	0,000	0,025	0,000	0,000	0,342
臂	18068	4	2,994	-15,450	-0,515	0,000	0,338	0,101	0,000	125,000	0,811	-514,817	0,000	0,026	0,000	0,000	0,338
臂	18069	5	3,075	-15,640	-0,493	0,000	0,333	0,138	0,000	125,000	1,106	-492,624	0,000	0,028	0,000	0,000	0,333
EmbeddedBeam_2_1	18069	1	3,075	-15,640	-0,479	0,000	0,333	0,138	0,000	125,000	1,106	-478,985	0,000	0,099	0,000	0,000	0,333
Element 3-35 (Embedded beam)	18070	2	3,156	-15,830	-0,462	0,000	0,322	0,225	0,000	125,000	1,803	-461,518	0,000	0,061	0,000	0,000	0,322
(Micropalo D168.3 s12.5mm/1,6m)	18071	3	3,238	-16,020	-0,391	0,000	0,289	0,405	-0,002	125,000	3,241	-390,642	0,000	0,282	0,000	0,000	0,289
臂	18072	4	3,319	-16,210	-0,254	0,001	0,193	0,864	-0,002	125,000	6,910	-253,825	0,000	0,683	0,000	0,000	0,193
臂	18073	5	3,400	-16,400	-0,039	0,001	0,000	1,827	0,016	125,000	14,614	-38,539	0,000	1,189	0,000	0,000	0,000

3.3.1.1.31 Calculation results, Embedded beam, SLU11 Paratia provvisionale [Phase_23] (23/1151), Table of embedded beam force envelopes

Structural element	Node [10 ^]	Local number	X [m]	Y [m]	N [kN]	Q [kN]	M [10 ^ kN m]	T_{xxx} [kN/m]	T_{yyy} [kN/m]	$T_{xxx,max}$ [kN/m]	$T_{xxx,min}$ [10 ^]	N_{xxx} [kN]	N_{xxx} [kN]	Q_{xxx} [10 ^ kN]	Q_{xxx} [kN]	M_{xxx} [10 ^ kN m]	M_{xxx} [10 ^ kN m]
EmbeddedBeam_1_1	17931	1	8,300	-2,600	115,791	1,414	0,000	-12,819	-6,698	30,000	427,292	0,000	115,791	0,000	1,414	0,000	0,000
Element 1-1 (Embedded beam)	17932	2	8,493	-2,635	113,316	0,476	178,338	-12,502	-3,870	30,000	416,742	0,000	113,316	0,000	0,476	0,000	178,338
(TITAN 40/20 l=1,60m)	17933	3	8,685	-2,670	110,895	-0,087	211,233	-12,217	-1,714	30,000	407,240	0,000	110,895	87,380	0,000	0,000	211,233
圆	17934	4	8,878	-2,706	108,527	-0,311	166,252	-11,950	-0,403	30,000	398,329	0,000	108,527	211,144	0,000	0,000	166,252
圆	17935	5	9,071	-2,741	106,215	-0,231	108,791	-11,693	0,226	30,000	389,781	0,000	106,215	231,396	0,000	0,000	108,791
EmbeddedBeam_1_1	17935	1	9,071	-2,741	106,212	-0,300	108,791	-11,693	0,226	30,000	389,781	0,000	106,212	299,832	0,000	0,000	108,791
Element 1-2 (Embedded beam)	17936	2	9,223	-2,769	104,414	-0,235	67,249	-11,499	0,409	30,000	383,287	0,000	104,414	235,297	0,000	0,000	67,249
(TITAN 40/20 l=1,60m)	17937	3	9,376	-2,797	102,644	-0,172	35,739	-11,312	0,427	30,000	377,057	0,000	102,644	171,713	0,000	0,000	35,739
圆	17938	4	9,529	-2,825	100,902	-0,112	13,741	-11,133	0,360	30,000	371,093	0,000	100,902	111,987	0,000	0,000	13,741
圆	17939	5	9,681	-2,853	99,189	-0,059	0,601	-10,962	0,265	30,000	365,390	0,000	99,189	59,030	0,000	-0,384	0,730
EmbeddedBeam_1_1	17939	1	9,681	-2,853	99,188	-0,061	0,601	-10,962	0,265	30,000	365,390	0,000	99,188	61,067	0,000	-0,384	0,730
Element 1-3 (Embedded beam)	17940	2	9,802	-2,875	97,848	-0,034	-5,174	-10,832	0,192	30,000	361,054	0,000	97,848	34,080	0,000	-5,174	0,000
(TITAN 40/20 l=1,60m)	17941	3	9,923	-2,897	96,524	-0,014	-8,065	-10,706	0,132	30,000	356,881	0,000	96,524	13,954	0,000	-8,065	0,000
圆	17942	4	10,044	-2,919	95,214	0,000	-8,871	-10,586	0,087	30,000	352,871	0,000	95,214	0,768	0,001	-8,871	0,000
圆	17943	5	10,165	-2,941	93,920	0,007	-8,377	-10,471	0,059	30,000	349,028	0,000	93,920	0,000	0,007	-8,377	0,000
EmbeddedBeam_1_1	17943	1	10,165	-2,941	93,919	0,008	-8,377	-10,471	0,059	30,000	349,028	0,000	93,919	0,000	0,008	-8,377	0,000
Element 1-4 (Embedded beam)	17944	2	10,261	-2,959	92,904	0,013	-7,322	-10,384	0,046	30,000	346,141	0,000	92,904	0,000	0,013	-7,322	0,000
(TITAN 40/20 l=1,60m)	17945	3	10,357	-2,976	91,896	0,017	-5,825	-10,300	0,042	30,000	343,330	0,000	91,896	0,000	0,017	-5,825	0,000
圆	17946	4	10,453	-2,994	90,895	0,021	-3,944	-10,224	0,034	30,000	340,797	0,000	90,895	0,000	0,021	-3,944	0,000
圆	17947	5	10,549	-3,011	89,903	0,024	-1,741	-10,188	-0,015	30,000	339,612	0,000	89,903	0,000	0,024	-2,268	0,000
EmbeddedBeam_1_1	17947	1	10,549	-3,011	89,901	0,024	-1,741	-16,981	-0,025	30,000	566,020	0,000	89,901	0,000	0,024	-2,268	0,000
Element 1-5 (Embedded beam)	17948	2	10,656	-3,031	88,048	0,018	0,552	-16,842	-0,048	30,000	561,412	0,000	88,048	0,000	0,018	-1,189	0,709
(TITAN 40/20 l=1,60m)	17949	3	10,764	-3,051	86,208	0,013	2,264	-16,706	-0,050	30,000	556,861	0,000	86,208	0,000	0,013	-0,393	2,264
圆	17950	4	10,872	-3,071	84,384	0,008	3,409	-16,572	-0,045	30,000	552,386	0,000	84,384	0,000	0,008	-0,112	3,409
圆	17951	5	10,980	-3,090	82,575	0,003	4,008	-16,440	-0,036	30,000	547,993	0,000	82,575	0,000	0,004	-0,020	4,008
EmbeddedBeam_1_1	17951	1	10,980	-3,090	82,574	0,003	4,008	-16,440	-0,036	30,000	547,993	0,000	82,574	0,000	0,004	-0,020	4,008
Element 1-6 (Embedded beam)	17952	2	11,085	-3,110	80,819	0,000	4,178	-16,314	-0,026	30,000	543,796	0,000	80,819	0,445	0,002	0,000	4,178
(TITAN 40/20 l=1,60m)	17953	3	11,191	-3,129	79,077	-0,002	4,052	-16,191	-0,016	30,000	539,714	0,000	79,077	2,554	0,001	0,000	4,052
圆	17954	4	11,296	-3,148	77,347	-0,004	3,729	-16,073	-0,009	30,000	535,755	0,000	77,347	3,787	0,000	0,000	3,729
圆	17955	5	11,402	-3,167	75,631	-0,004	3,310	-15,958	-0,003	30,000	531,920	0,000	75,631	4,182	0,000	0,000	3,310
EmbeddedBeam_1_1	17955	1	11,402	-3,167	75,630	-0,004	3,310	-15,958	-0,003	30,000	531,920	0,000	75,630	4,324	0,000	0,000	3,310
Element 1-7 (Embedded beam)	17956	2	11,505	-3,186	73,964	-0,004	2,866	-15,849	0,001	30,000	528,292	0,000	73,964	4,236	0,000	-0,002	2,866
(TITAN 40/20 l=1,60m)	17957	3	11,608	-3,205	72,308	-0,004	2,439	-15,743	0,004	30,000	524,781	0,000	72,308	3,944	0,000	-0,008	2,439
圆	17958	4	11,711	-3,224	70,663	-0,003	2,048	-15,642	0,005	30,000	521,385	0,000	70,663	3,493	0,000	-0,018	2,048
圆	17959	5	11,814	-3,243	69,030	-0,003	1,712	-15,543	0,005	30,000	518,104	0,000	69,030	2,891	0,000	-0,029	1,712
EmbeddedBeam_1_1	17959	1	11,814	-3,243	69,029	-0,003	1,712	-15,543	0,005	30,000	518,104	0,000	69,029	2,946	0,000	-0,029	1,712
Element 1-8 (Embedded beam)	17960	2	11,915	-3,261	67,442	-0,002	1,438	-15,450	0,005	30,000	515,006	0,000	67,442	2,411	0,000	-0,040	1,438
(TITAN 40/20 l=1,60m)	17961	3	12,016	-3,280	65,863	-0,002	1,216	-15,360	0,004	30,000	512,015	0,000	65,863	1,943	0,000	-0,048	1,216
圆	17962	4	12,117	-3,298	64,293	-0,002	1,038	-15,274	0,004	30,000	509,131	0,000	64,293	1,545	0,000	-0,055	1,038
圆	17963	5	12,217	-3,317	62,733	-0,001	0,897	-15,191	0,003	30,000	506,354	0,000	62,733	1,221	0,000	-0,060	0,897
EmbeddedBeam_1_1	17963	1	12,217	-3,317	62,732	-0,001	0,897	-15,191	0,003	30,000	506,354	0,000	62,732	1,219	0,000	-0,060	0,897
Element 1-9 (Embedded beam)	17964	2	12,316	-3,335	61,214	-0,001	0,787	-15,112	0,002	30,000	503,742	0,000	61,214	0,984	0,000	-0,064	0,787
(TITAN 40/20 l=1,60m)	17965	3	12,414	-3,353	59,704	-0,001	0,698	-15,037	0,002	30,000	501,230	0,000	59,704	0,803	0,000	-0,067	0,698
圆	17966	4	12,513	-3,371	58,200	-0,001	0,624	-14,965	0,001	30,000	498,819	0,000	58,200	0,674	0,000	-0,068	0,624
圆	17967	5	12,612	-3,389	56,705	-0,001	0,561	-14,895	0,001	30,000	496,509	0,000	56,705	0,593	0,000	-0,069	0,561
EmbeddedBeam_1_1	17967	1	12,612	-3,389	56,704	-0,001	0,561	-14,895	0,001	30,000	496,509	0,000	56,704	0,585	0,000	-0,069	0,561
Element 1-10 (Embedded beam)	17968	2	12,708	-3,406	55,249	-0,001	0,506	-14,830	0,000	30,000	494,348	0,000	55,249	0,532	0,000	-0,070	0,506
(TITAN 40/20 l=1,60m)	17969	3	12,804	-3,424	53,799	0,000	0,456	-14,768	0,000	30,000	492,282	0,000	53,799	0,493	0,000	-0,070	0,456
圆	17970	4	12,901	-3,442	52,355	0,000	0,409	-14,709	0,000	30,000	490,312	0,000	52,355	0,466	0,000	-0,070	0,409

Structural element	Node [10^]	Local number	X [m]	Y [m]	N [kN]	Q [kN]	M [10^ kN m]	T_{xx} [kN/m]	T_{yy} [kN/m]	$T_{xx,yy}$ [kN/m]	$T_{xx,yy}$ [10^]	$N_{x,i}$ [kN]	$N_{x,j}$ [kN]	$Q_{z,i}$ [10^ kN]	$Q_{z,j}$ [kN]	$M_{y,i}$ [10^ kN m]	$M_{y,j}$ [10^ kN m]
臂	17971	5	12,997	-3,459	50,918	0,000	0,365	-14,653	0,000	30,000	488,438	0,000	50,918	0,449	0,000	-0,070	0,365
EmbeddedBeam_11_1	17971	1	12,997	-3,459	50,917	0,000	0,365	-14,653	0,000	30,000	488,438	0,000	50,917	0,446	0,000	-0,070	0,365
Element 1-11 (Embedded beam)	17972	2	13,091	-3,476	49,516	0,000	0,323	-14,601	0,000	30,000	486,698	0,000	49,516	0,431	0,000	-0,070	0,323
(TITAN 40/20 I=1,60m)	17973	3	13,185	-3,494	48,120	0,000	0,282	-14,551	0,000	30,000	485,049	0,000	48,120	0,415	0,000	-0,071	0,282
臂	17974	4	13,280	-3,511	46,728	0,000	0,243	-14,505	0,000	30,000	483,491	0,000	46,728	0,398	0,000	-0,071	0,243
臂	17975	5	13,374	-3,528	45,342	0,000	0,206	-14,461	0,000	30,000	482,024	0,000	45,342	0,379	0,000	-0,071	0,206
EmbeddedBeam_11_1	17975	1	13,374	-3,528	45,341	0,000	0,206	-14,461	0,000	30,000	482,024	0,000	45,341	0,379	0,000	-0,071	0,206
Element 1-12 (Embedded beam)	17976	2	13,466	-3,545	43,990	0,000	0,171	-14,420	0,000	30,000	480,677	0,000	43,990	0,359	0,000	-0,089	0,171
(TITAN 40/20 I=1,60m)	17977	3	13,558	-3,562	42,641	0,000	0,139	-14,383	0,000	30,000	479,417	0,000	42,641	0,336	0,000	-0,106	0,139
臂	17978	4	13,650	-3,579	41,295	0,000	0,109	-14,347	0,000	30,000	478,244	0,000	41,295	0,312	0,000	-0,121	0,109
臂	17979	5	13,742	-3,596	39,954	0,000	0,080	-14,315	0,000	30,000	477,157	0,000	39,954	0,287	0,000	-0,134	0,080
EmbeddedBeam_11_1	17979	1	13,742	-3,596	39,953	0,000	0,080	-14,315	0,000	30,000	477,157	0,000	39,953	0,287	0,000	-0,134	0,080
Element 1-13 (Embedded beam)	17980	2	13,832	-3,612	38,644	0,000	0,055	-14,285	0,000	30,000	476,178	0,000	38,644	0,262	0,000	-0,145	0,055
(TITAN 40/20 I=1,60m)	17981	3	13,923	-3,629	37,337	0,000	0,033	-14,258	0,000	30,000	475,281	0,000	37,337	0,236	0,000	-0,154	0,033
臂	17982	4	14,013	-3,645	36,033	0,000	0,012	-14,234	0,000	30,000	474,467	0,000	36,033	0,211	0,000	-0,161	0,012
臂	17983	5	14,103	-3,661	34,731	0,000	-0,006	-14,212	0,000	30,000	473,736	0,000	34,731	0,186	0,000	-0,167	0,000
EmbeddedBeam_11_1	17983	1	14,103	-3,661	34,730	0,000	-0,006	-14,212	0,000	30,000	473,736	0,000	34,730	0,186	0,000	-0,167	0,000
Element 1-14 (Embedded beam)	17984	2	14,191	-3,678	33,460	0,000	-0,022	-14,193	0,000	30,000	473,100	0,000	33,460	0,163	0,000	-0,171	0,000
(TITAN 40/20 I=1,60m)	17985	3	14,279	-3,694	32,190	0,000	-0,035	-14,176	0,000	30,000	472,545	0,000	32,190	0,141	0,000	-0,174	0,000
臂	17986	4	14,367	-3,710	30,921	0,000	-0,047	-14,162	0,000	30,000	472,068	0,000	30,921	0,120	0,000	-0,177	0,000
臂	17987	5	14,455	-3,726	29,654	0,000	-0,057	-14,150	0,000	30,000	471,672	0,000	29,654	0,100	0,000	-0,178	0,000
EmbeddedBeam_11_1	17987	1	14,455	-3,726	29,653	0,000	-0,057	-14,150	0,000	30,000	471,672	0,000	29,653	0,100	0,000	-0,178	0,000
Element 1-15 (Embedded beam)	17988	2	14,541	-3,742	28,416	0,000	-0,065	-14,141	0,000	30,000	471,362	0,000	28,416	0,083	0,000	-0,179	0,000
(TITAN 40/20 I=1,60m)	17989	3	14,627	-3,757	27,178	0,000	-0,071	-14,134	0,000	30,000	471,128	0,000	27,178	0,067	0,000	-0,178	0,000
臂	17990	4	14,713	-3,773	25,941	0,000	-0,076	-14,129	0,000	30,000	470,973	0,000	25,941	0,052	0,000	-0,177	0,000
臂	17991	5	14,799	-3,789	24,705	0,000	-0,080	-14,127	0,000	30,000	470,896	0,000	24,705	0,039	0,000	-0,175	0,000
EmbeddedBeam_11_1	17991	1	14,799	-3,789	24,705	0,000	-0,080	-14,127	0,000	30,000	470,896	0,000	24,705	0,039	0,000	-0,175	0,000
Element 1-16 (Embedded beam)	17992	2	14,883	-3,804	23,496	0,000	-0,083	-14,127	0,000	30,000	470,897	0,000	23,496	0,028	0,000	-0,173	0,000
(TITAN 40/20 I=1,60m)	17992	3	14,968	-3,820	22,287	0,000	-0,085	-14,129	0,000	30,000	470,975	0,000	22,287	0,017	0,000	-0,170	0,000
臂	17994	4	15,052	-3,835	21,077	0,000	-0,086	-14,134	0,000	30,000	471,130	0,000	21,077	0,007	0,000	-0,167	0,000
臂	17995	5	15,136	-3,850	19,868	0,000	-0,086	-14,141	0,000	30,000	471,363	0,000	19,868	0,001	0,000	-0,163	0,000
EmbeddedBeam_11_1	17995	1	15,136	-3,850	19,868	0,000	-0,086	-14,141	0,000	30,000	471,363	0,000	19,868	0,001	0,000	-0,163	0,000
Element 1-17 (Embedded beam)	17996	2	15,205	-3,863	18,870	0,000	-0,086	-14,148	0,000	30,000	471,616	0,000	18,870	0,000	0,000	-0,160	0,000
(TITAN 40/20 I=1,60m)	17997	3	15,275	-3,876	17,871	0,000	-0,085	-14,158	0,000	30,000	471,924	0,000	17,871	0,000	0,000	-0,156	0,000
臂	17998	4	15,344	-3,889	16,871	0,000	-0,084	-14,169	0,000	30,000	472,288	0,000	16,871	0,000	0,000	-0,151	0,000
臂	17999	5	15,414	-3,901	15,872	0,000	-0,082	-14,181	0,000	30,000	472,709	0,000	15,872	0,000	0,000	-0,147	0,000
EmbeddedBeam_11_1	17999	1	15,414	-3,901	15,871	0,000	-0,082	-14,181	0,000	30,000	472,709	0,000	15,871	0,000	0,000	-0,147	0,000
Element 1-18 (Embedded beam)	18000	2	15,521	-3,921	14,329	0,000	-0,078	-14,204	0,000	30,000	473,472	0,000	14,329	0,000	0,000	-0,138	0,000
(TITAN 40/20 I=1,60m)	18001	3	15,627	-3,940	12,784	0,000	-0,072	-14,231	0,000	30,000	474,379	0,000	12,784	0,000	0,000	-0,128	0,000
臂	18002	4	15,734	-3,960	11,235	0,000	-0,065	-14,263	0,000	30,000	475,438	0,000	11,235	0,000	0,000	-0,116	0,000
臂	18003	5	15,841	-3,980	9,684	0,000	-0,057	-14,300	0,000	30,000	476,659	0,000	9,684	0,000	0,000	-0,102	0,000
EmbeddedBeam_11_1	18003	1	15,841	-3,980	9,681	0,000	-0,057	-14,300	0,000	30,000	476,659	0,000	9,681	0,000	0,000	-0,102	0,000
Element 1-19 (Embedded beam)	18004	2	16,006	-4,010	7,285	0,000	-0,039	-14,366	0,000	30,000	478,876	0,000	7,285	0,000	0,000	-0,074	0,000
(TITAN 40/20 I=1,60m)	18005	3	16,171	-4,040	4,872	0,000	-0,022	-14,446	0,000	30,000	481,528	0,000	4,872	0,000	0,000	-0,042	0,000
臂	18006	4	16,335	-4,070	2,445	0,000	-0,008	-14,546	0,000	30,000	484,878	0,000	2,445	0,000	0,000	-0,015	0,000
臂	18007	5	16,500	-4,100	0,003	0,000	0,000	-14,684	-0,001	30,000	489,467	0,000	0,003	0,000	0,000	0,000	0,000
EmbeddedBeam_21_1	18008	1	6,000	-6,250	100,157	-0,318	0,000	-16,344	1,698	30,000	544,798	0,000	100,157	317,890	0,000	0,000	0,000
Element 2-20 (Embedded beam)	18009	2	6,126	-6,273	98,085	-0,145	-28,967	-16,117	1,141	30,000	537,240	0,000	98,085	145,190	0,000	-28,967	0,000
(TITAN 40/20 I=1,60m)	18010	3	6,252	-6,295	96,038	-0,027	-39,474	-15,919	0,677	30,000	530,625	0,000	96,038	27,486	0,000	-39,474	0,000
臂	18011	4	6,377	-6,318	94,014	0,039	-38,196	-15,737	0,332	30,000	524,550	0,000	94,014	0,000	0,039	-38,196	0,000
臂	18012	5	6,503	-6,341	92,016	0,056	-31,675	-15,564	0,103	30,000	518,800	0,000	92,016	0,000	0,056	-31,675	0,000
EmbeddedBeam_21_1	18012	1	6,503	-6,341	92,014	0,046	-31,675	-15,564	0,103	30,000	518,800	0,000	92,014	0,000	0,046	-31,675	0,000
Element 2-21 (Embedded beam)	18013	2	6,636	-6,365	89,920	0,064	-22,748	-15,390	-0,036	30,000	513,004	0,000	89,920	0,000	0,064	-22,748	0,000
(TITAN 40/20 I=1,60m)	18014	3	6,770	-6,389	87,848	0,056	-14,559	-15,224	-0,098	30,000	507,476	0,000	87,848	0,000	0,056	-14,559	0,000
臂	18015	4	6,903	-6,413	85,797	0,042	-7,831	-15,065	-0,111	30,000	502,178	0,000	85,797	0,000	0,042	-7,831	0,000
臂	18016	5	7,036	-6,436	83,769	0,025	-3,231	-14,912	-0,098	30,000	497,082	0,000	83,769	0,000	0,025	-3,256	0,000
EmbeddedBeam_21_1	18016	1	7,036	-6,436	83,768	0,027	-3,231	-14,912	-0,098	30,000	497,082	0,000	83,768	0,000	0,027	-3,256	0,000

Structural element	Node [10^]	Local number	X [m]	Y [m]	N [kN]	Q [kN]	M [10^ kN m]	T_{xx} [kN/m]	T_{yy} [kN/m]	$T_{xx,yy}$ [kN/m]	$T_{xx,yy}$ [10^]	$N_{x,i}$ [kN]	$N_{x,j}$ [kN]	$Q_{x,i}$ [10^ kN]	$Q_{x,j}$ [kN]	$M_{x,i}$ [10^ kN m]	$M_{x,j}$ [10^ kN m]
Element 2-22 (Embedded beam)	18017	2	7,177	-6,462	81,642	0,015	-0,283	-14,756	-0,073	30,000	491,882	0,000	81,642	0,000	0,015	-0,786	0,000
(TITAN 40/20 l=1,60m)	18018	3	7,318	-6,487	79,537	0,006	1,169	-14,606	-0,047	30,000	486,866	0,000	79,537	0,000	0,006	-0,020	1,169
20	18019	4	7,459	-6,513	77,453	0,001	1,613	-14,461	-0,026	30,000	482,020	0,000	77,453	0,000	0,001	-0,013	1,613
20	18020	5	7,600	-6,538	75,391	-0,001	1,533	-14,320	-0,011	30,000	477,332	0,000	75,391	-1,330	0,000	-0,011	1,533
EmbeddedBeam_2_1	18020	1	7,600	-6,538	75,389	-0,002	1,533	-14,320	-0,011	30,000	477,332	0,000	75,389	-1,971	0,000	-0,011	1,533
Element 2-23 (Embedded beam)	18021	2	7,750	-6,565	73,227	-0,002	1,190	-14,176	-0,001	30,000	472,529	0,000	73,227	2,430	0,000	-0,012	1,190
(TITAN 40/20 l=1,60m)	18022	3	7,899	-6,592	71,084	-0,002	0,824	-14,037	0,003	30,000	467,884	0,000	71,084	2,326	0,000	-0,013	0,824
20	18023	4	8,049	-6,619	68,962	-0,002	0,507	-13,902	0,005	30,000	463,392	0,000	68,962	1,768	0,000	-0,060	0,507
20	18024	5	8,198	-6,646	66,862	-0,001	0,304	-13,771	0,004	30,000	459,046	0,000	66,862	0,863	0,000	-0,188	0,304
EmbeddedBeam_2_1	18024	1	8,198	-6,646	66,861	-0,001	0,304	-13,771	0,004	30,000	459,046	0,000	66,861	0,997	0,000	-0,188	0,304
Element 2-24 (Embedded beam)	18025	2	8,357	-6,674	64,658	0,000	0,194	-13,638	0,003	30,000	454,598	0,000	64,658	0,402	0,000	-0,249	0,194
(TITAN 40/20 l=1,60m)	18026	3	8,515	-6,703	62,474	0,000	0,164	-13,509	0,002	30,000	450,306	0,000	62,474	0,081	0,000	-0,248	0,164
20	18027	4	8,673	-6,731	60,311	0,000	0,186	-13,385	0,001	30,000	446,168	0,000	60,311	0,000	0,000	-0,209	0,186
20	18028	5	8,832	-6,760	58,169	0,000	0,230	-13,265	0,000	30,000	442,181	0,000	58,169	0,000	0,000	-0,154	0,230
EmbeddedBeam_2_1	18028	1	8,832	-6,760	58,167	0,000	0,230	-13,265	0,000	30,000	442,181	0,000	58,167	0,000	0,000	-0,154	0,230
Element 2-25 (Embedded beam)	18029	2	8,999	-6,790	55,919	0,000	0,284	-13,144	0,000	30,000	438,123	0,000	55,919	0,000	0,000	-0,091	0,284
(TITAN 40/20 l=1,60m)	18030	3	9,167	-6,820	53,689	0,000	0,333	-13,027	0,000	30,000	434,233	0,000	53,689	0,000	0,000	-0,033	0,333
20	18031	4	9,335	-6,850	51,479	0,000	0,376	-12,915	0,000	30,000	430,512	0,000	51,479	0,000	0,000	-0,026	0,376
20	18032	5	9,502	-6,880	49,289	0,000	0,411	-12,809	0,000	30,000	426,962	0,000	49,289	0,000	0,000	-0,021	0,411
EmbeddedBeam_2_1	18032	1	9,502	-6,880	49,287	0,000	0,411	-12,809	0,000	30,000	426,962	0,000	49,287	0,000	0,000	-0,021	0,411
Element 2-26 (Embedded beam)	18033	2	9,680	-6,912	46,987	0,000	0,439	-12,702	0,000	30,000	423,389	0,000	46,987	0,000	0,000	-0,017	0,439
(TITAN 40/20 l=1,60m)	18034	3	9,857	-6,944	44,704	0,000	0,460	-12,600	0,000	30,000	420,013	0,000	44,704	0,000	0,000	-0,015	0,460
20	18035	4	10,035	-6,976	42,438	0,000	0,476	-12,505	0,000	30,000	416,836	0,000	42,438	0,000	0,000	-0,012	0,476
20	18036	5	10,213	-7,008	40,192	0,000	0,488	-12,416	0,000	30,000	413,863	0,000	40,192	0,000	0,000	-0,010	0,488
EmbeddedBeam_2_1	18036	1	10,213	-7,008	40,190	0,000	0,488	-12,416	0,000	30,000	413,863	0,000	40,190	0,000	0,000	-0,010	0,488
Element 2-27 (Embedded beam)	18037	2	10,401	-7,042	37,827	0,000	0,496	-12,328	0,000	30,000	410,942	0,000	37,827	0,002	0,000	-0,009	0,496
(TITAN 40/20 l=1,60m)	18038	3	10,589	-7,076	35,478	0,000	0,500	-12,248	0,000	30,000	408,261	0,000	35,478	0,004	0,000	-0,007	0,500
20	18039	4	10,777	-7,110	33,143	0,000	0,500	-12,175	0,000	30,000	405,826	0,000	33,143	0,012	0,000	-0,006	0,500
20	18040	5	10,965	-7,144	30,825	0,000	0,495	-12,109	0,000	30,000	403,645	0,000	30,825	0,033	0,000	-0,005	0,495
EmbeddedBeam_2_1	18040	1	10,965	-7,144	30,822	0,000	0,495	-12,109	0,000	30,000	403,645	0,000	30,822	0,033	0,000	-0,005	0,495
Element 2-28 (Embedded beam)	18041	2	11,164	-7,180	28,379	0,000	0,487	-12,049	0,000	30,000	401,620	0,000	28,379	0,053	0,000	-0,004	0,487
(TITAN 40/20 l=1,60m)	18042	3	11,363	-7,215	25,945	0,000	0,474	-11,997	0,000	30,000	399,897	0,000	25,945	0,070	0,000	-0,003	0,474
20	18043	4	11,563	-7,251	23,520	0,000	0,459	-11,955	0,000	30,000	398,488	0,000	23,520	0,082	0,000	-0,002	0,459
20	18044	5	11,762	-7,287	21,106	0,000	0,441	-11,922	0,000	30,000	397,404	0,000	21,106	0,091	0,000	-0,002	0,441
EmbeddedBeam_2_1	18044	1	11,762	-7,287	21,103	0,000	0,441	-11,922	0,000	30,000	397,404	0,000	21,103	0,096	0,000	-0,002	0,441
Element 2-29 (Embedded beam)	18045	2	11,973	-7,325	18,552	0,000	0,421	-11,899	0,000	30,000	396,624	0,000	18,552	0,095	0,000	-0,001	0,421
(TITAN 40/20 l=1,60m)	18046	3	12,184	-7,363	16,001	0,000	0,399	-11,887	0,000	30,000	396,240	0,000	16,001	0,111	0,000	-0,001	0,399
20	18047	4	12,395	-7,401	13,451	0,000	0,372	-11,888	0,000	30,000	396,276	0,000	13,451	0,146	0,000	-0,001	0,372
20	18048	5	12,606	-7,439	10,904	0,000	0,335	-11,903	0,000	30,000	396,764	0,000	10,904	0,203	0,000	0,000	0,335
EmbeddedBeam_2_1	18048	1	12,606	-7,439	10,900	0,000	0,335	-11,903	0,000	30,000	396,764	0,000	10,900	0,147	0,000	0,000	0,335
Element 2-30 (Embedded beam)	18049	2	12,829	-7,479	8,197	0,000	0,276	-11,934	-0,001	30,000	397,800	0,000	8,197	0,370	0,000	0,000	0,276
(TITAN 40/20 l=1,60m)	18050	3	13,053	-7,520	5,480	0,000	0,174	-11,983	-0,001	30,000	399,435	0,000	5,480	0,486	0,000	0,000	0,174
20	18051	4	13,276	-7,560	2,749	0,000	0,068	-12,059	0,001	30,000	401,971	0,000	2,749	0,426	0,000	0,000	0,068
20	18052	5	13,500	-7,600	0,004	0,000	0,000	-12,179	0,004	30,000	405,951	0,000	0,004	0,121	0,000	0,000	0,000

3.3.1.1.32 Calculation results, Embedded beam, SLU12 Paratia provvisionale [Phase_24] (24/1162), Table of embedded beam force envelopes

Structural element	Node [10 ^]	Local number	X [m]	Y [m]	N [kN]	Q [kN]	M [10 ^ kN m]	T_{xxx} [kN/m]	T_{yyy} [kN/m]	$T_{xxx,max}$ [kN/m]	$T_{xxx,min}$ [10 ^]	N_{xxx} [kN]	N_{xxx} [kN]	Q_{xxx} [10 ^ kN]	Q_{xxx} [kN]	M_{xxx} [10 ^ kN m]	M_{xxx} [10 ^ kN m]
EmbeddedBeam_1_1	17931	1	8,300	-2,600	138,988	1,694	0,000	-14,141	-8,042	30,000	471,359	0,000	138,988	0,000	1,694	0,000	0,000
Element 1-1 (Embedded beam)	17932	2	8,493	-2,635	136,263	0,576	214,253	-13,752	-4,619	30,000	458,397	0,000	136,263	0,000	0,576	0,000	214,253
(TITAN 40/20 l=1,60m)	17933	3	8,685	-2,670	133,602	-0,098	254,921	-13,409	-2,059	30,000	446,952	0,000	133,602	98,144	0,000	0,000	254,921
圆	17934	4	8,878	-2,706	131,007	-0,370	202,025	-13,086	-0,514	30,000	436,198	0,000	131,007	369,936	0,000	0,000	202,025
圆	17935	5	9,071	-2,741	128,478	-0,283	132,979	-12,772	0,219	30,000	425,739	0,000	128,478	282,988	0,000	0,000	132,979
EmbeddedBeam_1_1	17935	1	9,071	-2,741	128,475	-0,364	132,979	-12,772	0,219	30,000	425,739	0,000	128,475	363,984	0,000	0,000	132,979
Element 1-2 (Embedded beam)	17936	2	9,223	-2,769	126,514	-0,297	81,683	-12,528	0,427	30,000	417,606	0,000	126,514	296,859	0,000	0,000	81,683
(TITAN 40/20 l=1,60m)	17937	3	9,376	-2,797	124,587	-0,230	40,828	-12,290	0,445	30,000	409,671	0,000	124,587	230,496	0,000	0,000	40,828
圆	17938	4	9,529	-2,825	122,697	-0,168	9,939	-12,059	0,380	30,000	401,966	0,000	122,697	167,722	0,000	0,000	11,685
圆	17939	5	9,681	-2,853	120,845	-0,111	-11,590	-11,839	0,314	30,000	394,633	0,000	120,845	111,366	0,000	-11,590	0,650
EmbeddedBeam_1_1	17939	1	9,681	-2,853	120,843	-0,110	-11,590	-11,839	0,314	30,000	394,633	0,000	120,843	110,143	0,000	-11,590	0,650
Element 1-3 (Embedded beam)	17940	2	9,802	-2,875	119,399	-0,077	23,161	-11,678	0,290	30,000	389,271	0,000	119,399	77,335	0,000	-23,161	0,000
(TITAN 40/20 l=1,60m)	17941	3	9,923	-2,897	117,971	-0,039	-30,396	-11,527	0,323	30,000	384,228	0,000	117,971	39,135	0,000	-30,396	0,000
圆	17942	4	10,044	-2,919	116,561	0,005	-32,526	-11,399	0,395	30,000	379,972	0,000	116,561	0,560	0,009	-32,526	0,000
圆	17943	5	10,165	-2,941	115,168	0,058	-28,739	-11,337	0,469	30,000	377,895	0,000	115,168	0,000	0,058	-28,739	0,000
EmbeddedBeam_1_1	17943	1	10,165	-2,941	115,158	0,052	-28,739	-11,337	0,469	30,000	377,895	0,000	115,158	0,000	0,052	-28,739	0,000
Element 1-4 (Embedded beam)	17944	2	10,261	-2,959	114,062	0,106	-20,873	-11,388	0,444	30,000	379,593	0,000	114,062	0,000	0,106	-20,873	0,000
(TITAN 40/20 l=1,60m)	17945	3	10,357	-2,976	112,940	0,140	-8,655	-11,591	0,283	30,000	386,365	0,000	112,940	0,000	0,140	-8,655	0,000
圆	17946	4	10,453	-2,994	111,789	0,151	5,707	-11,983	-0,031	30,000	399,421	0,000	111,789	0,000	0,151	-3,377	5,707
圆	17947	5	10,549	-3,011	110,606	0,135	19,905	-12,542	-0,479	30,000	418,060	0,000	110,606	0,000	0,135	-2,268	19,905
EmbeddedBeam_1_1	17947	1	10,549	-3,011	110,599	0,129	19,905	-20,903	-0,799	30,000	696,766	0,000	110,599	0,000	0,129	-2,268	19,905
Element 1-5 (Embedded beam)	17948	2	10,656	-3,031	108,316	0,054	29,758	-20,753	-0,585	30,000	691,775	0,000	108,316	0,000	0,054	-1,189	29,758
(TITAN 40/20 l=1,60m)	17949	3	10,764	-3,051	106,049	0,002	32,632	-20,593	-0,368	30,000	686,448	0,000	106,049	0,000	0,011	-0,393	32,632
圆	17950	4	10,872	-3,071	103,799	-0,030	30,874	-20,435	-0,197	30,000	681,170	0,000	103,799	29,960	0,007	-0,112	30,874
圆	17951	5	10,980	-3,090	101,568	-0,041	26,794	-20,280	-0,076	30,000	676,012	0,000	101,568	41,295	0,004	-0,020	26,794
EmbeddedBeam_1_1	17951	1	10,980	-3,090	101,567	-0,045	26,794	-20,280	-0,076	30,000	676,012	0,000	101,567	44,876	0,004	-0,020	26,794
Element 1-6 (Embedded beam)	17952	2	11,085	-3,110	99,402	-0,047	21,852	-20,133	0,003	30,000	671,112	0,000	99,402	46,556	0,002	0,000	21,852
(TITAN 40/20 l=1,60m)	17953	3	11,191	-3,129	97,251	-0,044	16,965	-19,991	0,048	30,000	666,361	0,000	97,251	44,073	0,001	0,000	16,965
圆	17954	4	11,296	-3,148	95,115	-0,038	12,529	-19,853	0,070	30,000	661,756	0,000	95,115	38,004	0,000	0,000	12,529
圆	17955	5	11,402	-3,167	92,995	-0,029	8,921	-19,719	0,074	30,000	657,290	0,000	92,995	28,925	0,000	0,000	8,921
EmbeddedBeam_1_1	17955	1	11,402	-3,167	92,994	-0,030	8,921	-19,719	0,074	30,000	657,290	0,000	92,994	29,947	0,000	0,000	8,921
Element 1-7 (Embedded beam)	17956	2	11,505	-3,186	90,935	-0,022	6,200	-19,592	0,069	30,000	653,055	0,000	90,935	22,162	0,000	-0,002	6,200
(TITAN 40/20 l=1,60m)	17957	3	11,608	-3,205	88,887	-0,016	4,235	-19,468	0,058	30,000	648,948	0,000	88,887	15,540	0,000	-0,008	4,235
圆	17958	4	11,711	-3,224	86,853	-0,010	2,899	-19,349	0,046	30,000	644,965	0,000	86,853	10,127	0,000	-0,018	2,899
圆	17959	5	11,814	-3,243	84,832	-0,006	2,068	-19,233	0,033	30,000	641,103	0,000	84,832	5,970	0,000	-0,029	2,068
EmbeddedBeam_1_1	17959	1	11,814	-3,243	84,831	-0,006	2,068	-19,233	0,033	30,000	641,103	0,000	84,831	5,896	0,000	-0,029	2,068
Element 1-8 (Embedded beam)	17960	2	11,915	-3,261	82,866	-0,003	1,611	-19,123	0,023	30,000	637,442	0,000	82,866	3,152	0,000	-0,040	1,611
(TITAN 40/20 l=1,60m)	17961	3	12,016	-3,280	80,912	-0,001	1,393	-19,017	0,014	30,000	633,891	0,000	80,912	1,811	0,000	-0,048	1,393
圆	17962	4	12,117	-3,298	78,968	0,000	1,334	-18,913	0,008	30,000	630,449	0,000	78,968	1,424	0,000	-0,055	1,334
圆	17963	5	12,217	-3,317	77,036	0,000	1,354	-18,813	0,003	30,000	627,116	0,000	77,036	1,118	0,000	-0,060	1,354
EmbeddedBeam_1_1	17963	1	12,217	-3,317	77,035	0,000	1,354	-18,813	0,003	30,000	627,116	0,000	77,035	1,123	0,000	-0,060	1,354
Element 1-9 (Embedded beam)	17964	2	12,316	-3,335	75,155	0,001	1,409	-18,719	0,000	30,000	623,960	0,000	75,155	0,929	0,001	-0,064	1,409
(TITAN 40/20 l=1,60m)	17965	3	12,414	-3,353	73,284	0,001	1,464	-18,627	-0,002	30,000	620,907	0,000	73,284	0,774	0,001	-0,067	1,464
圆	17966	4	12,513	-3,371	71,422	0,000	1,508	-18,539	-0,002	30,000	617,955	0,000	71,422	0,656	0,000	-0,068	1,508
圆	17967	5	12,612	-3,389	69,570	0,000	1,526	-18,453	-0,003	30,000	615,104	0,000	69,570	0,564	0,000	-0,069	1,526
EmbeddedBeam_1_1	17967	1	12,612	-3,389	69,569	0,000	1,526	-18,453	-0,003	30,000	615,104	0,000	69,569	0,563	0,000	-0,069	1,526
Element 1-10 (Embedded beam)	17968	2	12,708	-3,406	67,766	0,000	1,519	-18,372	-0,003	30,000	612,416	0,000	67,766	0,497	0,000	-0,070	1,519
(TITAN 40/20 l=1,60m)	17969	3	12,804	-3,424	65,969	0,000	1,487	-18,295	-0,002	30,000	609,823	0,000	65,969	0,442	0,000	-0,070	1,487
圆	17970	4	12,901	-3,442	64,180	-0,001	1,435	-18,220	-0,002	30,000	607,328	0,000	64,180	0,630	0,000	-0,070	1,435

Structural element	Node [10^]	Local number	X [m]	Y [m]	N [kN]	Q [kN]	M [10^ kN m]	T_{xx} [kN/m]	T_{yy} [kN/m]	$T_{xx,yy}$ [kN/m]	$T_{xx,yy}$ [10^]	$N_{x,i}$ [kN]	$N_{x,j}$ [kN]	$Q_{x,i}$ [10^ kN]	$Q_{x,j}$ [kN]	$M_{x,i}$ [10^ kN m]	$M_{x,j}$ [10^ kN m]
臂	17971	5	12,997	-3,459	62,400	-0,001	1,365	-18,148	-0,001	30,000	604,929	0,000	62,400	0,785	0,000	-0,070	1,365
EmbeddedBeam_11_1	17971	1	12,997	-3,459	62,399	-0,001	1,365	-18,148	-0,001	30,000	604,929	0,000	62,399	0,787	0,000	-0,070	1,365
Element 1-11 (Embedded beam)	17972	2	13,091	-3,476	60,665	-0,001	1,284	-18,080	-0,001	30,000	602,677	0,000	60,665	0,895	0,000	-0,070	1,284
(TITAN 40/20 l=1,60m)	17973	3	13,185	-3,494	58,936	-0,001	1,194	-18,016	-0,001	30,000	600,517	0,000	58,936	0,979	0,000	-0,071	1,194
臂	17974	4	13,280	-3,511	57,213	-0,001	1,097	-17,953	-0,001	30,000	598,449	0,000	57,213	1,039	0,000	-0,071	1,097
臂	17975	5	13,374	-3,528	55,497	-0,001	0,996	-17,894	0,000	30,000	596,473	0,000	55,497	1,078	0,000	-0,071	0,996
EmbeddedBeam_11_1	17975	1	13,374	-3,528	55,496	-0,001	0,996	-17,894	0,000	30,000	596,473	0,000	55,496	1,083	0,000	-0,071	0,996
Element 1-12 (Embedded beam)	17976	2	13,466	-3,545	53,824	-0,001	0,893	-17,839	0,000	30,000	594,631	0,000	53,824	1,116	0,000	-0,089	0,893
(TITAN 40/20 l=1,60m)	17977	3	13,558	-3,562	52,156	-0,001	0,787	-17,786	0,000	30,000	592,876	0,000	52,156	1,149	0,000	-0,106	0,787
臂	17978	4	13,650	-3,579	50,492	-0,001	0,678	-17,736	0,000	30,000	591,209	0,000	50,492	1,184	0,000	-0,121	0,678
臂	17979	5	13,742	-3,596	48,834	-0,001	0,565	-17,689	0,000	30,000	589,629	0,000	48,834	1,221	0,000	-0,134	0,565
EmbeddedBeam_11_1	17979	1	13,742	-3,596	48,833	-0,001	0,565	-17,689	0,000	30,000	589,629	0,000	48,833	1,218	0,000	-0,134	0,565
Element 1-13 (Embedded beam)	17980	2	13,832	-3,612	47,217	-0,001	0,452	-17,645	0,000	30,000	588,169	0,000	47,217	1,262	0,000	-0,145	0,452
(TITAN 40/20 l=1,60m)	17981	3	13,923	-3,629	45,602	-0,001	0,334	-17,604	0,000	30,000	586,792	0,000	45,602	1,296	0,000	-0,154	0,334
臂	17982	4	14,013	-3,645	43,992	-0,001	0,214	-17,565	0,000	30,000	585,497	0,000	43,992	1,320	0,000	-0,161	0,214
臂	17983	5	14,103	-3,661	42,386	-0,001	0,093	-17,529	0,000	30,000	584,284	0,000	42,386	1,330	0,000	-0,167	0,125
EmbeddedBeam_11_1	17983	1	14,103	-3,661	42,385	-0,001	0,093	-17,529	0,000	30,000	584,284	0,000	42,385	1,322	0,000	-0,167	0,125
Element 1-14 (Embedded beam)	17984	2	14,191	-3,678	40,819	-0,001	-0,024	-17,495	0,001	30,000	583,177	0,000	40,819	1,288	0,000	-0,171	0,049
(TITAN 40/20 l=1,60m)	17985	3	14,279	-3,694	39,253	-0,001	-0,136	-17,464	0,001	30,000	582,147	0,000	39,253	1,200	0,000	-0,174	0,000
臂	17986	4	14,367	-3,710	37,691	-0,001	-0,237	-17,436	0,002	30,000	581,197	0,000	37,691	1,059	0,000	-0,237	0,000
臂	17987	5	14,455	-3,726	36,132	-0,001	-0,324	-17,410	0,002	30,000	580,333	0,000	36,132	0,911	0,000	-0,324	0,000
EmbeddedBeam_11_1	17987	1	14,455	-3,726	36,131	-0,001	-0,324	-17,410	0,002	30,000	580,333	0,000	36,131	0,918	0,000	-0,324	0,000
Element 1-15 (Embedded beam)	17988	2	14,541	-3,742	34,609	-0,001	-0,391	-17,387	0,003	30,000	579,581	0,000	34,609	0,812	0,000	-0,391	0,000
(TITAN 40/20 l=1,60m)	17989	3	14,627	-3,757	33,088	0,000	-0,437	-17,367	0,002	30,000	578,914	0,000	33,088	0,728	0,000	-0,437	0,000
臂	17990	4	14,713	-3,773	31,568	0,000	-0,468	-17,350	0,001	30,000	578,328	0,000	31,568	0,662	0,000	-0,468	0,000
臂	17991	5	14,799	-3,789	30,051	0,000	-0,487	-17,334	0,001	30,000	577,803	0,000	30,051	0,577	0,000	-0,489	0,000
EmbeddedBeam_11_1	17991	1	14,799	-3,789	30,050	0,000	-0,487	-17,334	0,001	30,000	577,803	0,000	30,050	0,570	0,000	-0,489	0,000
Element 1-16 (Embedded beam)	17992	2	14,883	-3,804	28,568	0,000	-0,498	-17,321	0,001	30,000	577,365	0,000	28,568	0,487	0,000	-0,505	0,000
(TITAN 40/20 l=1,60m)	17993	3	14,968	-3,820	27,086	0,000	-0,503	-17,310	0,002	30,000	576,994	0,000	27,086	0,356	0,000	-0,520	0,000
臂	17994	4	15,052	-3,835	25,605	0,000	-0,495	-17,301	0,003	30,000	576,694	0,000	25,605	0,205	0,000	-0,523	0,000
臂	17995	5	15,136	-3,850	24,125	0,001	-0,466	-17,294	0,004	30,000	576,473	0,000	24,125	0,051	0,001	-0,514	0,000
EmbeddedBeam_11_1	17995	1	15,136	-3,850	24,125	0,001	-0,466	-17,294	0,004	30,000	576,473	0,000	24,125	0,058	0,001	-0,514	0,000
Element 1-17 (Embedded beam)	17996	2	15,205	-3,863	22,905	0,001	-0,417	-17,290	0,006	30,000	576,350	0,000	22,905	0,000	0,001	-0,488	0,000
(TITAN 40/20 l=1,60m)	17997	3	15,275	-3,876	21,685	0,001	-0,341	-17,288	0,007	30,000	576,278	0,000	21,685	0,000	0,001	-0,445	0,000
臂	17998	4	15,344	-3,889	20,465	0,002	-0,231	-17,288	0,008	30,000	576,260	0,000	20,465	0,000	0,002	-0,394	0,000
臂	17999	5	15,414	-3,901	19,245	0,002	-0,084	-17,289	0,008	30,000	576,294	0,000	19,245	0,000	0,002	-0,334	0,000
EmbeddedBeam_11_1	17999	1	15,414	-3,901	19,244	0,002	-0,084	-17,289	0,008	30,000	576,294	0,000	19,244	0,000	0,002	-0,334	0,000
Element 1-18 (Embedded beam)	18000	2	15,521	-3,921	17,366	0,003	0,222	-17,293	0,009	30,000	576,446	0,000	17,366	0,000	0,003	-0,242	0,222
(TITAN 40/20 l=1,60m)	18001	3	15,627	-3,940	15,486	0,004	0,634	-17,302	0,008	30,000	576,728	0,000	15,486	0,000	0,004	-0,157	0,634
臂	18002	4	15,734	-3,960	13,604	0,005	1,125	-17,313	0,004	30,000	577,108	0,000	13,604	0,000	0,005	-0,124	1,125
臂	18003	5	15,841	-3,980	11,723	0,005	1,663	-17,325	-0,008	30,000	577,497	0,000	11,723	0,000	0,005	-0,106	1,663
EmbeddedBeam_11_1	18003	1	15,841	-3,980	11,720	0,006	1,663	-17,325	-0,008	30,000	577,497	0,000	11,720	0,000	0,006	-0,106	1,663
Element 1-19 (Embedded beam)	18004	2	16,006	-4,010	8,819	0,001	2,299	-17,375	-0,027	30,000	579,178	0,000	8,819	0,000	0,001	-0,076	2,299
(TITAN 40/20 l=1,60m)	18005	3	16,171	-4,040	5,905	-0,005	1,903	-17,413	-0,061	30,000	580,433	0,000	5,905	-4,656	0,000	-0,049	1,903
臂	18006	4	16,335	-4,070	2,976	-0,007	0,921	-17,552	0,012	30,000	585,082	0,000	2,976	-4,989	0,000	-0,058	0,921
臂	18007	5	16,500	-4,100	0,030	-0,002	0,000	-18,225	0,090	30,000	607,500	0,000	0,030	-2,157	0,002	0,000	0,000
EmbeddedBeam_21_1	18008	1	6,000	-6,250	152,150	-0,482	0,000	-24,186	2,617	30,000	806,206	0,000	152,150	-482,091	0,000	0,000	0,000
Element 2-20 (Embedded beam)	18009	2	6,126	-6,273	149,088	-0,219	-43,803	-23,811	1,734	30,000	793,711	0,000	149,088	-218,659	0,000	-43,803	0,000
(TITAN 40/20 l=1,60m)	18010	3	6,252	-6,295	146,064	-0,041	-59,574	-23,484	1,008	30,000	782,802	0,000	146,064	-40,933	0,000	-59,574	0,000
臂	18011	4	6,377	-6,318	143,081	0,056	-57,691	-23,185	0,476	30,000	772,824	0,000	143,081	0,000	0,056	-57,691	0,000
臂	18012	5	6,503	-6,341	140,139	0,079	-48,315	-22,902	0,131	30,000	763,414	0,000	140,139	0,000	0,079	-48,315	0,000
EmbeddedBeam_21_1	18012	1	6,503	-6,341	140,135	0,095	-48,315	-22,902	0,131	30,000	763,414	0,000	140,135	0,000	0,095	-48,315	0,000
Element 2-21 (Embedded beam)	18013	2	6,636	-6,365	137,057	0,089	-35,743	-22,622	-0,069	30,000	754,082	0,000	137,057	0,000	0,089	-35,743	0,000
(TITAN 40/20 l=1,60m)	18014	3	6,770	-6,389	134,011	0,076	-24,564	-22,362	-0,145	30,000	745,401	0,000	134,011	0,000	0,076	-24,564	0,000
臂	18015	4	6,903	-6,413	130,999	0,057	-15,505	-22,125	-0,143	30,000	737,511	0,000	130,999	0,000	0,057	-15,505	0,000
臂	18016	5	7,036	-6,436	128,022	0,036	-9,202	-21,922	-0,113	30,000	730,748	0,000	128,022	0,000	0,036	-9,202	0,000
EmbeddedBeam_21_1	18016	1	7,036	-6,436	128,018	0,039	-9,202	-21,922	-0,113	30,000	730,748	0,000	128,018	0,000	0,039	-9,202	0,000

Structural element	Node [10^]	Local number	X [m]	Y [m]	N [kN]	Q [kN]	M [10^ kN m]	T_{xx} [kN/m]	T_{yy} [kN/m]	$T_{xx,sup}$ [kN/m]	$T_{xx,inf}$ [10^]	$N_{x,i}$ [kN]	$N_{x,j}$ [kN]	$Q_{z,i}$ [10^ kN]	$Q_{z,j}$ [kN]	$M_{y,i}$ [10^ kN m]	$M_{y,j}$ [10^ kN m]
Element 2-32 (Embedded beam)	18017	2	7,177	-6,462	124,889	0,023	-4,829	-21,771	-0,099	30,000	725,711	0,000	124,889	0,000	0,023	-4,829	0,000
(TITAN 40/20 l=1,60m)	18018	3	7,318	-6,487	121,776	0,010	-2,509	-21,641	-0,073	30,000	721,378	0,000	121,776	0,000	0,011	-2,509	0,524
##	18019	4	7,459	-6,513	118,681	0,003	-1,613	-21,523	-0,037	30,000	717,427	0,000	118,681	0,000	0,003	-1,613	0,782
##	18020	5	7,600	-6,538	115,605	0,000	-1,496	-21,411	0,003	30,000	713,702	0,000	115,605	-0,898	0,001	-1,496	0,793
EmbeddedBeam_3_1	18020	1	7,600	-6,538	115,601	-0,002	-1,496	-21,411	0,003	30,000	713,702	0,000	115,601	-1,545	0,000	-1,496	0,793
Element 2-33 (Embedded beam)	18021	2	7,750	-6,565	112,362	0,004	-1,305	-21,305	0,038	30,000	710,158	0,000	112,362	-1,741	0,004	-1,305	0,626
(TITAN 40/20 l=1,60m)	18022	3	7,899	-6,592	109,132	0,011	-0,161	-21,226	0,050	30,000	707,522	0,000	109,132	-1,652	0,011	-0,161	0,867
##	18023	4	8,049	-6,619	105,910	0,016	1,849	-21,181	0,028	30,000	706,032	0,000	105,910	-1,215	0,016	-0,060	1,911
##	18024	5	8,198	-6,646	102,700	0,020	4,582	-21,163	-0,020	30,000	705,437	0,000	102,700	-0,531	0,020	-0,188	4,582
EmbeddedBeam_3_1	18024	1	8,198	-6,646	102,699	0,020	4,582	-21,163	-0,020	30,000	705,437	0,000	102,699	-0,622	0,020	-0,188	4,582
Element 2-34 (Embedded beam)	18025	2	8,357	-6,674	99,293	0,009	6,972	-21,141	-0,065	30,000	704,688	0,000	99,293	-0,267	0,009	-0,249	6,972
(TITAN 40/20 l=1,60m)	18026	3	8,515	-6,703	95,898	-0,001	7,576	-21,076	-0,073	30,000	702,541	0,000	95,898	-1,461	0,000	-0,248	7,576
##	18027	4	8,673	-6,731	92,520	-0,009	6,771	-20,939	-0,032	30,000	697,980	0,000	92,520	-3,731	0,000	-0,209	6,771
##	18028	5	8,832	-6,760	89,162	-0,012	5,018	-20,759	0,009	30,000	691,970	0,000	89,162	-12,050	0,000	-0,154	5,018
EmbeddedBeam_3_1	18028	1	8,832	-6,760	89,164	-0,012	5,018	-20,759	0,009	30,000	691,970	0,000	89,164	-12,008	0,000	-0,154	5,018
Element 2-35 (Embedded beam)	18029	2	8,999	-6,790	85,646	-0,008	3,308	-20,562	0,021	30,000	685,389	0,000	85,646	-8,121	0,000	-0,091	3,308
(TITAN 40/20 l=1,60m)	18030	3	9,167	-6,820	82,159	-0,005	2,223	-20,365	0,019	30,000	678,838	0,000	82,159	-4,757	0,000	-0,033	2,223
##	18031	4	9,335	-6,850	78,705	-0,002	1,648	-20,171	0,013	30,000	672,382	0,000	78,705	-2,081	0,000	-0,026	1,648
##	18032	5	9,502	-6,880	75,287	0,000	1,463	-19,982	0,007	30,000	666,063	0,000	75,287	-0,354	0,000	-0,021	1,478
EmbeddedBeam_3_1	18032	1	9,502	-6,880	75,284	0,000	1,463	-19,982	0,007	30,000	666,063	0,000	75,284	-0,360	0,000	-0,021	1,478
Element 2-36 (Embedded beam)	18033	2	9,680	-6,912	71,699	0,000	1,492	-19,787	0,002	30,000	659,556	0,000	71,699	-0,091	0,000	-0,017	1,495
(TITAN 40/20 l=1,60m)	18034	3	9,857	-6,944	68,144	0,001	1,595	-19,598	0,000	30,000	653,264	0,000	68,144	0,000	0,001	-0,015	1,595
##	18035	4	10,035	-6,976	64,623	0,001	1,715	-19,416	-0,001	30,000	647,212	0,000	64,623	0,000	0,001	-0,012	1,715
##	18036	5	10,213	-7,008	61,138	0,000	1,797	-19,243	-0,001	30,000	641,418	0,000	61,138	0,000	0,000	-0,010	1,797
EmbeddedBeam_3_1	18036	1	10,213	-7,008	61,135	0,000	1,797	-19,243	-0,001	30,000	641,418	0,000	61,135	0,000	0,000	-0,010	1,797
Element 2-37 (Embedded beam)	18037	2	10,401	-7,042	57,477	0,000	1,850	-19,067	-0,001	30,000	635,583	0,000	57,477	-0,002	0,000	-0,009	1,850
(TITAN 40/20 l=1,60m)	18038	3	10,589	-7,076	53,848	0,000	1,881	-18,902	0,000	30,000	630,078	0,000	53,848	-0,004	0,000	-0,007	1,881
##	18039	4	10,777	-7,110	50,249	0,000	1,906	-18,748	0,000	30,000	624,923	0,000	50,249	-0,008	0,000	-0,006	1,906
##	18040	5	10,965	-7,144	46,682	0,000	1,941	-18,604	0,001	30,000	620,136	0,000	46,682	-0,013	0,000	-0,005	1,941
EmbeddedBeam_3_1	18040	1	10,965	-7,144	46,679	0,000	1,941	-18,604	0,001	30,000	620,136	0,000	46,679	-0,013	0,000	-0,005	1,941
Element 2-38 (Embedded beam)	18041	2	11,164	-7,180	42,930	0,000	1,998	-18,465	0,001	30,000	615,484	0,000	42,930	-0,020	0,000	-0,004	1,998
(TITAN 40/20 l=1,60m)	18042	3	11,363	-7,215	39,204	0,000	2,079	-18,338	0,000	30,000	611,276	0,000	39,204	-0,027	0,000	-0,003	2,079
##	18043	4	11,563	-7,251	35,502	0,000	2,155	-18,226	-0,001	30,000	607,521	0,000	35,502	-0,044	0,000	-0,002	2,155
##	18044	5	11,762	-7,287	31,826	0,000	2,198	-18,127	-0,003	30,000	604,217	0,000	31,826	-0,094	0,000	-0,002	2,198
EmbeddedBeam_3_1	18044	1	11,762	-7,287	31,822	0,000	2,198	-18,127	-0,003	30,000	604,217	0,000	31,822	-0,121	0,000	-0,002	2,198
Element 2-39 (Embedded beam)	18045	2	11,973	-7,325	27,949	-0,001	2,106	-18,039	-0,007	30,000	601,299	0,000	27,949	-0,988	0,000	-0,001	2,106
(TITAN 40/20 l=1,60m)	18046	3	12,184	-7,363	24,087	-0,003	1,676	-17,971	-0,014	30,000	599,026	0,000	24,087	-3,251	0,000	-0,001	1,676
##	18047	4	12,395	-7,401	20,238	-0,007	0,615	-17,924	-0,020	30,000	597,452	0,000	20,238	-6,872	0,000	-0,001	0,615
##	18048	5	12,606	-7,439	16,403	-0,012	-1,366	-17,898	-0,019	30,000	596,583	0,000	16,403	-11,829	0,000	-1,366	0,138
EmbeddedBeam_3_1	18048	1	12,606	-7,439	16,393	-0,010	-1,366	-17,898	-0,019	30,000	596,583	0,000	16,393	-10,036	0,000	-1,366	0,138
Element 2-30 (Embedded beam)	18049	2	12,829	-7,479	12,340	-0,013	-4,250	-17,898	0,011	30,000	596,605	0,000	12,340	-12,787	0,000	-4,250	0,111
(TITAN 40/20 l=1,60m)	18050	3	13,053	-7,520	8,268	-0,004	-6,241	-17,923	0,083	30,000	597,422	0,000	8,268	-3,847	0,000	-6,241	0,068
##	18051	4	13,276	-7,560	4,172	0,013	-5,390	-18,114	0,081	30,000	603,816	0,000	4,172	-0,168	0,013	-5,390	0,025
##	18052	5	13,500	-7,600	0,045	0,034	0,000	-18,871	-0,383	30,000	629,044	0,000	0,045	-0,029	0,034	0,000	0,000

3.3.1.1.33 Calculation results, Embedded beam, FS [Phase_32] (32/1262), Table of embedded beam force envelopes

Structural element	Node [10^1]	Local number	X [m]	Y [m]	N [kN]	Q [kN]	M [kN m]	T_{xxx} [kN/m]	T_{yyy} [kN/m]	$T_{xxx,xxx}$ [kN/m]	$T_{yyy,yyy}$	$N_{x,x}$ [10^1 kN]	N_{xxx} [kN]	$Q_{x,x}$ [kN]	Q_{xxx} [kN]	$M_{x,x}$ [kN m]	M_{xxx} [kN m]
EmbeddedBeam_11_1	17931	1	8,300	2,600	250,008	3,045	0,000	-30,000	-14,048	30,000	1,000	0,000	250,038	0,000	3,046	0,000	0,000
Element 1-1 (Embedded beam)	17932	2	8,493	2,635	244,135	1,084	0,391	-30,000	-8,244	30,000	1,000	0,000	244,165	0,000	1,084	0,000	0,391
(TITAN 40/20 i=1,60m)	17933	3	8,685	2,670	238,259	-0,152	0,473	-30,000	-3,990	30,000	1,000	0,000	238,289	-0,178	0,000	0,000	0,473
66	17934	4	8,878	2,706	232,383	-0,744	0,374	-30,000	-1,676	30,000	1,000	0,000	232,413	-0,744	0,000	0,000	0,374
66	17935	5	9,071	2,741	226,511	-0,776	0,217	-30,000	-0,927	30,000	1,000	0,000	226,540	-0,776	0,000	0,000	0,220
EmbeddedBeam_11_1	17935	1	9,071	2,741	226,508	-0,914	0,217	-30,000	-0,927	30,000	1,000	0,000	226,538	-0,914	0,000	0,000	0,220
Element 1-2 (Embedded beam)	17936	2	9,223	2,769	221,855	-1,060	0,064	-30,000	-0,989	30,000	1,000	0,000	221,884	-1,060	0,000	0,000	0,125
(TITAN 40/20 i=1,60m)	17937	3	9,376	2,797	217,198	-1,225	-0,113	-30,000	-1,193	30,000	1,000	0,000	217,228	-1,225	0,000	-0,113	0,054
66	17938	4	9,529	2,825	212,542	-1,396	-0,316	-30,000	-1,074	30,000	1,000	0,000	212,571	-1,396	0,000	-0,316	0,012
66	17939	5	9,681	2,853	207,888	-1,562	-0,546	-30,000	-0,094	30,000	1,000	0,000	207,917	-1,562	0,000	-0,546	0,001
EmbeddedBeam_11_1	17939	1	9,681	2,853	207,886	-1,458	-0,546	-30,000	-0,094	30,000	1,000	0,000	207,915	-1,458	0,000	-0,546	0,001
Element 1-3 (Embedded beam)	17940	2	9,802	2,875	204,199	-1,449	-0,728	-30,000	1,771	30,000	1,000	0,000	204,228	-1,449	0,000	-0,728	0,000
(TITAN 40/20 i=1,60m)	17941	3	9,923	2,897	200,509	-1,033	-0,886	-30,000	4,791	30,000	1,000	0,000	200,538	-1,033	0,000	-0,886	0,000
66	17942	4	10,044	2,919	196,819	-0,582	-0,965	-30,000	8,832	30,000	1,000	0,000	196,847	-0,221	0,009	-0,965	0,000
66	17943	5	10,165	2,941	193,132	1,129	-0,912	-30,000	13,153	30,000	1,000	0,000	193,158	-0,169	1,129	-0,912	0,000
EmbeddedBeam_11_1	17943	1	10,165	2,941	193,130	0,932	-0,912	-30,000	13,153	30,000	1,000	0,000	193,158	-0,165	0,932	-0,912	0,000
Element 1-4 (Embedded beam)	17944	2	10,261	2,959	190,208	2,686	-0,733	-30,000	15,385	30,000	1,000	0,000	190,236	-0,074	2,686	-0,733	0,000
(TITAN 40/20 i=1,60m)	17945	3	10,357	2,976	187,284	3,982	-0,402	-30,000	12,497	30,000	1,000	0,000	187,332	0,000	3,982	-0,402	0,000
66	17946	4	10,453	2,994	184,359	4,682	0,024	-30,000	3,140	30,000	1,000	0,000	184,487	0,000	4,682	-0,160	0,024
66	17947	5	10,549	3,011	181,437	4,647	0,486	-30,000	-15,933	30,000	1,000	0,000	181,576	0,000	4,647	-0,136	0,486
EmbeddedBeam_11_1	17947	1	10,549	3,011	181,436	4,153	0,486	-30,000	-26,555	30,000	1,000	0,000	181,550	0,000	4,153	-0,136	0,486
Element 1-5 (Embedded beam)	17948	2	10,656	3,031	178,149	1,991	0,816	-30,000	-16,853	30,000	1,000	0,000	178,262	0,000	1,991	-0,089	0,816
(TITAN 40/20 i=1,60m)	17949	3	10,764	3,051	174,860	0,483	0,947	-30,000	-10,102	30,000	1,000	0,000	174,971	0,000	0,781	-0,013	0,947
66	17950	4	10,872	3,071	171,571	-0,435	0,943	-30,000	-6,095	30,000	1,000	0,000	171,680	-0,435	0,819	0,000	0,943
66	17951	5	10,980	3,090	168,285	-0,828	0,870	-30,000	-3,376	30,000	1,000	0,000	168,391	-0,828	0,676	0,000	0,870
EmbeddedBeam_11_1	17951	1	10,980	3,090	168,283	-0,934	0,870	-30,000	-3,376	30,000	1,000	0,000	168,390	-0,934	0,704	0,000	0,870
Element 1-6 (Embedded beam)	17952	2	11,085	3,110	165,070	-1,131	0,758	-30,000	-1,205	30,000	1,000	0,000	165,174	-1,131	0,422	0,000	0,758
(TITAN 40/20 i=1,60m)	17953	3	11,191	3,129	161,854	-1,188	0,633	-30,000	0,247	30,000	1,000	0,000	161,960	-1,188	0,188	0,000	0,633
66	17954	4	11,296	3,148	158,638	-1,118	0,508	-30,000	1,157	30,000	1,000	0,000	158,754	-1,118	0,003	0,000	0,508
66	17955	5	11,402	3,167	155,425	-0,935	0,397	-30,000	1,535	30,000	1,000	0,000	155,523	-0,935	0,000	0,000	0,397
EmbeddedBeam_11_1	17955	1	11,402	3,167	155,423	-0,969	0,397	-30,000	1,535	30,000	1,000	0,000	155,529	-0,969	0,000	0,000	0,397
Element 1-7 (Embedded beam)	17956	2	11,505	3,186	152,282	-0,806	0,304	-30,000	1,260	30,000	1,000	0,000	152,386	-0,806	0,000	0,000	0,304
(TITAN 40/20 i=1,60m)	17957	3	11,608	3,205	149,138	-0,706	0,226	-30,000	0,625	30,000	1,000	0,000	149,241	-0,706	0,000	0,000	0,226
66	17958	4	11,711	3,224	145,994	-0,666	0,154	-30,000	0,116	30,000	1,000	0,000	146,096	-0,666	0,000	0,000	0,174
66	17959	5	11,814	3,243	142,852	-0,683	0,084	-30,000	0,129	30,000	1,000	0,000	142,959	-0,683	0,000	0,000	0,121
EmbeddedBeam_11_1	17959	1	11,814	3,243	142,850	-0,679	0,084	-30,000	0,129	30,000	1,000	0,000	142,952	-0,679	0,000	0,000	0,121
Element 1-8 (Embedded beam)	17960	2	11,915	3,261	139,779	-0,594	0,018	-30,000	1,069	30,000	1,000	0,000	139,879	-0,594	0,000	0,000	0,063
(TITAN 40/20 i=1,60m)	17961	3	12,016	3,280	136,705	-0,455	-0,036	-30,000	1,763	30,000	1,000	0,000	136,805	-0,475	0,000	-0,036	0,010
66	17962	4	12,117	3,298	133,631	-0,277	-0,074	-30,000	1,828	30,000	1,000	0,000	133,730	-0,335	0,000	-0,074	0,004
66	17963	5	12,217	3,317	130,559	-0,075	-0,092	-30,000	1,538	30,000	1,000	0,000	130,657	-0,161	0,000	-0,092	0,003
EmbeddedBeam_11_1	17963	1	12,217	3,317	130,557	-0,093	-0,092	-30,000	1,538	30,000	1,000	0,000	130,656	-0,184	0,000	-0,092	0,003
Element 1-9 (Embedded beam)	17964	2	12,316	3,335	127,554	0,049	-0,094	-30,000	1,288	30,000	1,000	0,000	127,651	-0,069	0,051	-0,094	0,003
(TITAN 40/20 i=1,60m)	17965	3	12,414	3,353	124,548	0,165	-0,083	-30,000	1,047	30,000	1,000	0,000	124,645	-0,009	0,166	-0,083	0,003
66	17966	4	12,513	3,371	121,542	0,256	-0,062	-30,000	0,776	30,000	1,000	0,000	121,639	-0,008	0,256	-0,070	0,003
66	17967	5	12,612	3,389	118,538	0,321	-0,032	-30,000	0,502	30,000	1,000	0,000	118,635	-0,007	0,321	-0,061	0,003
EmbeddedBeam_11_1	17967	1	12,612	3,389	118,537	0,325	-0,032	-30,000	0,502	30,000	1,000	0,000	118,633	-0,007	0,325	-0,061	0,003
Element 1-10 (Embedded beam)	17968	2	12,708	3,406	115,600	0,352	0,001	-30,000	0,207	30,000	1,000	0,000	115,696	-0,005	0,352	-0,051	0,002
(TITAN 40/20 i=1,60m)	17969	3	12,804	3,424	112,661	0,366	0,036	-30,000	0,062	30,000	1,000	0,000	112,757	-0,003	0,366	-0,041	0,036
66	17970	4	12,901	3,442	109,722	0,366	0,072	-30,000	-0,070	30,000	1,000	0,000	109,818	-0,003	0,366	-0,031	0,072
66	17971	5	12,997	3,459	106,786	0,352	0,107	-30,000	-0,296	30,000	1,000	0,000	106,881	0,003	0,352	-0,022	0,107

Structural element	Node [10^1]	Local number	X [m]	Y [m]	N [kN]	Q [kN]	M [kN m]	T_{xx} [kN/m]	T_{yy} [kN/m]	T_{xxyyxx} [kN/m]	T_{xxyyyy}	N_{xx} [10^1 kN]	N_{yy} [kN]	Q_{xx} [kN]	Q_{yy} [kN]	M_{xx} [kN m]	M_{yy} [kN m]
EmbeddedBeam_11_1	17971	1	12,997	3,459	106,784	0,337	0,107	-30,000	0,296	30,000	1,000	0,000	106,879	0,003	0,337	-0,022	0,107
Element 1-11 (Embedded beam)	17972	2	13,091	3,476	103,913	0,309	0,139	-30,000	0,717	30,000	1,000	0,000	104,008	0,003	0,309	-0,014	0,139
(TITAN 40/20 l=1,60m)	17973	3	13,185	3,494	101,039	0,203	0,164	-30,000	1,424	30,000	1,000	0,000	101,134	0,003	0,203	-0,007	0,164
89	17974	4	13,280	3,511	98,166	0,010	0,175	-30,000	2,512	30,000	1,000	0,000	98,261	0,003	0,083	-0,001	0,175
89	17975	5	13,374	3,528	95,294	-0,276	0,163	-30,000	3,868	30,000	1,000	0,000	95,389	0,276	0,069	-0,001	0,163
EmbeddedBeam_11_1	17975	1	13,374	3,528	95,293	-0,296	0,163	-30,000	3,868	30,000	1,000	0,000	95,388	0,296	0,064	-0,001	0,163
Element 1-12 (Embedded beam)	17976	2	13,466	3,545	92,485	-0,704	0,117	-30,000	5,140	30,000	1,000	0,000	92,581	0,704	0,051	0,000	0,117
(TITAN 40/20 l=1,60m)	17977	3	13,558	3,562	89,676	-1,259	0,027	-30,000	6,697	30,000	1,000	0,000	89,771	1,259	0,027	0,000	0,030
89	17978	4	13,650	3,579	86,866	-1,961	-0,123	-30,000	8,296	30,000	1,000	0,000	86,962	1,961	0,001	-0,123	0,022
89	17979	5	13,742	3,596	84,059	-2,812	-0,345	-30,000	9,695	30,000	1,000	0,000	84,154	2,812	0,000	-0,345	0,020
EmbeddedBeam_11_1	17979	1	13,742	3,596	84,058	-2,759	-0,345	-30,000	9,695	30,000	1,000	0,000	84,153	2,759	0,000	-0,345	0,020
Element 1-13 (Embedded beam)	17980	2	13,832	3,612	81,312	-3,767	-0,644	-30,000	10,612	30,000	1,000	0,000	81,408	3,767	0,000	-0,644	0,013
(TITAN 40/20 l=1,60m)	17981	3	13,923	3,629	78,566	-4,716	-1,033	-30,000	10,466	30,000	1,000	0,000	78,661	4,716	0,000	-1,033	0,007
89	17982	4	14,013	3,645	75,819	-5,569	-1,505	-30,000	8,517	30,000	1,000	0,000	75,914	5,569	0,001	-1,505	0,005
89	17983	5	14,103	3,661	73,073	-6,289	-2,049	-30,000	4,132	30,000	1,000	0,000	73,169	6,289	0,002	-2,049	0,004
EmbeddedBeam_11_1	17983	1	14,103	3,661	73,072	-6,115	-2,049	-30,000	4,132	30,000	1,000	0,000	73,168	6,115	0,002	-2,049	0,004
Element 1-14 (Embedded beam)	17984	2	14,191	3,678	70,388	-6,306	-2,611	-30,000	1,047	30,000	1,000	0,000	70,485	6,306	0,004	-2,611	0,003
(TITAN 40/20 l=1,60m)	17985	3	14,279	3,694	67,702	-5,583	-3,151	-30,000	12,724	30,000	1,000	0,000	67,799	5,583	0,015	-3,151	0,004
89	17986	4	14,367	3,710	65,017	-3,913	-3,583	-30,000	24,234	30,000	1,000	0,000	65,114	3,913	0,021	-3,583	0,005
89	17987	5	14,455	3,726	62,333	-1,259	-3,822	-30,000	36,951	30,000	1,000	0,000	62,430	1,259	0,310	-3,822	0,007
EmbeddedBeam_11_1	17987	1	14,455	3,726	62,331	-1,208	-3,822	-30,000	36,951	30,000	1,000	0,000	62,429	1,208	0,341	-3,822	0,007
Element 1-15 (Embedded beam)	17988	2	14,541	3,742	59,707	1,678	-3,796	-30,000	29,022	30,000	1,000	0,000	59,805	0,010	1,838	-3,796	0,008
(TITAN 40/20 l=1,60m)	17989	3	14,627	3,757	57,081	3,865	-3,549	-30,000	20,721	30,000	1,000	0,000	57,178	0,016	3,900	-3,549	0,009
89	17990	4	14,713	3,773	54,456	5,370	-3,139	-30,000	13,461	30,000	1,000	0,000	54,551	0,021	5,370	-3,139	0,009
89	17991	5	14,799	3,789	51,832	6,213	-2,628	-30,000	8,758	30,000	1,000	0,000	51,926	0,026	6,213	-2,628	0,008
EmbeddedBeam_11_1	17991	1	14,799	3,789	51,831	6,285	-2,628	-30,000	8,758	30,000	1,000	0,000	51,925	0,025	6,285	-2,628	0,008
Element 1-16 (Embedded beam)	17992	2	14,883	3,804	49,266	6,914	-2,061	-30,000	5,675	30,000	1,000	0,000	49,358	0,033	6,914	-2,061	0,006
(TITAN 40/20 l=1,60m)	17993	3	14,968	3,820	46,700	7,251	-1,453	-30,000	2,056	30,000	1,000	0,000	46,788	0,042	7,251	-1,453	0,042
89	17994	4	15,052	3,835	44,133	7,308	-0,828	-30,000	0,874	30,000	1,000	0,000	44,219	0,057	7,308	-0,828	0,176
89	17995	5	15,136	3,850	41,569	7,097	-0,210	-30,000	4,724	30,000	1,000	0,000	41,650	0,077	7,097	-0,210	0,352
EmbeddedBeam_11_1	17995	1	15,136	3,850	41,568	7,107	-0,210	-30,000	4,724	30,000	1,000	0,000	41,649	0,078	7,107	-0,210	0,352
Element 1-17 (Embedded beam)	17996	2	15,205	3,863	39,454	6,612	0,275	-30,000	8,005	30,000	1,000	0,000	39,531	0,112	6,612	-0,014	0,562
(TITAN 40/20 l=1,60m)	17997	3	15,275	3,876	37,338	5,974	0,720	-30,000	10,182	30,000	1,000	0,000	37,411	0,157	5,974	-0,023	0,887
89	17998	4	15,344	3,889	35,223	5,203	1,115	-30,000	11,779	30,000	1,000	0,000	35,292	0,218	5,203	-0,035	1,236
89	17999	5	15,414	3,901	33,109	4,308	1,451	-30,000	12,748	30,000	1,000	0,000	33,173	0,292	4,308	-0,051	1,551
EmbeddedBeam_11_1	17999	1	15,414	3,901	33,107	4,392	1,451	-30,000	12,748	30,000	1,000	0,000	33,172	0,280	4,392	-0,051	1,551
Element 1-18 (Embedded beam)	18000	2	15,521	3,921	29,851	2,792	1,842	-30,000	14,693	30,000	1,000	0,000	29,909	0,394	2,792	-0,083	1,924
(TITAN 40/20 l=1,60m)	18001	3	15,627	3,940	26,593	1,178	2,057	-30,000	15,451	30,000	1,000	0,000	26,643	0,781	1,178	-0,123	2,122
89	18002	4	15,734	3,960	23,335	-0,396	2,100	-30,000	13,948	30,000	1,000	0,000	23,377	1,445	0,185	-0,165	2,143
89	18003	5	15,841	3,980	20,079	-1,874	1,975	-30,000	12,192	30,000	1,000	0,000	20,114	2,548	0,204	-0,204	1,995
EmbeddedBeam_11_1	18003	1	15,841	3,980	20,077	-1,774	1,975	-30,000	12,192	30,000	1,000	0,000	20,112	2,452	0,233	-0,204	1,995
Element 1-19 (Embedded beam)	18004	2	16,006	4,010	15,061	-3,412	1,526	-30,000	8,026	30,000	1,000	0,000	15,086	1,609	0,216	-0,236	1,526
(TITAN 40/20 l=1,60m)	18005	3	16,171	4,040	10,041	-3,835	0,900	-30,000	0,354	30,000	1,000	0,000	10,056	1,853	0,562	-0,176	0,900
89	18006	4	16,335	4,070	5,020	-2,930	0,316	-30,000	9,838	30,000	1,000	0,000	5,038	2,930	0,618	-0,076	0,316
89	18007	5	16,500	4,100	0,001	-0,584	0,000	-30,000	29,488	30,000	1,000	-26,014	0,106	0,584	0,244	0,000	0,000
EmbeddedBeam_31_1	18008	1	6,000	6,250	228,562	-0,680	0,000	-30,000	5,438	30,000	1,000	0,000	228,691	0,724	0,000	0,000	0,000
Element 2-20 (Embedded beam)	18009	2	6,126	6,273	224,730	-0,329	-0,060	-30,000	1,562	30,000	1,000	0,000	224,859	0,688	0,000	-0,087	0,000
(TITAN 40/20 l=1,60m)	18010	2	6,252	6,295	220,896	-0,304	-0,098	-30,000	1,612	30,000	1,000	0,000	221,023	0,746	0,000	-0,178	0,000
89	18011	4	6,377	6,318	217,063	-0,543	-0,149	-30,000	2,562	30,000	1,000	0,000	217,187	0,847	0,086	-0,277	0,000
89	18012	5	6,503	6,341	213,233	-0,983	-0,245	-30,000	1,098	30,000	1,000	0,000	213,354	1,046	0,111	-0,389	0,000
EmbeddedBeam_31_1	18012	1	6,503	6,341	213,231	-0,859	-0,245	-30,000	1,098	30,000	1,000	0,000	213,352	0,943	0,133	-0,389	0,000
Element 2-21 (Embedded beam)	18013	2	6,636	6,365	209,174	-0,749	-0,361	-30,000	2,613	30,000	1,000	0,000	209,292	0,749	0,108	-0,489	0,000
(TITAN 40/20 l=1,60m)	18014	2	6,770	6,389	205,113	-0,127	-0,424	-30,000	7,026	30,000	1,000	0,000	205,230	0,127	0,434	-0,520	0,000
89	18015	4	6,903	6,413	201,053	0,940	-0,375	-30,000	9,171	30,000	1,000	0,000	201,167	0,006	1,305	-0,436	0,000
89	18016	5	7,036	6,436	196,995	2,382	-0,154	-30,000	4,082	30,000	1,000	0,000	197,107	0,087	2,587	-0,189	0,000
EmbeddedBeam_31_1	18016	1	7,036	6,436	196,993	2,382	-0,154	-30,000	4,082	30,000	1,000	0,000	197,105	0,074	2,680	-0,189	0,000
Element 2-22 (Embedded beam)	18017	2	7,177	6,462	192,695	1,814	0,150	-30,000	4,367	30,000	1,000	0,000	192,805	0,182	1,900	-0,088	0,180

Structural element	Node [10^1]	Local number	X [m]	Y [m]	N [kN]	Q [kN]	M [kN m]	T_{xx} [kN/m]	T_{yy} [kN/m]	$T_{xxyy,xxyy}$ [kN/m]	$T_{xxyy,zz}$	N_{xx} [10^1 kN]	N_{yy} [kN]	Q_{xx} [kN]	Q_{yy} [kN]	M_{xx} [kN m]	M_{yy} [kN m]
(TITAN 40/20 l=1,60m)	18018	3	7,318	6,487	188,394	1,090	0,358	-30,000	-5,376	30,000	1,000	0,000	188,502	0,276	1,107	-0,094	0,358
20	18019	4	7,459	6,513	184,093	0,317	0,461	-30,000	-5,070	30,000	1,000	0,000	184,199	0,356	0,317	-0,138	0,461
20	18020	5	7,600	6,538	179,795	-0,403	0,452	-30,000	-2,510	30,000	1,000	0,000	179,899	0,673	0,001	-0,188	0,452
EmbeddedBeam_21_1	18020	1	7,600	6,538	179,793	-0,407	0,452	-30,000	-2,510	30,000	1,000	0,000	179,897	0,714	0,000	-0,188	0,452
Element 2-23 (Embedded beam)	18021	2	7,750	6,565	175,241	-0,362	0,391	-30,000	0,691	30,000	1,000	0,000	175,342	0,503	0,142	-0,215	0,391
(TITAN 40/20 l=1,60m)	18022	3	7,899	6,592	170,686	-0,153	0,352	-30,000	2,748	30,000	1,000	0,000	170,784	0,179	0,637	-0,158	0,352
20	18023	4	8,049	6,619	166,131	0,101	0,346	-30,000	1,298	30,000	1,000	0,000	166,232	0,001	1,018	-0,032	0,346
20	18024	5	8,198	6,646	161,579	0,285	0,378	-30,000	2,229	30,000	1,000	0,000	161,733	0,001	1,221	0,000	0,378
EmbeddedBeam_21_1	18024	1	8,198	6,646	161,577	0,093	0,378	-30,000	2,229	30,000	1,000	0,000	161,669	0,001	1,105	0,000	0,378
Element 2-24 (Embedded beam)	18025	2	8,357	6,674	156,756	-0,387	0,360	-30,000	4,551	30,000	1,000	0,000	156,845	0,387	0,501	0,000	0,371
(TITAN 40/20 l=1,60m)	18026	3	8,515	6,703	151,932	-1,343	0,229	-30,000	6,910	30,000	1,000	0,000	152,017	1,343	0,005	0,000	0,365
20	18027	4	8,673	6,731	147,107	-2,849	-0,102	-30,000	11,393	30,000	1,000	0,000	147,189	2,849	0,000	-0,102	0,295
20	18028	5	8,832	6,760	142,286	-4,979	-0,722	-30,000	14,716	30,000	1,000	0,000	142,365	4,979	0,000	-0,722	0,133
EmbeddedBeam_21_1	18028	1	8,832	6,760	142,283	-4,431	-0,722	-30,000	14,716	30,000	1,000	0,000	142,363	4,431	0,000	-0,722	0,133
Element 2-25 (Embedded beam)	18029	2	8,999	6,790	137,177	-7,520	-1,769	-30,000	11,546	30,000	1,000	0,000	137,253	7,520	0,000	-1,769	0,057
(TITAN 40/20 l=1,60m)	18030	3	9,167	6,820	132,067	-8,405	-3,160	-30,000	0,589	30,000	1,000	0,000	132,139	8,405	0,000	-3,160	0,026
20	18031	4	9,335	6,850	126,956	-6,981	-4,502	-30,000	15,568	30,000	1,000	0,000	127,026	6,983	0,000	-4,502	0,014
20	18032	5	9,502	6,880	121,848	-3,141	-5,400	-30,000	24,981	30,000	1,000	0,000	121,916	4,627	0,018	-5,400	0,014
EmbeddedBeam_21_1	18032	1	9,502	6,880	121,845	-3,847	-5,400	-30,000	24,981	30,000	1,000	0,000	121,913	5,270	0,015	-5,400	0,014
Element 2-26 (Embedded beam)	18033	2	9,680	6,912	116,434	4,826	-5,303	-30,000	42,926	30,000	1,000	0,000	116,502	0,498	4,826	-5,303	0,012
(TITAN 40/20 l=1,60m)	18034	3	9,857	6,944	111,018	11,972	-3,741	-30,000	40,599	30,000	1,000	0,000	111,085	0,097	11,972	-3,741	0,002
20	18035	4	10,035	6,976	105,602	16,723	-1,125	-30,000	18,376	30,000	1,000	0,000	105,667	0,112	16,723	-1,430	0,002
20	18036	5	10,213	7,008	100,189	18,210	2,088	-30,000	31,189	30,000	1,000	0,000	100,253	0,138	18,210	-0,049	2,088
EmbeddedBeam_21_1	18036	1	10,213	7,008	100,187	17,807	2,088	-30,000	31,189	30,000	1,000	0,000	100,250	0,104	17,807	-0,049	2,088
Element 2-27 (Embedded beam)	18037	2	10,401	7,042	94,457	8,356	4,578	-30,000	45,028	30,000	1,000	0,000	94,514	0,229	8,356	-0,072	4,578
(TITAN 40/20 l=1,60m)	18038	3	10,589	7,076	88,724	0,324	5,364	-30,000	42,414	30,000	1,000	0,000	88,778	0,257	0,399	-0,118	5,364
20	18039	4	10,777	7,110	82,991	-5,568	4,838	-30,000	22,618	30,000	1,000	0,000	83,041	5,568	0,047	-0,149	4,838
20	18040	5	10,965	7,144	77,262	-8,594	3,427	-30,000	0,520	30,000	1,000	0,000	77,308	8,594	0,357	-0,145	3,427
EmbeddedBeam_21_1	18040	1	10,965	7,144	77,259	-8,973	3,427	-30,000	0,520	30,000	1,000	0,000	77,305	8,973	0,407	-0,145	3,427
Element 2-28 (Embedded beam)	18041	2	11,164	7,180	71,190	-6,391	1,870	-30,000	12,221	30,000	1,000	0,000	71,233	6,391	0,558	-0,082	1,870
(TITAN 40/20 l=1,60m)	18042	3	11,363	7,215	65,117	-3,932	0,834	-30,000	13,180	30,000	1,000	0,000	65,156	3,932	0,652	0,000	0,834
20	18043	4	11,563	7,251	59,043	-1,843	0,253	-30,000	8,557	30,000	1,000	0,000	59,079	1,843	0,494	0,000	0,253
20	18044	5	11,762	7,287	52,974	-0,374	0,043	-30,000	2,823	30,000	1,000	0,000	53,005	0,374	0,111	0,000	0,214
EmbeddedBeam_21_1	18044	1	11,762	7,287	52,971	-0,497	0,043	-30,000	2,823	30,000	1,000	0,000	53,002	0,497	0,033	0,000	0,214
Element 2-29 (Embedded beam)	18045	2	11,973	7,325	46,543	-0,183	-0,026	-30,000	1,097	30,000	1,000	0,000	46,570	0,341	0,000	-0,026	0,174
(TITAN 40/20 l=1,60m)	18046	3	12,184	7,363	40,110	-0,038	-0,048	-30,000	0,130	30,000	1,000	0,000	40,133	0,433	0,000	-0,048	0,093
20	18047	4	12,395	7,401	33,677	-0,033	-0,052	-30,000	0,206	30,000	1,000	0,000	33,697	0,387	0,000	-0,052	0,002
20	18048	5	12,606	7,439	27,249	-0,138	-0,069	-30,000	0,193	30,000	1,000	0,000	27,265	0,198	0,000	-0,085	0,000
EmbeddedBeam_21_1	18048	1	12,606	7,439	27,245	-0,154	-0,069	-30,000	0,193	30,000	1,000	0,000	27,262	0,310	0,000	-0,085	0,000
Element 2-30 (Embedded beam)	18049	2	12,829	7,479	20,437	0,076	-0,075	-30,000	0,710	30,000	1,000	0,000	20,449	0,014	0,098	-0,102	0,000
(TITAN 40/20 l=1,60m)	18050	3	13,053	7,520	13,623	0,167	-0,045	-30,000	0,073	30,000	1,000	0,000	13,631	0,004	0,219	-0,066	0,000
20	18051	4	13,276	7,560	6,810	0,121	-0,010	-30,000	0,490	30,000	1,000	0,000	6,905	0,000	0,177	-0,020	0,000
20	18052	5	13,500	7,600	0,002	-0,057	0,000	-30,000	0,270	30,000	1,000	-162,313	0,076	0,095	0,034	0,000	0,000

3.3.1.1.34 Calculation results, Embedded beam, Eccezionale Op provvisionale [Phase_33] (33/1287), Table of embedded beam force envelopes

Structural element	Node [10 ^]	Local number	X [m]	Y [m]	N [kN]	Q [kN]	M [10 ^ kN m]	T_{xxx} [kN/m]	T_{yyy} [kN/m]	$T_{xxx,max}$ [kN/m]	$T_{xxx,min}$ [10 ^]	N_{xxx} [kN]	N_{xxx} [kN]	Q_{xxx} [10 ^ kN]	Q_{xxx} [kN]	M_{xxx} [10 ^ kN m]	M_{xxx} [10 ^ kN m]
EmbeddedBeam_1_1	17931	1	8,300	-2,600	122,307	1,493	0,000	-12,328	-7,075	30,000	410,943	0,000	122,307	0,000	1,493	0,000	0,000
Element 1-1 (Embedded beam)	17932	2	8,493	-2,635	119,926	0,503	188,415	-12,041	-4,083	30,000	401,383	0,000	119,926	0,000	0,503	0,000	188,415
(TITAN 40/20 l=1,60m)	17933	3	8,685	-2,670	117,592	-0,091	223,358	-11,788	-1,812	30,000	392,921	0,000	117,592	91,260	0,000	0,000	223,358
圆	17934	4	8,878	-2,706	115,305	-0,328	175,984	-11,554	-0,433	30,000	385,136	0,000	115,305	328,453	0,000	0,000	175,984
圆	17935	5	9,071	-2,741	113,067	-0,246	115,160	-11,334	0,225	30,000	377,803	0,000	113,067	246,127	0,000	0,000	115,160
EmbeddedBeam_1_1	17935	1	9,071	-2,741	113,064	-0,318	115,160	-11,334	0,225	30,000	377,803	0,000	113,064	318,424	0,000	0,000	115,160
Element 1-2 (Embedded beam)	17936	2	9,223	-2,769	111,320	-0,253	70,802	-11,169	0,411	30,000	372,288	0,000	111,320	253,179	0,000	0,000	70,802
(TITAN 40/20 l=1,60m)	17937	3	9,376	-2,797	109,598	-0,190	36,505	-11,010	0,421	30,000	367,008	0,000	109,598	189,905	0,000	0,000	36,505
圆	17938	4	9,529	-2,825	107,901	-0,132	11,592	-10,858	0,348	30,000	361,939	0,000	107,901	131,520	0,000	0,000	11,685
圆	17939	5	9,681	-2,853	106,229	-0,081	-4,750	-10,712	0,256	30,000	357,083	0,000	106,229	80,942	0,000	-4,750	0,650
EmbeddedBeam_1_1	17939	1	9,681	-2,853	106,227	-0,081	-4,750	-10,712	0,256	30,000	357,083	0,000	106,227	81,414	0,000	-4,750	0,650
Element 1-3 (Embedded beam)	17940	2	9,802	-2,875	104,918	-0,056	-13,179	-10,597	0,203	30,000	353,233	0,000	104,918	56,105	0,000	-13,179	0,000
(TITAN 40/20 l=1,60m)	17941	3	9,923	-2,897	103,621	-0,032	-18,604	-10,487	0,180	30,000	349,581	0,000	103,621	31,925	0,000	-18,604	0,000
圆	17942	4	10,044	-2,919	102,338	-0,008	-21,027	-10,376	0,206	30,000	345,868	0,000	102,338	7,595	0,001	-21,027	0,000
圆	17943	5	10,165	-2,941	101,069	0,018	-20,405	-10,271	0,271	30,000	342,372	0,000	101,069	0,000	0,018	-20,405	0,000
EmbeddedBeam_1_1	17943	1	10,165	-2,941	101,064	0,016	-20,405	-10,271	0,271	30,000	342,372	0,000	101,064	0,000	0,016	-20,405	0,000
Element 1-4 (Embedded beam)	17944	2	10,261	-2,959	100,073	0,051	-17,092	-10,242	0,294	30,000	341,400	0,000	100,073	0,000	0,051	-17,092	0,000
(TITAN 40/20 l=1,60m)	17945	3	10,357	-2,976	99,069	0,074	-10,883	-10,330	0,205	30,000	344,341	0,000	99,069	0,000	0,074	-10,883	0,000
圆	17946	4	10,453	-2,994	98,050	0,083	-3,141	-10,549	0,000	30,000	351,634	0,000	98,050	0,000	0,083	-3,398	0,000
圆	17947	5	10,549	-3,011	97,014	0,075	4,695	-10,817	-0,240	30,000	360,559	0,000	97,014	0,000	0,075	-2,268	4,695
EmbeddedBeam_1_1	17947	1	10,549	-3,011	97,010	0,072	4,695	-18,028	-0,401	30,000	600,932	0,000	97,010	0,000	0,072	-2,268	4,695
Element 1-5 (Embedded beam)	17948	2	10,656	-3,031	95,042	0,034	10,444	-17,889	-0,299	30,000	596,295	0,000	95,042	0,000	0,034	-1,189	10,444
(TITAN 40/20 l=1,60m)	17949	3	10,764	-3,051	93,088	0,007	12,622	-17,753	-0,194	30,000	591,771	0,000	93,088	0,000	0,011	-0,393	12,622
圆	17950	4	10,872	-3,071	91,148	-0,010	12,378	-17,622	-0,109	30,000	587,404	0,000	91,148	9,746	0,007	-0,112	12,378
圆	17951	5	10,980	-3,090	89,224	-0,017	10,846	-17,495	-0,047	30,000	583,166	0,000	89,224	16,621	0,004	-0,020	10,846
EmbeddedBeam_1_1	17951	1	10,980	-3,090	89,223	-0,018	10,846	-17,495	-0,047	30,000	583,166	0,000	89,223	18,334	0,004	-0,020	10,846
Element 1-6 (Embedded beam)	17952	2	11,085	-3,110	87,355	-0,020	8,761	-17,374	-0,007	30,000	579,149	0,000	87,355	20,152	0,002	0,000	8,761
(TITAN 40/20 l=1,60m)	17953	3	11,191	-3,129	85,498	-0,020	6,607	-17,258	0,017	30,000	575,261	0,000	85,498	19,737	0,001	0,000	6,607
圆	17954	4	11,296	-3,148	83,654	-0,017	4,598	-17,145	0,029	30,000	571,500	0,000	83,654	17,377	0,000	0,000	4,598
圆	17955	5	11,402	-3,167	81,823	-0,013	2,939	-17,036	0,033	30,000	567,861	0,000	81,823	13,356	0,000	0,000	2,939
EmbeddedBeam_1_1	17955	1	11,402	-3,167	81,822	-0,014	2,939	-17,036	0,033	30,000	567,861	0,000	81,822	13,877	0,000	0,000	2,939
Element 1-7 (Embedded beam)	17956	2	11,505	-3,186	80,043	-0,010	1,675	-16,933	0,032	30,000	564,424	0,000	80,043	10,324	0,000	-0,002	2,340
(TITAN 40/20 l=1,60m)	17957	3	11,608	-3,205	78,273	-0,007	0,758	-16,833	0,027	30,000	561,098	0,000	78,273	7,262	0,000	-0,008	1,936
圆	17958	4	11,711	-3,224	76,513	-0,005	0,134	-16,736	0,022	30,000	557,883	0,000	76,513	4,722	0,000	-0,018	1,567
圆	17959	5	11,814	-3,243	74,765	-0,003	-0,251	-16,643	0,016	30,000	554,780	0,000	74,765	2,732	0,000	-0,251	1,250
EmbeddedBeam_1_1	17959	1	11,814	-3,243	74,764	-0,003	-0,251	-16,643	0,016	30,000	554,780	0,000	74,764	2,782	0,000	-0,251	1,250
Element 1-8 (Embedded beam)	17960	2	11,915	-3,261	73,064	-0,001	-0,457	-16,556	0,011	30,000	551,852	0,000	73,064	2,262	0,000	-0,457	0,993
(TITAN 40/20 l=1,60m)	17961	3	12,016	-3,280	71,371	0,000	-0,549	-16,471	0,007	30,000	549,029	0,000	71,371	1,811	0,000	-0,549	0,793
圆	17962	4	12,117	-3,298	69,687	0,000	-0,563	-16,389	0,004	30,000	546,310	0,000	69,687	1,424	0,000	-0,563	0,651
圆	17963	5	12,217	-3,317	68,013	0,000	-0,537	-16,311	0,002	30,000	543,696	0,000	68,013	1,118	0,000	-0,537	0,537
EmbeddedBeam_1_1	17963	1	12,217	-3,317	68,012	0,000	-0,537	-16,311	0,002	30,000	543,696	0,000	68,012	1,123	0,000	-0,537	0,537
Element 1-9 (Embedded beam)	17964	2	12,316	-3,335	66,382	0,000	-0,493	-16,237	0,000	30,000	541,240	0,000	66,382	0,929	0,000	-0,493	0,448
(TITAN 40/20 l=1,60m)	17965	3	12,414	-3,353	64,758	0,000	-0,447	-16,166	-0,001	30,000	538,883	0,000	64,758	0,774	0,000	-0,447	0,371
圆	17966	4	12,513	-3,371	63,141	0,000	-0,406	-16,099	-0,001	30,000	536,625	0,000	63,141	0,656	0,000	-0,406	0,305
圆	17967	5	12,612	-3,389	61,533	0,000	-0,374	-16,034	-0,001	30,000	534,466	0,000	61,533	0,564	0,000	-0,374	0,247
EmbeddedBeam_1_1	17967	1	12,612	-3,389	61,532	0,000	-0,374	-16,034	-0,001	30,000	534,466	0,000	61,532	0,563	0,000	-0,374	0,247
Element 1-10 (Embedded beam)	17968	2	12,708	-3,406	59,965	0,000	-0,354	-15,974	-0,001	30,000	532,450	0,000	59,965	0,497	0,000	-0,354	0,197
(TITAN 40/20 l=1,60m)	17969	3	12,804	-3,424	58,402	0,000	-0,343	-15,916	-0,001	30,000	530,528	0,000	58,402	0,442	0,000	-0,343	0,152
圆	17970	4	12,901	-3,442	56,846	0,000	-0,341	-15,861	-0,001	30,000	528,699	0,000	56,846	0,396	0,000	-0,341	0,112

Structural element	Node [10^]	Local number	X [m]	Y [m]	N [kN]	Q [kN]	M [10^ kN m]	$T_{n,n}$ [kN/m]	$T_{n,t}$ [kN/m]	$T_{n,n,ec}$ [kN/m]	$T_{n,n,ec}$ [10^]	$N_{n,n}$ [kN]	$N_{n,t}$ [kN]	$Q_{n,n}$ [10^ kN]	$Q_{n,t}$ [kN]	$M_{n,n}$ [10^ kN m]	$M_{n,t}$ [10^ kN m]
臂	17971	5	12,997	-3,459	55,295	0,000	-0,346	-15,809	0,000	30,000	526,964	0,000	55,295	0,357	0,000	-0,346	0,077
EmbeddedBeam_11_1	17971	1	12,997	-3,459	55,294	0,000	-0,346	-15,809	0,000	30,000	526,964	0,000	55,294	0,356	0,000	-0,346	0,077
Element 1-11 (Embedded beam)	17972	2	13,091	-3,476	53,783	0,000	-0,354	-15,761	0,000	30,000	525,357	0,000	53,783	0,322	0,000	-0,354	0,048
(TITAN 40/20 l=1,60m)	17973	3	13,185	-3,494	52,276	0,000	-0,366	-15,715	0,000	30,000	523,840	0,000	52,276	0,290	0,000	-0,366	0,024
臂	17974	4	13,280	-3,511	50,772	0,000	-0,379	-15,672	0,000	30,000	522,412	0,000	50,772	0,260	0,000	-0,379	0,006
臂	17975	5	13,374	-3,528	49,274	0,000	-0,391	-15,632	0,000	30,000	521,074	0,000	49,274	0,236	0,000	-0,391	0,000
EmbeddedBeam_11_1	17975	1	13,374	-3,528	49,273	0,000	-0,391	-15,632	0,000	30,000	521,074	0,000	49,273	0,236	0,000	-0,391	0,000
Element 1-12 (Embedded beam)	17976	2	13,466	-3,545	47,812	0,000	-0,403	-15,596	0,000	30,000	519,851	0,000	47,812	0,218	0,000	-0,403	0,000
(TITAN 40/20 l=1,60m)	17977	3	13,558	-3,562	46,352	0,000	-0,413	-15,561	0,000	30,000	518,714	0,000	46,352	0,199	0,000	-0,413	0,000
臂	17978	4	13,650	-3,579	44,896	0,000	-0,422	-15,530	0,000	30,000	517,662	0,000	44,896	0,179	0,000	-0,422	0,000
臂	17979	5	13,742	-3,596	43,444	0,000	-0,428	-15,501	0,000	30,000	516,695	0,000	43,444	0,158	0,000	-0,428	0,000
EmbeddedBeam_11_1	17979	1	13,742	-3,596	43,443	0,000	-0,428	-15,501	0,000	30,000	516,695	0,000	43,443	0,158	0,000	-0,428	0,000
Element 1-13 (Embedded beam)	17980	2	13,832	-3,612	42,026	0,000	-0,433	-15,475	0,000	30,000	515,832	0,000	42,026	0,137	0,000	-0,433	0,000
(TITAN 40/20 l=1,60m)	17981	3	13,923	-3,629	40,610	0,000	-0,435	-15,452	0,000	30,000	515,052	0,000	40,610	0,117	0,000	-0,435	0,000
臂	17982	4	14,013	-3,645	39,196	0,000	-0,436	-15,431	0,000	30,000	514,353	0,000	39,196	0,097	0,000	-0,436	0,000
臂	17983	5	14,103	-3,661	37,785	0,000	-0,435	-15,412	0,000	30,000	513,737	0,000	37,785	0,078	0,000	-0,435	0,000
EmbeddedBeam_11_1	17983	1	14,103	-3,661	37,784	0,000	-0,435	-15,412	0,000	30,000	513,737	0,000	37,784	0,078	0,000	-0,435	0,000
Element 1-14 (Embedded beam)	17984	2	14,191	-3,678	36,405	0,000	-0,432	-15,396	0,000	30,000	513,215	0,000	36,405	0,060	0,000	-0,432	0,000
(TITAN 40/20 l=1,60m)	17985	3	14,279	-3,694	35,027	0,000	-0,428	-15,383	0,000	30,000	512,772	0,000	35,027	0,044	0,000	-0,428	0,000
臂	17986	4	14,367	-3,710	33,650	0,000	-0,423	-15,372	0,000	30,000	512,409	0,000	33,650	0,029	0,000	-0,423	0,000
臂	17987	5	14,455	-3,726	32,276	0,000	-0,417	-15,364	0,000	30,000	512,126	0,000	32,276	0,015	0,000	-0,417	0,000
EmbeddedBeam_11_1	17987	1	14,455	-3,726	32,275	0,000	-0,417	-15,364	0,000	30,000	512,126	0,000	32,275	0,015	0,000	-0,417	0,000
Element 1-15 (Embedded beam)	17988	2	14,541	-3,742	30,931	0,000	-0,410	-15,358	0,000	30,000	511,928	0,000	30,931	-0,007	0,000	-0,410	0,000
(TITAN 40/20 l=1,60m)	17989	3	14,627	-3,757	29,587	0,000	-0,403	-15,354	0,000	30,000	511,809	0,000	29,587	-0,005	0,000	-0,403	0,000
臂	17990	4	14,713	-3,771	28,242	0,000	-0,395	-15,353	0,000	30,000	511,768	0,000	28,242	-0,004	0,000	-0,395	0,000
臂	17991	5	14,799	-3,789	26,899	0,000	-0,387	-15,354	0,000	30,000	511,807	0,000	26,899	-0,004	0,000	-0,387	0,000
EmbeddedBeam_11_1	17991	1	14,799	-3,789	26,899	0,000	-0,387	-15,354	0,000	30,000	511,807	0,000	26,899	-0,004	0,000	-0,387	0,000
Element 1-16 (Embedded beam)	17992	2	14,883	-3,804	25,585	0,000	-0,379	-15,358	0,000	30,000	511,924	0,000	25,585	-0,003	0,000	-0,379	0,000
(TITAN 40/20 l=1,60m)	17992	3	14,968	-3,820	24,270	0,000	-0,370	-15,364	0,000	30,000	512,119	0,000	24,270	-0,003	0,000	-0,370	0,000
臂	17994	4	15,052	-3,835	22,955	0,000	-0,361	-15,372	0,000	30,000	512,393	0,000	22,955	-0,002	0,000	-0,361	0,000
臂	17995	5	15,136	-3,850	21,640	0,000	-0,353	-15,382	0,000	30,000	512,749	0,000	21,640	-0,001	0,000	-0,353	0,000
EmbeddedBeam_11_1	17995	1	15,136	-3,850	21,639	0,000	-0,353	-15,382	0,000	30,000	512,749	0,000	21,639	-0,001	0,000	-0,353	0,000
Element 1-17 (Embedded beam)	17996	2	15,205	-3,863	20,554	0,000	-0,345	-15,393	0,000	30,000	513,105	0,000	20,554	0,000	0,000	-0,345	0,000
(TITAN 40/20 l=1,60m)	17997	3	15,275	-3,876	19,467	0,000	-0,337	-15,406	0,000	30,000	513,518	0,000	19,467	0,000	0,000	-0,337	0,000
臂	17998	4	15,344	-3,889	18,379	0,000	-0,329	-15,420	0,000	30,000	513,989	0,000	18,379	0,000	0,000	-0,329	0,000
臂	17999	5	15,414	-3,901	17,291	0,000	-0,320	-15,436	0,000	30,000	514,520	0,000	17,291	0,000	0,000	-0,320	0,000
EmbeddedBeam_11_1	17999	1	15,414	-3,901	17,290	0,000	-0,320	-15,436	0,000	30,000	514,520	0,000	17,290	0,000	0,000	-0,320	0,000
Element 1-18 (Embedded beam)	18000	2	15,521	-3,921	15,612	0,000	-0,304	-15,464	0,000	30,000	515,458	0,000	15,612	0,000	0,000	-0,304	0,000
(TITAN 40/20 l=1,60m)	18001	3	15,627	-3,940	13,929	0,000	-0,286	-15,496	0,000	30,000	516,546	0,000	13,929	0,000	0,000	-0,286	0,000
臂	18002	4	15,734	-3,960	12,242	0,000	-0,263	-15,534	0,000	30,000	517,794	0,000	12,242	0,000	0,000	-0,263	0,000
臂	18003	5	15,841	-3,980	10,553	0,000	-0,235	-15,576	0,001	30,000	519,213	0,000	10,553	0,000	0,000	-0,235	0,000
EmbeddedBeam_11_1	18003	1	15,841	-3,980	10,551	0,000	-0,235	-15,576	0,001	30,000	519,213	0,000	10,551	0,000	0,000	-0,235	0,000
Element 1-19 (Embedded beam)	18004	2	16,006	-4,010	7,940	0,000	-0,179	-15,653	0,001	30,000	521,762	0,000	7,940	0,000	0,000	-0,179	0,000
(TITAN 40/20 l=1,60m)	18005	3	16,171	-4,040	5,311	0,000	-0,106	-15,743	0,000	30,000	524,751	0,000	5,311	0,000	0,000	-0,106	0,000
臂	18006	4	16,335	-4,070	2,665	0,000	-0,039	-15,855	-0,001	30,000	528,488	0,000	2,665	0,000	0,000	-0,039	0,000
臂	18007	5	16,500	-4,100	0,003	0,000	0,000	-16,011	-0,004	30,000	533,701	0,000	0,003	0,000	0,000	0,000	0,000
EmbeddedBeam_21_1	18008	1	6,000	-6,250	77,683	-0,246	0,000	-12,721	1,323	30,000	424,036	0,000	78,971	-250,630	0,000	0,000	0,000
Element 2-20 (Embedded beam)	18009	2	6,126	-6,273	76,072	-0,112	-22,433	-12,534	0,887	30,000	417,787	0,000	77,384	-114,829	0,000	-22,862	0,000
(TITAN 40/20 l=1,60m)	18010	3	6,252	-6,295	74,480	-0,021	-30,528	-12,369	0,524	30,000	412,316	0,000	75,813	-22,274	0,000	-31,209	0,000
臂	18011	4	6,377	-6,318	72,908	0,030	-29,484	-12,219	0,256	30,000	407,306	0,000	74,260	0,000	0,030	-30,288	0,000
臂	18012	5	6,503	-6,341	71,357	0,044	-24,398	-12,078	0,079	30,000	402,585	0,000	72,725	0,000	0,044	-25,242	0,000
EmbeddedBeam_21_1	18012	1	6,503	-6,341	71,355	0,052	-24,398	-12,078	0,079	30,000	402,585	0,000	72,723	0,000	0,052	-25,242	0,000
Element 2-21 (Embedded beam)	18013	2	6,636	-6,365	69,731	0,050	-17,465	-11,935	-0,029	30,000	397,848	0,000	71,114	0,000	0,050	-18,300	0,000
(TITAN 40/20 l=1,60m)	18014	3	6,770	-6,389	68,124	0,043	-11,118	-11,800	-0,077	30,000	393,348	0,000	69,519	0,000	0,044	-11,923	0,000
臂	18015	4	6,903	-6,413	66,535	0,033	-5,913	-11,672	-0,086	30,000	389,051	0,000	67,939	0,000	0,033	-6,680	0,000
臂	18016	5	7,036	-6,436	64,965	0,019	-2,357	-11,548	-0,076	30,000	384,929	0,000	66,375	0,000	0,020	-3,091	0,000
EmbeddedBeam_21_1	18016	1	7,036	-6,436	64,964	0,021	-2,357	-11,548	-0,076	30,000	384,929	0,000	66,373	0,000	0,021	-3,091	0,000

Structural element	Node [10^]	Local number	X [m]	Y [m]	N [kN]	Q [kN]	M [10^ kN m]	T_{xx} [kN/m]	T_{yy} [kN/m]	$T_{xx,sup}$ [kN/m]	$T_{xx,inf}$ [10^]	$N_{x,i}$ [kN]	$N_{x,j}$ [kN]	$Q_{z,i}$ [10^ kN]	$Q_{z,j}$ [kN]	$M_{y,i}$ [10^ kN m]	$M_{y,j}$ [10^ kN m]
Element 2-32 (Embedded beam)	18017	2	7,177	-6,462	63,318	0,011	-0,078	-11,422	-0,056	30,000	380,732	0,000	64,732	0,000	0,012	-0,786	0,000
(TITAN 40/20 l=1,60m)	18018	3	7,318	-6,487	61,689	0,005	1,049	-11,301	-0,036	30,000	376,691	0,000	63,103	0,000	0,005	-0,020	1,049
,,	18019	4	7,459	-6,513	60,076	0,001	1,402	-11,184	-0,020	30,000	372,791	0,000	61,489	0,000	0,001	-0,013	1,402
,,	18020	5	7,600	-6,538	58,482	-0,001	1,354	-11,071	-0,008	30,000	369,023	0,000	59,890	0,937	0,000	-0,011	1,354
EmbeddedBeam_3_1	18020	1	7,600	-6,538	58,481	-0,001	1,354	-11,071	-0,008	30,000	369,023	0,000	59,889	1,439	0,000	-0,011	1,354
Element 2-33 (Embedded beam)	18021	2	7,750	-6,565	56,810	-0,002	1,108	-10,955	-0,001	30,000	365,165	0,000	58,209	1,780	0,000	-0,012	1,108
(TITAN 40/20 l=1,60m)	18022	3	7,899	-6,592	55,154	-0,002	0,848	-10,843	0,003	30,000	361,437	0,000	56,543	1,689	0,000	-0,013	0,848
,,	18023	4	8,049	-6,619	53,515	-0,001	0,625	-10,735	0,004	30,000	357,833	0,000	54,890	1,249	0,000	-0,060	0,625
,,	18024	5	8,198	-6,646	51,894	-0,001	0,492	-10,630	0,003	30,000	354,349	0,000	53,252	0,546	0,000	-0,188	0,492
EmbeddedBeam_3_1	18024	1	8,198	-6,646	51,893	-0,001	0,492	-10,630	0,003	30,000	354,349	0,000	53,251	0,650	0,000	-0,188	0,492
Element 2-34 (Embedded beam)	18025	2	8,357	-6,674	50,193	0,000	0,430	-10,524	0,002	30,000	350,786	0,000	51,530	0,267	0,000	-0,249	0,430
(TITAN 40/20 l=1,60m)	18026	3	8,515	-6,703	48,508	0,000	0,427	-10,421	0,001	30,000	347,352	0,000	49,821	0,081	0,000	-0,248	0,427
,,	18027	4	8,673	-6,731	46,839	0,000	0,459	-10,321	0,001	30,000	344,046	0,000	48,126	0,000	0,000	-0,209	0,459
,,	18028	5	8,832	-6,760	45,188	0,000	0,505	-10,226	0,000	30,000	340,869	0,000	46,446	0,000	0,000	-0,154	0,505
EmbeddedBeam_3_1	18028	1	8,832	-6,760	45,186	0,000	0,505	-10,226	0,000	30,000	340,869	0,000	46,444	0,000	0,000	-0,154	0,505
Element 2-35 (Embedded beam)	18029	2	8,999	-6,790	43,454	0,000	0,553	-10,129	0,000	30,000	337,646	0,000	44,678	0,000	0,000	-0,091	0,553
(TITAN 40/20 l=1,60m)	18030	3	9,167	-6,820	41,736	0,000	0,592	-10,037	0,000	30,000	334,571	0,000	42,924	0,000	0,000	-0,033	0,592
,,	18031	4	9,335	-6,850	40,033	0,000	0,619	-9,949	0,000	30,000	331,648	0,000	41,182	0,000	0,000	-0,026	0,619
,,	18032	5	9,502	-6,880	38,346	0,000	0,632	-9,866	0,000	30,000	328,881	0,000	39,454	0,000	0,000	-0,021	0,632
EmbeddedBeam_3_1	18032	1	9,502	-6,880	38,344	0,000	0,632	-9,866	0,000	30,000	328,881	0,000	39,453	0,000	0,000	-0,021	0,632
Element 2-36 (Embedded beam)	18033	2	9,680	-6,912	36,573	0,000	0,633	-9,784	0,000	30,000	326,125	0,000	37,636	0,027	0,000	-0,017	0,633
(TITAN 40/20 l=1,60m)	18034	3	9,857	-6,944	34,814	0,000	0,623	-9,707	0,000	30,000	323,556	0,000	35,829	0,085	0,000	-0,015	0,623
,,	18035	4	10,035	-6,976	33,068	0,000	0,604	-9,635	0,000	30,000	321,178	0,000	34,034	0,132	0,000	-0,012	0,604
,,	18036	5	10,213	-7,008	31,337	0,000	0,576	-9,570	0,000	30,000	318,998	0,000	32,252	0,168	0,000	-0,010	0,576
EmbeddedBeam_3_1	18036	1	10,213	-7,008	31,335	0,000	0,576	-9,570	0,000	30,000	318,998	0,000	32,250	0,169	0,000	-0,010	0,576
Element 2-37 (Embedded beam)	18037	2	10,401	-7,042	29,514	0,000	0,541	-9,507	0,000	30,000	316,911	0,000	30,373	0,199	0,000	-0,009	0,541
(TITAN 40/20 l=1,60m)	18038	3	10,589	-7,076	27,702	0,000	0,501	-9,452	0,000	30,000	315,058	0,000	28,504	0,222	0,000	-0,007	0,501
,,	18039	4	10,777	-7,110	25,899	0,000	0,457	-9,403	0,000	30,000	313,445	0,000	26,645	0,236	0,000	-0,006	0,457
,,	18040	5	10,965	-7,144	24,108	0,000	0,411	-9,362	0,000	30,000	312,078	0,000	24,795	0,244	0,000	-0,005	0,411
EmbeddedBeam_3_1	18040	1	10,965	-7,144	24,106	0,000	0,411	-9,362	0,000	30,000	312,078	0,000	24,794	0,245	0,000	-0,005	0,411
Element 2-38 (Embedded beam)	18041	2	11,164	-7,180	22,216	0,000	0,361	-9,327	0,000	30,000	310,902	0,000	22,843	0,247	0,000	-0,004	0,361
(TITAN 40/20 l=1,60m)	18042	3	11,363	-7,215	20,330	0,000	0,311	-9,300	0,000	30,000	310,013	0,000	20,896	0,244	0,000	-0,003	0,311
,,	18043	4	11,563	-7,251	18,449	0,000	0,262	-9,283	0,000	30,000	309,417	0,000	18,954	0,237	0,000	-0,002	0,268
,,	18044	5	11,762	-7,287	16,573	0,000	0,215	-9,274	0,000	30,000	309,119	0,000	17,018	0,227	0,000	-0,002	0,229
EmbeddedBeam_3_1	18044	1	11,762	-7,287	16,570	0,000	0,215	-9,274	0,000	30,000	309,119	0,000	17,016	0,226	0,000	-0,002	0,229
Element 2-39 (Embedded beam)	18045	2	11,973	-7,325	14,584	0,000	0,168	-9,274	0,000	30,000	309,137	0,000	14,968	0,214	0,000	-0,001	0,196
(TITAN 40/20 l=1,60m)	18046	3	12,184	-7,363	12,594	0,000	0,124	-9,285	0,000	30,000	309,506	0,000	12,917	0,196	0,000	-0,001	0,173
,,	18047	4	12,395	-7,401	10,600	0,000	0,085	-9,307	0,000	30,000	310,244	0,000	10,865	0,172	0,000	-0,001	0,157
,,	18048	5	12,606	-7,439	8,603	0,000	0,051	-9,341	0,000	30,000	311,369	0,000	8,813	0,142	0,000	0,000	0,138
EmbeddedBeam_3_1	18048	1	12,606	-7,439	8,600	0,000	0,051	-9,341	0,000	30,000	311,369	0,000	8,809	0,136	0,000	0,000	0,138
Element 2-30 (Embedded beam)	18049	2	12,829	-7,479	6,476	0,000	0,025	-9,390	0,000	30,000	313,002	0,000	6,629	0,159	0,000	0,000	0,111
(TITAN 40/20 l=1,60m)	18050	3	13,053	-7,520	4,336	0,000	0,007	-9,454	0,000	30,000	315,134	0,000	4,434	0,201	0,000	0,000	0,068
,,	18051	4	13,276	-7,560	2,178	0,000	-0,002	-9,540	0,000	30,000	318,004	0,000	2,226	0,168	0,000	-0,002	0,025
,,	18052	5	13,500	-7,600	0,004	0,000	0,000	-9,661	0,000	30,000	322,040	0,000	0,004	0,029	0,000	0,000	0,000

ALLEGATO B

Tabulati Geostudio 2018

Opera Provvisionale - Tratto A (SLU)

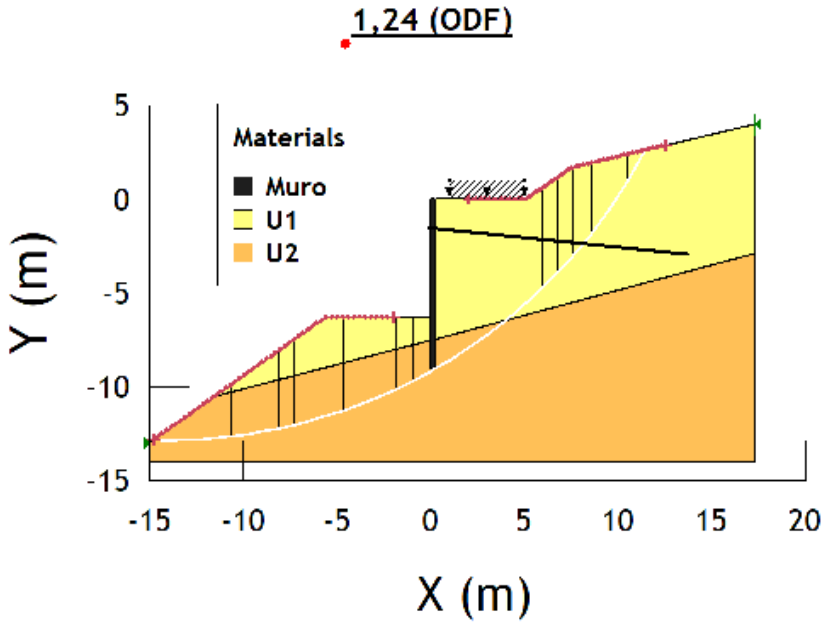

File Information

File Version: 9.00

Title: Castel del Rio - SG opera def

Revision Number: 15

Date: 24/03/2025

Time: 15:22:19

Tool Version: 9.0.5.16316

File Name: sg opera provv A.gsz

Directory: \\Pc-Server\Archivio-GES\LAVORI\Castel del Rio SOIL\2_Elaborazione\4_Modellazione Numerica\Geoslope\

Last Solved Date: 24/03/2025

Last Solved Time: 15:22:20

Project Settings

Unit System: International System of Units (SI)

Analysis Settings

SLU12

Kind: SLOPE/W

Method: Morgenstern-Price

Settings

Side Function

Interslice force function option: Half-Sine

PWP Conditions from: (none)

Limit State Design Approach: Eurocode 7 - DA1, C2

Unit Weight of Water: 9,807 kN/m³

Slip Surface

Direction of movement: Right to Left

Use Passive Mode: No

Slip Surface Option: Entry and Exit

Critical slip surfaces saved: 1

Optimize Critical Slip Surface Location: No

Tension Crack Option: (none)

Distribution

ODF Calculation Option: Constant

Advanced

Geometry Settings

Minimum Slip Surface Depth: 0,1 m

Number of Slices: 30

Overdesign Factor Convergence Settings

Maximum Number of Iterations: 100

Tolerable difference in ODF: 0,001

Solution Settings

Search Method: Root Finder

Tolerable difference between starting and converged ODF: 3

Maximum iterations to calculate converged lambda: 20

Max Absolute Lambda: 2

Materials

U1

Model: Mohr-Coulomb

Unit Weight: 19 kN/m³

Cohesion': 8 kPa

Phi': 27 °

Phi-B: 0 °

U2

Model: Mohr-Coulomb

Unit Weight: 20 kN/m³

Cohesion': 20 kPa

Phi': 30 °

Phi-B: 0 °

Muro

Model: High Strength

Unit Weight: 25 kN/m³

Slip Surface Entry and Exit

Left Type: Range

Left-Zone Left Coordinate: (-14,801509; -12,858221) m

Left-Zone Right Coordinate: (-2; -6,3) m

Left-Zone Increment: 50

Right Type: Range

Right-Zone Left Coordinate: (2; 0) m

Right-Zone Right Coordinate: (12,540332; 2,871419) m

Right-Zone Increment: 50

Radius Increments: 4

Slip Surface Limits

Left Coordinate: (-15; -13) m

Right Coordinate: (17,3; 4) m

Surcharge Loads

Surcharge Load 1

Surcharge (Unit Weight): 20 kN/m³

Direction: Vertical

Mode: Variable

Coordinates

	X	Y
	1 m	1 m
	5 m	1 m

Design Factor Set: Eurocode 7 - DA1, C2

Permanent Point Loads & Surcharge Loads: Favorable = 1, Unfavorable = 1

Variable Point Loads & Surcharge Loads: Favorable = 0, Unfavorable = 1.3

Soil Unit Weight: Favorable = 1, Unfavorable = 1

Effective Cohesion: 1,25

Effective Coefficient of Friction: 1,25

Undrained Strength: 1,4

Shear Strength (Other Models): 1,25

Pullout Resistance: 1,1

Shear Force: 1,1

Tensile Strength: 1,1

Compressive Strength: 1,1

Seismic Coefficients: 1

Earth Resistance: 1

Points

	X	Y

Point 1	0 m	0 m
Point 2	0 m	-9 m
Point 3	-5,6 m	-6,3 m
Point 4	0 m	-6,3 m
Point 5	-11,5 m	-10,5 m
Point 6	17,3 m	-2,9 m
Point 7	5,1 m	0 m
Point 8	7,6 m	1,7 m
Point 9	17,3 m	4 m
Point 10	0,25 m	0 m
Point 11	0,25 m	-9 m
Point 12	0,25 m	-7,488709 m
Point 13	17,3 m	-14 m
Point 14	-15 m	-14 m
Point 15	-15 m	-13 m
Point 16	1 m	1 m
Point 17	5 m	1 m
Point 18	0 m	-7,535841 m
Point 19	0 m	-1,5 m
Point 20	13,8 m	-2,9 m

Regions

	Material	Points	Area
Region 1	U2	15;14;13;6;12;11;2;18;5	216,56 m²
Region 2	U1	3;5;18;4	18,866 m²
Region 3	U1	12;10;7;8;9;6	118,33 m²
Region 4	Muro	1;19;4;18;2;11;12;10	2,25 m²

Current Slip Surface

Slip Surface: 228

Overdesign Factor: 1,24

Degree of Utilization: 0,81

Volume: 111,22721 m³

Weight: 2.161,2636 kN

Resisting Moment: 38.678,365 kN·m

Activating Moment: 31.194,269 kN·m

Resisting Force: 1.162,5177 kN

Activating Force: 938,17178 kN

Slip Rank: 1 of 13.005 slip surfaces

Exit: (-14,801509; -12,858221) m

Entry: (11,450494; 2,6130038) m

Radius: 28,840358 m

Center: (-14,108363; 15,973807) m

Slip Slices

	X	Y	PWP	Base Normal Stress	Frictional Strength	Cohesive Strength
Slice 1	-14,38882 m	-12,862235 m	0 kPa	7,0752133 kPa	3,2679011 kPa	16 kPa
Slice 2	-13,563443 m	-12,858449 m	0 kPa	20,68558 kPa	9,5542604 kPa	16 kPa
Slice 3	-12,738066 m	-12,831017 m	0 kPa	34,145721 kPa	15,771233 kPa	16 kPa
Slice 4	-11,912689 m	-12,779871 m	0 kPa	47,172036 kPa	21,78783 kPa	16 kPa
Slice 5	-11,078571 m	-12,703833 m	0 kPa	59,374803 kPa	27,424047 kPa	16 kPa
Slice 6	-10,235714 m	-12,602197 m	0 kPa	70,448885 kPa	32,538946 kPa	16 kPa
Slice 7	-9,3928571 m	-12,475232 m	0 kPa	80,232682 kPa	37,057889 kPa	16 kPa
Slice 8	-8,55 m	-12,322596 m	0 kPa	88,547811 kPa	40,898482 kPa	16 kPa
Slice 9	-7,7071429 m	-12,143872 m	0 kPa	95,290942 kPa	44,013001 kPa	16 kPa
Slice 10	-6,8642857 m	-11,938557 m	0 kPa	100,43616 kPa	46,389476 kPa	16 kPa
Slice 11	-6,0214286 m	-11,706059 m	0 kPa	104,02878 kPa	48,048833 kPa	16 kPa
Slice 12	-5,1333333 m	-11,430097 m	0 kPa	100,46819 kPa	46,404268 kPa	16 kPa
Slice 13	-4,2 m	-11,106512 m	0 kPa	90,287727 kPa	41,702115 kPa	16 kPa
Slice 14	-3,2666667 m	-10,746415 m	0 kPa	79,505727 kPa	36,722122 kPa	16 kPa

Slice 15	-2,3333333 m	-10,348305 m	0 kPa	68,347708 kPa	31,568454 kPa	16 kPa
Slice 16	-1,4 m	-9,9104258 m	0 kPa	56,982112 kPa	26,31891 kPa	16 kPa
Slice 17	-0,46666667 m	-9,4307165 m	0 kPa	45,517168 kPa	21,023479 kPa	16 kPa
Slice 18	0,125 m	-9,109195 m	0 kPa	167,99057 kPa	77,591519 kPa	16 kPa
Slice 19	0,625 m	-8,8153838 m	0 kPa	120,78191 kPa	55,786773 kPa	16 kPa
Slice 20	1,4979556 m	-8,2719843 m	0 kPa	126,38826 kPa	58,376237 kPa	16 kPa
Slice 21	2,4938667 m	-7,6007831 m	0 kPa	111,44144 kPa	51,472595 kPa	16 kPa
Slice 22	3,4897778 m	-6,8664325 m	0 kPa	96,963896 kPa	44,785705 kPa	16 kPa
Slice 23	4,4938667 m	-6,0553662 m	0 kPa	86,013583 kPa	35,060888 kPa	6,4 kPa
Slice 24	5,05 m	-5,5835331 m	0 kPa	62,172774 kPa	25,342889 kPa	6,4 kPa
Slice 25	5,5166667 m	-5,1520312 m	0 kPa	59,764213 kPa	24,36111 kPa	6,4 kPa
Slice 26	6,35 m	-4,3454458 m	0 kPa	56,131348 kPa	22,88028 kPa	6,4 kPa
Slice 27	7,1833333 m	-3,4696528 m	0 kPa	52,112673 kPa	21,242187 kPa	6,4 kPa
Slice 28	8,0813118 m	-2,4331555 m	0 kPa	44,550042 kPa	18,159504 kPa	6,4 kPa
Slice 29	9,0439354 m	-1,2042271 m	0 kPa	32,991334 kPa	13,447939 kPa	6,4 kPa
Slice 30	10,006559 m	0,17934263 m	0 kPa	19,537036 kPa	7,9636936 kPa	6,4 kPa
Slice 31	10,969183 m	1,7636057 m	0 kPa	3,1094523 kPa	1,2674761 kPa	6,4 kPa

Opera Provvisionale - Tratti B e C (SLU)

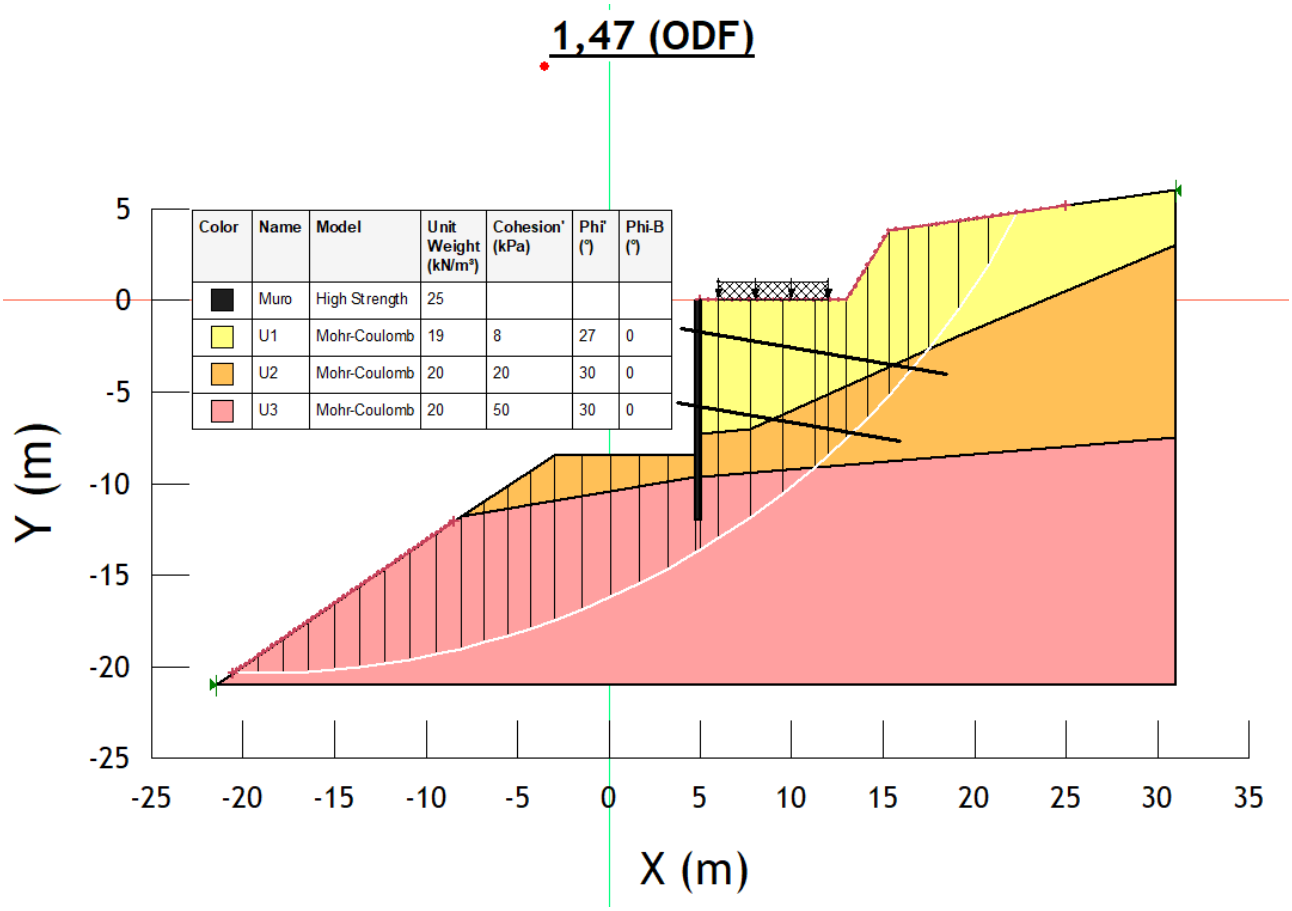

File Information

File Version: 9.00

Title: Castel del Rio - SG opera def

Revision Number: 11

Date: 24/03/2025

Time: 15:34:56

Tool Version: 9.0.5.16316

File Name: sg opera provv B C.gsz

Directory: \\Pc-Server\Archivio-GES\LAVORI\Castel del Rio SOIL\2_Elaborazione\4_Modellazione Numerica\Geoslope\

Last Solved Date: 24/03/2025

Last Solved Time: 15:34:58

Project Settings

Unit System: International System of Units (SI)

Analysis Settings

SLU12

Kind: SLOPE/W

Method: Morgenstern-Price

Settings

Side Function

Interslice force function option: Half-Sine

PWP Conditions from: (none)

Limit State Design Approach: Eurocode 7 - DA1, C2

Unit Weight of Water: 9,807 kN/m³

Slip Surface

Direction of movement: Right to Left

Use Passive Mode: No

Slip Surface Option: Entry and Exit

Critical slip surfaces saved: 1

Optimize Critical Slip Surface Location: No

Tension Crack Option: (none)

Distribution

ODF Calculation Option: Constant

Advanced

Geometry Settings

Minimum Slip Surface Depth: 0,1 m

Number of Slices: 30

Overdesign Factor Convergence Settings

Maximum Number of Iterations: 100

Tolerable difference in ODF: 0,001

Solution Settings

Search Method: Root Finder

Tolerable difference between starting and converged ODF: 3

Maximum iterations to calculate converged lambda: 20

Max Absolute Lambda: 2

Materials

U1

Model: Mohr-Coulomb

Unit Weight: 19 kN/m³

Cohesion': 8 kPa

Phi': 27 °

Phi-B: 0 °

U2

Model: Mohr-Coulomb

Unit Weight: 20 kN/m³

Cohesion': 20 kPa

Phi': 30 °

Phi-B: 0 °

U3

Model: Mohr-Coulomb

Unit Weight: 20 kN/m³

Cohesion': 50 kPa

Phi': 30 °

Phi-B: 0 °

Muro

Model: High Strength

Unit Weight: 25 kN/m³

Slip Surface Entry and Exit

Left Type: Range

Left-Zone Left Coordinate: (-20,561696; -20,355791) m

Left-Zone Right Coordinate: (-8,441678; -12,034585) m

Left-Zone Increment: 50

Right Type: Range

Right-Zone Left Coordinate: (5; 0) m

Right-Zone Right Coordinate: (24,97239; 5,155367) m

Right-Zone Increment: 50

Radius Increments: 4

Slip Surface Limits

Left Coordinate: (-21,5; -21) m

Right Coordinate: (31; 6) m

Surcharge Loads

Surcharge Load 1

Surcharge (Unit Weight): 20 kN/m³

Direction: Vertical

Mode: Variable

Coordinates

	X	Y
	6 m	1 m
	12 m	1 m

Design Factor Set: Eurocode 7 - DA1, C2

Permanent Point Loads & Surcharge Loads: Favorable = 1, Unfavorable = 1

Variable Point Loads & Surcharge Loads: Favorable = 0, Unfavorable = 1.3

Soil Unit Weight: Favorable = 1, Unfavorable = 1

Effective Cohesion: 1,25

Effective Coefficient of Friction: 1,25

Undrained Strength: 1,4

Shear Strength (Other Models): 1,25

Pullout Resistance: 1,1

Shear Force: 1,1

Tensile Strength: 1,1

Compressive Strength: 1,1

Seismic Coefficients: 1

Earth Resistance: 1

Points

	X	Y
Point 1	13 m	0 m
Point 2	15,3 m	3,8 m
Point 3	31 m	6 m
Point 4	31 m	-4 m
Point 5	31 m	3 m
Point 6	-3 m	-8,5 m
Point 7	-8,1 m	-11,8 m
Point 8	31 m	-7,5 m
Point 9	7,7 m	-7 m
Point 10	19 m	-2 m
Point 11	5 m	0 m
Point 12	5 m	-12 m
Point 13	5 m	-7,271942 m
Point 14	-21,5 m	-21 m
Point 15	31 m	-21 m
Point 16	5 m	-9,629751 m
Point 17	6 m	1 m
Point 18	12 m	1 m
Point 19	18,4 m	-4 m
Point 20	15,9 m	-7,65 m
Point 21	5 m	-8,5 m
Point 22	4,75 m	0 m
Point 23	4,75 m	-12 m

Point 24	4,75 m	-8,5 m
Point 25	4,75 m	-9,671168 m
Point 26	3,949869 m	-1,528641 m
Point 27	3,754512 m	-5,552999 m

Regions

	Material	Points	Area
Region 1	U2	6;7;25;24	20,312 m²
Region 2	U1	11;1;2;3;5;10;9;13	145,42 m²
Region 3	U3	7;14;15;8;16;12;23;25	519,1 m²
Region 4	Muro	21;13;11;22;24;25;23;12;16	3 m²
Region 5	U2	8;4;5;10;9;13;21;16	158,57 m²

Current Slip Surface

Slip Surface: 223

Overdesign Factor: 1,47

Degree of Utilization: 0,68

Volume: 290,06962 m³

Weight: 5.719,3059 kN

Resisting Moment: 192.188,93 kN·m

Activating Moment: 130.455,02 kN·m

Resisting Force: 3.571,628 kN

Activating Force: 2.424,2763 kN

Slip Rank: 1 of 13.005 slip surfaces

Exit: (-20,561696; -20,355791) m

Entry: (22,333128; 4,7855338) m

Radius: 46,947158 m

Center: (-19,252178; 26,5731) m

Slip Slices

	X	Y	PWP	Base Normal Stress	Frictional Strength	Cohesive Strength
Slice 1	-19,869379 m	-20,364895 m	0 kPa	12,143879 kPa	5,6090175 kPa	40 kPa
Slice 2	-18,484747 m	-20,362678 m	0 kPa	34,978546 kPa	16,155899 kPa	40 kPa
Slice 3	-17,100114 m	-20,319586 m	0 kPa	57,397441 kPa	26,510742 kPa	40 kPa

Slice 4	-15,715481 m	-20,235504 m	0 kPa	78,872611 kPa	36,429699 kPa	40 kPa
Slice 5	-14,330848 m	-20,110211 m	0 kPa	98,881443 kPa	45,671382 kPa	40 kPa
Slice 6	-12,946215 m	-19,943374 m	0 kPa	116,95376 kPa	54,018627 kPa	40 kPa
Slice 7	-11,561582 m	-19,734544 m	0 kPa	132,71276 kPa	61,297399 kPa	40 kPa
Slice 8	-10,176949 m	-19,483148 m	0 kPa	145,90362 kPa	67,389996 kPa	40 kPa
Slice 9	-8,7923164 m	-19,188485 m	0 kPa	156,40605 kPa	72,240861 kPa	40 kPa
Slice 10	-7,4625 m	-18,864829 m	0 kPa	163,51653 kPa	75,525049 kPa	40 kPa
Slice 11	-6,1875 m	-18,514696 m	0 kPa	167,6239 kPa	77,422162 kPa	40 kPa
Slice 12	-4,9125 m	-18,125458 m	0 kPa	169,76896 kPa	78,412925 kPa	40 kPa
Slice 13	-3,6375 m	-17,696083 m	0 kPa	170,16043 kPa	78,593738 kPa	40 kPa
Slice 14	-2,225 m	-17,169548 m	0 kPa	160,20024 kPa	73,99332 kPa	40 kPa
Slice 15	-0,675 m	-16,533883 m	0 kPa	140,6985 kPa	64,985852 kPa	40 kPa
Slice 16	0,875 m	-15,832046 m	0 kPa	120,82099 kPa	55,804825 kPa	40 kPa
Slice 17	2,425 m	-15,060686 m	0 kPa	100,77482 kPa	46,545895 kPa	40 kPa
Slice 18	3,975 m	-14,21585 m	0 kPa	80,65578 kPa	37,253309 kPa	40 kPa
Slice 19	4,875 m	-13,699642 m	0 kPa	237,61315 kPa	109,74881 kPa	40 kPa
Slice 20	5,5 m	-13,314481 m	0 kPa	178,96559 kPa	82,660665 kPa	40 kPa
Slice 21	6,85 m	-12,435437 m	0 kPa	177,43422 kPa	81,953356 kPa	40 kPa

Slice 22	8,586 6527 m	-11,213436 m	0 kPa	152,3 3736 kPa	70,36 1614 kPa	40 kPa
Slice 23	10,35 9958 m	-9,8391367 m	0 kPa	127,4 0635 kPa	58,84 647 kPa	40 kPa
Slice 24	11,62 3305 m	-8,7891698 m	0 kPa	114,4 6432 kPa	52,86 8806 kPa	16 kPa
Slice 25	12,5 m	-8,0010812 m	0 kPa	86,23 7222 kPa	39,83 1267 kPa	16 kPa
Slice 26	13,57 5 m	-6,9793208 m	0 kPa	83,77 4374 kPa	38,69 3726 kPa	16 kPa
Slice 27	14,72 5 m	-5,8135103 m	0 kPa	91,41 5868 kPa	42,22 3181 kPa	16 kPa
Slice 28	15,84 2234 m	-4,5998245 m	0 kPa	88,47 1221 kPa	40,86 3107 kPa	16 kPa
Slice 29	16,92 6703 m	-3,3334196 m	0 kPa	74,83 6592 kPa	34,56 5541 kPa	16 kPa
Slice 30	18,27 9636 m	-1,5973589 m	0 kPa	63,10 6147 kPa	25,72 335 kPa	6,4 kPa
Slice 31	19,90 1033 m	0,710 0317 m	0 kPa	39,88 6392 kPa	16,25 8505 kPa	6,4 kPa
Slice 32	21,52 2429 m	3,361 4269 m	0 kPa	11,00 2573 kPa	4,484 8729 kPa	6,4 kPa

Opera Definitiva - SLU

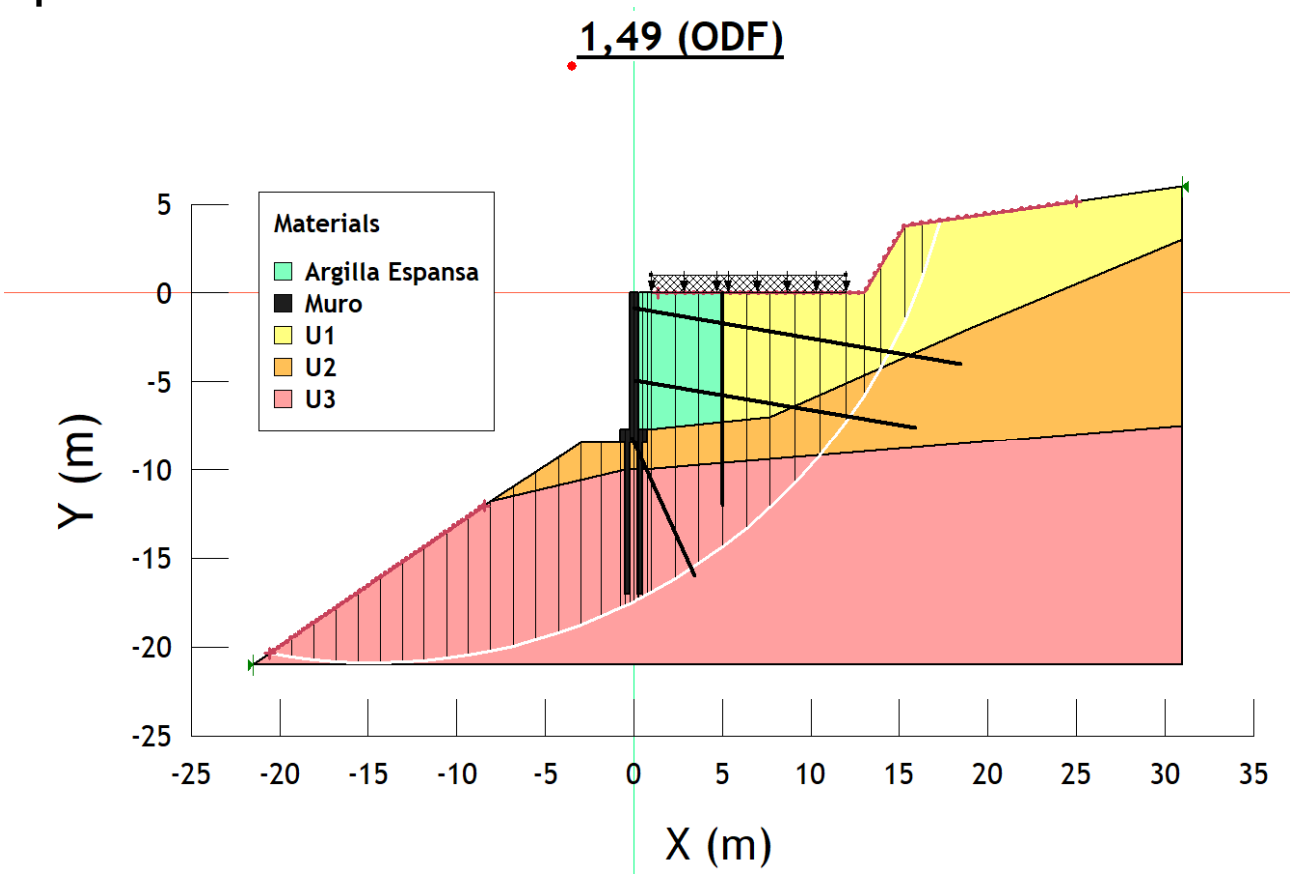

File Information

File Version: 9.00

Title: Castel del Rio - SG opera def

Revision Number: 7

Date: 24/03/2025

Time: 14:19:22

Tool Version: 9.0.5.16316

File Name: sg opera def.gsz

Directory: \\Pc-Server\Archivio-GES\LAVORI\Castel del Rio SOIL\2_Elaborazione\4_Modellazione Numerica\Geoslope\

Last Solved Date: 24/03/2025

Last Solved Time: 14:19:22

Project Settings

Unit System: International System of Units (SI)

Analysis Settings

SLU12

Kind: SLOPE/W

Method: Morgenstern-Price

Settings

Side Function

Interslice force function option: Half-Sine

PWP Conditions from: (none)

Limit State Design Approach: Eurocode 7 - DA1, C2

Unit Weight of Water: 9,807 kN/m³

Slip Surface

Direction of movement: Right to Left

Use Passive Mode: No

Slip Surface Option: Entry and Exit

Critical slip surfaces saved: 1

Optimize Critical Slip Surface Location: No

Tension Crack Option: (none)

Distribution

ODF Calculation Option: Constant

Advanced

Geometry Settings

Minimum Slip Surface Depth: 0,1 m

Number of Slices: 30

Overdesign Factor Convergence Settings

Maximum Number of Iterations: 100

Tolerable difference in ODF: 0,001

Solution Settings

Search Method: Root Finder

Tolerable difference between starting and converged ODF: 3

Maximum iterations to calculate converged lambda: 20

Max Absolute Lambda: 2

Materials

U1

Model: Mohr-Coulomb

Unit Weight: 19 kN/m³

Cohesion': 8 kPa

Phi': 27 °

Phi-B: 0 °

U2

Model: Mohr-Coulomb

Unit Weight: 20 kN/m³

Cohesion': 20 kPa

Phi': 30 °

Phi-B: 0 °

U3

Model: Mohr-Coulomb

Unit Weight: 20 kN/m³

Cohesion': 50 kPa

Phi': 30 °

Phi-B: 0 °

Argilla Espansa

Model: Mohr-Coulomb

Unit Weight: 6 kN/m³

Cohesion': 0 kPa

Phi': 40 °

Phi-B: 0 °

Muro

Model: High Strength

Unit Weight: 25 kN/m³

Slip Surface Entry and Exit

Left Type: Range

Left-Zone Left Coordinate: (-20,561696; -20,355791) m

Left-Zone Right Coordinate: (-8,441678; -12,034585) m

Left-Zone Increment: 50

Right Type: Range

Right-Zone Left Coordinate: (1,35; 0) m

Right-Zone Right Coordinate: (24,97239; 5,155367) m

Right-Zone Increment: 50

Radius Increments: 4

Slip Surface Limits

Left Coordinate: (-21,5; -21) m

Right Coordinate: (31; 6) m

Surcharge Loads

Surcharge Load 1

Surcharge (Unit Weight): 20 kN/m³

Direction: Vertical

Mode: Variable

Coordinates

	X	Y
	1 m	1 m
	12 m	1 m

Design Factor Set: Eurocode 7 - DA1, C2

Permanent Point Loads & Surcharge Loads: Favorable = 1, Unfavorable = 1

Variable Point Loads & Surcharge Loads: Favorable = 0, Unfavorable = 1.3

Soil Unit Weight: Favorable = 1, Unfavorable = 1

Effective Cohesion: 1,25

Effective Coefficient of Friction: 1,25

Undrained Strength: 1,4

Shear Strength (Other Models): 1,25

Pullout Resistance: 1,1

Shear Force: 1,1

Tensile Strength: 1,1

Compressive Strength: 1,1

Seismic Coefficients: 1

Earth Resistance: 1

Points

	X	Y
Point 1	0 m	0 m
Point 2	0,25 m	0 m
Point 3	-0,25 m	0 m
Point 4	-0,25 m	-7,7 m
Point 5	0,25 m	-7,7 m
Point 6	-0,75 m	-7,7 m
Point 7	0,75 m	-7,7 m
Point 8	-0,75 m	-8,5 m
Point 9	0,75 m	-8,5 m
Point 10	-0,48 m	-8,5 m
Point 11	-0,48 m	-17 m
Point 12	-0,23 m	-17 m
Point 13	-0,23 m	-8,5 m
Point 14	0,23 m	-8,5 m
Point 15	0,48 m	-8,5 m
Point 16	0,48 m	-17 m
Point 17	0,23 m	-17 m
Point 18	13 m	0 m
Point 19	15,3 m	3,8 m
Point 20	31 m	6 m

Point 21	31 m	-4 m
Point 22	31 m	3 m
Point 23	-3 m	-8,5 m
Point 24	-8,1 m	-11,8 m
Point 25	31 m	-7,5 m
Point 26	7,7 m	-7 m
Point 27	19 m	-2 m
Point 28	0,48 m	-10 m
Point 29	0,23 m	-10 m
Point 30	-0,23 m	-10 m
Point 31	-0,48 m	-10 m
Point 32	5 m	0 m
Point 33	5 m	-12 m
Point 34	5 m	-7,271942 m
Point 35	-21,5 m	-21 m
Point 36	31 m	-21 m
Point 37	5 m	-9,629751 m
Point 38	1 m	1 m
Point 39	12 m	1 m
Point 40	18,4 m	-4 m
Point 41	0 m	-0,85 m
Point 42	0 m	-4,85 m
Point 43	15,9 m	-7,65 m
Point 44	3,4 m	-16 m

Regions

	Material	Points	Area
Region 1	Muro	3;4;6;8;10;13;14;15;9;7;5;2;1	5,05 m²
Region 2	Muro	10;31;11;12;30;13	2,125 m²
Region 3	Muro	17;29;14;15;28;16	2,125 m²
Region 4	U2	28;37;25;21;22;27;26;34;7;9;15	168,82 m²

Region 5	U2	29;30;13;14	0,69 m²
Region 6	U2	10;8;23;24;31	9,873 m²
Region 7	Argilla Espansa	2;32;34;7;5	35,665 m²
Region 8	U1	32;18;19;20;22;27;26;34	145,42 m²
Region 9	U3	24;35;36;25;37;28;16;17;29;30;12;11;31	519,53 m²

Current Slip Surface

Slip Surface: 179

Overdesign Factor: 1,49

Degree of Utilization: 0,67

Volume: 320,06713 m³

Weight: 5.880,0504 kN

Resisting Moment: 139.874,15 kN·m

Activating Moment: 93.818,586 kN·m

Resisting Force: 3.636,8489 kN

Activating Force: 2.439,2681 kN

Slip Rank: 1 of 13.005 slip surfaces

Exit: (-20,561696; -20,355791) m

Entry: (17,289828; 4,0788295) m

Radius: 32,968338 m

Center: (-14,691433; 12,085715) m

Slip Slices

	X	Y	PWP	Base Normal Stress	Frictional Strength	Cohesive Strength
Slice 1	-19,938611 m	-20,456259 m	0 kPa	18,16414 kPa	8,3896567 kPa	40 kPa
Slice 2	-18,692441 m	-20,632922 m	0 kPa	44,658844 kPa	20,627037 kPa	40 kPa
Slice 3	-17,446272 m	-20,761373 m	0 kPa	71,105604 kPa	32,842272 kPa	40 kPa
Slice 4	-16,200102 m	-20,842179 m	0 kPa	96,696058 kPa	44,661996 kPa	40 kPa

Slice 5	-14,953933 m	-20,875689 m	0 kPa	120,59315 kPa	55,699588 kPa	40 kPa
Slice 6	-13,707763 m	-20,862049 m	0 kPa	142,0218 kPa	65,59706 kPa	40 kPa
Slice 7	-12,461594 m	-20,801199 m	0 kPa	160,35291 kPa	74,063839 kPa	40 kPa
Slice 8	-11,215424 m	-20,692877 m	0 kPa	175,1643 kPa	80,904924 kPa	40 kPa
Slice 9	-9,9692544 m	-20,536608 m	0 kPa	186,26848 kPa	86,033724 kPa	40 kPa
Slice 10	-8,7230848 m	-20,331699 m	0 kPa	193,70565 kPa	89,468806 kPa	40 kPa
Slice 11	-7,4625 m	-20,073683 m	0 kPa	197,23223 kPa	91,097666 kPa	40 kPa
Slice 12	-6,1875 m	-19,760149 m	0 kPa	197,19074 kPa	91,078502 kPa	40 kPa
Slice 13	-4,9125 m	-19,391867 m	0 kPa	194,50582 kPa	89,838389 kPa	40 kPa
Slice 14	-3,6375 m	-18,966885 m	0 kPa	189,69273 kPa	87,615317 kPa	40 kPa
Slice 15	-2,4375 m	-18,514698 m	0 kPa	177,54116 kPa	82,002748 kPa	40 kPa
Slice 16	-1,3125 m	-18,039634 m	0 kPa	159,21094 kPa	73,536382 kPa	40 kPa
Slice 17	-0,615 m	-17,726079 m	0 kPa	163,97238 kPa	75,735599 kPa	40 kPa
Slice 18	-0,365 m	-17,606848 m	0 kPa	193,51755 kPa	89,381925 kPa	40 kPa
Slice 19	-0,24 m	-17,546485 m	0 kPa	343,41572 kPa	158,61693 kPa	40 kPa
Slice 20	-0,115 m	-17,48492 m	0 kPa	307,19397 kPa	141,88681 kPa	40 kPa
Slice 21	0,115 m	-17,370427 m	0 kPa	302,36607 kPa	139,6569 kPa	40 kPa
Slice 22	0,24 m	-17,307541 m	0 kPa	332,85335 kPa	153,73838 kPa	40 kPa

Slice 23	0,365 m	-17,243424 m	0 kPa	216,62838 kPa	100,05636 kPa	40 kPa
Slice 24	0,615 m	-17,11362 m	0 kPa	179,30622 kPa	82,817996 kPa	40 kPa
Slice 25	0,875 m	-16,975898 m	0 kPa	171,87478 kPa	79,385562 kPa	40 kPa
Slice 26	1,6666667 m	-16,527816 m	0 kPa	178,46398 kPa	82,428981 kPa	40 kPa
Slice 27	3 m	-15,72256 m	0 kPa	156,86163 kPa	72,451285 kPa	40 kPa
Slice 28	4,3333333 m	-14,827164 m	0 kPa	135,81915 kPa	62,732177 kPa	40 kPa
Slice 29	5,675 m	-13,825337 m	0 kPa	178,02994 kPa	82,228505 kPa	40 kPa
Slice 30	7,025 m	-12,703447 m	0 kPa	155,10612 kPa	71,640448 kPa	40 kPa
Slice 31	8,4005611 m	-11,424003 m	0 kPa	132,18909 kPa	61,055527 kPa	40 kPa
Slice 32	9,8016832 m	-9,9574661 m	0 kPa	108,69711 kPa	50,205046 kPa	40 kPa
Slice 33	11,251122 m	-8,2223901 m	0 kPa	92,755876 kPa	42,842104 kPa	16 kPa
Slice 34	12,5 m	-6,5356224 m	0 kPa	56,842287 kPa	26,254328 kPa	16 kPa
Slice 35	13,477681 m	-5,018824 m	0 kPa	47,0581 kPa	21,735205 kPa	16 kPa
Slice 36	14,627681 m	-2,9183798 m	0 kPa	51,323154 kPa	20,920363 kPa	6,4 kPa
Slice 37	15,797457 m	-0,38878566 m	0 kPa	36,796723 kPa	14,999093 kPa	6,4 kPa
Slice 38	16,792371 m	2,4529386 m	0 kPa	7,6790062 kPa	3,1301193 kPa	6,4 kPa

Opera Definitiva - SLV (+)

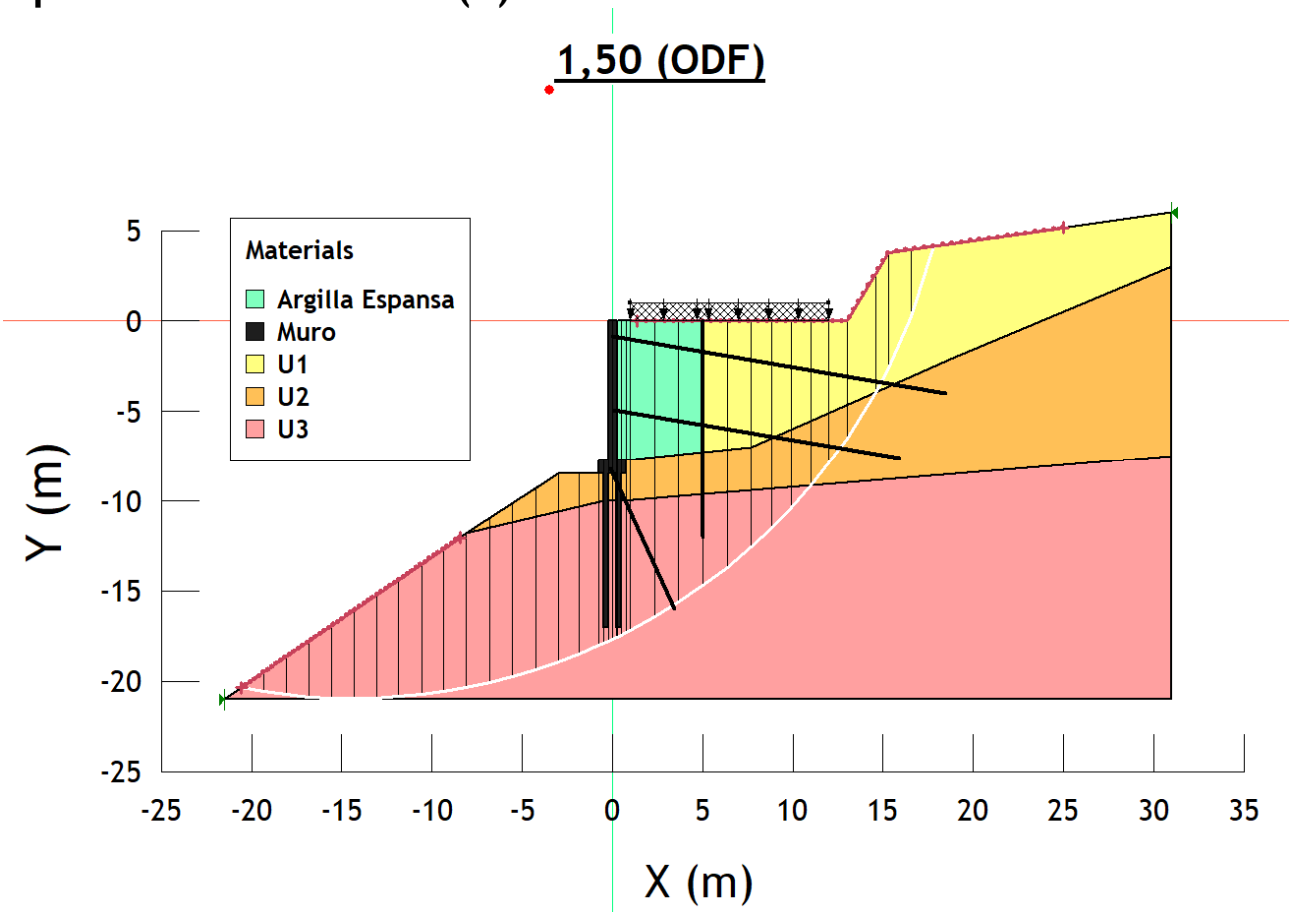

File Information

File Version: 9.00

Title: Castel del Rio - SG opera def

Revision Number: 7

Date: 24/03/2025

Time: 14:19:22

Tool Version: 9.0.5.16316

File Name: sg opera def.gsz

Directory: \\Pc-Server\Archivio-GES\LAVORI\Castel del Rio SOIL\2_Elaborazione\4_Modellazione Numerica\Geoslope\

Last Solved Date: 24/03/2025

Last Solved Time: 14:19:22

Project Settings

Unit System: International System of Units (SI)

Analysis Settings

SLV (+)

Kind: SLOPE/W

Method: Morgenstern-Price

Settings

Side Function

Interslice force function option: Half-Sine

PWP Conditions from: (none)

Limit State Design Approach: Eurocode 7 - DA1, C2 (Sisma)

Unit Weight of Water: 9,807 kN/m³

Slip Surface

Direction of movement: Right to Left

Use Passive Mode: No

Slip Surface Option: Entry and Exit

Critical slip surfaces saved: 1

Optimize Critical Slip Surface Location: No

Tension Crack Option: (none)

Distribution

ODF Calculation Option: Constant

Advanced

Geometry Settings

Minimum Slip Surface Depth: 0,1 m

Number of Slices: 30

Overdesign Factor Convergence Settings

Maximum Number of Iterations: 100

Tolerable difference in ODF: 0,001

Solution Settings

Search Method: Root Finder

Tolerable difference between starting and converged ODF: 3

Maximum iterations to calculate converged lambda: 20

Max Absolute Lambda: 2

Materials

U1

Model: Mohr-Coulomb

Unit Weight: 19 kN/m³

Cohesion': 8 kPa

Phi': 27 °

Phi-B: 0 °

U2

Model: Mohr-Coulomb

Unit Weight: 20 kN/m³

Cohesion': 20 kPa

Phi': 30 °

Phi-B: 0 °

U3

Model: Mohr-Coulomb

Unit Weight: 20 kN/m³

Cohesion': 50 kPa

Phi': 30 °

Phi-B: 0 °

Argilla Espansa

Model: Mohr-Coulomb

Unit Weight: 6 kN/m³

Cohesion': 0 kPa

Phi': 40 °

Phi-B: 0 °

Muro

Model: High Strength

Unit Weight: 25 kN/m³

Slip Surface Entry and Exit

Left Type: Range

Left-Zone Left Coordinate: (-20,561696; -20,355791) m

Left-Zone Right Coordinate: (-8,441678; -12,034585) m

Left-Zone Increment: 50

Right Type: Range

Right-Zone Left Coordinate: (1,35; 0) m

Right-Zone Right Coordinate: (24,97239; 5,155367) m

Right-Zone Increment: 50

Radius Increments: 4

Slip Surface Limits

Left Coordinate: (-21,5; -21) m

Right Coordinate: (31; 6) m

Seismic Coefficients

Horz Seismic Coef.: 0,149

Vert Seismic Coef.: 0,075

Surcharge Loads

Surcharge Load 1

Surcharge (Unit Weight): 6 kN/m³

Direction: Vertical

Mode: Variable

Coordinates

	X	Y
	1 m	1 m
	12 m	1 m

Design Factor Set: Eurocode 7 - DA1, C2 (Sisma)

Permanent Point Loads & Surcharge Loads: Favorable = 1, Unfavorable = 1

Variable Point Loads & Surcharge Loads: Favorable = 0, Unfavorable = 1

Soil Unit Weight: Favorable = 1, Unfavorable = 1

Effective Cohesion: 1

Effective Coefficient of Friction: 1

Undrained Strength: 1

Shear Strength (Other Models): 1

Pullout Resistance: 1,1

Shear Force: 1,1

Tensile Strength: 1,1

Compressive Strength: 1,1

Seismic Coefficients: 1

Earth Resistance: 1

Points

	X	Y
Point 1	0 m	0 m
Point 2	0,25 m	0 m
Point 3	-0,25 m	0 m
Point 4	-0,25 m	-7,7 m
Point 5	0,25 m	-7,7 m
Point 6	-0,75 m	-7,7 m
Point 7	0,75 m	-7,7 m
Point 8	-0,75 m	-8,5 m
Point 9	0,75 m	-8,5 m
Point 10	-0,48 m	-8,5 m
Point 11	-0,48 m	-17 m
Point 12	-0,23 m	-17 m
Point 13	-0,23 m	-8,5 m
Point 14	0,23 m	-8,5 m
Point 15	0,48 m	-8,5 m
Point 16	0,48 m	-17 m
Point 17	0,23 m	-17 m
Point 18	13 m	0 m
Point 19	15,3 m	3,8 m
Point 20	31 m	6 m
Point 21	31 m	-4 m
Point 22	31 m	3 m
Point 23	-3 m	-8,5 m
Point 24	-8,1 m	-11,8 m
Point 25	31 m	-7,5 m
Point 26	7,7 m	-7 m
Point 27	19 m	-2 m
Point 28	0,48 m	-10 m
Point 29	0,23 m	-10 m
Point 30	-0,23 m	-10 m
Point 31	-0,48 m	-10 m

Point 32	5 m	0 m
Point 33	5 m	-12 m
Point 34	5 m	-7,271942 m
Point 35	-21,5 m	-21 m
Point 36	31 m	-21 m
Point 37	5 m	-9,629751 m
Point 38	1 m	1 m
Point 39	12 m	1 m
Point 40	18,4 m	-4 m
Point 41	0 m	-0,85 m
Point 42	0 m	-4,85 m
Point 43	15,9 m	-7,65 m
Point 44	3,4 m	-16 m

Regions

	Material	Points	Area
Region 1	Muro	3;4;6;8;10;13;14;15;9;7;5;2;1	5,05 m²
Region 2	Muro	10;31;11;12;30;13	2,125 m²
Region 3	Muro	17;29;14;15;28;16	2,125 m²
Region 4	U2	28;37;25;21;22;27;26;34;7;9;15	168,82 m²
Region 5	U2	29;30;13;14	0,69 m²
Region 6	U2	10;8;23;24;31	9,873 m²
Region 7	Argilla Espansa	2;32;34;7;5	35,665 m²
Region 8	U1	32;18;19;20;22;27;26;34	145,42 m²
Region 9	U3	24;35;36;25;37;28;16;17;29;30;12;11;31	519,53 m²

Current Slip Surface

Slip Surface: 184

Overdesign Factor: 1,50

Degree of Utilization: 0,67

Volume: 332,37486 m³

Weight: 6.122,298 kN

Resisting Moment: 180.565 kN·m

Activating Moment: 120.116,12 kN·m

Resisting Force: 4.735,4805 kN

Activating Force: 3.151,789 kN

Slip Rank: 1 of 13.005 slip surfaces

Exit: (-20,561696; -20,355791) m

Entry: (17,801999; 4,1505986) m

Radius: 33,174521 m

Center: (-14,372089; 12,236195) m

Slip Slices

	X	Y	PWP	Base Normal Stress	Frictional Strength	Cohesive Strength
Slice 1	-19,938611 m	-20,461865 m	0 kPa	22,566786 kPa	13,02894 kPa	50 kPa
Slice 2	-18,692441 m	-20,649796 m	0 kPa	55,111427 kPa	31,818597 kPa	50 kPa
Slice 3	-17,446272 m	-20,789652 m	0 kPa	88,246642 kPa	50,949222 kPa	50 kPa
Slice 4	-16,200102 m	-20,882044 m	0 kPa	120,66858 kPa	69,668037 kPa	50 kPa
Slice 5	-14,953933 m	-20,927368 m	0 kPa	150,90847 kPa	87,127044 kPa	50 kPa
Slice 6	-13,707763 m	-20,925818 m	0 kPa	177,52819 kPa	102,49595 kPa	50 kPa
Slice 7	-12,461594 m	-20,877386 m	0 kPa	199,33322 kPa	115,08509 kPa	50 kPa
Slice 8	-11,215424 m	-20,781868 m	0 kPa	215,54694 kPa	124,44608 kPa	50 kPa
Slice 9	-9,9692544 m	-20,638851 m	0 kPa	225,9005 kPa	130,42371 kPa	50 kPa
Slice 10	-8,7230848 m	-20,447711 m	0 kPa	230,62119 kPa	133,14921 kPa	50 kPa
Slice 11	-7,4625 m	-20,204236 m	0 kPa	229,78405 kPa	132,66588 kPa	50 kPa
Slice 12	-6,1875 m	-19,906122 m	0 kPa	224,2445 kPa	129,46763 kPa	50 kPa
Slice 13	-4,9125 m	-19,554096 m	0 kPa	215,55229 kPa	124,44917 kPa	50 kPa
Slice 14	-3,6375 m	-19,146339 m	0 kPa	204,72486 kPa	118,19795 kPa	50 kPa
Slice 15	-2,4375 m	-18,711356 m	0 kPa	187,43619 kPa	108,21633 kPa	50 kPa
Slice 16	-1,3125 m	-18,2535 m	0 kPa	165,1696 kPa	95,360711 kPa	50 kPa
Slice 17	-0,615 m	-17,951042 m	0 kPa	167,15556 kPa	96,507305 kPa	50 kPa
Slice 18	-0,365 m	-17,835954 m	0 kPa	194,41931 kPa	112,24804 kPa	50 kPa
Slice 19	-0,24 m	-17,777681 m	0 kPa	336,59774 kPa	194,33479 kPa	50 kPa

Slice 20	-0,115 m	-17,718237 m	0 kPa	301,57306 kPa	174,11329 kPa	50 kPa
Slice 21	0,115 m	-17,607677 m	0 kPa	295,99601 kPa	170,89338 kPa	50 kPa
Slice 22	0,24 m	-17,546947 m	0 kPa	324,36923 kPa	187,27466 kPa	50 kPa
Slice 23	0,365 m	-17,485019 m	0 kPa	213,78214 kPa	123,42718 kPa	50 kPa
Slice 24	0,615 m	-17,359634 m	0 kPa	177,66121 kPa	102,57275 kPa	50 kPa
Slice 25	0,875 m	-17,226583 m	0 kPa	169,86278 kPa	98,070324 kPa	50 kPa
Slice 26	1,6666667 m	-16,793566 m	0 kPa	160,0877 kPa	92,426675 kPa	50 kPa
Slice 27	3 m	-16,015298 m	0 kPa	137,41975 kPa	79,339329 kPa	50 kPa
Slice 28	4,3333333 m	-15,150009 m	0 kPa	116,13943 kPa	67,053133 kPa	50 kPa
Slice 29	5,675 m	-14,182455 m	0 kPa	154,10807 kPa	88,974336 kPa	50 kPa
Slice 30	7,025 m	-13,100198 m	0 kPa	132,70997 kPa	76,620138 kPa	50 kPa
Slice 31	8,2497818 m	-12,017352 m	0 kPa	114,20372 kPa	65,935547 kPa	50 kPa
Slice 32	9,3493454 m	-10,941887 m	0 kPa	97,777843 kPa	56,452064 kPa	50 kPa
Slice 33	10,448909 m	-9,7587972 m	0 kPa	80,997072 kPa	46,763681 kPa	50 kPa
Slice 34	11,499345 m	-8,5141639 m	0 kPa	73,411732 kPa	42,384283 kPa	20 kPa
Slice 35	12,5 m	-7,1986113 m	0 kPa	55,731245 kPa	32,176449 kPa	20 kPa
Slice 36	13,791677 m	-5,2307699 m	0 kPa	47,624549 kPa	27,496046 kPa	20 kPa
Slice 37	14,941677 m	-3,277189 m	0 kPa	54,834498 kPa	27,939572 kPa	8 kPa
Slice 38	15,9255 m	-1,1884418 m	0 kPa	41,639599 kPa	21,216435 kPa	8 kPa
Slice 39	17,176499 m	2,1869126 m	0 kPa	9,3366347 kPa	4,757253 kPa	8 kPa

Opera Definitiva - SLV (-)

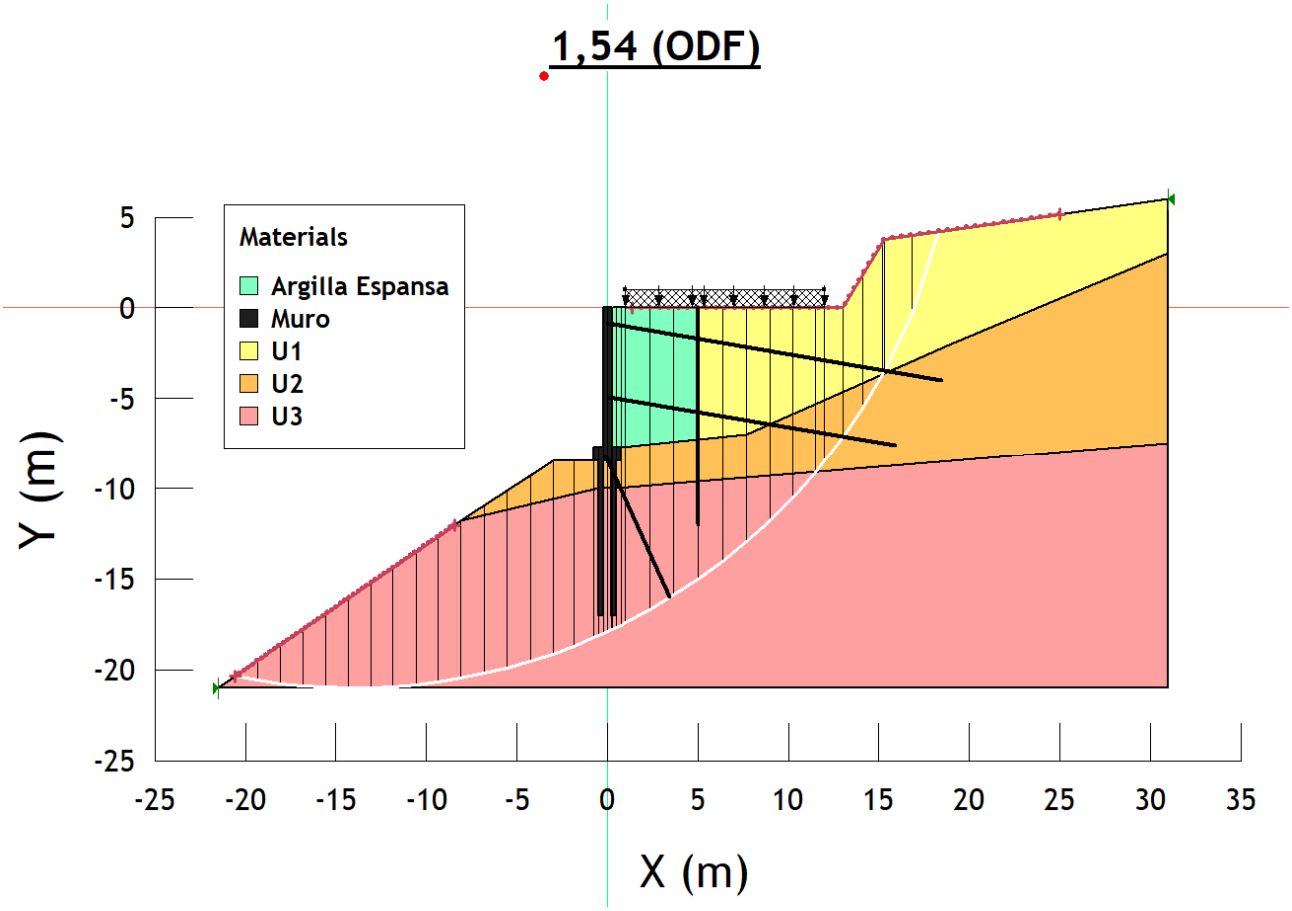

File Information

File Version: 9.00

Title: Castel del Rio - SG opera def

Revision Number: 7

Date: 24/03/2025

Time: 14:19:22

Tool Version: 9.0.5.16316

File Name: sg opera def.gsz

Directory: \\Pc-Server\Archivio-GES\LAVORI\Castel del Rio SOIL\2_Elaborazione\4_Modellazione Numerica\Geoslope\

Last Solved Date: 24/03/2025

Last Solved Time: 14:19:22

Project Settings

Unit System: International System of Units (SI)

Analysis Settings

SLV (-)

Kind: SLOPE/W

Method: Morgenstern-Price

Settings

Side Function

Interslice force function option: Half-Sine

PWP Conditions from: (none)

Limit State Design Approach: Eurocode 7 - DA1, C2 (Sisma)

Unit Weight of Water: 9,807 kN/m³

Slip Surface

Direction of movement: Right to Left

Use Passive Mode: No

Slip Surface Option: Entry and Exit

Critical slip surfaces saved: 1

Optimize Critical Slip Surface Location: No

Tension Crack Option: (none)

Distribution

ODF Calculation Option: Constant

Advanced

Geometry Settings

Minimum Slip Surface Depth: 0,1 m

Number of Slices: 30

Overdesign Factor Convergence Settings

Maximum Number of Iterations: 100

Tolerable difference in ODF: 0,001

Solution Settings

Search Method: Root Finder

Tolerable difference between starting and converged ODF: 3

Maximum iterations to calculate converged lambda: 20

Max Absolute Lambda: 2

Materials

U1

Model: Mohr-Coulomb

Unit Weight: 19 kN/m³

Cohesion': 8 kPa

Phi': 27 °

Phi-B: 0 °

U2

Model: Mohr-Coulomb

Unit Weight: 20 kN/m³

Cohesion': 20 kPa

Phi': 30 °

Phi-B: 0 °

U3

Model: Mohr-Coulomb

Unit Weight: 20 kN/m³

Cohesion': 50 kPa

Phi': 30 °

Phi-B: 0 °

Argilla Espansa

Model: Mohr-Coulomb

Unit Weight: 6 kN/m³

Cohesion': 0 kPa

Phi': 40 °

Phi-B: 0 °

Muro

Model: High Strength

Unit Weight: 25 kN/m³

Slip Surface Entry and Exit

Left Type: Range

Left-Zone Left Coordinate: (-20,561696; -20,355791) m

Left-Zone Right Coordinate: (-8,441678; -12,034585) m

Left-Zone Increment: 50

Right Type: Range

Right-Zone Left Coordinate: (1,35; 0) m

Right-Zone Right Coordinate: (24,97239; 5,155367) m

Right-Zone Increment: 50

Radius Increments: 4

Slip Surface Limits

Left Coordinate: (-21,5; -21) m

Right Coordinate: (31; 6) m

Seismic Coefficients

Horz Seismic Coef.: 0,149

Vert Seismic Coef.: -0,075

Surcharge Loads

Surcharge Load 1

Surcharge (Unit Weight): 6 kN/m³

Direction: Vertical

Mode: Variable

Coordinates

	X	Y
	1 m	1 m
	12 m	1 m

Design Factor Set: Eurocode 7 - DA1, C2 (Sisma)

Permanent Point Loads & Surcharge Loads: Favorable = 1, Unfavorable = 1

Variable Point Loads & Surcharge Loads: Favorable = 0, Unfavorable = 1

Soil Unit Weight: Favorable = 1, Unfavorable = 1

Effective Cohesion: 1

Effective Coefficient of Friction: 1

Undrained Strength: 1

Shear Strength (Other Models): 1

Pullout Resistance: 1,1

Shear Force: 1,1

Tensile Strength: 1,1

Compressive Strength: 1,1

Seismic Coefficients: 1

Earth Resistance: 1

Points

	X	Y
Point 1	0 m	0 m
Point 2	0,25 m	0 m
Point 3	-0,25 m	0 m
Point 4	-0,25 m	-7,7 m
Point 5	0,25 m	-7,7 m
Point 6	-0,75 m	-7,7 m
Point 7	0,75 m	-7,7 m
Point 8	-0,75 m	-8,5 m
Point 9	0,75 m	-8,5 m
Point 10	-0,48 m	-8,5 m
Point 11	-0,48 m	-17 m
Point 12	-0,23 m	-17 m
Point 13	-0,23 m	-8,5 m
Point 14	0,23 m	-8,5 m
Point 15	0,48 m	-8,5 m

Point 16	0,48 m	-17 m
Point 17	0,23 m	-17 m
Point 18	13 m	0 m
Point 19	15,3 m	3,8 m
Point 20	31 m	6 m
Point 21	31 m	-4 m
Point 22	31 m	3 m
Point 23	-3 m	-8,5 m
Point 24	-8,1 m	-11,8 m
Point 25	31 m	-7,5 m
Point 26	7,7 m	-7 m
Point 27	19 m	-2 m
Point 28	0,48 m	-10 m
Point 29	0,23 m	-10 m
Point 30	-0,23 m	-10 m
Point 31	-0,48 m	-10 m
Point 32	5 m	0 m
Point 33	5 m	-12 m
Point 34	5 m	-7,271942 m
Point 35	-21,5 m	-21 m
Point 36	31 m	-21 m
Point 37	5 m	-9,629751 m
Point 38	1 m	1 m
Point 39	12 m	1 m
Point 40	18,4 m	-4 m
Point 41	0 m	-0,85 m
Point 42	0 m	-4,85 m
Point 43	15,9 m	-7,65 m
Point 44	3,4 m	-16 m

Regions

	Material	Points	Area
Region 1	Muro	3;4;6;8;10;13;14;15;9;7;5;2;1	5,05 m²
Region 2	Muro	10;31;11;12;30;13	2,125 m²

Region 3	Muro	17;29;14;15;28;16	2,125 m²
Region 4	U2	28;37;25;21;22;27;26;34;7;9;15	168,82 m²
Region 5	U2	29;30;13;14	0,69 m²
Region 6	U2	10;8;23;24;31	9,873 m²
Region 7	Argilla Espansa	2;32;34;7;5	35,665 m²
Region 8	U1	32;18;19;20;22;27;26;34	145,42 m²
Region 9	U3	24;35;36;25;37;28;16;17;29;30;12;11;31	519,53 m²

Current Slip Surface

Slip Surface: 189

Overdesign Factor: 1,54

Degree of Utilization: 0,65

Volume: 344,75061 m³

Weight: 6.366,0796 kN

Resisting Moment: 170.127,45 kN·m

Activating Moment: 110.608,57 kN·m

Resisting Force: 4.443,7037 kN

Activating Force: 2.887,7368 kN

Slip Rank: 1 of 13.005 slip surfaces

Exit: (-20,561696; -20,355791) m

Entry: (18,31417; 4,2223678) m

Radius: 33,382899 m

Center: (-14,05494; 12,386842) m

Slip Slices

	X	Y	PWP	Base Normal Stress	Frictional Strength	Cohesive Strength
Slice 1	-19,938611 m	-20,467376 m	0 kPa	21,110871 kPa	12,188367 kPa	50 kPa
Slice 2	-18,692441 m	-20,666382 m	0 kPa	50,314698 kPa	29,049205 kPa	50 kPa

Slice 3	-17,446272 m	-20,817442 m	0 kPa	80,064596 kPa	46,225316 kPa	50 kPa
Slice 4	-16,200102 m	-20,92121 m	0 kPa	109,173 kPa	63,031063 kPa	50 kPa
Slice 5	-14,953933 m	-20,978128 m	0 kPa	136,29839 kPa	78,691913 kPa	50 kPa
Slice 6	-13,707763 m	-20,988435 m	0 kPa	160,12401 kPa	92,447638 kPa	50 kPa
Slice 7	-12,461594 m	-20,952175 m	0 kPa	179,55456 kPa	103,66587 kPa	50 kPa
Slice 8	-11,215424 m	-20,869195 m	0 kPa	193,87882 kPa	111,93599 kPa	50 kPa
Slice 9	-9,9692544 m	-20,739144 m	0 kPa	202,85456 kPa	117,11813 kPa	50 kPa
Slice 10	-8,7230848 m	-20,561463 m	0 kPa	206,69876 kPa	119,33759 kPa	50 kPa
Slice 11	-7,4625 m	-20,332185 m	0 kPa	205,52161 kPa	118,65795 kPa	50 kPa
Slice 12	-6,1875 m	-20,04911 m	0 kPa	200,1194 kPa	115,53899 kPa	50 kPa
Slice 13	-4,9125 m	-19,712914 m	0 kPa	191,89594 kPa	110,79117 kPa	50 kPa
Slice 14	-3,6375 m	-19,321904 m	0 kPa	181,79245 kPa	104,95792 kPa	50 kPa
Slice 15	-2,4375 m	-18,903619 m	0 kPa	166,27066 kPa	95,996412 kPa	50 kPa
Slice 16	-1,3125 m	-18,462432 m	0 kPa	146,63747 kPa	84,661183 kPa	50 kPa
Slice 17	-0,615 m	-18,170713 m	0 kPa	147,84685 kPa	85,359418 kPa	50 kPa
Slice 18	-0,365 m	-18,059628 m	0 kPa	170,72873 kPa	98,570277 kPa	50 kPa
Slice 19	-0,24 m	-18,003374 m	0 kPa	290,82419 kPa	167,90742 kPa	50 kPa
Slice 20	-0,115 m	-17,945978 m	0 kPa	261,13091 kPa	150,764 kPa	50 kPa

Slice 21	0,115 m	-17,839216 m	0 kPa	256,25954 kPa	147,95152 kPa	50 kPa
Slice 22	0,24 m	-17,780565 m	0 kPa	280,15463 kPa	161,74735 kPa	50 kPa
Slice 23	0,365 m	-17,720748 m	0 kPa	186,61891 kPa	107,74448 kPa	50 kPa
Slice 24	0,615 m	-17,599625 m	0 kPa	155,94525 kPa	90,03503 kPa	50 kPa
Slice 25	0,875 m	-17,471076 m	0 kPa	149,20613 kPa	86,144202 kPa	50 kPa
Slice 26	1,6666667 m	-17,05255 m	0 kPa	141,25979 kPa	81,556379 kPa	50 kPa
Slice 27	3 m	-16,300183 m	0 kPa	121,46065 kPa	70,125337 kPa	50 kPa
Slice 28	4,3333333 m	-15,463672 m	0 kPa	102,96099 kPa	59,444558 kPa	50 kPa
Slice 29	5,675 m	-14,52871 m	0 kPa	134,71419 kPa	77,777273 kPa	50 kPa
Slice 30	7,025 m	-13,483912 m	0 kPa	116,43188 kPa	67,22198 kPa	50 kPa
Slice 31	8,3326119 m	-12,361648 m	0 kPa	99,632885 kPa	57,523073 kPa	50 kPa
Slice 32	9,5978358 m	-11,153759 m	0 kPa	83,662793 kPa	48,302736 kPa	50 kPa
Slice 33	10,86306 m	-9,8079001 m	0 kPa	67,273449 kPa	38,840344 kPa	50 kPa
Slice 34	11,747836 m	-8,7904262 m	0 kPa	63,685478 kPa	36,768828 kPa	20 kPa
Slice 35	12,5 m	-7,8263119 m	0 kPa	51,440651 kPa	29,699273 kPa	20 kPa
Slice 36	13,55213 m	-6,3561932 m	0 kPa	45,860622 kPa	26,477642 kPa	20 kPa
Slice 37	14,656391 m	-4,6102963 m	0 kPa	45,739323 kPa	26,40761 kPa	20 kPa
Slice 38	15,254261 m	-3,5937572 m	0 kPa	53,209988 kPa	27,111843 kPa	8 kPa

Slice 39	16,053543 m	-1,9245577 m	0 kPa	41,278074 kPa	21,032229 kPa	8 kPa
Slice 40	17,560628 m	1,9415606 m	0 kPa	9,7300203 kPa	4,957693 kPa	8 kPa